100201553430006

ОБЩЕСТВО С ОГРАНИЧЕННОЙ ОТВЕТСТВЕННОСТЬЮ
"ИНСТИТУТ ЮЖНИИГИПРОГАЗ"

Заказчик – АО "АРКТИКГАЗ"

ОБУСТРОЙСТВО АЧИМОВСКИХ ОТЛОЖЕНИЙ УРЕНГОЙСКОГО МЕСТОРОЖДЕНИЯ САМБУРГСКОГО ЛУ. ДКС. 4-Й ЭТАП

ПРОЕКТНАЯ ДОКУМЕНТАЦИЯ

Раздел 8. Мероприятия по охране окружающей среды

Часть 1. Результаты оценки воздействия на окружающую среду

Книга 3. Приложения (окончание)

2022-633-ЮНГГ-П-ООС1.3

Том 8.1.3

2026

ОБЩЕСТВО С ОГРАНИЧЕННОЙ ОТВЕТСТВЕННОСТЬЮ "ИНСТИТУТ ЮЖНИИГИПРОГАЗ"

Заказчик – АО "АРКТИКГАЗ"

ОБУСТРОЙСТВО АЧИМОВСКИХ ОТЛОЖЕНИЙ УРЕНГОЙСКОГО МЕСТОРОЖДЕНИЯ САМБУРГСКОГО ЛУ. ДКС. 4-Й ЭТАП

ПРОЕКТНАЯ ДОКУМЕНТАЦИЯ

Раздел 8. Мероприятия по охране окружающей среды

Часть 1. Результаты оценки воздействия на окружающую среду

Книга 3. Приложения (окончание)

2022-633-ЮНГГ-П-ООС1.3

Том 8.1.3

Главный инженер В.А. Чуркин

Главный инженер проекта А.Г. Бадло

2026

Взам. инв. №

Подп. и дата

Инв. № подл.

Обозначение	Наименование	Примечание
2022-633-ЮНГГ-П-СП	Состав проектной документации	Выпускается отдельным документом
2022-633-ЮНГГ-П-ООС1.3-С	Содержание тома 8.1.3	Лист 2
2022-633-ЮНГГ-П-ООС1.3.ТЧ	Текстовая часть	Лист 4
	Параметры источников выбросов загрязняющих веществ, поступающих в атмосферу от существующих объектов УКПГ Уренгойского НГКМ	Лист 146
	Параметры источников выделения и выбросов загрязняющих веществ, поступающих в атмосферу при эксплуатации проектируемых объектов (линии НТС №5, №6) Уренгойского НГКМ	Лист 216
от 03.07.2024 №1738	Копия Приказа Северо-Уральского межрегионального управления Федеральной службы по надзору в сфере природопользования о выдаче КЭР	Лист 227
от 14.07.2026 №1870	Копия Приказа Северо-Уральского межрегионального управления Федеральной службы по надзору в сфере природопользования о пересмотре КЭР	Лист 229
от 30.06.2025 №212-РСЗЗ	Копия Решения Федеральной службы по надзору в сфере защиты прав потребителей и благополучия человека об изменении санитарно-защитной зоны для УКПГ Уренгойского НГКМ Самбургского лицензионного участка АО "АРКТИКГАЗ"	Лист 231
	Исходные данные для проведения акустических расчетов по объекту “Обустройство ачимовских отложений Уренгойского месторождения Самбургского ЛУ. ДКС. 4-й этап”	Лист 238
	Акустические характеристики строительной техники и оборудования на период СМР	Лист 239
	Акустические характеристики производственного оборудования на период эксплуатации	Лист 249
от 30.05.2023 №1882/25	Копия Письма ФГБУ "ГГО" о предоставлении файла для расчета среднегодовых концентраций	Лист 285
УПРЗА "Эколог"	Расчетный уровень загрязнения атмосферы в районе Уренгойского НГКМ. ДКС. 4-й этап (карты рассеивания)	Лист 286

Согласовано

Взам. инв. №

Подп. и дата

Инв. № подл.

Изм.	Кол.уч	Лист	№док.	Подп.	Дата
Разраб.		Емельянова			10.11.26
Проверил		Шемет			10.11.26
Н.контр.		Кубарев			10.11.26

2022-633-ЮНГГ-П-ООС1.3-С

Содержание тома 8.1.3

Стадия	Лист	Листов
П	1	2

ЮЖНИИГИПРОГАЗ

Формат А4

Обозначение	Наименование	Примечание
УПРЗА "Эколог"	Отчет с результатами расчетов рассеивания загрязнения атмосферы в районе Уренгойского НГКМ. ДКС. 4-й этап (представлен только в электронном виде)	Лист 404
АРМ “Акустика” 3D	Отчёт по расчету уровней звукового давления и уровней звука (представлен только в электронном виде)	Лист 524

Содержание

Введение……. 3

Приложение А *(обязательное)* Расчет количества пыли, поступающей в атмосферу в период строительства 5

Приложение Б *(обязательное)* Расчет количества загрязняющих веществ, поступающих в атмосферу при выполнении сварочных работ и газовой сварки и резки металла в период строительства.....8

Приложение В *(обязательное)* Расчет количества загрязняющих веществ, поступающих в атмосферу при выполнении окрасочных работ и сушке окрашенных поверхностей в период строительства.....16

Приложение Г *(обязательное)* Расчет количества загрязняющих веществ, поступающих в атмосферу при работе дизельных электростанций в период строительства 26

Приложение Д *(обязательное)* Расчет количества загрязняющих веществ, поступающих в атмосферу при укладке горячего битума в период строительства 30

Приложение Е *(обязательное)* Расчет количества загрязняющих веществ, поступающих в атмосферу при заправке топливом баков строительной техники в период строительства.....33

Приложение Ж *(обязательное)* Расчет количества загрязняющих веществ, поступающих в атмосферу при автотранспорта и дорожно- строительной техники в период строительства.....35

Приложение И *(обязательное)* Расчет количества загрязняющих веществ, поступающих в атмосферу при работе ГПА мощностью 18 МВт в период эксплуатации ДКС.....65

Приложение К *(обязательное)* Расчет количества загрязняющих веществ, поступающих в атмосферу от сухих газодинамических уплотнений ГПА в период эксплуатации 67

Приложение Л *(обязательное)* Расчет количества загрязняющих веществ, поступающих в атмосферу с дымовыми газами водогрейных котлов подогрева теплоносителя установки подготовки газа в период эксплуатации 69

Приложение М *(обязательное)* Расчет количества загрязняющих веществ, поступающих в атмосферу при “дыхании” емкостного оборудования в период эксплуатации ДКС 75

Приложение Н *(обязательное)* Расчет количества загрязняющих веществ, поступающих в атмосферу за счет утечек через неплотности фланцев, ПК, устанавливаемых на проектируемых объектах ДКС в период эксплуатации.....86

Приложение П *(обязательное)* Расчет количества загрязняющих веществ, поступающих в атмосферу при работе аварийных дизельных электростанций в период эксплуатации 96

Приложение Р *(обязательное)* Расчет количества загрязняющих веществ, дополнительно поступающих в атмосферу от существующих факелов высокого и низкого давлений при опорожнении

Согласовано

Взам. инв. №

Подп. и дата

Инв. № подл.

Изм.	Кол.уч	Лист	№док.	Подп.	Дата	2022-633-ЮНГГ-П-ООС1.3.ТЧ		
Разраб.		Емельянова			10.11.26	Текстовая часть	Стадия	Лист	Листов
Проверил		Шемет			10.11.26		П	1	142
Н.контр.		Кубарев			10.11.26		ЮЖНИИГИПРОГАЗ		

Формат А4

оборудования и трубопроводов проектируемых объектов ДКС перед ППР в период эксплуатации 97

Приложение С (обязательное) Расчет количества загрязняющих веществ, поступающих в атмосферу через свечи рассеивания при опорожнении оборудования и трубопроводов проектируемых объектов ДКС перед ППР в период эксплуатации 113

Приложение Т *(обязательное)* Расчет количества загрязняющих веществ, поступающих в атмосферу при возможных аварийных ситуациях при строительстве и эксплуатации на проектируемых объектах 121

Приложение У *(обязательное)* Расчет количества парниковых газов, поступающих в атмосферу при эксплуатации на проектируемых объектах 132

1 Обозначения и сокращения…… 139

2 Ссылочные нормативные документы 140

Таблица регистрации изменений 142

Введение

Проектная документация разработана на основании Задания на проектирование по объекту "Обустройство ачимовских отложений Уренгойского месторождения Самбургского ЛУ. ДКС. 4-й этап“, утвержденного Генеральным директором АО "АРКТИКГАЗ" П.А. Порхуном в 2024 году.

Проект выполнен с учетом требований, определенных Постановлением Правительства РФ №87 от 16.02.2008 г. "О составе разделов проектной документации и требованиях к их содержанию" в редакции, действующей на момент выполнения проектной документации.

Расчеты выбросов в атмосферный воздух выполнены:

- в период строительства проектируемых объектов;
- при вводе в эксплуатацию проектируемых объектов;
- при аварийных ситуациях.

Раздел разработан с учетом требований законодательных и нормативно-методических документов, действующих в Российской Федерации на момент выпуска проектной документации:

Федерального закона РФ "Об охране окружающей среды" от 10.01.2002 №7-ФЗ;

Федерального закона РФ "Об охране атмосферного воздуха" от 04.05.1999 №96-ФЗ Федерального закона "О санитарно-эпидемиологическом благополучии населения" от 30.03.1999 №52-ФЗ;

Федерального закона РФ "Об экологической экспертизе" от 23.11.1995 №174-ФЗ.

В данном томе приведены расчеты количества загрязняющих веществ, поступающих в атмосферу при строительстве и эксплуатации проектируемых объектов:

- *в период строительства:*
  - при пылении при разгрузке щебня;
  - при выполнении сварочных работ и газовой сварки и резки металла;
  - при выполнении окрасочных работ и сушке окрашенных поверхностей;
  - при укладке горячего битума;
  - при работе передвижных ДЭС;
  - при заправке топливных баков дорожно-строительной техники;
  - при работе автотранспорта и дорожно-строительной техники;
- *в период эксплуатации:*
  - при работе ГПА;
  - при сбросе газа через свечи “сухих” газодинамических уплотнений ГПА;
  - за счет утечек через неплотности фланцев, установленных в обвязке оборудования и на трубопроводах;
  - при дыхании емкостного оборудования;
  - при работе водогрейных котлов установки подготовки газов;

- при работе аварийных ДЭС;
- при плановых сбросах по опорожнению оборудования на существующие факела высокого и низкого давлений УКПГ;
- при плановых сбросах через свечи стравливания;
- при аварийных ситуациях.

Также в составе данного тома приведены результаты расчетов рассеивания загрязняющих веществ в приземном слое атмосферы (карты рассеивания) и отчет с результатами расчетов рассеивания, отчет по уровням акустического воздействия.

Приложение А
(обязательное)

Расчет количества пыли, поступающей в атмосферу в период строительства

Источники 6501, 6507, 6513, 6518, 6524, 6532

Количество загрязняющих веществ, поступающих в атмосферу при разгрузке щебня из кузовов автосамосвалов в отвал при выполнении строительно-монтажных работ в период строительства, рассчитано по "Методическому пособию по расчету выбросов от неорганизованных источников в промышленности строительных материалов" (Новороссийск, ЗАО “НИПИОТСТРОМ“, 2001).

Количество пыли, выделяющейся в атмосферу при разгрузке щебня из кузовов автосамосвалов в отвал, рассчитано по формулам:

- *максимально разовый выброс:*

$$M_{гр} = K_1 \times K_2 \times K_3 \times K_4 \times K_5 \times K_7 \times K_8 \times K_9 \times B \times G_ч \times 10^6 / 3600, \text{ г/с};$$

- *валовый выброс за период строительства:*

$$П_{гр} = K_1 \times K_2 \times K_3 \times K_4 \times K_5 \times K_7 \times K_8 \times K_9 \times B \times G_{год}, \text{ т},$$

где K_1 – весовая доля пылеватой фракции в материале (принята по таблице 1);

K_2 – доля пыли, переходящая в аэрозоль (принята по таблице 1);

K_3 – коэффициент, учитывающий местные метеоусловия (принят по таблице 2);

K_4 – коэффициент, учитывающий местные условия, степень защищенности от внешних воздействий, условия пылеобразования (принят по таблице 3);

K_5 – коэффициент, учитывающий влажность материала (принят по таблице 4);

K_7 – коэффициент, учитывающий крупность материала (принят по таблице 5);

K_8 – поправочный коэффициент в зависимости от перегрузочного устройства K_8=1;

K_9 – поправочный коэффициент при мощном залповом сбросе материала при разгрузке автосамосвалов. K_9 = 0,1 при сбросе материала весом свыше 10 т;

B – коэффициент, учитывающий высоту пересыпки (принят по таблице 7);

$G_ч$ – количество сгружаемого материала за 1 ч;

$G_{год}$ – количество сгружаемого материала за период строительства.

В соответствии с данными Сводной ресурсной сметы объем щебня, сгружаемого из кузовов автосамосвалов в период строительства проектируемых объектов составит:

- 1 этап (крупность щебня 50 – 100 мм) – 2168 м^3 или 2168 × 1,6 = 3468,8 (т) (при плотности щебня, равной 1,6 т/м^3);
- 2 этап (крупность щебня 10 – 50 мм) - 26586 м^3 или 26586 × 1,6 = 42537,6 (т) (при плотности щебня, равной 1,6 т/м^3);

- 3 этап (крупность щебня 10 – 50 мм) - 10542 м^3 или 10542 × 1,6 = 16867,2 (т) (при плотности щебня, равной 1,6 т/м^3);
- 4 этап (крупность щебня 50 – 100 мм) - 9189 м^3 или 9189 × 1,6 = 14702,4 (т) (при плотности щебня, равной 1,6 т/м^3);
- 5 этап (крупность щебня 50 – 100 мм) - 1303 м^3 или 1303 × 1,6 = 2084,8 (т) (при плотности щебня, равной 1,6 т/м^3);
- 7 этап (крупность щебня 10 – 50 мм) – 0,140389 м^3 или 0,140389 × 1,6 = 0,224623 (т) (при плотности щебня, равной 1,6 т/м^3);

По данным "Методического пособия по расчету выбросов от неорганизованных источников в промышленности строительных материалов" (г. Новороссийск, ЗАО “НИПИОТСТРОМ“, 2001) используются следующие коэффициенты:

- весовая доля пылеватой фракции в материале (принята по таблице 1) $К_1$ = 0,04;
- доля пыли, переходящая в аэрозоль (принята по таблице 1) $К_2$ – 0,02;
- коэффициент, учитывающий местные метеоусловия ($К_3$) (принят по таблице 3) составляет:
- $К_3$ = 1,2 – при расчете валовых выбросов при среднегодовой скорости ветра, равной 2÷5 м/с;
- $К_3$ = 2 – при расчете максимально разовых выбросов при скорости ветра, равной U* = 11 м/с;
- коэффициент, учитывающий местные условия, степень защищенности от внешних воздействий, условия пылеобразования ($К_4$) (принят по таблице 3) $К_4$ = 1,0 - при пересыпке пылящих материалов, открытых с 4-х сторон и без применения загрузочного рукава;
- коэффициент, учитывающий влажность материала ($К_5$) (принят по таблице 4), $К_5$ = 0,7 - при влажности материала 5%;
- коэффициент, учитывающий крупность материала ($К_7$) (принят по таблице 5). $К_7$ = 0,5 при крупности 10-50 мм (для 2 и 3 этапа) и $К_7$ = 0,4 при крупности 50-100 мм (1 ,4 и 5 этапа);
- поправочный коэффициент в зависимости от перегрузочного устройства ($К_8$) (принят по таблице 6) $К_8$ = 1;
- поправочный коэффициент при мощном залповом сбросе материала при разгрузке автосамосвалов ($К_9$). $К_9$ = 0,2 при сбросе материала до 10 т;
- коэффициент, учитывающий высоту пересыпки (В) (принят по таблице 7). В = 0,7 при высоте пересыпки 2 м.

Для доставки щебня в используются самосвалы грузоподъемностью 10 т. Время разгрузки 10 минут.

В соответствии с письмом НИИ Атмосфера № 1-2157/11-0-1 от 25.10.2011 при tp<20 минут, то G(т/час) = Gtp<20×3, тогда G(т/час) = 3 × 10 = 30 т/час.

В таблице А.1 приведен расчет выбросов пыли неорганической, содержащей двуокись кремния 70÷20%, поступающих в атмосферу при разгрузке щебня по этапам строительства.

Таблица А.1 - Расчет выбросов пыли неорганической, содержащей двуокись кремния 70÷20%, поступающих в атмосферу при разгрузке щебня по этапам строительства

Наименование этапа	Количество пыли неорганической, содержащей двуокись кремния 70÷20%, поступающей в атмосферу при разгрузке щебня	
	Максимальный выброс, г/с	Валовый выброс т за период строительства
1 этап	0,04 × 0,02 × 2 × 1 × 0,7 × 0,4 × 1 × 0,2 × 0,7 × 30 × 10^6 / 3600 = 0,522667	0,04 × 0,02 × 1,2 × 1 × 0,7 × 0,4 × 1 × 0,2 × 0,7 × 3468,8 = 0,130538
2 этап	0,04 × 0,02 × 2 × 1 × 0,7 × 0,5 × 1 × 0,2 × 0,7 × 30 × 10^6 / 3600 = 0,653333	0,04 × 0,02 × 1,2 × 1 × 0,7 × 0,5 × 1 × 0,2 × 0,7 × 42537,6 = 2,000969
3 этап	0,04 × 0,02 × 2 × 1 × 0,7 × 0,5 × 1 × 0,2 × 0,7 × 30 × 10^6 / 3600 = 0,653333	0,04 × 0,02 × 1,2 × 1 × 0,7 × 0,5 × 1 × 0,2 × 0,7 × 16867,2 = 0,793433
4 этап	0,04 × 0,02 × 2 × 1 × 0,7 × 0,4 × 1 × 0,2 × 0,7 × 30 × 10^6 / 3600 = 0,522667	0,04 × 0,02 × 1,2 × 1 × 0,7 × 0,4 × 1 × 0,2 × 0,7 × 14702,4 = 0,553281
5 этап	0,04 × 0,02 × 2 × 1 × 0,7 × 0,4 × 1 × 0,2 × 0,7 × 30 × 10^6 / 3600 = 0,522667	0,04 × 0,02 × 1,2 × 1 × 0,7 × 0,4 × 1 × 0,2 × 0,7 × 2084,8 = 0,078455
7 этап	0,04 × 0,02 × 2 × 1,0 × 0,7 × 0,5 × 1,0 × 0,2 × 0,7 × 30 × 10^6 / 3600 = 0,653333	0,04 × 0,02 × 1,2 × 1,0 × 0,7 × 0,5 × 1,0 × 0,2 × 0,7 × 0,224623 = 0,000011

Приложение Б
(обязательное)

Расчет количества загрязняющих веществ, поступающих в атмосферу при выполнении сварочных работ и газовой сварки и резки металла в период строительства

Номер ИЗА - 6502, 6508, 6514, 6519, 6525, 6529, 6533

Количество загрязняющих веществ, поступающих в атмосферу при выполнении сварочных работ и газовой сварки и резки металла в период строительства проектируемых объектов, рассчитано по "Методике расчета выделений (выбросов) загрязняющих веществ в атмосферу при сварочных работах (на основе удельных показателей)" (С.-Пб., НИИ Атмосфера, 2015).

Расчетное значение количества (Вэ) электродов для расчета выделений (выбросов) загрязняющих веществ при ручной дуговой сварке штучными электродами рассчитано по формуле:

$$Вэ = G \times (100 – н) \times 10^{-2}, кг,$$

где G – количество расходуемых штучных электродов за рассматриваемый период, кг;

н – норматив образования огарков при сварке, %, принимаемый по данным предприятия в зависимости от длины применяемых электродов, либо по отраслевым нормативам. При отсутствии указанных сведений норматив образования отходов “н” рекомендуется принимать равным 15%.

Расчетное значение количества ($В_э$) электродов определено для каждого типа (марки) электродов отдельно.

Максимально разовые выбросы загрязняющих веществ, поступающих в атмосферу при выполнении сварочных работ на открытом воздухе, рассчитаны по формуле:

$$M^1_{Mi} = B \times K_{Mi} \times (1 - \eta) \times (1 – \eta_{1i}) \times K_{гр} / 3600, г/с,$$

где B – расход сварочных материалов, кг/ч;

K_{Mi} – удельный показатель выделения i-го загрязняющего вещества на единицу расходуемых материалов, г/кг;

η – эффективность местных отсосов, в долях единицы;

η_{1i} – степень очистки i-го загрязняющего вещества в установке очистки газа, в долях единицы;

$K_{гр}$ – поправочный коэффициент, учитывающий гравитационное осаждение крупнодисперсных твердых частиц. При работе передвижных сварочных постов на открытом воздухе при расчете выбросов твердых компонентов в атмосферный воздух учитывается поправочный коэффициент к удельным показателям выделений вредных веществ (коэффициент гравитационного осаждения. Для твердых компонентов (кроме металлической и абразивной пыли) $K_{гр}$=0,4.

Валовые выбросы загрязняющих веществ, поступающих в атмосферу при выполнении сварочных работах на открытом воздухе в период строительства, рассчитаны по формуле:

$$M^{г1}_{Mi} = 3,6 \times M^{1}_{Mi} \times T \times 10^{-3}, \text{ т},$$

где Т – фактическая продолжительность технологической операции сварочных работ в течение периода строительства, ч.

В соответствии с данными Сводной ресурсной сметы расход сварочных материалов в период строительства проектируемых объектов составит:

Наименование сварочного материала	Количество сварочных материалов, кг						
	1 этап	2 этап	3 этап	4 этап	5 этап	6 этап	7 этап
- для выполнения ручной дуговой сварки:							
Э-42	4426	25829	6243	338	35	-	31
Э-42А	1974	10106	3155	9	-	9	56
Э50А, Э55, УОНИ-13/55	2069	26299	4559	91	-	-	57
Э-46, Э46А	3304	8884	2304	101	-	-	17
Э-50	-	8	-	-	-	-	-
- для выполнения полуавтоматической сварки:							
Электродная проволока марки Св-08Г2С	269	1979	150	28	-	-	-
- для газовой сварки и резки металла с применением:							
Пропан-бутан смесь	295	2807	760	25	-	-	12
Ацетилен газообразный технический	36	430	74	2	-	2	1
- для выполнения наплавки с применением:							
Флюс марки АН-47	300	303	6	-	-	-	-

По справочным данным плотность ацетилена равна 1,173 кг/нм^3.

Для расчета максимально разовых выбросов загрязняющих веществ, поступающих в атмосферу при выполнении сварочных работ, принято, что расход сварочных материалов составляет по 1 кг/ч – электродов для ручной дуговой сварки, по 1 кг/ч – сварочной проволоки, ацетилена, пропан-бутановой смеси.

Для расчетов принято, что 15% от расхода электродов для выполнения ручной дуговой сварки приходится на огарки.

В таблице Б.1 приведен расчет количества загрязняющих веществ, поступающих в атмосферу при выполнении сварочных работ в период строительства проектируемых объектов.

Таблица Б. 1 - Расчет количества загрязняющих веществ, поступающих в атмосферу при выполнении сварочных работ в период строительства

Наименование загрязняющих веществ	Количество загрязняющих веществ, поступающих в атмосферу при выполнении сварочных работ за период строительства	
	максимально разовый выброс, г/с	валовый выброс, т
1 этап		
1 Ручная дуговая сварка с применением:		
- электродов Э 42		
Сварочный аэрозоль, в т.ч.:	16,7 × 0,4 × (1-0,15) × 1 / 3600 = 0,001577	16,7 × 0,4 × 4426 × (1-0,15) ×10^{-6} = 0,025131
- диЖелезо триоксид	14,97 × 0,4 × (1-0,15) × 1 / 3600 = 0,001414	14,97 × 0,4 × 4426 × (1-0,15) ×10^{-6} = 0,022527
- марганец и его соединения	1,73 × 0,4 × (1-0,15) × 1 / 3600 = 0,000163	1,73 × 0,4 × 4426 × (1-0,15) ×10^{-6} = 0,002603
- электродов марки Э 42А		
Сварочный аэрозоль, в т.ч.:	16,31 × 0,4 × (1-0,15) × 1 / 3600 = 0,00154	16,31 × 0,4 × 1974 × (1-0,15) ×10^{-6} = 0,010947
- диЖелезо триоксид	10,69 × 0,4 × (1-0,15) × 1 / 3600 = 0,00101	10,69 × 0,4 × 1974 × (1-0,15) ×10^{-6} = 0,007175

Наименование загрязняющих веществ	Количество загрязняющих веществ, поступающих в атмосферу при выполнении сварочных работ за период строительства	
	максимально разовый выброс, г/с	валовый выброс, т
- марганец и его соединения	0,92 × 0,4 × (1-0,15) × 1 / 3600 = 0,000087	0,92 × 0,4 × 1974 × (1-0,15) ×10⁻⁶ = 0,000617
- пыль неорганическая, содержащая двуокись кремния 70÷20%	1,4 × 0,4 × (1-0,15) × 1 / 3600 = 0,000132	1,4 × 0,4 × 1974 × (1-0,15) ×10⁻⁶ = 0,00094
- фториды плохо растворимые	3,3 × 0,4 × (1-0,15) × 1 / 3600 = 0,000312	3,3 × 0,4 × 1974 × (1-0,15) ×10⁻⁶ = 0,002215
Гидрофторид (Фтороводород)	0,75 × (1-0,15) × 1 / 3600 = 0,000177	0,75 × 0,4 × 1974 × (1-0,15) ×10⁻⁶ = 0,001258
Оксиды азота, в том числе:	1,5 × (1-0,15) × 1 / 3600 = 0,000354	1,5 × 0,4 × 1974 × (1-0,15) ×10⁻⁶ = 0,002517
- азота диоксид	0,000354 × 0,8 = 0,000283	0,002517 ×0,8 = 0,002014
- азот (II) оксид	0,65 × (1 - 0,8) × 0,000354 = 0,000046	0,65 × 0,002517 × (1-0,8) = 0,000327
Углерода оксид	13,3 × (1-0,15) × 1 / 3600 = 0,00314	13,3 × 0,4 × 1974 × (1-0,15) ×10⁻⁶ = 0,022316
- электродов Э 46, Э 46 А		
Сварочный аэрозоль, в т.ч.:	17,8 × 0,4 × (1-0,15) × 1 / 3600 = 0,001681	17,8 × 0,4 × 3304 × (1-0,15) ×10⁻⁶ = 0,019996
- диЖелезо триоксид	15,73 × 0,4 × (1-0,15) × 1 / 3600 = 0,001486	15,73 × 0,4 × 3304 × (1-0,15) ×10⁻⁶ = 0,01767
- марганец и его соединения	1,66 × 0,4 × (1-0,15) × 1 / 3600 = 0,000157	1,66 × 0,4 × 3304 × (1-0,15) ×10⁻⁶ = 0,001865
- пыль неорганическая, содержащая двуокись кремния 70÷20%	0,41 × 0,4 × (1-0,15) × 1 / 3600 = 0,000039	0,41 × 0,4 × 3304 × (1-0,15) ×10⁻⁶ = 0,000461
- электродов марки Э 50А, Э 55, УОНИ 13/55		
Сварочный аэрозоль, в т.ч.:	16,99 × 0,4 × (1-0,15) × 1 / 3600 = 0,001605	16,99 × 0,4 × 2069 × (1-0,15) ×10⁻⁶ = 0,011952
- диЖелезо триоксид	13,9 × 0,4 × (1-0,15) × 1 / 3600 = 0,001313	13,9 × 0,4 × 2069 × (1-0,15) ×10⁻⁶ = 0,009778
- марганец и его соединения	1,09 × 0,4 × (1-0,15) × 1 / 3600 = 0,000103	1,09 × 0,4 × 2069 × (1-0,15) ×10⁻⁶ = 0,000767
- пыль неорганическая, содержащая двуокись кремния 70÷20%	1 × 0,4 × (1-0,15) × 1 / 3600 = 0,000094	1 × 0,4 × 2069 × (1-0,15) ×10⁻⁶ = 0,000703
- фториды плохо растворимые	1 × 0,4 × (1-0,15) × 1 / 3600 = 0,000094	1 × 0,4 × 2069 × (1-0,15) ×10⁻⁶ = 0,000703
Гидрофторид (Фтороводород)	0,93 × (1-0,15) × 1 / 3600 = 0,00022	0,93 × 0,4 × 2069 × (1-0,15) ×10⁻⁶ = 0,001636
Оксиды азота, в том числе:	2,7 × (1-0,15) × 1 / 3600 = 0,000638	2,7 × 0,4 × 2069 × (1-0,15) ×10⁻⁶ = 0,004748
- азота диоксид	0,000638 × 0,8 = 0,00051	0,004748 ×0,8 = 0,003798
- азот (II) оксид	0,65 × (1 - 0,8) × 0,000638 = 0,000083	0,65 × 0,004748 × (1-0,8) = 0,000617
Углерода оксид	13,3 × (1-0,15) × 1 / 3600 = 0,00314	13,3 × 0,4 × 2069 × (1-0,15) ×10⁻⁶ = 0,02339
2 Выполнение полуавтоматической сварки с применением:		
- сварочной проволоки марки Св-0,8Г2С		
Сварочный аэрозоль, в т.ч.:	10 × 0,4 × 1 / 3600 = 0,001111	10 × 0,4 × 296 ×10⁻⁶ = 0,001184
- диЖелезо триоксид	7,67 × 0,4 × 1 / 3600 = 0,000852	7,67 × 0,4 × 296 ×10⁻⁶ = 0,000908
- марганец и его соединения	1,9 × 0,4 × 1 / 3600 = 0,000211	1,9 × 0,4 × 296 ×10⁻⁶ = 0,000225
- пыль неорганическая, содержащая двуокись кремния 70÷20%	0,43 × 0,4 × 1 / 3600 = 0,000048	0,43 × 0,4 × 296 ×10⁻⁶ = 0,000051
3 Газовая сварка и резка металла:		
- с использованием пропан-бутановой смеси		
Оксиды азота, в том числе:	15 × 1 / 3600 = 0,004167	15 × 295 ×10⁻⁶ = 0,004425
- азота диоксид	0,004167 × 0,8 = 0,003334	0,004425 × 0,8 = 0,00354
- азот (II) оксид	0,65 × (1 - 0,8) × 0,004167 = 0,000542	0,65 × (1 - 0,8) × 0,004425 = 0,000575
- ацетилен-кислородным пламенем		
Оксиды азота, в том числе:	22 × 1 / 3600 = 0,006111	22 × 36 ×10⁻⁶ = 0,000792
- азота диоксид	0,006111 × 0,8 = 0,004889	0,000792 × 0,8 = 0,000634
- азот (II) оксид	0,65 × (1 - 0,8) × 0,006111 = 0,000794	0,65 × (1 - 0,8) × 0,000792 = 0,000103
4 Выполнение наплавки с применением:		
- плавленных флюсов марки АН-47		
Сварочный аэрозоль, в т.ч.:	0,11 × 0,4 × 1 / 3600 = 0,000012	0,11 × 0,4 × 300 ×10⁻⁶ = 0,000013
- диЖелезо триоксид	0,09 × 0,4 × 1 / 3600 = 0,00001	0,09 × 0,4 × 300 ×10⁻⁶ = 0,000011
- марганец и его соединения	0,02 × 0,4 × 1 / 3600 = 0,000002	0,02 × 0,4 × 300 ×10⁻⁶ = 0,000002
Гидрофторид (Фтороводород)	0,03 × 0,4 × 1 / 3600 = 0,000003	0,03 × 0,4 × 300 ×10⁻⁶ = 0,000004
Суммарное количество загрязняющих веществ, поступающих в атмосферу при выполнении сварочных работ, газовой сварки и резки металла, наплавки за период 1 этапа строительства:		
Сварочный аэрозоль, в т.ч.:	**0,002804**	**0,069223**
- диЖелезо триоксид	**0,002348**	**0,058069**
- марганец и его соединения	**0,000376**	**0,006079**
- пыль неорганическая, содержащая двуокись кремния 70÷20%	**0,000180**	**0,002155**
- фториды плохо растворимые	**0,000312**	**0,002918**
Гидрофторид (Фтороводород)	**0,000223**	**0,002898**
Оксиды азота, в том числе:	**0,006749**	**0,012482**
- азота диоксид	**0,005399**	**0,009986**
- азот (II) оксид	**0,000877**	**0,001622**
Углерода оксид	**0,003140**	**0,045706**
2 этап		
1 Ручная дуговая сварка с применением:		
- электродов Э 42		
Сварочный аэрозоль, в т.ч.:	16,7 × 0,4 × (1-0,15) × 1 / 3600 = 0,001577	16,7 × 0,4 × 25829 × (1-0,15) ×10⁻⁶ = 0,146657
- диЖелезо триоксид	14,97 × 0,4 × (1-0,15) × 1 / 3600 = 0,001414	14,97 × 0,4 × 25829 × (1-0,15) ×10⁻⁶ = 0,131464
- марганец и его соединения	1,73 × 0,4 × (1-0,15) × 1 / 3600 = 0,000163	1,73 × 0,4 × 25829 × (1-0,15) ×10⁻⁶ = 0,015193
- электродов марки Э 42А		

Наименование загрязняющих веществ	Количество загрязняющих веществ, поступающих в атмосферу при выполнении сварочных работ за период строительства	
	максимально разовый выброс, г/с	валовый выброс, т
Сварочный аэрозоль, в т.ч.:	16,31 × 0,4 × (1-0,15) × 1 / 3600 = 0,00154	16,31 × 0,4 × 10106 × (1-0,15) ×10⁻⁶ = 0,056042
- диЖелезо триоксид	10,69 × 0,4 × (1-0,15) × 1 / 3600 = 0,00101	10,69 × 0,4 × 10106 × (1-0,15) ×10⁻⁶ = 0,036731
- марганец и его соединения	0,92 × 0,4 × (1-0,15) × 1 / 3600 = 0,000087	0,92 × 0,4 × 10106 × (1-0,15) ×10⁻⁶ = 0,003161
- пыль неорганическая, содержащая двуокись кремния 70÷20%	1,4 × 0,4 × (1-0,15) × 1 / 3600 = 0,000132	1,4 × 0,4 × 10106 × (1-0,15) ×10⁻⁶ = 0,00481
- фториды плохо растворимые	3,3 × 0,4 × (1-0,15) × 1 / 3600 = 0,000312	3,3 × 0,4 × 10106 × (1-0,15) ×10⁻⁶ = 0,011339
Гидрофторид (Фтороводород)	0,75 × (1-0,15) × 1 / 3600 = 0,000177	0,75 × 0,4 × 10106 × (1-0,15) ×10⁻⁶ = 0,006443
Оксиды азота, в том числе:	1,5 × (1-0,15) × 1 / 3600 = 0,000354	1,5 × 0,4 × 10106 × (1-0,15) ×10⁻⁶ = 0,012885
- азота диоксид	0,000354 × 0,8 = 0,000283	0,012885 ×0,8 = 0,010308
- азот (II) оксид	0,65 × (1 - 0,8) × 0,000354 = 0,000046	0,65 × 0,012885 × (1-0,8) = 0,001675
Углерода оксид	13,3 × (1-0,15) × 1 / 3600 = 0,00314	13,3 × 0,4 × 10106 × (1-0,15) ×10⁻⁶ = 0,114248
- электродов Э 46, Э 46 А		
Сварочный аэрозоль, в т.ч.:	17,8 × 0,4 × (1-0,15) × 1 / 3600 = 0,001681	17,8 × 0,4 × 8884 × (1-0,15) ×10⁻⁶ = 0,053766
- диЖелезо триоксид	15,73 × 0,4 × (1-0,15) × 1 / 3600 = 0,001486	15,73 × 0,4 × 8884 × (1-0,15) ×10⁻⁶ = 0,047513
- марганец и его соединения	1,66 × 0,4 × (1-0,15) × 1 / 3600 = 0,000157	1,66 × 0,4 × 8884 × (1-0,15) ×10⁻⁶ = 0,005014
- пыль неорганическая, содержащая двуокись кремния 70÷20%	0,41 × 0,4 × (1-0,15) × 1 / 3600 = 0,000039	0,41 × 0,4 × 8884 × (1-0,15) ×10⁻⁶ = 0,001238
- электродов Э 50		
Сварочный аэрозоль, в т.ч.:	24,3 × 0,4 × (1-0,15) × 1 / 3600 = 0,002295	24,3 × 0,4 × 8 × (1-0,15) ×10⁻⁶ = 0,000066
- диЖелезо триоксид	23,5 × 0,4 × (1-0,15) × 1 / 3600 = 0,002219	23,5 × 0,4 × 8 × (1-0,15) ×10⁻⁶ = 0,000064
- марганец и его соединения	0,8 × 0,4 × (1-0,15) × 1 / 3600 = 0,0000756	0,8 × 0,4 × 8 × (1-0,15) ×10⁻⁶ = 0,0000022
- электродов марки Э 50А, Э 55, УОНИ 13/55		
Сварочный аэрозоль, в т.ч.:	16,99 × 0,4 × (1-0,15) × 1 / 3600 = 0,001605	16,99 × 0,4 × 26299 × (1-0,15) ×10⁻⁶ = 0,151919
- диЖелезо триоксид	13,9 × 0,4 × (1-0,15) × 1 / 3600 = 0,001313	13,9 × 0,4 × 26299 × (1-0,15) ×10⁻⁶ = 0,124289
- марганец и его соединения	1,09 × 0,4 × (1-0,15) × 1 / 3600 = 0,000103	1,09 × 0,4 × 26299 × (1-0,15) ×10⁻⁶ = 0,009746
- пыль неорганическая, содержащая двуокись кремния 70÷20%	1 × 0,4 × (1-0,15) × 1 / 3600 = 0,000094	1 × 0,4 × 26299 × (1-0,15) ×10⁻⁶ = 0,008942
- фториды плохо растворимые	1 × 0,4 × (1-0,15) × 1 / 3600 = 0,000094	1 × 0,4 × 26299 × (1-0,15) ×10⁻⁶ = 0,008942
Гидрофторид (Фтороводород)	0,93 × (1-0,15) × 1 / 3600 = 0,00022	0,93 × 0,4 × 26299 × (1-0,15) ×10⁻⁶ = 0,020789
Оксиды азота, в том числе:	2,7 × (1-0,15) × 1 / 3600 = 0,000638	2,7 × 0,4 × 26299 × (1-0,15) ×10⁻⁶ = 0,060356
- азота диоксид	0,000638 × 0,8 = 0,00051	0,060356 ×0,8 = 0,048285
- азот (II) оксид	0,65 × (1 - 0,8) × 0,000638 = 0,000083	0,65 × 0,060356 × (1-0,8) = 0,007846
Углерода оксид	13,3 × (1-0,15) × 1 / 3600 = 0,00314	13,3 × 0,4 × 26299 × (1-0,15) ×10⁻⁶ = 0,29731
2 Выполнение полуавтоматической сварки с применением:		
- сварочной проволоки марки Св-0,8Г2С		
Сварочный аэрозоль, в т.ч.:	10 × 0,4 × 1 / 3600 = 0,001111	10 × 0,4 × 1979 ×10⁻⁶ = 0,007916
- диЖелезо триоксид	7,67 × 0,4 × 1 / 3600 = 0,000852	7,67 × 0,4 × 1979 ×10⁻⁶ = 0,006072
- марганец и его соединения	1,9 × 0,4 × 1 / 3600 = 0,000211	1,9 × 0,4 × 1979 ×10⁻⁶ = 0,001504
- пыль неорганическая, содержащая двуокись кремния 70÷20%	0,43 × 0,4 × 1 / 3600 = 0,000048	0,43 × 0,4 × 1979 ×10⁻⁶ = 0,00034
3 Газовая сварка и резка металла:		
- с использованием пропан-бутановой смеси		
Оксиды азота, в том числе:	15 × 1 / 3600 = 0,004167	15 × 2807 ×10⁻⁶ = 0,042105
- азота диоксид	0,004167 × 0,8 = 0,003334	0,042105 × 0,8 = 0,033684
- азот (II) оксид	0,65 × (1 - 0,8) × 0,004167 = 0,000542	0,65 × (1 - 0,8) × 0,042105 = 0,005474
- ацетилен-кислородным пламенем		
Оксиды азота, в том числе:	22 × 1 / 3600 = 0,006111	22 × 430 ×10⁻⁶ = 0,00946
- азота диоксид	0,006111 × 0,8 = 0,004889	0,00946 × 0,8 = 0,007568
- азот (II) оксид	0,65 × (1 - 0,8) × 0,006111 = 0,000794	0,65 × (1 - 0,8) × 0,00946 = 0,00123
4 Выполнение наплавки с применением:		
- плавленных флюсов марки АН-47		
Сварочный аэрозоль, в т.ч.:	0,11 × 0,4 × 1 / 3600 = 0,000012	0,11 × 0,4 × 303 ×10⁻⁶ = 0,000013
- диЖелезо триоксид	0,09 × 0,4 × 1 / 3600 = 0,00001	0,09 × 0,4 × 303 ×10⁻⁶ = 0,000011
- марганец и его соединения	0,02 × 0,4 × 1 / 3600 = 0,000002	0,02 × 0,4 × 303 ×10⁻⁶ = 0,000002
Гидрофторид (Фтороводород)	0,03 × 0,4 × 1 / 3600 = 0,000003	0,03 × 0,4 × 303 ×10⁻⁶ = 0,000004
Суммарное количество загрязняющих веществ, поступающих в атмосферу при выполнении сварочных работ, газовой сварки и резки металла, наплавки за период 2 этапа строительства:		
Сварочный аэрозоль, в т.ч.:	**0,003418**	**0,416379**
- диЖелезо триоксид	**0,003081**	**0,346144**
- марганец и его соединения	**0,000376**	**0,034622**
- пыль неорганическая, содержащая двуокись кремния 70÷20%	**0,000180**	**0,01533**
- фториды плохо растворимые	**0,000312**	**0,020281**
Гидрофторид (Фтороводород)	**0,000223**	**0,027236**
Оксиды азота, в том числе:	**0,006749**	**0,124806**
- азота диоксид	**0,005399**	**0,099845**
- азот (II) оксид	**0,000877**	**0,016225**
Углерода оксид	**0,003140**	**0,411558**
3 этап		

Наименование загрязняющих веществ	Количество загрязняющих веществ, поступающих в атмосферу при выполнении сварочных работ за период строительства	
	максимально разовый выброс, г/с	валовый выброс, т
1 Ручная дуговая сварка с применением:		
- электродов Э 42		
Сварочный аэрозоль, в т.ч.: - диЖелезо триоксид - марганец и его соединения	16,7 × 0,4 × (1-0,15) × 1 / 3600 = 0,001577 14,97 × 0,4 × (1-0,15) × 1 / 3600 = 0,001414 1,73 × 0,4 × (1-0,15) × 1 / 3600 = 0,000163	16,7 × 0,4 × 6243 × (1-0,15) ×10⁻⁶ = 0,035448 14,97 × 0,4 × 6243 × (1-0,15) ×10⁻⁶ = 0,031776 1,73 × 0,4 × 6243 × (1-0,15) ×10⁻⁶ = 0,003672
- электродов марки Э 42А		
Сварочный аэрозоль, в т.ч.: - диЖелезо триоксид - марганец и его соединения - пыль неорганическая, содержащая двуокись кремния 70÷20% - фториды плохо растворимые	16,31 × 0,4 × (1-0,15) × 1 / 3600 = 0,00154 10,69 × 0,4 × (1-0,15) × 1 / 3600 = 0,00101 0,92 × 0,4 × (1-0,15) × 1 / 3600 = 0,000087 1,4 × 0,4 × (1-0,15) × 1 / 3600 = 0,000132 3,3 × 0,4 × (1-0,15) × 1 / 3600 = 0,000312	16,31 × 0,4 × 3155 × (1-0,15) ×10⁻⁶ = 0,017496 10,69 × 0,4 × 3155 × (1-0,15) ×10⁻⁶ = 0,011467 0,92 × 0,4 × 3155 × (1-0,15) ×10⁻⁶ = 0,000987 1,4 × 0,4 × 3155 × (1-0,15) ×10⁻⁶ = 0,001502 3,3 × 0,4 × 3155 × (1-0,15) ×10⁻⁶ = 0,00354
Гидрофторид (Фтороводород)	0,75 × (1-0,15) × 1 / 3600 = 0,000177	0,75 × 0,4 × 3155 × (1-0,15) ×10⁻⁶ = 0,002011
Оксиды азота, в том числе: - азота диоксид - азот (II) оксид	1,5 × (1-0,15) × 1 / 3600 = 0,000354 0,000354 × 0,8 = 0,000283 0,65 × (1 - 0,8) × 0,000354 = 0,000046	1,5 × 0,4 × 3155 × (1-0,15) ×10⁻⁶ = 0,004023 0,004023 ×0,8 = 0,003218 0,65 × 0,004023 × (1-0,8) = 0,000523
Углерода оксид	13,3 × (1-0,15) × 1 / 3600 = 0,00314	13,3 × 0,4 × 3155 × (1-0,15) ×10⁻⁶ = 0,035667
- электродов Э 46, Э 46 А		
Сварочный аэрозоль, в т.ч.: - диЖелезо триоксид - марганец и его соединения - пыль неорганическая, содержащая двуокись кремния 70÷20%	17,8 × 0,4 × (1-0,15) × 1 / 3600 = 0,001681 15,73 × 0,4 × (1-0,15) × 1 / 3600 = 0,001486 1,66 × 0,4 × (1-0,15) × 1 / 3600 = 0,000157 0,41 × 0,4 × (1-0,15) × 1 / 3600 = 0,000039	17,8 × 0,4 × 2304 × (1-0,15) ×10⁻⁶ = 0,013944 15,73 × 0,4 × 2304 × (1-0,15) ×10⁻⁶ = 0,012322 1,66 × 0,4 × 2304 × (1-0,15) ×10⁻⁶ = 0,0013 0,41 × 0,4 × 2304 × (1-0,15) ×10⁻⁶ = 0,000321
- электродов марки Э 50А, Э 55, УОНИ 13/55		
Сварочный аэрозоль, в т.ч.: - диЖелезо триоксид - марганец и его соединения - пыль неорганическая, содержащая двуокись кремния 70÷20% - фториды плохо растворимые	16,99 × 0,4 × (1-0,15) × 1 / 3600 = 0,001605 13,9 × 0,4 × (1-0,15) × 1 / 3600 = 0,001313 1,09 × 0,4 × (1-0,15) × 1 / 3600 = 0,000103 1 × 0,4 × (1-0,15) × 1 / 3600 = 0,000094 1 × 0,4 × (1-0,15) × 1 / 3600 = 0,000094	16,99 × 0,4 × 4559 × (1-0,15) ×10⁻⁶ = 0,026336 13,9 × 0,4 × 4559 × (1-0,15) ×10⁻⁶ = 0,021546 1,09 × 0,4 × 4559 × (1-0,15) ×10⁻⁶ = 0,00169 1 × 0,4 × 4559 × (1-0,15) ×10⁻⁶ = 0,00155 1 × 0,4 × 4559 × (1-0,15) ×10⁻⁶ = 0,00155
Гидрофторид (Фтороводород)	0,93 × (1-0,15) × 1 / 3600 = 0,00022	0,93 × 0,4 × 4559 × (1-0,15) ×10⁻⁶ = 0,003604
Оксиды азота, в том числе: - азота диоксид - азот (II) оксид	2,7 × (1-0,15) × 1 / 3600 = 0,000638 0,000638 × 0,8 = 0,00051 0,65 × (1 - 0,8) × 0,000638 = 0,000083	2,7 × 0,4 × 4559 × (1-0,15) ×10⁻⁶ = 0,010463 0,010463 ×0,8 = 0,00837 0,65 × 0,010463 × (1-0,8) = 0,00136
Углерода оксид	13,3 × (1-0,15) × 1 / 3600 = 0,00314	13,3 × 0,4 × 4559 × (1-0,15) ×10⁻⁶ = 0,051539
2 Выполнение полуавтоматической сварки с применением:		
- сварочной проволоки марки Св-0,8Г2С		
Сварочный аэрозоль, в т.ч.: - диЖелезо триоксид - марганец и его соединения - пыль неорганическая, содержащая двуокись кремния 70÷20%	10 × 0,4 × 1 / 3600 = 0,001111 7,67 × 0,4 × 1 / 3600 = 0,000852 1,9 × 0,4 × 1 / 3600 = 0,000211 0,43 × 0,4 × 1 / 3600 = 0,000048	10 × 0,4 × 150 ×10⁻⁶ = 0,0006 7,67 × 0,4 × 150 ×10⁻⁶ = 0,00046 1,9 × 0,4 × 150 ×10⁻⁶ = 0,000114 0,43 × 0,4 × 150 ×10⁻⁶ = 0,000026
3 Газовая сварка и резка металла:		
- с использованием пропан-бутановой смеси		
Оксиды азота, в том числе: - азота диоксид - азот (II) оксид	15 × 1 / 3600 = 0,004167 0,004167 × 0,8 = 0,003334 0,65 × (1 - 0,8) × 0,004167 = 0,000542	15 × 760 ×10⁻⁶ = 0,0114 0,0114 × 0,8 = 0,00912 0,65 × (1 - 0,8) × 0,0114 = 0,001482
- ацетилен-кислородным пламенем		
Оксиды азота, в том числе: - азота диоксид - азот (II) оксид	22 × 1 / 3600 = 0,006111 0,006111 × 0,8 = 0,004889 0,65 × (1 - 0,8) × 0,006111 = 0,000794	22 × 74 ×10⁻⁶ = 0,001628 0,001628 × 0,8 = 0,001302 0,65 × (1 - 0,8) × 0,001628 = 0,000212
4 Выполнение наплавки с применением:		
- плавленных флюсов марки АН-47		
Сварочный аэрозоль, в т.ч.: - диЖелезо триоксид - марганец и его соединения	0,11 × 0,4 × 1 / 3600 = 0,000012 0,09 × 0,4 × 1 / 3600 = 0,00001 0,02 × 0,4 × 1 / 3600 = 0,000002	0,11 × 0,4 × 6 ×10⁻⁶ = 0 0,09 × 0,4 × 6 ×10⁻⁶ = 0 0,02 × 0,4 × 6 ×10⁻⁶ = 0
Гидрофторид (Фтороводород)	0,03 × 0,4 × 1 / 3600 = 0,000003	0,03 × 0,4 × 6 ×10⁻⁶ = 0
Суммарное количество загрязняющих веществ, поступающих в атмосферу при выполнении сварочных работ, газовой сварки и резки металла, наплавки за период 3 этапа строительства:		
Сварочный аэрозоль, в т.ч.: - диЖелезо триоксид - марганец и его соединения - пыль неорганическая, содержащая двуокись кремния 70÷20% - фториды плохо растворимые	**0,002804 0,002348 0,000376 0,000180 0,000312**	**0,093824 0,077571 0,007763 0,003399 0,005090**
Гидрофторид (Фтороводород)	**0,000223**	**0,005615**
Оксиды азота, в том числе: - азота диоксид - азот (II) оксид	**0,006749 0,005399 0,000877**	**0,027514 0,022010 0,003577**
Углерода оксид	**0,003140**	**0,087206**

Наименование загрязняющих веществ	Количество загрязняющих веществ, поступающих в атмосферу при выполнении сварочных работ за период строительства	
	максимально разовый выброс, г/с	валовый выброс, т
4 этап		
1 Ручная дуговая сварка с применением:		
- электродов Э 42		
Сварочный аэрозоль, в т.ч.: - диЖелезо триоксид - марганец и его соединения	16,7 × 0,4 × (1-0,15) × 1 / 3600 = 0,001577 14,97 × 0,4 × (1-0,15) × 1 / 3600 = 0,001414 1,73 × 0,4 × (1-0,15) × 1 / 3600 = 0,000163	16,7 × 0,4 × 338 × (1-0,15) ×10⁻⁶ = 0,001919 14,97 × 0,4 × 338 × (1-0,15) ×10⁻⁶ = 0,00172 1,73 × 0,4 × 338 × (1-0,15) ×10⁻⁶ = 0,000199
- электродов марки Э 42А		
Сварочный аэрозоль, в т.ч.: - диЖелезо триоксид - марганец и его соединения - пыль неорганическая, содержащая двуокись кремния 70÷20% - фториды плохо растворимые	16,31 × 0,4 × (1-0,15) × 1 / 3600 = 0,00154 10,69 × 0,4 × (1-0,15) × 1 / 3600 = 0,00101 0,92 × 0,4 × (1-0,15) × 1 / 3600 = 0,000087 1,4 × 0,4 × (1-0,15) × 1 / 3600 = 0,000132 3,3 × 0,4 × (1-0,15) × 1 / 3600 = 0,000312	16,31 × 0,4 × 9 × (1-0,15) ×10⁻⁶ = 0,00005 10,69 × 0,4 × 9 × (1-0,15) ×10⁻⁶ = 0,000033 0,92 × 0,4 × 9 × (1-0,15) ×10⁻⁶ = 0,000003 1,4 × 0,4 × 9 × (1-0,15) ×10⁻⁶ = 0,000004 3,3 × 0,4 × 9 × (1-0,15) ×10⁻⁶ = 0,00001
Гидрофторид (Фтороводород)	0,75 × (1-0,15) × 1 / 3600 = 0,000177	0,75 × 0,4 × 9 × (1-0,15) ×10⁻⁶ = 0,000006
Оксиды азота, в том числе: - азота диоксид - азот (II) оксид	1,5 × (1-0,15) × 1 / 3600 = 0,000354 0,000354 × 0,8 = 0,000283 0,65 × (1 - 0,8) × 0,000354 = 0,000046	1,5 × 0,4 × 9 × (1-0,15) ×10⁻⁶ = 0,000011 0,000011 ×0,8 = 0,000009 0,65 × 0,000011 × (1-0,8) = 0,000001
Углерода оксид	13,3 × (1-0,15) × 1 / 3600 = 0,00314	13,3 × 0,4 × 9 × (1-0,15) ×10⁻⁶ = 0,000102
- электродов Э 46, Э 46 А		
Сварочный аэрозоль, в т.ч.: - диЖелезо триоксид - марганец и его соединения - пыль неорганическая, содержащая двуокись кремния 70÷20%	17,8 × 0,4 × (1-0,15) × 1 / 3600 = 0,001681 15,73 × 0,4 × (1-0,15) × 1 / 3600 = 0,001486 1,66 × 0,4 × (1-0,15) × 1 / 3600 = 0,000157 0,41 × 0,4 × (1-0,15) × 1 / 3600 = 0,000039	17,8 × 0,4 × 101 × (1-0,15) ×10⁻⁶ = 0,000611 15,73 × 0,4 × 101 × (1-0,15) ×10⁻⁶ = 0,00054 1,66 × 0,4 × 101 × (1-0,15) ×10⁻⁶ = 0,000057 0,41 × 0,4 × 101 × (1-0,15) ×10⁻⁶ = 0,000014
- электродов марки Э 50А, Э 55, УОНИ 13/55		
Сварочный аэрозоль, в т.ч.: - диЖелезо триоксид - марганец и его соединения - пыль неорганическая, содержащая двуокись кремния 70÷20% - фториды плохо растворимые	16,99 × 0,4 × (1-0,15) × 1 / 3600 = 0,001605 13,9 × 0,4 × (1-0,15) × 1 / 3600 = 0,001313 1,09 × 0,4 × (1-0,15) × 1 / 3600 = 0,000103 1 × 0,4 × (1-0,15) × 1 / 3600 = 0,000094 1 × 0,4 × (1-0,15) × 1 / 3600 = 0,000094	16,99 × 0,4 × 91 × (1-0,15) ×10⁻⁶ = 0,000526 13,9 × 0,4 × 91 × (1-0,15) ×10⁻⁶ = 0,00043 1,09 × 0,4 × 91 × (1-0,15) ×10⁻⁶ = 0,000034 1 × 0,4 × 91 × (1-0,15) ×10⁻⁶ = 0,000031 1 × 0,4 × 91 × (1-0,15) ×10⁻⁶ = 0,000031
Гидрофторид (Фтороводород)	0,93 × (1-0,15) × 1 / 3600 = 0,00022	0,93 × 0,4 × 91 × (1-0,15) ×10⁻⁶ = 0,000072
Оксиды азота, в том числе: - азота диоксид - азот (II) оксид	2,7 × (1-0,15) × 1 / 3600 = 0,000638 0,000638 × 0,8 = 0,00051 0,65 × (1 - 0,8) × 0,000638 = 0,000083	2,7 × 0,4 × 91 × (1-0,15) ×10⁻⁶ = 0,000209 0,000209 ×0,8 = 0,000167 0,65 × 0,000209 × (1-0,8) = 0,000027
Углерода оксид	13,3 × (1-0,15) × 1 / 3600 = 0,00314	13,3 × 0,4 × 91 × (1-0,15) ×10⁻⁶ = 0,001029
2 Выполнение полуавтоматической сварки с применением:		
- сварочной проволоки марки Св-0,8Г2С		
Сварочный аэрозоль, в т.ч.: - диЖелезо триоксид - марганец и его соединения - пыль неорганическая, содержащая двуокись кремния 70÷20%	10 × 0,4 × 1 / 3600 = 0,001111 7,67 × 0,4 × 1 / 3600 = 0,000852 1,9 × 0,4 × 1 / 3600 = 0,000211 0,43 × 0,4 × 1 / 3600 = 0,000048	10 × 0,4 × 28 ×10⁻⁶ = 0,000112 7,67 × 0,4 × 28 ×10⁻⁶ = 0,000086 1,9 × 0,4 × 28 ×10⁻⁶ = 0,000021 0,43 × 0,4 × 28 ×10⁻⁶ = 0,000005
3 Газовая сварка и резка металла:		
- с использованием пропан-бутановой смеси		
Оксиды азота, в том числе: - азота диоксид - азот (II) оксид	15 × 1 / 3600 = 0,004167 0,004167 × 0,8 = 0,003334 0,65 × (1 - 0,8) × 0,004167 = 0,000542	15 × 25 ×10⁻⁶ = 0,000375 0,000375 × 0,8 = 0,0003 0,65 × (1 - 0,8) × 0,000375 = 0,000049
- ацетилен-кислородным пламенем		
Оксиды азота, в том числе: - азота диоксид - азот (II) оксид	22 × 1 / 3600 = 0,006111 0,006111 × 0,8 = 0,004889 0,65 × (1 - 0,8) × 0,006111 = 0,000794	22 × 2 ×10⁻⁶ = 0,000044 0,000044 × 0,8 = 0,000035 0,65 × (1 - 0,8) × 0,000044 = 0,000006
Суммарное количество загрязняющих веществ, поступающих в атмосферу при выполнении сварочных работ, газовой сварки и резки металла, за период 4 этапа строительства:		
Сварочный аэрозоль, в т.ч.: - диЖелезо триоксид - марганец и его соединения - пыль неорганическая, содержащая двуокись кремния 70÷20% - фториды плохо растворимые	**0,002792 0,002338 0,000374 0,000180 0,000312**	**0,003218 0,002809 0,000314 0,000054 0,000041**
Гидрофторид (Фтороводород)	**0,000220**	**0,000078**
Оксиды азота, в том числе: - азота диоксид - азот (II) оксид	**0,006749 0,005399 0,000877**	**0,000639 0,000511 0,000083**
Углерода оксид	**0,003140**	**0,001131**
5 этап		
1 Ручная дуговая сварка с применением:		
- электродов Э 42		
Сварочный аэрозоль, в т.ч.:	16,7 × 0,4 × (1-0,15) × 1 / 3600 = 0,001577	16,7 × 0,4 × 35 × (1-0,15) ×10⁻⁶ = 0,000199

Наименование загрязняющих веществ	Количество загрязняющих веществ, поступающих в атмосферу при выполнении сварочных работ за период строительства	
	максимально разовый выброс, г/с	валовый выброс, т
- диЖелезо триоксид	14,97 × 0,4 × (1-0,15) × 1 / 3600 = 0,001414	14,97 × 0,4 × 35 × (1-0,15) ×10⁻⁶ = 0,000178
- марганец и его соединения	1,73 × 0,4 × (1-0,15) × 1 / 3600 = 0,000163	1,73 × 0,4 × 35 × (1-0,15) ×10⁻⁶ = 0,000021
Суммарное количество загрязняющих веществ, поступающих в атмосферу при выполнении сварочных работ, газовой сварки, за период 5 этапа строительства:		
Сварочный аэрозоль, в т.ч.:	**0,001577**	**0,000199**
- диЖелезо триоксид	**0,001414**	**0,000178**
- марганец и его соединения	**0,000163**	**0,000021**
6 этап		
1 Ручная дуговая сварка с применением:		
- электродов марки Э 42А		
Сварочный аэрозоль, в т.ч.:	16,31 × 0,4 × (1-0,15) × 1 / 3600 = 0,00154	16,31 × 0,4 × 9 × (1-0,15) ×10⁻⁶ = 0,00005
- диЖелезо триоксид	10,69 × 0,4 × (1-0,15) × 1 / 3600 = 0,00101	10,69 × 0,4 × 9 × (1-0,15) ×10⁻⁶ = 0,000033
- марганец и его соединения	0,92 × 0,4 × (1-0,15) × 1 / 3600 = 0,000087	0,92 × 0,4 × 9 × (1-0,15) ×10⁻⁶ = 0,000003
- пыль неорганическая, содержащая двуокись кремния 70÷20%	1,4 × 0,4 × (1-0,15) × 1 / 3600 = 0,000132	1,4 × 0,4 × 9 × (1-0,15) ×10⁻⁶ = 0,000004
- фториды плохо растворимые	3,3 × 0,4 × (1-0,15) × 1 / 3600 = 0,000312	3,3 × 0,4 × 9 × (1-0,15) ×10⁻⁶ = 0,00001
Гидрофторид (Фтороводород)	0,75 × (1-0,15) × 1 / 3600 = 0,000177	0,75 × 0,4 × 9 × (1-0,15) ×10⁻⁶ = 0,000006
Оксиды азота, в том числе:	1,5 × (1-0,15) × 1 / 3600 = 0,000354	1,5 × 0,4 × 9 × (1-0,15) ×10⁻⁶ = 0,000011
- азота диоксид	0,000354 × 0,8 = 0,000283	0,000011 ×0,8 = 0,000009
- азот (II) оксид	0,65 × (1 - 0,8) × 0,000354 = 0,000046	0,65 × 0,000011 × (1-0,8) = 0,000001
Углерода оксид	13,3 × (1-0,15) × 1 / 3600 = 0,00314	13,3 × 0,4 × 9 × (1-0,15) ×10⁻⁶ = 0,000102
2 Газовая сварка и резка металла:		
- ацетилен-кислородным пламенем		
Оксиды азота, в том числе:	22 × 1 / 3600 = 0,006111	22 × 2 ×10⁻⁶ = 0,000044
- азота диоксид	0,006111 × 0,8 = 0,004889	0,000044 × 0,8 = 0,000035
- азот (II) оксид	0,65 × (1 - 0,8) × 0,006111 = 0,000794	0,65 × (1 - 0,8) × 0,000044 = 0,000006
Суммарное количество загрязняющих веществ, поступающих в атмосферу при выполнении сварочных работ, газовой сварки и резки металла за период 6 этапа строительства:		
Сварочный аэрозоль, в т.ч.:	**0,001540**	**0,000050**
- диЖелезо триоксид	**0,001010**	**0,000033**
- марганец и его соединения	**0,000087**	**0,000003**
- пыль неорганическая, содержащая двуокись кремния 70÷20%	**0,000132**	**0,000004**
- фториды плохо растворимые	**0,000312**	**0,000010**
Гидрофторид (Фтороводород)	**0,000177**	**0,000006**
Оксиды азота, в том числе:	**0,006465**	**0,000055**
- азота диоксид	**0,005172**	**0,000044**
- азот (II) оксид	**0,000840**	**0,000007**
Углерода оксид	**0,003140**	**0,000102**
7 этап		
1 Ручная дуговая сварка с применением:		
- электродов Э 42		
Сварочный аэрозоль, в т.ч.:	16,7 × 0,4 × (1-0,15) × 1 / 3600 = 0,001577	16,7 × 0,4 × 31 × (1-0,15) ×10⁻⁶ = 0,000176
- диЖелезо триоксид	14,97 × 0,4 × (1-0,15) × 1 / 3600 = 0,001414	14,97 × 0,4 × 31 × (1-0,15) ×10⁻⁶ = 0,000158
- марганец и его соединения	1,73 × 0,4 × (1-0,15) × 1 / 3600 = 0,000163	1,73 × 0,4 × 31 × (1-0,15) ×10⁻⁶ = 0,000018
- электродов марки Э 42А		
Сварочный аэрозоль, в т.ч.:	16,31 × 0,4 × (1-0,15) × 1 / 3600 = 0,00154	16,31 × 0,4 × 56 × (1-0,15) ×10⁻⁶ = 0,000311
- диЖелезо триоксид	10,69 × 0,4 × (1-0,15) × 1 / 3600 = 0,00101	10,69 × 0,4 × 56 × (1-0,15) ×10⁻⁶ = 0,000204
- марганец и его соединения	0,92 × 0,4 × (1-0,15) × 1 / 3600 = 0,000087	0,92 × 0,4 × 56 × (1-0,15) ×10⁻⁶ = 0,000018
- пыль неорганическая, содержащая двуокись кремния 70÷20%	1,4 × 0,4 × (1-0,15) × 1 / 3600 = 0,000132	1,4 × 0,4 × 56 × (1-0,15) ×10⁻⁶ = 0,000027
- фториды плохо растворимые	3,3 × 0,4 × (1-0,15) × 1 / 3600 = 0,000312	3,3 × 0,4 × 56 × (1-0,15) ×10⁻⁶ = 0,000063
Гидрофторид (Фтороводород)	0,75 × (1-0,15) × 1 / 3600 = 0,000177	0,75 × 0,4 × 56 × (1-0,15) ×10⁻⁶ = 0,000036
Оксиды азота, в том числе:	1,5 × (1-0,15) × 1 / 3600 = 0,000354	1,5 × 0,4 × 56 × (1-0,15) ×10⁻⁶ = 0,000071
- азота диоксид	0,000354 × 0,8 = 0,000283	0,000071 ×0,8 = 0,000057
- азот (II) оксид	0,65 × (1 - 0,8) × 0,000354 = 0,000046	0,65 × 0,000071 × (1-0,8) = 0,000009
Углерода оксид	13,3 × (1-0,15) × 1 / 3600 = 0,00314	13,3 × 0,4 × 56 × (1-0,15) ×10⁻⁶ = 0,000633
- электродов Э 46, Э 46 А		
Сварочный аэрозоль, в т.ч.:	17,8 × 0,4 × (1-0,15) × 1 / 3600 = 0,001681	17,8 × 0,4 × 17 × (1-0,15) ×10⁻⁶ = 0,000103
- диЖелезо триоксид	15,73 × 0,4 × (1-0,15) × 1 / 3600 = 0,001486	15,73 × 0,4 × 17 × (1-0,15) ×10⁻⁶ = 0,000091
- марганец и его соединения	1,66 × 0,4 × (1-0,15) × 1 / 3600 = 0,000157	1,66 × 0,4 × 17 × (1-0,15) ×10⁻⁶ = 0,00001
- пыль неорганическая, содержащая двуокись кремния 70÷20%	0,41 × 0,4 × (1-0,15) × 1 / 3600 = 0,000039	0,41 × 0,4 × 17 × (1-0,15) ×10⁻⁶ = 0,000002
- электродов марки Э 50А, Э 55, УОНИ 13/55		
Сварочный аэрозоль, в т.ч.:	16,99 × 0,4 × (1-0,15) × 1 / 3600 = 0,001605	16,99 × 0,4 × 57 × (1-0,15) ×10⁻⁶ = 0,000329
- диЖелезо триоксид	13,9 × 0,4 × (1-0,15) × 1 / 3600 = 0,001313	13,9 × 0,4 × 57 × (1-0,15) ×10⁻⁶ = 0,000269
- марганец и его соединения	1,09 × 0,4 × (1-0,15) × 1 / 3600 = 0,000103	1,09 × 0,4 × 57 × (1-0,15) ×10⁻⁶ = 0,000021
- пыль неорганическая, содержащая двуокись кремния 70÷20%	1 × 0,4 × (1-0,15) × 1 / 3600 = 0,000094	1 × 0,4 × 57 × (1-0,15) ×10⁻⁶ = 0,000019

Наименование загрязняющих веществ	Количество загрязняющих веществ, поступающих в атмосферу при выполнении сварочных работ за период строительства	
	максимально разовый выброс, г/с	валовый выброс, т
- фториды плохо растворимые	1 × 0,4 × (1-0,15) × 1 / 3600 = 0,000094	1 × 0,4 × 57 × (1-0,15) ×10⁻⁶ = 0,000019
Гидрофторид (Фтороводород)	0,93 × (1-0,15) × 1 / 3600 = 0,00022	0,93 × 0,4 × 57 × (1-0,15) ×10⁻⁶ = 0,000045
Оксиды азота, в том числе: - азота диоксид - азот (II) оксид	2,7 × (1-0,15) × 1 / 3600 = 0,000638 0,000638 × 0,8 = 0,00051 0,65 × (1 - 0,8) × 0,000638 = 0,000083	2,7 × 0,4 × 57 × (1-0,15) ×10⁻⁶ = 0,000131 0,000131 ×0,8 = 0,000105 0,65 × 0,000131 × (1-0,8) = 0,000017
Углерода оксид	13,3 × (1-0,15) × 1 / 3600 = 0,00314	13,3 × 0,4 × 57 × (1-0,15) ×10⁻⁶ = 0,000644
2 Газовая сварка и резка металла:		
- с использованием пропан-бутановой смеси		
Оксиды азота, в том числе: - азота диоксид - азот (II) оксид	15 × 1 / 3600 = 0,004167 0,004167 × 0,8 = 0,003334 0,65 × (1 - 0,8) × 0,004167 = 0,000542	15 × 12 ×10⁻⁶ = 0,00018 0,00018 × 0,8 = 0,000144 0,65 × (1 - 0,8) × 0,00018 = 0,000023
- ацетилен-кислородным пламенем		
Оксиды азота, в том числе: - азота диоксид - азот (II) оксид	22 × 1 / 3600 = 0,006111 0,006111 × 0,8 = 0,004889 0,65 × (1 - 0,8) × 0,006111 = 0,000794	22 × 1 ×10⁻⁶ = 0,000022 0,000022 × 0,8 = 0,000018 0,65 × (1 - 0,8) × 0,000022 = 0,000003
Суммарное количество загрязняющих веществ, поступающих в атмосферу при выполнении сварочных работ, газовой сварки и резки металла, за период 7 этапа строительства:		
Сварочный аэрозоль, в т.ч.: - диЖелезо триоксид - марганец и его соединения - пыль неорганическая, содержащая двуокись кремния 70÷20% - фториды плохо растворимые	**0,001681 0,001486 0,000163 0,000132 0,000312**	**0,000919 0,000722 0,000067 0,000048 0,000082**
Гидрофторид (Фтороводород)	**0,000220**	**0,000081**
Оксиды азота, в том числе: - азота диоксид - азот (II) оксид	**0,006749 0,005399 0,000877**	**0,000404 0,000324 0,000052**
Углерода оксид	**0,003140**	**0,001277**

Примечание: суммарное максимально разовое количество загрязняющих веществ, поступающих в атмосферу в единицу времени (г/с) по этапам строительства принято по наибольшим значениям выбросов при выполнении сварочных работ из всех видов применяемых сварочных материалов.

Приложение В
(обязательное)

Расчет количества загрязняющих веществ, поступающих в атмосферу при выполнении окрасочных работ и сушке окрашенных поверхностей в период строительства

Номера ИЗА - 6503, 6509, 6515, 6520

Количество загрязняющих веществ, поступающих в атмосферу при выполнении окрасочных работ и сушке окрашенных поверхностей в период строительства, рассчитано по “Методике расчета выделений (выбросов) загрязняющих веществ в атмосферу при нанесении лакокрасочных материалов (на основе удельных показателей)” (С.-Пб., АО “НИИ Атмосфера”, 2015).

Расчет выделения загрязняющих веществ на месте выполнения окрасочных работ произведен раздельно для каждой марки лакокрасочных материалов и растворителей.

При выполнении окрасочных работ и сушке окрашенных поверхностей в атмосферу выделяются компоненты летучей части лакокрасочных материалов.

Количество аэрозоля краски, поступающего в атмосферу при нанесении лакокрасочных материалов на поверхность при выполнении окрасочных работ, рассчитано по формуле:

$$П^{а}_{н.ок} = 0{,}0001 \times m_к \times \delta_а \times (100 - f_р), \text{ кг},$$

где $m_к$ – масса лакокрасочного материала, используемого для покрытия, кг;

$\delta_а$ – доля лакокрасочного материала, потерянного в виде аэрозоля при различных способах окраски ($\delta_а$ принято по таблице П.2 “Методики …“), %;

$f_р$ – доля летучей части в лакокрасочных материалах ($f_р$ принято по таблице П.1 “Методики …“), % масс..

Количество летучей части каждого компонента, выделяющегося при окраске, определено по формуле:

$$П^{пар}_{ок} = 0{,}0001 \times m_к \times \delta'_р \times f_р, \text{ кг},$$

где $m_к$ – масса лакокрасочного материала, используемого для покрытия, кг;

$\delta'_р$ – пары растворителя, выделившиеся при окраске ($\delta'_р$ принято по таблице П.2 “Методики …“), %;

$f_р$ – доля летучей части в лакокрасочных материалах ($f_р$ принято по таблице П.1 “Методики …“), % масс..

В процессе сушки происходит практически полный переход летучей части лакокрасочных материалов (растворителя) в парообразное состояние:

$$П^{пар}_{с} = 0{,}0001 \times m_к \times \delta''_р \times f_р, \text{ кг},$$

где $m_к$ – масса лакокрасочного материала, используемого для покрытия, кг;

$\delta''_р$ – пары растворителя, выделившиеся при сушке (принято по таблице П.2 “Методики …“), %;

$f_р$ – доля летучей части в лакокрасочных материалах (принято по таблице П.1

“Методики …“), % масс..

Максимально разовые выбросы загрязняющих веществ, поступающих в атмосферу при проведении окрасочных работ на открытом воздухе, рассчитаны по формулам:

взвешенные вещества:

$$M^{a}_{Oi} = \frac{P_o \times \delta_a \times (100 - f_p) \times K_{гр} \times (1 - \eta) \times (1 - \eta_1)}{10 \times 3600}, \text{ г/с},$$

летучие вещества:

при окраске:

$$M_{Oi} = \frac{P_o \times \delta'_p \times f_p \times (1 - \eta) \times (1 - \eta_1) \times \delta_i}{1000 \times 3600}, \text{ г/с},$$

при сушке:

$$M_{Ci} = \frac{P_c \times \delta''_p \times f_p \times (1 - \eta) \times (1 - \eta_1) \times \delta_i}{1000 \times 3600}, \text{ г/с},$$

где P_o – масса лакокрасочного материала, расходуемого на выполнение окрасочных работ, кг/ч;

P_c – масса покрытия лакокрасочного материала, высушиваемого за 1 час, кг/ч;

δ_a – доля лакокрасочного материала, потерянного в виде аэрозоля при различных способах окраски (принято по таблице П.2 “Методики …“), %;

f_p – доля летучей части в лакокрасочных материалах (принято по таблице П.1 “Методики …“), % масс.;

δ'_p – пары растворителя, выделившиеся при окраске (принято по таблице П.2 “Методики …“), %;

δ''_p – пары растворителя, выделившиеся при сушке (принято по таблице П.2 “Методики …“), %;

δ_i – содержание i-го компонента в летучей части лакокрасочных материалов (принято по таблице П.1 “Методики …“), %;

η – эффективность местных отсосов, в долях единицы;

η_i – степень очистки i-го загрязняющего вещества в установке очистки газа, в долях единицы;

$K_{гр}$ – поправочный коэффициент, учитывающий гравитационное осаждение крупнодисперсных твердых частиц ($K_{гр}$ = 0,4 – для аэрозоля лакокрасочных материалов).

Расход и марки лакокрасочных материалов в период строительства приняты в соответствии с данными Сводной выборки ресурсов и приведены в таблице В.1.

Таблица В.1 – Расход и состав лакокрасочных материалов, используемых при выполнении окрасочных работ

Марка лакокрасочных материалов	Расход лакокрасочных материалов, кг	Доля аэрозоля при окраске, %	Доля летучей части краски, %	Пары растворителя (% от общего содержания растворителя в краске)		Количество компонентов, входящих в состав краски, %
				при окраске $\delta'_р$	при сушке $\delta''_р$	
1 этап строительства						
Грунт-эмаль "УНИПОЛ"	1425,9	2,5	50	23	77	Диметилбензол - 35 Бутилацетат - 32,5 Уайт-спирит - 32,5
Лак ПФ-170	568,5	2,5	50	23	77	Диметилбензол – 59,56 Уайт-спирит – 40,44
Эмаль ПФ-115	64,7	2,5	45	23	77	Диметилбензол - 50 Уайт-спирит - 50
Грунтовка ГФ-021	151,5	2,5	45	23	77	Диметилбензол - 100
Грунтовка ГФ-017	174	2,5	51	23	77	Диметилбензол - 100
Лак БТ-577	1348,8	2,5	63	23	77	Уайт-спирит - 42,63 Диметилбензол - 57,4
Эмаль МА-0115	12,4	2,5	44	23	77	Диметилбензол – 30 Уайт-спирит – 70
2 этап строительства						
Грунт-эмаль "УНИПОЛ"	10336,6	2,5	50	23	77	Диметилбензол - 35 Бутилацетат - 32,5 Уайт-спирит - 32,5
Грунтовка ГФ-021	1225,2	2,5	45	23	77	Диметилбензол - 100
Лак ХВ-784	344,5	2,5	84	23	77	Пропан-2-он - 21,74 Бутилацетат - 13,02 Диметилбензол - 65,24
Лак БТ-577	2872,6	2,5	63	23	77	Уайт-спирит - 42,63 Диметилбензол - 57,4
Эмаль ПФ-115	265,3	2,5	45	23	77	Диметилбензол - 50 Уайт-спирит - 50
Эмаль ХВ-785	162	2,5	73	23	77	Пропан-2-он - 26 Бутилацетат - 12 Метилбензол - 62
Лак бакелитовый ЛБС-21	99	2,5	50	23	77	Спирт этиловый – 64,06 Фенол – 35,94
Эмаль МА-0115	431,6	2,5	44	23	77	Диметилбензол – 30 Уайт-спирит – 70
Эмаль ЭП-140	86,2	2,5	53,5	23	77	Пропан-2-он - 33,7 Диметилбензол - 32,78 Метилбензол - 4,86 2-Этоксиэтанол - 28,66
3 этап строительства						
Грунт-эмаль "УНИПОЛ"	2305,2	2,5	50	23	77	Диметилбензол - 35 Бутилацетат - 32,5 Уайт-спирит - 32,5
Грунтовка ГФ-021	405,1	2,5	45	23	77	Диметилбензол - 100
Лак БТ-577	930,7	2,5	63	23	77	Уайт-спирит - 42,63 Диметилбензол - 57,4
Эмаль ПФ-115	447,3	2,5	45	23	77	Диметилбензол - 50 Уайт-спирит - 50
Эмаль ХВ-785	170,1	2,5	27	23	77	Пропан-2-он - 26 Бутилацетат - 12 Метилбензол - 62
Лак бакелитовый ЛБС-21	33,4	2,5	50	23	77	Спирт этиловый – 64,06 Фенол – 35,94
Эмаль МА-0115	326,1	2,5	44	23	77	Диметилбензол – 30 Уайт-спирит – 70
Эмаль ЭП-140	29,3	2,5	53,5	23	77	Пропан-2-он - 33,7 Диметилбензол - 32,78 Метилбензол - 4,86 2-Этоксиэтанол - 28,66

Марка лакокрасочных материалов	Расход лакокрасочных материалов, кг	Доля аэрозоля при окраске, %	Доля летучей части краски, %	Пары растворителя (% от общего содержания растворителя в краске)		Количество компонентов, входящих в состав краски, %
				при окраске $\delta'_р$	при сушке $\delta''_р$	
4 этап строительства						
Грунт-эмаль "УНИПОЛ"	145,7	2,5	50	23	77	Диметилбензол - 35
						Бутилацетат - 32,5
						Уайт-спирит - 32,5
Грунтовка ГФ-021	108,3	2,5	45	23	77	Диметилбензол - 100
Лак БТ-577	87,6	2,5	63	23	77	Уайт-спирит - 42,63
						Диметилбензол - 57,4
Эмаль ПФ-115	285,8	2,5	45	23	77	Диметилбензол - 50
						Уайт-спирит - 50
Эмаль МА-0115	43,7	2,5	44	23	77	Диметилбензол – 30
						Уайт-спирит – 70

В таблице В.2 данного приложения приведен расчет валовых выбросов загрязняющих веществ, поступающих в атмосферу при выполнении окрасочных работ и сушке окрашенных поверхностей в период строительства.

Таблица В.2 – Расчет выбросов загрязняющих веществ, поступающих в атмосферу при выполнении окрасочных работ и сушке окрашенных поверхностей в период строительства

Марка лакокрасочных материалов	Наименование компонентов, содержащихся в летучей части лакокрасочных материалов	Количество загрязняющих веществ, поступающих в атмосферу при выполнении окрасочных работ и сушке окрашенных поверхностей, т за период строительства
1 этап строительства		
Грунт-эмаль "УНИПОЛ"	Диметилбензол	0,0001×1425,9×(23+77)×50×35/ 1000 =0,249533
	Бутилацетат	0,0001×1425,9×(23+77)×50×32,5/ 1000 =0,231709
	Уайт-спирит	0,0001×1425,9×(23+77)×50×32,5/ 1000 =0,231709
	Аэрозоль краски	0,0001×1425,9×2,5×(100-50)=0,017824
Лак ПФ-170	Уайт-спирит	0,0001×586,5×(23+77)×50×59,56=0,17466
	Диметилбензол	0,0001×586,5×(23+77)×50×40,44=0,11859
	Аэрозоль краски	0,0001×586,5×2,5×(100-50)=0,007331
Эмаль ПФ-115	Диметилбензол	0,0001×64,7×(23+77)×45×50/ 1000 =0,014558
	Уайт-спирит	0,0001×64,7×(23+77)×45×50/ 1000 =0,014558
	Аэрозоль краски	0,0001×64,7×2,5×(100-45)=0,00089
Эмаль МА-0115	Диметилбензол	0,0001×12,4×(23+77)×44×30/ 1000 =0,001637
	Уайт-спирит	0,0001×12,4×(23+77)×44×70/ 1000 =0,003819
	Аэрозоль краски	0,0001×12,4×2,5×(100-44)=0,000174
Грунтовка ГФ-021	Диметилбензол	0,0001×151,5×(23+77)×45×100/ 1000 =0,068175
	Аэрозоль краски	0,0001×151,5×2,5×(100-45) / 1000 =0,002083
Лак БТ-577	Уайт-спирит	0,0001×1384,8×(23+77)×63×42,63/ 1000 =0,371914
	Диметилбензол	0,0001×1384,8×(23+77)×63×57,4/ 1000 =0,500771
	Аэрозоль краски	0,0001×1384,8×2,5×(100-63)=0,012809
Грунтовка ГФ-017	Диметилбензол	0,0001×174×(23+77)×51×100=0,08874
	Аэрозоль краски	0,0001×174×2,5×(100-51)=0,002132
Суммарное количество загрязняющих веществ, поступающих в атмосферу при выполнении окрасочных работ и сушке окрасочных поверхностей в период 1 этапа строительства:		
	Диметилбензол	**1,042004**
	Бутилацетат	**0,231709**
	Уайт-спирит	**0,79666**
	Аэрозоль краски	**0,043243**
2 этап строительства		
Грунт-эмаль "УНИПОЛ"	Диметилбензол	0,0001×10336,6×(23+77)×50×35/ 1000 =1,808905
	Бутилацетат	0,0001×10336,6×(23+77)×50×32,5/ 1000 =1,679698
	Уайт-спирит	0,0001×10336,6×(23+77)×50×32,5/ 1000 =1,679698
	Аэрозоль краски	0,0001×10336,6×2,5×(100-50)=0,129208
Грунтовка ГФ-021	Диметилбензол	0,0001×1225,2×(23+77)×45×100/ 1000 =0,55134
	Аэрозоль краски	0,0001×1225,2×2,5×(100-45) / 1000 =0,016847
Лак ХВ-784	Ацетон	0,0001×344,5×(23+77)×84×21,74=0,062911

Марка лакокрасочных материалов	Наименование компонентов, содержащихся в летучей части лакокрасочных материалов	Количество загрязняющих веществ, поступающих в атмосферу при выполнении окрасочных работ и сушке окрашенных поверхностей, т за период строительства
	Бутилацетат	0,0001×344,5×(23+77)×84×13,02=0,037677
	Диметилбензол	0,0001×344,5×(23+77)×84×65,24=0,188792
	Аэрозоль краски	0,0001×344,5×2,5×(100-84)=0,001378
Лак БТ-577	Уайт-спирит	0,0001×2872,9×(23+77)×63×42,63/ 1000 =0,771572
	Диметилбензол	0,0001×2872,9×(23+77)×63×57,4/ 1000 =1,038898
	Аэрозоль краски	0,0001×2872,9×2,5×(100-63)=0,026574
Эмаль ПФ-115	Диметилбензол	0,0001×265,3×(23+77)×45×50/ 1000 =0,059693
	Уайт-спирит	0,0001×265,3×(23+77)×45×50/ 1000 =0,059693
	Аэрозоль краски	0,0001×265,3×2,5×(100-45)=0,003648
Эмаль ХВ-785	Ацетон	0,0001×162×(23+77)×73×26=0,030748
	Бутилацетат	0,0001×162×(23+77)×73×12=0,014191
	Диметилбензол	0,0001×162×(23+77)×73×62=0,073321
	Аэрозоль краски	0,0001×162×2,5×(100-73)=0,001094
Эмаль МА-0115	Диметилбензол	0,0001×431,6×(23+77)×44×30/ 1000 =0,056971
	Уайт-спирит	0,0001×431,6×(23+77)×44×70/ 1000 =0,132933
	Аэрозоль краски	0,0001×431,6×2,5×(100-44)=0,006042
Эмаль эпоксидная ЭП-140	Ацетон	0,0001×86,2×(23+77)×53,5×33,7/ 1000 =0,015541
	Диметилбензол	0,0001×86,2×(23+77)×53,5×32,78/ 1000 =0,015117
	Метилбензол	0,0001×86,2×(23+77)×53,5×4,86/ 1000 =0,002241
	Этилцеллозольв	0,0001×86,2×(23+77)×53,5×28,66/ 1000 =0,013217
	Аэрозоль краски	0,0001×86,2×2,5×(100-53,5)=0,001002
Лак бакелитовый ЛБС-21	Спирт этиловый	0,0001×99×(23+77)×32×64,06/ 1000 =0,020294
	Фенол	0,0001×99×(23+77)×32×35,94/ 1000 =0,011386
	Аэрозоль краски	0,0001×99×2,5×(100-32)=0,001683
Суммарное количество загрязняющих веществ, поступающих в атмосферу при выполнении окрасочных работ и сушке окрасочных поверхностей в период 2 этапа строительства:		
	Диметилбензол	**3,793037**
	Метилбензол	**0,002241**
	Спирт этиловый	**0,020294**
	Фенол	**0,011386**
	Этилцеллозольв	**0,013217**
	Бутилацетат	**1,731566**
	Ацетон	**0,1092**
	Уайт-спирит	**2,643896**
	Аэрозоль краски	**0,187476**
3 этап строительства		
Грунт-эмаль "УНИПОЛ"	Диметилбензол	0,0001×2305,2×(23+77)×50×35/ 1000 =0,40341
	Бутилацетат	0,0001×2305,2×(23+77)×50×32,5/ 1000 =0,374595
	Уайт-спирит	0,0001×2305,2×(23+77)×50×32,5/ 1000 =0,374595
	Аэрозоль краски	0,0001×2305,2×2,5×(100-50)=0,028815
Грунтовка ГФ-021	Диметилбензол	0,0001×405,1×(23+77)×45×100/ 1000 =0,182295
	Аэрозоль краски	0,0001×405,1×2,5×(100-45) / 1000 =0,00557
Лак БТ-577	Уайт-спирит	0,0001×930,7×(23+77)×63×42,63/ 1000 =0,249957
	Диметилбензол	0,0001×930,7×(23+77)×63×57,4/ 1000 =0,33656
	Аэрозоль краски	0,0001×930,7×2,5×(100-63)=0,008609
Эмаль ПФ-115	Диметилбензол	0,0001×447,3×(23+77)×45×50/ 1000 =0,100643
	Уайт-спирит	0,0001×447,3×(23+77)×45×50/ 1000 =0,100643
	Аэрозоль краски	0,0001×447,3×2,5×(100-45)=0,00615
Эмаль ХВ-785	Ацетон	0,0001×170,1×(23+77)×73×26=0,032285
	Бутилацетат	0,0001×170,1×(23+77)×84×12=0,017146
	Диметилбензол	0,0001×170,1×(23+77)×73×62=0,076987
	Аэрозоль краски	0,0001×170,1×2,5×(100-73)=0,001148
Эмаль МА-0115	Диметилбензол	0,0001×326,1×(23+77)×44×30/ 1000 =0,043045
	Уайт-спирит	0,0001×326,1×(23+77)×44×70/ 1000 =0,100439
	Аэрозоль краски	0,0001×326,1×2,5×(100-44)=0,004565
Эмаль эпоксидная ЭП-140	Ацетон	0,0001×29,3×(23+77)×53,5×33,7/ 1000 =0,005283
	Диметилбензол	0,0001×29,3×(23+77)×53,5×32,78/ 1000 =0,005138
	Метилбензол	0,0001×29,3×(23+77)×53,5×4,86/ 1000 =0,000762
	Этилцеллозольв	0,0001×29,3×(23+77)×53,5×28,66/ 1000 =0,004493
	Аэрозоль краски	0,0001×29,3×2,5×(100-53,5)=0,000341
	Спирт этиловый	0,0001×33,4×(23+77)×32×64,06/ 1000 =0,006847

Марка лакокрасочных материалов	Наименование компонентов, содержащихся в летучей части лакокрасочных материалов	Количество загрязняющих веществ, поступающих в атмосферу при выполнении окрасочных работ и сушке окрашенных поверхностей, т за период строительства
Лак бакелитовый ЛБС-21	Фенол	0,0001×33,4×(23+77)×32×35,94/ 1000 =0,003841
	Аэрозоль краски	0,0001×33,4×2,5×(100-32)=0,000568
Суммарное количество загрязняющих веществ, поступающих в атмосферу при выполнении окрасочных работ и сушке окрасочных поверхностей в период 3 этапа строительства:		
	Диметилбензол	**1,148078**
	Метилбензол	**0,000762**
	Спирт этиловый	**0,006847**
	Фенол	**0,003841**
	Этилцеллозольв	**0,004493**
	Бутилацетат	**0,391741**
	Ацетон	**0,037568**
	Уайт-спирит	**0,825634**
	Аэрозоль краски	**0,055766**
4 этап строительства		
Грунт-эмаль "УНИПОЛ"	Диметилбензол	0,0001×145,7×(23+77)×50×35/ 1000 =0,025498
	Бутилацетат	0,0001×145,7×(23+77)×50×32,5/ 1000 =0,023676
	Уайт-спирит	0,0001×145,7×(23+77)×50×32,5/ 1000 =0,023676
	Аэрозоль краски	0,0001×145,7×2,5×(100-50)=0,001821
Грунтовка ГФ-021	Диметилбензол	0,0001×108,3×(23+77)×45×100/ 1000 =0,048735
	Аэрозоль краски	0,0001×108,3×2,5×(100-45) / 1000 =0,001489
Лак БТ-577	Уайт-спирит	0,0001×87,6×(23+77)×63×42,63/ 1000 =0,023527
	Диметилбензол	0,0001×87,6×(23+77)×63×57,4/ 1000 =0,031678
	Аэрозоль краски	0,0001×87,6×2,5×(100-63)=0,00081
Эмаль ПФ-115	Диметилбензол	0,0001×285,8×(23+77)×45×50/ 1000 =0,064305
	Уайт-спирит	0,0001×285,8×(23+77)×45×50/ 1000 =0,064305
	Аэрозоль краски	0,0001×285,8×2,5×(100-45)=0,00393
Эмаль МА-0115	Диметилбензол	0,0001×43,7×(23+77)×44×30/ 1000 =0,005768
	Уайт-спирит	0,0001×43,7×(23+77)×44×70/ 1000 =0,01346
	Аэрозоль краски	0,0001×43,7×2,5×(100-44)=0,000612
Суммарное количество загрязняющих веществ, поступающих в атмосферу при выполнении окрасочных работ и сушке окрасочных поверхностей в период 3 этапа строительства:		
	Диметилбензол	**0,175984**
	Бутилацетат	**0,023676**
	Уайт-спирит	**0,124968**
	Аэрозоль краски	**0,008662**

Окрашивание производится безвоздушным способом окрасочными агрегатами высокого давления производительностью 15 м^2/ч. Время сушки окрашенных поверхностей принято из условия сушки до возможности нанесения следующего слоя.

Так как окрашивание производится на открытом воздухе, то эффективность местных отсосов и степень очистки в установке очистки газа, приняты равным нулю.

В таблице В.3 приведен расчет максимально разовых выбросов загрязняющих веществ, поступающих в атмосферу при выполнении окрасочных работ и сушке окрашенных поверхностей в период строительства.

Таблица В.3 – Расчет максимально разовых выбросов загрязняющих веществ, поступающих в атмосферу при выполнении окрасочных работ и сушке окрашенных поверхностей в период строительства

Марка лакокрасочных материалов	Наименование компонентов, содержащихся в летучей части ЛКМ	Расход ЛКМ на окрашивание 1 м^2 поверхности, г/м^2	Масса ЛКМ, на выполнение окрасочных работ, Ро, кг/ч	Масса ЛКМ, высушиваемого за 1 час, Рс, кг/ч	Максимально разовый выброс загрязняющих веществ, поступающих в атмосферу, г/с		**Суммарный максимально разовый выброс загрязняющих веществ, поступающих в атмосферу при окраске и сушке одновременно, г/с**
					при выполнении окрасочных работ	при сушке окрашенных поверхностей	
1 этап строительства							
Грунт-эмаль "УНИПОЛ"	Диметилбензол	156	0,001×15× × 156 = 2,34	2,34 /3 =0,8	2,34×23×50×(1-0)×(1-0)×35/(1000×3600)=0,026163	0,8×77×50×(1-0)×(1-0)×35/(1000×3600)=0,029944	0,026163+0,029944=0,056107
	Бутилацетат				2,34×23×50×(1-0)×(1-0)×32,5/(1000×3600)=0,024294	0,8×77×50×(1-0)×(1-0)×32,5/(1000×3600)=0,027806	0,024294+0,027806=0,0521
	Уайт-спирит				2,34×23×50×(1-0)×(1-0)×32,5/(1000×3600)=0,024294	0,8×77×50×(1-0)×(1-0)×32,5/(1000×3600)=0,027806	0,024294+0,027806=0,0521
	Аэрозоль краски				2,34×2,5×(100-50)×0,4×(1-0)×(1-0)/(10×3600)=0,00325	-	0,00325
Лак ПФ-170	Уайт-спирит	75	0,001×15× × 75 = 1,13	1,13 / 12 =0,1	1,13×23×50×(1-0)×(1-0)×59,56/(1000×3600)=0,0215	0,1×77×50×(1-0)×(1-0)×59,56/(1000×3600)=0,00637	0,0215+0,00637=0,02787
	Диметилбензол				1,13×23×50×(1-0)×(1-0)×40,44/(1000×3600)=0,014598	0,1×77×50×(1-0)×(1-0)×40,44/(1000×3600)=0,004325	0,014598+0,004325=0,018923
	Аэрозоль краски				1,13×2,5×(100-50)×0,4×(1-0)×(1-0)/(10×3600)=0,001569	-	0,001569
Эмаль ПФ-115	Диметилбензол	122	0,001×15× × 122 = 1,83	1,83 / 12 = 0,15	1,83×23×45×(1-0)×(1-0)×50/(1000×3600)=0,026306	0,15×77×45×(1-0)×(1-0)×50/(1000×3600)=0,007219	0,026306+0,007219=0,033525
	Уайт-спирит				1,83×23×45×(1-0)×(1-0)×50/(1000×3600)=0,026306	0,15×77×45×(1-0)×(1-0)×50/(1000×3600)=0,007219	0,026306+0,007219=0,033525
	Аэрозоль краски				1,83×2,5×(100-45)×0,4×(1-0)×(1-0)/(10×3600)=0,002796	-	0,002796
Эмаль МА-0115	Диметилбензол	150	0,001×15× × 150 = 2,25	2,25 / 3 = 0,75	2,25×23×44×(1-0)×(1-0)×30/(1000×3600)=0,018975	0,75×77×44×(1-0)×(1-0)×30/(1000×3600)=0,021175	0,018975+0,021175=0,04015
	Уайт-спирит				2,25×23×44×(1-0)×(1-0)×70/(1000×3600)=0,044275	0,75×77×44×(1-0)×(1-0)×70/(1000×3600)=0,049408	0,044275+0,049408=0,093683
	Аэрозоль краски				2,25×2,5×(100-44)×0,4×(1-0)×(1-0)/(10×3600)=0,0035	-	0,0035
Грунтовка ГФ-021	Диметилбензол	80	0,001×15× ×80 = 1,2	1,2 / 12 = 0,1	1,2×23×45×(1-0)×(1-0)×100/(1000×3600)=0,0345	0,1×77×45×(1-0)×(1-0)×100/(1000×3600)=0,009625	0,0345+0,009625=0,044125
	Аэрозоль краски				1,2×2,5×(100-45)×0,4×(1-0)×(1-0)/(10×3600)=0,001833	-	0,001833
Лак БТ-577	Уайт-спирит	68	0,001×15× × 68 = 1,02	1,02 / 12 = 0,1	1,02×23×63×(1-0)×(1-0)×42,63/(1000×3600)=0,017502	0,1×77×63×(1-0)×(1-0)×42,63/(1000×3600)=0,005744	0,017502+0,005744=0,023246
	Диметилбензол				1,02×23×63×(1-0)×(1-0)×57,4/(1000×3600)=0,023566	0,1×77×63×(1-0)×(1-0)×57,4/(1000×3600)=0,007735	0,023566+0,007735=0,031301
	Аэрозоль краски				1,02×2,5×(100-63)×0,4×(1-0)×(1-0)/(10×3600)=0,001048	-	0,001048
Грунтовка ГФ-017	Диметилбензол	80	0,001×15× × 80 = 1,2	1,2 / 12 = 0,1	1,2×23×51×(1-0)×(1-0)×100/(1000×3600)=0,0391	0,1×77×51×(1-0)×(1-0)×100/(1000×3600)=0,010908	0,0391+0,010908=0,050008
	Аэрозоль краски				1,2×2,5×(100-51)×0,4×(1-0)×(1-0)/(10×3600)=0,001633	-	0,001633
Суммарное максимально разовое количество загрязняющих веществ, поступающих в атмосферу при выполнении окрасочных работ и сушке окрасочных поверхностей в период 1 этапа строительства:							
	Диметилбензол				**0,0391**	**0,029944**	**0,056107**
	Бутилацетат				**0,024294**	**0,027806**	**0,0521**
	Уайт-спирит				**0,044275**	**0,049408**	**0,093683**
	Аэрозоль краски				**0,003500**	**-**	**0,003500**
2 этап строительства							
Грунт-эмаль "УНИПОЛ	Диметилбензол	156	0,001×15× × 156 = 2,34	2,34 /3 =0,8	2,34×23×50×(1-0)×(1-0)×35/(1000×3600)=0,026163	0,8×77×50×(1-0)×(1-0)×35/(1000×3600)=0,029944	0,026163+0,029944=0,056107
	Бутилацетат				2,34×23×50×(1-0)×(1-0)×32,5/(1000×3600)=0,024294	0,8×77×50×(1-0)×(1-0)×32,5/(1000×3600)=0,027806	0,024294+0,027806=0,0521
	Уайт-спирит				2,34×23×50×(1-0)×(1-0)×32,5/(1000×3600)=0,024294	0,8×77×50×(1-0)×(1-0)×32,5/(1000×3600)=0,027806	0,024294+0,027806=0,0521
	Аэрозоль краски				2,34×2,5×(100-50)×0,4×(1-0)×(1-0)/(10×3600)=0,00325	-	0,00325
Грунтовка ГФ-021	Диметилбензол	80	0,001×15× ×80 = 1,2	1,2 / 12 = 0,1	1,2×23×45×(1-0)×(1-0)×100/(1000×3600)=0,0345	0,1×77×45×(1-0)×(1-0)×100/(1000×3600)=0,009625	0,0345+0,009625=0,044125
	Аэрозоль краски				1,2×2,5×(100-45)×0,4×(1-0)×(1-0)/(10×3600)=0,001833	-	0,001833
Лак ХВ-784	Пропан-2-он	185	0,001×15× × 185 = 2,78	2,78 / 3 = = 0,9	2,78×23×84×(1-0)×(1-0)×21,74/(1000×3600)=0,032435	0,9×77×84×(1-0)×(1-0)×21,74/(1000×3600)=0,035154	0,032435+0,035154=0,067589
	Бутилацетат				2,78×23×84×(1-0)×(1-0)×13,02/(1000×3600)=0,019425	0,9×77×84×(1-0)×(1-0)×13,02/(1000×3600)=0,021053	0,019425+0,021053=0,040478

Марка лакокрасочных материалов	Наименование компонентов, содержащихся в летучей части ЛКМ	Расход ЛКМ на окрашивание 1 м^2 поверхности, г/м^2	Масса ЛКМ, на выполнение окрасочных работ, Ро, кг/ч	Масса ЛКМ, высушиваемого за 1 час, Рс, кг/ч	Максимально разовый выброс загрязняющих веществ, поступающих в атмосферу, г/с		**Суммарный максимально разовый выброс загрязняющих веществ, поступающих в атмосферу при окраске и сушке одновременно, г/с**
					при выполнении окрасочных работ	при сушке окрашенных поверхностей	
	Диметилбензол				2,78×23×84×(1-0)×(1-0)×65,24/(1000×3600)=0,097334	0,9×77×84×(1-0)×(1-0)×65,24/(1000×3600)=0,105493	0,097334+0,105493=0,202827
	Аэрозоль краски				2,78×2,5×(100-84)×0,4×(1-0)×(1-0)/(10×3600)=0,001236	-	0,001236
Лак БТ-577	Уайт-спирит	68	0,001×15× × 68 = 1,02	1,02 / 12 = 0,1	1,02×23×63×(1-0)×(1-0)×42,63/(1000×3600)=0,017502	0,1×77×63×(1-0)×(1-0)×42,63/(1000×3600)=0,005744	0,017502+0,005744=0,023246
	Диметилбензол				1,02×23×63×(1-0)×(1-0)×57,4/(1000×3600)=0,023566	0,1×77×63×(1-0)×(1-0)×57,4/(1000×3600)=0,007735	0,023566+0,007735=0,031301
	Аэрозоль краски				1,02×2,5×(100-63)×0,4×(1-0)×(1-0)/(10×3600)=0,001048	-	0,001048
Эмаль ПФ-115	Диметилбензол	122	0,001×15× × 122 = 1,83	1,83 / 12 = 0,15	1,83×23×45×(1-0)×(1-0)×50/(1000×3600)=0,026306	0,15×77×45×(1-0)×(1-0)×50/(1000×3600)=0,007219	0,026306+0,007219=0,033525
	Уайт-спирит				1,83×23×45×(1-0)×(1-0)×50/(1000×3600)=0,026306	0,15×77×45×(1-0)×(1-0)×50/(1000×3600)=0,007219	0,026306+0,007219=0,033525
	Аэрозоль краски				1,83×2,5×(100-45)×0,4×(1-0)×(1-0)/(10×3600)=0,002796	-	0,002796
Эмаль ХВ-785	Пропан-2-он	120	0,001×15× ×120 = 1,8	1,8 / 3= = 0,6	1,8×23×73×(1-0)×(1-0)×26/(1000×3600)=0,021827	0,6×77×73×(1-0)×(1-0)×26/(1000×3600)=0,024358	0,021827+0,024358=0,046185
	Бутилацетат				1,8×23×73×(1-0)×(1-0)×12/(1000×3600)=0,010074	0,6×77×73×(1-0)×(1-0)×12/(1000×3600)=0,011242	0,010074+0,011242=0,021316
	Метилбензол				1,8×23×73×(1-0)×(1-0)×62/(1000×3600)=0,052049	0,6×77×73×(1-0)×(1-0)×62/(1000×3600)=0,058084	0,052049+0,058084=0,110133
	Аэрозоль краски				1,8×2,5×(100-73)×0,4×(1-0)×(1-0)/(10×3600)=0,00135	-	0,00135
Эмаль МА-0115	Диметилбензол	150	0,001×15× × 150 = 2,25	2,25 / 3 = 0,75	2,25×23×44×(1-0)×(1-0)×30/(1000×3600)=0,018975	0,75×77×44×(1-0)×(1-0)×30/(1000×3600)=0,021175	0,018975+0,021175=0,04015
	Уайт-спирит				2,25×23×44×(1-0)×(1-0)×70/(1000×3600)=0,044275	0,75×77×44×(1-0)×(1-0)×70/(1000×3600)=0,049408	0,044275+0,049408=0,093683
	Аэрозоль краски				2,25×2,5×(100-44)×0,4×(1-0)×(1-0)/(10×3600)=0,0035	-	0,0035
Эмаль ЭП-140	Пропан-2-он	85	0,001×15× ×85 = 1,28	1,28 /12= = 0,1	1,28×23×53,5×(1-0)×(1-0)×33,7/(1000×3600)=0,014744	0,1×77×53,5×(1-0)×(1-0)×33,7/(1000×3600)=0,003856	0,014744+0,003856=0,0186
	Диметилбензол				1,28×23×53,5×(1-0)×(1-0)×32,78/(1000×3600)=0,014342	0,1×77×53,5×(1-0)×(1-0)×32,78/(1000×3600)=0,003751	0,014342+0,003751=0,018093
	Метилбензол				1,28×23×53,5×(1-0)×(1-0)×4,86/(1000×3600)=0,002126	0,1×77×53,5×(1-0)×(1-0)×4,86/(1000×3600)=0,000556	0,002126+0,000556=0,002682
	2-Этоксиэтанол				1,28×23×53,5×(1-0)×(1-0)×28,66/(1000×3600)=0,012539	0,1×77×53,5×(1-0)×(1-0)×28,66/(1000×3600)=0,00328	0,012539+0,00328=0,015819
	Аэрозоль краски				1,28×2,5×(100-53,5)×0,4×(1-0)×(1-0)/(10×3600)=0,001653	-	0,001653
Лак бакелитовый ЛБС-21	Спирт этиловый	120	0,001×15× × 120 = 1,8	1,8 / 1 = = 1,8	1,8×23×32×(1-0)×(1-0)×64,06/(1000×3600)=0,023574	1,8×77×32×(1-0)×(1-0)×64,06/(1000×3600)=0,078922	0,023574+0,078922=0,102496
	Фенол				1,8×23×32×(1-0)×(1-0)×35,94/(1000×3600)=0,013226	1,8×77×32×(1-0)×(1-0)×35,94/(1000×3600)=0,044278	0,013226+0,044278=0,057504
	Аэрозоль краски				1,8×2,5×(100-32)×0,4×(1-0)×(1-0)/(10×3600)=0,0034	-	0,0034
Суммарное максимально разовое количество загрязняющих веществ, поступающих в атмосферу при выполнении окрасочных работ и сушке окрасочных поверхностей в период 2 этапа строительства:							
	Диметилбензол				**0,097334**	**0,105493**	**0,202827**
	Метилбензол				**0,002126**	**0,000556**	**0,002682**
	Спирт этиловый				**0,023574**	**0,078922**	**0,102496**
	Фенол				**0,013226**	**0,044278**	**0,057504**
	2-Этоксиэтанол				**0,012539**	**0,00328**	**0,015819**
	Бутилацетат				**0,024294**	**0,027806**	**0,0521**
	Пропан-2-он				**0,032435**	**0,035154**	**0,067589**
	Уайт-спирит				**0,044275**	**0,049408**	**0,093683**
	Аэрозоль краски				**0,003500**	**-**	**0,003500**
3 этап строительства							
Грунт-эмаль "УНИПОЛ	Диметилбензол	156	0,001×15× × 156 = 2,34	2,34 /3 =0,8	2,34×23×50×(1-0)×(1-0)×35/(1000×3600)=0,026163	0,8×77×50×(1-0)×(1-0)×35/(1000×3600)=0,029944	0,026163+0,029944=0,056107
	Бутилацетат				2,34×23×50×(1-0)×(1-0)×32,5/(1000×3600)=0,024294	0,8×77×50×(1-0)×(1-0)×32,5/(1000×3600)=0,027806	0,024294+0,027806=0,0521
	Уайт-спирит				2,34×23×50×(1-0)×(1-0)×32,5/(1000×3600)=0,024294	0,8×77×50×(1-0)×(1-0)×32,5/(1000×3600)=0,027806	0,024294+0,027806=0,0521

Марка лакокрасочных материалов	Наименование компонентов, содержащихся в летучей части ЛКМ	Расход ЛКМ на окрашивание 1 м^2 поверхности, г/м^2	Масса ЛКМ, на выполнение окрасочных работ, Ро, кг/ч	Масса ЛКМ, высушиваемого за 1 час, Рс, кг/ч	Максимально разовый выброс загрязняющих веществ, поступающих в атмосферу, г/с		**Суммарный максимально разовый выброс загрязняющих веществ, поступающих в атмосферу при окраске и сушке одновременно, г/с**
					при выполнении окрасочных работ	при сушке окрашенных поверхностей	
	Аэрозоль краски				2,34×2,5×(100-50)×0,4×(1-0)×(1-0)/(10×3600)=0,00325	-	0,00325
Грунтовка ГФ-021	Диметилбензол	80	0,001×15× ×80 = 1,2	1,2 / 12 = 0,1	1,2×23×45×(1-0)×(1-0)×100/(1000×3600)=0,0345	0,1×77×45×(1-0)×(1-0)×100/(1000×3600)=0,009625	0,0345+0,009625=0,044125
	Аэрозоль краски				1,2×2,5×(100-45)×0,4×(1-0)×(1-0)/(10×3600)=0,001833	-	0,001833
Лак БТ-577	Уайт-спирит	68	0,001×15× × 68 = 1,02	1,02 / 12 = 0,1	1,02×23×63×(1-0)×(1-0)×42,63/(1000×3600)=0,017502	0,1×77×63×(1-0)×(1-0)×42,63/(1000×3600)=0,005744	0,017502+0,005744=0,023246
	Диметилбензол				1,02×23×63×(1-0)×(1-0)×57,4/(1000×3600)=0,023566	0,1×77×63×(1-0)×(1-0)×57,4/(1000×3600)=0,007735	0,023566+0,007735=0,031301
	Аэрозоль краски				1,02×2,5×(100-63)×0,4×(1-0)×(1-0)/(10×3600)=0,001048		0,001048
Эмаль ПФ-115	Диметилбензол	122	0,001×15× × 122 = 1,83	1,83 / 12 = 0,15	1,83×23×45×(1-0)×(1-0)×50/(1000×3600)=0,026306	0,15×77×45×(1-0)×(1-0)×50/(1000×3600)=0,007219	0,026306+0,007219=0,033525
	Уайт-спирит				1,83×23×45×(1-0)×(1-0)×50/(1000×3600)=0,026306	0,15×77×45×(1-0)×(1-0)×50/(1000×3600)=0,007219	0,026306+0,007219=0,033525
	Аэрозоль краски				1,83×2,5×(100-45)×0,4×(1-0)×(1-0)/(10×3600)=0,002796	-	0,002796
Эмаль ХВ-785	Пропан-2-он	120	0,001×15× ×120 = 1,8	1,8 / 3= = 0,6	1,8×23×73×(1-0)×(1-0)×26/(1000×3600)=0,021827	0,6×77×73×(1-0)×(1-0)×26/(1000×3600)=0,024358	0,021827+0,024358=0,046185
	Бутилацетат				1,8×23×84×(1-0)×(1-0)×12/(1000×3600)=0,011592	0,6×77×84×(1-0)×(1-0)×12/(1000×3600)=0,012936	0,011592+0,012936=0,024528
	Метилбензол				1,8×23×73×(1-0)×(1-0)×62/(1000×3600)=0,052049	0,6×77×73×(1-0)×(1-0)×62/(1000×3600)=0,058084	0,052049+0,058084=0,110133
	Аэрозоль краски				1,8×2,5×(100-73)×0,4×(1-0)×(1-0)/(10×3600)=0,00135	-	0,00135
Эмаль МА-0115	Диметилбензол	150	0,001×15× × 150 = 2,25	2,25 / 3 = 0,75	2,25×23×44×(1-0)×(1-0)×30/(1000×3600)=0,018975	0,75×77×44×(1-0)×(1-0)×30/(1000×3600)=0,021175	0,018975+0,021175=0,04015
	Уайт-спирит				2,25×23×44×(1-0)×(1-0)×70/(1000×3600)=0,044275	0,75×77×44×(1-0)×(1-0)×70/(1000×3600)=0,049408	0,044275+0,049408=0,093683
	Аэрозоль краски				2,25×2,5×(100-44)×0,4×(1-0)×(1-0)/(10×3600)=0,0035	-	0,0035
Эмаль ЭП-140	Пропан-2-он	85	0,001×15× ×85 = 1,28	1,28 /12= = 0,1	1,28×23×53,5×(1-0)×(1-0)×33,7/(1000×3600)=0,014744	0,1×77×53,5×(1-0)×(1-0)×33,7/(1000×3600)=0,003856	0,014744+0,003856=0,0186
	Диметилбензол				1,28×23×53,5×(1-0)×(1-0)×32,78/(1000×3600)=0,014342	0,1×77×53,5×(1-0)×(1-0)×32,78/(1000×3600)=0,003751	0,014342+0,003751=0,018093
	Метилбензол				1,28×23×53,5×(1-0)×(1-0)×4,86/(1000×3600)=0,002126	0,1×77×53,5×(1-0)×(1-0)×4,86/(1000×3600)=0,000556	0,002126+0,000556=0,002682
	2-Этоксиэтанол				1,28×23×53,5×(1-0)×(1-0)×28,66/(1000×3600)=0,012539	0,1×77×53,5×(1-0)×(1-0)×28,66/(1000×3600)=0,00328	0,012539+0,00328=0,015819
	Аэрозоль краски				1,28×2,5×(100-53,5)×0,4×(1-0)×(1-0)/(10×3600)=0,001653	-	0,001653
Лак бакелитовый ЛБС-21	Спирт этиловый	120	0,001×15× × 120 = 1,8	1,8 / 1 = = 1,8	1,8×23×32×(1-0)×(1-0)×64,06/(1000×3600)=0,023574	1,8×77×32×(1-0)×(1-0)×64,06/(1000×3600)=0,078922	0,023574+0,078922=0,102496
	Фенол				1,8×23×32×(1-0)×(1-0)×35,94/(1000×3600)=0,013226	1,8×77×32×(1-0)×(1-0)×35,94/(1000×3600)=0,044278	0,013226+0,044278=0,057504
	Аэрозоль краски				1,8×2,5×(100-32)×0,4×(1-0)×(1-0)/(10×3600)=0,0034	-	0,0034
Суммарное максимально разовое количество загрязняющих веществ, поступающих в атмосферу при выполнении окрасочных работ и сушке окрасочных поверхностей в период 3 этапа строительства:							
	Диметилбензол				**0,052049**	**0,058084**	**0,110133**
	Метилбензол				**0,002126**	**0,000556**	**0,002682**
	Спирт этиловый				**0,023574**	**0,078922**	**0,102496**
	Фенол				**0,013226**	**0,044278**	**0,057504**
	2-Этоксиэтанол				**0,012539**	**0,00328**	**0,015819**
	Бутилацетат				**0,024294**	**0,027806**	**0,0521**
	Пропан-2-он				**0,021827**	**0,024358**	**0,046185**
	Уайт-спирит				**0,044275**	**0,027806**	**0,0521**
	Аэрозоль краски				**0,003500**	**-**	**0,003500**
4 этап строительства							
Грунт-эмаль	Диметилбензол	156	0,001×15× × 156 = 2,34	2,34 /3 =0,8	2,34×23×50×(1-0)×(1-0)×35/(1000×3600)=0,026163	0,8×77×50×(1-0)×(1-0)×35/(1000×3600)=0,029944	0,026163+0,029944=0,056107
	Бутилацетат				2,34×23×50×(1-0)×(1-0)×32,5/(1000×3600)=0,024294	0,8×77×50×(1-0)×(1-0)×32,5/(1000×3600)=0,027806	0,024294+0,027806=0,0521

Марка лакокрасочных материалов	Наименование компонентов, содержащихся в летучей части ЛКМ	Расход ЛКМ на окрашивание 1 м² поверхности, г/м²	Масса ЛКМ, на выполнение окрасочных работ, Ро, кг/ч	Масса ЛКМ, высушиваемого за 1 час, Рс, кг/ч	Максимально разовый выброс загрязняющих веществ, поступающих в атмосферу, г/с		**Суммарный максимально разовый выброс загрязняющих веществ, поступающих в атмосферу при окраске и сушке одновременно, г/с**
					при выполнении окрасочных работ	при сушке окрашенных поверхностей	
"УНИПОЛ	Уайт-спирит	80	0,001×15× ×80 = 1,2	1,2 / 12 = 0,1	2,34×23×50×(1-0)×(1-0)×32,5/(1000×3600)=0,024294	0,8×77×50×(1-0)×(1-0)×32,5/(1000×3600)=0,027806	0,024294+0,027806=0,0521
	Аэрозоль краски				2,34×2,5×(100-50)×0,4×(1-0)×(1-0)/(10×3600)=0,00325	-	0,00325
Грунтовка ГФ-021	Диметилбензол				1,2×23×45×(1-0)×(1-0)×100/(1000×3600)=0,0345	0,1×77×45×(1-0)×(1-0)×100/(1000×3600)=0,009625	0,0345+0,009625=0,044125
	Аэрозоль краски				1,2×2,5×(100-45)×0,4×(1-0)×(1-0)/(10×3600)=0,001833	-	0,001833
Лак БТ-577	Уайт-спирит	68	0,001×15× × 68 = 1,02	1,02 / 12 = 0,1	1,02×23×63×(1-0)×(1-0)×42,63/(1000×3600)=0,017502	0,1×77×63×(1-0)×(1-0)×42,63/(1000×3600)=0,005744	0,017502+0,005744=0,023246
	Диметилбензол				1,02×23×63×(1-0)×(1-0)×57,4/(1000×3600)=0,023566	0,1×77×63×(1-0)×(1-0)×57,4/(1000×3600)=0,007735	0,023566+0,007735=0,031301
	Аэрозоль краски				1,02×2,5×(100-63)×0,4×(1-0)×(1-0)/(10×3600)=0,001048		0,001048
Эмаль ПФ-115	Диметилбензол	122	0,001×15× × 122 = 1,83	1,83 / 12 = 0,15	1,83×23×45×(1-0)×(1-0)×50/(1000×3600)=0,026306	0,15×77×45×(1-0)×(1-0)×50/(1000×3600)=0,007219	0,026306+0,007219=0,033525
	Уайт-спирит				1,83×23×45×(1-0)×(1-0)×50/(1000×3600)=0,026306	0,15×77×45×(1-0)×(1-0)×50/(1000×3600)=0,007219	0,026306+0,007219=0,033525
	Аэрозоль краски				1,83×2,5×(100-45)×0,4×(1-0)×(1-0)/(10×3600)=0,002796	-	0,002796
Эмаль МА-0115	Диметилбензол	150	0,001×15× × 150 = 2,25	2,25 / 3 = 0,75	2,25×23×44×(1-0)×(1-0)×30/(1000×3600)=0,018975	0,75×77×44×(1-0)×(1-0)×30/(1000×3600)=0,021175	0,018975+0,021175=0,04015
	Уайт-спирит				2,25×23×44×(1-0)×(1-0)×70/(1000×3600)=0,044275	0,75×77×44×(1-0)×(1-0)×70/(1000×3600)=0,049408	0,044275+0,049408=0,093683
	Аэрозоль краски				2,25×2,5×(100-44)×0,4×(1-0)×(1-0)/(10×3600)=0,0035	-	0,0035
Суммарное максимально разовое количество загрязняющих веществ, поступающих в атмосферу при выполнении окрасочных работ и сушке окрасочных поверхностей в период 4 этапа строительства:							
	Диметилбензол				**0,0345**	**0,029944**	**0,056107**
	Бутилацетат				**0,024294**	**0,027806**	**0,0521**
	Уайт-спирит				**0,044275**	**0,049408**	**0,093683**
	Аэрозоль краски				**0,003500**	**-**	**0,003500**

Примечание - суммарное максимально разовое количество загрязняющих веществ, поступающих в атмосферу в единицу времени (г/с) принято по наибольшим значениям выбросов при выполнении окрасочных работ из всех видов применяемых ЛКМ.

Приложение Г
(обязательное)

Расчет количества загрязняющих веществ, поступающих в атмосферу при работе дизельных электростанций в период строительства

Источники 5501 - 5515

Количество загрязняющих веществ, поступающих в атмосферу при работе ДЭС, расположенных на строительных площадках в период строительства, рассчитано по "Методике расчета выбросов загрязняющих веществ в атмосферу от стационарных дизельных установок" (С.-Пб., НИИ Атмосфера, 2001).

Количество загрязняющих веществ, поступающих в атмосферу при работе дизельной электростанций, рассчитано по формуле:

$$M_i = (1/3600) \times e_{мi} \times P_э, \text{ г/с},$$

$$W_i = (1 / 1000) \times q_{эi} \times G_т, \text{ т},$$

где $e_{мi}$ – выброс i-го вещества стационарной ДЭС на режиме номинальной мощности в зависимости от мощности дизель-генератора, г/кВт × ч;

$P_э$ – номинальная мощность дизельной установки, кВт;

$q_{эi}$ – выброс i-го вещества, приходящийся на 1 кг дизельного топлива при работе стационарной дизельной установки с учетом совокупности режимов, составляющих эксплуатационный цикл г/ кг топлива;

$G_т$ – расход топлива стационарной дизельной установки за период, т.

Расход дымовых газов, поступающих в атмосферу при работе ДЭС, рассчитан по формуле:

$$G = 8{,}72 \times 10^{-6} \times b_э \times P_э, \text{ кг/с},$$

где $b_э$ – удельный расход топлива на эксплуатационном (или номинальном) режиме работы дизель-генератора, г / кВт × ч;

$P_э$ – эксплуатационная (номинальная) мощность стационарной дизельной установки, кВт.

Количество и время работы ДЭС по этапам строительства по данным ПОС приведено в таблице Г.1.

Таблица Г.1 – Количество и время работы ДЭС по этапам строительства

Наименование параметра	Величина по этапам строительства								
	1 этап		2 этап	3 этап		4 этап	5 этап	6 этап	7 этап
Номер ИЗА	***5501***	***5502***	***5503 - 5506***	***5507 - 5509***	***5510-5511***	***5512***	***5513***	***5514***	***5515***
Марка ДЭС	ДЭС типа DC-200-T400-1P	ДЭС типа АД-70-Т400	ДЭС типа DC-200-T400-1P	ДЭС типа DC-200-T400-1P	ДЭС типа АД-20-Т400	ДЭС типа АД-70-Т400	ДЭС типа АД-70-Т400	ДЭС типа АД-70-Т400	ДЭС типа АД-70-Т400
Количество ДЭС	1	1	4	3	2	1	1	1	1
Время работы 1 ДЭС	1506	1506	3012	903,6	903,6	1204,8	903,6	301,2	903,6

Для расчетов выбросов загрязняющих веществ, поступающих в атмосферу при работе ДЭС, использовалась "Методика расчета выбросов загрязняющих веществ в атмосферу от стационарных дизельных установок" (С.-Пб., НИИ Атмосфера, 2001).

В таблице Г.2 приведены технические и экологические характеристики аварийных дизельных электростанций, устанавливаемых на стройплощадках.

Таблица Г.2 – Технические и экологические характеристики дизельных электростанций, устанавливаемых на стройплощадках

Наименование параметра	Величина			
Номинальная мощность ДЭС, кВт	200	70	20	
Расход топлива при номинальном режиме работы, л/ч	42,6	15	4,8	
Температура выхлопных газов, °С	490	480	480	
Количество дымовых труб, штук	1	1	1	
Высота дымовой трубы, м	5	5	5	
Диаметр дымовой трубы, м	0,2	0,1	0,1	
Удельные выбросы с отработавшими газами:	Удельные выбросы одинаковы для данных электростанций		Удельные выбросы одинаковы для данных электростанций	
	г / кВт×ч	г/кг топлива	г / кВт×ч	г/кг топлива
- оксиды азота	9,6	40	10,3	43
- углерод	0,5	2	0,7	3
- сера диоксид	1,2	5	1,1	4,5
- углерода оксид	6,2	26	7,2	30
- формальдегид	0,12	0,5	0,15	0,6
- бенз(α)пирен	0,000012	0,000055	0,000013	0,000055
- углеводороды (керосин)	2,9	12	3,6	15

В таблице Г.3 приведены расчеты количества загрязняющих веществ, поступающих в атмосферу при работе передвижных дизельных электростанций в период строительства.

Расчеты выбросов приведены для 1 ДЭС, для остальных ДЭС выбросы аналогичны.

Таблица Г.3 – Расчеты количества загрязняющих веществ, поступающих в атмосферу при работе передвижных дизельных электростанций по этапам строительства

Наименование показателя	Величина								
	1 этап		2 этап	3 этап		4 этап	5 этап	6 этап	7 этап
Марка ДЭС	ДЭС типа DC-200-T400-1P	ДЭС типа АД-70-T400	ДЭС типа DC-200-T400-1P	ДЭС типа DC-200-T400-1P	ДЭС типа АД-20-T400	ДЭС типа АД-70-T400	ДЭС типа АД-70-T400	ДЭС типа АД-70-T400	ДЭС типа АД-70-T400
Количество ДЭС, шт.	1	1	4	3	2	1	1	1	1
Время работы 1 ДЭС, ч за период строительства	1506	1506	3012	903,6	903,6	1204,8	903,6	301,2	903,6
Номинальная мощность, кВт	200	70	200	200	20	70	70	70	70
Расход топлива при номинальном режиме работы, л/ч	42,6	15	42,6	42,6	4,8	15	15	15	15
Количество топлива, потребляемое ДЭС, т за период строительства	42,6 × 0,8335 × 1506 / 1000 = 53,474	15 × 0,8335 × 1506 / 1000 = 18,829	42,6 × 0,8335 × 3012 / 1000 = 106,947	42,6 × 0,8335 × 903,6 / 1000 = 32,084	4,8 × 0,8335 × 903,6 / 1000 = 3,615	15 × 0,8335 × 1204,8 / 1000 = 15,063	15 × 0,8335 × 903,6 / 1000 = 11,297	15 × 0,8335 × 301,2 / 1000 = 3,766	15 × 0,8335 × 903,6 / 1000 = 11,297
Плотность дизтоплива, т/м^3	0,8335								
Удельный расход топлива при номинальном режиме работы, г / кВт×ч	42,6 × 0,001 × 833,5 × 1000 / 200 = 177,536	15 × 0,001 × 833,5 × 1000 / 70 = 178,607	42,6 × 0,001 × 833,5 × 1000 / 200 = 177,536	42,6 × 0,001 × 833,5 × 1000 / 200 = 177,536	4,8 × 0,001 × 833,5 × 1000 / 20 = 200,04	15 × 0,001 × 833,5 × 1000 / 70 = 178,607	15 × 0,001 × 833,5 × 1000 / 70 = 178,607	15 × 0,001 × 833,5 × 1000 / 70 = 178,607	15 × 0,001 × 833,5 × 1000 / 70 = 178,607
Расход отработанных газов, кг/с	8,72 × 0,000001 × 177,536 × 200 = 0,31	8,72 × 0,000001 × 178,607 × 70 = 0,109	8,72 × 0,000001 × 177,536 × 200 = 0,31	8,72 × 0,000001 × 177,536 × 200 = 0,31	8,72 × 0,000001 × 200,04 × 20 = 0,035	8,72 × 0,000001 × 178,607 × 70 = 0,109	8,72 × 0,000001 × 178,607 × 70 = 0,109	8,72 × 0,000001 × 178,607 × 70 = 0,109	8,72 × 0,000001 × 178,607 × 70 = 0,109
Плотность выхлопных газов при 0°С, кг/нм^3	1,31	1,31	1,31	1,31	1,31	1,31	1,31	1,31	1,31
Температура выхлопных газов, °С	490	480	490	490	480	480	480	480	480
Объем выхлопных газов: - при нормальных условиях, нм^3/с - при фактической температуре, м^3/с	0,31 / 1,31 = 0,237 0,237 × (273,15 + 490) / 273,15 = 0,662	0,109 / 1,31 = 0,083 0,083 × (273,15 + 480) / 273,15 = 0,229	0,31 / 1,31 = 0,237 0,237 × (273,15 + 490) / 273,15 = 0,662	0,31 / 1,31 = 0,237 0,237 × (273,15 + 490) / 273,15 = 0,662	0,035 / 1,31 = 0,027 0,027 × (273,15 + 480) / 273,15 = 0,074	0,109 / 1,31 = 0,083 0,083 × (273,15 + 480) / 273,15 = 0,229	0,109 / 1,31 = 0,083 0,083 × (273,15 + 480) / 273,15 = 0,229	0,109 / 1,31 = 0,083 0,083 × (273,15 + 480) / 273,15 = 0,229	0,109 / 1,31 = 0,083 0,083 × (273,15 + 480) / 273,15 = 0,229
Максимально разовое количество загрязняющих веществ, поступающих в атмосферу с выхлопными газами 1 ДЭС, г/с: Оксиды азота, в т. ч.:	9,6 × 200 / 3600 = 0,533333	9,6 × 70 / 3600 = 0,186667	9,6 × 200 / 3600 = 0,533333	9,6 × 200 / 3600 = 0,533333	10,3 × 20 / 3600 = 0,057222	9,6 × 70 / 3600 = 0,186667	9,6 × 70 / 3600 = 0,186667	9,6 × 70 / 3600 = 0,186667	9,6 × 70 / 3600 = 0,186667
- азота диоксид	0,533333 × 0,8 = 0,426666	0,186667 × 0,8 = 0,149334	0,533333 × 0,8 = 0,426666	0,533333 × 0,8 = 0,426666	0,057222 × 0,8 = 0,045778	0,186667 × 0,8 = 0,149334	0,186667 × 0,8 = 0,149334	0,186667 × 0,8 = 0,149334	0,186667 × 0,8 = 0,149334
- азота (II) оксид	0,533333 × 0,65 × (1- 0,8) = 0,069333	0,186667 × 0,65 × (1- 0,8) = 0,024267	0,533333 × 0,65 × (1- 0,8) = 0,069333	0,533333 × 0,65 × (1- 0,8) = 0,069333	0,057222 × 0,65 × (1- 0,8) = 0,007439	0,186667 × 0,65 × (1- 0,8) = 0,024267	0,186667 × 0,65 × (1- 0,8) = 0,024267	0,186667 × 0,65 × (1- 0,8) = 0,024267	0,186667 × 0,65 × (1- 0,8) = 0,024267
Углерод	0,5 × 200 / 3600 = 0,027778	0,5 × 70 / 3600 = 0,009722	0,5 × 200 / 3600 = 0,027778	0,5 × 200 / 3600 = 0,027778	0,7 × 20 / 3600 = 0,003889	0,5 × 70 / 3600 = 0,009722	0,5 × 70 / 3600 = 0,009722	0,5 × 70 / 3600 = 0,009722	0,5 × 70 / 3600 = 0,009722

Инв. № подл.	Подп. и дата	Взам.инв.№

Наименование показателя	Величина								
	1 этап		2 этап	3 этап		4 этап	5 этап	6 этап	7 этап
Сера диоксид	1,2 × 200 / 3600 = 0,066667	1,2 × 70 / 3600 = 0,023333	1,2 × 200 / 3600 = 0,066667	1,2 × 200 / 3600 = 0,066667	1,1 × 20 / 3600 = 0,006111	1,2 × 70 / 3600 = 0,023333	1,2 × 70 / 3600 = 0,023333	1,2 × 70 / 3600 = 0,023333	1,2 × 70 / 3600 = 0,023333
Углерода оксид	6,2 × 200 / 3600 = 0,344444	6,2 × 70 / 3600 = 0,120556	6,2 × 200 / 3600 = 0,344444	6,2 × 200 / 3600 = 0,344444	7,2 × 20 / 3600 = 0,04	6,2 × 70 / 3600 = 0,120556	6,2 × 70 / 3600 = 0,120556	6,2 × 70 / 3600 = 0,120556	6,2 × 70 / 3600 = 0,120556
Бенз(α)пирен	0,000012 × 200 / 3600 = 0,000001	0,000012 × 70 / 3600 = 0,0000002	0,000012 × 200 / 3600 = 0,000001	0,000012 × 200 / 3600 = 0,000001	0,000013 × 20 / 3600 = 0,0000001	0,000012 × 70 / 3600 = 0,0000002	0,000012 × 70 / 3600 = 0,0000002	0,000012 × 70 / 3600 = 0,0000002	0,000012 × 70 / 3600 = 0,0000002
Формальдегид	0,12 × 200 / 3600 = 0,006667	0,12 × 70 / 3600 = 0,002333	0,12 × 200 / 3600 = 0,006667	0,12 × 200 / 3600 = 0,006667	0,15 × 20 / 3600 = 0,000833	0,12 × 70 / 3600 = 0,002333	0,12 × 70 / 3600 = 0,002333	0,12 × 70 / 3600 = 0,002333	0,12 × 70 / 3600 = 0,002333
Углеводороды (керосин)	2,9 × 200 / 3600 = 0,161111	2,9 × 70 / 3600 = 0,056389	2,9 × 200 / 3600 = 0,161111	2,9 × 200 / 3600 = 0,161111	3,6 × 20 / 3600 = 0,02	2,9 × 70 / 3600 = 0,056389	2,9 × 70 / 3600 = 0,056389	2,9 × 70 / 3600 = 0,056389	2,9 × 70 / 3600 = 0,056389
Валовое количество загрязняющих веществ, поступающих в атмосферу с выхлопными газами 1 ДЭС, т/год: Оксиды азота, в т. ч.:	40 × 53,474 / 1000 = 2,13896	40 × 18,829 / 1000 = 0,75316	40 × 106,947 / 1000 = 4,27788	40 × 32,084 / 1000 = 1,28336	43 × 4,82 / 1000 = 0,20726	40 × 15,066 / 1000 = 0,60264	40 × 11,297 / 1000 = 0,45188	40 × 3,766 / 1000 = 0,15064	40 × 11,297 / 1000 = 0,45188
- азота диоксид	2,13896 × 0,8 = 1,711168	0,75316 × 0,8 = 0,602528	4,27788 × 0,8 = 3,422304	1,28336 × 0,8 = 1,026688	0,20726 × 0,8 = 0,165808	0,60264 × 0,8 = 0,482112	0,45188 × 0,8 = 0,361504	0,15064 × 0,8 = 0,120512	0,45188 × 0,8 = 0,361504
- азота (II) оксид	2,13896 × 0,65 × (1- 0,8) = 0,278065	0,75316 × 0,65 × (1- 0,8) = 0,097911	4,27788 × 0,65 × (1- 0,8) = 0,556124	1,28336 × 0,65 × (1- 0,8) = 0,166837	0,20726 × 0,65 × (1- 0,8) = 0,026944	0,60264 × 0,65 × (1- 0,8) = 0,078343	0,45188 × 0,65 × (1- 0,8) = 0,058744	0,15064 × 0,65 × (1- 0,8) = 0,019583	0,45188 × 0,65 × (1- 0,8) = 0,058744
Углерод	2 × 53,474 / 1000 = 0,106948	2 × 18,829 / 1000 = 0,037658	2 × 106,947 / 1000 = 0,213894	2 × 32,084 / 1000 = 0,064168	3 × 4,82 / 1000 = 0,01446	2 × 15,066 / 1000 = 0,030132	2 × 11,297 / 1000 = 0,022594	2 × 3,766 / 1000 = 0,007532	2 × 11,297 / 1000 = 0,022594
Сера диоксид	5 × 53,474 / 1000 = 0,26737	5 × 18,829 / 1000 = 0,094145	5 × 106,947 / 1000 = 0,534735	5 × 32,084 / 1000 = 0,16042	4,5 × 4,82 / 1000 = 0,02169	5 × 15,066 / 1000 = 0,07533	5 × 11,297 / 1000 = 0,056485	5 × 3,766 / 1000 = 0,01883	5 × 11,297 / 1000 = 0,056485
Углерода оксид	26 × 53,474 / 1000 = 1,390324	26 × 18,829 / 1000 = 0,489554	26 × 106,947 / 1000 = 2,780622	26 × 32,084 / 1000 = 0,834184	30 × 4,82 / 1000 = 0,1446	26 × 15,066 / 1000 = 0,391716	26 × 11,297 / 1000 = 0,293722	26 × 3,766 / 1000 = 0,097916	26 × 11,297 / 1000 = 0,293722
Бенз(α)пирен	0,000055 × 53,474 / 1000 = 0,000003	0,000055 × 18,829 / 1000 = 0,000001	0,000055 × 106,947 / 1000 = 0,000006	0,000055 × 32,084 / 1000 = 0,000002	0,000055 × 4,82 / 1000 = 0,0000003	0,000055 × 15,066 / 1000 = 0,000001	0,000055 × 11,297 / 1000 = 0,0000006	0,000055 × 3,766 / 1000 = 0,0000002	0,000055 × 11,297 / 1000 = 0,0000006
Формальдегид	0,5 × 53,474 / 1000 = 0,026737	0,5 × 18,829 / 1000 = 0,009415	0,5 × 106,947 / 1000 = 0,053474	0,5 × 32,084 / 1000 = 0,016042	0,6 × 4,82 / 1000 = 0,002892	0,5 × 15,066 / 1000 = 0,007533	0,5 × 11,297 / 1000 = 0,005649	0,5 × 3,766 / 1000 = 0,001883	0,5 × 11,297 / 1000 = 0,005649
Углеводороды (керосин)	12 × 53,474 / 1000 = 0,641688	12 × 18,829 / 1000 = 0,225948	12 × 106,947 / 1000 = 1,283364	12 × 32,084 / 1000 = 0,385008	15 × 4,82 / 1000 = 0,0723	12 × 15,066 / 1000 = 0,180792	12 × 11,297 / 1000 = 0,135564	12 × 3,766 / 1000 = 0,045192	12 × 11,297 / 1000 = 0,135564

Приложение Д
(обязательное)

Расчет количества загрязняющих веществ, поступающих в атмосферу при укладке горячего битума в период строительства

Источники 6504, 6510, 6521, 6526

Количество загрязняющих веществ, поступающих в атмосферу при укладке горячего битума в период строительства, рассчитано по разделу 1.6.8 Асфальто-бетонные заводы "Методического пособия по расчету, нормированию и контролю выбросов загрязняющих веществ в атмосферный воздух (Дополненное и переработанное)" (С.-Пб., НИИ Атмосфера, 2012) по формулам:

$$M = \frac{0{,}445 \times P_t^{max} \times m \times K_p^{max} \times K_в \times V_ч^{max}}{10^2 \times (273 + t_ж^{max})}, \text{ г/с}$$

$$G = \frac{0{,}160 \times (P_t^{max} \times K_в + P_t^{min}) \times m \times K_p^{ср} \times K_{об} \times B}{10^4 \times \rho_ж (546 + t_ж^{max} + t_ж^{min})}, \text{ т,}$$

где P_t^{max}, P_t^{min} – давление насыщенных паров жидкости при максимальной и минимальной температуре битума, мм рт. ст.;

m – молекулярная масса паров битума, кг/моль. m = 187 (принята по температуре начала кипения $T_{кип}$=280°С);

K_p^{max}, $K_p^{ср}$– опытные коэффициенты, приняты по Приложению 8 "Методических указаний по определению выбросов загрязняющих веществ в атмосферу от резервуаров" (Казанское управление "Оргнефтехимзаводы", Казань, МП "БЕЛИНЭКОМП", Новополоцк, АОЗТ "ЛЮБЭКОП");

$K_в$ – опытный коэффициент, принят по Приложению 9 "Методических указаний...";

$V_ч^{max}$ – максимальный выброс паровоздушной смеси, поступающей в атмосферу, м^3/ч;

$\rho_ж$ – плотность битума, т/м^3;

$t_ж^{max}$, $t_ж^{min}$ – минимальная и максимальная температура битума, °С;

$K_{об}$ – коэффициент оборачиваемости, принимается по Приложению 10 "Методических указаний ...";

В – количество разгружаемого горячего битума в период строительства, т.

В соответствии с данными Сводной ресурсной сметы расход горячего битума в период строительства проектируемых объектов по этапам строительства составит:

1 этап – 42,007 т;

2 этап – 2,411 т;

4 этап – 10,973 т;

5 этап – 0,998 т.

Плотность битума равна 1,6 т/м^3.

Молекулярная масса паров битума равна 187 кг/кмоль.

Температура битума принята равной $t_ж^{max} = t_ж^{min} = 120^oC$;

Производительность выгрузки битума принята равной 20 л/мин или

$$V_ч^{max} = 20 \times 60 / 1000 = 1,2 \text{ (м}^3\text{/ч)}.$$

Объем цистерны равен 0,4 м^3.

Давление насыщенных паров битума при температуре 120°С принято равным $P_t^{max} = P_t^{min}$= 9,57 мм рт. ст. (по данным п. 1.6.8 Асфальтобетонные заводы “Методического пособия по расчету, нормированию и контролю выбросов загрязняющих веществ в атмосферный воздух (Дополненное и переработанное)” (С.-Пб., НИИ Атмосфера, 2012).

Коэффициенты K_p^{max} и $K_p^{ср}$ составляют K_p^{max} = 1,0; $K_p^{ср}$ = 0,7 (приняты по Приложению 8 “Методических указаний по определению выбросов загрязняющих веществ в атмосферу от резервуаров” (Казанское управление “Оргнефтехимзаводы”, г. Казань, МП “БЕЛИНЭКОМП”, г. Новополоцк, АОЗТ “ЛЮБЭКОП”)).

Коэффициент $K_в$ составляет $K_в$ = 1,0 при давлении насыщенных паров битума в цистерне $P_t \le 540$ мм рт. ст. (принят по Приложению 9 “Методических указаний …”).

Объем горячего битума по этапам строительства равен:

1 этап – 42,007 / 1,6 = 26,254 м^3;

2 этап – 2,411 / 1,6 = 1,507 м^3;

4 этап – 10,973 / 1,6 = 6,858 м^3;

5 этап – 0,998 / 1,6 = 0,624 м^3.

Оборачиваемость выгрузки битума по этапам строительства составит:

1 этап - 26,254 / (0,4 × 0,9) ≈ 73 (раза за период строительства);

2 этап - 1,507 / (0,4 × 0,9) ≈ 5 (раз за период строительства);

4 этап - 6,858 / (0,4 × 0,9) ≈ 19 (раз за период строительства);

5 этап - 0,624 / (0,4 × 0,9) ≈ 2 (раз за период строительства);

В соответствии с Приложением 10 “Методических указаний …" коэффициент оборачиваемости для 2, 4 и 5 этапов (в случаях, если оборачиваемость ≤20 раз за период) $K_{об}$ = 2,50; для 1 этапа (оборачиваемость ≈ 73 раз за период) $K_{об}$ = 1,5875.

В таблице Д.1 приведен расчет выбросов алканов C_{12}–C_{19}, поступающих в атмосферу при укладке битума по этапам строительства.

Таблица Д.1 - Расчет выбросов алканов C_{12}–C_{19}, поступающих в атмосферу при укладке битума по этапам строительства

Наименование этапа	Количество алканов C_{12}–C_{19}, поступающих в атмосферу при укладке битума	
	максимальный выброс, г/с	Валовый выброс, т за период строительства
1 этап	$\frac{0,445 \times 9,57 \times 187 \times 1,0 \times 1,0 \times 1,2}{10^2 \times (273 + 120)} = 0,024317$	$\frac{0,160 \times (9,57 \times 1,0 + 9,57) \times 187 \times 0,7 \times 1,5875 \times 42,007}{10^4 \times 1,6 \times (546 + 120 + 120)} = 0,002126$
2 этап	$\frac{0,445 \times 9,57 \times 187 \times 1,0 \times 1,0 \times 1,2}{10^2 \times (273 + 120)} = 0,024317$	$\frac{0,160 \times (9,57 \times 1,0 + 9,57) \times 187 \times 0,7 \times 1,5 \times 2,411}{10^4 \times 1,6 \times (546 + 120 + 120)} = 0,000192$
4 этап	$\frac{0,445 \times 9,57 \times 187 \times 1,0 \times 1,0 \times 1,2}{10^2 \times (273 + 120)} = 0,024317$	$\frac{0,160 \times (9,57 \times 1,0 + 9,57) \times 187 \times 0,7 \times 2,5 \times 10,973}{10^4 \times 1,6 \times (546 + 120 + 120)} = 0,000874$
5 этап	$\frac{0,445 \times 9,57 \times 187 \times 1,0 \times 1,0 \times 1,2}{10^2 \times (273 + 120)} = 0,024317$	$\frac{0,160 \times (9,57 \times 1,0 + 9,57) \times 187 \times 0,7 \times 2,5 \times 0,998}{10^4 \times 1,6 \times (546 + 120 + 120)} = 0,00008$

Приложение Е
(обязательное)

Расчет количества загрязняющих веществ, поступающих в атмосферу при заправке топливом баков строительной техники в период строительства

Номера ИЗА 6506, 6512, 6517, 6523, 6528, 6531, 6535

Количество загрязняющих веществ, поступающих в атмосферу при заправке баков строительной техники в период строительства, рассчитано по “Методическим указаниям по определению выбросов загрязняющих веществ в атмосферу из резервуаров с дополнениями НИИ Атмосфера” (г. Казань, “Оргнефтехимзаводы”, М., МП “ЛЮБЭКОП”, 1999).

Количество загрязняющих веществ, поступающих в атмосферу при заправке баков строительной техники топливом, рассчитано по формуле:

$$M = (C_Б \times V_Б) / 1200, г/с;$$

$$G = C_Б \times V_{СЛ} \times 10^{-6}, т.$$

где $C_Б$ – концентрация паров нефтепродукта при заполнении баков строительной техники, г/м^3;

$V_Б$ – объем бака, м^3;

$V_{СЛ}$ – объем слитого топлива в бак, м^3.

Расход топлива для заправки строительной техники в период строительства проектируемых объектов по этапам строительства составит:

1 этап – 191,63 т;

2 этап – 1023,057 т;

3 этап – 259,976 т;

4 этап – 87,951 т;

5 этап – 272,056 т;

6 этап – 7,42 т;

7 этап – 29,933 т.

В соответствии с “Методическими указаниями по определению выбросов загрязняющих веществ в атмосферу из резервуаров с дополнениями НИИ Атмосфера” (г. Казань, “Оргнефтехимзаводы”, М., МП “ЛЮБЭКОП”, 1999) максимально разовый выброс дизельного топлива, поступающего в атмосферу при заправке баков строительной техники в осенне-зимний период года, составляет 1,31 г/м^3.

Для расчетов выбросов объем топливного бака принят равным 300 л. Заправка осуществляется кратковременно – в течение не более 20 минут.

Максимально разовые выбросы паров дизтоплива, поступающих в атмосферу при заправке баков строительной техники, составят:

$$1,31 \times 300 \times 10^{-3} / (20 \times 60) = 0,000328 (г/с),$$

в том числе с учетом компонентного состава:

- алканы C_{12}-C_{19} – 0,000328 × 99,72 / 100 = 0,000327 (г/с);

- дигидросульфид (сероводород) – 0,000328 × 0,28 / 100 = 0,000001 (г/с).

В таблице Е.1 приведен расчет выбросов загрязняющих веществ, поступающих в атмосферу при заправке баков стройтехники топливом по этапам строительства.

Таблица Е.1 - Расчет выбросов загрязняющих веществ, поступающих в атмосферу при заправке баков стройтехники топливом по этапам строительства

Наименование этапа	Расход дизтоплива, м^3	Валовый выброс, т за период строительства
1 этап	191,63 × 1000 / 833,5 = 229,91	1,31 × 229,91 × 10^{-6} = 0,000301, в том числе с учетом компонентного состава: - алканы C_{12}-C_{19} – 0,000301 × 99,72 / 100 = 0,0003; - дигидросульфид (сероводорода) – 0,000301 × 0,28/ 100 = 0,0000008
2 этап	1023,057 × 1000 / 833,5 = 1227,423	1,31 × 1227,423 × 10^{-6} = 0,001608, в том числе с учетом компонентного состава: - алканы C_{12}-C_{19} – 0,001608 × 99,72 / 100 = 0,001603; - дигидросульфид (сероводорода) – 0,001608 × 0,28/ 100 = 0,000005
3 этап	259,976 × 1000 / 833,5 = 311,909	1,31 × 311,909 × 10^{-6} = 0,000409, в том числе с учетом компонентного состава: - алканы C_{12}-C_{19} – 0,000409 × 99,72 / 100 = 0,000408; - дигидросульфид (сероводорода) – 0,000409× 0,28/ 100 = 0,000001
4 этап	87,951 × 1000 / 833,5 = 105,52	1,31 × 105,52 × 10^{-6} = 0,000138, в том числе с учетом компонентного состава: - алканы C_{12}-C_{19} – 0,000138× 99,72 / 100 = 0,000138; - дигидросульфид (сероводорода) – 0,000138× 0,28/ 100 = 0,0000004
5 этап	272,056 × 1000 / 833,5 = 326,402	1,31 × 326,402 × 10^{-6} = 0,000428, в том числе с учетом компонентного состава: - алканы C_{12}-C_{19} – 0,000428 × 99,72 / 100 = 0,000427; - дигидросульфид (сероводорода) – 0,000428 × 0,28 / 100 = 0,000001
6 этап	7,42× 1000 / 833,5 = 8,902	1,31 × 8,902 × 10^{-6} = 0,000012, в том числе с учетом компонентного состава: - алканы C_{12}-C_{19} – 0,000012 × 99,72 / 100 = 0,000012; - дигидросульфид (сероводорода) – 0,000012 × 0,28/ 100 = 0,00000003
7 этап	29,933 × 1000 / 833,5 = 35,912	1,31 × 35,912 × 10^{-6} = 0,000047, в том числе с учетом компонентного состава: - алканы C_{12}-C_{19} – 0,000047× 99,72 / 100 = 0,000047; - дигидросульфид (сероводорода) – 0,000047× 0,28/ 100 = 0,0000001

Приложение Ж
(обязательное)

Расчет количества загрязняющих веществ, поступающих в атмосферу при автотранспорта и дорожно- строительной техники в период строительства

Номера ИЗА 6505, 6511, 6516, 6522, 6527, 6530, 6534

Количество загрязняющих веществ, поступающих в атмосферу с выхлопными газами автотранспорта в период строительства проектируемых объектов, рассчитано по "Методике проведения инвентаризации выбросов загрязняющих веществ в атмосферу для автотранспортных предприятий (расчетным методом)" (М., Министерство транспорта Российской Федерации, 1999 г.) и "Дополнению и изменению к Методике проведения инвентаризации выбросов загрязняющих веществ в атмосферу автотранспортных предприятий (расчетным методом)" (М., Министерство транспорта Российской Федерации, 1999 г.).

Валовые выбросы загрязняющих веществ, поступающих в атмосферу при работе автотранспорта, рассчитаны по формуле:

$$Mji = \sum \alpha_в \times M_{ik} \times N_k \times D_p \times 10^{-6},\ т,$$

где $\alpha_в$ – коэффициент выпуска;

M_{ik} – выброс i-го вещества одним автомобилем k-той группы в день, г;

N_k – количество автомобилей k-той группы в хозяйстве;

D_p – количество рабочих дней в расчетном периоде.

Выброс i-го вещества одним автомобилем k-той группы в день рассчитан по формуле:

$$M_{ik} = m_{прik} \times t_{пр} + m_{Lik} \times L + m_{xxik} \times t_{xx},\ г/день,$$

где $m_{прik}$ – удельный выброс i-го вещества при прогреве двигателя машины k-той группы, г/мин.;

m_{Lik} – выброс i-го вещества при движении машины k-той группы по территории с условно постоянной скоростью, г/км;

m_{xxik} – удельный выброс i-го компонента при работе двигателя на холостом ходу машины k-той группы, г/мин.;

$t_{пр}$ – время прогрева двигателя, мин.;

t_{xx} – время работы машины на холостом ходу, мин.;

L – пробег автомобиля, км.

Количество загрязняющих веществ, поступающих в атмосферу при работе строительной техники, рассчитано по “Методике проведения инвентаризации выбросов загрязняющих веществ в атмосферу для баз дорожной техники (расчетным методом)”, (М., Министерство транспорта Российской Федерации, 1999 г.) и “Дополнению к Методике проведения инвентаризации выбросов загрязняющих веществ в атмосферу для баз дорожной техники (расчетным методом)” (М., Министерство транспорта Российской Федерации, 1999 г.).

Выброс i-го вещества единицей строительной техники k-той группы рассчитан по формуле:

$$M_i = \sum_{x=1}^{p} (M_{ik}^{/} + M_{ik}^{//}) \times D_{фк} \times 10^{-6} = \sum_{k=1}^{p} (m_{nik} \times t_n + m_{npik} \times t_{np} + m_{двik} \times t_{дв} + m_{xxik} \times t_{xx}) \times D_{фк} \times 10^{-6}, т$$

где $m_{пik}$ – удельный выброс i-го вещества пусковым двигателем, г/мин.;

$m_{прik}$ – удельный выброс i-го вещества при прогреве двигателя машины k-той группы, г/мин.;

$m_{двik}$ – выброс i-го вещества при движении машины k-той группы по территории с условно постоянной скоростью, г/мин.;

m_{xxik} – удельный выброс i-го компонента при работе двигателя на холостом ходу машины k-той группы, г/мин.;

$t_п$, $t_{пр}$ – время работы пускового двигателя и прогрева двигателя, мин.;

$t_{дв}$ – время движения машины k-той группы, мин.;

t_{xx} – время работы двигателя в режиме холостого хода;

$D_{фк}$ – суммарное количество дней работы дорожных машин r-той группы в расчетный период, которое рассчитывается по формуле:

$$D_{фк} = D_р \times N_к, т,$$

где $D_р$ – количество рабочих дней в расчетном периоде;

$N_к$ – количество машин k-той группы, ежедневно выходящих на линию.

В соответствии с рекомендациями “Методического пособия по расчету, нормированию и контролю выбросов загрязняющих веществ в атмосферный воздух (Дополненное и переработанное)” (С.-Пб., НИИ Атмосфера, 2012) валовый выброс загрязняющих веществ, поступающих в атмосферу при работе строительной техники с учетом нагрузочного режима, рассчитан по формуле:

$$M_i = \sum_{x=1}^{p} (M_{ik}^{/} + M_{ik}^{//}) \times D_{фк} \times 10^{-6} = \sum_{k=1}^{p} (m_{nik} \times t_n + m_{npik} \times t_{np} + m_{двik} \times t_{дв} + m_{xxik} \times t_{xx}) \times D_{фк} \times 10^{-6}, т,$$

где $M^{/}_{ik}$, $M^{//}_{ik}$ – выбросы при въезде и выезде с территории площадки строительства, определяются по “Методике проведения инвентаризации выбросов загрязняющих веществ в атмосферу для баз дорожной техники (расчетным методом)" и "Дополнению к Методике проведения инвентаризации выбросов загрязняющих веществ в атмосферу для баз дорожной техники (расчетным методом)";

$t^{/}_{дв}$ – суммарное время движения без нагрузки всей техники данного типа в течение рабочего дня, мин.;

$t^{/}_{нагр}$ – суммарное время движения с нагрузкой всей техники данного типа в течение рабочего дня, мин.;

$t'_{хх}$ – суммарное время холостого хода для всей техники данного типа, в течение рабочего дня, мин.;

$D_ф$ – суммарное количество дней работы техники данного типа в расчетный период.

Продолжительность периодов (движение строительно-дорожной техники с нагрузкой, движение строительно-дорожной техники без нагрузки и в режиме холостого хода) зависит от характера выполняемых работ, вида техники и уточняется по данным предприятия или по справочным данным. Для средних условий рекомендованы следующие значения (для 30-ти минутного интервала, в течение которого двигатель работает наиболее напряженно):

$t'_{движение\ без\ нагрузки}$ = 12 мин., $t'_{движение\ с\ нагрузкой}$ = 13 мин., $t'_{хх}$ = 5 мин.

Так как в период строительства строительно-дорожная техника работает 1 смену продолжительностью 12 часов (4 минуты пуск, 45 минут прогрев и 11,17 часов работа) в день, то время работы двигателя в режимах движения под нагрузкой, движения без нагрузки и в режиме холостого хода составит:

$$t'_{движение\ без\ нагрузки} = 12 / 30 \times 11{,}17 = 4{,}468\ (ч/день);$$

$$t'_{движение\ с\ нагрузкой} = 13 / 30 \times 11{,}17 = 4{,}8\ (ч/день);$$

$$t'_{хх} = 5 / 30 \times 11{,}17 + 2 / 60 = 1{,}9\ (ч/день).$$

Выбросы загрязняющих веществ, поступающих в атмосферу при работе крана на автомобильном ходу, рассчитаны с учетом рекомендаций “Методического пособия по расчету, нормированию и контролю выбросов загрязняющих веществ в атмосферный воздух (Дополненное и переработанное)”. При этом для перевода величины удельного выброса загрязняющих веществ, поступающих в атмосферу при движении “mL, г/км”, в удельный показатель “mдв, г/мин.” величина “mL” умножается на рабочую скорость автопогрузчика 5 км/ч (или 5 / 60 = 0,0833 км/мин.) и с учетом работы двигателя под нагрузкой и без нагрузки.

Удельные выбросы загрязняющих веществ, поступающих в атмосферу с выхлопными газами строительной техники автотранспорта и время работы двигателей в режиме пуска, прогрева, движения и холостого хода, приняты по наихудшим показателям, соответствующим холодному периоду года.

Наименование, техническая характеристика, количество строительной техники, занятой в строительстве, приняты по данным ПОС, продолжительность работы – по данным Сводной ресурсной сметы.

Наименование, техническая характеристика, количество строительной техники и автотранспорта, занятых в строительстве проектируемых объектов, приняты по данным ПОС, продолжительность работы – по данным Сводной ресурсной сметы.

В таблице Ж.1 приведен перечень и количество автотранспорта и строительной техники, время работы и расчет расхода топлива для работы дорожно-строительных машин и механизмов на площадке строительства.

Таблица Ж.1 – Количество и суммарное время работы автотранспорта и строительной техники в период строительства

Наименование машин	Количество	Общая продолжительность, маш-ч	Пробег, км	Количество пусков, прогревов, работы двигателей в режиме холостого хода, раз	Расход топлива, кг/ч	Суммарный расход топлива, т
1 этап						
Комплекты оборудования шнекового бурения на базе автомобиля, глубина бурения до 50 м, грузоподъемность мачты 3,7 т	2	1972	100	1972 / 12 = 165	-	-
Установки и агрегаты буровые на базе автомобилей, глубина бурения до 200 м, грузоподъемность до 4 т	3	3265	150	3265 / 12 = 273	-	-
Агрегаты копровые без дизель-молота на базе трактора с двигателем мощностью 80 кВт	1	949	-	949 / 12 = 80	8,06	8,06 × 949 / 1000 = 7,649
Краны на гусеничном ходу грузоподъемностью до 16т с двигателем мощностью 58,8 кВт	2	1602	-	1602 / 12 = 134	3,71	3,71 × 1602 / 1000 = 5,943
Агрегаты сварочные двухпостовые для ручной сварки на тракторе с двигателем мощностью 79 кВт	1	676	-	676 / 12 = 57	7,63	7,63 × 676 / 1000 = 5,158
Бульдозеры при работе на других видах строительства 243 кВт (330 л.с.)	1	114	-	114 / 12 = 10	22	22 × 114 / 1000 = 2,508
Катки дорожные самоходные на пневмоколесном ходу грузоподъемностью 30 т, с двигателем мощностью 132 кВт	1	421	-	421 / 12 = 36	9,54	9,54 × 421 / 1000 = 4,016
Краны на автомобильном ходу грузоподъемностью 10 т	2	2301	-	2301 / 12 = 192	5,3	5,3 × 2301 / 1000 = 12,195
Автомобили бортовые, грузоподъемность до 15 т с дизельным двигателем	3	10516	315480	10516 / 12 = 877	-	-
Заливщик швов на базе автомобиля	1	523	2615	523 / 12 = 44	-	-
Автомобили бортовые, грузоподъемность до 5 т с дизельным двигателем	2	1640	49200	1640 / 12 = 137	-	-
Автомобиль-самосвал, грузоподъемность до 10 т с дизельным двигателем	1	452	13560	452 / 12 = 38	-	-
Автобус вахтовый НЕФАЗ-4208-34 на 28 мест	1	1512	5040	1512 / 12 = 126	-	-
Автоцистерна ALS-15-FH12.00.000 на базе VOLVO FH12/420 грузоподъемностью 20 т с дизельным двигателем	1	1512	45360	1512 / 12 = 126	-	-
Вакуумная ассенизаторская машина МВ-10Т КО, с дизельным двигателем	1	1512	45360	1512 / 12 = 126	-	-
Топливозаправщик АТЗ-8,5 на базе КАМАЗ 43253-69, с дизельным двигателем	1	1512	45360	1512 / 12 = 126	-	-
2 этап						
Установки и станки ударно-канатного бурения Комплекты оборудования шнекового бурения на базе автомобиля, глубина бурения до 50 м, грузоподъемность мачты 3,7 т	2	2659	200	2659 / 12 = 222	-	-
Комплекты оборудования шнекового бурения на базе автомобиля, глубина бурения до 50 м, грузоподъемность мачты 3,7 т	5	15238	500	15238 / 12 = 1270	-	-
Установки и агрегаты буровые на базе автомобилей, глубина бурения до 200 м, грузоподъемность до 4 т	2	37	200	37 / 12 = 4	-	-
Компрессоры передвижные с двигателем внутреннего сгорания давлением до 686 кПа (7 ат), производительность 5 м3/мин с двигателем мощностью 82 кВт	5	13022	-	13022 / 12 = 1086	4,93	4,93 × 13022 / 1000 = 64,198
Агрегаты копровые без дизель-молота на базе трактора с двигателем мощностью 80 кВт	3	4201	-	4201 / 12 = 351	8,06	8,06 × 4201 / 1000 = 33,86
Краны на гусеничном ходу, грузоподъемность 25 т с двигателем мощностью 79,4 кВт	3	4802	-	4802 / 12 = 401	6,36	6,36 × 4802 / 1000 = 30,541
Автопогрузчики грузоподъемностью 5 т с двигателем мощностью 85 кВт	4	6715	-	6715 / 12 = 560	8,06	8,06 × 6715 / 1000 = 54,123
Краны на гусеничном ходу грузоподъемностью до 16т с двигателем мощностью 58,8 кВт	2	3150	-	3150 / 12 = 263	3,71	3,71 × 3150 / 1000 = 11,687

Наименование машин	Количество	Общая продолжительность, маш-ч	Пробег, км	Количество пусков, прогревов, работы двигателей в режиме холостого хода, раз	Расход топлива, кг/ч	Суммарный расход топлива, т
Экскаваторы одноковшовые дизельные на гусеничном ходу, объем ковша 1,0 м3, с двигателем мощностью 96 кВт	1	97	-	97 / 12 = 9	9,86	9,86 × 97 / 1000 = 0,956
Агрегаты сварочные двухпостовые для ручной сварки на тракторе с двигателем мощностью 79 кВт	1	2250	-	2250 / 12 = 188	7,63	7,63 × 2250 / 1000 = 17,168
Агрегаты наполнительно-опрессовочные до 300 м3/ч с двигателем мощностью 96 кВт	2	1011	-	1011 / 12 = 85	8,06	8,06 × 1011 / 1000 = 8,149
Краны на пневмоколесном ходу грузоподъемностью 25 т	2	2073	-	2073 / 12 = 173	4,45	4,45 × 2073 / 1000 = 9,225
Краны на пневмоколесном ходу грузоподъемностью 63 т	1	356	-	356 / 12 = 30	7,42	7,42 × 356 / 1000 = 2,642
Краны на пневмоколесном ходу грузоподъемностью 100 т	1	57	-	57 / 12 = 5	15,4	15,4 × 57 / 1000 = 0,878
Тракторы на пневмоколесном ходу с двигателем мощностью 59 кВт	1	824	-	824 / 12 = 69	5,3	5,3 × 824 / 1000 = 4,367
Краны на автомобильном ходу грузоподъемностью 10 т	9	26421	-	26421 / 12 = 2202	5,3	5,3 × 26421 / 1000 = 140,031
Автомобили бортовые, грузоподъемность до 15 т с дизельным двигателем	8	44670	1340100	44670 / 12 = 3723	-	-
Автомобили бортовые, грузоподъемность до 5 т с дизельным двигателем	6	16518	495540	16518 / 12 = 1377	-	-
Автомобили бортовые, грузоподъемность до 8 т с дизельным двигателем	1	2278	68340	2278 / 12 = 190	-	-
Автомобиль-самосвал, грузоподъемность до 10 т с дизельным двигателем	1	688	20640	688 / 12 = 58	-	-
Автобус вахтовый НЕФАЗ-4208-34 на 28 мест	6	18072	60240	18072 / 12 = 1506	-	-
Автоцистерна ALS-15-FH12.00.000 на базе VOLVO FH12/420 грузоподьемностью 20 т с дизельным двигателем	1	3012	90360	3012 / 12 = 251	-	-
Вакуумная ассенизаторская машина МВ-10Т КО, с дизельным двигателем	1	3012	90360	3012 / 12 = 251	-	-
Топливозаправщик АТЗ-8,5 на базе КАМАЗ 43253-69, с дизельным двигателем	1	3012	90360	3012 / 12 = 251	-	-
3 этап						
Установки и станки ударно-канатного бурения Комплекты оборудования шнекового бурения на базе автомобиля, глубина бурения до 50 м, грузоподъемность мачты 3,7 т	2	1138	60	1138 / 12 = 95	-	-
Комплекты оборудования шнекового бурения на базе автомобиля, глубина бурения до 50 м, грузоподъемность мачты 3,7 т	6	3336	180	3336 / 12 = 278	-	-
Компрессоры передвижные с двигателем внутреннего сгорания давлением до 686 кПа (7 ат), производительность 5 м3/мин с двигателем мощностью 82 кВт	4	2153	-	2153 / 12 = 180	4,93	4,93 × 2153 / 1000 = 10,614
Агрегаты копровые без дизель-молота на базе трактора с двигателем мощностью 80 кВт	2	1038	-	1038 / 12 = 87	8,06	8,06 × 1038 / 1000 = 8,366
Краны на гусеничном ходу, грузоподъемность 25 т с двигателем мощностью 79,4 кВт	1	88	-	88 / 12 = 8	6,36	6,36 × 88 / 1000 = 0,56
Автопогрузчики грузоподъемностью 5 т с двигателем мощностью 85 кВт	3	2095	-	2095 / 12 = 175	8,06	8,06 × 2095 / 1000 = 16,886
Краны на гусеничном ходу грузоподъемностью до 16т с двигателем мощностью 58,8 кВт	2	675	-	675 / 12 = 57	3,71	3,71 × 675 / 1000 = 2,504
Агрегаты сварочные двухпостовые для ручной сварки на тракторе с двигателем мощностью 79 кВт	1	293	-	293 / 12 = 25	7,63	7,63 × 293 / 1000 = 2,236
Агрегаты наполнительно-опрессовочные до 300 м3/ч с двигателем мощностью 96 кВт	1	113	-	113 / 12 = 10	8,06	8,06 × 113 / 1000 = 0,911
Краны на пневмоколесном ходу грузоподъемностью 25 т	1	353	-	353 / 12 = 30	4,45	4,45 × 353 / 1000 = 1,571
Краны на пневмоколесном ходу грузоподъемностью 63 т	1	54		54 / 12 = 5	7,42	7,42 × 54 / 1000 = 0,401
Тракторы на пневмоколесном ходу с двигателем мощностью 59 кВт	1	102		102 / 12 = 9	5,3	5,3 × 102 / 1000 = 0,541
Краны на автомобильном ходу грузоподъемностью 10 т	6	5377		5377 / 12 = 449	5,3	5,3 × 5377 / 1000 = 28,498

Наименование машин	Количество	Общая продолжительность, маш-ч	Пробег, км	Количество пусков, прогревов, работы двигателей в режиме холостого хода, раз	Расход топлива, кг/ч	Суммарный расход топлива, т
Автомобили бортовые, грузоподъемность до 15 т с дизельным двигателем	8	13917	417510	13917 / 12 = 1160	-	-
Автомобили бортовые, грузоподъемность до 5 т с дизельным двигателем	4	2786	83580	2786 / 12 = 233	-	-
Автомобили бортовые, грузоподъемность до 8 т с дизельным двигателем	2	994	29820	994 / 12 = 83	-	-
Автомобиль-самосвал, грузоподъемность до 10 т с дизельным двигателем	1	131	3930	131 / 12 = 11	-	-
Автобус вахтовый НЕФАЗ-4208-34 на 28 мест	5	4524	15080	4524 / 12 = 377	-	-
Автоцистерна ALS-15-FH12.00.000 на базе VOLVO FH12/420 грузоподъемностью 20 т с дизельным двигателем	1	912	27360	912 / 12 = 76	-	-
Вакуумная ассенизаторская машина МВ-10Т КО, с дизельным двигателем	1	912	27360	912 / 12 = 76	-	-
Топливозаправщик АТЗ-8,5 на базе КАМАЗ 43253-69, с дизельным двигателем	1	912	27360	912 / 12 = 76	-	-
4 этап						
Заливщик швов на базе автомобиля	1	448	2240	448 / 12 = 38	-	-
Катки дорожные самоходные гладкие 13 т	3	1273	-	1273 / 12 = 107	4,51	4,51 × 1273 / 1000 = 5,741
Бульдозеры при работе на других видах строительства 79 кВт	2	1428	-	1428 / 12 = 119	7,63	7,63 × 1428 / 1000 = 10,896
Экскаваторы одноковшовые дизельные на гусеничном ходу при работе на других видах строительства 1 м3	1	659	-	659 / 12 = 55	9,86	9,86 × 659 / 1000 = 6,498
Краны на гусеничном ходу при работе на других видах строительства до 16т	2	609	-	609 / 12 = 51	3,71	3,71 × 609 / 1000 = 2,259
Тракторы на гусеничном ходу при работе на других видах строительства 79 кВт	1	425	-	425 / 12 = 36	7,63	7,63 × 425 / 1000 = 3,243
Автогрейдеры среднего типа 99 кВт	2	1505	-	1505 / 12 = 126	13,8	13,8 × 1505 / 1000 = 20,769
Автомобили бортовые, грузоподъемность до 5 т	1	770	4040	769,588339 / 12 = 101	-	-
Автомобиль-самосвал, грузоподъемность до 10 т	8	9365	32160	9364,984643 / 12 = 804	-	-
Автобус вахтовый НЕФАЗ-4208-34 на 28 мест	1	1212	4040	1212 / 12 = 101	-	-
Автоцистерна ALS-15-FH12.00.000 на базе VOLVO FH12/420 грузоподъемностью 20 т с дизельным двигателем	1	1212	36360	1212 / 12 = 101	-	-
Вакуумная ассенизаторская машина МВ-10Т КО, с дизельным двигателем	1	1212	36360	1212 / 12 = 101	-	-
Топливозаправщик АТЗ-8,5 на базе КАМАЗ 43253-69, с дизельным двигателем	1	1212	36360	1212 / 12 = 101	-	-
5 этап						
Краны на гусеничном ходу грузоподъемностью до 16т с двигателем мощностью 58,8 кВт	1	596	-	596 / 12 = 50	3,71	3,71 × 596 / 1000 = 2,211
Бульдозеры при работе на других видах строительства 79 кВт	3	2891	-	2891 / 12 = 241	7,63	7,63 × 2891 / 1000 = 22,058
Тракторы на гусеничном ходу при работе на других видах строительства 79 кВт	2	2063	-	2063 / 12 = 172	7,63	7,63 × 2063 / 1000 = 15,741
Экскаваторы одноковшовые дизельные на гусеничном ходу при работе на других видах строительства 1 м3	2	2177	-	2177 / 12 = 182	9,86	9,86 × 2177 / 1000 = 21,465
Автогрейдеры среднего типа 99 кВт	2	1341	-	1341 / 12 = 112	13,8	13,8 × 1341 / 1000 = 18,506
Бульдозеры при работе на других видах строительства 243 кВт	1	759	-	759 / 12 = 64	22	22 × 759 / 1000 = 16,698
Автомобиль-самосвал, грузоподъемность до 10 т	7	15552	466560	15552 / 12 = 1296	-	-
Автомобили бортовые, грузоподъемность до 15 т	2	1458	43740	1458 / 12 = 122	-	-
Автобус вахтовый НЕФАЗ-4208-34 на 28 мест	1	912	3040	912 / 12 = 76	-	-
Автоцистерна ALS-15-FH12.00.000 на базе VOLVO FH12/420 грузоподъемностью 20 т с дизельным двигателем	1	912	27360	912 / 12 = 76	-	-
Вакуумная ассенизаторская машина МВ-10Т КО, с дизельным двигателем	1	912	27360	912 / 12 = 76	-	-

Наименование машин	Количество	Общая продолжительность, маш-ч	Пробег, км	Количество пусков, прогревов, работы двигателей в режиме холостого хода, раз	Расход топлива, кг/ч	Суммарный расход топлива, т
Топливозаправщик АТЗ-8,5 на базе КАМАЗ 43253-69, с дизельным двигателем	1	912	27360	912 / 12 = 76	-	-
6 этап						
Краны на гусеничном ходу при работе на других видах строительства до 16т	1	27	-	27 / 12 = 3	3,71	3,71 × 27 / 1000 = 0,1
Агрегаты копровые без дизель-молота на базе трактора 80 кВт	1	6	-	6 / 12 = 1	8,06	8,06 × 6 / 1000 = 0,048
Тракторы на гусеничном ходу при работе на других видах строительства 79 кВт	1	18	-	18 / 12 = 2	7,63	7,63 × 18 / 1000 = 0,137
Автомобили бортовые, грузоподъемность до 5 т	1	3	90	3 / 12 = 1	-	-
Комплекты оборудования шнекового бурения	1	200	10	200 / 12 = 17	-	-
Автобус вахтовый НЕФАЗ-4208-34 на 28 мест	1	312	1040	312 / 12 = 26	-	-
Автоцистерна ALS-15-FH12.00.000 на базе VOLVO FH12/420 грузоподъемностью 20 т с дизельным двигателем	1	312	9360	312 / 12 = 26	-	-
Вакуумная ассенизаторская машина МВ-10Т КО, с дизельным двигателем	1	312	9360	312 / 12 = 26	-	-
Топливозаправщик АТЗ-8,5 на базе КАМАЗ 43253-69, с дизельным двигателем	1	312	9360	312 / 12 = 26	-	-
7 этап						
Краны на гусеничном ходу грузоподъемностью до 16т с двигателем мощностью 58,8 кВт	1	603	-	603 / 12 = 51	3,71	3,71 × 603 / 1000 = 2,237
Тракторы на гусеничном ходу с двигателем мощностью 79 кВт	1	904	-	904 / 12 = 76	7,63	7,63 × 904 / 1000 = 6,898
Автобус вахтовый НЕФАЗ-4208-34 на 28 мест	1	912	3040	912 / 12 = 76	-	-
Автоцистерна ALS-15-FH12.00.000 на базе VOLVO FH12/420 грузоподъемностью 20 т с дизельным двигателем	1	912	27360	912 / 12 = 76	-	-
Вакуумная ассенизаторская машина МВ-10Т КО, с дизельным двигателем	1	912	27360	912 / 12 = 76	-	-
Топливозаправщик АТЗ-8,5 на базе КАМАЗ 43253-69, с дизельным двигателем	1	912	27360	912 / 12 = 76	-	-

Примечание – время работы автотранспорта и строительной техники составляет 12 ч/день.

В таблице Ж.2 приведены удельные выбросы загрязняющих веществ, поступающих в атмосферу с выхлопными газами автотранспорта и строительной техники, занятых в строительстве.

Таблица Ж.2 – Удельные выбросы загрязняющих веществ, поступающих в атмосферу при работе автотранспорта и строительной техники, занятых в строительстве

Наименование загрязняющих веществ, поступающих в атмосферу	Удельные выбросы загрязняющих веществ, поступающих в атмосферу при работе двигателя в режиме			
	пуска, г/мин.	прогрева, г/мин.	холостого хода, г/мин.	при движении, г/мин.
Тракторы на пневмоколесном ходу, с двигателем мощностью 59 кВт				
Кран на гусеничном ходу грузоподъемностью 16 т с двигателем мощностью 59 кВт				
Углерода оксид	23,3	2,8	1,44	0,94
Керосин	5,8	0,47	0,18	0,31
Оксиды азота	1,2	0,44	0,29	1,49
Сера диоксид	0,029	0,072	0,058	0,15
Углерод (сажа)	0	0,24	0,04	0,25
Кран на гусеничном ходу грузоподъемностью 25 т с двигателем мощностью 79,4 кВт				
Автопогрузчики грузоподъемностью 5 т с двигателем мощностью 85 кВт				
Экскаваторы одноковшовые (объем ковша 1 м^3), с двигателем мощностью 96 кВт				
Агрегаты сварочные двухпостовые для ручной сварки на тракторе, с двигателем мощность 79 кВт				
Агрегаты наполнительно-опрессовочные до 300 м^3/ч, с двигателем мощностью 96 кВт				
Автогрейдеры среднего типа, с двигателем мощностью 99 кВт				
Бульдозеры, с двигателем мощностью 79 кВт				
Компрессоры передвижные с двигателем внутреннего сгорания, давление до 686 кПа, производительность до 5 м^3/мин с двигателем мощностью 82 кВт				
Агрегаты копровые без дизель-молота на базе трактора с двигателем мощностью 80 кВт				
Тракторы на гусеничном ходу с двигателем мощностью 79 кВт				

Наименование загрязняющих веществ, поступающих в атмосферу	Удельные выбросы загрязняющих веществ, поступающих в атмосферу при работе двигателя в режиме			
	пуска, г/мин.	прогрева, г/мин.	холостого хода, г/мин.	при движении, г/мин.
Углерода оксид	25	4,8	2,4	1,57
Керосин	2,1	0,78	0,3	0,51
Оксиды азота	1,7	0,72	0,48	2,47
Сера диоксид	0,042	0,12	0,097	0,23
Углерод (сажа)	0	0,36	0,06	0,41
- *Краны на пневмоколесном ходу грузоподъемностью 25 т с двигателем мощностью 129 кВт* - *Катки дорожные самоходные на пневмоколесном ходу грузоподъемностью 30 т, с двигателем мощностью 132 кВт* - *Катки дорожные самоходные грузоподъемностью 13 т, с двигателем мощностью 110 кВт*				
Углерода оксид	35	7,8	3,91	2,55
Керосин	2,9	1,27	0,49	0,85
Оксиды азота	3,4	1,17	0,78	4,01
Сера диоксид	0,058	0,2	0,16	0,38
Углерод (сажа)	0	0,6	0,1	0,67
- *Краны на пневмоколесном ходу грузоподъемность 63 т с двигателем мощностью 180 кВт* - *Бульдозеры, с двигателем мощность 243 кВт*				
Углерода оксид	57	12,6	6,31	4,11
Керосин	4,7	2,05	0,79	1,37
Оксиды азота	4,5	1,91	1,27	6,47
Сера диоксид	0,095	0,31	0,25	0,63
Углерод (сажа)	0	1,02	0,17	1,08
- *Краны на пневмоколесном ходу грузоподъемностью 100 т с двигателем мощностью 350 кВт*				
Углерода оксид	90	18,8	9,92	6,47
Керосин	7,5	3,22	1,24	2,15
Оксиды азота	7	3	1,99	10,16
Сера диоксид	0,15	0,32	0,39	0,98
Углерод (сажа)	0	1,56	0,26	1,7
- *Автоцистерна ALS-15-FH12.00.000 на базе VOLVO FH12/420 грузоподъемностью 20 т с дизельным двигателем* - *Вакуумная ассенизаторская машина МВ-10Т КО, 10 м^3 грузоподъемностью 19 т с дизельным двигателем*				
Углерода оксид	Операция не осуществляется	8,2 × 0,9 = 7,38	2,9 × 0,9 = 2,61	9,3 × 30 / 60 = 4,65
Керосин		1,1 × 0,9 = 0,99	0,45 × 0,9 = 0,405	1,3 × 30 / 60 = 0,65
Оксиды азота		2 × 1 = 2	1 × 1 = 1	4,5 × 30 / 60 = 2,25
Углерод (сажа)		0,16 × 0,8 = 0,128	0,04 × 0,8 = 0,032	0,5 × 30 / 60 = 0,25
Сера диоксид		0,136 × 0,95 = 0,1292	0,1 × 0,95 = 0,095	0,97 × 30 / 60 = 0,485
- *Установки и агрегаты буровые на базе автомобилей, глубина бурения до 200 м, грузоподъемность до 4 т*				
Углерода оксид	Операция не осуществляется	8,2 × 0,9 = 7,38	2,9 × 0,9 = 2,61	7,4 × 5 / 60 = 0,617
Керосин		1,1 × 0,9 = 0,99	0,45 × 0,9 = 0,405	1,2 × 5 / 60 = 0,1
Оксиды азота		2 × 1 = 2	1 × 1 = 1	4 × 5 / 60 = 0,333
Углерод (сажа)		0,16 × 0,8 = 0,128	0,04 × 0,8 = 0,032	0,4 × 5 / 60 = 0,033
Сера диоксид		0,136 × 0,95 = 0,1292	0,1 × 0,95 = 0,095	0,67 × 5 / 60 = 0,056
- *Автомобили бортовые, грузоподъемностью до 15 т с дизельным двигателем* - *Автомобиль-самосвал, грузоподъемность до 10 т с дизельным двигателем* - *Автобус вахтовый НЕФАЗ-4208-34 на 28 мест* - *Топливозаправщик АТЗ-8,5 на базе КАМАЗ 43253-69 грузоподъемностью 15,5 т с дизельным двигателем*				
Углерода оксид	Операция не осуществляется	8,2 × 0,9 = 7,38	2,9 × 0,9 = 2,61	7,4 × 30 / 60 = 3,7
Керосин		1,1 × 0,9 = 0,99	0,45 × 0,9 = 0,405	1,2 × 30 / 60 = 0,6
Оксиды азота		2 × 1 = 2	1 × 1 = 1	4 × 30 / 60 = 2
Углерод (сажа)		0,16 × 0,8 = 0,128	0,04 × 0,8 = 0,032	0,4 × 30 / 60 = 0,2
Сера диоксид		0,136 × 0,95 = 0,1292	0,1 × 0,95 = 0,095	0,67 × 30 / 60 = 0,335
Краны на автомобильном ходу, грузоподъемностью 10 т				
Углерода оксид	Операция не осуществляется	8,2 × 0,9 = 7,38	2,9 × 0,9 = 2,61	7,4 × 0,0833 = 0,616
Керосин		1,1 × 0,9 = 0,99	0,45 × 0,9 = 0,405	1,2 × 0,0833 = 0,1
Оксиды азота		2 × 1 = 2	1 × 1 = 1	4 × 0,0833 = 0,333
Углерод (сажа)		0,16 × 0,8 = 0,128	0,04 × 0,8 = 0,032	0,4 × 0,0833 = 0,0333
Сера диоксид		0,136 × 0,95 = 0,129	0,1 × 0,95 = 0,095	0,67 × 0,0833 = 0,0558
Автомобили бортовые, грузоподъемность до 8 т с дизельным двигателем				
Углерода оксид	Операция не осуществляется	4,4 × 0,9 = 3,96	2,8 × 0,9 = 2,52	6,2 × 30 / 60 = 3,1
Керосин		0,8 × 0,9 = 0,72	0,35 × 0,9 = 0,315	1,1 × 30 / 60 = 0,55
Оксиды азота		0,8 × 1 = 0,8	0,6 × 1 = 0,6	3,5 × 30 / 60 = 1,75
Углерод (сажа)		0,12 × 0,8 = 0,096	0,03 × 0,8 = 0,024	0,35 × 30 / 60 = 0,175
Сера диоксид		0,108 × 0,95 = 0,1026	0,09 × 0,95 = 0,0855	0,56 × 30 / 60 = 0,28
- *Установки и станки ударно-канатного бурения на базе автомобиля, глубина бурения до 50 м, грузоподъемность мачты 3,7 т* - *Комплекты оборудования шнекового бурения на базе автомобиля, глубина бурения до 50 м, грузоподъемность мачты 3,7 т*				
Углерода оксид	Операция не осуществляется	4,4 × 0,9 = 3,96	2,8 × 0,9 = 2,52	6,2 × 5 / 60 = 0,517
Керосин		0,8 × 0,9 = 0,72	0,35 × 0,9 = 0,315	1,1 × 5 / 60 = 0,092
Оксиды азота		0,8 × 1 = 0,8	0,6 × 1 = 0,6	3,5 × 5 / 60 = 0,292
Углерод (сажа)		0,12 × 0,8 = 0,096	0,03 × 0,8 = 0,024	0,35 × 5 / 60 = 0,029
Сера диоксид		0,108 × 0,95 = 0,1026	0,09 × 0,95 = 0,0855	0,56 × 5 / 60 = 0,047
Автомобили бортовые, грузоподъемность до 5 т с дизельным двигателем				

Наименование загрязняющих веществ, поступающих в атмосферу	Удельные выбросы загрязняющих веществ, поступающих в атмосферу при работе двигателя в режиме			
	пуска, г/мин.	прогрева, г/мин.	холостого хода, г/мин.	при движении, г/мин.
Углерода оксид	Операция не осуществляется	3,1 × 0,9 = 2,79	1,5 × 0,9 = 1,35	4,3 × 30 / 60 = 2,15
Керосин		0,6 × 0,9 = 0,54	0,25 × 0,9 = 0,225	0,8 × 30 / 60 = 0,4
Оксиды азота		0,7 × 1 = 0,7	0,5 × 1 = 0,5	2,6 × 30 / 60 = 1,3
Углерод (сажа)		0,08 × 0,8 = 0,064	0,02 × 0,8 = 0,016	0,3 × 30 / 60 = 0,15
Сера диоксид		0,086 × 0,95 = 0,0817	0,072 × 0,95 = 0,0684	0,49 × 30 / 60 = 0,245
Заливщик швов на базе автомобиля, грузоподъемность до 5 т с дизельным двигателем				
Углерода оксид	Операция не осуществляется	3,1 × 0,9 = 2,79	1,5 × 0,9 = 1,35	4,3 × 5 / 60 = 0,358
Керосин		0,6 × 0,9 = 0,54	0,25 × 0,9 = 0,225	0,8 × 5 / 60 = 0,067
Оксиды азота		0,7 × 1 = 0,7	0,5 × 1 = 0,5	2,6 × 5 / 60 = 0,217
Углерод (сажа)		0,08 × 0,8 = 0,064	0,02 × 0,8 = 0,016	0,3 × 5 / 60 = 0,025
Сера диоксид		0,086 × 0,95 = 0,0817	0,072 × 0,95 = 0,0684	0,49 × 5 / 60 = 0,041

Примечание - для автотранспорта при определении удельных выбросов при движении в размерности г/мин. учтена средняя скорость движения в период строительства, принятая равной 30 км/ч, для заливщика швов, установки и станки ударно-канатного бурения, установки и агрегаты буровые, комплекты оборудования шнекового бурения, лаборатории - 5 км/ч.

Для расчета суммарного максимального выброса загрязняющих веществ, поступающих в атмосферу при работе автотранспорта и строительной техники, приняты наибольшие значения выбросов, соответствующих разным режимам работы двигателей.

В таблице Ж.3 приведен расчет максимально разовых выбросов загрязняющих веществ, поступающих в атмосферу при работе автотранспорта и строительной техники в период строительства.

Таблица Ж.3 – Расчет максимально разовых выбросов загрязняющих веществ, поступающих в атмосферу при работе автотранспорта и строительной техники в период строительства

Наименование автотранспорта и строительной техники	Наименование загрязняющих веществ, поступающих в атмосферу	Максимально разовый выброс загрязняющих веществ, поступающих в атмосферу при работе автотранспорта и строительной техники, г/с
- *Тракторы на пневмоколесном ходу, с двигателем мощностью 59 кВт* - *Кран на* гусеничном *ходу грузоподъемностью 16 т с двигателем мощностью 59 кВт*	Оксид углерода	23,3 × 1 / 60 = 0,388333
	Керосин	5,8 × 1 / 60 = 0,096667
	Оксиды азота - азота диоксид - азота оксид	1,49 × 1 / 60 = 0,024833 0,024833 × 0,8 = 0,019866 0,024833 × (1 - 0,8) × 0,65 = 0,003228
	Диоксид серы	0,15 × 1 / 60 = 0,0025
	Сажа	0,25 × 1 / 60 = 0,004167
- *Кран на гусеничном ходу грузоподъемностью 25 т с двигателем мощностью 79,4 кВт* - *Автопогрузчики грузоподъемностью 5 т с двигателем мощностью 85 кВт* - *Экскаваторы одноковшовые (объем ковша 1 м3), с двигателем мощностью 96 кВт* - *Агрегаты сварочные двухпостовые для ручной сварки на тракторе, с двигателем мощность 79 кВт* - *Агрегаты наполнительно-опрессовочные до 300 м3/ч, с двигателем мощностью 96 кВт* - *Автогрейдеры среднего типа, с двигателем мощностью 99 кВт* - *Бульдозеры, с двигателем мощностью 79 кВт* - *Компрессоры передвижные с двигателем внутреннего сгорания, давление до 686 кПа, производительность до 5 м^3/мин с двигателем мощностью 82 кВт* - *Агрегаты копровые без дизель-молота на базе трактора с двигателем мощностью 80 кВт* - *Тракторы на гусеничном ходу с двигателем мощностью 79 кВт*	Оксид углерода	25 × 1 / 60 = 0,416667
	Керосин	2,1 × 1 / 60 = 0,035
	Оксиды азота - азота диоксид - азота оксид	2,47 × 1 / 60 = 0,041167 0,041167 × 0,8 = 0,032934 0,041167 × (1 - 0,8) × 0,65 = 0,005352
	Диоксид серы	0,23 × 1 / 60 = 0,003833
	Сажа	0,41 × 1 / 60 = 0,006833
- *Краны на пневмоколесном ходу грузоподъемностью 25 т с двигателем мощностью 129 кВт* - *Катки дорожные самоходные на пневмоколесном ходу грузоподъемностью 30 т, с двигателем мощностью 132 кВт*	Оксид углерода	35 × 1 / 60 = 0,583333
	Керосин	2,9 × 1 / 60 = 0,048333
	Оксиды азота - азота диоксид - азота оксид	4,01 × 1 / 60 = 0,066833 0,066833 × 0,8 = 0,053466 0,066833 × (1 - 0,8) × 0,65 = 0,008688

Наименование автотранспорта и строительной техники	Наименование загрязняющих веществ, поступающих в атмосферу	Максимально разовый выброс загрязняющих веществ, поступающих в атмосферу при работе автотранспорта и строительной техники, г/с
- *Катки дорожные самоходные грузоподъемностью 13 т, с двигателем мощностью 110 кВт*	Диоксид серы	0,38 × 1 / 60 = 0,006333
	Сажа	0,67 × 1 / 60 = 0,011167
- *Краны на пневмоколесном ходу грузоподъемность 63 т с двигателем мощностью 180 кВт* - *Бульдозеры, с двигателем мощность 243 кВт*	Оксид углерода	57 × 1 / 60 = 0,95
	Керосин	4,7 × 1 / 60 = 0,078333
	Оксиды азота - азота диоксид - азота оксид	6,47 × 1 / 60 = 0,107833 0,107833 × 0,8 = 0,086266 0,107833 × (1 - 0,8) × 0,65 = 0,014018
	Диоксид серы	0,63 × 1 / 60 = 0,0105
	Сажа	1,08 × 1 / 60 = 0,018
- *Краны на пневмоколесном ходу грузоподъемностью 100 т с двигателем мощностью 350 кВт*	Оксид углерода	90 × 1 / 60 = 1,5
	Керосин	7,5 × 1 / 60 = 0,125
	Оксиды азота - азота диоксид - азота оксид	10,16 × 1 / 60 = 0,169333 0,169333 × 0,8 = 0,135466 0,169333 × (1 - 0,8) × 0,65 = 0,022013
	Диоксид серы	0,98 × 1 / 60 = 0,016333
	Сажа	1,7 × 1 / 60 = 0,028333
- *Автоцистерна ALS-15-FH12.00.000 на базе VOLVO FH12/420 грузоподъемностью 20 т с дизельным двигателем* - *Вакуумная ассенизаторская машина МВ-10Т КО, 10 м3 грузоподъемностью 19 т с дизельным двигателем*	Оксид углерода	7,38 × 1 / 60 = 0,123
	Керосин	0,99 × 1 / 60 = 0,0165
	Оксиды азота - азота диоксид - азота оксид	2,25 × 1 / 60 = 0,0375 0,0375 × 0,8 = 0,03 0,0375 × (1 - 0,8) × 0,65 = 0,004875
	Сажа	0,25 × 1 / 60 = 0,004167
	Диоксид серы	0,485 × 1 / 60 = 0,008083
- *Установки и агрегаты буровые на базе автомобилей, глубина бурения до 200 м, грузоподъемность до 4 т*	Оксид углерода	7,38 × 1 / 60 = 0,123
	Керосин	0,99 × 1 / 60 = 0,0165
	Оксиды азота - азота диоксид - азота оксид	2 × 1 / 60 = 0,033333 0,033333 × 0,8 = 0,026666 0,033333 × (1 - 0,8) × 0,65 = 0,004333
	Сажа	0,128 × 1 / 60 = 0,002133
	Диоксид серы	0,1292 × 1 / 60 = 0,002153
- *Автомобили бортовые, грузоподъемностью до 15 т с дизельным двигателем* - *Автомобиль-самосвал, грузоподъемность до 10 т с дизельным двигателем* - *Автобус вахтовый НЕФАЗ-4208-34 на 28 мест* - *Топливозаправщик АТЗ-8,5 на базе КАМАЗ 43253-69 грузоподъемностью 15,5 т с дизельным двигателем*	Оксид углерода	7,38 × 1 / 60 = 0,123
	Керосин	0,99 × 1 / 60 = 0,0165
	Оксиды азота - азота диоксид - азота оксид	2 × 1 / 60 = 0,033333 0,033333 × 0,8 = 0,026666 0,033333 × (1 - 0,8) × 0,65 = 0,004333
	Сажа	0,2 × 1 / 60 = 0,003333
	Диоксид серы	0,335 × 1 / 60 = 0,005583
- *Краны на автомобильном ходу, грузоподъемностью 10 т*	Оксид углерода	7,38 × 1 / 60 = 0,123
	Керосин	0,99 × 1 / 60 = 0,0165
	Оксиды азота - азота диоксид - азота оксид	2 × 1 / 60 = 0,033333 0,033333 × 0,8 = 0,026666 0,033333 × (1 - 0,8) × 0,65 = 0,004333
	Сажа	0,128 × 1 / 60 = 0,002133
	Диоксид серы	0,129 × 1 / 60 = 0,00215
- *Автомобили бортовые, грузоподъемность до 8 т с дизельным двигателем*	Оксид углерода	3,96 × 1 / 60 = 0,066
	Керосин	0,72 × 1 / 60 = 0,012
	Оксиды азота - азота диоксид - азота оксид	1,75 × 1 / 60 = 0,02917 0,02917 × 0,8 = 0,02334 0,02917 × (1 - 0,8) × 0,65 = 0,00379
	Сажа	0,175 × 1 / 60 = 0,003
	Диоксид серы	0,28 × 1 / 60 = 0,00467
- *Установки и станки ударно-канатного бурения на базе автомобиля, глубина бурения до 50 м, грузоподъемность мачты 3,7 т* - *Комплекты оборудования шнекового бурения на базе автомобиля, глубина бурения до 50 м, грузоподъемность мачты 3,7 т*	Оксид углерода	3,96 × 1 / 60 = 0,066
	Керосин	0,72 × 1 / 60 = 0,012
	Оксиды азота - азота диоксид - азота оксид	0,8 × 1 / 60 = 0,01333 0,01333 × 0,8 = 0,01066 0,01333 × (1 - 0,8) × 0,65 = 0,00173
	Сажа	0,096 × 1 / 60 = 0,002
	Диоксид серы	0,1026 × 1 / 60 = 0,00171
- *Автомобили бортовые, грузоподъемность до 5 т с дизельным двигателем*	Оксид углерода	2,79 × 1 / 60 = 0,047
	Керосин	0,54 × 1 / 60 = 0,009
	Оксиды азота - азота диоксид - азота оксид	1,3 × 1 / 60 = 0,02167 0,02167 × 0,8 = 0,01734 0,02167 × (1 - 0,8) × 0,65 = 0,00282
	Сажа	0,15 × 1 / 60 = 0,003
	Диоксид серы	0,245 × 1 / 60 = 0,00408
- *Заливщик швов на базе автомобиля, грузоподъемность до 5 т с дизельным двигателем*	Оксид углерода	2,79 × 1 / 60 = 0,047
	Керосин	0,54 × 1 / 60 = 0,009
	Оксиды азота - азота диоксид	1,3 × 1 / 60 = 0,02167 0,02167 × 0,8 = 0,01734

Наименование автотранспорта и строительной техники	Наименование загрязняющих веществ, поступающих в атмосферу	Максимально разовый выброс загрязняющих веществ, поступающих в атмосферу при работе автотранспорта и строительной техники, г/с
	- азота оксид	0,02167 × (1 - 0,8) × 0,65 = 0,00282
	Сажа	0,15 × 1 / 60 = 0,003
	Диоксид серы	0,245 × 1 / 60 = 0,00408
Максимально разовое количество загрязняющих веществ, поступающих в атмосферу при работе автотранспорта и строительной техники в период 1 этапа строительства, г/с:		
	Углерода оксид	***1,051***
	Керосин	***0,164667***
	Оксиды азота, в т.ч.:	***0,132666***
	- азота диоксид	***0,106132***
	- азот (II) оксид	***0,017246***
	Сера диоксид	***0,014069***
	Углерод (сажа)	***0,016466***
Максимально разовое количество загрязняющих веществ, поступающих в атмосферу при работе автотранспорта и строительной техники в период 2 этапа строительства, г/с:		
	Углерода оксид	***1,325334***
	Керосин	***0,136***
	Оксиды азота, в т.ч.:	***0,215666***
	- азота диоксид	***0,172532***
	- азот (II) оксид	***0,028036***
	Сера диоксид	***0,019699***
	Углерод (сажа)	***0,023398***
Максимально разовое количество загрязняющих веществ, поступающих в атмосферу при работе автотранспорта и строительной техники в период 3 этапа строительства, г/с:		
	Углерода оксид	***0,785667***
	Керосин	***0,0845***
	Оксиды азота, в т.ч.:	***0,141166***
	- азота диоксид	***0,112932***
	- азот (II) оксид	***0,018351***
	Сера диоксид	***0,013716***
	Углерод (сажа)	***0,014432***
Максимально разовое количество загрязняющих веществ, поступающих в атмосферу при работе автотранспорта и строительной техники в период 4 этапа строительства, г/с:		
	Углерода оксид	***1,785667***
	Керосин	***0,167833***
	Оксиды азота, в т.ч.:	***0,249166***
	- азота диоксид	***0,199332***
	- азот (II) оксид	***0,032391***
	Сера диоксид	***0,030748***
	Углерод (сажа)	***0,034832***
Максимально разовое количество загрязняющих веществ, поступающих в атмосферу при работе автотранспорта и строительной техники в период 5 этапа строительства, г/с:		
	Углерода оксид	***1,789668***
	Керосин	***0,1565***
	Оксиды азота, в т.ч.:	***0,198001***
	- азота диоксид	***0,158402***
	- азот (II) оксид	***0,025741***
	Сера диоксид	***0,020915***
	Углерод (сажа)	***0,030665***
Максимально разовое количество загрязняющих веществ, поступающих в атмосферу при работе автотранспорта и строительной техники в период 6 этапа строительства, г/с:		
	Углерода оксид	***1,373001***
	Керосин	***0,1215***
	Оксиды азота, в т.ч.:	***0,156834***
	- азота диоксид	***0,125468***
	- азот (II) оксид	***0,020389***
	Сера диоксид	***0,017082***
	Углерод (сажа)	***0,023832***
Максимально разовое количество загрязняющих веществ, поступающих в атмосферу при работе автотранспорта и строительной техники в период 7 этапа строительства, г/с:		
	Углерода оксид	***0,805***
	Керосин	***0,131667***
	Оксиды азота, в т.ч.:	***0,066***
	- азота диоксид	***0,0528***
	- азот (II) оксид	***0,00858***
	Сера диоксид	***0,006333***
	Углерод (сажа)	***0,011***

Примечание - суммарный максимально разовый выброс загрязняющих веществ, поступающих в атмосферу при работе автотранспорта и строительной техники, рассчитан из условия максимально-возможного количества одновременно работающей в наиболее напряженный период строительства. Для расчета принята одновременная работа:

- 1 этап – 1 буровой установки на базе автомобиля с дизельным двигателем, 1 агрегата сварочный на базе трактора с двигателем мощностью 79 кВт, 1 крана на гусеничном ходу грузоподъемностью 16 т с двигателем мощностью 59 кВт, 1 бортового автомобиля грузоподъемностью 10 т с дизельным двигателем;
- 2 этап – 1 автомобиля-самосвала грузоподъемностью 10 т с дизельным двигателем, 3 крана на автомобильном ходу грузоподъемностью 10 т, 1 компрессора передвижного с двигателем внутреннего сгорания, 1 экскаватора одноковшового (объем ковша 1˚м^3), с двигателем мощностью 96 кВт;
- 3 этап – 1 автомобиля-самосвала грузоподъемностью 10 т с дизельным двигателем, 1 кран на автомобильном ходу грузоподъемностью 10 т, 1 компрессора передвижного с двигателем внутреннего сгорания;
- 4 этап – 3 автомобиля-самосвала грузоподъемностью 10 т с дизельным двигателем, 1˚автогрейдера среднего типа, с двигателем мощностью 99 кВт, 1˚бульдозера с двигателем мощностью 79 кВт, 1 катка дорожного самоходного грузоподъемностью 13 т, с двигателем мощностью 110 кВт;
- 5 этап – 1 автогрейдера среднего типа, с двигателем мощностью 99 кВт, 1 экскаватора одноковшового (объем ковша 1 м^3), с двигателем мощностью 96 кВт, 1˚бульдозера с двигателем мощностью 79 кВт, 1 трактора на гусеничном ходу с двигателем мощностью 79 кВт, 1 автомобиля-самосвала грузоподъемностью 10 т с дизельным двигателем;
- 6 этап – 1 агрегата копрового без дизель-молота на базе трактора с двигателем мощностью 80 кВт, 1 крана на гусеничном ходу грузоподъемностью 16 т с двигателем мощностью 59˚кВт, 1 бортового автомобиля грузоподъемностью 5 т с дизельным двигателем, 1 трактора на гусеничном ходу с двигателем мощностью 79 кВт;
- 7 этап – 1 крана на гусеничном ходу грузоподъемностью 16 т с двигателем мощностью 59˚кВт, 1 трактора на гусеничном ходу с двигателем мощностью 79 кВт.

В таблице Ж.4 приведен расчет суммарного валового количества загрязняющих веществ, поступающих в атмосферу при работе автотранспорта и строительной техники в период строительства.

Таблица Ж.4 - Расчеты количества загрязняющих веществ, поступающих в атмосферу при работе автотранспорта и дорожно-строительной техники в период строительства

Наименование автотранспорта и строительной техники	Наименование загрязняющих веществ, поступающих в атмосферу	Валовое количество загрязняющих веществ, поступающих в атмосферу в период строительства, т
	1 этап	
Краны на гусеничном ходу при работе на других видах строительства до 16т	Оксид углерода	(25 × 4 + 4,8 × 45 + 2,4 × 1,9 × 60 + 1,57 × 4,468 × 60 + 1,3 × 1,57 × 4,8 × 60) × 3 × 0,000001 = 0,004795
	Керосин	(2,1 × 4 + 0,78 × 45 + 0,3 × 1,9 × 60 + 0,51 × 4,468 × 60 + 1,3 × 0,51 × 4,8 × 60) × 3 × 0,000001 = 0,001216
	Оксиды азота - азота диоксид - азота оксид	(1,7 × 4 + 0,72 × 45 + 0,48 × 1,9 × 60 + 2,47 × 4,468 × 60 + 1,3 × 2,47 × 4,8 × 60) × 3 × 0,000001 = 0,005042 0,005042 × 0,8 = 0,004034 0,005042 × (1 - 0,8) × 0,65 = 0,000655
	Диоксид серы	(0,042 × 4 + 0,12 × 45 + 0,097 × 1,9 × 60 + 0,23 × 4,468 × 60 + 1,3 × 0,23 × 4,8 × 60) × 3 × 0,000001 = 0,000493
	Сажа	(0 × 4 + 0,36 × 45 + 0,06 × 1,9 × 60 + 0,41 × 4,468 × 60 + 1,3 × 0,41 × 4,8 × 60) × 3 × 0,000001 = 0,0008593
Агрегаты копровые без дизель-молота на базе трактора 80 кВт	Оксид углерода	(25 × 4 + 4,8 × 45 + 2,4 × 1,9 × 60 + 1,57 × 4,468 × 60 + 1,3 × 1,57 × 4,8 × 60) × 1 × 0,000001 = 0,001603
	Керосин	(2,1 × 4 + 0,78 × 45 + 0,3 × 1,9 × 60 + 0,51 × 4,468 × 60 + 1,3 × 0,51 × 4,8 × 60) × 1 × 0,000001 = 0,000406
	Оксиды азота - азота диоксид - азота оксид	(1,7 × 4 + 0,72 × 45 + 0,48 × 1,9 × 60 + 2,47 × 4,468 × 60 + 1,3 × 2,47 × 4,8 × 60) × 1 × 0,000001 = 0,001681 0,001681 × 0,8 = 0,001345 0,001681 × (1 - 0,8) × 0,65 = 0,000219
	Диоксид серы	(0,042 × 4 + 0,12 × 45 + 0,097 × 1,9 × 60 + 0,23 × 4,468 × 60 + 1,3 × 0,23 × 4,8 × 60) × 1 × 0,000001 = 0,000164
	Сажа	(0 × 4 + 0,36 × 45 + 0,06 × 1,9 × 60 + 0,41 × 4,468 × 60 + 1,3 × 0,41 × 4,8 × 60) × 1 × 0,000001 = 0,000287
Тракторы на гусеничном ходу при работе на других видах строительства 79 кВт	Оксид углерода	(25 × 4 + 4,8 × 45 + 2,4 × 1,9 × 60 + 1,57 × 4,468 × 60 + 1,3 × 1,57 × 4,8 × 60) × 2 × 0,000001 = 0,003192
	Керосин	(2,1 × 4 + 0,78 × 45 + 0,3 × 1,9 × 60 + 0,51 × 4,468 × 60 + 1,3 × 0,51 × 4,8 × 60) × 2 × 0,000001 = 0,00081
	Оксиды азота - азота диоксид - азота оксид	(1,7 × 4 + 0,72 × 45 + 0,48 × 1,9 × 60 + 2,47 × 4,468 × 60 + 1,3 × 2,47 × 4,8 × 60) × 2 × 0,000001 = 0,003362 0,003362 × 0,8 = 0,00269 0,003362 × (1 - 0,8) × 0,65 = 0,000437
	Диоксид серы	(0,042 × 4 + 0,12 × 45 + 0,097 × 1,9 × 60 + 0,23 × 4,468 × 60 + 1,3 × 0,23 × 4,8 × 60) × 2 × 0,000001 = 0,000329
	Сажа	(0 × 4 + 0,36 × 45 + 0,06 × 1,9 × 60 + 0,41 × 4,468 × 60 + 1,3 × 0,41 × 4,8 × 60) × 2 × 0,000001 = 0,000573
Автомобили бортовые, грузоподъемность до 5 т	Оксид углерода	(8,2 × 0,9 × 30 + 2,9 × 0,9 × 2) × 1 × 0,000001 + 7,4 × 90 × 0,000001 = 0,000893
	Керосин	(1,1 × 0,9 × 30 + 0,45 × 0,9 × 2) × 1 × 0,000001 + 1,2 × 90 × 0,000001 = 0,000139
	Оксиды азота - азота диоксид - азота оксид	(2 × 1 × 30 + 1 × 1 × 2) × 1 × 0,000001 + 4 × 90 × 0,000001 = 0,000422 0,000422 × 0,8 = 0,000338 0,000422 × (1 - 0,8) × 0,65 = 0,000055
	Сажа	(0,16 × 0,8 × 30 + 0,04 × 0,8 × 2) × 1 × 0,000001 + 0,4 × 90 × 0,000001 = 0,00004
	Диоксид серы	(0,136 × 0,95 × 30 + 0,1 × 0,95 × 2) × 1 × 0,000001 + 0,67 × 90 × 0,000001 = 0,000064
Комплекты оборудования шнекового бурения	Оксид углерода	(8,2 × 0,9 × 30 + 2,9 × 0,9 × 2) × 17 × 0,000001 + 7,4 × 10 × 0,000001 = 0,003927
	Керосин	(1,1 × 0,9 × 30 + 0,45 × 0,9 × 2) × 17 × 0,000001 + 1,2 × 10 × 0,000001 = 0,000531
	Оксиды азота - азота диоксид - азота оксид	(2 × 1 × 30 + 1 × 1 × 2) × 17 × 0,000001 + 4 × 10 × 0,000001 = 0,001094 0,001094 × 0,8 = 0,000875 0,001094 × (1 - 0,8) × 0,65 = 0,000142
	Сажа	(0,16 × 0,8 × 30 + 0,04 × 0,8 × 2) × 17 × 0,000001 + 0,4 × 10 × 0,000001 = 0,00007
	Диоксид серы	(0,136 × 0,95 × 30 + 0,1 × 0,95 × 2) × 17 × 0,000001 + 0,67 × 10 × 0,000001 = 0,000076
Автобус вахтовый НЕФАЗ-4208-34 на 28 мест	Оксид углерода	(8,2 × 0,9 × 30 + 2,9 × 0,9 × 2) × 26 × 0,000001 + 7,4 × 1040 × 0,000001 = 0,013588
	Керосин	(1,1 × 0,9 × 30 + 0,45 × 0,9 × 2) × 26 × 0,000001 + 1,2 × 1040 × 0,000001 = 0,002041
	Оксиды азота	(2 × 1 × 30 + 1 × 1 × 2) × 26 × 0,000001 + 4 × 1040 × 0,000001 = 0,005772

Наименование автотранспорта и строительной техники	Наименование загрязняющих веществ, поступающих в атмосферу	Валовое количество загрязняющих веществ, поступающих в атмосферу в период строительства, т
	- азота диоксид - азота оксид	0,005772 × 0,8 = 0,004618 0,005772 × (1 - 0,8) × 0,65 = 0,00075
	Сажа	(0,16 × 0,8 × 30 + 0,04 × 0,8 × 2) × 26 × 0,000001 + 0,4 × 1040 × 0,000001 = 0,000518
	Диоксид серы	(0,136 × 0,95 × 30 + 0,1 × 0,95 × 2) × 26 × 0,000001 + 0,67 × 1040 × 0,000001 = 0,000803
Автоцистерна ALS-15-FH12.00.000 на базе VOLVO FH12/420 грузоподъемностью 20 т с дизельным двигателем	Оксид углерода	(8,2 × 0,9 × 30 + 2,9 × 0,9 × 2) × 26 × 0,000001 + 9,3 × 9360 × 0,000001 = 0,09294
	Керосин	(1,1 × 0,9 × 30 + 0,45 × 0,9 × 2) × 26 × 0,000001 + 1,3 × 9360 × 0,000001 = 0,012961
	Оксиды азота - азота диоксид - азота оксид	(2 × 1 × 30 + 1 × 1 × 2) × 26 × 0,000001 + 4,5 × 9360 × 0,000001 = 0,043732 0,043732 × 0,8 = 0,034986 0,043732 × (1 - 0,8) × 0,65 = 0,005685
	Сажа	(0,16 × 0,8 × 30 + 0,04 × 0,8 × 2) × 26 × 0,000001 + 0,5 × 9360 × 0,000001 = 0,004782
	Диоксид серы	(0,136 × 0,95 × 30 + 0,1 × 0,95 × 2) × 26 × 0,000001 + 0,97 × 9360 × 0,000001 = 0,009185
Вакуумная ассенизаторская машина МВ-10Т КО, с дизельным двигателем	Оксид углерода	(8,2 × 0,9 × 30 + 2,9 × 0,9 × 2) × 26 × 0,000001 + 9,3 × 9360 × 0,000001 = 0,09294
	Керосин	(1,1 × 0,9 × 30 + 0,45 × 0,9 × 2) × 26 × 0,000001 + 1,3 × 9360 × 0,000001 = 0,012961
	Оксиды азота - азота диоксид - азота оксид	(2 × 1 × 30 + 1 × 1 × 2) × 26 × 0,000001 + 4,5 × 9360 × 0,000001 = 0,043732 0,043732 × 0,8 = 0,034986 0,043732 × (1 - 0,8) × 0,65 = 0,005685
	Сажа	(0,16 × 0,8 × 30 + 0,04 × 0,8 × 2) × 26 × 0,000001 + 0,5 × 9360 × 0,000001 = 0,004782
	Диоксид серы	(0,136 × 0,95 × 30 + 0,1 × 0,95 × 2) × 26 × 0,000001 + 0,97 × 9360 × 0,000001 = 0,009185
Топливозаправщик АТЗ-8,5 на базе КАМАЗ 43253-69, с дизельным двигателем	Оксид углерода	(8,2 × 0,9 × 30 + 2,9 × 0,9 × 2) × 26 × 0,000001 + 7,4 × 9360 × 0,000001 = 0,075156
	Керосин	(1,1 × 0,9 × 30 + 0,45 × 0,9 × 2) × 26 × 0,000001 + 1,2 × 9360 × 0,000001 = 0,012025
	Оксиды азота - азота диоксид - азота оксид	(2 × 1 × 30 + 1 × 1 × 2) × 26 × 0,000001 + 4 × 9360 × 0,000001 = 0,039052 0,039052 × 0,8 = 0,031242 0,039052 × (1 - 0,8) × 0,65 = 0,005077
	Сажа	(0,16 × 0,8 × 30 + 0,04 × 0,8 × 2) × 26 × 0,000001 + 0,4 × 9360 × 0,000001 = 0,003846
	Диоксид серы	(0,136 × 0,95 × 30 + 0,1 × 0,95 × 2) × 26 × 0,000001 + 0,67 × 9360 × 0,000001 = 0,006377
Суммарное количество загрязняющих веществ, поступающих в атмосферу при работе автотранспорта и строительной техники в период 1 этапа строительства, т:		
	Оксид углерода	***5,749416***
	Керосин	***0,911728***
	Оксиды азота ***- азота диоксид*** ***- азота оксид***	***2,823328*** ***2,258665*** ***0,367032***
	Сажа	***0,289954***
	Диоксид серы	***0,450073***
2 этап		
Компрессоры передвижные с двигателем внутреннего сгорания давлением до 686 кПа (7 ат), производительность 5 м3/мин с двигателем мощностью 82 кВт	Оксид углерода	(25 × 4 + 4,8 × 45 + 2,4 × 11,17 × 60 + 1,57 × 0 × 60 + 1,3 × 1,57 × 0 × 60) × 1086 × 0,000001 = 2,089985
	Керосин	(2,1 × 4 + 0,78 × 45 + 0,3 × 11,17 × 60 + 0,51 × 0 × 60 + 1,3 × 0,51 × 0 × 60) × 1086 × 0,000001 = 0,265592
	Оксиды азота - азота диоксид - азота оксид	(1,7 × 4 + 0,72 × 45 + 0,48 × 11,17 × 60 + 2,47 × 0 × 60 + 1,3 × 2,47 × 0 × 60) × 1086 × 0,000001 = 0,391933 0,391933 × 0,8 = 0,313546 0,391933 × (1 - 0,8) × 0,65 = 0,050951
	Диоксид серы	(0,042 × 4 + 0,12 × 45 + 0,097 × 11,17 × 60 + 0,23 × 0 × 60 + 1,3 × 0,23 × 0 × 60) × 1086 × 0,000001 = 0,076647
	Сажа	(0 × 4 + 0,36 × 45 + 0,06 × 11,17 × 60 + 0,41 × 0 × 60 + 1,3 × 0,41 × 0 × 60) × 1086 × 0,000001 = 0,061263

Наименование автотранспорта и строительной техники	Наименование загрязняющих веществ, поступающих в атмосферу	Валовое количество загрязняющих веществ, поступающих в атмосферу в период строительства, т
Агрегаты копровые без дизель-молота на базе трактора с двигателем мощностью 80 кВт	Оксид углерода	(25 × 4 + 4,8 × 45 + 2,4 × 11,17 × 60 + 1,57 × 0 × 60 + 1,3 × 1,57 × 0 × 60) × 351 × 0,000001 = 0,675492
	Керосин	(2,1 × 4 + 0,78 × 45 + 0,3 × 11,17 × 60 + 0,51 × 0 × 60 + 1,3 × 0,51 × 0 × 60) × 351 × 0,000001 = 0,085841
	Оксиды азота - азота диоксид - азота оксид	(1,7 × 4 + 0,72 × 45 + 0,48 × 11,17 × 60 + 2,47 × 0 × 60 + 1,3 × 2,47 × 0 × 60) × 351 × 0,000001 = 0,126674 0,126674 × 0,8 = 0,101339 0,126674 × (1 - 0,8) × 0,65 = 0,016468
	Диоксид серы	(0,042 × 4 + 0,12 × 45 + 0,097 × 11,17 × 60 + 0,23 × 0 × 60 + 1,3 × 0,23 × 0 × 60) × 351 × 0,000001 = 0,024773
	Сажа	(0 × 4 + 0,36 × 45 + 0,06 × 11,17 × 60 + 0,41 × 0 × 60 + 1,3 × 0,41 × 0 × 60) × 351 × 0,000001 = 0,019801
Краны на гусеничном ходу, грузоподъемность 25 т с двигателем мощностью 79,4 кВт	Оксид углерода	(25 × 4 + 4,8 × 45 + 2,4 × 1,9 × 60 + 1,57 × 4,468 × 60 + 1,3 × 1,57 × 4,8 × 60) × 401 × 0,000001 = 0,640911
	Керосин	(2,1 × 4 + 0,78 × 45 + 0,3 × 1,9 × 60 + 0,51 × 4,468 × 60 + 1,3 × 0,51 × 4,8 × 60) × 401 × 0,000001 = 0,162551
	Оксиды азота - азота диоксид - азота оксид	(1,7 × 4 + 0,72 × 45 + 0,48 × 1,9 × 60 + 2,47 × 4,468 × 60 + 1,3 × 2,47 × 4,8 × 60) × 401 × 0,000001 = 0,674019 0,674019 × 0,8 = 0,5392152 0,674019 × (1 - 0,8) × 0,65 = 0,087622
	Диоксид серы	(0,042 × 4 + 0,12 × 45 + 0,097 × 1,9 × 60 + 0,23 × 4,468 × 60 + 1,3 × 0,23 × 4,8 × 60) × 401 × 0,000001 = 0,065923
	Сажа	(0 × 4 + 0,36 × 45 + 0,06 × 1,9 × 60 + 0,41 × 4,468 × 60 + 1,3 × 0,41 × 4,8 × 60) × 401 × 0,000001 = 0,114869
Автопогрузчики грузоподъемностью 5 т с двигателем мощностью 85 кВт	Оксид углерода	(25 × 4 + 4,8 × 45 + 2,4 × 1,9 × 60 + 1,57 × 4,468 × 60 + 1,3 × 1,57 × 4,8 × 60) × 560 × 0,000001 = 0,895039
	Керосин	(2,1 × 4 + 0,78 × 45 + 0,3 × 1,9 × 60 + 0,51 × 4,468 × 60 + 1,3 × 0,51 × 4,8 × 60) × 560 × 0,000001 = 0,227004
	Оксиды азота - азота диоксид - азота оксид	(1,7 × 4 + 0,72 × 45 + 0,48 × 1,9 × 60 + 2,47 × 4,468 × 60 + 1,3 × 2,47 × 4,8 × 60) × 560 × 0,000001 = 0,941273 0,941273 × 0,8 = 0,753018 0,941273 × (1 - 0,8) × 0,65 = 0,122365
	Диоксид серы	(0,042 × 4 + 0,12 × 45 + 0,097 × 1,9 × 60 + 0,23 × 4,468 × 60 + 1,3 × 0,23 × 4,8 × 60) × 560 × 0,000001 = 0,092062
	Сажа	(0 × 4 + 0,36 × 45 + 0,06 × 1,9 × 60 + 0,41 × 4,468 × 60 + 1,3 × 0,41 × 4,8 × 60) × 560 × 0,000001 = 0,160416
Краны на гусеничном ходу грузоподъемностью до 16т с двигателем мощностью 58,8 кВт	Оксид углерода	(23,3 × 4 + 2,8 × 45 + 1,44 × 1,9 × 60 + 0,94 × 4,468 × 60 + 1,3 × 0,94 × 4,8 × 60) × 263 × 0,000001 = 0,259653
	Керосин	(5,8 × 4 + 0,47 × 45 + 0,18 × 1,9 × 60 + 0,31 × 4,468 × 60 + 1,3 × 0,31 × 4,8 × 60) × 263 × 0,000001 = 0,069441
	Оксиды азота - азота диоксид - азота оксид	(1,2 × 4 + 0,44 × 45 + 0,29 × 1,9 × 60 + 1,49 × 4,468 × 60 + 1,3 × 1,49 × 4,8 × 60) × 263 × 0,000001 = 0,266933 0,266933 × 0,8 = 0,213546 0,266933 × (1 - 0,8) × 0,65 = 0,034701
	Диоксид серы	(0,029 × 4 + 0,072 × 45 + 0,058 × 1,9 × 60 + 0,15 × 4,468 × 60 + 1,3 × 0,15 × 4,8 × 60) × 263 × 0,000001 = 0,027967
	Сажа	(0 × 4 + 0,24 × 45 + 0,04 × 1,9 × 60 + 0,25 × 4,468 × 60 + 1,3 × 0,25 × 4,8 × 60) × 263 × 0,000001 = 0,046283
Экскаваторы одноковшовые дизельные на гусеничном ходу, объем ковша 1,0 м3, с двигателем мощностью 96 кВт	Оксид углерода	(25 × 4 + 4,8 × 45 + 2,4 × 1,9 × 60 + 1,57 × 4,468 × 60 + 1,3 × 1,57 × 4,8 × 60) × 9 × 0,000001 = 0,014384
	Керосин	(2,1 × 4 + 0,78 × 45 + 0,3 × 1,9 × 60 + 0,51 × 4,468 × 60 + 1,3 × 0,51 × 4,8 × 60) × 9 × 0,000001 = 0,003648
	Оксиды азота - азота диоксид - азота оксид	(1,7 × 4 + 0,72 × 45 + 0,48 × 1,9 × 60 + 2,47 × 4,468 × 60 + 1,3 × 2,47 × 4,8 × 60) × 9 × 0,000001 = 0,015127 0,015127 × 0,8 = 0,012102 0,015127 × (1 - 0,8) × 0,65 = 0,001967
	Диоксид серы	(0,042 × 4 + 0,12 × 45 + 0,097 × 1,9 × 60 + 0,23 × 4,468 × 60 + 1,3 × 0,23 × 4,8 × 60) × 9 × 0,000001 = 0,00148
	Сажа	(0 × 4 + 0,36 × 45 + 0,06 × 1,9 × 60 + 0,41 × 4,468 × 60 + 1,3 × 0,41 × 4,8 × 60) × 9 × 0,000001 = 0,002578
Агрегаты сварочные двухпостовые для ручной сварки на тракторе с двигателем мощностью 79 кВт	Оксид углерода	(25 × 4 + 4,8 × 45 + 2,4 × 11,17 × 60 + 1,57 × 0 × 60 + 1,3 × 1,57 × 0 × 60) × 188 × 0,000001 = 0,361797
	Керосин	(2,1 × 4 + 0,78 × 45 + 0,3 × 11,17 × 60 + 0,51 × 0 × 60 + 1,3 × 0,51 × 0 × 60) × 188 × 0,000001 = 0,045977
	Оксиды азота - азота диоксид - азота оксид	(1,7 × 4 + 0,72 × 45 + 0,48 × 11,17 × 60 + 2,47 × 0 × 60 + 1,3 × 2,47 × 0 × 60) × 188 × 0,000001 = 0,067848 0,067848 × 0,8 = 0,054278 0,067848 × (1 - 0,8) × 0,65 = 0,00882
	Диоксид серы	(0,042 × 4 + 0,12 × 45 + 0,097 × 11,17 × 60 + 0,23 × 0 × 60 + 1,3 × 0,23 × 0 × 60) × 188 × 0,000001 = 0,013269
	Сажа	(0 × 4 + 0,36 × 45 + 0,06 × 11,17 × 60 + 0,41 × 0 × 60 + 1,3 × 0,41 × 0 × 60) × 188 × 0,000001 = 0,010605

Наименование автотранспорта и строительной техники	Наименование загрязняющих веществ, поступающих в атмосферу	Валовое количество загрязняющих веществ, поступающих в атмосферу в период строительства, т
Агрегаты наполнительно-опрессовочные до 300 м3/ч с двигателем мощностью 96 кВт	Оксид углерода	(25 × 4 + 4,8 × 45 + 2,4 × 11,17 × 60 + 1,57 × 0 × 60 + 1,3 × 1,57 × 0 × 60) × 85 × 0,000001 = 0,163586
	Керосин	(2,1 × 4 + 0,78 × 45 + 0,3 × 11,17 × 60 + 0,51 × 0 × 60 + 1,3 × 0,51 × 0 × 60) × 85 × 0,000001 = 0,020788
	Оксиды азота - азота диоксид - азота оксид	(1,7 × 4 + 0,72 × 45 + 0,48 × 11,17 × 60 + 2,47 × 0 × 60 + 1,3 × 2,47 × 0 × 60) × 85 × 0,000001 = 0,030677 0,030677 × 0,8 = 0,024542 0,030677 × (1 - 0,8) × 0,65 = 0,003988
	Диоксид серы	(0,042 × 4 + 0,12 × 45 + 0,097 × 11,17 × 60 + 0,23 × 0 × 60 + 1,3 × 0,23 × 0 × 60) × 85 × 0,000001 = 0,005999
	Сажа	(0 × 4 + 0,36 × 45 + 0,06 × 11,17 × 60 + 0,41 × 0 × 60 + 1,3 × 0,41 × 0 × 60) × 85 × 0,000001 = 0,004795
Краны на пневмоколесном ходу грузоподъемностью 25 т	Оксид углерода	(35 × 4 + 7,8 × 45 + 3,91 × 1,9 × 60 + 2,55 × 4,468 × 60 + 1,3 × 2,55 × 4,8 × 60) × 173 × 0,000001 = 0,445478
	Керосин	(2,9 × 4 + 1,27 × 45 + 0,49 × 1,9 × 60 + 0,85 × 4,468 × 60 + 1,3 × 0,85 × 4,8 × 60) × 173 × 0,000001 = 0,116033
	Оксиды азота - азота диоксид - азота оксид	(3,4 × 4 + 1,17 × 45 + 0,78 × 1,9 × 60 + 4,01 × 4,468 × 60 + 1,3 × 4,01 × 4,8 × 60) × 173 × 0,000001 = 0,47255 0,47255 × 0,8 = 0,37804 0,47255 × (1 - 0,8) × 0,65 = 0,061432
	Диоксид серы	(0,058 × 4 + 0,2 × 45 + 0,16 × 1,9 × 60 + 0,38 × 4,468 × 60 + 1,3 × 0,38 × 4,8 × 60) × 173 × 0,000001 = 0,046989
	Сажа	(0 × 4 + 0,6 × 45 + 0,1 × 1,9 × 60 + 0,67 × 4,468 × 60 + 1,3 × 0,67 × 4,8 × 60) × 173 × 0,000001 = 0,081113
Краны на пневмоколесном ходу грузоподъемностью 63 т	Оксид углерода	(57 × 4 + 12,6 × 45 + 6,31 × 1,9 × 60 + 4,11 × 4,468 × 60 + 1,3 × 4,11 × 4,8 × 60) × 30 × 0,000001 = 0,124648
	Керосин	(4,7 × 4 + 2,05 × 45 + 0,79 × 1,9 × 60 + 1,37 × 4,468 × 60 + 1,3 × 1,37 × 4,8 × 60) × 30 × 0,000001 = 0,032439
	Оксиды азота - азота диоксид - азота оксид	(4,5 × 4 + 1,91 × 45 + 1,27 × 1,9 × 60 + 6,47 × 4,468 × 60 + 1,3 × 6,47 × 4,8 × 60) × 30 × 0,000001 = 0,132167 0,132167 × 0,8 = 0,105734 0,132167 × (1 - 0,8) × 0,65 = 0,017182
	Диоксид серы	(0,095 × 4 + 0,31 × 45 + 0,25 × 1,9 × 60 + 0,63 × 4,468 × 60 + 1,3 × 0,63 × 4,8 × 60) × 30 × 0,000001 = 0,013428
	Сажа	(0 × 4 + 1,02 × 45 + 0,17 × 1,9 × 60 + 1,08 × 4,468 × 60 + 1,3 × 1,08 × 4,8 × 60) × 30 × 0,000001 = 0,022775
Бульдозеры при работе на других видах строительства 243 кВт	Оксид углерода	(90 × 4 + 18,8 × 45 + 9,92 × 1,9 × 60 + 6,47 × 4,468 × 60 + 1,3 × 6,47 × 4,8 × 60) × 5 × 0,000001 = 0,032451
	Керосин	(7,5 × 4 + 3,22 × 45 + 1,24 × 1,9 × 60 + 2,15 × 4,468 × 60 + 1,3 × 2,15 × 4,8 × 60) × 5 × 0,000001 = 0,008486
	Оксиды азота - азота диоксид - азота оксид	(7 × 4 + 3 × 45 + 1,99 × 1,9 × 60 + 10,16 × 4,468 × 60 + 1,3 × 10,16 × 4,8 × 60) × 5 × 0,000001 = 0,034586 0,034586 × 0,8 = 0,027669 0,034586 × (1 - 0,8) × 0,65 = 0,004496
	Диоксид серы	(0,15 × 4 + 0,32 × 45 + 0,39 × 1,9 × 60 + 0,98 × 4,468 × 60 + 1,3 × 0,98 × 4,8 × 60) × 5 × 0,000001 = 0,003445
	Сажа	(0 × 4 + 1,56 × 45 + 0,26 × 1,9 × 60 + 1,7 × 4,468 × 60 + 1,3 × 1,7 × 4,8 × 60) × 5 × 0,000001 = 0,00596
Тракторы на пневмоколесном ходу с двигателем мощностью 59 кВт	Оксид углерода	(23,3 × 4 + 2,8 × 45 + 1,44 × 1,9 × 60 + 0,94 × 4,468 × 60 + 1,3 × 0,94 × 4,8 × 60) × 69 × 0,000001 = 0,068123
	Керосин	(5,8 × 4 + 0,47 × 45 + 0,18 × 1,9 × 60 + 0,31 × 4,468 × 60 + 1,3 × 0,31 × 4,8 × 60) × 69 × 0,000001 = 0,018219
	Оксиды азота - азота диоксид - азота оксид	(1,2 × 4 + 0,44 × 45 + 0,29 × 1,9 × 60 + 1,49 × 4,468 × 60 + 1,3 × 1,49 × 4,8 × 60) × 69 × 0,000001 = 0,070032 0,070032 × 0,8 = 0,056026 0,070032 × (1 - 0,8) × 0,65 = 0,009104
	Диоксид серы	(0,029 × 4 + 0,072 × 45 + 0,058 × 1,9 × 60 + 0,15 × 4,468 × 60 + 1,3 × 0,15 × 4,8 × 60) × 69 × 0,000001 = 0,007337
	Сажа	(0 × 4 + 0,24 × 45 + 0,04 × 1,9 × 60 + 0,25 × 4,468 × 60 + 1,3 × 0,25 × 4,8 × 60) × 69 × 0,000001 = 0,012143
Краны на автомобильном ходу грузоподъемностью 10 т	Оксид углерода	(8,2 × 0,9 × 30 + 2,9 × 0,9 × 1,7 × 60 + 7,4 × 4,468 × 60 × 0,0833 + 1,3 × 7,4 × 4,8 × 60 × 0,0833) × 2202 × 0,000001 = 1,945814
	Керосин	(1,1 × 0,9 × 30 + 0,45 × 0,9 × 1,7 × 60 + 1,2 × 4,468 × 60 × 0,0833 + 1,3 × 1,2 × 4,8 × 60 × 0,0833) × 2202 × 0,000001 = 0,297782
	Оксиды азота - азота диоксид - азота оксид	(2 × 1 × 30 + 1 × 1 × 1,7 × 60 + 4 × 4,468 × 60 × 0,0833 + 1,3 × 4 × 4,8 × 60 × 0,0833) × 2202 × 0,000001 = 0,828116 0,828116 × 0,8 = 0,662493 0,828116 × (1 - 0,8) × 0,65 = 0,107655
	Сажа	(0,16 × 0,8 × 30 + 0,04 × 0,8 × 1,7 × 60 + 0,4 × 4,468 × 60 × 0,0833 + 1,3 × 0,4 × 4,8 × 60 × 0,0833) × 2202 × 0,000001 = 0,062782
	Диоксид серы	(0,136 × 0,95 × 30 + 0,1 × 0,95 × 1,7 × 60 + 0,67 × 4,468 × 60 × 0,0833 + 1,3 × 0,67 × 4,8 × 60 × 0,0833) × 2202 × 0,000001 = 0,10883

Наименование автотранспорта и строительной техники	Наименование загрязняющих веществ, поступающих в атмосферу	Валовое количество загрязняющих веществ, поступающих в атмосферу в период строительства, т
Автомобили бортовые, грузоподъемность до 15 т с дизельным двигателем	Оксид углерода	(8,2 × 0,9 × 30 + 2,9 × 0,9 × 2) × 3723 × 0,000001 + 7,4 × 1340100 × 0,000001 = 10,760446
	Керосин	(1,1 × 0,9 × 30 + 0,45 × 0,9 × 2) × 3723 × 0,000001 + 1,2 × 1340100 × 0,000001 = 1,721709
	Оксиды азота - азота диоксид - азота оксид	(2 × 1 × 30 + 1 × 1 × 2) × 3723 × 0,000001 + 4 × 1340100 × 0,000001 = 5,591226 5,591226 × 0,8 = 4,472981 5,591226 × (1 - 0,8) × 0,65 = 0,726859
	Сажа	(0,16 × 0,8 × 30 + 0,04 × 0,8 × 2) × 3723 × 0,000001 + 0,4 × 1340100 × 0,000001 = 0,550575
	Диоксид серы	(0,136 × 0,95 × 30 + 0,1 × 0,95 × 2) × 3723 × 0,000001 + 0,67 × 1340100 × 0,000001 = 0,913005
Автомобили бортовые, грузоподъемность до 5 т с дизельным двигателем	Оксид углерода	(3,1 × 0,9 × 30 + 1,5 × 0,9 × 2) × 1377 × 0,000001 + 4,3 × 495540 × 0,000001 = 2,249795
	Керосин	(0,6 × 0,9 × 30 + 0,25 × 0,9 × 2) × 1377 × 0,000001 + 0,8 × 495540 × 0,000001 = 0,419359
	Оксиды азота, в т.ч.: - азота диоксид - азот (II) оксид	(0,7 × 1 × 30 + 0,5 × 1 × 2) × 1377 × 0,000001 + 2,6 × 495540 × 0,000001 = 1,318698 1,318698 × 0,8 = 1,054958 1,318698 × (1 - 0,8) × 0,65 = 0,171431
	Сажа	(0,08 × 0,8 × 30 + 0,02 × 0,8 × 2) × 1377 × 0,000001 + 0,3 × 495540 × 0,000001 = 0,15135
	Диоксид серы	(0,086 × 0,95 × 30 + 0,072 × 0,95 × 2) × 1377 × 0,000001 + 0,49 × 495540 × 0,000001 = 0,246378
Автомобили бортовые, грузоподъемность до 8 т с дизельным двигателем	Оксид углерода	(4,4 × 0,9 × 30 + 2,8 × 0,9 × 2) × 190 × 0,000001 + 6,2 × 68340 × 0,000001 = 0,447238
	Керосин	(0,8 × 0,9 × 30 + 0,35 × 0,9 × 2) × 190 × 0,000001 + 1,1 × 68340 × 0,000001 = 0,079398
	Оксиды азота, в т.ч.: - азота диоксид - азот (II) оксид	(0,8 × 1 × 30 + 0,6 × 1 × 2) × 190 × 0,000001 + 3,5 × 68340 × 0,000001 = 0,243978 0,243978 × 0,8 = 0,195182 0,243978 × (1 - 0,8) × 0,65 = 0,031717
	Сажа	(0,12 × 0,8 × 30 + 0,03 × 0,8 × 2) × 190 × 0,000001 + 0,35 × 68340 × 0,000001 = 0,024475
	Диоксид серы	(0,108 × 0,95 × 30 + 0,09 × 0,95 × 2) × 190 × 0,000001 + 0,56 × 68340 × 0,000001 = 0,038888
Автомобиль-самосвал, грузоподъемность до 10 т с дизельным двигателем	Оксид углерода	(8,2 × 0,9 × 30 + 2,9 × 0,9 × 2) × 58 × 0,000001 + 7,4 × 20640 × 0,000001 = 0,16588
	Керосин	(1,1 × 0,9 × 30 + 0,45 × 0,9 × 2) × 58 × 0,000001 + 1,2 × 20640 × 0,000001 = 0,026538
	Оксиды азота - азота диоксид - азота оксид	(2 × 1 × 30 + 1 × 1 × 2) × 58 × 0,000001 + 4 × 20640 × 0,000001 = 0,086156 0,086156 × 0,8 = 0,068925 0,086156 × (1 - 0,8) × 0,65 = 0,0112
	Сажа	(0,16 × 0,8 × 30 + 0,04 × 0,8 × 2) × 58 × 0,000001 + 0,4 × 20640 × 0,000001 = 0,008482
	Диоксид серы	(0,136 × 0,95 × 30 + 0,1 × 0,95 × 2) × 58 × 0,000001 + 0,67 × 20640 × 0,000001 = 0,014065
Установки и агрегаты буровые на базе автомобилей, глубина бурения до 200 м, грузоподъемность до 4 т	Оксид углерода	(8,2 × 0,9 × 30 + 2,9 × 0,9 × 670,2) × 4 × 0,000001 + 7,4 × 200 × 0,000001 = 0,009362
	Керосин	(1,1 × 0,9 × 30 + 0,45 × 0,9 × 670,2) × 4 × 0,000001 + 1,2 × 200 × 0,000001 = 0,001445
	Оксиды азота - азота диоксид - азота оксид	(2 × 1 × 30 + 1 × 1 × 670,2) × 4 × 0,000001 + 4 × 200 × 0,000001 = 0,003721 0,003721 × 0,8 = 0,002977 0,003721 × (1 - 0,8) × 0,65 = 0,000484
	Сажа	(0,16 × 0,8 × 30 + 0,04 × 0,8 × 670,2) × 4 × 0,000001 + 0,4 × 200 × 0,000001 = 0,000181
	Диоксид серы	(0,136 × 0,95 × 30 + 0,1 × 0,95 × 670,2) × 4 × 0,000001 + 0,67 × 200 × 0,000001 = 0,000404
Установки и станки ударно-канатного бурения Комплекты оборудования шнекового бурения на базе автомобиля, глубина бурения до 50 м, грузоподъемность мачты 3,7 т	Оксид углерода	(4,4 × 0,9 × 30 + 2,8 × 0,9 × 670,2) × 222 × 0,000001 + 6,2 × 200 × 0,000001 = 0,40255
	Керосин	(0,8 × 0,9 × 30 + 0,35 × 0,9 × 670,2) × 222 × 0,000001 + 1,1 × 200 × 0,000001 = 0,051882
	Оксиды азота, в т.ч.: - азота диоксид - азот (II) оксид	(0,8 × 1 × 30 + 0,6 × 1 × 670,2) × 222 × 0,000001 + 3,5 × 200 × 0,000001 = 0,095299 0,095299 × 0,8 = 0,076239 0,095299 × (1 - 0,8) × 0,65 = 0,012389
	Сажа	(0,12 × 0,8 × 30 + 0,03 × 0,8 × 670,2) × 222 × 0,000001 + 0,35 × 200 × 0,000001 = 0,00428
	Диоксид серы	(0,108 × 0,95 × 30 + 0,09 × 0,95 × 670,2) × 222 × 0,000001 + 0,56 × 200 × 0,000001 = 0,013516

Наименование автотранспорта и строительной техники	Наименование загрязняющих веществ, поступающих в атмосферу	Валовое количество загрязняющих веществ, поступающих в атмосферу в период строительства, т
Комплекты оборудования шнекового бурения на базе автомобиля, глубина бурения до 50 м, грузоподъемность мачты 3,7 т	Оксид углерода	(4,4 × 0,9 × 30 + 2,8 × 0,9 × 670,2) × 1270 × 0,000001 + 6,2 × 500 × 0,000001 = 2,298884
	Керосин	(0,8 × 0,9 × 30 + 0,35 × 0,9 × 670,2) × 1270 × 0,000001 + 1,1 × 500 × 0,000001 = 0,296096
	Оксиды азота, в т.ч.: - азота диоксид - азот (II) оксид	(0,8 × 1 × 30 + 0,6 × 1 × 670,2) × 1270 × 0,000001 + 3,5 × 500 × 0,000001 = 0,542922 0,542922 × 0,8 = 0,434338 0,542922 × (1 - 0,8) × 0,65 = 0,07058
	Сажа	(0,12 × 0,8 × 30 + 0,03 × 0,8 × 670,2) × 1270 × 0,000001 + 0,35 × 500 × 0,000001 = 0,02426
	Диоксид серы	(0,108 × 0,95 × 30 + 0,09 × 0,95 × 670,2) × 1270 × 0,000001 + 0,56 × 500 × 0,000001 = 0,076963
Автобус вахтовый НЕФАЗ-4208-34 на 28 мест	Оксид углерода	(8,2 × 0,9 × 30 + 2,9 × 0,9 × 2) × 1506 × 0,000001 + 7,4 × 60240 × 0,000001 = 0,787066
	Керосин	(1,1 × 0,9 × 30 + 0,45 × 0,9 × 2) × 1506 × 0,000001 + 1,2 × 60240 × 0,000001 = 0,118236
	Оксиды азота - азота диоксид - азота оксид	(2 × 1 × 30 + 1 × 1 × 2) × 1506 × 0,000001 + 4 × 60240 × 0,000001 = 0,334332 0,334332 × 0,8 = 0,267466 0,334332 × (1 - 0,8) × 0,65 = 0,043463
	Сажа	(0,16 × 0,8 × 30 + 0,04 × 0,8 × 2) × 1506 × 0,000001 + 0,4 × 60240 × 0,000001 = 0,029975
	Диоксид серы	(0,136 × 0,95 × 30 + 0,1 × 0,95 × 2) × 1506 × 0,000001 + 0,67 × 60240 × 0,000001 = 0,046484
Автоцистерна ALS-15-FH12.00.000 на базе VOLVO FH12/420 грузоподъемностью 20 т с дизельным двигателем	Оксид углерода	(8,2 × 0,9 × 30 + 2,9 × 0,9 × 2) × 251 × 0,000001 + 9,3 × 90360 × 0,000001 = 0,89723
	Керосин	(1,1 × 0,9 × 30 + 0,45 × 0,9 × 2) × 251 × 0,000001 + 1,3 × 90360 × 0,000001 = 0,125126
	Оксиды азота - азота диоксид - азота оксид	(2 × 1 × 30 + 1 × 1 × 2) × 251 × 0,000001 + 4,5 × 90360 × 0,000001 = 0,422182 0,422182 × 0,8 = 0,337746 0,422182 × (1 - 0,8) × 0,65 = 0,054884
	Сажа	(0,16 × 0,8 × 30 + 0,04 × 0,8 × 2) × 251 × 0,000001 + 0,5 × 90360 × 0,000001 = 0,04616
	Диоксид серы	(0,136 × 0,95 × 30 + 0,1 × 0,95 × 2) × 251 × 0,000001 + 0,97 × 90360 × 0,000001 = 0,08867
Вакуумная ассенизаторская машина МВ-10Т КО, с дизельным двигателем	Оксид углерода	(8,2 × 0,9 × 30 + 2,9 × 0,9 × 2) × 251 × 0,000001 + 9,3 × 90360 × 0,000001 = 0,89723
	Керосин	(1,1 × 0,9 × 30 + 0,45 × 0,9 × 2) × 251 × 0,000001 + 1,3 × 90360 × 0,000001 = 0,125126
	Оксиды азота - азота диоксид - азота оксид	(2 × 1 × 30 + 1 × 1 × 2) × 251 × 0,000001 + 4,5 × 90360 × 0,000001 = 0,422182 0,422182 × 0,8 = 0,337746 0,422182 × (1 - 0,8) × 0,65 = 0,054884
	Сажа	(0,16 × 0,8 × 30 + 0,04 × 0,8 × 2) × 251 × 0,000001 + 0,5 × 90360 × 0,000001 = 0,04616
	Диоксид серы	(0,136 × 0,95 × 30 + 0,1 × 0,95 × 2) × 251 × 0,000001 + 0,97 × 90360 × 0,000001 = 0,08867
Топливозаправщик АТЗ-8,5 на базе КАМАЗ 43253-69, с дизельным двигателем	Оксид углерода	(8,2 × 0,9 × 30 + 2,9 × 0,9 × 2) × 251 × 0,000001 + 7,4 × 90360 × 0,000001 = 0,725546
	Керосин	(1,1 × 0,9 × 30 + 0,45 × 0,9 × 2) × 251 × 0,000001 + 1,2 × 90360 × 0,000001 = 0,11609
	Оксиды азота - азота диоксид - азота оксид	(2 × 1 × 30 + 1 × 1 × 2) × 251 × 0,000001 + 4 × 90360 × 0,000001 = 0,377002 0,377002 × 0,8 = 0,301602 0,377002 × (1 - 0,8) × 0,65 = 0,04901
	Сажа	(0,16 × 0,8 × 30 + 0,04 × 0,8 × 2) × 251 × 0,000001 + 0,4 × 90360 × 0,000001 = 0,037124
	Диоксид серы	(0,136 × 0,95 × 30 + 0,1 × 0,95 × 2) × 251 × 0,000001 + 0,67 × 90360 × 0,000001 = 0,061562
Суммарное количество загрязняющих веществ, поступающих в атмосферу при работе автотранспорта и строительной техники в период 2 этапа строительства, т:		
	Оксид углерода	***27,358588***
	Керосин	***4,434806***
	Оксиды азота ***- азота диоксид*** ***- азота оксид***	***13,489633*** ***10,791708*** ***1,753652***
	Сажа	***1,528405***

Наименование автотранспорта и строительной техники	Наименование загрязняющих веществ, поступающих в атмосферу	Валовое количество загрязняющих веществ, поступающих в атмосферу в период строительства, т
	Диоксид серы	***2,076754***
	3 этап	
Компрессоры передвижные с двигателем внутреннего сгорания давлением до 686 кПа (7 ат), производительность 5 м3/мин с двигателем мощностью 82 кВт	Оксид углерода	(25 × 4 + 4,8 × 45 + 2,4 × 11,17 × 60 + 1,57 × 0 × 60 + 1,3 × 1,57 × 0 × 60) × 180 × 0,000001 = 0,346406
	Керосин	(2,1 × 4 + 0,78 × 45 + 0,3 × 11,17 × 60 + 0,51 × 0 × 60 + 1,3 × 0,51 × 0 × 60) × 180 × 0,000001 = 0,044021
	Оксиды азота - азота диоксид - азота оксид	(1,7 × 4 + 0,72 × 45 + 0,48 × 11,17 × 60 + 2,47 × 0 × 60 + 1,3 × 2,47 × 0 × 60) × 180 × 0,000001 = 0,064961 0,064961 × 0,8 = 0,051969 0,064961 × (1 - 0,8) × 0,65 = 0,008445
	Диоксид серы	(0,042 × 4 + 0,12 × 45 + 0,097 × 11,17 × 60 + 0,23 × 0 × 60 + 1,3 × 0,23 × 0 × 60) × 180 × 0,000001 = 0,012704
	Сажа	(0 × 4 + 0,36 × 45 + 0,06 × 11,17 × 60 + 0,41 × 0 × 60 + 1,3 × 0,41 × 0 × 60) × 180 × 0,000001 = 0,010154
Агрегаты копровые без дизель-молота на базе трактора с двигателем мощностью 80 кВт	Оксид углерода	(25 × 4 + 4,8 × 45 + 2,4 × 11,17 × 60 + 1,57 × 0 × 60 + 1,3 × 1,57 × 0 × 60) × 87 × 0,000001 = 0,16743
	Керосин	(2,1 × 4 + 0,78 × 45 + 0,3 × 11,17 × 60 + 0,51 × 0 × 60 + 1,3 × 0,51 × 0 × 60) × 87 × 0,000001 = 0,021277
	Оксиды азота - азота диоксид - азота оксид	(1,7 × 4 + 0,72 × 45 + 0,48 × 11,17 × 60 + 2,47 × 0 × 60 + 1,3 × 2,47 × 0 × 60) × 87 × 0,000001 = 0,031398 0,031398 × 0,8 = 0,025118 0,031398 × (1 - 0,8) × 0,65 = 0,004082
	Диоксид серы	(0,042 × 4 + 0,12 × 45 + 0,097 × 11,17 × 60 + 0,23 × 0 × 60 + 1,3 × 0,23 × 0 × 60) × 87 × 0,000001 = 0,00614
	Сажа	(0 × 4 + 0,36 × 45 + 0,06 × 11,17 × 60 + 0,41 × 0 × 60 + 1,3 × 0,41 × 0 × 60) × 87 × 0,000001 = 0,004908
Краны на гусеничном ходу, грузоподъемность 25 т с двигателем мощностью 79,4 кВт	Оксид углерода	(25 × 4 + 4,8 × 45 + 2,4 × 1,9 × 60 + 1,57 × 4,468 × 60 + 1,3 × 1,57 × 4,8 × 60) × 8 × 0,000001 = 0,012781
	Керосин	(2,1 × 4 + 0,78 × 45 + 0,3 × 1,9 × 60 + 0,51 × 4,468 × 60 + 1,3 × 0,51 × 4,8 × 60) × 8 × 0,000001 = 0,003242
	Оксиды азота - азота диоксид - азота оксид	(1,7 × 4 + 0,72 × 45 + 0,48 × 1,9 × 60 + 2,47 × 4,468 × 60 + 1,3 × 2,47 × 4,8 × 60) × 8 × 0,000001 = 0,013446 0,013446 × 0,8 = 0,0107568 0,013446 × (1 - 0,8) × 0,65 = 0,001748
	Диоксид серы	(0,042 × 4 + 0,12 × 45 + 0,097 × 1,9 × 60 + 0,23 × 4,468 × 60 + 1,3 × 0,23 × 4,8 × 60) × 8 × 0,000001 = 0,001315
	Сажа	(0 × 4 + 0,36 × 45 + 0,06 × 1,9 × 60 + 0,41 × 4,468 × 60 + 1,3 × 0,41 × 4,8 × 60) × 8 × 0,000001 = 0,002292
Автопогрузчики грузоподъемностью 5 т с двигателем мощностью 85 кВт	Оксид углерода	(25 × 4 + 4,8 × 45 + 2,4 × 1,9 × 60 + 1,57 × 4,468 × 60 + 1,3 × 1,57 × 4,8 × 60) × 175 × 0,000001 = 0,279706
	Керосин	(2,1 × 4 + 0,78 × 45 + 0,3 × 1,9 × 60 + 0,51 × 4,468 × 60 + 1,3 × 0,51 × 4,8 × 60) × 175 × 0,000001 = 0,070939
	Оксиды азота - азота диоксид - азота оксид	(1,7 × 4 + 0,72 × 45 + 0,48 × 1,9 × 60 + 2,47 × 4,468 × 60 + 1,3 × 2,47 × 4,8 × 60) × 175 × 0,000001 = 0,294148 0,294148 × 0,8 = 0,235318 0,294148 × (1 - 0,8) × 0,65 = 0,038239
	Диоксид серы	(0,042 × 4 + 0,12 × 45 + 0,097 × 1,9 × 60 + 0,23 × 4,468 × 60 + 1,3 × 0,23 × 4,8 × 60) × 175 × 0,000001 = 0,028769
	Сажа	(0 × 4 + 0,36 × 45 + 0,06 × 1,9 × 60 + 0,41 × 4,468 × 60 + 1,3 × 0,41 × 4,8 × 60) × 175 × 0,000001 = 0,05013
Краны на гусеничном ходу грузоподъемностью до 16т с двигателем мощностью 58,8 кВт	Оксид углерода	(23,3 × 4 + 2,8 × 45 + 1,44 × 1,9 × 60 + 0,94 × 4,468 × 60 + 1,3 × 0,94 × 4,8 × 60) × 57 × 0,000001 = 0,056276
	Керосин	(5,8 × 4 + 0,47 × 45 + 0,18 × 1,9 × 60 + 0,31 × 4,468 × 60 + 1,3 × 0,31 × 4,8 × 60) × 57 × 0,000001 = 0,01505
	Оксиды азота - азота диоксид - азота оксид	(1,2 × 4 + 0,44 × 45 + 0,29 × 1,9 × 60 + 1,49 × 4,468 × 60 + 1,3 × 1,49 × 4,8 × 60) × 57 × 0,000001 = 0,057853 0,057853 × 0,8 = 0,046282 0,057853 × (1 - 0,8) × 0,65 = 0,007521
	Диоксид серы	(0,029 × 4 + 0,072 × 45 + 0,058 × 1,9 × 60 + 0,15 × 4,468 × 60 + 1,3 × 0,15 × 4,8 × 60) × 57 × 0,000001 = 0,006061
	Сажа	(0 × 4 + 0,24 × 45 + 0,04 × 1,9 × 60 + 0,25 × 4,468 × 60 + 1,3 × 0,25 × 4,8 × 60) × 57 × 0,000001 = 0,010031
Агрегаты сварочные двухпостовые для ручной сварки на тракторе с двигателем мощностью 79 кВт	Оксид углерода	(25 × 4 + 4,8 × 45 + 2,4 × 11,17 × 60 + 1,57 × 0 × 60 + 1,3 × 1,57 × 0 × 60) × 25 × 0,000001 = 0,048117
	Керосин	(2,1 × 4 + 0,78 × 45 + 0,3 × 11,17 × 60 + 0,51 × 0 × 60 + 1,3 × 0,51 × 0 × 60) × 25 × 0,000001 = 0,006114
	Оксиды азота - азота диоксид	(1,7 × 4 + 0,72 × 45 + 0,48 × 11,17 × 60 + 2,47 × 0 × 60 + 1,3 × 2,47 × 0 × 60) × 25 × 0,000001 = 0,009023 0,009023 × 0,8 = 0,007218

Наименование автотранспорта и строительной техники	Наименование загрязняющих веществ, поступающих в атмосферу	Валовое количество загрязняющих веществ, поступающих в атмосферу в период строительства, т
	- азота оксид	0,009023 × (1 - 0,8) × 0,65 = 0,001173
	Диоксид серы	(0,042 × 4 + 0,12 × 45 + 0,097 × 11,17 × 60 + 0,23 × 0 × 60 + 1,3 × 0,23 × 0 × 60) × 25 × 0,000001 = 0,001764
	Сажа	(0 × 4 + 0,36 × 45 + 0,06 × 11,17 × 60 + 0,41 × 0 × 60 + 1,3 × 0,41 × 0 × 60) × 25 × 0,000001 = 0,00141
Агрегаты наполнительно-опрессовочные до 300 м3/ч с двигателем мощностью 96 кВт	Оксид углерода	(25 × 4 + 4,8 × 45 + 2,4 × 11,17 × 60 + 1,57 × 0 × 60 + 1,3 × 1,57 × 0 × 60) × 10 × 0,000001 = 0,01925
	Керосин	(2,1 × 4 + 0,78 × 45 + 0,3 × 11,17 × 60 + 0,51 × 0 × 60 + 1,3 × 0,51 × 0 × 60) × 10 × 0,000001 = 0,002446
	Оксиды азота - азота диоксид - азота оксид	(1,7 × 4 + 0,72 × 45 + 0,48 × 11,17 × 60 + 2,47 × 0 × 60 + 1,3 × 2,47 × 0 × 60) × 10 × 0,000001 = 0,003609 0,003609 × 0,8 = 0,002887 0,003609 × (1 - 0,8) × 0,65 = 0,000469
	Диоксид серы	(0,042 × 4 + 0,12 × 45 + 0,097 × 11,17 × 60 + 0,23 × 0 × 60 + 1,3 × 0,23 × 0 × 60) × 10 × 0,000001 = 0,000706
	Сажа	(0 × 4 + 0,36 × 45 + 0,06 × 11,17 × 60 + 0,41 × 0 × 60 + 1,3 × 0,41 × 0 × 60) × 10 × 0,000001 = 0,000564
Краны на пневмоколесном ходу грузоподъемностью 25 т	Оксид углерода	(35 × 4 + 7,8 × 45 + 3,91 × 1,9 × 60 + 2,55 × 4,468 × 60 + 1,3 × 2,55 × 4,8 × 60) × 30 × 0,000001 = 0,077252
	Керосин	(2,9 × 4 + 1,27 × 45 + 0,49 × 1,9 × 60 + 0,85 × 4,468 × 60 + 1,3 × 0,85 × 4,8 × 60) × 30 × 0,000001 = 0,020122
	Оксиды азота - азота диоксид - азота оксид	(3,4 × 4 + 1,17 × 45 + 0,78 × 1,9 × 60 + 4,01 × 4,468 × 60 + 1,3 × 4,01 × 4,8 × 60) × 30 × 0,000001 = 0,081945 0,081945 × 0,8 = 0,065556 0,081945 × (1 - 0,8) × 0,65 = 0,010653
	Диоксид серы	(0,058 × 4 + 0,2 × 45 + 0,16 × 1,9 × 60 + 0,38 × 4,468 × 60 + 1,3 × 0,38 × 4,8 × 60) × 30 × 0,000001 = 0,008148
	Сажа	(0 × 4 + 0,6 × 45 + 0,1 × 1,9 × 60 + 0,67 × 4,468 × 60 + 1,3 × 0,67 × 4,8 × 60) × 30 × 0,000001 = 0,014066
Краны на пневмоколесном ходу грузоподъемностью 63 т	Оксид углерода	(57 × 4 + 12,6 × 45 + 6,31 × 1,9 × 60 + 4,11 × 4,468 × 60 + 1,3 × 4,11 × 4,8 × 60) × 5 × 0,000001 = 0,020763
	Керосин	(4,7 × 4 + 2,05 × 45 + 0,79 × 1,9 × 60 + 1,37 × 4,468 × 60 + 1,3 × 1,37 × 4,8 × 60) × 5 × 0,000001 = 0,005406
	Оксиды азота - азота диоксид - азота оксид	(4,5 × 4 + 1,91 × 45 + 1,27 × 1,9 × 60 + 6,47 × 4,468 × 60 + 1,3 × 6,47 × 4,8 × 60) × 5 × 0,000001 = 0,022027 0,022027 × 0,8 = 0,017622 0,022027 × (1 - 0,8) × 0,65 = 0,002864
	Диоксид серы	(0,095 × 4 + 0,31 × 45 + 0,25 × 1,9 × 60 + 0,63 × 4,468 × 60 + 1,3 × 0,63 × 4,8 × 60) × 5 × 0,000001 = 0,002238
	Сажа	(0 × 4 + 1,02 × 45 + 0,17 × 1,9 × 60 + 1,08 × 4,468 × 60 + 1,3 × 1,08 × 4,8 × 60) × 5 × 0,000001 = 0,003796
Тракторы на пневмоколесном ходу с двигателем мощностью 59 кВт	Оксид углерода	(23,3 × 4 + 2,8 × 45 + 1,44 × 1,9 × 60 + 0,94 × 4,468 × 60 + 1,3 × 0,94 × 4,8 × 60) × 9 × 0,000001 = 0,008886
	Керосин	(5,8 × 4 + 0,47 × 45 + 0,18 × 1,9 × 60 + 0,31 × 4,468 × 60 + 1,3 × 0,31 × 4,8 × 60) × 9 × 0,000001 = 0,002376
	Оксиды азота - азота диоксид - азота оксид	(1,2 × 4 + 0,44 × 45 + 0,29 × 1,9 × 60 + 1,49 × 4,468 × 60 + 1,3 × 1,49 × 4,8 × 60) × 9 × 0,000001 = 0,009134 0,009134 × 0,8 = 0,007307 0,009134 × (1 - 0,8) × 0,65 = 0,001187
	Диоксид серы	(0,029 × 4 + 0,072 × 45 + 0,058 × 1,9 × 60 + 0,15 × 4,468 × 60 + 1,3 × 0,15 × 4,8 × 60) × 9 × 0,000001 = 0,000957
	Сажа	(0 × 4 + 0,24 × 45 + 0,04 × 1,9 × 60 + 0,25 × 4,468 × 60 + 1,3 × 0,25 × 4,8 × 60) × 9 × 0,000001 = 0,001584
Краны на автомобильном ходу грузоподъемностью 10 т	Оксид углерода	(8,2 × 0,9 × 30 + 2,9 × 0,9 × 1,7 × 60 + 7,4 × 4,468 × 60 × 0,0833 + 1,3 × 7,4 × 4,8 × 60 × 0,0833) × 449 × 0,000001 = 0,396762
	Керосин	(1,1 × 0,9 × 30 + 0,45 × 0,9 × 1,7 × 60 + 1,2 × 4,468 × 60 × 0,0833 + 1,3 × 1,2 × 4,8 × 60 × 0,0833) × 449 × 0,000001 = 0,060719
	Оксиды азота - азота диоксид - азота оксид	(2 × 1 × 30 + 1 × 1 × 1,7 × 60 + 4 × 4,468 × 60 × 0,0833 + 1,3 × 4 × 4,8 × 60 × 0,0833) × 449 × 0,000001 = 0,168857 0,168857 × 0,8 = 0,135086 0,168857 × (1 - 0,8) × 0,65 = 0,021951
	Сажа	(0,16 × 0,8 × 30 + 0,04 × 0,8 × 1,7 × 60 + 0,4 × 4,468 × 60 × 0,0833 + 1,3 × 0,4 × 4,8 × 60 × 0,0833) × 449 × 0,000001 = 0,012802
	Диоксид серы	(0,136 × 0,95 × 30 + 0,1 × 0,95 × 1,7 × 60 + 0,67 × 4,468 × 60 × 0,0833 + 1,3 × 0,67 × 4,8 × 60 × 0,0833) × 449 × 0,000001 = 0,022191
Автомобили бортовые, грузоподъемность до 15 т с дизельным двигателем	Оксид углерода	(8,2 × 0,9 × 30 + 2,9 × 0,9 × 2) × 1160 × 0,000001 + 7,4 × 417510 × 0,000001 = 3,352453
	Керосин	(1,1 × 0,9 × 30 + 0,45 × 0,9 × 2) × 1160 × 0,000001 + 1,2 × 417510 × 0,000001 = 0,536404
	Оксиды азота	(2 × 1 × 30 + 1 × 1 × 2) × 1160 × 0,000001 + 4 × 417510 × 0,000001 = 1,74196
	- азота диоксид	1,74196 × 0,8 = 1,393568

Наименование автотранспорта и строительной техники	Наименование загрязняющих веществ, поступающих в атмосферу	Валовое количество загрязняющих веществ, поступающих в атмосферу в период строительства, т
	- азота оксид	1,74196 × (1 - 0,8) × 0,65 = 0,226455
	Сажа	(0,16 × 0,8 × 30 + 0,04 × 0,8 × 2) × 1160 × 0,000001 + 0,4 × 417510 × 0,000001 = 0,171533
	Диоксид серы	(0,136 × 0,95 × 30 + 0,1 × 0,95 × 2) × 1160 × 0,000001 + 0,67 × 417510 × 0,000001 = 0,284448
Автомобили бортовые, грузоподъемность до 5 т с дизельным двигателем	Оксид углерода	(3,1 × 0,9 × 30 + 1,5 × 0,9 × 2) × 233 × 0,000001 + 4,3 × 83580 × 0,000001 = 0,379525
	Керосин	(0,6 × 0,9 × 30 + 0,25 × 0,9 × 2) × 233 × 0,000001 + 0,8 × 83580 × 0,000001 = 0,070743
	Оксиды азота, в т.ч.: - азота диоксид - азот (II) оксид	(0,7 × 1 × 30 + 0,5 × 1 × 2) × 233 × 0,000001 + 2,6 × 83580 × 0,000001 = 0,222434 0,222434 × 0,8 = 0,177947 0,222434 × (1 - 0,8) × 0,65 = 0,028916
	Сажа	(0,08 × 0,8 × 30 + 0,02 × 0,8 × 2) × 233 × 0,000001 + 0,3 × 83580 × 0,000001 = 0,025529
	Диоксид серы	(0,086 × 0,95 × 30 + 0,072 × 0,95 × 2) × 233 × 0,000001 + 0,49 × 83580 × 0,000001 = 0,041557
Автомобили бортовые, грузоподъемность до 8 т с дизельным двигателем	Оксид углерода	(4,4 × 0,9 × 30 + 2,8 × 0,9 × 2) × 83 × 0,000001 + 6,2 × 29820 × 0,000001 = 0,195163
	Керосин	(0,8 × 0,9 × 30 + 0,35 × 0,9 × 2) × 83 × 0,000001 + 1,1 × 29820 × 0,000001 = 0,034647
	Оксиды азота, в т.ч.: - азота диоксид - азот (II) оксид	(0,8 × 1 × 30 + 0,6 × 1 × 2) × 83 × 0,000001 + 3,5 × 29820 × 0,000001 = 0,106462 0,106462 × 0,8 = 0,08517 0,106462 × (1 - 0,8) × 0,65 = 0,01384
	Сажа	(0,12 × 0,8 × 30 + 0,03 × 0,8 × 2) × 83 × 0,000001 + 0,35 × 29820 × 0,000001 = 0,01068
	Диоксид серы	(0,108 × 0,95 × 30 + 0,09 × 0,95 × 2) × 83 × 0,000001 + 0,56 × 29820 × 0,000001 = 0,016969
Автомобиль-самосвал, грузоподъемность до 10 т с дизельным двигателем	Оксид углерода	(8,2 × 0,9 × 30 + 2,9 × 0,9 × 2) × 11 × 0,000001 + 7,4 × 3930 × 0,000001 = 0,031575
	Керосин	(1,1 × 0,9 × 30 + 0,45 × 0,9 × 2) × 11 × 0,000001 + 1,2 × 3930 × 0,000001 = 0,005052
	Оксиды азота - азота диоксид - азота оксид	(2 × 1 × 30 + 1 × 1 × 2) × 11 × 0,000001 + 4 × 3930 × 0,000001 = 0,016402 0,016402 × 0,8 = 0,013122 0,016402 × (1 - 0,8) × 0,65 = 0,002132
	Сажа	(0,16 × 0,8 × 30 + 0,04 × 0,8 × 2) × 11 × 0,000001 + 0,4 × 3930 × 0,000001 = 0,001615
	Диоксид серы	(0,136 × 0,95 × 30 + 0,1 × 0,95 × 2) × 11 × 0,000001 + 0,67 × 3930 × 0,000001 = 0,002678
Комплекты оборудования шнекового бурения на базе автомобиля, глубина бурения до 50 м, грузоподъемность мачты 3,7 т	Оксид углерода	(4,4 × 0,9 × 30 + 2,8 × 0,9 × 670,2) × 95 × 0,000001 + 6,2 × 60 × 0,000001 = 0,172104
	Керосин	(0,8 × 0,9 × 30 + 0,35 × 0,9 × 670,2) × 95 × 0,000001 + 1,1 × 60 × 0,000001 = 0,022174
	Оксиды азота, в т.ч.: - азота диоксид - азот (II) оксид	(0,8 × 1 × 30 + 0,6 × 1 × 670,2) × 95 × 0,000001 + 3,5 × 60 × 0,000001 = 0,040691 0,040691 × 0,8 = 0,032553 0,040691 × (1 - 0,8) × 0,65 = 0,00529
	Сажа	(0,12 × 0,8 × 30 + 0,03 × 0,8 × 670,2) × 95 × 0,000001 + 0,35 × 60 × 0,000001 = 0,001823
	Диоксид серы	(0,108 × 0,95 × 30 + 0,09 × 0,95 × 670,2) × 95 × 0,000001 + 0,56 × 60 × 0,000001 = 0,00577
Комплекты оборудования шнекового бурения на базе автомобиля, глубина бурения до 50 м, грузоподъемность мачты 3,7 т	Оксид углерода	(4,4 × 0,9 × 30 + 2,8 × 0,9 × 670,2) × 278 × 0,000001 + 6,2 × 180 × 0,000001 = 0,503658
	Керосин	(0,8 × 0,9 × 30 + 0,35 × 0,9 × 670,2) × 278 × 0,000001 + 1,1 × 180 × 0,000001 = 0,064892
	Оксиды азота, в т.ч.: - азота диоксид - азот (II) оксид	(0,8 × 1 × 30 + 0,6 × 1 × 670,2) × 278 × 0,000001 + 3,5 × 180 × 0,000001 = 0,119091 0,119091 × 0,8 = 0,095273 0,119091 × (1 - 0,8) × 0,65 = 0,015482
	Сажа	(0,12 × 0,8 × 30 + 0,03 × 0,8 × 670,2) × 278 × 0,000001 + 0,35 × 180 × 0,000001 = 0,005335
	Диоксид серы	(0,108 × 0,95 × 30 + 0,09 × 0,95 × 670,2) × 278 × 0,000001 + 0,56 × 180 × 0,000001 = 0,016886
Автобус вахтовый НЕФАЗ-4208-34 на 28 мест	Оксид углерода	(8,2 × 0,9 × 30 + 2,9 × 0,9 × 2) × 377 × 0,000001 + 7,4 × 15080 × 0,000001 = 0,197028
	Керосин	(1,1 × 0,9 × 30 + 0,45 × 0,9 × 2) × 377 × 0,000001 + 1,2 × 15080 × 0,000001 = 0,029598
	Оксиды азота - азота диоксид	(2 × 1 × 30 + 1 × 1 × 2) × 377 × 0,000001 + 4 × 15080 × 0,000001 = 0,083694 0,083694 × 0,8 = 0,066955

Наименование автотранспорта и строительной техники	Наименование загрязняющих веществ, поступающих в атмосферу	Валовое количество загрязняющих веществ, поступающих в атмосферу в период строительства, т
	- азота оксид	0,083694 × (1 - 0,8) × 0,65 = 0,01088
	Сажа	(0,16 × 0,8 × 30 + 0,04 × 0,8 × 2) × 377 × 0,000001 + 0,4 × 15080 × 0,000001 = 0,007504
	Диоксид серы	(0,136 × 0,95 × 30 + 0,1 × 0,95 × 2) × 377 × 0,000001 + 0,67 × 15080 × 0,000001 = 0,011636
Автоцистерна ALS-15-FH12.00.000 на базе VOLVO FH12/420 грузоподъемностью 20 т с дизельным двигателем	Оксид углерода	(8,2 × 0,9 × 30 + 2,9 × 0,9 × 2) × 76 × 0,000001 + 9,3 × 27360 × 0,000001 = 0,271671
	Керосин	(1,1 × 0,9 × 30 + 0,45 × 0,9 × 2) × 76 × 0,000001 + 1,3 × 27360 × 0,000001 = 0,037887
	Оксиды азота - азота диоксид - азота оксид	(2 × 1 × 30 + 1 × 1 × 2) × 76 × 0,000001 + 4,5 × 27360 × 0,000001 = 0,127832 0,127832 × 0,8 = 0,102266 0,127832 × (1 - 0,8) × 0,65 = 0,016618
	Сажа	(0,16 × 0,8 × 30 + 0,04 × 0,8 × 2) × 76 × 0,000001 + 0,5 × 27360 × 0,000001 = 0,013977
	Диоксид серы	(0,136 × 0,95 × 30 + 0,1 × 0,95 × 2) × 76 × 0,000001 + 0,97 × 27360 × 0,000001 = 0,026848
Вакуумная ассенизаторская машина МВ-10Т КО, с дизельным двигателем	Оксид углерода	(8,2 × 0,9 × 30 + 2,9 × 0,9 × 2) × 76 × 0,000001 + 9,3 × 27360 × 0,000001 = 0,271671
	Керосин	(1,1 × 0,9 × 30 + 0,45 × 0,9 × 2) × 76 × 0,000001 + 1,3 × 27360 × 0,000001 = 0,037887
	Оксиды азота - азота диоксид - азота оксид	(2 × 1 × 30 + 1 × 1 × 2) × 76 × 0,000001 + 4,5 × 27360 × 0,000001 = 0,127832 0,127832 × 0,8 = 0,102266 0,127832 × (1 - 0,8) × 0,65 = 0,016618
	Сажа	(0,16 × 0,8 × 30 + 0,04 × 0,8 × 2) × 76 × 0,000001 + 0,5 × 27360 × 0,000001 = 0,013977
	Диоксид серы	(0,136 × 0,95 × 30 + 0,1 × 0,95 × 2) × 76 × 0,000001 + 0,97 × 27360 × 0,000001 = 0,026848
Топливозаправщик АТЗ-8,5 на базе КАМАЗ 43253-69, с дизельным двигателем	Оксид углерода	(8,2 × 0,9 × 30 + 2,9 × 0,9 × 2) × 76 × 0,000001 + 7,4 × 27360 × 0,000001 = 0,219687
	Керосин	(1,1 × 0,9 × 30 + 0,45 × 0,9 × 2) × 76 × 0,000001 + 1,2 × 27360 × 0,000001 = 0,035151
	Оксиды азота - азота диоксид - азота оксид	(2 × 1 × 30 + 1 × 1 × 2) × 76 × 0,000001 + 4 × 27360 × 0,000001 = 0,114152 0,114152 × 0,8 = 0,091322 0,114152 × (1 - 0,8) × 0,65 = 0,01484
	Сажа	(0,16 × 0,8 × 30 + 0,04 × 0,8 × 2) × 76 × 0,000001 + 0,4 × 27360 × 0,000001 = 0,011241
	Диоксид серы	(0,136 × 0,95 × 30 + 0,1 × 0,95 × 2) × 76 × 0,000001 + 0,67 × 27360 × 0,000001 = 0,01864
Суммарное количество загрязняющих веществ, поступающих в атмосферу при работе автотранспорта и строительной техники в период 3 этапа строительства, т:		
	Оксид углерода	***7,028164***
	Керосин	***1,126147***
	Оксиды азота	***3,456951***
	- азота диоксид	***2,765562***
	- азота оксид	***0,449403***
	Сажа	***0,374951***
	Диоксид серы	***0,543273***
4 этап		
Краны на гусеничном ходу при работе на других видах строительства до 16т	Оксид углерода	(23,3 × 4 + 2,8 × 45 + 1,44 × 1,9 × 60 + 0,94 × 4,468 × 60 + 1,3 × 0,94 × 4,8 × 60) × 51 × 0,000001 = 0,050352
	Керосин	(5,8 × 4 + 0,47 × 45 + 0,18 × 1,9 × 60 + 0,31 × 4,468 × 60 + 1,3 × 0,31 × 4,8 × 60) × 51 × 0,000001 = 0,013466
	Оксиды азота - азота диоксид - азота оксид	(1,2 × 4 + 0,44 × 45 + 0,29 × 1,9 × 60 + 1,49 × 4,468 × 60 + 1,3 × 1,49 × 4,8 × 60) × 51 × 0,000001 = 0,051763 0,051763 × 0,8 = 0,04141 0,051763 × (1 - 0,8) × 0,65 = 0,006729
	Диоксид серы	(0,029 × 4 + 0,072 × 45 + 0,058 × 1,9 × 60 + 0,15 × 4,468 × 60 + 1,3 × 0,15 × 4,8 × 60) × 51 × 0,000001 = 0,005423
	Сажа	(0 × 4 + 0,24 × 45 + 0,04 × 1,9 × 60 + 0,25 × 4,468 × 60 + 1,3 × 0,25 × 4,8 × 60) × 51 × 0,000001 = 0,008975
	Оксид углерода	(25 × 4 + 4,8 × 45 + 2,4 × 1,9 × 60 + 1,57 × 4,468 × 60 + 1,3 × 1,57 × 4,8 × 60) × 55 × 0,000001 = 0,087911

Наименование автотранспорта и строительной техники	Наименование загрязняющих веществ, поступающих в атмосферу	Валовое количество загрязняющих веществ, поступающих в атмосферу в период строительства, т
Экскаваторы одноковшовые дизельные на гусеничном ходу при работе на других видах строительства 1 м3	Керосин	(2,1 × 4 + 0,78 × 45 + 0,3 × 1,9 × 60 + 0,51 × 4,468 × 60 + 1,3 × 0,51 × 4,8 × 60) × 55 × 0,000001 = 0,022295
	Оксиды азота - азота диоксид - азота оксид	(1,7 × 4 + 0,72 × 45 + 0,48 × 1,9 × 60 + 2,47 × 4,468 × 60 + 1,3 × 2,47 × 4,8 × 60) × 55 × 0,000001 = 0,092447 0,092447 × 0,8 = 0,073958 0,092447 × (1 - 0,8) × 0,65 = 0,012018
	Диоксид серы	(0,042 × 4 + 0,12 × 45 + 0,097 × 1,9 × 60 + 0,23 × 4,468 × 60 + 1,3 × 0,23 × 4,8 × 60) × 55 × 0,000001 = 0,009042
	Сажа	(0 × 4 + 0,36 × 45 + 0,06 × 1,9 × 60 + 0,41 × 4,468 × 60 + 1,3 × 0,41 × 4,8 × 60) × 55 × 0,000001 = 0,015755
Бульдозеры при работе на других видах строительства 79 кВт	Оксид углерода	(25 × 4 + 4,8 × 45 + 2,4 × 1,9 × 60 + 1,57 × 4,468 × 60 + 1,3 × 1,57 × 4,8 × 60) × 119 × 0,000001 = 0,190192
	Керосин	(2,1 × 4 + 0,78 × 45 + 0,3 × 1,9 × 60 + 0,51 × 4,468 × 60 + 1,3 × 0,51 × 4,8 × 60) × 119 × 0,000001 = 0,048238
	Оксиды азота - азота диоксид - азота оксид	(1,7 × 4 + 0,72 × 45 + 0,48 × 1,9 × 60 + 2,47 × 4,468 × 60 + 1,3 × 2,47 × 4,8 × 60) × 119 × 0,000001 = 0,20002 0,20002 × 0,8 = 0,160016 0,20002 × (1 - 0,8) × 0,65 = 0,026003
	Диоксид серы	(0,042 × 4 + 0,12 × 45 + 0,097 × 1,9 × 60 + 0,23 × 4,468 × 60 + 1,3 × 0,23 × 4,8 × 60) × 119 × 0,000001 = 0,019563
	Сажа	(0 × 4 + 0,36 × 45 + 0,06 × 1,9 × 60 + 0,41 × 4,468 × 60 + 1,3 × 0,41 × 4,8 × 60) × 119 × 0,000001 = 0,034088
Автогрейдеры среднего типа 99 кВт	Оксид углерода	(25 × 4 + 4,8 × 45 + 2,4 × 1,9 × 60 + 1,57 × 4,468 × 60 + 1,3 × 1,57 × 4,8 × 60) × 126 × 0,000001 = 0,201385
	Керосин	(2,1 × 4 + 0,78 × 45 + 0,3 × 1,9 × 60 + 0,51 × 4,468 × 60 + 1,3 × 0,51 × 4,8 × 60) × 126 × 0,000001 = 0,051076
	Оксиды азота - азота диоксид - азота оксид	(1,7 × 4 + 0,72 × 45 + 0,48 × 1,9 × 60 + 2,47 × 4,468 × 60 + 1,3 × 2,47 × 4,8 × 60) × 126 × 0,000001 = 0,211787 0,211787 × 0,8 = 0,1694296 0,211787 × (1 - 0,8) × 0,65 = 0,027532
	Диоксид серы	(0,042 × 4 + 0,12 × 45 + 0,097 × 1,9 × 60 + 0,23 × 4,468 × 60 + 1,3 × 0,23 × 4,8 × 60) × 126 × 0,000001 = 0,020714
	Сажа	(0 × 4 + 0,36 × 45 + 0,06 × 1,9 × 60 + 0,41 × 4,468 × 60 + 1,3 × 0,41 × 4,8 × 60) × 126 × 0,000001 = 0,0360936
Тракторы на гусеничном ходу при работе на других видах строительства 79 кВт	Оксид углерода	(25 × 4 + 4,8 × 45 + 2,4 × 1,9 × 60 + 1,57 × 4,468 × 60 + 1,3 × 1,57 × 4,8 × 60) × 36 × 0,000001 = 0,057539
	Керосин	(2,1 × 4 + 0,78 × 45 + 0,3 × 1,9 × 60 + 0,51 × 4,468 × 60 + 1,3 × 0,51 × 4,8 × 60) × 36 × 0,000001 = 0,014593
	Оксиды азота - азота диоксид - азота оксид	(1,7 × 4 + 0,72 × 45 + 0,48 × 1,9 × 60 + 2,47 × 4,468 × 60 + 1,3 × 2,47 × 4,8 × 60) × 36 × 0,000001 = 0,060511 0,060511 × 0,8 = 0,0484088 0,060511 × (1 - 0,8) × 0,65 = 0,007866
	Диоксид серы	(0,042 × 4 + 0,12 × 45 + 0,097 × 1,9 × 60 + 0,23 × 4,468 × 60 + 1,3 × 0,23 × 4,8 × 60) × 36 × 0,000001 = 0,005918
	Сажа	(0 × 4 + 0,36 × 45 + 0,06 × 1,9 × 60 + 0,41 × 4,468 × 60 + 1,3 × 0,41 × 4,8 × 60) × 36 × 0,000001 = 0,0103125
Катки дорожные самоходные гладкие 13 т	Оксид углерода	(35 × 4 + 7,8 × 45 + 3,91 × 1,9 × 60 + 2,55 × 4,468 × 60 + 1,3 × 2,55 × 4,8 × 60) × 107 × 0,000001 = 0,275525
	Керосин	(2,9 × 4 + 1,27 × 45 + 0,49 × 1,9 × 60 + 0,85 × 4,468 × 60 + 1,3 × 0,85 × 4,8 × 60) × 107 × 0,000001 = 0,071766
	Оксиды азота - азота диоксид - азота оксид	(3,4 × 4 + 1,17 × 45 + 0,78 × 1,9 × 60 + 4,01 × 4,468 × 60 + 1,3 × 4,01 × 4,8 × 60) × 107 × 0,000001 = 0,292272 0,292272 × 0,8 = 0,233818 0,292272 × (1 - 0,8) × 0,65 = 0,037995
	Диоксид серы	(0,058 × 4 + 0,2 × 45 + 0,16 × 1,9 × 60 + 0,38 × 4,468 × 60 + 1,3 × 0,38 × 4,8 × 60) × 107 × 0,000001 = 0,029063
	Сажа	(0 × 4 + 0,6 × 45 + 0,1 × 1,9 × 60 + 0,67 × 4,468 × 60 + 1,3 × 0,67 × 4,8 × 60) × 107 × 0,000001 = 0,050168
Автомобиль-самосвал, грузоподъемность до 10 т	Оксид углерода	(8,2 × 0,9 × 30 + 2,9 × 0,9 × 2) × 804 × 0,000001 + 7,4 × 32160 × 0,000001 = 0,420186
	Керосин	(1,1 × 0,9 × 30 + 0,45 × 0,9 × 2) × 804 × 0,000001 + 1,2 × 32160 × 0,000001 = 0,063122
	Оксиды азота - азота диоксид - азота оксид	(2 × 1 × 30 + 1 × 1 × 2) × 804 × 0,000001 + 4 × 32160 × 0,000001 = 0,178488 0,178488 × 0,8 = 0,14279 0,178488 × (1 - 0,8) × 0,65 = 0,023203
	Сажа	(0,16 × 0,8 × 30 + 0,04 × 0,8 × 2) × 804 × 0,000001 + 0,4 × 32160 × 0,000001 = 0,016003
	Диоксид серы	(0,136 × 0,95 × 30 + 0,1 × 0,95 × 2) × 804 × 0,000001 + 0,67 × 32160 × 0,000001 = 0,024816
	Оксид углерода	(3,1 × 0,9 × 30 + 1,5 × 0,9 × 2) × 101 × 0,000001 + 4,3 × 4040 × 0,000001 = 0,026098

Наименование автотранспорта и строительной техники	Наименование загрязняющих веществ, поступающих в атмосферу	Валовое количество загрязняющих веществ, поступающих в атмосферу в период строительства, т
Автомобили бортовые, грузоподъемность до 5 т	Керосин	(0,6 × 0,9 × 30 + 0,25 × 0,9 × 2) × 101 × 0,000001 + 0,8 × 4040 × 0,000001 = 0,004914
	Оксиды азота, в т.ч.: - азота диоксид - азот (II) оксид	(0,7 × 1 × 30 + 0,5 × 1 × 2) × 101 × 0,000001 + 2,6 × 4040 × 0,000001 = 0,012726 0,012726 × 0,8 = 0,010181 0,012726 × (1 - 0,8) × 0,65 = 0,001654
	Сажа	(0,08 × 0,8 × 30 + 0,02 × 0,8 × 2) × 101 × 0,000001 + 0,3 × 4040 × 0,000001 = 0,001409
	Диоксид серы	(0,086 × 0,95 × 30 + 0,072 × 0,95 × 2) × 101 × 0,000001 + 0,49 × 4040 × 0,000001 = 0,002241
Заливщик швов на базе автомобиля	Оксид углерода	(3,1 × 0,9 × 30 + 1,5 × 0,9 × 2) × 38 × 0,000001 + 4,3 × 2240 × 0,000001 = 0,012915
	Керосин	(0,6 × 0,9 × 30 + 0,25 × 0,9 × 2) × 38 × 0,000001 + 0,8 × 2240 × 0,000001 = 0,002425
	Оксиды азота, в т.ч.: - азота диоксид - азот (II) оксид	(0,7 × 1 × 30 + 0,5 × 1 × 2) × 38 × 0,000001 + 2,6 × 2240 × 0,000001 = 0,00666 0,00666 × 0,8 = 0,005328 0,00666 × (1 - 0,8) × 0,65 = 0,000866
	Сажа	(0,08 × 0,8 × 30 + 0,02 × 0,8 × 2) × 38 × 0,000001 + 0,3 × 2240 × 0,000001 = 0,000746
	Диоксид серы	(0,086 × 0,95 × 30 + 0,072 × 0,95 × 2) × 38 × 0,000001 + 0,49 × 2240 × 0,000001 = 0,001196
Автобус вахтовый НЕФАЗ-4208-34 на 28 мест	Оксид углерода	(8,2 × 0,9 × 30 + 2,9 × 0,9 × 2) × 101 × 0,000001 + 7,4 × 4040 × 0,000001 = 0,052785
	Керосин	(1,1 × 0,9 × 30 + 0,45 × 0,9 × 2) × 101 × 0,000001 + 1,2 × 4040 × 0,000001 = 0,00793
	Оксиды азота - азота диоксид - азота оксид	(2 × 1 × 30 + 1 × 1 × 2) × 101 × 0,000001 + 4 × 4040 × 0,000001 = 0,022422 0,022422 × 0,8 = 0,017938 0,022422 × (1 - 0,8) × 0,65 = 0,002915
	Сажа	(0,16 × 0,8 × 30 + 0,04 × 0,8 × 2) × 101 × 0,000001 + 0,4 × 4040 × 0,000001 = 0,00201
	Диоксид серы	(0,136 × 0,95 × 30 + 0,1 × 0,95 × 2) × 101 × 0,000001 + 0,67 × 4040 × 0,000001 = 0,003117
Автоцистерна ALS-15-FH12.00.000 на базе VOLVO FH12/420 грузоподъемностью 20 т с дизельным двигателем	Оксид углерода	(8,2 × 0,9 × 30 + 2,9 × 0,9 × 2) × 101 × 0,000001 + 9,3 × 36360 × 0,000001 = 0,361037
	Керосин	(1,1 × 0,9 × 30 + 0,45 × 0,9 × 2) × 101 × 0,000001 + 1,3 × 36360 × 0,000001 = 0,05035
	Оксиды азота - азота диоксид - азота оксид	(2 × 1 × 30 + 1 × 1 × 2) × 101 × 0,000001 + 4,5 × 36360 × 0,000001 = 0,169882 0,169882 × 0,8 = 0,135906 0,169882 × (1 - 0,8) × 0,65 = 0,022085
	Сажа	(0,16 × 0,8 × 30 + 0,04 × 0,8 × 2) × 101 × 0,000001 + 0,5 × 36360 × 0,000001 = 0,018574
	Диоксид серы	(0,136 × 0,95 × 30 + 0,1 × 0,95 × 2) × 101 × 0,000001 + 0,97 × 36360 × 0,000001 = 0,03568
Вакуумная ассенизаторская машина МВ-10Т КО, с дизельным двигателем	Оксид углерода	(8,2 × 0,9 × 30 + 2,9 × 0,9 × 2) × 101 × 0,000001 + 9,3 × 36360 × 0,000001 = 0,361037
	Керосин	(1,1 × 0,9 × 30 + 0,45 × 0,9 × 2) × 101 × 0,000001 + 1,3 × 36360 × 0,000001 = 0,05035
	Оксиды азота - азота диоксид - азота оксид	(2 × 1 × 30 + 1 × 1 × 2) × 101 × 0,000001 + 4,5 × 36360 × 0,000001 = 0,169882 0,169882 × 0,8 = 0,135906 0,169882 × (1 - 0,8) × 0,65 = 0,022085
	Сажа	(0,16 × 0,8 × 30 + 0,04 × 0,8 × 2) × 101 × 0,000001 + 0,5 × 36360 × 0,000001 = 0,018574
	Диоксид серы	(0,136 × 0,95 × 30 + 0,1 × 0,95 × 2) × 101 × 0,000001 + 0,97 × 36360 × 0,000001 = 0,03568
Топливозаправщик АТЗ-8,5 на базе КАМАЗ 43253-69, с дизельным двигателем	Оксид углерода	(8,2 × 0,9 × 30 + 2,9 × 0,9 × 2) × 101 × 0,000001 + 7,4 × 36360 × 0,000001 = 0,291953
	Керосин	(1,1 × 0,9 × 30 + 0,45 × 0,9 × 2) × 101 × 0,000001 + 1,2 × 36360 × 0,000001 = 0,046714
	Оксиды азота - азота диоксид - азота оксид	(2 × 1 × 30 + 1 × 1 × 2) × 101 × 0,000001 + 4 × 36360 × 0,000001 = 0,151702 0,151702 × 0,8 = 0,121362 0,151702 × (1 - 0,8) × 0,65 = 0,019721
	Сажа	(0,16 × 0,8 × 30 + 0,04 × 0,8 × 2) × 101 × 0,000001 + 0,4 × 36360 × 0,000001 = 0,014938
	Диоксид серы	(0,136 × 0,95 × 30 + 0,1 × 0,95 × 2) × 101 × 0,000001 + 0,67 × 36360 × 0,000001 = 0,024772
Суммарное количество загрязняющих веществ, поступающих в атмосферу при работе автотранспорта и строительной техники в период 4 этапа строительства, т:		

Наименование автотранспорта и строительной техники	Наименование загрязняющих веществ, поступающих в атмосферу	Валовое количество загрязняющих веществ, поступающих в атмосферу в период строительства, т
	Оксид углерода	***2,4417***
	Керосин	***0,455169***
	Оксиды азота	***1,642984***
	- азота диоксид	***1,3143894***
	- азота оксид	***0,213587***
	Сажа	***0,2276461***
	Диоксид серы	***0,217225***
5 этап		
Краны на гусеничном ходу грузоподъемностью до 16т с двигателем мощностью 58,8 кВт	Оксид углерода	(23,3 × 4 + 2,8 × 45 + 1,44 × 1,9 × 60 + 0,94 × 4,468 × 60 + 1,3 × 0,94 × 4,8 × 60) × 50 × 0,000001 = 0,04936
	Керосин	(5,8 × 4 + 0,47 × 45 + 0,18 × 1,9 × 60 + 0,31 × 4,468 × 60 + 1,3 × 0,31 × 4,8 × 60) × 50 × 0,000001 = 0,013201
	Оксиды азота	(1,2 × 4 + 0,44 × 45 + 0,29 × 1,9 × 60 + 1,49 × 4,468 × 60 + 1,3 × 1,49 × 4,8 × 60) × 50 × 0,000001 = 0,050748
	- азота диоксид	0,050748 × 0,8 = 0,040598
	- азота оксид	0,050748 × (1 - 0,8) × 0,65 = 0,006597
	Диоксид серы	(0,029 × 4 + 0,072 × 45 + 0,058 × 1,9 × 60 + 0,15 × 4,468 × 60 + 1,3 × 0,15 × 4,8 × 60) × 50 × 0,000001 = 0,005317
	Сажа	(0 × 4 + 0,24 × 45 + 0,04 × 1,9 × 60 + 0,25 × 4,468 × 60 + 1,3 × 0,25 × 4,8 × 60) × 50 × 0,000001 = 0,008799
Экскаваторы одноковшовые дизельные на гусеничном ходу при работе на других видах строительства 1 м3	Оксид углерода	(25 × 4 + 4,8 × 45 + 2,4 × 1,9 × 60 + 1,57 × 4,468 × 60 + 1,3 × 1,57 × 4,8 × 60) × 182 × 0,000001 = 0,290885
	Керосин	(2,1 × 4 + 0,78 × 45 + 0,3 × 1,9 × 60 + 0,51 × 4,468 × 60 + 1,3 × 0,51 × 4,8 × 60) × 182 × 0,000001 = 0,073776
	Оксиды азота	(1,7 × 4 + 0,72 × 45 + 0,48 × 1,9 × 60 + 2,47 × 4,468 × 60 + 1,3 × 2,47 × 4,8 × 60) × 182 × 0,000001 = 0,305914
	- азота диоксид	0,305914 × 0,8 = 0,244731
	- азота оксид	0,305914 × (1 - 0,8) × 0,65 = 0,039769
	Диоксид серы	(0,042 × 4 + 0,12 × 45 + 0,097 × 1,9 × 60 + 0,23 × 4,468 × 60 + 1,3 × 0,23 × 4,8 × 60) × 182 × 0,000001 = 0,02992
	Сажа	(0 × 4 + 0,36 × 45 + 0,06 × 1,9 × 60 + 0,41 × 4,468 × 60 + 1,3 × 0,41 × 4,8 × 60) × 182 × 0,000001 = 0,052135
Бульдозеры при работе на других видах строительства 79 кВт	Оксид углерода	(25 × 4 + 4,8 × 45 + 2,4 × 1,9 × 60 + 1,57 × 4,468 × 60 + 1,3 × 1,57 × 4,8 × 60) × 241 × 0,000001 = 0,385194
	Керосин	(2,1 × 4 + 0,78 × 45 + 0,3 × 1,9 × 60 + 0,51 × 4,468 × 60 + 1,3 × 0,51 × 4,8 × 60) × 241 × 0,000001 = 0,097693
	Оксиды азота	(1,7 × 4 + 0,72 × 45 + 0,48 × 1,9 × 60 + 2,47 × 4,468 × 60 + 1,3 × 2,47 × 4,8 × 60) × 241 × 0,000001 = 0,405084
	- азота диоксид	0,405084 × 0,8 = 0,324067
	- азота оксид	0,405084 × (1 - 0,8) × 0,65 = 0,052661
	Диоксид серы	(0,042 × 4 + 0,12 × 45 + 0,097 × 1,9 × 60 + 0,23 × 4,468 × 60 + 1,3 × 0,23 × 4,8 × 60) × 241 × 0,000001 = 0,03962
	Сажа	(0 × 4 + 0,36 × 45 + 0,06 × 1,9 × 60 + 0,41 × 4,468 × 60 + 1,3 × 0,41 × 4,8 × 60) × 241 × 0,000001 = 0,069036
Автогрейдеры среднего типа 99 кВт	Оксид углерода	(25 × 4 + 4,8 × 45 + 2,4 × 1,9 × 60 + 1,57 × 4,468 × 60 + 1,3 × 1,57 × 4,8 × 60) × 112 × 0,000001 = 0,179014
	Керосин	(2,1 × 4 + 0,78 × 45 + 0,3 × 1,9 × 60 + 0,51 × 4,468 × 60 + 1,3 × 0,51 × 4,8 × 60) × 112 × 0,000001 = 0,045401
	Оксиды азота	(1,7 × 4 + 0,72 × 45 + 0,48 × 1,9 × 60 + 2,47 × 4,468 × 60 + 1,3 × 2,47 × 4,8 × 60) × 112 × 0,000001 = 0,188256
	- азота диоксид	0,188256 × 0,8 = 0,1506048
	- азота оксид	0,188256 × (1 - 0,8) × 0,65 = 0,024473
	Диоксид серы	(0,042 × 4 + 0,12 × 45 + 0,097 × 1,9 × 60 + 0,23 × 4,468 × 60 + 1,3 × 0,23 × 4,8 × 60) × 112 × 0,000001 = 0,018412
	Сажа	(0 × 4 + 0,36 × 45 + 0,06 × 1,9 × 60 + 0,41 × 4,468 × 60 + 1,3 × 0,41 × 4,8 × 60) × 112 × 0,000001 = 0,0320833
Тракторы на гусеничном ходу при работе на других видах строительства 79 кВт	Оксид углерода	(25 × 4 + 4,8 × 45 + 2,4 × 1,9 × 60 + 1,57 × 4,468 × 60 + 1,3 × 1,57 × 4,8 × 60) × 172 × 0,000001 = 0,274912
	Керосин	(2,1 × 4 + 0,78 × 45 + 0,3 × 1,9 × 60 + 0,51 × 4,468 × 60 + 1,3 × 0,51 × 4,8 × 60) × 172 × 0,000001 = 0,069723
	Оксиды азота	(1,7 × 4 + 0,72 × 45 + 0,48 × 1,9 × 60 + 2,47 × 4,468 × 60 + 1,3 × 2,47 × 4,8 × 60) × 172 × 0,000001 = 0,289106
	- азота диоксид	0,289106 × 0,8 = 0,2312848
	- азота оксид	0,289106 × (1 - 0,8) × 0,65 = 0,037584

Наименование автотранспорта и строительной техники	Наименование загрязняющих веществ, поступающих в атмосферу	Валовое количество загрязняющих веществ, поступающих в атмосферу в период строительства, т
	Диоксид серы	(0,042 × 4 + 0,12 × 45 + 0,097 × 1,9 × 60 + 0,23 × 4,468 × 60 + 1,3 × 0,23 × 4,8 × 60) × 172 × 0,000001 = 0,028276
	Сажа	(0 × 4 + 0,36 × 45 + 0,06 × 1,9 × 60 + 0,41 × 4,468 × 60 + 1,3 × 0,41 × 4,8 × 60) × 172 × 0,000001 = 0,0492707
Бульдозеры при работе на других видах строительства 243 кВт	Оксид углерода	(57 × 4 + 12,6 × 45 + 6,31 × 1,9 × 60 + 4,11 × 4,468 × 60 + 1,3 × 4,11 × 4,8 × 60) × 64 × 0,000001 = 0,265927
	Керосин	(4,7 × 4 + 2,05 × 45 + 0,79 × 1,9 × 60 + 1,37 × 4,468 × 60 + 1,3 × 1,37 × 4,8 × 60) × 64 × 0,000001 = 0,069204
	Оксиды азота - азота диоксид - азота оксид	(4,5 × 4 + 1,91 × 45 + 1,27 × 1,9 × 60 + 6,47 × 4,468 × 60 + 1,3 × 6,47 × 4,8 × 60) × 64 × 0,000001 = 0,281957 0,281957 × 0,8 = 0,225566 0,281957 × (1 - 0,8) × 0,65 = 0,036654
	Диоксид серы	(0,095 × 4 + 0,31 × 45 + 0,25 × 1,9 × 60 + 0,63 × 4,468 × 60 + 1,3 × 0,63 × 4,8 × 60) × 64 × 0,000001 = 0,028646
	Сажа	(0 × 4 + 1,02 × 45 + 0,17 × 1,9 × 60 + 1,08 × 4,468 × 60 + 1,3 × 1,08 × 4,8 × 60) × 64 × 0,000001 = 0,048586
Автомобиль-самосвал, грузоподъемность до 10 т	Оксид углерода	(8,2 × 0,9 × 30 + 2,9 × 0,9 × 2) × 1296 × 0,000001 + 7,4 × 466560 × 0,000001 = 3,746244
	Керосин	(1,1 × 0,9 × 30 + 0,45 × 0,9 × 2) × 1296 × 0,000001 + 1,2 × 466560 × 0,000001 = 0,599413
	Оксиды азота - азота диоксид - азота оксид	(2 × 1 × 30 + 1 × 1 × 2) × 1296 × 0,000001 + 4 × 466560 × 0,000001 = 1,946592 1,946592 × 0,8 = 1,557274 1,946592 × (1 - 0,8) × 0,65 = 0,253057
	Сажа	(0,16 × 0,8 × 30 + 0,04 × 0,8 × 2) × 1296 × 0,000001 + 0,4 × 466560 × 0,000001 = 0,191684
	Диоксид серы	(0,136 × 0,95 × 30 + 0,1 × 0,95 × 2) × 1296 × 0,000001 + 0,67 × 466560 × 0,000001 = 0,317865
Автомобили бортовые, грузоподъемность до 15 т	Оксид углерода	(3,1 × 0,9 × 30 + 1,5 × 0,9 × 2) × 122 × 0,000001 + 4,3 × 43740 × 0,000001 = 0,198623
	Керосин	(0,6 × 0,9 × 30 + 0,25 × 0,9 × 2) × 122 × 0,000001 + 0,8 × 43740 × 0,000001 = 0,037023
	Оксиды азота, в т.ч.: - азота диоксид - азот (II) оксид	(0,7 × 1 × 30 + 0,5 × 1 × 2) × 122 × 0,000001 + 2,6 × 43740 × 0,000001 = 0,116408 0,116408 × 0,8 = 0,093126 0,116408 × (1 - 0,8) × 0,65 = 0,015133
	Сажа	(0,08 × 0,8 × 30 + 0,02 × 0,8 × 2) × 122 × 0,000001 + 0,3 × 43740 × 0,000001 = 0,01336
	Диоксид серы	(0,086 × 0,95 × 30 + 0,072 × 0,95 × 2) × 122 × 0,000001 + 0,49 × 43740 × 0,000001 = 0,021748
Автобус вахтовый НЕФАЗ-4208-34 на 28 мест	Оксид углерода	(8,2 × 0,9 × 30 + 2,9 × 0,9 × 2) × 76 × 0,000001 + 7,4 × 3040 × 0,000001 = 0,039719
	Керосин	(1,1 × 0,9 × 30 + 0,45 × 0,9 × 2) × 76 × 0,000001 + 1,2 × 3040 × 0,000001 = 0,005967
	Оксиды азота - азота диоксид - азота оксид	(2 × 1 × 30 + 1 × 1 × 2) × 76 × 0,000001 + 4 × 3040 × 0,000001 = 0,016872 0,016872 × 0,8 = 0,013498 0,016872 × (1 - 0,8) × 0,65 = 0,002193
	Сажа	(0,16 × 0,8 × 30 + 0,04 × 0,8 × 2) × 76 × 0,000001 + 0,4 × 3040 × 0,000001 = 0,001513
	Диоксид серы	(0,136 × 0,95 × 30 + 0,1 × 0,95 × 2) × 76 × 0,000001 + 0,67 × 3040 × 0,000001 = 0,002346
Автоцистерна ALS-15-FH12.00.000 на базе VOLVO FH12/420 грузоподъемностью 20 т с дизельным двигателем	Оксид углерода	(8,2 × 0,9 × 30 + 2,9 × 0,9 × 2) × 76 × 0,000001 + 9,3 × 27360 × 0,000001 = 0,271671
	Керосин	(1,1 × 0,9 × 30 + 0,45 × 0,9 × 2) × 76 × 0,000001 + 1,3 × 27360 × 0,000001 = 0,037887
	Оксиды азота - азота диоксид - азота оксид	(2 × 1 × 30 + 1 × 1 × 2) × 76 × 0,000001 + 4,5 × 27360 × 0,000001 = 0,127832 0,127832 × 0,8 = 0,102266 0,127832 × (1 - 0,8) × 0,65 = 0,016618
	Сажа	(0,16 × 0,8 × 30 + 0,04 × 0,8 × 2) × 76 × 0,000001 + 0,5 × 27360 × 0,000001 = 0,013977
	Диоксид серы	(0,136 × 0,95 × 30 + 0,1 × 0,95 × 2) × 76 × 0,000001 + 0,97 × 27360 × 0,000001 = 0,026848
Вакуумная ассенизаторская машина МВ-10Т КО, с дизельным двигателем	Оксид углерода	(8,2 × 0,9 × 30 + 2,9 × 0,9 × 2) × 76 × 0,000001 + 9,3 × 27360 × 0,000001 = 0,271671
	Керосин	(1,1 × 0,9 × 30 + 0,45 × 0,9 × 2) × 76 × 0,000001 + 1,3 × 27360 × 0,000001 = 0,037887
	Оксиды азота - азота диоксид - азота оксид	(2 × 1 × 30 + 1 × 1 × 2) × 76 × 0,000001 + 4,5 × 27360 × 0,000001 = 0,127832 0,127832 × 0,8 = 0,102266 0,127832 × (1 - 0,8) × 0,65 = 0,016618

Наименование автотранспорта и строительной техники	Наименование загрязняющих веществ, поступающих в атмосферу	Валовое количество загрязняющих веществ, поступающих в атмосферу в период строительства, т
	Сажа	(0,16 × 0,8 × 30 + 0,04 × 0,8 × 2) × 76 × 0,000001 + 0,5 × 27360 × 0,000001 = 0,013977
	Диоксид серы	(0,136 × 0,95 × 30 + 0,1 × 0,95 × 2) × 76 × 0,000001 + 0,97 × 27360 × 0,000001 = 0,026848
Топливозаправщик АТЗ-8,5 на базе КАМАЗ 43253-69, с дизельным двигателем	Оксид углерода	(8,2 × 0,9 × 30 + 2,9 × 0,9 × 2) × 76 × 0,000001 + 7,4 × 27360 × 0,000001 = 0,219687
	Керосин	(1,1 × 0,9 × 30 + 0,45 × 0,9 × 2) × 76 × 0,000001 + 1,2 × 27360 × 0,000001 = 0,035151
	Оксиды азота - азота диоксид - азота оксид	(2 × 1 × 30 + 1 × 1 × 2) × 76 × 0,000001 + 4 × 27360 × 0,000001 = 0,114152 0,114152 × 0,8 = 0,091322 0,114152 × (1 - 0,8) × 0,65 = 0,01484
	Сажа	(0,16 × 0,8 × 30 + 0,04 × 0,8 × 2) × 76 × 0,000001 + 0,4 × 27360 × 0,000001 = 0,011241
	Диоксид серы	(0,136 × 0,95 × 30 + 0,1 × 0,95 × 2) × 76 × 0,000001 + 0,67 × 27360 × 0,000001 = 0,01864
Суммарное количество загрязняющих веществ, поступающих в атмосферу при работе автотранспорта и строительной техники в период 5 этапа строительства, т:		
	Оксид углерода	***6,192907***
	Керосин	***1,122326***
	Оксиды азота ***- азота диоксид*** ***- азота оксид***	***3,970753*** ***3,1766036*** ***0,516197***
	Сажа	***0,505662***
	Диоксид серы	***0,564486***
6 этап		
Краны на гусеничном ходу при работе на других видах строительства до 16т	Оксид углерода	(25 × 4 + 4,8 × 45 + 2,4 × 1,9 × 60 + 1,57 × 4,468 × 60 + 1,3 × 1,57 × 4,8 × 60) × 3 × 0,000001 = 0,004795
	Керосин	(2,1 × 4 + 0,78 × 45 + 0,3 × 1,9 × 60 + 0,51 × 4,468 × 60 + 1,3 × 0,51 × 4,8 × 60) × 3 × 0,000001 = 0,001216
	Оксиды азота - азота диоксид - азота оксид	(1,7 × 4 + 0,72 × 45 + 0,48 × 1,9 × 60 + 2,47 × 4,468 × 60 + 1,3 × 2,47 × 4,8 × 60) × 3 × 0,000001 = 0,005042 0,005042 × 0,8 = 0,004034 0,005042 × (1 - 0,8) × 0,65 = 0,000655
	Диоксид серы	(0,042 × 4 + 0,12 × 45 + 0,097 × 1,9 × 60 + 0,23 × 4,468 × 60 + 1,3 × 0,23 × 4,8 × 60) × 3 × 0,000001 = 0,000493
	Сажа	(0 × 4 + 0,36 × 45 + 0,06 × 1,9 × 60 + 0,41 × 4,468 × 60 + 1,3 × 0,41 × 4,8 × 60) × 3 × 0,000001 = 0,0008593
Агрегаты копровые без дизель-молота на базе трактора 80 кВт	Оксид углерода	(25 × 4 + 4,8 × 45 + 2,4 × 1,9 × 60 + 1,57 × 4,468 × 60 + 1,3 × 1,57 × 4,8 × 60) × 1 × 0,000001 = 0,001603
	Керосин	(2,1 × 4 + 0,78 × 45 + 0,3 × 1,9 × 60 + 0,51 × 4,468 × 60 + 1,3 × 0,51 × 4,8 × 60) × 1 × 0,000001 = 0,000406
	Оксиды азота - азота диоксид - азота оксид	(1,7 × 4 + 0,72 × 45 + 0,48 × 1,9 × 60 + 2,47 × 4,468 × 60 + 1,3 × 2,47 × 4,8 × 60) × 1 × 0,000001 = 0,001681 0,001681 × 0,8 = 0,001345 0,001681 × (1 - 0,8) × 0,65 = 0,000219
	Диоксид серы	(0,042 × 4 + 0,12 × 45 + 0,097 × 1,9 × 60 + 0,23 × 4,468 × 60 + 1,3 × 0,23 × 4,8 × 60) × 1 × 0,000001 = 0,000164
	Сажа	(0 × 4 + 0,36 × 45 + 0,06 × 1,9 × 60 + 0,41 × 4,468 × 60 + 1,3 × 0,41 × 4,8 × 60) × 1 × 0,000001 = 0,000287
Тракторы на гусеничном ходу при работе на других видах строительства 79 кВт	Оксид углерода	(25 × 4 + 4,8 × 45 + 2,4 × 1,9 × 60 + 1,57 × 4,468 × 60 + 1,3 × 1,57 × 4,8 × 60) × 2 × 0,000001 = 0,003192
	Керосин	(2,1 × 4 + 0,78 × 45 + 0,3 × 1,9 × 60 + 0,51 × 4,468 × 60 + 1,3 × 0,51 × 4,8 × 60) × 2 × 0,000001 = 0,00081
	Оксиды азота - азота диоксид - азота оксид	(1,7 × 4 + 0,72 × 45 + 0,48 × 1,9 × 60 + 2,47 × 4,468 × 60 + 1,3 × 2,47 × 4,8 × 60) × 2 × 0,000001 = 0,003362 0,003362 × 0,8 = 0,00269 0,003362 × (1 - 0,8) × 0,65 = 0,000437
	Диоксид серы	(0,042 × 4 + 0,12 × 45 + 0,097 × 1,9 × 60 + 0,23 × 4,468 × 60 + 1,3 × 0,23 × 4,8 × 60) × 2 × 0,000001 = 0,000329
	Сажа	(0 × 4 + 0,36 × 45 + 0,06 × 1,9 × 60 + 0,41 × 4,468 × 60 + 1,3 × 0,41 × 4,8 × 60) × 2 × 0,000001 = 0,000573
Автомобили бортовые, грузоподъемность до 5 т	Оксид углерода	(8,2 × 0,9 × 30 + 2,9 × 0,9 × 2) × 1 × 0,000001 + 7,4 × 90 × 0,000001 = 0,000893
	Керосин	(1,1 × 0,9 × 30 + 0,45 × 0,9 × 2) × 1 × 0,000001 + 1,2 × 90 × 0,000001 = 0,000139

Наименование автотранспорта и строительной техники	Наименование загрязняющих веществ, поступающих в атмосферу	Валовое количество загрязняющих веществ, поступающих в атмосферу в период строительства, т
	Оксиды азота - азота диоксид - азота оксид	(2 × 1 × 30 + 1 × 1 × 2) × 1 × 0,000001 + 4 × 90 × 0,000001 = 0,000422 0,000422 × 0,8 = 0,000338 0,000422 × (1 - 0,8) × 0,65 = 0,000055
	Сажа	(0,16 × 0,8 × 30 + 0,04 × 0,8 × 2) × 1 × 0,000001 + 0,4 × 90 × 0,000001 = 0,00004
	Диоксид серы	(0,136 × 0,95 × 30 + 0,1 × 0,95 × 2) × 1 × 0,000001 + 0,67 × 90 × 0,000001 = 0,000064
Комплекты оборудования шнекового бурения	Оксид углерода	(8,2 × 0,9 × 30 + 2,9 × 0,9 × 2) × 17 × 0,000001 + 7,4 × 10 × 0,000001 = 0,003927
	Керосин	(1,1 × 0,9 × 30 + 0,45 × 0,9 × 2) × 17 × 0,000001 + 1,2 × 10 × 0,000001 = 0,000531
	Оксиды азота - азота диоксид - азота оксид	(2 × 1 × 30 + 1 × 1 × 2) × 17 × 0,000001 + 4 × 10 × 0,000001 = 0,001094 0,001094 × 0,8 = 0,000875 0,001094 × (1 - 0,8) × 0,65 = 0,000142
	Сажа	(0,16 × 0,8 × 30 + 0,04 × 0,8 × 2) × 17 × 0,000001 + 0,4 × 10 × 0,000001 = 0,00007
	Диоксид серы	(0,136 × 0,95 × 30 + 0,1 × 0,95 × 2) × 17 × 0,000001 + 0,67 × 10 × 0,000001 = 0,000076
Автобус вахтовый НЕФАЗ-4208-34 на 28 мест	Оксид углерода	(8,2 × 0,9 × 30 + 2,9 × 0,9 × 2) × 26 × 0,000001 + 7,4 × 1040 × 0,000001 = 0,013588
	Керосин	(1,1 × 0,9 × 30 + 0,45 × 0,9 × 2) × 26 × 0,000001 + 1,2 × 1040 × 0,000001 = 0,002041
	Оксиды азота - азота диоксид - азота оксид	(2 × 1 × 30 + 1 × 1 × 2) × 26 × 0,000001 + 4 × 1040 × 0,000001 = 0,005772 0,005772 × 0,8 = 0,004618 0,005772 × (1 - 0,8) × 0,65 = 0,00075
	Сажа	(0,16 × 0,8 × 30 + 0,04 × 0,8 × 2) × 26 × 0,000001 + 0,4 × 1040 × 0,000001 = 0,000518
	Диоксид серы	(0,136 × 0,95 × 30 + 0,1 × 0,95 × 2) × 26 × 0,000001 + 0,67 × 1040 × 0,000001 = 0,000803
Автоцистерна ALS-15-FH12.00.000 на базе VOLVO FH12/420 грузоподъемностью 20 т с дизельным двигателем	Оксид углерода	(8,2 × 0,9 × 30 + 2,9 × 0,9 × 2) × 26 × 0,000001 + 9,3 × 9360 × 0,000001 = 0,09294
	Керосин	(1,1 × 0,9 × 30 + 0,45 × 0,9 × 2) × 26 × 0,000001 + 1,3 × 9360 × 0,000001 = 0,012961
	Оксиды азота - азота диоксид - азота оксид	(2 × 1 × 30 + 1 × 1 × 2) × 26 × 0,000001 + 4,5 × 9360 × 0,000001 = 0,043732 0,043732 × 0,8 = 0,034986 0,043732 × (1 - 0,8) × 0,65 = 0,005685
	Сажа	(0,16 × 0,8 × 30 + 0,04 × 0,8 × 2) × 26 × 0,000001 + 0,5 × 9360 × 0,000001 = 0,004782
	Диоксид серы	(0,136 × 0,95 × 30 + 0,1 × 0,95 × 2) × 26 × 0,000001 + 0,97 × 9360 × 0,000001 = 0,009185
Вакуумная ассенизаторская машина МВ-10Т КО, с дизельным двигателем	Оксид углерода	(8,2 × 0,9 × 30 + 2,9 × 0,9 × 2) × 26 × 0,000001 + 9,3 × 9360 × 0,000001 = 0,09294
	Керосин	(1,1 × 0,9 × 30 + 0,45 × 0,9 × 2) × 26 × 0,000001 + 1,3 × 9360 × 0,000001 = 0,012961
	Оксиды азота - азота диоксид - азота оксид	(2 × 1 × 30 + 1 × 1 × 2) × 26 × 0,000001 + 4,5 × 9360 × 0,000001 = 0,043732 0,043732 × 0,8 = 0,034986 0,043732 × (1 - 0,8) × 0,65 = 0,005685
	Сажа	(0,16 × 0,8 × 30 + 0,04 × 0,8 × 2) × 26 × 0,000001 + 0,5 × 9360 × 0,000001 = 0,004782
	Диоксид серы	(0,136 × 0,95 × 30 + 0,1 × 0,95 × 2) × 26 × 0,000001 + 0,97 × 9360 × 0,000001 = 0,009185
Топливозаправщик АТЗ-8,5 на базе КАМАЗ 43253-69, с дизельным двигателем	Оксид углерода	(8,2 × 0,9 × 30 + 2,9 × 0,9 × 2) × 26 × 0,000001 + 7,4 × 9360 × 0,000001 = 0,075156
	Керосин	(1,1 × 0,9 × 30 + 0,45 × 0,9 × 2) × 26 × 0,000001 + 1,2 × 9360 × 0,000001 = 0,012025
	Оксиды азота - азота диоксид - азота оксид	(2 × 1 × 30 + 1 × 1 × 2) × 26 × 0,000001 + 4 × 9360 × 0,000001 = 0,039052 0,039052 × 0,8 = 0,031242 0,039052 × (1 - 0,8) × 0,65 = 0,005077
	Сажа	(0,16 × 0,8 × 30 + 0,04 × 0,8 × 2) × 26 × 0,000001 + 0,4 × 9360 × 0,000001 = 0,003846
	Диоксид серы	(0,136 × 0,95 × 30 + 0,1 × 0,95 × 2) × 26 × 0,000001 + 0,67 × 9360 × 0,000001 = 0,006377
Суммарное количество загрязняющих веществ, поступающих в атмосферу при работе автотранспорта и строительной техники в период 6 этапа строительства, т:		
	Оксид углерода	***0,289034***

Наименование автотранспорта и строительной техники	Наименование загрязняющих веществ, поступающих в атмосферу	Валовое количество загрязняющих веществ, поступающих в атмосферу в период строительства, т
	Керосин	***0,04309***
	Оксиды азота	***0,143889***
	- азота диоксид	***0,115114***
	- азота оксид	***0,018705***
	Сажа	***0,0157573***
	Диоксид серы	***0,026676***
7 этап		
Краны на гусеничном ходу грузоподъемностью до 16т с двигателем мощностью 58,8 кВт	Оксид углерода	(23,3 × 4 + 2,8 × 45 + 1,44 × 1,9 × 60 + 0,94 × 4,468 × 60 + 1,3 × 0,94 × 4,8 × 60) × 51 × 0,000001 = 0,050352
	Керосин	(5,8 × 4 + 0,47 × 45 + 0,18 × 1,9 × 60 + 0,31 × 4,468 × 60 + 1,3 × 0,31 × 4,8 × 60) × 51 × 0,000001 = 0,013466
	Оксиды азота - азота диоксид - азота оксид	(1,2 × 4 + 0,44 × 45 + 0,29 × 1,9 × 60 + 1,49 × 4,468 × 60 + 1,3 × 1,49 × 4,8 × 60) × 51 × 0,000001 = 0,051763 0,051763 × 0,8 = 0,04141 0,051763 × (1 - 0,8) × 0,65 = 0,006729
	Диоксид серы	(0,029 × 4 + 0,072 × 45 + 0,058 × 1,9 × 60 + 0,15 × 4,468 × 60 + 1,3 × 0,15 × 4,8 × 60) × 51 × 0,000001 = 0,005423
	Сажа	(0 × 4 + 0,24 × 45 + 0,04 × 1,9 × 60 + 0,25 × 4,468 × 60 + 1,3 × 0,25 × 4,8 × 60) × 51 × 0,000001 = 0,008975
Тракторы на гусеничном ходу с двигателем мощностью 79 кВт	Оксид углерода	(25 × 4 + 4,8 × 45 + 2,4 × 1,9 × 60 + 1,57 × 4,468 × 60 + 1,3 × 1,57 × 4,8 × 60) × 76 × 0,000001 = 0,121476
	Керосин	(2,1 × 4 + 0,78 × 45 + 0,3 × 1,9 × 60 + 0,51 × 4,468 × 60 + 1,3 × 0,51 × 4,8 × 60) × 76 × 0,000001 = 0,030808
	Оксиды азота - азота диоксид - азота оксид	(1,7 × 4 + 0,72 × 45 + 0,48 × 1,9 × 60 + 2,47 × 4,468 × 60 + 1,3 × 2,47 × 4,8 × 60) × 76 × 0,000001 = 0,127745 0,127745 × 0,8 = 0,102196 0,127745 × (1 - 0,8) × 0,65 = 0,016607
	Диоксид серы	(0,042 × 4 + 0,12 × 45 + 0,097 × 1,9 × 60 + 0,23 × 4,468 × 60 + 1,3 × 0,23 × 4,8 × 60) × 76 × 0,000001 = 0,012494
	Сажа	(0 × 4 + 0,36 × 45 + 0,06 × 1,9 × 60 + 0,41 × 4,468 × 60 + 1,3 × 0,41 × 4,8 × 60) × 76 × 0,000001 = 0,021771
Автобус вахтовый НЕФАЗ-4208-34 на 28 мест	Оксид углерода	(8,2 × 0,9 × 30 + 2,9 × 0,9 × 2) × 76 × 0,000001 + 7,4 × 3040 × 0,000001 = 0,039719
	Керосин	(1,1 × 0,9 × 30 + 0,45 × 0,9 × 2) × 76 × 0,000001 + 1,2 × 3040 × 0,000001 = 0,005967
	Оксиды азота - азота диоксид - азота оксид	(2 × 1 × 30 + 1 × 1 × 2) × 76 × 0,000001 + 4 × 3040 × 0,000001 = 0,016872 0,016872 × 0,8 = 0,013498 0,016872 × (1 - 0,8) × 0,65 = 0,002193
	Сажа	(0,16 × 0,8 × 30 + 0,04 × 0,8 × 2) × 76 × 0,000001 + 0,4 × 3040 × 0,000001 = 0,001513
	Диоксид серы	(0,136 × 0,95 × 30 + 0,1 × 0,95 × 2) × 76 × 0,000001 + 0,67 × 3040 × 0,000001 = 0,002346
Автоцистерна ALS-15-FH12.00.000 на базе VOLVO FH12/420 грузоподъемностью 20 т с дизельным двигателем	Оксид углерода	(8,2 × 0,9 × 30 + 2,9 × 0,9 × 2) × 76 × 0,000001 + 9,3 × 27360 × 0,000001 = 0,271671
	Керосин	(1,1 × 0,9 × 30 + 0,45 × 0,9 × 2) × 76 × 0,000001 + 1,3 × 27360 × 0,000001 = 0,037887
	Оксиды азота - азота диоксид - азота оксид	(2 × 1 × 30 + 1 × 1 × 2) × 76 × 0,000001 + 4,5 × 27360 × 0,000001 = 0,127832 0,127832 × 0,8 = 0,102266 0,127832 × (1 - 0,8) × 0,65 = 0,016618
	Сажа	(0,16 × 0,8 × 30 + 0,04 × 0,8 × 2) × 76 × 0,000001 + 0,5 × 27360 × 0,000001 = 0,013977
	Диоксид серы	(0,136 × 0,95 × 30 + 0,1 × 0,95 × 2) × 76 × 0,000001 + 0,97 × 27360 × 0,000001 = 0,026848
Вакуумная ассенизаторская машина МВ-10Т КО, с дизельным двигателем	Оксид углерода	(8,2 × 0,9 × 30 + 2,9 × 0,9 × 2) × 76 × 0,000001 + 9,3 × 27360 × 0,000001 = 0,271671
	Керосин	(1,1 × 0,9 × 30 + 0,45 × 0,9 × 2) × 76 × 0,000001 + 1,3 × 27360 × 0,000001 = 0,037887
	Оксиды азота - азота диоксид - азота оксид	(2 × 1 × 30 + 1 × 1 × 2) × 76 × 0,000001 + 4,5 × 27360 × 0,000001 = 0,127832 0,127832 × 0,8 = 0,102266 0,127832 × (1 - 0,8) × 0,65 = 0,016618
	Сажа	(0,16 × 0,8 × 30 + 0,04 × 0,8 × 2) × 76 × 0,000001 + 0,5 × 27360 × 0,000001 = 0,013977

Наименование автотранспорта и строительной техники	Наименование загрязняющих веществ, поступающих в атмосферу	Валовое количество загрязняющих веществ, поступающих в атмосферу в период строительства, т
	Диоксид серы	(0,136 × 0,95 × 30 + 0,1 × 0,95 × 2) × 76 × 0,000001 + 0,97 × 27360 × 0,000001 = 0,026848
Топливозаправщик АТЗ-8,5 на базе КАМАЗ 43253-69, с дизельным двигателем	Оксид углерода	(8,2 × 0,9 × 30 + 2,9 × 0,9 × 2) × 76 × 0,000001 + 7,4 × 27360 × 0,000001 = 0,219687
	Керосин	(1,1 × 0,9 × 30 + 0,45 × 0,9 × 2) × 76 × 0,000001 + 1,2 × 27360 × 0,000001 = 0,035151
	Оксиды азота - азота диоксид - азота оксид	(2 × 1 × 30 + 1 × 1 × 2) × 76 × 0,000001 + 4 × 27360 × 0,000001 = 0,114152 0,114152 × 0,8 = 0,091322 0,114152 × (1 - 0,8) × 0,65 = 0,01484
	Сажа	(0,16 × 0,8 × 30 + 0,04 × 0,8 × 2) × 76 × 0,000001 + 0,4 × 27360 × 0,000001 = 0,011241
	Диоксид серы	(0,136 × 0,95 × 30 + 0,1 × 0,95 × 2) × 76 × 0,000001 + 0,67 × 27360 × 0,000001 = 0,01864
Суммарное количество загрязняющих веществ, поступающих в атмосферу при работе автотранспорта и строительной техники в период 7 этапа строительства, т:		
	Оксид углерода	***0,974576***
	Керосин	***0,161166***
	Оксиды азота ***- азота диоксид*** ***- азота оксид***	***0,566196*** ***0,452958*** ***0,073605***
	Сажа	***0,071454***
	Диоксид серы	***0,092599***

Приложение И
(обязательное)

Расчет количества загрязняющих веществ, поступающих в атмосферу при работе ГПА мощностью 18 МВт в период эксплуатации ДКС

Номера ИЗА – 0400, 0401, 0402, 0403

Расчеты выбросов загрязняющих веществ, поступающих в атмосферу при работе ГПА, рассчитано по СТО Газпром 2-1.19-541-2011. Учет валовых выбросов загрязняющих веществ с продуктами сгорания газотурбинных газоперекачивающих агрегатов, (М., 2011).

Количество загрязняющих веществ, поступающих в атмосферу при номинальном режиме работы ГПА, рассчитано по формуле:

$$M_i = 0{,}832 \times 10^{-3} \times (N_e / \eta_e) \times C_i^{15}, \text{ г/с},$$

$$W_i = 0{,}0036 \times M_i \times \tau, \text{ т/год};$$

где Ne^o – номинальная мощность компрессора, МВт;

η_e^o – номинальный к. п. д.;

C_i^{15} – концентрация загрязняющих веществ, приведенная к 15 % O_2, г/с;

τ – время работы ГПА, ч/год.

Объем продуктов сгорания, поступающих в атмосферу через дымовую трубу ГПА (при нормальных условиях Р=0,1013 МПа, Т=273,15К), рассчитан по формуле:

$$Q_2 = G_2 / \rho_{2\,o}, \text{ м}^3/\text{с},$$

где G_2 – массовый расход продуктов сгорания, кг/с;

$\rho_{2\,o}$ – плотность продуктов сгорания (при нормальных условиях – Р=0,1013 МПа, Т=273,15К), кг/нм^3 . Плотность продуктов сгорания принимается по данным таблицы 5.1 в зависимости от коэффициента избытка воздуха.

Коэффициент избытка воздуха рассчитан по формуле:

$$\alpha_в = \frac{G_2 - G_{ТГ}}{G_{ТГ} \times L_O},$$

где $G_{тг}$ – массовый расход топливного газа, кг/с;

L_o – количество воздуха, необходимое для стехиометрического сгорания топлива, в соответствии с п.5. L_o = 17,16, кг/кг.

Расход продуктов сгорания при фактической температуре выхлопных газов рассчитан по формуле:

$$Q_{2ф} = Q_2 \times T_2 / 273 \text{ (м}^3/\text{с)},$$

где T_2 – фактическая температура на срезе патрубка, К.

В соответствии с данными технологической части проекта в эксплуатации будут находиться 4 (3 рабочих + 1 резервный) агрегата. Время работы 1 ГПА составит 8520 ч/год.

Технические и экологические характеристики ГПА приняты по таблице Б.1 СТО Газпром 2-1.19-541-2011 по аналогу ГПА-18 с газотурбинным двигателем по типу НК16-18-СТ.

В таблице И.1 приведены расчеты количества загрязняющих веществ, поступающих в атмосферу при работе ГПА мощностью 18 МВт в период эксплуатации ДКС.

Таблица И.1 – Расчеты количества загрязняющих веществ, поступающих атмосферу при работе ГПА мощностью 18 МВт

Наименование характеристик	Величина
Номинальная мощность ГПА, МВт	18,0
Эффективный к.п.д. на приводном валу СТ в станционных условиях при стандартных атмосферных условиях, %	29,4
Годовое время работы 1 ГПА, ч/год	8520
Расход топливного газа, $G_{ТГ}$ кг/с	1,2
Температура выхлопных газов на выходе из ГПА при работе на номинальной мощности в станционных условиях, К °С	733 733 – 273 = 460
Расход продуктов сгорания на срезе выходного устройства ГПА при работе на номинальной мощности, кг/с	101,2
Содержание вредных веществ в выхлопных газах (при 100% нагрузке и при условной концентрации кислорода 15% в сухих продуктах сгорания), мг/м^3 - оксидов азота (C^{15}_{NOx}) - оксида углерода (C^{15}_{CO})	 не более 140 не более 100
Коэффициент избытка воздуха	$\frac{101,2 - 1,2}{1,2 \times 17,16} = 4,856$
Плотность продуктов сгорания, кг/нм^3	1,279
Объем продуктов сгорания, поступающих в атмосферу через дымовую трубу, нм^3/с (при нормальных условиях Р=0,1013 МПа, Т=273,15К) м^3/с (при фактической температуре)	101,2 / 1,279 = 79,124 79,124 × 733 / 273=212,446
Высота дымовой трубы, м	25,0
Диаметр дымовой трубы, м	2,81
Максимально разовое количество загрязняющих веществ, поступающих в атмосферу при номинальном режиме работы ГПА, г/с	
оксидов азота	$0,832 \times 10^{-3} \times 18,0 / 0,294 \times 140 = 7,131429$
в том числе:	
– диоксида азота	7,131429 × 0,8 = 5,705143
– оксида азота	7,131429 × 0,65 × (1 – 0,8) = 0,927086
оксида углерода	$0,832 \times 10^{-3} \times 18,0 / 0,294 \times 100 = 5,093878$
Годовое валовое количество загрязняющих веществ, поступающих в атмосферу при номинальном режиме работы каждого рабочего ГПА, т/год	
оксидов азота	0,0036 × 7,131429 × 8520 = 218,73519
в том числе:	
– диоксида азота	218,43519 × 0,8 = 174,988152
– оксида азота	218,73519 × 0,65 × (1 – 0,8) = 28,435575
оксида углерода	0,0036 × 5,093878 × 8520 = 156,239426

Приложение К
(обязательное)

Расчет количества загрязняющих веществ, поступающих в атмосферу от сухих газодинамических уплотнений ГПА в период эксплуатации

Номера ИЗА – 0404, 0405, 0406, 0407

Газоперекачивающий агрегат оснащается “сухими” газодинамическими уплотнениями. В соответствии с данными технологической части проекта для СГДУ ГПА используется буферный газ.

В соответствии с технологической частью проекта общий расход утечек газа через СГДУ одного ГПА составляет не более 36 нм^3/ч.

Дополнительно в эксплуатацию вводятся 4 ГПА (3 раб. + 1 рез.).

В таблице К.1 приведен расчет количества загрязняющих веществ, поступающих в атмосферу от сухих газодинамических уплотнений ГПА.

Таблица К.1 - Расчет количества загрязняющих веществ, поступающих в атмосферу от сухих газодинамических уплотнений ГПА

Наименование параметра	Величина
Плотность буферного газа: - при стандартных условиях (Р=0,1013 МПа, Т=293,15К), кг/нм^3 - при нормальных условиях (Р=0,1013 МПа, Т=273,15К), кг/нм^3	 0,829 0,829 × 293,15 / 273,15 = 0,89
Температура буферного газа	35°С (летом), 30°С (зимой),
Максимально разовый объем газа, поступающего в атмосферу через свечу СГДУ 1 рабочего ГПА: – при нормальных условиях - Р=0,1013 МПа, Т = 273,15 К, нм^3/с	 36 / 3600 = 0,01
- при рабочих условиях: зима (м^3/с – при температуре Т=30°С). лето (м^3/с – при температуре Т=35°С).	 0,01 × (273,15 + 30) / 273,15 = 0,0111 0,01 × (273,15 + 35) / 273,15 = 0,0113
Состав газа, % масс.: - метан - смесь углеводородов предельных С1Н4-С5Н12 - смесь углеводородов предельных С6Н14-С10Н22 - метанол - диоксид углерода - азот - вода	 68,26669 26,894078 2,682763 0,091339 1,688617 0,30226 0,074472
Максимально разовое количество загрязняющих веществ, поступающих в атмосферу через свечу СГДУ 1 ГПА, г/с в том числе: - метан	0,01 × 0,89 × 1000 = 8,9 8,9 × 68,2669 / 100 = 6,075735
- смесь углеводородов предельных С1Н4-С5Н12	8,9 × 26,894078 / 100 = 2,393573
- смесь углеводородов предельных С6Н14-С10Н22	8,9 × 2,682763 / 100 = 0,238766
- метанол	8,9 × 0,091339 /100 = 0,008129
- диоксид углерода	8,9 × 1,688617 /100 = 0,150287
Годовое время работы 1 ГПА составит ч/год	8520
Годовой валовый выброс загрязняющих веществ, поступающих в атмосферу через свечу СГДУ 1 ГПА, т/год в том числе:	8,9 × 3600 × 8520 × 0,000001 = 272,9808

Наименование параметра	Величина
- метан	8,9 × 68,2669 / 100 = 186,354956
- смесь углеводородов предельных С1Н4-С5Н12	8,9 × 26,894078 / 100 = 73,415669
- смесь углеводородов предельных С6Н14-С10Н22	8,9 × 2,682763 / 100 = 7,323428
- метанол	8,9 × 0,091339 /100 = 0,249338
- диоксид углерода	8,9 × 1,688617 /100 = 4,6096

Приложение Л
(обязательное)

Расчет количества загрязняющих веществ, поступающих в атмосферу с дымовыми газами водогрейных котлов подогрева теплоносителя установки подготовки газа в период эксплуатации

Номер ИЗА – 0408

Количество загрязняющих веществ, поступающих в атмосферу при работе водогрейных котлов, установленных в УПГ, рассчитаны по “Методике определения выбросов загрязняющих веществ в атмосферу при сжигании топлива в котлах производительностью менее 30 тонн пара в час или менее 20 Гкал в час” (М., 1999) и рекомендаций “Методического пособия по расчету, нормированию и контролю выбросов загрязняющих веществ в атмосферный воздух (Дополненное и переработанное)” (С.-Пб., НИИ Атмосфера, 2012).

Количество оксидов азота, поступающих в атмосферу при сжигании топливного газа в водогрейных котлах, рассчитано по формулам:

$$M_{NOx} = B_р \times Q_i^г \times K_{NOx}^г \times \beta_к \times \beta_t \times \beta_\alpha \times (1 - \beta_г) \times (1 - \beta_\delta) \times k_п, \text{ г/с, т/год,}$$

где $B_р$ – расчетный расход топлива, нм^3/с, тыс. нм^3/год);

Q_i – низшая теплота сгорания топлива, МДж/нм^3 (;

$K_{NOx}^г$ – удельный выброс оксидов азота при сжигании природного газа, г/МДж;

$\beta_к$ – безразмерный коэффициент, учитывающий принципиальную конструкцию горелки. $\beta_к$ =1,6;

β_t – безразмерный коэффициент, учитывающий температуру воздуха, подаваемого для горения. Для котлов, не имеющих предварительный подогрев воздуха в воздухоподогревателе, а также, если отсутствует рециркуляция дымовых газов, β_t принимается равным 1;

β_α – безразмерный коэффициент, учитывающий влияние избытка воздуха на образование оксидов азота. При сжигании природного газа β_α=1,225;

$\beta_г$ – безразмерный коэффициент, учитывающий влияние рециркуляции дымовых газов через горелки на образование оксидов азота;

β_δ – безразмерный коэффициент, учитывающий ступенчатый ввод воздуха в топочную камеру;

$k_п$ – коэффициент пересчета (при определении выбросов в г/с $k_п$ = 1, при определении выбросов в т/год $k_п$ = 0,001).

Удельные выбросы оксидов азота, образующихся при сжигании топливного газа в водогрейных котлах котельной, рассчитаны по формулам:

$$K_{NO}^г = 0{,}0113\sqrt{Q_T} + 0{,}03, \text{ г/МДж,}$$

где $Q_т$ – фактическая тепловая мощность котла, МВт.

Фактическая тепловая мощность котла по введенному в топку теплу рассчитана по формуле:

$$Q_т = B_р \times Q_i^r, \text{ МВт};$$

где $B_р$ – расчетный расход топлива. Для газообразного топлива используется величина $B_р$ в размерности нм^3/с.

Безразмерный коэффициент, учитывающий влияние рециркуляции дымовых газов через горелки на образование оксидов азота при сжигании топливного газа, рассчитан по формулам:

$$\beta_r = 0{,}16\sqrt{r},$$

где r – степень рециркуляции дымовых газов.

Безразмерный коэффициент, учитывающий ступенчатый ввод воздуха в топочную камеру водогрейного котла, работающего на топливном газе, рассчитан по формуле:

$$\beta_\delta = 0{,}022 \times \delta,$$

где δ – доля воздуха, подаваемого в промежуточную зону факела.

Выброс оксида углерода, содержащегося в дымовых газах водогрейного котла, рассчитан по формулам:

$$M_{CO} = C_{CO} \times B \times (1 - q_4/100), \text{ г/с},$$

$$П_{CO} = 0{,}001 \times C_{CO} \times B \times (1 - q_4 / 100), \text{ т/год},$$

где C_{CO} –выход оксида углерода при сжигании топлива.

B – расход топлива. Для природного газа используется размерность кг/тыс. нм^3;

q_4 – потери теплоты вследствие механической неполноты сгорания топлива. Для природного газа $q_4 = 0$.

Выход оксида углерода (ССО) рассчитан по формуле:

$$C_{CO} = q_3 \times R \times Q_i^r,$$

где q_3 – потери теплоты вследствие химической неполноты сгорания топлива. Для природного газа $q_3 = 0{,}2$,

R – коэффициент, учитывающий долю потери теплоты вследствие химической неполноты сгорания топлива, обусловленной наличием в продуктах сгорания оксида углерода (для природного газа R=0,5);

Q_i^r – низшая теплота сгорания топлива, МДж/нм^3 или МДж/кг.

Концентрация бенз(α)пирена в сухих продуктах сгорания на выходе из топочной камеры водогрейного котла при сжигании топливного газа рассчитана по формулам:

$$C_{бп} = 10^{-6} \times \frac{R \times (0.11 \times q_v - 7)}{e^{3.5(\alpha_т - 1)}} \times К_д \times К_р \times К_{ст}, \text{ мг/м}^3,$$

где q_v – теплонапряжение топочного объема, кВт/м^3;

R – степень распыления топлива;

$\alpha_т$ – коэффициент избытка воздуха в продуктах сгорания;

$К_д$ – коэффициент, учитывающий влияние нагрузки котла на концентрацию бенз(α)пирена в продуктах сгорания (принят по графику рисунка Е1 Методики…);

$К_р$ – коэффициент, учитывающий влияние рециркуляции дымовых газов на концентрацию бенз(α)пирена в продуктах сгорания (принят по графику рисунка Е2 Методики …);

$К_{ст}$ – коэффициент, учитывающий влияние ступенчатого сжигания на концентрацию бенз(α)пирена в продуктах сгорания (принят по графику Е3 Методики…);

$К_о$ – коэффициент, учитывающий влияние дробевой очистки конвективных поверхностей нагрева, $K_о = 2,0$.

В соответствии с рекомендациями “Методического пособия по расчету, нормированию и контролю выбросов загрязняющих веществ в атмосферный воздух (Дополненное и переработанное)” (С.-Пб., НИИ Атмосфера, 2012) концентрация бенз(α)пирена пересчитана на коэффициент избытка воздуха 1,4 по формуле:

$$С_{бп} = С_{бп\ (при\ фактическом\ \alpha)} \times \alpha / 1,4, \text{ мг/нм}^3.$$

Удельный объем дымовых газов при нормальных условиях рассчитан по формуле:

$$V_{сг} = V^o_г + (\alpha - 1) \times V^o - V^o_{H2O}, \text{ нм}^3/\text{нм}^3,$$

где $V^o_г$, V^o, V^o_{H2O} – соответственно объемы дымовых газов, воздуха и водяных паров при стехиометрическом сжигании одного кубического метра топлива, $\text{нм}^3/\text{нм}^3$.

Объемы дымовых газов, воздуха и водяных паров, содержащихся в продуктах сгорания природного газа, рассчитаны по формулам:

- объем воздуха:

$$V^o = 0,0476 \times [0,5NO + 0,5H_2 + 1,5H_2S + \sum(m + n/4) \times C_mH_n - O_2];$$

- объем водяных паров:

$$V^o_{H2O} = 0,01 \times [H_2 + H_2S + 0,5\sum n\ C_mH_n + 0,124\ d_{г,тл,}] + 0,0161V^o;$$

- объем дымовых газов:

$$V^o_г = 0,01 \times [CO_2 + CO + H_2S + \sum m\ C_mH_n] + 0,79\ V^o + N_2/100 + V^o_{H2O},$$

где CO, CO_2, H_2, H_2S, C_mH_n, N_2, O_2 – соответственно содержание оксида углерода, диоксида углерода, водорода, сероводорода, углеводородов, азота и кислорода в исходном топливе, % об.;

m и n – число атомов углерода и водорода соответственно;

$d_{г,тл,}$ – влагосодержание газообразного топлива, отнесенное к 1 нм^3 сухого газа, г/нм^3.

Объем дымовых газов на выходе из дымовой трубы при нормальных условиях рассчитан по формуле:

$$V^{o}_{дг} = V_{сг} \times B_{р}, \text{ нм}^3/\text{с},$$

где $V_{сг}$ – удельный объем дымовых газов при нормальных условиях, $\text{нм}^3/\text{нм}^3$;

$B_{р}$ – расход топлива, $\text{нм}^3/\text{с}$.

Объем дымовых газов на выходе из дымовой трубы котельной при рабочих условиях рассчитан по формуле:

$$V_{дг} = V^{o}_{дг} \times (273 + T_{дг}) / 273, \text{ м}^3/\text{с},$$

где $T_{дг}$ – температура дымовых газов.

Подогрев топливного и буферного газа предусматривается теплом от тепловых сетей ДКС. В качестве резервного источника для подогрева топливного и буферного газа УПГ предусмотрены водогрейные котлы в составе отсека подготовки теплоносителя в БПГ.

В отсеке подготовки теплоносителя будут установлены 2 котла (2 раб. + 2 рез.).

Выброс дымовых газов от котлов будет происходить через 1 дымовую трубу высотой 7,27 м, диаметром - 0,7 м.

Суммарный расход топливного газа, сжигаемого в 2-х котлах, составит 240 м3/ч (при стандартных условиях – Р=0,1013 МПа, Т=293,15К) и 293760 м3/год (при стандартных условиях – Р=0,1013 МПа, Т=293,15К).

По данным технологической части проекта годовое время работы котлов составит 1224 ч/год (в летнее время).

Котлы имеют следующие характеристики:

- максимальная тепловая мощность 1 котла – 1617 кВт;
- температура дымовых газов на выходе из дымовой трубы – 175°С;
- объем топочной камеры 1 котла равен 1244,6 дм^3 или 1,245 м^3.

Суммарный максимальный объем топливного газа, сжигаемого в 2-х котлах УПГ, составит:

240 × 273,15 / 293,15 = 223,626 (нм3/ч) или 223,626 / 3600 = 0,0621 (нм3/с) при нормальных условиях (Р=0,1013 МПа, Т=293,15 К);

293760 × 273,15 / 293,15 = 273718,383 (нм3/год) при нормальных условиях (Р=0,1013 МПа, Т=293,15 К).

Удельный выброс оксидов азота, образующихся при сжигании топливного газа в 2-х котлах подогревателя УПГ, составит:

$$0,0113 \times \sqrt{1,617 \times 2} + 0,03 = 0,0503 \text{ (г/МДж)}.$$

Безразмерный коэффициент, учитывающий принципиальную конструкцию горелки, (βк) равен 1,6.

Безразмерный коэффициент, учитывающий температуру воздуха, подаваемого для горения, (βt) равен 1.

Безразмерный коэффициент, учитывающий влияние рециркуляции дымовых газов через горелки на образование оксидов азота, равен 0, так как r = 0.

Так как нет ступенчатого ввода воздуха, то коэффициент, учитывающий ступенчатый ввод воздуха в топочную камеру, равен 0.

Безразмерный коэффициент, учитывающий влияние избытка воздуха на образование оксидов азота, принят равным 1,225.

Максимально разовый выброс оксидов азота, поступающих в атмосферу, составит:

$$0,0621 \times 39,890 \times 0,0503 \times 1,6 \times 1 \times 1,225 \times (1 - 0) \times (1 - 0) = 0,244219 \text{ (г/с)},$$

в том числе:

- диоксида азота – $0,244219 \times 0,4 = 0,195375$ (г/с);
- оксида азота - $0,244219 \times 0,65 \times (1 - 0,4) = 0,031748$ (г/с).

Годовой выброс оксидов азота, поступающих в атмосферу с дымовыми газами котла, составит:

$$(273718,383/1000) \times 39,89 \times 0,0503 \times 1,6 \times 1 \times 1,225 \times (1-0) \times (1-0) \times 0,001 = 1,076446 \text{ (т/год)},$$

в том числе:

- диоксида азота - $0,8 \times 1,076446 = 0,861157$ (т/год);
- оксида азота - $0,65 \times (1 - 0,8) \times 1,076446 = 0,139938$ (т/год).

Выход оксида углерода (CCO) составит:

$$0,2 \times 0,5 \times 39,890 = 3,989 \text{ (кг/тыс. нм}^3\text{, г/нм}^3\text{)}.$$

Максимально разовое количество оксида углерода, поступающего в атмосферу, составит:

$$0,0621 \times 3,989 \times (1 - 0 / 100) = 0,247717 \text{ (г/с)}.$$

Годовой выброс оксида углерода, поступающего в атмосферу с дымовыми газами котла, составит:

$$0,001 \times 273718,383 / 1000 \times 3,989 \times (1 - 0/100) = 1,091683 \text{ (т/год)}.$$

Теплонапряжение топочного объема котлов составит:

$$1,617 \times 2 \times 10^3 / (1,245 \times 2) = 1298,795 \text{ (кВт/м}^3\text{)}.$$

По данным приложений “Методики определения выбросов загрязняющих веществ в атмосферу при сжигании топлива в котлах производительностью менее 30 тонн пара в час или менее 20 Гкал в час” коэффициенты Kg, Kp, Kст принимаются равными следующим значениям: Kg = 1; Kp = 1; Kст = 1.

Концентрация бенз(α)пирена в сухих продуктах сгорания топливного газа на выходе из 2-х топочных камер при фактическом коэффициенте избытка воздуха α = 1,1 составит:

$$10^{-6} \times \frac{1 \times (0,11 \times 1298,795 - 7,0)}{2,7^{3,5(1,1-1)}} \times 1,0 \times 1,0 \times 1,0 = 0,000096 \text{ (мг/нм}^3\text{)}.$$

Концентрация бенз(α)пирена в сухих продуктах сгорания топливного газа на выходе из топочной камеры при α = 1,4 составит:

$$0,0000960 \times 1,1 / 1,4 = 0,000075 \text{ (мг/нм}^3\text{)}.$$

Удельный объем воздуха при стехиометрическом сжигании 1 м^3 топливного газа, составит:

0,0476 × [0,5 × 0 + 0,5 × 0,005 + 1,5 × 0 + (1 + 4/4) × 87,57 + (2+6/4) × 8,42 + (3+8/4) ×2,19 + (4+10/4) × (0,30+0,03) + (5+12/4) × (0,06+0,09) + (6+14/4) × 0,04 - 0] = 10,522 (нм^3/нм^3).

Удельный объем водяных паров при стехиометрическом сжигании 1 м^3 топливного газа, составит:

0,01 × [0 + 0 + 0,5 × (4 × 87,57+ 6 × 8,42 + 8 × 2,19 + 10 × (0,03+0,03) + 12 × (0,06+0,09) + + 14 × 0,04 + 0,124 × 0] + 0,016 × 10,522 = 2,135 (нм^3/нм^3).

Удельный объем дымовых газов при сжигании 1 м^3 топливного газа, составит:

0,01 × [0,79 + 0 + 0 + [1 × 87,57 + 2 × 8,42 + 3 ×2,19 + 4 × (0,30 + 0,30) + 5 × (0,06 + 0,09)+ 6× 0,04)] + 0,79 × 10,522 + 0,22/100 + 2,135/100 = 9,488 (нм^3/нм^3).

Удельный объем дымовых газов при нормальных условиях равен:

9,488 + (1,1 - 1) × 10,522 - 2,135 = 8,405 (нм^3/нм^3).

Объем дымовых газов на выходе из дымовой трубы водогрейных котлов УПГ составит:

0,0621 × 8,405 = 0,522 (нм^3/с) при нормальных условиях.

Объем дымовых газов на выходе из дымовой трубы при рабочих условиях равен:

0,522 × (273,15 + 175) / 273,15 = 0,856 (м^3/с).

Количество бенз(α)пирена, поступающих в атмосферу, составит:

0,522× 0,000075 / 1000 = 0,00000004 (г/с).

Годовой объем дымовых газов, поступающих в атмосферу от котлов УПГ, составит:

273718,383 × 8,405 = 2300603 (нм^3/год при нормальных условиях Р=0,1013 МПа, Т=273,15К).

Годовой валовый выброс бенз(α)пирена, поступающего в атмосферу при работе котлов УПГ, составит:

2300603 × 0,000075 × 10^9 = 0,0000002 (т/год).

Приложение М
(обязательное)

Расчет количества загрязняющих веществ, поступающих в атмосферу при “дыхании” емкостного оборудования в период эксплуатации ДКС

Количество загрязняющих веществ, поступающих в атмосферу от емкостного оборудования, рассчитано по "Методическим указаниям по определению выбросов загрязняющих веществ в атмосферу из резервуаров с дополнениями НИИ Атмосфера" (Казань, “Казанское управление “Оргнефтехимзаводы”, Новополоцк, “БЕЛИНЭКОМП”, М., АОЗТ “ЛЮБЭКОП”,1999).

Количество загрязняющих веществ, поступающих в атмосферу при “дыхании” маслобаков ГПА, маслобаков и топливных баков аварийной ДЭС, емкостей чистого масла Е-3-1, 2, 3, 4 и емкостей отработанного масла Е-4-1, 2, емкостей дренажных Е-1 для МГПА, емкости дренажной Е-5 маслохозяйства, емкости аварийного слива дизтоплива 2Е-7 рассчитаны по "Методическим указаниям по определению выбросов загрязняющих веществ в атмосферу из резервуаров с дополнениями НИИ Атмосфера" (Казань, “Казанское управление “Оргнефтехимзаводы”, Новополоцк, “БЕЛИНЭКОМП”, М., АОЗТ “ЛЮБЭКОП”,1999) по формулам:

$$M = C_{20} \times K_t^{max} \times K_p^{max} \times V_ч^{max} / 3600, \text{ г/с},$$

$$G = \frac{C_{20} \times (K_t^{max} + K_t^{min}) \times K_p^{cp} \times K_{об} \times B}{2 \times 10^6 \times \rho_ж}, \text{ т/год},$$

где C_{20} – концентрация насыщенных паров нефтепродукта при температуре 20°С, г/м^3;

K_t^{max}, K_t^{min} – опытные коэффициенты, при максимальной и минимальной температуре продукта в емкости, приняты по Приложению 7;

K_p^{max}, K_p^{cp} – опытные коэффициенты, приняты по Приложению 8;

$V_ч^{max}$ – максимальный объем паровоздушной смеси, вытесняемой из резервуара во время его закачки, м^3/ч;

$K_{об}$ – коэффициент оборачиваемости, принят по Приложению 10;

$\rho_ж$ – плотность нефтепродукта, т/м^3;

В – количество продукта, закачиваемого в резервуар в течение года, т/год.

1 Расчет количества загрязняющих веществ, поступающих в атмосферу от маслобаков двигателей ГПА

Номера ИЗА – 0400, 0401, 0402, 0403

В соответствии с данными технологической части проекта дополнительно в эксплуатацию вводятся 4 (3 рабочих +1 резервный) ГПА.

В таблице М.1 приведен расчет количества загрязняющих веществ, поступающих в атмосферу от маслобака двигателя 1 рабочего ГПА.

Таблица М.1 - Расчет количества загрязняющих веществ, поступающих в атмосферу от маслобака двигателя 1 рабочего ГПА

Наименование показателя	Величина
Наименование маслобака	маслобак двигателя
Тип маслобака	горизонтальный
Режим эксплуатации	“мерник”
Наименование источника загрязнения атмосферы	Выброс от свечи суфлирования выведен в дымовую трубу ГПА
Высота источника загрязнения, м	25,0
Диаметр источника загрязнения, м	2,81
Наименование продукта, поступающего в маслобак	масло минеральное
Плотность масла, поступающего в маслобак, кг/м^3	893
Объем маслобака, м^3	1,640
Объем полной заправки маслобака маслом, м^3	1,430
Потери масла за счет угара (безвозвратные потери), кг/ч	0,9
Годовой расход масла, поступающего в маслобак, т/год м^3/год	(1,43 × 893 + 0,9 × 8520) / 1000 = 8,945 8,945 × 1000 / 893 = 9,939
Температура масла, поступающего в маслобак, °С	30 ÷ 70
Производительность насоса, закачивающего масло в маслобак, м^3/ч	6,3
Объем паров масла, поступающих в атмосферу, м^3/с - при температуре плюс 30°С, м^3/с - при температуре плюс 70°С, м^3/с	6,3 / 3600 = 0,00175 0,00175 × (273,15 + 30) / 273,15 = 0,00194 0,00175 × (273,15 + 70) / 273,15 = 0,00220
Концентрация паров масла в маслобаке (приложение 12 Методических указаний ...), C_{20}, г/м^3	0,26
Опытные коэффициенты, K_p^{max}, K_p^{cp} (приняты по приложению 8 Методических указаний ...)	Для горизонтального маслобака объемом до 100 м^3 K_p^{max} = 1,0, K_p^{cp} = 0,7
Опытные коэффициенты при максимальной и минимальной температуре масла в емкости, K_t^{max}, K_t^{min} (приняты по приложению 7 Методических указаний ..)	K_t^{max} =4,1, K_t^{min} = 1,4
Полная оборачиваемость маслобака, раз в год	9,939 / 1,64 ≈ 7
Коэффициент оборачиваемости резервуара (приложение 10 Методических указаний …)	2,5
Максимально разовое количество паров масла, поступающих в атмосферу при “дыхании” маслобака, г/с	0,26 × 4,1 × 1 × 6,3 / 3600 =0,001866
Годовой валовый выброс паров масла, поступающих в атмосферу при “дыхании” маслобака, т/год	0,26 × (4,1 + 1,4) × 0,7 × 2,5 × 8,955 / (2 × 10^6 × 0,893) = = 0,000013

В таблице М.2 приведен расчет количества загрязняющих веществ, поступающих в атмосферу от маслобака двигателя резервного ГПА.

Таблица М.2 - Расчет количества загрязняющих веществ, поступающих в атмосферу от маслобака двигателя резервного ГПА

Наименование показателя	Величина
Наименование маслобака	маслобак двигателя
Тип маслобака	горизонтальный
Режим эксплуатации	“мерник”
Наименование источника загрязнения атмосферы	Выброс от свечи суфлирования выведен в дымовую трубу ГПА
Высота источника загрязнения, м	25,0
Диаметр источника загрязнения, м	2,81
Наименование продукта, поступающего в маслобак	масло минеральное
Плотность масла, поступающего в маслобак, кг/м^3	893
Объем маслобака, м^3	1,640
Объем полной заправки маслобака маслом, м^3	1,430
Годовой расход масла, поступающего в маслобак, т/год м^3/год	1,43 × 893 / 1000 = 1,277 1,277 × 1000 / 893 = 1,419
Температура масла, поступающего в маслобак, °С	30
Производительность насоса, закачивающего масло в маслобак, м^3/ч	6,3

Наименование показателя	Величина
Объем паров масла, поступающих в атмосферу, м³/с - при температуре плюс 30°С, м³/с	 6,3 / 3600 = 0,00175 0,00175 × (273,15 + 30) / 273,15 = 0,00194
Концентрация паров масла в маслобаке (приложение 12 Методических указаний ...), C_{20}, г/м³	0,26
Опытные коэффициенты, K_p^{max}, K_p^{cp} (приняты по приложению 8 Методических указаний ...)	Для горизонтального маслобака объемом до 100 м³ K_p^{max} = 1,0, K_p^{cp} = 0,7
Опытные коэффициенты при максимальной и минимальной температуре масла в емкости, K_t^{max}, K_t^{min} (приняты по приложению 7 Методических указаний ..)	K_t^{max} = K_t^{min} = 1,4
Полная оборачиваемость маслобака, раз в год	1,419 / 1,64 ≈ 1
Коэффициент оборачиваемости резервуара (приложение 10 Методических указаний …)	2,5
Максимально разовое количество паров масла, поступающих в атмосферу при “дыхании” маслобака, г/с	0,26 × 1,4 × 1 × 6,3 / 3600 =0,000637
Годовой валовый выброс паров масла, поступающих в атмосферу при “дыхании” маслобака, т/год	0,26 × (1,4 + 1,4) × 0,7 × 2,5 × 1,277 / (2 × 10^6 × 0,893) = = 0,0000009

2 Расчет количества загрязняющих веществ, поступающих в атмосферу от маслобаков компрессоров ГПА

Номера ИЗА – 0409, 0410, 0411, 0412

В соответствии с данными технологической части проекта дополнительно в эксплуатацию вводятся 4 (3 рабочих +1 резервный) ГПА.

В таблице М3 приведен расчет количества загрязняющих веществ, поступающих в атмосферу от маслобака компрессора 1 рабочего ГПА.

Таблица М.3 - Расчет количества загрязняющих веществ, поступающих в атмосферу от маслобака компрессора 1 рабочего ГПА

Наименование показателя	Величина
Наименование маслобака	маслобак компрессора
Тип маслобака	горизонтальный
Режим эксплуатации	“мерник”
Наименование ИЗА	Свеча суфлирования
Высота источника загрязнения, м	11
Диаметр источника загрязнения, м	0,05
Наименование продукта, поступающего в маслобак	масло минеральное
Плотность масла, поступающего в маслобак, кг/м³	893
Объем маслобака, м³	19
Объем полной заправки маслобака маслом, м³	18
Потери масла за счет угара (безвозвратные потери), кг/ч	0,2
Годовой расход масла, поступающего в маслобак, т/год м³/год	(18 × 893 + 0,2 × 8520) / 1000 = 17,778 17,778 × 1000 / 893 = 19,753
Температура масла, поступающего в маслобаки, °С	30 ÷ 70
Производительность насоса, закачивающего масло в маслобак, м³/ч	10,0
Объем паров масла, поступающих в атмосферу, м³/с - при температуре плюс 30°С, м³/с - при температуре плюс 70°С, м³/с	 10,0 / 3600 = 0,00278 0,00278 × (273,15 + 30) / 273,15 = 0,00309 0,00278 × (273,15 + 70) / 273,15 = 0,00349
Концентрация паров масла в маслобаке (приложение 12 Методических указаний ...), C_{20}, г/м³	0,26
Опытные коэффициенты, K_p^{max}, K_p^{cp} (приняты по приложению 8 Методических указаний ...)	Для горизонтального маслобака объемом до 100 м³ K_p^{max} = 1,0, K_p^{cp} = 0,7
Опытные коэффициенты при максимальной и минимальной температуре масла в емкости, K_t^{max}, K_t^{min} (приняты по приложению 7 Методических указаний..)	K_t^{max} =4,1, K_t^{min} = 1,4
Полная оборачиваемость маслобака, раз/год	19,753 / 18 ≈ 2

Наименование показателя	Величина
Коэффициент оборачиваемости резервуара (приложение 10 Методических указаний …)	2,5
Максимально разовое количество паров масла, поступающих в атмосферу при “дыхании” маслобака, г/с	0,26 × 4,1 × 1 × 10,0 / 3600 = 0,002961
Годовой валовый выброс паров масла, поступающих в атмосферу при “дыхании” маслобака, т/год	0,26 × (4,1 + 1,4) × 0,7 × 2,5 × 17,778 / (2 × 10^6 × 0,893) = 0,000025

В таблице М.4 приведен расчет количества загрязняющих веществ, поступающих в атмосферу от маслобака компрессора резервного ГПА.

Таблица М.4 - Расчет количества загрязняющих веществ, поступающих в атмосферу от маслобака компрессора резервного ГПА

Наименование показателя	Величина
Наименование маслобака	маслобак компрессора
Тип маслобака	горизонтальный
Режим эксплуатации	“мерник”
Наименование ИЗА	Свеча суфлирования
Высота источника загрязнения, м	11
Диаметр источника загрязнения, м	0,05
Наименование продукта, поступающего в маслобак	масло минеральное
Плотность масла, поступающего в маслобак, кг/м^3	893
Объем маслобака, м^3	19
Объем полной заправки маслобака маслом, м^3	18
Годовой расход масла, поступающего в маслобак, т/год м^3/год	18 × 893 / 1000 = 16,074 16,074 × 1000 / 893 = 17,86
Температура масла, поступающего в маслобаки, ^{o}C	30
Производительность насоса, закачивающего масло в маслобак, м^3/ч	10,0
Объем паров масла, поступающих в атмосферу, м^3/с - при температуре плюс 30°C, м^3/с	10,0 / 3600 = 0,00278 0,00278 × (273,15 + 30) / 273,15 = 0,00309
Концентрация паров масла в маслобаке (приложение 12 Методических указаний ...), C_{20}, г/м^3	0,26
Опытные коэффициенты, K_p^{max}, K_p^{cp} (приняты по приложению 8 Методических указаний ...)	Для горизонтального маслобака объемом до 100 м^3 K_p^{max} = 1,0, K_p^{cp} = 0,7
Опытные коэффициенты при максимальной и минимальной температуре масла в емкости, K_t^{max}, K_t^{min} (приняты по приложению 7 Методических указаний..)	K_t^{max} =K_t^{min} = 1,4
Полная оборачиваемость маслобака, раз/год	17,86 / 18 ≈ 1
Коэффициент оборачиваемости резервуара (приложение 10 Методических указаний …)	2,5
Максимально разовое количество паров масла, поступающих в атмосферу при “дыхании” маслобака, г/с	0,26 × 1,4 × 1 × 10,0 / 3600 = 0,001011
Годовой валовый выброс паров масла, поступающих в атмосферу при “дыхании” маслобака, т/год	0,26 × (1,4 + 1,4) × 0,7 × 2,5 × 16,074 / (2 × 10^6 × 0,893) = 0,000011

3 Расчет количества загрязняющих веществ, дополнительно поступающих в атмосферу от емкостей чистого масла Е-3-1, 2, 3, 4 расходного склада масел

Номер ИЗА – 6351, 6352, 6353, 6354 (существующие)

В соответствии с данными технологической части проекта маслоснабжение агрегатов будет осуществляться из 4 существующих емкостей чистого масла Е-3-1, 2, 3, 4 единичным объемом 25 м^3.

В соответствии с технологической частью проекта дополнительный годовой расход чистого масла для двигателей и компрессоров проектируемых ГПА, составит 128,7 м^3/год.

В таблице М.5 приведены расчеты количества паров масла минерального нефтяного, дополнительно поступающих в атмосферу при “дыхании” емкостей чистого масла Е-3-1, 2, 3, 4.

Таблица М.5 - Расчет количества паров масла минерального нефтяного, дополнительно поступающих в атмосферу от емкостей чистого масла Е-3-1, 2, 3, 4

Наименование показателя	Величина
Количество емкостей, штук	4
Единичный объем 1 емкости, м^3	25
Тип емкостей	Наземные горизонтальные
Режим эксплуатации	“мерник”
Плотность масла, поступающего в емкости, кг/м^3 (т/м^3)	893 (893 / 1000 = 0,893)
Дополнительный годовой суммарный объем чистого масла, поступающего в емкости, м^3/год	128,7
Дополнительный годовой суммарный расход чистого масла, поступающего в емкости, т/год	128,7 × 0,893 = 114,929
Производительность насоса, закачивающего масло в емкости, м^3/ч	6,3
Температура масла, поступающего в емкости, °С	5 ÷ 40
Объем паров масла, поступающих в атмосферу (при нормальных условиях Р=0,1013 МПа, Т=273,15К), нм^3/с - при температуре 5°С, м^3/с	6,3 / 3600 = 0,00175 0,00175 × (273,15 + 5) / 273,15 = 0,00178
- при температуре 40°С, м^3/с	0,00175× (273,15 + 40) / 273,15 = 0,00201
Концентрация паров масла в емкостях (принята по приложение 12 Методических указаний ...), C_{20}, г/м^3	0,26
Опытные коэффициенты, K_p^{max} =, K_p^{cp} (приняты по приложению 8 Методических указаний …)	Для наземного горизонтального резервуара объемом менее 100 м^3 K_p^{max} = 1,0, K_p^{cp} = 0,7
Опытные коэффициенты при максимальной и минимальной температуре масла в баке, K_t^{max}, K_t^{min} (приняты по приложению 7 Методических указаний ...)	K_t^{max} = 1,88, K_t^{min} = 0,59
Коэффициент заполнения емкостей	0,9
Полная оборачиваемость каждой из емкостей, раз в год	128,7 / (4 × 25 × 0,9) ≈ 2
Коэффициент оборачиваемости (приложение 10 Методических указаний …)	2,5
Максимально разовое количество паров масла, дополнительно поступающих в атмосферу при “дыхании” каждой емкости, г/с	0,26 × 1,88 × 1,0 × 6,3 / 3600 = 0,000855
Суммарный годовой валовый выброс паров масла, дополнительно поступающих в атмосферу при “дыхании” 4-х емкостей, т/год	0,26 × (1,88 + 0,59) × 0,7 × 2,5 × 114,929 / (2 × 10^6 × 0,893) = 0,000072
Годовой валовый выброс паров масла, дополнительно поступающих в атмосферу при “дыхании” каждой из 4-х емкостей, т/год	0,000072 / 4 = 0,000018

4 Расчет количества загрязняющих веществ, дополнительном поступающих в атмосферу от емкостей отработанного масла Е-4-1, 2 расходного склада масел

Номера ИЗА – 6355, 6356 (существующие)

В соответствии с данными технологической части проекта слив отработанного масла из проектируемых агрегатов будет осуществляться в 2 существующие емкости для отработанного масла единичным объемом 25 м^3 расходного склада масел.

В таблице М.6 приведены расчеты количества паров масла, дополнительно поступающих в атмосферу при “дыхании” емкостей отработанного масла расходного склада масел.

Таблица М.6 - Расчет количества загрязняющих веществ, дополнительно поступающих в атмосферу от емкостей отработанного масла Е-4-1, 2 расходного склада масел

Наименование показателя	Величина
Количество емкостей, штук	2
Единичный объем 1 емкости, м^3	25
Тип емкостей	Наземные горизонтальные
Режим эксплуатации	“мерник”
Плотность масла, поступающего в емкости, кг/м^3 (т/м^3)	893 (893 / 1000 = 0,893)
Годовой суммарный объем отработанного масла, дополнительно поступающего в емкости, м^3/год	84
Годовой суммарный расход отработанного масла, дополнительно поступающего в емкости, т/год	84 × 0,893 = 75,012
Производительность насоса, закачивающего масло в емкости, м^3/ч	6,3
Температура масла, поступающего в емкости, ºС	5 ÷ 65
Объем паров масла, поступающих в атмосферу (при нормальных условиях Р=0,1013 МПа, Т=273,15К), нм^3/с - при температуре 5ºС, м^3/с - при температуре 40ºС, м^3/с	6,3 / 3600 = 0,00175 0,00175 × (273,15 + 5) / 273,15 = 0,00178 0,00175× (273,15 + 65) / 273,15 = 0,00217
Концентрация паров масла в емкостях (принята по приложение 12 Методических указаний ...), C_{20}, г/м^3	0,26
Опытные коэффициенты, K_p^{max} =, K_p^{cp} (приняты по приложению 8 Методических указаний …)	Для наземного горизонтального резервуара объемом менее 100 м^3 K_p^{max} = 1,0, K_p^{cp} = 0,7
Опытные коэффициенты при максимальной и минимальной температуре масла в баке, K_t^{max}, K_t^{min} (приняты по приложению 7 Методических указаний ...)	K_t^{max} = 3,6, K_t^{min} = 0,59
Степень заполнения емкостей	0,9
Полная оборачиваемость каждой из емкостей, раз в год	84 / (2 × 25 × 0,9) ≈ 2
Коэффициент оборачиваемости (приложение 10 Методических указаний …)	2,5
Максимально разовое количество паров масла, поступающего в атмосферу при “дыхании” каждой емкости, г/с	0,26 × 3,6 × 1,0 × 6,3 / 3600 = 0,001638
Суммарный годовой валовый выброс паров масла, поступающего в атмосферу при “дыхании” 2-х емкостей, т/год	0,26 × (3,6+ 0,59) × 0,7 × 2,5 × 75,012/ (2 × 10^6 × 0,893) = = 0,00008
Годовой валовый выброс паров масла, поступающего в атмосферу при “дыхании” каждой из 2-х емкостей, т/год	0,00008 / 2 = 0,00004

5 Расчет количества загрязняющих веществ, поступающих в атмосферу при “дыхании” емкостей дренажных 2Е-1 для МГПА

Номера ИЗА – 0413, 0414, 0415, 0416

В соответствии с данными технологической части проекта дополнительно в эксплуатацию вводятся 4 (3 рабочих +1 резервный) ГПА.

Для каждого из модулей ГПА устанавливается емкость дренажная 2Е-1, куда будут поступать дренажи масла минерального.

В таблице М.7 приведены расчеты количества загрязняющих веществ, поступающих в атмосферу от 1 емкости дренажной 2Е-1 в каждом блоке МГПА.

Таблица М.7 - Расчет количества загрязняющих веществ, поступающих в атмосферу от 1 емкости дренажной 2Е-1 в каждом блоке МГПА

Наименование показателя	Величина
Количество емкостей, штук	по 1 в каждом блоке МГПА
Единичный объем 1 емкости, м^3	3
Тип емкостей	Наземные горизонтальные

Наименование показателя	Величина
Режим эксплуатации	“мерник”
Наименование источника загрязнения атмосферы	Дыхательный клапан
Высота источника загрязнения атмосферы, м	5,35
Диаметр источника загрязнения атмосферы, м	0,05
Годовой объем дренажей масла, поступающего в 1 дренажную емкость, м^3/год	1,2
Плотность масла, поступающего в емкости, кг/м^3 (т/м^3)	893 (893 / 1000 = 0,893)
Годовой суммарный расход дренажей масла, поступающего в 1 дренажную емкость, т/год	1,2 × 0,893 = 1,072
Объем дренажей, поступающих в емкость дренажную, м^3/ч	Дренажи поступают по дренажному коллектору Ду80 мм, скорость поступления 0,2 м/с. Тогда объем составит: 3,14 × 0,08^2 × 0,2 × 3600 /4 = 3,6
Температура дренажей масла, поступающего в емкости, ºС	5 ÷ 40
Объем паров масла, поступающих в атмосферу (при нормальных условиях Р=0,1013 МПа, Т=273,15К), нм^3/с - при температуре 5ºС, м^3/с - при температуре 40ºС, м^3/с	 3,6 / 3600 = 0,00100 0,001 × (273,15 + 5) / 273,15 = 0,00102 0,001 × (273,15 + 40) / 273,15 =0,00115
Концентрация паров масла в емкостях (принята по приложение 12 Методических указаний ...), C_{20}, г/м^3	0,26
Опытные коэффициенты, K_p^{max} =, K_p^{cp} (приняты по приложению 8 Методических указаний …)	Для наземного горизонтального резервуара объемом менее 100 м^3 K_p^{max} = 1,0, K_p^{cp} = 0,7
Опытные коэффициенты при максимальной и минимальной температуре дренажей в емкости, K_t^{max}, K_t^{min} (приняты по приложению 7 Методических указаний ...)	K_t^{max} = 1,88, K_t^{min} = 0,59
Коэффициент заполнения емкости	0,9
Полная оборачиваемость емкости, раз в год	1,2 / (3 × 0,9) ≈1
Коэффициент оборачиваемости (приложение 10 Методических указаний …)	2,5
Максимально разовое количество паров масла, поступающего в атмосферу при “дыхании” 1 дренажной емкости, г/с	0,26 × 1,88 × 1,0 × 3,6 / 3600 = 0,000489
Годовой валовый выброс паров масла, поступающего в атмосферу при “дыхании” 1 дренажной емкости, т/год	0,26 × (1,88 + 0,59) × 0,7 × 2,5 × 1,072 / (2 × 10^6 × 0,893) = = 0,00000007

6 Расчет количества загрязняющих веществ, поступающих в атмосферу при “дыхании” емкости дренажной Е-5 маслохозяйства

Номер ИЗА – 6350 (существующий)

Дренажи масла при эксплуатации проектируемых объектов будут поступать в существующую емкость дренажную маслохозяйства.

В таблице М.8 приведены расчеты количества паров масла минерального нефтяного, дополнительно поступающих в атмосферу от емкости дренажной Е-5 маслохозяйства.

Таблица М.8 - Расчет количества паров масла минерального нефтяного, дополнительно поступающих в атмосферу от емкости дренажной Е-5 маслохозяйства

Наименование показателя	Величина
Количество емкостей, штук	1
Единичный объем 1 емкости, м^3	3
Тип емкостей	Наземная горизонтальная
Режим эксплуатации	“мерник”
Годовой суммарный объем дренажей масла, поступающего в дренажную емкость, м^3/год	1,7
Плотность дренажей масла, поступающего в емкость, кг/м^3 (т/м^3)	893 (893 / 1000 = 0,893)
Годовой суммарный расход дренажей масла, поступающего в 1 дренажную емкость, т/год	1,7 × 0,893 = 1,518

Наименование показателя	Величина
Объем дренажей, поступающих в емкость дренажную в течение 1 ч, м^3/ч	Дренажи поступают по дренажному коллектору Ду80 мм, скорость поступления 0,2 м/с. Тогда объем составит: 3,14 × 0,08^2 × 0,2 × 3600 /4 = 3,6
Температура дренажей масла, поступающего в емкости, ºС	5 ÷ 40
Объем паров масла, поступающих в атмосферу (при нормальных условиях Р=0,1013 МПа, Т=273,15К), нм^3/с - при температуре 5ºС, м^3/с - при температуре 40ºС, м^3/с	3,6 / 3600 = 0,00100 0,001 × (273,15 + 5) / 273,15 = 0,00102 0,001 × (273,15 + 40) / 273,15 =0,00115
Концентрация паров масла в емкости (принята по приложение 12 Методических указаний ...), C_{20}, г/м^3	0,26
Опытные коэффициенты, K_p^{max} =, K_p^{cp} (приняты по приложению 8 Методических указаний …)	Для наземного горизонтального резервуара объемом менее 100 м^3 K_p^{max} = 1,0, K_p^{cp} = 0,7
Опытные коэффициенты при максимальной и минимальной температуре дренажей в емкости, K_t^{max}, K_t^{min} (приняты по приложению 7 Методических указаний ...)	K_t^{max} = 1,88, K_t^{min} = 0,59
Степень заполнения емкости	0,9
Полная оборачиваемость емкости, раз в год	1,7 / (3 × 0,9) ≈ 1
Коэффициент оборачиваемости (приложение 10 Методических указаний …)	2,5
Максимально разовое количество паров масла, поступающего в атмосферу при “дыхании” 1 дренажной емкости, г/с	0,26 × 1,88 × 1,0 × 3,6 / 3600 = 0,000489
Годовой валовый выброс паров масла, поступающего в атмосферу при “дыхании” 1 дренажной емкости, т/год	0,26 × (1,88 + 0,59) × 0,7 × 2,5 × 1,518 / (2 × 10^6 × 0,893) = = 0,000001

7 Расчет количества загрязняющих веществ, дополнительно поступающих в атмосферу при дыхании емкостей аварийного слива дизтоплива 2Е-7 на площадке ДКС

Номер ИЗА –0422, 0423

Для слива дизтоплива из топливных баков аварийных ДЭС в случае аварии (например, при пожаре) устанавливаются 2 емкости аварийного слива 2Е-7 (по 1 для каждой ДЭС).

В таблице М.9 приведен расчет количества загрязняющих веществ, поступающих в атмосферу при “дыхании” 1 емкости аварийного слива 2Е-7 на площадке ДКС. Расчет выбросов приведен для 1 емкости, для 2 емкости выбросы аналогичны.

Таблица М.9 – Расчеты количества загрязняющих веществ, дополнительно поступающих в атмосферу от емкости аварийного слива 2Е-7

Наименование показателя	Величина
Высота свечи емкости , м	3,5
Диаметр свечи, м	0,35
Единичный объем емкости, м^3	3,2
Плотность дизтоплива, кг/м^3	834
Тип емкости	Наземная горизонтальная
Режим эксплуатации	“мерник”
Степень заполнения емкости	0,95
Количество дизтоплива, поступающего в емкость, м^3 т	3,2 × 0,95 = 3,04 3,04 × 834 / 1000 = 2,535
Температура дизтоплива, поступающего в емкость, ºС	7 ÷ 40
Объем дизтоплива, сливаемого в емкость при аварии, м^3/ч	Слив топлива осуществляется по трубопроводу Ду50 мм, скорость поступления 0,6 м/с. Тогда объем, поступающий в емкость, составит: 3,14 × 0,05^2 × 0,6 × 3600 / 4 = 4,2
Объем паров дизтоплива, поступающих в атмосферу от емкости (при нормальных условиях Р=0,1013 МПа, Т=273,15К), нм^3/с - при температуре плюс 7ºС, м^3/с - при температуре плюс 20ºС, м^3/с	4,2 / 3600 = 0,00111 0,00111 × (273,15 + 7) / 273,15 = 0,00114 0,00111 × (273,15 + 40) / 273,15 = 0,00127

Наименование показателя	Величина
Концентрация паров дизтоплива в емкости (приложение 12 Методических указаний …), C_{20}, г/м^3	2,59
Опытные коэффициенты, характеризующие эксплуатационные особенности емкости, K_p^{max}, $K_p^{ср}$ (приняты по приложению 8 Методических указаний …)	Для наземного горизонтального резервуара объемом менее 100 м^3 K_p^{max} =1,0, $K_p^{ср}$ = 0,7
Опытные коэффициенты при максимальной и минимальной температуре дизтоплива в емкости, K_t^{max}, K_t^{min} (приняты по приложению 7 Методических указаний …)	K_t^{max} = 1,88, K_t^{min} = 0,64
Полная оборачиваемость емкости, раз при 1 аварии	1
Коэффициент оборачиваемости (приложение 10 Методических указаний …)	2,5
Максимально разовое количество паров дизтоплива, поступающего в атмосферу, г/с в том числе: - смеси углеводородов предельных C_{12}-C_{19} - сероводорода	2,59 × 1,88 × 1,0 × 4,2 / 3600 = 0,005681 0,005681 × 99,72 / 100= 0,005665 0,005681 × 0,28 / 100 = 0,000016
Валовый выброс паров дизтоплива, поступающего в атмосферу при “дыхании” емкости при аварии, т в том числе: - смеси углеводородов предельных C_{12}-C_{19} - сероводорода	2,59 × (1,88 + 0,64) × 0,7 × 2,5 × 2,534 / (2 × 10^6 × 0,834) = 0,000017 0,000017 × 99,72 / 100 = 0,000017 0,000017 × 0,28 / 100 = 0,00000005

8 Расчет количества загрязняющих веществ, поступающих в атмосферу от топливных баков ДЭС

Номера ИЗА – 0424, 0426

Для аварийного электроснабжения потребителей ДКС предусматриваются две аварийные дизельные электростанции (АДЭС) мощностью 1600 кВт каждая.

В таблице М.10 приведены расчеты количества загрязняющих веществ, поступающих в атмосферу от топливного бака 1 АДЭС. Расчет выбросов загрязняющих веществ от топливного бака 2 ДЭС аналогичен.

Таблица М.10 - Расчеты количества загрязняющих веществ, поступающих в атмосферу от топливного бака 1 аварийной дизельной электростанции

Наименование показателя	Величина
Наименование источника загрязнения	Свеча топливного бака
Количество источников, штук	1
Высота источника, м	4,0
Диаметр, м	0,05
Плотность дизтоплива, поступающего в топливный бак, кг/м^3	834
Единичный объем одного топливного бака, м^3	1,0
Степень заполнения	0,95
Первоначальный объем заполнения бака, м^3	1,0 × 0,95 = 0,950
Время работы аварийной ДЭС, ч/год	не более 240
Тип топливного бака	вертикальный
Режим эксплуатации	“буфер”
Объем дизтоплива, поступающего в топливный бак, т/год м^3/год	63,59 63,59 × 1000 / 834 = 76,339
Температура дизтоплива, поступающего в топливный бак, ºС	плюс 8 ÷ плюс 40
Производительность насоса, закачивающего дизтопливо в топливный бак, м^3/ч	4
Объем паров дизтоплива, поступающих в атмосферу от топливного бака АДЭС (при нормальных условиях Р=0,1013 МПа, Т=273,15К), нм^3/с	4 / 3600 = 0,00111

Наименование показателя	Величина
- при температуре плюс 7°С, м³/с - при температуре плюс 40°С, м³/с	0,00111 × (273,15 + 8) / 273,15 = 0,00114 0,00111 × (273,15 + 40) / 273,15 = 0,00127
Концентрация паров дизтоплива в топливном баке (приложение 12 Методических указаний …), C_{20}, г/м³	2,59
Опытные коэффициенты, характеризующие эксплуатационные особенности топливного бака, K_p^{max} , K_p^{cp} (приняты по приложению 8 Методических указаний …)	Для наземного вертикального резервуара объемом менее 100 м³ K_p^{max} = 0,1, K_p^{cp} = 0,1
Опытные коэффициенты при максимальной и минимальной температуре дизтоплива в баке, K_t^{max}, K_t^{min} (приняты по приложению 7 Методических указаний …)	K_t^{max} = 1,88, K_t^{min} = 0,66
Полная оборачиваемость топливного бака при заполнении на 95%, раз в год	76,339 / 1 × 0,95 ≈81
Коэффициент оборачиваемости (приложение 10 Методических указаний …)	1,4925
Максимально разовое количество паров дизтоплива, поступающего в атмосферу, г/с в том числе: - смеси углеводородов предельных C_{12}-C_{19} - сероводорода	2,59 × 1,88 × 0,1 × 4 / 3600 = 0,000541 0,000541 × 99,72 / 100= 0,000539 0,000541 × 0,28 / 100 = 0,000002
Годовой валовый выброс паров дизтоплива, поступающего в атмосферу при “дыхании” топливного бака аварийной ДЭС, т/год в том числе: - смеси углеводородов предельных C_{12}-C_{19} - сероводорода	2,59 × (1,88 + 0,66) × 0,1 × 1,4925 × 63,59 / (2 × 10^6 × 0,833) = 0,000037 0,000037 × 99,72 / 100 = 0,000037 0,000037 × 0,28 / 100 = 0,0000001

9 Расчет количества загрязняющих веществ, поступающих в атмосферу от маслобаков ДЭС

Номера ИЗА – 0425, 0427

В таблице М11 приведен расчет количества загрязняющих веществ, поступающих в атмосферу от маслобака 1 дизельной электростанции. Расчет выбросов загрязняющих веществ от топливного бака 2 ДЭС аналогичен

Таблица М.11 - Расчет количества загрязняющих веществ, поступающих в атмосферу от маслобака 1 АДЭС

Наименование показателя	Величина
Высота источника, м	4,0
Диаметр источника, м	0,05
Тип маслобака	вертикальный наземный
Режим эксплуатации	“мерник”
Плотность масла, поступающего в маслобак, кг/м³	888
Объем маслобака, м³	0,2
Степень заполнения маслобака	0,95
Годовой расход масла, поступающего в бак, м³/год т/год	0,2 × 0,95 = 0,19 0,19 × 888 / 1000 = 0,169
Температура масла, поступающего в маслобак, °С	плюс 8 ÷ плюс 40
Производительность насоса, закачивающего масло в маслобак, м³/ч	3
Объем паров масла, поступающих в атмосферу от маслобака аварийной ДЭС (при нормальных условиях Р=0,1013 МПа, Т=273,15К), нм³/с - при температуре плюс 7°С, м³/с - при температуре плюс 50°С, м³/с	3 / 3600 = 0,00083 0,00083 × (273,15 + 8) / /273,15 =0,00092 0,00083× (273,15 + 40)/ / 273,15 =0,00104
Концентрация паров масла в емкости (приложение 12 Методических указаний ...), C_{20}, г/м³	0,26
Опытные коэффициенты, K_p^{max} =, K_p^{cp}(приняты по приложению 8 Методических указаний …)	Для наземного вертикального резервуара объемом менее 100 м³ K_p^{max} = 0,9, K_p^{cp} = 0,63
Опытные коэффициенты при максимальной и минимальной температуре масла в баке, K_t^{max}, K_t^{min} (приняты	K_t^{max} = 1,88, K_t^{min} = 0,66

Наименование показателя	Величина
по приложению 7 Методических указаний ...)	
Полная оборачиваемость маслобака, раз в год	0,19 / 0,2 ≈ 1
Коэффициент оборачиваемости маслобака (приложение 10 Методических указаний …)	2,5
Максимально разовое количество паров масла, поступающего в атмосферу при “дыхании” маслобака аварийной ДЭС, г/с	0,26 × 1,88 × 0,9 × 3 / /3600 = 0,000367
Суммарный годовой валовый выброс паров масла, поступающего в атмосферу при “дыхании” маслобака аварийной ДЭС, т/год	0,26× (1,88 + 0,66)×0,63 × 2,5 × 0,171 / (2 × 10^6 × 0,888) = =0,0000002

Приложение Н
(обязательное)

Расчет количества загрязняющих веществ, поступающих в атмосферу за счет утечек через неплотности фланцев, ПК, устанавливаемых на проектируемых объектах ДКС в период эксплуатации

Количество загрязняющих веществ, поступающих в атмосферу за счет возможных утечек продуктов через неплотности фланцев, ПК, устанавливаемых на трубопроводах и оборудовании проектируемых объектов ДКС, рассчитано по "СТО Газпром 11-2005 Методические указания по расчету валовых выбросов углеводородов (суммарно) в атмосферу в ОАО "Газпром" (М., ОАО "Газпром", 2005), "ВРД 39-1.13-051-2001 Инструкция по нормированию расхода и расчету выбросов метанола для объектов ОАО "Газпром" (М., ОАО "Газпром", 2002).

Потери продуктов за счет возможных утечек через неплотности фланцев, ПК рассчитаны по формулам:

$$M_{фл} = A_{фл} \times b_{фл} \times \tau \times a \times 10^{-3}, \text{ т/год;}$$

$$M_{ПК} = A_{ПК} \times b_{ПК} \times \tau \times a \times 10^{-3}, \text{ т/год;}$$

где $A_{фл}$, $A_{ПК}$ – величина возможных утечек продукта через неплотности фланцев, ПК, кг/ч;

$b_{фл.}$, $b_{ПК}$– количество фланцев, ПК, штук;

τ – годовое время работы, ч/год;

a – расчетная доля уплотнений, потерявших герметичность.

На оборудовании и трубопроводах проектируемых объектов ДКС установлена запорно-регулирующая арматура с герметичностью затвора класса А.

В соответствии с ГОСТ 9544-2015 для затворов класса герметичности А трубопроводной арматуры всех видов (запорной, обратной, предохранительной, регулирующей, распределительно-смесительной, фазоразделительной) и всех типов (задвижки, клапаны, краны, дисковые затворы), а также комбинированной арматуры номинальными диаметрами от 3 до 2000 мм при номинальных давлениях от 1 до 420 кг/см^2 отсутствуют видимые утечки в течение времени выдержки. Таким образом, утечки продуктов через запорно-регулирующую арматуру, предохранительные клапаны с герметичностью затвора класса А приняты равными нулю.

В таблице Н.1 приведена среднестатистическая величина возможных утечек продуктов, поступающих в атмосферу через неплотности фланцев, ПК.

Таблица Н.1 - Среднестатистическая величина возможных утечек продуктов через неплотности фланцев, ПК

Наименование среды	Расчетная величина утечки – А, кг/ч	Расчетная доля уплотнений, потерявших герметичность, доли (общее число уплотнений данного типа принято за 1) – а
Фланцевые соединения		
Газовая среда (газ сырой, газ скомпримированный, газ топливный, газ буферный, импульсный газ)	0,00073	0,030

Наименование среды	Расчетная величина утечки – А, кг/ч	Расчетная доля уплотнений, потерявших герметичность, доли (общее число уплотнений данного типа принято за 1) – а
Метанол	0,00038	0,050
Тяжелые углеводороды (нестабильный конденсат, дизтопливо, масло минеральное)	0,00029	0,020
Предохранительные клапаны		
Газовая среда (газ сырой, газ скомпримированный, газ топливный, газ буферный, импульсный газ)	0,136	0,46
Тяжелые углеводороды (нестабильный конденсат)	0,111	0,35

В таблице Н.2 приведены количество фланцев, ПК, устанавливаемых на проектируемых объектах ДКС.

Таблица Н.2 - Количество фланцев, ПК, устанавливаемых на проектируемых объектах ДКС

Цех, установка, отделение	Среда	Количество фланцев, насосов, штук
ДКС. Вентвыбросы от укрытия модуля ГПА №1 - №4. Количество фланцев приведено на 1 укрытие	- газ сырой - газ скомпримированный - газ топливный - газ буферный - газ импульсный - масло минеральное нетяфное - метанол	Фланцы - 60 Фланцы – 60 Фланцы – 20 Фланцы – 20 Фланцы – 20 Фланцы – 10 Фланцы - 10
Установка очистки газа (2ФС-1, 2ФС-2 2ФС-3)	- газ сырой - нестабильный конденсат	Фланцы – 90, ПК - 6 Фланцы – 40
Обвязка ГПА-7…10. (2БПМ-1, Е-1, Е-2). Утечки от арматуры, фланцев на открытой площадке. Количество фланцев приведено на 1 модуль ГПА	- газ сырой - газ топливный - газ буферный - газ импульсный - нестабильный конденсат - метанол - масло минеральное нефтяное	Фланцы – 110, ПК - 2 Фланцы – 14 Фланцы – 8 Фланцы – 26 Фланцы – 36 Фланцы – 12 Фланцы - 32
Блок подготовки газов	- газ топливный и импульсный - газ буферный - нестабильный конденсат	Фланцы – 120 Фланцы – 90 Фланцы - 30
На открытой площадке УПГ (включая фланцы ресивера импульсного газа)	- газ топливный и импульсный - газ буферный - нестабильный конденсат	Фланцы – 80 Фланцы – 24 Фланцы – 12 ПК - 4
Аварийная дизельная электростанция №№4, 5 (2 шт.) Наружная установка	- дизельное топливо	Фланцы - 18
Сеть технологическая. Наружная установка. Все трубопроводы, кроме относящихся к модулям ГПА-7…10	- газ сырой - газ топливный - газ буферный - газ импульсный - газ продувочный - нестабильный конденсат - метанол - масло минеральное нефтяное	Фланцы - 52 Фланцы – 12 Фланцы – 14 Фланцы – 40 Фланцы – 26 Фланцы – 44 Фланцы – 65 Фланцы – 80

В таблице Н.3 приведены усредненные составы сред, которые будут поступать в атмосферу при утечках через неплотности фланцев, ПК, установленных на проектируемых объектах ДКС, принятые по данным технологической части проекта.

Таблица Н.3 – Составы сред, которые будут поступать в атмосферу при утечках через неплотности фланцев, ПК, установленных на проектируемых объектах ДКС

Наименование компонента	Содержание, масс. доли			
	Сырой газ	Топливный, Импульсный газ	Скомпримированный, буферный газ	Нестабильный конденсат
Метан (CH_4)	0,7085	0,7613	0,6827	0,0686
Смесь углеводородов предельных C1H4-C5H12	0,1177	0,12141	0,2689	0,2293
Смесь углеводородов предельных C6H14-C10H22	0,0189	0,0019	0,0268	0,6953
Диоксид углерода (CO_2)	0,014	0,019	0,0169	0,0034
Метанол	-	0,004	0,0009	0,003
Азот	0,0033	0,0033	0,0030	0,000118

В таблице Н.4 приведены расчеты количества загрязняющих веществ, поступающих в атмосферу за счет утечек через неплотности фланцев, ПК, установленных на оборудовании и трубопроводах проектируемых объектов ДКС в период эксплуатации.

Таблица Н.4 - Расчеты количества загрязняющих веществ, поступающих в атмосферу за счет утечек через неплотности фланцев, ПК, устанавливаемых на оборудовании и трубопроводах проектируемых объектов ДКС в период эксплуатации

Наименование загрязняющих веществ, поступающих в атмосферу	Количество загрязняющих веществ, поступающих в атмосферу	
	Максимально разовый выброс, г/с	Годовой валовый выброс, т/год
1. Утечки через неплотности фланцев, установленных на трубопроводах установки очистки газа (2ФС-1, 2ФС-2 2ФС-3). Неорганизованный выброс.		
Номера ИЗА - 6470		
Газ сырой, в том числе: - диоксид углерода - метан - смесь углеводородов предельных С1Н4-С5Н12 (кроме метана) - смесь углеводородов предельных С6Н14-С10Н22	0,00073 × 0,03 × 90 × 1000 / 3600 = 0,000548 0,000548 × 0,014 = 0,000008 0,000548 × 0,7085 = 0,000388 0,000548 × 0,2543 = 0,000139 0,000548 × 0,0189 = 0,00001	0,00073 × 0,03 × 90 × 8520 / 1000 = 0,016793 0,016793 × 0,014 = 0,000235 0,016793 × 0,7085 = 0,011898 0,016793 × 0,2543 = 0,00427 0,016793 × 0,0189 = 0,000317
Газ сырой, в том числе: - диоксид углерода - метан - смесь углеводородов предельных С1Н4-С5Н12 (кроме метана) - смесь углеводородов предельных С6Н14-С10Н22	0,136 × 0,46 × 6 × 1000 / 3600 = 0,104267 0,000548 × 0,014 = 0,00146 0,000548 × 0,7085 = 0,073873 0,000548 × 0,2543 = 0,026515 0,000548 × 0,0189 = 0,001971	0,136 × 0,46 × 6 × 8520 / 1000 = 3,198067 0,016793 × 0,014 = 0,044773 0,016793 × 0,7085 = 2,26583 0,016793 × 0,2543 = 0,813268 0,016793 × 0,0189 = 0,060443
Нестабильный конденсат, в том числе: - диоксид углерода - метан - смесь углеводородов предельных С1Н4-С5Н12 (кроме метана) - смесь углеводородов предельных С6Н14-С10Н22 - метанол	0,00029 × 0,02 × 40 × 1000 / 3600 = 0,000064 0,000071 × 0,0034 = 0,0000002 0,000071 × 0,0686 = 0,000004 0,000071 × 0,2293 = 0,000015 0,000071 × 0,6953 = 0,000044 0,000071 × 0,003 = 0,0000002	0,00029 × 0,02 × 40 × 8520 / 1000 = 0,001977 0,002174 × 0,0034 = 0,000007 0,002174 × 0,0686 = 0,000136 0,002174 × 0,2293 = 0,000453 0,002174 × 0,6953 = 0,001375 0,002174 × 0,003 = 0,000006
Суммарное количество загрязняющих веществ, поступающих в атмосферу от 2ФС:		
Диоксид углерода	**0,001468**	**0,045015**
Метан	**0,074265**	**2,277864**
Смесь углеводородов предельных С1Н4-С5Н12 (кроме метана)	**0,026669**	**0,817991**
Смесь углеводородов предельных С6Н14-С10Н22	**0,002025**	**0,062135**
Метанол	**0,0000002**	**0,000006**
2. Утечки через неплотности фланцев, установленных на трубопроводах укрытия модулей ГПА №7-10 (выброс загрязняющих веществ в атмосферу осуществляется через вентиляционную трубу высотой 11,95 м, диаметр – 0,4 м, производительность вентиляционной установки – 0,87 м3/с, температура – 10оС). Расчет приведен для МГПА №1, для МГПА №2, №3, №4 выбросы аналогичны		
Номера ИЗА - 0417, 0418, 0419, 0420		
Газ сырой, в том числе: - диоксид углерода - метан - смесь углеводородов предельных С1Н4-С5Н12 (кроме метана) - смесь углеводородов предельных С6Н14-С10Н22	0,00073 × 0,03 × 60 × 1000 / 3600 = 0,000365 0,000365 × 0,014 = 0,000005 0,000365 × 0,7085 = 0,000259 0,000365 × 0,2543 = 0,000093 0,000365 × 0,0189 = 0,000007	0,00073 × 0,03 × 60 × 8520 / 1000 = 0,011195 0,011195 × 0,014 = 0,000157 0,011195 × 0,7085 = 0,007932 0,011195 × 0,2543 = 0,002847 0,011195 × 0,0189 = 0,000212

Наименование загрязняющих веществ, поступающих в атмосферу	Количество загрязняющих веществ, поступающих в атмосферу	
	Максимально разовый выброс, г/с	Годовой валовый выброс, т/год
Газ топливный, в том числе: - диоксид углерода - метан - смесь углеводородов предельных С1Н4-С5Н12 (кроме метана) - смесь углеводородов предельных С6Н14-С10Н22 - метанол	0,00073 × 0,03 × 20 × 1000 / 3600 = 0,000122 0,000122 × 0,019 = 0,000002 0,000122 × 0,7613 = 0,000093 0,000122 × 0,2141 = 0,000026 0,000122 × 0,0019 = 0,0000002 0,000122 × 0,004 = 0,0000005	0,00073 × 0,03 × 20 × 8520 / 1000 = 0,003732 0,003732 × 0,019 = 0,000071 0,003732 × 0,7613 = 0,002841 0,003732 × 0,2141 = 0,000799 0,003732 × 0,0019 = 0,000007 0,003732 × 0,004 = 0,000015
Газ буферный, в том числе: - диоксид углерода - метан - смесь углеводородов предельных С1Н4-С5Н12 (кроме метана) - смесь углеводородов предельных С6Н14-С10Н22 - метанол	0,00073 × 0,03 × 20 × 1000 / 3600 = 0,000122 0,000122 × 0,0169 = 0,000002 0,000122 × 0,6827 = 0,000083 0,000122 × 0,2689 = 0,000033 0,000122 × 0,0268 = 0,000003 0,000122 × 0,0009 = 0,0000001	0,00073 × 0,03 × 20 × 8520 / 1000 = 0,003732 0,003732 × 0,0169 = 0,000063 0,003732 × 0,6827 = 0,002548 0,003732 × 0,2689 = 0,001004 0,003732 × 0,0268 = 0,0001 0,003732 × 0,0009 = 0,000003
Газ импульсный, в том числе: - диоксид углерода - метан - смесь углеводородов предельных С1Н4-С5Н12 (кроме метана) - смесь углеводородов предельных С6Н14-С10Н22 - метанол	0,00073 × 0,03 × 20 × 1000 / 3600 = 0,000122 0,000122 × 0,019 = 0,000002 0,000122 × 0,7613 = 0,000093 0,000122 × 0,2141 = 0,000026 0,000122 × 0,0019 = 0,0000002 0,000122 × 0,004 = 0,0000005	0,00073 × 0,03 × 20 × 8520 / 1000 = 0,003732 0,003732 × 0,019 = 0,000071 0,003732 × 0,7613 = 0,002841 0,003732 × 0,2141 = 0,000799 0,003732 × 0,0019 = 0,000007 0,003732 × 0,004 = 0,000015
Газ скомпримированный, в том числе: - диоксид углерода - метан - смесь углеводородов предельных С1Н4-С5Н12 (кроме метана) - смесь углеводородов предельных С6Н14-С10Н22 - метанол	0,0004 × 0,05 × 60 × 1000 / 3600 = 0,000333 0,000333 × 0,0169 = 0,000006 0,000333 × 0,6827 = 0,000227 0,000333 × 0,2689 = 0,00009 0,000333 × 0,0268 = 0,000009 0,000333 × 0,0009 = 0,0000003	0,0004 × 0,05 × 60 × 8520 / 1000 = 0,010224 0,010224 × 0,0169 = 0,000173 0,010224 × 0,6827 = 0,00698 0,010224 × 0,2689 = 0,002749 0,010224 × 0,0268 = 0,000274 0,010224 × 0,0009 = 0,000009
Метанол (концентрация 95 %)	0,00038 × 0,05 × 10 × 0,95 × 1000 / 3600 = 0,00005	0,00038 × 0,05 × 10 × 0,95 × 8520 / 1000 = 0,001538
Масло минеральное нефтяное	0,00029 × 0,02 × 10 × 1000 / 3600 = 0,000016	0,00029 × 0,02 × 10 × 8520 / 1000 = 0,000494
Суммарное количество загрязняющих веществ, поступающих в атмосферу с вентвыбросами от укрытия 1 модуля ГПА		
Диоксид углерода	***0,000017***	***0,000535***
Метан	***0,000755***	***0,023142***
Смесь углеводородов предельных С1Н4-С5Н12 (кроме метана)	***0,000268***	***0,008198***
Смесь углеводородов предельных С6Н14-С10Н22	***0,0000194***	***0,0006***
Метанол	***0,0000514***	***0,00158***
Масло минеральное нефтяное	***0,000016***	***0,000494***
3. Утечки через неплотности фланцев, установленных на оборудовании и трубопроводах, расположенных на открытых площадках обвязки модулей ГПА №№ 7…10 (2БПМ-1, Е-1, Е-2). Неорганизованный выброс. Расчет приведен на 1 модуль ГПА, для 2, 3, 4 выбросы аналогичны		
Номера ИЗА – 6471, 6472, 6473, 6474		
Газ сырой, в том числе: - диоксид углерода	0,00073 × 0,03 × 110 × 1000 / 3600 = 0,000669 0,000669 × 0,014 = 0,000009	0,00073 × 0,03 × 110 × 8520 / 1000 = 0,020525 0,020525 × 0,014 = 0,000287

Наименование загрязняющих веществ, поступающих в атмосферу	Количество загрязняющих веществ, поступающих в атмосферу	
	Максимально разовый выброс, г/с	Годовой валовый выброс, т/год
- метан	0,000669 × 0,7085 = 0,000474	0,020525 × 0,7085 = 0,014542
- смесь углеводородов предельных С1Н4-С5Н12 (кроме метана)	0,000669 × 0,2543 = 0,00017	0,020525 × 0,2543 = 0,00522
- смесь углеводородов предельных С6Н14-С10Н22	0,000669 × 0,0189 = 0,000013	0,020525 × 0,0189 = 0,000388
Газ сырой, в том числе:	0,136 × 0,46 × 2 × 1000 / 3600 = 0,034756	0,136 × 0,46 × 2 × 8520 / 1000 = 1,066022
- диоксид углерода	0,000669 × 0,014 = 0,000487	0,020525 × 0,014 = 0,014924
- метан	0,000669 × 0,7085 = 0,024625	0,020525 × 0,7085 = 0,755277
- смесь углеводородов предельных С1Н4-С5Н12 (кроме метана)	0,000669 × 0,2543 = 0,008838	0,020525 × 0,2543 = 0,271089
- смесь углеводородов предельных С6Н14-С10Н22	0,000669 × 0,0189 = 0,000657	0,020525 × 0,0189 = 0,020148
Газ топливный, в том числе:	0,00073 × 0,03 × 14 × 1000 / 3600 = 0,000085	0,00073 × 0,03 × 14 × 8520 / 1000 = 0,002612
- диоксид углерода	0,000085 × 0,019 = 0,000002	0,002612 × 0,019 = 0,00005
- метан	0,000085 × 0,7613 = 0,000065	0,002612 × 0,7613 = 0,001989
- смесь углеводородов предельных С1Н4-С5Н12 (кроме метана)	0,000085 × 0,2141 = 0,000018	0,002612 × 0,2141 = 0,000559
- смесь углеводородов предельных С6Н14-С10Н22	0,000085 × 0,0019 = 0,0000002	0,002612 × 0,0019 = 0,000005
- метанол	0,000085 × 0,004 = 0,0000003	0,002612 × 0,004 = 0,00001
Газ буферный, в том числе:	0,00073 × 0,03 × 8 × 1000 / 3600 = 0,000049	0,00073 × 0,03 × 8 × 8520 / 1000 = 0,001493
- диоксид углерода	0,000049 × 0,0169 = 0,000001	0,001493 × 0,0169 = 0,000025
- метан	0,000049 × 0,6827 = 0,000033	0,001493 × 0,6827 = 0,001019
- смесь углеводородов предельных С1Н4-С5Н12 (кроме метана)	0,000049 × 0,2689 = 0,000013	0,001493 × 0,2689 = 0,000401
- смесь углеводородов предельных С6Н14-С10Н22	0,000049 × 0,0268 = 0,000001	0,001493 × 0,0268 = 0,00004
- метанол	0,000049 × 0,0009 = 0,00000004	0,001493 × 0,0009 = 0,000001
Газ импульсный, в том числе:	0,00073 × 0,03 × 26 × 1000 / 3600 = 0,000158	0,00073 × 0,03 × 26 × 8520 / 1000 = 0,004851
- диоксид углерода	0,000158 × 0,019 = 0,000003	0,004851 × 0,019 = 0,000092
- метан	0,000158 × 0,7613 = 0,00012	0,004851 × 0,7613 = 0,003693
- смесь углеводородов предельных С1Н4-С5Н12 (кроме метана)	0,000158 × 0,2141 = 0,000034	0,004851 × 0,2141 = 0,001039
- смесь углеводородов предельных С6Н14-С10Н22	0,000158 × 0,0019 = 0,0000003	0,004851 × 0,0019 = 0,000009
- метанол	0,000158 × 0,004 = 0,000001	0,004851 × 0,004 = 0,000019
Нестабильный конденсат, в том числе:	0,00029 × 0,02 × 36 × 1000 / 3600 = 0,000058	0,00029 × 0,02 × 36 × 8520 / 1000 = 0,001779
- диоксид углерода	0,000058 × 0,0034 = 0,0000002	0,001779 × 0,0034 = 0,000006
- метан	0,000058 × 0,0686 = 0,000004	0,001779 × 0,0686 = 0,000122
- смесь углеводородов предельных С1Н4-С5Н12 (кроме метана)	0,000058 × 0,2293 = 0,000013	0,001779 × 0,2293 = 0,000408
- смесь углеводородов предельных С6Н14-С10Н22	0,000058 × 0,6953 = 0,00004	0,001779 × 0,6953 = 0,001237
- метанол	0,000058 × 0,003 = 0,0000002	0,001779 × 0,003 = 0,000005
Метанол (концентрация 95 %)	0,00038 × 0,05 × 12 × 0,95 × 1000 / 3600 = 0,00006	0,00038 × 0,05 × 12 × 0,95 × 8520 / 1000 = 0,001845
Масло минеральное нефтяное	0,00029 × 0,02 × 32 × 1000 / 3600 = 0,000052	0,00029 × 0,02 × 32 × 8520 / 1000 = 0,001581
Суммарное количество загрязняющих веществ, поступающих в атмосферу за счет утечек от фланцев, установленных на оборудовании, расположенных на открытой площадке обвязки 1 модуля ГПА:		
Диоксид углерода	***0,0005022***	***0,015384***
Метан	***0,025321***	***0,776642***

Наименование загрязняющих веществ, поступающих в атмосферу	Количество загрязняющих веществ, поступающих в атмосферу	
	Максимально разовый выброс, г/с	Годовой валовый выброс, т/год
Смесь углеводородов предельных С1Н4-С5Н12 (кроме метана)	***0,009086***	***0,278716***
Смесь углеводородов предельных С6Н14-С10Н22	***0,000712***	***0,021827***
Метанол	***0,000062***	***0,00188***
Масло минеральное нефтяное	***0,000052***	***0,001581***
4. Блок подготовки газа (выброс осуществляется через вентиляционную трубу высотой 8,1 м, диаметр – 0,4 м, производительность вентиляционной установки – 0,125 м^3/с, температура – 10 ºС)		
Номер ИЗА - 0421		
Газ топливный и импульсный, в том числе: - диоксид углерода - метан - смесь углеводородов предельных С1Н4-С5Н12 (кроме метана) - смесь углеводородов предельных С6Н14-С10Н22 - метанол	0,00073 × 0,03 × 120 × 1000 / 3600 = 0,00073 0,00073 × 0,019 = 0,000014 0,00073 × 0,7613 = 0,000556 0,00073 × 0,2141 = 0,000156 0,00073 × 0,0019 = 0,0000014 0,00073 × 0,004 = 0,0000029	0,00073 × 0,03 × 120 × 8520 / 1000 = 0,022391 0,022391 × 0,019 = 0,000425 0,022391 × 0,7613 = 0,017046 0,022391 × 0,2141 = 0,004794 0,022391 × 0,0019 = 0,000043 0,022391 × 0,004 = 0,00009
Газ буферный, в том числе: - диоксид углерода - метан - смесь углеводородов предельных С1Н4-С5Н12 (кроме метана) - смесь углеводородов предельных С6Н14-С10Н22 - метанол	0,00073 × 0,03 × 90 × 1000 / 3600 = 0,000548 0,000548 × 0,0169 = 0,000009 0,000548 × 0,6827 = 0,000374 0,000548 × 0,2689 = 0,000147 0,000548 × 0,0268 = 0,000015 0,000548 × 0,0009 = 0,0000005	0,00073 × 0,03 × 90 × 8520 / 1000 = 0,016793 0,016793 × 0,0169 = 0,000284 0,016793 × 0,6827 = 0,011465 0,016793 × 0,2689 = 0,004516 0,016793 × 0,0268 = 0,00045 0,016793 × 0,0009 = 0,000015
Нестабильный конденсат, в том числе: - диоксид углерода - метан - смесь углеводородов предельных С1Н4-С5Н12 (кроме метана) - смесь углеводородов предельных С6Н14-С10Н22 - метанол	0,00029 × 0,02 × 30 × 1000 / 3600 = 0,000048 0,000048 × 0,0034 = 0,0000002 0,000048 × 0,0686 = 0,000003 0,000048 × 0,2293 = 0,000011 0,000048 × 0,6953 = 0,000033 0,000048 × 0,003 = 0,0000001	0,00029 × 0,02 × 30 × 8520 / 1000 = 0,001482 0,001482 × 0,0034 = 0,000005 0,001482 × 0,0686 = 0,000102 0,001482 × 0,2293 = 0,00034 0,001482 × 0,6953 = 0,00103 0,001482 × 0,003 = 0,000004
Суммарное количество загрязняющих веществ, поступающих в атмосферу за счет утечек от фланцев, установленных на оборудовании, расположенных в блоке-контейнере подготовки газа		
Диоксид углерода	***0,0000232***	***0,000714***
Метан	***0,000933***	***0,028613***
Смесь углеводородов предельных С1Н4-С5Н12 (кроме метана)	***0,000314***	***0,00965***
Смесь углеводородов предельных С6Н14-С10Н22	***0,0000494***	***0,001523***
Метанол	***0,000004***	***0,000109***
5. Утечки через неплотности фланцев, ПК, установленных на оборудовании и трубопроводах, расположенных на открытой площадке УПГ (включая фланцы ресивера импульсного газа). Неорганизованный выброс		
Номер ИЗА -6475		
Газ топливный и импульсный, в том числе: - диоксид углерода	0,00073 × 0,03 × 80 × 1000 / 3600 = 0,000487 0,000487 × 0,019 = 0,000009	0,00073 × 0,03 × 80 × 8520 / 1000 = 0,014927 0,014927 × 0,019 = 0,000284

Наименование загрязняющих веществ, поступающих в атмосферу	Количество загрязняющих веществ, поступающих в атмосферу	
	Максимально разовый выброс, г/с	Годовой валовый выброс, т/год
- метан	0,000487 × 0,7613 = 0,000371	0,014927 × 0,7613 = 0,011364
- смесь углеводородов предельных С1Н4-С5Н12 (кроме метана)	0,000487 × 0,2141 = 0,000104	0,014927 × 0,2141 = 0,003196
- смесь углеводородов предельных С6Н14-С10Н22	0,000487 × 0,0019 = 0,000001	0,014927 × 0,0019 = 0,000028
- метанол	0,000487 × 0,004 = 0,000002	0,014927 × 0,004 = 0,00006
Газ буферный, в том числе:	0,00073 × 0,03 × 24 × 1000 / 3600 = 0,000146	0,00073 × 0,03 × 24 × 8520 / 1000 = 0,004478
- диоксид углерода	0,000146 × 0,0169 = 0,000002	0,004478 × 0,0169 = 0,000076
- метан	0,000146 × 0,6827 = 0,0001	0,004478 × 0,6827 = 0,003057
- смесь углеводородов предельных С1Н4-С5Н12 (кроме метана)	0,000146 × 0,2689 = 0,000039	0,004478 × 0,2689 = 0,001204
- смесь углеводородов предельных С6Н14-С10Н22	0,000146 × 0,0268 = 0,000004	0,004478 × 0,0268 = 0,00012
- метанол	0,000146 × 0,0009 = 0,0000001	0,004478 × 0,0009 = 0,000004
Нестабильный конденсат, в том числе:	0,00029 × 0,02 × 12 × 1000 / 3600 = 0,000019	0,00029 × 0,02 × 12 × 8520 / 1000 = 0,000593
- диоксид углерода	0,000019 × 0,0034 = 0,0000001	0,000593 × 0,0034 = 0,000002
- метан	0,000019 × 0,0686 = 0,000001	0,000593 × 0,0686 = 0,000041
- смесь углеводородов предельных С1Н4-С5Н12 (кроме метана)	0,000019 × 0,2293 = 0,000004	0,000593 × 0,2293 = 0,000136
- смесь углеводородов предельных С6Н14-С10Н22	0,000019 × 0,6953 = 0,000013	0,000593 × 0,6953 = 0,000412
- метанол	0,000019 × 0,003 = 0,0000001	0,000593 × 0,003 = 0,000002
Нестабильный конденсат, в том числе:	0,111 × 0,35 × 4 × 1000 / 3600 = 0,043167	0,111 × 0,35 × 4 × 8520 / 1000 = 1,324008
- диоксид углерода	0,043167 × 0,0034 = 0,000147	1,324008 × 0,0034 = 0,004502
- метан	0,043167 × 0,0686 = 0,002961	1,324008 × 0,0686 = 0,090827
- смесь углеводородов предельных С1Н4-С5Н12 (кроме метана)	0,043167 × 0,2293 = 0,009898	1,324008 × 0,2293 = 0,303595
- смесь углеводородов предельных С6Н14-С10Н22	0,043167 × 0,6953 = 0,030014	1,324008 × 0,6953 = 0,920583
- метанол	0,043167 × 0,003 = 0,00013	1,324008 × 0,003 = 0,003972
Суммарное количество загрязняющих веществ, поступающих в атмосферу за счет утечек от фланцев, ПК, установленных на оборудовании, расположенных на открытой площадке УПГ (включая фланцы ресивера импульсного газа)		
Диоксид углерода	***0,000158***	***0,004864***
Метан	***0,003433***	***0,105289***
Смесь углеводородов предельных С1Н4-С5Н12 (кроме метана)	***0,010045***	***0,308131***
Смесь углеводородов предельных С6Н14-С10Н22	***0,030032***	***0,921143***
Метанол	***0,000132***	***0,004038***
6. Утечки через неплотности фланцев, установленных на оборудовании и трубопроводах, расположенных на открытой площадке сетей технологических. Неорганизованный выброс		
Номер ИЗА -6476		
Газ сырой, в том числе:	0,00073 × 0,03 × 52 × 1000 / 3600 = 0,000316	0,00073 × 0,03 × 52 × 8520 / 1000 = 0,009703
- диоксид углерода	0,000316 × 0,014 = 0,000004	0,009703 × 0,014 = 0,000136
- метан	0,000316 × 0,7085 = 0,000224	0,009703 × 0,7085 = 0,006875
- смесь углеводородов предельных С1Н4-С5Н12 (кроме метана)	0,000316 × 0,2543 = 0,00008	0,009703 × 0,2543 = 0,002467
- смесь углеводородов предельных С6Н14-С10Н22	0,000316 × 0,0189 = 0,000006	0,009703 × 0,0189 = 0,000183
Газ топливный, в том числе:	0,00073 × 0,03 × 12 × 1000 / 3600 = 0,000073	0,00073 × 0,03 × 12 × 8520 / 1000 = 0,002239

Наименование загрязняющих веществ, поступающих в атмосферу	Количество загрязняющих веществ, поступающих в атмосферу	
	Максимально разовый выброс, г/с	Годовой валовый выброс, т/год
- диоксид углерода	0,000073 × 0,019 = 0,000001	0,002239 × 0,019 = 0,000043
- метан	0,000073 × 0,7613 = 0,000056	0,002239 × 0,7613 = 0,001705
- смесь углеводородов предельных С1Н4-С5Н12 (кроме метана)	0,000073 × 0,2141 = 0,000016	0,002239 × 0,2141 = 0,000479
- смесь углеводородов предельных С6Н14-С10Н22	0,000073 × 0,0019 = 0,0000001	0,002239 × 0,0019 = 0,000004
- метанол	0,000073 × 0,004 = 0,0000003	0,002239 × 0,004 = 0,000009
Газ буферный, в том числе:	0,00073 × 0,03 × 14 × 1000 / 3600 = 0,000085	0,00073 × 0,03 × 14 × 8520 / 1000 = 0,002612
- диоксид углерода	0,000085 × 0,0169 = 0,000001	0,002612 × 0,0169 = 0,000044
- метан	0,000085 × 0,6827 = 0,000058	0,002612 × 0,6827 = 0,001783
- смесь углеводородов предельных С1Н4-С5Н12 (кроме метана)	0,000085 × 0,2689 = 0,000023	0,002612 × 0,2689 = 0,000702
- смесь углеводородов предельных С6Н14-С10Н22	0,000085 × 0,0268 = 0,000002	0,002612 × 0,0268 = 0,00007
- метанол	0,000085 × 0,0009 = 0,0000001	0,002612 × 0,0009 = 0,000002
Газ импульсный, в том числе:	0,00073 × 0,03 × 40 × 1000 / 3600 = 0,000243	0,00073 × 0,03 × 40 × 8520 / 1000 = 0,007464
- диоксид углерода	0,000243 × 0,019 = 0,000005	0,007464 × 0,019 = 0,000142
- метан	0,000243 × 0,7613 = 0,000185	0,007464 × 0,7613 = 0,005682
- смесь углеводородов предельных С1Н4-С5Н12 (кроме метана)	0,000243 × 0,2141 = 0,000052	0,007464 × 0,2141 = 0,001598
- смесь углеводородов предельных С6Н14-С10Н22	0,000243 × 0,0019 = 0,0000005	0,007464 × 0,0019 = 0,000014
- метанол	0,000243 × 0,004 = 0,000001	0,007464 × 0,004 = 0,00003
Газ продувочный, в том числе:	0,00073 × 0,03 × 26 × 1000 / 3600 = 0,000158	0,00073 × 0,03 × 26 × 8520 / 1000 = 0,004851
- диоксид углерода	0,000158 × 0,019 = 0,000003	0,004851 × 0,019 = 0,000092
- метан	0,000158 × 0,7613 = 0,00012	0,004851 × 0,7613 = 0,003693
- смесь углеводородов предельных С1Н4-С5Н12 (кроме метана)	0,000158 × 0,2141 = 0,000034	0,004851 × 0,2141 = 0,001039
- смесь углеводородов предельных С6Н14-С10Н22	0,000158 × 0,0019 = 0,0000003	0,004851 × 0,0019 = 0,000009
- метанол	0,000158 × 0,004 = 0,000001	0,004851 × 0,004 = 0,000019
Нестабильный конденсат, в том числе:	0,00029 × 0,02 × 44 × 1000 / 3600 = 0,000071	0,00029 × 0,02 × 44 × 8520 / 1000 = 0,002174
- диоксид углерода	0,000071 × 0,0034 = 0,0000002	0,002174 × 0,0034 = 0,000007
- метан	0,000071 × 0,0686 = 0,000005	0,002174 × 0,0686 = 0,000149
- смесь углеводородов предельных С1Н4-С5Н12 (кроме метана)	0,000071 × 0,2293 = 0,000016	0,002174 × 0,2293 = 0,000498
- смесь углеводородов предельных С6Н14-С10Н22	0,000071 × 0,6953 = 0,000049	0,002174 × 0,6953 = 0,001512
- метанол	0,000071 × 0,003 = 0,0000002	0,002174 × 0,003 = 0,000007
Метанол (концентрация 95 %)	0,00038 × 0,05 × 65 × 0,95 × 1000 / 3600 = 0,000326	0,00038 × 0,05 × 65 × 0,95 × 8520 / 1000 = 0,009996
Масло минеральное нефтяное	0,00029 × 0,02 × 80 × 1000 / 3600 = 0,000129	0,00029 × 0,02 × 80 × 8520 / 1000 = 0,003953
Суммарное количество загрязняющих веществ, поступающих в атмосферу за счет утечек от фланцев, установленных на оборудовании и трубопроводах, расположенных на открытой площадке сетей технологических:		
Диоксид углерода	***0,0000142***	***0,000464***
Метан	***0,000648***	***0,019887***
Смесь углеводородов предельных С1Н4-С5Н12 (кроме метана)	***0,000221***	***0,006783***
Смесь углеводородов предельных С6Н14-С10Н22	***0,0000579***	***0,001792***
Метанол	***0,0003286***	***0,010063***

Наименование загрязняющих веществ, поступающих в атмосферу	Количество загрязняющих веществ, поступающих в атмосферу	
	Максимально разовый выброс, г/с	Годовой валовый выброс, т/год
Масло минеральное нефтяное	***0,000129***	***0,003953***
7. Утечки через неплотности фланцев, ПК, установленных на оборудовании и трубопроводах, расположенных на оборудовании и трубопроводах аварийных дизельных электростанций №№4, 5. Неорганизованный выброс		
Номер ИЗА -6477, 6478		
Дизельное топливо, в том числе:	0,00029 × 0,02 × 18 × 1000 / 3600 = 0,000029	0,00029 × 0,02 × 18 × 8520 / 1000 = 0,000889
- углеводороды предельные C_{12}-C_{19}	0,000029 × 99,72 = 0,002892	0,000889 × 99,72 = 0,088651
- сероводород	0,000029 × 0,28 = 0,000008	0,000889 × 0,28 = 0,000249
Суммарное количество загрязняющих веществ, поступающих в атмосферу за счет утечек от фланцев, установленных на оборудовании и трубопроводах, расположенных на открытой площадке ДЭС №4, №5		
Алканы C_{12}-C_{19}	***0,002892***	***0,088651***
Дигидросульфид (сероводород)	***0,000008***	***0,000249***

Приложение П
(обязательное)

Расчет количества загрязняющих веществ, поступающих в атмосферу при работе аварийных дизельных электростанций в период эксплуатации

Номера ИЗА -0428, 0429

На площадке ДКС будут установлены 2 аварийные дизельные электростанция АДЭС №4, №5 мощностью 1600 кВт.

Количество загрязняющих веществ, поступающих в атмосферу при работе аварийных дизельных электростанций при эксплуатации, рассчитано по "Методике расчета выбросов загрязняющих веществ в атмосферу от стационарных дизельных установок" (С.-Пб., НИИ Атмосфера, 2001).

Количество загрязняющих веществ, поступающих в атмосферу при работе дизельных электростанций, рассчитано по формулам:

- *максимально разовое количество:*

$$M_i = (1 / 3600) \times e_{мi} \times P_э, \text{ г/с},$$

- *годовой валовый выброс:*

$$W_i = M_i \times 3600 \times \tau, \text{ т/год},$$

где $e_{мi}$ – выброс i-го вещества стационарной дизельной установкой на режиме номинальной мощности в зависимости от мощности дизельного двигателя, г/кВт × ч;

$P_э$ – номинальная мощность дизельной установки, кВт;

τ годовое время работы аварийной ДЭС, ч/год.

Расход дымовых газов, поступающих в атмосферу при работе аварийных ДЭС, рассчитан по формуле:

$$G = 8{,}72 \times 10^{-6} \times b_э \times P_э, \text{ кг/с},$$

где $b_э$ – удельный расход топлива на эксплуатационном (или номинальном) режиме работы двигателя, г / кВт × ч;

$P_э$ – эксплуатационная (номинальная) мощность стационарной дизельной установки, кВт.

В таблице П.1 приведены технические и экологические характеристики АДЭС.

Таблица П.1 - Технические и экологические характеристики дизельной электростанции мощностью 1600 кВт

Наименование параметра	Величина
Номинальная мощность ДЭС, кВт	1600
Расход топлива при номинальном режиме работы, л/ч	306
Температура выхлопных газов, °С	450
Количество дымовых труб, штук	1
Высота дымовой трубы, м	7,39

Наименование параметра	Величина	
Диаметр дымовой трубы, м	0,35	
Удельные выбросы с отработавшими газами:	г / кВт×ч	г/кг топлива
- оксиды азота	10,8	45
- углерод	0,6	2,5
- сера диоксид	1,2	5
- углерода оксид	7,2	30
- формальдегид	0,15	0,6
- бенз(α)пирен	$1,3 \times 10^{-5}$	$5,5 \times 10^{-5}$
- углеводороды (керосин)	3,6	15

В таблице П.2 приведены расчеты выбросов загрязняющих веществ, поступающих в атмосферу при работе 1 аварийной дизельной электростанции.

Таблица П.2 - Расчеты количества загрязняющих веществ, поступающих в атмосферу при работе АДЭС

Наименование показателя	Величина
Время работы, ч	240
Номинальная мощность, кВт	1600
Плотность дизтоплива, кг/м^3	834
Расход топлива при номинальном режиме работы, л/ч т/год	306 306 × 0,834 × 240 / 1000 = 61,249
Удельный расход топлива при номинальном режиме работы, г / кВт×ч	306 × 0,001 × 834 × 1000 / 1600 = 159,503
Расход отработанных газов, кг/с	8,72 × 0,000001 × 159,503 × 1600 = 2,225
Плотность выхлопных газов при 0°С, кг/нм^3	1,31
Температура выхлопных газов, °С	450
Объем выхлопных газов: - при нормальных условиях, нм^3/с - при фактической температуре, м^3/с	 159,503 / 1,31 = 1,698 1,698 × (273,15 + 450) / 273,15 = 4,744
Высота выхлопной трубы, м	7,39
Диаметр выхлопной трубы, м	0,35
Коэффициент трансформации	0,8
Максимально разовое количество загрязняющих веществ, поступающих в атмосферу с выхлопными газами ДЭС, г/с: Оксиды азота, в т. ч.:	 10,8 × 1600 / 3600 = 4,8
- азота диоксид	4,8 × 0,8 = 3,84
- азота (II) оксид	4,8 × 0,65 × (1- 0,8) = 0,624
Углерод (сажа)	0,6 × 1600 / 3600 = 0,266667
Диоксид серы	1,2 × 1600 / 3600 = 0,533333
Углерод оксид	7,2 × 1600 / 3600 = 3,2
Бенз(α)пирен	0,000013 × 1600 / 3600 = 0,000006
Формальдегид	0,15 × 1600 / 3600 = 0,066667
Керосин	3,6 × 1600 / 3600 = 1,6
Валовое количество загрязняющих веществ, поступающих в атмосферу с выхлопными газами ДЭС, т/год: Оксиды азота, в т. ч.:	 45 × 61,249 / 1000 = 2,756205
- азота диоксид	2,756205 × 0,8 = 2,204964
- азота (II) оксид	2,756205 × 0,65 × (1- 0,8) = 0,358307
Углерод (сажа)	2,5 × 61,249 / 1000 = 0,153123
Диоксид серы	5 × 61,249 / 1000 = 0,306245
Углерод оксид	30 × 61,249 / 1000 = 1,83747
Бенз(α)пирен	0,000055 × 61,249 / 1000 = 0,000003
Формальдегид	0,4 × 61,249 / 1000 = 0,0245
Керосин	15 × 61,249 / 1000 = 0,918735

Приложение Р

(обязательное)

Расчет количества загрязняющих веществ, дополнительно поступающих в атмосферу от существующего факела высокого давления при опорожнении оборудования и трубопроводов проектируемых объектов ДКС перед ППР в период эксплуатации

Номер ИЗА – 0177 (существующий)

Количество загрязняющих веществ, дополнительно поступающих в атмосферу при плановом опорожнении оборудования и трубопроводов проектируемых объектов ДКС в период эксплуатации со сжиганием газа на существующем факеле высокого давления УКПГ, рассчитано по "Методике расчета параметров выбросов и валовых выбросов вредных веществ от факельных установок сжигания углеводородных смесей" (М., ИРЦ Газпром, 1996 г.).

Количество загрязняющих веществ, поступающих в атмосферу при сжигании газа на факельных установках, рассчитано по формуле:

$$M = YB \times G.\ г/с,$$

где YB – удельные выбросы загрязняющих веществ, г/г;

G – массовый расход сжигаемого природного газа, г/с.

Для факельных установок, где происходит сжигание природного газа, величина удельных выбросов составляет:

- углерода оксид– 0,02 г/г (кг/кг), (т/т);
- азота оксиды – 0,003 г/г (кг/кг), (т/т);
- сажа – 0,002 г/г (кг/кг), (т/т);
- метан и другие углеводороды в пересчете на метан – 0,0005 г/г (кг/кг), (т/т).

Мощность выброса углерода диоксида Mco_2 рассчитана по формуле:

$$Mco_2 = 0{,}01 \times G \times \{3{,}67 \times n \times [C]_m + [CO_2]_m\} - M_{CO} - Mсн_4 - M_C,\ г/с,$$

где n – полнота сгорания природного газа;

$[C]_m$, $[CO_2]_m$ – массовое содержание углерода и диоксида углерода, соответственно, в сжигаемой смеси, % мас.;

M_{co}, $M_{сн4}$, M_c – мощность выброса оксида углерода, метана и сажи, г/с.

Массовое содержание углерода в сжигаемой смеси рассчитано по формуле:

$$[C_m] = \frac{12 \times \sum_{i=1}^{N}(x_i \times [i]_o)}{100 - [нег]_o \times m} \times 100,\ \%\ масс.$$

где x_i – число атомов углерода в одной молекуле i-го вещества в сжигаемой смеси;

$[i]_o$ – содержание i-го вещества в смеси, % об.;

m – молярная масса сжигаемой смеси, кг/моль;

$[нег]_o$ – общее содержание негорючих примесей в сжигаемой смеси, % об.

Температура дымовых газов рассчитана по формуле:

$$T_г = T_o + \frac{Q_н \times (1 - e) \times n}{V_{п.с.} \times C_{п.с.}},\ \ ^oC$$

где T_o – температура природного газа, °С;

$Q_н$– низшая теплота сгорания природного газа, ккал/м^3;

e – доля энергии, теряемая за счет излучения;

n – полнота сгорания природного газа;

$C_{п.с}$– теплоемкость продуктов сгорания, ккал / (м^3 × °С);

$V_{п.с.}$ – объем газовоздушной смеси, полученный при сжигании 1 м^3 газа, м^3/м^3.

При сжигании природного газа доля энергии, теряемая за счет излучения, рассчитана по формуле:

$$e = 0{,}048 \times (m)^{0{,}5}, \text{ кг/кмоль}$$

где m – молярная масса сжигаемой смеси, кг/кмоль.

Объем дымовых газов, поступающих в атмосферу при сжигании газа, рассчитан по формуле:

$$V_i = B \times V_{пс} \times (273+T_г) / 273, \text{ м}^3/\text{с}$$

где B – объемный расход природного газа, м^3/с;

$V_{п.с.}$ – объем газовоздушной смеси, полученный при сжигании 1 м^3 природного газа, м^3/м^3;

$T_г$ – температура дымовых газов, °С.

Объем дымовых газов, поступающих в атмосферу при сжигании газа, рассчитан по формуле:

$$V_{п,с,} = 1 + \alpha \times V_o,$$

где α – коэффициент избытка воздуха (принят равным 1);

V_o – стехиометрическое количество воздуха для сжигания 1 м^3 газа, м^3/м^3.

Параметр V_o вычислен по формуле:

$$V_o = 0{,}0476 \left\{ 1{,}5\,[H_2S]_o + \sum_{i=1}^{N} (x+y/4)\,[C_xH_y]_o - [O]_o \right\}, \text{ м}^3/\text{м}^3 ,$$

где $[C_xH_y]_o$, $[O_2]_o$ – содержание углеводородов и кислорода в сжигаемой смеси, % об.

Скорость истечения сжигаемой газовой смеси $W_{ист}$ рассчитана по формуле:

$$W_{ист} = 1{,}27 \times B_г / d^2,$$

где $B_г$ –объемный расход газовой смеси, м^3/с.

Скорость распространения звука в сжигаемом газе рассчитана по формуле:

$$W_{зв} = 91{,}5\,[k_c \times (T_o + 273)]^{0{,}5}, \text{ м/с},$$

где T_o – температура природного газа;

k_c – показатель адиабаты смеси. k_c рассчитан по формуле:

$$k_c = 1 + [\Sigma y_i / (k_i - 1)]^{-1},$$

где k_i – показатель адиабаты i-го компонента смеси.

Сажа при горении не образуется, если соблюдается условие $W_{ист} / W_{зв} > 0{,}2$.

Скорость истечения сжигаемой газовой смеси $W_{ист}$ рассчитана по формуле:

$$W_{ист} = 1{,}27 \times B_г / d^2, \text{ м/с},$$

где B_r –объемный расход газовой смеси, м^3/с.

Скорость распространения звука в сжигаемом газе рассчитана по формуле:

$$W_{зв} = 91,5 \times [k_c (T_o + 273)]^{0,5}, \text{ м/с},$$

где T_o – температура газа;

k_c – показатель адиабаты смеси.

k_c рассчитан по формуле:

$$k_c = 1 + [\Sigma y_i / (k_i - 1)]^{-1},$$

где k_i – показатель адиабаты i-го компонента смеси.

Высота источника выброса вредных веществ в атмосферу от сжигания природного газа принимается равной геометрической высоте факела.

1 Расчет количества загрязняющих веществ, дополнительно поступающих в атмосферу от факела высокого давления при опорожнении трубопроводов ДКС перед ППР в период эксплуатации

Составы и свойства газов, сжигаемых на факеле при опорожнении трубопроводов ДКС приведены в таблице Р.1.

Таблица Р.1 – Состав газов, поступающих на сжигание на факеле

Параметры	Величина					
	"Сырой" газ		Скомпримированный газ		Газ топливный	
	% объемные	% массовые	% объемные	% массовые	% объемные	% массовые
Компонентный состав паров:						
- метан	85,86	70,85	84,6849	68,26669	87,57	76,13
- этан	7,61	11,77	7,8083	11,84171	8,42	13,71
- пропан	3,23	7,32	3,4836	7,729664	2,19	5,22
- изобутан	0,7	2,09	0,7912	2,310024	0,3	0,96
- бутан	0,85	2,54	0,9432	2,753567	0,3	0,94
- изопентан	0,25	0,93	0,2869	1,039959	0,06	0,22
- пентан	0,21	0,78	0,3359	1,218938	0,09	0,36
- углеводороды $C_{6+высшие}$	0,32	1,59	0,5508	2,682763	0,04	0,19
- метанол	-	-	0,0569	0,091339	0,02	0,4
- вода	0,09	0,08	0,0823	0,074472	-	-
- азот	0,23	0,33	0,2144	0,30226	0,22	0,33
- диоксид углерода	0,62	1,4	0,7617	1,688617	0,79	1,9
Молекулярная масса, кг/кмоль	19,073		19,915		18,419	
Плотность паров:						
- кг/нм^3 (при нормальных условиях Р=0,1013 МПа, Т=273,15К)	0,856		0,89		0,823	
- кг/м^3 (при стандартных условиях Р=0,1013 МПа, Т=293,15ºС)	0,798		0,829		0,767	
Низшая теплота сгорания:						
- при стандартных условиях (Р=1,033 кг/см^2, Т=293,15 К), ккал/м^3	9311		9498		8877	
- при нормальных условиях (Р=1,033 кг/см^2, Т=273,15 К), ккал/нм^3	9993		10193		9527	

В таблице Р.2 приведен расчет количества загрязняющих веществ, поступающих в атмосферу при сбросе газа на факел высокого давления при плановом останове фильтров-

сепараторов пластовой смеси 2ФС-1, 2, 3 через кран №27-1, 2, 3.

Поскольку опорожнение на факел осуществляется поочередно, то расчет максимального выброса приведен для 1 фильтр-сепаратора, годовой выброс рассчитан суммарно от 3 аппаратов.

Таблица Р.2 – Расчет количества загрязняющих веществ, поступающих в атмосферу при сбросе газа на факел высокого давления при плановом останове фильтров-сепараторов пластовой смеси 2ФС-1, 2, 3 через кран №27-1, 2, 3

Наименование параметра	Величина
Сжигаемый газ	"Сырой" газ
Плотность газа: - при нормальных условиях, кг/нм^3	0,856
- при стандартных условиях, кг/м^3	0,798
Геометрический объем, м^3	38
Давление газа перед началом опорожнения, МПа (абс.)	5,9
кг/см2	5,9 × 10,197 = 60,2
Температура газа перед началом опорожнения, ^{o}С:	35
К	35 + 273,15 = 308,15
Коэффициент сжимаемости $Z_Н$ при $P_Н$, $T_Н$	$1-0,0907\times5,9\times (308,15 / 200)^{-3,668} = 0,89$
Давление газа в конце опорожнения, МПа (абс.)	0,2
кг/см2	0,2 × 10,197 = 2
Температура газа в конце опорожнения, ^{o}С:	30
К	30 + 273,15 = 303,15
Коэффициент сжимаемости $Z_к$ при $P_к$, $T_к$	$1-0,0907\times0,2\times (303,15 / 200)^{-3,668} = 0,996$
Объем газа, поступающего на сжигание на факел, м^3	0,995 × 38 × (60,2 / 0,89 - 2 / 0,996) = 2549,893
Время, принятое для расчетов, мин.	20
Объемный расход газа: - при стандартных условиях (Р = 0,1013 МПа и Т = 293,15 К), м^3/с	2549,893 / 20 × 60 = 2,125
- при нормальных условиях (Р = 0,1013 МПа и Т = 273,15 К), нм^3/с	2,125 × 273,15 / 293,15 = 1,98
Доля энергии, теряемой за счет излучения факела	$0,048 \times 19,073^{0,5} = 0,21$
Стехиометрическое количество воздуха, необходимого для сжигания 1 м^3 газа, V_o, м^3/м^3	0,0476×((1+4/4)×85,86+(2+6/4)×7,61+(3+8/4)×3,23+(4+10/4)×(0,7+0,85)+(5+12/4)×(0,25+0,21)+(6+14/4)×0,32 =11,01
Коэффициент избытка воздуха	1
Объем газовоздушной смеси, полученной при сжигании газа, $V_{п.с.}$, м^3/м^3	1 + 11,01 × 1 = 12,01
Полнота сгорания газа	0,9984
Теплоемкость продуктов сгорания, ккал/м^3×°С	0,39
Температура горения газа, ^{o}С	$35 + \frac{9993 \times (1 - 0,21) \times 0,9984}{12,01 \times 0,39} = 1718$
Объем продуктов сгорания, поступающих в атмосферу при сгорании газа, м^3/с	1,98 × 12,01 × (273,15 + 1718) / 273,15=173,345
Общее содержание негорючих примесей в газе, % об.	0,23 + 0,62 + 0,09 = 0,94
Массовое содержание углерода, % масс.	100×12×(1×85,86+2×7,61+3×3,23+4×(0,7+0,85)+5×(0,25+0,21)+6×0,32) / (100-0,94) × 19,073 = 76,972
Массовое содержание диоксида углерода, % масс.	1,4
Коэффициент адиабаты	(1,31×85,86+1,2×7,61+1,14×3,23+1,1×0,7+1,1×0,85+1,08×0,25+1,08×0,21+1,06×0,32+0×1,03+1,4×0,23+1,3×0,62++1,33×0,09)/100=1,287
Скорость распространения звука в сжигаемой смеси $W_{зв.}$, м/с	$91,5 \times (1,287 \times (35+273) / 19,073)^{0,5} = 417$
Диаметр факела, м	1
Высота факела, м	60
Скорость истечения сжигаемой смеси $W_{ист}$, м/с	$4 \times 2,125 / 3,14 \times 1^2 = 2,707$
Проверка условий бессажевого сжигания $W_{ист} / W_{зв} > 0,2$	2,707/417=0,00649 – сажа образуется
Массовый расход сжигаемой смеси, г/с	1000 × 2,125 × 0,798 = 1695,75

Наименование параметра	Величина
Максимально разовый выброс загрязняющих веществ, поступающих в атмосферу при сжигании газа на факеле, г/с::	
оксиды азота, в том числе:	0,003 × 1695,75 = 5,08725
– диоксид азота	0,8 × 5,08725 = 4,0698
– оксид азота	0,65 × (1 - 0,8)×5,08725=0,661343
сажа	0,002 × 1695,75 = 3,3915
оксид углерода	0,02 × 1695,75 = 33,915
метан и др. углеводороды	0,0005 × 1695,75 = 0,847875
диоксида углерода	0,01 ×1695,75×(3,67×0,9984×76,972+1,4)-3,3915-33,915--0,847875=4768,199
Колличество аппраратов опорожняемых за год, шт.	3
Периодичность проведения операции, раз/год	12
Годовое количество газа, поступающего на сжигание на факел, т	2549,893 × 12 × 0,798 × 3 / 1000 = 73,253
Годовой (валовый) выброс загрязняющих веществ, поступающих в атмосферу при сжигании газа на факеле, т/год:	
оксиды азота, в том числе:	0,003 × 73,253 = 0,219759
– диоксид азота	0,8 × 0,219759 = 0,175807
– оксид азота	0,65 × (1 - 0,8)×0,219759=0,028569
сажа	0,002 × 73,253 = 0,146506
оксид углерода	0,02 × 73,253 = 1,46506
метан и др. углеводороды	0,0005 × 73,253 = 0,036627
диоксида углерода	0,01 ×4768,199×(3,67×0,9984×76,972+1,4)-0,146506-1,46506-0,036627=205,977

В соответствии с данными технологической части проекта в эксплуатации будут находиться 4 (3 рабочих + 1 резервный) ГПА.

В таблице Р.3 приведен расчет количества загрязняющих веществ, поступающих в атмосферу при сбросе газа на факел высокого давления при плановом останове ГПА через кран №5 (участок от крана №1 до крана №2).

Расчет приведен для 1 рабочего ГПА, для остальных ГПА выбросы аналогичны.

Таблица Р.3 – Расчет количества загрязняющих веществ, поступающих в атмосферу при сбросе газа на факел высокого давления при плановом останове 1 ГПА (через кран №5 (участок от крана №1 до крана №2)

Наименование параметра	Величина
Сжигаемый газ	"Сырой" газ
Плотность газа:	
- при нормальных условиях, кг/нм^3	0,856
- при стандартных условиях, кг/м^3	0,798
Геометрический объем, м^3	71,3
Давление газа перед началом опорожнения, МПа (абс.)	5,9
кг/см2	5,9 × 10,197 = 60,2
Температура газа перед началом опорожнения, °С:	35
К	35 + 273,15 = 308,15
Коэффициент сжимаемости $Z_Н$ при $Р_Н$, $Т_Н$	$1-0,0907\times5,9\times (308,15 / 200)^{-3,668} = 0,89$
Давление газа в конце опорожнения, МПа (абс.)	0,2
кг/см2	0,2 × 10,197 = 2
Температура газа в конце опорожнения, °С:	30
К	30 + 273,15 = 303,15
Коэффициент сжимаемости $Z_к$ при $Р_к$, $Т_к$	$1-0,0907\times0,2\times (303,15 / 200)^{-3,668} = 0,996$
Объем газа, поступающего на сжигание на факел, м^3	0,995 × 71,3 × (60,2 / 0,89 - 2 / 0,996) = 4784,405
Время, принятое для расчетов, мин.	20
Объемный расход газа:	

Наименование параметра	Величина
- при стандартных условиях (Р = 0,1013 МПа и Т = 293,15 К), $м^3/с$	4784,405 / 20 × 60 = 3,987
- при нормальных условиях (Р = 0,1013 МПа и Т = 273,15 К), $нм^3/с$	3,987 × 273,15 / 293,15 = 3,715
Доля энергии, теряемой за счет излучения факела	0,048 × 19,073 ^{0,5} = 0,21
Стехиометрическое количество воздуха, необходимого для сжигания 1 $м^3$ газа, V_o, $м^3/м^3$	0,0476×((1+4/4)×85,86+(2+6/4)×7,61+(3+8/4)×3,23+(4+10/4)×(0,7+0,85)+(5+12/4)×(0,25+0,21)+(6+14/4)×0,32 =11,01
Коэффициент избытка воздуха	1
Объем газовоздушной смеси, полученной при сжигании газа, $V_{п.с.}$, $м^3/м^3$	1 + 11,01 × 1 = 12,01
Полнота сгорания газа	0,9984
Теплоемкость продуктов сгорания, ккал/$м^3$×°С	0,39
Температура горения газа, °С	$35 + \frac{9993 \times (1 - 0,21) \times 0,9984}{12,01 \times 0,39} = 1718$
Объем продуктов сгорания, поступающих в атмосферу при сгорании газа, $м^3/с$	3,715×12,01×(273,15+1718)/ 273,15=325,24
Общее содержание негорючих примесей в газе, % об.	0,23 + 0,62 + 0,09 = 0,94
Массовое содержание углерода, % масс.	100×12×(1×85,86+2×7,61+3×3,23+4×(0,7+0,85)+5×(0,25+0,21)+6×0,32) / (100-0,94) × 19,073 = 76,972
Массовое содержание диоксида углерода, % масс.	1,4
Коэффициент адиабаты	(1,31×85,86+1,2×7,61+1,14×3,23+1,1×0,7+1,1×0,85+1,08×0,25+1,08×0,21+1,06×0,32+0×1,03+1,4×0,23+1,3×0,62++1,33×0,09)/100=1,287
Скорость распространения звука в сжигаемой смеси $W_{зв.}$, м/с	91,5 × (1,287 × (35+273) / 19,073)^{0,5} = 417
Диаметр факела, м	1
Высота факела, м	60
Скорость истечения сжигаемой смеси $W_{ист}$, м/с	4 × 3,987 / 3,14 × 1^2 = 5,079
Проверка условий бессажевого сжигания $W_{ист}$ / $W_{зв}$ > 0,2	5,079/417=0,01218 – сажа образуется
Массовый расход сжигаемой смеси, г/с	1000 × 3,987 × 0,798 = 3181,626
Максимально разовый выброс загрязняющих веществ, поступающих в атмосферу, г/с::	
оксиды азота, в том числе:	0,003 × 3181,626 = 9,544878
– диоксид азота	0,8 × 9,544878 = 7,635902
– оксид азота	0,65 × (1 - 0,8)×9,544878=1,240834
сажа	0,002 × 3181,626 = 6,363252
оксид углерода	0,02 × 3181,626 = 63,63252
метан и др. углеводороды	0,0005 × 3181,626 = 1,590813
диоксида углерода	0,01 ×3181,626×(3,67×0,9984×76,972+1,4)-6,363252-63,63252-1,590813=8946,263
Периодичность проведения операции, раз/год	12
Годовое количество газа, поступающего на сжигание на факел, т	4784,405 × 12 × 0,798 × 1 / 1000 = 45,815
Годовой (валовый) выброс загрязняющих веществ, поступающих в атмосферу, т/год:	
оксиды азота, в том числе:	0,003 × 45,815 = 0,137445
– диоксид азота	0,8 × 0,137445 = 0,109956
– оксид азота	0,65 × (1 - 0,8)×0,137445=0,017868
сажа	0,002 × 45,815 = 0,09163
оксид углерода	0,02 × 45,815 = 0,9163
метан и др. углеводороды	0,0005 × 45,815 = 0,022908
диоксида углерода	0,01 ×8946,263×(3,67×0,9984×76,972+1,4)-0,09163-0,9163-0,022908=128,825

В таблице Р.4 приведены расчеты количества загрязняющих веществ, поступающих в атмосферу при опорожнении трубопроводов ДКС перед ППР со сжиганием газа на факеле высокого давления.

Таблица Р.3 – Расчет количества загрязняющих веществ, поступающих в атмосферу при опорожнении трубопроводов ДКС через краны №17, №17-2, №18-2, №18-1-2 перед ППР со сжиганием газа на факеле высокого давления

Наименование параметра	Величина		
	Сброс газа через кран №17-2 из входного трубопровода ДКС (участок от крана №7 до кранов №№ 1 ГПА №7÷10, трубопровод DN1400 + трубопровод-кольцо DN1200 + трубопроводы DN700 х 3)	Сброс газа через кран №17 (существующий) из трубопровода ДКС1-ДКС-2 (участок от крана №7 ДКС-1 до крана 52-2 ДКС-2)	Сброс газа через краны №18-2 и №18-1-2 из выходного трубопровода ДКС (участок от кранов №№ 2 ГПА №7÷10 до крана №54-2, в т.ч. АВО, трубопроводы пускового контура и 4 ГПА)
Сжигаемый газ	"Сырой" газ		Скомпримированный газ
Плотность газа: - при нормальных условиях, кг/нм^3	0,856		0,89
- при стандартных условиях, кг/м^3	0,798		0,829
Геометрический объем трубопроводова, м^3	1068,88	395,5	1328,9
Давление газа перед началом опорожнения, МПа (абс.)	5,9	5,9	5,9
кг/см2	5,9 × 10,197 = 60,2	5,9 × 10,197 = 60,2	5,9 × 10,197 = 60,2
Температура газа перед началом опорожнения, °С:	35	35	35
К	35 + 273,15 = 308,15	35 + 273,15 = 308,15	35 + 273,15 = 308,15
Коэффициент сжимаемости $Z_Н$ при $Р_Н$, $Т_Н$	$1-0,0907\times5,9\times (308,15 / 200)^{-3,668} = 0,89$	$1-0,0907\times5,9\times (308,15 / 200)^{-3,668} = 0,89$	$1-0,0907\times5,9\times (308,15 / 200)^{-3,668} = 0,89$
Давление газа в конце опорожнения, МПа (абс.)	0,2	0,2	0,2
кг/см2	0,2 × 10,197 = 2	0,2 × 10,197 = 2	0,2 × 10,197 = 2
Температура газа в конце опорожнения, °С:	30	30	30
К	30 + 273,15 = 303,15	30 + 273,15 = 303,15	30 + 273,15 = 303,15
Коэффициент сжимаемости $Z_к$ при $Р_к$, $Т_к$	$1-0,0907\times0,2\times (303,15 / 200)^{-3,668} = 0,996$	$1-0,0907\times0,2\times (303,15 / 200)^{-3,668} = 0,996$	$1-0,0907\times0,2\times (303,15 / 200)^{-3,668} = 0,996$
Объем газа, поступающего на сжигание на факел при опорожнении перед ППР, м^3	0,995 × 1068,88 × (60,2 / 0,89 - 2 / 0,996) = 71724,465	0,995 × 395,5 × (60,2 / 0,89 - 2 / 0,996) = =26539,018	0,995 × 1328,9 × (60,2 / 0,89 - 2 / 0,996) = =89172,443
Время, принятое для расчетов, мин.	20	20	20
Объемный расход газа: - при стандартных условиях (Р = 0,1013 МПа и Т = 293,15 К), м^3/с	71724,465 / 20 × 60 = 59,77	26539,018 / 20 × 60 = 22,116	89172,443 / 20 × 60 = 74,31
- при нормальных условиях (Р = 0,1013 МПа и Т = 273,15 К), нм^3/с	59,77 × 273,15 / 293,15 = 55,692	22,116 × 273,15 / 293,15 = 20,607	74,31 × 273,15 / 293,15 = 69,24
Периодичность проведения операции, раз/год	1	1	1
Молярная масса сжигаемой смеси, кг/кмоль	19,073		19,915
Доля энергии, теряемой за счет излучения факела	$0,048 \times 19,073^{0,5} = 0,21$		$0,048 \times 19,915^{0,5} = 0,214$
Стехиометрическое количество воздуха, необходимого для сжигания 1 м^3 газа, $V_о$, м^3/м^3	0,0476×((1+4/4)×85,86+(2+6/4)×7,61+(3+8/4)×3,23+(4+10/4)×(0,7+0,85)+(5+12/4)×(0,25+0,21)+(6+14/4)×0,32 =11,01		0,0476×((1+4/4)×84,6849+(2+6/4)×7,8083+(3+8/4)×3,4836+(4+10/4)×(0,7912+0,9432)+(5+

Наименование параметра	Величина		
	Сброс газа через кран №17-2 из входного трубопровода ДКС (участок от крана №7 до кранов №№ 1 ГПА №7÷10, трубопровод DN1400 + трубопровод-кольцо DN1200 + трубопроводы DN700 х 3)	Сброс газа через кран №17 (существующий) из трубопровода ДКС1-ДКС-2 (участок от крана №7 ДКС-1 до крана 52-2 ДКС-2)	Сброс газа через краны №18-2 и №18-1-2 из выходного трубопровода ДКС (участок от кранов №№ 2 ГПА №7÷10 до крана №54-2, в т.ч. АВО, трубопроводы пускового контура и 4 ГПА)
			12/4)×(0,2869+0,3359)+(6+14/4)× 0,5508 + (1+4/4)×0,0569)=11,22
Коэффициент избытка воздуха	1		1
Объем газовоздушной смеси, полученной при сжигании газа, Vп.с., $м^3/м^3$	1 + 11,01 × 1 = 12,01		1 + 11,22 × 1 = 12,22
Полнота сгорания газа	0,9984		
Теплоемкость продуктов сгорания, ккал/$м^3$×°С	0,39		
Температура горения газа, °С	$35 + \frac{9993 \times (1 - 0,21) \times 0,9984}{12,01 \times 0,39} = 1718$	$35 + \frac{9993 \times (1 - 0,21) \times 0,9984}{12,01 \times 0,39} = 1718$	$35 + \frac{10193 \times (1 - 0,214) \times 0,9984}{12,22 \times 0,39} = 1713$
Объем продуктов сгорания, поступающих в атмосферу при сгорании газа, $м^3/с$	55,692×12,01×(273,15+1718)/ 273,15 =4875,718	20,607×12,01×(273,15+1718)/ 273,15 =1804,1	69,24×12,22×(273,15+1713)/ 273,15 =6152,323
Общее содержание негорючих примесей в газе, % об.	0,23 + 0,62 + 0,09 = 0,94		0,2144+0,7617+0,0823=1,0584
Массовое содержание углерода, % масс.	100×12×(1×85,86+2×7,61+3×3,23+4×(0,7+0,85)+5×(0,25+0,21)+6×0,32) / (100-0,94) × 19,073 = 76,972		100×12×(1×84,6849+2×7,8083+3×3,4836+4×(0,7912+0,9432)+5×(0,2869+0,3359)+6×0,5508+1×0,0569)/(100-1,0584)×19,915=75,618
Массовое содержание диоксида углерода, % масс.	1,4		1,68617
Коэффициент адиабаты	(1,31×85,86+1,2×7,61+1,14×3,23+1,1×0,7+1,1×0,85+1,08×0,25+1,08×0,21+1,06× 0,32+0×1,03+1,4×0,23+1,3×0,62+ +1,33×0,09)/100=1,287		(1,31× 84,6849 + 1,2 × 7,8083 + 1,14 × 3,4836 +1,1× (0,7912+0,9432)+1,08×(0,2869+0,3359) + 1,06 × 0,5508 + 1,4 × 0,2144 + 1,3 × 0,7617 + 1,33 × 0,0823 + 1,25 × 0,0569) / 100=1,283
Скорость распространения звука в сжигаемой смеси $W_{зв}$, м/с	$91,5 \times (1,287 \times (35+273) / 19,073)^{0,5} = 417$	$91,5 \times (1,287 \times (35+273) / 19,073)^{0,5} = 417$	$91,5 \times (1,283 \times (35+273) / 19,915)^{0,5} = 408$
Скорость истечения сжигаемой смеси $W_{ист}$, м/с	$4 \times 59,77 / 3,14 \times 1^2 = 76,14$	$4 \times 22,116 / 3,14 \times 1^2 = 28,173$	$4 \times 74,31 / 3,14 \times 1^2 = 94,662$
Проверка условий бессажевого сжигания $W_{ист} / W_{зв} > 0,2$	76,14/417=0,18259– сажа образуется	28,173/1,287=0,06756– сажа образуется	94,662/1,283=0,23201 – сажа не образуется
Массовый расход сжигаемой смеси, г/с	1000 × 59,77 × 0,798 = 47696,46	1000 × 22,116 × 0,798 = 17648,568	1000 × 74,31 × 0,829 = 61602,99
Максимально разовый выброс загрязняющих веществ, поступающих в атмосферу, г/с:			
оксиды азота, в том числе:	0,003 × 47696,46 = 143,08938	0,003 × 17648,568 = 52,945704	0,003 × 61602,99 = 184,80897
– диоксид азота	0,8 × 143,08938 = 114,471504	0,8 × 52,945704 = 42,356563	0,8 × 184,80897 = 147,847176
– оксид азота	0,65 × (1 - 0,8)×143,08938=18,601619	0,65 × (1 - 0,8)×52,945704=6,882942	0,65 × (1 - 0,8)×184,80897=24,025166
сажа	0,002 × 47696,46 = 95,39292	0,002 × 17648,568 = 35,297136	-
оксид углерода	0,02 × 47696,46 = 953,9292	0,02 × 17648,568 = 352,97136	0,02 × 61602,99 = 1232,0598

Наименование параметра	Величина		
	Сброс газа через кран №17-2 из входного трубопровода ДКС (участок от крана №7 до кранов №№ 1 ГПА №7÷10, трубопровод DN1400 + трубопровод-кольцо DN1200 + трубопроводы DN700 х 3)	Сброс газа через кран №17 (существующий) из трубопровода ДКС1-ДКС-2 (участок от крана №7 ДКС-1 до крана 52-2 ДКС-2)	Сброс газа через краны №18-2 и №18-1-2 из выходного трубопровода ДКС (участок от кранов №№ 2 ГПА №7÷10 до крана №54-2, в т.ч. АВО, трубопроводы пускового контура и 4 ГПА)
метан и др. углеводороды	0,0005 × 47696,46 = 23,84823	0,0005 × 17648,568 = 8,824284	0,0005 × 61602,99 = 30,801495
диоксид углерода	0,01 ×47696,46×(3,67×0,9984×76,972+ 1,4) -95,39292-953,9292-23,84823 =134115,415	0,01 ×17648,568×(3,67×0,9984×76,972 +1,4)-35,297136-352,97136-8,824284 =49625,172	0,01 ×61602,99×(3,67×0,9984×75,618+ 1,688617)-1232,0598-30,801495=170463,265
Годовое количество газа, поступающего на сжигание, т	71724,465 × 1 × 0,798 × 1 / 1000 = 57,236	26539,018 × 1 × 0,798 × 1 / 1000 = 21,178	89172,443 × 1 × 0,829 × 1 / 1000 = 73,924
Годовой (валовый) выброс загрязняющих веществ, поступающих в атмосферу оксиды азота, в том числе:	0,003 × 57,236 = 0,171708	0,003 × 21,178 = 0,063534	0,003 × 73,924 = 0,221772
– диоксид азота	0,8 × 0,171708 = 0,137366	0,8 × 0,063534 = 0,050827	0,8 × 0,221772 = 0,177418
– оксид азота	0,65 × (1 - 0,8)×0,171708=0,022322	0,65 × (1 - 0,8)×0,063534=0,008259	0,65 × (1 - 0,8)×0,221772=0,02883
сажа	0,002 × 57,236 = 0,114472	0,002 × 21,178 = 0,042356	-
оксид углерода	0,02 × 57,236 = 1,14472	0,02 × 21,178 = 0,42356	0,02 × 73,924 = 1,47848
метан и др. углеводороды	0,0005 × 57,236 = 0,028618	0,0005 × 21,178 = 0,010589	0,0005 × 73,924 = 0,036962
диоксид углерода	0,01 ×134115,415×(3,67×0,9984×76,972+ 1,4)-0,114472-1,14472-0,028618=160,939	0,01 ×49625,172×(3,67×0,9984×76,972+ 1,4)-0,042356-0,42356-0,010589=59,549	0,01 ×170463,265×(3,67×0,9984×75,618+ 1,688617) -1,47848-0,036962=204,557

В таблице Р.5 приведен расчет количества загрязняющих веществ, поступающих в атмосферу при опорожнении трубопровода топливного газа ДКС через кран №29-2 перед ППР со сжиганием газа на факеле.

Таблица Р.5 – Расчет количества загрязняющих веществ, поступающих в атмосферу при опорожнении трубопровода топливного газа ДКС через кран №29-2 перед ППР со сжиганием газа на факеле

Наименование параметра	Величина
Наименование опорожняемого участка	Сброс газа на факел высокого давления при останове ДКС (через кран №29 из трубопровода газа топливного (участок от кранов от крана №44 УПГ до кранов №12 МГПА, трубопровод DN200 + трубопровод DN400 + трубопроводы DN806)
Сжигаемый газ	Газ топливный
Плотность газа: - при нормальных условиях, кг/нм^3	0,823
- при стандартных условиях, кг/м^3	0,767
Геометрический объем, м^3	35
Давление газа перед началом опорожнения, МПа (абс.)	2,6
кг/см2	2,6 × 10,197 = 26,5
Температура газа перед началом опорожнения, ^{o}С:	45
К	45 + 273,15 = 318,15
Коэффициент сжимаемости $Z_Н$ при $P_Н$, $T_Н$	$1-0,0907\times2,6\times (318,15 / 200)^{-3,668} = 0,957$
Давление газа в конце опорожнения, МПа (абс.)	0,2
кг/см2	0,2 × 10,197 = 2
Температура газа в конце опорожнения, ^{o}С:	35
К	35 + 273,15 = 308,15
Коэффициент сжимаемости $Z_к$ при $P_к$, $T_к$	$1-0,0907\times0,2\times (308,15 / 200)^{-3,668} = 0,996$
Объем газа, поступающего на сжигание, м^3	0,995 × 37,09 × (26,5 / 0,957 - 0,2 / 308,15) = 947,807
Время, принятое для расчетов, мин.	20
Объемный расход газа: - при стандартных условиях (Р = 0,1013 МПа и Т = 293,15 К), м^3/с	947,807 / 20 × 60 = 0,79
- при нормальных условиях (Р = 0,1013 МПа и Т = 273,15 К), нм^3/с	0,79 × 273,15 / 293,15 = 0,736
Периодичность проведения операции, раз/год	1
Молярная масса сжигаемой смеси, кг/кмоль	18,419
Доля энергии, теряемой за счет излучения факела	$0,048 \times 18,419^{0,5} = 0,206$
Стехиометрическое количество воздуха, необходимого для сжигания 1 м^3 газа, V_o, м^3/м^3	0,0476×((1+4/4)×87,57+(2+6/4)×8,42+(3+8/4)×2,19+(4+10/4)×(0,3+0,3)+(5+12/4)×(0,06+0,09)+(6+14/4)×0,04+(1+4/4)×0,02)=10,523
Коэффициент избытка воздуха	1
Объем газовоздушной смеси, полученной при сжигании газа, $V_{п.с.}$, м^3/м^3	1 + 1 × 10,523 = 11,523
Полнота сгорания газа	0,9984
Теплоемкость продуктов сгорания, ккал/м^3×°С	0,39
Температура горения газа, ^{o}С	$45 + \frac{9527 \times (1 - 0,206) \times 0,9984}{11,523 \times 0,39} = 1726$
Объем продуктов сгорания, поступающих в атмосферу при сгорании газа, м^3/с	0,736×11,523×(273,15+1726)/ 273,15=62,071
Общее содержание негорючих примесей в газе, % об.	0,22 + 0,79 + 0 = 1,01
Массовое содержание углерода, % масс.	100×12×(1×87,57+2×8,42+3×2,19+4×(0,3+0,3)+5×(0,06+0,09)+6×0,04+1×0,02)/(100-1,01)×18,419=75,286
Массовое содержание диоксида углерода, % масс.	1,9
Коэффициент адиабаты	(1,31×87,57+1,2×8,42+1,14×2,19+1,1×(0,3+0,3)+1,08×(0,06+0,09)+1,06×0,04+1,4×0,22+1,3×0,79+1,25×0,02)/100=1,295
Скорость распространения звука в сжигаемой смеси $W_{зв.}$, м/с	$91,5 \times (1,295 \times (450+273) / 18,419)^{0,5} = 433$
Скорость истечения сжигаемой смеси $W_{ист}$, м/с	$4 \times 0,79 / 3,14 \times 1^2 = 1,006$
Проверка условий бессажевого сжигания $W_{ист} / W_{зв} > 0,2$	1,006 / 433 = 0,0023 – сажа образуется
Массовый расход сжигаемой смеси, г/с	1000 × 0,79 × 0,767 = 605,93
Максимально разовый выброс загрязняющих веществ, поступающих в атмосферу, г/с: оксиды азота, в том числе:	0,003 × 605,93 = 1,81779
– диоксид азота	0,8 × 1,81779 = 1,454232
– оксид азота	0,65 × (1 - 0,8)×1,81779=0,236313

Наименование параметра	Величина
сажа	0,002 × 605,93 = 1,21186
оксид углерода	0,02 × 605,93 = 12,1186
метан и др. углеводороды	0,0005 × 605,93 = 0,302965
диоксид углерода	0,01 ×605,93×(3,67×0,9984×75,286+1,9)-1,21186-12,1186-0,302965=1669,383
Годовое количество газа, поступающего на сжигание, т/год	947,807 × 1 × 0,767 × 1 / 1000 = 0,727
Годовой (валовый) выброс загрязняющих веществ, поступающих в атмосферу, т/год:	
оксиды азота, в том числе:	0,003 × 0,727 = 0,002181
– диоксид азота	0,8 × 0,002181 = 0,001745
– оксид азота	0,65 × (1 - 0,8)×0,002181=0,000284
сажа	0,002 × 0,727 = 0,001454
оксид углерода	0,02 × 0,727 = 0,01454
метан и др. углеводороды	0,0005 × 0,727 = 0,000364
диоксид углерода	0,01 ×1669,383×(3,67×0,9984×75,286+1,9)-0,001454-0,01454-0,000364=2,003

2 Расчет количества загрязняющих веществ, поступающих в атмосферу от факелов низкого и высокого давлений при сжигании газов ”дыхания“ от емкостей дренажных 2Е-2 ГПА №№7-10, емкости для сбора конденсата 2Е-6 блока подготовки газа и блока емкости аварийного слива с арматурным блоком 2БЕ-1 в период эксплуатации ДКС

В таблице Р.6 приведен состав и свойства паров дренажей, поступающих на сжигание на факела высокого и низкого давлений от емкостей дренажных 2Е-2 МГПА №№7-10, емкости для сбора конденсата 2Е-6 блока подготовки газа и блока емкости аварийного слива с арматурным блоком 2БЕ-1.

Таблица Р.6 – Состав паров дренажей, поступающих на сжигание на факеле

Параметры	Величина	
	% объемные	% массовые
Компонентный состав паров:		
- метан	15,9757	3,8385
- этан	4,8305	2,1575
- пропан	5,0334	3,2876
- изобутан	1,9476	1,6755
- бутан	2,942	2,5312
- пентан	2,7886	2,978
- смесь углеводородов предельных C_6-C_{10}	20,8657	38,2419
- метанол	2,4291	3,74
- вода	42,8784	41,3379
- азот	0,0158	0,0067
- диоксид углерода	0,2933	0,2053
Молекулярная масса, кг/кмоль	45,565	
Плотность паров:		
- кг/нм^3 (при нормальных условиях Р=0,1013 МПа, Т=273,15К)	1,788	
- кг/м^3 (при стандартных условиях Р=0,1013 МПа, Т=293,15ºС)	1,666	
Низшая теплота сгорания:		
- при стандартных условиях (Р=1,033 кг/см^2, Т=293,15 К), ккал/м^3	13521	
- при нормальных условиях (Р=1,033 кг/см^2, Т=273,15 К), ккал/нм^3	14511	

В соответствии с данными технологической части проекта в эксплуатации будут находиться 4 (3 рабочих + 1 резервный) ГПА.

В таблице Р.7 приведен расчет количества загрязняющих веществ, поступающих в атмосферу при сжигании паров углеводородов от емкостей дренажных 2Е-2 МГПА №№7-10 на факеле высокого давления.

Таблица Р.7 – Расчет количества загрязняющих веществ, поступающих в атмосферу при сжигании паров углеводородов от емкостей дренажных 2Е-2 МГПА на факеле низкого давления

Наименование параметра	Величина
Источник выделения	**Дыхание емкостей дренажных 2Е-2 от МГПА №№7-10**
Источник выброса	Факел высокого давления
Количество ГПА, шт.	4 (3 рабочих + 1 резервная)
Годовое время работы одного МГПА, ч/год	8520
Количество емкостей, от которых пары поступают на сжигание на факел, штук	3
Годовое количество паров дренажей, поступающих на сжигание на факел при "дыхании" 1 емкости, т/год	13
Суммарное годовое количество паров дренажей, поступающих на сжигание на факел при "дыхании" емкостей 4 работающих МГПА, т/год	13 × 3 = 39
Плотность паров дренажей - при нормальных условиях, кг/нм^3	2,034
- при стандартных условиях, кг/м^3	1,895
Температура паров, °С:	20
К	273,15 + 20 = 293,15
Объемный расход паров дренажей от 1 емкости при стандартных условиях (Р = 0,1013 МПа и Т = 293,15 К), м^3/ч	2,2
Суммарный объемный расход паров дренажей при стандартных условиях (Р = 0,1013 МПа и Т = 293,15 К), м^3/ч	2,2 × 3 = 6,6
- при стандартных условиях (Р = 0,1013 МПа и Т = 293,15 К) м^3/с	6,6 / 3600 = 0,00183
- при нормальных условиях (Р = 0,1013 МПа и Т = 293,15 К) нм^3/с	0,00183 × 273,15 / 293,15 = 0,00171
Молярная масса сжигаемой смеси, кг/кмоль	45,565
Доля энергии, теряемой за счет излучения факела	0,048 × 45,565^{0,5} = 0,324
Стехиометрическое количество воздуха, необходимого для сжигания 1 м^3 паров дренажей, V_o, м^3/м^3	0,0476×((1+4/4)×15,9757+(2+6/4)×4,8305+(3+8/4)×5,0334+(4+10/4)×(1,9476+2,942)+(5+12/4)×(1,6479+1,1407)+(6+14/4)×20,8657+(1+4/4)×2,4291)=15,534
Коэффициент избытка воздуха	1
Объем газовоздушной смеси, полученной при сжигании паров, $V_{п.с.}$, м^3/м^3	1 + 1 × 15,534 = 16,534
Полнота сгорания	0,9984
Теплоемкость продуктов сгорания, ккал/м^3×°С	0,39
Низшая теплота сгорания: - при стандартных условиях (Р=1,033 кг/см^2, Т=293,15 К), ккал/м^3	13521
- при нормальных условиях (Р=1,033 кг/см^2, Т=273,15 К), ккал/нм^3	14511
Температура горения паров, °С	$20 + \frac{14511 \times (1 - 0,324) \times 0,9984}{16,534 \times 0,39} = 1539$
Объем продуктов сгорания, поступающих в атмосферу при сгорании паров дренажей, м^3/с	0,00171 × 16,534 × (273,15 + 1539) / 273,15 = 0,188
Общее содержание негорючих примесей в сжигаемых парах, % об.	42,8784 + 0,0158+ 0,2933 = 43,585
Массовое содержание углерода, % масс.	100×12×(1×15,9757+2×4,8305+3×5,0334+4×(1,9476+2,942)+5×(1,6479+1,1407)+6×20,8657+1×2,4291)/(100-43,1875) ×43,585 =92,449
Массовое содержание диоксида углерода, % масс.	0,2053
Коэффициент адиабаты	1,234
Скорость распространения звука в сжигаемой смеси $W_{зв}$., м/с	91,5 × (1,234 × (20+273) / 45,565)^{0,5} = 258
Диаметр факела, м	0,35
Высота факела, м	60
Скорость истечения сжигаемой смеси $W_{ист}$, м/с	4 × 0,188/ (3,14 × 0,35^2) = 1,955
Проверка условий бессажевого сжигания $W_{ист}$ / $W_{зв}$ > 0,2	1,955 / 258 = 0,0076 – сажа образуется
Массовый расход сжигаемой смеси, г/с	1000 × 0,00183 × 1,7886 = 3,272
Максимально разовый выброс загрязняющих веществ, поступающих в атмосферу при сжигании паров дренажей на факеле, г/с:	
оксиды азота,	0,003 × 3,272 = 0,009816
в том числе:	

Наименование параметра	Величина
– диоксид азота	0,8 × 0,009816 = 0,00785
– оксид азота	0,65 × (1 - 0,8) × 0,009816 = 0,00128
оксид углерода	0,002 × 3,272 = 0,006544
сажа	0,02 × 3,272 = 0,06544
метан и др. углеводороды	0,0005 × 3,272 = 0,001636
диоксид углерода	0,01 × 3,272 × (3,67 × 0,9984 × 92,449 + 0,2053) - 0,06544 - 0,001636 = 11,023
Суммарный годовой (валовый) выброс загрязняющих веществ, поступающих в атмосферу при сжигании паров дренажей на факеле, т/год:	
оксиды азота	0,003 × 39 = 0,117
в том числе:	
– диоксид азота	0,8 × 0,117 = 0,0936
– оксид азота	0,65 × (1 - 0,8) × 0,117 = 0,01521
оксид углерода	0,02 × 39 = 0,78
сажа	0,002 × 39 = 0,078
метан и др. углеводороды	0,0005 × 39 = 0,0195
диоксид углерода	0,01 × 39 × (3,67 × 0,9984 × 92,449 + 0,2053) - 0,78 - 0,0195 = 131,391

В таблице Р.8 приведен расчет количества загрязняющих веществ, поступающих в атмосферу при сжигании паров углеводородов от емкости для сбора конденсата 2Е-6 блока подготовки газа на факеле высокого давления.

Таблица Р.8 – Расчет количества загрязняющих веществ, поступающих в атмосферу при сжигании паров углеводородов от емкости сбора конденсата 2Е-6 блока подготовки газа на факеле

Наименование параметра	Величина
Источник выделения	**Емкость для сбора конденсата 2Е-6 блока подготовки газа**
Источник выброса	Факел высокого давления (ФВД)
Годовое время работы, ч/год	8520
Годовое количество паров углеводородов, поступающего на сжигание на факел при "дыхании" емкости, т/год	5,3
Плотность паров: - при нормальных условиях, кг/нм^3	1,788
- при стандартных условиях, кг/м^3	1,666
Температура газа, °С:	25
К	273,15 + 25 = 298,15
Объемный расход паров емкости при стандартных условиях (Р = 0,1013 МПа и Т = 293,15 К), нм^3/ч	0,2
- при стандартных условиях (Р = 0,1013 МПа и Т = 293,15 К) нм^3/с	0,2 / 3600 = 0,0000556
- при нормальных условиях (Р = 0,1013 МПа и Т = 293,15 К) нм^3/с	0,0000556 × 273,15 / 293,15 = 0,000052
Молярная масса сжигаемой смеси, кг/кмоль	45,565
Доля энергии, теряемой за счет излучения факела	0,048 × 45,565 ^{0,5} = 0,324
Стехиометрическое количество воздуха, необходимого для сжигания 1 м^3 паров, V_o, м^3/м^3	0,0476×((1+4/4)×15,9757+(2+6/4)×4,8305+(3+8/4)×5,0334+(4+10/4)×(1,9476+2,942)+(5+12/4)×(1,6479+1,1407)+(6+14/4)×20,8657+(1+4/4)×2,4291)=15,534
Коэффициент избытка воздуха	1
Объем газовоздушной смеси, полученной при сжигании паров углеводородов, $V_{п.с.}$, м^3/м^3	1 + 1 × 15,534 = 16,534
Полнота сгорания	0,9984
Теплоемкость продуктов сгорания, ккал/м3×°С	0,39
Низшая теплота сгорания: - при стандартных условиях (Р=1,033 кг/см^2, Т=293,15 К), ккал/м^3	13521
- при нормальных условиях (Р=1,033 кг/см^2, Т=273,15 К), ккал/нм^3	14511
Температура горения, °С	$25 + \frac{14511 \times (1 - 0,324) \times 0,9984}{16,534 \times 0,39} = 1544$
Объем продуктов сгорания, поступающих в атмосферу при сгорании паров углеводородов, м^3/с	0,000052 × 16,534 × (273,15 + 1544) / 273,15 = 0,006
Общее содержание негорючих примесей, % об.	42,8784 + 0,0158+ 0,2933 = 43,585
Массовое содержание углерода, % масс.	100×12×(1×15,9757+2×4,8305+3×5,0334+4×(1,9476+2,942)+5×(1,6479+1,1407)+6×20,8657+1×2,4291)/(100-43,1875) ×43,585 =92,449
Массовое содержание диоксида углерода, % масс.	0,2053
Коэффициент адиабаты	1,234

Наименование параметра	Величина
Скорость распространения звука в сжигаемой смеси $W_{зв}$., м/с	$91,5 \times (1,234 \times (25+273) / 45,565)^{0,5} = 260$
Диаметр факела, м	1
Высота факела, м	60
Скорость истечения сжигаемой смеси $W_{ист}$, м/с	$4 \times 0,006 / (3,14 \times 1^2) = 0,0076$
Проверка условий бессажевого сжигания $W_{ист} / W_{зв} > 0,2$	0,0076 / 260 = 0,000029 – сажа образуется
Массовый расход сжигаемой смеси, г/с	1000 × 0,000052 × 1,788 = 0,093
Максимально разовый выброс загрязняющих веществ, поступающих в атмосферу при сжигании паров углеводородов на факеле, г/с:	
оксид углерода	0,02 × 0,093 = 0,00186
оксиды азота	0,003 × 0,093 = 0,000279
в том числе	
– диоксид азота	0,8 × 0,000279 = 0,000223
– оксид азота	0,65 × (1 - 0,8) × 0,000279 = 0,000036
метан и др. углеводороды	0,0005 × 0,093 = 0,000047
сажа	0,002 × 0,093 = 0,000186
диоксид углерода	0,01 × 0,093 × (3,67 × 0,9984 × 92,449 + 0,2053) - 0,00186 - 0,000047 = 0,313
Годовой (валовый) выброс загрязняющих веществ, поступающих в атмосферу при сжигании газа "дыхания" емкости на факеле, т/год:	
– оксид углерода	0,02 × 5,3 = 0,106
– оксиды азота	0,003 × 5,3 = 0,0159
в том числе:	
– диоксид азота	0,8 × 0,0159 = 0,01272
оксид азота	0,65 × (1 - 0,8) × 0,0159 = 0,002067
метан и др. углеводороды	0,0005 × 5,3 = 0,00265
сажа	0,002 × 5,3 = 0,0106
диоксид углерода	0,01 × 5,3 × (3,67 × 0,9984 × 92,449 + 0,2053) - 0,106 - 0,00265 = 17,856

В таблице Р.9 приведен расчет количества загрязняющих веществ, поступающих в атмосферу при сжигании на факеле паров углеводородов от блока емкости аварийного слива с арматурным блоком БЕ-1 в случае аварийной ситуации.

Таблица Р.9 – Расчет количества загрязняющих веществ, поступающих в атмосферу при сжигании паров углеводородов от блока емкости аварийного слива с арматурным блоком БЕ-1

Наименование параметра	Величина
Источник выделения	**Блок емкости аварийного слива с арматурным блоком БЕ-1 при аварийной ситуации**
Источник выброса	Факел высокого давления (ФВД)
Сжигаемый газ	Пары углеводородов при дыхании блока емкости аварийного слива с арматурным блоком БЕ-1 при аварии
Количество паров углеводородов, поступающих на сжигание на факел при "дыхании" емкости, т при 1 аварии	5,3
Плотность гпаров:	
- при нормальных условиях, кг/нм^3	1,788
- при стандартных условиях, кг/м^3	1,666
Температура паров, °С:	25
К	273,15 + 25 = 298,15
Объемный расход паров емкости при стандартных условиях (Р = 0,1013 МПа и Т = 293,15 К), нм^3/ч	11
- при стандартных условиях (Р = 0,1013 МПа и Т = 293,15 К) нм^3/с	11 / 3600 = 0,00306
- при нормальных условиях (Р = 0,1013 МПа и Т = 293,15 К) нм^3/с	0,00306 × 273,15 / 293,15 = 0,00285
Молярная масса сжигаемой смеси, кг/кмоль	45,565
Доля энергии, теряемой за счет излучения факела	$0,048 \times 45,565^{0,5} = 0,324$
Стехиометрическое количество воздуха, необходимого для сжигания 1 м^3 паров углеводородов, V_o, м^3/м^3	0,0476×((1+4/4)×15,9757+(2+6/4)×4,8305+(3+8/4)×5,0334+(4+10/4)×(1,9476+2,942)+(5+12/4)×(1,6479+1,1407)+(6+14/4)×20,8657+(1+4/4)×2,4291)=15,534
Коэффициент избытка воздуха	1
Объем газовоздушной смеси, полученной при сжигании, $V_{п.с.}$, м^3/м^3	1 + 1 × 15,534 = 16,534
Полнота сгорания	0,9984
Теплоемкость продуктов сгорания, ккал/м^3×°С	0,39

Наименование параметра	Величина
Низшая теплота сгорания: - при стандартных условиях (Р=1,033 кг/см^2, Т=293,15 К), ккал/м^3 - при нормальных условиях (Р=1,033 кг/см^2, Т=273,15 К), ккал/нм^3	 13521 14511
Температура горения, °С	$25 + \frac{14511 \times (1 - 0{,}324) \times 0{,}9984}{16{,}534 \times 0{,}39} = 1544$
Объем продуктов сгорания, поступающих в атмосферу, м^3/с	0,00285 × 16,534 × (273,15 + 1544) / 273,15 = 0,313
Общее содержание негорючих примесей в газе, % об.	42,8784 + 0,0158+ 0,2933 = 43,585
Массовое содержание углерода, % масс.	100×12×(1×15,9757+2×4,8305+3×5,0334+4×(1,9476+2,942)+5×(1,6479+1,1407)+6×20,8657+1×2,4291)/(100-43,1875)×43,585 =92,449
Массовое содержание диоксида углерода, % масс.	0,2053
Коэффициент адиабаты	1,234
Скорость распространения звука в сжигаемой смеси $W_{зв}$., м/с	91,5 × (1,234 × (25+273) / 45,565)^{0,5} = 260
Диаметр факела, м	1
Высота факела, м	60
Скорость истечения сжигаемой смеси $W_{ист}$, м/с	4 × 0,313/ (3,14 × 1^2) = 0,399
Проверка условий бессажевого сжигания $W_{ист}$ / $W_{зв}$ > 0,2	0,399 / 260 = 0,0015 – сажа образуется
Массовый расход сжигаемой смеси, г/с	1000 × 0,00285 × 1,788 = 5,096
Максимально разовый выброс загрязняющих веществ, поступающих в атмосферу при сжигании паров углеводородов от емкости на факеле, г/с: оксид углерода	 0,02 × 5,096 = 0,10192
оксиды азота	0,003 × 5,096 = 0,015288
в том числе:	
– диоксид азота	0,8 × 0,015288 = 0,01223
– оксид азота	0,65 × (1 - 0,8) × 0,015288 = 0,001987
метан и др. углеводороды	0,0005 × 5,096 = 0,002548
сажа	0,002 × 5,096 = 0,010192
диоксид углерода	0,01 × 5,096 × (3,67 × 0,9984 × 92,449 + 0,2053) - 0,10192 - 0,002548 = 17,168438
Суммарный годовой (валовый) выброс загрязняющих веществ, поступающих в атмосферу при сжигании паров углеводородов от емкости на факеле, т при 1 аварии оксид углерода	 0,02 × 10 = 0,2
оксиды азота	0,003 × 10 = 0,03
в том числе:	
– диоксид азота	0,8 × 0,03 = 0,024
– оксид азота	0,65 × (1 - 0,8) × 0,03 = 0,0039
метан и др. углеводороды	0,0005 × 10 = 0,005
сажа	0,002 × 10 = 0,02
диоксид углерода	0,01 × 10 × (3,67 × 0,9984 × 92,449 + 0,2053) - 0,2 - 0,005 = 33,69

Приложение С
(обязательное)

Расчет количества загрязняющих веществ, поступающих в атмосферу через свечи рассеивания при опорожнении оборудования и трубопроводов проектируемых объектов ДКС перед ППР в период эксплуатации

Количество газа, стравливаемого в атмосферу из оборудования и трубопроводов ДКС через свечи рассеивания, рассчитано по “СТО Газпром 11-2005 Методические указания по расчету валовых выбросов углеводородов (суммарно) в ОАО “Газпром” (М., ОАО “Газпром”, 2005) по формуле:

$$Q_{оп} = 0{,}995 \times V \times \left(\frac{P_н}{Z_н} - \frac{P_к}{Z_к}\right), \text{ м}^3,$$

где V – геометрический объем аппарата, участка газопровода или технологической линии, опорожняемого для ремонта и внутреннего осмотра, м^3;

$P_н$, $P_к$ – абсолютное давление газа перед началом опорожнения и после опорожнения, кг/см^2;

$T_н$, $T_к$ – температура газа перед началом опорожнения и после опорожнения, К;

$Z_н$, $Z_к$ – коэффициент сжимаемости газа при $P_н$ и $P_к$;

Коэффициент сжимаемости газа рассчитан по “СТО Газпром 11-2005 Методические указания по расчету валовых выбросов углеводородов (суммарно) в ОАО “Газпром” (М., ОАО “Газпром”, 2005) по формуле:

$$Z = 1 - 0{,}0907 \times P_{ср} \times (T_{ср}/200)^{-3{,}668},$$

где $P_{ср}$, $T_{ср}$– соответственно средние давление и температура газа, МПа и К

Количество стравливаемого газа в единицу времени рассчитано по формуле:

$$M = Q_{оп} / \tau \times \rho \times 1000, \text{ г/с},$$

где $Q_{оп}$ – объем газа, поступающего в атмосферу при стравливании, м^3 при стандартных условиях (Р=0,1013 МПа, Т=293,15К);

τ – стравливания, сек.;

ρ – плотность газа при стандартных условиях, кг/м^3 (Р=0,1013 МПа, Т=293,15К).

При проведении расчетов выполнена проверка скорости истечения газа в атмосферу по формуле:

$$W = 4 \times V / (\pi \times d^2), \text{ м/с},$$

где V – объем стравливаемого газа, м^3/с;

d – диаметр свечи, м.

Мощность выброса стравливаемого газа, поступающего в атмосферу, рассчитана по формуле:

$$M = V \times \rho \times 1000, \text{ г/с}.$$

Время опорожнения рассчитано по “Методике расчета вредных выбросов в атмосферу из нефтехимического оборудования РМ62-91-90” (Воронеж, “Гипрокаучук”, 1991) по формуле:

$$\tau = 3{,}9 \times 10^{-2} \times \frac{V_{пг}}{\varphi_c \times S_o} \times \sqrt{\frac{M_c}{t + 273{,}15}} \times \lg\left(\frac{P}{P_к}\right), \text{ с,}$$

где $V_{пг}$ – начальный объем газа, м^3 (геометрический объем);

φ_c – коэффициент истечения газа из сопла;

S_o – площадь проходного сечения, м^2;

M_c – молекулярная масса газа, кг/моль;

t – температура газа, °С;

P– давление газа, кг/см^2;

$P_к$ – конечное давление, до которого производится стравливание, кг/см^2.

Коэффициент истечения газа рассчитан по формуле:

$$\varphi_c = \sqrt{k_c \times \left(\frac{2}{k_c + 1}\right)^{\frac{k_c+1}{k_c-1}}}.$$

где kc – показатель адиабаты газа.

Показатель адиабаты стравливаемого газа рассчитан по формуле:

$$k_c = 1 + \left(\sum \frac{y_i}{k_i - 1}\right)^{-1}.$$

В таблице С.1 приведены составы и свойства газов, поступающих в атмосферу при стравливании на свечи рассеивания.

Таблица С.1 – Составы и свойства газов, поступающих в атмосферу при стравливанием на свечи рассеивания

Параметры	Величина					
	"Сырой" газ		Скомпримированный газ		Газ топливный	
	% объемные	% массовые	% объемные	% массовые	% объемные	% массовые
Компонентный состав паров:						
- метан	85,86	70,85	84,6849	68,26669	87,57	76,13
- этан	7,61	11,77	7,8083	11,84171	8,42	13,71
- пропан	3,23	7,32	3,4836	7,729664	2,19	5,22
- изобутан	0,7	2,09	0,7912	2,310024	0,3	0,96
- бутан	0,85	2,54	0,9432	2,753567	0,3	0,94
- изопентан	0,25	0,93	0,2869	1,039959	0,06	0,22
- пентан	0,21	0,78	0,3359	1,218938	0,09	0,36
- углеводороды $C_{6+высшие}$	0,32	1,59	0,5508	2,682763	0,04	0,19
- метанол	-	-	0,0569	0,091339	0,02	0,4
- вода	0,09	0,08	0,0823	0,074472	-	-
- азот	0,23	0,33	0,2144	0,30226	0,22	0,33
- диоксид углерода	0,62	1,4	0,7617	1,688617	0,79	1,9
Молекулярная масса, кг/кмоль	19,073		19,915		18,419	
Плотность паров: - кг/нм^3 (при нормальных условиях P=0,1013 МПа, T=273,15К)	0,856		0,89		0,823	
- кг/м^3 (при стандартных условиях P=0,1013 МПа, T=293,15ºС)	0,798		0,829		0,767	

В таблице С.2 приведены расчеты количества загрязняющих веществ, поступающих в атмосферу при опорожнении оборудования и трубопроводов УПГ перед ППР.

Таблица С.2 – Расчет количества загрязняющих веществ, поступающих в атмосферу при опорожнении оборудования и трубопроводов УПГ

Наименование показателя	Величина		
	Оборудование блок-бокса УПГ – линия топливного газа	Оборудование блок-бокса УПГ – линия буферного газа	Ресивер импульсного газа РИ-1,2
Номер ИЗА	***0437***	***0438***	***0439***
Стравливаемый газ	Топливный газ	Буферный газ	Топливный газ
Наименование источника выброса	Свеча	Свеча	Свеча ресивера
Высота свечи, м	12	12	9
Диаметр свечи, м	0,05	0,05	0,05
Периодичность проведения операции, раз/год	1	1	1
Геометрический объем газа, $м^3$	3,4	1	3
Давление газа перед началом опорожнения, МПа $кг/см^2$	4,5 4,5 × 10,197 = 45,9	4,3 4,3 × 10,197 = 43,8	5 5 × 10,197 = 50,99
Температура газа в начале опорожнения, °С К	30 30 + 273,15 = 303,15	60 60 + 273,15 = 333,15	20 20 + 273,15 = 293,15
Коэффициент сжимаемости $Z_Н$ при $P_Н$, $T_Н$	$1 - 0{,}0907 \times 45{,}9 \times (303{,}15 / 200)^{-3{,}668} = 0{,}911$	$1 - 0{,}0907 \times 94{,}8 \times (333{,}15 / 200)^{-3{,}668} = 0{,}87$	$1 - 0{,}0907 \times 50{,}99 \times (293{,}15 / 200)^{-3{,}668} = 0{,}888$
Давление газа в конце опорожнения, МПа $кг/см^2$	0,103 0,1013 × 10,197 = 1,033	0,103 0,1013 × 10,197 = 1,033	0,103 0,1013 × 10,197 = 1,033
Температура газа в конце опорожнения, °С К	20 20 + 273,15 = 293,15	27 27 + 273,15 = 300,15	2 2 + 273,15 = 295,15
Коэффициент сжимаемости $Z_Н$ при $P_Н$, $T_Н$	$1 - 0{,}0907 \times 1{,}033 \times (303{,}15 / 200)^{-3{,}668} = 0{,}998$	$1 - 0{,}0907 \times 1{,}033 \times (333{,}15 / 200)^{-3{,}668} = 0{,}998$	$1 - 0{,}0907 \times 50{,}99 \times (293{,}15 / 200)^{-3{,}668} = 0{,}997$
Объем газа, поступающего в атмосферу при опорожнении, $м^3$ при стандартных условиях (Р=0,1013 МПа и Т=293,15 К)	$0{,}995 \times 3{,}4 \times \left(\frac{45{,}9}{0{,}911} - \frac{1{,}033}{0{,}998}\right) = 166{,}948$	$0{,}995 \times 1 \times \left(\frac{43{,}8}{0{,}87} - \frac{1{,}033}{0{,}998}\right) = 45{,}333$	$0{,}995 \times 3 \times \left(\frac{50{,}99}{293{,}15} - \frac{1{,}033}{0{,}997}\right) = 168{,}309$
Плотность газа при стандартных условиях (Р=0,1013 МПа и Т=293,15 К), $кг/м^3$	0,767	0,829	0,767
Время стравливания, мин.	20	20	20
Объем газа, поступающего в атмосферу, в единицу времени: - при стандартных условиях, $м^3/с$ - при рабочих условиях, $м^3/с$	 166,948 / (20 × 60) = 0,1391 0,1391 × 293,15 / 293,15 = 0,1391	 45,333 / (20 × 60) = 0,0378 0,0378 × 300,15 / 293,15 = 0,0387	 168,309 / (20 × 60) = 0,14 0,14 × 275,15 / 293,15 = 0,1314
Проверка скорости истечения, м/с	$4 \times 0{,}1391 / 3{,}14 \times 0{,}05^2 = 70{,}9$	$4 \times 0{,}0378 / 3{,}14 \times 0{,}05^2 = 19{,}7$	$4 \times 0{,}14 / 3{,}14 \times 0{,}05^2 = 67$
Количество газа, поступающего в атмосферу при опорожнении, г/с в том числе:	166,948 × 0,767 × 1000 = 106,69	45,333 × 0,829 × 1000 = 31,336	168,309 × 0,767 × 1000 = 107,38
- метан	106,69 × 76,13 / 100 = 81,223097	31,336 × 68,26669 / 100 = 21,39205	107,38 × 76,13 / 100 = 81,748394

Наименование показателя	Величина		
	Оборудование блок-бокса УПГ – линия топливного газа	Оборудование блок-бокса УПГ – линия буферного газа	Ресивер импульсного газа РИ-1,2
- смесь углеводородов предельных С1Н4-С5Н12 (кроме метана)	106,69 × 21,41 / 100 = 22,842329	31,336 × 26,894 / 100 = 8,427461	107,38 × 21,41 / 100 = 22,990058
- смесь углеводородов предельных С6Н14-С10Н22	106,69 × 0,19 / 100 = 0,202711	31,336 × 2,682763 / 100 = 0,840671	107,38 × 0,19 / 100 = 0,204022
- метанол	106,69 × 0,4 / 100 = 0,42676	31,336 × 0,091339 / 100 = 0,028622	107,38 × 0,4 / 100 = 0,42952
- диоксид углерода	106,69 × 1,9 / 100 = 2,02711	31,336 × 1,688617 / 100 = 0,529145	107,38 × 1,9 / 100 = 2,04022
Годовое количество газа, поступающего в атмосферу при опорожнении на свечу, т/год	166,948 × 0,767 / 1000 =0,128	45,333 × 0,829 / 1000 =0,0376	168,309 × 0,767 × 2 / 1000 =0,258
в том числе:			
- метан	0,128 × 76,13 / 100 = 0,097446	0,0376 × 68,26669 / 100 = 0,025668	0,258 × 76,13 / 100 = 0,196415
- смесь углеводородов предельных С1Н4-С5Н12 (кроме метана)	0,128 × 21,41 / 100 = 0,027405	0,0376 × 26,894 / 100 = 0,010112	0,258 × 21,41 / 100 = 0,055238
- смесь углеводородов предельных С6Н14-С10Н22	0,128 × 0,19 / 100 = 0,000243	0,0376 × 2,682763 / 100 = 0,001009	0,258 × 0,19 / 100 = 0,00049
- метанол	0,128 × 0,4 / 100 = 0,000512	0,0376 × 0,091339 / 100 = 0,000034	0,258 × 0,4 / 100 = 0,001032
- диоксид углерода	0,128 × 1,9 / 100 = 0,002432	0,0376 × 1,688617 / 100 = 0,000635	0,258 × 1,9 / 100 = 0,004902

В таблице С.3 приведены расчеты количества загрязняющих веществ, поступающих в атмосферу при опорожнении МГПА со стравливанием на свечи рассеивания. Расчеты по опорожнению МГПА приведены для 1 модуля, расчеты для 2, 3, 4, МГПА аналогичны.

Таблица С.3 – Расчет количества загрязняющих веществ, поступающих в атмосферу при опорожнении ГПА со стравливанием на свечи рассеивания

Наименование показателя	Величина
Номер ИЗА	***0430, 0431, 0432, 0433***
Наименование источника выделения	Сброс газа через кран №5-1 из 1-го ГПА (участок от крана №1 до крана №2)
Наименование источника выброса	Свеча крана №5-1
Высота свечи, м	15
Диаметр свечи, м	0,08
Периодичность проведения операции, раз/год	12
Плотность газа при стандартных условиях (Р=0,1013 МПа и Т=293,15 К), кг/м^3	0,798
Геометрический объем газа, м^3	71,3
Давление газа перед началом опорожнения, МПа кг/см^2	0,2 0,2 × 10,197 = 2,04
Температура газа, ºС К	30 30 + 273,15 = 303,15
Коэффициент сжимаемости $Z_Н$ при $Р_Н$, $Т_Н$	$1-0,0907\times2,04 \times (303,15/200)^{-3,668}= 0,996$
Давление газа в конце стравливания, МПа кгс/см^2	0,1013 1,0332
Температура газа при опорожнении (при снижении давления от $Р_{раб}$ до Р = 0,1013 МПа), ºС К	28 273,15 + 28 = 301,15
Коэффициент сжимаемости $Z_к$ при $Р_к$, $Т_к$	$1-0,0907\times1,033\times(301,15/200)^{-3,668}= 0,998$
Объем газа, поступающего в атмосферу при опорожнении, м^3 при стандартных условиях (Р=0,1013 МПа и Т=293,15 К)	$0,995\times71,3\times\left(\frac{2,04}{0,996}-\frac{1,033}{0,998}\right)=71,784$
Время стравливания, мин.	20
Объем газа, поступающего в атмосферу, в единицу времени - при стандартных условиях, м^3/с - при рабочих условиях, м^3/с	 71,874 / (20 × 60) = 0,06 0,06 × 301,15 / 293,15 = 0,062
Проверка скорости истечения, м/с	4 × 0,06 / 3,14 × 0,08 степень 2 = 12,3407643312102
Количество газа, поступающего в атмосферу при опорожнении перед ППР, г/с в том числе: - метан	71,874 × 0,798 × 1000 = 47,88 47,88 × 70,85 / 100 = 33,92298
- смесь углеводородов предельных С1Н4-С5Н12 (кроме метана)	47,88 × 25,43 / 100 = 12,175884
- смесь углеводородов предельных С6Н14-С10Н22	47,88 × 1,59 / 100 = 0,761292
- диоксид углерода	47,88 × 1,4 / 100 = 0,67032
Годовое количество газа, поступающего в атмосферу при опорожнении на свечу, т/год в том числе: - метан	71,874 × 0,798 × 12 / 1000 =0,688 0,688 × 70,85 / 100 = 0,487448
- смесь углеводородов предельных С1Н4-С5Н12 (кроме метана)	0,688 × 25,43 / 100 = 0,174958
- смесь углеводородов предельных С6Н14-С10Н22	0,688 × 1,59 / 100 = 0,010939
- диоксид углерода	0,688 × 1,4 / 100 = 0,009632

В таблице С.4 приведены расчеты количества загрязняющих веществ, поступающих в атмосферу при опорожнении трубопроводов при останове ДКС.

Таблица С.4 – Расчет количества загрязняющих веществ, поступающих в атмосферу при опорожнении трубопроводов при останове ДКС

Наименование показателя	Величина		
	Сброс газа на свечу через **кран №17с-2** из входного трубопровода ДКС (участок от крана №7 до кранов №№ 1 ГПА №7÷10, трубопровод DN1400 + трубопровод-кольцо DN1200 + трубопроводы DN700 х 3+ газопровод ДКС-1-ДКС2 DN1200)	Сброс газа на свечу через **кран №17с (существующий)** из трубопровода ДКС1-ДКС-2 (участок от крана №7 ДКС-1 до крана 52-2 ДКС-2)	Сброс газа на свечу через **кран №18с-2-2** из выходного трубопровода ДКС (участок от кранов №№ 2 ГПА №7÷9 до крана №54-2, в т.ч. АВО, трубопроводы пускового контура и 4 ГПА)
Номер ИЗА	***0435***	***0434***	***0436***
Наименование источника выброса	Свеча крана №17с-2	Свеча крана №17с	Свеча крана №18с-2
Сбрасываемый газ	"Сырой" газ		Скомпримированный газ
Высота свечи, м	6	6	6
Диаметр свечи, м	0,08	0,08	0,08
Периодичность проведения операции, раз/год	1	1	1
Плотность газа при стандартных условиях (Р=0,1013 МПа и Т=293,15 К), кг/м^3	0,798		0,829
Геометрический объем газа, м^3	1068,8	395,5	1328,9
Давление газа перед началом опорожнения, МПа кг/см^2	0,2 0,2 × 10,197 = 2,04	0,2 0,2 × 10,197 = 2,04	0,2 0,2 × 10,197 = 2,04
Температура газа, ºС К	30 30 + 273,15 = 303,15	30 30 + 273,15 = 303,15	30 30 + 273,15 = 303,15
Коэффициент сжимаемости $Z_Н$ при $Р_Н$, $Т_Н$	$1-0,0907\times2,04\times(303,15/200)^{-3,668}=0,996$	$1-0,0907\times2,04\times(303,15/200)^{-3,668}=0,996$	$1-0,0907\times2,04\times(303,15/200)^{-3,668}=0,996$
Давление газа в конце стравливания, МПа кгс/см^2	0,1013 1,0332	0,1013 1,0332	0,1013 1,0332
Температура газа при опорожнении (при снижении давления от $Р_{раб}$ до Р = 0,1013 МПа), ºС К	28 273,15 + 28 = 301,15	28 273,15 + 28 = 301,15	28 28 + 273,15 = 301,15
Коэффициент сжимаемости $Z_к$ при $Р_к$, $Т_к$	$1-0,0907\times1,033\times(301,15/200)^{-3,668}=0,998$	$1-0,0907\times1,033\times(301,15/200)^{-3,668}=0,998$	$1-0,0907\times1,033\times(301,15/200)^{-3,668}=0,998$
Объем газа, поступающего в атмосферу при опорожнении, м^3 при стандартных условиях (Р=0,1013 МПа и Т=293,15 К)	$0,995\times1068,8\times\left(\frac{2,04}{0,996}-\frac{1,033}{0,998}\right)=1077,411$	$0,995\times395,5\times\left(\frac{2,04}{0,996}-\frac{1,033}{0,998}\right)=398,687$	$0,995\times1328,9\times\left(\frac{2,04}{0,996}-\frac{1,033}{0,998}\right)=1339,607$
Время стравливания, принятое для расчетов, мин.	20	20	20
Объем газа, поступающего в атмосферу, в единицу времени - при стандартных условиях, м^3/с - при рабочих условиях, м^3/с	1077,411 / (20 × 60) = 0,898 0,898 × 301,15 / 293,15 = 0,923	398,687 / (20 × 60) = 0,332 0,332 × 301,15 / 293,15 = 0,341	1339,607 / (20 × 60) = 1,1163 1,1163 × 301,15 / 293,15 = 1,1468

Наименование показателя	Величина		
	Сброс газа на свечу через **кран №17с-2** из входного трубопровода ДКС (участок от крана №7 до кранов №№ 1 ГПА №7÷10, трубопровод DN1400 + трубопровод-кольцо DN1200 + трубопроводы DN700 х 3+ газопровод ДКС-1-ДКС2 DN1200)	Сброс газа на свечу через **кран №17с (существующий)** из трубопровода ДКС1-ДКС-2 (участок от крана №7 ДКС-1 до крана 52-2 ДКС-2)	Сброс газа на свечу через **кран №18с-2-2** из выходного трубопровода ДКС (участок от кранов №№ 2 ГПА №7÷9 до крана №54-2, в т.ч. АВО, трубопроводы пускового контура и 4 ГПА)
Проверка скорости истечения, м/с	4 × 0,898 / 3,14 × $0,08^2$ = 183,718	4 × 0,332 / 3,14 × $0,08^2$ = 67,874	4 × 1,1163 / 3,14 × $0,08^2$ = 228,264
Количество газа, поступающего в атмосферу при опорожнении перед ППР, г/с в том числе: - метан	1077,411 × 0,798 × 1000 = 716,604 716,604 × 70,85 / 100 = 507,713934	398,687 × 0,798 × 1000 = 264,936 264,936 × 70,85 / 100 = 187,707156	1339,607 × 0,829 / 1000 =1,111 1,111 × 68,26669 / 100 = 0,758443
- смесь углеводородов предельных С1Н4-С5Н12 (кроме метана)	716,604 × 25,43 / 100 = 182,232397	264,936 × 25,43 / 100 = 67,373225	1,111 × 26,894 / 100 = 0,298791
- смесь углеводородов предельных С6Н14-С10Н22	716,604 × 1,59 / 100 = 11,394004	264,936 × 1,59 / 100 = 4,212482	1,111 × 2,682763 / 100 = 0,029805
- метанол	-	-	1,111 × 0,091339 / 100 = 0,001015
- диоксид углерода	716,604 × 1,4 / 100 = 10,032456	264,936 × 1,4 / 100 = 3,709104	1,111 × 1,688617 / 100 = 0,018761
Годовое количество газа, поступающего в атмосферу при опорожнении на свечу, т/год в том числе: - метан	1077,411 × 0,798 × 1 / 1000 =0,86 0,86 × 70,85 / 100 = 0,60931	398,687 × 0,798 × 1 / 1000 =0,318 0,318 × 70,85 / 100 = 0,225303	1339,607 × 0,829 / 1000 =1,111 1,111 × 68,26669 / 100 = 0,758443
- смесь углеводородов предельных С1Н4-С5Н12 (кроме метана)	0,86 × 25,43 / 100 = 0,218698	0,318 × 25,43 / 100 = 0,080867	1,111 × 26,894 / 100 = 0,298791
- смесь углеводородов предельных С6Н14-С10Н22	0,86 × 1,59 / 100 = 0,013674	0,318 × 1,59 / 100 = 0,005056	1,111 × 2,682763 / 100 = 0,029805
- метанол	-	-	1,111 × 0,091339 / 100 = 0,001015
- диоксид углерода	0,86 × 1,4 / 100 = 0,01204	0,318 × 1,4 / 100 = 0,004452	1,111 × 1,688617 / 100 = 0,018761

Приложение Т
(обязательное)

Расчет количества загрязняющих веществ, поступающих в атмосферу при возможных аварийных ситуациях при строительстве и эксплуатации на проектируемых объектах

1 Аварийные ситуации в период строительства

В период строительства возможно возникновение аварийных ситуаций, обусловленных разрушением цистерны топливозаправщика с проливом его на подстилающую поверхность без возгорания (***сценарий а***) и с последующим его возгоранием (***сценарий б***).

***Сценарий а*. Разрушение цистерны топливозаправщика с проливом дизтоплива без возгорания**

Сценарий аварии: разгерметизация автоцистерны → свободное растекание нефтепродуктов по территории промышленной площадки → загрязнение территории, поступление паров дизтоплива в атмосферу

Тип топливозаправщика: Топливозаправщик АТЗ-8,5 на базе КАМАЗ3343253-69

Номинальный объем цистерны - 8,5 м^3.

Степень заполнения составляет не более 0,95 (в соответствии с ГОСТ 33666-2015 Автомобильные транспортные средства для транспортирования и заправки нефтепродуктов. Технические требования (с Поправкой).

Объем топлива в цистерне с учетом степени заполнения составит:

$$8,5 \times 0,95 = 8,075 \text{ м}^3.$$

В соответствии с письмом АО "АРКТКГАЗ" от 08.10.2026 №7214/01-11 (приведено в томе 7.2 ПОС) при строительстве ДКС применяются следующие виды дизтоплива: марка А – с октября по март, марка Л – с мая по сентябрь.

Согласно графику строительства наиболее продолжительный период строительства, включающий в себя и летний и зимний периоды, будет на 2 этапе строительства.

Плотность дизтоплива в соответствии с ГОСТ 305-2013. Топливо дизельное. Технические условия составляет: 833,5 кг/м^3 -для марки А и 863,4 кг/м^3 – для марки Л.

Масса вещества, участвующего в аварии:

- марки А - 8,075 × 833,5 / 1000 =6,731 (т);
- марки Л - 8,075 × 863,4 / 1000 =6,972 (т).

Следовательно, исходя из массы топлива, участвующего в аварии, дальнейшие расчеты выполняются на наихудший вариант, когда в топливозаправщике находится топливо марки Л.

Наименование методик и нормативно-правовых актов, в соответствии с которыми проведена количественная оценка воздействия аварийной ситуации:

1. Приказ МЧС России от 26.06.2024 №533

2. Пособие по применению СП 12.13130.2009 "Определение категорий помещений, зданий и наружных установок по взрывопожарной и пожарной опасности". И.М. Смолин [и др.]. М.: ВНИИПО, 2014 (далее – пособие по применению СП 12.13130.2009);

3. Методические указания по определению выбросов загрязняющих веществ в атмосферу из резервуаров (Новополоцк,1997). СПб., 1999

Заправка специальной строительной техники осуществляется непосредственно на площадке строительства “с колес”, без обустройства специальных мест, с применением поддонов..

Тип подстилающей поверхности – спланированное грунтовое покрытие.

В соответствии с приказом МЧС России от 10.07.2009 №533 при проливе на неограниченную поверхность площадь пролива определяется по формуле:

$$F_{пр} = f_р \times V_ж,$$

где fp - коэффициент разлития, м-1 (при отсутствии данных допускается принимать равным 20 м-1 при проливе на спланированное грунтовое покрытие).

Следовательно, площадь разлития составит:

$$F_{пр} = 8,075 \times 20 = 161,5 \text{ м}^2.$$

В соответствии с материалами инженерно-геологических изысканий на площадке строительства в качестве грунтов преобладают пески с влажностью 20%. В соответствии с таблицей 5.3 Методики расчета выбросов вредных веществ в атмосферу при свободном горении нефти и нефтепродуктов (Самара 1996), нефтеемкость песка с влажностью 20% составляет 0,24 м^3/м^3. Тогда объем загрязненного грунта составит: 8,075 / 0,24 = 33,646 м^3.

Исходя их формулы 2.17 "Методики определения ущерба окружающей природной среде при авариях на магистральных нефтепроводах", (Минтопэнерго России, 1995) толщина грунта, пропитанного дизтопливом исходя из формулы $V = F_{пр} \times h_{сл}$, составит:

$$h_{сл} = V / F_{пр} = 33,646 / 161,5 = 0,21 \text{ м}.$$

Так как строительство ведется преимущественно в зимний период в условиях севера, то молекулярный вес и константы Антуана приняты в соответствии с Приложением 2 к пособию по применению СП 12.13130.2009 для зимней марки дизельного топлива "Л".

Молекулярный вес дизтоплива составляет 203,6 кг/кмоль.

Абсолютный максимум температуры согласно ИЭИ (2022-633-ЮНГГ-ИИ-ИЭИ1) составляет 32 °С.

Константы уравнения Антуана дизельного топлива "Л": A = 5,00109; B = 1314,04; C_a = 192,473.

Для определения давления насыщенных паров по уравнению Антуана расчетная температура должна быть в интервале значений констант.

Давление насыщенных паров составит:

$$P = 10^{A-\frac{B}{t_p+C}} = 10^{5,00109-\frac{1314,04}{32+192,473}} = 0,14 \text{ кПа}.$$

Концентрации загрязняющих веществ (% масс.) в парах дизельного топлива в соответствии с Приложением 14 Дополнений к Методическим указаниям составляют: углеводороды предельные – 99,57, углеводороды ароматические 0,15, сероводород – 0,28. В соответствии с примечанием углеводороды предельные и углеводороды ароматические нормируются как углеводороды C_{12}-C_{19}.

Интенсивность испарения дизтоплива с поверхности рассчитана в соответствии с Приказом МЧС №533 по формуле:

$$W = \times \eta \times \sqrt{M} \times P_н \text{ (кг/(м}^2\times \text{ с))},$$

При проливе жидкости вне помещения допускается принимать η = 1;

М — молярная масса жидкости, кг/кмоль;

Рн — давление насыщенного пара при расчетной температуре жидкости, кПа.

Интенсивность испарения дизтоплива при разрушении цистерны топливозаправщика без возгорания составит:

$$W = 10^{-6} \times 1 \times 0{,}14 \times \sqrt{203{,}6} = 0{,}000015 \text{ (кг/(м}^2\times \text{ с)}.$$

Максимально разовый выброс дизтоплива при разрушении цистерны топливозаправщика без возгорания составит:

$G_V = F_{ПР} \times W_i$, кг/с = 0,000015 ×161,5 × 1000 =2,423 (г/с).

в том числе:

- алканы C_{12}-C_{19} – 2,423 × (99,57 + 0,15) / 100 = 2,416 (г/с);

- сероводород – 2,423 × 0,28 / 100 = 0,00678 (г/с).

Время испарения дизтоплива – 3600 с или 1 ч (согласно пп. д п.6 Приказа №533).

Валовое количество дизтоплива, которое поступит в атмосферу составит:

$M_V = G_V \cdot \times \tau_E$ = 2,423 × 3600 / 1000 = 8,723 (т),

в том числе:

- алканы C_{12}-C_{19} – 8723 × (99,57 + 0,15) / 100 = 8,699 (т);

- сероводород – 8,723 × 0,28 / 100 = 0,0244 (т).

Сценарий б. **Разрушение цистерны топливозаправщика с проливом дизтоплива на подстилающую поверхность с возгоранием**

Сценарий аварии: разгерметизация автоцистерны → свободное растекание нефтепродуктов по территории промышленной площадки → возгорание пролива нефтепродуктов при наличии источника зажигания → термическое воздействие пожара на окружающую среду, оборудование и персонал

Тип топливозаправщика: Топливозаправщик АТЗ-8,5 на базе КАМАЗ3343253-69

Номинальный объем цистерны - 8,5 м^3.

Степень заполнения составляет не более 0,95 (в соответствии с ГОСТ 33666-2015 Автомобильные транспортные средства для транспортирования и заправки нефтепродуктов. Технические требования (с Поправкой).

Объем топлива в цистерне с учетом степени заполнения составит:

8,5 × 0,95 = 8,075 м^3.

Плотность дизтоплива 863,4 кг/м^3 (для арктического топлива в соответствии с ГОСТ 305-2013. Топливо дизельное. Технические условия).

Масса вещества, участвующего в аварии:

8,075 м^3 или ,075 × 863,4 / 1000 =6,972 (т).

Наименование методик и нормативно-правовых актов, в соответствии с которыми проведена количественная оценка воздействия аварийной ситуации:

1. Площадь пролива - Приказ МЧС России от 26.06.2024 №533

2. Объем грунта и толщина пропитанного грунта – Методика определения ущерба окружающей природной среде при авариях на магистральных нефтепроводах, Минтопэнерго России, 1995

3. Расчет количества выбросов загрязняющих веществ выполнен по модулю “Свободное горение нефти и нефтепродуктов“ программного комплекса “ЭкоРасчет” на основании "Методики расчета выбросов вредных веществ в атмосферу при свободном горении нефти и нефтепродуктов", Самара, 1996 год.

Заправка специальной строительной техники осуществляется непосредственно на площадке строительства “с колес”, без обустройства специальных мест, с применением поддонов.

В соответствии с приказом МЧС России от 10.07.2009 №533 при проливе на неограниченную поверхность площадь пролива определяется по формуле:

$$F_{пр} = f_р \times V_ж,$$

где fp - коэффициент разлития, м-1 (при отсутствии данных допускается принимать равным 20 $м^{-1}$ при проливе на спланированное грунтовое покрытие).

Следовательно, площадь разлития составит:

$$F_{пр} = 8,075 \times 20 = 161,5 \text{ м}^2.$$

В соответствии с материалами инженерно-геологических изысканий на площадке строительства в качестве грунтов преобладают пески с влажностью 20%. В соответствии с таблицей 5.3 Методики расчета выбросов вредных веществ в атмосферу при свободном горении нефти и нефтепродуктов (Самара 1996), нефтеемкость песка с влажностью 20% составляет 0,24 $м^3/м^3$. Тогда объем загрязненного грунта составит: 8,075 / 0,24 = 33,646 $м^3$.

Исходя их формулы 2.17 "Методики определения ущерба окружающей природной среде при авариях на магистральных нефтепроводах", (Минтопэнерго России, 1995) толщина грунта, пропитанного дизтопливом исходя из формулы $V = F_{пр} \times h_{сл}$, составит:

$$h_{сл} = V / F_{пр} = 33,646 / 161,5 = 0,21 \text{ м}.$$

```
Исходные данные
 ---------------
 Источник выделения: Разлив дизтоплива
Параметры горения нефтепродукта: Горение пропитанного нефтепродуктом инертного
грунта
 Тип нефтепродукта: Дизтопливо
 Плотность нефтепродукта (кг/куб.м):  863.4
 Тип грунта: Пески (диаметр частиц 0.05-2мм)
 Влажность грунта (%):  20.0
 Площадь пятна нефтепродукта на грунте (кв.м):   161.5
 Толщина пропитанного нефтепродуктом слоя грунта (м): 0.21
 Время выгорания нефтепродукта из грунта от начала до затухания (час):   1.00
 ---------------------------------------------------------------------
 Нефтеемкость грунта (куб.м/куб.м): 0.24000
 Вещество: Диоксид углерода (CO2)
 Уд.выделение  K=1.00000
 Mi=1*0.6*0.24*863.4*0.21*161.5/1000=4.216638 т/год
 Gi=1*0.6*0.24*863.4*0.21*161.5/(1*3.6)=1171.288440 г/сек

 Вещество: Оксид углерода (CO)
 Уд.выделение  K=0.00710
 Mi=0.0071*0.6*0.24*863.4*0.21*161.5/1000=0.0299381 т/год
 Gi=0.0071*0.6*0.24*863.4*0.21*161.5/(1*3.6)=8.316148 г/сек
```

Вещество: Сажа (С)
Уд.выделение К=0.01290
Mi=0.0129*0.6*0.24*863.4*0.21*161.5/1000=0.0543946 т/год
Gi=0.0129*0.6*0.24*863.4*0.21*161.5/(1*3.6)=15.109621 г/сек

Вещество: Азота диоксид
Уд.выделение К=0.02610
Mi=0.8*0.0261*0.6*0.24*863.4*0.21*161.5/1000=0.0880434 т/год
Gi=0.8*0.0261*0.6*0.24*863.4*0.21*161.5/(1*3.6)=24.456503 г/сек

Вещество: Азота оксид
Уд.выделение К=0.02610
Mi=0.13*0.0261*0.6*0.24*863.4*0.21*161.5/1000=0.014307 т/год
Gi=0.13*0.0261*0.6*0.24*863.4*0.21*161.5/(1*3.6)=3.974182 г/сек

Вещество: Сероводород (H2S)
Уд.выделение К=0.00100
Mi=0.001*0.6*0.24*863.4*0.21*161.5/1000=0.004217 т/год
Gi=0.001*0.6*0.24*863.4*0.21*161.5/(1*3.6)=1.171288 г/сек

Вещество: Оксиды серы (в пересчете на SO2)
Уд.выделение К=0.00470
Mi=0.0047*0.6*0.24*863.4*0.21*161.5/1000=0.0198182 т/год
Gi=0.0047*0.6*0.24*863.4*0.21*161.5/(1*3.6)=5.505056 г/сек

Вещество: Цианистый водород (синильная кислота)
Уд.выделение К=0.00100
Mi=0.001*0.6*0.24*863.4*0.21*161.5/1000=0.0044217 т/год
Gi=0.001*0.6*0.24*863.4*0.21*161.5/(1*3.6)=1.171288 г/сек

Вещество: Формальдегид (HCHO)
Уд.выделение К=0.00110
Mi=0.0011*0.6*0.24*863.4*0.21*161.5/1000=0.0044638 т/год
Gi=0.0011*0.6*0.24*863.4*0.21*161.5/(1*3.6)=1.288417 г/сек

Вещество: Орг.кислоты(в пер.на уксусн.кислоту)
Уд.выделение К=0.00360
Mi=0.0036*0.6*0.24*863.4*0.21*161.5/1000=0.0151799 т/год
Gi=0.0036*0.6*0.24*863.4*0.21*161.5/(1*3.6)=4.216638 г/сек

Результаты расчета выбросов по источнику: Разлив дизтоплива

Вредное вещество	Код веще-ства	Валовый выброс (т/год)	Максимально разовый выброс (г/сек)
Азота диоксид	301	0.08804341	24.456503
Азота оксид	304	0.01430705	3.974182
Диоксид углерода (CO2)		4.21663838	1171.288440
Оксид углерода (CO)	337	0.02993813	8.316148
Оксиды серы (в пересчете на SO2)	330	0.0198182	5.505056
Орг.кислоты(в пер.на уксусн.кислоту)	1555	0.0151799	4.216638
Сажа (С)	328	0.05439464	15.109621
Сероводород (H2S)	333	0.00421664	1.171288
Формальдегид (HCHO)	1325	0.0046383	1.288417
Цианистый водород (синильная кислота)	317	0.00421664	1.171288

2 Аварийные ситуации в период эксплуатации

В период эксплуатации возможно возникновение следующих аварийных ситуаций:

Сценарий ***в*** – разрыв входного коллектора ДКС (от узла подключения до кранов №№1 ГПА №№7-10) с истечением газа без возгорания;

Сценарий ***г*** – разрыв входного коллектора ДКС (от узла подключения до кранов №№1 ГПА №№7-10) с возгоранием истекающего газа;

Сценарий ***д*** – разрушение емкости дренажной Е-2 с разливом конденсата без возгорания;

Сценарий ***е*** – пожар пролива при разрушении емкости конденсата Е-2.

Сценарий в. **Разрыв входного коллектора ДКС без возгорания газа.**

Сценарий аварии – Полная разгерметизация трубопровода с газом (катастрофическое разрушение) → разлёт осколков и воздействие ударной волны → выброс газа и его распространение в атмосфере→образование зоны повышенной концентрации горючего газа

Количество газа, участвующего в аварии принято в соответствии с таблицей 20 тома 2022-633-ЮНГГ-П-ДПБ2 и составляет 52,392 т.

Время закрытия задвижек составляет 84 с.

Расчет количества выбросов загрязняющих веществ, поступающих в атмосферный воздух оценено балансовым методом в соответствии с Методами расчета рассеивания (утв. Приказом Минприроды № 273).

Состав газа ("сырой" газ) принят по данным технологического части проекта (масс. доли): метан – 0,7085, смесь предельных углеводородов С1-С5 – 0,2543, смесь предельных углеводородов C_6-C_{10} – 0,0159; диоксид азота – 0,014, азот – 0,0033, вода - 0,0008.

Максимально разовый выброс газа, поступающего в атмосферу составит:

52,392 × 1000000 / 84 = 623714,286 (г/с),

в том числе:

- метан – 623714,286 × 0,7085 = 441901,286 (г/с);
- углеводороды C_1-C_5 – 623714,286 × 0,2543 = 158610,543 (г/с);
- углеводороды C_6-C_{10} – 623714,286 × 0,0159 = 9917,057 (г/с);
- диоксид углерода – 623714,286 × 0,014 = 8732,000 (г/с).

Валовое количество загрязняющих веществ, поступающих в атмосферу с учетом компонентного состава газа составит:

- метан – 52,392 × 0,7085 = 37,120 (т);
- углеводороды C_1-C_5 – 52,392 × 0,2543 = 13,323 (т);
- углеводороды C_6-C_{10} – 52,392 × 0,0159 = 0,833 (т);
- диоксид углерода – 52,392 × 0,014 = 0,733 (т).

Сценарий г. **Разрыв входного газопровода узла подключения с возгоранием газа.**

Сценарий аварии – Разрыв трубопровода с газом → истечение газа в виде свободных струй → факельное горение струй, истекающих из концов разрушенного трубопровода → прямое огневое и термическое воздействие на окружающую среду

Исходными данными для расчетов являются результаты определения выброса газа в атмосферу без возгорания (сценарий в).

Количество газа, участвующего в аварии – 52,392 т (623714,286 (г/с).

В соответствии с СТО Газпром 2-1.19-530-2011 и “Методикой расчета параметров выбросов и валовых выбросов от факельных установок сжигания углеводородных смесей” удельные выбросы загрязняющих веществ, образующихся при сгорании газа составят:

несгоревший метан – 0,0005;

оксид углерода – 0,02;

оксиды азота – 0,003;

сажа – 0,002.

Максимально разовый выброс загрязняющих веществ при аварии на газопроводе с возгоранием газа, составит:

- несгоревший метан – 623714,286 × 0,0005 = 311,857 (г/с);
- оксид углерода – 623714,286 × 0,02 = 12474,286 (г/с);
- сажа – 623714,286 × 0,002 = 1247,429 (г/с),
- оксиды азота – 623714,286 × 0,003 = 1871,143 (г/с),

в том числе:

- диоксид азота – 1871,143 × 0,8 = 1496,914 (г/с);
- оксид азота – 1871,143 × 0,65 × (1 - 0,8) =243,249 (г/с).

Валовое количество загрязняющих веществ, поступающих в атмосферу с учетом компонентного состава газа составит:

- несгоревший метан – 52,392 × 0,0005 = 0,026 (т);
- оксид углерода – 52,392 × 0,02 = 1,048 (т);
- сажа – 623714,286 × 0,002 = 0,105 (т),
- оксиды азота – 52,392 × 0,003 = 0,157 (т),

в том числе:

- диоксид азота – 0,157 × 0,8 = 0,126 (т);
- оксид азота – 0,157 × 0,65 × (1 - 0,8) =0,02 (т).

Сценарий д. **Разрушение дренажной емкости Е-2 с проливом газового конденсата на подстилающую поверхность типа "спланированное грунтовое покрытие", без возгорания**

Сценарий аварии: Полная разгерметизация емкости → пролив конденсата и его растекание → загрязнение территории → образование зоны повышенной концентрации паров горючей жидкости.

Наименование методик и нормативно-правовых актов, в соответствии с которыми проведена количественная оценка воздействия аварийной ситуации:

1. Приказ МЧС России от 26.06.2024 №533

2. “Методика расчета выбросов вредных веществ в атмосферу при свободном горении нефти и нефтепродуктов” (Самара, 1996)

3. Методика определения ущерба окружающей природной среде при авариях на магистральных нефтепроводах, Минтопэнерго России, 1995

4. Пособие по применению СП 12.13130.2009 "Определение категорий помещений, зданий и наружных установок по взрывопожарной и пожарной опасности". И.М. Смолин [и др.]. М.: ВНИИПО, 2014 (далее – пособие по применению СП 12.13130.2009)

Объем емкости Е-2 – 16 м^3.

Степень заполнения емкости – 0,85.

Объем дренажей, участвующих в аварии составляет 16 × 0,85 = 13,6 м^3.

Плотность, молекулярный вес и состав конденсата принят по технологическим данным.

В емкость поступают дренажи следующим составом: конденсат газовый - 55%, ВМР – 45% (с й долей метанола 5%).

Параметры	Значения					
	Углеводородная жидкость		Водо-метанольный раствор		состав смеси	
Доля фазы, %	55		45		100	
Компонентный состав	% мольные	% массовые	% мольные	% массовые	% мольные	% массовые
N_2	0,0284	0,0118	0,0003	0,0004	0,0158	0,0067
CO_2	0,5181	0,3374	0,0186	0,0438	0,2933	0,2053
C_1	28,9121	6,8635	0,1645	0,1413	15,9757	3,8385
C_2	8,7707	3,9033	0,0147	0,0237	4,8305	2,1575
C_3	9,1482	5,9694	0,0042	0,0099	5,0334	3,2876
iC_4	3,5409	3,0458	0,0002	0,0006	1,9476	1,6755
nC_4	5,3487	4,6008	0,0005	0,0016	2,942	2,5312
iC_5	2,9961	3,1993	0,0002	0,0006	1,6479	1,7599
nC_5	2,0739	2,2145	0,0001	0,0003	1,1407	1,2181
$C_{6+в}$	37,9376	69,5308	0	0	20,8657	38,2419
H_2O	0,099	0,0264	95,1643	91,8297	42,8784	41,3379
Метанол	0,6263	0,297	4,6325	7,9481	2,4291	3,74
Молекулярная масса, кг/кмоль	67,57		18,67		0,55 × 67,57 + 0,45 × 18,67 = 45,565	
Плотность жидкости, кг/м^3	657		977		0,55 × 657 + 0,45 × 977 = 801	

Время испарения пролива -3600 с.

Количество дренажей, участвующих в аварии составит:

$$13,6 \times 801 / 1000 = 10,894 \text{ т}$$

Дренажная емкость конденсата Е-2 представляет собой горизонтальный резервуар, который устанавливается подземно, на стальные ростверки по свайному основанию. После установки емкость засыпается песком средней крупности. От попадания жидкости в грунт вокруг емкости предусмотрен противофильтрационный экран из бентонитовых матов.

Согласно чертежу 2022-633-ЮНГГ-П-КР2.1-ДКС-1.4-АС1.ГЧ тома 2022-633-ЮНГГ-П-КР2.1 емкость располагается в котловане длиной 8,2 м × 5 м, глубиной 4 м с откосами 45°.

В случае аварии пролив будет удержан в пределах ограждения, следовательно, площадь разлива будет равна площади ограждения:

$$F = 8,2 \times 5 = 41 \text{ м}^2.$$

После установки емкости, поверхность засыпается пески средней крупностью влажностью 20%. В соответствии с таблицей 5.3 Методики расчета выбросов вредных веществ в атмосферу при свободном горении нефти и нефтепродуктов (Самара 1996), нефтеемкость песка с влажностью 20% составляет 0,24 м^3/м^3. Тогда объем загрязненного грунта составит: 13,6 / 0,24 = 56,667 м^3.

Исходя их формулы 2.17 "Методики определения ущерба окружающей природной среде при авариях на магистральных нефтепроводах", (Минтопэнерго России, 1995) толщина грунта, пропитанного конденсатом, составит:

$$h_{сл} = V / F_{пр} = 56,667 / 41 = 1,38 \text{ м}.$$

Температура почвы абсолютный максимум по июлю составляет 50,1 ºС, абсолютный максимум температуры воздуха согласно ИЭИ (2022-633-ЮНГГ-ИИ-ИЭИ1) - 32 ºС.

Средняя температура поверхности испарения определяется по формуле 2.26 Методики определения ущерба окружающей природной среде при авариях на магистральных нефтепроводах (утв. Минтопэнерго РФ 1 ноября 1995 г.):

$$t_{п.и.} = 0,5 \times (t_п + t_{воз}) = 0,5 \times (32 + 50,1) = 41,05 \text{ ºС}.$$

Давление насыщенных паров рассчитано по формуле:

$$P = 10^{A-\frac{B}{t_p+C}}.$$

Константы уравнения Антуана для компонентного состава дренажей приняты по Приложению 1 к пособию по применению СП 12.13130.2009. Ввиду того, что в процентном составе преобладают вода и углеводороды $C_{6+\text{ высшие}}$, константы Антуана приняты по гексану и составляют A = 5,99517, B = 1166,274, C = 223,661. Тогда давление насыщенных паров дренажей составит:

$$P = 10^{5,99517-\frac{1166,274}{41,05+223,661}} = 38,845 \text{ (кПа)}$$

Интенсивность испарения загрязняющих веществ с поверхности рассчитана в соответствии с Приказом МЧС №533 по формуле:

$$W = \times \eta \times \sqrt{M} \times P_н \text{ (кг/(м}^2\times \text{ с))},$$

При проливе жидкости вне помещения допускается принимать η = 1;

M — молярная масса жидкости, кг/кмоль;

Рн — давление насыщенного пара при расчетной температуре жидкости, кПа.

$$W = 10^{-6} \times 1 \times 38,845 \times \sqrt{45,565} = 0,000262 \text{ (кг/(м}^2\times \text{ с))}.$$

Максимально разовый выброс загрязняющих веществ, поступающих в атмосферу при проливе без возгорания составит:

$$G_V = F_{ПР} \times W_i = 0,000262 \times 41 \times 1000 = 10,742 \text{ г/с}.$$

Результаты расчетов по компонентам приведены в таблице:

Наименование компонента	Максимальный выброс, г/с	Валовый выброс, т
- метан	10,742 ×3,8385 / 100 =0,412332	10,894 ×3,8385 / 100 =0,568
- смесь углеводородов предельных C_1-C_5	10,742×(2,1575+3,28765+1,6755+ 2,5312+2,978) / 100 = 1,356693	10,894×(2,1575+3,28765+1,6755+2,5312 +2,978) / 100 = 1,869
- смесь углеводородов предельных C_6-C_{10}	10,742 ×38,2419 / 100 = 4,107945	10,894 ×38,2419 / 100 = 5,66
- метанол	10,742 ×3,74 / 100 = 0,401751	10,894 ×3,74 / 100 = 0,554

Сценарий е. **Пожар полива в результате разрыва дренажной емкости Е-2.**

Сценарий аварии: Полная разгерметизация оборудования (катастрофическое разрушение) с ЛВЖ → выброс пожароопасного вещества и его растекание → воспламенение пролива при условии наличия источника инициирования → пожар разлития → термическое поражение оборудования и персонала.

Исходными данными для расчета пожара пролива, являются данные по сценарию д при проливе без возгорания.

Объем дренажей, участвующих в аварии, составляет 13,6 м^3 и 10,894 т.

Дренажная емкость конденсата Е-2 представляет собой горизонтальный резервуар, который устанавливается подземно, на стальные ростверки по свайному основанию. После установки емкость засыпается песком средней крупности. От попадания жидкости в грунт вокруг емкости предусмотрен противофильтрационный экран из бентонитовых матов.

Согласно чертежу 2022-633-ЮНГГ-П-КР2.1-ДКС-1.4-АС1.ГЧ тома 2022-633-ЮНГГ-П-КР2.1 емкость располагается в котловане длиной 8,2 м × 5 м, глубиной 4 м с откосами 45°.

В случае аварии пролив будет удержан в пределах ограждения, следовательно, площадь разлива будет равна площади ограждения:

$$F = 8,2 \times 5 = 41 \text{ м}^2.$$

После установки емкости, поверхность засыпается пески средней крупностью влажностью 20%. В соответствии с таблицей 5.3 Методики расчета выбросов вредных веществ в атмосферу при свободном горении нефти и нефтепродуктов (Самара 1996), нефтеемкость песка с влажностью 20% составляет 0,24 м^3/м^3. Тогда объем загрязненного грунта составит: 13,6 / 0,24 = 56,667 м^3.

Исходя их формулы 2.17 "Методики определения ущерба окружающей природной среде при авариях на магистральных нефтепроводах", (Минтопэнерго России, 1995) толщина грунта, пропитанного конденсатом, составит:

$$h_{сл} = V / F_{пр} = 56,667 / 41 = 1,38 \text{ м}.$$

Расчет выбросов выполнен по программному комплексу ЭКОРАСЧЕТ, алгоритмы расчетов основаны на математическом аппарате и нормативных материалах, заложенных в "Методике расчета выбросов вредных веществ в атмосферу при свободном горении нефти и нефтепродуктов", Самара, 1996.

Поскольку разлив будет осуществляться в котлован, в котором установлена емкость, и, следовательно, весь впитается в песок, которым засыпана емкость, то расчет выбросов при горении рассчитан для варианта горение инертного грунта.

В качестве вещества аналога по которому произведен расчет выбросов загрязняющих веществ выбран бензин.

```
     Исходные данные
 ---------------
 Источник выделения: Горение конденсата при разрушении Е-2
Параметры горения нефтепродукта: Горение пропитанного нефтепродуктом инертного
грунта
 Тип нефтепродукта: Бензин
 Плотность нефтепродукта (кг/куб.м): 801.0
 Тип грунта: Пески (диаметр частиц 0.05-2мм)
 Влажность грунта (%):  20.0
 Площадь пятна нефтепродукта на грунте (кв.м):   41
 Толщина пропитанного нефтепродуктом слоя грунта (м): 1.38
 Время выгорания нефтепродукта
 из грунта от начала до затухания (час):   1.00
```

Нефтеемкость грунта (куб.м/куб.м): 0.24000

Вещество: Диоксид углерода (CO2)
Уд.выделение K=1.00000
Mi=1*0.6*0.24*801.0*1.38*133.30/1000=21.217990 т/год
Gi=1*0.6*0.24*801.0*1.38*133.30/(1*3.6)=5893.88616 г/сек
Вещество: Оксид углерода (CO)
Уд.выделение K=0.31100
Mi=0.311*0.6*0.24*801.0*1.38*133.3/1000=6.598795 т/год
Gi=0.311*0.6*0.24*801.0*1.38*133.3/(1*3.6)=1832.998596 г/сек
Вещество: Сажа (C)
Уд.выделение K=0.00150
Mi=0.0015*0.6*0.24*801.0*1.38*133.3/1000=0.03182698 т/год
Gi=0.0015*0.6*0.24*801.0*1.38*133.3/(1*3.6)=8.840829 г/сек
Вещество: Азота диоксид
Уд.выделение K=0.01510
Mi=0.8*0.0151*0.6*0.24*801.0*1.38*133.3/1000=0.256313 т/год
Gi=0.8*0.0151*0.6*0.24*801.0*1.38*133.3/(1*3.6)= 71.198145 г/сек
Вещество: Азота оксид
Уд.выделение K=0.01510
Mi=0.13*0.0151*0.6*0.24*801.0*1.38*133.3/1000=0.0416509 т/год
Gi=0.13*0.0151*0.6*0.24*801.0*1.38*133.3/(1*3.6)= 11.569699 г/сек
Вещество: Сероводород (H2S)
Уд.выделение K=0.00100
Mi=0.001*0.6*0.24*801.0*1.38*133.3/1000=0.021218 т/год
Gi=0.001*0.6*0.24*801.0*1.38*133.3/(1*3.6)=5.893886 г/сек
Вещество: Оксиды серы (в пересчете на SO2)
Уд.выделение K=0.00120
Mi=0.0012*0.6*0.24*801.0*1.38*133.3/1000=0.0254616 т/год
Gi=0.0012*0.6*0.24*801.0*1.38*133.3/(1*3.6)=7.0726634 г/сек
Вещество: Цианистый водород (синильная кислота)
Уд.выделение K=0.00100
Mi=0.001*0.6*0.24*801.0*1.38*133.3/1000=0.021218 т/год
Gi=0.001*0.6*0.24*801.0*1.38*133.3/(1*3.6)=5.893886 г/сек
Вещество: Формальдегид (HCHO)
Уд.выделение K=0.00050
Mi=0.0005*0.6*0.24*801.0*1.38*133.3/1000=0.010609 т/год
Gi=0.0005*0.6*0.24*801.0*1.38*133.3/(1*3.6)=2.9469431 г/сек
Вещество: Орг.кислоты(в пер.на уксусн.кислоту)
Уд.выделение K=0.00050
Mi=0.0005*0.6*0.24*801.0*1.38*133.3/1000=0.010609 т/год
Gi=0.0005*0.6*0.24*801.0*1.38*133.3/(1*3.6)=2.9469431 г/сек

Результаты расчета выбросов по источнику: Горение конденсата при разрушении E-2

Вредное вещество	Код веще-ства	Валовый выброс (т/год)	Максимально разовый выброс (г/сек)
Азота диоксид	301	0.256313	71.198145
Азота оксид	304	0.0416509	11.569699
Диоксид углерода (CO2)		21.217990	5893.886160
Оксид углерода (CO)	337	6.598795	1832.998596
Оксиды серы (в пересчете на SO2)	330	0.0254616	7.0726634
Орг.кислоты(в пер.на уксусн.кислоту)	1555	0.0106090	2.9469431
Сажа (C)	328	0.03182698	8.840829
Сероводород (H2S)	333	0.021218	5.893886
Формальдегид (HCHO)	1325	0.0106090	2.9469431
Цианистый водород (синильная кислота)	317	0.0212180	5.893886

Приложение У
(обязательное)

Расчет количества парниковых газов, поступающих в атмосферу при эксплуатации на проектируемых объектах

Количество выбросов парниковых газов рассчитано по Приложению №1 Приказа Минприроды Российской Федерации от 27.05.2022 года № 371 "Об утверждении методик количественного определения объемов выбросов парниковых газов и поглощений парниковых газов".

Суммарные выбросы парниковых газов по категориям источников в целом рассчитываются с учетом потенциалов глобального потепления парниковых газов и выражаются в CO_2-эквиваленте. Расчет выполнен по формуле:

$$E_{CO2e,y} = \sum_{i=1}^{n} (E_{i,y} \times GWP_i),$$

где $E_{CO2e,y}$ - выбросы парниковых газов в CO_2-эквиваленте за период y, т CO_2-эквивалента;

$E_{i,y}$ - выбросы i-парникового газа за период y, т;

GWP_i - потенциал глобального потепления - коэффициент пересчета величин выбросов i-парникового газа в эквивалент диоксида углерода (на горизонте 100 лет), т CO_2-эквивалента/т;

n - количество видов выбрасываемых парниковых газов;

i - CO_2, CH_4, N_2O, CHF_3, CF_4, C_2F_6, SF_6.

Значения коэффициентов пересчета величин выбросов i-парникового газа в эквивалент диоксида углерода (на горизонте 100 лет) (GWP_i) используются согласно перечню парниковых газов, в отношении которых осуществляется государственный учет выбросов парниковых газов и ведение кадастра парниковых газов, утвержденному распоряжением Правительства Российской Федерации от 22.10.2021 N 2979-р (Собрание законодательства Российской Федерации, 2021, N 44, ст.7456).

Стационарное сжигание топлива

Количественное определение выбросов CO_2 от стационарного сжигания топлива выполнено по формуле:

$$E_{CO2,y} = \sum_{j=1}^{n} \left(FC_{j,y} \times EF_{CO2,j,y} \times OF_{j,y}\right),$$

где: $E_{CO2,y}$ - выбросы CO_2 от стационарного сжигания топлива за период y, т CO_2;

$FC_{j,y}$ - расход топлива j за период y, тыс.м^3, т, т у.т. или ТДж;

$EF_{CO2,j,y}$ - коэффициент выбросов CO_2 от сжигания топлива j за период y, т CO_2/ед.;

$OF_{j,y}$ - коэффициент окисления топлива j, доля;

j - вид топлива, используемого для сжигания;

n - количество видов топлива, используемых за период y.

Коэффициенты выбросов CO_2 от сжигания топлива ($EF_{CO2,j,y}$) рассчитан на основе фактических данных о компонентном составе газообразного топлива по формулам и содержании углерода в твердом и жидком топливе по формуле:

$$EF_{CO2,y}= \sum_{i=1}^{n}(W_{i,j,y}\times n_{C,i})\times \rho_{CO2}\times 10^{-2},$$

где: $EF_{CO2,j,y}$ - коэффициент выбросов CO_2 от сжигания газообразного топлива j за период y, т CO_2/тыс.м^3;

$W_{i,j,y}$ - объемная доля (молярная доля) i-компонента газообразного топлива j за период y, % об. (% мол.);

$n_{C,i}$ - количество атомов углерода в молекуле i-компонента газообразного топлива;

ρ_{CO2} - плотность диоксида углерода (CO_2), кг/м^3.

Коэффициент окисления топлива ($OF_{j,y}$) для газообразного топлива принят по умолчанию равным 1,0 (соответствует 100% окислению топлива).

Сжигание газа на факелах

Количественное определение выбросов парниковых газов от сжигания на факельных установках углеводородных смесей рассчитано по формуле:$E_{i,y}= \sum_{j=1}^{n}\left(FC_{j,y}\times EF_{i,j,y}\right)$,

$$E_{i,y}= \sum_{j=1}^{n}\left(FC_{j,y}\times EF_{i,j,y}\right),$$

где: $E_{i,y}$ - выбросы i-парникового газа от сжигания углеводородных смесей на факельной установке за период y, т;

$FC_{j,y}$ - расход j-углеводородной смеси на факельной установке за период y, тыс.м^3 (т);

$EF_{i,j,y}$ - коэффициент выбросов i-парникового газа от сжигания j-углеводородной смеси на факельной установке за период y, т/тыс.м^3 (т/т);

i - CO_2, CH_4;

j - вид углеводородной смеси;

n - количество видов углеводородных смесей, сжигаемых на факельной установке.

Коэффициент выбросов CO_2 от сжигания углеводородной смеси на факельной установке ($EF_{CO2,j,y}$) рассчитан по формуле:$EF_{CO2,j,y}= \left(W_{CO2,j,y}+\sum_{i=1}^{n}(W_{i,j,y}\times n_{C,i})\times(1-\right.$

$$EF_{CO2,j,y}= \left(W_{CO2,j,y}+\sum_{i=1}^{n}(W_{i,j,y}\times n_{C,i})\times(1-CF_{j,y})\right)\times \rho_{CO2}\times 10^{-2},$$

где: $EF_{CO2,j,y}$ - коэффициент выбросов CO_2 от сжигания j-углеводородной смеси на факельной установке за период y, т CO_2/тыс.м^3;

$W_{CO2,j,y}$ - содержание CO_2 в j-углеводородной смеси за период y, % об. (% мол.);

$W_{i,j,y}$ - содержание i-компонента (кроме CO_2) в j-углеводородной смеси, % об. (% мол.);

$n_{C,I}$ - количество молей углерода на моль i-компонента углеводородной смеси;

$CF_{j,y}$ - коэффициент недожога j-углеводородной смеси на факельной установке за период у, доля;

ρ_{CO2} - плотность диоксида углерода (CO_2), кг/м^3.Коэффициент выбросов CH_4 от сжигания углеводородной смеси на факельной установке ($EF_{CH4,j,y}$) рассчитан по формуле:$EF_{CH4,j,y}= W_{CH4,j,y} \times CF_{j,y} \times \rho_{CH4} \times 10^{-2}$,

$$EF_{CH4,j,y}= W_{CH4,j,y} \times CF_{j,y} \times \rho_{CH4} \times 10^{-2},$$

где: $EF_{CH4,j,y}$ - коэффициент выбросов CH_4 от сжигания j-углеводородной смеси на факельной установке за период у, т CH_4/тыс.м^3;

$W_{CH4,j,y}$ - содержание CH_4 в j-углеводородной смеси за период у, % об. (% мол.);

$CF_{j,y}$ - коэффициент недожога j-углеводородной смеси на факельной установке за период у, доля;

ρ_{CO2} - плотность метана, кг/м^3.

Фугитивные выбросы

Количественное определение фугитивных выбросов парниковых газов осуществляется расчетным методом на основе данных о расходе углеводородной смеси для осуществления технологических операций или объеме их отведения (стравливания, рассеивания) без сжигания или каталитического окисления. Расчет выполнен по формуле:

$$E_{i,y}= \sum_{j=1}^{n} \left(FC_{j,y} \times W_{i,j,y} \times \rho_i \times 10^{-2} \right),$$

где: $E_{i,y}$ - фугитивные выбросы i-парникового газа за период у, т;

$FC_{j,y}$ - расход j-углеводородной смеси на технологические операции (объем отведения без сжигания) за период у, тыс.м^3;

$W_{i,j,y}$ - содержание i-парникового газа в j-углеводородной смеси за период у, % об.;

ρ_i - плотность i-парникового газа, кг/м^3;

i - CO_2, CH_4;

j - вид углеводородной смеси;

n - количество видов углеводородных смесей, используемых на технологические операции (отводимых без сжигания).

Исходными данными для расчета выбросов парниковых газов являются объемы газа поступающие на сжигание, через свечи рассеивания рассчитанные по технологическим данным в приложениях И, Л, Р, С.

1 Расчет выбросов парниковых газов за счет стационарного сжигания топлива

К стационарному сжиганию топлива на проектируемых объектах относятся сжигание газа в МГПА, в подогревателях УПГ.

Таблица У.1 – Расчет выбросов парниковых газов за счет стационарного сжигания топлива

Наименование показателя	Величина	
	МГПА 4 шт. (3 рабочих + 1 оезервный)	Подогреватели газа УПГ
Объем газа, поступающего на сжигание	6593 м^3/ч (при стандартных условиях Р=0,1013 МПа, Т=293,15 К)	293760 нм^3/год (при нормальных условиях Р=0,1013 МПа, Т=273,15 К)
Время работы, ч/год	8520	-
Объем сжигаемого газа, тыс. м^3/год	6593 × 3 ×8520 / 1000 = 168517,08	293760 / 1000 = 293,76
Плотность CO_2 - кг/м^3 (при стандартных условиях Р=0,1013 МПа, Т=293,15 К) - кг/нм^3 (при нормальных условиях Р=0,1013 МПа, Т=273,15 К)	1,8393 1,9768	
Коэффициент EF (рассчитан по составу газа)	0,7617+(84,6849×1+7,8083×2 + 3,4836×3+4×(0,7912+0,9432)+5×(0,2869+0,3359)+6×0,5508+1×0,0569) × 1,8393 × 10^{-2} = 2,2838	0,79+(87,57×1+8,42×2 + 2,19×3 +4 ×(0,3+0,3)+5×(0,06+0,09)+6×0,04+1×0,02) × 1,9768 × 10^{-2} = 2,2613
Годовой выброс CO_2, т/год	168517,08 × 2,2838 = 384859,307	293,76 × 2,2613 = 664,279
Коэффициент для диоксида азота	1	
Годовые выбросы парниковых газов от стационарного сжигания в CO_2-эквиваленте, т/год	1 × 384859,307,723 = 384859	1 × 664,279 = 664
Суммарный годовой выброс парниковых газов от стационарного сжигания в CO_2-эквиваленте, т/год	**3848596 + 664 = 385523**	

2 Расчет выбросов парниковых газов за счет сжигания газов на факеле

К выбросам сжигание на факеле относятся: сжигание газов на существующем факеле УКПГ при плановом останове МГПА, останове ДКС, а также сжигание паров конденсата при дыхании емкостей дренажных емкостей МГПА Е-2, дренажной емкости 2Е-6.

Коэффициенты EF рассчитаны в зависимости от состава газа, сжигаемого на факеле. В таблице У.2 приведен расчет выбросов парниковых газов при сжигании газа на факеле.

Таблица У.2 – Расчет выбросов парниковых газов при сжигании газа на факеле

Наименование показателя	Величина							
	Плановый останов ГПА (**через кран №5** (участок от крана №1 до крана №2)	Останов фильтр-сепараторов (сброс через **кран №27-1 из** 2ФС-1, 2, 3)	Останов ДКС (сброс через **кран №17-2** из входного трубопровода ДКС (участок от крана №7 до кранов №№ 1 ГПА №7÷10, трубопровод DN1400 + трубопровод-кольцо DN1200 + трубопроводы DN700 х 3))	Останов ДКС (сброс через **кран №17 (существующий)** из трубопровода ДКС1-ДКС-2 (участок от крана №7 ДКС-1 до крана 52-2 ДКС-2)	Останов ДКС (сброс через **кран №29-2** из трубопровода газа топливного (участок от кранов от крана № 44-2 УПГ до кранов №№ 12 модулей ГПА №7÷9, трубопровод DN200 + трубопровод DN400 + трубопроводы DN80 х 4)	Останов ДКС (сброс через краны **№18-2 и №18-1-2** из выходного трубопровода ДКС (участок от кранов №№ 2 ГПА №7÷10 до крана №54-2, в т.ч. АВО, трубопроводы пускового контура и 4 ГПА)	Дыхание емкости для сбора конденсата 2Е-6 блока подготовки газа	Дыхание емкостей дренажных Е-2 от МГПА №№7-10
Объем газа, поступающего на сжигание на факел, $м^3$	4784,405	2549,893	71724,465	26539,018	947,807	89172,443	0,2× 8520 = 1704	2,2× 8520 = 18744
Количество аппаратов опорожняемых за год, шт	3 рабочих	3	1	1	1	1	1	3 рабочих
Периодичность проведения операции, раз/год	12	12	1	1	1	1	1	1
Объем газа, сжигаемого на факеле, тыс. $м^3$/год	4784,405 × 3 ×12 / 1000 = 172,239	2459,893 × 3 ×12 / 1000 = 91,796	71724,465× 1×1 / 1000 = 71,724	26539,018 × 1×1 / 1000 = 26,539	947,807 × 1×1 / 1000 = 0,948	89172,443 × 1×1 / 1000 = 89,172	1704 × 1×1 / 1000 = 1,704	18744 × 3×1 / 1000 = 56,232
Коэффициент недожога	0,02 (принят по таблице 2.2 Методики…. как Нефтяные, газоконденсатные и газовые месторождения)							
Расчет выбросов CO_2								
Плотность CO_2, $кг/м^3$	1,8393							
Коэффициент EF	0,62+(85,86×1+7,61×2 + 3,23 × 3 + 4 × (0,7 + 0,85) +5 × (0,25+0,21) +6×0,32) × (1-0,020) × 1,8393 × 10^{-2} = 2,196				0,79+(87,57×1+8,42×2 + 2,19×3 +4 ×(0,3 +0,3)+5×(0,06+0,09)+ 6×0,04+1×0,02) × (1-0,020) × 1,8393 × 10^{-2} =2,076	0,7617+(84,6849×1+ 7,8083×2 + 3,4836× 3 + 4×(0,7912 + 0,9432) +5×(0,2869+0,3359)+ 6×0,5508+1×0,0569) × (1-0,020) × 1,8393 × 10^{-2} = 2,252	0,2933+(15,9757×1+4,8305×2 + 5,0334×3 +4 ×(1,9476+2,942)+5×(1,6479+1,1407)+6× 20,8657+1×2,4291) × (1-0,020) × 1,8393 × 10^{-2} = 3,644	
Годовой выброс CO_2, т/год	172,239 × 2,196 = 378,237	91,796 × 2,196 = 201,584	71,724 × 2,196 = 157,506	26,539 × 2,196 = 58,28	0,948 × 2,076 = 1,968	89,172 × 2,252 = 200,815	1,704 × 3,644 = 6,209	56,232 × 3,644 = 204,909
Расчет выбросов метана								
Коэффициент EF	85,86×0,02×0,668 × 10^{-2} =0,0115				87,57 × 0,02 × 0,668 × 10^{-2} = 0,0117	84,6849 × 0,02 × 0,668 × 10^{-2} = 0,0113	15,9757 × 0,02 × 0,668 × 10^{-2} = 0,0021	
Годовой выброс CH_4, т/год	172,239 × 0,0115 = 1,981	91,796 × 0,0115 = 1,0557	71,724 × 0,0115 = 0,825	26,539 × 0,0115 = 0,305	0,948 × 0,0117 = 0,0111	89,172 × 0,0113 = 1,0076	1,704 × 0,0021 = 0,0036	56,232 × 0,0021 = 0,118
Коэффициент GWP для метана	28							
Коэффициент GWP для CO_2	1							

Наименование показателя	Величина							
	Плановый останов ГПА (**через кран №5** (участок от крана №1 до крана №2)	Останов фильтр-сепараторов (сброс через **кран №27-1 из** 2ФС-1, 2, 3)	Останов ДКС (сброс через **кран №17-2** из входного трубопровода ДКС (участок от крана №7 до кранов №№ 1 ГПА №7÷10, трубопровод DN1400 + трубопровод-кольцо DN1200 + трубопроводы DN700 x 3))	Останов ДКС (сброс через **кран №17 (существующий)** из трубопровода ДКС1-ДКС-2 (участок от крана №7 ДКС-1 до крана 52-2 ДКС-2)	Останов ДКС (сброс через **кран №29-2** из трубопровода газа топливного (участок от кранов от крана № 44-2 УПГ до кранов №№ 12 модулей ГПА №7÷9, трубопровод DN200 + трубопровод DN400 + трубопроводы DN80 x 4)	Останов ДКС (сброс через краны **№18-2 и №18-1-2** из выходного трубопровода ДКС (участок от кранов №№ 2 ГПА №7÷10 до крана №54-2, в т.ч. АВО, трубопроводы пускового контура и 4 ГПА)	Дыхание емкости для сбора конденсата 2Е-6 блока подготовки газа	Дыхание емкостей дренажных Е-2 от МГПА №№7-10
Годовые выбросы парниковых газов от факела в CO_2-эквиваленте, т/год	1 × 378,237 + 28 × 1,981 = 434	1 × 201,584 + 28 × 1,0557 = 231	1 × 157,506 + 28 × 0,828 = 181	1 × 58,28 + 28 × 0,305 = 67	1 × 1,968 + 28 × 0,0111 = 2	1 × 200,815 + 28 × 1,0076 = 229	1 × 6,209 + 28 × 0,0036 = 6	1 × 204,909 + 28 × 0,118 = 208
Суммарный выброс парниковых газов при сжигании газа на факеле в CO_2-эквиваленте т/год	**434 + 231 + 181 + 67 + 2 + 229 + 6 + 208 = 1358**							

3 Расчет парниковых газов за счет фугитивных выбросов

К фугитивным выбросам на проектируемых объектах относятся сбросы газа при опорожнении оборудования и трубопроводов УПГ, МГПА, ДКС.

Таблица У.3 – Расчет выбросов парниковых газов за счет фугитивных выбросов

Наименование показателя	Величина по источникам выбросов						
	УПГ линия топливного газа	Ресиверы импульсного газа 2РИ-1,2	УПГ линия буферного газа	Сброс газа на свечу через **кран №18с-2-2**	Сброс газа на свечу через **кран №5-1**	Сброс газа на свечу через кран №17с (существующий)	Сброс газа на свечу через **кран №17с-2**
Количество аппаратов	1	1	1	1	3 рабочих	1	1
Периодичность операций	1	1	1	1	12	1	1
Объем газа, поступающего в атмосферу при опорожнении, $м^3$	166,948	168,309	45,333	1339,607	71,874	398,687	1077,411
тыс.$м^3$/год	166,948 × 1 × 1 / 1000 = 0,167	168,309 × 2 × 1 / 1000 = 0,337	45,333 × 1 × 1 / 1000 = 0,045	1339,607 × 1 × 1 / 1000 = 1,34	71,874 × 3 × 12 / 1000 = 2,587	398,687 × 1 × 1 / 1000 = 0,399	1077,411 × 1 × 1 / 1000 = 1,077
Содержание метана в газе, % мол	87,57		84,6849		85,86		
Содержание CO_2 в газе, % мол	0,79		0,7617		0,62		
Плотность CO_2, кг/$м^3$	1,8393						
Плотность метана, кг/$м^3$	0,668						

Наименование показателя	Величина по источникам выбросов						
	УПГ линия топливного газа	Ресиверы импульсного газа 2РИ-1,2	УПГ линия буферного газа	Сброс газа на свечу через **кран №18с-2-2**	Сброс газа на свечу через **кран №5-1**	Сброс газа на свечу через кран №17с (существующий)	Сброс газа на свечу через **кран №17с-2**
Годовой выброс CO_2, т/год	0,167 × 0,79 × 1,8393 = 0,0024	0,337 × 0,79 × 1,8393 = 0,0049	0,045 × 0,7617 × 1,8393 = 0,0006	1,34 × 0,7617 × 1,8393 = 0,0188	2,587 × 0,62 × 1,8393 = 0,0295	0,399 × 0,62 × 1,8393 = 0,0046	1,077 × 0,62 × 1,8393 = 0,0123
Годовой выброс CH_4, т/год	0,167 × 87,57 × 0,668 = 0,098	0,337 × 87,57 × 0,668 = 0,197	0,045 × 84,6849 × 0,668 = 0,025	1,34 × 84,6849 × 0,668 = 0,758	2,587 × 85,86 × 0,668 = 1,484	0,399 × 85,86 × 0,668 = 0,229	1,077 × 85,86 × 0,668 = 0,618
Коэффициент GWP для метана	28						
Коэффициент GWP для CO_2	1						
Годовые выбросы парниковых газов в CO_2-эквиваленте, т/год	1 × 0,0024 + 28 × 0,098 = 3	1 × 0,0049 + 28 × 0,197 = 6	1 × 0,0006 + 28 × 0,025 = 1	1 × 0,0188 + 28 × 0,758 = 21	1 × 0,0295 + 28 × 1,484 = 42	1 × 0,0046 + 28 × 0,229 = 6	1 × 0,0123 + 28 × 0,618 = 17
Суммарный выброс парниковых газов от свечей в CO_2-эквиваленте т/год	**3 + 6 + 1 + 21 + 42 + 6 + 17 = 96**						

1 Обозначения и сокращения

АВО - аппараты воздушного охлаждения;

АДЭС - аварийная дизельная электростанция;

АО - акционерное общество;

БЕ - блок емкости;

БПГ - блок подготовки газов;

БПМ - блок подготовки метанола

ВРД - временный руководящий документ;

ГПА - газоперекачивающий агрегат;

ДКС - дожимная компрессорная станция;

ДЭС - дизельная электростанция;

ИЗА - источник загрязнения атмосферы;

КВД - компрессор высокого давления;

КНД - компрессор низкого давления;

ЛВЖ - легко воспламеняющиеся жидкости;

ЛКМ - лакокрасочные материалы;

ЛУ - лицензионный участок;

МГПА - модуль газоперекачивающего агрегата;

ОАО - открытое акционерное общество;

ПК - предохранительный клапан

ПОС - проект организации строительства;

ППР - планово-предупредительные ремонты;

РФ - Российская Федерация

СГДУ - “сухие” газодинамические уплотнения;

СМР - строительно-монтажные работы;

УПГ - установка подготовки газа;

УКПГ - установка комплексной подготовки газа;

ФВД - факел высокого давления;

ФС - фильтр-сепаратор.

2 Ссылочные нормативные документы

Методическое пособие по расчету, нормированию и контролю выбросов загрязняющих веществ в атмосферный воздух (Дополненное и переработанное). С.-Пб., НИИ Атмосфера, 2012

Методика определения ущерба окружающей природной среде при авариях на магистральных нефтепроводах, Минтопэнерго России, 1995

Пособие по применению СП 12.13130.2009 "Определение категорий помещений, зданий и наружных установок по взрывопожарной и пожарной опасности". И.М. Смолин [и др.]. М.: ВНИИПО, 2014

ГОСТ 33666-2015 Автомобильные транспортные средства для транспортирования и заправки нефтепродуктов. Технические требования (с Поправкой).

Расчеты по определению параметров выбросов и количеству загрязняющих веществ, поступающих в атмосферу при строительстве и эксплуатации проектируемых объектов выполнены по методикам:

Методическое пособие по расчету выбросов от неорганизованных источников в промышленности строительных материалов" (г. Новороссийск, ЗАО “НИПИОТСТРОМ“, 2001)

Методика расчета выделений (выбросов) загрязняющих веществ в атмосферу при сварочных работах (на основе удельных показателей). С.-Пб., НИИ Атмосфера, 2015

Методика расчета выделений (выбросов) загрязняющих веществ в атмосферу при нанесении лакокрасочных материалов (по величинам удельных выделений). С.-Пб., НИИ Атмосфера, 2015

Методика расчета выбросов загрязняющих веществ в атмосферу от стационарных дизельных установок. С.-Пб., НИИ Атмосфера, 2001

Методические указания по определению выбросов загрязняющих веществ в атмосферу из резервуаров с дополнениями НИИ Атмосфера" (Казань, “Казанское управление “Оргнефтехимзаводы”, Новополоцк, “БЕЛИНЭКОМП”, М., АОЗТ “ЛЮБЭКОП”,1999)

Методика проведения инвентаризации выбросов загрязняющих веществ в атмосферу для автотранспортных предприятий (расчетным методом)" (М., Министерство транспорта Российской Федерации, 1999 г.)

Дополнение и изменение к Методике проведения инвентаризации выбросов загрязняющих веществ в атмосферу автотранспортных предприятий (расчетным методом)" (М., Министерство транспорта Российской Федерации, 1999 г.)

Методика проведения инвентаризации выбросов загрязняющих веществ в атмосферу для баз дорожной техники (расчетным методом)”, (М., Министерство транспорта Российской Федерации, 1999 г.)

Дополнение к Методике проведения инвентаризации выбросов загрязняющих ве-

ществ в атмосферу для баз дорожной техники (расчетным методом)" (М., Министерство транспорта Российской Федерации, 1999 г.)

СТО Газпром 2-1.19-541-2011. Учет валовых выбросов загрязняющих веществ с продуктами сгорания газотурбинных газоперекачивающих агрегатов, (М., 2011)

Методика определения выбросов загрязняющих веществ в атмосферу при сжигании топлива в котлах производительностью менее 30 тонн пара в час или менее 20 Гкал в час М., 1999 с учетом Методического письма НИИ Атмосфера от 17 мая 2000 №335/33-07 "О проведении расчетов выбросов вредных веществ в атмосферу по "Методике определения выбросов загрязняющих веществ в атмосферу при сжигании топлива в котлах производительностью менее 30 тонн пара в час или менее 20 Гкал в час" М., 1999

СТО Газпром 11-2005 Методические указания по расчету валовых выбросов углеводородов (суммарно) в атмосферу в ОАО "Газпром" (М., ОАО "Газпром", 2005)

Методика расчета вредных выбросов в атмосферу из нефтехимического оборудования РМ62-91-90" (Воронеж, "Гипрокаучук", 1991)

ВРД 39-1.13-051-2001 Инструкция по нормированию расхода и расчету выбросов метанола для объектов ОАО "Газпром" (М., ОАО "Газпром", 2002)

Методика расчета параметров выбросов и валовых выбросов вредных веществ от факельных установок сжигания углеводородных смесей М., ИРЦ Газпром, 1996

Методика расчета выбросов вредных веществ в атмосферу при свободном горении нефти и нефтепродуктов", Самара, 1996

Приказ Минприроды Российской Федерации от 27.05.2022 года № 371 "Об утверждении методик количественного определения объемов выбросов парниковых газов и поглощений парниковых газов"

Таблица регистрации изменений

Изм.	Номера листов (страниц)				Всего листов (страниц) в док.	Номер док.	Подп.	Дата
	измененных	замененных	новых	аннулированных				

Параметры источников выбросов загрязняющих веществ, поступающих в атмосферу от существующих объектов УКПГ

№ ИЗАВ	Тип ИЗАВ	Наименование ИЗАВ	Число ИЗАВ, объединенных под одним номером	Время работы, ч/год	Высота источника, (м)	Диаметр, м	Координаты источника на карте - схеме				Ширина площадного источника, м	Скорость выхода ГВС, м/с, фактическая/осредненная	Объем (расход) ГВС, м3/с (при фактических условиях) /осредненный/	Температура ГВС, град С /осредненная/	Наименование газоочистных установок и степень очистки	ЗВ, выбрасываемые в атмосферный воздух (для каждого режима				Итого за год выброс вещества источником, т/год
							X1	Y1	X2	Y2						Код	Наименование	Концентрация, мг/м3	Мощность выброса, г/с	
1	2	3	4	5	6	7	8	9	10	11	12	13	14	15	16	17	18	19	20	21
38	Организованный	Вытяжная вентсистема	1	8760	9	0,63	308	305	-	-	-	9,14	2,85	20	ГОУ отсутствуют	410	Метан	0,001	0,000002	0,0000611
																415	Смесь предельных углеводородов С1Н4- С5Н12	4,672	0,0124064	0,391249
																416	Смесь предельных углеводородов С6Н14-С10Н22	10,034	0,0266443	0,840255
Площадка: УКПГ Цех: Установка сепарации пластовой воды																				
39	Организованный	Вытяжная вентсистема	1	8760	12,6	0,63	382	280	-	-	-	15,14	4,72	20	ГОУ отсутствуют	410	Метан	0,031	0,0001374	0,0043254
																415	Смесь предельных углеводородов С1Н4- С5Н12	28,11	0,1236219	3,89853
																416	Смесь предельных углеводородов С6Н14-С10Н22	60,369	0,2654926	8,372574
																1052	Метанол (Карбинол; метиловый спирт; метилгидроксид)	10,587	0,0465578	1,468245
40	Организованный	Свеча С-111-1	1	0,05	14	0,06	359	284	-	-	-	77,9	0,19878	20	ГОУ отсутствуют	410	Метан	372,639	0,0690169	0,000012
																415	Смесь предельных углеводородов С1Н4- С5Н12	236774,393	43,8533167	0,007894
																416	Смесь предельных углеводородов С6Н14-С10Н22	508502,261	94,1804154	0,016952
41	Организованный	Свеча ФС-111-1	1	0,05	14	0,06	378	278	-	-	-	60,02	0,15316	20	ГОУ отсутствуют	410	Метан	372,634	0,0531769	0,00001
																415	Смесь предельных углеводородов С1Н4- С5Н12	236771,859	33,7886211	0,006082
																416	Смесь предельных углеводородов С6Н14-С10Н22	508496,819	72,5652381	0,013062
42	Организованный	Свеча С-111-2	1	0,05	14	0,06	363	284	-	-	-	77,9	0,19878	20	ГОУ отсутствуют	410	Метан	372,639	0,0690169	0,000012
																415	Смесь предельных углеводородов С1Н4- С5Н12	236774,393	43,8533167	0,007894
																416	Смесь предельных углеводородов С6Н14-С10Н22	508502,261	94,1804154	0,016952
43	Организованный	Свеча ФС-111-2	1	0,05	14	0,06	382	276	-	-	-	60,02	0,15316	20	ГОУ отсутствуют	410	Метан	372,634	0,0531769	0,00001
																415	Смесь предельных углеводородов С1Н4- С5Н12	236771,859	33,7886211	0,006082
																416	Смесь предельных углеводородов С6Н14-С10Н22	508496,819	72,5652381	0,013062
44		Свеча С-111-3	1	0,05	14	0,06	367	281	-	-	-	77,9	0,19878	20		410	Метан	372,639	0,0690169	0,000012

№ ИЗАВ	Тип ИЗАВ	Наименование ИЗАВ	Число ИЗАВ, объединенных под одним номером	Время работы, ч/год	Высота источника, (м)	Диаметр, м	Координаты источника на карте - схеме				Ширина площадного источника, м	Скорость выхода ГВС, м/с, фактическая/осредненная	Объем (расход) ГВС, м3/с (при фактических условиях) /осредненный/	Температура ГВС, град С /осредненная/	Наименование газоочистных установок и степень очистки	ЗВ, выбрасываемые в атмосферный воздух (для каждого режима				Итого за год выброс вещества источником, т/год
							X1	Y1	X2	Y2						Код	Наименование	Концентрация, мг/м3	Мощность выброса, г/с	
1	2	3	4	5	6	7	8	9	10	11	12	13	14	15	16	17	18	19	20	21
	Организованный														ГОУ отсутствуют	415	Смесь предельных углеводородов С1Н4-С5Н12	236774,393	43,8533167	0,007894
																416	Смесь предельных углеводородов С6Н14-С10Н22	508502,261	94,1804154	0,016952
45	Организованный	Свеча ФС-111-3	1	0,05	14	0,06	386	276	-	-	-	60,02	0,15316	20	ГОУ отсутствуют	410	Метан	372,634	0,0531769	0,00001
																415	Смесь предельных углеводородов С1Н4-С5Н12	236771,859	33,7886211	0,006082
																416	Смесь предельных углеводородов С6Н14-С10Н22	508496,819	72,5652381	0,013062
46	Организованный	Свеча С-111-4	1	0,05	14	0,06	370	280	-	-	-	77,9	0,19878	20	ГОУ отсутствуют	410	Метан	372,639	0,0690169	0,000012
																415	Смесь предельных углеводородов С1Н4- С5Н12	236774,393	43,8533167	0,007894
																416	Смесь предельных углеводородов С6Н14-С10Н22	508502,261	94,1804154	0,016952
47	Организованный	Свеча ФС-111-4	1	0,05	14	0,06	390	274	-	-	-	60,02	0,15316	20	ГОУ отсутствуют	410	Метан	372,634	0,0531769	0,00001
																415	Смесь предельных углеводородов С1Н4- С5Н12	236771,859	33,7886211	0,006082
																416	Смесь предельных углеводородов С6Н14-С10Н22	508496,819	72,5652381	0,013062
48	Организованный	Свеча С-111-5	1	0,05	14	0,06	374	280	-	-	-	77,9	0,19878	20	ГОУ отсутствуют	410	Метан	372,639	0,0690169	0,000012
																415	Смесь предельных углеводородов С1Н4- С5Н12	236774,393	43,8533167	0,007894
																416	Смесь предельных углеводородов С6Н14-С10Н22	508502,261	94,1804154	0,016952
49	Организованный	Свеча ФС-111-5	1	0,05	14	0,06	394	273	-	-	-	60,02	0,15316	20	ГОУ отсутствуют	410	Метан	372,634	0,0531769	0,00001
																415	Смесь предельных углеводородов С1Н4- С5Н12	236771,859	33,7886211	0,006082
																416	Смесь предельных углеводородов С6Н14-С10Н22	508496,819	72,5652381	0,013062
50	Организованный	Свеча СП-111-1	1	0,05	11,14	0,06	245	329	-	-	-	147,99	0,37764	20	ГОУ отсутствуют	410	Метан	372,639	0,1311178	0,000024
																415	Смесь предельных углеводородов С1Н4-С5Н12	236774,951	83,3122321	0,014996
																416	Смесь предельных углеводородов С6Н14-С10Н22	508503,459	178,923311	0,032206
51	Организованный	Свеча ФСП-111-1	1	0,05	11,14	0,06	249	328	-	-	-	147,99	0,37764	20	ГОУ отсутствуют	410	Метан	372,639	0,1311178	0,000024
																415	Смесь предельных углеводородов С1Н4- С5Н12	236774,951	83,3122321	0,014996

№ ИЗАВ	Тип ИЗАВ	Наименование ИЗАВ	Число ИЗАВ, объединенных под одним номером	Время работы, ч/год	Высота источника, (м)	Диаметр, м	Координаты источника на карте - схеме				Ширина площадного источника, м	Скорость выхода ГВС, м/с, фактическая/осредненная	Объем (расход) ГВС, м3/с (при фактических условиях) /осредненный/	Температура ГВС, град С /осредненная/	Наименование газоочистных установок и степень очистки	ЗВ, выбрасываемые в атмосферный воздух (для каждого режима				Итого за год выброс вещества источником, т/год
							X1	Y1	X2	Y2						Код	Наименование	Концентрация, мг/м3	Мощность выброса, г/с	
1	2	3	4	5	6	7	8	9	10	11	12	13	14	15	16	17	18	19	20	21
																416	Смесь предельных углеводородов С6Н14-С10Н22	508503,459	178,923311	0,032206
52	Организованный	Свеча СП-111-2	1	0,05	11,14	0,06	259	337	-	-	-	147,99	0,37764	20	ГОУ отсутствуют	410	Метан	372,639	0,1311178	0,000024
																415	Смесь предельных углеводородов С1Н4- С5Н12	236774,951	83,3122321	0,014996
																416	Смесь предельных углеводородов С6Н14-С10Н22	508503,459	178,923311	0,032206
53	Организованный	Свеча ФСП-111-2	1	0,05	11,14	0,06	263	336	-	-	-	147,99	0,37764	20	ГОУ отсутствуют	410	Метан	372,639	0,1311178	0,000024
																415	Смесь предельных углеводородов С1Н4- С5Н12	236774,951	83,3122321	0,014996
																416	Смесь предельных углеводородов С6Н14-С10Н22	508503,459	178,923311	0,032206
Площадка: УКПГ Цех: Блок сепараторов-пробкоуловителей																				
6222	Неорганизованный	Блок сепараторов-пробкоуловителей	1	8760	2	-	246	336	263	331	25	-	-	-	ГОУ отсутствуют	410	Метан	-	0,0003467	0,0109314
																415	Смесь предельных углеводородов С1Н4- С5Н12	-	0,22419	7,070054
																416	Смесь предельных углеводородов С6Н14-С10Н22	-	0,4814756	15,183814
Площадка: УКПГ Цех: Блок емкости аварийного слива Е-111																				
54	Организованный	Свеча	1	0,05	6,15	0,06	418	279	-	-	-	0,41	0,00105	20	ГОУ отсутствуют	410	Метан	370,939	0,0003629	0,0000001
																415	Смесь предельных углеводородов С1Н4- С5Н12	235699,258	0,2305911	0,000042
																416	Смесь предельных углеводородов С6Н14-С10Н22	506193,199	0,4952228	0,000089
6223	Неорганизованный	Блок емкости аварийного слива Е-111	1	8760	2	-	415	271	420	285	4	-	-	-	ГОУ отсутствуют	410	Метан	-	0,0000006	0,0000192
																415	Смесь предельных углеводородов С1Н4-С5Н12	-	0,003814	0,120279
																416	Смесь предельных углеводородов С6Н14-С10Н22	-	0,0081911	0,258314
Площадка: УКПГ Цех: Блок емкости аварийного слива Е-112																				
55	Организованный	Свеча	1	0,05	6,25	0,06	422	277	-	-	-	0,2	0,00052	20	ГОУ отсутствуют	410	Метан	374,609	0,0001815	3,27E-08
																415	Смесь предельных углеводородов С1Н4- С5Н12	237965,494	0,1152955	0,000021
																416	Смесь предельных углеводородов С6Н14-С10Н22	511060,441	0,2476114	0,000045
6224			1	8760	2	-	420	271	424	281	4	-	-	-		410	Метан	-	0,0000004	0,0000142

№ ИЗАВ	Тип ИЗАВ	Наименование ИЗАВ	Число ИЗАВ, объединенных под одним номером	Время работы, ч/год	Высота источника, (м)	Диаметр, м	Координаты источника на карте - схеме				Ширина площадного источника, м	Скорость выхода ГВС, м/с, фактическая/осредненная	Объем (расход) ГВС, м3/с (при фактических условиях) /осредненный/	Температура ГВС, град С /осредненная/	Наименование газоочистных установок и степень очистки	ЗВ, выбрасываемые в атмосферный воздух (для каждого режима				Итого за год выброс вещества источником, т/год
							X1	Y1	X2	Y2						Код	Наименование	Концентрация, мг/м3	Мощность выброса, г/с	
1	2	3	4	5	6	7	8	9	10	11	12	13	14	15	16	17	18	19	20	21
	Неорганизованный	Блок емкости аварийного слива Е-112													ГОУ отсутствуют	415	Смесь предельных углеводородов С1Н4- С5Н12	-	0,002758	0,086974
																416	Смесь предельных углеводородов С6Н14-С10Н22	-	0,0059231	0,186787
Площадка: УКПГ Цех: Блок ресивера импульсивнго газа Р-101																				
56	Организованный	Свеча	1	0,05	14,06	0,06	280	314	-	-	-	17,07	0,04356	20	ГОУ отсутствуют	410	Метан	372,618	0,0151233	0,0000027
																415	Смесь предельных углеводородов С1Н4- С5Н12	236761,557	9,6093516	0,00173
																416	Смесь предельных углеводородов С6Н14-С10Н22	508474,695	20,6372698	0,003715
6225	Неорганизованный	Блок ресивера импульсного газа Р-101	1	8760	2	-	279	316	284	314	6	-	-	-	ГОУ отсутствуют	410	Метан	-	0,0000005	0,0000157
																415	Смесь предельных углеводородов С1Н4-С5Н12	-	0,0006184	0,0195
																416	Смесь предельных углеводородов С6Н14-С10Н22	-	0,001328	0,04188
Площадка: УКПГ Цех: Установка подготовки газа (1 очередь)																				
57	Организованный	Вытяжная вентсистема	1	8760	17,6	0,63	409	133	-	-	-	27,68	8,63	20	ГОУ отсутствуют	410	Метан	220,713	1,7747395	55,968184
																415	Смесь предельных углеводородов С1Н4- С5Н12	27,296	0,2194849	6,921671
																416	Смесь предельных углеводородов С6Н14-С10Н22	0,08	0,0006467	0,020398
																1052	Метанол (Карбинол; метиловый спирт; метилгидроксид)	5,852	0,0470578	1,484016
58	Организованный	Свеча С-201-1	1	0,05	19,8	0,06	428	145	-	-	-	76,07	0,19411	20	ГОУ отсутствуют	410	Метан	654429,456	118,360223	0,021305
																415	Смесь предельных углеводородов С1Н4- С5Н12	80934,314	14,6377939	0,002635
																416	Смесь предельных углеводородов С6Н14-С10Н22	238,489	0,0431332	0,000008
59	Организованный	Свеча С-201-2	1	0,05	19,8	0,06	430	149	-	-	-	76,07	0,19411	20	ГОУ отсутствуют	410	Метан	654429,456	118,360223	0,021305
																415	Смесь предельных углеводородов С1Н4-С5Н12	80934,314	14,6377939	0,002635
																416	Смесь предельных углеводородов С6Н14-С10Н22	238,489	0,0431332	0,000008
60	Организованный	Свеча С-202-1	1	0,05	19,8	0,06	432	153	-	-	-	47,56	0,12137	20	ГОУ отсутствуют	410	Метан	654410,76	74,0042753	0,013321
																415	Смесь предельных углеводородов С1Н4- С5Н12	80932,002	9,1522244	0,001647

№ ИЗАВ	Тип ИЗАВ	Наименование ИЗАВ	Число ИЗАВ, объединенных под одним номером	Время работы, ч/год	Высота источника, (м)	Диаметр, м	Координаты источника на карте - схеме				Ширина площадного источника, м	Скорость выхода ГВС, м/с, фактическая/осредненная	Объем (расход) ГВС, м3/с (при фактических условиях) /осредненный/	Температура ГВС, град С /осредненная/	Наименование газоочистных установок и степень очистки	ЗВ, выбрасываемые в атмосферный воздух (для каждого режима				Итого за год выброс вещества источником, т/год
							X1	Y1	X2	Y2						Код	Наименование	Концентрация, мг/м3	Мощность выброса, г/с	
1	2	3	4	5	6	7	8	9	10	11	12	13	14	15	16	17	18	19	20	21
																416	Смесь предельных углеводородов С6Н14-С10Н22	238,483	0,0269689	0,000005
61	Организованный	Свеча С-202-2	1	0,05	19,8	0,06	434	157	-	-	-	47,56	0,12137	20	ГОУ отсутствуют	410	Метан	654410,76	74,0042753	0,013321
																415	Смесь предельных углеводородов С1Н4- С5Н12	80932,002	9,1522244	0,001647
																416	Смесь предельных углеводородов С6Н14-С10Н22	238,483	0,0269689	0,000005
62	Организованный	Свеча Т-203-1	1	0,05	19,8	0,06	434	161	-	-	-	182,06	0,46458	20	ГОУ отсутствуют	410	Метан	654416,824	283,276137	0,05099
																415	Смесь предельных углеводородов С1Н4- С5Н12	80932,752	35,0332028	0,006306
																416	Смесь предельных углеводородов С6Н14-С10Н22	238,485	0,1032324	0,000019
63	Организованный	Свеча Т-203-2	1	0,05	19,8	0,06	436	165	-	-	-	182,06	0,46458	20	ГОУ отсутствуют	410	Метан	654416,824	283,276137	0,05099
																415	Смесь предельных углеводородов С1Н4-С5Н12	80932,752	35,0332028	0,006306
																416	Смесь предельных углеводородов С6Н14-С10Н22	238,485	0,1032324	0,000019
64	Организованный	Свеча ТДА-201-1	1	0,05	19,8	0,06	438	169	-	-	-	4,89	0,01248	20	ГОУ отсутствуют	410	Метан	654539,584	7,6110667	0,00137
																415	Смесь предельных углеводородов С1Н4-С5Н12	80947,932	0,9412725	0,000169
																416	Смесь предельных углеводородов С6Н14-С10Н22	238,525	0,0027736	0,0000005
65	Организованный	Свеча ТДА-201-2	1	0,05	19,8	0,06	440	172	-	-	-	4,89	0,01248	20	ГОУ отсутствуют	410	Метан	654539,584	7,6110667	0,00137
																415	Смесь предельных углеводородов С1Н4- С5Н12	80947,932	0,9412725	0,000169
																416	Смесь предельных углеводородов С6Н14-С10Н22	238,525	0,0027736	0,0000005
66	Организованный	Свеча БПМ-204-1	1	0,05	19,8	0,06	438	172	-	-	-	0,7	0,00179	20	ГОУ отсутствуют	1052	Метанол (Карбинол; метиловый спирт; метилгидроксид)	746915,262	1,245717	0,000224
67	Организованный	Свеча БПМ-204-21	1	0,05	19,8	0,06	439	176	-	-	-	0,7	0,00179	20	ГОУ отсутствуют	1052	Метанол (Карбинол; метиловый спирт; метилгидроксид)	746915,262	1,245717	0,000224
68	Организованный	Свеча Д-201-1	1	0,05	19,8	0,06	440	180	-	-	-	59,92	0,15291	20	ГОУ отсутствуют	410	Метан	654438,187	93,2394167	0,016783
																415	Смесь предельных углеводородов С1Н4- С5Н12	80935,394	11,5310645	0,002076
																416	Смесь предельных углеводородов С6Н14-С10Н22	238,492	0,0339786	0,000006
69		Свеча Р-201-1	1	0,05	19,8	0,06	440	184	-	-	-	49,61	0,12658	20		410	Метан	654415,166	77,181546	0,013893

№ ИЗАВ	Тип ИЗАВ	Наименование ИЗАВ	Число ИЗАВ, объединенных под одним номером	Время работы, ч/год	Высота источника, (м)	Диаметр, м	Координаты источника на карте - схеме				Ширина площадного источника, м	Скорость выхода ГВС, м/с, фактическая/осредненная	Объем (расход) ГВС, м3/с (при фактических условиях) /осредненный/	Температура ГВС, град С /осредненная/	Наименование газоочистных установок и степень очистки	ЗВ, выбрасываемые в атмосферный воздух (для каждого режима				Итого за год выброс вещества источником, т/год
							X1	Y1	X2	Y2						Код	Наименование	Концентрация, мг/м3	Мощность выброса, г/с	
1	2	3	4	5	6	7	8	9	10	11	12	13	14	15	16	17	18	19	20	21
	Организованный														ГОУ отсутствуют	415	Смесь предельных углеводородов С1Н4- С5Н12	80932,547	9,5451625	0,001718
																416	Смесь предельных углеводородов С6Н14-С10Н22	238,484	0,0281267	0,000005
70	Организованный	Свеча Р-201-2	1	0,05	19,8	0,06	444	188	-	-	-	49,61	0,12658	20	ГОУ отсутствуют	410	Метан	654415,166	77,181546	0,013893
																415	Смесь предельных углеводородов С1Н4-С5Н12	80932,547	9,5451625	0,001718
																416	Смесь предельных углеводородов С6Н14-С10Н22	238,484	0,0281267	0,000005
Площадка: УКПГ Цех: Блок теплообменников Т-201-2 и Т-202-2																				
71	Организованный	Свеча	1	0,05	10	0,06	471	159	-	-	-	11,74	0,02997	20	ГОУ отсутствуют	410	Метан	654519,247	18,2769697	0,00329
																415	Смесь предельных углеводородов С1Н4- С5Н12	80945,418	2,2603414	0,000407
																416	Смесь предельных углеводородов С6Н14-С10Н22	238,524	0,0066606	0,000001
72	Организованный	Свеча	1	0,05	10	0,06	475	168	-	-	-	31,32	0,07993	20	ГОУ отсутствуют	410	Метан	654437,361	48,7385859	0,008773
																415	Смесь предельных углеводородов С1Н4-С5Н12	80935,291	6,0275771	0,001085
																416	Смесь предельных углеводородов С6Н14-С10Н22	238,493	0,0177615	0,000003
6226	Неорганизованный	Блок теплообменников Т- 201-2 и Т-202-2	1	8760	2	-	464	162	468	170	10	-	-	-	ГОУ отсутствуют	410	Метан	-	0,691399	21,803961
																415	Смесь предельных углеводородов С1Н4- С5Н12	-	0,0855065	2,696528
																416	Смесь предельных углеводородов С6Н14-С10Н22	-	0,000252	0,007945
Площадка: УКПГ Цех: Блок теплообменников Т-201-1 и Т-202-1																				
73	Организованный	Свеча	1	0,05	10	0,06	471	159	-	-	-	11,74	0,02997	20	ГОУ отсутствуют	410	Метан	654519,247	18,2769697	0,00329
																415	Смесь предельных углеводородов С1Н4- С5Н12	80945,418	2,2603414	0,000407
																416	Смесь предельных углеводородов С6Н14-С10Н22	238,524	0,0066606	0,000001
74	Организованный	Свеча	1	0,05	10	0,06	475	168	-	-	-	31,32	0,07993	20	ГОУ отсутствуют	410	Метан	654437,361	48,7385859	0,008773
																415	Смесь предельных углеводородов С1Н4- С5Н12	80935,291	6,0275771	0,001085
																416	Смесь предельных углеводородов С6Н14-С10Н22	238,493	0,0177615	0,000003
6227			1	8760	2	-	463	162	467	171	10	-	-	-		410	Метан	-	0,6948701	21,913425

№ ИЗАВ	Тип ИЗАВ	Наименование ИЗАВ	Число ИЗАВ, объединенных под одним номером	Время работы, ч/год	Высота источника, (м)	Диаметр, м	Координаты источника на карте - схеме				Ширина площадного источника, м	Скорость выхода ГВС, м/с, фактическая/осредненная	Объем (расход) ГВС, м3/с (при фактических условиях) /осредненный/	Температура ГВС, град С /осредненная/	Наименование газоочистных установок и степень очистки	ЗВ, выбрасываемые в атмосферный воздух (для каждого режима				Итого за год выброс вещества источником, т/год
							X1	Y1	X2	Y2						Код	Наименование	Концентрация, мг/м3	Мощность выброса, г/с	
1	2	3	4	5	6	7	8	9	10	11	12	13	14	15	16	17	18	19	20	21
	Неорганизованный	Блок теплообменников Т- 201-1 и Т-202-1													ГОУ отсутствуют	415	Смесь предельных углеводородов С1Н4- С5Н12	-	0,0859358	2,710066
																416	Смесь предельных углеводородов С6Н14-С10Н22	-	0,0002532	0,007984
Площадка: УКПГ Цех: Блок подачи метанола и ингибитора парафиноотложения																				
75	Организованный	Свеча	1	0,05	12	0,06	466	188	-	-	-	0,35	0,0009	20	ГОУ отсутствуют	1052	Метанол (Карбинол; метиловый спирт; метилгидроксид)	846950,069	0,710224	0,000256
76	Организованный	Свеча	1	0,05	12	0,06	468	188	-	-	-	0,35	0,0009	20	ГОУ отсутствуют	1052	Метанол (Карбинол; метиловый спирт; метилгидроксид)	846950,069	0,710224	0,000256
6228	Неорганизованный	Блок подачи метанола и ингибитора парафиноотложений	1	8760	2	0	469	187	476	187	10	-	-	-	ГОУ отсутствуют	1052	Метанол (Карбинол; метиловый спирт; метилгидроксид)	-	0,0997798	3,14667
Площадка: УКПГ Цех: Блок подачи метанола БПМ-202-1 и БПМ-202																				
77	Организованный	Свеча	1	0,05	12	0,06	452	159	-	-	-	0,35	0,0009	20	ГОУ отсутствуют	1052	Метанол (Карбинол; метиловый спирт; метилгидроксид)	846950,069	0,710224	0,000128
																	Метанол (Карбинол; метиловый спирт; метилгидроксид)			
78	Организованный	Свеча	1	0,05	12	0,06	450	160	-	-	-	0,35	0,0009	20	ГОУ отсутствуют	1052	Метанол (Карбинол; метиловый спирт; метилгидроксид)	846950,069	0,710224	0,000128
6229	Неорганизованный	Блок подачи метанола БПМ-202-1 и БПМ-202-2	1	8760	2	-	445	158	452	156	10	-	-	-	ГОУ отсутствуют	1052	Метанол (Карбинол; метиловый спирт; метилгидроксид)	-	0,0811128	2,557984
Площадка: УКПГ Цех: Блок подачи метанола БПМ-203-1 и БПМ-203																				
79	Организованный	Свеча	1	0,05	12	0,06	435	111	-	-	-	0,35	0,0009	20	ГОУ отсутствуют	1052	Метанол (Карбинол; метиловый спирт; метилгидроксид)	846950,069	0,710224	0,000128
80	Организованный	Свеча	1	0,05	12	0,06	432	111	-	-	-	0,35	0,0009	20	ГОУ отсутствуют	1052	Метанол (Карбинол; метиловый спирт; метилгидроксид)	846950,069	0,710224	0,000128
6230	Неорганизованный	Блок подачи метанола БПМ-203- 1 и БПМ-203-2	1	8760	2	-	430	110	435	110	10	-	-	-	ГОУ отсутствуют	1052	Метанол (Карбинол; метиловый спирт; метилгидроксид)	-	0,0811128	2,557984
Площадка: УКПГ Цех: Блок емкостей Е-201-1, Е-202-1 и Е-202-2																				
81	Организованный	Свеча Е-201-1	1	0,05	5,57	0,06	438	224	-	-	-	0,71	0,00182	20	ГОУ отсутствуют	410	Метан	718200,756	1,2179018	0,000219
																415	Смесь предельных углеводородов С1Н4-С5Н12	88820,999	0,1506198	0,000027
																416	Смесь предельных углеводородов С6Н14-С10Н22	261,71	0,0004438	0
82		Свеча Е-202-1	1	0,05	5,57	0,06	436	220	-	-	-	0,71	0,00182	20		410	Метан	718200,756	1,2179018	0,000219

№ ИЗАВ	Тип ИЗАВ	Наименование ИЗАВ	Число ИЗАВ, объединенных под одним номером	Время работы, ч/год	Высота источника, (м)	Диаметр, м	Координаты источника на карте - схеме				Ширина площадного источника, м	Скорость выхода ГВС, м/с, фактическая/осредненная	Объем (расход) ГВС, м3/с (при фактических условиях) /осредненный/	Температура ГВС, град С /осредненная/	Наименование газоочистных установок и степень очистки	ЗВ, выбрасываемые в атмосферный воздух (для каждого режима				Итого за год выброс вещества источником, т/год
							X1	Y1	X2	Y2						Код	Наименование	Концентрация, мг/м3	Мощность выброса, г/с	
1	2	3	4	5	6	7	8	9	10	11	12	13	14	15	16	17	18	19	20	21
	Организованный														ГОУ отсутствуют	415	Смесь предельных углеводородов С1Н4- С5Н12	88820,999	0,1506198	0,000027
																416	Смесь предельных углеводородов С6Н14-С10Н22	261,71	0,0004438	0
83	Организованный	СвечаЕ-202-2	1	0,05	5,57	0,06	435	215	-	-	-	0,71	0,00182	20	ГОУ отсутствуют	410	Метан	718200,756	1,2179018	0,000219
																415	Смесь предельных углеводородов С1Н4- С5Н12	88820,999	0,1506198	0,000027
																416	Смесь предельных углеводородов С6Н14- С10Н22	261,71	0,0004438	0
6231	Неорганизованный	Блок емкостей Е-201-1, Е-202-1 и Е-202-2	1	8760	2	-	430	222	445	218	10	-	-	-	ГОУ отсутствуют	410	Метан	-	0,0535338	1,688211
																415	Смесь предельных углеводородов С1Н4- С5Н12	-	0,0066204	0,208782
																416	Смесь предельных углеводородов С6Н14-С10Н22	-	0,000021	0,000615
Площадка: УКПГ Цех: Установка подготовки газа (2 очередь)																				
84	Организованный	Вытяжная вентсистема	1	8760	17,6	0,63	497	102	-	-	-	27,68	8,63	20	ГОУ отсутствуют	410	Метан	119,86	0,9637851	30,393926
																415	Смесь предельных углеводородов С1Н4-С5Н12	14,823	0,1191929	3,758861
																416	Смесь предельных углеводородов С6Н14-С10Н22	0,044	0,0003512	0,01108
																1052	Метанол (Карбинол; метиловый спирт; метилгидроксид)	0,024	0,000192	0,006058
85	Организованный	Свеча С201-3	1	0,05	19,8	0,06	509	116	-	-	-	76,07	0,19411	20	ГОУ отсутствуют	410	Метан	654429,456	118,360223	0,021305
																415	Смесь предельных углеводородов С1Н4- С5Н12	80934,314	14,6377939	0,002635
																416	Смесь предельных углеводородов С6Н14-С10Н22	238,489	0,0431332	0,000008
86	Организованный	Свеча С-201-4	1	0,05	19,8	0,06	509	119	-	-	-	76,07	0,19411	20	ГОУ отсутствуют	410	Метан	654429,456	118,360223	0,021305
																415	Смесь предельных углеводородов С1Н4- С5Н12	80934,314	14,6377939	0,002635
																416	Смесь предельных углеводородов С6Н14-С10Н22	238,489	0,0431332	0,000008
87	Организованный	Свеча С-202-3	1	0,05	19,8	0,06	509	122	-	-	-	47,56	0,12137	20	ГОУ отсутствуют	410	Метан	654410,76	74,0042753	0,013321
																415	Смесь предельных углеводородов С1Н4-С5Н12	80932,002	9,1522244	0,001647
																416	Смесь предельных углеводородов С6Н14-С10Н22	238,483	0,0269689	0,000005

№ ИЗАВ	Тип ИЗАВ	Наименование ИЗАВ	Число ИЗАВ, объединенных под одним номером	Время работы, ч/год	Высота источника, (м)	Диаметр, м	Координаты источника на карте - схеме				Ширина площадного источника, м	Скорость выхода ГВС, м/с, фактическая/осредненная	Объем (расход) ГВС, м3/с (при фактических условиях) /осредненный/	Температура ГВС, град С /осредненная/	Наименование газоочистных установок и степень очистки	ЗВ, выбрасываемые в атмосферный воздух (для каждого режима				Итого за год выброс вещества источником, т/год
							X1	Y1	X2	Y2						Код	Наименование	Концентрация, мг/м3	Мощность выброса, г/с	
1	2	3	4	5	6	7	8	9	10	11	12	13	14	15	16	17	18	19	20	21
88	Организованный	Свеча С-202-4	1	0,05	19,8	0,06	510	125	-	-	-	47,56	0,12137	20	ГОУ отсутствуют	410	Метан	654410,76	74,0042753	0,013321
																415	Смесь предельных углеводородов С1Н4-С5Н12	80932,002	9,1522244	0,001647
																416	Смесь предельных углеводородов С6Н14-С10Н22	238,483	0,0269689	0,000005
89	Организованный	Свеча Т-203-3	1	0,05	19,8	0,06	510	128	-	-	-	182,06	0,46458	20	ГОУ отсутствуют	410	Метан	654416,824	283,276137	0,05099
																415	Смесь предельных углеводородов С1Н4- С5Н12	80932,752	35,0332028	0,006306
																416	Смесь предельных углеводородов С6Н14-С10Н22	238,485	0,1032324	0,000019
90	Организованный	Свеча Т-203-4	1	0,05	19,8	0,06	512	131	-	-	-	182,06	0,46458	20	ГОУ отсутствуют	410	Метан	654416,824	283,276137	0,05099
																415	Смесь предельных углеводородов С1Н4- С5Н12	80932,752	35,0332028	0,006306
																416	Смесь предельных углеводородов С6Н14-С10Н22	238,485	0,1032324	0,000019
91	Организованный	Свеча ТДА-201-3	1	0,05	19,8	0,06	512	134	-	-	-	4,89	0,01248	20	ГОУ отсутствуют	410	Метан	654539,584	7,6110667	0,00137
																415	Смесь предельных углеводородов С1Н4- С5Н12	80947,932	0,9412725	0,000169
																416	Смесь предельных углеводородов С6Н14-С10Н22	238,525	0,0027736	0,0000005
92	Организованный	Свеча ТДА-201-4	1	0,05	19,8	0,06	514	137	-	-	-	4,89	0,01248	20	ГОУ отсутствуют	410	Метан	654539,584	7,6110667	0,00137
																415	Смесь предельных углеводородов С1Н4- С5Н12	80947,932	0,9412725	0,000169
																416	Смесь предельных углеводородов С6Н14-С10Н22	238,525	0,0027736	0,0000005
93	Организованный	Свеча БПМ-204-3	1	0,05	19,8	0,06	514	140	-	-	-	0,7	0,00179	20	ГОУ отсутствуют	1052	Метанол (Карбинол; метиловый спирт; метилгидроксид)	746915,262	1,245717	0,000224
94	Организованный	Свеча БПМ-204-4	1	0,05	19,8	0,06	516	143	-	-	-	0,7	0,00179	20	ГОУ отсутствуют	1052	Метанол (Карбинол; метиловый спирт; метилгидроксид)	746915,262	1,245717	0,000224
95	Организованный	Свеча Д-201-2	1	0,05	19,8	0,06	516	146	-	-	-	59,92	0,15291	20	ГОУ отсутствуют	410	Метан	654438,187	93,2394167	0,016783
																415	Смесь предельных углеводородов С1Н4- С5Н12	80935,394	11,5310645	0,002076
																416	Смесь предельных углеводородов С6Н14-С10Н22	238,492	0,0339786	0,000006
96	Организованный	Свеча Р-201-3	1	0,05	19,8	0,06	517	149	-	-	-	49,61	0,12658	20	ГОУ отсутствуют	410	Метан	654415,166	77,181546	0,013893
																415	Смесь предельных углеводородов С1Н4- С5Н12	80932,547	9,5451625	0,001718

№ ИЗАВ	Тип ИЗАВ	Наименование ИЗАВ	Число ИЗАВ, объединенных под одним номером	Время работы, ч/год	Высота источника, (м)	Диаметр, м	Координаты источника на карте - схеме				Ширина площадного источника, м	Скорость выхода ГВС, м/с, фактическая/осредненная	Объем (расход) ГВС, м3/с (при фактических условиях) /осредненный/	Температура ГВС, град С /осредненная/	Наименование газоочистных установок и степень очистки	ЗВ, выбрасываемые в атмосферный воздух (для каждого режима				Итого за год выброс вещества источником, т/год
							X1	Y1	X2	Y2						Код	Наименование	Концентрация, мг/м3	Мощность выброса, г/с	
1	2	3	4	5	6	7	8	9	10	11	12	13	14	15	16	17	18	19	20	21
																416	Смесь предельных углеводородов С6Н14-С10Н22	238,484	0,0281267	0,000005
97	Организованный	Свеча Р-201-4	1	0,05	19,8	0,06	517	151	-	-	-	49,61	0,12658	20	ГОУ отсутствуют	410	Метан	654415,166	77,181546	0,013893
																415	Смесь предельных углеводородов С1Н4-С5Н12	80932,547	9,5451625	0,001718
																416	Смесь предельных углеводородов С6Н14-С10Н22	238,484	0,0281267	0,000005
Площадка: УКПГ Цех: Блок теплообменников Т-201-4 и Т-202-4																				
98	Организованный	Свеча Т-201-4	1	0,05	10	0,06	543	101	-	-	-	11,74	0,02997	20	ГОУ отсутствуют	410	Метан	654519,247	18,2769697	0,00329
																415	Смесь предельных углеводородов С1Н4- С5Н12	80945,418	2,2603414	0,000407
																416	Смесь предельных углеводородов С6Н14- С10Н22	238,524	0,0066606	0,000001
99	Организованный	СвечаТ-202-4	1	0,05	10	0,06	547	110	-	-	-	31,32	0,07993	20	ГОУ отсутствуют	410	Метан	654437,361	48,7385859	0,008773
																415	Смесь предельных углеводородов С1Н4- С5Н12	80935,291	6,0275771	0,001085
																416	Смесь предельных углеводородов С6Н14-С10Н22	238,493	0,0177615	0,000003
6232	Неорганизованный	Блок теплообменников Т-201-4 и Т-202-4	1	6232	2	-	532	112	545	106	10	-	-	-	ГОУ отсутствуют	410	Метан	-	1,4274124	45,014879
																415	Смесь предельных углеводородов С1Н4-С5Н12	-	0,1765303	5,56706
																416	Смесь предельных углеводородов С6Н14-С10Н22	-	0,0005202	0,016404
100	Организованный	Свеча Т-201-3	1	0,05	10	0,06	562	158	-	-	-	11,74	0,02997	20	ГОУ отсутствуют	410	Метан	654519,247	18,2769697	0,00329
																415	Смесь предельных углеводородов С1Н4- С5Н12	80945,418	2,2603414	0,000407
																416	Смесь предельных углеводородов С6Н14-С10Н22	238,524	0,0066606	0,000001
101	Организованный	Свеча Т-202-3	1	0,05	10	0,06	566	168	-	-	-	31,32	0,07993	20	ГОУ отсутствуют	410	Метан	654437,361	48,7385859	0,008773
																415	Смесь предельных углеводородов С1Н4-С5Н12	80935,291	6,0275771	0,001085
																416	Смесь предельных углеводородов С6Н14-С10Н22	238,493	0,0177615	0,000003
6233	Неорганизованный	Блок теплообменников Т- 201-3 и Т-202-3	1	8760	2	-	551	167	563	163	10	-	-	-	ГОУ отсутствуют	410	Метан	-	1,4308835	45,124343
																415	Смесь предельных углеводородов С1Н4- С5Н12	-	0,1769596	5,580598

№ ИЗАВ	Тип ИЗАВ	Наименование ИЗАВ	Число ИЗАВ, объединенных под одним номером	Время работы, ч/год	Высота источника, (м)	Диаметр, м	Координаты источника на карте - схеме				Ширина площадного источника, м	Скорость выхода ГВС, м/с, фактическая/осредненная	Объем (расход) ГВС, м3/с (при фактических условиях) /осредненный/	Температура ГВС, град С /осредненная/	Наименование газоочистных установок и степень очистки	ЗВ, выбрасываемые в атмосферный воздух (для каждого режима				Итого за год выброс вещества источником, т/год
							X1	Y1	X2	Y2						Код	Наименование	Концентрация, мг/м3	Мощность выброса, г/с	
1	2	3	4	5	6	7	8	9	10	11	12	13	14	15	16	17	18	19	20	21
																416	Смесь предельных углеводородов С6Н14-С10Н22	-	0,0005214	0,016443
Площадка: УКПГ Цех: Блок подачи метанола и ингибитора парафиноотложения																				
102	Организованный	Свеча БПМ-201И-3	1	0,05	12	0,06	522	98	-	-	-	0,35	0,0009	20	ГОУ отсутствуют	1052	Метанол (Карбинол; метиловый спирт; метилгидроксид)	846950,069	0,710224	0,000128
103	Организованный	Свеча БПМ-201И-4	1	0,05	12	0,06	541	154	-	-	-	0,35	0,0009	20	ГОУ отсутствуют	1052	Метанол (Карбинол; метиловый спирт; метилгидроксид)	846950,069	0,710224	0,000128
104	Организованный	Свеча БПМ-202-3	1	0,05	12	0,06	520	98	-	-	-	0,35	0,0009	20	ГОУ отсутствуют	1052	Метанол (Карбинол; метиловый спирт; метилгидроксид)	846950,069	0,710224	0,000128
105	Организованный	СвечаБПМ-202-4	1	0,05	12	0,06	539	154	-	-	-	0,35	0,0009	20	ГОУ отсутствуют	1052	Метанол (Карбинол; метиловый спирт; метилгидроксид)	846950,069	0,710224	0,000128
106	Организованный	Свеча БПМ-203-3	1	0,05	12	0,06	518	98	-	-	-	0,35	0,0009	20	ГОУ отсутствуют	1052	Метанол (Карбинол; метиловый спирт; метилгидроксид)	846950,069	0,710224	0,000128
107	Организованный	СвечаБПМ-203-4	1	0,05	12	0,06	537	154	-	-	-	0,35	0,0009	20	ГОУ отсутствуют	1052	Метанол (Карбинол; метиловый спирт; метилгидроксид)	846950,069	0,710224	0,000128
6234	Неорганизованный	Блок подачи метанола и ингибитора парафиноотложений	1	8760	2	-	539	152	547	151	12	-	-	-	ГОУ отсутствуют	1052	Метанол (Карбинол; метиловый спирт; метилгидроксид)	-	0,0997798	3,14667
6235	Неорганизованный	Блок подачи метанола БПМ-203- 3 и БПМ-202-4	1	8760	2	-	535	153	538	152	12	-	-	-	ГОУ отсутствуют	1052	Метанол (Карбинол; метиловый спирт; метилгидроксид)	-	0,0811128	2,557984
6236	Неорганизованный	Блок подачи метанола БПМ-203- 3 и БПМ-203-4	1	8760	2	-	516	96	520	95	12	-	-	-	ГОУ отсутствуют	1052	Метанол (Карбинол; метиловый спирт; метилгидроксид)	-	0,0811128	2,557984
Площадка: УКПГ Цех: Блок емкостей Е-201-2, Е-202-3 и Е-202-4																				
108	Организованный	Свеча Е-201-2	1	0,05	5,57	0,06	520	197	-	-	-	0,71	0,00182	20	ГОУ отсутствуют	410	Метан	718200,756	1,2179018	0,000219
																415	Смесь предельных углеводородов С1Н4- С5Н12	88820,999	0,1506198	0,000027
																416	Смесь предельных углеводородов С6Н14-С10Н22	261,71	0,0004438	0
109	Организованный	Свеча Е-202-3	1	0,05	5,57	0,06	519	191	-	-	-	0,71	0,00182	20	ГОУ отсутствуют	410	Метан	718200,756	1,2179018	0,000219
																415	Смесь предельных углеводородов С1Н4- С5Н12	88820,999	0,1506198	0,000027
																416	Смесь предельных углеводородов С6Н14-С10Н22	261,71	0,0004438	0
110		СвечаЕ-202-4	1	0,05	5,57	0,06	517	187	-	-	-	0,71	0,00182	20		410	Метан	718200,756	1,2179018	0,000219

№ ИЗАВ	Тип ИЗАВ	Наименование ИЗАВ	Число ИЗАВ, объединенных под одним номером	Время работы, ч/год	Высота источника, (м)	Диаметр, м	Координаты источника на карте - схеме				Ширина площадного источника, м	Скорость выхода ГВС, м/с, фактическая/осредненная	Объем (расход) ГВС, м3/с (при фактических условиях) /осредненный/	Температура ГВС, град С /осредненная/	Наименование газоочистных установок и степень очистки	ЗВ, выбрасываемые в атмосферный воздух (для каждого режима				Итого за год выброс вещества источником, т/год
							X1	Y1	X2	Y2						Код	Наименование	Концентрация, мг/м3	Мощность выброса, г/с	
1	2	3	4	5	6	7	8	9	10	11	12	13	14	15	16	17	18	19	20	21
	Организованный														ГОУ отсутствуют	415	Смесь предельных углеводородов С1Н4- С5Н12	88820,999	0,1506198	0,000027
																416	Смесь предельных углеводородов С6Н14-С10Н22	261,71	0,0004438	0
6237	Неорганизованный	Блок емкостей Е-201-2, Е-202-3 и Е-202-4	1	8760	2	-	511	195	529	189	6	-	-	-	ГОУ отсутствуют	410	Метан	-	0,0535338	1,688211
																415	Смесь предельных углеводородов С1Н4- С5Н12	-	0,0066204	0,208782
																416	Смесь предельных углеводородов С6Н14-С10Н22	-	0,000021	0,000615
Площадка: УКПГ Цех: Установка деэтанизации конденсата																				
111	Организованный	Вытяжная вентсистема	1	8760	13,2	0,45	312	141	-	-	-	40,11	6,38	20	ГОУ отсутствуют	410	Метан	0,013	0,0000791	0,0025
																415	Смесь предельных углеводородов С1Н4-С5Н12	84,757	0,503841	15,889126
																416	Смесь предельных углеводородов С6Н14-С10Н22	182,027	1,0820602	34,12386
																1052	Метанол (Карбинол; метиловый спирт; метилгидроксид)	0,095	0,000562	0,017718
																1119	Этиловый эфир этиленгликоля	0,281	0,0016692	0,052631
115	Организованный	Свеча Д-301-1	1	0,05	16	0,06	343	193	-	-	-	5,49	0,014	20	ГОУ отсутствуют	410	Метан	37,073	0,0004836	0,0000001
																415	Смесь предельных углеводородов С1Н4- С5Н12	235560,478	3,0727377	0,000553
																416	Смесь предельных углеводородов С6Н14-С10Н22	505895,234	6,5990839	0,001188
116	Организованный	Свеча Д-301-2	1	0,05	16	0,06	344	196	-	-	-	5,49	0,014	20	ГОУ отсутствуют	410	Метан	37,073	0,0004836	0,0000001
																415	Смесь предельных углеводородов С1Н4- С5Н12	235560,478	3,0727377	0,000553
																416	Смесь предельных углеводородов С6Н14-С10Н22	505895,234	6,5990839	0,001188
117	Организованный	Свеча Р-301-1	1	0,05	16	0,06	344	199	-	-	-	5,27	0,01344	20	ГОУ отсутствуют	410	Метан	37,061	0,0004641	0,0000001
																415	Смесь предельных углеводородов С1Н4- С5Н12	235487,41	2,9489132	0,000531
																416	Смесь предельных углеводородов С6Н14-С10Н22	505738,306	6,3331554	0,00114
118	Организованный	Свеча Р-301-2	1	0,05	16	0,06	345	201	-	-	-	5,27	0,01344	20	ГОУ отсутствуют	410	Метан	37,061	0,0004641	0,0000001
																34504 15	Смесь предельных углеводородов С1Н4-С5Н12	235487,41	2,9489132	0,000531

№ ИЗАВ	Тип ИЗАВ	Наименование ИЗАВ	Число ИЗАВ, объединенных под одним номером	Время работы, ч/год	Высота источника, (м)	Диаметр, м	Координаты источника на карте - схеме				Ширина площадного источника, м	Скорость выхода ГВС, м/с, фактическая/осредненная	Объем (расход) ГВС, м3/с (при фактических условиях) /осредненный/	Температура ГВС, град С /осредненная/	Наименование газоочистных установок и степень очистки	ЗВ, выбрасываемые в атмосферный воздух (для каждого режима				Итого за год выброс вещества источником, т/год
							X1	Y1	X2	Y2						Код	Наименование	Концентрация, мг/м3	Мощность выброса, г/с	
1	2	3	4	5	6	7	8	9	10	11	12	13	14	15	16	17	18	19	20	21
																416	Смесь предельных углеводородов С6Н14-С10Н22	505738,306	6,3331554	0,00114
119	Организованный	Свеча Р-301-3	1	0,05	16	0,06	346	204	-	-	-	5,27	0,01344	20	ГОУ отсутствуют	410	Метан	37,061	0,0004641	0,0000001
																415	Смесь предельных углеводородов С1Н4-С5Н12	235487,41	2,9489132	0,000531
																416	Смесь предельных углеводородов С6Н14-С10Н22	505738,306	6,3331554	0,00114
120	Организованный	СвечаР-301-4	1	0,05	16	0,06	346	207	-	-	-	5,27	0,01344	20	ГОУ отсутствуют	410	Метан	37,061	0,0004641	0,0000001
																415	Смесь предельных углеводородов С1Н4- С5Н12	235487,41	2,9489132	0,000531
																416	Смесь предельных углеводородов С6Н14-С10Н22	505738,306	6,3331554	0,00114
121	Организованный	Свеча Р-301-5	1	0,05	16	0,06	348	210	-	-	-	5,27	0,01344	20	ГОУ отсутствуют	410	Метан	37,061	0,0004641	0,0000001
																415	Смесь предельных углеводородов С1Н4- С5Н12	235487,41	2,9489132	0,000531
																416	Смесь предельных углеводородов С6Н14-С10Н22	505738,306	6,3331554	0,00114
122	Организованный	Свеча Р-301-6	1	0,05	16	0,06	348	213	-	-	-	5,27	0,01344	20	ГОУ отсутствуют	410	Метан	37,061	0,0004641	0,0000001
																415	Смесь предельных углеводородов С1Н4- С5Н12	235487,41	2,9489132	0,000531
																416	Смесь предельных углеводородов С6Н14-С10Н22	505738,306	6,3331554	0,00114
126	Организованный	Свеча БПМ-301И	1	0,05	16	0,06	350	216	-	-	-	0,55	0,0014	20	ГОУ отсутствуют	1052	Метанол (Карбинол; метиловый спирт; метилгидроксид)	847587,977	1,105625	0,000199
127	Организованный	Свеча от емкости буферной контура охлаждения насосов Н-301	1	0,05	5	0,06	350	219	-	-	-	$3,92\times10^{-4}$	0,000001	20	ГОУ отсутствуют	410	Метан	35,096	$3,27\times10^{-8}$	$6,00\times10^{-12}$
																415	Смесь предельных углеводородов С1Н4-С5Н12	223130,769	0,0002079	$3,74\times10^{-8}$
																416	Смесь предельных углеводородов С6Н14-С10Н22	479210,623	0,0004465	0,0000001
Площадка: УКПГ Цех: Блок печей П-301-1, П-301-2, П-301-3																				
112	Организованный	Дымовая труба П-301-1	1	8760	12,7	1,6	344	254	-	-	-	5,07	10,1877	200	ГОУ отсутствуют	301	Азота диоксид (Двуокись азота; пероксид азота)	108	0,63504	20,026621
																304	Азот (II) оксид (Азот монооксид)	105,3	0,619164	19,525956
																337	Углерода оксид (Углерод окись; углерод моноокись; угарный газ)	106,292	0,625	19,71

№ ИЗАВ	Тип ИЗАВ	Наименование ИЗАВ	Число ИЗАВ, объединенных под одним номером	Время работы, ч/год	Высота источника, (м)	Диаметр, м	Координаты источника на карте - схеме				Ширина площадного источника, м	Скорость выхода ГВС, м/с, фактическая/осредненная	Объем (расход) ГВС, м3/с (при фактических условиях) /осредненный/	Температура ГВС, град С /осредненная/	Наименование газоочистных установок и степень очистки	ЗВ, выбрасываемые в атмосферный воздух (для каждого режима				Итого за год выброс вещества источником, т/год
							X1	Y1	X2	Y2						Код	Наименование	Концентрация, мг/м3	Мощность выброса, г/с	
1	2	3	4	5	6	7	8	9	10	11	12	13	14	15	16	17	18	19	20	21
																410	Метан	10,629	0,0625	1,971
113	Организованный	Дымовая труба П-301-2	1	8760	12,7	1,6	356	251	-	-	-	5,07	10,1877	200	ГОУ отсутствуют	301	Азота диоксид (Двуокись азота; пероксид азота)	108	0,63504	20,026621
																304	Азот (II) оксид (Азот монооксид)	105,3	0,619164	19,525956
																337	Углерода оксид (Углерод окись; углерод моноокись; угарный газ)	106,292	0,625	19,71
																410	Метан	10,629	0,0625	1,971
114	Организованный	Дымовая труба П-301-3	1	8760	12,7	1,6	597	71	-	-	-	5,07	10,1877	200	ГОУ отсутствуют	301	Азота диоксид (Двуокись азота; пероксид азота)	108	0,63504	20,026621
																304	Азот (II) оксид (Азот монооксид)	105,3	0,619164	19,525956
																337	Углерода оксид (Углерод окись; углерод моноокись; угарный газ)	106,292	0,625	19,71
																410	Метан	10,629	0,0625	1,971
123	Организованный	Свеча П-301-1	1	0,05	16	0,06	341	252	-	-	-	0,01	0,00003	20	ГОУ отсутствуют	410	Метан	806061,245	0,0225312	0,0000041
																415	Смесь предельных углеводородов С1Н4-С5Н12	99687,973	0,0027865	0,000001
																416	Смесь предельных углеводородов С6Н14-С10Н22	293,358	0,0000082	1,48E-09
124	Организованный	Свеча П-301-2	1	0,05	16	0,06	358	246	-	-	-	0,01	0,00003	20	ГОУ отсутствуют	410	Метан	806061,245	0,0225312	0,0000041
																415	Смесь предельных углеводородов С1Н4- С5Н12	99687,973	0,0027865	0,000001
																416	Смесь предельных углеводородов С6Н14-С10Н22	293,358	0,0000082	1,48E-09
125	Организованный	Свеча П-301-3	1	0,05	16	0,06	591	74	-	-	-	0,01	0,00003	20	ГОУ отсутствуют	410	Метан	806061,245	0,0225312	0,0000041
																415	Смесь предельных углеводородов С1Н4- С5Н12	99687,973	0,0027865	0,000001
																416	Смесь предельных углеводородов С6Н14-С10Н22	293,358	0,0000082	1,48E-09
Площадка: УКПГ Цех: Блок емкостей																				
128	Организованный	Свеча Е-301-1	1	0,05	16,8	0,06	370	166	-	-	-	12,59	0,03213	20	ГОУ отсутствуют	410	Метан	37,068	0,0011097	0,0000002
																415	Смесь предельных углеводородов С1Н4- С5Н12	235539,443	7,0513033	0,001269

№ ИЗАВ	Тип ИЗАВ	Наименование ИЗАВ	Число ИЗАВ, объединенных под одним номером	Время работы, ч/год	Высота источника, (м)	Диаметр, м	Координаты источника на карте - схеме				Ширина площадного источника, м	Скорость выхода ГВС, м/с, фактическая/осредненная	Объем (расход) ГВС, м3/с (при фактических условиях) /осредненный/	Температура ГВС, град С /осредненная/	Наименование газоочистных установок и степень очистки	ЗВ, выбрасываемые в атмосферный воздух (для каждого режима				Итого за год выброс вещества источником, т/год
							X1	Y1	X2	Y2						Код	Наименование	Концентрация, мг/м3	Мощность выброса, г/с	
1	2	3	4	5	6	7	8	9	10	11	12	13	14	15	16	17	18	19	20	21
																416	Смесь предельных углеводородов С6Н14-С10Н22	505850,057	15,1435451	0,002726
129	Организованный	Свеча Е-301-2	1	0,05	16,8	0,06	368	160	-	-	-	12,59	0,03213	20	ГОУ отсутствуют	410	Метан	37,068	0,0011097	0,0000002
																415	Смесь предельных углеводородов С1Н4-С5Н12	235539,443	7,0513033	0,001269
																416	Смесь предельных углеводородов С6Н14-С10Н22	505850,057	15,1435451	0,002726
130	Организованный	Свеча Е-302-1	1	0,05	16,8	0,06	366	155	-	-	-	5,07	0,01294	20	ГОУ отсутствуют	410	Метан	37,058	0,0004468	0,0000001
																415	Смесь предельных углеводородов С1Н4- С5Н12	235442,107	2,8386604	0,000511
																416	Смесь предельных углеводородов С6Н14-С10Н22	505641,021	6,096374	0,001
131	Организованный	Свеча Е-302-2	1	0,05	16,8	0,06	372	172	-	-	-	5,07	0,01294	20	ГОУ отсутствуют	410	Метан	37,058	0,0004468	0,0000001
																415	Смесь предельных углеводородов С1Н4- С5Н12	235442,107	2,8386604	0,000511
																416	Смесь предельных углеводородов С6Н14-С10Н22	505641,021	6,096374	0,001097
132	Организованный	Свеча Е-303-1	1	0,05	16,8	0,06	377	151	-	-	-	4,92	0,01256	20	ГОУ отсутствуют	410	Метан	37,06	0,0004337	0,0000001
																415	Смесь пределных углеводородов С1Н4- С5Н12	235459,52	2,7555032	0,000496
																416	Смесь предельных углеводородов С6Н14-С10Н22	505678,412	5,9177836	0,001065
133	Организованный	Свеча Е-303-2	1	0,05	16,8	0,06	381	157	-	-	-	4,92	0,01256	20	ГОУ отсутствуют	410	Метан	37,06	0,0004337	0,0000001
																415	Смесь предельных углеводородов С1Н4- С5Н12	235459,52	2,7555032	0,000496
																416	Смесь предельных углеводородов С6Н14-С10Н22	505678,412	5,9177836	0,001065
134	Организованный	Свеча Е-303-3	1	0,05	16,8	0,06	381	163	-	-	-	4,92	0,01256	20	ГОУ отсутствуют	410	Метан	37,06	0,0004337	0,0000001
																415	Смесь предельных углеводородов С1Н4-С5Н12	235459,52	2,7555032	0,000496
																416	Смесь предельных углеводородов С6Н14-С10Н22	505678,412	5,9177836	0,001065
135	Организованный	Свеча Е-303-4	1	0,05	16,8	0,06	385	168	-	-	-	4,92	0,01256	20	ГОУ отсутствуют	410	Метан	37,06	0,0004337	0,0000001
																415	Смесь предельных углеводородов С1Н4- С5Н12	235459,52	2,7555032	0,000496
																416	Смесь предельных углеводородов С6Н14-С10Н22	505678,412	5,9177836	0,001065

№ ИЗАВ	Тип ИЗАВ	Наименование ИЗАВ	Число ИЗАВ, объединенных под одним номером	Время работы, ч/год	Высота источника, (м)	Диаметр, м	Координаты источника на карте - схеме				Ширина площадного источника, м	Скорость выхода ГВС, м/с, фактическая/осредненная	Объем (расход) ГВС, м3/с (при фактических условиях) /осредненный/	Температура ГВС, град С /осредненная/	Наименование газоочистных установок и степень очистки	ЗВ, выбрасываемые в атмосферный воздух (для каждого режима				Итого за год выброс вещества источником, т/год
							X1	Y1	X2	Y2						Код	Наименование	Концентрация, мг/м3	Мощность выброса, г/с	
1	2	3	4	5	6	7	8	9	10	11	12	13	14	15	16	17	18	19	20	21
136	Организованный	Свеча Е-304	1	0,05	3	0,06	386	214	-	-	-	0,09	0,00023	20	ГОУ отсутствуют	410	Метан	36,398	0,0000078	1,41E-09
																415	Смесь предельных углеводородов С1Н4- С5Н12	232526,461	0,0498305	0,000009
																416	Смесь предельных углеводородов С6Н14-С10Н22	499379,046	0,1070171	0,000019
137	Организованный	Свеча Е-305	1	0,05	3	0,06	384	225	-	-	-	0,02	0,00004	20	ГОУ отсутствуют	410	Метан	34,881	0,0000013	2,26E-10
																415	Смесь предельных углеводородов С1Н4- С5Н12	213924,881	0,0079729	0,000001
																416	Смесь предельных углеводородов С6Н14-С10Н22	459427,756	0,0171227	0,000003
138	Организованный	Свеча Е-306-1	1	0,05	3	0,06	392	215	-	-	-	0,09	0,00023	20	ГОУ отсутствуют	410	Метан	36,398	0,0000078	1,41E-09
																415	Смесь предельных углеводородов С1Н4- С5Н12	232526,461	0,0498305	0,000009
																416	Смесь предельных углеводородов С6Н14-С10Н22	499379,046	0,1070171	0,000019
139	Организованный	Свеча Е-306-2	1	0,05	3	0,06	397	212	-	-	-	0,09	0,00023	20	ГОУ отсутствуют	410	Метан	36,398	0,0000078	1,41E-09
																415	Смесь предельных углеводородов С1Н4- С5Н12	232526,461	0,0498305	0,000009
																416	Смесь предельных углеводородов С6Н14-С10Н22	499379,046	0,1070171	0,000019
140	Организованный	Свеча Е-307	1	0,05	3	0,06	402	210	-	-	-	0,09	0,00023	20	ГОУ отсутствуют	410	Метан	36,398	0,0000078	1,41E-09
																415	Смесь предельных углеводородов С1Н4-С5Н12	232526,461	0,0498305	0,000009
																416	Смесь предельных углеводородов С6Н14-С10Н22	499379,046	0,1070171	0,000019
6238	Неорганизованный	Блок емкостей	1	8760	2	-	375	162	385	159	10	-	-	-	ГОУ отсутствуют	410	Метан	-	0,0000766	0,002356
																415	Смесь предельных углеводородов С1Н4- С5Н12	-	0,4749127	14,976795
																416	Смесь предельных углеводородов С6Н14-С10Н22	-	1,0199291	32,164513
6239	Неорганизованный	Блок емкостей	1	8760	2	-	382	222	406	215	10	-	-	-	ГОУ отсутствуют	410	Метан	-	0,0000047	0,0001482
																415	Смесь предельных углеводородов С1Н4- С5Н12	-	0,0296575	0,935256
																416	Смесь предельных углеводородов С6Н14-С10Н22	-	0,0636926	2,008574
Площадка: УКПГ Цех: Блок теплообменников и ректификационных колонн																				
141		Свеча Т-303-1	1	0,05	9,4	0,06	377	202	-	-	-	24,18	0,06171	20		410	Метан	40,878	0,0023504	0,0000004

№ ИЗАВ	Тип ИЗАВ	Наименование ИЗАВ	Число ИЗАВ, объединенных под одним номером	Время работы, ч/год	Высота источника, (м)	Диаметр, м	Координаты источника на карте - схеме				Ширина площадного источника, м	Скорость выхода ГВС, м/с, фактическая/осредненная	Объем (расход) ГВС, м3/с (при фактических условиях) /осредненный/	Температура ГВС, град С /осредненная/	Наименование газоочистных установок и степень очистки	ЗВ, выбрасываемые в атмосферный воздух (для каждого режима				Итого за год выброс вещества источником, т/год
							X1	Y1	X2	Y2						Код	Наименование	Концентрация, мг/м3	Мощность выброса, г/с	
1	2	3	4	5	6	7	8	9	10	11	12	13	14	15	16	17	18	19	20	21
	Организованный														ГОУ отсутствуют	415	Смесь предельных углеводородов С1Н4- С5Н12	259738,529	14,9343715	0,002688
																416	Смесь предельных углеводородов С6Н14-С10Н22	557820,58	32,0734078	0,005773
142	Организованный	Свеча Т-303-2	1	0,05	9,4	0,06	356	127	-	-	-	24,18	0,06171	20	ГОУ отсутствуют	410	Метан	40,878	0,0023504	0,0000004
																415	Смесь предельных углеводородов С1Н4- С5Н12	259738,529	14,9343715	0,002688
																416	Смесь предельных углеводородов С6Н14-С10Н22	557820,58	32,0734078	0,005773
143	Организованный	Свеча К-301-1	1	0,05	9,4	0,06	371	182	-	-	-	49,59	0,12653	20	ГОУ отсутствуют	410	Метан	40,879	0,0048194	0,0000009
																415	Смесь предельных углеводородов С1Н4- С5Н12	259749,068	30,6226332	0,005512
																416	Смесь предельных углеводородов С6Н14-С10Н22	557843,213	65,765888	0,011838
144	Организованный	Свеча К-301-2	1	0,05	9,4	0,06	359	145	-	-	-	49,59	0,12653	20	ГОУ отсутствуют	410	Метан	40,879	0,0048194	0,0000009
																415	Смесь предельных углеводородов С1Н4- С5Н12	259749,068	30,6226332	0,005512
																416	Смесь предельных углеводородов С6Н14-С10Н22	557843,213	65,765888	0,011838
145	Организованный	Свеча Т-301-1	1	0,05	6	0,06	433	275	-	-	-	87	0,222	20	ГОУ отсутствуют	410	Метан	40,881	0,008456	0,000002
																415	Смесь предельных углеводородов С1Н4- С5Н12	259753,895	53,7291623	0,009671
																416	Смесь предельных углеводородов С6Н14-С10Н22	557853,581	115,390014	0,02077
146	Организованный	Свеча Т-301-2	1	0,05	6	0,06	447	272	-	-	-	87	0,222	20	ГОУ отсутствуют	410	Метан	40,881	0,008456	0,000002
																415	Смесь предельных углеводородов С1Н4-С5Н12	259753,895	53,7291623	0,009671
																416	Смесь предельных углеводородов С6Н14-С10Н22	557853,581	115,390014	0,02077
147	Организованный	Свеча Т-302-1	1	0,05	14,1	0,06	463	282	-	-	-	16,1	0,04108	20	ГОУ отсутствуют	410	Метан	40,88	0,0015647	0,0000003
																415	Смесь предельных углеводородов С1Н4- С5Н12	259751,419	9,9422205	0,00179
																416	Смесь предельных углеводородов С6Н14-С10Н22	557848,26	21,3521467	0,003843
148	Организованный	Свеча Т-302-2	1	0,05	14,1	0,06	470	276	-	-	-	16,1	0,04108	20	ГОУ отсутствуют	410	Метан	40,88	0,0015647	0,0000003
																415	Смесь предельных углеводородов С1Н4- С5Н12	259751,419	9,9422205	0,00179

№ ИЗАВ	Тип ИЗАВ	Наименование ИЗАВ	Число ИЗАВ, объединенных под одним номером	Время работы, ч/год	Высота источника, (м)	Диаметр, м	Координаты источника на карте - схеме				Ширина площадного источника, м	Скорость выхода ГВС, м/с, фактическая/осредненная	Объем (расход) ГВС, м3/с (при фактических условиях) /осредненный/	Температура ГВС, град С /осредненная/	Наименование газоочистных установок и степень очистки	ЗВ, выбрасываемые в атмосферный воздух (для каждого режима				Итого за год выброс вещества источником, т/год
							X1	Y1	X2	Y2						Код	Наименование	Концентрация, мг/м3	Мощность выброса, г/с	
1	2	3	4	5	6	7	8	9	10	11	12	13	14	15	16	17	18	19	20	21
																416	Смесь предельных углеводородов С6Н14-С10Н22	557848,26	21,3521467	0,003843
149	Организованный	Свеча Т-302-3	1	0,05	14,1	0,06	460	270	-	-	-	16,1	0,04108	20	ГОУ отсутствуют	410	Метан	40,88	0,0015647	0,0000003
																415	Смесь предельных углеводородов С1Н4- С5Н12	259751,419	9,9422205	0,00179
																416	Смесь предельных углеводородов С6Н14-С10Н22	557848,26	21,3521467	0,003843
150	Организованный	Свеча Т-302-4	1	0,05	14,1	0,06	457	264	-	-	-	16,1	0,04108	20	ГОУ отсутствуют	410	Метан	40,88	0,0015647	0,0000003
																415	Смесь предельных углеводородов С1Н4- С5Н12	259751,419	9,9422205	0,00179
																416	Смесь предельных углеводородов С6Н14-С10Н22	557848,26	21,3521467	0,003843
151	Организованный	Свеча Т-302-5	1	0,05	14,1	0,06	455	257	-	-	-	16,1	0,04108	20	ГОУ отсутствуют	410	Метан	40,88	0,0015647	0,0000003
																415	Смесь предельных углеводородов С1Н4- С5Н12	259751,419	9,9422205	0,00179
																416	Смесь предельных углеводородов С6Н14-С10Н22	557848,26	21,3521467	0,003843
Площадка: УКПГ Цех: Блок теплообменников "конденсат-конденса																				
6240	Неорганизованный	Блок теплообменников «конденсат-конденсат» Т-303-1, Т-303-2	1	8760	2	-	380	200	393	197	10	-	-	-	ГОУ отсутствуют	410	Метан	-	0,0002007	0,0063277
																415	Смесь предельных углеводородов С1Н4- С5Н12	-	1,2751189	40,212151
																416	Смесь предельных углеводородов С6Н14-С10Н22	-	2,7384755	86,360563
Площадка: УКПГ Цех: Блок ректификационных колон К-301-1, К-3																				
6241	Неорганизованный	Блок ректификационных колон К-301-1, К-301-2	1	8760	2	-	362	144	375	181	10	-	-	-	ГОУ отсутствуют	410	Метан	-	0,000045	0,0014222
																415	Смесь предельных углеводородов С1Н4- С5Н12	-	0,2862901	9,028444
																416	Смесь предельных углеводородов С6Н14-С10Н22	-	0,6148433	19,389699
Площадка: УКПГ Цех: Блок теплообменников "конденсат-конденсат																				
6242	Неорганизованный	Блок теплообменников «конденсат-конденсат» Т-301-1, Т-301-2	1	8760	2	-	435	283	456	275	10	-	-	-	ГОУ отсутствуют	410	Метан	-	0,0000689	0,0021687
																415	Смесь предельных углеводородов С1Н4-С5Н12	-	0,4370359	13,782366
																416	Смесь предельных углеводородов С6Н14-С10Н22	-	0,9385887	29,599331
Площадка: УКПГ Цех: Блок теплообменников "газ-конденсат" Т-3																				
6243			1	8760	2	-	462	252	472	283	10	-	-	-		410	Метан	-	0,0000121	0,000374

№ ИЗАВ	Тип ИЗАВ	Наименование ИЗАВ	Число ИЗАВ, объединенных под одним номером	Время работы, ч/год	Высота источника, (м)	Диаметр, м	Координаты источника на карте - схеме				Ширина площадного источника, м	Скорость выхода ГВС, м/с, фактическая/осредненная	Объем (расход) ГВС, м3/с (при фактических условиях) /осредненный/	Температура ГВС, град С /осредненная/	Наименование газоочистных установок и степень очистки	ЗВ, выбрасываемые в атмосферный воздух (для каждого режима				Итого за год выброс вещества источником, т/год
							X1	Y1	X2	Y2						Код	Наименование	Концентрация, мг/м3	Мощность выброса, г/с	
1	2	3	4	5	6	7	8	9	10	11	12	13	14	15	16	17	18	19	20	21
	Неорганизованный	Блок теплообменников «газ-конденсат» Т- 302-1, Т-302-2, Т-302-3, Т-302-4, Т-302-5													ГОУ отсутствуют	415	Смесь предельных углеводородов С1Н4- С5Н12	-	0,0754404	2,379083
																416	Смесь предельных углеводородов С6Н14-С10Н22	-	0,1620171	5,109375
Площадка: УКПГ Цех: Установка компримирования низконапорных																				
152	Организованный	Свеча МКУ-381	1	0,05	15,3	0,06	258	220	-	-	-	32,69	0,08342	20	ГОУ отсутствуют	410	Метан	117,166	0,0091068	0,081964
																415	Смесь предельных углеводородов С1Н4- С5Н12	3,548	0,0002758	0,002483
																416	Смесь предельных углеводородов С6Н14-С10Н22	0,042	0,0000033	0,00003
153	Организованный	Свеча МКУ-382	1	0,05	15,3	0,06	250	190	-	-	-	32,69	0,08342	20	ГОУ отсутствуют	410	Метан	117,166	0,0091068	0,081964
																415	Смесь предельных углеводородов С1Н4-С5Н12	3,548	0,0002758	0,002483
																416	Смесь предельных углеводородов С6Н14-С10Н22	0,042	0,0000033	0,00003
154	Организованный	Свеча МКУ-383	1	0,05	15,3	0,06	241	160	-	-	-	32,69	0,08342	20	ГОУ отсутствуют	410	Метан	117,166	0,0091068	0,081964
																415	Смесь предельных углеводородов С1Н4- С5Н12	3,548	0,0002758	0,002483
																416	Смесь предельных углеводородов С6Н14-С10Н22	0,042	0,0000033	0,00003
155	Организованный	Свеча МКУ-384	1	0,05	15,3	0,06	235	130	-	-	-	32,69	0,08342	20	ГОУ отсутствуют	410	Метан	117,166	0,0091068	0,081964
																415	Смесь предельных углеводородов С1Н4- С5Н12	3,548	0,0002758	0,002483
																416	Смесь предельных углеводородов С6Н14-С10Н22	0,042	0,0000033	0,00003
156	Организованный	Дымовая труба	1	8760	6,3	0,25	261	234	-	-	-	291,5	14,309	448	ГОУ отсутствуют	301	Азота диоксид (Двуокись азота; пероксид азота)	89,332	0,484	15,263424
																304	Азот (II) оксид (Азот монооксид)	87,099	0,4719	14,8818385
																337	Углерода оксид (Углерод окись; углерод моноокись; угарный газ)	221,485	1,2	37,8432
																410	Метан	311,648	1,6885	53,2485
																415	Смесь предельных углеводородов С1Н4-С5Н12	46,789	0,2535	7,9944

№ ИЗАВ	Тип ИЗАВ	Наименование ИЗАВ	Число ИЗАВ, объединенных под одним номером	Время работы, ч/год	Высота источника, (м)	Диаметр, м	Координаты источника на карте - схеме				Ширина площадного источника, м	Скорость выхода ГВС, м/с, фактическая/осредненная	Объем (расход) ГВС, м3/с (при фактических условиях) /осредненный/	Температура ГВС, град С /осредненная/	Наименование газоочистных установок и степень очистки	ЗВ, выбрасываемые в атмосферный воздух (для каждого режима				Итого за год выброс вещества источником, т/год
							X1	Y1	X2	Y2						Код	Наименование	Концентрация, мг/м3	Мощность выброса, г/с	
1	2	3	4	5	6	7	8	9	10	11	12	13	14	15	16	17	18	19	20	21
																2735	Масло минеральное нефтяное (веретенное, машинное, цилиндровое и	0,05	0,0002715	0,000001
157	Организованный	Дымовая труба	1	8760	6,3	0,25	259	232	-	-	-	291,5	14,309	448	ГОУ отсутствуют	301	Азота диоксид (Двуокись азота; пероксид азота)	89,332	0,484	15,263424
																304	Азот (II) оксид (Азот монооксид)	87,099	0,4719	14,8818385
																337	Углерода оксид (Углерод окись; углерод моноокись; угарный газ)	221,485	1,2	37,8432
																410	Метан	311,648	1,6885	53,2485
																415	Смесь предельных углеводородов С1Н4- С5Н12	46,789	0,2535	7,9944
																2735	Масло минеральное нефтяное (веретенное, машинное, цилиндровое и	0,05	0,0002715	0,000001
158	Организованный	Дымовая труба	1	8760	6,3	0,25	250	204	-	-	-	291,5	14,309	448	ГОУ отсутствуют	301	Азота диоксид (Двуокись азота; пероксид азота)	89,332	0,484	15,263424
																304	Азот (II) оксид (Азот монооксид)	87,099	0,4719	14,8818385
																337	Углерода оксид (Углерод окись; углерод моноокись; угарный газ)	221,485	1,2	37,8432
																410	Метан	311,648	1,6885	53,2485
																415	Смесь предельных углеводородов С1Н4- С5Н12	46,789	0,2535	7,9944
																2735	Масло минеральное нефтяное (веретенное, машинное, цилиндровое и	0,05	0,0002715	0,000001
159	Организованный	Дымовая труба	1	8760	6,3	0,25	250	202	-	-	-	291,5	14,309	448	ГОУ отсутствуют	301	Азота диоксид (Двуокись азота; пероксид азота)	89,332	0,484	15,263424
																304	Азот (II) оксид (Азот монооксид)	87,099	0,4719	14,8818385
																337	Углерода оксид (Углерод окись; углерод моноокись; угарный газ)	221,485	1,2	37,8432
																410	Метан	311,648	1,6885	53,2485

№ ИЗАВ	Тип ИЗАВ	Наименование ИЗАВ	Число ИЗАВ, объединенных под одним номером	Время работы, ч/год	Высота источника, (м)	Диаметр, м	Координаты источника на карте - схеме				Ширина площадного источника, м	Скорость выхода ГВС, м/с, фактическая/осредненная	Объем (расход) ГВС, м3/с (при фактических условиях) /осредненный/	Температура ГВС, град С /осредненная/	Наименование газоочистных установок и степень очистки	ЗВ, выбрасываемые в атмосферный воздух (для каждого режима				Итого за год выброс вещества источником, т/год
							X1	Y1	X2	Y2						Код	Наименование	Концентрация, мг/м3	Мощность выброса, г/с	
1	2	3	4	5	6	7	8	9	10	11	12	13	14	15	16	17	18	19	20	21
																415	Смесь предельных углеводородов С1Н4- С5Н12	46,789	0,2535	7,9944
																2735	Масло минеральное нефтяное (веретенное, машинное, цилиндровое и	0,05	0,0002715	0,000001
160	Организованный	Дымовая труба	1	8760	6,3	0,25	240	174	-	-	-	291,5	14,309	448	ГОУ отсутствуют	301	Азота диоксид (Двуокись азота; пероксид азота)	89,332	0,484	15,263424
																304	Азот (II) оксид (Азот монооксид)	87,099	0,4719	14,8818385
																337	Углерода оксид (Углерод окись; углерод моноокись; угарный газ)	221,485	1,2	37,8432
																410	Метан	311,648	1,6885	53,2485
																415	Смесь предельных углеводородов С1Н4- С5Н12	46,789	0,2535	7,9944
																2735	Масло минеральное нефтяное (веретенное, машинное, цилиндровое и	0,05	0,0002715	0,000001
161	Организованный	Дымовая труба	1	8760	6,3	0,25	240	172	-	-	-	291,5	14,309	448	ГОУ отсутствуют	301	Азота диоксид (Двуокись азота; пероксид азота)	89,332	0,484	15,263424
																304	Азот (II) оксид (Азот монооксид)	87,099	0,4719	14,8818385
																337	Углерода оксид (Углерод окись; углерод моноокись; угарный газ)	221,485	1,2	37,8432
																410	Метан	311,648	1,6885	53,2485
																415	Смесь предельных углеводородов С1Н4- С5Н12	46,789	0,2535	7,9944
																2735	Масло минеральное нефтяное (веретенное, машинное, цилиндровое и	0,05	0,0002715	0,000001
162	Организованный	Дымовая труба	1	8760	6,3	0,25	230	145	-	-	-	291,5	14,309	448	ГОУ отсутствуют	301	Азота диоксид (Двуокись азота; пероксид азота)	89,332	0,484	15,263424
																304	Азот (II) оксид (Азот монооксид)	87,099	0,4719	14,8818385

№ ИЗАВ	Тип ИЗАВ	Наименование ИЗАВ	Число ИЗАВ, объединенных под одним номером	Время работы, ч/год	Высота источника, (м)	Диаметр, м	Координаты источника на карте - схеме				Ширина площадного источника, м	Скорость выхода ГВС, м/с, фактическая/осредненная	Объем (расход) ГВС, м3/с (при фактических условиях) /осредненный/	Температура ГВС, град С /осредненная/	Наименование газоочистных установок и степень очистки	ЗВ, выбрасываемые в атмосферный воздух (для каждого режима				Итого за год выброс вещества источником, т/год
							X1	Y1	X2	Y2						Код	Наименование	Концентрация, мг/м3	Мощность выброса, г/с	
1	2	3	4	5	6	7	8	9	10	11	12	13	14	15	16	17	18	19	20	21
																337	Углерода оксид (Углерод окись; углерод моноокись; угарный газ)	221,485	1,2	37,8432
																410	Метан	311,648	1,6885	53,2485
																415	Смесь предельных углеводородов С1Н4- С5Н12	46,789	0,2535	7,9944
																2735	Масло минеральное нефтяное (веретенное, машинное, цилиндровое и	0,05	0,0002715	0,000001
163	Организованный	Дымовая труба	1	8760	6,3	0,25	230	142	-	-	-	291,5	14,309	448	ГОУ отсутствуют	301	Азота диоксид (Двуокись азота; пероксид азота)	89,332	0,484	15,263424
																304	Азот (II) оксид (Азот моноксид)	87,099	0,4719	14,8818385
																337	Углерода оксид (Углерод окись; углерод моноокись; угарный газ)	221,485	1,2	37,8432
																410	Метан	311,648	1,6885	53,2485
																415	Смесь предельных углеводородов С1Н4- С5Н12	46,789	0,2535	7,9944
																2735	Масло минеральное нефтяное (веретенное, машинное, цилиндровое и	0,05	0,0002715	0,000001
6244	Неорганизованный	Неплотности соединений МКУ- 381	1	8760	2	-	284	225	293	222	5	-	-	-	ГОУ отсутствуют	410	Метан	-	0,0420394	1,325754
																415	Смесь предельных углеводородов С1Н4- С5Н12	-	0,0012733	0,040155
																416	Смесь предельных углеводородов С6Н14-С10Н22	-	0,0000153	0,000483
6245	Неорганизованный	Неплотности соединений МКУ-382	1	8760	2	-	273	193	283	192	5	-	-	-	ГОУ отсутствуют	410	Метан	-	0,0420394	1,325754
																415	Смесь предельных углеводородов С1Н4- С5Н12	-	0,0012733	0,040155
																416	Смесь предельных углеводородов С6Н14-С10Н22	-	0,0000153	0,000483
6246	Неорганизованный	Неплотности соединений МКУ- 383	1	8760	2	-	262	165	271	160	6	-	-	-	ГОУ отсутствуют	410	Метан	-	0,0420394	1,325754
																415	Смесь предельных углеводородов С1Н4- С5Н12	-	0,0012733	0,040155
																416	Смесь предельных углеводородов С6Н14-С10Н22	-	0,0000153	0,000483

№ ИЗАВ	Тип ИЗАВ	Наименование ИЗАВ	Число ИЗАВ, объединенных под одним номером	Время работы, ч/год	Высота источника, (м)	Диаметр, м	Координаты источника на карте - схеме				Ширина площадного источника, м	Скорость выхода ГВС, м/с, фактическая/осредненная	Объем (расход) ГВС, м3/с (при фактических условиях) /осредненный/	Температура ГВС, град С /осредненная/	Наименование газоочистных установок и степень очистки	ЗВ, выбрасываемые в атмосферный воздух (для каждого режима				Итого за год выброс вещества источником, т/год
							X1	Y1	X2	Y2						Код	Наименование	Концентрация, мг/м3	Мощность выброса, г/с	
1	2	3	4	5	6	7	8	9	10	11	12	13	14	15	16	17	18	19	20	21
6247	Неорганизованный	Неплотности соединений МКУ- 384	1	8760	2	-	236	140	242	138	5	-	-	-	ГОУ отсутствуют	410	Метан	-	0,0420394	1,325754
																415	Смесь предельных углеводородов С1Н4- С5Н12	-	0,0012733	0,040155
																416	Смесь предельных углеводородов С6Н14-С10Н22	-	0,0000153	0,000483
Площадка: УКПГ Цех: Блок сепараторов входных																				
164	Организованный	Свеча от С-380-1-1	1	0,05	6,38	0,06	276	250	-	-	-	0,41	0,00105	20	ГОУ отсутствуют	410	Метан	37,104	0,0000363	6,54E-09
																415	Смесь предельных углеводородов С1Н4- С5Н12	236032,173	0,2309168	0,000042
																416	Смесь предельных углеводородов С6Н14-С10Н22	506908,297	0,4959224	0,000089
165	Организованный	Свеча от С-380-1-2	1	0,05	6,38	0,06	283	248	-	-	-	0,41	0,00105	20	ГОУ отсутствуют	410	Метан	37,104	0,0000363	6,54E-09
																415	Смесь предельных углеводородов С1Н4- С5Н12	236032,173	0,2309168	0,000042
																416	Смесь предельных углеводородов С6Н14-С10Н22	506908,297	0,4959224	0,000089
6248	Неорганизованный	Блок сепараторов входных С-380-1-1, С-380-1-2	1	8760	2	-	272	252	286	248	4	-	-	-	ГОУ отсутствуют	410	Метан	-	0,0000012	0,0000401
																415	Смесь предельных углеводородов С1Н4-С5Н12	-	0,0078319	0,24699
																416	Смесь предельных углеводородов С6Н14-С10Н22	-	0,0168201	0,530441
Площадка: УКПГ Цех: Модуль насосов конденсата МИК-380																				
6249	Неорганизованный	Модуль насосов конденсата МИК-380	1	8760	2	-	257	271	260	270	5	-	-	-	ГОУ отсутствуют	410	Метан	-	0,0000012	0,0000371
																415	Смесь предельных углеводородов С1Н4- С5Н12	-	0,0074883	0,23615
																416	Смесь предельных углеводородов С6Н14-С10Н22	-	0,016082	0,507162
Площадка: УКПГ Цех: Блок емкостей дренажных																				
166	Организованный	Свеча Е-380-3	1	0,05	7,41	0,01	289	246	-	-	-	0,51	0,00004	20	ГОУ отсутствуют	410	Метан	37,564	0,0000014	2,57E-10
																415	Смесь предельных углеводородов С1Н4-С5Н12	242994,13	0,0090563	0,000002
																416	Смесь предельных углеводородов С6Н14-С10Н22	521861,978	0,0194496	0,000004
167	Организованный	Свеча Е-380-1	1	0,05	3	0,01	305	237	-	-	-	0,25	0,00002	20	ГОУ отсутствуют	2735	Масло минеральное нефтяное (веретенное, машинное, цилиндровое)	772371,612	0,014393	0,000003
6250			1	8760	2	-	288	246	290	245	8	-	-	-		410	Метан	-	1,98E-08	0,000001

№ ИЗАВ	Тип ИЗАВ	Наименование ИЗАВ	Число ИЗАВ, объединенных под одним номером	Время работы, ч/год	Высота источника, (м)	Диаметр, м	Координаты источника на карте - схеме				Ширина площадного источника, м	Скорость выхода ГВС, м/с, фактическая/осредненная	Объем (расход) ГВС, м3/с (при фактических условиях) /осредненный/	Температура ГВС, град С /осредненная/	Наименование газоочистных установок и степень очистки	ЗВ, выбрасываемые в атмосферный воздух (для каждого режима				Итого за год выброс вещества источником, т/год
							X1	Y1	X2	Y2						Код	Наименование	Концентрация, мг/м3	Мощность выброса, г/с	
1	2	3	4	5	6	7	8	9	10	11	12	13	14	15	16	17	18	19	20	21
	Неорганизованный	Емкость дренажная сепараторов Е-380-3													ГОУ отсутствуют	415	Смесь предельных углеводородов С1Н4- С5Н12	-	0,0001257	0,003962
																416	Смесь предельных углеводородов С6Н14-С10Н22	-	0,0002698	0,00851
6251	Неорганизованный	Емкость дренажная сепараторов Е-380-1	1	8760	2	-	304	237	306	237	2	-	-	-	ГОУ отсутствуют	2735	Масло минеральное нефтяное (веретенное, машинное, цилиндровое)	-	0,0011448	0,036101
Площадка: УКПГ Цех: Установка налива ингибитора																				
168	Организованный	Свеча Е-722	1	0,05	6	0,06	151	48	-	-	-	0,02	0,00006	20	ГОУ отсутствуют	1052	Метанол (Карбинол; метиловый спирт; метилгидроксид)	818092,491	0,045735	0,000008
169	Организованный	Свеча Е-723	1	0,05	10,5	0,06	138	51	-	-	-	3,92E-03	0,00001	20	ГОУ отсутствуют	1052	Метанол (Карбинол; метиловый спирт; метилгидроксид)	785411,722	0,007318	0,000001
170	Организованный	Свеча Е-724	1	0,05	10,5	0,06			-	-	-	3,92E-03	0,00001	20	ГОУ отсутствуют	1052	Метанол (Карбинол; метиловый спирт; метилгидроксид)	1227165,568	0,011434	0,000002
171	Организованный	Свеча Е-725	1	0,05	2	0,06	133	37	-	-	-	3,92E-03	0,00001	20	ГОУ отсутствуют	1052	Метанол (Карбинол; метиловый спирт; метилгидроксид)	584604,762	0,005447	0,000001
172	Организованный	СвечаЕ-721	1	0,05	2	0,06	146	37	-	-	-	0,05	0,00013	20	ГОУ отсутствуют	1052	Метанол (Карбинол; метиловый спирт; метилгидроксид)	843087,067	0,10212	0,000018
173	Организованный	Свеча Е-482	1	0,05	4	0,1	144	32	-	-	-	0,03	0,00021	20	ГОУ отсутствуют	333	Дигидросульфид (Водород сернистый, дигидросульфид, гидросульфид)	2627,954	0,0005142	0,0000001
																2754	Алканы С12-19 (в пересчете на С)	935993,687	0,1831417	0,000033
6252	Неорганизованный	Установка налива ингибитора	1	8760	2	-	118	-8	124	-10	2	-	-	-	ГОУ отсутствуют	1052	Метанол (Карбинол; метиловый спирт; метилгидроксид)	-	0,0396727	1,251098
6253	Неорганизованный	Емкость дренажная Е-725	1	8760	2	-	126	15	127	15	2	-	-	-	ГОУ отсутствуют	1052	Метанол (Карбинол; метиловый спирт; метилгидроксид)	-	0,004045	0,127566
6254	Неорганизованный	Блок емкостей дренажных	1	8760	2	-	144	36	151	33	2	-	-	-	ГОУ отсутствуют	333	Дигидросульфид (Водород сернистый, дигидросульфид, гидросульфид)	-	0,000094	0,002977
																1052	Метанол (Карбинол; метиловый спирт; метилгидроксид)	-	0,001719	0,054213
																2754	Алканы С12-19 (в пересчете на С)	-	0,033616	1,060115
Площадка: УКПГ Цех: Узел коммерческого учета газового конденсата																				
174		Свеча УКУГК	1	0,05	10	0,06	493	262	-	-	-	1,42	0,00363	20		410	Метан	37,076	0,0001254	2,26E-08

№ ИЗАВ	Тип ИЗАВ	Наименование ИЗАВ	Число ИЗАВ, объединенных под одним номером	Время работы, ч/год	Высота источника, (м)	Диаметр, м	Координаты источника на карте - схеме				Ширина площадного источника, м	Скорость выхода ГВС, м/с, фактическая/осредненная	Объем (расход) ГВС, м3/с (при фактических условиях) /осредненный/	Температура ГВС, град С /осредненная/	Наименование газоочистных установок и степень очистки	ЗВ, выбрасываемые в атмосферный воздух (для каждого режима				Итого за год выброс вещества источником, т/год
							X1	Y1	X2	Y2						Код	Наименование	Концентрация, мг/м3	Мощность выброса, г/с	
1	2	3	4	5	6	7	8	9	10	11	12	13	14	15	16	17	18	19	20	21
	Организованный														ГОУ отсутствуют	415	Смесь предельных углеводородов С1Н4- С5Н12	235629,992	0,7969521	0,000143
																416	Смесь предельных углеводородов С6Н14-С10Н22	506044,519	1,7115531	0,000308
175	Организованный	Свеча БМП-302	1	0,05	10	0,06	495	261	-	-	-	1,82	0,00465	20	ГОУ отсутствуют	410	Метан	37,091	0,0001607	2,89E-08
																415	Смесь предельных углеводородов С1Н4- С5Н12	235676,718	1,0210915	0,000184
																416	Смесь предельных углеводородов С6Н14-С10Н22	506144,881	2,1929202	0,000395
6255	Неорганизованный	Узел коммерческого учета газового конденсата	1	8760	2	-	492	264	498	263	2	-	-	-	ГОУ отсутствуют	410	Метан	-	0,0000007	0,0000242
																415	Смесь предельных углеводородов С1Н4- С5Н12	-	0,0048893	0,154187
																416	Смесь предельных углеводородов С6Н14-С10Н22	-	0,0105002	0,331137
																1052	Метанол (Карбинол; метиловый спирт; метилгидроксид)	-	0,000231	0,007278
Площадка: УКПГ Цех: Емкость аварийного слива дренажа Е-171																				
176	Организованный	Свеча Е-171	1	0,05	6	0,06	488	263	-	-	-	3,92E-03	0,00001	20	ГОУ отсутствуют	410	Метан	42,93	0,0000004	6,50E-11
																415	Смесь предельных углеводородов С1Н4- С5Н12	246162,93	0,0022936	0,0000004
																416	Смесь предельных углеводородов С6Н14-С10Н22	528666,447	0,0049258	0,000001
6256	Неорганизованный	Дренажная емкость Е-171	1	8760	2	-	488	262	489	266	2	-	-	-	ГОУ отсутствуют	410	Метан	-	0,0000007	0,000023
																415	Смесь предельных углеводородов С1Н4-С5Н12	-	0,0047037	0,14832
																416	Смесь предельных углеводородов С6Н14-С10Н22	-	0,0101003	0,318536
Площадка: УКПГ Цех: Установки факельные																				
177	Организованный	Факельная установка Ф-361	1	8760	60	2,14	870	282	-	-	-	2,13	7,66	1740,4	ГОУ отсутствуют	301	Азота диоксид (Двуокись азота; пероксид азота)	1265,54	1,3146227	41,457939
																304	Азот (II) оксид (Азот монооксид)	1233,901	1,281757	40,421491
																328	Углерод (Пигмент черный)	2109,233	2,1910377	69,096565
																337	Углерода оксид (Углерод окись; углерод моноокись; угарный газ)	21092,33	21,9103772	690,965654
																410	Метан	527,308	0,5477595	17,274141

№ ИЗАВ	Тип ИЗАВ	Наименование ИЗАВ	Число ИЗАВ, объединенных под одним номером	Время работы, ч/год	Высота источника, (м)	Диаметр, м	Координаты источника на карте - схеме				Ширина площадного источника, м	Скорость выхода ГВС, м/с, фактическая/осредненная	Объем (расход) ГВС, м3/с (при фактических условиях) /осредненный/	Температура ГВС, град С /осредненная/	Наименование газоочистных установок и степень очистки	ЗВ, выбрасываемые в атмосферный воздух (для каждого режима				Итого за год выброс вещества источником, т/год
							X1	Y1	X2	Y2						Код	Наименование	Концентрация, мг/м3	Мощность выброса, г/с	
1	2	3	4	5	6	7	8	9	10	11	12	13	14	15	16	17	18	19	20	21
178	Организованный	Факельная установка Ф-362	1	8760	60	0,92	873	281	-	-	-	0,095	0,143	1740,4	ГОУ отсутствуют	301	Азота диоксид (Двуокись азота; пероксид азота)	7325,805	1,274402	40,189541
																304	Азот (II) оксид (Азот монооксид)	7142,659	1,2425419	39,184803
																328	Углерод (Пигмент черный)	12209,675	2,1240034	66,982569
																337	Углерода оксид (Углерод окись; углерод моноокись; угарный газ)	122096,744	21,2400334	669,825692
																410	Метан	3052,419	0,5310009	0,6007836
179	Организованный	Свеча сепаратора Ф-361	1	0,05	8	0,06	581	217	-	-	-	0,43	0,00109	20	ГОУ отсутствуют	410	Метан	716760,789	0,7279403	0,000131
																415	Смесь предельных углеводородов С1Н4- С5Н12	88642,913	0,0900255	0,000016
																416	Смесь предельных углеводородов С6Н14- С10Н22	261,226	0,0002653	4,78E-08
180	Организованный	Свеча сепаратора Ф-361	1	0,05	8	0,06	581	215	-	-	-	0,43	0,00109	20	ГОУ отсутствуют	410	Метан	716760,789	0,7279403	0,000131
																415	Смесь предельных углеводородов С1Н4- С5Н12	88642,913	0,0900255	0,000016
																416	Смесь предельных углеводородов С6Н14-С10Н22	261,226	0,0002653	4,78E-08
181	Организованный	Свеча сепаратора Ф-362	1	0,05	5	0,06	587	214	-	-	-	0,01	0,00003	20	ГОУ отсутствуют	410	Метан	744066,166	0,0207983	0,000004
																415	Смесь предельных углеводородов С1Н4- С5Н12	92021,319	0,0025722	0,0000005
																416	Смесь предельных углеводородов С6Н14-С10Н22	271,893	0,0000076	1,36E-09
182	Организованный	Свеча сепаратора Ф-362	1	0,05	5	0,06	587	212	-	-	-	0,01	0,00003	20	ГОУ отсутствуют	410	Метан	744066,166	0,0207983	0,000004
																415	Смесь предельных углеводородов С1Н4-С5Н12	92021,319	0,0025722	0,0000005
																416	Смесь предельных углеводородов С6Н14-С10Н22	271,893	0,0000076	1,36E-09
183	Организованный	Свеча емкости факела высокого давления	1	0,05	9	0,1	590	234	-	-	-	0,02	0,00017	20	ГОУ отсутствуют	410	Метан	726341,381	0,1150495	0,000021
																415	Смесь предельных углеводородов С1Н4- С5Н12	89828,08	0,0142284	0,0000026
																416	Смесь предельных углеводородов С6Н14-С10Н22	264,527	0,0000419	7,55E-09
184	Организованный	Свеча ем кости факела низкого давления	1	0,05	9	0,1	590	237	-	-	-	0,02	0,00017	20	ГОУ отсутствуют	410	Метан	726341,381	0,1150495	0,000021
																415	Смесь предельных углеводородов С1Н4- С5Н12	89828,08	0,0142284	0,0000026

№ ИЗАВ	Тип ИЗАВ	Наименование ИЗАВ	Число ИЗАВ, объединенных под одним номером	Время работы, ч/год	Высота источника, (м)	Диаметр, м	Координаты источника на карте - схеме				Ширина площадного источника, м	Скорость выхода ГВС, м/с, фактическая/осредненная	Объем (расход) ГВС, м3/с (при фактических условиях) /осредненный/	Температура ГВС, град С /осредненная/	Наименование газоочистных установок и степень очистки	ЗВ, выбрасываемые в атмосферный воздух (для каждого режима				Итого за год выброс вещества источником, т/год
							X1	Y1	X2	Y2						Код	Наименование	Концентрация, мг/м3	Мощность выброса, г/с	
1	2	3	4	5	6	7	8	9	10	11	12	13	14	15	16	17	18	19	20	21
																416	Смесь предельных углеводородов С6Н14-С10Н22	264,527	0,0000419	7,55E-09
6257	Неорганизованный	Блок сепараторов факельных Ф-361	1	8760	2	-	583	210	590	228	2	-	-	-	ГОУ отсутствуют	410	Метан	-	0,002607	0,082215
																415	Смесь предельных углеводородов С1Н4- С5Н12	-	0,0003224	0,010168
																416	Смесь предельных углеводородов С6Н14-С10Н22	-	0,0000009	0,00003
6258	Неорганизованный	Блок емкостей дренажных	1	8760	2	-	589	234	596	232	2	-	-	-	ГОУ отсутствуют	410	Метан	-	0,0022966	0,072413
																415	Смесь предельных углеводородов С1Н4- С5Н12	-	0,0002839	0,008955
																416	Смесь предельных углеводородов С6Н14-С10Н22	-	0,0000009	0,0000265
6259	Неорганизованный	Узел коммерческого учета газа	1	8760	2	-	543	230	548	241	2	-	-	-	ГОУ отсутствуют	410	Метан	-	0,0175817	0,554456
																415	Смесь предельных углеводородов С1Н4-С5Н12	-	0,0021744	0,06857
																416	Смесь предельных углеводородов С6Н14-С10Н22	-	0,0000064	0,0002018
Площадка: УКПГ Цех: Установка утилизации промстоков																				
6260	Неорганизованный	Установка утилизации промстоков	1	8760	2	-	708	384	706	383	2	-	-	-	ГОУ отсутствуют	301	Азота диоксид (Двуокись азота; пероксид азота)	-	1,395978	44,023562
																304	Азот (II) оксид (Азот монооксид)	-	1,3610785	42,922973
																328	Углерод (Пигмент черный)	-	0,2117677	6,678306
																337	Углерода оксид (Углерод окись; углерод моноокись; угарный газ)	-	23,2662999	733,726033
																410	Метан	-	0,5816575	18,343151
Площадка: УКПГ Цех: Установка подготовки топливного, пускового газов																				
185	Организованный	Дымовая труба подогревателя газа ПГ-1	1	4380	6	0,43	574	234	-	-	-	0,66	0,09513	30	ГОУ отсутствуют	301	Азота диоксид (Двуокись азота; пероксид азота)	1636,601	0,140275	2,211839
																304	Азот (II) оксид (Азот монооксид)	1595,687	0,1367682	2,156543
																337	Углерода оксид (Углерод окись; углерод моноокись; угарный газ)	4082,175	0,3498881	5,517
																703	Бенз/а/пирен	0,012	0,000001	0,000164
186			1	0,05	10	0,03	568	234	-	-	-	0,02	0,00001	20		410	Метан	498121,465	0,0046412	0,000001

№ ИЗАВ	Тип ИЗАВ	Наименование ИЗАВ	Число ИЗАВ, объединенных под одним номером	Время работы, ч/год	Высота источника, (м)	Диаметр, м	Координаты источника на карте - схеме				Ширина площадного источника, м	Скорость выхода ГВС, м/с, фактическая/осредненная	Объем (расход) ГВС, м3/с (при фактических условиях) /осредненный/	Температура ГВС, град С /осредненная/	Наименование газоочистных установок и степень очистки	ЗВ, выбрасываемые в атмосферный воздух (для каждого режима				Итого за год выброс вещества источником, т/год
							X1	Y1	X2	Y2						Код	Наименование	Концентрация, мг/м3	Мощность выброса, г/с	
1	2	3	4	5	6	7	8	9	10	11	12	13	14	15	16	17	18	19	20	21
	Организованный	Свеча стравливания ПГ-1													ГОУ отсутствуют	415	Смесь предельных углеводородов С1Н4-С5Н12	61605,128	0,000574	0,0000001
																416	Смесь предельных углеводородов С6Н14-С10Н22	182,454	0,0000017	3,04E-10
187	Организованный	Дымовая труба подогревателя газа ПГ-2	1	4380	6	0,43	573	233	-	-	-	0,66	0,09513	30	ГОУ отсутствуют	301	Азота диоксид (Двуокись азота; пероксид азота)	1636,601	0,140275	2,211839
																304	Азот (II) оксид (Азот монооксид)	1595,687	0,1367682	2,156543
																337	Углерода оксид (Углерод окись; углерод моноокись; угарный газ)	4082,175	0,3498881	5,517
																703	Бенз/а/пирен	0,012	0,000001	0,000164
188	Организованный	Свеча стравливания ПГ-2	1	0,05	10	0,03	568	233	-	-	-	0,02	0,00001	20	ГОУ отсутствуют	410	Метан	498121,465	0,0046412	0,000001
																415	Смесь предельных углеводородов С1Н4- С5Н12	61605,128	0,000574	0,0000001
																416	Смесь предельных углеводородов С6Н14- С10Н22	182,454	0,0000017	3,04E-10
189	Организованный	Дымовая труба подогревателя газа ПГ-3	1	4380	6	0,43	572	232	-	-	-	0,66	0,09513	30	ГОУ отсутствуют	301	Азота диоксид (Двуокись азота; пероксид азота)	1636,601	0,140275	2,211839
																304	Азот (II) оксид (Азот монооксид)	1595,687	0,1367682	2,156543
																337	Углерода оксид (Углерод окись; углерод моноокись; угарный газ)	4082,175	0,3498881	5,517
																703	Бенз/а/пирен	0,012	0,000001	0,000164
190	Организованный	Свеча стравливания ПГ-3	1	0,05	10	0,03	568	231	-	-	-	0,02	0,00001	20	ГОУ отсутствуют	410	Метан	498121,465	0,0046412	0,000001
																415	Смесь предельных углеводородов С1Н4- С5Н12	61605,128	0,000574	0,0000001
																416	Смесь предельных углеводородов С6Н14-С10Н22	182,454	0,0000017	3,04E-10
191	Организованный	Дымовая труба подогревателя газа ПГ-4	1	4380	6	0,43	571	234	-	-	-	0,66	0,09513	30	ГОУ отсутствуют	301	Азота диоксид (Двуокись азота; пероксид азота)	1636,601	0,140275	2,211839
																304	Азот (II) оксид (Азот монооксид)	1595,687	0,1367682	2,156543
																337	Углерода оксид (Углерод окись; углерод моноокись; угарный газ)	4082,175	0,3498881	5,517

№ ИЗАВ	Тип ИЗАВ	Наименование ИЗАВ	Число ИЗАВ, объединенных под одним номером	Время работы, ч/год	Высота источника, (м)	Диаметр, м	Координаты источника на карте - схеме				Ширина площадного источника, м	Скорость выхода ГВС, м/с, фактическая/осредненная	Объем (расход) ГВС, м3/с (при фактических условиях) /осредненный/	Температура ГВС, град С /осредненная/	Наименование газоочистных установок и степень очистки	ЗВ, выбрасываемые в атмосферный воздух (для каждого режима				Итого за год выброс вещества источником, т/год
							X1	Y1	X2	Y2						Код	Наименование	Концентрация, мг/м3	Мощность выброса, г/с	
1	2	3	4	5	6	7	8	9	10	11	12	13	14	15	16	17	18	19	20	21
																410	Метан	0,012	0,000001	0,000164
																703	Бенз/а/пирен	0,012	0,000001	0,0000164
192	Организованный	Свеча стравливания ПГ-4	1	0,05	10	0,03	568	230	-	-	-	0,02	0,00001	20	ГОУ отсутствуют	410	Метан	498121,465	0,0046412	0,000001
																415	Смесь предельных углеводородов С1Н4-С5Н12	61605,128	0,000574	0,0000001
																416	Смесь предельных углеводородов С6Н14-С10Н22	182,454	0,0000017	3,04E-10
193	Организованный	Дымовая труба подогревателя газа ПГ-5	1	4380	6	0,43	570	235	-	-	-	0,66	0,09513	30	ГОУ отсутствуют	301	Азота диоксид (Двуокись азота; пероксид азота)	1636,601	0,140275	2,211839
																304	Азот (II) оксид (Азот монооксид)	1595,687	0,1367682	2,156543
																337	Углерода оксид (Углерод окись; углерод моноокись; угарный газ)	4082,175	0,3498881	5,517
																703	Бенз/а/пирен	0,012	0,000001	0,000164
194	Организованный	Свеча стравливания ПГ-5	1	0,05	10	0,03	567	229	-	-	-	0,02	0,00001	20	ГОУ отсутствуют	410	Метан	498121,465	0,0046412	0,000001
																415	Смесь предельных углеводородов С1Н4- С5Н12	61605,128	0,000574	0,0000001
																416	Смесь предельных углеводородов С6Н14-С10Н22	182,454	0,0000017	3,04E-10
195	Организованный	Дымовая труба подогревателя газа ПГ-6	1	4380	6	0,43	569	235	-	-	-	0,66	0,09513	30	ГОУ отсутствуют	301	Азота диоксид (Двуокись азота; пероксид азота)	1636,601	0,140275	2,211839
																304	Азот (II) оксид (Азот монооксид)	1595,687	0,1367682	2,156543
																337	Углерода оксид (Углерод окись; углерод моноокись; угарный газ)	4082,175	0,3498881	5,517
																703	Бенз/а/пирен	0,012	0,000001	0,000164
196	Организованный	Свеча стравливания ПГ-6	1	0,05	10	0,03	566	228	-	-	-	0,02	0,00001	20	ГОУ отсутствуют	410	Метан	498121,465	0,0046412	0,000001
																415	Смесь предельных углеводородов С1Н4-С5Н12	61605,128	0,000574	0,0000001
																416	Смесь предельных углеводородов С6Н14-С10Н22	182,454	0,0000017	3,04E-10
197	Организованный	Свеча стравливания ФС-1	1	0,05	10	0,06	565	225	-	-	-	3,5	0,00894	10	ГОУ отсутствуют	410	Метан	693654,02	5,9821409	0,001077
																415	Смесь предельных углеводородов С1Н4- С5Н12	85785,275	0,7398207	0,000133

№ ИЗАВ	Тип ИЗАВ	Наименование ИЗАВ	Число ИЗАВ, объединенных под одним номером	Время работы, ч/год	Высота источника, (м)	Диаметр, м	Координаты источника на карте - схеме				Ширина площадного источника, м	Скорость выхода ГВС, м/с, фактическая/осредненная	Объем (расход) ГВС, м3/с (при фактических условиях) /осредненный/	Температура ГВС, град С /осредненная/	Наименование газоочистных установок и степень очистки	ЗВ, выбрасываемые в атмосферный воздух (для каждого режима				Итого за год выброс вещества источником, т/год
							X1	Y1	X2	Y2						Код	Наименование	Концентрация, мг/м3	Мощность выброса, г/с	
1	2	3	4	5	6	7	8	9	10	11	12	13	14	15	16	17	18	19	20	21
																416	Смесь предельных углеводородов С6Н14-С10Н22	252,78	0,00218	0,0000004
198	Организованный	Свеча стравливания ФС-2	1	0,05	10	0,06	564	225	-	-	-	3,5	0,00894	10	ГОУ отсутствуют	410	Метан	693654,02	5,9821409	0,001077
																415	Смесь предельных углеводородов С1Н4- С5Н12	85785,275	0,7398207	0,000133
																416	Смесь предельных углеводородов С6Н14-С10Н22	252,78	0,00218	0,0000004
199	Организованный	Свеча стравливания ФК-1	1	0,05	10	0,06	564	224	-	-	-	3,5	0,00894	10	ГОУ отсутствуют	410	Метан	693654,02	5,9821409	0,001077
																415	Смесь предельных углеводородов С1Н4- С5Н12	85785,275	0,7398207	0,000133
																416	Смесь предельных углеводородов С6Н14-С10Н22	252,78	0,00218	0,0000004
200	Организованный	Свеча стравливания ФК-2	1	0,05	10	0,06	564	223	-	-	-	3,5	0,00894	10	ГОУ отсутствуют	410	Метан	693654,02	5,9821409	0,001077
																415	Смесь предельных углеводородов С1Н4- С5Н12	85785,275	0,7398207	0,000133
																416	Смесь предельных углеводородов С6Н14-С10Н22	252,78	0,00218	0,0000004
6261	Неорганизованный	Установка подготовки топливного, пускового, импульсного газов и газа собственных нужд	1	8760	2	-	566	235	562	221	2	-	-	-	ГОУ отсутствуют	410	Метан	-	0,2635066	8,306076
																415	Смесь предельных углеводородов С1Н4- С5Н12	-	0,0325883	1,027225
																416	Смесь предельных углеводородов С6Н14-С10Н22	-	0,0000961	0,0030091
Площадка: УКПГ Цех: Ресивер импульсного газа																				
201	Организованный	Свеча стравливания РИГ-44	1	0,05	8	0,06	564	237	-	-	-	7,26	0,01852	10	ГОУ отсутствуют	410	Метан	693430,445	12,3885392	0,00223
																415	Смесь предельных углеводородов С1Н4- С5Н12	85757,627	1,53211	0,000276
																416	Смесь предельных углеводородов С6Н14-С10Н22	252,704	0,0045147	0,0000008
6262	Неорганизованный	Ресивер импульсного газа	1	8760	2	-	562	238	565	237	2	-	-	-	ГОУ отсутствуют	410	Метан	-	0,0242429	0,764526
																415	Смесь предельных углеводородов С1Н4- С5Н12	-	0,0029981	0,09455
																416	Смесь предельных углеводородов С6Н14-С10Н22	-	0,0000089	0,000279
Площадка: УКПГ Цех: Емкость сбора конденсата																				
202	Организованный	Свеча стравливания Е-44	1	0,05	8	0,06	567	237	-	-	-	13,98	0,03568	30	ГОУ отсутствуют	410	Метан	742404,188	23,86631	0,004296
																415	Смесь предельных углеводородов С1Н4-С5Н12	91814,288	2,9515839	0,000531

№ ИЗАВ	Тип ИЗАВ	Наименование ИЗАВ	Число ИЗАВ, объединенных под одним номером	Время работы, ч/год	Высота источника, (м)	Диаметр, м	Координаты источника на карте - схеме				Ширина площадного источника, м	Скорость выхода ГВС, м/с, фактическая/осредненная	Объем (расход) ГВС, м3/с (при фактических условиях) /осредненный/	Температура ГВС, град С /осредненная/	Наименование газоочистных установок и степень очистки	ЗВ, выбрасываемые в атмосферный воздух (для каждого режима				Итого за год выброс вещества источником, т/год
							X1	Y1	X2	Y2						Код	Наименование	Концентрация, мг/м3	Мощность выброса, г/с	
1	2	3	4	5	6	7	8	9	10	11	12	13	14	15	16	17	18	19	20	21
																416	Смесь предельных углеводородов С6Н14-С10Н22	270,548	0,0086974	0,000002
6263	Неорганизованный	Дренажная емкость Е-44	1	8760	2	-	567	236	568	239	2	-	-	-	ГОУ отсутствуют	410	Метан	-	0,0035824	0,112981
																415	Смесь предельных углеводородов С1Н4- С5Н12	-	0,0004433	0,013973
																416	Смесь предельных углеводородов С6Н14-С10Н22	-	0,0000013	0,000042
Площадка: УКПГ Цех: Узел пуска средств очистки и диагностики																				
203	Организованный	Свеча стравливания от узла пуска	1	0,05	8	0,06	577	269	-	-	-	24,41	0,0623	30	ГОУ отсутствуют	410	Метан	742503,024	41,6779445	0,007502
																415	Смесь предельных углеводородов С1Н4-С5Н12	91826,511	5,1543766	0,000928
																416	Смесь предельных углеводородов С6Н14-С10Н22	270,585	0,0151884	0,000003
6264	Неорганизованный	Узел пуска средств очистки и диагностики на газопроводе внешнего транспорта	1	8760	2	-	550	277	574	267	2	-	-	-	ГОУ отсутствуют	410	Метан	-	0,0175389	0,553109
																415	Смесь предельных углеводородов С1Н4- С5Н12	-	0,0021691	0,068404
																416	Смесь предельных углеводородов С6Н14-С10Н22	-	0,0000064	0,000201
Площадка: УКПГ Цех: Узел пуска средств очистки и диагностики																				
204	Организованный	Свеча стравливания от узла пуска	1	0,05	8	0,06	432	320	-	-	-	2,71	0,00692	10	ГОУ отсутствуют	410	Метан	693901,991	4,6321268	0,000834
																415	Смесь предельных углеводородов С1Н4- С5Н12	85815,95	0,5728624	0,000103
																416	Смесь предельных углеводородов С6Н14-С10Н22	252,881	0,0016881	0,0000003
6265	Неорганизованный	Узел пуска средств очистки и диагностики на конденсатопроводе внешнего транспорта	1	8760	2	-	414	322	430	317	4	-	-	-	ГОУ отсутствуют	410	Метан	-	0,0000001	0,0000031
																415	Смесь предельных углеводородов С1Н4- С5Н12	-	0,0006293	0,019844
																416	Смесь предельных углеводородов С6Н14-С10Н22	-	0,0013514	0,042619
6266	Неорганизованный	Установка продувки шлейфов	1	8760	2	-	739	373	741	370	6	-	-	-	ГОУ отсутствуют	301	Азота диоксид (Двуокись азота; пероксид азота)	-	0,2733053	8,618955
																304	Азот (II) оксид (Азот монооксид)	-	0,2664726	8,403481
																328	Углерод (Пигмент черный)	-	0,4555088	3,591231
																337	Углерода оксид (Углерод окись; углерод моноокись; угарный газ)	-	4,555088	143,649255

№ ИЗАВ	Тип ИЗАВ	Наименование ИЗАВ	Число ИЗАВ, объединенных под одним номером	Время работы, ч/год	Высота источника, (м)	Диаметр, м	Координаты источника на карте - схеме				Ширина площадного источника, м	Скорость выхода ГВС, м/с, фактическая/осредненная	Объем (расход) ГВС, м3/с (при фактических условиях) /осредненный/	Температура ГВС, град С /осредненная/	Наименование газоочистных установок и степень очистки	ЗВ, выбрасываемые в атмосферный воздух (для каждого режима				Итого за год выброс вещества источником, т/год
							X1	Y1	X2	Y2						Код	Наименование	Концентрация, мг/м3	Мощность выброса, г/с	
1	2	3	4	5	6	7	8	9	10	11	12	13	14	15	16	17	18	19	20	21
																410	Метан	-	0,1138772	3,591231
Площадка: УКПГ Цех: УДК-3																				
342	Организованный	Вент.труба насосной подачи деэтанизированного конденсата	1	8520	5	0,3	587	120	-	-	-	25,46	1,8	20	ГОУ отсутствуют	410	Метан	0,276	0,0004636	0,014221
																415	Смесь предельных углеводородов С1Н4-С5Н12	0,034	0,0000573	0,001759
																416	Смесь предельных углеводородов С6Н14-С10Н22	1,19E-04	0,0000002	0,000005
343	Организованный	Вент.труба УКУГК № 2	1	8520	10	0,3	509	270	-	-	-	25,46	1,8	20	ГОУ отсутствуют	410	Метан	0,357	0,0005989	0,018368
																415	Смесь предельных углеводородов С1Н4- С5Н12	0,044	0,0000741	0,002272
																416	Смесь предельных углеводородов С6Н14-С10Н22	1,19E-04	0,0000002	0,000007
344	Организованный	Вент.труба насосной печных насосов	1	8760	5	0,3	613	123	-	-	-	25,46	1,8	20	ГОУ отсутствуют	410	Метан	0,276	0,0004636	0,014621
																415	Смесь предельных углеводородов С1Н4-С5Н12	0,034	0,0000573	0,001808
																416	Смесь предельных углеводородов С6Н14-С10Н22	1,19E-04	0,0000002	0,000005
6267	Неорганизованный	Блок фильтров Ф-305-3, Ф-306-3	1	8760	2	-	574	122	588	117	8	-	-	-	ГОУ отсутствуют	410	Метан	-	0,0000001	0,0000042
																415	Смесь предельных углеводородов С1Н4- С5Н12	-	0,0007815	0,02464
																416	Смесь предельных углеводородов С6Н14-С10Н22	-	0,0016779	0,052918
6268	Неорганизованный	Блок дегазатора Д-301-3	1	8760	2	-	590	166	601	162	3	-	-	-	ГОУ отсутствуют	410	Метан	-	0,0000079	0,00025
																415	Смесь предельных углеводородов С1Н4- С5Н12	-	0,0504324	1,590435
																416	Смесь предельных углеводородов С6Н14-С10Н22	-	0,1083097	3,415656
6269	Неорганизованный	Блок фильтров Ф-1, Ф-2	1	8760	2	-	618	156	630	151	4	-	-	-	ГОУ отсутствуют	410	Метан	-	0,0000007	0,0000247
																415	Смесь предельных углеводородов С1Н4- С5Н12	-	0,0049923	0,157438
																416	Смесь предельных углеводородов С6Н14-С10Н22	-	0,0107216	0,338117
6270	Неорганизованный	Блок разделителей Р-301-7, Р-301-8, Р-301-9	1	8760	2	-	611	146	627	140	5	-	-	-	ГОУ отсутствуют	410	Метан	-	0,0000265	0,0008306
																415	Смесь предельных углеводородов С1Н4- С5Н12	-	0,167376	5,278377
																416	Смесь предельных углеводородов С6Н14-С10Н22	-	0,3594609	11,335971

№ ИЗАВ	Тип ИЗАВ	Наименование ИЗАВ	Число ИЗАВ, объединенных под одним номером	Время работы, ч/год	Высота источника, (м)	Диаметр, м	Координаты источника на карте - схеме				Ширина площадного источника, м	Скорость выхода ГВС, м/с, фактическая/осредненная	Объем (расход) ГВС, м3/с (при фактических условиях) /осредненный/	Температура ГВС, град С /осредненная/	Наименование газоочистных установок и степень очистки	ЗВ, выбрасываемые в атмосферный воздух (для каждого режима				Итого за год выброс вещества источником, т/год
							X1	Y1	X2	Y2						Код	Наименование	Концентрация, мг/м3	Мощность выброса, г/с	
1	2	3	4	5	6	7	8	9	10	11	12	13	14	15	16	17	18	19	20	21
6271	Неорганизованный	Установка наружного вида	1	8760	2	-	620	161	632	159	4	-	-	-	ГОУ отсутствуют	410	Метан	-	0,0000018	0,0000582
																415	Смесь предельных углеводородов С1Н4- С5Н12	-	0,0117427	0,370317
																416	Смесь предельных углеводородов С6Н14-С10Н22	-	0,0252188	0,795302
6272	Неорганизованный	Блок буферной емкости ДЭК	1	8760	2	-	573	117	587	112	4	-	-	-	ГОУ отсутствуют	410	Метан	-	0,000001	0,0000331
																415	Смесь предельных углеводородов С1Н4-С5Н12	-	0,006698	0,211222
																416	Смесь предельных углеводородов С6Н14-С10Н22	-	0,0143846	0,453623
6273	Неорганизованный	Блок теплообменника «конденсат-конденсат» Т-303-3	1	8760	2	-	585	157	598	152	4	-	-	-	ГОУ отсутствуют	410	Метан	-	0,0000848	0,002676
																415	Смесь предельных углеводородов С1Н4-С5Н12	-	0,5390788	17,000389
																416	Смесь предельных углеводородов С6Н14-С10Н22	-	1,1577383	36,510437
6274	Неорганизованный	Блок емкости дренажной Е-304-2	1	8760	2	-	561	81	575	76	4	-	-	-	ГОУ отсутствуют	410	Метан	-	0,0000131	0,0004051
																415	Смесь предельных углеводородов С1Н4-С5Н12	-	0,081588	2,572962
																416	Смесь предельных углеводородов С6Н14-С10Н22	-	0,1752202	5,525754
6275	Неорганизованный	Блок емкости аварийного слива конденсата Е-307-2	1	8760	2	-	563	87	577	83	4	-	-	-	ГОУ отсутствуют	410	Метан	-	0,0000131	0,0004051
																415	Смесь предельных углеводородов С1Н4- С5Н12	-	0,081588	2,572962
																416	Смесь предельных углеводородов С6Н14-С10Н22	-	0,1752202	5,525754
6276	Неорганизованный	Блок подачи ингибитора парафиноотложения	1	8760	2	-	612	165	618	163	4	-	-	-	ГОУ отсутствуют	1052	Метанол (Карбинол; метиловый спирт; метилгидроксид)	-	0,000232	0,007304
6277	Неорганизованный	Блок колонны деэтанизации конденсата К-301-3	1	8760	2	-	588	133	595	130	4	-	-	-	ГОУ отсутствуют	410	Метан	-	0,0000226	0,0007122
																415	Смесь предельных углеводородов С1Н4- С5Н12	-	0,1434889	4,525067
																416	Смесь предельных углеводородов С6Н14- С10Н22	-	0,3081602	9,71814
6278	Неорганизованный	Емкость аварийного сброса от ПК Е-305-2	1	8760	2	-	568	65	573	63	4	-	-	-	ГОУ отсутствуют	410	Метан	-	0,0000002	0,0000061
																415	Смесь предельных углеводородов С1Н4- С5Н12	-	0,0012763	0,040249

№ ИЗАВ	Тип ИЗАВ	Наименование ИЗАВ	Число ИЗАВ, объединенных под одним номером	Время работы, ч/год	Высота источника, (м)	Диаметр, м	Координаты источника на карте - схеме				Ширина площадного источника, м	Скорость выхода ГВС, м/с, фактическая/осредненная	Объем (расход) ГВС, м3/с (при фактических условиях) /осредненный/	Температура ГВС, град С /осредненная/	Наименование газоочистных установок и степень очистки	ЗВ, выбрасываемые в атмосферный воздух (для каждого режима				Итого за год выброс вещества источником, т/год
							X1	Y1	X2	Y2						Код	Наименование	Концентрация, мг/м3	Мощность выброса, г/с	
1	2	3	4	5	6	7	8	9	10	11	12	13	14	15	16	17	18	19	20	21
																416	Смесь предельных углеводородов С6Н14-С10Н22	-	0,0027414	0,086442
6279	Неорганизованный	Блок насосов подачи конденсата в печь Н-301-7, Н-301-8, Н-301-9	1	8760	2	-	596	103	594	93	4	-	-	-	ГОУ отсутствуют	410	Метан	-	0,0000002	0,0000082
																415	Смесь предельных углеводородов С1Н4- С5Н12	-	0,0016329	0,051497
																416	Смесь предельных углеводородов С6Н14-С10Н22	-	0,003507	0,110595
6280	Неорганизованный	Блок насосов подачи конденсата в печь Н-301-7, Н-301-8, Н-301-9	1	8760	2	-	583	101	580	91	4	-	-	-	ГОУ отсутствуют	410	Метан	-	0,0000003	0,0000093
																415	Смесь предельных углеводородов С1Н4- С5Н12	-	0,0018832	0,059389
																416	Смесь предельных углеводородов С6Н14-С10Н22	-	0,0040445	0,127547
6468	Неорганизованный	Фланцевые соединение УДК-3	1	8760	2	-	580	73	615	168	4	-	-	-	ГОУ отсутствуют	410	Метан	-	0,0035497	0,111944
																415	Смесь предельных углеводородов С1Н4- С5Н12	-	0,000439	0,013844
																416	Смесь предельных углеводородов С6Н14-С10Н22	-	0,0000013	0,000041
Площадка: УКПГ Цех: Склад ГСМ																				
6281	Неорганизованный	Склад ГСМ	1	8760	2	-	159	69	161	69	3	-	-	-	ГОУ отсутствуют	333	Дигидросульфид (Водород сернистый, дигидросульфид, гидросульфид)	-	0,0000122	0,0002343
																2754	Алканы С12-19 (в пересчете на С)	-	0,0043225	0,0834144
6282	Неорганизованный	Насосная склада ГСМ	1	8760	2	-	139	47	130	46	3	-	-	-	ГОУ отсутствуют	333	Дигидросульфид (Водород сернистый, дигидросульфид, гидросульфид)	-	0,0000067	0,000209
																2754	Алканы С12-19 (в пересчете на С)	-	0,0023567	0,074323
Площадка: УКПГ Цех: Котельная №1																				
205	Организованный	Дымовая труба котельной №1	1	8760	30	0,8	291	-75	-	-	-	9,758	4,905	180	ГОУ отсутствуют	301	Азота диоксид (Двуокись азота; пероксид азота)	3050,82	0,422872	13,335931
																304	Азот (II) оксид (Азот монооксид)	2974,55	0,4123002	13,002533
																337	Углерода оксид (Углерод окись; углерод моноокись; угарный газ)	6191,416	0,8581877	27,064195
																703	Бенз/а/пирен	1,79E-05	2,48E-09	0,0000001

№ ИЗАВ	Тип ИЗАВ	Наименование ИЗАВ	Число ИЗАВ, объединенных под одним номером	Время работы, ч/год	Высота источника, (м)	Диаметр, м	Координаты источника на карте - схеме				Ширина площадного источника, м	Скорость выхода ГВС, м/с, фактическая/осредненная	Объем (расход) ГВС, м3/с (при фактических условиях) /осредненный/	Температура ГВС, град С /осредненная/	Наименование газоочистных установок и степень очистки	ЗВ, выбрасываемые в атмосферный воздух (для каждого режима				Итого за год выброс вещества источником, т/год
							X1	Y1	X2	Y2						Код	Наименование	Концентрация, мг/м3	Мощность выброса, г/с	
1	2	3	4	5	6	7	8	9	10	11	12	13	14	15	16	17	18	19	20	21
210	Организованный	Продувочная свеча котельной №1	1	0,33	3	0,02	300	-59	-	-	-	117,81	0,03701	20	ГОУ отсутствуют	410	Метан	717967,65	24,7581955	0,00049
																415	Смесь предельных углеводородов С1Н4- С5Н12	88792,18	3,0618847	0,000061
																416	Смесь предельных углеводородов С6Н14-С10Н22	261,645	0,0090225	0,0000002
Площадка: УКПГ Цех: Котельная №2																				
206	Организованный	Дымовая труба котельной №2	1	8760	30	0,8	292	-75	-	-	-	9,758	4,905	180	ГОУ отсутствуют	301	Азота диоксид (Двуокись азота; пероксид азота)	3003,531	0,4203396	13,255829
																304	Азот (II) оксид (Азот монооксид)	2928,442	0,4098311	12,924433
																337	Углерода оксид (Углерод окись; углерод моноокись; угарный газ)	6103,055	0,8541133	26,935318
																703	Бенз/а/пирен	1,74E-05	2,43E-09	0,0000001
211	Организованный	Продувочные свечи котельной №2-5	1	0,33	3	0,03	299	-58	-	-	-	75,4	0,03701	20	ГОУ отсутствуют	410	Метан	717967,65	24,7581955	0,00049
																415	Смесь предельных углеводородов С1Н4- С5Н12	88792,18	3,0618847	0,000061
																416	Смесь предельных углеводородов С6Н14-С10Н22	261,645	0,0090225	0,0000002
Площадка: УКПГ Цех: Котельная №3																				
207	Организованный	Дымовая труба котельной №3	1	8760	30	0,8	292	-76	-	-	-	9,758	4,905	180	ГОУ отсутствуют	301	Азота диоксид (Двуокись азота; пероксид азота)	3011,98	0,4260599	13,436225
																304	Азот (II) оксид (Азот монооксид)	2936,68	0,4154084	13,10032
																337	Углерода оксид (Углерод окись; углерод моноокись; угарный газ)	6103,055	0,8633083	27,225292
																703	Бенз/а/пирен	1,74E-05	2,46E-09	0,0000001
Площадка: УКПГ Цех: Котельная №4																				
208	Организованный	Дымовая труба котельной №4	1	8760	30	0,7	283	-72	-	-	-	12,704	4,889	180	ГОУ отсутствуют	301	Азота диоксид (Двуокись азота; пероксид азота)	2793,763	0,2937049	9,262278
																304	Азот (II) оксид (Азот монооксид)	2723,919	0,2863623	9,030721
																337	Углерода оксид (Углерод окись; углерод моноокись; угарный газ)	6103,055	0,6416067	20,233708
																703	Бенз/а/пирен	5,71E-06	6,00E-10	1,90E-08

№ ИЗАВ	Тип ИЗАВ	Наименование ИЗАВ	Число ИЗАВ, объединенных под одним номером	Время работы, ч/год	Высота источника, (м)	Диаметр, м	Координаты источника на карте - схеме				Ширина площадного источника, м	Скорость выхода ГВС, м/с, фактическая/осредненная	Объем (расход) ГВС, м3/с (при фактических условиях) /осредненный/	Температура ГВС, град С /осредненная/	Наименование газоочистных установок и степень очистки	ЗВ, выбрасываемые в атмосферный воздух (для каждого режима				Итого за год выброс вещества источником, т/год
							X1	Y1	X2	Y2						Код	Наименование	Концентрация, мг/м3	Мощность выброса, г/с	
1	2	3	4	5	6	7	8	9	10	11	12	13	14	15	16	17	18	19	20	21
Площадка: УКПГ Цех: Котельная №5																				
209	Организованный	Дымовая труба котельной №5	1	8760	30	0,2	284	-72	-	-	-	12,704	4,889	180	ГОУ отсутствуют	301	Азота диоксид (Двуокись азота; пероксид азота)	2803,503	0,2989526	9,42777
																304	Азот (II) оксид (Азот монооксид)	2733,415	0,2914788	9,192076
																337	Углерода оксид (Углерод окись; углерод моноокись; угарный газ)	6103,055	0,6508017	20,523681
																703	Бенз/а/пирен	6,38E-06	6,80E-10	2,15E-08
Площадка: УКПГ Цех: Котельная №6																				
212	Организованный	Продувочная свеча котельной №6	1	0,33	3	0,03	290	-55	-	-	-	46,02	0,03701	20	ГОУ отсутствуют	410	Метан	717967,65	24,7581955	0,00049
																415	Смесь предельных углеводородов С1Н4- С5Н12	88792,18	3,0618847	0,000061
																416	Смесь предельных углеводородов С6Н14-С10Н22	261,645	0,0090225	0,0000002
Площадка: УКПГ Цех: Котельная №7																				
213	Организованный	Продувочная свеча котельной №7	1	0,33	3	0,05	289	-55	-	-	-	18,85	0,03701	20	ГОУ отсутствуют	410	Метан	717967,65	24,7581955	0,00049
																415	Смесь предельных углеводородов С1Н4-С5Н12	88792,18	3,0618847	0,000061
																416	Смесь предельных углеводородов С6Н14-С10Н22	261,645	0,0090225	0,0000002
Площадка: УКПГ Цех: Установка емкости ДТ Е-1-730																				
6283	Неорганизованный	Установка емкости ДТ Е-1-730	1	8760	2	-	262	-6	273	-10	3	-	-	-	ГОУ отсутствуют	333	Дигидросульфид (Водород сернистый, дигидросульфид, гидросульфид)	-	0,0000448	0,0011596
																2754	Алканы С12-19 (в пересчете на С)	-	0,0159456	0,4129178
Площадка: УКПГ Цех: ДЭС																				
214	Организованный	Дымовая труба ДЭС ADMi 1600C-T400- 3РГТН	1	240	3	0,5	339	98	-	-	-	79,49	15,6086	450	ГОУ отсутствуют	301	Азота диоксид (Двуокись азота; пероксид азота)	253,378	1,4933333	1,75
																304	Азот (II) оксид (Азот монооксид)	247,043	1,456	1,70625
																328	Углерод (Пигмент черный)	26,394	0,1555556	0,1875
																330	Сера диоксид	105,574	0,6222222	0,75
																337	Углерода оксид (Углерод окись; углерод моноокись; угарный газ)	399,673	2,3555556	2,75

№ ИЗАВ	Тип ИЗАВ	Наименование ИЗАВ	Число ИЗАВ, объединенных под одним номером	Время работы, ч/год	Высота источника, (м)	Диаметр, м	Координаты источника на карте - схеме				Ширина площадного источника, м	Скорость выхода ГВС, м/с, фактическая/осредненная	Объем (расход) ГВС, м3/с (при фактических условиях) /осредненный/	Температура ГВС, град С /осредненная/	Наименование газоочистных установок и степень очистки	ЗВ, выбрасываемые в атмосферный воздух (для каждого режима				Итого за год выброс вещества источником, т/год
							X1	Y1	X2	Y2						Код	Наименование	Концентрация, мг/м3	Мощность выброса, г/с	
1	2	3	4	5	6	7	8	9	10	11	12	13	14	15	16	17	18	19	20	21
																703	Бенз/а/пирен	0,001	0,0000049	0,0000056
																1325	Формальдегид (Муравьиный альдегид, оксометан, метиленоксид)	7,541	0,0444444	0,05
																2732	Керосин (Керосин прямой перегонки; керосин дезодорированный)	180,984	1,0666667	1,25
215	Организованный	Дымовая труба ДЭС ADMi 1600C-T400-3РГТН	1	240	3	0,5	339	97	-	-	-	79,49	15,6086	450	ГОУ отсутствуют	301	Азота диоксид (Двуокись азота; пероксид азота)	253,378	1,4933333	1,75
																304	Азот (II) оксид (Азот монооксид)	247,043	1,456	1,70625
																328	Углерод (Пигмент черный)	26,394	0,1555556	0,1875
																330	Сера диоксид	105,574	0,6222222	0,75
																337	Углерода оксид (Углерод окись; углерод моноокись; угарный газ)	399,673	2,3555556	2,75
																703	Бенз/а/пирен	0,001	0,0000049	0,0000056
																1325	Формальдегид (Муравьиный альдегид, оксометан, метиленоксид)	7,541	0,0444444	0,05
																2732	Керосин (Керосин прямой перегонки; керосин дезодорированный)	180,984	1,0666667	1,25
216	Организованный	Дымовая труба ДЭС ADMi 1600C-T400-3РГТН	1	240	3	0,5	355	92	-	-	-	79,49	15,6086	450	ГОУ отсутствуют	301	Азота диоксид (Двуокись азота; пероксид азота)	253,378	1,4933333	1,75
																304	Азот (II) оксид (Азот монооксид)	247,043	1,456	1,70625
																328	Углерод (Пигмент черный)	26,394	0,1555556	0,1875
																330	Сера диоксид	105,574	0,6222222	0,75
																337	Углерода оксид (Углерод окись; углерод моноокись; угарный газ)	399,673	2,3555556	2,75
																703	Бенз/а/пирен	0,001	0,0000049	0,0000056
																1325	Формальдегид (Муравьиный альдегид, оксометан, метиленоксид)	7,541	0,0444444	0,05

№ ИЗАВ	Тип ИЗАВ	Наименование ИЗАВ	Число ИЗАВ, объединенных под одним номером	Время работы, ч/год	Высота источника, (м)	Диаметр, м	Координаты источника на карте - схеме				Ширина площадного источника, м	Скорость выхода ГВС, м/с, фактическая/осредненная	Объем (расход) ГВС, м3/с (при фактических условиях) /осредненный/	Температура ГВС, град С /осредненная/	Наименование газоочистных установок и степень очистки	ЗВ, выбрасываемые в атмосферный воздух (для каждого режима				Итого за год выброс вещества источником, т/год
							X1	Y1	X2	Y2						Код	Наименование	Концентрация, мг/м3	Мощность выброса, г/с	
1	2	3	4	5	6	7	8	9	10	11	12	13	14	15	16	17	18	19	20	21
																2732	Керосин (Керосин прямой перегонки; керосин дезодорированный)	180,984	1,0666667	1,25
217	Организованный	Дымовая труба ДЭС ADMi 1020C-T400- 3РГТН	1	240	3,2	0,4	241	131	-	-	-	53,42	6,7129	450	ГОУ отсутствуют	301	Азота диоксид (Двуокись азота; пероксид азота)	375,58	0,952	1,12
																304	Азот (II) оксид (Азот монооксид)	366,19	0,9282	1,092
																328	Углерод (Пигмент черный)	39,123	0,0991667	0,12
																330	Сера диоксид	156,492	0,3966667	0,48
																337	Углерода оксид (Углерод окись; углерод моноокись; угарный газ)	592,433	1,5016667	1,76
																703	Бенз/а/пирен	0,001	0,0000031	0,0000036
																1325	Формальдегид (Муравьиный альдегид, оксометан, метиленоксид)	11,178	0,0283333	0,032
																2732	Керосин (Керосин прямой перегонки; керосин дезодорированный)	268,271	0,68	0,8
218	Организованный	Дымовая труба ДЭС ADMi 640C-T400-3РГТН	1	240	3,2	0,25	243	36	-	-	-	63,96	3,1396	450	ГОУ отсутствуют	301	Азота диоксид (Двуокись азота; пероксид азота)	503,869	0,5973333	1,12
																304	Азот (II) оксид (Азот монооксид)	491,273	0,5824	1,092
																328	Углерод (Пигмент черный)	52,486	0,0622222	0,12
																330	Сера диоксид	209,946	0,2488889	0,48
																337	Углерода оксид (Углерод окись; углерод моноокись; угарный газ)	794,794	0,9422222	1,76
																703	Бенз/а/пирен	0,002	0,000002	0,0000036
																1325	Формальдегид (Муравьиный альдегид, оксометан, метиленоксид)	14,996	0,0177778	0,032
																2732	Керосин (Керосин прямой перегонки; керосин дезодорированный)	359,907	0,4266667	0,8
219	Организованный		1	240	3,2	0,4	390	49	-	-	-	53,42	6,7129	450	ГОУ отсутствуют	301	Азота диоксид (Двуокись азота; пероксид азота)	375,58	0,952	5,6

№ ИЗАВ	Тип ИЗАВ	Наименование ИЗАВ	Число ИЗАВ, объединенных под одним номером	Время работы, ч/год	Высота источника, (м)	Диаметр, м	Координаты источника на карте - схеме				Ширина площадного источника, м	Скорость выхода ГВС, м/с, фактическая/осредненная	Объем (расход) ГВС, м3/с (при фактических условиях) /осредненный/	Температура ГВС, град С /осредненная/	Наименование газоочистных установок и степень очистки	ЗВ, выбрасываемые в атмосферный воздух (для каждого режима				Итого за год выброс вещества источником, т/год
							X1	Y1	X2	Y2						Код	Наименование	Концентрация, мг/м3	Мощность выброса, г/с	
1	2	3	4	5	6	7	8	9	10	11	12	13	14	15	16	17	18	19	20	21
		Дымовая труба ДЭС ADMi 1020C-T400-3РГТН														304	Азот (II) оксид (Азот монооксид)	366,19	0,9282	5,46
																328	Углерод (Пигмент черный)	39,123	0,0991667	0,6
																330	Сера диоксид	156,492	0,3966667	2,4
																337	Углерода оксид (Углерод окись; углерод моноокись; угарный газ)	592,433	1,5016667	8,8
																703	Бенз/а/пирен	0,001	0,0000031	0,000018
																1325	Формальдегид (Муравьиный альдегид, оксометан, метиленоксид)	11,178	0,0283333	0,16
																2732	Керосин (Керосин прямой перегонки; керосин дезодорированный)	268,271	0,68	4
220	Организованный	Дымовая труба ДЭС ADMi 640C-T400- 3РГТН	1	240	3,2	0,25	210	86	-	-	-	63,96	3,1396	450	ГОУ отсутствуют	301	Азота диоксид (Двуокись азота; пероксид азота)	803,042	0,952	5,6
																304	Азот (II) оксид (Азот монооксид)	782,966	0,9282	5,46
																328	Углерод (Пигмент черный)	83,65	0,0991667	0,6
																330	Сера диоксид	334,601	0,3966667	2,4
																337	Углерода оксид (Углерод окись; углерод моноокись; угарный газ)	1266,703	1,5016667	8,8
																703	Бенз/а/пирен	0,003	0,0000031	0,000018
																1325	Формальдегид (Муравьиный альдегид, оксометан, метиленоксид)	23,9	0,0283333	0,16
																2732	Керосин (Керосин прямой перегонки; керосин дезодорированный)	573,601	0,68	4
221	Организованный	Дымовая труба ДЭС ADMi 1600C-T400-3РГХТН	1	240	3	0,5	355	91	-	-	-	79,49	15,6086	450	ГОУ отсутствуют	301	Азота диоксид (Двуокись азота; пероксид азота)	253,378	1,4933333	1,75
																304	Азот (II) оксид (Азот монооксид)	247,043	1,456	1,70625
																328	Углерод (Пигмент черный)	26,394	0,1555556	0,1875
																330	Сера диоксид	105,574	0,6222222	0,75

№ ИЗАВ	Тип ИЗАВ	Наименование ИЗАВ	Число ИЗАВ, объединенных под одним номером	Время работы, ч/год	Высота источника, (м)	Диаметр, м	Координаты источника на карте - схеме				Ширина площадного источника, м	Скорость выхода ГВС, м/с, фактическая/осредненная	Объем (расход) ГВС, м3/с (при фактических условиях) /осредненный/	Температура ГВС, град С /осредненная/	Наименование газоочистных установок и степень очистки	ЗВ, выбрасываемые в атмосферный воздух (для каждого режима				Итого за год выброс вещества источником, т/год
							X1	Y1	X2	Y2						Код	Наименование	Концентрация, мг/м3	Мощность выброса, г/с	
1	2	3	4	5	6	7	8	9	10	11	12	13	14	15	16	17	18	19	20	21
																337	Углерода оксид (Углерод окись; углерод моноокись; угарный газ)	399,673	2,3555556	2,75
																703	Бенз/а/пирен	0,001	0,0000049	0,0000056
																1325	Формальдегид (Муравьиный альдегид, оксометан, метиленоксид)	7,541	0,0444444	0,05
																2732	Керосин (Керосин прямой перегонки; керосин дезодорированный)	180,984	1,0666667	1,25
222	Организованный	Дымовая труба ДЭС ADMi 1600C-T400-3РГХТН	1	240	3	0,5	589	0	-	-	-	79,49	15,6086	450	ГОУ отсутствуют	301	Азота диоксид (Двуокись азота; пероксид азота)	253,378	1,4933333	1,75
																304	Азот (II) оксид (Азот моноксид)	247,043	1,456	1,70625
																328	Углерод (Пигмент черный)	26,394	0,1555556	0,1875
																330	Сера диоксид	105,574	0,6222222	0,75
																337	Углерода оксид (Углерод окись; углерод моноокись; угарный газ)	399,673	2,3555556	2,75
																703	Бенз/а/пирен	0,001	0,0000049	0,0000056
																1325	Формальдегид (Муравьиный альдегид, оксометан, метиленоксид)	7,541	0,0444444	0,05
																2732	Керосин (Керосин прямой перегонки; керосин дезодорированный)	180,984	1,0666667	1,25
223	Организованный	Дымовая труба ДЭС ADMi 1600 кВт	1	240	3	0,5	590	0	-	-	-	79,49	15,6086	450	ГОУ отсутствуют	301	Азота диоксид (Двуокись азота; пероксид азота)	253,378	1,4933333	1,75
																304	Азот (II) оксид (Азот моноксид)	247,043	1,456	1,70625
																328	Углерод (Пигмент черный)	26,394	0,1555556	0,1875
																330	Сера диоксид	105,574	0,6222222	0,75
																337	Углерода оксид (Углерод окись; углерод моноокись; угарный газ)	399,673	2,3555556	2,75
																703	Бенз/а/пирен	0,001	0,0000049	0,0000056

№ ИЗАВ	Тип ИЗАВ	Наименование ИЗАВ	Число ИЗАВ, объединенных под одним номером	Время работы, ч/год	Высота источника, (м)	Диаметр, м	Координаты источника на карте - схеме				Ширина площадного источника, м	Скорость выхода ГВС, м/с, фактическая/осредненная	Объем (расход) ГВС, м3/с (при фактических условиях) /осредненный/	Температура ГВС, град С /осредненная/	Наименование газоочистных установок и степень очистки	ЗВ, выбрасываемые в атмосферный воздух (для каждого режима				Итого за год выброс вещества источником, т/год
							X1	Y1	X2	Y2						Код	Наименование	Концентрация, мг/м3	Мощность выброса, г/с	
1	2	3	4	5	6	7	8	9	10	11	12	13	14	15	16	17	18	19	20	21
																1325	Формальдегид (Муравьиный альдегид, оксометан, метиленоксид)	7,541	0,0444444	0,05
																2732	Керосин (Керосин прямой перегонки; керосин дезодорированный)	180,984	1,0666667	1,25
224	Организованный	Дымовая труба ДЭС ADMi 1600 кВт	1	240	3	0,5	582	3	-	-	-	79,49	15,6086	450	ГОУ отсутствуют	301	Азота диоксид (Двуокись азота; пероксид азота)	253,378	1,4933333	1,75
																304	Азот (II) оксид (Азот монооксид)	247,043	1,456	1,70625
																328	Углерод (Пигмент черный)	26,394	0,1555556	0,1875
																330	Сера диоксид	105,574	0,6222222	0,75
																337	Углерода оксид (Углерод окись; углерод моноокись; угарный газ)	399,673	2,3555556	2,75
																703	Бенз/а/пирен	0,001	0,0000049	0,0000056
																1325	Формальдегид (Муравьиный альдегид, оксометан, метиленоксид)	7,541	0,0444444	0,05
																2732	Керосин (Керосин прямой перегонки; керосин дезодорированный)	180,984	1,0666667	1,25
225	Организованный	Дымовая труба ДЭС-630	1	240	3,2	0,25	598	2	-	-	-	63,96	3,1396	450	ГОУ отсутствуют	301	Азота диоксид (Двуокись азота; пероксид азота)	503,869	0,5973333	1,4
																304	Азот (II) оксид (Азот монооксид)	491,273	0,5824	1,365
																328	Углерод (Пигмент черный)	52,486	0,0622222	0,15
																330	Сера диоксид	209,946	0,2488889	0,6
																337	Углерода оксид (Углерод окись; углерод моноокись; угарный газ)	794,794	0,9422222	2,2
																703	Бенз/а/пирен	0,002	0,000002	0,0000045
																1325	Формальдегид (Муравьиный альдегид, оксометан, метиленоксид)	14,996	0,0177778	0,04

№ ИЗАВ	Тип ИЗАВ	Наименование ИЗАВ	Число ИЗАВ, объединенных под одним номером	Время работы, ч/год	Высота источника, (м)	Диаметр, м	Координаты источника на карте - схеме				Ширина площадного источника, м	Скорость выхода ГВС, м/с, фактическая/осредненная	Объем (расход) ГВС, м3/с (при фактических условиях) /осредненный/	Температура ГВС, град С /осредненная/	Наименование газоочистных установок и степень очистки	ЗВ, выбрасываемые в атмосферный воздух (для каждого режима				Итого за год выброс вещества источником, т/год
							X1	Y1	X2	Y2						Код	Наименование	Концентрация, мг/м3	Мощность выброса, г/с	
1	2	3	4	5	6	7	8	9	10	11	12	13	14	15	16	17	18	19	20	21
																2732	Керосин (Керосин прямой перегонки; керосин дезодорированный)	359,907	0,4266667	1
226	Организованный	Дымовая труба ДЭС-630	1	240	3,2	0,25	597	2	-	-	-	63,96	3,1396	450	ГОУ отсутствуют	301	Азота диоксид (Двуокись азота; пероксид азота)	503,869	0,5973333	1,4
																304	Азот (II) оксид (Азот монооксид)	491,273	0,5824	1,365
																328	Углерод (Пигмент черный)	52,486	0,0622222	0,15
																330	Сера диоксид	209,946	0,2488889	0,6
																337	Углерода оксид (Углерод окись; углерод моноокись; угарный газ)	794,794	0,9422222	2,2
																703	Бенз/а/пирен	0,002	0,000002	0,0000045
																1325	Формальдегид (Муравьиный альдегид, оксометан, метиленоксид)	14,996	0,0177778	0,04
																2732	Керосин (Керосин прямой перегонки; керосин дезодорированный)	359,907	0,4266667	1
227	Организованный	Дымовая труба ДЭС-630	1	240	3,2	0,25	153	412	-	-	-	63,96	3,1396	450	ГОУ отсутствуют	301	Азота диоксид (Двуокись азота; пероксид азота)	503,869	0,5973333	1,4
																304	Азот (II) оксид (Азот монооксид)	491,273	0,5824	1,365
																328	Углерод (Пигмент черный)	52,486	0,0622222	0,15
																330	Сера диоксид	209,946	0,2488889	0,6
																337	Углерода оксид (Углерод окись; углерод моноокись; угарный газ)	794,794	0,9422222	2,2
																703	Бенз/а/пирен	0,002	0,000002	0,0000045
																1325	Формальдегид (Муравьиный альдегид, оксометан, метиленоксид)	14,996	0,0177778	0,04
																2732	Керосин (Керосин прямой перегонки; керосин дезодорированный)	359,907	0,4266667	1
228	Организованный	Дымовая труба ДЭС-630	1	240	3,2	0,25	153	411	-	-	-	63,96	3,1396	450	ГОУ отсутствуют	301	Азота диоксид (Двуокись азота; пероксид азота)	503,869	0,5973333	1,4

№ ИЗАВ	Тип ИЗАВ	Наименование ИЗАВ	Число ИЗАВ, объединенных под одним номером	Время работы, ч/год	Высота источника, (м)	Диаметр, м	Координаты источника на карте - схеме				Ширина площадного источника, м	Скорость выхода ГВС, м/с, фактическая/осредненная	Объем (расход) ГВС, м3/с (при фактических условиях) /осредненный/	Температура ГВС, град С /осредненная/	Наименование газоочистных установок и степень очистки	ЗВ, выбрасываемые в атмосферный воздух (для каждого режима				Итого за год выброс вещества источником, т/год
							X1	Y1	X2	Y2						Код	Наименование	Концентрация, мг/м3	Мощность выброса, г/с	
1	2	3	4	5	6	7	8	9	10	11	12	13	14	15	16	17	18	19	20	21
																304	Азот (II) оксид (Азот монооксид)	491,273	0,5824	1,365
																328	Углерод (Пигмент черный)	52,486	0,0622222	0,15
																330	Сера диоксид	209,946	0,2488889	0,6
																337	Углерода оксид (Углерод окись; углерод моноокись; угарный газ)	794,794	0,9422222	2,2
																703	Бенз/а/пирен	0,002	0,000002	0,0000045
																1325	Формальдегид (Муравьиный альдегид, оксометан, метиленоксид)	14,996	0,0177778	0,04
																2732	Керосин (Керосин прямой перегонки; керосин дезодорированный)	359,907	0,4266667	1
229	Организованный	Дымовая труба ADMi 1000C-T400-3РГТН	1	240	3,2	0,4	558	19	-	-	-	53,42	6,7129	450	ГОУ отсутствуют	301	Азота диоксид (Двуокись азота; пероксид азота)	375,58	0,952	1,05
																304	Азот (II) оксид (Азот монооксид)	366,19	0,9282	1,02375
																328	Углерод (Пигмент черный)	39,123	0,0991667	0,1125
																330	Сера диоксид	156,492	0,3966667	0,45
																337	Углерода оксид (Углерод окись; углерод моноокись; угарный газ)	592,433	1,5016667	1,65
																703	Бенз/а/пирен	0,001	0,0000031	0,0000034
																1325	Формальдегид (Муравьиный альдегид, оксометан, метиленоксид)	11,178	0,0283333	0,03
																2732	Керосин (Керосин прямой перегонки; керосин дезодорированный)	268,271	0,68	0,75
230	Организованный	Дымовая труба ADMi 1000C-T400-3РГТН	1	240	3,2	0,4	557	19	-	-	-	53,42	6,7129	450	ГОУ отсутствуют	301	Азота диоксид (Двуокись азота; пероксид азота)	375,58	0,952	1,05
																304	Азот (II) оксид (Азот монооксид)	366,19	0,9282	1,02375
																328	Углерод (Пигмент черный)	39,123	0,0991667	0,1125
																330	Сера диоксид	156,492	0,3966667	0,45

№ ИЗАВ	Тип ИЗАВ	Наименование ИЗАВ	Число ИЗАВ, объединенных под одним номером	Время работы, ч/год	Высота источника, (м)	Диаметр, м	Координаты источника на карте - схеме				Ширина площадного источника, м	Скорость выхода ГВС, м/с, фактическая/осредненная	Объем (расход) ГВС, м3/с (при фактических условиях) /осредненный/	Температура ГВС, град С /осредненная/	Наименование газоочистных установок и степень очистки	ЗВ, выбрасываемые в атмосферный воздух (для каждого режима				Итого за год выброс вещества источником, т/год
							X1	Y1	X2	Y2						Код	Наименование	Концентрация, мг/м3	Мощность выброса, г/с	
1	2	3	4	5	6	7	8	9	10	11	12	13	14	15	16	17	18	19	20	21
																337	Углерода оксид (Углерод окись; углерод моноокись; угарный газ)	592,433	1,5016667	1,65
																703	Бенз/а/пирен	0,001	0,0000031	0,0000034
																1325	Формальдегид (Муравьиный альдегид, оксометан, метиленоксид)	11,178	0,0283333	0,03
																2732	Керосин (Керосин прямой перегонки; керосин дезодорированный)	268,271	0,68	0,75
231	Организованный	Дымовая труба №1 ДЭС DOOSAN P222LE-II	1	240	3,2	0,25	556	11	-	-	-	63,96	3,1396	450	ГОУ отсутствуют	301	Азота диоксид (Двуокись азота; пероксид азота)	251,935	0,2986666	0,14
																304	Азот (II) оксид (Азот моноксид)	245,636	0,2912	0,1365
																328	Углерод (Пигмент черный)	26,243	0,0311111	0,015
																330	Сера диоксид	104,973	0,1244444	0,06
																337	Углерода оксид (Углерод окись; углерод моноокись; угарный газ)	397,397	0,4711111	0,22
																703	Бенз/а/пирен	0,001	0,000001	0,0000004
																1325	Формальдегид (Муравьиный альдегид, оксометан, метиленоксид)	7,498	0,0088889	0,004
																2732	Керосин (Керосин прямой перегонки; керосин дезодорированный)	179,953	0,2133334	0,1
232	Организованный	Дымовая труба №2 ДЭС DOOSAN P222LE-II	1	240	3,2	0,25	555	11	-	-	-	63,96	3,1396	450	ГОУ отсутствуют	301	Азота диоксид (Двуокись азота; пероксид азота)	251,935	0,2986666	0,14
																304	Азот (II) оксид (Азот моноксид)	245,636	0,2912	0,1365
																328	Углерод (Пигмент черный)	26,243	0,0311111	0,015
																330	Сера диоксид	104,973	0,1244444	0,06
																337	Углерода оксид (Углерод окись; углерод моноокись; угарный газ)	397,397	0,4711111	0,22
																703	Бенз/а/пирен	0,001	0,000001	0,0000004

№ ИЗАВ	Тип ИЗАВ	Наименование ИЗАВ	Число ИЗАВ, объединенных под одним номером	Время работы, ч/год	Высота источника, (м)	Диаметр, м	Координаты источника на карте - схеме				Ширина площадного источника, м	Скорость выхода ГВС, м/с, фактическая/осредненная	Объем (расход) ГВС, м3/с (при фактических условиях) /осредненный/	Температура ГВС, град С /осредненная/	Наименование газоочистных установок и степень очистки	ЗВ, выбрасываемые в атмосферный воздух (для каждого режима				Итого за год выброс вещества источником, т/год
							X1	Y1	X2	Y2						Код	Наименование	Концентрация, мг/м3	Мощность выброса, г/с	
1	2	3	4	5	6	7	8	9	10	11	12	13	14	15	16	17	18	19	20	21
																1325	Формальдегид (Муравьиный альдегид, оксометан, метиленоксид)	7,498	0,0088889	0,004
																2732	Керосин (Керосин прямой перегонки; керосин дезодорированный)	179,953	0,2133334	0,1
233	Организованный	Дымовая труба №1 ДЭС Аварийная УПМ	1	240	3,2	0,25	77	196	-	-	-	63,96	3,1396	450	ГОУ отсутствуют	301	Азота диоксид (Двуокись азота; пероксид азота)	629,837	0,7466666	0,875
																304	Азот (II) оксид (Азот монооксид)	614,091	0,728	0,853125
																328	Углерод (Пигмент черный)	65,608	0,0777778	0,09375
																330	Сера диоксид	262,432	0,3111111	0,375
																337	Углерода оксид (Углерод окись; углерод моноокись; угарный газ)	993,493	1,1777778	1,375
																703	Бенз/а/пирен	0,002	0,0000024	0,0000028
																1325	Формальдегид (Муравьиный альдегид, оксометан, метиленоксид)	18,745	0,0222222	0,025
																2732	Керосин (Керосин прямой перегонки; керосин дезодорированный)	449,884	0,5333334	0,625
234	Организованный	Дымовая труба №2 ДЭС Аварийная УПМ	1	240	3,2	0,25	80	196	-	-	-	63,96	3,1396	450	ГОУ отсутствуют	301	Азота диоксид (Двуокись азота; пероксид азота)	629,837	0,7466666	0,875
																304	Азот (II) оксид (Азот монооксид)	614,091	0,728	0,853125
																328	Углерод (Пигмент черный)	65,608	0,0777778	0,09375
																330	Сера диоксид	262,432	0,3111111	0,375
																337	Углерода оксид (Углерод окись; углерод моноокись; угарный газ)	993,493	1,1777778	1,375
																703	Бенз/а/пирен	0,002	0,0000024	0,0000028
																1325	Формальдегид (Муравьиный альдегид, оксометан, метиленоксид)	18,745	0,0222222	0,025

№ ИЗАВ	Тип ИЗАВ	Наименование ИЗАВ	Число ИЗАВ, объединенных под одним номером	Время работы, ч/год	Высота источника, (м)	Диаметр, м	Координаты источника на карте - схеме				Ширина площадного источника, м	Скорость выхода ГВС, м/с, фактическая/осредненная	Объем (расход) ГВС, м3/с (при фактических условиях) /осредненный/	Температура ГВС, град С /осредненная/	Наименование газоочистных установок и степень очистки	ЗВ, выбрасываемые в атмосферный воздух (для каждого режима				Итого за год выброс вещества источником, т/год
							X1	Y1	X2	Y2						Код	Наименование	Концентрация, мг/м3	Мощность выброса, г/с	
1	2	3	4	5	6	7	8	9	10	11	12	13	14	15	16	17	18	19	20	21
																2732	Керосин (Керосин прямой перегонки; керосин дезодорированный)	449,884	0,5333334	0,625
Площадка: УКПГ Цех: Емкости для аварийного слива																				
235	Организованный	Вытяжная вент.система сооружений очистки бытовых сточных вод	1	8760	6,4	0,4	253	99	-	-	-	1,66	0,208	20	ГОУ отсутствуют	301	Азота диоксид (Двуокись азота; пероксид азота)	0,266	0,0000516	0,000528
																303	Аммиак (Азота гидрид)	1,87	0,0003625	0,003387
																304	Азот (II) оксид (Азот монооксид)	0,888	0,000172	0,001404
																333	Дигидросульфид (Водород сернистый, дигидросульфид, гидросульфид)	1,642	0,0003182	0,003852
																410	Метан	35,235	0,0068287	0,284529
																1071	Гидроксибензол (фенол)	0,326	0,0000631	0,000508
																1325	Формальдегид (Муравьиный альдегид, оксометан, метиленоксид)	0,4	0,0000775	0,000635
																1716	Одорант СПМ	0,064	0,0000125	0,000127
236	Организованный	Вытяжная вент.система установки очистки стоков в пласт	1	8760	6,7	0,4	219	38	-	-	-	6,89	0,866	20	ГОУ отсутствуют	301	Азота диоксид (Двуокись азота; пероксид азота)	0,625	0,0005046	0,000173
																303	Аммиак (Азота гидрид)	1,982	0,0015995	0,000549
																304	Азот (II) оксид (Азот монооксид)	1,417	0,0011433	0,000392
																333	Дигидросульфид (Водород сернистый, дигидросульфид, гидросульфид)	1,4	0,0011296	0,000388
																410	Метан	120,148	0,0969457	0,033351
																1071	Гидроксибензол (фенол)	0,541	0,0004362	0,000149
																1325	Формальдегид (Муравьиный альдегид, оксометан, метиленоксид)	0,611	0,0004932	0,000169
																1716	Одорант СПМ	0,042	0,0000336	0,000011
237	Организованный	Вытяжная вент.система насосной станции метанола	1	8760	6,7	0,4	55	79	-	-	-	6,89	0,866	20	ГОУ отсутствуют	1052	Метанол (Карбинол; метиловый спирт; метилгидроксид)	211,769	0,1708738	5,388674

№ ИЗАВ	Тип ИЗАВ	Наименование ИЗАВ	Число ИЗАВ, объединенных под одним номером	Время работы, ч/год	Высота источника, (м)	Диаметр, м	Координаты источника на карте - схеме				Ширина площадного источника, м	Скорость выхода ГВС, м/с, фактическая/осредненная	Объем (расход) ГВС, м3/с (при фактических условиях) /осредненный/	Температура ГВС, град С /осредненная/	Наименование газоочистных установок и степень очистки	ЗВ, выбрасываемые в атмосферный воздух (для каждого режима				Итого за год выброс вещества источником, т/год
							X1	Y1	X2	Y2						Код	Наименование	Концентрация, мг/м3	Мощность выброса, г/с	
1	2	3	4	5	6	7	8	9	10	11	12	13	14	15	16	17	18	19	20	21
238	Организованный	Свеча стравливания от Е-493	1	0,05	3	0,05	48	53	-	-	-	0,05	0,00009	30	ГОУ отсутствуют	1052	Метанол (Карбинол; метиловый спирт; метилгидроксид)	841173,382	0,06821	0,000012
6284	Неорганизованный	Неплотности емкости для аварийного слива Е- 500-1	1	8760	2	-	335	103	336	103	3	-	-	-	ГОУ отсутствуют	333	Дигидросульфид (Водород сернистый, дигидросульфид, гидросульфид)	-	0,0000306	0,0009643
																2754	Алканы С12-19 (в пересчете на С)	-	0,0108947	0,343575
6285	Неорганизованный	Неплотности емкости для аварийного слива Е- 305-2	1	8760	2	-	379	237	382	237	3	-	-	-	ГОУ отсутствуют	333	Дигидросульфид (Водород сернистый, дигидросульфид, гидросульфид)	-	0,0000306	0,0009643
																2754	Алканы С12-19 (в пересчете на С)	-	0,0108947	0,343575
6286	Неорганизованный	Неплотности емкости для аварийного слива Е- 500-4	1	8760	2	-	422	75	423	75	3	-	-	-	ГОУ отсутствуют	333	Дигидросульфид (Водород сернистый, дигидросульфид, гидросульфид)	-	0,0000306	0,0009643
																2754	Алканы С12-19 (в пересчете на С)	-	0,0108947	0,343575
6287	Неорганизованный	Неплотности емкости для аварийного слива Е-305-5	1	8760	2	-	561	25	536	25	3	-	-	-	ГОУ отсутствуют	333	Дигидросульфид (Водород сернистый, дигидросульфид, гидросульфид)	-	0,0000306	0,0009643
																2754	Алканы С12-19 (в пересчете на С)	-	0,0108947	0,343575
6288	Неорганизованный	Неплотности емкости для аварийного слива Е- 305-6	1	8760	2	-	580	15	581	15	3	-	-	-	ГОУ отсутствуют	333	Дигидросульфид (Водород сернистый, дигидросульфид, гидросульфид)	-	0,0000306	0,0009643
																2754	Алканы С12-19 (в пересчете на С)	-	0,0108947	0,343575
6289	Неорганизованный	Неплотности емкости для аварийного слива Е-305-7	1	8760	2	-	144	416	146	416	3	-	-	-	ГОУ отсутствуют	333	Дигидросульфид (Водород сернистый, дигидросульфид, гидросульфид)	-	0,0000306	0,0009643
																2754	Алканы С12-19 (в пересчете на С)	-	0,0108947	0,343575
6290	Неорганизованный	Емкость сбора нефтепродуктов Е-4.1	1	8760	2	-	180	29	183	28	3	-	-	-	ГОУ отсутствуют	410	Метан	-	0,0039255	0,12381
6291	Неорганизованный	Склад метанола	1	8760	2	-	110	92	120	92	3	-	-	-	ГОУ отсутствуют	1052	Метанол (Карбинол; метиловый спирт; метилгидроксид)	-	0,8836879	6,207427

№ ИЗАВ	Тип ИЗАВ	Наименование ИЗАВ	Число ИЗАВ, объединенных под одним номером	Время работы, ч/год	Высота источника, (м)	Диаметр, м	Координаты источника на карте - схеме				Ширина площадного источника, м	Скорость выхода ГВС, м/с, фактическая/осредненная	Объем (расход) ГВС, м3/с (при фактических условиях) /осредненный/	Температура ГВС, град С /осредненная/	Наименование газоочистных установок и степень очистки	ЗВ, выбрасываемые в атмосферный воздух (для каждого режима				Итого за год выброс вещества источником, т/год
							X1	Y1	X2	Y2						Код	Наименование	Концентрация, мг/м3	Мощность выброса, г/с	
1	2	3	4	5	6	7	8	9	10	11	12	13	14	15	16	17	18	19	20	21
6292	Неорганизованный	Установка налива метанола	1	8760	2	-	63	29	69	27	3	-	-	-	ГОУ отсутствуют	1052	Метанол (Карбинол; метиловый спирт; метилгидроксид)	-	8,1488985	6,393663
6293	Неорганизованный	Емкость дренажная метанола	1	8760	2	-	46	56	55	53	3	-	-	-	ГОУ отсутствуют	1052	Метанол (Карбинол; метиловый спирт; метилгидроксид)	-	0,0125484	0,395719
Площадка: УКПГ Цех: Установка регенерации ВМР																				
239	Организованный	Дымовая труба огневого подогревателя Т-3500	1	8760	10	0,92	122	247	-	-	-	67,9	45,14	200	ГОУ отсутствуют	301	Азота диоксид (Двуокись азота; пероксид азота)	152,528	3,9738628	125,319738
																304	Азот (II) оксид (Азот монооксид)	148,715	3,8745163	122,186745
																337	Углерода оксид (Углерод окись; углерод моноокись; угарный газ)	23,989	0,625	19,71
																410	Метан	2,399	0,0625	1,971
240	Организованный	Свеча стравливания подогревателя	1	0,05	3	0,05	125	243	-	-	-	0,01	0,00001	20	ГОУ отсутствуют	1052	Метанол (Карбинол; метиловый спирт; метилгидроксид)	107,326	0,000001	0,000001
241	Организованный	Вытяжная вент.система насосной ВМР	1	8760	6	0,5	177	255	-	-	-	50,17	9,85	20	ГОУ отсутствуют	1052	Метанол (Карбинол; метиловый спирт; метилгидроксид)	18,21	0,1671208	5,27032
242	Организованный	Установка налива метанола	1	8760	6	0,25	90	203	-	-	-	200,66	9,85	20	ГОУ отсутствуют	1052	Метанол (Карбинол; метиловый спирт; метилгидроксид; моногидрокси	16,719	0,1534391	4,838854
243	Организованный	Дымовая труба огневого подогревателя	1	8760	10	0,92	130	242	-	-	-	67,844	45,1	200	ГОУ отсутствуют	301	Азота диоксид (Двуокись азота; пероксид азота)	152,528	3,9738628	125,319738
																304	Азот (II) оксид (Азот монооксид)	148,715	3,8745163	122,186745
																337	Углерода оксид (Углерод окись; углерод моноокись; угарный газ)	23,989	0,625	19,71
																410	Метан	2,399	0,0625	1,971
6294	Неорганизованный	Установка емкости ВМР Е-701	1	8760	2	-	282	289	293	284	3	-	-	-	ГОУ отсутствуют	1052	Метанол (Карбинол; метиловый спирт; метилгидроксид)	-	0,038353	1,209495
6295	Неорганизованный	Производственный корпус УРМ	1	8760	2	-	158	206	162	206	3	-	-	-	ГОУ отсутствуют	1052	Метанол (Карбинол; метиловый спирт; метилгидроксид)	-	0,3505193	11,053975
6296	Неорганизованный	Колона ректификации метанола	1	8760	2	-	127	197	128	202	3	-	-	-	ГОУ отсутствуют	1052	Метанол (Карбинол; метиловый спирт; метилгидроксид)	-	0,03025	0,095408
6297	Неорганизованный	Подогреватель ВМР Т-3100	1	8760	2	-	99	225	96	228	3	-	-	-	ГОУ отсутствуют	1052	Метанол (Карбинол; метиловый спирт; метилгидроксид)	-	0,00001	0,000314

№ ИЗАВ	Тип ИЗАВ	Наименование ИЗАВ	Число ИЗАВ, объединенных под одним номером	Время работы, ч/год	Высота источника, (м)	Диаметр, м	Координаты источника на карте - схеме				Ширина площадного источника, м	Скорость выхода ГВС, м/с, фактическая/осредненная	Объем (расход) ГВС, м3/с (при фактических условиях) /осредненный/	Температура ГВС, град С /осредненная/	Наименование газоочистных установок и степень очистки	ЗВ, выбрасываемые в атмосферный воздух (для каждого режима				Итого за год выброс вещества источником, т/год
							X1	Y1	X2	Y2						Код	Наименование	Концентрация, мг/м3	Мощность выброса, г/с	
1	2	3	4	5	6	7	8	9	10	11	12	13	14	15	16	17	18	19	20	21
6298	Неорганизованный	Основной подогреватель ВМР Т-3201	1	8760	2	-	99	255	99	263	3	-	-	-	ГОУ отсутствуют	1052	Метанол (Карбинол; метиловый спирт; метилгидроксид)	-	0,000047	0,001479
6299	Неорганизованный	Основной подогреватель ВМР Т-3202	1	8760	2	-	111	255	115	255	3	-	-	-	ГОУ отсутствуют	1052	Метанол (Карбинол; метиловый спирт; метилгидроксид)	-	0,000047	0,001479
6301	Неорганизованный	Кипятильник куба Т-3301	1	8760	2	-	158	264	160	264	3	-	-	-	ГОУ отсутствуют	1052	Метанол (Карбинол; метиловый спирт; метилгидроксид)	-	0,000113	0,003554
6302	Неорганизованный	Кипятильник куба Т-3302	1	8760	2	-	65	184	72	183	3	-	-	-	ГОУ отсутствуют	1052	Метанол (Карбинол; метиловый спирт; метилгидроксид)	-	0,000113	0,003554
6303	Неорганизованный	Предварительный подогреватель ВМР Т-3601	1	8760	2	-	159	217	163	219	3	-	-	-	ГОУ отсутствуют	1052	Метанол (Карбинол; метиловый спирт; метилгидроксид)	-	0,000006	0,000196
6304	Неорганизованный	Предварительный подогреватель ВМР Т-3602	1	8760	2	-	143	210	146	210	3	-	-	-	ГОУ отсутствуют	1052	Метанол (Карбинол; метиловый спирт; метилгидроксид)	-	0,000006	0,000196
6305	Неорганизованный	Нагреватель ВМР Т-3800	1	8760	2	-	174	260	180	260	3	-	-	-	ГОУ отсутствуют	1052	Метанол (Карбинол; метиловый спирт; метилгидроксид)	-	0,000171	0,005378
6306	Неорганизованный	Емкость разделитель- дегазатор Е-3101	1	8760	2	-	126	304	128	304	3	-	-	-	ГОУ отсутствуют	1052	Метанол (Карбинол; метиловый спирт; метилгидроксид)	-	0,0377233	1,189643
6307	Неорганизованный	Емкость разделитель- дегазатор Е-3102	1	8760	2	-	127	291	130	291	2	-	-	-	ГОУ отсутствуют	1052	Метанол (Карбинол; метиловый спирт; метилгидроксид)	-	0,0200428	0,632061
6308	Неорганизованный	Емкость метанола Е-3201	1	8760	2	-	121	266	123	266	2	-	-	-	ГОУ отсутствуют	1052	Метанол (Карбинол; метиловый спирт; метилгидроксид)	-	0,0295453	0,928272
6309	Неорганизованный	Емкость метанола Е-3202	1	8760	2	-	117	258	120	258	2	-	-	-	ГОУ отсутствуют	1052	Метанол (Карбинол; метиловый спирт; метилгидроксид)	-	0,0295453	0,928272
6310	Неорганизованный	Емкость сбора ВМР Е-3601	1	8760	2	-	116	250	119	250	2	-	-	-	ГОУ отсутствуют	1052	Метанол (Карбинол; метиловый спирт; метилгидроксид)	-	0,0290314	0,915533
6311	Неорганизованный	Емкость сбора ВМР Е-3602	1	8760	2	-	112	240	115	240	2	-	-	-	ГОУ отсутствуют	1052	Метанол (Карбинол; метиловый спирт; метилгидроксид)	-	0,0290314	0,915533
6312	Неорганизованный	Емкость парового конденсата Е-3700	1	8760	2	-	128	210	130	210	2	-	-	-	ГОУ отсутствуют	1052	Метанол (Карбинол; метиловый спирт; метилгидроксид)	-	0,001037	0,032718
6313	Неорганизованный	Емкость жидких углеводородов Е-3900	1	8760	2	-	129	314	131	314	2	-	-	-	ГОУ отсутствуют	333	Дигидросульфид (Водород сернистый, дигидросульфид, гидросульфид)	-	0,0000021	0,000065
																2754	Алканы С12-19 (в пересчете на С)	-	0,000739	0,023293

№ ИЗАВ	Тип ИЗАВ	Наименование ИЗАВ	Число ИЗАВ, объединенных под одним номером	Время работы, ч/год	Высота источника, (м)	Диаметр, м	Координаты источника на карте - схеме				Ширина площадного источника, м	Скорость выхода ГВС, м/с, фактическая/осредненная	Объем (расход) ГВС, м3/с (при фактических условиях) /осредненный/	Температура ГВС, град С /осредненная/	Наименование газоочистных установок и степень очистки	ЗВ, выбрасываемые в атмосферный воздух (для каждого режима				Итого за год выброс вещества источником, т/год
							X1	Y1	X2	Y2						Код	Наименование	Концентрация, мг/м3	Мощность выброса, г/с	
1	2	3	4	5	6	7	8	9	10	11	12	13	14	15	16	17	18	19	20	21
6314	Неорганизованный	Емкость сбора кубового осадка Е-4000	1	8760	2	-	142	252	145	255	2	-	-	-	ГОУ отсутствуют	1052	Метанол (Карбинол; метиловый спирт; метилгидроксид)	-	0,001483	0,046775
6315	Неорганизованный	Блок фильтров	1	8760	2	-	197	297	201	297	2	-	-	-	ГОУ отсутствуют	1052	Метанол (Карбинол; метиловый спирт; метилгидроксид)	-	0,0699096	2,198366
Площадка: УКПГ Цех: Узел подогрева и редуцирования природного газа																				
6316	Неорганизованный	Сепаратор С-0100	1	8760	2	-	154	312	152	302	2	-	-	-	ГОУ отсутствуют	410	Метан	-	0,001674	0,05279
																415	Смесь предельных углеводородов С1Н4- С5Н12	-	0,000207	0,006529
																416	Смесь предельных углеводородов С6Н14-С10Н22	-	0,0000006	0,000019
6317	Неорганизованный	Подогреватель Т-0100	1	8760	2	-	142	316	139	305	2	-	-	-	ГОУ отсутствуют	410	Метан	-	0,0189621	0,597989
																415	Смесь предельных углеводородов С1Н4- С5Н12	-	0,002345	0,073955
																416	Смесь предельных углеводородов С6Н14-С10Н22	-	0,0000069	0,000217
6318	Неорганизованный	Подогреватель Т-1100	1	8760	2	-	143	316	140	305	2	-	-	-	ГОУ отсутствуют	410	Метан	-	0,0001405	0,004431
																415	Смесь предельных углеводородов С1Н4-С5Н12	-	0,0000174	0,000548
																416	Смесь предельных углеводородов С6Н14-С10Н22	-	0,0000001	0,000002
6319	Неорганизованный	Емкость метанола Е-0200	1	8760	2	-	165	309	162	301	4	-	-	-	ГОУ отсутствуют	1052	Метанол (Карбинол; метиловый спирт; метилгидроксид)	-	0,001411	0,044505
6320	Неорганизованный	Пусковой парогенератор ПГ- 100	1	8760	2	-	128	323	125	313	4	-	-	-	ГОУ отсутствуют	410	Метан	-	0,0004136	0,013043
																415	Смесь предельных углеводородов С1Н4- С5Н12	-	0,0000511	0,001613
																416	Смесь предельных углеводородов С6Н14-С10Н22	-	0,0000002	0,000005
Площадка: УКПГ Цех: Узел паровой конверсии природного газа																				
244	Организованный	Дымовая труба печи риформинга Р-0100	1	8760	32	2	111	305	-	-	-	14,37	45,14	200	ГОУ отсутствуют	301	Азота диоксид (Двуокись азота; пероксид азота)	60,08003	1,5652843	49,362805
																304	Азот (II) оксид (Азот монооксид)	58,57803	1,5261522	48,128735
																337	Углерода оксид (Углерод окись; углерод моноокись; угарный газ)	63,97138	1,6666667	52,56
																410	Метан	6,39714	0,1666667	5,256

№ ИЗАВ	Тип ИЗАВ	Наименование ИЗАВ	Число ИЗАВ, объединенных под одним номером	Время работы, ч/год	Высота источника, (м)	Диаметр, м	Координаты источника на карте - схеме				Ширина площадного источника, м	Скорость выхода ГВС, м/с, фактическая/осредненная	Объем (расход) ГВС, м3/с (при фактических условиях) /осредненный/	Температура ГВС, град С /осредненная/	Наименование газоочистных установок и степень очистки	ЗВ, выбрасываемые в атмосферный воздух (для каждого режима				Итого за год выброс вещества источником, т/год
							X1	Y1	X2	Y2						Код	Наименование	Концентрация, мг/м3	Мощность выброса, г/с	
1	2	3	4	5	6	7	8	9	10	11	12	13	14	15	16	17	18	19	20	21
245	Организованный	Вытяжная вент.система блока парового риформинга М-50	1	8760	10	0,6	108	296	-	-	-	123,79	35	20	ГОУ отсутствуют	410	Метан	4,219	0,1375923	4,339108
																415	Смесь предельных углеводородов С1Н4-С5Н12	0,522	0,0170162	0,536625
																416	Смесь предельных углеводородов С6Н14-С10Н22	0,002	0,0000502	0,001581
6321	Неорганизованный	Пусковой подогреватель синтеза метанола Т-1200	1	8760	2	-	121	301	116	292	4	-	-	-	ГОУ отсутствуют	1052	Метанол (Карбинол; метиловый спирт; метилгидроксид)	-	0,001595	0,050308
6322	Неорганизованный	Змеевик технологического газа У-0500	1	8760	2	-	138	296	135	286	4	-	-	-	ГОУ отсутствуют	410	Метан	-	0,0001391	0,004386
																415	Смесь предельных углеводородов С1Н4- С5Н12	-	0,0000172	0,000542
																416	Смесь предельных углеводородов С6Н14-С10Н22	-	0,0000001	0,000002
6323	Неорганизованный	Реактор гидрирования Р- 0300	1	8760	2	-	189	302	199	298	4	-	-	-	ГОУ отсутствуют	410	Метан	-	0,0040824	0,128742
																415	Смесь предельных углеводородов С1Н4- С5Н12	-	0,0005049	0,015922
																416	Смесь предельных углеводородов С6Н14-С10Н22	-	0,0000015	0,000047
6324	Неорганизованный	Котел-утилизатор Т-0200	1	8760	2	-	209	196	219	193	4	-	-	-	ГОУ отсутствуют	410	Метан	-	0,0010507	0,033136
																415	Смесь предельных углеводородов С1Н4-С5Н12	-	0,0001299	0,004098
																416	Смесь предельных углеводородов С6Н14-С10Н22	-	0,0000004	0,000012
Площадка: УКПГ Цех: Система топливного газа и утилизации тепла																				
246	Организованный	Дымовая труба вспомогательного котла Вк-0100	1	8760	15	1	145	168	-	-	-	6,058	4,758	180	ГОУ отсутствуют	301	Азота диоксид (Двуокись азота; пероксид азота)	526,088	0,3915841	12,347539
																304	Азот (II) оксид (Азот монооксид)	512,936	0,3817945	12,038851
																337	Углерода оксид (Углерод окись; углерод моноокись; угарный газ)	1086,026	0,808364	25,4896
																703	Бенз/а/пирен	1,34E-04	0,0000001	0,0000029
247	Организованный	Продувочная свеча вспомогательного котла	1	0,33	3	0,03	150	168	-	-	-	46,02	0,03701	20	ГОУ отсутствуют	410	Метан	717967,65	24,7581955	0,00049
																415	Смесь предельных углеводородов С1Н4- С5Н12	88792,18	3,0618847	0,000061
																416	Смесь предельных углеводородов С6Н14-С10Н22	261,645	0,0090225	0,0000002

№ ИЗАВ	Тип ИЗАВ	Наименование ИЗАВ	Число ИЗАВ, объединенных под одним номером	Время работы, ч/год	Высота источника, (м)	Диаметр, м	Координаты источника на карте - схеме				Ширина площадного источника, м	Скорость выхода ГВС, м/с, фактическая/осредненная	Объем (расход) ГВС, м3/с (при фактических условиях) /осредненный/	Температура ГВС, град С /осредненная/	Наименование газоочистных установок и степень очистки	ЗВ, выбрасываемые в атмосферный воздух (для каждого режима				Итого за год выброс вещества источником, т/год
							X1	Y1	X2	Y2						Код	Наименование	Концентрация, мг/м3	Мощность выброса, г/с	
1	2	3	4	5	6	7	8	9	10	11	12	13	14	15	16	17	18	19	20	21
6325	Неорганизованный	Змеевик топливного газа У-0600	1	8760	2	-	148	226	155	226	4	-	-	-	ГОУ отсутствуют	410	Метан	-	0,0000346	0,001092
																415	Смесь предельных углеводородов С1Н4- С5Н12	-	0,0000043	0,000135
																416	Смесь предельных углеводородов С6Н14-С10Н22	-	1,26E-08	0,0000004
Площадка: УКПГ Цех: Охлаждение конвертированного газа																				
6326	Неорганизованный	Кипятильник Т-0300	1	8760	2	-	147	282	147	287	4	-	-	-	ГОУ отсутствуют	410	Метан	-	0,0004507	0,014213
																415	Смесь предельных углеводородов С1Н4- С5Н12	-	0,0000557	0,001758
																416	Смесь предельных углеводородов С6Н14-С10Н22	-	0,0000002	0,0000052
6327	Неорганизованный	Колонна ректификации метанола К-0100	1	8760	2	-	110	264	112	264	4	-	-	-	ГОУ отсутствуют	1052	Метанол (Карбинол; метиловый спирт; метилгидроксид)	-	0,00289	0,091128
6328	Неорганизованный	Сепаратор С-0300	1	8760	2	-	105	227	110	227	4	-	-	-	ГОУ отсутствуют	410	Метан	-	0,000401	0,012646
																415	Смесь предельных углеводородов С1Н4- С5Н12	-	0,0000496	0,001564
																416	Смесь предельных углеводородов С6Н14-С10Н22	-	0,0000001	0,0000046
6329	Неорганизованный	Подогреватель обессоленной воды Т-0400	1	8760	2	-	77	243	83	240	4	-	-	-	ГОУ отсутствуют	410	Метан	-	0,000001	0,000032
																415	Смесь предельных углеводородов С1Н4- С5Н12	-	0,0000001	0,000004
																416	Смесь предельных углеводородов С6Н14-С10Н22	-	3,74E-10	1,18E-08
6330	Неорганизованный	Подогреватель обессоленной воды Т-0400	1	8760	2	-	77	246	83	246	4	-	-	-	ГОУ отсутствуют	410	Метан	-	0,0004033	0,012719
																415	Смесь предельных углеводородов С1Н4- С5Н12	-	0,0000499	0,001573
																416	Смесь предельных углеводородов С6Н14-С10Н22	-	0,0000001	0,0000046
6331	Неорганизованный	Сепаратор С-0500	1	8760	2	-	88	275	91	274	4	-	-	-	ГОУ отсутствуют	410	Метан	-	0,000459	0,014475
																415	Смесь предельных углеводородов С1Н4- С5Н12	-	0,0000568	0,00179
																416	Смесь предельных углеводородов С6Н14-С10Н22	-	0,0000002	0,0000053
6332	Неорганизованный	Подогреватель Т-0900	1	8760	2	-	108	296	109	296	4	-	-	-	ГОУ отсутствуют	1052	Метанол (Карбинол; метиловый спирт; метилгидроксид; моногидрокси	-	0,000001	0,000019

№ ИЗАВ	Тип ИЗАВ	Наименование ИЗАВ	Число ИЗАВ, объединенных под одним номером	Время работы, ч/год	Высота источника, (м)	Диаметр, м	Координаты источника на карте - схеме				Ширина площадного источника, м	Скорость выхода ГВС, м/с, фактическая/осредненная	Объем (расход) ГВС, м3/с (при фактических условиях) /осредненный/	Температура ГВС, град С /осредненная/	Наименование газоочистных установок и степень очистки	ЗВ, выбрасываемые в атмосферный воздух (для каждого режима				Итого за год выброс вещества источником, т/год
							X1	Y1	X2	Y2						Код	Наименование	Концентрация, мг/м3	Мощность выброса, г/с	
1	2	3	4	5	6	7	8	9	10	11	12	13	14	15	16	17	18	19	20	21
6333	Неорганизованный	Отпарная емкость К-0200	1	8760	2	-	132	320	135	324	4	-	-	-	ГОУ отсутствуют	410	Метан	-	0,0002191	0,006909
																415	Смесь предельных углеводородов С1Н4- С5Н12	-	0,0000271	0,000854
																416	Смесь предельных углеводородов С6Н14-С10Н22	-	0,0000001	0,0000025
Площадка: УКПГ Цех: Компримирование конвертированного и цирк																				
6334	Неорганизованный	Бак продувок – Е-1700	1	8760	2	-	126	289	127	289	4	-	-	-	ГОУ отсутствуют	410	Метан	-	9,49E-10	2,99E-08
																415	Смесь предельных углеводородов С1Н4- С5Н12	-	0,000006	0,00019
																416	Смесь предельных углеводородов С6Н14-С10Н22	-	0,000013	0,000409
6335	Неорганизованный	Сепаратор С-0600	1	8760	2	-	137	272	140	272	4	-	-	-	ГОУ отсутствуют	410	Метан	-	0,0061473	0,19386
																415	Смесь предельных углеводородов С1Н4- С5Н12	-	0,0007602	0,023975
																416	Смесь предельных углеводородов С6Н14-С10Н22	-	0,0000022	0,000071
Площадка: УКПГ Цех: Маслоснабжение и дренирование компрессор																				
6336	Неорганизованный	Расходная емкость свежего масла Е-1401	1	8760	2	-	136	204	136	197	4	-	-	-	ГОУ отсутствуют	2735	Масло минеральное нефтяное (веретенное, машинное, цилиндровое)	-	0,003744	0,118059
6337	Неорганизованный	Расходная емкость свежего масла Е-1402	1	8760	2	-	144	202	144	196	4	-	-	-	ГОУ отсутствуют	2735	Масло минеральное нефтяное (веретенное, машинное, цилиндровое)	-	0,0047047	0,148355
6338	Неорганизованный	Расходная емкость свежего масла Е-1403	1	8760	2	-	167	196	167	193	2	-	-	-	ГОУ отсутствуют	2735	Масло минеральное нефтяное (веретенное, машинное, цилиндровое)	-	0,0046407	0,146337
6339	Неорганизованный	Расходная емкость свежего масла Е-1404	1	8760	2	-	170	209	173	209	2	-	-	-	ГОУ отсутствуют	2735	Масло минеральное нефтяное (веретенное, машинное, цилиндровое)	-	0,003808	0,120077
6340	Неорганизованный	Емкость свежего масла Е-1100	1	8760	2	-	166	203	168	203	2	-	-	-	ГОУ отсутствуют	2735	Масло минеральное нефтяное (веретенное, машинное, цилиндровое)	-	0,0139978	0,441445
6341	Неорганизованный	Емкость отработанного масла Е-1300	1	8760	2	-	170	204	172	204	2	-	-	-	ГОУ отсутствуют	2735	Масло минеральное нефтяное (веретенное, машинное, цилиндровое)	-	0,0140042	0,441647

№ ИЗАВ	Тип ИЗАВ	Наименование ИЗАВ	Число ИЗАВ, объединенных под одним номером	Время работы, ч/год	Высота источника, (м)	Диаметр, м	Координаты источника на карте - схеме				Ширина площадного источника, м	Скорость выхода ГВС, м/с, фактическая/осредненная	Объем (расход) ГВС, м3/с (при фактических условиях) /осредненный/	Температура ГВС, град С /осредненная/	Наименование газоочистных установок и степень очистки	ЗВ, выбрасываемые в атмосферный воздух (для каждого режима				Итого за год выброс вещества источником, т/год
							X1	Y1	X2	Y2						Код	Наименование	Концентрация, мг/м3	Мощность выброса, г/с	
1	2	3	4	5	6	7	8	9	10	11	12	13	14	15	16	17	18	19	20	21
6342	Неорганизованный	Дегазатор масла Е-1600	1	8760	2	-	175	215	176	215	2	-	-	-	ГОУ отсутствуют	2735	Масло минеральное нефтяное (веретенное, машинное, цилиндровое)	-	0,0047303	0,149163
Площадка: УКПГ Цех: Блок синтеза метанола																				
248	Организованный	Вытяжная вент.система здания тарного хранения масла	1	8760	6	0,4	171	165	-	-	-	0,64	0,080556	20	ГОУ отсутствуют	2735	Масло минеральное нефтяное (веретенное, машинное, цилиндровое)	24,056	0,0018056	0,0010572
249	Организованный	Вытяжная вент.система блока ремонтно- эксплуатационного	1	8760	10	0,71	398	38	-	-	-	1,47	0,583333	20	ГОУ отсутствуют	123	диЖелезо триоксид, (железа оксид) /в пересчете на железо/(Железо	301,993	0,1641378	1,004185
																143	Марганец и его соединения/в пересчете на марганец (IV) оксид/	7,517	0,0040856	0,0164892
																203	Хром/в пересчете на хрома (VI) оксид/	1,264	0,0006871	0,000091
																301	Азота диоксид (Двуокись азота; пероксид азота)	59,07	0,0321056	0,215554
																304	Азот (II) оксид (Азот монооксид)	9,599	0,0052172	0,0350275
																337	Углерода оксид (Углерод окись; углерод моноокись; угарный газ)	111,939	0,0608403	0,3419575
																342	Гидрофторид (Водород фторид; фтороводород)	2,919	0,0015867	0,0012444
																344	Фториды неорганические плохо растворимые	5,039	0,0027389	0,0014926
																2908	Пыль неорганическая, содержащая двуокись кремния, в %: - 70-20	2,172	0,0011806	0,001275
6343	Неорганизованный	Сборник метанола-сырца Е-0100	1	8760	2	-	203	300	205	300	2	-	-	-	ГОУ отсутствуют	1052	Метанол (Карбинол; метиловый спирт; метилгидроксид)	-	0,0206	0,64964
6344	Неорганизованный	Закрытая теплая стоянка автотранспорта	1	8760	5	-	370	36	364	13	2	-	-	-	ГОУ отсутствуют	301	Азота диоксид (Двуокись азота; пероксид азота)	-	0,0022444	0,00377
																304	Азот (II) оксид (Азот монооксид)	-	0,0003647	0,000613
																328	Углерод (Пигмент черный)	-	0,0001861	0,000323

№ ИЗАВ	Тип ИЗАВ	Наименование ИЗАВ	Число ИЗАВ, объединенных под одним номером	Время работы, ч/год	Высота источника, (м)	Диаметр, м	Координаты источника на карте - схеме				Ширина площадного источника, м	Скорость выхода ГВС, м/с, фактическая/осредненная	Объем (расход) ГВС, м3/с (при фактических условиях) /осредненный/	Температура ГВС, град С /осредненная/	Наименование газоочистных установок и степень очистки	ЗВ, выбрасываемые в атмосферный воздух (для каждого режима				Итого за год выброс вещества источником, т/год
							X1	Y1	X2	Y2						Код	Наименование	Концентрация, мг/м3	Мощность выброса, г/с	
1	2	3	4	5	6	7	8	9	10	11	12	13	14	15	16	17	18	19	20	21
																330	Сера диоксид	-	0,0003599	0,00061
																337	Углерода оксид (Углерод окись; углерод моноокись; угарный газ)	-	0,005275	0,008437
																2732	Керосин (Керосин прямой перегонки; керосин дезодорированный)	-	0,0008194	0,001336
6345	Неорганизованный	Стоянка автотранспорта	1	8760	5	-	266	19	274	40	2	-	-	-	ГОУ отсутствуют	301	Азота диоксид (Двуокись азота; пероксид азота)	-	0,0397729	0,040203
																304	Азот (II) оксид (Азот монооксид)	-	0,0064631	0,006533
																328	Углерод (Пигмент черный)	-	0,0162172	0,010278
																330	Сера диоксид	-	0,006045	0,005024
																337	Углерода оксид (Углерод окись; углерод моноокись; угарный газ)	-	0,2356011	0,12499
																2704	Бензин (нефтяной, малосернистый) (в пересчете на углерод)	-	0,0052222	0,003356
																2732	Керосин (Керосин прямой перегонки; керосин дезодорированный)	-	0,0301828	0,017341
Площадка: УКПГ Цех: Лаборатория для анализа стоков, конденсата																				
250	Организованный	Вытяжная вент.система №1 лаборатории	1	4015	12,6	0,16	320	53	-	-	-	10,49	0,211	20	ГОУ отсутствуют	150	Натрий гидроксид (Натр едкий)	0,067	0,0000131	0,000189
																302	Азотная кислота (по молекуле HNO3)	2,543	0,0005	0,007227
																303	Аммиак (Азота гидрид)	0,25	0,0000492	0,000711
																316	Гидрохлорид (по молекуле HC1) (Водород хлорид)	0,671	0,000132	0,001908
																322	Серная кислота (по молекуле H2SO4)	0,136	0,0000267	0,003556
																602	Бензол (Циклогексатриен; фенилгидрид)	1,251	0,000246	0,003556
																621	Метилбензол (Фенилметан)	0,413	0,0000811	0,001172
																906	Тетрахлорметан	2,508	0,000493	0,007126

№ ИЗАВ	Тип ИЗАВ	Наименование ИЗАВ	Число ИЗАВ, объединенных под одним номером	Время работы, ч/год	Высота источника, (м)	Диаметр, м	Координаты источника на карте - схеме				Ширина площадного источника, м	Скорость выхода ГВС, м/с, фактическая/осредненная	Объем (расход) ГВС, м3/с (при фактических условиях) /осредненный/	Температура ГВС, град С /осредненная/	Наименование газоочистных установок и степень очистки	ЗВ, выбрасываемые в атмосферный воздух (для каждого режима				Итого за год выброс вещества источником, т/год
							X1	Y1	X2	Y2						Код	Наименование	Концентрация, мг/м3	Мощность выброса, г/с	
1	2	3	4	5	6	7	8	9	10	11	12	13	14	15	16	17	18	19	20	21
																1061	Этанол (Этиловый спирт; метилкарбинол)	8,495	0,00167	0,024138
																1401	Пропан-2-он (Диметилкетон; диметилформальдегид)	3,24	0,000637	0,009207
																1555	Этановая кислота (Метанкарбоновая кислота)	0,977	0,000192	0,002775
251	Организованный	Вытяжная вент.система №2 лаборатории	1	4015	12,6	0,28	315	42	-	-	-	12,63	0,778	20	ГОУ отсутствуют	150	Натрий гидроксид (Натр едкий)	0,018	0,0000131	0,000189
																302	Азотная кислота (по молекуле HNO3)	0,69	0,0005	0,007227
																303	Аммиак (Азота гидрид)	0,068	0,0000492	0,000711
																316	Гидрохлорид (по молекуле HC1) (Водород хлорид)	0,182	0,000132	0,001908
																322	Серная кислота (по молекуле H2SO4)	0,037	0,0000267	0,000386
																602	Бензол (Циклогексатриен; фенилгидрид)	0,339	0,000246	0,003556
																621	Метилбензол (Фенилметан)	0,112	0,0000811	0,001172
																906	Тетрахлорметан	0,68	0,000493	0,007126
																1061	Этанол (Этиловый спирт; метилкарбинол)	2,304	0,00167	0,024138
																1401	Пропан-2-он (Диметилкетон; диметилформальдегид)	0,879	0,000637	0,009207
																1555	Этановая кислота (Метанкарбоновая кислота)	0,265	0,000192	0,002775
252	Организованный	Вытяжная вент.система №3 лаборатории	1	4015	14,2	0,16	315	35	-	-	-	10,49	0,211	20	ГОУ отсутствуют	150	Натрий гидроксид (Натр едкий)	0,067	0,0000131	0,000189
																302	Азотная кислота (по молекуле HNO3)	2,543	0,0005	0,007227
																303	Аммиак (Азота гидрид)	0,25	0,0000492	0,000711
																316	Гидрохлорид (по молекуле HC1) (Водород хлорид)	0,671	0,000132	0,001908
																322	Серная кислота (по молекуле H2SO4)	0,136	0,0000267	0,000386
																602	Бензол (Циклогексатриен; фенилгидрид)	1,251	0,000246	0,003556
																621	Метилбензол (Фенилметан)	0,413	0,0000811	0,001172

№ ИЗАВ	Тип ИЗАВ	Наименование ИЗАВ	Число ИЗАВ, объединенных под одним номером	Время работы, ч/год	Высота источника, (м)	Диаметр, м	Координаты источника на карте - схеме				Ширина площадного источника, м	Скорость выхода ГВС, м/с, фактическая/осредненная	Объем (расход) ГВС, м3/с (при фактических условиях) /осредненный/	Температура ГВС, град С /осредненная/	Наименование газоочистных установок и степень очистки	ЗВ, выбрасываемые в атмосферный воздух (для каждого режима				Итого за год выброс вещества источником, т/год
							X1	Y1	X2	Y2						Код	Наименование	Концентрация, мг/м3	Мощность выброса, г/с	
1	2	3	4	5	6	7	8	9	10	11	12	13	14	15	16	17	18	19	20	21
																906	Тетрахлорметан	2,508	0,000493	0,007126
																1061	Этанол (Этиловый спирт; метилкарбинол)	8,495	0,00167	0,024138
																1401	Пропан-2-он (Диметилкетон; диметилформальдегид)	3,24	0,000637	0,009207
																1555	Этановая кислота (Метанкарбоновая кислота)	0,977	0,000192	0,002775
Площадка: УКПГ Цех: Установка очистки бытовых сточных вод																				
345	Организованный	Вытяжная вент.система	1	8760	4,8	0,05	254	97	-	-	-	5,09	0,01	20	ГОУ отсутствуют	301	Азота диоксид (Двуокись азота; пероксид азота)	0,064	0,0000006	0,00001
																303	Аммиак (Азота гидрид)	0,376	0,0000035	0,000062
																304	Азот (II) оксид (Азот монооксид)	0,107	0,000001	0,000017
																333	Дигидросульфид (Водород сернистый, дигидросульфид, гидросульфид)	0,73	0,0000068	0,000122
																410	Метан	52,182	0,0004862	0,008733
																1071	Гидроксибензол (фенол)	0,043	0,0000004	0,000006
																1325	Формальдегид (Муравьиный альдегид, оксометан, метиленоксид)	0,054	0,0000005	0,000009
																1716	Одорант СПМ	0,011	0,0000001	0,000001
6300	Неорганизованный	Патрубок резервуара	1	8760	2	-	255	100	257	100	2	-	-	-	ГОУ отсутствуют	301	Азота диоксид (Двуокись азота; пероксид азота)	-	0,0000012	0,00002
																303	Аммиак (Азота гидрид)	-	0,000007	0,000124
																304	Азот (II) оксид (Азот монооксид)	-	0,000002	0,000034
																333	Дигидросульфид (Водород сернистый, дигидросульфид, гидросульфид)	-	0,0000136	0,000244
																410	Метан	-	0,0009724	0,017466
																1071	Гидроксибензол (фенол)	-	0,0000008	0,000012
																1325	Формальдегид (Муравьиный альдегид, оксометан, метиленоксид)	-	0,000001	0,000018
																1716	Одорант СПМ	-	0,0000002	0,000002
Площадка: УКПГ Цех: Установка очистки производственных сточных вод																				

№ ИЗАВ	Тип ИЗАВ	Наименование ИЗАВ	Число ИЗАВ, объединенных под одним номером	Время работы, ч/год	Высота источника, (м)	Диаметр, м	Координаты источника на карте - схеме				Ширина площадного источника, м	Скорость выхода ГВС, м/с, фактическая/осредненная	Объем (расход) ГВС, м3/с (при фактических условиях) /осредненный/	Температура ГВС, град С /осредненная/	Наименование газоочистных установок и степень очистки	ЗВ, выбрасываемые в атмосферный воздух (для каждого режима				Итого за год выброс вещества источником, т/год
							X1	Y1	X2	Y2						Код	Наименование	Концентрация, мг/м3	Мощность выброса, г/с	
1	2	3	4	5	6	7	8	9	10	11	12	13	14	15	16	17	18	19	20	21
346	Организованный	Вытяжная вент.система	1	8760	6	0,32	212	35	-	-	-	1,49	0,12	20	ГОУ отсутствуют	333	Дигидросульфид (Водород сернистый, дигидросульфид, гидросульфид)	0,004	0,0000004	0,000039
																2754	Алканы С12-19 (в пересчете на С)	1,418	0,0001586	0,013793
6491	Неорганизованный	Патрубок резервуара	1	8760	2	-	208	21	221	17	2	-	-	-	ГОУ отсутствуют	333	Дигидросульфид (Водород сернистый, дигидросульфид, гидросульфид)	-	0,0000161	0,000011
																2754	Алканы С12-19 (в пересчете на С)	-	0,0057394	0,003883
Площадка: ДКС Цех: Дожимная компрессорная станция																				
253	Организованный	Дымовая труба МГПА №1	1	8520	25	2,81	689	137	-	-	-	40,248	249,6	440	ГОУ отсутствуют	301	Азота диоксид (Двуокись азота; пероксид азота)	8,405218	2,0979425	64,348091
																304	Азот (II) оксид (Азот монооксид)	8,195088	2,0454939	62,739389
																337	Углерода оксид (Углерод окись; углерод моноокись; угарный газ)	66,38422	16,5695016	508,219753
																410	Метан	1,195721	0,298452	89,326128
254	Организованный	Свеча суфлирования маслобака двигателя МГПА №1	1	8520	25	2,81	689	137	-	-	-	0,13	0,8	20	ГОУ отсутствуют	2735	Масло минеральное нефтяное (веретенное, машинное, цилиндровое)	637,342	0,4750703	0,373901
255	Организованный	Свеча суфлирования маслобака компрессора МГПА№1	1	8520	11	0,05	689	133	-	-	-	25,46	0,05	20	ГОУ отсутствуют	2735	Масло минеральное нефтяное (веретенное, машинное, цилиндровое)	12746,85	0,5938379	0,467376
256	Организованный	Вент.труба МГПА №1	1	8760	11,95	0,4	698	133	-	-	-	3,18	0,4	20	ГОУ отсутствуют	410	Метан	2,462	0,0009176	0,028938
																415	Смесь предельных углеводородов С1Н4- С5Н12	0,305	0,0001135	0,003579
																416	Смесь предельных углеводородов С6Н14- С10Н22	0,001	0,0000003	0,000011
																2735	Масло минеральное нефтяное (веретенное, машинное, цилиндровое)	0,043	0,000016	0,000505
257	Организованный	Свеча сухих газодинамических уплотнений МГПА №1	1	8520	15	0,05	683	135	-	-	-	25,46	0,05	20	ГОУ отсутствуют	410	Метан	2107203,065	98,1683339	335,052304

№ ИЗАВ	Тип ИЗАВ	Наименование ИЗАВ	Число ИЗАВ, объединенных под одним номером	Время работы, ч/год	Высота источника, (м)	Диаметр, м	Координаты источника на карте - схеме				Ширина площадного источника, м	Скорость выхода ГВС, м/с, фактическая/осредненная	Объем (расход) ГВС, м3/с (при фактических условиях) /осредненный/	Температура ГВС, град С /осредненная/	Наименование газоочистных установок и степень очистки	ЗВ, выбрасываемые в атмосферный воздух (для каждого режима				Итого за год выброс вещества источником, т/год
							X1	Y1	X2	Y2						Код	Наименование	Концентрация, мг/м3	Мощность выброса, г/с	
1	2	3	4	5	6	7	8	9	10	11	12	13	14	15	16	17	18	19	20	21
258	Организованный	Дымовая труба МГПА №2	1	8520	25	2,81	675	94	-	-	-	40,248	249,6	440	ГОУ отсутствуют	301	Азота диоксид (Двуокись азота; пероксид азота)	8,405218	2,0979425	64,348091
																304	Азот (II) оксид (Азот монооксид)	8,195088	2,0454939	62,739389
																337	Углерода оксид (Углерод окись; углерод моноокись; угарный газ)	66,38422	16,5695016	508,219753
																410	Метан	1,195721	0,298452	89,326128
259	Организованный	Свеча суфлирования маслобака двигателя МГПА №2	1	8520	25	2,81	675	94	-	-	-	0,13	0,8	20	ГОУ отсутствуют	2735	Масло минеральное нефтяное (веретенное, машинное, цилиндровое)	637,342	0,4750703	0,373901
260	Организованный	Свеча суфлирования маслобака компрессора МГПА№2	1	8520	11	0,05	673	91	-	-	-	25,46	0,05	20	ГОУ отсутствуют	2735	Масло минеральное нефтяное (веретенное, машинное, цилиндровое)	12746,85	0,5938379	0,467376
261	Организованный	Вент.труба МГПА №2	1	8760	11,95	0,4	684	90	-	-	-	3,18	0,4	20	ГОУ отсутствуют	410	Метан	2,462	0,0009176	0,028938
																415	Смесь предельных углеводородов С1Н4- С5Н12	0,305	0,0001135	0,003579
																416	Смесь предельных углеводородов С6Н14-С10Н22	0,001	0,0000003	0,000011
																2735	Масло минеральное нефтяное (веретенное, машинное, цилиндровое)	0,043	0,000016	0,000505
262	Организованный	Свеча сухих газодинамических уплотнений МГПА №2	1	8520	15	0,05	669	91	-	-	-	25,46	0,05	20	ГОУ отсутствуют	410	Метан	2107203,06	98,1683339	335,052304
263	Организованный	Дымовая труба МГПА №3	1	8520	25	2,81	661	51	-	-	-	40,248	249,6	440	ГОУ отсутствуют	301	Азота диоксид (Двуокись азота; пероксид азота)	8,405218	2,0979425	64,348091
																304	Азот (II) оксид (Азот монооксид)	8,195088	2,0454939	62,739389
																337	Углерода оксид (Углерод окись; углерод моноокись; угарный газ)	66,38422	16,5695016	508,219753
																410	Метан	1,195721	0,298452	89,326128
264	Организованный	Свеча суфлирования маслобака двигателя МГПА №3	1	8520	25	2,81	661	51	-	-	-	0,13	0,8	20	ГОУ отсутствуют	2735	Масло минеральное нефтяное (веретенное, машинное, цилиндровое)	637,342	0,4750703	0,373901

№ ИЗАВ	Тип ИЗАВ	Наименование ИЗАВ	Число ИЗАВ, объединенных под одним номером	Время работы, ч/год	Высота источника, (м)	Диаметр, м	Координаты источника на карте - схеме				Ширина площадного источника, м	Скорость выхода ГВС, м/с, фактическая/осредненная	Объем (расход) ГВС, м3/с (при фактических условиях) /осредненный/	Температура ГВС, град С /осредненная/	Наименование газоочистных установок и степень очистки	ЗВ, выбрасываемые в атмосферный воздух (для каждого режима				Итого за год выброс вещества источником, т/год
							X1	Y1	X2	Y2						Код	Наименование	Концентрация, мг/м3	Мощность выброса, г/с	
1	2	3	4	5	6	7	8	9	10	11	12	13	14	15	16	17	18	19	20	21
265	Организованный	Свеча суфлирования маслобака компрессора МГПА№3	1	8520	11	0,05	658	48	-	-	-	25,46	0,05	20	ГОУ отсутствуют	2735	Масло минеральное нефтяное (веретенное, машинное, цилиндровое)	12746,85	0,5938379	0,467376
266	Организованный	Вент.труба МГПА №3	1	8760	11,95	0,4	670	48	-	-	-	3,18	0,4	20	ГОУ отсутствуют	410	Метан	2,462	0,0009176	0,028938
																415	Смесь предельных углеводородов С1Н4- С5Н12	0,305	0,0001135	0,003579
																416	Смесь предельных углеводородов С6Н14-С10Н22	0,001	0,0000003	0,000011
																2735	Масло минеральное нефтяное (веретенное, машинное, цилиндровое)	0,043	0,000016	0,000505
267	Организованный	Свеча сухих газодинамических уплотнений МГПА №3	1	8520	15	0,05	654	48	-	-	-	25,46	0,05	20	ГОУ отсутствуют	410	Метан	2107203,06	98,1683339	335,052304
268	Организованный	Дымовая труба МГПА №4	1	8520	25	2,81	640	-10	-	-	-	40,248	249,6	440	ГОУ отсутствуют	301	Азота диоксид (Двуокись азота; пероксид азота)	8,405218	2,0979425	64,348091
																304	Азот (II) оксид (Азот монооксид)	8,195088	2,0454939	62,739389
																337	Углерода оксид (Углерод окись; углерод моноокись; угарный газ)	66,38422	16,5695016	508,219753
																410	Метан	1,195721	0,298452	89,326128
269	Организованный	Свеча суфлирования маслобака двигателя МГПА №4	1	8520	25	2,81	640	-10	-	-	-	0,13	0,8	20	ГОУ отсутствуют	2735	Масло минеральное нефтяное (веретенное, машинное, цилиндровое)	637,342	0,4750703	0,373901
270	Организованный	Свеча суфлирования маслобака компрессора МГПА№4	1	8520	11	0,05	633	-12	-	-	-	25,46	0,05	20	ГОУ отсутствуют	2735	Масло минеральное нефтяное (веретенное, машинное, цилиндровое)	12746,85	0,5938379	0,467376
271	Организованный	Вент.труба МГПА №4	1	8760	11,95	0,4	650	-15	-	-	-	3,18	0,4	20	ГОУ отсутствуют	410	Метан	2,462	0,0009176	0,028938
																415	Смесь предельных углеводородов С1Н4- С5Н12	0,305	0,0001135	0,003579
																416	Смесь предельных углеводородов С6Н14-С10Н22	0,001	0,0000003	0,000011
																2735	Масло минеральное нефтяное (веретенное, машинное, цилиндровое)	0,043	0,000016	0,000505

№ ИЗАВ	Тип ИЗАВ	Наименование ИЗАВ	Число ИЗАВ, объединенных под одним номером	Время работы, ч/год	Высота источника, (м)	Диаметр, м	Координаты источника на карте - схеме				Ширина площадного источника, м	Скорость выхода ГВС, м/с, фактическая/осредненная	Объем (расход) ГВС, м3/с (при фактических условиях) /осредненный/	Температура ГВС, град С /осредненная/	Наименование газоочистных установок и степень очистки	ЗВ, выбрасываемые в атмосферный воздух (для каждого режима				Итого за год выброс вещества источником, т/год
							X1	Y1	X2	Y2						Код	Наименование	Концентрация, мг/м3	Мощность выброса, г/с	
1	2	3	4	5	6	7	8	9	10	11	12	13	14	15	16	17	18	19	20	21
272	Организованный	Свеча сухих газодинамических уплотнений МГПА №4	1	8520	15	0,05	633	-14	-	-	-	25,46	0,05	20	ГОУ отсутствуют	410	Метан	2107203,06	98,1683339	335,052304
273	Организованный	Дымовая труба установки подготовки газа	1	1224	7,27	0,5	640	156	-	-	-	4,354	0,855	200	ГОУ отсутствуют	301	Азота диоксид (Двуокись азота; пероксид азота)	1218,08	1,0414581	4,589037
																304	Азот (II) оксид (Азот монооксид)	1187,627	1,0154214	4,474311
																337	Углерода оксид (Углерод окись; углерод моноокись; угарный газ)	2106,32	1,8009038	9,666
																703	Бенз/а/пирен	0,000351	0,0000003	0,0000006
274	Организованный	Вент.труба установки подготовки газа	1	8760	8,1	0,4	644	150	-	-	-	3,18	0,4	20	ГОУ отсутствуют	410	Метан	4,924	0,0018352	0,057876
																415	Смесь предельных углеводородов С1Н4- С5Н12	0,609	0,000227	0,007158
																416	Смесь предельных углеводородов С6Н14-С10Н22	0,002	0,0000007	0,000021
275	Организованный	Свеча насосной масел	1	8520	9,6	0,05	557	58	-	-	-	25,46	0,05	20	ГОУ отсутствуют	2735	Масло минеральное нефтяное (веретенное, машинное, цилиндровое)	2,651	0,0001235	0,00005
276	Организованный	Вент.труба насосной масел	1	8760	8	0,3	560	55	-	-	-	4,24	0,3	20	ГОУ отсутствуют	2735	Масло минеральное нефтяное (веретенное, машинное, цилиндровое)	77,69	0,021716	0,684836
277	Организованный	Свеча крана МКА №1	1	4	15	0,08	702	140	-	-	-	15,92	0,08	20	ГОУ отсутствуют	410	Метан	1234484,69	92,0175625	1,987579
																415	Смесь предельных углеводородов С1Н4- С5Н12	152670,652	11,3799558	0,245807
																416	Смесь предельных углеводородов С6Н14-С10Н22	449,874	0,0335333	0,000724
278	Организованный	Свеча крана МКА №1	1	4	16	1,08	708	151	-	-	-	1,18	1,08	20	ГОУ отсутствуют	410	Метан	91443,311	92,0175625	1,987579
																415	Смесь предельных углеводородов С1Н4- С5Н12	11308,937	11,3799558	0,245807
																416	Смесь предельных углеводородов С6Н14-С10Н22	33,324	0,0335333	0,000724
279	Организованный	Свеча крана МКА №1	1	4	16	1,08	708	151	-	-	-	0,09	0,08	20	ГОУ отсутствуют	410	Метан	1234484,69	92,0175625	1,987579
																415	Смесь предельных углеводородов С1Н4- С5Н12	152670,652	11,3799558	0,245807
																416	Смесь предельных углеводородов С6Н14-С10Н22	449,874	0,0335333	0,000724

№ ИЗАВ	Тип ИЗАВ	Наименование ИЗАВ	Число ИЗАВ, объединенных под одним номером	Время работы, ч/год	Высота источника, (м)	Диаметр, м	Координаты источника на карте - схеме				Ширина площадного источника, м	Скорость выхода ГВС, м/с, фактическая/осредненная	Объем (расход) ГВС, м3/с (при фактических условиях) /осредненный/	Температура ГВС, град С /осредненная/	Наименование газоочистных установок и степень очистки	ЗВ, выбрасываемые в атмосферный воздух (для каждого режима				Итого за год выброс вещества источником, т/год
							X1	Y1	X2	Y2						Код	Наименование	Концентрация, мг/м3	Мощность выброса, г/с	
1	2	3	4	5	6	7	8	9	10	11	12	13	14	15	16	17	18	19	20	21
280	Организованный	Свеча крана МКА №2	1	4	15	0,08	688	98	-	-	-	214,86	1,08	20	ГОУ отсутствуют	410	Метан	91443,311	92,0175625	1,987579
																415	Смесь предельных углеводородов С1Н4-С5Н12	11308,937	11,3799558	0,245807
																416	Смесь предельных углеводородов С6Н14-С10Н22	33,324	0,0335333	0,000724
281	Организованный	Свеча крана МКА №2	1	4	16	1,08	708	152	-	-	-	1,18	1,08	20	ГОУ отсутствуют	410	Метан	91443,311	92,0175625	1,987579
																415	Смесь предельных углеводородов С1Н4- С5Н12	11308,937	11,3799558	0,245807
																416	Смесь предельных углеводородов С6Н14-С10Н22	33,324	0,0335333	0,000724
282	Организованный	Свеча крана МКА №2	1	4	16	1,08	708	152	-	-	-	0,09	0,08	20	ГОУ отсутствуют	410	Метан	1234484,69	92,0175625	1,987579
																415	Смесь предельных углеводородов С1Н4- С5Н12	152670,652	11,3799558	0,245807
																416	Смесь предельных углеводородов С6Н14-С10Н22	449,874	0,0335333	0,000724
283	Организованный	Свеча крана МКА №3	1	4	15	0,08	673	55	-	-	-	214,86	1,08	20	ГОУ отсутствуют	410	Метан	91443,311	92,0175625	1,987579
																415	Смесь предельных углеводородов С1Н4- С5Н12	11308,937	11,3799558	0,245807
																416	Смесь предельных углеводородов С6Н14- С10Н22	33,324	0,0335333	0,000724
284	Организованный	Свеча крана МКА №3	1	4	16	1,08	708	153	-	-	-	1,18	1,08	20	ГОУ отсутствуют	410	Метан	91443,311	92,0175625	1,987579
																415	Смесь предельных углеводородов С1Н4-С5Н12	11308,937	11,3799558	0,245807
																416	Смесь предельных углеводородов С6Н14-С10Н22	33,324	0,0335333	0,000724
285	Организованный	Свеча крана МКА №3	1	4	16	1,08	708	153	-	-	-	0,09	0,08	20	ГОУ отсутствуют	410	Метан	1234484,69	92,0175625	1,987579
																415	Смесь предельных углеводородов С1Н4- С5Н12	152670,652	11,3799558	0,245807
																416	Смесь предельных углеводородов С6Н14-С10Н22	449,874	0,0335333	0,000724
286	Организованный	Свеча крана МКА №4	1	4	15	0,08	653	-7	-	-	-	214,86	1,08	20	ГОУ отсутствуют	410	Метан	91443,311	92,0175625	1,987579
																415	Смесь предельных углеводородов С1Н4- С5Н12	11308,937	11,3799558	0,245807
																416	Смесь предельных углеводородов С6Н14-С10Н22	33,324	0,0335333	0,000724
287			1	4	16	1,08	708	154	-	-	-	1,18	1,08	20		410	Метан	91443,311	92,0175625	1,987579

№ ИЗАВ	Тип ИЗАВ	Наименование ИЗАВ	Число ИЗАВ, объединенных под одним номером	Время работы, ч/год	Высота источника, (м)	Диаметр, м	Координаты источника на карте - схеме				Ширина площадного источника, м	Скорость выхода ГВС, м/с, фактическая/осредненная	Объем (расход) ГВС, м3/с (при фактических условиях) /осредненный/	Температура ГВС, град С /осредненная/	Наименование газоочистных установок и степень очистки	ЗВ, выбрасываемые в атмосферный воздух (для каждого режима				Итого за год выброс вещества источником, т/год
							X1	Y1	X2	Y2						Код	Наименование	Концентрация, мг/м3	Мощность выброса, г/с	
1	2	3	4	5	6	7	8	9	10	11	12	13	14	15	16	17	18	19	20	21
	Организованный	Свеча крана МКА №4													ГОУ отсутствуют	415	Смесь предельных углеводородов С1Н4- С5Н12	11308,937	11,3799558	0,245807
																416	Смесь предельных углеводородов С6Н14-С10Н22	33,324	0,0335333	0,000724
288	Организованный	Свеча крана МКА №4	1	4	16	1,08	708	154	-	-	-	0,09	0,08	20	ГОУ отсутствуют	410	Метан	1234484,69	92,0175625	1,987579
																415	Смесь предельных углеводородов С1Н4-С5Н12	152670,652	11,3799558	0,245807
																416	Смесь предельных углеводородов С6Н14-С10Н22	449,874	0,0335333	0,000724
289	Организованный	Свеча рассеивания. Узел подключения	1	0,33	6	0,08	612	210	-	-	-	15,92	0,08	20	ГОУ отсутствуют	410	Метан	5678629,61	423,280788	0,761905
																415	Смесь предельных углеводородов С1Н4-С5Н12	702285,003	52,3477968	0,094226
																416	Смесь предельных углеводородов С6Н14-С10Н22	2069,424	0,1542533	0,000278
290	Организованный	Свеча рассеивания. Узел подключения	1	0,33	6	0,08	610	204	-	-	-	9,95	0,05	20	ГОУ отсутствуют	410	Метан	9085807,38	423,280788	0,761905
																415	Смесь предельных углеводородов С1Н4- С5Н12	1123656,00	52,3477968	0,094226
																416	Смесь предельных углеводородов С6Н14-С10Н22	3311,078	0,1542533	0,000278
291	Организованный	Свеча рассеивания. УПГ	1	0,33	6,4	0,05	654	142	-	-	-	25,46	0,05	20	ГОУ отсутствуют	410	Метан	790070,207	36,807025	0,066253
																415	Смесь предельных углеводородов С1Н4- С5Н12	97709,217	4,5519823	0,008194
																416	Смесь предельных углеводородов С6Н14-С10Н22	287,919	0,0134133	0,000024
292	Организованный	Свеча рассеивания. УПГ	1	0,33	6,4	0,05	652	139	-	-	-	25,46	0,05	20	ГОУ отсутствуют	410	Метан	790070,207	36,807025	0,066253
																415	Смесь предельных углеводородов С1Н4-С5Н12	97709,217	4,5519823	0,008194
																416	Смесь предельных углеводородов С6Н14-С10Н22	287,919	0,0134133	0,000024
293	Организованный	Свеча рассеивания. УПГ	1	0,33	9	0,05	652	136	-	-	-	25,46	0,05	20	ГОУ отсутствуют	410	Метан	1580140,41	73,61405	0,132505
																415	Смесь предельных углеводородов С1Н4- С5Н12	195418,436	9,1039647	0,016387
																416	Смесь предельных углеводородов С6Н14-С10Н22	575,841	0,0268267	0,000048
294	Организованный	Свеча рассеивания. УПГ	1	0,33	9	0,05	651	135	-	-	-	25,46	0,05	20	ГОУ отсутствуют	410	Метан	1580140,41	73,61405	0,132505
																415	Смесь предельных углеводородов С1Н4- С5Н12	195418,436	9,1039647	0,016387

№ ИЗАВ	Тип ИЗАВ	Наименование ИЗАВ	Число ИЗАВ, объединенных под одним номером	Время работы, ч/год	Высота источника, (м)	Диаметр, м	Координаты источника на карте - схеме				Ширина площадного источника, м	Скорость выхода ГВС, м/с, фактическая/осредненная	Объем (расход) ГВС, м3/с (при фактических условиях) /осредненный/	Температура ГВС, град С /осредненная/	Наименование газоочистных установок и степень очистки	ЗВ, выбрасываемые в атмосферный воздух (для каждого режима				Итого за год выброс вещества источником, т/год
							X1	Y1	X2	Y2						Код	Наименование	Концентрация, мг/м3	Мощность выброса, г/с	
1	2	3	4	5	6	7	8	9	10	11	12	13	14	15	16	17	18	19	20	21
																416	Смесь предельных углеводородов С6Н14-С10Н22	575,841	0,0268267	0,000048
295	Организованный	Свеча рассеивания. УПГ	1	0,33	12	0,05	650	133	-	-	-	25,46	0,05	20	ГОУ отсутствуют	410	Метан	790070,207	36,807025	0,066253
																415	Смесь предельных углеводородов С1Н4- С5Н12	97709,217	4,5519823	0,008194
																416	Смесь предельных углеводородов С6Н14-С10Н22	287,919	0,0134133	0,000024
296	Организованный	Свеча рассеивания (заполнение газом перед пуском после ППР входного трубопровода ДКС через кран №17с)	1	0,33	6	0,08	728	117	-	-	-	15,92	0,08	20	ГОУ отсутствуют	410	Метан	7406908,19	552,105375	0,99379
																415	Смесь предельных углеводородов С1Н4-С5Н12	916023,917	68,279735	0,122904
																416	Смесь предельных углеводородов С6Н14-С10Н22	2699,249	0,2012	0,000362
297	Организованный	Свеча рассеивания (заполнение газом перед пуском после ППР выходного трубопровода ДКС через кран №18с)	1	0,33	6	0,08	728	119	-	-	-	15,92	0,08	20	ГОУ отсутствуют	410	Метан	7406908,19	552,105375	0,99379
																415	Смесь предельных углеводородов С1Н4- С5Н12	916023,917	68,279735	0,122904
																416	Смесь предельных углеводородов С6Н14-С10Н22	2699,249	0,2012	0,000362
298	Организованный	Свеча 103	1	0,33	15	0,05	729	118	-	-	-	25,46	0,05	20	ГОУ отсутствуют	410	Метан	1580140,41	73,61405	0,132505
																415	Смесь предельных углеводородов С1Н4- С5Н12	195418,436	9,1039647	0,016387
																416	Смесь предельных углеводородов С6Н14-С10Н22	575,841	0,0268267	0,000048
299	Организованный	Свеча 104	1	0,33	15	0,05	726	111	-	-	-	25,46	0,05	20	ГОУ отсутствуют	410	Метан	553049,145	25,7649175	0,046377
																415	Смесь предельных углеводородов С1Н4-С5Н12	68396,452	3,1863876	0,005735
																416	Смесь предельных углеводородов С6Н14-С10Н22	201,543	0,0093893	0,000017
300	Организованный	Свеча 106	1	0,33	15	0,05	714	76	-	-	-	25,46	0,05	20	ГОУ отсутствуют	410	Метан	553049,145	25,7649175	0,046377
																415	Смесь предельных углеводородов С1Н4- С5Н12	68396,452	3,1863876	0,005735
																416	Смесь предельных углеводородов С6Н14-С10Н22	201,543	0,0093893	0,000017
301	Организованный	Свеча 109	1	0,33	15	0,05	697	26	-	-	-	25,46	0,05	20	ГОУ отсутствуют	410	Метан	553049,145	25,7649175	0,046377
																415	Смесь предельных углеводородов С1Н4- С5Н12	68396,452	3,1863876	0,005735

№ ИЗАВ	Тип ИЗАВ	Наименование ИЗАВ	Число ИЗАВ, объединенных под одним номером	Время работы, ч/год	Высота источника, (м)	Диаметр, м	Координаты источника на карте - схеме				Ширина площадного источника, м	Скорость выхода ГВС, м/с, фактическая/осредненная	Объем (расход) ГВС, м3/с (при фактических условиях) /осредненный/	Температура ГВС, град С /осредненная/	Наименование газоочистных установок и степень очистки	ЗВ, выбрасываемые в атмосферный воздух (для каждого режима				Итого за год выброс вещества источником, т/год
							X1	Y1	X2	Y2						Код	Наименование	Концентрация, мг/м3	Мощность выброса, г/с	
1	2	3	4	5	6	7	8	9	10	11	12	13	14	15	16	17	18	19	20	21
																416	Смесь предельных углеводородов С6Н14-С10Н22	201,543	0,0093893	0,000017
302	Организованный	Свеча 42-1	1	0,33	15	0,05	679	-28	-	-	-	25,46	0,05	20	ГОУ отсутствуют	410	Метан	553049,145	25,7649175	0,046377
																415	Смесь предельных углеводородов С1Н4- С5Н12	68396,452	3,1863876	0,005735
																416	Смесь предельных углеводородов С6Н14-С10Н22	201,543	0,0093893	0,000017
303	Организованный	Свеча 41-1	1	0,33	15	0,05	677	-35	-	-	-	25,46	0,05	20	ГОУ отсутствуют	410	Метан	553049,145	25,7649175	0,046377
																415	Смесь предельных углеводородов С1Н4-С5Н12	68396,452	3,1863876	0,005735
																416	Смесь предельных углеводородов С6Н14-С10Н22	201,543	0,0093893	0,000017
304	Организованный	Свеча БЕ-1	1	0,33	15	0,05	772	143	-	-	-	25,46	0,05	20	ГОУ отсутствуют	410	Метан	553049,145	25,7649175	0,046377
																415	Смесь предельных углеводородов С1Н4-С5Н12	68396,452	3,1863876	0,005735
																416	Смесь предельных углеводородов С6Н14-С10Н22	201,543	0,0093893	0,000017
305	Организованный	Факел сброса 5,6	1	20	60	4,17	866	294	-	-	-	12,69	173,31	1700	ГОУ отсутствуют	301	Азота диоксид (Двуокись азота; пероксид азота)	78,163	1,8744	0,134957
																304	Азот (II) оксид (Азот монооксид)	76,209	1,82754	0,131583
																328	Углерод (Пигмент черный)	130,272	3,124	0,224928
																337	Углерода оксид (Углерод окись; углерод моноокись; угарный газ)	1302,722	31,24	2,24928
																410	Метан	32,568	0,781	0,056232
306	Организованный	Дымовая труба МГПА №5	1	8520	25	2,81	625	-53	-	-	-	40,24	249,6	440	ГОУ отсутствуют	301	Азота диоксид (Двуокись азота; пероксид азота)	8,405218	2,0979425	64,348091
																304	Азот (II) оксид (Азот монооксид)	8,195088	2,0454939	62,739389
																337	Углерода оксид (Углерод окись; углерод моноокись; угарный газ)	66,384221	16,5695016	508,219753
																410	Метан	1,195721	0,298452	89,326128
307	Организованный	Свеча суфлирования маслобака двигателя МГПА №5	1	8520	25	2,81	625	-53	-	-	-	0,45	2,81	20	ГОУ отсутствуют	2735	Масло минеральное нефтяное (веретенное, машинное, цилиндровое)	181,45	0,4750703	0,373901

№ ИЗАВ	Тип ИЗАВ	Наименование ИЗАВ	Число ИЗАВ, объединенных под одним номером	Время работы, ч/год	Высота источника, (м)	Диаметр, м	Координаты источника на карте - схеме				Ширина площадного источника, м	Скорость выхода ГВС, м/с, фактическая/осредненная	Объем (расход) ГВС, м3/с (при фактических условиях) /осредненный/	Температура ГВС, град С /осредненная/	Наименование газоочистных установок и степень очистки	ЗВ, выбрасываемые в атмосферный воздух (для каждого режима				Итого за год выброс вещества источником, т/год
							X1	Y1	X2	Y2						Код	Наименование	Концентрация, мг/м3	Мощность выброса, г/с	
1	2	3	4	5	6	7	8	9	10	11	12	13	14	15	16	17	18	19	20	21
308	Организованный	Свеча суфлирования маслобака компрессора МГПА№5	1	8520	11	0,05	619	-55	-	-	-	25,46	0,05	20	ГОУ отсутствуют	2735	Масло минеральное нефтяное (веретенное, машинное, цилиндровое)	12746,85	0,5938379	0,467376
309	Организованный	Вент.труба МГПА №5	1	8760	11,95	0,4	634	-57	-	-	-	3,18	0,4	20	ГОУ отсутствуют	410	Метан	2,462	0,0009176	0,028938
																415	Смесь предельных углеводородов С1Н4- С5Н12	0,305	0,0001135	0,003579
																416	Смесь предельных углеводородов С6Н14- С10Н22	0,001	0,0000003	0,000011
																2735	Масло минеральное нефтяное (веретенное, машинное, цилиндровое)	0,043	0,000016	0,000505
310	Организованный	Свеча сухих газодинамических уплотнений МГПА №5	1	8520	15	0,05	618	-56	-	-	-	25,46	0,05	20	ГОУ отсутствуют	410	Метан	2107203,065	98,1683339	335,052304
311	Организованный	Факел МГПА №5	1	300	60	0,03	866	294	-	-	-	14,15	0,01	1700	ГОУ отсутствуют	301	Азота диоксид (Двуокись азота; пероксид азота)	1847248,352	2,556	2,76048
																304	Азот (II) оксид (Азот монооксид)	1801067,143	2,4921	2,691468
																328	Углерод (Пигмент черный)	3078747,253	4,26	4,6008
																337	Углерода оксид (Углерод окись; углерод моноокись; угарный газ)	30787472,53	42,6	46,008
																410	Метан	769686,813	1,065	1,1502
312	Организованный	Свеча крана МКА №5	1	4	15	0,08	638	-49	-	-	-	15,92	0,08	20	ГОУ отсутствуют	410	Метан	1234484,698	92,0175625	1,987579
																415	Смесь предельных углеводородов С1Н4- С5Н12	152670,652	11,3799558	0,245807
																416	Смесь предельных углеводородов С6Н14- С10Н22	449,874	0,0335333	0,000724
313	Организованный	Свеча крана МКА №5	1	4	15	0,08	708	155	-	-	-	15,92	0,08	20	ГОУ отсутствуют	410	Метан	1234484,698	92,0175625	1,987579
																415	Смесь предельных углеводородов С1Н4- С5Н12	152670,652	11,3799558	0,245807
																416	Смесь предельных углеводородов С6Н14-С10Н22	449,874	0,0335333	0,000724
314	Организованный	Свеча крана МКА №5	1	4	15	0,08	708	155	-	-	-	15,92	0,08	20	ГОУ отсутствуют	410	Метан	1234484,698	92,0175625	1,987579
																415	Смесь предельных углеводородов С1Н4- С5Н12	152670,652	11,3799558	0,245807

№ ИЗАВ	Тип ИЗАВ	Наименование ИЗАВ	Число ИЗАВ, объединенных под одним номером	Время работы, ч/год	Высота источника, (м)	Диаметр, м	Координаты источника на карте - схеме				Ширина площадного источника, м	Скорость выхода ГВС, м/с, фактическая/осредненная	Объем (расход) ГВС, м3/с (при фактических условиях) /осредненный/	Температура ГВС, град С /осредненная/	Наименование газоочистных установок и степень очистки	ЗВ, выбрасываемые в атмосферный воздух (для каждого режима				Итого за год выброс вещества источником, т/год
							X1	Y1	X2	Y2						Код	Наименование	Концентрация, мг/м3	Мощность выброса, г/с	
1	2	3	4	5	6	7	8	9	10	11	12	13	14	15	16	17	18	19	20	21
																416	Смесь предельных углеводородов С6Н14-С10Н22	449,874	0,0335333	0,000724
315	Организованный	Дымовая труба МГПА №6	1	8520	25	2,81	611	-95	-	-	-	40,24,8	249,6	440	ГОУ отсутствуют	301	Азота диоксид (Двуокись азота; пероксид азота)	8,405218	2,0979425	64,348091
																304	Азот (II) оксид (Азот монооксид)	8,195088	2,0454939	62,739389
																337	Углерода оксид (Углерод окись; углерод моноокись; угарный газ)	66,384221	16,5695016	508,219753
																410	Метан	1,195721	0,298452	89,326128
316	Организованный	Свеча суфлирования маслобака двигателя МГПА №6	1	8520	25	2,81	611	-95	-	-	-	0,45	2,81	20	ГОУ отсутствуют	2735	Масло минеральное нефтяное (веретенное, машинное, цилиндровое и	181,45	0,4750703	0,373901
317	Организованный	Свеча суфлирования маслобака компрессора МГПА№6	1	8520	11	0,05	604	-98	-	-	-	25,46	0,05	20	ГОУ отсутствуют	2735	Масло минеральное нефтяное (веретенное, машинное, цилиндровое и	12746,85	0,5938379	0,467376
318	Организованный	Вент.труба МГПА №6	1	8760	11,95	0,4	620	-99	-	-	-	3,18	0,4	20	ГОУ отсутствуют	410	Метан	2,462	0,0009176	0,028938
																415	Смесь предельных углеводородов С1Н4-С5Н12	0,305	0,0001135	0,003579
																416	Смесь предельных углеводородов С6Н14-С10Н22	0,001	0,0000003	0,000011
																2735	Масло минеральное нефтяное (веретенное, машинное, цилиндровое и	0,043	0,000016	0,000505
319	Организованный	Свеча сухих газодинамических уплотнений МГПА №6	1	8520	15	0,05	603	-100	-	-	-	25,46	0,05	20	ГОУ отсутствуют	410	Метан	2107203,065	98,1683339	335,052304
320	Организованный	Факел МГПА №6	1	300	60	4,17	866	294	-	-	-	12,69	173,31	1700	ГОУ отсутствуют	301	Азота диоксид (Двуокись азота; пероксид азота)	106,586	2,556	2,76048
																304	Азот (II) оксид (Азот монооксид)	103,922	2,4921	2,691468
																328	Углерод (Пигмент черный)	177,644	4,26	4,6008
																337	Углерода оксид (Углерод окись; углерод моноокись; угарный газ)	1776,44	42,6	46,008
																410	Метан	44,411	1,065	1,1502
321			1	4	15	0,08	624	-92	-	-	-	15,92	0,08	20		410	Метан	1234484,698	92,0175625	1,987579

№ ИЗАВ	Тип ИЗАВ	Наименование ИЗАВ	Число ИЗАВ, объединенных под одним номером	Время работы, ч/год	Высота источника, (м)	Диаметр, м	Координаты источника на карте - схеме				Ширина площадного источника, м	Скорость выхода ГВС, м/с, фактическая/осредненная	Объем (расход) ГВС, м3/с (при фактических условиях) /осредненный/	Температура ГВС, град С /осредненная/	Наименование газоочистных установок и степень очистки	ЗВ, выбрасываемые в атмосферный воздух (для каждого режима				Итого за год выброс вещества источником, т/год
							X1	Y1	X2	Y2						Код	Наименование	Концентрация, мг/м3	Мощность выброса, г/с	
1	2	3	4	5	6	7	8	9	10	11	12	13	14	15	16	17	18	19	20	21
	Организованный	Свеча крана МКА №6													ГОУ отсутствуют	415	Смесь предельных углеводородов С1Н4- С5Н12	152670,652	11,3799558	0,245807
																416	Смесь предельных углеводородов С6Н14-С10Н22	449,874	0,0335333	0,000724
322	Организованный	Свеча крана МКА №6	1	4	15	0,08	708	156	-	-	-	15,92	0,08	20	ГОУ отсутствуют	410	Метан	1234484,698	92,0175625	1,987579
																415	Смесь предельных углеводородов С1Н4- С5Н12	152670,652	11,3799558	0,245807
																416	Смесь предельных углеводородов С6Н14-С10Н22	449,874	0,0335333	0,000724
323	Организованный	Свеча крана МКА №6	1	4	15	0,08	708	156	-	-	-	15,92	0,08	20	ГОУ отсутствуют	410	Метан	1234484,698	92,0175625	1,987579
																415	Смесь предельных углеводородов С1Н4- С5Н12	152670,652	11,3799558	0,245807
																416	Смесь предельных углеводородов С6Н14-С10Н22	449,874	0,0335333	0,000724
6346	Неорганизованный	Дыхательный клапан емкости дренажной Е-1 МГПА №1	1	8760	2	-	680	123	683	122	2	-	-	-	ГОУ отсутствуют	410	Метан	-	0,0000008	0,000031
																416	Смесь предельных углеводородов С6Н14-С10Н22	-	0,000723	0,0283
																1052	Метанол (Карбинол; метиловый спирт; метилгидроксид)	-	0,0000059	0,00023
6347	Неорганизованный	Дыхательный клапан емкости дренажной Е-1 МГПА №2	1	8760	2	-	666	81	669	80	2	-	-	-	ГОУ отсутствуют	410	Метан	-	0,0000008	0,000031
																416	Смесь предельных углеводородов С6Н14-С10Н22	-	0,000723	0,0283
																1052	Метанол (Карбинол; метиловый спирт; метилгидроксид)	-	0,0000059	0,00023
6348	Неорганизованный	Дыхательный клапан емкости дренажной Е-1 МГПА №3	1	8760	2	-	651	38	654	37	2	-	-	-	ГОУ отсутствуют	410	Метан	-	0,0000008	0,000031
																416	Смесь предельных углеводородов С6Н14-С10Н22	-	0,000723	0,0283
																1052	Метанол (Карбинол; метиловый спирт; метилгидроксид)	-	0,0000059	0,00023
6349	Неорганизованный	Дыхательный клапан емкости дренажной Е-1 МГПА №4	1	8760	2	-	631	-24	634	-25	2	-	-	-	ГОУ отсутствуют	410	Метан	-	0,0000008	0,000031
																416	Смесь предельных углеводородов С6Н14-С10Н22	-	0,000723	0,0283
																1052	Метанол (Карбинол; метиловый спирт; метилгидроксид)	-	0,0000059	0,00023

№ ИЗАВ	Тип ИЗАВ	Наименование ИЗАВ	Число ИЗАВ, объединенных под одним номером	Время работы, ч/год	Высота источника, (м)	Диаметр, м	Координаты источника на карте - схеме				Ширина площадного источника, м	Скорость выхода ГВС, м/с, фактическая/осредненная	Объем (расход) ГВС, м3/с (при фактических условиях) /осредненный/	Температура ГВС, град С /осредненная/	Наименование газоочистных установок и степень очистки	ЗВ, выбрасываемые в атмосферный воздух (для каждого режима				Итого за год выброс вещества источником, т/год
							X1	Y1	X2	Y2						Код	Наименование	Концентрация, мг/м3	Мощность выброса, г/с	
1	2	3	4	5	6	7	8	9	10	11	12	13	14	15	16	17	18	19	20	21
6350	Неорганизованный	Емкость дренажная Е-5	1	8760	2	-	594	54	597	53	2	-	-	-	ГОУ отсутствуют	2735	Масло минеральное нефтяное (веретенное, машинное, цилиндровое)	-	3,6	0,000297
6351	Норганизованный	Емкость дренажная Е-3-1	1	8760	2	-	705	147	708	146	2	-	-	-	ГОУ отсутствуют	2735	Масло минеральное нефтяное (веретенное, машинное, цилиндровое)	-	0,000455	0,000055
6352	Неорганизованный	Емкость дренажная Е-3-2	1	8760	2	-	691	105	694	104	2	-	-	-	ГОУ отсутствуют	2735	Масло минеральное нефтяное (веретенное, машинное, цилиндровое)	-	0,000455	0,000055
6353	Неорганизованный	Емкость дренажная Е-3-3	1	8760	2	-	677	62	680	61	2	-	-	-	ГОУ отсутствуют	2735	Масло минеральное нефтяное (веретенное, машинное, цилиндровое)	-	0,000455	0,000055
6354	Неорганизованный	Емкость дренажная Е-3-4	1	8760	2	-	656	0	659	-1	2	-	-	-	ГОУ отсутствуют	2735	Масло минеральное нефтяное (веретенное, машинное, цилиндровое и	-	0,000455	0,000055
6355	Неорганизованный	Емкость дренажная Е-4-1	1	8760	2	-	642	-42	645	-43	2	-	-	-	ГОУ отсутствуют	2735	Масло минеральное нефтяное (веретенное, машинное, цилиндровое и	-	0,000455	0,000055
6356	Неорганизованный	Емкость дренажная Е-4-2	1	8760	2	-	628	-85	630	-86	2	-	-	-	ГОУ отсутствуют	2735	Масло минеральное нефтяное (веретенное, машинное, цилиндровое)	-	0,000455	0,000055
6357	Неорганизованный	Емкость дренажная Е-7	1	8760	2	-	579	15	581	15	2	-	-	-	ГОУ отсутствуют	333	Дигидросульфид (Водород сернистый, дигидросульфид, гидросульфид)	-	0,0000085	0,000001
																2754	Алканы С12-19 (в пересчете на С)	-	0,0030419	0,000531
6358	Неорганизованный	Дыхательный клапан емкости дренажной Е-1 МГПА №5	1	8760	2	-	617	-66	619	-67	2	-	-	-	ГОУ отсутствуют	410	Метан	-	0,0000008	0,000031
																416	Смесь предельных углеводородов С6Н14-С10Н22	-	0,000723	0,0283
																1052	Метанол (Карбинол; метиловый спирт; метилгидроксид)	-	0,0000059	0,00023
6359	Неорганизованный	Дыхательный клапан емкости дренажной Е-1 МГПА №6	1	8760	2	-	603	-109	605	-110	2	-	-	-	ГОУ отсутствуют	410	Метан	-	0,0000008	0,000031
																416	Смесь предельных углеводородов С6Н14-С10Н22	-	0,000723	0,0283
																1052	Метанол (Карбинол; метиловый спирт; метилгидроксид)	-	0,0000059	0,00023

№ ИЗАВ	Тип ИЗАВ	Наименование ИЗАВ	Число ИЗАВ, объединенных под одним номером	Время работы, ч/год	Высота источника, (м)	Диаметр, м	Координаты источника на карте - схеме				Ширина площадного источника, м	Скорость выхода ГВС, м/с, фактическая/осредненная	Объем (расход) ГВС, м3/с (при фактических условиях) /осредненный/	Температура ГВС, град С /осредненная/	Наименование газоочистных установок и степень очистки	ЗВ, выбрасываемые в атмосферный воздух (для каждого режима				Итого за год выброс вещества источником, т/год
							X1	Y1	X2	Y2						Код	Наименование	Концентрация, мг/м3	Мощность выброса, г/с	
1	2	3	4	5	6	7	8	9	10	11	12	13	14	15	16	17	18	19	20	21
6360	Неорганизованный	Неплотности фланцев наружной обвязки МГПА	1	8760	2	-	744	139	654	-128	2	-	-	-	ГОУ отсутствуют	410	Метан	-	0,0110114	0,347255
																415	Смесь предельных углеводородов С1Н4- С5Н12	-	0,0013618	0,042946
																416	Смесь предельных углеводородов С6Н14-С10Н22	-	0,000004	0,000127
																2735	Масло минеральное нефтяное (веретенное, машинное, цилиндровое и	-	0,000096	0,003027
6361	Неорганизованный	Неплотности фланцевых соединений. УПГ	1	8760	2	-	652	144	649	134	2	-	-	-	ГОУ отсутствуют	410	Метан	-	0,0009176	0,028938
																415	Смесь предельных углеводородов С1Н4-С5Н12	-	0,0001135	0,003579
																416	Смесь предельных углеводородов С6Н14-С10Н22	-	0,0000003	0,000011
6362	Неорганизованный	Неплотности фланцевых соединений. Расходный склад масел.	1	8760	2	-	581	44	609	34	2	-	-	-	ГОУ отсутствуют	2735	Масло минеральное нефтяное (веретенное, машинное, цилиндровое)	-	0,000128	0,004037
6363	Неорганизованный	Неплотности фланцевых соединений. Площадка АДЭС №1-3	1	8760	2	-	582	7	602	1	2	-	-	-	ГОУ отсутствуют	333	Дигидросульфид (Водород сернистый, дигидросульфид, гидросульфид)	-	0,0000002	0,000007
																2754	Алканы С12-19 (в пересчете на С)	-	0,000083	0,002616
6364	Неорганизованный	Неплотности фланцевых соединений. Сети технологические	1	8760	2	-	628	43	683	46	2	-	-	-	ГОУ отсутствуют	410	Метан	-	0,0015455	0,048738
																415	Смесь предельных углеводородов С1Н4-С5Н12	-	0,0001911	0,006027
																416	Смесь предельных углеводородов С6Н14-С10Н22	-	0,0000006	0,000018
																2735	Масло минеральное нефтяное (веретенное, машинное, цилиндровое и	-	0,000032	0,001009

Параметры источников выделения и выбросов загрязняющих веществ, поступающих в атмосферу при эксплуатации проектируемых объектов (линии НТС №5, №6) Уренгойского НГКМ

Наименование промплощадки	Источник выделения загрязняющих веществ		Источник загрязнения атмосферы		Время работы, ч/год	Номер источника на генплане	Высота источника, м	Диаметр устья трубы, м	Параметры газовоздушной смеси на выходе из источника выброса		Координаты по карте-схеме, м				Ширина площадного источника, м	Наименование газоочистных установок и степень очистки	Код загрязняющего вещества	Наименование загрязняющего вещества, поступающего в атмосферу	Максимально разовый выброс загрязняющих веществ, поступающих в атмосферу, г/с	Годовой валовый выброс загрязняющих веществ, поступающих в атмосферу при эксплуатации проектируемых объектов по годам эксплуатации, т/год						
	Наименование	Количество, штук	Наименование	Количество, штук					объем, $м^3/с$	температура, ^0C	точечного источника или 1 конца линейного источника		2 конца линейного источника							1-й год эксплуатации	2-й год эксплуатации	3-й год эксплуатации	4-й год эксплуатации	5-й год эксплуатации	6-й год эксплуатации	7-й год эксплуатации
											X_1	Y_1	X_2	Y_2												
Источники постоянного действия																										
УКПГ. Установка узлов входа шлейфов №2	Утечки через неплотности фланцев и ПК, установленных на газопроводах, расположенных на открытой площадке	158	Неорганизованный выброс за счет утечек через неплотности фланцев и ПК, установленных на газопроводах	1	8520	6421	2	-	-	-	926	99	936	95	15	ГОУ отсутствуют	0410	Метан	0,019756	0,605940	0,605940	0,605940	0,605940	0,605940	0,605940	0,605940
																	0415	Смесь предельных углеводородов C_1-C_5	0,008199	0,251485	0,251485	0,251485	0,251485	0,251485	0,251485	0,251485
																	0416	Смесь предельных углеводородов C_6-C_{10}	0,003917	0,120135	0,120135	0,120135	0,120135	0,120135	0,120135	0,120135
																	1052	Метанол	0,000100	0,003076	0,003076	0,003076	0,003076	0,003076	0,003076	0,003076
																	2754	Алканы C_{12}-C_{19}	0,001218	0,037369	0,037369	0,037369	0,037369	0,037369	0,037369	0,037369
УКПГ. УПСПС №2. Площадка сепараторов-пробкоуловителей СП-111-3, 4	Утечки через неплотности фланцев и ПК, установленных на оборудовании и трубопроводах, расположенных на открытой площадке	258	Неорганизованный выброс за счет утечек через неплотности фланцев и ПК, установленных на оборудовании и трубопроводах	1	8520	6422	2	-	-	-	862	89	892	80	30	ГОУ отсутствуют	0410	Метан	0,050355	1,544474	1,544474	1,544474	1,544474	1,544474	1,544474	1,544474
																	0415	Смесь предельных углеводородов C_1-C_5	0,02108	0,646560	0,646560	0,646560	0,646560	0,646560	0,646560	0,646560
																	0416	Смесь предельных углеводородов C_6-C_{10}	0,010622	0,32573	0,32573	0,32573	0,32573	0,32573	0,32573	0,32573
																	2754	Алканы C_{12}-C_{19}	0,003331	0,102164	0,102164	0,102164	0,102164	0,102164	0,102164	0,102164
УКПГ. УПСПС №2. Площадка сепарации пластовой смеси. Площадка сепараторов пластовой смеси С-111-6, 7, 8 и фильтров-сепараторов ФС-111-6, 7, 8	Утечки через неплотности фланцев и ПК, установленных на трубопроводах и оборудовании, расположенном на открытой площадке	540	Неорганизованный выброс за счет утечек через неплотности фланцев и ПК, установленных на оборудовании и трубопроводах	1	8520	6423	2	-	-	-	861	44	843	-12	10	ГОУ отсутствуют	0410	Метан	0,148317	4,549221	4,549221	4,549221	4,549221	4,549221	4,549221	4,549221
																	0415	Смесь предельных углеводородов C_1-C_5	0,054274	1,664736	1,664736	1,664736	1,664736	1,664736	1,664736	1,664736
																	0416	Смесь предельных углеводородов C_6-C_{10}	0,003802	0,116604	0,116604	0,116604	0,116604	0,116604	0,116604	0,116604
																	2754	Алканы C_{12}-C_{19}	0,000083	0,002526	0,002526	0,002526	0,002526	0,002526	0,002526	0,002526
УКПГ. УПСПС №2. Установка АВО УКПГ-2	Утечки через неплотности фланцев и ПК, установленных на газопроводах, расположенных на открытой площадке	226	Неорганизованный выброс за счет утечек через неплотности фланцев и ПК, установленных на оборудовании и трубопроводах	1	8520	6424	2	-	-	-	824	107	836	104	30	ГОУ отсутствуют	0410	Метан	0,000955	0,029275	0,029275	0,029275	0,029275	0,029275	0,029275	0,029275
																	0415	Смесь предельных углеводородов C_1-C_5	0,000349	0,0107	0,0107	0,0107	0,0107	0,0107	0,0107	0,0107
																	0416	Смесь предельных углеводородов C_6-C_{10}	0,000023	0,000708	0,000708	0,000708	0,000708	0,000708	0,000708	0,000708
																	1052	Метанол	0,00002	0,000615	0,000615	0,000615	0,000615	0,000615	0,000615	0,000615
																	2754	Алканы C_{12}-C_{19}	0,00000004	0,000001	0,000001	0,000001	0,000001	0,000001	0,000001	0,000001
УКПГ. УПСПС №2. Блок подачи метанола БМП-101-6	Утечки через неплотности фланцев и ПК, установленных на газопроводах, расположенных на открытой площадке	206	Неорганизованный выброс за счет утечек через неплотности фланцев и ПК, установленных на оборудовании и трубопроводах	1	8520	6425	2	-	-	-	815	85	827	80	5	ГОУ отсутствуют	1052	Метанол	0,001033	0,03168	0,03168	0,03168	0,03168	0,03168	0,03168	0,03168
УКПГ. Линия НТС №5. Блок-бокс турбодетандерного агрегата ТДА-201-5	Утечки через неплотности фланцев, установленных на трубопроводах и оборудовании, расположенных в блок-боксе ТДА	60	Вентиляционная труба	1	8520	0325	7,0	0,2	0,045	16	769	-74	-	-	-	ГОУ отсутствуют	0410	Метан	0,000136	0,004162	0,004162	0,004162	0,004162	0,004162	0,004162	0,004162
																	0415	Смесь предельных углеводородов C_1-C_5	0,00004165	0,00128	0,00128	0,00128	0,00128	0,00128	0,00128	0,00128
																	0416	Смесь предельных углеводородов C_6-C_{10}	0,0000015	0,000052	0,000052	0,000052	0,000052	0,000052	0,000052	0,000052
																	2754	Алканы C_{12}-C_{19}	$2,5 \times 10^{-9}$	5×10^{-8}	5×10^{-8}	5×10^{-8}	5×10^{-8}	5×10^{-8}	5×10^{-8}	5×10^{-8}
																	1052	Метанол	0,00000005	0,000001	0,000001	0,000001	0,000001	0,000001	0,000001	0,000001
УКПГ. Линия НТС №5. Блок-бокс турбодетандерного агрегата ТДА-201-5	Утечки через неплотности фланцев, установленных на трубопроводах и оборудовании, расположенных в блок-боксе ТДА	60	Вентиляционная труба	1	8520	0326	7,0	0,2	0,045	16	769	-77	-	-	-	ГОУ отсутствуют	0410	Метан	0,000136	0,004162	0,004162	0,004162	0,004162	0,004162	0,004162	0,004162
																	0415	Смесь предельных углеводородов C_1-C_5	0,00004165	0,00128	0,00128	0,00128	0,00128	0,00128	0,00128	0,00128
																	0416	Смесь предельных углеводородов C_6-C_{10}	0,0000015	0,000052	0,000052	0,000052	0,000052	0,000052	0,000052	0,000052
																	2754	Алканы C_{12}-C_{19}	$2,5 \times 10^{-9}$	5×10^{-8}	5×10^{-8}	5×10^{-8}	5×10^{-8}	5×10^{-8}	5×10^{-8}	5×10^{-8}
																	1052	Метанол	0,00000005	0,000001	0,000001	0,000001	0,000001	0,000001	0,000001	0,000001

Наименование промплощадки	Источник выделения загрязняющих веществ		Источник загрязнения атмосферы		Время работы, ч/год	Номер источника на генплане	Высота источника, м	Диаметр устья трубы, м	Параметры газовоздушной смеси на выходе из источника выброса		Координаты по карте-схеме, м				Ширина площадного источника, м	Наименование газоочистных установок и степень очистки	Код загрязняющего вещества	Наименование загрязняющего вещества, поступающего в атмосферу	Максимально разовый выброс загрязняющих веществ, поступающих в атмосферу, г/с	Годовой валовый выброс загрязняющих веществ, поступающих в атмосферу при эксплуатации проектируемых объектов по годам эксплуатации, т/год						
	Наименование	Количество, штук	Наименование	Количество, штук					объем, $м^3/с$	температура, ^0C	точечного источника или 1 конца линейного источника		2 конца линейного источника							1-й год эксплуатации	2-й год эксплуатации	3-й год эксплуатации	4-й год эксплуатации	5-й год эксплуатации	6-й год эксплуатации	7-й год эксплуатации
											X_1	Y_1	X_2	Y_2												
УКПГ. Площадка подготовки газа ТЛ№5. Блок АВО сырого газа УВОГ-201-5	Утечки через неплотности фланцев, установленных на газопроводах, расположенных на открытой площадке	76	Неорганизованный выброс за счет утечек через неплотности фланцев, установленных на оборудовании и трубопроводах	1	8520	6426	2	-	-	-	763	-96	775	-101	10	ГОУ отсутствуют	0410	Метан	0,000327	0,010022	0,010022	0,010022	0,010022	0,010022	0,010022	0,010022
																	0415	Смесь предельных углеводородов C_1-C_5	0,000119	0,003663	0,003663	0,003663	0,003663	0,003663	0,003663	0,003663
																	0416	Смесь предельных углеводородов C_6-C_{10}	0,000008	0,000242	0,000242	0,000242	0,000242	0,000242	0,000242	0,000242
																	2754	Алканы C_{12}-C_{19}	0,00000001	0,0000004	0,0000004	0,0000004	0,0000004	0,0000004	0,0000004	0,0000004
УКПГ. Линия НТС №5. Площадка блоков теплообменников "газ-газ" Т-201-5 и Т-202-5	Утечки через неплотности фланцев и ПК, установленных на газопроводах, расположенных на открытой площадке	238	Неорганизованный выброс за счет утечек через неплотности фланцев и ПК, установленных на оборудовании и трубопроводах	1	8520	6427	2	-	-	-	780	-53	795	-58	15	ГОУ отсутствуют	0410	Метан	0,028204	0,865044	0,865044	0,865044	0,865044	0,865044	0,865044	0,865044
																	0415	Смесь предельных углеводородов C_1-C_5	0,007240	0,222067	0,222067	0,222067	0,222067	0,222067	0,222067	0,222067
																	0416	Смесь предельных углеводородов C_6-C_{10}	0,000064	0,001927	0,001927	0,001927	0,001927	0,001927	0,001927	0,001927
																	1052	Метанол	0,000013	0,000393	0,000393	0,000393	0,000393	0,000393	0,000393	0,000393
																	2754	Алканы C_{12}-C_{19}	$2,14 \times 10^{-8}$	$5,44 \times 10^{-7}$	$5,44 \times 10^{-7}$	$5,44 \times 10^{-7}$	$5,44 \times 10^{-7}$	$5,44 \times 10^{-7}$	$5,44 \times 10^{-7}$	$5,44 \times 10^{-7}$
УКПГ. Линия НТС №5. Площадка блока теплообменника "газ-конденсат" Т-203-5	Утечки через неплотности фланцев и ПК, установленных на газопроводах, расположенных на открытой площадке	94	Неорганизованный выброс за счет утечек через неплотности фланцев и ПК, установленных на оборудовании и трубопроводах	1	8520	6428	2	-	-	-	788	-31	801	-36	5	ГОУ отсутствуют	0410	Метан	0,004396	0,134822	0,134822	0,134822	0,134822	0,134822	0,134822	0,134822
																	0415	Смесь предельных углеводородов C_1-C_5	0,007186	0,220389	0,220389	0,220389	0,220389	0,220389	0,220389	0,220389
																	0416	Смесь предельных углеводородов C_6-C_{10}	0,000863	0,026478	0,026478	0,026478	0,026478	0,026478	0,026478	0,026478
																	1052	Метанол	0,000105	0,003206	0,003206	0,003206	0,003206	0,003206	0,003206	0,003206
																	2754	Алканы C_{12}-C_{19}	0,000001	0,000041	0,000041	0,000041	0,000041	0,000041	0,000041	0,000041
УКПГ. Линия НТС №5. Площадка блока сепаратора 2-й ступени С-201-5 и блока сепаратора низкотемпературного С-202-5	Утечки через неплотности фланцев и ПК, установленных на газопроводах, расположенных на открытой площадке	288	Неорганизованный выброс за счет утечек через неплотности фланцев и ПК, установленных на оборудовании и трубопроводах	1	8520	6429	2	-	-	-	770	-76	784	-81	10	ГОУ отсутствуют	0410	Метан	0,053813	1,650525	1,650525	1,650525	1,650525	1,650525	1,650525	1,650525
																	0415	Смесь предельных углеводородов C_1-C_5	0,025477	0,781424	0,781424	0,781424	0,781424	0,781424	0,781424	0,781424
																	0416	Смесь предельных углеводородов C_6-C_{10}	0,002088	0,06405	0,06405	0,06405	0,06405	0,06405	0,06405	0,06405
																	1052	Метанол	0,007324	0,224650	0,224650	0,224650	0,224650	0,224650	0,224650	0,224650
																	2754	Алканы C_{12}-C_{19}	0,000003	0,000098	0,000098	0,000098	0,000098	0,000098	0,000098	0,000098
УКПГ. Линия НТС №5. Блок подачи метанола БМП-201-5, БПМ-202-5, БПМ-203-5, БПМ-204-5, БПМ-205-5	Утечки через неплотности фланцев и ПК, установленных на газопроводах, расположенных на открытой площадке	210	Неорганизованный выброс за счет утечек через неплотности фланцев и ПК, установленных на оборудовании и трубопроводах	1	8520	6430	2	-	-	-	854	-23	850	-35	5	ГОУ отсутствуют	1052	Метанол	0,001053	0,032295	0,032295	0,032295	0,032295	0,032295	0,032295	0,032295
УКПГ. Линия НТС №5. Блок разделителя Р-201-5	Утечки через неплотности фланцев и ПК, установленных на газопроводах, расположенных на открытой площадке	178	Неорганизованный выброс за счет утечек через неплотности фланцев и ПК, установленных на оборудовании и трубопроводах	1	8520	6431	2	-	-	-	832	-27	844	-31	5	ГОУ отсутствуют	0410	Метан	0,000873	0,026766	0,026766	0,026766	0,026766	0,026766	0,026766	0,026766
																	0415	Смесь предельных углеводородов C_1-C_5	0,009776	0,299843	0,299843	0,299843	0,299843	0,299843	0,299843	0,299843
																	0416	Смесь предельных углеводородов C_6-C_{10}	0,002022	0,062006	0,062006	0,062006	0,062006	0,062006	0,062006	0,062006
																	1052	Метанол	0,000349	0,010728	0,010728	0,010728	0,010728	0,010728	0,010728	0,010728
																	2754	Алканы C_{12}-C_{19}	0,000003	0,000102	0,000102	0,000102	0,000102	0,000102	0,000102	0,000102
УКПГ. Линия НТС №6. Блок-бокс турбодетандерного агрегата ТДА-202-6	Утечки через неплотности фланцев, установленных на трубопроводах и оборудовании, расположенных в блок-боксе ТДА	60	Вентиляционная труба	1	8520	0327	7,0	0,2	0,045	16	812	-134	-	-	-	ГОУ отсутствуют	0410	Метан	0,000136	-	0,004162	0,004162	0,004162	0,004162	0,004162	0,004162
																	0415	Смесь предельных углеводородов C_1-C_5	0,00004165	-	0,00128	0,00128	0,00128	0,00128	0,00128	0,00128
																	0416	Смесь предельных углеводородов C_6-C_{10}	0,0000015	-	0,000052	0,000052	0,000052	0,000052	0,000052	0,000052
																	2754	Алканы C_{12}-C_{19}	$2,5 \times 10^{-9}$	-	5×10^{-8}	5×10^{-8}	5×10^{-8}	5×10^{-8}	5×10^{-8}	5×10^{-8}
																	1052	Метанол	0,00000005	-	0,000001	0,000001	0,000001	0,000001	0,000001	0,000001
УКПГ. Линия НТС №6. Блок-бокс турбодетандерного агрегата ТДА-202-6	Утечки через неплотности фланцев, установленных на трубопроводах и оборудовании, расположенных в блок-боксе ТДА	60	Вентиляционная труба	1	8520	0328	7,0	0,2	0,045	16	812	-137	-	-	-	ГОУ отсутствуют	0410	Метан	0,000136	-	0,004162	0,004162	0,004162	0,004162	0,004162	0,004162
																	0415	Смесь предельных углеводородов C_1-C_5	0,00004165	-	0,00128	0,00128	0,00128	0,00128	0,00128	0,00128
																	0416	Смесь предельных углеводородов C_6-C_{10}	0,0000015	-	0,000052	0,000052	0,000052	0,000052	0,000052	0,000052

Наименование промплощадки	Источник выделения загрязняющих веществ		Источник загрязнения атмосферы		Время работы, ч/год	Номер источника на генплане	Высота источника, м	Диаметр устья трубы, м	Параметры газовоздушной смеси на выходе из источника выброса		Координаты по карте-схеме, м				Ширина площадного источника, м	Наименование газоочистных установок и степень очистки	Код загрязняющего вещества	Наименование загрязняющего вещества, поступающего в атмосферу	Максимально разовый выброс загрязняющих веществ, поступающих в атмосферу, г/с	Годовой валовый выброс загрязняющих веществ, поступающих в атмосферу при эксплуатации проектируемых объектов по годам эксплуатации, т/год						
	Наименование	Количество, штук	Наименование	Количество, штук					объем, $м^3/с$	температура, ^0C	точечного источника или 1 конца линейного источника		2 конца линейного источника							1-й год эксплуатации	2-й год эксплуатации	3-й год эксплуатации	4-й год эксплуатации	5-й год эксплуатации	6-й год эксплуатации	7-й год эксплуатации
											X_1	Y_1	X_2	Y_2												
																	2754	Алканы C_{12}-C_{19}	$2,5 \times 10^{-9}$	-	5×10^{-8}	5×10^{-8}	5×10^{-8}	5×10^{-8}	5×10^{-8}	5×10^{-8}
																	1052	Метанол	0,00000005	-	0,000001	0,000001	0,000001	0,000001	0,000001	0,000001
УКПГ. Линия НТС №6. Блок АВО сырого газа УВОГ-201-6	Утечки через неплотности фланцев, установленных на газопроводах, расположенных на открытой площадке	76	Неорганизованный выброс за счет утечек через неплотности фланцев, установленных на на оборудовании и трубопроводах	1	8520	6432	2	-	-	-	803	-115	816	-118	10	ГОУ отсутствуют	0410	Метан	0,000327	-	0,010022	0,010022	0,010022	0,010022	0,010022	0,010022
																	0415	Смесь предельных углеводородов C_1-C_5	0,000119	-	0,003663	0,003663	0,003663	0,003663	0,003663	0,003663
																	0416	Смесь предельных углеводородов C_6-C_{10}	0,000008	-	0,000242	0,000242	0,000242	0,000242	0,000242	0,000242
																	2754	Алканы C_{12}-C_{19}	0,00000001	-	0,0000004	0,0000004	0,0000004	0,0000004	0,0000004	0,0000004
УКПГ. Линия НТС №6. Площадка блоков теплообменников "газ-газ" Т-201-6 и Т-202-6	Утечки через неплотности фланцев и ПК, установленных на газопроводах, расположенных на открытой площадке	238	Неорганизованный выброс за счет утечек через неплотности фланцев и ПК, установленных на на оборудовании и трубопроводах	1	8520	6433	2	-	-	-	827	-59	819	-81	15	ГОУ отсутствуют	0410	Метан	0,028204	-	0,865044	0,865044	0,865044	0,865044	0,865044	0,865044
																	0415	Смесь предельных углеводородов C_1-C_5	0,007240	-	0,222067	0,222067	0,222067	0,222067	0,222067	0,222067
																	0416	Смесь предельных углеводородов C_6-C_{10}	0,000064	-	0,001927	0,001927	0,001927	0,001927	0,001927	0,001927
																	1052	Метанол	0,000013	-	0,000393	0,000393	0,000393	0,000393	0,000393	0,000393
																	2754	Алканы C_{12}-C_{19}	$2,14 \times 10^{-8}$	-	$5,44 \times 10^{-7}$	$5,44 \times 10^{-7}$	$5,44 \times 10^{-7}$	$5,44 \times 10^{-7}$	$5,44 \times 10^{-7}$	$5,44 \times 10^{-7}$
УКПГ. Линия НТС №6. Площадка блока теплообменника "газ-конденсат" Т-203-6	Утечки через неплотности фланцев и ПК, установленных на газопроводах, расположенных на открытой площадке	94	Неорганизованный выброс за счет утечек через неплотности фланцев и ПК, установленных на на оборудовании и трубопроводах	1	8520	6434	2	-	-	-	824	-47	838	-51	5	ГОУ отсутствуют	0410	Метан	0,004396	-	0,134822	0,134822	0,134822	0,134822	0,134822	0,134822
																	0415	Смесь предельных углеводородов C_1-C_5	0,007186	-	0,220389	0,220389	0,220389	0,220389	0,220389	0,220389
																	0416	Смесь предельных углеводородов C_6-C_{10}	0,000863	-	0,026478	0,026478	0,026478	0,026478	0,026478	0,026478
																	1052	Метанол	0,000105	-	0,003206	0,003206	0,003206	0,003206	0,003206	0,003206
																	2754	Алканы C_{12}-C_{19}	0,000001	-	0,000041	0,000041	0,000041	0,000041	0,000041	0,000041
УКПГ. Линия НТС №6. Площадка блока сепаратора 2-й ступени С-201-6 и блока сепаратора низкотемпературного С-202-6	Утечки через неплотности фланцев и ПК, установленных на газопроводах, расположенных на открытой площадке	288	Неорганизованный выброс за счет утечек через неплотности фланцев и ПК, установленных на на оборудовании и трубопроводах	1	8520	6435	2	-	-	-	810	-93	824	-97	10	ГОУ отсутствуют	0410	Метан	0,053813	-	1,650525	1,650525	1,650525	1,650525	1,650525	1,650525
																	0415	Смесь предельных углеводородов C_1-C_5	0,025477	-	0,781424	0,781424	0,781424	0,781424	0,781424	0,781424
																	0416	Смесь предельных углеводородов C_6-C_{10}	0,002088	-	0,06405	0,06405	0,06405	0,06405	0,06405	0,06405
																	1052	Метанол	0,007324	-	0,224650	0,224650	0,224650	0,224650	0,224650	0,224650
																	2754	Алканы C_{12}-C_{19}	0,000003	-	0,000098	0,000098	0,000098	0,000098	0,000098	0,000098
УКПГ. Площадка подготовки газа ТЛ№6. Блок подачи метанола БМП-201-6, БПМ-202-6, БПМ-203-6, БПМ-204-6, БПМ-205-6	Утечки через неплотности фланцев и ПК, установленных на газопроводах, расположенных на открытой площадке	210	Неорганизованный выброс за счет утечек через неплотности фланцев и ПК, установленных на на оборудовании и трубопроводах	1	8520	6436	2	-	-	-	852	-38	844	-48	5	ГОУ отсутствуют	1052	Метанол	0,001053	-	0,032295	0,032295	0,032295	0,032295	0,032295	0,032295
УКПГ. Площадка подготовки газа ТЛ№6. Блок разделителя Р-201-6	Утечки через неплотности фланцев и ПК, установленных на газопроводах, расположенных на открытой площадке	178	Неорганизованный выброс за счет утечек через неплотности фланцев и ПК, установленных на на оборудовании и трубопроводах	1	8520	6437	2	-	-	-	829	-34	841	-38	5	ГОУ отсутствуют	0410	Метан	0,000873	0,026766	0,026766	0,026766	0,026766	0,026766	0,026766	0,026766
																	0415	Смесь предельных углеводородов C_1-C_5	0,009776	0,299843	0,299843	0,299843	0,299843	0,299843	0,299843	0,299843
																	0416	Смесь предельных углеводородов C_6-C_{10}	0,002022	0,062006	0,062006	0,062006	0,062006	0,062006	0,062006	0,062006
																	1052	Метанол	0,000349	0,010728	0,010728	0,010728	0,010728	0,010728	0,010728	0,010728
																	2754	Алканы C_{12}-C_{19}	0,000003	0,000102	0,000102	0,000102	0,000102	0,000102	0,000102	0,000102
УКПГ. Линии НТС №5,6. Блокдегазатор Д-201-3	Утечки через неплотности фланцев, установленных на трубопроводах и оборудовании, расположенных на открытой площадке	118	Неорганизованный выброс за счет утечек через неплотности фланцев, установленных на оборудовании и трубопроводах	1	8520	6438	2	-	-	-	834	-20	847	-23	5	ГОУ отсутствуют	0410	Метан	0,017891	0,548747	0,548747	0,548747	0,548747	0,548747	0,548747	0,548747
																	0415	Смесь предельных углеводородов C_1-C_5	0,016567	0,508119	0,508119	0,508119	0,508119	0,508119	0,508119	0,508119
																	0416	Смесь предельных углеводородов C_6-C_{10}	0,000173	0,005305	0,005305	0,005305	0,005305	0,005305	0,005305	0,005305
																	1052	Метанол	0,000042	0,001305	0,001305	0,001305	0,001305	0,001305	0,001305	0,001305
																	2754	Алканы C_{12}-C_{19}	$1,04 \times 10^{-7}$	0,000003	0,000003	0,000003	0,000003	0,000003	0,000003	0,000003
УКПГ. Линии НТС №5,6. Емкость дренажная Е-201-3	Утечки через неплотности фланцев, установленных на трубопроводах	38	Неорганизованный выброс за счет утечек через неплотности фланцев,	1	8520	6439	2	-	-	-	836	-14	847	-18	2	ГОУ отсутствуют	0410	Метан	0,000105	0,003207	0,003207	0,003207	0,003207	0,003207	0,003207	0,003207
																	0415	Смесь предельных углеводородов C_1-C_5	0,000058	0,001780	0,001780	0,001780	0,001780	0,001780	0,001780	0,001780

Наименование промплощадки	Источник выделения загрязняющих веществ		Источник загрязнения атмосферы		Время работы, ч/год	Номер источника на генплане	Высота источника, м	Диаметр устья трубы, м	Параметры газовоздушной смеси на выходе из источника выброса		Координаты по карте-схеме, м				Ширина площадного источника, м	Наименование газоочистных установок и степень очистки	Код загрязняющего вещества	Наименование вещества, поступающего в атмосферу	Максимально разовый выброс загрязняющих веществ, поступающих в атмосферу, г/с	Годовой валовый выброс загрязняющих веществ, поступающих в атмосферу при эксплуатации проектируемых объектов по годам эксплуатации, т/год						
	Наименование	Количество, штук	Наименование	Количество, штук					объем, $м^3/с$	температура, ^0C	точечного источника или 1 конца линейного источника		2 конца линейного источника							1-й год эксплуатации	2-й год эксплуатации	3-й год эксплуатации	4-й год эксплуатации	5-й год эксплуатации	6-й год эксплуатации	7-й год эксплуатации
											X_1	Y_1	X_2	Y_2												
	и оборудовании, расположенных на открытой площадке		установленных на оборудовании и трубопроводах														0416	Смесь предельных углеводородов C_6-C_{10}	0,000030	0,000929	0,000929	0,000929	0,000929	0,000929	0,000929	0,000929
																	1052	Метанол	0,000003	0,000085	0,000085	0,000085	0,000085	0,000085	0,000085	0,000085
																	2754	Алканы C_{12}-C_{19}	0,000004	0,000129	0,000129	0,000129	0,000129	0,000129	0,000129	0,000129
УКПГ. Теплообменники "ДЭК-легкий конденсат". Теплообменники Т-304-1 ÷ Т-304-4	Утечки через неплотности фланцев, установленных на трубопроводах и оборудовании, расположенных на открытой площадке	336	Неорганизованный выброс за счет утечек через неплотности фланцев, установленных на оборудовании и трубопроводах	1	8520	6440	2	-	-	-	813	33	794	-22	10	ГОУ отсутствуют	0410	Метан	0,033176	1,017596	1,017596	1,017596	1,017596	1,017596	1,017596	1,017596
																	0415	Смесь предельных углеводородов C_1-C_5	0,056660	1,737948	1,737948	1,737948	1,737948	1,737948	1,737948	1,737948
																	0416	Смесь предельных углеводородов C_6-C_{10}	0,007144	0,219212	0,219212	0,219212	0,219212	0,219212	0,219212	0,219212
																	1052	Метанол	0,000832	0,025548	0,025548	0,025548	0,025548	0,025548	0,025548	0,025548
																	2754	Алканы C_{12}-C_{19}	0,000116	0,003564	0,003564	0,003564	0,003564	0,003564	0,003564	0,003564
УКПГ. Ресивер импульсного газа Е-206-3	Утечки через неплотности фланцев, установленных на трубопроводах и оборудовании, расположенных на открытой площадке	22	Неорганизованный выброс за счет утечек через неплотности фланцев, установленных на оборудовании и трубопроводах	1	8520	6441	2	-	-	-	818	40	827	37	3	ГОУ отсутствуют	0410	Метан	0,027220	0,834882	0,834882	0,834882	0,834882	0,834882	0,834882	0,834882
																	0415	Смесь предельных углеводородов C_1-C_5	0,006944	0,213003	0,213003	0,213003	0,213003	0,213003	0,213003	0,213003
																	0416	Смесь предельных углеводородов C_6-C_{10}	0,000052	0,001594	0,001594	0,001594	0,001594	0,001594	0,001594	0,001594
																	1052	Метанол	0,000013	0,000385	0,000385	0,000385	0,000385	0,000385	0,000385	0,000385
																	2754	Алканы C_{12}-C_{19}	$1,4 \times 10^{-9}$	$4,28 \times 10^{-8}$	$4,28 \times 10^{-8}$	$4,28 \times 10^{-8}$	$4,28 \times 10^{-8}$	$4,28 \times 10^{-8}$	$4,28 \times 10^{-8}$	$4,28 \times 10^{-8}$
УКПГ. Конденсатосборник Е-207-3	Утечки через неплотности фланцев, установленных на трубопроводах и оборудовании, расположенных на открытой площадке	14	Неорганизованный выброс за счет утечек через неплотности фланцев, установленных на оборудовании и трубопроводах	1	8520	6442	2	-	-	-	844	87	840	78	2	ГОУ отсутствуют	0410	Метан	0,000026	0,000801	0,000801	0,000801	0,000801	0,000801	0,000801	0,000801
																	0415	Смесь предельных углеводородов C_1-C_5	0,000045	0,001361	0,001361	0,001361	0,001361	0,001361	0,001361	0,001361
																	0416	Смесь предельных углеводородов C_6-C_{10}	0,000005	0,000164	0,000164	0,000164	0,000164	0,000164	0,000164	0,000164
																	1052	Метанол	0,000001	0,00002	0,00002	0,00002	0,00002	0,00002	0,00002	0,00002
																	2754	Алканы C_{12}-C_{19}	0,00000001	0,0000003	0,0000003	0,0000003	0,0000003	0,0000003	0,0000003	0,0000003
УКПГ. Вспомогательное оборудование. Факельный сепаратор С-203-3	Утечки через неплотности фланцев, установленных на трубопроводах и оборудовании, расположенных на открытой площадке	16	Неорганизованный выброс за счет утечек через неплотности фланцев, установленных на оборудовании и трубопроводах	1	8520	6443	2	-	-	-	816	65	833	59	5	ГОУ отсутствуют	0410	Метан	0,000059	0,001811	0,001811	0,001811	0,001811	0,001811	0,001811	0,001811
																	0415	Смесь предельных углеводородов C_1-C_5	0,000032	0,000967	0,000967	0,000967	0,000967	0,000967	0,000967	0,000967
																	0416	Смесь предельных углеводородов C_6-C_{10}	0,000003	0,000085	0,000085	0,000085	0,000085	0,000085	0,000085	0,000085
																	1052	Метанол	0,0000002	0,000006	0,000006	0,000006	0,000006	0,000006	0,000006	0,000006
																	2754	Алканы C_{12}-C_{19}	$4,25 \times 10^{-9}$	0,00000013	0,00000013	0,00000013	0,00000013	0,00000013	0,00000013	0,00000013
УКПГ. Вспомогательное оборудование. Площадка насосов метанола Н354-4, Н354-5, Н354-6 и внеблочной обвязки насосной метанола	Утечки через неплотности фланцев и ПК, установленных на газопроводах, расположенных на открытой площадке	122	Неорганизованный выброс за счет утечек через неплотности фланцев и ПК, установленных на на оборудовании и трубопроводах	1	8520	6444	2	-	-	-	805	54	833	46	20	ГОУ отсутствуют	1052	Метанол	0,000610	0,018763	0,018763	0,018763	0,018763	0,018763	0,018763	0,018763
УКПГ. Узел приема СОД.	Утечки через неплотности фланцев, установленных на трубопроводах и оборудовании, расположенных на открытой площадке	16	Неорганизованный выброс за счет утечек через неплотности фланцев и ПК, установленных на оборудовании и трубопроводах	1	8520	6445	2	-	-	-	927	84	933	81	10	ГОУ отсутствуют	0410	Метан	0,009715	0,297998	0,297998	0,297998	0,297998	0,297998	0,297998	0,297998
																	0415	Смесь предельных углеводородов C_1-C_5	0,004032	0,123679	0,123679	0,123679	0,123679	0,123679	0,123679	0,123679
																	0416	Смесь предельных углеводородов C_6-C_{10}	0,001926	0,059081	0,059081	0,059081	0,059081	0,059081	0,059081	0,059081
																	2754	Алканы C_{12}-C_{19}	0,000599	0,018378	0,018378	0,018378	0,018378	0,018378	0,018378	0,018378
УКПГ. Аварийная ДЭС	Топливный бак ДЭС	1	Свеча топливного бака	1	8520	0329	4	0,05	0,0011 ÷ 0,0013	8 ÷ 40	747	-149	-	-	-	ГОУ отсутствуют	0333	Дигидросудьфид (Сероводород)	0,0000015	0,0000001	0,0000001	0,0000001	0,0000001	0,0000001	0,0000001	0,0000001
																	2754	Алканы С12-С19	0,0005395	0,0000376	0,0000376	0,0000376	0,0000376	0,0000376	0,0000376	0,0000376
	Маслобак ДЭС	1	Свеча маслобака	1	8520	0330	4	0,05-	0,00085 ÷0,00096	8 ÷ 40	747	-148	-	-	-	ГОУ отсутствуют	2735	Масло минеральное нефтяное	0,000367	0,00000009	0,00000009	0,00000009	0,00000009	0,00000009	0,00000009	0,00000009

Наименование промплощадки	Источник выделения загрязняющих веществ		Источник загрязнения атмосферы		Время работы, ч/год	Номер источника на генплане	Высота источника, м	Диаметр устья трубы, м	Параметры газовоздушной смеси на выходе из источника выброса		Координаты по карте-схеме, м				Ширина площадного источника, м	Наименование газоочистных установок и степень очистки	Код загрязняющего вещества	Наименование загрязняющего вещества, поступающего в атмосферу	Максимально разовый выброс загрязняющих веществ, поступающих в атмосферу, г/с	Годовой валовый выброс загрязняющих веществ, поступающих в атмосферу при эксплуатации проектируемых объектов по годам эксплуатации, т/год						
	Наименование	Количество, штук	Наименование	Количество, штук					объем, $м^3/с$	температура, ^0C	точечного источника или 1 конца линейного источника		2 конца линейного источника							1-й год эксплуатации	2-й год эксплуатации	3-й год эксплуатации	4-й год эксплуатации	5-й год эксплуатации	6-й год эксплуатации	7-й год эксплуатации
											X_1	Y_1	X_2	Y_2												
Источники периодического действия																										
УКПГ. УГГ продувки шлейфов	УГГ продувки шлейфов	1	Амбар УГГ	1	В соответствии с регламентом	0324	2,0	6,7	2280,054	1661	1034	184	-	-	-	ГОУ отсутствуют	0301	Азота диоксид	70,056	47,138112	21,521897	22,142525	23,369162	16,827427	23,595602	20,424583
																	0304	Азот (II) оксид	11,384	7,659943	3,497308	3,59816	3,797489	2,734457	3,834285	3,318995
																	0337	Углерода оксид	583,8	392,8176	179,34914	184,52104	194,74302	140,22856	196,63002	170,20486
																	0410	Метан	14,595	9,82044	4,483729	4,613026	4,868576	3,505714	4,915751	4,255122
УКПГ. Факел Ф-361	Газопроводы шлейфы	1	Факел-Ф-361 (опорожнение газопроводов-шлейфов перед ППР)	1	0,5 (1 раз в год в течение 30 минут)	0177	75	2,6	17,762	1698	870	282	-	-	-	ГОУ отсутствуют	0301	Азота диоксид	0,537	0,00484	0,00484	0,002496	0,002496	0,001552	0,001552	0,001552
																	0304	Азот (II) оксид	0,087	0,000787	0,000787	0,000406	0,000406	0,000252	0,000252	0,000252
																	0328	Углерод	0,447	0,00403	0,00403	0,00208	0,00208	0,00129	0,00129	0,00129
																	0337	Углерода оксид	4,473	0,0403	0,0403	0,0208	0,0208	0,0129	0,0129	0,0129
																	0410	Метан	0,112	0,001009	0,001009	0,000521	0,000521	0,000324	0,000324	0,000324
УКПГ. Факел Ф-361	Блок сепаратора-пробкоуловителя СП-111-3	1	Факел-Ф-361 (опорожнение блока сепаратора-пробкоуловителя СП-111-3 перед ППР)	1	0,5 (1 раз в год в течение 30 минут)	0177	75	2,6	321,879	1727	870	282	-	-	-	ГОУ отсутствуют	0301	Азота диоксид	7,702	0,013864	0,013864	0,00716	0,00716	0,004448	0,004448	0,004448
																	0304	Азот (II) оксид	1,252	0,002253	0,002253	0,001164	0,001164	0,000723	0,000723	0,000723
																	0328	Углерод	6,419	0,01155	0,01155	0,00596	0,00596	0,00371	0,00371	0,00371
																	0337	Углерода оксид	64,19	0,1155	0,1155	0,0596	0,0596	0,0371	0,0371	0,0371
																	0410	Метан	1,605	0,002889	0,002889	0,001491	0,001491	0,000927	0,000927	0,000927
УКПГ. Факел Ф-361	Блок сепаратора-пробкоуловителя СП-111-4	1	Факел-Ф-361 (опорожнение блока сепаратора-пробкоуловителя СП-111-4 перед ППР)	1	0,5 (1 раз в год в течение 30 минут)	0177	75	2,6	321,879	1727	870	282	-	-	-	ГОУ отсутствуют	0301	Азота диоксид	7,702	0,013864	0,013864	0,00716	0,00716	0,004448	0,004448	0,004448
																	0304	Азот (II) оксид	1,252	0,002253	0,002253	0,001164	0,001164	0,000723	0,000723	0,000723
																	0328	Углерод	6,419	0,01155	0,01155	0,00596	0,00596	0,00371	0,00371	0,00371
																	0337	Углерода оксид	64,19	0,1155	0,1155	0,0596	0,0596	0,0371	0,0371	0,0371
																	0410	Метан	1,605	0,002889	0,002889	0,001491	0,001491	0,000927	0,000927	0,000927
УКПГ. Факел Ф-361	Блок сепаратора пластовой смеси СП-111-6	1	Факел-Ф-361 (опорожнение блока сепаратора пластовой смеси СП-111-6 перед ППР)	1	0,5 (1 раз в год в течение 30 минут)	0177	75	2,6	128,681	1727	870	282	-	-	-	ГОУ отсутствуют	0301	Азота диоксид	3,08	0,005544	0,005544	0,002864	0,002864	0,001776	0,001776	0,001776
																	0304	Азот (II) оксид	0,501	0,000901	0,000901	0,000465	0,000465	0,000289	0,000289	0,000289
																	0328	Углерод	2,567	0,00462	0,00462	0,00239	0,00239	0,00148	0,00148	0,00148
																	0337	Углерода оксид	25,666	0,0462	0,0462	0,0239	0,0239	0,0148	0,0148	0,0148
																	0410	Метан	0,642	0,001156	0,001156	0,000597	0,000597	0,000371	0,000371	0,000371
УКПГ. Факел Ф-361	Блок сепаратора пластовой смеси СП-111-7	1	Факел-Ф-361 (опорожнение блока сепаратора пластовой смеси СП-111-7 перед ППР)	1	0,5 (1 раз в год в течение 30 минут)	0177	75	2,6	128,681	1727	870	282	-	-	-	ГОУ отсутствуют	0301	Азота диоксид	3,08	0,005544	0,005544	0,002864	0,002864	0,001776	0,001776	0,001776
																	0304	Азот (II) оксид	0,501	0,000901	0,000901	0,000465	0,000465	0,000289	0,000289	0,000289
																	0328	Углерод	2,567	0,00462	0,00462	0,00239	0,00239	0,00148	0,00148	0,00148
																	0337	Углерода оксид	25,666	0,0462	0,0462	0,0239	0,0239	0,0148	0,0148	0,0148
																	0410	Метан	0,642	0,001156	0,001156	0,000597	0,000597	0,000371	0,000371	0,000371
УКПГ. Факел Ф-361	Блок сепаратора пластовой смеси СП-111-8	1	Факел-Ф-361 (опорожнение блока сепаратора пластовой смеси СП-111-8 перед ППР)	1	0,5 (1 раз в год в течение 30 минут)	0177	75	2,6	128,681	1727	870	282	-	-	-	ГОУ отсутствуют	0301	Азота диоксид	3,08	0,005544	0,005544	0,002864	0,002864	0,001776	0,001776	0,001776
																	0304	Азот (II) оксид	0,501	0,000901	0,000901	0,000465	0,000465	0,000289	0,000289	0,000289
																	0328	Углерод	2,567	0,00462	0,00462	0,00239	0,00239	0,00148	0,00148	0,00148
																	0337	Углерода оксид	25,666	0,0462	0,0462	0,0239	0,0239	0,0148	0,0148	0,0148
																	0410	Метан	0,642	0,001156	0,001156	0,000597	0,000597	0,000371	0,000371	0,000371
УКПГ. Факел Ф-361	Блок фильтр-сепаратора газа ФС-111-6	1	Факел-Ф-361 (опорожнение блока фильтр-сепаратора газа ФС-111-6 перед ППР)	1	0,5 (1 раз в год в течение 30 минут)	0177	75	2,6	111,206	1727	870	282	-	-	-	ГОУ отсутствуют	0301	Азота диоксид	2,661	0,004792	0,004792	0,002472	0,002472	0,001536	0,001536	0,001536
																	0304	Азот (II) оксид	0,432	0,000779	0,000779	0,000402	0,000402	0,00025	0,00025	0,00025
																	0328	Углерод	2,217	0,00399	0,00399	0,00206	0,00206	0,00128	0,00128	0,00128
																	0337	Углерода оксид	22,173	0,0399	0,0399	0,0206	0,0206	0,0128	0,0128	0,0128
																	0410	Метан	0,554	0,000998	0,000998	0,000515	0,000515	0,00032	0,00032	0,00032
УКПГ. Факел Ф-361	Блок фильтр-сепаратора газа ФС-111-7	1	Факел-Ф-361 (опорожнение блока фильтр-сепаратора газа ФС-111-7 перед ППР)	1	0,5 (1 раз в год в течение 30 минут)	0177	75	2,6	111,206	1727	870	282	-	-	-	ГОУ отсутствуют	0301	Азота диоксид	2,661	0,004792	0,004792	0,002472	0,002472	0,001536	0,001536	0,001536
																	0304	Азот (II) оксид	0,432	0,000779	0,000779	0,000402	0,000402	0,00025	0,00025	0,00025
																	0328	Углерод	2,217	0,00399	0,00399	0,00206	0,00206	0,00128	0,00128	0,00128
																	0337	Углерода оксид	22,173	0,0399	0,0399	0,0206	0,0206	0,0128	0,0128	0,0128
																	0410	Метан	0,554	0,000998	0,000998	0,000515	0,000515	0,00032	0,00032	0,00032
УКПГ. Факел Ф-361	Блок фильтр-сепаратора газа ФС-111-7	1	Факел-Ф-361 (опорожнение блока фильтр-сепаратора газа ФС-111-7 перед ППР)	1	0,5 (1 раз в год в течение 30 минут)	0177	75	2,6	111,206	1727	870	282	-	-	-	ГОУ отсутствуют	0301	Азота диоксид	2,661	0,004792	0,004792	0,002472	0,002472	0,001536	0,001536	0,001536
																	0304	Азот (II) оксид	0,432	0,000779	0,000779	0,000402	0,000402	0,00025	0,00025	0,00025
																	0328	Углерод	2,217	0,00399	0,00399	0,00206	0,00206	0,00128	0,00128	0,00128
																	0337	Углерода оксид	22,173	0,0399	0,0399	0,0206	0,0206	0,0128	0,0128	0,0128
																	0410	Метан	0,554	0,000998	0,000998	0,000515	0,000515	0,00032	0,00032	0,00032
УКПГ. Факел Ф-361	Установка охлаждения газа АВО-укпг-2	1	Факел-Ф-361 (опорожнение установки охлаждения газа АВОукпг-2 перед ППР)	1	0,5 (1 раз в год в течение 30 минут)	0177	75	2,6	105,381	1727	870	282	-	-	-	ГОУ отсутствуют	0301	Азота диоксид	2,521	0,004536	0,004536	0,002344	0,002344	0,001456	0,001456	0,001456
																	0304	Азот (II) оксид	0,41	0,000737	0,000737	0,000381	0,000381	0,000237	0,000237	0,000237
																	0328	Углерод	2,101	0,00378	0,00378	0,00195	0,00195	0,00121	0,00121	0,00121
																	0337	Углерода оксид	21,008	0,0378	0,0378	0,0195	0,0195	0,0121	0,0121	0,0121
																	0410	Метан	0,525	0,000945	0,000945	0,000488	0,000488	0,000304	0,000304	0,000304

Наименование промплощадки	Источник выделения загрязняющих веществ		Источник загрязнения атмосферы		Время работы, ч/год	Номер источника на генплане	Высота источника, м	Диаметр устья трубы, м	Параметры газовоздушной смеси на выходе из источника выброса		Координаты по карте-схеме, м				Ширина площадного источника, м	Наименование газоочистных установок и степень очистки	Код загрязняющего вещества	Наименование загрязняющего вещества, поступающего в атмосферу	Максимально разовый выброс загрязняющих веществ, поступающих в атмосферу, г/с	Годовой валовый выброс загрязняющих веществ, поступающих в атмосферу при эксплуатации проектируемых объектов по годам эксплуатации, т/год						
	Наименование	Количество, штук	Наименование	Количество, штук					объем, $м^3/с$	температура, ^0C	точечного источника или 1 конца линейного источника		2 конца линейного источника							1-й год эксплуатации	2-й год эксплуатации	3-й год эксплуатации	4-й год эксплуатации	5-й год эксплуатации	6-й год эксплуатации	7-й год эксплуатации
											X_1	Y_1	X_2	Y_2												
УКПГ. Факел Ф-361	Блок ТДА-201-5 линии НТС №5	1	Факел-Ф-361 (опорожнение блока ТДА-201-5 перед ППР)	1	0,5 (1 раз в год в течение 30 минут)	0177	75	2,6	32,274	1709	870	282	-	-	-	ГОУ отсутствуют	0301	Азота диоксид	0,779	0,001408	0,001408	0,001408	0,001408	0,001408	0,001408	0,001408
																	0304	Азот (II) оксид	0,127	0,000229	0,000229	0,000229	0,000229	0,000229	0,000229	0,000229
																	0328	Углерод	0,649	0,00117	0,00117	0,00117	0,00117	0,00117	0,00117	0,00117
																	0337	Углерода оксид	6,494	0,0117	0,0117	0,0117	0,0117	0,0117	0,0117	0,0117
																	0410	Метан	0,162	0,000293	0,000293	0,000293	0,000293	0,000293	0,000293	0,000293
УКПГ. Факел Ф-361	Блок АВО сырого газа УВОГ-201-5 линии НТС №5	1	Факел-Ф-361 (опорожнение блока АВО сырого газа УВОГ-201-5 перед ППР)	1	0,5 (1 раз в год в течение 30 минут)	0177	75	2,6	77,127	1729	870	282	-	-	-	ГОУ отсутствуют	0301	Азота диоксид	1,844	0,00332	0,00332	0,00332	0,00332	0,00332	0,00332	0,00332
																	0304	Азот (II) оксид	0,3	0,00054	0,00054	0,00054	0,00054	0,00054	0,00054	0,00054
																	0328	Углерод	1,537	0,00277	0,00277	0,00277	0,00277	0,00277	0,00277	0,00277
																	0337	Углерода оксид	15,367	0,0277	0,0277	0,0277	0,0277	0,0277	0,0277	0,0277
																	0410	Метан	0,384	0,000692	0,000692	0,000692	0,000692	0,000692	0,000692	0,000692
УКПГ. Факел Ф-361	Блок теплообменника "газ-газ" Т-201-5 линии НТС №5	1	Факел-Ф-361 (опорожнение блока теплообменника "газ-газ" Т-201-5 перед ППР)	1	0,5 (1 раз в год в течение 30 минут)	0177	75	2,6	253,996	1709	870	282	-	-	-	ГОУ отсутствуют	0301	Азота диоксид	6,134	0,01104	0,01104	0,01104	0,01104	0,01104	0,01104	0,01104
																	0304	Азот (II) оксид	0,997	0,001794	0,001794	0,001794	0,001794	0,001794	0,001794	0,001794
																	0328	Углерод	5,112	0,0092	0,0092	0,0092	0,0092	0,0092	0,0092	0,0092
																	0337	Углерода оксид	51,119	0,092	0,092	0,092	0,092	0,092	0,092	0,092
																	0410	Метан	1,278	0,002301	0,002301	0,002301	0,002301	0,002301	0,002301	0,002301
УКПГ. Факел Ф-361	Блок теплообменника "газ-газ" Т-202-5 линии НТС №5	1	Факел-Ф-361 (опорожнение блока теплообменника "газ-газ" Т-202-5 перед ППР)	1	0,5 (1 раз в год в течение 30 минут)	0177	75	2,6	245,774	1709	870	282	-	-	-	ГОУ отсутствуют	0301	Азота диоксид	5,935	0,010688	0,010688	0,010688	0,010688	0,010688	0,010688	0,010688
																	0304	Азот (II) оксид	0,964	0,001737	0,001737	0,001737	0,001737	0,001737	0,001737	0,001737
																	0328	Углерод	4,946	0,0089	0,0089	0,0089	0,0089	0,0089	0,0089	0,0089
																	0337	Углерода оксид	49,462	0,089	0,089	0,089	0,089	0,089	0,089	0,089
																	0410	Метан	1,237	0,002226	0,002226	0,002226	0,002226	0,002226	0,002226	0,002226
УКПГ. Факел Ф-361	Блок теплообменника "газ-конденсат" Т-203-5 линии НТС №5	1	Факел-Ф-361 (опорожнение блока теплообменника "газ-конденсат" Т-203-5 перед ППР)	1	0,5 (1 раз в год в течение 30 минут)	0177	75	2,6	382,608	1649	870	282	-	-	-	ГОУ отсутствуют	0301	Азота диоксид	9,527	0,017152	0,017152	0,017152	0,017152	0,017152	0,017152	0,017152
																	0304	Азот (II) оксид	1,548	0,002787	0,002787	0,002787	0,002787	0,002787	0,002787	0,002787
																	0328	Углерод	7,939	0,01429	0,01429	0,01429	0,01429	0,01429	0,01429	0,01429
																	0337	Углерода оксид	79,392	0,1429	0,1429	0,1429	0,1429	0,1429	0,1429	0,1429
																	0410	Метан	1,985	0,003573	0,003573	0,003573	0,003573	0,003573	0,003573	0,003573
УКПГ. Факел Ф-361	Блок сепаратора 2-й ступени С-201-5 линии НТС №5	1	Факел-Ф-361 (опорожнение блока сепаратора 2-й ступени С-201-5 перед ППР)	1	0,5 (1 раз в год в течение 30 минут)	0177	75	2,6	220,701	1673	870	282	-	-	-	ГОУ отсутствуют	0301	Азота диоксид	5,428	0,009768	0,009768	0,009768	0,009768	0,009768	0,009768	0,009768
																	0304	Азот (II) оксид	0,882	0,001587	0,001587	0,001587	0,001587	0,001587	0,001587	0,001587
																	0328	Углерод	4,523	0,00814	0,00814	0,00814	0,00814	0,00814	0,00814	0,00814
																	0337	Углерода оксид	45,231	0,0814	0,0814	0,0814	0,0814	0,0814	0,0814	0,0814
																	0410	Метан	1,131	0,002036	0,002036	0,002036	0,002036	0,002036	0,002036	0,002036
УКПГ. Факел Ф-361	Блок сепаратора низкотемпературного С-202-5 линии НТС №5	1	Факел-Ф-361 (опорожнение блока сепаратора низкотемпературного С-202-5 перед ППР)	1	0,5 (1 раз в год в течение 30 минут)	0177	75	2,6	124,464	1643	870	282	-	-	-	ГОУ отсутствуют	0301	Азота диоксид	3,028	0,005448	0,005448	0,005448	0,005448	0,005448	0,005448	0,005448
																	0304	Азот (II) оксид	0,492	0,000885	0,000885	0,000885	0,000885	0,000885	0,000885	0,000885
																	0328	Углерод	2,523	0,00454	0,00454	0,00454	0,00454	0,00454	0,00454	0,00454
																	0337	Углерода оксид	25,232	0,0454	0,0454	0,0454	0,0454	0,0454	0,0454	0,0454
																	0410	Метан	0,631	0,001136	0,001136	0,001136	0,001136	0,001136	0,001136	0,001136
УКПГ. Факел Ф-361	Блок разделителя Р-201-5 линии НТС №5	1	Факел-Ф-361 (опорожнение блока разделителя Р-201-5 перед ППР)	1	0,5 (1 раз в год в течение 30 минут)	0177	75	2,6	179,547	1684	870	282	-	-	-	ГОУ отсутствуют	0301	Азота диоксид	4,47	0,008048	0,008048	0,008048	0,008048	0,008048	0,008048	0,008048
																	0304	Азот (II) оксид	0,726	0,001308	0,001308	0,001308	0,001308	0,001308	0,001308	0,001308
																	0328	Углерод	3,726	0,0067	0,0067	0,0067	0,0067	0,0067	0,0067	0,0067
																	0337	Углерода оксид	37,256	0,067	0,067	0,067	0,067	0,067	0,067	0,067
																	0410	Метан	0,931	0,001676	0,001676	0,001676	0,001676	0,001676	0,001676	0,001676
УКПГ. Факел Ф-361	Блок ТДА-201-6 линии НТС №6	1	Факел-Ф-361 (опорожнение блока ТДА-201-6 перед ППР)	1	0,5 (1 раз в год в течение 30 минут)	0177	75	2,6	32,274	1709	870	282	-	-	-	ГОУ отсутствуют	0301	Азота диоксид	0,779	-	0,001408	0,001408	0,001408	0,001408	0,001408	0,001408
																	0304	Азот (II) оксид	0,127	-	0,000229	0,000229	0,000229	0,000229	0,000229	0,000229
																	0328	Углерод	0,649	-	0,00117	0,00117	0,00117	0,00117	0,00117	0,00117
																	0337	Углерода оксид	6,494	-	0,0117	0,0117	0,0117	0,0117	0,0117	0,0117
																	0410	Метан	0,162	-	0,000293	0,000293	0,000293	0,000293	0,000293	0,000293
УКПГ. Факел Ф-361	Блок АВО сырого газа УВОГ-201-6 линии НТС №6	1	Факел-Ф-361 (опорожнение блока АВО сырого газа УВОГ-201-6 перед ППР)	1	0,5 (1 раз в год в течение 30 минут)	0177	75	2,6	77,127	1729	870	282	-	-	-	ГОУ отсутствуют	0301	Азота диоксид	1,844	-	0,00332	0,00332	0,00332	0,00332	0,00332	0,00332
																	0304	Азот (II) оксид	0,3	-	0,00054	0,00054	0,00054	0,00054	0,00054	0,00054
																	0328	Углерод	1,537	-	0,00277	0,00277	0,00277	0,00277	0,00277	0,00277
																	0337	Углерода оксид	15,367	-	0,0277	0,0277	0,0277	0,0277	0,0277	0,0277
																	0410	Метан	0,384	-	0,000692	0,000692	0,000692	0,000692	0,000692	0,000692
УКПГ. Факел Ф-361	Блок теплообменника "газ-газ" Т-201-6 линии НТС №6	1	Факел-Ф-361 (опорожнение блока теплообменника "газ-газ" Т-201-6 перед ППР)	1	0,5 (1 раз в год в течение 30 минут)	0177	75	2,6	253,996	1709	870	282	-	-	-	ГОУ отсутствуют	0301	Азота диоксид	6,134	-	0,01104	0,01104	0,01104	0,01104	0,01104	0,01104
																	0304	Азот (II) оксид	0,997	-	0,001794	0,001794	0,001794	0,001794	0,001794	0,001794
																	0328	Углерод	5,112	-	0,0092	0,0092	0,0092	0,0092	0,0092	0,0092
																	0337	Углерода оксид	51,119	-	0,092	0,092	0,092	0,092	0,092	0,092
																	0410	Метан	1,278	-	0,002301	0,002301	0,002301	0,002301	0,002301	0,002301

Наименование промплощадки	Источник выделения загрязняющих веществ		Источник загрязнения атмосферы		Время работы, ч/год	Номер источника на генплане	Высота источника, м	Диаметр устья трубы, м	Параметры газовоздушной смеси на выходе из источника выброса		Координаты по карте-схеме, м				Ширина площадного источника, м	Наименование газоочистных установок и степень очистки	Код загрязняющего вещества	Наименование вещества, поступающего в атмосферу	Максимально разовый выброс загрязняющих веществ, поступающих в атмосферу, г/с	Годовой валовый выброс загрязняющих веществ, поступающих в атмосферу при эксплуатации проектируемых объектов по годам эксплуатации, т/год						
	Наименование	Количество, штук	Наименование	Количество, штук					объем, $м^3/с$	температура, ^0C	точечного источника или 1 конца линейного источника		2 конца линейного источника							1-й год эксплуатации	2-й год эксплуатации	3-й год эксплуатации	4-й год эксплуатации	5-й год эксплуатации	6-й год эксплуатации	7-й год эксплуатации
											X_1	Y_1	X_2	Y_2												
УКПГ. Факел Ф-361	Блок теплообменника "газ-газ" Т-202-6 линии НТС №6	1	Факел-Ф-361 (опорожнение блока теплообменника "газ-газ" Т-202-6 перед ППР)	1	0,5 (1 раз в год в течение 30 минут)	0177	75	2,6	245,774	1709	870	282	-	-	-	ГОУ отсутствуют	0301	Азота диоксид	5,935	-	0,010688	0,010688	0,010688	0,010688	0,010688	0,010688
																	0304	Азот (II) оксид	0,964	-	0,001737	0,001737	0,001737	0,001737	0,001737	0,001737
																	0328	Углерод	4,946	-	0,0089	0,0089	0,0089	0,0089	0,0089	0,0089
																	0337	Углерода оксид	49,462	-	0,089	0,089	0,089	0,089	0,089	0,089
																	0410	Метан	1,237	-	0,002226	0,002226	0,002226	0,002226	0,002226	0,002226
УКПГ. Факел Ф-361	Блок теплообменника "газ-конденсат" Т-203-5 линии НТС №5	1	Факел-Ф-361 (опорожнение блока теплообменника "газ-конденсат" Т-203-6 перед ППР)	1	0,5 (1 раз в год в течение 30 минут)	0177	75	2,6	382,608	1649	870	282	-	-	-	ГОУ отсутствуют	0301	Азота диоксид	9,527	-	0,017152	0,017152	0,017152	0,017152	0,017152	0,017152
																	0304	Азот (II) оксид	1,548	-	0,002787	0,002787	0,002787	0,002787	0,002787	0,002787
																	0328	Углерод	7,939	-	0,01429	0,01429	0,01429	0,01429	0,01429	0,01429
																	0337	Углерода оксид	79,392	-	0,1429	0,1429	0,1429	0,1429	0,1429	0,1429
																	0410	Метан	1,985	-	0,003573	0,003573	0,003573	0,003573	0,003573	0,003573
УКПГ. Факел Ф-361	Блок сепаратора 2-й ступени С-201-6 линии НТС №6	1	Факел-Ф-361 (опорожнение блока сепаратора 2-й ступени С-201-6 перед ППР)	1	0,5 (1 раз в год в течение 30 минут)	0177	75	2,6	220,701	1673	870	282	-	-	-	ГОУ отсутствуют	0301	Азота диоксид	5,428	-	0,009768	0,009768	0,009768	0,009768	0,009768	0,009768
																	0304	Азот (II) оксид	0,882	-	0,001587	0,001587	0,001587	0,001587	0,001587	0,001587
																	0328	Углерод	4,523	-	0,00814	0,00814	0,00814	0,00814	0,00814	0,00814
																	0337	Углерода оксид	45,231	-	0,0814	0,0814	0,0814	0,0814	0,0814	0,0814
																	0410	Метан	1,131	-	0,002036	0,002036	0,002036	0,002036	0,002036	0,002036
УКПГ. Факел Ф-361	Блок сепаратора низкотемпературного С-202-6 линии НТС №6	1	Факел-Ф-361 (опорожнение блока сепаратора низкотемпературного С-202-6 перед ППР)	1	0,5 (1 раз в год в течение 30 минут)	0177	75	2,6	124,464	1643	870	282	-	-	-	ГОУ отсутствуют	0301	Азота диоксид	3,028	-	0,005448	0,005448	0,005448	0,005448	0,005448	0,005448
																	0304	Азот (II) оксид	0,492	-	0,000885	0,000885	0,000885	0,000885	0,000885	0,000885
																	0328	Углерод	2,523	-	0,00454	0,00454	0,00454	0,00454	0,00454	0,00454
																	0337	Углерода оксид	25,232	-	0,0454	0,0454	0,0454	0,0454	0,0454	0,0454
																	0410	Метан	0,631	-	0,001136	0,001136	0,001136	0,001136	0,001136	0,001136
УКПГ. Факел Ф-361	Блок разделителя Р-201-6 линии НТС №5	1	Факел-Ф-361 (опорожнение блока сепаратора низкотемпературного С-202-6 перед ППР)	1	0,5 (1 раз в год в течение 30 минут)	0177	75	2,6	179,547	1684	870	282	-	-	-	ГОУ отсутствуют	0301	Азота диоксид	4,47	0,008048	0,008048	0,008048	0,008048	0,008048	0,008048	0,008048
																	0304	Азот (II) оксид	0,726	0,001308	0,001308	0,001308	0,001308	0,001308	0,001308	0,001308
																	0328	Углерод	3,726	0,0067	0,0067	0,0067	0,0067	0,0067	0,0067	0,0067
																	0337	Углерода оксид	37,256	0,067	0,067	0,067	0,067	0,067	0,067	0,067
																	0410	Метан	0,931	0,001676	0,001676	0,001676	0,001676	0,001676	0,001676	0,001676
УКПГ. Факел Ф-361	Блок дегазатора Д-201-3	1	Факел-Ф-361 (опорожнение блока дегазатора Д-201-3 перед ППР)	1	0,5 (1 раз в год в течение 30 минут)	0177	75	2,6	295,877	1684	870	282	-	-	-	ГОУ отсутствуют	0301	Азота диоксид	7,366	0,013256	0,013256	0,013256	0,013256	0,013256	0,013256	0,013256
																	0304	Азот (II) оксид	1,197	0,002154	0,002154	0,002154	0,002154	0,002154	0,002154	0,002154
																	0328	Углерод	6,138	0,01105	0,01105	0,01105	0,01105	0,01105	0,01105	0,01105
																	0337	Углерода оксид	61,38	0,1105	0,1105	0,1105	0,1105	0,1105	0,1105	0,1105
																	0410	Метан	1,535	0,002762	0,002762	0,002762	0,002762	0,002762	0,002762	0,002762
УКПГ. Факел Ф-361	Емкость дренажная Е-201-3	1	Факел-Ф-361 (опорожнение перед ППР)	1	0,5 (1 раз в год в течение 30 минут)	0177	75	2,6	25,801	1657	870	282	-	-	-	ГОУ отсутствуют	0301	Азота диоксид	0,678893	0,004073	0,004073	0,004073	0,004073	0,004073	0,004073	0,004073
																	0304	Азот (II) оксид	0,11032	0,000662	0,000662	0,000662	0,000662	0,000662	0,000662	0,000662
																	0328	Углерод	0,56574	0,003394	0,003394	0,003394	0,003394	0,003394	0,003394	0,003394
																	0337	Углерода оксид	5,65744	0,03394	0,03394	0,03394	0,03394	0,03394	0,03394	0,03394
																	0410	Метан	0,1414	0,0008490	0,0008490	0,0008490	0,0008490	0,0008490	0,0008490	0,0008490
УКПГ. Факел Ф-361	Участок газопровода от ОК (УКПГ) до крана Г-8.1	1	Факел-Ф-361 (опорожнение участка газопровода от ОК (УКПГ) до крана Г-8.1 перед ППР)	1	0,5 (1 раз в год в течение 30 минут)	0177	75	2,6	5388,351	1681	870	282	-	-	-	ГОУ отсутствуют	0301	Азота диоксид	128,553696	0,154265	0,154265	0,154265	0,154265	0,154265	0,154265	0,154265
																	0304	Азот (II) оксид	20,889976	0,025068	0,025068	0,025068	0,025068	0,025068	0,025068	0,025068
																	0328	Углерод	107,12808	0,128554	0,128554	0,128554	0,128554	0,128554	0,128554	0,128554
																	0337	Углерода оксид	1071,28080	1,28554	1,28554	1,28554	1,28554	1,28554	1,28554	1,28554
																	0410	Метан	26,7820	0,0321390	0,0321390	0,0321390	0,0321390	0,0321390	0,0321390	0,0321390
УКПГ. Факел Ф-361	Камера запуска на УКПГ	1	Факел-Ф-361 (опорожнение камеры запуска на УКПГ перед ППР)	1	0,5 (1 раз в год в течение 30 минут)	0177	75	2,6	61,948	1681	870	282	-	-	-	ГОУ отсутствуют	0301	Азота диоксид	2,358072	0,00283	0,00283	0,00283	0,00283	0,00283	0,00283	0,00283
																	0304	Азот (II) оксид	0,383187	0,00046	0,00046	0,00046	0,00046	0,00046	0,00046	0,00046
																	0328	Углерод	1,96506	0,002358	0,002358	0,002358	0,002358	0,002358	0,002358	0,002358
																	0337	Углерода оксид	19,65060	0,02358	0,02358	0,02358	0,02358	0,02358	0,02358	0,02358
																	0410	Метан	0,4913	0,0005900	0,0005900	0,0005900	0,0005900	0,0005900	0,0005900	0,0005900
УКПГ. Факел Ф-361	Дренажная емкость конденсатосборника	1	Факел-Ф-361 (опорожнение дренажной емкости конденсатосборника перед ППР)	1	0,5 (1 раз в год в течение 30 минут)	0177	75	2,6	0,089	1682	870	282	-	-	-	ГОУ отсутствуют	0301	Азота диоксид	0,002232	0,00000272	0,00000272	0,00000272	0,00000272	0,00000272	0,00000272	0,00000272
																	0304	Азот (II) оксид	0,000363	0,00000044	0,00000044	0,00000044	0,00000044	0,00000044	0,00000044	0,00000044
																	0328	Углерод	0,00186	0,0000022	0,0000022	0,0000022	0,0000022	0,0000022	0,0000022	0,0000022
																	0337	Углерода оксид	0,0186	0,000022	0,000022	0,000022	0,000022	0,000022	0,000022	0,000022
																	0410	Метан	0,000465	0,0000006	0,0000006	0,0000006	0,0000006	0,0000006	0,0000006	0,0000006
УКПГ. Факел Ф-361	Узел приема конденсатопровода	1	Факел-Ф-361 (опорожнение узла приема конденсатопровода перед ППР)	1	0,5 (1 раз в год в течение 30 минут)	0177	75	2,6	0,03	1682	870	282	-	-	-	ГОУ отсутствуют	0301	Азота диоксид	0,000737	0,00000088	0,00000088	0,00000088	0,00000088	0,00000088	0,00000088	0,00000088
																	0304	Азот (II) оксид	0,00012	0,00000014	0,00000014	0,00000014	0,00000014	0,00000014	0,00000014	0,00000014
																	0328	Углерод	0,000614	0,0000007	0,0000007	0,0000007	0,0000007	0,0000007	0,0000007	0,0000007
																	0337	Углерода оксид	0,00614	0,000007	0,000007	0,000007	0,000007	0,000007	0,000007	0,000007
																	0410	Метан	0,000154	0,0000002	0,0000002	0,0000002	0,0000002	0,0000002	0,0000002	0,0000002

Наименование промплощадки	Источник выделения загрязняющих веществ		Источник загрязнения атмосферы		Время работы, ч/год	Номер источника на генплане	Высота источника, м	Диаметр устья трубы, м	Параметры газовоздушной смеси на выходе из источника выброса		Координаты по карте-схеме, м				Ширина площадного источника, м	Наименование газоочистных установок и степень очистки	Код загрязняющего вещества	Наименование загрязняющего вещества, поступающего в атмосферу	Максимально разовый выброс загрязняющих веществ, поступающих в атмосферу, г/с	Годовой валовый выброс загрязняющих веществ, поступающих в атмосферу при эксплуатации проектируемых объектов по годам эксплуатации, т/год						
	Наименование	Количество, штук	Наименование	Количество, штук					объем, $м^3/с$	температура, ^0C	точечного источника или 1 конца линейного источника		2 конца линейного источника							1-й год эксплуатации	2-й год эксплуатации	3-й год эксплуатации	4-й год эксплуатации	5-й год эксплуатации	6-й год эксплуатации	7-й год эксплуатации
											X_1	Y_1	X_2	Y_2												
УКПГ. Факел Ф-361	Конденсатосборник	1	Факел-Ф-361 (опорожнение конденсатосборника перед ППР)	1	0,5 (1 раз в год в течение 30 минут)	0177	75	2,6	0,239	1682	870	282	-	-	-	ГОУ отсутствуют	0301	Азота диоксид	0,005959	0,00000712	0,00000712	0,00000712	0,00000712	0,00000712	0,00000712	0,00000712
																	0304	Азот (II) оксид	0,000968	0,00000116	0,00000116	0,00000116	0,00000116	0,00000116	0,00000116	0,00000116
																	0328	Углерод	0,004966	0,000006	0,000006	0,000006	0,000006	0,000006	0,000006	0,000006
																	0337	Углерода оксид	0,04966	0,00006	0,00006	0,00006	0,00006	0,00006	0,00006	0,00006
																	0410	Метан	0,001242	0,00000712	0,00000712	0,00000712	0,00000712	0,00000712	0,00000712	0,00000712
УКПГ. Факел Ф-361	Емкость дренажная Е-611 УПСОД	1	Факел-Ф-361 (опорожнение емкости дренажной Е-611 УПСОД перед ППР)	1	0,5 (1 раз в год в течение 30 минут)	0177	75	2,6	2,066	1657	870	282	-	-	-	ГОУ отсутствуют	0301	Азота диоксид	0,054439	0,000195	0,000195	0,000195	0,000195	0,000195	0,000195	0,000195
																	0304	Азот (II) оксид	0,008846	0,000032	0,000032	0,000032	0,000032	0,000032	0,000032	0,000032
																	0328	Углерод	0,04537	0,000163	0,000163	0,000163	0,000163	0,000163	0,000163	0,000163
																	0337	Углерода оксид	0,45366	0,00163	0,00163	0,00163	0,00163	0,00163	0,00163	0,00163
																	0410	Метан	0,0113	0,0000410	0,0000410	0,0000410	0,0000410	0,0000410	0,0000410	0,0000410
УКПГ. Факел Ф-361	Газопроводы шлейфы	1	Факел-Ф-361 (заполнение газом газопроводов-шлейфов после ППР)	1	0,5 (1 раз в год в течение 30 минут)	0177	75	2,6	0,404	1701	870	282	-	-	-	ГОУ отсутствуют	0301	Азота диоксид	0,009	0,000088	0,000088	0,000088	0,000088	0,000088	0,000088	0,000088
																	0304	Азот (II) оксид	0,001	0,000014	0,000014	0,000014	0,000014	0,000014	0,000014	0,000014
																	0328	Углерод	0,008	0,00007	0,00007	0,00007	0,00007	0,00007	0,00007	0,00007
																	0337	Углерода оксид	0,076	0,0007	0,0007	0,0007	0,0007	0,0007	0,0007	0,0007
																	0410	Метан	0,002	0,000018	0,000018	0,000018	0,000018	0,000018	0,000018	0,000018
УКПГ. Факел Ф-361	Блок сепаратора-пробкоуловителя СП-111-3	1	Факел-Ф-361 (заполнение газом блока сепаратора-пробкоуловителя СП-111-3 после ППР)	1	0,5 (1 раз в год в течение 30 минут)	0177	75	2,6	7,377	1701	870	282	-	-	-	ГОУ отсутствуют	0301	Азота диоксид	0,174	0,000312	0,000312	0,000312	0,000312	0,000312	0,000312	0,000312
																	0304	Азот (II) оксид	0,028	0,000051	0,000051	0,000051	0,000051	0,000051	0,000051	0,000051
																	0328	Углерод	0,144	0,00026	0,00026	0,00026	0,00026	0,00026	0,00026	0,00026
																	0337	Углерода оксид	1,444	0,0026	0,0026	0,0026	0,0026	0,0026	0,0026	0,0026
																	0410	Метан	0,036	0,000065	0,000065	0,000065	0,000065	0,000065	0,000065	0,000065
УКПГ. Факел Ф-361	Блок сепаратора-пробкоуловителя СП-111-4	1	Факел-Ф-361 (заполнение газом блока сепаратора-пробкоуловителя СП-111-4 после ППР)	1	0,5 (1 раз в год в течение 30 минут)	0177	75	2,6	7,377	1701	870	282	-	-	-	ГОУ отсутствуют	0301	Азота диоксид	0,174	0,000312	0,000312	0,000312	0,000312	0,000312	0,000312	0,000312
																	0304	Азот (II) оксид	0,028	0,000051	0,000051	0,000051	0,000051	0,000051	0,000051	0,000051
																	0328	Углерод	0,144	0,00026	0,00026	0,00026	0,00026	0,00026	0,00026	0,00026
																	0337	Углерода оксид	1,444	0,0026	0,0026	0,0026	0,0026	0,0026	0,0026	0,0026
																	0410	Метан	0,036	0,000065	0,000065	0,000065	0,000065	0,000065	0,000065	0,000065
УКПГ. Факел Ф-361	Блок сепаратора пластовой смеси СП-111-6	1	Факел-Ф-361 (заполнение газом блока сепаратора пластовой смеси СП-111-6 после ППР)	1	0,5 (1 раз в год в течение 30 минут)	0177	75	2,6	2,901	1701	870	282	-	-	-	ГОУ отсутствуют	0301	Азота диоксид	0,070	0,000128	0,000128	0,000128	0,000128	0,000128	0,000128	0,000128
																	0304	Азот (II) оксид	0,011	0,000021	0,000021	0,000021	0,000021	0,000021	0,000021	0,000021
																	0328	Углерод	0,058	0,0001	0,0001	0,0001	0,0001	0,0001	0,0001	0,0001
																	0337	Углерода оксид	0,578	0,001	0,001	0,001	0,001	0,001	0,001	0,001
																	0410	Метан	0,014	0,000026	0,000026	0,000026	0,000026	0,000026	0,000026	0,000026
УКПГ. Факел Ф-361	Блок сепаратора пластовой смеси СП-111-7	1	Факел-Ф-361 (заполнение газом блока сепаратора пластовой смеси СП-111-7 после ППР)	1	0,5 (1 раз в год в течение 30 минут)	0177	75	2,6	2,901	1701	870	282	-	-	-	ГОУ отсутствуют	0301	Азота диоксид	0,070	0,000128	0,000128	0,000128	0,000128	0,000128	0,000128	0,000128
																	0304	Азот (II) оксид	0,011	0,000021	0,000021	0,000021	0,000021	0,000021	0,000021	0,000021
																	0328	Углерод	0,058	0,0001	0,0001	0,0001	0,0001	0,0001	0,0001	0,0001
																	0337	Углерода оксид	0,578	0,001	0,001	0,001	0,001	0,001	0,001	0,001
																	0410	Метан	0,014	0,000026	0,000026	0,000026	0,000026	0,000026	0,000026	0,000026
УКПГ. Факел Ф-361	Блок сепаратора пластовой смеси СП-111-8	1	Факел-Ф-361 (заполнение газом блока сепаратора пластовой смеси СП-111-8 после ППР)	1	0,5 (1 раз в год в течение 30 минут)	0177	75	2,6	2,901	1701	870	282	-	-	-	ГОУ отсутствуют	0301	Азота диоксид	0,070	0,000128	0,000128	0,000128	0,000128	0,000128	0,000128	0,000128
																	0304	Азот (II) оксид	0,011	0,000021	0,000021	0,000021	0,000021	0,000021	0,000021	0,000021
																	0328	Углерод	0,058	0,0001	0,0001	0,0001	0,0001	0,0001	0,0001	0,0001
																	0337	Углерода оксид	0,578	0,001	0,001	0,001	0,001	0,001	0,001	0,001
																	0410	Метан	0,014	0,000026	0,000026	0,000026	0,000026	0,000026	0,000026	0,000026
УКПГ. Факел Ф-361	Блок фильтр-сепаратора газа ФС-111-6	1	Факел-Ф-361 (заполнение газом блока фильтр-сепаратора газа ФС-111-6 после ППР)	1	0,5 (1 раз в год в течение 30 минут)	0177	75	2,6	2,57	1701	870	282	-	-	-	ГОУ отсутствуют	0301	Азота диоксид	0,06	0,000112	0,000112	0,000112	0,000112	0,000112	0,000112	0,000112
																	0304	Азот (II) оксид	0,01	0,000018	0,000018	0,000018	0,000018	0,000018	0,000018	0,000018
																	0328	Углерод	0,05	0,00009	0,00009	0,00009	0,00009	0,00009	0,00009	0,00009
																	0337	Углерода оксид	0,502	0,0009	0,0009	0,0009	0,0009	0,0009	0,0009	0,0009
																	0410	Метан	0,013	0,000023	0,000023	0,000023	0,000023	0,000023	0,000023	0,000023
УКПГ. Факел Ф-361	Блок фильтр-сепаратора газа ФС-111-7	1	Факел-Ф-361 (заполнение газом блока фильтр-сепаратора газа ФС-111-7 после ППР)	1	0,5 (1 раз в год в течение 30 минут)	0177	75	2,6	2,57	1701	870	282	-	-	-	ГОУ отсутствуют	0301	Азота диоксид	0,06	0,000112	0,000112	0,000112	0,000112	0,000112	0,000112	0,000112
																	0304	Азот (II) оксид	0,01	0,000018	0,000018	0,000018	0,000018	0,000018	0,000018	0,000018
																	0328	Углерод	0,05	0,00009	0,00009	0,00009	0,00009	0,00009	0,00009	0,00009
																	0337	Углерода оксид	0,502	0,0009	0,0009	0,0009	0,0009	0,0009	0,0009	0,0009
																	0410	Метан	0,013	0,000023	0,000023	0,000023	0,000023	0,000023	0,000023	0,000023

Наименование промплощадки	Источник выделения загрязняющих веществ		Источник загрязнения атмосферы		Время работы, ч/год	Номер источника на генплане	Высота источника, м	Диаметр устья трубы, м	Параметры газовоздушной смеси на выходе из источника выброса		Координаты по карте-схеме, м				Ширина площадного источника, м	Наименование газоочистных установок и степень очистки	Код загрязняющего вещества	Наименование вещества, поступающего в атмосферу	Максимально разовый выброс загрязняющих веществ, поступающих в атмосферу, г/с	Годовой валовый выброс загрязняющих веществ, поступающих в атмосферу при эксплуатации проектируемых объектов по годам эксплуатации, т/год						
	Наименование	Количество, штук	Наименование	Количество, штук					объем, $м^3/с$	температура, ^0C	точечного источника или 1 конца линейного источника		2 конца линейного источника							1-й год эксплуатации	2-й год эксплуатации	3-й год эксплуатации	4-й год эксплуатации	5-й год эксплуатации	6-й год эксплуатации	7-й год эксплуатации
											X_1	Y_1	X_2	Y_2												
УКПГ. Факел Ф-361	Установка охлаждения газа АВОукпг-2	1	Факел-Ф-361 (заполнение газом установки охлаждения газа АВОукпг-2 после ППР)	1	0,5 (1 раз в год в течение 30 минут)	0177	75	2,6	2,404	1701	870	282	-	-	-	ГОУ отсутствуют	0301	Азота диоксид	0,057	0,000104	0,000104	0,000104	0,000104	0,000104	0,000104	0,000104
																	0304	Азот (II) оксид	0,009	0,000017	0,000017	0,000017	0,000017	0,000017	0,000017	0,000017
																	0328	Углерод	0,047	0,00008	0,00008	0,00008	0,00008	0,00008	0,00008	0,00008
																	0337	Углерода оксид	0,471	0,0008	0,0008	0,0008	0,0008	0,0008	0,0008	0,0008
																	0410	Метан	0,012	0,000021	0,000021	0,000021	0,000021	0,000021	0,000021	0,000021
УКПГ. Факел Ф-361	Блок ТДА-201-5 линии НТС №5	1	Факел-Ф-361 (заполнение газом блока ТДА-201-5 после ППР)	1	0,5 (1 раз в год в течение 30 минут)	0177	75	2,6	0,663	1701	870	282	-	-	-	ГОУ отсутствуют	0301	Азота диоксид	0,017	0,000032	0,000032	0,000032	0,000032	0,000032	0,000032	0,000032
																	0304	Азот (II) оксид	0,003	0,000005	0,000005	0,000005	0,000005	0,000005	0,000005	0,000005
																	0328	Углерод	0,014	0,00002	0,00002	0,00002	0,00002	0,00002	0,00002	0,00002
																	0337	Углерода оксид	0,137	0,0002	0,0002	0,0002	0,0002	0,0002	0,0002	0,0002
																	0410	Метан	0,003	0,000006	0,000006	0,000006	0,000006	0,000006	0,000006	0,000006
УКПГ. Факел Ф-361	Блок АВО сырого газа УВОГ-201-5 линии НТС №5	1	Факел-Ф-361 (заполнение газом блока АВО сырого газа УВОГ-201-5 после ППР)	1	0,5 (1 раз в год в течение 30 минут)	0177	75	2,6	1,326	1701	870	282	-	-	-	ГОУ отсутствуют	0301	Азота диоксид	0,031	0,000056	0,000056	0,000056	0,000056	0,000056	0,000056	0,000056
																	0304	Азот (II) оксид	0,005	0,000009	0,000009	0,000009	0,000009	0,000009	0,000009	0,000009
																	0328	Углерод	0,026	0,00005	0,00005	0,00005	0,00005	0,00005	0,00005	0,00005
																	0337	Углерода оксид	0,258	0,0005	0,0005	0,0005	0,0005	0,0005	0,0005	0,0005
																	0410	Метан	0,006	0,000012	0,000012	0,000012	0,000012	0,000012	0,000012	0,000012
УКПГ. Факел Ф-361	Блок теплообменника "газ-газ" Т-201-5 линии НТС №5	1	Факел-Ф-361 (заполнение газом блока теплообменника "газ-газ" Т-201-5 после ППР)	1	0,5 (1 раз в год в течение 30 минут)	0177	75	2,6	4,062	1701	870	282	-	-	-	ГОУ отсутствуют	0301	Азота диоксид	0,097	0,000176	0,000176	0,000176	0,000176	0,000176	0,000176	0,000176
																	0304	Азот (II) оксид	0,016	0,000029	0,000029	0,000029	0,000029	0,000029	0,000029	0,000029
																	0328	Углерод	0,081	0,00015	0,00015	0,00015	0,00015	0,00015	0,00015	0,00015
																	0337	Углерода оксид	0,806	0,0015	0,0015	0,0015	0,0015	0,0015	0,0015	0,0015
																	0410	Метан	0,02	0,000037	0,000037	0,000037	0,000037	0,000037	0,000037	0,000037
УКПГ. Факел Ф-361	Блок теплообменника "газ-газ" Т-202-5 линии НТС №5	1	Факел-Ф-361 (заполнение газом блока теплообменника "газ-газ" Т-202-5 после ППР)	1	0,5 (1 раз в год в течение 30 минут)	0177	75	2,6	3,979	1701	870	282	-	-	-	ГОУ отсутствуют	0301	Азота диоксид	0,095	0,000168	0,000168	0,000168	0,000168	0,000168	0,000168	0,000168
																	0304	Азот (II) оксид	0,015	0,000027	0,000027	0,000027	0,000027	0,000027	0,000027	0,000027
																	0328	Углерод	0,079	0,00014	0,00014	0,00014	0,00014	0,00014	0,00014	0,00014
																	0337	Углерода оксид	0,79	0,0014	0,0014	0,0014	0,0014	0,0014	0,0014	0,0014
																	0410	Метан	0,02	0,000036	0,000036	0,000036	0,000036	0,000036	0,000036	0,000036
УКПГ. Факел Ф-361	Блок теплообменника "газ-конденсат" Т-203-5 линии НТС №5	1	Факел-Ф-361 (заполнение газом блока теплообменника "газ-конденсат" Т-203-5 после ППР)	1	0,5 (1 раз в год в течение 30 минут)	0177	75	2,6	3,647	1701	870	282	-	-	-	ГОУ отсутствуют	0301	Азота диоксид	0,086	0,000152	0,000152	0,000152	0,000152	0,000152	0,000152	0,000152
																	0304	Азот (II) оксид	0,014	0,000025	0,000025	0,000025	0,000025	0,000025	0,000025	0,000025
																	0328	Углерод	0,071	0,00013	0,00013	0,00013	0,00013	0,00013	0,00013	0,00013
																	0337	Углерода оксид	0,714	0,0013	0,0013	0,0013	0,0013	0,0013	0,0013	0,0013
																	0410	Метан	0,018	0,000032	0,000032	0,000032	0,000032	0,000032	0,000032	0,000032
УКПГ. Факел Ф-361	Блок сепаратора 2-й ступени С-201-5 линии НТС №5	1	Факел-Ф-361 (заполнение газом блока сепаратора 2-й ступени С-201-5 после ППР)	1	0,5 (1 раз в год в течение 30 минут)	0177	75	2,6	2,901	1701	870	282	-	-	-	ГОУ отсутствуют	0301	Азота диоксид	0,07	0,000128	0,000128	0,000128	0,000128	0,000128	0,000128	0,000128
																	0304	Азот (II) оксид	0,011	0,000021	0,000021	0,000021	0,000021	0,000021	0,000021	0,000021
																	0328	Углерод	0,058	0,0001	0,0001	0,0001	0,0001	0,0001	0,0001	0,0001
																	0337	Углерода оксид	0,578	0,001	0,001	0,001	0,001	0,001	0,001	0,001
																	0410	Метан	0,014	0,000026	0,000026	0,000026	0,000026	0,000026	0,000026	0,000026
УКПГ. Факел Ф-361	Блок сепаратора низкотемпературного С-202-5 линии НТС №5	1	Факел-Ф-361 (заполнение газом блока сепаратора низкотемпературного С-202-5 после ППР)	1	0,5 (1 раз в год в течение 30 минут)	0177	75	2,6	4,227	1701	870	282	-	-	-	ГОУ отсутствуют	0301	Азота диоксид	0,1	0,000184	0,000184	0,000184	0,000184	0,000184	0,000184	0,000184
																	0304	Азот (II) оксид	0,016	0,00003	0,00003	0,00003	0,00003	0,00003	0,00003	0,00003
																	0328	Углерод	0,084	0,00015	0,00015	0,00015	0,00015	0,00015	0,00015	0,00015
																	0337	Углерода оксид	0,836	0,0015	0,0015	0,0015	0,0015	0,0015	0,0015	0,0015
																	0410	Метан	0,021	0,000038	0,000038	0,000038	0,000038	0,000038	0,000038	0,000038
УКПГ. Факел Ф-361	Блок разделителя Р-201-5 линии НТС №5	1	Факел-Ф-361 (заполнение газом блока разделителя Р-201-5 после ППР)	1	0,5 (1 раз в год в течение 30 минут)	0177	75	2,6	10,693	1701	870	282	-	-	-	ГОУ отсутствуют	0301	Азота диоксид	0,252	0,000456	0,000456	0,000456	0,000456	0,000456	0,000456	0,000456
																	0304	Азот (II) оксид	0,041	0,000074	0,000074	0,000074	0,000074	0,000074	0,000074	0,000074
																	0328	Углерод	0,21	0,00038	0,00038	0,00038	0,00038	0,00038	0,00038	0,00038
																	0337	Углерода оксид	2,098	0,0038	0,0038	0,0038	0,0038	0,0038	0,0038	0,0038
																	0410	Метан	0,052	0,000095	0,000095	0,000095	0,000095	0,000095	0,000095	0,000095
УКПГ. Факел Ф-361	Блок ТДА-201-6 линии НТС №6	1	Факел-Ф-361 (заполнение газом блока ТДА-201-6 после ППР)	1	0,5 (1 раз в год в течение 30 минут)	0177	75	2,6	0,663	1701	870	282	-	-	-	ГОУ отсутствуют	0301	Азота диоксид	0,017	-	0,000032	0,000032	0,000032	0,000032	0,000032	0,000032
																	0304	Азот (II) оксид	0,003	-	0,000005	0,000005	0,000005	0,000005	0,000005	0,000005
																	0328	Углерод	0,014	-	0,00002	0,00002	0,00002	0,00002	0,00002	0,00002
																	0337	Углерода оксид	0,137	-	0,0002	0,0002	0,0002	0,0002	0,0002	0,0002
																	0410	Метан	0,003	-	0,000006	0,000006	0,000006	0,000006	0,000006	0,000006
УКПГ. Факел Ф-361	Блок АВО сырого газа УВОГ-201-6 линии НТС №6	1	Факел-Ф-361 (заполнение газом блока АВО сырого газа УВОГ-201-6 после ППР)	1	0,5 (1 раз в год в течение 30 минут)	0177	75	2,6	1,326	1701	870	282	-	-	-	ГОУ отсутствуют	0301	Азота диоксид	0,031	-	0,000056	0,000056	0,000056	0,000056	0,000056	0,000056
																	0304	Азот (II) оксид	0,005	-	0,000009	0,000009	0,000009	0,000009	0,000009	0,000009
																	0328	Углерод	0,026	-	0,00005	0,00005	0,00005	0,00005	0,00005	0,00005
																	0337	Углерода оксид	0,258	-	0,0005	0,0005	0,0005	0,0005	0,0005	0,0005
																	0410	Метан	0,006	-	0,000012	0,000012	0,000012	0,000012	0,000012	0,000012

Наименование промплощадки	Источник выделения загрязняющих веществ		Источник загрязнения атмосферы		Время работы, ч/год	Номер источника на генплане	Высота источника, м	Диаметр устья трубы, м	Параметры газовоздушной смеси на выходе из источника выброса		Координаты по карте-схеме, м				Ширина площадного источника, м	Наименование газоочистных установок и степень очистки	Код загрязняющего вещества	Наименование загрязняющего вещества, поступающего в атмосферу	Максимально разовый выброс загрязняющих веществ, поступающих в атмосферу, г/с	Годовой валовый выброс загрязняющих веществ, поступающих в атмосферу при эксплуатации проектируемых объектов по годам эксплуатации, т/год						
	Наименование	Количество, штук	Наименование	Количество, штук					объем, $м^3/с$	температура, ^0C	точечного источника или 1 конца линейного источника		2 конца линейного источника							1-й год эксплуатации	2-й год эксплуатации	3-й год эксплуатации	4-й год эксплуатации	5-й год эксплуатации	6-й год эксплуатации	7-й год эксплуатации
											X_1	Y_1	X_2	Y_2												
УКПГ. Факел Ф-361	Блок теплообменника "газ-газ" Т-201-6 линии НТС №6	1	Факел-Ф-361 (заполнение газом блока теплообменника "газ-газ" Т-201-6 после ППР)	1	0,5 (1 раз в год в течение 30 минут)	0177	75	2,6	4,062	1701	870	282	-	-	-	ГОУ отсутствуют	0301	Азота диоксид	0,097	-	0,000176	0,000176	0,000176	0,000176	0,000176	0,000176
																	0304	Азот (II) оксид	0,016	-	0,000029	0,000029	0,000029	0,000029	0,000029	0,000029
																	0328	Углерод	0,081	-	0,00015	0,00015	0,00015	0,00015	0,00015	0,00015
																	0337	Углерода оксид	0,806	-	0,0015	0,0015	0,0015	0,0015	0,0015	0,0015
																	0410	Метан	0,02	-	0,000037	0,000037	0,000037	0,000037	0,000037	0,000037
УКПГ. Факел Ф-361	Блок теплообменника "газ-газ" Т-202-6 линии НТС №6	1	Факел-Ф-361 (заполнение газом блока теплообменника "газ-газ" Т-202-6 после ППР)	1	0,5 (1 раз в год в течение 30 минут)	0177	75	2,6	3,979	1701	870	282	-	-	-	ГОУ отсутствуют	0301	Азота диоксид	0,095	-	0,000168	0,000168	0,000168	0,000168	0,000168	0,000168
																	0304	Азот (II) оксид	0,015	-	0,000027	0,000027	0,000027	0,000027	0,000027	0,000027
																	0328	Углерод	0,079	-	0,00014	0,00014	0,00014	0,00014	0,00014	0,00014
																	0337	Углерода оксид	0,79	-	0,0014	0,0014	0,0014	0,0014	0,0014	0,0014
																	0410	Метан	0,02	-	0,000036	0,000036	0,000036	0,000036	0,000036	0,000036
УКПГ. Факел Ф-361	Блок теплообменника "газ-конденсат" Т-203-5 линии НТС №5	1	Факел-Ф-361 (заполнение газом блока теплообменника "газ-конденсат" Т-203-6 после ППР)	1	0,5 (1 раз в год в течение 30 минут)	0177	75	2,6	3,647	1701	870	282	-	-	-	ГОУ отсутствуют	0301	Азота диоксид	0,086	-	0,000152	0,000152	0,000152	0,000152	0,000152	0,000152
																	0304	Азот (II) оксид	0,014	-	0,000025	0,000025	0,000025	0,000025	0,000025	0,000025
																	0328	Углерод	0,071	-	0,00013	0,00013	0,00013	0,00013	0,00013	0,00013
																	0337	Углерода оксид	0,714	-	0,0013	0,0013	0,0013	0,0013	0,0013	0,0013
																	0410	Метан	0,018	-	0,000032	0,000032	0,000032	0,000032	0,000032	0,000032
УКПГ. Факел Ф-361	Блок сепаратора 2-й ступени С-201-6 линии НТС №6	1	Факел-Ф-361 (заполнение газом блока сепаратора 2-й ступени С-201-6 после ППР)	1	0,5 (1 раз в год в течение 30 минут)	0177	75	2,6	2,901	1701	870	282	-	-	-	ГОУ отсутствуют	0301	Азота диоксид	0,07	-	0,000128	0,000128	0,000128	0,000128	0,000128	0,000128
																	0304	Азот (II) оксид	0,011	-	0,000021	0,000021	0,000021	0,000021	0,000021	0,000021
																	0328	Углерод	0,058	-	0,0001	0,0001	0,0001	0,0001	0,0001	0,0001
																	0337	Углерода оксид	0,578	-	0,001	0,001	0,001	0,001	0,001	0,001
																	0410	Метан	0,014	-	0,000026	0,000026	0,000026	0,000026	0,000026	0,000026
УКПГ. Факел Ф-361	Блок сепаратора низкотемпературного С-202-6 линии НТС №6	1	Факел-Ф-361 (заполнение газом блока сепаратора низкотемпературного С-202-6 после ППР)	1	0,5 (1 раз в год в течение 30 минут)	0177	75	2,6	4,227	1701	870	282	-	-	-	ГОУ отсутствуют	0301	Азота диоксид	0,1	-	0,000184	0,000184	0,000184	0,000184	0,000184	0,000184
																	0304	Азот (II) оксид	0,016	-	0,00003	0,00003	0,00003	0,00003	0,00003	0,00003
																	0328	Углерод	0,084	-	0,00015	0,00015	0,00015	0,00015	0,00015	0,00015
																	0337	Углерода оксид	0,836	-	0,0015	0,0015	0,0015	0,0015	0,0015	0,0015
																	0410	Метан	0,021	-	0,000038	0,000038	0,000038	0,000038	0,000038	0,000038
УКПГ. Факел Ф-361	Блок разделителя Р-201-6 линии НТС №5	1	Факел-Ф-361 (заполнение газом блока сепаратора низкотемпературного С-202-6 после ППР)	1	0,5 (1 раз в год в течение 30 минут)	0177	75	2,6	10,693	1701	870	282	-	-	-	ГОУ отсутствуют	0301	Азота диоксид	0,252	0,000456	0,000456	0,000456	0,000456	0,000456	0,000456	0,000456
																	0304	Азот (II) оксид	0,041	0,000074	0,000074	0,000074	0,000074	0,000074	0,000074	0,000074
																	0328	Углерод	0,21	0,00038	0,00038	0,00038	0,00038	0,00038	0,00038	0,00038
																	0337	Углерода оксид	2,098	0,0038	0,0038	0,0038	0,0038	0,0038	0,0038	0,0038
																	0410	Метан	0,052	0,000095	0,000095	0,000095	0,000095	0,000095	0,000095	0,000095
УКПГ. Факел Ф-361	Блок дегазатора Д-201-3	1	Факел-Ф-361 (заполнение газом блока дегазатора Д-201-3 после ППР)	1	0,5 (1 раз в год в течение 30 минут)	0177	75	2,6	10,693	1701	870	282	-	-	-	ГОУ отсутствуют	0301	Азота диоксид	0,252	0,000456	0,000456	0,000456	0,000456	0,000456	0,000456	0,000456
																	0304	Азот (II) оксид	0,041	0,000074	0,000074	0,000074	0,000074	0,000074	0,000074	0,000074
																	0328	Углерод	0,21	0,00038	0,00038	0,00038	0,00038	0,00038	0,00038	0,00038
																	0337	Углерода оксид	2,098	0,0038	0,0038	0,0038	0,0038	0,0038	0,0038	0,0038
																	0410	Метан	0,052	0,000095	0,000095	0,000095	0,000095	0,000095	0,000095	0,000095
УКПГ. Факел Ф-361	Блок емкости дренажной Е-201-3	1	Факел-Ф-361 (заполнение газом блока емкости дренажной Е-201-3 после ППР)	1	0,5 (1 раз в год в течение 30 минут)	0177	75	2,6	13,345	1701	870	282	-	-	-	ГОУ отсутствуют	0301	Азота диоксид	0,315	0,000568	0,000568	0,000568	0,000568	0,000568	0,000568	0,000568
																	0304	Азот (II) оксид	0,051	0,000092	0,000092	0,000092	0,000092	0,000092	0,000092	0,000092
																	0328	Углерод	0,263	0,00047	0,00047	0,00047	0,00047	0,00047	0,00047	0,00047
																	0337	Углерода оксид	2,63	0,0047	0,0047	0,0047	0,0047	0,0047	0,0047	0,0047
																	0410	Метан	0,066	0,000118	0,000118	0,000118	0,000118	0,000118	0,000118	0,000118
УКПГ. Факел Ф-361	Конденсатосборник Е-207-3 с погружным насосом Н-207-3	1	Факел-Ф-361 (заполнение газом конденсатосборника Е-207-3 с погружным насосом Н-207-3 после ППР)	1	0,5 (1 раз в год в течение 30 минут)	0177	75	2,6	5,305	1701	870	282	-	-	-	ГОУ отсутствуют	0301	Азота диоксид	0,126	0,000224	0,000224	0,000224	0,000224	0,000224	0,000224	0,000224
																	0304	Азот (II) оксид	0,02	0,000036	0,000036	0,000036	0,000036	0,000036	0,000036	0,000036
																	0328	Углерод	0,105	0,00019	0,00019	0,00019	0,00019	0,00019	0,00019	0,00019
																	0337	Углерода оксид	1,049	0,0019	0,0019	0,0019	0,0019	0,0019	0,0019	0,0019
																	0410	Метан	0,026	0,000047	0,000047	0,000047	0,000047	0,000047	0,000047	0,000047
УКПГ. Факел Ф-361	Сепаратор факельный С-203-3	1	Факел-Ф-361 (заполнение газом сепаратора факельного С-203-3 после ППР)	1	0,5 (1 раз в год в течение 30 минут)	0177	75	2,6	18,65	1701	870	282	-	-	-	ГОУ отсутствуют	0301	Азота диоксид	0,442	0,000792	0,000792	0,000792	0,000792	0,000792	0,000792	0,000792
																	0304	Азот (II) оксид	0,072	0,000129	0,000129	0,000129	0,000129	0,000129	0,000129	0,000129
																	0328	Углерод	0,368	0,00066	0,00066	0,00066	0,00066	0,00066	0,00066	0,00066
																	0337	Углерода оксид	3,678	0,0066	0,0066	0,0066	0,0066	0,0066	0,0066	0,0066
																	0410	Метан	0,092	0,000166	0,000166	0,000166	0,000166	0,000166	0,000166	0,000166
УКПГ. Факел Ф-361	Блоки теплообменника "ДЭК-легкий конденсат" Т-304-1, Т-304-2, Т-304-3, Т-304-4	1	Факел-Ф-361 (заполнение газом блоков теплообменника "ДЭК-легкий конденсат" Т-304-1, Т-304-2, Т-304-3, Т-304-4после ППР)	1	0,5 (1 раз в год в течение 30 минут)	0177	75	2,6	3,647	1701	870	282	-	-	-	ГОУ отсутствуют	0301	Азота диоксид	0,086	0,000616	0,000616	0,000616	0,000616	0,000616	0,000616	0,000616
																	0304	Азот (II) оксид	0,014	0,0001	0,0001	0,0001	0,0001	0,0001	0,0001	0,0001
																	0328	Углерод	0,071	0,00051	0,00051	0,00051	0,00051	0,00051	0,00051	0,00051
																	0337	Углерода оксид	0,714	0,0051	0,0051	0,0051	0,0051	0,0051	0,0051	0,0051
																	0410	Метан	0,018	0,000128	0,000128	0,000128	0,000128	0,000128	0,000128	0,000128

Наименование промплощадки	Источник выделения загрязняющих веществ		Источник загрязнения атмосферы		Время работы, ч/год	Номер источника на генплане	Высота источника, м	Диаметр устья трубы, м	Параметры газовоздушной смеси на выходе из источника выброса		Координаты по карте-схеме, м				Ширина площадного источника, м	Наименование газоочистных установок и степень очистки	Код загрязняющего вещества	Наименование загрязняющего вещества, поступающего в атмосферу	Максимально разовый выброс загрязняющих веществ, поступающих в атмосферу, г/с	Годовой валовый выброс загрязняющих веществ, поступающих в атмосферу при эксплуатации проектируемых объектов по годам эксплуатации, т/год						
	Наименование	Количество, штук	Наименование	Количество, штук					объем, $м^3/с$	температура, ^0C	точечного источника или 1 конца линейного источника		2 конца линейного источника							1-й год эксплуатации	2-й год эксплуатации	3-й год эксплуатации	4-й год эксплуатации	5-й год эксплуатации	6-й год эксплуатации	7-й год эксплуатации
											X_1	Y_1	X_2	Y_2												
Лупинг газопровода внешнего транспорта	Участок газопровода от крана От ОК до крана Г-2.1р	1	Свеча рассеивания (опорожнение перед ППР	1	2,4 (1 раз в 2-4 года)	0331	5	0,2	10,393	-45	-3948	10092	-	-	-	ГОУ отсутствуют	0410	Метан	6164,469515	490,60442	490,60442	490,60442	490,60442	490,60442	490,60442	490,60442
																	0415	Смесь предельных углеводородов C_1-C_5	1572,745668	125,168269	125,168269	125,168269	125,168269	125,168269	125,168269	125,168269
																	0416	Смесь предельных углеводородов C_6-C_{10}	11,769033	0,936648	0,936648	0,936648	0,936648	0,936648	0,936648	0,936648
																	1052	Метанол	2,843525	0,226304	0,226304	0,226304	0,226304	0,226304	0,226304	0,226304
	Камера приема КП-Г	1	Свеча камеры приема КП-Г	1	0,33 (1 раз в 2-4 года)	0332	6	0,05	0,65	-45	-3911	10057	-	-	-	ГОУ отсутствуют	0410	Метан	385,538842	0,570504	0,570504	0,570504	0,570504	0,570504	0,570504	0,570504
																	0415	Смесь предельных углеводородов C_1-C_5	98,36281	0,145553	0,145553	0,145553	0,145553	0,145553	0,145553	0,145553
																	0416	Смесь предельных углеводородов C_6-C_{10}	0,73606	0,001089	0,001089	0,001089	0,001089	0,001089	0,001089	0,001089
																	1052	Метанол	0,177840	0,000263	0,000263	0,000263	0,000263	0,000263	0,000263	0,000263
УКУГ-2	Оборудование УКУГ-2	1	Свеча		0,33 (1 раз в года в течении 20 минут)	0333	15	0,2	10,393	-40	887	-103	-	-	-	ГОУ отсутствуют	0410	Метан	6164,469515	1,633545	1,633545	1,633545	1,633545	1,633545	1,633545	1,633545
																	0415	Смесь предельных углеводородов C_1-C_5	1572,745668	0,416768	0,416768	0,416768	0,416768	0,416768	0,416768	0,416768
																	0416	Смесь предельных углеводородов C_6-C_{10}	11,769033	0,003119	0,003119	0,003119	0,003119	0,003119	0,003119	0,003119
																	1052	Метанол	2,843525	0,000754	0,000754	0,000754	0,000754	0,000754	0,000754	0,000754
УКПГ. Аварийная ДЭС	Двигатель АДЭС	1	Выхлопная труба АДЭС	1	240	0335	4,5	0,1	6,619	490	746	-160	-	-	-	ГОУ отсутствуют	0301	Азота диоксид	2,666666	1,53599	1,53599	1,53599	1,53599	1,53599	1,53599	1,53599
																	0304	Азот (II) оксид	0,433333	0,249598	0,249598	0,249598	0,249598	0,249598	0,249598	0,249598
																	0328	Углерод	0,166667	0,100571	0,100571	0,100571	0,100571	0,100571	0,100571	0,100571
																	0330	Сера диоксид	0,077778	0,045714	0,045714	0,045714	0,045714	0,045714	0,045714	0,045714
																	0337	Углерода оксид	1,944444	1,115422	1,115422	1,115422	1,115422	1,115422	1,115422	1,115422
																	0703	Бенз(α)пирен	0,0000022	0,000001	0,000001	0,000001	0,000001	0,000001	0,000001	0,000001
																	1325	Формальдегид	0,022222	0,012952	0,012952	0,012952	0,012952	0,012952	0,012952	0,012952
																	2732	Керосин	0,222222	0,127237	0,127237	0,127237	0,127237	0,127237	0,127237	0,127237
Источники аварийного действия																										
УКПГ. Емкость аварийного слива Е-312	Емкость аварийного слива Е-312		Дыхательный клапан	1		0334	3	0,05	0,0023 ÷ 0,0028	-20 ÷ 30	740	-144	-	-	-	ГОУ отсутствуют	0333	Дигидросульфид (сероводород)	0,000025	0,00000002	0,00000002	0,00000002	0,00000002	0,00000002	0,00000002	0,00000002
																	2754	Алканы C_{12}-C_{19}	0,0090396	0,000007	0,000007	0,000007	0,000007	0,000007	0,000007	0,000007
УКПГ. Факел Ф-361	Емкость аварийного слива Е-202-5	1	Факел-Ф-361 (емкость аварийного слива Е-202-5 при аварийной ситуации)	1		0177	75	2,6	25,801	1657	870	282	-	-	-	ГОУ отсутствуют	0301	Азота диоксид	0,678893	0,000814	0,000814	0,000814	0,000814	0,000814	0,000814	0,000814
																	0304	Азот (II) оксид	0,11032	0,000132	0,000132	0,000132	0,000132	0,000132	0,000132	0,000132
																	0328	Углерод	0,56574	0,000678	0,000678	0,000678	0,000678	0,000678	0,000678	0,000678
																	0337	Углерода оксид	5,65744	0,00678	0,00678	0,00678	0,00678	0,00678	0,00678	0,00678
																	0410	Метан	0,1414	0,0001700	0,0001700	0,0001700	0,0001700	0,0001700	0,0001700	0,0001700
УКПГ. Факел Ф-361	Емкость аварийного слива Е-202-6	1	Факел-Ф-361 (емкость аварийного слива Е-202-6 при аварийной ситуации)	1		0177	75	2,6	25,801	1657	870	282	-	-	-	ГОУ отсутствуют	0301	Азота диоксид	0,678893	0,000814	0,000814	0,000814	0,000814	0,000814	0,000814	0,000814
																	0304	Азот (II) оксид	0,11032	0,000132	0,000132	0,000132	0,000132	0,000132	0,000132	0,000132
																	0328	Углерод	0,56574	0,000678	0,000678	0,000678	0,000678	0,000678	0,000678	0,000678
																	0337	Углерода оксид	5,65744	0,00678	0,00678	0,00678	0,00678	0,00678	0,00678	0,00678
																	0410	Метан	0,1414	0,0001700	0,0001700	0,0001700	0,0001700	0,0001700	0,0001700	0,0001700
УКПГ. Факел Ф-361	Емкость аварийного сброса от ПК Е-203-3	1	Факел-Ф-361 (емкость аварийного сброса от ПК Е-203-3при аварийной ситуации)	1		0177	75	2,6	6,05	1539	870	282	-	-	-	ГОУ отсутствуют	0301	Азота диоксид	0,163063	0,000196	0,000196	0,000196	0,000196	0,000196	0,000196	0,000196
																	0304	Азот (II) оксид	0,026498	0,000032	0,000032	0,000032	0,000032	0,000032	0,000032	0,000032
																	0328	Углерод	0,13589	0,000163	0,000163	0,000163	0,000163	0,000163	0,000163	0,000163
																	0337	Углерода оксид	1,35886	0,00163	0,00163	0,00163	0,00163	0,00163	0,00163	0,00163
																	0410	Метан	0,0340	0,0000410	0,0000410	0,0000410	0,0000410	0,0000410	0,0000410	0,0000410
УКПГ. Факел Ф-361	Предохранительный клапан линий НТС №5, 6	1	Факел-Ф-361 (сброса от ПК при аварийной ситуации)	1		0177	75	2,6	27711,686	1701	870	282	-	-	-	ГОУ отсутствуют	0301	Азота диоксид	654,444	2,356001	2,356001	2,356001	2,356001	2,356001	2,356001	2,356001
																	0304	Азот (II) оксид	106,347134	0,38285	0,38285	0,38285	0,38285	0,38285	0,38285	0,38285
																	0337	Углерода оксид	5453,6992	19,63334	19,63334	19,63334	19,63334	19,63334	19,63334	19,63334
																	0410	Метан	136,34248	0,490834	0,490834	0,490834	0,490834	0,490834	0,490834	0,490834

Примечание – валовый выброс для источников аварийного действия приведен на 1 аварию

ФЕДЕРАЛЬНАЯ СЛУЖБА ПО НАДЗОРУ В СФЕРЕ ПРИРОДОПОЛЬЗОВАНИЯ

СЕВЕРО-УРАЛЬСКОЕ МЕЖРЕГИОНАЛЬНОЕ УПРАВЛЕНИЕ ФЕДЕРАЛЬНОЙ СЛУЖБЫ ПО НАДЗОРУ В СФЕРЕ ПРИРОДОПОЛЬЗОВАНИЯ

ПРИКАЗ

г. ТЮМЕНЬ

03.07.2024 № 1738

О выдаче комплексного экологического разрешения акционерному обществу «АРКТИЧЕСКАЯ ГАЗОВАЯ КОМПАНИЯ»

В соответствии с Федеральным законом от 10.01.2002 № 7-ФЗ «Об охране окружающей среды» с учетом Правил рассмотрения заявок на получение комплексных экологических разрешений, выдачи, переоформления, пересмотра, отзыва комплексных экологических разрешений и внесения в них изменений, утвержденных постановлением Правительства Российской Федерации от 04.08.2022 № 1386, Положением о Северо-Уральском межрегиональном управлении Федеральной службы по надзору в сфере природопользования, утвержденного приказом Федеральной службы по надзору в сфере природопользования от 27.08.2019 № 489, на основании заявки на получение комплексного экологического разрешения акционерного общества «АРКТИЧЕСКАЯ ГАЗОВАЯ КОМПАНИЯ» (вх. № 16072 от 17.06.2024) п р и к а з ы в а ю:

1. Выдать акционерному обществу «АРКТИЧЕСКАЯ ГАЗОВАЯ КОМПАНИЯ» комплексное экологическое разрешение по объекту, оказывающему негативное воздействие на окружающую среду – Цех по добыче газа, газового конденсата и нефти Уренгойского нефтегазоконденсатного месторождения (Цех по ДГ, ГК и Н Уренгойского НГКМ) (код объекта 71-0189-000510-П):

полное наименование, в том числе фирменное наименование, юридического лица: акционерное общество «АРКТИЧЕСКАЯ ГАЗОВАЯ КОМПАНИЯ»;

организационно-правовая форма юридического лица: акционерное общество;

сокращенное наименование: АО «АРКТИКГАЗ»;

государственный регистрационный номер записи о создании юридического лица: 1028900620814;

идентификационный номер налогоплательщика: 8904002359;

адрес его места нахождения: 629309, Ямало-Ненецкий автономный округ, г. Новый Уренгой, мкр. Славянский, д. 9, этаж 6, кабинет 607.

2. Срок действия комплексного экологического разрешения с 03.07.2024 до 03.07.2031.

3. Контроль за исполнением настоящего приказа возложить на начальника межрегионального отдела государственной экологической экспертизы, лицензирования и разрешительной деятельности (О.В. Намарова).

Руководитель А.О. Гуржеев

ФЕДЕРАЛЬНАЯ СЛУЖБА ПО НАДЗОРУ В СФЕРЕ ПРИРОДОПОЛЬЗОВАНИЯ

СЕВЕРО-УРАЛЬСКОЕ МЕЖРЕГИОНАЛЬНОЕ УПРАВЛЕНИЕ ФЕДЕРАЛЬНОЙ СЛУЖБЫ ПО НАДЗОРУ В СФЕРЕ ПРИРОДОПОЛЬЗОВАНИЯ

ПРИКАЗ

г. ТЮМЕНЬ

14.07.2026 № 1870

О пересмотре комплексного экологического разрешения акционерному обществу"АРКТИЧЕСКАЯ ГАЗОВАЯ КОМПАНИЯ"

В соответствии с Федеральным законом от 10.01.2002 № 7-ФЗ «Об охране окружающей среды», Порядком рассмотрения заявок на предоставление комплексных экологических разрешений, принятия решений о предоставлении, продлении или об отзыве комплексных экологических разрешений, о пересмотре сведений, включенных в запись о комплексном экологическом разрешении в реестре комплексных экологических разрешений, внесения в нее изменений и ее исключения из реестра комплексных экологических разрешений, утвержденным постановлением Правительства Российской Федерации от 04.08.2022 № 1386, Положением о Северо-Уральском межрегиональном управлении Федеральной службы по надзору в сфере природопользования, утвержденного приказом Федеральной службы по надзору в сфере природопользования от 27.08.2019 № 489, на основании заявки на пересмотр комплексного экологического разрешения акционерного общества "АРКТИЧЕСКАЯ ГАЗОВАЯ КОМПАНИЯ" (вх. от 29.06.2026 № 7605917422) п р и к а з ы в а ю:

1. Выдать комплексное экологическое разрешение (частично пересмотренное) акционерному обществу "АРКТИЧЕСКАЯ ГАЗОВАЯ КОМПАНИЯ" по объекту, оказывающему негативное воздействие на окружающую среду – Цех по добыче газа, газового конденсата и нефти Уренгойского нефтегазоконденсатного месторождения (Цех по ДГ, ГК и Н Уренгойского НГКМ) (код объекта 71-0189-000510-П):

полное наименование, в том числе фирменное наименование, юридического лица: акционерное общество "АРКТИЧЕСКАЯ ГАЗОВАЯ КОМПАНИЯ";

организационно-правовая форма юридического лица: акционерное общество;

сокращенное наименование: АО "АРКТИКГАЗ";

государственный регистрационный номер записи о создании юридического лица: 1028900620814;

идентификационный номер налогоплательщика: 8904002359;

адрес его места нахождения: 629309, ЯМАЛО-НЕНЕЦКИЙ АВТОНОМНЫЙ ОКРУГ, Г. НОВЫЙ УРЕНГОЙ, МКР Славянский, Д. 9 ЭТАЖ 6, КАБИНЕТ 607

2. Срок действия пересмотренного комплексного экологического разрешения с 14.07.2026 по 02.07.2031.

3. Контроль за исполнением настоящего приказа возложить на начальника межрегионального отдела государственной экологической экспертизы, лицензирования и разрешительной деятельности (О.В. Намарова).

Руководитель А.О. Гуржеев

ДОКУМЕНТ ПОДПИСАН ЭЛЕКТРОННОЙ ПОДПИСЬЮ

СВЕДЕНИЯ О СЕРТИФИКАТЕ ЭП

Сертификат: 009CF3B1738AFED4B3398E30C09A448EF7
Владелец: Гуржеев Андрей Олегович
Действителен с 30.10.2025 по 23.01.2027

ФЕДЕРАЛЬНАЯ СЛУЖБА ПО НАДЗОРУ В СФЕРЕ ЗАЩИТЫ ПРАВ ПОТРЕБИТЕЛЕЙ И БЛАГОПОЛУЧИЯ ЧЕЛОВЕКА (РОСПОТРЕБНАДЗОР)

РЕШЕНИЕ

30.06.2025 № 212-РСЗЗ

Об изменении санитарно-защитной зоны для УКПГ Уренгойского НГКМ Самбургского лицензионного участка АО «АРКТИКГАЗ» по объекту: «Обустройство ачимовских отложений Уренгойского НГКМ. Расширение УКПГ»

Заместитель руководителя Федеральной службы по надзору в сфере защиты прав потребителей и благополучия человека И.В. Брагина, в соответствии с положениями Федерального закона от 30.03.1999 № 52-ФЗ «О санитарно-эпидемиологическом благополучии населения» и постановления Правительства Российской Федерации от 03.03.2018 № 222 «Об утверждении Правил установления санитарно-защитных зон и использования земельных участков, расположенных в границах санитарно-защитных зон» (далее – постановление Правительства Российской Федерации от 03.03.2018 № 222, Правила), рассмотрев заявление АО «Арктическая газовая компания» об изменении санитарно-защитной зоны для УКПГ Уренгойского НГКМ Самбургского лицензионного участка АО «АРКТИКГАЗ» по объекту: «Обустройство ачимовских отложений Уренгойского НГКМ. Расширение УКПГ», проект санитарно-защитной зоны, экспертное заключение ООО «Экология» от 19.02.2025 № 15 по результатам санитарно-эпидемиологической экспертизы проекта санитарно-защитной зоны, санитарно-эпидемиологическое заключение от 28.02.2025 № 89.01.03.000.Т.000138.02.25 о соответствии проекта санитарно-защитной зоны требованиям санитарных норм и правил, выданное Управлением Роспотребнадзора по Ямало-Ненецкому автономному округу, решение заместителя руководителя Роспотребнадзора от 15.10.2021 № 198-РСЗЗ «Об установлении санитарно-защитной зоны для АО «Арктическая газовая компания» Уренгойское газоконденсатное месторождение»,

РЕШИЛ:

1. Изменить для УКПГ Уренгойского НГКМ Самбургского лицензионного участка АО «АРКТИКГАЗ» по объекту: «Обустройство ачимовских отложений

КОПИЯ ВЕРНА

Уренгойского НГКМ. Расширение УКПГ, санитарно-защитную зону с границами, согласно перечню координат характерных точек и графическому описанию местоположения санитарно-защитной зоны, приведенным в приложении № 1 к настоящему решению, а также перечню координат характерных точек в форме электронного документа (XML-файл) в приложении № 2 к настоящему решению, следующих размеров:

1.1. в северном направлении – на расстоянии 1000 м от границы промплощадки;

1.2. в северо-восточном направлении – на расстоянии 1000 м от границы промплощадки;

1.3. в восточном направлении – на расстоянии 1000 м от границы промплощадки;

1.4. в юго-восточном направлении – на расстоянии 1000 м от границы промплощадки;

1.5. в южном направлении – на расстоянии 1000 м от границы промплощадки;

1.6. в юго-западном направлении – на расстоянии 1000 м от границы промплощадки;

1.7. в западном направлении – на расстоянии 1000 м от границы промплощадки;

1.8. в северо-западном направлении – на расстоянии 1000 м от границы промплощадки.

2. Изменить ограничения использования земельных участков, расположенных в границах санитарно-защитной зоны УКПГ Уренгойского НГКМ Самбургского лицензионного участка АО «АРКТИКГАЗ» по объекту: «Обустройство ачимовских отложений Уренгойского НГКМ. Расширение УКПГ», согласно которым не допускается использование земельных участков в границах указанной санитарно-защитной зоны в целях:

2.1. размещения жилой застройки, объектов образовательного и медицинского назначения, спортивных сооружений открытого типа, организаций отдыха детей и их оздоровления, зон рекреационного назначения и для ведения садоводства;

2.2. размещения объектов для производства и хранения лекарственных средств, объектов пищевых отраслей промышленности, оптовых складов продовольственного сырья и пищевой продукции, комплексов водопроводных сооружений для подготовки и хранения питьевой воды, использования земельных участков в целях производства, хранения и переработки сельскохозяйственной продукции, предназначенной для дальнейшего использования в качестве пищевой продукции.

3. Направить сведения о санитарно-защитной зоне для их внесения в Единый государственный реестр недвижимости.

КОПИЯ ВЕРНА
Консультант отдела обеспечения документооборота
и контроля исполнения документов
Управления кадров, профилактики коррупционных
и иных правонарушений
и административной работы
Н.С. Пугачева

Подлинник электронного документа, подписанного ЭП, хранится в Межведомственной системе электронного документооборота Роспотребнадзора
СВЕДЕНИЯ О СЕРТИФИКАТЕ ЭП
Сертификат: 00DB7C54C840E4E6F66BF9BBCDC25A7470
Владелец: Брагина Ирина Викторовна
Действителен с 14-10-2024 до 07-01-2026

И.В. Брагина

Приложение № 1
к решению заместителя руководителя
Федеральной службы по надзору в сфере
защиты прав потребителей и
благополучия человека
от 30.06.2025 № 212-РС33

Сведения о границах санитарно-защитной зоны

Санитарно-защитная зона для УКПГ Уренгойского НГКМ Самбургского лицензионного участка АО «АРКТИКГАЗ» по объекту: «Обустройство ачимовских отложений Уренгойского НГКМ. Расширение УКПГ».

Местоположение: Ямало-Ненецкий автономный округ, Пуровский район.

КОПИЯ ВЕРНА

План границ объекта

Санитарно-защитная зона

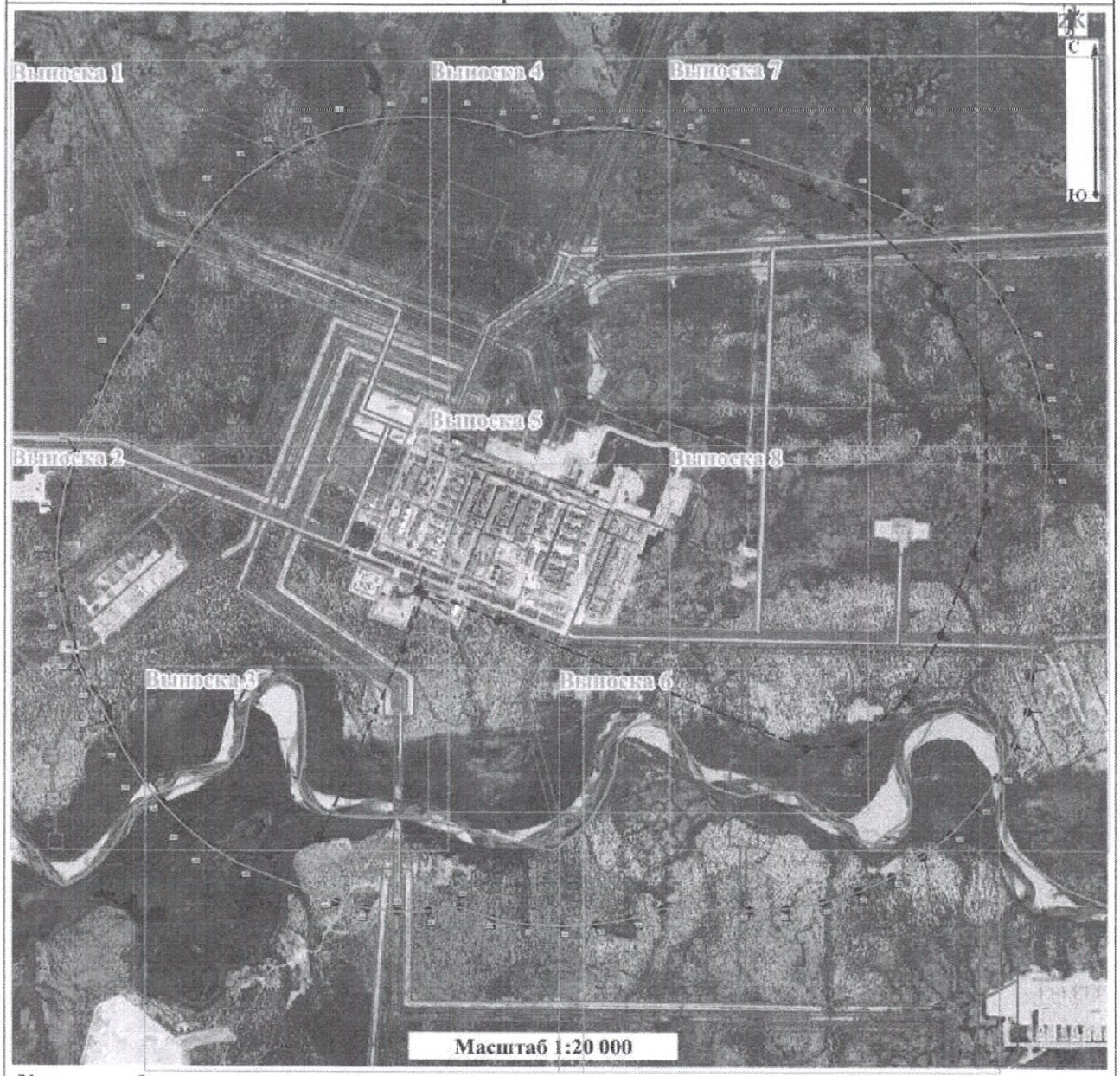

Условные обозначения:

- Новые границы санитарно-защитной зоны (образуемый контур)

н3 н2 - Нумерация новых точек границ санитарно-защитной зоны

- Граница санитарно-защитной зоны, которая прекращает существование (удаляемый контур)

182 183 - Нумерация точек границ санитарно-защитной зоны, которые прекращают существование

- Границы земельных участков по данным ЕГРН

- Границы кадастровых кварталов

- Граница промплощадки

Лицензия
на геодезическую и картографическую деятельность
№ 02-00045Ф от 21.02.2022г.
ИНН 020202374996

КАДАСТРОВЫЙ ИНЖЕНЕР
ГАРЕЕВ Азамат Урялович

Подпись _____ Дата 10 марта 2025 г.

Место для оттиска печати (при наличии) лица, составившего описание местоположения границ объекта

КОПИЯ ВЕРНА

Перечень координат характерных точек границ санитарно-защитной зоны в системе координат, используемой для ведения Единого государственного реестра недвижимости (МСК-89, зона 4):

Обозначение характерных точек	X	Y
1	1566426,9	4460275,6
2	1566420,95	4460406,21
3	1566398,01	4460534,92
4	1566354,87	4460668,79
5	1566376,53	4460775,06
6	1566386,56	4460883,05
7	1566384,84	4460991,49
8	1566371,39	4461099,11
9	1566346,35	4461204,64
10	1566314,76	4461399,22
11	1566157,41	4461868,24
12	1566104,69	4461979,01
13	1566038,81	4462082,5
14	1565960,75	4462177,13
15	1565871,69	4462261,5
16	1565772,96	4462334,33
17	1565666,07	4462394,52
18	1565552,61	4462441,16
19	1565434,29	4462473,57
20	1565312,89	4462491,24
21	1565190,24	4462493,91
22	1564434,51	4462435,63
23	1564308,97	4462425,79
24	1564188,3	4462380,03
25	1564074,53	4462319,11
26	1563969,55	4462244,04
27	1563875,12	4462156,08
28	1563792,8	4462056,69
29	1563723,96	4461947,52
30	1563669,76	4461830,4
31	1563631,09	4461707,27
32	1563608,61	4461580,19
33	1563602,67	4461451,27
34	1563608,36	4461144,88
35	1563572,28	4461028,24
36	1563550,68	4460908,08
37	1563543,88	4460786,17
38	1563551,99	4460664,35

КОПИЯ ВЕРНА

39	1563574,89	4460544,42
40	1563612,23	4460428,18
41	1563598,95	4460319,25
42	1563597,68	4460209,52
43	1563608,44	4460100,31
44	1563631,11	4459992,93
45	1563767,82	4459645,3
46	1563828,27	4459546,08
47	1563899,81	4459454,53
48	1563981,49	4459371,9
49	1564072,21	4459299,3
50	1564170,73	4459237,72
51	1564275,73	4459187,97
52	1564381,3	4459122,05
53	1564494,24	4459069,75
54	1564612,8	4459031,89
55	1564735,14	4459009,05
56	1564859,38	4459001,58
57	1564983,58	4459009,6
58	1565105,82	4459032,99
59	1565224,21	4459071,38
60	1565565,11	4459213,65
61	1565667,14	4459277,07
62	1565791,86	4459364,41
63	1565910,22	4459419,95
64	1566020,31	4459490,46
65	1566120,27	4459574,74
66	1566208,38	4459671,33
67	1566283,13	4459778,59
68	1566343,25	4459894,69
69	1566387,71	4460017,64
70	1566415,76	4460145,34
1	1566426,9	4460275,6

КОПИЯ ВЕРНА

Приложение № 2
к решению заместителя руководителя
Федеральной службы по надзору в сфере
защиты прав потребителей и
благополучия человека
от 30.06.2025 № 212-РСЗЗ

Сведения о границах санитарно-защитной зоны
в электронном виде

Перечень координат характерных точек границ санитарно-защитной зоны в системе координат, используемой для ведения Единого государственного реестра недвижимости (далее – ЕГРН), в форме электронного документа (XML-файл) для внесения в ЕГРН, представленный АО «Арктическая газовая компания» с заявлением об изменении санитарно-защитной зоны.

КОПИЯ ВЕРНА

ИСХОДНЫЕ ДАННЫЕ

для проведения акустических расчетов

по объекту

“ Обустройство ачимовских отложений

Уренгойского месторождения Самбургского ЛУ.

ДКС. 4-й этап ”.

Акустические характеристики
строительной техники и оборудования
на период СМР

Строительная техника

Наименование	Номер ИШ	Аналог
Автосамосвал	ШТ-1	КамАЗ-55111
Трактор	ШТ-6	Б-10М

Акустические характеристики приняты по аналогу согласно протоколу №154/6 измерений уровней шума на строительной площадке от работающего оборудования, “Эко Тест”.

.

«Эко Тест»
197227, Санкт-Петербург, Серебристый бульвар, 18,к 3; тел/факс (812) 349-36-54
ИСПЫТАТЕЛЬНАЯ АНАЛИТИЧЕСКАЯ ЛАБОРАТОРИЯ
Аттестат №РОСС RU 0001.514 666 от 26.12.2003. Срок действия до 26 декабря 2006 г.

Общество с ограниченной ответственностью "ЭкоТест" ЛАБОРАТОРИЯ Санкт-Петербург

УТВЕРЖДАЮ:
Руководитель лаборатории «Эко Тест»
_____ Е.В.Милявский
"16" ноября 2006

ПРОТОКОЛ № 154/6

измерений уровней шума строительной площадке от работающего оборудования

1. **Место проведения измерений:**
   Ленинградская область, Всеволожский район, Бугровская волость, строительная площадка торгово-развлекательного комплекса, «Невский Колизей». Характер работ: обратная засыпка котлована и возведение здания комплекса. Измерения проведены в присутствии прораба Кириллова Д.Е.

2. **Дата и время проведения измерений:**
   "16" ноября 2006 г. 10.30-15.00.

3. **Средства измерений:** шумомер ШИ-01В, зав. №28705, с микрофоном ВМК-205 зав.№ 2038.

4. **Сведения о государственной поверке:**
   Шумомер ШИ-01В - свидетельство о поверке № 340/1235 от 15.12.05.

5. **Нормативная документация:**
   - ГОСТ 12.1.050 – 86 «Методы измерения шума на рабочих местах»;
   - ГОСТ 23337-78*.Методы измерения шума на селитебной территории и в помещениях жилых и общественных зданий.

6. **Схемы расположения точек измерения:** точки измерения располагались на расстояниях 1м, 5м и 7,5м сбоку от строительной машины и другого оборудования в зависимости от интенсивности, создаваемого ими шума (конкретные расстояния для каждой измерительной точки представлены в таблице на листе 2 протокола). Точки измерения располагались на высоте 1м-1,2м от поверхности строительной площадки (грунт, для вибратора – бетонированная поверхность)

7. **Источники шума:** строительные машины и оборудование. Характер шума прерывистый или колеблющийся в зависимости от вида оборудования .

8. **Результаты измерения шума**
   Результаты измерения шума представлены на листе 2 протокола в таблице 1.

ООО «Эко-Тверь» аккредитованная испытательная лаборатория	Приложение Протокол № 1541/6 От "16" ноября 2016 стр.2.

Таблица 1

Результаты измерений уровней звука и звукового давления строительного оборудования

Наименование оборудования	Расстояние до ТИ, м	Характер шума	Lэкв, дБА	Lмакс, дБА
Специализированный автотранспорт КамАЗ-55111	7.5	колебл.	78	83
Вибратор ИВ-47, П-1,2	7	пост.	65	70
Трактор, Б-10М	7.5	колебл.	80	85
Кран КС-4361А, КС-3571	7	колебл.	71	76
Буровой станок СБУ-100, КР-709	7.5	колебл.	77	82
Экскаватор ЭО-3322	7.5	колебл.	72	76

Измерения выполнил научный сотрудник ИЛ _____ И.К.Пименов

Строительная техника

Наименование	Номер ИШ	Аналог
Кран автомобильный	ШТ-2 ШТ-3 ШТ-4	А/кран “Клинцы”(16 т) колесн. (на базе КС-35719-5)
Экскаватор	ШТ-7	Экскаватор гусенич. HYUNDAI 210 LC-8
Сварочный агрегат	ШТ-8	ТД-500
Компрессор передвижной	ШТ-9	ЗИФ 55

Акустические характеристики приняты по аналогу согласно протоколу №133/6 измерений уровней шума на строительной площадке от работающего оборудования, “Эко Тест”.

«Эко Тест»
197227, Санкт-Петербург, Серебристый бульвар, 18,к 3; тел/факс (812) 349-36-54

ИСПЫТАТЕЛЬНАЯ АНАЛИТИЧЕСКАЯ ЛАБОРАТОРИЯ

Аттестат №РОСС RU 0001.514 666 от 26.12.2003. Срок действия до 26 декабря 2006 г.

Общество с ограниченной ответственностью "ЭкоТест" ЛАБОРАТОРИЯ * Санкт-Петербург *

УТВЕРЖДАЮ:
Руководитель лаборатории «Эко Тест»
_____Е.В.Милявский
"5" сентября 2006

ПРОТОКОЛ № 133/6

измерений уровней шума строительной площадке от работающего оборудования

1. **Место проведения измерений:**
   г. Санкт_Петербург, строительная площадка расположена по адресу Фрунзенский район, дом 22/30 ЮРВ южнее реки Волковки (ЮРВ). Характер работ: благоустройство придомовой территории и проведение отделочных работ в доме. Измерения проведены в присутствии мастера Килькова.П А.

2. **Дата и время проведения измерений:**
   "5" сентября 2006 г. 09.30-14.00.

3. **Средства измерений:** шумомер ШИ-01В, зав. №28705, с микрофоном ВМК-205 зав.№ 2038.

4. **Сведения о государственной поверке:**
   Шумомер ШИ-01В - свидетельство о поверке № 340/1235 от 15.12.05.

5. **Нормативная документация:**
   - ГОСТ 12.1.050 – 86 «Методы измерения шума на рабочих местах»;
   - ГОСТ 23337-78*.Методы измерения шума на селитебной территории и в помещениях жилых и общественных зданий.

6. **Схемы расположения точек измерения:** точки измерения располагались на расстояниях 1м, 5м и 7,5м сбоку от строительной машины и другого оборудования в зависимости от интенсивности, создаваемого ими шума (конкретные расстояния для каждой измерительной точки представлены в таблице на листе 2 протокола). Точки измерения располагались на высоте 1м-1,2м от поверхности (грунт, для перфораторов – пол)

7. **Источники шума:** строительные машины и оборудование. Характер шума прерывистый или колеблющийся в зависимости от вида оборудования .

8. **Результаты измерения шума**
   Результаты измерения шума представлены на листе 2 протокола в таблице 1.

ООО «Эко Тест»	Продолжение
Аккредитованная испытательная лаборатория	протокола № 13306 от "5" сентября 2006
	стр.2.

Таблица 1

Результаты измерений уровней звука и звукового давления строительного оборудования

Наименование оборудования	Параметры оборудования	Год выпуска	Характер работы	Расстояние до ТИ, м	Характер шума	Уровни звукового давления, дБ в октавных полосах со среднегеометрическими частотами, Гц									Lэкв, дБА	Lмакс, дБА	Lпр, дБАI
						31,5	63	125	250	500	1000	2000	4000	8000			
Экскаватор гусен. HYUNDAI 210 LC-7	ковш 1 м3	2006	хх с повышенными оборотами	7,5	колебл										73	79	
Экскаватор гусен. HYUNDAI 210 LC-8	ковш 1 м3	2006	выемка грунта	7,5	колебл										74	81	90
Пила дисковая 1,8 кВт 5000 об/мин	1,8кВт	1999	хол. ход	1	пост	70	68	68	70	74	79	84	87	81	90		
Пила дисковая 1,8 кВт 5000 об/мин (раб)	1,8кВт	1999	Резка опалубки	1	колебл	70	73	71	73	77	86	90	88	89	95	99	
А/кран "Клинцы" (16т)колесн (на базе МАЗА КС-35719-5	16т 240 лс	2000	хх с повышенными оборотами	7,5	колебл										74	78	
Бульдозер Д3-101А	96кВт	1997	Благоустройство территории	7,5	колебл										75	85	
Компрессор ЗИФ 55	5м3/мин	1999		1	пост	73	73	84	69	71	70	70	60	52	75		
Сварочный агрегат ТД-500		2000		1	пост	86	86	92	89	93	92	90	89	86	95		
Перфоратор. HM1000C	1050Вт	2004	работа внутри помещения Sпом=70 м2	1	колебл										95	99	
Перф. RH 068 1037	820 Вт	2004	работа внутри помещения Sпом=70 м2	1	колебл										95	98	

Измерения выполнил сотрудник ИЛ _____ И.К.Пименов

05/12/2006 02:32 +7812-238-1246 PAGE 03

Строительная техника

Наименование	Номер ИШ	Аналог
Кран гусеничный	ШТ-5	РДК-25 (25т)
Передвижная ДЭС	ШТ-10 ШТ-11 ШТ-12 ШТ-13 ШТ-14	Генераторная установка (дизель)

Акустические характеристики приняты по аналогу согласно протоколу №132/6 измерений уровней шума на строительной площадке от работающего оборудования, “Эко Тест”.

«Эко Тест»
197227, Санкт-Петербург, Серебристый бульвар, 18,к 3; тел/факс (812) 349-36-54

ИСПЫТАТЕЛЬНАЯ АНАЛИТИЧЕСКАЯ ЛАБОРАТОРИЯ

Аттестат №РОСС RU 0001.514 666 от 26.12.2003. Срок действия до 26 декабря 2006 г.

УТВЕРЖДАЮ:
Руководитель лаборатории «Эко Тест»
_____ Е.В.Милявский
"31" августа 2006

ПРОТОКОЛ № 132/6

измерений уровней шума строительной площадке от работающего оборудования

1. **Место проведения измерений:**
   г. Санкт_Петербург, строительная площадка расположена по адресу Фрунзенский район, 36 квартал южнее реки Волковки (ЮРВ). Характер работ: возведение 1-2го этажей жилого дома и обратная засыпка котлована. Измерения проведены в присутствии прораба Авдеева А.М.

2. **Дата и время проведения измерений:**
   "31" августа 2006 г. 09.30-16.00.

3. **Средства измерений:** шумомер ШИ-01В, зав. №28705, с микрофоном ВМК-205 зав.№ 2038.

4. **Сведения о государственной поверке:**
   Шумомер ШИ-01В - свидетельство о поверке № 340/1235 от 15.12.05.

5. **Нормативная документация:**
   - ГОСТ 12.1.050 – 86 «Методы измерения шума на рабочих местах»;
   - ГОСТ 23337-78*.Методы измерения шума на селитебной территории и в помещениях жилых и общественных зданий.

6. **Схемы расположения точек измерения:** точки измерения располагались на расстояниях 1м, 5м и 7,5м сбоку от строительной машины и другого оборудования в зависимости от интенсивности, создаваемого ими шума (конкретные расстояния для каждой измерительной точки представлены в таблице на листе 2 протокола). Точки измерения располагались на высоте 1м-1,2м от поверхности строительной площадки (грунт, для вибратора – бетонированная поверхность)

7. **Источники шума:** строительные машины и оборудование. Характер шума прерывистый или колеблющийся в зависимости от вида оборудования .

8. **Результаты измерения шума**
   Результаты измерения шума представлены на листе 2 протокола в таблице 1.

ООО «Эко Тест»	Продолжение
Аккредитованная испытательная лаборатория	протокола № 1324/6 от "31" августа 2006
	стр.2.

Таблица 1

Результаты измерений уровней звука и звукового давления строительного оборудования

Наименование оборудования	Параметры оборудования	Год выпуска	Характер работы	Расстояние до ТИ, м	Характер шума	Уровни звукового давления, дБ в октавных полосах со среднегеометрическими частотами, Гц									Lэкв, дБА	Lмакс, дБА	Lпик, дБАI
						31,5	63	125	250	500	1000	2000	4000	8000			
Генераторная установка (дизель)	800кВт	2005		1	пост	100	100	94	90	88	77	73	65	58	85		
Экскаватор гусен. HYUNDAI 210 LC-7	ковш 1 м3	2005	хх с повышенными оборотами	7,5	колебл										74	81	
Башенный кран КБ-674	12,5т/97кВт	1993	Подъем-опускание груза, повороты	7,5	колебл										72	78	
Башенный кран КБ-503Б	10т/ 5	2001	Подъем-опускание груза, повороты	7,5	колебл										71	75	
Башенный кран КБ-408	10т/ 50кВт	1997	Подъем-опускание груза, повороты	7,5	колебл										71	76	
Бульдозер Д492	108л.с.	2001	Благоустройство территории	7,5	колебл										78	85	
РДК-25 (25т.) только дизель	10т	1992	хол. ход	5	колебл										76	81	
РДК-25 дизель +лебедка	10т	1992	Подъем-опускание груза, повороты	5	колебл										73	80	
Автобетоносмеситель АМ-6 На базе МАЗе	5-6м**3	-	Движение со скоростью 5 км/час	7,5	колебл											67	
погрузчик CASE	2т	2003		1	колебл										74	79	87

Измерения выполнил сотрудник ИЛ _____ И.К.Пименов

06/12/2006 02:32 +7812-238-1246 PAGE 02

Акустические характеристики
производственного оборудования
на период эксплуатации

Акустические характеристики газоперекачивающих агрегатов ГПА-18 (НК-16-18СТ) приняты по аналогу, на основании акта проверки шумовых характеристик агрегата ГПА-16 “Волга” (Казань, ГЭО ОАО “КМПО”, 2012).

Приложение В

УТВЕРЖДАЮ
Председатель комиссии
Главный конструктор ГЭО ОАО «КМПО»
_____Д.А. Колпаков
«22» 01 2012 г.

Акт
проверки шумовых характеристик головного образца
блока компрессора БК-16М в составе агрегата ГПА-16 «Волга»

Комиссия в составе:
Председатель комиссии:
Колпаков Д.А. – главный конструктор ГЭО ОАО «КМПО»

Руководитель испытаний:
Бакиров А.А. – главный инженер филиала ОАО «КМПО»-ЗМЗ

Заместитель председателя комиссии:
Новак В.А. – заместитель начальника отдела испытаний ПАО «Сумское НПО им. М.В. Фрунзе»
Члены комиссии:

Магдеев М.И. – заместитель главного конструктора ГЭО ОАО «КМПО»
Кисляков В.Л. – заместитель главного конструктора ГЭО ОАО «КМПО»
Биктимиров М.М. – начальник ОМиПН филиала ОАО «КМПО»-ЗМЗ
Купчихин С.В. – заместитель начальника ОМиПН филиала ОАО «КМПО»-ЗМЗ
Перерва В.Г. - заместитель начальника ПОЭКС ООО «Газпром трансгаз Н.Новгород»
Брюхачев Ю.А. – начальник ГКС филиала ООО «Газпром трансгаз Н.Новгород» - Ивановское ЛПУМГ
Пантюх Ю.В. – начальник бюро испытаний ПАО «Сумское НПО им. М.В. Фрунзе»
Ткаченко Д.А. – заместитель начальника отдела турбоблоков ПАО «Сумское НПО им. М.В. Фрунзе»
Герасименко Н.В. – научный сотрудник лаборатории виброакустических исследований ПАО «Сумское НПО им. М.В. Фрунзе»
Цверкунов С.И. – представитель ЗАО «НПФ «Система-Сервис»
Клеопов П.Е. - ведущий инженер ОАО «Корпорация «ВНИИЭМ»

выполнила проверку шумовых характеристик блока компрессора БК-16М в составе агрегата ГПА-16 «Волга» в период с 24 по 26 апреля 2012 г. Данная проверка выполнялись в ходе предварительных испытаний блока компрессора

Таблица 4

Уровни звуковой мощности ГПА-16 «Волга» ДГ-01/В

Уровни звуковой мощности, дБ, в октавных полосах со среднегеометрическими частотами, Гц									Коррект УЗМ, дБА
31.5	63	125	250	500	1000	2000	4000	8000	
105	104	104	101	102	106	101	95	87	109

Эквивалентный уровень звука при нахождении обслуживающего персонала на маршруте обхода в течение рабочей смены (8 часов) при 2-х разовом обходе составляет 77 дБА (согласно СТО Газпром 2-3.5-040, ГОСТ 12.1.003-80 и СН 2.4/2.1.8.562), значения приведены в таблице 5.

Выводы:

1. Уровни звуковой мощности ГПА-16 «Волга» приведены в табл.4
2. Уровни звуковой мощности БК-16М приведены в табл.2
3. Граница санитарной зоны по шуму (допустимые для жилой зоны уровни звука согласно СН 2.4/2.1.8.562 и СНиП-II-12-77) достигаются, согласно расчетам, при работе 1-го ГПА на расстоянии 700 м, что соответствует ТУ 516.0000.000.
4. Эквивалентный уровень звука при нахождении обслуживающего персонала на маршруте обхода (при двух разовом обходе ГПА-16 «Волга») в течении рабочей смены (8 часов) без применения индивидуальных средств шумозащиты не превышает 80 дБА, что удовлетворяет требованиям ТУ 516.0000.000, ТУ 3643-037-00218288-02, СТО Газпром 2-3.5-040 и ГОСТ 12.1.003-80 и СН 2.4/2.1.8.562.
5. Уровень звука на постоянном рабочем месте оператора составляет 56дБА, что соответствует ТУ 516.0000.000, ТУ 3643-037-00218288-02, СТО Газпром 2-3.5-040 и ГОСТ 12.1.003-80 (не более 65 дБА)

А.А. Бакиров

Ю.А. Брюхачев

В.А. Новак

Ю.В. Пантюх

М.И. Магдеев

Д.А. Ткаченко

В.Л. Кисляков

Н.В. Герасименко

М.М. Биктимиров

С.И. Цверкунов

С.В. Купчихин

П.Е. Клеопов

В.Г. Перерва

Акустические характеристики турбодетандерных агрегатов ТДА-201-5 и ТДА-201-6 приняты по аналогу, в соответствии с Техническими условиями “Агрегат турбодетандерный. АДКГ” ТУ 3644-004-00220411-06, ОАО “Турбохолод”, г. Москва.

ОТКРЫТОЕ АКЦИОНЕРНОЕ ОБЩЕСТВО
ТУРБОХОЛОД

Открытое акционерное общество **«Турбохолод»**

Код ОКП
36 4450

УТВЕРЖДАЮ

Генеральный директор
ОАО «Турбохолод»

_____ В.А. Хетагуров

«20» 11 2009 г.

АГРЕГАТ ТУРБОДЕТАНДЕРНЫЙ **АДКГ**

Технические условия
ТУ 3644-003-00220411-06

Дата введения: **28.12.2006 г.**

Главный инженер
ОАО «Турбохолод»

_____ В.Ф. Решетников
20.11.09.

Главный конструктор
ОАО «Турбохолод»

_____ В.Н. Шпак
19.11.09

Главный конструктор-расчетчик
ОАО «Турбохолод»

_____ К.К. Соколов
19.11.09

Москва 2009 г.

Инв. № подл. | Подп. и дата | Взам. инв. № | Инв. № дубл. | Подп. и дата
ГМ-0237 | 23.11.09

4 Зам. ГМ-010 19.11.09

Формат А4

2.9. Контроль и управление активными магнитными подшипниками осуществляется средствами шкафа АМП («стойки»), кроме физических линий связи с АСУ ТП.

«Стойка» управления АМП обеспечивает контроль, индикацию и передачу по цифровой линии связи (Modbus) следующих параметров:

- скорость вращения ротора,
- положение ротора (по 5 осям),
- виброперемещение ротора (по 5 осям),
- температура магнитных подшипников,
- температура усилителей,
- температура внутри шкафа управления,
- токи магнитов,
- напряжение аккумуляторной батареи,
- выпрямленное напряжение,
- токи DC-DC конверторов,
- предупредительные и аварийные сообщения.

2.10. Всё электрооборудование агрегата должно быть выполнено во взрывобезопасном исполнении, кроме ШУ, устанавливаемого за пределами взрывоопасной зоны.

Сопротивление изоляции токоведущих частей, с которыми возможно соприкосновение человека, должно быть не менее 10 МОм.

2.11. По эквивалентному уровню звука турбодетандерный агрегат удовлетворяет требованиям ГОСТ12.1.003-83, уровень звука не более 80 дБА на расстоянии 1 м от агрегата.

2.12. Локальная вибрация при работе агрегата должна удовлетворять требованиям ГОСТ12.1.012-2004. В местах обхвата руками органов управления агрегатом не должна превышать значений, указанных в таблице 3.

Таблица 3 – Ограничения по локальной вибрации

Среднегеометрические частоты октавных полос, Гц	8	16	31,5	63	125	250	500	1000
Среднеквадратичные значения виброскорости, м/с10^{-2}, не более	5,0	5,0	3,5	2,5	1,8	1,3	0,9	0,65

Акустические характеристики модульной компрессорной установки МКУ-381 приняты по аналогу, на основании ГОСТ 12.2.110-85 ССБТ. Компрессоры воздушные поршневые стационарные общего назначения

МЕЖГОСУДАРСТВЕННЫЙ СТАНДАРТ

Система стандартов безопасности труда

КОМПРЕССОРЫ ВОЗДУШНЫЕ ПОРШНЕВЫЕ СТАЦИОНАРНЫЕ ОБЩЕГО НАЗНАЧЕНИЯ

Нормы и методы определения шумовых характеристик

ГОСТ 12.2.110—85

Occupational safety standards systems. General-purpose stationary air piston compressors. Norms and methods for determination of noise characteristics

ОКП 36 4300

Постановлением Государственного комитета СССР по стандартам от 29 ноября 1985 г. дата введения установлена 01.01.87

Ограничение срока действия снято Постановлением Госстандарта от 13.01.92 № 1

Настоящий стандарт распространяется на воздушные поршневые стационарные компрессоры общего назначения (далее — компрессоры) по ГОСТ 23680—79, ГОСТ 18985—79 и устанавливает нормы и методы определения шумовых характеристик.

Термины и определения — по ГОСТ 23941—79 и ГОСТ 12.1.023—80.

1. ОБЩИЕ ПОЛОЖЕНИЯ

1.1. Оценку шумовых характеристик компрессоров производят для установления объективных норм и проверки соответствия их паспортным данным, а также при периодической проверке серийно выпускаемых компрессоров.

1.2. Определяемые при испытаниях компрессоров шумовые характеристики предназначены для:

оценки шума, распространяющегося в окружающееся пространство;

акустических расчетов при проектировании различных объектов, составной частью которого является компрессор;

разработки мероприятий по защите от шума обслуживающего персонала в соответствии с требованиями ГОСТ 12.1.003—83 и ГОСТ 12.1.029—80.

1.3. Для определения шумовых характеристик компрессоров применяют методы, установленные в ГОСТ 23941—79.

1.4. Требования к средствам измерений, аппаратуре и уровням помех, оценка качества звукового поля, порядок проведения измерений и классификация точности результатов измерений должны соответствовать ГОСТ 23941—79, ГОСТ 12.1.026—80*, ГОСТ 12.1.027—80**, ГОСТ 12.1.028—80***.

1.5. Образцовый источник шума должен соответствовать требованиям ГОСТ 12.1.025—81.

1.6. Режимы работы компрессора при измерениях должны соответствовать типовым установившимся режимам:

при нормальной нагрузке;

при полной нагрузке;

при отсутствии нагрузки;

при максимальном корректированном уровне звуковой мощности;

при различных операциях технологического процесса.

---

* В Российской Федерации действует ГОСТ Р 51401—99.

** В Российской Федерации действует ГОСТ Р 51400—99.

*** В Российской Федерации действует ГОСТ Р 51402—99 (см. здесь и далее).

Издание официальное **Перепечатка воспрещена**

Переиздание.

2. ШУМОВЫЕ ХАРАКТЕРИСТИКИ

2.1. В соответствии с ГОСТ 23941—79 устанавливают следующие шумовые характеристики компрессоров:

корректированный уровень звуковой мощности L_{pA}, дБ*А*;

уровень звуковой мощности в октавных полосах частот L_p, дБ;

уровень звука в контрольных точках L_A, дБ*А*;

уровень звукового давления в октавных полосах частот в контрольных точках на расстоянии $R = 1$ м, L_i, дБ.

2.2. Шумовые характеристики определяют в октавных полосах со среднегеометрическими частотами 63, 125, 250, 500, 1000, 2000, 4000 и 8000 Гц.

Допускаются измерения на более низких или более высоких частотах.

2.3. Контрольные точки располагаются на измерительной поверхности на расстоянии $d = 1$ м от контура компрессора в соответствии с ГОСТ 12.1.026—80 или ГОСТ 12.1.028—80.

2.4. В качестве основных нормируемых шумовых характеристик компрессоров принимают:

уровень звуковой мощности в октавных полосах частот, дБ;

средний уровень звукового давления в актавных полосах частот в контрольных точках, дБ.

2.5. В качестве шумовых экспресс-характеристик, используемых при проектировании новых компрессоров и при больших объемах испытаний (в том числе и при сплошном контроле), применяют:

корректированный уровень звуковой мощности, дБ(*А*);

средний уровень звука в контрольных точках, дБ(*А*).

3. НОРМИРУЕМЫЕ ШУМОВЫЕ ХАРАКТЕРИСТИКИ

3.1. Уровни звуковой мощности в октавных полосах частот и корректированный уровень звуковой мощности шумонезащищенного компрессора не должны превышать значений, приведенных в табл. 1.

Таблица 1

Уровни звуковой мощности шумонезащищенного компрессора

Тип компрессора	Производительность		Частота вращения вала (максимальная)		Корректированный уровень звуковой мощности, дБ*А*	Уровни звуковой мощности, дБ, в октавных полосах со среднегеометрическими частотами, Гц							
	м³/с	м³/м	с⁻¹	об/мин		63	125	250	500	1000	2000	4000	8000
ВУ	0,0412	2,5	24,3	1460	105	115	115	107	99	97	97	92	89
	0,0825	5,0	24,3	1460	112	116	116	120	112	105	101		93
ВП	0,1650	10,0	12,3	735	102	109	108	104	102	97	95	94	90
	0,3350	20,0	8,3	500	103	105	103	104	104	102	103	92	91
ВМ	0,2000	12,0	16,3	980	106	95	94	104	102	102	97	91	86
	0,4000	24,0	12,3	740	107	97	104	106	105	105	98	87	81
	0,8500	51,0	8,3	500	105	99	109	104	105	100	92	88	84
	1,0600	63,0	10,0	600	110	107	107	103	101	109	96	91	91
	1,7000	102,0	8,3	500	108	107	113	110	114	102	101	94	89
	2,0000	120,0	10,0	600	108	107	113	110	104	105	101	94	92

3.2. Средние уровни звукового давления в октавных полосах частот в контрольных точках и средний уровень звука в контрольных точках шумонезащищенного компрессора (на расстоянии 1 м от контура компрессора) не должны превышать значений, приведенных в табл. 2.

Акустические характеристики аппаратов воздушного охлаждения типа $АВО_{КНД/КВД}$, $АВО_{УКПГ}$ и АВГ-КБ приняты на основании технических условий "Аппараты воздушного охлаждения блочно-модульные комплектные АВГ-КБ. ТУ 3681-134-00220302-2007".

ОТКРЫТОЕ АКЦИОНЕРНОЕ ОБЩЕСТВО
ВСЕРОССИЙСКИЙ НАУЧНО-ИССЛЕДОВАТЕЛЬСКИЙ И ПРОЕКТНО-КОНСТРУКТОРСКИЙ ИНСТИТУТ НЕФТЯНОГО МАШИНОСТРОЕНИЯ
(ОАО «ВНИИНЕФТЕМАШ» г. МОСКВА)
ОБЩЕСТВО С ОГРАНИЧЕННОЙ ОТВЕТСТВЕННОСТЬЮ НАУЧНО ПРОИЗВОДСТВЕННОЕ ОБЪЕДИНЕНИЕ «СПЕЦНЕФТЕХИММАШ»
(ООО НПО «СПЕЦНЕФТЕХИММАШ» г. ВОРОНЕЖ)

ОКП 36 1261

УДК
Группа Г43

СОГЛАСОВАНО
Генеральный директор
ООО НПО «СПЕЦНЕФТЕХИММАШ»
_____ А.В. Мищенко

УТВЕРЖДАЮ
Первый Зам. Генерального директора
ОАО «ВНИИНЕФТЕМАШ»
_____ В.А. Емелькина

АППАРАТЫ ВОЗДУШНОГО ОХЛАЖДЕНИЯ БЛОЧНО-МОДУЛЬНЫЕ КОМПЛЕКТНЫЕ АВГ-КБ
ТЕХНИЧЕСКИЕ УСЛОВИЯ

ТУ 3681-134-00220302-2007
(вводятся впервые)

С 15.05.2007

Главный конструктор
ОАО «ВНИИНЕФТЕМАШ»
Зав. Отделом № 15
_____ Б.Е. Семенидо

Федеральное агентство по техническому регулированию и метрологии
ФГУП «СТАНДАРТИНФОРМ»
зарегистрировано в реестре
внесен в реестр 23.05.2008
за № 200105294

Москва, 2007 г.

быть закреплен на аппарате. При этом на аппарате должна быть нанесена надпись о месте нахождении документации.

Техническую и сопроводительную документацию, второй экземпляр упаковочных листов допускается отправлять почтой. Отправка должна быть произведена в течение одного месяца после отгрузки изделия.

1.7 Требования безопасности и требования к охране окружающей среды

1.7.1 Аппарат должен соответствовать требованиям безопасности ГОСТ Р 51364, ГОСТ 12.1.003, ГОСТ 12.1.004, ГОСТ 12.1.010, ГОСТ 12.1.012, ГОСТ 12.1.038, ГОСТ 12.2.003, ГОСТ 12.3.002, ОСТ 26 291, ПБ 03-576, ПБ 03-584, ПБ 09-170.

1.7.2 Комплектующее электрооборудование должно соответствовать требованиям безопасности по ГОСТ 12.2.007.0.

1.7.3 Среднеквадратичное значение виброскорости не должно превышать значений допускаемых ГОСТ ИСО 10816-1.

1.7.4 Аппарат не является источником вредных выбросов, герметичен и не оказывает отрицательного воздействия на окружающую среду.

Класс герметичности определяют для конкретного аппарата в зависимости от применяемой рабочей среды, согласовывают с заказчиком (потребителем), а также заносят в РЭ и раздел «Свидетельство о приемке» паспорта аппарата или теплообменной секции.

1.7.5 Устройства для обеспечения сброса вредных или взрывоопасных сред должны быть предусмотрены заказчиком и размещены на трубопроводной обвязке аппарата. Класс опасности рабочей среды – по ГОСТ 12.1.007.

1.7.6 Уровень звукового давления на расстоянии 1 м от наружного контура аппарата на открытой площадке не должен превышать 92 дБА, в зоне работы обслуживающего персонала – 80 дБА.

1.7.7 Аппарат на месте монтажа должен быть заземлен. Заземление должно быть выполнено в соответствии с ГОСТ 12.2.007.0.

1.7.8 Для обеспечения электробезопасности должны быть выполнены следующие требования:

1.7.8.1 Аппараты должны иметь заземляющие зажимы и нанесенные знаки заземления, выполненные по ГОСТ 21130.

1.7.8.2 Электрическое сопротивление между заземляющими зажимами и каждой доступной прикосновению металлической нетоковедущей частью, которая может оказаться под напряжением, в соответствии с ГОСТ 12.2.007.0 не должно превышать 0,1 Ом.

1.7.9 Защита аппарата от превышения давления должна быть обеспечена заказчиком.

1.7.10 Все вращающиеся части аппарата должны иметь ограждения.

1.7.11 Ремонт аппарата во время работы не допускается.

Акустические характеристики аппаратов воздушного охлаждения типа АВГ-БМ-160, УВОГ-201-5, УВОГ-201-6 приняты на основании технических условий "Аппараты воздушного охлаждения газа блочно-модульного исполнения АВГ-БМ-135(160). ТУ 3612-016-00218880-2008".

Гр. обор.
Разное - Н.1

вх 1574М
20.10.08

Открытое акционерное общество
Борисоглебский ордена Трудового Красного Знамени
завод химического машиностроения
ОАО «Борхиммаш»

Экз. № 12

Код ОКП 36 1261

Группа Г43

СОГЛАСОВАНО
Генеральный директор
ООО «НОВАТЭК-ЮРХАРОВНЕФТЕГАЗ»

_____ **А.А. Кудрин**
«___»_____ 2008г.

УТВЕРЖДАЮ
Генеральный директор
ОАО «Борхиммаш»

_____ **А.В. Кинжалов**
«___»_____ 2008 г.

Аппараты воздушного охлаждения газа блочно-модульного исполнения АВГ-БМ-135 (160) Технические условия ТУ 3612-016-00218880-2008

(Введено впервые)

СОГЛАСОВАНО
Главный инженер проекта
ООО «ТюменНИИгипрогаз»

_____ **М.П. Крушин**
«_____»_____ 2008 г.

СОГЛАСОВАНО
Главный инженер
ОАО «Борхиммаш»

_____ **А.Н. Какорин**
«_____»_____ 2008 г

УЧТЕН ОСК

ТюменНИИгипрогаз
Экз. № 1 2008 г.

7.10 Устройства для обеспечения сброса вредных или взрывоопасных сред должны быть предусмотрены заказчиком и размещены на трубопроводной обвязке аппарата.

7.11 Строповка аппаратов при проведении сборочных и погрузочно-разгрузочных работ должна производиться в соответствии с требованиями конструкторской документации.

7.12 Уровень звука на расстоянии 1 м от наружного контура аппарата на открытой площадке не должен превышать 92 дБА при суммарном пребывании обслуживающего персонала во время работы аппарата на расстоянии 1 м от наружного контура не более 1 часа в смену (при необходимости пользоваться средствами защиты слуха), что соответствует допустимому эквиваленту уровень звука (уровню звука при постоянном, в течение 8-часовой смены, воздействии на персонал) 92 дБА по ГОСТ 12.1.003.

7.13 Логарифмический уровень виброскорости (на частоте 63 Гц) приводов вентиляторов и опор металлоконструкции не должен превышать 92 дБА по ГОСТ 12.1.012.

7.14 Требования к защите обслуживающего персонала от воздействия повышенного уровня шума приведены в разделе 10.

7.15 Размах виброперемещения, измеренный на раме привода и верхней плите стойки металлоконструкции в диапазоне частот от $n_{дв}$ /60 до 250 Гц, не должен превышать 0,2 мм, где nдв – частота вращения электродвигателя, мин $^{-1}$.

Примечание – При отсутствии технической возможности измерения виброперемещения допускается измерять виброскорость. Среднеквадратичное значение виброскорости не должно превышать значений, допускаемых ГОСТ 12.1.012.

7.16 Ремонт аппарата и его элементов во время работы не допускается.

7.17 При проведении монтажных, ремонтных работ, а также во время эксплуатации применяемый инструмент должен исключать искрообразования.

7.18 Аппарат должен быть остановлен в следующих случаях:

- при повышении давления и температуры выше допустимых (расчетных) по бланку- заказа;

-при обнаружении в основных элементах аппарата, работающих под давлением, трещин, выпучин, пропусков или потения в сварных швах;

-при неисправности средств автоматики и контрольно-измерительных приборов, установленных в обвязке аппарата;

- при возникновении пожара, непосредственно угрожающего аппарату.

8. Правила приемки

8.1 Служба технического контроля предприятия-изготовителя должна осуществлять контроль качества выполнения работ, который заключается в организации

Акустические характеристики аппаратов воздушного охлаждения типа АВГБС-83 и АВОМКУ приняты на основании технических условий "Аппарат воздушного охлаждения блочные типа АВГБ. 106.6055.00.000 ТУ".

гр. обор
„Химобор" 16

Вх 04788
13.11.03г.

ОАО «ПЕНЗХИММАШ»

ОКП 361261 Группа Г 43

СОГЛАСОВАНО	УТВЕРЖДАЮ	УТВЕРЖДАЮ
Генеральный директор	Генеральный директор	Генеральный директор
ОАО «КНПЗ-Роснефть»	ООО НПК "Кедр-89"	ОАО "Пензхиммаш"
_____ В.В.Ежов	_____ В.Е.Баклашов	_____ И.Черницов
«11» 03 2002г.	«___» 2002г.	«___» 2002г.

АППАРАТЫ ВОЗДУШНОГО ОХЛАЖДЕНИЯ

БЛОЧНЫЕ ТИПА АВГБ

Технические условия
106.6055.00.000 ТУ
(разработаны впервые)

Дата введения с «3» 01 2002 г.
с изм. 1 от 05. 2003 г.

Технический директор	Технический директор
ОАО "Пензхиммаш"	ООО НПК "КЕДР-89"
_____ Б.С.Зац	_____ Г.А.Марголин
07 01 2002 г.	"__" _____ 2002 г.

Пенза
2002

ЮЖНИИГИПРОГАЗ
Экз. № 1 2003г.

2. ТРЕБОВАНИЯ БЕЗОПАСНОСТИ И ТРЕБОВАНИЯ ПО ОХРАНЕ ОКРУЖАЮЩЕЙ СРЕДЫ.

2.1 При разработке рабочей документации, изготовлении, транспортировании, монтаже и эксплуатации аппарата следует руководствоваться ОСТ 26-02-1309-87 «Аппараты воздушного охлаждения. Общие технические условия», ПБ10-115-96 «Правилами устройства и безопасной эксплуатации сосудов, работающих под давлением» (утвержденными Госгортехнадзором России), ГОСТ 12.2.003 ССБТ «Оборудование производственное. Общие требования безопасности», ГОСТ 12.2.007 ССБТ «Изделия электротехнические. Общие требования безопасности», ГОСТ 12.1.010 ССБТ «Взрывобезопасность. Общие требования», ГОСТ 12.1.004 ССБТ «Пожаробезопасность. Общие требования», ГОСТ 12.3.002 ССБТ «Процессы производственные. Общие требования безопасности», ОСТ 26-291 «Сосуды и аппараты стальные сварные. Общие технические условия», «Правилами устройства электроустановок», ПУЭ-98, Инструкцией по монтажу, эксплуатации, техническому обслуживанию и ремонту завода-изготовителя.

2.2 Аппарат на месте монтажа должен быть заземлен. Заземление должно быть выполнено в соответствии с ГОСТ 12.2.007.

2.3 Ремонт аппарата и его элементов во время работы аппарата не допускается.

2.4 Применяемые при монтаже и эксплуатации электрический инструмент и переносные лампы должны иметь напряжение не более 36 В.

2.5 При монтаже аппарата должны быть соблюдены все правила проведения такелажных работ.

2.6 При проведении монтажных и ремонтных работ, а также во время эксплуатации должны быть соблюдены все правила пожаро и взрывобезопасности, действующие на данном предприятии.

2.7 Эквивалентный уровень звука на расстоянии 1 м от наружного контура аппарата на открытой площадке за время действия шума на обслуживающий персонал до 1-го часа, при относительной дозе шума 50 % и допустимом уровне звука 80 дБА, не должен превышать 90 дБА по ГОСТ 12.1.003.

2.8. Логарифмический уровень виброскорости (на частоте 4 Гц) привода вентилятора и опор металлоконструкций не должен превышать 90 дБ.

Акустические характеристики аппаратов воздушного охлаждения типа АВГ-БМР-20 приняты на основании технических условий "Аппараты воздушного охлаждения блочно-модульные с рециркуляцией нагретого воздуха типа АВГ-БМР. ТУ 3612-004-00218880-2002".

ук. оборуд
"Разное" -Н

вх 19992 70
12.09.03г.

ОКП 36 1261

ОАО "Борхиммаш"

СОГЛАСОВАННО

Генеральный директор
ООО "НИИХИММАШ"
А.Н.Бессонный
2002г.

УТВЕРЖДАЮ

Технический директор
ОАО "Борхиммаш"
Н.Н.Егоров
04 2002г.

Аппарат воздушного охлаждения блочно-модульного типа с рециркуляцией нагретого воздуха БМР

Технические условия

ТУ 3612 - 004 - 00218880 - 2002

Дата введения 15.04.2002

Главный конструктор
Н.И.Долгих
"28" 03 2002г.

10) знак соответствия по ГОСТ Р 50460

1.5.3 Количество и состав грузовых мест определяет предприятие-изготовитель.

1.5.4 Каждое грузовое место должно иметь указания о месте строповки, выполненные яркой краской.

1.5.5 Транспортная маркировка – в соответствии с требованиями ГОСТ 14192.

1.5.6 На крупногабаритные грузовуе места (секции) должны быть нанесены знаки "Место строповки" и "Центр тяжести".

1.5.7 Упаковку производить в соответсвии с требованиями рабочей конструкторской документацией.

2 Требования безопасности и требования к охране окружающей среды

2.1 По конструкции и условиям эксплуатации аппараты должны соответствовать требованиям безопасности по ОСТ 26-291, ПБ 10-115 "Правила устройства и безопасной эксплуатации сосудов, работающих под давлением", утвержденным Госгортехнадзором РФ, ГОСТ 12.1.003, ГОСТ 12.1.004, ГОСТ 12.1.010, ГОСТ 12.1.012, ГОСТ 12.1.038 ГОСТ 12.2.003.

2.2 В качестве рабочей среды в аппаратах применяются среды газовой, нефтяной, химической, нефтехимической, нефтеперерабатывающей и других отраслей промышленности.

2.3 Класс опасности рабочей среды 3 или 4 по ГОСТ 12.1.007.

2.4 Аппарат не является источником вредных выбросов, герметичен и не оказывает отрицательного воздействия на окружающую среду.

2.5 Устройства для обеспечения сброса вредных или взрывоопосных сред должны быть предусмотрены заказчиком.

2.6 Комплектующее электрооборудование должно соответствовать требованиям безопасности по ГОСТ 12.2.007.0.

2.7 Уровень звукового давления на расстоянии 1 метра от наружного контура аппарата на открытой площадке не должен превышать 89 дБа. При суммарном пребывании обслуживающего персонала во время работы аппарата на расстоянии до 1 м от наружного контура не более 1 часа в смену (при необходимости пользоваться средствами защиты слуха), что соответствует допустимому эквивалентному уровню звука (уровню звука при постоянном воздействии на персонал в течении 8-ми часовой смены) 80 дБа по ГОСТ 12.1.003.

2.8 Логарифмический уровень виброскорости (на частоет 4 Гц) привода вентилятора и опор металлоконструкции не должен превышать 92 дБ.

2.9 Строповка аппаратов при проведении сборочных и погрузочно-разгрузочных работ должна производиться в соответствии с требованиями конструкторской документации.

Акустические характеристики аппаратов воздушного охлаждения типа АВО-Р-20 приняты на основании технических условий "Аппараты воздушного охлаждения малопоточные АВОМ. ТУ 3612-006-00218880-2002".

ОАО «Борхиммаш»

Код ОК 005
(ОКП)
361263

Группа Г43

СОГЛАСОВАНО
Заместитель директора
АООТ «ВНИИнефтемаш»
В.Н. Громолаев
«__» _____ 2002 г.

УТВЕРЖДАЮ
Технический директор
ОАО «Борхиммаш»
Н.Н. Егоров
«__» _____ 2002 г.

АППАРАТЫ ВОЗДУШНОГО ОХЛАЖДЕНИЯ МАЛОПОТОЧНЫЕ (АВМ)

ТЕХНИЧЕСКИЕ УСЛОВИЯ
ТУ 3612-006-00218880-02

(взамен ТУ 26-02-1121-96)

Срок введения

СОГЛАСОВАНО
Главный конструктор
АООТ «ВНИИнефтемаш»
Б.Е. Семенидо

могут изготавливаться с прокладками из других марок паронита, по своим свойствам не ниже марок ПОН.

1.9 По требованию заказчика допускается изготовление аппаратов камерного типа на давление до 10,0 Мпа с вертикальным расположением штуцеров.

1.10 Требования по окраске согласно ГОСТ Р 51364.

1.11 Требования к маркировке, упаковке, комплектности должны соответствовать ГОСТ Р 51364; ПБ 03-384 и рабочей конструкторской документации.

2 Требования безопасности

2.1 Требования безопасности должны соответствовать ГОСТ Р 51364; ГОСТ 12.1.003; ГОСТ 12.1.004; ГОСТ 12.1.010; ГОСТ 12.1.012; ГОСТ 12.1.038; ГОСТ 12.2.003; ОСТ 26 291; ПБ 03-384; ПБ 09-170; ПБ 10-115.

2.2 Уровень звука на расстоянии 1 метра от наружного контура аппарата на открытой площадке не должен превышать 80 дБА при суммарном пребывании обслуживающего персонала во время работы аппарата на расстоянии до 1 м от наружного контура не более 1 часа в смену (при необходимомти пользоваться средствами защиты слуха), что соответствует допустимому эквивалентному уровню звука (уровню звука при постоянном воздействии на персонал в течение 8-ми часовой смены) 80 дБА по ГОСТ 12.1.003.

2.3 Логарифмический уровень виброскорости (на частоте 4 Гц) приводов вентиляторов и опор металлоконструкций не должен превышать 90 дБ.

3 Правила приемки

3.1 Правила приемки должны соответствовать ГОСТ Р 51364, ОСТ 26 291; ПБ 03-384; ПБ 10-115.

4 Методы контроля

4.1 Методы контроля должны соответствовать ГОСТ Р 51364; ОСТ 26 291, ПБ 03-384; ПБ 10-115 и рабочей конструкторской документации.

Акустические характеристики аппаратов воздушного охлаждения АВО пластовой воды (установка закачки стоков в пласт №2) приняты согласно ИТС 29–2017.

ФЕДЕРАЛЬНОЕ АГЕНТСТВО
ПО ТЕХНИЧЕСКОМУ РЕГУЛИРОВАНИЮ И МЕТРОЛОГИИ

ИНФОРМАЦИОННО-
ТЕХНИЧЕСКИЙ
СПРАВОЧНИК
ПО НАИЛУЧШИМ
ДОСТУПНЫМ
ТЕХНОЛОГИЯМ

ИТС
29–
2017

ДОБЫЧА ПРИРОДНОГО ГАЗА

Москва
Бюро НДТ
2017

Сточные воды

В качестве сточных вод рассматривается образующийся при охлаждении конденсат, который собирается в специальные дренажные емкости.

Отходы

Промышленные отходы не образуются.

Физические факторы воздействия

Основным источником шума АВО газа являются вентиляторы. Наиболее интенсивное звуковое воздействие, создаваемое работой вентиляторов АВО газа, наблюдается в диапазоне звуковой мощности от 101 до 105 дБ, высота звука варьируется от 250 до 1000 Гц.

3.5.4 Газоперекачивающие агрегаты на ДКС

Выбросы ЗВ от ГПА приведены в таблице 3.72.

Таблица 3.72 – Выбросы ЗВ от ГПА в зависимости от типа двигателя

Абсолютное давление за компрессором высокого давления, МПа	Мощность выброса	
	оксидов азота, г/с	оксида углерода, г/с
0,87–1,90	0,69–5,84	0,41–11,8

Отходы

Характеристика отходов, образующихся при работе ГПА, приведена в таблице 3.73.

Таблица 3.73 – Вид и состав отходов ГПА

Отход	Характеристика отходов
Масла компрессорные отработанные	Отработанные компрессорные масла (не менее 79 %), содержащие механические примеси (от 0,3 % до 2 %) и воду (от 0,3 % до 5 %), образуются в результате замены масла насосов и компрессоров по истечении срока годности и/или досрочном выходе из строя при техническом обслуживании и ремонте газоперекачивающих агрегатов компрессорных станций
Масла турбинные отработанные	Отработанные турбинные минеральные масла с содержанием механических примесей (от 0,3 % до 2 %), йоды (от 0,3 % до 5 %), образуются в результате замены масла двигателей и турбин по истечении срока годности и/или досрочном выходе из строя при техническом обслуживании газотурбинных установок газоперекачивающих агрегатов компрессорных станций

Акустические характеристики установки факельной приняты по аналогу, на основании измерений акустических характеристик источников шума на территории Астраханского ГПЗ.

ПАО «ГАЗПРОМ»

ОБЩЕСТВО С ОГРАНИЧЕННОЙ ОТВЕТСТВЕННОСТЬЮ «ГАЗПРОМ ДОБЫЧА АСТРАХАНЬ»

(ООО «Газпром добыча Астрахань»)

ЗАМЕСТИТЕЛЬ ГЕНЕРАЛЬНОГО ДИРЕКТОРА

Ленина ул., д. 30,
г. Астрахань, Россия, 414000
Тел.: (8512) 31-63-51, факс: (8512) 39-11-33
E-mail: adm@astrakhan-dobycha.gazprom.ru, www.gazprom.ru
ОКПО 05780913, ОГРН 1023001538460,
ИНН/КПП 3006006420 / 997250001

29.04.2016 № 02-4597

на № 68-01/23-07-4878 от 27.04.2016

Заместителю главного инженера
ПАО «ЮЖНИИГИПРОГАЗ»

С.И. Подолянчуку

О направлении информации

Уважаемый Сергей Иванович!

Для выполнения акустических расчетов по проекту «Реконструкция технологических установок Астраханского ГПЗ» направляем результаты измерений акустических характеристик источников шума в производственных помещениях и на территории АГПЗ.

Приложение: на 12 л.

Главный инженер -
заместитель генерального директора **Н.Ф. Низамов**

0599665

И.В. Танаянц
31-60-54

№ спектра	Примечание	Уровни звукового давления, дБ, в октавных полосах со среднегеометрическими частотами, Гц									Уровни звука, L, дБА
		31,5	63	125	250	500	1000	2000	4000	8000	
278	наливная станция, на расстоянии 1 м	73,5	67,4	60,3	56,7	59,0	58,5	61,3	86,0	66,7	87,0
Установка 510											
279	насосная, 05-02, на расстоянии 1 м	72,5	75,3	81,3	85,3	85,7	86,0	85,6	80,5	76,8	91,1
280	вентиляция В2 на расстоянии 1 м	80,6	82,3	79,7	90,0	83,9	79,4	78,1	74,9	71,3	87,2
281	вент. камера П1/1, на расстоянии 1 м	87,9	88,3	92,4	95,2	90,3	84,9	77,0	70,4	60,2	91,3
282	в помещении операторной	66,3	61,2	57,5	60,5	53,6	48,5	40,2	35,3	36,9	55,8
283	факел, точка измерений у 24 резервуара на расстоянии 300 м	76,4	71,1	67,2	64,1	61,6	59,7	53,2	41,7	26,8	63,6
Установка 515											
284	вент. камера П3.1, на расстоянии 1 м	87,9	84,6	85,5	83,1	81,7	83,8	76,8	72,1	63,4	86,5
285	у воздуховода П1.1, на расстоянии 1 м	80,1	79,7	82,9	84,6	82,8	82,1	78,9	72,0	63,8	86,3
286	Н02/03, на расстоянии 1 м	75,7	76,6	80,1	86,5	86,1	86,0	83,7	77,0	72,3	90,2
287	вент. камера П1.1, на расстоянии 1 м	84,3	85,4	84,1	87,7	84,1	84,0	76,4	71,7	62,2	87,2
288	АВО, вентилятор охлаждения, на расстоянии 1 м	77,0	72,6	83,2	88,7	82,6	81,6	80,8	77,9	62,4	87,6
289	факел низкого давления на расстоянии 40 м	82,0	76,6	70,4	68,4	67,8	69,7	70,8	66,2	54,4	75,4
290	факел низкого давления на расстоянии 40 м	82,8	75,6	70,6	70,6	67,8	69,6	70,2	66,0	54,4	75,2

Акустическая характеристика **установки продувки шлейфов** и **горизонтальной факельной установки УГГ-500-2** была рассчитана по методике оценки шума в процессах горения в соответствии со "Справочник по контролю промышленных шумов": Пер. с англ./Пер. Л.Б. Скарина, Н.И. Шабонова; Под ред. В.В. Клюева. – М.: Машиностроение, 1979. – 447 с. В данной методике акустическая мощность горения определяется через тепловую мощность горения факела по формуле:

$$W_a=W_{хим}*Ƞ, \quad (1)$$

где:

W_a – акустическая мощность, Вт;

$W_{хим}$ – химическая мощность, Вт;

Ƞ - коэффициент превращения химической мощности.

Уровень акустической мощности определяется по формуле:

$$L_w=10*Lg(W_a/10^{-12}), \quad (2)$$

где:

L_w – уровень акустической мощности, дБ.

В таблице А приведет подробный расчет уровня акустической мощности факела

Таблица А – Расчет акустической мощности факела

Величина	Расчет	Значение
Максимальный расход газа, сжигаемого факеле, м3/с	Данные технологической части ПД	27,8
Низшая теплота сгорания газа, ккал/м3	Данные технологической части ПД	10350
Тепловая мощность факела УГГ, ккал/с	=27,8*10350	287730
Тепловая мощность факела УГГ, ккал/ч	=287730*3600	1035828000
Тепловая мощность факела УГГ, Вт/ч	1 Вт/ч=0,86 ккал/ч	73129587,91
	= 1035828000 / 0,86	
Химическая мощность факела ($W_{хим}$), Вт/с	=73129587,91 / 3600	334569,7674
коэффициент превращения химической мощности (Ƞ)	для гула горения составляет $10^{-8} \div 10^{-6}$	10^{-6}
Акустическая мощность (W_a), Вт	расчет по формуле (3.1)	0,335
	=334569,7674*10^{-6}	
Уровень акустической мощности факела УГГ(Lw), дБ	расчет по формуле (3.2)	**115**
	=10*Log10(0,335/10^{-12})	

Акустические характеристики сепараторного оборудования приняты на основании каталога шумовых характеристик газотранспортного оборудования СТО Газпром 2-3.5-041-2005.

ОТКРЫТОЕ АКЦИОНЕРНОЕ ОБЩЕСТВО «ГАЗПРОМ»

ДОКУМЕНТЫ НОРМАТИВНЫЕ ДЛЯ ПРОЕКТИРОВАНИЯ, СТРОИТЕЛЬСТВА И ЭКСПЛУАТАЦИИ ОБЪЕКТОВ ОАО «ГАЗПРОМ»

КАТАЛОГ ШУМОВЫХ ХАРАКТЕРИСТИК ГАЗОТРАНСПОРТНОГО ОБОРУДОВАНИЯ

СТО ГАЗПРОМ 2-3.5-041-2005

двф дддм

Таблица 13 - Шумовая характеристика вспомогательного оборудования газотранспортных предприятий

Тип оборудования	Уровни звуковой мощности, дБ, в октавных полосах частот, Гц									Корректированный уровень звуковой мощности, дБА
	31,5	63	125	250	500	1000	2000	4000	8000	
Аппарат воздушного охлаждения	125	124	120	116	116	111	107	98	93	117
Блок топливной подготовки газа	120	118	114	109	108	112	111	105	100	117
Пылеуловитель	88	86	85	87	85	79	80	90	77	86
Фильтр-сепаратор	77	75	67	66	63	55	53	48	51	62
Контактор	74	71	73	69	61	52	51	45	49	57
Градирня	93	92	91	93	93	92	90	81	75	97
Свеча стравливания газа газомотокомпрессорных агрегатов	115	114	112	117	118	119	119	117	114	123
Автомобильная газонаполнительная компрессорная станция										
Запорная арматура	95	90	91	90	104	106	95	91	80	111
Свеча стравливания газа	89	85	87	96	115	119	115	100	87	124
Компрессор	95	92	94	96	108	112	95	91	84	117
Насосная склада ГСМ (насос)	106	104	103	95	93	101	107	99	82	112
Водоочистные сооружения										
Насос	77	74	75	74	73	77	76	75	57	81
Дизельная (дизель)	75	73	82	69	63	64	62	60	48	69
ЗРУ (запорная распределительная установка)	76	83	87	76	74	69	66	63	60	74
Компрессорная сжатого воздуха (компрессор)	105	90	86	101	106	95	90	90	78	99
Аккумуляторная (аккумулятор)	80	74	79	67	66	60	59	57	57	65

Примечание - Определение шумовых характеристик, приведенных в сводных таблицах 1-13, проводилось в соответствии с ГОСТ Р 51402, ГОСТ 12 2 016 4, [2]

Библиография

[1] Терехов А.Л. Исследования и снижение шума на компрессорных станциях. - М.: ООО «ИРЦ Газпром», 2002.

[2] Рекомендации ОАО «Газпром» Р 51-00158623-26-96 Методика измерений шумовых характеристик агрегатов с газотурбинным приводом

СОДЕРЖАНИЕ

Введение
1 Область применения
2 Нормативные ссылки
3 Сокращения
4 Основные источники шума газотранспортных предприятий
5 Сводные таблицы шумовых характеристик газотранспортного оборудования
Библиография

ФЕДЕРАЛЬНАЯ СЛУЖБА ПО ГИДРОМЕТЕОРОЛОГИИ
И МОНИТОРИНГУ ОКРУЖАЮЩЕЙ СРЕДЫ
(Росгидромет)
Ордена Трудового Красного Знамени
**ФЕДЕРАЛЬНОЕ ГОСУДАРСТВЕННОЕ
БЮДЖЕТНОЕ УЧРЕЖДЕНИЕ
«ГЛАВНАЯ ГЕОФИЗИЧЕСКАЯ ОБСЕРВАТОРИЯ
им. А.И. ВОЕЙКОВА»
(ФГБУ «ГГО»)**
194021, Санкт-Петербург, ул. Карбышева, д. 7
Тел.: (812) 297-43-90, 297-86-70, 297-86-80
Факс: (812) 297-86-61
E-mail: director@voeikovmgo.ru

30 МАЙ 2023 № 1882/25

На № _____ от _____

Генеральному директору
ООО «Фирма «Интеграл»
В.И. Лайхтману

191036, С.-Петербург,
ул. 4-я Советская,15 «Б»
тел/факс (812) 740-11-00

Уважаемый Виктор Исаакович!

В ответ на Ваш запрос направляю файл со специализированными метеорологическими и климатическими характеристиками для использования при расчетах значений среднегодовых концентраций загрязняющих веществ от выбросов предприятий (объектов), расположенных на территории г.Новый Уренгой, включая микрорайон Лимбяяха, пгт.Уренгой, ст.Фарафонтьевская (ЯНАО).

Направленные материалы могут применяться в ООО "Институт Южниигипрогаз" (г.Ростов-на-Дону) при проведении расчетов для указанных предприятий (объектов) по программе «Эколог», реализующей положения действующих «Методов расчетов рассеивания выбросов вредных (загрязняющих) веществ в атмосферном воздухе».

Представленный метеофайл может применяться в течение 5 лет с момента его выдачи.

Приложение: данные в формате УПРЗА «Эколог»/ «Средние»

Директор В.М. Катцов

УПРЗА “Эколог”

Расчетный уровень загрязнения атмосферы в районе расположения объектов Уренгойского НГКМ Самбургского ЛУ

(карты рассеивания**)**

Период строительства без фона

(максимально-разовые концентрации)

Отчет

Вариант расчета: ОАО АРКТИКГАЗ (77.22.006 ДКС 4-й этап) (11) - Строительство максимальные без фона (Расчет рассеивания по МРР-2017 , ЗИМА)
Код расчета: 0143 (Марганец и его соединения (в пересчете на марганец (IV) оксид))
Параметр: Концентрация вредного вещества (в долях ПДК)
Высота 2м

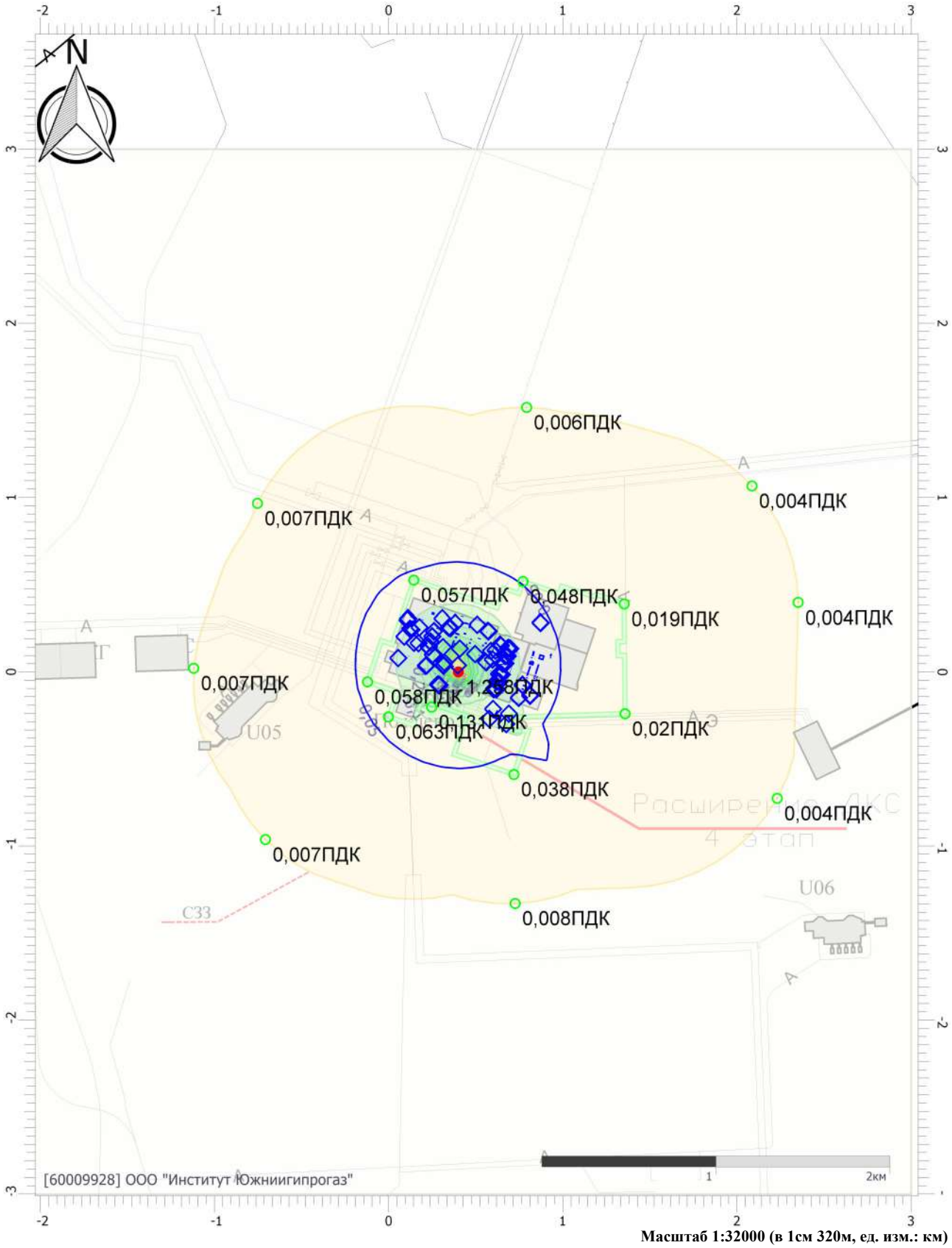

Масштаб 1:32000 (в 1см 320м, ед. изм.: км)

Цветовая схема (ПДК)



Отчет

Вариант расчета: ОАО АРКТИКГАЗ (77.22.006 ДКС 4-й этап) (11) - Строительство максимальные без фона (Расчет рассеивания по МРР-2017 , ЗИМА)
Код расчета: 0301 (Азота диоксид (Двуокись азота; пероксид азота))
Параметр: Концентрация вредного вещества (в долях ПДК)
Высота 2м

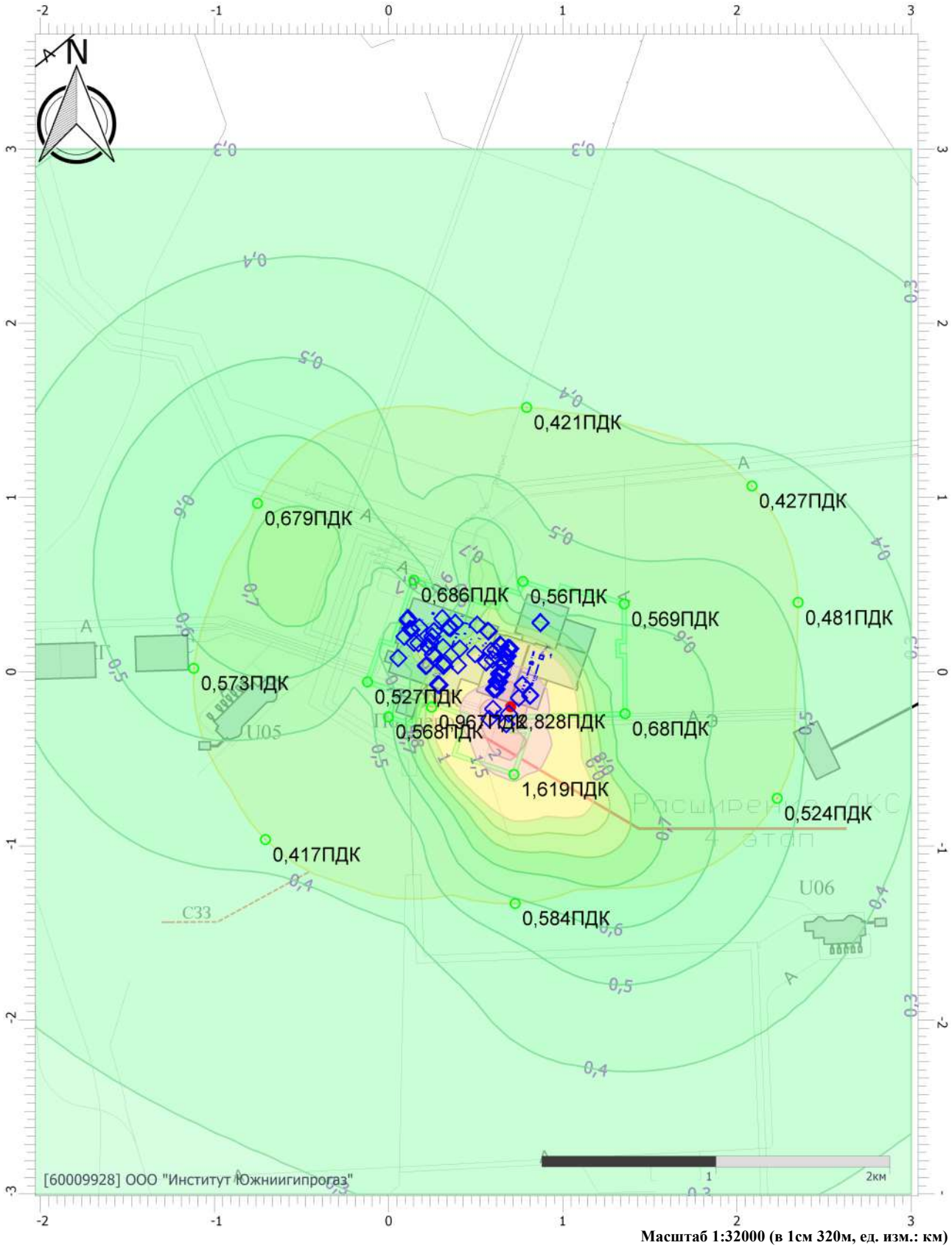

Масштаб 1:32000 (в 1см 320м, ед. изм.: км)

Цветовая схема (ПДК)

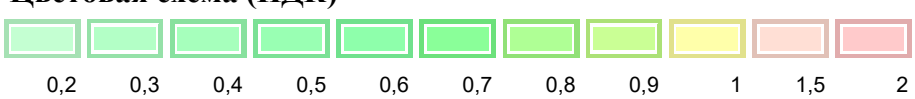

Отчет

Вариант расчета: ОАО АРКТИКГАЗ (77.22.006 ДКС 4-й этап) (11) - Строительство максимальные без фона (Расчет рассеивания по МРР-2017 , ЗИМА)
Код расчета: 0304 (Азот (II) оксид (Азот монооксид))
Параметр: Концентрация вредного вещества (в долях ПДК)
Высота 2м

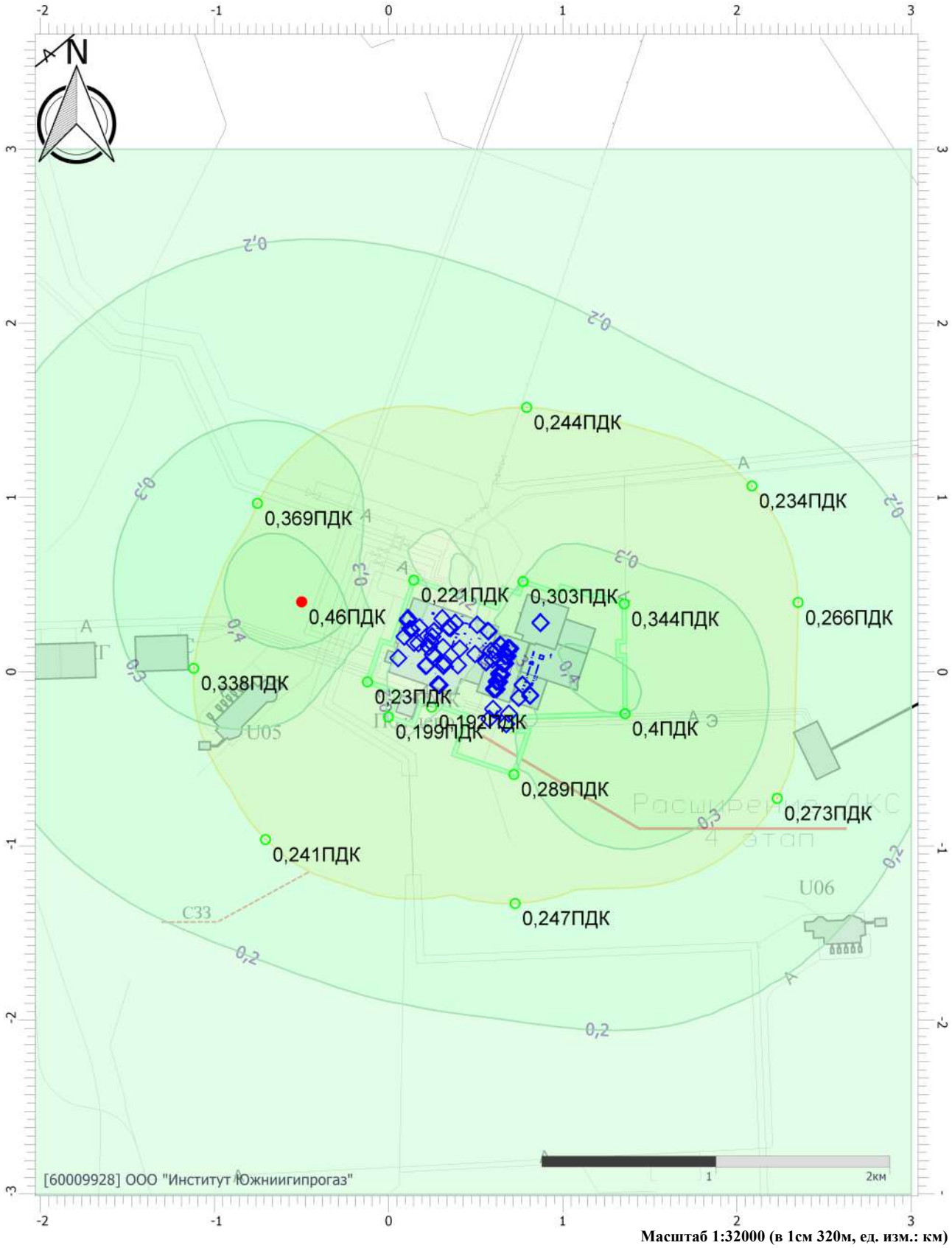

Масштаб 1:32000 (в 1см 320м, ед. изм.: км)

Цветовая схема (ПДК)

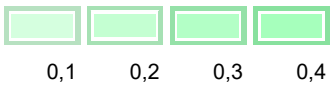

Отчет

Вариант расчета: ОАО АРКТИКГАЗ (77.22.006 ДКС 4-й этап) (11) - Строительство максимальные без фона (Расчет рассеивания по МРР-2017 , ЗИМА)
Код расчета: 0328 (Углерод (Пигмент черный))
Параметр: Концентрация вредного вещества (в долях ПДК)
Высота 2м

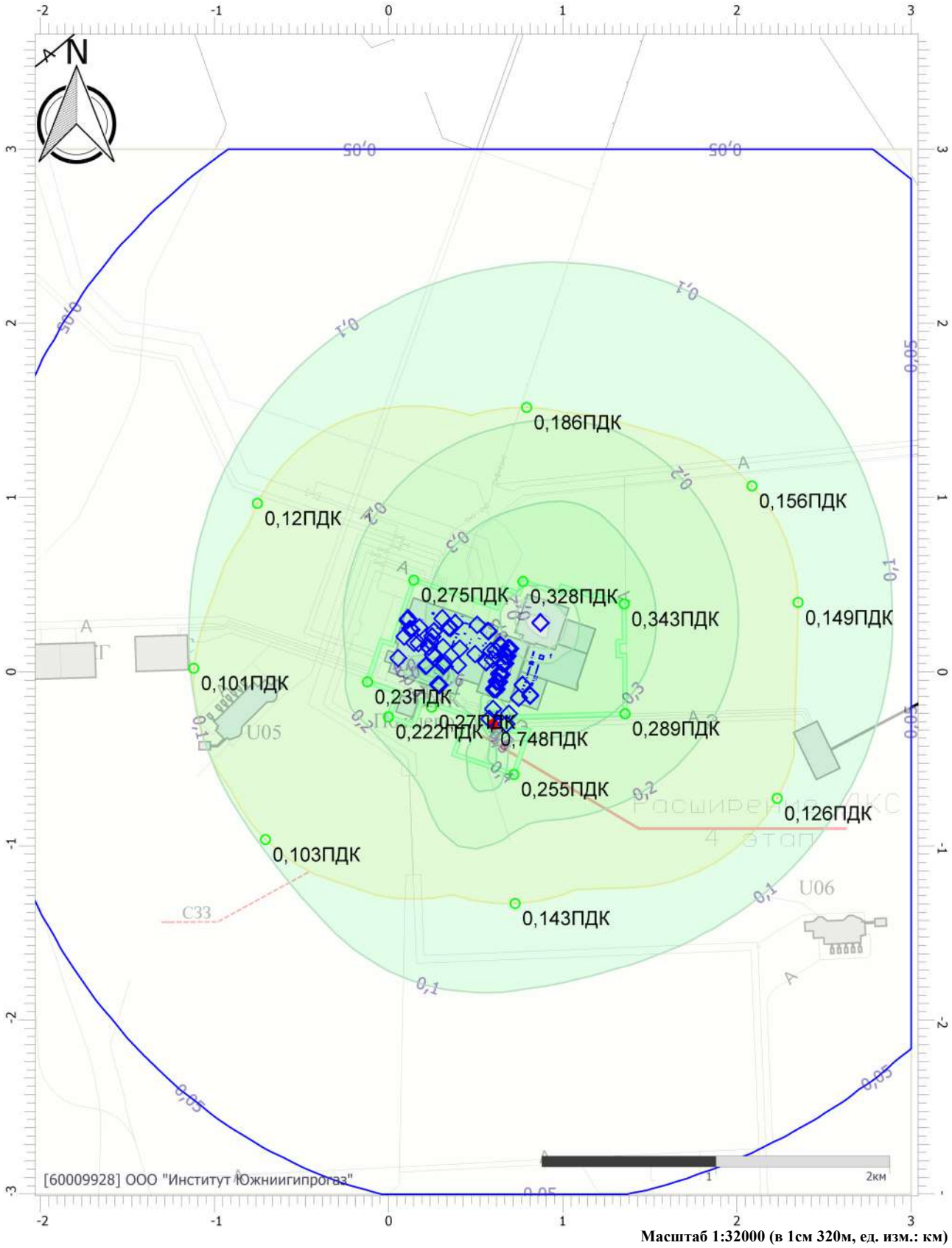

Масштаб 1:32000 (в 1см 320м, ед. изм.: км)

Цветовая схема (ПДК)



Отчет

Вариант расчета: ОАО АРКТИКГАЗ (77.22.006 ДКС 4-й этап) (11) - Строительство максимальные без фона (Расчет рассеивания по МРР-2017 , ЗИМА)
Код расчета: 0330 (Сера диоксид)
Параметр: Концентрация вредного вещества (в долях ПДК)
Высота 2м

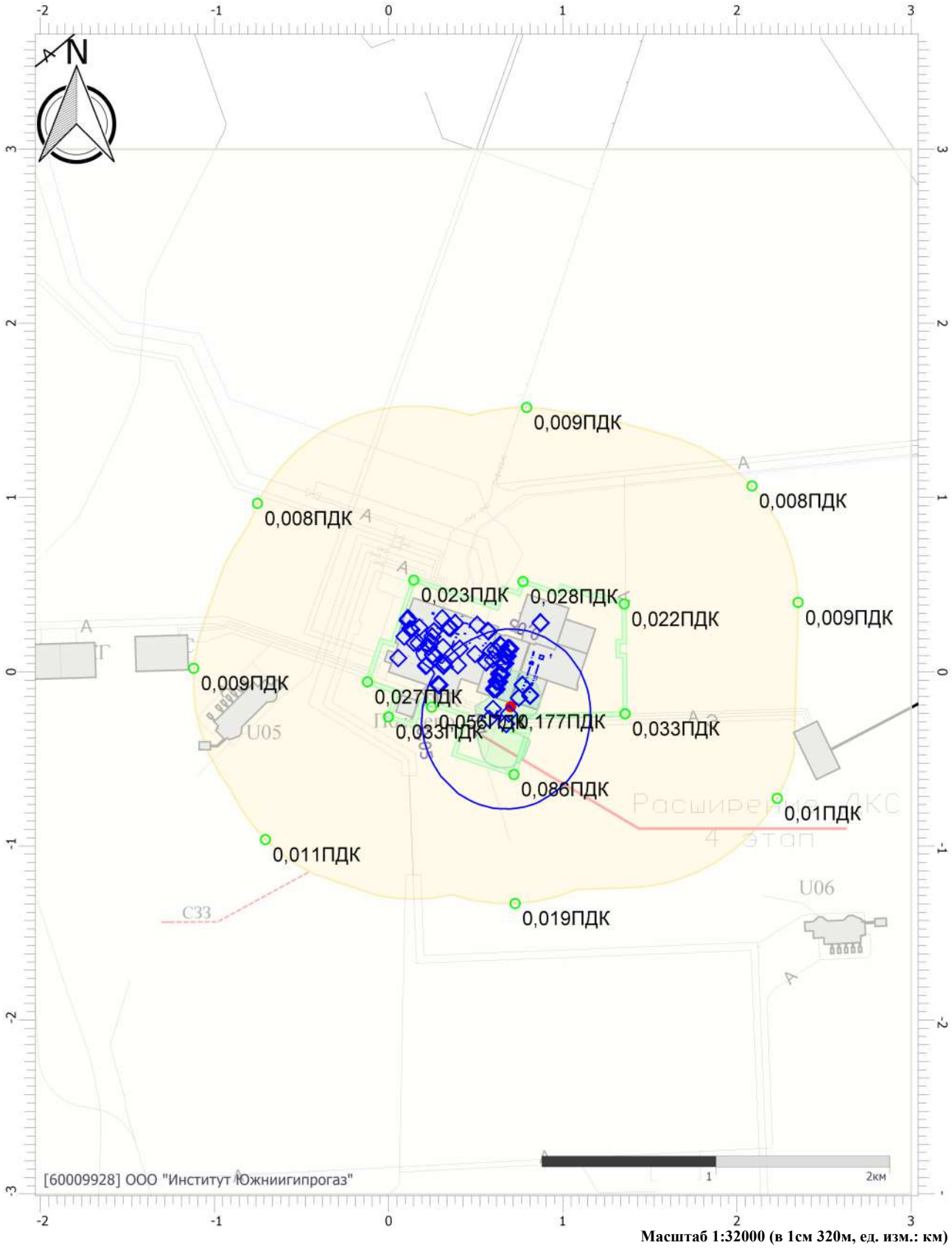

Масштаб 1:32000 (в 1см 320м, ед. изм.: км)

Цветовая схема (ПДК)

0,05 0,1

Отчет

Вариант расчета: ОАО АРКТИКГАЗ (77.22.006 ДКС 4-й этап) (11) - Строительство максимальные без фона (Расчет рассеивания по МРР-2017 , ЗИМА)
Код расчета: 0333 (Дигидросульфид (Водород сернистый, дигидросульфид, гидросульфид))
Параметр: Концентрация вредного вещества (в долях ПДК)
Высота 2м

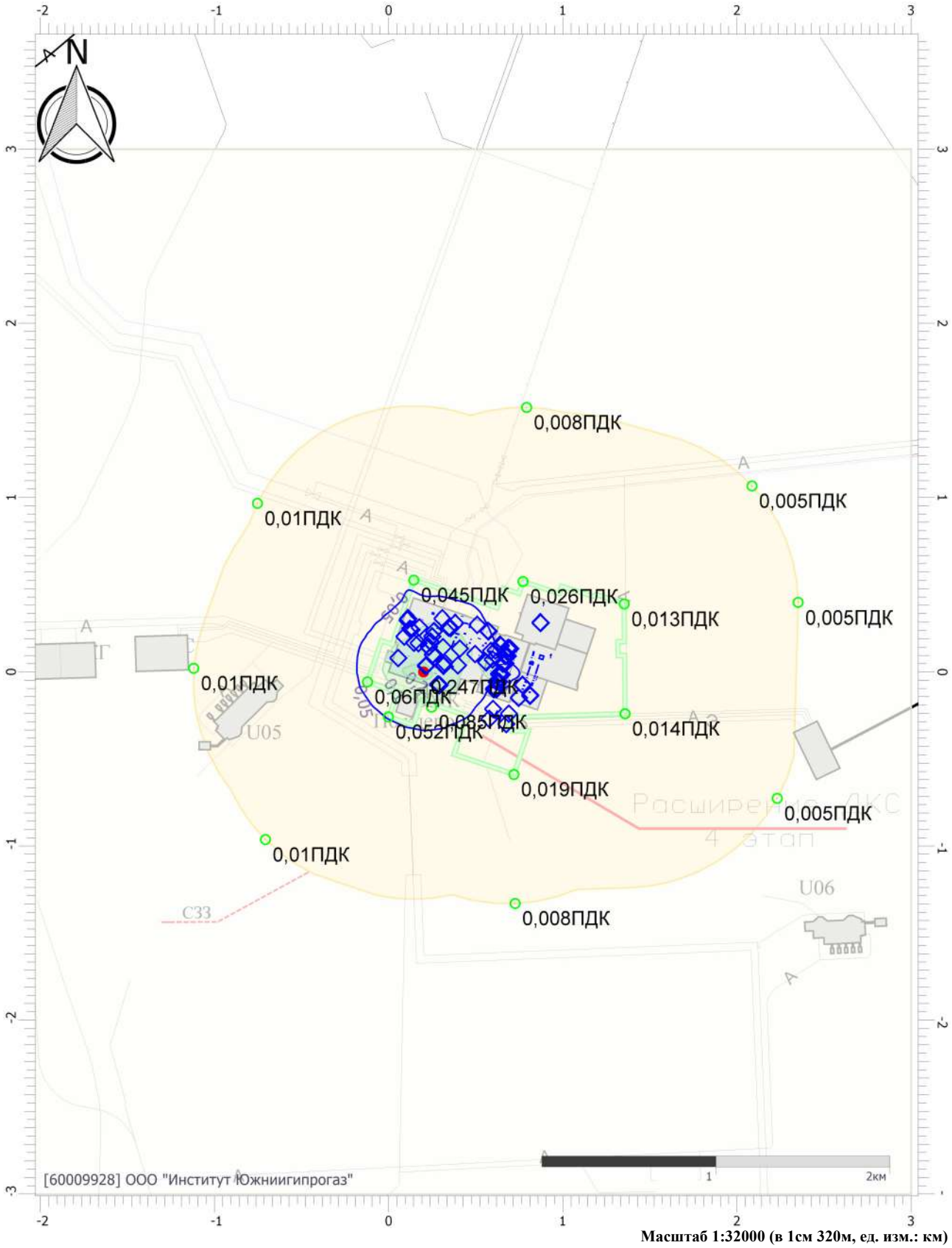

Масштаб 1:32000 (в 1см 320м, ед. изм.: км)

Цветовая схема (ПДК)



Отчет

Вариант расчета: ОАО АРКТИКГАЗ (77.22.006 ДКС 4-й этап) (11) - Строительство максимальные без фона (Расчет рассеивания по МРР-2017 , ЗИМА)
Код расчета: 0337 (Углерода оксид (Углерод окись; углерод моноокись; угарный газ))
Параметр: Концентрация вредного вещества (в долях ПДК)
Высота 2м

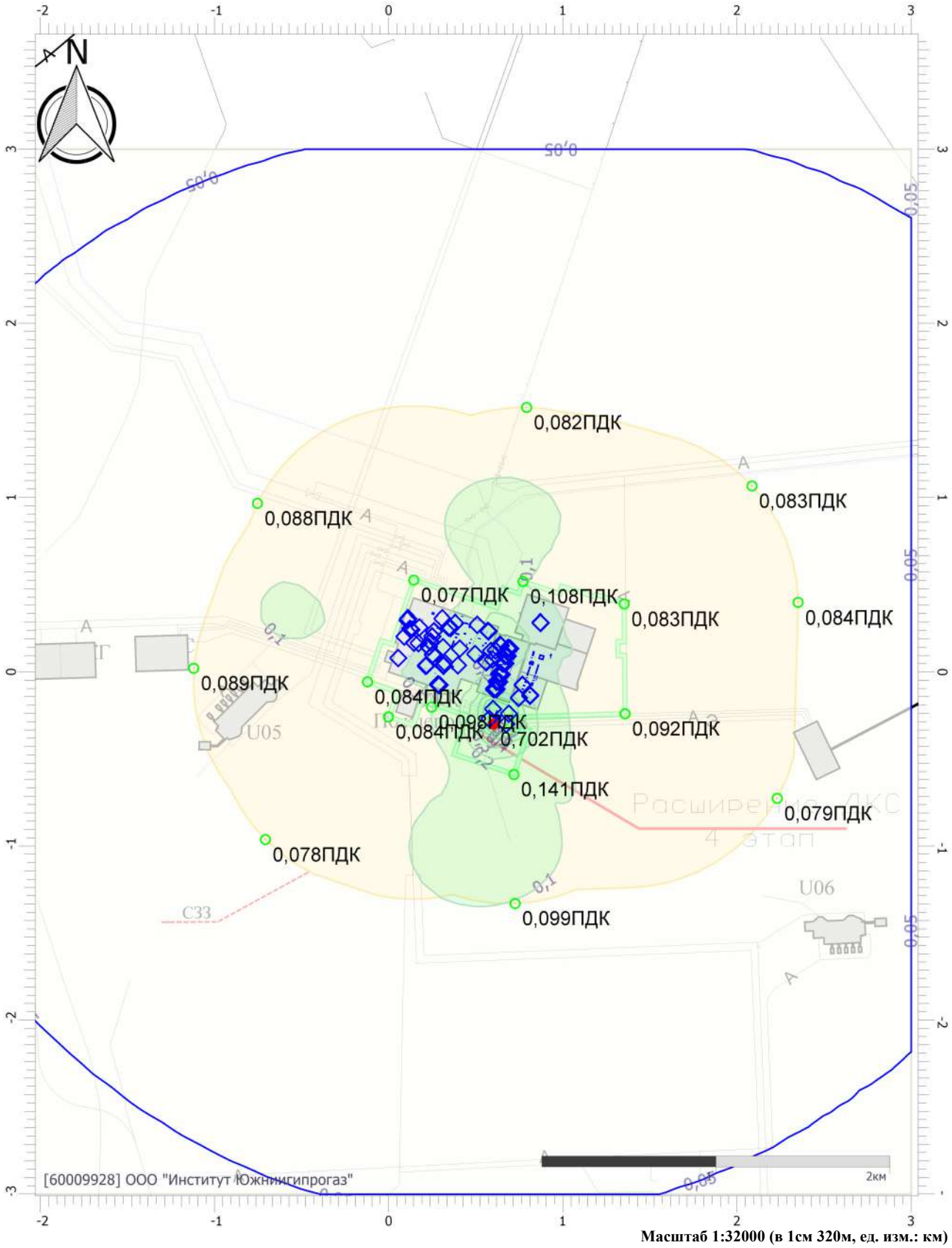

Масштаб 1:32000 (в 1см 320м, ед. изм.: км)

Цветовая схема (ПДК)



Отчет

Вариант расчета: ОАО АРКТИКГАЗ (77.22.006 ДКС 4-й этап) (11) - Строительство максимальные без фона (Расчет рассеивания по МРР-2017 , ЗИМА)
Код расчета: 0342 (Фториды газообразные)
Параметр: Концентрация вредного вещества (в долях ПДК)
Высота 2м

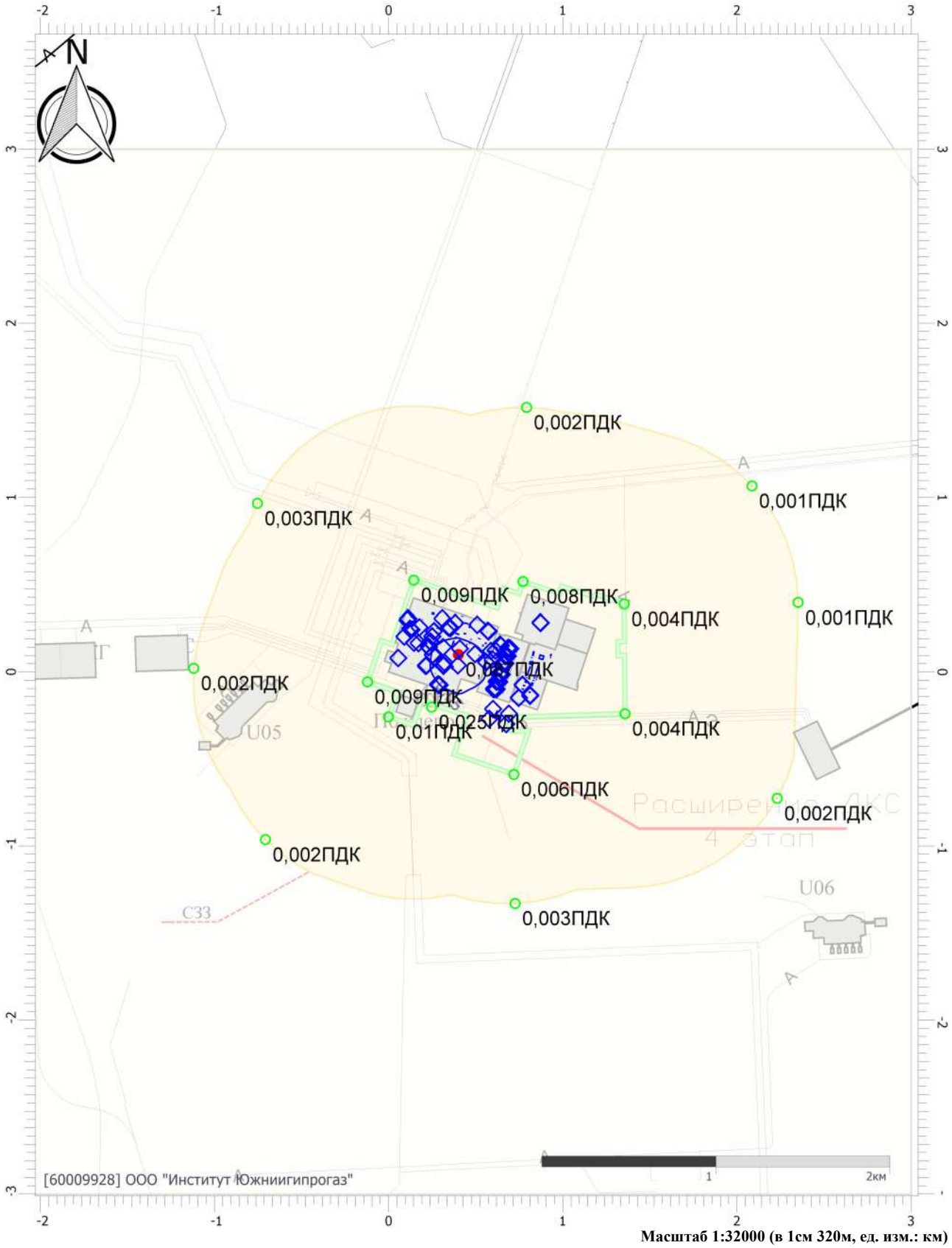

Масштаб 1:32000 (в 1см 320м, ед. изм.: км)

Цветовая схема (ПДК)

0,05

Отчет

Вариант расчета: ОАО АРКТИКГАЗ (77.22.006 ДКС 4-й этап) (11) - Строительство максимальные без фона (Расчет рассеивания по МРР-2017 , ЗИМА)
Код расчета: 0344 (Фториды плохо растворимые)
Параметр: Концентрация вредного вещества (в долях ПДК)
Высота 2м

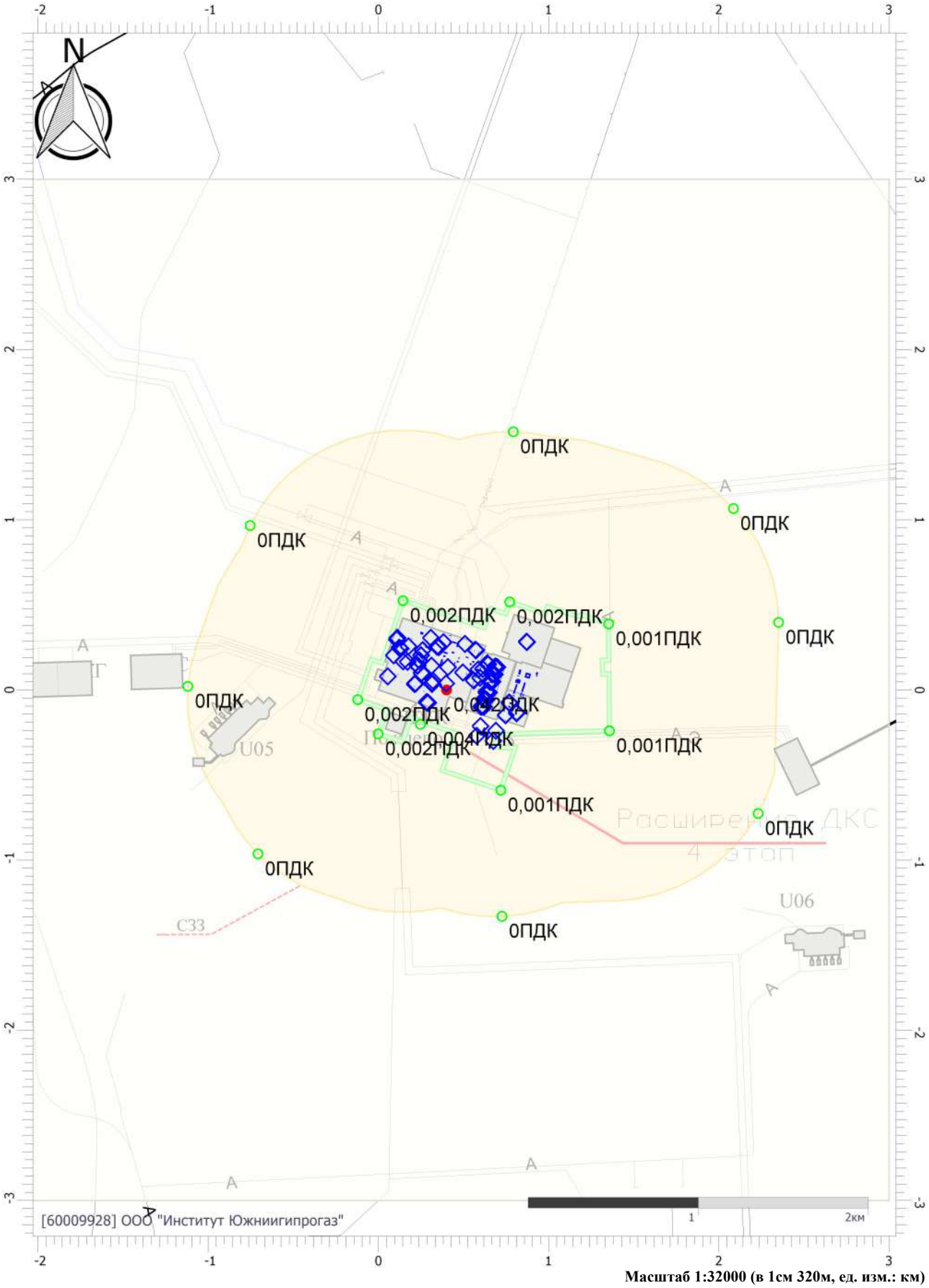

Масштаб 1:32000 (в 1см 320м, ед. изм.: км)

Цветовая схема (ПДК)

Отчет

Вариант расчета: ОАО АРКТИКГАЗ (77.22.006 ДКС 4-й этап) (11) - Строительство максимальные без фона (Расчет рассеивания по МРР-2017 , ЗИМА)
Код расчета: 0616 (Диметилбензол (смесь о-, м-, п- изомеров) (Метилтолуол))
Параметр: Концентрация вредного вещества (в долях ПДК)
Высота 2м

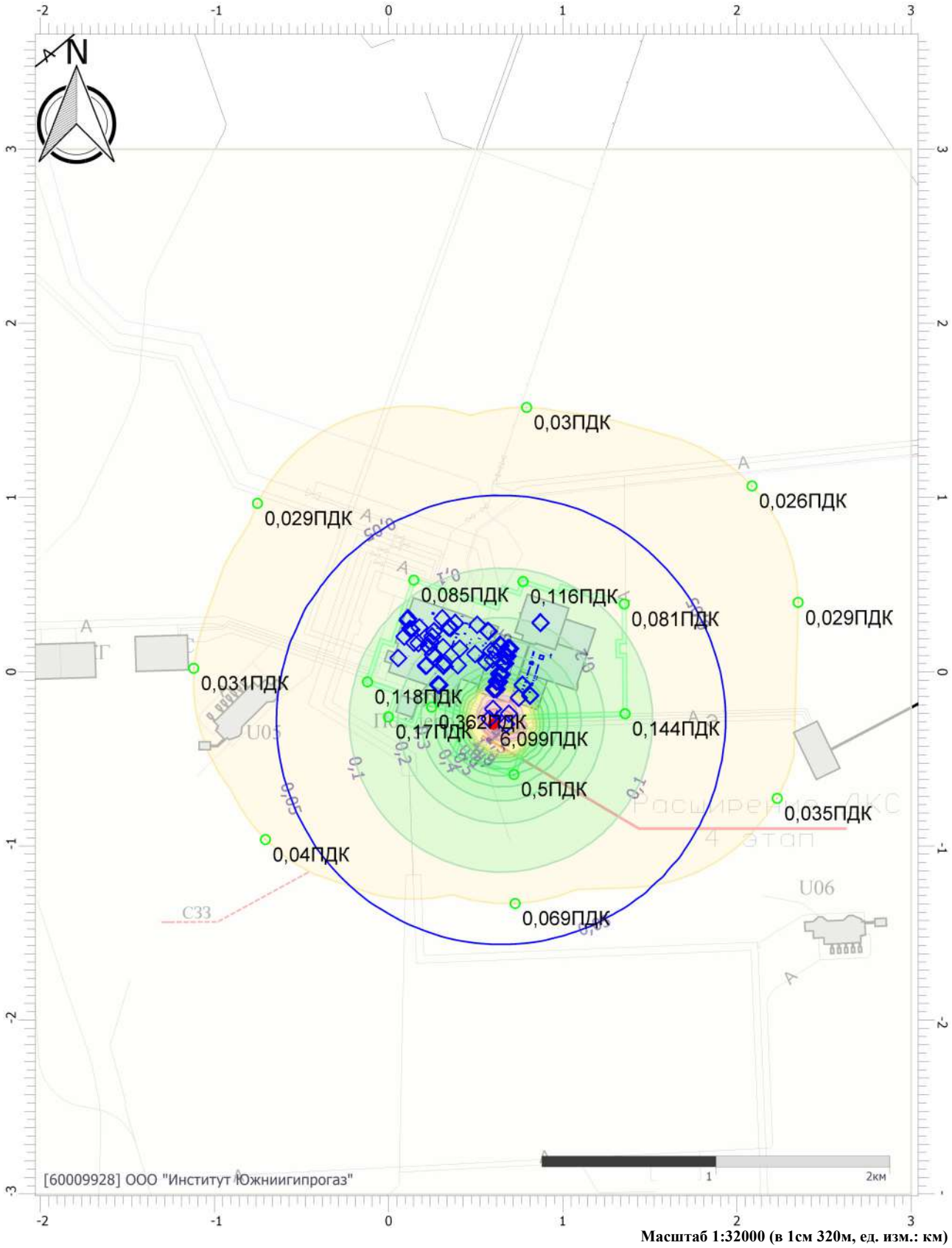

Масштаб 1:32000 (в 1см 320м, ед. изм.: км)

Цветовая схема (ПДК)

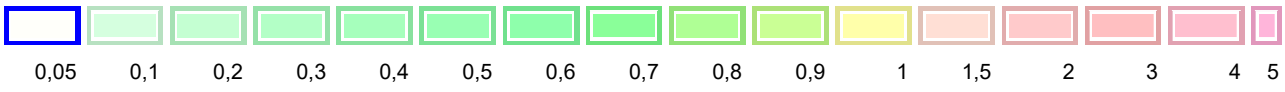

Отчет

Вариант расчета: ОАО АРКТИКГАЗ (77.22.006 ДКС 4-й этап) (11) - Строительство максимальные без фона (Расчет рассеивания по МРР-2017 , ЗИМА)
Код расчета: 0621 (Метилбензол (Фенилметан))
Параметр: Концентрация вредного вещества (в долях ПДК)
Высота 2м

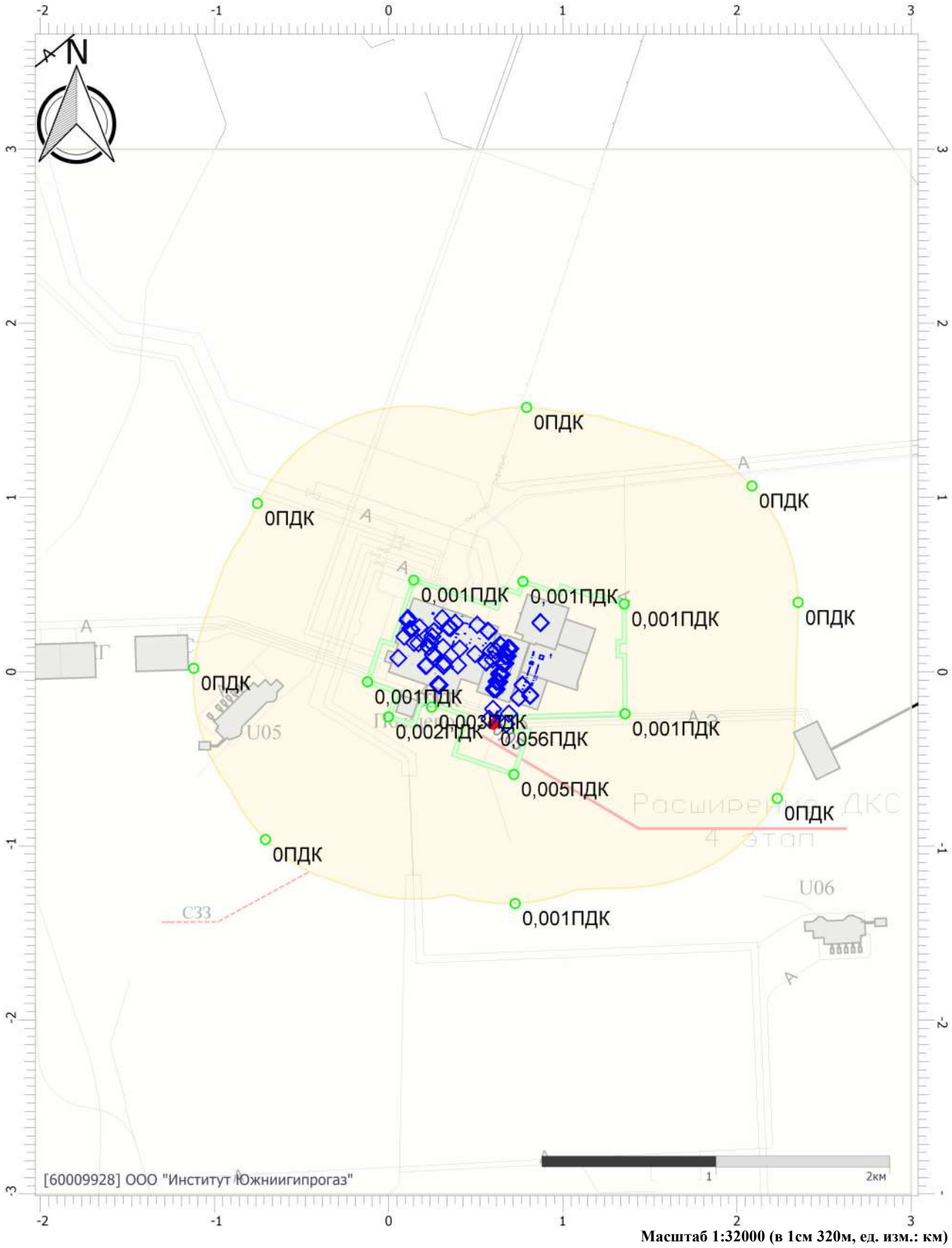

Масштаб 1:32000 (в 1см 320м, ед. изм.: км)

Цветовая схема (ПДК)

0,05

Отчет

Вариант расчета: ОАО АРКТИКГАЗ (77.22.006 ДКС 4-й этап) (11) - Строительство максимальные без фона (Расчет рассеивания по МРР-2017 , ЗИМА)
Код расчета: 1061 (Этанол (Этиловый спирт; метилкарбинол))
Параметр: Концентрация вредного вещества (в долях ПДК)
Высота 2м

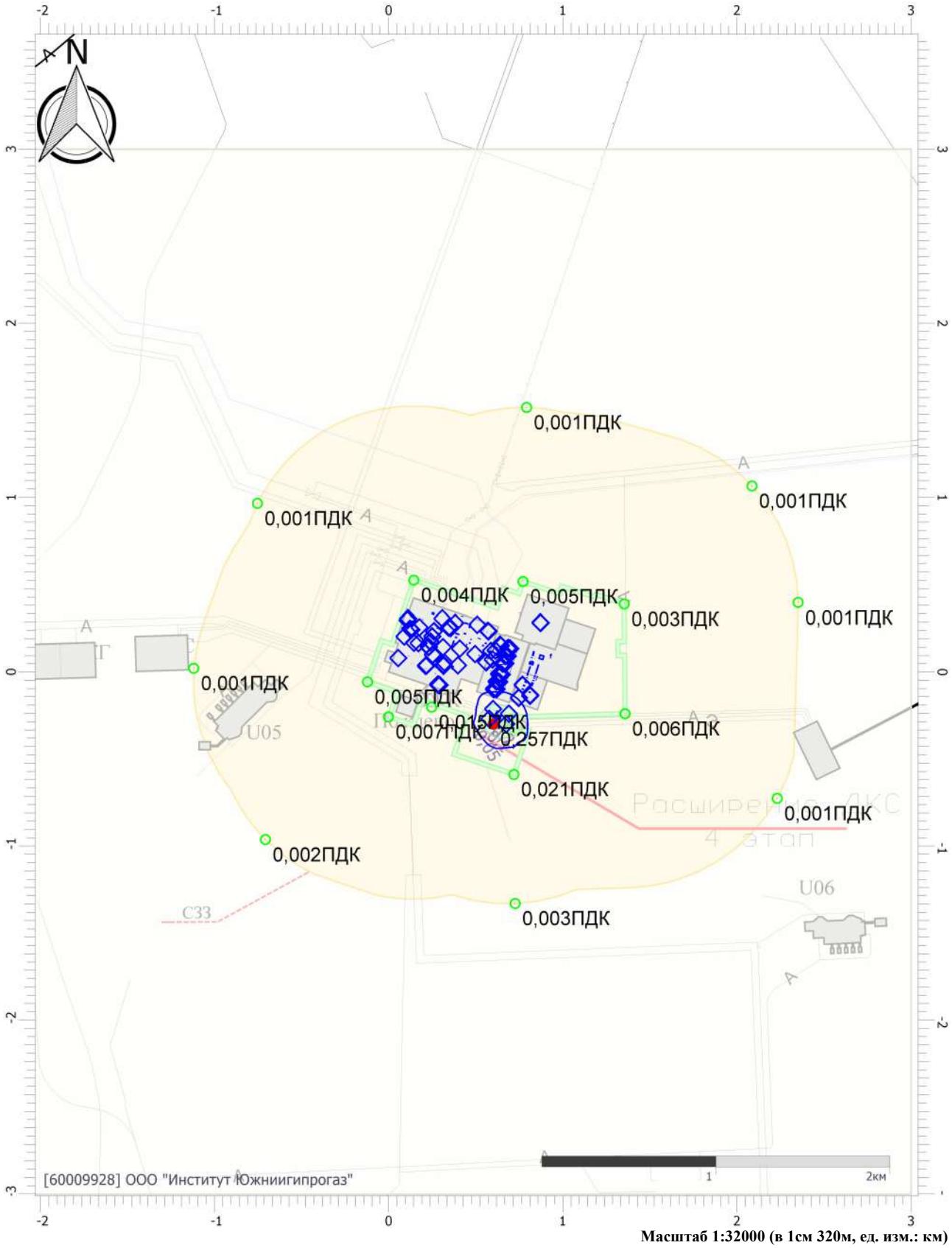

Масштаб 1:32000 (в 1см 320м, ед. изм.: км)

Цветовая схема (ПДК)



Отчет

Вариант расчета: ОАО АРКТИКГАЗ (77.22.006 ДКС 4-й этап) (11) - Строительство максимальные без фона (Расчет рассеивания по МРР-2017 , ЗИМА)
Код расчета: 1071 (Гидроксибензол)
Параметр: Концентрация вредного вещества (в долях ПДК)
Высота 2м

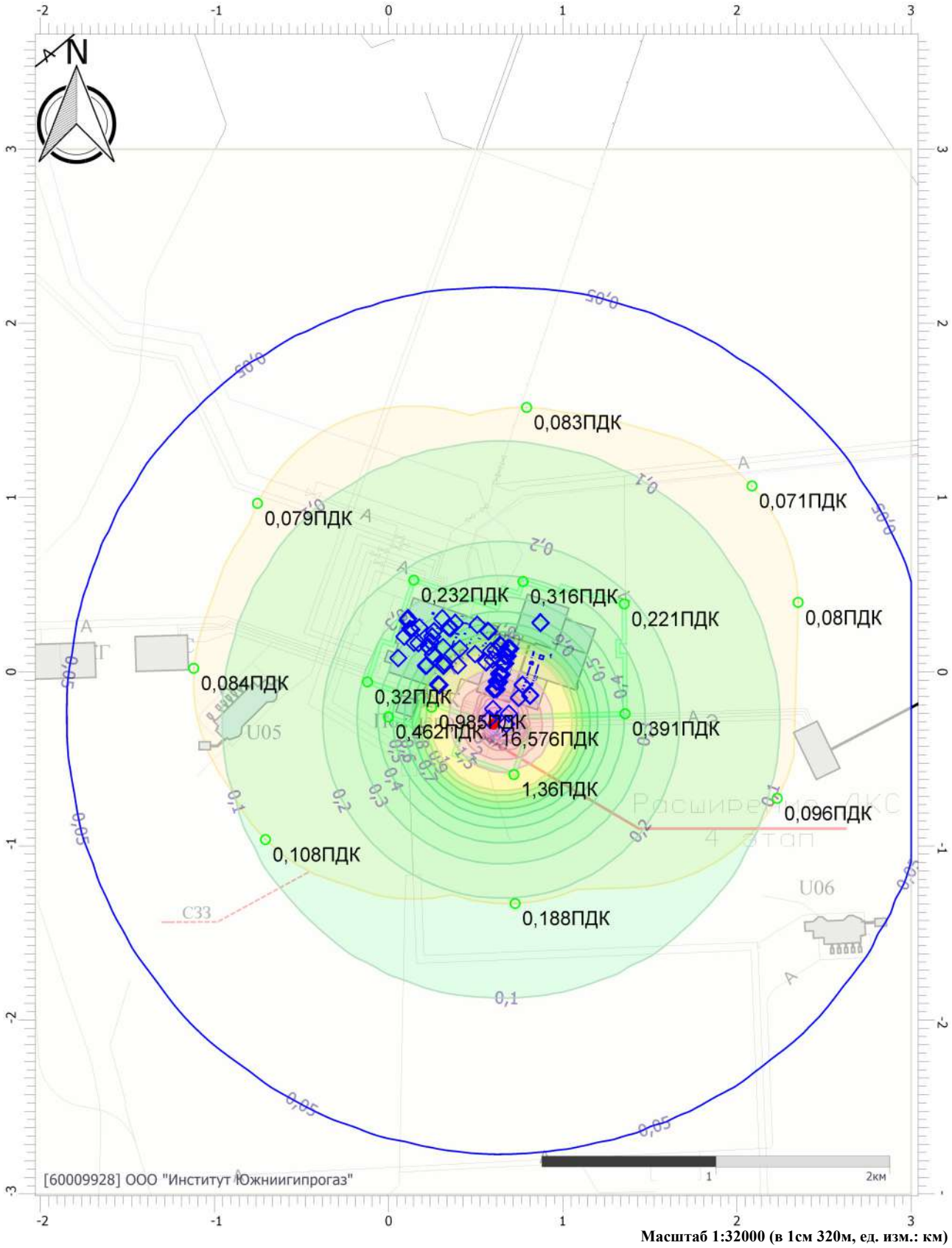

Масштаб 1:32000 (в 1см 320м, ед. изм.: км)

Цветовая схема (ПДК)

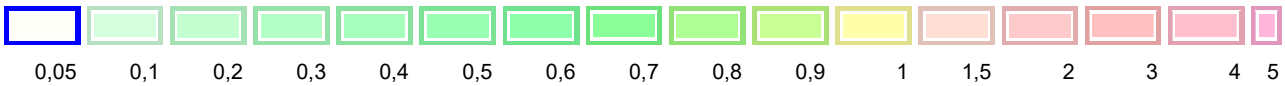

Отчет

Вариант расчета: ОАО АРКТИКГАЗ (77.22.006 ДКС 4-й этап) (11) - Строительство максимальные без фона (Расчет рассеивания по МРР-2017 , ЗИМА)
Код расчета: 1119 (Этиловый эфир этиленгликоля)
Параметр: Концентрация вредного вещества (в долях ПДК)
Высота 2м

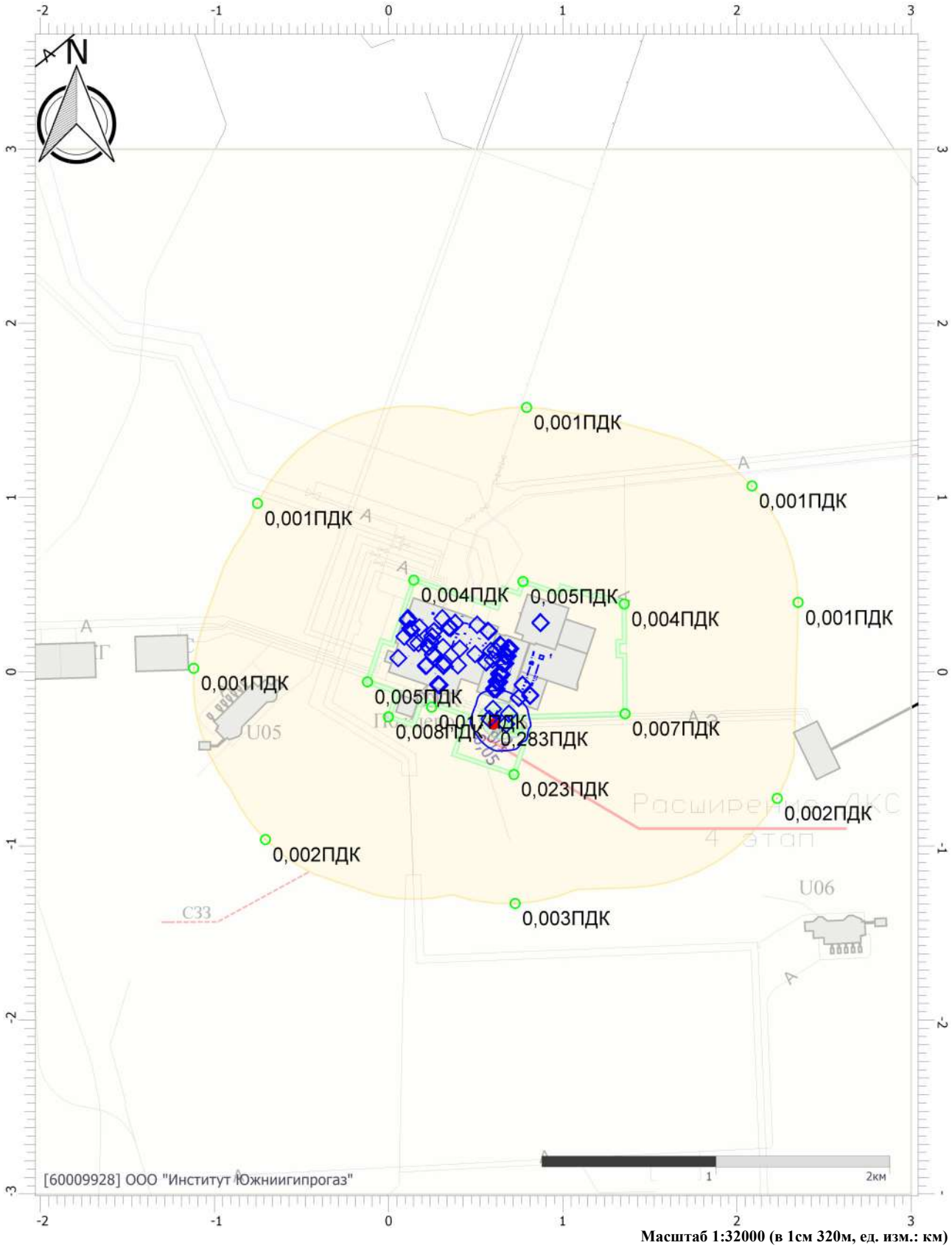

Масштаб 1:32000 (в 1см 320м, ед. изм.: км)

Цветовая схема (ПДК)

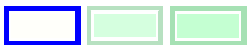

Отчет

Вариант расчета: ОАО АРКТИКГАЗ (77.22.006 ДКС 4-й этап) (11) - Строительство максимальные без фона (Расчет рассеивания по МРР-2017 , ЗИМА)
Код расчета: 1210 (Бутилацетат (Бутиловый эфир уксусной кислоты))
Параметр: Концентрация вредного вещества (в долях ПДК)
Высота 2м

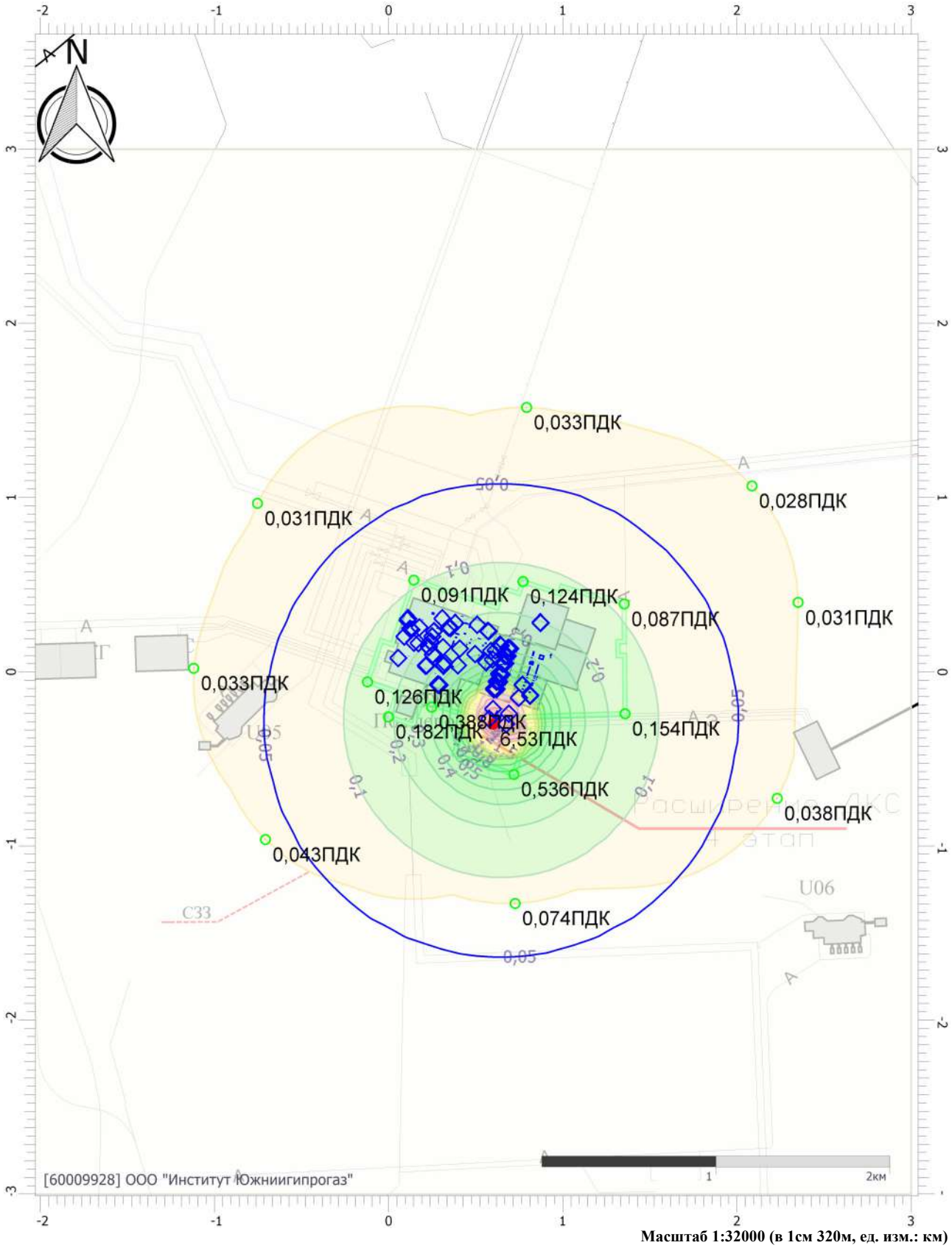

Масштаб 1:32000 (в 1см 320м, ед. изм.: км)

Цветовая схема (ПДК)

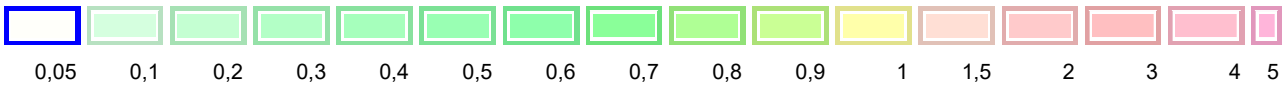

Отчет

Вариант расчета: ОАО АРКТИКГАЗ (77.22.006 ДКС 4-й этап) (11) - Строительство максимальные без фона (Расчет рассеивания по МРР-2017 , ЗИМА)
Код расчета: 1325 (Формальдегид (Муравьиный альдегид, оксометан, метиленоксид))
Параметр: Концентрация вредного вещества (в долях ПДК)
Высота 2м

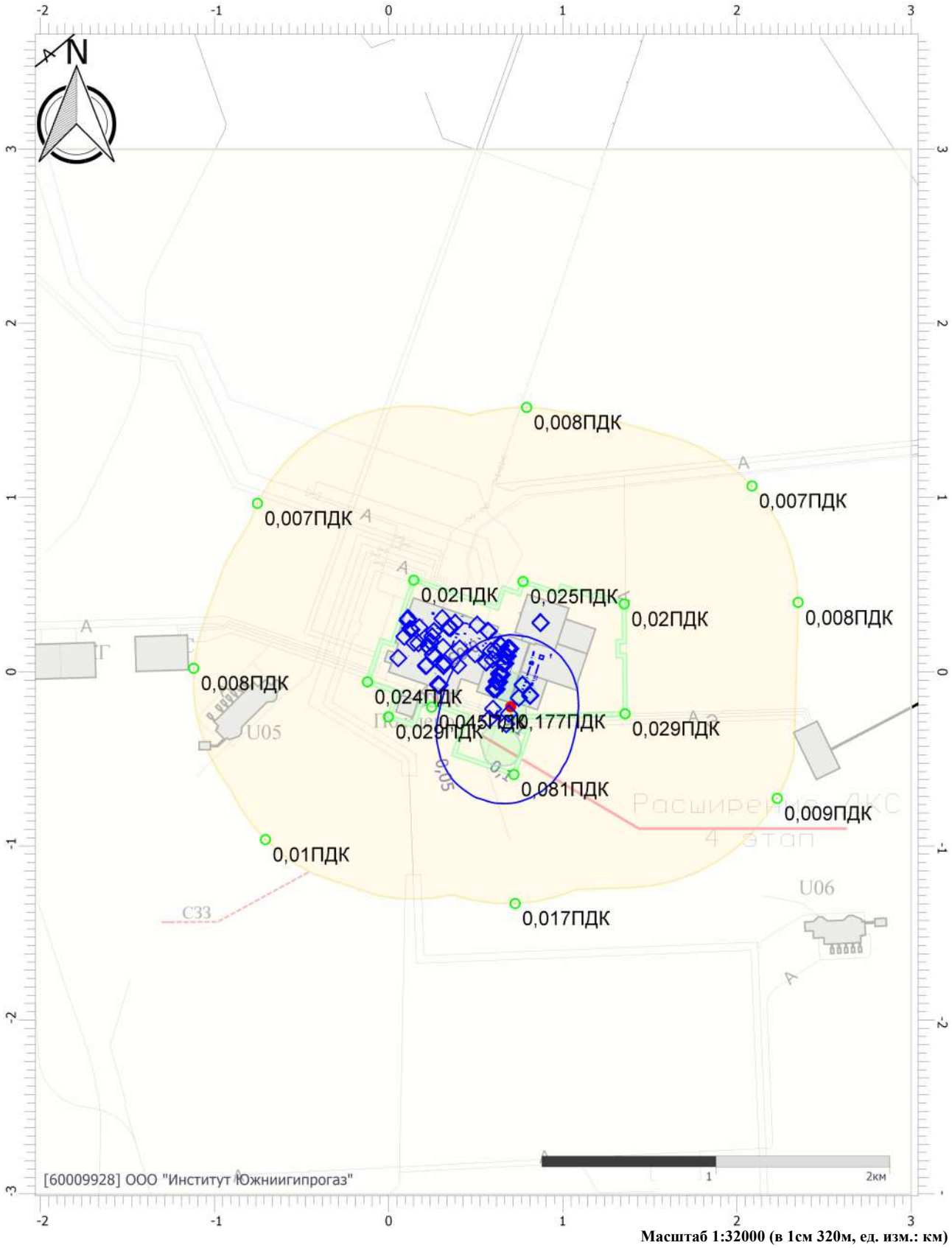

Масштаб 1:32000 (в 1см 320м, ед. изм.: км)

Цветовая схема (ПДК)



0,05 0,1

Отчет

Вариант расчета: ОАО АРКТИКГАЗ (77.22.006 ДКС 4-й этап) (11) - Строительство максимальные без фона (Расчет рассеивания по МРР-2017 , ЗИМА)
Код расчета: 1401 (Пропан-2-он (Диметилкетон; диметилформальдегид))
Параметр: Концентрация вредного вещества (в долях ПДК)
Высота 2м

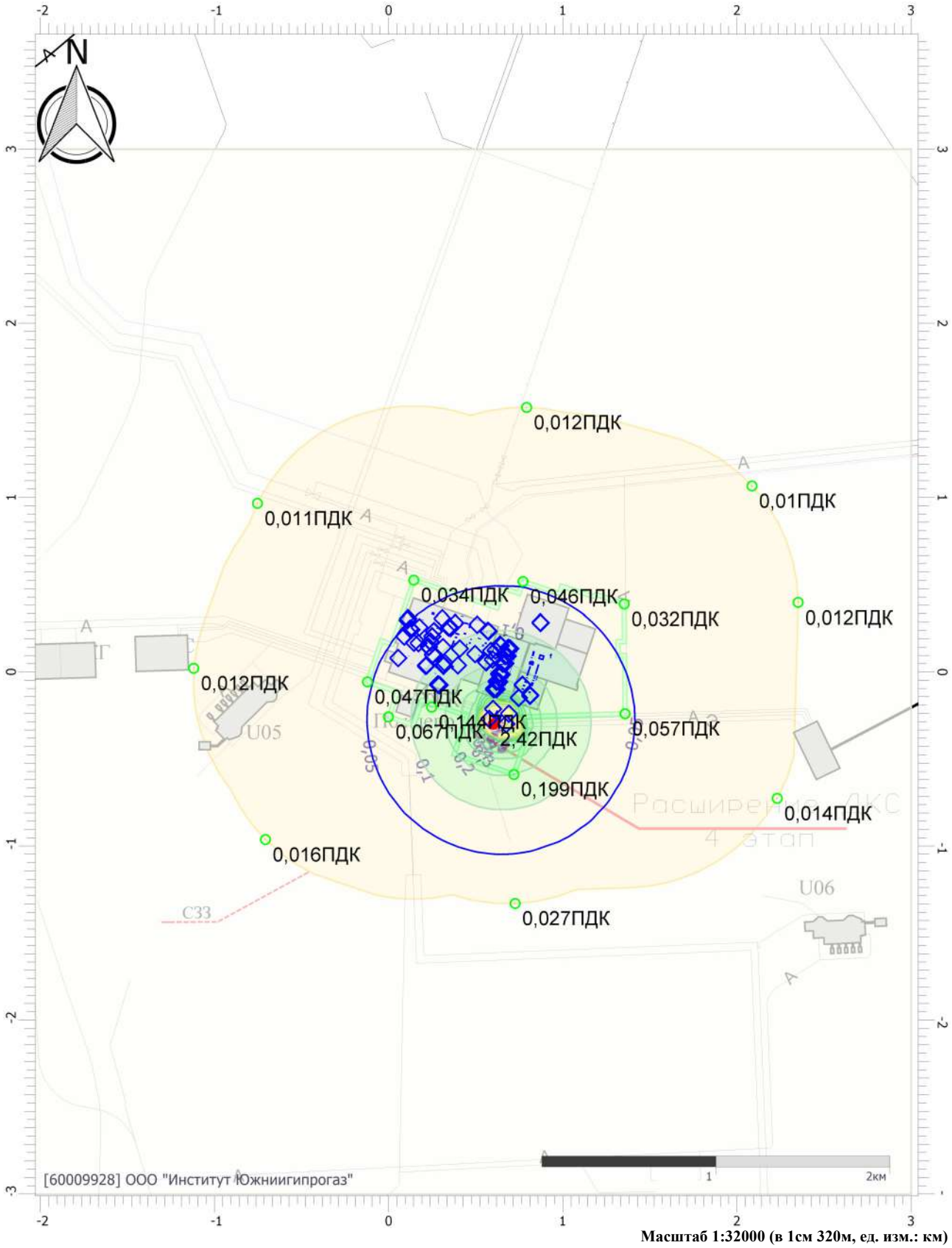

Масштаб 1:32000 (в 1см 320м, ед. изм.: км)

Цветовая схема (ПДК)



Отчет

Вариант расчета: ОАО АРКТИКГАЗ (77.22.006 ДКС 4-й этап) (11) - Строительство максимальные без фона (Расчет рассеивания по МРР-2017 , ЗИМА)
Код расчета: 2732 (Керосин (Керосин прямой перегонки; керосин дезодорированный))
Параметр: Концентрация вредного вещества (в долях ПДК)
Высота 2м

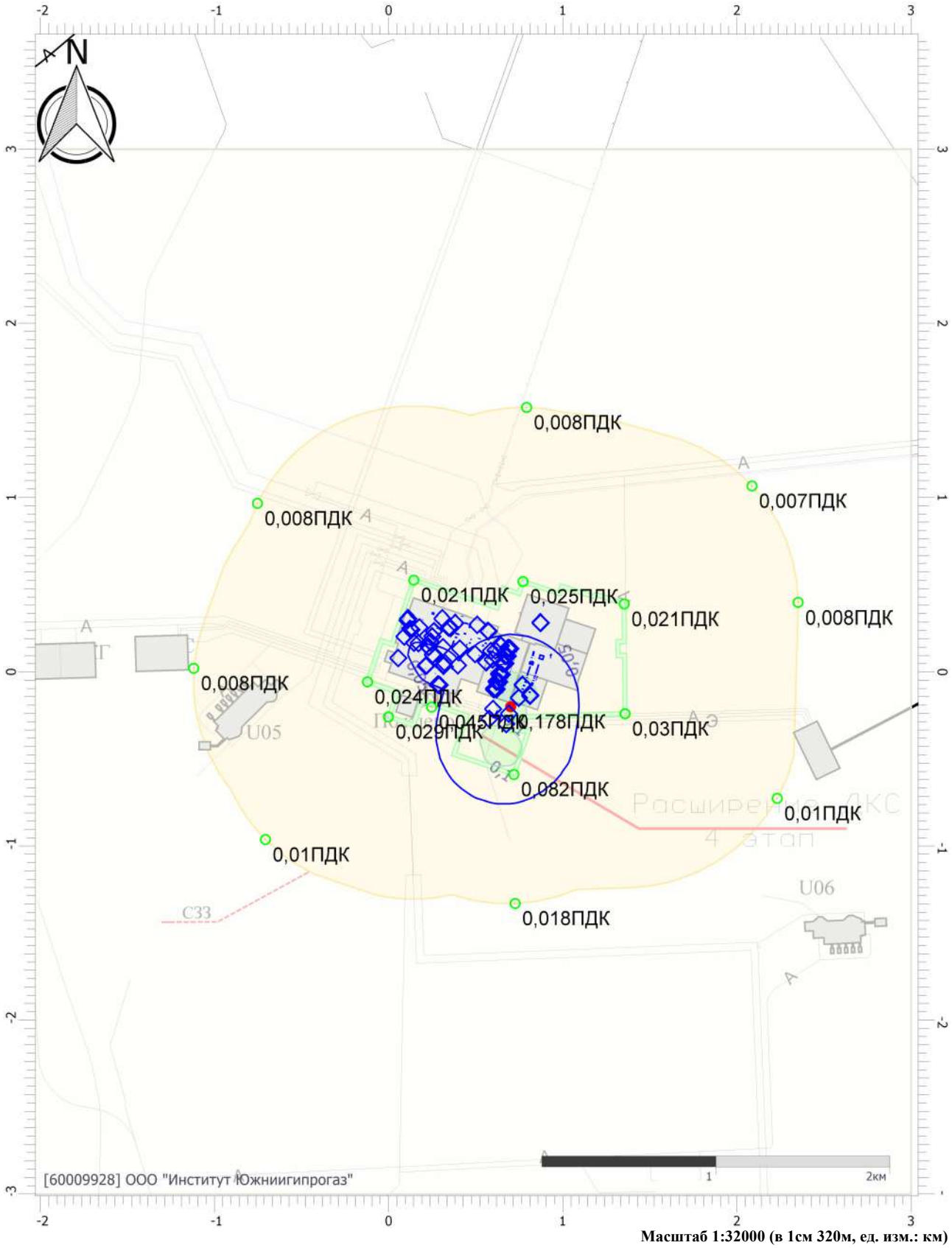

Масштаб 1:32000 (в 1см 320м, ед. изм.: км)

Цветовая схема (ПДК)

0,05 0,1

Отчет

Вариант расчета: ОАО АРКТИКГАЗ (77.22.006 ДКС 4-й этап) (11) - Строительство максимальные без фона (Расчет рассеивания по МРР-2017 , ЗИМА)
Код расчета: 2752 (Уайт-спирит)
Параметр: Концентрация вредного вещества (в долях ПДК)
Высота 2м

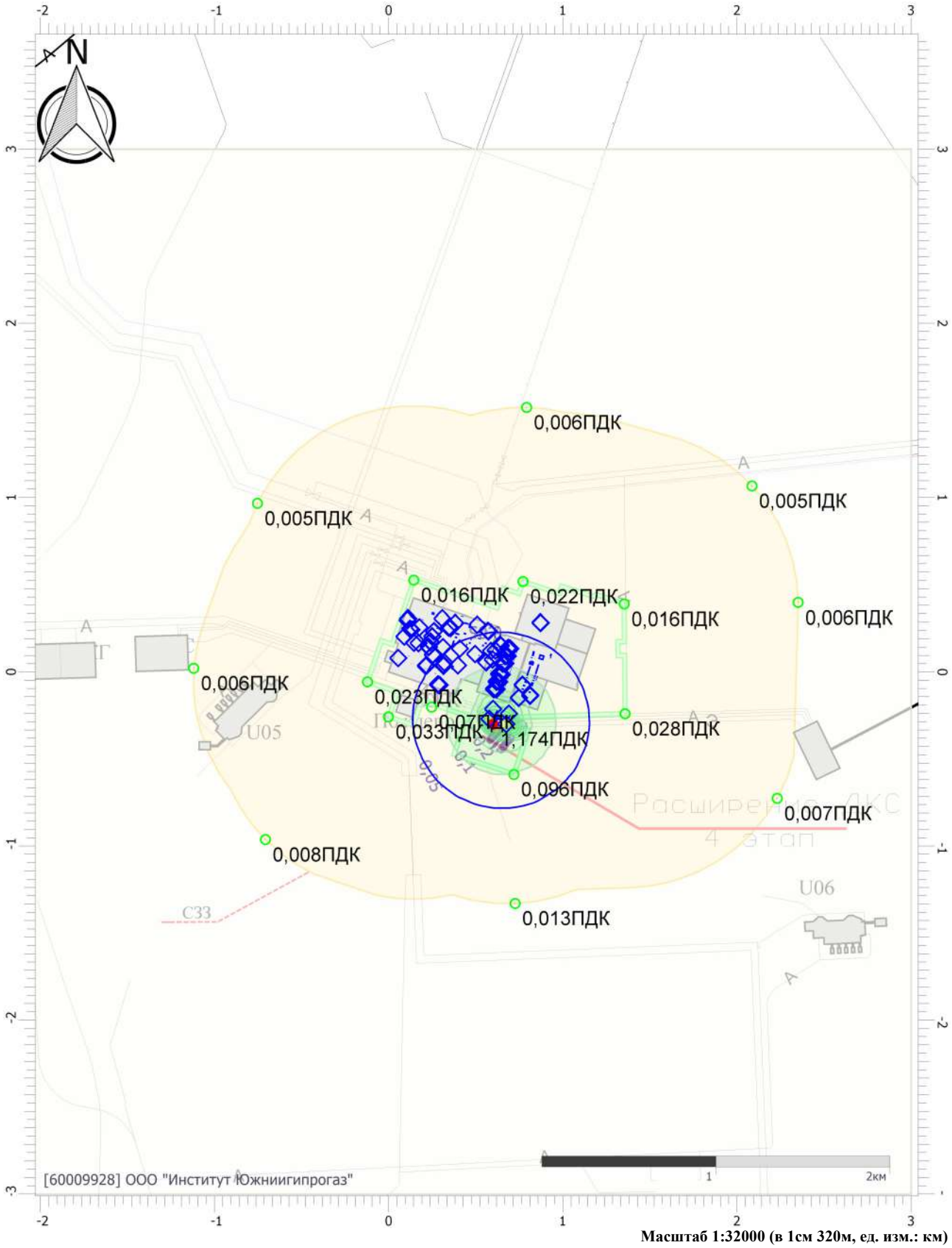

Масштаб 1:32000 (в 1см 320м, ед. изм.: км)

Цветовая схема (ПДК)



Отчет

Вариант расчета: ОАО АРКТИКГАЗ (77.22.006 ДКС 4-й этап) (11) - Строительство максимальные без фона (Расчет рассеивания по МРР-2017 , ЗИМА)
Код расчета: 2754 (Алканы С12-С19 (в пересчете на С))
Параметр: Концентрация вредного вещества (в долях ПДК)
Высота 2м

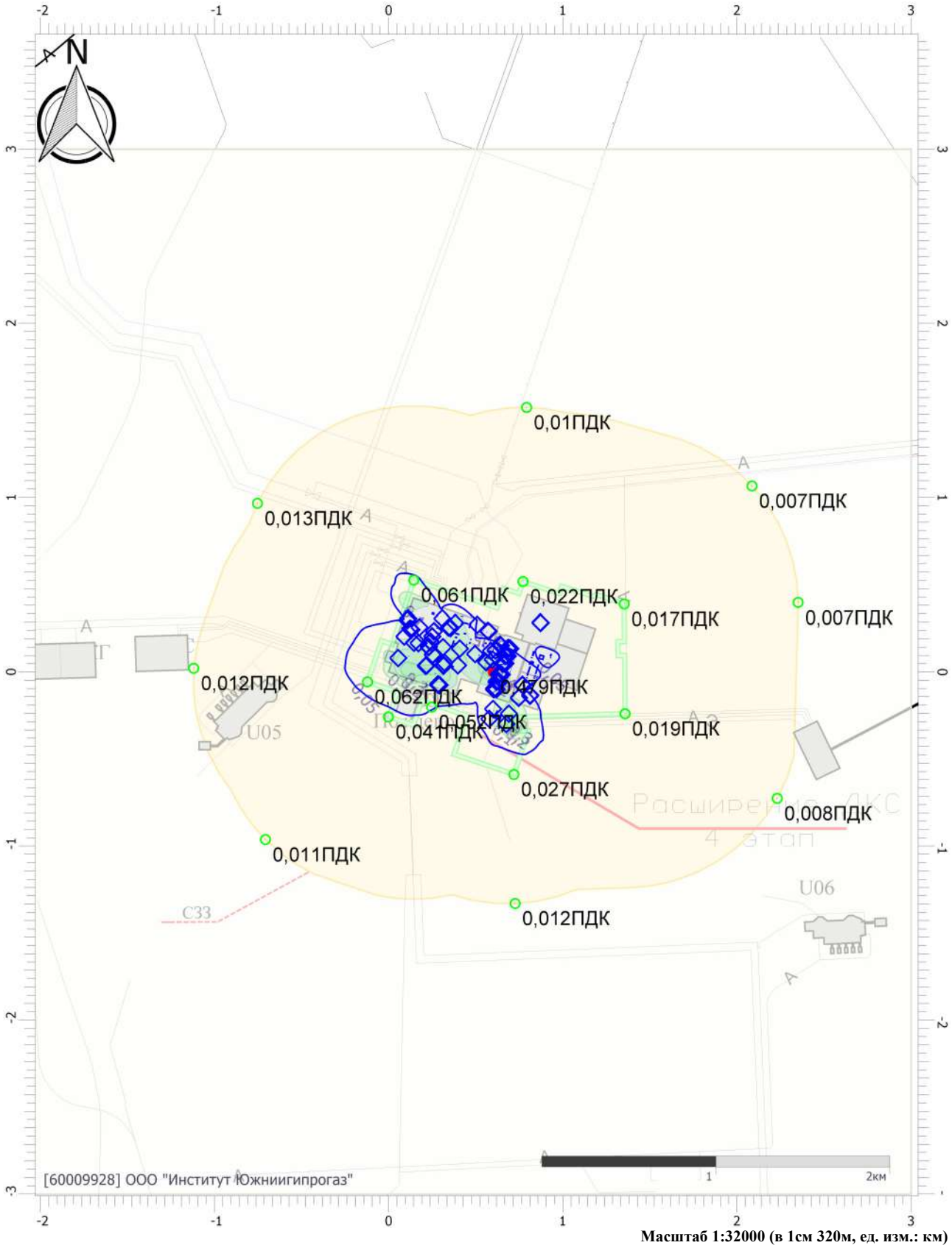

Масштаб 1:32000 (в 1см 320м, ед. изм.: км)

Цветовая схема (ПДК)

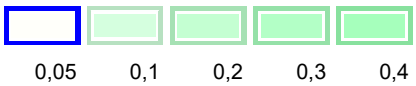

Отчет

Вариант расчета: ОАО АРКТИКГАЗ (77.22.006 ДКС 4-й этап) (11) - Строительство максимальные без фона (Расчет рассеивания по МРР-2017 , ЗИМА)
Код расчета: 2902 (Взвешенные вещества)
Параметр: Концентрация вредного вещества (в долях ПДК)
Высота 2м

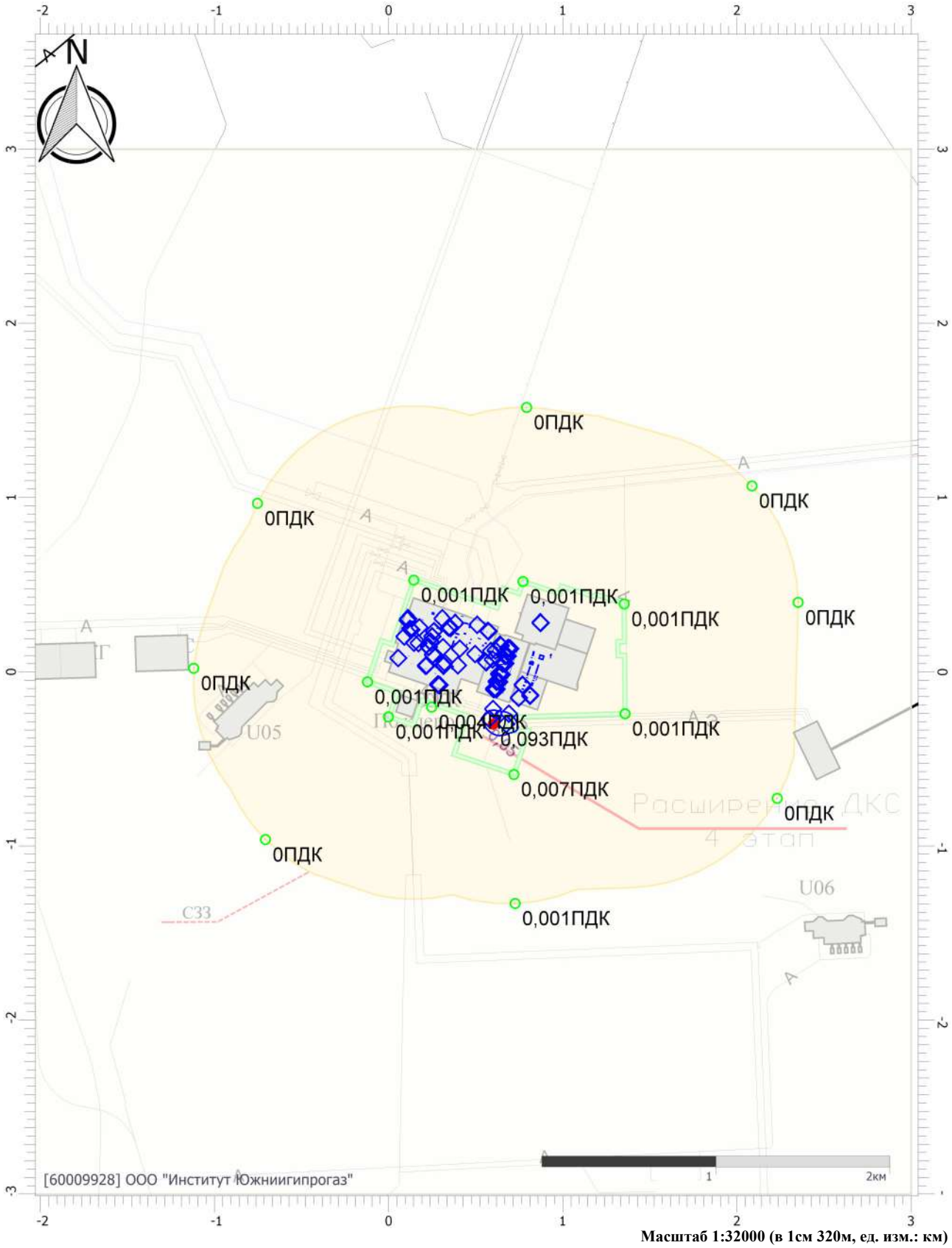

Масштаб 1:32000 (в 1см 320м, ед. изм.: км)

Цветовая схема (ПДК)

0,05

Отчет

Вариант расчета: ОАО АРКТИКГАЗ (77.22.006 ДКС 4-й этап) (11) - Строительство максимальные без фона (Расчет рассеивания по МРР-2017 , ЗИМА)
Код расчета: 2908 (Пыль неорганическая: 70-20% SiO2)
Параметр: Концентрация вредного вещества (в долях ПДК)
Высота 2м

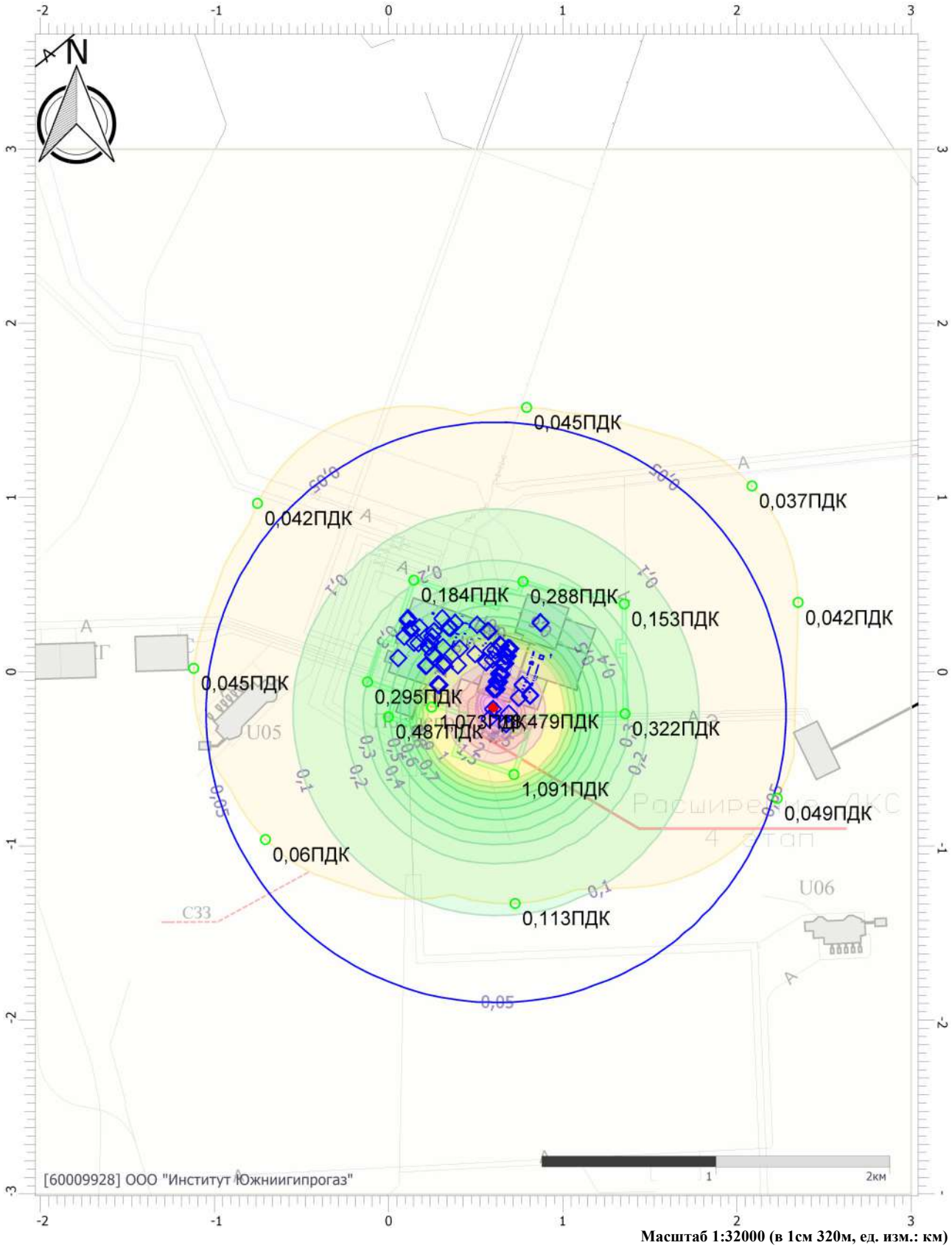

Масштаб 1:32000 (в 1см 320м, ед. изм.: км)

Цветовая схема (ПДК)



Отчет

Вариант расчета: ОАО АРКТИКГАЗ (77.22.006 ДКС 4-й этап) (11) - Строительство максимальные без фона (Расчет рассеивания по МРР-2017 , ЗИМА)
Код расчета: 6013 (Ацетон и фенол)
Параметр: Концентрация вредного вещества (в долях ПДК)
Высота 2м

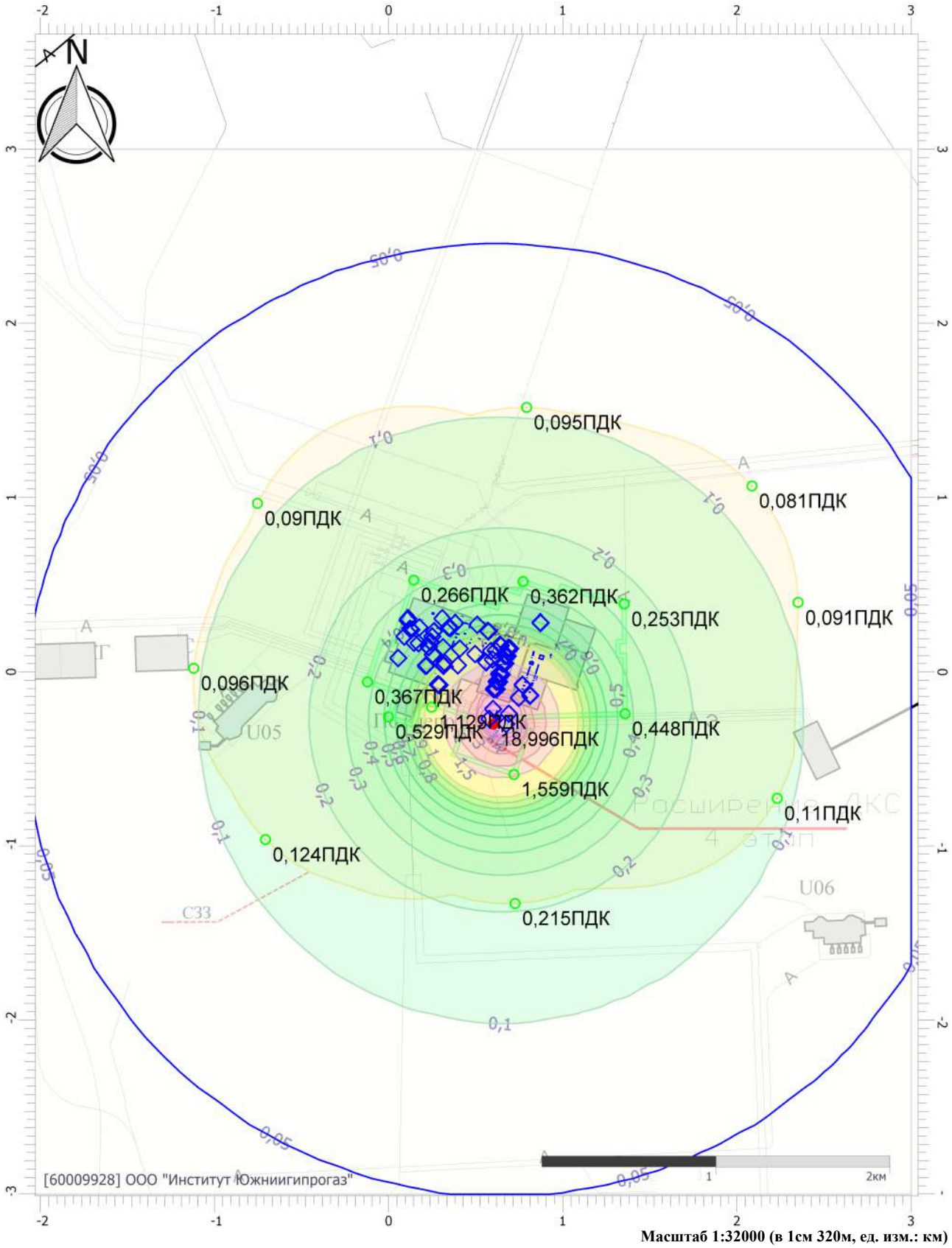

Масштаб 1:32000 (в 1см 320м, ед. изм.: км)

Цветовая схема (ПДК)



Отчет

Вариант расчета: ОАО АРКТИКГАЗ (77.22.006 ДКС 4-й этап) (11) - Строительство максимальные без фона (Расчет рассеивания по МРР-2017 , ЗИМА)
Код расчета: 6038 (Серы диоксид и фенол)
Параметр: Концентрация вредного вещества (в долях ПДК)
Высота 2м

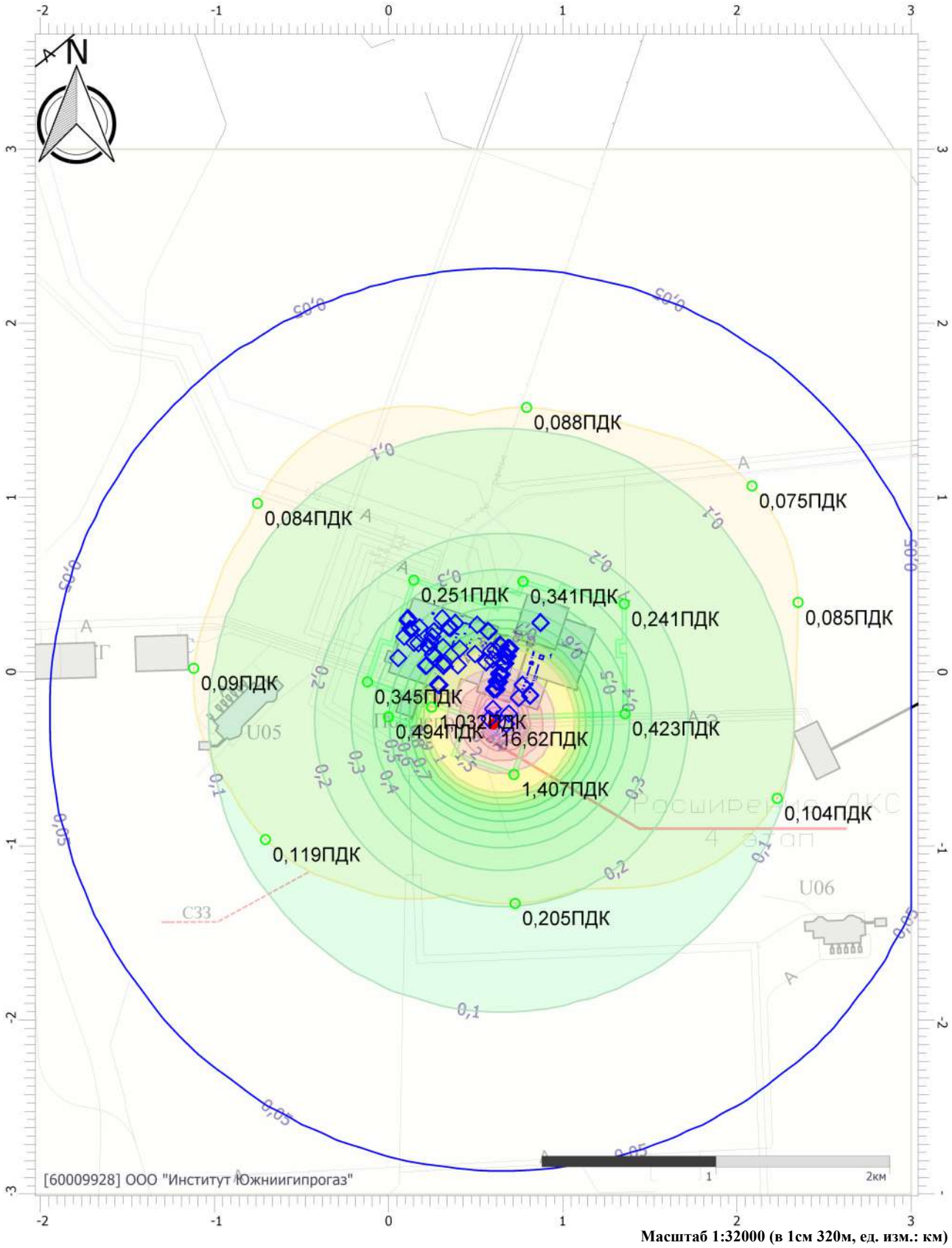

Масштаб 1:32000 (в 1см 320м, ед. изм.: км)

Цветовая схема (ПДК)



Отчет

Вариант расчета: ОАО АРКТИКГАЗ (77.22.006 ДКС 4-й этап) (11) - Строительство максимальные без фона (Расчет рассеивания по МРР-2017 , ЗИМА)
Код расчета: 6053 (Фтористый водород и плохорастворимые соли фтора)
Параметр: Концентрация вредного вещества (в долях ПДК)
Высота 2м

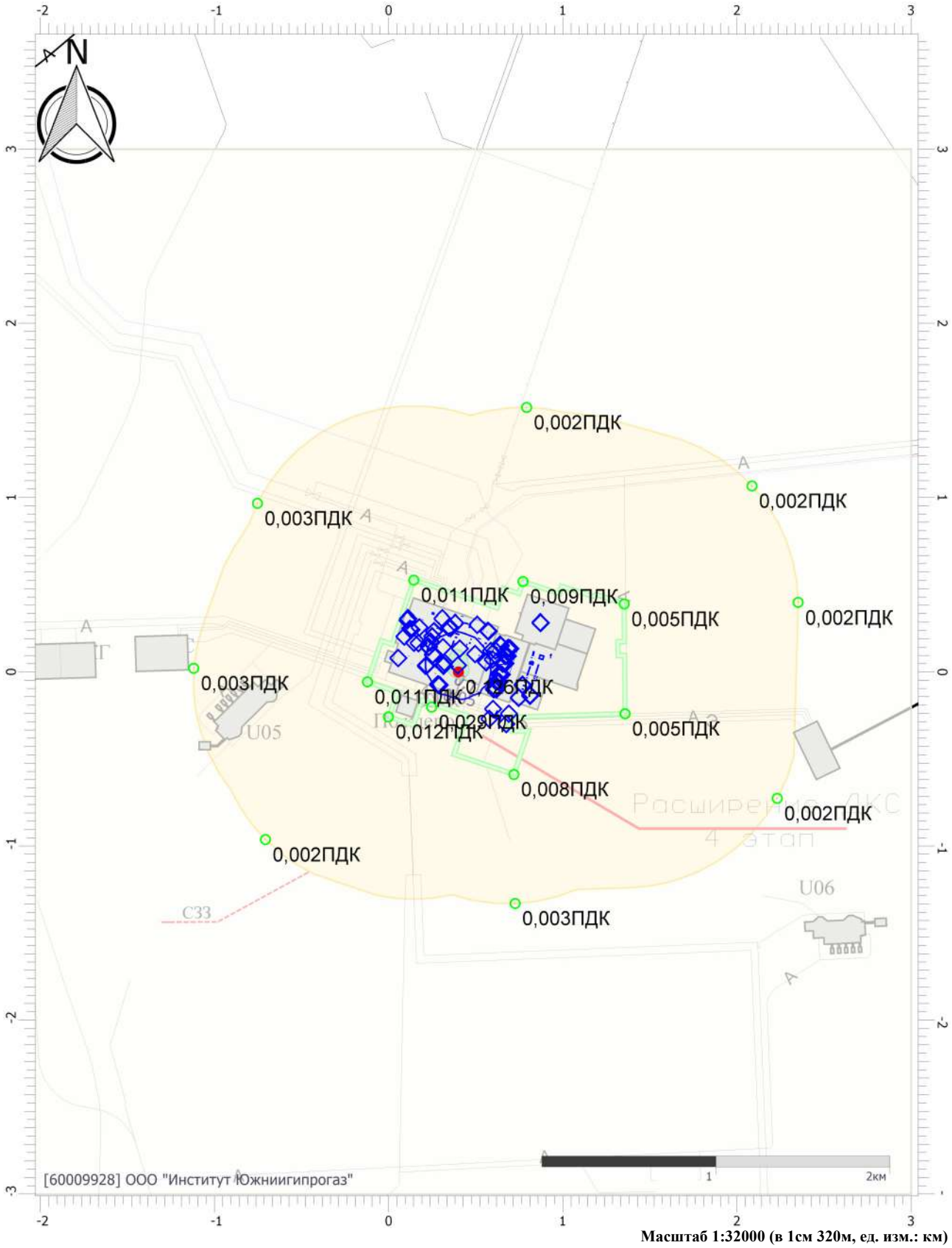

Масштаб 1:32000 (в 1см 320м, ед. изм.: км)

Цветовая схема (ПДК)

0,05 0,1

Отчет

Вариант расчета: ОАО АРКТИКГАЗ (77.22.006 ДКС 4-й этап) (11) - Строительство максимальные без фона (Расчет рассеивания по МРР-2017 , ЗИМА)
Код расчета: 6205 (Серы диоксид и фтористый водород)
Параметр: Концентрация вредного вещества (в долях ПДК)
Высота 2м

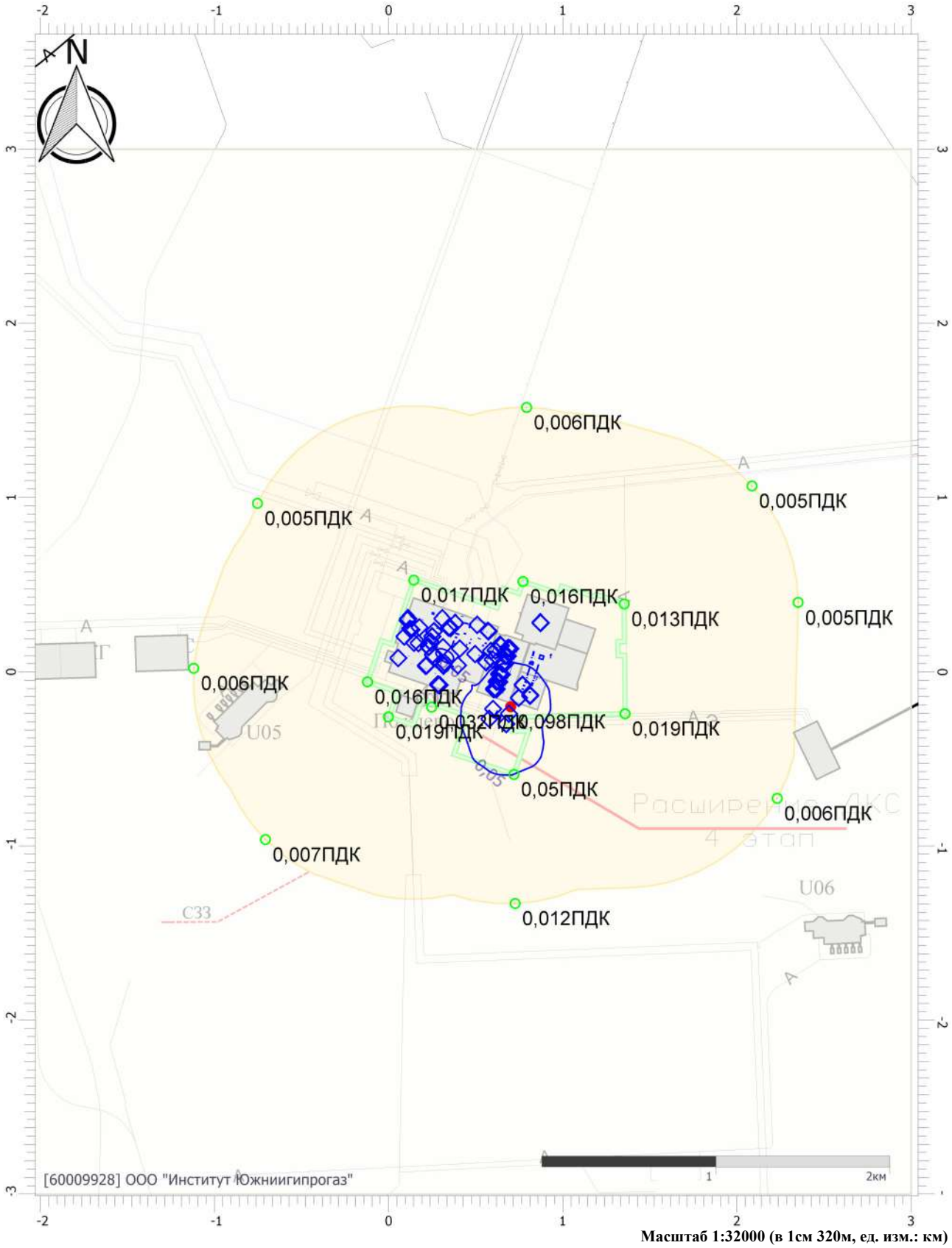

Масштаб 1:32000 (в 1см 320м, ед. изм.: км)

Цветовая схема (ПДК)

0,05

Период строительства без фона
(долгопериодные концентрации)

Отчет

Вариант расчета: ОАО АРКТИКГАЗ (77.22.006 ДКС 4-й этап) (11) - Строительство долгопериодные без фона(Расчет средних концентраций по МРР-2017)
Код расчета: 0123 (Железа оксид)
Параметр: Концентрация вредного вещества (в долях ПДК)
Высота 2м

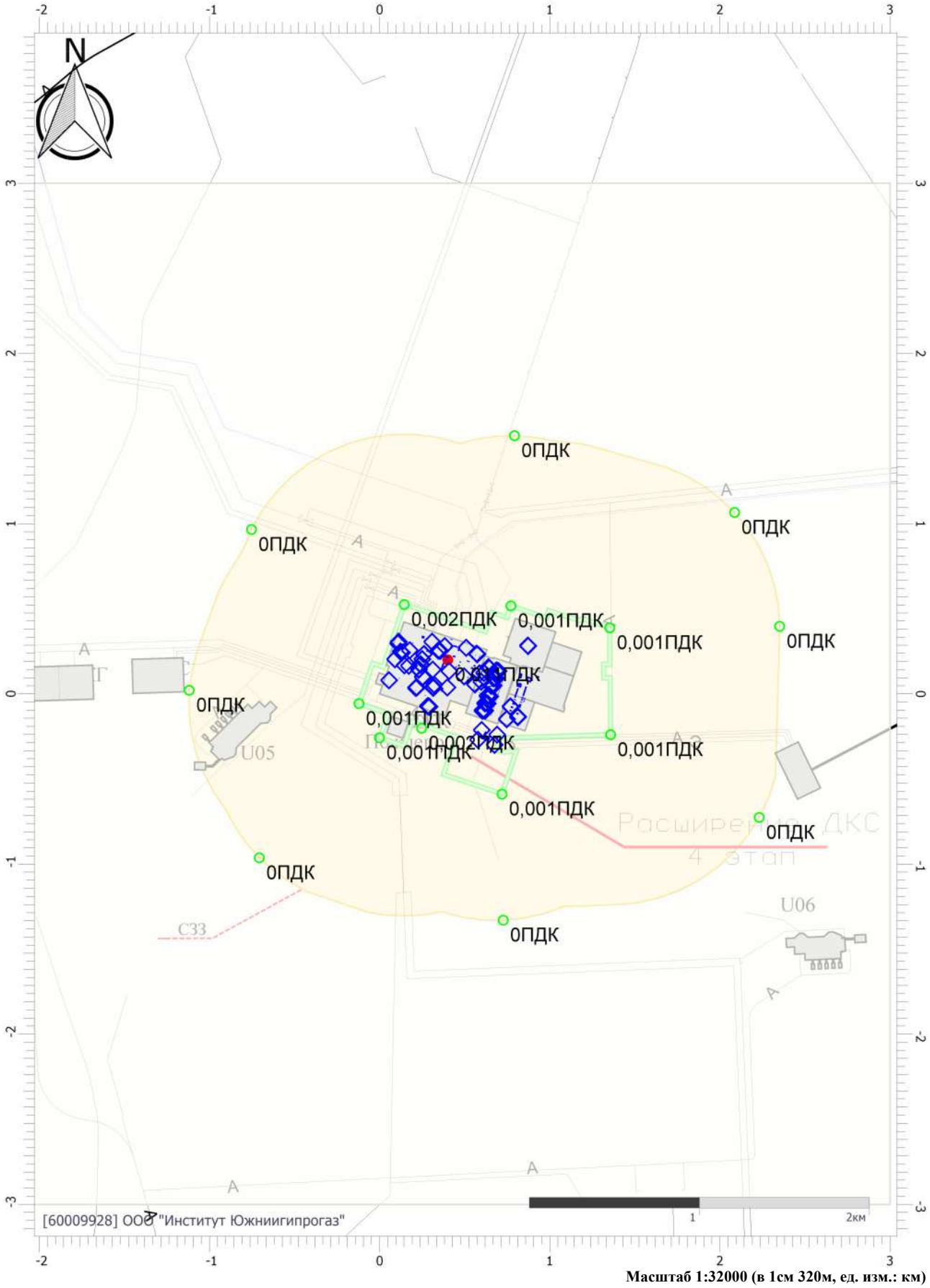

Масштаб 1:32000 (в 1см 320м, ед. изм.: км)

Цветовая схема (ПДК)

Отчет

Вариант расчета: ОАО АРКТИКГАЗ (77.22.006 ДКС 4-й этап) (11) - Строительство долгопериодные без фона(Расчет средних концентраций по МРР-2017)
Код расчета: 0143 (Марганец и его соединения (в пересчете на марганец (IV) оксид))
Параметр: Концентрация вредного вещества (в долях ПДК)
Высота 2м

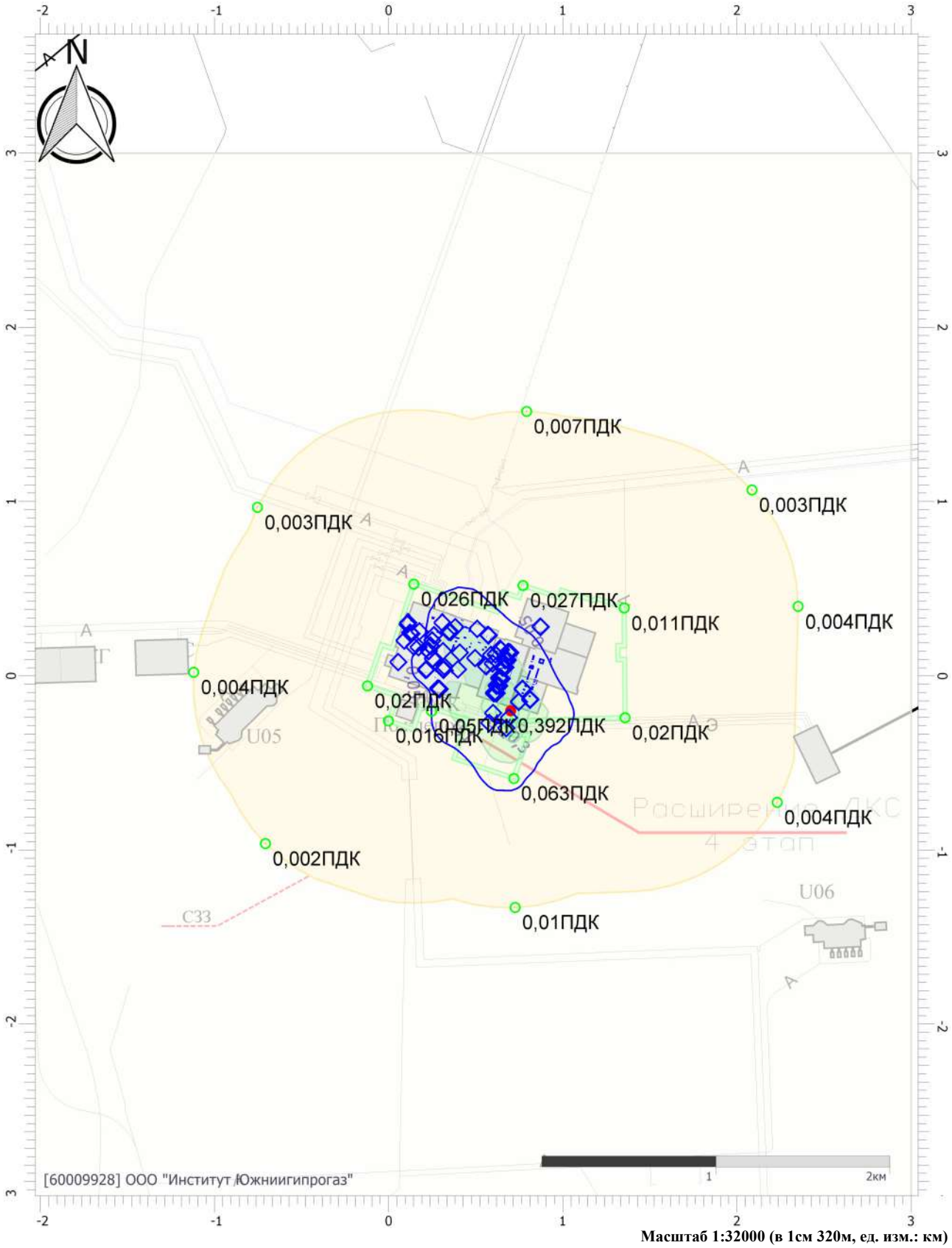

Масштаб 1:32000 (в 1см 320м, ед. изм.: км)

Цветовая схема (ПДК)



Отчет

Вариант расчета: ОАО АРКТИКГАЗ (77.22.006 ДКС 4-й этап) (11) - Строительство долгопериодные без фона(Расчет средних концентраций по МРР-2017)
Код расчета: 0301 (Азота диоксид (Двуокись азота; пероксид азота))
Параметр: Концентрация вредного вещества (в долях ПДК)
Высота 2м

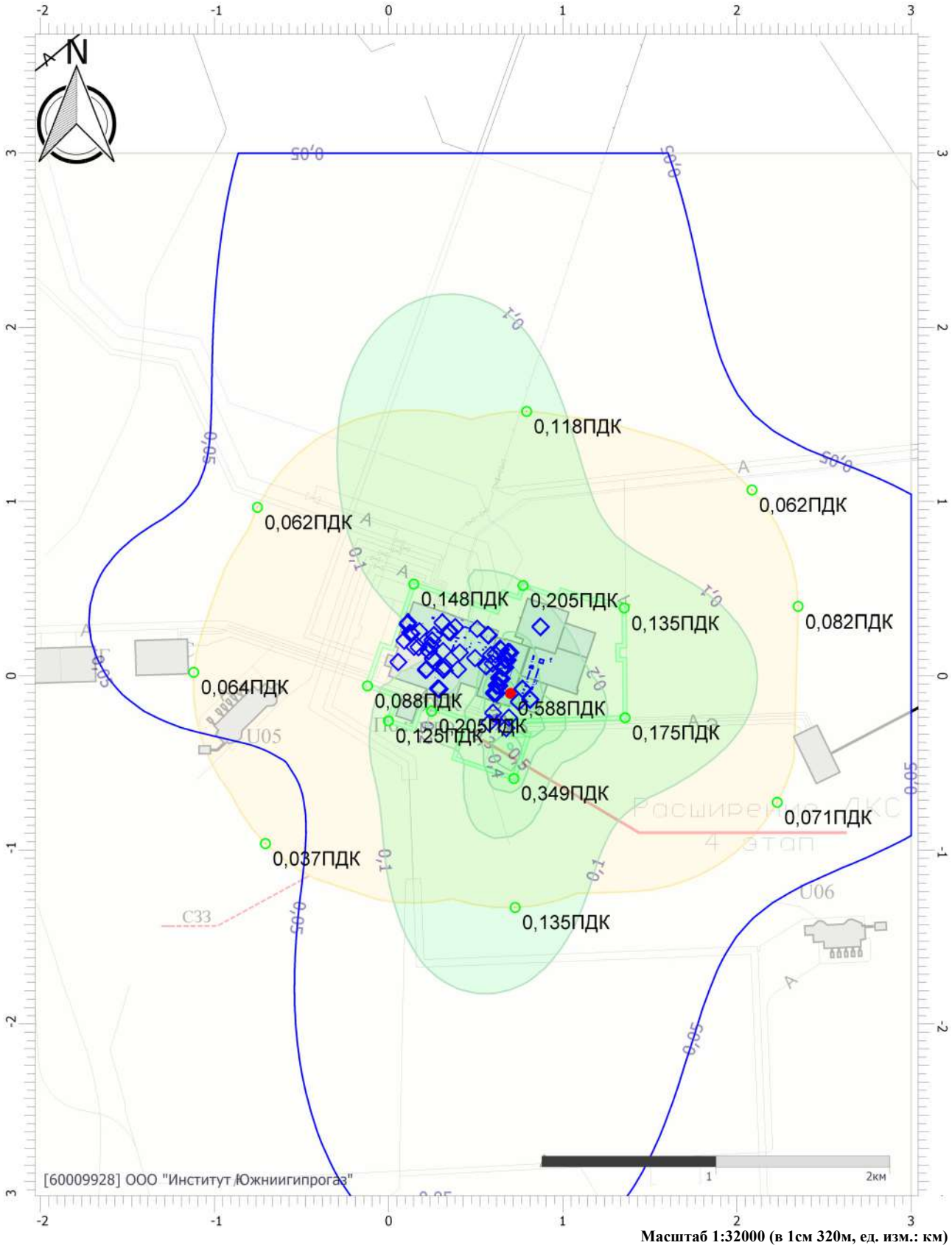

Масштаб 1:32000 (в 1см 320м, ед. изм.: км)

Цветовая схема (ПДК)

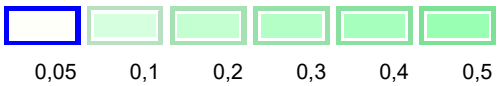

Отчет

Вариант расчета: ОАО АРКТИКГАЗ (77.22.006 ДКС 4-й этап) (11) - Строительство долгопериодные без фона(Расчет средних концентраций по МРР-2017)
Код расчета: 0304 (Азот (II) оксид (Азот монооксид))
Параметр: Концентрация вредного вещества (в долях ПДК)
Высота 2м

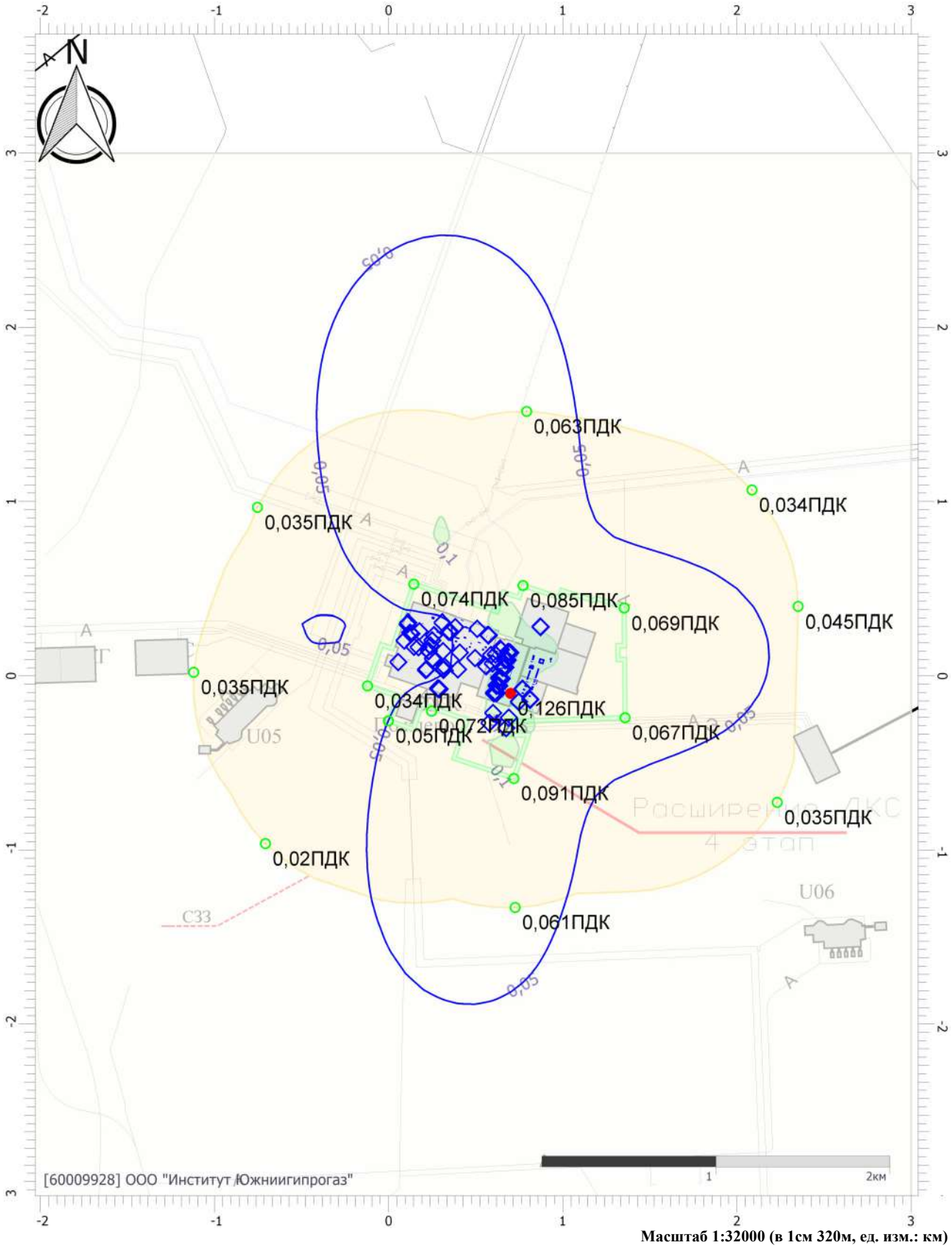

Масштаб 1:32000 (в 1см 320м, ед. изм.: км)

Цветовая схема (ПДК)



Отчет

Вариант расчета: ОАО АРКТИКГАЗ (77.22.006 ДКС 4-й этап) (11) - Строительство долгопериодные без фона(Расчет средних концентраций по МРР-2017)
Код расчета: 0328 (Углерод (Пигмент черный))
Параметр: Концентрация вредного вещества (в долях ПДК)
Высота 2м

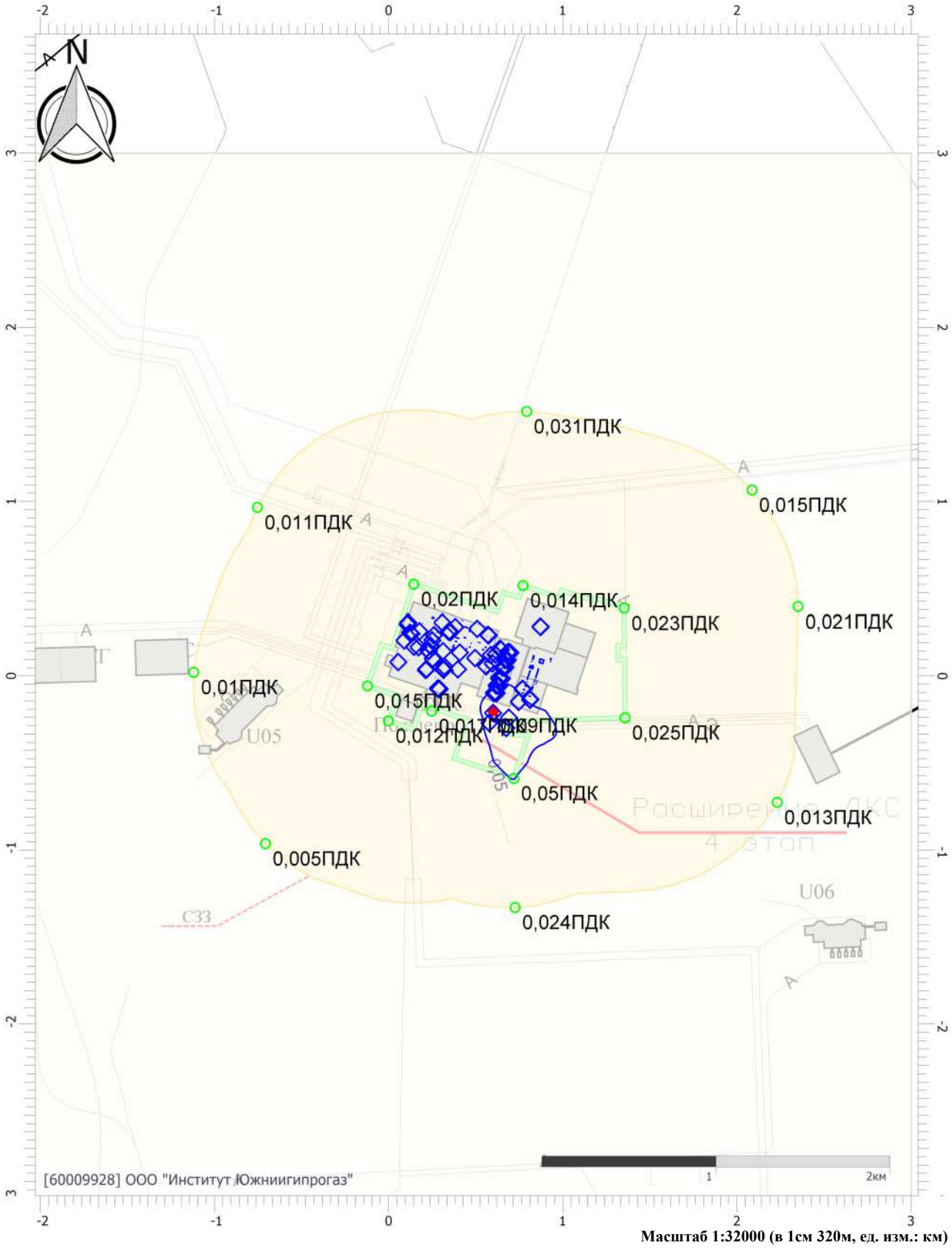

Масштаб 1:32000 (в 1см 320м, ед. изм.: км)

Цветовая схема (ПДК)

0,05

Отчет

Вариант расчета: ОАО АРКТИКГАЗ (77.22.006 ДКС 4-й этап) (11) - Строительство долгопериодные без фона(Расчет средних концентраций по МРР-2017)
Код расчета: 0330 (Сера диоксид)
Параметр: Концентрация вредного вещества (в долях ПДК)
Высота 2м

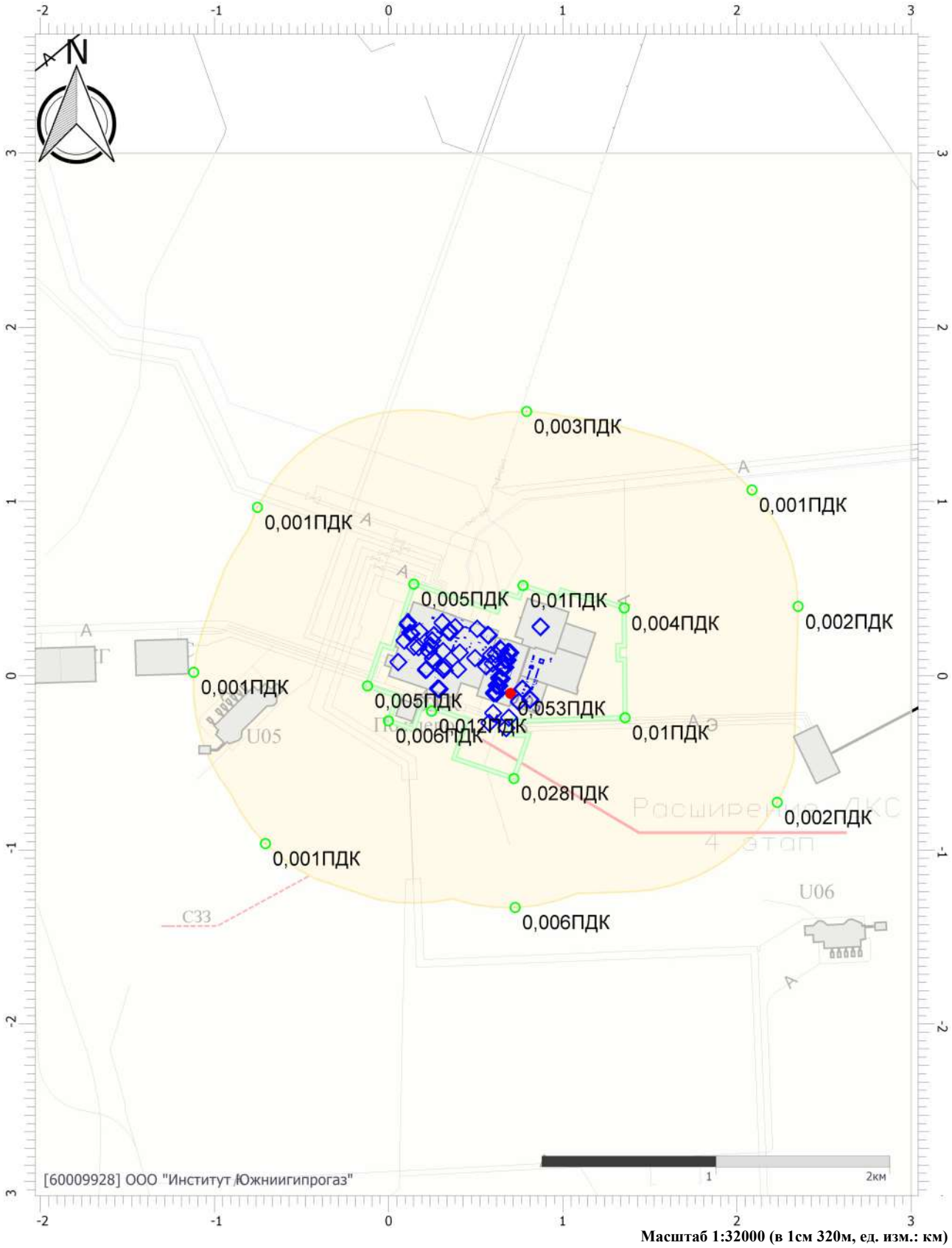

Масштаб 1:32000 (в 1см 320м, ед. изм.: км)

Цветовая схема (ПДК)

0,05

Отчет

Вариант расчета: ОАО АРКТИКГАЗ (77.22.006 ДКС 4-й этап) (11) - Строительство долгопериодные без фона(Расчет средних концентраций по МРР-2017)
Код расчета: 0333 (Дигидросульфид (Водород сернистый, дигидросульфид, гидросульфид))
Параметр: Концентрация вредного вещества (в долях ПДК)
Высота 2м

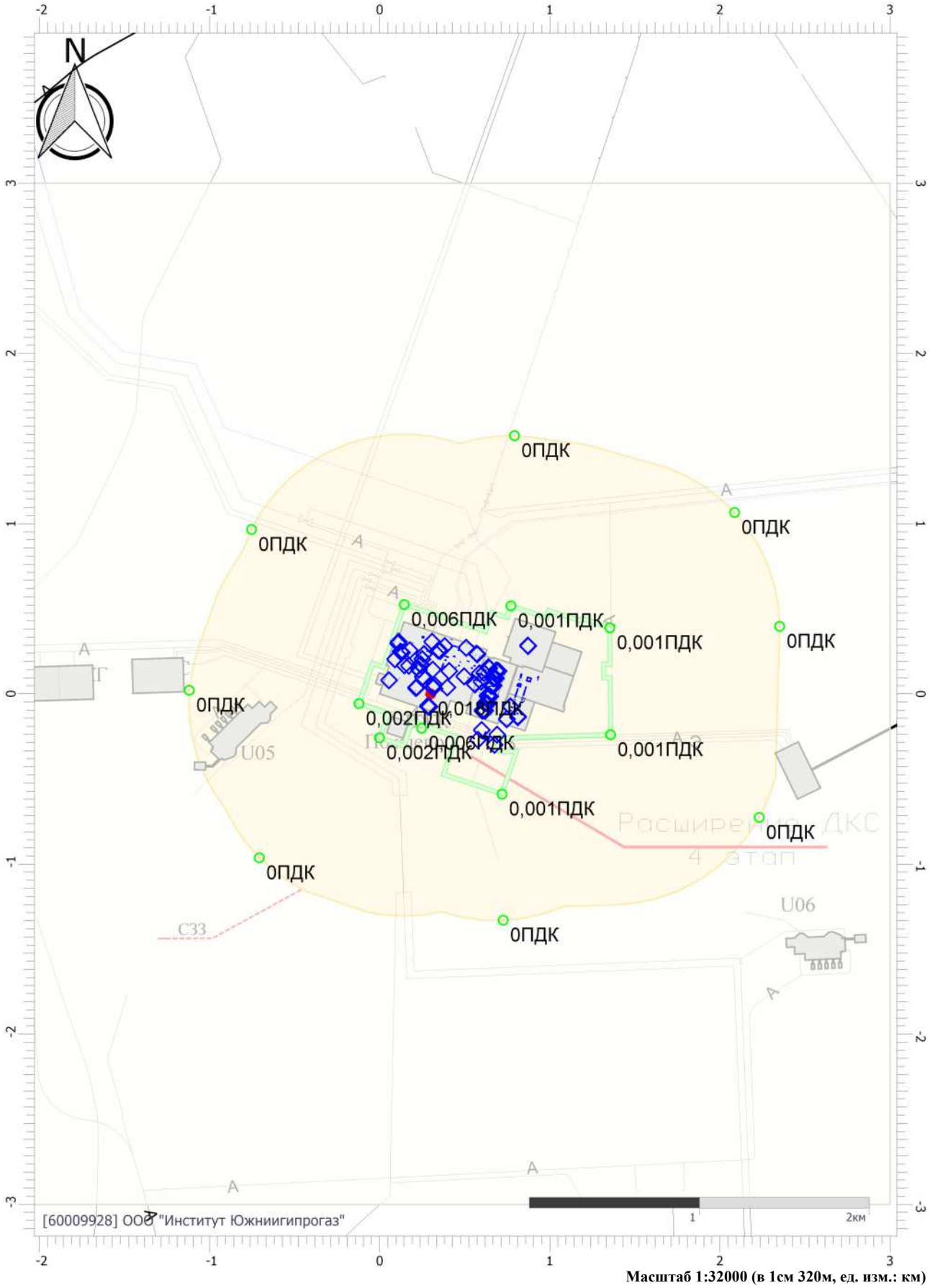

Масштаб 1:32000 (в 1см 320м, ед. изм.: км)

Цветовая схема (ПДК)

Отчет

Вариант расчета: ОАО АРКТИКГАЗ (77.22.006 ДКС 4-й этап) (11) - Строительство долгопериодные без фона(Расчет средних концентраций по МРР-2017)
Код расчета: 0337 (Углерода оксид (Углерод окись; углерод моноокись; угарный газ))
Параметр: Концентрация вредного вещества (в долях ПДК)
Высота 2м

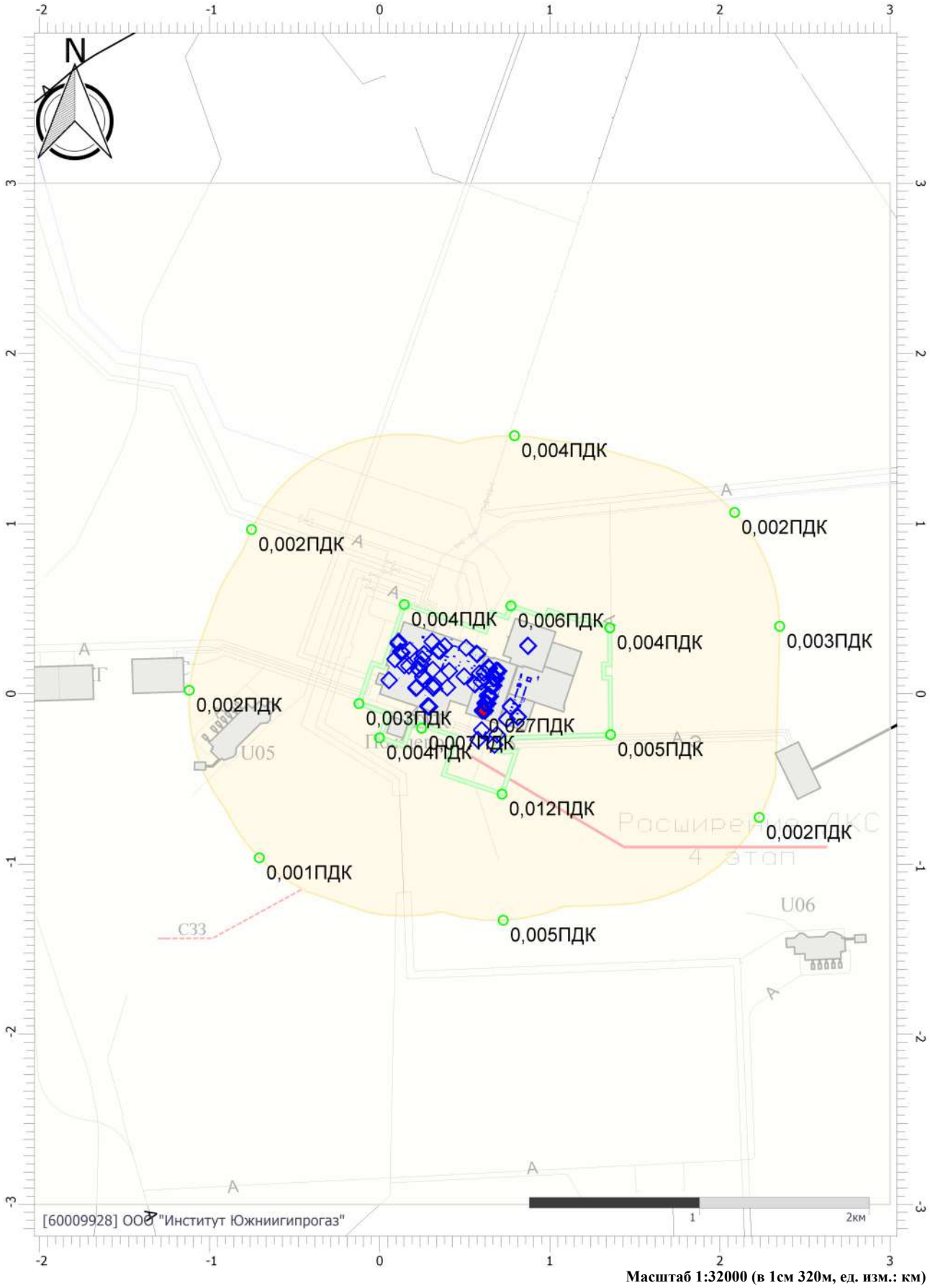

Масштаб 1:32000 (в 1см 320м, ед. изм.: км)

Цветовая схема (ПДК)

Отчет

Вариант расчета: ОАО АРКТИКГАЗ (77.22.006 ДКС 4-й этап) (11) - Строительство долгопериодные без фона(Расчет средних концентраций по МРР-2017)
Код расчета: 0342 (Фториды газообразные)
Параметр: Концентрация вредного вещества (в долях ПДК)
Высота 2м

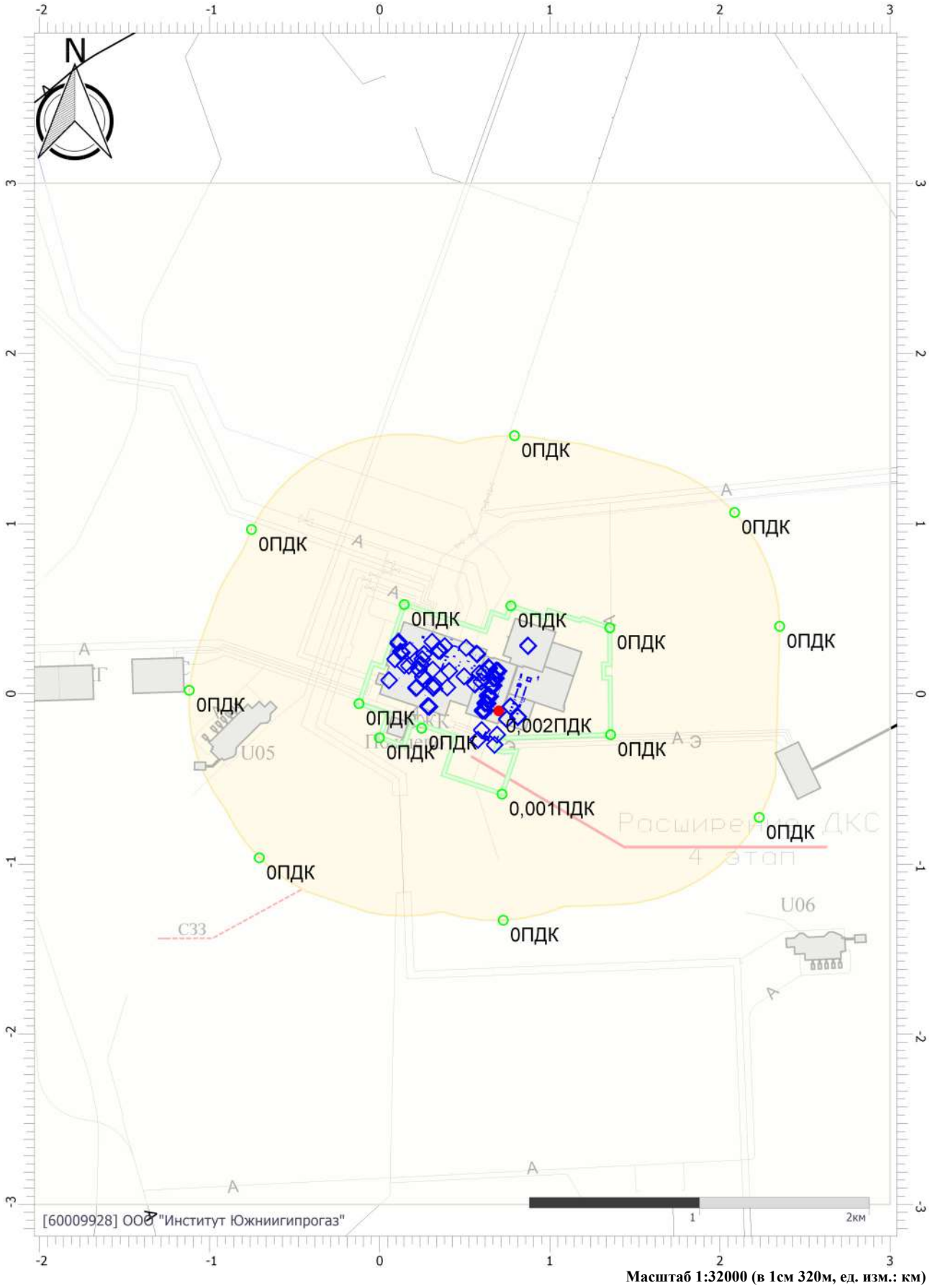

Масштаб 1:32000 (в 1см 320м, ед. изм.: км)

Цветовая схема (ПДК)

Отчет

Вариант расчета: ОАО АРКТИКГАЗ (77.22.006 ДКС 4-й этап) (11) - Строительство долгопериодные без фона(Расчет средних концентраций по МРР-2017)
Код расчета: 0344 (Фториды плохо растворимые)
Параметр: Концентрация вредного вещества (в долях ПДК)
Высота 2м

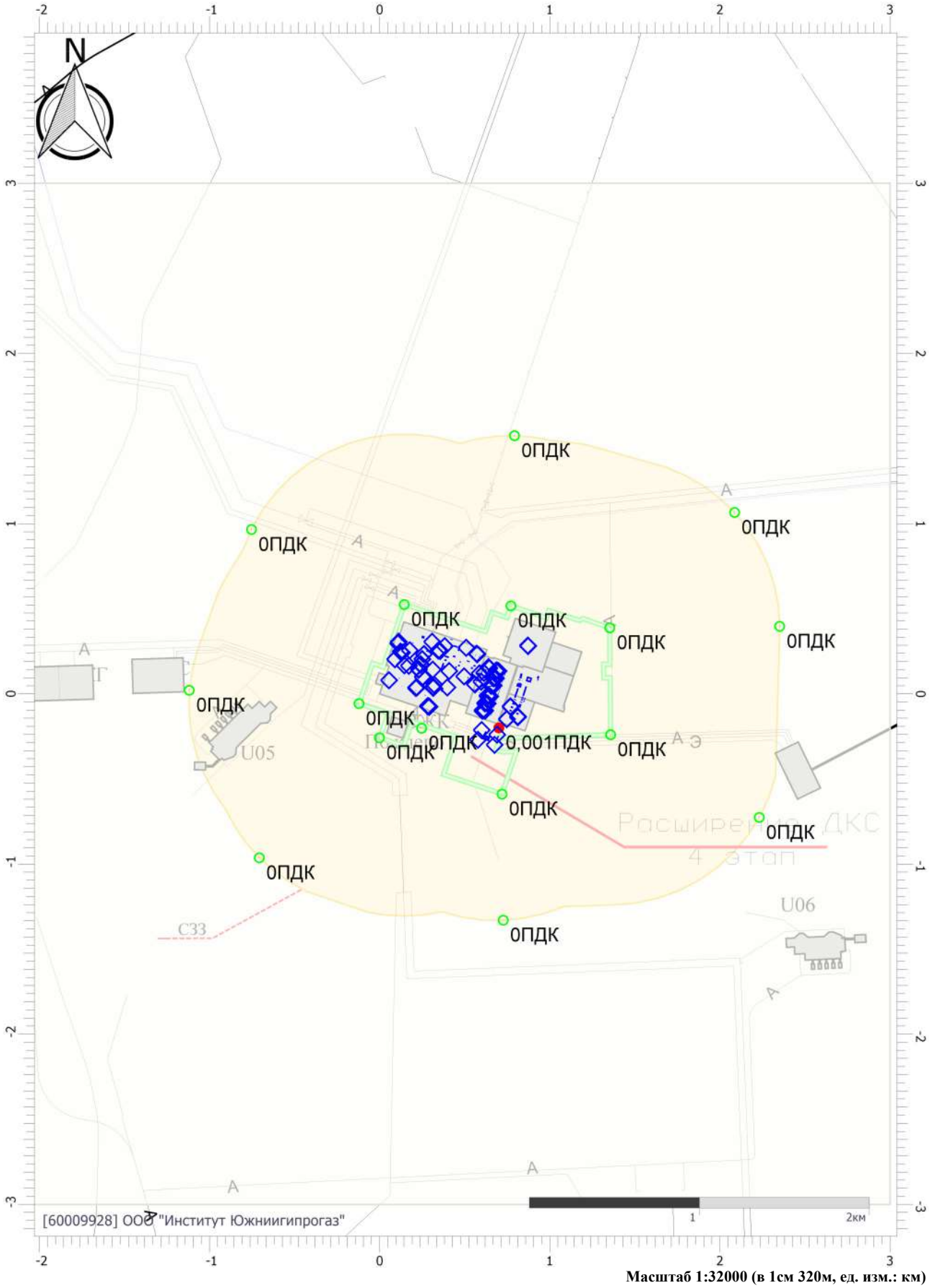

Масштаб 1:32000 (в 1см 320м, ед. изм.: км)

Цветовая схема (ПДК)

Отчет

Вариант расчета: ОАО АРКТИКГАЗ (77.22.006 ДКС 4-й этап) (11) - Строительство долгопериодные без фона(Расчет средних концентраций по МРР-2017)
Код расчета: 0616 (Диметилбензол (смесь о-, м-, п- изомеров) (Метилтолуол))
Параметр: Концентрация вредного вещества (в долях ПДК)
Высота 2м

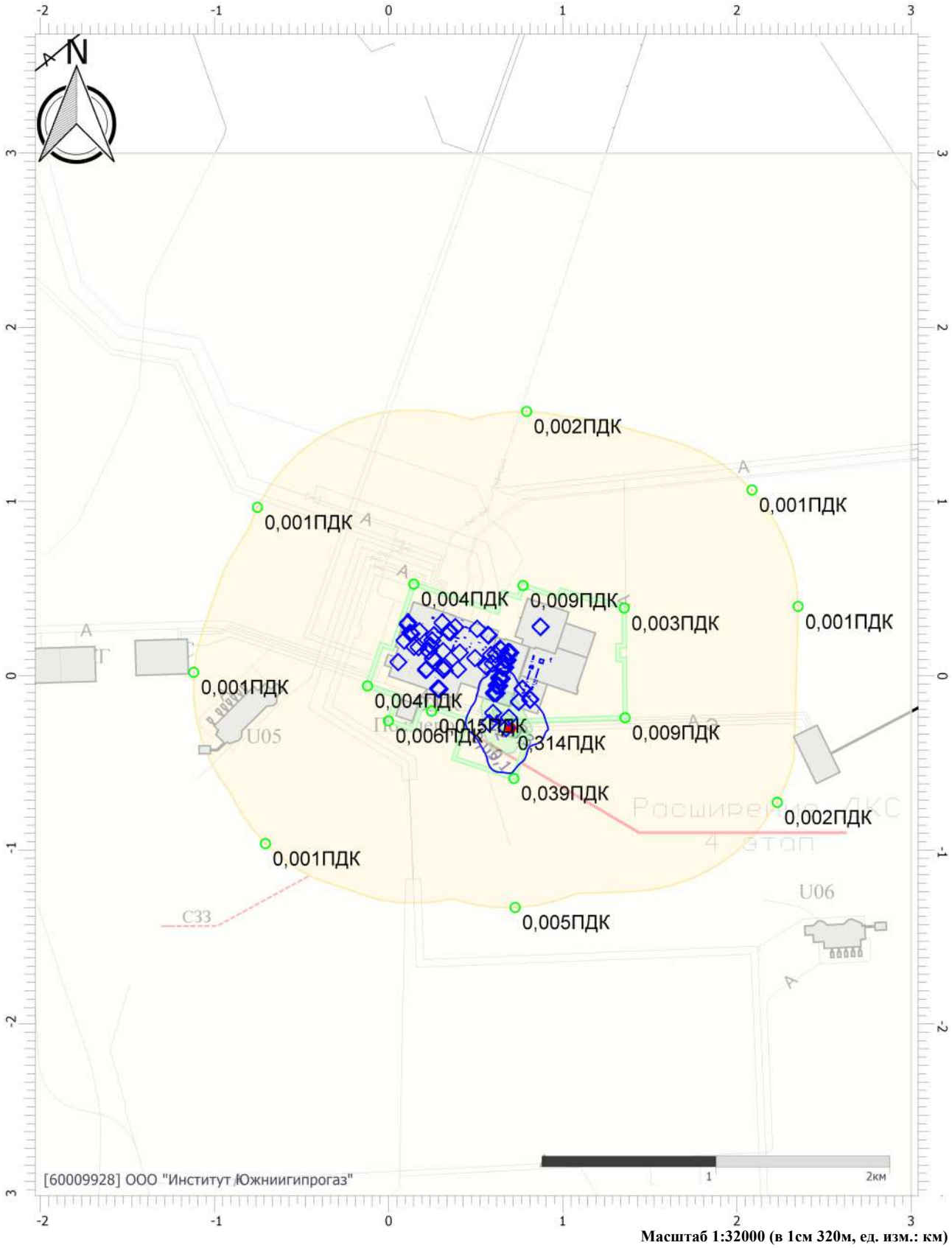

Масштаб 1:32000 (в 1см 320м, ед. изм.: км)

Цветовая схема (ПДК)



Отчет

Вариант расчета: ОАО АРКТИКГАЗ (77.22.006 ДКС 4-й этап) (11) - Строительство долгопериодные без фона(Расчет средних концентраций по МРР-2017)
Код расчета: 0621 (Метилбензол (Фенилметан))
Параметр: Концентрация вредного вещества (в долях ПДК)
Высота 2м

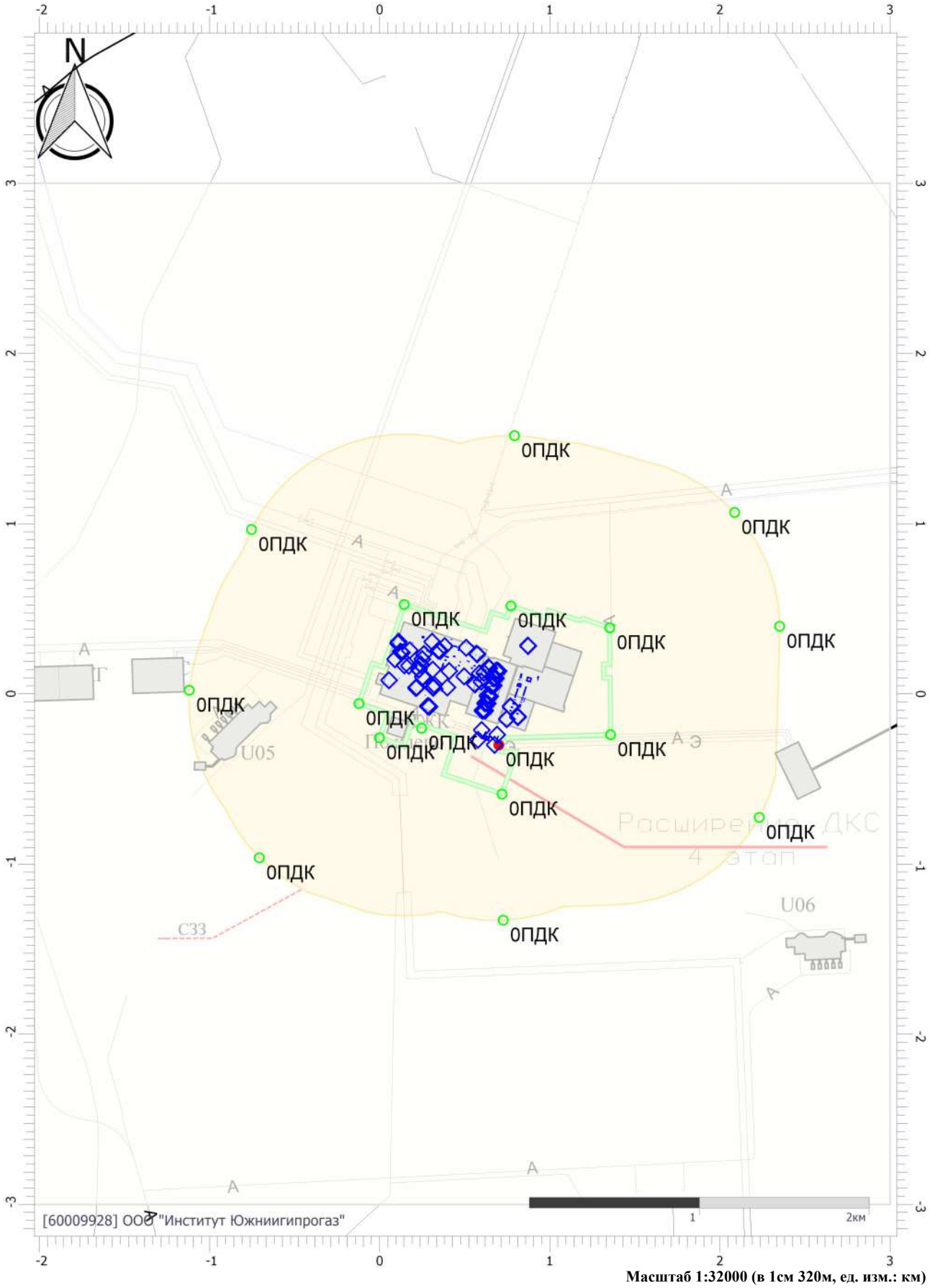

Масштаб 1:32000 (в 1см 320м, ед. изм.: км)

Цветовая схема (ПДК)

Отчет

Вариант расчета: ОАО АРКТИКГАЗ (77.22.006 ДКС 4-й этап) (11) - Строительство долгопериодные без фона(Расчет средних концентраций по МРР-2017)
Код расчета: 0703 (Бенз/а/пирен)
Параметр: Концентрация вредного вещества (в долях ПДК)
Высота 2м

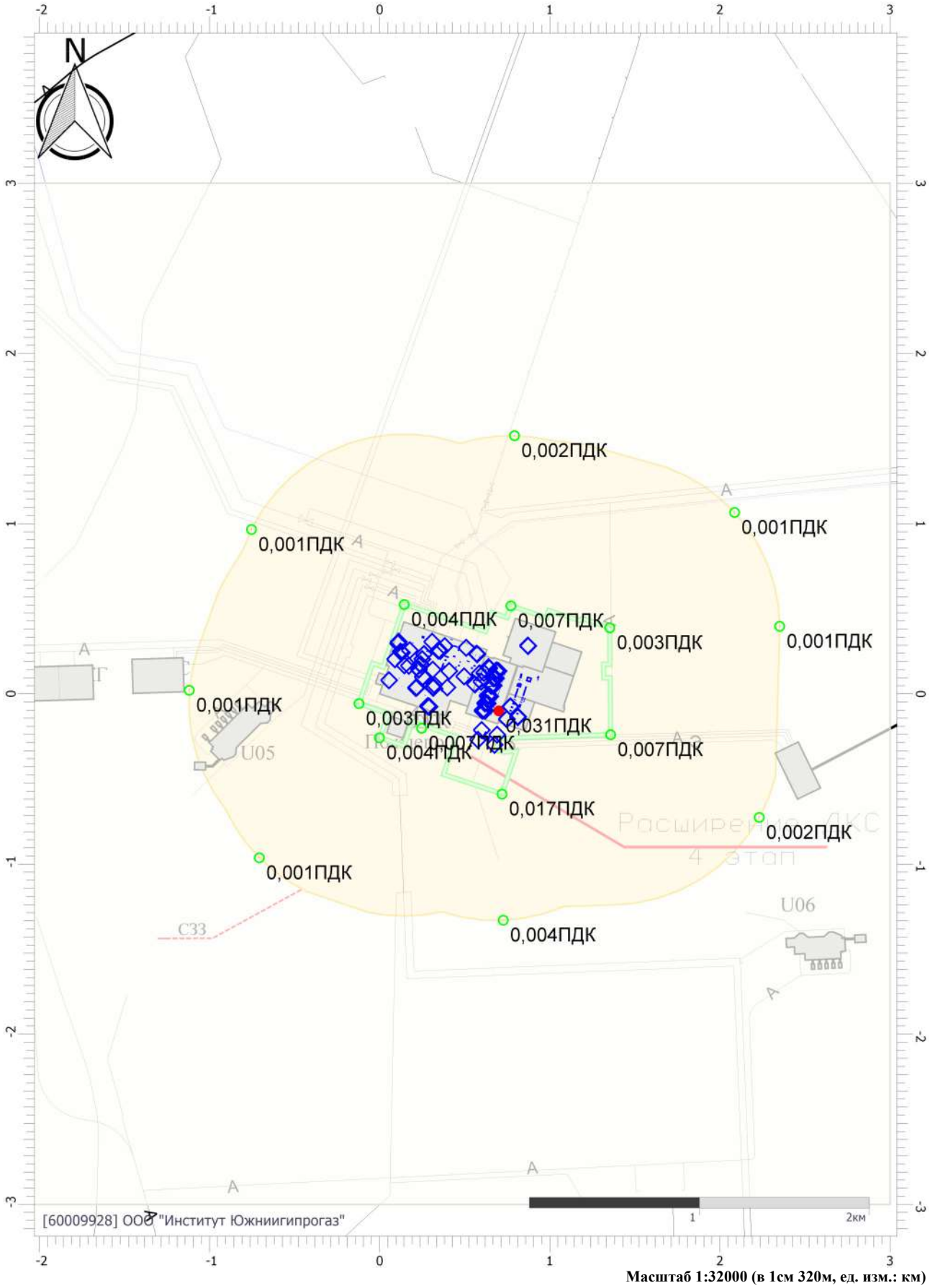

Масштаб 1:32000 (в 1см 320м, ед. изм.: км)

Цветовая схема (ПДК)

Отчет

Вариант расчета: ОАО АРКТИКГАЗ (77.22.006 ДКС 4-й этап) (11) - Строительство долгопериодные без фона(Расчет средних концентраций по МРР-2017)
Код расчета: 1071 (Гидроксибензол)
Параметр: Концентрация вредного вещества (в долях ПДК)
Высота 2м

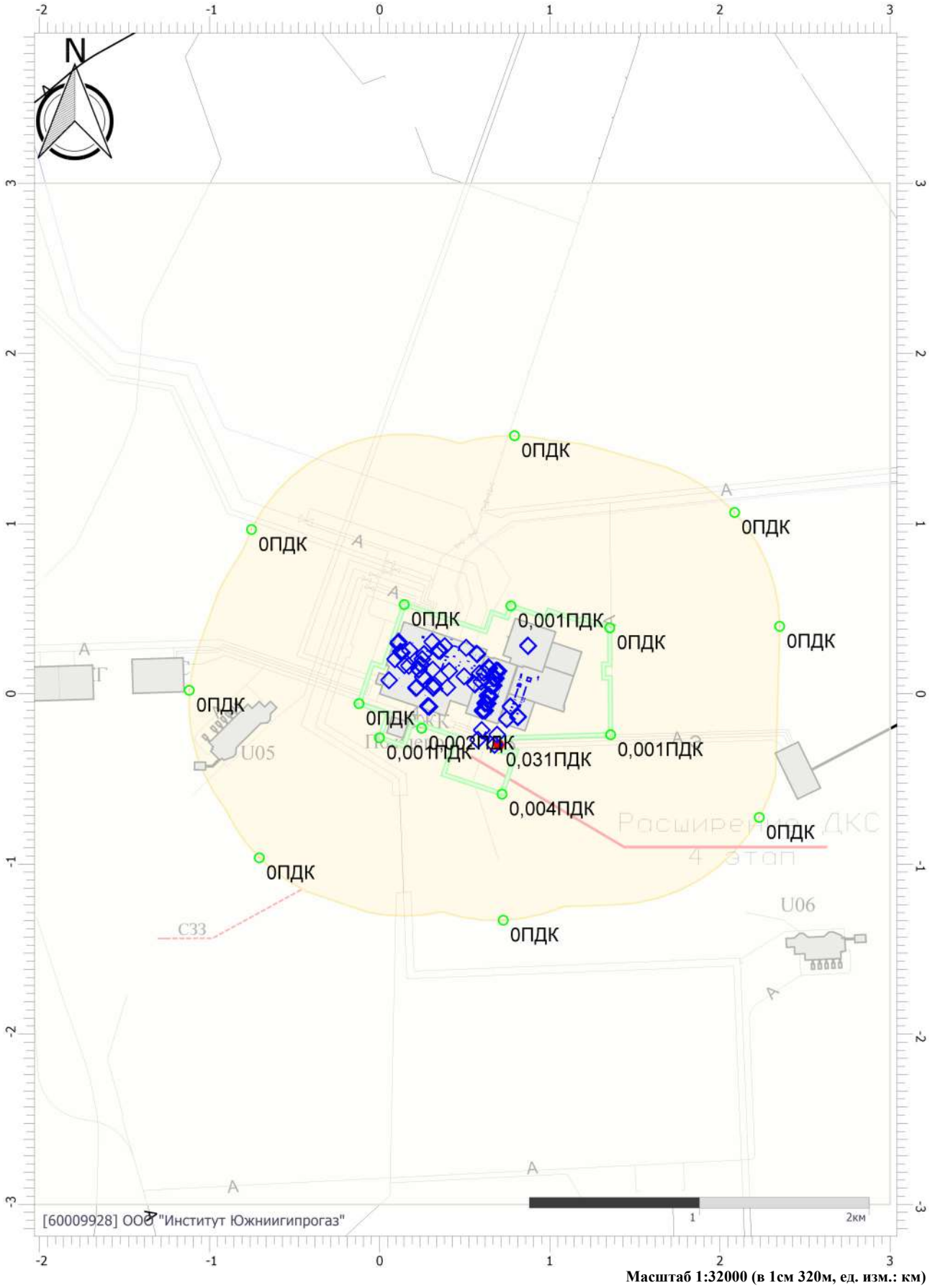

Масштаб 1:32000 (в 1см 320м, ед. изм.: км)

Цветовая схема (ПДК)

Отчет

Вариант расчета: ОАО АРКТИКГАЗ (77.22.006 ДКС 4-й этап) (11) - Строительство долгопериодные без фона(Расчет средних концентраций по МРР-2017)
Код расчета: 1325 (Формальдегид (Муравьиный альдегид, оксометан, метиленоксид))
Параметр: Концентрация вредного вещества (в долях ПДК)
Высота 2м

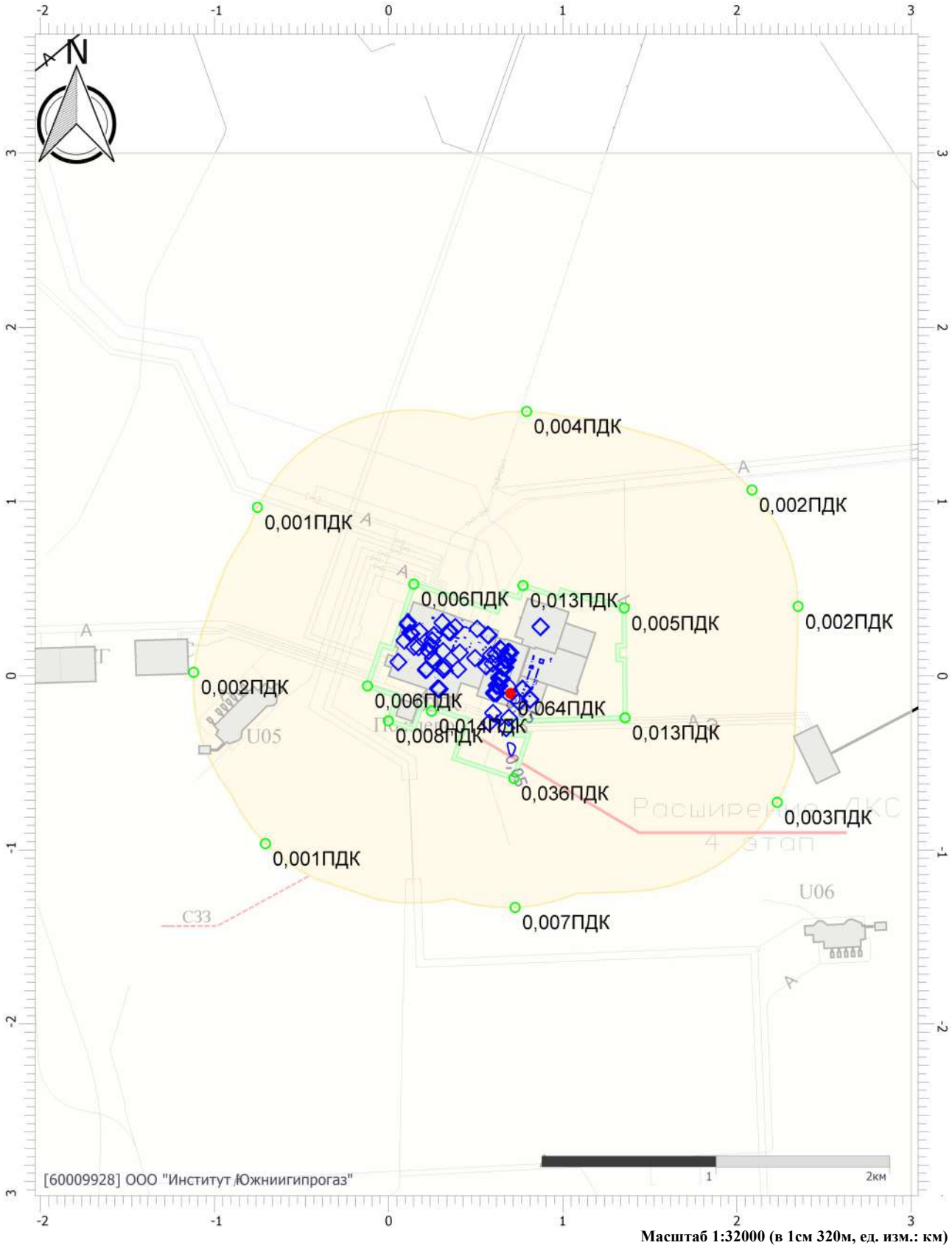

Масштаб 1:32000 (в 1см 320м, ед. изм.: км)

Цветовая схема (ПДК)

0,05

Отчет

Вариант расчета: ОАО АРКТИКГАЗ (77.22.006 ДКС 4-й этап) (11) - Строительство долгопериодные без фона(Расчет средних концентраций по МРР-2017)
Код расчета: 2902 (Взвешенные вещества)
Параметр: Концентрация вредного вещества (в долях ПДК)
Высота 2м

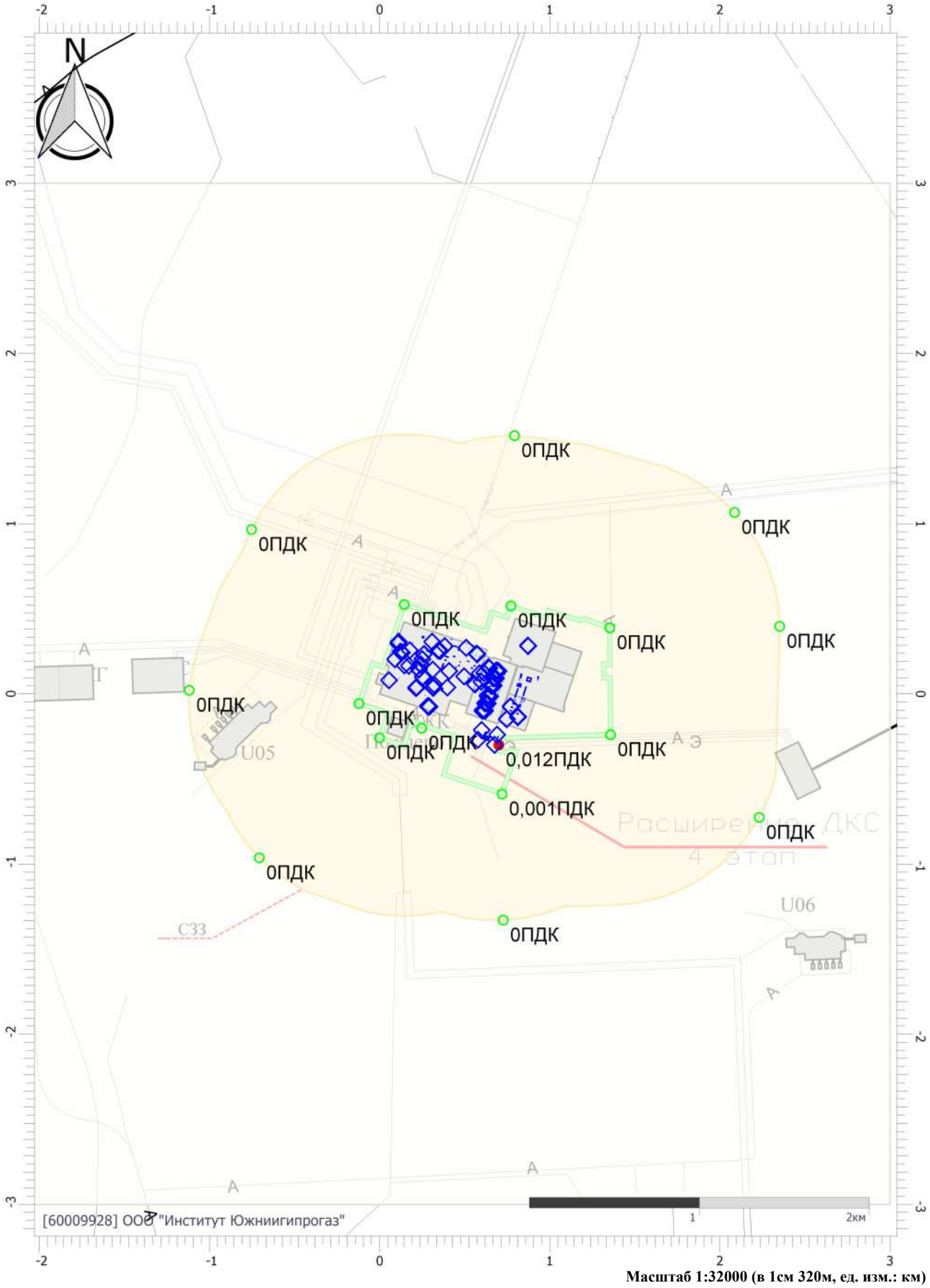

Масштаб 1:32000 (в 1см 320м, ед. изм.: км)

Цветовая схема (ПДК)

Отчет

Вариант расчета: ОАО АРКТИКГАЗ (77.22.006 ДКС 4-й этап) (11) - Строительство долгопериодные без фона(Расчет средних концентраций по МРР-2017)
Код расчета: 2908 (Пыль неорганическая: 70-20% SiO2)
Параметр: Концентрация вредного вещества (в долях ПДК)
Высота 2м

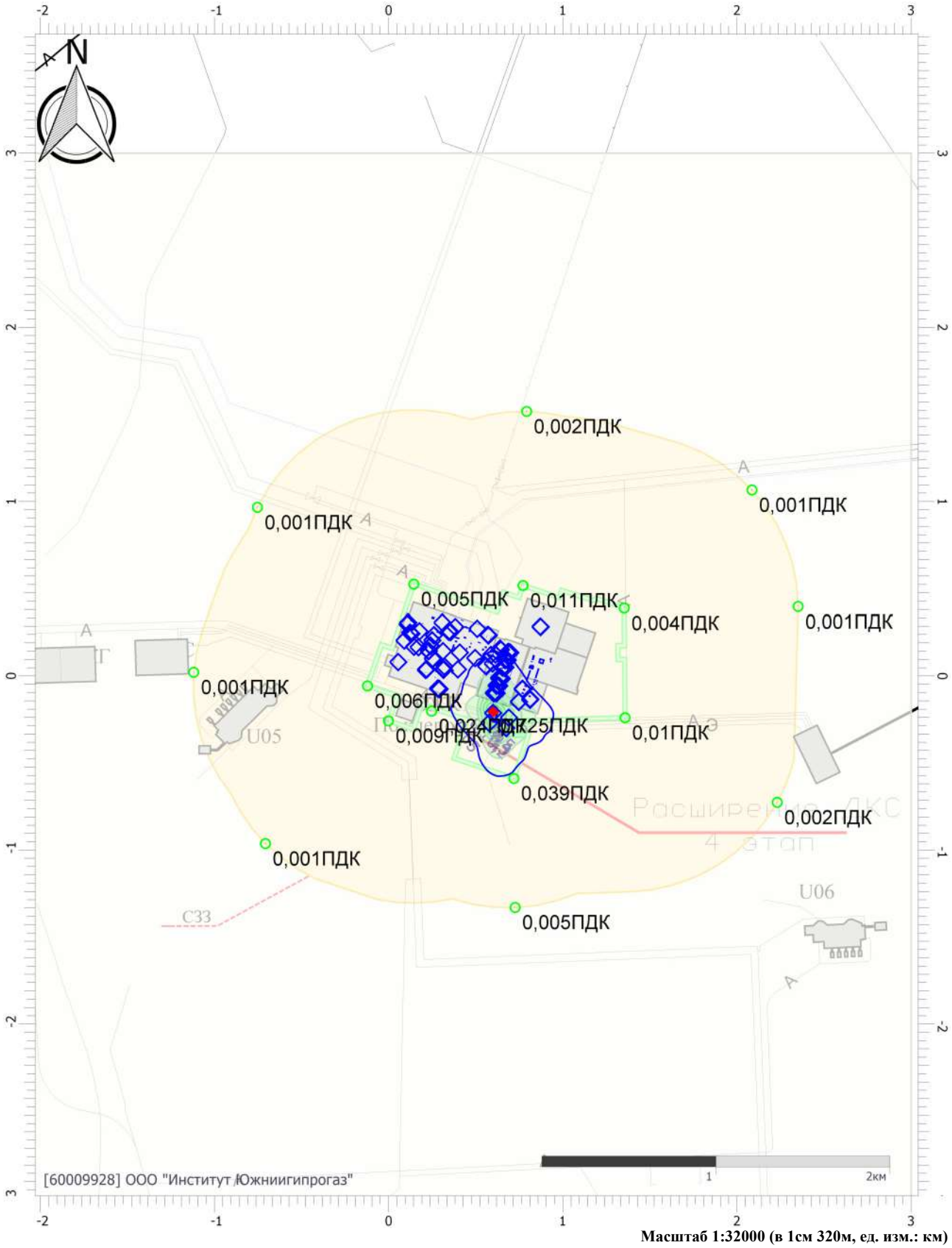

Масштаб 1:32000 (в 1см 320м, ед. изм.: км)

Цветовая схема (ПДК)



Период строительства без фона
(среднесуточные концентрации)

Отчет

Вариант расчета: ОАО АРКТИКГАЗ (77.22.006 ДКС 4-й этап) (11) - Строительство среднесуточные без фона (Расчёт среднесуточных концентраций)
Код расчета: 0143 (Марганец и его соединения (в пересчете на марганец (IV) оксид))
Параметр: Концентрация вредного вещества (в долях ПДК)
Высота 2м

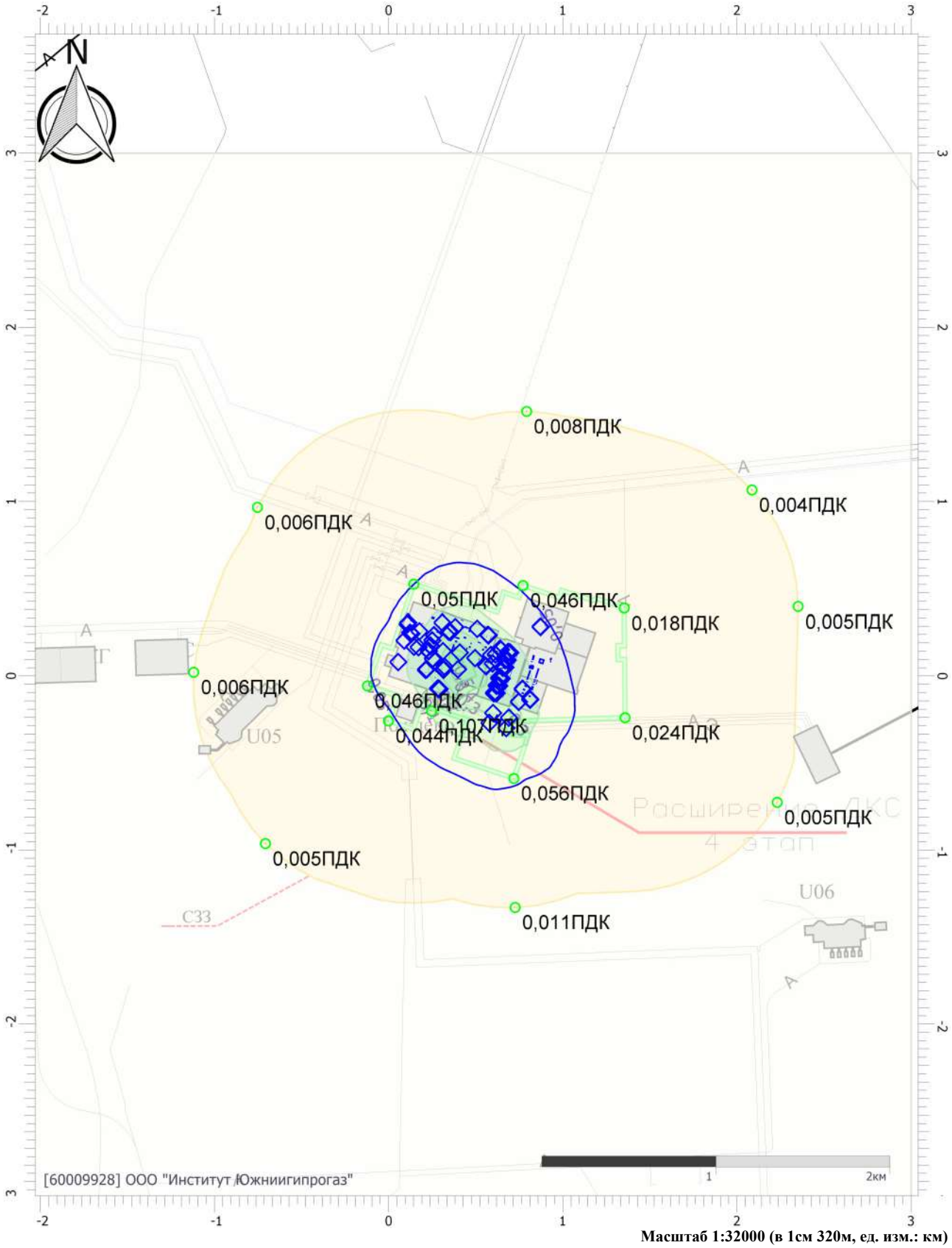

Масштаб 1:32000 (в 1см 320м, ед. изм.: км)

Цветовая схема (ПДК)



Отчет

Вариант расчета: ОАО АРКТИКГАЗ (77.22.006 ДКС 4-й этап) (11) - Строительство среднесуточные без фона (Расчёт среднесуточных концентраций)
Код расчета: 0301 (Азота диоксид (Двуокись азота; пероксид азота))
Параметр: Концентрация вредного вещества (в долях ПДК)
Высота 2м

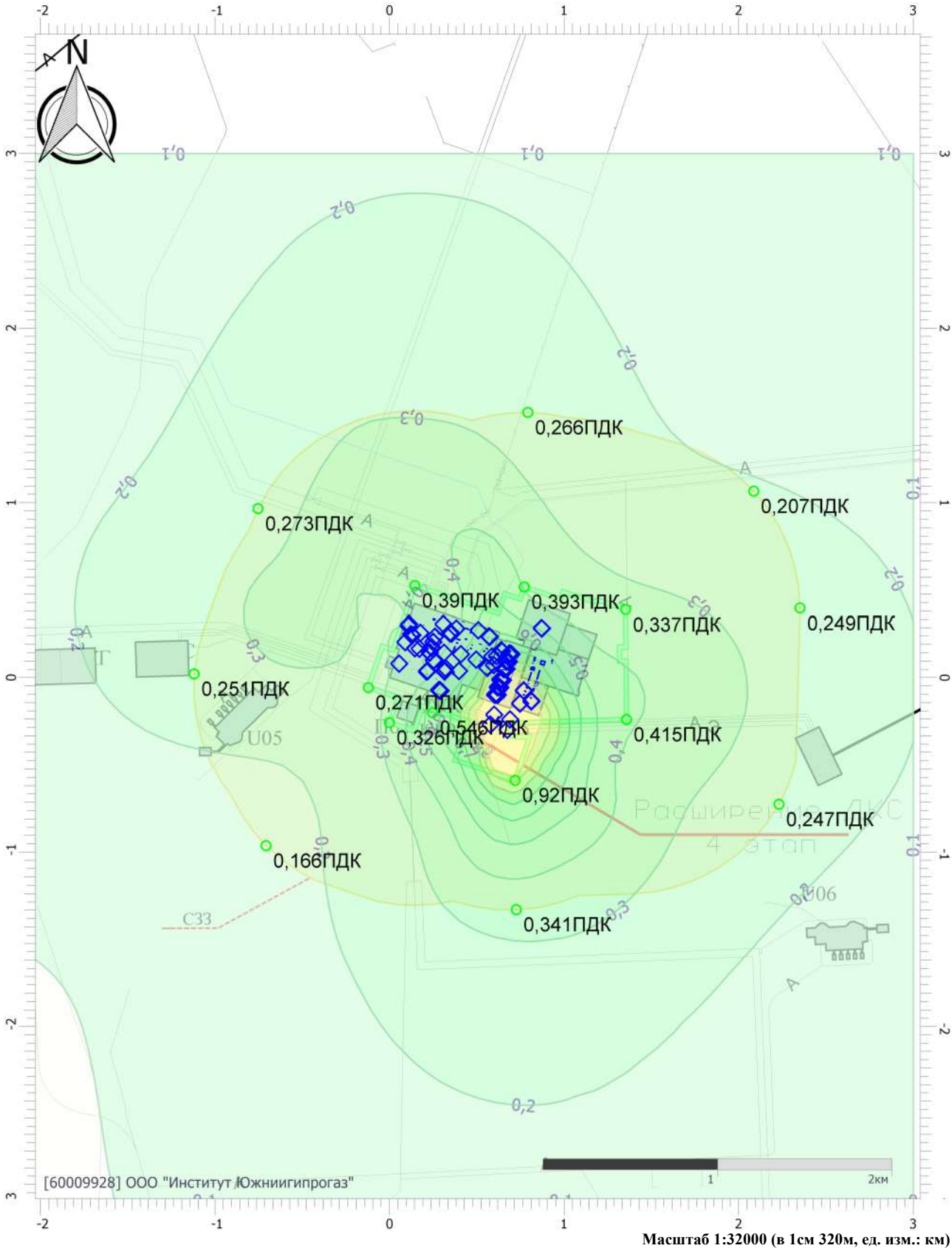

Масштаб 1:32000 (в 1см 320м, ед. изм.: км)

Цветовая схема (ПДК)



Отчет

Вариант расчета: ОАО АРКТИКГАЗ (77.22.006 ДКС 4-й этап) (11) - Строительство среднесуточные без фона (Расчёт среднесуточных концентраций)
Код расчета: 0328 (Углерод (Пигмент черный))
Параметр: Концентрация вредного вещества (в долях ПДК)
Высота 2м

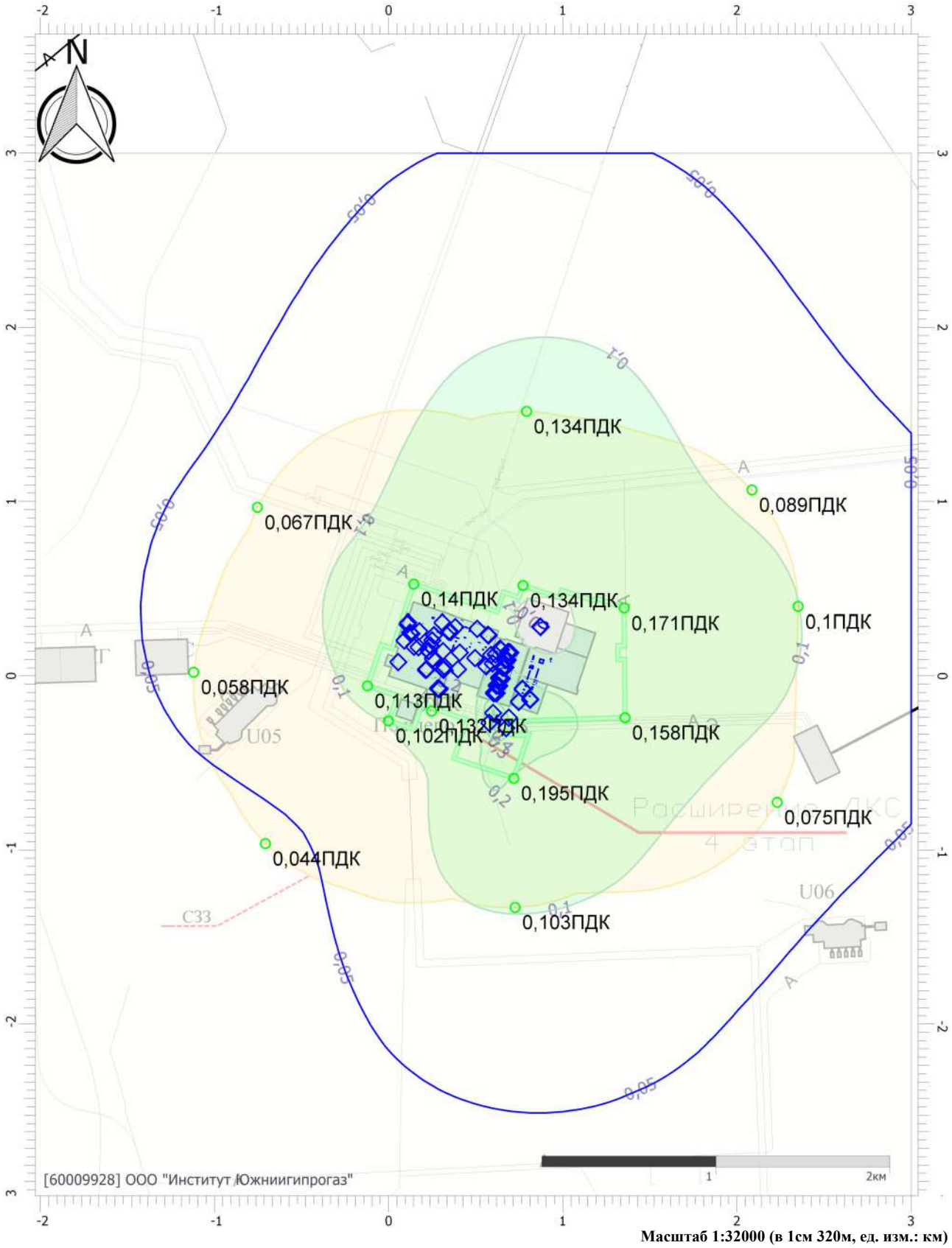

Масштаб 1:32000 (в 1см 320м, ед. изм.: км)

Цветовая схема (ПДК)

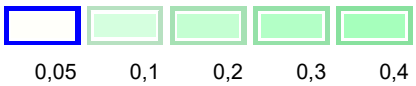

Отчет

Вариант расчета: ОАО АРКТИКГАЗ (77.22.006 ДКС 4-й этап) (11) - Строительство среднесуточные без фона (Расчёт среднесуточных концентраций)
Код расчета: 0337 (Углерода оксид (Углерод окись; углерод моноокись; угарный газ))
Параметр: Концентрация вредного вещества (в долях ПДК)
Высота 2м

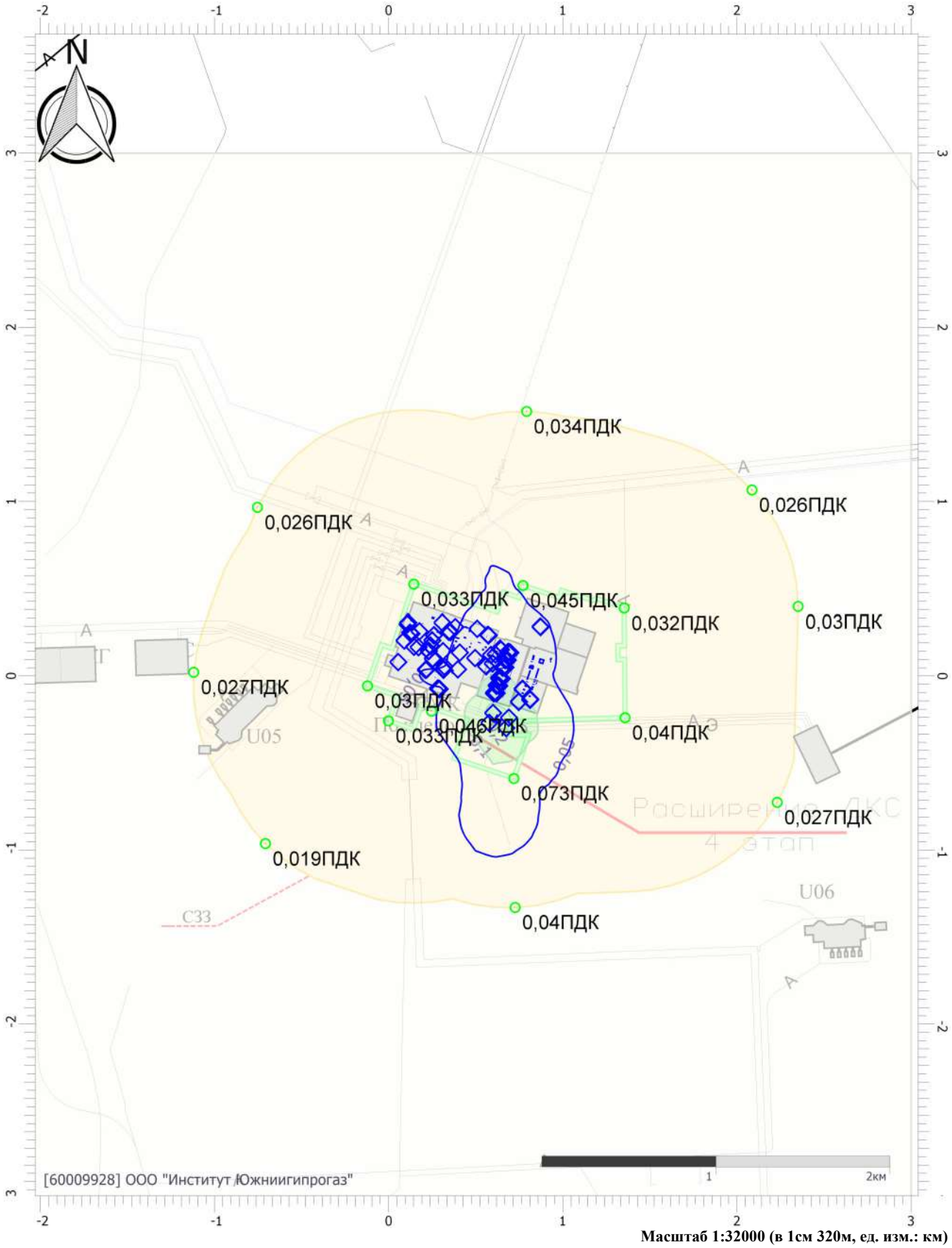

Масштаб 1:32000 (в 1см 320м, ед. изм.: км)

Цветовая схема (ПДК)

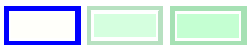

Отчет

Вариант расчета: ОАО АРКТИКГАЗ (77.22.006 ДКС 4-й этап) (11) - Расчёт среднесуточных концентраций [14.10.2026 13:37 - 14.10.2026 13:38]
Код расчета: 0342 (Фториды газообразные)
Параметр: Концентрация вредного вещества (в долях ПДК)
Высота 2м

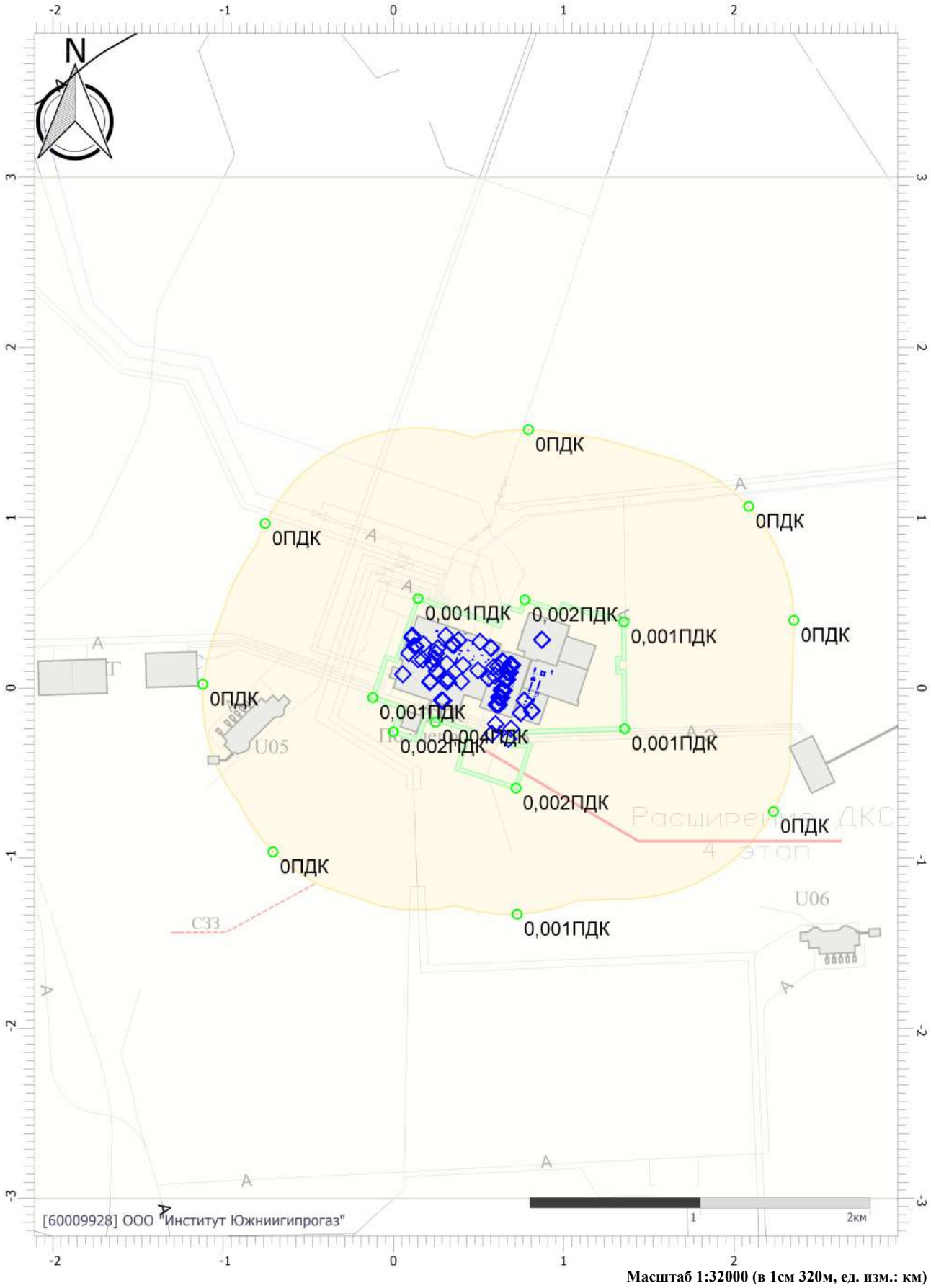

Масштаб 1:32000 (в 1см 320м, ед. изм.: км)

Цветовая схема (ПДК)

Отчет

Вариант расчета: ОАО АРКТИКГАЗ (77.22.006 ДКС 4-й этап) (11) - Строительство среднесуточные без фона (Расчёт среднесуточных концентраций)
Код расчета: 0703 (Бенз/а/пирен)
Параметр: Концентрация вредного вещества (в долях ПДК)
Высота 2м

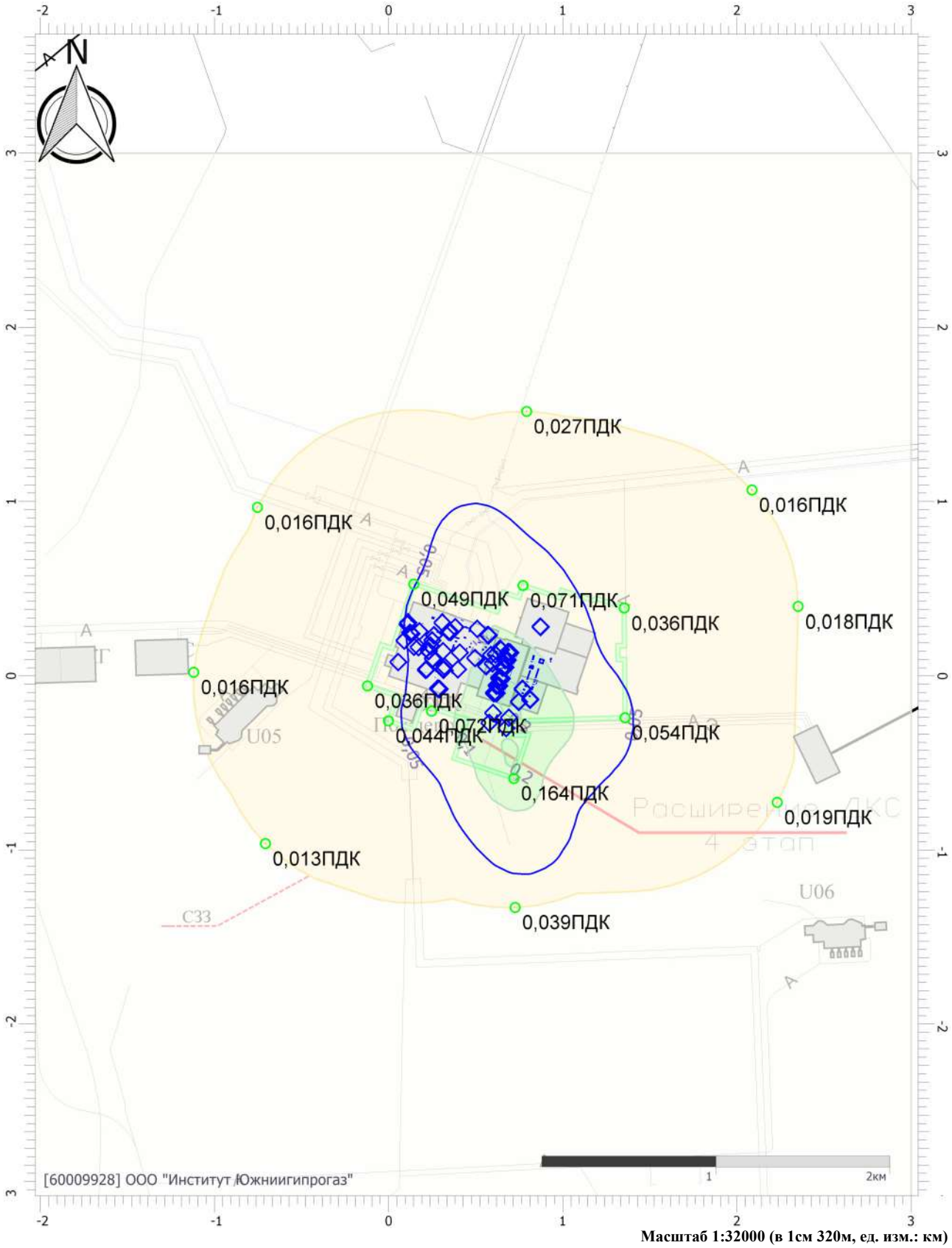

Масштаб 1:32000 (в 1см 320м, ед. изм.: км)

Цветовая схема (ПДК)



Отчет

Вариант расчета: ОАО АРКТИКГАЗ (77.22.006 ДКС 4-й этап) (11) - Строительство среднесуточные без фона (Расчёт среднесуточных концентраций)
Код расчета: 1071 (Гидроксибензол)
Параметр: Концентрация вредного вещества (в долях ПДК)
Высота 2м

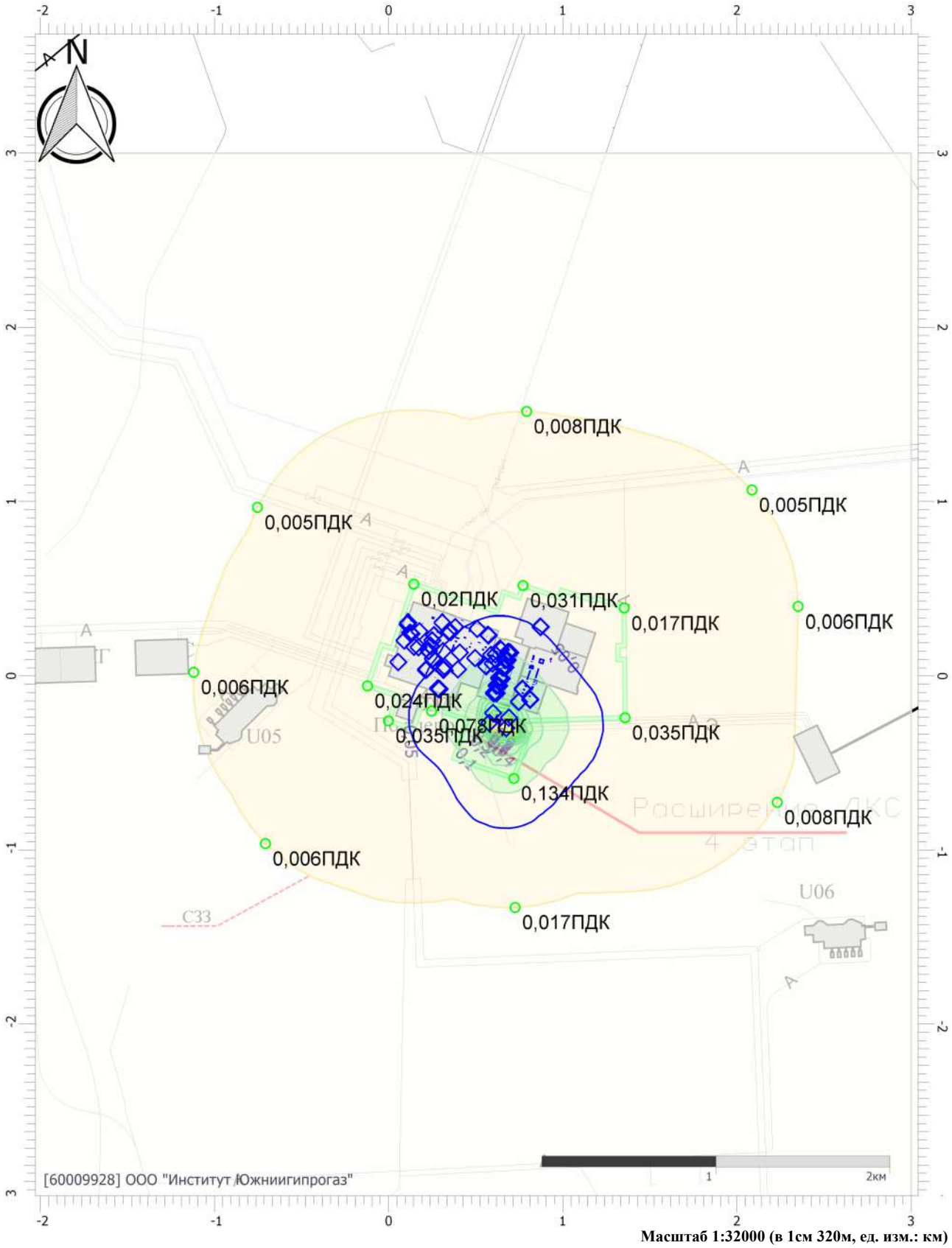

Масштаб 1:32000 (в 1см 320м, ед. изм.: км)

Цветовая схема (ПДК)



Отчет

Вариант расчета: ОАО АРКТИКГАЗ (77.22.006 ДКС 4-й этап) (11) - Строительство среднесуточные без фона (Расчёт среднесуточных концентраций)
Код расчета: 1325 (Формальдегид (Муравьиный альдегид, оксометан, метиленоксид))
Параметр: Концентрация вредного вещества (в долях ПДК)
Высота 2м

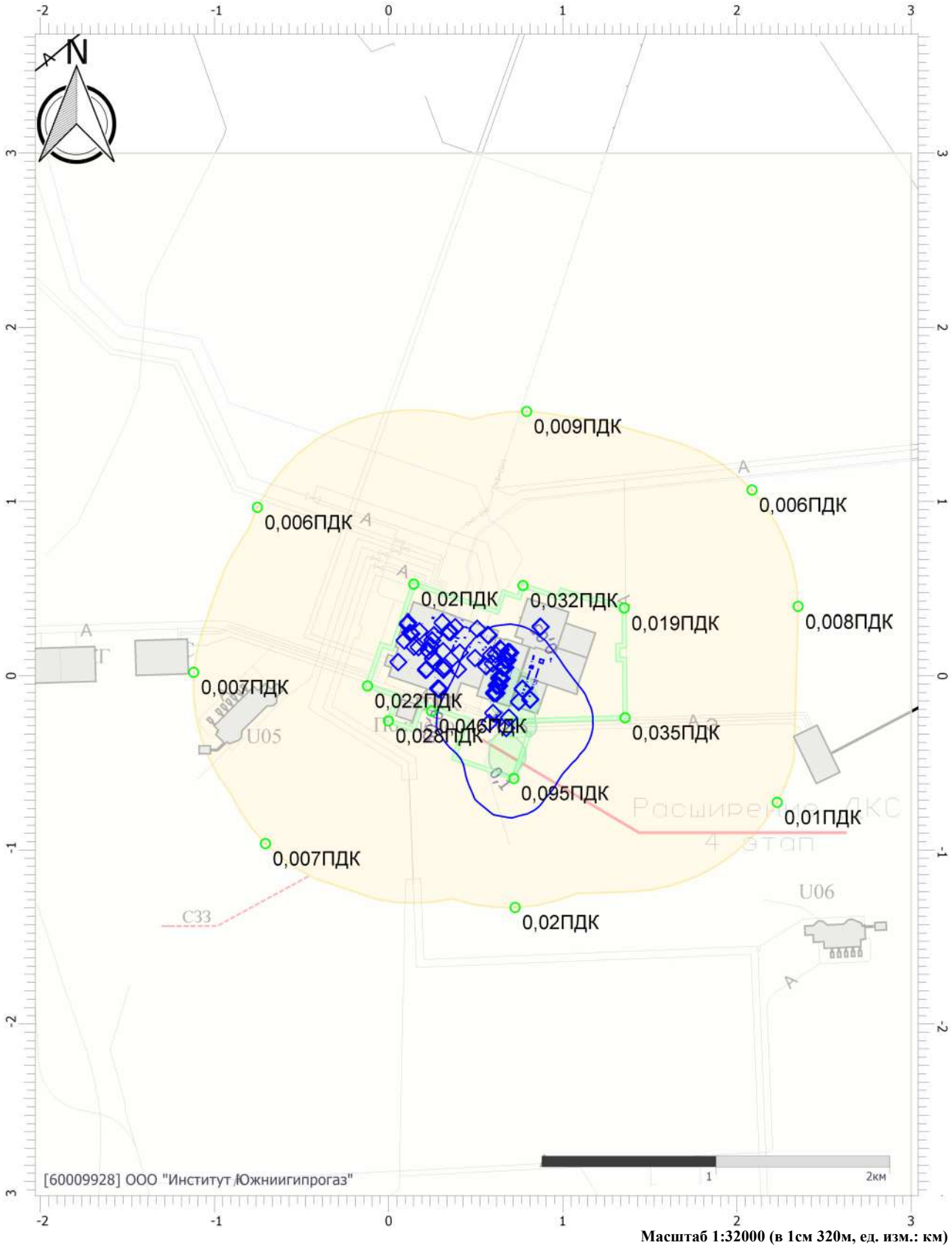

Масштаб 1:32000 (в 1см 320м, ед. изм.: км)

Цветовая схема (ПДК)

0,05 0,1

Отчет

Вариант расчета: ОАО АРКТИКГАЗ (77.22.006 ДКС 4-й этап) (11) - Строительство среднесуточные без фона (Расчёт среднесуточных концентраций)
Код расчета: 2902 (Взвешенные вещества)
Параметр: Концентрация вредного вещества (в долях ПДК)
Высота 2м

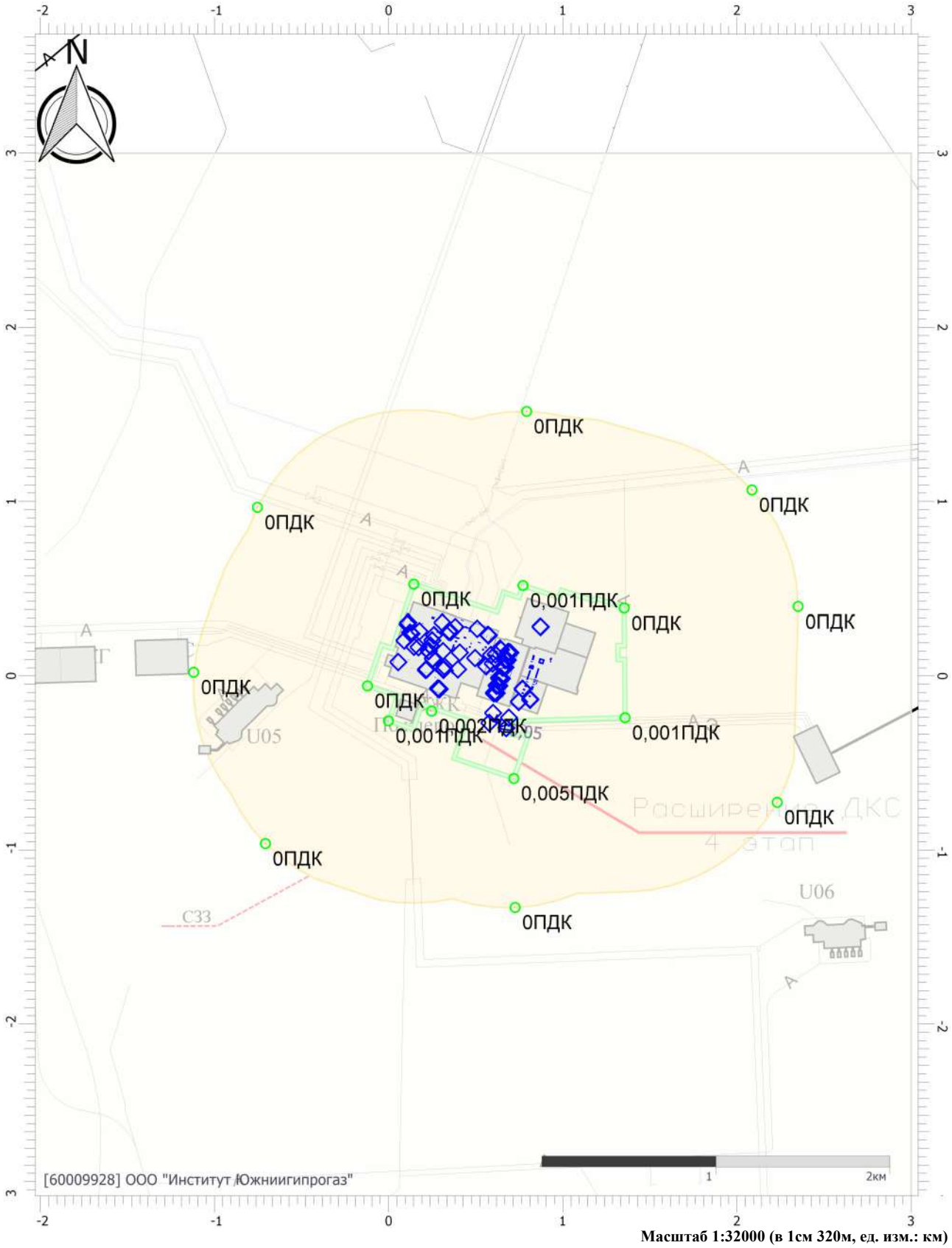

Масштаб 1:32000 (в 1см 320м, ед. изм.: км)

Цветовая схема (ПДК)

0,05

Период строительства с фоном
(максимально-разовые концентрации)

Отчет

Вариант расчета: ОАО АРКТИКГАЗ (77.22.006 ДКС 4-й этап) (11) - Строительство максмальные с фоном (Расчет рассеивания по МРР-2017 , ЗИМА)
Код расчета: 0301 (Азота диоксид (Двуокись азота; пероксид азота))
Параметр: Концентрация вредного вещества (в долях ПДК)
Высота 2м

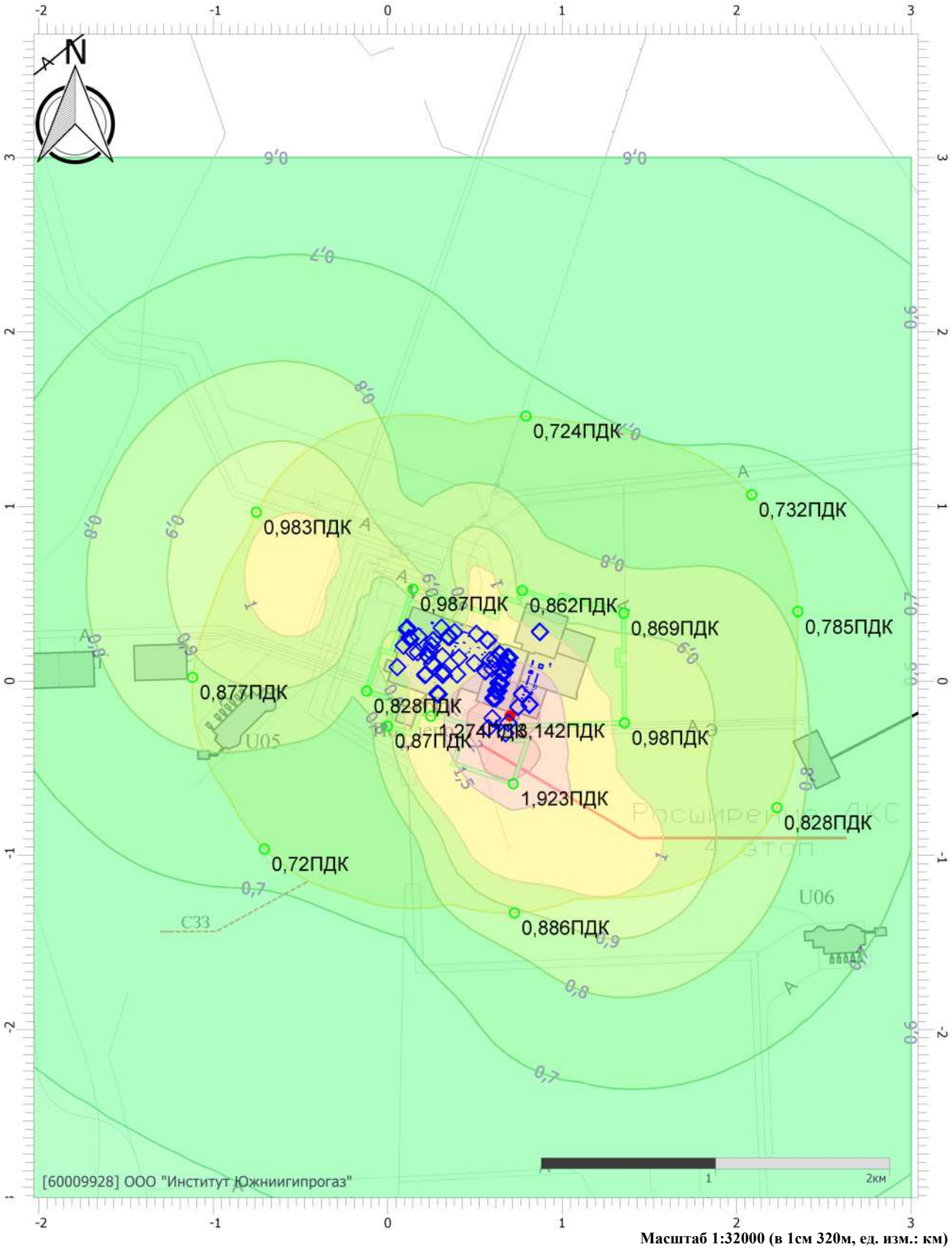

Масштаб 1:32000 (в 1см 320м, ед. изм.: км)

Цветовая схема (ПДК)



Отчет

Вариант расчета: ОАО АРКТИКГАЗ (77.22.006 ДКС 4-й этап) (11) - Строительство максмальные с фоном (Расчет рассеивания по МРР-2017 , ЗИМА)
Код расчета: 0304 (Азот (II) оксид (Азот монооксид))
Параметр: Концентрация вредного вещества (в долях ПДК)
Высота 2м

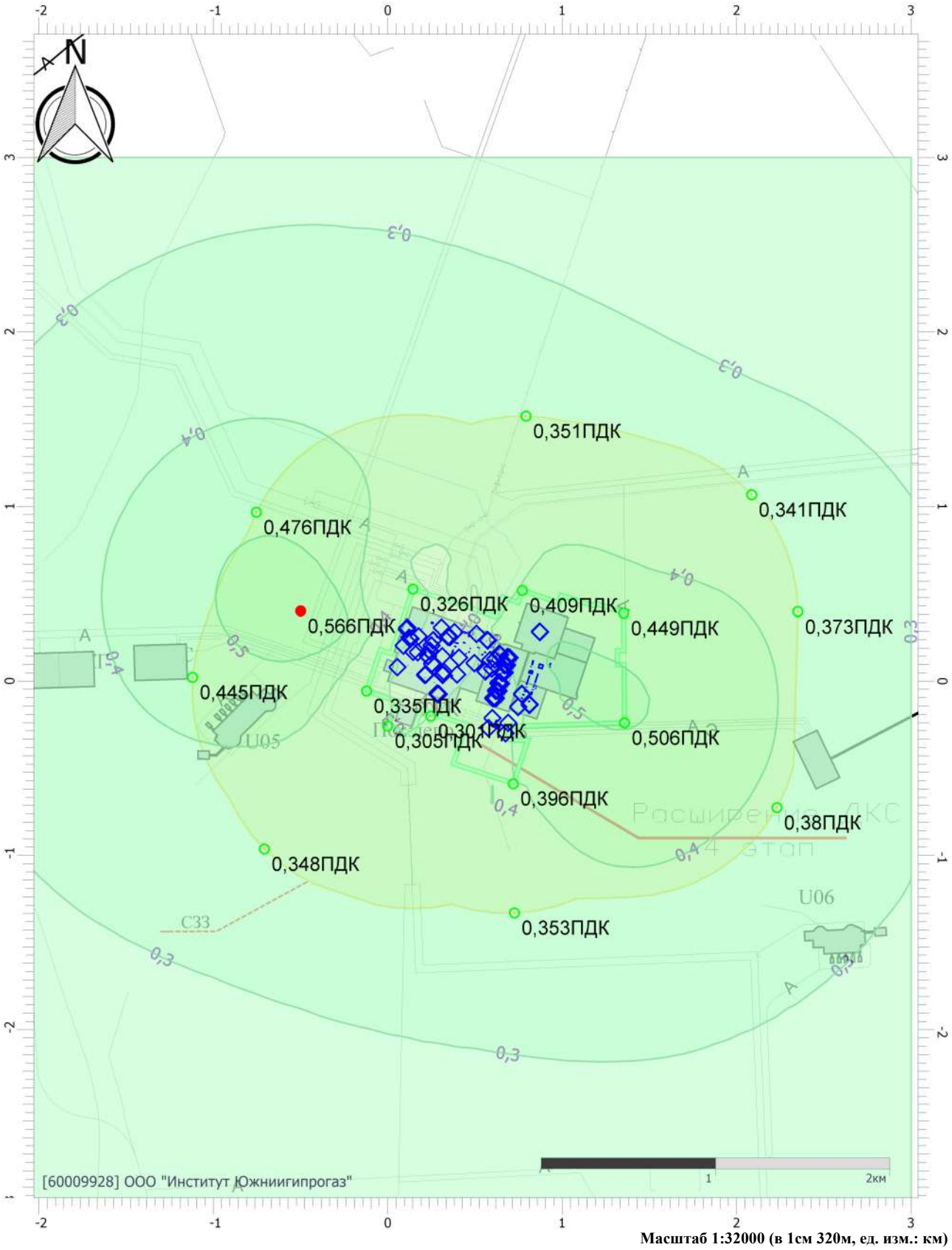

Масштаб 1:32000 (в 1см 320м, ед. изм.: км)

Цветовая схема (ПДК)



Отчет

Вариант расчета: ОАО АРКТИКГАЗ (77.22.006 ДКС 4-й этап) (11) - Строительство максмальные с фоном (Расчет рассеивания по МРР-2017 , ЗИМА)
Код расчета: 0330 (Сера диоксид)
Параметр: Концентрация вредного вещества (в долях ПДК)
Высота 2м

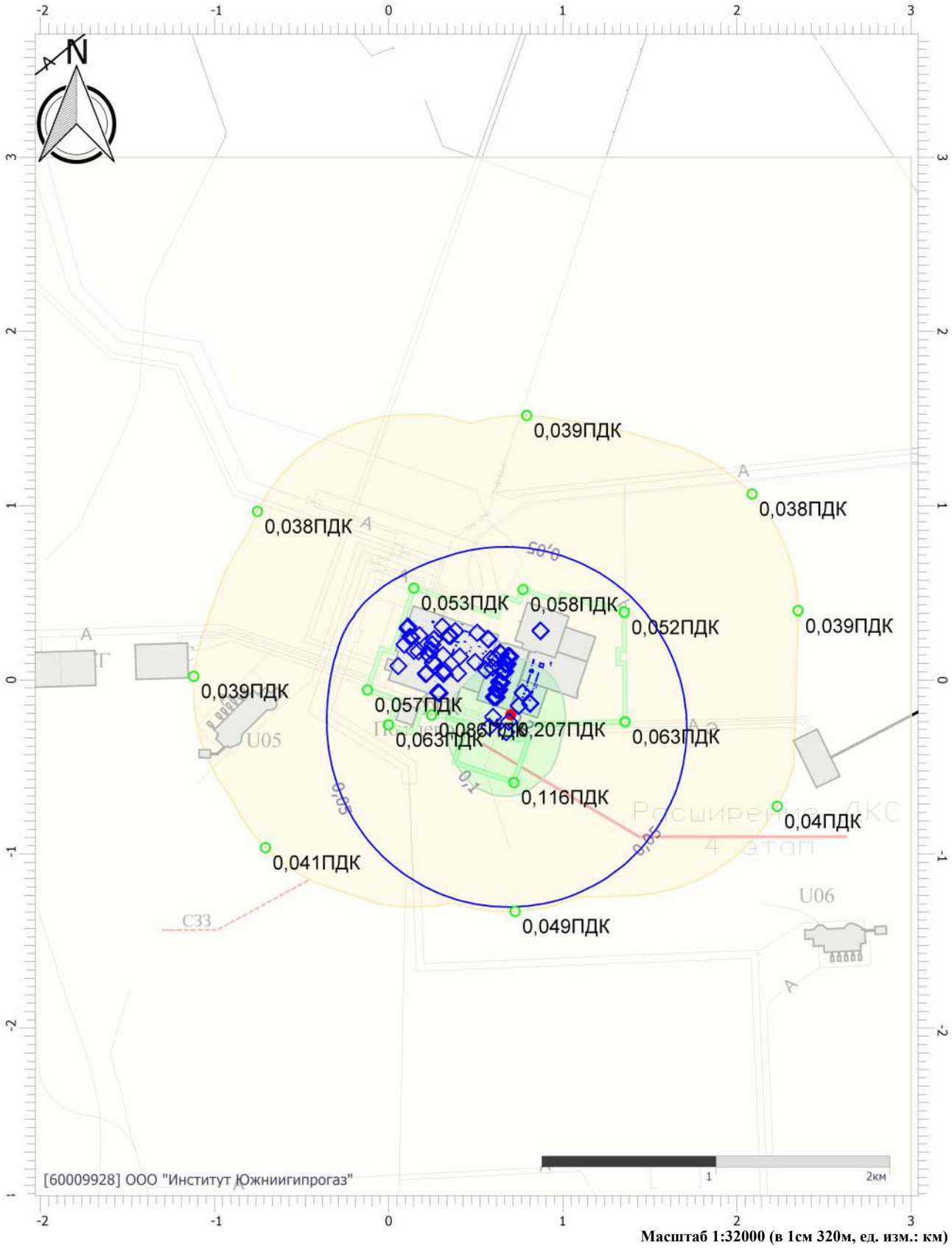

Масштаб 1:32000 (в 1см 320м, ед. изм.: км)

Цветовая схема (ПДК)

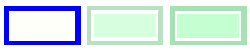

Отчет

Вариант расчета: ОАО АРКТИКГАЗ (77.22.006 ДКС 4-й этап) (11) - Строительство максмальные с фоном (Расчет рассеивания по МРР-2017 , ЗИМА)
Код расчета: 0337 (Углерода оксид (Углерод окись; углерод моноокись; угарный газ))
Параметр: Концентрация вредного вещества (в долях ПДК)
Высота 2м

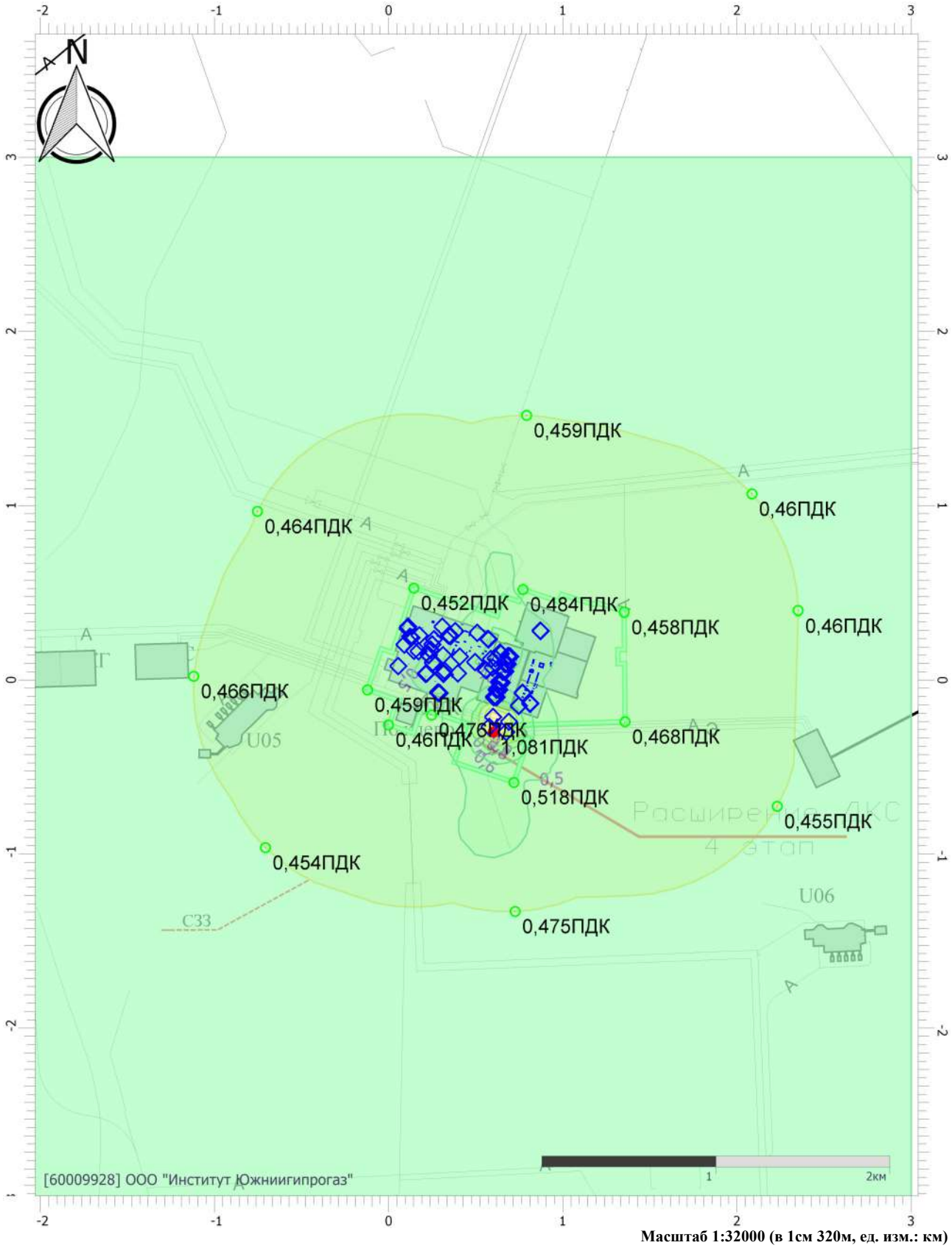

Масштаб 1:32000 (в 1см 320м, ед. изм.: км)

Цветовая схема (ПДК)

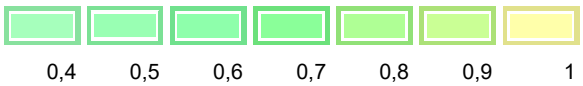

Период строительства с фоном
(долгопериодные концентрации)

Отчет

Вариант расчета: ОАО АРКТИКГАЗ (77.22.006 ДКС 4-й этап) (11) - Строительство долгопериодные с фоном (Расчет средних концентраций по МРР-2017)
Код расчета: 0301 (Азота диоксид (Двуокись азота; пероксид азота))
Параметр: Концентрация вредного вещества (в долях ПДК)
Высота 2м

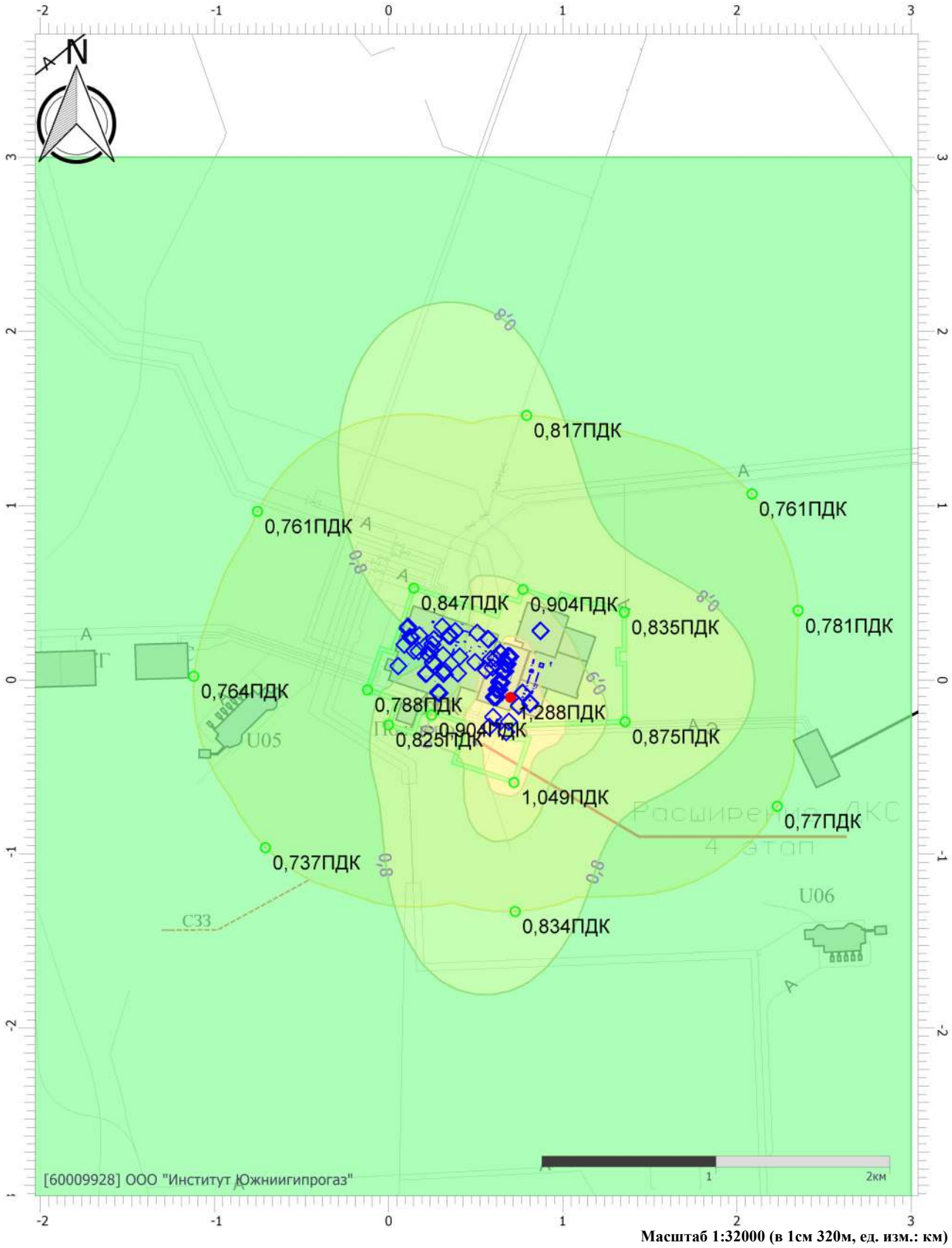

Масштаб 1:32000 (в 1см 320м, ед. изм.: км)

Цветовая схема (ПДК)



Отчет

Вариант расчета: ОАО АРКТИКГАЗ (77.22.006 ДКС 4-й этап) (11) - Строительство долгопериодные с фоном (Расчет средних концентраций по МРР-2017)
Код расчета: 0304 (Азот (II) оксид (Азот монооксид))
Параметр: Концентрация вредного вещества (в долях ПДК)
Высота 2м

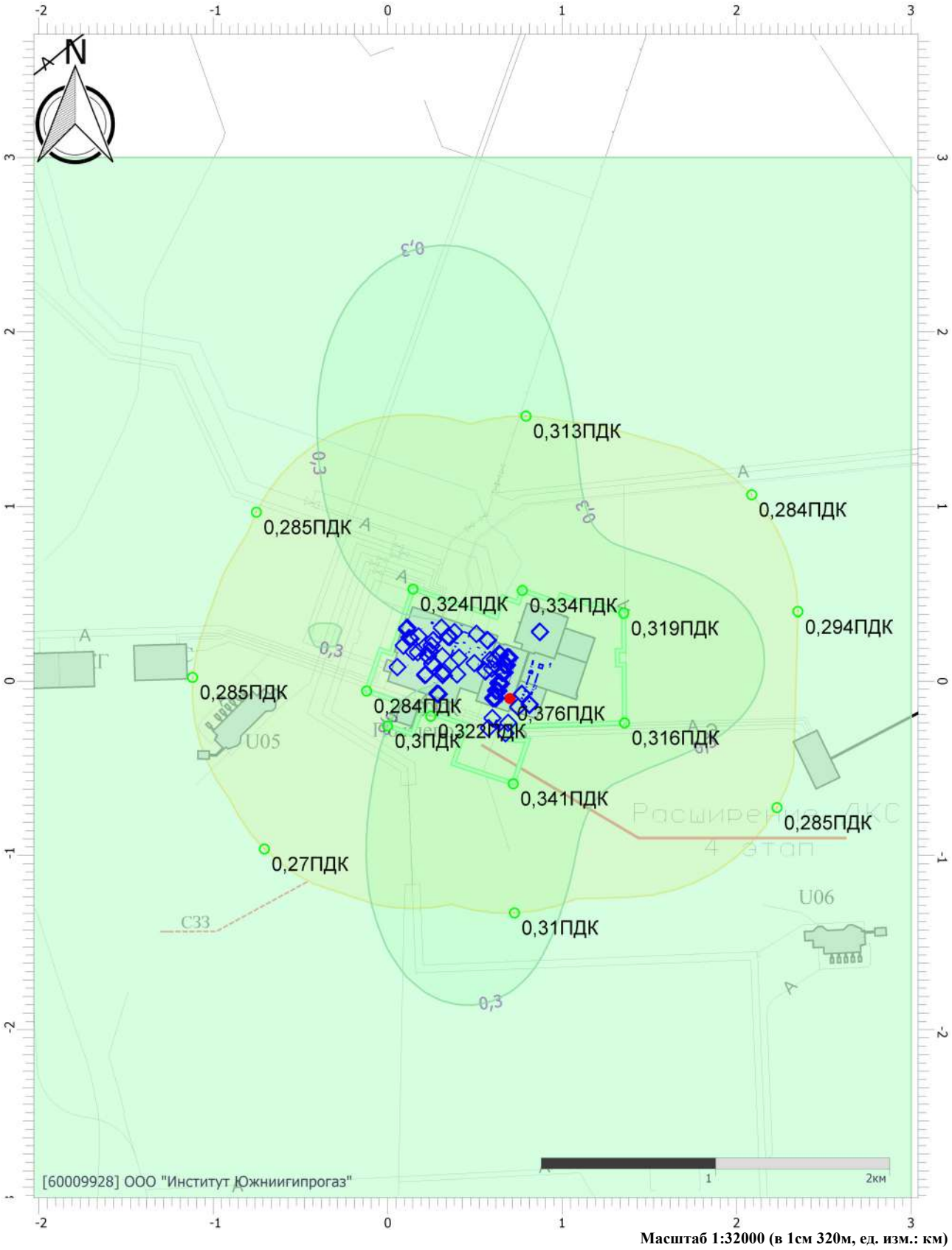

Масштаб 1:32000 (в 1см 320м, ед. изм.: км)

Цветовая схема (ПДК)



0,2 0,3

Отчет

Вариант расчета: ОАО АРКТИКГАЗ (77.22.006 ДКС 4-й этап) (11) - Строительство долгопериодные с фоном (Расчет средних концентраций по МРР-2017)
Код расчета: 0330 (Сера диоксид)
Параметр: Концентрация вредного вещества (в долях ПДК)
Высота 2м

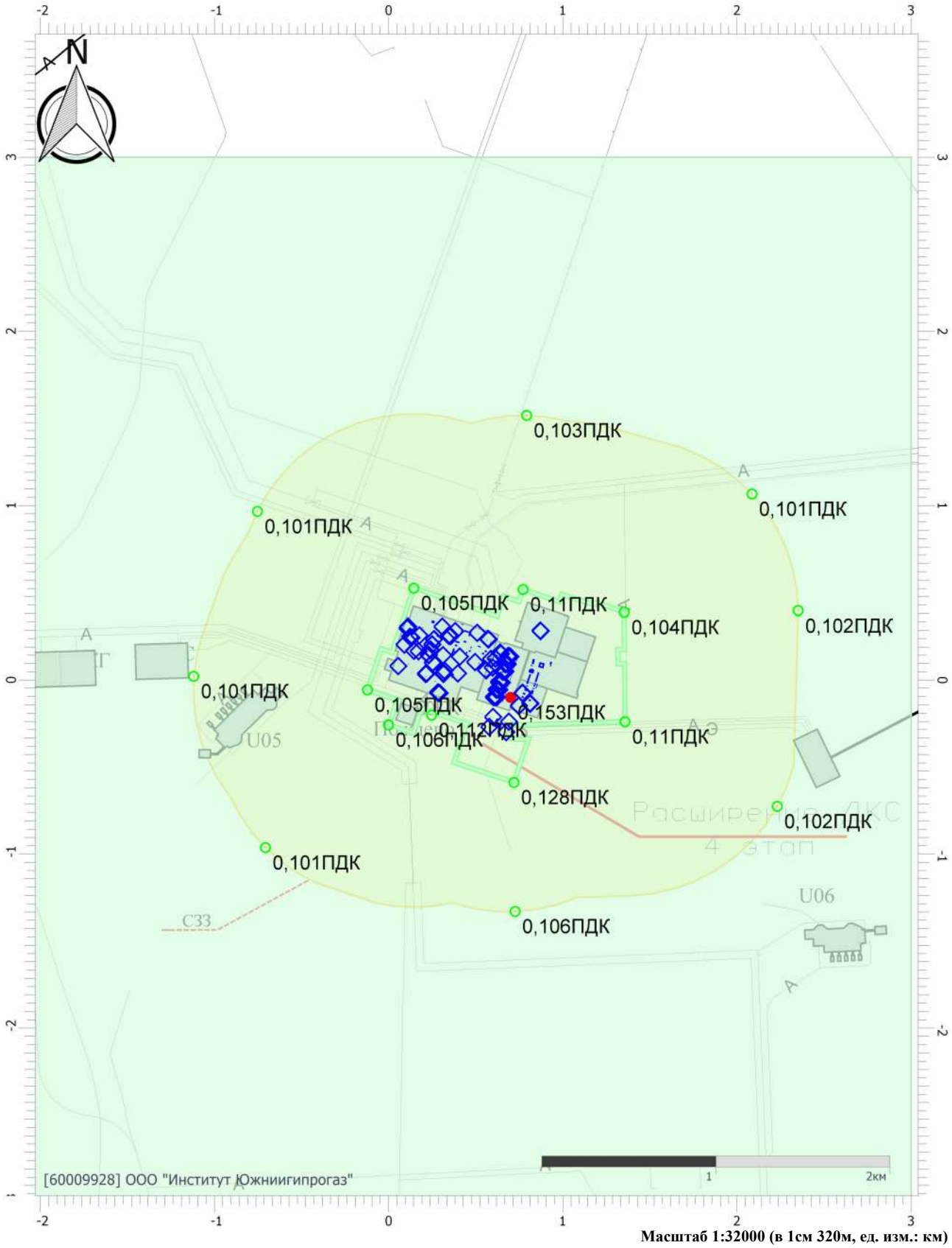

Масштаб 1:32000 (в 1см 320м, ед. изм.: км)

Цветовая схема (ПДК)

0,1

Отчет

Вариант расчета: ОАО АРКТИКГАЗ (77.22.006 ДКС 4-й этап) (11) - Строительство долгопериодные с фоном (Расчет средних концентраций по МРР-2017)
Код расчета: 0337 (Углерода оксид (Углерод окись; углерод моноокись; угарный газ))
Параметр: Концентрация вредного вещества (в долях ПДК)
Высота 2м

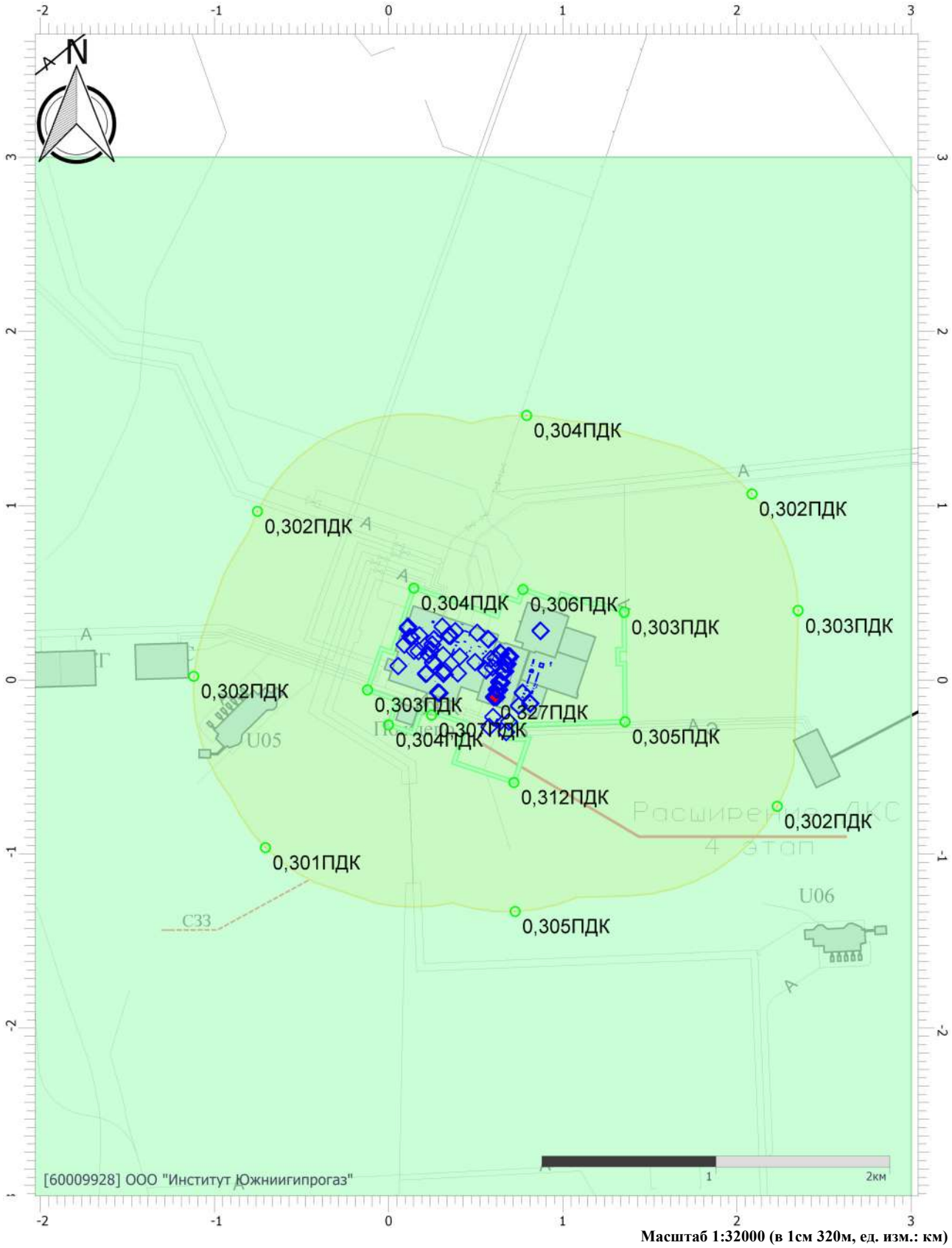

Масштаб 1:32000 (в 1см 320м, ед. изм.: км)

Цветовая схема (ПДК)

0,3

Период строительства с фоном
(среднесуточные концентрации)

Отчет

Вариант расчета: ОАО АРКТИКГАЗ (77.22.006 ДКС 4-й этап) (11) - Строительство среднесуточные с фоном (Расчёт среднесуточных концентраций)
Код расчета: 0301 (Азота диоксид (Двуокись азота; пероксид азота))
Параметр: Концентрация вредного вещества (в долях ПДК)
Высота 2м

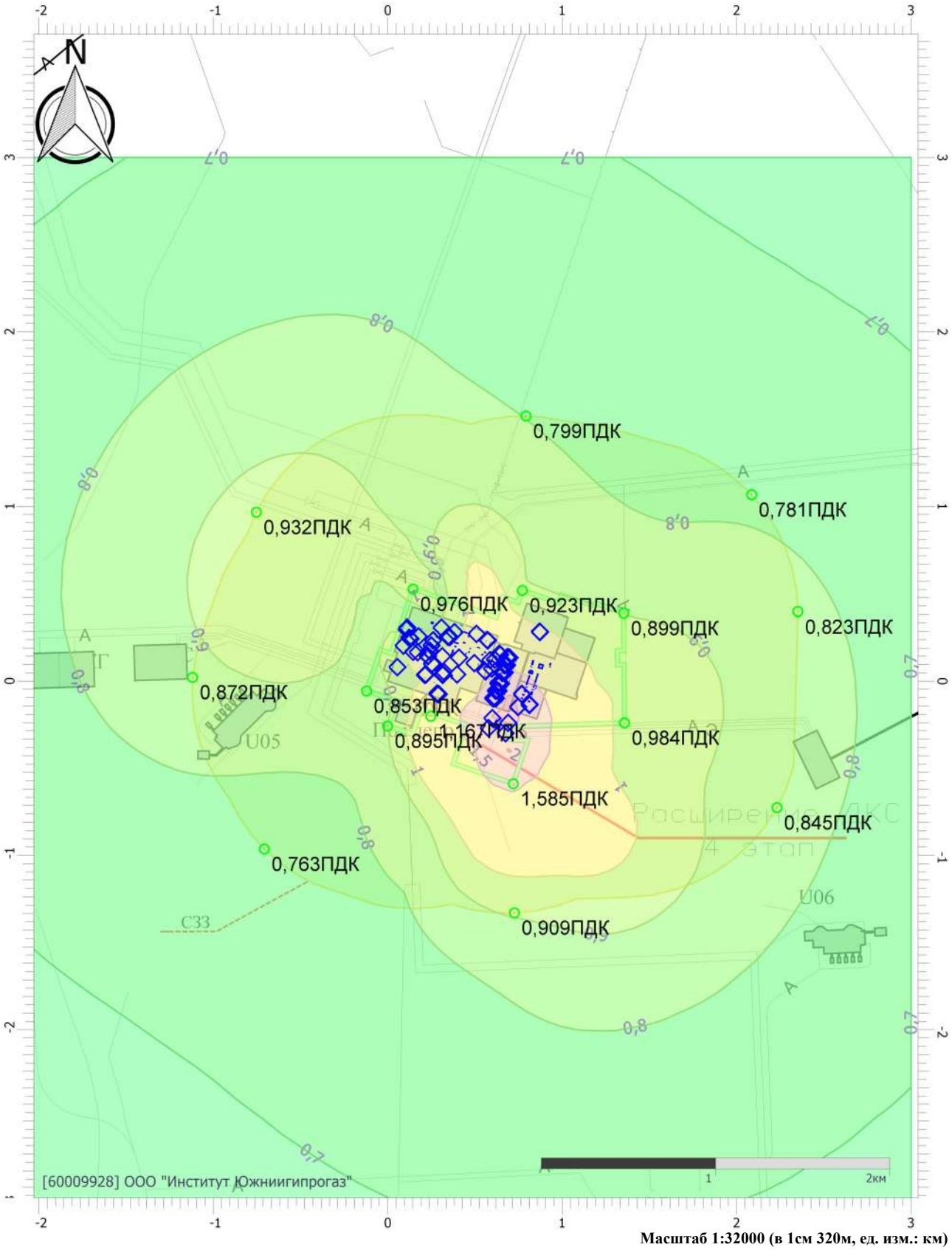

Масштаб 1:32000 (в 1см 320м, ед. изм.: км)

Цветовая схема (ПДК)



Отчет

Вариант расчета: ОАО АРКТИКГАЗ (77.22.006 ДКС 4-й этап) (11) - Строительство среднесуточные с фоном (Расчёт среднесуточных концентраций)
Код расчета: 0337 (Углерода оксид (Углерод окись; углерод моноокись; угарный газ))
Параметр: Концентрация вредного вещества (в долях ПДК)
Высота 2м

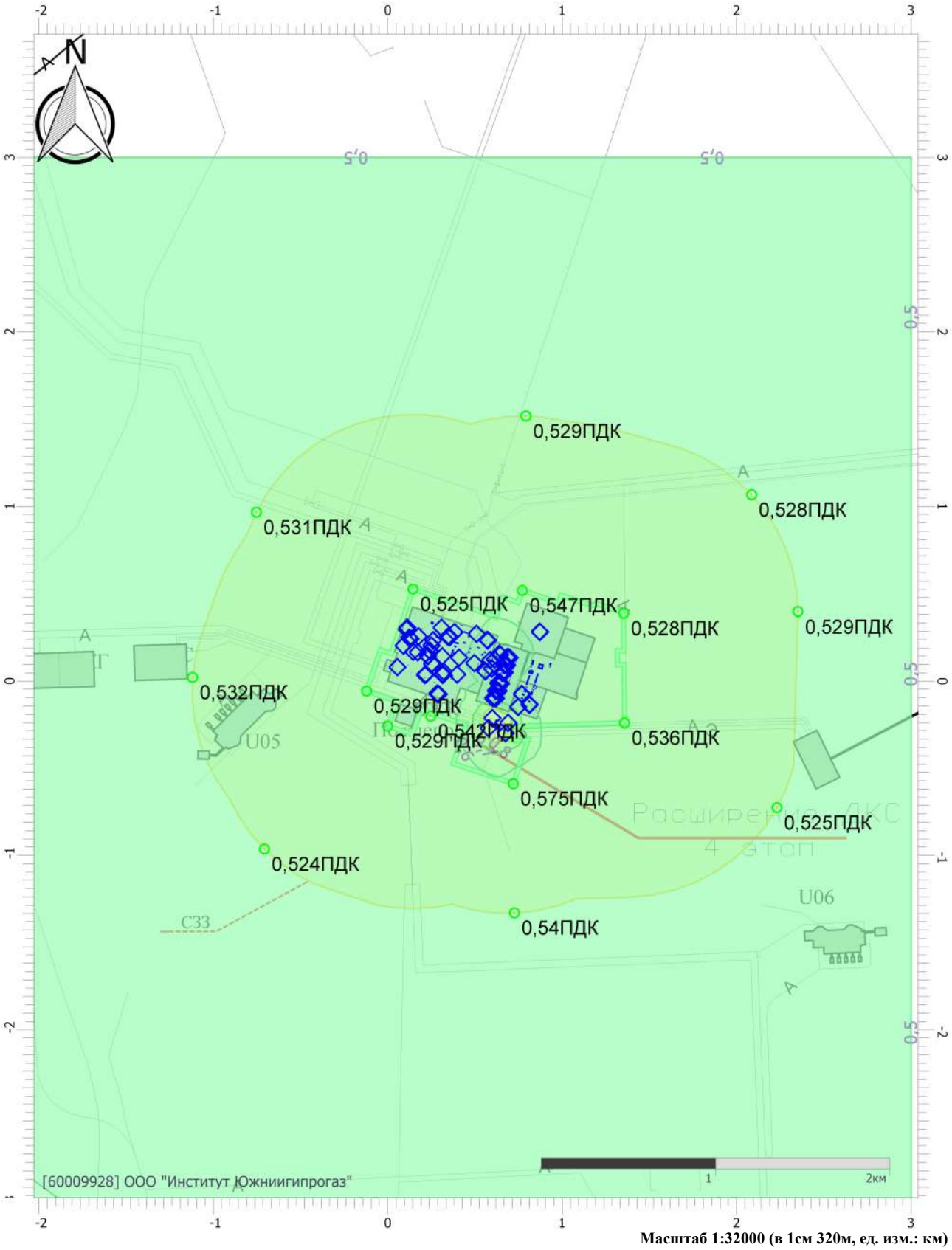

Масштаб 1:32000 (в 1см 320м, ед. изм.: км)

Цветовая схема (ПДК)



Зона влияния
период строительства

Отчет

Вариант расчета: ОАО АРКТИКГАЗ (77.22.006 ДКС 4-й этап) (11) - Расчет рассеивания по МРР-2017 [15.10.2026 08:17 - 15.10.2026 08:37] , ЗИМА
Код расчета: 0301 (Азота диоксид (Двуокись азота; пероксид азота))
Параметр: Концентрация вредного вещества (в долях ПДК)
Высота 2м

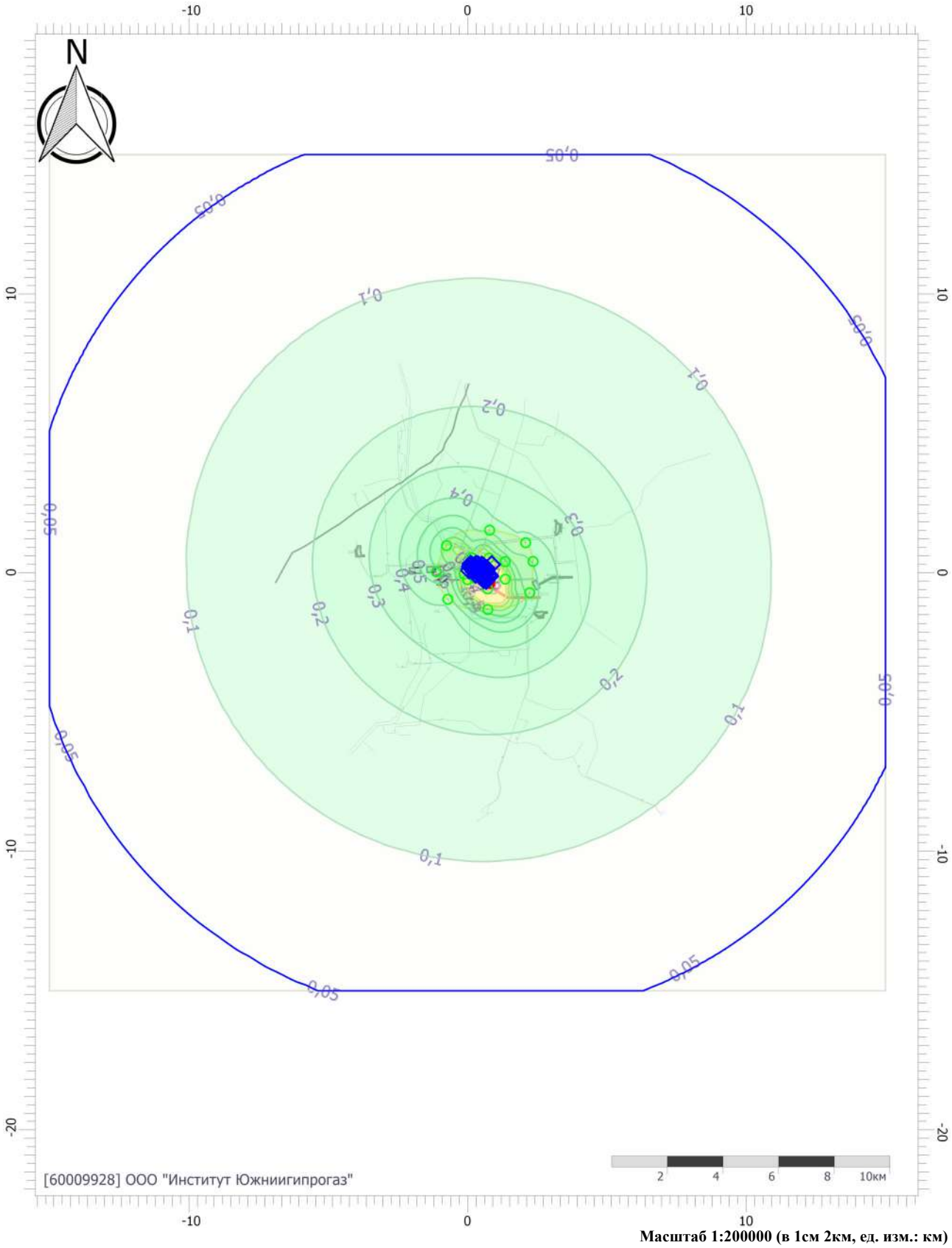

Масштаб 1:200000 (в 1см 2км, ед. изм.: км)

Цветовая схема (ПДК)



Период эксплуатации без фона

(максимально-разовые концентрации)

Отчет

Вариант расчета: ОАО АРКТИКГАЗ (77.22.006 ДКС 4-й этап) - Максимальные концентрации (Расчет рассеивания по МРР-2017 , ЛЕТО)
Код расчета: 0301 (Азота диоксид (Двуокись азота; пероксид азота))
Параметр: Концентрация вредного вещества (в долях ПДК)
Высота 2м

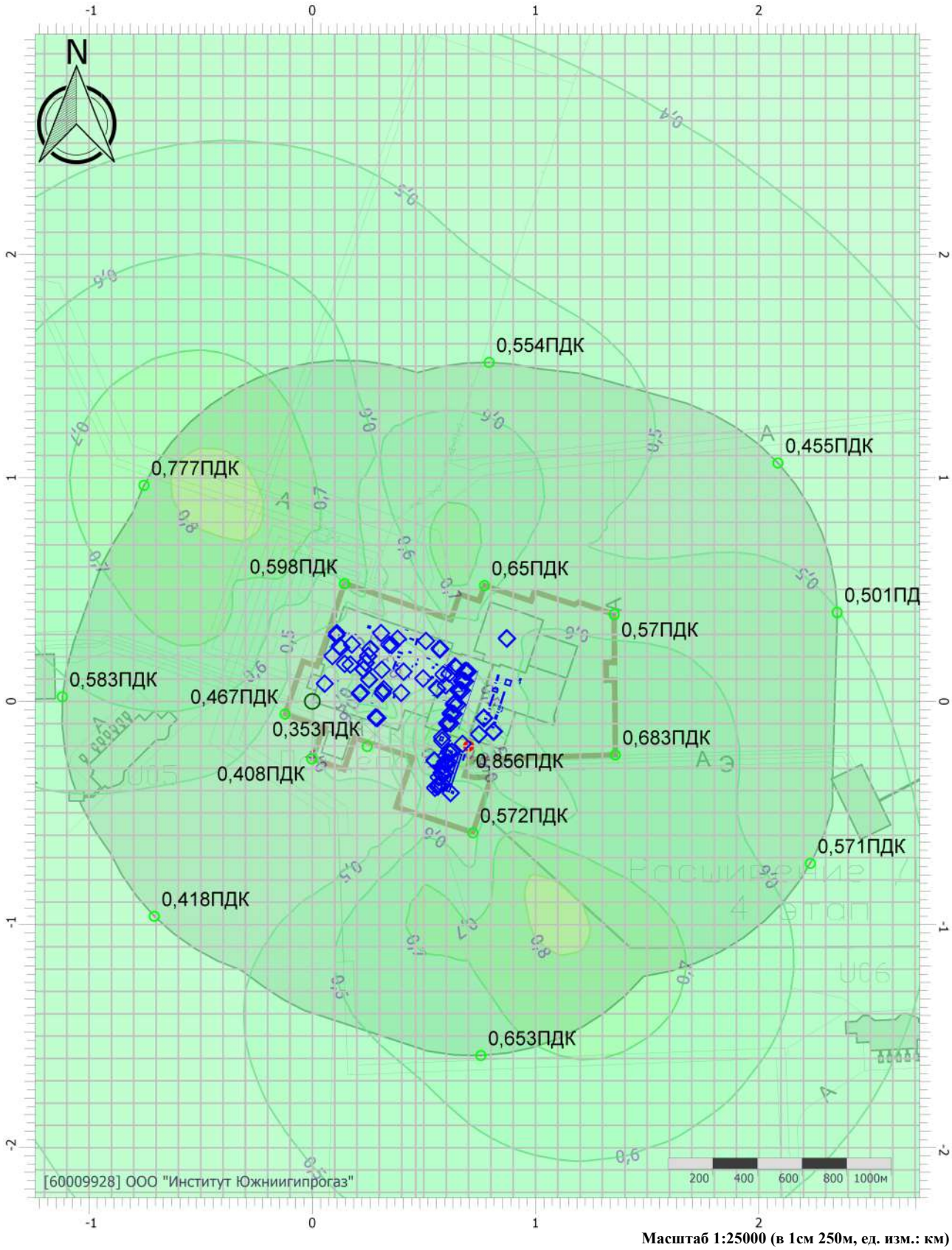

Масштаб 1:25000 (в 1см 250м, ед. изм.: км)

Цветовая схема (ПДК)

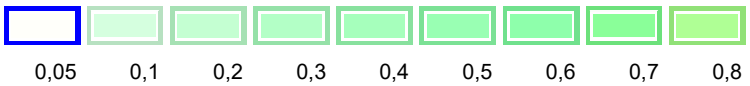

Отчет

Вариант расчета: ОАО АРКТИКГАЗ (77.22.006 ДКС 4-й этап) - Максимальные концентрации (Расчет рассеивания по МРР-2017 , ЛЕТО)
Код расчета: 0304 (Азот (II) оксид (Азот монооксид))
Параметр: Концентрация вредного вещества (в долях ПДК)
Высота 2м

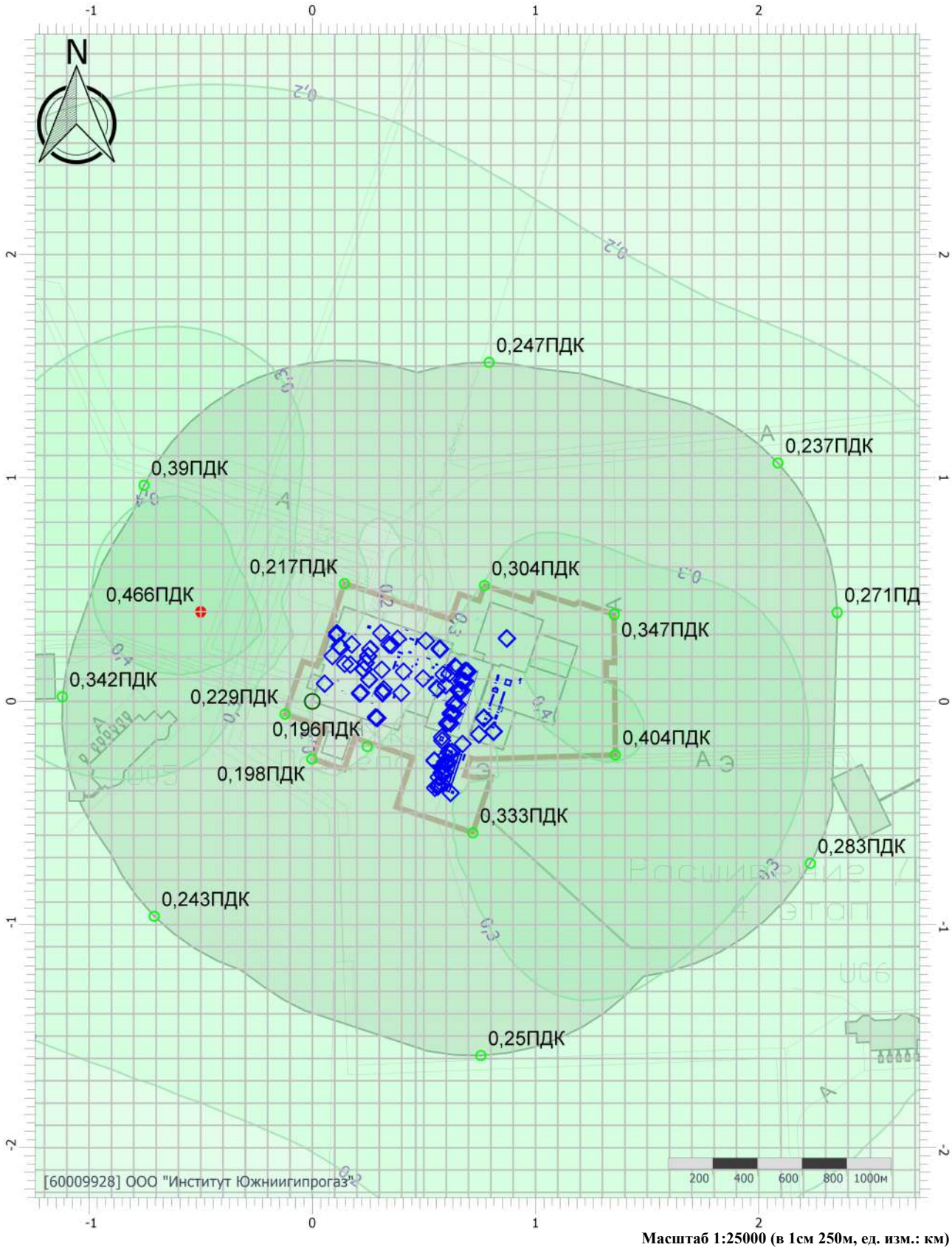

Масштаб 1:25000 (в 1см 250м, ед. изм.: км)

Цветовая схема (ПДК)

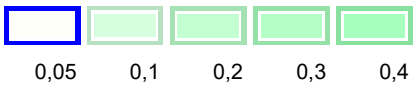

Отчет

Вариант расчета: ОАО АРКТИКГАЗ (77.22.006 ДКС 4-й этап) - Максимальные концентрации (Расчет рассеивания по МРР-2017 , ЛЕТО)
Код расчета: 0328 (Углерод (Пигмент черный))
Параметр: Концентрация вредного вещества (в долях ПДК)
Высота 2м

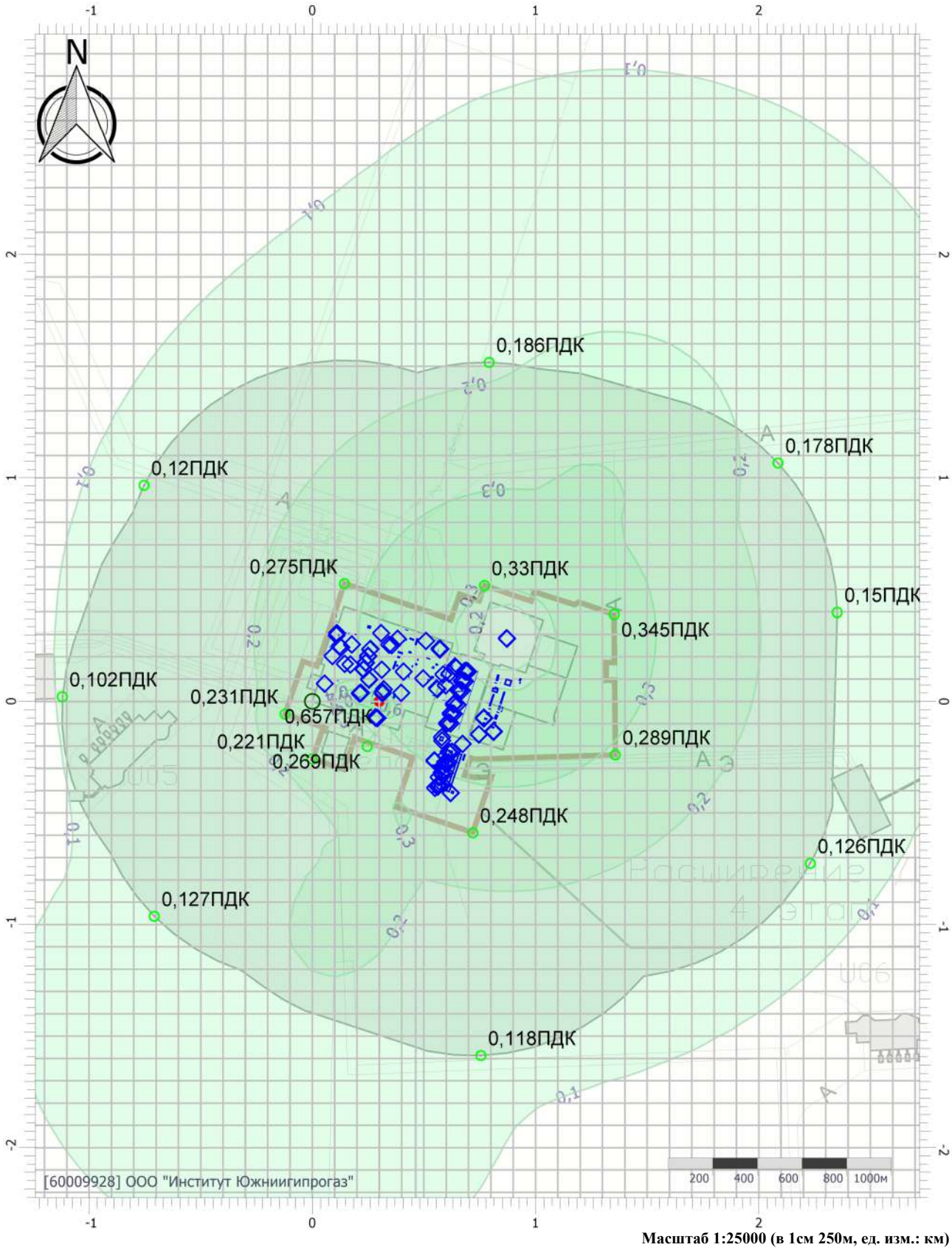

Масштаб 1:25000 (в 1см 250м, ед. изм.: км)

Цветовая схема (ПДК)



Отчет

Вариант расчета: ОАО АРКТИКГАЗ (77.22.006 ДКС 4-й этап) - Максимальные концентрации (Расчет рассеивания по МРР-2017 , ЛЕТО)
Код расчета: 0330 (Сера диоксид)
Параметр: Концентрация вредного вещества (в долях ПДК)
Высота 2м

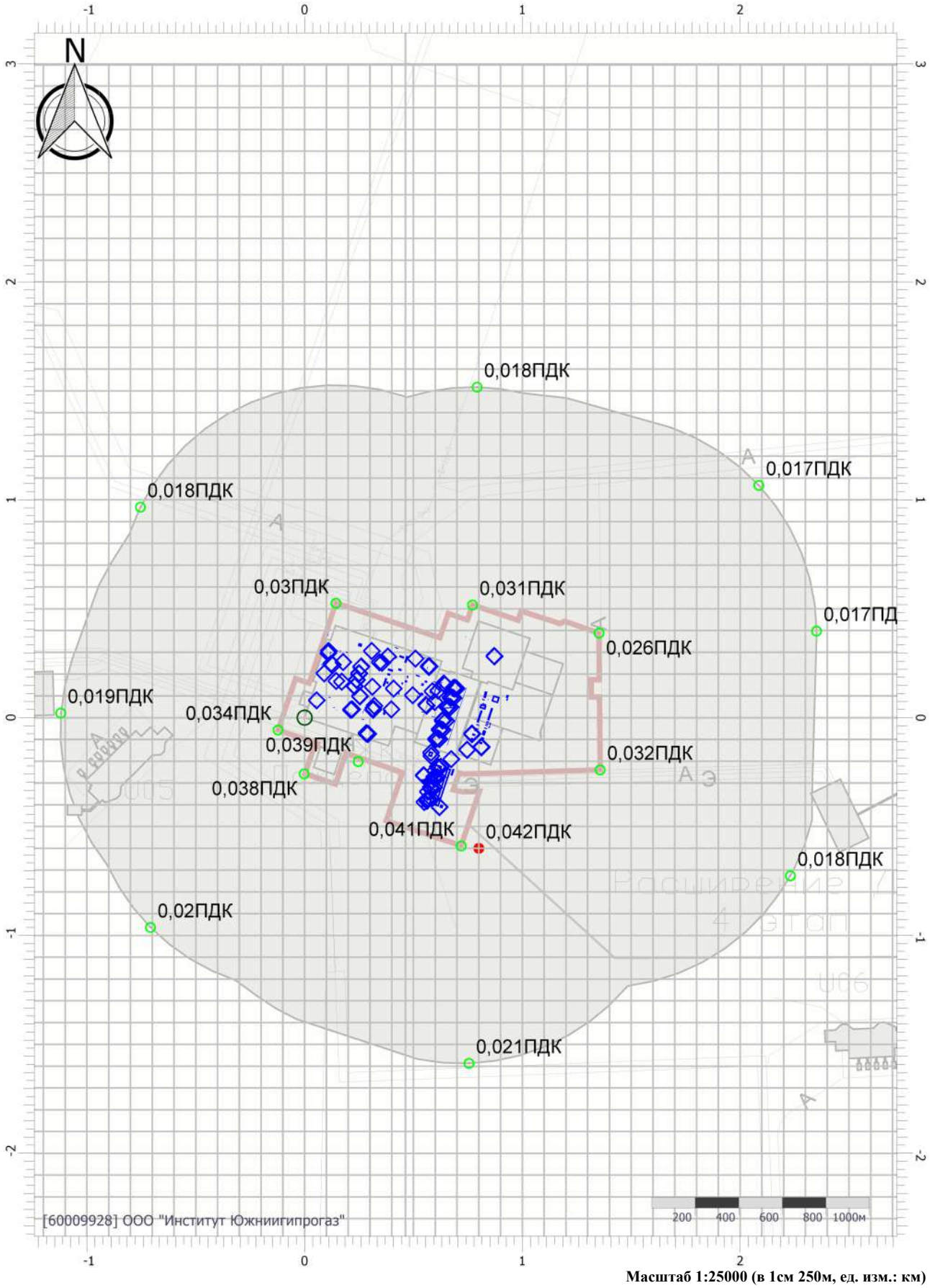

Масштаб 1:25000 (в 1см 250м, ед. изм.: км)

Цветовая схема (ПДК)

Отчет

Вариант расчета: ОАО АРКТИКГАЗ (77.22.006 ДКС 4-й этап) - Максимальные концентрации (Расчет рассеивания по МРР-2017 , ЛЕТО)
Код расчета: 0333 (Дигидросульфид (Водород сернистый, дигидросульфид, гидросульфид))
Параметр: Концентрация вредного вещества (в долях ПДК)
Высота 2м

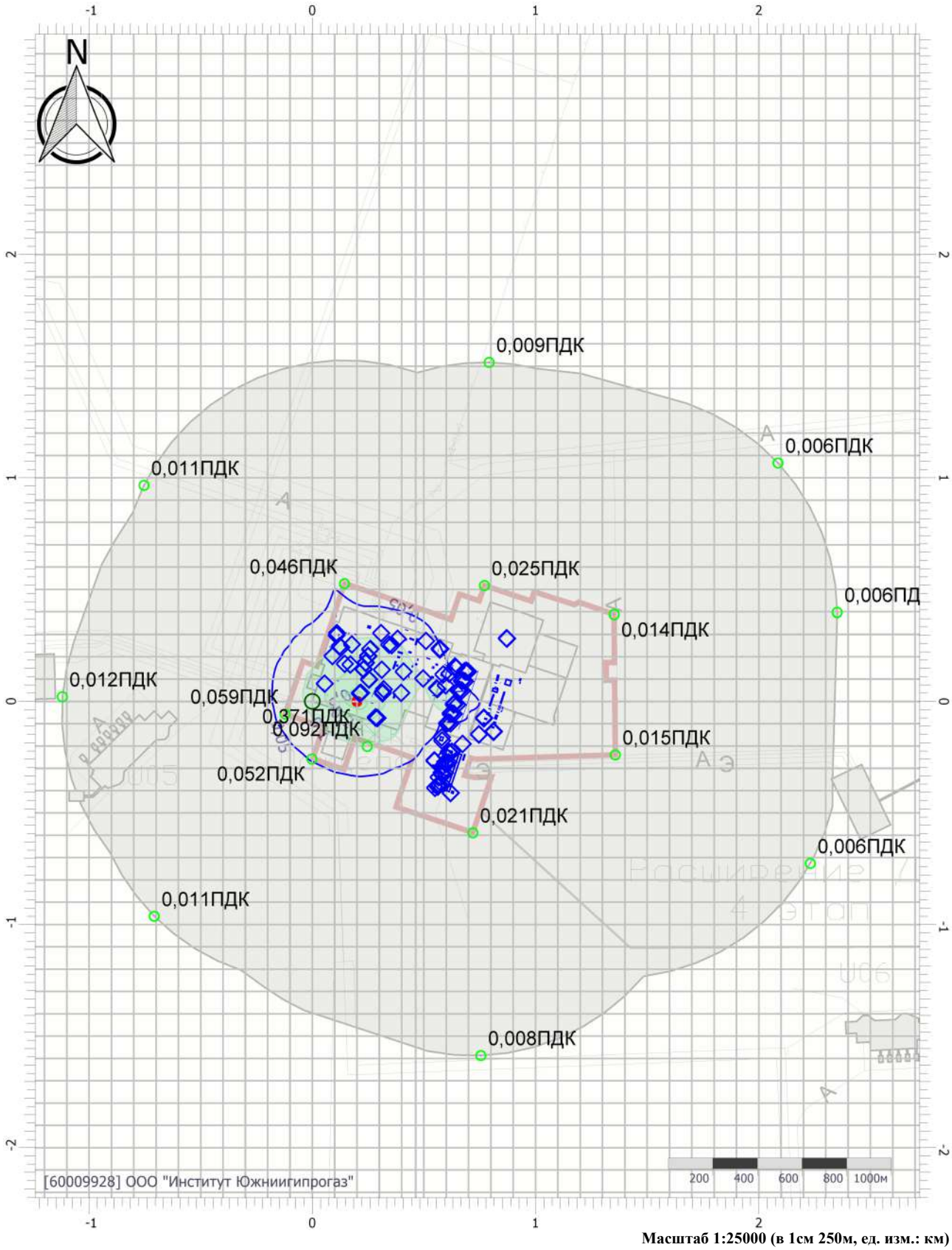

Масштаб 1:25000 (в 1см 250м, ед. изм.: км)

Цветовая схема (ПДК)



Отчет

Вариант расчета: ОАО АРКТИКГАЗ (77.22.006 ДКС 4-й этап) - Максимальные концентрации (Расчет рассеивания по МРР-2017 , ЛЕТО)
Код расчета: 0337 (Углерода оксид (Углерод окись; углерод монооксись; угарный газ))
Параметр: Концентрация вредного вещества (в долях ПДК)
Высота 2м

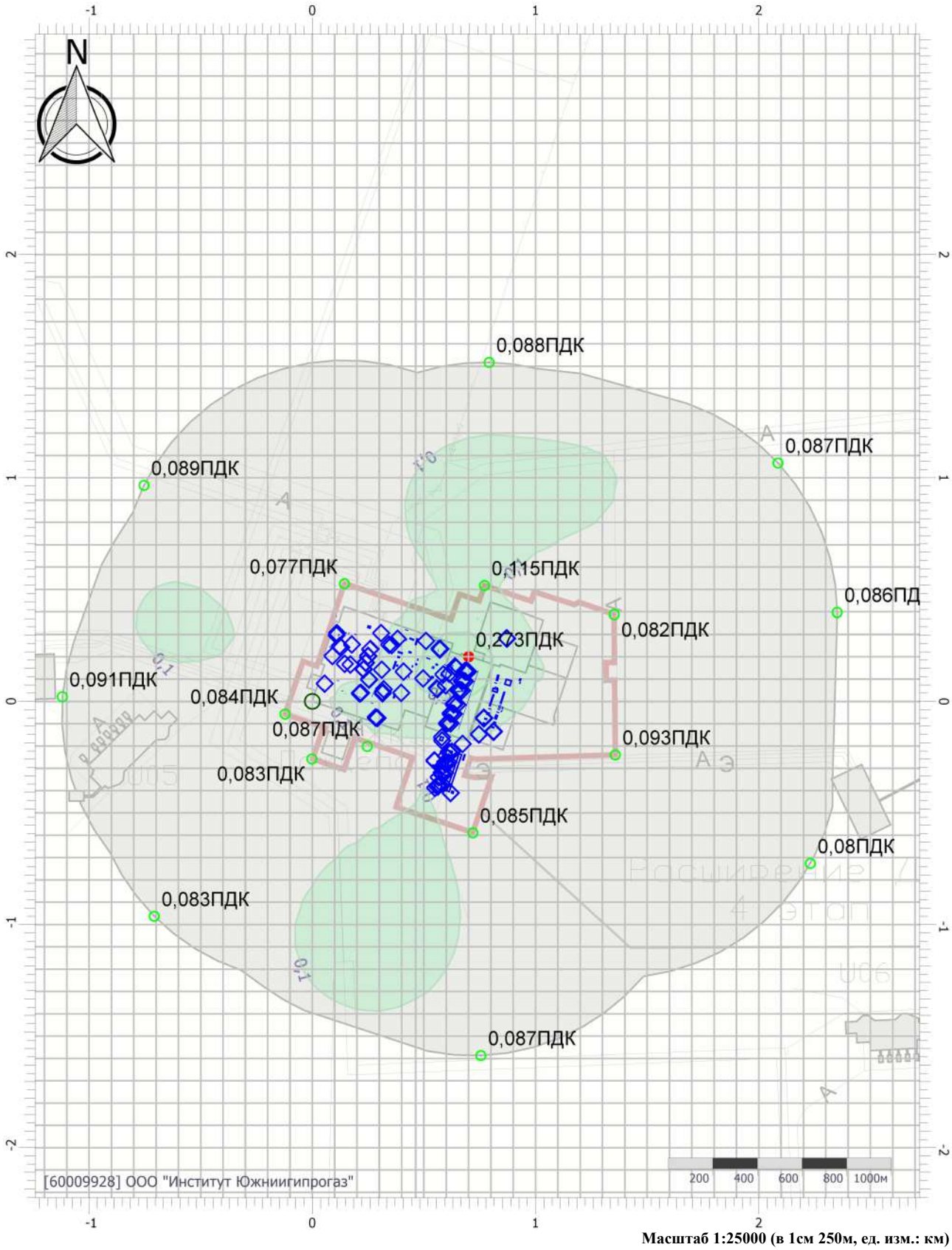

Масштаб 1:25000 (в 1см 250м, ед. изм.: км)

Цветовая схема (ПДК)



Отчет

Вариант расчета: ОАО АРКТИКГАЗ (77.22.006 ДКС 4-й этап) - Максимальные концентрации (Расчет рассеивания по МРР-2017 , ЛЕТО)
Код расчета: 0410 (Метан)
Параметр: Концентрация вредного вещества (в долях ПДК)
Высота 2м

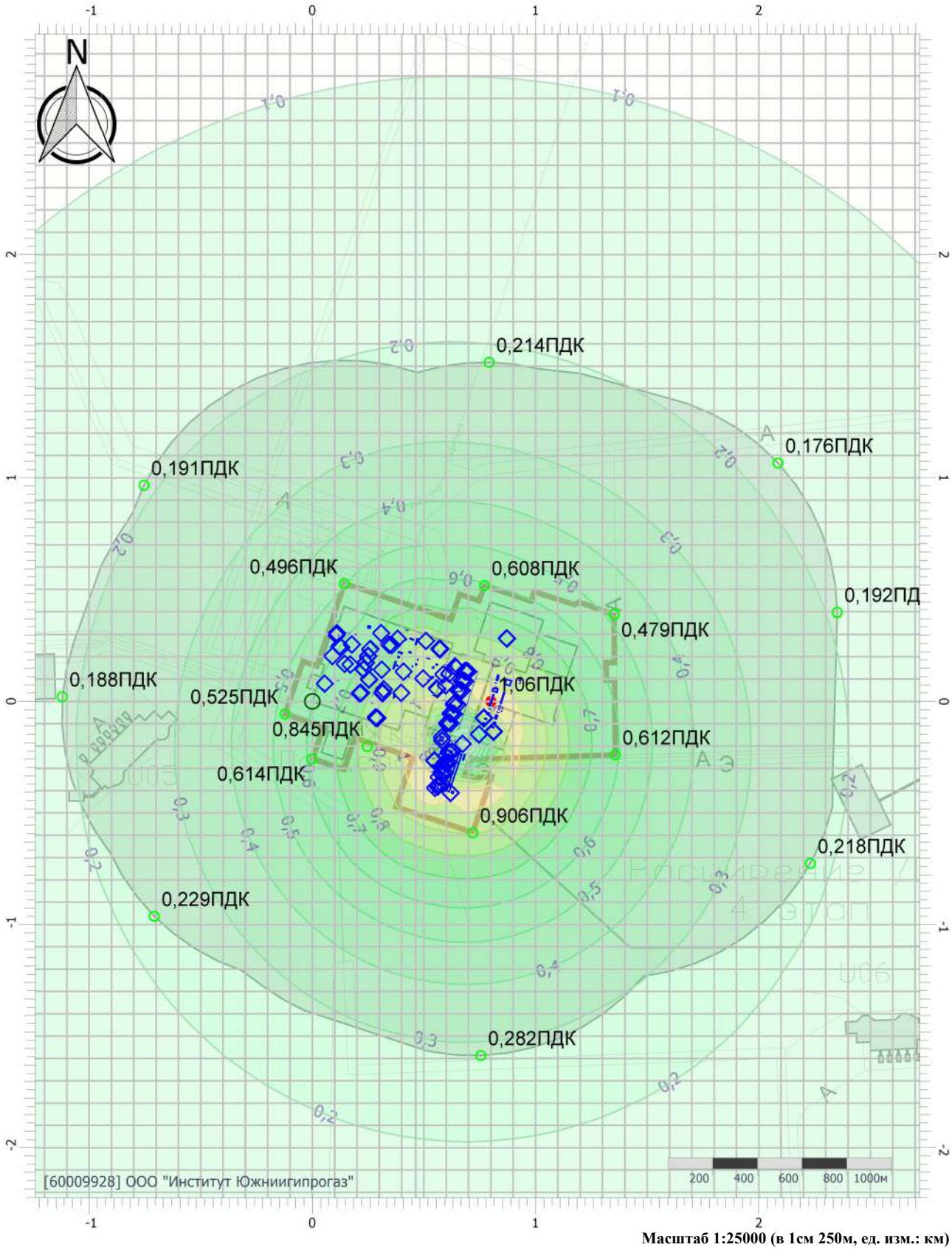

Масштаб 1:25000 (в 1см 250м, ед. изм.: км)

Цветовая схема (ПДК)



Отчет

Вариант расчета: ОАО АРКТИКГАЗ (77.22.006 ДКС 4-й этап) - Максимальные концентрации (Расчет рассеивания по МРР-2017 , ЛЕТО)
Код расчета: 0415 (Смесь предельных углеводородов С1Н4-С5Н12)
Параметр: Концентрация вредного вещества (в долях ПДК)
Высота 2м

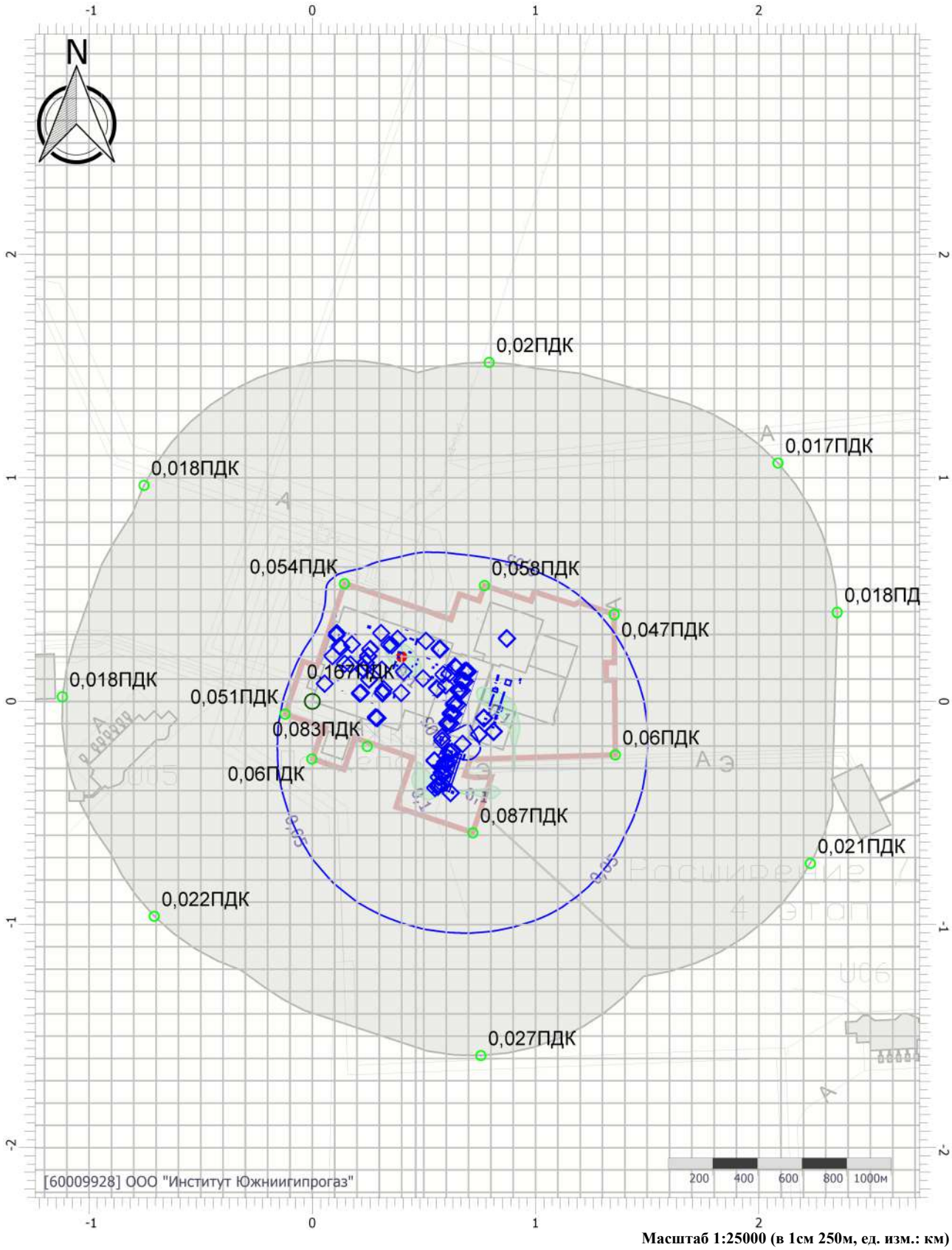

Масштаб 1:25000 (в 1см 250м, ед. изм.: км)

Цветовая схема (ПДК)



Отчет

Вариант расчета: ОАО АРКТИКГАЗ (77.22.006 ДКС 4-й этап) - Максимальные концентрации (Расчет рассеивания по МРР-2017 , ЛЕТО)
Код расчета: 0416 (Смесь предельных углеводородов С6Н14-С10Н22)
Параметр: Концентрация вредного вещества (в долях ПДК)
Высота 2м

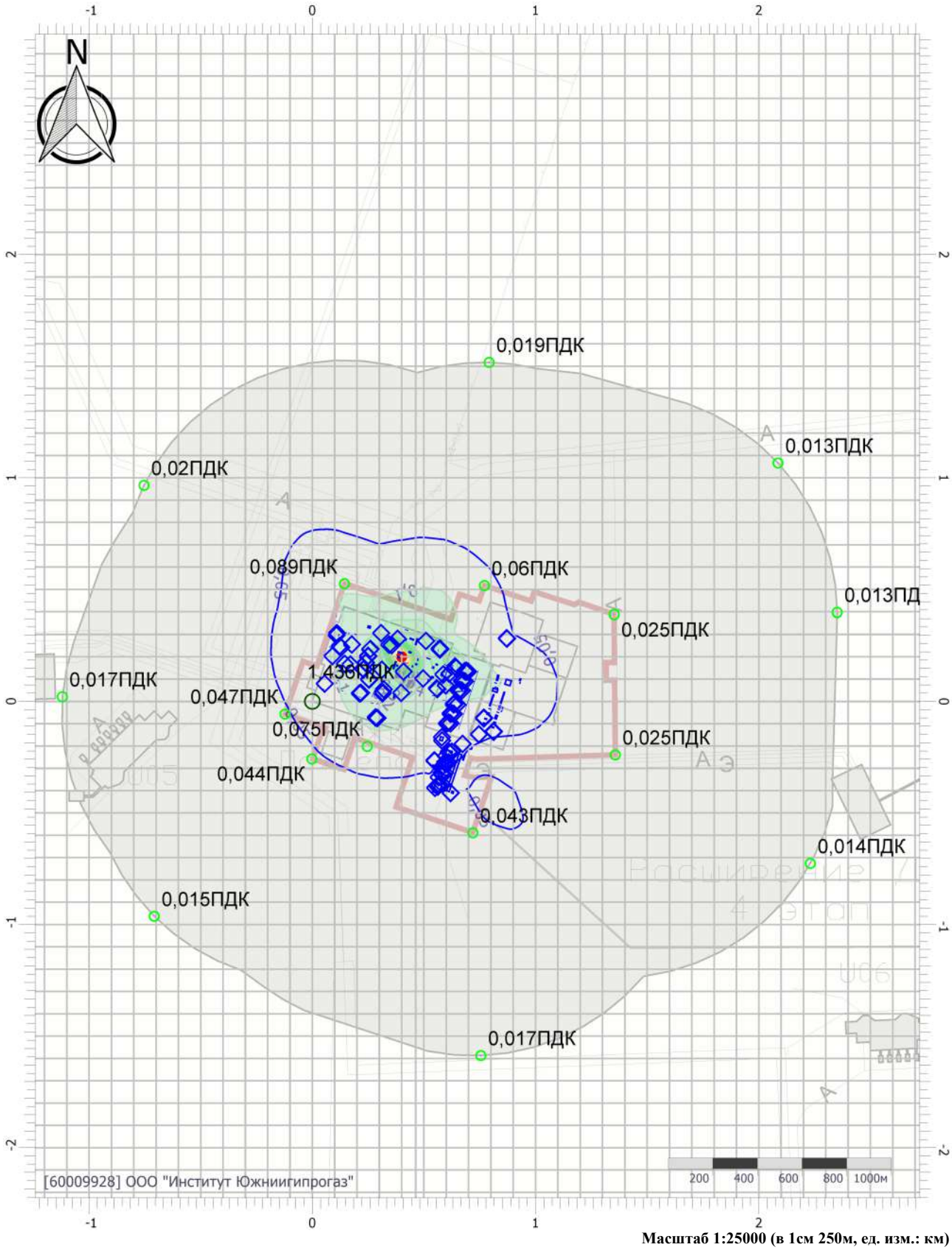

Масштаб 1:25000 (в 1см 250м, ед. изм.: км)

Цветовая схема (ПДК)



Отчет

Вариант расчета: ОАО АРКТИКГАЗ (77.22.006 ДКС 4-й этап) - Максимальные концентрации (Расчет рассеивания по МРР-2017 , ЛЕТО)
Код расчета: 1052 (Метиловый спирт)
Параметр: Концентрация вредного вещества (в долях ПДК)
Высота 2м

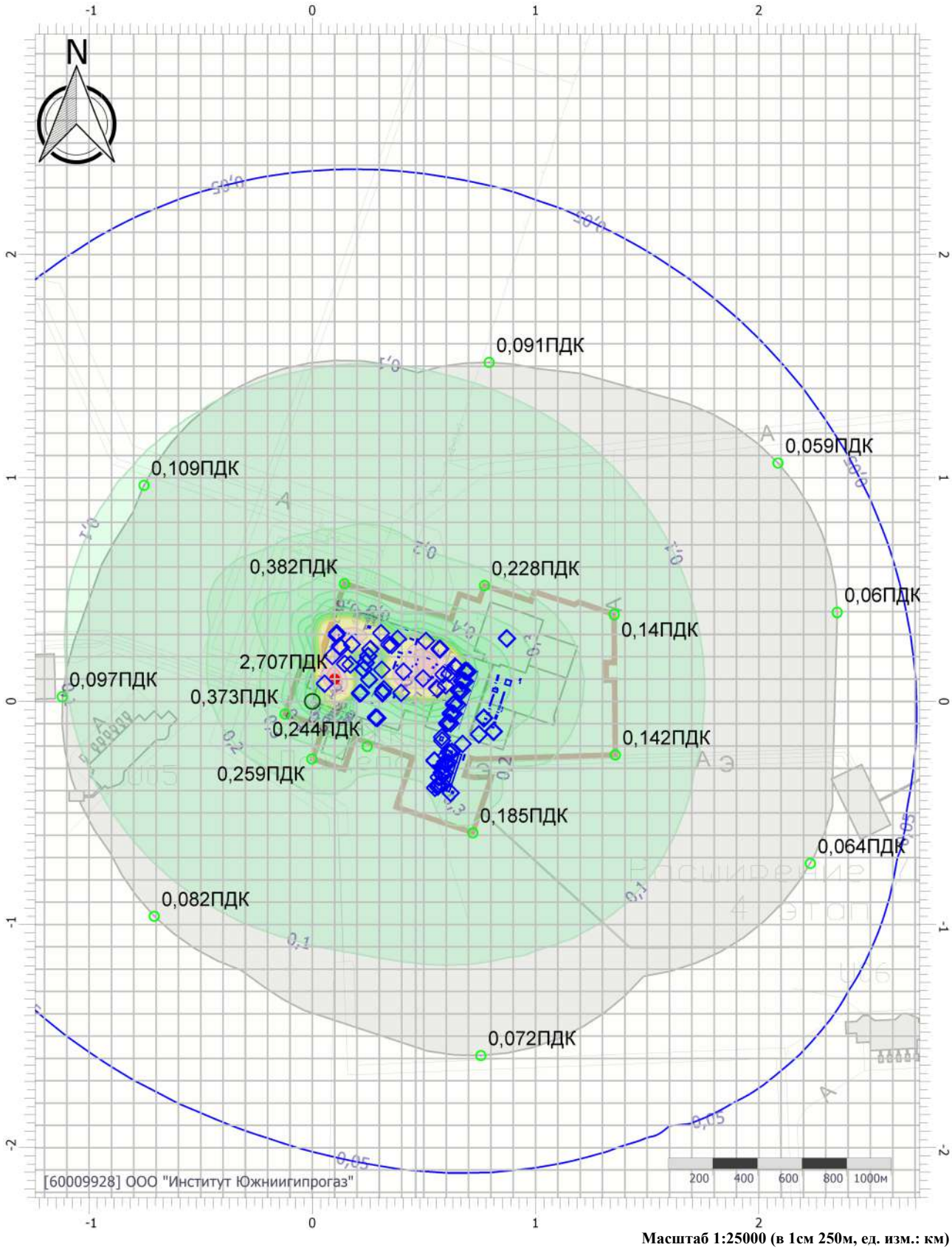

Масштаб 1:25000 (в 1см 250м, ед. изм.: км)

Цветовая схема (ПДК)

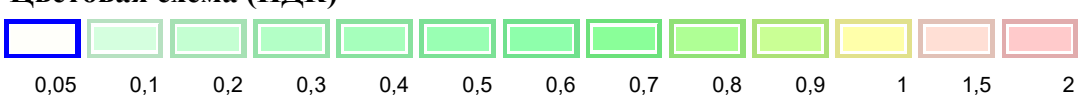

Отчет

Вариант расчета: ОАО АРКТИКГАЗ (77.22.006 ДКС 4-й этап) - Максимальные концентрации (Расчет рассеивания по МРР-2017 , ЛЕТО)
Код расчета: 1325 (Формальдегид (Муравьиный альдегид, оксометан, метиленоксид))
Параметр: Концентрация вредного вещества (в долях ПДК)
Высота 2м

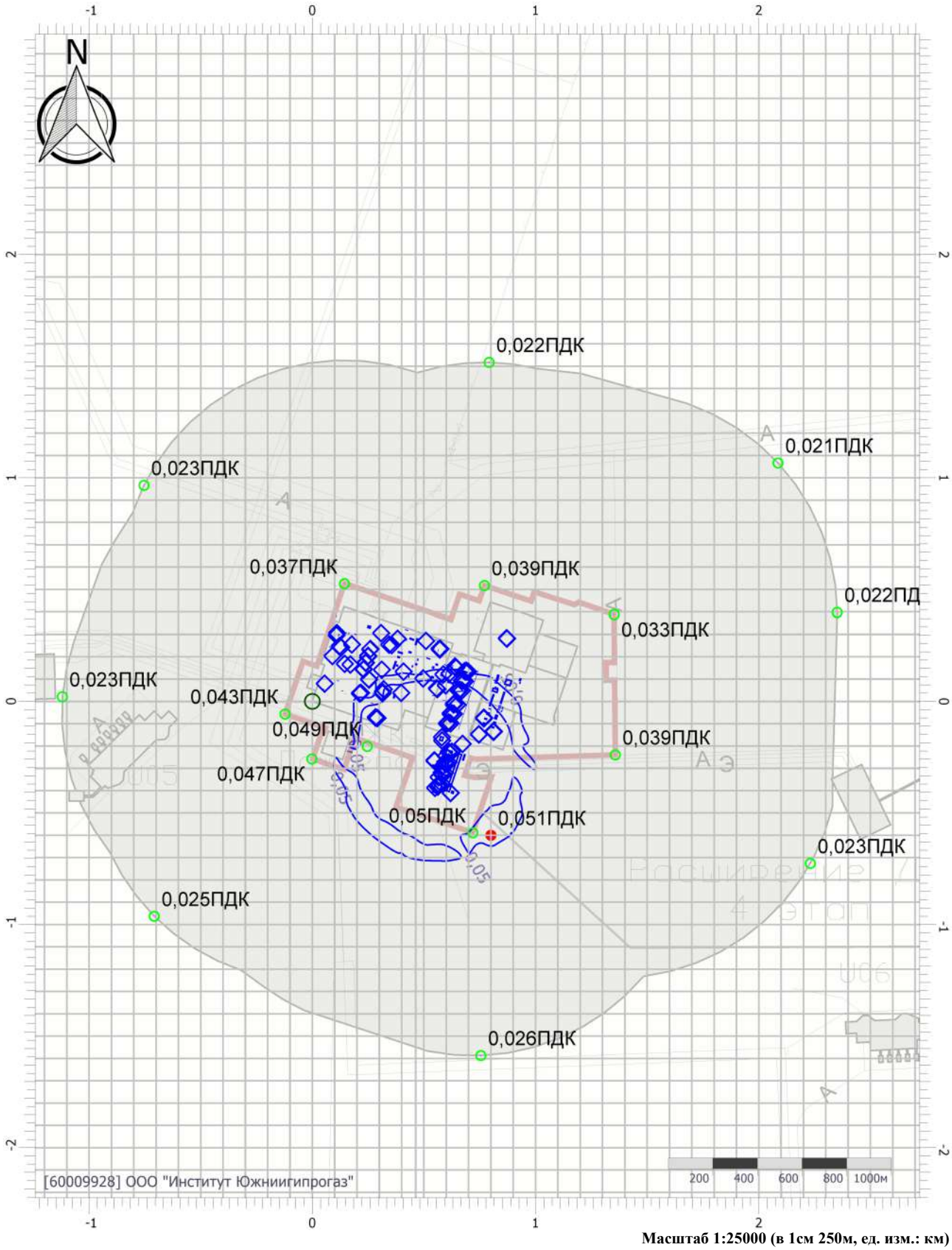

Масштаб 1:25000 (в 1см 250м, ед. изм.: км)

Цветовая схема (ПДК)

0,05

Отчет

Вариант расчета: ОАО АРКТИКГАЗ (77.22.006 ДКС 4-й этап) - Максимальные концентрации (Расчет рассеивания по МРР-2017 , ЛЕТО)
Код расчета: 2732 (Керосин (Керосин прямой перегонки; керосин дезодорированный))
Параметр: Концентрация вредного вещества (в долях ПДК)
Высота 2м

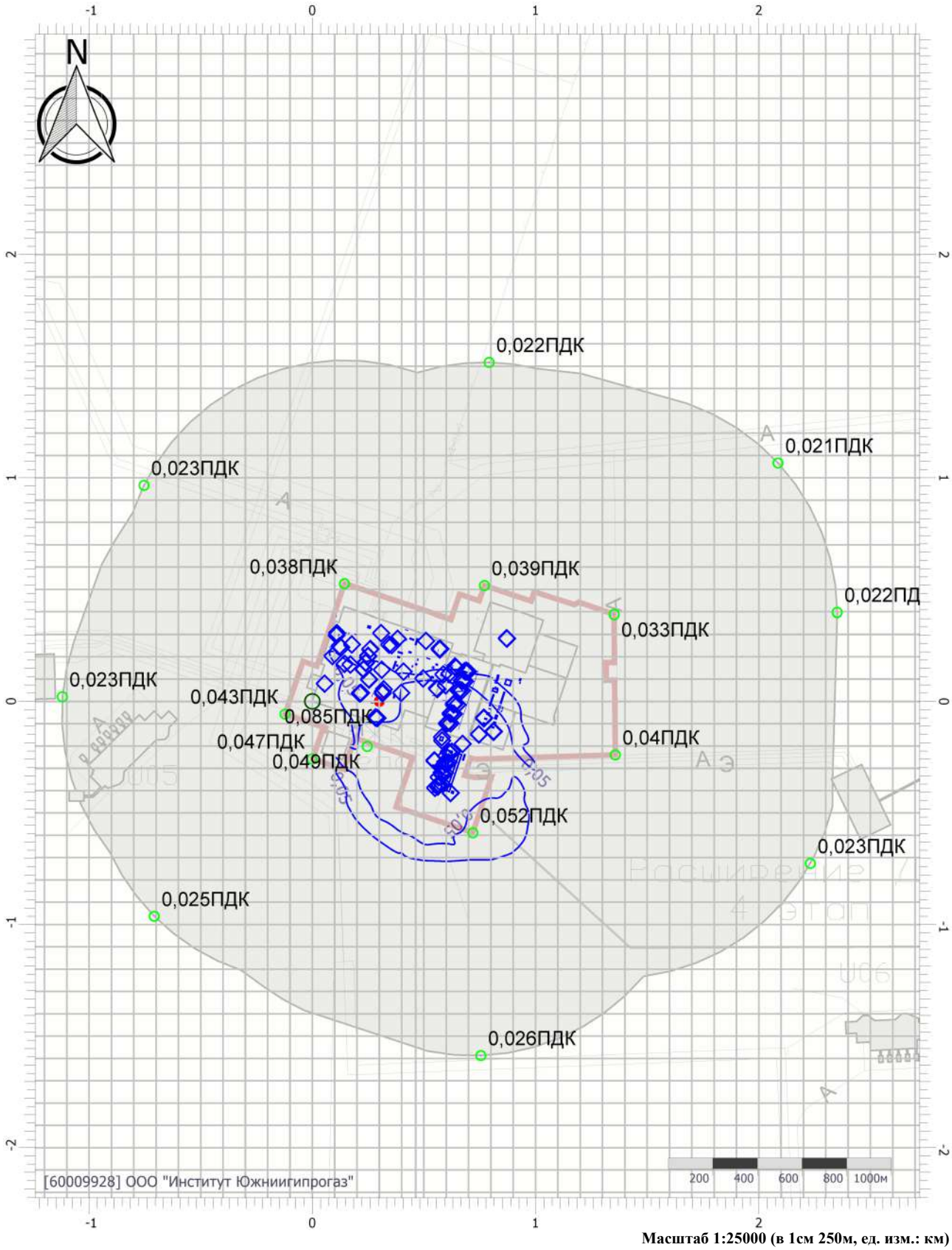

Масштаб 1:25000 (в 1см 250м, ед. изм.: км)

Цветовая схема (ПДК)

0,05

Отчет

Вариант расчета: ОАО АРКТИКГАЗ (77.22.006 ДКС 4-й этап) - Максимальные концентрации (Расчет рассеивания по МРР-2017 , ЛЕТО)
Код расчета: 2735 (Масло минеральное нефтяное)
Параметр: Концентрация вредного вещества (в долях ПДК)
Высота 2м

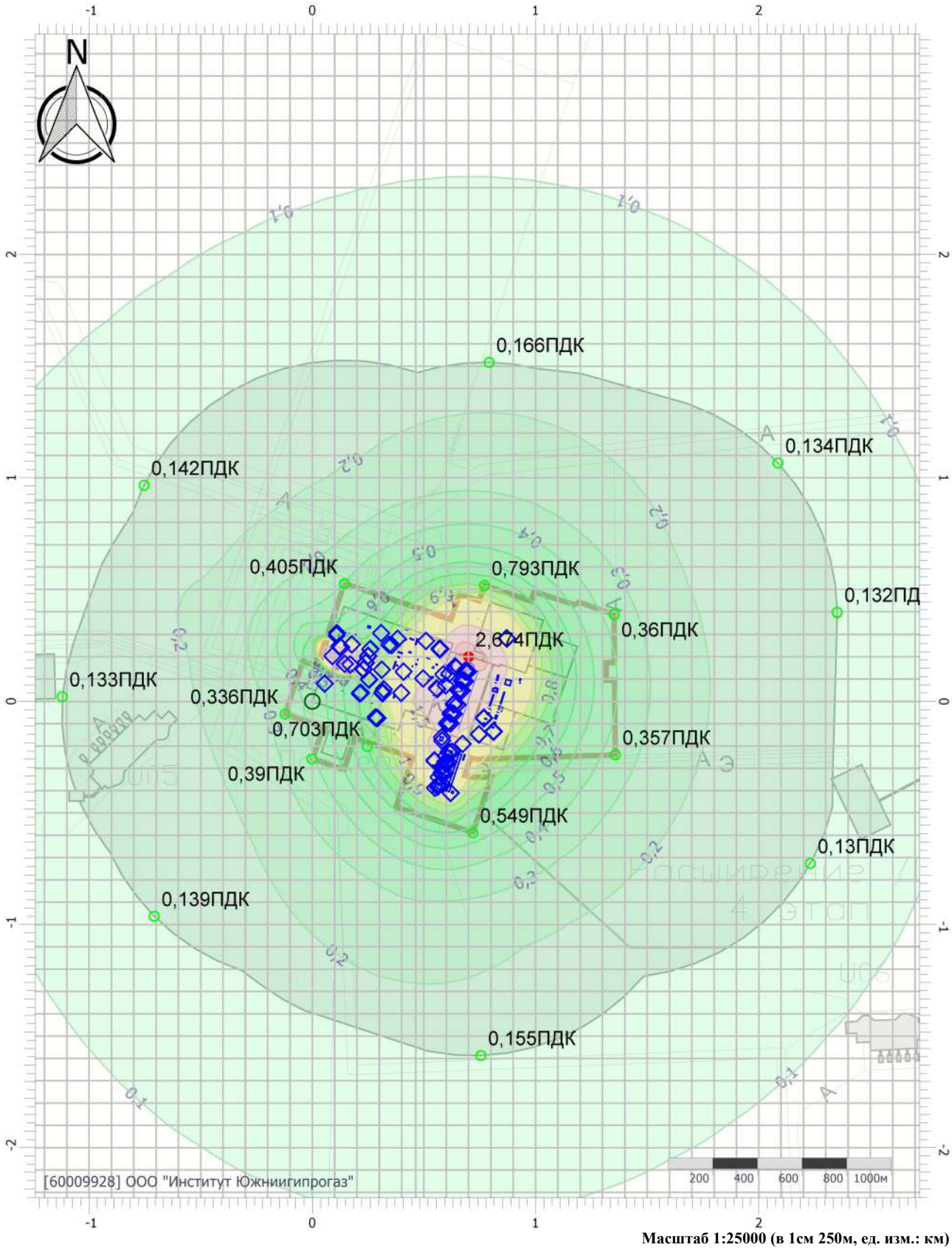

Масштаб 1:25000 (в 1см 250м, ед. изм.: км)

Цветовая схема (ПДК)



Отчет

Вариант расчета: ОАО АРКТИКГАЗ (77.22.006 ДКС 4-й этап) - Максимальные концентрации (Расчет рассеивания по МРР-2017 , ЛЕТО)
Код расчета: 2754 (Алканы С12-С19 (в пересчете на С))
Параметр: Концентрация вредного вещества (в долях ПДК)
Высота 2м

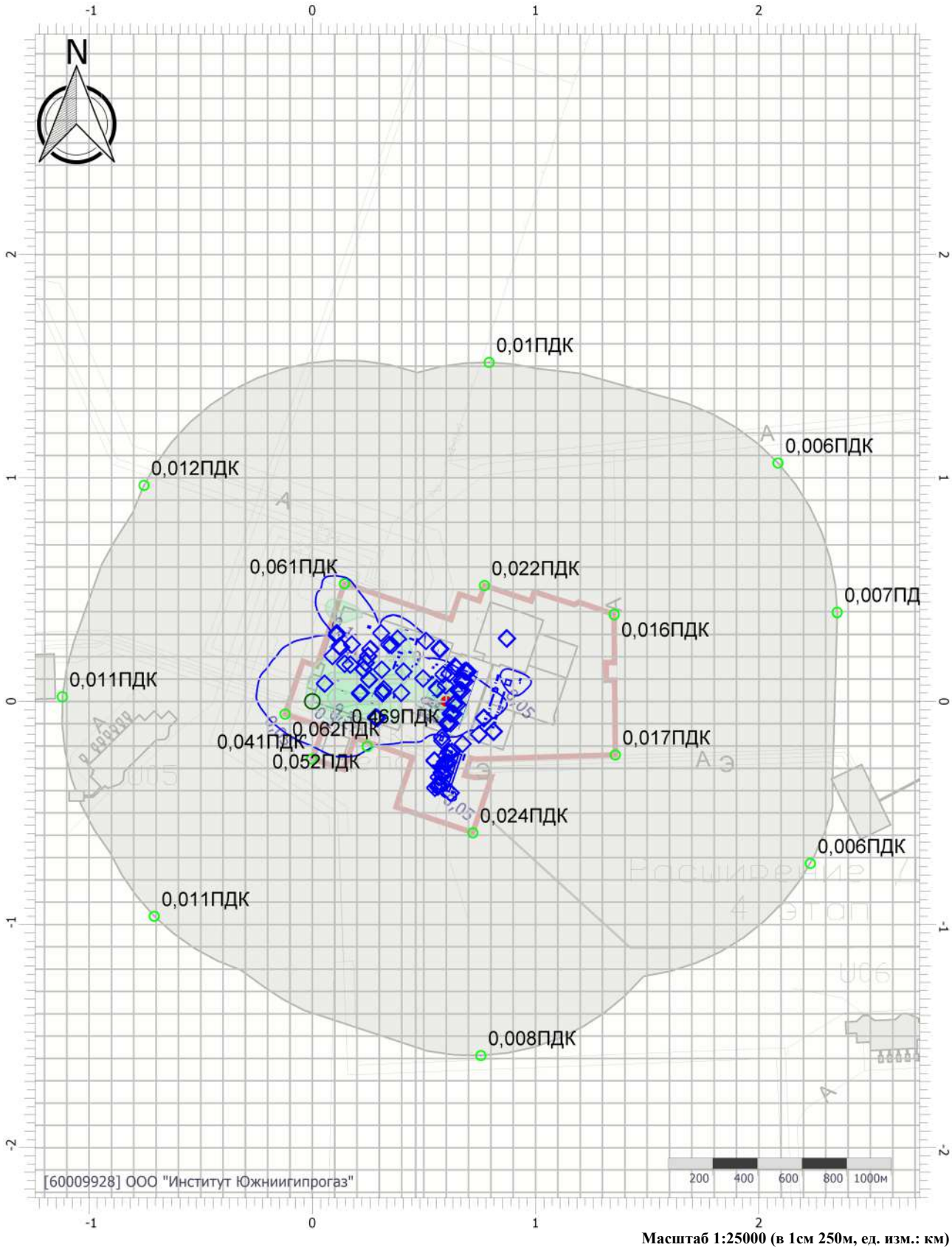

Масштаб 1:25000 (в 1см 250м, ед. изм.: км)

Цветовая схема (ПДК)

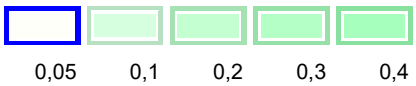

Период эксплуатации без фона

(средние (долгопериодные) концентрации)

Отчет

Вариант расчета: ОАО АРКТИКГАЗ (77.22.006 ДКС 4-й этап) - Долгопериодные концентрации (Расчет средних концентраций по МРР-2017)
Код расчета: 0301 (Азота диоксид (Двуокись азота; пероксид азота))
Параметр: Концентрация вредного вещества (в долях ПДК)
Высота 2м

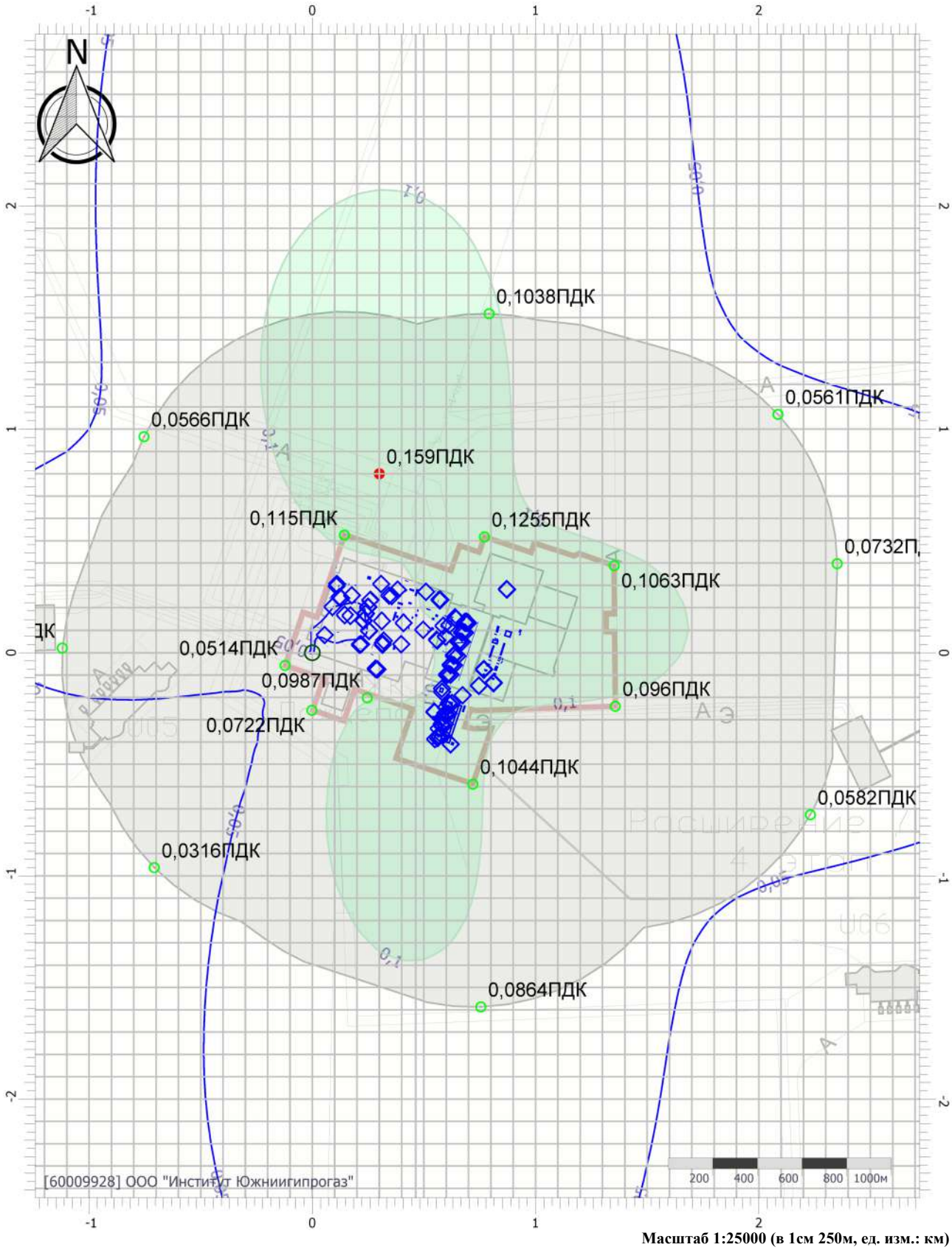

Масштаб 1:25000 (в 1см 250м, ед. изм.: км)

Цветовая схема (ПДК)



Отчет

Вариант расчета: ОАО АРКТИКГАЗ (77.22.006 ДКС 4-й этап) - Долгопериодные концентрации (Расчет средних концентраций по МРР-2017)
Код расчета: 0304 (Азот (II) оксид (Азот монооксид))
Параметр: Концентрация вредного вещества (в долях ПДК)
Высота 2м

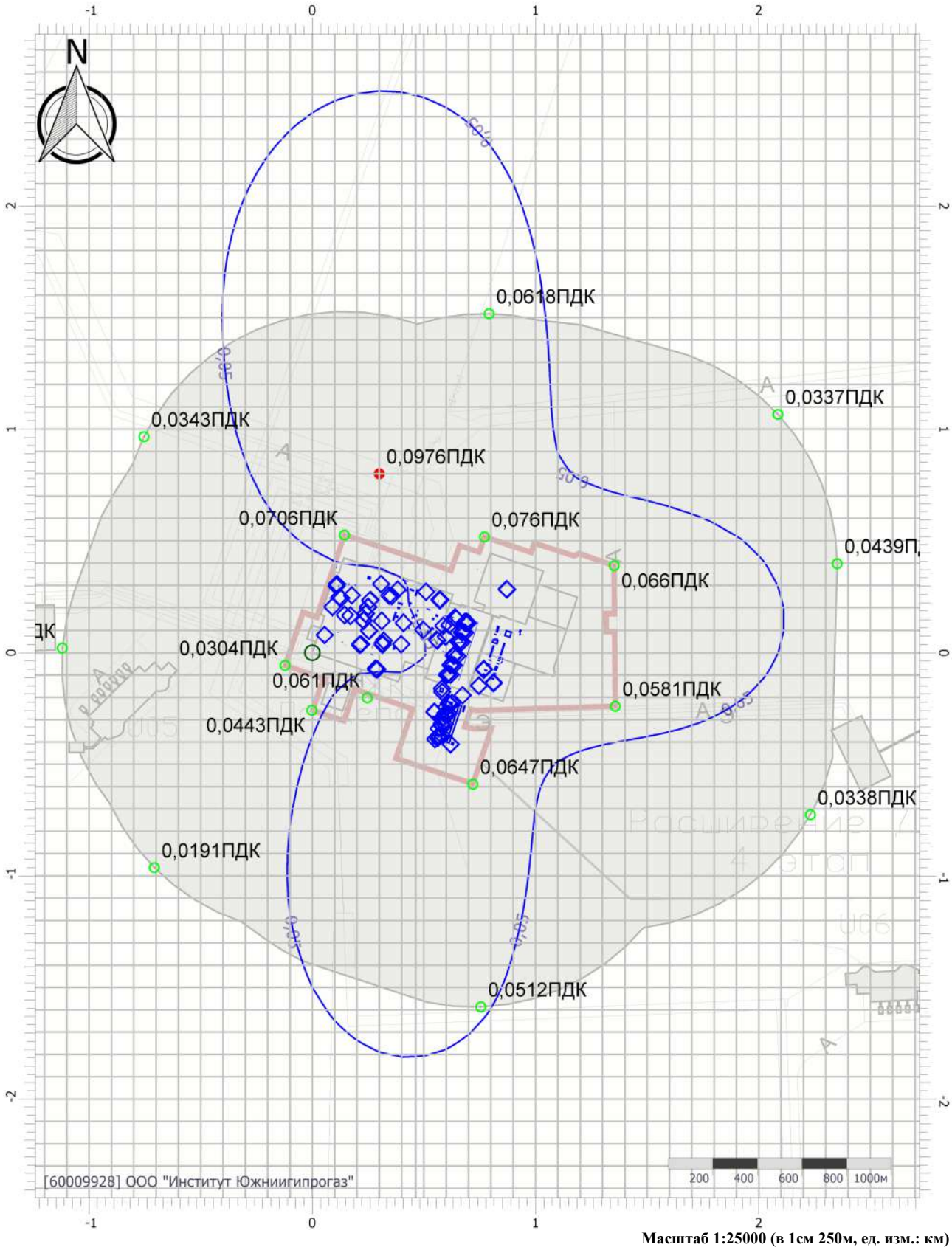

Масштаб 1:25000 (в 1см 250м, ед. изм.: км)

Цветовая схема (ПДК)

0,05

Отчет

Вариант расчета: ОАО АРКТИКГАЗ (77.22.006 ДКС 4-й этап) - Долгопериодные концентрации (Расчет средних концентраций по МРР-2017)
Код расчета: 0328 (Углерод (Пигмент черный))
Параметр: Концентрация вредного вещества (в долях ПДК)
Высота 2м

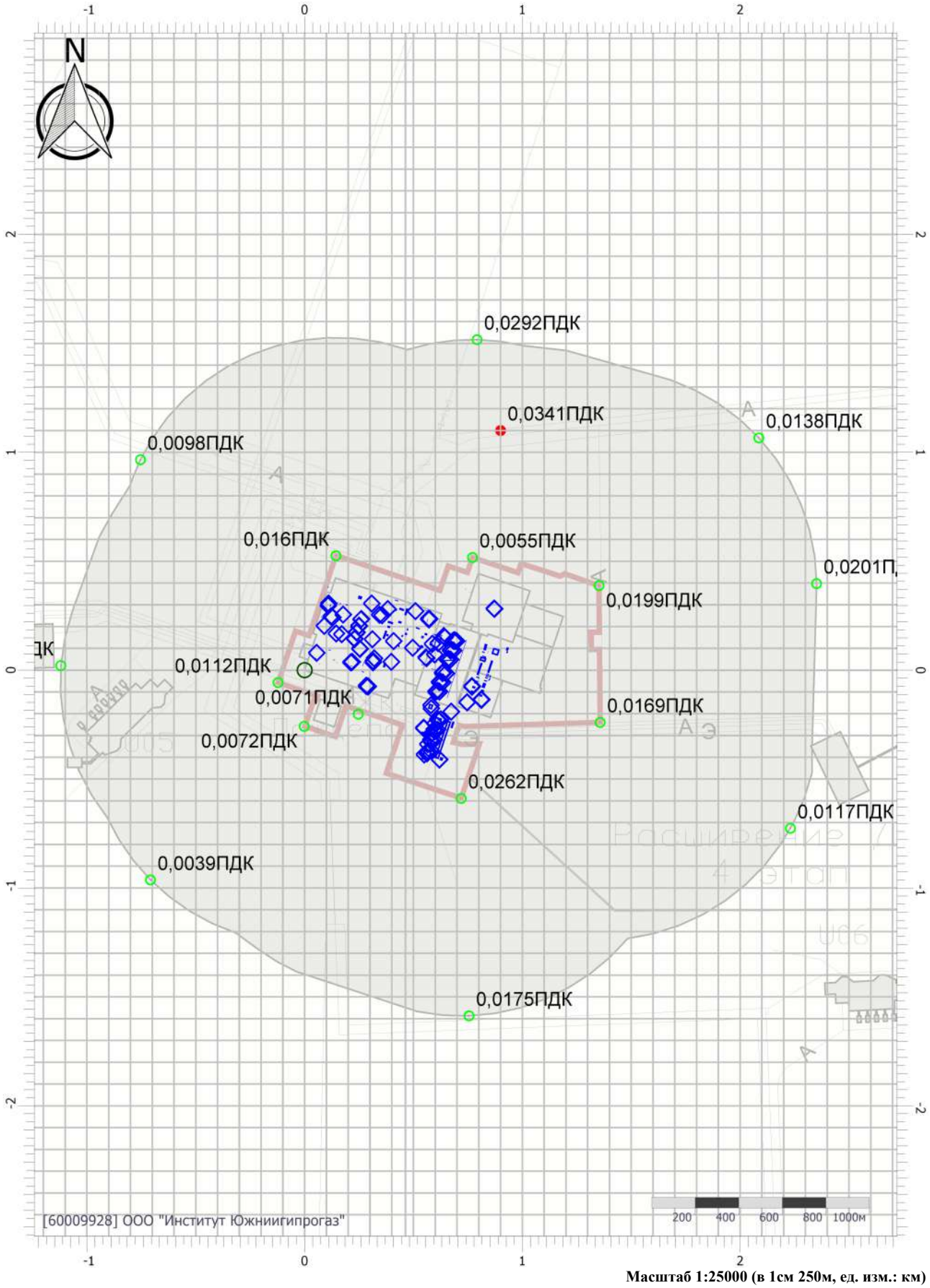

Масштаб 1:25000 (в 1см 250м, ед. изм.: км)

Цветовая схема (ПДК)

Отчет

Вариант расчета: ОАО АРКТИКГАЗ (77.22.006 ДКС 4-й этап) - Долгопериодные концентрации (Расчет средних концентраций по МРР-2017)
Код расчета: 0330 (Сера диоксид)
Параметр: Концентрация вредного вещества (в долях ПДК)
Высота 2м

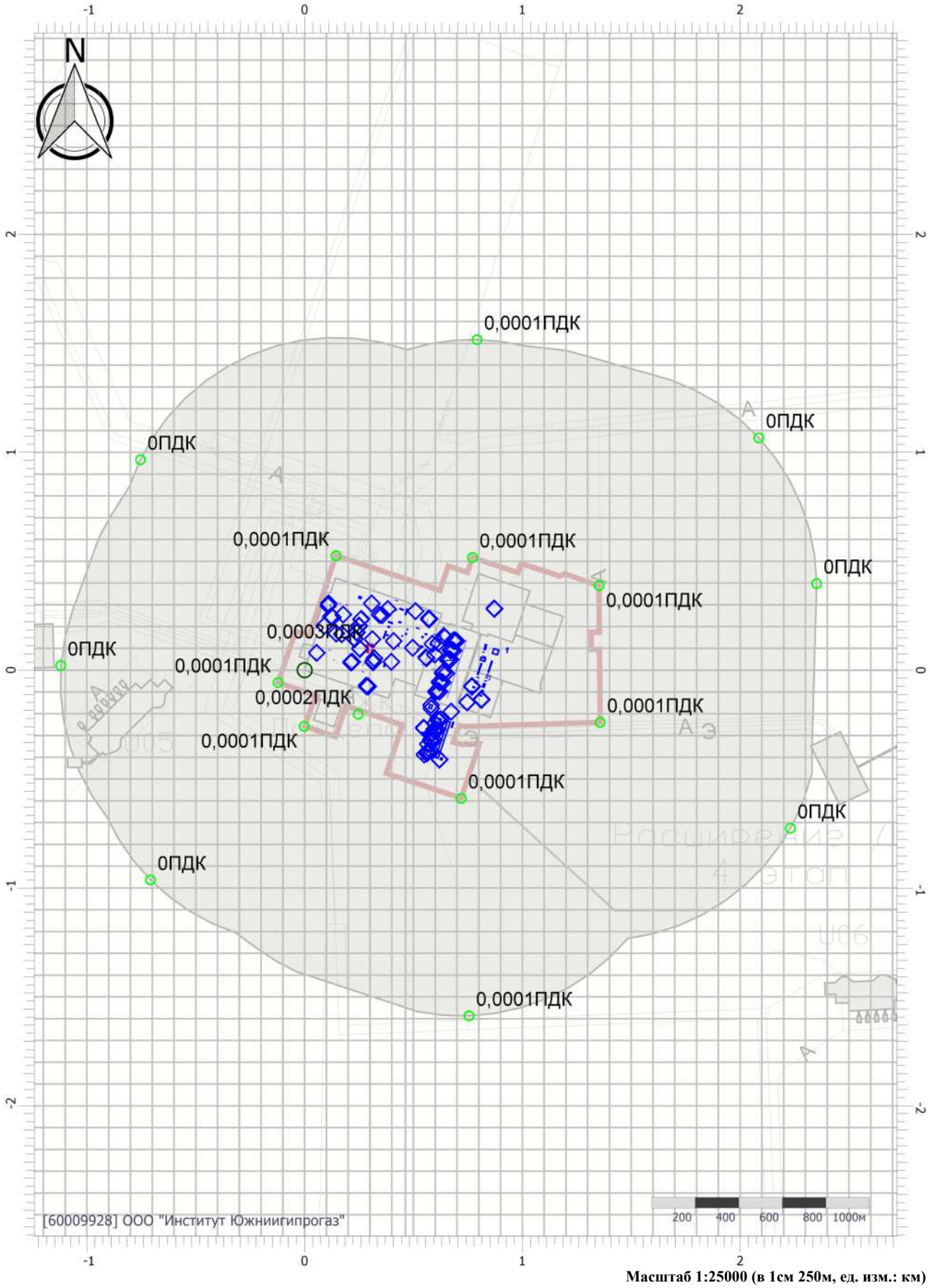

Масштаб 1:25000 (в 1см 250м, ед. изм.: км)

Цветовая схема (ПДК)

Отчет

Вариант расчета: ОАО АРКТИКГАЗ (77.22.006 ДКС 4-й этап) - Долгопериодные концентрации (Расчет средних концентраций по МРР-2017)
Код расчета: 0333 (Дигидросульфид (Водород сернистый, дигидросульфид, гидросульфид))
Параметр: Концентрация вредного вещества (в долях ПДК)
Высота 2м

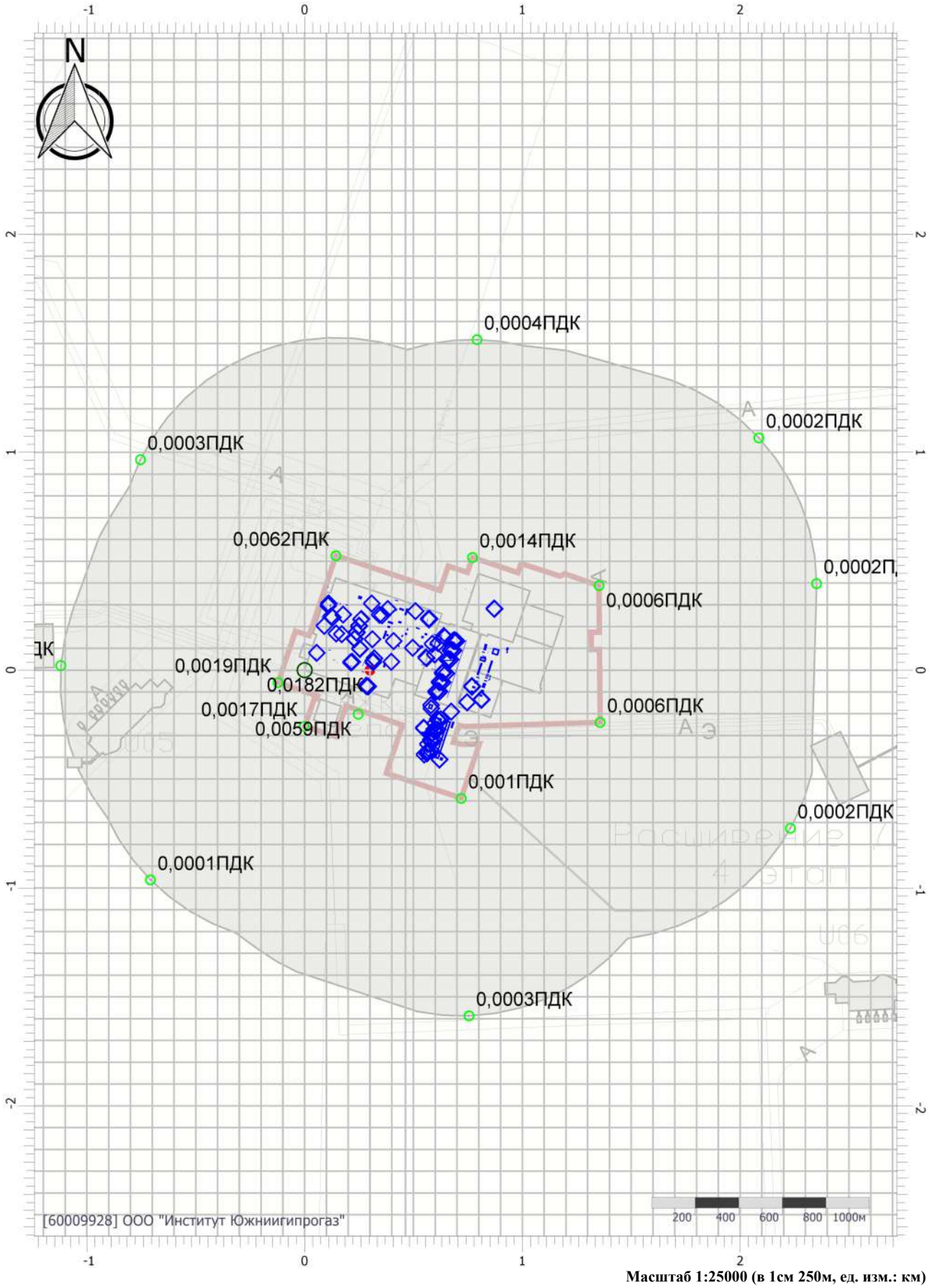

Масштаб 1:25000 (в 1см 250м, ед. изм.: км)

Цветовая схема (ПДК)

Отчет

Вариант расчета: ОАО АРКТИКГАЗ (77.22.006 ДКС 4-й этап) - Долгопериодные концентрации (Расчет средних концентраций по МРР-2017)
Код расчета: 0337 (Углерода оксид (Углерод окись; углерод моноокись; угарный газ))
Параметр: Концентрация вредного вещества (в долях ПДК)
Высота 2м

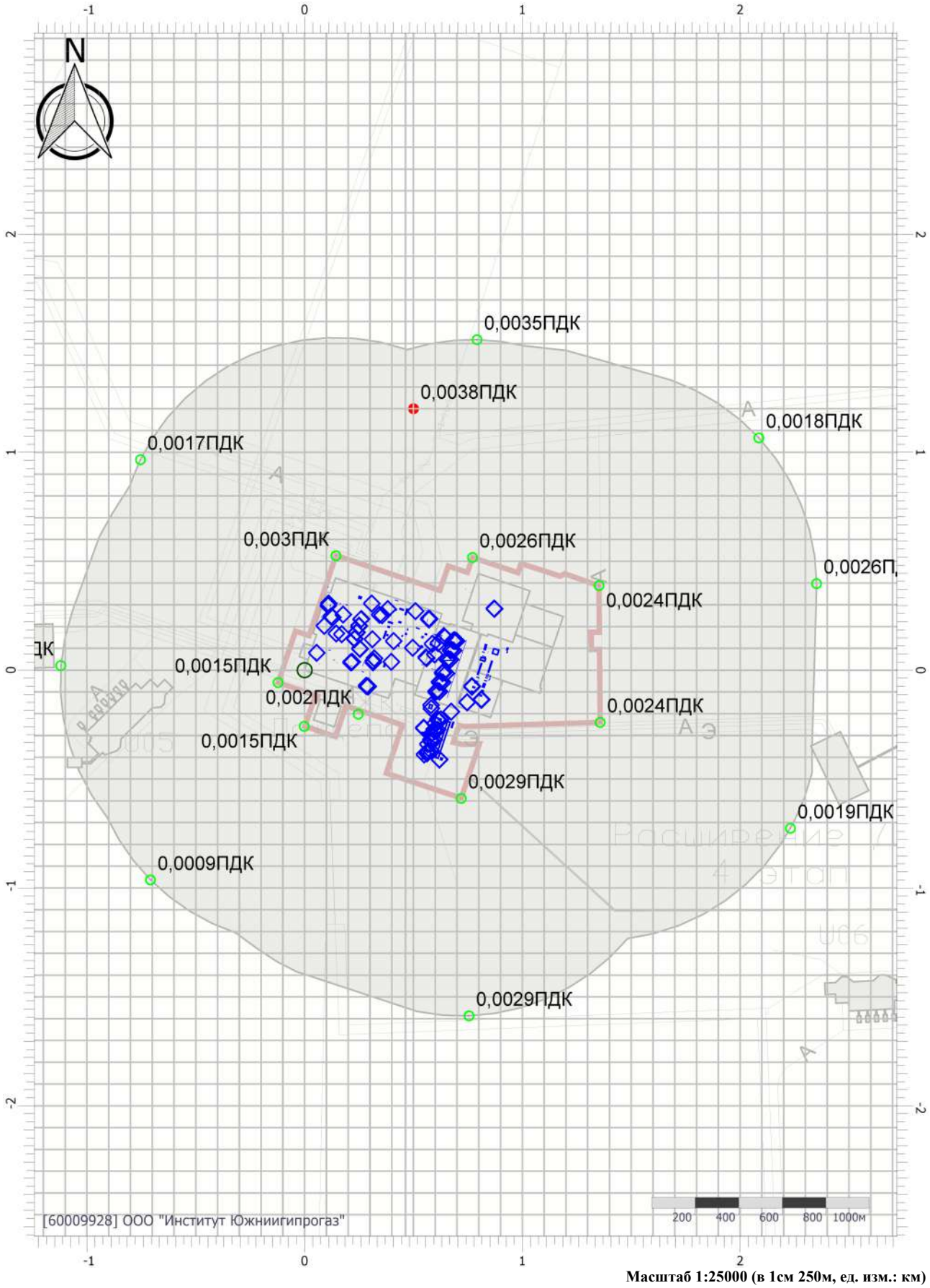

Масштаб 1:25000 (в 1см 250м, ед. изм.: км)

Цветовая схема (ПДК)

Отчет

Вариант расчета: ОАО АРКТИКГАЗ (77.22.006 ДКС 4-й этап) - Долгопериодные концентрации (Расчет средних концентраций по МРР-2017)
Код расчета: 0415 (Смесь предельных углеводородов С1Н4-С5Н12)
Параметр: Концентрация вредного вещества (в долях ПДК)
Высота 2м

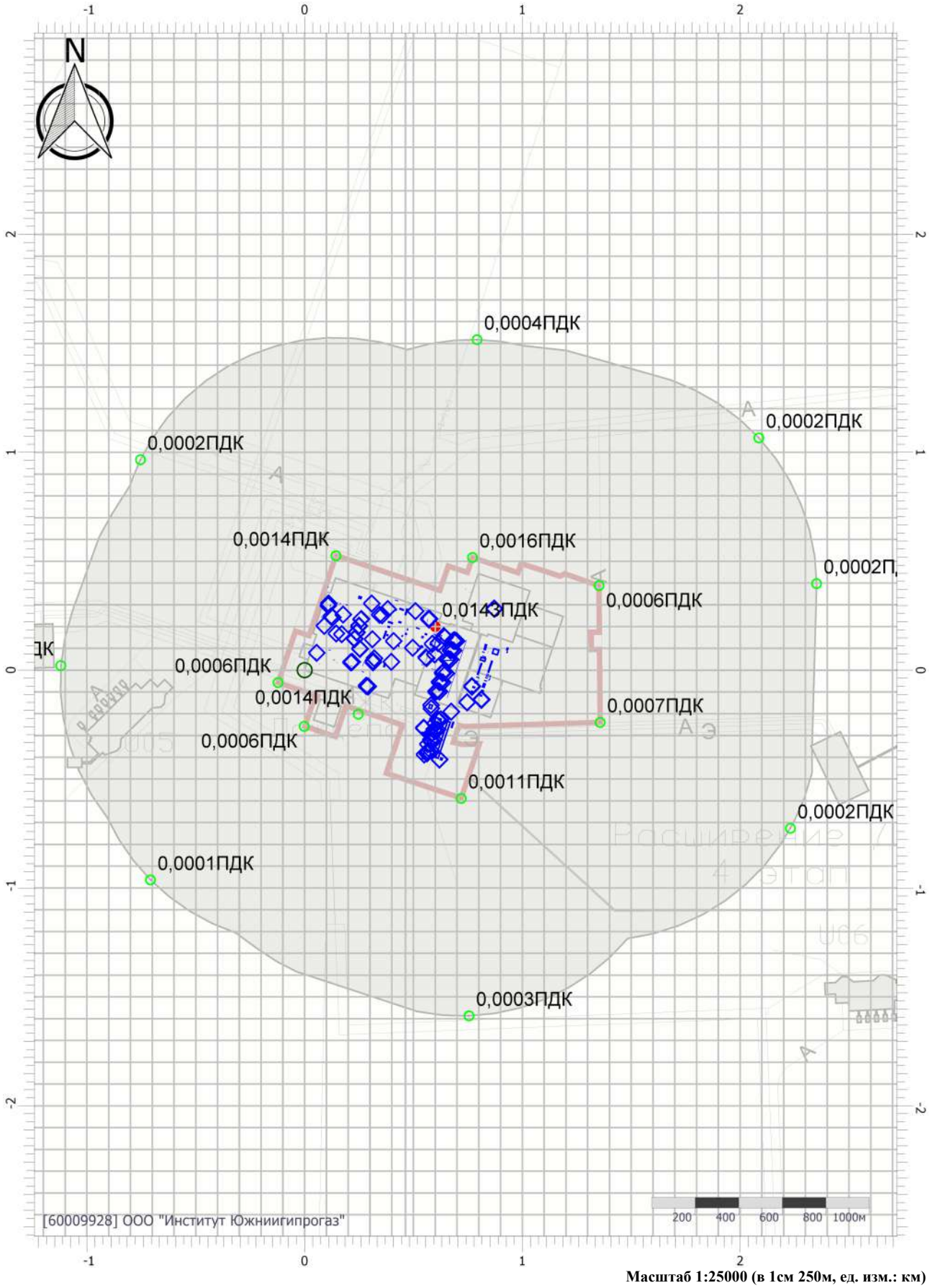

Масштаб 1:25000 (в 1см 250м, ед. изм.: км)

Цветовая схема (ПДК)

Отчет

Вариант расчета: ОАО АРКТИКГАЗ (77.22.006 ДКС 4-й этап) - Долгопериодные концентрации (Расчет средних концентраций по МРР-2017)
Код расчета: 0416 (Смесь предельных углеводородов С6Н14-С10Н22)
Параметр: Концентрация вредного вещества (в долях ПДК)
Высота 2м

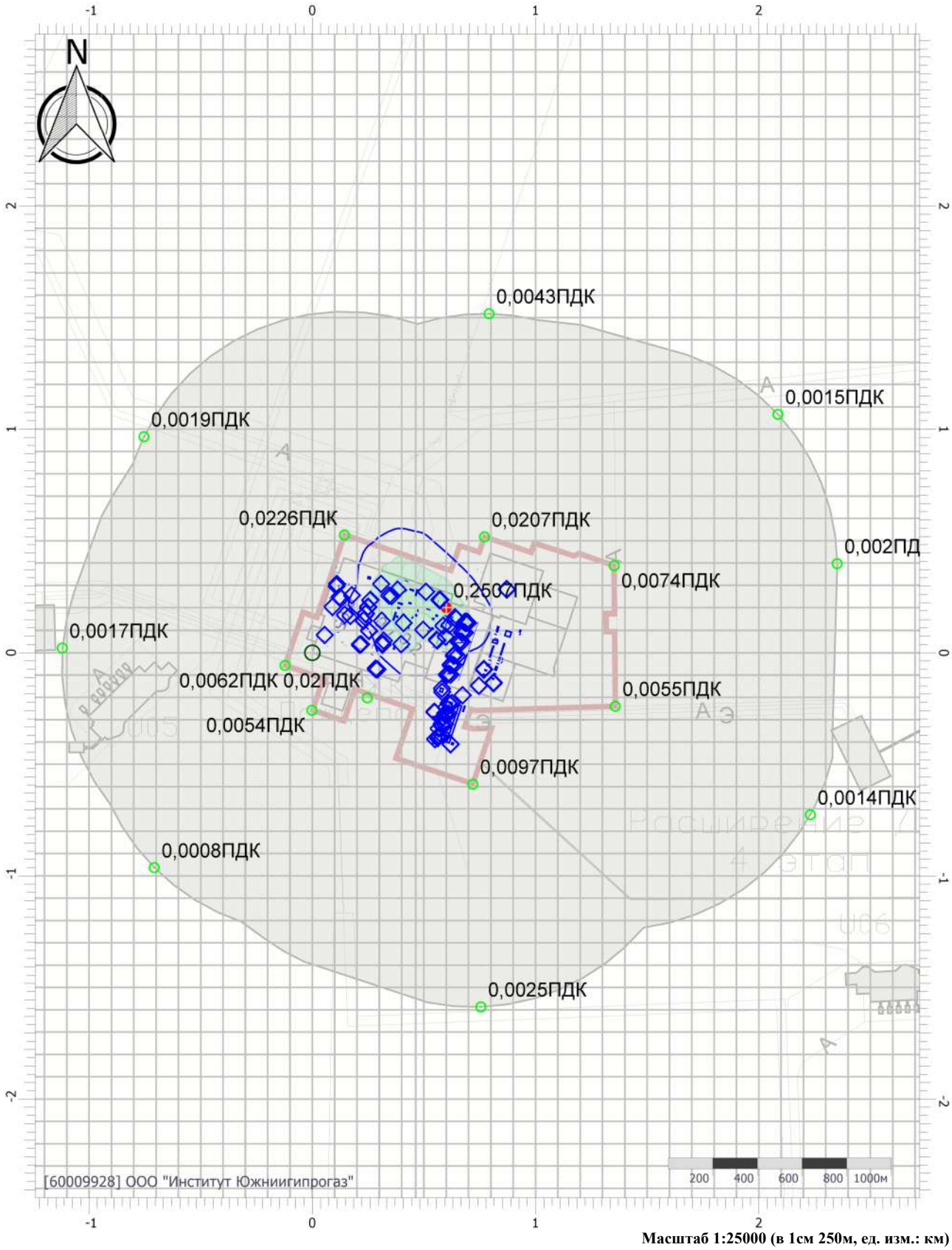

Масштаб 1:25000 (в 1см 250м, ед. изм.: км)

Цветовая схема (ПДК)



Отчет

Вариант расчета: ОАО АРКТИКГАЗ (77.22.006 ДКС 4-й этап) - Долгопериодные концентрации (Расчет средних концентраций по МРР-2017)
Код расчета: 0703 (Бенз/а/пирен)
Параметр: Концентрация вредного вещества (в долях ПДК)
Высота 2м

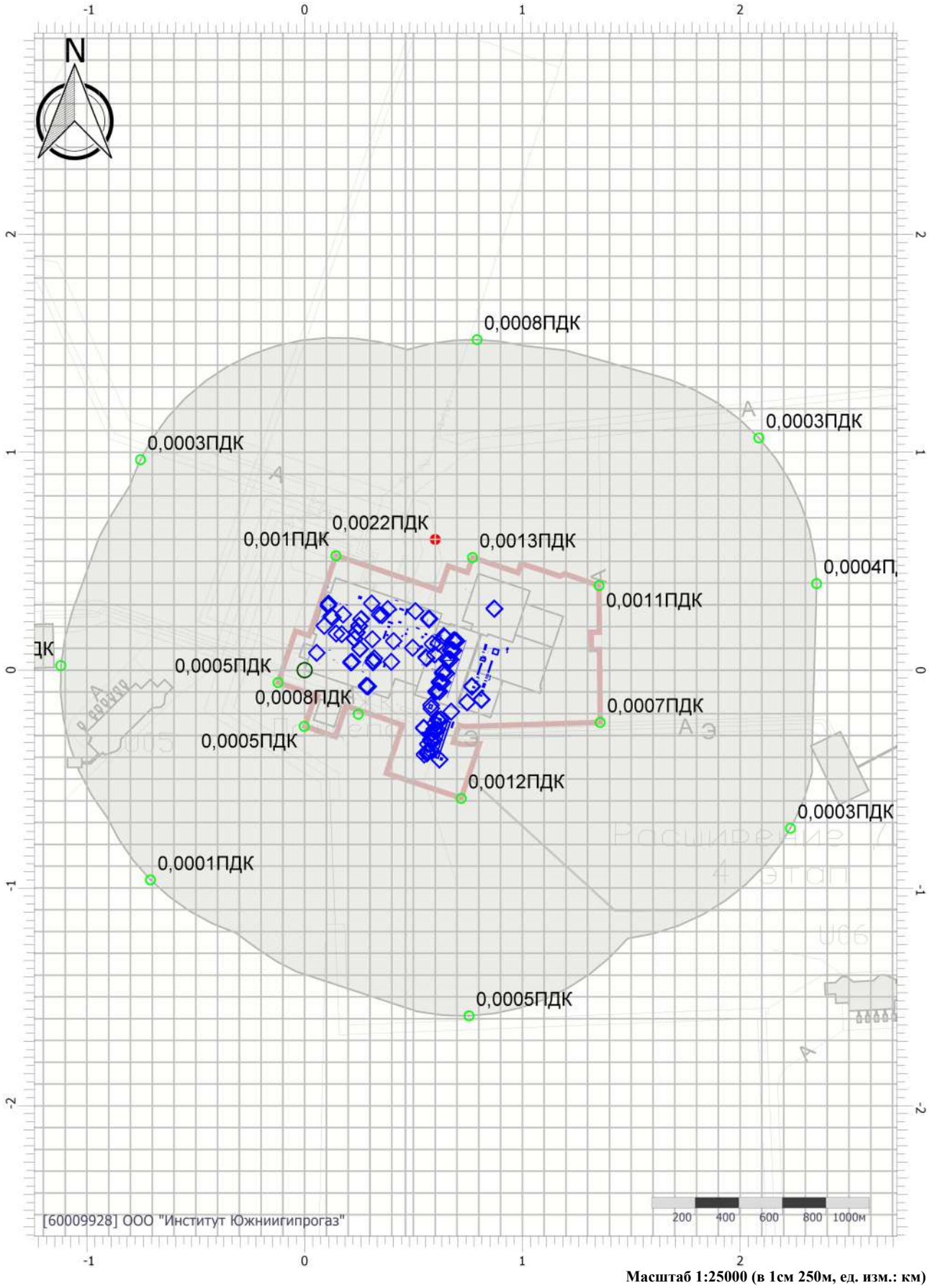

Масштаб 1:25000 (в 1см 250м, ед. изм.: км)

Цветовая схема (ПДК)

Отчет

Вариант расчета: ОАО АРКТИКГАЗ (77.22.006 ДКС 4-й этап) - Долгопериодные концентрации (Расчет средних концентраций по МРР-2017)
Код расчета: 1052 (Метиловый спирт)
Параметр: Концентрация вредного вещества (в долях ПДК)
Высота 2м

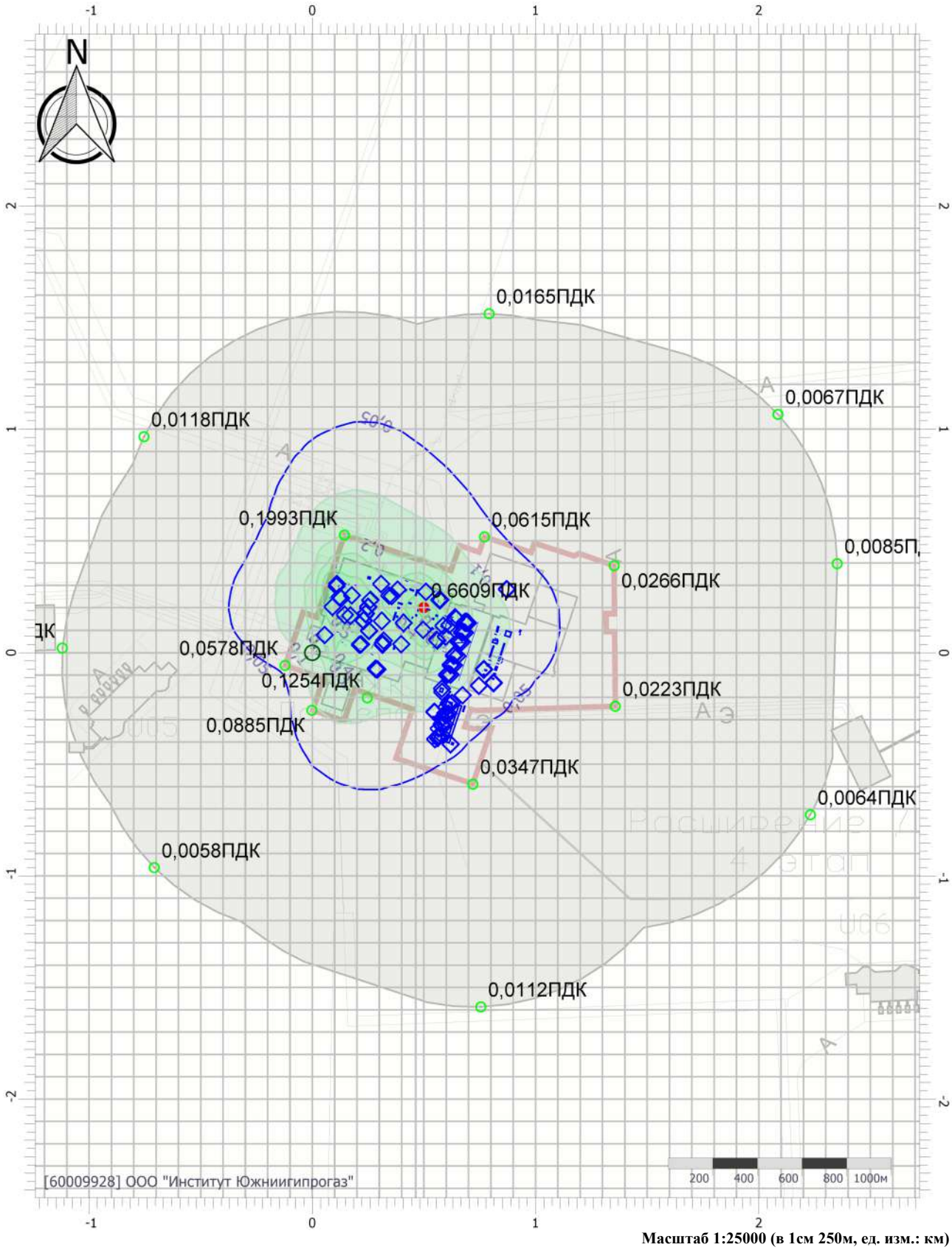

Масштаб 1:25000 (в 1см 250м, ед. изм.: км)

Цветовая схема (ПДК)



Отчет

Вариант расчета: ОАО АРКТИКГАЗ (77.22.006 ДКС 4-й этап) - Долгопериодные концентрации (Расчет средних концентраций по МРР-2017)
Код расчета: 1325 (Формальдегид (Муравьиный альдегид, оксометан, метиленоксид))
Параметр: Концентрация вредного вещества (в долях ПДК)
Высота 2м

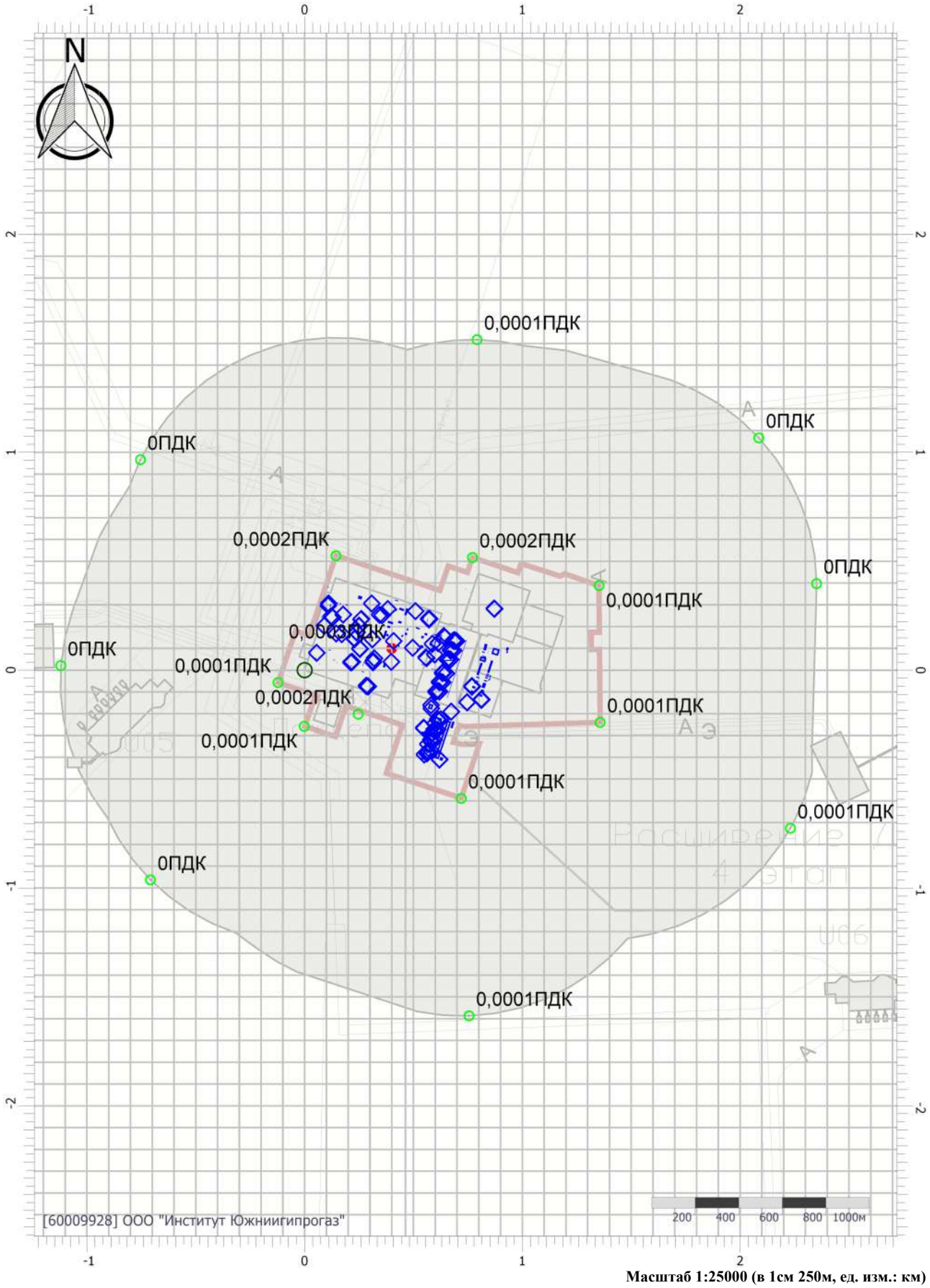

Масштаб 1:25000 (в 1см 250м, ед. изм.: км)

Цветовая схема (ПДК)

Период эксплуатации без фона

(среднесуточные концентрации)

Отчет

Вариант расчета: ОАО АРКТИКГАЗ (77.22.006 ДКС 4-й этап) - Среднесуточные концентрации (Расчёт среднесуточных концентраций)
Код расчета: 0301 (Азота диоксид (Двуокись азота; пероксид азота))
Параметр: Концентрация вредного вещества (в долях ПДК)
Высота 2м

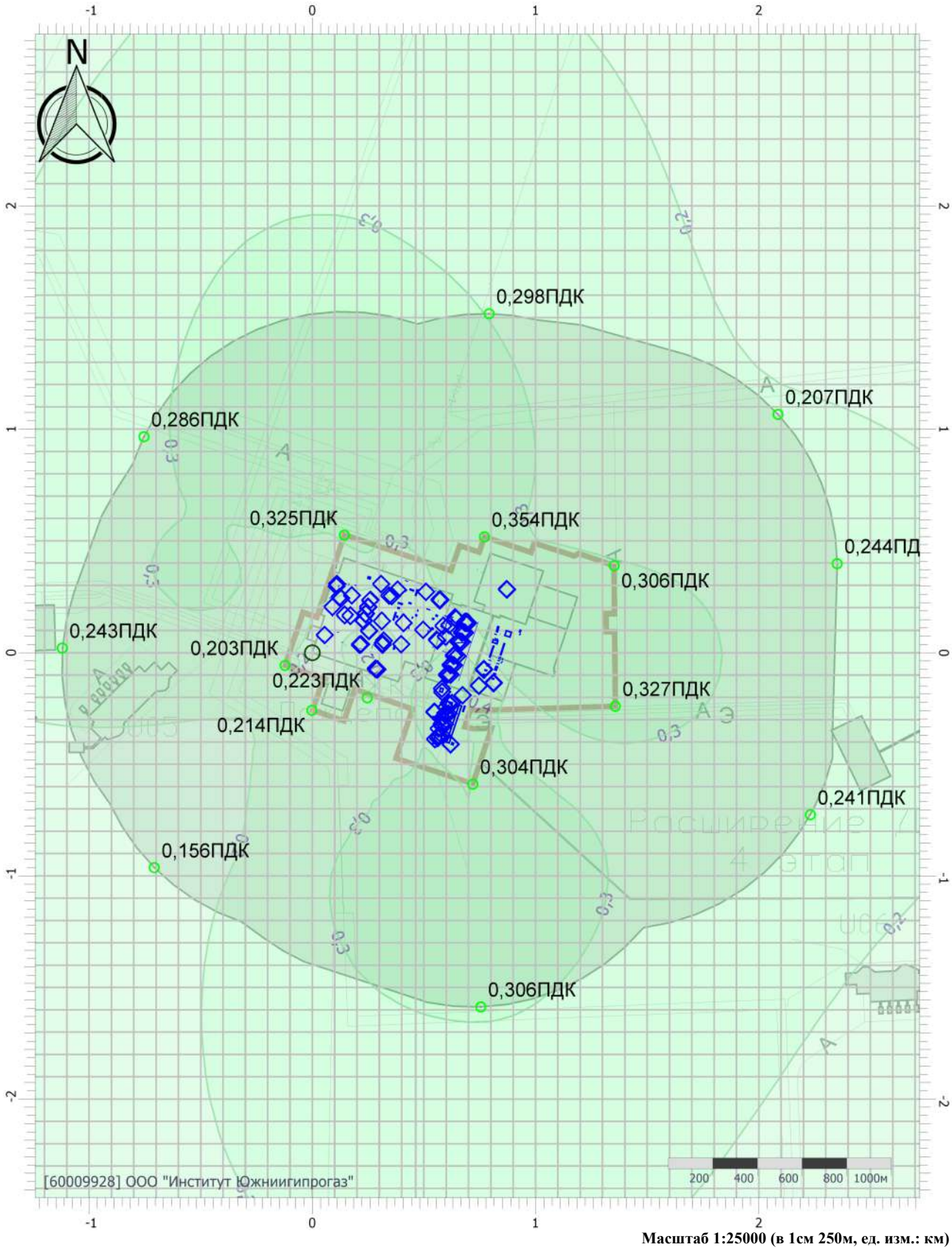

Масштаб 1:25000 (в 1см 250м, ед. изм.: км)

Цветовая схема (ПДК)

0,05 0,1 0,2 0,3 0,4

Отчет

Вариант расчета: ОАО АРКТИКГАЗ (77.22.006 ДКС 4-й этап) - Среднесуточные концентрации (Расчёт среднесуточных концентраций)
Код расчета: 0328 (Углерод (Пигмент черный))
Параметр: Концентрация вредного вещества (в долях ПДК)
Высота 2м

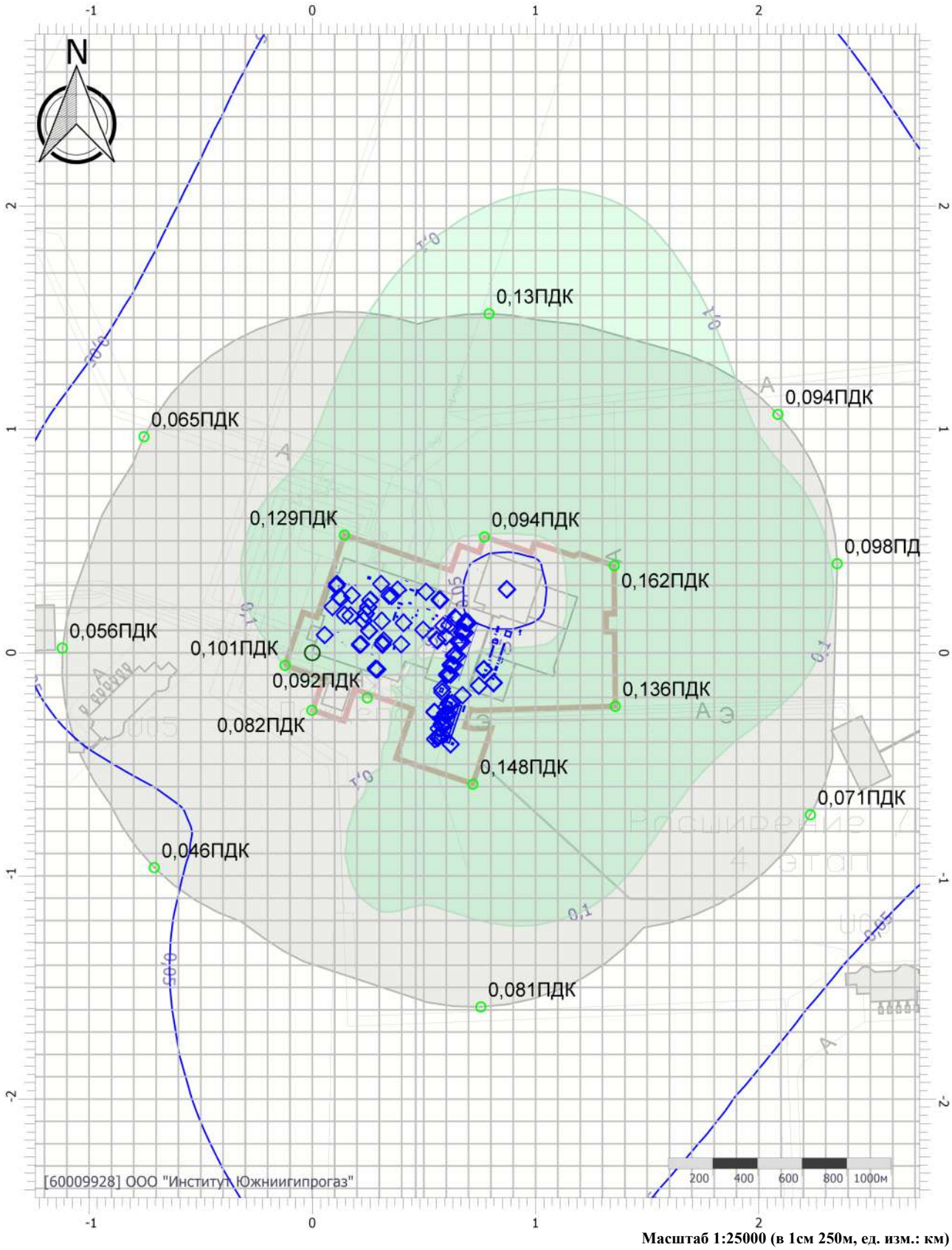

Масштаб 1:25000 (в 1см 250м, ед. изм.: км)

Цветовая схема (ПДК)

0,05 0,1

Отчет

Вариант расчета: ОАО АРКТИКГАЗ (77.22.006 ДКС 4-й этап) - Среднесуточные концентрации (Расчёт среднесуточных концентраций)
Код расчета: 0337 (Углерода оксид (Углерод окись; углерод моноокись; угарный газ))
Параметр: Концентрация вредного вещества (в долях ПДК)
Высота 2м

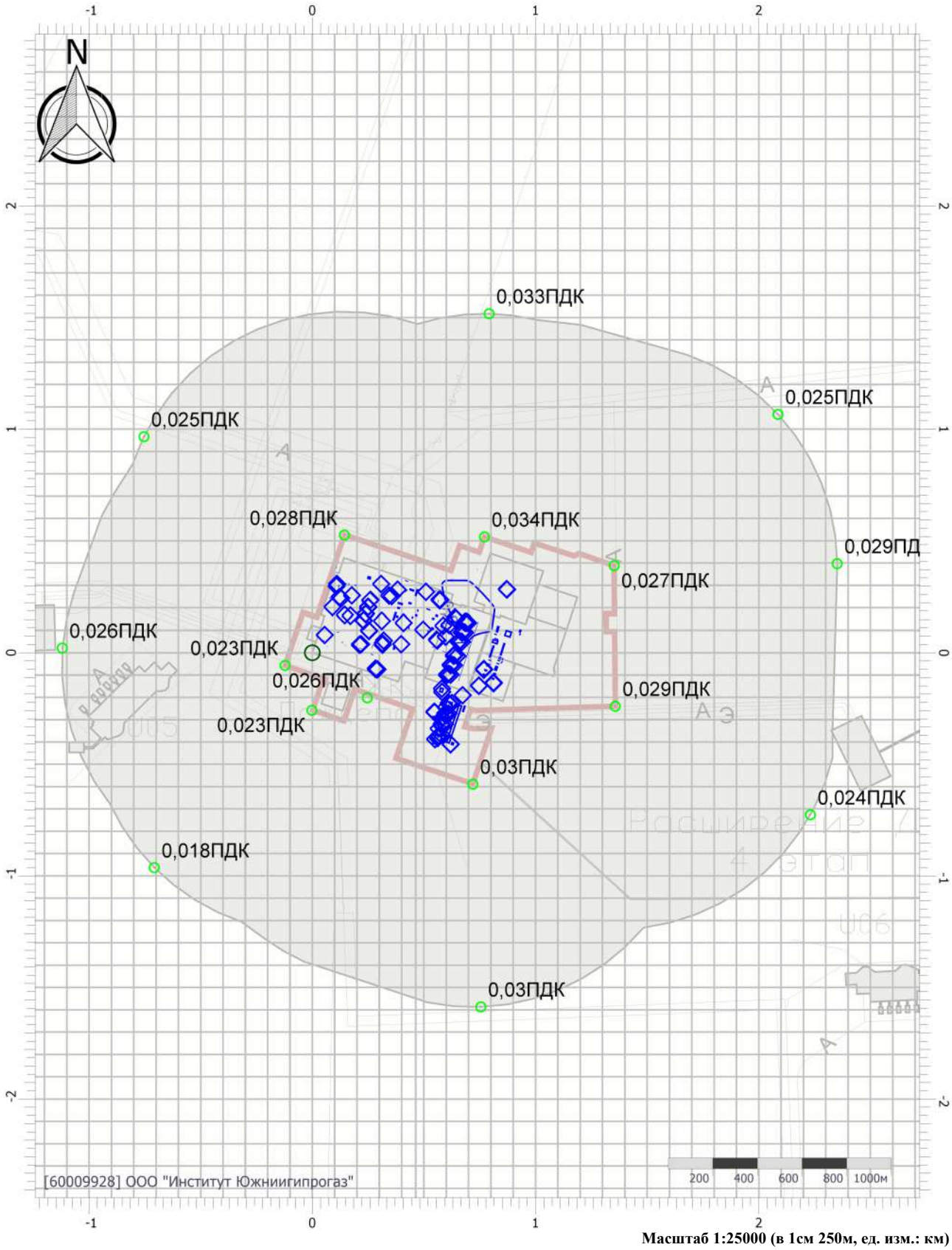

Масштаб 1:25000 (в 1см 250м, ед. изм.: км)

Цветовая схема (ПДК)

0,05

Отчет

Вариант расчета: ОАО АРКТИКГАЗ (77.22.006 ДКС 4-й этап) - Среднесуточные концентрации (Расчёт среднесуточных концентраций)
Код расчета: 0703 (Бенз/а/пирен)
Параметр: Концентрация вредного вещества (в долях ПДК)
Высота 2м

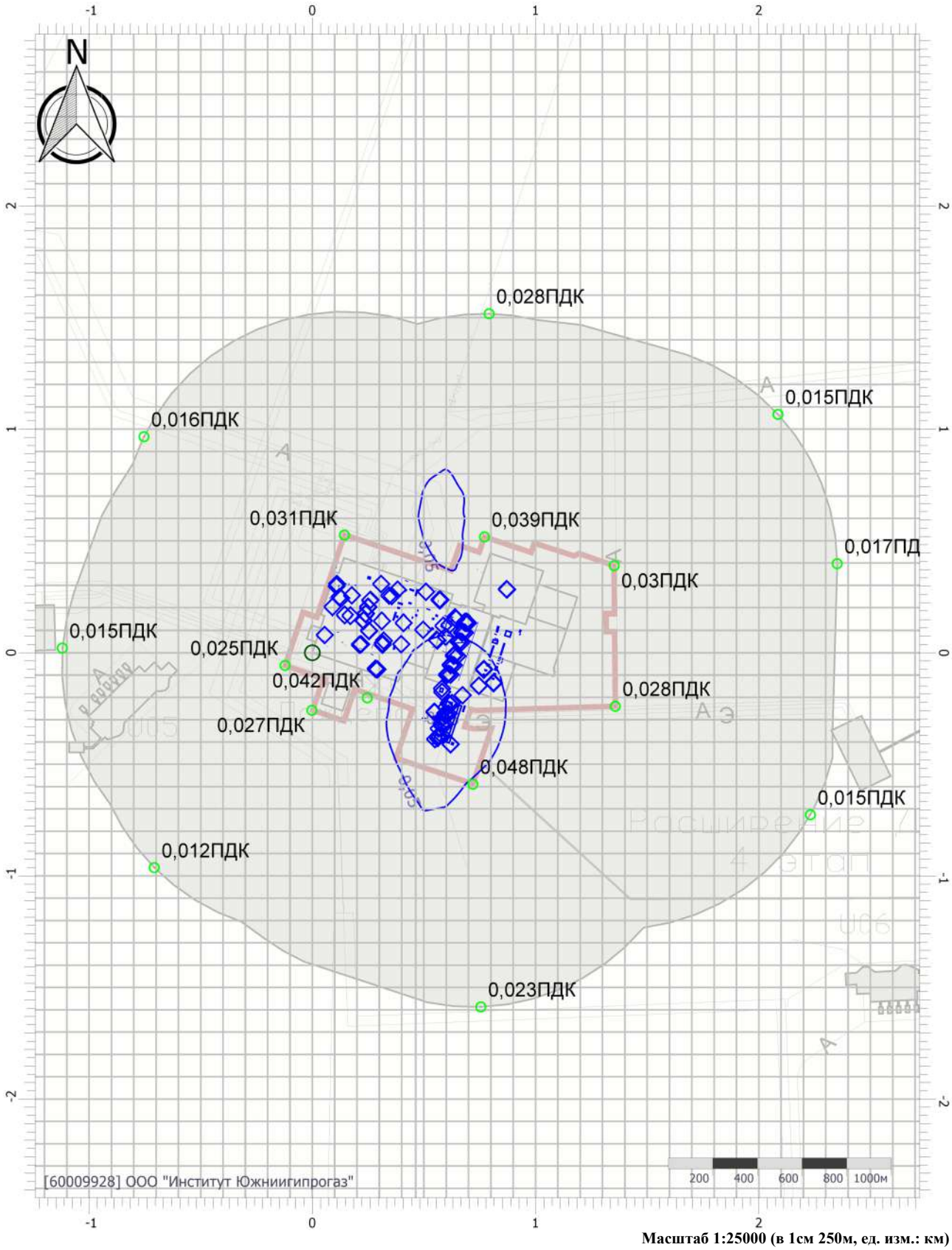

Масштаб 1:25000 (в 1см 250м, ед. изм.: км)

Цветовая схема (ПДК)

0,05

Отчет

Вариант расчета: ОАО АРКТИКГАЗ (77.22.006 ДКС 4-й этап) - Среднесуточные концентрации (Расчёт среднесуточных концентраций)
Код расчета: 1052 (Метиловый спирт)
Параметр: Концентрация вредного вещества (в долях ПДК)
Высота 2м

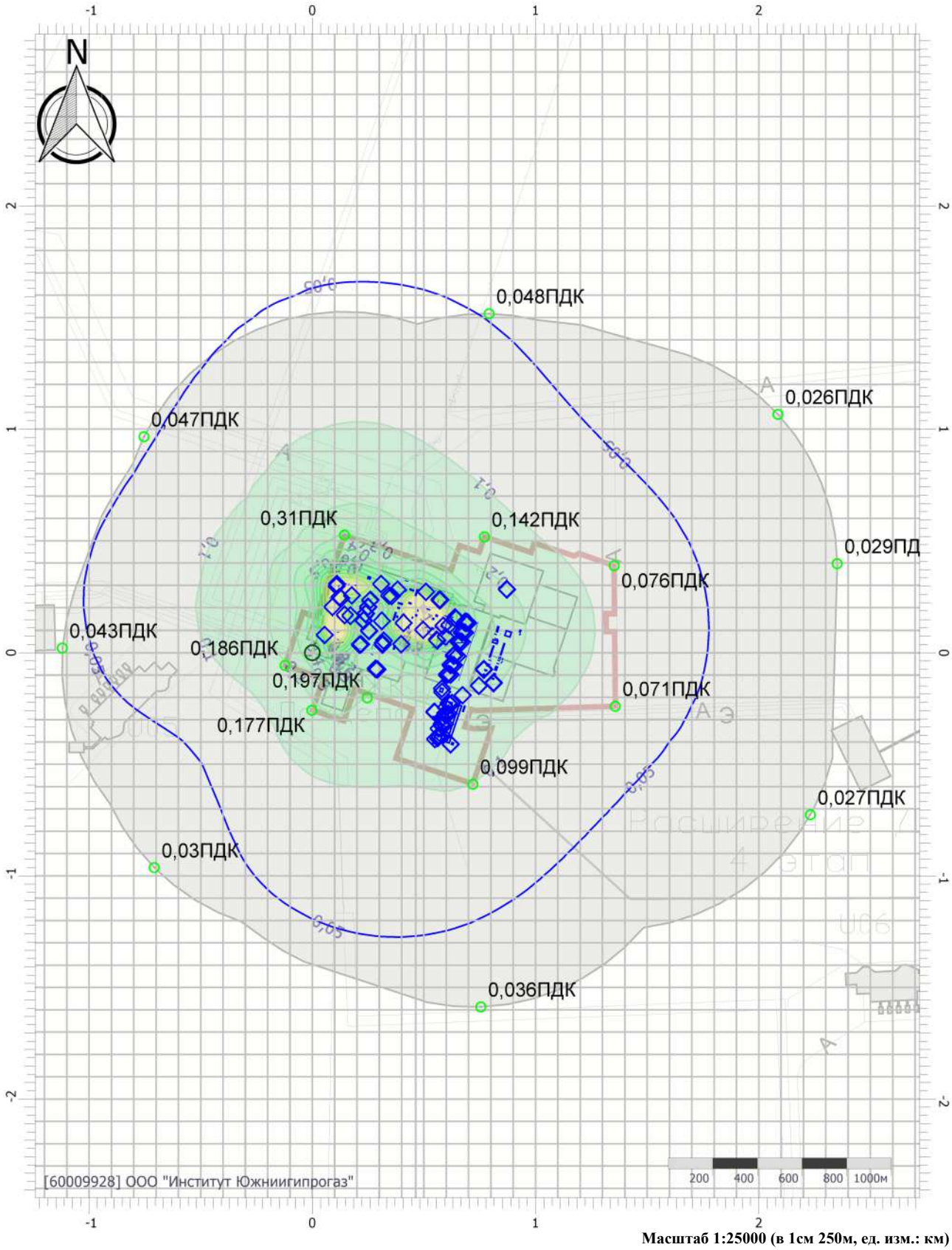

Масштаб 1:25000 (в 1см 250м, ед. изм.: км)

Цветовая схема (ПДК)

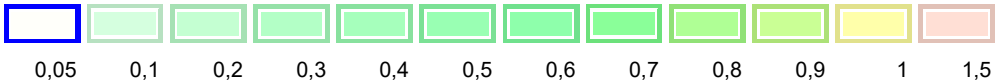

Отчет

Вариант расчета: ОАО АРКТИКГАЗ (77.22.006 ДКС 4-й этап) - Среднесуточные концентрации (Расчёт среднесуточных концентраций)
Код расчета: 1325 (Формальдегид (Муравьиный альдегид, оксометан, метиленоксид))
Параметр: Концентрация вредного вещества (в долях ПДК)
Высота 2м

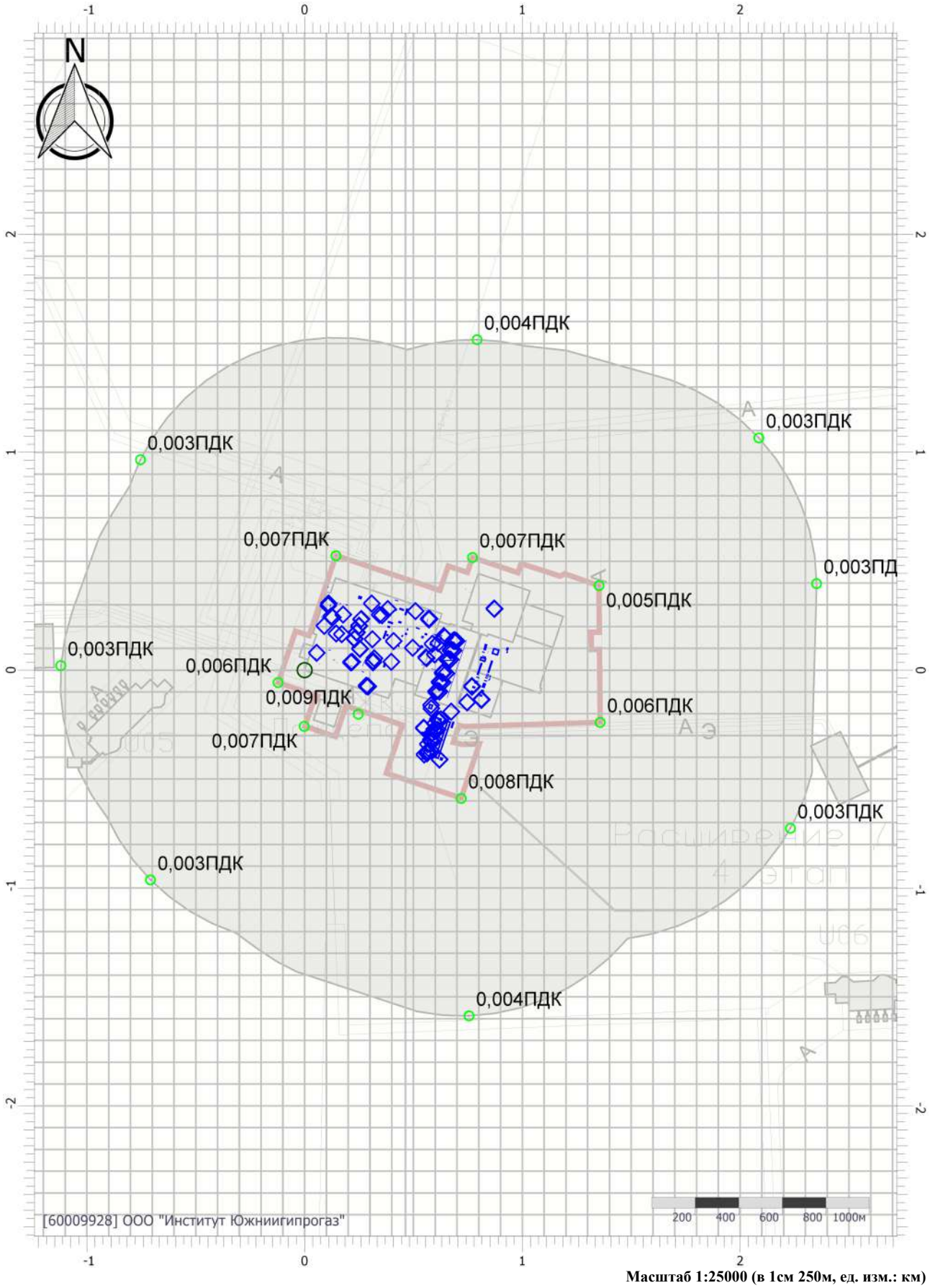

Масштаб 1:25000 (в 1см 250м, ед. изм.: км)

Цветовая схема (ПДК)

Период эксплуатации с учетом
фонового загрязнения
(максимально-разовые концентрации)

Отчет

Вариант расчета: ОАО АРКТИКГАЗ (77.22.006 ДКС 4-й этап) - Максимальные с фоном (Расчет рассеивания по МРР-2017, ЛЕТО)
Код расчета: 0301 (Азота диоксид (Двуокись азота; пероксид азота))
Параметр: Концентрация вредного вещества (в долях ПДК)
Высота 2м

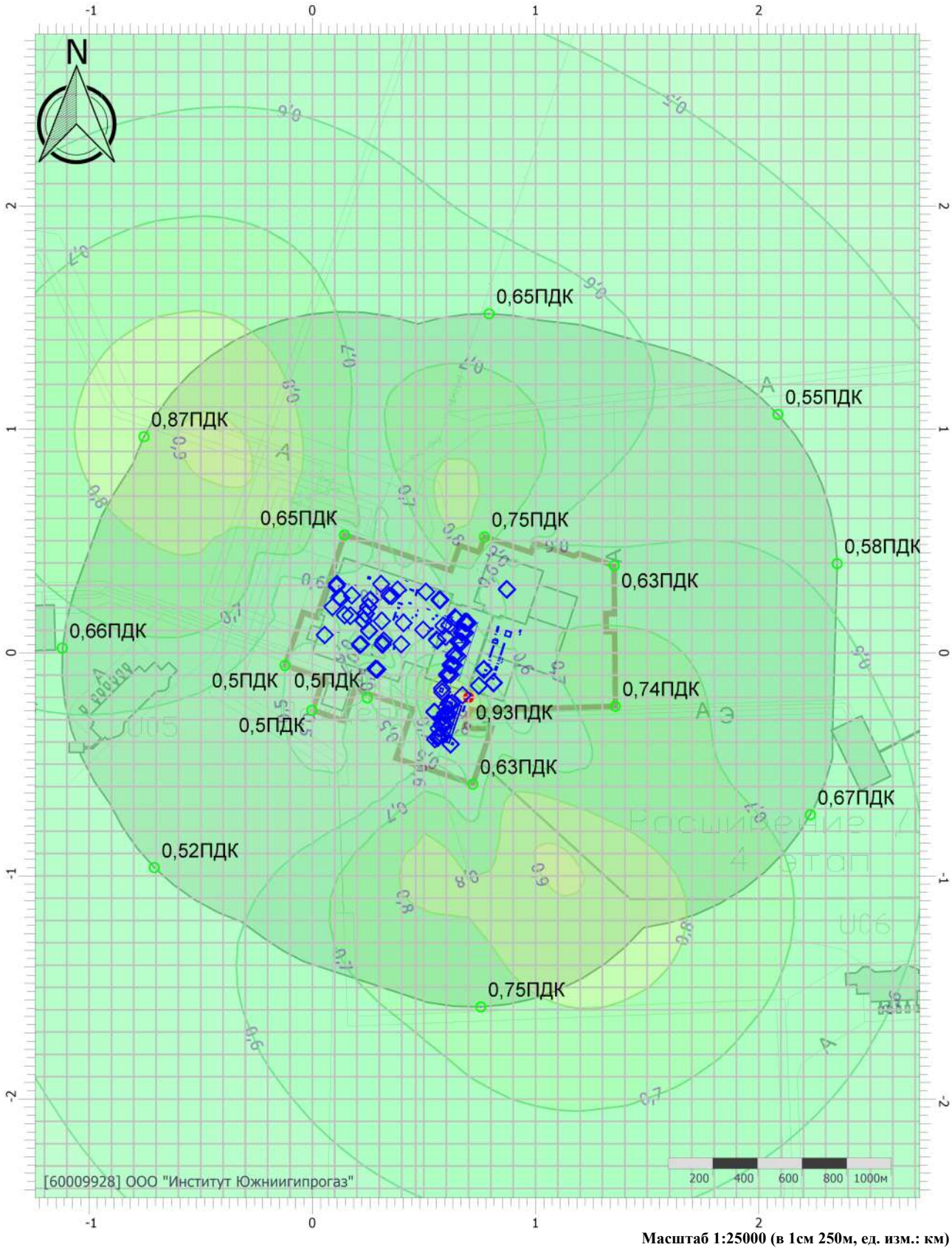

Масштаб 1:25000 (в 1см 250м, ед. изм.: км)

Цветовая схема (ПДК)

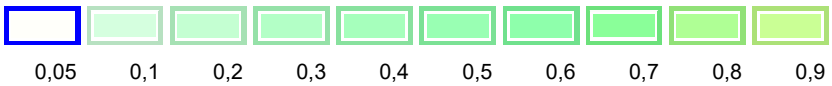

Отчет

Вариант расчета: ОАО АРКТИКГАЗ (77.22.006 ДКС 4-й этап) - Максимальные с фоном (Расчет рассеивания по МРР-2017, ЛЕТО)
Код расчета: 0304 (Азот (II) оксид (Азот монооксид))
Параметр: Концентрация вредного вещества (в долях ПДК)
Высота 2м

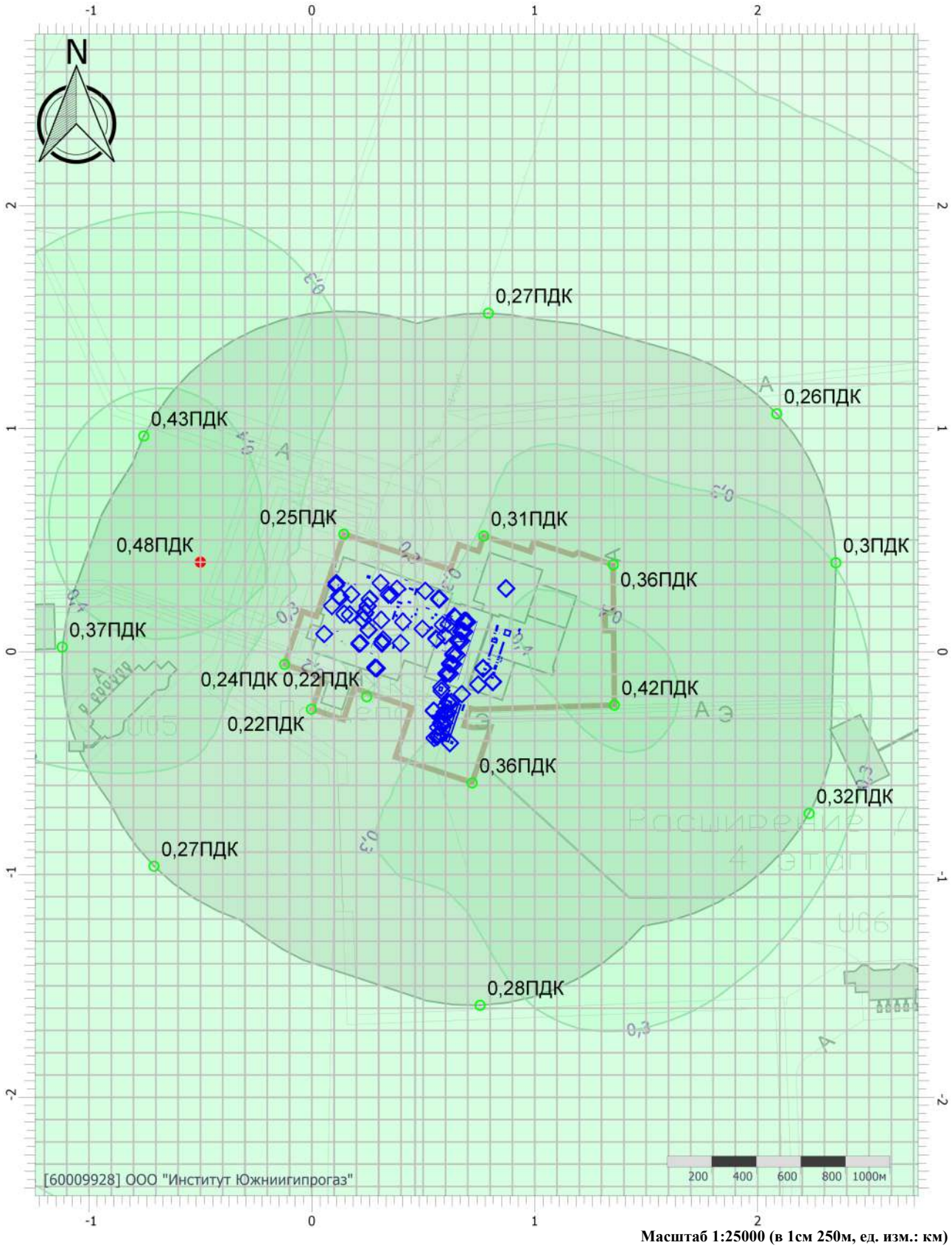

Масштаб 1:25000 (в 1см 250м, ед. изм.: км)

Цветовая схема (ПДК)

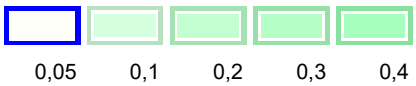

Отчет

Вариант расчета: ОАО АРКТИКГАЗ (77.22.006 ДКС 4-й этап) - Максимальные с фоном (Расчет рассеивания по МРР-2017, ЛЕТО)
Код расчета: 0337 (Углерода оксид (Углерод окись; углерод моноокись; угарный газ))
Параметр: Концентрация вредного вещества (в долях ПДК)
Высота 2м

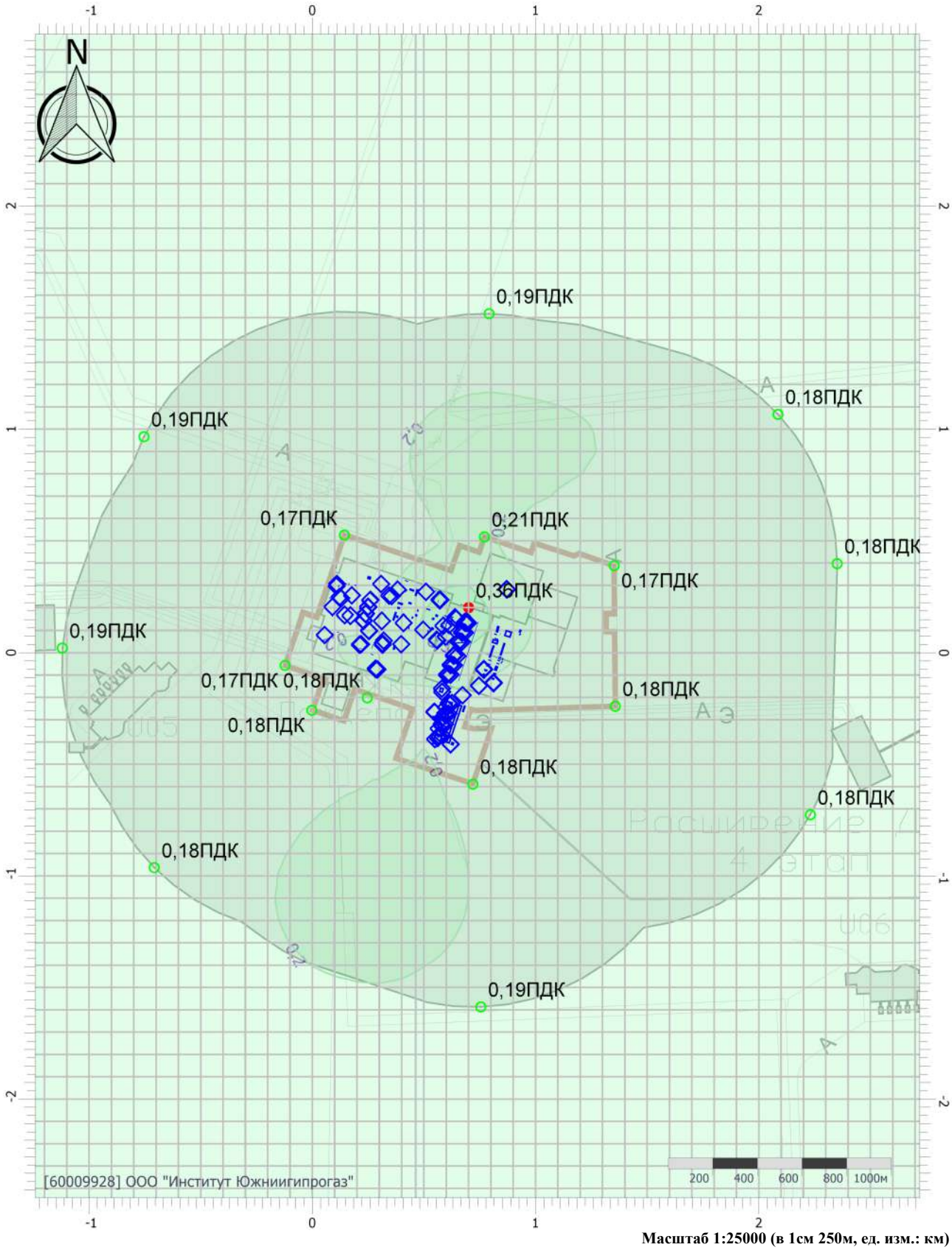

Масштаб 1:25000 (в 1см 250м, ед. изм.: км)

Цветовая схема (ПДК)



Период эксплуатации с учетом
фонового загрязнения
(средние (долгопериодные) концентрации)

Отчет

Вариант расчета: ОАО АРКТИКГАЗ (77.22.006 ДКС 4-й этап) - Долгопериодные с фоном (Расчет средних концентраций по МРР-2017)
Код расчета: 0301 (Азота диоксид (Двуокись азота; пероксид азота))
Параметр: Концентрация вредного вещества (в долях ПДК)
Высота 2м

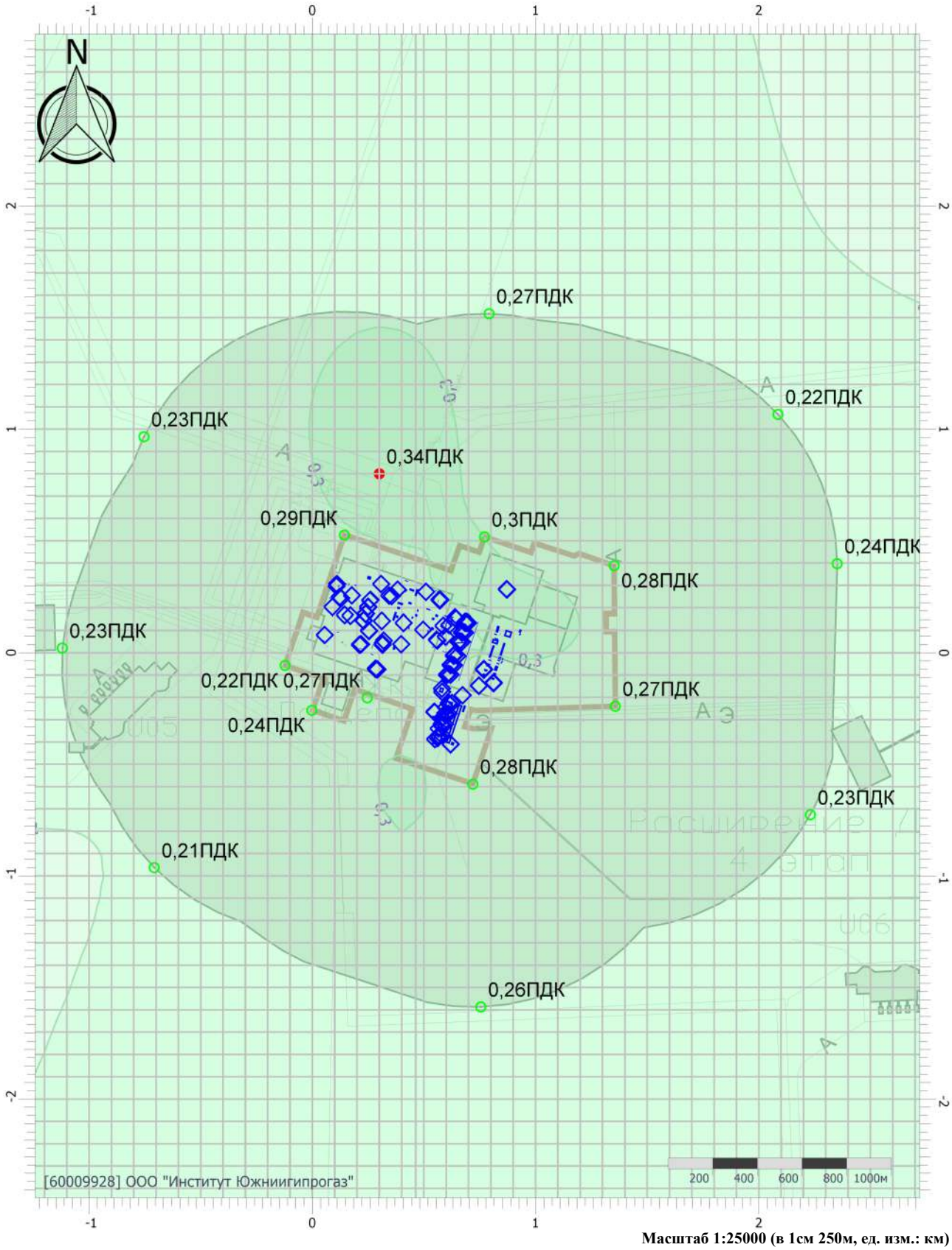

Масштаб 1:25000 (в 1см 250м, ед. изм.: км)

Цветовая схема (ПДК)



Отчет

Вариант расчета: ОАО АРКТИКГАЗ (77.22.006 ДКС 4-й этап) - Долгопериодные с фоном (Расчет средних концентраций по МРР-2017)
Код расчета: 0304 (Азот (II) оксид (Азот монооксид))
Параметр: Концентрация вредного вещества (в долях ПДК)
Высота 2м

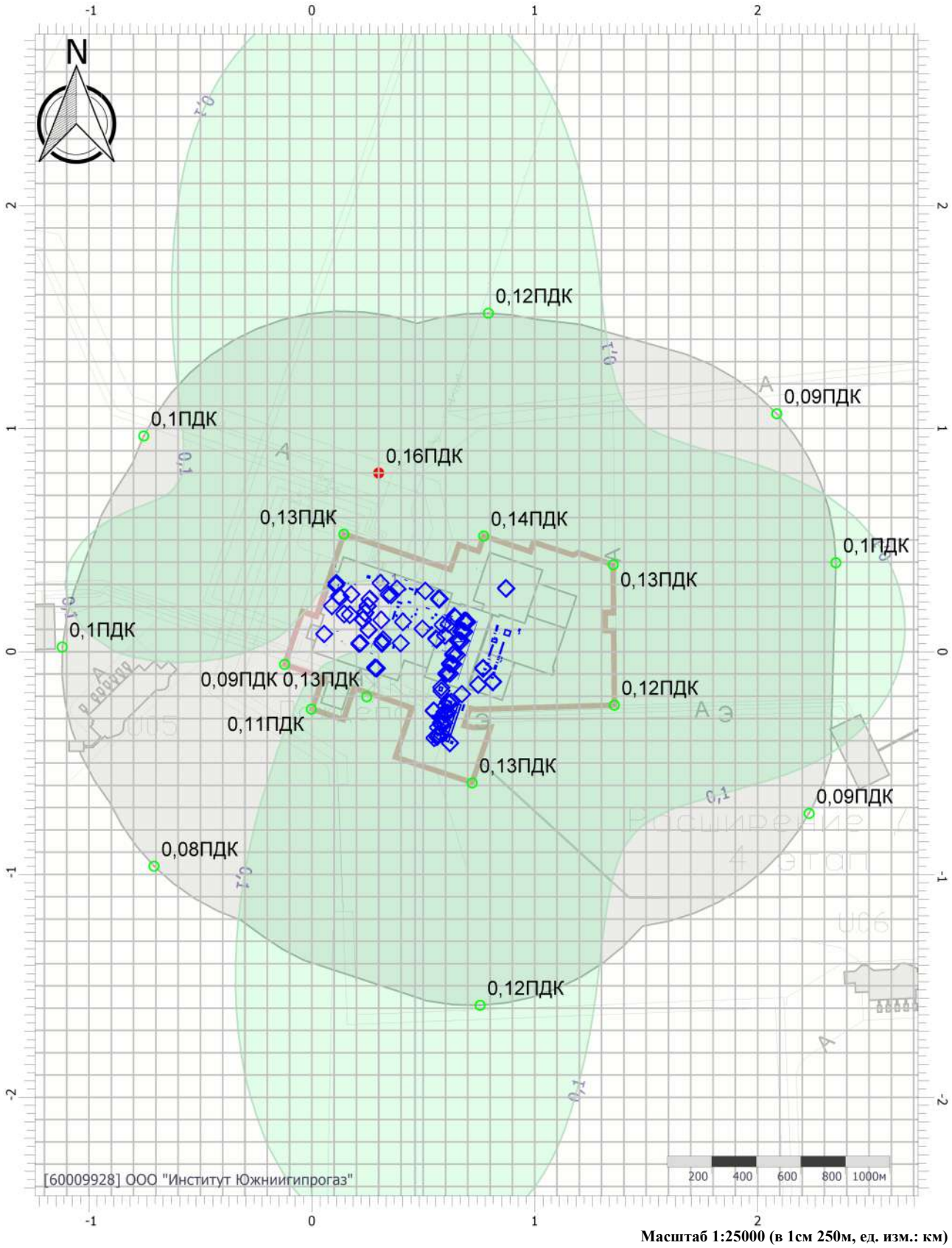

Масштаб 1:25000 (в 1см 250м, ед. изм.: км)

Цветовая схема (ПДК)

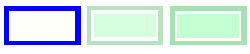

Отчет

Вариант расчета: ОАО АРКТИКГАЗ (77.22.006 ДКС 4-й этап) - Долгопериодные с фоном (Расчет средних концентраций по МРР-2017)
Код расчета: 0337 (Углерода оксид (Углерод окись; углерод моноокись; угарный газ))
Параметр: Концентрация вредного вещества (в долях ПДК)
Высота 2м

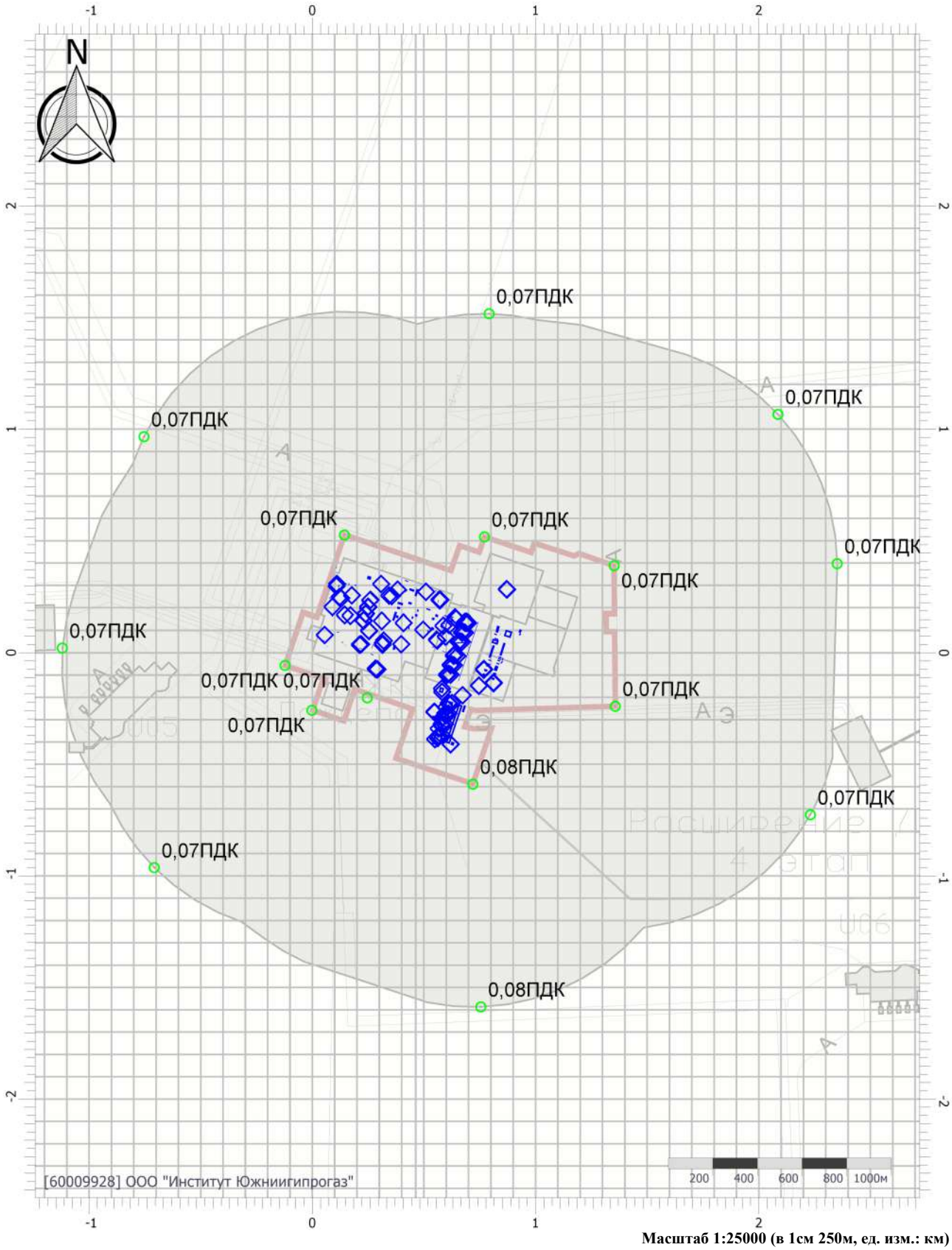

Масштаб 1:25000 (в 1см 250м, ед. изм.: км)

Цветовая схема (ПДК)



Период эксплуатации с учетом фонового загрязнения

(среднесуточные концентрации)

Отчет

Вариант расчета: ОАО АРКТИКГАЗ (77.22.006 ДКС 4-й этап) - Средние с фоном (Расчёт среднесуточных концентраций)
Код расчета: 0301 (Азота диоксид (Двуокись азота; пероксид азота))
Параметр: Концентрация вредного вещества (в долях ПДК)
Высота 2м

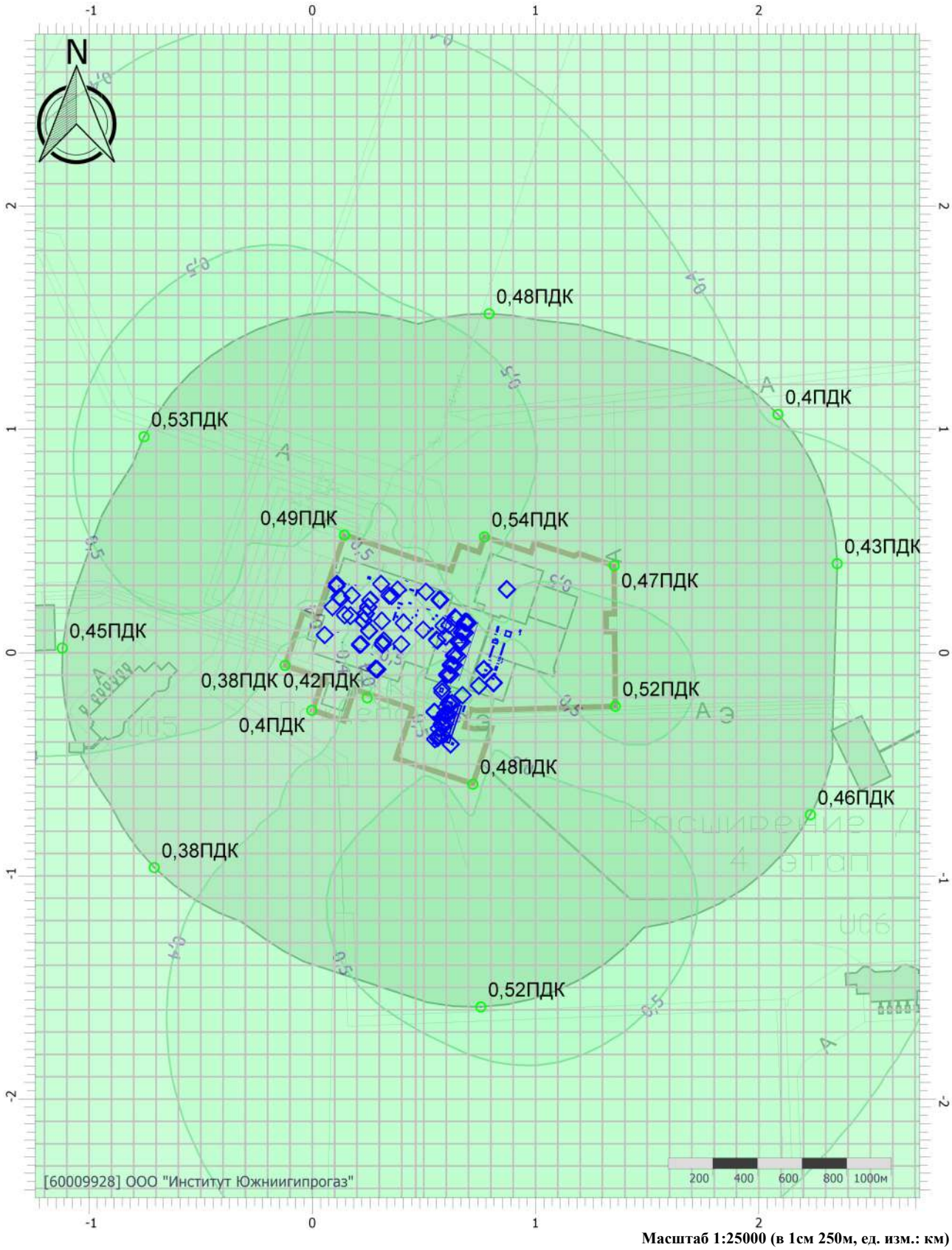

Масштаб 1:25000 (в 1см 250м, ед. изм.: км)

Цветовая схема (ПДК)



Отчет

Вариант расчета: ОАО АРКТИКГАЗ (77.22.006 ДКС 4-й этап) - Средние с фоном (Расчёт среднесуточных концентраций)
Код расчета: 0337 (Углерода оксид (Углерод окись; углерод моноокись; угарный газ))
Параметр: Концентрация вредного вещества (в долях ПДК)
Высота 2м

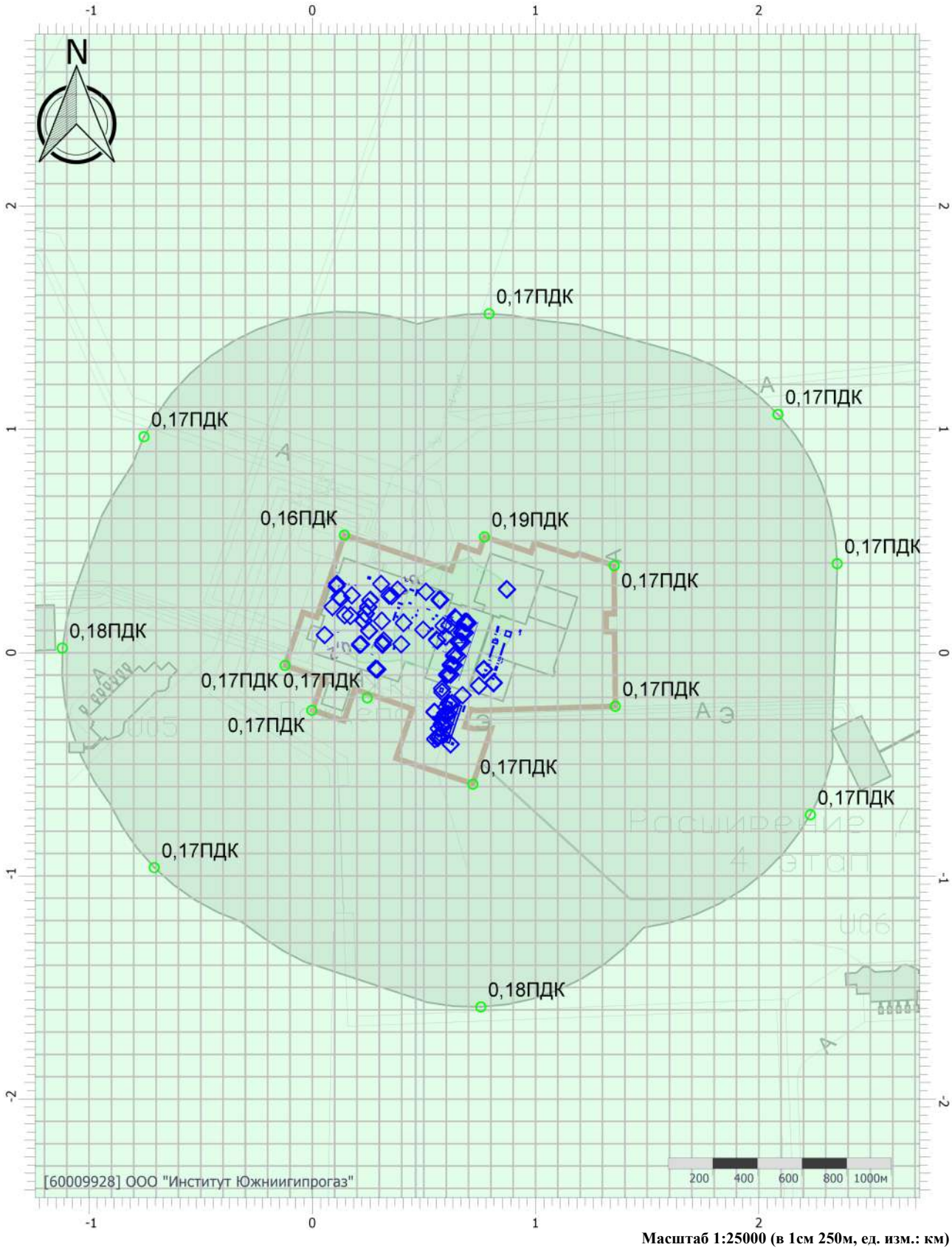

Масштаб 1:25000 (в 1см 250м, ед. изм.: км)

Цветовая схема (ПДК)

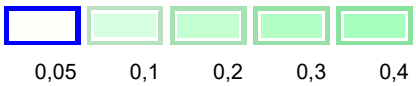

Зона влияния в период эксплуатации

Отчет

Вариант расчета: ОАО АРКТИКГАЗ (77.22.006 ДКС 4-й этап) - Зона влияния (Расчет рассеивания по МРР-2017 , ЛЕТО)
Код расчета: 0301 (Азота диоксид (Двуокись азота; пероксид азота))
Параметр: Концентрация вредного вещества (в долях ПДК)
Высота 2м

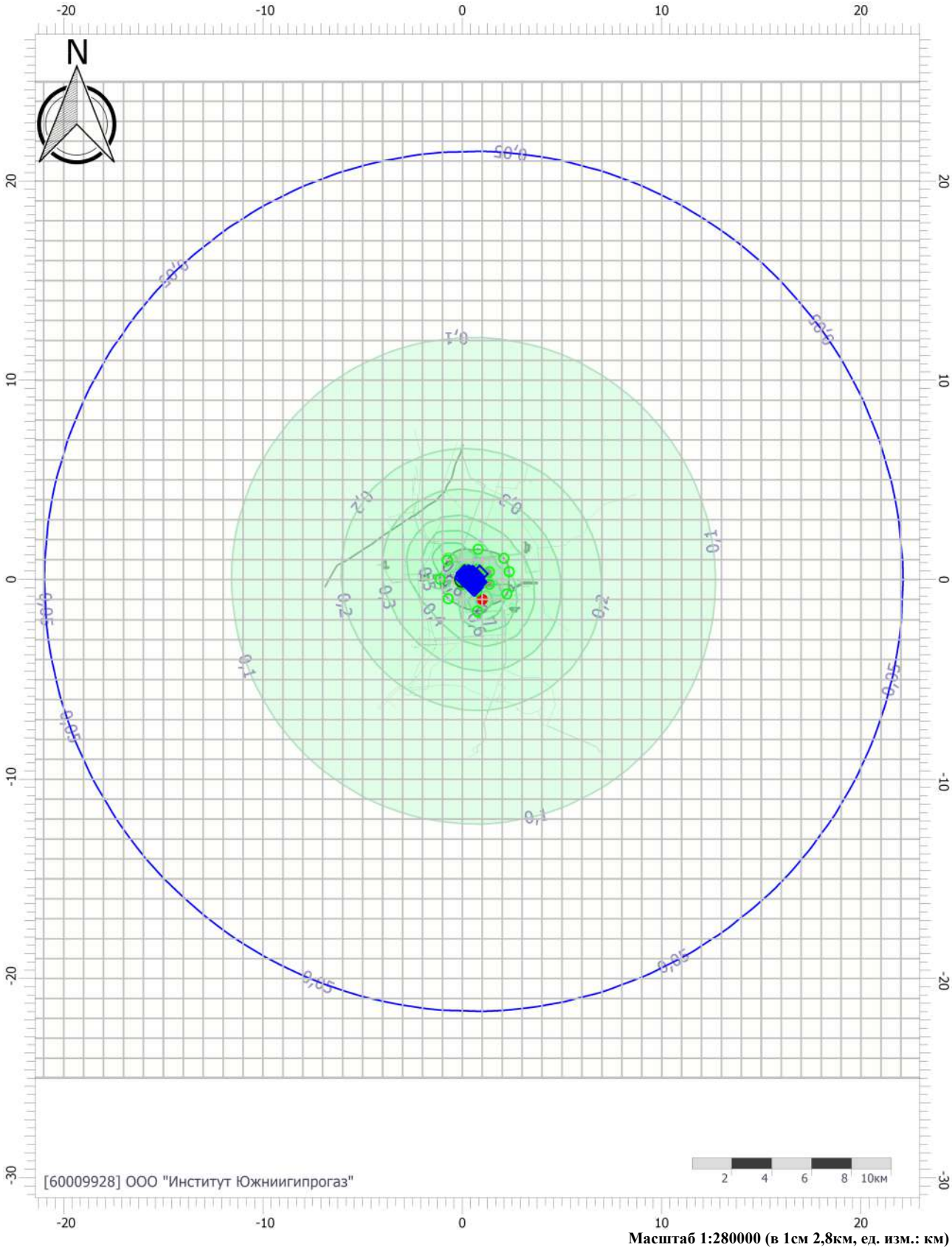

Масштаб 1:280000 (в 1см 2,8км, ед. изм.: км)

Цветовая схема (ПДК)

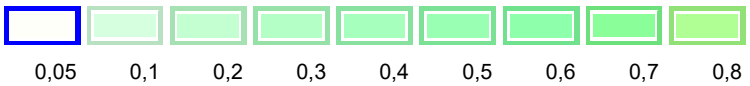

УПРЗА «ЭКОЛОГ» 4.70
Copyright © 1990-2023 ФИРМА «ИНТЕГРАЛ»

Программа зарегистрирована на: ООО "Институт Южниигипрогаз"
Регистрационный номер: 60009928

Отчет с результатами расчетов рассеивания загрязнения атмосферы в районе обустройства ачимовских отложений Уренгойского месторождения Самбургского ЛУ. ДКС. 4-й этап

(представлен только в электронном виде)

Оглавление

Метеорологические параметры 3
Структура предприятия (площадки, цеха) 3
Перебор метеопараметров при расчете 4
Строительство (22.006) 4
Расчетные области 4
ВР: 1, Строительство максимально разовые без фона 37
ВР: 1, Строительство среднегодовые концентрации без фона 47
ВР: 1, Строительство стреднесуточные концентрации без фона 55
ВР: 2, Строительство максимально разовые с фоном 58
ВР: 2, Строительство среднегодовые концентрации с фоном 60
ВР: 2, Строительство среднесуточные концентрации с фоном 62
Эксплуатация ДКС (22.006) 64
Расчетные области 64
Параметры источников выбросов на период эксплуатации 65
ВР: 1, Эксплуатация максимально разовые без фона 102
ВР: 1, Эксплуатация среднегодовые концентрации без фона 108
ВР: 1, Эксплуатация среднесуточные концентрации без фона 113
ВР: 2, Эксплуатация максимально разовые концентрации с фоном 116
ВР: 2, Эксплуатация среднегодовые концентрации с фоном 118
ВР: 2, Эксплуатация среднесуточных концентраций с фоном 119

Предприятие: 17, ОАО АРКТИКГАЗ (Расширение УНГКМ 77.22.006)
Город: 3494, Новый Уренгой
Район: 1, Пуровский район

Метеорологические параметры

Расчетная температура наиболее холодного месяца, °С:	-25,5
Расчетная температура наиболее теплого месяца, °С:	20,4
Коэффициент А, зависящий от температурной стратификации атмосферы:	200
U* – скорость ветра, наблюдаемая на данной местности, повторяемость превышения которой находится в пределах 5%, м/с:	11
Плотность атмосферного воздуха, кг/м3:	1,29
Скорость звука, м/с:	331

Структура предприятия (площадки, цеха)

96 - УКПГ
34 -
35 -
36 -
37 -
38 -
39 -
40 -
41 -
42 -
43 -
44 -
45 -
46 -
47 -
48 -
49 -
50 -
51 -
52 -
53 -
54 -
56 -
57 -
58 -
59 -
60 -
61 -
62 -
63 -
64 -
65 -
66 -
67 -
69 -
70 -
71 -
72 -
73 -
74 -
75 -
76 -
77 -
78 -
79 -
80 -
83 -

85 -
86 -
87 -
88 -
89 -
90 -
91 -
92 -
93 -
94 -
97 - ДКС
95 -
3 - Расширение УКПГ (77.22.005)
4 - Расширение ДКС (77.22.006)
5 - Площадка строительства ДКС

Перебор метеопараметров при расчете

Уточненный перебор

Направление ветра

Начало сектора	Конец сектора	Шаг перебора ветра
0	360	1

Строительство (22.006)

Расчетные области

Расчетные площадки

Код	Тип	Полное описание площадки					Зона влияния (м)	Шаг (м)		Высота (м)
		Координаты середины 1-й стороны (м)		Координаты середины 2-й стороны (м)		Ширина (м)				
		X	Y	X	Y			По ширине	По длине	
1	Полное описание	-3000,0	0,0	3000,0	0,0	6000,000	9119,130	100,000	100,000	2,000

Расчетные точки

Код	Координаты (м)		Высота (м)	Тип точки	Комментарий
	X	Y			
1	792,0	1517,0	2,000	на границе СЗЗ	
2	2086,0	1066,0	2,000	на границе СЗЗ	
3	2351,0	397,0	2,000	на границе СЗЗ	
4	2231,0	-726,0	2,000	на границе СЗЗ	
5	726,0	-1330,0	2,000	на границе СЗЗ	
6	-708,0	-963,0	2,000	на границе СЗЗ	
7	-1120,0	21,0	2,000	на границе СЗЗ	
8	-754,0	966,0	2,000	на границе СЗЗ	
9	771,0	517,0	2,000	на границе производственной зоны	
10	1352,0	388,0	2,000	на границе производственной зоны	
11	1357,0	-240,0	2,000	на границе производственной зоны	
12	719,0	-589,0	2,000	на границе производственной зоны	
13	-2,0	-258,0	2,000	на границе производственной зоны	
14	-122,0	-57,0	2,000	на границе производственной зоны	
15	144,0	525,0	2,000	на границе производственной зоны	
16	246,0	-202,0	2,000	на границе жилой зоны	

Параметры источников выбросов

Учет:
"%" - источник учитывается с исключением из фона;
"+" - источник учитывается без исключения из фона;
"-" - источник не учитывается и его вклад исключается из фона.
При отсутствии отметок источник не учитывается.

* - источник имеет дополнительные параметры

Типы источников:
1 - Точечный;
2 - Линейный;
3 - Неорганизованный;
4 - Совокупность точечных источников;
5 - С зависимостью массы выброса от скорости ветра;
6 - Точечный, с зонтом или выбросом горизонтально;
7 - Совокупность точечных (зонт или выброс вбок);
8 - Автомагистраль (неорганизованный линейный);
9 - Точечный, с выбросом вбок;
10 - Свеча;
11- Неорганизованный (полигон);
12 - Передвижной;
13 - Передвижной (неорганизованный).

№ ист.	Учет ист	Вар.	Тип	Наименование источника	Высота ист.	Диаметр усть я (м)	Объем ГВС (куб.	Скорость ГВС (м/с)	Темп. ГВС (°С)	Коэ ф.	Координаты X1, (м) / Y1, (м)	Координаты X2, (м) / Y2, (м)	Ширина ист. (м)
№ пл.: 0, № цеха: 0													
342	+	1	1	Вент.труба насосной подачи ДЭК	5	0,3000	1,8000	25,4648	20,0000	1	587,00 120,00	0,00 0,00	0,0000

Код в-ва	Наименование вещества	Выброс г/с	Выброс т/г	F	Лето См/ПДК	Лето Xm	Лето Um	Зима См/ПДК	Зима Xm	Зима Um
0410	Метан	0,0004636	0,000000	1	0,00	113,2165	1,9863	0,00	113,2165	1,9863
0415	Смесь предельных углеводородов С1Н4-С5Н12	0,0000573	0,000000	1	0,00	113,2165	1,9863	0,00	113,2165	1,9863
0416	Смесь предельных углеводородов С6Н14-С10Н22	0,0000002	0,000000	1	0,00	113,2165	1,9863	0,00	113,2165	1,9863

343	+	1	1	Вент.труба УКУГК №2	10	0,3000	1,8000	25,4648	20,0000	1	509,00 270,00	0,00 0,00	0,0000

Код в-ва	Наименование вещества	Выброс г/с	Выброс т/г	F	Лето См/ПДК	Лето Xm	Лето Um	Зима См/ПДК	Зима Xm	Зима Um
0410	Метан	0,0005989	0,000000	1	0,00	113,2165	0,9931	0,00	128,3546	1,3102
0415	Смесь предельных углеводородов С1Н4-С5Н12	0,0000741	0,000000	1	0,00	113,2165	0,9931	0,00	128,3546	1,3102
0416	Смесь предельных углеводородов С6Н14-С10Н22	0,0000002	0,000000	1	0,00	113,2165	0,9931	0,00	128,3546	1,3102

344	+	1	1	Вент.труба насосной печных насосов	5	0,3000	1,8000	25,4648	20,0000	1	613,00 123,00	0,00 0,00	0,0000

Код в-ва	Наименование вещества	Выброс г/с	Выброс т/г	F	Лето См/ПДК	Лето Xm	Лето Um	Зима См/ПДК	Зима Xm	Зима Um
0410	Метан	0,0004636	0,000000	1	0,00	113,2165	1,9863	0,00	113,2165	1,9863
0415	Смесь предельных углеводородов С1Н4-С5Н12	0,0000573	0,000000	1	0,00	113,2165	1,9863	0,00	113,2165	1,9863
0416	Смесь предельных углеводородов С6Н14-С10Н22	0,0000002	0,000000	1	0,00	113,2165	1,9863	0,00	113,2165	1,9863

345	+	1	1	Вытяжная вент.система уст. очистки сточных вод	4,8	0,0500	0,0100	5,0900	20,0000	1	254,00 97,00	0,00 0,00	0,0000

Код в-ва	Наименование вещества	Выброс г/с	Выброс т/г	F	Лето См/ПДК	Лето Xm	Лето Um	Зима См/ПДК	Зима Xm	Зима Um
0301	Азота диоксид (Двуокись азота; пероксид азота)	0,0000006	0,000010	1	0,00	27,3600	0,5000	0,00	14,0367	0,5000
0303	Аммиак (Азота гидрид)	0,0000035	0,000062	1	0,00	27,3600	0,5000	0,00	14,0367	0,5000
0304	Азот (II) оксид (Азот монооксид)	0,0000010	0,000017	1	0,00	27,3600	0,5000	0,00	14,0367	0,5000
0333	Дигидросульфид (Водород сернистый, дигидросульфид, гидросульфид)	0,0000068	0,000122	1	0,00	27,3600	0,5000	0,01	14,0367	0,5000
0410	Метан	0,0004862	0,008733	1	0,00	27,3600	0,5000	0,00	14,0367	0,5000
1071	Гидроксибензол	0,0000004	0,000006	1	0,00	27,3600	0,5000	0,00	14,0367	0,5000
1325	Формальдегид (Муравьиный альдегид, оксометан, метиленоксид)	0,0000005	0,000009	1	0,00	27,3600	0,5000	0,00	14,0367	0,5000
1716	Одорант СПМ	0,0000001	0,000001	1	0,00	27,3600	0,5000	0,00	14,0367	0,5000

346	+	1	1	Вытяжная вент.система уст. очистки произв. сточных вод	6	0,3200	0,1200	1,4921	20,0000	1	212,00 35,00	0,00 0,00	0,0000

Код в-ва	Наименование вещества	Выброс г/с	Выброс т/г	F	Лето См/ПДК	Лето Xm	Лето Um	Зима См/ПДК	Зима Xm	Зима Um
0333	Дигидросульфид (Водород сернистый, дигидросульфид, гидросульфид)	0,0000004	0,000039	1	0,00	34,2000	0,5000	0,00	22,6762	0,6299
2754	Алканы С12-С19 (в пересчете на С)	0,0001586	0,013793	1	0,00	34,2000	0,5000	0,00	22,6762	0,6299

5503	+	1	1	Выхлопная труба ДЭС (1 этап)	5	0,2000	0,6620	21,0721	490,0000	1	690,00 -241,00	0,00 0,00	0,0000

Код в-ва	Наименование вещества	Выброс г/с	Выброс т/г	F	Лето См/ПДК	Лето Xm	Лето Um	Зима См/ПДК	Зима Xm	Зима Um
0301	Азота диоксид (Двуокись азота; пероксид азота)	0,4266660	0,000000	1	0,00	0,0000	0,0000	1,55	87,4386	3,4931
0304	Азот (II) оксид (Азот монооксид)	0,0693330	0,000000	1	0,00	0,0000	0,0000	0,13	87,4386	3,4931
0328	Углерод (Пигмент черный)	0,0277780	0,000000	1	0,00	0,0000	0,0000	0,13	87,4386	3,4931
0330	Сера диоксид	0,0666670	0,000000	1	0,00	0,0000	0,0000	0,10	87,4386	3,4931
0337	Углерода оксид (Углерод окись; углерод моноокись; угарный газ)	0,3444440	0,000000	1	0,00	0,0000	0,0000	0,05	87,4386	3,4931

0703	Бенз/а/пирен	0,0000010	0,000000	1	0,00	0,0000	0,0000	0,00	87,4386	3,4931			
1325	Формальдегид (Муравьиный альдегид, оксометан, метиленоксид)	0,0066670	0,000000	1	0,00	0,0000	0,0000	0,10	87,4386	3,4931			
2732	Керосин (Керосин прямой перегонки; керосин дезодорированный)	0,1611110	0,000000	1	0,00	0,0000	0,0000	0,10	87,4386	3,4931			

5504	+	1	1	Выхлопная труба ДЭС (1 этап)	5	0,2000	0,6620	21,0721	490,0000	1	675,00 -300,00	0,00 0,00	0,0000

Код в-ва	Наименование вещества	Выброс г/с	Выброс т/г	F	Лето См/ПДК	Лето Xm	Лето Um	Зима См/ПДК	Зима Xm	Зима Um
0301	Азота диоксид (Двуокись азота; пероксид азота)	0,4266660	0,000000	1	0,00	0,0000	0,0000	1,55	87,4386	3,4931
0304	Азот (II) оксид (Азот монооксид)	0,0693330	0,000000	1	0,00	0,0000	0,0000	0,13	87,4386	3,4931
0328	Углерод (Пигмент черный)	0,0277780	0,000000	1	0,00	0,0000	0,0000	0,13	87,4386	3,4931
0330	Сера диоксид	0,0666670	0,000000	1	0,00	0,0000	0,0000	0,10	87,4386	3,4931
0337	Углерода оксид (Углерод окись; углерод моноокись; угарный газ)	0,3444440	0,000000	1	0,00	0,0000	0,0000	0,05	87,4386	3,4931
0703	Бенз/а/пирен	0,0000010	0,000000	1	0,00	0,0000	0,0000	0,00	87,4386	3,4931
1325	Формальдегид (Муравьиный альдегид, оксометан, метиленоксид)	0,0066670	0,000000	1	0,00	0,0000	0,0000	0,10	87,4386	3,4931
2732	Керосин (Керосин прямой перегонки; керосин дезодорированный)	0,1611110	0,000000	1	0,00	0,0000	0,0000	0,10	87,4386	3,4931

5505		1	1	Выхлопная труба ДЭС (1 этап)	5	0,2000	0,6620	21,0721	490,0000	1	600,00 -213,00	0,00 0,00	0,0000

Код в-ва	Наименование вещества	Выброс г/с	Выброс т/г	F	Лето См/ПДК	Лето Xm	Лето Um	Зима См/ПДК	Зима Xm	Зима Um
0301	Азота диоксид (Двуокись азота; пероксид азота)	0,4266660	0,000000	1	0,00	0,0000	0,0000	1,55	87,4386	3,4931
0304	Азот (II) оксид (Азот монооксид)	0,0693330	0,000000	1	0,00	0,0000	0,0000	0,13	87,4386	3,4931
0328	Углерод (Пигмент черный)	0,0277780	0,000000	1	0,00	0,0000	0,0000	0,13	87,4386	3,4931
0330	Сера диоксид	0,0666670	0,000000	1	0,00	0,0000	0,0000	0,10	87,4386	3,4931
0337	Углерода оксид (Углерод окись; углерод моноокись; угарный газ)	0,3444440	0,000000	1	0,00	0,0000	0,0000	0,05	87,4386	3,4931
0703	Бенз/а/пирен	0,0000010	0,000000	1	0,00	0,0000	0,0000	0,00	87,4386	3,4931
1325	Формальдегид (Муравьиный альдегид, оксометан, метиленоксид)	0,0066670	0,000000	1	0,00	0,0000	0,0000	0,10	87,4386	3,4931
2732	Керосин (Керосин прямой перегонки; керосин дезодорированный)	0,1611110	0,000000	1	0,00	0,0000	0,0000	0,10	87,4386	3,4931

5506		1	1	Выхлопная труба ДЭС (1 этап)	5	0,2000	0,6620	21,0721	490,0000	1	577,00 -270,00	0,00 0,00	0,0000

Код в-ва	Наименование вещества	Выброс г/с	Выброс т/г	F	Лето См/ПДК	Лето Xm	Лето Um	Зима См/ПДК	Зима Xm	Зима Um
0301	Азота диоксид (Двуокись азота; пероксид азота)	0,4266660	0,000000	1	0,00	0,0000	0,0000	1,55	87,4386	3,4931
0304	Азот (II) оксид (Азот монооксид)	0,0693330	0,000000	1	0,00	0,0000	0,0000	0,13	87,4386	3,4931
0328	Углерод (Пигмент черный)	0,0277780	0,000000	1	0,00	0,0000	0,0000	0,13	87,4386	3,4931
0330	Сера диоксид	0,0666670	0,000000	1	0,00	0,0000	0,0000	0,10	87,4386	3,4931
0337	Углерода оксид (Углерод окись; углерод моноокись; угарный газ)	0,3444440	0,000000	1	0,00	0,0000	0,0000	0,05	87,4386	3,4931
0703	Бенз/а/пирен	0,0000010	0,000000	1	0,00	0,0000	0,0000	0,00	87,4386	3,4931
1325	Формальдегид (Муравьиный альдегид, оксометан, метиленоксид)	0,0066670	0,000000	1	0,00	0,0000	0,0000	0,10	87,4386	3,4931
2732	Керосин (Керосин прямой перегонки; керосин дезодорированный)	0,1611110	0,000000	1	0,00	0,0000	0,0000	0,10	87,4386	3,4931

6260		1	3	Установка утилизации промстоков	2	0,0000			-	1	708,00 384,00	706,00 383,00	2,0000

Код в-ва	Наименование вещества	Выброс г/с	Выброс т/г	F	Лето См/ПДК	Лето Xm	Лето Um	Зима См/ПДК	Зима Xm	Зима Um
0301	Азота диоксид (Двуокись азота; пероксид азота)	1,3959780	44,023562	1	249,30	11,4000	0,5000	249,30	11,4000	0,5000
0304	Азот (II) оксид (Азот монооксид)	1,3610785	42,922973	1	121,53	11,4000	0,5000	121,53	11,4000	0,5000
0328	Углерод (Пигмент черный)	0,2117677	6,678306	3	151,27	5,7000	0,5000	151,27	5,7000	0,5000
0337	Углерода оксид (Углерод окись; углерод моноокись; угарный газ)	23,2662999	733,726033	1	166,20	11,4000	0,5000	166,20	11,4000	0,5000
0410	Метан	0,5816575	18,343151	1	0,42	11,4000	0,5000	0,42	11,4000	0,5000

6266		1	3	Установка продувки шлейфов	5	0,0000			-	1	739,00 373,00	741,00 370,00	6,0000

Код в-ва	Наименование вещества	Выброс г/с	Выброс т/г	F	Лето См/ПДК	Лето Xm	Лето Um	Зима См/ПДК	Зима Xm	Зима Um
0301	Азота диоксид (Двуокись азота; пероксид азота)	0,0273305	8,618955	1	0,58	28,5000	0,5000	0,58	28,5000	0,5000
0304	Азот (II) оксид (Азот монооксид)	0,0266473	8,403481	1	0,28	28,5000	0,5000	0,28	28,5000	0,5000
0328	Углерод (Пигмент черный)	0,0455509	3,591231	3	3,84	14,2500	0,5000	3,84	14,2500	0,5000
0337	Углерода оксид (Углерод окись; углерод моноокись; угарный газ)	0,4555088	143,649255	1	0,38	28,5000	0,5000	0,38	28,5000	0,5000
0410	Метан	0,0113877	3,591231	1	0,00	28,5000	0,5000	0,00	28,5000	0,5000

6300	+	1	3	Патрубок резервуара	2	0,0000			-	1	255,00 100,00	257,00 100,00	2,0000

Код	Наименование вещества	Выброс	F	Лето	Зима

Код в-ва	Наименование вещества	Выброс г/с	Выброс т/г	F	Лето См/ПДК	Лето Xm	Лето Um	Зима См/ПДК	Зима Xm	Зима Um
0301	Азота диоксид (Двуокись азота; пероксид азота)	0,0000012	0,000020	1	0,00	11,4000	0,5000	0,00	11,4000	0,5000
0303	Аммиак (Азота гидрид)	0,0000070	0,000124	1	0,00	11,4000	0,5000	0,00	11,4000	0,5000
0304	Азот (II) оксид (Азот монооксид)	0,0000020	0,000034	1	0,00	11,4000	0,5000	0,00	11,4000	0,5000
0333	Дигидросульфид (Водород сернистый, дигидросульфид, гидросульфид)	0,0000136	0,000244	1	0,06	11,4000	0,5000	0,06	11,4000	0,5000
0410	Метан	0,0009724	0,017466	1	0,00	11,4000	0,5000	0,00	11,4000	0,5000
1071	Гидроксибензол	0,0000008	0,000012	1	0,00	11,4000	0,5000	0,00	11,4000	0,5000
1325	Формальдегид (Муравьиный альдегид, оксометан, метиленоксид)	0,0000010	0,000018	1	0,00	11,4000	0,5000	0,00	11,4000	0,5000
1716	Одорант СПМ	0,0000002	0,000002	1	0,00	11,4000	0,5000	0,00	11,4000	0,5000

6350	+	1	3	Емкость дренажная Е-5	2	0,0000			-	1	594,00 54,00	597,00 53,00	2,0000

Код в-ва	Наименование вещества	Выброс г/с	Выброс т/г	F	Лето См/ПДК	Лето Xm	Лето Um	Зима См/ПДК	Зима Xm	Зима Um
2735	Масло минеральное нефтяное	0,0003600	0,000297	1	0,26	11,4000	0,5000	0,26	11,4000	0,5000

6468	+	1	3	Неорг.выброс УДК-3	2	0,0000			-	1	580,00 73,00	615,00 168,00	4,0000

Код в-ва	Наименование вещества	Выброс г/с	Выброс т/г	F	Лето См/ПДК	Лето Xm	Лето Um	Зима См/ПДК	Зима Xm	Зима Um
0410	Метан	0,0035497	0,000000	1	0,00	11,4000	0,5000	0,00	11,4000	0,5000
0415	Смесь предельных углеводородов С1Н4-С5Н12	0,0004390	0,000000	1	0,00	11,4000	0,5000	0,00	11,4000	0,5000
0416	Смесь предельных углеводородов С6Н14-С10Н22	0,0000013	0,000000	1	0,00	11,4000	0,5000	0,00	11,4000	0,5000

6491	+	1	3	Патрубок резервуара	2	0,0000			-	1	208,00 21,00	221,00 17,00	2,0000

Код в-ва	Наименование вещества	Выброс г/с	Выброс т/г	F	Лето См/ПДК	Лето Xm	Лето Um	Зима См/ПДК	Зима Xm	Зима Um
0333	Дигидросульфид (Водород сернистый, дигидросульфид, гидросульфид)	0,0000161	0,000011	1	0,07	11,4000	0,5000	0,07	11,4000	0,5000
2754	Алканы С12-С19 (в пересчете на С)	0,0057394	0,003883	1	0,20	11,4000	0,5000	0,20	11,4000	0,5000

7001	+	1	3	Емкость дренажная для уловленных нефтепродуктов	2	0,0000			-	1	106,00 381,00	109,00 380,00	8,0000

Код в-ва	Наименование вещества	Выброс г/с	Выброс т/г	F	Лето См/ПДК	Лето Xm	Лето Um	Зима См/ПДК	Зима Xm	Зима Um
0333	Дигидросульфид (Водород сернистый, дигидросульфид, гидросульфид)	0,0000020	0,000001	1	0,01	11,4000	0,5000	0,01	11,4000	0,5000
0415	Смесь предельных углеводородов С1Н4-С5Н12	0,0019560	0,000079	1	0,00	11,4000	0,5000	0,00	11,4000	0,5000
0416	Смесь предельных углеводородов С6Н14-С10Н22	0,0007240	0,000292	1	0,00	11,4000	0,5000	0,00	11,4000	0,5000
0602	Бензол (Циклогексатриен; фенилгидрид)	0,0000090	0,000004	1	0,00	11,4000	0,5000	0,00	11,4000	0,5000
0616	Диметилбензол (смесь о-, м-, п- изомеров) (Метилтолуол)	0,0000030	0,000001	1	0,00	11,4000	0,5000	0,00	11,4000	0,5000
0621	Метилбензол (Фенилметан)	0,0000060	0,000002	1	0,00	11,4000	0,5000	0,00	11,4000	0,5000

7002	+	1	3	Емкость дренажная для производственно дождевых сточных вод	2	0,0000			-	1	118,00 414,00	121,00 413,00	3,0000

Код в-ва	Наименование вещества	Выброс г/с	Выброс т/г	F	Лето См/ПДК	Лето Xm	Лето Um	Зима См/ПДК	Зима Xm	Зима Um
0333	Дигидросульфид (Водород сернистый, дигидросульфид, гидросульфид)	0,0000003	0,000001	1	0,00	11,4000	0,5000	0,00	11,4000	0,5000
0415	Смесь предельных углеводородов С1Н4-С5Н12	0,0003550	0,000913	1	0,00	11,4000	0,5000	0,00	11,4000	0,5000
0416	Смесь предельных углеводородов С6Н14-С10Н22	0,0001310	0,000338	1	0,00	11,4000	0,5000	0,00	11,4000	0,5000
0602	Бензол (Циклогексатриен; фенилгидрид)	0,0000020	0,000040	1	0,00	11,4000	0,5000	0,00	11,4000	0,5000
0616	Диметилбензол (смесь о-, м-, п- изомеров) (Метилтолуол)	0,0000005	0,000001	1	0,00	11,4000	0,5000	0,00	11,4000	0,5000
0621	Метилбензол (Фенилметан)	0,0000010	0,000003	1	0,00	11,4000	0,5000	0,00	11,4000	0,5000

7003	+	1	3	Канализационная насосная станция	2	0,0000			-	1	-25,00 407,00	-22,00 406,00	3,0000

Код в-ва	Наименование вещества	Выброс г/с	Выброс т/г	F	Лето См/ПДК	Лето Xm	Лето Um	Зима См/ПДК	Зима Xm	Зима Um
0333	Дигидросульфид (Водород сернистый, дигидросульфид, гидросульфид)	0,0000001	3,000000E-07	1	0,00	11,4000	0,5000	0,00	11,4000	0,5000
0415	Смесь предельных углеводородов С1Н4-С5Н12	0,0001630	0,000420	1	0,00	11,4000	0,5000	0,00	11,4000	0,5000
0416	Смесь предельных углеводородов С6Н14-С10Н22	0,0000600	0,000155	1	0,00	11,4000	0,5000	0,00	11,4000	0,5000
0602	Бензол (Циклогексатриен; фенилгидрид)	0,0000010	0,000002	1	0,00	11,4000	0,5000	0,00	11,4000	0,5000
0616	Диметилбензол (смесь о-, м-, п- изомеров) (Метилтолуол)	0,0000002	0,000001	1	0,00	11,4000	0,5000	0,00	11,4000	0,5000
0621	Метилбензол (Фенилметан)	0,0000005	0,000001	1	0,00	11,4000	0,5000	0,00	11,4000	0,5000

№ пл.: 1, № цеха: 34

38	+	1	1	Вытяжная вентсистема	9	0,6300	2,8500	9,1427	20,0000	1	308,00 305,00	0,00 0,00	0,0000

Код в-ва	Наименование вещества	Выброс г/с	Выброс т/г	F	Лето См/ПДК	Лето Xm	Лето Um	Зима См/ПДК	Зима Xm	Зима Um
0410	Метан	0,0000020	0,000061	1	0,00	85,3616	0,8320	0,00	118,3401	1,5817
0415	Смесь предельных углеводородов С1Н4-С5Н12	0,0124064	0,391249	1	0,00	85,3616	0,8320	0,00	118,3401	1,5817
0416	Смесь предельных углеводородов С6Н14-С10Н22	0,0266443	0,840255	1	0,00	85,3616	0,8320	0,00	118,3401	1,5817

№ пл.: 1, № цеха: 35

39	+	1	1	Вытяжная вентсистема	12,6	0,6300	4,7200	15,1416	20,0000	1	382,00 280,00	0,00 0,00	0,0000

Код в-ва	Наименование вещества	Выброс г/с	Выброс т/г	F	Лето См/ПДК	Лето Xm	Лето Um	Зима См/ПДК	Зима Xm	Зима Um
0410	Метан	0,0001374	0,004325	1	0,00	141,3708	0,9842	0,00	183,6217	1,6728
0415	Смесь предельных углеводородов С1Н4-С5Н12	0,1236219	3,898530	1	0,00	141,3708	0,9842	0,00	183,6217	1,6728
0416	Смесь предельных углеводородов С6Н14-С10Н22	0,2654926	8,372574	1	0,00	141,3708	0,9842	0,00	183,6217	1,6728
1052	Метиловый спирт	0,0465578	1,468245	1	0,01	141,3708	0,9842	0,01	183,6217	1,6728

№ пл.: 1, № цеха: 36

6222	+	1	3	Блок сепара-торов-пробкоуло-вителей	2	0,0000			-	1	246,00 336,00	263,00 331,00	15,0000

Код в-ва	Наименование вещества	Выброс г/с	Выброс т/г	F	Лето См/ПДК	Лето Xm	Лето Um	Зима См/ПДК	Зима Xm	Зима Um
0410	Метан	0,0003467	0,010931	1	0,00	11,4000	0,5000	0,00	11,4000	0,5000
0415	Смесь предельных углеводородов С1Н4-С5Н12	0,2241900	7,070054	1	0,04	11,4000	0,5000	0,04	11,4000	0,5000
0416	Смесь предельных углеводородов С6Н14-С10Н22	0,4814756	15,183814	1	0,34	11,4000	0,5000	0,34	11,4000	0,5000

№ пл.: 1, № цеха: 37

6223	+	1	3	Блок емкости аварийного слива Е-111	2	0,0000			-	1	415,00 271,00	420,00 285,00	4,0000

Код в-ва	Наименование вещества	Выброс г/с	Выброс т/г	F	Лето См/ПДК	Лето Xm	Лето Um	Зима См/ПДК	Зима Xm	Зима Um
0410	Метан	0,0000006	0,000019	1	0,00	11,4000	0,5000	0,00	11,4000	0,5000
0415	Смесь предельных углеводородов С1Н4-С5Н12	0,0038140	0,120279	1	0,00	11,4000	0,5000	0,00	11,4000	0,5000
0416	Смесь предельных углеводородов С6Н14-С10Н22	0,0081911	0,258314	1	0,01	11,4000	0,5000	0,01	11,4000	0,5000

№ пл.: 1, № цеха: 38

6224	+	1	3	Блок емкости аварийного слива Е-112	2	0,0000			-	1	420,00 271,00	424,00 281,00	4,0000

Код в-ва	Наименование вещества	Выброс г/с	Выброс т/г	F	Лето См/ПДК	Лето Xm	Лето Um	Зима См/ПДК	Зима Xm	Зима Um
0410	Метан	0,0000004	0,000014	1	0,00	11,4000	0,5000	0,00	11,4000	0,5000
0415	Смесь предельных углеводородов С1Н4-С5Н12	0,0027580	0,086974	1	0,00	11,4000	0,5000	0,00	11,4000	0,5000
0416	Смесь предельных углеводородов С6Н14-С10Н22	0,0059231	0,186787	1	0,00	11,4000	0,5000	0,00	11,4000	0,5000

№ пл.: 1, № цеха: 39

6225	+	1	3	Блок ресивера импульс-ного газа Р-101	2	0,0000			-	1	279,00 316,00	284,00 314,00	6,0000

Код в-ва	Наименование вещества	Выброс г/с	Выброс т/г	F	Лето См/ПДК	Лето Xm	Лето Um	Зима См/ПДК	Зима Xm	Зима Um
0410	Метан	0,0000005	0,000016	1	0,00	11,4000	0,5000	0,00	11,4000	0,5000
0415	Смесь предельных углеводородов С1Н4-С5Н12	0,0006184	0,019500	1	0,00	11,4000	0,5000	0,00	11,4000	0,5000
0416	Смесь предельных углеводородов С6Н14-С10Н22	0,0013280	0,041880	1	0,00	11,4000	0,5000	0,00	11,4000	0,5000

№ пл.: 1, № цеха: 40

57	+	1	1	Вытяжная вентсистема	17,6	0,6300	8,6300	27,6847	20,0000	1	409,00 133,00	0,00 0,00	0,0000

Код в-ва	Наименование вещества	Выброс г/с	Выброс т/г	F	Лето См/ПДК	Лето Xm	Лето Um	Зима См/ПДК	Зима Xm	Зима Um
0410	Метан	1,7747395	55,968184	1	0,00	258,4810	1,2883	0,00	304,3898	1,8299
0415	Смесь предельных углеводородов С1Н4-С5Н12	0,2194849	6,921671	1	0,00	258,4810	1,2883	0,00	304,3898	1,8299
0416	Смесь предельных углеводородов С6Н14-С10Н22	0,0006467	0,020398	1	0,00	258,4810	1,2883	0,00	304,3898	1,8299
1052	Метиловый спирт	0,0470578	1,484016	1	0,00	258,4810	1,2883	0,00	304,3898	1,8299

№ пл.: 1, № цеха: 41

6226	+	1	3	Блок теплообменников Т-201-2 и Т-202-2	2	0,0000			-	1	464,00 162,00	468,00 170,00	10,0000

Код в-ва	Наименование вещества	Выброс г/с	Выброс т/г	F	Лето См/ПДК	Лето Xm	Лето Um	Зима См/ПДК	Зима Xm	Зима Um
0410	Метан	0,6913990	21,803961	1	0,49	11,4000	0,5000	0,49	11,4000	0,5000
0415	Смесь предельных углеводородов С1Н4-С5Н12	0,0855065	2,696528	1	0,02	11,4000	0,5000	0,02	11,4000	0,5000
0416	Смесь предельных углеводородов С6Н14-С10Н22	0,0002520	0,007945	1	0,00	11,4000	0,5000	0,00	11,4000	0,5000

№ пл.: 1, № цеха: 42

6227	+	1	3	Блок теплообменников Т-201-1 и Т-202-1	2	0,0000			-	1	463,00 162,00	467,00 171,00	10,0000

Код	Наименование вещества	Выброс		F	Лето			Зима		

Код в-ва	Наименование вещества	Выброс г/с	Выброс т/г	F	Лето См/ПДК	Лето Xm	Лето Um	Зима См/ПДК	Зима Xm	Зима Um
0410	Метан	0,6948701	21,913425	1	0,50	11,4000	0,5000	0,50	11,4000	0,5000
0415	Смесь предельных углеводородов С1Н4-С5Н12	0,0859358	2,710066	1	0,02	11,4000	0,5000	0,02	11,4000	0,5000
0416	Смесь предельных углеводородов С6Н14-С10Н22	0,0002532	0,007984	1	0,00	11,4000	0,5000	0,00	11,4000	0,5000

№ пл.: 1, № цеха: 43

6228	+	1	3	Блок подачи метанола и ингибитора парафиноотложений	2	0,0000			-	1	469,00 187,00	476,00 187,00	10,0000

Код в-ва	Наименование вещества	Выброс г/с	Выброс т/г	F	Лето См/ПДК	Лето Xm	Лето Um	Зима См/ПДК	Зима Xm	Зима Um
1052	Метиловый спирт	0,0997798	3,146670	1	3,56	11,4000	0,5000	3,56	11,4000	0,5000

№ пл.: 1, № цеха: 44

6229	+	1	3	Блок подачи метанола БПМ-202-1 и БПМ-202-2	2	0,0000			-	1	445,00 158,00	452,00 156,00	10,0000

Код в-ва	Наименование вещества	Выброс г/с	Выброс т/г	F	Лето См/ПДК	Лето Xm	Лето Um	Зима См/ПДК	Зима Xm	Зима Um
1052	Метиловый спирт	0,0811128	2,557984	1	2,90	11,4000	0,5000	2,90	11,4000	0,5000

№ пл.: 1, № цеха: 45

6230	+	1	3	Блок подачи метанола БПМ-203-1 и БПМ-203-2	2	0,0000			-	1	430,00 110,00	435,00 110,00	10,0000

Код в-ва	Наименование вещества	Выброс г/с	Выброс т/г	F	Лето См/ПДК	Лето Xm	Лето Um	Зима См/ПДК	Зима Xm	Зима Um
1052	Метиловый спирт	0,0811128	2,557984	1	2,90	11,4000	0,5000	2,90	11,4000	0,5000

№ пл.: 1, № цеха: 46

6231	+	1	3	Блок емко-стей Е-201-1, Е-202-1 и Е-202-2	2	0,0000			-	1	430,00 222,00	445,00 218,00	10,0000

Код в-ва	Наименование вещества	Выброс г/с	Выброс т/г	F	Лето См/ПДК	Лето Xm	Лето Um	Зима См/ПДК	Зима Xm	Зима Um
0410	Метан	0,0535338	1,688211	1	0,04	11,4000	0,5000	0,04	11,4000	0,5000
0415	Смесь предельных углеводородов С1Н4-С5Н12	0,0066204	0,208782	1	0,00	11,4000	0,5000	0,00	11,4000	0,5000
0416	Смесь предельных углеводородов С6Н14-С10Н22	0,0000210	0,000615	1	0,00	11,4000	0,5000	0,00	11,4000	0,5000

№ пл.: 1, № цеха: 47

84	+	1	1	Вытяжная вентсистема	17,6	0,6300	8,6300	27,6847	20,0000	1	497,00 102,00	0,00 0,00	0,0000

Код в-ва	Наименование вещества	Выброс г/с	Выброс т/г	F	Лето См/ПДК	Лето Xm	Лето Um	Зима См/ПДК	Зима Xm	Зима Um
0410	Метан	0,9637851	30,393926	1	0,00	258,4810	1,2883	0,00	304,3898	1,8299
0415	Смесь предельных углеводородов С1Н4-С5Н12	0,1191929	3,758861	1	0,00	258,4810	1,2883	0,00	304,3898	1,8299
0416	Смесь предельных углеводородов С6Н14-С10Н22	0,0003512	0,011080	1	0,00	258,4810	1,2883	0,00	304,3898	1,8299
1052	Метиловый спирт	0,0001920	0,006058	1	0,00	258,4810	1,2883	0,00	304,3898	1,8299

№ пл.: 1, № цеха: 48

6232	+	1	3	Блок теплообменников Т-201-4 и Т-202-4	2	0,0000			-	1	532,00 112,00	545,00 106,00	10,0000

Код в-ва	Наименование вещества	Выброс г/с	Выброс т/г	F	Лето См/ПДК	Лето Xm	Лето Um	Зима См/ПДК	Зима Xm	Зима Um
0410	Метан	1,4274124	45,014879	1	1,02	11,4000	0,5000	1,02	11,4000	0,5000
0415	Смесь предельных углеводородов С1Н4-С5Н12	0,1760000	5,567060	1	0,03	11,4000	0,5000	0,03	11,4000	0,5000
0416	Смесь предельных углеводородов С6Н14-С10Н22	0,0005202	0,016404	1	0,00	11,4000	0,5000	0,00	11,4000	0,5000

№ пл.: 1, № цеха: 49

6233	+	1	3	Блок теплообменников Т-201-3 и Т-202-3	2	0,0000			-	1	551,00 167,00	563,00 163,00	10,0000

Код в-ва	Наименование вещества	Выброс г/с	Выброс т/г	F	Лето См/ПДК	Лето Xm	Лето Um	Зима См/ПДК	Зима Xm	Зима Um
0410	Метан	1,4308835	45,124343	1	1,02	11,4000	0,5000	1,02	11,4000	0,5000
0415	Смесь предельных углеводородов С1Н4-С5Н12	0,1769596	5,580598	1	0,03	11,4000	0,5000	0,03	11,4000	0,5000
0416	Смесь предельных углеводородов С6Н14-С10Н22	0,0005214	0,016443	1	0,00	11,4000	0,5000	0,00	11,4000	0,5000

№ пл.: 1, № цеха: 50

6234	+	1	3	Блок подачи метанола и ингибитора парафиноотложений	2	0,0000			-	1	539,00 152,00	547,00 151,00	12,0000

Код в-ва	Наименование вещества	Выброс г/с	Выброс т/г	F	Лето См/ПДК	Лето Xm	Лето Um	Зима См/ПДК	Зима Xm	Зима Um
1052	Метиловый спирт	0,0997798	3,146670	1	3,56	11,4000	0,5000	3,56	11,4000	0,5000

6235	+	1	3	Блок подачи метанола	2	0,0000			-	1	535,00 153,00	538,00 152,00	12,0000

Код в-ва	Наименование вещества	Выброс г/с	Выброс т/г	F	Лето См/ПДК	Лето Xm	Лето Um	Зима См/ПДК	Зима Xm	Зима Um

1052				Метиловый спирт	0,0811128	2,557984	1	2,90	11,4000	0,5000	2,90	11,4000	0,5000		
6236	+	1	3	Блок подачи метанола БПМ-203-3 и БПМ-203-4	2	0,0000			-	1	516,00 96,00	520,00 95,00	12,0000		

Код в-ва	Наименование вещества	Выброс г/с	Выброс т/г	F	Лето См/ПДК	Лето Xm	Лето Um	Зима См/ПДК	Зима Xm	Зима Um
1052	Метиловый спирт	0,0811128	2,557984	1	2,90	11,4000	0,5000	2,90	11,4000	0,5000

№ пл.: 1, № цеха: 51

6237	+	1	3	Блок емкостей Е-201-2, Е-202-3 и Е-202-4	2	0,0000			-	1	511,00 195,00	529,00 189,00	6,0000		

Код в-ва	Наименование вещества	Выброс г/с	Выброс т/г	F	Лето См/ПДК	Лето Xm	Лето Um	Зима См/ПДК	Зима Xm	Зима Um
0410	Метан	0,0535338	1,688211	1	0,04	11,4000	0,5000	0,04	11,4000	0,5000
0415	Смесь предельных углеводородов С1Н4-С5Н12	0,0066204	0,208782	1	0,00	11,4000	0,5000	0,00	11,4000	0,5000
0416	Смесь предельных углеводородов С6Н14-С10Н22	0,0000210	0,000615	1	0,00	11,4000	0,5000	0,00	11,4000	0,5000

№ пл.: 1, № цеха: 52

111	+	1	1	Вытяжная вентсистема	13,2	0,4500	6,3800	40,1149	20,0000	1	312,00 141,00	0,00 0,00	0,0000		

Код в-ва	Наименование вещества	Выброс г/с	Выброс т/г	F	Лето См/ПДК	Лето Xm	Лето Um	Зима См/ПДК	Зима Xm	Зима Um
0410	Метан	0,0000791	0,002500	1	0,00	267,5263	1,7778	0,00	269,0365	1,8211
0415	Смесь предельных углеводородов С1Н4-С5Н12	0,5038410	15,889126	1	0,00	267,5263	1,7778	0,00	269,0365	1,8211
0416	Смесь предельных углеводородов С6Н14-С10Н22	1,0820602	34,123860	1	0,00	267,5263	1,7778	0,00	269,0365	1,8211
1052	Метиловый спирт	0,0005620	0,017718	1	0,00	267,5263	1,7778	0,00	269,0365	1,8211
1119	Этиловый эфир этиленгликоля	0,0016692	0,052631	1	0,00	267,5263	1,7778	0,00	269,0365	1,8211

№ пл.: 1, № цеха: 53

112	+	1	1	Дымовая труба П-301-1	12,7	1,6000	19,1880	9,5433	200,0000	1	344,00 254,00	0,00 0,00	0,0000		

Код в-ва	Наименование вещества	Выброс г/с	Выброс т/г	F	Лето См/ПДК	Лето Xm	Лето Um	Зима См/ПДК	Зима Xm	Зима Um
0301	Азота диоксид (Двуокись азота; пероксид азота)	0,6350400	20,026621	1	0,18	269,8605	5,3407	0,17	273,6542	5,6302
0304	Азот (II) оксид (Азот монооксид)	0,6191640	19,525956	1	0,09	269,8605	5,3407	0,08	273,6542	5,6302
0337	Углерода оксид (Углерод окись; углерод моноокись; угарный газ)	0,6250000	19,710000	1	0,01	269,8605	5,3407	0,01	273,6542	5,6302
0410	Метан	0,0625000	1,971000	1	0,00	269,8605	5,3407	0,00	273,6542	5,6302
113	+	1	1	Дымовая труба П-301-2	12,7	1,6000	19,1880	9,5433	200,0000	1	356,00 251,00	0,00 0,00	0,0000		

Код в-ва	Наименование вещества	Выброс г/с	Выброс т/г	F	Лето См/ПДК	Лето Xm	Лето Um	Зима См/ПДК	Зима Xm	Зима Um
0301	Азота диоксид (Двуокись азота; пероксид азота)	0,6350400	20,026621	1	0,18	269,8605	5,3407	0,17	273,6542	5,6302
0304	Азот (II) оксид (Азот монооксид)	0,6191640	19,525956	1	0,09	269,8605	5,3407	0,08	273,6542	5,6302
0337	Углерода оксид (Углерод окись; углерод моноокись; угарный газ)	0,6250000	19,710000	1	0,01	269,8605	5,3407	0,01	273,6542	5,6302
0410	Метан	0,0625000	1,971000	1	0,00	269,8605	5,3407	0,00	273,6542	5,6302
114	+	1	1	Дымовая труба П-301-3	12,7	1,6000	19,1880	9,5433	200,0000	1	597,00 71,00	0,00 0,00	0,0000		

Код в-ва	Наименование вещества	Выброс г/с	Выброс т/г	F	Лето См/ПДК	Лето Xm	Лето Um	Зима См/ПДК	Зима Xm	Зима Um
0301	Азота диоксид (Двуокись азота; пероксид азота)	0,6350400	20,026621	1	0,18	269,8605	5,3407	0,17	273,6542	5,6302
0304	Азот (II) оксид (Азот монооксид)	0,6191640	19,525956	1	0,09	269,8605	5,3407	0,08	273,6542	5,6302
0337	Углерода оксид (Углерод окись; углерод моноокись; угарный газ)	0,6250000	19,710000	1	0,01	269,8605	5,3407	0,01	273,6542	5,6302
0410	Метан	0,0625000	1,971000	1	0,00	269,8605	5,3407	0,00	273,6542	5,6302

№ пл.: 1, № цеха: 54

6238	+	1	3	Блок емкостей	2	0,0000			-	1	375,00 162,00	385,00 159,00	10,0000		

Код в-ва	Наименование вещества	Выброс г/с	Выброс т/г	F	Лето См/ПДК	Лето Xm	Лето Um	Зима См/ПДК	Зима Xm	Зима Um
0410	Метан	0,0000766	0,002356	1	0,00	11,4000	0,5000	0,00	11,4000	0,5000
0415	Смесь предельных углеводородов С1Н4-С5Н12	0,4749127	14,976795	1	0,08	11,4000	0,5000	0,08	11,4000	0,5000
0416	Смесь предельных углеводородов С6Н14-С10Н22	1,0199291	32,164513	1	0,73	11,4000	0,5000	0,73	11,4000	0,5000
6239	+	1	3	Блок емкостей	2	0,0000			-	1	382,00 222,00	406,00 215,00	10,0000		

Код в-ва	Наименование вещества	Выброс г/с	Выброс т/г	F	Лето См/ПДК	Лето Xm	Лето Um	Зима См/ПДК	Зима Xm	Зима Um
0410	Метан	0,0000047	0,000148	1	0,00	11,4000	0,5000	0,00	11,4000	0,5000
0415	Смесь предельных углеводородов С1Н4-С5Н12	0,0296575	0,935256	1	0,01	11,4000	0,5000	0,01	11,4000	0,5000
0416	Смесь предельных углеводородов С6Н14-С10Н22	0,0636926	2,008574	1	0,05	11,4000	0,5000	0,05	11,4000	0,5000

№ пл.: 1, № цеха: 56

6240	+	1	3	Блок теплообменников «конденсат-конденсат» Т-303-1, Т-303-2	2	0,0000			-	1	380,00 200,00	393,00 197,00	10,0000

Код в-ва	Наименование вещества	Выброс г/с	Выброс т/г	F	Лето См/ПДК	Лето Xm	Лето Um	Зима См/ПДК	Зима Xm	Зима Um
0410	Метан	0,0002007	0,006328	1	0,00	11,4000	0,5000	0,00	11,4000	0,5000
0415	Смесь предельных углеводородов С1Н4-С5Н12	1,2751189	40,212151	1	0,23	11,4000	0,5000	0,23	11,4000	0,5000
0416	Смесь предельных углеводородов С6Н14-С10Н22	2,7384755	86,360563	1	1,96	11,4000	0,5000	1,96	11,4000	0,5000

№ пл.: 1, № цеха: 57

6241	+	1	3	Блок ректификационных колон К-301-1, К-301-2	2	0,0000			-	1	362,00 144,00	375,00 181,00	10,0000

Код в-ва	Наименование вещества	Выброс г/с	Выброс т/г	F	Лето См/ПДК	Лето Xm	Лето Um	Зима См/ПДК	Зима Xm	Зима Um
0410	Метан	0,0000450	0,001422	1	0,00	11,4000	0,5000	0,00	11,4000	0,5000
0415	Смесь предельных углеводородов С1Н4-С5Н12	0,2862901	9,028444	1	0,05	11,4000	0,5000	0,05	11,4000	0,5000
0416	Смесь предельных углеводородов С6Н14-С10Н22	0,6148433	19,389699	1	0,44	11,4000	0,5000	0,44	11,4000	0,5000

№ пл.: 1, № цеха: 58

6242	+	1	3	Блок теплообменников «конденсат-конденсат» Т-301-1, Т-301-2	2	0,0000			-	1	435,00 283,00	456,00 275,00	10,0000

Код в-ва	Наименование вещества	Выброс г/с	Выброс т/г	F	Лето См/ПДК	Лето Xm	Лето Um	Зима См/ПДК	Зима Xm	Зима Um
0410	Метан	0,0000689	0,002169	1	0,00	11,4000	0,5000	0,00	11,4000	0,5000
0415	Смесь предельных углеводородов С1Н4-С5Н12	0,4370359	13,782366	1	0,08	11,4000	0,5000	0,08	11,4000	0,5000
0416	Смесь предельных углеводородов С6Н14-С10Н22	0,9385887	29,599331	1	0,67	11,4000	0,5000	0,67	11,4000	0,5000

№ пл.: 1, № цеха: 59

6243	+	1	3	Блок теплообменников «газ-конденсат» Т-302-1, Т-302-2, Т-302-3,	2	0,0000			-	1	462,00 252,00	472,00 283,00	10,0000

Код в-ва	Наименование вещества	Выброс г/с	Выброс т/г	F	Лето См/ПДК	Лето Xm	Лето Um	Зима См/ПДК	Зима Xm	Зима Um
0410	Метан	0,0000121	0,000374	1	0,00	11,4000	0,5000	0,00	11,4000	0,5000
0415	Смесь предельных углеводородов С1Н4-С5Н12	0,0754404	2,373312	1	0,01	11,4000	0,5000	0,01	11,4000	0,5000
0416	Смесь предельных углеводородов С6Н14-С10Н22	0,1620171	5,109375	1	0,12	11,4000	0,5000	0,12	11,4000	0,5000

№ пл.: 1, № цеха: 60

156	+	1	1	Дымовая труба компрессора № 1	6,3	0,2500	14,3090	291,5006	448,0000	1	261,00 234,00	0,00 0,00	0,0000

Код в-ва	Наименование вещества	Выброс г/с	Выброс т/г	F	Лето См/ПДК	Лето Xm	Лето Um	Зима См/ПДК	Зима Xm	Зима Um
0301	Азота диоксид (Двуокись азота; пероксид азота)	0,4840000	15,263424	1	0,09	390,8874	33,0830	0,09	390,8874	33,0830
0304	Азот (II) оксид (Азот монооксид)	0,4719000	14,881839	1	0,04	390,8874	33,0830	0,04	390,8874	33,0830
0337	Углерода оксид (Углерод окись; углерод моноокись; угарный газ)	1,2000000	37,843200	1	0,01	390,8874	33,0830	0,01	390,8874	33,0830
0410	Метан	1,6885000	53,248500	1	0,00	390,8874	33,0830	0,00	390,8874	33,0830
0415	Смесь предельных углеводородов С1Н4-С5Н12	0,2535000	7,994400	1	0,00	390,8874	33,0830	0,00	390,8874	33,0830
2735	Масло минеральное нефтяное	0,0002715	0,000001	1	0,00	390,8874	33,0830	0,00	390,8874	33,0830
157	+	1	1	Дымовая труба компрессора № 1	6,3	0,2500	14,3090	291,5006	448,0000	1	259,00 232,00	0,00 0,00	0,0000

Код в-ва	Наименование вещества	Выброс г/с	Выброс т/г	F	Лето См/ПДК	Лето Xm	Лето Um	Зима См/ПДК	Зима Xm	Зима Um
0301	Азота диоксид (Двуокись азота; пероксид азота)	0,4840000	15,263424	1	0,09	390,8874	33,0830	0,09	390,8874	33,0830
0304	Азот (II) оксид (Азот монооксид)	0,4719000	14,881839	1	0,04	390,8874	33,0830	0,04	390,8874	33,0830
0337	Углерода оксид (Углерод окись; углерод моноокись; угарный газ)	1,2000000	37,843200	1	0,01	390,8874	33,0830	0,01	390,8874	33,0830
0410	Метан	1,6885000	53,248500	1	0,00	390,8874	33,0830	0,00	390,8874	33,0830
0415	Смесь предельных углеводородов С1Н4-С5Н12	0,2535000	7,994400	1	0,00	390,8874	33,0830	0,00	390,8874	33,0830
2735	Масло минеральное нефтяное	0,0002715	0,000001	1	0,00	390,8874	33,0830	0,00	390,8874	33,0830
158	+	1	1	Дымовая труба компрессора № 2	6,3	0,2500	14,3090	291,5006	448,0000	1	250,00 204,00	0,00 0,00	0,0000

Код в-ва	Наименование вещества	Выброс г/с	Выброс т/г	F	Лето См/ПДК	Лето Xm	Лето Um	Зима См/ПДК	Зима Xm	Зима Um
0301	Азота диоксид (Двуокись азота; пероксид азота)	0,4840000	15,263424	1	0,09	390,8874	33,0830	0,09	390,8874	33,0830
0304	Азот (II) оксид (Азот монооксид)	0,4719000	14,881839	1	0,04	390,8874	33,0830	0,04	390,8874	33,0830
0337	Углерода оксид (Углерод окись; углерод моноокись; угарный газ)	1,2000000	37,843200	1	0,01	390,8874	33,0830	0,01	390,8874	33,0830
0410	Метан	1,6885000	53,248500	1	0,00	390,8874	33,0830	0,00	390,8874	33,0830
0415	Смесь предельных углеводородов С1Н4-С5Н12	0,2535000	7,994400	1	0,00	390,8874	33,0830	0,00	390,8874	33,0830
2735	Масло минеральное нефтяное	0,0002715	0,000001	1	0,00	390,8874	33,0830	0,00	390,8874	33,0830
159	+	1	1	Дымовая труба компрессора № 2	6,3	0,2500	14,3090	291,5006	448,0000	1	250,00 202,00	0,00 0,00	0,0000

Код	Наименование вещества	Выброс	F	Лето	Зима

в-ва		г/с	т/г		См/ПДК	Xm	Um	См/ПДК	Xm	Um
0301	Азота диоксид (Двуокись азота; пероксид азота)	0,4840000	15,263424	1	0,09	390,8874	33,0830	0,09	390,8874	33,0830
0304	Азот (II) оксид (Азот монооксид)	0,4719000	14,881839	1	0,04	390,8874	33,0830	0,04	390,8874	33,0830
0337	Углерода оксид (Углерод окись; углерод моноокись; угарный газ)	1,2000000	37,843200	1	0,01	390,8874	33,0830	0,01	390,8874	33,0830
0410	Метан	1,6885000	53,248500	1	0,00	390,8874	33,0830	0,00	390,8874	33,0830
0415	Смесь предельных углеводородов C1H4-C5H12	0,2535000	7,994400	1	0,00	390,8874	33,0830	0,00	390,8874	33,0830
2735	Масло минеральное нефтяное	0,0002715	0,000001	1	0,00	390,8874	33,0830	0,00	390,8874	33,0830

160	+	1	1	Дымовая труба компрессора № 3	6,3	0,2500	14,3090	291,5006	448,0000	1	240,00 174,00	0,00 0,00	0,0000

Код в-ва	Наименование вещества	Выброс г/с	Выброс т/г	F	Лето См/ПДК	Лето Xm	Лето Um	Зима См/ПДК	Зима Xm	Зима Um
0301	Азота диоксид (Двуокись азота; пероксид азота)	0,4840000	15,263424	1	0,09	390,8874	33,0830	0,09	390,8874	33,0830
0304	Азот (II) оксид (Азот монооксид)	0,4719000	14,881839	1	0,04	390,8874	33,0830	0,04	390,8874	33,0830
0337	Углерода оксид (Углерод окись; углерод моноокись; угарный газ)	1,2000000	37,843200	1	0,01	390,8874	33,0830	0,01	390,8874	33,0830
0410	Метан	1,6885000	53,248500	1	0,00	390,8874	33,0830	0,00	390,8874	33,0830
0415	Смесь предельных углеводородов C1H4-C5H12	0,2535000	7,994400	1	0,00	390,8874	33,0830	0,00	390,8874	33,0830
2735	Масло минеральное нефтяное	0,0002715	0,000001	1	0,00	390,8874	33,0830	0,00	390,8874	33,0830

161	+	1	1	Дымовая труба компрессора № 3	6,3	0,2500	14,3090	291,5006	448,0000	1	240,00 172,00	0,00 0,00	0,0000

Код в-ва	Наименование вещества	Выброс г/с	Выброс т/г	F	Лето См/ПДК	Лето Xm	Лето Um	Зима См/ПДК	Зима Xm	Зима Um
0301	Азота диоксид (Двуокись азота; пероксид азота)	0,4840000	15,263424	1	0,09	390,8874	33,0830	0,09	390,8874	33,0830
0304	Азот (II) оксид (Азот монооксид)	0,4719000	14,881839	1	0,04	390,8874	33,0830	0,04	390,8874	33,0830
0337	Углерода оксид (Углерод окись; углерод моноокись; угарный газ)	1,2000000	37,843200	1	0,01	390,8874	33,0830	0,01	390,8874	33,0830
0410	Метан	1,6885000	53,248500	1	0,00	390,8874	33,0830	0,00	390,8874	33,0830
0415	Смесь предельных углеводородов C1H4-C5H12	0,2535000	7,994400	1	0,00	390,8874	33,0830	0,00	390,8874	33,0830
2735	Масло минеральное нефтяное	0,0002715	0,000001	1	0,00	390,8874	33,0830	0,00	390,8874	33,0830

162	+	1	1	Дымовая труба компрессора № 4	6,3	0,2500	14,3090	291,5006	448,0000	1	230,00 145,00	0,00 0,00	0,0000

Код в-ва	Наименование вещества	Выброс г/с	Выброс т/г	F	Лето См/ПДК	Лето Xm	Лето Um	Зима См/ПДК	Зима Xm	Зима Um
0301	Азота диоксид (Двуокись азота; пероксид азота)	0,4840000	15,263424	1	0,09	390,8874	33,0830	0,09	390,8874	33,0830
0304	Азот (II) оксид (Азот монооксид)	0,4719000	14,881839	1	0,04	390,8874	33,0830	0,04	390,8874	33,0830
0337	Углерода оксид (Углерод окись; углерод моноокись; угарный газ)	1,2000000	37,843200	1	0,01	390,8874	33,0830	0,01	390,8874	33,0830
0410	Метан	1,6885000	53,248500	1	0,00	390,8874	33,0830	0,00	390,8874	33,0830
0415	Смесь предельных углеводородов C1H4-C5H12	0,2535000	7,994400	1	0,00	390,8874	33,0830	0,00	390,8874	33,0830
2735	Масло минеральное нефтяное	0,0002715	0,000001	1	0,00	390,8874	33,0830	0,00	390,8874	33,0830

163	+	1	1	Дымовая труба компрессора № 4	6,3	0,2500	14,3090	291,5006	448,0000	1	230,00 142,00	0,00 0,00	0,0000

Код в-ва	Наименование вещества	Выброс г/с	Выброс т/г	F	Лето См/ПДК	Лето Xm	Лето Um	Зима См/ПДК	Зима Xm	Зима Um
0301	Азота диоксид (Двуокись азота; пероксид азота)	0,4840000	15,263424	1	0,09	390,8874	33,0830	0,09	390,8874	33,0830
0304	Азот (II) оксид (Азот монооксид)	0,4719000	14,881839	1	0,04	390,8874	33,0830	0,04	390,8874	33,0830
0337	Углерода оксид (Углерод окись; углерод моноокись; угарный газ)	1,2000000	37,843200	1	0,01	390,8874	33,0830	0,01	390,8874	33,0830
0410	Метан	1,6885000	53,248500	1	0,00	390,8874	33,0830	0,00	390,8874	33,0830
0415	Смесь предельных углеводородов C1H4-C5H12	0,2535000	7,994400	1	0,00	390,8874	33,0830	0,00	390,8874	33,0830
2735	Масло минеральное нефтяное	0,0002715	0,000001	1	0,00	390,8874	33,0830	0,00	390,8874	33,0830

6244	+	1	3	Неплотности соединений МКУ-381	2	0,0000			-	1	284,00 225,00	293,00 222,00	5,0000

Код в-ва	Наименование вещества	Выброс г/с	Выброс т/г	F	Лето См/ПДК	Лето Xm	Лето Um	Зима См/ПДК	Зима Xm	Зима Um
0410	Метан	0,0420394	1,325754	1	0,03	11,4000	0,5000	0,03	11,4000	0,5000
0415	Смесь предельных углеводородов C1H4-C5H12	0,0012733	0,040155	1	0,00	11,4000	0,5000	0,00	11,4000	0,5000
0416	Смесь предельных углеводородов C6H14-C10H22	0,0000153	0,000483	1	0,00	11,4000	0,5000	0,00	11,4000	0,5000

6245	+	1	3	Неплотности соединений МКУ-382	2	0,0000			-	1	273,00 193,00	283,00 192,00	5,0000

Код в-ва	Наименование вещества	Выброс г/с	Выброс т/г	F	Лето См/ПДК	Лето Xm	Лето Um	Зима См/ПДК	Зима Xm	Зима Um
0410	Метан	0,0420394	1,325754	1	0,03	11,4000	0,5000	0,03	11,4000	0,5000
0415	Смесь предельных углеводородов C1H4-C5H12	0,0012733	0,040155	1	0,00	11,4000	0,5000	0,00	11,4000	0,5000
0416	Смесь предельных углеводородов C6H14-C10H22	0,0000153	0,000483	1	0,00	11,4000	0,5000	0,00	11,4000	0,5000

6246	+	1	3	Неплотности соединений МКУ-383	2	0,0000			-	1	262,00 165,00	271,00 160,00	6,0000

Код в-ва	Наименование вещества	Выброс г/с	Выброс т/г	F	Лето См/ПДК	Лето Xm	Лето Um	Зима См/ПДК	Зима Xm	Зима Um

0410	Метан				0,0420394	1,325754	1	0,03	11,4000	0,5000	0,03	11,4000	0,5000	
0415	Смесь предельных углеводородов С1Н4-С5Н12				0,0012733	0,040155	1	0,00	11,4000	0,5000	0,00	11,4000	0,5000	
0416	Смесь предельных углеводородов С6Н14-С10Н22				0,0000153	0,000483	1	0,00	11,4000	0,5000	0,00	11,4000	0,5000	
6247	+	1	3	Неплотности соединений МКУ-384	2	0,0000			-	1	236,00 140,00	242,00 138,00	5,0000	

Код в-ва	Наименование вещества	Выброс г/с	Выброс т/г	F	Лето См/ПДК	Лето Xm	Лето Um	Зима См/ПДК	Зима Xm	Зима Um
0410	Метан	0,0420394	1,325754	1	0,03	11,4000	0,5000	0,03	11,4000	0,5000
0415	Смесь предельных углеводородов С1Н4-С5Н12	0,0012733	0,040155	1	0,00	11,4000	0,5000	0,00	11,4000	0,5000
0416	Смесь предельных углеводородов С6Н14-С10Н22	0,0000153	0,000483	1	0,00	11,4000	0,5000	0,00	11,4000	0,5000

№ пл.: 1, № цеха: 61

6248	+	1	3	Блок сепараторов входных С-380-1-1, С-380-1-2	2	0,0000			-	1	272,00 252,00	286,00 248,00	4,0000	

Код в-ва	Наименование вещества	Выброс г/с	Выброс т/г	F	Лето См/ПДК	Лето Xm	Лето Um	Зима См/ПДК	Зима Xm	Зима Um
0410	Метан	0,0000012	0,000040	1	0,00	11,4000	0,5000	0,00	11,4000	0,5000
0415	Смесь предельных углеводородов С1Н4-С5Н12	0,0078319	0,246990	1	0,00	11,4000	0,5000	0,00	11,4000	0,5000
0416	Смесь предельных углеводородов С6Н14-С10Н22	0,0168201	0,530441	1	0,01	11,4000	0,5000	0,01	11,4000	0,5000

№ пл.: 1, № цеха: 62

6249	+	1	3	Модуль насосов конденсата МИК-380	2	0,0000			-	1	257,00 271,00	260,00 270,00	5,0000	

Код в-ва	Наименование вещества	Выброс г/с	Выброс т/г	F	Лето См/ПДК	Лето Xm	Лето Um	Зима См/ПДК	Зима Xm	Зима Um
0410	Метан	0,0000012	0,000037	1	0,00	11,4000	0,5000	0,00	11,4000	0,5000
0415	Смесь предельных углеводородов С1Н4-С5Н12	0,0074883	0,236150	1	0,00	11,4000	0,5000	0,00	11,4000	0,5000
0416	Смесь предельных углеводородов С6Н14-С10Н22	0,0160820	0,507162	1	0,01	11,4000	0,5000	0,01	11,4000	0,5000

№ пл.: 1, № цеха: 63

6250	+	1	3	Емкость дренажная сепараторов Е-380-3	2	0,0000			-	1	288,00 246,00	290,00 245,00	8,0000	

Код в-ва	Наименование вещества	Выброс г/с	Выброс т/г	F	Лето См/ПДК	Лето Xm	Лето Um	Зима См/ПДК	Зима Xm	Зима Um
0410	Метан	1,9800000 E-08	0,000001	1	0,00	11,4000	0,5000	0,00	11,4000	0,5000
0415	Смесь предельных углеводородов С1Н4-С5Н12	0,0001257	0,003962	1	0,00	11,4000	0,5000	0,00	11,4000	0,5000
0416	Смесь предельных углеводородов С6Н14-С10Н22	0,0002698	0,008510	1	0,00	11,4000	0,5000	0,00	11,4000	0,5000
6251	+	1	3	Емкость дренажная сепараторов Е-380-1	2	0,0000			-	1	304,00 237,00	306,00 237,00	2,0000	

Код в-ва	Наименование вещества	Выброс г/с	Выброс т/г	F	Лето См/ПДК	Лето Xm	Лето Um	Зима См/ПДК	Зима Xm	Зима Um
2735	Масло минеральное нефтяное	0,0011448	0,036101	1	0,82	11,4000	0,5000	0,82	11,4000	0,5000

№ пл.: 1, № цеха: 64

6252	+	1	3	Установка налива ингибитора	2	0,0000			-	1	118,00 -8,00	124,00 -10,00	2,0000	

Код в-ва	Наименование вещества	Выброс г/с	Выброс т/г	F	Лето См/ПДК	Лето Xm	Лето Um	Зима См/ПДК	Зима Xm	Зима Um
1052	Метиловый спирт	0,0396727	1,251098	1	1,42	11,4000	0,5000	1,42	11,4000	0,5000
6253	+	1	3	Емкость дренажная Е-725	2	0,0000			-	1	126,00 15,00	127,00 15,00	1,0000	

Код в-ва	Наименование вещества	Выброс г/с	Выброс т/г	F	Лето См/ПДК	Лето Xm	Лето Um	Зима См/ПДК	Зима Xm	Зима Um
1052	Метиловый спирт	0,0040450	0,127566	1	0,14	11,4000	0,5000	0,14	11,4000	0,5000
6254	+	1	3	Блок емкостей дренажных	2	0,0000			-	1	144,00 36,00	151,00 33,00	2,0000	

Код в-ва	Наименование вещества	Выброс г/с	Выброс т/г	F	Лето См/ПДК	Лето Xm	Лето Um	Зима См/ПДК	Зима Xm	Зима Um
0333	Дигидросульфид (Водород сернистый, дигидросульфид, гидросульфид)	0,0000940	0,002977	1	0,42	11,4000	0,5000	0,42	11,4000	0,5000
1052	Метиловый спирт	0,0017190	0,054213	1	0,06	11,4000	0,5000	0,06	11,4000	0,5000
2754	Алканы С12-С19 (в пересчете на С)	0,0336160	1,060115	1	1,20	11,4000	0,5000	1,20	11,4000	0,5000

№ пл.: 1, № цеха: 65

6255	+	1	3	Узел коммерческого учета газового конденсата	2	0,0000			-	1	492,00 264,00	498,00 263,00	2,0000	

Код в-ва	Наименование вещества	Выброс г/с	Выброс т/г	F	Лето См/ПДК	Лето Xm	Лето Um	Зима См/ПДК	Зима Xm	Зима Um
0410	Метан	0,0000007	0,000024	1	0,00	11,4000	0,5000	0,00	11,4000	0,5000
0415	Смесь предельных углеводородов С1Н4-С5Н12	0,0048893	0,154187	1	0,00	11,4000	0,5000	0,00	11,4000	0,5000
0416	Смесь предельных углеводородов С6Н14-С10Н22	0,0105002	0,331137	1	0,01	11,4000	0,5000	0,01	11,4000	0,5000

1052				Метиловый спирт	0,0002310	0,007278	1	0,01	11,4000	0,5000	0,01	11,4000	0,5000
№ пл.: 1, № цеха: 66													
6256	+	1	3	Дренажная емкость Е-171	2	0,0000			-	1	488,00 262,00	489,00 266,00	2,0000

Код в-ва	Наименование вещества	Выброс г/с	Выброс т/г	F	Лето Cm/ПДК	Лето Xm	Лето Um	Зима Cm/ПДК	Зима Xm	Зима Um
0410	Метан	0,0000007	0,000023	1	0,00	11,4000	0,5000	0,00	11,4000	0,5000
0415	Смесь предельных углеводородов С1Н4-С5Н12	0,0047042	0,148320	1	0,00	11,4000	0,5000	0,00	11,4000	0,5000
0416	Смесь предельных углеводородов С6Н14-С10Н22	0,0101003	0,318536	1	0,01	11,4000	0,5000	0,01	11,4000	0,5000

№ пл.: 1, № цеха: 67													
177	+	1	1	Факельная установка Ф-361	60	2,1400	7,6600	2,1297	1740,4000	1	870,00 282,00	0,00 0,00	0,0000

Код в-ва	Наименование вещества	Выброс г/с	Выброс т/г	F	Лето Cm/ПДК	Лето Xm	Лето Um	Зима Cm/ПДК	Зима Xm	Зима Um
0301	Азота диоксид (Двуокись азота; пероксид азота)	1,3146227	41,457939	1	0,02	858,7653	3,9401	0,02	862,3056	3,9746
0304	Азот (II) оксид (Азот монооксид)	1,2817570	40,421491	1	0,01	858,7653	3,9401	0,01	862,3056	3,9746
0328	Углерод (Пигмент черный)	2,1910377	69,096565	3	0,14	429,3827	3,9401	0,14	431,1528	3,9746
0337	Углерода оксид (Углерод окись; углерод моноокись; угарный газ)	21,910377 2	690,96565 4	1	0,01	858,7653	3,9401	0,01	862,3056	3,9746
0410	Метан	0,5477595	17,274141	1	0,00	858,7653	3,9401	0,00	862,3056	3,9746
178	+	1	1	Факельная установка Ф-362	60	0,9200	1,2830	1,9300	1740,4000	1	873,00 281,00	0,00 0,00	0,0000

Код в-ва	Наименование вещества	Выброс г/с	Выброс т/г	F	Лето Cm/ПДК	Лето Xm	Лето Um	Зима Cm/ПДК	Зима Xm	Зима Um
0301	Азота диоксид (Двуокись азота; пероксид азота)	1,2744020	40,189541	1	0,04	631,6990	2,1677	0,04	634,3532	2,1868
0304	Азот (II) оксид (Азот монооксид)	1,2425419	39,184803	1	0,02	631,6990	2,1677	0,02	634,3532	2,1868
0328	Углерод (Пигмент черный)	2,1240034	66,982569	3	0,26	315,8495	2,1677	0,26	317,1766	2,1868
0337	Углерода оксид (Углерод окись; углерод моноокись; угарный газ)	21,240033 4	669,82569 2	1	0,03	631,6990	2,1677	0,03	634,3532	2,1868
0410	Метан	0,5310009	16,745643	1	0,00	631,6990	2,1677	0,00	634,3532	2,1868
6257	+	1	3	Блок сепараторов факельных	2	0,0000			-	1	583,00 210,00	590,00 228,00	2,0000

Код в-ва	Наименование вещества	Выброс г/с	Выброс т/г	F	Лето Cm/ПДК	Лето Xm	Лето Um	Зима Cm/ПДК	Зима Xm	Зима Um
0410	Метан	0,0026070	0,082215	1	0,00	11,4000	0,5000	0,00	11,4000	0,5000
0415	Смесь предельных углеводородов С1Н4-С5Н12	0,0003224	0,010168	1	0,00	11,4000	0,5000	0,00	11,4000	0,5000
0416	Смесь предельных углеводородов С6Н14-С10Н22	0,0000009	0,000030	1	0,00	11,4000	0,5000	0,00	11,4000	0,5000
6258	+	1	3	Блок емкостей дренажных	2	0,0000			-	1	589,00 234,00	596,00 232,00	2,0000

Код в-ва	Наименование вещества	Выброс г/с	Выброс т/г	F	Лето Cm/ПДК	Лето Xm	Лето Um	Зима Cm/ПДК	Зима Xm	Зима Um
0410	Метан	0,0022966	0,072413	1	0,00	11,4000	0,5000	0,00	11,4000	0,5000
0415	Смесь предельных углеводородов С1Н4-С5Н12	0,0002839	0,008955	1	0,00	11,4000	0,5000	0,00	11,4000	0,5000
0416	Смесь предельных углеводородов С6Н14-С10Н22	0,0000009	0,000026	1	0,00	11,4000	0,5000	0,00	11,4000	0,5000
6259	+	1	3	Узел коммерческого учета газа	2	0,0000			-	1	543,00 230,00	548,00 241,00	2,0000

Код в-ва	Наименование вещества	Выброс г/с	Выброс т/г	F	Лето Cm/ПДК	Лето Xm	Лето Um	Зима Cm/ПДК	Зима Xm	Зима Um
0410	Метан	0,0175817	0,554456	1	0,01	11,4000	0,5000	0,01	11,4000	0,5000
0415	Смесь предельных углеводородов С1Н4-С5Н12	0,0021744	0,068570	1	0,00	11,4000	0,5000	0,00	11,4000	0,5000
0416	Смесь предельных углеводородов С6Н14-С10Н22	0,0000064	0,000202	1	0,00	11,4000	0,5000	0,00	11,4000	0,5000
№ пл.: 1, № цеха: 69													
185	+	1	1	Дымовая труба подогревателя газа ПГ-1	10	0,4300	19,1450	131,8343	160,0000	1	574,00 234,00	0,00 0,00	0,0000

Код в-ва	Наименование вещества	Выброс г/с	Выброс т/г	F	Лето Cm/ПДК	Лето Xm	Лето Um	Зима Cm/ПДК	Зима Xm	Зима Um
0301	Азота диоксид (Двуокись азота; пероксид азота)	0,1402750	2,211839	1	0,02	434,3503	16,2130	0,02	434,3503	16,2130
0304	Азот (II) оксид (Азот монооксид)	0,1367680	2,156543	1	0,01	434,3503	16,2130	0,01	434,3503	16,2130
0337	Углерода оксид (Углерод окись; углерод моноокись; угарный газ)	0,3498881	5,517000	1	0,00	434,3503	16,2130	0,00	434,3503	16,2130
0703	Бенз/а/пирен	0,0000010	0,000016	3	0,00	217,1752	16,2130	0,00	217,1752	16,2130
187	+	1	1	Дымовая труба подогревателя газа ПГ-2	10	0,4300	19,1450	131,8343	160,0000	1	573,00 233,00	0,00 0,00	0,0000

Код в-ва	Наименование вещества	Выброс г/с	Выброс т/г	F	Лето Cm/ПДК	Лето Xm	Лето Um	Зима Cm/ПДК	Зима Xm	Зима Um
0301	Азота диоксид (Двуокись азота; пероксид азота)	0,1402750	2,211839	1	0,02	434,3503	16,2130	0,02	434,3503	16,2130
0304	Азот (II) оксид (Азот монооксид)	0,1367680	2,156543	1	0,01	434,3503	16,2130	0,01	434,3503	16,2130
0337	Углерода оксид (Углерод окись; углерод моноокись; угарный газ)	0,3498881	5,517000	1	0,00	434,3503	16,2130	0,00	434,3503	16,2130

0703	Бенз/а/пирен			0,0000010	0,000016	3	0,00	217,1752	16,2130	0,00	217,1752	16,2130	
189	+	1	1	Дымовая труба подогревателя газа ПГ-3	10	0,4300	19,1450	131,8343	160,0000	1	572,00 232,00	0,00 0,00	0,0000

Код в-ва	Наименование вещества	Выброс г/с	Выброс т/г	F	Лето Cm/ПДК	Лето Xm	Лето Um	Зима Cm/ПДК	Зима Xm	Зима Um
0301	Азота диоксид (Двуокись азота; пероксид азота)	0,1402750	2,211839	1	0,02	434,3503	16,2130	0,02	434,3503	16,2130
0304	Азот (II) оксид (Азот монооксид)	0,1367680	2,156543	1	0,01	434,3503	16,2130	0,01	434,3503	16,2130
0337	Углерода оксид (Углерод окись; углерод моноокись; угарный газ)	0,3498881	5,517000	1	0,00	434,3503	16,2130	0,00	434,3503	16,2130
0703	Бенз/а/пирен	0,0000010	0,000016	3	0,00	217,1752	16,2130	0,00	217,1752	16,2130

191	+	1	1	Дымовая труба подогревателя газа ПГ-4	10	0,4300	19,1450	131,8343	160,0000	1	571,00 234,00	0,00 0,00	0,0000

Код в-ва	Наименование вещества	Выброс г/с	Выброс т/г	F	Лето Cm/ПДК	Лето Xm	Лето Um	Зима Cm/ПДК	Зима Xm	Зима Um
0301	Азота диоксид (Двуокись азота; пероксид азота)	0,1402750	2,211839	1	0,02	434,3503	16,2130	0,02	434,3503	16,2130
0304	Азот (II) оксид (Азот монооксид)	0,1367680	2,156543	1	0,01	434,3503	16,2130	0,01	434,3503	16,2130
0337	Углерода оксид (Углерод окись; углерод моноокись; угарный газ)	0,3498881	5,517000	1	0,00	434,3503	16,2130	0,00	434,3503	16,2130
0703	Бенз/а/пирен	0,0000010	0,000016	3	0,00	217,1752	16,2130	0,00	217,1752	16,2130

193	+	1	1	Дымовая труба подогревателя газа ПГ-5	10	0,4300	19,1450	131,8343	160,0000	1	570,00 235,00	0,00 0,00	0,0000

Код в-ва	Наименование вещества	Выброс г/с	Выброс т/г	F	Лето Cm/ПДК	Лето Xm	Лето Um	Зима Cm/ПДК	Зима Xm	Зима Um
0301	Азота диоксид (Двуокись азота; пероксид азота)	0,1402750	2,211839	1	0,02	434,3503	16,2130	0,02	434,3503	16,2130
0304	Азот (II) оксид (Азот монооксид)	0,1367680	2,156543	1	0,01	434,3503	16,2130	0,01	434,3503	16,2130
0337	Углерода оксид (Углерод окись; углерод моноокись; угарный газ)	0,3498881	5,517000	1	0,00	434,3503	16,2130	0,00	434,3503	16,2130
0703	Бенз/а/пирен	0,0000010	0,000016	3	0,00	217,1752	16,2130	0,00	217,1752	16,2130

195	+	1	1	Дымовая труба подогревателя газа ПГ-6	10	0,4300	19,1450	131,8343	160,0000	1	569,00 235,00	0,00 0,00	0,0000

Код в-ва	Наименование вещества	Выброс г/с	Выброс т/г	F	Лето Cm/ПДК	Лето Xm	Лето Um	Зима Cm/ПДК	Зима Xm	Зима Um
0301	Азота диоксид (Двуокись азота; пероксид азота)	0,1402750	2,211839	1	0,02	434,3503	16,2130	0,02	434,3503	16,2130
0304	Азот (II) оксид (Азот монооксид)	0,1367680	2,156543	1	0,01	434,3503	16,2130	0,01	434,3503	16,2130
0337	Углерода оксид (Углерод окись; углерод моноокись; угарный газ)	0,3498881	5,517000	1	0,00	434,3503	16,2130	0,00	434,3503	16,2130
0703	Бенз/а/пирен	0,0000010	0,000016	3	0,00	217,1752	16,2130	0,00	217,1752	16,2130

6261	+	1	3	Установка подготовки топливного, пускового, импульсного газов и	2	0,0000			-	1	566,00 235,00	562,00 221,00	2,0000

Код в-ва	Наименование вещества	Выброс г/с	Выброс т/г	F	Лето Cm/ПДК	Лето Xm	Лето Um	Зима Cm/ПДК	Зима Xm	Зима Um
0410	Метан	0,2635066	8,306076	1	0,19	11,4000	0,5000	0,19	11,4000	0,5000
0415	Смесь предельных углеводородов С1Н4-С5Н12	0,0325883	1,027225	1	0,01	11,4000	0,5000	0,01	11,4000	0,5000
0416	Смесь предельных углеводородов С6Н14-С10Н22	0,0000961	0,003009	1	0,00	11,4000	0,5000	0,00	11,4000	0,5000

№ пл.: 1, № цеха: 70

6262	+	1	3	Ресивер импульсного газа	2	0,0000			-	1	562,00 238,00	565,00 237,00	2,0000

Код в-ва	Наименование вещества	Выброс г/с	Выброс т/г	F	Лето Cm/ПДК	Лето Xm	Лето Um	Зима Cm/ПДК	Зима Xm	Зима Um
0410	Метан	0,0242429	0,764526	1	0,02	11,4000	0,5000	0,02	11,4000	0,5000
0415	Смесь предельных углеводородов С1Н4-С5Н12	0,0029981	0,094550	1	0,00	11,4000	0,5000	0,00	11,4000	0,5000
0416	Смесь предельных углеводородов С6Н14-С10Н22	0,0000089	0,000279	1	0,00	11,4000	0,5000	0,00	11,4000	0,5000

№ пл.: 1, № цеха: 71

6263	+	1	3	Дренажная емкость Е-44	2	0,0000			-	1	567,00 236,00	568,00 239,00	2,0000

Код в-ва	Наименование вещества	Выброс г/с	Выброс т/г	F	Лето Cm/ПДК	Лето Xm	Лето Um	Зима Cm/ПДК	Зима Xm	Зима Um
0410	Метан	0,0035824	0,112981	1	0,00	11,4000	0,5000	0,00	11,4000	0,5000
0415	Смесь предельных углеводородов С1Н4-С5Н12	0,0004433	0,013973	1	0,00	11,4000	0,5000	0,00	11,4000	0,5000
0416	Смесь предельных углеводородов С6Н14-С10Н22	0,0000013	0,000042	1	0,00	11,4000	0,5000	0,00	11,4000	0,5000

№ пл.: 1, № цеха: 72

6264	+	1	3	Узел пуска средств очистки и диагностики на газопроводе внешнего	2	0,0000			-	1	550,00 277,00	574,00 267,00	2,0000

Код в-ва	Наименование вещества	Выброс г/с	Выброс т/г	F	Лето Cm/ПДК	Лето Xm	Лето Um	Зима Cm/ПДК	Зима Xm	Зима Um
0410	Метан	0,0175389	0,553109	1	0,01	11,4000	0,5000	0,01	11,4000	0,5000
0415	Смесь предельных углеводородов С1Н4-С5Н12	0,0021691	0,068404	1	0,00	11,4000	0,5000	0,00	11,4000	0,5000
0416	Смесь предельных углеводородов С6Н14-С10Н22	0,0000064	0,000201	1	0,00	11,4000	0,5000	0,00	11,4000	0,5000

№ пл.: 1, № цеха: 73

6265	+	1	3	Узел пуска средств очистки и диагностики на конденсатопроводе вн	2	0,0000			-	1	414,00 322,00	430,00 317,00	4,0000

Код в-ва	Наименование вещества	Выброс г/с	Выброс т/г	F	Лето См/ПДК	Лето Xm	Лето Um	Зима См/ПДК	Зима Xm	Зима Um
0410	Метан	0,0000001	0,000003	1	0,00	11,4000	0,5000	0,00	11,4000	0,5000
0415	Смесь предельных углеводородов С1Н4-С5Н12	0,0006293	0,019844	1	0,00	11,4000	0,5000	0,00	11,4000	0,5000
0416	Смесь предельных углеводородов С6Н14-С10Н22	0,0013514	0,042619	1	0,00	11,4000	0,5000	0,00	11,4000	0,5000

№ пл.: 1, № цеха: 74

6267	+	1	3	Блок фильтров Ф-305-3, Ф-306-3	2	0,0000			-	1	574,00 122,00	588,00 117,00	8,0000

Код в-ва	Наименование вещества	Выброс г/с	Выброс т/г	F	Лето См/ПДК	Лето Xm	Лето Um	Зима См/ПДК	Зима Xm	Зима Um
0410	Метан	0,0000001	0,000004	1	0,00	11,4000	0,5000	0,00	11,4000	0,5000
0415	Смесь предельных углеводородов С1Н4-С5Н12	0,0007815	0,024640	1	0,00	11,4000	0,5000	0,00	11,4000	0,5000
0416	Смесь предельных углеводородов С6Н14-С10Н22	0,0016779	0,052918	1	0,00	11,4000	0,5000	0,00	11,4000	0,5000
6268	+	1	3	Блок дегазатора Д-301-3	2	0,0000			-	1	590,00 166,00	601,00 162,00	3,0000

Код в-ва	Наименование вещества	Выброс г/с	Выброс т/г	F	Лето См/ПДК	Лето Xm	Лето Um	Зима См/ПДК	Зима Xm	Зима Um
0410	Метан	0,0000079	0,000250	1	0,00	11,4000	0,5000	0,00	11,4000	0,5000
0415	Смесь предельных углеводородов С1Н4-С5Н12	0,0504324	1,590435	1	0,01	11,4000	0,5000	0,01	11,4000	0,5000
0416	Смесь предельных углеводородов С6Н14-С10Н22	0,1083097	3,415656	1	0,08	11,4000	0,5000	0,08	11,4000	0,5000
6269	+	1	3	Блок фильтров Ф-1, Ф-2	2	0,0000			-	1	618,00 156,00	630,00 151,00	4,0000

Код в-ва	Наименование вещества	Выброс г/с	Выброс т/г	F	Лето См/ПДК	Лето Xm	Лето Um	Зима См/ПДК	Зима Xm	Зима Um
0410	Метан	0,0000007	0,000025	1	0,00	11,4000	0,5000	0,00	11,4000	0,5000
0415	Смесь предельных углеводородов С1Н4-С5Н12	0,0049923	0,157438	1	0,00	11,4000	0,5000	0,00	11,4000	0,5000
0416	Смесь предельных углеводородов С6Н14-С10Н22	0,0107216	0,338117	1	0,01	11,4000	0,5000	0,01	11,4000	0,5000
6270	+	1	3	Блок разделителей Р-301-7, Р-301-8, Р-301-9	2	0,0000			-	1	611,00 146,00	627,00 140,00	5,0000

Код в-ва	Наименование вещества	Выброс г/с	Выброс т/г	F	Лето См/ПДК	Лето Xm	Лето Um	Зима См/ПДК	Зима Xm	Зима Um
0410	Метан	0,0000265	0,000831	1	0,00	11,4000	0,5000	0,00	11,4000	0,5000
0415	Смесь предельных углеводородов С1Н4-С5Н12	0,1673760	5,278377	1	0,03	11,4000	0,5000	0,03	11,4000	0,5000
0416	Смесь предельных углеводородов С6Н14-С10Н22	0,3594609	11,335971	1	0,26	11,4000	0,5000	0,26	11,4000	0,5000
6271	+	1	3	Установка наружного вида	2	0,0000			-	1	620,00 161,00	632,00 159,00	4,0000

Код в-ва	Наименование вещества	Выброс г/с	Выброс т/г	F	Лето См/ПДК	Лето Xm	Лето Um	Зима См/ПДК	Зима Xm	Зима Um
0410	Метан	0,0000018	0,000058	1	0,00	11,4000	0,5000	0,00	11,4000	0,5000
0415	Смесь предельных углеводородов С1Н4-С5Н12	0,0117427	0,370317	1	0,00	11,4000	0,5000	0,00	11,4000	0,5000
0416	Смесь предельных углеводородов С6Н14-С10Н22	0,0252188	0,795302	1	0,02	11,4000	0,5000	0,02	11,4000	0,5000
6272	+	1	3	Блок буферной емкости ДЭК	2	0,0000			-	1	573,00 117,00	587,00 112,00	4,0000

Код в-ва	Наименование вещества	Выброс г/с	Выброс т/г	F	Лето См/ПДК	Лето Xm	Лето Um	Зима См/ПДК	Зима Xm	Зима Um
0410	Метан	0,0000010	0,000033	1	0,00	11,4000	0,5000	0,00	11,4000	0,5000
0415	Смесь предельных углеводородов С1Н4-С5Н12	0,0066980	0,211222	1	0,00	11,4000	0,5000	0,00	11,4000	0,5000
0416	Смесь предельных углеводородов С6Н14-С10Н22	0,0143846	0,453623	1	0,01	11,4000	0,5000	0,01	11,4000	0,5000
6273	+	1	3	Блок теплообменника «конденсат-конденсат» Т-303-3	2	0,0000			-	1	585,00 157,00	598,00 152,00	4,0000

Код в-ва	Наименование вещества	Выброс г/с	Выброс т/г	F	Лето См/ПДК	Лето Xm	Лето Um	Зима См/ПДК	Зима Xm	Зима Um
0410	Метан	0,0000848	0,002676	1	0,00	11,4000	0,5000	0,00	11,4000	0,5000
0415	Смесь предельных углеводородов С1Н4-С5Н12	0,5390788	17,000389	1	0,10	11,4000	0,5000	0,10	11,4000	0,5000
0416	Смесь предельных углеводородов С6Н14-С10Н22	1,1577383	36,510437	1	0,83	11,4000	0,5000	0,83	11,4000	0,5000
6274	+	1	3	Блок емкости дренажной Е-304-2	2	0,0000			-	1	561,00 81,00	575,00 76,00	4,0000

Код в-ва	Наименование вещества	Выброс г/с	Выброс т/г	F	Лето См/ПДК	Лето Xm	Лето Um	Зима См/ПДК	Зима Xm	Зима Um
0410	Метан	0,0000131	0,000405	1	0,00	11,4000	0,5000	0,00	11,4000	0,5000
0415	Смесь предельных углеводородов С1Н4-С5Н12	0,0815880	2,572962	1	0,01	11,4000	0,5000	0,01	11,4000	0,5000
0416	Смесь предельных углеводородов С6Н14-С10Н22	0,1752202	5,525754	1	0,13	11,4000	0,5000	0,13	11,4000	0,5000
6275	+	1	3	Блок емкости аварийного слива конденсата Е-307-2	2	0,0000			-	1	563,00 87,00	577,00 83,00	4,0000

Код в-ва	Наименование вещества	Выброс г/с	Выброс т/г	F	Лето См/ПДК	Лето Xm	Лето Um	Зима См/ПДК	Зима Xm	Зима Um
0410	Метан	0,0000131	0,000405	1	0,00	11,4000	0,5000	0,00	11,4000	0,5000
0415	Смесь предельных углеводородов С1Н4-С5Н12	0,0815880	2,572962	1	0,01	11,4000	0,5000	0,01	11,4000	0,5000
0416	Смесь предельных углеводородов С6Н14-С10Н22	0,1752202	5,525754	1	0,13	11,4000	0,5000	0,13	11,4000	0,5000

6276	+	1	3	Блок подачи ингибитора парафиноотложения	2	0,0000			-	1	612,00 165,00	618,00 163,00	4,0000

Код в-ва	Наименование вещества	Выброс г/с	Выброс т/г	F	Лето См/ПДК	Лето Xm	Лето Um	Зима См/ПДК	Зима Xm	Зима Um
0410	Метан	0,0002320	0,007304	1	0,00	11,4000	0,5000	0,00	11,4000	0,5000

6277	+	1	3	Блок колонны деэтанизации конденсата К-301-3	2	0,0000			-	1	588,00 133,00	595,00 130,00	4,0000

Код в-ва	Наименование вещества	Выброс г/с	Выброс т/г	F	Лето См/ПДК	Лето Xm	Лето Um	Зима См/ПДК	Зима Xm	Зима Um
0410	Метан	0,0000226	0,000712	1	0,00	11,4000	0,5000	0,00	11,4000	0,5000
0415	Смесь предельных углеводородов С1Н4-С5Н12	0,1434889	4,525067	1	0,03	11,4000	0,5000	0,03	11,4000	0,5000
0416	Смесь предельных углеводородов С6Н14-С10Н22	0,3081602	9,718140	1	0,22	11,4000	0,5000	0,22	11,4000	0,5000

6278	+	1	3	Емкость аварийного сброса от ПК Е-305-2	2	0,0000			-	1	568,00 65,00	573,00 63,00	4,0000

Код в-ва	Наименование вещества	Выброс г/с	Выброс т/г	F	Лето См/ПДК	Лето Xm	Лето Um	Зима См/ПДК	Зима Xm	Зима Um
0410	Метан	0,0000002	0,000006	1	0,00	11,4000	0,5000	0,00	11,4000	0,5000
0415	Смесь предельных углеводородов С1Н4-С5Н12	0,0012763	0,040249	1	0,00	11,4000	0,5000	0,00	11,4000	0,5000
0416	Смесь предельных углеводородов С6Н14-С10Н22	0,0027414	0,086442	1	0,00	11,4000	0,5000	0,00	11,4000	0,5000

6279	+	1	3	Блок насосов подачи конденсата в печь Н-301-7, Н-301-8, Н-301-9	2	0,0000			-	1	596,00 103,00	594,00 93,00	4,0000

Код в-ва	Наименование вещества	Выброс г/с	Выброс т/г	F	Лето См/ПДК	Лето Xm	Лето Um	Зима См/ПДК	Зима Xm	Зима Um
0410	Метан	0,0000002	0,000008	1	0,00	11,4000	0,5000	0,00	11,4000	0,5000
0415	Смесь предельных углеводородов С1Н4-С5Н12	0,0016329	0,051497	1	0,00	11,4000	0,5000	0,00	11,4000	0,5000
0416	Смесь предельных углеводородов С6Н14-С10Н22	0,0035070	0,110595	1	0,00	11,4000	0,5000	0,00	11,4000	0,5000

6280	+	1	3	Блок насосов подачи конденсата в печь Н-301-7, Н-301-8, Н-301-9	2	0,0000			-	1	583,00 101,00	580,00 91,00	4,0000

Код в-ва	Наименование вещества	Выброс г/с	Выброс т/г	F	Лето См/ПДК	Лето Xm	Лето Um	Зима См/ПДК	Зима Xm	Зима Um
0410	Метан	0,0000003	0,000009	1	0,00	11,4000	0,5000	0,00	11,4000	0,5000
0415	Смесь предельных углеводородов С1Н4-С5Н12	0,0018832	0,059389	1	0,00	11,4000	0,5000	0,00	11,4000	0,5000
0416	Смесь предельных углеводородов С6Н14-С10Н22	0,0040445	0,127547	1	0,00	11,4000	0,5000	0,00	11,4000	0,5000

№ пл.: 1, № цеха: 75

6281	+	1	3	Склад ГСМ	2	0,0000			-	1	159,00 69,00	161,00 69,00	3,0000

Код в-ва	Наименование вещества	Выброс г/с	Выброс т/г	F	Лето См/ПДК	Лето Xm	Лето Um	Зима См/ПДК	Зима Xm	Зима Um
0333	Дигидросульфид (Водород сернистый, дигидросульфид, гидросульфид)	0,0000122	0,000234	1	0,05	11,4000	0,5000	0,05	11,4000	0,5000
2754	Алканы С12-С19 (в пересчете на С)	0,0043225	0,083414	1	0,15	11,4000	0,5000	0,15	11,4000	0,5000

6282	+	1	3	Насосная склада ГСМ	2	0,0000			-	1	139,00 47,00	130,00 46,00	3,0000

Код в-ва	Наименование вещества	Выброс г/с	Выброс т/г	F	Лето См/ПДК	Лето Xm	Лето Um	Зима См/ПДК	Зима Xm	Зима Um
0333	Дигидросульфид (Водород сернистый, дигидросульфид, гидросульфид)	0,0000067	0,000209	1	0,03	11,4000	0,5000	0,03	11,4000	0,5000
2754	Алканы С12-С19 (в пересчете на С)	0,0023567	0,074323	1	0,08	11,4000	0,5000	0,08	11,4000	0,5000

№ пл.: 1, № цеха: 76

205	+	1	1	Дымовая труба котельной №1	30	0,8000	4,9120	9,7721	180,0000	1	291,00 -75,00	0,00 0,00	0,0000

Код в-ва	Наименование вещества	Выброс г/с	Выброс т/г	F	Лето См/ПДК	Лето Xm	Лето Um	Зима См/ПДК	Зима Xm	Зима Um
0301	Азота диоксид (Двуокись азота; пероксид азота)	0,4228720	13,335931	1	0,05	351,4183	1,9289	0,05	367,6409	2,2603
0304	Азот (II) оксид (Азот монооксид)	0,4123002	13,002533	1	0,02	351,4183	1,9289	0,02	367,6409	2,2603
0337	Углерода оксид (Углерод окись; углерод моноокись; угарный газ)	0,8581877	27,064195	1	0,00	351,4183	1,9289	0,00	367,6409	2,2603
0703	Бенз/а/пирен	2,4800000 E-09	1,000000E -07	3	0,00	175,7091	1,9289	0,00	183,8204	2,2603

№ пл.: 1, № цеха: 77

206	+	1	1	Дымовая труба котельной №2	30	0,8000	4,8890	9,7264	180,0000	1	292,00 -75,00	0,00 0,00	0,0000

Код в-ва	Наименование вещества	Выброс г/с	Выброс т/г	F	Лето См/ПДК	Лето Xm	Лето Um	Зима См/ПДК	Зима Xm	Зима Um
0301	Азота диоксид (Двуокись азота; пероксид азота)	0,4203396	13,255829	1	0,05	350,6662	1,9259	0,05	367,1554	2,2560
0304	Азот (II) оксид (Азот монооксид)	0,4098311	12,924433	1	0,02	350,6662	1,9259	0,02	367,1554	2,2560
0337	Углерода оксид (Углерод окись; углерод моноокись; угарный газ)	0,8541133	26,935318	1	0,00	350,6662	1,9259	0,00	367,1554	2,2560
0703	Бенз/а/пирен	2,4300000 E-09	1,000000E -07	3	0,00	175,3331	1,9259	0,00	183,5777	2,2560

№ пл.: 1, № цеха: 78

207	+	1	1	Дымовая труба котельной №3	30	0,8000	4,9410	9,8298	180,0000	1	292,00 -76,00	0,00 0,00	0,0000

Код в-ва	Наименование вещества	Выброс г/с	Выброс т/г	F	Лето См/ПДК	Лето Xm	Лето Um	Зима См/ПДК	Зима Xm	Зима Um
0301	Азота диоксид (Двуокись азота; пероксид азота)	0,4260599	13,255829	1	0,05	352,3645	1,9327	0,05	368,2514	2,2657
0304	Азот (II) оксид (Азот монооксид)	0,4154084	13,100320	1	0,02	352,3645	1,9327	0,02	368,2514	2,2657
0337	Углерода оксид (Углерод окись; углерод моноокись; угарный газ)	0,8633083	27,225292	1	0,00	352,3645	1,9327	0,00	368,2514	2,2657
0703	Бенз/а/пирен	2,4600000 E-09	7,770000E -08	3	0,00	176,1822	1,9327	0,00	184,1257	2,2657

№ пл.: 1, № цеха: 79

208	+	1	1	Дымовая труба котельной №4	30	0,7000	3,6720	9,5415	180,0000	1	283,00 -72,00	0,00 0,00	0,0000

Код в-ва	Наименование вещества	Выброс г/с	Выброс т/г	F	Лето См/ПДК	Лето Xm	Лето Um	Зима См/ПДК	Зима Xm	Зима Um
0301	Азота диоксид (Двуокись азота; пероксид азота)	0,2937049	9,262278	1	0,04	315,4792	1,7506	0,04	338,3326	1,9045
0304	Азот (II) оксид (Азот монооксид)	0,2863623	9,030721	1	0,02	315,4792	1,7506	0,02	338,3326	1,9045
0337	Углерода оксид (Углерод окись; углерод моноокись; угарный газ)	0,6416067	20,233708	1	0,00	315,4792	1,7506	0,00	338,3326	1,9045
0703	Бенз/а/пирен	6,0000000 E-10	1,900000E -08	3	0,00	157,7396	1,7506	0,00	169,1663	1,9045

№ пл.: 1, № цеха: 80

209	+	1	1	Дымовая труба котельной №5	30	0,7000	3,7250	9,6792	180,0000	1	284,00 -72,00	0,00 0,00	0,0000

Код в-ва	Наименование вещества	Выброс г/с	Выброс т/г	F	Лето См/ПДК	Лето Xm	Лето Um	Зима См/ПДК	Зима Xm	Зима Um
0301	Азота диоксид (Двуокись азота; пероксид азота)	0,2989526	9,427770	1	0,04	317,5253	1,7590	0,04	340,4880	1,9136
0304	Азот (II) оксид (Азот монооксид)	0,2914788	9,192076	1	0,02	317,5253	1,7590	0,02	340,4880	1,9136
0337	Углерода оксид (Углерод окись; углерод моноокись; угарный газ)	0,6508017	20,523681	1	0,00	317,5253	1,7590	0,00	340,4880	1,9136
0703	Бенз/а/пирен	6,8000000 E-10	2,150000E -08	3	0,00	158,7626	1,7590	0,00	170,2440	1,9136

№ пл.: 1, № цеха: 83

6283	+	1	3	Установка емкости ДТ Е-1-730	2	0,0000			-	1	262,00 -6,00	273,00 -10,00	3,0000

Код в-ва	Наименование вещества	Выброс г/с	Выброс т/г	F	Лето См/ПДК	Лето Xm	Лето Um	Зима См/ПДК	Зима Xm	Зима Um
0333	Дигидросульфид (Водород сернистый, дигидросульфид, гидросульфид)	0,0000448	0,001160	1	0,20	11,4000	0,5000	0,20	11,4000	0,5000
2754	Алканы С12-С19 (в пересчете на С)	0,0159456	0,412918	1	0,57	11,4000	0,5000	0,57	11,4000	0,5000

№ пл.: 1, № цеха: 85

235	+	1	1	Вытяжная вент.система сооружений очистки бытовых сточных вод	6,4	0,4000	0,2080	1,6552	20,0000	1	253,00 99,00	0,00 0,00	0,0000

Код в-ва	Наименование вещества	Выброс г/с	Выброс т/г	F	Лето См/ПДК	Лето Xm	Лето Um	Зима См/ПДК	Зима Xm	Зима Um
0301	Азота диоксид (Двуокись азота; пероксид азота)	0,0000516	0,000528	1	0,00	36,4800	0,5000	0,00	28,9634	0,7405
0303	Аммиак (Азота гидрид)	0,0003625	0,003387	1	0,00	36,4800	0,5000	0,01	28,9634	0,7405
0304	Азот (II) оксид (Азот монооксид)	0,0001720	0,001404	1	0,00	36,4800	0,5000	0,00	28,9634	0,7405
0333	Дигидросульфид (Водород сернистый, дигидросульфид, гидросульфид)	0,0003182	0,003852	1	0,09	36,4800	0,5000	0,16	28,9634	0,7405
0410	Метан	0,0068287	0,284529	1	0,00	36,4800	0,5000	0,00	28,9634	0,7405
1071	Гидроксибензол	0,0000631	0,000508	1	0,01	36,4800	0,5000	0,03	28,9634	0,7405
1325	Формальдегид (Муравьиный альдегид, оксометан, метиленоксид)	0,0000775	0,000635	1	0,00	36,4800	0,5000	0,01	28,9634	0,7405
1716	Одорант СПМ	0,0000125	0,000127	1	0,00	36,4800	0,5000	0,00	28,9634	0,7405

236	+	1	1	Вытяжная вент.система установки очистки стоков в пласт	6,7	0,4000	0,8660	6,8914	20,0000	1	219,00 38,00	0,00 0,00	0,0000

Код в-ва	Наименование вещества	Выброс г/с	Выброс т/г	F	Лето См/ПДК	Лето Xm	Лето Um	Зима См/ПДК	Зима Xm	Зима Um
0301	Азота диоксид (Двуокись азота; пероксид азота)	0,0005046	0,000173	1	0,00	40,8523	0,5349	0,00	61,8241	1,1733

0303	Аммиак (Азота гидрид)				0,0015995	0,000549	1	0,02	40,8523	0,5349	0,01	61,8241	1,1733
0304	Азот (II) оксид (Азот монооксид)				0,0011433	0,000392	1	0,01	40,8523	0,5349	0,00	61,8241	1,1733
0333	Дигидросульфид (Водород сернистый, дигидросульфид, гидросульфид)				0,0011296	0,000388	1	0,28	40,8523	0,5349	0,15	61,8241	1,1733
0410	Метан				0,0969457	0,033351	1	0,00	40,8523	0,5349	0,00	61,8241	1,1733
1071	Гидроксибензол				0,0004362	0,000149	1	0,09	40,8523	0,5349	0,05	61,8241	1,1733
1325	Формальдегид (Муравьиный альдегид, оксометан, метиленоксид)				0,0004932	0,000169	1	0,02	40,8523	0,5349	0,01	61,8241	1,1733
1716	Одорант СПМ				0,0000336	0,000011	1	0,01	40,8523	0,5349	0,00	61,8241	1,1733
237	+	1	1	Вытяжная вент.система насосной станции метанола	6,7	0,4000	0,8660	6,8914	20,0000	1	55,00 79,00	0,00 0,00	0,0000

Код в-ва	Наименование вещества	Выброс г/с	Выброс т/г	F	Лето См/ПДК	Лето Xm	Лето Um	Зима См/ПДК	Зима Xm	Зима Um
1052	Метиловый спирт	0,1708738	5,388674	1	0,33	40,8523	0,5349	0,18	61,8241	1,1733

6284	+	1	3	Неплотности емкости для аварийного слива Е-500-1	2	0,0000			-	1	335,00 103,00	336,00 103,00	3,0000

Код в-ва	Наименование вещества	Выброс г/с	Выброс т/г	F	Лето См/ПДК	Лето Xm	Лето Um	Зима См/ПДК	Зима Xm	Зима Um
0333	Дигидросульфид (Водород сернистый, дигидросульфид, гидросульфид)	0,0000306	0,000964	1	0,14	11,4000	0,5000	0,14	11,4000	0,5000
2754	Алканы С12-С19 (в пересчете на С)	0,0108947	0,343575	1	0,39	11,4000	0,5000	0,39	11,4000	0,5000

6285	+	1	3	Неплотности емкости для аварийного слива Е-305-2	2	0,0000			-	1	379,00 237,00	382,00 237,00	3,0000

Код в-ва	Наименование вещества	Выброс г/с	Выброс т/г	F	Лето См/ПДК	Лето Xm	Лето Um	Зима См/ПДК	Зима Xm	Зима Um
0333	Дигидросульфид (Водород сернистый, дигидросульфид, гидросульфид)	0,0000306	0,000964	1	0,14	11,4000	0,5000	0,14	11,4000	0,5000
2754	Алканы С12-С19 (в пересчете на С)	0,0108947	0,343575	1	0,39	11,4000	0,5000	0,39	11,4000	0,5000

6286	+	1	3	Неплотности емкости для аварийного слива Е-500-4	2	0,0000			-	1	422,00 75,00	423,00 75,00	3,0000

Код в-ва	Наименование вещества	Выброс г/с	Выброс т/г	F	Лето См/ПДК	Лето Xm	Лето Um	Зима См/ПДК	Зима Xm	Зима Um
0333	Дигидросульфид (Водород сернистый, дигидросульфид, гидросульфид)	0,0000306	0,000964	1	0,14	11,4000	0,5000	0,14	11,4000	0,5000
2754	Алканы С12-С19 (в пересчете на С)	0,0108947	0,343575	1	0,39	11,4000	0,5000	0,39	11,4000	0,5000

6287	+	1	3	Неплотности емкости для аварийного слива Е-305-5	2	0,0000			-	1	561,00 25,00	536,00 25,00	3,0000

Код в-ва	Наименование вещества	Выброс г/с	Выброс т/г	F	Лето См/ПДК	Лето Xm	Лето Um	Зима См/ПДК	Зима Xm	Зима Um
0333	Дигидросульфид (Водород сернистый, дигидросульфид, гидросульфид)	0,0000306	0,000964	1	0,14	11,4000	0,5000	0,14	11,4000	0,5000
2754	Алканы С12-С19 (в пересчете на С)	0,0108947	0,343575	1	0,39	11,4000	0,5000	0,39	11,4000	0,5000

6288	+	1	3	Неплотности емкости для аварийного слива Е-305-6	2	0,0000			-	1	580,00 15,00	581,00 15,00	3,0000

Код в-ва	Наименование вещества	Выброс г/с	Выброс т/г	F	Лето См/ПДК	Лето Xm	Лето Um	Зима См/ПДК	Зима Xm	Зима Um
0333	Дигидросульфид (Водород сернистый, дигидросульфид, гидросульфид)	0,0000306	0,000964	1	0,14	11,4000	0,5000	0,14	11,4000	0,5000
2754	Алканы С12-С19 (в пересчете на С)	0,0108947	0,343575	1	0,39	11,4000	0,5000	0,39	11,4000	0,5000

6289	+	1	3	Неплотности емкости для аварийного слива Е-305-7	2	0,0000			-	1	144,00 416,00	146,00 416,00	3,0000

Код в-ва	Наименование вещества	Выброс г/с	Выброс т/г	F	Лето См/ПДК	Лето Xm	Лето Um	Зима См/ПДК	Зима Xm	Зима Um
0333	Дигидросульфид (Водород сернистый, дигидросульфид, гидросульфид)	0,0000306	0,000964	1	0,14	11,4000	0,5000	0,14	11,4000	0,5000
2754	Алканы С12-С19 (в пересчете на С)	0,0108947	0,343575	1	0,39	11,4000	0,5000	0,39	11,4000	0,5000

6290	+	1	3	Емкость сбора нефтепродуктов Е-4.1	2	0,0000			-	1	180,00 29,00	183,00 28,00	3,0000

Код в-ва	Наименование вещества	Выброс г/с	Выброс т/г	F	Лето См/ПДК	Лето Xm	Лето Um	Зима См/ПДК	Зима Xm	Зима Um
0410	Метан	0,0039255	0,123810	1	0,00	11,4000	0,5000	0,00	11,4000	0,5000

6291	+	1	3	Склад метанола	2	0,0000			-	1	110,00 92,00	120,00 92,00	3,0000

Код в-ва	Наименование вещества	Выброс г/с	Выброс т/г	F	Лето См/ПДК	Лето Xm	Лето Um	Зима См/ПДК	Зима Xm	Зима Um
1052	Метиловый спирт	0,0883688	6,207427	1	3,16	11,4000	0,5000	3,16	11,4000	0,5000

6292	+	1	3	Установка налива метанола	6	0,0000			-	1	63,00 29,00	69,00 27,00	3,0000

Код в-ва	Наименование вещества	Выброс г/с	Выброс т/г	F	Лето Cm/ПДК	Лето Xm	Лето Um	Зима Cm/ПДК	Зима Xm	Зима Um
1052	Метиловый спирт	0,0814890	6,766966	1	0,22	34,2000	0,5000	0,22	34,2000	0,5000

6293	+	1	3	Емкость дренажная метанола	2	0,0000			-	1	46,00 56,00	55,00 53,00	3,0000

Код в-ва	Наименование вещества	Выброс г/с	Выброс т/г	F	Лето Cm/ПДК	Лето Xm	Лето Um	Зима Cm/ПДК	Зима Xm	Зима Um
1052	Метиловый спирт	0,0125484	0,395719	1	0,45	11,4000	0,5000	0,45	11,4000	0,5000

№ пл.: 1, № цеха: 86

239	+	1	1	Дымовая труба огневого подогревателя Т-3500	15	0,9200	45,1400	67,9041	200,0000	1	122,00 247,00	0,00 0,00	0,0000

Код в-ва	Наименование вещества	Выброс г/с	Выброс т/г	F	Лето Cm/ПДК	Лето Xm	Лето Um	Зима Cm/ПДК	Зима Xm	Зима Um
0301	Азота диоксид (Двуокись азота; пероксид азота)	0,3973863	125,319738	1	0,03	558,4435	11,9113	0,03	558,1960	11,9794
0304	Азот (II) оксид (Азот монооксид)	3,8745163	122,186745	1	0,13	558,4435	11,9113	0,13	558,1960	11,9794
0337	Углерода оксид (Углерод окись; углерод моноокись; угарный газ)	0,6250000	19,710000	1	0,00	558,4435	11,9113	0,00	558,1960	11,9794
0410	Метан	0,0625000	1,971000	1	0,00	558,4435	11,9113	0,00	558,1960	11,9794

241	+	1	1	Вытяжная вент.система насосной ВМР	6	0,5000	9,8500	50,1656	20,0000	1	177,00 255,00	0,00 0,00	0,0000

Код в-ва	Наименование вещества	Выброс г/с	Выброс т/г	F	Лето Cm/ПДК	Лето Xm	Лето Um	Зима Cm/ПДК	Зима Xm	Зима Um
1052	Метиловый спирт	0,1671208	5,270320	1	0,02	223,7976	11,9561	0,02	223,7976	11,9561

242	+	1	1	Установка налива метанола	6	0,2500	9,8500	200,6626	20,0000	1	90,00 203,00	0,00 0,00	0,0000

Код в-ва	Наименование вещества	Выброс г/с	Выброс т/г	F	Лето Cm/ПДК	Лето Xm	Лето Um	Зима Cm/ПДК	Зима Xm	Зима Um
1052	Метиловый спирт	0,1534391	4,838854	1	0,01	316,4976	23,9123	0,01	316,4976	23,9123

243	+	1	1	Дымовая труба огневого подогревателя	15	0,9200	45,1400	67,9041	200,0000	1	130,00 242,00	0,00 0,00	0,0000

Код в-ва	Наименование вещества	Выброс г/с	Выброс т/г	F	Лето Cm/ПДК	Лето Xm	Лето Um	Зима Cm/ПДК	Зима Xm	Зима Um
0301	Азота диоксид (Двуокись азота; пероксид азота)	0,3973863	125,319738	1	0,03	558,4435	11,9113	0,03	558,1960	11,9794
0304	Азот (II) оксид (Азот монооксид)	0,3874516	122,186745	1	0,01	558,4435	11,9113	0,01	558,1960	11,9794
0337	Углерода оксид (Углерод окись; углерод моноокись; угарный газ)	0,6250000	19,710000	1	0,00	558,4435	11,9113	0,00	558,1960	11,9794
0410	Метан	0,0625000	1,971000	1	0,00	558,4435	11,9113	0,00	558,1960	11,9794

6294	+	1	3	Установка емкости ВМР Е-701	2	0,0000			-	1	282,00 289,00	293,00 284,00	3,0000

Код в-ва	Наименование вещества	Выброс г/с	Выброс т/г	F	Лето Cm/ПДК	Лето Xm	Лето Um	Зима Cm/ПДК	Зима Xm	Зима Um
1052	Метиловый спирт	0,0383530	1,209495	1	1,37	11,4000	0,5000	1,37	11,4000	0,5000

6295	+	1	3	Производ-ственный корпус УРМ	5	0,0000			-	1	158,00 206,00	162,00 206,00	3,0000

Код в-ва	Наименование вещества	Выброс г/с	Выброс т/г	F	Лето Cm/ПДК	Лето Xm	Лето Um	Зима Cm/ПДК	Зима Xm	Зима Um
1052	Метиловый спирт	0,0350519	11,053975	1	0,15	28,5000	0,5000	0,15	28,5000	0,5000

6296	+	1	3	Колона ректификации метанола	2	0,0000			-	1	127,00 197,00	128,00 202,00	3,0000

Код в-ва	Наименование вещества	Выброс г/с	Выброс т/г	F	Лето Cm/ПДК	Лето Xm	Лето Um	Зима Cm/ПДК	Зима Xm	Зима Um
1052	Метиловый спирт	0,0302500	0,095408	1	1,08	11,4000	0,5000	1,08	11,4000	0,5000

6297	+	1	3	Подогреватель ВМР Т-3100	2	0,0000			-	1	99,00 225,00	96,00 228,00	3,0000

Код в-ва	Наименование вещества	Выброс г/с	Выброс т/г	F	Лето Cm/ПДК	Лето Xm	Лето Um	Зима Cm/ПДК	Зима Xm	Зима Um
1052	Метиловый спирт	0,0000100	0,000314	1	0,00	11,4000	0,5000	0,00	11,4000	0,5000

6298	+	1	3	Основной подогреватель ВМР Т-3201	2	0,0000			-	1	99,00 255,00	99,00 263,00	3,0000

Код в-ва	Наименование вещества	Выброс г/с	Выброс т/г	F	Лето Cm/ПДК	Лето Xm	Лето Um	Зима Cm/ПДК	Зима Xm	Зима Um
1052	Метиловый спирт	0,0000470	0,001479	1	0,00	11,4000	0,5000	0,00	11,4000	0,5000

6299	+	1	3	Основной подогреватель ВМР Т-3202	2	0,0000			-	1	111,00 255,00	115,00 255,00	3,0000

Код в-ва	Наименование вещества	Выброс г/с	Выброс т/г	F	Лето См/ПДК	Лето Xm	Лето Um	Зима См/ПДК	Зима Xm	Зима Um
1052	Метиловый спирт	0,0000470	0,001479	1	0,00	11,4000	0,5000	0,00	11,4000	0,5000

6301	+	1	3	Кипятильник куба Т-3301	2	0,0000			-	1	158,00 264,00	160,00 264,00	3,0000

Код в-ва	Наименование вещества	Выброс г/с	Выброс т/г	F	Лето См/ПДК	Лето Xm	Лето Um	Зима См/ПДК	Зима Xm	Зима Um
1052	Метиловый спирт	0,0001130	0,003554	1	0,00	11,4000	0,5000	0,00	11,4000	0,5000

6302	+	1	3	Кипятильник куба Т-3302	2	0,0000			-	1	65,00 184,00	72,00 183,00	3,0000

Код в-ва	Наименование вещества	Выброс г/с	Выброс т/г	F	Лето См/ПДК	Лето Xm	Лето Um	Зима См/ПДК	Зима Xm	Зима Um
1052	Метиловый спирт	0,0001130	0,003554	1	0,00	11,4000	0,5000	0,00	11,4000	0,5000

6303	+	1	3	Предварительный подогреватель ВМР Т-3601	2	0,0000			-	1	159,00 217,00	163,00 219,00	3,0000

Код в-ва	Наименование вещества	Выброс г/с	Выброс т/г	F	Лето См/ПДК	Лето Xm	Лето Um	Зима См/ПДК	Зима Xm	Зима Um
1052	Метиловый спирт	0,0000060	0,000196	1	0,00	11,4000	0,5000	0,00	11,4000	0,5000

6304	+	1	3	Предварительный подогреватель ВМР Т-3602	2	0,0000			-	1	143,00 210,00	146,00 210,00	3,0000

Код в-ва	Наименование вещества	Выброс г/с	Выброс т/г	F	Лето См/ПДК	Лето Xm	Лето Um	Зима См/ПДК	Зима Xm	Зима Um
1052	Метиловый спирт	0,0000060	0,000196	1	0,00	11,4000	0,5000	0,00	11,4000	0,5000

6305	+	1	3	Нагреватель ВМР Т-3800	2	0,0000			-	1	174,00 260,00	180,00 260,00	3,0000

Код в-ва	Наименование вещества	Выброс г/с	Выброс т/г	F	Лето См/ПДК	Лето Xm	Лето Um	Зима См/ПДК	Зима Xm	Зима Um
1052	Метиловый спирт	0,0001710	0,005378	1	0,01	11,4000	0,5000	0,01	11,4000	0,5000

6306	+	1	3	Емкость разделитель-дегазатор Е-3101	2	0,0000			-	1	126,00 304,00	128,00 304,00	3,0000

Код в-ва	Наименование вещества	Выброс г/с	Выброс т/г	F	Лето См/ПДК	Лето Xm	Лето Um	Зима См/ПДК	Зима Xm	Зима Um
1052	Метиловый спирт	0,0377208	1,189643	1	1,35	11,4000	0,5000	1,35	11,4000	0,5000

6307	+	1	3	Емкость разделитель-дегазатор Е-3102	2	0,0000			-	1	127,00 291,00	130,00 291,00	2,0000

Код в-ва	Наименование вещества	Выброс г/с	Выброс т/г	F	Лето См/ПДК	Лето Xm	Лето Um	Зима См/ПДК	Зима Xm	Зима Um
1052	Метиловый спирт	0,0200428	0,632061	1	0,72	11,4000	0,5000	0,72	11,4000	0,5000

6308	+	1	3	Емкость метанола Е-3201	2	0,0000			-	1	121,00 266,00	123,00 266,00	2,0000

Код в-ва	Наименование вещества	Выброс г/с	Выброс т/г	F	Лето См/ПДК	Лето Xm	Лето Um	Зима См/ПДК	Зима Xm	Зима Um
1052	Метиловый спирт	0,0295453	0,928272	1	1,06	11,4000	0,5000	1,06	11,4000	0,5000

6309	+	1	3	Емкость метанола Е-3202	2	0,0000			-	1	117,00 258,00	120,00 258,00	2,0000

Код в-ва	Наименование вещества	Выброс г/с	Выброс т/г	F	Лето См/ПДК	Лето Xm	Лето Um	Зима См/ПДК	Зима Xm	Зима Um
1052	Метиловый спирт	0,0295453	0,928272	1	1,06	11,4000	0,5000	1,06	11,4000	0,5000

6310	+	1	3	Емкость сбора ВМР Е-3601	2	0,0000			-	1	116,00 250,00	119,00 250,00	2,0000

Код в-ва	Наименование вещества	Выброс г/с	Выброс т/г	F	Лето См/ПДК	Лето Xm	Лето Um	Зима См/ПДК	Зима Xm	Зима Um
1052	Метиловый спирт	0,0290314	0,915533	1	1,04	11,4000	0,5000	1,04	11,4000	0,5000

6311	+	1	3	Емкость сбора ВМР Е-3602	2	0,0000			-	1	112,00 240,00	115,00 240,00	2,0000

Код в-ва	Наименование вещества	Выброс г/с	Выброс т/г	F	Лето См/ПДК	Лето Xm	Лето Um	Зима См/ПДК	Зима Xm	Зима Um
1052	Метиловый спирт	0,0290314	0,915533	1	1,04	11,4000	0,5000	1,04	11,4000	0,5000

6312	+	1	3	Емкость парового конденсата Е-3700	2	0,0000			-	1	128,00 210,00	130,00 210,00	2,0000

Код в-ва	Наименование вещества	Выброс г/с	Выброс т/г	F	Лето См/ПДК	Лето Xm	Лето Um	Зима См/ПДК	Зима Xm	Зима Um

1052				Метиловый спирт	0,0010370	0,032718	1	0,04	11,4000	0,5000	0,04	11,4000	0,5000	
6313	+	1	3	Емкость жидких углеводоро-дов Е-3900	2	0,0000			-	1	129,00 314,00	131,00 314,00	2,0000	

Код в-ва	Наименование вещества	Выброс г/с	Выброс т/г	F	Лето См/ПДК	Лето Xm	Лето Um	Зима См/ПДК	Зима Xm	Зима Um
0333	Дигидросульфид (Водород сернистый, дигидросульфид, гидросульфид)	0,0000021	0,000065	1	0,01	11,4000	0,5000	0,01	11,4000	0,5000
2754	Алканы С12-С19 (в пересчете на С)	0,0007390	0,023293	1	0,03	11,4000	0,5000	0,03	11,4000	0,5000

6314	+	1	3	Емкость сбора кубового осадка Е-4000	2	0,0000			-	1	142,00 252,00	145,00 255,00	2,0000	

Код в-ва	Наименование вещества	Выброс г/с	Выброс т/г	F	Лето См/ПДК	Лето Xm	Лето Um	Зима См/ПДК	Зима Xm	Зима Um
1052	Метиловый спирт	0,0014830	0,046775	1	0,05	11,4000	0,5000	0,05	11,4000	0,5000

6315	+	1	3	Блок фильтров	2	0,0000			-	1	197,00 297,00	201,00 297,00	2,0000	

Код в-ва	Наименование вещества	Выброс г/с	Выброс т/г	F	Лето См/ПДК	Лето Xm	Лето Um	Зима См/ПДК	Зима Xm	Зима Um
1052	Метиловый спирт	0,0699096	2,204727	1	2,50	11,4000	0,5000	2,50	11,4000	0,5000

№ пл.: 1, № цеха: 87

6316	+	1	3	Сепаратор С-0100	2	0,0000			-	1	154,00 312,00	152,00 302,00	2,0000	

Код в-ва	Наименование вещества	Выброс г/с	Выброс т/г	F	Лето См/ПДК	Лето Xm	Лето Um	Зима См/ПДК	Зима Xm	Зима Um
0410	Метан	0,0016740	0,052790	1	0,00	11,4000	0,5000	0,00	11,4000	0,5000
0415	Смесь предельных углеводородов С1Н4-С5Н12	0,0002070	0,006529	1	0,00	11,4000	0,5000	0,00	11,4000	0,5000
0416	Смесь предельных углеводородов С6Н14-С10Н22	0,0000006	0,000019	1	0,00	11,4000	0,5000	0,00	11,4000	0,5000

6317	+	1	3	Подогреватель Т-0100	2	0,0000			-	1	142,00 316,00	139,00 305,00	2,0000	

Код в-ва	Наименование вещества	Выброс г/с	Выброс т/г	F	Лето См/ПДК	Лето Xm	Лето Um	Зима См/ПДК	Зима Xm	Зима Um
0410	Метан	0,0189621	0,597989	1	0,01	11,4000	0,5000	0,01	11,4000	0,5000
0415	Смесь предельных углеводородов С1Н4-С5Н12	0,0023450	0,073955	1	0,00	11,4000	0,5000	0,00	11,4000	0,5000
0416	Смесь предельных углеводородов С6Н14-С10Н22	0,0000069	0,000217	1	0,00	11,4000	0,5000	0,00	11,4000	0,5000

6318	+	1	3	Подогреватель Т-1100	2	0,0000			-	1	143,00 316,00	140,00 305,00	2,0000	

Код в-ва	Наименование вещества	Выброс г/с	Выброс т/г	F	Лето См/ПДК	Лето Xm	Лето Um	Зима См/ПДК	Зима Xm	Зима Um
0410	Метан	0,0001405	0,004431	1	0,00	11,4000	0,5000	0,00	11,4000	0,5000
0415	Смесь предельных углеводородов С1Н4-С5Н12	0,0000174	0,000548	1	0,00	11,4000	0,5000	0,00	11,4000	0,5000
0416	Смесь предельных углеводородов С6Н14-С10Н22	0,0000001	0,000002	1	0,00	11,4000	0,5000	0,00	11,4000	0,5000

6319	+	1	3	Емкость метанола Е-0200	2	0,0000			-	1	165,00 309,00	162,00 301,00	4,0000	

Код в-ва	Наименование вещества	Выброс г/с	Выброс т/г	F	Лето См/ПДК	Лето Xm	Лето Um	Зима См/ПДК	Зима Xm	Зима Um
1052	Метиловый спирт	0,0014110	0,044505	1	0,05	11,4000	0,5000	0,05	11,4000	0,5000

6320	+	1	3	Пусковой парогенератор ПГ-100	2	0,0000			-	1	128,00 323,00	125,00 313,00	4,0000	

Код в-ва	Наименование вещества	Выброс г/с	Выброс т/г	F	Лето См/ПДК	Лето Xm	Лето Um	Зима См/ПДК	Зима Xm	Зима Um
0410	Метан	0,0004136	0,013043	1	0,00	11,4000	0,5000	0,00	11,4000	0,5000
0415	Смесь предельных углеводородов С1Н4-С5Н12	0,0000511	0,001613	1	0,00	11,4000	0,5000	0,00	11,4000	0,5000
0416	Смесь предельных углеводородов С6Н14-С10Н22	0,0000002	0,000005	1	0,00	11,4000	0,5000	0,00	11,4000	0,5000

№ пл.: 1, № цеха: 88

244	+	1	1	Дымовая труба печи риформинга Р-0100	32	2,0000	45,1400	14,3685	200,0000	1	111,00 305,00	0,00 0,00	0,0000	

Код в-ва	Наименование вещества	Выброс г/с	Выброс т/г	F	Лето См/ПДК	Лето Xm	Лето Um	Зима См/ПДК	Зима Xm	Зима Um
0301	Азота диоксид (Двуокись азота; пероксид азота)	1,5652840	49,362805	1	0,06	620,8385	4,8525	0,06	632,2015	5,1491
0304	Азот (II) оксид (Азот монооксид)	1,5261520	48,128735	1	0,03	620,8385	4,8525	0,03	632,2015	5,1491
0337	Углерода оксид (Углерод окись; углерод монооокись; угарный газ)	1,6666667	52,560000	1	0,00	620,8385	4,8525	0,00	632,2015	5,1491
0410	Метан	0,1666667	5,256000	1	0,00	620,8385	4,8525	0,00	632,2015	5,1491

245	+	1	1	Вытяжная вент.система блока парового риформинга М-50	10	0,6000	35,0000	123,7872	20,0000	1	108,00 296,00	0,00 0,00	0,0000	

Код в-ва	Наименование вещества	Выброс г/с	Выброс т/г	F	Лето См/ПДК	Лето Xm	Лето Um	Зима См/ПДК	Зима Xm	Зима Um

0410	Метан				0,1375923	4,339108	1	0,00	497,1702	21,2419	0,00	497,1702	21,2419	
0415	Смесь предельных углеводородов С1Н4-С5Н12				0,0170162	0,536625	1	0,00	497,1702	21,2419	0,00	497,1702	21,2419	
0416	Смесь предельных углеводородов С6Н14-С10Н22				0,0000502	0,001581	1	0,00	497,1702	21,2419	0,00	497,1702	21,2419	
6321	+	1	3	Пусковой подогреватель синтеза метанола Т-1200	2	0,0000			-	1	121,00 301,00	116,00 292,00	4,0000	
Код в-ва	Наименование вещества				Выброс г/с	Выброс т/г	F	Лето Cm/ПДК	Лето Xm	Лето Um	Зима Cm/ПДК	Зима Xm	Зима Um	
1052	Метиловый спирт				0,0015950	0,050308	1	0,06	11,4000	0,5000	0,06	11,4000	0,5000	
6322	+	1	3	Змеевик технологического газа У-0500	2	0,0000			-	1	138,00 296,00	135,00 286,00	4,0000	
Код в-ва	Наименование вещества				Выброс г/с	Выброс т/г	F	Лето Cm/ПДК	Лето Xm	Лето Um	Зима Cm/ПДК	Зима Xm	Зима Um	
0410	Метан				0,0001391	0,004386	1	0,00	11,4000	0,5000	0,00	11,4000	0,5000	
0415	Смесь предельных углеводородов С1Н4-С5Н12				0,0000172	0,000542	1	0,00	11,4000	0,5000	0,00	11,4000	0,5000	
0416	Смесь предельных углеводородов С6Н14-С10Н22				0,0000001	0,000002	1	0,00	11,4000	0,5000	0,00	11,4000	0,5000	
6323	+	1	3	Реактор гидрирования Р-0300	2	0,0000			-	1	189,00 302,00	199,00 298,00	4,0000	
Код в-ва	Наименование вещества				Выброс г/с	Выброс т/г	F	Лето Cm/ПДК	Лето Xm	Лето Um	Зима Cm/ПДК	Зима Xm	Зима Um	
0410	Метан				0,0040824	0,128742	1	0,00	11,4000	0,5000	0,00	11,4000	0,5000	
0415	Смесь предельных углеводородов С1Н4-С5Н12				0,0005049	0,015922	1	0,00	11,4000	0,5000	0,00	11,4000	0,5000	
0416	Смесь предельных углеводородов С6Н14-С10Н22				0,0000015	0,000047	1	0,00	11,4000	0,5000	0,00	11,4000	0,5000	
6324	+	1	3	Котел-утилизатор Т-0200	2	0,0000			-	1	209,00 196,00	219,00 193,00	4,0000	
Код в-ва	Наименование вещества				Выброс г/с	Выброс т/г	F	Лето Cm/ПДК	Лето Xm	Лето Um	Зима Cm/ПДК	Зима Xm	Зима Um	
0410	Метан				0,0010507	0,033136	1	0,00	11,4000	0,5000	0,00	11,4000	0,5000	
0415	Смесь предельных углеводородов С1Н4-С5Н12				0,0001299	0,004098	1	0,00	11,4000	0,5000	0,00	11,4000	0,5000	
0416	Смесь предельных углеводородов С6Н14-С10Н22				0,0000004	0,000012	1	0,00	11,4000	0,5000	0,00	11,4000	0,5000	
№ пл.: 1, № цеха: 89														
246	+	1	1	Дымовая труба вспомогательного котла Вк-0100	15	1,0000	4,6200	5,8824	180,0000	1	145,00 168,00	0,00 0,00	0,0000	
Код в-ва	Наименование вещества				Выброс г/с	Выброс т/г	F	Лето Cm/ПДК	Лето Xm	Лето Um	Зима Cm/ПДК	Зима Xm	Зима Um	
0301	Азота диоксид (Двуокись азота; пероксид азота)				0,3915841	12,347539	1	0,17	206,8319	2,6616	0,17	211,9550	2,8593	
0304	Азот (II) оксид (Азот монооксид)				0,3817945	12,038851	1	0,09	206,8319	2,6616	0,08	211,9550	2,8593	
0337	Углерода оксид (Углерод окись; углерод моноокись; угарный газ)				0,8083640	25,489600	1	0,01	206,8319	2,6616	0,01	211,9550	2,8593	
0703	Бенз/а/пирен				0,0000001	0,000003	3	0,00	103,4159	2,6616	0,00	105,9775	2,8593	
6325	+	1	3	Змеевик топливного газа У-0600	2	0,0000			-	1	148,00 226,00	155,00 226,00	4,0000	
Код в-ва	Наименование вещества				Выброс г/с	Выброс т/г	F	Лето Cm/ПДК	Лето Xm	Лето Um	Зима Cm/ПДК	Зима Xm	Зима Um	
0410	Метан				0,0000346	0,001092	1	0,00	11,4000	0,5000	0,00	11,4000	0,5000	
0415	Смесь предельных углеводородов С1Н4-С5Н12				0,0000043	0,000135	1	0,00	11,4000	0,5000	0,00	11,4000	0,5000	
0416	Смесь предельных углеводородов С6Н14-С10Н22				1,2600000 E-08	3,980000E -07	1	0,00	11,4000	0,5000	0,00	11,4000	0,5000	
№ пл.: 1, № цеха: 90														
6326	+	1	3	Кипятильник Т-0300	2	0,0000			-	1	147,00 282,00	147,00 287,00	4,0000	
Код в-ва	Наименование вещества				Выброс г/с	Выброс т/г	F	Лето Cm/ПДК	Лето Xm	Лето Um	Зима Cm/ПДК	Зима Xm	Зима Um	
0410	Метан				0,0004507	0,014213	1	0,00	11,4000	0,5000	0,00	11,4000	0,5000	
0415	Смесь предельных углеводородов С1Н4-С5Н12				0,0000557	0,001758	1	0,00	11,4000	0,5000	0,00	11,4000	0,5000	
0416	Смесь предельных углеводородов С6Н14-С10Н22				0,0000002	0,000005	1	0,00	11,4000	0,5000	0,00	11,4000	0,5000	
6327	+	1	3	Колонна ректификации метанола К-0100	2	0,0000			-	1	110,00 264,00	112,00 264,00	4,0000	
Код в-ва	Наименование вещества				Выброс г/с	Выброс т/г	F	Лето Cm/ПДК	Лето Xm	Лето Um	Зима Cm/ПДК	Зима Xm	Зима Um	
1052	Метиловый спирт				0,0028900	0,091128	1	0,10	11,4000	0,5000	0,10	11,4000	0,5000	
6328	+	1	3	Подогреватель обессоленной воды Т-0400	2	0,0000			-	1	105,00 227,00	110,00 227,00	4,0000	
Код в-ва	Наименование вещества				Выброс г/с	Выброс т/г	F	Лето Cm/ПДК	Лето Xm	Лето Um	Зима Cm/ПДК	Зима Xm	Зима Um	
0410	Метан				0,0004010	0,012646	1	0,00	11,4000	0,5000	0,00	11,4000	0,5000	
0415	Смесь предельных углеводородов С1Н4-С5Н12				0,0000496	0,001564	1	0,00	11,4000	0,5000	0,00	11,4000	0,5000	
0416	Смесь предельных углеводородов С6Н14-С10Н22				0,0000001	0,000005	1	0,00	11,4000	0,5000	0,00	11,4000	0,5000	
6329	+	1	3	Подогреватель обессоленной воды	2	0,0000			-	1	77,00	83,00	4,0000	

				Т-0400							243,00	240,00	

Код в-ва	Наименование вещества	Выброс г/с	Выброс т/г	F	Лето См/ПДК	Лето Xm	Лето Um	Зима См/ПДК	Зима Xm	Зима Um
0410	Метан	0,0000010	0,000032	1	0,00	11,4000	0,5000	0,00	11,4000	0,5000
0415	Смесь предельных углеводородов С1Н4-С5Н12	0,0000001	0,000004	1	0,00	11,4000	0,5000	0,00	11,4000	0,5000
0416	Смесь предельных углеводородов С6Н14-С10Н22	3,7400000 Е-10	1,180000Е -08	1	0,00	11,4000	0,5000	0,00	11,4000	0,5000

6330	+	1	3	Подогреватель обессоленной воды Т-0400	2	0,0000			-	1	77,00 246,00	83,00 246,00	4,0000

Код в-ва	Наименование вещества	Выброс г/с	Выброс т/г	F	Лето См/ПДК	Лето Xm	Лето Um	Зима См/ПДК	Зима Xm	Зима Um
0410	Метан	0,0004033	0,012719	1	0,00	11,4000	0,5000	0,00	11,4000	0,5000
0415	Смесь предельных углеводородов С1Н4-С5Н12	0,0000499	0,001573	1	0,00	11,4000	0,5000	0,00	11,4000	0,5000
0416	Смесь предельных углеводородов С6Н14-С10Н22	0,0000001	0,000005	1	0,00	11,4000	0,5000	0,00	11,4000	0,5000

6331	+	1	3	Сепаратор С-0500	2	0,0000			-	1	88,00 275,00	91,00 274,00	4,0000

Код в-ва	Наименование вещества	Выброс г/с	Выброс т/г	F	Лето См/ПДК	Лето Xm	Лето Um	Зима См/ПДК	Зима Xm	Зима Um
0410	Метан	0,0004590	0,014475	1	0,00	11,4000	0,5000	0,00	11,4000	0,5000
0415	Смесь предельных углеводородов С1Н4-С5Н12	0,0000568	0,001790	1	0,00	11,4000	0,5000	0,00	11,4000	0,5000
0416	Смесь предельных углеводородов С6Н14-С10Н22	0,0000002	0,000005	1	0,00	11,4000	0,5000	0,00	11,4000	0,5000

6332	+	1	3	Подогреватель Т-0900	2	0,0000			-	1	108,00 296,00	109,00 296,00	4,0000

Код в-ва	Наименование вещества	Выброс г/с	Выброс т/г	F	Лето См/ПДК	Лето Xm	Лето Um	Зима См/ПДК	Зима Xm	Зима Um
1052	Метиловый спирт	0,0000010	0,000019	1	0,00	11,4000	0,5000	0,00	11,4000	0,5000

6333	+	1	3	Отпарная емкость К-0200	2	0,0000			-	1	132,00 320,00	135,00 324,00	4,0000

Код в-ва	Наименование вещества	Выброс г/с	Выброс т/г	F	Лето См/ПДК	Лето Xm	Лето Um	Зима См/ПДК	Зима Xm	Зима Um
0410	Метан	0,0002191	0,006909	1	0,00	11,4000	0,5000	0,00	11,4000	0,5000
0415	Смесь предельных углеводородов С1Н4-С5Н12	0,0000271	0,000854	1	0,00	11,4000	0,5000	0,00	11,4000	0,5000
0416	Смесь предельных углеводородов С6Н14-С10Н22	0,0000001	0,000003	1	0,00	11,4000	0,5000	0,00	11,4000	0,5000

№ пл.: 1, № цеха: 91

6334	+	1	3	Бак продувок – Е-1700	2	0,0000			-	1	126,00 289,00	127,00 289,00	4,0000

Код в-ва	Наименование вещества	Выброс г/с	Выброс т/г	F	Лето См/ПДК	Лето Xm	Лето Um	Зима См/ПДК	Зима Xm	Зима Um
0410	Метан	9,4900000 Е-10	2,990000Е -08	1	0,00	11,4000	0,5000	0,00	11,4000	0,5000
0415	Смесь предельных углеводородов С1Н4-С5Н12	0,0000060	0,000190	1	0,00	11,4000	0,5000	0,00	11,4000	0,5000
0416	Смесь предельных углеводородов С6Н14-С10Н22	0,0000130	0,000409	1	0,00	11,4000	0,5000	0,00	11,4000	0,5000

6335	+	1	3	Сепаратор С-0600	2	0,0000			-	1	137,00 272,00	140,00 272,00	4,0000

Код в-ва	Наименование вещества	Выброс г/с	Выброс т/г	F	Лето См/ПДК	Лето Xm	Лето Um	Зима См/ПДК	Зима Xm	Зима Um
0410	Метан	0,0061473	0,193860	1	0,00	11,4000	0,5000	0,00	11,4000	0,5000
0415	Смесь предельных углеводородов С1Н4-С5Н12	0,0007602	0,023975	1	0,00	11,4000	0,5000	0,00	11,4000	0,5000
0416	Смесь предельных углеводородов С6Н14-С10Н22	0,0000022	0,000071	1	0,00	11,4000	0,5000	0,00	11,4000	0,5000

№ пл.: 1, № цеха: 92

6336	+	1	3	Расходная емкость свежего масла Е-1401	2	0,0000			-	1	136,00 204,00	136,00 197,00	4,0000

Код в-ва	Наименование вещества	Выброс г/с	Выброс т/г	F	Лето См/ПДК	Лето Xm	Лето Um	Зима См/ПДК	Зима Xm	Зима Um
2735	Масло минеральное нефтяное	0,0003744	0,118059	1	0,27	11,4000	0,5000	0,27	11,4000	0,5000

6337	+	1	3	Расходная емкость свежего масла Е-1402	2	0,0000			-	1	144,00 202,00	144,00 196,00	4,0000

Код в-ва	Наименование вещества	Выброс г/с	Выброс т/г	F	Лето См/ПДК	Лето Xm	Лето Um	Зима См/ПДК	Зима Xm	Зима Um
2735	Масло минеральное нефтяное	0,0047047	0,148355	1	3,36	11,4000	0,5000	3,36	11,4000	0,5000

6338	+	1	3	Расходная емкость свежего масла Е-1403	2	0,0000			-	1	167,00 196,00	167,00 193,00	4,0000

Код в-ва	Наименование вещества	Выброс г/с	Выброс т/г	F	Лето См/ПДК	Лето Xm	Лето Um	Зима См/ПДК	Зима Xm	Зима Um
2735	Масло минеральное нефтяное	0,0004641	0,146337	1	0,33	11,4000	0,5000	0,33	11,4000	0,5000

6339	+	1	3	Расходная емкость свежего масла	2	0,0000			-	1	170,00	173,00	2,0000

				Е-1404							209,00	209,00	

Код в-ва	Наименование вещества	Выброс г/с	Выброс т/г	F	Лето См/ПДК	Лето Xm	Лето Um	Зима См/ПДК	Зима Xm	Зима Um
2735	Масло минеральное нефтяное	0,0003808	0,120077	1	0,27	11,4000	0,5000	0,27	11,4000	0,5000

6340	+	1	3	Емкость свежего масла Е-1100	2	0,0000			-	1	166,00 203,00	168,00 203,00	2,0000

Код в-ва	Наименование вещества	Выброс г/с	Выброс т/г	F	Лето См/ПДК	Лето Xm	Лето Um	Зима См/ПДК	Зима Xm	Зима Um
2735	Масло минеральное нефтяное	0,0013998	0,441445	1	1,00	11,4000	0,5000	1,00	11,4000	0,5000

6341	+	1	3	Емкость отработанного масла Е-1300	2	0,0000			-	1	170,00 204,00	172,00 204,00	2,0000

Код в-ва	Наименование вещества	Выброс г/с	Выброс т/г	F	Лето См/ПДК	Лето Xm	Лето Um	Зима См/ПДК	Зима Xm	Зима Um
2735	Масло минеральное нефтяное	0,0001400	0,441647	1	0,10	11,4000	0,5000	0,10	11,4000	0,5000

6342	+	1	3	Дегазатор масла Е-1600	2	0,0000			-	1	175,00 215,00	176,00 215,00	2,0000

Код в-ва	Наименование вещества	Выброс г/с	Выброс т/г	F	Лето См/ПДК	Лето Xm	Лето Um	Зима См/ПДК	Зима Xm	Зима Um
2735	Масло минеральное нефтяное	0,0004730	0,149163	1	0,34	11,4000	0,5000	0,34	11,4000	0,5000

№ пл.: 1, № цеха: 93

248	+	1	1	Вытяжная вент.система здания тарного хранения масла	6	0,4000	0,0800	0,6366	20,0000	1	171,00 165,00	0,00 0,00	0,0000

Код в-ва	Наименование вещества	Выброс г/с	Выброс т/г	F	Лето См/ПДК	Лето Xm	Лето Um	Зима См/ПДК	Зима Xm	Зима Um
2735	Масло минеральное нефтяное	0,0018056	0,001057	1	0,10	34,2000	0,5000	0,32	18,4592	0,5503

249	+	1	1	Вытяжная вент.система блока ремонтно-эксплуатационного	10	0,7100	0,5833	1,4734	20,0000	1	398,00 38,00	0,00 0,00	0,0000

Код в-ва	Наименование вещества	Выброс г/с	Выброс т/г	F	Лето См/ПДК	Лето Xm	Лето Um	Зима См/ПДК	Зима Xm	Зима Um
0123	Железа оксид	0,1641378	1,004185	3	0,00	28,5000	0,5000	0,00	26,6215	0,9000
0143	Марганец и его соединения (в пересчете на марганец (IV) оксид)	0,0040856	0,016489	3	1,02	28,5000	0,5000	1,40	26,6215	0,9000
0203	Хром (в пересчете на хрома (VI) оксид)	0,0006871	0,000091	3	0,00	28,5000	0,5000	0,00	26,6215	0,9000
0301	Азота диоксид (Двуокись азота; пероксид азота)	0,0321056	0,215554	1	0,13	57,0000	0,5000	0,18	53,2431	0,9000
0304	Азот (II) оксид (Азот монооксид)	0,0052172	0,035028	1	0,01	57,0000	0,5000	0,01	53,2431	0,9000
0337	Углерода оксид (Углерод окись; углерод моноокись; угарный газ)	0,0608403	0,341958	1	0,01	57,0000	0,5000	0,01	53,2431	0,9000
0342	Фториды газообразные	0,0015867	0,001244	1	0,07	57,0000	0,5000	0,09	53,2431	0,9000
0344	Фториды плохо растворимые	0,0027389	0,001493	3	0,03	28,5000	0,5000	0,05	26,6215	0,9000
2908	Пыль неорганическая: 70-20% SiO2	0,0011806	0,001275	3	0,01	28,5000	0,5000	0,01	26,6215	0,9000

6343	+	1	3	Сборник метанола-сырца Е-0100	2	0,0000			-	1	203,00 300,00	205,00 300,00	2,0000

Код в-ва	Наименование вещества	Выброс г/с	Выброс т/г	F	Лето См/ПДК	Лето Xm	Лето Um	Зима См/ПДК	Зима Xm	Зима Um
1052	Метиловый спирт	0,0206000	0,649640	1	0,74	11,4000	0,5000	0,74	11,4000	0,5000

6344	+	1	3	Закрытая теплая стоянка автотранспорта	5	0,0000			-	1	370,00 36,00	364,00 13,00	10,0000

Код в-ва	Наименование вещества	Выброс г/с	Выброс т/г	F	Лето См/ПДК	Лето Xm	Лето Um	Зима См/ПДК	Зима Xm	Зима Um
0301	Азота диоксид (Двуокись азота; пероксид азота)	0,0022444	0,003770	1	0,05	28,5000	0,5000	0,05	28,5000	0,5000
0304	Азот (II) оксид (Азот монооксид)	0,0003647	0,000613	1	0,00	28,5000	0,5000	0,00	28,5000	0,5000
0328	Углерод (Пигмент черный)	0,0001861	0,000323	3	0,02	14,2500	0,5000	0,02	14,2500	0,5000
0330	Сера диоксид	0,0003599	0,000610	1	0,00	28,5000	0,5000	0,00	28,5000	0,5000
0337	Углерода оксид (Углерод окись; углерод моноокись; угарный газ)	0,0052750	0,008437	1	0,00	28,5000	0,5000	0,00	28,5000	0,5000
2732	Керосин (Керосин прямой перегонки; керосин дезодорированный)	0,0008194	0,001336	1	0,00	28,5000	0,5000	0,00	28,5000	0,5000

6345	+	1	3	Стоянка автотранспорта	5	0,0000			-	1	266,00 19,00	274,00 40,00	2,0000

Код в-ва	Наименование вещества	Выброс г/с	Выброс т/г	F	Лето См/ПДК	Лето Xm	Лето Um	Зима См/ПДК	Зима Xm	Зима Um
0301	Азота диоксид (Двуокись азота; пероксид азота)	0,0397729	0,040203	1	0,84	28,5000	0,5000	0,84	28,5000	0,5000
0304	Азот (II) оксид (Азот монооксид)	0,0064631	0,006533	1	0,07	28,5000	0,5000	0,07	28,5000	0,5000
0328	Углерод (Пигмент черный)	0,0162172	0,010278	3	1,37	14,2500	0,5000	1,37	14,2500	0,5000
0330	Сера диоксид	0,0060450	0,005024	1	0,05	28,5000	0,5000	0,05	28,5000	0,5000
0337	Углерода оксид (Углерод окись; углерод моноокись; угарный газ)	0,2356011	0,124990	1	0,20	28,5000	0,5000	0,20	28,5000	0,5000
2704	Бензин (нефтяной, малосернистый) (в пересчете на	0,0052222	0,003356	1	0,00	28,5000	0,5000	0,00	28,5000	0,5000

				углерод)									
2732				Керосин (Керосин прямой перегонки; керосин дезодорированный)	0,0301828	0,017341	1	0,11	28,5000	0,5000	0,11	28,5000	0,5000

№ пл.: 1, № цеха: 94

250	+	1	1	Вытяжная вент.система №1 лаборатории	12,6	0,1600	0,2110	10,4943	20,0000	1	320,00 53,00	0,00 0,00	0,0000

Код в-ва	Наименование вещества	Выброс г/с	Выброс т/г	F	Лето Cm/ПДК	Лето Xm	Лето Um	Зима Cm/ПДК	Зима Xm	Зима Um
0150	Натрий гидроксид (Натр едкий)	0,0000131	0,000189	3	0,00	35,9100	0,5000	0,00	25,4923	0,5937
0302	Азотная кислота (по молекуле HNO3)	0,0005000	0,007227	1	0,00	71,8200	0,5000	0,00	50,9846	0,5937
0303	Аммиак (Азота гидрид)	0,0000492	0,000711	1	0,00	71,8200	0,5000	0,00	50,9846	0,5937
0316	Гидрохлорид (по молекуле HCl) (Водород хлорид)	0,0001320	0,001908	1	0,00	71,8200	0,5000	0,00	50,9846	0,5937
0322	Серная кислота (по молекуле H2SO4)	0,0000267	0,000386	1	0,00	71,8200	0,5000	0,00	50,9846	0,5937
0602	Бензол (Циклогексатриен; фенилгидрид)	0,0002460	0,003556	1	0,00	71,8200	0,5000	0,00	50,9846	0,5937
0621	Метилбензол (Фенилметан)	0,0000811	0,001172	1	0,00	71,8200	0,5000	0,00	50,9846	0,5937
0906	Углерод тетрахлорид	0,0004930	0,007126	1	0,00	71,8200	0,5000	0,00	50,9846	0,5937
1061	Этанол (Этиловый спирт; метилкарбинол)	0,0016700	0,024138	1	0,00	71,8200	0,5000	0,00	50,9846	0,5937
1401	Пропан-2-он (Диметилкетон; диметилформальдегид)	0,0006370	0,009207	1	0,00	71,8200	0,5000	0,00	50,9846	0,5937
1555	Этановая кислота (Метанкарбоновая кислота)	0,0001920	0,002775	1	0,00	71,8200	0,5000	0,00	50,9846	0,5937

251	+	1	1	Вытяжная вент.система №2 лаборатории	12,6	0,2800	0,7780	12,6350	20,0000	1	315,00 42,00	0,00 0,00	0,0000

Код в-ва	Наименование вещества	Выброс г/с	Выброс т/г	F	Лето Cm/ПДК	Лето Xm	Лето Um	Зима Cm/ПДК	Зима Xm	Зима Um
0150	Натрий гидроксид (Натр едкий)	0,0000131	0,000189	3	0,00	35,9100	0,5000	0,00	43,3053	0,9172
0302	Азотная кислота (по молекуле HNO3)	0,0005000	0,007227	1	0,00	71,8200	0,5000	0,00	86,6105	0,9172
0303	Аммиак (Азота гидрид)	0,0000492	0,000711	1	0,00	71,8200	0,5000	0,00	86,6105	0,9172
0316	Гидрохлорид (по молекуле HCl) (Водород хлорид)	0,0001320	0,001908	1	0,00	71,8200	0,5000	0,00	86,6105	0,9172
0322	Серная кислота (по молекуле H2SO4)	0,0000267	0,000386	1	0,00	71,8200	0,5000	0,00	86,6105	0,9172
0602	Бензол (Циклогексатриен; фенилгидрид)	0,0002460	0,003556	1	0,00	71,8200	0,5000	0,00	86,6105	0,9172
0621	Метилбензол (Фенилметан)	0,0000811	0,001172	1	0,00	71,8200	0,5000	0,00	86,6105	0,9172
0906	Углерод тетрахлорид	0,0004930	0,007126	1	0,00	71,8200	0,5000	0,00	86,6105	0,9172
1061	Этанол (Этиловый спирт; метилкарбинол)	0,0016700	0,024138	1	0,00	71,8200	0,5000	0,00	86,6105	0,9172
1401	Пропан-2-он (Диметилкетон; диметилформальдегид)	0,0006370	0,009207	1	0,00	71,8200	0,5000	0,00	86,6105	0,9172
1555	Этановая кислота (Метанкарбоновая кислота)	0,0001920	0,002775	1	0,00	71,8200	0,5000	0,00	86,6105	0,9172

252	+	1	1	Вытяжная вент.система №3 лаборатории	14,2	0,1600	0,2110	10,4943	20,0000	1	315,00 35,00	0,00 0,00	0,0000

Код в-ва	Наименование вещества	Выброс г/с	Выброс т/г	F	Лето Cm/ПДК	Лето Xm	Лето Um	Зима Cm/ПДК	Зима Xm	Зима Um
0150	Натрий гидроксид (Натр едкий)	0,0000131	0,000189	3	0,00	40,4700	0,5000	0,00	27,0282	0,5705
0302	Азотная кислота (по молекуле HNO3)	0,0005000	0,007227	1	0,00	80,9400	0,5000	0,00	54,0564	0,5705
0303	Аммиак (Азота гидрид)	0,0000492	0,000711	1	0,00	80,9400	0,5000	0,00	54,0564	0,5705
0316	Гидрохлорид (по молекуле HCl) (Водород хлорид)	0,0001320	0,001908	1	0,00	80,9400	0,5000	0,00	54,0564	0,5705
0322	Серная кислота (по молекуле H2SO4)	0,0000267	0,000386	1	0,00	80,9400	0,5000	0,00	54,0564	0,5705
0602	Бензол (Циклогексатриен; фенилгидрид)	0,0002460	0,003556	1	0,00	80,9400	0,5000	0,00	54,0564	0,5705
0621	Метилбензол (Фенилметан)	0,0000811	0,001172	1	0,00	80,9400	0,5000	0,00	54,0564	0,5705
0906	Углерод тетрахлорид	0,0004930	0,007126	1	0,00	80,9400	0,5000	0,00	54,0564	0,5705
1061	Этанол (Этиловый спирт; метилкарбинол)	0,0016700	0,024138	1	0,00	80,9400	0,5000	0,00	54,0564	0,5705
1401	Пропан-2-он (Диметилкетон; диметилформальдегид)	0,0006370	0,009207	1	0,00	80,9400	0,5000	0,00	54,0564	0,5705
1555	Этановая кислота (Метанкарбоновая кислота)	0,0001920	0,002775	1	0,00	80,9400	0,5000	0,00	54,0564	0,5705

№ пл.: 2, № цеха: 95

253	+	1	1	Дымовая труба МГПА №1	25	2,8100	213,1980	34,3780	440,0000	1	689,00 137,00	0,00 0,00	0,0000

Код в-ва	Наименование вещества	Выброс г/с	Выброс т/г	F	Лето Cm/ПДК	Лето Xm	Лето Um	Зима Cm/ПДК	Зима Xm	Зима Um
0301	Азота диоксид (Двуокись азота; пероксид азота)	2,0979425	64,348091	1	0,04	911,9130	14,1875	0,04	915,3659	14,4647
0304	Азот (II) оксид (Азот монооксид)	2,0454939	62,739389	1	0,02	911,9130	14,1875	0,02	915,3659	14,4647
0337	Углерода оксид (Углерод окись; углерод монооксид; угарный газ)	16,569501 6	508,21975 3	1	0,01	911,9130	14,1875	0,01	915,3659	14,4647
0410	Метан	0,2984520	89,326128	1	0,00	911,9130	14,1875	0,00	915,3659	14,4647

254	+	1	1	Свеча суфлирования маслобака двигателя МГПА №1	25	2,8100	0,8000	0,1290	20,0000	1	689,00 137,00	0,00 0,00	0,0000

Код в-ва	Наименование вещества	Выброс г/с	Выброс т/г	F	Лето Cm/ПДК	Лето Xm	Лето Um	Зима Cm/ПДК	Зима Xm	Зима Um
2735	Масло минеральное нефтяное	0,0475070	0,373901	1	0,09	142,5000	0,5000	0,24	94,1817	0,7367

255	+	1	1	Свеча суфлирования маслобака компрессора МГПА№1	11	0,0500	0,0500	25,4648	20,0000	1	689,00 133,00	0,00 0,00	0,0000

Код в-ва	Наименование вещества	Выброс г/с	Выброс т/г	F	Лето Cm/ПДК	Лето Xm	Лето Um	Зима Cm/ПДК	Зима Xm	Зима Um

2735	Масло минеральное нефтяное				0,0593838	0,467376	1	0,79	62,7000	0,5000	1,93	37,9499	0,5000
256	+	1	1	Вент.труба МГПА №1	11,95	0,4000	0,4000	3,1831	20,0000	1	698,00 133,00	0,00 0,00	0,0000

Код в-ва	Наименование вещества	Выброс г/с	Выброс т/г	F	Лето См/ПДК	Лето Xm	Лето Um	Зима См/ПДК	Зима Xm	Зима Um
0410	Метан	0,0009176	0,028938	1	0,00	68,1150	0,5000	0,00	54,8204	0,7479
0415	Смесь предельных углеводородов С1Н4-С5Н12	0,0001135	0,003579	1	0,00	68,1150	0,5000	0,00	54,8204	0,7479
0416	Смесь предельных углеводородов С6Н14-С10Н22	0,0000003	0,000011	1	0,00	68,1150	0,5000	0,00	54,8204	0,7479
2735	Масло минеральное нефтяное	0,0000160	0,000505	1	0,00	68,1150	0,5000	0,00	54,8204	0,7479
257	+	1	1	Свеча сухих газодинамических уплотнений МГПА №1	15	0,0500	0,0500	25,4648	20,0000	1	683,00 135,00	0,00 0,00	0,0000

Код в-ва	Наименование вещества	Выброс г/с	Выброс т/г	F	Лето См/ПДК	Лето Xm	Лето Um	Зима См/ПДК	Зима Xm	Зима Um
0410	Метан	9,8168334	335,052304	1	0,06	85,5000	0,5000	0,18	47,8699	0,5000
258	+	1	1	Дымовая труба МГПА №2	25	2,8100	213,1980	34,3780	440,0000	1	675,00 94,00	0,00 0,00	0,0000

Код в-ва	Наименование вещества	Выброс г/с	Выброс т/г	F	Лето См/ПДК	Лето Xm	Лето Um	Зима См/ПДК	Зима Xm	Зима Um
0301	Азота диоксид (Двуокись азота; пероксид азота)	2,0979425	64,348091	1	0,04	911,9130	14,1875	0,04	915,3659	14,4647
0304	Азот (II) оксид (Азот монооксид)	2,0454939	62,739389	1	0,02	911,9130	14,1875	0,02	915,3659	14,4647
0337	Углерода оксид (Углерод окись; углерод монооокись; угарный газ)	16,569501 6	508,219753	1	0,01	911,9130	14,1875	0,01	915,3659	14,4647
0410	Метан	0,2984520	89,326128	1	0,00	911,9130	14,1875	0,00	915,3659	14,4647
259	+	1	1	Свеча суфлирования маслобака двигателя МГПА №2	25	2,8100	0,8000	0,1290	20,0000	1	675,00 94,00	0,00 0,00	0,0000

Код в-ва	Наименование вещества	Выброс г/с	Выброс т/г	F	Лето См/ПДК	Лето Xm	Лето Um	Зима См/ПДК	Зима Xm	Зима Um
2735	Масло минеральное нефтяное	0,0475070	0,373901	1	0,09	142,5000	0,5000	0,24	94,1817	0,7367
260	+	1	1	Свеча суфлирования маслобака компрессора МГПА№2	11	0,0500	0,0500	25,4648	20,0000	1	673,00 91,00	0,00 0,00	0,0000

Код в-ва	Наименование вещества	Выброс г/с	Выброс т/г	F	Лето См/ПДК	Лето Xm	Лето Um	Зима См/ПДК	Зима Xm	Зима Um
2735	Масло минеральное нефтяное	0,0593838	0,467376	1	0,79	62,7000	0,5000	1,93	37,9499	0,5000
261	+	1	1	Вент.труба МГПА №2	11,95	2,8100	4,9600	0,7998	20,0000	1	684,00 90,00	0,00 0,00	0,0000

Код в-ва	Наименование вещества	Выброс г/с	Выброс т/г	F	Лето См/ПДК	Лето Xm	Лето Um	Зима См/ПДК	Зима Xm	Зима Um
0410	Метан	0,0009176	0,028938	1	0,00	68,1150	0,5000	0,00	121,0716	1,7310
0415	Смесь предельных углеводородов С1Н4-С5Н12	0,0001135	0,003579	1	0,00	68,1150	0,5000	0,00	121,0716	1,7310
0416	Смесь предельных углеводородов С6Н14-С10Н22	0,0000003	0,000011	1	0,00	68,1150	0,5000	0,00	121,0716	1,7310
2735	Масло минеральное нефтяное	0,0000160	0,000505	1	0,00	68,1150	0,5000	0,00	121,0716	1,7310
262	+	1	1	Свеча сухих газодинамических уплотнений МГПА №2	15	0,0500	0,0500	25,4648	20,0000	1	669,00 91,00	0,00 0,00	0,0000

Код в-ва	Наименование вещества	Выброс г/с	Выброс т/г	F	Лето См/ПДК	Лето Xm	Лето Um	Зима См/ПДК	Зима Xm	Зима Um
0410	Метан	9,8168334	335,052304	1	0,06	85,5000	0,5000	0,18	47,8699	0,5000
263	+	1	1	Дымовая труба МГПА №3	25	2,8100	213,1980	34,3780	440,0000	1	661,00 51,00	0,00 0,00	0,0000

Код в-ва	Наименование вещества	Выброс г/с	Выброс т/г	F	Лето См/ПДК	Лето Xm	Лето Um	Зима См/ПДК	Зима Xm	Зима Um
0301	Азота диоксид (Двуокись азота; пероксид азота)	2,0979425	64,348091	1	0,04	911,9130	14,1875	0,04	915,3659	14,4647
0304	Азот (II) оксид (Азот монооксид)	2,0454939	62,739389	1	0,02	911,9130	14,1875	0,02	915,3659	14,4647
0337	Углерода оксид (Углерод окись; углерод монооокись; угарный газ)	16,569501 6	508,219753	1	0,01	911,9130	14,1875	0,01	915,3659	14,4647
0410	Метан	0,2984520	89,326128	1	0,00	911,9130	14,1875	0,00	915,3659	14,4647
264	+	1	1	Свеча суфлирования маслобака двигателя МГПА №3	25	2,8100	0,8000	0,1290	20,0000	1	661,00 51,00	0,00 0,00	0,0000

Код в-ва	Наименование вещества	Выброс г/с	Выброс т/г	F	Лето См/ПДК	Лето Xm	Лето Um	Зима См/ПДК	Зима Xm	Зима Um
2735	Масло минеральное нефтяное	0,0475070	0,373901	1	0,09	142,5000	0,5000	0,24	94,1817	0,7367
265	+	1	1	Свеча суфлирования маслобака компрессора МГПА№3	11	0,0500	0,0500	25,4648	20,0000	1	658,00 48,00	0,00 0,00	0,0000

Код в-ва	Наименование вещества	Выброс г/с	Выброс т/г	F	Лето См/ПДК	Лето Xm	Лето Um	Зима См/ПДК	Зима Xm	Зима Um
2735	Масло минеральное нефтяное	0,0593838	0,467376	1	0,79	62,7000	0,5000	1,93	37,9499	0,5000

266	+	1	1	Вент.труба МГПА №3	11,95	0,4000	0,4000	3,1831	20,0000	1	670,00 48,00	0,00 0,00	0,0000

Код в-ва	Наименование вещества	Выброс г/с	Выброс т/г	F	Лето См/ПДК	Лето Xm	Лето Um	Зима См/ПДК	Зима Xm	Зима Um
0410	Метан	0,0009176	0,028938	1	0,00	68,1150	0,5000	0,00	54,8204	0,7479
0415	Смесь предельных углеводородов С1Н4-С5Н12	0,0001135	0,003579	1	0,00	68,1150	0,5000	0,00	54,8204	0,7479
0416	Смесь предельных углеводородов С6Н14-С10Н22	0,0000003	0,000011	1	0,00	68,1150	0,5000	0,00	54,8204	0,7479
2735	Масло минеральное нефтяное	0,0000160	0,000505	1	0,00	68,1150	0,5000	0,00	54,8204	0,7479

267	+	1	1	Свеча сухих газодинамических уплотнений МГПА №3	15	0,0500	0,0500	25,4648	20,0000	1	654,00 48,00	0,00 0,00	0,0000

Код в-ва	Наименование вещества	Выброс г/с	Выброс т/г	F	Лето См/ПДК	Лето Xm	Лето Um	Зима См/ПДК	Зима Xm	Зима Um
0410	Метан	9,8168334	335,052304	1	0,06	85,5000	0,5000	0,18	47,8699	0,5000

268	+	1	1	Дымовая труба МГПА №4	25	2,8100	213,1980	34,3780	440,0000	1	640,00 -10,00	0,00 0,00	0,0000

Код в-ва	Наименование вещества	Выброс г/с	Выброс т/г	F	Лето См/ПДК	Лето Xm	Лето Um	Зима См/ПДК	Зима Xm	Зима Um
0301	Азота диоксид (Двуокись азота; пероксид азота)	2,0979425	64,348091	1	0,04	911,9130	14,1875	0,04	915,3659	14,4647
0304	Азот (II) оксид (Азот монооксид)	2,0454939	62,739389	1	0,02	911,9130	14,1875	0,02	915,3659	14,4647
0337	Углерода оксид (Углерод окись; углерод монооокись; угарный газ)	16,569501 6	508,219753	1	0,01	911,9130	14,1875	0,01	915,3659	14,4647
0410	Метан	0,2984520	89,326128	1	0,00	911,9130	14,1875	0,00	915,3659	14,4647

269	+	1	1	Свеча суфлирования маслобака двигателя МГПА №4	25	2,8100	0,8000	0,1290	20,0000	1	640,00 -10,00	0,00 0,00	0,0000

Код в-ва	Наименование вещества	Выброс г/с	Выброс т/г	F	Лето См/ПДК	Лето Xm	Лето Um	Зима См/ПДК	Зима Xm	Зима Um
2735	Масло минеральное нефтяное	0,0047507	0,373901	1	0,01	142,5000	0,5000	0,02	94,1817	0,7367

270	+	1	1	Свеча суфлирования маслобака компрессора МГПА№4	11	0,0500	0,0500	25,4648	20,0000	1	633,00 -12,00	0,00 0,00	0,0000

Код в-ва	Наименование вещества	Выброс г/с	Выброс т/г	F	Лето См/ПДК	Лето Xm	Лето Um	Зима См/ПДК	Зима Xm	Зима Um
2735	Масло минеральное нефтяное	0,0059384	0,467376	1	0,08	62,7000	0,5000	0,19	37,9499	0,5000

271	+	1	1	Вент.труба МГПА №4	11,95	0,4000	0,4000	3,1831	20,0000	1	650,00 -15,00	0,00 0,00	0,0000

Код в-ва	Наименование вещества	Выброс г/с	Выброс т/г	F	Лето См/ПДК	Лето Xm	Лето Um	Зима См/ПДК	Зима Xm	Зима Um
0410	Метан	0,0009176	0,028938	1	0,00	68,1150	0,5000	0,00	54,8204	0,7479
0415	Смесь предельных углеводородов С1Н4-С5Н12	0,0001135	0,003579	1	0,00	68,1150	0,5000	0,00	54,8204	0,7479
0416	Смесь предельных углеводородов С6Н14-С10Н22	0,0000003	0,000011	1	0,00	68,1150	0,5000	0,00	54,8204	0,7479
2735	Масло минеральное нефтяное	0,0000160	0,000505	1	0,00	68,1150	0,5000	0,00	54,8204	0,7479

272	+	1	1	Свеча сухих газодинамических уплотнений МГПА №4	15	0,0500	0,0500	25,4648	20,0000	1	633,00 -14,00	0,00 0,00	0,0000

Код в-ва	Наименование вещества	Выброс г/с	Выброс т/г	F	Лето См/ПДК	Лето Xm	Лето Um	Зима См/ПДК	Зима Xm	Зима Um
0410	Метан	0,9816833	335,052304	1	0,01	85,5000	0,5000	0,02	47,8699	0,5000

273	+	1	1	Дымовая труба установки подготовки газа	7,27	0,7000	0,8550	2,2217	200,0000	1	640,00 156,00	0,00 0,00	0,0000

Код в-ва	Наименование вещества	Выброс г/с	Выброс т/г	F	Лето См/ПДК	Лето Xm	Лето Um	Зима См/ПДК	Зима Xm	Зима Um
0301	Азота диоксид (Двуокись азота; пероксид азота)	0,1041458	4,589037	1	0,39	77,5861	1,7968	0,36	82,6822	1,9384
0304	Азот (II) оксид (Азот монооксид)	0,1015421	4,474311	1	0,19	77,5861	1,7968	0,18	82,6822	1,9384
0337	Углерода оксид (Углерод окись; углерод монооокись; угарный газ)	1,8009038	9,666000	1	0,27	77,5861	1,7968	0,25	82,6822	1,9384
0703	Бенз/а/пирен	0,0000003	6,000000E-07	3	0,00	38,7931	1,7968	0,00	41,3411	1,9384

274	+	1	1	Вент.труба установки подготовки газа	8,1	0,4000	0,4000	3,1831	20,0000	1	644,00 150,00	0,00 0,00	0,0000

Код в-ва	Наименование вещества	Выброс г/с	Выброс т/г	F	Лето См/ПДК	Лето Xm	Лето Um	Зима См/ПДК	Зима Xm	Зима Um
0410	Метан	0,0018352	0,057876	1	0,00	46,1700	0,5000	0,00	44,7181	0,8514
0415	Смесь предельных углеводородов С1Н4-С5Н12	0,0002270	0,007158	1	0,00	46,1700	0,5000	0,00	44,7181	0,8514
0416	Смесь предельных углеводородов С6Н14-С10Н22	0,0000007	0,000021	1	0,00	46,1700	0,5000	0,00	44,7181	0,8514

275	+	1	1	Свеча насосной масел	9,6	0,0500	0,0500	25,4648	20,0000	1	557,00 58,00	0,00 0,00	0,0000

Код в-ва	Наименование вещества	Выброс	F	Лето См/ПДК	Лето Xm	Лето Um	Зима См/ПДК	Зима Xm	Зима Um

					г/с	т/г							
2735				Масло минеральное нефтяное	0,0001235	0,000050	1	0,00	54,7200	0,5000	0,01	34,4779	0,5000
276	+	1	1	Вент.труба насосной масел	8	0,3000	0,3000	4,2441	20,0000	1	560,00 55,00	0,00 0,00	0,0000

Код в-ва	Наименование вещества	Выброс г/с	Выброс т/г	F	Лето См/ПДК	Лето Xm	Лето Um	Зима См/ПДК	Зима Xm	Зима Um
2735	Масло минеральное нефтяное	0,0217160	0,684836	1	0,61	45,6000	0,5000	0,83	41,3411	0,7767
306	+ 1 1 Дымовая труба МГПА №5	25	2,8100	213,1980	34,3780	440,0000	1	625,00 -53,00	0,00 0,00	0,0000

Код в-ва	Наименование вещества	Выброс г/с	Выброс т/г	F	Лето См/ПДК	Лето Xm	Лето Um	Зима См/ПДК	Зима Xm	Зима Um
0301	Азота диоксид (Двуокись азота; пероксид азота)	2,0979425	64,348091	1	0,04	911,9130	14,1875	0,04	915,3659	14,4647
0304	Азот (II) оксид (Азот монооксид)	2,0454939	62,739389	1	0,02	911,9130	14,1875	0,02	915,3659	14,4647
0337	Углерода оксид (Углерод окись; углерод монооокись; угарный газ)	16,569501 6	508,21975 3	1	0,01	911,9130	14,1875	0,01	915,3659	14,4647
0410	Метан	0,2984520	89,326128	1	0,00	911,9130	14,1875	0,00	915,3659	14,4647
307	+ 1 1 Свеча суфлирования маслобака двигателя МГПА №5	25	2,8100	2,8100	0,4531	20,0000	1	625,00 -53,00	0,00 0,00	0,0000

Код в-ва	Наименование вещества	Выброс г/с	Выброс т/г	F	Лето См/ПДК	Лето Xm	Лето Um	Зима См/ПДК	Зима Xm	Зима Um
2735	Масло минеральное нефтяное	0,0047507	0,373901	1	0,01	142,5000	0,5000	0,01	149,1687	1,1199
308	+ 1 1 Свеча суфлирования маслобака компрессора МГПА№5	11	0,0500	0,0500	25,4648	20,0000	1	619,00 -55,00	0,00 0,00	0,0000

Код в-ва	Наименование вещества	Выброс г/с	Выброс т/г	F	Лето См/ПДК	Лето Xm	Лето Um	Зима См/ПДК	Зима Xm	Зима Um
2735	Масло минеральное нефтяное	0,0059384	0,467376	1	0,08	62,7000	0,5000	0,19	37,9499	0,5000
309	+ 1 1 Вент.труба МГПА №5	11,95	0,4000	0,4000	3,1831	20,0000	1	634,00 -57,00	0,00 0,00	0,0000

Код в-ва	Наименование вещества	Выброс г/с	Выброс т/г	F	Лето См/ПДК	Лето Xm	Лето Um	Зима См/ПДК	Зима Xm	Зима Um
0410	Метан	0,0009176	0,028938	1	0,00	68,1150	0,5000	0,00	54,8204	0,7479
0415	Смесь предельных углеводородов С1Н4-С5Н12	0,0001135	0,003579	1	0,00	68,1150	0,5000	0,00	54,8204	0,7479
0416	Смесь предельных углеводородов С6Н14-С10Н22	0,0000003	0,000011	1	0,00	68,1150	0,5000	0,00	54,8204	0,7479
2735	Масло минеральное нефтяное	0,0000160	0,000505	1	0,00	68,1150	0,5000	0,00	54,8204	0,7479
310	+ 1 1 Свеча сухих газодинамических уплотнений МГПА №5	15	0,0500	0,0500	25,4648	20,0000	1	618,00 -56,00	0,00 0,00	0,0000

Код в-ва	Наименование вещества	Выброс г/с	Выброс т/г	F	Лето См/ПДК	Лето Xm	Лето Um	Зима См/ПДК	Зима Xm	Зима Um
0410	Метан	9,8168334	335,05230 4	1	0,06	85,5000	0,5000	0,18	47,8699	0,5000
315	1 1 Дымовая труба МГПА №6	25	2,8100	213,1980	34,3780	440,0000	1	611,00 -95,00	0,00 0,00	0,0000

Код в-ва	Наименование вещества	Выброс г/с	Выброс т/г	F	Лето См/ПДК	Лето Xm	Лето Um	Зима См/ПДК	Зима Xm	Зима Um
0301	Азота диоксид (Двуокись азота; пероксид азота)	2,0979425	64,348091	1	0,04	911,9130	14,1875	0,04	915,3659	14,4647
0304	Азот (II) оксид (Азот монооксид)	2,0454939	62,739389	1	0,02	911,9130	14,1875	0,02	915,3659	14,4647
0337	Углерода оксид (Углерод окись; углерод монооокись; угарный газ)	16,569501 6	508,21975 3	1	0,01	911,9130	14,1875	0,01	915,3659	14,4647
0410	Метан	0,2984520	89,326128	1	0,00	911,9130	14,1875	0,00	915,3659	14,4647
316	+ 1 1 Свеча суфлирования маслобака двигателя МГПА №6	25	2,8100	2,8100	0,4531	20,0000	1	611,00 -95,00	0,00 0,00	0,0000

Код в-ва	Наименование вещества	Выброс г/с	Выброс т/г	F	Лето См/ПДК	Лето Xm	Лето Um	Зима См/ПДК	Зима Xm	Зима Um
2735	Масло минеральное нефтяное	0,0475070	0,373901	1	0,09	142,5000	0,5000	0,11	149,1687	1,1199
317	+ 1 1 Свеча суфлирования маслобака компрессора МГПА№6	11	0,0500	0,0500	25,4648	20,0000	1	604,00 -98,00	0,00 0,00	0,0000

Код в-ва	Наименование вещества	Выброс г/с	Выброс т/г	F	Лето См/ПДК	Лето Xm	Лето Um	Зима См/ПДК	Зима Xm	Зима Um
2735	Масло минеральное нефтяное	0,0593838	0,467376	1	0,79	62,7000	0,5000	1,93	37,9499	0,5000
318	+ 1 1 Вент.труба МГПА №6	11,95	0,4000	0,4000	3,1831	20,0000	1	620,00 -99,00	0,00 0,00	0,0000

Код в-ва	Наименование вещества	Выброс г/с	Выброс т/г	F	Лето См/ПДК	Лето Xm	Лето Um	Зима См/ПДК	Зима Xm	Зима Um
0410	Метан	0,0009176	0,028938	1	0,00	68,1150	0,5000	0,00	54,8204	0,7479
0415	Смесь предельных углеводородов С1Н4-С5Н12	0,0001135	0,003579	1	0,00	68,1150	0,5000	0,00	54,8204	0,7479
0416	Смесь предельных углеводородов С6Н14-С10Н22	0,0000003	0,000011	1	0,00	68,1150	0,5000	0,00	54,8204	0,7479
2735	Масло минеральное нефтяное	0,0000160	0,000505	1	0,00	68,1150	0,5000	0,00	54,8204	0,7479

319	+	1	1	Свеча сухих газодинамических уплотнений МГПА №6	15	0,0500	0,0500	25,4648	20,0000	1	603,00 -100,00	0,00 0,00	0,0000

Код в-ва	Наименование вещества	Выброс г/с	Выброс т/г	F	Лето Cm/ПДК	Лето Xm	Лето Um	Зима Cm/ПДК	Зима Xm	Зима Um
0410	Метан	9,8168334	335,052304	1	0,06	85,5000	0,5000	0,18	47,8699	0,5000

6346	+	1	3	Дыхательный клапан емкости дренажной Е-1 МГПА №1	2	0,0000			-	1	680,00 123,00	683,00 122,00	2,0000

Код в-ва	Наименование вещества	Выброс г/с	Выброс т/г	F	Лето Cm/ПДК	Лето Xm	Лето Um	Зима Cm/ПДК	Зима Xm	Зима Um
0410	Метан	0,0000008	0,000031	1	0,00	11,4000	0,5000	0,00	11,4000	0,5000
0415	Смесь предельных углеводородов С1Н4-С5Н12	0,0007230	0,028300	1	0,00	11,4000	0,5000	0,00	11,4000	0,5000
0416	Смесь предельных углеводородов С6Н14-С10Н22	0,0000059	0,000230	1	0,00	11,4000	0,5000	0,00	11,4000	0,5000

6347	+	1	3	Дыхательный клапан емкости дренажной Е-1 МГПА №2	2	0,0000			-	1	666,00 81,00	669,00 80,00	0,2000

Код в-ва	Наименование вещества	Выброс г/с	Выброс т/г	F	Лето Cm/ПДК	Лето Xm	Лето Um	Зима Cm/ПДК	Зима Xm	Зима Um
0410	Метан	0,0000008	0,000031	1	0,00	11,4000	0,5000	0,00	11,4000	0,5000
0415	Смесь предельных углеводородов С1Н4-С5Н12	0,0007230	0,028300	1	0,00	11,4000	0,5000	0,00	11,4000	0,5000
0416	Смесь предельных углеводородов С6Н14-С10Н22	0,0000059	0,000230	1	0,00	11,4000	0,5000	0,00	11,4000	0,5000

6348	+	1	3	Дыхательный клапан емкости дренажной Е-1 МГПА №3	2	0,0000			-	1	651,00 38,00	654,00 37,00	2,0000

Код в-ва	Наименование вещества	Выброс г/с	Выброс т/г	F	Лето Cm/ПДК	Лето Xm	Лето Um	Зима Cm/ПДК	Зима Xm	Зима Um
0410	Метан	0,0000008	0,000031	1	0,00	11,4000	0,5000	0,00	11,4000	0,5000
0415	Смесь предельных углеводородов С1Н4-С5Н12	0,0007230	0,028300	1	0,00	11,4000	0,5000	0,00	11,4000	0,5000
0416	Смесь предельных углеводородов С6Н14-С10Н22	0,0000059	0,000230	1	0,00	11,4000	0,5000	0,00	11,4000	0,5000

6349	+	1	3	Дыхательный клапан емкости дренажной Е-1 МГПА №4	2	0,0000			-	1	631,00 -24,00	634,00 -25,00	2,0000

Код в-ва	Наименование вещества	Выброс г/с	Выброс т/г	F	Лето Cm/ПДК	Лето Xm	Лето Um	Зима Cm/ПДК	Зима Xm	Зима Um
0410	Метан	0,0000008	0,000031	1	0,00	11,4000	0,5000	0,00	11,4000	0,5000
0415	Смесь предельных углеводородов С1Н4-С5Н12	0,0007230	0,028300	1	0,00	11,4000	0,5000	0,00	11,4000	0,5000
0416	Смесь предельных углеводородов С6Н14-С10Н22	0,0000059	0,000230	1	0,00	11,4000	0,5000	0,00	11,4000	0,5000

6351	+	1	3	Емкость дренажная Е-3-1	2	0,0000			-	1	705,00 147,00	708,00 146,00	2,0000

Код в-ва	Наименование вещества	Выброс г/с	Выброс т/г	F	Лето Cm/ПДК	Лето Xm	Лето Um	Зима Cm/ПДК	Зима Xm	Зима Um
2735	Масло минеральное нефтяное	0,0004550	0,000055	1	0,33	11,4000	0,5000	0,33	11,4000	0,5000

6352	+	1	3	Емкость дренажная Е-3-2	2	0,0000			-	1	691,00 105,00	694,00 104,00	2,0000

Код в-ва	Наименование вещества	Выброс г/с	Выброс т/г	F	Лето Cm/ПДК	Лето Xm	Лето Um	Зима Cm/ПДК	Зима Xm	Зима Um
2735	Масло минеральное нефтяное	0,0004550	0,000455	1	0,33	11,4000	0,5000	0,33	11,4000	0,5000

6353	+	1	3	Емкость дренажная Е-3-3	2	0,0000			-	1	677,00 62,00	680,00 61,00	2,0000

Код в-ва	Наименование вещества	Выброс г/с	Выброс т/г	F	Лето Cm/ПДК	Лето Xm	Лето Um	Зима Cm/ПДК	Зима Xm	Зима Um
2735	Масло минеральное нефтяное	0,0004550	0,000455	1	0,33	11,4000	0,5000	0,33	11,4000	0,5000

6354	+	1	3	Емкость дренажная Е-3-4	2	0,0000			-	1	656,00 0,00	659,00 -1,00	2,0000

Код в-ва	Наименование вещества	Выброс г/с	Выброс т/г	F	Лето Cm/ПДК	Лето Xm	Лето Um	Зима Cm/ПДК	Зима Xm	Зима Um
2735	Масло минеральное нефтяное	0,0004550	0,000455	1	0,33	11,4000	0,5000	0,33	11,4000	0,5000

6355	+	1	3	Емкость дренажная Е-4-1	2	0,0000			-	1	642,00 -42,00	645,00 -43,00	2,0000

Код в-ва	Наименование вещества	Выброс г/с	Выброс т/г	F	Лето Cm/ПДК	Лето Xm	Лето Um	Зима Cm/ПДК	Зима Xm	Зима Um
2735	Масло минеральное нефтяное	0,0004550	0,000455	1	0,33	11,4000	0,5000	0,33	11,4000	0,5000

6356	+	1	3	Емкость дренажная Е-4-2	2	0,0000			-	1	628,00 -85,00	630,00 -86,00	2,0000

Код в-ва	Наименование вещества	Выброс г/с	Выброс т/г	F	Лето Cm/ПДК	Лето Xm	Лето Um	Зима Cm/ПДК	Зима Xm	Зима Um
2735	Масло минеральное нефтяное	0,0004550	0,000455	1	0,33	11,4000	0,5000	0,33	11,4000	0,5000

6357	+	1	3	Емкость дренажная Е-7	2	0,0000			-	1	579,00 15,00	581,00 15,00	2,0000

Код в-ва	Наименование вещества	Выброс г/с	Выброс т/г	F	Лето См/ПДК	Лето Xm	Лето Um	Зима См/ПДК	Зима Xm	Зима Um
0333	Дигидросульфид (Водород сернистый, дигидросульфид, гидросульфид)	0,0000085	0,000001	1	0,04	11,4000	0,5000	0,04	11,4000	0,5000
2754	Алканы С12-С19 (в пересчете на С)	0,0030419	0,000531	1	0,11	11,4000	0,5000	0,11	11,4000	0,5000

6358	+	1	3	Дыхательный клапан емкости дренажной Е-1 МГПА №5	2	0,0000			-	1	617,00 -66,00	619,00 -67,00	2,0000

Код в-ва	Наименование вещества	Выброс г/с	Выброс т/г	F	Лето См/ПДК	Лето Xm	Лето Um	Зима См/ПДК	Зима Xm	Зима Um
0410	Метан	0,0000008	0,000031	1	0,00	11,4000	0,5000	0,00	11,4000	0,5000
0416	Смесь предельных углеводородов С6Н14-С10Н22	0,0007230	0,028300	1	0,00	11,4000	0,5000	0,00	11,4000	0,5000
1052	Метиловый спирт	0,0000059	0,000230	1	0,00	11,4000	0,5000	0,00	11,4000	0,5000

6359	+	1	3	Емкость дренажная Е-1 МГПА №6	2	0,0000			-	1	603,00 -109,00	605,00 -110,00	2,0000

Код в-ва	Наименование вещества	Выброс г/с	Выброс т/г	F	Лето См/ПДК	Лето Xm	Лето Um	Зима См/ПДК	Зима Xm	Зима Um
0410	Метан	0,0000008	0,000031	1	0,00	11,4000	0,5000	0,00	11,4000	0,5000
0416	Смесь предельных углеводородов С6Н14-С10Н22	0,0007230	0,028300	1	0,00	11,4000	0,5000	0,00	11,4000	0,5000
1052	Метиловый спирт	0,0000059	0,000230	1	0,00	11,4000	0,5000	0,00	11,4000	0,5000

6360	+	1	3	Неплотности фланцев наружной обвязки МГПА	2	0,0000			-	1	744,00 139,00	654,00 -128,00	2,0000

Код в-ва	Наименование вещества	Выброс г/с	Выброс т/г	F	Лето См/ПДК	Лето Xm	Лето Um	Зима См/ПДК	Зима Xm	Зима Um
0410	Метан	0,0110114	0,347255	1	0,01	11,4000	0,5000	0,01	11,4000	0,5000
0415	Смесь предельных углеводородов С1Н4-С5Н12	0,0013618	0,042946	1	0,00	11,4000	0,5000	0,00	11,4000	0,5000
0416	Смесь предельных углеводородов С6Н14-С10Н22	0,0000040	0,000127	1	0,00	11,4000	0,5000	0,00	11,4000	0,5000
2735	Масло минеральное нефтяное	0,0000960	0,003027	1	0,07	11,4000	0,5000	0,07	11,4000	0,5000

6361	+	1	3	Неплотности фланцевых соединений. УПГ	2	0,0000			-	1	652,00 144,00	649,00 134,00	2,0000

Код в-ва	Наименование вещества	Выброс г/с	Выброс т/г	F	Лето См/ПДК	Лето Xm	Лето Um	Зима См/ПДК	Зима Xm	Зима Um
0410	Метан	0,0009176	0,028938	1	0,00	11,4000	0,5000	0,00	11,4000	0,5000
0415	Смесь предельных углеводородов С1Н4-С5Н12	0,0001135	0,003579	1	0,00	11,4000	0,5000	0,00	11,4000	0,5000
0416	Смесь предельных углеводородов С6Н14-С10Н22	0,0000003	0,000011	1	0,00	11,4000	0,5000	0,00	11,4000	0,5000

6362	+	1	3	Неплотности фланцевых соединений. Расходный склад масел	2	0,0000			-	1	581,00 44,00	609,00 34,00	2,0000

Код в-ва	Наименование вещества	Выброс г/с	Выброс т/г	F	Лето См/ПДК	Лето Xm	Лето Um	Зима См/ПДК	Зима Xm	Зима Um
2735	Масло минеральное нефтяное	0,0001280	0,004037	1	0,09	11,4000	0,5000	0,09	11,4000	0,5000

6363	+	1	3	Неплотности фланцевых соединений. Площадка АДЭС №1-3	2	0,0000			-	1	582,00 7,00	602,00 1,00	2,0000

Код в-ва	Наименование вещества	Выброс г/с	Выброс т/г	F	Лето См/ПДК	Лето Xm	Лето Um	Зима См/ПДК	Зима Xm	Зима Um
0333	Дигидросульфид (Водород сернистый, дигидросульфид, гидросульфид)	0,0000002	0,000007	1	0,00	11,4000	0,5000	0,00	11,4000	0,5000
2754	Алканы С12-С19 (в пересчете на С)	0,0000830	0,002616	1	0,00	11,4000	0,5000	0,00	11,4000	0,5000

6364	+	1	3	Неплотности фланцевых соединений. Сети технологические	2	0,0000			-	1	628,00 43,00	683,00 46,00	5,0000

Код в-ва	Наименование вещества	Выброс г/с	Выброс т/г	F	Лето См/ПДК	Лето Xm	Лето Um	Зима См/ПДК	Зима Xm	Зима Um
0410	Метан	0,0015455	0,048738	1	0,00	11,4000	0,5000	0,00	11,4000	0,5000
0415	Смесь предельных углеводородов С1Н4-С5Н12	0,0001911	0,006027	1	0,00	11,4000	0,5000	0,00	11,4000	0,5000
0416	Смесь предельных углеводородов С6Н14-С10Н22	0,0000006	0,000018	1	0,00	11,4000	0,5000	0,00	11,4000	0,5000
2735	Масло минеральное нефтяное	0,0000320	0,001009	1	0,02	11,4000	0,5000	0,02	11,4000	0,5000

№ пл.: 3, № цеха: 0

325	+	1	1	Вент.труба блока ТДА-201-5	7	0,2000	0,0450	1,4324	16,0000	1	769,00 -74,00	0,00 0,00	0,0000

Код в-ва	Наименование вещества	Выброс г/с	Выброс т/г	F	Лето См/ПДК	Лето Xm	Лето Um	Зима См/ПДК	Зима Xm	Зима Um
0410	Метан	0,0001360	0,004162	1	0,00	39,9000	0,5000	0,00	19,7607	0,5000
0415	Смесь предельных углеводородов С1Н4-С5Н12	0,0000417	0,001280	1	0,00	39,9000	0,5000	0,00	19,7607	0,5000
0416	Смесь предельных углеводородов С6Н14-С10Н22	0,0000015	0,000052	1	0,00	39,9000	0,5000	0,00	19,7607	0,5000
1052	Метиловый спирт	5,0000000 E-08	0,000001	1	0,00	39,9000	0,5000	0,00	19,7607	0,5000
2754	Алканы С12-С19 (в пересчете на С)	2,5000000 E-09	5,000000E -08	1	0,00	39,9000	0,5000	0,00	19,7607	0,5000

326	+	1	1	Вент.труба блока ТДА-201-5	7	0,2000	0,0450	1,4324	16,0000	1	769,00	0,00	0,0000

											-77,00	0,00	

Код в-ва	Наименование вещества	Выброс г/с	Выброс т/г	F	Лето См/ПДК	Лето Xm	Лето Um	Зима См/ПДК	Зима Xm	Зима Um
0410	Метан	0,0001360	0,004162	1	0,00	39,9000	0,5000	0,00	19,7607	0,5000
0415	Смесь предельных углеводородов С1Н4-С5Н12	0,0000417	0,001280	1	0,00	39,9000	0,5000	0,00	19,7607	0,5000
0416	Смесь предельных углеводородов С6Н14-С10Н22	0,0000015	0,000052	1	0,00	39,9000	0,5000	0,00	19,7607	0,5000
1052	Метиловый спирт	5,0000000 Е-08	0,000001	1	0,00	39,9000	0,5000	0,00	19,7607	0,5000
2754	Алканы С12-С19 (в пересчете на С)	2,5000000 Е-09	5,000000Е -08	1	0,00	39,9000	0,5000	0,00	19,7607	0,5000

327	+	1	1	Вент.труба блока ТДА-201-6	7	0,2000	0,0450	1,4324	16,0000	1	812,00 -134,00	0,00 0,00	0,0000

Код в-ва	Наименование вещества	Выброс г/с	Выброс т/г	F	Лето См/ПДК	Лето Xm	Лето Um	Зима См/ПДК	Зима Xm	Зима Um
0410	Метан	0,0001360	0,004162	1	0,00	39,9000	0,5000	0,00	19,7607	0,5000
0415	Смесь предельных углеводородов С1Н4-С5Н12	0,0000417	0,001280	1	0,00	39,9000	0,5000	0,00	19,7607	0,5000
0416	Смесь предельных углеводородов С6Н14-С10Н22	0,0000015	0,000052	1	0,00	39,9000	0,5000	0,00	19,7607	0,5000
1052	Метиловый спирт	5,0000000 Е-08	0,000001	1	0,00	39,9000	0,5000	0,00	19,7607	0,5000
2754	Алканы С12-С19 (в пересчете на С)	2,5000000 Е-09	5,000000Е -08	1	0,00	39,9000	0,5000	0,00	19,7607	0,5000

328	+	1	1	Вент.труба блока ТДА-201-6	7	0,2000	0,0450	1,4324	16,0000	1	812,00 -137,00	0,00 0,00	0,0000

Код в-ва	Наименование вещества	Выброс г/с	Выброс т/г	F	Лето См/ПДК	Лето Xm	Лето Um	Зима См/ПДК	Зима Xm	Зима Um
0410	Метан	0,0001360	0,004162	1	0,00	39,9000	0,5000	0,00	19,7607	0,5000
0415	Смесь предельных углеводородов С1Н4-С5Н12	0,0000417	0,001280	1	0,00	39,9000	0,5000	0,00	19,7607	0,5000
0416	Смесь предельных углеводородов С6Н14-С10Н22	0,0000015	0,000052	1	0,00	39,9000	0,5000	0,00	19,7607	0,5000
1052	Метиловый спирт	5,0000000 Е-08	0,000001	1	0,00	39,9000	0,5000	0,00	19,7607	0,5000
2754	Алканы С12-С19 (в пересчете на С)	2,5000000 Е-09	5,000000Е -08	1	0,00	39,9000	0,5000	0,00	19,7607	0,5000

329	+	1	1	Свеча топливного бака ДЭС	4	0,0500	0,0013	0,6621	40,0000	1	747,00 -149,00	0,00 0,00	0,0000

Код в-ва	Наименование вещества	Выброс г/с	Выброс т/г	F	Лето См/ПДК	Лето Xm	Лето Um	Зима См/ПДК	Зима Xm	Зима Um
0333	Дигидросульфид (Водород сернистый, дигидросульфид, гидросульфид)	0,0000015	1,000000Е -07	1	0,01	10,1974	0,5000	0,01	10,1974	0,5000
2754	Алканы С12-С19 (в пересчете на С)	0,0005395	0,000038	1	0,02	10,1974	0,5000	0,02	10,1974	0,5000

330	+	1	1	Свеча маслобака ДЭС	4	0,0500	0,0010	0,4889	40,0000	1	747,00 -148,00	0,00 0,00	0,0000

Код в-ва	Наименование вещества	Выброс г/с	Выброс т/г	F	Лето См/ПДК	Лето Xm	Лето Um	Зима См/ПДК	Зима Xm	Зима Um
2735	Масло минеральное нефтяное	0,0003670	9,000000Е -08	1	0,24	10,1249	0,5000	0,24	10,1249	0,5000

6421	+	1	3	Неорг.выброс уст. узла входа шлейфов	2	0,0000			-	1	926,00 99,00	936,00 95,00	15,0000

Код в-ва	Наименование вещества	Выброс г/с	Выброс т/г	F	Лето См/ПДК	Лето Xm	Лето Um	Зима См/ПДК	Зима Xm	Зима Um
0410	Метан	0,0197560	0,605940	1	0,01	11,4000	0,5000	0,01	11,4000	0,5000
0415	Смесь предельных углеводородов С1Н4-С5Н12	0,0081990	0,251485	1	0,00	11,4000	0,5000	0,00	11,4000	0,5000
0416	Смесь предельных углеводородов С6Н14-С10Н22	0,0039170	0,120135	1	0,00	11,4000	0,5000	0,00	11,4000	0,5000
1052	Метиловый спирт	0,0001000	0,003076	1	0,00	11,4000	0,5000	0,00	11,4000	0,5000
2754	Алканы С12-С19 (в пересчете на С)	0,0012818	0,037369	1	0,05	11,4000	0,5000	0,05	11,4000	0,5000

6422	+	1	3	Неорг.выброс сепараторы СП-111-3,4	2	0,0000			-	1	862,00 89,00	892,00 80,00	30,0000

Код в-ва	Наименование вещества	Выброс г/с	Выброс т/г	F	Лето См/ПДК	Лето Xm	Лето Um	Зима См/ПДК	Зима Xm	Зима Um
0410	Метан	0,0503550	1,544474	1	0,04	11,4000	0,5000	0,04	11,4000	0,5000
0415	Смесь предельных углеводородов С1Н4-С5Н12	0,0210800	0,646560	1	0,00	11,4000	0,5000	0,00	11,4000	0,5000
0416	Смесь предельных углеводородов С6Н14-С10Н22	0,0106220	0,325730	1	0,01	11,4000	0,5000	0,01	11,4000	0,5000
2754	Алканы С12-С19 (в пересчете на С)	0,0033310	0,102164	1	0,12	11,4000	0,5000	0,12	11,4000	0,5000

6423	+	1	3	Неорг.выброс сепараторы СП-111-6,7,8	2	0,0000			-	1	861,00 44,00	843,00 -12,00	10,0000

Код в-ва	Наименование вещества	Выброс г/с	Выброс т/г	F	Лето См/ПДК	Лето Xm	Лето Um	Зима См/ПДК	Зима Xm	Зима Um
0410	Метан	0,1483170	4,549221	1	0,11	11,4000	0,5000	0,11	11,4000	0,5000
0415	Смесь предельных углеводородов С1Н4-С5Н12	0,0542740	1,664736	1	0,01	11,4000	0,5000	0,01	11,4000	0,5000
0416	Смесь предельных углеводородов С6Н14-С10Н22	0,0038020	0,116604	1	0,00	11,4000	0,5000	0,00	11,4000	0,5000
2754	Алканы С12-С19 (в пересчете на С)	0,0000830	0,002526	1	0,00	11,4000	0,5000	0,00	11,4000	0,5000

6424	+	1	3	Неорг.выброс АВО УКПГ-2	2	0,0000			-	1	824,00 107,00	836,00 104,00	30,0000

Код в-ва	Наименование вещества	Выброс г/с	Выброс т/г	F	Лето См/ПДК	Лето Xm	Лето Um	Зима См/ПДК	Зима Xm	Зима Um
0410	Метан	0,0009550	0,029275	1	0,00	11,4000	0,5000	0,00	11,4000	0,5000
0415	Смесь предельных углеводородов С1Н4-С5Н12	0,0003490	0,010700	1	0,00	11,4000	0,5000	0,00	11,4000	0,5000
0416	Смесь предельных углеводородов С6Н14-С10Н22	0,0000230	0,000708	1	0,00	11,4000	0,5000	0,00	11,4000	0,5000
1052	Метиловый спирт	0,0000200	0,000615	1	0,00	11,4000	0,5000	0,00	11,4000	0,5000
2754	Алканы С12-С19 (в пересчете на С)	4,0000000 Е-08	0,000001	1	0,00	11,4000	0,5000	0,00	11,4000	0,5000

6425	+	1	3	Неорг.выброс блок подачи метанола ЬПМ-101-6	2	0,0000			-	1	815,00 85,00	827,00 80,00	5,0000

Код в-ва	Наименование вещества	Выброс г/с	Выброс т/г	F	Лето См/ПДК	Лето Xm	Лето Um	Зима См/ПДК	Зима Xm	Зима Um
1052	Метиловый спирт	0,0010330	0,031680	1	0,04	11,4000	0,5000	0,04	11,4000	0,5000

6426	+	1	3	Неорг.выброс блок АВО сырого газа УВОГ-201-5	2	0,0000			-	1	763,00 -96,00	775,00 -101,00	10,0000

Код в-ва	Наименование вещества	Выброс г/с	Выброс т/г	F	Лето См/ПДК	Лето Xm	Лето Um	Зима См/ПДК	Зима Xm	Зима Um
0410	Метан	0,0003270	0,010022	1	0,00	11,4000	0,5000	0,00	11,4000	0,5000
0415	Смесь предельных углеводородов С1Н4-С5Н12	0,0001190	0,003663	1	0,00	11,4000	0,5000	0,00	11,4000	0,5000
0416	Смесь предельных углеводородов С6Н14-С10Н22	0,0000080	0,000242	1	0,00	11,4000	0,5000	0,00	11,4000	0,5000
2754	Алканы С12-С19 (в пересчете на С)	1,0000000 Е-08	4,000000Е -07	1	0,00	11,4000	0,5000	0,00	11,4000	0,5000

6427	+	1	3	Неорг.выброс теплообм.Т-201-5, Т202-5	2	0,0000			-	1	780,00 -53,00	795,00 -58,00	15,0000

Код в-ва	Наименование вещества	Выброс г/с	Выброс т/г	F	Лето См/ПДК	Лето Xm	Лето Um	Зима См/ПДК	Зима Xm	Зима Um
0410	Метан	0,0282040	0,865044	1	0,02	11,4000	0,5000	0,02	11,4000	0,5000
0415	Смесь предельных углеводородов С1Н4-С5Н12	0,0072400	0,222067	1	0,00	11,4000	0,5000	0,00	11,4000	0,5000
0416	Смесь предельных углеводородов С6Н14-С10Н22	0,0000640	0,001927	1	0,00	11,4000	0,5000	0,00	11,4000	0,5000
1052	Метиловый спирт	0,0000130	0,000393	1	0,00	11,4000	0,5000	0,00	11,4000	0,5000
2754	Алканы С12-С19 (в пересчете на С)	2,1410000 Е-08	5,441000Е -07	1	0,00	11,4000	0,5000	0,00	11,4000	0,5000

6428	+	1	3	Неорг.выброс теплообм.Т-203-5	2	0,0000			-	1	788,00 -31,00	801,00 -36,00	5,0000

Код в-ва	Наименование вещества	Выброс г/с	Выброс т/г	F	Лето См/ПДК	Лето Xm	Лето Um	Зима См/ПДК	Зима Xm	Зима Um
0410	Метан	0,0043960	0,134822	1	0,00	11,4000	0,5000	0,00	11,4000	0,5000
0415	Смесь предельных углеводородов С1Н4-С5Н12	0,0071860	0,220389	1	0,00	11,4000	0,5000	0,00	11,4000	0,5000
0416	Смесь предельных углеводородов С6Н14-С10Н22	0,0008630	0,026478	1	0,00	11,4000	0,5000	0,00	11,4000	0,5000
1052	Метиловый спирт	0,0001050	0,003206	1	0,00	11,4000	0,5000	0,00	11,4000	0,5000
2754	Алканы С12-С19 (в пересчете на С)	0,0000010	0,000041	1	0,00	11,4000	0,5000	0,00	11,4000	0,5000

6429	+	1	3	Неорг.выброс сепараторы С-201-5, С202-5	2	0,0000			-	1	770,00 -76,00	784,00 -81,00	10,0000

Код в-ва	Наименование вещества	Выброс г/с	Выброс т/г	F	Лето См/ПДК	Лето Xm	Лето Um	Зима См/ПДК	Зима Xm	Зима Um
0410	Метан	0,0538130	1,650525	1	0,04	11,4000	0,5000	0,04	11,4000	0,5000
0415	Смесь предельных углеводородов С1Н4-С5Н12	0,0254770	0,781424	1	0,00	11,4000	0,5000	0,00	11,4000	0,5000
0416	Смесь предельных углеводородов С6Н14-С10Н22	0,0020880	0,064050	1	0,00	11,4000	0,5000	0,00	11,4000	0,5000
1052	Метиловый спирт	0,0073240	0,224650	1	0,26	11,4000	0,5000	0,26	11,4000	0,5000
2754	Алканы С12-С19 (в пересчете на С)	0,0000030	0,000098	1	0,00	11,4000	0,5000	0,00	11,4000	0,5000

6430	+	1	3	Неорг.выброс блок подачи метанола БЬПМ-201-205-5	2	0,0000			-	1	854,00 -23,00	850,00 -35,00	5,0000

Код в-ва	Наименование вещества	Выброс г/с	Выброс т/г	F	Лето См/ПДК	Лето Xm	Лето Um	Зима См/ПДК	Зима Xm	Зима Um
1052	Метиловый спирт	0,0010530	0,032295	1	0,04	11,4000	0,5000	0,04	11,4000	0,5000

6431	+	1	3	Неорг.выброс разделитель Р-201-5	2	0,0000			-	1	832,00 -27,00	844,00 -31,00	5,0000

Код в-ва	Наименование вещества	Выброс г/с	Выброс т/г	F	Лето См/ПДК	Лето Xm	Лето Um	Зима См/ПДК	Зима Xm	Зима Um
0410	Метан	0,0008730	0,026766	1	0,00	11,4000	0,5000	0,00	11,4000	0,5000
0415	Смесь предельных углеводородов С1Н4-С5Н12	0,0097760	0,299843	1	0,00	11,4000	0,5000	0,00	11,4000	0,5000
0416	Смесь предельных углеводородов С6Н14-С10Н22	0,0020220	0,062006	1	0,00	11,4000	0,5000	0,00	11,4000	0,5000
1052	Метиловый спирт	0,0003490	0,010728	1	0,01	11,4000	0,5000	0,01	11,4000	0,5000
2754	Алканы С12-С19 (в пересчете на С)	0,0000030	0,000102	1	0,00	11,4000	0,5000	0,00	11,4000	0,5000

6432	+	1	3	Неорг.выброс блок АВО сырого газа УВОГ-201-6	2	0,0000			-	1	803,00 -115,00	816,00 -118,00	10,0000

Код	Наименование вещества	Выброс	F	Лето	Зима

Код в-ва	Наименование вещества	Выброс г/с	Выброс т/г	F	Лето Cm/ПДК	Лето Xm	Лето Um	Зима Cm/ПДК	Зима Xm	Зима Um
0410	Метан	0,0003270	0,010022	1	0,00	11,4000	0,5000	0,00	11,4000	0,5000
0415	Смесь предельных углеводородов С1Н4-С5Н12	0,0001190	0,003663	1	0,00	11,4000	0,5000	0,00	11,4000	0,5000
0416	Смесь предельных углеводородов С6Н14-С10Н22	0,0000080	0,000242	1	0,00	11,4000	0,5000	0,00	11,4000	0,5000
2754	Алканы С12-С19 (в пересчете на С)	1,0000000 E-08	4,000000E -07	1	0,00	11,4000	0,5000	0,00	11,4000	0,5000

6433	+	1	3	Неорг.выброс теплообм.Т-201-6, Т202-6	2	0,0000			-	1	827,00 -59,00	819,00 -81,00	15,0000

Код в-ва	Наименование вещества	Выброс г/с	Выброс т/г	F	Лето Cm/ПДК	Лето Xm	Лето Um	Зима Cm/ПДК	Зима Xm	Зима Um
0410	Метан	0,0282040	0,865044	1	0,02	11,4000	0,5000	0,02	11,4000	0,5000
0415	Смесь предельных углеводородов С1Н4-С5Н12	0,0072400	0,222067	1	0,00	11,4000	0,5000	0,00	11,4000	0,5000
0416	Смесь предельных углеводородов С6Н14-С10Н22	0,0000640	0,001927	1	0,00	11,4000	0,5000	0,00	11,4000	0,5000
1052	Метиловый спирт	0,0000130	0,000393	1	0,00	11,4000	0,5000	0,00	11,4000	0,5000
2754	Алканы С12-С19 (в пересчете на С)	2,1410000 E-08	5,441000E -07	1	0,00	11,4000	0,5000	0,00	11,4000	0,5000

6434	+	1	3	Неорг.выброс теплообм.Т-203-6	2	0,0000			-	1	824,00 -47,00	838,00 -51,00	5,0000

Код в-ва	Наименование вещества	Выброс г/с	Выброс т/г	F	Лето Cm/ПДК	Лето Xm	Лето Um	Зима Cm/ПДК	Зима Xm	Зима Um
0410	Метан	0,0043960	0,134822	1	0,00	11,4000	0,5000	0,00	11,4000	0,5000
0415	Смесь предельных углеводородов С1Н4-С5Н12	0,0071860	0,220389	1	0,00	11,4000	0,5000	0,00	11,4000	0,5000
0416	Смесь предельных углеводородов С6Н14-С10Н22	0,0008630	0,026478	1	0,00	11,4000	0,5000	0,00	11,4000	0,5000
1052	Метиловый спирт	0,0001050	0,003206	1	0,00	11,4000	0,5000	0,00	11,4000	0,5000
2754	Алканы С12-С19 (в пересчете на С)	0,0000010	0,000041	1	0,00	11,4000	0,5000	0,00	11,4000	0,5000

6435	+	1	3	Неорг.выброс сепараторы С-201-6, С202-6	2	0,0000			-	1	810,00 -93,00	824,00 -97,00	10,0000

Код в-ва	Наименование вещества	Выброс г/с	Выброс т/г	F	Лето Cm/ПДК	Лето Xm	Лето Um	Зима Cm/ПДК	Зима Xm	Зима Um
0410	Метан	0,0538130	1,650525	1	0,04	11,4000	0,5000	0,04	11,4000	0,5000
0415	Смесь предельных углеводородов С1Н4-С5Н12	0,0254770	0,781424	1	0,00	11,4000	0,5000	0,00	11,4000	0,5000
0416	Смесь предельных углеводородов С6Н14-С10Н22	0,0020880	0,064050	1	0,00	11,4000	0,5000	0,00	11,4000	0,5000
1052	Метиловый спирт	0,0073240	0,224650	1	0,26	11,4000	0,5000	0,26	11,4000	0,5000
2754	Алканы С12-С19 (в пересчете на С)	0,0000030	0,000098	1	0,00	11,4000	0,5000	0,00	11,4000	0,5000

6436	+	1	3	Неорг.выброс блок подачи метанола БЫПМ-201-205-6	2	0,0000			-	1	852,00 -38,00	844,00 -48,00	5,0000

Код в-ва	Наименование вещества	Выброс г/с	Выброс т/г	F	Лето Cm/ПДК	Лето Xm	Лето Um	Зима Cm/ПДК	Зима Xm	Зима Um
1052	Метиловый спирт	0,0010530	0,032295	1	0,04	11,4000	0,5000	0,04	11,4000	0,5000

6437	+	1	3	Неорг.выброс разделитель Р-201-6	2	0,0000			-	1	829,00 -34,00	841,00 -38,00	5,0000

Код в-ва	Наименование вещества	Выброс г/с	Выброс т/г	F	Лето Cm/ПДК	Лето Xm	Лето Um	Зима Cm/ПДК	Зима Xm	Зима Um
0410	Метан	0,0008730	0,026766	1	0,00	11,4000	0,5000	0,00	11,4000	0,5000
0415	Смесь предельных углеводородов С1Н4-С5Н12	0,0097760	0,299843	1	0,00	11,4000	0,5000	0,00	11,4000	0,5000
0416	Смесь предельных углеводородов С6Н14-С10Н22	0,0020220	0,062006	1	0,00	11,4000	0,5000	0,00	11,4000	0,5000
1052	Метиловый спирт	0,0003490	0,010728	1	0,01	11,4000	0,5000	0,01	11,4000	0,5000
2754	Алканы С12-С19 (в пересчете на С)	0,0000030	0,000102	1	0,00	11,4000	0,5000	0,00	11,4000	0,5000

6438	+	1	3	Неорг.выброс дегазатор Д-201-3	2	0,0000			-	1	834,00 -20,00	847,00 -23,00	5,0000

Код в-ва	Наименование вещества	Выброс г/с	Выброс т/г	F	Лето Cm/ПДК	Лето Xm	Лето Um	Зима Cm/ПДК	Зима Xm	Зима Um
0410	Метан	0,0178910	0,548747	1	0,01	11,4000	0,5000	0,01	11,4000	0,5000
0415	Смесь предельных углеводородов С1Н4-С5Н12	0,0165670	0,508119	1	0,00	11,4000	0,5000	0,00	11,4000	0,5000
0416	Смесь предельных углеводородов С6Н14-С10Н22	0,0001730	0,005305	1	0,00	11,4000	0,5000	0,00	11,4000	0,5000
1052	Метиловый спирт	0,0000420	0,001305	1	0,00	11,4000	0,5000	0,00	11,4000	0,5000
2754	Алканы С12-С19 (в пересчете на С)	0,0000001	0,000003	1	0,00	11,4000	0,5000	0,00	11,4000	0,5000

6439	+	1	3	Неорг.выброс дренажная емкость Е-201-3	2	0,0000			-	1	836,00 -14,00	847,00 -18,00	2,0000

Код в-ва	Наименование вещества	Выброс г/с	Выброс т/г	F	Лето Cm/ПДК	Лето Xm	Лето Um	Зима Cm/ПДК	Зима Xm	Зима Um
0410	Метан	0,0001050	0,003207	1	0,00	11,4000	0,5000	0,00	11,4000	0,5000
0415	Смесь предельных углеводородов С1Н4-С5Н12	0,0000580	0,001780	1	0,00	11,4000	0,5000	0,00	11,4000	0,5000
0416	Смесь предельных углеводородов С6Н14-С10Н22	0,0000300	0,000929	1	0,00	11,4000	0,5000	0,00	11,4000	0,5000
1052	Метиловый спирт	0,0000030	0,000085	1	0,00	11,4000	0,5000	0,00	11,4000	0,5000
2754	Алканы С12-С19 (в пересчете на С)	0,0000040	0,000129	1	0,00	11,4000	0,5000	0,00	11,4000	0,5000

6440	+	1	3	Неорг.выброс теплоотбменники Т-304-1 -Т-304-4	2	0,0000			-	1	813,00 33,00	794,00 -22,00	10,0000

Код	Наименование вещества	Выброс	F	Лето	Зима

Код в-ва	Наименование вещества	Выброс г/с	Выброс т/г	F	Лето См/ПДК	Лето Xm	Лето Um	Зима См/ПДК	Зима Xm	Зима Um
0410	Метан	0,0331760	1,017596	1	0,02	11,4000	0,5000	0,02	11,4000	0,5000
0415	Смесь предельных углеводородов С1Н4-С5Н12	0,0566600	1,737948	1	0,01	11,4000	0,5000	0,01	11,4000	0,5000
0416	Смесь предельных углеводородов С6Н14-С10Н22	0,0071440	0,219212	1	0,01	11,4000	0,5000	0,01	11,4000	0,5000
1052	Метиловый спирт	0,0008320	0,025548	1	0,03	11,4000	0,5000	0,03	11,4000	0,5000
2754	Алканы С12-С19 (в пересчете на С)	0,0001160	0,003564	1	0,00	11,4000	0,5000	0,00	11,4000	0,5000

6441	+	1	3	Неорг.выброс ресивер имп.газа Е-206-3	2	0,0000			-	1	818,00 40,00	827,00 37,00	3,0000

Код в-ва	Наименование вещества	Выброс г/с	Выброс т/г	F	Лето См/ПДК	Лето Xm	Лето Um	Зима См/ПДК	Зима Xm	Зима Um
0410	Метан	0,0272200	0,834882	1	0,02	11,4000	0,5000	0,02	11,4000	0,5000
0415	Смесь предельных углеводородов С1Н4-С5Н12	0,0069440	0,213003	1	0,00	11,4000	0,5000	0,00	11,4000	0,5000
0416	Смесь предельных углеводородов С6Н14-С10Н22	0,0000520	0,001594	1	0,00	11,4000	0,5000	0,00	11,4000	0,5000
1052	Метиловый спирт	0,0000130	0,000385	1	0,00	11,4000	0,5000	0,00	11,4000	0,5000
2754	Алканы С12-С19 (в пересчете на С)	1,4100000 E-09	4,280000E -08	1	0,00	11,4000	0,5000	0,00	11,4000	0,5000

6442	+	1	3	Неорг.выброс конденсатосборник Е-207-3	2	0,0000			-	1	844,00 87,00	840,00 78,00	2,0000

Код в-ва	Наименование вещества	Выброс г/с	Выброс т/г	F	Лето См/ПДК	Лето Xm	Лето Um	Зима См/ПДК	Зима Xm	Зима Um
0410	Метан	0,0000260	0,000801	1	0,00	11,4000	0,5000	0,00	11,4000	0,5000
0415	Смесь предельных углеводородов С1Н4-С5Н12	0,0000450	0,001361	1	0,00	11,4000	0,5000	0,00	11,4000	0,5000
0416	Смесь предельных углеводородов С6Н14-С10Н22	0,0000050	0,000164	1	0,00	11,4000	0,5000	0,00	11,4000	0,5000
1052	Метиловый спирт	0,0000010	0,000020	1	0,00	11,4000	0,5000	0,00	11,4000	0,5000
2754	Алканы С12-С19 (в пересчете на С)	1,0000000 E-08	3,000000E -07	1	0,00	11,4000	0,5000	0,00	11,4000	0,5000

6443	+	1	3	Неорг.выброс сепаратор факельный С-203-3	2	0,0000			-	1	816,00 65,00	833,00 59,00	5,0000

Код в-ва	Наименование вещества	Выброс г/с	Выброс т/г	F	Лето См/ПДК	Лето Xm	Лето Um	Зима См/ПДК	Зима Xm	Зима Um
0410	Метан	0,0000590	0,001811	1	0,00	11,4000	0,5000	0,00	11,4000	0,5000
0415	Смесь предельных углеводородов С1Н4-С5Н12	0,0000320	0,000967	1	0,00	11,4000	0,5000	0,00	11,4000	0,5000
0416	Смесь предельных углеводородов С6Н14-С10Н22	0,0000030	0,000085	1	0,00	11,4000	0,5000	0,00	11,4000	0,5000
1052	Метиловый спирт	0,0000002	0,000006	1	0,00	11,4000	0,5000	0,00	11,4000	0,5000
2754	Алканы С12-С19 (в пересчете на С)	4,2510000 E-09	1,300000E -07	1	0,00	11,4000	0,5000	0,00	11,4000	0,5000

6444	+	1	3	Неорг.выброс площадка насосов метанола	2	0,0000			-	1	805,00 54,00	833,00 46,00	20,0000

Код в-ва	Наименование вещества	Выброс г/с	Выброс т/г	F	Лето См/ПДК	Лето Xm	Лето Um	Зима См/ПДК	Зима Xm	Зима Um
1052	Метиловый спирт	0,0006100	0,018763	1	0,02	11,4000	0,5000	0,02	11,4000	0,5000

6445	+	1	3	Неорг.выброс узел приема СОД	2	0,0000			-	1	927,00 84,00	933,00 81,00	10,0000

Код в-ва	Наименование вещества	Выброс г/с	Выброс т/г	F	Лето См/ПДК	Лето Xm	Лето Um	Зима См/ПДК	Зима Xm	Зима Um
0410	Метан	0,0097150	0,297998	1	0,01	11,4000	0,5000	0,01	11,4000	0,5000
0415	Смесь предельных углеводородов С1Н4-С5Н12	0,0040320	0,123679	1	0,00	11,4000	0,5000	0,00	11,4000	0,5000
0416	Смесь предельных углеводородов С6Н14-С10Н22	0,0019260	0,059081	1	0,00	11,4000	0,5000	0,00	11,4000	0,5000
2754	Алканы С12-С19 (в пересчете на С)	0,0005990	0,018378	1	0,02	11,4000	0,5000	0,02	11,4000	0,5000

№ пл.: 5, № цеха: 0

6501	+	2	3	Поверхность ссыпаемого материала (1 этап)	4	0,0000			-	1	613,00 -232,00	620,00 -236,00	30,0000

Код в-ва	Наименование вещества	Выброс г/с	Выброс т/г	F	Лето См/ПДК	Лето Xm	Лето Um	Зима См/ПДК	Зима Xm	Зима Um
2908	Пыль неорганическая: 70-20% SiO2	0,6533330	0,000000	3	46,30	11,4000	0,5000	46,30	11,4000	0,5000

6502	+	1	3	Сварочные посты (2 этап)	5	0,0000			-	1	656,00 -238,00	665,00 -238,00	2,0000

Код в-ва	Наименование вещества	Выброс г/с	Выброс т/г	F	Лето См/ПДК	Лето Xm	Лето Um	Зима См/ПДК	Зима Xm	Зима Um
0123	Железа оксид	0,0030810	0,000000	3	0,00	14,2500	0,5000	0,00	14,2500	0,5000
0143	Марганец и его соединения (в пересчете на марганец (IV) оксид)	0,0003760	0,000000	3	0,47	14,2500	0,5000	0,47	14,2500	0,5000
0301	Азота диоксид (Двуокись азота; пероксид азота)	0,0053990	0,000000	1	0,11	28,5000	0,5000	0,11	28,5000	0,5000
0304	Азот (II) оксид (Азот монооксид)	0,0008770	0,000000	1	0,01	28,5000	0,5000	0,01	28,5000	0,5000
0337	Углерода оксид (Углерод окись; углерод моноокись; угарный газ)	0,0031400	0,000000	1	0,00	28,5000	0,5000	0,00	28,5000	0,5000
0342	Фториды газообразные	0,0002230	0,000000	1	0,05	28,5000	0,5000	0,05	28,5000	0,5000
0344	Фториды плохо растворимые	0,0003120	0,000000	3	0,02	14,2500	0,5000	0,02	14,2500	0,5000
2908	Пыль неорганическая: 70-20% SiO2	0,0001800	0,000000	3	0,01	14,2500	0,5000	0,01	14,2500	0,5000

6503	+	1	3	Окрашенные поверхности (2 этап)	2	0,0000			-	1	643,00 -277,00	647,00 -277,00	2,0000

Код в-ва	Наименование вещества	Выброс г/с	Выброс т/г	F	Лето Cm/ПДК	Лето Xm	Лето Um	Зима Cm/ПДК	Зима Xm	Зима Um
0616	Диметилбензол (смесь о-, м-, п- изомеров) (Метилтолуол)	0,0973340	3,793037	1	17,38	11,4000	0,5000	17,38	11,4000	0,5000
0621	Метилбензол (Фенилметан)	0,0026820	0,002241	1	0,16	11,4000	0,5000	0,16	11,4000	0,5000
1061	Этанол (Этиловый спирт; метилкарбинол)	0,1024960	0,020294	1	0,73	11,4000	0,5000	0,73	11,4000	0,5000
1071	Гидроксибензол	0,0132260	0,011386	1	47,24	11,4000	0,5000	47,24	11,4000	0,5000
1119	Этиловый эфир этиленгликоля	0,0158190	0,013217	1	0,81	11,4000	0,5000	0,81	11,4000	0,5000
1210	Бутилацетат (Бутиловый эфир уксусной кислоты)	0,0521000	1,731566	1	18,61	11,4000	0,5000	18,61	11,4000	0,5000
1401	Пропан-2-он (Диметилкетон; диметилформальдегид)	0,0675890	0,109200	1	6,90	11,4000	0,5000	6,90	11,4000	0,5000
2752	Уайт-спирит	0,0936830	2,643896	1	3,35	11,4000	0,5000	3,35	11,4000	0,5000
2902	Взвешенные вещества	0,0035000	0,187476	3	0,75	5,7000	0,5000	0,75	5,7000	0,5000

6504	+	1	3	Площадка, на которую укладывается битум	2	0,0000			-	1	688,00 -273,00	697,00 -247,00	8,0000

Код в-ва	Наименование вещества	Выброс г/с	Выброс т/г	F	Лето Cm/ПДК	Лето Xm	Лето Um	Зима Cm/ПДК	Зима Xm	Зима Um
2754	Алканы С12-С19 (в пересчете на С)	0,0243170	0,000192	1	0,87	11,4000	0,5000	0,87	11,4000	0,5000

6505	+	1	3	Выхлопные трубы автотранспорта	5	0,0000			-	1	605,00 -252,00	646,00 -265,00	30,0000

Код в-ва	Наименование вещества	Выброс г/с	Выброс т/г	F	Лето Cm/ПДК	Лето Xm	Лето Um	Зима Cm/ПДК	Зима Xm	Зима Um
0301	Азота диоксид (Двуокись азота; пероксид азота)	0,1725320	0,000000	1	3,63	28,5000	0,5000	3,63	28,5000	0,5000
0304	Азот (II) оксид (Азот монооксид)	0,0280360	0,000000	1	0,30	28,5000	0,5000	0,30	28,5000	0,5000
0328	Углерод (Пигмент черный)	0,0233980	0,000000	3	1,97	14,2500	0,5000	1,97	14,2500	0,5000
0330	Сера диоксид	0,0196990	0,000000	1	0,17	28,5000	0,5000	0,17	28,5000	0,5000
0337	Углерода оксид (Углерод окись; углерод моноокись; угарный газ)	1,3253340	0,000000	1	1,12	28,5000	0,5000	1,12	28,5000	0,5000
2735	Масло минеральное нефтяное	0,1360000	0,000000	1	11,45	28,5000	0,5000	11,45	28,5000	0,5000

6506	+	1	3	Бак стройтехники	2	0,0000			-	1	605,00 -252,00	646,00 -265,00	20,0000

Код в-ва	Наименование вещества	Выброс г/с	Выброс т/г	F	Лето Cm/ПДК	Лето Xm	Лето Um	Зима Cm/ПДК	Зима Xm	Зима Um
0333	Дигидросульфид (Водород сернистый, дигидросульфид, гидросульфид)	0,0000010	0,000000	1	0,00	11,4000	0,5000	0,00	11,4000	0,5000
2754	Алканы С12-С19 (в пересчете на С)	0,0003270	0,000000	1	0,01	11,4000	0,5000	0,01	11,4000	0,5000

ВР: 1, Строительство максимально разовые без фона

Расчетные константы: S=999999,99

Расчет: «Расчет рассеивания по МРР-2017» (зима)

Расчет завершен успешно. Рассчитано 32 веществ/групп суммации. 4.70.5.93

Расчет проводился по веществам (группам суммации)

Код	Наименование вещества	Предельно допустимая концентрация						Фоновая концентр.	
		Расчет максимальных концентраций		Расчет среднегодовых концентраций		Расчет среднесуточных концентраций			
		Тип	Значение	Тип	Значение	Тип	Значение	Учет	Интерп.
0123	Железа оксид	-	-	ПДК с/с	0,04	-	-	Нет	Нет
0143	Марганец и его соединения (в пересчете на марганец (IV) оксид)	ПДК м/р	0,01	ПДК с/г	5E-5	ПДК с/с	0,001	Нет	Нет
0301	Азота диоксид (Двуокись азота; пероксид азота)	ПДК м/р	0,2	ПДК с/г	0,04	ПДК с/с	0,1	Нет	Нет
0304	Азот (II) оксид (Азот монооксид)	ПДК м/р	0,4	ПДК с/г	0,06	-	-	Нет	Нет
0328	Углерод (Пигмент черный)	ПДК м/р	0,15	ПДК с/г	0,025	ПДК с/с	0,05	Нет	Нет
0330	Сера диоксид	ПДК м/р	0,5	ПДК с/с	0,05	-	-	Нет	Нет
0333	Дигидросульфид (Водород сернистый, дигидросульфид, гидросульфид)	ПДК м/р	0,008	ПДК с/г	0,002	-	-	Нет	Нет
0337	Углерода оксид (Углерод окись; углерод моноокись; угарный газ)	ПДК м/р	5	ПДК с/г	3	ПДК с/с	3	Нет	Нет
0342	Фториды газообразные	ПДК м/р	0,02	ПДК с/г	0,005	ПДК с/с	0,014	Нет	Нет
0344	Фториды плохо растворимые	ПДК м/р	0,2	ПДК с/с	0,03	-	-	Нет	Нет
0616	Диметилбензол (смесь о-, м-, п-изомеров) (Метилтолуол)	ПДК м/р	0,2	ПДК с/г	0,1	-	-	Нет	Нет
0621	Метилбензол (Фенилметан)	ПДК м/р	0,6	ПДК с/г	0,4	-	-	Нет	Нет
0703	Бенз/а/пирен	-	-	ПДК с/г	1E-6	ПДК с/с	1E-6	Нет	Нет
1061	Этанол (Этиловый спирт; метилкарбинол)	ПДК м/р	5	-	-	-	-	Нет	Нет
1071	Гидроксибензол	ПДК м/р	0,01	ПДК с/г	0,003	ПДК с/с	0,006	Нет	Нет
1119	Этиловый эфир этиленгликоля	ОБУВ	0,7	-	-	-	-	Нет	Нет
1210	Бутилацетат (Бутиловый эфир уксусной кислоты)	ПДК м/р	0,1	-	-	-	-	Нет	Нет
1325	Формальдегид (Муравьиный альдегид, оксометан, метиленоксид)	ПДК м/р	0,05	ПДК с/г	0,003	ПДК с/с	0,01	Нет	Нет
1401	Пропан-2-он (Диметилкетон; диметилформальдегид)	ПДК м/р	0,35	-	-	-	-	Нет	Нет
2732	Керосин (Керосин прямой перегонки; керосин дезодорированный)	ОБУВ	1,2	-	-	-	-	Нет	Нет
2752	Уайт-спирит	ОБУВ	1	-	-	-	-	Нет	Нет
2754	Алканы С12-С19 (в пересчете на С)	ПДК м/р	1	-	-	-	-	Нет	Нет
2902	Взвешенные вещества	ПДК м/р	0,5	ПДК с/г	0,075	ПДК с/с	0,15	Нет	Нет
2908	Пыль неорганическая: 70-20% SiO2	ПДК м/р	0,3	ПДК с/с	0,1	-	-	Нет	Нет
6010	Группа суммации: Азота диоксид, серы диоксид, углерода оксид, фенол	Группа суммации	-	Группа суммации	-	Группа суммации	-	Нет	Нет
6013	Группа суммации: Ацетон и фенол	Группа суммации	-	Группа суммации	-	Группа суммации	-	Нет	Нет
6035	Группа суммации: Сероводород, формальдегид	Группа суммации	-	Группа суммации	-	Группа суммации	-	Нет	Нет
6038	Группа суммации: Серы диоксид и фенол	Группа суммации	-	Группа суммации	-	Группа суммации	-	Нет	Нет
6043	Группа суммации: Серы диоксид и сероводород	Группа суммации	-	Группа суммации	-	Группа суммации	-	Нет	Нет
6053	Группа суммации: Фтористый водород и плохорастворимые соли фтора	Группа суммации	-	Группа суммации	-	Группа суммации	-	Нет	Нет
6204	Группа неполной суммации с коэффициентом "1,6": Азота диоксид, серы диоксид	Группа суммации	-	Группа суммации	-	Группа суммации	-	Нет	Нет
6205	Группа неполной суммации с коэффициентом "1,8": Серы диоксид и	Группа суммаци	-	Группа суммац	-	Группа суммаци	-	Нет	Нет

	фтористый водород	и		ии		и			

Максимальные концентрации по веществам (расчетные площадки)

Вещество: 0143
Марганец и его соединения (в пересчете на марганец (IV) оксид)
Площадка: 1
Поле максимальных концентраций

Коорд X(м)	Коорд Y(м)	Концентр. (д. ПДК)	Концентр. (мг/куб.м)	Напр. ветра	Скор. ветра	Фон		Фон до исключения	
						доли ПДК	мг/куб.м	доли ПДК	мг/куб.м
400,00	0,00	1,26	0,013	357	1,00	-	-	-	-

Вещество: 0301
Азота диоксид (Двуокись азота; пероксид азота)
Площадка: 1
Поле максимальных концентраций

Коорд X(м)	Коорд Y(м)	Концентр. (д. ПДК)	Концентр. (мг/куб.м)	Напр. ветра	Скор. ветра	Фон		Фон до исключения	
						доли ПДК	мг/куб.м	доли ПДК	мг/куб.м
700,00	-200,00	2,83	0,566	194	3,50	-	-	-	-

Вещество: 0304
Азот (II) оксид (Азот монооксид)
Площадка: 1
Поле максимальных концентраций

Коорд X(м)	Коорд Y(м)	Концентр. (д. ПДК)	Концентр. (мг/куб.м)	Напр. ветра	Скор. ветра	Фон		Фон до исключения	
						доли ПДК	мг/куб.м	доли ПДК	мг/куб.м
-500,00	400,00	0,46	0,184	104	11,00	-	-	-	-

Вещество: 0328
Углерод (Пигмент черный)
Площадка: 1
Поле максимальных концентраций

Коорд X(м)	Коорд Y(м)	Концентр. (д. ПДК)	Концентр. (мг/куб.м)	Напр. ветра	Скор. ветра	Фон		Фон до исключения	
						доли ПДК	мг/куб.м	доли ПДК	мг/куб.м
600,00	-300,00	0,75	0,112	30	0,60	-	-	-	-

Вещество: 0330
Сера диоксид
Площадка: 1
Поле максимальных концентраций

Коорд X(м)	Коорд Y(м)	Концентр. (д. ПДК)	Концентр. (мг/куб.м)	Напр. ветра	Скор. ветра	Фон		Фон до исключения	
						доли ПДК	мг/куб.м	доли ПДК	мг/куб.м
700,00	-200,00	0,18	0,088	194	3,50	-	-	-	-

Вещество: 0333
Дигидросульфид (Водород сернистый, дигидросульфид, гидросульфид)
Площадка: 1
Поле максимальных концентраций

Коорд X(м)	Коорд Y(м)	Концентр. (д. ПДК)	Концентр. (мг/куб.м)	Напр. ветра	Скор. ветра	Фон		Фон до исключения	
						доли ПДК	мг/куб.м	доли ПДК	мг/куб.м
200,00	0,00	0,25	0,002	28	1,10	-	-	-	-

Вещество: 0337
Углерода оксид (Углерод окись; углерод моноокись; угарный газ)
Площадка: 1
Поле максимальных концентраций

Коорд X(м)	Коорд Y(м)	Концентр. (д. ПДК)	Концентр. (мг/куб.м)	Напр. ветра	Скор. ветра	Фон		Фон до исключения	
						доли ПДК	мг/куб.м	доли ПДК	мг/куб.м
600,00	-300,00	0,70	3,508	30	0,50	-	-	-	-

Вещество: 0342
Фториды газообразные
Площадка: 1
Поле максимальных концентраций

Коорд X(м)	Коорд Y(м)	Концентр. (д. ПДК)	Концентр. (мг/куб.м)	Напр. ветра	Скор. ветра	Фон		Фон до исключения	
						доли ПДК	мг/куб.м	доли ПДК	мг/куб.м
400,00	100,00	0,09	0,002	182	1,00	-	-	-	-

Вещество: 0344
Фториды плохо растворимые
Площадка: 1
Поле максимальных концентраций

Коорд X(м)	Коорд Y(м)	Концентр. (д. ПДК)	Концентр. (мг/куб.м)	Напр. ветра	Скор. ветра	Фон		Фон до исключения	
						доли ПДК	мг/куб.м	доли ПДК	мг/куб.м
400,00	0,00	0,04	0,008	357	1,00	-	-	-	-

Вещество: 0616
Диметилбензол (смесь о-, м-, п- изомеров) (Метилтолуол)
Площадка: 1
Поле максимальных концентраций

Координ X(м)	Координ Y(м)	Концентр. (д. ПДК)	Концентр. (мг/куб.м)	Напр. ветра	Скор. ветра	Фон		Фон до исключения	
						доли ПДК	мг/куб.м	доли ПДК	мг/куб.м
600,00	-300,00	6,10	1,220	63	0,80	-	-	-	-

Вещество: 0621
Метилбензол (Фенилметан)
Площадка: 1
Поле максимальных концентраций

Координ X(м)	Координ Y(м)	Концентр. (д. ПДК)	Концентр. (мг/куб.м)	Напр. ветра	Скор. ветра	Фон		Фон до исключения	
						доли ПДК	мг/куб.м	доли ПДК	мг/куб.м
600,00	-300,00	0,06	0,034	63	0,80	-	-	-	-

Вещество: 1061
Этанол (Этиловый спирт; метилкарбинол)
Площадка: 1
Поле максимальных концентраций

Координ X(м)	Координ Y(м)	Концентр. (д. ПДК)	Концентр. (мг/куб.м)	Напр. ветра	Скор. ветра	Фон		Фон до исключения	
						доли ПДК	мг/куб.м	доли ПДК	мг/куб.м
600,00	-300,00	0,26	1,285	63	0,80	-	-	-	-

Вещество: 1071
Гидроксибензол
Площадка: 1
Поле максимальных концентраций

Координ X(м)	Координ Y(м)	Концентр. (д. ПДК)	Концентр. (мг/куб.м)	Напр. ветра	Скор. ветра	Фон		Фон до исключения	
						доли ПДК	мг/куб.м	доли ПДК	мг/куб.м
600,00	-300,00	16,58	0,166	63	0,80	-	-	-	-

Вещество: 1119
Этиловый эфир этиленгликоля
Площадка: 1
Поле максимальных концентраций

Координ X(м)	Координ Y(м)	Концентр. (д. ПДК)	Концентр. (мг/куб.м)	Напр. ветра	Скор. ветра	Фон		Фон до исключения	
						доли ПДК	мг/куб.м	доли ПДК	мг/куб.м
600,00	-300,00	0,28	0,198	63	0,80	-	-	-	-

Вещество: 1210
Бутилацетат (Бутиловый эфир уксусной кислоты)
Площадка: 1
Поле максимальных концентраций

Координ X(м)	Координ Y(м)	Концентр. (д. ПДК)	Концентр. (мг/куб.м)	Напр. ветра	Скор. ветра	Фон		Фон до исключения	
						доли ПДК	мг/куб.м	доли ПДК	мг/куб.м
600,00	-300,00	6,53	0,653	63	0,80	-	-	-	-

Вещество: 1325
Формальдегид (Муравьиный альдегид, оксометан, метиленоксид)
Площадка: 1
Поле максимальных концентраций

Координ X(м)	Координ Y(м)	Концентр. (д. ПДК)	Концентр. (мг/куб.м)	Напр. ветра	Скор. ветра	Фон		Фон до исключения	
						доли ПДК	мг/куб.м	доли ПДК	мг/куб.м
700,00	-200,00	0,18	0,009	194	3,50	-	-	-	-

Вещество: 1401
Пропан-2-он (Диметилкетон; диметилформальдегид)
Площадка: 1
Поле максимальных концентраций

Координ X(м)	Координ Y(м)	Концентр. (д. ПДК)	Концентр. (мг/куб.м)	Напр. ветра	Скор. ветра	Фон		Фон до исключения	
						доли ПДК	мг/куб.м	доли ПДК	мг/куб.м
600,00	-300,00	2,42	0,847	63	0,80	-	-	-	-

Вещество: 2732
Керосин (Керосин прямой перегонки; керосин дезодорированный)
Площадка: 1
Поле максимальных концентраций

Координ X(м)	Координ Y(м)	Концентр. (д. ПДК)	Концентр. (мг/куб.м)	Напр. ветра	Скор. ветра	Фон		Фон до исключения	
						доли ПДК	мг/куб.м	доли ПДК	мг/куб.м
700,00	-200,00	0,18	0,214	194	3,50	-	-	-	-

Вещество: 2752
Уайт-спирит
Площадка: 1
Поле максимальных концентраций

Коорд X(м)	Коорд Y(м)	Концентр. (д. ПДК)	Концентр. (мг/куб.м)	Напр. ветра	Скор. ветра	Фон		Фон до исключения	
						доли ПДК	мг/куб.м	доли ПДК	мг/куб.м
600,00	-300,00	1,17	1,174	63	0,80	-	-	-	-

Вещество: 2754
Алканы С12-С19 (в пересчете на С)
Площадка: 1
Поле максимальных концентраций

Коорд X(м)	Коорд Y(м)	Концентр. (д. ПДК)	Концентр. (мг/куб.м)	Напр. ветра	Скор. ветра	Фон		Фон до исключения	
						доли ПДК	мг/куб.м	доли ПДК	мг/куб.м
600,00	0,00	0,48	0,479	304	0,60	-	-	-	-

Вещество: 2902
Взвешенные вещества
Площадка: 1
Поле максимальных концентраций

Коорд X(м)	Коорд Y(м)	Концентр. (д. ПДК)	Концентр. (мг/куб.м)	Напр. ветра	Скор. ветра	Фон		Фон до исключения	
						доли ПДК	мг/куб.м	доли ПДК	мг/куб.м
600,00	-300,00	0,09	0,047	63	1,40	-	-	-	-

Вещество: 2908
Пыль неорганическая: 70-20% SiO2
Площадка: 1
Поле максимальных концентраций

Коорд X(м)	Коорд Y(м)	Концентр. (д. ПДК)	Концентр. (мг/куб.м)	Напр. ветра	Скор. ветра	Фон		Фон до исключения	
						доли ПДК	мг/куб.м	доли ПДК	мг/куб.м
600,00	-200,00	18,48	5,544	152	0,60	-	-	-	-

Вещество: 6013
Ацетон и фенол
Площадка: 1
Поле максимальных концентраций

Коорд X(м)	Коорд Y(м)	Концентр. (д. ПДК)	Концентр. (мг/куб.м)	Напр. ветра	Скор. ветра	Фон		Фон до исключения	
						доли ПДК	мг/куб.м	доли ПДК	мг/куб.м
600,00	-300,00	19,00	-	63	0,80	-	-	-	-

Вещество: 6038
Серы диоксид и фенол
Площадка: 1
Поле максимальных концентраций

Коорд X(м)	Коорд Y(м)	Концентр. (д. ПДК)	Концентр. (мг/куб.м)	Напр. ветра	Скор. ветра	Фон		Фон до исключения	
						доли ПДК	мг/куб.м	доли ПДК	мг/куб.м
600,00	-300,00	16,62	-	63	0,80	-	-	-	-

Вещество: 6053
Фтористый водород и плохорастворимые соли фтора
Площадка: 1
Поле максимальных концентраций

Коорд X(м)	Коорд Y(м)	Концентр. (д. ПДК)	Концентр. (мг/куб.м)	Напр. ветра	Скор. ветра	Фон		Фон до исключения	
						доли ПДК	мг/куб.м	доли ПДК	мг/куб.м
400,00	0,00	0,13	-	357	0,90	-	-	-	-

Вещество: 6205
Серы диоксид и фтористый водород
Площадка: 1
Поле максимальных концентраций

Коорд X(м)	Коорд Y(м)	Концентр. (д. ПДК)	Концентр. (мг/куб.м)	Напр. ветра	Скор. ветра	Фон		Фон до исключения	
						доли ПДК	мг/куб.м	доли ПДК	мг/куб.м
700,00	-200,00	0,10	-	194	3,50	-	-	-	-

Результаты расчета по веществам (расчетные точки)

Типы точек:
0 - расчетная точка пользователя
1 - точка на границе охранной зоны
2 - точка на границе производственной зоны
3 - точка на границе СЗЗ
4 - на границе жилой зоны
5 - на границе застройки
6 - точки квотирования

Вещество: 0143
Марганец и его соединения (в пересчете на марганец (IV) оксид)

№	Коорд X(м)	Коорд Y(м)	Высота (м)	Концентр. (д. ПДК)	Концентр. (мг/куб.м)	Напр. ветра	Скор. ветра	Фон		Фон до исключения		Тип точки
								доли ПДК	мг/куб.м	доли ПДК	мг/куб.м	
2	2086,00	1066,00	2,00	3,79E-03	3,788E-05	238	11,00	-	-	-	-	3
3	2351,00	397,00	2,00	3,81E-03	3,814E-05	259	11,00	-	-	-	-	3
4	2231,00	-726,00	2,00	4,22E-03	4,218E-05	292	11,00	-	-	-	-	3

1	792,00	1517,00	2,00	6,33E-03	6,331E-05	195	11,00	-	-	-	-	3
7	-1120,00	21,00	2,00	6,52E-03	6,522E-05	90	11,00	-	-	-	-	3
6	-708,00	-963,00	2,00	6,61E-03	6,610E-05	48	11,00	-	-	-	-	3
8	-754,00	966,00	2,00	7,31E-03	7,307E-05	129	11,00	-	-	-	-	3
5	726,00	-1330,00	2,00	7,98E-03	7,976E-05	347	11,00	-	-	-	-	3
10	1352,00	388,00	2,00	0,02	1,866E-04	250	11,00	-	-	-	-	2
11	1357,00	-240,00	2,00	0,02	2,001E-04	286	11,00	-	-	-	-	2
12	719,00	-589,00	2,00	0,04	3,792E-04	333	11,00	-	-	-	-	2
9	771,00	517,00	2,00	0,05	4,776E-04	218	11,00	-	-	-	-	2
15	144,00	525,00	2,00	0,06	5,722E-04	152	11,00	-	-	-	-	2
14	-122,00	-57,00	2,00	0,06	5,846E-04	80	11,00	-	-	-	-	2
13	-2,00	-258,00	2,00	0,06	6,347E-04	53	11,00	-	-	-	-	2
16	246,00	-202,00	2,00	0,13	0,001	32	5,00	-	-	-	-	4

Вещество: 0301

Азота диоксид (Двуокись азота; пероксид азота)

№	Коорд X(м)	Коорд Y(м)	Высота (м)	Концентр. (д. ПДК)	Концентр. (мг/куб.м)	Напр. ветра	Скор. ветра	Фон		Фон до исключения		Тип точки
								доли ПДК	мг/куб.м	доли ПДК	мг/куб.м	
6	-708,00	-963,00	2,00	0,42	0,083	42	11,00	-	-	-	-	3
1	792,00	1517,00	2,00	0,42	0,084	201	11,00	-	-	-	-	3
2	2086,00	1066,00	2,00	0,43	0,085	241	11,00	-	-	-	-	3
3	2351,00	397,00	2,00	0,48	0,096	262	11,00	-	-	-	-	3
4	2231,00	-726,00	2,00	0,52	0,105	294	11,00	-	-	-	-	3
14	-122,00	-57,00	2,00	0,53	0,105	101	0,90	-	-	-	-	2
9	771,00	517,00	2,00	0,56	0,112	189	11,00	-	-	-	-	2
13	-2,00	-258,00	2,00	0,57	0,114	91	8,70	-	-	-	-	2
10	1352,00	388,00	2,00	0,57	0,114	260	11,00	-	-	-	-	2
7	-1120,00	21,00	2,00	0,57	0,115	84	11,00	-	-	-	-	3
5	726,00	-1330,00	2,00	0,58	0,117	356	11,00	-	-	-	-	3
8	-754,00	966,00	2,00	0,68	0,136	127	11,00	-	-	-	-	3
11	1357,00	-240,00	2,00	0,68	0,136	293	11,00	-	-	-	-	2
15	144,00	525,00	2,00	0,69	0,137	144	7,90	-	-	-	-	2
16	246,00	-202,00	2,00	0,97	0,193	99	5,60	-	-	-	-	4
12	719,00	-589,00	2,00	1,62	0,324	352	5,80	-	-	-	-	2

Вещество: 0304

Азот (II) оксид (Азот монооксид)

№	Коорд X(м)	Коорд Y(м)	Высота (м)	Концентр. (д. ПДК)	Концентр. (мг/куб.м)	Напр. ветра	Скор. ветра	Фон		Фон до исключения		Тип точки
								доли ПДК	мг/куб.м	доли ПДК	мг/куб.м	
16	246,00	-202,00	2,00	0,19	0,077	345	11,00	-	-	-	-	4
13	-2,00	-258,00	2,00	0,20	0,079	31	11,00	-	-	-	-	2
15	144,00	525,00	2,00	0,22	0,088	141	7,50	-	-	-	-	2
14	-122,00	-57,00	2,00	0,23	0,092	56	11,00	-	-	-	-	2
2	2086,00	1066,00	2,00	0,23	0,093	243	11,00	-	-	-	-	3
6	-708,00	-963,00	2,00	0,24	0,097	39	11,00	-	-	-	-	3
1	792,00	1517,00	2,00	0,24	0,098	203	11,00	-	-	-	-	3
5	726,00	-1330,00	2,00	0,25	0,099	342	11,00	-	-	-	-	3
3	2351,00	397,00	2,00	0,27	0,106	263	11,00	-	-	-	-	3
4	2231,00	-726,00	2,00	0,27	0,109	295	11,00	-	-	-	-	3
12	719,00	-589,00	2,00	0,29	0,116	326	11,00	-	-	-	-	2
9	771,00	517,00	2,00	0,30	0,121	240	11,00	-	-	-	-	2
7	-1120,00	21,00	2,00	0,34	0,135	83	11,00	-	-	-	-	3
10	1352,00	388,00	2,00	0,34	0,138	261	11,00	-	-	-	-	2
8	-754,00	966,00	2,00	0,37	0,148	127	11,00	-	-	-	-	3
11	1357,00	-240,00	2,00	0,40	0,160	293	11,00	-	-	-	-	2

Вещество: 0328

Углерод (Пигмент черный)

№	Коорд X(м)	Коорд Y(м)	Высота (м)	Концентр. (д. ПДК)	Концентр. (мг/куб.м)	Напр. ветра	Скор. ветра	Фон		Фон до исключения		Тип точки
								доли ПДК	мг/куб.м	доли ПДК	мг/куб.м	
7	-1120,00	21,00	2,00	0,10	0,015	83	5,50	-	-	-	-	3
6	-708,00	-963,00	2,00	0,10	0,015	52	5,60	-	-	-	-	3
8	-754,00	966,00	2,00	0,12	0,018	113	5,10	-	-	-	-	3
4	2231,00	-726,00	2,00	0,13	0,019	307	4,90	-	-	-	-	3
5	726,00	-1330,00	2,00	0,14	0,021	5	4,60	-	-	-	-	3
3	2351,00	397,00	2,00	0,15	0,022	265	4,60	-	-	-	-	3
2	2086,00	1066,00	2,00	0,16	0,023	237	4,50	-	-	-	-	3
1	792,00	1517,00	2,00	0,19	0,028	176	3,80	-	-	-	-	3
13	-2,00	-258,00	2,00	0,22	0,033	58	3,70	-	-	-	-	2
14	-122,00	-57,00	2,00	0,23	0,035	72	4,40	-	-	-	-	2
12	719,00	-589,00	2,00	0,25	0,038	9	3,50	-	-	-	-	2
16	246,00	-202,00	2,00	0,27	0,040	52	3,60	-	-	-	-	4
15	144,00	525,00	2,00	0,27	0,041	109	3,50	-	-	-	-	2
11	1357,00	-240,00	2,00	0,29	0,043	317	3,50	-	-	-	-	2
9	771,00	517,00	2,00	0,33	0,049	157	2,70	-	-	-	-	2
10	1352,00	388,00	2,00	0,34	0,051	257	3,30	-	-	-	-	2

Вещество: 0330

Сера диоксид

№	Коорд X(м)	Коорд Y(м)	Высота (м)	Концентр. (д. ПДК)	Концентр. (мг/куб.м)	Напр. ветра	Скор. ветра	Фон		Фон до исключения		Тип точки
								доли ПДК	мг/куб.м	доли ПДК	мг/куб.м	

2	2086,00	1066,00	2,00	7,60E-03	0,004	227	0,90	-	-	-	-	3
8	-754,00	966,00	2,00	8,18E-03	0,004	131	0,90	-	-	-	-	3
7	-1120,00	21,00	2,00	8,60E-03	0,004	99	0,90	-	-	-	-	3
3	2351,00	397,00	2,00	8,61E-03	0,004	249	0,90	-	-	-	-	3
1	792,00	1517,00	2,00	8,72E-03	0,004	184	0,90	-	-	-	-	3
4	2231,00	-726,00	2,00	0,01	0,005	286	0,90	-	-	-	-	3
6	-708,00	-963,00	2,00	0,01	0,005	63	0,90	-	-	-	-	3
5	726,00	-1330,00	2,00	0,02	0,010	357	0,90	-	-	-	-	3
10	1352,00	388,00	2,00	0,02	0,011	226	0,90	-	-	-	-	2
15	144,00	525,00	2,00	0,02	0,011	147	0,90	-	-	-	-	2
14	-122,00	-57,00	2,00	0,03	0,013	104	0,90	-	-	-	-	2
9	771,00	517,00	2,00	0,03	0,014	187	0,90	-	-	-	-	2
11	1357,00	-240,00	2,00	0,03	0,016	268	1,00	-	-	-	-	2
13	-2,00	-258,00	2,00	0,03	0,017	91	8,50	-	-	-	-	2
16	246,00	-202,00	2,00	0,06	0,028	99	5,70	-	-	-	-	4
12	719,00	-589,00	2,00	0,09	0,043	352	4,50	-	-	-	-	2

Вещество: 0333

Дигидросульфид (Водород сернистый, дигидросульфид, гидросульфид)

№	Коорд X(м)	Коорд Y(м)	Высота (м)	Концентр. (д. ПДК)	Концентр. (мг/куб.м)	Напр. ветра	Скор. ветра	Фон		Фон до исключения		Тип точки
								доли ПДК	мг/куб.м	доли ПДК	мг/куб.м	
4	2231,00	-726,00	2,00	4,97E-03	3,978E-05	292	11,00	-	-	-	-	3
3	2351,00	397,00	2,00	5,00E-03	3,998E-05	261	11,00	-	-	-	-	3
2	2086,00	1066,00	2,00	5,00E-03	4,004E-05	241	11,00	-	-	-	-	3
1	792,00	1517,00	2,00	7,75E-03	6,202E-05	201	11,00	-	-	-	-	3
5	726,00	-1330,00	2,00	8,38E-03	6,702E-05	340	11,00	-	-	-	-	3
6	-708,00	-963,00	2,00	9,59E-03	7,675E-05	43	11,00	-	-	-	-	3
8	-754,00	966,00	2,00	9,74E-03	7,793E-05	133	11,00	-	-	-	-	3
7	-1120,00	21,00	2,00	0,01	8,214E-05	89	11,00	-	-	-	-	3
10	1352,00	388,00	2,00	0,01	1,044E-04	253	11,00	-	-	-	-	2
11	1357,00	-240,00	2,00	0,01	1,097E-04	285	11,00	-	-	-	-	2
12	719,00	-589,00	2,00	0,02	1,546E-04	322	11,00	-	-	-	-	2
9	771,00	517,00	2,00	0,03	2,082E-04	230	11,00	-	-	-	-	2
15	144,00	525,00	2,00	0,05	3,629E-04	173	1,60	-	-	-	-	2
13	-2,00	-258,00	2,00	0,05	4,163E-04	36	2,00	-	-	-	-	2
14	-122,00	-57,00	2,00	0,06	4,791E-04	73	2,00	-	-	-	-	2
16	246,00	-202,00	2,00	0,09	6,805E-04	355	1,50	-	-	-	-	4

Вещество: 0337

Углерода оксид (Углерод окись; углерод моноокись; угарный газ)

№	Коорд X(м)	Коорд Y(м)	Высота (м)	Концентр. (д. ПДК)	Концентр. (мг/куб.м)	Напр. ветра	Скор. ветра	Фон		Фон до исключения		Тип точки
								доли ПДК	мг/куб.м	доли ПДК	мг/куб.м	
15	144,00	525,00	2,00	0,08	0,385	128	11,00	-	-	-	-	2
6	-708,00	-963,00	2,00	0,08	0,391	52	11,00	-	-	-	-	3
4	2231,00	-726,00	2,00	0,08	0,395	296	11,00	-	-	-	-	3
1	792,00	1517,00	2,00	0,08	0,412	185	11,00	-	-	-	-	3
10	1352,00	388,00	2,00	0,08	0,413	251	11,00	-	-	-	-	2
2	2086,00	1066,00	2,00	0,08	0,415	236	11,00	-	-	-	-	3
3	2351,00	397,00	2,00	0,08	0,419	261	11,00	-	-	-	-	3
14	-122,00	-57,00	2,00	0,08	0,419	77	11,00	-	-	-	-	2
13	-2,00	-258,00	2,00	0,08	0,421	58	3,30	-	-	-	-	2
8	-754,00	966,00	2,00	0,09	0,438	125	11,00	-	-	-	-	3
7	-1120,00	21,00	2,00	0,09	0,446	86	11,00	-	-	-	-	3
11	1357,00	-240,00	2,00	0,09	0,461	294	11,00	-	-	-	-	2
16	246,00	-202,00	2,00	0,10	0,491	99	4,50	-	-	-	-	4
5	726,00	-1330,00	2,00	0,10	0,493	357	11,00	-	-	-	-	3
9	771,00	517,00	2,00	0,11	0,538	195	11,00	-	-	-	-	2
12	719,00	-589,00	2,00	0,14	0,705	351	9,70	-	-	-	-	2

Вещество: 0342

Фториды газообразные

№	Коорд X(м)	Коорд Y(м)	Высота (м)	Концентр. (д. ПДК)	Концентр. (мг/куб.м)	Напр. ветра	Скор. ветра	Фон		Фон до исключения		Тип точки
								доли ПДК	мг/куб.м	доли ПДК	мг/куб.м	
2	2086,00	1066,00	2,00	1,43E-03	2,852E-05	238	11,00	-	-	-	-	3
3	2351,00	397,00	2,00	1,45E-03	2,895E-05	259	11,00	-	-	-	-	3
4	2231,00	-726,00	2,00	1,67E-03	3,343E-05	292	11,00	-	-	-	-	3
1	792,00	1517,00	2,00	2,20E-03	4,404E-05	195	11,00	-	-	-	-	3
6	-708,00	-963,00	2,00	2,25E-03	4,498E-05	48	11,00	-	-	-	-	3
7	-1120,00	21,00	2,00	2,28E-03	4,570E-05	90	11,00	-	-	-	-	3
8	-754,00	966,00	2,00	2,61E-03	5,218E-05	129	11,00	-	-	-	-	3
5	726,00	-1330,00	2,00	2,66E-03	5,319E-05	347	11,00	-	-	-	-	3
10	1352,00	388,00	2,00	4,01E-03	8,013E-05	250	11,00	-	-	-	-	2
11	1357,00	-240,00	2,00	4,13E-03	8,269E-05	286	11,00	-	-	-	-	2
12	719,00	-589,00	2,00	6,40E-03	1,281E-04	333	8,20	-	-	-	-	2
9	771,00	517,00	2,00	7,75E-03	1,551E-04	218	6,00	-	-	-	-	2
15	144,00	525,00	2,00	9,38E-03	1,876E-04	152	4,40	-	-	-	-	2
14	-122,00	-57,00	2,00	9,43E-03	1,887E-04	80	3,80	-	-	-	-	2
13	-2,00	-258,00	2,00	0,01	2,072E-04	53	2,80	-	-	-	-	2
16	246,00	-202,00	2,00	0,02	4,945E-04	32	1,60	-	-	-	-	4

Вещество: 0344

Фториды плохо растворимые

№	Коорд X(м)	Коорд Y(м)	Высота (м)	Концентр. (д. ПДК)	Концентр. (мг/куб.м)	Напр. ветра	Скор. ветра	Фон		Фон до исключения		Тип точки
								доли ПДК	мг/куб.м	доли ПДК	мг/куб.м	
2	2086,00	1066,00	2,00	1,28E-04	2,557E-05	238	11,00	-	-	-	-	3
3	2351,00	397,00	2,00	1,29E-04	2,583E-05	259	11,00	-	-	-	-	3
4	2231,00	-726,00	2,00	1,46E-04	2,919E-05	292	11,00	-	-	-	-	3
1	792,00	1517,00	2,00	2,13E-04	4,264E-05	195	11,00	-	-	-	-	3
7	-1120,00	21,00	2,00	2,21E-04	4,410E-05	90	11,00	-	-	-	-	3
6	-708,00	-963,00	2,00	2,22E-04	4,438E-05	48	11,00	-	-	-	-	3
8	-754,00	966,00	2,00	2,50E-04	4,996E-05	129	11,00	-	-	-	-	3
5	726,00	-1330,00	2,00	2,71E-04	5,427E-05	347	11,00	-	-	-	-	3
10	1352,00	388,00	2,00	6,25E-04	1,251E-04	250	11,00	-	-	-	-	2
11	1357,00	-240,00	2,00	6,72E-04	1,343E-04	286	11,00	-	-	-	-	2
12	719,00	-589,00	2,00	1,27E-03	2,544E-04	333	11,00	-	-	-	-	2
9	771,00	517,00	2,00	1,60E-03	3,202E-04	218	11,00	-	-	-	-	2
15	144,00	525,00	2,00	1,93E-03	3,867E-04	152	11,00	-	-	-	-	2
14	-122,00	-57,00	2,00	1,96E-03	3,919E-04	80	11,00	-	-	-	-	2
13	-2,00	-258,00	2,00	2,13E-03	4,255E-04	53	11,00	-	-	-	-	2
16	246,00	-202,00	2,00	4,39E-03	8,788E-04	32	5,00	-	-	-	-	4

Вещество: 0616

Диметилбензол (смесь о-, м-, п- изомеров) (Метилтолуол)

№	Коорд X(м)	Коорд Y(м)	Высота (м)	Концентр. (д. ПДК)	Концентр. (мг/куб.м)	Напр. ветра	Скор. ветра	Фон		Фон до исключения		Тип точки
								доли ПДК	мг/куб.м	доли ПДК	мг/куб.м	
2	2086,00	1066,00	2,00	0,03	0,005	227	1,60	-	-	-	-	3
8	-754,00	966,00	2,00	0,03	0,006	132	1,50	-	-	-	-	3
3	2351,00	397,00	2,00	0,03	0,006	248	1,50	-	-	-	-	3
1	792,00	1517,00	2,00	0,03	0,006	185	1,40	-	-	-	-	3
7	-1120,00	21,00	2,00	0,03	0,006	100	1,40	-	-	-	-	3
4	2231,00	-726,00	2,00	0,04	0,007	286	1,20	-	-	-	-	3
6	-708,00	-963,00	2,00	0,04	0,008	63	1,00	-	-	-	-	3
5	726,00	-1330,00	2,00	0,07	0,014	356	11,00	-	-	-	-	3
10	1352,00	388,00	2,00	0,08	0,016	227	11,00	-	-	-	-	2
15	144,00	525,00	2,00	0,09	0,017	148	11,00	-	-	-	-	2
9	771,00	517,00	2,00	0,12	0,023	189	11,00	-	-	-	-	2
14	-122,00	-57,00	2,00	0,12	0,024	106	11,00	-	-	-	-	2
11	1357,00	-240,00	2,00	0,14	0,029	267	11,00	-	-	-	-	2
13	-2,00	-258,00	2,00	0,17	0,034	92	11,00	-	-	-	-	2
16	246,00	-202,00	2,00	0,36	0,072	101	11,00	-	-	-	-	4
12	719,00	-589,00	2,00	0,50	0,100	347	11,00	-	-	-	-	2

Вещество: 0621

Метилбензол (Фенилметан)

№	Коорд X(м)	Коорд Y(м)	Высота (м)	Концентр. (д. ПДК)	Концентр. (мг/куб.м)	Напр. ветра	Скор. ветра	Фон		Фон до исключения		Тип точки
								доли ПДК	мг/куб.м	доли ПДК	мг/куб.м	
2	2086,00	1066,00	2,00	2,41E-04	1,445E-04	227	1,60	-	-	-	-	3
8	-754,00	966,00	2,00	2,69E-04	1,616E-04	132	1,50	-	-	-	-	3
3	2351,00	397,00	2,00	2,70E-04	1,620E-04	249	1,50	-	-	-	-	3
1	792,00	1517,00	2,00	2,82E-04	1,689E-04	185	1,40	-	-	-	-	3
7	-1120,00	21,00	2,00	2,85E-04	1,710E-04	99	1,40	-	-	-	-	3
4	2231,00	-726,00	2,00	3,25E-04	1,951E-04	286	1,20	-	-	-	-	3
6	-708,00	-963,00	2,00	3,68E-04	2,206E-04	63	1,00	-	-	-	-	3
5	726,00	-1330,00	2,00	6,35E-04	3,813E-04	356	11,00	-	-	-	-	3
10	1352,00	388,00	2,00	7,45E-04	4,472E-04	227	11,00	-	-	-	-	2
15	144,00	525,00	2,00	7,86E-04	4,718E-04	148	11,00	-	-	-	-	2
9	771,00	517,00	2,00	1,07E-03	6,400E-04	189	11,00	-	-	-	-	2
14	-122,00	-57,00	2,00	1,08E-03	6,490E-04	106	11,00	-	-	-	-	2
11	1357,00	-240,00	2,00	1,32E-03	7,920E-04	267	11,00	-	-	-	-	2
13	-2,00	-258,00	2,00	1,56E-03	9,368E-04	92	11,00	-	-	-	-	2
16	246,00	-202,00	2,00	3,33E-03	0,002	101	11,00	-	-	-	-	4
12	719,00	-589,00	2,00	4,60E-03	0,003	347	11,00	-	-	-	-	2

Вещество: 1061

Этанол (Этиловый спирт; метилкарбинол)

№	Коорд X(м)	Коорд Y(м)	Высота (м)	Концентр. (д. ПДК)	Концентр. (мг/куб.м)	Напр. ветра	Скор. ветра	Фон		Фон до исключения		Тип точки
								доли ПДК	мг/куб.м	доли ПДК	мг/куб.м	
2	2086,00	1066,00	2,00	1,10E-03	0,006	227	1,60	-	-	-	-	3
8	-754,00	966,00	2,00	1,22E-03	0,006	132	1,50	-	-	-	-	3
3	2351,00	397,00	2,00	1,23E-03	0,006	248	1,50	-	-	-	-	3
1	792,00	1517,00	2,00	1,29E-03	0,006	185	1,40	-	-	-	-	3
7	-1120,00	21,00	2,00	1,30E-03	0,006	100	1,40	-	-	-	-	3
4	2231,00	-726,00	2,00	1,48E-03	0,007	286	1,20	-	-	-	-	3
6	-708,00	-963,00	2,00	1,68E-03	0,008	63	1,00	-	-	-	-	3
5	726,00	-1330,00	2,00	2,91E-03	0,015	356	11,00	-	-	-	-	3
10	1352,00	388,00	2,00	3,42E-03	0,017	227	11,00	-	-	-	-	2
15	144,00	525,00	2,00	3,60E-03	0,018	148	11,00	-	-	-	-	2
9	771,00	517,00	2,00	4,89E-03	0,024	189	11,00	-	-	-	-	2
14	-122,00	-57,00	2,00	4,96E-03	0,025	106	11,00	-	-	-	-	2
11	1357,00	-240,00	2,00	6,05E-03	0,030	267	11,00	-	-	-	-	2
13	-2,00	-258,00	2,00	7,16E-03	0,036	92	11,00	-	-	-	-	2

16	246,00	-202,00	2,00	0,02	0,076	101	11,00	-	-	-	-	4
12	719,00	-589,00	2,00	0,02	0,105	347	11,00	-	-	-	-	2

Вещество: 1071
Гидроксибензол

№	Коорд X(м)	Коорд Y(м)	Высота (м)	Концентр. (д. ПДК)	Концентр. (мг/куб.м)	Напр. ветра	Скор. ветра	Фон		Фон до исключения		Тип точки
								доли ПДК	мг/куб.м	доли ПДК	мг/куб.м	
2	2086,00	1066,00	2,00	0,07	7,103E-04	227	1,60	-	-	-	-	3
8	-754,00	966,00	2,00	0,08	7,879E-04	132	1,50	-	-	-	-	3
3	2351,00	397,00	2,00	0,08	7,966E-04	248	1,50	-	-	-	-	3
1	792,00	1517,00	2,00	0,08	8,284E-04	185	1,40	-	-	-	-	3
7	-1120,00	21,00	2,00	0,08	8,396E-04	99	1,40	-	-	-	-	3
4	2231,00	-726,00	2,00	0,10	9,582E-04	286	1,20	-	-	-	-	3
6	-708,00	-963,00	2,00	0,11	0,001	63	1,00	-	-	-	-	3
5	726,00	-1330,00	2,00	0,19	0,002	356	11,00	-	-	-	-	3
10	1352,00	388,00	2,00	0,22	0,002	227	11,00	-	-	-	-	2
15	144,00	525,00	2,00	0,23	0,002	148	11,00	-	-	-	-	2
9	771,00	517,00	2,00	0,32	0,003	189	11,00	-	-	-	-	2
14	-122,00	-57,00	2,00	0,32	0,003	106	11,00	-	-	-	-	2
11	1357,00	-240,00	2,00	0,39	0,004	267	11,00	-	-	-	-	2
13	-2,00	-258,00	2,00	0,46	0,005	92	11,00	-	-	-	-	2
16	246,00	-202,00	2,00	0,98	0,010	101	11,00	-	-	-	-	4
12	719,00	-589,00	2,00	1,36	0,014	347	11,00	-	-	-	-	2

Вещество: 1119
Этиловый эфир этиленгликоля

№	Коорд X(м)	Коорд Y(м)	Высота (м)	Концентр. (д. ПДК)	Концентр. (мг/куб.м)	Напр. ветра	Скор. ветра	Фон		Фон до исключения		Тип точки
								доли ПДК	мг/куб.м	доли ПДК	мг/куб.м	
2	2086,00	1066,00	2,00	1,22E-03	8,506E-04	227	1,60	-	-	-	-	3
8	-754,00	966,00	2,00	1,36E-03	9,486E-04	132	1,50	-	-	-	-	3
3	2351,00	397,00	2,00	1,36E-03	9,534E-04	249	1,50	-	-	-	-	3
1	792,00	1517,00	2,00	1,42E-03	9,953E-04	185	1,40	-	-	-	-	3
7	-1120,00	21,00	2,00	1,43E-03	0,001	99	1,40	-	-	-	-	3
4	2231,00	-726,00	2,00	1,64E-03	0,001	286	1,20	-	-	-	-	3
6	-708,00	-963,00	2,00	1,85E-03	0,001	63	1,00	-	-	-	-	3
5	726,00	-1330,00	2,00	3,21E-03	0,002	356	11,00	-	-	-	-	3
10	1352,00	388,00	2,00	3,77E-03	0,003	227	11,00	-	-	-	-	2
15	144,00	525,00	2,00	3,97E-03	0,003	148	11,00	-	-	-	-	2
9	771,00	517,00	2,00	5,39E-03	0,004	189	11,00	-	-	-	-	2
14	-122,00	-57,00	2,00	5,47E-03	0,004	106	11,00	-	-	-	-	2
11	1357,00	-240,00	2,00	6,67E-03	0,005	267	11,00	-	-	-	-	2
13	-2,00	-258,00	2,00	7,89E-03	0,006	92	11,00	-	-	-	-	2
16	246,00	-202,00	2,00	0,02	0,012	101	11,00	-	-	-	-	4
12	719,00	-589,00	2,00	0,02	0,016	347	11,00	-	-	-	-	2

Вещество: 1210
Бутилацетат (Бутиловый эфир уксусной кислоты)

№	Коорд X(м)	Коорд Y(м)	Высота (м)	Концентр. (д. ПДК)	Концентр. (мг/куб.м)	Напр. ветра	Скор. ветра	Фон		Фон до исключения		Тип точки
								доли ПДК	мг/куб.м	доли ПДК	мг/куб.м	
2	2086,00	1066,00	2,00	0,03	0,003	227	1,60	-	-	-	-	3
8	-754,00	966,00	2,00	0,03	0,003	132	1,50	-	-	-	-	3
3	2351,00	397,00	2,00	0,03	0,003	248	1,50	-	-	-	-	3
1	792,00	1517,00	2,00	0,03	0,003	185	1,40	-	-	-	-	3
7	-1120,00	21,00	2,00	0,03	0,003	100	1,40	-	-	-	-	3
4	2231,00	-726,00	2,00	0,04	0,004	286	1,20	-	-	-	-	3
6	-708,00	-963,00	2,00	0,04	0,004	63	1,00	-	-	-	-	3
5	726,00	-1330,00	2,00	0,07	0,007	356	11,00	-	-	-	-	3
10	1352,00	388,00	2,00	0,09	0,009	227	11,00	-	-	-	-	2
15	144,00	525,00	2,00	0,09	0,009	148	11,00	-	-	-	-	2
9	771,00	517,00	2,00	0,12	0,012	189	11,00	-	-	-	-	2
14	-122,00	-57,00	2,00	0,13	0,013	106	11,00	-	-	-	-	2
11	1357,00	-240,00	2,00	0,15	0,015	267	11,00	-	-	-	-	2
13	-2,00	-258,00	2,00	0,18	0,018	92	11,00	-	-	-	-	2
16	246,00	-202,00	2,00	0,39	0,039	101	11,00	-	-	-	-	4
12	719,00	-589,00	2,00	0,54	0,054	347	11,00	-	-	-	-	2

Вещество: 1325
Формальдегид (Муравьиный альдегид, оксометан, метиленоксид)

№	Коорд X(м)	Коорд Y(м)	Высота (м)	Концентр. (д. ПДК)	Концентр. (мг/куб.м)	Напр. ветра	Скор. ветра	Фон		Фон до исключения		Тип точки
								доли ПДК	мг/куб.м	доли ПДК	мг/куб.м	
2	2086,00	1066,00	2,00	6,69E-03	3,347E-04	227	0,90	-	-	-	-	3
8	-754,00	966,00	2,00	7,12E-03	3,562E-04	131	0,90	-	-	-	-	3
7	-1120,00	21,00	2,00	7,53E-03	3,763E-04	99	0,90	-	-	-	-	3
3	2351,00	397,00	2,00	7,63E-03	3,817E-04	248	0,90	-	-	-	-	3
1	792,00	1517,00	2,00	7,70E-03	3,848E-04	184	0,90	-	-	-	-	3
4	2231,00	-726,00	2,00	9,17E-03	4,587E-04	286	0,90	-	-	-	-	3
6	-708,00	-963,00	2,00	9,74E-03	4,869E-04	63	0,90	-	-	-	-	3
5	726,00	-1330,00	2,00	0,02	8,741E-04	358	0,90	-	-	-	-	3
15	144,00	525,00	2,00	0,02	0,001	146	0,90	-	-	-	-	2
10	1352,00	388,00	2,00	0,02	0,001	226	0,90	-	-	-	-	2
14	-122,00	-57,00	2,00	0,02	0,001	105	0,90	-	-	-	-	2

9	771,00	517,00	2,00	0,03	0,001	186	0,90	-	-	-	-	2
13	-2,00	-258,00	2,00	0,03	0,001	91	1,00	-	-	-	-	2
11	1357,00	-240,00	2,00	0,03	0,001	268	1,00	-	-	-	-	2
16	246,00	-202,00	2,00	0,05	0,002	99	5,90	-	-	-	-	4
12	719,00	-589,00	2,00	0,08	0,004	353	4,80	-	-	-	-	2

Вещество: 1401

Пропан-2-он (Диметилкетон; диметилформальдегид)

№	Коорд X(м)	Коорд Y(м)	Высота (м)	Концентр. (д. ПДК)	Концентр. (мг/куб.м)	Напр. ветра	Скор. ветра	Фон		Фон до исключения		Тип точки
								доли ПДК	мг/куб.м	доли ПДК	мг/куб.м	
2	2086,00	1066,00	2,00	0,01	0,004	227	1,60	-	-	-	-	3
8	-754,00	966,00	2,00	0,01	0,004	132	1,50	-	-	-	-	3
3	2351,00	397,00	2,00	0,01	0,004	248	1,50	-	-	-	-	3
1	792,00	1517,00	2,00	0,01	0,004	185	1,40	-	-	-	-	3
7	-1120,00	21,00	2,00	0,01	0,004	100	1,40	-	-	-	-	3
4	2231,00	-726,00	2,00	0,01	0,005	286	1,20	-	-	-	-	3
6	-708,00	-963,00	2,00	0,02	0,006	63	1,00	-	-	-	-	3
5	726,00	-1330,00	2,00	0,03	0,010	356	11,00	-	-	-	-	3
10	1352,00	388,00	2,00	0,03	0,011	227	11,00	-	-	-	-	2
15	144,00	525,00	2,00	0,03	0,012	148	11,00	-	-	-	-	2
9	771,00	517,00	2,00	0,05	0,016	189	11,00	-	-	-	-	2
14	-122,00	-57,00	2,00	0,05	0,016	106	11,00	-	-	-	-	2
11	1357,00	-240,00	2,00	0,06	0,020	267	11,00	-	-	-	-	2
13	-2,00	-258,00	2,00	0,07	0,024	92	11,00	-	-	-	-	2
16	246,00	-202,00	2,00	0,14	0,050	101	11,00	-	-	-	-	4
12	719,00	-589,00	2,00	0,20	0,070	347	11,00	-	-	-	-	2

Вещество: 2732

Керосин (Керосин прямой перегонки; керосин дезодорированный)

№	Коорд X(м)	Коорд Y(м)	Высота (м)	Концентр. (д. ПДК)	Концентр. (мг/куб.м)	Напр. ветра	Скор. ветра	Фон		Фон до исключения		Тип точки
								доли ПДК	мг/куб.м	доли ПДК	мг/куб.м	
2	2086,00	1066,00	2,00	6,98E-03	0,008	227	0,90	-	-	-	-	3
8	-754,00	966,00	2,00	7,75E-03	0,009	131	0,90	-	-	-	-	3
3	2351,00	397,00	2,00	7,95E-03	0,010	249	0,90	-	-	-	-	3
1	792,00	1517,00	2,00	8,04E-03	0,010	184	0,90	-	-	-	-	3
7	-1120,00	21,00	2,00	8,05E-03	0,010	98	0,90	-	-	-	-	3
4	2231,00	-726,00	2,00	9,59E-03	0,012	287	0,90	-	-	-	-	3
6	-708,00	-963,00	2,00	0,01	0,012	63	0,90	-	-	-	-	3
5	726,00	-1330,00	2,00	0,02	0,022	357	0,90	-	-	-	-	3
10	1352,00	388,00	2,00	0,02	0,025	226	0,90	-	-	-	-	2
15	144,00	525,00	2,00	0,02	0,026	147	0,90	-	-	-	-	2
14	-122,00	-57,00	2,00	0,02	0,029	104	0,90	-	-	-	-	2
9	771,00	517,00	2,00	0,03	0,030	186	0,90	-	-	-	-	2
13	-2,00	-258,00	2,00	0,03	0,035	91	1,00	-	-	-	-	2
11	1357,00	-240,00	2,00	0,03	0,036	268	1,00	-	-	-	-	2
16	246,00	-202,00	2,00	0,05	0,054	99	5,90	-	-	-	-	4
12	719,00	-589,00	2,00	0,08	0,098	353	4,80	-	-	-	-	2

Вещество: 2752

Уайт-спирит

№	Коорд X(м)	Коорд Y(м)	Высота (м)	Концентр. (д. ПДК)	Концентр. (мг/куб.м)	Напр. ветра	Скор. ветра	Фон		Фон до исключения		Тип точки
								доли ПДК	мг/куб.м	доли ПДК	мг/куб.м	
2	2086,00	1066,00	2,00	5,01E-03	0,005	227	1,60	-	-	-	-	3
8	-754,00	966,00	2,00	5,49E-03	0,005	132	1,50	-	-	-	-	3
3	2351,00	397,00	2,00	5,62E-03	0,006	248	1,50	-	-	-	-	3
1	792,00	1517,00	2,00	5,84E-03	0,006	185	1,40	-	-	-	-	3
7	-1120,00	21,00	2,00	5,89E-03	0,006	100	1,40	-	-	-	-	3
4	2231,00	-726,00	2,00	6,75E-03	0,007	286	1,20	-	-	-	-	3
6	-708,00	-963,00	2,00	7,66E-03	0,008	63	1,00	-	-	-	-	3
5	726,00	-1330,00	2,00	0,01	0,013	356	11,00	-	-	-	-	3
10	1352,00	388,00	2,00	0,02	0,016	227	11,00	-	-	-	-	2
15	144,00	525,00	2,00	0,02	0,016	148	11,00	-	-	-	-	2
9	771,00	517,00	2,00	0,02	0,022	189	11,00	-	-	-	-	2
14	-122,00	-57,00	2,00	0,02	0,023	106	11,00	-	-	-	-	2
11	1357,00	-240,00	2,00	0,03	0,028	267	11,00	-	-	-	-	2
13	-2,00	-258,00	2,00	0,03	0,033	92	11,00	-	-	-	-	2
16	246,00	-202,00	2,00	0,07	0,070	101	11,00	-	-	-	-	4
12	719,00	-589,00	2,00	0,10	0,096	347	11,00	-	-	-	-	2

Вещество: 2754

Алканы С12-С19 (в пересчете на С)

№	Коорд X(м)	Коорд Y(м)	Высота (м)	Концентр. (д. ПДК)	Концентр. (мг/куб.м)	Напр. ветра	Скор. ветра	Фон		Фон до исключения		Тип точки
								доли ПДК	мг/куб.м	доли ПДК	мг/куб.м	
2	2086,00	1066,00	2,00	6,88E-03	0,007	238	1,50	-	-	-	-	3
3	2351,00	397,00	2,00	7,17E-03	0,007	259	1,60	-	-	-	-	3
4	2231,00	-726,00	2,00	7,69E-03	0,008	292	1,80	-	-	-	-	3
1	792,00	1517,00	2,00	0,01	0,010	197	1,00	-	-	-	-	3
6	-708,00	-963,00	2,00	0,01	0,011	45	0,90	-	-	-	-	3
7	-1120,00	21,00	2,00	0,01	0,012	89	0,90	-	-	-	-	3
5	726,00	-1330,00	2,00	0,01	0,012	348	0,80	-	-	-	-	3
8	-754,00	966,00	2,00	0,01	0,013	130	0,90	-	-	-	-	3

10	1352,00	388,00	2,00	0,02	0,017	248	0,60	-	-	-	-	2
11	1357,00	-240,00	2,00	0,02	0,019	284	0,60	-	-	-	-	2
9	771,00	517,00	2,00	0,02	0,022	230	11,00	-	-	-	-	2
12	719,00	-589,00	2,00	0,03	0,027	354	11,00	-	-	-	-	2
13	-2,00	-258,00	2,00	0,04	0,041	27	11,00	-	-	-	-	2
16	246,00	-202,00	2,00	0,05	0,052	338	10,30	-	-	-	-	4
15	144,00	525,00	2,00	0,06	0,061	178	0,90	-	-	-	-	2
14	-122,00	-57,00	2,00	0,06	0,062	72	11,00	-	-	-	-	2

Вещество: 2902

Взвешенные вещества

№	Коорд X(м)	Коорд Y(м)	Высота (м)	Концентр. (д. ПДК)	Концентр. (мг/куб.м)	Напр. ветра	Скор. ветра	Фон		Фон до исключения		Тип точки
								доли ПДК	мг/куб.м	доли ПДК	мг/куб.м	
2	2086,00	1066,00	2,00	1,79E-04	8,925E-05	227	11,00	-	-	-	-	3
8	-754,00	966,00	2,00	1,95E-04	9,739E-05	132	11,00	-	-	-	-	3
3	2351,00	397,00	2,00	2,02E-04	1,008E-04	248	11,00	-	-	-	-	3
1	792,00	1517,00	2,00	2,09E-04	1,043E-04	185	11,00	-	-	-	-	3
7	-1120,00	21,00	2,00	2,10E-04	1,052E-04	100	11,00	-	-	-	-	3
4	2231,00	-726,00	2,00	2,43E-04	1,216E-04	286	11,00	-	-	-	-	3
6	-708,00	-963,00	2,00	2,81E-04	1,406E-04	63	11,00	-	-	-	-	3
5	726,00	-1330,00	2,00	5,28E-04	2,638E-04	356	11,00	-	-	-	-	3
10	1352,00	388,00	2,00	6,14E-04	3,068E-04	227	11,00	-	-	-	-	2
15	144,00	525,00	2,00	6,43E-04	3,217E-04	148	11,00	-	-	-	-	2
9	771,00	517,00	2,00	8,64E-04	4,319E-04	189	11,00	-	-	-	-	2
14	-122,00	-57,00	2,00	8,76E-04	4,379E-04	106	11,00	-	-	-	-	2
11	1357,00	-240,00	2,00	1,08E-03	5,412E-04	267	11,00	-	-	-	-	2
13	-2,00	-258,00	2,00	1,30E-03	6,523E-04	92	11,00	-	-	-	-	2
16	246,00	-202,00	2,00	3,90E-03	0,002	101	11,00	-	-	-	-	4
12	719,00	-589,00	2,00	7,45E-03	0,004	347	11,00	-	-	-	-	2

Вещество: 2908

Пыль неорганическая: 70-20% SiO2

№	Коорд X(м)	Коорд Y(м)	Высота (м)	Концентр. (д. ПДК)	Концентр. (мг/куб.м)	Напр. ветра	Скор. ветра	Фон		Фон до исключения		Тип точки
								доли ПДК	мг/куб.м	доли ПДК	мг/куб.м	
2	2086,00	1066,00	2,00	0,04	0,011	229	11,00	-	-	-	-	3
3	2351,00	397,00	2,00	0,04	0,012	250	11,00	-	-	-	-	3
8	-754,00	966,00	2,00	0,04	0,013	131	11,00	-	-	-	-	3
1	792,00	1517,00	2,00	0,05	0,014	186	11,00	-	-	-	-	3
7	-1120,00	21,00	2,00	0,05	0,014	98	11,00	-	-	-	-	3
4	2231,00	-726,00	2,00	0,05	0,015	287	11,00	-	-	-	-	3
6	-708,00	-963,00	2,00	0,06	0,018	61	11,00	-	-	-	-	3
5	726,00	-1330,00	2,00	0,11	0,034	354	11,00	-	-	-	-	3
10	1352,00	388,00	2,00	0,15	0,046	230	11,00	-	-	-	-	2
15	144,00	525,00	2,00	0,18	0,055	148	11,00	-	-	-	-	2
9	771,00	517,00	2,00	0,29	0,086	192	11,00	-	-	-	-	2
14	-122,00	-57,00	2,00	0,29	0,088	103	11,00	-	-	-	-	2
11	1357,00	-240,00	2,00	0,32	0,096	270	11,00	-	-	-	-	2
13	-2,00	-258,00	2,00	0,49	0,146	88	11,00	-	-	-	-	2
16	246,00	-202,00	2,00	1,07	0,322	95	11,00	-	-	-	-	4
12	719,00	-589,00	2,00	1,09	0,327	344	11,00	-	-	-	-	2

Вещество: 6013

Ацетон и фенол

№	Коорд X(м)	Коорд Y(м)	Высота (м)	Концентр. (д. ПДК)	Концентр. (мг/куб.м)	Напр. ветра	Скор. ветра	Фон		Фон до исключения		Тип точки
								доли ПДК	мг/куб.м	доли ПДК	мг/куб.м	
2	2086,00	1066,00	2,00	0,08	-	227	1,60	-	-	-	-	3
8	-754,00	966,00	2,00	0,09	-	132	1,50	-	-	-	-	3
3	2351,00	397,00	2,00	0,09	-	248	1,50	-	-	-	-	3
1	792,00	1517,00	2,00	0,09	-	185	1,40	-	-	-	-	3
7	-1120,00	21,00	2,00	0,10	-	99	1,40	-	-	-	-	3
4	2231,00	-726,00	2,00	0,11	-	286	1,20	-	-	-	-	3
6	-708,00	-963,00	2,00	0,12	-	63	1,00	-	-	-	-	3
5	726,00	-1330,00	2,00	0,22	-	356	11,00	-	-	-	-	3
10	1352,00	388,00	2,00	0,25	-	227	11,00	-	-	-	-	2
15	144,00	525,00	2,00	0,27	-	148	11,00	-	-	-	-	2
9	771,00	517,00	2,00	0,36	-	189	11,00	-	-	-	-	2
14	-122,00	-57,00	2,00	0,37	-	106	11,00	-	-	-	-	2
11	1357,00	-240,00	2,00	0,45	-	267	11,00	-	-	-	-	2
13	-2,00	-258,00	2,00	0,53	-	92	11,00	-	-	-	-	2
16	246,00	-202,00	2,00	1,13	-	101	11,00	-	-	-	-	4
12	719,00	-589,00	2,00	1,56	-	347	11,00	-	-	-	-	2

Вещество: 6038

Серы диоксид и фенол

№	Коорд X(м)	Коорд Y(м)	Высота (м)	Концентр. (д. ПДК)	Концентр. (мг/куб.м)	Напр. ветра	Скор. ветра	Фон		Фон до исключения		Тип точки
								доли ПДК	мг/куб.м	доли ПДК	мг/куб.м	
2	2086,00	1066,00	2,00	0,08	-	227	1,60	-	-	-	-	3
8	-754,00	966,00	2,00	0,08	-	132	1,50	-	-	-	-	3
3	2351,00	397,00	2,00	0,08	-	249	1,50	-	-	-	-	3
1	792,00	1517,00	2,00	0,09	-	185	1,40	-	-	-	-	3
7	-1120,00	21,00	2,00	0,09	-	99	1,40	-	-	-	-	3

4	2231,00	-726,00	2,00	0,10	-	286	1,20	-	-	-	-	3
6	-708,00	-963,00	2,00	0,12	-	63	1,00	-	-	-	-	3
5	726,00	-1330,00	2,00	0,20	-	356	11,00	-	-	-	-	3
10	1352,00	388,00	2,00	0,24	-	227	11,00	-	-	-	-	2
15	144,00	525,00	2,00	0,25	-	148	11,00	-	-	-	-	2
9	771,00	517,00	2,00	0,34	-	189	11,00	-	-	-	-	2
14	-122,00	-57,00	2,00	0,34	-	106	11,00	-	-	-	-	2
11	1357,00	-240,00	2,00	0,42	-	267	11,00	-	-	-	-	2
13	-2,00	-258,00	2,00	0,49	-	92	11,00	-	-	-	-	2
16	246,00	-202,00	2,00	1,03	-	101	11,00	-	-	-	-	4
12	719,00	-589,00	2,00	1,41	-	347	11,00	-	-	-	-	2

Вещество: 6053

Фтористый водород и плохорастворимые соли фтора

№	Коорд X(м)	Коорд Y(м)	Высота (м)	Концентр. (д. ПДК)	Концентр. (мг/куб.м)	Напр. ветра	Скор. ветра	Фон		Фон до исключения		Тип точки
								доли ПДК	мг/куб.м	доли ПДК	мг/куб.м	
2	2086,00	1066,00	2,00	1,55E-03	-	238	11,00	-	-	-	-	3
3	2351,00	397,00	2,00	1,58E-03	-	259	11,00	-	-	-	-	3
4	2231,00	-726,00	2,00	1,82E-03	-	292	11,00	-	-	-	-	3
1	792,00	1517,00	2,00	2,42E-03	-	195	11,00	-	-	-	-	3
6	-708,00	-963,00	2,00	2,47E-03	-	48	11,00	-	-	-	-	3
7	-1120,00	21,00	2,00	2,51E-03	-	90	11,00	-	-	-	-	3
8	-754,00	966,00	2,00	2,86E-03	-	129	11,00	-	-	-	-	3
5	726,00	-1330,00	2,00	2,93E-03	-	347	11,00	-	-	-	-	3
10	1352,00	388,00	2,00	4,63E-03	-	250	11,00	-	-	-	-	2
11	1357,00	-240,00	2,00	4,81E-03	-	286	11,00	-	-	-	-	2
12	719,00	-589,00	2,00	7,58E-03	-	333	9,60	-	-	-	-	2
9	771,00	517,00	2,00	9,12E-03	-	218	7,30	-	-	-	-	2
15	144,00	525,00	2,00	0,01	-	152	6,30	-	-	-	-	2
14	-122,00	-57,00	2,00	0,01	-	80	5,10	-	-	-	-	2
13	-2,00	-258,00	2,00	0,01	-	53	4,70	-	-	-	-	2
16	246,00	-202,00	2,00	0,03	-	32	1,80	-	-	-	-	4

Вещество: 6205

Серы диоксид и фтористый водород

№	Коорд X(м)	Коорд Y(м)	Высота (м)	Концентр. (д. ПДК)	Концентр. (мг/куб.м)	Напр. ветра	Скор. ветра	Фон		Фон до исключения		Тип точки
								доли ПДК	мг/куб.м	доли ПДК	мг/куб.м	
2	2086,00	1066,00	2,00	4,71E-03	-	228	0,90	-	-	-	-	3
3	2351,00	397,00	2,00	5,30E-03	-	249	0,90	-	-	-	-	3
8	-754,00	966,00	2,00	5,41E-03	-	131	0,90	-	-	-	-	3
7	-1120,00	21,00	2,00	5,51E-03	-	98	0,90	-	-	-	-	3
1	792,00	1517,00	2,00	5,53E-03	-	185	0,90	-	-	-	-	3
4	2231,00	-726,00	2,00	6,34E-03	-	287	0,90	-	-	-	-	3
6	-708,00	-963,00	2,00	6,68E-03	-	62	0,90	-	-	-	-	3
5	726,00	-1330,00	2,00	0,01	-	357	0,90	-	-	-	-	3
10	1352,00	388,00	2,00	0,01	-	227	0,90	-	-	-	-	2
9	771,00	517,00	2,00	0,02	-	187	0,90	-	-	-	-	2
14	-122,00	-57,00	2,00	0,02	-	102	0,90	-	-	-	-	2
15	144,00	525,00	2,00	0,02	-	148	0,90	-	-	-	-	2
11	1357,00	-240,00	2,00	0,02	-	268	1,00	-	-	-	-	2
13	-2,00	-258,00	2,00	0,02	-	91	8,60	-	-	-	-	2
16	246,00	-202,00	2,00	0,03	-	99	5,70	-	-	-	-	4
12	719,00	-589,00	2,00	0,05	-	352	4,40	-	-	-	-	2

ВР: 1, Строительство среднегодовые концентрации без фона

Расчетные константы: S=999999,99

Расчет: «Расчет средних концентраций по МРР-2017»

Расчет завершен успешно. Рассчитано 24 веществ. ВНИМАНИЕ! Расчет групп суммации невозможен! 4.70.5.93

Расчет проводился по веществам (группам суммации)

Код	Наименование вещества	Предельно допустимая концентрация						Фоновая концентр.	
		Расчет максимальных концентраций		Расчет среднегодовых концентраций		Расчет среднесуточных концентраций			
		Тип	Значение	Тип	Значение	Тип	Значение	Учет	Интерп.
0123	Железа оксид	-	-	ПДК с/с	0,04	-	-	Нет	Нет
0143	Марганец и его соединения (в пересчете на марганец (IV) оксид)	ПДК м/р	0,01	ПДК с/г	5E-5	ПДК с/с	0,001	Нет	Нет
0301	Азота диоксид (Двуокись азота; пероксид азота)	ПДК м/р	0,2	ПДК с/г	0,04	ПДК с/с	0,1	Нет	Нет
0304	Азот (II) оксид (Азот монооксид)	ПДК м/р	0,4	ПДК с/г	0,06	-	-	Нет	Нет
0328	Углерод (Пигмент черный)	ПДК м/р	0,15	ПДК с/г	0,025	ПДК с/с	0,05	Нет	Нет

0330	Сера диоксид	ПДК м/р	0,5	ПДК с/с	0,05	-	-	Нет	Нет
0333	Дигидросульфид (Водород сернистый, дигидросульфид, гидросульфид)	ПДК м/р	0,008	ПДК с/г	0,002	-	-	Нет	Нет
0337	Углерода оксид (Углерод окись; углерод моноокись; угарный газ)	ПДК м/р	5	ПДК с/г	3	ПДК с/с	3	Нет	Нет
0342	Фториды газообразные	ПДК м/р	0,02	ПДК с/г	0,005	ПДК с/с	0,014	Нет	Нет
0344	Фториды плохо растворимые	ПДК м/р	0,2	ПДК с/с	0,03	-	-	Нет	Нет
0616	Диметилбензол (смесь о-, м-, п-изомеров) (Метилтолуол)	ПДК м/р	0,2	ПДК с/г	0,1	-	-	Нет	Нет
0621	Метилбензол (Фенилметан)	ПДК м/р	0,6	ПДК с/г	0,4	-	-	Нет	Нет
0703	Бенз/а/пирен	-	-	ПДК с/г	1E-6	ПДК с/с	1E-6	Нет	Нет
1061	Этанол (Этиловый спирт; метилкарбинол)	ПДК м/р	5	-	-	-	-	Нет	Нет
1071	Гидроксибензол	ПДК м/р	0,01	ПДК с/г	0,003	ПДК с/с	0,006	Нет	Нет
1119	Этиловый эфир этиленгликоля	ОБУВ	0,7	-	-	-	-	Нет	Нет
1210	Бутилацетат (Бутиловый эфир уксусной кислоты)	ПДК м/р	0,1	-	-	-	-	Нет	Нет
1325	Формальдегид (Муравьиный альдегид, оксометан, метиленоксид)	ПДК м/р	0,05	ПДК с/г	0,003	ПДК с/с	0,01	Нет	Нет
1401	Пропан-2-он (Диметилкетон; диметилформальдегид)	ПДК м/р	0,35	-	-	-	-	Нет	Нет
2732	Керосин (Керосин прямой перегонки; керосин дезодорированный)	ОБУВ	1,2	-	-	-	-	Нет	Нет
2752	Уайт-спирит	ОБУВ	1	-	-	-	-	Нет	Нет
2754	Алканы С12-С19 (в пересчете на С)	ПДК м/р	1	-	-	-	-	Нет	Нет
2902	Взвешенные вещества	ПДК м/р	0,5	ПДК с/г	0,075	ПДК с/с	0,15	Нет	Нет
2908	Пыль неорганическая: 70-20% SiO2	ПДК м/р	0,3	ПДК с/с	0,1	-	-	Нет	Нет

Максимальные концентрации по веществам (расчетные площадки)

Вещество: 0123
Железа оксид
Площадка: 1
Поле средних концентраций

Коорд X(м)	Коорд Y(м)	Концентр. (д. ПДК)	Концентр. (мг/куб.м)	Напр. ветра	Скор. ветра	Фон		Фон до исключения	
						доли ПДК	мг/куб.м	доли ПДК	мг/куб.м
400,00	200,00	0,01	4,481E-04	-	-	-	-	-	-

Вещество: 0143
Марганец и его соединения (в пересчете на марганец (IV) оксид)
Площадка: 1
Поле средних концентраций

Коорд X(м)	Коорд Y(м)	Концентр. (д. ПДК)	Концентр. (мг/куб.м)	Напр. ветра	Скор. ветра	Фон		Фон до исключения	
						доли ПДК	мг/куб.м	доли ПДК	мг/куб.м
700,00	-200,00	0,39	1,961E-05	-	-	-	-	-	-

Вещество: 0301
Азота диоксид (Двуокись азота; пероксид азота)
Площадка: 1
Поле средних концентраций

Коорд X(м)	Коорд Y(м)	Концентр. (д. ПДК)	Концентр. (мг/куб.м)	Напр. ветра	Скор. ветра	Фон		Фон до исключения	
						доли ПДК	мг/куб.м	доли ПДК	мг/куб.м
700,00	-100,00	0,59	0,024	-	-	-	-	-	-

Вещество: 0304
Азот (II) оксид (Азот монооксид)
Площадка: 1
Поле средних концентраций

Коорд X(м)	Коорд Y(м)	Концентр. (д. ПДК)	Концентр. (мг/куб.м)	Напр. ветра	Скор. ветра	Фон		Фон до исключения	
						доли ПДК	мг/куб.м	доли ПДК	мг/куб.м
700,00	-100,00	0,13	0,008	-	-	-	-	-	-

Вещество: 0328
Углерод (Пигмент черный)
Площадка: 1
Поле средних концентраций

Коорд X(м)	Коорд Y(м)	Концентр. (д. ПДК)	Концентр. (мг/куб.м)	Напр. ветра	Скор. ветра	Фон		Фон до исключения	
						доли ПДК	мг/куб.м	доли ПДК	мг/куб.м
600,00	-200,00	0,09	0,002	-	-	-	-	-	-

Вещество: 0330
Сера диоксид
Площадка: 1
Поле средних концентраций

Коорд X(м)	Коорд Y(м)	Концентр. (д. ПДК)	Концентр. (мг/куб.м)	Напр. ветра	Скор. ветра	Фон		Фон до исключения	
						доли ПДК	мг/куб.м	доли ПДК	мг/куб.м
700,00	-100,00	0,05	0,003	-	-	-	-	-	-

Вещество: 0333
Дигидросульфид (Водород сернистый, дигидросульфид, гидросульфид)
Площадка: 1
Поле средних концентраций

Коорд X(м)	Коорд Y(м)	Концентр. (д. ПДК)	Концентр. (мг/куб.м)	Напр. ветра	Скор. ветра	Фон		Фон до исключения	
						доли ПДК	мг/куб.м	доли ПДК	мг/куб.м
300,00	0,00	0,02	3,640E-05	-	-	-	-	-	-

Вещество: 0337
Углерода оксид (Углерод окись; углерод моноокись; угарный газ)
Площадка: 1
Поле средних концентраций

Коорд X(м)	Коорд Y(м)	Концентр. (д. ПДК)	Концентр. (мг/куб.м)	Напр. ветра	Скор. ветра	Фон		Фон до исключения	
						доли ПДК	мг/куб.м	доли ПДК	мг/куб.м
600,00	-100,00	0,03	0,082	-	-	-	-	-	-

Вещество: 0342
Фториды газообразные
Площадка: 1
Поле средних концентраций

Коорд X(м)	Коорд Y(м)	Концентр. (д. ПДК)	Концентр. (мг/куб.м)	Напр. ветра	Скор. ветра	Фон		Фон до исключения	
						доли ПДК	мг/куб.м	доли ПДК	мг/куб.м
700,00	-100,00	2,36E-03	1,181E-05	-	-	-	-	-	-

Вещество: 0344
Фториды плохо растворимые
Площадка: 1
Поле средних концентраций

Коорд X(м)	Коорд Y(м)	Концентр. (д. ПДК)	Концентр. (мг/куб.м)	Напр. ветра	Скор. ветра	Фон		Фон до исключения	
						доли ПДК	мг/куб.м	доли ПДК	мг/куб.м
700,00	-200,00	5,10E-04	1,529E-05	-	-	-	-	-	-

Вещество: 0616
Диметилбензол (смесь о-, м-, п- изомеров) (Метилтолуол)
Площадка: 1
Поле средних концентраций

Коорд X(м)	Коорд Y(м)	Концентр. (д. ПДК)	Концентр. (мг/куб.м)	Напр. ветра	Скор. ветра	Фон		Фон до исключения	
						доли ПДК	мг/куб.м	доли ПДК	мг/куб.м
700,00	-300,00	0,31	0,031	-	-	-	-	-	-

Вещество: 0621
Метилбензол (Фенилметан)
Площадка: 1
Поле средних концентраций

Коорд X(м)	Коорд Y(м)	Концентр. (д. ПДК)	Концентр. (мг/куб.м)	Напр. ветра	Скор. ветра	Фон		Фон до исключения	
						доли ПДК	мг/куб.м	доли ПДК	мг/куб.м
700,00	-300,00	4,70E-05	1,879E-05	-	-	-	-	-	-

Вещество: 0703
Бенз/а/пирен
Площадка: 1
Поле средних концентраций

Коорд X(м)	Коорд Y(м)	Концентр. (д. ПДК)	Концентр. (мг/куб.м)	Напр. ветра	Скор. ветра	Фон		Фон до исключения	
						доли ПДК	мг/куб.м	доли ПДК	мг/куб.м
700,00	-100,00	0,03	3,058E-08	-	-	-	-	-	-

Вещество: 1071
Гидроксибензол
Площадка: 1
Поле средних концентраций

Коорд X(м)	Коорд Y(м)	Концентр. (д. ПДК)	Концентр. (мг/куб.м)	Напр. ветра	Скор. ветра	Фон		Фон до исключения	
						доли ПДК	мг/куб.м	доли ПДК	мг/куб.м
700,00	-300,00	0,03	9,440E-05	-	-	-	-	-	-

Вещество: 1325
Формальдегид (Муравьиный альдегид, оксометан, метиленоксид)
Площадка: 1
Поле средних концентраций

Коорд X(м)	Коорд Y(м)	Концентр. (д. ПДК)	Концентр. (мг/куб.м)	Напр. ветра	Скор. ветра	Фон		Фон до исключения	
						доли ПДК	мг/куб.м	доли ПДК	мг/куб.м
700,00	-100,00	0,06	1,930E-04	-	-	-	-	-	-

Вещество: 2902
Взвешенные вещества
Площадка: 1
Поле средних концентраций

Коорд X(м)	Коорд Y(м)	Концентр. (д. ПДК)	Концентр. (мг/куб.м)	Напр. ветра	Скор. ветра	Фон		Фон до исключения	
						доли ПДК	мг/куб.м	доли ПДК	мг/куб.м
700,00	-300,00	0,01	8,951E-04	-	-	-	-	-	-

Вещество: 2908
Пыль неорганическая: 70-20% SiO2
Площадка: 1
Поле средних концентраций

Коорд X(м)	Коорд Y(м)	Концентр. (д. ПДК)	Концентр. (мг/куб.м)	Напр. ветра	Скор. ветра	Фон		Фон до исключения	
						доли ПДК	мг/куб.м	доли ПДК	мг/куб.м
600,00	-200,00	0,73	0,073	-	-	-	-	-	-

Результаты расчета по веществам (расчетные точки)

Типы точек:
0 - расчетная точка пользователя
1 - точка на границе охранной зоны
2 - точка на границе производственной зоны
3 - точка на границе СЗЗ
4 - на границе жилой зоны
5 - на границе застройки
6 - точки квотирования

Вещество: 0123
Железа оксид

№	Коорд X(м)	Коорд Y(м)	Высота (м)	Концентр. (д. ПДК)	Концентр. (мг/куб.м)	Напр. ветра	Скор. ветра	Фон		Фон до исключения		Тип точки
								доли ПДК	мг/куб.м	доли ПДК	мг/куб.м	
1	792,00	1517,00	2,00	3,63E-04	1,452E-05	-	-	-	-	-	-	3
2	2086,00	1066,00	2,00	1,32E-04	5,294E-06	-	-	-	-	-	-	3
3	2351,00	397,00	2,00	1,86E-04	7,435E-06	-	-	-	-	-	-	3
4	2231,00	-726,00	2,00	1,63E-04	6,525E-06	-	-	-	-	-	-	3
5	726,00	-1330,00	2,00	4,13E-04	1,652E-05	-	-	-	-	-	-	3
6	-708,00	-963,00	2,00	8,92E-05	3,568E-06	-	-	-	-	-	-	3
7	-1120,00	21,00	2,00	1,94E-04	7,778E-06	-	-	-	-	-	-	3
8	-754,00	966,00	2,00	1,76E-04	7,056E-06	-	-	-	-	-	-	3
9	771,00	517,00	2,00	1,21E-03	4,853E-05	-	-	-	-	-	-	2
10	1352,00	388,00	2,00	5,69E-04	2,275E-05	-	-	-	-	-	-	2
11	1357,00	-240,00	2,00	7,10E-04	2,842E-05	-	-	-	-	-	-	2
12	719,00	-589,00	2,00	1,47E-03	5,891E-05	-	-	-	-	-	-	2
13	-2,00	-258,00	2,00	6,39E-04	2,556E-05	-	-	-	-	-	-	2
14	-122,00	-57,00	2,00	1,12E-03	4,461E-05	-	-	-	-	-	-	2
15	144,00	525,00	2,00	1,61E-03	6,435E-05	-	-	-	-	-	-	2
16	246,00	-202,00	2,00	2,39E-03	9,578E-05	-	-	-	-	-	-	4

Вещество: 0143
Марганец и его соединения (в пересчете на марганец (IV) оксид)

№	Коорд X(м)	Коорд Y(м)	Высота (м)	Концентр. (д. ПДК)	Концентр. (мг/куб.м)	Напр. ветра	Скор. ветра	Фон		Фон до исключения		Тип точки
								доли ПДК	мг/куб.м	доли ПДК	мг/куб.м	
1	792,00	1517,00	2,00	6,93E-03	3,467E-07	-	-	-	-	-	-	3
2	2086,00	1066,00	2,00	2,64E-03	1,320E-07	-	-	-	-	-	-	3
3	2351,00	397,00	2,00	3,79E-03	1,895E-07	-	-	-	-	-	-	3
4	2231,00	-726,00	2,00	3,88E-03	1,942E-07	-	-	-	-	-	-	3
5	726,00	-1330,00	2,00	0,01	5,169E-07	-	-	-	-	-	-	3
6	-708,00	-963,00	2,00	1,86E-03	9,314E-08	-	-	-	-	-	-	3
7	-1120,00	21,00	2,00	3,58E-03	1,791E-07	-	-	-	-	-	-	3
8	-754,00	966,00	2,00	3,15E-03	1,575E-07	-	-	-	-	-	-	3
9	771,00	517,00	2,00	0,03	1,369E-06	-	-	-	-	-	-	2
10	1352,00	388,00	2,00	0,01	5,703E-07	-	-	-	-	-	-	2
11	1357,00	-240,00	2,00	0,02	1,019E-06	-	-	-	-	-	-	2
12	719,00	-589,00	2,00	0,06	3,127E-06	-	-	-	-	-	-	2
13	-2,00	-258,00	2,00	0,02	7,884E-07	-	-	-	-	-	-	2
14	-122,00	-57,00	2,00	0,02	9,910E-07	-	-	-	-	-	-	2
15	144,00	525,00	2,00	0,03	1,285E-06	-	-	-	-	-	-	2
16	246,00	-202,00	2,00	0,05	2,514E-06	-	-	-	-	-	-	4

Вещество: 0301
Азота диоксид (Двуокись азота; пероксид азота)

№	Коорд X(м)	Коорд Y(м)	Высота (м)	Концентр. (д. ПДК)	Концентр. (мг/куб.м)	Напр. ветра	Скор. ветра	Фон		Фон до исключения		Тип точки
								доли ПДК	мг/куб.м	доли ПДК	мг/куб.м	

1	792,00	1517,00	2,00	0,12	0,005	-	-	-	-	-	-	3
2	2086,00	1066,00	2,00	0,06	0,002	-	-	-	-	-	-	3
3	2351,00	397,00	2,00	0,08	0,003	-	-	-	-	-	-	3
4	2231,00	-726,00	2,00	0,07	0,003	-	-	-	-	-	-	3
5	726,00	-1330,00	2,00	0,13	0,005	-	-	-	-	-	-	3
6	-708,00	-963,00	2,00	0,04	0,001	-	-	-	-	-	-	3
7	-1120,00	21,00	2,00	0,06	0,003	-	-	-	-	-	-	3
8	-754,00	966,00	2,00	0,06	0,002	-	-	-	-	-	-	3
9	771,00	517,00	2,00	0,20	0,008	-	-	-	-	-	-	2
10	1352,00	388,00	2,00	0,14	0,005	-	-	-	-	-	-	2
11	1357,00	-240,00	2,00	0,18	0,007	-	-	-	-	-	-	2
12	719,00	-589,00	2,00	0,35	0,014	-	-	-	-	-	-	2
13	-2,00	-258,00	2,00	0,12	0,005	-	-	-	-	-	-	2
14	-122,00	-57,00	2,00	0,09	0,004	-	-	-	-	-	-	2
15	144,00	525,00	2,00	0,15	0,006	-	-	-	-	-	-	2
16	246,00	-202,00	2,00	0,20	0,008	-	-	-	-	-	-	4

Вещество: 0304

Азот (II) оксид (Азот монооксид)

№	Коорд X(м)	Коорд Y(м)	Высота (м)	Концентр. (д. ПДК)	Концентр. (мг/куб.м)	Напр. ветра	Скор. ветра	Фон		Фон до исключения		Тип точки
								доли ПДК	мг/куб.м	доли ПДК	мг/куб.м	
1	792,00	1517,00	2,00	0,06	0,004	-	-	-	-	-	-	3
2	2086,00	1066,00	2,00	0,03	0,002	-	-	-	-	-	-	3
3	2351,00	397,00	2,00	0,04	0,003	-	-	-	-	-	-	3
4	2231,00	-726,00	2,00	0,04	0,002	-	-	-	-	-	-	3
5	726,00	-1330,00	2,00	0,06	0,004	-	-	-	-	-	-	3
6	-708,00	-963,00	2,00	0,02	0,001	-	-	-	-	-	-	3
7	-1120,00	21,00	2,00	0,04	0,002	-	-	-	-	-	-	3
8	-754,00	966,00	2,00	0,03	0,002	-	-	-	-	-	-	3
9	771,00	517,00	2,00	0,08	0,005	-	-	-	-	-	-	2
10	1352,00	388,00	2,00	0,07	0,004	-	-	-	-	-	-	2
11	1357,00	-240,00	2,00	0,07	0,004	-	-	-	-	-	-	2
12	719,00	-589,00	2,00	0,09	0,005	-	-	-	-	-	-	2
13	-2,00	-258,00	2,00	0,05	0,003	-	-	-	-	-	-	2
14	-122,00	-57,00	2,00	0,03	0,002	-	-	-	-	-	-	2
15	144,00	525,00	2,00	0,07	0,004	-	-	-	-	-	-	2
16	246,00	-202,00	2,00	0,07	0,004	-	-	-	-	-	-	4

Вещество: 0328

Углерод (Пигмент черный)

№	Коорд X(м)	Коорд Y(м)	Высота (м)	Концентр. (д. ПДК)	Концентр. (мг/куб.м)	Напр. ветра	Скор. ветра	Фон		Фон до исключения		Тип точки
								доли ПДК	мг/куб.м	доли ПДК	мг/куб.м	
1	792,00	1517,00	2,00	0,03	7,848E-04	-	-	-	-	-	-	3
2	2086,00	1066,00	2,00	0,01	3,677E-04	-	-	-	-	-	-	3
3	2351,00	397,00	2,00	0,02	5,359E-04	-	-	-	-	-	-	3
4	2231,00	-726,00	2,00	0,01	3,368E-04	-	-	-	-	-	-	3
5	726,00	-1330,00	2,00	0,02	6,045E-04	-	-	-	-	-	-	3
6	-708,00	-963,00	2,00	4,63E-03	1,156E-04	-	-	-	-	-	-	3
7	-1120,00	21,00	2,00	9,75E-03	2,438E-04	-	-	-	-	-	-	3
8	-754,00	966,00	2,00	0,01	2,664E-04	-	-	-	-	-	-	3
9	771,00	517,00	2,00	0,01	3,387E-04	-	-	-	-	-	-	2
10	1352,00	388,00	2,00	0,02	5,764E-04	-	-	-	-	-	-	2
11	1357,00	-240,00	2,00	0,02	6,205E-04	-	-	-	-	-	-	2
12	719,00	-589,00	2,00	0,05	0,001	-	-	-	-	-	-	2
13	-2,00	-258,00	2,00	0,01	3,066E-04	-	-	-	-	-	-	2
14	-122,00	-57,00	2,00	0,01	3,726E-04	-	-	-	-	-	-	2
15	144,00	525,00	2,00	0,02	4,877E-04	-	-	-	-	-	-	2
16	246,00	-202,00	2,00	0,02	4,337E-04	-	-	-	-	-	-	4

Вещество: 0330

Сера диоксид

№	Коорд X(м)	Коорд Y(м)	Высота (м)	Концентр. (д. ПДК)	Концентр. (мг/куб.м)	Напр. ветра	Скор. ветра	Фон		Фон до исключения		Тип точки
								доли ПДК	мг/куб.м	доли ПДК	мг/куб.м	
1	792,00	1517,00	2,00	2,82E-03	1,411E-04	-	-	-	-	-	-	3
2	2086,00	1066,00	2,00	1,24E-03	6,182E-05	-	-	-	-	-	-	3
3	2351,00	397,00	2,00	1,78E-03	8,893E-05	-	-	-	-	-	-	3
4	2231,00	-726,00	2,00	2,34E-03	1,171E-04	-	-	-	-	-	-	3
5	726,00	-1330,00	2,00	5,65E-03	2,826E-04	-	-	-	-	-	-	3
6	-708,00	-963,00	2,00	9,25E-04	4,627E-05	-	-	-	-	-	-	3
7	-1120,00	21,00	2,00	1,37E-03	6,834E-05	-	-	-	-	-	-	3
8	-754,00	966,00	2,00	1,11E-03	5,569E-05	-	-	-	-	-	-	3
9	771,00	517,00	2,00	0,01	5,092E-04	-	-	-	-	-	-	2
10	1352,00	388,00	2,00	3,98E-03	1,992E-04	-	-	-	-	-	-	2
11	1357,00	-240,00	2,00	9,99E-03	4,995E-04	-	-	-	-	-	-	2
12	719,00	-589,00	2,00	0,03	0,001	-	-	-	-	-	-	2
13	-2,00	-258,00	2,00	6,47E-03	3,233E-04	-	-	-	-	-	-	2

14	-122,00	-57,00	2,00	4,79E-03	2,393E-04	-	-	-	-	-	-	2
15	144,00	525,00	2,00	4,55E-03	2,275E-04	-	-	-	-	-	-	2
16	246,00	-202,00	2,00	0,01	6,185E-04	-	-	-	-	-	-	4

Вещество: 0333

Дигидросульфид (Водород сернистый, дигидросульфид, гидросульфид)

№	Коорд X(м)	Коорд Y(м)	Высота (м)	Концентр. (д. ПДК)	Концентр. (мг/куб.м)	Напр. ветра	Скор. ветра	Фон		Фон до исключения		Тип точки
								доли ПДК	мг/куб.м	доли ПДК	мг/куб.м	
1	792,00	1517,00	2,00	4,05E-04	8,109E-07	-	-	-	-	-	-	3
2	2086,00	1066,00	2,00	1,58E-04	3,150E-07	-	-	-	-	-	-	3
3	2351,00	397,00	2,00	2,07E-04	4,133E-07	-	-	-	-	-	-	3
4	2231,00	-726,00	2,00	1,67E-04	3,350E-07	-	-	-	-	-	-	3
5	726,00	-1330,00	2,00	3,94E-04	7,874E-07	-	-	-	-	-	-	3
6	-708,00	-963,00	2,00	1,28E-04	2,566E-07	-	-	-	-	-	-	3
7	-1120,00	21,00	2,00	2,65E-04	5,294E-07	-	-	-	-	-	-	3
8	-754,00	966,00	2,00	2,64E-04	5,280E-07	-	-	-	-	-	-	3
9	771,00	517,00	2,00	1,40E-03	2,805E-06	-	-	-	-	-	-	2
10	1352,00	388,00	2,00	6,28E-04	1,256E-06	-	-	-	-	-	-	2
11	1357,00	-240,00	2,00	6,26E-04	1,253E-06	-	-	-	-	-	-	2
12	719,00	-589,00	2,00	1,02E-03	2,031E-06	-	-	-	-	-	-	2
13	-2,00	-258,00	2,00	1,67E-03	3,349E-06	-	-	-	-	-	-	2
14	-122,00	-57,00	2,00	1,88E-03	3,760E-06	-	-	-	-	-	-	2
15	144,00	525,00	2,00	6,18E-03	1,236E-05	-	-	-	-	-	-	2
16	246,00	-202,00	2,00	5,87E-03	1,173E-05	-	-	-	-	-	-	4

Вещество: 0337

Углерода оксид (Углерод окись; углерод моноокись; угарный газ)

№	Коорд X(м)	Коорд Y(м)	Высота (м)	Концентр. (д. ПДК)	Концентр. (мг/куб.м)	Напр. ветра	Скор. ветра	Фон		Фон до исключения		Тип точки
								доли ПДК	мг/куб.м	доли ПДК	мг/куб.м	
1	792,00	1517,00	2,00	4,21E-03	0,013	-	-	-	-	-	-	3
2	2086,00	1066,00	2,00	2,12E-03	0,006	-	-	-	-	-	-	3
3	2351,00	397,00	2,00	3,00E-03	0,009	-	-	-	-	-	-	3
4	2231,00	-726,00	2,00	2,49E-03	0,007	-	-	-	-	-	-	3
5	726,00	-1330,00	2,00	4,71E-03	0,014	-	-	-	-	-	-	3
6	-708,00	-963,00	2,00	1,09E-03	0,003	-	-	-	-	-	-	3
7	-1120,00	21,00	2,00	2,13E-03	0,006	-	-	-	-	-	-	3
8	-754,00	966,00	2,00	2,00E-03	0,006	-	-	-	-	-	-	3
9	771,00	517,00	2,00	5,67E-03	0,017	-	-	-	-	-	-	2
10	1352,00	388,00	2,00	3,54E-03	0,011	-	-	-	-	-	-	2
11	1357,00	-240,00	2,00	5,31E-03	0,016	-	-	-	-	-	-	2
12	719,00	-589,00	2,00	0,01	0,037	-	-	-	-	-	-	2
13	-2,00	-258,00	2,00	3,74E-03	0,011	-	-	-	-	-	-	2
14	-122,00	-57,00	2,00	3,10E-03	0,009	-	-	-	-	-	-	2
15	144,00	525,00	2,00	4,40E-03	0,013	-	-	-	-	-	-	2
16	246,00	-202,00	2,00	6,78E-03	0,020	-	-	-	-	-	-	4

Вещество: 0342

Фториды газообразные

№	Коорд X(м)	Коорд Y(м)	Высота (м)	Концентр. (д. ПДК)	Концентр. (мг/куб.м)	Напр. ветра	Скор. ветра	Фон		Фон до исключения		Тип точки
								доли ПДК	мг/куб.м	доли ПДК	мг/куб.м	
1	792,00	1517,00	2,00	7,43E-05	3,717E-07	-	-	-	-	-	-	3
2	2086,00	1066,00	2,00	3,12E-05	1,562E-07	-	-	-	-	-	-	3
3	2351,00	397,00	2,00	4,58E-05	2,291E-07	-	-	-	-	-	-	3
4	2231,00	-726,00	2,00	5,55E-05	2,776E-07	-	-	-	-	-	-	3
5	726,00	-1330,00	2,00	1,41E-04	7,025E-07	-	-	-	-	-	-	3
6	-708,00	-963,00	2,00	2,23E-05	1,116E-07	-	-	-	-	-	-	3
7	-1120,00	21,00	2,00	3,61E-05	1,803E-07	-	-	-	-	-	-	3
8	-754,00	966,00	2,00	2,98E-05	1,492E-07	-	-	-	-	-	-	3
9	771,00	517,00	2,00	2,96E-04	1,478E-06	-	-	-	-	-	-	2
10	1352,00	388,00	2,00	1,13E-04	5,660E-07	-	-	-	-	-	-	2
11	1357,00	-240,00	2,00	2,73E-04	1,366E-06	-	-	-	-	-	-	2
12	719,00	-589,00	2,00	8,14E-04	4,071E-06	-	-	-	-	-	-	2
13	-2,00	-258,00	2,00	1,80E-04	8,988E-07	-	-	-	-	-	-	2
14	-122,00	-57,00	2,00	1,45E-04	7,260E-07	-	-	-	-	-	-	2
15	144,00	525,00	2,00	1,45E-04	7,242E-07	-	-	-	-	-	-	2
16	246,00	-202,00	2,00	3,94E-04	1,969E-06	-	-	-	-	-	-	4

Вещество: 0344

Фториды плохо растворимые

№	Коорд X(м)	Коорд Y(м)	Высота (м)	Концентр. (д. ПДК)	Концентр. (мг/куб.м)	Напр. ветра	Скор. ветра	Фон		Фон до исключения		Тип точки
								доли ПДК	мг/куб.м	доли ПДК	мг/куб.м	
1	792,00	1517,00	2,00	4,13E-06	1,238E-07	-	-	-	-	-	-	3
2	2086,00	1066,00	2,00	1,68E-06	5,045E-08	-	-	-	-	-	-	3
3	2351,00	397,00	2,00	2,49E-06	7,475E-08	-	-	-	-	-	-	3
4	2231,00	-726,00	2,00	3,07E-06	9,199E-08	-	-	-	-	-	-	3
5	726,00	-1330,00	2,00	8,55E-06	2,566E-07	-	-	-	-	-	-	3
6	-708,00	-963,00	2,00	1,26E-06	3,794E-08	-	-	-	-	-	-	3

7	-1120,00	21,00	2,00	2,00E-06	6,007E-08	-	-	-	-	-	-	3
8	-754,00	966,00	2,00	1,66E-06	4,978E-08	-	-	-	-	-	-	3
9	771,00	517,00	2,00	2,04E-05	6,123E-07	-	-	-	-	-	-	2
10	1352,00	388,00	2,00	7,32E-06	2,197E-07	-	-	-	-	-	-	2
11	1357,00	-240,00	2,00	1,88E-05	5,637E-07	-	-	-	-	-	-	2
12	719,00	-589,00	2,00	7,09E-05	2,128E-06	-	-	-	-	-	-	2
13	-2,00	-258,00	2,00	1,29E-05	3,864E-07	-	-	-	-	-	-	2
14	-122,00	-57,00	2,00	1,03E-05	3,105E-07	-	-	-	-	-	-	2
15	144,00	525,00	2,00	1,04E-05	3,115E-07	-	-	-	-	-	-	2
16	246,00	-202,00	2,00	3,44E-05	1,032E-06	-	-	-	-	-	-	4

Вещество: 0616

Диметилбензол (смесь о-, м-, п- изомеров) (Метилтолуол)

№	Коорд X(м)	Коорд Y(м)	Высота (м)	Концентр. (д. ПДК)	Концентр. (мг/куб.м)	Напр. ветра	Скор. ветра	Фон		Фон до исключения		Тип точки
								доли ПДК	мг/куб.м	доли ПДК	мг/куб.м	
1	792,00	1517,00	2,00	1,87E-03	1,866E-04	-	-	-	-	-	-	3
2	2086,00	1066,00	2,00	7,90E-04	7,900E-05	-	-	-	-	-	-	3
3	2351,00	397,00	2,00	1,16E-03	1,159E-04	-	-	-	-	-	-	3
4	2231,00	-726,00	2,00	1,58E-03	1,582E-04	-	-	-	-	-	-	3
5	726,00	-1330,00	2,00	4,50E-03	4,501E-04	-	-	-	-	-	-	3
6	-708,00	-963,00	2,00	6,63E-04	6,634E-05	-	-	-	-	-	-	3
7	-1120,00	21,00	2,00	9,36E-04	9,358E-05	-	-	-	-	-	-	3
8	-754,00	966,00	2,00	7,52E-04	7,517E-05	-	-	-	-	-	-	3
9	771,00	517,00	2,00	8,50E-03	8,502E-04	-	-	-	-	-	-	2
10	1352,00	388,00	2,00	3,08E-03	3,083E-04	-	-	-	-	-	-	2
11	1357,00	-240,00	2,00	8,63E-03	8,629E-04	-	-	-	-	-	-	2
12	719,00	-589,00	2,00	0,04	0,004	-	-	-	-	-	-	2
13	-2,00	-258,00	2,00	6,43E-03	6,429E-04	-	-	-	-	-	-	2
14	-122,00	-57,00	2,00	4,26E-03	4,263E-04	-	-	-	-	-	-	2
15	144,00	525,00	2,00	3,86E-03	3,857E-04	-	-	-	-	-	-	2
16	246,00	-202,00	2,00	0,02	0,002	-	-	-	-	-	-	4

Вещество: 0621

Метилбензол (Фенилметан)

№	Коорд X(м)	Коорд Y(м)	Высота (м)	Концентр. (д. ПДК)	Концентр. (мг/куб.м)	Напр. ветра	Скор. ветра	Фон		Фон до исключения		Тип точки
								доли ПДК	мг/куб.м	доли ПДК	мг/куб.м	
1	792,00	1517,00	2,00	5,61E-07	2,243E-07	-	-	-	-	-	-	3
2	2086,00	1066,00	2,00	2,39E-07	9,544E-08	-	-	-	-	-	-	3
3	2351,00	397,00	2,00	3,38E-07	1,351E-07	-	-	-	-	-	-	3
4	2231,00	-726,00	2,00	3,75E-07	1,500E-07	-	-	-	-	-	-	3
5	726,00	-1330,00	2,00	9,54E-07	3,816E-07	-	-	-	-	-	-	3
6	-708,00	-963,00	2,00	1,78E-07	7,107E-08	-	-	-	-	-	-	3
7	-1120,00	21,00	2,00	3,14E-07	1,257E-07	-	-	-	-	-	-	3
8	-754,00	966,00	2,00	2,72E-07	1,088E-07	-	-	-	-	-	-	3
9	771,00	517,00	2,00	1,72E-06	6,895E-07	-	-	-	-	-	-	2
10	1352,00	388,00	2,00	8,12E-07	3,247E-07	-	-	-	-	-	-	2
11	1357,00	-240,00	2,00	1,65E-06	6,619E-07	-	-	-	-	-	-	2
12	719,00	-589,00	2,00	6,14E-06	2,457E-06	-	-	-	-	-	-	2
13	-2,00	-258,00	2,00	1,22E-06	4,865E-07	-	-	-	-	-	-	2
14	-122,00	-57,00	2,00	1,13E-06	4,518E-07	-	-	-	-	-	-	2
15	144,00	525,00	2,00	1,56E-06	6,236E-07	-	-	-	-	-	-	2
16	246,00	-202,00	2,00	3,23E-06	1,291E-06	-	-	-	-	-	-	4

Вещество: 0703

Бенз/а/пирен

№	Коорд X(м)	Коорд Y(м)	Высота (м)	Концентр. (д. ПДК)	Концентр. (мг/куб.м)	Напр. ветра	Скор. ветра	Фон		Фон до исключения		Тип точки
								доли ПДК	мг/куб.м	доли ПДК	мг/куб.м	
1	792,00	1517,00	2,00	2,48E-03	2,476E-09	-	-	-	-	-	-	3
2	2086,00	1066,00	2,00	1,07E-03	1,067E-09	-	-	-	-	-	-	3
3	2351,00	397,00	2,00	1,50E-03	1,495E-09	-	-	-	-	-	-	3
4	2231,00	-726,00	2,00	1,70E-03	1,696E-09	-	-	-	-	-	-	3
5	726,00	-1330,00	2,00	3,90E-03	3,902E-09	-	-	-	-	-	-	3
6	-708,00	-963,00	2,00	6,77E-04	6,774E-10	-	-	-	-	-	-	3
7	-1120,00	21,00	2,00	1,08E-03	1,084E-09	-	-	-	-	-	-	3
8	-754,00	966,00	2,00	9,55E-04	9,548E-10	-	-	-	-	-	-	3
9	771,00	517,00	2,00	7,22E-03	7,218E-09	-	-	-	-	-	-	2
10	1352,00	388,00	2,00	3,39E-03	3,393E-09	-	-	-	-	-	-	2
11	1357,00	-240,00	2,00	6,57E-03	6,570E-09	-	-	-	-	-	-	2
12	719,00	-589,00	2,00	0,02	1,720E-08	-	-	-	-	-	-	2
13	-2,00	-258,00	2,00	3,99E-03	3,990E-09	-	-	-	-	-	-	2
14	-122,00	-57,00	2,00	3,17E-03	3,165E-09	-	-	-	-	-	-	2
15	144,00	525,00	2,00	3,55E-03	3,551E-09	-	-	-	-	-	-	2
16	246,00	-202,00	2,00	7,14E-03	7,136E-09	-	-	-	-	-	-	4

Вещество: 1071

Гидроксибензол

№	Коорд	Коорд	Высота	Концентр.	Концентр.	Напр.	Скор.	Фон		Фон до исключения		Тип

	X(м)	Y(м)	(м)	(д. ПДК)	(мг/куб.м)	ветра	ветра	доли ПДК	мг/куб.м	доли ПДК	мг/куб.м	точки
1	792,00	1517,00	2,00	1,96E-04	5,888E-07	-	-	-	-	-	-	3
2	2086,00	1066,00	2,00	8,30E-05	2,489E-07	-	-	-	-	-	-	3
3	2351,00	397,00	2,00	1,21E-04	3,633E-07	-	-	-	-	-	-	3
4	2231,00	-726,00	2,00	1,63E-04	4,876E-07	-	-	-	-	-	-	3
5	726,00	-1330,00	2,00	4,60E-04	1,379E-06	-	-	-	-	-	-	3
6	-708,00	-963,00	2,00	6,95E-05	2,086E-07	-	-	-	-	-	-	3
7	-1120,00	21,00	2,00	1,00E-04	3,010E-07	-	-	-	-	-	-	3
8	-754,00	966,00	2,00	8,16E-05	2,448E-07	-	-	-	-	-	-	3
9	771,00	517,00	2,00	8,72E-04	2,616E-06	-	-	-	-	-	-	2
10	1352,00	388,00	2,00	3,22E-04	9,662E-07	-	-	-	-	-	-	2
11	1357,00	-240,00	2,00	8,77E-04	2,630E-06	-	-	-	-	-	-	2
12	719,00	-589,00	2,00	3,87E-03	1,161E-05	-	-	-	-	-	-	2
13	-2,00	-258,00	2,00	6,68E-04	2,003E-06	-	-	-	-	-	-	2
14	-122,00	-57,00	2,00	4,54E-04	1,362E-06	-	-	-	-	-	-	2
15	144,00	525,00	2,00	4,55E-04	1,366E-06	-	-	-	-	-	-	2
16	246,00	-202,00	2,00	1,63E-03	4,889E-06	-	-	-	-	-	-	4

Вещество: 1325

Формальдегид (Муравьиный альдегид, оксометан, метиленоксид)

№	Коорд X(м)	Коорд Y(м)	Высота (м)	Концентр. (д. ПДК)	Концентр. (мг/куб.м)	Напр. ветра	Скор. ветра	Фон		Фон до исключения		Тип точки
								доли ПДК	мг/куб.м	доли ПДК	мг/куб.м	
1	792,00	1517,00	2,00	3,79E-03	1,136E-05	-	-	-	-	-	-	3
2	2086,00	1066,00	2,00	1,68E-03	5,029E-06	-	-	-	-	-	-	3
3	2351,00	397,00	2,00	2,40E-03	7,201E-06	-	-	-	-	-	-	3
4	2231,00	-726,00	2,00	3,17E-03	9,510E-06	-	-	-	-	-	-	3
5	726,00	-1330,00	2,00	7,45E-03	2,236E-05	-	-	-	-	-	-	3
6	-708,00	-963,00	2,00	1,24E-03	3,705E-06	-	-	-	-	-	-	3
7	-1120,00	21,00	2,00	1,82E-03	5,446E-06	-	-	-	-	-	-	3
8	-754,00	966,00	2,00	1,48E-03	4,448E-06	-	-	-	-	-	-	3
9	771,00	517,00	2,00	0,01	3,973E-05	-	-	-	-	-	-	2
10	1352,00	388,00	2,00	5,28E-03	1,583E-05	-	-	-	-	-	-	2
11	1357,00	-240,00	2,00	0,01	3,946E-05	-	-	-	-	-	-	2
12	719,00	-589,00	2,00	0,04	1,074E-04	-	-	-	-	-	-	2
13	-2,00	-258,00	2,00	8,01E-03	2,403E-05	-	-	-	-	-	-	2
14	-122,00	-57,00	2,00	6,02E-03	1,806E-05	-	-	-	-	-	-	2
15	144,00	525,00	2,00	5,79E-03	1,736E-05	-	-	-	-	-	-	2
16	246,00	-202,00	2,00	0,01	4,337E-05	-	-	-	-	-	-	4

Вещество: 2902

Взвешенные вещества

№	Коорд X(м)	Коорд Y(м)	Высота (м)	Концентр. (д. ПДК)	Концентр. (мг/куб.м)	Напр. ветра	Скор. ветра	Фон		Фон до исключения		Тип точки
								доли ПДК	мг/куб.м	доли ПДК	мг/куб.м	
1	792,00	1517,00	2,00	2,41E-05	1,810E-06	-	-	-	-	-	-	3
2	2086,00	1066,00	2,00	1,00E-05	7,525E-07	-	-	-	-	-	-	3
3	2351,00	397,00	2,00	1,49E-05	1,119E-06	-	-	-	-	-	-	3
4	2231,00	-726,00	2,00	2,08E-05	1,561E-06	-	-	-	-	-	-	3
5	726,00	-1330,00	2,00	6,44E-05	4,833E-06	-	-	-	-	-	-	3
6	-708,00	-963,00	2,00	8,92E-06	6,693E-07	-	-	-	-	-	-	3
7	-1120,00	21,00	2,00	1,21E-05	9,082E-07	-	-	-	-	-	-	3
8	-754,00	966,00	2,00	9,68E-06	7,257E-07	-	-	-	-	-	-	3
9	771,00	517,00	2,00	1,28E-04	9,597E-06	-	-	-	-	-	-	2
10	1352,00	388,00	2,00	4,48E-05	3,359E-06	-	-	-	-	-	-	2
11	1357,00	-240,00	2,00	1,33E-04	9,957E-06	-	-	-	-	-	-	2
12	719,00	-589,00	2,00	7,11E-04	5,332E-05	-	-	-	-	-	-	2
13	-2,00	-258,00	2,00	1,01E-04	7,573E-06	-	-	-	-	-	-	2
14	-122,00	-57,00	2,00	6,42E-05	4,814E-06	-	-	-	-	-	-	2
15	144,00	525,00	2,00	5,63E-05	4,219E-06	-	-	-	-	-	-	2
16	246,00	-202,00	2,00	2,66E-04	1,991E-05	-	-	-	-	-	-	4

Вещество: 2908

Пыль неорганическая: 70-20% SiO2

№	Коорд X(м)	Коорд Y(м)	Высота (м)	Концентр. (д. ПДК)	Концентр. (мг/куб.м)	Напр. ветра	Скор. ветра	Фон		Фон до исключения		Тип точки
								доли ПДК	мг/куб.м	доли ПДК	мг/куб.м	
1	792,00	1517,00	2,00	2,15E-03	2,149E-04	-	-	-	-	-	-	3
2	2086,00	1066,00	2,00	8,66E-04	8,661E-05	-	-	-	-	-	-	3
3	2351,00	397,00	2,00	1,30E-03	1,299E-04	-	-	-	-	-	-	3
4	2231,00	-726,00	2,00	1,65E-03	1,649E-04	-	-	-	-	-	-	3
5	726,00	-1330,00	2,00	4,85E-03	4,854E-04	-	-	-	-	-	-	3
6	-708,00	-963,00	2,00	7,03E-04	7,030E-05	-	-	-	-	-	-	3
7	-1120,00	21,00	2,00	1,08E-03	1,079E-04	-	-	-	-	-	-	3
8	-754,00	966,00	2,00	8,67E-04	8,671E-05	-	-	-	-	-	-	3
9	771,00	517,00	2,00	0,01	0,001	-	-	-	-	-	-	2
10	1352,00	388,00	2,00	3,71E-03	3,714E-04	-	-	-	-	-	-	2
11	1357,00	-240,00	2,00	9,96E-03	9,958E-04	-	-	-	-	-	-	2
12	719,00	-589,00	2,00	0,04	0,004	-	-	-	-	-	-	2

13	-2,00	-258,00	2,00	8,61E-03	8,606E-04	-	-	-	-	-	-	2
14	-122,00	-57,00	2,00	5,86E-03	5,858E-04	-	-	-	-	-	-	2
15	144,00	525,00	2,00	5,17E-03	5,175E-04	-	-	-	-	-	-	2
16	246,00	-202,00	2,00	0,02	0,002	-	-	-	-	-	-	4

ВР: 1, Строительство стреднесуточные концентрации без фона

Расчетные константы: S=999999,99
Расчет: «Расчет среднесуточных концентраций»
Расчет завершился успешно!

Расчет проводился по веществам (группам суммации)

Код	Наименование вещества	Предельно допустимая концентрация						Фоновая концентр.	
		Расчет максимальных концентраций		Расчет среднегодовых концентраций		Расчет среднесуточных концентраций			
		Тип	Значение	Тип	Значение	Тип	Значение	Учет	Интерп.
0123	Железа оксид	-	-	ПДК с/с	0,04	-	-	Нет	Нет
0143	Марганец и его соединения (в пересчете на марганец (IV) оксид)	ПДК м/р	0,01	ПДК с/г	5E-5	ПДК с/с	0,001	Нет	Нет
0301	Азота диоксид (Двуокись азота; пероксид азота)	ПДК м/р	0,2	ПДК с/г	0,04	ПДК с/с	0,1	Нет	Нет
0304	Азот (II) оксид (Азот монооксид)	ПДК м/р	0,4	ПДК с/г	0,06	-	-	Нет	Нет
0328	Углерод (Пигмент черный)	ПДК м/р	0,15	ПДК с/г	0,025	ПДК с/с	0,05	Нет	Нет
0330	Сера диоксид	ПДК м/р	0,5	ПДК с/с	0,05	-	-	Нет	Нет
0333	Дигидросульфид (Водород сернистый, дигидросульфид, гидросульфид)	ПДК м/р	0,008	ПДК с/г	0,002	-	-	Нет	Нет
0337	Углерода оксид (Углерод окись; углерод моноокись; угарный газ)	ПДК м/р	5	ПДК с/г	3	ПДК с/с	3	Нет	Нет
0342	Фториды газообразные	ПДК м/р	0,02	ПДК с/г	0,005	ПДК с/с	0,014	Нет	Нет
0344	Фториды плохо растворимые	ПДК м/р	0,2	ПДК с/с	0,03	-	-	Нет	Нет
0616	Диметилбензол (смесь о-, м-, п-изомеров) (Метилтолуол)	ПДК м/р	0,2	ПДК с/г	0,1	-	-	Нет	Нет
0621	Метилбензол (Фенилметан)	ПДК м/р	0,6	ПДК с/г	0,4	-	-	Нет	Нет
0703	Бенз/а/пирен	-	-	ПДК с/г	1E-6	ПДК с/с	1E-6	Нет	Нет
1061	Этанол (Этиловый спирт; метилкарбинол)	ПДК м/р	5	-	-	-	-	Нет	Нет
1071	Гидроксибензол	ПДК м/р	0,01	ПДК с/г	0,003	ПДК с/с	0,006	Нет	Нет
1119	Этиловый эфир этиленгликоля	ОБУВ	0,7	-	-	-	-	Нет	Нет
1210	Бутилацетат (Бутиловый эфир уксусной кислоты)	ПДК м/р	0,1	-	-	-	-	Нет	Нет
1325	Формальдегид (Муравьиный альдегид, оксометан, метиленоксид)	ПДК м/р	0,05	ПДК с/г	0,003	ПДК с/с	0,01	Нет	Нет
1401	Пропан-2-он (Диметилкетон; диметилформальдегид)	ПДК м/р	0,35	-	-	-	-	Нет	Нет
2732	Керосин (Керосин прямой перегонки; керосин дезодорированный)	ОБУВ	1,2	-	-	-	-	Нет	Нет
2752	Уайт-спирит	ОБУВ	1	-	-	-	-	Нет	Нет
2754	Алканы С12-С19 (в пересчете на С)	ПДК м/р	1	-	-	-	-	Нет	Нет
2902	Взвешенные вещества	ПДК м/р	0,5	ПДК с/г	0,075	ПДК с/с	0,15	Нет	Нет
2908	Пыль неорганическая: 70-20% SiO2	ПДК м/р	0,3	ПДК с/с	0,1	-	-	Нет	Нет

Результаты расчета по веществам (расчетные точки)

Типы точек:
0 - расчетная точка пользователя
1 - точка на границе охранной зоны
2 - точка на границе производственной зоны
3 - точка на границе СЗЗ
4 - на границе жилой зоны
5 - на границе застройки
6 - точки квотирования

Вещество: 0143
Марганец и его соединения (в пересчете на марганец (IV) оксид)

№	Коорд X(м)	Коорд Y(м)	Высота (м)	Концентр. (д. ПДК)	Концентр. (мг/куб.м)	Напр. ветра	Скор. ветра	Фон		Фон до исключения		Тип точки
								доли ПДК	мг/куб.м	доли ПДК	мг/куб.м	
1	792,00	1517,00	2,00	7,89E-03	7,886E-06	-	-	-	-	-	-	3

2	2086,00	1066,00	2,00	3,94E-03	3,938E-06	-	-	-	-	-	-	3
3	2351,00	397,00	2,00	4,57E-03	4,569E-06	-	-	-	-	-	-	3
4	2231,00	-726,00	2,00	4,90E-03	4,902E-06	-	-	-	-	-	-	3
5	726,00	-1330,00	2,00	0,01	1,063E-05	-	-	-	-	-	-	3
6	-708,00	-963,00	2,00	4,78E-03	4,784E-06	-	-	-	-	-	-	3
7	-1120,00	21,00	2,00	6,16E-03	6,164E-06	-	-	-	-	-	-	3
8	-754,00	966,00	2,00	6,27E-03	6,267E-06	-	-	-	-	-	-	3
9	771,00	517,00	2,00	0,05	4,592E-05	-	-	-	-	-	-	2
10	1352,00	388,00	2,00	0,02	1,841E-05	-	-	-	-	-	-	2
11	1357,00	-240,00	2,00	0,02	2,421E-05	-	-	-	-	-	-	2
12	719,00	-589,00	2,00	0,06	5,563E-05	-	-	-	-	-	-	2
13	-2,00	-258,00	2,00	0,04	4,368E-05	-	-	-	-	-	-	2
14	-122,00	-57,00	2,00	0,05	4,556E-05	-	-	-	-	-	-	2
15	144,00	525,00	2,00	0,05	4,990E-05	-	-	-	-	-	-	2
16	246,00	-202,00	2,00	0,11	1,073E-04	-	-	-	-	-	-	4

Вещество: 0301

Азота диоксид (Двуокись азота; пероксид азота)

№	Коорд X(м)	Коорд Y(м)	Высота (м)	Концентр. (д. ПДК)	Концентр. (мг/куб.м)	Напр. ветра	Скор. ветра	Фон		Фон до исключения		Тип точки
								доли ПДК	мг/куб.м	доли ПДК	мг/куб.м	
1	792,00	1517,00	2,00	0,27	0,027	-	-	-	-	-	-	3
2	2086,00	1066,00	2,00	0,21	0,021	-	-	-	-	-	-	3
3	2351,00	397,00	2,00	0,25	0,025	-	-	-	-	-	-	3
4	2231,00	-726,00	2,00	0,25	0,025	-	-	-	-	-	-	3
5	726,00	-1330,00	2,00	0,34	0,034	-	-	-	-	-	-	3
6	-708,00	-963,00	2,00	0,17	0,017	-	-	-	-	-	-	3
7	-1120,00	21,00	2,00	0,25	0,025	-	-	-	-	-	-	3
8	-754,00	966,00	2,00	0,27	0,027	-	-	-	-	-	-	3
9	771,00	517,00	2,00	0,39	0,039	-	-	-	-	-	-	2
10	1352,00	388,00	2,00	0,34	0,034	-	-	-	-	-	-	2
11	1357,00	-240,00	2,00	0,42	0,042	-	-	-	-	-	-	2
12	719,00	-589,00	2,00	0,92	0,092	-	-	-	-	-	-	2
13	-2,00	-258,00	2,00	0,33	0,033	-	-	-	-	-	-	2
14	-122,00	-57,00	2,00	0,27	0,027	-	-	-	-	-	-	2
15	144,00	525,00	2,00	0,39	0,039	-	-	-	-	-	-	2
16	246,00	-202,00	2,00	0,55	0,055	-	-	-	-	-	-	4

Вещество: 0328

Углерод (Пигмент черный)

№	Коорд X(м)	Коорд Y(м)	Высота (м)	Концентр. (д. ПДК)	Концентр. (мг/куб.м)	Напр. ветра	Скор. ветра	Фон		Фон до исключения		Тип точки
								доли ПДК	мг/куб.м	доли ПДК	мг/куб.м	
1	792,00	1517,00	2,00	0,13	0,007	-	-	-	-	-	-	3
2	2086,00	1066,00	2,00	0,09	0,004	-	-	-	-	-	-	3
3	2351,00	397,00	2,00	0,10	0,005	-	-	-	-	-	-	3
4	2231,00	-726,00	2,00	0,08	0,004	-	-	-	-	-	-	3
5	726,00	-1330,00	2,00	0,10	0,005	-	-	-	-	-	-	3
6	-708,00	-963,00	2,00	0,04	0,002	-	-	-	-	-	-	3
7	-1120,00	21,00	2,00	0,06	0,003	-	-	-	-	-	-	3
8	-754,00	966,00	2,00	0,07	0,003	-	-	-	-	-	-	3
9	771,00	517,00	2,00	0,13	0,007	-	-	-	-	-	-	2
10	1352,00	388,00	2,00	0,17	0,009	-	-	-	-	-	-	2
11	1357,00	-240,00	2,00	0,16	0,008	-	-	-	-	-	-	2
12	719,00	-589,00	2,00	0,20	0,010	-	-	-	-	-	-	2
13	-2,00	-258,00	2,00	0,10	0,005	-	-	-	-	-	-	2
14	-122,00	-57,00	2,00	0,11	0,006	-	-	-	-	-	-	2
15	144,00	525,00	2,00	0,14	0,007	-	-	-	-	-	-	2
16	246,00	-202,00	2,00	0,13	0,007	-	-	-	-	-	-	4

Вещество: 0337

Углерода оксид (Углерод окись; углерод моноокись; угарный газ)

№	Коорд X(м)	Коорд Y(м)	Высота (м)	Концентр. (д. ПДК)	Концентр. (мг/куб.м)	Напр. ветра	Скор. ветра	Фон		Фон до исключения		Тип точки
								доли ПДК	мг/куб.м	доли ПДК	мг/куб.м	
1	792,00	1517,00	2,00	0,03	0,102	-	-	-	-	-	-	3
2	2086,00	1066,00	2,00	0,03	0,078	-	-	-	-	-	-	3
3	2351,00	397,00	2,00	0,03	0,090	-	-	-	-	-	-	3
4	2231,00	-726,00	2,00	0,03	0,081	-	-	-	-	-	-	3
5	726,00	-1330,00	2,00	0,04	0,119	-	-	-	-	-	-	3
6	-708,00	-963,00	2,00	0,02	0,058	-	-	-	-	-	-	3
7	-1120,00	21,00	2,00	0,03	0,082	-	-	-	-	-	-	3
8	-754,00	966,00	2,00	0,03	0,079	-	-	-	-	-	-	3
9	771,00	517,00	2,00	0,05	0,135	-	-	-	-	-	-	2
10	1352,00	388,00	2,00	0,03	0,095	-	-	-	-	-	-	2
11	1357,00	-240,00	2,00	0,04	0,120	-	-	-	-	-	-	2
12	719,00	-589,00	2,00	0,07	0,218	-	-	-	-	-	-	2
13	-2,00	-258,00	2,00	0,03	0,099	-	-	-	-	-	-	2
14	-122,00	-57,00	2,00	0,03	0,091	-	-	-	-	-	-	2

15	144,00	525,00	2,00	0,03	0,100	-	-	-	-	-	-	2
16	246,00	-202,00	2,00	0,05	0,137	-	-	-	-	-	-	4

Вещество: 0342

Фториды газообразные

№	Коорд X(м)	Коорд Y(м)	Высота (м)	Концентр. (д. ПДК)	Концентр. (мг/куб.м)	Напр. ветра	Скор. ветра	Фон		Фон до исключения		Тип точки
								доли ПДК	мг/куб.м	доли ПДК	мг/куб.м	
1	792,00	1517,00	2,00	4,66E-04	6,522E-06	-	-	-	-	-	-	3
2	2086,00	1066,00	2,00	2,54E-04	3,553E-06	-	-	-	-	-	-	3
3	2351,00	397,00	2,00	2,98E-04	4,178E-06	-	-	-	-	-	-	3
4	2231,00	-726,00	2,00	3,51E-04	4,919E-06	-	-	-	-	-	-	3
5	726,00	-1330,00	2,00	6,73E-04	9,423E-06	-	-	-	-	-	-	3
6	-708,00	-963,00	2,00	2,92E-04	4,082E-06	-	-	-	-	-	-	3
7	-1120,00	21,00	2,00	3,57E-04	4,992E-06	-	-	-	-	-	-	3
8	-754,00	966,00	2,00	3,58E-04	5,012E-06	-	-	-	-	-	-	3
9	771,00	517,00	2,00	1,72E-03	2,411E-05	-	-	-	-	-	-	2
10	1352,00	388,00	2,00	7,89E-04	1,105E-05	-	-	-	-	-	-	2
11	1357,00	-240,00	2,00	1,14E-03	1,602E-05	-	-	-	-	-	-	2
12	719,00	-589,00	2,00	2,30E-03	3,224E-05	-	-	-	-	-	-	2
13	-2,00	-258,00	2,00	1,68E-03	2,351E-05	-	-	-	-	-	-	2
14	-122,00	-57,00	2,00	1,46E-03	2,041E-05	-	-	-	-	-	-	2
15	144,00	525,00	2,00	1,45E-03	2,032E-05	-	-	-	-	-	-	2
16	246,00	-202,00	2,00	3,87E-03	5,423E-05	-	-	-	-	-	-	4

Вещество: 0703

Бенз/а/пирен

№	Коорд X(м)	Коорд Y(м)	Высота (м)	Концентр. (д. ПДК)	Концентр. (мг/куб.м)	Напр. ветра	Скор. ветра	Фон		Фон до исключения		Тип точки
								доли ПДК	мг/куб.м	доли ПДК	мг/куб.м	
1	792,00	1517,00	2,00	0,03	2,667E-08	-	-	-	-	-	-	3
2	2086,00	1066,00	2,00	0,02	1,567E-08	-	-	-	-	-	-	3
3	2351,00	397,00	2,00	0,02	1,766E-08	-	-	-	-	-	-	3
4	2231,00	-726,00	2,00	0,02	1,875E-08	-	-	-	-	-	-	3
5	726,00	-1330,00	2,00	0,04	3,862E-08	-	-	-	-	-	-	3
6	-708,00	-963,00	2,00	0,01	1,295E-08	-	-	-	-	-	-	3
7	-1120,00	21,00	2,00	0,02	1,581E-08	-	-	-	-	-	-	3
8	-754,00	966,00	2,00	0,02	1,603E-08	-	-	-	-	-	-	3
9	771,00	517,00	2,00	0,07	7,109E-08	-	-	-	-	-	-	2
10	1352,00	388,00	2,00	0,04	3,626E-08	-	-	-	-	-	-	2
11	1357,00	-240,00	2,00	0,05	5,398E-08	-	-	-	-	-	-	2
12	719,00	-589,00	2,00	0,16	1,640E-07	-	-	-	-	-	-	2
13	-2,00	-258,00	2,00	0,04	4,375E-08	-	-	-	-	-	-	2
14	-122,00	-57,00	2,00	0,04	3,616E-08	-	-	-	-	-	-	2
15	144,00	525,00	2,00	0,05	4,911E-08	-	-	-	-	-	-	2
16	246,00	-202,00	2,00	0,07	7,219E-08	-	-	-	-	-	-	4

Вещество: 1071

Гидроксибензол

№	Коорд X(м)	Коорд Y(м)	Высота (м)	Концентр. (д. ПДК)	Концентр. (мг/куб.м)	Напр. ветра	Скор. ветра	Фон		Фон до исключения		Тип точки
								доли ПДК	мг/куб.м	доли ПДК	мг/куб.м	
1	792,00	1517,00	2,00	7,60E-03	4,560E-05	-	-	-	-	-	-	3
2	2086,00	1066,00	2,00	4,91E-03	2,947E-05	-	-	-	-	-	-	3
3	2351,00	397,00	2,00	6,12E-03	3,672E-05	-	-	-	-	-	-	3
4	2231,00	-726,00	2,00	7,69E-03	4,614E-05	-	-	-	-	-	-	3
5	726,00	-1330,00	2,00	0,02	1,047E-04	-	-	-	-	-	-	3
6	-708,00	-963,00	2,00	5,90E-03	3,538E-05	-	-	-	-	-	-	3
7	-1120,00	21,00	2,00	5,86E-03	3,515E-05	-	-	-	-	-	-	3
8	-754,00	966,00	2,00	5,19E-03	3,115E-05	-	-	-	-	-	-	3
9	771,00	517,00	2,00	0,03	1,847E-04	-	-	-	-	-	-	2
10	1352,00	388,00	2,00	0,02	1,000E-04	-	-	-	-	-	-	2
11	1357,00	-240,00	2,00	0,04	2,104E-04	-	-	-	-	-	-	2
12	719,00	-589,00	2,00	0,13	8,057E-04	-	-	-	-	-	-	2
13	-2,00	-258,00	2,00	0,03	2,087E-04	-	-	-	-	-	-	2
14	-122,00	-57,00	2,00	0,02	1,435E-04	-	-	-	-	-	-	2
15	144,00	525,00	2,00	0,02	1,184E-04	-	-	-	-	-	-	2
16	246,00	-202,00	2,00	0,08	4,695E-04	-	-	-	-	-	-	4

Вещество: 1325

Формальдегид (Муравьиный альдегид, оксометан, метиленоксид)

№	Коорд X(м)	Коорд Y(м)	Высота (м)	Концентр. (д. ПДК)	Концентр. (мг/куб.м)	Напр. ветра	Скор. ветра	Фон		Фон до исключения		Тип точки
								доли ПДК	мг/куб.м	доли ПДК	мг/куб.м	
1	792,00	1517,00	2,00	9,41E-03	9,405E-05	-	-	-	-	-	-	3
2	2086,00	1066,00	2,00	6,24E-03	6,243E-05	-	-	-	-	-	-	3
3	2351,00	397,00	2,00	7,80E-03	7,798E-05	-	-	-	-	-	-	3
4	2231,00	-726,00	2,00	9,73E-03	9,731E-05	-	-	-	-	-	-	3
5	726,00	-1330,00	2,00	0,02	2,017E-04	-	-	-	-	-	-	3
6	-708,00	-963,00	2,00	6,92E-03	6,918E-05	-	-	-	-	-	-	3
7	-1120,00	21,00	2,00	6,91E-03	6,914E-05	-	-	-	-	-	-	3

8	-754,00	966,00	2,00	6,17E-03	6,169E-05	-	-	-	-	-	-	3
9	771,00	517,00	2,00	0,03	3,153E-04	-	-	-	-	-	-	2
10	1352,00	388,00	2,00	0,02	1,930E-04	-	-	-	-	-	-	2
11	1357,00	-240,00	2,00	0,03	3,454E-04	-	-	-	-	-	-	2
12	719,00	-589,00	2,00	0,10	9,506E-04	-	-	-	-	-	-	2
13	-2,00	-258,00	2,00	0,03	2,799E-04	-	-	-	-	-	-	2
14	-122,00	-57,00	2,00	0,02	2,214E-04	-	-	-	-	-	-	2
15	144,00	525,00	2,00	0,02	1,979E-04	-	-	-	-	-	-	2
16	246,00	-202,00	2,00	0,05	4,638E-04	-	-	-	-	-	-	4

Вещество: 2902

Взвешенные вещества

№	Коорд X(м)	Коорд Y(м)	Высота (м)	Концентр. (д. ПДК)	Концентр. (мг/куб.м)	Напр. ветра	Скор. ветра	Фон		Фон до исключения		Тип точки
								доли ПДК	мг/куб.м	доли ПДК	мг/куб.м	
1	792,00	1517,00	2,00	1,37E-04	2,060E-05	-	-	-	-	-	-	3
2	2086,00	1066,00	2,00	8,81E-05	1,321E-05	-	-	-	-	-	-	3
3	2351,00	397,00	2,00	1,11E-04	1,665E-05	-	-	-	-	-	-	3
4	2231,00	-726,00	2,00	1,42E-04	2,130E-05	-	-	-	-	-	-	3
5	726,00	-1330,00	2,00	3,55E-04	5,326E-05	-	-	-	-	-	-	3
6	-708,00	-963,00	2,00	1,10E-04	1,656E-05	-	-	-	-	-	-	3
7	-1120,00	21,00	2,00	1,05E-04	1,572E-05	-	-	-	-	-	-	3
8	-754,00	966,00	2,00	9,15E-05	1,372E-05	-	-	-	-	-	-	3
9	771,00	517,00	2,00	6,28E-04	9,420E-05	-	-	-	-	-	-	2
10	1352,00	388,00	2,00	3,36E-04	5,042E-05	-	-	-	-	-	-	2
11	1357,00	-240,00	2,00	7,30E-04	1,095E-04	-	-	-	-	-	-	2
12	719,00	-589,00	2,00	4,54E-03	6,814E-04	-	-	-	-	-	-	2
13	-2,00	-258,00	2,00	7,32E-04	1,097E-04	-	-	-	-	-	-	2
14	-122,00	-57,00	2,00	4,81E-04	7,209E-05	-	-	-	-	-	-	2
15	144,00	525,00	2,00	3,79E-04	5,683E-05	-	-	-	-	-	-	2
16	246,00	-202,00	2,00	2,08E-03	3,115E-04	-	-	-	-	-	-	4

ВР: 2, Строительство максимально разовые с фоном

Расчетные константы: S=999999,99

Расчет: «Расчет рассеивания по МРР-2017» (зима)

Расчет завершен успешно. Рассчитано 4 веществ/групп суммации. 4.70.5.93

Расчет проводился по веществам (группам суммации)

Код	Наименование вещества	Предельно допустимая концентрация						Фоновая концентр.	
		Расчет максимальных концентраций		Расчет среднегодовых концентраций		Расчет среднесуточных концентраций			
		Тип	Значение	Тип	Значение	Тип	Значение	Учет	Интерп.
0301	Азота диоксид (Двуокись азота; пероксид азота)	ПДК м/р	0,2	ПДК с/г	0,04	ПДК с/с	0,1	Да	Нет
0304	Азот (II) оксид (Азот монооксид)	ПДК м/р	0,4	ПДК с/г	0,06	ПДК с/с	-	Да	Нет
0330	Сера диоксид	ПДК м/р	0,5	ПДК с/с	0,05	ПДК с/с	-	Да	Нет
0337	Углерода оксид (Углерод окись; углерод моноокись; угарный газ)	ПДК м/р	5	ПДК с/г	3	ПДК с/с	3	Да	Нет

Посты измерения фоновых концентраций

№ поста	Наименование	Координаты (м)	
		X	Y
1	Самбург	0,0	0,0

Код в-ва	Наименование вещества	Максимальная концентрация *					Средняя концентрация *
		Штиль	Север	Восток	Юг	Запад	
0301	Азота диоксид (Двуокись азота; пероксид азота)	0,063	0,063	0,063	0,063	0,063	0,028
0304	Азот (II) оксид (Азот монооксид)	0,045	0,045	0,045	0,045	0,045	0,015
0330	Сера диоксид	0,015	0,015	0,015	0,015	0,015	0,005
0337	Углерода оксид (Углерод окись; углерод моноокись; угарный газ)	1,900	1,900	1,900	1,900	1,900	0,900
0703	Бенз/а/пирен	9,00E-07	9,00E-07	9,00E-07	9,00E-07	9,00E-07	4,000E-07

* Фоновые концентрации измеряются в мг/м3 для веществ и долях приведенной ПДК для групп суммации

Максимальные концентрации по веществам (расчетные площадки)

Вещество: 0301

Азота диоксид (Двуокись азота; пероксид азота)

Площадка: 1

Поле максимальных концентраций

Коорд X(м)	Коорд Y(м)	Концентр. (д. ПДК)	Концентр. (мг/куб.м)	Напр. ветра	Скор. ветра	Фон		Фон до исключения	
						доли ПДК	мг/куб.м	доли ПДК	мг/куб.м
700,00	-200,00	3,14	0,628	194	3,50	0,31	0,063	0,32	0,063

Вещество: 0304
Азот (II) оксид (Азот монооксид)
Площадка: 1
Поле максимальных концентраций

Коорд X(м)	Коорд Y(м)	Концентр. (д. ПДК)	Концентр. (мг/куб.м)	Напр. ветра	Скор. ветра	Фон		Фон до исключения	
						доли ПДК	мг/куб.м	доли ПДК	мг/куб.м
-500,00	400,00	0,57	0,227	104	11,00	0,11	0,042	0,11	0,045

Вещество: 0330
Сера диоксид
Площадка: 1
Поле максимальных концентраций

Коорд X(м)	Коорд Y(м)	Концентр. (д. ПДК)	Концентр. (мг/куб.м)	Напр. ветра	Скор. ветра	Фон		Фон до исключения	
						доли ПДК	мг/куб.м	доли ПДК	мг/куб.м
700,00	-200,00	0,21	0,103	194	3,50	0,03	0,015	0,03	0,015

Вещество: 0337
Углерода оксид (Углерод окись; углерод моноокись; угарный газ)
Площадка: 1
Поле максимальных концентраций

Коорд X(м)	Коорд Y(м)	Концентр. (д. ПДК)	Концентр. (мг/куб.м)	Напр. ветра	Скор. ветра	Фон		Фон до исключения	
						доли ПДК	мг/куб.м	доли ПДК	мг/куб.м
600,00	-300,00	1,08	5,403	30	0,50	0,38	1,895	0,38	1,900

Результаты расчета по веществам (расчетные точки)

Типы точек:
0 - расчетная точка пользователя
1 - точка на границе охранной зоны
2 - точка на границе производственной зоны
3 - точка на границе СЗЗ
4 - на границе жилой зоны
5 - на границе застройки
6 - точки квотирования

Вещество: 0301
Азота диоксид (Двуокись азота; пероксид азота)

№	Коорд X(м)	Коорд Y(м)	Высота (м)	Концентр. (д. ПДК)	Концентр. (мг/куб.м)	Напр. ветра	Скор. ветра	Фон		Фон до исключения		Тип точки
								доли ПДК	мг/куб.м	доли ПДК	мг/куб.м	
1	792,00	1517,00	2,00	0,72	0,145	201	11,00	0,30	0,061	0,32	0,063	3
2	2086,00	1066,00	2,00	0,73	0,146	241	11,00	0,30	0,061	0,32	0,063	3
3	2351,00	397,00	2,00	0,79	0,157	262	11,00	0,30	0,061	0,32	0,063	3
4	2231,00	-726,00	2,00	0,83	0,166	294	11,00	0,30	0,061	0,32	0,063	3
5	726,00	-1330,00	2,00	0,89	0,177	356	11,00	0,30	0,060	0,32	0,063	3
6	-708,00	-963,00	2,00	0,72	0,144	42	11,00	0,30	0,061	0,32	0,063	3
7	-1120,00	21,00	2,00	0,88	0,175	84	11,00	0,30	0,061	0,32	0,063	3
8	-754,00	966,00	2,00	0,98	0,197	127	11,00	0,30	0,061	0,32	0,063	3
9	771,00	517,00	2,00	0,86	0,172	189	11,00	0,30	0,060	0,32	0,063	2
10	1352,00	388,00	2,00	0,87	0,174	260	11,00	0,30	0,060	0,32	0,063	2
11	1357,00	-240,00	2,00	0,98	0,196	293	11,00	0,30	0,060	0,32	0,063	2
12	719,00	-589,00	2,00	1,92	0,385	352	5,80	0,30	0,061	0,32	0,063	2
13	-2,00	-258,00	2,00	0,87	0,174	91	8,70	0,30	0,060	0,32	0,063	2
14	-122,00	-57,00	2,00	0,83	0,166	101	0,90	0,30	0,060	0,32	0,063	2
15	144,00	525,00	2,00	0,99	0,197	144	7,90	0,30	0,060	0,32	0,063	2
16	246,00	-202,00	2,00	1,27	0,255	99	5,60	0,31	0,061	0,32	0,063	4

Вещество: 0304
Азот (II) оксид (Азот монооксид)

№	Коорд X(м)	Коорд Y(м)	Высота (м)	Концентр. (д. ПДК)	Концентр. (мг/куб.м)	Напр. ветра	Скор. ветра	Фон		Фон до исключения		Тип точки
								доли ПДК	мг/куб.м	доли ПДК	мг/куб.м	
1	792,00	1517,00	2,00	0,35	0,141	203	11,00	0,11	0,043	0,11	0,045	3
2	2086,00	1066,00	2,00	0,34	0,136	243	11,00	0,11	0,043	0,11	0,045	3
3	2351,00	397,00	2,00	0,37	0,149	263	11,00	0,11	0,043	0,11	0,045	3
4	2231,00	-726,00	2,00	0,38	0,152	295	11,00	0,11	0,043	0,11	0,045	3
5	726,00	-1330,00	2,00	0,35	0,141	342	11,00	0,11	0,042	0,11	0,045	3
6	-708,00	-963,00	2,00	0,35	0,139	39	11,00	0,11	0,043	0,11	0,045	3
7	-1120,00	21,00	2,00	0,45	0,178	83	11,00	0,11	0,043	0,11	0,045	3
8	-754,00	966,00	2,00	0,48	0,191	127	11,00	0,11	0,043	0,11	0,045	3
9	771,00	517,00	2,00	0,41	0,164	240	11,00	0,11	0,042	0,11	0,045	2
10	1352,00	388,00	2,00	0,45	0,180	261	11,00	0,11	0,042	0,11	0,045	2
11	1357,00	-240,00	2,00	0,51	0,202	293	11,00	0,11	0,042	0,11	0,045	2
12	719,00	-589,00	2,00	0,40	0,159	326	11,00	0,11	0,043	0,11	0,045	2

13	-2,00	-258,00	2,00	0,30	0,122	31	11,00	0,11	0,042	0,11	0,045	2
14	-122,00	-57,00	2,00	0,34	0,134	56	11,00	0,11	0,042	0,11	0,045	2
15	144,00	525,00	2,00	0,33	0,131	141	7,50	0,11	0,042	0,11	0,045	2
16	246,00	-202,00	2,00	0,30	0,120	345	11,00	0,11	0,043	0,11	0,045	4

Вещество: 0330
Сера диоксид

№	Коорд X(м)	Коорд Y(м)	Высота (м)	Концентр. (д. ПДК)	Концентр. (мг/куб.м)	Напр. ветра	Скор. ветра	Фон		Фон до исключения		Тип точки
								доли ПДК	мг/куб.м	доли ПДК	мг/куб.м	
1	792,00	1517,00	2,00	0,04	0,019	184	0,90	0,03	0,015	0,03	0,015	3
2	2086,00	1066,00	2,00	0,04	0,019	227	0,90	0,03	0,015	0,03	0,015	3
3	2351,00	397,00	2,00	0,04	0,019	249	0,90	0,03	0,015	0,03	0,015	3
4	2231,00	-726,00	2,00	0,04	0,020	286	0,90	0,03	0,015	0,03	0,015	3
5	726,00	-1330,00	2,00	0,05	0,025	357	0,90	0,03	0,015	0,03	0,015	3
6	-708,00	-963,00	2,00	0,04	0,020	63	0,90	0,03	0,015	0,03	0,015	3
7	-1120,00	21,00	2,00	0,04	0,019	99	0,90	0,03	0,015	0,03	0,015	3
8	-754,00	966,00	2,00	0,04	0,019	131	0,90	0,03	0,015	0,03	0,015	3
9	771,00	517,00	2,00	0,06	0,029	187	0,90	0,03	0,015	0,03	0,015	2
10	1352,00	388,00	2,00	0,05	0,026	226	0,90	0,03	0,015	0,03	0,015	2
11	1357,00	-240,00	2,00	0,06	0,031	268	1,00	0,03	0,015	0,03	0,015	2
12	719,00	-589,00	2,00	0,12	0,058	352	4,50	0,03	0,015	0,03	0,015	2
13	-2,00	-258,00	2,00	0,06	0,032	91	8,50	0,03	0,015	0,03	0,015	2
14	-122,00	-57,00	2,00	0,06	0,028	104	0,90	0,03	0,015	0,03	0,015	2
15	144,00	525,00	2,00	0,05	0,026	147	0,90	0,03	0,015	0,03	0,015	2
16	246,00	-202,00	2,00	0,09	0,043	99	5,70	0,03	0,015	0,03	0,015	4

Вещество: 0337
Углерода оксид (Углерод окись; углерод моноокись; угарный газ)

№	Коорд X(м)	Коорд Y(м)	Высота (м)	Концентр. (д. ПДК)	Концентр. (мг/куб.м)	Напр. ветра	Скор. ветра	Фон		Фон до исключения		Тип точки
								доли ПДК	мг/куб.м	доли ПДК	мг/куб.м	
1	792,00	1517,00	2,00	0,46	2,293	185	11,00	0,38	1,882	0,38	1,900	3
2	2086,00	1066,00	2,00	0,46	2,298	236	11,00	0,38	1,883	0,38	1,900	3
3	2351,00	397,00	2,00	0,46	2,302	261	11,00	0,38	1,883	0,38	1,900	3
4	2231,00	-726,00	2,00	0,46	2,277	296	11,00	0,38	1,882	0,38	1,900	3
5	726,00	-1330,00	2,00	0,47	2,373	357	11,00	0,38	1,879	0,38	1,900	3
6	-708,00	-963,00	2,00	0,45	2,272	52	11,00	0,38	1,881	0,38	1,900	3
7	-1120,00	21,00	2,00	0,47	2,328	86	11,00	0,38	1,882	0,38	1,900	3
8	-754,00	966,00	2,00	0,46	2,320	125	11,00	0,38	1,882	0,38	1,900	3
9	771,00	517,00	2,00	0,48	2,418	195	11,00	0,38	1,879	0,38	1,900	2
10	1352,00	388,00	2,00	0,46	2,290	251	11,00	0,38	1,877	0,38	1,900	2
11	1357,00	-240,00	2,00	0,47	2,339	294	11,00	0,38	1,878	0,38	1,900	2
12	719,00	-589,00	2,00	0,52	2,588	351	9,70	0,38	1,883	0,38	1,900	2
13	-2,00	-258,00	2,00	0,46	2,300	58	3,30	0,38	1,879	0,38	1,900	2
14	-122,00	-57,00	2,00	0,46	2,297	77	11,00	0,38	1,878	0,38	1,900	2
15	144,00	525,00	2,00	0,45	2,262	128	11,00	0,38	1,877	0,38	1,900	2
16	246,00	-202,00	2,00	0,48	2,378	99	4,50	0,38	1,888	0,38	1,900	4

ВР: 2, Строительство среднегодовые концентрации с фоном

Расчетные константы: S=999999,99

Расчет: «Расчет средних концентраций по МРР-2017»

Расчет завершен успешно. Рассчитано 4 веществ. ВНИМАНИЕ! Расчет групп суммации невозможен! 4.70.5.93

Расчет проводился по веществам (группам суммации)

Код	Наименование вещества	Предельно допустимая концентрация						Фоновая концентр.	
		Расчет максимальных концентраций		Расчет среднегодовых концентраций		Расчет среднесуточных концентраций			
		Тип	Значение	Тип	Значение	Тип	Значение	Учет	Интерп.
0301	Азота диоксид (Двуокись азота; пероксид азота)	ПДК м/р	0,2	ПДК с/г	0,04	ПДК с/с	0,1	Да	Нет
0304	Азот (II) оксид (Азот монооксид)	ПДК м/р	0,4	ПДК с/г	0,06	ПДК с/с	-	Да	Нет
0330	Сера диоксид	ПДК м/р	0,5	ПДК с/с	0,05	ПДК с/с	-	Да	Нет
0337	Углерода оксид (Углерод окись; углерод моноокись; угарный газ)	ПДК м/р	5	ПДК с/г	3	ПДК с/с	3	Да	Нет

Максимальные концентрации по веществам (расчетные площадки)

Вещество: 0301
Азота диоксид (Двуокись азота; пероксид азота)
Площадка: 1
Поле средних концентраций

Коорд X(м)	Коорд Y(м)	Концентр. (д. ПДК)	Концентр. (мг/куб.м)	Напр. ветра	Скор. ветра	Фон		Фон до исключения	
						доли ПДК	мг/куб.м	доли ПДК	мг/куб.м

700,00	-100,00	1,29	0,052	-	-	0,70	0,028	0,70	0,028

Вещество: 0304
Азот (II) оксид (Азот монооксид)
Площадка: 1
Поле средних концентраций

Коорд X(м)	Коорд Y(м)	Концентр. (д. ПДК)	Концентр. (мг/куб.м)	Напр. ветра	Скор. ветра	Фон		Фон до исключения	
						доли ПДК	мг/куб.м	доли ПДК	мг/куб.м
700,00	-100,00	0,38	0,023	-	-	0,25	0,015	0,25	0,015

Вещество: 0330
Сера диоксид
Площадка: 1
Поле средних концентраций

Коорд X(м)	Коорд Y(м)	Концентр. (д. ПДК)	Концентр. (мг/куб.м)	Напр. ветра	Скор. ветра	Фон		Фон до исключения	
						доли ПДК	мг/куб.м	доли ПДК	мг/куб.м
700,00	-100,00	0,15	0,008	-	-	0,10	0,005	0,10	0,005

Вещество: 0337
Углерода оксид (Углерод окись; углерод моноокись; угарный газ)
Площадка: 1
Поле средних концентраций

Коорд X(м)	Коорд Y(м)	Концентр. (д. ПДК)	Концентр. (мг/куб.м)	Напр. ветра	Скор. ветра	Фон		Фон до исключения	
						доли ПДК	мг/куб.м	доли ПДК	мг/куб.м
600,00	-100,00	0,33	0,982	-	-	0,30	0,900	0,30	0,900

Результаты расчета по веществам (расчетные точки)

Типы точек:
0 - расчетная точка пользователя
1 - точка на границе охранной зоны
2 - точка на границе производственной зоны
3 - точка на границе СЗЗ
4 - на границе жилой зоны
5 - на границе застройки
6 - точки квотирования

Вещество: 0301
Азота диоксид (Двуокись азота; пероксид азота)

№	Коорд X(м)	Коорд Y(м)	Высота (м)	Концентр. (д. ПДК)	Концентр. (мг/куб.м)	Напр. ветра	Скор. ветра	Фон		Фон до исключения		Тип точки
								доли ПДК	мг/куб.м	доли ПДК	мг/куб.м	
1	792,00	1517,00	2,00	0,82	0,033	-	-	0,70	0,028	0,70	0,028	3
2	2086,00	1066,00	2,00	0,76	0,030	-	-	0,70	0,028	0,70	0,028	3
3	2351,00	397,00	2,00	0,78	0,031	-	-	0,70	0,028	0,70	0,028	3
4	2231,00	-726,00	2,00	0,77	0,031	-	-	0,70	0,028	0,70	0,028	3
5	726,00	-1330,00	2,00	0,83	0,033	-	-	0,70	0,028	0,70	0,028	3
6	-708,00	-963,00	2,00	0,74	0,029	-	-	0,70	0,028	0,70	0,028	3
7	-1120,00	21,00	2,00	0,76	0,031	-	-	0,70	0,028	0,70	0,028	3
8	-754,00	966,00	2,00	0,76	0,030	-	-	0,70	0,028	0,70	0,028	3
9	771,00	517,00	2,00	0,90	0,036	-	-	0,70	0,028	0,70	0,028	2
10	1352,00	388,00	2,00	0,83	0,033	-	-	0,70	0,028	0,70	0,028	2
11	1357,00	-240,00	2,00	0,87	0,035	-	-	0,70	0,028	0,70	0,028	2
12	719,00	-589,00	2,00	1,05	0,042	-	-	0,70	0,028	0,70	0,028	2
13	-2,00	-258,00	2,00	0,82	0,033	-	-	0,70	0,028	0,70	0,028	2
14	-122,00	-57,00	2,00	0,79	0,032	-	-	0,70	0,028	0,70	0,028	2
15	144,00	525,00	2,00	0,85	0,034	-	-	0,70	0,028	0,70	0,028	2
16	246,00	-202,00	2,00	0,90	0,036	-	-	0,70	0,028	0,70	0,028	4

Вещество: 0304
Азот (II) оксид (Азот монооксид)

№	Коорд X(м)	Коорд Y(м)	Высота (м)	Концентр. (д. ПДК)	Концентр. (мг/куб.м)	Напр. ветра	Скор. ветра	Фон		Фон до исключения		Тип точки
								доли ПДК	мг/куб.м	доли ПДК	мг/куб.м	
1	792,00	1517,00	2,00	0,31	0,019	-	-	0,25	0,015	0,25	0,015	3
2	2086,00	1066,00	2,00	0,28	0,017	-	-	0,25	0,015	0,25	0,015	3
3	2351,00	397,00	2,00	0,29	0,018	-	-	0,25	0,015	0,25	0,015	3
4	2231,00	-726,00	2,00	0,28	0,017	-	-	0,25	0,015	0,25	0,015	3
5	726,00	-1330,00	2,00	0,31	0,019	-	-	0,25	0,015	0,25	0,015	3
6	-708,00	-963,00	2,00	0,27	0,016	-	-	0,25	0,015	0,25	0,015	3
7	-1120,00	21,00	2,00	0,29	0,017	-	-	0,25	0,015	0,25	0,015	3
8	-754,00	966,00	2,00	0,28	0,017	-	-	0,25	0,015	0,25	0,015	3
9	771,00	517,00	2,00	0,33	0,020	-	-	0,25	0,015	0,25	0,015	2
10	1352,00	388,00	2,00	0,32	0,019	-	-	0,25	0,015	0,25	0,015	2
11	1357,00	-240,00	2,00	0,32	0,019	-	-	0,25	0,015	0,25	0,015	2
12	719,00	-589,00	2,00	0,34	0,020	-	-	0,25	0,015	0,25	0,015	2
13	-2,00	-258,00	2,00	0,30	0,018	-	-	0,25	0,015	0,25	0,015	2
14	-122,00	-57,00	2,00	0,28	0,017	-	-	0,25	0,015	0,25	0,015	2
15	144,00	525,00	2,00	0,32	0,019	-	-	0,25	0,015	0,25	0,015	2

16	246,00	-202,00	2,00	0,32	0,019	-	-	0,25	0,015	0,25	0,015	4

Вещество: 0330

Сера диоксид

№	Коорд X(м)	Коорд Y(м)	Высота (м)	Концентр. (д. ПДК)	Концентр. (мг/куб.м)	Напр. ветра	Скор. ветра	Фон		Фон до исключения		Тип точки
								доли ПДК	мг/куб.м	доли ПДК	мг/куб.м	
1	792,00	1517,00	2,00	0,10	0,005	-	-	0,10	0,005	0,10	0,005	3
2	2086,00	1066,00	2,00	0,10	0,005	-	-	0,10	0,005	0,10	0,005	3
3	2351,00	397,00	2,00	0,10	0,005	-	-	0,10	0,005	0,10	0,005	3
4	2231,00	-726,00	2,00	0,10	0,005	-	-	0,10	0,005	0,10	0,005	3
5	726,00	-1330,00	2,00	0,11	0,005	-	-	0,10	0,005	0,10	0,005	3
6	-708,00	-963,00	2,00	0,10	0,005	-	-	0,10	0,005	0,10	0,005	3
7	-1120,00	21,00	2,00	0,10	0,005	-	-	0,10	0,005	0,10	0,005	3
8	-754,00	966,00	2,00	0,10	0,005	-	-	0,10	0,005	0,10	0,005	3
9	771,00	517,00	2,00	0,11	0,006	-	-	0,10	0,005	0,10	0,005	2
10	1352,00	388,00	2,00	0,10	0,005	-	-	0,10	0,005	0,10	0,005	2
11	1357,00	-240,00	2,00	0,11	0,005	-	-	0,10	0,005	0,10	0,005	2
12	719,00	-589,00	2,00	0,13	0,006	-	-	0,10	0,005	0,10	0,005	2
13	-2,00	-258,00	2,00	0,11	0,005	-	-	0,10	0,005	0,10	0,005	2
14	-122,00	-57,00	2,00	0,10	0,005	-	-	0,10	0,005	0,10	0,005	2
15	144,00	525,00	2,00	0,10	0,005	-	-	0,10	0,005	0,10	0,005	2
16	246,00	-202,00	2,00	0,11	0,006	-	-	0,10	0,005	0,10	0,005	4

Вещество: 0337

Углерода оксид (Углерод окись; углерод монооксись; угарный газ)

№	Коорд X(м)	Коорд Y(м)	Высота (м)	Концентр. (д. ПДК)	Концентр. (мг/куб.м)	Напр. ветра	Скор. ветра	Фон		Фон до исключения		Тип точки
								доли ПДК	мг/куб.м	доли ПДК	мг/куб.м	
1	792,00	1517,00	2,00	0,30	0,912	-	-	0,30	0,900	0,30	0,900	3
2	2086,00	1066,00	2,00	0,30	0,906	-	-	0,30	0,900	0,30	0,900	3
3	2351,00	397,00	2,00	0,30	0,909	-	-	0,30	0,900	0,30	0,900	3
4	2231,00	-726,00	2,00	0,30	0,907	-	-	0,30	0,900	0,30	0,900	3
5	726,00	-1330,00	2,00	0,30	0,914	-	-	0,30	0,900	0,30	0,900	3
6	-708,00	-963,00	2,00	0,30	0,903	-	-	0,30	0,900	0,30	0,900	3
7	-1120,00	21,00	2,00	0,30	0,906	-	-	0,30	0,900	0,30	0,900	3
8	-754,00	966,00	2,00	0,30	0,906	-	-	0,30	0,900	0,30	0,900	3
9	771,00	517,00	2,00	0,31	0,917	-	-	0,30	0,900	0,30	0,900	2
10	1352,00	388,00	2,00	0,30	0,910	-	-	0,30	0,900	0,30	0,900	2
11	1357,00	-240,00	2,00	0,31	0,916	-	-	0,30	0,900	0,30	0,900	2
12	719,00	-589,00	2,00	0,31	0,937	-	-	0,30	0,900	0,30	0,900	2
13	-2,00	-258,00	2,00	0,30	0,911	-	-	0,30	0,900	0,30	0,900	2
14	-122,00	-57,00	2,00	0,30	0,909	-	-	0,30	0,900	0,30	0,900	2
15	144,00	525,00	2,00	0,30	0,913	-	-	0,30	0,900	0,30	0,900	2
16	246,00	-202,00	2,00	0,31	0,920	-	-	0,30	0,900	0,30	0,900	4

ВР: 2, Строительство среднесуточные концентрации с фоном

Расчетные константы: S=999999,99

Расчет: «Расчет среднесуточных концентраций»

Расчет завершился успешно!

Расчет проводился по веществам (группам суммации)

Код	Наименование вещества	Предельно допустимая концентрация						Фоновая концентр.	
		Расчет максимальных концентраций		Расчет среднегодовых концентраций		Расчет среднесуточных концентраций			
		Тип	Значение	Тип	Значение	Тип	Значение	Учет	Интерп.
0301	Азота диоксид (Двуокись азота; пероксид азота)	ПДК м/р	0,2	ПДК с/г	0,04	ПДК с/с	0,1	Да	Нет
0304	Азот (II) оксид (Азот монооксид)	ПДК м/р	0,4	ПДК с/г	0,06	-	-	Да	Нет
0330	Сера диоксид	ПДК м/р	0,5	ПДК с/с	0,05	-	-	Да	Нет
0337	Углерода оксид (Углерод окись; углерод монооксись; угарный газ)	ПДК м/р	5	ПДК с/г	3	ПДК с/с	3	Да	Нет

Результаты расчета по веществам (расчетные точки)

Типы точек:
0 - расчетная точка пользователя
1 - точка на границе охранной зоны
2 - точка на границе производственной зоны
3 - точка на границе СЗЗ
4 - на границе жилой зоны
5 - на границе застройки
6 - точки квотирования

Вещество: 0301

Азота диоксид (Двуокись азота; пероксид азота)

№	Коорд X(м)	Коорд Y(м)	Высота (м)	Концентр. (д. ПДК)	Концентр. (мг/куб.м)	Напр. ветра	Скор. ветра	Фон		Фон до исключения		Тип точки
								доли ПДК	мг/куб.м	доли ПДК	мг/куб.м	
1	792,00	1517,00	2,00	0,80	0,080	-	-	-	-	-	-	3
2	2086,00	1066,00	2,00	0,78	0,078	-	-	-	-	-	-	3
3	2351,00	397,00	2,00	0,82	0,082	-	-	-	-	-	-	3
4	2231,00	-726,00	2,00	0,84	0,084	-	-	-	-	-	-	3
5	726,00	-1330,00	2,00	0,91	0,091	-	-	-	-	-	-	3
6	-708,00	-963,00	2,00	0,76	0,076	-	-	-	-	-	-	3
7	-1120,00	21,00	2,00	0,87	0,087	-	-	-	-	-	-	3
8	-754,00	966,00	2,00	0,93	0,093	-	-	-	-	-	-	3
9	771,00	517,00	2,00	0,92	0,092	-	-	-	-	-	-	2
10	1352,00	388,00	2,00	0,90	0,090	-	-	-	-	-	-	2
11	1357,00	-240,00	2,00	0,98	0,098	-	-	-	-	-	-	2
12	719,00	-589,00	2,00	1,58	0,158	-	-	-	-	-	-	2
13	-2,00	-258,00	2,00	0,89	0,089	-	-	-	-	-	-	2
14	-122,00	-57,00	2,00	0,85	0,085	-	-	-	-	-	-	2
15	144,00	525,00	2,00	0,98	0,098	-	-	-	-	-	-	2
16	246,00	-202,00	2,00	1,17	0,117	-	-	-	-	-	-	4

Вещество: 0337

Углерода оксид (Углерод окись; углерод моноокись; угарный газ)

№	Коорд X(м)	Коорд Y(м)	Высота (м)	Концентр. (д. ПДК)	Концентр. (мг/куб.м)	Напр. ветра	Скор. ветра	Фон		Фон до исключения		Тип точки
								доли ПДК	мг/куб.м	доли ПДК	мг/куб.м	
1	792,00	1517,00	2,00	0,53	1,586	-	-	-	-	-	-	3
2	2086,00	1066,00	2,00	0,53	1,584	-	-	-	-	-	-	3
3	2351,00	397,00	2,00	0,53	1,587	-	-	-	-	-	-	3
4	2231,00	-726,00	2,00	0,53	1,576	-	-	-	-	-	-	3
5	726,00	-1330,00	2,00	0,54	1,620	-	-	-	-	-	-	3
6	-708,00	-963,00	2,00	0,52	1,571	-	-	-	-	-	-	3
7	-1120,00	21,00	2,00	0,53	1,596	-	-	-	-	-	-	3
8	-754,00	966,00	2,00	0,53	1,593	-	-	-	-	-	-	3
9	771,00	517,00	2,00	0,55	1,640	-	-	-	-	-	-	2
10	1352,00	388,00	2,00	0,53	1,583	-	-	-	-	-	-	2
11	1357,00	-240,00	2,00	0,54	1,607	-	-	-	-	-	-	2
12	719,00	-589,00	2,00	0,57	1,724	-	-	-	-	-	-	2
13	-2,00	-258,00	2,00	0,53	1,588	-	-	-	-	-	-	2
14	-122,00	-57,00	2,00	0,53	1,586	-	-	-	-	-	-	2
15	144,00	525,00	2,00	0,52	1,574	-	-	-	-	-	-	2
16	246,00	-202,00	2,00	0,54	1,627	-	-	-	-	-	-	4

Эксплуатация ДКС (22.006)

Расчетные области

Расчетные площадки

Код	Тип	Полное описание площадки					Зона влияния (м)	Шаг (м)		Высота (м)
		Координаты середины 1-й стороны (м)		Координаты середины 2-й стороны (м)		Ширина (м)		По ширине	По длине	
		X	Y	X	Y					
1	Автомат	-40597,00	-1,00	41514,30	-1,00	81980,0000	40570,7988	8212,0000	8198,0000	2,0000
2	Полное описание	-3000,00	0,00	3000,00	0,00	6000,0000	0,0000	100,0000	100,0000	2,0000

Расчетные точки

Код	Координаты (м)		Высота (м)	Тип точки	Комментарий
	X	Y			
1	792,00	1517,00	2,0000	на границе СЗЗ	
2	2086,00	1066,00	2,0000	на границе СЗЗ	
3	2351,00	397,00	2,0000	на границе СЗЗ	
4	2231,00	-726,00	2,0000	на границе СЗЗ	
5	755,00	-1587,00	2,0000	на границе СЗЗ	
6	-708,00	-963,00	2,0000	на границе СЗЗ	
7	-1120,00	21,00	2,0000	на границе СЗЗ	
8	-754,00	966,00	2,0000	на границе СЗЗ	
9	771,00	517,00	2,0000	на границе производственной зоны	
10	1352,00	388,00	2,0000	на границе производственной зоны	
11	1357,00	-240,00	2,0000	на границе производственной зоны	
12	719,00	-589,00	2,0000	на границе производственной зоны	
13	-2,00	-258,00	2,0000	на границе производственной зоны	
14	-122,00	-57,00	2,0000	на границе производственной зоны	
15	144,00	525,00	2,0000	на границе производственной зоны	
16	246,00	-202,00	2,0000	на границе жилой зоны	

Параметры источников выбросов на период эксплуатации

Учет:
"%" - источник учитывается с исключением из фона;
"+" - источник учитывается без исключения из фона;
"-" - источник не учитывается и его вклад исключается из фона.
При отсутствии отметок источник не учитывается.

* - источник имеет дополнительные параметры

Типы источников:
1 - Точечный;
2 - Линейный;
3 - Неорганизованный;
4 - Совокупность точечных источников;
5 - С зависимостью массы выброса от скорости ветра;
6 - Точечный, с зонтом или выбросом горизонтально;
7 - Совокупность точечных (зонт или выброс вбок);
8 - Автомагистраль (неорганизованный линейный);
9 - Точечный, с выбросом вбок;
10 - Свеча;
11- Неорганизованный (полигон);
12 - Передвижной;
13 - Передвижной (неорганизованный).

№ ист.	Учет ист.	Вар.	Тип	Наименование источника	Высота ист. (м)	Диаметр устья (м)	Объем ГВС (куб.м/с)	Скорость ГВС (м/с)	Темп. ГВС (°С)	Коэф. рел.	Координаты X1, (м) / Y1, (м)	Координаты X2, (м) / Y2, (м)	Ширина ист. (м)
№ пл.: 0, № цеха: 0													
342	+	1	1	Вент.труба насосной подачи ДЭК	5	0,3000	1,8000	25,4648	20,0000	1	587,00 120,00		0,0000

Код в-ва	Наименование вещества	Выброс г/с	Выброс т/г	F	Лето Cм/ПДК	Лето Xm	Лето Um	Зима Cм/ПДК	Зима Xm	Зима Um
0410	Метан	0,0004636	0,000000	1	0,00	113,2165	1,9863	0,00	0,0000	0,0000
0415	Смесь предельных углеводородов C1H4-C5H12	0,0000573	0,000000	1	0,00	113,2165	1,9863	0,00	0,0000	0,0000
0416	Смесь предельных углеводородов C6H14-C10H22	0,0000002	0,000000	1	0,00	113,2165	1,9863	0,00	0,0000	0,0000

343	+	1	1	Вент.труба УКУГК №2	10	0,3000	1,8000	25,4648	20,0000	1	509,00 270,00		0,0000

Код в-ва	Наименование вещества	Выброс г/с	Выброс т/г	F	Лето Cм/ПДК	Лето Xm	Лето Um	Зима Cм/ПДК	Зима Xm	Зима Um
0410	Метан	0,0005989	0,000000	1	0,00	113,2165	0,9931	0,00	0,0000	0,0000
0415	Смесь предельных углеводородов C1H4-C5H12	0,0000741	0,000000	1	0,00	113,2165	0,9931	0,00	0,0000	0,0000
0416	Смесь предельных углеводородов C6H14-C10H22	0,0000002	0,000000	1	0,00	113,2165	0,9931	0,00	0,0000	0,0000

344	+	1	1	Вент.труба насосной печных насосов	5	0,3000	1,8000	25,4648	20,0000	1	613,00 123,00		0,0000

Код в-ва	Наименование вещества	Выброс г/с	Выброс т/г	F	Лето Cм/ПДК	Лето Xm	Лето Um	Зима Cм/ПДК	Зима Xm	Зима Um
0410	Метан	0,0004636	0,000000	1	0,00	113,2165	1,9863	0,00	0,0000	0,0000
0415	Смесь предельных углеводородов C1H4-C5H12	0,0000573	0,000000	1	0,00	113,2165	1,9863	0,00	0,0000	0,0000
0416	Смесь предельных углеводородов C6H14-C10H22	0,0000002	0,000000	1	0,00	113,2165	1,9863	0,00	0,0000	0,0000

345	+	1	1	Вытяжная вент.система уст. очистки сточных вод	4,8	0,0500	0,0100	5,0900	20,0000	1	254,00 97,00		0,0000

Код в-ва	Наименование вещества	Выброс г/с	Выброс т/г	F	Лето Cм/ПДК	Лето Xm	Лето Um	Зима Cм/ПДК	Зима Xm	Зима Um
0301	Азота диоксид (Двуокись азота; пероксид азота)	0,0000006	0,000010	1	0,00	27,3600	0,5000	0,00	0,0000	0,0000
0303	Аммиак (Азота гидрид)	0,0000035	0,000062	1	0,00	27,3600	0,5000	0,00	0,0000	0,0000
0304	Азот (II) оксид (Азот монооксид)	0,0000010	0,000017	1	0,00	27,3600	0,5000	0,00	0,0000	0,0000
0333	Дигидросульфид (Водород сернистый, дигидросульфид, гидросульфид)	0,0000068	0,000122	1	0,00	27,3600	0,5000	0,00	0,0000	0,0000
0410	Метан	0,0004862	0,008733	1	0,00	27,3600	0,5000	0,00	0,0000	0,0000
1071	Гидроксибензол	0,0000004	0,000006	1	0,00	27,3600	0,5000	0,00	0,0000	0,0000
1325	Формальдегид (Муравьиный альдегид, оксометан, метиленоксид)	0,0000005	0,000009	1	0,00	27,3600	0,5000	0,00	0,0000	0,0000
1716	Одорант СПМ	0,0000001	0,000001	1	0,00	27,3600	0,5000	0,00	0,0000	0,0000

346	+	1	1	Вытяжная вент.система уст. очистки произв. сточных вод	6	0,3200	0,1200	1,4921	20,0000	1	212,00 35,00		0,0000

Код в-ва	Наименование вещества	Выброс г/с	Выброс т/г	F	Лето Cм/ПДК	Лето Xm	Лето Um	Зима Cм/ПДК	Зима Xm	Зима Um
0333	Дигидросульфид (Водород сернистый, дигидросульфид, гидросульфид)	0,0000004	0,000039	1	0,00	34,2000	0,5000	0,00	0,0000	0,0000
2754	Алканы C12-C19 (в пересчете на C)	0,0001586	0,013793	1	0,00	34,2000	0,5000	0,00	0,0000	0,0000

6260		1	3	Установка утилизации промстоков	2	0,0000			-	1	708,00 384,00	706,00 383,00	2,0000

Код в-ва	Наименование вещества	Выброс	F	Лето Cм/ПДК	Лето Xm	Лето Um	Зима Cм/ПДК	Зима Xm	Зима Um

		г/с	т/г							
0301	Азота диоксид (Двуокись азота; пероксид азота)	1,3959780	44,023562	1	249,30	11,4000	0,5000	0,00	0,0000	0,0000
0304	Азот (II) оксид (Азот монооксид)	1,3610785	42,922973	1	121,53	11,4000	0,5000	0,00	0,0000	0,0000
0328	Углерод (Пигмент черный)	0,2117677	6,678306	3	151,27	5,7000	0,5000	0,00	0,0000	0,0000
0337	Углерода оксид (Углерод окись; углерод моноокись; угарный газ)	23,2662999	733,726033	1	166,20	11,4000	0,5000	0,00	0,0000	0,0000
0410	Метан	0,5816575	18,343151	1	0,42	11,4000	0,5000	0,00	0,0000	0,0000

6266		1	3	Установка продувки шлейфов	5	0,0000			-	1	739,00 373,00	741,00 370,00	6,0000

Код в-ва	Наименование вещества	Выброс г/с	Выброс т/г	F	Лето См/ПДК	Лето Xm	Лето Um	Зима См/ПДК	Зима Xm	Зима Um
0301	Азота диоксид (Двуокись азота; пероксид азота)	0,0273305	8,618955	1	0,58	28,5000	0,5000	0,00	0,0000	0,0000
0304	Азот (II) оксид (Азот монооксид)	0,0266473	8,403481	1	0,28	28,5000	0,5000	0,00	0,0000	0,0000
0328	Углерод (Пигмент черный)	0,0455509	3,591231	3	3,84	14,2500	0,5000	0,00	0,0000	0,0000
0337	Углерода оксид (Углерод окись; углерод моноокись; угарный газ)	0,4555088	143,649255	1	0,38	28,5000	0,5000	0,00	0,0000	0,0000
0410	Метан	0,0113877	3,591231	1	0,00	28,5000	0,5000	0,00	0,0000	0,0000

6300	+	1	3	Патрубок резервуара	2	0,0000			-	1	255,00 100,00	257,00 100,00	2,0000

Код в-ва	Наименование вещества	Выброс г/с	Выброс т/г	F	Лето См/ПДК	Лето Xm	Лето Um	Зима См/ПДК	Зима Xm	Зима Um
0301	Азота диоксид (Двуокись азота; пероксид азота)	0,0000012	0,000020	1	0,00	11,4000	0,5000	0,00	0,0000	0,0000
0303	Аммиак (Азота гидрид)	0,0000070	0,000124	1	0,00	11,4000	0,5000	0,00	0,0000	0,0000
0304	Азот (II) оксид (Азот монооксид)	0,0000020	0,000034	1	0,00	11,4000	0,5000	0,00	0,0000	0,0000
0333	Дигидросульфид (Водород сернистый, дигидросульфид, гидросульфид)	0,0000136	0,000244	1	0,06	11,4000	0,5000	0,00	0,0000	0,0000
0410	Метан	0,0009724	0,017466	1	0,00	11,4000	0,5000	0,00	0,0000	0,0000
1071	Гидроксибензол	0,0000008	0,000012	1	0,00	11,4000	0,5000	0,00	0,0000	0,0000
1325	Формальдегид (Муравьиный альдегид, оксометан, метиленоксид)	0,0000010	0,000018	1	0,00	11,4000	0,5000	0,00	0,0000	0,0000
1716	Одорант СПМ	0,0000002	0,000002	1	0,00	11,4000	0,5000	0,00	0,0000	0,0000

6350	+	1	3	Емкость дренажная Е-5	2	0,0000			-	1	594,00 54,00	597,00 53,00	2,0000

Код в-ва	Наименование вещества	Выброс г/с	Выброс т/г	F	Лето См/ПДК	Лето Xm	Лето Um	Зима См/ПДК	Зима Xm	Зима Um
2735	Масло минеральное нефтяное	0,0003600	0,000297	1	0,26	11,4000	0,5000	0,00	0,0000	0,0000

6468	+	1	3	Неорг.выброс УДК-3	2	0,0000			-	1	580,00 73,00	615,00 168,00	4,0000

Код в-ва	Наименование вещества	Выброс г/с	Выброс т/г	F	Лето См/ПДК	Лето Xm	Лето Um	Зима См/ПДК	Зима Xm	Зима Um
0410	Метан	0,0035497	0,000000	1	0,00	11,4000	0,5000	0,00	0,0000	0,0000
0415	Смесь предельных углеводородов С1Н4-С5Н12	0,0004390	0,000000	1	0,00	11,4000	0,5000	0,00	0,0000	0,0000
0416	Смесь предельных углеводородов С6Н14-С10Н22	0,0000013	0,000000	1	0,00	11,4000	0,5000	0,00	0,0000	0,0000

6491	+	1	3	Патрубок резервуара	2	0,0000			-	1	208,00 21,00	221,00 17,00	2,0000

Код в-ва	Наименование вещества	Выброс г/с	Выброс т/г	F	Лето См/ПДК	Лето Xm	Лето Um	Зима См/ПДК	Зима Xm	Зима Um
0333	Дигидросульфид (Водород сернистый, дигидросульфид, гидросульфид)	0,0000161	0,000011	1	0,07	11,4000	0,5000	0,00	0,0000	0,0000
2754	Алканы С12-С19 (в пересчете на С)	0,0057394	0,003883	1	0,20	11,4000	0,5000	0,00	0,0000	0,0000

7001	+	1	3	Емкость дренажная для уловленных нефтепродуктов	2	0,0000			-	1	106,00 381,00	109,00 380,00	8,0000

Код в-ва	Наименование вещества	Выброс г/с	Выброс т/г	F	Лето См/ПДК	Лето Xm	Лето Um	Зима См/ПДК	Зима Xm	Зима Um
0333	Дигидросульфид (Водород сернистый, дигидросульфид, гидросульфид)	0,0000020	0,000001	1	0,01	11,4000	0,5000	0,00	0,0000	0,0000
0415	Смесь предельных углеводородов С1Н4-С5Н12	0,0019560	0,000079	1	0,00	11,4000	0,5000	0,00	0,0000	0,0000
0416	Смесь предельных углеводородов С6Н14-С10Н22	0,0007240	0,000292	1	0,00	11,4000	0,5000	0,00	0,0000	0,0000
0602	Бензол (Циклогексатриен; фенилгидрид)	0,0000090	0,000004	1	0,00	11,4000	0,5000	0,00	0,0000	0,0000
0616	Диметилбензол (смесь о-, м-, п- изомеров) (Метилтолуол)	0,0000030	0,000001	1	0,00	11,4000	0,5000	0,00	0,0000	0,0000
0621	Метилбензол (Фенилметан)	0,0000060	0,000002	1	0,00	11,4000	0,5000	0,00	0,0000	0,0000

7002	+	1	3	Емкость дренажная для производственно дождевых сточных вод	2	0,0000			-	1	118,00 414,00	121,00 413,00	3,0000

Код в-ва	Наименование вещества	Выброс г/с	Выброс т/г	F	Лето См/ПДК	Лето Xm	Лето Um	Зима См/ПДК	Зима Xm	Зима Um

0333	Дигидросульфид (Водород сернистый, дигидросульфид, гидросульфид)				0,0000003	0,000001	1	0,00	11,4000	0,5000	0,00	0,0000	0,0000
0415	Смесь предельных углеводородов С1Н4-С5Н12				0,0003550	0,000913	1	0,00	11,4000	0,5000	0,00	0,0000	0,0000
0416	Смесь предельных углеводородов С6Н14-С10Н22				0,0001310	0,000338	1	0,00	11,4000	0,5000	0,00	0,0000	0,0000
0602	Бензол (Циклогексатриен; фенилгидрид)				0,0000020	0,000040	1	0,00	11,4000	0,5000	0,00	0,0000	0,0000
0616	Диметилбензол (смесь о-, м-, п- изомеров) (Метилтолуол)				0,0000005	0,000001	1	0,00	11,4000	0,5000	0,00	0,0000	0,0000
0621	Метилбензол (Фенилметан)				0,0000010	0,000003	1	0,00	11,4000	0,5000	0,00	0,0000	0,0000
7003	+	1	3	Канализационная насосная станция	2	0,0000			-	1	-25,00 407,00	-22,00 406,00	3,0000

Код в-ва	Наименование вещества	Выброс г/с	Выброс т/г	F	Лето Cm/ПДК	Лето Xm	Лето Um	Зима Cm/ПДК	Зима Xm	Зима Um
0333	Дигидросульфид (Водород сернистый, дигидросульфид, гидросульфид)	0,0000001	3,000000E-07	1	0,00	11,4000	0,5000	0,00	0,0000	0,0000
0415	Смесь предельных углеводородов С1Н4-С5Н12	0,0001630	0,000420	1	0,00	11,4000	0,5000	0,00	0,0000	0,0000
0416	Смесь предельных углеводородов С6Н14-С10Н22	0,0000600	0,000155	1	0,00	11,4000	0,5000	0,00	0,0000	0,0000
0602	Бензол (Циклогексатриен; фенилгидрид)	0,0000010	0,000002	1	0,00	11,4000	0,5000	0,00	0,0000	0,0000
0616	Диметилбензол (смесь о-, м-, п- изомеров) (Метилтолуол)	0,0000002	0,000001	1	0,00	11,4000	0,5000	0,00	0,0000	0,0000
0621	Метилбензол (Фенилметан)	0,0000005	0,000001	1	0,00	11,4000	0,5000	0,00	0,0000	0,0000

№ пл.: 96, № цеха: 34

38	+	1	1	Вытяжная вентсистема	9	0,6300	2,8500	9,1427	20,0000	1	308,00 305,00		0,0000

Код в-ва	Наименование вещества	Выброс г/с	Выброс т/г	F	Лето Cm/ПДК	Лето Xm	Лето Um	Зима Cm/ПДК	Зима Xm	Зима Um
0410	Метан	0,0000020	0,000061	1	0,00	85,3616	0,8320	0,00	0,0000	0,0000
0415	Смесь предельных углеводородов С1Н4-С5Н12	0,0124064	0,391249	1	0,00	85,3616	0,8320	0,00	0,0000	0,0000
0416	Смесь предельных углеводородов С6Н14-С10Н22	0,0266443	0,840255	1	0,00	85,3616	0,8320	0,00	0,0000	0,0000

№ пл.: 96, № цеха: 35

39	+	1	1	Вытяжная вентсистема	12,6	0,6300	4,7200	15,1416	20,0000	1	382,00 280,00		0,0000

Код в-ва	Наименование вещества	Выброс г/с	Выброс т/г	F	Лето Cm/ПДК	Лето Xm	Лето Um	Зима Cm/ПДК	Зима Xm	Зима Um
0410	Метан	0,0001374	0,004325	1	0,00	141,3708	0,9842	0,00	0,0000	0,0000
0415	Смесь предельных углеводородов С1Н4-С5Н12	0,1236219	3,898530	1	0,00	141,3708	0,9842	0,00	0,0000	0,0000
0416	Смесь предельных углеводородов С6Н14-С10Н22	0,2654926	8,372574	1	0,00	141,3708	0,9842	0,00	0,0000	0,0000
1052	Метиловый спирт	0,0465578	1,468245	1	0,01	141,3708	0,9842	0,00	0,0000	0,0000

№ пл.: 96, № цеха: 36

6222	+	1	3	Блок сепара-торов-пробкоуло-вителей	2	0,0000			-	1	246,00 336,00	263,00 331,00	15,0000

Код в-ва	Наименование вещества	Выброс г/с	Выброс т/г	F	Лето Cm/ПДК	Лето Xm	Лето Um	Зима Cm/ПДК	Зима Xm	Зима Um
0410	Метан	0,0003467	0,010931	1	0,00	11,4000	0,5000	0,00	0,0000	0,0000
0415	Смесь предельных углеводородов С1Н4-С5Н12	0,2241900	7,070054	1	0,04	11,4000	0,5000	0,00	0,0000	0,0000
0416	Смесь предельных углеводородов С6Н14-С10Н22	0,4814756	15,183814	1	0,34	11,4000	0,5000	0,00	0,0000	0,0000

№ пл.: 96, № цеха: 37

6223	+	1	3	Блок емкости аварийного слива Е-111	2	0,0000			-	1	415,00 271,00	420,00 285,00	4,0000

Код в-ва	Наименование вещества	Выброс г/с	Выброс т/г	F	Лето Cm/ПДК	Лето Xm	Лето Um	Зима Cm/ПДК	Зима Xm	Зима Um
0410	Метан	0,0000006	0,000019	1	0,00	11,4000	0,5000	0,00	0,0000	0,0000
0415	Смесь предельных углеводородов С1Н4-С5Н12	0,0038140	0,120279	1	0,00	11,4000	0,5000	0,00	0,0000	0,0000
0416	Смесь предельных углеводородов С6Н14-С10Н22	0,0081911	0,258314	1	0,01	11,4000	0,5000	0,00	0,0000	0,0000

№ пл.: 96, № цеха: 38

6224	+	1	3	Блок емкости аварийного слива Е-112	2	0,0000			-	1	420,00 271,00	424,00 281,00	4,0000

Код в-ва	Наименование вещества	Выброс г/с	Выброс т/г	F	Лето Cm/ПДК	Лето Xm	Лето Um	Зима Cm/ПДК	Зима Xm	Зима Um
0410	Метан	0,0000004	0,000014	1	0,00	11,4000	0,5000	0,00	0,0000	0,0000
0415	Смесь предельных углеводородов С1Н4-С5Н12	0,0027580	0,086974	1	0,00	11,4000	0,5000	0,00	0,0000	0,0000
0416	Смесь предельных углеводородов С6Н14-С10Н22	0,0059231	0,186787	1	0,00	11,4000	0,5000	0,00	0,0000	0,0000

№ пл.: 96, № цеха: 39

6225	+	1	3	Блок ресивера импульс-ного газа Р-101	2	0,0000			-	1	279,00 316,00	284,00 314,00	6,0000

Код в-ва	Наименование вещества	Выброс	F	Лето Cm/ПДК	Лето Xm	Лето Um	Зима Cm/ПДК	Зима Xm	Зима Um

		г/с	т/г							
0410	Метан	0,0000005	0,000016	1	0,00	11,4000	0,5000	0,00	0,0000	0,0000
0415	Смесь предельных углеводородов С1Н4-С5Н12	0,0006184	0,019500	1	0,00	11,4000	0,5000	0,00	0,0000	0,0000
0416	Смесь предельных углеводородов С6Н14-С10Н22	0,0013280	0,041880	1	0,00	11,4000	0,5000	0,00	0,0000	0,0000

№ пл.: 96, № цеха: 40

57	+	1	1	Вытяжная вентсистема	17,6	0,6300	8,6300	27,6847	20,0000	1	409,00 133,00		0,0000

Код в-ва	Наименование вещества	Выброс г/с	Выброс т/г	F	Лето См/ПДК	Лето Xm	Лето Um	Зима См/ПДК	Зима Xm	Зима Um
0410	Метан	1,7747395	55,968184	1	0,00	258,4810	1,2883	0,00	0,0000	0,0000
0415	Смесь предельных углеводородов С1Н4-С5Н12	0,2194849	6,921671	1	0,00	258,4810	1,2883	0,00	0,0000	0,0000
0416	Смесь предельных углеводородов С6Н14-С10Н22	0,0006467	0,020398	1	0,00	258,4810	1,2883	0,00	0,0000	0,0000
1052	Метиловый спирт	0,0470578	1,484016	1	0,00	258,4810	1,2883	0,00	0,0000	0,0000

№ пл.: 96, № цеха: 41

6226	+	1	3	Блок теплообменников Т-201-2 и Т-202-2	2	0,0000			-	1	464,00 162,00	468,00 170,00	10,0000

Код в-ва	Наименование вещества	Выброс г/с	Выброс т/г	F	Лето См/ПДК	Лето Xm	Лето Um	Зима См/ПДК	Зима Xm	Зима Um
0410	Метан	0,6913990	21,803961	1	0,49	11,4000	0,5000	0,00	0,0000	0,0000
0415	Смесь предельных углеводородов С1Н4-С5Н12	0,0855065	2,696528	1	0,02	11,4000	0,5000	0,00	0,0000	0,0000
0416	Смесь предельных углеводородов С6Н14-С10Н22	0,0002520	0,007945	1	0,00	11,4000	0,5000	0,00	0,0000	0,0000

№ пл.: 96, № цеха: 42

6227	+	1	3	Блок теплообменников Т-201-1 и Т-202-1	2	0,0000			-	1	463,00 162,00	467,00 171,00	10,0000

Код в-ва	Наименование вещества	Выброс г/с	Выброс т/г	F	Лето См/ПДК	Лето Xm	Лето Um	Зима См/ПДК	Зима Xm	Зима Um
0410	Метан	0,6948701	21,913425	1	0,50	11,4000	0,5000	0,00	0,0000	0,0000
0415	Смесь предельных углеводородов С1Н4-С5Н12	0,0859358	2,710066	1	0,02	11,4000	0,5000	0,00	0,0000	0,0000
0416	Смесь предельных углеводородов С6Н14-С10Н22	0,0002532	0,007984	1	0,00	11,4000	0,5000	0,00	0,0000	0,0000

№ пл.: 96, № цеха: 43

6228	+	1	3	Блок подачи метанола и ингибитора парафиноотложений	2	0,0000			-	1	469,00 187,00	476,00 187,00	10,0000

Код в-ва	Наименование вещества	Выброс г/с	Выброс т/г	F	Лето См/ПДК	Лето Xm	Лето Um	Зима См/ПДК	Зима Xm	Зима Um
1052	Метиловый спирт	0,0997798	3,146670	1	3,56	11,4000	0,5000	0,00	0,0000	0,0000

№ пл.: 96, № цеха: 44

6229	+	1	3	Блок подачи метанола БПМ-202-1 и БПМ-202-2	2	0,0000			-	1	445,00 158,00	452,00 156,00	10,0000

Код в-ва	Наименование вещества	Выброс г/с	Выброс т/г	F	Лето См/ПДК	Лето Xm	Лето Um	Зима См/ПДК	Зима Xm	Зима Um
1052	Метиловый спирт	0,0811128	2,557984	1	2,90	11,4000	0,5000	0,00	0,0000	0,0000

№ пл.: 96, № цеха: 45

6230	+	1	3	Блок подачи метанола БПМ-203-1 и БПМ-203-2	2	0,0000			-	1	430,00 110,00	435,00 110,00	10,0000

Код в-ва	Наименование вещества	Выброс г/с	Выброс т/г	F	Лето См/ПДК	Лето Xm	Лето Um	Зима См/ПДК	Зима Xm	Зима Um
1052	Метиловый спирт	0,0811128	2,557984	1	2,90	11,4000	0,5000	0,00	0,0000	0,0000

№ пл.: 96, № цеха: 46

6231	+	1	3	Блок емко-стей Е-201-1, Е-202-1 и Е-202-2	2	0,0000			-	1	430,00 222,00	445,00 218,00	10,0000

Код в-ва	Наименование вещества	Выброс г/с	Выброс т/г	F	Лето См/ПДК	Лето Xm	Лето Um	Зима См/ПДК	Зима Xm	Зима Um
0410	Метан	0,0535338	1,688211	1	0,04	11,4000	0,5000	0,00	0,0000	0,0000
0415	Смесь предельных углеводородов С1Н4-С5Н12	0,0066204	0,208782	1	0,00	11,4000	0,5000	0,00	0,0000	0,0000
0416	Смесь предельных углеводородов С6Н14-С10Н22	0,0000210	0,000615	1	0,00	11,4000	0,5000	0,00	0,0000	0,0000

№ пл.: 96, № цеха: 47

84	+	1	1	Вытяжная вентсистема	17,6	0,6300	8,6300	27,6847	20,0000	1	497,00 102,00		0,0000

Код в-ва	Наименование вещества	Выброс г/с	Выброс т/г	F	Лето См/ПДК	Лето Xm	Лето Um	Зима См/ПДК	Зима Xm	Зима Um
0410	Метан	0,9637851	30,393926	1	0,00	258,4810	1,2883	0,00	0,0000	0,0000
0415	Смесь предельных углеводородов С1Н4-С5Н12	0,1191929	3,758861	1	0,00	258,4810	1,2883	0,00	0,0000	0,0000
0416	Смесь предельных углеводородов С6Н14-С10Н22	0,0003512	0,011080	1	0,00	258,4810	1,2883	0,00	0,0000	0,0000

1052	Метиловый спирт				0,0001920	0,006058	1	0,00	258,4810	1,2883	0,00	0,0000	0,0000	

№ пл.: 96, № цеха: 48

6232	+	1	3	Блок теплообменников Т-201-4 и Т-202-4	2	0,0000			-	1	532,00 112,00	545,00 106,00	10,0000

Код в-ва	Наименование вещества	Выброс г/с	Выброс т/г	F	Лето См/ПДК	Лето Xm	Лето Um	Зима См/ПДК	Зима Xm	Зима Um
0410	Метан	1,4274124	45,014879	1	1,02	11,4000	0,5000	0,00	0,0000	0,0000
0415	Смесь предельных углеводородов С1Н4-С5Н12	0,1760000	5,567060	1	0,03	11,4000	0,5000	0,00	0,0000	0,0000
0416	Смесь предельных углеводородов С6Н14-С10Н22	0,0005202	0,016404	1	0,00	11,4000	0,5000	0,00	0,0000	0,0000

№ пл.: 96, № цеха: 49

6233	+	1	3	Блок теплообменников Т-201-3 и Т-202-3	2	0,0000			-	1	551,00 167,00	563,00 163,00	10,0000

Код в-ва	Наименование вещества	Выброс г/с	Выброс т/г	F	Лето См/ПДК	Лето Xm	Лето Um	Зима См/ПДК	Зима Xm	Зима Um
0410	Метан	1,4308835	45,124343	1	1,02	11,4000	0,5000	0,00	0,0000	0,0000
0415	Смесь предельных углеводородов С1Н4-С5Н12	0,1769596	5,580598	1	0,03	11,4000	0,5000	0,00	0,0000	0,0000
0416	Смесь предельных углеводородов С6Н14-С10Н22	0,0005214	0,016443	1	0,00	11,4000	0,5000	0,00	0,0000	0,0000

№ пл.: 96, № цеха: 50

6234	+	1	3	Блок подачи метанола и ингибитора парафиноотложений	2	0,0000			-	1	539,00 152,00	547,00 151,00	12,0000

Код в-ва	Наименование вещества	Выброс г/с	Выброс т/г	F	Лето См/ПДК	Лето Xm	Лето Um	Зима См/ПДК	Зима Xm	Зима Um
1052	Метиловый спирт	0,0997798	3,146670	1	3,56	11,4000	0,5000	0,00	0,0000	0,0000

6235	+	1	3	Блок подачи метанола	2	0,0000			-	1	535,00 153,00	538,00 152,00	12,0000

Код в-ва	Наименование вещества	Выброс г/с	Выброс т/г	F	Лето См/ПДК	Лето Xm	Лето Um	Зима См/ПДК	Зима Xm	Зима Um
1052	Метиловый спирт	0,0811128	2,557984	1	2,90	11,4000	0,5000	0,00	0,0000	0,0000

6236	+	1	3	Блок подачи метанола БПМ-203-3 и БПМ-203-4	2	0,0000			-	1	516,00 96,00	520,00 95,00	12,0000

Код в-ва	Наименование вещества	Выброс г/с	Выброс т/г	F	Лето См/ПДК	Лето Xm	Лето Um	Зима См/ПДК	Зима Xm	Зима Um
1052	Метиловый спирт	0,0811128	2,557984	1	2,90	11,4000	0,5000	0,00	0,0000	0,0000

№ пл.: 96, № цеха: 51

6237	+	1	3	Блок емкостей Е-201-2, Е-202-3 и Е-202-4	2	0,0000			-	1	511,00 195,00	529,00 189,00	6,0000

Код в-ва	Наименование вещества	Выброс г/с	Выброс т/г	F	Лето См/ПДК	Лето Xm	Лето Um	Зима См/ПДК	Зима Xm	Зима Um
0410	Метан	0,0535338	1,688211	1	0,04	11,4000	0,5000	0,00	0,0000	0,0000
0415	Смесь предельных углеводородов С1Н4-С5Н12	0,0066204	0,208782	1	0,00	11,4000	0,5000	0,00	0,0000	0,0000
0416	Смесь предельных углеводородов С6Н14-С10Н22	0,0000210	0,000615	1	0,00	11,4000	0,5000	0,00	0,0000	0,0000

№ пл.: 96, № цеха: 52

111	+	1	1	Вытяжная вентсистема	13,2	0,4500	6,3800	40,1149	20,0000	1	312,00 141,00		0,0000

Код в-ва	Наименование вещества	Выброс г/с	Выброс т/г	F	Лето См/ПДК	Лето Xm	Лето Um	Зима См/ПДК	Зима Xm	Зима Um
0410	Метан	0,0000791	0,002500	1	0,00	267,5263	1,7778	0,00	0,0000	0,0000
0415	Смесь предельных углеводородов С1Н4-С5Н12	0,5038410	15,889126	1	0,00	267,5263	1,7778	0,00	0,0000	0,0000
0416	Смесь предельных углеводородов С6Н14-С10Н22	1,0820602	34,123860	1	0,00	267,5263	1,7778	0,00	0,0000	0,0000
1052	Метиловый спирт	0,0005620	0,017718	1	0,00	267,5263	1,7778	0,00	0,0000	0,0000
1119	Этиловый эфир этиленгликоля	0,0016692	0,052631	1	0,00	267,5263	1,7778	0,00	0,0000	0,0000

№ пл.: 96, № цеха: 53

112	+	1	1	Дымовая труба П-301-1	16	2,0000	10,1877	3,2428	200,0000	1	344,00 254,00		0,0000

Код в-ва	Наименование вещества	Выброс г/с	Выброс т/г	F	Лето См/ПДК	Лето Xm	Лето Um	Зима См/ПДК	Зима Xm	Зима Um
0301	Азота диоксид (Двуокись азота; пероксид азота)	0,6350400	20,026621	1	0,20	241,8579	3,4111	0,00	0,0000	0,0000
0304	Азот (II) оксид (Азот монооксид)	0,6191640	19,525956	1	0,10	241,8579	3,4111	0,00	0,0000	0,0000
0337	Углерода оксид (Углерод окись; углерод моноокись; угарный газ)	0,6250000	19,710000	1	0,01	241,8579	3,4111	0,00	0,0000	0,0000
0410	Метан	0,0625000	1,971000	1	0,00	241,8579	3,4111	0,00	0,0000	0,0000

113	+	1	1	Дымовая труба П-301-2	16	2,0000	10,1877	3,2428	200,0000	1	356,00 251,00		0,0000

Код в-ва	Наименование вещества	Выброс г/с	Выброс т/г	F	Лето См/ПДК	Лето Xm	Лето Um	Зима См/ПДК	Зима Xm	Зима Um
0301	Азота диоксид (Двуокись азота; пероксид азота)	0,6350400	20,026621	1	0,20	241,8579	3,4111	0,00	0,0000	0,0000
0304	Азот (II) оксид (Азот монооксид)	0,6191640	19,525956	1	0,10	241,8579	3,4111	0,00	0,0000	0,0000
0337	Углерода оксид (Углерод окись; углерод моноокись; угарный газ)	0,6250000	19,710000	1	0,01	241,8579	3,4111	0,00	0,0000	0,0000
0410	Метан	0,0625000	1,971000	1	0,00	241,8579	3,4111	0,00	0,0000	0,0000

114	+	1	1	Дымовая труба П-301-3	16	2,0000	10,1877	3,2428	200,0000	1	597,00 71,00		0,0000

Код в-ва	Наименование вещества	Выброс г/с	Выброс т/г	F	Лето См/ПДК	Лето Xm	Лето Um	Зима См/ПДК	Зима Xm	Зима Um
0301	Азота диоксид (Двуокись азота; пероксид азота)	0,6350400	20,026621	1	0,20	241,8579	3,4111	0,00	0,0000	0,0000
0304	Азот (II) оксид (Азот монооксид)	0,6191640	19,525956	1	0,10	241,8579	3,4111	0,00	0,0000	0,0000
0337	Углерода оксид (Углерод окись; углерод моноокись; угарный газ)	0,6250000	19,710000	1	0,01	241,8579	3,4111	0,00	0,0000	0,0000
0410	Метан	0,0625000	1,971000	1	0,00	241,8579	3,4111	0,00	0,0000	0,0000

№ пл.: 96, № цеха: 54

6238	+	1	3	Блок емкостей	2	0,0000			-	1	375,00 162,00	385,00 159,00	10,0000

Код в-ва	Наименование вещества	Выброс г/с	Выброс т/г	F	Лето См/ПДК	Лето Xm	Лето Um	Зима См/ПДК	Зима Xm	Зима Um
0410	Метан	0,0000766	0,002356	1	0,00	11,4000	0,5000	0,00	0,0000	0,0000
0415	Смесь предельных углеводородов С1Н4-С5Н12	0,4749127	14,976795	1	0,08	11,4000	0,5000	0,00	0,0000	0,0000
0416	Смесь предельных углеводородов С6Н14-С10Н22	1,0199291	32,164513	1	0,73	11,4000	0,5000	0,00	0,0000	0,0000

6239	+	1	3	Блок емкостей	2	0,0000			-	1	382,00 222,00	406,00 215,00	10,0000

Код в-ва	Наименование вещества	Выброс г/с	Выброс т/г	F	Лето См/ПДК	Лето Xm	Лето Um	Зима См/ПДК	Зима Xm	Зима Um
0410	Метан	0,0000047	0,000148	1	0,00	11,4000	0,5000	0,00	0,0000	0,0000
0415	Смесь предельных углеводородов С1Н4-С5Н12	0,0296575	0,935256	1	0,01	11,4000	0,5000	0,00	0,0000	0,0000
0416	Смесь предельных углеводородов С6Н14-С10Н22	0,0636926	2,008574	1	0,05	11,4000	0,5000	0,00	0,0000	0,0000

№ пл.: 96, № цеха: 56

6240	+	1	3	Блок теплообменников «конденсат-конденсат» Т-303-1, Т-303-2	2	0,0000			-	1	380,00 200,00	393,00 197,00	10,0000

Код в-ва	Наименование вещества	Выброс г/с	Выброс т/г	F	Лето См/ПДК	Лето Xm	Лето Um	Зима См/ПДК	Зима Xm	Зима Um
0410	Метан	0,0002007	0,006328	1	0,00	11,4000	0,5000	0,00	0,0000	0,0000
0415	Смесь предельных углеводородов С1Н4-С5Н12	1,2751189	40,212151	1	0,23	11,4000	0,5000	0,00	0,0000	0,0000
0416	Смесь предельных углеводородов С6Н14-С10Н22	2,7384755	86,360563	1	1,96	11,4000	0,5000	0,00	0,0000	0,0000

№ пл.: 96, № цеха: 57

6241	+	1	3	Блок ректификационных колон К-301-1, К-301-2	2	0,0000			-	1	362,00 144,00	375,00 181,00	10,0000

Код в-ва	Наименование вещества	Выброс г/с	Выброс т/г	F	Лето См/ПДК	Лето Xm	Лето Um	Зима См/ПДК	Зима Xm	Зима Um
0410	Метан	0,0000450	0,001422	1	0,00	11,4000	0,5000	0,00	0,0000	0,0000
0415	Смесь предельных углеводородов С1Н4-С5Н12	0,2862901	9,028444	1	0,05	11,4000	0,5000	0,00	0,0000	0,0000
0416	Смесь предельных углеводородов С6Н14-С10Н22	0,6148433	19,389699	1	0,44	11,4000	0,5000	0,00	0,0000	0,0000

№ пл.: 96, № цеха: 58

6242	+	1	3	Блок теплообменников «конденсат-конденсат» Т-301-1, Т-301-2	2	0,0000			-	1	435,00 283,00	456,00 275,00	10,0000

Код в-ва	Наименование вещества	Выброс г/с	Выброс т/г	F	Лето См/ПДК	Лето Xm	Лето Um	Зима См/ПДК	Зима Xm	Зима Um
0410	Метан	0,0000689	0,002169	1	0,00	11,4000	0,5000	0,00	0,0000	0,0000
0415	Смесь предельных углеводородов С1Н4-С5Н12	0,4370359	13,782366	1	0,08	11,4000	0,5000	0,00	0,0000	0,0000
0416	Смесь предельных углеводородов С6Н14-С10Н22	0,9385887	29,599331	1	0,67	11,4000	0,5000	0,00	0,0000	0,0000

№ пл.: 96, № цеха: 59

6243	+	1	3	Блок теплообменников «газ-конденсат» Т-302-1, Т-302-2, Т-302-3,	2	0,0000			-	1	462,00 252,00	472,00 283,00	10,0000

Код в-ва	Наименование вещества	Выброс г/с	Выброс т/г	F	Лето См/ПДК	Лето Xm	Лето Um	Зима См/ПДК	Зима Xm	Зима Um
0410	Метан	0,0000121	0,000374	1	0,00	11,4000	0,5000	0,00	0,0000	0,0000
0415	Смесь предельных углеводородов С1Н4-С5Н12	0,0754404	2,373312	1	0,01	11,4000	0,5000	0,00	0,0000	0,0000
0416	Смесь предельных углеводородов С6Н14-С10Н22	0,1620171	5,109375	1	0,12	11,4000	0,5000	0,00	0,0000	0,0000

№ пл.: 96, № цеха: 60													
156	+	1	1	Дымовая труба компрессора № 1	6,3	0,2500	14,3090	291,5006	448,0000	1	261,00 234,00		0,0000

Код в-ва	Наименование вещества	Выброс г/с	Выброс т/г	F	Лето См/ПДК	Лето Xm	Лето Um	Зима См/ПДК	Зима Xm	Зима Um
0301	Азота диоксид (Двуокись азота; пероксид азота)	0,4840000	15,263424	1	0,09	390,8874	33,0830	0,00	0,0000	0,0000
0304	Азот (II) оксид (Азот монооксид)	0,4719000	14,881839	1	0,04	390,8874	33,0830	0,00	0,0000	0,0000
0337	Углерода оксид (Углерод окись; углерод моноокись; угарный газ)	1,2000000	37,843200	1	0,01	390,8874	33,0830	0,00	0,0000	0,0000
0410	Метан	1,6885000	53,248500	1	0,00	390,8874	33,0830	0,00	0,0000	0,0000
0415	Смесь предельных углеводородов C1H4-C5H12	0,2535000	7,994400	1	0,00	390,8874	33,0830	0,00	0,0000	0,0000
2735	Масло минеральное нефтяное	0,0002715	0,000001	1	0,00	390,8874	33,0830	0,00	0,0000	0,0000

157	+	1	1	Дымовая труба компрессора № 1	6,3	0,2500	14,3090	291,5006	448,0000	1	259,00 232,00		0,0000

Код в-ва	Наименование вещества	Выброс г/с	Выброс т/г	F	Лето См/ПДК	Лето Xm	Лето Um	Зима См/ПДК	Зима Xm	Зима Um
0301	Азота диоксид (Двуокись азота; пероксид азота)	0,4840000	15,263424	1	0,09	390,8874	33,0830	0,00	0,0000	0,0000
0304	Азот (II) оксид (Азот монооксид)	0,4719000	14,881839	1	0,04	390,8874	33,0830	0,00	0,0000	0,0000
0337	Углерода оксид (Углерод окись; углерод моноокись; угарный газ)	1,2000000	37,843200	1	0,01	390,8874	33,0830	0,00	0,0000	0,0000
0410	Метан	1,6885000	53,248500	1	0,00	390,8874	33,0830	0,00	0,0000	0,0000
0415	Смесь предельных углеводородов C1H4-C5H12	0,2535000	7,994400	1	0,00	390,8874	33,0830	0,00	0,0000	0,0000
2735	Масло минеральное нефтяное	0,0002715	0,000001	1	0,00	390,8874	33,0830	0,00	0,0000	0,0000

158	+	1	1	Дымовая труба компрессора № 2	6,3	0,2500	14,3090	291,5006	448,0000	1	250,00 204,00		0,0000

Код в-ва	Наименование вещества	Выброс г/с	Выброс т/г	F	Лето См/ПДК	Лето Xm	Лето Um	Зима См/ПДК	Зима Xm	Зима Um
0301	Азота диоксид (Двуокись азота; пероксид азота)	0,4840000	15,263424	1	0,09	390,8874	33,0830	0,00	0,0000	0,0000
0304	Азот (II) оксид (Азот монооксид)	0,4719000	14,881839	1	0,04	390,8874	33,0830	0,00	0,0000	0,0000
0337	Углерода оксид (Углерод окись; углерод моноокись; угарный газ)	1,2000000	37,843200	1	0,01	390,8874	33,0830	0,00	0,0000	0,0000
0410	Метан	1,6885000	53,248500	1	0,00	390,8874	33,0830	0,00	0,0000	0,0000
0415	Смесь предельных углеводородов C1H4-C5H12	0,2535000	7,994400	1	0,00	390,8874	33,0830	0,00	0,0000	0,0000
2735	Масло минеральное нефтяное	0,0002715	0,000001	1	0,00	390,8874	33,0830	0,00	0,0000	0,0000

159	+	1	1	Дымовая труба компрессора № 2	6,3	0,2500	14,3090	291,5006	448,0000	1	250,00 202,00		0,0000

Код в-ва	Наименование вещества	Выброс г/с	Выброс т/г	F	Лето См/ПДК	Лето Xm	Лето Um	Зима См/ПДК	Зима Xm	Зима Um
0301	Азота диоксид (Двуокись азота; пероксид азота)	0,4840000	15,263424	1	0,09	390,8874	33,0830	0,00	0,0000	0,0000
0304	Азот (II) оксид (Азот монооксид)	0,4719000	14,881839	1	0,04	390,8874	33,0830	0,00	0,0000	0,0000
0337	Углерода оксид (Углерод окись; углерод моноокись; угарный газ)	1,2000000	37,843200	1	0,01	390,8874	33,0830	0,00	0,0000	0,0000
0410	Метан	1,6885000	53,248500	1	0,00	390,8874	33,0830	0,00	0,0000	0,0000
0415	Смесь предельных углеводородов C1H4-C5H12	0,2535000	7,994400	1	0,00	390,8874	33,0830	0,00	0,0000	0,0000
2735	Масло минеральное нефтяное	0,0002715	0,000001	1	0,00	390,8874	33,0830	0,00	0,0000	0,0000

160	+	1	1	Дымовая труба компрессора № 3	6,3	0,2500	14,3090	291,5006	448,0000	1	240,00 174,00		0,0000

Код в-ва	Наименование вещества	Выброс г/с	Выброс т/г	F	Лето См/ПДК	Лето Xm	Лето Um	Зима См/ПДК	Зима Xm	Зима Um
0301	Азота диоксид (Двуокись азота; пероксид азота)	0,4840000	15,263424	1	0,09	390,8874	33,0830	0,00	0,0000	0,0000
0304	Азот (II) оксид (Азот монооксид)	0,4719000	14,881839	1	0,04	390,8874	33,0830	0,00	0,0000	0,0000
0337	Углерода оксид (Углерод окись; углерод моноокись; угарный газ)	1,2000000	37,843200	1	0,01	390,8874	33,0830	0,00	0,0000	0,0000
0410	Метан	1,6885000	53,248500	1	0,00	390,8874	33,0830	0,00	0,0000	0,0000
0415	Смесь предельных углеводородов C1H4-C5H12	0,2535000	7,994400	1	0,00	390,8874	33,0830	0,00	0,0000	0,0000
2735	Масло минеральное нефтяное	0,0002715	0,000001	1	0,00	390,8874	33,0830	0,00	0,0000	0,0000

161	+	1	1	Дымовая труба компрессора № 3	6,3	0,2500	14,3090	291,5006	448,0000	1	240,00 172,00		0,0000

Код в-ва	Наименование вещества	Выброс г/с	Выброс т/г	F	Лето См/ПДК	Лето Xm	Лето Um	Зима См/ПДК	Зима Xm	Зима Um
0301	Азота диоксид (Двуокись азота; пероксид азота)	0,4840000	15,263424	1	0,09	390,8874	33,0830	0,00	0,0000	0,0000
0304	Азот (II) оксид (Азот монооксид)	0,4719000	14,881839	1	0,04	390,8874	33,0830	0,00	0,0000	0,0000
0337	Углерода оксид (Углерод окись; углерод моноокись; угарный газ)	1,2000000	37,843200	1	0,01	390,8874	33,0830	0,00	0,0000	0,0000
0410	Метан	1,6885000	53,248500	1	0,00	390,8874	33,0830	0,00	0,0000	0,0000
0415	Смесь предельных углеводородов C1H4-C5H12	0,2535000	7,994400	1	0,00	390,8874	33,0830	0,00	0,0000	0,0000
2735	Масло минеральное нефтяное	0,0002715	0,000001	1	0,00	390,8874	33,0830	0,00	0,0000	0,0000

162	+	1	1	Дымовая труба компрессора № 4	6,3	0,2500	14,3090	291,5006	448,0000	1	230,00 145,00		0,0000

Код в-ва	Наименование вещества	Выброс г/с	Выброс т/г	F	Лето См/ПДК	Лето Xm	Лето Um	Зима См/ПДК	Зима Xm	Зима Um
0301	Азота диоксид (Двуокись азота; пероксид азота)	0,4840000	15,263424	1	0,09	390,8874	33,0830	0,00	0,0000	0,0000
0304	Азот (II) оксид (Азот монооксид)	0,4719000	14,881839	1	0,04	390,8874	33,0830	0,00	0,0000	0,0000
0337	Углерода оксид (Углерод окись; углерод моноокись; угарный газ)	1,2000000	37,843200	1	0,01	390,8874	33,0830	0,00	0,0000	0,0000
0410	Метан	1,6885000	53,248500	1	0,00	390,8874	33,0830	0,00	0,0000	0,0000
0415	Смесь предельных углеводородов С1Н4-С5Н12	0,2535000	7,994400	1	0,00	390,8874	33,0830	0,00	0,0000	0,0000
2735	Масло минеральное нефтяное	0,0002715	0,000001	1	0,00	390,8874	33,0830	0,00	0,0000	0,0000

163	+	1	1	Дымовая труба компрессора № 4	6,3	0,2500	14,3090	291,5006	448,0000	1	230,00 142,00		0,0000

Код в-ва	Наименование вещества	Выброс г/с	Выброс т/г	F	Лето См/ПДК	Лето Xm	Лето Um	Зима См/ПДК	Зима Xm	Зима Um
0301	Азота диоксид (Двуокись азота; пероксид азота)	0,4840000	15,263424	1	0,09	390,8874	33,0830	0,00	0,0000	0,0000
0304	Азот (II) оксид (Азот монооксид)	0,4719000	14,881839	1	0,04	390,8874	33,0830	0,00	0,0000	0,0000
0337	Углерода оксид (Углерод окись; углерод моноокись; угарный газ)	1,2000000	37,843200	1	0,01	390,8874	33,0830	0,00	0,0000	0,0000
0410	Метан	1,6885000	53,248500	1	0,00	390,8874	33,0830	0,00	0,0000	0,0000
0415	Смесь предельных углеводородов С1Н4-С5Н12	0,2535000	7,994400	1	0,00	390,8874	33,0830	0,00	0,0000	0,0000
2735	Масло минеральное нефтяное	0,0002715	0,000001	1	0,00	390,8874	33,0830	0,00	0,0000	0,0000

6244	+	1	3	Неплотности соединений МКУ-381	2	0,0000			-	1	284,00 225,00	293,00 222,00	5,0000

Код в-ва	Наименование вещества	Выброс г/с	Выброс т/г	F	Лето См/ПДК	Лето Xm	Лето Um	Зима См/ПДК	Зима Xm	Зима Um
0410	Метан	0,0420394	1,325754	1	0,03	11,4000	0,5000	0,00	0,0000	0,0000
0415	Смесь предельных углеводородов С1Н4-С5Н12	0,0012733	0,040155	1	0,00	11,4000	0,5000	0,00	0,0000	0,0000
0416	Смесь предельных углеводородов С6Н14-С10Н22	0,0000153	0,000483	1	0,00	11,4000	0,5000	0,00	0,0000	0,0000

6245	+	1	3	Неплотности соединений МКУ-382	2	0,0000			-	1	273,00 193,00	283,00 192,00	5,0000

Код в-ва	Наименование вещества	Выброс г/с	Выброс т/г	F	Лето См/ПДК	Лето Xm	Лето Um	Зима См/ПДК	Зима Xm	Зима Um
0410	Метан	0,0420394	1,325754	1	0,03	11,4000	0,5000	0,00	0,0000	0,0000
0415	Смесь предельных углеводородов С1Н4-С5Н12	0,0012733	0,040155	1	0,00	11,4000	0,5000	0,00	0,0000	0,0000
0416	Смесь предельных углеводородов С6Н14-С10Н22	0,0000153	0,000483	1	0,00	11,4000	0,5000	0,00	0,0000	0,0000

6246	+	1	3	Неплотности соединений МКУ-383	2	0,0000			-	1	262,00 165,00	271,00 160,00	6,0000

Код в-ва	Наименование вещества	Выброс г/с	Выброс т/г	F	Лето См/ПДК	Лето Xm	Лето Um	Зима См/ПДК	Зима Xm	Зима Um
0410	Метан	0,0420394	1,325754	1	0,03	11,4000	0,5000	0,00	0,0000	0,0000
0415	Смесь предельных углеводородов С1Н4-С5Н12	0,0012733	0,040155	1	0,00	11,4000	0,5000	0,00	0,0000	0,0000
0416	Смесь предельных углеводородов С6Н14-С10Н22	0,0000153	0,000483	1	0,00	11,4000	0,5000	0,00	0,0000	0,0000

6247	+	1	3	Неплотности соединений МКУ-384	2	0,0000			-	1	236,00 140,00	242,00 138,00	5,0000

Код в-ва	Наименование вещества	Выброс г/с	Выброс т/г	F	Лето См/ПДК	Лето Xm	Лето Um	Зима См/ПДК	Зима Xm	Зима Um
0410	Метан	0,0420394	1,325754	1	0,03	11,4000	0,5000	0,00	0,0000	0,0000
0415	Смесь предельных углеводородов С1Н4-С5Н12	0,0012733	0,040155	1	0,00	11,4000	0,5000	0,00	0,0000	0,0000
0416	Смесь предельных углеводородов С6Н14-С10Н22	0,0000153	0,000483	1	0,00	11,4000	0,5000	0,00	0,0000	0,0000

№ пл.: 96, № цеха: 61

6248	+	1	3	Блок сепараторов входных С-380-1-1, С-380-1-2	2	0,0000			-	1	272,00 252,00	286,00 248,00	4,0000

Код в-ва	Наименование вещества	Выброс г/с	Выброс т/г	F	Лето См/ПДК	Лето Xm	Лето Um	Зима См/ПДК	Зима Xm	Зима Um
0410	Метан	0,0000012	0,000040	1	0,00	11,4000	0,5000	0,00	0,0000	0,0000
0415	Смесь предельных углеводородов С1Н4-С5Н12	0,0078319	0,246990	1	0,00	11,4000	0,5000	0,00	0,0000	0,0000
0416	Смесь предельных углеводородов С6Н14-С10Н22	0,0168201	0,530441	1	0,01	11,4000	0,5000	0,00	0,0000	0,0000

№ пл.: 96, № цеха: 62

6249	+	1	3	Модуль насосов конденсата МИК-380	2	0,0000			-	1	257,00 271,00	260,00 270,00	5,0000

Код в-ва	Наименование вещества	Выброс г/с	Выброс т/г	F	Лето См/ПДК	Лето Xm	Лето Um	Зима См/ПДК	Зима Xm	Зима Um
0410	Метан	0,0000012	0,000037	1	0,00	11,4000	0,5000	0,00	0,0000	0,0000

0415	Смесь предельных углеводородов С1Н4-С5Н12				0,0074883	0,236150	1	0,00	11,4000	0,5000	0,00	0,0000	0,0000	
0416	Смесь предельных углеводородов С6Н14-С10Н22				0,0160820	0,507162	1	0,01	11,4000	0,5000	0,00	0,0000	0,0000	
№ пл.: 96, № цеха: 63														
6250	+	1	3	Емкость дренажная сепараторов Е-380-3	2	0,0000			-	1	288,00 246,00	290,00 245,00	8,0000	
Код в-ва	Наименование вещества				Выброс г/с	Выброс т/г	F	Лето См/ПДК	Лето Xm	Лето Um	Зима См/ПДК	Зима Xm	Зима Um	
0410	Метан				1,9800000 E-08	0,000001	1	0,00	11,4000	0,5000	0,00	0,0000	0,0000	
0415	Смесь предельных углеводородов С1Н4-С5Н12				0,0001257	0,003962	1	0,00	11,4000	0,5000	0,00	0,0000	0,0000	
0416	Смесь предельных углеводородов С6Н14-С10Н22				0,0002698	0,008510	1	0,00	11,4000	0,5000	0,00	0,0000	0,0000	
6251	+	1	3	Емкость дренажная сепараторов Е-380-1	2	0,0000			-	1	304,00 237,00	306,00 237,00	2,0000	
Код в-ва	Наименование вещества				Выброс г/с	Выброс т/г	F	Лето См/ПДК	Лето Xm	Лето Um	Зима См/ПДК	Зима Xm	Зима Um	
2735	Масло минеральное нефтяное				0,0011448	0,036101	1	0,82	11,4000	0,5000	0,00	0,0000	0,0000	
№ пл.: 96, № цеха: 64														
6252	+	1	3	Установка налива ингибитора	2	0,0000			-	1	118,00 -8,00	124,00 -10,00	2,0000	
Код в-ва	Наименование вещества				Выброс г/с	Выброс т/г	F	Лето См/ПДК	Лето Xm	Лето Um	Зима См/ПДК	Зима Xm	Зима Um	
1052	Метиловый спирт				0,0396727	1,251098	1	1,42	11,4000	0,5000	0,00	0,0000	0,0000	
6253	+	1	3	Емкость дренажная Е-725	2	0,0000			-	1	126,00 15,00	127,00 15,00	1,0000	
Код в-ва	Наименование вещества				Выброс г/с	Выброс т/г	F	Лето См/ПДК	Лето Xm	Лето Um	Зима См/ПДК	Зима Xm	Зима Um	
1052	Метиловый спирт				0,0040450	0,127566	1	0,14	11,4000	0,5000	0,00	0,0000	0,0000	
6254	+	1	3	Блок емкостей дренажных	2	0,0000			-	1	144,00 36,00	151,00 33,00	2,0000	
Код в-ва	Наименование вещества				Выброс г/с	Выброс т/г	F	Лето См/ПДК	Лето Xm	Лето Um	Зима См/ПДК	Зима Xm	Зима Um	
0333	Дигидросульфид (Водород сернистый, дигидросульфид, гидросульфид)				0,0000940	0,002977	1	0,42	11,4000	0,5000	0,00	0,0000	0,0000	
1052	Метиловый спирт				0,0017190	0,054213	1	0,06	11,4000	0,5000	0,00	0,0000	0,0000	
2754	Алканы С12-С19 (в пересчете на С)				0,0336160	1,060115	1	1,20	11,4000	0,5000	0,00	0,0000	0,0000	
№ пл.: 96, № цеха: 65														
6255	+	1	3	Узел коммерческого учета газового конденсата	2	0,0000			-	1	492,00 264,00	498,00 263,00	2,0000	
Код в-ва	Наименование вещества				Выброс г/с	Выброс т/г	F	Лето См/ПДК	Лето Xm	Лето Um	Зима См/ПДК	Зима Xm	Зима Um	
0410	Метан				0,0000007	0,000024	1	0,00	11,4000	0,5000	0,00	0,0000	0,0000	
0415	Смесь предельных углеводородов С1Н4-С5Н12				0,0048893	0,154187	1	0,00	11,4000	0,5000	0,00	0,0000	0,0000	
0416	Смесь предельных углеводородов С6Н14-С10Н22				0,0105002	0,331137	1	0,01	11,4000	0,5000	0,00	0,0000	0,0000	
1052	Метиловый спирт				0,0002310	0,007278	1	0,01	11,4000	0,5000	0,00	0,0000	0,0000	
№ пл.: 96, № цеха: 66														
6256	+	1	3	Дренажная емкость Е-171	2	0,0000			-	1	488,00 262,00	489,00 266,00	2,0000	
Код в-ва	Наименование вещества				Выброс г/с	Выброс т/г	F	Лето См/ПДК	Лето Xm	Лето Um	Зима См/ПДК	Зима Xm	Зима Um	
0410	Метан				0,0000007	0,000023	1	0,00	11,4000	0,5000	0,00	0,0000	0,0000	
0415	Смесь предельных углеводородов С1Н4-С5Н12				0,0047042	0,148320	1	0,00	11,4000	0,5000	0,00	0,0000	0,0000	
0416	Смесь предельных углеводородов С6Н14-С10Н22				0,0101003	0,318536	1	0,01	11,4000	0,5000	0,00	0,0000	0,0000	
№ пл.: 96, № цеха: 67														
177	+	1	1	Факельная установка Ф-361	60	2,1400	7,6600	2,1297	1740,4000	1	870,00 282,00		0,0000	
Код в-ва	Наименование вещества				Выброс г/с	Выброс т/г	F	Лето См/ПДК	Лето Xm	Лето Um	Зима См/ПДК	Зима Xm	Зима Um	
0301	Азота диоксид (Двуокись азота; пероксид азота)				1,3146227	41,457939	1	0,02	858,7653	3,9401	0,00	0,0000	0,0000	
0304	Азот (II) оксид (Азот монооксид)				1,2817570	40,421491	1	0,01	858,7653	3,9401	0,00	0,0000	0,0000	
0328	Углерод (Пигмент черный)				2,1910377	69,096565	3	0,14	429,3827	3,9401	0,00	0,0000	0,0000	
0337	Углерода оксид (Углерод окись; углерод монооокись; угарный газ)				21,910377 2	690,96565 4	1	0,01	858,7653	3,9401	0,00	0,0000	0,0000	
0410	Метан				0,5477595	17,274141	1	0,00	858,7653	3,9401	0,00	0,0000	0,0000	
178	+	1	1	Факельная установка Ф-362	60	0,9200	1,2830	1,9300	1740,4000	1	873,00		0,0000	

											281,00		

Код в-ва	Наименование вещества	Выброс г/с	Выброс т/г	F	Лето См/ПДК	Лето Xm	Лето Um	Зима См/ПДК	Зима Xm	Зима Um
0301	Азота диоксид (Двуокись азота; пероксид азота)	1,2744020	40,189541	1	0,04	631,6990	2,1677	0,00	0,0000	0,0000
0304	Азот (II) оксид (Азот монооксид)	1,2425419	39,184803	1	0,02	631,6990	2,1677	0,00	0,0000	0,0000
0328	Углерод (Пигмент черный)	2,1240034	66,982569	3	0,26	315,8495	2,1677	0,00	0,0000	0,0000
0337	Углерода оксид (Углерод окись; углерод моноокись; угарный газ)	21,2400334	669,825692	1	0,03	631,6990	2,1677	0,00	0,0000	0,0000
0410	Метан	0,5310009	16,745643	1	0,00	631,6990	2,1677	0,00	0,0000	0,0000

6257	+	1	3	Блок сепараторов факельных	2	0,0000			-	1	583,00 210,00	590,00 228,00	2,0000

Код в-ва	Наименование вещества	Выброс г/с	Выброс т/г	F	Лето См/ПДК	Лето Xm	Лето Um	Зима См/ПДК	Зима Xm	Зима Um
0410	Метан	0,0026070	0,082215	1	0,00	11,4000	0,5000	0,00	0,0000	0,0000
0415	Смесь предельных углеводородов С1Н4-С5Н12	0,0003224	0,010168	1	0,00	11,4000	0,5000	0,00	0,0000	0,0000
0416	Смесь предельных углеводородов С6Н14-С10Н22	0,0000009	0,000030	1	0,00	11,4000	0,5000	0,00	0,0000	0,0000

6258	+	1	3	Блок емкостей дренажных	2	0,0000			-	1	589,00 234,00	596,00 232,00	2,0000

Код в-ва	Наименование вещества	Выброс г/с	Выброс т/г	F	Лето См/ПДК	Лето Xm	Лето Um	Зима См/ПДК	Зима Xm	Зима Um
0410	Метан	0,0022966	0,072413	1	0,00	11,4000	0,5000	0,00	0,0000	0,0000
0415	Смесь предельных углеводородов С1Н4-С5Н12	0,0002839	0,008955	1	0,00	11,4000	0,5000	0,00	0,0000	0,0000
0416	Смесь предельных углеводородов С6Н14-С10Н22	0,0000009	0,000026	1	0,00	11,4000	0,5000	0,00	0,0000	0,0000

6259	+	1	3	Узел коммерческого учета газа	2	0,0000			-	1	543,00 230,00	548,00 241,00	2,0000

Код в-ва	Наименование вещества	Выброс г/с	Выброс т/г	F	Лето См/ПДК	Лето Xm	Лето Um	Зима См/ПДК	Зима Xm	Зима Um
0410	Метан	0,0175817	0,554456	1	0,01	11,4000	0,5000	0,00	0,0000	0,0000
0415	Смесь предельных углеводородов С1Н4-С5Н12	0,0021744	0,068570	1	0,00	11,4000	0,5000	0,00	0,0000	0,0000
0416	Смесь предельных углеводородов С6Н14-С10Н22	0,0000064	0,000202	1	0,00	11,4000	0,5000	0,00	0,0000	0,0000

№ пл.: 96, № цеха: 69

185	+	1	1	Дымовая труба подогревателя газа ПГ-1	10	0,4300	19,4170	133,7074	160,0000	1	574,00 234,00		0,0000

Код в-ва	Наименование вещества	Выброс г/с	Выброс т/г	F	Лето См/ПДК	Лето Xm	Лето Um	Зима См/ПДК	Зима Xm	Зима Um
0301	Азота диоксид (Двуокись азота; пероксид азота)	0,1402750	2,211839	1	0,02	437,4250	16,4433	0,00	0,0000	0,0000
0304	Азот (II) оксид (Азот монооксид)	0,1367680	2,156543	1	0,01	437,4250	16,4433	0,00	0,0000	0,0000
0337	Углерода оксид (Углерод окись; углерод моноокись; угарный газ)	0,3498881	5,517000	1	0,00	437,4250	16,4433	0,00	0,0000	0,0000
0703	Бенз/а/пирен	0,0000010	0,000016	3	0,00	218,7125	16,4433	0,00	0,0000	0,0000

187	+	1	1	Дымовая труба подогревателя газа ПГ-2	10	0,4300	19,4170	133,7074	160,0000	1	573,00 233,00		0,0000

Код в-ва	Наименование вещества	Выброс г/с	Выброс т/г	F	Лето См/ПДК	Лето Xm	Лето Um	Зима См/ПДК	Зима Xm	Зима Um
0301	Азота диоксид (Двуокись азота; пероксид азота)	0,1402750	2,211839	1	0,02	437,4250	16,4433	0,00	0,0000	0,0000
0304	Азот (II) оксид (Азот монооксид)	0,1367680	2,156543	1	0,01	437,4250	16,4433	0,00	0,0000	0,0000
0337	Углерода оксид (Углерод окись; углерод моноокись; угарный газ)	0,3498881	5,517000	1	0,00	437,4250	16,4433	0,00	0,0000	0,0000
0703	Бенз/а/пирен	0,0000010	0,000016	3	0,00	218,7125	16,4433	0,00	0,0000	0,0000

189	+	1	1	Дымовая труба подогревателя газа ПГ-3	10	0,4300	19,4170	133,7074	160,0000	1	572,00 232,00		0,0000

Код в-ва	Наименование вещества	Выброс г/с	Выброс т/г	F	Лето См/ПДК	Лето Xm	Лето Um	Зима См/ПДК	Зима Xm	Зима Um
0301	Азота диоксид (Двуокись азота; пероксид азота)	0,1402750	2,211839	1	0,02	437,4250	16,4433	0,00	0,0000	0,0000
0304	Азот (II) оксид (Азот монооксид)	0,1367680	2,156543	1	0,01	437,4250	16,4433	0,00	0,0000	0,0000
0337	Углерода оксид (Углерод окись; углерод моноокись; угарный газ)	0,3498881	5,517000	1	0,00	437,4250	16,4433	0,00	0,0000	0,0000
0703	Бенз/а/пирен	0,0000010	0,000016	3	0,00	218,7125	16,4433	0,00	0,0000	0,0000

191	+	1	1	Дымовая труба подогревателя газа ПГ-4	10	0,4300	19,4170	133,7074	160,0000	1	571,00 234,00		0,0000

Код в-ва	Наименование вещества	Выброс г/с	Выброс т/г	F	Лето См/ПДК	Лето Xm	Лето Um	Зима См/ПДК	Зима Xm	Зима Um
0301	Азота диоксид (Двуокись азота; пероксид азота)	0,1402750	2,211839	1	0,02	437,4250	16,4433	0,00	0,0000	0,0000
0304	Азот (II) оксид (Азот монооксид)	0,1367680	2,156543	1	0,01	437,4250	16,4433	0,00	0,0000	0,0000
0337	Углерода оксид (Углерод окись; углерод моноокись;	0,3498881	5,517000	1	0,00	437,4250	16,4433	0,00	0,0000	0,0000

				угарный газ)									
0703				Бенз/а/пирен	0,0000010	0,000016	3	0,00	218,7125	16,4433	0,00	0,0000	0,0000
193	+	1	1	Дымовая труба подогревателя газа ПГ-5	10	0,4300	19,4170	133,7074	160,0000	1	570,00 235,00		0,0000

Код в-ва	Наименование вещества	Выброс г/с	Выброс т/г	F	Лето См/ПДК	Лето Xm	Лето Um	Зима См/ПДК	Зима Xm	Зима Um
0301	Азота диоксид (Двуокись азота; пероксид азота)	0,1402750	2,211839	1	0,02	437,4250	16,4433	0,00	0,0000	0,0000
0304	Азот (II) оксид (Азот монооксид)	0,1367680	2,156543	1	0,01	437,4250	16,4433	0,00	0,0000	0,0000
0337	Углерода оксид (Углерод окись; углерод моноокись; угарный газ)	0,3498881	5,517000	1	0,00	437,4250	16,4433	0,00	0,0000	0,0000
0703	Бенз/а/пирен	0,0000010	0,000016	3	0,00	218,7125	16,4433	0,00	0,0000	0,0000
195	+ 1 1 Дымовая труба подогревателя газа ПГ-6	10	0,4300	19,4170	133,7074	160,0000	1	569,00 235,00		0,0000

Код в-ва	Наименование вещества	Выброс г/с	Выброс т/г	F	Лето См/ПДК	Лето Xm	Лето Um	Зима См/ПДК	Зима Xm	Зима Um
0301	Азота диоксид (Двуокись азота; пероксид азота)	0,1402750	2,211839	1	0,02	437,4250	16,4433	0,00	0,0000	0,0000
0304	Азот (II) оксид (Азот монооксид)	0,1367680	2,156543	1	0,01	437,4250	16,4433	0,00	0,0000	0,0000
0337	Углерода оксид (Углерод окись; углерод моноокись; угарный газ)	0,3498881	5,517000	1	0,00	437,4250	16,4433	0,00	0,0000	0,0000
0703	Бенз/а/пирен	0,0000010	0,000016	3	0,00	218,7125	16,4433	0,00	0,0000	0,0000
6261	+ 1 3 Установка подготовки топливного, пускового, импульсного газов и	2	0,0000			-	1	566,00 235,00	562,00 221,00	2,0000

Код в-ва	Наименование вещества	Выброс г/с	Выброс т/г	F	Лето См/ПДК	Лето Xm	Лето Um	Зима См/ПДК	Зима Xm	Зима Um
0410	Метан	0,2635066	8,306076	1	0,19	11,4000	0,5000	0,00	0,0000	0,0000
0415	Смесь предельных углеводородов С1Н4-С5Н12	0,0325883	1,027225	1	0,01	11,4000	0,5000	0,00	0,0000	0,0000
0416	Смесь предельных углеводородов С6Н14-С10Н22	0,0000961	0,003009	1	0,00	11,4000	0,5000	0,00	0,0000	0,0000

№ пл.: 96, № цеха: 70

6262	+	1	3	Ресивер импульсного газа	2	0,0000			-	1	562,00 238,00	565,00 237,00	2,0000

Код в-ва	Наименование вещества	Выброс г/с	Выброс т/г	F	Лето См/ПДК	Лето Xm	Лето Um	Зима См/ПДК	Зима Xm	Зима Um
0410	Метан	0,0242429	0,764526	1	0,02	11,4000	0,5000	0,00	0,0000	0,0000
0415	Смесь предельных углеводородов С1Н4-С5Н12	0,0029981	0,094550	1	0,00	11,4000	0,5000	0,00	0,0000	0,0000
0416	Смесь предельных углеводородов С6Н14-С10Н22	0,0000089	0,000279	1	0,00	11,4000	0,5000	0,00	0,0000	0,0000

№ пл.: 96, № цеха: 71

6263	+	1	3	Дренажная емкость Е-44	2	0,0000			-	1	567,00 236,00	568,00 239,00	2,0000

Код в-ва	Наименование вещества	Выброс г/с	Выброс т/г	F	Лето См/ПДК	Лето Xm	Лето Um	Зима См/ПДК	Зима Xm	Зима Um
0410	Метан	0,0035824	0,112981	1	0,00	11,4000	0,5000	0,00	0,0000	0,0000
0415	Смесь предельных углеводородов С1Н4-С5Н12	0,0004433	0,013973	1	0,00	11,4000	0,5000	0,00	0,0000	0,0000
0416	Смесь предельных углеводородов С6Н14-С10Н22	0,0000013	0,000042	1	0,00	11,4000	0,5000	0,00	0,0000	0,0000

№ пл.: 96, № цеха: 72

6264	+	1	3	Узел пуска средств очистки и диагностики на газопроводе внешнего	2	0,0000			-	1	550,00 277,00	574,00 267,00	2,0000

Код в-ва	Наименование вещества	Выброс г/с	Выброс т/г	F	Лето См/ПДК	Лето Xm	Лето Um	Зима См/ПДК	Зима Xm	Зима Um
0410	Метан	0,0175389	0,553109	1	0,01	11,4000	0,5000	0,00	0,0000	0,0000
0415	Смесь предельных углеводородов С1Н4-С5Н12	0,0021691	0,068404	1	0,00	11,4000	0,5000	0,00	0,0000	0,0000
0416	Смесь предельных углеводородов С6Н14-С10Н22	0,0000064	0,000201	1	0,00	11,4000	0,5000	0,00	0,0000	0,0000

№ пл.: 96, № цеха: 73

6265	+	1	3	Узел пуска средств очистки и диагностики на конденсатопроводе вн	2	0,0000			-	1	414,00 322,00	430,00 317,00	4,0000

Код в-ва	Наименование вещества	Выброс г/с	Выброс т/г	F	Лето См/ПДК	Лето Xm	Лето Um	Зима См/ПДК	Зима Xm	Зима Um
0410	Метан	0,0000001	0,000003	1	0,00	11,4000	0,5000	0,00	0,0000	0,0000
0415	Смесь предельных углеводородов С1Н4-С5Н12	0,0006293	0,019844	1	0,00	11,4000	0,5000	0,00	0,0000	0,0000
0416	Смесь предельных углеводородов С6Н14-С10Н22	0,0013514	0,042619	1	0,00	11,4000	0,5000	0,00	0,0000	0,0000

№ пл.: 96, № цеха: 74

6267	+	1	3	Блок фильтров Ф-305-3, Ф-306-3	2	0,0000			-	1	574,00 122,00	588,00 117,00	8,0000

Код	Наименование вещества	Выброс		F	Лето			Зима		

Код в-ва	Наименование вещества	Выброс г/с	Выброс т/г	F	Лето См/ПДК	Лето Xm	Лето Um	Зима См/ПДК	Зима Xm	Зима Um
0410	Метан	0,0000001	0,000004	1	0,00	11,4000	0,5000	0,00	0,0000	0,0000
0415	Смесь предельных углеводородов С1Н4-С5Н12	0,0007815	0,024640	1	0,00	11,4000	0,5000	0,00	0,0000	0,0000
0416	Смесь предельных углеводородов С6Н14-С10Н22	0,0016779	0,052918	1	0,00	11,4000	0,5000	0,00	0,0000	0,0000

6268	+	1	3	Блок дегазатора Д-301-3	2	0,0000			-	1	590,00 166,00	601,00 162,00	3,0000

Код в-ва	Наименование вещества	Выброс г/с	Выброс т/г	F	Лето См/ПДК	Лето Xm	Лето Um	Зима См/ПДК	Зима Xm	Зима Um
0410	Метан	0,0000079	0,000250	1	0,00	11,4000	0,5000	0,00	0,0000	0,0000
0415	Смесь предельных углеводородов С1Н4-С5Н12	0,0504324	1,590435	1	0,01	11,4000	0,5000	0,00	0,0000	0,0000
0416	Смесь предельных углеводородов С6Н14-С10Н22	0,1083097	3,415656	1	0,08	11,4000	0,5000	0,00	0,0000	0,0000

6269	+	1	3	Блок фильтров Ф-1, Ф-2	2	0,0000			-	1	618,00 156,00	630,00 151,00	4,0000

Код в-ва	Наименование вещества	Выброс г/с	Выброс т/г	F	Лето См/ПДК	Лето Xm	Лето Um	Зима См/ПДК	Зима Xm	Зима Um
0410	Метан	0,0000007	0,000025	1	0,00	11,4000	0,5000	0,00	0,0000	0,0000
0415	Смесь предельных углеводородов С1Н4-С5Н12	0,0049923	0,157438	1	0,00	11,4000	0,5000	0,00	0,0000	0,0000
0416	Смесь предельных углеводородов С6Н14-С10Н22	0,0107216	0,338117	1	0,01	11,4000	0,5000	0,00	0,0000	0,0000

6270	+	1	3	Блок разделителей Р-301-7, Р-301-8, Р-301-9	2	0,0000			-	1	611,00 146,00	627,00 140,00	5,0000

Код в-ва	Наименование вещества	Выброс г/с	Выброс т/г	F	Лето См/ПДК	Лето Xm	Лето Um	Зима См/ПДК	Зима Xm	Зима Um
0410	Метан	0,0000265	0,000831	1	0,00	11,4000	0,5000	0,00	0,0000	0,0000
0415	Смесь предельных углеводородов С1Н4-С5Н12	0,1673760	5,278377	1	0,03	11,4000	0,5000	0,00	0,0000	0,0000
0416	Смесь предельных углеводородов С6Н14-С10Н22	0,3594609	11,335971	1	0,26	11,4000	0,5000	0,00	0,0000	0,0000

6271	+	1	3	Установка наружного вида	2	0,0000			-	1	620,00 161,00	632,00 159,00	4,0000

Код в-ва	Наименование вещества	Выброс г/с	Выброс т/г	F	Лето См/ПДК	Лето Xm	Лето Um	Зима См/ПДК	Зима Xm	Зима Um
0410	Метан	0,0000018	0,000058	1	0,00	11,4000	0,5000	0,00	0,0000	0,0000
0415	Смесь предельных углеводородов С1Н4-С5Н12	0,0117427	0,370317	1	0,00	11,4000	0,5000	0,00	0,0000	0,0000
0416	Смесь предельных углеводородов С6Н14-С10Н22	0,0252188	0,795302	1	0,02	11,4000	0,5000	0,00	0,0000	0,0000

6272	+	1	3	Блок буферной емкости ДЭК	2	0,0000			-	1	573,00 117,00	587,00 112,00	4,0000

Код в-ва	Наименование вещества	Выброс г/с	Выброс т/г	F	Лето См/ПДК	Лето Xm	Лето Um	Зима См/ПДК	Зима Xm	Зима Um
0410	Метан	0,0000010	0,000033	1	0,00	11,4000	0,5000	0,00	0,0000	0,0000
0415	Смесь предельных углеводородов С1Н4-С5Н12	0,0066980	0,211222	1	0,00	11,4000	0,5000	0,00	0,0000	0,0000
0416	Смесь предельных углеводородов С6Н14-С10Н22	0,0143846	0,453623	1	0,01	11,4000	0,5000	0,00	0,0000	0,0000

6273	+	1	3	Блок теплообменника «конденсат-конденсат» Т-303-3	2	0,0000			-	1	585,00 157,00	598,00 152,00	4,0000

Код в-ва	Наименование вещества	Выброс г/с	Выброс т/г	F	Лето См/ПДК	Лето Xm	Лето Um	Зима См/ПДК	Зима Xm	Зима Um
0410	Метан	0,0000848	0,002676	1	0,00	11,4000	0,5000	0,00	0,0000	0,0000
0415	Смесь предельных углеводородов С1Н4-С5Н12	0,5390788	17,000389	1	0,10	11,4000	0,5000	0,00	0,0000	0,0000
0416	Смесь предельных углеводородов С6Н14-С10Н22	1,1577383	36,510437	1	0,83	11,4000	0,5000	0,00	0,0000	0,0000

6274	+	1	3	Блок емкости дренажной Е-304-2	2	0,0000			-	1	561,00 81,00	575,00 76,00	4,0000

Код в-ва	Наименование вещества	Выброс г/с	Выброс т/г	F	Лето См/ПДК	Лето Xm	Лето Um	Зима См/ПДК	Зима Xm	Зима Um
0410	Метан	0,0000131	0,000405	1	0,00	11,4000	0,5000	0,00	0,0000	0,0000
0415	Смесь предельных углеводородов С1Н4-С5Н12	0,0815880	2,572962	1	0,01	11,4000	0,5000	0,00	0,0000	0,0000
0416	Смесь предельных углеводородов С6Н14-С10Н22	0,1752202	5,525754	1	0,13	11,4000	0,5000	0,00	0,0000	0,0000

6275	+	1	3	Блок емкости аварийного слива конденсата Е-307-2	2	0,0000			-	1	563,00 87,00	577,00 83,00	4,0000

Код в-ва	Наименование вещества	Выброс г/с	Выброс т/г	F	Лето См/ПДК	Лето Xm	Лето Um	Зима См/ПДК	Зима Xm	Зима Um
0410	Метан	0,0000131	0,000405	1	0,00	11,4000	0,5000	0,00	0,0000	0,0000
0415	Смесь предельных углеводородов С1Н4-С5Н12	0,0815880	2,572962	1	0,01	11,4000	0,5000	0,00	0,0000	0,0000
0416	Смесь предельных углеводородов С6Н14-С10Н22	0,1752202	5,525754	1	0,13	11,4000	0,5000	0,00	0,0000	0,0000

6276	+	1	3	Блок подачи ингибитора парафиноотложения	2	0,0000			-	1	612,00 165,00	618,00 163,00	4,0000

Код	Наименование вещества	Выброс	F	Лето	Зима

Код в-ва	Наименование вещества	Выброс г/с	Выброс т/г	F	Лето См/ПДК	Лето Xm	Лето Um	Зима См/ПДК	Зима Xm	Зима Um
0410	Метан	0,0002320	0,007304	1	0,00	11,4000	0,5000	0,00	0,0000	0,0000

6277	+	1	3	Блок колонны деэтанизации конденсата К-301-3	2	0,0000			-	1	588,00 133,00	595,00 130,00	4,0000

Код в-ва	Наименование вещества	Выброс г/с	Выброс т/г	F	Лето См/ПДК	Лето Xm	Лето Um	Зима См/ПДК	Зима Xm	Зима Um
0410	Метан	0,0000226	0,000712	1	0,00	11,4000	0,5000	0,00	0,0000	0,0000
0415	Смесь предельных углеводородов С1Н4-С5Н12	0,1434889	4,525067	1	0,03	11,4000	0,5000	0,00	0,0000	0,0000
0416	Смесь предельных углеводородов С6Н14-С10Н22	0,3081602	9,718140	1	0,22	11,4000	0,5000	0,00	0,0000	0,0000

6278	+	1	3	Емкость аварийного сброса от ПК Е-305-2	2	0,0000			-	1	568,00 65,00	573,00 63,00	4,0000

Код в-ва	Наименование вещества	Выброс г/с	Выброс т/г	F	Лето См/ПДК	Лето Xm	Лето Um	Зима См/ПДК	Зима Xm	Зима Um
0410	Метан	0,0000002	0,000006	1	0,00	11,4000	0,5000	0,00	0,0000	0,0000
0415	Смесь предельных углеводородов С1Н4-С5Н12	0,0012763	0,040249	1	0,00	11,4000	0,5000	0,00	0,0000	0,0000
0416	Смесь предельных углеводородов С6Н14-С10Н22	0,0027414	0,086442	1	0,00	11,4000	0,5000	0,00	0,0000	0,0000

6279	+	1	3	Блок насосов подачи конденсата в печь Н-301-7, Н-301-8, Н-301-9	2	0,0000			-	1	596,00 103,00	594,00 93,00	4,0000

Код в-ва	Наименование вещества	Выброс г/с	Выброс т/г	F	Лето См/ПДК	Лето Xm	Лето Um	Зима См/ПДК	Зима Xm	Зима Um
0410	Метан	0,0000002	0,000008	1	0,00	11,4000	0,5000	0,00	0,0000	0,0000
0415	Смесь предельных углеводородов С1Н4-С5Н12	0,0016329	0,051497	1	0,00	11,4000	0,5000	0,00	0,0000	0,0000
0416	Смесь предельных углеводородов С6Н14-С10Н22	0,0035070	0,110595	1	0,00	11,4000	0,5000	0,00	0,0000	0,0000

6280	+	1	3	Блок насосов подачи конденсата в печь Н-301-7, Н-301-8, Н-301-9	2	0,0000			-	1	583,00 101,00	580,00 91,00	4,0000

Код в-ва	Наименование вещества	Выброс г/с	Выброс т/г	F	Лето См/ПДК	Лето Xm	Лето Um	Зима См/ПДК	Зима Xm	Зима Um
0410	Метан	0,0000003	0,000009	1	0,00	11,4000	0,5000	0,00	0,0000	0,0000
0415	Смесь предельных углеводородов С1Н4-С5Н12	0,0018832	0,059389	1	0,00	11,4000	0,5000	0,00	0,0000	0,0000
0416	Смесь предельных углеводородов С6Н14-С10Н22	0,0040445	0,127547	1	0,00	11,4000	0,5000	0,00	0,0000	0,0000

№ пл.: 96, № цеха: 75

6281	+	1	3	Склад ГСМ	2	0,0000			-	1	159,00 69,00	161,00 69,00	3,0000

Код в-ва	Наименование вещества	Выброс г/с	Выброс т/г	F	Лето См/ПДК	Лето Xm	Лето Um	Зима См/ПДК	Зима Xm	Зима Um
0333	Дигидросульфид (Водород сернистый, дигидросульфид, гидросульфид)	0,0000122	0,000234	1	0,05	11,4000	0,5000	0,00	0,0000	0,0000
2754	Алканы С12-С19 (в пересчете на С)	0,0043225	0,083414	1	0,15	11,4000	0,5000	0,00	0,0000	0,0000

6282	+	1	3	Насосная склада ГСМ	2	0,0000			-	1	139,00 47,00	130,00 46,00	3,0000

Код в-ва	Наименование вещества	Выброс г/с	Выброс т/г	F	Лето См/ПДК	Лето Xm	Лето Um	Зима См/ПДК	Зима Xm	Зима Um
0333	Дигидросульфид (Водород сернистый, дигидросульфид, гидросульфид)	0,0000067	0,000209	1	0,03	11,4000	0,5000	0,00	0,0000	0,0000
2754	Алканы С12-С19 (в пересчете на С)	0,0023567	0,074323	1	0,08	11,4000	0,5000	0,00	0,0000	0,0000

№ пл.: 96, № цеха: 76

205	+	1	1	Дымовая труба котельной №1	30	0,8000	4,9120	9,7721	180,0000	1	291,00 -75,00		0,0000

Код в-ва	Наименование вещества	Выброс г/с	Выброс т/г	F	Лето См/ПДК	Лето Xm	Лето Um	Зима См/ПДК	Зима Xm	Зима Um
0301	Азота диоксид (Двуокись азота; пероксид азота)	0,4228720	13,335931	1	0,05	351,4183	1,9289	0,00	0,0000	0,0000
0304	Азот (II) оксид (Азот монооксид)	0,4123002	13,002533	1	0,02	351,4183	1,9289	0,00	0,0000	0,0000
0337	Углерода оксид (Углерод окись; углерод моноокись; угарный газ)	0,8581877	27,064195	1	0,00	351,4183	1,9289	0,00	0,0000	0,0000
0703	Бенз/а/пирен	2,4800000 E-09	1,000000E -07	3	0,00	175,7091	1,9289	0,00	0,0000	0,0000

№ пл.: 96, № цеха: 77

206	+	1	1	Дымовая труба котельной №2	30	0,8000	4,8890	9,7264	180,0000	1	292,00 -75,00		0,0000

Код в-ва	Наименование вещества	Выброс г/с	Выброс т/г	F	Лето См/ПДК	Лето Xm	Лето Um	Зима См/ПДК	Зима Xm	Зима Um
0301	Азота диоксид (Двуокись азота; пероксид азота)	0,4203396	13,255829	1	0,05	350,6662	1,9259	0,00	0,0000	0,0000
0304	Азот (II) оксид (Азот монооксид)	0,4098311	12,924433	1	0,02	350,6662	1,9259	0,00	0,0000	0,0000

0337	Углерода оксид (Углерод окись; углерод моноокись; угарный газ)				0,8541133	26,935318	1	0,00	350,6662	1,9259	0,00	0,0000	0,0000
0703	Бенз/а/пирен				2,4300000 E-09	1,000000E -07	3	0,00	175,3331	1,9259	0,00	0,0000	0,0000

№ пл.: 96, № цеха: 78

207	+	1	1	Дымовая труба котельной №3	30	0,8000	4,9410	9,8298	180,0000	1	292,00 -76,00		0,0000

Код в-ва	Наименование вещества	Выброс г/с	Выброс т/г	F	Лето См/ПДК	Лето Xm	Лето Um	Зима См/ПДК	Зима Xm	Зима Um
0301	Азота диоксид (Двуокись азота; пероксид азота)	0,4260599	13,255829	1	0,05	352,3645	1,9327	0,00	0,0000	0,0000
0304	Азот (II) оксид (Азот монооксид)	0,4154084	13,100320	1	0,02	352,3645	1,9327	0,00	0,0000	0,0000
0337	Углерода оксид (Углерод окись; углерод моноокись; угарный газ)	0,8633083	27,225292	1	0,00	352,3645	1,9327	0,00	0,0000	0,0000
0703	Бенз/а/пирен	2,4600000 E-09	7,770000E -08	3	0,00	176,1822	1,9327	0,00	0,0000	0,0000

№ пл.: 96, № цеха: 79

208	+	1	1	Дымовая труба котельной №4	30	0,7000	3,6720	9,5415	180,0000	1	283,00 -72,00		0,0000

Код в-ва	Наименование вещества	Выброс г/с	Выброс т/г	F	Лето См/ПДК	Лето Xm	Лето Um	Зима См/ПДК	Зима Xm	Зима Um
0301	Азота диоксид (Двуокись азота; пероксид азота)	0,2937049	9,262278	1	0,04	315,4792	1,7506	0,00	0,0000	0,0000
0304	Азот (II) оксид (Азот монооксид)	0,2863623	9,030721	1	0,02	315,4792	1,7506	0,00	0,0000	0,0000
0337	Углерода оксид (Углерод окись; углерод моноокись; угарный газ)	0,6416067	20,233708	1	0,00	315,4792	1,7506	0,00	0,0000	0,0000
0703	Бенз/а/пирен	6,0000000 E-10	1,900000E -08	3	0,00	157,7396	1,7506	0,00	0,0000	0,0000

№ пл.: 96, № цеха: 80

209	+	1	1	Дымовая труба котельной №5	30	0,7000	3,7250	9,6792	180,0000	1	284,00 -72,00		0,0000

Код в-ва	Наименование вещества	Выброс г/с	Выброс т/г	F	Лето См/ПДК	Лето Xm	Лето Um	Зима См/ПДК	Зима Xm	Зима Um
0301	Азота диоксид (Двуокись азота; пероксид азота)	0,2989526	9,427770	1	0,04	317,5253	1,7590	0,00	0,0000	0,0000
0304	Азот (II) оксид (Азот монооксид)	0,2914788	9,192076	1	0,02	317,5253	1,7590	0,00	0,0000	0,0000
0337	Углерода оксид (Углерод окись; углерод моноокись; угарный газ)	0,6508017	20,523681	1	0,00	317,5253	1,7590	0,00	0,0000	0,0000
0703	Бенз/а/пирен	6,8000000 E-10	2,150000E -08	3	0,00	158,7626	1,7590	0,00	0,0000	0,0000

№ пл.: 96, № цеха: 83

6283	+	1	3	Установка емкости ДТ Е-1-730	2	0,0000			-	1	262,00 -6,00	273,00 -10,00	3,0000

Код в-ва	Наименование вещества	Выброс г/с	Выброс т/г	F	Лето См/ПДК	Лето Xm	Лето Um	Зима См/ПДК	Зима Xm	Зима Um
0333	Дигидросульфид (Водород сернистый, дигидросульфид, гидросульфид)	0,0000448	0,001160	1	0,20	11,4000	0,5000	0,00	0,0000	0,0000
2754	Алканы С12-С19 (в пересчете на С)	0,0159456	0,412918	1	0,57	11,4000	0,5000	0,00	0,0000	0,0000

№ пл.: 96, № цеха: 85

235	+	1	1	Вытяжная вент.система сооружений очистки бытовых сточных вод	6,4	0,4000	0,2080	1,6552	20,0000	1	253,00 99,00		0,0000

Код в-ва	Наименование вещества	Выброс г/с	Выброс т/г	F	Лето См/ПДК	Лето Xm	Лето Um	Зима См/ПДК	Зима Xm	Зима Um
0301	Азота диоксид (Двуокись азота; пероксид азота)	0,0000516	0,000528	1	0,00	36,4800	0,5000	0,00	0,0000	0,0000
0303	Аммиак (Азота гидрид)	0,0003625	0,003387	1	0,00	36,4800	0,5000	0,00	0,0000	0,0000
0304	Азот (II) оксид (Азот монооксид)	0,0001720	0,001404	1	0,00	36,4800	0,5000	0,00	0,0000	0,0000
0333	Дигидросульфид (Водород сернистый, дигидросульфид, гидросульфид)	0,0003182	0,003852	1	0,09	36,4800	0,5000	0,00	0,0000	0,0000
0410	Метан	0,0068287	0,284529	1	0,00	36,4800	0,5000	0,00	0,0000	0,0000
1071	Гидроксибензол	0,0000631	0,000508	1	0,01	36,4800	0,5000	0,00	0,0000	0,0000
1325	Формальдегид (Муравьиный альдегид, оксометан, метиленоксид)	0,0000775	0,000635	1	0,00	36,4800	0,5000	0,00	0,0000	0,0000
1716	Одорант СПМ	0,0000125	0,000127	1	0,00	36,4800	0,5000	0,00	0,0000	0,0000

236	+	1	1	Вытяжная вент.система установки очистки стоков в пласт	6,7	0,4000	0,8660	6,8914	20,0000	1	219,00 38,00		0,0000

Код в-ва	Наименование вещества	Выброс г/с	Выброс т/г	F	Лето См/ПДК	Лето Xm	Лето Um	Зима См/ПДК	Зима Xm	Зима Um
0301	Азота диоксид (Двуокись азота; пероксид азота)	0,0005046	0,000173	1	0,00	40,8523	0,5349	0,00	0,0000	0,0000
0303	Аммиак (Азота гидрид)	0,0015995	0,000549	1	0,02	40,8523	0,5349	0,00	0,0000	0,0000
0304	Азот (II) оксид (Азот монооксид)	0,0011433	0,000392	1	0,01	40,8523	0,5349	0,00	0,0000	0,0000

0333	Дигидросульфид (Водород сернистый, дигидросульфид, гидросульфид)				0,0011296	0,000388	1	0,28	40,8523	0,5349	0,00	0,0000	0,0000
0410	Метан				0,0969457	0,033351	1	0,00	40,8523	0,5349	0,00	0,0000	0,0000
1071	Гидроксибензол				0,0004362	0,000149	1	0,09	40,8523	0,5349	0,00	0,0000	0,0000
1325	Формальдегид (Муравьиный альдегид, оксометан, метиленоксид)				0,0004932	0,000169	1	0,02	40,8523	0,5349	0,00	0,0000	0,0000
1716	Одорант СПМ				0,0000336	0,000011	1	0,01	40,8523	0,5349	0,00	0,0000	0,0000
237	+	1	1	Вытяжная вент.система насосной станции метанола	6,7	0,4000	0,8660	6,8914	20,0000	1	55,00 79,00		0,0000

Код в-ва	Наименование вещества	Выброс г/с	Выброс т/г	F	Лето Cm/ПДК	Лето Xm	Лето Um	Зима Cm/ПДК	Зима Xm	Зима Um
1052	Метиловый спирт	0,1708738	5,388674	1	0,33	40,8523	0,5349	0,00	0,0000	0,0000
6284	+ 1 3 Неплотности емкости для аварийного слива Е-500-1	2	0,0000			-	1	335,00 103,00	336,00 103,00	3,0000

Код в-ва	Наименование вещества	Выброс г/с	Выброс т/г	F	Лето Cm/ПДК	Лето Xm	Лето Um	Зима Cm/ПДК	Зима Xm	Зима Um
0333	Дигидросульфид (Водород сернистый, дигидросульфид, гидросульфид)	0,0000306	0,000964	1	0,14	11,4000	0,5000	0,00	0,0000	0,0000
2754	Алканы С12-С19 (в пересчете на С)	0,0108947	0,343575	1	0,39	11,4000	0,5000	0,00	0,0000	0,0000
6285	+ 1 3 Неплотности емкости для аварийного слива Е-305-2	2	0,0000			-	1	379,00 237,00	382,00 237,00	3,0000

Код в-ва	Наименование вещества	Выброс г/с	Выброс т/г	F	Лето Cm/ПДК	Лето Xm	Лето Um	Зима Cm/ПДК	Зима Xm	Зима Um
0333	Дигидросульфид (Водород сернистый, дигидросульфид, гидросульфид)	0,0000306	0,000964	1	0,14	11,4000	0,5000	0,00	0,0000	0,0000
2754	Алканы С12-С19 (в пересчете на С)	0,0108947	0,343575	1	0,39	11,4000	0,5000	0,00	0,0000	0,0000
6286	+ 1 3 Неплотности емкости для аварийного слива Е-500-4	2	0,0000			-	1	422,00 75,00	423,00 75,00	3,0000

Код в-ва	Наименование вещества	Выброс г/с	Выброс т/г	F	Лето Cm/ПДК	Лето Xm	Лето Um	Зима Cm/ПДК	Зима Xm	Зима Um
0333	Дигидросульфид (Водород сернистый, дигидросульфид, гидросульфид)	0,0000306	0,000964	1	0,14	11,4000	0,5000	0,00	0,0000	0,0000
2754	Алканы С12-С19 (в пересчете на С)	0,0108947	0,343575	1	0,39	11,4000	0,5000	0,00	0,0000	0,0000
6287	+ 1 3 Неплотности емкости для аварийного слива Е-305-5	2	0,0000			-	1	561,00 25,00	536,00 25,00	3,0000

Код в-ва	Наименование вещества	Выброс г/с	Выброс т/г	F	Лето Cm/ПДК	Лето Xm	Лето Um	Зима Cm/ПДК	Зима Xm	Зима Um
0333	Дигидросульфид (Водород сернистый, дигидросульфид, гидросульфид)	0,0000306	0,000964	1	0,14	11,4000	0,5000	0,00	0,0000	0,0000
2754	Алканы С12-С19 (в пересчете на С)	0,0108947	0,343575	1	0,39	11,4000	0,5000	0,00	0,0000	0,0000
6288	+ 1 3 Неплотности емкости для аварийного слива Е-305-6	2	0,0000			-	1	580,00 15,00	581,00 15,00	3,0000

Код в-ва	Наименование вещества	Выброс г/с	Выброс т/г	F	Лето Cm/ПДК	Лето Xm	Лето Um	Зима Cm/ПДК	Зима Xm	Зима Um
0333	Дигидросульфид (Водород сернистый, дигидросульфид, гидросульфид)	0,0000306	0,000964	1	0,14	11,4000	0,5000	0,00	0,0000	0,0000
2754	Алканы С12-С19 (в пересчете на С)	0,0108947	0,343575	1	0,39	11,4000	0,5000	0,00	0,0000	0,0000
6289	+ 1 3 Неплотности емкости для аварийного слива Е-305-7	2	0,0000			-	1	144,00 416,00	146,00 416,00	3,0000

Код в-ва	Наименование вещества	Выброс г/с	Выброс т/г	F	Лето Cm/ПДК	Лето Xm	Лето Um	Зима Cm/ПДК	Зима Xm	Зима Um
0333	Дигидросульфид (Водород сернистый, дигидросульфид, гидросульфид)	0,0000306	0,000964	1	0,14	11,4000	0,5000	0,00	0,0000	0,0000
2754	Алканы С12-С19 (в пересчете на С)	0,0108947	0,343575	1	0,39	11,4000	0,5000	0,00	0,0000	0,0000
6290	+ 1 3 Емкость сбора нефтепродуктов Е-4.1	2	0,0000			-	1	180,00 29,00	183,00 28,00	3,0000

Код в-ва	Наименование вещества	Выброс г/с	Выброс т/г	F	Лето Cm/ПДК	Лето Xm	Лето Um	Зима Cm/ПДК	Зима Xm	Зима Um
0410	Метан	0,0039255	0,123810	1	0,00	11,4000	0,5000	0,00	0,0000	0,0000
6291	+ 1 3 Склад метанола	2	0,0000			-	1	110,00 92,00	120,00 92,00	3,0000

Код в-ва	Наименование вещества	Выброс г/с	Выброс т/г	F	Лето Cm/ПДК	Лето Xm	Лето Um	Зима Cm/ПДК	Зима Xm	Зима Um
1052	Метиловый спирт	0,0883688	6,207427	1	3,16	11,4000	0,5000	0,00	0,0000	0,0000

6292	+	1	3	Установка налива метанола	6	0,0000			-	1	63,00 29,00	69,00 27,00	3,0000

Код в-ва	Наименование вещества	Выброс г/с	Выброс т/г	F	Лето Cm/ПДК	Лето Xm	Лето Um	Зима Cm/ПДК	Зима Xm	Зима Um
1052	Метиловый спирт	0,0814890	6,766966	1	0,22	34,2000	0,5000	0,00	0,0000	0,0000

6293	+	1	3	Емкость дренажная метанола	2	0,0000			-	1	46,00 56,00	55,00 53,00	3,0000

Код в-ва	Наименование вещества	Выброс г/с	Выброс т/г	F	Лето Cm/ПДК	Лето Xm	Лето Um	Зима Cm/ПДК	Зима Xm	Зима Um
1052	Метиловый спирт	0,0125484	0,395719	1	0,45	11,4000	0,5000	0,00	0,0000	0,0000

№ пл.: 96, № цеха: 86

239	+	1	1	Дымовая труба огневого подогревателя Т-3500	15	0,9200	45,1400	67,9041	200,0000	1	122,00 247,00		0,0000

Код в-ва	Наименование вещества	Выброс г/с	Выброс т/г	F	Лето Cm/ПДК	Лето Xm	Лето Um	Зима Cm/ПДК	Зима Xm	Зима Um
0301	Азота диоксид (Двуокись азота; пероксид азота)	0,3973863	125,319738	1	0,03	558,4435	11,9113	0,00	0,0000	0,0000
0304	Азот (II) оксид (Азот монооксид)	3,8745163	122,186745	1	0,13	558,4435	11,9113	0,00	0,0000	0,0000
0337	Углерода оксид (Углерод окись; углерод моноокись; угарный газ)	0,6250000	19,710000	1	0,00	558,4435	11,9113	0,00	0,0000	0,0000
0410	Метан	0,0625000	1,971000	1	0,00	558,4435	11,9113	0,00	0,0000	0,0000

241	+	1	1	Вытяжная вент.система насосной ВМР	6	0,5000	9,8500	50,1656	20,0000	1	177,00 255,00		0,0000

Код в-ва	Наименование вещества	Выброс г/с	Выброс т/г	F	Лето Cm/ПДК	Лето Xm	Лето Um	Зима Cm/ПДК	Зима Xm	Зима Um
1052	Метиловый спирт	0,1671208	5,270320	1	0,02	223,7976	11,9561	0,00	0,0000	0,0000

242	+	1	1	Установка налива метанола	6	0,2500	9,8500	200,6626	20,0000	1	90,00 203,00		0,0000

Код в-ва	Наименование вещества	Выброс г/с	Выброс т/г	F	Лето Cm/ПДК	Лето Xm	Лето Um	Зима Cm/ПДК	Зима Xm	Зима Um
1052	Метиловый спирт	0,1534391	4,838854	1	0,01	316,4976	23,9123	0,00	0,0000	0,0000

243	+	1	1	Дымовая труба огневого подогревателя	15	0,9200	45,1400	67,9041	200,0000	1	130,00 242,00		0,0000

Код в-ва	Наименование вещества	Выброс г/с	Выброс т/г	F	Лето Cm/ПДК	Лето Xm	Лето Um	Зима Cm/ПДК	Зима Xm	Зима Um
0301	Азота диоксид (Двуокись азота; пероксид азота)	0,3973863	125,319738	1	0,03	558,4435	11,9113	0,00	0,0000	0,0000
0304	Азот (II) оксид (Азот монооксид)	0,3874516	122,186745	1	0,01	558,4435	11,9113	0,00	0,0000	0,0000
0337	Углерода оксид (Углерод окись; углерод моноокись; угарный газ)	0,6250000	19,710000	1	0,00	558,4435	11,9113	0,00	0,0000	0,0000
0410	Метан	0,0625000	1,971000	1	0,00	558,4435	11,9113	0,00	0,0000	0,0000

6294	+	1	3	Установка емкости ВМР Е-701	2	0,0000			-	1	282,00 289,00	293,00 284,00	3,0000

Код в-ва	Наименование вещества	Выброс г/с	Выброс т/г	F	Лето Cm/ПДК	Лето Xm	Лето Um	Зима Cm/ПДК	Зима Xm	Зима Um
1052	Метиловый спирт	0,0383530	1,209495	1	1,37	11,4000	0,5000	0,00	0,0000	0,0000

6295	+	1	3	Производ-ственный корпус УРМ	5	0,0000			-	1	158,00 206,00	162,00 206,00	3,0000

Код в-ва	Наименование вещества	Выброс г/с	Выброс т/г	F	Лето Cm/ПДК	Лето Xm	Лето Um	Зима Cm/ПДК	Зима Xm	Зима Um
1052	Метиловый спирт	0,0350519	11,053975	1	0,15	28,5000	0,5000	0,00	0,0000	0,0000

6296	+	1	3	Колона ректификации метанола	2	0,0000			-	1	127,00 197,00	128,00 202,00	3,0000

Код в-ва	Наименование вещества	Выброс г/с	Выброс т/г	F	Лето Cm/ПДК	Лето Xm	Лето Um	Зима Cm/ПДК	Зима Xm	Зима Um
1052	Метиловый спирт	0,0302500	0,095408	1	1,08	11,4000	0,5000	0,00	0,0000	0,0000

6297	+	1	3	Подогреватель ВМР Т-3100	2	0,0000			-	1	99,00 225,00	96,00 228,00	3,0000

Код в-ва	Наименование вещества	Выброс г/с	Выброс т/г	F	Лето Cm/ПДК	Лето Xm	Лето Um	Зима Cm/ПДК	Зима Xm	Зима Um
1052	Метиловый спирт	0,0000100	0,000314	1	0,00	11,4000	0,5000	0,00	0,0000	0,0000

6298	+	1	3	Основной подогреватель ВМР Т-3201	2	0,0000			-	1	99,00 255,00	99,00 263,00	3,0000

Код в-ва	Наименование вещества	Выброс г/с	Выброс т/г	F	Лето Cm/ПДК	Лето Xm	Лето Um	Зима Cm/ПДК	Зима Xm	Зима Um
1052	Метиловый спирт	0,0000470	0,001479	1	0,00	11,4000	0,5000	0,00	0,0000	0,0000

6299	+	1	3	Основной подогреватель ВМР Т-3202	2	0,0000			-	1	111,00 255,00	115,00 255,00	3,0000

Код в-ва	Наименование вещества	Выброс г/с	Выброс т/г	F	Лето Cm/ПДК	Лето Xm	Лето Um	Зима Cm/ПДК	Зима Xm	Зима Um
1052	Метиловый спирт	0,0000470	0,001479	1	0,00	11,4000	0,5000	0,00	0,0000	0,0000

6301	+	1	3	Кипятильник куба Т-3301	2	0,0000			-	1	158,00 264,00	160,00 264,00	3,0000

Код в-ва	Наименование вещества	Выброс г/с	Выброс т/г	F	Лето Cm/ПДК	Лето Xm	Лето Um	Зима Cm/ПДК	Зима Xm	Зима Um
1052	Метиловый спирт	0,0001130	0,003554	1	0,00	11,4000	0,5000	0,00	0,0000	0,0000

6302	+	1	3	Кипятильник куба Т-3302	2	0,0000			-	1	65,00 184,00	72,00 183,00	3,0000

Код в-ва	Наименование вещества	Выброс г/с	Выброс т/г	F	Лето Cm/ПДК	Лето Xm	Лето Um	Зима Cm/ПДК	Зима Xm	Зима Um
1052	Метиловый спирт	0,0001130	0,003554	1	0,00	11,4000	0,5000	0,00	0,0000	0,0000

6303	+	1	3	Предварительный подогреватель ВМР Т-3601	2	0,0000			-	1	159,00 217,00	163,00 219,00	3,0000

Код в-ва	Наименование вещества	Выброс г/с	Выброс т/г	F	Лето Cm/ПДК	Лето Xm	Лето Um	Зима Cm/ПДК	Зима Xm	Зима Um
1052	Метиловый спирт	0,0000060	0,000196	1	0,00	11,4000	0,5000	0,00	0,0000	0,0000

6304	+	1	3	Предварительный подогреватель ВМР Т-3602	2	0,0000			-	1	143,00 210,00	146,00 210,00	3,0000

Код в-ва	Наименование вещества	Выброс г/с	Выброс т/г	F	Лето Cm/ПДК	Лето Xm	Лето Um	Зима Cm/ПДК	Зима Xm	Зима Um
1052	Метиловый спирт	0,0000060	0,000196	1	0,00	11,4000	0,5000	0,00	0,0000	0,0000

6305	+	1	3	Нагреватель ВМР Т-3800	2	0,0000			-	1	174,00 260,00	180,00 260,00	3,0000

Код в-ва	Наименование вещества	Выброс г/с	Выброс т/г	F	Лето Cm/ПДК	Лето Xm	Лето Um	Зима Cm/ПДК	Зима Xm	Зима Um
1052	Метиловый спирт	0,0001710	0,005378	1	0,01	11,4000	0,5000	0,00	0,0000	0,0000

6306	+	1	3	Емкость разделитель-дегазатор Е-3101	2	0,0000			-	1	126,00 304,00	128,00 304,00	3,0000

Код в-ва	Наименование вещества	Выброс г/с	Выброс т/г	F	Лето Cm/ПДК	Лето Xm	Лето Um	Зима Cm/ПДК	Зима Xm	Зима Um
1052	Метиловый спирт	0,0377208	1,189643	1	1,35	11,4000	0,5000	0,00	0,0000	0,0000

6307	+	1	3	Емкость разделитель-дегазатор Е-3102	2	0,0000			-	1	127,00 291,00	130,00 291,00	2,0000

Код в-ва	Наименование вещества	Выброс г/с	Выброс т/г	F	Лето Cm/ПДК	Лето Xm	Лето Um	Зима Cm/ПДК	Зима Xm	Зима Um
1052	Метиловый спирт	0,0200428	0,632061	1	0,72	11,4000	0,5000	0,00	0,0000	0,0000

6308	+	1	3	Емкость метанола Е-3201	2	0,0000			-	1	121,00 266,00	123,00 266,00	2,0000

Код в-ва	Наименование вещества	Выброс г/с	Выброс т/г	F	Лето Cm/ПДК	Лето Xm	Лето Um	Зима Cm/ПДК	Зима Xm	Зима Um
1052	Метиловый спирт	0,0295453	0,928272	1	1,06	11,4000	0,5000	0,00	0,0000	0,0000

6309	+	1	3	Емкость метанола Е-3202	2	0,0000			-	1	117,00 258,00	120,00 258,00	2,0000

Код в-ва	Наименование вещества	Выброс г/с	Выброс т/г	F	Лето Cm/ПДК	Лето Xm	Лето Um	Зима Cm/ПДК	Зима Xm	Зима Um
1052	Метиловый спирт	0,0295453	0,928272	1	1,06	11,4000	0,5000	0,00	0,0000	0,0000

6310	+	1	3	Емкость сбора ВМР Е-3601	2	0,0000			-	1	116,00 250,00	119,00 250,00	2,0000

Код в-ва	Наименование вещества	Выброс г/с	Выброс т/г	F	Лето Cm/ПДК	Лето Xm	Лето Um	Зима Cm/ПДК	Зима Xm	Зима Um
1052	Метиловый спирт	0,0290314	0,915533	1	1,04	11,4000	0,5000	0,00	0,0000	0,0000

6311	+	1	3	Емкость сбора ВМР Е-3602	2	0,0000			-	1	112,00 240,00	115,00 240,00	2,0000

Код в-ва	Наименование вещества	Выброс г/с	Выброс т/г	F	Лето См/ПДК	Лето Xm	Лето Um	Зима См/ПДК	Зима Xm	Зима Um
1052	Метиловый спирт	0,0290314	0,915533	1	1,04	11,4000	0,5000	0,00	0,0000	0,0000

6312	+	1	3	Емкость парового конденсата Е-3700	2	0,0000			-	1	128,00 210,00	130,00 210,00	2,0000

Код в-ва	Наименование вещества	Выброс г/с	Выброс т/г	F	Лето См/ПДК	Лето Xm	Лето Um	Зима См/ПДК	Зима Xm	Зима Um
1052	Метиловый спирт	0,0010370	0,032718	1	0,04	11,4000	0,5000	0,00	0,0000	0,0000

6313	+	1	3	Емкость жидких углеводоро-дов Е-3900	2	0,0000			-	1	129,00 314,00	131,00 314,00	2,0000

Код в-ва	Наименование вещества	Выброс г/с	Выброс т/г	F	Лето См/ПДК	Лето Xm	Лето Um	Зима См/ПДК	Зима Xm	Зима Um
0333	Дигидросульфид (Водород сернистый, дигидросульфид, гидросульфид)	0,0000021	0,000065	1	0,01	11,4000	0,5000	0,00	0,0000	0,0000
2754	Алканы С12-С19 (в пересчете на С)	0,0007390	0,023293	1	0,03	11,4000	0,5000	0,00	0,0000	0,0000

6314	+	1	3	Емкость сбора кубового осадка Е-4000	2	0,0000			-	1	142,00 252,00	145,00 255,00	2,0000

Код в-ва	Наименование вещества	Выброс г/с	Выброс т/г	F	Лето См/ПДК	Лето Xm	Лето Um	Зима См/ПДК	Зима Xm	Зима Um
1052	Метиловый спирт	0,0014830	0,046775	1	0,05	11,4000	0,5000	0,00	0,0000	0,0000

6315	+	1	3	Блок фильтров	2	0,0000			-	1	197,00 297,00	201,00 297,00	2,0000

Код в-ва	Наименование вещества	Выброс г/с	Выброс т/г	F	Лето См/ПДК	Лето Xm	Лето Um	Зима См/ПДК	Зима Xm	Зима Um
1052	Метиловый спирт	0,0699096	2,204727	1	2,50	11,4000	0,5000	0,00	0,0000	0,0000

№ пл.: 96, № цеха: 87

6316	+	1	3	Сепаратор С-0100	2	0,0000			-	1	154,00 312,00	152,00 302,00	2,0000

Код в-ва	Наименование вещества	Выброс г/с	Выброс т/г	F	Лето См/ПДК	Лето Xm	Лето Um	Зима См/ПДК	Зима Xm	Зима Um
0410	Метан	0,0016740	0,052790	1	0,00	11,4000	0,5000	0,00	0,0000	0,0000
0415	Смесь предельных углеводородов С1Н4-С5Н12	0,0002070	0,006529	1	0,00	11,4000	0,5000	0,00	0,0000	0,0000
0416	Смесь предельных углеводородов С6Н14-С10Н22	0,0000006	0,000019	1	0,00	11,4000	0,5000	0,00	0,0000	0,0000

6317	+	1	3	Подогреватель Т-0100	2	0,0000			-	1	142,00 316,00	139,00 305,00	2,0000

Код в-ва	Наименование вещества	Выброс г/с	Выброс т/г	F	Лето См/ПДК	Лето Xm	Лето Um	Зима См/ПДК	Зима Xm	Зима Um
0410	Метан	0,0189621	0,597989	1	0,01	11,4000	0,5000	0,00	0,0000	0,0000
0415	Смесь предельных углеводородов С1Н4-С5Н12	0,0023450	0,073955	1	0,00	11,4000	0,5000	0,00	0,0000	0,0000
0416	Смесь предельных углеводородов С6Н14-С10Н22	0,0000069	0,000217	1	0,00	11,4000	0,5000	0,00	0,0000	0,0000

6318	+	1	3	Подогреватель Т-1100	2	0,0000			-	1	143,00 316,00	140,00 305,00	2,0000

Код в-ва	Наименование вещества	Выброс г/с	Выброс т/г	F	Лето См/ПДК	Лето Xm	Лето Um	Зима См/ПДК	Зима Xm	Зима Um
0410	Метан	0,0001405	0,004431	1	0,00	11,4000	0,5000	0,00	0,0000	0,0000
0415	Смесь предельных углеводородов С1Н4-С5Н12	0,0000174	0,000548	1	0,00	11,4000	0,5000	0,00	0,0000	0,0000
0416	Смесь предельных углеводородов С6Н14-С10Н22	0,0000001	0,000002	1	0,00	11,4000	0,5000	0,00	0,0000	0,0000

6319	+	1	3	Емкость метанола Е-0200	2	0,0000			-	1	165,00 309,00	162,00 301,00	4,0000

Код в-ва	Наименование вещества	Выброс г/с	Выброс т/г	F	Лето См/ПДК	Лето Xm	Лето Um	Зима См/ПДК	Зима Xm	Зима Um
1052	Метиловый спирт	0,0014110	0,044505	1	0,05	11,4000	0,5000	0,00	0,0000	0,0000

6320	+	1	3	Пусковой парогенератор ПГ-100	2	0,0000			-	1	128,00 323,00	125,00 313,00	4,0000

Код в-ва	Наименование вещества	Выброс г/с	Выброс т/г	F	Лето См/ПДК	Лето Xm	Лето Um	Зима См/ПДК	Зима Xm	Зима Um
0410	Метан	0,0004136	0,013043	1	0,00	11,4000	0,5000	0,00	0,0000	0,0000
0415	Смесь предельных углеводородов С1Н4-С5Н12	0,0000511	0,001613	1	0,00	11,4000	0,5000	0,00	0,0000	0,0000
0416	Смесь предельных углеводородов С6Н14-С10Н22	0,0000002	0,000005	1	0,00	11,4000	0,5000	0,00	0,0000	0,0000

№ пл.: 96, № цеха: 88

244	+	1	1	Дымовая труба печи риформинга Р-0100	32	2,0000	45,1400	14,3685	200,0000	1	111,00 305,00		0,0000

Код в-ва	Наименование вещества	Выброс г/с	Выброс т/г	F	Лето Cm/ПДК	Лето Xm	Лето Um	Зима Cm/ПДК	Зима Xm	Зима Um
0301	Азота диоксид (Двуокись азота; пероксид азота)	1,5652840	49,362805	1	0,06	620,8385	4,8525	0,00	0,0000	0,0000
0304	Азот (II) оксид (Азот монооксид)	1,5261520	48,128735	1	0,03	620,8385	4,8525	0,00	0,0000	0,0000
0337	Углерода оксид (Углерод окись; углерод монооокись; угарный газ)	1,6666667	52,560000	1	0,00	620,8385	4,8525	0,00	0,0000	0,0000
0410	Метан	0,1666667	5,256000	1	0,00	620,8385	4,8525	0,00	0,0000	0,0000

245	+	1	1	Вытяжная вент.система блока парового риформинга М-50	10	0,6000	35,0000	123,7872	20,0000	1	108,00 296,00		0,0000

Код в-ва	Наименование вещества	Выброс г/с	Выброс т/г	F	Лето Cm/ПДК	Лето Xm	Лето Um	Зима Cm/ПДК	Зима Xm	Зима Um
0410	Метан	0,1375923	4,339108	1	0,00	497,1702	21,2419	0,00	0,0000	0,0000
0415	Смесь предельных углеводородов С1Н4-С5Н12	0,0170162	0,536625	1	0,00	497,1702	21,2419	0,00	0,0000	0,0000
0416	Смесь предельных углеводородов С6Н14-С10Н22	0,0000502	0,001581	1	0,00	497,1702	21,2419	0,00	0,0000	0,0000

6321	+	1	3	Пусковой подогреватель синтеза метанола Т-1200	2	0,0000			-	1	121,00 301,00	116,00 292,00	4,0000

Код в-ва	Наименование вещества	Выброс г/с	Выброс т/г	F	Лето Cm/ПДК	Лето Xm	Лето Um	Зима Cm/ПДК	Зима Xm	Зима Um
1052	Метиловый спирт	0,0015950	0,050308	1	0,06	11,4000	0,5000	0,00	0,0000	0,0000

6322	+	1	3	Змеевик технологического газа У-0500	2	0,0000			-	1	138,00 296,00	135,00 286,00	4,0000

Код в-ва	Наименование вещества	Выброс г/с	Выброс т/г	F	Лето Cm/ПДК	Лето Xm	Лето Um	Зима Cm/ПДК	Зима Xm	Зима Um
0410	Метан	0,0001391	0,004386	1	0,00	11,4000	0,5000	0,00	0,0000	0,0000
0415	Смесь предельных углеводородов С1Н4-С5Н12	0,0000172	0,000542	1	0,00	11,4000	0,5000	0,00	0,0000	0,0000
0416	Смесь предельных углеводородов С6Н14-С10Н22	0,0000001	0,000002	1	0,00	11,4000	0,5000	0,00	0,0000	0,0000

6323	+	1	3	Реактор гидрирования Р-0300	2	0,0000			-	1	189,00 302,00	199,00 298,00	4,0000

Код в-ва	Наименование вещества	Выброс г/с	Выброс т/г	F	Лето Cm/ПДК	Лето Xm	Лето Um	Зима Cm/ПДК	Зима Xm	Зима Um
0410	Метан	0,0040824	0,128742	1	0,00	11,4000	0,5000	0,00	0,0000	0,0000
0415	Смесь предельных углеводородов С1Н4-С5Н12	0,0005049	0,015922	1	0,00	11,4000	0,5000	0,00	0,0000	0,0000
0416	Смесь предельных углеводородов С6Н14-С10Н22	0,0000015	0,000047	1	0,00	11,4000	0,5000	0,00	0,0000	0,0000

6324	+	1	3	Котел-утилизатор Т-0200	2	0,0000			-	1	209,00 196,00	219,00 193,00	4,0000

Код в-ва	Наименование вещества	Выброс г/с	Выброс т/г	F	Лето Cm/ПДК	Лето Xm	Лето Um	Зима Cm/ПДК	Зима Xm	Зима Um
0410	Метан	0,0010507	0,033136	1	0,00	11,4000	0,5000	0,00	0,0000	0,0000
0415	Смесь предельных углеводородов С1Н4-С5Н12	0,0001299	0,004098	1	0,00	11,4000	0,5000	0,00	0,0000	0,0000
0416	Смесь предельных углеводородов С6Н14-С10Н22	0,0000004	0,000012	1	0,00	11,4000	0,5000	0,00	0,0000	0,0000

№ пл.: 96, № цеха: 89

246	+	1	1	Дымовая труба вспомогательного котла Вк-0100	15	1,0000	4,6200	5,8824	180,0000	1	145,00 168,00		0,0000

Код в-ва	Наименование вещества	Выброс г/с	Выброс т/г	F	Лето Cm/ПДК	Лето Xm	Лето Um	Зима Cm/ПДК	Зима Xm	Зима Um
0301	Азота диоксид (Двуокись азота; пероксид азота)	0,3915841	12,347539	1	0,17	206,8319	2,6616	0,00	0,0000	0,0000
0304	Азот (II) оксид (Азот монооксид)	0,3817945	12,038851	1	0,09	206,8319	2,6616	0,00	0,0000	0,0000
0337	Углерода оксид (Углерод окись; углерод монооокись; угарный газ)	0,8083640	25,489600	1	0,01	206,8319	2,6616	0,00	0,0000	0,0000
0703	Бенз/а/пирен	0,0000001	0,000003	3	0,00	103,4159	2,6616	0,00	0,0000	0,0000

6325	+	1	3	Змеевик топливного газа У-0600	2	0,0000			-	1	148,00 226,00	155,00 226,00	4,0000

Код в-ва	Наименование вещества	Выброс г/с	Выброс т/г	F	Лето Cm/ПДК	Лето Xm	Лето Um	Зима Cm/ПДК	Зима Xm	Зима Um
0410	Метан	0,0000346	0,001092	1	0,00	11,4000	0,5000	0,00	0,0000	0,0000
0415	Смесь предельных углеводородов С1Н4-С5Н12	0,0000043	0,000135	1	0,00	11,4000	0,5000	0,00	0,0000	0,0000
0416	Смесь предельных углеводородов С6Н14-С10Н22	1,2600000 E-08	3,980000E -07	1	0,00	11,4000	0,5000	0,00	0,0000	0,0000

№ пл.: 96, № цеха: 90

6326	+	1	3	Кипятильник Т-0300	2	0,0000			-	1	147,00 282,00	147,00 287,00	4,0000

Код	Наименование вещества	Выброс		F	Лето			Зима		

Код в-ва	Наименование вещества	Выброс г/с	Выброс т/г	F	Лето См/ПДК	Лето Xm	Лето Um	Зима См/ПДК	Зима Xm	Зима Um
0410	Метан	0,0004507	0,014213	1	0,00	11,4000	0,5000	0,00	0,0000	0,0000
0415	Смесь предельных углеводородов С1Н4-С5Н12	0,0000557	0,001758	1	0,00	11,4000	0,5000	0,00	0,0000	0,0000
0416	Смесь предельных углеводородов С6Н14-С10Н22	0,0000002	0,000005	1	0,00	11,4000	0,5000	0,00	0,0000	0,0000

6327	+	1	3	Колонна ректификации метанола К-0100	2	0,0000			-	1	110,00 264,00	112,00 264,00	4,0000

Код в-ва	Наименование вещества	Выброс г/с	Выброс т/г	F	Лето См/ПДК	Лето Xm	Лето Um	Зима См/ПДК	Зима Xm	Зима Um
1052	Метиловый спирт	0,0028900	0,091128	1	0,10	11,4000	0,5000	0,00	0,0000	0,0000

6328	+	1	3	Подогреватель обессоленной воды Т-0400	2	0,0000			-	1	105,00 227,00	110,00 227,00	4,0000

Код в-ва	Наименование вещества	Выброс г/с	Выброс т/г	F	Лето См/ПДК	Лето Xm	Лето Um	Зима См/ПДК	Зима Xm	Зима Um
0410	Метан	0,0004010	0,012646	1	0,00	11,4000	0,5000	0,00	0,0000	0,0000
0415	Смесь предельных углеводородов С1Н4-С5Н12	0,0000496	0,001564	1	0,00	11,4000	0,5000	0,00	0,0000	0,0000
0416	Смесь предельных углеводородов С6Н14-С10Н22	0,0000001	0,000005	1	0,00	11,4000	0,5000	0,00	0,0000	0,0000

6329	+	1	3	Подогреватель обессоленной воды Т-0400	2	0,0000			-	1	77,00 243,00	83,00 240,00	4,0000

Код в-ва	Наименование вещества	Выброс г/с	Выброс т/г	F	Лето См/ПДК	Лето Xm	Лето Um	Зима См/ПДК	Зима Xm	Зима Um
0410	Метан	0,0000010	0,000032	1	0,00	11,4000	0,5000	0,00	0,0000	0,0000
0415	Смесь предельных углеводородов С1Н4-С5Н12	0,0000001	0,000004	1	0,00	11,4000	0,5000	0,00	0,0000	0,0000
0416	Смесь предельных углеводородов С6Н14-С10Н22	3,7400000 E-10	1,180000E -08	1	0,00	11,4000	0,5000	0,00	0,0000	0,0000

6330	+	1	3	Подогреватель обессоленной воды Т-0400	2	0,0000			-	1	77,00 246,00	83,00 246,00	4,0000

Код в-ва	Наименование вещества	Выброс г/с	Выброс т/г	F	Лето См/ПДК	Лето Xm	Лето Um	Зима См/ПДК	Зима Xm	Зима Um
0410	Метан	0,0004033	0,012719	1	0,00	11,4000	0,5000	0,00	0,0000	0,0000
0415	Смесь предельных углеводородов С1Н4-С5Н12	0,0000499	0,001573	1	0,00	11,4000	0,5000	0,00	0,0000	0,0000
0416	Смесь предельных углеводородов С6Н14-С10Н22	0,0000001	0,000005	1	0,00	11,4000	0,5000	0,00	0,0000	0,0000

6331	+	1	3	Сепаратор С-0500	2	0,0000			-	1	88,00 275,00	91,00 274,00	4,0000

Код в-ва	Наименование вещества	Выброс г/с	Выброс т/г	F	Лето См/ПДК	Лето Xm	Лето Um	Зима См/ПДК	Зима Xm	Зима Um
0410	Метан	0,0004590	0,014475	1	0,00	11,4000	0,5000	0,00	0,0000	0,0000
0415	Смесь предельных углеводородов С1Н4-С5Н12	0,0000568	0,001790	1	0,00	11,4000	0,5000	0,00	0,0000	0,0000
0416	Смесь предельных углеводородов С6Н14-С10Н22	0,0000002	0,000005	1	0,00	11,4000	0,5000	0,00	0,0000	0,0000

6332	+	1	3	Подогреватель Т-0900	2	0,0000			-	1	108,00 296,00	109,00 296,00	4,0000

Код в-ва	Наименование вещества	Выброс г/с	Выброс т/г	F	Лето См/ПДК	Лето Xm	Лето Um	Зима См/ПДК	Зима Xm	Зима Um
1052	Метиловый спирт	0,0000010	0,000019	1	0,00	11,4000	0,5000	0,00	0,0000	0,0000

6333	+	1	3	Отпарная емкость К-0200	2	0,0000			-	1	132,00 320,00	135,00 324,00	4,0000

Код в-ва	Наименование вещества	Выброс г/с	Выброс т/г	F	Лето См/ПДК	Лето Xm	Лето Um	Зима См/ПДК	Зима Xm	Зима Um
0410	Метан	0,0002191	0,006909	1	0,00	11,4000	0,5000	0,00	0,0000	0,0000
0415	Смесь предельных углеводородов С1Н4-С5Н12	0,0000271	0,000854	1	0,00	11,4000	0,5000	0,00	0,0000	0,0000
0416	Смесь предельных углеводородов С6Н14-С10Н22	0,0000001	0,000003	1	0,00	11,4000	0,5000	0,00	0,0000	0,0000

№ пл.: 96, № цеха: 91

6334	+	1	3	Бак продувок – Е-1700	2	0,0000			-	1	126,00 289,00	127,00 289,00	4,0000

Код в-ва	Наименование вещества	Выброс г/с	Выброс т/г	F	Лето См/ПДК	Лето Xm	Лето Um	Зима См/ПДК	Зима Xm	Зима Um
0410	Метан	9,4900000 E-10	2,990000E -08	1	0,00	11,4000	0,5000	0,00	0,0000	0,0000
0415	Смесь предельных углеводородов С1Н4-С5Н12	0,0000060	0,000190	1	0,00	11,4000	0,5000	0,00	0,0000	0,0000
0416	Смесь предельных углеводородов С6Н14-С10Н22	0,0000130	0,000409	1	0,00	11,4000	0,5000	0,00	0,0000	0,0000

6335	+	1	3	Сепаратор С-0600	2	0,0000			-	1	137,00 272,00	140,00 272,00	4,0000

Код в-ва	Наименование вещества	Выброс	F	Лето См/ПДК	Лето Xm	Лето Um	Зима См/ПДК	Зима Xm	Зима Um

		г/с	т/г							
0410	Метан	0,0061473	0,193860	1	0,00	11,4000	0,5000	0,00	0,0000	0,0000
0415	Смесь предельных углеводородов С1Н4-С5Н12	0,0007602	0,023975	1	0,00	11,4000	0,5000	0,00	0,0000	0,0000
0416	Смесь предельных углеводородов С6Н14-С10Н22	0,0000022	0,000071	1	0,00	11,4000	0,5000	0,00	0,0000	0,0000

№ пл.: 96, № цеха: 92

6336	+	1	3	Расходная емкость свежего масла Е-1401	2	0,0000			-	1	136,00 204,00	136,00 197,00	4,0000

Код в-ва	Наименование вещества	Выброс г/с	Выброс т/г	F	Лето См/ПДК	Лето Xm	Лето Um	Зима См/ПДК	Зима Xm	Зима Um
2735	Масло минеральное нефтяное	0,0003744	0,118059	1	0,27	11,4000	0,5000	0,00	0,0000	0,0000

6337	+	1	3	Расходная емкость свежего масла Е-1402	2	0,0000			-	1	144,00 202,00	144,00 196,00	4,0000

Код в-ва	Наименование вещества	Выброс г/с	Выброс т/г	F	Лето См/ПДК	Лето Xm	Лето Um	Зима См/ПДК	Зима Xm	Зима Um
2735	Масло минеральное нефтяное	0,0047047	0,148355	1	3,36	11,4000	0,5000	0,00	0,0000	0,0000

6338	+	1	3	Расходная емкость свежего масла Е-1403	2	0,0000			-	1	167,00 196,00	167,00 193,00	4,0000

Код в-ва	Наименование вещества	Выброс г/с	Выброс т/г	F	Лето См/ПДК	Лето Xm	Лето Um	Зима См/ПДК	Зима Xm	Зима Um
2735	Масло минеральное нефтяное	0,0004641	0,146337	1	0,33	11,4000	0,5000	0,00	0,0000	0,0000

6339	+	1	3	Расходная емкость свежего масла Е-1404	2	0,0000			-	1	170,00 209,00	173,00 209,00	2,0000

Код в-ва	Наименование вещества	Выброс г/с	Выброс т/г	F	Лето См/ПДК	Лето Xm	Лето Um	Зима См/ПДК	Зима Xm	Зима Um
2735	Масло минеральное нефтяное	0,0003808	0,120077	1	0,27	11,4000	0,5000	0,00	0,0000	0,0000

6340	+	1	3	Емкость свежего масла Е-1100	2	0,0000			-	1	166,00 203,00	168,00 203,00	2,0000

Код в-ва	Наименование вещества	Выброс г/с	Выброс т/г	F	Лето См/ПДК	Лето Xm	Лето Um	Зима См/ПДК	Зима Xm	Зима Um
2735	Масло минеральное нефтяное	0,0013998	0,441445	1	1,00	11,4000	0,5000	0,00	0,0000	0,0000

6341	+	1	3	Емкость отработанного масла Е-1300	2	0,0000			-	1	170,00 204,00	172,00 204,00	2,0000

Код в-ва	Наименование вещества	Выброс г/с	Выброс т/г	F	Лето См/ПДК	Лето Xm	Лето Um	Зима См/ПДК	Зима Xm	Зима Um
2735	Масло минеральное нефтяное	0,0001400	0,441647	1	0,10	11,4000	0,5000	0,00	0,0000	0,0000

6342	+	1	3	Дегазатор масла Е-1600	2	0,0000			-	1	175,00 215,00	176,00 215,00	2,0000

Код в-ва	Наименование вещества	Выброс г/с	Выброс т/г	F	Лето См/ПДК	Лето Xm	Лето Um	Зима См/ПДК	Зима Xm	Зима Um
2735	Масло минеральное нефтяное	0,0004730	0,149163	1	0,34	11,4000	0,5000	0,00	0,0000	0,0000

№ пл.: 96, № цеха: 93

248	+	1	1	Вытяжная вент.система здания тарного хранения масла	6	0,4000	0,0800	0,6366	20,0000	1	171,00 165,00		0,0000

Код в-ва	Наименование вещества	Выброс г/с	Выброс т/г	F	Лето См/ПДК	Лето Xm	Лето Um	Зима См/ПДК	Зима Xm	Зима Um
2735	Масло минеральное нефтяное	0,0018056	0,001057	1	0,10	34,2000	0,5000	0,00	0,0000	0,0000

249	+	1	1	Вытяжная вент.система блока ремонтно-эксплуатационного	10	0,7100	0,5833	1,4734	20,0000	1	398,00 38,00		0,0000

Код в-ва	Наименование вещества	Выброс г/с	Выброс т/г	F	Лето См/ПДК	Лето Xm	Лето Um	Зима См/ПДК	Зима Xm	Зима Um
0123	Железа оксид	0,1641378	1,004185	3	0,00	28,5000	0,5000	0,00	0,0000	0,0000
0143	Марганец и его соединения (в пересчете на марганец (IV) оксид)	0,0040856	0,016489	3	1,02	28,5000	0,5000	0,00	0,0000	0,0000
0203	Хром (в пересчете на хрома (VI) оксид)	0,0006871	0,000091	3	0,00	28,5000	0,5000	0,00	0,0000	0,0000
0301	Азота диоксид (Двуокись азота; пероксид азота)	0,0321056	0,215554	1	0,13	57,0000	0,5000	0,00	0,0000	0,0000
0304	Азот (II) оксид (Азот монооксид)	0,0052172	0,035028	1	0,01	57,0000	0,5000	0,00	0,0000	0,0000
0337	Углерода оксид (Углерод окись; углерод моноокись; угарный газ)	0,0608403	0,341958	1	0,01	57,0000	0,5000	0,00	0,0000	0,0000
0342	Фториды газообразные	0,0015867	0,001244	1	0,07	57,0000	0,5000	0,00	0,0000	0,0000
0344	Фториды плохо растворимые	0,0027389	0,001493	3	0,03	28,5000	0,5000	0,00	0,0000	0,0000
2908	Пыль неорганическая: 70-20% SiO2	0,0011806	0,001275	3	0,01	28,5000	0,5000	0,00	0,0000	0,0000

6343	+	1	3	Сборник метанола-сырца Е-0100	2	0,0000			-	1	203,00 300,00	205,00 300,00	2,0000

Код в-ва	Наименование вещества	Выброс г/с	Выброс т/г	F	Лето См/ПДК	Лето Xm	Лето Um	Зима См/ПДК	Зима Xm	Зима Um
1052	Метиловый спирт	0,0206000	0,649640	1	0,74	11,4000	0,5000	0,00	0,0000	0,0000

6344	+	1	3	Закрытая теплая стоянка автотранспорта	5	0,0000			-	1	370,00 36,00	364,00 13,00	10,0000

Код в-ва	Наименование вещества	Выброс г/с	Выброс т/г	F	Лето См/ПДК	Лето Xm	Лето Um	Зима См/ПДК	Зима Xm	Зима Um
0301	Азота диоксид (Двуокись азота; пероксид азота)	0,0022444	0,003770	1	0,05	28,5000	0,5000	0,00	0,0000	0,0000
0304	Азот (II) оксид (Азот монооксид)	0,0003647	0,000613	1	0,00	28,5000	0,5000	0,00	0,0000	0,0000
0328	Углерод (Пигмент черный)	0,0001861	0,000323	3	0,02	14,2500	0,5000	0,00	0,0000	0,0000
0330	Сера диоксид	0,0003599	0,000610	1	0,00	28,5000	0,5000	0,00	0,0000	0,0000
0337	Углерода оксид (Углерод окись; углерод моноокись; угарный газ)	0,0052750	0,008437	1	0,00	28,5000	0,5000	0,00	0,0000	0,0000
2732	Керосин (Керосин прямой перегонки; керосин дезодорированный)	0,0008194	0,001336	1	0,00	28,5000	0,5000	0,00	0,0000	0,0000

6345	+	1	3	Стоянка автотранспорта	5	0,0000			-	1	266,00 19,00	274,00 40,00	2,0000

Код в-ва	Наименование вещества	Выброс г/с	Выброс т/г	F	Лето См/ПДК	Лето Xm	Лето Um	Зима См/ПДК	Зима Xm	Зима Um
0301	Азота диоксид (Двуокись азота; пероксид азота)	0,0397729	0,040203	1	0,84	28,5000	0,5000	0,00	0,0000	0,0000
0304	Азот (II) оксид (Азот монооксид)	0,0064631	0,006533	1	0,07	28,5000	0,5000	0,00	0,0000	0,0000
0328	Углерод (Пигмент черный)	0,0162172	0,010278	3	1,37	14,2500	0,5000	0,00	0,0000	0,0000
0330	Сера диоксид	0,0060450	0,005024	1	0,05	28,5000	0,5000	0,00	0,0000	0,0000
0337	Углерода оксид (Углерод окись; углерод моноокись; угарный газ)	0,2356011	0,124990	1	0,20	28,5000	0,5000	0,00	0,0000	0,0000
2704	Бензин (нефтяной, малосернистый) (в пересчете на углерод)	0,0052222	0,003356	1	0,00	28,5000	0,5000	0,00	0,0000	0,0000
2732	Керосин (Керосин прямой перегонки; керосин дезодорированный)	0,0301828	0,017341	1	0,11	28,5000	0,5000	0,00	0,0000	0,0000

№ пл.: 96, № цеха: 94

250	+	1	1	Вытяжная вент.система №1 лаборатории	12,6	0,1600	0,2110	10,4943	20,0000	1	320,00 53,00		0,0000

Код в-ва	Наименование вещества	Выброс г/с	Выброс т/г	F	Лето См/ПДК	Лето Xm	Лето Um	Зима См/ПДК	Зима Xm	Зима Um
0150	Натрий гидроксид (Натр едкий)	0,0000131	0,000189	3	0,00	35,9100	0,5000	0,00	0,0000	0,0000
0302	Азотная кислота (по молекуле HNO3)	0,0005000	0,007227	1	0,00	71,8200	0,5000	0,00	0,0000	0,0000
0303	Аммиак (Азота гидрид)	0,0000492	0,000711	1	0,00	71,8200	0,5000	0,00	0,0000	0,0000
0316	Гидрохлорид (по молекуле HCl) (Водород хлорид)	0,0001320	0,001908	1	0,00	71,8200	0,5000	0,00	0,0000	0,0000
0322	Серная кислота (по молекуле H2SO4)	0,0000267	0,000386	1	0,00	71,8200	0,5000	0,00	0,0000	0,0000
0602	Бензол (Циклогексатриен; фенилгидрид)	0,0002460	0,003556	1	0,00	71,8200	0,5000	0,00	0,0000	0,0000
0621	Метилбензол (Фенилметан)	0,0000811	0,001172	1	0,00	71,8200	0,5000	0,00	0,0000	0,0000
0906	Углерод тетрахлорид	0,0004930	0,007126	1	0,00	71,8200	0,5000	0,00	0,0000	0,0000
1061	Этанол (Этиловый спирт; метилкарбинол)	0,0016700	0,024138	1	0,00	71,8200	0,5000	0,00	0,0000	0,0000
1401	Пропан-2-он (Диметилкетон; диметилформальдегид)	0,0006370	0,009207	1	0,00	71,8200	0,5000	0,00	0,0000	0,0000
1555	Этановая кислота (Метанкарбоновая кислота)	0,0001920	0,002775	1	0,00	71,8200	0,5000	0,00	0,0000	0,0000

251	+	1	1	Вытяжная вент.система №2 лаборатории	12,6	0,2800	0,7780	12,6350	20,0000	1	315,00 42,00		0,0000

Код в-ва	Наименование вещества	Выброс г/с	Выброс т/г	F	Лето См/ПДК	Лето Xm	Лето Um	Зима См/ПДК	Зима Xm	Зима Um
0150	Натрий гидроксид (Натр едкий)	0,0000131	0,000189	3	0,00	35,9100	0,5000	0,00	0,0000	0,0000
0302	Азотная кислота (по молекуле HNO3)	0,0005000	0,007227	1	0,00	71,8200	0,5000	0,00	0,0000	0,0000
0303	Аммиак (Азота гидрид)	0,0000492	0,000711	1	0,00	71,8200	0,5000	0,00	0,0000	0,0000
0316	Гидрохлорид (по молекуле HCl) (Водород хлорид)	0,0001320	0,001908	1	0,00	71,8200	0,5000	0,00	0,0000	0,0000
0322	Серная кислота (по молекуле H2SO4)	0,0000267	0,000386	1	0,00	71,8200	0,5000	0,00	0,0000	0,0000
0602	Бензол (Циклогексатриен; фенилгидрид)	0,0002460	0,003556	1	0,00	71,8200	0,5000	0,00	0,0000	0,0000
0621	Метилбензол (Фенилметан)	0,0000811	0,001172	1	0,00	71,8200	0,5000	0,00	0,0000	0,0000
0906	Углерод тетрахлорид	0,0004930	0,007126	1	0,00	71,8200	0,5000	0,00	0,0000	0,0000
1061	Этанол (Этиловый спирт; метилкарбинол)	0,0016700	0,024138	1	0,00	71,8200	0,5000	0,00	0,0000	0,0000
1401	Пропан-2-он (Диметилкетон; диметилформальдегид)	0,0006370	0,009207	1	0,00	71,8200	0,5000	0,00	0,0000	0,0000
1555	Этановая кислота (Метанкарбоновая кислота)	0,0001920	0,002775	1	0,00	71,8200	0,5000	0,00	0,0000	0,0000

252	+	1	1	Вытяжная вент.система №3 лаборатории	14,2	0,1600	0,2110	10,4943	20,0000	1	315,00 35,00		0,0000

Код в-ва	Наименование вещества	Выброс г/с	Выброс т/г	F	Лето См/ПДК	Лето Xm	Лето Um	Зима См/ПДК	Зима Xm	Зима Um
0150	Натрий гидроксид (Натр едкий)	0,0000131	0,000189	3	0,00	40,4700	0,5000	0,00	0,0000	0,0000
0302	Азотная кислота (по молекуле HNO3)	0,0005000	0,007227	1	0,00	80,9400	0,5000	0,00	0,0000	0,0000

0303	Аммиак (Азота гидрид)	0,0000492	0,000711	1	0,00	80,9400	0,5000	0,00	0,0000	0,0000		
0316	Гидрохлорид (по молекуле HCl) (Водород хлорид)	0,0001320	0,001908	1	0,00	80,9400	0,5000	0,00	0,0000	0,0000		
0322	Серная кислота (по молекуле H2SO4)	0,0000267	0,000386	1	0,00	80,9400	0,5000	0,00	0,0000	0,0000		
0602	Бензол (Циклогексатриен; фенилгидрид)	0,0002460	0,003556	1	0,00	80,9400	0,5000	0,00	0,0000	0,0000		
0621	Метилбензол (Фенилметан)	0,0000811	0,001172	1	0,00	80,9400	0,5000	0,00	0,0000	0,0000		
0906	Углерод тетрахлорид	0,0004930	0,007126	1	0,00	80,9400	0,5000	0,00	0,0000	0,0000		
1061	Этанол (Этиловый спирт; метилкарбинол)	0,0016700	0,024138	1	0,00	80,9400	0,5000	0,00	0,0000	0,0000		
1401	Пропан-2-он (Диметилкетон; диметилформальдегид)	0,0006370	0,009207	1	0,00	80,9400	0,5000	0,00	0,0000	0,0000		
1555	Этановая кислота (Метанкарбоновая кислота)	0,0001920	0,002775	1	0,00	80,9400	0,5000	0,00	0,0000	0,0000		

№ пл.: 97, № цеха: 95

253	+	1	1	Дымовая труба МГПА №1	25	2,8100	213,1980	34,3780	440,0000	1	689,00 137,00	0,0000

Код в-ва	Наименование вещества	Выброс г/с	Выброс т/г	F	Лето Cm/ПДК	Лето Xm	Лето Um	Зима Cm/ПДК	Зима Xm	Зима Um
0301	Азота диоксид (Двуокись азота; пероксид азота)	2,0979425	64,348091	1	0,04	911,9130	14,1875	0,00	0,0000	0,0000
0304	Азот (II) оксид (Азот монооксид)	2,0454939	62,739389	1	0,02	911,9130	14,1875	0,00	0,0000	0,0000
0337	Углерода оксид (Углерод окись; углерод моноокись; угарный газ)	16,5695016	508,219753	1	0,01	911,9130	14,1875	0,00	0,0000	0,0000
0410	Метан	0,2984520	89,326128	1	0,00	911,9130	14,1875	0,00	0,0000	0,0000

254	+	1	1	Свеча суфлирования маслобака двигателя МГПА №1	25	2,8100	0,8000	0,1290	20,0000	1	689,00 137,00	0,0000

Код в-ва	Наименование вещества	Выброс г/с	Выброс т/г	F	Лето Cm/ПДК	Лето Xm	Лето Um	Зима Cm/ПДК	Зима Xm	Зима Um
2735	Масло минеральное нефтяное	0,0475070	0,373901	1	0,09	142,5000	0,5000	0,00	0,0000	0,0000

255	+	1	1	Свеча суфлирования маслобака компрессора МГПА№1	11	0,0500	0,0500	25,4648	20,0000	1	689,00 133,00	0,0000

Код в-ва	Наименование вещества	Выброс г/с	Выброс т/г	F	Лето Cm/ПДК	Лето Xm	Лето Um	Зима Cm/ПДК	Зима Xm	Зима Um
2735	Масло минеральное нефтяное	0,0593838	0,467376	1	0,79	62,7000	0,5000	0,00	0,0000	0,0000

256	+	1	1	Вент.труба МГПА №1	11,95	0,4000	0,4000	3,1831	20,0000	1	698,00 133,00	0,0000

Код в-ва	Наименование вещества	Выброс г/с	Выброс т/г	F	Лето Cm/ПДК	Лето Xm	Лето Um	Зима Cm/ПДК	Зима Xm	Зима Um
0410	Метан	0,0009176	0,028938	1	0,00	68,1150	0,5000	0,00	0,0000	0,0000
0415	Смесь предельных углеводородов C1H4-C5H12	0,0001135	0,003579	1	0,00	68,1150	0,5000	0,00	0,0000	0,0000
0416	Смесь предельных углеводородов C6H14-C10H22	0,0000003	0,000011	1	0,00	68,1150	0,5000	0,00	0,0000	0,0000
2735	Масло минеральное нефтяное	0,0000160	0,000505	1	0,00	68,1150	0,5000	0,00	0,0000	0,0000

257	+	1	1	Свеча сухих газодинамических уплотнений МГПА №1	15	0,0500	0,0500	25,4648	20,0000	1	683,00 135,00	0,0000

Код в-ва	Наименование вещества	Выброс г/с	Выброс т/г	F	Лето Cm/ПДК	Лето Xm	Лето Um	Зима Cm/ПДК	Зима Xm	Зима Um
0410	Метан	9,8168334	335,052304	1	0,06	85,5000	0,5000	0,00	0,0000	0,0000

258	+	1	1	Дымовая труба МГПА №2	25	2,8100	213,1980	34,3780	440,0000	1	675,00 94,00	0,0000

Код в-ва	Наименование вещества	Выброс г/с	Выброс т/г	F	Лето Cm/ПДК	Лето Xm	Лето Um	Зима Cm/ПДК	Зима Xm	Зима Um
0301	Азота диоксид (Двуокись азота; пероксид азота)	2,0979425	64,348091	1	0,04	911,9130	14,1875	0,00	0,0000	0,0000
0304	Азот (II) оксид (Азот монооксид)	2,0454939	62,739389	1	0,02	911,9130	14,1875	0,00	0,0000	0,0000
0337	Углерода оксид (Углерод окись; углерод моноокись; угарный газ)	16,5695016	508,219753	1	0,01	911,9130	14,1875	0,00	0,0000	0,0000
0410	Метан	0,2984520	89,326128	1	0,00	911,9130	14,1875	0,00	0,0000	0,0000

259	+	1	1	Свеча суфлирования маслобака двигателя МГПА №2	25	2,8100	0,8000	0,1290	20,0000	1	675,00 94,00	0,0000

Код в-ва	Наименование вещества	Выброс г/с	Выброс т/г	F	Лето Cm/ПДК	Лето Xm	Лето Um	Зима Cm/ПДК	Зима Xm	Зима Um
2735	Масло минеральное нефтяное	0,0475070	0,373901	1	0,09	142,5000	0,5000	0,00	0,0000	0,0000

260	+	1	1	Свеча суфлирования маслобака компрессора МГПА№2	11	0,0500	0,0500	25,4648	20,0000	1	673,00 91,00	0,0000

Код в-ва	Наименование вещества	Выброс г/с	Выброс т/г	F	Лето Cm/ПДК	Лето Xm	Лето Um	Зима Cm/ПДК	Зима Xm	Зима Um
2735	Масло минеральное нефтяное	0,0593838	0,467376	1	0,79	62,7000	0,5000	0,00	0,0000	0,0000

261	+	1	1	Вент.труба МГПА №2	11,95	2,8100	4,9600	0,7998	20,0000	1	684,00 90,00	0,0000

Код в-ва	Наименование вещества	Выброс г/с	Выброс т/г	F	Лето См/ПДК	Лето Xm	Лето Um	Зима См/ПДК	Зима Xm	Зима Um
0410	Метан	0,0009176	0,028938	1	0,00	68,1150	0,5000	0,00	0,0000	0,0000
0415	Смесь предельных углеводородов С1Н4-С5Н12	0,0001135	0,003579	1	0,00	68,1150	0,5000	0,00	0,0000	0,0000
0416	Смесь предельных углеводородов С6Н14-С10Н22	0,0000003	0,000011	1	0,00	68,1150	0,5000	0,00	0,0000	0,0000
2735	Масло минеральное нефтяное	0,0000160	0,000505	1	0,00	68,1150	0,5000	0,00	0,0000	0,0000

262	+	1	1	Свеча сухих газодинамических уплотнений МГПА №2	15	0,0500	0,0500	25,4648	20,0000	1	669,00 91,00			0,0000

Код в-ва	Наименование вещества	Выброс г/с	Выброс т/г	F	Лето См/ПДК	Лето Xm	Лето Um	Зима См/ПДК	Зима Xm	Зима Um
0410	Метан	9,8168334	335,052304	1	0,06	85,5000	0,5000	0,00	0,0000	0,0000

263	+	1	1	Дымовая труба МГПА №3	25	2,8100	213,1980	34,3780	440,0000	1	661,00 51,00			0,0000

Код в-ва	Наименование вещества	Выброс г/с	Выброс т/г	F	Лето См/ПДК	Лето Xm	Лето Um	Зима См/ПДК	Зима Xm	Зима Um
0301	Азота диоксид (Двуокись азота; пероксид азота)	2,0979425	64,348091	1	0,04	911,9130	14,1875	0,00	0,0000	0,0000
0304	Азот (II) оксид (Азот монооксид)	2,0454939	62,739389	1	0,02	911,9130	14,1875	0,00	0,0000	0,0000
0337	Углерода оксид (Углерод окись; углерод моноокись; угарный газ)	16,5695016	508,219753	1	0,01	911,9130	14,1875	0,00	0,0000	0,0000
0410	Метан	0,2984520	89,326128	1	0,00	911,9130	14,1875	0,00	0,0000	0,0000

264	+	1	1	Свеча суфлирования маслобака двигателя МГПА №3	25	2,8100	0,8000	0,1290	20,0000	1	661,00 51,00			0,0000

Код в-ва	Наименование вещества	Выброс г/с	Выброс т/г	F	Лето См/ПДК	Лето Xm	Лето Um	Зима См/ПДК	Зима Xm	Зима Um
2735	Масло минеральное нефтяное	0,0475070	0,373901	1	0,09	142,5000	0,5000	0,00	0,0000	0,0000

265	+	1	1	Свеча суфлирования маслобака компрессора МГПА№3	11	0,0500	0,0500	25,4648	20,0000	1	658,00 48,00			0,0000

Код в-ва	Наименование вещества	Выброс г/с	Выброс т/г	F	Лето См/ПДК	Лето Xm	Лето Um	Зима См/ПДК	Зима Xm	Зима Um
2735	Масло минеральное нефтяное	0,0593838	0,467376	1	0,79	62,7000	0,5000	0,00	0,0000	0,0000

266	+	1	1	Вент.труба МГПА №3	11,95	0,4000	0,4000	3,1831	20,0000	1	670,00 48,00			0,0000

Код в-ва	Наименование вещества	Выброс г/с	Выброс т/г	F	Лето См/ПДК	Лето Xm	Лето Um	Зима См/ПДК	Зима Xm	Зима Um
0410	Метан	0,0009176	0,028938	1	0,00	68,1150	0,5000	0,00	0,0000	0,0000
0415	Смесь предельных углеводородов С1Н4-С5Н12	0,0001135	0,003579	1	0,00	68,1150	0,5000	0,00	0,0000	0,0000
0416	Смесь предельных углеводородов С6Н14-С10Н22	0,0000003	0,000011	1	0,00	68,1150	0,5000	0,00	0,0000	0,0000
2735	Масло минеральное нефтяное	0,0000160	0,000505	1	0,00	68,1150	0,5000	0,00	0,0000	0,0000

267	+	1	1	Свеча сухих газодинамических уплотнений МГПА №3	15	0,0500	0,0500	25,4648	20,0000	1	654,00 48,00			0,0000

Код в-ва	Наименование вещества	Выброс г/с	Выброс т/г	F	Лето См/ПДК	Лето Xm	Лето Um	Зима См/ПДК	Зима Xm	Зима Um
0410	Метан	9,8168334	335,052304	1	0,06	85,5000	0,5000	0,00	0,0000	0,0000

268	+	1	1	Дымовая труба МГПА №4	25	2,8100	213,1980	34,3780	440,0000	1	640,00 -10,00			0,0000

Код в-ва	Наименование вещества	Выброс г/с	Выброс т/г	F	Лето См/ПДК	Лето Xm	Лето Um	Зима См/ПДК	Зима Xm	Зима Um
0301	Азота диоксид (Двуокись азота; пероксид азота)	2,0979425	64,348091	1	0,04	911,9130	14,1875	0,00	0,0000	0,0000
0304	Азот (II) оксид (Азот монооксид)	2,0454939	62,739389	1	0,02	911,9130	14,1875	0,00	0,0000	0,0000
0337	Углерода оксид (Углерод окись; углерод моноокись; угарный газ)	16,5695016	508,219753	1	0,01	911,9130	14,1875	0,00	0,0000	0,0000
0410	Метан	0,2984520	89,326128	1	0,00	911,9130	14,1875	0,00	0,0000	0,0000

269	+	1	1	Свеча суфлирования маслобака двигателя МГПА №4	25	2,8100	0,8000	0,1290	20,0000	1	640,00 -10,00			0,0000

Код в-ва	Наименование вещества	Выброс г/с	Выброс т/г	F	Лето См/ПДК	Лето Xm	Лето Um	Зима См/ПДК	Зима Xm	Зима Um
2735	Масло минеральное нефтяное	0,0047507	0,373901	1	0,01	142,5000	0,5000	0,00	0,0000	0,0000

270	+	1	1	Свеча суфлирования маслобака компрессора МГПА№4	11	0,0500	0,0500	25,4648	20,0000	1	633,00 -12,00			0,0000

Код в-ва	Наименование вещества	Выброс г/с	Выброс т/г	F	Лето См/ПДК	Лето Xm	Лето Um	Зима См/ПДК	Зима Xm	Зима Um

2735	Масло минеральное нефтяное	0,0059384	0,467376	1	0,08	62,7000	0,5000	0,00	0,0000	0,0000			
271	+	1	1	Вент.труба МГПА №4	11,95	0,4000	0,4000	3,1831	20,0000	1	650,00 -15,00		0,0000

Код в-ва	Наименование вещества	Выброс г/с	Выброс т/г	F	Лето См/ПДК	Лето Xm	Лето Um	Зима См/ПДК	Зима Xm	Зима Um
0410	Метан	0,0009176	0,028938	1	0,00	68,1150	0,5000	0,00	0,0000	0,0000
0415	Смесь предельных углеводородов С1Н4-С5Н12	0,0001135	0,003579	1	0,00	68,1150	0,5000	0,00	0,0000	0,0000
0416	Смесь предельных углеводородов С6Н14-С10Н22	0,0000003	0,000011	1	0,00	68,1150	0,5000	0,00	0,0000	0,0000
2735	Масло минеральное нефтяное	0,0000160	0,000505	1	0,00	68,1150	0,5000	0,00	0,0000	0,0000

272	+	1	1	Свеча сухих газодинамических уплотнений МГПА №4	15	0,0500	0,0500	25,4648	20,0000	1	633,00 -14,00		0,0000

Код в-ва	Наименование вещества	Выброс г/с	Выброс т/г	F	Лето См/ПДК	Лето Xm	Лето Um	Зима См/ПДК	Зима Xm	Зима Um
0410	Метан	0,9816833	335,052304	1	0,01	85,5000	0,5000	0,00	0,0000	0,0000

273	+	1	1	Дымовая труба установки подготовки газа	7,27	0,7000	0,8550	2,2217	200,0000	1	640,00 156,00		0,0000

Код в-ва	Наименование вещества	Выброс г/с	Выброс т/г	F	Лето См/ПДК	Лето Xm	Лето Um	Зима См/ПДК	Зима Xm	Зима Um
0301	Азота диоксид (Двуокись азота; пероксид азота)	0,1041458	4,589037	1	0,39	77,5861	1,7968	0,00	0,0000	0,0000
0304	Азот (II) оксид (Азот монооксид)	0,1015421	4,474311	1	0,19	77,5861	1,7968	0,00	0,0000	0,0000
0337	Углерода оксид (Углерод окись; углерод моноокись; угарный газ)	1,8009038	9,666000	1	0,27	77,5861	1,7968	0,00	0,0000	0,0000
0703	Бенз/а/пирен	0,0000003	6,000000E-07	3	0,00	38,7931	1,7968	0,00	0,0000	0,0000

274	+	1	1	Вент.труба установки подготовки газа	8,1	0,4000	0,4000	3,1831	20,0000	1	644,00 150,00		0,0000

Код в-ва	Наименование вещества	Выброс г/с	Выброс т/г	F	Лето См/ПДК	Лето Xm	Лето Um	Зима См/ПДК	Зима Xm	Зима Um
0410	Метан	0,0018352	0,057876	1	0,00	46,1700	0,5000	0,00	0,0000	0,0000
0415	Смесь предельных углеводородов С1Н4-С5Н12	0,0002270	0,007158	1	0,00	46,1700	0,5000	0,00	0,0000	0,0000
0416	Смесь предельных углеводородов С6Н14-С10Н22	0,0000007	0,000021	1	0,00	46,1700	0,5000	0,00	0,0000	0,0000

275	+	1	1	Свеча насосной масел	9,6	0,0500	0,0500	25,4648	20,0000	1	557,00 58,00		0,0000

Код в-ва	Наименование вещества	Выброс г/с	Выброс т/г	F	Лето См/ПДК	Лето Xm	Лето Um	Зима См/ПДК	Зима Xm	Зима Um
2735	Масло минеральное нефтяное	0,0001235	0,000050	1	0,00	54,7200	0,5000	0,00	0,0000	0,0000

276	+	1	1	Вент.труба насосной масел	8	0,3000	0,3000	4,2441	20,0000	1	560,00 55,00		0,0000

Код в-ва	Наименование вещества	Выброс г/с	Выброс т/г	F	Лето См/ПДК	Лето Xm	Лето Um	Зима См/ПДК	Зима Xm	Зима Um
2735	Масло минеральное нефтяное	0,0217160	0,684836	1	0,61	45,6000	0,5000	0,00	0,0000	0,0000

306	+	1	1	Дымовая труба МГПА №5	25	2,8100	213,1980	34,3780	440,0000	1	625,00 -53,00		0,0000

Код в-ва	Наименование вещества	Выброс г/с	Выброс т/г	F	Лето См/ПДК	Лето Xm	Лето Um	Зима См/ПДК	Зима Xm	Зима Um
0301	Азота диоксид (Двуокись азота; пероксид азота)	2,0979425	64,348091	1	0,04	911,9130	14,1875	0,00	0,0000	0,0000
0304	Азот (II) оксид (Азот монооксид)	2,0454939	62,739389	1	0,02	911,9130	14,1875	0,00	0,0000	0,0000
0337	Углерода оксид (Углерод окись; углерод моноокись; угарный газ)	16,5695016	508,219753	1	0,01	911,9130	14,1875	0,00	0,0000	0,0000
0410	Метан	0,2984520	89,326128	1	0,00	911,9130	14,1875	0,00	0,0000	0,0000

307	+	1	1	Свеча суфлирования маслобака двигателя МГПА №5	25	2,8100	2,8100	0,4531	20,0000	1	625,00 -53,00		0,0000

Код в-ва	Наименование вещества	Выброс г/с	Выброс т/г	F	Лето См/ПДК	Лето Xm	Лето Um	Зима См/ПДК	Зима Xm	Зима Um
2735	Масло минеральное нефтяное	0,0047507	0,373901	1	0,01	142,5000	0,5000	0,00	0,0000	0,0000

308	+	1	1	Свеча суфлирования маслобака компрессора МГПА№5	11	0,0500	0,0500	25,4648	20,0000	1	619,00 -55,00		0,0000

Код в-ва	Наименование вещества	Выброс г/с	Выброс т/г	F	Лето См/ПДК	Лето Xm	Лето Um	Зима См/ПДК	Зима Xm	Зима Um
2735	Масло минеральное нефтяное	0,0059384	0,467376	1	0,08	62,7000	0,5000	0,00	0,0000	0,0000

309	+	1	1	Вент.труба МГПА №5	11,95	0,4000	0,4000	3,1831	20,0000	1	634,00 -57,00		0,0000

Код	Наименование вещества	Выброс	F	Лето	Зима

Код в-ва	Наименование вещества	Выброс г/с	Выброс т/г	F	Лето См/ПДК	Лето Xm	Лето Um	Зима См/ПДК	Зима Xm	Зима Um
0410	Метан	0,0009176	0,028938	1	0,00	68,1150	0,5000	0,00	0,0000	0,0000
0415	Смесь предельных углеводородов С1Н4-С5Н12	0,0001135	0,003579	1	0,00	68,1150	0,5000	0,00	0,0000	0,0000
0416	Смесь предельных углеводородов С6Н14-С10Н22	0,0000003	0,000011	1	0,00	68,1150	0,5000	0,00	0,0000	0,0000
2735	Масло минеральное нефтяное	0,0000160	0,000505	1	0,00	68,1150	0,5000	0,00	0,0000	0,0000

310	+	1	1	Свеча сухих газодинамических уплотнений МГПА №5	15	0,0500	0,0500	25,4648	20,0000	1	618,00 -56,00		0,0000

Код в-ва	Наименование вещества	Выброс г/с	Выброс т/г	F	Лето См/ПДК	Лето Xm	Лето Um	Зима См/ПДК	Зима Xm	Зима Um
0410	Метан	9,8168334	335,052304	1	0,06	85,5000	0,5000	0,00	0,0000	0,0000

315		1	1	Дымовая труба МГПА №6	25	2,8100	213,1980	34,3780	440,0000	1	611,00 -95,00		0,0000

Код в-ва	Наименование вещества	Выброс г/с	Выброс т/г	F	Лето См/ПДК	Лето Xm	Лето Um	Зима См/ПДК	Зима Xm	Зима Um
0301	Азота диоксид (Двуокись азота; пероксид азота)	2,0979425	64,348091	1	0,04	911,9130	14,1875	0,00	0,0000	0,0000
0304	Азот (II) оксид (Азот монооксид)	2,0454939	62,739389	1	0,02	911,9130	14,1875	0,00	0,0000	0,0000
0337	Углерода оксид (Углерод окись; углерод моноокись; угарный газ)	16,5695016	508,219753	1	0,01	911,9130	14,1875	0,00	0,0000	0,0000
0410	Метан	0,2984520	89,326128	1	0,00	911,9130	14,1875	0,00	0,0000	0,0000

316	+	1	1	Свеча суфлирования маслобака двигателя МГПА №6	25	2,8100	2,8100	0,4531	20,0000	1	611,00 -95,00		0,0000

Код в-ва	Наименование вещества	Выброс г/с	Выброс т/г	F	Лето См/ПДК	Лето Xm	Лето Um	Зима См/ПДК	Зима Xm	Зима Um
2735	Масло минеральное нефтяное	0,0475070	0,373901	1	0,09	142,5000	0,5000	0,00	0,0000	0,0000

317	+	1	1	Свеча суфлирования маслобака компрессора МГПА№6	11	0,0500	0,0500	25,4648	20,0000	1	604,00 -98,00		0,0000

Код в-ва	Наименование вещества	Выброс г/с	Выброс т/г	F	Лето См/ПДК	Лето Xm	Лето Um	Зима См/ПДК	Зима Xm	Зима Um
2735	Масло минеральное нефтяное	0,0593838	0,467376	1	0,79	62,7000	0,5000	0,00	0,0000	0,0000

318	+	1	1	Вент.труба МГПА №6	11,95	0,4000	0,4000	3,1831	20,0000	1	620,00 -99,00		0,0000

Код в-ва	Наименование вещества	Выброс г/с	Выброс т/г	F	Лето См/ПДК	Лето Xm	Лето Um	Зима См/ПДК	Зима Xm	Зима Um
0410	Метан	0,0009176	0,028938	1	0,00	68,1150	0,5000	0,00	0,0000	0,0000
0415	Смесь предельных углеводородов С1Н4-С5Н12	0,0001135	0,003579	1	0,00	68,1150	0,5000	0,00	0,0000	0,0000
0416	Смесь предельных углеводородов С6Н14-С10Н22	0,0000003	0,000011	1	0,00	68,1150	0,5000	0,00	0,0000	0,0000
2735	Масло минеральное нефтяное	0,0000160	0,000505	1	0,00	68,1150	0,5000	0,00	0,0000	0,0000

319	+	1	1	Свеча сухих газодинамических уплотнений МГПА №6	15	0,0500	0,0500	25,4648	20,0000	1	603,00 -100,00		0,0000

Код в-ва	Наименование вещества	Выброс г/с	Выброс т/г	F	Лето См/ПДК	Лето Xm	Лето Um	Зима См/ПДК	Зима Xm	Зима Um
0410	Метан	9,8168334	335,052304	1	0,06	85,5000	0,5000	0,00	0,0000	0,0000

6346	+	1	3	Дыхательный клапан емкости дренажной Е-1 МГПА №1	2	0,0000			-	1	680,00 123,00	683,00 122,00	2,0000

Код в-ва	Наименование вещества	Выброс г/с	Выброс т/г	F	Лето См/ПДК	Лето Xm	Лето Um	Зима См/ПДК	Зима Xm	Зима Um
0410	Метан	0,0000008	0,000031	1	0,00	11,4000	0,5000	0,00	0,0000	0,0000
0415	Смесь предельных углеводородов С1Н4-С5Н12	0,0007230	0,028300	1	0,00	11,4000	0,5000	0,00	0,0000	0,0000
0416	Смесь предельных углеводородов С6Н14-С10Н22	0,0000059	0,000230	1	0,00	11,4000	0,5000	0,00	0,0000	0,0000

6347	+	1	3	Дыхательный клапан емкости дренажной Е-1 МГПА №2	2	0,0000			-	1	666,00 81,00	669,00 80,00	0,2000

Код в-ва	Наименование вещества	Выброс г/с	Выброс т/г	F	Лето См/ПДК	Лето Xm	Лето Um	Зима См/ПДК	Зима Xm	Зима Um
0410	Метан	0,0000008	0,000031	1	0,00	11,4000	0,5000	0,00	0,0000	0,0000
0415	Смесь предельных углеводородов С1Н4-С5Н12	0,0007230	0,028300	1	0,00	11,4000	0,5000	0,00	0,0000	0,0000
0416	Смесь предельных углеводородов С6Н14-С10Н22	0,0000059	0,000230	1	0,00	11,4000	0,5000	0,00	0,0000	0,0000

6348	+	1	3	Дыхательный клапан емкости дренажной Е-1 МГПА №3	2	0,0000			-	1	651,00 38,00	654,00 37,00	2,0000

Код в-ва	Наименование вещества	Выброс г/с	Выброс т/г	F	Лето См/ПДК	Лето Xm	Лето Um	Зима См/ПДК	Зима Xm	Зима Um
0410	Метан	0,0000008	0,000031	1	0,00	11,4000	0,5000	0,00	0,0000	0,0000

0415	Смесь предельных углеводородов С1Н4-С5Н12					0,0007230	0,028300	1	0,00	11,4000	0,5000	0,00	0,0000	0,0000
0416	Смесь предельных углеводородов С6Н14-С10Н22					0,0000059	0,000230	1	0,00	11,4000	0,5000	0,00	0,0000	0,0000
6349	+	1	3	Дыхательный клапан емкости дренажной Е-1 МГПА №4	2	0,0000				-	1	631,00 -24,00	634,00 -25,00	2,0000

Код в-ва	Наименование вещества	Выброс г/с	Выброс т/г	F	Лето См/ПДК	Лето Xm	Лето Um	Зима См/ПДК	Зима Xm	Зима Um
0410	Метан	0,0000008	0,000031	1	0,00	11,4000	0,5000	0,00	0,0000	0,0000
0415	Смесь предельных углеводородов С1Н4-С5Н12	0,0007230	0,028300	1	0,00	11,4000	0,5000	0,00	0,0000	0,0000
0416	Смесь предельных углеводородов С6Н14-С10Н22	0,0000059	0,000230	1	0,00	11,4000	0,5000	0,00	0,0000	0,0000
6351	+ 1 3 Емкость дренажная Е-3-1	2	0,0000			-	1	705,00 147,00	708,00 146,00	2,0000

Код в-ва	Наименование вещества	Выброс г/с	Выброс т/г	F	Лето См/ПДК	Лето Xm	Лето Um	Зима См/ПДК	Зима Xm	Зима Um
2735	Масло минеральное нефтяное	0,0004550	0,000055	1	0,33	11,4000	0,5000	0,00	0,0000	0,0000
6352	+ 1 3 Емкость дренажная Е-3-2	2	0,0000			-	1	691,00 105,00	694,00 104,00	2,0000

Код в-ва	Наименование вещества	Выброс г/с	Выброс т/г	F	Лето См/ПДК	Лето Xm	Лето Um	Зима См/ПДК	Зима Xm	Зима Um
2735	Масло минеральное нефтяное	0,0004550	0,000455	1	0,33	11,4000	0,5000	0,00	0,0000	0,0000
6353	+ 1 3 Емкость дренажная Е-3-3	2	0,0000			-	1	677,00 62,00	680,00 61,00	2,0000

Код в-ва	Наименование вещества	Выброс г/с	Выброс т/г	F	Лето См/ПДК	Лето Xm	Лето Um	Зима См/ПДК	Зима Xm	Зима Um
2735	Масло минеральное нефтяное	0,0004550	0,000455	1	0,33	11,4000	0,5000	0,00	0,0000	0,0000
6354	+ 1 3 Емкость дренажная Е-3-4	2	0,0000			-	1	656,00 0,00	659,00 -1,00	2,0000

Код в-ва	Наименование вещества	Выброс г/с	Выброс т/г	F	Лето См/ПДК	Лето Xm	Лето Um	Зима См/ПДК	Зима Xm	Зима Um
2735	Масло минеральное нефтяное	0,0004550	0,000455	1	0,33	11,4000	0,5000	0,00	0,0000	0,0000
6355	+ 1 3 Емкость дренажная Е-4-1	2	0,0000			-	1	642,00 -42,00	645,00 -43,00	2,0000

Код в-ва	Наименование вещества	Выброс г/с	Выброс т/г	F	Лето См/ПДК	Лето Xm	Лето Um	Зима См/ПДК	Зима Xm	Зима Um
2735	Масло минеральное нефтяное	0,0004550	0,000455	1	0,33	11,4000	0,5000	0,00	0,0000	0,0000
6356	+ 1 3 Емкость дренажная Е-4-2	2	0,0000			-	1	628,00 -85,00	630,00 -86,00	2,0000

Код в-ва	Наименование вещества	Выброс г/с	Выброс т/г	F	Лето См/ПДК	Лето Xm	Лето Um	Зима См/ПДК	Зима Xm	Зима Um
2735	Масло минеральное нефтяное	0,0004550	0,000455	1	0,33	11,4000	0,5000	0,00	0,0000	0,0000
6357	+ 1 3 Емкость дренажная Е-7	2	0,0000			-	1	579,00 15,00	581,00 15,00	2,0000

Код в-ва	Наименование вещества	Выброс г/с	Выброс т/г	F	Лето См/ПДК	Лето Xm	Лето Um	Зима См/ПДК	Зима Xm	Зима Um
0333	Дигидросульфид (Водород сернистый, дигидросульфид, гидросульфид)	0,0000085	0,000001	1	0,04	11,4000	0,5000	0,00	0,0000	0,0000
2754	Алканы С12-С19 (в пересчете на С)	0,0030419	0,000531	1	0,11	11,4000	0,5000	0,00	0,0000	0,0000
6358	+ 1 3 Дыхательный клапан емкости дренажной Е-1 МГПА №5	2	0,0000			-	1	617,00 -66,00	619,00 -67,00	2,0000

Код в-ва	Наименование вещества	Выброс г/с	Выброс т/г	F	Лето См/ПДК	Лето Xm	Лето Um	Зима См/ПДК	Зима Xm	Зима Um
0410	Метан	0,0000008	0,000031	1	0,00	11,4000	0,5000	0,00	0,0000	0,0000
0416	Смесь предельных углеводородов С6Н14-С10Н22	0,0007230	0,028300	1	0,00	11,4000	0,5000	0,00	0,0000	0,0000
1052	Метиловый спирт	0,0000059	0,000230	1	0,00	11,4000	0,5000	0,00	0,0000	0,0000
6359	+ 1 3 Емкость дренажная Е-1 МГПА №6	2	0,0000			-	1	603,00 -109,00	605,00 -110,00	2,0000

Код в-ва	Наименование вещества	Выброс г/с	Выброс т/г	F	Лето См/ПДК	Лето Xm	Лето Um	Зима См/ПДК	Зима Xm	Зима Um
0410	Метан	0,0000008	0,000031	1	0,00	11,4000	0,5000	0,00	0,0000	0,0000
0416	Смесь предельных углеводородов С6Н14-С10Н22	0,0007230	0,028300	1	0,00	11,4000	0,5000	0,00	0,0000	0,0000
1052	Метиловый спирт	0,0000059	0,000230	1	0,00	11,4000	0,5000	0,00	0,0000	0,0000
6360	+ 1 3 Неплотности фланцев наружной обвязки МГПА	2	0,0000			-	1	744,00 139,00	654,00 -128,00	2,0000

Код в-ва	Наименование вещества	Выброс г/с	Выброс т/г	F	Лето См/ПДК	Лето Xm	Лето Um	Зима См/ПДК	Зима Xm	Зима Um
0410	Метан	0,0110114	0,347255	1	0,01	11,4000	0,5000	0,00	0,0000	0,0000
0415	Смесь предельных углеводородов С1Н4-С5Н12	0,0013618	0,042946	1	0,00	11,4000	0,5000	0,00	0,0000	0,0000
0416	Смесь предельных углеводородов С6Н14-С10Н22	0,0000040	0,000127	1	0,00	11,4000	0,5000	0,00	0,0000	0,0000
2735	Масло минеральное нефтяное	0,0000960	0,003027	1	0,07	11,4000	0,5000	0,00	0,0000	0,0000

6361	+	1	3	Неплотности фланцевых соединений. УПГ	2	0,0000			-	1	652,00 144,00	649,00 134,00	2,0000

Код в-ва	Наименование вещества	Выброс г/с	Выброс т/г	F	Лето См/ПДК	Лето Xm	Лето Um	Зима См/ПДК	Зима Xm	Зима Um
0410	Метан	0,0009176	0,028938	1	0,00	11,4000	0,5000	0,00	0,0000	0,0000
0415	Смесь предельных углеводородов С1Н4-С5Н12	0,0001135	0,003579	1	0,00	11,4000	0,5000	0,00	0,0000	0,0000
0416	Смесь предельных углеводородов С6Н14-С10Н22	0,0000003	0,000011	1	0,00	11,4000	0,5000	0,00	0,0000	0,0000

6362	+	1	3	Неплотности фланцевых соединений. Расходный склад масел	2	0,0000			-	1	581,00 44,00	609,00 34,00	2,0000

Код в-ва	Наименование вещества	Выброс г/с	Выброс т/г	F	Лето См/ПДК	Лето Xm	Лето Um	Зима См/ПДК	Зима Xm	Зима Um
2735	Масло минеральное нефтяное	0,0001280	0,004037	1	0,09	11,4000	0,5000	0,00	0,0000	0,0000

6363	+	1	3	Неплотности фланцевых соединений. Площадка АДЭС №1-3	2	0,0000			-	1	582,00 7,00	602,00 1,00	2,0000

Код в-ва	Наименование вещества	Выброс г/с	Выброс т/г	F	Лето См/ПДК	Лето Xm	Лето Um	Зима См/ПДК	Зима Xm	Зима Um
0333	Дигидросульфид (Водород сернистый, дигидросульфид, гидросульфид)	0,0000002	0,000007	1	0,00	11,4000	0,5000	0,00	0,0000	0,0000
2754	Алканы С12-С19 (в пересчете на С)	0,0000830	0,002616	1	0,00	11,4000	0,5000	0,00	0,0000	0,0000

6364	+	1	3	Неплотности фланцевых соединений. Сети технологические	2	0,0000			-	1	628,00 43,00	683,00 46,00	5,0000

Код в-ва	Наименование вещества	Выброс г/с	Выброс т/г	F	Лето См/ПДК	Лето Xm	Лето Um	Зима См/ПДК	Зима Xm	Зима Um
0410	Метан	0,0015455	0,048738	1	0,00	11,4000	0,5000	0,00	0,0000	0,0000
0415	Смесь предельных углеводородов С1Н4-С5Н12	0,0001911	0,006027	1	0,00	11,4000	0,5000	0,00	0,0000	0,0000
0416	Смесь предельных углеводородов С6Н14-С10Н22	0,0000006	0,000018	1	0,00	11,4000	0,5000	0,00	0,0000	0,0000
2735	Масло минеральное нефтяное	0,0000320	0,001009	1	0,02	11,4000	0,5000	0,00	0,0000	0,0000

№ пл.: 133, № цеха: 0

325	+	1	1	Вент.труба блока ТДА-201-5	7	0,2000	0,0450	1,4324	16,0000	1	769,00 -74,00		0,0000

Код в-ва	Наименование вещества	Выброс г/с	Выброс т/г	F	Лето См/ПДК	Лето Xm	Лето Um	Зима См/ПДК	Зима Xm	Зима Um
0410	Метан	0,0001360	0,004162	1	0,00	39,9000	0,5000	0,00	0,0000	0,0000
0415	Смесь предельных углеводородов С1Н4-С5Н12	0,0000417	0,001280	1	0,00	39,9000	0,5000	0,00	0,0000	0,0000
0416	Смесь предельных углеводородов С6Н14-С10Н22	0,0000015	0,000052	1	0,00	39,9000	0,5000	0,00	0,0000	0,0000
1052	Метиловый спирт	5,0000000 E-08	0,000001	1	0,00	39,9000	0,5000	0,00	0,0000	0,0000
2754	Алканы С12-С19 (в пересчете на С)	2,5000000 E-09	5,000000E -08	1	0,00	39,9000	0,5000	0,00	0,0000	0,0000

326	+	1	1	Вент.труба блока ТДА-201-5	7	0,2000	0,0450	1,4324	16,0000	1	769,00 -77,00		0,0000

Код в-ва	Наименование вещества	Выброс г/с	Выброс т/г	F	Лето См/ПДК	Лето Xm	Лето Um	Зима См/ПДК	Зима Xm	Зима Um
0410	Метан	0,0001360	0,004162	1	0,00	39,9000	0,5000	0,00	0,0000	0,0000
0415	Смесь предельных углеводородов С1Н4-С5Н12	0,0000417	0,001280	1	0,00	39,9000	0,5000	0,00	0,0000	0,0000
0416	Смесь предельных углеводородов С6Н14-С10Н22	0,0000015	0,000052	1	0,00	39,9000	0,5000	0,00	0,0000	0,0000
1052	Метиловый спирт	5,0000000 E-08	0,000001	1	0,00	39,9000	0,5000	0,00	0,0000	0,0000
2754	Алканы С12-С19 (в пересчете на С)	2,5000000 E-09	5,000000E -08	1	0,00	39,9000	0,5000	0,00	0,0000	0,0000

327	+	1	1	Вент.труба блока ТДА-201-6	7	0,2000	0,0450	1,4324	16,0000	1	812,00 -134,00		0,0000

Код в-ва	Наименование вещества	Выброс г/с	Выброс т/г	F	Лето См/ПДК	Лето Xm	Лето Um	Зима См/ПДК	Зима Xm	Зима Um
0410	Метан	0,0001360	0,004162	1	0,00	39,9000	0,5000	0,00	0,0000	0,0000
0415	Смесь предельных углеводородов С1Н4-С5Н12	0,0000417	0,001280	1	0,00	39,9000	0,5000	0,00	0,0000	0,0000
0416	Смесь предельных углеводородов С6Н14-С10Н22	0,0000015	0,000052	1	0,00	39,9000	0,5000	0,00	0,0000	0,0000
1052	Метиловый спирт	5,0000000 E-08	0,000001	1	0,00	39,9000	0,5000	0,00	0,0000	0,0000

2754	Алканы С12-С19 (в пересчете на С)				2,5000000 E-09	5,000000E -08	1	0,00	39,9000	0,5000	0,00	0,0000	0,0000
328	+	1	1	Вент.труба блока ТДА-201-6	7	0,2000	0,0450	1,4324	16,0000	1	812,00 -137,00		0,0000

Код в-ва	Наименование вещества	Выброс г/с	Выброс т/г	F	Лето См/ПДК	Лето Xm	Лето Um	Зима См/ПДК	Зима Xm	Зима Um
0410	Метан	0,0001360	0,004162	1	0,00	39,9000	0,5000	0,00	0,0000	0,0000
0415	Смесь предельных углеводородов С1Н4-С5Н12	0,0000417	0,001280	1	0,00	39,9000	0,5000	0,00	0,0000	0,0000
0416	Смесь предельных углеводородов С6Н14-С10Н22	0,0000015	0,000052	1	0,00	39,9000	0,5000	0,00	0,0000	0,0000
1052	Метиловый спирт	5,0000000 E-08	0,000001	1	0,00	39,9000	0,5000	0,00	0,0000	0,0000
2754	Алканы С12-С19 (в пересчете на С)	2,5000000 E-09	5,000000E -08	1	0,00	39,9000	0,5000	0,00	0,0000	0,0000

329	+	1	1	Свеча топливного бака ДЭС	4	0,0500	0,0013	0,6621	40,0000	1	747,00 -149,00		0,0000

Код в-ва	Наименование вещества	Выброс г/с	Выброс т/г	F	Лето См/ПДК	Лето Xm	Лето Um	Зима См/ПДК	Зима Xm	Зима Um
0333	Дигидросульфид (Водород сернистый, дигидросульфид, гидросульфид)	0,0000015	1,000000E -07	1	0,01	10,1974	0,5000	0,00	0,0000	0,0000
2754	Алканы С12-С19 (в пересчете на С)	0,0005395	0,000038	1	0,02	10,1974	0,5000	0,00	0,0000	0,0000

330	+	1	1	Свеча маслобака ДЭС	4	0,0500	0,0010	0,4889	40,0000	1	747,00 -148,00		0,0000

Код в-ва	Наименование вещества	Выброс г/с	Выброс т/г	F	Лето См/ПДК	Лето Xm	Лето Um	Зима См/ПДК	Зима Xm	Зима Um
2735	Масло минеральное нефтяное	0,0003670	9,000000E -08	1	0,24	10,1249	0,5000	0,00	0,0000	0,0000

6421	+	1	3	Неорг.выброс уст. узла входа шлейфов	2	0,0000			-	1	926,00 99,00	936,00 95,00	15,0000

Код в-ва	Наименование вещества	Выброс г/с	Выброс т/г	F	Лето См/ПДК	Лето Xm	Лето Um	Зима См/ПДК	Зима Xm	Зима Um
0410	Метан	0,0197560	0,605940	1	0,01	11,4000	0,5000	0,00	0,0000	0,0000
0415	Смесь предельных углеводородов С1Н4-С5Н12	0,0081990	0,251485	1	0,00	11,4000	0,5000	0,00	0,0000	0,0000
0416	Смесь предельных углеводородов С6Н14-С10Н22	0,0039170	0,120135	1	0,00	11,4000	0,5000	0,00	0,0000	0,0000
1052	Метиловый спирт	0,0001000	0,003076	1	0,00	11,4000	0,5000	0,00	0,0000	0,0000
2754	Алканы С12-С19 (в пересчете на С)	0,0012818	0,037369	1	0,05	11,4000	0,5000	0,00	0,0000	0,0000

6422	+	1	3	Неорг.выброс сепараторы СП-111-3,4	2	0,0000			-	1	862,00 89,00	892,00 80,00	30,0000

Код в-ва	Наименование вещества	Выброс г/с	Выброс т/г	F	Лето См/ПДК	Лето Xm	Лето Um	Зима См/ПДК	Зима Xm	Зима Um
0410	Метан	0,0503550	1,544474	1	0,04	11,4000	0,5000	0,00	0,0000	0,0000
0415	Смесь предельных углеводородов С1Н4-С5Н12	0,0210800	0,646560	1	0,00	11,4000	0,5000	0,00	0,0000	0,0000
0416	Смесь предельных углеводородов С6Н14-С10Н22	0,0106220	0,325730	1	0,01	11,4000	0,5000	0,00	0,0000	0,0000
2754	Алканы С12-С19 (в пересчете на С)	0,0033310	0,102164	1	0,12	11,4000	0,5000	0,00	0,0000	0,0000

6423	+	1	3	Неорг.выброс сепараторы СП-111-6,7,8	2	0,0000			-	1	861,00 44,00	843,00 -12,00	10,0000

Код в-ва	Наименование вещества	Выброс г/с	Выброс т/г	F	Лето См/ПДК	Лето Xm	Лето Um	Зима См/ПДК	Зима Xm	Зима Um
0410	Метан	0,1483170	4,549221	1	0,11	11,4000	0,5000	0,00	0,0000	0,0000
0415	Смесь предельных углеводородов С1Н4-С5Н12	0,0542740	1,664736	1	0,01	11,4000	0,5000	0,00	0,0000	0,0000
0416	Смесь предельных углеводородов С6Н14-С10Н22	0,0038020	0,116604	1	0,00	11,4000	0,5000	0,00	0,0000	0,0000
2754	Алканы С12-С19 (в пересчете на С)	0,0000830	0,002526	1	0,00	11,4000	0,5000	0,00	0,0000	0,0000

6424	+	1	3	Неорг.выброс АВО УКПГ-2	2	0,0000			-	1	824,00 107,00	836,00 104,00	30,0000

Код в-ва	Наименование вещества	Выброс г/с	Выброс т/г	F	Лето См/ПДК	Лето Xm	Лето Um	Зима См/ПДК	Зима Xm	Зима Um
0410	Метан	0,0009550	0,029275	1	0,00	11,4000	0,5000	0,00	0,0000	0,0000
0415	Смесь предельных углеводородов С1Н4-С5Н12	0,0003490	0,010700	1	0,00	11,4000	0,5000	0,00	0,0000	0,0000
0416	Смесь предельных углеводородов С6Н14-С10Н22	0,0000230	0,000708	1	0,00	11,4000	0,5000	0,00	0,0000	0,0000
1052	Метиловый спирт	0,0000200	0,000615	1	0,00	11,4000	0,5000	0,00	0,0000	0,0000
2754	Алканы С12-С19 (в пересчете на С)	4,0000000 E-08	0,000001	1	0,00	11,4000	0,5000	0,00	0,0000	0,0000

6425	+	1	3	Неорг.выброс блок подачи метанола ЬПМ-101-6	2	0,0000			-	1	815,00 85,00	827,00 80,00	5,0000

Код в-ва	Наименование вещества	Выброс г/с	Выброс т/г	F	Лето См/ПДК	Лето Xm	Лето Um	Зима См/ПДК	Зима Xm	Зима Um

1052				Метиловый спирт	0,0010330	0,031680	1	0,04	11,4000	0,5000	0,00	0,0000	0,0000	
6426	+	1	3	Неорг.выброс блок АВО сырого газа УВОГ-201-5	2	0,0000			-	1	763,00 -96,00	775,00 -101,00	10,0000	

Код в-ва	Наименование вещества	Выброс г/с	Выброс т/г	F	Лето Cm/ПДК	Лето Xm	Лето Um	Зима Cm/ПДК	Зима Xm	Зима Um
0410	Метан	0,0003270	0,010022	1	0,00	11,4000	0,5000	0,00	0,0000	0,0000
0415	Смесь предельных углеводородов С1Н4-С5Н12	0,0001190	0,003663	1	0,00	11,4000	0,5000	0,00	0,0000	0,0000
0416	Смесь предельных углеводородов С6Н14-С10Н22	0,0000080	0,000242	1	0,00	11,4000	0,5000	0,00	0,0000	0,0000
2754	Алканы С12-С19 (в пересчете на С)	1,0000000 Е-08	4,000000Е -07	1	0,00	11,4000	0,5000	0,00	0,0000	0,0000

6427	+	1	3	Неорг.выброс теплообм.Т-201-5, Т202-5	2	0,0000			-	1	780,00 -53,00	795,00 -58,00	15,0000	

Код в-ва	Наименование вещества	Выброс г/с	Выброс т/г	F	Лето Cm/ПДК	Лето Xm	Лето Um	Зима Cm/ПДК	Зима Xm	Зима Um
0410	Метан	0,0282040	0,865044	1	0,02	11,4000	0,5000	0,00	0,0000	0,0000
0415	Смесь предельных углеводородов С1Н4-С5Н12	0,0072400	0,222067	1	0,00	11,4000	0,5000	0,00	0,0000	0,0000
0416	Смесь предельных углеводородов С6Н14-С10Н22	0,0000640	0,001927	1	0,00	11,4000	0,5000	0,00	0,0000	0,0000
1052	Метиловый спирт	0,0000130	0,000393	1	0,00	11,4000	0,5000	0,00	0,0000	0,0000
2754	Алканы С12-С19 (в пересчете на С)	2,1410000 Е-08	5,441000Е -07	1	0,00	11,4000	0,5000	0,00	0,0000	0,0000

6428	+	1	3	Неорг.выброс теплообм.Т-203-5	2	0,0000			-	1	788,00 -31,00	801,00 -36,00	5,0000	

Код в-ва	Наименование вещества	Выброс г/с	Выброс т/г	F	Лето Cm/ПДК	Лето Xm	Лето Um	Зима Cm/ПДК	Зима Xm	Зима Um
0410	Метан	0,0043960	0,134822	1	0,00	11,4000	0,5000	0,00	0,0000	0,0000
0415	Смесь предельных углеводородов С1Н4-С5Н12	0,0071860	0,220389	1	0,00	11,4000	0,5000	0,00	0,0000	0,0000
0416	Смесь предельных углеводородов С6Н14-С10Н22	0,0008630	0,026478	1	0,00	11,4000	0,5000	0,00	0,0000	0,0000
1052	Метиловый спирт	0,0001050	0,003206	1	0,00	11,4000	0,5000	0,00	0,0000	0,0000
2754	Алканы С12-С19 (в пересчете на С)	0,0000010	0,000041	1	0,00	11,4000	0,5000	0,00	0,0000	0,0000

6429	+	1	3	Неорг.выброс сепараторы С-201-5, С202-5	2	0,0000			-	1	770,00 -76,00	784,00 -81,00	10,0000	

Код в-ва	Наименование вещества	Выброс г/с	Выброс т/г	F	Лето Cm/ПДК	Лето Xm	Лето Um	Зима Cm/ПДК	Зима Xm	Зима Um
0410	Метан	0,0538130	1,650525	1	0,04	11,4000	0,5000	0,00	0,0000	0,0000
0415	Смесь предельных углеводородов С1Н4-С5Н12	0,0254770	0,781424	1	0,00	11,4000	0,5000	0,00	0,0000	0,0000
0416	Смесь предельных углеводородов С6Н14-С10Н22	0,0020880	0,064050	1	0,00	11,4000	0,5000	0,00	0,0000	0,0000
1052	Метиловый спирт	0,0073240	0,224650	1	0,26	11,4000	0,5000	0,00	0,0000	0,0000
2754	Алканы С12-С19 (в пересчете на С)	0,0000030	0,000098	1	0,00	11,4000	0,5000	0,00	0,0000	0,0000

6430	+	1	3	Неорг.выброс блок подачи метанола БЬПМ-201-205-5	2	0,0000			-	1	854,00 -23,00	850,00 -35,00	5,0000	

Код в-ва	Наименование вещества	Выброс г/с	Выброс т/г	F	Лето Cm/ПДК	Лето Xm	Лето Um	Зима Cm/ПДК	Зима Xm	Зима Um
1052	Метиловый спирт	0,0010530	0,032295	1	0,04	11,4000	0,5000	0,00	0,0000	0,0000

6431	+	1	3	Неорг.выброс разделитель Р-201-5	2	0,0000			-	1	832,00 -27,00	844,00 -31,00	5,0000	

Код в-ва	Наименование вещества	Выброс г/с	Выброс т/г	F	Лето Cm/ПДК	Лето Xm	Лето Um	Зима Cm/ПДК	Зима Xm	Зима Um
0410	Метан	0,0008730	0,026766	1	0,00	11,4000	0,5000	0,00	0,0000	0,0000
0415	Смесь предельных углеводородов С1Н4-С5Н12	0,0097760	0,299843	1	0,00	11,4000	0,5000	0,00	0,0000	0,0000
0416	Смесь предельных углеводородов С6Н14-С10Н22	0,0020220	0,062006	1	0,00	11,4000	0,5000	0,00	0,0000	0,0000
1052	Метиловый спирт	0,0003490	0,010728	1	0,01	11,4000	0,5000	0,00	0,0000	0,0000
2754	Алканы С12-С19 (в пересчете на С)	0,0000030	0,000102	1	0,00	11,4000	0,5000	0,00	0,0000	0,0000

6432	+	1	3	Неорг.выброс блок АВО сырого газа УВОГ-201-6	2	0,0000			-	1	803,00 -115,00	816,00 -118,00	10,0000	

Код в-ва	Наименование вещества	Выброс г/с	Выброс т/г	F	Лето Cm/ПДК	Лето Xm	Лето Um	Зима Cm/ПДК	Зима Xm	Зима Um
0410	Метан	0,0003270	0,010022	1	0,00	11,4000	0,5000	0,00	0,0000	0,0000
0415	Смесь предельных углеводородов С1Н4-С5Н12	0,0001190	0,003663	1	0,00	11,4000	0,5000	0,00	0,0000	0,0000
0416	Смесь предельных углеводородов С6Н14-С10Н22	0,0000080	0,000242	1	0,00	11,4000	0,5000	0,00	0,0000	0,0000
2754	Алканы С12-С19 (в пересчете на С)	1,0000000 Е-08	4,000000Е -07	1	0,00	11,4000	0,5000	0,00	0,0000	0,0000

6433	+	1	3	Неорг.выброс теплообм.Т-201-6, Т202-6	2	0,0000			-	1	827,00 -59,00	819,00 -81,00	15,0000	

Код в-ва	Наименование вещества	Выброс г/с	Выброс т/г	F	Лето Cm/ПДК	Лето Xm	Лето Um	Зима Cm/ПДК	Зима Xm	Зима Um

0410	Метан	0,0282040	0,865044	1	0,02	11,4000	0,5000	0,00	0,0000	0,0000			
0415	Смесь предельных углеводородов С1Н4-С5Н12	0,0072400	0,222067	1	0,00	11,4000	0,5000	0,00	0,0000	0,0000			
0416	Смесь предельных углеводородов С6Н14-С10Н22	0,0000640	0,001927	1	0,00	11,4000	0,5000	0,00	0,0000	0,0000			
1052	Метиловый спирт	0,0000130	0,000393	1	0,00	11,4000	0,5000	0,00	0,0000	0,0000			
2754	Алканы С12-С19 (в пересчете на С)	2,1410000 Е-08	5,441000Е -07	1	0,00	11,4000	0,5000	0,00	0,0000	0,0000			

6434	+	1	3	Неорг.выброс теплообм.Т-203-6	2	0,0000			-	1	824,00 -47,00	838,00 -51,00	5,0000

Код в-ва	Наименование вещества	Выброс г/с	Выброс т/г	F	Лето См/ПДК	Лето Xm	Лето Um	Зима См/ПДК	Зима Xm	Зима Um
0410	Метан	0,0043960	0,134822	1	0,00	11,4000	0,5000	0,00	0,0000	0,0000
0415	Смесь предельных углеводородов С1Н4-С5Н12	0,0071860	0,220389	1	0,00	11,4000	0,5000	0,00	0,0000	0,0000
0416	Смесь предельных углеводородов С6Н14-С10Н22	0,0008630	0,026478	1	0,00	11,4000	0,5000	0,00	0,0000	0,0000
1052	Метиловый спирт	0,0001050	0,003206	1	0,00	11,4000	0,5000	0,00	0,0000	0,0000
2754	Алканы С12-С19 (в пересчете на С)	0,0000010	0,000041	1	0,00	11,4000	0,5000	0,00	0,0000	0,0000

6435	+	1	3	Неорг.выброс сепараторы С-201-6, С202-6	2	0,0000			-	1	810,00 -93,00	824,00 -97,00	10,0000

Код в-ва	Наименование вещества	Выброс г/с	Выброс т/г	F	Лето См/ПДК	Лето Xm	Лето Um	Зима См/ПДК	Зима Xm	Зима Um
0410	Метан	0,0538130	1,650525	1	0,04	11,4000	0,5000	0,00	0,0000	0,0000
0415	Смесь предельных углеводородов С1Н4-С5Н12	0,0254770	0,781424	1	0,00	11,4000	0,5000	0,00	0,0000	0,0000
0416	Смесь предельных углеводородов С6Н14-С10Н22	0,0020880	0,064050	1	0,00	11,4000	0,5000	0,00	0,0000	0,0000
1052	Метиловый спирт	0,0073240	0,224650	1	0,26	11,4000	0,5000	0,00	0,0000	0,0000
2754	Алканы С12-С19 (в пересчете на С)	0,0000030	0,000098	1	0,00	11,4000	0,5000	0,00	0,0000	0,0000

6436	+	1	3	Неорг.выброс блок подачи метанола ББПМ-201-205-6	2	0,0000			-	1	852,00 -38,00	844,00 -48,00	5,0000

Код в-ва	Наименование вещества	Выброс г/с	Выброс т/г	F	Лето См/ПДК	Лето Xm	Лето Um	Зима См/ПДК	Зима Xm	Зима Um
1052	Метиловый спирт	0,0010530	0,032295	1	0,04	11,4000	0,5000	0,00	0,0000	0,0000

6437	+	1	3	Неорг.выброс разделитель Р-201-6	2	0,0000			-	1	829,00 -34,00	841,00 -38,00	5,0000

Код в-ва	Наименование вещества	Выброс г/с	Выброс т/г	F	Лето См/ПДК	Лето Xm	Лето Um	Зима См/ПДК	Зима Xm	Зима Um
0410	Метан	0,0008730	0,026766	1	0,00	11,4000	0,5000	0,00	0,0000	0,0000
0415	Смесь предельных углеводородов С1Н4-С5Н12	0,0097760	0,299843	1	0,00	11,4000	0,5000	0,00	0,0000	0,0000
0416	Смесь предельных углеводородов С6Н14-С10Н22	0,0020220	0,062006	1	0,00	11,4000	0,5000	0,00	0,0000	0,0000
1052	Метиловый спирт	0,0003490	0,010728	1	0,01	11,4000	0,5000	0,00	0,0000	0,0000
2754	Алканы С12-С19 (в пересчете на С)	0,0000030	0,000102	1	0,00	11,4000	0,5000	0,00	0,0000	0,0000

6438	+	1	3	Неорг.выброс дегазатор Д-201-3	2	0,0000			-	1	834,00 -20,00	847,00 -23,00	5,0000

Код в-ва	Наименование вещества	Выброс г/с	Выброс т/г	F	Лето См/ПДК	Лето Xm	Лето Um	Зима См/ПДК	Зима Xm	Зима Um
0410	Метан	0,0178910	0,548747	1	0,01	11,4000	0,5000	0,00	0,0000	0,0000
0415	Смесь предельных углеводородов С1Н4-С5Н12	0,0165670	0,508119	1	0,00	11,4000	0,5000	0,00	0,0000	0,0000
0416	Смесь предельных углеводородов С6Н14-С10Н22	0,0001730	0,005305	1	0,00	11,4000	0,5000	0,00	0,0000	0,0000
1052	Метиловый спирт	0,0000420	0,001305	1	0,00	11,4000	0,5000	0,00	0,0000	0,0000
2754	Алканы С12-С19 (в пересчете на С)	0,0000001	0,000003	1	0,00	11,4000	0,5000	0,00	0,0000	0,0000

6439	+	1	3	Неорг.выброс дренажная емкость Е-201-3	2	0,0000			-	1	836,00 -14,00	847,00 -18,00	2,0000

Код в-ва	Наименование вещества	Выброс г/с	Выброс т/г	F	Лето См/ПДК	Лето Xm	Лето Um	Зима См/ПДК	Зима Xm	Зима Um
0410	Метан	0,0001050	0,003207	1	0,00	11,4000	0,5000	0,00	0,0000	0,0000
0415	Смесь предельных углеводородов С1Н4-С5Н12	0,0000580	0,001780	1	0,00	11,4000	0,5000	0,00	0,0000	0,0000
0416	Смесь предельных углеводородов С6Н14-С10Н22	0,0000300	0,000929	1	0,00	11,4000	0,5000	0,00	0,0000	0,0000
1052	Метиловый спирт	0,0000030	0,000085	1	0,00	11,4000	0,5000	0,00	0,0000	0,0000
2754	Алканы С12-С19 (в пересчете на С)	0,0000040	0,000129	1	0,00	11,4000	0,5000	0,00	0,0000	0,0000

6440	+	1	3	Неорг.выброс теплоотбменники Т-304-1 -Т-304-4	2	0,0000			-	1	813,00 33,00	794,00 -22,00	10,0000

Код в-ва	Наименование вещества	Выброс г/с	Выброс т/г	F	Лето См/ПДК	Лето Xm	Лето Um	Зима См/ПДК	Зима Xm	Зима Um
0410	Метан	0,0331760	1,017596	1	0,02	11,4000	0,5000	0,00	0,0000	0,0000
0415	Смесь предельных углеводородов С1Н4-С5Н12	0,0566600	1,737948	1	0,01	11,4000	0,5000	0,00	0,0000	0,0000
0416	Смесь предельных углеводородов С6Н14-С10Н22	0,0071440	0,219212	1	0,01	11,4000	0,5000	0,00	0,0000	0,0000
1052	Метиловый спирт	0,0008320	0,025548	1	0,03	11,4000	0,5000	0,00	0,0000	0,0000
2754	Алканы С12-С19 (в пересчете на С)	0,0001160	0,003564	1	0,00	11,4000	0,5000	0,00	0,0000	0,0000

6441	+	1	3	Неорг.выброс ресивер имп.газа Е-	2	0,0000			-	1	818,00	827,00	3,0000

				206-3							40,00	37,00	

Код в-ва	Наименование вещества	Выброс г/с	Выброс т/г	F	Лето См/ПДК	Лето Xm	Лето Um	Зима См/ПДК	Зима Xm	Зима Um
0410	Метан	0,0272200	0,834882	1	0,02	11,4000	0,5000	0,00	0,0000	0,0000
0415	Смесь предельных углеводородов С1Н4-С5Н12	0,0069440	0,213003	1	0,00	11,4000	0,5000	0,00	0,0000	0,0000
0416	Смесь предельных углеводородов С6Н14-С10Н22	0,0000520	0,001594	1	0,00	11,4000	0,5000	0,00	0,0000	0,0000
1052	Метиловый спирт	0,0000130	0,000385	1	0,00	11,4000	0,5000	0,00	0,0000	0,0000
2754	Алканы С12-С19 (в пересчете на С)	1,4100000 E-09	4,280000E -08	1	0,00	11,4000	0,5000	0,00	0,0000	0,0000

6442	+	1	3	Неорг.выброс конденсатосборник Е-207-3	2	0,0000			-	1	844,00 87,00	840,00 78,00	2,0000

Код в-ва	Наименование вещества	Выброс г/с	Выброс т/г	F	Лето См/ПДК	Лето Xm	Лето Um	Зима См/ПДК	Зима Xm	Зима Um
0410	Метан	0,0000260	0,000801	1	0,00	11,4000	0,5000	0,00	0,0000	0,0000
0415	Смесь предельных углеводородов С1Н4-С5Н12	0,0000450	0,001361	1	0,00	11,4000	0,5000	0,00	0,0000	0,0000
0416	Смесь предельных углеводородов С6Н14-С10Н22	0,0000050	0,000164	1	0,00	11,4000	0,5000	0,00	0,0000	0,0000
1052	Метиловый спирт	0,0000010	0,000020	1	0,00	11,4000	0,5000	0,00	0,0000	0,0000
2754	Алканы С12-С19 (в пересчете на С)	1,0000000 E-08	3,000000E -07	1	0,00	11,4000	0,5000	0,00	0,0000	0,0000

6443	+	1	3	Неорг.выброс сепаратор факельный С-203-3	2	0,0000			-	1	816,00 65,00	833,00 59,00	5,0000

Код в-ва	Наименование вещества	Выброс г/с	Выброс т/г	F	Лето См/ПДК	Лето Xm	Лето Um	Зима См/ПДК	Зима Xm	Зима Um
0410	Метан	0,0000590	0,001811	1	0,00	11,4000	0,5000	0,00	0,0000	0,0000
0415	Смесь предельных углеводородов С1Н4-С5Н12	0,0000320	0,000967	1	0,00	11,4000	0,5000	0,00	0,0000	0,0000
0416	Смесь предельных углеводородов С6Н14-С10Н22	0,0000030	0,000085	1	0,00	11,4000	0,5000	0,00	0,0000	0,0000
1052	Метиловый спирт	0,0000002	0,000006	1	0,00	11,4000	0,5000	0,00	0,0000	0,0000
2754	Алканы С12-С19 (в пересчете на С)	4,2510000 E-09	1,300000E -07	1	0,00	11,4000	0,5000	0,00	0,0000	0,0000

6444	+	1	3	Неорг.выброс площадка насосов метанола	2	0,0000			-	1	805,00 54,00	833,00 46,00	20,0000

Код в-ва	Наименование вещества	Выброс г/с	Выброс т/г	F	Лето См/ПДК	Лето Xm	Лето Um	Зима См/ПДК	Зима Xm	Зима Um
1052	Метиловый спирт	0,0006100	0,018763	1	0,02	11,4000	0,5000	0,00	0,0000	0,0000

6445	+	1	3	Неорг.выброс узел приема СОД	2	0,0000			-	1	927,00 84,00	933,00 81,00	10,0000

Код в-ва	Наименование вещества	Выброс г/с	Выброс т/г	F	Лето См/ПДК	Лето Xm	Лето Um	Зима См/ПДК	Зима Xm	Зима Um
0410	Метан	0,0097150	0,297998	1	0,01	11,4000	0,5000	0,00	0,0000	0,0000
0415	Смесь предельных углеводородов С1Н4-С5Н12	0,0040320	0,123679	1	0,00	11,4000	0,5000	0,00	0,0000	0,0000
0416	Смесь предельных углеводородов С6Н14-С10Н22	0,0019260	0,059081	1	0,00	11,4000	0,5000	0,00	0,0000	0,0000
2754	Алканы С12-С19 (в пересчете на С)	0,0005990	0,018378	1	0,02	11,4000	0,5000	0,00	0,0000	0,0000

№ пл.: 134, № цеха: 0

177	+	1	1	Факел (опорожнение ДКС)	60	2,6000	1757,3755	331,0000	1726,0000	1	870,00 282,00		0,0000

Код в-ва	Наименование вещества	Выброс г/с	Выброс т/г	F	Лето См/ПДК	Лето Xm	Лето Um	Зима См/ПДК	Зима Xm	Зима Um
0301	Азота диоксид (Двуокись азота; пероксид азота)	147,8471800	0,177418	1	0,11	4122,4653	43,5059	0,00	0,0000	0,0000
0304	Азот (II) оксид (Азот монооксид)	24,0251661	0,028830	1	0,01	4122,4653	43,5059	0,00	0,0000	0,0000
0337	Углерода оксид (Углерод окись; углерод моноокись; угарный газ)	1232,0598000	1,478480	1	0,04	4122,4653	43,5059	0,00	0,0000	0,0000
0410	Метан	30,8014950	0,036962	1	0,00	4122,4653	43,5059	0,00	0,0000	0,0000

400	+	1	1	Дымовая труба МГПА №7	25	2,8100	212,4460	34,2567	460,0000	1	615,00 -229,00		0,0000

Код в-ва	Наименование вещества	Выброс г/с	Выброс т/г	F	Лето См/ПДК	Лето Xm	Лето Um	Зима См/ПДК	Зима Xm	Зима Um
0301	Азота диоксид (Двуокись азота; пероксид азота)	5,7051430	174,988152	1	0,11	912,0499	14,2785	0,00	0,0000	0,0000
0304	Азот (II) оксид (Азот монооксид)	0,9270860	28,435575	1	0,01	912,0499	14,2785	0,00	0,0000	0,0000
0337	Углерода оксид (Углерод окись; углерод моноокись; угарный газ)	5,0938780	156,239426	1	0,00	912,0499	14,2785	0,00	0,0000	0,0000

401	+	1	1	Дымовая труба МГПА №8	25	2,8100	212,4460	34,2567	460,0000	1	599,00 -276,00		0,0000

Код	Наименование вещества	Выброс	F	Лето	Зима

Код в-ва	Наименование вещества	Выброс г/с	Выброс т/г	F	Лето См/ПДК	Лето Xm	Лето Um	Зима См/ПДК	Зима Xm	Зима Um
0301	Азота диоксид (Двуокись азота; пероксид азота)	5,7051430	174,988152	1	0,11	912,0499	14,2785	0,00	0,0000	0,0000
0304	Азот (II) оксид (Азот монооксид)	0,9270860	28,435575	1	0,01	912,0499	14,2785	0,00	0,0000	0,0000
0337	Углерода оксид (Углерод окись; углерод моноокись; угарный газ)	5,0938780	156,239426	1	0,00	912,0499	14,2785	0,00	0,0000	0,0000

402	+	1	1	Дымовая труба МГПА №9	25	2,8100	212,4460	34,2567	460,0000	1	583,00 -323,00		0,0000

Код в-ва	Наименование вещества	Выброс г/с	Выброс т/г	F	Лето См/ПДК	Лето Xm	Лето Um	Зима См/ПДК	Зима Xm	Зима Um
0301	Азота диоксид (Двуокись азота; пероксид азота)	5,7051430	174,988152	1	0,11	912,0499	14,2785	0,00	0,0000	0,0000
0304	Азот (II) оксид (Азот монооксид)	0,9270860	28,435575	1	0,01	912,0499	14,2785	0,00	0,0000	0,0000
0337	Углерода оксид (Углерод окись; углерод моноокись; угарный газ)	5,0938780	156,239426	1	0,00	912,0499	14,2785	0,00	0,0000	0,0000

403		1	1	Дымовая труба МГПА №10	25	2,8100	212,4460	34,2567	460,0000	1	567,00 -371,00		0,0000

Код в-ва	Наименование вещества	Выброс г/с	Выброс т/г	F	Лето См/ПДК	Лето Xm	Лето Um	Зима См/ПДК	Зима Xm	Зима Um
0301	Азота диоксид (Двуокись азота; пероксид азота)	5,7051430	174,988152	1	0,11	912,0499	14,2785	0,00	0,0000	0,0000
0304	Азот (II) оксид (Азот монооксид)	0,9270860	28,435575	1	0,01	912,0499	14,2785	0,00	0,0000	0,0000
0337	Углерода оксид (Углерод окись; углерод моноокись; угарный газ)	5,0938780	156,239426	1	0,00	912,0499	14,2785	0,00	0,0000	0,0000

404	+	1	1	Свеча СГДУ МГПА №7	15	0,0500	0,0113	5,7550	35,0000	1	617,00 -234,00		0,0000

Код в-ва	Наименование вещества	Выброс г/с	Выброс т/г	F	Лето См/ПДК	Лето Xm	Лето Um	Зима См/ПДК	Зима Xm	Зима Um
0410	Метан	6,0757350	186,354956	1	0,16	39,6114	0,5000	0,00	0,0000	0,0000
0415	Смесь предельных углеводородов С1Н4-С5Н12	2,3935730	73,415669	1	0,02	39,6114	0,5000	0,00	0,0000	0,0000
0416	Смесь предельных углеводородов С6Н14-С10Н22	0,2387660	7,323428	1	0,01	39,6114	0,5000	0,00	0,0000	0,0000
1052	Метиловый спирт	0,0812900	0,249338	1	0,11	39,6114	0,5000	0,00	0,0000	0,0000

405	+	1	1	Свеча СГДУ МГПА №8	15	0,0500	0,0113	5,7550	35,0000	1	598,00 -281,00		0,0000

Код в-ва	Наименование вещества	Выброс г/с	Выброс т/г	F	Лето См/ПДК	Лето Xm	Лето Um	Зима См/ПДК	Зима Xm	Зима Um
0410	Метан	6,0757350	186,354956	1	0,16	39,6114	0,5000	0,00	0,0000	0,0000
0415	Смесь предельных углеводородов С1Н4-С5Н12	2,3935730	73,415669	1	0,02	39,6114	0,5000	0,00	0,0000	0,0000
0416	Смесь предельных углеводородов С6Н14-С10Н22	0,2387660	7,323428	1	0,01	39,6114	0,5000	0,00	0,0000	0,0000
1052	Метиловый спирт	0,0812900	0,249338	1	0,11	39,6114	0,5000	0,00	0,0000	0,0000

406	+	1	1	Свеча СГДУ МГПА №9	15	0,0500	0,0113	5,7550	35,0000	1	582,00 -329,00		0,0000

Код в-ва	Наименование вещества	Выброс г/с	Выброс т/г	F	Лето См/ПДК	Лето Xm	Лето Um	Зима См/ПДК	Зима Xm	Зима Um
0410	Метан	6,0757350	186,354956	1	0,16	39,6114	0,5000	0,00	0,0000	0,0000
0415	Смесь предельных углеводородов С1Н4-С5Н12	2,3935730	73,415669	1	0,02	39,6114	0,5000	0,00	0,0000	0,0000
0416	Смесь предельных углеводородов С6Н14-С10Н22	0,2387660	7,323428	1	0,01	39,6114	0,5000	0,00	0,0000	0,0000
1052	Метиловый спирт	0,0812900	0,249338	1	0,11	39,6114	0,5000	0,00	0,0000	0,0000

407		1	1	Свеча СГДУ МГПА №10	15	0,0500	0,0113	5,7550	35,0000	1	565,00 -376,00		0,0000

Код в-ва	Наименование вещества	Выброс г/с	Выброс т/г	F	Лето См/ПДК	Лето Xm	Лето Um	Зима См/ПДК	Зима Xm	Зима Um
0410	Метан	6,0757350	186,354956	1	0,16	39,6114	0,5000	0,00	0,0000	0,0000
0415	Смесь предельных углеводородов С1Н4-С5Н12	2,3935730	73,415669	1	0,02	39,6114	0,5000	0,00	0,0000	0,0000
0416	Смесь предельных углеводородов С6Н14-С10Н22	0,2387660	7,323428	1	0,01	39,6114	0,5000	0,00	0,0000	0,0000
1052	Метиловый спирт	0,0812900	0,249338	1	0,11	39,6114	0,5000	0,00	0,0000	0,0000

408	+	1	1	Дымовая труба водогрейных котлов УПГ	7,27	0,7000	0,8560	2,2243	175,0000	1	580,00 -161,00		0,0000

Код в-ва	Наименование вещества	Выброс г/с	Выброс т/г	F	Лето См/ПДК	Лето Xm	Лето Um	Зима См/ПДК	Зима Xm	Зима Um
0301	Азота диоксид (Двуокись азота; пероксид азота)	0,1953750	0,861157	1	0,76	74,4740	1,7099	0,00	0,0000	0,0000
0304	Азот (II) оксид (Азот монооксид)	0,0317480	0,139938	1	0,06	74,4740	1,7099	0,00	0,0000	0,0000

0337	Углерода оксид (Углерод окись; углерод монооки сь; угарный газ)				0,2477170	1,091683	1	0,04	74,4740	1,7099	0,00	0,0000	0,0000	
0703	Бенз/а/пирен				4,0000000E-08	2,000000E-07	1	0,00	74,4740	1,7099	0,00	0,0000	0,0000	
409	+	1	1	Свеча суфлирования маслобака компрессора МГПА №7	11	0,0500	0,0035	1,7774	70,0000	1	626,00 -226,00		0,0000	

Код в-ва	Наименование вещества	Выброс г/с	Выброс т/г	F	Лето См/ПДК	Лето Xm	Лето Um	Зима См/ПДК	Зима Xm	Зима Um
2735	Масло минеральное нефтяное	0,0029610	0,000025	1	0,18	28,0248	0,5000	0,00	0,0000	0,0000

410	+	1	1	Свеча суфлирования маслобака компрессора МГПА №8	11	0,0500	0,0035	1,7774	70,0000	1	610,00 -273,00		0,0000	

Код в-ва	Наименование вещества	Выброс г/с	Выброс т/г	F	Лето См/ПДК	Лето Xm	Лето Um	Зима См/ПДК	Зима Xm	Зима Um
2735	Масло минеральное нефтяное	0,0029610	0,000025	1	0,18	28,0248	0,5000	0,00	0,0000	0,0000

411	+	1	1	Свеча суфлирования маслобака компрессора МГПА №9	11	0,0500	0,0035	1,7774	70,0000	1	594,00 -321,00		0,0000	

Код в-ва	Наименование вещества	Выброс г/с	Выброс т/г	F	Лето См/ПДК	Лето Xm	Лето Um	Зима См/ПДК	Зима Xm	Зима Um
2735	Масло минеральное нефтяное	0,0029610	0,000025	1	0,18	28,0248	0,5000	0,00	0,0000	0,0000

412		1	1	Свеча суфлирования маслобака компрессора МГПА №10	11	0,0500	0,0031	1,5737	30,0000	1	578,00 -368,00		0,0000	

Код в-ва	Наименование вещества	Выброс г/с	Выброс т/г	F	Лето См/ПДК	Лето Xm	Лето Um	Зима См/ПДК	Зима Xm	Зима Um
2735	Масло минеральное нефтяное	0,0010110	0,000011	1	0,06	27,9394	0,5000	0,00	0,0000	0,0000

413	+	1	1	Дыхательный клапан дренажной емкости Е-1 МГПА №7	5,35	0,0500	0,0012	0,5857	40,0000	1	598,00 -246,00		0,0000	

Код в-ва	Наименование вещества	Выброс г/с	Выброс т/г	F	Лето См/ПДК	Лето Xm	Лето Um	Зима См/ПДК	Зима Xm	Зима Um
2735	Масло минеральное нефтяное	0,0004890	7,000000E-08	1	0,16	13,5134	0,5000	0,00	0,0000	0,0000

414	+	1	1	Дыхательный клапан дренажной емкости Е-1 МГПА №8	5,35	0,0500	0,0012	0,5857	40,0000	1	582,00 -293,00		0,0000	

Код в-ва	Наименование вещества	Выброс г/с	Выброс т/г	F	Лето См/ПДК	Лето Xm	Лето Um	Зима См/ПДК	Зима Xm	Зима Um
2735	Масло минеральное нефтяное	0,0004890	7,000000E-08	1	0,16	13,5134	0,5000	0,00	0,0000	0,0000

415	+	1	1	Дыхательный клапан дренажной емкости Е-1 МГПА №9	5,35	0,0500	0,0012	0,5857	40,0000	1	566,00 -340,00		0,0000	

Код в-ва	Наименование вещества	Выброс г/с	Выброс т/г	F	Лето См/ПДК	Лето Xm	Лето Um	Зима См/ПДК	Зима Xm	Зима Um
2735	Масло минеральное нефтяное	0,0004890	7,000000E-08	1	0,16	13,5134	0,5000	0,00	0,0000	0,0000

416		1	1	Дыхательный клапан дренажной емкости Е-1 МГПА №10	5,35	0,0500	0,0012	0,5857	40,0000	1	550,00 -388,00		0,0000	

Код в-ва	Наименование вещества	Выброс г/с	Выброс т/г	F	Лето См/ПДК	Лето Xm	Лето Um	Зима См/ПДК	Зима Xm	Зима Um
2735	Масло минеральное нефтяное	0,0004890	7,000000E-08	1	0,16	13,5134	0,5000	0,00	0,0000	0,0000

417	+	1	1	Вентиляционная труба МГПА №7	11,95	0,4000	0,8700	6,9232	10,0000	1	610,00 -227,00		0,0000	

Код в-ва	Наименование вещества	Выброс г/с	Выброс т/г	F	Лето См/ПДК	Лето Xm	Лето Um	Зима См/ПДК	Зима Xm	Зима Um
0410	Метан	0,0007550	0,023142	1	0,00	68,1150	0,5000	0,00	0,0000	0,0000
0415	Смесь предельных углеводородов С1Н4-С5Н12	0,0002680	0,008198	1	0,00	68,1150	0,5000	0,00	0,0000	0,0000
0416	Смесь предельных углеводородов С6Н14-С10Н22	0,0000194	0,000600	1	0,00	68,1150	0,5000	0,00	0,0000	0,0000
1052	Метиловый спирт	0,0000514	0,001580	1	0,00	68,1150	0,5000	0,00	0,0000	0,0000
2735	Масло минеральное нефтяное	0,0000160	0,000494	1	0,00	68,1150	0,5000	0,00	0,0000	0,0000

418	+	1	1	Вентиляционная труба МГПА №8	11,95	0,4000	0,8700	6,9232	10,0000	1	594,00 -274,00		0,0000	

Код в-ва	Наименование вещества	Выброс г/с	Выброс т/г	F	Лето См/ПДК	Лето Xm	Лето Um	Зима См/ПДК	Зима Xm	Зима Um
0410	Метан	0,0007550	0,023142	1	0,00	68,1150	0,5000	0,00	0,0000	0,0000
0415	Смесь предельных углеводородов С1Н4-С5Н12	0,0002680	0,008198	1	0,00	68,1150	0,5000	0,00	0,0000	0,0000

0416	Смесь предельных углеводородов С6Н14-С10Н22	0,0000194	0,000600	1	0,00	68,1150	0,5000	0,00	0,0000	0,0000
1052	Метиловый спирт	0,0000514	0,001580	1	0,00	68,1150	0,5000	0,00	0,0000	0,0000
2735	Масло минеральное нефтяное	0,0000160	0,000494	1	0,00	68,1150	0,5000	0,00	0,0000	0,0000

419	+	1	1	Вентиляционная труба МГПА №9	11,95	0,4000	0,8700	6,9232	10,0000	1	578,00 -321,00		0,0000

Код в-ва	Наименование вещества	Выброс г/с	Выброс т/г	F	Лето См/ПДК	Лето Xm	Лето Um	Зима См/ПДК	Зима Xm	Зима Um
0410	Метан	0,0007550	0,023142	1	0,00	68,1150	0,5000	0,00	0,0000	0,0000
0415	Смесь предельных углеводородов С1Н4-С5Н12	0,0002680	0,008198	1	0,00	68,1150	0,5000	0,00	0,0000	0,0000
0416	Смесь предельных углеводородов С6Н14-С10Н22	0,0000194	0,000600	1	0,00	68,1150	0,5000	0,00	0,0000	0,0000
1052	Метиловый спирт	0,0000514	0,001580	1	0,00	68,1150	0,5000	0,00	0,0000	0,0000
2735	Масло минеральное нефтяное	0,0000160	0,000494	1	0,00	68,1150	0,5000	0,00	0,0000	0,0000

420		1	1	Вентиляционная труба МГПА №10	11,95	0,4000	0,8700	6,9232	10,0000	1	562,00 -382,00		0,0000

Код в-ва	Наименование вещества	Выброс г/с	Выброс т/г	F	Лето См/ПДК	Лето Xm	Лето Um	Зима См/ПДК	Зима Xm	Зима Um
0410	Метан	0,0007550	0,023142	1	0,00	68,1150	0,5000	0,00	0,0000	0,0000
0415	Смесь предельных углеводородов С1Н4-С5Н12	0,0002680	0,008198	1	0,00	68,1150	0,5000	0,00	0,0000	0,0000
0416	Смесь предельных углеводородов С6Н14-С10Н22	0,0000194	0,000600	1	0,00	68,1150	0,5000	0,00	0,0000	0,0000
1052	Метиловый спирт	0,0000514	0,001580	1	0,00	68,1150	0,5000	0,00	0,0000	0,0000
2735	Масло минеральное нефтяное	0,0000160	0,000494	1	0,00	68,1150	0,5000	0,00	0,0000	0,0000

421	+	1	1	Вентиляционная труба УПГ	8,1	0,4000	0,1250	0,9947	10,0000	1	581,00 -176,00		0,0000

Код в-ва	Наименование вещества	Выброс г/с	Выброс т/г	F	Лето См/ПДК	Лето Xm	Лето Um	Зима См/ПДК	Зима Xm	Зима Um
0410	Метан	0,0009330	0,028613	1	0,00	46,1700	0,5000	0,00	0,0000	0,0000
0415	Смесь предельных углеводородов С1Н4-С5Н12	0,0003140	0,009650	1	0,00	46,1700	0,5000	0,00	0,0000	0,0000
0416	Смесь предельных углеводородов С6Н14-С10Н22	0,0000494	0,001523	1	0,00	46,1700	0,5000	0,00	0,0000	0,0000
1052	Метиловый спирт	0,0000035	0,000109	1	0,00	46,1700	0,5000	0,00	0,0000	0,0000

423	+	1	1	Свеча топливного бака АДЭС №4	4	0,0500	0,0013	0,6468	40,0000	1	620,00 -411,00		0,0000

Код в-ва	Наименование вещества	Выброс г/с	Выброс т/г	F	Лето См/ПДК	Лето Xm	Лето Um	Зима См/ПДК	Зима Xm	Зима Um
0333	Дигидросульфид (Водород сернистый, дигидросульфид, гидросульфид)	0,0000020	1,000000E-07	1	0,01	10,1910	0,5000	0,00	0,0000	0,0000
2754	Алканы С12-С19 (в пересчете на С)	0,0005390	0,000037	1	0,02	10,1910	0,5000	0,00	0,0000	0,0000

424	+	1	1	Свеча маслобака АДЭС №4	4	0,0500	0,0010	0,5297	40,0000	1	620,00 -410,00		0,0000

Код в-ва	Наименование вещества	Выброс г/с	Выброс т/г	F	Лето См/ПДК	Лето Xm	Лето Um	Зима См/ПДК	Зима Xm	Зима Um
2735	Масло минеральное нефтяное	0,0003670	2,000000E-07	1	0,24	10,1419	0,5000	0,00	0,0000	0,0000

425	+	1	1	Свеча топливного бака АДЭС №5	4	0,0500	0,0013	0,6468	40,0000	1	547,00 -265,00		0,0000

Код в-ва	Наименование вещества	Выброс г/с	Выброс т/г	F	Лето См/ПДК	Лето Xm	Лето Um	Зима См/ПДК	Зима Xm	Зима Um
0333	Дигидросульфид (Водород сернистый, дигидросульфид, гидросульфид)	0,0000020	1,000000E-07	1	0,01	10,1910	0,5000	0,00	0,0000	0,0000
2754	Алканы С12-С19 (в пересчете на С)	0,0005390	0,000037	1	0,02	10,1910	0,5000	0,00	0,0000	0,0000

426	+	1	1	Свеча маслобака АДЭС №5	4	0,0500	0,0010	0,5297	40,0000	1	547,00 -266,00		0,0000

Код в-ва	Наименование вещества	Выброс г/с	Выброс т/г	F	Лето См/ПДК	Лето Xm	Лето Um	Зима См/ПДК	Зима Xm	Зима Um
2735	Масло минеральное нефтяное	0,0003670	2,000000E-07	1	0,24	10,1419	0,5000	0,00	0,0000	0,0000

428	+	1	1	Выхлопная труба труба ДЭС №4	5	0,2000	7,2670	231,3158	490,0000	1	549,00 -266,00		0,0000

Код в-ва	Наименование вещества	Выброс г/с	Выброс т/г	F	Лето См/ПДК	Лето Xm	Лето Um	Зима См/ПДК	Зима Xm	Зима Um
0301	Азота диоксид (Двуокись азота; пероксид азота)	0,3840000	2,204964	1	0,15	277,4561	26,4625	0,00	0,0000	0,0000
0304	Азот (II) оксид (Азот монооксид)	0,6240000	0,358310	1	0,13	277,4561	26,4625	0,00	0,0000	0,0000
0328	Углерод (Пигмент черный)	0,2666670	0,153123	3	0,43	138,7281	26,4625	0,00	0,0000	0,0000
0330	Сера диоксид	0,5333330	0,306245	1	0,09	277,4561	26,4625	0,00	0,0000	0,0000
0337	Углерода оксид (Углерод окись; углерод моноокись; угарный газ)	3,2000000	1,837470	1	0,05	277,4561	26,4625	0,00	0,0000	0,0000

0703	Бенз/а/пирен				0,0000060	0,000003	3	0,00	138,7281	26,4625	0,00	0,0000	0,0000
1325	Формальдегид (Муравьиный альдегид, оксометан, метиленоксид)				0,0666670	0,024500	1	0,11	277,4561	26,4625	0,00	0,0000	0,0000
2732	Керосин (Керосин прямой перегонки; керосин дезодорированный)				1,6000000	0,918735	1	0,11	277,4561	26,4625	0,00	0,0000	0,0000
436	+	1	1	Свеча крана 18с-2 (опорожнение ДКС)	10	0,0800	1,1470	228,1884	28,0000	1	674,00 -191,00		0,0000

Код в-ва	Наименование вещества	Выброс г/с	Выброс т/г	F	Лето См/ПДК	Лето Xm	Лето Um	Зима См/ПДК	Зима Xm	Зима Um
0410	Метан	631,7488240	0,758443	1	1,02	246,4810	5,2210	0,00	0,0000	0,0000
0415	Смесь предельных углеводородов С1Н4-С5Н12	248,8792950	0,298791	1	0,10	246,4810	5,2210	0,00	0,0000	0,0000
0416	Смесь предельных углеводородов С6Н14-С10Н22	24,8266230	0,029805	1	0,04	246,4810	5,2210	0,00	0,0000	0,0000
1052	Метиловый спирт	0,8452630	0,001015	1	0,07	246,4810	5,2210	0,00	0,0000	0,0000
4001	+	1	1	Свеча суфлирования маслобака двигателя МГПА №7	25	2,8100	0,0022	0,0004	70,0000	1	615,00 -229,00		0,0000

Код в-ва	Наименование вещества	Выброс г/с	Выброс т/г	F	Лето См/ПДК	Лето Xm	Лето Um	Зима См/ПДК	Зима Xm	Зима Um
2735	Масло минеральное нефтяное	0,0018660	0,000013	1	0,02	62,0084	0,5000	0,00	0,0000	0,0000
4011	+	1	1	Свеча суфлирования маслобака двигателя МГПА №8	25	2,8100	0,0022	0,0004	70,0000	1	599,00 -276,00		0,0000

Код в-ва	Наименование вещества	Выброс г/с	Выброс т/г	F	Лето См/ПДК	Лето Xm	Лето Um	Зима См/ПДК	Зима Xm	Зима Um
2735	Масло минеральное нефтяное	0,0018660	0,000013	1	0,02	62,0084	0,5000	0,00	0,0000	0,0000
4021	+	1	1	Свеча суфлирования маслобака двигателя МГПА №9	25	2,8100	0,0022	0,0004	70,0000	1	583,00 -323,00		0,0000

Код в-ва	Наименование вещества	Выброс г/с	Выброс т/г	F	Лето См/ПДК	Лето Xm	Лето Um	Зима См/ПДК	Зима Xm	Зима Um
2735	Масло минеральное нефтяное	0,0018660	0,000013	1	0,02	62,0084	0,5000	0,00	0,0000	0,0000
4031	+	1	1	Свеча суфлирования маслобака двигателя МГПА №10	25	2,8100	0,0019	0,0003	30,0000	1	567,00 -371,00		0,0000

Код в-ва	Наименование вещества	Выброс г/с	Выброс т/г	F	Лето См/ПДК	Лето Xm	Лето Um	Зима См/ПДК	Зима Xm	Зима Um
2735	Масло минеральное нефтяное	0,0006370	9,000000E-07	1	0,01	62,0074	0,5000	0,00	0,0000	0,0000
6470	+	1	3	Неорг. выброс за счет утечек в обвязке фильтров-сепараторов 2ФС-1,2,3	2	0,0000			-	1	684,00 -236,00	674,00 -266,00	10,0000

Код в-ва	Наименование вещества	Выброс г/с	Выброс т/г	F	Лето См/ПДК	Лето Xm	Лето Um	Зима См/ПДК	Зима Xm	Зима Um
0410	Метан	0,0742650	2,277864	1	0,05	11,4000	0,5000	0,00	0,0000	0,0000
0415	Смесь предельных углеводородов С1Н4-С5Н12	0,0266690	0,817991	1	0,00	11,4000	0,5000	0,00	0,0000	0,0000
0416	Смесь предельных углеводородов С6Н14-С10Н22	0,0020250	0,062135	1	0,00	11,4000	0,5000	0,00	0,0000	0,0000
1052	Метиловый спирт	0,0000020	0,000006	1	0,00	11,4000	0,5000	0,00	0,0000	0,0000
6471	+	1	3	Неорг. выброс за счет утечек в обвязке МГПА №7	2	0,0000			-	1	593,00 -237,00	625,00 -246,00	50,0000

Код в-ва	Наименование вещества	Выброс г/с	Выброс т/г	F	Лето См/ПДК	Лето Xm	Лето Um	Зима См/ПДК	Зима Xm	Зима Um
0410	Метан	0,0253210	0,776642	1	0,02	11,4000	0,5000	0,00	0,0000	0,0000
0415	Смесь предельных углеводородов С1Н4-С5Н12	0,0090860	0,278716	1	0,00	11,4000	0,5000	0,00	0,0000	0,0000
0416	Смесь предельных углеводородов С6Н14-С10Н22	0,0007120	0,021827	1	0,00	11,4000	0,5000	0,00	0,0000	0,0000
1052	Метиловый спирт	0,0000612	0,001880	1	0,00	11,4000	0,5000	0,00	0,0000	0,0000
2735	Масло минеральное нефтяное	0,0000520	0,001581	1	0,04	11,4000	0,5000	0,00	0,0000	0,0000
6472	+	1	3	Неорг. выброс за счет утечек в обвязке МГПА №8	2	0,0000			-	1	579,00 -280,00	610,00 -290,00	50,0000

Код в-ва	Наименование вещества	Выброс г/с	Выброс т/г	F	Лето См/ПДК	Лето Xm	Лето Um	Зима См/ПДК	Зима Xm	Зима Um
0410	Метан	0,0253210	0,776642	1	0,02	11,4000	0,5000	0,00	0,0000	0,0000
0415	Смесь предельных углеводородов С1Н4-С5Н12	0,0090860	0,278716	1	0,00	11,4000	0,5000	0,00	0,0000	0,0000
0416	Смесь предельных углеводородов С6Н14-С10Н22	0,0007120	0,021827	1	0,00	11,4000	0,5000	0,00	0,0000	0,0000
1052	Метиловый спирт	0,0000620	0,001880	1	0,00	11,4000	0,5000	0,00	0,0000	0,0000
2735	Масло минеральное нефтяное	0,0000520	0,001581	1	0,04	11,4000	0,5000	0,00	0,0000	0,0000
6473	+	1	3	Неорг. выброс за счет утечек в обвязке МГПА №9	2	0,0000			-	1	558,00 -341,00	593,00 -352,00	50,0000

Код в-ва	Наименование вещества	Выброс г/с	Выброс т/г	F	Лето См/ПДК	Лето Xm	Лето Um	Зима См/ПДК	Зима Xm	Зима Um
0410	Метан	0,0253210	0,776642	1	0,02	11,4000	0,5000	0,00	0,0000	0,0000
0415	Смесь предельных углеводородов С1Н4-С5Н12	0,0090860	0,278716	1	0,00	11,4000	0,5000	0,00	0,0000	0,0000
0416	Смесь предельных углеводородов С6Н14-С10Н22	0,0007120	0,021827	1	0,00	11,4000	0,5000	0,00	0,0000	0,0000
1052	Метиловый спирт	0,0000620	0,021827	1	0,00	11,4000	0,5000	0,00	0,0000	0,0000
2735	Масло минеральное нефтяное	0,0000520	0,001581	1	0,04	11,4000	0,5000	0,00	0,0000	0,0000

6474	+	1	3	Неорг. выброс за счет утечек в обвязке МГПА №10	2	0,0000			-	1	543,00 -384,00	577,00 -395,00	50,0000

Код в-ва	Наименование вещества	Выброс г/с	Выброс т/г	F	Лето См/ПДК	Лето Xm	Лето Um	Зима См/ПДК	Зима Xm	Зима Um
0410	Метан	0,0253210	0,776642	1	0,02	11,4000	0,5000	0,00	0,0000	0,0000
0415	Смесь предельных углеводородов С1Н4-С5Н12	0,0090860	0,278716	1	0,00	11,4000	0,5000	0,00	0,0000	0,0000
0416	Смесь предельных углеводородов С6Н14-С10Н22	0,0007120	0,021827	1	0,00	11,4000	0,5000	0,00	0,0000	0,0000
1052	Метиловый спирт	0,0000620	0,001880	1	0,00	11,4000	0,5000	0,00	0,0000	0,0000
2735	Масло минеральное нефтяное	0,0000520	0,001581	1	0,04	11,4000	0,5000	0,00	0,0000	0,0000

6475	+	1	3	Неорг. выброс за счет утечек на площадке УПГ	2	0,0000			-	1	582,00 -156,00	575,00 -179,00	20,0000

Код в-ва	Наименование вещества	Выброс г/с	Выброс т/г	F	Лето См/ПДК	Лето Xm	Лето Um	Зима См/ПДК	Зима Xm	Зима Um
0410	Метан	0,0034330	0,105289	1	0,00	11,4000	0,5000	0,00	0,0000	0,0000
0415	Смесь предельных углеводородов С1Н4-С5Н12	0,0100450	0,308131	1	0,00	11,4000	0,5000	0,00	0,0000	0,0000
0416	Смесь предельных углеводородов С6Н14-С10Н22	0,0300320	0,921143	1	0,02	11,4000	0,5000	0,00	0,0000	0,0000
1052	Метиловый спирт	0,0001320	0,004038	1	0,00	11,4000	0,5000	0,00	0,0000	0,0000

6476	+	1	3	Неорг. выброс за счет утечек сетей технологических	2	0,0000			-	1	664,00 -233,00	606,00 -406,00	20,0000

Код в-ва	Наименование вещества	Выброс г/с	Выброс т/г	F	Лето См/ПДК	Лето Xm	Лето Um	Зима См/ПДК	Зима Xm	Зима Um
0410	Метан	0,0006480	0,019887	1	0,00	11,4000	0,5000	0,00	0,0000	0,0000
0415	Смесь предельных углеводородов С1Н4-С5Н12	0,0002210	0,006783	1	0,00	11,4000	0,5000	0,00	0,0000	0,0000
0416	Смесь предельных углеводородов С6Н14-С10Н22	0,0000580	0,001792	1	0,00	11,4000	0,5000	0,00	0,0000	0,0000
1052	Метиловый спирт	0,0003290	0,010063	1	0,01	11,4000	0,5000	0,00	0,0000	0,0000
2735	Масло минеральное нефтяное	0,0001290	0,003953	1	0,09	11,4000	0,5000	0,00	0,0000	0,0000

6477	+	1	3	Неорг.выброс за счет утечек в обвязке ДЭС	2	0,0000			-	1	536,00 -288,00	551,00 -293,00	15,0000

Код в-ва	Наименование вещества	Выброс г/с	Выброс т/г	F	Лето См/ПДК	Лето Xm	Лето Um	Зима См/ПДК	Зима Xm	Зима Um
0333	Дигидросульфид (Водород сернистый, дигидросульфид, гидросульфид)	0,0000080	0,000025	1	0,04	11,4000	0,5000	0,00	0,0000	0,0000
2754	Алканы С12-С19 (в пересчете на С)	0,0028920	0,088651	1	0,10	11,4000	0,5000	0,00	0,0000	0,0000

6478	+	1	3	Неорг.выброс за счет утечек в обвязке ДЭС	2	0,0000			-	1	621,00 -405,00	635,00 -410,00	15,0000

Код в-ва	Наименование вещества	Выброс г/с	Выброс т/г	F	Лето См/ПДК	Лето Xm	Лето Um	Зима См/ПДК	Зима Xm	Зима Um
0333	Дигидросульфид (Водород сернистый, дигидросульфид, гидросульфид)	0,0000080	0,000025	1	0,04	11,4000	0,5000	0,00	0,0000	0,0000
2754	Алканы С12-С19 (в пересчете на С)	0,0028920	0,088651	1	0,10	11,4000	0,5000	0,00	0,0000	0,0000

ВР: 1, Эксплуатация максимально разовые без фона

Расчетные константы: S=999999,99
Расчет: «Расчет рассеивания по МРР-2017» (лето)
Расчет завершен успешно. Рассчитано 15 веществ/групп суммации. 4.70.5.93

Расчет проводился по веществам (группам суммации)

0,04	Наименование вещества	Расчет максимальных концентраций		Расчет среднегодовых концентраций		Расчет среднесуточных концентраций		Фоновая концентр.	
		Тип	Значение	Тип	Значение	Тип	Значение	Учет	Интерп.
0301	Азота диоксид (Двуокись азота; пероксид азота)	ПДК м/р	0,2	ПДК с/г	0,04	ПДК с/с	0,1	Нет	Нет
0304	Азот (II) оксид (Азот монооксид)	ПДК м/р	0,4	ПДК с/г	0,06	-	-	Нет	Нет
0328	Углерод (Пигмент черный)	ПДК м/р	0,15	ПДК с/г	0,025	ПДК с/с	0,05	Нет	Нет
0330	Сера диоксид	ПДК м/р	0,5	ПДК с/с	0,05	-	-	Нет	Нет
0333	Дигидросульфид (Водород сернистый, дигидросульфид, гидросульфид)	ПДК м/р	0,008	ПДК с/г	0,002	-	-	Нет	Нет
0337	Углерода оксид (Углерод окись; углерод моноокись; угарный газ)	ПДК м/р	5	ПДК с/г	3	ПДК с/с	3	Нет	Нет
0410	Метан	ОБУВ	50	-	-	-	-	Нет	Нет
0415	Смесь предельных углеводородов С1Н4-С5Н12	ПДК м/р	200	ПДК с/с	50	-	-	Нет	Нет
0416	Смесь предельных углеводородов С6Н14-С10Н22	ПДК м/р	50	ПДК с/с	5	-	-	Нет	Нет
0703	Бенз/а/пирен	-	-	ПДК с/г	1Е-6	ПДК с/с	1Е-6	Нет	Нет
1052	Метиловый спирт	ПДК м/р	1	ПДК с/г	0,2	ПДК с/с	0,5	Нет	Нет
1325	Формальдегид (Муравьиный альдегид, оксометан, метиленоксид)	ПДК м/р	0,05	ПДК с/г	0,003	ПДК с/с	0,01	Нет	Нет
2732	Керосин (Керосин прямой перегонки; керосин дезодорированный)	ОБУВ	1,2	-	-	-	-	Нет	Нет
2735	Масло минеральное нефтяное	ОБУВ	0,05	-	-	-	-	Нет	Нет
2754	Алканы С12-С19 (в пересчете на С)	ПДК м/р	1	-	-	-	-	Нет	Нет

Максимальные концентрации по веществам (расчетные площадки)

Вещество: 0301
Азота диоксид (Двуокись азота; пероксид азота)
Площадка: 2
Поле максимальных концентраций

Коорд X(м)	Коорд Y(м)	Концентр. (д. ПДК)	Концентр. (мг/куб.м)	Напр. ветра	Скор. ветра	Фон		Фон до исключения	
						доли ПДК	мг/куб.м	доли ПДК	мг/куб.м
700,00	-200,00	0,86	0,171	289	1,50	-	-	-	-

Вещество: 0304
Азот (II) оксид (Азот монооксид)
Площадка: 2
Поле максимальных концентраций

Коорд X(м)	Коорд Y(м)	Концентр. (д. ПДК)	Концентр. (мг/куб.м)	Напр. ветра	Скор. ветра	Фон		Фон до исключения	
						доли ПДК	мг/куб.м	доли ПДК	мг/куб.м
-500,00	400,00	0,47	0,186	104	11,00	-	-	-	-

Вещество: 0328
Углерод (Пигмент черный)
Площадка: 2
Поле максимальных концентраций

Коорд X(м)	Коорд Y(м)	Концентр. (д. ПДК)	Концентр. (мг/куб.м)	Напр. ветра	Скор. ветра	Фон		Фон до исключения	
						доли ПДК	мг/куб.м	доли ПДК	мг/куб.м
300,00	0,00	0,66	0,099	314	0,50	-	-	-	-

Вещество: 0330

Сера диоксид
Площадка: 2
Поле максимальных концентраций

Коорд X(м)	Коорд Y(м)	Концентр. (д. ПДК)	Концентр. (мг/куб.м)	Напр. ветра	Скор. ветра	Фон		Фон до исключения	
						доли ПДК	мг/куб.м	доли ПДК	мг/куб.м
800,00	-600,00	0,04	0,021	323	11,00	-	-	-	-

Вещество: 0333
Дигидросульфид (Водород сернистый, дигидросульфид, гидросульфид)
Площадка: 2
Поле максимальных концентраций

Коорд X(м)	Коорд Y(м)	Концентр. (д. ПДК)	Концентр. (мг/куб.м)	Напр. ветра	Скор. ветра	Фон		Фон до исключения	
						доли ПДК	мг/куб.м	доли ПДК	мг/куб.м
200,00	0,00	0,37	0,003	28	0,50	-	-	-	-

Вещество: 0337
Углерода оксид (Углерод окись; углерод моноокись; угарный газ)
Площадка: 2
Поле максимальных концентраций

Коорд X(м)	Коорд Y(м)	Концентр. (д. ПДК)	Концентр. (мг/куб.м)	Напр. ветра	Скор. ветра	Фон		Фон до исключения	
						доли ПДК	мг/куб.м	доли ПДК	мг/куб.м
700,00	200,00	0,27	1,363	234	1,50	-	-	-	-

Вещество: 0410
Метан
Площадка: 2
Поле максимальных концентраций

Коорд X(м)	Коорд Y(м)	Концентр. (д. ПДК)	Концентр. (мг/куб.м)	Напр. ветра	Скор. ветра	Фон		Фон до исключения	
						доли ПДК	мг/куб.м	доли ПДК	мг/куб.м
800,00	0,00	1,06	53,024	214	5,51	-	-	-	-

Вещество: 0415
Смесь предельных углеводородов C1H4-C5H12
Площадка: 2
Поле максимальных концентраций

Коорд X(м)	Коорд Y(м)	Концентр. (д. ПДК)	Концентр. (мг/куб.м)	Напр. ветра	Скор. ветра	Фон		Фон до исключения	
						доли ПДК	мг/куб.м	доли ПДК	мг/куб.м
400,00	200,00	0,17	33,438	263	0,50	-	-	-	-

Вещество: 0416
Смесь предельных углеводородов C6H14-C10H22
Площадка: 2
Поле максимальных концентраций

Коорд X(м)	Коорд Y(м)	Концентр. (д. ПДК)	Концентр. (мг/куб.м)	Напр. ветра	Скор. ветра	Фон		Фон до исключения	
						доли ПДК	мг/куб.м	доли ПДК	мг/куб.м
400,00	200,00	1,44	71,791	263	0,50	-	-	-	-

Вещество: 1052
Метиловый спирт
Площадка: 2
Поле максимальных концентраций

Коорд X(м)	Коорд Y(м)	Концентр. (д. ПДК)	Концентр. (мг/куб.м)	Напр. ветра	Скор. ветра	Фон		Фон до исключения	
						доли ПДК	мг/куб.м	доли ПДК	мг/куб.м
100,00	100,00	2,71	2,707	119	0,52	-	-	-	-

Вещество: 1325
Формальдегид (Муравьиный альдегид, оксометан, метиленоксид)
Площадка: 2
Поле максимальных концентраций

Коорд X(м)	Коорд Y(м)	Концентр. (д. ПДК)	Концентр. (мг/куб.м)	Напр. ветра	Скор. ветра	Фон		Фон до исключения	
						доли ПДК	мг/куб.м	доли ПДК	мг/куб.м
800,00	-600,00	0,05	0,003	323	11,00	-	-	-	-

Вещество: 2732
Керосин (Керосин прямой перегонки; керосин дезодорированный)
Площадка: 2
Поле максимальных концентраций

Коорд X(м)	Коорд Y(м)	Концентр. (д. ПДК)	Концентр. (мг/куб.м)	Напр. ветра	Скор. ветра	Фон		Фон до исключения	
						доли ПДК	мг/куб.м	доли ПДК	мг/куб.м
300,00	0,00	0,08	0,102	314	0,50	-	-	-	-

Вещество: 2735
Масло минеральное нефтяное

Площадка: 2

Поле максимальных концентраций

Коорд X(м)	Коорд Y(м)	Концентр. (д. ПДК)	Концентр. (мг/куб.м)	Напр. ветра	Скор. ветра	Фон		Фон до исключения	
						доли ПДК	мг/куб.м	доли ПДК	мг/куб.м
700,00	200,00	2,67	0,134	193	0,50	-	-	-	-

Вещество: 2754

Алканы С12-С19 (в пересчете на С)

Площадка: 2

Поле максимальных концентраций

Коорд X(м)	Коорд Y(м)	Концентр. (д. ПДК)	Концентр. (мг/куб.м)	Напр. ветра	Скор. ветра	Фон		Фон до исключения	
						доли ПДК	мг/куб.м	доли ПДК	мг/куб.м
600,00	0,00	0,47	0,469	305	0,74	-	-	-	-

Результаты расчета по веществам (расчетные точки)

Типы точек:
0 - расчетная точка пользователя
1 - точка на границе охранной зоны
2 - точка на границе производственной зоны
3 - точка на границе СЗЗ
4 - на границе жилой зоны
5 - на границе застройки
6 - контрольные точки
7 - точки фона

Вещество: 0301

Азота диоксид (Двуокись азота; пероксид азота)

№	Коорд X(м)	Коорд Y(м)	Высота (м)	Концентр. (д. ПДК)	Концентр. (мг/куб.м)	Напр. ветра	Скор. ветра	Фон		Фон до исключения		Тип точки
								доли ПДК	мг/куб.м	доли ПДК	мг/куб.м	
1	792,00	1517,00	2,00	0,55	0,111	187	11,00	-	-	-	-	3
2	2086,00	1066,00	2,00	0,46	0,091	237	11,00	-	-	-	-	3
3	2351,00	397,00	2,00	0,50	0,100	262	11,00	-	-	-	-	3
4	2231,00	-726,00	2,00	0,57	0,114	293	11,00	-	-	-	-	3
5	755,00	-1587,00	2,00	0,65	0,131	352	11,00	-	-	-	-	3
6	-708,00	-963,00	2,00	0,42	0,084	42	11,00	-	-	-	-	3
7	-1120,00	21,00	2,00	0,58	0,117	84	11,00	-	-	-	-	3
8	-754,00	966,00	2,00	0,78	0,155	128	11,00	-	-	-	-	3
9	771,00	517,00	2,00	0,65	0,130	195	11,00	-	-	-	-	2
10	1352,00	388,00	2,00	0,57	0,114	260	11,00	-	-	-	-	2
11	1357,00	-240,00	2,00	0,68	0,137	293	11,00	-	-	-	-	2
12	719,00	-589,00	2,00	0,57	0,114	331	11,00	-	-	-	-	2
13	-2,00	-258,00	2,00	0,41	0,082	32	11,00	-	-	-	-	2
14	-122,00	-57,00	2,00	0,47	0,093	56	11,00	-	-	-	-	2
15	144,00	525,00	2,00	0,60	0,120	147	11,00	-	-	-	-	2
16	246,00	-202,00	2,00	0,35	0,071	12	5,24	-	-	-	-	4

Вещество: 0304

Азот (II) оксид (Азот монооксид)

№	Коорд X(м)	Коорд Y(м)	Высота (м)	Концентр. (д. ПДК)	Концентр. (мг/куб.м)	Напр. ветра	Скор. ветра	Фон		Фон до исключения		Тип точки
								доли ПДК	мг/куб.м	доли ПДК	мг/куб.м	
1	792,00	1517,00	2,00	0,25	0,099	203	11,00	-	-	-	-	3
2	2086,00	1066,00	2,00	0,24	0,095	243	11,00	-	-	-	-	3
3	2351,00	397,00	2,00	0,27	0,108	263	11,00	-	-	-	-	3
4	2231,00	-726,00	2,00	0,28	0,113	295	11,00	-	-	-	-	3
5	755,00	-1587,00	2,00	0,25	0,100	345	11,00	-	-	-	-	3
6	-708,00	-963,00	2,00	0,24	0,097	39	11,00	-	-	-	-	3
7	-1120,00	21,00	2,00	0,34	0,137	83	11,00	-	-	-	-	3
8	-754,00	966,00	2,00	0,39	0,156	127	11,00	-	-	-	-	3
9	771,00	517,00	2,00	0,30	0,122	240	11,00	-	-	-	-	2
10	1352,00	388,00	2,00	0,35	0,139	261	11,00	-	-	-	-	2
11	1357,00	-240,00	2,00	0,40	0,162	293	11,00	-	-	-	-	2
12	719,00	-589,00	2,00	0,33	0,133	328	11,00	-	-	-	-	2
13	-2,00	-258,00	2,00	0,20	0,079	31	11,00	-	-	-	-	2
14	-122,00	-57,00	2,00	0,23	0,091	56	11,00	-	-	-	-	2
15	144,00	525,00	2,00	0,22	0,087	142	6,71	-	-	-	-	2
16	246,00	-202,00	2,00	0,20	0,078	345	11,00	-	-	-	-	4

Вещество: 0328

Углерод (Пигмент черный)

№	Коорд X(м)	Коорд Y(м)	Высота (м)	Концентр. (д. ПДК)	Концентр. (мг/куб.м)	Напр. ветра	Скор. ветра	Фон		Фон до исключения		Тип точки
								доли ПДК	мг/куб.м	доли ПДК	мг/куб.м	
1	792,00	1517,00	2,00	0,19	0,028	177	4,10	-	-	-	-	3
2	2086,00	1066,00	2,00	0,18	0,027	236	5,24	-	-	-	-	3

3	2351,00	397,00	2,00	0,15	0,022	265	5,24	-	-	-	-	3
4	2231,00	-726,00	2,00	0,13	0,019	307	5,24	-	-	-	-	3
5	755,00	-1587,00	2,00	0,12	0,018	2	5,24	-	-	-	-	3
6	-708,00	-963,00	2,00	0,13	0,019	54	5,24	-	-	-	-	3
7	-1120,00	21,00	2,00	0,10	0,015	83	5,24	-	-	-	-	3
8	-754,00	966,00	2,00	0,12	0,018	113	5,24	-	-	-	-	3
9	771,00	517,00	2,00	0,33	0,050	157	2,50	-	-	-	-	2
10	1352,00	388,00	2,00	0,35	0,052	257	3,20	-	-	-	-	2
11	1357,00	-240,00	2,00	0,29	0,043	317	3,20	-	-	-	-	2
12	719,00	-589,00	2,00	0,25	0,037	10	3,20	-	-	-	-	2
13	-2,00	-258,00	2,00	0,22	0,033	58	4,10	-	-	-	-	2
14	-122,00	-57,00	2,00	0,23	0,035	72	4,10	-	-	-	-	2
15	144,00	525,00	2,00	0,27	0,041	109	3,20	-	-	-	-	2
16	246,00	-202,00	2,00	0,27	0,040	52	3,20	-	-	-	-	4

Вещество: 0330
Сера диоксид

№	Коорд X(м)	Коорд Y(м)	Высота (м)	Концентр. (д. ПДК)	Концентр. (мг/куб.м)	Напр. ветра	Скор. ветра	Фон		Фон до исключения		Тип точки
								доли ПДК	мг/куб.м	доли ПДК	мг/куб.м	
1	792,00	1517,00	2,00	0,02	0,009	188	6,71	-	-	-	-	3
2	2086,00	1066,00	2,00	0,02	0,008	229	6,71	-	-	-	-	3
3	2351,00	397,00	2,00	0,02	0,009	250	6,71	-	-	-	-	3
4	2231,00	-726,00	2,00	0,02	0,009	285	6,71	-	-	-	-	3
5	755,00	-1587,00	2,00	0,02	0,010	351	8,59	-	-	-	-	3
6	-708,00	-963,00	2,00	0,02	0,010	61	6,71	-	-	-	-	3
7	-1120,00	21,00	2,00	0,02	0,009	100	6,71	-	-	-	-	3
8	-754,00	966,00	2,00	0,02	0,009	133	6,71	-	-	-	-	3
9	771,00	517,00	2,00	0,03	0,016	196	11,00	-	-	-	-	2
10	1352,00	388,00	2,00	0,03	0,013	231	11,00	-	-	-	-	2
11	1357,00	-240,00	2,00	0,03	0,016	268	11,00	-	-	-	-	2
12	719,00	-589,00	2,00	0,04	0,020	332	11,00	-	-	-	-	2
13	-2,00	-258,00	2,00	0,04	0,019	91	11,00	-	-	-	-	2
14	-122,00	-57,00	2,00	0,03	0,017	107	11,00	-	-	-	-	2
15	144,00	525,00	2,00	0,03	0,015	153	11,00	-	-	-	-	2
16	246,00	-202,00	2,00	0,04	0,020	102	11,00	-	-	-	-	4

Вещество: 0333
Дигидросульфид (Водород сернистый, дигидросульфид, гидросульфид)

№	Коорд X(м)	Коорд Y(м)	Высота (м)	Концентр. (д. ПДК)	Концентр. (мг/куб.м)	Напр. ветра	Скор. ветра	Фон		Фон до исключения		Тип точки
								доли ПДК	мг/куб.м	доли ПДК	мг/куб.м	
1	792,00	1517,00	2,00	8,92E-03	7,140E-05	201	11,00	-	-	-	-	3
2	2086,00	1066,00	2,00	5,85E-03	4,678E-05	241	11,00	-	-	-	-	3
3	2351,00	397,00	2,00	5,82E-03	4,659E-05	261	11,00	-	-	-	-	3
4	2231,00	-726,00	2,00	5,82E-03	4,657E-05	292	11,00	-	-	-	-	3
5	755,00	-1587,00	2,00	7,70E-03	6,161E-05	342	11,00	-	-	-	-	3
6	-708,00	-963,00	2,00	0,01	8,718E-05	43	11,00	-	-	-	-	3
7	-1120,00	21,00	2,00	0,01	9,261E-05	89	11,00	-	-	-	-	3
8	-754,00	966,00	2,00	0,01	8,905E-05	133	11,00	-	-	-	-	3
9	771,00	517,00	2,00	0,03	2,039E-04	230	11,00	-	-	-	-	2
10	1352,00	388,00	2,00	0,01	1,146E-04	253	11,00	-	-	-	-	2
11	1357,00	-240,00	2,00	0,01	1,198E-04	285	11,00	-	-	-	-	2
12	719,00	-589,00	2,00	0,02	1,657E-04	323	11,00	-	-	-	-	2
13	-2,00	-258,00	2,00	0,05	4,140E-04	36	1,22	-	-	-	-	2
14	-122,00	-57,00	2,00	0,06	4,747E-04	73	1,22	-	-	-	-	2
15	144,00	525,00	2,00	0,05	3,680E-04	173	1,22	-	-	-	-	2
16	246,00	-202,00	2,00	0,09	7,360E-04	355	0,78	-	-	-	-	4

Вещество: 0337
Углерода оксид (Углерод окись; углерод монооксись; угарный газ)

№	Коорд X(м)	Коорд Y(м)	Высота (м)	Концентр. (д. ПДК)	Концентр. (мг/куб.м)	Напр. ветра	Скор. ветра	Фон		Фон до исключения		Тип точки
								доли ПДК	мг/куб.м	доли ПДК	мг/куб.м	
1	792,00	1517,00	2,00	0,09	0,440	186	11,00	-	-	-	-	3
2	2086,00	1066,00	2,00	0,09	0,437	236	11,00	-	-	-	-	3
3	2351,00	397,00	2,00	0,09	0,429	261	11,00	-	-	-	-	3
4	2231,00	-726,00	2,00	0,08	0,401	296	11,00	-	-	-	-	3
5	755,00	-1587,00	2,00	0,09	0,433	355	11,00	-	-	-	-	3
6	-708,00	-963,00	2,00	0,08	0,414	53	11,00	-	-	-	-	3
7	-1120,00	21,00	2,00	0,09	0,454	86	11,00	-	-	-	-	3
8	-754,00	966,00	2,00	0,09	0,446	125	11,00	-	-	-	-	3
9	771,00	517,00	2,00	0,12	0,577	197	11,00	-	-	-	-	2
10	1352,00	388,00	2,00	0,08	0,412	251	11,00	-	-	-	-	2
11	1357,00	-240,00	2,00	0,09	0,465	294	11,00	-	-	-	-	2
12	719,00	-589,00	2,00	0,09	0,427	354	11,00	-	-	-	-	2
13	-2,00	-258,00	2,00	0,08	0,417	58	3,20	-	-	-	-	2
14	-122,00	-57,00	2,00	0,08	0,419	77	11,00	-	-	-	-	2

15	144,00	525,00	2,00	0,08	0,386	128	11,00	-	-	-	-	2
16	246,00	-202,00	2,00	0,09	0,434	50	3,20	-	-	-	-	4

Вещество: 0410
Метан

№	Коорд X(м)	Коорд Y(м)	Высота (м)	Концентр. (д. ПДК)	Концентр. (мг/куб.м)	Напр. ветра	Скор. ветра	Фон		Фон до исключения		Тип точки
								доли ПДК	мг/куб.м	доли ПДК	мг/куб.м	
1	792,00	1517,00	2,00	0,21	10,716	184	11,00	-	-	-	-	3
2	2086,00	1066,00	2,00	0,18	8,813	229	11,00	-	-	-	-	3
3	2351,00	397,00	2,00	0,19	9,604	251	11,00	-	-	-	-	3
4	2231,00	-726,00	2,00	0,22	10,878	289	11,00	-	-	-	-	3
5	755,00	-1587,00	2,00	0,28	14,095	356	11,00	-	-	-	-	3
6	-708,00	-963,00	2,00	0,23	11,471	61	11,00	-	-	-	-	3
7	-1120,00	21,00	2,00	0,19	9,378	97	11,00	-	-	-	-	3
8	-754,00	966,00	2,00	0,19	9,551	129	11,00	-	-	-	-	3
9	771,00	517,00	2,00	0,61	30,417	188	7,79	-	-	-	-	2
10	1352,00	388,00	2,00	0,48	23,960	230	7,79	-	-	-	-	2
11	1357,00	-240,00	2,00	0,61	30,595	274	7,79	-	-	-	-	2
12	719,00	-589,00	2,00	0,91	45,297	353	5,51	-	-	-	-	2
13	-2,00	-258,00	2,00	0,61	30,712	84	7,79	-	-	-	-	2
14	-122,00	-57,00	2,00	0,52	26,235	100	7,79	-	-	-	-	2
15	144,00	525,00	2,00	0,50	24,803	143	7,79	-	-	-	-	2
16	246,00	-202,00	2,00	0,84	42,247	89	5,51	-	-	-	-	4

Вещество: 0415
Смесь предельных углеводородов C1H4-C5H12

№	Коорд X(м)	Коорд Y(м)	Высота (м)	Концентр. (д. ПДК)	Концентр. (мг/куб.м)	Напр. ветра	Скор. ветра	Фон		Фон до исключения		Тип точки
								доли ПДК	мг/куб.м	доли ПДК	мг/куб.м	
1	792,00	1517,00	2,00	0,02	3,974	184	11,00	-	-	-	-	3
2	2086,00	1066,00	2,00	0,02	3,344	229	1,38	-	-	-	-	3
3	2351,00	397,00	2,00	0,02	3,660	251	11,00	-	-	-	-	3
4	2231,00	-726,00	2,00	0,02	4,169	289	11,00	-	-	-	-	3
5	755,00	-1587,00	2,00	0,03	5,341	356	11,00	-	-	-	-	3
6	-708,00	-963,00	2,00	0,02	4,392	61	11,00	-	-	-	-	3
7	-1120,00	21,00	2,00	0,02	3,575	97	11,00	-	-	-	-	3
8	-754,00	966,00	2,00	0,02	3,687	129	11,00	-	-	-	-	3
9	771,00	517,00	2,00	0,06	11,648	188	7,79	-	-	-	-	2
10	1352,00	388,00	2,00	0,05	9,374	229	7,79	-	-	-	-	2
11	1357,00	-240,00	2,00	0,06	11,975	274	7,79	-	-	-	-	2
12	719,00	-589,00	2,00	0,09	17,350	353	5,51	-	-	-	-	2
13	-2,00	-258,00	2,00	0,06	12,055	84	7,79	-	-	-	-	2
14	-122,00	-57,00	2,00	0,05	10,258	100	7,79	-	-	-	-	2
15	144,00	525,00	2,00	0,05	10,773	144	7,79	-	-	-	-	2
16	246,00	-202,00	2,00	0,08	16,642	89	5,51	-	-	-	-	4

Вещество: 0416
Смесь предельных углеводородов C6H14-C10H22

№	Коорд X(м)	Коорд Y(м)	Высота (м)	Концентр. (д. ПДК)	Концентр. (мг/куб.м)	Напр. ветра	Скор. ветра	Фон		Фон до исключения		Тип точки
								доли ПДК	мг/куб.м	доли ПДК	мг/куб.м	
1	792,00	1517,00	2,00	0,02	0,943	192	1,26	-	-	-	-	3
2	2086,00	1066,00	2,00	0,01	0,664	237	1,26	-	-	-	-	3
3	2351,00	397,00	2,00	0,01	0,662	258	1,26	-	-	-	-	3
4	2231,00	-726,00	2,00	0,01	0,710	294	1,95	-	-	-	-	3
5	755,00	-1587,00	2,00	0,02	0,855	353	1,26	-	-	-	-	3
6	-708,00	-963,00	2,00	0,02	0,766	50	1,26	-	-	-	-	3
7	-1120,00	21,00	2,00	0,02	0,832	87	1,26	-	-	-	-	3
8	-754,00	966,00	2,00	0,02	1,004	125	1,26	-	-	-	-	3
9	771,00	517,00	2,00	0,06	2,998	231	11,00	-	-	-	-	2
10	1352,00	388,00	2,00	0,03	1,266	256	0,82	-	-	-	-	2
11	1357,00	-240,00	2,00	0,03	1,263	293	0,82	-	-	-	-	2
12	719,00	-589,00	2,00	0,04	2,148	352	7,13	-	-	-	-	2
13	-2,00	-258,00	2,00	0,04	2,198	41	11,00	-	-	-	-	2
14	-122,00	-57,00	2,00	0,05	2,347	64	11,00	-	-	-	-	2
15	144,00	525,00	2,00	0,09	4,457	145	11,00	-	-	-	-	2
16	246,00	-202,00	2,00	0,07	3,731	20	11,00	-	-	-	-	4

Вещество: 1052
Метиловый спирт

№	Коорд X(м)	Коорд Y(м)	Высота (м)	Концентр. (д. ПДК)	Концентр. (мг/куб.м)	Напр. ветра	Скор. ветра	Фон		Фон до исключения		Тип точки
								доли ПДК	мг/куб.м	доли ПДК	мг/куб.м	
1	792,00	1517,00	2,00	0,09	0,091	198	0,80	-	-	-	-	3
2	2086,00	1066,00	2,00	0,06	0,059	240	1,24	-	-	-	-	3
3	2351,00	397,00	2,00	0,06	0,060	262	1,92	-	-	-	-	3
4	2231,00	-726,00	2,00	0,06	0,064	294	1,92	-	-	-	-	3

5	755,00	-1587,00	2,00	0,07	0,072	349	1,24	-	-	-	-	3
6	-708,00	-963,00	2,00	0,08	0,082	42	0,80	-	-	-	-	3
7	-1120,00	21,00	2,00	0,10	0,097	85	1,24	-	-	-	-	3
8	-754,00	966,00	2,00	0,11	0,109	128	0,80	-	-	-	-	3
9	771,00	517,00	2,00	0,23	0,228	216	11,00	-	-	-	-	2
10	1352,00	388,00	2,00	0,14	0,140	256	0,80	-	-	-	-	2
11	1357,00	-240,00	2,00	0,14	0,142	291	0,80	-	-	-	-	2
12	719,00	-589,00	2,00	0,18	0,185	336	0,52	-	-	-	-	2
13	-2,00	-258,00	2,00	0,26	0,259	17	11,00	-	-	-	-	2
14	-122,00	-57,00	2,00	0,37	0,373	58	0,52	-	-	-	-	2
15	144,00	525,00	2,00	0,38	0,382	185	11,00	-	-	-	-	2
16	246,00	-202,00	2,00	0,24	0,244	34	11,00	-	-	-	-	4

Вещество: 1325

Формальдегид (Муравьиный альдегид, оксометан, метиленоксид)

№	Коорд X(м)	Коорд Y(м)	Высота (м)	Концентр. (д. ПДК)	Концентр. (мг/куб.м)	Напр. ветра	Скор. ветра	Фон		Фон до исключения		Тип точки
								доли ПДК	мг/куб.м	доли ПДК	мг/куб.м	
1	792,00	1517,00	2,00	0,02	0,001	188	6,71	-	-	-	-	3
2	2086,00	1066,00	2,00	0,02	0,001	229	6,71	-	-	-	-	3
3	2351,00	397,00	2,00	0,02	0,001	250	6,71	-	-	-	-	3
4	2231,00	-726,00	2,00	0,02	0,001	285	6,71	-	-	-	-	3
5	755,00	-1587,00	2,00	0,03	0,001	351	8,59	-	-	-	-	3
6	-708,00	-963,00	2,00	0,02	0,001	61	6,71	-	-	-	-	3
7	-1120,00	21,00	2,00	0,02	0,001	100	6,71	-	-	-	-	3
8	-754,00	966,00	2,00	0,02	0,001	133	6,71	-	-	-	-	3
9	771,00	517,00	2,00	0,04	0,002	196	11,00	-	-	-	-	2
10	1352,00	388,00	2,00	0,03	0,002	231	11,00	-	-	-	-	2
11	1357,00	-240,00	2,00	0,04	0,002	268	11,00	-	-	-	-	2
12	719,00	-589,00	2,00	0,05	0,003	332	11,00	-	-	-	-	2
13	-2,00	-258,00	2,00	0,05	0,002	91	11,00	-	-	-	-	2
14	-122,00	-57,00	2,00	0,04	0,002	107	11,00	-	-	-	-	2
15	144,00	525,00	2,00	0,04	0,002	153	11,00	-	-	-	-	2
16	246,00	-202,00	2,00	0,05	0,002	102	11,00	-	-	-	-	4

Вещество: 2732

Керосин (Керосин прямой перегонки; керосин дезодорированный)

№	Коорд X(м)	Коорд Y(м)	Высота (м)	Концентр. (д. ПДК)	Концентр. (мг/куб.м)	Напр. ветра	Скор. ветра	Фон		Фон до исключения		Тип точки
								доли ПДК	мг/куб.м	доли ПДК	мг/куб.м	
1	792,00	1517,00	2,00	0,02	0,027	188	6,71	-	-	-	-	3
2	2086,00	1066,00	2,00	0,02	0,025	229	6,71	-	-	-	-	3
3	2351,00	397,00	2,00	0,02	0,026	250	6,71	-	-	-	-	3
4	2231,00	-726,00	2,00	0,02	0,028	285	6,71	-	-	-	-	3
5	755,00	-1587,00	2,00	0,03	0,031	351	8,59	-	-	-	-	3
6	-708,00	-963,00	2,00	0,02	0,030	61	6,71	-	-	-	-	3
7	-1120,00	21,00	2,00	0,02	0,028	100	6,71	-	-	-	-	3
8	-754,00	966,00	2,00	0,02	0,028	133	6,71	-	-	-	-	3
9	771,00	517,00	2,00	0,04	0,047	196	11,00	-	-	-	-	2
10	1352,00	388,00	2,00	0,03	0,040	231	11,00	-	-	-	-	2
11	1357,00	-240,00	2,00	0,04	0,047	268	11,00	-	-	-	-	2
12	719,00	-589,00	2,00	0,05	0,062	332	11,00	-	-	-	-	2
13	-2,00	-258,00	2,00	0,05	0,057	91	11,00	-	-	-	-	2
14	-122,00	-57,00	2,00	0,04	0,051	107	11,00	-	-	-	-	2
15	144,00	525,00	2,00	0,04	0,045	153	11,00	-	-	-	-	2
16	246,00	-202,00	2,00	0,05	0,059	102	11,00	-	-	-	-	4

Вещество: 2735

Масло минеральное нефтяное

№	Коорд X(м)	Коорд Y(м)	Высота (м)	Концентр. (д. ПДК)	Концентр. (мг/куб.м)	Напр. ветра	Скор. ветра	Фон		Фон до исключения		Тип точки
								доли ПДК	мг/куб.м	доли ПДК	мг/куб.м	
1	792,00	1517,00	2,00	0,17	0,008	186	11,00	-	-	-	-	3
2	2086,00	1066,00	2,00	0,13	0,007	235	11,00	-	-	-	-	3
3	2351,00	397,00	2,00	0,13	0,007	259	11,00	-	-	-	-	3
4	2231,00	-726,00	2,00	0,13	0,006	296	11,00	-	-	-	-	3
5	755,00	-1587,00	2,00	0,15	0,008	356	11,00	-	-	-	-	3
6	-708,00	-963,00	2,00	0,14	0,007	54	11,00	-	-	-	-	3
7	-1120,00	21,00	2,00	0,13	0,007	89	11,00	-	-	-	-	3
8	-754,00	966,00	2,00	0,14	0,007	124	11,00	-	-	-	-	3
9	771,00	517,00	2,00	0,79	0,040	194	0,78	-	-	-	-	2
10	1352,00	388,00	2,00	0,36	0,018	245	0,78	-	-	-	-	2
11	1357,00	-240,00	2,00	0,36	0,018	291	0,78	-	-	-	-	2
12	719,00	-589,00	2,00	0,55	0,027	351	0,78	-	-	-	-	2
13	-2,00	-258,00	2,00	0,39	0,019	67	0,78	-	-	-	-	2
14	-122,00	-57,00	2,00	0,34	0,017	83	0,78	-	-	-	-	2
15	144,00	525,00	2,00	0,41	0,020	134	0,78	-	-	-	-	2
16	246,00	-202,00	2,00	0,70	0,035	61	0,78	-	-	-	-	4

Вещество: 2754
Алканы С12-С19 (в пересчете на С)

№	Коорд X(м)	Коорд Y(м)	Высота (м)	Концентр. (д. ПДК)	Концентр. (мг/куб.м)	Напр. ветра	Скор. ветра	Фон		Фон до исключения		Тип точки
								доли ПДК	мг/куб.м	доли ПДК	мг/куб.м	
1	792,00	1517,00	2,00	9,58E-03	0,010	198	1,08	-	-	-	-	3
2	2086,00	1066,00	2,00	6,39E-03	0,006	240	1,59	-	-	-	-	3
3	2351,00	397,00	2,00	6,52E-03	0,007	260	1,59	-	-	-	-	3
4	2231,00	-726,00	2,00	6,47E-03	0,006	293	1,59	-	-	-	-	3
5	755,00	-1587,00	2,00	8,24E-03	0,008	346	1,08	-	-	-	-	3
6	-708,00	-963,00	2,00	0,01	0,011	44	1,08	-	-	-	-	3
7	-1120,00	21,00	2,00	0,01	0,011	88	1,08	-	-	-	-	3
8	-754,00	966,00	2,00	0,01	0,012	130	0,74	-	-	-	-	3
9	771,00	517,00	2,00	0,02	0,022	230	11,00	-	-	-	-	2
10	1352,00	388,00	2,00	0,02	0,016	251	0,74	-	-	-	-	2
11	1357,00	-240,00	2,00	0,02	0,017	287	0,74	-	-	-	-	2
12	719,00	-589,00	2,00	0,02	0,024	330	0,74	-	-	-	-	2
13	-2,00	-258,00	2,00	0,04	0,041	27	11,00	-	-	-	-	2
14	-122,00	-57,00	2,00	0,06	0,062	72	11,00	-	-	-	-	2
15	144,00	525,00	2,00	0,06	0,061	178	1,08	-	-	-	-	2
16	246,00	-202,00	2,00	0,05	0,052	338	11,00	-	-	-	-	4

ВР: 1, Эксплуатация среднегодовые концентрации без фона

Расчетные константы: S=999999,99

Расчет: «Расчет средних концентраций по МРР-2017»

Расчет завершен успешно. Рассчитано 15 веществ. 4.70.5.93!

Расчет проводился по веществам

Код	Наименование вещества	Предельно допустимая концентрация						Фоновая концентр.	
		Расчет максимальных концентраций		Расчет среднегодовых концентраций		Расчет среднесуточных концентраций			
		Тип	Значение	Тип	Значение	Тип	Значение	Учет	Интерп.
0301	Азота диоксид (Двуокись азота; пероксид азота)	ПДК м/р	0,2	ПДК с/г	0,04	ПДК с/с	0,1	Нет	Нет
0304	Азот (II) оксид (Азот монооксид)	ПДК м/р	0,4	ПДК с/г	0,06	-	-	Нет	Нет
0328	Углерод (Пигмент черный)	ПДК м/р	0,15	ПДК с/г	0,025	ПДК с/с	0,05	Нет	Нет
0330	Сера диоксид	ПДК м/р	0,5	ПДК с/с	0,05	-	-	Нет	Нет
0333	Дигидросульфид (Водород сернистый, дигидросульфид, гидросульфид)	ПДК м/р	0,008	ПДК с/г	0,002	-	-	Нет	Нет
0337	Углерода оксид (Углерод окись; углерод моноокись; угарный газ)	ПДК м/р	5	ПДК с/г	3	ПДК с/с	3	Нет	Нет
0410	Метан	ОБУВ	50	-	-	-	-	Нет	Нет
0415	Смесь предельных углеводородов С1Н4-С5Н12	ПДК м/р	200	ПДК с/с	50	-	-	Нет	Нет
0416	Смесь предельных углеводородов С6Н14-С10Н22	ПДК м/р	50	ПДК с/с	5	-	-	Нет	Нет
0703	Бенз/а/пирен	-	-	ПДК с/г	1E-6	ПДК с/с	1E-6	Нет	Нет
1052	Метиловый спирт	ПДК м/р	1	ПДК с/г	0,2	ПДК с/с	0,5	Нет	Нет
1325	Формальдегид (Муравьиный альдегид, оксометан, метиленоксид)	ПДК м/р	0,05	ПДК с/г	0,003	ПДК с/с	0,01	Нет	Нет
2732	Керосин (Керосин прямой перегонки; керосин дезодорированный)	ОБУВ	1,2	-	-	-	-	Нет	Нет
2735	Масло минеральное нефтяное	ОБУВ	0,05	-	-	-	-	Нет	Нет
2754	Алканы С12-С19 (в пересчете на С)	ПДК м/р	1	-	-	-	-	Нет	Нет

Максимальные концентрации по веществам (расчетные площадки)

Вещество: 0301
Азота диоксид (Двуокись азота; пероксид азота)
Площадка: 2
Поле средних концентраций

Коорд X(м)	Коорд Y(м)	Концентр. (д. ПДК)	Концентр. (мг/куб.м)	Напр. ветра	Скор. ветра	Фон		Фон до исключения	
						доли ПДК	мг/куб.м	доли	мг/куб.м

								ПДК	
300,00	800,00	0,16	0,006	-	-	-	-	-	-

Вещество: 0304
Азот (II) оксид (Азот монооксид)
Площадка: 2
Поле средних концентраций

Коорд X(м)	Коорд Y(м)	Концентр. (д. ПДК)	Концентр. (мг/куб.м)	Напр. ветра	Скор. ветра	Фон		Фон до исключения	
						доли ПДК	мг/куб.м	доли ПДК	мг/куб.м
300,00	800,00	0,10	0,006	-	-	-	-	-	-

Вещество: 0328
Углерод (Пигмент черный)
Площадка: 2
Поле средних концентраций

Коорд X(м)	Коорд Y(м)	Концентр. (д. ПДК)	Концентр. (мг/куб.м)	Напр. ветра	Скор. ветра	Фон		Фон до исключения	
						доли ПДК	мг/куб.м	доли ПДК	мг/куб.м
900,00	1100,00	0,03	8,536E-04	-	-	-	-	-	-

Вещество: 0330
Сера диоксид
Площадка: 2
Поле средних концентраций

Коорд X(м)	Коорд Y(м)	Концентр. (д. ПДК)	Концентр. (мг/куб.м)	Напр. ветра	Скор. ветра	Фон		Фон до исключения	
						доли ПДК	мг/куб.м	доли ПДК	мг/куб.м
300,00	100,00	2,61E-04	1,303E-05	-	-	-	-	-	-

Вещество: 0333
Дигидросульфид (Водород сернистый, дигидросульфид, гидросульфид)
Площадка: 2
Поле средних концентраций

Коорд X(м)	Коорд Y(м)	Концентр. (д. ПДК)	Концентр. (мг/куб.м)	Напр. ветра	Скор. ветра	Фон		Фон до исключения	
						доли ПДК	мг/куб.м	доли ПДК	мг/куб.м
300,00	0,00	0,02	3,641E-05	-	-	-	-	-	-

Вещество: 0337
Углерода оксид (Углерод окись; углерод моноокись; угарный газ)
Площадка: 2
Поле средних концентраций

Коорд X(м)	Коорд Y(м)	Концентр. (д. ПДК)	Концентр. (мг/куб.м)	Напр. ветра	Скор. ветра	Фон		Фон до исключения	
						доли ПДК	мг/куб.м	доли ПДК	мг/куб.м
500,00	1200,00	3,78E-03	0,011	-	-	-	-	-	-

Вещество: 0415
Смесь предельных углеводородов C1H4-C5H12
Площадка: 2
Поле средних концентраций

Коорд X(м)	Коорд Y(м)	Концентр. (д. ПДК)	Концентр. (мг/куб.м)	Напр. ветра	Скор. ветра	Фон		Фон до исключения	
						доли ПДК	мг/куб.м	доли ПДК	мг/куб.м
600,00	200,00	0,01	0,714	-	-	-	-	-	-

Вещество: 0416
Смесь предельных углеводородов C6H14-C10H22
Площадка: 2
Поле средних концентраций

Коорд X(м)	Коорд Y(м)	Концентр. (д. ПДК)	Концентр. (мг/куб.м)	Напр. ветра	Скор. ветра	Фон		Фон до исключения	
						доли ПДК	мг/куб.м	доли ПДК	мг/куб.м
600,00	200,00	0,25	1,254	-	-	-	-	-	-

Вещество: 0703
Бенз/а/пирен
Площадка: 2
Поле средних концентраций

Коорд X(м)	Коорд Y(м)	Концентр. (д. ПДК)	Концентр. (мг/куб.м)	Напр. ветра	Скор. ветра	Фон		Фон до исключения	
						доли ПДК	мг/куб.м	доли ПДК	мг/куб.м
600,00	600,00	2,16E-03	2,164E-09	-	-	-	-	-	-

Вещество: 1052
Метиловый спирт
Площадка: 2
Поле средних концентраций

Коорд X(м)	Коорд Y(м)	Концентр. (д. ПДК)	Концентр. (мг/куб.м)	Напр. ветра	Скор. ветра	Фон		Фон до исключения	
						доли ПДК	мг/куб.м	доли ПДК	мг/куб.м
500,00	200,00	0,66	0,132	-	-	-	-	-	-

Вещество: 1325
Формальдегид (Муравьиный альдегид, оксометан, метиленоксид)
Площадка: 2
Поле средних концентраций

Коорд X(м)	Коорд Y(м)	Концентр. (д. ПДК)	Концентр. (мг/куб.м)	Напр. ветра	Скор. ветра	Фон		Фон до исключения	
						доли ПДК	мг/куб.м	доли ПДК	мг/куб.м
400,00	100,00	3,36E-04	1,007E-06	-	-	-	-	-	-

Результаты расчета по веществам (расчетные точки)

Типы точек:
0 - расчетная точка пользователя
1 - точка на границе охранной зоны
2 - точка на границе производственной зоны
3 - точка на границе СЗЗ
4 - на границе жилой зоны
5 - на границе застройки
6 - точки квотирования

Вещество: 0301
Азота диоксид (Двуокись азота; пероксид азота)

№	Коорд X(м)	Коорд Y(м)	Высота (м)	Концентр. (д. ПДК)	Концентр. (мг/куб.м)	Напр. ветра	Скор. ветра	Фон		Фон до исключения		Тип точки
								доли ПДК	мг/куб.м	доли ПДК	мг/куб.м	
1	792,00	1517,00	2,00	0,10	0,004	-	-	-	-	-	-	3
2	2086,00	1066,00	2,00	0,06	0,002	-	-	-	-	-	-	3
3	2351,00	397,00	2,00	0,07	0,003	-	-	-	-	-	-	3
4	2231,00	-726,00	2,00	0,06	0,002	-	-	-	-	-	-	3
5	755,00	-1587,00	2,00	0,09	0,003	-	-	-	-	-	-	3
6	-708,00	-963,00	2,00	0,03	0,001	-	-	-	-	-	-	3
7	-1120,00	21,00	2,00	0,06	0,002	-	-	-	-	-	-	3
8	-754,00	966,00	2,00	0,06	0,002	-	-	-	-	-	-	3
9	771,00	517,00	2,00	0,13	0,005	-	-	-	-	-	-	2
10	1352,00	388,00	2,00	0,11	0,004	-	-	-	-	-	-	2
11	1357,00	-240,00	2,00	0,10	0,004	-	-	-	-	-	-	2
12	719,00	-589,00	2,00	0,10	0,004	-	-	-	-	-	-	2
13	-2,00	-258,00	2,00	0,07	0,003	-	-	-	-	-	-	2
14	-122,00	-57,00	2,00	0,05	0,002	-	-	-	-	-	-	2
15	144,00	525,00	2,00	0,12	0,005	-	-	-	-	-	-	2
16	246,00	-202,00	2,00	0,10	0,004	-	-	-	-	-	-	4

Вещество: 0304
Азот (II) оксид (Азот монооксид)

№	Коорд X(м)	Коорд Y(м)	Высота (м)	Концентр. (д. ПДК)	Концентр. (мг/куб.м)	Напр. ветра	Скор. ветра	Фон		Фон до исключения		Тип точки
								доли ПДК	мг/куб.м	доли ПДК	мг/куб.м	
1	792,00	1517,00	2,00	0,06	0,004	-	-	-	-	-	-	3
2	2086,00	1066,00	2,00	0,03	0,002	-	-	-	-	-	-	3
3	2351,00	397,00	2,00	0,04	0,003	-	-	-	-	-	-	3
4	2231,00	-726,00	2,00	0,03	0,002	-	-	-	-	-	-	3
5	755,00	-1587,00	2,00	0,05	0,003	-	-	-	-	-	-	3
6	-708,00	-963,00	2,00	0,02	0,001	-	-	-	-	-	-	3
7	-1120,00	21,00	2,00	0,03	0,002	-	-	-	-	-	-	3
8	-754,00	966,00	2,00	0,03	0,002	-	-	-	-	-	-	3
9	771,00	517,00	2,00	0,08	0,005	-	-	-	-	-	-	2
10	1352,00	388,00	2,00	0,07	0,004	-	-	-	-	-	-	2
11	1357,00	-240,00	2,00	0,06	0,003	-	-	-	-	-	-	2
12	719,00	-589,00	2,00	0,06	0,004	-	-	-	-	-	-	2
13	-2,00	-258,00	2,00	0,04	0,003	-	-	-	-	-	-	2
14	-122,00	-57,00	2,00	0,03	0,002	-	-	-	-	-	-	2
15	144,00	525,00	2,00	0,07	0,004	-	-	-	-	-	-	2
16	246,00	-202,00	2,00	0,06	0,004	-	-	-	-	-	-	4

Вещество: 0328
Углерод (Пигмент черный)

№	Коорд X(м)	Коорд Y(м)	Высота (м)	Концентр. (д. ПДК)	Концентр. (мг/куб.м)	Напр. ветра	Скор. ветра	Фон		Фон до исключения		Тип точки
								доли ПДК	мг/куб.м	доли ПДК	мг/куб.м	
1	792,00	1517,00	2,00	0,03	7,309E-04	-	-	-	-	-	-	3
2	2086,00	1066,00	2,00	0,01	3,440E-04	-	-	-	-	-	-	3
3	2351,00	397,00	2,00	0,02	5,019E-04	-	-	-	-	-	-	3
4	2231,00	-726,00	2,00	0,01	2,918E-04	-	-	-	-	-	-	3
5	755,00	-1587,00	2,00	0,02	4,380E-04	-	-	-	-	-	-	3
6	-708,00	-963,00	2,00	3,92E-03	9,792E-05	-	-	-	-	-	-	3
7	-1120,00	21,00	2,00	8,71E-03	2,179E-04	-	-	-	-	-	-	3
8	-754,00	966,00	2,00	9,81E-03	2,453E-04	-	-	-	-	-	-	3
9	771,00	517,00	2,00	5,53E-03	1,382E-04	-	-	-	-	-	-	2
10	1352,00	388,00	2,00	0,02	4,986E-04	-	-	-	-	-	-	2
11	1357,00	-240,00	2,00	0,02	4,224E-04	-	-	-	-	-	-	2
12	719,00	-589,00	2,00	0,03	6,561E-04	-	-	-	-	-	-	2
13	-2,00	-258,00	2,00	7,15E-03	1,788E-04	-	-	-	-	-	-	2
14	-122,00	-57,00	2,00	0,01	2,794E-04	-	-	-	-	-	-	2
15	144,00	525,00	2,00	0,02	4,005E-04	-	-	-	-	-	-	2
16	246,00	-202,00	2,00	7,14E-03	1,785E-04	-	-	-	-	-	-	4

Вещество: 0330
Сера диоксид

№	Коорд X(м)	Коорд Y(м)	Высота (м)	Концентр. (д. ПДК)	Концентр. (мг/куб.м)	Напр. ветра	Скор. ветра	Фон		Фон до исключения		Тип точки
								доли ПДК	мг/куб.м	доли ПДК	мг/куб.м	
1	792,00	1517,00	2,00	5,52E-05	2,759E-06	-	-	-	-	-	-	3
2	2086,00	1066,00	2,00	2,42E-05	1,212E-06	-	-	-	-	-	-	3
3	2351,00	397,00	2,00	3,40E-05	1,701E-06	-	-	-	-	-	-	3
4	2231,00	-726,00	2,00	4,02E-05	2,012E-06	-	-	-	-	-	-	3
5	755,00	-1587,00	2,00	6,35E-05	3,174E-06	-	-	-	-	-	-	3
6	-708,00	-963,00	2,00	1,70E-05	8,505E-07	-	-	-	-	-	-	3
7	-1120,00	21,00	2,00	3,06E-05	1,532E-06	-	-	-	-	-	-	3
8	-754,00	966,00	2,00	2,61E-05	1,303E-06	-	-	-	-	-	-	3
9	771,00	517,00	2,00	1,07E-04	5,355E-06	-	-	-	-	-	-	2
10	1352,00	388,00	2,00	5,16E-05	2,582E-06	-	-	-	-	-	-	2
11	1357,00	-240,00	2,00	9,14E-05	4,572E-06	-	-	-	-	-	-	2
12	719,00	-589,00	2,00	9,50E-05	4,748E-06	-	-	-	-	-	-	2
13	-2,00	-258,00	2,00	7,62E-05	3,811E-06	-	-	-	-	-	-	2
14	-122,00	-57,00	2,00	7,95E-05	3,974E-06	-	-	-	-	-	-	2
15	144,00	525,00	2,00	1,05E-04	5,265E-06	-	-	-	-	-	-	2
16	246,00	-202,00	2,00	1,63E-04	8,137E-06	-	-	-	-	-	-	4

Вещество: 0333
Дигидросульфид (Водород сернистый, дигидросульфид, гидросульфид)

№	Коорд X(м)	Коорд Y(м)	Высота (м)	Концентр. (д. ПДК)	Концентр. (мг/куб.м)	Напр. ветра	Скор. ветра	Фон		Фон до исключения		Тип точки
								доли ПДК	мг/куб.м	доли ПДК	мг/куб.м	
1	792,00	1517,00	2,00	4,06E-04	8,116E-07	-	-	-	-	-	-	3
2	2086,00	1066,00	2,00	1,58E-04	3,153E-07	-	-	-	-	-	-	3
3	2351,00	397,00	2,00	2,07E-04	4,137E-07	-	-	-	-	-	-	3
4	2231,00	-726,00	2,00	1,68E-04	3,358E-07	-	-	-	-	-	-	3
5	755,00	-1587,00	2,00	3,01E-04	6,013E-07	-	-	-	-	-	-	3
6	-708,00	-963,00	2,00	1,29E-04	2,571E-07	-	-	-	-	-	-	3
7	-1120,00	21,00	2,00	2,65E-04	5,299E-07	-	-	-	-	-	-	3
8	-754,00	966,00	2,00	2,64E-04	5,284E-07	-	-	-	-	-	-	3
9	771,00	517,00	2,00	1,40E-03	2,807E-06	-	-	-	-	-	-	2
10	1352,00	388,00	2,00	6,29E-04	1,257E-06	-	-	-	-	-	-	2
11	1357,00	-240,00	2,00	6,28E-04	1,255E-06	-	-	-	-	-	-	2
12	719,00	-589,00	2,00	1,03E-03	2,062E-06	-	-	-	-	-	-	2
13	-2,00	-258,00	2,00	1,68E-03	3,353E-06	-	-	-	-	-	-	2
14	-122,00	-57,00	2,00	1,88E-03	3,762E-06	-	-	-	-	-	-	2
15	144,00	525,00	2,00	6,18E-03	1,236E-05	-	-	-	-	-	-	2
16	246,00	-202,00	2,00	5,87E-03	1,174E-05	-	-	-	-	-	-	4

Вещество: 0337
Углерода оксид (Углерод окись; углерод моноокись; угарный газ)

№	Коорд X(м)	Коорд Y(м)	Высота (м)	Концентр. (д. ПДК)	Концентр. (мг/куб.м)	Напр. ветра	Скор. ветра	Фон		Фон до исключения		Тип точки
								доли ПДК	мг/куб.м	доли ПДК	мг/куб.м	

1	792,00	1517,00	2,00	3,52E-03	0,011	-	-	-	-	-	-	3
2	2086,00	1066,00	2,00	1,83E-03	0,006	-	-	-	-	-	-	3
3	2351,00	397,00	2,00	2,58E-03	0,008	-	-	-	-	-	-	3
4	2231,00	-726,00	2,00	1,92E-03	0,006	-	-	-	-	-	-	3
5	755,00	-1587,00	2,00	2,95E-03	0,009	-	-	-	-	-	-	3
6	-708,00	-963,00	2,00	8,54E-04	0,003	-	-	-	-	-	-	3
7	-1120,00	21,00	2,00	1,78E-03	0,005	-	-	-	-	-	-	3
8	-754,00	966,00	2,00	1,72E-03	0,005	-	-	-	-	-	-	3
9	771,00	517,00	2,00	2,59E-03	0,008	-	-	-	-	-	-	2
10	1352,00	388,00	2,00	2,41E-03	0,007	-	-	-	-	-	-	2
11	1357,00	-240,00	2,00	2,37E-03	0,007	-	-	-	-	-	-	2
12	719,00	-589,00	2,00	2,94E-03	0,009	-	-	-	-	-	-	2
13	-2,00	-258,00	2,00	1,52E-03	0,005	-	-	-	-	-	-	2
14	-122,00	-57,00	2,00	1,54E-03	0,005	-	-	-	-	-	-	2
15	144,00	525,00	2,00	2,96E-03	0,009	-	-	-	-	-	-	2
16	246,00	-202,00	2,00	1,98E-03	0,006	-	-	-	-	-	-	4

Вещество: 0415
Смесь предельных углеводородов C1H4-C5H12

№	Коорд X(м)	Коорд Y(м)	Высота (м)	Концентр. (д. ПДК)	Концентр. (мг/куб.м)	Напр. ветра	Скор. ветра	Фон		Фон до исключения		Тип точки
								доли ПДК	мг/куб.м	доли ПДК	мг/куб.м	
1	792,00	1517,00	2,00	3,88E-04	0,019	-	-	-	-	-	-	3
2	2086,00	1066,00	2,00	1,51E-04	0,008	-	-	-	-	-	-	3
3	2351,00	397,00	2,00	2,06E-04	0,010	-	-	-	-	-	-	3
4	2231,00	-726,00	2,00	1,97E-04	0,010	-	-	-	-	-	-	3
5	755,00	-1587,00	2,00	3,39E-04	0,017	-	-	-	-	-	-	3
6	-708,00	-963,00	2,00	9,35E-05	0,005	-	-	-	-	-	-	3
7	-1120,00	21,00	2,00	1,71E-04	0,009	-	-	-	-	-	-	3
8	-754,00	966,00	2,00	1,66E-04	0,008	-	-	-	-	-	-	3
9	771,00	517,00	2,00	1,58E-03	0,079	-	-	-	-	-	-	2
10	1352,00	388,00	2,00	5,89E-04	0,029	-	-	-	-	-	-	2
11	1357,00	-240,00	2,00	6,80E-04	0,034	-	-	-	-	-	-	2
12	719,00	-589,00	2,00	1,13E-03	0,057	-	-	-	-	-	-	2
13	-2,00	-258,00	2,00	5,55E-04	0,028	-	-	-	-	-	-	2
14	-122,00	-57,00	2,00	5,51E-04	0,028	-	-	-	-	-	-	2
15	144,00	525,00	2,00	1,39E-03	0,069	-	-	-	-	-	-	2
16	246,00	-202,00	2,00	1,39E-03	0,070	-	-	-	-	-	-	4

Вещество: 0416
Смесь предельных углеводородов C6H14-C10H22

№	Коорд X(м)	Коорд Y(м)	Высота (м)	Концентр. (д. ПДК)	Концентр. (мг/куб.м)	Напр. ветра	Скор. ветра	Фон		Фон до исключения		Тип точки
								доли ПДК	мг/куб.м	доли ПДК	мг/куб.м	
1	792,00	1517,00	2,00	4,31E-03	0,022	-	-	-	-	-	-	3
2	2086,00	1066,00	2,00	1,54E-03	0,008	-	-	-	-	-	-	3
3	2351,00	397,00	2,00	2,01E-03	0,010	-	-	-	-	-	-	3
4	2231,00	-726,00	2,00	1,43E-03	0,007	-	-	-	-	-	-	3
5	755,00	-1587,00	2,00	2,53E-03	0,013	-	-	-	-	-	-	3
6	-708,00	-963,00	2,00	8,15E-04	0,004	-	-	-	-	-	-	3
7	-1120,00	21,00	2,00	1,73E-03	0,009	-	-	-	-	-	-	3
8	-754,00	966,00	2,00	1,88E-03	0,009	-	-	-	-	-	-	3
9	771,00	517,00	2,00	0,02	0,104	-	-	-	-	-	-	2
10	1352,00	388,00	2,00	7,37E-03	0,037	-	-	-	-	-	-	2
11	1357,00	-240,00	2,00	5,50E-03	0,027	-	-	-	-	-	-	2
12	719,00	-589,00	2,00	9,71E-03	0,049	-	-	-	-	-	-	2
13	-2,00	-258,00	2,00	5,40E-03	0,027	-	-	-	-	-	-	2
14	-122,00	-57,00	2,00	6,22E-03	0,031	-	-	-	-	-	-	2
15	144,00	525,00	2,00	0,02	0,113	-	-	-	-	-	-	2
16	246,00	-202,00	2,00	0,02	0,100	-	-	-	-	-	-	4

Вещество: 0703
Бенз/а/пирен

№	Коорд X(м)	Коорд Y(м)	Высота (м)	Концентр. (д. ПДК)	Концентр. (мг/куб.м)	Напр. ветра	Скор. ветра	Фон		Фон до исключения		Тип точки
								доли ПДК	мг/куб.м	доли ПДК	мг/куб.м	
1	792,00	1517,00	2,00	8,00E-04	8,004E-10	-	-	-	-	-	-	3
2	2086,00	1066,00	2,00	3,24E-04	3,243E-10	-	-	-	-	-	-	3
3	2351,00	397,00	2,00	4,32E-04	4,323E-10	-	-	-	-	-	-	3
4	2231,00	-726,00	2,00	2,90E-04	2,896E-10	-	-	-	-	-	-	3
5	755,00	-1587,00	2,00	4,82E-04	4,823E-10	-	-	-	-	-	-	3

6	-708,00	-963,00	2,00	1,31E-04	1,309E-10	-	-	-	-	-	-	3
7	-1120,00	21,00	2,00	2,84E-04	2,838E-10	-	-	-	-	-	-	3
8	-754,00	966,00	2,00	3,02E-04	3,016E-10	-	-	-	-	-	-	3
9	771,00	517,00	2,00	1,34E-03	1,338E-09	-	-	-	-	-	-	2
10	1352,00	388,00	2,00	1,05E-03	1,052E-09	-	-	-	-	-	-	2
11	1357,00	-240,00	2,00	7,15E-04	7,155E-10	-	-	-	-	-	-	2
12	719,00	-589,00	2,00	1,21E-03	1,210E-09	-	-	-	-	-	-	2
13	-2,00	-258,00	2,00	4,51E-04	4,508E-10	-	-	-	-	-	-	2
14	-122,00	-57,00	2,00	5,12E-04	5,119E-10	-	-	-	-	-	-	2
15	144,00	525,00	2,00	1,03E-03	1,029E-09	-	-	-	-	-	-	2
16	246,00	-202,00	2,00	7,71E-04	7,710E-10	-	-	-	-	-	-	4

Вещество: 1052
Метиловый спирт

№	Коорд X(м)	Коорд Y(м)	Высота (м)	Концентр. (д. ПДК)	Концентр. (мг/куб.м)	Напр. ветра	Скор. ветра	Фон		Фон до исключения		Тип точки
								доли ПДК	мг/куб.м	доли ПДК	мг/куб.м	
1	792,00	1517,00	2,00	0,02	0,003	-	-	-	-	-	-	3
2	2086,00	1066,00	2,00	6,72E-03	0,001	-	-	-	-	-	-	3
3	2351,00	397,00	2,00	8,47E-03	0,002	-	-	-	-	-	-	3
4	2231,00	-726,00	2,00	6,44E-03	0,001	-	-	-	-	-	-	3
5	755,00	-1587,00	2,00	0,01	0,002	-	-	-	-	-	-	3
6	-708,00	-963,00	2,00	5,78E-03	0,001	-	-	-	-	-	-	3
7	-1120,00	21,00	2,00	0,01	0,002	-	-	-	-	-	-	3
8	-754,00	966,00	2,00	0,01	0,002	-	-	-	-	-	-	3
9	771,00	517,00	2,00	0,06	0,012	-	-	-	-	-	-	2
10	1352,00	388,00	2,00	0,03	0,005	-	-	-	-	-	-	2
11	1357,00	-240,00	2,00	0,02	0,004	-	-	-	-	-	-	2
12	719,00	-589,00	2,00	0,03	0,007	-	-	-	-	-	-	2
13	-2,00	-258,00	2,00	0,09	0,018	-	-	-	-	-	-	2
14	-122,00	-57,00	2,00	0,06	0,012	-	-	-	-	-	-	2
15	144,00	525,00	2,00	0,20	0,040	-	-	-	-	-	-	2
16	246,00	-202,00	2,00	0,13	0,025	-	-	-	-	-	-	4

Вещество: 1325
Формальдегид (Муравьиный альдегид, оксометан, метиленоксид)

№	Коорд X(м)	Коорд Y(м)	Высота (м)	Концентр. (д. ПДК)	Концентр. (мг/куб.м)	Напр. ветра	Скор. ветра	Фон		Фон до исключения		Тип точки
								доли ПДК	мг/куб.м	доли ПДК	мг/куб.м	
1	792,00	1517,00	2,00	7,83E-05	2,348E-07	-	-	-	-	-	-	3
2	2086,00	1066,00	2,00	3,44E-05	1,033E-07	-	-	-	-	-	-	3
3	2351,00	397,00	2,00	4,80E-05	1,440E-07	-	-	-	-	-	-	3
4	2231,00	-726,00	2,00	5,56E-05	1,669E-07	-	-	-	-	-	-	3
5	755,00	-1587,00	2,00	8,79E-05	2,636E-07	-	-	-	-	-	-	3
6	-708,00	-963,00	2,00	2,43E-05	7,289E-08	-	-	-	-	-	-	3
7	-1120,00	21,00	2,00	4,41E-05	1,324E-07	-	-	-	-	-	-	3
8	-754,00	966,00	2,00	3,81E-05	1,142E-07	-	-	-	-	-	-	3
9	771,00	517,00	2,00	1,51E-04	4,542E-07	-	-	-	-	-	-	2
10	1352,00	388,00	2,00	7,53E-05	2,259E-07	-	-	-	-	-	-	2
11	1357,00	-240,00	2,00	1,27E-04	3,800E-07	-	-	-	-	-	-	2
12	719,00	-589,00	2,00	1,32E-04	3,945E-07	-	-	-	-	-	-	2
13	-2,00	-258,00	2,00	1,13E-04	3,387E-07	-	-	-	-	-	-	2
14	-122,00	-57,00	2,00	1,07E-04	3,198E-07	-	-	-	-	-	-	2
15	144,00	525,00	2,00	1,76E-04	5,274E-07	-	-	-	-	-	-	2
16	246,00	-202,00	2,00	2,13E-04	6,389E-07	-	-	-	-	-	-	4

ВР: 1, Эксплуатация среднесуточные концентрации без фона

Расчетные константы: S=999999,99

Расчет: «Расчет среднесуточных концентраций»

Расчет завершился успешно!

Расчет проводился по веществам

Код	Наименование вещества	Предельно допустимая концентрация						Фоновая концентр.	
		Расчет максимальных концентраций		Расчет среднегодовых концентраций		Расчет среднесуточных концентраций			
		Тип	Значение	Тип	Значение	Тип	Значение	Учет	Интерп.

0301	Азота диоксид (Двуокись азота; пероксид азота)	ПДК м/р	0,2	ПДК с/г	0,04	ПДК с/с	0,1	Нет	Нет
0304	Азот (II) оксид (Азот монооксид)	ПДК м/р	0,4	ПДК с/г	0,06	-	-	Нет	Нет
0328	Углерод (Пигмент черный)	ПДК м/р	0,15	ПДК с/г	0,025	ПДК с/с	0,05	Нет	Нет
0330	Сера диоксид	ПДК м/р	0,5	ПДК с/с	0,05	-	-	Нет	Нет
0333	Дигидросульфид (Водород сернистый, дигидросульфид, гидросульфид)	ПДК м/р	0,008	ПДК с/г	0,002	-	-	Нет	Нет
0337	Углерода оксид (Углерод окись; углерод моноокись; угарный газ)	ПДК м/р	5	ПДК с/г	3	ПДК с/с	3	Нет	Нет
0410	Метан	ОБУВ	50	-	-	-	-	Нет	Нет
0415	Смесь предельных углеводородов С1Н4-С5Н12	ПДК м/р	200	ПДК с/с	50	-	-	Нет	Нет
0416	Смесь предельных углеводородов С6Н14-С10Н22	ПДК м/р	50	ПДК с/с	5	-	-	Нет	Нет
0703	Бенз/а/пирен	-	-	ПДК с/г	1Е-6	ПДК с/с	1Е-6	Нет	Нет
1052	Метиловый спирт	ПДК м/р	1	ПДК с/г	0,2	ПДК с/с	0,5	Нет	Нет
1325	Формальдегид (Муравьиный альдегид, оксометан, метиленоксид)	ПДК м/р	0,05	ПДК с/г	0,003	ПДК с/с	0,01	Нет	Нет
2732	Керосин (Керосин прямой перегонки; керосин дезодорированный)	ОБУВ	1,2	-	-	-	-	Нет	Нет
2735	Масло минеральное нефтяное	ОБУВ	0,05	-	-	-	-	Нет	Нет
2754	Алканы С12-С19 (в пересчете на С)	ПДК м/р	1	-	-	-	-	Нет	Нет

Максимальные концентрации по веществам

Результаты расчета по веществам (расчетные точки)

Типы точек:
0 - расчетная точка пользователя
1 - точка на границе охранной зоны
2 - точка на границе производственной зоны
3 - точка на границе СЗЗ
4 - на границе жилой зоны
5 - на границе застройки
6 - точки квотирования

Вещество: 0301
Азота диоксид (Двуокись азота; пероксид азота)

№	Коорд X(м)	Коорд Y(м)	Высота (м)	Концентр. (д. ПДК)	Концентр. (мг/куб.м)	Напр. ветра	Скор. ветра	Фон		Фон до исключения		Тип точки
								доли ПДК	мг/куб.м	доли ПДК	мг/куб.м	
1	792,00	1517,00	2,00	0,30	0,030	-	-	-	-	-	-	3
2	2086,00	1066,00	2,00	0,21	0,021	-	-	-	-	-	-	3
3	2351,00	397,00	2,00	0,24	0,024	-	-	-	-	-	-	3
4	2231,00	-726,00	2,00	0,24	0,024	-	-	-	-	-	-	3
5	755,00	-1587,00	2,00	0,31	0,031	-	-	-	-	-	-	3
6	-708,00	-963,00	2,00	0,16	0,016	-	-	-	-	-	-	3
7	-1120,00	21,00	2,00	0,24	0,024	-	-	-	-	-	-	3
8	-754,00	966,00	2,00	0,29	0,029	-	-	-	-	-	-	3
9	771,00	517,00	2,00	0,35	0,035	-	-	-	-	-	-	2
10	1352,00	388,00	2,00	0,31	0,031	-	-	-	-	-	-	2
11	1357,00	-240,00	2,00	0,33	0,033	-	-	-	-	-	-	2
12	719,00	-589,00	2,00	0,30	0,030	-	-	-	-	-	-	2
13	-2,00	-258,00	2,00	0,21	0,021	-	-	-	-	-	-	2
14	-122,00	-57,00	2,00	0,20	0,020	-	-	-	-	-	-	2
15	144,00	525,00	2,00	0,32	0,032	-	-	-	-	-	-	2
16	246,00	-202,00	2,00	0,22	0,022	-	-	-	-	-	-	4

Вещество: 0328
Углерод (Пигмент черный)

№	Коорд X(м)	Коорд Y(м)	Высота (м)	Концентр. (д. ПДК)	Концентр. (мг/куб.м)	Напр. ветра	Скор. ветра	Фон		Фон до исключения		Тип точки
								доли ПДК	мг/куб.м	доли ПДК	мг/куб.м	
1	792,00	1517,00	2,00	0,13	0,006	-	-	-	-	-	-	3
2	2086,00	1066,00	2,00	0,09	0,005	-	-	-	-	-	-	3
3	2351,00	397,00	2,00	0,10	0,005	-	-	-	-	-	-	3
4	2231,00	-726,00	2,00	0,07	0,004	-	-	-	-	-	-	3
5	755,00	-1587,00	2,00	0,08	0,004	-	-	-	-	-	-	3
6	-708,00	-963,00	2,00	0,05	0,002	-	-	-	-	-	-	3
7	-1120,00	21,00	2,00	0,06	0,003	-	-	-	-	-	-	3
8	-754,00	966,00	2,00	0,06	0,003	-	-	-	-	-	-	3

9	771,00	517,00	2,00	0,09	0,005	-	-	-	-	-	-	2
10	1352,00	388,00	2,00	0,16	0,008	-	-	-	-	-	-	2
11	1357,00	-240,00	2,00	0,14	0,007	-	-	-	-	-	-	2
12	719,00	-589,00	2,00	0,15	0,007	-	-	-	-	-	-	2
13	-2,00	-258,00	2,00	0,08	0,004	-	-	-	-	-	-	2
14	-122,00	-57,00	2,00	0,10	0,005	-	-	-	-	-	-	2
15	144,00	525,00	2,00	0,13	0,006	-	-	-	-	-	-	2
16	246,00	-202,00	2,00	0,09	0,005	-	-	-	-	-	-	4

Вещество: 0337

Углерода оксид (Углерод окись; углерод моноокись; угарный газ)

№	Коорд X(м)	Коорд Y(м)	Высота (м)	Концентр. (д. ПДК)	Концентр. (мг/куб.м)	Напр. ветра	Скор. ветра	Фон		Фон до исключения		Тип точки
								доли ПДК	мг/куб.м	доли ПДК	мг/куб.м	
1	792,00	1517,00	2,00	0,03	0,099	-	-	-	-	-	-	3
2	2086,00	1066,00	2,00	0,03	0,076	-	-	-	-	-	-	3
3	2351,00	397,00	2,00	0,03	0,086	-	-	-	-	-	-	3
4	2231,00	-726,00	2,00	0,02	0,073	-	-	-	-	-	-	3
5	755,00	-1587,00	2,00	0,03	0,091	-	-	-	-	-	-	3
6	-708,00	-963,00	2,00	0,02	0,054	-	-	-	-	-	-	3
7	-1120,00	21,00	2,00	0,03	0,077	-	-	-	-	-	-	3
8	-754,00	966,00	2,00	0,02	0,075	-	-	-	-	-	-	3
9	771,00	517,00	2,00	0,03	0,103	-	-	-	-	-	-	2
10	1352,00	388,00	2,00	0,03	0,082	-	-	-	-	-	-	2
11	1357,00	-240,00	2,00	0,03	0,087	-	-	-	-	-	-	2
12	719,00	-589,00	2,00	0,03	0,090	-	-	-	-	-	-	2
13	-2,00	-258,00	2,00	0,02	0,068	-	-	-	-	-	-	2
14	-122,00	-57,00	2,00	0,02	0,069	-	-	-	-	-	-	2
15	144,00	525,00	2,00	0,03	0,085	-	-	-	-	-	-	2
16	246,00	-202,00	2,00	0,03	0,078	-	-	-	-	-	-	4

Вещество: 0703

Бенз/а/пирен

№	Коорд X(м)	Коорд Y(м)	Высота (м)	Концентр. (д. ПДК)	Концентр. (мг/куб.м)	Напр. ветра	Скор. ветра	Фон		Фон до исключения		Тип точки
								доли ПДК	мг/куб.м	доли ПДК	мг/куб.м	
1	792,00	1517,00	2,00	0,03	2,817E-08	-	-	-	-	-	-	3
2	2086,00	1066,00	2,00	0,02	1,536E-08	-	-	-	-	-	-	3
3	2351,00	397,00	2,00	0,02	1,733E-08	-	-	-	-	-	-	3
4	2231,00	-726,00	2,00	0,02	1,529E-08	-	-	-	-	-	-	3
5	755,00	-1587,00	2,00	0,02	2,299E-08	-	-	-	-	-	-	3
6	-708,00	-963,00	2,00	0,01	1,189E-08	-	-	-	-	-	-	3
7	-1120,00	21,00	2,00	0,02	1,529E-08	-	-	-	-	-	-	3
8	-754,00	966,00	2,00	0,02	1,553E-08	-	-	-	-	-	-	3
9	771,00	517,00	2,00	0,04	3,948E-08	-	-	-	-	-	-	2
10	1352,00	388,00	2,00	0,03	2,988E-08	-	-	-	-	-	-	2
11	1357,00	-240,00	2,00	0,03	2,784E-08	-	-	-	-	-	-	2
12	719,00	-589,00	2,00	0,05	4,849E-08	-	-	-	-	-	-	2
13	-2,00	-258,00	2,00	0,03	2,735E-08	-	-	-	-	-	-	2
14	-122,00	-57,00	2,00	0,03	2,522E-08	-	-	-	-	-	-	2
15	144,00	525,00	2,00	0,03	3,133E-08	-	-	-	-	-	-	2
16	246,00	-202,00	2,00	0,04	4,231E-08	-	-	-	-	-	-	4

Вещество: 1052

Метиловый спирт

№	Коорд X(м)	Коорд Y(м)	Высота (м)	Концентр. (д. ПДК)	Концентр. (мг/куб.м)	Напр. ветра	Скор. ветра	Фон		Фон до исключения		Тип точки
								доли ПДК	мг/куб.м	доли ПДК	мг/куб.м	
1	792,00	1517,00	2,00	0,05	0,024	-	-	-	-	-	-	3
2	2086,00	1066,00	2,00	0,03	0,013	-	-	-	-	-	-	3
3	2351,00	397,00	2,00	0,03	0,014	-	-	-	-	-	-	3
4	2231,00	-726,00	2,00	0,03	0,013	-	-	-	-	-	-	3
5	755,00	-1587,00	2,00	0,04	0,018	-	-	-	-	-	-	3
6	-708,00	-963,00	2,00	0,03	0,015	-	-	-	-	-	-	3
7	-1120,00	21,00	2,00	0,04	0,021	-	-	-	-	-	-	3
8	-754,00	966,00	2,00	0,05	0,024	-	-	-	-	-	-	3
9	771,00	517,00	2,00	0,14	0,071	-	-	-	-	-	-	2
10	1352,00	388,00	2,00	0,08	0,038	-	-	-	-	-	-	2
11	1357,00	-240,00	2,00	0,07	0,036	-	-	-	-	-	-	2
12	719,00	-589,00	2,00	0,10	0,050	-	-	-	-	-	-	2
13	-2,00	-258,00	2,00	0,18	0,089	-	-	-	-	-	-	2
14	-122,00	-57,00	2,00	0,19	0,093	-	-	-	-	-	-	2
15	144,00	525,00	2,00	0,31	0,155	-	-	-	-	-	-	2
16	246,00	-202,00	2,00	0,20	0,098	-	-	-	-	-	-	4

Вещество: 1325

Формальдегид (Муравьиный альдегид, оксометан, метиленоксид)

№	Коорд X(м)	Коорд Y(м)	Высота (м)	Концентр. (д. ПДК)	Концентр. (мг/куб.м)	Напр. ветра	Скор. ветра	Фон		Фон до исключения		Тип точки
								доли ПДК	мг/куб.м	доли ПДК	мг/куб.м	
1	792,00	1517,00	2,00	3,78E-03	3,777E-05	-	-	-	-	-	-	3

2	2086,00	1066,00	2,00	2,60E-03	2,601E-05	-	-	-	-	-	-	3
3	2351,00	397,00	2,00	3,04E-03	3,037E-05	-	-	-	-	-	-	3
4	2231,00	-726,00	2,00	3,33E-03	3,334E-05	-	-	-	-	-	-	3
5	755,00	-1587,00	2,00	4,32E-03	4,323E-05	-	-	-	-	-	-	3
6	-708,00	-963,00	2,00	2,52E-03	2,521E-05	-	-	-	-	-	-	3
7	-1120,00	21,00	2,00	3,06E-03	3,065E-05	-	-	-	-	-	-	3
8	-754,00	966,00	2,00	2,86E-03	2,862E-05	-	-	-	-	-	-	3
9	771,00	517,00	2,00	6,90E-03	6,903E-05	-	-	-	-	-	-	2
10	1352,00	388,00	2,00	4,70E-03	4,697E-05	-	-	-	-	-	-	2
11	1357,00	-240,00	2,00	6,45E-03	6,445E-05	-	-	-	-	-	-	2
12	719,00	-589,00	2,00	7,57E-03	7,574E-05	-	-	-	-	-	-	2
13	-2,00	-258,00	2,00	6,86E-03	6,856E-05	-	-	-	-	-	-	2
14	-122,00	-57,00	2,00	6,30E-03	6,299E-05	-	-	-	-	-	-	2
15	144,00	525,00	2,00	7,08E-03	7,081E-05	-	-	-	-	-	-	2
16	246,00	-202,00	2,00	9,04E-03	9,036E-05	-	-	-	-	-	-	4

ВР: 2, Эксплуатация максимально разовые концентрации с фоном

Расчетные константы: S=999999,99

Расчет: «Расчет рассеивания по МРР-2017» (лето)

Расчет завершен успешно. Рассчитано 3 веществ/групп суммации. 4.70.5.93

Расчет проводился по веществам (группам суммации)

Код	Наименование вещества	Предельно допустимая концентрация						Фоновая концентр.	
		Расчет максимальных концентраций		Расчет среднегодовых концентраций		Расчет среднесуточных концентраций			
		Тип	Значение	Тип	Значение	Тип	Значение	Учет	Интерп.
0301	Азота диоксид (Двуокись азота; пероксид азота)	ПДК м/р	0,2	ПДК с/г	0,04	ПДК с/с	0,1	Да	Да
0304	Азот (II) оксид (Азот монооксид)	ПДК м/р	0,4	ПДК с/г	0,06	ПДК с/с	-	Да	Да
0337	Углерода оксид (Углерод окись; углерод моноокись; угарный газ)	ПДК м/р	5	ПДК с/г	3	ПДК с/с	3	Да	Да

Посты измерения фоновых концентраций

№ поста	Наименование	Координаты (м)	
		X	Y
1	Самбург	0,00	0,00

Код в-ва	Наименование вещества	Максимальная концентрация *					Средняя концентрация *
		Штиль	Север	Восток	Юг	Запад	
0301	Азота диоксид (Двуокись азота; пероксид азота)	0,063	0,063	0,063	0,063	0,063	0,028
0304	Азот (II) оксид (Азот монооксид)	0,045	0,045	0,045	0,045	0,045	0,015
0330	Сера диоксид	0,015	0,015	0,015	0,015	0,015	0,005
0337	Углерода оксид (Углерод окись; углерод моноокись; угарный газ)	1,900	1,900	1,900	1,900	1,900	0,900
0703	Бенз/а/пирен	9,000E-07	9,000E-07	9,000E-07	9,000E-07	9,000E-07	4,000E-07

* Фоновые концентрации измеряются в мг/м3 для веществ и долях приведенной ПДК для групп суммации

Максимальные концентрации по веществам (расчетные площадки)

Вещество: 0301
Азота диоксид (Двуокись азота; пероксид азота)
Площадка: 2
Поле максимальных концентраций

Коорд X(м)	Коорд Y(м)	Концентр. (д. ПДК)	Концентр. (мг/куб.м)	Напр. ветра	Скор. ветра	Фон		Фон до исключения	
						доли ПДК	мг/куб.м	доли ПДК	мг/куб.м
700,00	-200,00	0,93	0,186	289	1,50	0,08	0,015	0,08	0,015

Вещество: 0304
Азот (II) оксид (Азот монооксид)
Площадка: 2
Поле максимальных концентраций

Коорд X(м)	Коорд Y(м)	Концентр. (д. ПДК)	Концентр. (мг/куб.м)	Напр. ветра	Скор. ветра	Фон		Фон до исключения	
						доли ПДК	мг/куб.м	доли ПДК	мг/куб.м
-500,00	400,00	0,48	0,194	104	11,00	0,03	0,011	0,03	0,011

Вещество: 0337

Углерода оксид (Углерод окись; углерод моноокись; угарный газ)
Площадка: 2
Поле максимальных концентраций

Коорд X(м)	Коорд Y(м)	Концентр. (д. ПДК)	Концентр. (мг/куб.м)	Напр. ветра	Скор. ветра	Фон		Фон до исключения	
						доли ПДК	мг/куб.м	доли ПДК	мг/куб.м
700,00	200,00	0,36	1,817	234	1,50	0,09	0,451	0,09	0,451

Результаты расчета по веществам (расчетные точки)

Типы точек:
0 - расчетная точка пользователя
1 - точка на границе охранной зоны
2 - точка на границе производственной зоны
3 - точка на границе СЗЗ
4 - на границе жилой зоны
5 - на границе застройки
6 - точки квотирования

Вещество: 0301
Азота диоксид (Двуокись азота; пероксид азота)

№	Коорд X(м)	Коорд Y(м)	Высота (м)	Концентр. (д. ПДК)	Концентр. (мг/куб.м)	Напр. ветра	Скор. ветра	Фон		Фон до исключения		Тип точки
								доли ПДК	мг/куб.м	доли ПДК	мг/куб.м	
1	792,00	1517,00	2,00	0,65	0,130	187	11,00	0,07	0,015	0,07	0,015	3
2	2086,00	1066,00	2,00	0,55	0,109	235	11,00	0,07	0,015	0,07	0,015	3
3	2351,00	397,00	2,00	0,58	0,117	261	11,00	0,07	0,015	0,07	0,015	3
4	2231,00	-726,00	2,00	0,67	0,134	293	11,00	0,07	0,015	0,07	0,015	3
5	755,00	-1587,00	2,00	0,75	0,151	352	11,00	0,08	0,015	0,08	0,015	3
6	-708,00	-963,00	2,00	0,52	0,104	57	11,00	0,08	0,016	0,08	0,016	3
7	-1120,00	21,00	2,00	0,66	0,132	85	11,00	0,08	0,015	0,08	0,015	3
8	-754,00	966,00	2,00	0,87	0,174	128	11,00	0,07	0,015	0,07	0,015	3
9	771,00	517,00	2,00	0,75	0,149	195	11,00	0,07	0,015	0,07	0,015	2
10	1352,00	388,00	2,00	0,63	0,125	260	11,00	0,07	0,015	0,07	0,015	2
11	1357,00	-240,00	2,00	0,74	0,147	293	11,00	0,07	0,015	0,07	0,015	2
12	719,00	-589,00	2,00	0,63	0,127	331	11,00	0,08	0,015	0,08	0,015	2
13	-2,00	-258,00	2,00	0,50	0,100	58	2,50	0,08	0,015	0,08	0,015	2
14	-122,00	-57,00	2,00	0,50	0,101	56	11,00	0,08	0,015	0,08	0,015	2
15	144,00	525,00	2,00	0,65	0,130	147	11,00	0,07	0,015	0,07	0,015	2
16	246,00	-202,00	2,00	0,50	0,101	12	3,20	0,08	0,015	0,08	0,015	4

Вещество: 0304
Азот (II) оксид (Азот монооксид)

№	Коорд X(м)	Коорд Y(м)	Высота (м)	Концентр. (д. ПДК)	Концентр. (мг/куб.м)	Напр. ветра	Скор. ветра	Фон		Фон до исключения		Тип точки
								доли ПДК	мг/куб.м	доли ПДК	мг/куб.м	
1	792,00	1517,00	2,00	0,27	0,108	203	11,00	0,03	0,010	0,03	0,010	3
2	2086,00	1066,00	2,00	0,26	0,105	243	11,00	0,03	0,010	0,03	0,010	3
3	2351,00	397,00	2,00	0,30	0,120	263	11,00	0,03	0,010	0,03	0,010	3
4	2231,00	-726,00	2,00	0,32	0,128	295	11,00	0,03	0,011	0,03	0,011	3
5	755,00	-1587,00	2,00	0,28	0,112	346	11,00	0,03	0,011	0,03	0,011	3
6	-708,00	-963,00	2,00	0,27	0,107	39	11,00	0,03	0,011	0,03	0,011	3
7	-1120,00	21,00	2,00	0,37	0,147	83	11,00	0,03	0,011	0,03	0,011	3
8	-754,00	966,00	2,00	0,43	0,171	128	11,00	0,03	0,011	0,03	0,011	3
9	771,00	517,00	2,00	0,31	0,125	241	11,00	0,03	0,011	0,03	0,011	2
10	1352,00	388,00	2,00	0,36	0,146	261	11,00	0,03	0,011	0,03	0,011	2
11	1357,00	-240,00	2,00	0,42	0,168	292	11,00	0,03	0,011	0,03	0,011	2
12	719,00	-589,00	2,00	0,36	0,143	328	11,00	0,03	0,011	0,03	0,011	2
13	-2,00	-258,00	2,00	0,22	0,089	58	2,50	0,03	0,011	0,03	0,011	2
14	-122,00	-57,00	2,00	0,24	0,095	56	11,00	0,03	0,011	0,03	0,011	2
15	144,00	525,00	2,00	0,25	0,100	142	4,10	0,03	0,011	0,03	0,011	2
16	246,00	-202,00	2,00	0,22	0,089	345	11,00	0,03	0,011	0,03	0,011	4

Вещество: 0337
Углерода оксид (Углерод окись; углерод моноокись; угарный газ)

№	Коорд X(м)	Коорд Y(м)	Высота (м)	Концентр. (д. ПДК)	Концентр. (мг/куб.м)	Напр. ветра	Скор. ветра	Фон		Фон до исключения		Тип точки
								доли ПДК	мг/куб.м	доли ПДК	мг/куб.м	
1	792,00	1517,00	2,00	0,19	0,926	186	11,00	0,09	0,440	0,09	0,440	3
2	2086,00	1066,00	2,00	0,18	0,907	236	11,00	0,09	0,438	0,09	0,438	3
3	2351,00	397,00	2,00	0,18	0,893	260	11,00	0,09	0,442	0,09	0,442	3
4	2231,00	-726,00	2,00	0,18	0,887	295	11,00	0,09	0,452	0,09	0,452	3
5	755,00	-1587,00	2,00	0,19	0,948	355	11,00	0,09	0,467	0,09	0,467	3
6	-708,00	-963,00	2,00	0,18	0,921	53	11,00	0,09	0,468	0,09	0,468	3
7	-1120,00	21,00	2,00	0,19	0,932	87	11,00	0,09	0,461	0,09	0,461	3
8	-754,00	966,00	2,00	0,19	0,936	126	11,00	0,09	0,451	0,09	0,451	3

9	771,00	517,00	2,00	0,21	1,072	196	11,00	0,09	0,448	0,09	0,448	2
10	1352,00	388,00	2,00	0,17	0,860	250	11,00	0,09	0,447	0,09	0,447	2
11	1357,00	-240,00	2,00	0,18	0,916	294	11,00	0,09	0,452	0,09	0,452	2
12	719,00	-589,00	2,00	0,18	0,910	353	11,00	0,09	0,458	0,09	0,458	2
13	-2,00	-258,00	2,00	0,18	0,881	58	3,20	0,09	0,459	0,09	0,459	2
14	-122,00	-57,00	2,00	0,17	0,875	77	11,00	0,09	0,457	0,09	0,457	2
15	144,00	525,00	2,00	0,17	0,836	128	11,00	0,09	0,451	0,09	0,451	2
16	246,00	-202,00	2,00	0,18	0,900	50	3,20	0,09	0,457	0,09	0,457	4

ВР: 2, Эксплуатация среднегодовые концентрации с фоном

Расчетные константы: S=999999,99

Расчет: «Расчет средних концентраций по МРР-2017»

Расчет завершен успешно. Рассчитано 3 веществ. 4.70.5.93

Расчет проводился по веществам

Код	Наименование вещества	Предельно допустимая концентрация						Фоновая концентр.	
		Расчет максимальных концентраций		Расчет среднегодовых концентраций		Расчет среднесуточных концентраций			
		Тип	Значение	Тип	Значение	Тип	Значение	Учет	Интерп.
0301	Азота диоксид (Двуокись азота; пероксид азота)	ПДК м/р	0,2	ПДК с/г	0,04	ПДК с/с	0,1	Да	Да
0304	Азот (II) оксид (Азот монооксид)	ПДК м/р	0,4	ПДК с/г	0,06	-	-	Да	Да
0337	Углерода оксид (Углерод окись; углерод моноокись; угарный газ)	ПДК м/р	5	ПДК с/г	3	ПДК с/с	3	Да	Да

Максимальные концентрации по веществам (расчетные площадки)

Вещество: 0301

Азота диоксид (Двуокись азота; пероксид азота)

Площадка: 2

Поле средних концентраций

Коорд X(м)	Коорд Y(м)	Концентр. (д. ПДК)	Концентр. (мг/куб.м)	Напр. ветра	Скор. ветра	Фон		Фон до исключения	
						доли ПДК	мг/куб.м	доли ПДК	мг/куб.м
300,00	800,00	0,34	0,013	-	-	0,17	0,007	0,17	0,007

Вещество: 0304

Азот (II) оксид (Азот монооксид)

Площадка: 2

Поле средних концентраций

Коорд X(м)	Коорд Y(м)	Концентр. (д. ПДК)	Концентр. (мг/куб.м)	Напр. ветра	Скор. ветра	Фон		Фон до исключения	
						доли ПДК	мг/куб.м	доли ПДК	мг/куб.м
300,00	800,00	0,16	0,010	-	-	0,06	0,004	0,06	0,004

Вещество: 0337

Углерода оксид (Углерод окись; углерод моноокись; угарный газ)

Площадка: 2

Поле средних концентраций

Коорд X(м)	Коорд Y(м)	Концентр. (д. ПДК)	Концентр. (мг/куб.м)	Напр. ветра	Скор. ветра	Фон		Фон до исключения	
						доли ПДК	мг/куб.м	доли ПДК	мг/куб.м
-3000,00	-3000,00	0,08	0,238	-	-	0,08	0,237	0,08	0,237

Результаты расчета по веществам (расчетные точки)

Типы точек:
0 - расчетная точка пользователя
1 - точка на границе охранной зоны
2 - точка на границе производственной зоны
3 - точка на границе СЗЗ
4 - на границе жилой зоны
5 - на границе застройки
6 - точки квотирования

Вещество: 0301

Азота диоксид (Двуокись азота; пероксид азота)

№	Коорд X(м)	Коорд Y(м)	Высота (м)	Концентр. (д. ПДК)	Концентр. (мг/куб.м)	Напр. ветра	Скор. ветра	Фон		Фон до исключения		Тип точки
								доли ПДК	мг/куб.м	доли ПДК	мг/куб.м	
1	792,00	1517,00	2,00	0,27	0,011	-	-	0,16	0,006	0,16	0,006	3
2	2086,00	1066,00	2,00	0,22	0,009	-	-	0,16	0,006	0,16	0,006	3

3	2351,00	397,00	2,00	0,24	0,010	-	-	0,16	0,007	0,16	0,007	3
4	2231,00	-726,00	2,00	0,23	0,009	-	-	0,17	0,007	0,17	0,007	3
5	755,00	-1587,00	2,00	0,26	0,011	-	-	0,17	0,007	0,17	0,007	3
6	-708,00	-963,00	2,00	0,21	0,008	-	-	0,17	0,007	0,17	0,007	3
7	-1120,00	21,00	2,00	0,23	0,009	-	-	0,17	0,007	0,17	0,007	3
8	-754,00	966,00	2,00	0,23	0,009	-	-	0,17	0,007	0,17	0,007	3
9	771,00	517,00	2,00	0,30	0,012	-	-	0,17	0,007	0,17	0,007	2
10	1352,00	388,00	2,00	0,28	0,011	-	-	0,16	0,007	0,16	0,007	2
11	1357,00	-240,00	2,00	0,27	0,011	-	-	0,17	0,007	0,17	0,007	2
12	719,00	-589,00	2,00	0,28	0,011	-	-	0,17	0,007	0,17	0,007	2
13	-2,00	-258,00	2,00	0,24	0,010	-	-	0,17	0,007	0,17	0,007	2
14	-122,00	-57,00	2,00	0,22	0,009	-	-	0,17	0,007	0,17	0,007	2
15	144,00	525,00	2,00	0,29	0,012	-	-	0,17	0,007	0,17	0,007	2
16	246,00	-202,00	2,00	0,27	0,011	-	-	0,17	0,007	0,17	0,007	4

Вещество: 0304
Азот (II) оксид (Азот монооксид)

№	Коорд X(м)	Коорд Y(м)	Высота (м)	Концентр. (д. ПДК)	Концентр. (мг/куб.м)	Напр. ветра	Скор. ветра	Фон		Фон до исключения		Тип точки
								доли ПДК	мг/куб.м	доли ПДК	мг/куб.м	
1	792,00	1517,00	2,00	0,12	0,007	-	-	0,06	0,003	0,06	0,003	3
2	2086,00	1066,00	2,00	0,09	0,006	-	-	0,06	0,003	0,06	0,003	3
3	2351,00	397,00	2,00	0,10	0,006	-	-	0,06	0,003	0,06	0,003	3
4	2231,00	-726,00	2,00	0,09	0,006	-	-	0,06	0,004	0,06	0,004	3
5	755,00	-1587,00	2,00	0,12	0,007	-	-	0,06	0,004	0,06	0,004	3
6	-708,00	-963,00	2,00	0,08	0,005	-	-	0,06	0,004	0,06	0,004	3
7	-1120,00	21,00	2,00	0,10	0,006	-	-	0,06	0,004	0,06	0,004	3
8	-754,00	966,00	2,00	0,10	0,006	-	-	0,06	0,004	0,06	0,004	3
9	771,00	517,00	2,00	0,14	0,008	-	-	0,06	0,004	0,06	0,004	2
10	1352,00	388,00	2,00	0,13	0,008	-	-	0,06	0,004	0,06	0,004	2
11	1357,00	-240,00	2,00	0,12	0,007	-	-	0,06	0,004	0,06	0,004	2
12	719,00	-589,00	2,00	0,13	0,008	-	-	0,06	0,004	0,06	0,004	2
13	-2,00	-258,00	2,00	0,11	0,006	-	-	0,06	0,004	0,06	0,004	2
14	-122,00	-57,00	2,00	0,09	0,006	-	-	0,06	0,004	0,06	0,004	2
15	144,00	525,00	2,00	0,13	0,008	-	-	0,06	0,004	0,06	0,004	2
16	246,00	-202,00	2,00	0,13	0,008	-	-	0,06	0,004	0,06	0,004	4

Вещество: 0337
Углерода оксид (Углерод окись; углерод монооксись; угарный газ)

№	Коорд X(м)	Коорд Y(м)	Высота (м)	Концентр. (д. ПДК)	Концентр. (мг/куб.м)	Напр. ветра	Скор. ветра	Фон		Фон до исключения		Тип точки
								доли ПДК	мг/куб.м	доли ПДК	мг/куб.м	
1	792,00	1517,00	2,00	0,07	0,219	-	-	0,07	0,208	0,07	0,208	3
2	2086,00	1066,00	2,00	0,07	0,213	-	-	0,07	0,208	0,07	0,208	3
3	2351,00	397,00	2,00	0,07	0,218	-	-	0,07	0,210	0,07	0,210	3
4	2231,00	-726,00	2,00	0,07	0,220	-	-	0,07	0,214	0,07	0,214	3
5	755,00	-1587,00	2,00	0,08	0,230	-	-	0,07	0,221	0,07	0,221	3
6	-708,00	-963,00	2,00	0,07	0,224	-	-	0,07	0,222	0,07	0,222	3
7	-1120,00	21,00	2,00	0,07	0,224	-	-	0,07	0,218	0,07	0,218	3
8	-754,00	966,00	2,00	0,07	0,219	-	-	0,07	0,214	0,07	0,214	3
9	771,00	517,00	2,00	0,07	0,221	-	-	0,07	0,212	0,07	0,212	2
10	1352,00	388,00	2,00	0,07	0,219	-	-	0,07	0,212	0,07	0,212	2
11	1357,00	-240,00	2,00	0,07	0,222	-	-	0,07	0,214	0,07	0,214	2
12	719,00	-589,00	2,00	0,08	0,226	-	-	0,07	0,217	0,07	0,217	2
13	-2,00	-258,00	2,00	0,07	0,222	-	-	0,07	0,217	0,07	0,217	2
14	-122,00	-57,00	2,00	0,07	0,221	-	-	0,07	0,217	0,07	0,217	2
15	144,00	525,00	2,00	0,07	0,223	-	-	0,07	0,214	0,07	0,214	2
16	246,00	-202,00	2,00	0,07	0,223	-	-	0,07	0,216	0,07	0,216	4

ВР: 2, Эксплуатация среднесуточных концентраций с фоном

Расчетные константы: S=999999,99
Расчет: «Расчет среднесуточных концентраций»
Расчет завершился успешно!

Расчет проводился по веществам (группам суммации)

Код	Наименование вещества	Предельно допустимая концентрация						Фоновая концентр.	
		Расчет максимальных концентраций		Расчет среднегодовых концентраций		Расчет среднесуточных концентраций			
		Тип	Значение	Тип	Значение	Тип	Значение	Учет	Интерп.

0301	Азота диоксид (Двуокись азота; пероксид азота)	ПДК м/р	0,2	ПДК с/г	0,04	ПДК с/с	0,1	Да	Да
0304	Азот (II) оксид (Азот монооксид)	ПДК м/р	0,4	ПДК с/г	0,06	-	-	Да	Да
0337	Углерода оксид (Углерод окись; углерод моноокись; угарный газ)	ПДК м/р	5	ПДК с/г	3	ПДК с/с	3	Да	Да

Результаты расчета по веществам (расчетные точки)

Типы точек:
0 - расчетная точка пользователя
1 - точка на границе охранной зоны
2 - точка на границе производственной зоны
3 - точка на границе СЗЗ
4 - на границе жилой зоны
5 - на границе застройки
6 - точки квотирования

Вещество: 0301
Азота диоксид (Двуокись азота; пероксид азота)

№	Коорд X(м)	Коорд Y(м)	Высота (м)	Концентр. (д. ПДК)	Концентр. (мг/куб.м)	Напр. ветра	Скор. ветра	Фон		Фон до исключения		Тип точки
								доли ПДК	мг/куб.м	доли ПДК	мг/куб.м	
1	792,00	1517,00	2,00	0,48	0,048	-	-	-	-	-	-	3
2	2086,00	1066,00	2,00	0,40	0,040	-	-	-	-	-	-	3
3	2351,00	397,00	2,00	0,43	0,043	-	-	-	-	-	-	3
4	2231,00	-726,00	2,00	0,46	0,046	-	-	-	-	-	-	3
5	755,00	-1587,00	2,00	0,52	0,052	-	-	-	-	-	-	3
6	-708,00	-963,00	2,00	0,38	0,038	-	-	-	-	-	-	3
7	-1120,00	21,00	2,00	0,45	0,045	-	-	-	-	-	-	3
8	-754,00	966,00	2,00	0,53	0,053	-	-	-	-	-	-	3
9	771,00	517,00	2,00	0,54	0,054	-	-	-	-	-	-	2
10	1352,00	388,00	2,00	0,47	0,047	-	-	-	-	-	-	2
11	1357,00	-240,00	2,00	0,52	0,052	-	-	-	-	-	-	2
12	719,00	-589,00	2,00	0,48	0,048	-	-	-	-	-	-	2
13	-2,00	-258,00	2,00	0,40	0,040	-	-	-	-	-	-	2
14	-122,00	-57,00	2,00	0,38	0,038	-	-	-	-	-	-	2
15	144,00	525,00	2,00	0,49	0,049	-	-	-	-	-	-	2
16	246,00	-202,00	2,00	0,42	0,042	-	-	-	-	-	-	4

Вещество: 0337
Углерода оксид (Углерод окись; углерод моноокись; угарный газ)

№	Коорд X(м)	Коорд Y(м)	Высота (м)	Концентр. (д. ПДК)	Концентр. (мг/куб.м)	Напр. ветра	Скор. ветра	Фон		Фон до исключения		Тип точки
								доли ПДК	мг/куб.м	доли ПДК	мг/куб.м	
1	792,00	1517,00	2,00	0,17	0,521	-	-	-	-	-	-	3
2	2086,00	1066,00	2,00	0,17	0,508	-	-	-	-	-	-	3
3	2351,00	397,00	2,00	0,17	0,508	-	-	-	-	-	-	3
4	2231,00	-726,00	2,00	0,17	0,508	-	-	-	-	-	-	3
5	755,00	-1587,00	2,00	0,18	0,539	-	-	-	-	-	-	3
6	-708,00	-963,00	2,00	0,17	0,523	-	-	-	-	-	-	3
7	-1120,00	21,00	2,00	0,18	0,527	-	-	-	-	-	-	3
8	-754,00	966,00	2,00	0,17	0,524	-	-	-	-	-	-	3
9	771,00	517,00	2,00	0,19	0,570	-	-	-	-	-	-	2
10	1352,00	388,00	2,00	0,17	0,498	-	-	-	-	-	-	2
11	1357,00	-240,00	2,00	0,17	0,519	-	-	-	-	-	-	2
12	719,00	-589,00	2,00	0,17	0,522	-	-	-	-	-	-	2
13	-2,00	-258,00	2,00	0,17	0,507	-	-	-	-	-	-	2
14	-122,00	-57,00	2,00	0,17	0,505	-	-	-	-	-	-	2
15	144,00	525,00	2,00	0,16	0,493	-	-	-	-	-	-	2
16	246,00	-202,00	2,00	0,17	0,515	-	-	-	-	-	-	4

Программный комплекс АРМ «Акустика» 3D

версия 3.3.4

ОТЧЁТ

ПО РАСЧЕТУ УРОВНЕЙ ЗВУКОВОГО ДАВЛЕНИЯ

И УРОВНЕЙ ЗВУКА

“Обустройство ачимовских отложений

Уренгойского месторождения Самбургского ЛУ.

ДКС. 4-й этап”.

(только в электронном виде)

Расчетные приложения

на период

СМР

Исходные данные и определение уровней звуковой мощности источников шума

Наименование величин и их описание		Ссылка	Расчётные уровни в октавных полосах, со среднегеометрическими частотами, Гц									La, дБА	Lмакс, дБА
			31,5	63	125	250	500	1000	2000	4000	8000		
1		2	3	4	5	6	7	8	9	10	11	12	13
ИШ-1-1 [координаты на плане (x,y,z), м = (271.7,229.7,1.0)]													
Режим работы источника:			постоянный										
Продолжительность работы в дневной период (7.00-23.00):			16 час										
Продолжительность работы в ночной период (23.00-7.00):			8 час										
Тип источника шума:			точечный										
Категория источника шума:			77.16.004 Ачимовка. ДКС										
:			МКУ-381										
:			ГОСТ 12.2.110-85										
Пространственный угол излучения, рад.	Ω = 6.28	исходные данные											
Октавные уровни звуковой мощности источника Lw, дБ		исходные данные	97	97	104	106	105	105	98	87	81		
ИШ-1-2 [координаты на плане (x,y,z), м = (261.7,199.1,1.0)]													
Режим работы источника:			постоянный										
Продолжительность работы в дневной период (7.00-23.00):			16 час										
Продолжительность работы в ночной период (23.00-7.00):			8 час										
Тип источника шума:			точечный										
Категория источника шума:			77.16.004 Ачимовка. ДКС										
:			МКУ-381										
:			ГОСТ 12.2.110-85										
Пространственный угол излучения, рад.	Ω = 6.28	исходные данные											
Октавные уровни звуковой мощности источника Lw, дБ		исходные данные	97	97	104	106	105	105	98	87	81		

1		2	3	4	5	6	7	8	9	10	11	12	13
ИШ-1-3 [координаты на плане (x,y,z), м = (251.8,236.4,1.0)]													
Режим работы источника:			постоянный										
Продолжительность работы в дневной период (7.00-23.00):			16 час										
Продолжительность работы в ночной период (23.00-7.00):			8 час										
Тип источника шума:			точечный										
Категория источника шума:			77.16.004 Ачимовка. ДКС										
:			АВО (МКУ) АВО-381-1/2										
:			(аналог АВГБ-83)										
Пространственный угол излучения, рад.	Ω = 6.28	исходные данные											
Уровень звука La на опорном расстоянии d, дБА	d = 1 м	исходные данные										90	
Габариты источника шума, м		исходные данные	длина (l_1) = 0.00			ширина (l_2) = 0.00			высота (l_3) = 0.00				
Уровни звуковой мощности источника LwA, дБА		LwA = La + 20lg(d) + 10lg(Ω)										98	
Спектральные поправки K(Δ_{LA}) для разложения общего уровня звуковой мощности в спектр по октавным полосам, дБ		[5]	-999	-6,7	-5,3	-4	-3,7	-4,1	-7,4	-11,6	-16,1		
Октавные уровни звуковой мощности источника Lw, дБ		Lw = LwA + K(Δ_{LA})	0	91,3	92,7	94	94,3	93,9	90,6	86,4	81,9		
ИШ-1-4 [координаты на плане (x,y,z), м = (290.3,223.2,1.0)]													
Режим работы источника:			постоянный										
Продолжительность работы в дневной период (7.00-23.00):			16 час										
Продолжительность работы в ночной период (23.00-7.00):			8 час										
Тип источника шума:			точечный										
Категория источника шума:			77.16.004 Ачимовка. ДКС										
:			АВО (МКУ) АВО-381-1/2										
:			(аналог АВГБ-83)										
Пространственный угол излучения, рад.	Ω = 6.28	исходные данные											
Уровень звука La на опорном расстоянии d, дБА	d = 1 м	исходные данные										90	

1		2	3	4	5	6	7	8	9	10	11	12	13
Габариты источника шума, м		исходные данные	длина (l_1) = 0.00			ширина (l_2) = 0.00			высота (l_3) = 0.00				
Уровни звуковой мощности источника LwA, дБА		LwA = La + 20lg(d) + 10lg(Ω)										98	
Спектральные поправки К(Δ_{LA}) для разложения общего уровня звуковой мощности в спектр по октавным полосам, дБ		[5]	-999	-6,7	-5,3	-4	-3,7	-4,1	-7,4	-11,6	-16,1		
Октавные уровни звуковой мощности источника Lw, дБ		Lw = LwA + К(Δ_{LA})	0	91,3	92,7	94	94,3	93,9	90,6	86,4	81,9		
ИШ-1-5 [координаты на плане (x,y,z), м = (241.5,205.9,1.0)]													
Режим работы источника:			постоянный										
Продолжительность работы в дневной период (7.00-23.00):			16 час										
Продолжительность работы в ночной период (23.00-7.00):			8 час										
Тип источника шума:			точечный										
Категория источника шума:			77.16.004 Ачимовка. ДКС										
:			АВО (МКУ) АВО-381-1/2										
:			(аналог АВГБ-83)										
Пространственный угол излучения, рад.	Ω = 6.28	исходные данные											
Уровень звука La на опорном расстоянии d, дБА	d = 1 м	исходные данные										90	
Габариты источника шума, м		исходные данные	длина (l_1) = 0.00			ширина (l_2) = 0.00			высота (l_3) = 0.00				
Уровни звуковой мощности источника LwA, дБА		LwA = La + 20lg(d) + 10lg(Ω)										98	
Спектральные поправки К(Δ_{LA}) для разложения общего уровня звуковой мощности в спектр по октавным полосам, дБ		[5]	-999	-6,7	-5,3	-4	-3,7	-4,1	-7,4	-11,6	-16,1		
Октавные уровни звуковой мощности источника Lw, дБ		Lw = LwA + К(Δ_{LA})	0	91,3	92,7	94	94,3	93,9	90,6	86,4	81,9		
ИШ-1-6 [координаты на плане (x,y,z), м = (279.8,193.0,1.0)]													
Режим работы источника:			постоянный										
Продолжительность работы в дневной период (7.00-23.00):			16 час										
Продолжительность работы в ночной период (23.00-7.00):			8 час										

1		2	3	4	5	6	7	8	9	10	11	12	13
Тип источника шума:			точечный										
Категория источника шума:			77.16.004 Ачимовка. ДКС										
:			АВО (МКУ) АВО-381-1/2										
:			(аналог АВГБ-83)										
Пространственный угол излучения, рад.	Ω = 6.28	исходные данные											
Уровень звука La на опорном расстоянии d, дБА	d = 1 м	исходные данные										90	
Габариты источника шума, м		исходные данные	длина (l_1) = 0.00			ширина (l_2) = 0.00			высота (l_3) = 0.00				
Уровни звуковой мощности источника LwA, дБА		LwA = La + 20lg(d) + 10lg(Ω)										98	
Спектральные поправки К(Δ_{LA}) для разложения общего уровня звуковой мощности в спектр по октавным полосам, дБ		[5]	-999	-6,7	-5,3	-4	-3,7	-4,1	-7,4	-11,6	-16,1		
Октавные уровни звуковой мощности источника Lw, дБ		Lw = LwA + К(Δ_{LA})	0	91,3	92,7	94	94,3	93,9	90,6	86,4	81,9		
ИШ-1-7 [координаты на плане (x,y,z), м = (451.9,146.7,1.0)]													
Режим работы источника:			постоянный										
Продолжительность работы в дневной период (7.00-23.00):			16 час										
Продолжительность работы в ночной период (23.00-7.00):			8 час										
Тип источника шума:			точечный										
Категория источника шума:			77.16.004 Ачимовка. ДКС										
:			АВО УВОГ-201										
:			(аналог АВГ-160-БМ)										
Пространственный угол излучения, рад.	Ω = 6.28	исходные данные											
Уровень звука La на опорном расстоянии d, дБА	d = 1 м	исходные данные										92	
Габариты источника шума, м		исходные данные	длина (l_1) = 0.00			ширина (l_2) = 0.00			высота (l_3) = 0.00				
Уровни звуковой мощности источника LwA, дБА		LwA = La + 20lg(d) + 10lg(Ω)										100	
Спектральные поправки К(Δ_{LA}) для разложения общего уровня звуковой мощности в спектр по октавным полосам, дБ		[5]	-999	-6,7	-5,3	-4	-3,7	-4,1	-7,4	-11,6	-16,1		

1		2	3	4	5	6	7	8	9	10	11	12	13
Октавные уровни звуковой мощности источника Lw, дБ		Lw = LwA + K(Δ_{LA})	0	93,3	94,7	96	96,3	95,9	92,6	88,4	83,9		
ИШ-1-8 [координаты на плане (x,y,z), м = (455.0,145.3,1.0)]													
Режим работы источника:			постоянный										
Продолжительность работы в дневной период (7.00-23.00):			16 час										
Продолжительность работы в ночной период (23.00-7.00):			8 час										
Тип источника шума:			точечный										
Категория источника шума:			77.16.004 Ачимовка. ДКС										
:			АВО УВОГ-201										
:			(аналог АВГ-160-БМ)										
Пространственный угол излучения, рад.	Ω = 6.28	исходные данные											
Уровень звука La на опорном расстоянии d, дБА	d = 1 м	исходные данные										92	
Габариты источника шума, м		исходные данные	длина (l_1) = 0.00			ширина (l_2) = 0.00			высота (l_3) = 0.00				
Уровни звуковой мощности источника LwA, дБА		LwA = La + 20lg(d) + 10lg(Ω)										100	
Спектральные поправки K(Δ_{LA}) для разложения общего уровня звуковой мощности в спектр по октавным полосам, дБ		[5]	-999	-6,7	-5,3	-4	-3,7	-4,1	-7,4	-11,6	-16,1		
Октавные уровни звуковой мощности источника Lw, дБ		Lw = LwA + K(Δ_{LA})	0	93,3	94,7	96	96,3	95,9	92,6	88,4	83,9		
ИШ-1-9 [координаты на плане (x,y,z), м = (458.1,144.3,1.0)]													
Режим работы источника:			постоянный										
Продолжительность работы в дневной период (7.00-23.00):			16 час										
Продолжительность работы в ночной период (23.00-7.00):			8 час										
Тип источника шума:			точечный										
Категория источника шума:			77.16.004 Ачимовка. ДКС										
:			АВО УВОГ-201										
:			(аналог АВГ-160-БМ)										
Пространственный угол излучения, рад.	Ω = 6.28	исходные данные											

1		2	3	4	5	6	7	8	9	10	11	12	13
Уровень звука La на опорном расстоянии d, дБА	d = 1 м	исходные данные										92	
Габариты источника шума, м		исходные данные	длина (l_1) = 0.00			ширина (l_2) = 0.00			высота (l_3) = 0.00				
Уровни звуковой мощности источника LwA, дБА		LwA = La + 20lg(d) + 10lg(Ω)										100	
Спектральные поправки К(Δ_{LA}) для разложения общего уровня звуковой мощности в спектр по октавным полосам, дБ		[5]	-999	-6,7	-5,3	-4	-3,7	-4,1	-7,4	-11,6	-16,1		
Октавные уровни звуковой мощности источника Lw, дБ		Lw = LwA + К(Δ_{LA})	0	93,3	94,7	96	96,3	95,9	92,6	88,4	83,9		
ИШ-1-10 [координаты на плане (x,y,z), м = (461.1,143.5,1.0)]													
Режим работы источника:		постоянный											
Продолжительность работы в дневной период (7.00-23.00):		16 час											
Продолжительность работы в ночной период (23.00-7.00):		8 час											
Тип источника шума:		точечный											
Категория источника шума:		77.16.004 Ачимовка. ДКС											
:		АВО УВОГ-201											
:		(аналог АВГ-160-БМ)											
Пространственный угол излучения, рад.	Ω = 6.28	исходные данные											
Уровень звука La на опорном расстоянии d, дБА	d = 1 м	исходные данные										92	
Габариты источника шума, м		исходные данные	длина (l_1) = 0.00			ширина (l_2) = 0.00			высота (l_3) = 0.00				
Уровни звуковой мощности источника LwA, дБА		LwA = La + 20lg(d) + 10lg(Ω)										100	
Спектральные поправки К(Δ_{LA}) для разложения общего уровня звуковой мощности в спектр по октавным полосам, дБ		[5]	-999	-6,7	-5,3	-4	-3,7	-4,1	-7,4	-11,6	-16,1		
Октавные уровни звуковой мощности источника Lw, дБ		Lw = LwA + К(Δ_{LA})	0	93,3	94,7	96	96,3	95,9	92,6	88,4	83,9		
ИШ-1-11 [координаты на плане (x,y,z), м = (464.2,142.6,1.0)]													
Режим работы источника:		постоянный											

1		2	3	4	5	6	7	8	9	10	11	12	13
Продолжительность работы в дневной период (7.00-23.00):			16 час										
Продолжительность работы в ночной период (23.00-7.00):			8 час										
Тип источника шума:			точечный										
Категория источника шума:			77.16.004 Ачимовка. ДКС										
:			АВО УВОГ-201										
:			(аналог АВГ-160-БМ)										
Пространственный угол излучения, рад.	Ω = 6.28	исходные данные											
Уровень звука La на опорном расстоянии d, дБА	d = 1 м	исходные данные										92	
Габариты источника шума, м		исходные данные	длина (l_1) = 0.00			ширина (l_2) = 0.00			высота (l_3) = 0.00				
Уровни звуковой мощности источника LwA, дБА		LwA = La + 20lg(d) + 10lg(Ω)										100	
Спектральные поправки К(Δ_{LA}) для разложения общего уровня звуковой мощности в спектр по октавным полосам, дБ		[5]	-999	-6,7	-5,3	-4	-3,7	-4,1	-7,4	-11,6	-16,1		
Октавные уровни звуковой мощности источника Lw, дБ		Lw = LwA + К(Δ_{LA})	0	93,3	94,7	96	96,3	95,9	92,6	88,4	83,9		
ИШ-1-12 [координаты на плане (x,y,z), м = (435.4,97.8,1.0)]													
Режим работы источника:			постоянный										
Продолжительность работы в дневной период (7.00-23.00):			16 час										
Продолжительность работы в ночной период (23.00-7.00):			8 час										
Тип источника шума:			точечный										
Категория источника шума:			77.16.004 Ачимовка. ДКС										
:			АВО УВОГ-201										
:			(аналог АВГ-160-БМ)										
Пространственный угол излучения, рад.	Ω = 6.28	исходные данные											
Уровень звука La на опорном расстоянии d, дБА	d = 1 м	исходные данные										92	
Габариты источника шума, м		исходные данные	длина (l_1) = 0.00			ширина (l_2) = 0.00			высота (l_3) = 0.00				
Уровни звуковой мощности источника LwA, дБА		LwA = La + 20lg(d) + 10lg(Ω)										100	

1		2	3	4	5	6	7	8	9	10	11	12	13
Спектральные поправки К(Δ_{LA}) для разложения общего уровня звуковой мощности в спектр по октавным полосам, дБ		[5]	-999	-6,7	-5,3	-4	-3,7	-4,1	-7,4	-11,6	-16,1		
Октавные уровни звуковой мощности источника Lw, дБ		Lw = LwA + К(Δ_{LA})	0	93,3	94,7	96	96,3	95,9	92,6	88,4	83,9		
ИШ-1-13 [координаты на плане (x,y,z), м = (438.8,96.8,1.0)]													
Режим работы источника:			постоянный										
Продолжительность работы в дневной период (7.00-23.00):			16 час										
Продолжительность работы в ночной период (23.00-7.00):			8 час										
Тип источника шума:			точечный										
Категория источника шума:			77.16.004 Ачимовка. ДКС										
:			АВО УВОГ-201										
:			(аналог АВГ-160-БМ)										
Пространственный угол излучения, рад.	Ω = 6.28	исходные данные											
Уровень звука La на опорном расстоянии d, дБА	d = 1 м	исходные данные										92	
Габариты источника шума, м		исходные данные	длина (l_1) = 0.00			ширина (l_2) = 0.00			высота (l_3) = 0.00				
Уровни звуковой мощности источника LwA, дБА		LwA = La + 20lg(d) + 10lg(Ω)										100	
Спектральные поправки К(Δ_{LA}) для разложения общего уровня звуковой мощности в спектр по октавным полосам, дБ		[5]	-999	-6,7	-5,3	-4	-3,7	-4,1	-7,4	-11,6	-16,1		
Октавные уровни звуковой мощности источника Lw, дБ		Lw = LwA + К(Δ_{LA})	0	93,3	94,7	96	96,3	95,9	92,6	88,4	83,9		
ИШ-1-14 [координаты на плане (x,y,z), м = (441.7,96.0,1.0)]													
Режим работы источника:			постоянный										
Продолжительность работы в дневной период (7.00-23.00):			16 час										
Продолжительность работы в ночной период (23.00-7.00):			8 час										
Тип источника шума:			точечный										
Категория источника шума:			77.16.004 Ачимовка. ДКС										
:			АВО УВОГ-201										
:			(аналог АВГ-160-БМ)										

1		2	3	4	5	6	7	8	9	10	11	12	13
Пространственный угол излучения, рад.	Ω = 6.28	исходные данные											
Уровень звука La на опорном расстоянии d, дБА	d = 1 м	исходные данные										92	
Габариты источника шума, м		исходные данные	длина (l_1) = 0.00			ширина (l_2) = 0.00			высота (l_3) = 0.00				
Уровни звуковой мощности источника LwA, дБА		LwA = La + 20lg(d) + 10lg(Ω)										100	
Спектральные поправки К(Δ_{LA}) для разложения общего уровня звуковой мощности в спектр по октавным полосам, дБ		[5]	-999	-6,7	-5,3	-4	-3,7	-4,1	-7,4	-11,6	-16,1		
Октавные уровни звуковой мощности источника Lw, дБ		Lw = LwA + К(Δ_{LA})	0	93,3	94,7	96	96,3	95,9	92,6	88,4	83,9		
ИШ-1-15 [координаты на плане (x,y,z), м = (445.0,95.3,1.0)]													
Режим работы источника:			постоянный										
Продолжительность работы в дневной период (7.00-23.00):			16 час										
Продолжительность работы в ночной период (23.00-7.00):			8 час										
Тип источника шума:			точечный										
Категория источника шума:			77.16.004 Ачимовка. ДКС										
:			АВО УВОГ-201										
:			(аналог АВГ-160-БМ)										
Пространственный угол излучения, рад.	Ω = 6.28	исходные данные											
Уровень звука La на опорном расстоянии d, дБА	d = 1 м	исходные данные										92	
Габариты источника шума, м		исходные данные	длина (l_1) = 0.00			ширина (l_2) = 0.00			высота (l_3) = 0.00				
Уровни звуковой мощности источника LwA, дБА		LwA = La + 20lg(d) + 10lg(Ω)										100	
Спектральные поправки К(Δ_{LA}) для разложения общего уровня звуковой мощности в спектр по октавным полосам, дБ		[5]	-999	-6,7	-5,3	-4	-3,7	-4,1	-7,4	-11,6	-16,1		
Октавные уровни звуковой мощности источника Lw, дБ		Lw = LwA + К(Δ_{LA})	0	93,3	94,7	96	96,3	95,9	92,6	88,4	83,9		

1		2	3	4	5	6	7	8	9	10	11	12	13
ИШ-1-16 [координаты на плане (x,y,z), м = (448.0,94.3,1.0)]													
Режим работы источника:			постоянный										
Продолжительность работы в дневной период (7.00-23.00):			16 час										
Продолжительность работы в ночной период (23.00-7.00):			8 час										
Тип источника шума:			точечный										
Категория источника шума:			77.16.004 Ачимовка. ДКС										
:			АВО УВОГ-201										
:			(аналог АВГ-160-БМ)										
Пространственный угол излучения, рад.	Ω = 6.28	исходные данные											
Уровень звука La на опорном расстоянии d, дБА	d = 1 м	исходные данные										92	
Габариты источника шума, м		исходные данные	длина (l_1) = 0.00			ширина (l_2) = 0.00			высота (l_3) = 0.00				
Уровни звуковой мощности источника LwA, дБА		LwA = La + 20lg(d) + 10lg(Ω)										100	
Спектральные поправки К(Δ_{LA}) для разложения общего уровня звуковой мощности в спектр по октавным полосам, дБ		[5]	-999	-6,7	-5,3	-4	-3,7	-4,1	-7,4	-11,6	-16,1		
Октавные уровни звуковой мощности источника Lw, дБ		Lw = LwA + К(Δ_{LA})	0	93,3	94,7	96	96,3	95,9	92,6	88,4	83,9		
ИШ-1-17 [координаты на плане (x,y,z), м = (541.0,141.8,1.0)]													
Режим работы источника:			постоянный										
Продолжительность работы в дневной период (7.00-23.00):			16 час										
Продолжительность работы в ночной период (23.00-7.00):			8 час										
Тип источника шума:			точечный										
Категория источника шума:			77.16.004 Ачимовка. ДКС										
:			АВО УВОГ-201										
:			(аналог АВГ-160-БМ)										
Пространственный угол излучения, рад.	Ω = 6.28	исходные данные											
Уровень звука La на опорном расстоянии d, дБА	d = 1 м	исходные данные										92	

1	2	3	4	5	6	7	8	9	10	11	12	13
Габариты источника шума, м	исходные данные	длина (l_1) = 0.00			ширина (l_2) = 0.00			высота (l_3) = 0.00				
Уровни звуковой мощности источника LwA, дБА	LwA = La + 20lg(d) + 10lg(Ω)										100	
Спектральные поправки К(Δ_{LA}) для разложения общего уровня звуковой мощности в спектр по октавным полосам, дБ	[5]	-999	-6,7	-5,3	-4	-3,7	-4,1	-7,4	-11,6	-16,1		
Октавные уровни звуковой мощности источника Lw, дБ	Lw = LwA + К(Δ_{LA})	0	93,3	94,7	96	96,3	95,9	92,6	88,4	83,9		
ИШ-1-18 [координаты на плане (x,y,z), м = (543.5,140.8,1.0)]												
Режим работы источника:		постоянный										
Продолжительность работы в дневной период (7.00-23.00):		16 час										
Продолжительность работы в ночной период (23.00-7.00):		8 час										
Тип источника шума:		точечный										
Категория источника шума:		77.16.004 Ачимовка. ДКС										
:		АВО УВОГ-201										
:		(аналог АВГ-160-БМ)										
Пространственный угол излучения, рад. Ω = 6.28	исходные данные											
Уровень звука La на опорном расстоянии d, дБА d = 1 м	исходные данные										92	
Габариты источника шума, м	исходные данные	длина (l_1) = 0.00			ширина (l_2) = 0.00			высота (l_3) = 0.00				
Уровни звуковой мощности источника LwA, дБА	LwA = La + 20lg(d) + 10lg(Ω)										100	
Спектральные поправки К(Δ_{LA}) для разложения общего уровня звуковой мощности в спектр по октавным полосам, дБ	[5]	-999	-6,7	-5,3	-4	-3,7	-4,1	-7,4	-11,6	-16,1		
Октавные уровни звуковой мощности источника Lw, дБ	Lw = LwA + К(Δ_{LA})	0	93,3	94,7	96	96,3	95,9	92,6	88,4	83,9		
ИШ-1-19 [координаты на плане (x,y,z), м = (547.2,139.6,1.0)]												
Режим работы источника:		постоянный										
Продолжительность работы в дневной период (7.00-23.00):		16 час										
Продолжительность работы в ночной период (23.00-7.00):		8 час										

1		2	3	4	5	6	7	8	9	10	11	12	13
Тип источника шума:			точечный										
Категория источника шума:			77.16.004 Ачимовка. ДКС										
:			АВО УВОГ-201										
:			(аналог АВГ-160-БМ)										
Пространственный угол излучения, рад.	Ω = 6.28	исходные данные											
Уровень звука La на опорном расстоянии d, дБА	d = 1 м	исходные данные										92	
Габариты источника шума, м		исходные данные	длина (l_1) = 0.00			ширина (l_2) = 0.00			высота (l_3) = 0.00				
Уровни звуковой мощности источника LwA, дБА		LwA = La + 20lg(d) + 10lg(Ω)										100	
Спектральные поправки К(Δ_{LA}) для разложения общего уровня звуковой мощности в спектр по октавным полосам, дБ		[5]	-999	-6,7	-5,3	-4	-3,7	-4,1	-7,4	-11,6	-16,1		
Октавные уровни звуковой мощности источника Lw, дБ		Lw = LwA + К(Δ_{LA})	0	93,3	94,7	96	96,3	95,9	92,6	88,4	83,9		
ИШ-1-20 [координаты на плане (x,y,z), м = (550.4,138.6,1.0)]													
Режим работы источника:			постоянный										
Продолжительность работы в дневной период (7.00-23.00):			16 час										
Продолжительность работы в ночной период (23.00-7.00):			8 час										
Тип источника шума:			точечный										
Категория источника шума:			77.16.004 Ачимовка. ДКС										
:			АВО УВОГ-201										
:			(аналог АВГ-160-БМ)										
Пространственный угол излучения, рад.	Ω = 6.28	исходные данные											
Уровень звука La на опорном расстоянии d, дБА	d = 1 м	исходные данные										92	
Габариты источника шума, м		исходные данные	длина (l_1) = 0.00			ширина (l_2) = 0.00			высота (l_3) = 0.00				
Уровни звуковой мощности источника LwA, дБА		LwA = La + 20lg(d) + 10lg(Ω)										100	
Спектральные поправки К(Δ_{LA}) для разложения общего уровня звуковой мощности в спектр по октавным полосам, дБ		[5]	-999	-6,7	-5,3	-4	-3,7	-4,1	-7,4	-11,6	-16,1		

1		2	3	4	5	6	7	8	9	10	11	12	13
Октавные уровни звуковой мощности источника Lw, дБ		Lw = LwA + K(Δ_{LA})	0	93,3	94,7	96	96,3	95,9	92,6	88,4	83,9		
ИШ-1-21 [координаты на плане (x,y,z), м = (553.3,137.7,1.0)]													
Режим работы источника:			постоянный										
Продолжительность работы в дневной период (7.00-23.00):			16 час										
Продолжительность работы в ночной период (23.00-7.00):			8 час										
Тип источника шума:			точечный										
Категория источника шума:			77.16.004 Ачимовка. ДКС										
:			АВО УВОГ-201										
:			(аналог АВГ-160-БМ)										
Пространственный угол излучения, рад.	Ω = 6.28	исходные данные											
Уровень звука La на опорном расстоянии d, дБА	d = 1 м	исходные данные										92	
Габариты источника шума, м		исходные данные	длина (l_1) = 0.00			ширина (l_2) = 0.00			высота (l_3) = 0.00				
Уровни звуковой мощности источника LwA, дБА		LwA = La + 20lg(d) + 10lg(Ω)										100	
Спектральные поправки K(Δ_{LA}) для разложения общего уровня звуковой мощности в спектр по октавным полосам, дБ		[5]	-999	-6,7	-5,3	-4	-3,7	-4,1	-7,4	-11,6	-16,1		
Октавные уровни звуковой мощности источника Lw, дБ		Lw = LwA + K(Δ_{LA})	0	93,3	94,7	96	96,3	95,9	92,6	88,4	83,9		
ИШ-1-22 [координаты на плане (x,y,z), м = (522.0,85.3,1.0)]													
Режим работы источника:			постоянный										
Продолжительность работы в дневной период (7.00-23.00):			16 час										
Продолжительность работы в ночной период (23.00-7.00):			8 час										
Тип источника шума:			точечный										
Категория источника шума:			77.16.004 Ачимовка. ДКС										
:			АВО УВОГ-201										
:			(аналог АВГ-160-БМ)										
Пространственный угол излучения, рад.	Ω = 6.28	исходные данные											

1		2	3	4	5	6	7	8	9	10	11	12	13
Уровень звука La на опорном расстоянии d, дБА	d = 1 м	исходные данные										92	
Габариты источника шума, м		исходные данные	длина (l_1) = 0.00			ширина (l_2) = 0.00			высота (l_3) = 0.00				
Уровни звуковой мощности источника LwA, дБА		LwA = La + 20lg(d) + 10lg(Ω)										100	
Спектральные поправки К(Δ_{LA}) для разложения общего уровня звуковой мощности в спектр по октавным полосам, дБ		[5]	-999	-6,7	-5,3	-4	-3,7	-4,1	-7,4	-11,6	-16,1		
Октавные уровни звуковой мощности источника Lw, дБ		Lw = LwA + К(Δ_{LA})	0	93,3	94,7	96	96,3	95,9	92,6	88,4	83,9		
ИШ-1-23 [координаты на плане (x,y,z), м = (525.2,84.1,1.0)]													
Режим работы источника:		постоянный											
Продолжительность работы в дневной период (7.00-23.00):		16 час											
Продолжительность работы в ночной период (23.00-7.00):		8 час											
Тип источника шума:		точечный											
Категория источника шума:		77.16.004 Ачимовка. ДКС											
:		АВО УВОГ-201											
:		(аналог АВГ-160-БМ)											
Пространственный угол излучения, рад.	Ω = 6.28	исходные данные											
Уровень звука La на опорном расстоянии d, дБА	d = 1 м	исходные данные										92	
Габариты источника шума, м		исходные данные	длина (l_1) = 0.00			ширина (l_2) = 0.00			высота (l_3) = 0.00				
Уровни звуковой мощности источника LwA, дБА		LwA = La + 20lg(d) + 10lg(Ω)										100	
Спектральные поправки К(Δ_{LA}) для разложения общего уровня звуковой мощности в спектр по октавным полосам, дБ		[5]	-999	-6,7	-5,3	-4	-3,7	-4,1	-7,4	-11,6	-16,1		
Октавные уровни звуковой мощности источника Lw, дБ		Lw = LwA + К(Δ_{LA})	0	93,3	94,7	96	96,3	95,9	92,6	88,4	83,9		
ИШ-1-24 [координаты на плане (x,y,z), м = (528.5,82.9,1.0)]													
Режим работы источника:		постоянный											

1		2	3	4	5	6	7	8	9	10	11	12	13
Продолжительность работы в дневной период (7.00-23.00):			16 час										
Продолжительность работы в ночной период (23.00-7.00):			8 час										
Тип источника шума:			точечный										
Категория источника шума:			77.16.004 Ачимовка. ДКС										
:			АВО УВОГ-201										
:			(аналог АВГ-160-БМ)										
Пространственный угол излучения, рад.	$\Omega = 6.28$	исходные данные											
Уровень звука La на опорном расстоянии d, дБА	d = 1 м	исходные данные										92	
Габариты источника шума, м		исходные данные	длина (l_1) = 0.00			ширина (l_2) = 0.00			высота (l_3) = 0.00				
Уровни звуковой мощности источника LwA, дБА		LwA = La + 20lg(d) + 10lg(Ω)										100	
Спектральные поправки К(Δ_{LA}) для разложения общего уровня звуковой мощности в спектр по октавным полосам, дБ		[5]	-999	-6,7	-5,3	-4	-3,7	-4,1	-7,4	-11,6	-16,1		
Октавные уровни звуковой мощности источника Lw, дБ		Lw = LwA + К(Δ_{LA})	0	93,3	94,7	96	96,3	95,9	92,6	88,4	83,9		
ИШ-1-25 [координаты на плане (x,y,z), м = (531.2,82.2,1.0)]													
Режим работы источника:			постоянный										
Продолжительность работы в дневной период (7.00-23.00):			16 час										
Продолжительность работы в ночной период (23.00-7.00):			8 час										
Тип источника шума:			точечный										
Категория источника шума:			77.16.004 Ачимовка. ДКС										
:			АВО УВОГ-201										
:			(аналог АВГ-160-БМ)										
Пространственный угол излучения, рад.	$\Omega = 6.28$	исходные данные											
Уровень звука La на опорном расстоянии d, дБА	d = 1 м	исходные данные										92	
Габариты источника шума, м		исходные данные	длина (l_1) = 0.00			ширина (l_2) = 0.00			высота (l_3) = 0.00				
Уровни звуковой мощности источника LwA, дБА		LwA = La + 20lg(d) + 10lg(Ω)										100	

1		2	3	4	5	6	7	8	9	10	11	12	13
Спектральные поправки К(Δ_{LA}) для разложения общего уровня звуковой мощности в спектр по октавным полосам, дБ		[5]	-999	-6,7	-5,3	-4	-3,7	-4,1	-7,4	-11,6	-16,1		
Октавные уровни звуковой мощности источника Lw, дБ		Lw = LwA + К(Δ_{LA})	0	93,3	94,7	96	96,3	95,9	92,6	88,4	83,9		
ИШ-1-26 [координаты на плане (x,y,z), м = (534.2,80.8,1.0)]													
Режим работы источника:			постоянный										
Продолжительность работы в дневной период (7.00-23.00):			16 час										
Продолжительность работы в ночной период (23.00-7.00):			8 час										
Тип источника шума:			точечный										
Категория источника шума:			77.16.004 Ачимовка. ДКС										
:			АВО УВОГ-201										
:			(аналог АВГ-160-БМ)										
Пространственный угол излучения, рад.	Ω = 6.28	исходные данные											
Уровень звука La на опорном расстоянии d, дБА	d = 1 м	исходные данные										92	
Габариты источника шума, м		исходные данные	длина (l_1) = 0.00			ширина (l_2) = 0.00			высота (l_3) = 0.00				
Уровни звуковой мощности источника LwA, дБА		LwA = La + 20lg(d) + 10lg(Ω)										100	
Спектральные поправки К(Δ_{LA}) для разложения общего уровня звуковой мощности в спектр по октавным полосам, дБ		[5]	-999	-6,7	-5,3	-4	-3,7	-4,1	-7,4	-11,6	-16,1		
Октавные уровни звуковой мощности источника Lw, дБ		Lw = LwA + К(Δ_{LA})	0	93,3	94,7	96	96,3	95,9	92,6	88,4	83,9		
ИШ-1-27 [координаты на плане (x,y,z), м = (469.7,197.7,1.0)]													
Режим работы источника:			постоянный										
Продолжительность работы в дневной период (7.00-23.00):			16 час										
Продолжительность работы в ночной период (23.00-7.00):			8 час										
Тип источника шума:			точечный										
Категория источника шума:			77.16.004 Ачимовка. ДКС										
:			АВО ВХ-301										
:			(аналог АВГ-БМ-135)										

1		2	3	4	5	6	7	8	9	10	11	12	13
Пространственный угол излучения, рад.	Ω = 6.28	исходные данные											
Уровень звука La на опорном расстоянии d, дБА	d = 1 м	исходные данные										92	
Габариты источника шума, м		исходные данные	длина (l_1) = 0.00			ширина (l_2) = 0.00			высота (l_3) = 0.00				
Уровни звуковой мощности источника LwA, дБА		LwA = La + 20lg(d) + 10lg(Ω)										100	
Спектральные поправки К(Δ_{LA}) для разложения общего уровня звуковой мощности в спектр по октавным полосам, дБ		[5]	-999	-6,7	-5,3	-4	-3,7	-4,1	-7,4	-11,6	-16,1		
Октавные уровни звуковой мощности источника Lw, дБ		Lw = LwA + К(Δ_{LA})	0	93,3	94,7	96	96,3	95,9	92,6	88,4	83,9		
ИШ-1-28 [координаты на плане (x,y,z), м = (472.8,196.7,1.0)]													
Режим работы источника:			постоянный										
Продолжительность работы в дневной период (7.00-23.00):			16 час										
Продолжительность работы в ночной период (23.00-7.00):			8 час										
Тип источника шума:			точечный										
Категория источника шума:			77.16.004 Ачимовка. ДКС										
:			АВО ВХ-301										
:			(аналог АВГ-БМ-135)										
Пространственный угол излучения, рад.	Ω = 6.28	исходные данные											
Уровень звука La на опорном расстоянии d, дБА	d = 1 м	исходные данные										92	
Габариты источника шума, м		исходные данные	длина (l_1) = 0.00			ширина (l_2) = 0.00			высота (l_3) = 0.00				
Уровни звуковой мощности источника LwA, дБА		LwA = La + 20lg(d) + 10lg(Ω)										100	
Спектральные поправки К(Δ_{LA}) для разложения общего уровня звуковой мощности в спектр по октавным полосам, дБ		[5]	-999	-6,7	-5,3	-4	-3,7	-4,1	-7,4	-11,6	-16,1		
Октавные уровни звуковой мощности источника Lw, дБ		Lw = LwA + К(Δ_{LA})	0	93,3	94,7	96	96,3	95,9	92,6	88,4	83,9		

1		2	3	4	5	6	7	8	9	10	11	12	13
ИШ-1-29 [координаты на плане (x,y,z), м = (475.5,195.7,1.0)]													
Режим работы источника:			постоянный										
Продолжительность работы в дневной период (7.00-23.00):			16 час										
Продолжительность работы в ночной период (23.00-7.00):			8 час										
Тип источника шума:			точечный										
Категория источника шума:			77.16.004 Ачимовка. ДКС										
:			АВО ВХ-301										
:			(аналог АВГ-БМ-135)										
Пространственный угол излучения, рад.	Ω = 6.28	исходные данные											
Уровень звука La на опорном расстоянии d, дБА	d = 1 м	исходные данные										92	
Габариты источника шума, м		исходные данные	длина (l_1) = 0.00			ширина (l_2) = 0.00			высота (l_3) = 0.00				
Уровни звуковой мощности источника LwA, дБА		LwA = La + 20lg(d) + 10lg(Ω)										100	
Спектральные поправки К(Δ_{LA}) для разложения общего уровня звуковой мощности в спектр по октавным полосам, дБ		[5]	-999	-6,7	-5,3	-4	-3,7	-4,1	-7,4	-11,6	-16,1		
Октавные уровни звуковой мощности источника Lw, дБ		Lw = LwA + К(Δ_{LA})	0	93,3	94,7	96	96,3	95,9	92,6	88,4	83,9		
ИШ-1-30 [координаты на плане (x,y,z), м = (478.4,194.5,1.0)]													
Режим работы источника:			постоянный										
Продолжительность работы в дневной период (7.00-23.00):			16 час										
Продолжительность работы в ночной период (23.00-7.00):			8 час										
Тип источника шума:			точечный										
Категория источника шума:			77.16.004 Ачимовка. ДКС										
:			АВО ВХ-301										
:			(аналог АВГ-БМ-135)										
Пространственный угол излучения, рад.	Ω = 6.28	исходные данные											
Уровень звука La на опорном расстоянии d, дБА	d = 1 м	исходные данные										92	

1	2	3	4	5	6	7	8	9	10	11	12	13
Габариты источника шума, м	исходные данные	длина (l_1) = 0.00			ширина (l_2) = 0.00			высота (l_3) = 0.00				
Уровни звуковой мощности источника LwA, дБА	LwA = La + 20lg(d) + 10lg(Ω)										100	
Спектральные поправки К(Δ_{LA}) для разложения общего уровня звуковой мощности в спектр по октавным полосам, дБ	[5]	-999	-6,7	-5,3	-4	-3,7	-4,1	-7,4	-11,6	-16,1		
Октавные уровни звуковой мощности источника Lw, дБ	Lw = LwA + К(Δ_{LA})	0	93,3	94,7	96	96,3	95,9	92,6	88,4	83,9		
ИШ-1-31 [координаты на плане (x,y,z), м = (481.6,194.0,1.0)]												
Режим работы источника:		постоянный										
Продолжительность работы в дневной период (7.00-23.00):		16 час										
Продолжительность работы в ночной период (23.00-7.00):		8 час										
Тип источника шума:		точечный										
Категория источника шума:		77.16.004 Ачимовка. ДКС										
:		АВО ВХ-301										
:		(аналог АВГ-БМ-135)										
Пространственный угол излучения, рад. Ω = 6.28	исходные данные											
Уровень звука La на опорном расстоянии d, дБА d = 1 м	исходные данные										92	
Габариты источника шума, м	исходные данные	длина (l_1) = 0.00			ширина (l_2) = 0.00			высота (l_3) = 0.00				
Уровни звуковой мощности источника LwA, дБА	LwA = La + 20lg(d) + 10lg(Ω)										100	
Спектральные поправки К(Δ_{LA}) для разложения общего уровня звуковой мощности в спектр по октавным полосам, дБ	[5]	-999	-6,7	-5,3	-4	-3,7	-4,1	-7,4	-11,6	-16,1		
Октавные уровни звуковой мощности источника Lw, дБ	Lw = LwA + К(Δ_{LA})	0	93,3	94,7	96	96,3	95,9	92,6	88,4	83,9		
ИШ-1-32 [координаты на плане (x,y,z), м = (871.2,282.0,50.0)]												
Режим работы источника:		постоянный										
Продолжительность работы в дневной период (7.00-23.00):		16 час										
Продолжительность работы в ночной период (23.00-7.00):		0 час										

1		2	3	4	5	6	7	8	9	10	11	12	13
Тип источника шума:			точечный										
Категория источника шума:			77.22.005 Расширение УКПГ. Лупинг										
:			Факел										
:			замеры по Астраханскому ГПЗ										
Пространственный угол излучения, рад.	Ω = 12.57	исходные данные											
Уровни звукового давления L на опорном расстоянии d, дБ	d = 40 м	исходные данные	82	76,6	70,4	68,4	67,8	69,7	70,8	66,2	54,4		
Габариты источника шума, м		исходные данные	длина (l_1) = 0.00			ширина (l_2) = 0.00			высота (l_3) = 0.00				
Октавные уровни звуковой мощности источника Lw, дБ		Lw = L + 20lg(d) + 10lg(Ω)	125	119,6	113,4	111,4	110,8	112,7	113,8	109,2	97,4		
ИШ-1-33 [координаты на плане (x,y,z), м = (743.4,374.8,1.0)]													
Режим работы источника:			постоянный										
Продолжительность работы в дневной период (7.00-23.00):			16 час										
Продолжительность работы в ночной период (23.00-7.00):			0 час										
Тип источника шума:			точечный										
Категория источника шума:			77.22.005 Расширение УКПГ. Лупинг										
:			УГГ (сущ)										
:													
Пространственный угол излучения, рад.	Ω = 6.28	исходные данные											
Уровень звука La на опорном расстоянии d, дБА	d = 0 м	исходные данные										115	
Габариты источника шума, м		исходные данные	длина (l_1) = 0.00			ширина (l_2) = 0.00			высота (l_3) = 0.00				
Площадь измерительной поверхности, расположенной на расстоянии d от огибающего источник шума параллелепипеда, S, м2		ф-ла (9) [18])	S = 0.00 м2										
Уровень звуковой мощности источника LwA, дБА		LwA = L + 10lg(S/1)										-INF	
Спектральные поправки К(Δ_{LA}) для разложения общего уровня звуковой мощности в спектр по октавным полосам, дБ		[5]	-999	-26,3	-24,9	-21,9	-18,6	-12	-3	-7	-15,8		

1		2	3	4	5	6	7	8	9	10	11	12	13
Октавные уровни звуковой мощности источника Lw, дБ		Lw = LwA + K(Δ_{LA})	0	88,7	90,1	93,1	96,4	103	112	108	99,2		
ИШ-1-34 [координаты на плане (x,y,z), м = (1042.3,199.1,1.0)]													
Режим работы источника:			постоянный										
Продолжительность работы в дневной период (7.00-23.00):			16 час										
Продолжительность работы в ночной период (23.00-7.00):			0 час										
Тип источника шума:			точечный										
Категория источника шума:			77.22.005 Расширение УКПГ. Лупинг										
:			УГГ (сущ)										
:													
Пространственный угол излучения, рад.	Ω = 6.28	исходные данные											
Уровень звука La на опорном расстоянии d, дБА	d = 0 м	исходные данные										115	
Габариты источника шума, м		исходные данные	длина (l_1) = 0.00			ширина (l_2) = 0.00			высота (l_3) = 0.00				
Площадь измерительной поверхности, расположенной на расстоянии d от огибающего источник шума параллелепипеда, S, м2		ф-ла (9) [18])	S = 0.00 м2										
Уровень звуковой мощности источника LwA, дБА		LwA = L + 10lg(S/1)										-INF	
Спектральные поправки K(Δ_{LA}) для разложения общего уровня звуковой мощности в спектр по октавным полосам, дБ		[5]	-999	-26,3	-24,9	-21,9	-18,6	-12	-3	-7	-15,8		
Октавные уровни звуковой мощности источника Lw, дБ		Lw = LwA + K(Δ_{LA})	0	88,7	90,1	93,1	96,4	103	112	108	99,2		
ИШ-2-1 [координаты на плане (x,y,z), м = (696.5,124.4,3.0)]													
Режим работы источника:			постоянный										
Продолжительность работы в дневной период (7.00-23.00):			16 час										
Продолжительность работы в ночной период (23.00-7.00):			8 час										
Тип источника шума:			точечный										
Категория источника шума:			15.013.1 Самбург ДКС										
:			ГПА-16 "Волга"										

1		2	3	4	5	6	7	8	9	10	11	12	13
:			Акт проверки шумовых характеристик ГПА										
Пространственный угол излучения, рад.	Ω = 6.28	исходные данные											
Октавные уровни звуковой мощности источника Lw, дБ		исходные данные	105	104	104	101	102	106	101	95	87		
ИШ-2-2 [координаты на плане (x,y,z), м = (682.2,81.6,3.0)]													
Режим работы источника:			постоянный										
Продолжительность работы в дневной период (7.00-23.00):			16 час										
Продолжительность работы в ночной период (23.00-7.00):			8 час										
Тип источника шума:			точечный										
Категория источника шума:			15.013.1 Самбург ДКС										
:			ГПА-16 "Волга"										
:			Акт проверки шумовых характеристик ГПА										
Пространственный угол излучения, рад.	Ω = 6.28	исходные данные											
Октавные уровни звуковой мощности источника Lw, дБ		исходные данные	105	104	104	101	102	106	101	95	87		
ИШ-2-3 [координаты на плане (x,y,z), м = (667.8,38.9,3.0)]													
Режим работы источника:			постоянный										
Продолжительность работы в дневной период (7.00-23.00):			16 час										
Продолжительность работы в ночной период (23.00-7.00):			8 час										
Тип источника шума:			точечный										
Категория источника шума:			15.013.1 Самбург ДКС										
:			ГПА-16 "Волга"										
:			Акт проверки шумовых характеристик ГПА										
Пространственный угол излучения, рад.	Ω = 6.28	исходные данные											
Октавные уровни звуковой мощности источника Lw, дБ		исходные данные	105	104	104	101	102	106	101	95	87		
ИШ-2-6 [координаты на плане (x,y,z), м = (766.0,112.4,1.0)]													

1		2	3	4	5	6	7	8	9	10	11	12	13
Режим работы источника:			постоянный										
Продолжительность работы в дневной период (7.00-23.00):			16 час										
Продолжительность работы в ночной период (23.00-7.00):			8 час										
Тип источника шума:			точечный										
Категория источника шума:			15.013.1 Самбург ДКС										
:			АВО КНД/КВД										
:			(по ТЗ)										
Пространственный угол излучения, рад.	Ω = 6.28	исходные данные											
Уровень звука La на опорном расстоянии d, дБА	d = 1 м	исходные данные										92	
Габариты источника шума, м		исходные данные	длина (l_1) = 0.00			ширина (l_2) = 0.00			высота (l_3) = 0.00				
Уровни звуковой мощности источника LwA, дБА		LwA = La + 20lg(d) + 10lg(Ω)										100	
Спектральные поправки К(Δ_{LA}) для разложения общего уровня звуковой мощности в спектр по октавным полосам, дБ		[5]	-999	-6,7	-5,3	-4	-3,7	-4,1	-7,4	-11,6	-16,1		
Октавные уровни звуковой мощности источника Lw, дБ		Lw = LwA + К(Δ_{LA})	0	93,3	94,7	96	96,3	95,9	92,6	88,4	83,9		
ИШ-2-7 [координаты на плане (x,y,z), м = (764.9,109.5,1.0)]													
Режим работы источника:			постоянный										
Продолжительность работы в дневной период (7.00-23.00):			16 час										
Продолжительность работы в ночной период (23.00-7.00):			8 час										
Тип источника шума:			точечный										
Категория источника шума:			15.013.1 Самбург ДКС										
:			АВО КНД/КВД										
:			(по ТЗ)										
Пространственный угол излучения, рад.	Ω = 6.28	исходные данные											
Уровень звука La на опорном расстоянии d, дБА	d = 1 м	исходные данные										92	
Габариты источника шума, м		исходные данные	длина (l_1) = 0.00			ширина (l_2) = 0.00			высота (l_3) = 0.00				

1		2	3	4	5	6	7	8	9	10	11	12	13
Уровни звуковой мощности источника LwA, дБА		LwA = La + 20lg(d) + 10lg(Ω)										100	
Спектральные поправки К(Δ_{LA}) для разложения общего уровня звуковой мощности в спектр по октавным полосам, дБ		[5]	-999	-6,7	-5,3	-4	-3,7	-4,1	-7,4	-11,6	-16,1		
Октавные уровни звуковой мощности источника Lw, дБ		Lw = LwA + К(Δ_{LA})	0	93,3	94,7	96	96,3	95,9	92,6	88,4	83,9		
ИШ-2-8 [координаты на плане (x,y,z), м = (764.0,106.6,1.0)]													
Режим работы источника:			постоянный										
Продолжительность работы в дневной период (7.00-23.00):			16 час										
Продолжительность работы в ночной период (23.00-7.00):			8 час										
Тип источника шума:			точечный										
Категория источника шума:			15.013.1 Самбург ДКС										
:			АВО КНД/КВД										
:			(по ТЗ)										
Пространственный угол излучения, рад.	Ω = 6.28	исходные данные											
Уровень звука La на опорном расстоянии d, дБА	d = 1 м	исходные данные										92	
Габариты источника шума, м		исходные данные	длина (l_1) = 0.00			ширина (l_2) = 0.00			высота (l_3) = 0.00				
Уровни звуковой мощности источника LwA, дБА		LwA = La + 20lg(d) + 10lg(Ω)										100	
Спектральные поправки К(Δ_{LA}) для разложения общего уровня звуковой мощности в спектр по октавным полосам, дБ		[5]	-999	-6,7	-5,3	-4	-3,7	-4,1	-7,4	-11,6	-16,1		
Октавные уровни звуковой мощности источника Lw, дБ		Lw = LwA + К(Δ_{LA})	0	93,3	94,7	96	96,3	95,9	92,6	88,4	83,9		
ИШ-2-9 [координаты на плане (x,y,z), м = (763.3,103.7,1.0)]													
Режим работы источника:			постоянный										
Продолжительность работы в дневной период (7.00-23.00):			16 час										
Продолжительность работы в ночной период (23.00-7.00):			8 час										
Тип источника шума:			точечный										
Категория источника шума:			15.013.1 Самбург ДКС										

1		2	3	4	5	6	7	8	9	10	11	12	13
:			АВО КНД/КВД										
:			(по ТЗ)										
Пространственный угол излучения, рад.	Ω = 6.28	исходные данные											
Уровень звука La на опорном расстоянии d, дБА	d = 1 м	исходные данные										92	
Габариты источника шума, м		исходные данные	длина (l_1) = 0.00			ширина (l_2) = 0.00			высота (l_3) = 0.00				
Уровни звуковой мощности источника LwA, дБА		LwA = La + 20lg(d) + 10lg(Ω)										100	
Спектральные поправки К(Δ_{LA}) для разложения общего уровня звуковой мощности в спектр по октавным полосам, дБ		[5]	-999	-6,7	-5,3	-4	-3,7	-4,1	-7,4	-11,6	-16,1		
Октавные уровни звуковой мощности источника Lw, дБ		Lw = LwA + К(Δ_{LA})	0	93,3	94,7	96	96,3	95,9	92,6	88,4	83,9		
ИШ-2-10 [координаты на плане (x,y,z), м = (762.1,100.7,1.0)]													
Режим работы источника:			постоянный										
Продолжительность работы в дневной период (7.00-23.00):			16 час										
Продолжительность работы в ночной период (23.00-7.00):			8 час										
Тип источника шума:			точечный										
Категория источника шума:			15.013.1 Самбург ДКС										
:			АВО КНД/КВД										
:			(по ТЗ)										
Пространственный угол излучения, рад.	Ω = 6.28	исходные данные											
Уровень звука La на опорном расстоянии d, дБА	d = 1 м	исходные данные										92	
Габариты источника шума, м		исходные данные	длина (l_1) = 0.00			ширина (l_2) = 0.00			высота (l_3) = 0.00				
Уровни звуковой мощности источника LwA, дБА		LwA = La + 20lg(d) + 10lg(Ω)										100	
Спектральные поправки К(Δ_{LA}) для разложения общего уровня звуковой мощности в спектр по октавным полосам, дБ		[5]	-999	-6,7	-5,3	-4	-3,7	-4,1	-7,4	-11,6	-16,1		
Октавные уровни звуковой мощности источника Lw, дБ		Lw = LwA + К(Δ_{LA})	0	93,3	94,7	96	96,3	95,9	92,6	88,4	83,9		

1		2	3	4	5	6	7	8	9	10	11	12	13
ИШ-2-11 [координаты на плане (x,y,z), м = (761.1,97.9,1.0)]													
Режим работы источника:			постоянный										
Продолжительность работы в дневной период (7.00-23.00):			16 час										
Продолжительность работы в ночной период (23.00-7.00):			8 час										
Тип источника шума:			точечный										
Категория источника шума:			15.013.1 Самбург ДКС										
:			АВО КНД/КВД										
:			(по ТЗ)										
Пространственный угол излучения, рад.	Ω = 6.28	исходные данные											
Уровень звука La на опорном расстоянии d, дБА	d = 1 м	исходные данные										92	
Габариты источника шума, м		исходные данные	длина (l_1) = 0.00			ширина (l_2) = 0.00			высота (l_3) = 0.00				
Уровни звуковой мощности источника LwA, дБА		LwA = La + 20lg(d) + 10lg(Ω)										100	
Спектральные поправки К(Δ_{LA}) для разложения общего уровня звуковой мощности в спектр по октавным полосам, дБ		[5]	-999	-6,7	-5,3	-4	-3,7	-4,1	-7,4	-11,6	-16,1		
Октавные уровни звуковой мощности источника Lw, дБ		Lw = LwA + К(Δ_{LA})	0	93,3	94,7	96	96,3	95,9	92,6	88,4	83,9		
ИШ-2-12 [координаты на плане (x,y,z), м = (760.3,95.0,1.0)]													
Режим работы источника:			постоянный										
Продолжительность работы в дневной период (7.00-23.00):			16 час										
Продолжительность работы в ночной период (23.00-7.00):			8 час										
Тип источника шума:			точечный										
Категория источника шума:			15.013.1 Самбург ДКС										
:			АВО КНД/КВД										
:			(по ТЗ)										
Пространственный угол излучения, рад.	Ω = 6.28	исходные данные											
Уровень звука La на опорном расстоянии d, дБА	d = 1 м	исходные данные										92	

1		2	3	4	5	6	7	8	9	10	11	12	13
Габариты источника шума, м		исходные данные	длина (l_1) = 0.00			ширина (l_2) = 0.00			высота (l_3) = 0.00				
Уровни звуковой мощности источника LwA, дБА		LwA = La + 20lg(d) + 10lg(Ω)										100	
Спектральные поправки К(Δ_{LA}) для разложения общего уровня звуковой мощности в спектр по октавным полосам, дБ		[5]	-999	-6,7	-5,3	-4	-3,7	-4,1	-7,4	-11,6	-16,1		
Октавные уровни звуковой мощности источника Lw, дБ		Lw = LwA + К(Δ_{LA})	0	93,3	94,7	96	96,3	95,9	92,6	88,4	83,9		
ИШ-2-13 [координаты на плане (x,y,z), м = (759.3,92.3,1.0)]													
Режим работы источника:			постоянный										
Продолжительность работы в дневной период (7.00-23.00):			16 час										
Продолжительность работы в ночной период (23.00-7.00):			8 час										
Тип источника шума:			точечный										
Категория источника шума:			15.013.1 Самбург ДКС										
:			АВО КНД/КВД										
:			(по ТЗ)										
Пространственный угол излучения, рад.	Ω = 6.28	исходные данные											
Уровень звука La на опорном расстоянии d, дБА	d = 1 м	исходные данные										92	
Габариты источника шума, м		исходные данные	длина (l_1) = 0.00			ширина (l_2) = 0.00			высота (l_3) = 0.00				
Уровни звуковой мощности источника LwA, дБА		LwA = La + 20lg(d) + 10lg(Ω)										100	
Спектральные поправки К(Δ_{LA}) для разложения общего уровня звуковой мощности в спектр по октавным полосам, дБ		[5]	-999	-6,7	-5,3	-4	-3,7	-4,1	-7,4	-11,6	-16,1		
Октавные уровни звуковой мощности источника Lw, дБ		Lw = LwA + К(Δ_{LA})	0	93,3	94,7	96	96,3	95,9	92,6	88,4	83,9		
ИШ-2-14 [координаты на плане (x,y,z), м = (751.6,69.7,1.0)]													
Режим работы источника:			постоянный										
Продолжительность работы в дневной период (7.00-23.00):			16 час										
Продолжительность работы в ночной период (23.00-7.00):			8 час										

1		2	3	4	5	6	7	8	9	10	11	12	13
Тип источника шума:			точечный										
Категория источника шума:			15.013.1 Самбург ДКС										
:			АВО КНД/КВД										
:			(по ТЗ)										
Пространственный угол излучения, рад.	Ω = 6.28	исходные данные											
Уровень звука La на опорном расстоянии d, дБА	d = 1 м	исходные данные										92	
Габариты источника шума, м		исходные данные	длина (l_1) = 0.00			ширина (l_2) = 0.00			высота (l_3) = 0.00				
Уровни звуковой мощности источника LwA, дБА		LwA = La + 20lg(d) + 10lg(Ω)										100	
Спектральные поправки К(Δ_{LA}) для разложения общего уровня звуковой мощности в спектр по октавным полосам, дБ		[5]	-999	-6,7	-5,3	-4	-3,7	-4,1	-7,4	-11,6	-16,1		
Октавные уровни звуковой мощности источника Lw, дБ		Lw = LwA + К(Δ_{LA})	0	93,3	94,7	96	96,3	95,9	92,6	88,4	83,9		
ИШ-2-15 [координаты на плане (x,y,z), м = (750.7,66.9,1.0)]													
Режим работы источника:			постоянный										
Продолжительность работы в дневной период (7.00-23.00):			16 час										
Продолжительность работы в ночной период (23.00-7.00):			8 час										
Тип источника шума:			точечный										
Категория источника шума:			15.013.1 Самбург ДКС										
:			АВО КНД/КВД										
:			(по ТЗ)										
Пространственный угол излучения, рад.	Ω = 6.28	исходные данные											
Уровень звука La на опорном расстоянии d, дБА	d = 1 м	исходные данные										92	
Габариты источника шума, м		исходные данные	длина (l_1) = 0.00			ширина (l_2) = 0.00			высота (l_3) = 0.00				
Уровни звуковой мощности источника LwA, дБА		LwA = La + 20lg(d) + 10lg(Ω)										100	
Спектральные поправки К(Δ_{LA}) для разложения общего уровня звуковой мощности в спектр по октавным полосам, дБ		[5]	-999	-6,7	-5,3	-4	-3,7	-4,1	-7,4	-11,6	-16,1		

1		2	3	4	5	6	7	8	9	10	11	12	13
Октавные уровни звуковой мощности источника Lw, дБ		Lw = LwA + K(Δ_{LA})	0	93,3	94,7	96	96,3	95,9	92,6	88,4	83,9		
ИШ-2-16 [координаты на плане (x,y,z), м = (749.7,64.0,1.0)]													
Режим работы источника:			постоянный										
Продолжительность работы в дневной период (7.00-23.00):			16 час										
Продолжительность работы в ночной период (23.00-7.00):			8 час										
Тип источника шума:			точечный										
Категория источника шума:			15.013.1 Самбург ДКС										
:			АВО КНД/КВД										
:			(по ТЗ)										
Пространственный угол излучения, рад.	Ω = 6.28	исходные данные											
Уровень звука La на опорном расстоянии d, дБА	d = 1 м	исходные данные										92	
Габариты источника шума, м		исходные данные	длина (l_1) = 0.00			ширина (l_2) = 0.00			высота (l_3) = 0.00				
Уровни звуковой мощности источника LwA, дБА		LwA = La + 20lg(d) + 10lg(Ω)										100	
Спектральные поправки K(Δ_{LA}) для разложения общего уровня звуковой мощности в спектр по октавным полосам, дБ		[5]	-999	-6,7	-5,3	-4	-3,7	-4,1	-7,4	-11,6	-16,1		
Октавные уровни звуковой мощности источника Lw, дБ		Lw = LwA + K(Δ_{LA})	0	93,3	94,7	96	96,3	95,9	92,6	88,4	83,9		
ИШ-2-17 [координаты на плане (x,y,z), м = (748.9,61.1,1.0)]													
Режим работы источника:			постоянный										
Продолжительность работы в дневной период (7.00-23.00):			16 час										
Продолжительность работы в ночной период (23.00-7.00):			8 час										
Тип источника шума:			точечный										
Категория источника шума:			15.013.1 Самбург ДКС										
:			АВО КНД/КВД										
:			(по ТЗ)										
Пространственный угол излучения, рад.	Ω = 6.28	исходные данные											

1		2	3	4	5	6	7	8	9	10	11	12	13
Уровень звука La на опорном расстоянии d, дБА	d = 1 м	исходные данные										92	
Габариты источника шума, м		исходные данные	длина (l_1) = 0.00			ширина (l_2) = 0.00			высота (l_3) = 0.00				
Уровни звуковой мощности источника LwA, дБА		LwA = La + 20lg(d) + 10lg(Ω)										100	
Спектральные поправки К(Δ_{LA}) для разложения общего уровня звуковой мощности в спектр по октавным полосам, дБ		[5]	-999	-6,7	-5,3	-4	-3,7	-4,1	-7,4	-11,6	-16,1		
Октавные уровни звуковой мощности источника Lw, дБ		Lw = LwA + К(Δ_{LA})	0	93,3	94,7	96	96,3	95,9	92,6	88,4	83,9		
ИШ-2-18 [координаты на плане (x,y,z), м = (747.7,58.2,1.0)]													
Режим работы источника:		постоянный											
Продолжительность работы в дневной период (7.00-23.00):		16 час											
Продолжительность работы в ночной период (23.00-7.00):		8 час											
Тип источника шума:		точечный											
Категория источника шума:		15.013.1 Самбург ДКС											
:		АВО КНД/КВД											
:		(по ТЗ)											
Пространственный угол излучения, рад.	Ω = 6.28	исходные данные											
Уровень звука La на опорном расстоянии d, дБА	d = 1 м	исходные данные										92	
Габариты источника шума, м		исходные данные	длина (l_1) = 0.00			ширина (l_2) = 0.00			высота (l_3) = 0.00				
Уровни звуковой мощности источника LwA, дБА		LwA = La + 20lg(d) + 10lg(Ω)										100	
Спектральные поправки К(Δ_{LA}) для разложения общего уровня звуковой мощности в спектр по октавным полосам, дБ		[5]	-999	-6,7	-5,3	-4	-3,7	-4,1	-7,4	-11,6	-16,1		
Октавные уровни звуковой мощности источника Lw, дБ		Lw = LwA + К(Δ_{LA})	0	93,3	94,7	96	96,3	95,9	92,6	88,4	83,9		
ИШ-2-19 [координаты на плане (x,y,z), м = (746.8,55.2,1.0)]													
Режим работы источника:		постоянный											

1		2	3	4	5	6	7	8	9	10	11	12	13
Продолжительность работы в дневной период (7.00-23.00):			16 час										
Продолжительность работы в ночной период (23.00-7.00):			8 час										
Тип источника шума:			точечный										
Категория источника шума:			15.013.1 Самбург ДКС										
:			АВО КНД/КВД										
:			(по ТЗ)										
Пространственный угол излучения, рад.	Ω = 6.28	исходные данные											
Уровень звука La на опорном расстоянии d, дБА	d = 1 м	исходные данные										92	
Габариты источника шума, м		исходные данные	длина (l_1) = 0.00			ширина (l_2) = 0.00			высота (l_3) = 0.00				
Уровни звуковой мощности источника LwA, дБА		LwA = La + 20lg(d) + 10lg(Ω)										100	
Спектральные поправки К(Δ_{LA}) для разложения общего уровня звуковой мощности в спектр по октавным полосам, дБ		[5]	-999	-6,7	-5,3	-4	-3,7	-4,1	-7,4	-11,6	-16,1		
Октавные уровни звуковой мощности источника Lw, дБ		Lw = LwA + К(Δ_{LA})	0	93,3	94,7	96	96,3	95,9	92,6	88,4	83,9		
ИШ-2-20 [координаты на плане (x,y,z), м = (745.7,52.4,1.0)]													
Режим работы источника:			постоянный										
Продолжительность работы в дневной период (7.00-23.00):			16 час										
Продолжительность работы в ночной период (23.00-7.00):			8 час										
Тип источника шума:			точечный										
Категория источника шума:			15.013.1 Самбург ДКС										
:			АВО КНД/КВД										
:			(по ТЗ)										
Пространственный угол излучения, рад.	Ω = 6.28	исходные данные											
Уровень звука La на опорном расстоянии d, дБА	d = 1 м	исходные данные										92	
Габариты источника шума, м		исходные данные	длина (l_1) = 0.00			ширина (l_2) = 0.00			высота (l_3) = 0.00				
Уровни звуковой мощности источника LwA, дБА		LwA = La + 20lg(d) + 10lg(Ω)										100	

1		2	3	4	5	6	7	8	9	10	11	12	13
Спектральные поправки К(Δ_{LA}) для разложения общего уровня звуковой мощности в спектр по октавным полосам, дБ		[5]	-999	-6,7	-5,3	-4	-3,7	-4,1	-7,4	-11,6	-16,1		
Октавные уровни звуковой мощности источника Lw, дБ		Lw = LwA + К(Δ_{LA})	0	93,3	94,7	96	96,3	95,9	92,6	88,4	83,9		
ИШ-2-21 [координаты на плане (x,y,z), м = (744.9,49.6,1.0)]													
Режим работы источника:			постоянный										
Продолжительность работы в дневной период (7.00-23.00):			16 час										
Продолжительность работы в ночной период (23.00-7.00):			8 час										
Тип источника шума:			точечный										
Категория источника шума:			15.013.1 Самбург ДКС										
:			АВО КНД/КВД										
:			(по ТЗ)										
Пространственный угол излучения, рад.	Ω = 6.28	исходные данные											
Уровень звука La на опорном расстоянии d, дБА	d = 1 м	исходные данные										92	
Габариты источника шума, м		исходные данные	длина (l_1) = 0.00			ширина (l_2) = 0.00			высота (l_3) = 0.00				
Уровни звуковой мощности источника LwA, дБА		LwA = La + 20lg(d) + 10lg(Ω)										100	
Спектральные поправки К(Δ_{LA}) для разложения общего уровня звуковой мощности в спектр по октавным полосам, дБ		[5]	-999	-6,7	-5,3	-4	-3,7	-4,1	-7,4	-11,6	-16,1		
Октавные уровни звуковой мощности источника Lw, дБ		Lw = LwA + К(Δ_{LA})	0	93,3	94,7	96	96,3	95,9	92,6	88,4	83,9		
ИШ-2-22 [координаты на плане (x,y,z), м = (737.4,27.1,1.0)]													
Режим работы источника:			постоянный										
Продолжительность работы в дневной период (7.00-23.00):			16 час										
Продолжительность работы в ночной период (23.00-7.00):			8 час										
Тип источника шума:			точечный										
Категория источника шума:			15.013.1 Самбург ДКС										
:			АВО КНД/КВД										
:			(по ТЗ)										

1		2	3	4	5	6	7	8	9	10	11	12	13
Пространственный угол излучения, рад.	Ω = 6.28	исходные данные											
Уровень звука La на опорном расстоянии d, дБА	d = 1 м	исходные данные										92	
Габариты источника шума, м		исходные данные	длина (l_1) = 0.00			ширина (l_2) = 0.00			высота (l_3) = 0.00				
Уровни звуковой мощности источника LwA, дБА		LwA = La + 20lg(d) + 10lg(Ω)										100	
Спектральные поправки К(Δ_{LA}) для разложения общего уровня звуковой мощности в спектр по октавным полосам, дБ		[5]	-999	-6,7	-5,3	-4	-3,7	-4,1	-7,4	-11,6	-16,1		
Октавные уровни звуковой мощности источника Lw, дБ		Lw = LwA + К(Δ_{LA})	0	93,3	94,7	96	96,3	95,9	92,6	88,4	83,9		
ИШ-2-23 [координаты на плане (x,y,z), м = (736.5,24.2,1.0)]													
Режим работы источника:			постоянный										
Продолжительность работы в дневной период (7.00-23.00):			16 час										
Продолжительность работы в ночной период (23.00-7.00):			8 час										
Тип источника шума:			точечный										
Категория источника шума:			15.013.1 Самбург ДКС										
:			АВО КНД/КВД										
:			(по ТЗ)										
Пространственный угол излучения, рад.	Ω = 6.28	исходные данные											
Уровень звука La на опорном расстоянии d, дБА	d = 1 м	исходные данные										92	
Габариты источника шума, м		исходные данные	длина (l_1) = 0.00			ширина (l_2) = 0.00			высота (l_3) = 0.00				
Уровни звуковой мощности источника LwA, дБА		LwA = La + 20lg(d) + 10lg(Ω)										100	
Спектральные поправки К(Δ_{LA}) для разложения общего уровня звуковой мощности в спектр по октавным полосам, дБ		[5]	-999	-6,7	-5,3	-4	-3,7	-4,1	-7,4	-11,6	-16,1		
Октавные уровни звуковой мощности источника Lw, дБ		Lw = LwA + К(Δ_{LA})	0	93,3	94,7	96	96,3	95,9	92,6	88,4	83,9		

1		2	3	4	5	6	7	8	9	10	11	12	13
ИШ-2-24 [координаты на плане (x,y,z), м = (735.4,21.2,1.0)]													
Режим работы источника:			постоянный										
Продолжительность работы в дневной период (7.00-23.00):			16 час										
Продолжительность работы в ночной период (23.00-7.00):			8 час										
Тип источника шума:			точечный										
Категория источника шума:			15.013.1 Самбург ДКС										
:			АВО КНД/КВД										
:			(по ТЗ)										
Пространственный угол излучения, рад.	Ω = 6.28	исходные данные											
Уровень звука La на опорном расстоянии d, дБА	d = 1 м	исходные данные										92	
Габариты источника шума, м		исходные данные	длина (l_1) = 0.00			ширина (l_2) = 0.00			высота (l_3) = 0.00				
Уровни звуковой мощности источника LwA, дБА		LwA = La + 20lg(d) + 10lg(Ω)										100	
Спектральные поправки К(Δ_{LA}) для разложения общего уровня звуковой мощности в спектр по октавным полосам, дБ		[5]	-999	-6,7	-5,3	-4	-3,7	-4,1	-7,4	-11,6	-16,1		
Октавные уровни звуковой мощности источника Lw, дБ		Lw = LwA + К(Δ_{LA})	0	93,3	94,7	96	96,3	95,9	92,6	88,4	83,9		
ИШ-2-25 [координаты на плане (x,y,z), м = (734.6,18.3,1.0)]													
Режим работы источника:			постоянный										
Продолжительность работы в дневной период (7.00-23.00):			16 час										
Продолжительность работы в ночной период (23.00-7.00):			8 час										
Тип источника шума:			точечный										
Категория источника шума:			15.013.1 Самбург ДКС										
:			АВО КНД/КВД										
:			(по ТЗ)										
Пространственный угол излучения, рад.	Ω = 6.28	исходные данные											
Уровень звука La на опорном расстоянии d, дБА	d = 1 м	исходные данные										92	

1		2	3	4	5	6	7	8	9	10	11	12	13
Габариты источника шума, м		исходные данные	длина (l_1) = 0.00			ширина (l_2) = 0.00			высота (l_3) = 0.00				
Уровни звуковой мощности источника LwA, дБА		LwA = La + 20lg(d) + 10lg(Ω)										100	
Спектральные поправки К(Δ_{LA}) для разложения общего уровня звуковой мощности в спектр по октавным полосам, дБ		[5]	-999	-6,7	-5,3	-4	-3,7	-4,1	-7,4	-11,6	-16,1		
Октавные уровни звуковой мощности источника Lw, дБ		Lw = LwA + К(Δ_{LA})	0	93,3	94,7	96	96,3	95,9	92,6	88,4	83,9		
ИШ-2-26 [координаты на плане (x,y,z), м = (733.6,15.4,1.0)]													
Режим работы источника:			постоянный										
Продолжительность работы в дневной период (7.00-23.00):			16 час										
Продолжительность работы в ночной период (23.00-7.00):			8 час										
Тип источника шума:			точечный										
Категория источника шума:			15.013.1 Самбург ДКС										
:			АВО КНД/КВД										
:			(по ТЗ)										
Пространственный угол излучения, рад.	Ω = 6.28	исходные данные											
Уровень звука La на опорном расстоянии d, дБА	d = 1 м	исходные данные										92	
Габариты источника шума, м		исходные данные	длина (l_1) = 0.00			ширина (l_2) = 0.00			высота (l_3) = 0.00				
Уровни звуковой мощности источника LwA, дБА		LwA = La + 20lg(d) + 10lg(Ω)										100	
Спектральные поправки К(Δ_{LA}) для разложения общего уровня звуковой мощности в спектр по октавным полосам, дБ		[5]	-999	-6,7	-5,3	-4	-3,7	-4,1	-7,4	-11,6	-16,1		
Октавные уровни звуковой мощности источника Lw, дБ		Lw = LwA + К(Δ_{LA})	0	93,3	94,7	96	96,3	95,9	92,6	88,4	83,9		
ИШ-2-27 [координаты на плане (x,y,z), м = (732.4,12.7,1.0)]													
Режим работы источника:			постоянный										
Продолжительность работы в дневной период (7.00-23.00):			16 час										
Продолжительность работы в ночной период (23.00-7.00):			8 час										

1		2	3	4	5	6	7	8	9	10	11	12	13
Тип источника шума:			точечный										
Категория источника шума:			15.013.1 Самбург ДКС										
:			АВО КНД/КВД										
:			(по ТЗ)										
Пространственный угол излучения, рад.	Ω = 6.28	исходные данные											
Уровень звука La на опорном расстоянии d, дБА	d = 1 м	исходные данные										92	
Габариты источника шума, м		исходные данные	длина (l_1) = 0.00			ширина (l_2) = 0.00			высота (l_3) = 0.00				
Уровни звуковой мощности источника LwA, дБА		LwA = La + 20lg(d) + 10lg(Ω)										100	
Спектральные поправки К(Δ_{LA}) для разложения общего уровня звуковой мощности в спектр по октавным полосам, дБ		[5]	-999	-6,7	-5,3	-4	-3,7	-4,1	-7,4	-11,6	-16,1		
Октавные уровни звуковой мощности источника Lw, дБ		Lw = LwA + К(Δ_{LA})	0	93,3	94,7	96	96,3	95,9	92,6	88,4	83,9		
ИШ-2-28 [координаты на плане (x,y,z), м = (731.5,9.8,1.0)]													
Режим работы источника:			постоянный										
Продолжительность работы в дневной период (7.00-23.00):			16 час										
Продолжительность работы в ночной период (23.00-7.00):			8 час										
Тип источника шума:			точечный										
Категория источника шума:			15.013.1 Самбург ДКС										
:			АВО КНД/КВД										
:			(по ТЗ)										
Пространственный угол излучения, рад.	Ω = 6.28	исходные данные											
Уровень звука La на опорном расстоянии d, дБА	d = 1 м	исходные данные										92	
Габариты источника шума, м		исходные данные	длина (l_1) = 0.00			ширина (l_2) = 0.00			высота (l_3) = 0.00				
Уровни звуковой мощности источника LwA, дБА		LwA = La + 20lg(d) + 10lg(Ω)										100	
Спектральные поправки К(Δ_{LA}) для разложения общего уровня звуковой мощности в спектр по октавным полосам, дБ		[5]	-999	-6,7	-5,3	-4	-3,7	-4,1	-7,4	-11,6	-16,1		

1		2	3	4	5	6	7	8	9	10	11	12	13
Октавные уровни звуковой мощности источника Lw, дБ		Lw = LwA + K(Δ_{LA})	0	93,3	94,7	96	96,3	95,9	92,6	88,4	83,9		
ИШ-2-29 [координаты на плане (x,y,z), м = (730.6,6.9,1.0)]													
Режим работы источника:			постоянный										
Продолжительность работы в дневной период (7.00-23.00):			16 час										
Продолжительность работы в ночной период (23.00-7.00):			8 час										
Тип источника шума:			точечный										
Категория источника шума:			15.013.1 Самбург ДКС										
:			АВО КНД/КВД										
:			(по ТЗ)										
Пространственный угол излучения, рад.	Ω = 6.28	исходные данные											
Уровень звука La на опорном расстоянии d, дБА	d = 1 м	исходные данные										92	
Габариты источника шума, м		исходные данные	длина (l_1) = 0.00			ширина (l_2) = 0.00			высота (l_3) = 0.00				
Уровни звуковой мощности источника LwA, дБА		LwA = La + 20lg(d) + 10lg(Ω)										100	
Спектральные поправки K(Δ_{LA}) для разложения общего уровня звуковой мощности в спектр по октавным полосам, дБ		[5]	-999	-6,7	-5,3	-4	-3,7	-4,1	-7,4	-11,6	-16,1		
Октавные уровни звуковой мощности источника Lw, дБ		Lw = LwA + K(Δ_{LA})	0	93,3	94,7	96	96,3	95,9	92,6	88,4	83,9		
ИШ-2-4 [координаты на плане (x,y,z), м = (632.7,-65.3,3.0)]													
Режим работы источника:			постоянный										
Продолжительность работы в дневной период (7.00-23.00):			16 час										
Продолжительность работы в ночной период (23.00-7.00):			8 час										
Тип источника шума:			точечный										
Категория источника шума:			15.013.1 Самбург ДКС										
:			ГПА-16 "Волга"										
:			Акт проверки шумовых характеристик ГПА										
Пространственный угол излучения, рад.	Ω = 6.28	исходные данные											

1		2	3	4	5	6	7	8	9	10	11	12	13
Октавные уровни звуковой мощности источника Lw, дБ		исходные данные	105	104	104	101	102	106	101	95	87		
ИШ-2-30 [координаты на плане (x,y,z), м = (702.4,-77.2,1.0)]													
Режим работы источника:			постоянный										
Продолжительность работы в дневной период (7.00-23.00):			16 час										
Продолжительность работы в ночной период (23.00-7.00):			8 час										
Тип источника шума:			точечный										
Категория источника шума:			15.013.1 Самбург ДКС										
:			АВО КНД/КВД										
:			(по ТЗ)										
Пространственный угол излучения, рад.	Ω = 6.28	исходные данные											
Уровень звука La на опорном расстоянии d, дБА	d = 1 м	исходные данные										92	
Габариты источника шума, м		исходные данные	длина (l_1) = 0.00			ширина (l_2) = 0.00			высота (l_3) = 0.00				
Уровни звуковой мощности источника LwA, дБА		LwA = La + 20lg(d) + 10lg(Ω)										100	
Спектральные поправки К(Δ_{LA}) для разложения общего уровня звуковой мощности в спектр по октавным полосам, дБ		[5]	-999	-6,7	-5,3	-4	-3,7	-4,1	-7,4	-11,6	-16,1		
Октавные уровни звуковой мощности источника Lw, дБ		Lw = LwA + К(Δ_{LA})	0	93,3	94,7	96	96,3	95,9	92,6	88,4	83,9		
ИШ-2-31 [координаты на плане (x,y,z), м = (701.4,-80.2,1.0)]													
Режим работы источника:			постоянный										
Продолжительность работы в дневной период (7.00-23.00):			16 час										
Продолжительность работы в ночной период (23.00-7.00):			8 час										
Тип источника шума:			точечный										
Категория источника шума:			15.013.1 Самбург ДКС										
:			АВО КНД/КВД										
:			(по ТЗ)										
Пространственный угол излучения, рад.	Ω = 6.28	исходные данные											

1		2	3	4	5	6	7	8	9	10	11	12	13
Уровень звука La на опорном расстоянии d, дБА	d = 1 м	исходные данные										92	
Габариты источника шума, м		исходные данные	длина (l_1) = 0.00			ширина (l_2) = 0.00			высота (l_3) = 0.00				
Уровни звуковой мощности источника LwA, дБА		LwA = La + 20lg(d) + 10lg(Ω)										100	
Спектральные поправки К(Δ_{LA}) для разложения общего уровня звуковой мощности в спектр по октавным полосам, дБ		[5]	-999	-6,7	-5,3	-4	-3,7	-4,1	-7,4	-11,6	-16,1		
Октавные уровни звуковой мощности источника Lw, дБ		Lw = LwA + К(Δ_{LA})	0	93,3	94,7	96	96,3	95,9	92,6	88,4	83,9		
ИШ-2-32 [координаты на плане (x,y,z), м = (700.4,-83.0,1.0)]													
Режим работы источника:		постоянный											
Продолжительность работы в дневной период (7.00-23.00):		16 час											
Продолжительность работы в ночной период (23.00-7.00):		8 час											
Тип источника шума:		точечный											
Категория источника шума:		15.013.1 Самбург ДКС											
:		АВО КНД/КВД											
:		(по ТЗ)											
Пространственный угол излучения, рад.	Ω = 6.28	исходные данные											
Уровень звука La на опорном расстоянии d, дБА	d = 1 м	исходные данные										92	
Габариты источника шума, м		исходные данные	длина (l_1) = 0.00			ширина (l_2) = 0.00			высота (l_3) = 0.00				
Уровни звуковой мощности источника LwA, дБА		LwA = La + 20lg(d) + 10lg(Ω)										100	
Спектральные поправки К(Δ_{LA}) для разложения общего уровня звуковой мощности в спектр по октавным полосам, дБ		[5]	-999	-6,7	-5,3	-4	-3,7	-4,1	-7,4	-11,6	-16,1		
Октавные уровни звуковой мощности источника Lw, дБ		Lw = LwA + К(Δ_{LA})	0	93,3	94,7	96	96,3	95,9	92,6	88,4	83,9		
ИШ-2-33 [координаты на плане (x,y,z), м = (699.5,-86.0,1.0)]													
Режим работы источника:		постоянный											

1		2	3	4	5	6	7	8	9	10	11	12	13
Продолжительность работы в дневной период (7.00-23.00):			16 час										
Продолжительность работы в ночной период (23.00-7.00):			8 час										
Тип источника шума:			точечный										
Категория источника шума:			15.013.1 Самбург ДКС										
:			АВО КНД/КВД										
:			(по ТЗ)										
Пространственный угол излучения, рад.	Ω = 6.28	исходные данные											
Уровень звука La на опорном расстоянии d, дБА	d = 1 м	исходные данные										92	
Габариты источника шума, м		исходные данные	длина (l_1) = 0.00			ширина (l_2) = 0.00			высота (l_3) = 0.00				
Уровни звуковой мощности источника LwA, дБА		LwA = La + 20lg(d) + 10lg(Ω)										100	
Спектральные поправки К(Δ_{LA}) для разложения общего уровня звуковой мощности в спектр по октавным полосам, дБ		[5]	-999	-6,7	-5,3	-4	-3,7	-4,1	-7,4	-11,6	-16,1		
Октавные уровни звуковой мощности источника Lw, дБ		Lw = LwA + К(Δ_{LA})	0	93,3	94,7	96	96,3	95,9	92,6	88,4	83,9		
ИШ-2-34 [координаты на плане (x,y,z), м = (698.4,-88.8,1.0)]													
Режим работы источника:			постоянный										
Продолжительность работы в дневной период (7.00-23.00):			16 час										
Продолжительность работы в ночной период (23.00-7.00):			8 час										
Тип источника шума:			точечный										
Категория источника шума:			15.013.1 Самбург ДКС										
:			АВО КНД/КВД										
:			(по ТЗ)										
Пространственный угол излучения, рад.	Ω = 6.28	исходные данные											
Уровень звука La на опорном расстоянии d, дБА	d = 1 м	исходные данные										92	
Габариты источника шума, м		исходные данные	длина (l_1) = 0.00			ширина (l_2) = 0.00			высота (l_3) = 0.00				
Уровни звуковой мощности источника LwA, дБА		LwA = La + 20lg(d) + 10lg(Ω)										100	

1		2	3	4	5	6	7	8	9	10	11	12	13
Спектральные поправки К(Δ_{LA}) для разложения общего уровня звуковой мощности в спектр по октавным полосам, дБ		[5]	-999	-6,7	-5,3	-4	-3,7	-4,1	-7,4	-11,6	-16,1		
Октавные уровни звуковой мощности источника Lw, дБ		Lw = LwA + К(Δ_{LA})	0	93,3	94,7	96	96,3	95,9	92,6	88,4	83,9		
ИШ-2-35 [координаты на плане (x,y,z), м = (697.5,-91.7,1.0)]													
Режим работы источника:			постоянный										
Продолжительность работы в дневной период (7.00-23.00):			16 час										
Продолжительность работы в ночной период (23.00-7.00):			8 час										
Тип источника шума:			точечный										
Категория источника шума:			15.013.1 Самбург ДКС										
:			АВО КНД/КВД										
:			(по ТЗ)										
Пространственный угол излучения, рад.	Ω = 6.28	исходные данные											
Уровень звука La на опорном расстоянии d, дБА	d = 1 м	исходные данные										92	
Габариты источника шума, м		исходные данные	длина (l_1) = 0.00			ширина (l_2) = 0.00			высота (l_3) = 0.00				
Уровни звуковой мощности источника LwA, дБА		LwA = La + 20lg(d) + 10lg(Ω)										100	
Спектральные поправки К(Δ_{LA}) для разложения общего уровня звуковой мощности в спектр по октавным полосам, дБ		[5]	-999	-6,7	-5,3	-4	-3,7	-4,1	-7,4	-11,6	-16,1		
Октавные уровни звуковой мощности источника Lw, дБ		Lw = LwA + К(Δ_{LA})	0	93,3	94,7	96	96,3	95,9	92,6	88,4	83,9		
ИШ-2-36 [координаты на плане (x,y,z), м = (696.6,-94.6,1.0)]													
Режим работы источника:			постоянный										
Продолжительность работы в дневной период (7.00-23.00):			16 час										
Продолжительность работы в ночной период (23.00-7.00):			8 час										
Тип источника шума:			точечный										
Категория источника шума:			15.013.1 Самбург ДКС										
:			АВО КНД/КВД										
:			(по ТЗ)										

1		2	3	4	5	6	7	8	9	10	11	12	13
Пространственный угол излучения, рад.	Ω = 6.28	исходные данные											
Уровень звука La на опорном расстоянии d, дБА	d = 1 м	исходные данные										92	
Габариты источника шума, м		исходные данные	длина (l_1) = 0.00			ширина (l_2) = 0.00			высота (l_3) = 0.00				
Уровни звуковой мощности источника LwA, дБА		LwA = La + 20lg(d) + 10lg(Ω)										100	
Спектральные поправки К(Δ_{LA}) для разложения общего уровня звуковой мощности в спектр по октавным полосам, дБ		[5]	-999	-6,7	-5,3	-4	-3,7	-4,1	-7,4	-11,6	-16,1		
Октавные уровни звуковой мощности источника Lw, дБ		Lw = LwA + К(Δ_{LA})	0	93,3	94,7	96	96,3	95,9	92,6	88,4	83,9		
ИШ-2-37 [координаты на плане (x,y,z), м = (695.6,-97.4,1.0)]													
Режим работы источника:			постоянный										
Продолжительность работы в дневной период (7.00-23.00):			16 час										
Продолжительность работы в ночной период (23.00-7.00):			8 час										
Тип источника шума:			точечный										
Категория источника шума:			15.013.1 Самбург ДКС										
:			АВО КНД/КВД										
:			(по ТЗ)										
Пространственный угол излучения, рад.	Ω = 6.28	исходные данные											
Уровень звука La на опорном расстоянии d, дБА	d = 1 м	исходные данные										92	
Габариты источника шума, м		исходные данные	длина (l_1) = 0.00			ширина (l_2) = 0.00			высота (l_3) = 0.00				
Уровни звуковой мощности источника LwA, дБА		LwA = La + 20lg(d) + 10lg(Ω)										100	
Спектральные поправки К(Δ_{LA}) для разложения общего уровня звуковой мощности в спектр по октавным полосам, дБ		[5]	-999	-6,7	-5,3	-4	-3,7	-4,1	-7,4	-11,6	-16,1		
Октавные уровни звуковой мощности источника Lw, дБ		Lw = LwA + К(Δ_{LA})	0	93,3	94,7	96	96,3	95,9	92,6	88,4	83,9		

1		2	3	4	5	6	7	8	9	10	11	12	13
ИШ-2-5 [координаты на плане (x,y,z), м = (618.6,-108.0,3.0)]													
Режим работы источника:			постоянный										
Продолжительность работы в дневной период (7.00-23.00):			16 час										
Продолжительность работы в ночной период (23.00-7.00):			8 час										
Тип источника шума:			точечный										
Категория источника шума:			15.013.1 Самбург ДКС										
:			ГПА-16 "Волга"										
:			Акт проверки шумовых характеристик ГПА										
Пространственный угол излучения, рад.	Ω = 6.28	исходные данные											
Октавные уровни звуковой мощности источника Lw, дБ		исходные данные	105	104	104	101	102	106	101	95	87		
ИШ-2-38 [координаты на плане (x,y,z), м = (688.1,-119.9,1.0)]													
Режим работы источника:			постоянный										
Продолжительность работы в дневной период (7.00-23.00):			16 час										
Продолжительность работы в ночной период (23.00-7.00):			8 час										
Тип источника шума:			точечный										
Категория источника шума:			15.013.1 Самбург ДКС										
:			АВО КНД/КВД										
:			(по ТЗ)										
Пространственный угол излучения, рад.	Ω = 6.28	исходные данные											
Уровень звука La на опорном расстоянии d, дБА	d = 1 м	исходные данные										92	
Габариты источника шума, м		исходные данные	длина (l_1) = 0.00			ширина (l_2) = 0.00			высота (l_3) = 0.00				
Уровни звуковой мощности источника LwA, дБА		LwA = La + 20lg(d) + 10lg(Ω)										100	
Спектральные поправки К(Δ_{LA}) для разложения общего уровня звуковой мощности в спектр по октавным полосам, дБ		[5]	-999	-6,7	-5,3	-4	-3,7	-4,1	-7,4	-11,6	-16,1		
Октавные уровни звуковой мощности источника Lw, дБ		Lw = LwA + К(Δ_{LA})	0	93,3	94,7	96	96,3	95,9	92,6	88,4	83,9		

1		2	3	4	5	6	7	8	9	10	11	12	13
ИШ-2-39 [координаты на плане (x,y,z), м = (687.1,-122.8,1.0)]													
Режим работы источника:			постоянный										
Продолжительность работы в дневной период (7.00-23.00):			16 час										
Продолжительность работы в ночной период (23.00-7.00):			8 час										
Тип источника шума:			точечный										
Категория источника шума:			15.013.1 Самбург ДКС										
:			АВО КНД/КВД										
:			(по ТЗ)										
Пространственный угол излучения, рад.	Ω = 6.28	исходные данные											
Уровень звука La на опорном расстоянии d, дБА	d = 1 м	исходные данные										92	
Габариты источника шума, м		исходные данные	длина (l_1) = 0.00			ширина (l_2) = 0.00			высота (l_3) = 0.00				
Уровни звуковой мощности источника LwA, дБА		LwA = La + 20lg(d) + 10lg(Ω)										100	
Спектральные поправки К(Δ_{LA}) для разложения общего уровня звуковой мощности в спектр по октавным полосам, дБ		[5]	-999	-6,7	-5,3	-4	-3,7	-4,1	-7,4	-11,6	-16,1		
Октавные уровни звуковой мощности источника Lw, дБ		Lw = LwA + К(Δ_{LA})	0	93,3	94,7	96	96,3	95,9	92,6	88,4	83,9		
ИШ-2-40 [координаты на плане (x,y,z), м = (686.1,-125.7,1.0)]													
Режим работы источника:			постоянный										
Продолжительность работы в дневной период (7.00-23.00):			16 час										
Продолжительность работы в ночной период (23.00-7.00):			8 час										
Тип источника шума:			точечный										
Категория источника шума:			15.013.1 Самбург ДКС										
:			АВО КНД/КВД										
:			(по ТЗ)										
Пространственный угол излучения, рад.	Ω = 6.28	исходные данные											
Уровень звука La на опорном расстоянии d, дБА	d = 1 м	исходные данные										92	

1		2	3	4	5	6	7	8	9	10	11	12	13
Габариты источника шума, м		исходные данные	длина (l_1) = 0.00			ширина (l_2) = 0.00			высота (l_3) = 0.00				
Уровни звуковой мощности источника LwA, дБА		LwA = La + 20lg(d) + 10lg(Ω)										100	
Спектральные поправки К(Δ_{LA}) для разложения общего уровня звуковой мощности в спектр по октавным полосам, дБ		[5]	-999	-6,7	-5,3	-4	-3,7	-4,1	-7,4	-11,6	-16,1		
Октавные уровни звуковой мощности источника Lw, дБ		Lw = LwA + К(Δ_{LA})	0	93,3	94,7	96	96,3	95,9	92,6	88,4	83,9		
ИШ-2-41 [координаты на плане (x,y,z), м = (685.1,-128.6,1.0)]													
Режим работы источника:			постоянный										
Продолжительность работы в дневной период (7.00-23.00):			16 час										
Продолжительность работы в ночной период (23.00-7.00):			8 час										
Тип источника шума:			точечный										
Категория источника шума:			15.013.1 Самбург ДКС										
:			АВО КНД/КВД										
:			(по ТЗ)										
Пространственный угол излучения, рад.	Ω = 6.28	исходные данные											
Уровень звука La на опорном расстоянии d, дБА	d = 1 м	исходные данные										92	
Габариты источника шума, м		исходные данные	длина (l_1) = 0.00			ширина (l_2) = 0.00			высота (l_3) = 0.00				
Уровни звуковой мощности источника LwA, дБА		LwA = La + 20lg(d) + 10lg(Ω)										100	
Спектральные поправки К(Δ_{LA}) для разложения общего уровня звуковой мощности в спектр по октавным полосам, дБ		[5]	-999	-6,7	-5,3	-4	-3,7	-4,1	-7,4	-11,6	-16,1		
Октавные уровни звуковой мощности источника Lw, дБ		Lw = LwA + К(Δ_{LA})	0	93,3	94,7	96	96,3	95,9	92,6	88,4	83,9		
ИШ-2-42 [координаты на плане (x,y,z), м = (684.2,-131.5,1.0)]													
Режим работы источника:			постоянный										
Продолжительность работы в дневной период (7.00-23.00):			16 час										
Продолжительность работы в ночной период (23.00-7.00):			8 час										

1		2	3	4	5	6	7	8	9	10	11	12	13
Тип источника шума:			точечный										
Категория источника шума:			15.013.1 Самбург ДКС										
:			АВО КНД/КВД										
:			(по ТЗ)										
Пространственный угол излучения, рад.	Ω = 6.28	исходные данные											
Уровень звука La на опорном расстоянии d, дБА	d = 1 м	исходные данные										92	
Габариты источника шума, м		исходные данные	длина (l_1) = 0.00			ширина (l_2) = 0.00			высота (l_3) = 0.00				
Уровни звуковой мощности источника LwA, дБА		LwA = La + 20lg(d) + 10lg(Ω)										100	
Спектральные поправки К(Δ_{LA}) для разложения общего уровня звуковой мощности в спектр по октавным полосам, дБ		[5]	-999	-6,7	-5,3	-4	-3,7	-4,1	-7,4	-11,6	-16,1		
Октавные уровни звуковой мощности источника Lw, дБ		Lw = LwA + К(Δ_{LA})	0	93,3	94,7	96	96,3	95,9	92,6	88,4	83,9		
ИШ-2-43 [координаты на плане (x,y,z), м = (683.1,-134.4,1.0)]													
Режим работы источника:			постоянный										
Продолжительность работы в дневной период (7.00-23.00):			16 час										
Продолжительность работы в ночной период (23.00-7.00):			8 час										
Тип источника шума:			точечный										
Категория источника шума:			15.013.1 Самбург ДКС										
:			АВО КНД/КВД										
:			(по ТЗ)										
Пространственный угол излучения, рад.	Ω = 6.28	исходные данные											
Уровень звука La на опорном расстоянии d, дБА	d = 1 м	исходные данные										92	
Габариты источника шума, м		исходные данные	длина (l_1) = 0.00			ширина (l_2) = 0.00			высота (l_3) = 0.00				
Уровни звуковой мощности источника LwA, дБА		LwA = La + 20lg(d) + 10lg(Ω)										100	
Спектральные поправки К(Δ_{LA}) для разложения общего уровня звуковой мощности в спектр по октавным полосам, дБ		[5]	-999	-6,7	-5,3	-4	-3,7	-4,1	-7,4	-11,6	-16,1		

1		2	3	4	5	6	7	8	9	10	11	12	13
Октавные уровни звуковой мощности источника Lw, дБ		Lw = LwA + K(Δ_{LA})	0	93,3	94,7	96	96,3	95,9	92,6	88,4	83,9		
ИШ-2-44 [координаты на плане (x,y,z), м = (682.2,-137.2,1.0)]													
Режим работы источника:			постоянный										
Продолжительность работы в дневной период (7.00-23.00):			16 час										
Продолжительность работы в ночной период (23.00-7.00):			8 час										
Тип источника шума:			точечный										
Категория источника шума:			15.013.1 Самбург ДКС										
:			АВО КНД/КВД										
:			(по ТЗ)										
Пространственный угол излучения, рад.	Ω = 6.28	исходные данные											
Уровень звука La на опорном расстоянии d, дБА	d = 1 м	исходные данные										92	
Габариты источника шума, м		исходные данные	длина (l_1) = 0.00			ширина (l_2) = 0.00			высота (l_3) = 0.00				
Уровни звуковой мощности источника LwA, дБА		LwA = La + 20lg(d) + 10lg(Ω)										100	
Спектральные поправки K(Δ_{LA}) для разложения общего уровня звуковой мощности в спектр по октавным полосам, дБ		[5]	-999	-6,7	-5,3	-4	-3,7	-4,1	-7,4	-11,6	-16,1		
Октавные уровни звуковой мощности источника Lw, дБ		Lw = LwA + K(Δ_{LA})	0	93,3	94,7	96	96,3	95,9	92,6	88,4	83,9		
ИШ-2-45 [координаты на плане (x,y,z), м = (681.3,-140.0,1.0)]													
Режим работы источника:			постоянный										
Продолжительность работы в дневной период (7.00-23.00):			16 час										
Продолжительность работы в ночной период (23.00-7.00):			8 час										
Тип источника шума:			точечный										
Категория источника шума:			15.013.1 Самбург ДКС										
:			АВО КНД/КВД										
:			(по ТЗ)										
Пространственный угол излучения, рад.	Ω = 6.28	исходные данные											

1		2	3	4	5	6	7	8	9	10	11	12	13
Уровень звука La на опорном расстоянии d, дБА	d = 1 м	исходные данные										92	
Габариты источника шума, м		исходные данные	длина (l_1) = 0.00			ширина (l_2) = 0.00			высота (l_3) = 0.00				
Уровни звуковой мощности источника LwA, дБА		LwA = La + 20lg(d) + 10lg(Ω)										100	
Спектральные поправки К(Δ_{LA}) для разложения общего уровня звуковой мощности в спектр по октавным полосам, дБ		[5]	-999	-6,7	-5,3	-4	-3,7	-4,1	-7,4	-11,6	-16,1		
Октавные уровни звуковой мощности источника Lw, дБ		Lw = LwA + К(Δ_{LA})	0	93,3	94,7	96	96,3	95,9	92,6	88,4	83,9		
ИШ-4-1 [координаты на плане (x,y,z), м = (141.8,201.0,1.0)]													
Режим работы источника:		постоянный											
Продолжительность работы в дневной период (7.00-23.00):		16 час											
Продолжительность работы в ночной период (23.00-7.00):		8 час											
Тип источника шума:		точечный											
Категория источника шума:		Источники шума на прилегающей территории											
Название:		АВО БМР											
Примечание:		ОАО "Борхиммаш", ТУ 3612-004-00218880-02											
Пространственный угол излучения, рад.	Ω = 6.28	исходные данные											
Уровень звука La на опорном расстоянии d, дБА	d = 1 м	исходные данные										89	
Габариты источника шума, м		исходные данные	длина (l_1) = 0.00			ширина (l_2) = 0.00			высота (l_3) = 0.00				
Уровни звуковой мощности источника LwA, дБА		LwA = La + 20lg(d) + 10lg(Ω)										97	
Спектральные поправки К(Δ_{LA}) для разложения общего уровня звуковой мощности в спектр по октавным полосам, дБ		[5]	-999	-6,7	-5,3	-4	-3,7	-4,1	-7,4	-11,6	-16,1		
Октавные уровни звуковой мощности источника Lw, дБ		Lw = LwA + К(Δ_{LA})	0	90,3	91,7	93	93,3	92,9	89,6	85,4	80,9		
ИШ-4-2 [координаты на плане (x,y,z), м = (133.9,183.2,1.0)]													
Режим работы источника:		постоянный											

1		2	3	4	5	6	7	8	9	10	11	12	13
Продолжительность работы в дневной период (7.00-23.00):			16 час										
Продолжительность работы в ночной период (23.00-7.00):			8 час										
Тип источника шума:			точечный										
Категория источника шума:			Источники шума на прилегающей территории										
Название:			АВО БМР										
Примечание:			ОАО "Борхиммаш", ТУ 3612-004-00218880-02										
Пространственный угол излучения, рад.	$\Omega = 6.28$	исходные данные											
Уровень звука La на опорном расстоянии d, дБА	d = 1 м	исходные данные										89	
Габариты источника шума, м		исходные данные	длина (l_1) = 0.00			ширина (l_2) = 0.00			высота (l_3) = 0.00				
Уровни звуковой мощности источника LwA, дБА		LwA = La + 20lg(d) + 10lg(Ω)										97	
Спектральные поправки К(Δ_{LA}) для разложения общего уровня звуковой мощности в спектр по октавным полосам, дБ		[5]	-999	-6,7	-5,3	-4	-3,7	-4,1	-7,4	-11,6	-16,1		
Октавные уровни звуковой мощности источника Lw, дБ		Lw = LwA + К(Δ_{LA})	0	90,3	91,7	93	93,3	92,9	89,6	85,4	80,9		
ИШ-4-3 [координаты на плане (x,y,z), м = (152.6,172.7,1.0)]													
Режим работы источника:			постоянный										
Продолжительность работы в дневной период (7.00-23.00):			16 час										
Продолжительность работы в ночной период (23.00-7.00):			8 час										
Тип источника шума:			точечный										
Категория источника шума:			Источники шума на прилегающей территории										
Название:			АВО БМР										
Примечание:			ОАО "Борхиммаш", ТУ 3612-004-00218880-02										
Пространственный угол излучения, рад.	$\Omega = 6.28$	исходные данные											
Уровень звука La на опорном расстоянии d, дБА	d = 1 м	исходные данные										89	
Габариты источника шума, м		исходные данные	длина (l_1) = 0.00			ширина (l_2) = 0.00			высота (l_3) = 0.00				
Уровни звуковой мощности источника LwA, дБА		LwA = La + 20lg(d) + 10lg(Ω)										97	

1		2	3	4	5	6	7	8	9	10	11	12	13
Спектральные поправки К(Δ_{LA}) для разложения общего уровня звуковой мощности в спектр по октавным полосам, дБ		[5]	-999	-6,7	-5,3	-4	-3,7	-4,1	-7,4	-11,6	-16,1		
Октавные уровни звуковой мощности источника Lw, дБ		Lw = LwA + К(Δ_{LA})	0	90,3	91,7	93	93,3	92,9	89,6	85,4	80,9		
ИШ-4-4 [координаты на плане (x,y,z), м = (156.8,171.3,1.0)]													
Режим работы источника:			постоянный										
Продолжительность работы в дневной период (7.00-23.00):			16 час										
Продолжительность работы в ночной период (23.00-7.00):			8 час										
Тип источника шума:			точечный										
Категория источника шума:			Источники шума на прилегающей территории										
Название:			АВО БМР										
Примечание:			ОАО "Борхиммаш", ТУ 3612-004-00218880-02										
Пространственный угол излучения, рад.	Ω = 6.28	исходные данные											
Уровень звука La на опорном расстоянии d, дБА	d = 1 м	исходные данные										89	
Габариты источника шума, м		исходные данные	длина (l_1) = 0.00			ширина (l_2) = 0.00			высота (l_3) = 0.00				
Уровни звуковой мощности источника LwA, дБА		LwA = La + 20lg(d) + 10lg(Ω)										97	
Спектральные поправки К(Δ_{LA}) для разложения общего уровня звуковой мощности в спектр по октавным полосам, дБ		[5]	-999	-6,7	-5,3	-4	-3,7	-4,1	-7,4	-11,6	-16,1		
Октавные уровни звуковой мощности источника Lw, дБ		Lw = LwA + К(Δ_{LA})	0	90,3	91,7	93	93,3	92,9	89,6	85,4	80,9		
ИШ-4-5 [координаты на плане (x,y,z), м = (126.5,222.7,11.0)]													
Режим работы источника:			постоянный										
Продолжительность работы в дневной период (7.00-23.00):			16 час										
Продолжительность работы в ночной период (23.00-7.00):			8 час										
Тип источника шума:			точечный										
Категория источника шума:			Источники шума на прилегающей территории										
Название:			АВО БМР										
Примечание:			ОАО "Борхиммаш", ТУ 3612-004-00218880-02										

1		2	3	4	5	6	7	8	9	10	11	12	13
Пространственный угол излучения, рад.	Ω = 6.28	исходные данные											
Уровень звука La на опорном расстоянии d, дБА	d = 1 м	исходные данные										89	
Габариты источника шума, м		исходные данные	длина (l_1) = 0.00			ширина (l_2) = 0.00			высота (l_3) = 0.00				
Уровни звуковой мощности источника LwA, дБА		LwA = La + 20lg(d) + 10lg(Ω)										97	
Спектральные поправки К(Δ_{LA}) для разложения общего уровня звуковой мощности в спектр по октавным полосам, дБ		[5]	-999	-6,7	-5,3	-4	-3,7	-4,1	-7,4	-11,6	-16,1		
Октавные уровни звуковой мощности источника Lw, дБ		Lw = LwA + К(Δ_{LA})	0	90,3	91,7	93	93,3	92,9	89,6	85,4	80,9		
ИШ-4-6 [координаты на плане (x,y,z), м = (125.2,218.6,11.0)]													
Режим работы источника:			постоянный										
Продолжительность работы в дневной период (7.00-23.00):			16 час										
Продолжительность работы в ночной период (23.00-7.00):			8 час										
Тип источника шума:			точечный										
Категория источника шума:			Источники шума на прилегающей территории										
Название:			АВО БМР										
Примечание:			ОАО "Борхиммаш", ТУ 3612-004-00218880-02										
Пространственный угол излучения, рад.	Ω = 6.28	исходные данные											
Уровень звука La на опорном расстоянии d, дБА	d = 1 м	исходные данные										89	
Габариты источника шума, м		исходные данные	длина (l_1) = 0.00			ширина (l_2) = 0.00			высота (l_3) = 0.00				
Уровни звуковой мощности источника LwA, дБА		LwA = La + 20lg(d) + 10lg(Ω)										97	
Спектральные поправки К(Δ_{LA}) для разложения общего уровня звуковой мощности в спектр по октавным полосам, дБ		[5]	-999	-6,7	-5,3	-4	-3,7	-4,1	-7,4	-11,6	-16,1		
Октавные уровни звуковой мощности источника Lw, дБ		Lw = LwA + К(Δ_{LA})	0	90,3	91,7	93	93,3	92,9	89,6	85,4	80,9		

1		2	3	4	5	6	7	8	9	10	11	12	13
ИШ-4-7 [координаты на плане (x,y,z), м = (177.9,257.9,11.0)]													
Режим работы источника:			постоянный										
Продолжительность работы в дневной период (7.00-23.00):			16 час										
Продолжительность работы в ночной период (23.00-7.00):			8 час										
Тип источника шума:			точечный										
Категория источника шума:			Источники шума на прилегающей территории										
Название:			АВО БМР										
Примечание:			ОАО "Борхиммаш", ТУ 3612-004-00218880-02										
Пространственный угол излучения, рад.	Ω = 6.28	исходные данные											
Уровень звука La на опорном расстоянии d, дБА	d = 1 м	исходные данные										89	
Габариты источника шума, м		исходные данные	длина (l_1) = 0.00			ширина (l_2) = 0.00			высота (l_3) = 0.00				
Уровни звуковой мощности источника LwA, дБА		LwA = La + 20lg(d) + 10lg(Ω)										97	
Спектральные поправки K(Δ_{LA}) для разложения общего уровня звуковой мощности в спектр по октавным полосам, дБ		[5]	-999	-6,7	-5,3	-4	-3,7	-4,1	-7,4	-11,6	-16,1		
Октавные уровни звуковой мощности источника Lw, дБ		Lw = LwA + K(Δ_{LA})	0	90,3	91,7	93	93,3	92,9	89,6	85,4	80,9		
ИШ-4-8 [координаты на плане (x,y,z), м = (178.2,257.8,13.0)]													
Режим работы источника:			постоянный										
Продолжительность работы в дневной период (7.00-23.00):			16 час										
Продолжительность работы в ночной период (23.00-7.00):			8 час										
Тип источника шума:			точечный										
Категория источника шума:			Источники шума на прилегающей территории										
Название:			АВО БМР										
Примечание:			ОАО "Борхиммаш", ТУ 3612-004-00218880-02										
Пространственный угол излучения, рад.	Ω = 6.28	исходные данные											
Уровень звука La на опорном расстоянии d, дБА	d = 1 м	исходные данные										89	

1	2	3	4	5	6	7	8	9	10	11	12	13
Габариты источника шума, м	исходные данные	длина (l_1) = 0.00			ширина (l_2) = 0.00			высота (l_3) = 0.00				
Уровни звуковой мощности источника LwA, дБА	LwA = La + 20lg(d) + 10lg(Ω)										97	
Спектральные поправки К(Δ_{LA}) для разложения общего уровня звуковой мощности в спектр по октавным полосам, дБ	[5]	-999	-6,7	-5,3	-4	-3,7	-4,1	-7,4	-11,6	-16,1		
Октавные уровни звуковой мощности источника Lw, дБ	Lw = LwA + К(Δ_{LA})	0	90,3	91,7	93	93,3	92,9	89,6	85,4	80,9		
ИШ-4-9 [координаты на плане (x,y,z), м = (178.7,257.6,15.5)]												
Режим работы источника:		постоянный										
Продолжительность работы в дневной период (7.00-23.00):		16 час										
Продолжительность работы в ночной период (23.00-7.00):		8 час										
Тип источника шума:		точечный										
Категория источника шума:		Источники шума на прилегающей территории										
Название:		АВО БМР										
Примечание:		ОАО "Борхиммаш", ТУ 3612-004-00218880-02										
Пространственный угол излучения, рад. Ω = 6.28	исходные данные											
Уровень звука La на опорном расстоянии d, дБА d = 1 м	исходные данные										89	
Габариты источника шума, м	исходные данные	длина (l_1) = 0.00			ширина (l_2) = 0.00			высота (l_3) = 0.00				
Уровни звуковой мощности источника LwA, дБА	LwA = La + 20lg(d) + 10lg(Ω)										97	
Спектральные поправки К(Δ_{LA}) для разложения общего уровня звуковой мощности в спектр по октавным полосам, дБ	[5]	-999	-6,7	-5,3	-4	-3,7	-4,1	-7,4	-11,6	-16,1		
Октавные уровни звуковой мощности источника Lw, дБ	Lw = LwA + К(Δ_{LA})	0	90,3	91,7	93	93,3	92,9	89,6	85,4	80,9		
ИШ-4-10 [координаты на плане (x,y,z), м = (185.6,255.3,11.0)]												
Режим работы источника:		постоянный										
Продолжительность работы в дневной период (7.00-23.00):		16 час										
Продолжительность работы в ночной период (23.00-7.00):		8 час										

1		2	3	4	5	6	7	8	9	10	11	12	13
Тип источника шума:			точечный										
Категория источника шума:			Источники шума на прилегающей территории										
Название:			АВО БМР										
Примечание:			ОАО "Борхиммаш", ТУ 3612-004-00218880-02										
Пространственный угол излучения, рад.	Ω = 6.28	исходные данные											
Уровень звука La на опорном расстоянии d, дБА	d = 1 м	исходные данные										89	
Габариты источника шума, м		исходные данные	длина (l_1) = 0.00			ширина (l_2) = 0.00			высота (l_3) = 0.00				
Уровни звуковой мощности источника LwA, дБА		LwA = La + 20lg(d) + 10lg(Ω)										97	
Спектральные поправки К(Δ_{LA}) для разложения общего уровня звуковой мощности в спектр по октавным полосам, дБ		[5]	-999	-6,7	-5,3	-4	-3,7	-4,1	-7,4	-11,6	-16,1		
Октавные уровни звуковой мощности источника Lw, дБ		Lw = LwA + К(Δ_{LA})	0	90,3	91,7	93	93,3	92,9	89,6	85,4	80,9		
ИШ-4-11 [координаты на плане (x,y,z), м = (185.9,255.2,13.0)]													
Режим работы источника:			постоянный										
Продолжительность работы в дневной период (7.00-23.00):			16 час										
Продолжительность работы в ночной период (23.00-7.00):			8 час										
Тип источника шума:			точечный										
Категория источника шума:			Источники шума на прилегающей территории										
Название:			АВО БМР										
Примечание:			ОАО "Борхиммаш", ТУ 3612-004-00218880-02										
Пространственный угол излучения, рад.	Ω = 6.28	исходные данные											
Уровень звука La на опорном расстоянии d, дБА	d = 1 м	исходные данные										89	
Габариты источника шума, м		исходные данные	длина (l_1) = 0.00			ширина (l_2) = 0.00			высота (l_3) = 0.00				
Уровни звуковой мощности источника LwA, дБА		LwA = La + 20lg(d) + 10lg(Ω)										97	
Спектральные поправки К(Δ_{LA}) для разложения общего уровня звуковой мощности в спектр по октавным полосам, дБ		[5]	-999	-6,7	-5,3	-4	-3,7	-4,1	-7,4	-11,6	-16,1		

1		2	3	4	5	6	7	8	9	10	11	12	13
Октавные уровни звуковой мощности источника Lw, дБ		Lw = LwA + K(Δ_{LA})	0	90,3	91,7	93	93,3	92,9	89,6	85,4	80,9		
ИШ-4-12 [координаты на плане (x,y,z), м = (186.2,255.0,15.5)]													
Режим работы источника:			постоянный										
Продолжительность работы в дневной период (7.00-23.00):			16 час										
Продолжительность работы в ночной период (23.00-7.00):			8 час										
Тип источника шума:			точечный										
Категория источника шума:			Источники шума на прилегающей территории										
Название:			АВО БМР										
Примечание:			ОАО "Борхиммаш", ТУ 3612-004-00218880-02										
Пространственный угол излучения, рад.	Ω = 6.28	исходные данные											
Уровень звука La на опорном расстоянии d, дБА	d = 1 м	исходные данные										89	
Габариты источника шума, м		исходные данные	длина (l_1) = 0.00			ширина (l_2) = 0.00			высота (l_3) = 0.00				
Уровни звуковой мощности источника LwA, дБА		LwA = La + 20lg(d) + 10lg(Ω)										97	
Спектральные поправки K(Δ_{LA}) для разложения общего уровня звуковой мощности в спектр по октавным полосам, дБ		[5]	-999	-6,7	-5,3	-4	-3,7	-4,1	-7,4	-11,6	-16,1		
Октавные уровни звуковой мощности источника Lw, дБ		Lw = LwA + K(Δ_{LA})	0	90,3	91,7	93	93,3	92,9	89,6	85,4	80,9		
ИШ-4-13 [координаты на плане (x,y,z), м = (94.6,229.1,1.0)]													
Режим работы источника:			постоянный										
Продолжительность работы в дневной период (7.00-23.00):			16 час										
Продолжительность работы в ночной период (23.00-7.00):			8 час										
Тип источника шума:			точечный										
Категория источника шума:			Источники шума на прилегающей территории										
Название:			АВМ-Г										
Примечание:			АВО (ТУ 3612-006-00218880-02)										
Пространственный угол излучения, рад.	Ω = 6.28	исходные данные											

1		2	3	4	5	6	7	8	9	10	11	12	13
Уровень звука La на опорном расстоянии d, дБА	d = 1 м	исходные данные										80	
Габариты источника шума, м		исходные данные	длина (l_1) = 0.00			ширина (l_2) = 0.00			высота (l_3) = 0.00				
Уровни звуковой мощности источника LwA, дБА		LwA = La + 20lg(d) + 10lg(Ω)										88	
Спектральные поправки К(Δ_{LA}) для разложения общего уровня звуковой мощности в спектр по октавным полосам, дБ		[5]	-999	-6,7	-5,3	-4	-3,7	-4,1	-7,4	-11,6	-16,1		
Октавные уровни звуковой мощности источника Lw, дБ		Lw = LwA + К(Δ_{LA})	0	81,3	82,7	84	84,3	83,9	80,6	76,4	71,9		
ИШ-4-14 [координаты на плане (x,y,z), м = (91.9,221.3,1.0)]													
Режим работы источника:			постоянный										
Продолжительность работы в дневной период (7.00-23.00):			16 час										
Продолжительность работы в ночной период (23.00-7.00):			8 час										
Тип источника шума:			точечный										
Категория источника шума:			Источники шума на прилегающей территории										
Название:			АВМ-Г										
Примечание:			АВО (ТУ 3612-006-00218880-02)										
Пространственный угол излучения, рад.	Ω = 6.28	исходные данные											
Уровень звука La на опорном расстоянии d, дБА	d = 1 м	исходные данные										80	
Габариты источника шума, м		исходные данные	длина (l_1) = 0.00			ширина (l_2) = 0.00			высота (l_3) = 0.00				
Уровни звуковой мощности источника LwA, дБА		LwA = La + 20lg(d) + 10lg(Ω)										88	
Спектральные поправки К(Δ_{LA}) для разложения общего уровня звуковой мощности в спектр по октавным полосам, дБ		[5]	-999	-6,7	-5,3	-4	-3,7	-4,1	-7,4	-11,6	-16,1		
Октавные уровни звуковой мощности источника Lw, дБ		Lw = LwA + К(Δ_{LA})	0	81,3	82,7	84	84,3	83,9	80,6	76,4	71,9		
ИШ-5-1 [координаты на плане (x,y,z), м = (626.7,162.4,1.0)]													
Режим работы источника:			постоянный										

1		2	3	4	5	6	7	8	9	10	11	12	13
Продолжительность работы в дневной период (7.00-23.00):			16 час										
Продолжительность работы в ночной период (23.00-7.00):			8 час										
Тип источника шума:			точечный										
Категория источника шума:			Источники шума на прилегающей территории										
Название:			2АВГ-КБ										
Примечание:			АВО (ТУ 3681-134-00220302-2007)										
Пространственный угол излучения, рад.	Ω = 6.28	исходные данные											
Уровень звука La на опорном расстоянии d, дБА	d = 1 м	исходные данные										92	
Габариты источника шума, м		исходные данные	длина (l_1) = 0.00			ширина (l_2) = 0.00			высота (l_3) = 0.00				
Уровни звуковой мощности источника LwA, дБА		LwA = La + 20lg(d) + 10lg(Ω)										100	
Спектральные поправки К(Δ_{LA}) для разложения общего уровня звуковой мощности в спектр по октавным полосам, дБ		[5]	-999	-6,7	-5,3	-4	-3,7	-4,1	-7,4	-11,6	-16,1		
Октавные уровни звуковой мощности источника Lw, дБ		Lw = LwA + К(Δ_{LA})	0	93,3	94,7	96	96,3	95,9	92,6	88,4	83,9		
ИШ-5-2 [координаты на плане (x,y,z), м = (625.8,159.5,1.0)]													
Режим работы источника:			постоянный										
Продолжительность работы в дневной период (7.00-23.00):			16 час										
Продолжительность работы в ночной период (23.00-7.00):			8 час										
Тип источника шума:			точечный										
Категория источника шума:			Источники шума на прилегающей территории										
Название:			2АВГ-КБ										
Примечание:			АВО (ТУ 3681-134-00220302-2007)										
Пространственный угол излучения, рад.	Ω = 6.28	исходные данные											
Уровень звука La на опорном расстоянии d, дБА	d = 1 м	исходные данные										92	
Габариты источника шума, м		исходные данные	длина (l_1) = 0.00			ширина (l_2) = 0.00			высота (l_3) = 0.00				
Уровни звуковой мощности источника LwA, дБА		LwA = La + 20lg(d) + 10lg(Ω)										100	

1		2	3	4	5	6	7	8	9	10	11	12	13
Спектральные поправки К(Δ_{LA}) для разложения общего уровня звуковой мощности в спектр по октавным полосам, дБ		[5]	-999	-6,7	-5,3	-4	-3,7	-4,1	-7,4	-11,6	-16,1		
Октавные уровни звуковой мощности источника Lw, дБ		Lw = LwA + К(Δ_{LA})	0	93,3	94,7	96	96,3	95,9	92,6	88,4	83,9		
ИШ-5-3 [координаты на плане (x,y,z), м = (624.8,156.7,1.0)]													
Режим работы источника:			постоянный										
Продолжительность работы в дневной период (7.00-23.00):			16 час										
Продолжительность работы в ночной период (23.00-7.00):			8 час										
Тип источника шума:			точечный										
Категория источника шума:			Источники шума на прилегающей территории										
Название:			2АВГ-КБ										
Примечание:			АВО (ТУ 3681-134-00220302-2007)										
Пространственный угол излучения, рад.	Ω = 6.28	исходные данные											
Уровень звука La на опорном расстоянии d, дБА	d = 1 м	исходные данные										92	
Габариты источника шума, м		исходные данные	длина (l_1) = 0.00			ширина (l_2) = 0.00			высота (l_3) = 0.00				
Уровни звуковой мощности источника LwA, дБА		LwA = La + 20lg(d) + 10lg(Ω)										100	
Спектральные поправки К(Δ_{LA}) для разложения общего уровня звуковой мощности в спектр по октавным полосам, дБ		[5]	-999	-6,7	-5,3	-4	-3,7	-4,1	-7,4	-11,6	-16,1		
Октавные уровни звуковой мощности источника Lw, дБ		Lw = LwA + К(Δ_{LA})	0	93,3	94,7	96	96,3	95,9	92,6	88,4	83,9		
ИШ-6-1 [координаты на плане (x,y,z), м = (836.3,122.2,1.0)]													
Режим работы источника:			постоянный										
Продолжительность работы в дневной период (7.00-23.00):			16 час										
Продолжительность работы в ночной период (23.00-7.00):			8 час										
Тип источника шума:			точечный										
Категория источника шума:			77.22.005 Расширение УКПГ. Лупинг										
:			АВО (УКПГ-2)										
:			(аналог АВГ-160-БМ)										

1		2	3	4	5	6	7	8	9	10	11	12	13
Пространственный угол излучения, рад.	Ω = 12.57	исходные данные											
Уровень звука La на опорном расстоянии d, дБА	d = 1 м	исходные данные										92	
Габариты источника шума, м		исходные данные	длина (l_1) = 0.00			ширина (l_2) = 0.00			высота (l_3) = 0.00				
Уровни звуковой мощности источника LwA, дБА		LwA = La + 20lg(d) + 10lg(Ω)										103	
Спектральные поправки К(Δ_{LA}) для разложения общего уровня звуковой мощности в спектр по октавным полосам, дБ		[5]	-999	-6,7	-5,3	-4	-3,7	-4,1	-7,4	-11,6	-16,1		
Октавные уровни звуковой мощности источника Lw, дБ		Lw = LwA + К(Δ_{LA})	0	96,3	97,7	99	99,3	98,9	95,6	91,4	86,9		
ИШ-6-2 [координаты на плане (x,y,z), м = (835.4,119.3,1.0)]													
Режим работы источника:			постоянный										
Продолжительность работы в дневной период (7.00-23.00):			16 час										
Продолжительность работы в ночной период (23.00-7.00):			8 час										
Тип источника шума:			точечный										
Категория источника шума:			77.22.005 Расширение УКПГ. Лупинг										
:			АВО (УКПГ-2)										
:			(аналог АВГ-160-БМ)										
Пространственный угол излучения, рад.	Ω = 12.57	исходные данные											
Уровень звука La на опорном расстоянии d, дБА	d = 1 м	исходные данные										92	
Габариты источника шума, м		исходные данные	длина (l_1) = 0.00			ширина (l_2) = 0.00			высота (l_3) = 0.00				
Уровни звуковой мощности источника LwA, дБА		LwA = La + 20lg(d) + 10lg(Ω)										103	
Спектральные поправки К(Δ_{LA}) для разложения общего уровня звуковой мощности в спектр по октавным полосам, дБ		[5]	-999	-6,7	-5,3	-4	-3,7	-4,1	-7,4	-11,6	-16,1		
Октавные уровни звуковой мощности источника Lw, дБ		Lw = LwA + К(Δ_{LA})	0	96,3	97,7	99	99,3	98,9	95,6	91,4	86,9		

1		2	3	4	5	6	7	8	9	10	11	12	13
ИШ-6-3 [координаты на плане (x,y,z), м = (834.0,116.4,1.0)]													
Режим работы источника:			постоянный										
Продолжительность работы в дневной период (7.00-23.00):			16 час										
Продолжительность работы в ночной период (23.00-7.00):			8 час										
Тип источника шума:			точечный										
Категория источника шума:			77.22.005 Расширение УКПГ. Лупинг										
:			АВО (УКПГ-2)										
:			(аналог АВГ-160-БМ)										
Пространственный угол излучения, рад.	Ω = 12.57	исходные данные											
Уровень звука La на опорном расстоянии d, дБА	d = 1 м	исходные данные										92	
Габариты источника шума, м		исходные данные	длина (l_1) = 0.00			ширина (l_2) = 0.00			высота (l_3) = 0.00				
Уровни звуковой мощности источника LwA, дБА		LwA = La + 20lg(d) + 10lg(Ω)										103	
Спектральные поправки К(Δ_{LA}) для разложения общего уровня звуковой мощности в спектр по октавным полосам, дБ		[5]	-999	-6,7	-5,3	-4	-3,7	-4,1	-7,4	-11,6	-16,1		
Октавные уровни звуковой мощности источника Lw, дБ		Lw = LwA + К(Δ_{LA})	0	96,3	97,7	99	99,3	98,9	95,6	91,4	86,9		
ИШ-6-4 [координаты на плане (x,y,z), м = (833.2,113.3,1.0)]													
Режим работы источника:			постоянный										
Продолжительность работы в дневной период (7.00-23.00):			16 час										
Продолжительность работы в ночной период (23.00-7.00):			8 час										
Тип источника шума:			точечный										
Категория источника шума:			77.22.005 Расширение УКПГ. Лупинг										
:			АВО (УКПГ-2)										
:			(аналог АВГ-160-БМ)										
Пространственный угол излучения, рад.	Ω = 12.57	исходные данные											
Уровень звука La на опорном расстоянии d, дБА	d = 1 м	исходные данные										92	

1		2	3	4	5	6	7	8	9	10	11	12	13
Габариты источника шума, м		исходные данные	длина (l_1) = 0.00			ширина (l_2) = 0.00			высота (l_3) = 0.00				
Уровни звуковой мощности источника LwA, дБА		LwA = La + 20lg(d) + 10lg(Ω)										103	
Спектральные поправки К(Δ_{LA}) для разложения общего уровня звуковой мощности в спектр по октавным полосам, дБ		[5]	-999	-6,7	-5,3	-4	-3,7	-4,1	-7,4	-11,6	-16,1		
Октавные уровни звуковой мощности источника Lw, дБ		Lw = LwA + К(Δ_{LA})	0	96,3	97,7	99	99,3	98,9	95,6	91,4	86,9		
ИШ-6-5 [координаты на плане (x,y,z), м = (832.0,110.4,1.0)]													
Режим работы источника:			постоянный										
Продолжительность работы в дневной период (7.00-23.00):			16 час										
Продолжительность работы в ночной период (23.00-7.00):			8 час										
Тип источника шума:			точечный										
Категория источника шума:			77.22.005 Расширение УКПГ. Лупинг										
:			АВО (УКПГ-2)										
:			(аналог АВГ-160-БМ)										
Пространственный угол излучения, рад.	Ω = 12.57	исходные данные											
Уровень звука La на опорном расстоянии d, дБА	d = 1 м	исходные данные										92	
Габариты источника шума, м		исходные данные	длина (l_1) = 0.00			ширина (l_2) = 0.00			высота (l_3) = 0.00				
Уровни звуковой мощности источника LwA, дБА		LwA = La + 20lg(d) + 10lg(Ω)										103	
Спектральные поправки К(Δ_{LA}) для разложения общего уровня звуковой мощности в спектр по октавным полосам, дБ		[5]	-999	-6,7	-5,3	-4	-3,7	-4,1	-7,4	-11,6	-16,1		
Октавные уровни звуковой мощности источника Lw, дБ		Lw = LwA + К(Δ_{LA})	0	96,3	97,7	99	99,3	98,9	95,6	91,4	86,9		
ИШ-6-6 [координаты на плане (x,y,z), м = (831.0,107.4,1.0)]													
Режим работы источника:			постоянный										
Продолжительность работы в дневной период (7.00-23.00):			16 час										
Продолжительность работы в ночной период (23.00-7.00):			8 час										

1		2	3	4	5	6	7	8	9	10	11	12	13
Тип источника шума:			точечный										
Категория источника шума:			77.22.005 Расширение УКПГ. Лупинг										
:			АВО (УКПГ-2)										
:			(аналог АВГ-160-БМ)										
Пространственный угол излучения, рад.	Ω = 12.57	исходные данные											
Уровень звука La на опорном расстоянии d, дБА	d = 1 м	исходные данные										92	
Габариты источника шума, м		исходные данные	длина (l_1) = 0.00			ширина (l_2) = 0.00			высота (l_3) = 0.00				
Уровни звуковой мощности источника LwA, дБА		LwA = La + 20lg(d) + 10lg(Ω)										103	
Спектральные поправки К(Δ_{LA}) для разложения общего уровня звуковой мощности в спектр по октавным полосам, дБ		[5]	-999	-6,7	-5,3	-4	-3,7	-4,1	-7,4	-11,6	-16,1		
Октавные уровни звуковой мощности источника Lw, дБ		Lw = LwA + К(Δ_{LA})	0	96,3	97,7	99	99,3	98,9	95,6	91,4	86,9		
ИШ-6-7 [координаты на плане (x,y,z), м = (830.3,104.5,1.0)]													
Режим работы источника:			постоянный										
Продолжительность работы в дневной период (7.00-23.00):			16 час										
Продолжительность работы в ночной период (23.00-7.00):			8 час										
Тип источника шума:			точечный										
Категория источника шума:			77.22.005 Расширение УКПГ. Лупинг										
:			АВО (УКПГ-2)										
:			(аналог АВГ-160-БМ)										
Пространственный угол излучения, рад.	Ω = 12.57	исходные данные											
Уровень звука La на опорном расстоянии d, дБА	d = 1 м	исходные данные										92	
Габариты источника шума, м		исходные данные	длина (l_1) = 0.00			ширина (l_2) = 0.00			высота (l_3) = 0.00				
Уровни звуковой мощности источника LwA, дБА		LwA = La + 20lg(d) + 10lg(Ω)										103	
Спектральные поправки К(Δ_{LA}) для разложения общего уровня звуковой мощности в спектр по октавным полосам, дБ		[5]	-999	-6,7	-5,3	-4	-3,7	-4,1	-7,4	-11,6	-16,1		

1		2	3	4	5	6	7	8	9	10	11	12	13
Октавные уровни звуковой мощности источника Lw, дБ		Lw = LwA + K(Δ_{LA})	0	96,3	97,7	99	99,3	98,9	95,6	91,4	86,9		
ИШ-6-8 [координаты на плане (x,y,z), м = (829.4,101.4,1.0)]													
Режим работы источника:			постоянный										
Продолжительность работы в дневной период (7.00-23.00):			16 час										
Продолжительность работы в ночной период (23.00-7.00):			8 час										
Тип источника шума:			точечный										
Категория источника шума:			77.22.005 Расширение УКПГ. Лупинг										
:			АВО (УКПГ-2)										
:			(аналог АВГ-160-БМ)										
Пространственный угол излучения, рад.	Ω = 12.57	исходные данные											
Уровень звука La на опорном расстоянии d, дБА	d = 1 м	исходные данные										92	
Габариты источника шума, м		исходные данные	длина (l_1) = 0.00			ширина (l_2) = 0.00			высота (l_3) = 0.00				
Уровни звуковой мощности источника LwA, дБА		LwA = La + 20lg(d) + 10lg(Ω)										103	
Спектральные поправки K(Δ_{LA}) для разложения общего уровня звуковой мощности в спектр по октавным полосам, дБ		[5]	-999	-6,7	-5,3	-4	-3,7	-4,1	-7,4	-11,6	-16,1		
Октавные уровни звуковой мощности источника Lw, дБ		Lw = LwA + K(Δ_{LA})	0	96,3	97,7	99	99,3	98,9	95,6	91,4	86,9		
ИШ-6-9 [координаты на плане (x,y,z), м = (828.0,98.6,1.0)]													
Режим работы источника:			постоянный										
Продолжительность работы в дневной период (7.00-23.00):			16 час										
Продолжительность работы в ночной период (23.00-7.00):			8 час										
Тип источника шума:			точечный										
Категория источника шума:			77.22.005 Расширение УКПГ. Лупинг										
:			АВО (УКПГ-2)										
:			(аналог АВГ-160-БМ)										
Пространственный угол излучения, рад.	Ω = 12.57	исходные данные											

1		2	3	4	5	6	7	8	9	10	11	12	13
Уровень звука La на опорном расстоянии d, дБА	d = 1 м	исходные данные										92	
Габариты источника шума, м		исходные данные	длина (l_1) = 0.00			ширина (l_2) = 0.00			высота (l_3) = 0.00				
Уровни звуковой мощности источника LwA, дБА		LwA = La + 20lg(d) + 10lg(Ω)										103	
Спектральные поправки К(Δ_{LA}) для разложения общего уровня звуковой мощности в спектр по октавным полосам, дБ		[5]	-999	-6,7	-5,3	-4	-3,7	-4,1	-7,4	-11,6	-16,1		
Октавные уровни звуковой мощности источника Lw, дБ		Lw = LwA + К(Δ_{LA})	0	96,3	97,7	99	99,3	98,9	95,6	91,4	86,9		
ИШ-6-10 [координаты на плане (x,y,z), м = (827.2,95.5,1.0)]													
Режим работы источника:		постоянный											
Продолжительность работы в дневной период (7.00-23.00):		16 час											
Продолжительность работы в ночной период (23.00-7.00):		8 час											
Тип источника шума:		точечный											
Категория источника шума:		77.22.005 Расширение УКПГ. Лупинг											
:		АВО (УКПГ-2)											
:		(аналог АВГ-160-БМ)											
Пространственный угол излучения, рад.	Ω = 12.57	исходные данные											
Уровень звука La на опорном расстоянии d, дБА	d = 1 м	исходные данные										92	
Габариты источника шума, м		исходные данные	длина (l_1) = 0.00			ширина (l_2) = 0.00			высота (l_3) = 0.00				
Уровни звуковой мощности источника LwA, дБА		LwA = La + 20lg(d) + 10lg(Ω)										103	
Спектральные поправки К(Δ_{LA}) для разложения общего уровня звуковой мощности в спектр по октавным полосам, дБ		[5]	-999	-6,7	-5,3	-4	-3,7	-4,1	-7,4	-11,6	-16,1		
Октавные уровни звуковой мощности источника Lw, дБ		Lw = LwA + К(Δ_{LA})	0	96,3	97,7	99	99,3	98,9	95,6	91,4	86,9		
ИШ-6-11 [координаты на плане (x,y,z), м = (826.3,92.5,1.0)]													
Режим работы источника:		постоянный											

1		2	3	4	5	6	7	8	9	10	11	12	13
Продолжительность работы в дневной период (7.00-23.00):			16 час										
Продолжительность работы в ночной период (23.00-7.00):			8 час										
Тип источника шума:			точечный										
Категория источника шума:			77.22.005 Расширение УКПГ. Лупинг										
:			АВО (УКПГ-2)										
:			(аналог АВГ-160-БМ)										
Пространственный угол излучения, рад.	Ω = 12.57	исходные данные											
Уровень звука La на опорном расстоянии d, дБА	d = 1 м	исходные данные										92	
Габариты источника шума, м		исходные данные	длина (l_1) = 0.00			ширина (l_2) = 0.00			высота (l_3) = 0.00				
Уровни звуковой мощности источника LwA, дБА		LwA = La + 20lg(d) + 10lg(Ω)										103	
Спектральные поправки К(Δ_{LA}) для разложения общего уровня звуковой мощности в спектр по октавным полосам, дБ		[5]	-999	-6,7	-5,3	-4	-3,7	-4,1	-7,4	-11,6	-16,1		
Октавные уровни звуковой мощности источника Lw, дБ		Lw = LwA + К(Δ_{LA})	0	96,3	97,7	99	99,3	98,9	95,6	91,4	86,9		
ИШ-6-12 [координаты на плане (x,y,z), м = (825.1,89.5,1.0)]													
Режим работы источника:			постоянный										
Продолжительность работы в дневной период (7.00-23.00):			16 час										
Продолжительность работы в ночной период (23.00-7.00):			8 час										
Тип источника шума:			точечный										
Категория источника шума:			77.22.005 Расширение УКПГ. Лупинг										
:			АВО (УКПГ-2)										
:			(аналог АВГ-160-БМ)										
Пространственный угол излучения, рад.	Ω = 12.57	исходные данные											
Уровень звука La на опорном расстоянии d, дБА	d = 1 м	исходные данные										92	
Габариты источника шума, м		исходные данные	длина (l_1) = 0.00			ширина (l_2) = 0.00			высота (l_3) = 0.00				
Уровни звуковой мощности источника LwA, дБА		LwA = La + 20lg(d) + 10lg(Ω)										103	

1		2	3	4	5	6	7	8	9	10	11	12	13
Спектральные поправки К(Δ_{LA}) для разложения общего уровня звуковой мощности в спектр по октавным полосам, дБ		[5]	-999	-6,7	-5,3	-4	-3,7	-4,1	-7,4	-11,6	-16,1		
Октавные уровни звуковой мощности источника Lw, дБ		Lw = LwA + К(Δ_{LA})	0	96,3	97,7	99	99,3	98,9	95,6	91,4	86,9		
ИШ-6-13 [координаты на плане (x,y,z), м = (767.8,-114.2,1.0)]													
Режим работы источника:			постоянный										
Продолжительность работы в дневной период (7.00-23.00):			16 час										
Продолжительность работы в ночной период (23.00-7.00):			8 час										
Тип источника шума:			точечный										
Категория источника шума:			77.22.005 Расширение УКПГ. Лупинг										
:			АВО (УВОГ-201)										
:			(аналог АВГ-160-БМ)										
Пространственный угол излучения, рад.	Ω = 12.57	исходные данные											
Уровень звука La на опорном расстоянии d, дБА	d = 1 м	исходные данные										92	
Габариты источника шума, м		исходные данные	длина (l_1) = 0.00			ширина (l_2) = 0.00			высота (l_3) = 0.00				
Уровни звуковой мощности источника LwA, дБА		LwA = La + 20lg(d) + 10lg(Ω)										103	
Спектральные поправки К(Δ_{LA}) для разложения общего уровня звуковой мощности в спектр по октавным полосам, дБ		[5]	-999	-6,7	-5,3	-4	-3,7	-4,1	-7,4	-11,6	-16,1		
Октавные уровни звуковой мощности источника Lw, дБ		Lw = LwA + К(Δ_{LA})	0	96,3	97,7	99	99,3	98,9	95,6	91,4	86,9		
ИШ-6-14 [координаты на плане (x,y,z), м = (766.8,-117.1,1.0)]													
Режим работы источника:			постоянный										
Продолжительность работы в дневной период (7.00-23.00):			16 час										
Продолжительность работы в ночной период (23.00-7.00):			8 час										
Тип источника шума:			точечный										
Категория источника шума:			77.22.005 Расширение УКПГ. Лупинг										
:			АВО (УВОГ-201)										
:			(аналог АВГ-160-БМ)										

1		2	3	4	5	6	7	8	9	10	11	12	13
Пространственный угол излучения, рад.	Ω = 12.57	исходные данные											
Уровень звука La на опорном расстоянии d, дБА	d = 1 м	исходные данные										92	
Габариты источника шума, м		исходные данные	длина (l_1) = 0.00			ширина (l_2) = 0.00			высота (l_3) = 0.00				
Уровни звуковой мощности источника LwA, дБА		LwA = La + 20lg(d) + 10lg(Ω)										103	
Спектральные поправки К(Δ_{LA}) для разложения общего уровня звуковой мощности в спектр по октавным полосам, дБ		[5]	-999	-6,7	-5,3	-4	-3,7	-4,1	-7,4	-11,6	-16,1		
Октавные уровни звуковой мощности источника Lw, дБ		Lw = LwA + К(Δ_{LA})	0	96,3	97,7	99	99,3	98,9	95,6	91,4	86,9		
ИШ-6-15 [координаты на плане (x,y,z), м = (765.7,-120.3,1.0)]													
Режим работы источника:		постоянный											
Продолжительность работы в дневной период (7.00-23.00):		16 час											
Продолжительность работы в ночной период (23.00-7.00):		8 час											
Тип источника шума:		точечный											
Категория источника шума:		77.22.005 Расширение УКПГ. Лупинг											
:		АВО (УВОГ-201)											
:		(аналог АВГ-160-БМ)											
Пространственный угол излучения, рад.	Ω = 12.57	исходные данные											
Уровень звука La на опорном расстоянии d, дБА	d = 1 м	исходные данные										92	
Габариты источника шума, м		исходные данные	длина (l_1) = 0.00			ширина (l_2) = 0.00			высота (l_3) = 0.00				
Уровни звуковой мощности источника LwA, дБА		LwA = La + 20lg(d) + 10lg(Ω)										103	
Спектральные поправки К(Δ_{LA}) для разложения общего уровня звуковой мощности в спектр по октавным полосам, дБ		[5]	-999	-6,7	-5,3	-4	-3,7	-4,1	-7,4	-11,6	-16,1		
Октавные уровни звуковой мощности источника Lw, дБ		Lw = LwA + К(Δ_{LA})	0	96,3	97,7	99	99,3	98,9	95,6	91,4	86,9		

1		2	3	4	5	6	7	8	9	10	11	12	13
ИШ-6-16 [координаты на плане (x,y,z), м = (764.6,-123.2,1.0)]													
Режим работы источника:			постоянный										
Продолжительность работы в дневной период (7.00-23.00):			16 час										
Продолжительность работы в ночной период (23.00-7.00):			8 час										
Тип источника шума:			точечный										
Категория источника шума:			77.22.005 Расширение УКПГ. Лупинг										
:			АВО (УВОГ-201)										
:			(аналог АВГ-160-БМ)										
Пространственный угол излучения, рад.	Ω = 12.57	исходные данные											
Уровень звука La на опорном расстоянии d, дБА	d = 1 м	исходные данные										92	
Габариты источника шума, м		исходные данные	длина (l_1) = 0.00			ширина (l_2) = 0.00			высота (l_3) = 0.00				
Уровни звуковой мощности источника LwA, дБА		LwA = La + 20lg(d) + 10lg(Ω)										103	
Спектральные поправки К(Δ_{LA}) для разложения общего уровня звуковой мощности в спектр по октавным полосам, дБ		[5]	-999	-6,7	-5,3	-4	-3,7	-4,1	-7,4	-11,6	-16,1		
Октавные уровни звуковой мощности источника Lw, дБ		Lw = LwA + К(Δ_{LA})	0	96,3	97,7	99	99,3	98,9	95,6	91,4	86,9		
ИШ-6-17 [координаты на плане (x,y,z), м = (763.6,-126.2,1.0)]													
Режим работы источника:			постоянный										
Продолжительность работы в дневной период (7.00-23.00):			16 час										
Продолжительность работы в ночной период (23.00-7.00):			8 час										
Тип источника шума:			точечный										
Категория источника шума:			77.22.005 Расширение УКПГ. Лупинг										
:			АВО (УВОГ-201)										
:			(аналог АВГ-160-БМ)										
Пространственный угол излучения, рад.	Ω = 12.57	исходные данные											
Уровень звука La на опорном расстоянии d, дБА	d = 1 м	исходные данные										92	

1		2	3	4	5	6	7	8	9	10	11	12	13
Габариты источника шума, м		исходные данные	длина (l_1) = 0.00			ширина (l_2) = 0.00			высота (l_3) = 0.00				
Уровни звуковой мощности источника LwA, дБА		LwA = La + 20lg(d) + 10lg(Ω)										103	
Спектральные поправки К(Δ_{LA}) для разложения общего уровня звуковой мощности в спектр по октавным полосам, дБ		[5]	-999	-6,7	-5,3	-4	-3,7	-4,1	-7,4	-11,6	-16,1		
Октавные уровни звуковой мощности источника Lw, дБ		Lw = LwA + К(Δ_{LA})	0	96,3	97,7	99	99,3	98,9	95,6	91,4	86,9		
ИШ-6-18 [координаты на плане (x,y,z), м = (804.8,-126.3,1.0)]													
Режим работы источника:			постоянный										
Продолжительность работы в дневной период (7.00-23.00):			16 час										
Продолжительность работы в ночной период (23.00-7.00):			8 час										
Тип источника шума:			точечный										
Категория источника шума:			77.22.005 Расширение УКПГ. Лупинг										
:			АВО (УВОГ-201)										
:			(аналог АВГ-160-БМ)										
Пространственный угол излучения, рад.	Ω = 12.57	исходные данные											
Уровень звука La на опорном расстоянии d, дБА	d = 1 м	исходные данные										92	
Габариты источника шума, м		исходные данные	длина (l_1) = 0.00			ширина (l_2) = 0.00			высота (l_3) = 0.00				
Уровни звуковой мощности источника LwA, дБА		LwA = La + 20lg(d) + 10lg(Ω)										103	
Спектральные поправки К(Δ_{LA}) для разложения общего уровня звуковой мощности в спектр по октавным полосам, дБ		[5]	-999	-6,7	-5,3	-4	-3,7	-4,1	-7,4	-11,6	-16,1		
Октавные уровни звуковой мощности источника Lw, дБ		Lw = LwA + К(Δ_{LA})	0	96,3	97,7	99	99,3	98,9	95,6	91,4	86,9		
ИШ-6-19 [координаты на плане (x,y,z), м = (803.8,-129.3,1.0)]													
Режим работы источника:			постоянный										
Продолжительность работы в дневной период (7.00-23.00):			16 час										
Продолжительность работы в ночной период (23.00-7.00):			8 час										

1		2	3	4	5	6	7	8	9	10	11	12	13
Тип источника шума:			точечный										
Категория источника шума:			77.22.005 Расширение УКПГ. Лупинг										
:			АВО (УВОГ-201)										
:			(аналог АВГ-160-БМ)										
Пространственный угол излучения, рад.	Ω = 12.57	исходные данные											
Уровень звука La на опорном расстоянии d, дБА	d = 1 м	исходные данные										92	
Габариты источника шума, м		исходные данные	длина (l_1) = 0.00			ширина (l_2) = 0.00			высота (l_3) = 0.00				
Уровни звуковой мощности источника LwA, дБА		LwA = La + 20lg(d) + 10lg(Ω)										103	
Спектральные поправки К(Δ_{LA}) для разложения общего уровня звуковой мощности в спектр по октавным полосам, дБ		[5]	-999	-6,7	-5,3	-4	-3,7	-4,1	-7,4	-11,6	-16,1		
Октавные уровни звуковой мощности источника Lw, дБ		Lw = LwA + К(Δ_{LA})	0	96,3	97,7	99	99,3	98,9	95,6	91,4	86,9		
ИШ-6-20 [координаты на плане (x,y,z), м = (802.7,-132.4,1.0)]													
Режим работы источника:			постоянный										
Продолжительность работы в дневной период (7.00-23.00):			16 час										
Продолжительность работы в ночной период (23.00-7.00):			8 час										
Тип источника шума:			точечный										
Категория источника шума:			77.22.005 Расширение УКПГ. Лупинг										
:			АВО (УВОГ-201)										
:			(аналог АВГ-160-БМ)										
Пространственный угол излучения, рад.	Ω = 12.57	исходные данные											
Уровень звука La на опорном расстоянии d, дБА	d = 1 м	исходные данные										92	
Габариты источника шума, м		исходные данные	длина (l_1) = 0.00			ширина (l_2) = 0.00			высота (l_3) = 0.00				
Уровни звуковой мощности источника LwA, дБА		LwA = La + 20lg(d) + 10lg(Ω)										103	
Спектральные поправки К(Δ_{LA}) для разложения общего уровня звуковой мощности в спектр по октавным полосам, дБ		[5]	-999	-6,7	-5,3	-4	-3,7	-4,1	-7,4	-11,6	-16,1		

1		2	3	4	5	6	7	8	9	10	11	12	13
Октавные уровни звуковой мощности источника Lw, дБ		Lw = LwA + K(Δ_{LA})	0	96,3	97,7	99	99,3	98,9	95,6	91,4	86,9		
ИШ-6-21 [координаты на плане (x,y,z), м = (801.7,-135.4,1.0)]													
Режим работы источника:			постоянный										
Продолжительность работы в дневной период (7.00-23.00):			16 час										
Продолжительность работы в ночной период (23.00-7.00):			8 час										
Тип источника шума:			точечный										
Категория источника шума:			77.22.005 Расширение УКПГ. Лупинг										
:			АВО (УВОГ-201)										
:			(аналог АВГ-160-БМ)										
Пространственный угол излучения, рад.	Ω = 12.57	исходные данные											
Уровень звука La на опорном расстоянии d, дБА	d = 1 м	исходные данные										92	
Габариты источника шума, м		исходные данные	длина (l_1) = 0.00			ширина (l_2) = 0.00			высота (l_3) = 0.00				
Уровни звуковой мощности источника LwA, дБА		LwA = La + 20lg(d) + 10lg(Ω)										103	
Спектральные поправки K(Δ_{LA}) для разложения общего уровня звуковой мощности в спектр по октавным полосам, дБ		[5]	-999	-6,7	-5,3	-4	-3,7	-4,1	-7,4	-11,6	-16,1		
Октавные уровни звуковой мощности источника Lw, дБ		Lw = LwA + K(Δ_{LA})	0	96,3	97,7	99	99,3	98,9	95,6	91,4	86,9		
ИШ-6-22 [координаты на плане (x,y,z), м = (800.6,-138.5,1.0)]													
Режим работы источника:			постоянный										
Продолжительность работы в дневной период (7.00-23.00):			16 час										
Продолжительность работы в ночной период (23.00-7.00):			8 час										
Тип источника шума:			точечный										
Категория источника шума:			77.22.005 Расширение УКПГ. Лупинг										
:			АВО (УВОГ-201)										
:			(аналог АВГ-160-БМ)										
Пространственный угол излучения, рад.	Ω = 12.57	исходные данные											

1		2	3	4	5	6	7	8	9	10	11	12	13
Уровень звука La на опорном расстоянии d, дБА	d = 1 м	исходные данные										92	
Габариты источника шума, м		исходные данные	длина (l_1) = 0.00			ширина (l_2) = 0.00			высота (l_3) = 0.00				
Уровни звуковой мощности источника LwA, дБА		LwA = La + 20lg(d) + 10lg(Ω)										103	
Спектральные поправки К(Δ_{LA}) для разложения общего уровня звуковой мощности в спектр по октавным полосам, дБ		[5]	-999	-6,7	-5,3	-4	-3,7	-4,1	-7,4	-11,6	-16,1		
Октавные уровни звуковой мощности источника Lw, дБ		Lw = LwA + К(Δ_{LA})	0	96,3	97,7	99	99,3	98,9	95,6	91,4	86,9		
ИШ-7-1 [координаты на плане (x,y,z), м = (821.4,63.3,1.0)]													
Режим работы источника:			постоянный										
Продолжительность работы в дневной период (7.00-23.00):			16 час										
Продолжительность работы в ночной период (23.00-7.00):			8 час										
Тип источника шума:			точечный										
Категория источника шума:			77.22.005 Расширение УКПГ. Лупинг										
:			Сепаратор										
:			СТО Газпром										
Пространственный угол излучения, рад.	Ω = 12.57	исходные данные											
Октавные уровни звуковой мощности источника Lw, дБ		исходные данные	77	75	67	66	63	55	53	48	51		
ИШ-7-2 [координаты на плане (x,y,z), м = (768.9,-86.8,1.0)]													
Режим работы источника:			постоянный										
Продолжительность работы в дневной период (7.00-23.00):			16 час										
Продолжительность работы в ночной период (23.00-7.00):			8 час										
Тип источника шума:			точечный										
Категория источника шума:			77.22.005 Расширение УКПГ. Лупинг										
:			Сепаратор										
:			СТО Газпром										
Пространственный угол излучения, рад.	Ω = 12.57	исходные данные											

1		2	3	4	5	6	7	8	9	10	11	12	13
Октавные уровни звуковой мощности источника Lw, дБ		исходные данные	77	75	67	66	63	55	53	48	51		
ИШ-7-3 [координаты на плане (x,y,z), м = (766.8,-93.2,1.0)]													
Режим работы источника:			постоянный										
Продолжительность работы в дневной период (7.00-23.00):			16 час										
Продолжительность работы в ночной период (23.00-7.00):			8 час										
Тип источника шума:			точечный										
Категория источника шума:			77.22.005 Расширение УКПГ. Лупинг										
:			Сепаратор										
:			СТО Газпром										
Пространственный угол излучения, рад.	Ω = 12.57	исходные данные											
Октавные уровни звуковой мощности источника Lw, дБ		исходные данные	77	75	67	66	63	55	53	48	51		
ИШ-7-4 [координаты на плане (x,y,z), м = (866.8,37.2,1.0)]													
Режим работы источника:			постоянный										
Продолжительность работы в дневной период (7.00-23.00):			16 час										
Продолжительность работы в ночной период (23.00-7.00):			8 час										
Тип источника шума:			точечный										
Категория источника шума:			77.22.005 Расширение УКПГ. Лупинг										
:			Сепаратор										
:			СТО Газпром										
Пространственный угол излучения, рад.	Ω = 12.57	исходные данные											
Октавные уровни звуковой мощности источника Lw, дБ		исходные данные	77	75	67	66	63	55	53	48	51		
ИШ-7-5 [координаты на плане (x,y,z), м = (861.8,21.3,1.0)]													
Режим работы источника:			постоянный										
Продолжительность работы в дневной период (7.00-23.00):			16 час										
Продолжительность работы в ночной период (23.00-7.00):			8 час										

1		2	3	4	5	6	7	8	9	10	11	12	13
Тип источника шума:			точечный										
Категория источника шума:			77.22.005 Расширение УКПГ. Лупинг										
:			Сепаратор										
:			СТО Газпром										
Пространственный угол излучения, рад.	Ω = 12.57	исходные данные											
Октавные уровни звуковой мощности источника Lw, дБ		исходные данные	77	75	67	66	63	55	53	48	51		
ИШ-7-6 [координаты на плане (x,y,z), м = (856.5,5.9,1.0)]													
Режим работы источника:			постоянный										
Продолжительность работы в дневной период (7.00-23.00):			16 час										
Продолжительность работы в ночной период (23.00-7.00):			8 час										
Тип источника шума:			точечный										
Категория источника шума:			77.22.005 Расширение УКПГ. Лупинг										
:			Сепаратор										
:			СТО Газпром										
Пространственный угол излучения, рад.	Ω = 12.57	исходные данные											
Октавные уровни звуковой мощности источника Lw, дБ		исходные данные	77	75	67	66	63	55	53	48	51		
ИШ-7-7 [координаты на плане (x,y,z), м = (851.1,-9.9,1.0)]													
Режим работы источника:			постоянный										
Продолжительность работы в дневной период (7.00-23.00):			16 час										
Продолжительность работы в ночной период (23.00-7.00):			8 час										
Тип источника шума:			точечный										
Категория источника шума:			77.22.005 Расширение УКПГ. Лупинг										
:			Сепаратор										
:			СТО Газпром										
Пространственный угол излучения, рад.	Ω = 12.57	исходные данные											
Октавные уровни звуковой мощности источника Lw, дБ		исходные данные	77	75	67	66	63	55	53	48	51		

1		2	3	4	5	6	7	8	9	10	11	12	13
ИШ-7-8 [координаты на плане (x,y,z), м = (821.9,-104.3,1.0)]													
Режим работы источника:			постоянный										
Продолжительность работы в дневной период (7.00-23.00):			16 час										
Продолжительность работы в ночной период (23.00-7.00):			8 час										
Тип источника шума:			точечный										
Категория источника шума:			77.22.005 Расширение УКПГ. Лупинг										
:			Сепаратор										
:			СТО Газпром										
Пространственный угол излучения, рад.	Ω = 12.57	исходные данные											
Октавные уровни звуковой мощности источника Lw, дБ		исходные данные	77	75	67	66	63	55	53	48	51		
ИШ-7-9 [координаты на плане (x,y,z), м = (819.9,-111.0,1.0)]													
Режим работы источника:			постоянный										
Продолжительность работы в дневной период (7.00-23.00):			16 час										
Продолжительность работы в ночной период (23.00-7.00):			8 час										
Тип источника шума:			точечный										
Категория источника шума:			77.22.005 Расширение УКПГ. Лупинг										
:			Сепаратор										
:			СТО Газпром										
Пространственный угол излучения, рад.	Ω = 12.57	исходные данные											
Октавные уровни звуковой мощности источника Lw, дБ		исходные данные	77	75	67	66	63	55	53	48	51		
ИШ-7-10 [координаты на плане (x,y,z), м = (868.7,92.7,1.0)]													
Режим работы источника:			постоянный										
Продолжительность работы в дневной период (7.00-23.00):			16 час										
Продолжительность работы в ночной период (23.00-7.00):			8 час										
Тип источника шума:			точечный										
Категория источника шума:			77.22.005 Расширение УКПГ. Лупинг										

1		2	3	4	5	6	7	8	9	10	11	12	13
:			Сепаратор										
:			СТО Газпром										
Пространственный угол излучения, рад.	Ω = 12.57	исходные данные											
Октавные уровни звуковой мощности источника Lw, дБ		исходные данные	77	75	67	66	63	55	53	48	51		
ИШ-7-11 [координаты на плане (x,y,z), м = (877.9,88.8,1.0)]													
Режим работы источника:			постоянный										
Продолжительность работы в дневной период (7.00-23.00):			16 час										
Продолжительность работы в ночной период (23.00-7.00):			8 час										
Тип источника шума:			точечный										
Категория источника шума:			77.22.005 Расширение УКПГ. Лупинг										
:			Сепаратор										
:			СТО Газпром										
Пространственный угол излучения, рад.	Ω = 12.57	исходные данные											
Октавные уровни звуковой мощности источника Lw, дБ		исходные данные	77	75	67	66	63	55	53	48	51		
ИШ-7-12 [координаты на плане (x,y,z), м = (887.4,85.4,1.0)]													
Режим работы источника:			постоянный										
Продолжительность работы в дневной период (7.00-23.00):			16 час										
Продолжительность работы в ночной период (23.00-7.00):			8 час										
Тип источника шума:			точечный										
Категория источника шума:			77.22.005 Расширение УКПГ. Лупинг										
:			Сепаратор										
:			СТО Газпром										
Пространственный угол излучения, рад.	Ω = 12.57	исходные данные											
Октавные уровни звуковой мощности источника Lw, дБ		исходные данные	77	75	67	66	63	55	53	48	51		

1		2	3	4	5	6	7	8	9	10	11	12	13
ИШ-6-23 [координаты на плане (x,y,z), м = (756.2,-136.2,3.0)]													
Режим работы источника:			постоянный										
Продолжительность работы в дневной период (7.00-23.00):			16 час										
Продолжительность работы в ночной период (23.00-7.00):			8 час										
Тип источника шума:			точечный										
Категория источника шума:			77.22.005 Расширение УКПГ. Лупинг										
:			ТДА-201										
:			(аналог АДКГ-9-10)										
Пространственный угол излучения, рад.	Ω = 12.57	исходные данные											
Уровень звука La на опорном расстоянии d, дБА	d = 1 м	исходные данные										80	
Габариты источника шума, м		исходные данные	длина (l_1) = 0.00			ширина (l_2) = 0.00			высота (l_3) = 0.00				
Уровни звуковой мощности источника LwA, дБА		LwA = La + 20lg(d) + 10lg(Ω)										91	
Спектральные поправки К(Δ_{LA}) для разложения общего уровня звуковой мощности в спектр по октавным полосам, дБ		исходные данные	0	0	0	0	0	0	0	0	0		
Октавные уровни звуковой мощности источника Lw, дБ		Lw = LwA + К(Δ_{LA})	91	91	91	91	91	91	91	91	91		
ИШ-6-24 [координаты на плане (x,y,z), м = (801.0,-151.3,3.0)]													
Режим работы источника:			постоянный										
Продолжительность работы в дневной период (7.00-23.00):			16 час										
Продолжительность работы в ночной период (23.00-7.00):			8 час										
Тип источника шума:			точечный										
Категория источника шума:			77.22.005 Расширение УКПГ. Лупинг										
:			ТДА-201										
:			(аналог АДКГ-9-10)										
Пространственный угол излучения, рад.	Ω = 12.57	исходные данные											
Уровень звука La на опорном расстоянии d, дБА	d = 1 м	исходные данные										80	

1		2	3	4	5	6	7	8	9	10	11	12	13
Габариты источника шума, м		исходные данные	длина (l_1) = 0.00			ширина (l_2) = 0.00			высота (l_3) = 0.00				
Уровни звуковой мощности источника LwA, дБА		LwA = La + 20lg(d) + 10lg(Ω)										91	
Спектральные поправки К(Δ_{LA}) для разложения общего уровня звуковой мощности в спектр по октавным полосам, дБ		исходные данные	0	0	0	0	0	0	0	0	0		
Октавные уровни звуковой мощности источника Lw, дБ		Lw = LwA + К(Δ_{LA})	91	91	91	91	91	91	91	91	91		
ИШ-10-1 [координаты на плане (x,y,z), м = (17.4,413.2,1.0)]													
Режим работы источника:			постоянный										
Продолжительность работы в дневной период (7.00-23.00):			16 час										
Продолжительность работы в ночной период (23.00-7.00):			8 час										
Тип источника шума:			точечный										
Категория источника шума:			77.22.005 Расширение УКПГ. Лупинг										
:			АВО (КОС)										
:			ИТС 29-2017										
Пространственный угол излучения, рад.	Ω = 6.28	исходные данные											
Уровень звука La на опорном расстоянии d, дБА	d = 0 м	исходные данные										105	
Габариты источника шума, м		исходные данные	длина (l_1) = 0.00			ширина (l_2) = 0.00			высота (l_3) = 0.00				
Площадь измерительной поверхности, расположенной на расстоянии d от огибающего источник шума параллелепипеда, S, м2		ф-ла (9) [18])	S = 0.00 м2										
Уровень звуковой мощности источника LwA, дБА		LwA = L + 10lg(S/1)										-INF	
Спектральные поправки К(Δ_{LA}) для разложения общего уровня звуковой мощности в спектр по октавным полосам, дБ		[5]	-999	-6,7	-5,3	-4	-3,7	-4,1	-7,4	-11,6	-16,1		
Октавные уровни звуковой мощности источника Lw, дБ		Lw = LwA + К(Δ_{LA})	0	98,3	99,7	101	101,3	100,9	97,6	93,4	88,9		
ИШ-10-2 [координаты на плане (x,y,z), м = (27.9,443.5,1.0)]													
Режим работы источника:			постоянный										

1		2	3	4	5	6	7	8	9	10	11	12	13
Продолжительность работы в дневной период (7.00-23.00):			16 час										
Продолжительность работы в ночной период (23.00-7.00):			8 час										
Тип источника шума:			точечный										
Категория источника шума:			77.22.005 Расширение УКПГ. Лупинг										
:			АВО (КОС)										
:			ИТС 29-2017										
Пространственный угол излучения, рад.	Ω = 6.28	исходные данные											
Уровень звука La на опорном расстоянии d, дБА	d = 0 м	исходные данные										105	
Габариты источника шума, м		исходные данные	длина (l_1) = 0.00			ширина (l_2) = 0.00			высота (l_3) = 0.00				
Площадь измерительной поверхности, расположенной на расстоянии d от огибающего источник шума параллелепипеда, S, м2		ф-ла (9) [18])	S = 0.00 м2										
Уровень звуковой мощности источника LwA, дБА		LwA = L + 10lg(S/1)										-INF	
Спектральные поправки К(Δ_{LA}) для разложения общего уровня звуковой мощности в спектр по октавным полосам, дБ		[5]	-999	-6,7	-5,3	-4	-3,7	-4,1	-7,4	-11,6	-16,1		
Октавные уровни звуковой мощности источника Lw, дБ		Lw = LwA + К(Δ_{LA})	0	98,3	99,7	101	101,3	100,9	97,6	93,4	88,9		
ШТ-1 [координаты на плане (x,y,z), м = (684.3,-276.6,1.0)]													
Режим работы источника:			непостоянный										
Продолжительность работы в дневной период (7.00-23.00):			16 час										
Продолжительность работы в ночной период (23.00-7.00):			0 час										
Тип источника шума:			точечный										
Категория источника шума:			Строительная техника (непостоянный уровень шума)										
Название:			Автосамосвал (14 т)										
Примечание:			аналог КамАЗ-55111										
Пространственный угол излучения, рад.	Ω = 12.57	исходные данные											
Эквивалентный (La) и максимальный (Lmax) уровни звука на опорном расстоянии d, дБА	d = 7.5 м	[28]										78	83

1		2	3	4	5	6	7	8	9	10	11	12	13
Габариты источника шума, м		исходные данные	длина (l_1) = 0.00			ширина (l_2) = 0.00			высота (l_3) = 0.00				
Эквивалентный (LwA) и максимальный (LwMax) уровни звуковой мощности источника, дБА		LwA = La + 20lg(d) + 10lg(Ω)										106,5	111,5
Спектральные поправки К(Δ_{LA}) для разложения общего уровня звуковой мощности в спектр по октавным полосам, дБ		[11]	-999	-999	2	-1	-4	-4	-7	-13	-999		
Октавные уровни звуковой мощности источника Lw, дБ		Lw = LwA + К(Δ_{LA})	0	0	108,5	105,5	102,5	102,5	99,5	93,5	0		
Октавные уровни звуковой мощности максимального звука источника Lwx, дБ		Lwx = LwMax + К(Δ_{LA})	0	0	113,5	110,5	107,5	107,5	104,5	98,5	0		
Поправка на время работы источника днём ΔТд, дБ	τ = 16 ч время работы	10Lg(τ/16)	**0**										
Поправка на время работы источника ночью ΔТн, дБ	τ = 0 ч время работы	10Lg(τ/8)	**источник не работает в ночное время**										
Эквивалентные уровни звуковой мощности источника днём, Lw, дБ		Lw + ΔТд	0	0	108,5	105,5	102,5	102,5	99,5	93,5	0		
Эквивалентные уровни звуковой мощности источника ночью, Lw, дБ		Lw + ΔТн	0	0	0	0	0	0	0	0	0		
ШТ-2 [координаты на плане (x,y,z), м = (665.2,-247.4,1.0)]													
Режим работы источника:			непостоянный										
Продолжительность работы в дневной период (7.00-23.00):			16 час										
Продолжительность работы в ночной период (23.00-7.00):			0 час										
Тип источника шума:			точечный										
Категория источника шума:			Строительная техника (непостоянный уровень шума)										
Название:			Кран автомобиль-ный (16 т)										
Примечание:			аналог А/кран “Клинцы”(16 т) колесн.(на базе КС-35719-5)										
Пространственный угол излучения, рад.	Ω = 12.57	исходные данные											
Эквивалентный (La) и максимальный (Lmax) уровни звука на опорном расстоянии d, дБА	d = 7.5 м	[27]										74	78
Габариты источника шума, м		исходные данные	длина (l_1) = 0.00			ширина (l_2) = 0.00			высота (l_3) = 0.00				
Эквивалентный (LwA) и максимальный (LwMax) уровни звуковой мощности источника, дБА		LwA = La + 20lg(d) + 10lg(Ω)										102,5	106,5

1		2	3	4	5	6	7	8	9	10	11	12	13
Спектральные поправки К(Δ_{LA}) для разложения общего уровня звуковой мощности в спектр по октавным полосам, дБ		[11]	-999	-999	2	-1	-4	-4	-7	-13	-999		
Октавные уровни звуковой мощности источника Lw, дБ		Lw = LwA + К(Δ_{LA})	0	0	104,5	101,5	98,5	98,5	95,5	89,5	0		
Октавные уровни звуковой мощности максимального звука источника Lwx, дБ		Lwx = LwMax + К(Δ_{LA})	0	0	108,5	105,5	102,5	102,5	99,5	93,5	0		
Поправка на время работы источника днём ΔТд, дБ	τ = 16 ч время работы	10Lg(τ/16)	**0**										
Поправка на время работы источника ночью ΔТн, дБ	τ = 0 ч время работы	10Lg(τ/8)	**источник не работает в ночное время**										
Эквивалентные уровни звуковой мощности источника днём, Lw, дБ		Lw + ΔТд	0	0	104,5	101,5	98,5	98,5	95,5	89,5	0		
Эквивалентные уровни звуковой мощности источника ночью, Lw, дБ		Lw + ΔТн	0	0	0	0	0	0	0	0	0		
ШТ-3 [координаты на плане (x,y,z), м = (556.2,-281.9,1.0)]													
Режим работы источника:			непостоянный										
Продолжительность работы в дневной период (7.00-23.00):			16 час										
Продолжительность работы в ночной период (23.00-7.00):			0 час										
Тип источника шума:			точечный										
Категория источника шума:			Строительная техника (непостоянный уровень шума)										
Название:			Кран автомобиль-ный (16 т)										
Примечание:			аналог А/кран “Клинцы”(16 т) колесн.(на базе КС-35719-5)										
Пространственный угол излучения, рад.	Ω = 12.57	исходные данные											
Эквивалентный (La) и максимальный (Lmax) уровни звука на опорном расстоянии d, дБА	d = 7.5 м	[27]										74	78
Габариты источника шума, м		исходные данные	длина (l_1) = 0.00			ширина (l_2) = 0.00			высота (l_3) = 0.00				
Эквивалентный (LwA) и максимальный (LwMax) уровни звуковой мощности источника, дБА		LwA = La + 20lg(d) + 10lg(Ω)										102,5	106,5
Спектральные поправки К(Δ_{LA}) для разложения общего уровня звуковой мощности в спектр по октавным полосам, дБ		[11]	-999	-999	2	-1	-4	-4	-7	-13	-999		
Октавные уровни звуковой мощности источника Lw, дБ		Lw = LwA + К(Δ_{LA})	0	0	104,5	101,5	98,5	98,5	95,5	89,5	0		

1		2	3	4	5	6	7	8	9	10	11	12	13
Октавные уровни звуковой мощности максимального звука источника Lwx, дБ		Lwx = LwMax + K(Δ_{LA})	0	0	108,5	105,5	102,5	102,5	99,5	93,5	0		
Поправка на время работы источника днём ΔТд, дБ	τ = 16 ч время работы	10Lg(τ/16)	**0**										
Поправка на время работы источника ночью ΔТн, дБ	τ = 0 ч время работы	10Lg(τ/8)	**источник не работает в ночное время**										
Эквивалентные уровни звуковой мощности источника днём, Lw, дБ		Lw + ΔТд	0	0	104,5	101,5	98,5	98,5	95,5	89,5	0		
Эквивалентные уровни звуковой мощности источника ночью, Lw, дБ		Lw + ΔТн	0	0	0	0	0	0	0	0	0		
ШТ-4 [координаты на плане (x,y,z), м = (600.6,-343.5,1.0)]													
Режим работы источника:			непостоянный										
Продолжительность работы в дневной период (7.00-23.00):			16 час										
Продолжительность работы в ночной период (23.00-7.00):			0 час										
Тип источника шума:			точечный										
Категория источника шума:			Строительная техника (непостоянный уровень шума)										
Название:			Кран автомобиль-ный (16 т)										
Примечание:			аналог А/кран “Клинцы”(16 т) колесн.(на базе КС-35719-5)										
Пространственный угол излучения, рад.	Ω = 12.57	исходные данные											
Эквивалентный (La) и максимальный (Lmax) уровни звука на опорном расстоянии d, дБА	d = 7.5 м	[27]										74	78
Габариты источника шума, м		исходные данные	длина (l_1) = 0.00			ширина (l_2) = 0.00			высота (l_3) = 0.00				
Эквивалентный (LwA) и максимальный (LwMax) уровни звуковой мощности источника, дБА		LwA = La + 20lg(d) + 10lg(Ω)										102,5	106,5
Спектральные поправки K(Δ_{LA}) для разложения общего уровня звуковой мощности в спектр по октавным полосам, дБ		[11]	-999	-999	2	-1	-4	-4	-7	-13	-999		
Октавные уровни звуковой мощности источника Lw, дБ		Lw = LwA + K(Δ_{LA})	0	0	104,5	101,5	98,5	98,5	95,5	89,5	0		
Октавные уровни звуковой мощности максимального звука источника Lwx, дБ		Lwx = LwMax + K(Δ_{LA})	0	0	108,5	105,5	102,5	102,5	99,5	93,5	0		
Поправка на время работы источника днём ΔТд, дБ	τ = 16 ч время работы	10Lg(τ/16)	**0**										

1		2	3	4	5	6	7	8	9	10	11	12	13
Поправка на время работы источника ночью ΔТн, дБ	τ = 0 ч время работы	10Lg(τ/8)	**источник не работает в ночное время**										
Эквивалентные уровни звуковой мощности источника днём, Lw, дБ		Lw + ΔТд	0	0	104,5	101,5	98,5	98,5	95,5	89,5	0		
Эквивалентные уровни звуковой мощности источника ночью, Lw, дБ		Lw + ΔТн	0	0	0	0	0	0	0	0	0		
ШТ-5 [координаты на плане (x,y,z), м = (453.1,-90.1,1.0)]													
Режим работы источника:			непостоянный										
Продолжительность работы в дневной период (7.00-23.00):			16 час										
Продолжительность работы в ночной период (23.00-7.00):			0 час										
Тип источника шума:			точечный										
Категория источника шума:			Строительная техника (непостоянный уровень шума)										
Название:			Кран гусеничный (25 т)										
Примечание:			аналог РДК-25 (25т)										
Пространственный угол излучения, рад.	Ω = 12.57	исходные данные											
Эквивалентный (La) и максимальный (Lmax) уровни звука на опорном расстоянии d, дБА	d = 5 м	[29]										76	81
Габариты источника шума, м		исходные данные	длина (l_1) = 0.00			ширина (l_2) = 0.00			высота (l_3) = 0.00				
Эквивалентный (LwA) и максимальный (LwMax) уровни звуковой мощности источника, дБА		LwA = La + 20lg(d) + 10lg(Ω)										101	106
Спектральные поправки К(Δ_{LA}) для разложения общего уровня звуковой мощности в спектр по октавным полосам, дБ		[11]	-999	-999	2	-1	-4	-4	-7	-13	-999		
Октавные уровни звуковой мощности источника Lw, дБ		Lw = LwA + К(Δ_{LA})	0	0	103	100	97	97	94	88	0		
Октавные уровни звуковой мощности максимального звука источника Lwx, дБ		Lwx = LwMax + К(Δ_{LA})	0	0	108	105	102	102	99	93	0		
Поправка на время работы источника днём ΔТд, дБ	τ = 16 ч время работы	10Lg(τ/16)	**0**										
Поправка на время работы источника ночью ΔТн, дБ	τ = 0 ч время работы	10Lg(τ/8)	**источник не работает в ночное время**										
Эквивалентные уровни звуковой мощности источника днём, Lw, дБ		Lw + ΔТд	0	0	103	100	97	97	94	88	0		

1		2	3	4	5	6	7	8	9	10	11	12	13
Эквивалентные уровни звуковой мощности источника ночью, Lw, дБ		Lw + ΔТн	0	0	0	0	0	0	0	0	0		
ШТ-6 [координаты на плане (x,y,z), м = (476.8,-97.6,1.0)]													
Режим работы источника:			непостоянный										
Продолжительность работы в дневной период (7.00-23.00):			16 час										
Продолжительность работы в ночной период (23.00-7.00):			0 час										
Тип источника шума:			точечный										
Категория источника шума:			Строительная техника (непостоянный уровень шума)										
Название:			Трактор на гусеничном ходу										
Примечание:			аналог Б-10М										
Пространственный угол излучения, рад.	Ω = 12.57	исходные данные											
Эквивалентный (La) и максимальный (Lmax) уровни звука на опорном расстоянии d, дБА	d = 7.5 м	[28]										80	85
Габариты источника шума, м		исходные данные	длина (l_1) = 0.00			ширина (l_2) = 0.00			высота (l_3) = 0.00				
Эквивалентный (LwA) и максимальный (LwMax) уровни звуковой мощности источника, дБА		LwA = La + 20lg(d) + 10lg(Ω)										108,5	113,5
Спектральные поправки К(Δ_{LA}) для разложения общего уровня звуковой мощности в спектр по октавным полосам, дБ		[11]	-999	-999	2	-1	-4	-4	-7	-13	-999		
Октавные уровни звуковой мощности источника Lw, дБ		Lw = LwA + К(Δ_{LA})	0	0	110,5	107,5	104,5	104,5	101,5	95,5	0		
Октавные уровни звуковой мощности максимального звука источника Lwx, дБ		Lwx = LwMax + К(Δ_{LA})	0	0	115,5	112,5	109,5	109,5	106,5	100,5	0		
Поправка на время работы источника днём ΔТд, дБ	τ = 16 ч время работы	10Lg(τ/16)	**0**										
Поправка на время работы источника ночью ΔТн, дБ	τ = 0 ч время работы	10Lg(τ/8)	**источник не работает в ночное время**										
Эквивалентные уровни звуковой мощности источника днём, Lw, дБ		Lw + ΔТд	0	0	110,5	107,5	104,5	104,5	101,5	95,5	0		
Эквивалентные уровни звуковой мощности источника ночью, Lw, дБ		Lw + ΔТн	0	0	0	0	0	0	0	0	0		

1		2	3	4	5	6	7	8	9	10	11	12	13
ШТ-7 [координаты на плане (x,y,z), м = (632.2,-298.3,1.0)]													
Режим работы источника:			непостоянный										
Продолжительность работы в дневной период (7.00-23.00):			16 час										
Продолжительность работы в ночной период (23.00-7.00):			0 час										
Тип источника шума:			точечный										
Категория источника шума:			Строительная техника (непостоянный уровень шума)										
Название:			Экскаватор (0.8 м3)										
Примечание:			аналог Экскаватор гусенич. HYUNDAI 210 LC-8										
Пространственный угол излучения, рад.	Ω = 12.57	исходные данные											
Эквивалентный (La) и максимальный (Lmax) уровни звука на опорном расстоянии d, дБА	d = 7.5 м	[27]										74	81
Габариты источника шума, м		исходные данные	длина (l_1) = 0.00			ширина (l_2) = 0.00			высота (l_3) = 0.00				
Эквивалентный (LwA) и максимальный (LwMax) уровни звуковой мощности источника, дБА		LwA = La + 20lg(d) + 10lg(Ω)										102,5	109,5
Спектральные поправки К(Δ_{LA}) для разложения общего уровня звуковой мощности в спектр по октавным полосам, дБ		[11]	-999	-999	2	-1	-4	-4	-7	-13	-999		
Октавные уровни звуковой мощности источника Lw, дБ		Lw = LwA + К(Δ_{LA})	0	0	104,5	101,5	98,5	98,5	95,5	89,5	0		
Октавные уровни звуковой мощности максимального звука источника Lwx, дБ		Lwx = LwMax + К(Δ_{LA})	0	0	111,5	108,5	105,5	105,5	102,5	96,5	0		
Поправка на время работы источника днём ΔТд, дБ	τ = 16 ч время работы	10Lg(τ/16)	**0**										
Поправка на время работы источника ночью ΔТн, дБ	τ = 0 ч время работы	10Lg(τ/8)	**источник не работает в ночное время**										
Эквивалентные уровни звуковой мощности источника днём, Lw, дБ		Lw + ΔТд	0	0	104,5	101,5	98,5	98,5	95,5	89,5	0		
Эквивалентные уровни звуковой мощности источника ночью, Lw, дБ		Lw + ΔТн	0	0	0	0	0	0	0	0	0		
ШТ-8 [координаты на плане (x,y,z), м = (637.7,-279.0,1.0)]													
Режим работы источника:			постоянный										

1		2	3	4	5	6	7	8	9	10	11	12	13
Продолжительность работы в дневной период (7.00-23.00):			16 час										
Продолжительность работы в ночной период (23.00-7.00):			0 час										
Тип источника шума:			точечный										
Категория источника шума:			Строительная техника (постоянный уровень шума)										
Название:			Агрегат передвижной сварочный										
Примечание:			ТД-500										
Пространственный угол излучения, рад.	Ω = 12.57	исходные данные											
Октавные уровни звуковой мощности источника Lw, дБ		[27]	86	86	92	89	93	92	90	89	86		
ШТ-9 [координаты на плане (x,y,z), м = (627.6,-280.3,1.0)]													
Режим работы источника:			постоянный										
Продолжительность работы в дневной период (7.00-23.00):			16 час										
Продолжительность работы в ночной период (23.00-7.00):			0 час										
Тип источника шума:			точечный										
Категория источника шума:			Строительная техника (постоянный уровень шума)										
Название:			Компрессор передвижной										
Примечание:			ЗИФ 55										
Пространственный угол излучения, рад.	Ω = 12.57	исходные данные											
Октавные уровни звуковой мощности источника Lw, дБ		[27]	73	73	84	69	71	70	70	60	52		
ШТ-10 [координаты на плане (x,y,z), м = (629.9,-268.4,1.0)]													
Режим работы источника:			постоянный										
Продолжительность работы в дневной период (7.00-23.00):			16 час										
Продолжительность работы в ночной период (23.00-7.00):			0 час										
Тип источника шума:			точечный										
Категория источника шума:			Строительная техника (постоянный уровень шума)										
Название:			Передвижная ДЭС										
Примечание:			аналог Генераторная установка (дизель)										
Пространственный угол излучения, рад.	Ω = 12.57	исходные данные											

1		2	3	4	5	6	7	8	9	10	11	12	13
Октавные уровни звуковой мощности источника Lw, дБ		[29]	100	100	94	90	88	77	73	65	58		
ШТ-11 [координаты на плане (x,y,z), м = (585.9,-204.0,1.0)]													
Режим работы источника:			постоянный										
Продолжительность работы в дневной период (7.00-23.00):			16 час										
Продолжительность работы в ночной период (23.00-7.00):			0 час										
Тип источника шума:			точечный										
Категория источника шума:			Строительная техника (постоянный уровень шума)										
Название:			Передвижная ДЭС										
Примечание:			аналог Генераторная установка (дизель)										
Пространственный угол излучения, рад.	Ω = 12.57	исходные данные											
Октавные уровни звуковой мощности источника Lw, дБ		[29]	100	100	94	90	88	77	73	65	58		
ШТ-12 [координаты на плане (x,y,z), м = (529.1,-315.2,1.0)]													
Режим работы источника:			постоянный										
Продолжительность работы в дневной период (7.00-23.00):			16 час										
Продолжительность работы в ночной период (23.00-7.00):			0 час										
Тип источника шума:			точечный										
Категория источника шума:			Строительная техника (постоянный уровень шума)										
Название:			Передвижная ДЭС										
Примечание:			аналог Генераторная установка (дизель)										
Пространственный угол излучения, рад.	Ω = 12.57	исходные данные											
Октавные уровни звуковой мощности источника Lw, дБ		[29]	100	100	94	90	88	77	73	65	58		
ШТ-13 [координаты на плане (x,y,z), м = (659.0,-392.1,1.0)]													
Режим работы источника:			постоянный										
Продолжительность работы в дневной период (7.00-23.00):			16 час										
Продолжительность работы в ночной период (23.00-7.00):			0 час										

1		2	3	4	5	6	7	8	9	10	11	12	13
Тип источника шума:			точечный										
Категория источника шума:			Строительная техника (постоянный уровень шума)										
Название:			Передвижная ДЭС										
Примечание:			аналог Генераторная установка (дизель)										
Пространственный угол излучения, рад.	Ω = 12.57	исходные данные											
Октавные уровни звуковой мощности источника Lw, дБ		[29]	100	100	94	90	88	77	73	65	58		
ШТ-14 [координаты на плане (x,y,z), м = (499.2,-149.3,1.0)]													
Режим работы источника:			постоянный										
Продолжительность работы в дневной период (7.00-23.00):			16 час										
Продолжительность работы в ночной период (23.00-7.00):			0 час										
Тип источника шума:			точечный										
Категория источника шума:			Строительная техника (постоянный уровень шума)										
Название:			Передвижная ДЭС										
Примечание:			аналог Генераторная установка (дизель)										
Пространственный угол излучения, рад.	Ω = 12.57	исходные данные											
Октавные уровни звуковой мощности источника Lw, дБ		[29]	100	100	94	90	88	77	73	65	58		

Расчетные точки

в зоне размещения мобильных зданий

санитарно-бытового назначения

(РТ-1)

Определение уровней звукового давления в точке РТ-1 (координаты точки, м: x = 467.09, y = -251.38, z = 1.50)

Наименование величин и их описание		Ссылка	Расчётные уровни в октавных полосах, со среднегеометрическими частотами, Гц									La, дБА	Lмакс, дБА
			31,5	63	125	250	500	1000	2000	4000	8000		
1		2	3	4	5	6	7	8	9	10	11	12	13
Источник шума: ИШ-1-1, координаты источника (x,y,z), м =[271.72,229.68,1.00]													
Уровни звуковой мощности источника днём, Lw, дБ		**исходные данные**	**97**	**97**	**104**	**106**	**105**	**105**	**98**	**87**	**81**		
Поправка на телесный угол DΩ, дБ	Ω = 6.28	10Lg(4π/Ω)	**3**	3	3	3	3	3	3	3	3		
Показатель направленности источника Di, дБ		исходные данные	**0**	0	0	0	0	0	0	0	0		
Поправка на направленность источника Dc, дБ	Dc	DΩ + Di	**3**	3	3	3	3	3	3	3	3		
Затухание из-за геометрической дивергенции, Adiv, дБ	расстояние = 519.22 м	ф-ла (7) [10]	**65,3**										
Коэффициент затухания звука в атмосфере α, дБ/км	Ta=20,°C Pa=101.33,кПа hотн.=70%	ф-ла (5) [9]	0,02	0,09	0,33	1,12	2,79	4,98	9,04	23,09	77,63		
Учет затухания звука в атмосфере Aatm, дБ		ф-ла (8) [10]	0	0	0,2	0,6	1,4	2,6	4,7	12	40,3		
Снижение уровня звукового давления из-за влияния застройки между источником шума и расчетной точкой													
Снижение уровня звукового давления на пути над экраном, Dz1, дБ	z = 0.56м (разность путей)	ф-лы (14-18) [10]	5,2	5,9	7,4	9,5	12	14,6	17,4	20,3	23,2		
Снижение уровня звукового давления на пути слева от экрана, Dz2, дБ	z = 74.79м (разность путей)	ф-лы (14-18) [10]	29,1	32,2	35,2	38,2	41,2	44,2	47,2	50,2	53,2		
Снижение уровня звукового давления на пути справа от экрана, Dz3, дБ	z = 19.03м (разность путей)	ф-лы (14-18) [10]	21,4	25,6	29	32,2	35,3	38,3	41,3	44,3	47,3		
Общее снижение уровня звука препятствием Dz, дБ		Эн.сумма(-Dzi)	5,1	5,9	7,4	9,5	11,9	14,6	17,4	20,3	23,2		

1		2	3	4	5	6	7	8	9	10	11	12	13
Уровни звукового давления прямого звука от источника ИШ-1-1 в расчётной точке днём, дБ		**ф-ла(3)[10]**	**29,6**	**28,8**	**34,2**	**33,6**	**29,3**	**25,5**	**13,6**	**0**	**0**	**30,7**	**30,7**
Расчёт отражённого звука													
Уровни звукового давления от мнимого источника ИШ-1-1_мн.(1) в расчётной точке днём, дБ		**ф-ла(3)[10]**	**0**	**0**	**0**	**0**	**0**	**0**	**0**	**0**	**0**	**0**	**0**
Уровни звукового давления от источника ИШ-1-1 в расчётной точке днём, дБ		**ф-ла(3)[10]**	**29,6**	**28,8**	**34,2**	**33,6**	**29,3**	**25,5**	**13,6**	**0**	**0**	**30,7**	**30,7**
Источник шума: ИШ-1-2, координаты источника (x,y,z), м =[261.74,199.14,1.00]													
Уровни звуковой мощности источника днём, Lw, дБ		**исходные данные**	**97**	**97**	**104**	**106**	**105**	**105**	**98**	**87**	**81**		
Поправка на телесный угол DΩ, дБ	Ω = 6.28	10Lg(4π/Ω)	**3**	3	3	3	3	3	3	3	3		
Показатель направленности источника Di, дБ		исходные данные	**0**	0	0	0	0	0	0	0	0		
Поправка на направленность источника Dc, дБ	Dc	DΩ + Di	**3**	3	3	3	3	3	3	3	3		
Затухание из-за геометрической дивергенции, Adiv, дБ	расстояние = 495.11 м	ф-ла (7) [10]	**64,9**										
Коэффициент затухания звука в атмосфере α, дБ/км	Ta=20,°C Pa=101.33,кПа hотн.=70%	ф-ла (5) [9]	0,02	0,09	0,33	1,12	2,79	4,98	9,04	23,09	77,63		
Учет затухания звука в атмосфере Aatm, дБ		ф-ла (8) [10]	0	0	0,2	0,6	1,4	2,5	4,5	11,4	38,4		
Снижение уровня звукового давления из-за влияния застройки между источником шума и расчетной точкой													
Снижение уровня звукового давления на пути над экраном, Dz1, дБ	z = 0.60м (разность путей)	ф-лы (14-18) [10]	5,9	7,3	9	11,3	13,8	16,5	19,4	22,3	25,3		
Снижение уровня звукового давления на пути слева от экрана, Dz2, дБ	z = 121.15м (разность путей)	ф-лы (14-18) [10]	31,2	34,3	37,3	40,3	43,3	46,3	49,3	52,3	55,3		
Снижение уровня звукового давления на пути справа от экрана, Dz3, дБ	z = 14.37м (разность путей)	ф-лы (14-18) [10]	20,2	24,4	27,8	31	34	37	40,1	43,1	46,1		

1		2	3	4	5	6	7	8	9	10	11	12	13
Общее снижение уровня звука препятствием Dz, дБ		Эн.сумма(-Dzi)	5,7	7,2	9	11,2	13,7	16,5	19,3	22,3	25,2		
Общее снижение уровня звука препятствием с учётом ограничения (25 дБ) для октавных полос Dz, дБ		Раздел 7.4 [10]	5,7	7,2	9	11,2	13,7	16,5	19,3	22,3	25		
Уровни звукового давления прямого звука от источника ИШ-1-2 в расчётной точке днём, дБ		**ф-ла(3)[10]**	**29,4**	**27,9**	**33**	**32,4**	**28**	**24,2**	**12,3**	**0**	**0**	**29,4**	**29,4**
Расчёт отражённого звука													
Уровни звукового давления от мнимого источника ИШ-1-2_мн.(1) в расчётной точке днём, дБ		**ф-ла(3)[10]**	**0**	**0**	**0**	**0**	**0**	**0**	**0**	**0**	**0**	**0**	**0**
Уровни звукового давления от источника ИШ-1-2 в расчётной точке днём, дБ		**ф-ла(3)[10]**	**29,4**	**27,9**	**33**	**32,4**	**28**	**24,2**	**12,3**	**0**	**0**	**29,4**	**29,4**
Источник шума: ИШ-1-3, координаты источника (x,y,z), м =[251.75,236.44,1.00]													
Уровни звуковой мощности источника днём, Lw, дБ		**исходные данные**	**0**	**91,3**	**92,7**	**94**	**94,3**	**93,9**	**90,6**	**86,4**	**81,9**		
Поправка на телесный угол DΩ, дБ	Ω = 6.28	10Lg(4π/Ω)	**3**	3	3	3	3	3	3	3	3		
Показатель направленности источника Di, дБ		исходные данные	**0**	0	0	0	0	0	0	0	0		
Поправка на направленность источника Dc, дБ	Dc	DΩ + Di	**3**	3	3	3	3	3	3	3	3		
Затухание из-за геометрической дивергенции, Adiv, дБ	расстояние = 533.23 м	ф-ла (7) [10]	**65,5**										
Коэффициент затухания звука в атмосфере α, дБ/км	Ta=20,°C Pa=101.33,кПа hотн.=70%	ф-ла (5) [9]	0,02	0,09	0,33	1,12	2,79	4,98	9,04	23,09	77,63		
Учет затухания звука в атмосфере Aatm, дБ		ф-ла (8) [10]	0	0	0,2	0,6	1,5	2,7	4,8	12,3	41,4		
Снижение уровня звукового давления из-за влияния застройки между источником шума и расчетной точкой													
Снижение уровня звукового давления на пути над экраном, Dz1, дБ	z = 0.46м (разность путей)	ф-лы (14-18) [10]	5,3	5,9	7	8,5	10,5	12,9	15,6	18,4	21,3		

1		2	3	4	5	6	7	8	9	10	11	12	13
Снижение уровня звукового давления на пути слева от экрана, Dz2, дБ	z = 78.81м (разность путей)	ф-лы (14-18) [10]	29,3	32,4	35,4	38,4	41,4	44,4	47,5	50,5	53,5		
Снижение уровня звукового давления на пути справа от экрана, Dz3, дБ	z = 14.75м (разность путей)	ф-лы (14-18) [10]	20,3	24,5	27,9	31,1	34,1	37,2	40,2	43,2	46,2		
Общее снижение уровня звука препятствием Dz, дБ		Эн.сумма(-Dzi)	5,1	5,9	6,9	8,5	10,5	12,9	15,5	18,4	21,3		
Уровни звукового давления прямого звука от источника ИШ-1-3 в расчётной точке днём, дБ		**ф-ла(3)[10]**	**0**	**22,8**	**23**	**22,4**	**19,8**	**15,8**	**7,7**	**0**	**0**	**20,8**	**20,8**
Расчёт отражённого звука													
Уровни звукового давления от мнимого источника ИШ-1-3_мн.(1) в расчётной точке днём, дБ		**ф-ла(3)[10]**	**0**	**0**	**0**	**0**	**0**	**0**	**0**	**0**	**0**	**0**	**0**
Уровни звукового давления от мнимого источника ИШ-1-3_мн.(2) в расчётной точке днём, дБ		**ф-ла(3)[10]**	**0**	**0**	**0**	**0**	**0**	**0**	**0**	**0**	**0**	**0**	**0**
Суммарные уровни звукового давления от мнимых источников в расчётной точке днём, дБ		**ф-ла (19) [1]**	**0**	**0**	**0**	**0**	**0**	**0**	**0**	**0**	**0**	**0**	**0**
Уровни звукового давления от источника ИШ-1-3 в расчётной точке днём, дБ		**ф-ла(3)[10]**	**0**	**22,8**	**23**	**22,4**	**19,8**	**15,8**	**7,7**	**0**	**0**	**20,8**	**20,8**
Источник шума: ИШ-1-4, координаты источника (x,y,z), м =[290.25,223.25,1.00]													
Уровни звуковой мощности источника днём, Lw, дБ		**исходные данные**	**0**	**91,3**	**92,7**	**94**	**94,3**	**93,9**	**90,6**	**86,4**	**81,9**		
Поправка на телесный угол DΩ, дБ	Ω = 6.28	10Lg(4π/Ω)	**3**	3	3	3	3	3	3	3	3		
Показатель направленности источника Di, дБ		исходные данные	**0**	0	0	0	0	0	0	0	0		
Поправка на направленность источника Dc, дБ	Dc	DΩ + Di	**3**	3	3	3	3	3	3	3	3		
Затухание из-за геометрической дивергенции, Adiv, дБ	расстояние = 506.50 м	ф-ла (7) [10]	**65,1**										
Коэффициент затухания звука в атмосфере α, дБ/км	Ta=20,°C Pa=101.33,кПа hотн.=70%	ф-ла (5) [9]	0,02	0,09	0,33	1,12	2,79	4,98	9,04	23,09	77,63		

1		2	3	4	5	6	7	8	9	10	11	12	13
Учет затухания звука в атмосфере Aatm, дБ		ф-ла (8) [10]	0	0	0,2	0,6	1,4	2,5	4,6	11,7	39,3		
Снижение уровня звукового давления из-за влияния застройки между источником шума и расчетной точкой													
Снижение уровня звукового давления на пути над экраном, Dz1, дБ	z = 0.77м (разность путей)	ф-лы (14-18) [10]	5,9	7,3	9,7	12,6	15,5	18,4	21,3	24,3	27,3		
Снижение уровня звукового давления на пути слева от экрана, Dz2, дБ	z = 72.85м (разность путей)	ф-лы (14-18) [10]	28,9	32,1	35,1	38,1	41,1	44,1	47,1	50,1	53,1		
Снижение уровня звукового давления на пути справа от экрана, Dz3, дБ	z = 21.78м (разность путей)	ф-лы (14-18) [10]	23,4	26,7	29,8	32,8	35,8	38,9	41,9	44,9	47,9		
Общее снижение уровня звука препятствием Dz, дБ		Эн.сумма(-Dzi)	5,8	7,2	9,7	12,6	15,4	18,3	21,3	24,2	27,2		
Общее снижение уровня звука препятствием с учётом ограничения (25 дБ) для октавных полос Dz, дБ		Раздел 7.4 [10]	5,8	7,2	9,7	12,6	15,4	18,3	21,3	24,2	25		
Уровни звукового давления прямого звука от источника ИШ-1-4 в расчётной точке днём, дБ		**ф-ла(3)[10]**	**0**	**22**	**20,7**	**18,8**	**15,4**	**11**	**2,7**	**0**	**0**	**16,5**	**16,5**
Расчёт отражённого звука													
Уровни звукового давления от мнимого источника ИШ-1-4_мн.(1) в расчётной точке днём, дБ		**ф-ла(3)[10]**	**0**	**0**	**0**	**0**	**0**	**0**	**0**	**0**	**0**	**0**	**0**
Уровни звукового давления от источника ИШ-1-4 в расчётной точке днём, дБ		**ф-ла(3)[10]**	**0**	**22**	**20,7**	**18,8**	**15,4**	**11**	**2,7**	**0**	**0**	**16,5**	**16,5**
Источник шума: ИШ-1-5, координаты источника (x,y,z), м =[241.49,205.86,1.00]													
Уровни звуковой мощности источника днём, Lw, дБ		**исходные данные**	**0**	**91,3**	**92,7**	**94**	**94,3**	**93,9**	**90,6**	**86,4**	**81,9**		
Поправка на телесный угол DΩ, дБ	Ω = 6.28	10Lg(4π/Ω)	**3**	3	3	3	3	3	3	3	3		
Показатель направленности источника Di, дБ		исходные данные	**0**	0	0	0	0	0	0	0	0		
Поправка на направленность источника Dc, дБ	Dc	DΩ + Di	**3**	3	3	3	3	3	3	3	3		
Затухание из-за геометрической дивергенции, Adiv, дБ	расстояние = 509.86 м	ф-ла (7) [10]	**65,1**										

1		2	3	4	5	6	7	8	9	10	11	12	13
Коэффициент затухания звука в атмосфере α, дБ/км	Та=20,°С Ра=101.33,кПа hотн.=70%	ф-ла (5) [9]	0,02	0,09	0,33	1,12	2,79	4,98	9,04	23,09	77,63		
Учет затухания звука в атмосфере Aatm, дБ		ф-ла (8) [10]	0	0	0,2	0,6	1,4	2,5	4,6	11,8	39,6		
Снижение уровня звукового давления из-за влияния застройки между источником шума и расчетной точкой													
Снижение уровня звукового давления на пути над экраном, Dz1, дБ	z = 0.39м (разность путей)	ф-лы (14-18) [10]	5,1	5,5	6,3	7,4	9,1	11,2	13,7	16,5	19,3		
Снижение уровня звукового давления на пути слева от экрана, Dz2, дБ	z = 120.91м (разность путей)	ф-лы (14-18) [10]	31,1	34,3	37,3	40,3	43,3	46,3	49,3	52,3	55,3		
Снижение уровня звукового давления на пути справа от экрана, Dz3, дБ	z = 10.65м (разность путей)	ф-лы (14-18) [10]	18,9	23,1	26,5	29,7	32,7	35,7	38,8	41,8	44,8		
Общее снижение уровня звука препятствием Dz, дБ		Эн.сумма(-Dzi)	4,9	5,4	6,2	7,4	9,1	11,2	13,7	16,4	19,3		
Уровни звукового давления прямого звука от источника ИШ-1-5 в расчётной точке днём, дБ		**ф-ла(3)[10]**	**0**	**23,6**	**24,1**	**23,9**	**21,6**	**18**	**10,1**	**0**	**0**	**22,7**	**22,7**
Расчёт отражённого звука													
Уровни звукового давления от мнимого источника ИШ-1-5_мн.(1) в расчётной точке днём, дБ		**ф-ла(3)[10]**	**0**	**0**	**0**	**0**	**0**	**0**	**0**	**0**	**0**	**0**	**0**
Уровни звукового давления от источника ИШ-1-5 в расчётной точке днём, дБ		**ф-ла(3)[10]**	**0**	**23,6**	**24,1**	**23,9**	**21,6**	**18**	**10,1**	**0**	**0**	**22,7**	**22,7**
Источник шума: ИШ-1-6, координаты источника (x,y,z), м =[279.85,192.97,1.00]													
Уровни звуковой мощности источника днём, Lw, дБ		**исходные данные**	**0**	**91,3**	**92,7**	**94**	**94,3**	**93,9**	**90,6**	**86,4**	**81,9**		
Поправка на телесный угол DΩ, дБ	Ω = 6.28	10Lg($4\pi/\Omega$)	**3**	3	3	3	3	3	3	3	3		
Показатель направленности источника Di, дБ		исходные данные	**0**	0	0	0	0	0	0	0	0		
Поправка на направленность источника Dc, дБ	Dc	DΩ + Di	**3**	3	3	3	3	3	3	3	3		

1		2	3	4	5	6	7	8	9	10	11	12	13
Затухание из-за геометрической дивергенции, Adiv, дБ	расстояние = 482.18 м	ф-ла (7) [10]	**64,7**										
Коэффициент затухания звука в атмосфере α, дБ/км	Ta=20,°C Pa=101.33,кПа hотн.=70%	ф-ла (5) [9]	0,02	0,09	0,33	1,12	2,79	4,98	9,04	23,09	77,63		
Учет затухания звука в атмосфере Aatm, дБ		ф-ла (8) [10]	0	0	0,2	0,5	1,3	2,4	4,4	11,1	37,4		
Снижение уровня звукового давления из-за влияния застройки между источником шума и расчетной точкой													
Снижение уровня звукового давления на пути над экраном, Dz1, дБ	z = 0.81м (разность путей)	ф-лы (14-18) [10]	6	7,5	10,2	13,2	16,2	19,1	22	25	28		
Снижение уровня звукового давления на пути слева от экрана, Dz2, дБ	z = 123.82м (разность путей)	ф-лы (14-18) [10]	31,2	34,4	37,4	40,4	43,4	46,4	49,4	52,4	55,4		
Снижение уровня звукового давления на пути справа от экрана, Dz3, дБ	z = 18.70м (разность путей)	ф-лы (14-18) [10]	21,3	25,5	29	32,1	35,2	38,2	41,2	44,2	47,2		
Общее снижение уровня звука препятствием Dz, дБ		Эн.сумма(-Dzi)	5,9	7,5	10,1	13,2	16,1	19	22	24,9	27,9		
Общее снижение уровня звука препятствием с учётом ограничения (25 дБ) для октавных полос Dz, дБ		Раздел 7.4 [10]	5,9	7,5	10,1	13,2	16,1	19	22	24,9	25		
Уровни звукового давления от источника ИШ-1-6 в расчётной точке днём, дБ		**ф-ла(3)[10]**	**0**	**22,1**	**20,7**	**18,6**	**15,2**	**10,8**	**2,6**	**0**	**0**	**16,4**	**16,4**
Источник шума: ИШ-1-7, координаты источника (x,y,z), м =[451.87,146.66,1.00]													
Уровни звуковой мощности источника днём, Lw, дБ		**исходные данные**	**0**	**93,3**	**94,7**	**96**	**96,3**	**95,9**	**92,6**	**88,4**	**83,9**		
Поправка на телесный угол DΩ, дБ	Ω = 6.28	10Lg(4π/Ω)	**3**	3	3	3	3	3	3	3	3		
Показатель направленности источника Di, дБ		исходные данные	**0**	0	0	0	0	0	0	0	0		
Поправка на направленность источника Dc, дБ	Dc	DΩ + Di	**3**	3	3	3	3	3	3	3	3		
Затухание из-за геометрической дивергенции, Adiv, дБ	расстояние = 398.32 м	ф-ла (7) [10]	**63**										

1		2	3	4	5	6	7	8	9	10	11	12	13
Коэффициент затухания звука в атмосфере α, дБ/км	Та=20,°С Ра=101.33,кПа hотн.=70%	ф-ла (5) [9]	0,02	0,09	0,33	1,12	2,79	4,98	9,04	23,09	77,63		
Учет затухания звука в атмосфере Aatm, дБ		ф-ла (8) [10]	0	0	0,1	0,4	1,1	2	3,6	9,2	30,9		
Снижение уровня звукового давления из-за влияния застройки между источником шума и расчетной точкой													
Снижение уровня звукового давления на пути над экраном, Dz1, дБ	z = 0.46м (разность путей)	ф-лы (14-18) [10]	5,2	5,6	6,6	8,7	11,6	14,5	17,3	20,3	23,2		
Снижение уровня звукового давления на пути слева от экрана, Dz2, дБ	z = 0.68м (разность путей)	ф-лы (14-18) [10]	7,4	9	11,1	13,6	16,3	19,2	22,1	25,1	28,1		
Снижение уровня звукового давления на пути справа от экрана, Dz3, дБ	z = 1.49м (разность путей)	ф-лы (14-18) [10]	9,3	11,5	14	16,7	19,6	22,5	25,5	28,5	31,5		
Общее снижение уровня звука препятствием Dz, дБ		Эн.сумма(-Dzi)	2,2	3,3	4,7	7	9,8	12,7	15,6	18,6	21,5		
Уровни звукового давления прямого звука от источника ИШ-1-7 в расчётной точке днём, дБ		**ф-ла(3)[10]**	**0**	**30**	**29,8**	**28,5**	**25,3**	**21,2**	**13,4**	**0,6**	**0**	**26,5**	**26,5**
Расчёт отражённого звука													
Уровни звукового давления от мнимого источника ИШ-1-7_мн.(1) в расчётной точке днём, дБ		**ф-ла(3)[10]**	**0**	**0**	**0**	**0**	**0**	**0**	**3,8**	**0**	**0**	**5**	**5**
Уровни звукового давления от источника ИШ-1-7 в расчётной точке днём, дБ		**ф-ла(3)[10]**	**0**	**30**	**29,8**	**28,5**	**25,3**	**21,2**	**13,8**	**0,6**	**0**	**26,6**	**26,6**
Источник шума: ИШ-1-8, координаты источника (x,y,z), м =[454.99,145.29,1.00]													
Уровни звуковой мощности источника днём, Lw, дБ		**исходные данные**	**0**	**93,3**	**94,7**	**96**	**96,3**	**95,9**	**92,6**	**88,4**	**83,9**		
Поправка на телесный угол DΩ, дБ	Ω = 6.28	10Lg(4π/Ω)	**3**	3	3	3	3	3	3	3	3		
Показатель направленности источника Di, дБ		исходные данные	**0**	0	0	0	0	0	0	0	0		
Поправка на направленность источника Dc, дБ	Dc	DΩ + Di	**3**	3	3	3	3	3	3	3	3		

1		2	3	4	5	6	7	8	9	10	11	12	13
Затухание из-за геометрической дивергенции, Adiv, дБ	расстояние = 396.85 м	ф-ла (7) [10]	**63**										
Коэффициент затухания звука в атмосфере α, дБ/км	Ta=20,°C Pa=101.33,кПа hотн.=70%	ф-ла (5) [9]	0,02	0,09	0,33	1,12	2,79	4,98	9,04	23,09	77,63		
Учет затухания звука в атмосфере Aatm, дБ		ф-ла (8) [10]	0	0	0,1	0,4	1,1	2	3,6	9,2	30,8		
Снижение уровня звукового давления из-за влияния застройки между источником шума и расчетной точкой													
Снижение уровня звукового давления на пути над экраном, Dz1, дБ	z = 0.46м (разность путей)	ф-лы (14-18) [10]	5,2	5,6	6,6	8,8	11,6	14,5	17,4	20,3	23,3		
Снижение уровня звукового давления на пути слева от экрана, Dz2, дБ	z = 0.56м (разность путей)	ф-лы (14-18) [10]	7,1	8,5	10,5	12,9	15,6	18,4	21,3	24,3	27,3		
Снижение уровня звукового давления на пути справа от экрана, Dz3, дБ	z = 1.68м (разность путей)	ф-лы (14-18) [10]	9,6	11,9	14,4	17,2	20,1	23	26	29	32		
Общее снижение уровня звука препятствием Dz, дБ		Эн.сумма(-Dzi)	2,1	3,2	4,7	6,9	9,7	12,6	15,5	18,5	21,4		
Уровни звукового давления прямого звука от источника ИШ-1-8 в расчётной точке днём, дБ		**ф-ла(3)[10]**	**0**	**30,1**	**29,9**	**28,6**	**25,5**	**21,3**	**13,5**	**0,8**	**0**	**26,7**	**26,7**
Расчёт отражённого звука													
Уровни звукового давления от мнимого источника ИШ-1-8_мн.(1) в расчётной точке днём, дБ		**ф-ла(3)[10]**	**0**	**0**	**0**	**0**	**0**	**0**	**2,6**	**0**	**0**	**3,8**	**3,8**
Уровни звукового давления от источника ИШ-1-8 в расчётной точке днём, дБ		**ф-ла(3)[10]**	**0**	**30,1**	**29,9**	**28,6**	**25,5**	**21,3**	**13,8**	**0,8**	**0**	**26,7**	**26,7**
Источник шума: ИШ-1-9, координаты источника (x,y,z), м =[458.12,144.31,1.00]													
Уровни звуковой мощности источника днём, Lw, дБ		**исходные данные**	**0**	**93,3**	**94,7**	**96**	**96,3**	**95,9**	**92,6**	**88,4**	**83,9**		
Поправка на телесный угол DΩ, дБ	Ω = 6.28	10Lg(4π/Ω)	**3**	3	3	3	3	3	3	3	3		
Показатель направленности источника Di, дБ		исходные данные	**0**	0	0	0	0	0	0	0	0		

1		2	3	4	5	6	7	8	9	10	11	12	13
Поправка на направленность источника Dc, дБ	Dc	DΩ + Di	**3**	3	3	3	3	3	3	3	3		
Затухание из-за геометрической дивергенции, Adiv, дБ	расстояние = 395.79 м	ф-ла (7) [10]	**62,9**										
Коэффициент затухания звука в атмосфере α, дБ/км	Ta=20,°C Pa=101.33,кПа hотн.=70%	ф-ла (5) [9]	0,02	0,09	0,33	1,12	2,79	4,98	9,04	23,09	77,63		
Учет затухания звука в атмосфере Aatm, дБ		ф-ла (8) [10]	0	0	0,1	0,4	1,1	2	3,6	9,1	30,7		
Снижение уровня звукового давления из-за влияния застройки между источником шума и расчетной точкой													
Снижение уровня звукового давления на пути над экраном, Dz1, дБ	z = 0.46м (разность путей)	ф-лы (14-18) [10]	5,2	5,6	6,6	8,8	11,7	14,6	17,5	20,4	23,3		
Снижение уровня звукового давления на пути слева от экрана, Dz2, дБ	z = 0.46м (разность путей)	ф-лы (14-18) [10]	6,7	8	9,9	12,1	14,7	17,5	20,4	23,4	26,4		
Снижение уровня звукового давления на пути справа от экрана, Dz3, дБ	z = 1.88м (разность путей)	ф-лы (14-18) [10]	10	12,3	14,9	17,6	20,5	23,5	26,5	29,5	32,5		
Общее снижение уровня звука препятствием Dz, дБ		Эн.сумма(-Dzi)	2,1	3,1	4,5	6,8	9,6	12,4	15,3	18,3	21,2		
Уровни звукового давления прямого звука от источника ИШ-1-9 в расчётной точке днём, дБ		**ф-ла(3)[10]**	**0**	**30,2**	**30,1**	**28,8**	**25,7**	**21,5**	**13,7**	**1**	**0**	**26,8**	**26,8**
Расчёт отражённого звука													
Уровни звукового давления от мнимого источника ИШ-1-9_мн.(1) в расчётной точке днём, дБ		**ф-ла(3)[10]**	**0**	**0**	**0**	**0**	**0**	**0**	**4,2**	**0**	**0**	**5,4**	**5,4**
Уровни звукового давления от источника ИШ-1-9 в расчётной точке днём, дБ		**ф-ла(3)[10]**	**0**	**30,2**	**30,1**	**28,8**	**25,7**	**21,5**	**14,2**	**1**	**0**	**26,9**	**26,9**
Источник шума: ИШ-1-10, координаты источника (x,y,z), м =[461.05,143.53,1.00]													
Уровни звуковой мощности источника днём, Lw, дБ		**исходные данные**	**0**	**93,3**	**94,7**	**96**	**96,3**	**95,9**	**92,6**	**88,4**	**83,9**		
Поправка на телесный угол DΩ, дБ	Ω = 6.28	10Lg(4π/Ω)	**3**	3	3	3	3	3	3	3	3		

1		2	3	4	5	6	7	8	9	10	11	12	13
Показатель направленности источника Di, дБ		исходные данные	**0**	0	0	0	0	0	0	0	0		
Поправка на направленность источника Dc, дБ	Dc	DΩ + Di	**3**	3	3	3	3	3	3	3	3		
Затухание из-за геометрической дивергенции, Adiv, дБ	расстояние = 394.95 м	ф-ла (7) [10]	**62,9**										
Коэффициент затухания звука в атмосфере α, дБ/км	Ta=20,°C Pa=101.33,кПа hотн.=70%	ф-ла (5) [9]	0,02	0,09	0,33	1,12	2,79	4,98	9,04	23,09	77,63		
Учет затухания звука в атмосфере Aatm, дБ		ф-ла (8) [10]	0	0	0,1	0,4	1,1	2	3,6	9,1	30,7		
Снижение уровня звукового давления из-за влияния застройки между источником шума и расчетной точкой													
Снижение уровня звукового давления на пути над экраном, Dz1, дБ	z = 0.47м (разность путей)	ф-лы (14-18) [10]	5,2	5,6	6,7	8,8	11,7	14,6	17,5	20,4	23,4		
Снижение уровня звукового давления на пути слева от экрана, Dz2, дБ	z = 0.37м (разность путей)	ф-лы (14-18) [10]	6,4	7,6	9,2	11,4	13,9	16,6	19,5	22,4	25,4		
Снижение уровня звукового давления на пути справа от экрана, Dz3, дБ	z = 2.07м (разность путей)	ф-лы (14-18) [10]	10,3	12,6	15,2	18,1	21	23,9	26,9	29,9	32,9		
Общее снижение уровня звука препятствием Dz, дБ		Эн.сумма(-Dzi)	2	3	4,4	6,6	9,4	12,2	15,1	18	21		
Уровни звукового давления прямого звука от источника ИШ-1-10 в расчётной точке днём, дБ		**ф-ла(3)[10]**	**0**	**30,4**	**30,3**	**29**	**25,9**	**21,8**	**14**	**1,3**	**0**	**27,1**	**27,1**
Расчёт отражённого звука													
Уровни звукового давления от мнимого источника ИШ-1-10_мн.(1) в расчётной точке днём, дБ		**ф-ла(3)[10]**	**0**	**0**	**0**	**0**	**0**	**0**	**3,6**	**0**	**0**	**4,8**	**4,8**
Уровни звукового давления от источника ИШ-1-10 в расчётной точке днём, дБ		**ф-ла(3)[10]**	**0**	**30,4**	**30,3**	**29**	**25,9**	**21,8**	**14,4**	**1,3**	**0**	**27,1**	**27,1**
Источник шума: ИШ-1-11, координаты источника (x,y,z), м =[464.18,142.55,1.00]													
Уровни звуковой мощности источника днём, Lw, дБ		**исходные данные**	**0**	**93,3**	**94,7**	**96**	**96,3**	**95,9**	**92,6**	**88,4**	**83,9**		

1		2	3	4	5	6	7	8	9	10	11	12	13
Поправка на телесный угол DΩ, дБ	Ω = 6.28	10Lg(4π/Ω)	**3**	3	3	3	3	3	3	3	3		
Показатель направленности источника Di, дБ		исходные данные	**0**	0	0	0	0	0	0	0	0		
Поправка на направленность источника Dc, дБ	Dc	DΩ + Di	**3**	3	3	3	3	3	3	3	3		
Затухание из-за геометрической дивергенции, Adiv, дБ	расстояние = 393.94 м	ф-ла (7) [10]	**62,9**										
Коэффициент затухания звука в атмосфере α, дБ/км	Ta=20,°C Pa=101.33,кПа hотн.=70%	ф-ла (5) [9]	0,02	0,09	0,33	1,12	2,79	4,98	9,04	23,09	77,63		
Учет затухания звука в атмосфере Aatm, дБ		ф-ла (8) [10]	0	0	0,1	0,4	1,1	2	3,6	9,1	30,6		
Снижение уровня звукового давления из-за влияния застройки между источником шума и расчетной точкой													
Снижение уровня звукового давления на пути над экраном, Dz1, дБ	z = 0.47м (разность путей)	ф-лы (14-18) [10]	5,2	5,6	6,7	8,9	11,8	14,7	17,6	20,5	23,4		
Снижение уровня звукового давления на пути слева от экрана, Dz2, дБ	z = 114.55м (разность путей)	ф-лы (14-18) [10]	26,6	30,3	34,7	39,1	42,8	46	49,1	52,1	55,1		
Снижение уровня звукового давления на пути справа от экрана, Dz3, дБ	z = 2.29м (разность путей)	ф-лы (14-18) [10]	10,6	13	15,7	18,5	21,4	24,4	27,3	30,3	33,3		
Общее снижение уровня звука препятствием Dz, дБ		Эн.сумма(-Dzi)	4,1	4,9	6,1	8,4	11,3	14,2	17,1	20	23		
Уровни звукового давления прямого звука от источника ИШ-1-11 в расчётной точке днём, дБ		**ф-ла(3)[10]**	**0**	**28,5**	**28,5**	**27,2**	**24**	**19,8**	**12**	**0**	**0**	**25,2**	**25,2**
Расчёт отражённого звука													
Уровни звукового давления от мнимого источника ИШ-1-11_мн.(1) в расчётной точке днём, дБ		**ф-ла(3)[10]**	**0**	**0**	**0**	**0**	**0**	**0**	**2,9**	**0**	**0**	**4,1**	**4,1**
Уровни звукового давления от источника ИШ-1-11 в расчётной точке днём, дБ		**ф-ла(3)[10]**	**0**	**28,5**	**28,5**	**27,2**	**24**	**19,8**	**12,5**	**0**	**0**	**25,2**	**25,2**
Источник шума: ИШ-1-12, координаты источника (x,y,z), м =[435.45,97.79,1.00]													

1		2	3	4	5	6	7	8	9	10	11	12	13
Уровни звуковой мощности источника днём, Lw, дБ		**исходные данные**	**0**	**93,3**	**94,7**	**96**	**96,3**	**95,9**	**92,6**	**88,4**	**83,9**		
Поправка на телесный угол DΩ, дБ	Ω = 6.28	10Lg(4π/Ω)	**3**	3	3	3	3	3	3	3	3		
Показатель направленности источника Di, дБ		исходные данные	**0**	0	0	0	0	0	0	0	0		
Поправка на направленность источника Dc, дБ	Dc	DΩ + Di	**3**	3	3	3	3	3	3	3	3		
Затухание из-за геометрической дивергенции, Adiv, дБ	расстояние = 350.60 м	ф-ла (7) [10]	**61,9**										
Коэффициент затухания звука в атмосфере α, дБ/км	Ta=20,°C Pa=101.33,кПа hотн.=70%	ф-ла (5) [9]	0,02	0,09	0,33	1,12	2,79	4,98	9,04	23,09	77,63		
Учет затухания звука в атмосфере Aatm, дБ		ф-ла (8) [10]	0	0	0,1	0,4	1	1,7	3,2	8,1	27,2		
Снижение уровня звукового давления из-за влияния застройки между источником шума и расчетной точкой													
Снижение уровня звукового давления на пути над экраном, Dz1, дБ	z = 0.49м (разность путей)	ф-лы (14-18) [10]	5,3	5,9	7,2	9,8	12,9	15,9	18,9	21,8	24,8		
Снижение уровня звукового давления на пути слева от экрана, Dz2, дБ	z = 1.85м (разность путей)	ф-лы (14-18) [10]	9,9	12,2	14,8	17,6	20,5	23,4	26,4	29,4	32,4		
Снижение уровня звукового давления на пути справа от экрана, Dz3, дБ	z = 0.57м (разность путей)	ф-лы (14-18) [10]	7,1	8,6	10,6	13	15,6	18,5	21,4	24,3	27,3		
Общее снижение уровня звука препятствием Dz, дБ		Эн.сумма(-Dzi)	2,3	3,4	5,1	7,6	10,6	13,5	16,5	19,4	22,4		
Уровни звукового давления прямого звука от источника ИШ-1-12 в расчётной точке днём, дБ		**ф-ла(3)[10]**	**0**	**30,9**	**30,6**	**29,1**	**25,8**	**21,7**	**14**	**2**	**0**	**27,1**	**27,1**
Расчёт отражённого звука													
Уровни звукового давления от мнимого источника ИШ-1-12_мн.(1) в расчётной точке днём, дБ		**ф-ла(3)[10]**	**0**	**0**	**0**	**0**	**0**	**0**	**0**	**0**	**0**	**0**	**0**
Уровни звукового давления от источника ИШ-1-12 в расчётной точке днём, дБ		**ф-ла(3)[10]**	**0**	**30,9**	**30,6**	**29,1**	**25,8**	**21,7**	**14**	**2**	**0**	**27,1**	**27,1**

1		2	3	4	5	6	7	8	9	10	11	12	13
Источник шума: ИШ-1-13, координаты источника (x,y,z), м =[438.77,96.82,1.00]													
Уровни звуковой мощности источника днём, Lw, дБ		**исходные данные**	**0**	**93,3**	**94,7**	**96**	**96,3**	**95,9**	**92,6**	**88,4**	**83,9**		
Поправка на телесный угол DΩ, дБ	Ω = 6.28	10Lg(4π/Ω)	**3**	3	3	3	3	3	3	3	3		
Показатель направленности источника Di, дБ		исходные данные	**0**	0	0	0	0	0	0	0	0		
Поправка на направленность источника Dc, дБ	Dc	DΩ + Di	**3**	3	3	3	3	3	3	3	3		
Затухание из-за геометрической дивергенции, Adiv, дБ	расстояние = 349.34 м	ф-ла (7) [10]	**61,9**										
Коэффициент затухания звука в атмосфере α, дБ/км	Ta=20,°C Pa=101.33,кПа hотн.=70%	ф-ла (5) [9]	0,02	0,09	0,33	1,12	2,79	4,98	9,04	23,09	77,63		
Учет затухания звука в атмосфере Aatm, дБ		ф-ла (8) [10]	0	0	0,1	0,4	1	1,7	3,2	8,1	27,1		
Снижение уровня звукового давления из-за влияния застройки между источником шума и расчетной точкой													
Снижение уровня звукового давления на пути над экраном, Dz1, дБ	z = 0.49м (разность путей)	ф-лы (14-18) [10]	5,3	5,9	7,3	9,9	13	16	18,9	21,9	24,9		
Снижение уровня звукового давления на пути слева от экрана, Dz2, дБ	z = 1.62м (разность путей)	ф-лы (14-18) [10]	9,5	11,8	14,3	17	19,9	22,9	25,8	28,8	31,8		
Снижение уровня звукового давления на пути справа от экрана, Dz3, дБ	z = 0.72м (разность путей)	ф-лы (14-18) [10]	7,5	9,2	11,3	13,8	16,5	19,4	22,3	25,3	28,3		
Общее снижение уровня звука препятствием Dz, дБ		Эн.сумма(-Dzi)	2,4	3,5	5,2	7,8	10,8	13,8	16,7	19,7	22,7		
Уровни звукового давления прямого звука от источника ИШ-1-13 в расчётной точке днём, дБ		**ф-ла(3)[10]**	**0**	**30,9**	**30,5**	**28,9**	**25,6**	**21,5**	**13,8**	**1,8**	**0**	**26,9**	**26,9**
Расчёт отражённого звука													
Уровни звукового давления от мнимого источника ИШ-1-13_мн.(1) в расчётной точке днём, дБ		**ф-ла(3)[10]**	**0**	**0**	**0**	**0**	**0**	**0**	**0**	**0**	**0**	**0**	**0**

1		2	3	4	5	6	7	8	9	10	11	12	13
Уровни звукового давления от источника ИШ-1-13 в расчётной точке днём, дБ		**ф-ла(3)[10]**	**0**	**30,9**	**30,5**	**28,9**	**25,6**	**21,5**	**13,8**	**1,8**	**0**	**26,9**	**26,9**
Источник шума: ИШ-1-14, координаты источника (x,y,z), м =[441.70,96.03,1.00]													
Уровни звуковой мощности источника днём, Lw, дБ		**исходные данные**	**0**	**93,3**	**94,7**	**96**	**96,3**	**95,9**	**92,6**	**88,4**	**83,9**		
Поправка на телесный угол DΩ, дБ	Ω = 6.28	10Lg(4π/Ω)	**3**	3	3	3	3	3	3	3	3		
Показатель направленности источника Di, дБ		исходные данные	**0**	0	0	0	0	0	0	0	0		
Поправка на направленность источника Dc, дБ	Dc	DΩ + Di	**3**	3	3	3	3	3	3	3	3		
Затухание из-за геометрической дивергенции, Adiv, дБ	расстояние = 348.34 м	ф-ла (7) [10]	**61,8**										
Коэффициент затухания звука в атмосфере α, дБ/км	Ta=20,°C Pa=101.33,кПа hотн.=70%	ф-ла (5) [9]	0,02	0,09	0,33	1,12	2,79	4,98	9,04	23,09	77,63		
Учет затухания звука в атмосфере Aatm, дБ		ф-ла (8) [10]	0	0	0,1	0,4	1	1,7	3,1	8	27		
Снижение уровня звукового давления из-за влияния застройки между источником шума и расчетной точкой													
Снижение уровня звукового давления на пути над экраном, Dz1, дБ	z = 0.49м (разность путей)	ф-лы (14-18) [10]	5,3	5,9	7,3	9,9	13	16	19	22	24,9		
Снижение уровня звукового давления на пути слева от экрана, Dz2, дБ	z = 1.42м (разность путей)	ф-лы (14-18) [10]	9,2	11,3	13,8	16,5	19,4	22,3	25,3	28,3	31,3		
Снижение уровня звукового давления на пути справа от экрана, Dz3, дБ	z = 0.86м (разность путей)	ф-лы (14-18) [10]	7,9	9,7	11,9	14,5	17,3	20,2	23,1	26,1	29,1		
Общее снижение уровня звука препятствием Dz, дБ		Эн.сумма(-Dzi)	2,4	3,6	5,3	7,9	11	13,9	16,9	19,9	22,8		
Уровни звукового давления прямого звука от источника ИШ-1-14 в расчётной точке днём, дБ		**ф-ла(3)[10]**	**0**	**30,8**	**30,4**	**28,8**	**25,5**	**21,4**	**13,7**	**1,7**	**0**	**26,8**	**26,8**
Расчёт отражённого звука													

1		2	3	4	5	6	7	8	9	10	11	12	13
Уровни звукового давления от мнимого источника ИШ-1-14_мн.(1) в расчётной точке днём, дБ		**ф-ла(3)[10]**	**0**	**0**	**0**	**0**	**0**	**0**	**0**	**0**	**0**	**0**	**0**
Уровни звукового давления от источника ИШ-1-14 в расчётной точке днём, дБ		**ф-ла(3)[10]**	**0**	**30,8**	**30,4**	**28,8**	**25,5**	**21,4**	**13,7**	**1,7**	**0**	**26,8**	**26,8**
Источник шума: ИШ-1-15, координаты источника (x,y,z), м =[445.03,95.25,1.00]													
Уровни звуковой мощности источника днём, Lw, дБ		**исходные данные**	**0**	**93,3**	**94,7**	**96**	**96,3**	**95,9**	**92,6**	**88,4**	**83,9**		
Поправка на телесный угол DΩ, дБ	Ω = 6.28	10Lg(4π/Ω)	**3**	3	3	3	3	3	3	3	3		
Показатель направленности источника Di, дБ		исходные данные	**0**	0	0	0	0	0	0	0	0		
Поправка на направленность источника Dc, дБ	Dc	DΩ + Di	**3**	3	3	3	3	3	3	3	3		
Затухание из-за геометрической дивергенции, Adiv, дБ	расстояние = 347.33 м	ф-ла (7) [10]	**61,8**										
Коэффициент затухания звука в атмосфере α, дБ/км	Ta=20,°C Pa=101.33,кПа hотн.=70%	ф-ла (5) [9]	0,02	0,09	0,33	1,12	2,79	4,98	9,04	23,09	77,63		
Учет затухания звука в атмосфере Aatm, дБ		ф-ла (8) [10]	0	0	0,1	0,4	1	1,7	3,1	8	27		
Снижение уровня звукового давления из-за влияния застройки между источником шума и расчетной точкой													
Снижение уровня звукового давления на пути над экраном, Dz1, дБ	z = 0.49м (разность путей)	ф-лы (14-18) [10]	5,3	6	7,3	9,9	13,1	16,1	19	22	25		
Снижение уровня звукового давления на пути слева от экрана, Dz2, дБ	z = 1.21м (разность путей)	ф-лы (14-18) [10]	8,7	10,8	13,2	15,9	18,7	21,6	24,6	27,6	30,6		
Снижение уровня звукового давления на пути справа от экрана, Dz3, дБ	z = 1.04м (разность путей)	ф-лы (14-18) [10]	8,4	10,3	12,6	15,2	18,1	21	23,9	26,9	29,9		
Общее снижение уровня звука препятствием Dz, дБ		Эн.сумма(-Dzi)	2,4	3,7	5,4	8	11,1	14	17	20	22,9		
Уровни звукового давления прямого звука от источника ИШ-1-15 в расчётной точке днём, дБ		**ф-ла(3)[10]**	**0**	**30,8**	**30,4**	**28,8**	**25,5**	**21,3**	**13,6**	**1,6**	**0**	**26,7**	**26,7**

1		2	3	4	5	6	7	8	9	10	11	12	13
Расчёт отражённого звука													
Уровни звукового давления от мнимого источника ИШ-1-15_мн.(1) в расчётной точке днём, дБ		**ф-ла(3)[10]**	**0**	**0**	**0**	**0**	**0**	**0**	**0**	**0**	**0**	**0**	**0**
Уровни звукового давления от источника ИШ-1-15 в расчётной точке днём, дБ		**ф-ла(3)[10]**	**0**	**30,8**	**30,4**	**28,8**	**25,5**	**21,3**	**13,6**	**1,6**	**0**	**26,7**	**26,7**
Источник шума: ИШ-1-16, координаты источника (x,y,z), м =[447.96,94.28,1.00]													
Уровни звуковой мощности источника днём, Lw, дБ		**исходные данные**	**0**	**93,3**	**94,7**	**96**	**96,3**	**95,9**	**92,6**	**88,4**	**83,9**		
Поправка на телесный угол DΩ, дБ	Ω = 6.28	10Lg(4π/Ω)	**3**	3	3	3	3	3	3	3	3		
Показатель направленности источника Di, дБ		исходные данные	**0**	0	0	0	0	0	0	0	0		
Поправка на направленность источника Dc, дБ	Dc	DΩ + Di	**3**	3	3	3	3	3	3	3	3		
Затухание из-за геометрической дивергенции, Adiv, дБ	расстояние = 346.18 м	ф-ла (7) [10]	**61,8**										
Коэффициент затухания звука в атмосфере α, дБ/км	Ta=20,°C Pa=101.33,кПа hотн.=70%	ф-ла (5) [9]	0,02	0,09	0,33	1,12	2,79	4,98	9,04	23,09	77,63		
Учет затухания звука в атмосфере Aatm, дБ		ф-ла (8) [10]	0	0	0,1	0,4	1	1,7	3,1	8	26,9		
Снижение уровня звукового давления из-за влияния застройки между источником шума и расчетной точкой													
Снижение уровня звукового давления на пути над экраном, Dz1, дБ	z = 0.50м (разность путей)	ф-лы (14-18) [10]	5,4	6	7,3	10	13,1	16,2	19,1	22,1	25		
Снижение уровня звукового давления на пути слева от экрана, Dz2, дБ	z = 1.04м (разность путей)	ф-лы (14-18) [10]	8,4	10,3	12,6	15,3	18,1	21	23,9	26,9	29,9		
Снижение уровня звукового давления на пути справа от экрана, Dz3, дБ	z = 1.21м (разность путей)	ф-лы (14-18) [10]	8,7	10,8	13,2	15,9	18,7	21,6	24,6	27,6	30,6		
Общее снижение уровня звука препятствием Dz, дБ		Эн.сумма(-Dzi)	2,4	3,7	5,4	8	11,1	14,1	17	20	23		

1		2	3	4	5	6	7	8	9	10	11	12	13
Уровни звукового давления прямого звука от источника ИШ-1-16 в расчётной точке днём, дБ		**ф-ла(3)[10]**	**0**	**30,8**	**30,4**	**28,8**	**25,5**	**21,3**	**13,6**	**1,6**	**0**	**26,7**	**26,7**
Расчёт отражённого звука													
Уровни звукового давления от мнимого источника ИШ-1-16_мн.(1) в расчётной точке днём, дБ		**ф-ла(3)[10]**	**0**	**0**	**0**	**0**	**0**	**0**	**0**	**0**	**0**	**0**	**0**
Уровни звукового давления от источника ИШ-1-16 в расчётной точке днём, дБ		**ф-ла(3)[10]**	**0**	**30,8**	**30,4**	**28,8**	**25,5**	**21,3**	**13,6**	**1,6**	**0**	**26,7**	**26,7**
Источник шума: ИШ-1-17, координаты источника (x,y,z), м =[540.99,141.77,1.00]													
Уровни звуковой мощности источника днём, Lw, дБ		**исходные данные**	**0**	**93,3**	**94,7**	**96**	**96,3**	**95,9**	**92,6**	**88,4**	**83,9**		
Поправка на телесный угол DΩ, дБ	Ω = 6.28	10Lg(4π/Ω)	**3**	3	3	3	3	3	3	3	3		
Показатель направленности источника Di, дБ		исходные данные	**0**	0	0	0	0	0	0	0	0		
Поправка на направленность источника Dc, дБ	Dc	DΩ + Di	**3**	3	3	3	3	3	3	3	3		
Затухание из-за геометрической дивергенции, Adiv, дБ	расстояние = 400.03 м	ф-ла (7) [10]	**63**										
Коэффициент затухания звука в атмосфере α, дБ/км	Ta=20,°C Pa=101.33,кПа hотн.=70%	ф-ла (5) [9]	0,02	0,09	0,33	1,12	2,79	4,98	9,04	23,09	77,63		
Учет затухания звука в атмосфере Aatm, дБ		ф-ла (8) [10]	0	0	0,1	0,4	1,1	2	3,6	9,2	31,1		
Снижение поверхностью земли возле источника As, дБ	Gs = 0 hs = 1м	ф-лы таб.3 [10]	-1,5	-1,5	-1,5	-1,5	-1,5	-1,5	-1,5	-1,5	-1,5		
Снижение поверхностью земли возле приёмника Ar, дБ	Gr = 1 hr = 1.5м	ф-лы таб.3 [10]	-1,5	-1,5	2,4	7	5	0,7	0	0	0		
Снижение поверхностью земли в средней зоне, Am дБ	Gm = 1	ф-лы таб.3 [10]	-2,4	-2,4	0	0	0	0	0	0	0		
Суммарное снижение поверхностью земли на траектории распространения звука Agr, дБ		ф-ла (9) [10]	-5,4	-5,4	0,9	5,5	3,5	-0,8	-1,5	-1,5	-1,5		

1		2	3	4	5	6	7	8	9	10	11	12	13
Уровни звукового давления прямого звука от источника ИШ-1-17 в расчётной точке днём, дБ		**ф-ла(3)[10]**	**0**	**38,7**	**33,6**	**30**	**31,7**	**34,7**	**30,4**	**20,6**	**0**	**37,4**	**37,4**
Расчёт отражённого звука													
Уровни звукового давления от мнимого источника ИШ-1-17_мн.(1) в расчётной точке днём, дБ		**ф-ла(3)[10]**	**0**	**0**	**0**	**0**	**0**	**26,9**	**27,4**	**17,7**	**0**	**31,1**	**31,1**
Уровни звукового давления от источника ИШ-1-17 в расчётной точке днём, дБ		**ф-ла(3)[10]**	**0**	**38,7**	**33,6**	**30**	**31,7**	**35,4**	**32,2**	**22,4**	**0**	**38,3**	**38,3**
Источник шума: ИШ-1-18, координаты источника (x,y,z), м =[543.53,140.79,1.00]													
Уровни звуковой мощности источника днём, Lw, дБ		**исходные данные**	**0**	**93,3**	**94,7**	**96**	**96,3**	**95,9**	**92,6**	**88,4**	**83,9**		
Поправка на телесный угол DΩ, дБ	Ω = 6.28	10Lg(4π/Ω)	**3**	3	3	3	3	3	3	3	3		
Показатель направленности источника Di, дБ		исходные данные	**0**	0	0	0	0	0	0	0	0		
Поправка на направленность источника Dc, дБ	Dc	DΩ + Di	**3**	3	3	3	3	3	3	3	3		
Затухание из-за геометрической дивергенции, Adiv, дБ	расстояние = 399.55 м	ф-ла (7) [10]	**63**										
Коэффициент затухания звука в атмосфере α, дБ/км	Ta=20,°C Pa=101.33,кПа hотн.=70%	ф-ла (5) [9]	0,02	0,09	0,33	1,12	2,79	4,98	9,04	23,09	77,63		
Учет затухания звука в атмосфере Aatm, дБ		ф-ла (8) [10]	0	0	0,1	0,4	1,1	2	3,6	9,2	31		
Снижение поверхностью земли возле источника As, дБ	Gs = 0 hs = 1м	ф-лы таб.3 [10]	-1,5	-1,5	-1,5	-1,5	-1,5	-1,5	-1,5	-1,5	-1,5		
Снижение поверхностью земли возле приёмника Ar, дБ	Gr = 1 hr = 1.5м	ф-лы таб.3 [10]	-1,5	-1,5	2,4	7	5	0,7	0	0	0		
Снижение поверхностью земли в средней зоне, Am дБ	Gm = 1	ф-лы таб.3 [10]	-2,4	-2,4	0	0	0	0	0	0	0		
Суммарное снижение поверхностью земли на траектории распространения звука Agr, дБ		ф-ла (9) [10]	-5,4	-5,4	0,9	5,5	3,5	-0,8	-1,5	-1,5	-1,5		

1		2	3	4	5	6	7	8	9	10	11	12	13
Уровни звукового давления от источника ИШ-1-18 в расчётной точке днём, дБ		**ф-ла(3)[10]**	**0**	**38,7**	**33,7**	**30**	**31,7**	**34,7**	**30,4**	**20,6**	**0**	**37,4**	**37,4**
Источник шума: ИШ-1-19, координаты источника (x,y,z), м =[547.25,139.62,1.00]													
Уровни звуковой мощности источника днём, Lw, дБ		**исходные данные**	**0**	**93,3**	**94,7**	**96**	**96,3**	**95,9**	**92,6**	**88,4**	**83,9**		
Поправка на телесный угол DΩ, дБ	Ω = 6.28	10Lg(4π/Ω)	**3**	3	3	3	3	3	3	3	3		
Показатель направленности источника Di, дБ		исходные данные	**0**	0	0	0	0	0	0	0	0		
Поправка на направленность источника Dc, дБ	Dc	DΩ + Di	**3**	3	3	3	3	3	3	3	3		
Затухание из-за геометрической дивергенции, Adiv, дБ	расстояние = 399.13 м	ф-ла (7) [10]	**63**										
Коэффициент затухания звука в атмосфере α, дБ/км	Ta=20,°C Pa=101.33,кПа hотн.=70%	ф-ла (5) [9]	0,02	0,09	0,33	1,12	2,79	4,98	9,04	23,09	77,63		
Учет затухания звука в атмосфере Aatm, дБ		ф-ла (8) [10]	0	0	0,1	0,4	1,1	2	3,6	9,2	31		
Снижение поверхностью земли возле источника As, дБ	Gs = 0 hs = 1м	ф-лы таб.3 [10]	-1,5	-1,5	-1,5	-1,5	-1,5	-1,5	-1,5	-1,5	-1,5		
Снижение поверхностью земли возле приёмника Ar, дБ	Gr = 1 hr = 1.5м	ф-лы таб.3 [10]	-1,5	-1,5	2,4	7	5	0,7	0	0	0		
Снижение поверхностью земли в средней зоне, Am дБ	Gm = 1	ф-лы таб.3 [10]	-2,4	-2,4	0	0	0	0	0	0	0		
Суммарное снижение поверхностью земли на траектории распространения звука Agr, дБ		ф-ла (9) [10]	-5,4	-5,4	0,9	5,5	3,5	-0,8	-1,5	-1,5	-1,5		
Уровни звукового давления от источника ИШ-1-19 в расчётной точке днём, дБ		**ф-ла(3)[10]**	**0**	**38,7**	**33,7**	**30**	**31,7**	**34,7**	**30,5**	**20,7**	**0**	**37,4**	**37,4**
Источник шума: ИШ-1-20, координаты источника (x,y,z), м =[550.38,138.64,1.00]													
Уровни звуковой мощности источника днём, Lw, дБ		**исходные данные**	**0**	**93,3**	**94,7**	**96**	**96,3**	**95,9**	**92,6**	**88,4**	**83,9**		

1		2	3	4	5	6	7	8	9	10	11	12	13
Поправка на телесный угол DΩ, дБ	Ω = 6.28	10Lg(4π/Ω)	**3**	3	3	3	3	3	3	3	3		
Показатель направленности источника Di, дБ		исходные данные	**0**	0	0	0	0	0	0	0	0		
Поправка на направленность источника Dc, дБ	Dc	DΩ + Di	**3**	3	3	3	3	3	3	3	3		
Затухание из-за геометрической дивергенции, Adiv, дБ	расстояние = 398.81 м	ф-ла (7) [10]	**63**										
Коэффициент затухания звука в атмосфере α, дБ/км	Ta=20,°C Pa=101.33,кПа hотн.=70%	ф-ла (5) [9]	0,02	0,09	0,33	1,12	2,79	4,98	9,04	23,09	77,63		
Учет затухания звука в атмосфере Aatm, дБ		ф-ла (8) [10]	0	0	0,1	0,4	1,1	2	3,6	9,2	31		
Снижение поверхностью земли возле источника As, дБ	Gs = 0 hs = 1м	ф-лы таб.3 [10]	-1,5	-1,5	-1,5	-1,5	-1,5	-1,5	-1,5	-1,5	-1,5		
Снижение поверхностью земли возле приёмника Ar, дБ	Gr = 1 hr = 1.5м	ф-лы таб.3 [10]	-1,5	-1,5	2,4	7	5	0,7	0	0	0		
Снижение поверхностью земли в средней зоне, Am дБ	Gm = 1	ф-лы таб.3 [10]	-2,4	-2,4	0	0	0	0	0	0	0		
Суммарное снижение поверхностью земли на траектории распространения звука Agr, дБ		ф-ла (9) [10]	-5,4	-5,4	0,9	5,5	3,5	-0,8	-1,5	-1,5	-1,5		
Уровни звукового давления от источника ИШ-1-20 в расчётной точке днём, дБ		**ф-ла(3)[10]**	**0**	**38,7**	**33,7**	**30**	**31,7**	**34,7**	**30,5**	**20,7**	**0**	**37,4**	**37,4**
Источник шума: ИШ-1-21, координаты источника (x,y,z), м =[553.31,137.67,1.00]													
Уровни звуковой мощности источника днём, Lw, дБ		**исходные данные**	**0**	**93,3**	**94,7**	**96**	**96,3**	**95,9**	**92,6**	**88,4**	**83,9**		
Поправка на телесный угол DΩ, дБ	Ω = 6.28	10Lg(4π/Ω)	**3**	3	3	3	3	3	3	3	3		
Показатель направленности источника Di, дБ		исходные данные	**0**	0	0	0	0	0	0	0	0		
Поправка на направленность источника Dc, дБ	Dc	DΩ + Di	**3**	3	3	3	3	3	3	3	3		

1		2	3	4	5	6	7	8	9	10	11	12	13
Затухание из-за геометрической дивергенции, Adiv, дБ	расстояние = 398.48 м	ф-ла (7) [10]	**63**										
Коэффициент затухания звука в атмосфере α, дБ/км	Ta=20,°C Pa=101.33,кПа hотн.=70%	ф-ла (5) [9]	0,02	0,09	0,33	1,12	2,79	4,98	9,04	23,09	77,63		
Учет затухания звука в атмосфере Aatm, дБ		ф-ла (8) [10]	0	0	0,1	0,4	1,1	2	3,6	9,2	30,9		
Снижение поверхностью земли возле источника As, дБ	Gs = 0 hs = 1м	ф-лы таб.3 [10]	-1,5	-1,5	-1,5	-1,5	-1,5	-1,5	-1,5	-1,5	-1,5		
Снижение поверхностью земли возле приёмника Ar, дБ	Gr = 1 hr = 1.5м	ф-лы таб.3 [10]	-1,5	-1,5	2,4	7	5	0,7	0	0	0		
Снижение поверхностью земли в средней зоне, Am дБ	Gm = 1	ф-лы таб.3 [10]	-2,4	-2,4	0	0	0	0	0	0	0		
Суммарное снижение поверхностью земли на траектории распространения звука Agr, дБ		ф-ла (9) [10]	-5,4	-5,4	0,9	5,5	3,5	-0,8	-1,5	-1,5	-1,5		
Уровни звукового давления от источника ИШ-1-21 в расчётной точке днём, дБ		**ф-ла(3)[10]**	**0**	**38,7**	**33,7**	**30**	**31,7**	**34,7**	**30,5**	**20,7**	**0**	**37,4**	**37,4**
Источник шума: ИШ-1-22, координаты источника (x,y,z), м =[522.03,85.28,1.00]													
Уровни звуковой мощности источника днём, Lw, дБ		**исходные данные**	**0**	**93,3**	**94,7**	**96**	**96,3**	**95,9**	**92,6**	**88,4**	**83,9**		
Поправка на телесный угол DΩ, дБ	Ω = 6.28	10Lg(4π/Ω)	**3**	3	3	3	3	3	3	3	3		
Показатель направленности источника Di, дБ		исходные данные	**0**	0	0	0	0	0	0	0	0		
Поправка на направленность источника Dc, дБ	Dc	DΩ + Di	**3**	3	3	3	3	3	3	3	3		
Затухание из-за геометрической дивергенции, Adiv, дБ	расстояние = 341.11 м	ф-ла (7) [10]	**61,7**										
Коэффициент затухания звука в атмосфере α, дБ/км	Ta=20,°C Pa=101.33,кПа hотн.=70%	ф-ла (5) [9]	0,02	0,09	0,33	1,12	2,79	4,98	9,04	23,09	77,63		
Учет затухания звука в атмосфере Aatm, дБ		ф-ла (8) [10]	0	0	0,1	0,4	1	1,7	3,1	7,9	26,5		

1		2	3	4	5	6	7	8	9	10	11	12	13
Снижение поверхностью земли возле источника As, дБ	Gs = 0 hs = 1м	ф-лы таб.3 [10]	-1,5	-1,5	-1,5	-1,5	-1,5	-1,5	-1,5	-1,5	-1,5		
Снижение поверхностью земли возле приёмника Ar, дБ	Gr = 1 hr = 1.5м	ф-лы таб.3 [10]	-1,5	-1,5	2	7	5	0,7	0	0	0		
Снижение поверхностью земли в средней зоне, Am дБ	Gm = 1	ф-лы таб.3 [10]	-2,3	-2,3	0	0	0	0	0	0	0		
Суммарное снижение поверхностью земли на траектории распространения звука Agr, дБ		ф-ла (9) [10]	-5,3	-5,3	0,5	5,5	3,5	-0,8	-1,5	-1,5	-1,5		
Уровни звукового давления от источника ИШ-1-22 в расчётной точке днём, дБ		**ф-ла(3)[10]**	**0**	**39,9**	**35,4**	**31,4**	**33,2**	**36,4**	**32,4**	**23,4**	**0**	**39,1**	**39,1**
Источник шума: ИШ-1-23, координаты источника (x,y,z), м =[525.16,84.11,1.00]													
Уровни звуковой мощности источника днём, Lw, дБ		**исходные данные**	**0**	**93,3**	**94,7**	**96**	**96,3**	**95,9**	**92,6**	**88,4**	**83,9**		
Поправка на телесный угол DΩ, дБ	Ω = 6.28	10Lg(4π/Ω)	**3**	3	3	3	3	3	3	3	3		
Показатель направленности источника Di, дБ		исходные данные	**0**	0	0	0	0	0	0	0	0		
Поправка на направленность источника Dc, дБ	Dc	DΩ + Di	**3**	3	3	3	3	3	3	3	3		
Затухание из-за геометрической дивергенции, Adiv, дБ	расстояние = 340.48 м	ф-ла (7) [10]	**61,6**										
Коэффициент затухания звука в атмосфере α, дБ/км	Ta=20,°C Pa=101.33,кПа hотн.=70%	ф-ла (5) [9]	0,02	0,09	0,33	1,12	2,79	4,98	9,04	23,09	77,63		
Учет затухания звука в атмосфере Aatm, дБ		ф-ла (8) [10]	0	0	0,1	0,4	1	1,7	3,1	7,9	26,4		
Снижение поверхностью земли возле источника As, дБ	Gs = 0 hs = 1м	ф-лы таб.3 [10]	-1,5	-1,5	-1,5	-1,5	-1,5	-1,5	-1,5	-1,5	-1,5		
Снижение поверхностью земли возле приёмника Ar, дБ	Gr = 1 hr = 1.5м	ф-лы таб.3 [10]	-1,5	-1,5	2	7	5	0,7	0	0	0		
Снижение поверхностью земли в средней зоне, Am дБ	Gm = 1	ф-лы таб.3 [10]	-2,3	-2,3	0	0	0	0	0	0	0		

1		2	3	4	5	6	7	8	9	10	11	12	13
Суммарное снижение поверхностью земли на траектории распространения звука Agr, дБ		ф-ла (9) [10]	-5,3	-5,3	0,5	5,5	3,5	-0,8	-1,5	-1,5	-1,5		
Уровни звукового давления от источника ИШ-1-23 в расчётной точке днём, дБ		**ф-ла(3)[10]**	**0**	**40**	**35,5**	**31,5**	**33,2**	**36,4**	**32,4**	**23,4**	**0**	**39,2**	**39,2**
Источник шума: ИШ-1-24, координаты источника (x,y,z), м =[528.48,82.94,1.00]													
Уровни звуковой мощности источника днём, Lw, дБ		**исходные данные**	**0**	**93,3**	**94,7**	**96**	**96,3**	**95,9**	**92,6**	**88,4**	**83,9**		
Поправка на телесный угол DΩ, дБ	Ω = 6.28	10Lg(4π/Ω)	**3**	3	3	3	3	3	3	3	3		
Показатель направленности источника Di, дБ		исходные данные	**0**	0	0	0	0	0	0	0	0		
Поправка на направленность источника Dc, дБ	Dc	DΩ + Di	**3**	3	3	3	3	3	3	3	3		
Затухание из-за геометрической дивергенции, Adiv, дБ	расстояние = 339.91 м	ф-ла (7) [10]	**61,6**										
Коэффициент затухания звука в атмосфере α, дБ/км	Ta=20,°C Pa=101.33,кПа hотн.=70%	ф-ла (5) [9]	0,02	0,09	0,33	1,12	2,79	4,98	9,04	23,09	77,63		
Учет затухания звука в атмосфере Aatm, дБ		ф-ла (8) [10]	0	0	0,1	0,4	0,9	1,7	3,1	7,8	26,4		
Снижение поверхностью земли возле источника As, дБ	Gs = 0 hs = 1м	ф-лы таб.3 [10]	-1,5	-1,5	-1,5	-1,5	-1,5	-1,5	-1,5	-1,5	-1,5		
Снижение поверхностью земли возле приёмника Ar, дБ	Gr = 1 hr = 1.5м	ф-лы таб.3 [10]	-1,5	-1,5	2	7	5	0,7	0	0	0		
Снижение поверхностью земли в средней зоне, Am дБ	Gm = 1	ф-лы таб.3 [10]	-2,3	-2,3	0	0	0	0	0	0	0		
Суммарное снижение поверхностью земли на траектории распространения звука Agr, дБ		ф-ла (9) [10]	-5,3	-5,3	0,5	5,5	3,5	-0,8	-1,5	-1,5	-1,5		
Уровни звукового давления от источника ИШ-1-24 в расчётной точке днём, дБ		**ф-ла(3)[10]**	**0**	**40**	**35,5**	**31,5**	**33,2**	**36,4**	**32,4**	**23,4**	**0**	**39,2**	**39,2**
Источник шума: ИШ-1-25, координаты источника (x,y,z), м =[531.22,82.16,1.00]													

1		2	3	4	5	6	7	8	9	10	11	12	13
Уровни звуковой мощности источника днём, Lw, дБ		**исходные данные**	**0**	**93,3**	**94,7**	**96**	**96,3**	**95,9**	**92,6**	**88,4**	**83,9**		
Поправка на телесный угол DΩ, дБ	Ω = 6.28	10Lg(4π/Ω)	**3**	3	3	3	3	3	3	3	3		
Показатель направленности источника Di, дБ		исходные данные	**0**	0	0	0	0	0	0	0	0		
Поправка на направленность источника Dc, дБ	Dc	DΩ + Di	**3**	3	3	3	3	3	3	3	3		
Затухание из-за геометрической дивергенции, Adiv, дБ	расстояние = 339.64 м	ф-ла (7) [10]	**61,6**										
Коэффициент затухания звука в атмосфере α, дБ/км	Ta=20,°C Pa=101.33,кПа hотн.=70%	ф-ла (5) [9]	0,02	0,09	0,33	1,12	2,79	4,98	9,04	23,09	77,63		
Учет затухания звука в атмосфере Aatm, дБ		ф-ла (8) [10]	0	0	0,1	0,4	0,9	1,7	3,1	7,8	26,4		
Снижение поверхностью земли возле источника As, дБ	Gs = 0 hs = 1м	ф-лы таб.3 [10]	-1,5	-1,5	-1,5	-1,5	-1,5	-1,5	-1,5	-1,5	-1,5		
Снижение поверхностью земли возле приёмника Ar, дБ	Gr = 1 hr = 1.5м	ф-лы таб.3 [10]	-1,5	-1,5	2	7	5	0,7	0	0	0		
Снижение поверхностью земли в средней зоне, Am дБ	Gm = 1	ф-лы таб.3 [10]	-2,3	-2,3	0	0	0	0	0	0	0		
Суммарное снижение поверхностью земли на траектории распространения звука Agr, дБ		ф-ла (9) [10]	-5,3	-5,3	0,5	5,5	3,5	-0,8	-1,5	-1,5	-1,5		
Уровни звукового давления от источника ИШ-1-25 в расчётной точке днём, дБ		**ф-ла(3)[10]**	**0**	**40**	**35,5**	**31,5**	**33,3**	**36,4**	**32,4**	**23,4**	**0**	**39,2**	**39,2**
Источник шума: ИШ-1-26, координаты источника (x,y,z), м =[534.15,80.79,1.00]													
Уровни звуковой мощности источника днём, Lw, дБ		**исходные данные**	**0**	**93,3**	**94,7**	**96**	**96,3**	**95,9**	**92,6**	**88,4**	**83,9**		
Поправка на телесный угол DΩ, дБ	Ω = 6.28	10Lg(4π/Ω)	**3**	3	3	3	3	3	3	3	3		
Показатель направленности источника Di, дБ		исходные данные	**0**	0	0	0	0	0	0	0	0		

1		2	3	4	5	6	7	8	9	10	11	12	13
Поправка на направленность источника Dc, дБ	Dc	DΩ + Di	**3**	3	3	3	3	3	3	3	3		
Затухание из-за геометрической дивергенции, Adiv, дБ	расстояние = 338.87 м	ф-ла (7) [10]	**61,6**										
Коэффициент затухания звука в атмосфере α, дБ/км	Ta=20,°C Pa=101.33,кПа hотн.=70%	ф-ла (5) [9]	0,02	0,09	0,33	1,12	2,79	4,98	9,04	23,09	77,63		
Учет затухания звука в атмосфере Aatm, дБ		ф-ла (8) [10]	0	0	0,1	0,4	0,9	1,7	3,1	7,8	26,3		
Снижение поверхностью земли возле источника As, дБ	Gs = 0 hs = 1м	ф-лы таб.3 [10]	-1,5	-1,5	-1,5	-1,5	-1,5	-1,5	-1,5	-1,5	-1,5		
Снижение поверхностью земли возле приёмника Ar, дБ	Gr = 1 hr = 1.5м	ф-лы таб.3 [10]	-1,5	-1,5	2	7	5	0,7	0	0	0		
Снижение поверхностью земли в средней зоне, Am дБ	Gm = 1	ф-лы таб.3 [10]	-2,3	-2,3	0	0	0	0	0	0	0		
Суммарное снижение поверхностью земли на траектории распространения звука Agr, дБ		ф-ла (9) [10]	-5,3	-5,3	0,5	5,5	3,5	-0,8	-1,5	-1,5	-1,5		
Уровни звукового давления от источника ИШ-1-26 в расчётной точке днём, дБ		**ф-ла(3)[10]**	**0**	**40**	**35,5**	**31,5**	**33,3**	**36,4**	**32,4**	**23,5**	**0**	**39,2**	**39,2**
Источник шума: ИШ-1-27, координаты источника (x,y,z), м =[469.65,197.67,1.00]													
Уровни звуковой мощности источника днём, Lw, дБ		**исходные данные**	**0**	**93,3**	**94,7**	**96**	**96,3**	**95,9**	**92,6**	**88,4**	**83,9**		
Поправка на телесный угол DΩ, дБ	Ω = 6.28	10Lg(4π/Ω)	**3**	3	3	3	3	3	3	3	3		
Показатель направленности источника Di, дБ		исходные данные	**0**	0	0	0	0	0	0	0	0		
Поправка на направленность источника Dc, дБ	Dc	DΩ + Di	**3**	3	3	3	3	3	3	3	3		
Затухание из-за геометрической дивергенции, Adiv, дБ	расстояние = 449.05 м	ф-ла (7) [10]	**64**										
Коэффициент затухания звука в атмосфере α, дБ/км	Ta=20,°C Pa=101.33,кПа hотн.=70%	ф-ла (5) [9]	0,02	0,09	0,33	1,12	2,79	4,98	9,04	23,09	77,63		

1		2	3	4	5	6	7	8	9	10	11	12	13
Учет затухания звука в атмосфере Aatm, дБ		ф-ла (8) [10]	0	0	0,2	0,5	1,3	2,2	4,1	10,4	34,9		
Снижение уровня звукового давления из-за влияния застройки между источником шума и расчетной точкой													
Снижение уровня звукового давления на пути над экраном, Dz1, дБ	z = 0.63м (разность путей)	ф-лы (14-18) [10]	6,9	8,6	10,7	13,1	15,8	18,6	21,5	24,5	27,5		
Снижение уровня звукового давления на пути слева от экрана, Dz2, дБ	z = 41.46м (разность путей)	ф-лы (14-18) [10]	21,9	24,9	27,9	30,9	33,9	36,9	39,9	42,9	45,9		
Снижение уровня звукового давления на пути справа от экрана, Dz3, дБ	z = 2.54м (разность путей)	ф-лы (14-18) [10]	10,9	13,4	16,1	18,9	21,8	24,8	27,8	30,8	33,8		
Общее снижение уровня звука препятствием Dz, дБ		Эн.сумма(-Dzi)	5,4	7,3	9,5	12	14,8	17,6	20,6	23,5	26,5		
Общее снижение уровня звука препятствием с учётом ограничения (25 дБ) для октавных полос Dz, дБ		Раздел 7.4 [10]	5,4	7,3	9,5	12	14,8	17,6	20,6	23,5	25		
Уровни звукового давления прямого звука от источника ИШ-1-27 в расчётной точке днём, дБ		**ф-ла(3)[10]**	**0**	**24,9**	**24**	**22,4**	**19,2**	**15**	**6,9**	**0**	**0**	**20,4**	**20,4**
Расчёт отражённого звука													
Уровни звукового давления от мнимого источника ИШ-1-27_мн.(1) в расчётной точке днём, дБ		**ф-ла(3)[10]**	**0**	**0**	**0**	**0**	**0**	**19,3**	**11,2**	**0**	**0**	**20,1**	**20,1**
Уровни звукового давления от источника ИШ-1-27 в расчётной точке днём, дБ		**ф-ла(3)[10]**	**0**	**24,9**	**24**	**22,4**	**19,2**	**20,7**	**12,6**	**0**	**0**	**23,3**	**23,3**
Источник шума: ИШ-1-28, координаты источника (x,y,z), м =[472.78,196.69,1.00]													
Уровни звуковой мощности источника днём, Lw, дБ		**исходные данные**	**0**	**93,3**	**94,7**	**96**	**96,3**	**95,9**	**92,6**	**88,4**	**83,9**		
Поправка на телесный угол DΩ, дБ	Ω = 6.28	10Lg(4π/Ω)	**3**	3	3	3	3	3	3	3	3		
Показатель направленности источника Di, дБ		исходные данные	**0**	0	0	0	0	0	0	0	0		
Поправка на направленность источника Dc, дБ	Dc	DΩ + Di	**3**	3	3	3	3	3	3	3	3		
Затухание из-за геометрической дивергенции, Adiv, дБ	расстояние = 448.11 м	ф-ла (7) [10]	**64**										

1		2	3	4	5	6	7	8	9	10	11	12	13
Коэффициент затухания звука в атмосфере α, дБ/км	Та=20,°С Ра=101.33,кПа hотн.=70%	ф-ла (5) [9]	0,02	0,09	0,33	1,12	2,79	4,98	9,04	23,09	77,63		
Учет затухания звука в атмосфере Aatm, дБ		ф-ла (8) [10]	0	0	0,2	0,5	1,3	2,2	4,1	10,3	34,8		
Снижение уровня звукового давления из-за влияния застройки между источником шума и расчетной точкой													
Снижение уровня звукового давления на пути над экраном, Dz1, дБ	z = 0.65м (разность путей)	ф-лы (14-18) [10]	7,1	8,8	10,9	13,4	16,1	19	21,9	24,9	27,9		
Снижение уровня звукового давления на пути слева от экрана, Dz2, дБ	z = 39.14м (разность путей)	ф-лы (14-18) [10]	21,7	24,7	27,6	30,6	33,6	36,6	39,6	42,7	45,7		
Снижение уровня звукового давления на пути справа от экрана, Dz3, дБ	z = 2.75м (разность путей)	ф-лы (14-18) [10]	11,2	13,7	16,4	19,2	22,2	25,1	28,1	31,1	34,1		
Общее снижение уровня звука препятствием Dz, дБ		Эн.сумма(-Dzi)	5,6	7,5	9,8	12,3	15,1	18	20,9	23,9	26,9		
Общее снижение уровня звука препятствием с учётом ограничения (25 дБ) для октавных полос Dz, дБ		Раздел 7.4 [10]	5,6	7,5	9,8	12,3	15,1	18	20,9	23,9	25		
Уровни звукового давления прямого звука от источника ИШ-1-28 в расчётной точке днём, дБ		**ф-ла(3)[10]**	**0**	**24,7**	**23,7**	**22,1**	**18,9**	**14,7**	**6,6**	**0**	**0**	**20,1**	**20,1**
Расчёт отражённого звука													
Уровни звукового давления от мнимого источника ИШ-1-28_мн.(1) в расчётной точке днём, дБ		**ф-ла(3)[10]**	**0**	**0**	**0**	**0**	**0**	**0**	**11,4**	**0**	**0**	**12,6**	**12,6**
Уровни звукового давления от источника ИШ-1-28 в расчётной точке днём, дБ		**ф-ла(3)[10]**	**0**	**24,7**	**23,7**	**22,1**	**18,9**	**14,7**	**12,6**	**0**	**0**	**20,8**	**20,8**
Источник шума: ИШ-1-29, координаты источника (x,y,z), м =[475.52,195.72,1.00]													
Уровни звуковой мощности источника днём, Lw, дБ		**исходные данные**	**0**	**93,3**	**94,7**	**96**	**96,3**	**95,9**	**92,6**	**88,4**	**83,9**		
Поправка на телесный угол DΩ, дБ	Ω = 6.28	10Lg(4π/Ω)	**3**	3	3	3	3	3	3	3	3		
Показатель направленности источника Di, дБ		исходные данные	**0**	0	0	0	0	0	0	0	0		

1		2	3	4	5	6	7	8	9	10	11	12	13
Поправка на направленность источника Dc, дБ	Dc	DΩ + Di	**3**	3	3	3	3	3	3	3	3		
Затухание из-за геометрической дивергенции, Adiv, дБ	расстояние = 447.17 м	ф-ла (7) [10]	**64**										
Коэффициент затухания звука в атмосфере α, дБ/км	Ta=20,°C Pa=101.33,кПа hотн.=70%	ф-ла (5) [9]	0,02	0,09	0,33	1,12	2,79	4,98	9,04	23,09	77,63		
Учет затухания звука в атмосфере Aatm, дБ		ф-ла (8) [10]	0	0	0,1	0,5	1,2	2,2	4	10,3	34,7		
Снижение уровня звукового давления из-за влияния застройки между источником шума и расчетной точкой													
Снижение уровня звукового давления на пути над экраном, Dz1, дБ	z = 0.67м (разность путей)	ф-лы (14-18) [10]	7,3	9,1	11,2	13,7	16,5	19,3	22,3	25,2	28,2		
Снижение уровня звукового давления на пути слева от экрана, Dz2, дБ	z = 37.17м (разность путей)	ф-лы (14-18) [10]	21,5	24,4	27,4	30,4	33,4	36,4	39,4	42,4	45,4		
Снижение уровня звукового давления на пути справа от экрана, Dz3, дБ	z = 2.94м (разность путей)	ф-лы (14-18) [10]	11,4	13,9	16,7	19,5	22,5	25,4	28,4	31,4	34,4		
Общее снижение уровня звука препятствием Dz, дБ		Эн.сумма(-Dzi)	5,7	7,8	10,1	12,6	15,4	18,3	21,3	24,2	27,2		
Общее снижение уровня звука препятствием с учётом ограничения (25 дБ) для октавных полос Dz, дБ		Раздел 7.4 [10]	5,7	7,8	10,1	12,6	15,4	18,3	21,3	24,2	25		
Уровни звукового давления прямого звука от источника ИШ-1-29 в расчётной точке днём, дБ		**ф-ла(3)[10]**	**0**	**24,5**	**23,5**	**21,8**	**18,6**	**14,3**	**6,3**	**0**	**0**	**19,8**	**19,8**
Расчёт отражённого звука													
Уровни звукового давления от мнимого источника ИШ-1-29_мн.(1) в расчётной точке днём, дБ		**ф-ла(3)[10]**	**0**	**0**	**0**	**0**	**0**	**0**	**11,6**	**0**	**0**	**12,8**	**12,8**
Уровни звукового давления от источника ИШ-1-29 в расчётной точке днём, дБ		**ф-ла(3)[10]**	**0**	**24,5**	**23,5**	**21,8**	**18,6**	**14,3**	**12,7**	**0**	**0**	**20,6**	**20,6**
Источник шума: ИШ-1-30, координаты источника (x,y,z), м =[478.45,194.54,1.00]													
Уровни звуковой мощности источника днём, Lw, дБ		**исходные данные**	**0**	**93,3**	**94,7**	**96**	**96,3**	**95,9**	**92,6**	**88,4**	**83,9**		

1		2	3	4	5	6	7	8	9	10	11	12	13
Поправка на телесный угол DΩ, дБ	Ω = 6.28	10Lg(4π/Ω)	**3**	3	3	3	3	3	3	3	3		
Показатель направленности источника Di, дБ		исходные данные	**0**	0	0	0	0	0	0	0	0		
Поправка на направленность источника Dc, дБ	Dc	DΩ + Di	**3**	3	3	3	3	3	3	3	3		
Затухание из-за геометрической дивергенции, Adiv, дБ	расстояние = 446.06 м	ф-ла (7) [10]	**64**										
Коэффициент затухания звука в атмосфере α, дБ/км	Ta=20,°C Pa=101.33,кПа hотн.=70%	ф-ла (5) [9]	0,02	0,09	0,33	1,12	2,79	4,98	9,04	23,09	77,63		
Учет затухания звука в атмосфере Aatm, дБ		ф-ла (8) [10]	0	0	0,1	0,5	1,2	2,2	4	10,3	34,6		
Снижение уровня звукового давления из-за влияния застройки между источником шума и расчетной точкой													
Снижение уровня звукового давления на пути над экраном, Dz1, дБ	z = 0.69м (разность путей)	ф-лы (14-18) [10]	7,4	9,3	11,5	14	16,8	19,7	22,6	25,6	28,6		
Снижение уровня звукового давления на пути слева от экрана, Dz2, дБ	z = 35.12м (разность путей)	ф-лы (14-18) [10]	21,2	24,2	27,2	30,2	33,2	36,2	39,2	42,2	45,2		
Снижение уровня звукового давления на пути справа от экрана, Dz3, дБ	z = 3.15м (разность путей)	ф-лы (14-18) [10]	11,7	14,2	16,9	19,8	22,8	25,7	28,7	31,7	34,7		
Общее снижение уровня звука препятствием Dz, дБ		Эн.сумма(-Dzi)	5,9	8	10,3	12,9	15,7	18,6	21,6	24,5	27,5		
Общее снижение уровня звука препятствием с учётом ограничения (25 дБ) для октавных полос Dz, дБ		Раздел 7.4 [10]	5,9	8	10,3	12,9	15,7	18,6	21,6	24,5	25		
Уровни звукового давления прямого звука от источника ИШ-1-30 в расчётной точке днём, дБ		**ф-ла(3)[10]**	**0**	**24,3**	**23,2**	**21,6**	**18,3**	**14,1**	**6**	**0**	**0**	**19,5**	**19,5**
Расчёт отражённого звука													
Уровни звукового давления от мнимого источника ИШ-1-30_мн.(1) в расчётной точке днём, дБ		**ф-ла(3)[10]**	**0**	**0**	**0**	**0**	**0**	**0**	**12**	**0**	**0**	**13,2**	**13,2**
Уровни звукового давления от источника ИШ-1-30 в расчётной точке днём, дБ		**ф-ла(3)[10]**	**0**	**24,3**	**23,2**	**21,6**	**18,3**	**14,1**	**13**	**0**	**0**	**20,4**	**20,4**

1		2	3	4	5	6	7	8	9	10	11	12	13
Источник шума: ИШ-1-31, координаты источника (x,y,z), м =[481.58,193.96,1.00]													
Уровни звуковой мощности источника днём, Lw, дБ		**исходные данные**	**0**	**93,3**	**94,7**	**96**	**96,3**	**95,9**	**92,6**	**88,4**	**83,9**		
Поправка на телесный угол DΩ, дБ	Ω = 6.28	10Lg(4π/Ω)	**3**	3	3	3	3	3	3	3	3		
Показатель направленности источника Di, дБ		исходные данные	**0**	0	0	0	0	0	0	0	0		
Поправка на направленность источника Dc, дБ	Dc	DΩ + Di	**3**	3	3	3	3	3	3	3	3		
Затухание из-за геометрической дивергенции, Adiv, дБ	расстояние = 445.57 м	ф-ла (7) [10]	**64**										
Коэффициент затухания звука в атмосфере α, дБ/км	Ta=20,°C Pa=101.33,кПа hотн.=70%	ф-ла (5) [9]	0,02	0,09	0,33	1,12	2,79	4,98	9,04	23,09	77,63		
Учет затухания звука в атмосфере Aatm, дБ		ф-ла (8) [10]	0	0	0,1	0,5	1,2	2,2	4	10,3	34,6		
Снижение уровня звукового давления из-за влияния застройки между источником шума и расчетной точкой													
Снижение уровня звукового давления на пути над экраном, Dz1, дБ	z = 0.72м (разность путей)	ф-лы (14-18) [10]	7,6	9,5	11,8	14,4	17,1	20	22,9	25,9	28,9		
Снижение уровня звукового давления на пути слева от экрана, Dz2, дБ	z = 32.49м (разность путей)	ф-лы (14-18) [10]	20,9	23,9	26,8	29,8	32,8	35,8	38,8	41,8	44,9		
Снижение уровня звукового давления на пути справа от экрана, Dz3, дБ	z = 3.40м (разность путей)	ф-лы (14-18) [10]	15,5	18,8	21,8	24,8	27,8	30,8	33,8	36,8	39,8		
Общее снижение уровня звука препятствием Dz, дБ		Эн.сумма(-Dzi)	6,8	8,9	11,2	13,9	16,7	19,6	22,5	25,5	28,5		
Общее снижение уровня звука препятствием с учётом ограничения (25 дБ) для октавных полос Dz, дБ		Раздел 7.4 [10]	6,8	8,9	11,2	13,9	16,7	19,6	22,5	25	25		
Уровни звукового давления прямого звука от источника ИШ-1-31 в расчётной точке днём, дБ		**ф-ла(3)[10]**	**0**	**23,4**	**22,3**	**20,6**	**17,4**	**13,1**	**5,1**	**0**	**0**	**18,6**	**18,6**
Расчёт отражённого звука													

1		2	3	4	5	6	7	8	9	10	11	12	13
Уровни звукового давления от мнимого источника ИШ-1-31_мн.(1) в расчётной точке днём, дБ		**ф-ла(3)[10]**	**0**	**0**	**0**	**0**	**0**	**0**	**8,6**	**0**	**0**	**9,8**	**9,8**
Уровни звукового давления от источника ИШ-1-31 в расчётной точке днём, дБ		**ф-ла(3)[10]**	**0**	**23,4**	**22,3**	**20,6**	**17,4**	**13,1**	**10,2**	**0**	**0**	**19,1**	**19,1**
Источник шума: ИШ-1-32, координаты источника (x,y,z), м =[871.21,281.99,50.00]													
Уровни звуковой мощности источника днём, Lw, дБ		**исходные данные**	**125**	**119,6**	**113,4**	**111,4**	**110,8**	**112,7**	**113,8**	**109,2**	**97,4**		
Поправка на телесный угол DΩ, дБ	Ω = 12.57	10Lg(4π/Ω)	**0**	0	0	0	0	0	0	0	0		
Показатель направленности источника Di, дБ		исходные данные	**0**	0	0	0	0	0	0	0	0		
Поправка на направленность источника Dc, дБ	Dc	DΩ + Di	**0**	0	0	0	0	0	0	0	0		
Затухание из-за геометрической дивергенции, Adiv, дБ	расстояние = 670.93 м	ф-ла (7) [10]	**67,5**										
Коэффициент затухания звука в атмосфере α, дБ/км	Ta=20,°C Pa=101.33,кПа hотн.=70%	ф-ла (5) [9]	0,02	0,09	0,33	1,12	2,79	4,98	9,04	23,09	77,63		
Учет затухания звука в атмосфере Aatm, дБ		ф-ла (8) [10]	0	0,1	0,2	0,8	1,9	3,3	6,1	15,5	52,1		
Снижение поверхностью земли возле источника As, дБ	Gs = 0 hs = 50м	ф-лы таб.3 [10]	-1,5	-1,5	-1,5	-1,5	-1,5	-1,5	-1,5	-1,5	-1,5		
Снижение поверхностью земли возле приёмника Ar, дБ	Gr = 1 hr = 1.5м	ф-лы таб.3 [10]	-1,5	-1,5	4	7	5	0,7	0	0	0		
Снижение поверхностью земли в средней зоне, Am дБ	Gm = 1	ф-лы таб.3 [10]	0	0	0	0	0	0	0	0	0		
Суммарное снижение поверхностью земли на траектории распространения звука Agr, дБ		ф-ла (9) [10]	-3	-3	2,5	5,5	3,5	-0,8	-1,5	-1,5	-1,5		
Уровни звукового давления от источника ИШ-1-32 в расчётной точке днём, дБ		**ф-ла(3)[10]**	**60,5**	**55**	**43,2**	**37,6**	**38**	**42,7**	**41,7**	**27,7**	**0**	**46,5**	**46,5**
Источник шума: ИШ-1-33, координаты источника (x,y,z), м =[743.42,374.85,1.00]													

1		2	3	4	5	6	7	8	9	10	11	12	13
Уровни звуковой мощности источника днём, Lw, дБ		**исходные данные**	**0**	**88,7**	**90,1**	**93,1**	**96,4**	**103**	**112**	**108**	**99,2**		
Поправка на телесный угол DΩ, дБ	Ω = 6.28	10Lg(4π/Ω)	**3**	3	3	3	3	3	3	3	3		
Показатель направленности источника Di, дБ		исходные данные	**0**	0	0	0	0	0	0	0	0		
Поправка на направленность источника Dc, дБ	Dc	DΩ + Di	**3**	3	3	3	3	3	3	3	3		
Затухание из-за геометрической дивергенции, Adiv, дБ	расстояние = 684.48 м	ф-ла (7) [10]	**67,7**										
Коэффициент затухания звука в атмосфере α, дБ/км	Ta=20,°C Pa=101.33,кПа hотн.=70%	ф-ла (5) [9]	0,02	0,09	0,33	1,12	2,79	4,98	9,04	23,09	77,63		
Учет затухания звука в атмосфере Aatm, дБ		ф-ла (8) [10]	0	0,1	0,2	0,8	1,9	3,4	6,2	15,8	53,1		
Снижение поверхностью земли возле источника As, дБ	Gs = 0 hs = 1м	ф-лы таб.3 [10]	-1,5	-1,5	-1,5	-1,5	-1,5	-1,5	-1,5	-1,5	-1,5		
Снижение поверхностью земли возле приёмника Ar, дБ	Gr = 1 hr = 1.5м	ф-лы таб.3 [10]	-1,5	-1,5	4,1	7	5	0,7	0	0	0		
Снижение поверхностью земли в средней зоне, Am дБ	Gm = 1	ф-лы таб.3 [10]	-2,7	-2,7	0	0	0	0	0	0	0		
Суммарное снижение поверхностью земли на траектории распространения звука Agr, дБ		ф-ла (9) [10]	-5,7	-5,7	2,6	5,5	3,5	-0,8	-1,5	-1,5	-1,5		
Уровни звукового давления от источника ИШ-1-33 в расчётной точке днём, дБ		**ф-ла(3)[10]**	**0**	**29,6**	**22,7**	**22,1**	**26,3**	**35,7**	**42,6**	**29**	**0**	**44,6**	**44,6**
Источник шума: ИШ-1-34, координаты источника (x,y,z), м =[1042.35,199.07,1.00]													
Уровни звуковой мощности источника днём, Lw, дБ		**исходные данные**	**0**	**88,7**	**90,1**	**93,1**	**96,4**	**103**	**112**	**108**	**99,2**		
Поправка на телесный угол DΩ, дБ	Ω = 6.28	10Lg(4π/Ω)	**3**	3	3	3	3	3	3	3	3		
Показатель направленности источника Di, дБ		исходные данные	**0**	0	0	0	0	0	0	0	0		

1		2	3	4	5	6	7	8	9	10	11	12	13
Поправка на направленность источника Dc, дБ	Dc	DΩ + Di	**3**	3	3	3	3	3	3	3	3		
Затухание из-за геометрической дивергенции, Adiv, дБ	расстояние = 730.63 м	ф-ла (7) [10]	**68,3**										
Коэффициент затухания звука в атмосфере α, дБ/км	Ta=20,°C Pa=101.33,кПа hотн.=70%	ф-ла (5) [9]	0,02	0,09	0,33	1,12	2,79	4,98	9,04	23,09	77,63		
Учет затухания звука в атмосфере Aatm, дБ		ф-ла (8) [10]	0	0,1	0,2	0,8	2	3,6	6,6	16,9	56,7		
Снижение поверхностью земли возле источника As, дБ	Gs = 0 hs = 1м	ф-лы таб.3 [10]	-1,5	-1,5	-1,5	-1,5	-1,5	-1,5	-1,5	-1,5	-1,5		
Снижение поверхностью земли возле приёмника Ar, дБ	Gr = 1 hr = 1.5м	ф-лы таб.3 [10]	-1,5	-1,5	4,3	7	5	0,7	0	0	0		
Снижение поверхностью земли в средней зоне, Am дБ	Gm = 1	ф-лы таб.3 [10]	-2,7	-2,7	0	0	0	0	0	0	0		
Суммарное снижение поверхностью земли на траектории распространения звука Agr, дБ		ф-ла (9) [10]	-5,7	-5,7	2,8	5,5	3,5	-0,8	-1,5	-1,5	-1,5		
Уровни звукового давления прямого звука от источника ИШ-1-34 в расчётной точке днём, дБ		**ф-ла(3)[10]**	**0**	**29,1**	**21,8**	**21,5**	**25,6**	**34,9**	**41,6**	**27,4**	**0**	**43,7**	**43,7**
Расчёт отражённого звука													
Уровни звукового давления от мнимого источника ИШ-1-34_мн.(1) в расчётной точке днём, дБ		**ф-ла(3)[10]**	**0**	**0**	**0**	**0**	**0**	**0**	**0**	**0**	**0**	**0**	**0**
Уровни звукового давления от источника ИШ-1-34 в расчётной точке днём, дБ		**ф-ла(3)[10]**	**0**	**29,1**	**21,8**	**21,5**	**25,6**	**34,9**	**41,6**	**27,4**	**0**	**43,7**	**43,7**
Источник шума: ИШ-2-1, координаты источника (x,y,z), м =[696.50,124.40,3.00]													
Уровни звуковой мощности источника днём, Lw, дБ		**исходные данные**	**105**	**104**	**104**	**101**	**102**	**106**	**101**	**95**	**87**		
Поправка на телесный угол DΩ, дБ	Ω = 6.28	10Lg(4π/Ω)	**3**	3	3	3	3	3	3	3	3		
Показатель направленности источника Di, дБ		исходные данные	**0**	0	0	0	0	0	0	0	0		

1		2	3	4	5	6	7	8	9	10	11	12	13
Поправка на направленность источника Dc, дБ	Dc	DΩ + Di	**3**	3	3	3	3	3	3	3	3		
Затухание из-за геометрической дивергенции, Adiv, дБ	расстояние = 440.27 м	ф-ла (7) [10]	**63,9**										
Коэффициент затухания звука в атмосфере α, дБ/км	Ta=20,°C Pa=101.33,кПа hотн.=70%	ф-ла (5) [9]	0,02	0,09	0,33	1,12	2,79	4,98	9,04	23,09	77,63		
Учет затухания звука в атмосфере Aatm, дБ		ф-ла (8) [10]	0	0	0,1	0,5	1,2	2,2	4	10,2	34,2		
Снижение уровня звукового давления из-за влияния застройки между источником шума и расчетной точкой													
Снижение уровня звукового давления на пути над экраном, Dz1, дБ	z = 0.15м (разность путей)	ф-лы (14-18) [10]	4,8	4,8	4,8	4,9	5,2	5,8	6,7	8,1	10		
Снижение уровня звукового давления на пути слева от экрана, Dz2, дБ	z = 0.01м (разность путей)	ф-лы (14-18) [10]	4,8	4,9	4,9	5,1	5,4	6	6,9	8,3	10,2		
Снижение уровня звукового давления на пути справа от экрана, Dz3, дБ	z = 1.90м (разность путей)	ф-лы (14-18) [10]	10	12,3	14,9	17,7	20,6	23,6	26,5	29,5	32,5		
Общее снижение уровня звука препятствием Dz, дБ		Эн.сумма(-Dzi)	1,2	1,4	1,7	1,9	2,2	2,8	3,8	5,2	7,1		
Уровни звукового давления прямого звука от источника ИШ-2-1 в расчётной точке днём, дБ		**ф-ла(3)[10]**	**42,9**	**41,7**	**41,3**	**37,8**	**37,7**	**40,1**	**32,4**	**18,8**	**0**	**42,2**	**42,2**
Расчёт отражённого звука													
Уровни звукового давления от мнимого источника ИШ-2-1_мн.(1) в расчётной точке днём, дБ		**ф-ла(3)[10]**	**0**	**0**	**0**	**0**	**0**	**0**	**0**	**0**	**0**	**0**	**0**
Уровни звукового давления от источника ИШ-2-1 в расчётной точке днём, дБ		**ф-ла(3)[10]**	**42,9**	**41,7**	**41,3**	**37,8**	**37,7**	**40,1**	**32,4**	**18,8**	**0**	**42,2**	**42,2**
Источник шума: ИШ-2-2, координаты источника (x,y,z), м =[682.20,81.60,3.00]													
Уровни звуковой мощности источника днём, Lw, дБ		**исходные данные**	**105**	**104**	**104**	**101**	**102**	**106**	**101**	**95**	**87**		
Поправка на телесный угол DΩ, дБ	Ω = 6.28	10Lg(4π/Ω)	**3**	3	3	3	3	3	3	3	3		

1		2	3	4	5	6	7	8	9	10	11	12	13
Показатель направленности источника Di, дБ		исходные данные	**0**	0	0	0	0	0	0	0	0		
Поправка на направленность источника Dc, дБ	Dc	DΩ + Di	**3**	3	3	3	3	3	3	3	3		
Затухание из-за геометрической дивергенции, Adiv, дБ	расстояние = 396.42 м	ф-ла (7) [10]	**63**										
Коэффициент затухания звука в атмосфере α, дБ/км	Ta=20,°C Pa=101.33,кПа hотн.=70%	ф-ла (5) [9]	0,02	0,09	0,33	1,12	2,79	4,98	9,04	23,09	77,63		
Учет затухания звука в атмосфере Aatm, дБ		ф-ла (8) [10]	0	0	0,1	0,4	1,1	2	3,6	9,2	30,8		
Снижение уровня звукового давления из-за влияния застройки между источником шума и расчетной точкой													
Снижение уровня звукового давления препятствием справа от трассы ИШ-РТ, Dz3, дБ	z = -0.08м (разность путей)	ф-лы (14-18) [10]	0	0	2,5	0	NAN	NAN	NAN	NAN	NAN		
* отрицательное значение z означает прохождение траектории вблизи экрана, в этом случае дополнительно производится учёт снижения подстилающей поверхностью (см.ниже)													
Снижение поверхностью земли возле источника As, дБ	Gs = 0 hs = 3м	ф-лы таб.3 [10]	-1,5	-1,5	-1,5	-1,5	-1,5	-1,5	-1,5	-1,5	-1,5		
Снижение поверхностью земли возле приёмника Ar, дБ	Gr = 1 hr = 1.5м	ф-лы таб.3 [10]	-1,5	-1,5	2,3	7	5	0,7	0	0	0		
Снижение поверхностью земли в средней зоне, Am дБ	Gm = 1	ф-лы таб.3 [10]	-2	-2	0	0	0	0	0	0	0		
Суммарное снижение поверхностью земли на траектории распространения звука Agr, дБ		ф-ла (9) [10]	-5	-5	0,8	5,5	3,5	-0,8	-1,5	-1,5	-1,5		
Уровни звукового давления прямого звука от источника ИШ-2-2 в расчётной точке днём, дБ		**ф-ла(3)[10]**	**50**	**49**	**40,6**	**35,1**	**37,5**	**44,9**	**39**	**27,4**	**0**	**46,6**	**46,6**
Расчёт отражённого звука													
Уровни звукового давления от мнимого источника ИШ-2-2_мн.(1) в расчётной точке днём, дБ		**ф-ла(3)[10]**	**0**	**0**	**0**	**0**	**0**	**0**	**0**	**0**	**0**	**0**	**0**
Уровни звукового давления от источника ИШ-2-2 в расчётной точке днём, дБ		**ф-ла(3)[10]**	**50**	**49**	**40,6**	**35,1**	**37,5**	**44,9**	**39**	**27,4**	**0**	**46,6**	**46,6**

Источник шума: ИШ-2-3, координаты источника (x,y,z), м =[667.80,38.90,3.00]

1		2	3	4	5	6	7	8	9	10	11	12	13
Уровни звуковой мощности источника днём, Lw, дБ		**исходные данные**	**105**	**104**	**104**	**101**	**102**	**106**	**101**	**95**	**87**		
Поправка на телесный угол DΩ, дБ	Ω = 6.28	10Lg(4π/Ω)	**3**	3	3	3	3	3	3	3	3		
Показатель направленности источника Di, дБ		исходные данные	**0**	0	0	0	0	0	0	0	0		
Поправка на направленность источника Dc, дБ	Dc	DΩ + Di	**3**	3	3	3	3	3	3	3	3		
Затухание из-за геометрической дивергенции, Adiv, дБ	расстояние = 352.91 м	ф-ла (7) [10]	**62**										
Коэффициент затухания звука в атмосфере α, дБ/км	Ta=20,°C Pa=101.33,кПа hотн.=70%	ф-ла (5) [9]	0,02	0,09	0,33	1,12	2,79	4,98	9,04	23,09	77,63		
Учет затухания звука в атмосфере Aatm, дБ		ф-ла (8) [10]	0	0	0,1	0,4	1	1,8	3,2	8,1	27,4		
Снижение поверхностью земли возле источника As, дБ	Gs = 0 hs = 3м	ф-лы таб.3 [10]	-1,5	-1,5	-1,5	-1,5	-1,5	-1,5	-1,5	-1,5	-1,5		
Снижение поверхностью земли возле приёмника Ar, дБ	Gr = 1 hr = 1.5м	ф-лы таб.3 [10]	-1,5	-1,5	2,1	7	5	0,7	0	0	0		
Снижение поверхностью земли в средней зоне, Am дБ	Gm = 1	ф-лы таб.3 [10]	-1,9	-1,9	0	0	0	0	0	0	0		
Суммарное снижение поверхностью земли на траектории распространения звука Agr, дБ		ф-ла (9) [10]	-4,9	-4,9	0,6	5,5	3,5	-0,8	-1,5	-1,5	-1,5		
Уровни звукового давления прямого звука от источника ИШ-2-3 в расчётной точке днём, дБ		**ф-ла(3)[10]**	**50,9**	**49,9**	**44,4**	**36,1**	**38,6**	**46,1**	**40,4**	**29,4**	**2,2**	**47,9**	**47,9**
Расчёт отражённого звука													
Уровни звукового давления от мнимого источника ИШ-2-3_мн.(1) в расчётной точке днём, дБ		**ф-ла(3)[10]**	**0**	**0**	**0**	**0**	**0**	**0**	**0**	**0**	**0**	**0**	**0**
Уровни звукового давления от источника ИШ-2-3 в расчётной точке днём, дБ		**ф-ла(3)[10]**	**50,9**	**49,9**	**44,4**	**36,1**	**38,6**	**46,1**	**40,4**	**29,4**	**2,2**	**47,9**	**47,9**
Источник шума: ИШ-2-6, координаты источника (x,y,z), м =[765.97,112.43,1.00]													

1		2	3	4	5	6	7	8	9	10	11	12	13
Уровни звуковой мощности источника днём, Lw, дБ		**исходные данные**	**0**	**93,3**	**94,7**	**96**	**96,3**	**95,9**	**92,6**	**88,4**	**83,9**		
Поправка на телесный угол DΩ, дБ	Ω = 6.28	10Lg(4π/Ω)	**3**	3	3	3	3	3	3	3	3		
Показатель направленности источника Di, дБ		исходные данные	**0**	0	0	0	0	0	0	0	0		
Поправка на направленность источника Dc, дБ	Dc	DΩ + Di	**3**	3	3	3	3	3	3	3	3		
Затухание из-за геометрической дивергенции, Adiv, дБ	расстояние = 470.83 м	ф-ла (7) [10]	**64,5**										
Коэффициент затухания звука в атмосфере α, дБ/км	Ta=20,°C Pa=101.33,кПа hотн.=70%	ф-ла (5) [9]	0,02	0,09	0,33	1,12	2,79	4,98	9,04	23,09	77,63		
Учет затухания звука в атмосфере Aatm, дБ		ф-ла (8) [10]	0	0	0,2	0,5	1,3	2,3	4,3	10,9	36,6		
Снижение поверхностью земли возле источника As, дБ	Gs = 0 hs = 1м	ф-лы таб.3 [10]	-1,5	-1,5	-1,5	-1,5	-1,5	-1,5	-1,5	-1,5	-1,5		
Снижение поверхностью земли возле приёмника Ar, дБ	Gr = 1 hr = 1.5м	ф-лы таб.3 [10]	-1,5	-1,5	2,8	7	5	0,7	0	0	0		
Снижение поверхностью земли в средней зоне, Am дБ	Gm = 1	ф-лы таб.3 [10]	-2,5	-2,5	0	0	0	0	0	0	0		
Суммарное снижение поверхностью земли на траектории распространения звука Agr, дБ		ф-ла (9) [10]	-5,5	-5,5	1,3	5,5	3,5	-0,8	-1,5	-1,5	-1,5		
Уровни звукового давления прямого звука от источника ИШ-2-6 в расчётной точке днём, дБ		**ф-ла(3)[10]**	**0**	**37,3**	**31,7**	**28,5**	**30**	**32,9**	**28,4**	**17,6**	**0**	**35,5**	**35,5**
Расчёт отражённого звука													
Уровни звукового давления от мнимого источника ИШ-2-6_мн.(1) в расчётной точке днём, дБ		**ф-ла(3)[10]**	**0**	**0**	**0**	**0**	**0**	**0**	**0**	**0**	**0**	**0**	**0**
Уровни звукового давления от источника ИШ-2-6 в расчётной точке днём, дБ		**ф-ла(3)[10]**	**0**	**37,3**	**31,7**	**28,5**	**30**	**32,9**	**28,4**	**17,6**	**0**	**35,5**	**35,5**
Источник шума: ИШ-2-7, координаты источника (x,y,z), м =[764.91,109.54,1.00]													

1		2	3	4	5	6	7	8	9	10	11	12	13
Уровни звуковой мощности источника днём, Lw, дБ		**исходные данные**	**0**	**93,3**	**94,7**	**96**	**96,3**	**95,9**	**92,6**	**88,4**	**83,9**		
Поправка на телесный угол DΩ, дБ	Ω = 6.28	10Lg(4π/Ω)	**3**	3	3	3	3	3	3	3	3		
Показатель направленности источника Di, дБ		исходные данные	**0**	0	0	0	0	0	0	0	0		
Поправка на направленность источника Dc, дБ	Dc	DΩ + Di	**3**	3	3	3	3	3	3	3	3		
Затухание из-за геометрической дивергенции, Adiv, дБ	расстояние = 467.93 м	ф-ла (7) [10]	**64,4**										
Коэффициент затухания звука в атмосфере α, дБ/км	Ta=20,°C Pa=101.33,кПа hотн.=70%	ф-ла (5) [9]	0,02	0,09	0,33	1,12	2,79	4,98	9,04	23,09	77,63		
Учет затухания звука в атмосфере Aatm, дБ		ф-ла (8) [10]	0	0	0,2	0,5	1,3	2,3	4,2	10,8	36,3		
Снижение поверхностью земли возле источника As, дБ	Gs = 0 hs = 1м	ф-лы таб.3 [10]	-1,5	-1,5	-1,5	-1,5	-1,5	-1,5	-1,5	-1,5	-1,5		
Снижение поверхностью земли возле приёмника Ar, дБ	Gr = 1 hr = 1.5м	ф-лы таб.3 [10]	-1,5	-1,5	2,8	7	5	0,7	0	0	0		
Снижение поверхностью земли в средней зоне, Am дБ	Gm = 1	ф-лы таб.3 [10]	-2,5	-2,5	0	0	0	0	0	0	0		
Суммарное снижение поверхностью земли на траектории распространения звука Agr, дБ		ф-ла (9) [10]	-5,5	-5,5	1,3	5,5	3,5	-0,8	-1,5	-1,5	-1,5		
Уровни звукового давления прямого звука от источника ИШ-2-7 в расчётной точке днём, дБ		**ф-ла(3)[10]**	**0**	**37,4**	**31,8**	**28,5**	**30,1**	**33**	**28,5**	**17,7**	**0**	**35,6**	**35,6**
Расчёт отражённого звука													
Уровни звукового давления от мнимого источника ИШ-2-7_мн.(1) в расчётной точке днём, дБ		**ф-ла(3)[10]**	**0**	**0**	**0**	**0**	**0**	**0**	**0**	**0**	**0**	**0**	**0**
Уровни звукового давления от источника ИШ-2-7 в расчётной точке днём, дБ		**ф-ла(3)[10]**	**0**	**37,4**	**31,8**	**28,5**	**30,1**	**33**	**28,5**	**17,7**	**0**	**35,6**	**35,6**
Источник шума: ИШ-2-8, координаты источника (x,y,z), м =[764.03,106.58,1.00]													

1		2	3	4	5	6	7	8	9	10	11	12	13
Уровни звуковой мощности источника днём, Lw, дБ		**исходные данные**	**0**	**93,3**	**94,7**	**96**	**96,3**	**95,9**	**92,6**	**88,4**	**83,9**		
Поправка на телесный угол DΩ, дБ	Ω = 6.28	10Lg(4π/Ω)	**3**	3	3	3	3	3	3	3	3		
Показатель направленности источника Di, дБ		исходные данные	**0**	0	0	0	0	0	0	0	0		
Поправка на направленность источника Dc, дБ	Dc	DΩ + Di	**3**	3	3	3	3	3	3	3	3		
Затухание из-за геометрической дивергенции, Adiv, дБ	расстояние = 465.08 м	ф-ла (7) [10]	**64,4**										
Коэффициент затухания звука в атмосфере α, дБ/км	Ta=20,°C Pa=101.33,кПа hотн.=70%	ф-ла (5) [9]	0,02	0,09	0,33	1,12	2,79	4,98	9,04	23,09	77,63		
Учет затухания звука в атмосфере Aatm, дБ		ф-ла (8) [10]	0	0	0,2	0,5	1,3	2,3	4,2	10,7	36,1		
Снижение поверхностью земли возле источника As, дБ	Gs = 0 hs = 1м	ф-лы таб.3 [10]	-1,5	-1,5	-1,5	-1,5	-1,5	-1,5	-1,5	-1,5	-1,5		
Снижение поверхностью земли возле приёмника Ar, дБ	Gr = 1 hr = 1.5м	ф-лы таб.3 [10]	-1,5	-1,5	2,8	7	5	0,7	0	0	0		
Снижение поверхностью земли в средней зоне, Am дБ	Gm = 1	ф-лы таб.3 [10]	-2,5	-2,5	0	0	0	0	0	0	0		
Суммарное снижение поверхностью земли на траектории распространения звука Agr, дБ		ф-ла (9) [10]	-5,5	-5,5	1,3	5,5	3,5	-0,8	-1,5	-1,5	-1,5		
Уровни звукового давления прямого звука от источника ИШ-2-8 в расчётной точке днём, дБ		**ф-ла(3)[10]**	**0**	**37,4**	**31,9**	**28,6**	**30,2**	**33,1**	**28,5**	**17,8**	**0**	**35,7**	**35,7**
Расчёт отражённого звука													
Уровни звукового давления от мнимого источника ИШ-2-8_мн.(1) в расчётной точке днём, дБ		**ф-ла(3)[10]**	**0**	**0**	**0**	**0**	**0**	**0**	**0**	**0**	**0**	**0**	**0**
Уровни звукового давления от источника ИШ-2-8 в расчётной точке днём, дБ		**ф-ла(3)[10]**	**0**	**37,4**	**31,9**	**28,6**	**30,2**	**33,1**	**28,5**	**17,8**	**0**	**35,7**	**35,7**
Источник шума: ИШ-2-9, координаты источника (x,y,z), м =[763.26,103.71,1.00]													

1		2	3	4	5	6	7	8	9	10	11	12	13
Уровни звуковой мощности источника днём, Lw, дБ		**исходные данные**	**0**	**93,3**	**94,7**	**96**	**96,3**	**95,9**	**92,6**	**88,4**	**83,9**		
Поправка на телесный угол DΩ, дБ	Ω = 6.28	10Lg(4π/Ω)	**3**	3	3	3	3	3	3	3	3		
Показатель направленности источника Di, дБ		исходные данные	**0**	0	0	0	0	0	0	0	0		
Поправка на направленность источника Dc, дБ	Dc	DΩ + Di	**3**	3	3	3	3	3	3	3	3		
Затухание из-за геометрической дивергенции, Adiv, дБ	расстояние = 462.39 м	ф-ла (7) [10]	**64,3**										
Коэффициент затухания звука в атмосфере α, дБ/км	Ta=20,°C Pa=101.33,кПа hотн.=70%	ф-ла (5) [9]	0,02	0,09	0,33	1,12	2,79	4,98	9,04	23,09	77,63		
Учет затухания звука в атмосфере Aatm, дБ		ф-ла (8) [10]	0	0	0,2	0,5	1,3	2,3	4,2	10,7	35,9		
Снижение поверхностью земли возле источника As, дБ	Gs = 0 hs = 1м	ф-лы таб.3 [10]	-1,5	-1,5	-1,5	-1,5	-1,5	-1,5	-1,5	-1,5	-1,5		
Снижение поверхностью земли возле приёмника Ar, дБ	Gr = 1 hr = 1.5м	ф-лы таб.3 [10]	-1,5	-1,5	2,8	7	5	0,7	0	0	0		
Снижение поверхностью земли в средней зоне, Am дБ	Gm = 1	ф-лы таб.3 [10]	-2,5	-2,5	0	0	0	0	0	0	0		
Суммарное снижение поверхностью земли на траектории распространения звука Agr, дБ		ф-ла (9) [10]	-5,5	-5,5	1,3	5,5	3,5	-0,8	-1,5	-1,5	-1,5		
Уровни звукового давления прямого звука от источника ИШ-2-9 в расчётной точке днём, дБ		**ф-ла(3)[10]**	**0**	**37,5**	**32**	**28,6**	**30,2**	**33,1**	**28,6**	**17,9**	**0**	**35,7**	**35,7**
Расчёт отражённого звука													
Уровни звукового давления от мнимого источника ИШ-2-9_мн.(1) в расчётной точке днём, дБ		**ф-ла(3)[10]**	**0**	**0**	**0**	**0**	**0**	**0**	**0**	**0**	**0**	**0**	**0**
Уровни звукового давления от источника ИШ-2-9 в расчётной точке днём, дБ		**ф-ла(3)[10]**	**0**	**37,5**	**32**	**28,6**	**30,2**	**33,1**	**28,6**	**17,9**	**0**	**35,7**	**35,7**
Источник шума: ИШ-2-10, координаты источника (x,y,z), м =[762.14,100.75,1.00]													

1		2	3	4	5	6	7	8	9	10	11	12	13
Уровни звуковой мощности источника днём, Lw, дБ		**исходные данные**	**0**	**93,3**	**94,7**	**96**	**96,3**	**95,9**	**92,6**	**88,4**	**83,9**		
Поправка на телесный угол DΩ, дБ	Ω = 6.28	10Lg(4π/Ω)	**3**	3	3	3	3	3	3	3	3		
Показатель направленности источника Di, дБ		исходные данные	**0**	0	0	0	0	0	0	0	0		
Поправка на направленность источника Dc, дБ	Dc	DΩ + Di	**3**	3	3	3	3	3	3	3	3		
Затухание из-за геометрической дивергенции, Adiv, дБ	расстояние = 459.40 м	ф-ла (7) [10]	**64,2**										
Коэффициент затухания звука в атмосфере α, дБ/км	Ta=20,°C Pa=101.33,кПа hотн.=70%	ф-ла (5) [9]	0,02	0,09	0,33	1,12	2,79	4,98	9,04	23,09	77,63		
Учет затухания звука в атмосфере Aatm, дБ		ф-ла (8) [10]	0	0	0,2	0,5	1,3	2,3	4,2	10,6	35,7		
Снижение поверхностью земли возле источника As, дБ	Gs = 0 hs = 1м	ф-лы таб.3 [10]	-1,5	-1,5	-1,5	-1,5	-1,5	-1,5	-1,5	-1,5	-1,5		
Снижение поверхностью земли возле приёмника Ar, дБ	Gr = 1 hr = 1.5м	ф-лы таб.3 [10]	-1,5	-1,5	2,8	7	5	0,7	0	0	0		
Снижение поверхностью земли в средней зоне, Am дБ	Gm = 1	ф-лы таб.3 [10]	-2,5	-2,5	0	0	0	0	0	0	0		
Суммарное снижение поверхностью земли на траектории распространения звука Agr, дБ		ф-ла (9) [10]	-5,5	-5,5	1,3	5,5	3,5	-0,8	-1,5	-1,5	-1,5		
Уровни звукового давления прямого звука от источника ИШ-2-10 в расчётной точке днём, дБ		**ф-ла(3)[10]**	**0**	**37,5**	**32**	**28,7**	**30,3**	**33,2**	**28,7**	**18**	**0**	**35,8**	**35,8**
Расчёт отражённого звука													
Уровни звукового давления от мнимого источника ИШ-2-10_мн.(1) в расчётной точке днём, дБ		**ф-ла(3)[10]**	**0**	**0**	**0**	**0**	**0**	**0**	**0**	**0**	**0**	**0**	**0**
Уровни звукового давления от источника ИШ-2-10 в расчётной точке днём, дБ		**ф-ла(3)[10]**	**0**	**37,5**	**32**	**28,7**	**30,3**	**33,2**	**28,7**	**18**	**0**	**35,8**	**35,8**
Источник шума: ИШ-2-11, координаты источника (x,y,z), м =[761.13,97.90,1.00]													

1		2	3	4	5	6	7	8	9	10	11	12	13
Уровни звуковой мощности источника днём, Lw, дБ		**исходные данные**	**0**	**93,3**	**94,7**	**96**	**96,3**	**95,9**	**92,6**	**88,4**	**83,9**		
Поправка на телесный угол DΩ, дБ	Ω = 6.28	10Lg(4π/Ω)	**3**	3	3	3	3	3	3	3	3		
Показатель направленности источника Di, дБ		исходные данные	**0**	0	0	0	0	0	0	0	0		
Поправка на направленность источника Dc, дБ	Dc	DΩ + Di	**3**	3	3	3	3	3	3	3	3		
Затухание из-за геометрической дивергенции, Adiv, дБ	расстояние = 456.57 м	ф-ла (7) [10]	**64,2**										
Коэффициент затухания звука в атмосфере α, дБ/км	Ta=20,°C Pa=101.33,кПа hотн.=70%	ф-ла (5) [9]	0,02	0,09	0,33	1,12	2,79	4,98	9,04	23,09	77,63		
Учет затухания звука в атмосфере Aatm, дБ		ф-ла (8) [10]	0	0	0,2	0,5	1,3	2,3	4,1	10,5	35,4		
Снижение поверхностью земли возле источника As, дБ	Gs = 0 hs = 1м	ф-лы таб.3 [10]	-1,5	-1,5	-1,5	-1,5	-1,5	-1,5	-1,5	-1,5	-1,5		
Снижение поверхностью земли возле приёмника Ar, дБ	Gr = 1 hr = 1.5м	ф-лы таб.3 [10]	-1,5	-1,5	2,7	7	5	0,7	0	0	0		
Снижение поверхностью земли в средней зоне, Am дБ	Gm = 1	ф-лы таб.3 [10]	-2,5	-2,5	0	0	0	0	0	0	0		
Суммарное снижение поверхностью земли на траектории распространения звука Agr, дБ		ф-ла (9) [10]	-5,5	-5,5	1,2	5,5	3,5	-0,8	-1,5	-1,5	-1,5		
Уровни звукового давления прямого звука от источника ИШ-2-11 в расчётной точке днём, дБ		**ф-ла(3)[10]**	**0**	**37,6**	**32,1**	**28,8**	**30,4**	**33,3**	**28,8**	**18,2**	**0**	**35,9**	**35,9**
Расчёт отражённого звука													
Уровни звукового давления от мнимого источника ИШ-2-11_мн.(1) в расчётной точке днём, дБ		**ф-ла(3)[10]**	**0**	**0**	**0**	**0**	**0**	**0**	**0**	**0**	**0**	**0**	**0**
Уровни звукового давления от источника ИШ-2-11 в расчётной точке днём, дБ		**ф-ла(3)[10]**	**0**	**37,6**	**32,1**	**28,8**	**30,4**	**33,3**	**28,8**	**18,2**	**0**	**35,9**	**35,9**
Источник шума: ИШ-2-12, координаты источника (x,y,z), м =[760.25,95.02,1.00]													

1		2	3	4	5	6	7	8	9	10	11	12	13
Уровни звуковой мощности источника днём, Lw, дБ		**исходные данные**	**0**	**93,3**	**94,7**	**96**	**96,3**	**95,9**	**92,6**	**88,4**	**83,9**		
Поправка на телесный угол DΩ, дБ	Ω = 6.28	10Lg(4π/Ω)	**3**	3	3	3	3	3	3	3	3		
Показатель направленности источника Di, дБ		исходные данные	**0**	0	0	0	0	0	0	0	0		
Поправка на направленность источника Dc, дБ	Dc	DΩ + Di	**3**	3	3	3	3	3	3	3	3		
Затухание из-за геометрической дивергенции, Adiv, дБ	расстояние = 453.80 м	ф-ла (7) [10]	**64,1**										
Коэффициент затухания звука в атмосфере α, дБ/км	Ta=20,°C Pa=101.33,кПа hотн.=70%	ф-ла (5) [9]	0,02	0,09	0,33	1,12	2,79	4,98	9,04	23,09	77,63		
Учет затухания звука в атмосфере Aatm, дБ		ф-ла (8) [10]	0	0	0,2	0,5	1,3	2,3	4,1	10,5	35,2		
Снижение поверхностью земли возле источника As, дБ	Gs = 0 hs = 1м	ф-лы таб.3 [10]	-1,5	-1,5	-1,5	-1,5	-1,5	-1,5	-1,5	-1,5	-1,5		
Снижение поверхностью земли возле приёмника Ar, дБ	Gr = 1 hr = 1.5м	ф-лы таб.3 [10]	-1,5	-1,5	2,7	7	5	0,7	0	0	0		
Снижение поверхностью земли в средней зоне, Am дБ	Gm = 1	ф-лы таб.3 [10]	-2,5	-2,5	0	0	0	0	0	0	0		
Суммарное снижение поверхностью земли на траектории распространения звука Agr, дБ		ф-ла (9) [10]	-5,5	-5,5	1,2	5,5	3,5	-0,8	-1,5	-1,5	-1,5		
Уровни звукового давления прямого звука от источника ИШ-2-12 в расчётной точке днём, дБ		**ф-ла(3)[10]**	**0**	**37,6**	**32,2**	**28,8**	**30,4**	**33,3**	**28,9**	**18,3**	**0**	**36**	**36**
Расчёт отражённого звука													
Уровни звукового давления от мнимого источника ИШ-2-12_мн.(1) в расчётной точке днём, дБ		**ф-ла(3)[10]**	**0**	**0**	**0**	**0**	**0**	**0**	**0**	**0**	**0**	**0**	**0**
Уровни звукового давления от источника ИШ-2-12 в расчётной точке днём, дБ		**ф-ла(3)[10]**	**0**	**37,6**	**32,2**	**28,8**	**30,4**	**33,3**	**28,9**	**18,3**	**0**	**36**	**36**
Источник шума: ИШ-2-13, координаты источника (x,y,z), м =[759.28,92.25,1.00]													

1		2	3	4	5	6	7	8	9	10	11	12	13
Уровни звуковой мощности источника днём, Lw, дБ		**исходные данные**	**0**	**93,3**	**94,7**	**96**	**96,3**	**95,9**	**92,6**	**88,4**	**83,9**		
Поправка на телесный угол DΩ, дБ	Ω = 6.28	10Lg(4π/Ω)	**3**	3	3	3	3	3	3	3	3		
Показатель направленности источника Di, дБ		исходные данные	**0**	0	0	0	0	0	0	0	0		
Поправка на направленность источника Dc, дБ	Dc	DΩ + Di	**3**	3	3	3	3	3	3	3	3		
Затухание из-за геометрической дивергенции, Adiv, дБ	расстояние = 451.06 м	ф-ла (7) [10]	**64,1**										
Коэффициент затухания звука в атмосфере α, дБ/км	Ta=20,°C Pa=101.33,кПа hотн.=70%	ф-ла (5) [9]	0,02	0,09	0,33	1,12	2,79	4,98	9,04	23,09	77,63		
Учет затухания звука в атмосфере Aatm, дБ		ф-ла (8) [10]	0	0	0,2	0,5	1,3	2,2	4,1	10,4	35		
Снижение поверхностью земли возле источника As, дБ	Gs = 0 hs = 1м	ф-лы таб.3 [10]	-1,5	-1,5	-1,5	-1,5	-1,5	-1,5	-1,5	-1,5	-1,5		
Снижение поверхностью земли возле приёмника Ar, дБ	Gr = 1 hr = 1.5м	ф-лы таб.3 [10]	-1,5	-1,5	2,7	7	5	0,7	0	0	0		
Снижение поверхностью земли в средней зоне, Am дБ	Gm = 1	ф-лы таб.3 [10]	-2,5	-2,5	0	0	0	0	0	0	0		
Суммарное снижение поверхностью земли на траектории распространения звука Agr, дБ		ф-ла (9) [10]	-5,5	-5,5	1,2	5,5	3,5	-0,8	-1,5	-1,5	-1,5		
Уровни звукового давления прямого звука от источника ИШ-2-13 в расчётной точке днём, дБ		**ф-ла(3)[10]**	**0**	**37,7**	**32,2**	**28,9**	**30,5**	**33,4**	**28,9**	**18,4**	**0**	**36**	**36**
Расчёт отражённого звука													
Уровни звукового давления от мнимого источника ИШ-2-13_мн.(1) в расчётной точке днём, дБ		**ф-ла(3)[10]**	**0**	**0**	**0**	**0**	**0**	**0**	**0**	**0**	**0**	**0**	**0**
Уровни звукового давления от источника ИШ-2-13 в расчётной точке днём, дБ		**ф-ла(3)[10]**	**0**	**37,7**	**32,2**	**28,9**	**30,5**	**33,4**	**28,9**	**18,4**	**0**	**36**	**36**
Источник шума: ИШ-2-14, координаты источника (x,y,z), м =[751.62,69.73,1.00]													

1		2	3	4	5	6	7	8	9	10	11	12	13
Уровни звуковой мощности источника днём, Lw, дБ		**исходные данные**	**0**	**93,3**	**94,7**	**96**	**96,3**	**95,9**	**92,6**	**88,4**	**83,9**		
Поправка на телесный угол DΩ, дБ	Ω = 6.28	10Lg(4π/Ω)	**3**	3	3	3	3	3	3	3	3		
Показатель направленности источника Di, дБ		исходные данные	**0**	0	0	0	0	0	0	0	0		
Поправка на направленность источника Dc, дБ	Dc	DΩ + Di	**3**	3	3	3	3	3	3	3	3		
Затухание из-за геометрической дивергенции, Adiv, дБ	расстояние = 429.03 м	ф-ла (7) [10]	**63,6**										
Коэффициент затухания звука в атмосфере α, дБ/км	Ta=20,°C Pa=101.33,кПа hотн.=70%	ф-ла (5) [9]	0,02	0,09	0,33	1,12	2,79	4,98	9,04	23,09	77,63		
Учет затухания звука в атмосфере Aatm, дБ		ф-ла (8) [10]	0	0	0,1	0,5	1,2	2,1	3,9	9,9	33,3		
Снижение поверхностью земли возле источника As, дБ	Gs = 0 hs = 1м	ф-лы таб.3 [10]	-1,5	-1,5	-1,5	-1,5	-1,5	-1,5	-1,5	-1,5	-1,5		
Снижение поверхностью земли возле приёмника Ar, дБ	Gr = 1 hr = 1.5м	ф-лы таб.3 [10]	-1,5	-1,5	2,6	7	5	0,7	0	0	0		
Снижение поверхностью земли в средней зоне, Am дБ	Gm = 1	ф-лы таб.3 [10]	-2,5	-2,5	0	0	0	0	0	0	0		
Суммарное снижение поверхностью земли на траектории распространения звука Agr, дБ		ф-ла (9) [10]	-5,5	-5,5	1,1	5,5	3,5	-0,8	-1,5	-1,5	-1,5		
Уровни звукового давления прямого звука от источника ИШ-2-14 в расчётной точке днём, дБ		**ф-ла(3)[10]**	**0**	**38,1**	**32,8**	**29,3**	**31**	**33,9**	**29,6**	**19,3**	**0**	**36,6**	**36,6**
Расчёт отражённого звука													
Уровни звукового давления от мнимого источника ИШ-2-14_мн.(1) в расчётной точке днём, дБ		**ф-ла(3)[10]**	**0**	**0**	**0**	**0**	**0**	**0**	**0**	**0**	**0**	**0**	**0**
Уровни звукового давления от источника ИШ-2-14 в расчётной точке днём, дБ		**ф-ла(3)[10]**	**0**	**38,1**	**32,8**	**29,3**	**31**	**33,9**	**29,6**	**19,3**	**0**	**36,6**	**36,6**
Источник шума: ИШ-2-15, координаты источника (x,y,z), м =[750.74,66.89,1.00]													

1		2	3	4	5	6	7	8	9	10	11	12	13
Уровни звуковой мощности источника днём, Lw, дБ		**исходные данные**	**0**	**93,3**	**94,7**	**96**	**96,3**	**95,9**	**92,6**	**88,4**	**83,9**		
Поправка на телесный угол DΩ, дБ	Ω = 6.28	10Lg(4π/Ω)	**3**	3	3	3	3	3	3	3	3		
Показатель направленности источника Di, дБ		исходные данные	**0**	0	0	0	0	0	0	0	0		
Поправка на направленность источника Dc, дБ	Dc	DΩ + Di	**3**	3	3	3	3	3	3	3	3		
Затухание из-за геометрической дивергенции, Adiv, дБ	расстояние = 426.32 м	ф-ла (7) [10]	**63,6**										
Коэффициент затухания звука в атмосфере α, дБ/км	Ta=20,°C Pa=101.33,кПа hотн.=70%	ф-ла (5) [9]	0,02	0,09	0,33	1,12	2,79	4,98	9,04	23,09	77,63		
Учет затухания звука в атмосфере Aatm, дБ		ф-ла (8) [10]	0	0	0,1	0,5	1,2	2,1	3,9	9,8	33,1		
Снижение поверхностью земли возле источника As, дБ	Gs = 0 hs = 1м	ф-лы таб.3 [10]	-1,5	-1,5	-1,5	-1,5	-1,5	-1,5	-1,5	-1,5	-1,5		
Снижение поверхностью земли возле приёмника Ar, дБ	Gr = 1 hr = 1.5м	ф-лы таб.3 [10]	-1,5	-1,5	2,5	7	5	0,7	0	0	0		
Снижение поверхностью земли в средней зоне, Am дБ	Gm = 1	ф-лы таб.3 [10]	-2,5	-2,5	0	0	0	0	0	0	0		
Суммарное снижение поверхностью земли на траектории распространения звука Agr, дБ		ф-ла (9) [10]	-5,5	-5,5	1	5,5	3,5	-0,8	-1,5	-1,5	-1,5		
Уровни звукового давления прямого звука от источника ИШ-2-15 в расчётной точке днём, дБ		**ф-ла(3)[10]**	**0**	**38,1**	**32,9**	**29,4**	**31**	**34**	**29,6**	**19,5**	**0**	**36,7**	**36,7**
Расчёт отражённого звука													
Уровни звукового давления от мнимого источника ИШ-2-15_мн.(1) в расчётной точке днём, дБ		**ф-ла(3)[10]**	**0**	**0**	**0**	**0**	**0**	**0**	**0**	**0**	**0**	**0**	**0**
Уровни звукового давления от источника ИШ-2-15 в расчётной точке днём, дБ		**ф-ла(3)[10]**	**0**	**38,1**	**32,9**	**29,4**	**31**	**34**	**29,6**	**19,5**	**0**	**36,7**	**36,7**
Источник шума: ИШ-2-16, координаты источника (x,y,z), м =[749.73,64.02,1.00]													

1		2	3	4	5	6	7	8	9	10	11	12	13
Уровни звуковой мощности источника днём, Lw, дБ		**исходные данные**	**0**	**93,3**	**94,7**	**96**	**96,3**	**95,9**	**92,6**	**88,4**	**83,9**		
Поправка на телесный угол DΩ, дБ	Ω = 6.28	10Lg(4π/Ω)	**3**	3	3	3	3	3	3	3	3		
Показатель направленности источника Di, дБ		исходные данные	**0**	0	0	0	0	0	0	0	0		
Поправка на направленность источника Dc, дБ	Dc	DΩ + Di	**3**	3	3	3	3	3	3	3	3		
Затухание из-за геометрической дивергенции, Adiv, дБ	расстояние = 423.51 м	ф-ла (7) [10]	**63,5**										
Коэффициент затухания звука в атмосфере α, дБ/км	Ta=20,°C Pa=101.33,кПа hотн.=70%	ф-ла (5) [9]	0,02	0,09	0,33	1,12	2,79	4,98	9,04	23,09	77,63		
Учет затухания звука в атмосфере Aatm, дБ		ф-ла (8) [10]	0	0	0,1	0,5	1,2	2,1	3,8	9,8	32,9		
Снижение поверхностью земли возле источника As, дБ	Gs = 0 hs = 1м	ф-лы таб.3 [10]	-1,5	-1,5	-1,5	-1,5	-1,5	-1,5	-1,5	-1,5	-1,5		
Снижение поверхностью земли возле приёмника Ar, дБ	Gr = 1 hr = 1.5м	ф-лы таб.3 [10]	-1,5	-1,5	2,5	7	5	0,7	0	0	0		
Снижение поверхностью земли в средней зоне, Am дБ	Gm = 1	ф-лы таб.3 [10]	-2,5	-2,5	0	0	0	0	0	0	0		
Суммарное снижение поверхностью земли на траектории распространения звука Agr, дБ		ф-ла (9) [10]	-5,5	-5,5	1	5,5	3,5	-0,8	-1,5	-1,5	-1,5		
Уровни звукового давления прямого звука от источника ИШ-2-16 в расчётной точке днём, дБ		**ф-ла(3)[10]**	**0**	**38,2**	**33**	**29,5**	**31,1**	**34,1**	**29,7**	**19,6**	**0**	**36,7**	**36,7**
Расчёт отражённого звука													
Уровни звукового давления от мнимого источника ИШ-2-16_мн.(1) в расчётной точке днём, дБ		**ф-ла(3)[10]**	**0**	**0**	**0**	**0**	**0**	**0**	**0**	**0**	**0**	**0**	**0**
Уровни звукового давления от источника ИШ-2-16 в расчётной точке днём, дБ		**ф-ла(3)[10]**	**0**	**38,2**	**33**	**29,5**	**31,1**	**34,1**	**29,7**	**19,6**	**0**	**36,7**	**36,7**
Источник шума: ИШ-2-17, координаты источника (x,y,z), м =[748.87,61.06,1.00]													

1		2	3	4	5	6	7	8	9	10	11	12	13
Уровни звуковой мощности источника днём, Lw, дБ		**исходные данные**	**0**	**93,3**	**94,7**	**96**	**96,3**	**95,9**	**92,6**	**88,4**	**83,9**		
Поправка на телесный угол DΩ, дБ	Ω = 6.28	10Lg(4π/Ω)	**3**	3	3	3	3	3	3	3	3		
Показатель направленности источника Di, дБ		исходные данные	**0**	0	0	0	0	0	0	0	0		
Поправка на направленность источника Dc, дБ	Dc	DΩ + Di	**3**	3	3	3	3	3	3	3	3		
Затухание из-за геометрической дивергенции, Adiv, дБ	расстояние = 420.73 м	ф-ла (7) [10]	**63,5**										
Коэффициент затухания звука в атмосфере α, дБ/км	Ta=20,°C Pa=101.33,кПа hотн.=70%	ф-ла (5) [9]	0,02	0,09	0,33	1,12	2,79	4,98	9,04	23,09	77,63		
Учет затухания звука в атмосфере Aatm, дБ		ф-ла (8) [10]	0	0	0,1	0,5	1,2	2,1	3,8	9,7	32,7		
Снижение поверхностью земли возле источника As, дБ	Gs = 0 hs = 1м	ф-лы таб.3 [10]	-1,5	-1,5	-1,5	-1,5	-1,5	-1,5	-1,5	-1,5	-1,5		
Снижение поверхностью земли возле приёмника Ar, дБ	Gr = 1 hr = 1.5м	ф-лы таб.3 [10]	-1,5	-1,5	2,5	7	5	0,7	0	0	0		
Снижение поверхностью земли в средней зоне, Am дБ	Gm = 1	ф-лы таб.3 [10]	-2,5	-2,5	0	0	0	0	0	0	0		
Суммарное снижение поверхностью земли на траектории распространения звука Agr, дБ		ф-ла (9) [10]	-5,5	-5,5	1	5,5	3,5	-0,8	-1,5	-1,5	-1,5		
Уровни звукового давления прямого звука от источника ИШ-2-17 в расчётной точке днём, дБ		**ф-ла(3)[10]**	**0**	**38,2**	**33,1**	**29,5**	**31,2**	**34,2**	**29,8**	**19,7**	**0**	**36,8**	**36,8**
Расчёт отражённого звука													
Уровни звукового давления от мнимого источника ИШ-2-17_мн.(1) в расчётной точке днём, дБ		**ф-ла(3)[10]**	**0**	**0**	**0**	**0**	**0**	**0**	**0**	**0**	**0**	**0**	**0**
Уровни звукового давления от источника ИШ-2-17 в расчётной точке днём, дБ		**ф-ла(3)[10]**	**0**	**38,2**	**33,1**	**29,5**	**31,2**	**34,2**	**29,8**	**19,7**	**0**	**36,8**	**36,8**
Источник шума: ИШ-2-18, координаты источника (x,y,z), м =[747.72,58.17,1.00]													

1		2	3	4	5	6	7	8	9	10	11	12	13
Уровни звуковой мощности источника днём, Lw, дБ		**исходные данные**	**0**	**93,3**	**94,7**	**96**	**96,3**	**95,9**	**92,6**	**88,4**	**83,9**		
Поправка на телесный угол DΩ, дБ	Ω = 6.28	10Lg(4π/Ω)	**3**	3	3	3	3	3	3	3	3		
Показатель направленности источника Di, дБ		исходные данные	**0**	0	0	0	0	0	0	0	0		
Поправка на направленность источника Dc, дБ	Dc	DΩ + Di	**3**	3	3	3	3	3	3	3	3		
Затухание из-за геометрической дивергенции, Adiv, дБ	расстояние = 417.82 м	ф-ла (7) [10]	**63,4**										
Коэффициент затухания звука в атмосфере α, дБ/км	Ta=20,°C Pa=101.33,кПа hотн.=70%	ф-ла (5) [9]	0,02	0,09	0,33	1,12	2,79	4,98	9,04	23,09	77,63		
Учет затухания звука в атмосфере Aatm, дБ		ф-ла (8) [10]	0	0	0,1	0,5	1,2	2,1	3,8	9,6	32,4		
Снижение поверхностью земли возле источника As, дБ	Gs = 0 hs = 1м	ф-лы таб.3 [10]	-1,5	-1,5	-1,5	-1,5	-1,5	-1,5	-1,5	-1,5	-1,5		
Снижение поверхностью земли возле приёмника Ar, дБ	Gr = 1 hr = 1.5м	ф-лы таб.3 [10]	-1,5	-1,5	2,5	7	5	0,7	0	0	0		
Снижение поверхностью земли в средней зоне, Am дБ	Gm = 1	ф-лы таб.3 [10]	-2,5	-2,5	0	0	0	0	0	0	0		
Суммарное снижение поверхностью земли на траектории распространения звука Agr, дБ		ф-ла (9) [10]	-5,5	-5,5	1	5,5	3,5	-0,8	-1,5	-1,5	-1,5		
Уровни звукового давления прямого звука от источника ИШ-2-18 в расчётной точке днём, дБ		**ф-ла(3)[10]**	**0**	**38,3**	**33,1**	**29,6**	**31,2**	**34,2**	**29,9**	**19,8**	**0**	**36,9**	**36,9**
Расчёт отражённого звука													
Уровни звукового давления от мнимого источника ИШ-2-18_мн.(1) в расчётной точке днём, дБ		**ф-ла(3)[10]**	**0**	**0**	**0**	**0**	**0**	**0**	**0**	**0**	**0**	**0**	**0**
Уровни звукового давления от источника ИШ-2-18 в расчётной точке днём, дБ		**ф-ла(3)[10]**	**0**	**38,3**	**33,1**	**29,6**	**31,2**	**34,2**	**29,9**	**19,8**	**0**	**36,9**	**36,9**
Источник шума: ИШ-2-19, координаты источника (x,y,z), м =[746.80,55.25,1.00]													

1		2	3	4	5	6	7	8	9	10	11	12	13
Уровни звуковой мощности источника днём, Lw, дБ		**исходные данные**	**0**	**93,3**	**94,7**	**96**	**96,3**	**95,9**	**92,6**	**88,4**	**83,9**		
Поправка на телесный угол DΩ, дБ	Ω = 6.28	10Lg(4π/Ω)	**3**	3	3	3	3	3	3	3	3		
Показатель направленности источника Di, дБ		исходные данные	**0**	0	0	0	0	0	0	0	0		
Поправка на направленность источника Dc, дБ	Dc	DΩ + Di	**3**	3	3	3	3	3	3	3	3		
Затухание из-за геометрической дивергенции, Adiv, дБ	расстояние = 415.04 м	ф-ла (7) [10]	**63,4**										
Коэффициент затухания звука в атмосфере α, дБ/км	Ta=20,°C Pa=101.33,кПа hотн.=70%	ф-ла (5) [9]	0,02	0,09	0,33	1,12	2,79	4,98	9,04	23,09	77,63		
Учет затухания звука в атмосфере Aatm, дБ		ф-ла (8) [10]	0	0	0,1	0,5	1,2	2,1	3,8	9,6	32,2		
Снижение поверхностью земли возле источника As, дБ	Gs = 0 hs = 1м	ф-лы таб.3 [10]	-1,5	-1,5	-1,5	-1,5	-1,5	-1,5	-1,5	-1,5	-1,5		
Снижение поверхностью земли возле приёмника Ar, дБ	Gr = 1 hr = 1.5м	ф-лы таб.3 [10]	-1,5	-1,5	2,5	7	5	0,7	0	0	0		
Снижение поверхностью земли в средней зоне, Am дБ	Gm = 1	ф-лы таб.3 [10]	-2,5	-2,5	0	0	0	0	0	0	0		
Суммарное снижение поверхностью земли на траектории распространения звука Agr, дБ		ф-ла (9) [10]	-5,5	-5,5	1	5,5	3,5	-0,8	-1,5	-1,5	-1,5		
Уровни звукового давления прямого звука от источника ИШ-2-19 в расчётной точке днём, дБ		**ф-ла(3)[10]**	**0**	**38,4**	**33,2**	**29,6**	**31,3**	**34,3**	**30**	**19,9**	**0**	**37**	**37**
Расчёт отражённого звука													
Уровни звукового давления от мнимого источника ИШ-2-19_мн.(1) в расчётной точке днём, дБ		**ф-ла(3)[10]**	**0**	**0**	**0**	**0**	**0**	**0**	**0**	**0**	**0**	**0**	**0**
Уровни звукового давления от источника ИШ-2-19 в расчётной точке днём, дБ		**ф-ла(3)[10]**	**0**	**38,4**	**33,2**	**29,6**	**31,3**	**34,3**	**30**	**19,9**	**0**	**37**	**37**
Источник шума: ИШ-2-20, координаты источника (x,y,z), м =[745.71,52.44,1.00]													

1		2	3	4	5	6	7	8	9	10	11	12	13
Уровни звуковой мощности источника днём, Lw, дБ		**исходные данные**	**0**	**93,3**	**94,7**	**96**	**96,3**	**95,9**	**92,6**	**88,4**	**83,9**		
Поправка на телесный угол DΩ, дБ	Ω = 6.28	10Lg(4π/Ω)	**3**	3	3	3	3	3	3	3	3		
Показатель направленности источника Di, дБ		исходные данные	**0**	0	0	0	0	0	0	0	0		
Поправка на направленность источника Dc, дБ	Dc	DΩ + Di	**3**	3	3	3	3	3	3	3	3		
Затухание из-за геометрической дивергенции, Adiv, дБ	расстояние = 412.23 м	ф-ла (7) [10]	**63,3**										
Коэффициент затухания звука в атмосфере α, дБ/км	Ta=20,°C Pa=101.33,кПа hотн.=70%	ф-ла (5) [9]	0,02	0,09	0,33	1,12	2,79	4,98	9,04	23,09	77,63		
Учет затухания звука в атмосфере Aatm, дБ		ф-ла (8) [10]	0	0	0,1	0,5	1,2	2,1	3,7	9,5	32		
Снижение поверхностью земли возле источника As, дБ	Gs = 0 hs = 1м	ф-лы таб.3 [10]	-1,5	-1,5	-1,5	-1,5	-1,5	-1,5	-1,5	-1,5	-1,5		
Снижение поверхностью земли возле приёмника Ar, дБ	Gr = 1 hr = 1.5м	ф-лы таб.3 [10]	-1,5	-1,5	2,5	7	5	0,7	0	0	0		
Снижение поверхностью земли в средней зоне, Am дБ	Gm = 1	ф-лы таб.3 [10]	-2,5	-2,5	0	0	0	0	0	0	0		
Суммарное снижение поверхностью земли на траектории распространения звука Agr, дБ		ф-ла (9) [10]	-5,5	-5,5	1	5,5	3,5	-0,8	-1,5	-1,5	-1,5		
Уровни звукового давления прямого звука от источника ИШ-2-20 в расчётной точке днём, дБ		**ф-ла(3)[10]**	**0**	**38,4**	**33,3**	**29,7**	**31,4**	**34,4**	**30,1**	**20,1**	**0**	**37**	**37**
Расчёт отражённого звука													
Уровни звукового давления от мнимого источника ИШ-2-20_мн.(1) в расчётной точке днём, дБ		**ф-ла(3)[10]**	**0**	**0**	**0**	**0**	**0**	**0**	**0**	**0**	**0**	**0**	**0**
Уровни звукового давления от источника ИШ-2-20 в расчётной точке днём, дБ		**ф-ла(3)[10]**	**0**	**38,4**	**33,3**	**29,7**	**31,4**	**34,4**	**30,1**	**20,1**	**0**	**37**	**37**
Источник шума: ИШ-2-21, координаты источника (x,y,z), м =[744.89,49.62,1.00]													

1		2	3	4	5	6	7	8	9	10	11	12	13
Уровни звуковой мощности источника днём, Lw, дБ		**исходные данные**	**0**	**93,3**	**94,7**	**96**	**96,3**	**95,9**	**92,6**	**88,4**	**83,9**		
Поправка на телесный угол DΩ, дБ	Ω = 6.28	10Lg(4π/Ω)	**3**	3	3	3	3	3	3	3	3		
Показатель направленности источника Di, дБ		исходные данные	**0**	0	0	0	0	0	0	0	0		
Поправка на направленность источника Dc, дБ	Dc	DΩ + Di	**3**	3	3	3	3	3	3	3	3		
Затухание из-за геометрической дивергенции, Adiv, дБ	расстояние = 409.60 м	ф-ла (7) [10]	**63,2**										
Коэффициент затухания звука в атмосфере α, дБ/км	Ta=20,°C Pa=101.33,кПа hотн.=70%	ф-ла (5) [9]	0,02	0,09	0,33	1,12	2,79	4,98	9,04	23,09	77,63		
Учет затухания звука в атмосфере Aatm, дБ		ф-ла (8) [10]	0	0	0,1	0,5	1,1	2	3,7	9,5	31,8		
Снижение поверхностью земли возле источника As, дБ	Gs = 0 hs = 1м	ф-лы таб.3 [10]	-1,5	-1,5	-1,5	-1,5	-1,5	-1,5	-1,5	-1,5	-1,5		
Снижение поверхностью земли возле приёмника Ar, дБ	Gr = 1 hr = 1.5м	ф-лы таб.3 [10]	-1,5	-1,5	2,4	7	5	0,7	0	0	0		
Снижение поверхностью земли в средней зоне, Am дБ	Gm = 1	ф-лы таб.3 [10]	-2,5	-2,5	0	0	0	0	0	0	0		
Суммарное снижение поверхностью земли на траектории распространения звука Agr, дБ		ф-ла (9) [10]	-5,5	-5,5	0,9	5,5	3,5	-0,8	-1,5	-1,5	-1,5		
Уровни звукового давления от источника ИШ-2-21 в расчётной точке днём, дБ		**ф-ла(3)[10]**	**0**	**38,5**	**33,4**	**29,8**	**31,4**	**34,4**	**30,1**	**20,2**	**0**	**37,1**	**37,1**
Источник шума: ИШ-2-22, координаты источника (x,y,z), м =[737.40,27.07,1.00]													
Уровни звуковой мощности источника днём, Lw, дБ		**исходные данные**	**0**	**93,3**	**94,7**	**96**	**96,3**	**95,9**	**92,6**	**88,4**	**83,9**		
Поправка на телесный угол DΩ, дБ	Ω = 6.28	10Lg(4π/Ω)	**3**	3	3	3	3	3	3	3	3		
Показатель направленности источника Di, дБ		исходные данные	**0**	0	0	0	0	0	0	0	0		

1		2	3	4	5	6	7	8	9	10	11	12	13
Поправка на направленность источника Dc, дБ	Dc	DΩ + Di	**3**	3	3	3	3	3	3	3	3		
Затухание из-за геометрической дивергенции, Adiv, дБ	расстояние = 388.07 м	ф-ла (7) [10]	**62,8**										
Коэффициент затухания звука в атмосфере α, дБ/км	Ta=20,°C Pa=101.33,кПа hотн.=70%	ф-ла (5) [9]	0,02	0,09	0,33	1,12	2,79	4,98	9,04	23,09	77,63		
Учет затухания звука в атмосфере Aatm, дБ		ф-ла (8) [10]	0	0	0,1	0,4	1,1	1,9	3,5	9	30,1		
Снижение поверхностью земли возле источника As, дБ	Gs = 0 hs = 1м	ф-лы таб.3 [10]	-1,5	-1,5	-1,5	-1,5	-1,5	-1,5	-1,5	-1,5	-1,5		
Снижение поверхностью земли возле приёмника Ar, дБ	Gr = 1 hr = 1.5м	ф-лы таб.3 [10]	-1,5	-1,5	2,3	7	5	0,7	0	0	0		
Снижение поверхностью земли в средней зоне, Am дБ	Gm = 1	ф-лы таб.3 [10]	-2,4	-2,4	0	0	0	0	0	0	0		
Суммарное снижение поверхностью земли на траектории распространения звука Agr, дБ		ф-ла (9) [10]	-5,4	-5,4	0,8	5,5	3,5	-0,8	-1,5	-1,5	-1,5		
Уровни звукового давления от источника ИШ-2-22 в расчётной точке днём, дБ		**ф-ла(3)[10]**	**0**	**38,9**	**34**	**30,3**	**32**	**35**	**30,8**	**21,2**	**0**	**37,7**	**37,7**
Источник шума: ИШ-2-23, координаты источника (x,y,z), м =[736.46,24.18,1.00]													
Уровни звуковой мощности источника днём, Lw, дБ		**исходные данные**	**0**	**93,3**	**94,7**	**96**	**96,3**	**95,9**	**92,6**	**88,4**	**83,9**		
Поправка на телесный угол DΩ, дБ	Ω = 6.28	10Lg(4π/Ω)	**3**	3	3	3	3	3	3	3	3		
Показатель направленности источника Di, дБ		исходные данные	**0**	0	0	0	0	0	0	0	0		
Поправка на направленность источника Dc, дБ	Dc	DΩ + Di	**3**	3	3	3	3	3	3	3	3		
Затухание из-за геометрической дивергенции, Adiv, дБ	расстояние = 385.35 м	ф-ла (7) [10]	**62,7**										
Коэффициент затухания звука в атмосфере α, дБ/км	Ta=20,°C Pa=101.33,кПа hотн.=70%	ф-ла (5) [9]	0,02	0,09	0,33	1,12	2,79	4,98	9,04	23,09	77,63		

1		2	3	4	5	6	7	8	9	10	11	12	13
Учет затухания звука в атмосфере Aatm, дБ		ф-ла (8) [10]	0	0	0,1	0,4	1,1	1,9	3,5	8,9	29,9		
Снижение поверхностью земли возле источника As, дБ	Gs = 0 hs = 1м	ф-лы таб.3 [10]	-1,5	-1,5	-1,5	-1,5	-1,5	-1,5	-1,5	-1,5	-1,5		
Снижение поверхностью земли возле приёмника Ar, дБ	Gr = 1 hr = 1.5м	ф-лы таб.3 [10]	-1,5	-1,5	2,3	7	5	0,7	0	0	0		
Снижение поверхностью земли в средней зоне, Am дБ	Gm = 1	ф-лы таб.3 [10]	-2,4	-2,4	0	0	0	0	0	0	0		
Суммарное снижение поверхностью земли на траектории распространения звука Agr, дБ		ф-ла (9) [10]	-5,4	-5,4	0,8	5,5	3,5	-0,8	-1,5	-1,5	-1,5		
Уровни звукового давления от источника ИШ-2-23 в расчётной точке днём, дБ		**ф-ла(3)[10]**	**0**	**39**	**34,1**	**30,3**	**32**	**35,1**	**30,9**	**21,3**	**0**	**37,8**	**37,8**
Источник шума: ИШ-2-24, координаты источника (x,y,z), м =[735.45,21.21,1.00]													
Уровни звуковой мощности источника днём, Lw, дБ		**исходные данные**	**0**	**93,3**	**94,7**	**96**	**96,3**	**95,9**	**92,6**	**88,4**	**83,9**		
Поправка на телесный угол DΩ, дБ	Ω = 6.28	10Lg(4π/Ω)	**3**	3	3	3	3	3	3	3	3		
Показатель направленности источника Di, дБ		исходные данные	**0**	0	0	0	0	0	0	0	0		
Поправка на направленность источника Dc, дБ	Dc	DΩ + Di	**3**	3	3	3	3	3	3	3	3		
Затухание из-за геометрической дивергенции, Adiv, дБ	расстояние = 382.52 м	ф-ла (7) [10]	**62,7**										
Коэффициент затухания звука в атмосфере α, дБ/км	Ta=20,°C Pa=101.33,кПа hотн.=70%	ф-ла (5) [9]	0,02	0,09	0,33	1,12	2,79	4,98	9,04	23,09	77,63		
Учет затухания звука в атмосфере Aatm, дБ		ф-ла (8) [10]	0	0	0,1	0,4	1,1	1,9	3,5	8,8	29,7		
Снижение поверхностью земли возле источника As, дБ	Gs = 0 hs = 1м	ф-лы таб.3 [10]	-1,5	-1,5	-1,5	-1,5	-1,5	-1,5	-1,5	-1,5	-1,5		
Снижение поверхностью земли возле приёмника Ar, дБ	Gr = 1 hr = 1.5м	ф-лы таб.3 [10]	-1,5	-1,5	2,3	7	5	0,7	0	0	0		

1		2	3	4	5	6	7	8	9	10	11	12	13
Снижение поверхностью земли в средней зоне, Am дБ	Gm = 1	ф-лы таб.3 [10]	-2,4	-2,4	0	0	0	0	0	0	0		
Суммарное снижение поверхностью земли на траектории распространения звука Agr, дБ		ф-ла (9) [10]	-5,4	-5,4	0,8	5,5	3,5	-0,8	-1,5	-1,5	-1,5		
Уровни звукового давления от источника ИШ-2-24 в расчётной точке днём, дБ		**ф-ла(3)[10]**	**0**	**39**	**34,2**	**30,4**	**32,1**	**35,2**	**31**	**21,4**	**0**	**37,9**	**37,9**
Источник шума: ИШ-2-25, координаты источника (x,y,z), м =[734.58,18.32,1.00]													
Уровни звуковой мощности источника днём, Lw, дБ		**исходные данные**	**0**	**93,3**	**94,7**	**96**	**96,3**	**95,9**	**92,6**	**88,4**	**83,9**		
Поправка на телесный угол DΩ, дБ	Ω = 6.28	10Lg(4π/Ω)	**3**	3	3	3	3	3	3	3	3		
Показатель направленности источника Di, дБ		исходные данные	**0**	0	0	0	0	0	0	0	0		
Поправка на направленность источника Dc, дБ	Dc	DΩ + Di	**3**	3	3	3	3	3	3	3	3		
Затухание из-за геометрической дивергенции, Adiv, дБ	расстояние = 379.85 м	ф-ла (7) [10]	**62,6**										
Коэффициент затухания звука в атмосфере α, дБ/км	Ta=20,°C Pa=101.33,кПа hотн.=70%	ф-ла (5) [9]	0,02	0,09	0,33	1,12	2,79	4,98	9,04	23,09	77,63		
Учет затухания звука в атмосфере Aatm, дБ		ф-ла (8) [10]	0	0	0,1	0,4	1,1	1,9	3,4	8,8	29,5		
Снижение поверхностью земли возле источника As, дБ	Gs = 0 hs = 1м	ф-лы таб.3 [10]	-1,5	-1,5	-1,5	-1,5	-1,5	-1,5	-1,5	-1,5	-1,5		
Снижение поверхностью земли возле приёмника Ar, дБ	Gr = 1 hr = 1.5м	ф-лы таб.3 [10]	-1,5	-1,5	2,2	7	5	0,7	0	0	0		
Снижение поверхностью земли в средней зоне, Am дБ	Gm = 1	ф-лы таб.3 [10]	-2,4	-2,4	0	0	0	0	0	0	0		
Суммарное снижение поверхностью земли на траектории распространения звука Agr, дБ		ф-ла (9) [10]	-5,4	-5,4	0,7	5,5	3,5	-0,8	-1,5	-1,5	-1,5		
Уровни звукового давления от источника ИШ-2-25 в расчётной точке днём, дБ		**ф-ла(3)[10]**	**0**	**39,1**	**34,2**	**30,5**	**32,2**	**35,2**	**31,1**	**21,5**	**0**	**38**	**38**

1		2	3	4	5	6	7	8	9	10	11	12	13
Источник шума: ИШ-2-26, координаты источника (x,y,z), м =[733.57,15.41,1.00]													
Уровни звуковой мощности источника днём, Lw, дБ		**исходные данные**	**0**	**93,3**	**94,7**	**96**	**96,3**	**95,9**	**92,6**	**88,4**	**83,9**		
Поправка на телесный угол DΩ, дБ	Ω = 6.28	10Lg(4π/Ω)	**3**	3	3	3	3	3	3	3	3		
Показатель направленности источника Di, дБ		исходные данные	**0**	0	0	0	0	0	0	0	0		
Поправка на направленность источника Dc, дБ	Dc	DΩ + Di	**3**	3	3	3	3	3	3	3	3		
Затухание из-за геометрической дивергенции, Adiv, дБ	расстояние = 377.07 м	ф-ла (7) [10]	**62,5**										
Коэффициент затухания звука в атмосфере α, дБ/км	Ta=20,°C Pa=101.33,кПа hотн.=70%	ф-ла (5) [9]	0,02	0,09	0,33	1,12	2,79	4,98	9,04	23,09	77,63		
Учет затухания звука в атмосфере Aatm, дБ		ф-ла (8) [10]	0	0	0,1	0,4	1,1	1,9	3,4	8,7	29,3		
Снижение поверхностью земли возле источника As, дБ	Gs = 0 hs = 1м	ф-лы таб.3 [10]	-1,5	-1,5	-1,5	-1,5	-1,5	-1,5	-1,5	-1,5	-1,5		
Снижение поверхностью земли возле приёмника Ar, дБ	Gr = 1 hr = 1.5м	ф-лы таб.3 [10]	-1,5	-1,5	2,2	7	5	0,7	0	0	0		
Снижение поверхностью земли в средней зоне, Am дБ	Gm = 1	ф-лы таб.3 [10]	-2,4	-2,4	0	0	0	0	0	0	0		
Суммарное снижение поверхностью земли на траектории распространения звука Agr, дБ		ф-ла (9) [10]	-5,4	-5,4	0,7	5,5	3,5	-0,8	-1,5	-1,5	-1,5		
Уровни звукового давления от источника ИШ-2-26 в расчётной точке днём, дБ		**ф-ла(3)[10]**	**0**	**39,1**	**34,3**	**30,5**	**32,2**	**35,3**	**31,2**	**21,7**	**0**	**38**	**38**
Источник шума: ИШ-2-27, координаты источника (x,y,z), м =[732.43,12.66,1.00]													
Уровни звуковой мощности источника днём, Lw, дБ		**исходные данные**	**0**	**93,3**	**94,7**	**96**	**96,3**	**95,9**	**92,6**	**88,4**	**83,9**		
Поправка на телесный угол DΩ, дБ	Ω = 6.28	10Lg(4π/Ω)	**3**	3	3	3	3	3	3	3	3		

1		2	3	4	5	6	7	8	9	10	11	12	13
Показатель направленности источника Di, дБ		исходные данные	**0**	0	0	0	0	0	0	0	0		
Поправка на направленность источника Dc, дБ	Dc	DΩ + Di	**3**	3	3	3	3	3	3	3	3		
Затухание из-за геометрической дивергенции, Adiv, дБ	расстояние = 374.33 м	ф-ла (7) [10]	**62,5**										
Коэффициент затухания звука в атмосфере α, дБ/км	Ta=20,°C Pa=101.33,кПа hотн.=70%	ф-ла (5) [9]	0,02	0,09	0,33	1,12	2,79	4,98	9,04	23,09	77,63		
Учет затухания звука в атмосфере Aatm, дБ		ф-ла (8) [10]	0	0	0,1	0,4	1	1,9	3,4	8,6	29,1		
Снижение поверхностью земли возле источника As, дБ	Gs = 0 hs = 1м	ф-лы таб.3 [10]	-1,5	-1,5	-1,5	-1,5	-1,5	-1,5	-1,5	-1,5	-1,5		
Снижение поверхностью земли возле приёмника Ar, дБ	Gr = 1 hr = 1.5м	ф-лы таб.3 [10]	-1,5	-1,5	2,2	7	5	0,7	0	0	0		
Снижение поверхностью земли в средней зоне, Am дБ	Gm = 1	ф-лы таб.3 [10]	-2,4	-2,4	0	0	0	0	0	0	0		
Суммарное снижение поверхностью земли на траектории распространения звука Agr, дБ		ф-ла (9) [10]	-5,4	-5,4	0,7	5,5	3,5	-0,8	-1,5	-1,5	-1,5		
Уровни звукового давления от источника ИШ-2-27 в расчётной точке днём, дБ		**ф-ла(3)[10]**	**0**	**39,2**	**34,4**	**30,6**	**32,3**	**35,4**	**31,2**	**21,8**	**0**	**38,1**	**38,1**
Источник шума: ИШ-2-28, координаты источника (x,y,z), м =[731.54,9.78,1.00]													
Уровни звуковой мощности источника днём, Lw, дБ		**исходные данные**	**0**	**93,3**	**94,7**	**96**	**96,3**	**95,9**	**92,6**	**88,4**	**83,9**		
Поправка на телесный угол DΩ, дБ	Ω = 6.28	10Lg(4π/Ω)	**3**	3	3	3	3	3	3	3	3		
Показатель направленности источника Di, дБ		исходные данные	**0**	0	0	0	0	0	0	0	0		
Поправка на направленность источника Dc, дБ	Dc	DΩ + Di	**3**	3	3	3	3	3	3	3	3		
Затухание из-за геометрической дивергенции, Adiv, дБ	расстояние = 371.66 м	ф-ла (7) [10]	**62,4**										

1		2	3	4	5	6	7	8	9	10	11	12	13
Коэффициент затухания звука в атмосфере α, дБ/км	Ta=20,°C Pa=101.33,кПа hотн.=70%	ф-ла (5) [9]	0,02	0,09	0,33	1,12	2,79	4,98	9,04	23,09	77,63		
Учет затухания звука в атмосфере Aatm, дБ		ф-ла (8) [10]	0	0	0,1	0,4	1	1,9	3,4	8,6	28,9		
Снижение поверхностью земли возле источника As, дБ	Gs = 0 hs = 1м	ф-лы таб.3 [10]	-1,5	-1,5	-1,5	-1,5	-1,5	-1,5	-1,5	-1,5	-1,5		
Снижение поверхностью земли возле приёмника Ar, дБ	Gr = 1 hr = 1.5м	ф-лы таб.3 [10]	-1,5	-1,5	2,2	7	5	0,7	0	0	0		
Снижение поверхностью земли в средней зоне, Am дБ	Gm = 1	ф-лы таб.3 [10]	-2,4	-2,4	0	0	0	0	0	0	0		
Суммарное снижение поверхностью земли на траектории распространения звука Agr, дБ		ф-ла (9) [10]	-5,4	-5,4	0,7	5,5	3,5	-0,8	-1,5	-1,5	-1,5		
Уровни звукового давления от источника ИШ-2-28 в расчётной точке днём, дБ		**ф-ла(3)[10]**	**0**	**39,3**	**34,5**	**30,7**	**32,4**	**35,5**	**31,3**	**21,9**	**0**	**38,2**	**38,2**
Источник шума: ИШ-2-29, координаты источника (x,y,z), м =[730.57,6.88,1.00]													
Уровни звуковой мощности источника днём, Lw, дБ		**исходные данные**	**0**	**93,3**	**94,7**	**96**	**96,3**	**95,9**	**92,6**	**88,4**	**83,9**		
Поправка на телесный угол DΩ, дБ	Ω = 6.28	10Lg(4π/Ω)	**3**	3	3	3	3	3	3	3	3		
Показатель направленности источника Di, дБ		исходные данные	**0**	0	0	0	0	0	0	0	0		
Поправка на направленность источника Dc, дБ	Dc	DΩ + Di	**3**	3	3	3	3	3	3	3	3		
Затухание из-за геометрической дивергенции, Adiv, дБ	расстояние = 368.95 м	ф-ла (7) [10]	**62,3**										
Коэффициент затухания звука в атмосфере α, дБ/км	Ta=20,°C Pa=101.33,кПа hотн.=70%	ф-ла (5) [9]	0,02	0,09	0,33	1,12	2,79	4,98	9,04	23,09	77,63		
Учет затухания звука в атмосфере Aatm, дБ		ф-ла (8) [10]	0	0	0,1	0,4	1	1,8	3,3	8,5	28,6		
Снижение поверхностью земли возле источника As, дБ	Gs = 0 hs = 1м	ф-лы таб.3 [10]	-1,5	-1,5	-1,5	-1,5	-1,5	-1,5	-1,5	-1,5	-1,5		

1		2	3	4	5	6	7	8	9	10	11	12	13
Снижение поверхностью земли возле приёмника Ar, дБ	Gr = 1 hr = 1.5м	ф-лы таб.3 [10]	-1,5	-1,5	2,2	7	5	0,7	0	0	0		
Снижение поверхностью земли в средней зоне, Am дБ	Gm = 1	ф-лы таб.3 [10]	-2,4	-2,4	0	0	0	0	0	0	0		
Суммарное снижение поверхностью земли на траектории распространения звука Agr, дБ		ф-ла (9) [10]	-5,4	-5,4	0,7	5,5	3,5	-0,8	-1,5	-1,5	-1,5		
Уровни звукового давления от источника ИШ-2-29 в расчётной точке днём, дБ		**ф-ла(3)[10]**	**0**	**39,3**	**34,6**	**30,7**	**32,5**	**35,6**	**31,4**	**22**	**0**	**38,3**	**38,3**
Источник шума: ИШ-2-4, координаты источника (x,y,z), м =[632.70,-65.30,3.00]													
Уровни звуковой мощности источника днём, Lw, дБ		**исходные данные**	**105**	**104**	**104**	**101**	**102**	**106**	**101**	**95**	**87**		
Поправка на телесный угол DΩ, дБ	Ω = 6.28	10Lg(4π/Ω)	**3**	3	3	3	3	3	3	3	3		
Показатель направленности источника Di, дБ		исходные данные	**0**	0	0	0	0	0	0	0	0		
Поправка на направленность источника Dc, дБ	Dc	DΩ + Di	**3**	3	3	3	3	3	3	3	3		
Затухание из-за геометрической дивергенции, Adiv, дБ	расстояние = 249.11 м	ф-ла (7) [10]	**58,9**										
Коэффициент затухания звука в атмосфере α, дБ/км	Ta=20,°C Pa=101.33,кПа hотн.=70%	ф-ла (5) [9]	0,02	0,09	0,33	1,12	2,79	4,98	9,04	23,09	77,63		
Учет затухания звука в атмосфере Aatm, дБ		ф-ла (8) [10]	0	0	0,1	0,3	0,7	1,2	2,3	5,8	19,3		
Снижение поверхностью земли возле источника As, дБ	Gs = 0 hs = 3м	ф-лы таб.3 [10]	-1,5	-1,5	-1,5	-1,5	-1,5	-1,5	-1,5	-1,5	-1,5		
Снижение поверхностью земли возле приёмника Ar, дБ	Gr = 1 hr = 1.5м	ф-лы таб.3 [10]	-1,5	-1,5	1,4	7	4,9	0,7	0	0	0		
Снижение поверхностью земли в средней зоне, Am дБ	Gm = 1	ф-лы таб.3 [10]	-1,4	-1,4	0	0	0	0	0	0	0		
Суммарное снижение поверхностью земли на траектории распространения звука Agr, дБ		ф-ла (9) [10]	-4,4	-4,4	-0,1	5,5	3,4	-0,8	-1,5	-1,5	-1,5		

1		2	3	4	5	6	7	8	9	10	11	12	13
Уровни звукового давления прямого звука от источника ИШ-2-4 в расчётной точке днём, дБ		**ф-ла(3)[10]**	**53,5**	**52,4**	**48,1**	**39,3**	**42**	**49,7**	**44,3**	**34,8**	**13,2**	**51,6**	**51,6**
Расчёт отражённого звука													
Уровни звукового давления от мнимого источника ИШ-2-4_мн.(1) в расчётной точке днём, дБ		**ф-ла(3)[10]**	**0**	**0**	**0**	**0**	**0**	**0**	**0**	**20,5**	**0**	**21,5**	**21,5**
Уровни звукового давления от источника ИШ-2-4 в расчётной точке днём, дБ		**ф-ла(3)[10]**	**53,5**	**52,4**	**48,1**	**39,3**	**42**	**49,7**	**44,3**	**35**	**13,2**	**51,6**	**51,6**
Источник шума: ИШ-2-30, координаты источника (x,y,z), м =[702.44,-77.23,1.00]													
Уровни звуковой мощности источника днём, Lw, дБ		**исходные данные**	**0**	**93,3**	**94,7**	**96**	**96,3**	**95,9**	**92,6**	**88,4**	**83,9**		
Поправка на телесный угол DΩ, дБ	Ω = 6.28	10Lg(4π/Ω)	**3**	3	3	3	3	3	3	3	3		
Показатель направленности источника Di, дБ		исходные данные	**0**	0	0	0	0	0	0	0	0		
Поправка на направленность источника Dc, дБ	Dc	DΩ + Di	**3**	3	3	3	3	3	3	3	3		
Затухание из-за геометрической дивергенции, Adiv, дБ	расстояние = 292.78 м	ф-ла (7) [10]	**60,3**										
Коэффициент затухания звука в атмосфере α, дБ/км	Ta=20,°C Pa=101.33,кПа hотн.=70%	ф-ла (5) [9]	0,02	0,09	0,33	1,12	2,79	4,98	9,04	23,09	77,63		
Учет затухания звука в атмосфере Aatm, дБ		ф-ла (8) [10]	0	0	0,1	0,3	0,8	1,5	2,6	6,8	22,7		
Снижение поверхностью земли возле источника As, дБ	Gs = 0 hs = 1м	ф-лы таб.3 [10]	-1,5	-1,5	-1,5	-1,5	-1,5	-1,5	-1,5	-1,5	-1,5		
Снижение поверхностью земли возле приёмника Ar, дБ	Gr = 1 hr = 1.5м	ф-лы таб.3 [10]	-1,5	-1,5	1,7	7	5	0,7	0	0	0		
Снижение поверхностью земли в средней зоне, Am дБ	Gm = 1	ф-лы таб.3 [10]	-2,2	-2,2	0	0	0	0	0	0	0		
Суммарное снижение поверхностью земли на траектории распространения звука Agr, дБ		ф-ла (9) [10]	-5,2	-5,2	0,2	5,5	3,5	-0,8	-1,5	-1,5	-1,5		

1		2	3	4	5	6	7	8	9	10	11	12	13
Уровни звукового давления от источника ИШ-2-30 в расчётной точке днём, дБ		**ф-ла(3)[10]**	**0**	**41,2**	**37,1**	**32,8**	**34,7**	**37,9**	**34,1**	**25,8**	**5,3**	**40,8**	**40,8**
Источник шума: ИШ-2-31, координаты источника (x,y,z), м =[701.42,-80.17,1.00]													
Уровни звуковой мощности источника днём, Lw, дБ		**исходные данные**	**0**	**93,3**	**94,7**	**96**	**96,3**	**95,9**	**92,6**	**88,4**	**83,9**		
Поправка на телесный угол DΩ, дБ	Ω = 6.28	10Lg(4π/Ω)	**3**	3	3	3	3	3	3	3	3		
Показатель направленности источника Di, дБ		исходные данные	**0**	0	0	0	0	0	0	0	0		
Поправка на направленность источника Dc, дБ	Dc	DΩ + Di	**3**	3	3	3	3	3	3	3	3		
Затухание из-за геометрической дивергенции, Adiv, дБ	расстояние = 290.22 м	ф-ла (7) [10]	**60,3**										
Коэффициент затухания звука в атмосфере α, дБ/км	Ta=20,°C Pa=101.33,кПа hотн.=70%	ф-ла (5) [9]	0,02	0,09	0,33	1,12	2,79	4,98	9,04	23,09	77,63		
Учет затухания звука в атмосфере Aatm, дБ		ф-ла (8) [10]	0	0	0,1	0,3	0,8	1,4	2,6	6,7	22,5		
Снижение поверхностью земли возле источника As, дБ	Gs = 0 hs = 1м	ф-лы таб.3 [10]	-1,5	-1,5	-1,5	-1,5	-1,5	-1,5	-1,5	-1,5	-1,5		
Снижение поверхностью земли возле приёмника Ar, дБ	Gr = 1 hr = 1.5м	ф-лы таб.3 [10]	-1,5	-1,5	1,7	7	5	0,7	0	0	0		
Снижение поверхностью земли в средней зоне, Am дБ	Gm = 1	ф-лы таб.3 [10]	-2,2	-2,2	0	0	0	0	0	0	0		
Суммарное снижение поверхностью земли на траектории распространения звука Agr, дБ		ф-ла (9) [10]	-5,2	-5,2	0,2	5,5	3,5	-0,8	-1,5	-1,5	-1,5		
Уровни звукового давления прямого звука от источника ИШ-2-31 в расчётной точке днём, дБ		**ф-ла(3)[10]**	**0**	**41,2**	**37,2**	**32,9**	**34,8**	**38**	**34,2**	**25,9**	**5,6**	**40,9**	**40,9**
Расчёт отражённого звука													
Уровни звукового давления от мнимого источника ИШ-2-31_мн.(1) в расчётной точке днём, дБ		**ф-ла(3)[10]**	**0**	**0**	**0**	**0**	**0**	**0**	**0**	**0**	**0**	**0**	**0**

1		2	3	4	5	6	7	8	9	10	11	12	13
Уровни звукового давления от источника ИШ-2-31 в расчётной точке днём, дБ		**ф-ла(3)[10]**	**0**	**41,2**	**37,2**	**32,9**	**34,8**	**38**	**34,2**	**25,9**	**5,6**	**40,9**	**40,9**
Источник шума: ИШ-2-32, координаты источника (x,y,z), м =[700.38,-83.01,1.00]													
Уровни звуковой мощности источника днём, Lw, дБ		**исходные данные**	**0**	**93,3**	**94,7**	**96**	**96,3**	**95,9**	**92,6**	**88,4**	**83,9**		
Поправка на телесный угол DΩ, дБ	Ω = 6.28	10Lg(4π/Ω)	**3**	3	3	3	3	3	3	3	3		
Показатель направленности источника Di, дБ		исходные данные	**0**	0	0	0	0	0	0	0	0		
Поправка на направленность источника Dc, дБ	Dc	DΩ + Di	**3**	3	3	3	3	3	3	3	3		
Затухание из-за геометрической дивергенции, Adiv, дБ	расстояние = 287.70 м	ф-ла (7) [10]	**60,2**										
Коэффициент затухания звука в атмосфере α, дБ/км	Ta=20,°C Pa=101.33,кПа hотн.=70%	ф-ла (5) [9]	0,02	0,09	0,33	1,12	2,79	4,98	9,04	23,09	77,63		
Учет затухания звука в атмосфере Aatm, дБ		ф-ла (8) [10]	0	0	0,1	0,3	0,8	1,4	2,6	6,6	22,3		
Снижение поверхностью земли возле источника As, дБ	Gs = 0 hs = 1м	ф-лы таб.3 [10]	-1,5	-1,5	-1,5	-1,5	-1,5	-1,5	-1,5	-1,5	-1,5		
Снижение поверхностью земли возле приёмника Ar, дБ	Gr = 1 hr = 1.5м	ф-лы таб.3 [10]	-1,5	-1,5	1,7	7	5	0,7	0	0	0		
Снижение поверхностью земли в средней зоне, Am дБ	Gm = 1	ф-лы таб.3 [10]	-2,2	-2,2	0	0	0	0	0	0	0		
Суммарное снижение поверхностью земли на траектории распространения звука Agr, дБ		ф-ла (9) [10]	-5,2	-5,2	0,2	5,5	3,5	-0,8	-1,5	-1,5	-1,5		
Уровни звукового давления прямого звука от источника ИШ-2-32 в расчётной точке днём, дБ		**ф-ла(3)[10]**	**0**	**41,3**	**37,3**	**33**	**34,9**	**38,1**	**34,3**	**26,1**	**5,9**	**41**	**41**
Расчёт отражённого звука													
Уровни звукового давления от мнимого источника ИШ-2-32_мн.(1) в расчётной точке днём, дБ		**ф-ла(3)[10]**	**0**	**0**	**0**	**0**	**0**	**0**	**0**	**0**	**0**	**0**	**0**

1		2	3	4	5	6	7	8	9	10	11	12	13
Уровни звукового давления от источника ИШ-2-32 в расчётной точке днём, дБ		**ф-ла(3)[10]**	**0**	**41,3**	**37,3**	**33**	**34,9**	**38,1**	**34,3**	**26,1**	**5,9**	**41**	**41**
Источник шума: ИШ-2-33, координаты источника (x,y,z), м =[699.52,-85.98,1.00]													
Уровни звуковой мощности источника днём, Lw, дБ		**исходные данные**	**0**	**93,3**	**94,7**	**96**	**96,3**	**95,9**	**92,6**	**88,4**	**83,9**		
Поправка на телесный угол DΩ, дБ	Ω = 6.28	10Lg(4π/Ω)	**3**	3	3	3	3	3	3	3	3		
Показатель направленности источника Di, дБ		исходные данные	**0**	0	0	0	0	0	0	0	0		
Поправка на направленность источника Dc, дБ	Dc	DΩ + Di	**3**	3	3	3	3	3	3	3	3		
Затухание из-за геометрической дивергенции, Adiv, дБ	расстояние = 285.28 м	ф-ла (7) [10]	**60,1**										
Коэффициент затухания звука в атмосфере α, дБ/км	Ta=20,°C Pa=101.33,кПа hотн.=70%	ф-ла (5) [9]	0,02	0,09	0,33	1,12	2,79	4,98	9,04	23,09	77,63		
Учет затухания звука в атмосфере Aatm, дБ		ф-ла (8) [10]	0	0	0,1	0,3	0,8	1,4	2,6	6,6	22,1		
Снижение поверхностью земли возле источника As, дБ	Gs = 0 hs = 1м	ф-лы таб.3 [10]	-1,5	-1,5	-1,5	-1,5	-1,5	-1,5	-1,5	-1,5	-1,5		
Снижение поверхностью земли возле приёмника Ar, дБ	Gr = 1 hr = 1.5м	ф-лы таб.3 [10]	-1,5	-1,5	1,6	7	5	0,7	0	0	0		
Снижение поверхностью земли в средней зоне, Am дБ	Gm = 1	ф-лы таб.3 [10]	-2,2	-2,2	0	0	0	0	0	0	0		
Суммарное снижение поверхностью земли на траектории распространения звука Agr, дБ		ф-ла (9) [10]	-5,2	-5,2	0,1	5,5	3,5	-0,8	-1,5	-1,5	-1,5		
Уровни звукового давления прямого звука от источника ИШ-2-33 в расчётной точке днём, дБ		**ф-ла(3)[10]**	**0**	**41,4**	**37,4**	**33,1**	**34,9**	**38,2**	**34,4**	**26,2**	**6,1**	**41**	**41**
Расчёт отражённого звука													
Уровни звукового давления от мнимого источника ИШ-2-33_мн.(1) в расчётной точке днём, дБ		**ф-ла(3)[10]**	**0**	**0**	**0**	**0**	**0**	**0**	**0**	**0**	**0**	**0**	**0**

1		2	3	4	5	6	7	8	9	10	11	12	13
Уровни звукового давления от источника ИШ-2-33 в расчётной точке днём, дБ		**ф-ла(3)[10]**	**0**	**41,4**	**37,4**	**33,1**	**34,9**	**38,2**	**34,4**	**26,2**	**6,1**	**41**	**41**
Источник шума: ИШ-2-34, координаты источника (x,y,z), м =[698.43,-88.85,1.00]													
Уровни звуковой мощности источника днём, Lw, дБ		**исходные данные**	**0**	**93,3**	**94,7**	**96**	**96,3**	**95,9**	**92,6**	**88,4**	**83,9**		
Поправка на телесный угол DΩ, дБ	Ω = 6.28	10Lg(4π/Ω)	**3**	3	3	3	3	3	3	3	3		
Показатель направленности источника Di, дБ		исходные данные	**0**	0	0	0	0	0	0	0	0		
Поправка на направленность источника Dc, дБ	Dc	DΩ + Di	**3**	3	3	3	3	3	3	3	3		
Затухание из-за геометрической дивергенции, Adiv, дБ	расстояние = 282.73 м	ф-ла (7) [10]	**60**										
Коэффициент затухания звука в атмосфере α, дБ/км	Ta=20,°C Pa=101.33,кПа hотн.=70%	ф-ла (5) [9]	0,02	0,09	0,33	1,12	2,79	4,98	9,04	23,09	77,63		
Учет затухания звука в атмосфере Aatm, дБ		ф-ла (8) [10]	0	0	0,1	0,3	0,8	1,4	2,6	6,5	21,9		
Снижение поверхностью земли возле источника As, дБ	Gs = 0 hs = 1м	ф-лы таб.3 [10]	-1,5	-1,5	-1,5	-1,5	-1,5	-1,5	-1,5	-1,5	-1,5		
Снижение поверхностью земли возле приёмника Ar, дБ	Gr = 1 hr = 1.5м	ф-лы таб.3 [10]	-1,5	-1,5	1,6	7	5	0,7	0	0	0		
Снижение поверхностью земли в средней зоне, Am дБ	Gm = 1	ф-лы таб.3 [10]	-2,2	-2,2	0	0	0	0	0	0	0		
Суммарное снижение поверхностью земли на траектории распространения звука Agr, дБ		ф-ла (9) [10]	-5,2	-5,2	0,1	5,5	3,5	-0,8	-1,5	-1,5	-1,5		
Уровни звукового давления прямого звука от источника ИШ-2-34 в расчётной точке днём, дБ		**ф-ла(3)[10]**	**0**	**41,4**	**37,4**	**33,1**	**35**	**38,3**	**34,5**	**26,3**	**6,4**	**41,1**	**41,1**
Расчёт отражённого звука													
Уровни звукового давления от мнимого источника ИШ-2-34_мн.(1) в расчётной точке днём, дБ		**ф-ла(3)[10]**	**0**	**0**	**0**	**0**	**0**	**0**	**0**	**0**	**0**	**0**	**0**

1		2	3	4	5	6	7	8	9	10	11	12	13
Уровни звукового давления от источника ИШ-2-34 в расчётной точке днём, дБ		**ф-ла(3)[10]**	**0**	**41,4**	**37,4**	**33,1**	**35**	**38,3**	**34,5**	**26,3**	**6,4**	**41,1**	**41,1**
Источник шума: ИШ-2-35, координаты источника (x,y,z), м =[697.52,-91.66,1.00]													
Уровни звуковой мощности источника днём, Lw, дБ		**исходные данные**	**0**	**93,3**	**94,7**	**96**	**96,3**	**95,9**	**92,6**	**88,4**	**83,9**		
Поправка на телесный угол DΩ, дБ	Ω = 6.28	10Lg(4π/Ω)	**3**	3	3	3	3	3	3	3	3		
Показатель направленности источника Di, дБ		исходные данные	**0**	0	0	0	0	0	0	0	0		
Поправка на направленность источника Dc, дБ	Dc	DΩ + Di	**3**	3	3	3	3	3	3	3	3		
Затухание из-за геометрической дивергенции, Adiv, дБ	расстояние = 280.37 м	ф-ла (7) [10]	**60**										
Коэффициент затухания звука в атмосфере α, дБ/км	Ta=20,°C Pa=101.33,кПа hотн.=70%	ф-ла (5) [9]	0,02	0,09	0,33	1,12	2,79	4,98	9,04	23,09	77,63		
Учет затухания звука в атмосфере Aatm, дБ		ф-ла (8) [10]	0	0	0,1	0,3	0,8	1,4	2,5	6,5	21,8		
Снижение поверхностью земли возле источника As, дБ	Gs = 0 hs = 1м	ф-лы таб.3 [10]	-1,5	-1,5	-1,5	-1,5	-1,5	-1,5	-1,5	-1,5	-1,5		
Снижение поверхностью земли возле приёмника Ar, дБ	Gr = 1 hr = 1.5м	ф-лы таб.3 [10]	-1,5	-1,5	1,6	7	5	0,7	0	0	0		
Снижение поверхностью земли в средней зоне, Am дБ	Gm = 1	ф-лы таб.3 [10]	-2,2	-2,2	0	0	0	0	0	0	0		
Суммарное снижение поверхностью земли на траектории распространения звука Agr, дБ		ф-ла (9) [10]	-5,2	-5,2	0,1	5,5	3,5	-0,8	-1,5	-1,5	-1,5		
Уровни звукового давления прямого звука от источника ИШ-2-35 в расчётной точке днём, дБ		**ф-ла(3)[10]**	**0**	**41,5**	**37,5**	**33,2**	**35,1**	**38,4**	**34,6**	**26,5**	**6,7**	**41,2**	**41,2**
Расчёт отражённого звука													
Уровни звукового давления от мнимого источника ИШ-2-35_мн.(1) в расчётной точке днём, дБ		**ф-ла(3)[10]**	**0**	**0**	**0**	**0**	**0**	**0**	**0**	**0**	**0**	**0**	**0**

1		2	3	4	5	6	7	8	9	10	11	12	13
Уровни звукового давления от источника ИШ-2-35 в расчётной точке днём, дБ		**ф-ла(3)[10]**	**0**	**41,5**	**37,5**	**33,2**	**35,1**	**38,4**	**34,6**	**26,5**	**6,7**	**41,2**	**41,2**
Источник шума: ИШ-2-36, координаты источника (x,y,z), м =[696.58,-94.55,1.00]													
Уровни звуковой мощности источника днём, Lw, дБ		**исходные данные**	**0**	**93,3**	**94,7**	**96**	**96,3**	**95,9**	**92,6**	**88,4**	**83,9**		
Поправка на телесный угол DΩ, дБ	Ω = 6.28	10Lg(4π/Ω)	**3**	3	3	3	3	3	3	3	3		
Показатель направленности источника Di, дБ		исходные данные	**0**	0	0	0	0	0	0	0	0		
Поправка на направленность источника Dc, дБ	Dc	DΩ + Di	**3**	3	3	3	3	3	3	3	3		
Затухание из-за геометрической дивергенции, Adiv, дБ	расстояние = 277.96 м	ф-ла (7) [10]	**59,9**										
Коэффициент затухания звука в атмосфере α, дБ/км	Ta=20,°C Pa=101.33,кПа hотн.=70%	ф-ла (5) [9]	0,02	0,09	0,33	1,12	2,79	4,98	9,04	23,09	77,63		
Учет затухания звука в атмосфере Aatm, дБ		ф-ла (8) [10]	0	0	0,1	0,3	0,8	1,4	2,5	6,4	21,6		
Снижение поверхностью земли возле источника As, дБ	Gs = 0 hs = 1м	ф-лы таб.3 [10]	-1,5	-1,5	-1,5	-1,5	-1,5	-1,5	-1,5	-1,5	-1,5		
Снижение поверхностью земли возле приёмника Ar, дБ	Gr = 1 hr = 1.5м	ф-лы таб.3 [10]	-1,5	-1,5	1,6	7	5	0,7	0	0	0		
Снижение поверхностью земли в средней зоне, Am дБ	Gm = 1	ф-лы таб.3 [10]	-2,2	-2,2	0	0	0	0	0	0	0		
Суммарное снижение поверхностью земли на траектории распространения звука Agr, дБ		ф-ла (9) [10]	-5,2	-5,2	0,1	5,5	3,5	-0,8	-1,5	-1,5	-1,5		
Уровни звукового давления прямого звука от источника ИШ-2-36 в расчётной точке днём, дБ		**ф-ла(3)[10]**	**0**	**41,6**	**37,6**	**33,3**	**35,2**	**38,5**	**34,7**	**26,6**	**6,9**	**41,3**	**41,3**
Расчёт отражённого звука													
Уровни звукового давления от мнимого источника ИШ-2-36_мн.(1) в расчётной точке днём, дБ		**ф-ла(3)[10]**	**0**	**0**	**0**	**0**	**0**	**0**	**0**	**0**	**0**	**0**	**0**

1		2	3	4	5	6	7	8	9	10	11	12	13
Уровни звукового давления от источника ИШ-2-36 в расчётной точке днём, дБ		**ф-ла(3)[10]**	**0**	**41,6**	**37,6**	**33,3**	**35,2**	**38,5**	**34,7**	**26,6**	**6,9**	**41,3**	**41,3**
Источник шума: ИШ-2-37, координаты источника (x,y,z), м =[695.57,-97.37,1.00]													
Уровни звуковой мощности источника днём, Lw, дБ		**исходные данные**	**0**	**93,3**	**94,7**	**96**	**96,3**	**95,9**	**92,6**	**88,4**	**83,9**		
Поправка на телесный угол DΩ, дБ	Ω = 6.28	10Lg(4π/Ω)	**3**	3	3	3	3	3	3	3	3		
Показатель направленности источника Di, дБ		исходные данные	**0**	0	0	0	0	0	0	0	0		
Поправка на направленность источника Dc, дБ	Dc	DΩ + Di	**3**	3	3	3	3	3	3	3	3		
Затухание из-за геометрической дивергенции, Adiv, дБ	расстояние = 275.54 м	ф-ла (7) [10]	**59,8**										
Коэффициент затухания звука в атмосфере α, дБ/км	Ta=20,°C Pa=101.33,кПа hотн.=70%	ф-ла (5) [9]	0,02	0,09	0,33	1,12	2,79	4,98	9,04	23,09	77,63		
Учет затухания звука в атмосфере Aatm, дБ		ф-ла (8) [10]	0	0	0,1	0,3	0,8	1,4	2,5	6,4	21,4		
Снижение поверхностью земли возле источника As, дБ	Gs = 0 hs = 1м	ф-лы таб.3 [10]	-1,5	-1,5	-1,5	-1,5	-1,5	-1,5	-1,5	-1,5	-1,5		
Снижение поверхностью земли возле приёмника Ar, дБ	Gr = 1 hr = 1.5м	ф-лы таб.3 [10]	-1,5	-1,5	1,6	7	5	0,7	0	0	0		
Снижение поверхностью земли в средней зоне, Am дБ	Gm = 1	ф-лы таб.3 [10]	-2,2	-2,2	0	0	0	0	0	0	0		
Суммарное снижение поверхностью земли на траектории распространения звука Agr, дБ		ф-ла (9) [10]	-5,2	-5,2	0,1	5,5	3,5	-0,8	-1,5	-1,5	-1,5		
Уровни звукового давления прямого звука от источника ИШ-2-37 в расчётной точке днём, дБ		**ф-ла(3)[10]**	**0**	**41,6**	**37,7**	**33,4**	**35,3**	**38,6**	**34,8**	**26,7**	**7,2**	**41,4**	**41,4**
Расчёт отражённого звука													
Уровни звукового давления от мнимого источника ИШ-2-37_мн.(1) в расчётной точке днём, дБ		**ф-ла(3)[10]**	**0**	**0**	**0**	**0**	**0**	**0**	**0**	**0**	**0**	**0**	**0**

1		2	3	4	5	6	7	8	9	10	11	12	13
Уровни звукового давления от источника ИШ-2-37 в расчётной точке днём, дБ		**ф-ла(3)[10]**	**0**	**41,6**	**37,7**	**33,4**	**35,3**	**38,6**	**34,8**	**26,7**	**7,2**	**41,4**	**41,4**
Источник шума: ИШ-2-5, координаты источника (x,y,z), м =[618.60,-108.00,3.00]													
Уровни звуковой мощности источника днём, Lw, дБ		**исходные данные**	**105**	**104**	**104**	**101**	**102**	**106**	**101**	**95**	**87**		
Поправка на телесный угол DΩ, дБ	Ω = 6.28	10Lg(4π/Ω)	**3**	3	3	3	3	3	3	3	3		
Показатель направленности источника Di, дБ		исходные данные	**0**	0	0	0	0	0	0	0	0		
Поправка на направленность источника Dc, дБ	Dc	DΩ + Di	**3**	3	3	3	3	3	3	3	3		
Затухание из-за геометрической дивергенции, Adiv, дБ	расстояние = 208.60 м	ф-ла (7) [10]	**57,4**										
Коэффициент затухания звука в атмосфере α, дБ/км	Ta=20,°C Pa=101.33,кПа hотн.=70%	ф-ла (5) [9]	0,02	0,09	0,33	1,12	2,79	4,98	9,04	23,09	77,63		
Учет затухания звука в атмосфере Aatm, дБ		ф-ла (8) [10]	0	0	0,1	0,2	0,6	1	1,9	4,8	16,2		
Снижение поверхностью земли возле источника As, дБ	Gs = 0 hs = 3м	ф-лы таб.3 [10]	-1,5	-1,5	-1,5	-1,5	-1,5	-1,5	-1,5	-1,5	-1,5		
Снижение поверхностью земли возле приёмника Ar, дБ	Gr = 1 hr = 1.5м	ф-лы таб.3 [10]	-1,5	-1,5	1,2	6,9	4,9	0,6	0	0	0		
Снижение поверхностью земли в средней зоне, Am дБ	Gm = 1	ф-лы таб.3 [10]	-1,1	-1,1	0	0	0	0	0	0	0		
Суммарное снижение поверхностью земли на траектории распространения звука Agr, дБ		ф-ла (9) [10]	-4,1	-4,1	-0,3	5,4	3,4	-0,9	-1,5	-1,5	-1,5		
Уровни звукового давления от источника ИШ-2-5 в расчётной точке днём, дБ		**ф-ла(3)[10]**	**54,7**	**53,7**	**49,8**	**41**	**43,6**	**51,4**	**46,2**	**37,3**	**17,9**	**53,4**	**53,4**
Источник шума: ИШ-2-38, координаты источника (x,y,z), м =[688.13,-119.94,1.00]													
Уровни звуковой мощности источника днём, Lw, дБ		**исходные данные**	**0**	**93,3**	**94,7**	**96**	**96,3**	**95,9**	**92,6**	**88,4**	**83,9**		

1		2	3	4	5	6	7	8	9	10	11	12	13
Поправка на телесный угол DΩ, дБ	Ω = 6.28	10Lg(4π/Ω)	**3**	3	3	3	3	3	3	3	3		
Показатель направленности источника Di, дБ		исходные данные	**0**	0	0	0	0	0	0	0	0		
Поправка на направленность источника Dc, дБ	Dc	DΩ + Di	**3**	3	3	3	3	3	3	3	3		
Затухание из-за геометрической дивергенции, Adiv, дБ	расстояние = 257.17 м	ф-ла (7) [10]	**59,2**										
Коэффициент затухания звука в атмосфере α, дБ/км	Ta=20,°C Pa=101.33,кПа hотн.=70%	ф-ла (5) [9]	0,02	0,09	0,33	1,12	2,79	4,98	9,04	23,09	77,63		
Учет затухания звука в атмосфере Aatm, дБ		ф-ла (8) [10]	0	0	0,1	0,3	0,7	1,3	2,3	5,9	20		
Снижение поверхностью земли возле источника As, дБ	Gs = 0 hs = 1м	ф-лы таб.3 [10]	-1,5	-1,5	-1,5	-1,5	-1,5	-1,5	-1,5	-1,5	-1,5		
Снижение поверхностью земли возле приёмника Ar, дБ	Gr = 1 hr = 1.5м	ф-лы таб.3 [10]	-1,5	-1,5	1,5	7	4,9	0,7	0	0	0		
Снижение поверхностью земли в средней зоне, Am дБ	Gm = 1	ф-лы таб.3 [10]	-2,1	-2,1	0	0	0	0	0	0	0		
Суммарное снижение поверхностью земли на траектории распространения звука Agr, дБ		ф-ла (9) [10]	-5,1	-5,1	0	5,5	3,4	-0,8	-1,5	-1,5	-1,5		
Уровни звукового давления от источника ИШ-2-38 в расчётной точке днём, дБ		**ф-ла(3)[10]**	**0**	**42,2**	**38,4**	**34**	**35,9**	**39,3**	**35,6**	**27,8**	**9,2**	**42,1**	**42,1**
Источник шума: ИШ-2-39, координаты источника (x,y,z), м =[687.11,-122.83,1.00]													
Уровни звуковой мощности источника днём, Lw, дБ		**исходные данные**	**0**	**93,3**	**94,7**	**96**	**96,3**	**95,9**	**92,6**	**88,4**	**83,9**		
Поправка на телесный угол DΩ, дБ	Ω = 6.28	10Lg(4π/Ω)	**3**	3	3	3	3	3	3	3	3		
Показатель направленности источника Di, дБ		исходные данные	**0**	0	0	0	0	0	0	0	0		
Поправка на направленность источника Dc, дБ	Dc	DΩ + Di	**3**	3	3	3	3	3	3	3	3		

1		2	3	4	5	6	7	8	9	10	11	12	13
Затухание из-за геометрической дивергенции, Adiv, дБ	расстояние = 254.83 м	ф-ла (7) [10]	**59,1**										
Коэффициент затухания звука в атмосфере α, дБ/км	Ta=20,°C Pa=101.33,кПа hотн.=70%	ф-ла (5) [9]	0,02	0,09	0,33	1,12	2,79	4,98	9,04	23,09	77,63		
Учет затухания звука в атмосфере Aatm, дБ		ф-ла (8) [10]	0	0	0,1	0,3	0,7	1,3	2,3	5,9	19,8		
Снижение поверхностью земли возле источника As, дБ	Gs = 0 hs = 1м	ф-лы таб.3 [10]	-1,5	-1,5	-1,5	-1,5	-1,5	-1,5	-1,5	-1,5	-1,5		
Снижение поверхностью земли возле приёмника Ar, дБ	Gr = 1 hr = 1.5м	ф-лы таб.3 [10]	-1,5	-1,5	1,5	7	4,9	0,7	0	0	0		
Снижение поверхностью земли в средней зоне, Am дБ	Gm = 1	ф-лы таб.3 [10]	-2,1	-2,1	0	0	0	0	0	0	0		
Суммарное снижение поверхностью земли на траектории распространения звука Agr, дБ		ф-ла (9) [10]	-5,1	-5,1	0	5,5	3,4	-0,8	-1,5	-1,5	-1,5		
Уровни звукового давления от источника ИШ-2-39 в расчётной точке днём, дБ		**ф-ла(3)[10]**	**0**	**42,3**	**38,5**	**34,1**	**36**	**39,3**	**35,7**	**27,9**	**9,5**	**42,2**	**42,2**
Источник шума: ИШ-2-40, координаты источника (x,y,z), м =[686.10,-125.67,1.00]													
Уровни звуковой мощности источника днём, Lw, дБ		**исходные данные**	**0**	**93,3**	**94,7**	**96**	**96,3**	**95,9**	**92,6**	**88,4**	**83,9**		
Поправка на телесный угол DΩ, дБ	Ω = 6.28	10Lg(4π/Ω)	**3**	3	3	3	3	3	3	3	3		
Показатель направленности источника Di, дБ		исходные данные	**0**	0	0	0	0	0	0	0	0		
Поправка на направленность источника Dc, дБ	Dc	DΩ + Di	**3**	3	3	3	3	3	3	3	3		
Затухание из-за геометрической дивергенции, Adiv, дБ	расстояние = 252.52 м	ф-ла (7) [10]	**59**										
Коэффициент затухания звука в атмосфере α, дБ/км	Ta=20,°C Pa=101.33,кПа hотн.=70%	ф-ла (5) [9]	0,02	0,09	0,33	1,12	2,79	4,98	9,04	23,09	77,63		
Учет затухания звука в атмосфере Aatm, дБ		ф-ла (8) [10]	0	0	0,1	0,3	0,7	1,3	2,3	5,8	19,6		

1		2	3	4	5	6	7	8	9	10	11	12	13
Снижение поверхностью земли возле источника As, дБ	Gs = 0 hs = 1м	ф-лы таб.3 [10]	-1,5	-1,5	-1,5	-1,5	-1,5	-1,5	-1,5	-1,5	-1,5		
Снижение поверхностью земли возле приёмника Ar, дБ	Gr = 1 hr = 1.5м	ф-лы таб.3 [10]	-1,5	-1,5	1,4	7	4,9	0,7	0	0	0		
Снижение поверхностью земли в средней зоне, Am дБ	Gm = 1	ф-лы таб.3 [10]	-2,1	-2,1	0	0	0	0	0	0	0		
Суммарное снижение поверхностью земли на траектории распространения звука Agr, дБ		ф-ла (9) [10]	-5,1	-5,1	-0,1	5,5	3,4	-0,8	-1,5	-1,5	-1,5		
Уровни звукового давления прямого звука от источника ИШ-2-40 в расчётной точке днём, дБ		**ф-ла(3)[10]**	**0**	**42,3**	**38,6**	**34,2**	**36,1**	**39,4**	**35,8**	**28**	**9,7**	**42,3**	**42,3**
Расчёт отражённого звука													
Уровни звукового давления от мнимого источника ИШ-2-40_мн.(1) в расчётной точке днём, дБ		**ф-ла(3)[10]**	**0**	**0**	**0**	**0**	**0**	**0**	**0**	**0**	**0**	**0**	**0**
Уровни звукового давления от источника ИШ-2-40 в расчётной точке днём, дБ		**ф-ла(3)[10]**	**0**	**42,3**	**38,6**	**34,2**	**36,1**	**39,4**	**35,8**	**28**	**9,7**	**42,3**	**42,3**
Источник шума: ИШ-2-41, координаты источника (x,y,z), м =[685.14,-128.64,1.00]													
Уровни звуковой мощности источника днём, Lw, дБ		**исходные данные**	**0**	**93,3**	**94,7**	**96**	**96,3**	**95,9**	**92,6**	**88,4**	**83,9**		
Поправка на телесный угол DΩ, дБ	Ω = 6.28	10Lg(4π/Ω)	**3**	3	3	3	3	3	3	3	3		
Показатель направленности источника Di, дБ		исходные данные	**0**	0	0	0	0	0	0	0	0		
Поправка на направленность источника Dc, дБ	Dc	DΩ + Di	**3**	3	3	3	3	3	3	3	3		
Затухание из-за геометрической дивергенции, Adiv, дБ	расстояние = 250.22 м	ф-ла (7) [10]	**59**										
Коэффициент затухания звука в атмосфере α, дБ/км	Ta=20,°C Pa=101.33,кПа hотн.=70%	ф-ла (5) [9]	0,02	0,09	0,33	1,12	2,79	4,98	9,04	23,09	77,63		
Учет затухания звука в атмосфере Aatm, дБ		ф-ла (8) [10]	0	0	0,1	0,3	0,7	1,2	2,3	5,8	19,4		

1		2	3	4	5	6	7	8	9	10	11	12	13
Снижение поверхностью земли возле источника As, дБ	Gs = 0 hs = 1м	ф-лы таб.3 [10]	-1,5	-1,5	-1,5	-1,5	-1,5	-1,5	-1,5	-1,5	-1,5		
Снижение поверхностью земли возле приёмника Ar, дБ	Gr = 1 hr = 1.5м	ф-лы таб.3 [10]	-1,5	-1,5	1,4	7	4,9	0,7	0	0	0		
Снижение поверхностью земли в средней зоне, Am дБ	Gm = 1	ф-лы таб.3 [10]	-2,1	-2,1	0	0	0	0	0	0	0		
Суммарное снижение поверхностью земли на траектории распространения звука Agr, дБ		ф-ла (9) [10]	-5,1	-5,1	-0,1	5,5	3,4	-0,8	-1,5	-1,5	-1,5		
Уровни звукового давления прямого звука от источника ИШ-2-41 в расчётной точке днём, дБ		**ф-ла(3)[10]**	**0**	**42,4**	**38,7**	**34,3**	**36,2**	**39,5**	**35,9**	**28,1**	**10**	**42,4**	**42,4**
Расчёт отражённого звука													
Уровни звукового давления от мнимого источника ИШ-2-41_мн.(1) в расчётной точке днём, дБ		**ф-ла(3)[10]**	**0**	**0**	**0**	**0**	**0**	**0**	**0**	**0**	**0**	**0**	**0**
Уровни звукового давления от источника ИШ-2-41 в расчётной точке днём, дБ		**ф-ла(3)[10]**	**0**	**42,4**	**38,7**	**34,3**	**36,2**	**39,5**	**35,9**	**28,1**	**10**	**42,4**	**42,4**
Источник шума: ИШ-2-42, координаты источника (x,y,z), м =[684.20,-131.46,1.00]													
Уровни звуковой мощности источника днём, Lw, дБ		**исходные данные**	**0**	**93,3**	**94,7**	**96**	**96,3**	**95,9**	**92,6**	**88,4**	**83,9**		
Поправка на телесный угол DΩ, дБ	Ω = 6.28	10Lg(4π/Ω)	**3**	3	3	3	3	3	3	3	3		
Показатель направленности источника Di, дБ		исходные данные	**0**	0	0	0	0	0	0	0	0		
Поправка на направленность источника Dc, дБ	Dc	DΩ + Di	**3**	3	3	3	3	3	3	3	3		
Затухание из-за геометрической дивергенции, Adiv, дБ	расстояние = 248.03 м	ф-ла (7) [10]	**58,9**										
Коэффициент затухания звука в атмосфере α, дБ/км	Ta=20,°C Pa=101.33,кПа hотн.=70%	ф-ла (5) [9]	0,02	0,09	0,33	1,12	2,79	4,98	9,04	23,09	77,63		
Учет затухания звука в атмосфере Aatm, дБ		ф-ла (8) [10]	0	0	0,1	0,3	0,7	1,2	2,2	5,7	19,3		

1		2	3	4	5	6	7	8	9	10	11	12	13
Снижение поверхностью земли возле источника As, дБ	Gs = 0 hs = 1м	ф-лы таб.3 [10]	-1,5	-1,5	-1,5	-1,5	-1,5	-1,5	-1,5	-1,5	-1,5		
Снижение поверхностью земли возле приёмника Ar, дБ	Gr = 1 hr = 1.5м	ф-лы таб.3 [10]	-1,5	-1,5	1,4	7	4,9	0,7	0	0	0		
Снижение поверхностью земли в средней зоне, Am дБ	Gm = 1	ф-лы таб.3 [10]	-2,1	-2,1	0	0	0	0	0	0	0		
Суммарное снижение поверхностью земли на траектории распространения звука Agr, дБ		ф-ла (9) [10]	-5,1	-5,1	-0,1	5,5	3,4	-0,8	-1,5	-1,5	-1,5		
Уровни звукового давления прямого звука от источника ИШ-2-42 в расчётной точке днём, дБ		**ф-ла(3)[10]**	**0**	**42,5**	**38,8**	**34,3**	**36,3**	**39,6**	**36**	**28,3**	**10,2**	**42,5**	**42,5**
Расчёт отражённого звука													
Уровни звукового давления от мнимого источника ИШ-2-42_мн.(1) в расчётной точке днём, дБ		**ф-ла(3)[10]**	**0**	**0**	**0**	**0**	**0**	**0**	**0**	**0**	**0**	**0**	**0**
Уровни звукового давления от источника ИШ-2-42 в расчётной точке днём, дБ		**ф-ла(3)[10]**	**0**	**42,5**	**38,8**	**34,3**	**36,3**	**39,6**	**36**	**28,3**	**10,2**	**42,5**	**42,5**
Источник шума: ИШ-2-43, координаты источника (x,y,z), м =[683.13,-134.37,1.00]													
Уровни звуковой мощности источника днём, Lw, дБ		**исходные данные**	**0**	**93,3**	**94,7**	**96**	**96,3**	**95,9**	**92,6**	**88,4**	**83,9**		
Поправка на телесный угол DΩ, дБ	Ω = 6.28	10Lg(4π/Ω)	**3**	3	3	3	3	3	3	3	3		
Показатель направленности источника Di, дБ		исходные данные	**0**	0	0	0	0	0	0	0	0		
Поправка на направленность источника Dc, дБ	Dc	DΩ + Di	**3**	3	3	3	3	3	3	3	3		
Затухание из-за геометрической дивергенции, Adiv, дБ	расстояние = 245.70 м	ф-ла (7) [10]	**58,8**										
Коэффициент затухания звука в атмосфере α, дБ/км	Ta=20,°C Pa=101.33,кПа hотн.=70%	ф-ла (5) [9]	0,02	0,09	0,33	1,12	2,79	4,98	9,04	23,09	77,63		
Учет затухания звука в атмосфере Aatm, дБ		ф-ла (8) [10]	0	0	0,1	0,3	0,7	1,2	2,2	5,7	19,1		

1		2	3	4	5	6	7	8	9	10	11	12	13
Снижение поверхностью земли возле источника As, дБ	Gs = 0 hs = 1м	ф-лы таб.3 [10]	-1,5	-1,5	-1,5	-1,5	-1,5	-1,5	-1,5	-1,5	-1,5		
Снижение поверхностью земли возле приёмника Ar, дБ	Gr = 1 hr = 1.5м	ф-лы таб.3 [10]	-1,5	-1,5	1,4	7	4,9	0,7	0	0	0		
Снижение поверхностью земли в средней зоне, Am дБ	Gm = 1	ф-лы таб.3 [10]	-2,1	-2,1	0	0	0	0	0	0	0		
Суммарное снижение поверхностью земли на траектории распространения звука Agr, дБ		ф-ла (9) [10]	-5,1	-5,1	-0,1	5,5	3,4	-0,8	-1,5	-1,5	-1,5		
Уровни звукового давления прямого звука от источника ИШ-2-43 в расчётной точке днём, дБ		**ф-ла(3)[10]**	**0**	**42,5**	**38,9**	**34,4**	**36,4**	**39,7**	**36,1**	**28,4**	**10,5**	**42,6**	**42,6**
Расчёт отражённого звука													
Уровни звукового давления от мнимого источника ИШ-2-43_мн.(1) в расчётной точке днём, дБ		**ф-ла(3)[10]**	**0**	**0**	**0**	**0**	**0**	**0**	**0**	**0**	**0**	**0**	**0**
Уровни звукового давления от источника ИШ-2-43 в расчётной точке днём, дБ		**ф-ла(3)[10]**	**0**	**42,5**	**38,9**	**34,4**	**36,4**	**39,7**	**36,1**	**28,4**	**10,5**	**42,6**	**42,6**
Источник шума: ИШ-2-44, координаты источника (x,y,z), м =[682.20,-137.16,1.00]													
Уровни звуковой мощности источника днём, Lw, дБ		**исходные данные**	**0**	**93,3**	**94,7**	**96**	**96,3**	**95,9**	**92,6**	**88,4**	**83,9**		
Поправка на телесный угол DΩ, дБ	Ω = 6.28	10Lg(4π/Ω)	**3**	3	3	3	3	3	3	3	3		
Показатель направленности источника Di, дБ		исходные данные	**0**	0	0	0	0	0	0	0	0		
Поправка на направленность источника Dc, дБ	Dc	DΩ + Di	**3**	3	3	3	3	3	3	3	3		
Затухание из-за геометрической дивергенции, Adiv, дБ	расстояние = 243.55 м	ф-ла (7) [10]	**58,7**										
Коэффициент затухания звука в атмосфере α, дБ/км	Ta=20,°C Pa=101.33,кПа hотн.=70%	ф-ла (5) [9]	0,02	0,09	0,33	1,12	2,79	4,98	9,04	23,09	77,63		
Учет затухания звука в атмосфере Aatm, дБ		ф-ла (8) [10]	0	0	0,1	0,3	0,7	1,2	2,2	5,6	18,9		

1		2	3	4	5	6	7	8	9	10	11	12	13
Снижение поверхностью земли возле источника As, дБ	Gs = 0 hs = 1м	ф-лы таб.3 [10]	-1,5	-1,5	-1,5	-1,5	-1,5	-1,5	-1,5	-1,5	-1,5		
Снижение поверхностью земли возле приёмника Ar, дБ	Gr = 1 hr = 1.5м	ф-лы таб.3 [10]	-1,5	-1,5	1,4	7	4,9	0,7	0	0	0		
Снижение поверхностью земли в средней зоне, Am дБ	Gm = 1	ф-лы таб.3 [10]	-2,1	-2,1	0	0	0	0	0	0	0		
Суммарное снижение поверхностью земли на траектории распространения звука Agr, дБ		ф-ла (9) [10]	-5,1	-5,1	-0,1	5,5	3,4	-0,8	-1,5	-1,5	-1,5		
Уровни звукового давления от источника ИШ-2-44 в расчётной точке днём, дБ		**ф-ла(3)[10]**	**0**	**42,6**	**39**	**34,5**	**36,4**	**39,8**	**36,2**	**28,5**	**10,8**	**42,7**	**42,7**
Источник шума: ИШ-2-45, координаты источника (x,y,z), м =[681.26,-139.98,1.00]													
Уровни звуковой мощности источника днём, Lw, дБ		**исходные данные**	**0**	**93,3**	**94,7**	**96**	**96,3**	**95,9**	**92,6**	**88,4**	**83,9**		
Поправка на телесный угол DΩ, дБ	Ω = 6.28	10Lg(4π/Ω)	**3**	3	3	3	3	3	3	3	3		
Показатель направленности источника Di, дБ		исходные данные	**0**	0	0	0	0	0	0	0	0		
Поправка на направленность источника Dc, дБ	Dc	DΩ + Di	**3**	3	3	3	3	3	3	3	3		
Затухание из-за геометрической дивергенции, Adiv, дБ	расстояние = 241.41 м	ф-ла (7) [10]	**58,7**										
Коэффициент затухания звука в атмосфере α, дБ/км	Ta=20,°C Pa=101.33,кПа hотн.=70%	ф-ла (5) [9]	0,02	0,09	0,33	1,12	2,79	4,98	9,04	23,09	77,63		
Учет затухания звука в атмосфере Aatm, дБ		ф-ла (8) [10]	0	0	0,1	0,3	0,7	1,2	2,2	5,6	18,7		
Снижение поверхностью земли возле источника As, дБ	Gs = 0 hs = 1м	ф-лы таб.3 [10]	-1,5	-1,5	-1,5	-1,5	-1,5	-1,5	-1,5	-1,5	-1,5		
Снижение поверхностью земли возле приёмника Ar, дБ	Gr = 1 hr = 1.5м	ф-лы таб.3 [10]	-1,5	-1,5	1,4	7	4,9	0,7	0	0	0		
Снижение поверхностью земли в средней зоне, Am дБ	Gm = 1	ф-лы таб.3 [10]	-2,1	-2,1	0	0	0	0	0	0	0		

1		2	3	4	5	6	7	8	9	10	11	12	13
Суммарное снижение поверхностью земли на траектории распространения звука Agr, дБ		ф-ла (9) [10]	-5,1	-5,1	-0,1	5,5	3,4	-0,8	-1,5	-1,5	-1,5		
Уровни звукового давления от источника ИШ-2-45 в расчётной точке днём, дБ		**ф-ла(3)[10]**	**0**	**42,7**	**39,1**	**34,6**	**36,5**	**39,9**	**36,3**	**28,7**	**11**	**42,8**	**42,8**
Источник шума: ИШ-4-1, координаты источника (x,y,z), м =[141.82,201.03,1.00]													
Уровни звуковой мощности источника днём, Lw, дБ		**исходные данные**	**0**	**90,3**	**91,7**	**93**	**93,3**	**92,9**	**89,6**	**85,4**	**80,9**		
Поправка на телесный угол DΩ, дБ	Ω = 6.28	10Lg(4π/Ω)	**3**	3	3	3	3	3	3	3	3		
Показатель направленности источника Di, дБ		исходные данные	**0**	0	0	0	0	0	0	0	0		
Поправка на направленность источника Dc, дБ	Dc	DΩ + Di	**3**	3	3	3	3	3	3	3	3		
Затухание из-за геометрической дивергенции, Adiv, дБ	расстояние = 557.20 м	ф-ла (7) [10]	**65,9**										
Коэффициент затухания звука в атмосфере α, дБ/км	Ta=20,°C Pa=101.33,кПа hотн.=70%	ф-ла (5) [9]	0,02	0,09	0,33	1,12	2,79	4,98	9,04	23,09	77,63		
Учет затухания звука в атмосфере Aatm, дБ		ф-ла (8) [10]	0	0	0,2	0,6	1,6	2,8	5	12,9	43,3		
Снижение уровня звукового давления из-за влияния застройки между источником шума и расчетной точкой													
Снижение уровня звукового давления на пути над экраном, Dz1, дБ	z = 0.30м (разность путей)	ф-лы (14-18) [10]	4,8	4,9	5	5,3	6	6,9	8,4	10,4	12,7		
Снижение уровня звукового давления на пути слева от экрана, Dz2, дБ	z = 18.15м (разность путей)	ф-лы (14-18) [10]	18,5	21,4	24,3	27,3	30,3	33,3	36,3	39,3	42,3		
Снижение уровня звукового давления на пути справа от экрана, Dz3, дБ	z = 0.92м (разность путей)	ф-лы (14-18) [10]	8,1	9,9	12,2	14,8	17,6	20,5	23,4	26,4	29,4		
Общее снижение уровня звука препятствием Dz, дБ		Эн.сумма(-Dzi)	3	3,6	4,2	4,8	5,7	6,7	8,3	10,2	12,6		
Уровни звукового давления прямого звука от источника ИШ-4-1 в расчётной точке днём, дБ		**ф-ла(3)[10]**	**0**	**23,7**	**24,4**	**24,6**	**23,2**	**20,5**	**13,4**	**0**	**0**	**24,6**	**24,6**

1		2	3	4	5	6	7	8	9	10	11	12	13
Расчёт отражённого звука													
Уровни звукового давления от мнимого источника ИШ-4-1_мн.(1) в расчётной точке днём, дБ		**ф-ла(3)[10]**	**0**	**0**	**0**	**0**	**0**	**0**	**0**	**0**	**0**	**0**	**0**
Уровни звукового давления от мнимого источника ИШ-4-1_мн.(2) в расчётной точке днём, дБ		**ф-ла(3)[10]**	**0**	**0**	**0**	**0**	**0**	**19,6**	**12,4**	**0**	**0**	**20,5**	**20,5**
Суммарные уровни звукового давления от мнимых источников в расчётной точке днём, дБ		**ф-ла (19) [1]**	**0**	**0**	**0**	**0**	**0**	**19,6**	**12,4**	**0**	**0**	**0**	**20,5**
Уровни звукового давления от источника ИШ-4-1 в расчётной точке днём, дБ		**ф-ла(3)[10]**	**0**	**23,7**	**24,4**	**24,6**	**23,2**	**23**	**15,9**	**0**	**0**	**26**	**26**
Источник шума: ИШ-4-2, координаты источника (x,y,z), м =[133.85,183.21,1.00]													
Уровни звуковой мощности источника днём, Lw, дБ		**исходные данные**	**0**	**90,3**	**91,7**	**93**	**93,3**	**92,9**	**89,6**	**85,4**	**80,9**		
Поправка на телесный угол DΩ, дБ	Ω = 6.28	10Lg(4π/Ω)	**3**	3	3	3	3	3	3	3	3		
Показатель направленности источника Di, дБ		исходные данные	**0**	0	0	0	0	0	0	0	0		
Поправка на направленность источника Dc, дБ	Dc	DΩ + Di	**3**	3	3	3	3	3	3	3	3		
Затухание из-за геометрической дивергенции, Adiv, дБ	расстояние = 547.64 м	ф-ла (7) [10]	**65,8**										
Коэффициент затухания звука в атмосфере α, дБ/км	Ta=20,°C Pa=101.33,кПа hотн.=70%	ф-ла (5) [9]	0,02	0,09	0,33	1,12	2,79	4,98	9,04	23,09	77,63		
Учет затухания звука в атмосфере Aatm, дБ		ф-ла (8) [10]	0	0	0,2	0,6	1,5	2,7	5	12,6	42,5		
Снижение уровня звукового давления из-за влияния застройки между источником шума и расчетной точкой													
Снижение уровня звукового давления на пути над экраном, Dz1, дБ	z = 0.30м (разность путей)	ф-лы (14-18) [10]	4,8	4,9	5	5,4	6,1	7,1	8,7	10,7	13,1		
Снижение уровня звукового давления на пути слева от экрана, Dz2, дБ	z = 23.77м (разность путей)	ф-лы (14-18) [10]	19,6	22,5	25,5	28,5	31,5	34,5	37,5	40,5	43,5		

1		2	3	4	5	6	7	8	9	10	11	12	13
Снижение уровня звукового давления на пути справа от экрана, Dz3, дБ	z = 0.30м (разность путей)	ф-лы (14-18) [10]	6,1	7,2	8,7	10,7	13,2	15,8	18,7	21,6	24,6		
Общее снижение уровня звука препятствием Dz, дБ		Эн.сумма(-Dzi)	2,3	2,8	3,4	4,2	5,3	6,6	8,2	10,3	12,8		
Уровни звукового давления прямого звука от источника ИШ-4-2 в расчётной точке днём, дБ		**ф-ла(3)[10]**	**0**	**24,7**	**25,3**	**25,4**	**23,7**	**20,8**	**13,6**	**0**	**0**	**25,1**	**25,1**
Расчёт отражённого звука													
Уровни звукового давления от мнимого источника ИШ-4-2_мн.(1) в расчётной точке днём, дБ		**ф-ла(3)[10]**	**0**	**0**	**0**	**0**	**0**	**0**	**0**	**0**	**0**	**0**	**0**
Уровни звукового давления от источника ИШ-4-2 в расчётной точке днём, дБ		**ф-ла(3)[10]**	**0**	**24,7**	**25,3**	**25,4**	**23,7**	**20,8**	**13,6**	**0**	**0**	**25,1**	**25,1**
Источник шума: ИШ-4-3, координаты источника (x,y,z), м =[152.61,172.66,1.00]													
Уровни звуковой мощности источника днём, Lw, дБ		**исходные данные**	**0**	**90,3**	**91,7**	**93**	**93,3**	**92,9**	**89,6**	**85,4**	**80,9**		
Поправка на телесный угол DΩ, дБ	Ω = 6.28	10Lg(4π/Ω)	**3**	3	3	3	3	3	3	3	3		
Показатель направленности источника Di, дБ		исходные данные	**0**	0	0	0	0	0	0	0	0		
Поправка на направленность источника Dc, дБ	Dc	DΩ + Di	**3**	3	3	3	3	3	3	3	3		
Затухание из-за геометрической дивергенции, Adiv, дБ	расстояние = 527.92 м	ф-ла (7) [10]	**65,5**										
Коэффициент затухания звука в атмосфере α, дБ/км	Ta=20,°C Pa=101.33,кПа hотн.=70%	ф-ла (5) [9]	0,02	0,09	0,33	1,12	2,79	4,98	9,04	23,09	77,63		
Учет затухания звука в атмосфере Aatm, дБ		ф-ла (8) [10]	0	0	0,2	0,6	1,5	2,6	4,8	12,2	41		
Снижение уровня звукового давления из-за влияния застройки между источником шума и расчетной точкой													
Снижение уровня звукового давления на пути над экраном, Dz1, дБ	z = 0.31м (разность путей)	ф-лы (14-18) [10]	4,8	4,9	5,1	5,6	6,4	7,7	9,5	11,7	14,3		

1		2	3	4	5	6	7	8	9	10	11	12	13
Снижение уровня звукового давления на пути слева от экрана, Dz2, дБ	z = 22.03м (разность путей)	ф-лы (14-18) [10]	19,3	22,2	25,1	28,1	31,1	34,1	37,1	40,2	43,2		
Снижение уровня звукового давления на пути справа от экрана, Dz3, дБ	z = 0.60м (разность путей)	ф-лы (14-18) [10]	7,2	8,7	10,7	13,1	15,8	18,7	21,6	24,6	27,5		
Общее снижение уровня звука препятствием Dz, дБ		Эн.сумма(-Dzi)	2,7	3,3	4	4,9	6	7,4	9,2	11,5	14		
Уровни звукового давления прямого звука от источника ИШ-4-3 в расчётной точке днём, дБ		**ф-ла(3)[10]**	**0**	**24,5**	**25**	**25,1**	**23,4**	**20,4**	**13,1**	**0**	**0**	**24,7**	**24,7**
Расчёт отражённого звука													
Уровни звукового давления от мнимого источника ИШ-4-3_мн.(1) в расчётной точке днём, дБ		**ф-ла(3)[10]**	**0**	**0**	**0**	**0**	**0**	**0**	**0**	**0**	**0**	**0**	**0**
Уровни звукового давления от источника ИШ-4-3 в расчётной точке днём, дБ		**ф-ла(3)[10]**	**0**	**24,5**	**25**	**25,1**	**23,4**	**20,4**	**13,1**	**0**	**0**	**24,7**	**24,7**
Источник шума: ИШ-4-4, координаты источника (x,y,z), м =[156.83,171.25,1.00]													
Уровни звуковой мощности источника днём, Lw, дБ		**исходные данные**	**0**	**90,3**	**91,7**	**93**	**93,3**	**92,9**	**89,6**	**85,4**	**80,9**		
Поправка на телесный угол DΩ, дБ	Ω = 6.28	10Lg(4π/Ω)	**3**	3	3	3	3	3	3	3	3		
Показатель направленности источника Di, дБ		исходные данные	**0**	0	0	0	0	0	0	0	0		
Поправка на направленность источника Dc, дБ	Dc	DΩ + Di	**3**	3	3	3	3	3	3	3	3		
Затухание из-за геометрической дивергенции, Adiv, дБ	расстояние = 524.28 м	ф-ла (7) [10]	**65,4**										
Коэффициент затухания звука в атмосфере α, дБ/км	Ta=20,°C Pa=101.33,кПа hотн.=70%	ф-ла (5) [9]	0,02	0,09	0,33	1,12	2,79	4,98	9,04	23,09	77,63		
Учет затухания звука в атмосфере Aatm, дБ		ф-ла (8) [10]	0	0	0,2	0,6	1,5	2,6	4,7	12,1	40,7		
Снижение уровня звукового давления из-за влияния застройки между источником шума и расчетной точкой													

1		2	3	4	5	6	7	8	9	10	11	12	13
Снижение уровня звукового давления на пути над экраном, Dz1, дБ	z = 0.31м (разность путей)	ф-лы (14-18) [10]	4,8	4,9	5,1	5,6	6,5	7,8	9,6	11,9	14,4		
Снижение уровня звукового давления на пути слева от экрана, Dz2, дБ	z = 21.38м (разность путей)	ф-лы (14-18) [10]	19,2	22,1	25	28	31	34	37	40	43		
Снижение уровня звукового давления на пути справа от экрана, Dz3, дБ	z = 0.71м (разность путей)	ф-лы (14-18) [10]	7,5	9,2	11,3	13,8	16,5	19,4	22,3	25,3	28,3		
Общее снижение уровня звука препятствием Dz, дБ		Эн.сумма(-Dzi)	2,8	3,5	4,1	5	6,1	7,5	9,4	11,7	14,2		
Уровни звукового давления прямого звука от источника ИШ-4-4 в расчётной точке днём, дБ		**ф-ла(3)[10]**	**0**	**24,4**	**25**	**25**	**23,4**	**20,4**	**13,1**	**0**	**0**	**24,6**	**24,6**
Расчёт отражённого звука													
Уровни звукового давления от мнимого источника ИШ-4-4_мн.(1) в расчётной точке днём, дБ		**ф-ла(3)[10]**	**0**	**0**	**0**	**0**	**0**	**0**	**0**	**0**	**0**	**0**	**0**
Уровни звукового давления от источника ИШ-4-4 в расчётной точке днём, дБ		**ф-ла(3)[10]**	**0**	**24,4**	**25**	**25**	**23,4**	**20,4**	**13,1**	**0**	**0**	**24,6**	**24,6**
Источник шума: ИШ-4-5, координаты источника (x,y,z), м =[126.48,222.66,11.00]													
Уровни звуковой мощности источника днём, Lw, дБ		**исходные данные**	**0**	**90,3**	**91,7**	**93**	**93,3**	**92,9**	**89,6**	**85,4**	**80,9**		
Поправка на телесный угол DΩ, дБ	Ω = 6.28	10Lg(4π/Ω)	**3**	3	3	3	3	3	3	3	3		
Показатель направленности источника Di, дБ		исходные данные	**0**	0	0	0	0	0	0	0	0		
Поправка на направленность источника Dc, дБ	Dc	DΩ + Di	**3**	3	3	3	3	3	3	3	3		
Затухание из-за геометрической дивергенции, Adiv, дБ	расстояние = 583.79 м	ф-ла (7) [10]	**66,3**										
Коэффициент затухания звука в атмосфере α, дБ/км	Ta=20,°C Pa=101.33,кПа hотн.=70%	ф-ла (5) [9]	0,02	0,09	0,33	1,12	2,79	4,98	9,04	23,09	77,63		
Учет затухания звука в атмосфере Aatm, дБ		ф-ла (8) [10]	0	0,1	0,2	0,7	1,6	2,9	5,3	13,5	45,3		

1		2	3	4	5	6	7	8	9	10	11	12	13
Снижение уровня звукового давления из-за влияния застройки между источником шума и расчетной точкой													
Снижение уровня звукового давления на пути над экраном, Dz1, дБ	z = 0.10м (разность путей)	ф-лы (14-18) [10]	4,8	4,8	4,8	4,8	4,8	4,8	4,8	4,8	4,8		
Снижение уровня звукового давления на пути слева от экрана, Dz2, дБ	z = 17.13м (разность путей)	ф-лы (14-18) [10]	18,2	21,1	24,1	27	30	33	36,1	39,1	42,1		
Снижение уровня звукового давления на пути справа от экрана, Dz3, дБ	z = 0.90м (разность путей)	ф-лы (14-18) [10]	8	9,9	12,1	14,7	17,5	20,4	23,3	26,3	29,3		
Общее снижение уровня звука препятствием Dz, дБ		Эн.сумма(-Dzi)	3	3,5	4	4,3	4,5	4,7	4,7	4,8	4,8		
Уровни звукового давления от источника ИШ-4-5 в расчётной точке днём, дБ		**ф-ла(3)[10]**	**0**	**23,4**	**24,2**	**24,7**	**23,8**	**22**	**16,3**	**3,8**	**0**	**25,8**	**25,8**
Источник шума: ИШ-4-6, координаты источника (x,y,z), м =[125.17,218.57,11.00]													
Уровни звуковой мощности источника днём, Lw, дБ		**исходные данные**	**0**	**90,3**	**91,7**	**93**	**93,3**	**92,9**	**89,6**	**85,4**	**80,9**		
Поправка на телесный угол DΩ, дБ	Ω = 6.28	10Lg(4π/Ω)	**3**	3	3	3	3	3	3	3	3		
Показатель направленности источника Di, дБ		исходные данные	**0**	0	0	0	0	0	0	0	0		
Поправка на направленность источника Dc, дБ	Dc	DΩ + Di	**3**	3	3	3	3	3	3	3	3		
Затухание из-за геометрической дивергенции, Adiv, дБ	расстояние = 581.25 м	ф-ла (7) [10]	**66,3**										
Коэффициент затухания звука в атмосфере α, дБ/км	Ta=20,°C Pa=101.33,кПа hотн.=70%	ф-ла (5) [9]	0,02	0,09	0,33	1,12	2,79	4,98	9,04	23,09	77,63		
Учет затухания звука в атмосфере Aatm, дБ		ф-ла (8) [10]	0	0,1	0,2	0,7	1,6	2,9	5,3	13,4	45,1		
Снижение уровня звукового давления из-за влияния застройки между источником шума и расчетной точкой													
Снижение уровня звукового давления на пути над экраном, Dz1, дБ	z = 0.10м (разность путей)	ф-лы (14-18) [10]	4,8	4,8	4,8	4,8	4,8	4,8	4,8	4,8	4,8		

1		2	3	4	5	6	7	8	9	10	11	12	13
Снижение уровня звукового давления на пути слева от экрана, Dz2, дБ	z = 18.11м (разность путей)	ф-лы (14-18) [10]	18,5	21,4	24,3	27,3	30,3	33,3	36,3	39,3	42,3		
Снижение уровня звукового давления на пути справа от экрана, Dz3, дБ	z = 0.76м (разность путей)	ф-лы (14-18) [10]	7,6	9,4	11,5	14	16,8	19,7	22,6	25,6	28,6		
Общее снижение уровня звука препятствием Dz, дБ		Эн.сумма(-Dzi)	2,8	3,4	3,9	4,3	4,5	4,6	4,7	4,8	4,8		
Уровни звукового давления от источника ИШ-4-6 в расчётной точке днём, дБ		**ф-ла(3)[10]**	**0**	**23,5**	**24,3**	**24,8**	**23,9**	**22,1**	**16,3**	**3,9**	**0**	**25,9**	**25,9**
Источник шума: ИШ-4-7, координаты источника (x,y,z), м =[177.91,257.92,11.00]													
Уровни звуковой мощности источника днём, Lw, дБ		**исходные данные**	**0**	**90,3**	**91,7**	**93**	**93,3**	**92,9**	**89,6**	**85,4**	**80,9**		
Поправка на телесный угол DΩ, дБ	Ω = 6.28	10Lg(4π/Ω)	**3**	3	3	3	3	3	3	3	3		
Показатель направленности источника Di, дБ		исходные данные	**0**	0	0	0	0	0	0	0	0		
Поправка на направленность источника Dc, дБ	Dc	DΩ + Di	**3**	3	3	3	3	3	3	3	3		
Затухание из-за геометрической дивергенции, Adiv, дБ	расстояние = 585.75 м	ф-ла (7) [10]	**66,4**										
Коэффициент затухания звука в атмосфере α, дБ/км	Ta=20,°C Pa=101.33,кПа hотн.=70%	ф-ла (5) [9]	0,02	0,09	0,33	1,12	2,79	4,98	9,04	23,09	77,63		
Учет затухания звука в атмосфере Aatm, дБ		ф-ла (8) [10]	0	0,1	0,2	0,7	1,6	2,9	5,3	13,5	45,5		
Снижение уровня звукового давления из-за влияния застройки между источником шума и расчетной точкой													
Снижение уровня звукового давления на пути над экраном, Dz1, дБ	z = 0.08м (разность путей)	ф-лы (14-18) [10]	4,8	4,8	4,8	4,8	4,8	4,8	4,8	4,8	4,8		
Снижение уровня звукового давления на пути слева от экрана, Dz2, дБ	z = 4.72м (разность путей)	ф-лы (14-18) [10]	13,1	15,8	18,6	21,5	24,5	27,5	30,5	33,5	36,5		
Снижение уровня звукового давления на пути справа от экрана, Dz3, дБ	z = 5.49м (разность путей)	ф-лы (14-18) [10]	13,7	16,4	19,2	22,2	25,1	28,1	31,1	34,1	37,1		

1		2	3	4	5	6	7	8	9	10	11	12	13
Общее снижение уровня звука препятствием Dz, дБ		Эн.сумма(-Dzi)	3,7	4,2	4,4	4,6	4,7	4,7	4,8	4,8	4,8		
Уровни звукового давления от источника ИШ-4-7 в расчётной точке днём, дБ		**ф-ла(3)[10]**	**0**	**22,7**	**23,7**	**24,4**	**23,6**	**21,9**	**16,2**	**3,7**	**0**	**25,6**	**25,6**
Источник шума: ИШ-4-8, координаты источника (x,y,z), м =[178.24,257.77,13.00]													
Уровни звуковой мощности источника днём, Lw, дБ		**исходные данные**	**0**	**90,3**	**91,7**	**93**	**93,3**	**92,9**	**89,6**	**85,4**	**80,9**		
Поправка на телесный угол DΩ, дБ	Ω = 6.28	10Lg(4π/Ω)	**3**	3	3	3	3	3	3	3	3		
Показатель направленности источника Di, дБ		исходные данные	**0**	0	0	0	0	0	0	0	0		
Поправка на направленность источника Dc, дБ	Dc	DΩ + Di	**3**	3	3	3	3	3	3	3	3		
Затухание из-за геометрической дивергенции, Adiv, дБ	расстояние = 585.49 м	ф-ла (7) [10]	**66,4**										
Коэффициент затухания звука в атмосфере α, дБ/км	Ta=20,°C Pa=101.33,кПа hотн.=70%	ф-ла (5) [9]	0,02	0,09	0,33	1,12	2,79	4,98	9,04	23,09	77,63		
Учет затухания звука в атмосфере Aatm, дБ		ф-ла (8) [10]	0	0,1	0,2	0,7	1,6	2,9	5,3	13,5	45,5		
Снижение уровня звукового давления из-за влияния застройки между источником шума и расчетной точкой													
Снижение уровня звукового давления на пути над экраном, Dz1, дБ	z = 0.06м (разность путей)	ф-лы (14-18) [10]	4,8	4,8	4,8	4,8	4,8	4,8	4,8	4,8	4,8		
Снижение уровня звукового давления на пути слева от экрана, Dz2, дБ	z = 4.69м (разность путей)	ф-лы (14-18) [10]	13,1	15,8	18,6	21,5	24,5	27,4	30,4	33,4	36,4		
Снижение уровня звукового давления на пути справа от экрана, Dz3, дБ	z = 5.52м (разность путей)	ф-лы (14-18) [10]	13,7	16,4	19,3	22,2	25,2	28,1	31,1	34,1	37,2		
Общее снижение уровня звука препятствием Dz, дБ		Эн.сумма(-Dzi)	3,7	4,2	4,4	4,6	4,7	4,7	4,8	4,8	4,8		
Уровни звукового давления от источника ИШ-4-8 в расчётной точке днём, дБ		**ф-ла(3)[10]**	**0**	**22,7**	**23,7**	**24,4**	**23,6**	**21,9**	**16,2**	**3,8**	**0**	**25,6**	**25,6**

1		2	3	4	5	6	7	8	9	10	11	12	13
Источник шума: ИШ-4-9, координаты источника (x,y,z), м =[178.68,257.63,15.50]													
Уровни звуковой мощности источника днём, Lw, дБ		**исходные данные**	**0**	**90,3**	**91,7**	**93**	**93,3**	**92,9**	**89,6**	**85,4**	**80,9**		
Поправка на телесный угол DΩ, дБ	Ω = 6.28	10Lg(4π/Ω)	**3**	3	3	3	3	3	3	3	3		
Показатель направленности источника Di, дБ		исходные данные	**0**	0	0	0	0	0	0	0	0		
Поправка на направленность источника Dc, дБ	Dc	DΩ + Di	**3**	3	3	3	3	3	3	3	3		
Затухание из-за геометрической дивергенции, Adiv, дБ	расстояние = 585.20 м	ф-ла (7) [10]	**66,3**										
Коэффициент затухания звука в атмосфере α, дБ/км	Ta=20,°C Pa=101.33,кПа hотн.=70%	ф-ла (5) [9]	0,02	0,09	0,33	1,12	2,79	4,98	9,04	23,09	77,63		
Учет затухания звука в атмосфере Aatm, дБ		ф-ла (8) [10]	0	0,1	0,2	0,7	1,6	2,9	5,3	13,5	45,4		
Снижение уровня звукового давления из-за влияния застройки между источником шума и расчетной точкой													
Снижение уровня звукового давления на пути над экраном, Dz1, дБ	z = 0.03м (разность путей)	ф-лы (14-18) [10]	4,8	4,8	4,8	4,8	4,8	4,8	4,8	4,8	4,8		
Снижение уровня звукового давления на пути слева от экрана, Dz2, дБ	z = 4.65м (разность путей)	ф-лы (14-18) [10]	13,1	15,7	18,5	21,5	24,4	27,4	30,4	33,4	36,4		
Снижение уровня звукового давления на пути справа от экрана, Dz3, дБ	z = 5.55м (разность путей)	ф-лы (14-18) [10]	13,7	16,4	19,3	22,2	25,2	28,2	31,2	34,2	37,2		
Общее снижение уровня звука препятствием Dz, дБ		Эн.сумма(-Dzi)	3,7	4,2	4,4	4,6	4,7	4,7	4,7	4,8	4,8		
Уровни звукового давления от источника ИШ-4-9 в расчётной точке днём, дБ		**ф-ла(3)[10]**	**0**	**22,7**	**23,7**	**24,4**	**23,6**	**21,9**	**16,2**	**3,8**	**0**	**25,7**	**25,7**
Источник шума: ИШ-4-10, координаты источника (x,y,z), м =[185.65,255.31,11.00]													
Уровни звуковой мощности источника днём, Lw, дБ		**исходные данные**	**0**	**90,3**	**91,7**	**93**	**93,3**	**92,9**	**89,6**	**85,4**	**80,9**		

1		2	3	4	5	6	7	8	9	10	11	12	13
Поправка на телесный угол DΩ, дБ	Ω = 6.28	10Lg(4π/Ω)	**3**	3	3	3	3	3	3	3	3		
Показатель направленности источника Di, дБ		исходные данные	**0**	0	0	0	0	0	0	0	0		
Поправка на направленность источника Dc, дБ	Dc	DΩ + Di	**3**	3	3	3	3	3	3	3	3		
Затухание из-за геометрической дивергенции, Adiv, дБ	расстояние = 579.68 м	ф-ла (7) [10]	**66,3**										
Коэффициент затухания звука в атмосфере α, дБ/км	Ta=20,°C Pa=101.33,кПа hотн.=70%	ф-ла (5) [9]	0,02	0,09	0,33	1,12	2,79	4,98	9,04	23,09	77,63		
Учет затухания звука в атмосфере Aatm, дБ		ф-ла (8) [10]	0	0,1	0,2	0,7	1,6	2,9	5,2	13,4	45		
Снижение уровня звукового давления из-за влияния застройки между источником шума и расчетной точкой													
Снижение уровня звукового давления на пути над экраном, Dz1, дБ	z = 0.08м (разность путей)	ф-лы (14-18) [10]	4,8	4,8	4,8	4,8	4,8	4,8	4,8	4,8	4,8		
Снижение уровня звукового давления на пути слева от экрана, Dz2, дБ	z = 4.03м (разность путей)	ф-лы (14-18) [10]	12,5	15,2	17,9	20,9	23,8	26,8	29,8	32,8	35,8		
Снижение уровня звукового давления на пути справа от экрана, Dz3, дБ	z = 6.12м (разность путей)	ф-лы (14-18) [10]	14,1	16,8	19,7	22,6	25,6	28,6	31,6	34,6	37,6		
Общее снижение уровня звука препятствием Dz, дБ		Эн.сумма(-Dzi)	3,7	4,2	4,4	4,6	4,7	4,7	4,8	4,8	4,8		
Уровни звукового давления от источника ИШ-4-10 в расчётной точке днём, дБ		**ф-ла(3)[10]**	**0**	**22,8**	**23,8**	**24,5**	**23,7**	**22**	**16,3**	**4**	**0**	**25,8**	**25,8**
Источник шума: ИШ-4-11, координаты источника (x,y,z), м =[185.89,255.16,13.00]													
Уровни звуковой мощности источника днём, Lw, дБ		**исходные данные**	**0**	**90,3**	**91,7**	**93**	**93,3**	**92,9**	**89,6**	**85,4**	**80,9**		
Поправка на телесный угол DΩ, дБ	Ω = 6.28	10Lg(4π/Ω)	**3**	3	3	3	3	3	3	3	3		
Показатель направленности источника Di, дБ		исходные данные	**0**	0	0	0	0	0	0	0	0		

1		2	3	4	5	6	7	8	9	10	11	12	13
Поправка на направленность источника Dc, дБ	Dc	DΩ + Di	**3**	3	3	3	3	3	3	3	3		
Затухание из-за геометрической дивергенции, Adiv, дБ	расстояние = 579.47 м	ф-ла (7) [10]	**66,3**										
Коэффициент затухания звука в атмосфере α, дБ/км	Ta=20,°C Pa=101.33,кПа hотн.=70%	ф-ла (5) [9]	0,02	0,09	0,33	1,12	2,79	4,98	9,04	23,09	77,63		
Учет затухания звука в атмосфере Aatm, дБ		ф-ла (8) [10]	0	0,1	0,2	0,7	1,6	2,9	5,2	13,4	45		
Снижение уровня звукового давления из-за влияния застройки между источником шума и расчетной точкой													
Снижение уровня звукового давления на пути над экраном, Dz1, дБ	z = 0.06м (разность путей)	ф-лы (14-18) [10]	4,8	4,8	4,8	4,8	4,8	4,8	4,8	4,8	4,8		
Снижение уровня звукового давления на пути слева от экрана, Dz2, дБ	z = 4.02м (разность путей)	ф-лы (14-18) [10]	12,5	15,2	17,9	20,8	23,8	26,8	29,8	32,8	35,8		
Снижение уровня звукового давления на пути справа от экрана, Dz3, дБ	z = 6.13м (разность путей)	ф-лы (14-18) [10]	14,1	16,9	19,7	22,6	25,6	28,6	31,6	34,6	37,6		
Общее снижение уровня звука препятствием Dz, дБ		Эн.сумма(-Dzi)	3,7	4,2	4,4	4,6	4,7	4,7	4,7	4,8	4,8		
Уровни звукового давления от источника ИШ-4-11 в расчётной точке днём, дБ		**ф-ла(3)[10]**	**0**	**22,8**	**23,8**	**24,5**	**23,7**	**22**	**16,3**	**4**	**0**	**25,8**	**25,8**
Источник шума: ИШ-4-12, координаты источника (x,y,z), м =[186.18,255.02,15.50]													
Уровни звуковой мощности источника днём, Lw, дБ		**исходные данные**	**0**	**90,3**	**91,7**	**93**	**93,3**	**92,9**	**89,6**	**85,4**	**80,9**		
Поправка на телесный угол DΩ, дБ	Ω = 6.28	10Lg(4π/Ω)	**3**	3	3	3	3	3	3	3	3		
Показатель направленности источника Di, дБ		исходные данные	**0**	0	0	0	0	0	0	0	0		
Поправка на направленность источника Dc, дБ	Dc	DΩ + Di	**3**	3	3	3	3	3	3	3	3		
Затухание из-за геометрической дивергенции, Adiv, дБ	расстояние = 579.26 м	ф-ла (7) [10]	**66,3**										

1		2	3	4	5	6	7	8	9	10	11	12	13
Коэффициент затухания звука в атмосфере α, дБ/км	Ta=20,°C Pa=101.33,кПа hотн.=70%	ф-ла (5) [9]	0,02	0,09	0,33	1,12	2,79	4,98	9,04	23,09	77,63		
Учет затухания звука в атмосфере Aatm, дБ		ф-ла (8) [10]	0	0,1	0,2	0,7	1,6	2,9	5,2	13,4	45		
Снижение уровня звукового давления из-за влияния застройки между источником шума и расчетной точкой													
Снижение уровня звукового давления на пути над экраном, Dz1, дБ	z = 0.03м (разность путей)	ф-лы (14-18) [10]	4,8	4,8	4,8	4,8	4,8	4,8	4,8	4,8	4,8		
Снижение уровня звукового давления на пути слева от экрана, Dz2, дБ	z = 4.00м (разность путей)	ф-лы (14-18) [10]	12,5	15,1	17,9	20,8	23,8	26,7	29,7	32,7	35,8		
Снижение уровня звукового давления на пути справа от экрана, Dz3, дБ	z = 6.16м (разность путей)	ф-лы (14-18) [10]	14,1	16,9	19,7	22,6	25,6	28,6	31,6	34,6	37,6		
Общее снижение уровня звука препятствием Dz, дБ		Эн.сумма(-Dzi)	3,7	4,2	4,4	4,6	4,7	4,7	4,7	4,8	4,8		
Уровни звукового давления от источника ИШ-4-12 в расчётной точке днём, дБ		**ф-ла(3)[10]**	**0**	**22,8**	**23,8**	**24,5**	**23,7**	**22**	**16,4**	**4**	**0**	**25,8**	**25,8**
Источник шума: ИШ-4-13, координаты источника (x,y,z), м =[94.56,229.10,1.00]													
Уровни звуковой мощности источника днём, Lw, дБ		**исходные данные**	**0**	**81,3**	**82,7**	**84**	**84,3**	**83,9**	**80,6**	**76,4**	**71,9**		
Поправка на телесный угол DΩ, дБ	Ω = 6.28	10Lg(4π/Ω)	**3**	3	3	3	3	3	3	3	3		
Показатель направленности источника Di, дБ		исходные данные	**0**	0	0	0	0	0	0	0	0		
Поправка на направленность источника Dc, дБ	Dc	DΩ + Di	**3**	3	3	3	3	3	3	3	3		
Затухание из-за геометрической дивергенции, Adiv, дБ	расстояние = 607.97 м	ф-ла (7) [10]	**66,7**										
Коэффициент затухания звука в атмосфере α, дБ/км	Ta=20,°C Pa=101.33,кПа hотн.=70%	ф-ла (5) [9]	0,02	0,09	0,33	1,12	2,79	4,98	9,04	23,09	77,63		
Учет затухания звука в атмосфере Aatm, дБ		ф-ла (8) [10]	0	0,1	0,2	0,7	1,7	3	5,5	14	47,2		

1		2	3	4	5	6	7	8	9	10	11	12	13
Снижение уровня звукового давления из-за влияния застройки между источником шума и расчетной точкой													
Снижение уровня звукового давления на пути над экраном, Dz1, дБ	z = 4.53м (разность путей)	ф-лы (14-18) [10]	16,3	19,3	22,2	25,2	28,2	31,2	34,2	37,2	40,2		
Снижение уровня звукового давления на пути слева от экрана, Dz2, дБ	z = 103.83м (разность путей)	ф-лы (14-18) [10]	30,4	33,6	36,6	39,6	42,6	45,6	48,7	51,7	54,7		
Снижение уровня звукового давления на пути справа от экрана, Dz3, дБ	z = 13.67м (разность путей)	ф-лы (14-18) [10]	21,7	24,8	27,8	30,8	33,8	36,8	39,8	42,9	45,9		
Общее снижение уровня звука препятствием Dz, дБ		Эн.сумма(-Dzi)	15,1	18,1	21	24	27	30	33	36	39		
Общее снижение уровня звука препятствием с учётом ограничения (25 дБ) для октавных полос Dz, дБ		Раздел 7.4 [10]	15,1	18,1	21	24	25	25	25	25	25		
Уровни звукового давления от источника ИШ-4-13 в расчётной точке днём, дБ		**ф-ла(3)[10]**	**0**	**0**	**0**	**0**	**0**	**0**	**0**	**0**	**0**	**0**	**0**
Источник шума: ИШ-4-14, координаты источника (x,y,z), м =[91.88,221.30,1.00]													
Уровни звуковой мощности источника днём, Lw, дБ		**исходные данные**	**0**	**81,3**	**82,7**	**84**	**84,3**	**83,9**	**80,6**	**76,4**	**71,9**		
Поправка на телесный угол DΩ, дБ	Ω = 6.28	10Lg(4π/Ω)	**3**	3	3	3	3	3	3	3	3		
Показатель направленности источника Di, дБ		исходные данные	**0**	0	0	0	0	0	0	0	0		
Поправка на направленность источника Dc, дБ	Dc	DΩ + Di	**3**	3	3	3	3	3	3	3	3		
Затухание из-за геометрической дивергенции, Adiv, дБ	расстояние = 603.49 м	ф-ла (7) [10]	**66,6**										
Коэффициент затухания звука в атмосфере α, дБ/км	Та=20,°С Ра=101.33,кПа hотн.=70%	ф-ла (5) [9]	0,02	0,09	0,33	1,12	2,79	4,98	9,04	23,09	77,63		
Учет затухания звука в атмосфере Aatm, дБ		ф-ла (8) [10]	0	0,1	0,2	0,7	1,7	3	5,5	13,9	46,9		
Снижение уровня звукового давления из-за влияния застройки между источником шума и расчетной точкой													

1		2	3	4	5	6	7	8	9	10	11	12	13
Снижение уровня звукового давления на пути над экраном, Dz1, дБ	z = 4.52м (разность путей)	ф-лы (14-18) [10]	16,3	19,3	22,2	25,2	28,2	31,2	34,2	37,2	40,2		
Снижение уровня звукового давления на пути слева от экрана, Dz2, дБ	z = 116.53м (разность путей)	ф-лы (14-18) [10]	30,9	34,1	37,1	40,1	43,1	46,1	49,2	52,2	55,2		
Снижение уровня звукового давления на пути справа от экрана, Dz3, дБ	z = 10.07м (разность путей)	ф-лы (14-18) [10]	20,4	23,5	26,5	29,5	32,5	35,5	38,5	41,5	44,5		
Общее снижение уровня звука препятствием Dz, дБ		Эн.сумма(-Dzi)	14,8	17,8	20,7	23,7	26,7	29,7	32,7	35,7	38,7		
Общее снижение уровня звука препятствием с учётом ограничения (25 дБ) для октавных полос Dz, дБ		Раздел 7.4 [10]	14,8	17,8	20,7	23,7	25	25	25	25	25		
Уровни звукового давления от источника ИШ-4-14 в расчётной точке днём, дБ		**ф-ла(3)[10]**	**0**	**0**	**0**	**0**	**0**	**0**	**0**	**0**	**0**	**0**	**0**
Источник шума: ИШ-5-1, координаты источника (x,y,z), м =[626.70,162.36,1.00]													
Уровни звуковой мощности источника днём, Lw, дБ		**исходные данные**	**0**	**93,3**	**94,7**	**96**	**96,3**	**95,9**	**92,6**	**88,4**	**83,9**		
Поправка на телесный угол DΩ, дБ	Ω = 6.28	10Lg(4π/Ω)	**3**	3	3	3	3	3	3	3	3		
Показатель направленности источника Di, дБ		исходные данные	**0**	0	0	0	0	0	0	0	0		
Поправка на направленность источника Dc, дБ	Dc	DΩ + Di	**3**	3	3	3	3	3	3	3	3		
Затухание из-за геометрической дивергенции, Adiv, дБ	расстояние = 443.46 м	ф-ла (7) [10]	**63,9**										
Коэффициент затухания звука в атмосфере α, дБ/км	Ta=20,°C Pa=101.33,кПа hотн.=70%	ф-ла (5) [9]	0,02	0,09	0,33	1,12	2,79	4,98	9,04	23,09	77,63		
Учет затухания звука в атмосфере Aatm, дБ		ф-ла (8) [10]	0	0	0,1	0,5	1,2	2,2	4	10,2	34,4		
Снижение уровня звукового давления из-за влияния застройки между источником шума и расчетной точкой													
Снижение уровня звукового давления на пути над экраном, Dz1, дБ	z = 0.22м (разность путей)	ф-лы (14-18) [10]	5,5	6,3	7,4	9,1	11,2	13,7	16,4	19,3	22,2		

1		2	3	4	5	6	7	8	9	10	11	12	13
Снижение уровня звукового давления на пути слева от экрана, Dz2, дБ	z = 0.91м (разность путей)	ф-лы (14-18) [10]	10,8	13,5	16,3	19,2	22,1	25,1	28,1	31,1	34,1		
Снижение уровня звукового давления на пути справа от экрана, Dz3, дБ	z = 0.42м (разность путей)	ф-лы (14-18) [10]	8,4	10,7	13,3	16	18,9	21,8	24,8	27,7	30,7		
Общее снижение уровня звука препятствием Dz, дБ		Эн.сумма(-Dzi)	2,9	4,4	6	7,9	10,2	12,8	15,6	18,5	21,4		
Уровни звукового давления от источника ИШ-5-1 в расчётной точке днём, дБ		**ф-ла(3)[10]**	**0**	**27,9**	**27,6**	**26,6**	**23,9**	**19,9**	**12,1**	**0**	**0**	**25**	**25**
Источник шума: ИШ-5-2, координаты источника (x,y,z), м =[625.81,159.52,1.00]													
Уровни звуковой мощности источника днём, Lw, дБ		**исходные данные**	**0**	**93,3**	**94,7**	**96**	**96,3**	**95,9**	**92,6**	**88,4**	**83,9**		
Поправка на телесный угол DΩ, дБ	Ω = 6.28	10Lg(4π/Ω)	**3**	3	3	3	3	3	3	3	3		
Показатель направленности источника Di, дБ		исходные данные	**0**	0	0	0	0	0	0	0	0		
Поправка на направленность источника Dc, дБ	Dc	DΩ + Di	**3**	3	3	3	3	3	3	3	3		
Затухание из-за геометрической дивергенции, Adiv, дБ	расстояние = 440.49 м	ф-ла (7) [10]	**63,9**										
Коэффициент затухания звука в атмосфере α, дБ/км	Ta=20,°C Pa=101.33,кПа hотн.=70%	ф-ла (5) [9]	0,02	0,09	0,33	1,12	2,79	4,98	9,04	23,09	77,63		
Учет затухания звука в атмосфере Aatm, дБ		ф-ла (8) [10]	0	0	0,1	0,5	1,2	2,2	4	10,2	34,2		
Снижение уровня звукового давления из-за влияния застройки между источником шума и расчетной точкой													
Снижение уровня звукового давления на пути над экраном, Dz1, дБ	z = 0.24м (разность путей)	ф-лы (14-18) [10]	5,6	6,5	7,7	9,5	11,7	14,3	17	19,9	22,8		
Снижение уровня звукового давления на пути слева от экрана, Dz2, дБ	z = 0.94м (разность путей)	ф-лы (14-18) [10]	10,9	13,7	16,4	19,3	22,3	25,2	28,2	31,2	34,2		
Снижение уровня звукового давления на пути справа от экрана, Dz3, дБ	z = 0.46м (разность путей)	ф-лы (14-18) [10]	8,6	11	13,6	16,3	19,2	22,1	25,1	28,1	31,1		

1		2	3	4	5	6	7	8	9	10	11	12	13
Общее снижение уровня звука препятствием Dz, дБ		Эн.сумма(-Dzi)	3,1	4,6	6,3	8,3	10,7	13,3	16,1	19	22		
Уровни звукового давления от источника ИШ-5-2 в расчётной точке днём, дБ		**ф-ла(3)[10]**	**0**	**27,8**	**27,4**	**26,3**	**23,5**	**19,5**	**11,6**	**0**	**0**	**24,6**	**24,6**
Источник шума: ИШ-5-3, координаты источника (x,y,z), м =[624.84,156.69,1.00]													
Уровни звуковой мощности источника днём, Lw, дБ		**исходные данные**	**0**	**93,3**	**94,7**	**96**	**96,3**	**95,9**	**92,6**	**88,4**	**83,9**		
Поправка на телесный угол DΩ, дБ	Ω = 6.28	10Lg(4π/Ω)	**3**	3	3	3	3	3	3	3	3		
Показатель направленности источника Di, дБ		исходные данные	**0**	0	0	0	0	0	0	0	0		
Поправка на направленность источника Dc, дБ	Dc	DΩ + Di	**3**	3	3	3	3	3	3	3	3		
Затухание из-за геометрической дивергенции, Adiv, дБ	расстояние = 437.50 м	ф-ла (7) [10]	**63,8**										
Коэффициент затухания звука в атмосфере α, дБ/км	Ta=20,°C Pa=101.33,кПа hотн.=70%	ф-ла (5) [9]	0,02	0,09	0,33	1,12	2,79	4,98	9,04	23,09	77,63		
Учет затухания звука в атмосфере Aatm, дБ		ф-ла (8) [10]	0	0	0,1	0,5	1,2	2,2	4	10,1	34		
Снижение уровня звукового давления из-за влияния застройки между источником шума и расчетной точкой													
Снижение уровня звукового давления на пути над экраном, Dz1, дБ	z = 0.25м (разность путей)	ф-лы (14-18) [10]	5,8	6,7	8,1	10	12,3	14,9	17,7	20,6	23,5		
Снижение уровня звукового давления на пути слева от экрана, Dz2, дБ	z = 1.00м (разность путей)	ф-лы (14-18) [10]	11,1	13,9	16,7	19,6	22,5	25,5	28,5	31,5	34,5		
Снижение уровня звукового давления на пути справа от экрана, Dz3, дБ	z = 0.49м (разность путей)	ф-лы (14-18) [10]	8,8	11,2	13,9	16,6	19,5	22,5	25,4	28,4	31,4		
Общее снижение уровня звука препятствием Dz, дБ		Эн.сумма(-Dzi)	3,2	4,8	6,6	8,7	11,2	13,9	16,7	19,6	22,6		
Уровни звукового давления от источника ИШ-5-3 в расчётной точке днём, дБ		**ф-ла(3)[10]**	**0**	**27,6**	**27,1**	**25,9**	**23,1**	**19**	**11,1**	**0**	**0**	**24,2**	**24,2**

1		2	3	4	5	6	7	8	9	10	11	12	13
Источник шума: ИШ-6-1, координаты источника (x,y,z), м =[836.30,122.24,1.00]													
Уровни звуковой мощности источника днём, Lw, дБ		**исходные данные**	**0**	**96,3**	**97,7**	**99**	**99,3**	**98,9**	**95,6**	**91,4**	**86,9**		
Поправка на телесный угол DΩ, дБ	Ω = 12.57	10Lg(4π/Ω)	**0**	0	0	0	0	0	0	0	0		
Показатель направленности источника Di, дБ		исходные данные	**0**	0	0	0	0	0	0	0	0		
Поправка на направленность источника Dc, дБ	Dc	DΩ + Di	**0**	0	0	0	0	0	0	0	0		
Затухание из-за геометрической дивергенции, Adiv, дБ	расстояние = 525.27 м	ф-ла (7) [10]	**65,4**										
Коэффициент затухания звука в атмосфере α, дБ/км	Ta=20,°C Pa=101.33,кПа hотн.=70%	ф-ла (5) [9]	0,02	0,09	0,33	1,12	2,79	4,98	9,04	23,09	77,63		
Учет затухания звука в атмосфере Aatm, дБ		ф-ла (8) [10]	0	0	0,2	0,6	1,5	2,6	4,7	12,1	40,8		
Снижение поверхностью земли возле источника As, дБ	Gs = 0 hs = 1м	ф-лы таб.3 [10]	-1,5	-1,5	-1,5	-1,5	-1,5	-1,5	-1,5	-1,5	-1,5		
Снижение поверхностью земли возле приёмника Ar, дБ	Gr = 1 hr = 1.5м	ф-лы таб.3 [10]	-1,5	-1,5	3,2	7	5	0,7	0	0	0		
Снижение поверхностью земли в средней зоне, Am дБ	Gm = 1	ф-лы таб.3 [10]	-2,6	-2,6	0	0	0	0	0	0	0		
Суммарное снижение поверхностью земли на траектории распространения звука Agr, дБ		ф-ла (9) [10]	-5,6	-5,6	1,7	5,5	3,5	-0,8	-1,5	-1,5	-1,5		
Уровни звукового давления прямого звука от источника ИШ-6-1 в расчётной точке днём, дБ		**ф-ла(3)[10]**	**0**	**36,4**	**30,4**	**27,5**	**28,9**	**31,7**	**26,9**	**15,4**	**0**	**34,3**	**34,3**
Расчёт отражённого звука													
Уровни звукового давления от мнимого источника ИШ-6-1_мн.(1) в расчётной точке днём, дБ		**ф-ла(3)[10]**	**0**	**0**	**0**	**0**	**0**	**0**	**0**	**0**	**0**	**0**	**0**
Уровни звукового давления от источника ИШ-6-1 в расчётной точке днём, дБ		**ф-ла(3)[10]**	**0**	**36,4**	**30,4**	**27,5**	**28,9**	**31,7**	**26,9**	**15,4**	**0**	**34,3**	**34,3**

1		2	3	4	5	6	7	8	9	10	11	12	13
Источник шума: ИШ-6-2, координаты источника (x,y,z), м =[835.37,119.30,1.00]													
Уровни звуковой мощности источника днём, Lw, дБ		**исходные данные**	**0**	**96,3**	**97,7**	**99**	**99,3**	**98,9**	**95,6**	**91,4**	**86,9**		
Поправка на телесный угол DΩ, дБ	Ω = 12.57	10Lg(4π/Ω)	**0**	0	0	0	0	0	0	0	0		
Показатель направленности источника Di, дБ		исходные данные	**0**	0	0	0	0	0	0	0	0		
Поправка на направленность источника Dc, дБ	Dc	DΩ + Di	**0**	0	0	0	0	0	0	0	0		
Затухание из-за геометрической дивергенции, Adiv, дБ	расстояние = 522.52 м	ф-ла (7) [10]	**65,4**										
Коэффициент затухания звука в атмосфере α, дБ/км	Ta=20,°C Pa=101.33,кПа hотн.=70%	ф-ла (5) [9]	0,02	0,09	0,33	1,12	2,79	4,98	9,04	23,09	77,63		
Учет затухания звука в атмосфере Aatm, дБ		ф-ла (8) [10]	0	0	0,2	0,6	1,5	2,6	4,7	12,1	40,6		
Снижение поверхностью земли возле источника As, дБ	Gs = 0 hs = 1м	ф-лы таб.3 [10]	-1,5	-1,5	-1,5	-1,5	-1,5	-1,5	-1,5	-1,5	-1,5		
Снижение поверхностью земли возле приёмника Ar, дБ	Gr = 1 hr = 1.5м	ф-лы таб.3 [10]	-1,5	-1,5	3,2	7	5	0,7	0	0	0		
Снижение поверхностью земли в средней зоне, Am дБ	Gm = 1	ф-лы таб.3 [10]	-2,6	-2,6	0	0	0	0	0	0	0		
Суммарное снижение поверхностью земли на траектории распространения звука Agr, дБ		ф-ла (9) [10]	-5,6	-5,6	1,7	5,5	3,5	-0,8	-1,5	-1,5	-1,5		
Уровни звукового давления прямого звука от источника ИШ-6-2 в расчётной точке днём, дБ		**ф-ла(3)[10]**	**0**	**36,5**	**30,5**	**27,5**	**29**	**31,8**	**27**	**15,5**	**0**	**34,3**	**34,3**
Расчёт отражённого звука													
Уровни звукового давления от мнимого источника ИШ-6-2_мн.(1) в расчётной точке днём, дБ		**ф-ла(3)[10]**	**0**	**0**	**0**	**0**	**0**	**0**	**0**	**0**	**0**	**0**	**0**
Уровни звукового давления от источника ИШ-6-2 в расчётной точке днём, дБ		**ф-ла(3)[10]**	**0**	**36,5**	**30,5**	**27,5**	**29**	**31,8**	**27**	**15,5**	**0**	**34,3**	**34,3**

1		2	3	4	5	6	7	8	9	10	11	12	13
Источник шума: ИШ-6-3, координаты источника (x,y,z), м =[834.03,116.36,1.00]													
Уровни звуковой мощности источника днём, Lw, дБ		**исходные данные**	**0**	**96,3**	**97,7**	**99**	**99,3**	**98,9**	**95,6**	**91,4**	**86,9**		
Поправка на телесный угол DΩ, дБ	Ω = 12.57	10Lg(4π/Ω)	**0**	0	0	0	0	0	0	0	0		
Показатель направленности источника Di, дБ		исходные данные	**0**	0	0	0	0	0	0	0	0		
Поправка на направленность источника Dc, дБ	Dc	DΩ + Di	**0**	0	0	0	0	0	0	0	0		
Затухание из-за геометрической дивергенции, Adiv, дБ	расстояние = 519.50 м	ф-ла (7) [10]	**65,3**										
Коэффициент затухания звука в атмосфере α, дБ/км	Ta=20,°C Pa=101.33,кПа hотн.=70%	ф-ла (5) [9]	0,02	0,09	0,33	1,12	2,79	4,98	9,04	23,09	77,63		
Учет затухания звука в атмосфере Aatm, дБ		ф-ла (8) [10]	0	0	0,2	0,6	1,4	2,6	4,7	12	40,3		
Снижение поверхностью земли возле источника As, дБ	Gs = 0 hs = 1м	ф-лы таб.3 [10]	-1,5	-1,5	-1,5	-1,5	-1,5	-1,5	-1,5	-1,5	-1,5		
Снижение поверхностью земли возле приёмника Ar, дБ	Gr = 1 hr = 1.5м	ф-лы таб.3 [10]	-1,5	-1,5	3,2	7	5	0,7	0	0	0		
Снижение поверхностью земли в средней зоне, Am дБ	Gm = 1	ф-лы таб.3 [10]	-2,6	-2,6	0	0	0	0	0	0	0		
Суммарное снижение поверхностью земли на траектории распространения звука Agr, дБ		ф-ла (9) [10]	-5,6	-5,6	1,7	5,5	3,5	-0,8	-1,5	-1,5	-1,5		
Уровни звукового давления прямого звука от источника ИШ-6-3 в расчётной точке днём, дБ		**ф-ла(3)[10]**	**0**	**36,5**	**30,5**	**27,6**	**29,1**	**31,8**	**27,1**	**15,6**	**0**	**34,4**	**34,4**
Расчёт отражённого звука													
Уровни звукового давления от мнимого источника ИШ-6-3_мн.(1) в расчётной точке днём, дБ		**ф-ла(3)[10]**	**0**	**0**	**0**	**0**	**0**	**0**	**0**	**0**	**0**	**0**	**0**
Уровни звукового давления от источника ИШ-6-3 в расчётной точке днём, дБ		**ф-ла(3)[10]**	**0**	**36,5**	**30,5**	**27,6**	**29,1**	**31,8**	**27,1**	**15,6**	**0**	**34,4**	**34,4**

1		2	3	4	5	6	7	8	9	10	11	12	13
Источник шума: ИШ-6-4, координаты источника (x,y,z), м =[833.23,113.30,1.00]													
Уровни звуковой мощности источника днём, Lw, дБ		**исходные данные**	**0**	**96,3**	**97,7**	**99**	**99,3**	**98,9**	**95,6**	**91,4**	**86,9**		
Поправка на телесный угол DΩ, дБ	Ω = 12.57	10Lg(4π/Ω)	**0**	0	0	0	0	0	0	0	0		
Показатель направленности источника Di, дБ		исходные данные	**0**	0	0	0	0	0	0	0	0		
Поправка на направленность источника Dc, дБ	Dc	DΩ + Di	**0**	0	0	0	0	0	0	0	0		
Затухание из-за геометрической дивергенции, Adiv, дБ	расстояние = 516.77 м	ф-ла (7) [10]	**65,3**										
Коэффициент затухания звука в атмосфере α, дБ/км	Ta=20,°C Pa=101.33,кПа hотн.=70%	ф-ла (5) [9]	0,02	0,09	0,33	1,12	2,79	4,98	9,04	23,09	77,63		
Учет затухания звука в атмосфере Aatm, дБ		ф-ла (8) [10]	0	0	0,2	0,6	1,4	2,6	4,7	11,9	40,1		
Снижение поверхностью земли возле источника As, дБ	Gs = 0 hs = 1м	ф-лы таб.3 [10]	-1,5	-1,5	-1,5	-1,5	-1,5	-1,5	-1,5	-1,5	-1,5		
Снижение поверхностью земли возле приёмника Ar, дБ	Gr = 1 hr = 1.5м	ф-лы таб.3 [10]	-1,5	-1,5	3,1	7	5	0,7	0	0	0		
Снижение поверхностью земли в средней зоне, Am дБ	Gm = 1	ф-лы таб.3 [10]	-2,6	-2,6	0	0	0	0	0	0	0		
Суммарное снижение поверхностью земли на траектории распространения звука Agr, дБ		ф-ла (9) [10]	-5,6	-5,6	1,6	5,5	3,5	-0,8	-1,5	-1,5	-1,5		
Уровни звукового давления прямого звука от источника ИШ-6-4 в расчётной точке днём, дБ		**ф-ла(3)[10]**	**0**	**36,5**	**30,6**	**27,6**	**29,1**	**31,9**	**27,2**	**15,7**	**0**	**34,5**	**34,5**
Расчёт отражённого звука													
Уровни звукового давления от мнимого источника ИШ-6-4_мн.(1) в расчётной точке днём, дБ		**ф-ла(3)[10]**	**0**	**0**	**0**	**0**	**0**	**0**	**0**	**0**	**0**	**0**	**0**
Уровни звукового давления от источника ИШ-6-4 в расчётной точке днём, дБ		**ф-ла(3)[10]**	**0**	**36,5**	**30,6**	**27,6**	**29,1**	**31,9**	**27,2**	**15,7**	**0**	**34,5**	**34,5**

1		2	3	4	5	6	7	8	9	10	11	12	13
Источник шума: ИШ-6-5, координаты источника (x,y,z), м =[832.03,110.36,1.00]													
Уровни звуковой мощности источника днём, Lw, дБ		**исходные данные**	**0**	**96,3**	**97,7**	**99**	**99,3**	**98,9**	**95,6**	**91,4**	**86,9**		
Поправка на телесный угол DΩ, дБ	Ω = 12.57	10Lg(4π/Ω)	**0**	0	0	0	0	0	0	0	0		
Показатель направленности источника Di, дБ		исходные данные	**0**	0	0	0	0	0	0	0	0		
Поправка на направленность источника Dc, дБ	Dc	DΩ + Di	**0**	0	0	0	0	0	0	0	0		
Затухание из-за геометрической дивергенции, Adiv, дБ	расстояние = 513.85 м	ф-ла (7) [10]	**65,2**										
Коэффициент затухания звука в атмосфере α, дБ/км	Ta=20,°C Pa=101.33,кПа hотн.=70%	ф-ла (5) [9]	0,02	0,09	0,33	1,12	2,79	4,98	9,04	23,09	77,63		
Учет затухания звука в атмосфере Aatm, дБ		ф-ла (8) [10]	0	0	0,2	0,6	1,4	2,6	4,6	11,9	39,9		
Снижение поверхностью земли возле источника As, дБ	Gs = 0 hs = 1м	ф-лы таб.3 [10]	-1,5	-1,5	-1,5	-1,5	-1,5	-1,5	-1,5	-1,5	-1,5		
Снижение поверхностью земли возле приёмника Ar, дБ	Gr = 1 hr = 1.5м	ф-лы таб.3 [10]	-1,5	-1,5	3,1	7	5	0,7	0	0	0		
Снижение поверхностью земли в средней зоне, Am дБ	Gm = 1	ф-лы таб.3 [10]	-2,6	-2,6	0	0	0	0	0	0	0		
Суммарное снижение поверхностью земли на траектории распространения звука Agr, дБ		ф-ла (9) [10]	-5,6	-5,6	1,6	5,5	3,5	-0,8	-1,5	-1,5	-1,5		
Уровни звукового давления прямого звука от источника ИШ-6-5 в расчётной точке днём, дБ		**ф-ла(3)[10]**	**0**	**36,6**	**30,7**	**27,7**	**29,2**	**32**	**27,2**	**15,8**	**0**	**34,5**	**34,5**
Расчёт отражённого звука													
Уровни звукового давления от мнимого источника ИШ-6-5_мн.(1) в расчётной точке днём, дБ		**ф-ла(3)[10]**	**0**	**0**	**0**	**0**	**0**	**0**	**0**	**0**	**0**	**0**	**0**
Уровни звукового давления от источника ИШ-6-5 в расчётной точке днём, дБ		**ф-ла(3)[10]**	**0**	**36,6**	**30,7**	**27,7**	**29,2**	**32**	**27,2**	**15,8**	**0**	**34,5**	**34,5**

1		2	3	4	5	6	7	8	9	10	11	12	13
Источник шума: ИШ-6-6, координаты источника (x,y,z), м =[830.97,107.42,1.00]													
Уровни звуковой мощности источника днём, Lw, дБ		**исходные данные**	**0**	**96,3**	**97,7**	**99**	**99,3**	**98,9**	**95,6**	**91,4**	**86,9**		
Поправка на телесный угол DΩ, дБ	Ω = 12.57	10Lg(4π/Ω)	**0**	0	0	0	0	0	0	0	0		
Показатель направленности источника Di, дБ		исходные данные	**0**	0	0	0	0	0	0	0	0		
Поправка на направленность источника Dc, дБ	Dc	DΩ + Di	**0**	0	0	0	0	0	0	0	0		
Затухание из-за геометрической дивергенции, Adiv, дБ	расстояние = 511.02 м	ф-ла (7) [10]	**65,2**										
Коэффициент затухания звука в атмосфере α, дБ/км	Ta=20,°C Pa=101.33,кПа hотн.=70%	ф-ла (5) [9]	0,02	0,09	0,33	1,12	2,79	4,98	9,04	23,09	77,63		
Учет затухания звука в атмосфере Aatm, дБ		ф-ла (8) [10]	0	0	0,2	0,6	1,4	2,5	4,6	11,8	39,7		
Снижение поверхностью земли возле источника As, дБ	Gs = 0 hs = 1м	ф-лы таб.3 [10]	-1,5	-1,5	-1,5	-1,5	-1,5	-1,5	-1,5	-1,5	-1,5		
Снижение поверхностью земли возле приёмника Ar, дБ	Gr = 1 hr = 1.5м	ф-лы таб.3 [10]	-1,5	-1,5	3,1	7	5	0,7	0	0	0		
Снижение поверхностью земли в средней зоне, Am дБ	Gm = 1	ф-лы таб.3 [10]	-2,6	-2,6	0	0	0	0	0	0	0		
Суммарное снижение поверхностью земли на траектории распространения звука Agr, дБ		ф-ла (9) [10]	-5,6	-5,6	1,6	5,5	3,5	-0,8	-1,5	-1,5	-1,5		
Уровни звукового давления прямого звука от источника ИШ-6-6 в расчётной точке днём, дБ		**ф-ла(3)[10]**	**0**	**36,6**	**30,7**	**27,7**	**29,2**	**32**	**27,3**	**15,9**	**0**	**34,6**	**34,6**
Расчёт отражённого звука													
Уровни звукового давления от мнимого источника ИШ-6-6_мн.(1) в расчётной точке днём, дБ		**ф-ла(3)[10]**	**0**	**0**	**0**	**0**	**0**	**0**	**0**	**0**	**0**	**0**	**0**
Уровни звукового давления от источника ИШ-6-6 в расчётной точке днём, дБ		**ф-ла(3)[10]**	**0**	**36,6**	**30,7**	**27,7**	**29,2**	**32**	**27,3**	**15,9**	**0**	**34,6**	**34,6**

1		2	3	4	5	6	7	8	9	10	11	12	13
Источник шума: ИШ-6-7, координаты источника (x,y,z), м =[830.30,104.49,1.00]													
Уровни звуковой мощности источника днём, Lw, дБ		**исходные данные**	**0**	**96,3**	**97,7**	**99**	**99,3**	**98,9**	**95,6**	**91,4**	**86,9**		
Поправка на телесный угол DΩ, дБ	Ω = 12.57	10Lg(4π/Ω)	**0**	0	0	0	0	0	0	0	0		
Показатель направленности источника Di, дБ		исходные данные	**0**	0	0	0	0	0	0	0	0		
Поправка на направленность источника Dc, дБ	Dc	DΩ + Di	**0**	0	0	0	0	0	0	0	0		
Затухание из-за геометрической дивергенции, Adiv, дБ	расстояние = 508.49 м	ф-ла (7) [10]	**65,1**										
Коэффициент затухания звука в атмосфере α, дБ/км	Ta=20,°C Pa=101.33,кПа hотн.=70%	ф-ла (5) [9]	0,02	0,09	0,33	1,12	2,79	4,98	9,04	23,09	77,63		
Учет затухания звука в атмосфере Aatm, дБ		ф-ла (8) [10]	0	0	0,2	0,6	1,4	2,5	4,6	11,7	39,5		
Снижение поверхностью земли возле источника As, дБ	Gs = 0 hs = 1м	ф-лы таб.3 [10]	-1,5	-1,5	-1,5	-1,5	-1,5	-1,5	-1,5	-1,5	-1,5		
Снижение поверхностью земли возле приёмника Ar, дБ	Gr = 1 hr = 1.5м	ф-лы таб.3 [10]	-1,5	-1,5	3,1	7	5	0,7	0	0	0		
Снижение поверхностью земли в средней зоне, Am дБ	Gm = 1	ф-лы таб.3 [10]	-2,6	-2,6	0	0	0	0	0	0	0		
Суммарное снижение поверхностью земли на траектории распространения звука Agr, дБ		ф-ла (9) [10]	-5,6	-5,6	1,6	5,5	3,5	-0,8	-1,5	-1,5	-1,5		
Уровни звукового давления прямого звука от источника ИШ-6-7 в расчётной точке днём, дБ		**ф-ла(3)[10]**	**0**	**36,7**	**30,8**	**27,8**	**29,3**	**32,1**	**27,4**	**16**	**0**	**34,6**	**34,6**
Расчёт отражённого звука													
Уровни звукового давления от мнимого источника ИШ-6-7_мн.(1) в расчётной точке днём, дБ		**ф-ла(3)[10]**	**0**	**0**	**0**	**0**	**0**	**0**	**0**	**0**	**0**	**0**	**0**
Уровни звукового давления от источника ИШ-6-7 в расчётной точке днём, дБ		**ф-ла(3)[10]**	**0**	**36,7**	**30,8**	**27,8**	**29,3**	**32,1**	**27,4**	**16**	**0**	**34,6**	**34,6**

1		2	3	4	5	6	7	8	9	10	11	12	13
Источник шума: ИШ-6-8, координаты источника (x,y,z), м =[829.36,101.42,1.00]													
Уровни звуковой мощности источника днём, Lw, дБ		**исходные данные**	**0**	**96,3**	**97,7**	**99**	**99,3**	**98,9**	**95,6**	**91,4**	**86,9**		
Поправка на телесный угол DΩ, дБ	Ω = 12.57	10Lg(4π/Ω)	**0**	0	0	0	0	0	0	0	0		
Показатель направленности источника Di, дБ		исходные данные	**0**	0	0	0	0	0	0	0	0		
Поправка на направленность источника Dc, дБ	Dc	DΩ + Di	**0**	0	0	0	0	0	0	0	0		
Затухание из-за геометрической дивергенции, Adiv, дБ	расстояние = 505.68 м	ф-ла (7) [10]	**65,1**										
Коэффициент затухания звука в атмосфере α, дБ/км	Ta=20,°C Pa=101.33,кПа hотн.=70%	ф-ла (5) [9]	0,02	0,09	0,33	1,12	2,79	4,98	9,04	23,09	77,63		
Учет затухания звука в атмосфере Aatm, дБ		ф-ла (8) [10]	0	0	0,2	0,6	1,4	2,5	4,6	11,7	39,3		
Снижение поверхностью земли возле источника As, дБ	Gs = 0 hs = 1м	ф-лы таб.3 [10]	-1,5	-1,5	-1,5	-1,5	-1,5	-1,5	-1,5	-1,5	-1,5		
Снижение поверхностью земли возле приёмника Ar, дБ	Gr = 1 hr = 1.5м	ф-лы таб.3 [10]	-1,5	-1,5	3,1	7	5	0,7	0	0	0		
Снижение поверхностью земли в средней зоне, Am дБ	Gm = 1	ф-лы таб.3 [10]	-2,6	-2,6	0	0	0	0	0	0	0		
Суммарное снижение поверхностью земли на траектории распространения звука Agr, дБ		ф-ла (9) [10]	-5,6	-5,6	1,6	5,5	3,5	-0,8	-1,5	-1,5	-1,5		
Уровни звукового давления прямого звука от источника ИШ-6-8 в расчётной точке днём, дБ		**ф-ла(3)[10]**	**0**	**36,7**	**30,9**	**27,8**	**29,3**	**32,1**	**27,4**	**16,1**	**0**	**34,7**	**34,7**
Расчёт отражённого звука													
Уровни звукового давления от мнимого источника ИШ-6-8_мн.(1) в расчётной точке днём, дБ		**ф-ла(3)[10]**	**0**	**0**	**0**	**0**	**0**	**0**	**0**	**0**	**0**	**0**	**0**
Уровни звукового давления от источника ИШ-6-8 в расчётной точке днём, дБ		**ф-ла(3)[10]**	**0**	**36,7**	**30,9**	**27,8**	**29,3**	**32,1**	**27,4**	**16,1**	**0**	**34,7**	**34,7**

1		2	3	4	5	6	7	8	9	10	11	12	13
Источник шума: ИШ-6-9, координаты источника (x,y,z), м =[828.03,98.62,1.00]													
Уровни звуковой мощности источника днём, Lw, дБ		**исходные данные**	**0**	**96,3**	**97,7**	**99**	**99,3**	**98,9**	**95,6**	**91,4**	**86,9**		
Поправка на телесный угол DΩ, дБ	Ω = 12.57	10Lg(4π/Ω)	**0**	0	0	0	0	0	0	0	0		
Показатель направленности источника Di, дБ		исходные данные	**0**	0	0	0	0	0	0	0	0		
Поправка на направленность источника Dc, дБ	Dc	DΩ + Di	**0**	0	0	0	0	0	0	0	0		
Затухание из-за геометрической дивергенции, Adiv, дБ	расстояние = 502.77 м	ф-ла (7) [10]	**65**										
Коэффициент затухания звука в атмосфере α, дБ/км	Ta=20,°C Pa=101.33,кПа hотн.=70%	ф-ла (5) [9]	0,02	0,09	0,33	1,12	2,79	4,98	9,04	23,09	77,63		
Учет затухания звука в атмосфере Aatm, дБ		ф-ла (8) [10]	0	0	0,2	0,6	1,4	2,5	4,5	11,6	39		
Снижение поверхностью земли возле источника As, дБ	Gs = 0 hs = 1м	ф-лы таб.3 [10]	-1,5	-1,5	-1,5	-1,5	-1,5	-1,5	-1,5	-1,5	-1,5		
Снижение поверхностью земли возле приёмника Ar, дБ	Gr = 1 hr = 1.5м	ф-лы таб.3 [10]	-1,5	-1,5	3,1	7	5	0,7	0	0	0		
Снижение поверхностью земли в средней зоне, Am дБ	Gm = 1	ф-лы таб.3 [10]	-2,6	-2,6	0	0	0	0	0	0	0		
Суммарное снижение поверхностью земли на траектории распространения звука Agr, дБ		ф-ла (9) [10]	-5,6	-5,6	1,6	5,5	3,5	-0,8	-1,5	-1,5	-1,5		
Уровни звукового давления прямого звука от источника ИШ-6-9 в расчётной точке днём, дБ		**ф-ла(3)[10]**	**0**	**36,8**	**30,9**	**27,9**	**29,4**	**32,2**	**27,5**	**16,3**	**0**	**34,8**	**34,8**
Расчёт отражённого звука													
Уровни звукового давления от мнимого источника ИШ-6-9_мн.(1) в расчётной точке днём, дБ		**ф-ла(3)[10]**	**0**	**0**	**0**	**0**	**0**	**0**	**0**	**0**	**0**	**0**	**0**
Уровни звукового давления от источника ИШ-6-9 в расчётной точке днём, дБ		**ф-ла(3)[10]**	**0**	**36,8**	**30,9**	**27,9**	**29,4**	**32,2**	**27,5**	**16,3**	**0**	**34,8**	**34,8**

1		2	3	4	5	6	7	8	9	10	11	12	13
Источник шума: ИШ-6-10, координаты источника (x,y,z), м =[827.23,95.55,1.00]													
Уровни звуковой мощности источника днём, Lw, дБ		**исходные данные**	**0**	**96,3**	**97,7**	**99**	**99,3**	**98,9**	**95,6**	**91,4**	**86,9**		
Поправка на телесный угол DΩ, дБ	Ω = 12.57	10Lg(4π/Ω)	**0**	0	0	0	0	0	0	0	0		
Показатель направленности источника Di, дБ		исходные данные	**0**	0	0	0	0	0	0	0	0		
Поправка на направленность источника Dc, дБ	Dc	DΩ + Di	**0**	0	0	0	0	0	0	0	0		
Затухание из-за геометрической дивергенции, Adiv, дБ	расстояние = 500.06 м	ф-ла (7) [10]	**65**										
Коэффициент затухания звука в атмосфере α, дБ/км	Ta=20,°C Pa=101.33,кПа hотн.=70%	ф-ла (5) [9]	0,02	0,09	0,33	1,12	2,79	4,98	9,04	23,09	77,63		
Учет затухания звука в атмосфере Aatm, дБ		ф-ла (8) [10]	0	0	0,2	0,6	1,4	2,5	4,5	11,5	38,8		
Снижение поверхностью земли возле источника As, дБ	Gs = 0 hs = 1м	ф-лы таб.3 [10]	-1,5	-1,5	-1,5	-1,5	-1,5	-1,5	-1,5	-1,5	-1,5		
Снижение поверхностью земли возле приёмника Ar, дБ	Gr = 1 hr = 1.5м	ф-лы таб.3 [10]	-1,5	-1,5	3	7	5	0,7	0	0	0		
Снижение поверхностью земли в средней зоне, Am дБ	Gm = 1	ф-лы таб.3 [10]	-2,6	-2,6	0	0	0	0	0	0	0		
Суммарное снижение поверхностью земли на траектории распространения звука Agr, дБ		ф-ла (9) [10]	-5,6	-5,6	1,5	5,5	3,5	-0,8	-1,5	-1,5	-1,5		
Уровни звукового давления прямого звука от источника ИШ-6-10 в расчётной точке днём, дБ		**ф-ла(3)[10]**	**0**	**36,8**	**31**	**27,9**	**29,4**	**32,3**	**27,6**	**16,4**	**0**	**34,8**	**34,8**
Расчёт отражённого звука													
Уровни звукового давления от мнимого источника ИШ-6-10_мн.(1) в расчётной точке днём, дБ		**ф-ла(3)[10]**	**0**	**0**	**0**	**0**	**0**	**0**	**0**	**0**	**0**	**0**	**0**
Уровни звукового давления от источника ИШ-6-10 в расчётной точке днём, дБ		**ф-ла(3)[10]**	**0**	**36,8**	**31**	**27,9**	**29,4**	**32,3**	**27,6**	**16,4**	**0**	**34,8**	**34,8**

1		2	3	4	5	6	7	8	9	10	11	12	13
Источник шума: ИШ-6-11, координаты источника (x,y,z), м =[826.30,92.48,1.00]													
Уровни звуковой мощности источника днём, Lw, дБ		**исходные данные**	**0**	**96,3**	**97,7**	**99**	**99,3**	**98,9**	**95,6**	**91,4**	**86,9**		
Поправка на телесный угол DΩ, дБ	Ω = 12.57	10Lg(4π/Ω)	**0**	0	0	0	0	0	0	0	0		
Показатель направленности источника Di, дБ		исходные данные	**0**	0	0	0	0	0	0	0	0		
Поправка на направленность источника Dc, дБ	Dc	DΩ + Di	**0**	0	0	0	0	0	0	0	0		
Затухание из-за геометрической дивергенции, Adiv, дБ	расстояние = 497.26 м	ф-ла (7) [10]	**64,9**										
Коэффициент затухания звука в атмосфере α, дБ/км	Ta=20,°C Pa=101.33,кПа hотн.=70%	ф-ла (5) [9]	0,02	0,09	0,33	1,12	2,79	4,98	9,04	23,09	77,63		
Учет затухания звука в атмосфере Aatm, дБ		ф-ла (8) [10]	0	0	0,2	0,6	1,4	2,5	4,5	11,5	38,6		
Снижение поверхностью земли возле источника As, дБ	Gs = 0 hs = 1м	ф-лы таб.3 [10]	-1,5	-1,5	-1,5	-1,5	-1,5	-1,5	-1,5	-1,5	-1,5		
Снижение поверхностью земли возле приёмника Ar, дБ	Gr = 1 hr = 1.5м	ф-лы таб.3 [10]	-1,5	-1,5	3	7	5	0,7	0	0	0		
Снижение поверхностью земли в средней зоне, Am дБ	Gm = 1	ф-лы таб.3 [10]	-2,5	-2,5	0	0	0	0	0	0	0		
Суммарное снижение поверхностью земли на траектории распространения звука Agr, дБ		ф-ла (9) [10]	-5,5	-5,5	1,5	5,5	3,5	-0,8	-1,5	-1,5	-1,5		
Уровни звукового давления прямого звука от источника ИШ-6-11 в расчётной точке днём, дБ		**ф-ла(3)[10]**	**0**	**36,9**	**31,1**	**28**	**29,5**	**32,3**	**27,7**	**16,5**	**0**	**34,9**	**34,9**
Расчёт отражённого звука													
Уровни звукового давления от мнимого источника ИШ-6-11_мн.(1) в расчётной точке днём, дБ		**ф-ла(3)[10]**	**0**	**0**	**0**	**0**	**0**	**0**	**0**	**0**	**0**	**0**	**0**
Уровни звукового давления от источника ИШ-6-11 в расчётной точке днём, дБ		**ф-ла(3)[10]**	**0**	**36,9**	**31,1**	**28**	**29,5**	**32,3**	**27,7**	**16,5**	**0**	**34,9**	**34,9**

1		2	3	4	5	6	7	8	9	10	11	12	13
Источник шума: ИШ-6-12, координаты источника (x,y,z), м =[825.09,89.54,1.00]													
Уровни звуковой мощности источника днём, Lw, дБ		**исходные данные**	**0**	**96,3**	**97,7**	**99**	**99,3**	**98,9**	**95,6**	**91,4**	**86,9**		
Поправка на телесный угол DΩ, дБ	Ω = 12.57	10Lg(4π/Ω)	**0**	0	0	0	0	0	0	0	0		
Показатель направленности источника Di, дБ		исходные данные	**0**	0	0	0	0	0	0	0	0		
Поправка на направленность источника Dc, дБ	Dc	DΩ + Di	**0**	0	0	0	0	0	0	0	0		
Затухание из-за геометрической дивергенции, Adiv, дБ	расстояние = 494.36 м	ф-ла (7) [10]	**64,9**										
Коэффициент затухания звука в атмосфере α, дБ/км	Ta=20,°C Pa=101.33,кПа hотн.=70%	ф-ла (5) [9]	0,02	0,09	0,33	1,12	2,79	4,98	9,04	23,09	77,63		
Учет затухания звука в атмосфере Aatm, дБ		ф-ла (8) [10]	0	0	0,2	0,6	1,4	2,5	4,5	11,4	38,4		
Снижение поверхностью земли возле источника As, дБ	Gs = 0 hs = 1м	ф-лы таб.3 [10]	-1,5	-1,5	-1,5	-1,5	-1,5	-1,5	-1,5	-1,5	-1,5		
Снижение поверхностью земли возле приёмника Ar, дБ	Gr = 1 hr = 1.5м	ф-лы таб.3 [10]	-1,5	-1,5	3	7	5	0,7	0	0	0		
Снижение поверхностью земли в средней зоне, Am дБ	Gm = 1	ф-лы таб.3 [10]	-2,5	-2,5	0	0	0	0	0	0	0		
Суммарное снижение поверхностью земли на траектории распространения звука Agr, дБ		ф-ла (9) [10]	-5,5	-5,5	1,5	5,5	3,5	-0,8	-1,5	-1,5	-1,5		
Уровни звукового давления прямого звука от источника ИШ-6-12 в расчётной точке днём, дБ		**ф-ла(3)[10]**	**0**	**36,9**	**31,1**	**28**	**29,6**	**32,4**	**27,7**	**16,6**	**0**	**35**	**35**
Расчёт отражённого звука													
Уровни звукового давления от мнимого источника ИШ-6-12_мн.(1) в расчётной точке днём, дБ		**ф-ла(3)[10]**	**0**	**0**	**0**	**0**	**0**	**0**	**0**	**0**	**0**	**0**	**0**
Уровни звукового давления от источника ИШ-6-12 в расчётной точке днём, дБ		**ф-ла(3)[10]**	**0**	**36,9**	**31,1**	**28**	**29,6**	**32,4**	**27,7**	**16,6**	**0**	**35**	**35**

1		2	3	4	5	6	7	8	9	10	11	12	13
Источник шума: ИШ-6-13, координаты источника (x,y,z), м =[767.76,-114.15,1.00]													
Уровни звуковой мощности источника днём, Lw, дБ		**исходные данные**	**0**	**96,3**	**97,7**	**99**	**99,3**	**98,9**	**95,6**	**91,4**	**86,9**		
Поправка на телесный угол DΩ, дБ	Ω = 12.57	10Lg(4π/Ω)	**0**	0	0	0	0	0	0	0	0		
Показатель направленности источника Di, дБ		исходные данные	**0**	0	0	0	0	0	0	0	0		
Поправка на направленность источника Dc, дБ	Dc	DΩ + Di	**0**	0	0	0	0	0	0	0	0		
Затухание из-за геометрической дивергенции, Adiv, дБ	расстояние = 330.50 м	ф-ла (7) [10]	**61,4**										
Коэффициент затухания звука в атмосфере α, дБ/км	Ta=20,°C Pa=101.33,кПа hотн.=70%	ф-ла (5) [9]	0,02	0,09	0,33	1,12	2,79	4,98	9,04	23,09	77,63		
Учет затухания звука в атмосфере Aatm, дБ		ф-ла (8) [10]	0	0	0,1	0,4	0,9	1,6	3	7,6	25,7		
Снижение поверхностью земли возле источника As, дБ	Gs = 0 hs = 1м	ф-лы таб.3 [10]	-1,5	-1,5	-1,5	-1,5	-1,5	-1,5	-1,5	-1,5	-1,5		
Снижение поверхностью земли возле приёмника Ar, дБ	Gr = 1 hr = 1.5м	ф-лы таб.3 [10]	-1,5	-1,5	1,9	7	5	0,7	0	0	0		
Снижение поверхностью земли в средней зоне, Am дБ	Gm = 1	ф-лы таб.3 [10]	-2,3	-2,3	0	0	0	0	0	0	0		
Суммарное снижение поверхностью земли на траектории распространения звука Agr, дБ		ф-ла (9) [10]	-5,3	-5,3	0,4	5,5	3,5	-0,8	-1,5	-1,5	-1,5		
Уровни звукового давления от источника ИШ-6-13 в расчётной точке днём, дБ		**ф-ла(3)[10]**	**0**	**40,2**	**35,8**	**31,7**	**33,5**	**36,7**	**32,7**	**23,9**	**0**	**39,5**	**39,5**
Источник шума: ИШ-6-14, координаты источника (x,y,z), м =[766.82,-117.10,1.00]													
Уровни звуковой мощности источника днём, Lw, дБ		**исходные данные**	**0**	**96,3**	**97,7**	**99**	**99,3**	**98,9**	**95,6**	**91,4**	**86,9**		
Поправка на телесный угол DΩ, дБ	Ω = 12.57	10Lg(4π/Ω)	**0**	0	0	0	0	0	0	0	0		

1		2	3	4	5	6	7	8	9	10	11	12	13
Показатель направленности источника Di, дБ		исходные данные	**0**	0	0	0	0	0	0	0	0		
Поправка на направленность источника Dc, дБ	Dc	DΩ + Di	**0**	0	0	0	0	0	0	0	0		
Затухание из-за геометрической дивергенции, Adiv, дБ	расстояние = 328.43 м	ф-ла (7) [10]	**61,3**										
Коэффициент затухания звука в атмосфере α, дБ/км	Ta=20,°C Pa=101.33,кПа hотн.=70%	ф-ла (5) [9]	0,02	0,09	0,33	1,12	2,79	4,98	9,04	23,09	77,63		
Учет затухания звука в атмосфере Aatm, дБ		ф-ла (8) [10]	0	0	0,1	0,4	0,9	1,6	3	7,6	25,5		
Снижение поверхностью земли возле источника As, дБ	Gs = 0 hs = 1м	ф-лы таб.3 [10]	-1,5	-1,5	-1,5	-1,5	-1,5	-1,5	-1,5	-1,5	-1,5		
Снижение поверхностью земли возле приёмника Ar, дБ	Gr = 1 hr = 1.5м	ф-лы таб.3 [10]	-1,5	-1,5	1,9	7	5	0,7	0	0	0		
Снижение поверхностью земли в средней зоне, Am дБ	Gm = 1	ф-лы таб.3 [10]	-2,3	-2,3	0	0	0	0	0	0	0		
Суммарное снижение поверхностью земли на траектории распространения звука Agr, дБ		ф-ла (9) [10]	-5,3	-5,3	0,4	5,5	3,5	-0,8	-1,5	-1,5	-1,5		
Уровни звукового давления от источника ИШ-6-14 в расчётной точке днём, дБ		**ф-ла(3)[10]**	**0**	**40,2**	**35,9**	**31,8**	**33,6**	**36,8**	**32,8**	**24**	**1,6**	**39,5**	**39,5**
Источник шума: ИШ-6-15, координаты источника (x,y,z), м =[765.71,-120.27,1.00]													
Уровни звуковой мощности источника днём, Lw, дБ		**исходные данные**	**0**	**96,3**	**97,7**	**99**	**99,3**	**98,9**	**95,6**	**91,4**	**86,9**		
Поправка на телесный угол DΩ, дБ	Ω = 12.57	10Lg(4π/Ω)	**0**	0	0	0	0	0	0	0	0		
Показатель направленности источника Di, дБ		исходные данные	**0**	0	0	0	0	0	0	0	0		
Поправка на направленность источника Dc, дБ	Dc	DΩ + Di	**0**	0	0	0	0	0	0	0	0		
Затухание из-за геометрической дивергенции, Adiv, дБ	расстояние = 326.14 м	ф-ла (7) [10]	**61,3**										

1		2	3	4	5	6	7	8	9	10	11	12	13
Коэффициент затухания звука в атмосфере α, дБ/км	Ta=20,°C Pa=101.33,кПа hотн.=70%	ф-ла (5) [9]	0,02	0,09	0,33	1,12	2,79	4,98	9,04	23,09	77,63		
Учет затухания звука в атмосфере Aatm, дБ		ф-ла (8) [10]	0	0	0,1	0,4	0,9	1,6	2,9	7,5	25,3		
Снижение поверхностью земли возле источника As, дБ	Gs = 0 hs = 1м	ф-лы таб.3 [10]	-1,5	-1,5	-1,5	-1,5	-1,5	-1,5	-1,5	-1,5	-1,5		
Снижение поверхностью земли возле приёмника Ar, дБ	Gr = 1 hr = 1.5м	ф-лы таб.3 [10]	-1,5	-1,5	1,9	7	5	0,7	0	0	0		
Снижение поверхностью земли в средней зоне, Am дБ	Gm = 1	ф-лы таб.3 [10]	-2,3	-2,3	0	0	0	0	0	0	0		
Суммарное снижение поверхностью земли на траектории распространения звука Agr, дБ		ф-ла (9) [10]	-5,3	-5,3	0,4	5,5	3,5	-0,8	-1,5	-1,5	-1,5		
Уровни звукового давления от источника ИШ-6-15 в расчётной точке днём, дБ		**ф-ла(3)[10]**	**0**	**40,3**	**35,9**	**31,8**	**33,6**	**36,8**	**32,9**	**24,1**	**1,8**	**39,6**	**39,6**
Источник шума: ИШ-6-16, координаты источника (x,y,z), м =[764.57,-123.22,1.00]													
Уровни звуковой мощности источника днём, Lw, дБ		**исходные данные**	**0**	**96,3**	**97,7**	**99**	**99,3**	**98,9**	**95,6**	**91,4**	**86,9**		
Поправка на телесный угол DΩ, дБ	Ω = 12.57	10Lg($4\pi/\Omega$)	**0**	0	0	0	0	0	0	0	0		
Показатель направленности источника Di, дБ		исходные данные	**0**	0	0	0	0	0	0	0	0		
Поправка на направленность источника Dc, дБ	Dc	DΩ + Di	**0**	0	0	0	0	0	0	0	0		
Затухание из-за геометрической дивергенции, Adiv, дБ	расстояние = 323.91 м	ф-ла (7) [10]	**61,2**										
Коэффициент затухания звука в атмосфере α, дБ/км	Ta=20,°C Pa=101.33,кПа hотн.=70%	ф-ла (5) [9]	0,02	0,09	0,33	1,12	2,79	4,98	9,04	23,09	77,63		
Учет затухания звука в атмосфере Aatm, дБ		ф-ла (8) [10]	0	0	0,1	0,4	0,9	1,6	2,9	7,5	25,1		
Снижение поверхностью земли возле источника As, дБ	Gs = 0 hs = 1м	ф-лы таб.3 [10]	-1,5	-1,5	-1,5	-1,5	-1,5	-1,5	-1,5	-1,5	-1,5		

1		2	3	4	5	6	7	8	9	10	11	12	13
Снижение поверхностью земли возле приёмника Ar, дБ	Gr = 1 hr = 1.5м	ф-лы таб.3 [10]	-1,5	-1,5	1,9	7	5	0,7	0	0	0		
Снижение поверхностью земли в средней зоне, Am дБ	Gm = 1	ф-лы таб.3 [10]	-2,3	-2,3	0	0	0	0	0	0	0		
Суммарное снижение поверхностью земли на траектории распространения звука Agr, дБ		ф-ла (9) [10]	-5,3	-5,3	0,4	5,5	3,5	-0,8	-1,5	-1,5	-1,5		
Уровни звукового давления от источника ИШ-6-16 в расчётной точке днём, дБ		**ф-ла(3)[10]**	**0**	**40,4**	**36**	**31,9**	**33,7**	**36,9**	**33**	**24,2**	**2**	**39,7**	**39,7**
Источник шума: ИШ-6-17, координаты источника (x,y,z), м =[763.57,-126.18,1.00]													
Уровни звуковой мощности источника днём, Lw, дБ		**исходные данные**	**0**	**96,3**	**97,7**	**99**	**99,3**	**98,9**	**95,6**	**91,4**	**86,9**		
Поправка на телесный угол DΩ, дБ	Ω = 12.57	10Lg(4π/Ω)	**0**	0	0	0	0	0	0	0	0		
Показатель направленности источника Di, дБ		исходные данные	**0**	0	0	0	0	0	0	0	0		
Поправка на направленность источника Dc, дБ	Dc	DΩ + Di	**0**	0	0	0	0	0	0	0	0		
Затухание из-за геометрической дивергенции, Adiv, дБ	расстояние = 321.83 м	ф-ла (7) [10]	**61,2**										
Коэффициент затухания звука в атмосфере α, дБ/км	Ta=20,°C Pa=101.33,кПа hотн.=70%	ф-ла (5) [9]	0,02	0,09	0,33	1,12	2,79	4,98	9,04	23,09	77,63		
Учет затухания звука в атмосфере Aatm, дБ		ф-ла (8) [10]	0	0	0,1	0,4	0,9	1,6	2,9	7,4	25		
Снижение поверхностью земли возле источника As, дБ	Gs = 0 hs = 1м	ф-лы таб.3 [10]	-1,5	-1,5	-1,5	-1,5	-1,5	-1,5	-1,5	-1,5	-1,5		
Снижение поверхностью земли возле приёмника Ar, дБ	Gr = 1 hr = 1.5м	ф-лы таб.3 [10]	-1,5	-1,5	1,9	7	5	0,7	0	0	0		
Снижение поверхностью земли в средней зоне, Am дБ	Gm = 1	ф-лы таб.3 [10]	-2,3	-2,3	0	0	0	0	0	0	0		
Суммарное снижение поверхностью земли на траектории распространения звука Agr, дБ		ф-ла (9) [10]	-5,3	-5,3	0,4	5,5	3,5	-0,8	-1,5	-1,5	-1,5		

1		2	3	4	5	6	7	8	9	10	11	12	13
Уровни звукового давления от источника ИШ-6-17 в расчётной точке днём, дБ		**ф-ла(3)[10]**	**0**	**40,4**	**36,1**	**32**	**33,8**	**37**	**33**	**24,3**	**2,3**	**39,8**	**39,8**
Источник шума: ИШ-6-18, координаты источника (x,y,z), м =[804.77,-126.28,1.00]													
Уровни звуковой мощности источника днём, Lw, дБ		**исходные данные**	**0**	**96,3**	**97,7**	**99**	**99,3**	**98,9**	**95,6**	**91,4**	**86,9**		
Поправка на телесный угол DΩ, дБ	Ω = 12.57	10Lg(4π/Ω)	**0**	0	0	0	0	0	0	0	0		
Показатель направленности источника Di, дБ		исходные данные	**0**	0	0	0	0	0	0	0	0		
Поправка на направленность источника Dc, дБ	Dc	DΩ + Di	**0**	0	0	0	0	0	0	0	0		
Затухание из-за геометрической дивергенции, Adiv, дБ	расстояние = 360.11 м	ф-ла (7) [10]	**62,1**										
Коэффициент затухания звука в атмосфере α, дБ/км	Ta=20,°C Pa=101.33,кПа hотн.=70%	ф-ла (5) [9]	0,02	0,09	0,33	1,12	2,79	4,98	9,04	23,09	77,63		
Учет затухания звука в атмосфере Aatm, дБ		ф-ла (8) [10]	0	0	0,1	0,4	1	1,8	3,3	8,3	28		
Снижение поверхностью земли возле источника As, дБ	Gs = 0 hs = 1м	ф-лы таб.3 [10]	-1,5	-1,5	-1,5	-1,5	-1,5	-1,5	-1,5	-1,5	-1,5		
Снижение поверхностью земли возле приёмника Ar, дБ	Gr = 1 hr = 1.5м	ф-лы таб.3 [10]	-1,5	-1,5	2,1	7	5	0,7	0	0	0		
Снижение поверхностью земли в средней зоне, Am дБ	Gm = 1	ф-лы таб.3 [10]	-2,4	-2,4	0	0	0	0	0	0	0		
Суммарное снижение поверхностью земли на траектории распространения звука Agr, дБ		ф-ла (9) [10]	-5,4	-5,4	0,6	5,5	3,5	-0,8	-1,5	-1,5	-1,5		
Уровни звукового давления от источника ИШ-6-18 в расчётной точке днём, дБ		**ф-ла(3)[10]**	**0**	**39,5**	**34,8**	**30,9**	**32,7**	**35,8**	**31,7**	**22,4**	**0**	**38,5**	**38,5**
Источник шума: ИШ-6-19, координаты источника (x,y,z), м =[803.81,-129.30,1.00]													
Уровни звуковой мощности источника днём, Lw, дБ		**исходные данные**	**0**	**96,3**	**97,7**	**99**	**99,3**	**98,9**	**95,6**	**91,4**	**86,9**		

1		2	3	4	5	6	7	8	9	10	11	12	13
Поправка на телесный угол DΩ, дБ	Ω = 12.57	10Lg(4π/Ω)	**0**	0	0	0	0	0	0	0	0		
Показатель направленности источника Di, дБ		исходные данные	**0**	0	0	0	0	0	0	0	0		
Поправка на направленность источника Dc, дБ	Dc	DΩ + Di	**0**	0	0	0	0	0	0	0	0		
Затухание из-за геометрической дивергенции, Adiv, дБ	расстояние = 358.17 м	ф-ла (7) [10]	**62,1**										
Коэффициент затухания звука в атмосфере α, дБ/км	Ta=20,°C Pa=101.33,кПа hотн.=70%	ф-ла (5) [9]	0,02	0,09	0,33	1,12	2,79	4,98	9,04	23,09	77,63		
Учет затухания звука в атмосфере Aatm, дБ		ф-ла (8) [10]	0	0	0,1	0,4	1	1,8	3,2	8,3	27,8		
Снижение поверхностью земли возле источника As, дБ	Gs = 0 hs = 1м	ф-лы таб.3 [10]	-1,5	-1,5	-1,5	-1,5	-1,5	-1,5	-1,5	-1,5	-1,5		
Снижение поверхностью земли возле приёмника Ar, дБ	Gr = 1 hr = 1.5м	ф-лы таб.3 [10]	-1,5	-1,5	2,1	7	5	0,7	0	0	0		
Снижение поверхностью земли в средней зоне, Am дБ	Gm = 1	ф-лы таб.3 [10]	-2,4	-2,4	0	0	0	0	0	0	0		
Суммарное снижение поверхностью земли на траектории распространения звука Agr, дБ		ф-ла (9) [10]	-5,4	-5,4	0,6	5,5	3,5	-0,8	-1,5	-1,5	-1,5		
Уровни звукового давления от источника ИШ-6-19 в расчётной точке днём, дБ		**ф-ла(3)[10]**	**0**	**39,6**	**34,9**	**31**	**32,7**	**35,9**	**31,8**	**22,5**	**0**	**38,6**	**38,6**
Источник шума: ИШ-6-20, координаты источника (x,y,z), м =[802.67,-132.35,1.00]													
Уровни звуковой мощности источника днём, Lw, дБ		**исходные данные**	**0**	**96,3**	**97,7**	**99**	**99,3**	**98,9**	**95,6**	**91,4**	**86,9**		
Поправка на телесный угол DΩ, дБ	Ω = 12.57	10Lg(4π/Ω)	**0**	0	0	0	0	0	0	0	0		
Показатель направленности источника Di, дБ		исходные данные	**0**	0	0	0	0	0	0	0	0		
Поправка на направленность источника Dc, дБ	Dc	DΩ + Di	**0**	0	0	0	0	0	0	0	0		

1		2	3	4	5	6	7	8	9	10	11	12	13
Затухание из-за геометрической дивергенции, Adiv, дБ	расстояние = 356.06 м	ф-ла (7) [10]	**62**										
Коэффициент затухания звука в атмосфере α, дБ/км	Ta=20,°C Pa=101.33,кПа hотн.=70%	ф-ла (5) [9]	0,02	0,09	0,33	1,12	2,79	4,98	9,04	23,09	77,63		
Учет затухания звука в атмосфере Aatm, дБ		ф-ла (8) [10]	0	0	0,1	0,4	1	1,8	3,2	8,2	27,6		
Снижение поверхностью земли возле источника As, дБ	Gs = 0 hs = 1м	ф-лы таб.3 [10]	-1,5	-1,5	-1,5	-1,5	-1,5	-1,5	-1,5	-1,5	-1,5		
Снижение поверхностью земли возле приёмника Ar, дБ	Gr = 1 hr = 1.5м	ф-лы таб.3 [10]	-1,5	-1,5	2,1	7	5	0,7	0	0	0		
Снижение поверхностью земли в средней зоне, Am дБ	Gm = 1	ф-лы таб.3 [10]	-2,4	-2,4	0	0	0	0	0	0	0		
Суммарное снижение поверхностью земли на траектории распространения звука Agr, дБ		ф-ла (9) [10]	-5,4	-5,4	0,6	5,5	3,5	-0,8	-1,5	-1,5	-1,5		
Уровни звукового давления от источника ИШ-6-20 в расчётной точке днём, дБ		**ф-ла(3)[10]**	**0**	**39,6**	**35**	**31**	**32,8**	**35,9**	**31,8**	**22,6**	**0**	**38,7**	**38,7**
Источник шума: ИШ-6-21, координаты источника (x,y,z), м =[801.69,-135.42,1.00]													
Уровни звуковой мощности источника днём, Lw, дБ		**исходные данные**	**0**	**96,3**	**97,7**	**99**	**99,3**	**98,9**	**95,6**	**91,4**	**86,9**		
Поправка на телесный угол DΩ, дБ	Ω = 12.57	10Lg(4π/Ω)	**0**	0	0	0	0	0	0	0	0		
Показатель направленности источника Di, дБ		исходные данные	**0**	0	0	0	0	0	0	0	0		
Поправка на направленность источника Dc, дБ	Dc	DΩ + Di	**0**	0	0	0	0	0	0	0	0		
Затухание из-за геометрической дивергенции, Adiv, дБ	расстояние = 354.12 м	ф-ла (7) [10]	**62**										
Коэффициент затухания звука в атмосфере α, дБ/км	Ta=20,°C Pa=101.33,кПа hотн.=70%	ф-ла (5) [9]	0,02	0,09	0,33	1,12	2,79	4,98	9,04	23,09	77,63		
Учет затухания звука в атмосфере Aatm, дБ		ф-ла (8) [10]	0	0	0,1	0,4	1	1,8	3,2	8,2	27,5		

1		2	3	4	5	6	7	8	9	10	11	12	13
Снижение поверхностью земли возле источника As, дБ	Gs = 0 hs = 1м	ф-лы таб.3 [10]	-1,5	-1,5	-1,5	-1,5	-1,5	-1,5	-1,5	-1,5	-1,5		
Снижение поверхностью земли возле приёмника Ar, дБ	Gr = 1 hr = 1.5м	ф-лы таб.3 [10]	-1,5	-1,5	2,1	7	5	0,7	0	0	0		
Снижение поверхностью земли в средней зоне, Am дБ	Gm = 1	ф-лы таб.3 [10]	-2,4	-2,4	0	0	0	0	0	0	0		
Суммарное снижение поверхностью земли на траектории распространения звука Agr, дБ		ф-ла (9) [10]	-5,4	-5,4	0,6	5,5	3,5	-0,8	-1,5	-1,5	-1,5		
Уровни звукового давления от источника ИШ-6-21 в расчётной точке днём, дБ		**ф-ла(3)[10]**	**0**	**39,6**	**35**	**31,1**	**32,9**	**36**	**31,9**	**22,7**	**0**	**38,7**	**38,7**
Источник шума: ИШ-6-22, координаты источника (x,y,z), м =[800.65,-138.47,1.00]													
Уровни звуковой мощности источника днём, Lw, дБ		**исходные данные**	**0**	**96,3**	**97,7**	**99**	**99,3**	**98,9**	**95,6**	**91,4**	**86,9**		
Поправка на телесный угол DΩ, дБ	Ω = 12.57	10Lg(4π/Ω)	**0**	0	0	0	0	0	0	0	0		
Показатель направленности источника Di, дБ		исходные данные	**0**	0	0	0	0	0	0	0	0		
Поправка на направленность источника Dc, дБ	Dc	DΩ + Di	**0**	0	0	0	0	0	0	0	0		
Затухание из-за геометрической дивергенции, Adiv, дБ	расстояние = 352.15 м	ф-ла (7) [10]	**61,9**										
Коэффициент затухания звука в атмосфере α, дБ/км	Ta=20,°C Pa=101.33,кПа hотн.=70%	ф-ла (5) [9]	0,02	0,09	0,33	1,12	2,79	4,98	9,04	23,09	77,63		
Учет затухания звука в атмосфере Aatm, дБ		ф-ла (8) [10]	0	0	0,1	0,4	1	1,8	3,2	8,1	27,3		
Снижение поверхностью земли возле источника As, дБ	Gs = 0 hs = 1м	ф-лы таб.3 [10]	-1,5	-1,5	-1,5	-1,5	-1,5	-1,5	-1,5	-1,5	-1,5		
Снижение поверхностью земли возле приёмника Ar, дБ	Gr = 1 hr = 1.5м	ф-лы таб.3 [10]	-1,5	-1,5	2,1	7	5	0,7	0	0	0		
Снижение поверхностью земли в средней зоне, Am дБ	Gm = 1	ф-лы таб.3 [10]	-2,4	-2,4	0	0	0	0	0	0	0		

1		2	3	4	5	6	7	8	9	10	11	12	13
Суммарное снижение поверхностью земли на траектории распространения звука Agr, дБ		ф-ла (9) [10]	-5,4	-5,4	0,6	5,5	3,5	-0,8	-1,5	-1,5	-1,5		
Уровни звукового давления от источника ИШ-6-22 в расчётной точке днём, дБ		**ф-ла(3)[10]**	**0**	**39,7**	**35,1**	**31,1**	**32,9**	**36**	**32**	**22,8**	**0**	**38,8**	**38,8**
Источник шума: ИШ-7-1, координаты источника (x,y,z), м =[821.44,63.31,1.00]													
Уровни звуковой мощности источника днём, Lw, дБ		**исходные данные**	**77**	**75**	**67**	**66**	**63**	**55**	**53**	**48**	**51**		
Поправка на телесный угол DΩ, дБ	Ω = 12.57	10Lg(4π/Ω)	**0**	0	0	0	0	0	0	0	0		
Показатель направленности источника Di, дБ		исходные данные	**0**	0	0	0	0	0	0	0	0		
Поправка на направленность источника Dc, дБ	Dc	DΩ + Di	**0**	0	0	0	0	0	0	0	0		
Затухание из-за геометрической дивергенции, Adiv, дБ	расстояние = 473.91 м	ф-ла (7) [10]	**64,5**										
Коэффициент затухания звука в атмосфере α, дБ/км	Ta=20,°C Pa=101.33,кПа hотн.=70%	ф-ла (5) [9]	0,02	0,09	0,33	1,12	2,79	4,98	9,04	23,09	77,63		
Учет затухания звука в атмосфере Aatm, дБ		ф-ла (8) [10]	0	0	0,2	0,5	1,3	2,4	4,3	10,9	36,8		
Снижение поверхностью земли возле источника As, дБ	Gs = 0 hs = 1м	ф-лы таб.3 [10]	-1,5	-1,5	-1,5	-1,5	-1,5	-1,5	-1,5	-1,5	-1,5		
Снижение поверхностью земли возле приёмника Ar, дБ	Gr = 1 hr = 1.5м	ф-лы таб.3 [10]	-1,5	-1,5	2,9	7	5	0,7	0	0	0		
Снижение поверхностью земли в средней зоне, Am дБ	Gm = 1	ф-лы таб.3 [10]	-2,5	-2,5	0	0	0	0	0	0	0		
Суммарное снижение поверхностью земли на траектории распространения звука Agr, дБ		ф-ла (9) [10]	-5,5	-5,5	1,4	5,5	3,5	-0,8	-1,5	-1,5	-1,5		
Уровни звукового давления от источника ИШ-7-1 в расчётной точке днём, дБ		**ф-ла(3)[10]**	**18**	**16**	**1**	**0**	**0**	**0**	**0**	**0**	**0**	**0**	**0**
Источник шума: ИШ-7-2, координаты источника (x,y,z), м =[768.90,-86.75,1.00]													

1		2	3	4	5	6	7	8	9	10	11	12	13
Уровни звуковой мощности источника днём, Lw, дБ		**исходные данные**	**77**	**75**	**67**	**66**	**63**	**55**	**53**	**48**	**51**		
Поправка на телесный угол DΩ, дБ	Ω = 12.57	10Lg(4π/Ω)	**0**	0	0	0	0	0	0	0	0		
Показатель направленности источника Di, дБ		исходные данные	**0**	0	0	0	0	0	0	0	0		
Поправка на направленность источника Dc, дБ	Dc	DΩ + Di	**0**	0	0	0	0	0	0	0	0		
Затухание из-за геометрической дивергенции, Adiv, дБ	расстояние = 343.79 м	ф-ла (7) [10]	**61,7**										
Коэффициент затухания звука в атмосфере α, дБ/км	Ta=20,°C Pa=101.33,кПа hотн.=70%	ф-ла (5) [9]	0,02	0,09	0,33	1,12	2,79	4,98	9,04	23,09	77,63		
Учет затухания звука в атмосфере Aatm, дБ		ф-ла (8) [10]	0	0	0,1	0,4	1	1,7	3,1	7,9	26,7		
Снижение поверхностью земли возле источника As, дБ	Gs = 0 hs = 1м	ф-лы таб.3 [10]	-1,5	-1,5	-1,5	-1,5	-1,5	-1,5	-1,5	-1,5	-1,5		
Снижение поверхностью земли возле приёмника Ar, дБ	Gr = 1 hr = 1.5м	ф-лы таб.3 [10]	-1,5	-1,5	2	7	5	0,7	0	0	0		
Снижение поверхностью земли в средней зоне, Am дБ	Gm = 1	ф-лы таб.3 [10]	-2,3	-2,3	0	0	0	0	0	0	0		
Суммарное снижение поверхностью земли на траектории распространения звука Agr, дБ		ф-ла (9) [10]	-5,3	-5,3	0,5	5,5	3,5	-0,8	-1,5	-1,5	-1,5		
Уровни звукового давления от источника ИШ-7-2 в расчётной точке днём, дБ		**ф-ла(3)[10]**	**20,6**	**18,6**	**4,7**	**0**	**0**	**0**	**0**	**0**	**0**	**0**	**0**
Источник шума: ИШ-7-3, координаты источника (x,y,z), м =[766.80,-93.20,1.00]													
Уровни звуковой мощности источника днём, Lw, дБ		**исходные данные**	**77**	**75**	**67**	**66**	**63**	**55**	**53**	**48**	**51**		
Поправка на телесный угол DΩ, дБ	Ω = 12.57	10Lg(4π/Ω)	**0**	0	0	0	0	0	0	0	0		
Показатель направленности источника Di, дБ		исходные данные	**0**	0	0	0	0	0	0	0	0		

1		2	3	4	5	6	7	8	9	10	11	12	13
Поправка на направленность источника Dc, дБ	Dc	DΩ + Di	**0**	0	0	0	0	0	0	0	0		
Затухание из-за геометрической дивергенции, Adiv, дБ	расстояние = 338.89 м	ф-ла (7) [10]	**61,6**										
Коэффициент затухания звука в атмосфере α, дБ/км	Ta=20,°C Pa=101.33,кПа hотн.=70%	ф-ла (5) [9]	0,02	0,09	0,33	1,12	2,79	4,98	9,04	23,09	77,63		
Учет затухания звука в атмосфере Aatm, дБ		ф-ла (8) [10]	0	0	0,1	0,4	0,9	1,7	3,1	7,8	26,3		
Снижение поверхностью земли возле источника As, дБ	Gs = 0 hs = 1м	ф-лы таб.3 [10]	-1,5	-1,5	-1,5	-1,5	-1,5	-1,5	-1,5	-1,5	-1,5		
Снижение поверхностью земли возле приёмника Ar, дБ	Gr = 1 hr = 1.5м	ф-лы таб.3 [10]	-1,5	-1,5	2	7	5	0,7	0	0	0		
Снижение поверхностью земли в средней зоне, Am дБ	Gm = 1	ф-лы таб.3 [10]	-2,3	-2,3	0	0	0	0	0	0	0		
Суммарное снижение поверхностью земли на траектории распространения звука Agr, дБ		ф-ла (9) [10]	-5,3	-5,3	0,5	5,5	3,5	-0,8	-1,5	-1,5	-1,5		
Уровни звукового давления от источника ИШ-7-3 в расчётной точке днём, дБ		**ф-ла(3)[10]**	**20,7**	**18,7**	**4,8**	**0**	**0**	**0**	**0**	**0**	**0**	**0**	**0**
Источник шума: ИШ-7-4, координаты источника (x,y,z), м =[866.76,37.18,1.00]													
Уровни звуковой мощности источника днём, Lw, дБ		**исходные данные**	**77**	**75**	**67**	**66**	**63**	**55**	**53**	**48**	**51**		
Поправка на телесный угол DΩ, дБ	Ω = 12.57	10Lg(4π/Ω)	**0**	0	0	0	0	0	0	0	0		
Показатель направленности источника Di, дБ		исходные данные	**0**	0	0	0	0	0	0	0	0		
Поправка на направленность источника Dc, дБ	Dc	DΩ + Di	**0**	0	0	0	0	0	0	0	0		
Затухание из-за геометрической дивергенции, Adiv, дБ	расстояние = 492.96 м	ф-ла (7) [10]	**64,9**										
Коэффициент затухания звука в атмосфере α, дБ/км	Ta=20,°C Pa=101.33,кПа hотн.=70%	ф-ла (5) [9]	0,02	0,09	0,33	1,12	2,79	4,98	9,04	23,09	77,63		

1		2	3	4	5	6	7	8	9	10	11	12	13
Учет затухания звука в атмосфере Aatm, дБ		ф-ла (8) [10]	0	0	0,2	0,6	1,4	2,5	4,5	11,4	38,3		
Снижение поверхностью земли возле источника As, дБ	Gs = 0 hs = 1м	ф-лы таб.3 [10]	-1,5	-1,5	-1,5	-1,5	-1,5	-1,5	-1,5	-1,5	-1,5		
Снижение поверхностью земли возле приёмника Ar, дБ	Gr = 1 hr = 1.5м	ф-лы таб.3 [10]	-1,5	-1,5	3	7	5	0,7	0	0	0		
Снижение поверхностью земли в средней зоне, Am дБ	Gm = 1	ф-лы таб.3 [10]	-2,5	-2,5	0	0	0	0	0	0	0		
Суммарное снижение поверхностью земли на траектории распространения звука Agr, дБ		ф-ла (9) [10]	-5,5	-5,5	1,5	5,5	3,5	-0,8	-1,5	-1,5	-1,5		
Уровни звукового давления от источника ИШ-7-4 в расчётной точке днём, дБ		**ф-ла(3)[10]**	**17,7**	**15,6**	**0,5**	**0**	**0**	**0**	**0**	**0**	**0**	**0**	**0**
Источник шума: ИШ-7-5, координаты источника (x,y,z), м =[861.80,21.34,1.00]													
Уровни звуковой мощности источника днём, Lw, дБ		**исходные данные**	**77**	**75**	**67**	**66**	**63**	**55**	**53**	**48**	**51**		
Поправка на телесный угол DΩ, дБ	Ω = 12.57	10Lg(4π/Ω)	**0**	0	0	0	0	0	0	0	0		
Показатель направленности источника Di, дБ		исходные данные	**0**	0	0	0	0	0	0	0	0		
Поправка на направленность источника Dc, дБ	Dc	DΩ + Di	**0**	0	0	0	0	0	0	0	0		
Затухание из-за геометрической дивергенции, Adiv, дБ	расстояние = 479.77 м	ф-ла (7) [10]	**64,6**										
Коэффициент затухания звука в атмосфере α, дБ/км	Ta=20,°C Pa=101.33,кПа hотн.=70%	ф-ла (5) [9]	0,02	0,09	0,33	1,12	2,79	4,98	9,04	23,09	77,63		
Учет затухания звука в атмосфере Aatm, дБ		ф-ла (8) [10]	0	0	0,2	0,5	1,3	2,4	4,3	11,1	37,2		
Снижение поверхностью земли возле источника As, дБ	Gs = 0 hs = 1м	ф-лы таб.3 [10]	-1,5	-1,5	-1,5	-1,5	-1,5	-1,5	-1,5	-1,5	-1,5		
Снижение поверхностью земли возле приёмника Ar, дБ	Gr = 1 hr = 1.5м	ф-лы таб.3 [10]	-1,5	-1,5	2,9	7	5	0,7	0	0	0		

1		2	3	4	5	6	7	8	9	10	11	12	13
Снижение поверхностью земли в средней зоне, Am дБ	Gm = 1	ф-лы таб.3 [10]	-2,5	-2,5	0	0	0	0	0	0	0		
Суммарное снижение поверхностью земли на траектории распространения звука Agr, дБ		ф-ла (9) [10]	-5,5	-5,5	1,4	5,5	3,5	-0,8	-1,5	-1,5	-1,5		
Уровни звукового давления от источника ИШ-7-5 в расчётной точке днём, дБ		**ф-ла(3)[10]**	**17,9**	**15,9**	**0,8**	**0**	**0**	**0**	**0**	**0**	**0**	**0**	**0**
Источник шума: ИШ-7-6, координаты источника (x,y,z), м =[856.52,5.94,1.00]													
Уровни звуковой мощности источника днём, Lw, дБ		**исходные данные**	**77**	**75**	**67**	**66**	**63**	**55**	**53**	**48**	**51**		
Поправка на телесный угол DΩ, дБ	Ω = 12.57	10Lg(4π/Ω)	**0**	0	0	0	0	0	0	0	0		
Показатель направленности источника Di, дБ		исходные данные	**0**	0	0	0	0	0	0	0	0		
Поправка на направленность источника Dc, дБ	Dc	DΩ + Di	**0**	0	0	0	0	0	0	0	0		
Затухание из-за геометрической дивергенции, Adiv, дБ	расстояние = 466.76 м	ф-ла (7) [10]	**64,4**										
Коэффициент затухания звука в атмосфере α, дБ/км	Ta=20,°C Pa=101.33,кПа hотн.=70%	ф-ла (5) [9]	0,02	0,09	0,33	1,12	2,79	4,98	9,04	23,09	77,63		
Учет затухания звука в атмосфере Aatm, дБ		ф-ла (8) [10]	0	0	0,2	0,5	1,3	2,3	4,2	10,8	36,2		
Снижение поверхностью земли возле источника As, дБ	Gs = 0 hs = 1м	ф-лы таб.3 [10]	-1,5	-1,5	-1,5	-1,5	-1,5	-1,5	-1,5	-1,5	-1,5		
Снижение поверхностью земли возле приёмника Ar, дБ	Gr = 1 hr = 1.5м	ф-лы таб.3 [10]	-1,5	-1,5	2,8	7	5	0,7	0	0	0		
Снижение поверхностью земли в средней зоне, Am дБ	Gm = 1	ф-лы таб.3 [10]	-2,5	-2,5	0	0	0	0	0	0	0		
Суммарное снижение поверхностью земли на траектории распространения звука Agr, дБ		ф-ла (9) [10]	-5,5	-5,5	1,3	5,5	3,5	-0,8	-1,5	-1,5	-1,5		
Уровни звукового давления от источника ИШ-7-6 в расчётной точке днём, дБ		**ф-ла(3)[10]**	**18,1**	**16,1**	**1,1**	**0**	**0**	**0**	**0**	**0**	**0**	**0**	**0**

1		2	3	4	5	6	7	8	9	10	11	12	13
Источник шума: ИШ-7-7, координаты источника (x,y,z), м =[851.06,-9.89,1.00]													
Уровни звуковой мощности источника днём, Lw, дБ		**исходные данные**	**77**	**75**	**67**	**66**	**63**	**55**	**53**	**48**	**51**		
Поправка на телесный угол DΩ, дБ	Ω = 12.57	10Lg(4π/Ω)	**0**	0	0	0	0	0	0	0	0		
Показатель направленности источника Di, дБ		исходные данные	**0**	0	0	0	0	0	0	0	0		
Поправка на направленность источника Dc, дБ	Dc	DΩ + Di	**0**	0	0	0	0	0	0	0	0		
Затухание из-за геометрической дивергенции, Adiv, дБ	расстояние = 453.59 м	ф-ла (7) [10]	**64,1**										
Коэффициент затухания звука в атмосфере α, дБ/км	Ta=20,°C Pa=101.33,кПа hотн.=70%	ф-ла (5) [9]	0,02	0,09	0,33	1,12	2,79	4,98	9,04	23,09	77,63		
Учет затухания звука в атмосфере Aatm, дБ		ф-ла (8) [10]	0	0	0,2	0,5	1,3	2,3	4,1	10,5	35,2		
Снижение поверхностью земли возле источника As, дБ	Gs = 0 hs = 1м	ф-лы таб.3 [10]	-1,5	-1,5	-1,5	-1,5	-1,5	-1,5	-1,5	-1,5	-1,5		
Снижение поверхностью земли возле приёмника Ar, дБ	Gr = 1 hr = 1.5м	ф-лы таб.3 [10]	-1,5	-1,5	2,7	7	5	0,7	0	0	0		
Снижение поверхностью земли в средней зоне, Am дБ	Gm = 1	ф-лы таб.3 [10]	-2,5	-2,5	0	0	0	0	0	0	0		
Суммарное снижение поверхностью земли на траектории распространения звука Agr, дБ		ф-ла (9) [10]	-5,5	-5,5	1,2	5,5	3,5	-0,8	-1,5	-1,5	-1,5		
Уровни звукового давления от источника ИШ-7-7 в расчётной точке днём, дБ		**ф-ла(3)[10]**	**18,4**	**16,3**	**1,5**	**0**	**0**	**0**	**0**	**0**	**0**	**0**	**0**
Источник шума: ИШ-7-8, координаты источника (x,y,z), м =[821.90,-104.30,1.00]													
Уровни звуковой мощности источника днём, Lw, дБ		**исходные данные**	**77**	**75**	**67**	**66**	**63**	**55**	**53**	**48**	**51**		
Поправка на телесный угол DΩ, дБ	Ω = 12.57	10Lg(4π/Ω)	**0**	0	0	0	0	0	0	0	0		

1		2	3	4	5	6	7	8	9	10	11	12	13
Показатель направленности источника Di, дБ		исходные данные	**0**	0	0	0	0	0	0	0	0		
Поправка на направленность источника Dc, дБ	Dc	DΩ + Di	**0**	0	0	0	0	0	0	0	0		
Затухание из-за геометрической дивергенции, Adiv, дБ	расстояние = 384.08 м	ф-ла (7) [10]	**62,7**										
Коэффициент затухания звука в атмосфере α, дБ/км	Ta=20,°C Pa=101.33,кПа hотн.=70%	ф-ла (5) [9]	0,02	0,09	0,33	1,12	2,79	4,98	9,04	23,09	77,63		
Учет затухания звука в атмосфере Aatm, дБ		ф-ла (8) [10]	0	0	0,1	0,4	1,1	1,9	3,5	8,9	29,8		
Снижение поверхностью земли возле источника As, дБ	Gs = 0 hs = 1м	ф-лы таб.3 [10]	-1,5	-1,5	-1,5	-1,5	-1,5	-1,5	-1,5	-1,5	-1,5		
Снижение поверхностью земли возле приёмника Ar, дБ	Gr = 1 hr = 1.5м	ф-лы таб.3 [10]	-1,5	-1,5	2,3	7	5	0,7	0	0	0		
Снижение поверхностью земли в средней зоне, Am дБ	Gm = 1	ф-лы таб.3 [10]	-2,4	-2,4	0	0	0	0	0	0	0		
Суммарное снижение поверхностью земли на траектории распространения звука Agr, дБ		ф-ла (9) [10]	-5,4	-5,4	0,8	5,5	3,5	-0,8	-1,5	-1,5	-1,5		
Уровни звукового давления от источника ИШ-7-8 в расчётной точке днём, дБ		**ф-ла(3)[10]**	**19,7**	**17,7**	**3,4**	**0**	**0**	**0**	**0**	**0**	**0**	**0**	**0**
Источник шума: ИШ-7-9, координаты источника (x,y,z), м =[819.93,-110.97,1.00]													
Уровни звуковой мощности источника днём, Lw, дБ		**исходные данные**	**77**	**75**	**67**	**66**	**63**	**55**	**53**	**48**	**51**		
Поправка на телесный угол DΩ, дБ	Ω = 12.57	10Lg(4π/Ω)	**0**	0	0	0	0	0	0	0	0		
Показатель направленности источника Di, дБ		исходные данные	**0**	0	0	0	0	0	0	0	0		
Поправка на направленность источника Dc, дБ	Dc	DΩ + Di	**0**	0	0	0	0	0	0	0	0		
Затухание из-за геометрической дивергенции, Adiv, дБ	расстояние = 379.75 м	ф-ла (7) [10]	**62,6**										

1		2	3	4	5	6	7	8	9	10	11	12	13
Коэффициент затухания звука в атмосфере α, дБ/км	Ta=20,°C Pa=101.33,кПа hотн.=70%	ф-ла (5) [9]	0,02	0,09	0,33	1,12	2,79	4,98	9,04	23,09	77,63		
Учет затухания звука в атмосфере Aatm, дБ		ф-ла (8) [10]	0	0	0,1	0,4	1,1	1,9	3,4	8,8	29,5		
Снижение поверхностью земли возле источника As, дБ	Gs = 0 hs = 1м	ф-лы таб.3 [10]	-1,5	-1,5	-1,5	-1,5	-1,5	-1,5	-1,5	-1,5	-1,5		
Снижение поверхностью земли возле приёмника Ar, дБ	Gr = 1 hr = 1.5м	ф-лы таб.3 [10]	-1,5	-1,5	2,2	7	5	0,7	0	0	0		
Снижение поверхностью земли в средней зоне, Am дБ	Gm = 1	ф-лы таб.3 [10]	-2,4	-2,4	0	0	0	0	0	0	0		
Суммарное снижение поверхностью земли на траектории распространения звука Agr, дБ		ф-ла (9) [10]	-5,4	-5,4	0,7	5,5	3,5	-0,8	-1,5	-1,5	-1,5		
Уровни звукового давления от источника ИШ-7-9 в расчётной точке днём, дБ		**ф-ла(3)[10]**	**19,8**	**17,8**	**3,5**	**0**	**0**	**0**	**0**	**0**	**0**	**0**	**0**
Источник шума: ИШ-7-10, координаты источника (x,y,z), м =[868.68,92.66,1.00]													
Уровни звуковой мощности источника днём, Lw, дБ		**исходные данные**	**77**	**75**	**67**	**66**	**63**	**55**	**53**	**48**	**51**		
Поправка на телесный угол DΩ, дБ	Ω = 12.57	10Lg(4π/Ω)	**0**	0	0	0	0	0	0	0	0		
Показатель направленности источника Di, дБ		исходные данные	**0**	0	0	0	0	0	0	0	0		
Поправка на направленность источника Dc, дБ	Dc	DΩ + Di	**0**	0	0	0	0	0	0	0	0		
Затухание из-за геометрической дивергенции, Adiv, дБ	расстояние = 528.80 м	ф-ла (7) [10]	**65,5**										
Коэффициент затухания звука в атмосфере α, дБ/км	Ta=20,°C Pa=101.33,кПа hотн.=70%	ф-ла (5) [9]	0,02	0,09	0,33	1,12	2,79	4,98	9,04	23,09	77,63		
Учет затухания звука в атмосфере Aatm, дБ		ф-ла (8) [10]	0	0	0,2	0,6	1,5	2,6	4,8	12,2	41,1		
Снижение поверхностью земли возле источника As, дБ	Gs = 0 hs = 1м	ф-лы таб.3 [10]	-1,5	-1,5	-1,5	-1,5	-1,5	-1,5	-1,5	-1,5	-1,5		

1		2	3	4	5	6	7	8	9	10	11	12	13
Снижение поверхностью земли возле приёмника Ar, дБ	Gr = 1 hr = 1.5м	ф-лы таб.3 [10]	-1,5	-1,5	3,2	7	5	0,7	0	0	0		
Снижение поверхностью земли в средней зоне, Am дБ	Gm = 1	ф-лы таб.3 [10]	-2,6	-2,6	0	0	0	0	0	0	0		
Суммарное снижение поверхностью земли на траектории распространения звука Agr, дБ		ф-ла (9) [10]	-5,6	-5,6	1,7	5,5	3,5	-0,8	-1,5	-1,5	-1,5		
Уровни звукового давления от источника ИШ-7-10 в расчётной точке днём, дБ		**ф-ла(3)[10]**	**17,1**	**15,1**	**0**	**0**	**0**	**0**	**0**	**0**	**0**	**0**	**0**
Источник шума: ИШ-7-11, координаты источника (x,y,z), м =[877.95,88.75,1.00]													
Уровни звуковой мощности источника днём, Lw, дБ		**исходные данные**	**77**	**75**	**67**	**66**	**63**	**55**	**53**	**48**	**51**		
Поправка на телесный угол DΩ, дБ	Ω = 12.57	10Lg(4π/Ω)	**0**	0	0	0	0	0	0	0	0		
Показатель направленности источника Di, дБ		исходные данные	**0**	0	0	0	0	0	0	0	0		
Поправка на направленность источника Dc, дБ	Dc	DΩ + Di	**0**	0	0	0	0	0	0	0	0		
Затухание из-за геометрической дивергенции, Adiv, дБ	расстояние = 533.38 м	ф-ла (7) [10]	**65,5**										
Коэффициент затухания звука в атмосфере α, дБ/км	Ta=20,°C Pa=101.33,кПа hотн.=70%	ф-ла (5) [9]	0,02	0,09	0,33	1,12	2,79	4,98	9,04	23,09	77,63		
Учет затухания звука в атмосфере Aatm, дБ		ф-ла (8) [10]	0	0	0,2	0,6	1,5	2,7	4,8	12,3	41,4		
Снижение поверхностью земли возле источника As, дБ	Gs = 0 hs = 1м	ф-лы таб.3 [10]	-1,5	-1,5	-1,5	-1,5	-1,5	-1,5	-1,5	-1,5	-1,5		
Снижение поверхностью земли возле приёмника Ar, дБ	Gr = 1 hr = 1.5м	ф-лы таб.3 [10]	-1,5	-1,5	3,2	7	5	0,7	0	0	0		
Снижение поверхностью земли в средней зоне, Am дБ	Gm = 1	ф-лы таб.3 [10]	-2,6	-2,6	0	0	0	0	0	0	0		
Суммарное снижение поверхностью земли на траектории распространения звука Agr, дБ		ф-ла (9) [10]	-5,6	-5,6	1,7	5,5	3,5	-0,8	-1,5	-1,5	-1,5		

1		2	3	4	5	6	7	8	9	10	11	12	13
Уровни звукового давления от источника ИШ-7-11 в расчётной точке днём, дБ		**ф-ла(3)[10]**	**17**	**15**	**0**	**0**	**0**	**0**	**0**	**0**	**0**	**0**	**0**
Источник шума: ИШ-7-12, координаты источника (x,y,z), м =[887.42,85.45,1.00]													
Уровни звуковой мощности источника днём, Lw, дБ		**исходные данные**	**77**	**75**	**67**	**66**	**63**	**55**	**53**	**48**	**51**		
Поправка на телесный угол DΩ, дБ	Ω = 12.57	10Lg(4π/Ω)	**0**	0	0	0	0	0	0	0	0		
Показатель направленности источника Di, дБ		исходные данные	**0**	0	0	0	0	0	0	0	0		
Поправка на направленность источника Dc, дБ	Dc	DΩ + Di	**0**	0	0	0	0	0	0	0	0		
Затухание из-за геометрической дивергенции, Adiv, дБ	расстояние = 538.64 м	ф-ла (7) [10]	**65,6**										
Коэффициент затухания звука в атмосфере α, дБ/км	Ta=20,°C Pa=101.33,кПа hотн.=70%	ф-ла (5) [9]	0,02	0,09	0,33	1,12	2,79	4,98	9,04	23,09	77,63		
Учет затухания звука в атмосфере Aatm, дБ		ф-ла (8) [10]	0	0	0,2	0,6	1,5	2,7	4,9	12,4	41,8		
Снижение поверхностью земли возле источника As, дБ	Gs = 0 hs = 1м	ф-лы таб.3 [10]	-1,5	-1,5	-1,5	-1,5	-1,5	-1,5	-1,5	-1,5	-1,5		
Снижение поверхностью земли возле приёмника Ar, дБ	Gr = 1 hr = 1.5м	ф-лы таб.3 [10]	-1,5	-1,5	3,3	7	5	0,7	0	0	0		
Снижение поверхностью земли в средней зоне, Am дБ	Gm = 1	ф-лы таб.3 [10]	-2,6	-2,6	0	0	0	0	0	0	0		
Суммарное снижение поверхностью земли на траектории распространения звука Agr, дБ		ф-ла (9) [10]	-5,6	-5,6	1,8	5,5	3,5	-0,8	-1,5	-1,5	-1,5		
Уровни звукового давления от источника ИШ-7-12 в расчётной точке днём, дБ		**ф-ла(3)[10]**	**16,9**	**14,9**	**0**	**0**	**0**	**0**	**0**	**0**	**0**	**0**	**0**
Источник шума: ИШ-6-23, координаты источника (x,y,z), м =[756.16,-136.23,3.00]													
Уровни звуковой мощности источника днём, Lw, дБ		**исходные данные**	**91**	**91**	**91**	**91**	**91**	**91**	**91**	**91**	**91**		

1		2	3	4	5	6	7	8	9	10	11	12	13
Поправка на телесный угол DΩ, дБ	Ω = 12.57	10Lg(4π/Ω)	**0**	0	0	0	0	0	0	0	0		
Показатель направленности источника Di, дБ		исходные данные	**0**	0	0	0	0	0	0	0	0		
Поправка на направленность источника Dc, дБ	Dc	DΩ + Di	**0**	0	0	0	0	0	0	0	0		
Затухание из-за геометрической дивергенции, Adiv, дБ	расстояние = 311.16 м	ф-ла (7) [10]	**60,9**										
Коэффициент затухания звука в атмосфере α, дБ/км	Ta=20,°C Pa=101.33,кПа hотн.=70%	ф-ла (5) [9]	0,02	0,09	0,33	1,12	2,79	4,98	9,04	23,09	77,63		
Учет затухания звука в атмосфере Aatm, дБ		ф-ла (8) [10]	0	0	0,1	0,3	0,9	1,5	2,8	7,2	24,2		
Снижение поверхностью земли возле источника As, дБ	Gs = 0 hs = 3м	ф-лы таб.3 [10]	-1,5	-1,5	-1,5	-1,5	-1,5	-1,5	-1,5	-1,5	-1,5		
Снижение поверхностью земли возле приёмника Ar, дБ	Gr = 1 hr = 1.5м	ф-лы таб.3 [10]	-1,5	-1,5	1,8	7	5	0,7	0	0	0		
Снижение поверхностью земли в средней зоне, Am дБ	Gm = 1	ф-лы таб.3 [10]	-1,7	-1,7	0	0	0	0	0	0	0		
Суммарное снижение поверхностью земли на траектории распространения звука Agr, дБ		ф-ла (9) [10]	-4,7	-4,7	0,3	5,5	3,5	-0,8	-1,5	-1,5	-1,5		
Уровни звукового давления от источника ИШ-6-23 в расчётной точке днём, дБ		**ф-ла(3)[10]**	**34,8**	**34,8**	**29,7**	**24,3**	**25,8**	**29,4**	**28,8**	**24,4**	**7,5**	**34**	**34**
Источник шума: ИШ-6-24, координаты источника (x,y,z), м =[800.98,-151.27,3.00]													
Уровни звуковой мощности источника днём, Lw, дБ		**исходные данные**	**91**	**91**	**91**	**91**	**91**	**91**	**91**	**91**	**91**		
Поправка на телесный угол DΩ, дБ	Ω = 12.57	10Lg(4π/Ω)	**0**	0	0	0	0	0	0	0	0		
Показатель направленности источника Di, дБ		исходные данные	**0**	0	0	0	0	0	0	0	0		
Поправка на направленность источника Dc, дБ	Dc	DΩ + Di	**0**	0	0	0	0	0	0	0	0		

1		2	3	4	5	6	7	8	9	10	11	12	13
Затухание из-за геометрической дивергенции, Adiv, дБ	расстояние = 348.58 м	ф-ла (7) [10]	**61,8**										
Коэффициент затухания звука в атмосфере α, дБ/км	Ta=20,°C Pa=101.33,кПа hотн.=70%	ф-ла (5) [9]	0,02	0,09	0,33	1,12	2,79	4,98	9,04	23,09	77,63		
Учет затухания звука в атмосфере Aatm, дБ		ф-ла (8) [10]	0	0	0,1	0,4	1	1,7	3,2	8	27,1		
Снижение поверхностью земли возле источника As, дБ	Gs = 0 hs = 3м	ф-лы таб.3 [10]	-1,5	-1,5	-1,5	-1,5	-1,5	-1,5	-1,5	-1,5	-1,5		
Снижение поверхностью земли возле приёмника Ar, дБ	Gr = 1 hr = 1.5м	ф-лы таб.3 [10]	-1,5	-1,5	2	7	5	0,7	0	0	0		
Снижение поверхностью земли в средней зоне, Am дБ	Gm = 1	ф-лы таб.3 [10]	-1,8	-1,8	0	0	0	0	0	0	0		
Суммарное снижение поверхностью земли на траектории распространения звука Agr, дБ		ф-ла (9) [10]	-4,8	-4,8	0,5	5,5	3,5	-0,8	-1,5	-1,5	-1,5		
Уровни звукового давления от источника ИШ-6-24 в расчётной точке днём, дБ		**ф-ла(3)[10]**	**34**	**34**	**28,5**	**23,2**	**24,7**	**28,3**	**27,5**	**22,6**	**3,6**	**32,6**	**32,6**
Источник шума: ИШ-10-1, координаты источника (x,y,z), м =[17.37,413.17,1.00]													
Уровни звуковой мощности источника днём, Lw, дБ		**исходные данные**	**0**	**98,3**	**99,7**	**101**	**101,3**	**100,9**	**97,6**	**93,4**	**88,9**		
Поправка на телесный угол DΩ, дБ	Ω = 6.28	10Lg(4π/Ω)	**3**	3	3	3	3	3	3	3	3		
Показатель направленности источника Di, дБ		исходные данные	**0**	0	0	0	0	0	0	0	0		
Поправка на направленность источника Dc, дБ	Dc	DΩ + Di	**3**	3	3	3	3	3	3	3	3		
Затухание из-за геометрической дивергенции, Adiv, дБ	расстояние = 802.42 м	ф-ла (7) [10]	**69,1**										
Коэффициент затухания звука в атмосфере α, дБ/км	Ta=20,°C Pa=101.33,кПа hотн.=70%	ф-ла (5) [9]	0,02	0,09	0,33	1,12	2,79	4,98	9,04	23,09	77,63		
Учет затухания звука в атмосфере Aatm, дБ		ф-ла (8) [10]	0	0,1	0,3	0,9	2,2	4	7,3	18,5	62,3		

1		2	3	4	5	6	7	8	9	10	11	12	13
Снижение уровня звукового давления из-за влияния застройки между источником шума и расчетной точкой													
Снижение уровня звукового давления на пути над экраном, Dz1, дБ	z = 0.40м (разность путей)	ф-лы (14-18) [10]	5,1	5,4	5,9	6,8	8,1	10	12,3	14,9	17,7		
Снижение уровня звукового давления на пути слева от экрана, Dz2, дБ	z = 10.29м (разность путей)	ф-лы (14-18) [10]	20,4	23,6	26,6	29,6	32,6	35,6	38,6	41,6	44,6		
Снижение уровня звукового давления на пути справа от экрана, Dz3, дБ	z = 14.25м (разность путей)	ф-лы (14-18) [10]	21,9	25	28	31	34	37	40	43	46		
Общее снижение уровня звука препятствием Dz, дБ		Эн.сумма(-Dzi)	4,9	5,3	5,8	6,7	8,1	10	12,3	14,9	17,7		
Уровни звукового давления прямого звука от источника ИШ-10-1 в расчётной точке днём, дБ		**ф-ла(3)[10]**	**0**	**26,9**	**27,5**	**27,3**	**24,9**	**20,8**	**12**	**0**	**0**	**25,8**	**25,8**
Расчёт отражённого звука													
Уровни звукового давления от мнимого источника ИШ-10-1_мн.(1) в расчётной точке днём, дБ		**ф-ла(3)[10]**	**0**	**0**	**0**	**0**	**0**	**0**	**0**	**0**	**0**	**0**	**0**
Уровни звукового давления от источника ИШ-10-1 в расчётной точке днём, дБ		**ф-ла(3)[10]**	**0**	**26,9**	**27,5**	**27,3**	**24,9**	**20,8**	**12**	**0**	**0**	**25,8**	**25,8**
Источник шума: ИШ-10-2, координаты источника (x,y,z), м =[27.87,443.46,1.00]													
Уровни звуковой мощности источника днём, Lw, дБ		**исходные данные**	**0**	**98,3**	**99,7**	**101**	**101,3**	**100,9**	**97,6**	**93,4**	**88,9**		
Поправка на телесный угол DΩ, дБ	Ω = 6.28	10Lg(4π/Ω)	**3**	3	3	3	3	3	3	3	3		
Показатель направленности источника Di, дБ		исходные данные	**0**	0	0	0	0	0	0	0	0		
Поправка на направленность источника Dc, дБ	Dc	DΩ + Di	**3**	3	3	3	3	3	3	3	3		
Затухание из-за геометрической дивергенции, Adiv, дБ	расстояние = 822.01 м	ф-ла (7) [10]	**69,3**										
Коэффициент затухания звука в атмосфере α, дБ/км	Ta=20,°C Pa=101.33,кПа hотн.=70%	ф-ла (5) [9]	0,02	0,09	0,33	1,12	2,79	4,98	9,04	23,09	77,63		

1		2	3	4	5	6	7	8	9	10	11	12	13
Учет затухания звука в атмосфере Aatm, дБ		ф-ла (8) [10]	0	0,1	0,3	0,9	2,3	4,1	7,4	19	63,8		
Снижение уровня звукового давления из-за влияния застройки между источником шума и расчетной точкой													
Снижение уровня звукового давления на пути над экраном, Dz1, дБ	z = 0.31м (разность путей)	ф-лы (14-18) [10]	5,5	6,2	7,3	8,9	11	13,4	16,1	19	21,9		
Снижение уровня звукового давления на пути слева от экрана, Dz2, дБ	z = 34.44м (разность путей)	ф-лы (14-18) [10]	25,8	28,8	31,8	34,8	37,8	40,8	43,9	46,9	49,9		
Снижение уровня звукового давления на пути справа от экрана, Dz3, дБ	z = 9.83м (разность путей)	ф-лы (14-18) [10]	20,4	23,4	26,4	29,4	32,4	35,4	38,4	41,4	44,4		
Общее снижение уровня звука препятствием Dz, дБ		Эн.сумма(-Dzi)	5,4	6,1	7,2	8,8	10,9	13,4	16,1	18,9	21,9		
Уровни звукового давления прямого звука от источника ИШ-10-2 в расчётной точке днём, дБ		**ф-ла(3)[10]**	**0**	**25,8**	**25,9**	**24,9**	**21,8**	**17,1**	**7,8**	**0**	**0**	**22,7**	**22,7**
Расчёт отражённого звука													
Уровни звукового давления от мнимого источника ИШ-10-2_мн.(1) в расчётной точке днём, дБ		**ф-ла(3)[10]**	**0**	**0**	**0**	**0**	**0**	**0**	**0**	**0**	**0**	**0**	**0**
Уровни звукового давления от источника ИШ-10-2 в расчётной точке днём, дБ		**ф-ла(3)[10]**	**0**	**25,8**	**25,9**	**24,9**	**21,8**	**17,1**	**7,8**	**0**	**0**	**22,7**	**22,7**
Источник шума: ШТ-1, координаты источника (x,y,z), м =[684.30,-276.59,1.00]													
Уровни звуковой мощности источника днём, Lw, дБ		**исходные данные**	**0**	**0**	**108,5**	**105,5**	**102,5**	**102,5**	**99,5**	**93,5**	**0**		
Уровни звуковой мощности максимального звука источника днём, Lwx, дБ		**исходные данные**	**0**	**0**	**113,5**	**110,5**	**107,5**	**107,5**	**104,5**	**98,5**	**0**		
Поправка на телесный угол DΩ, дБ	Ω = 12.57	10Lg(4π/Ω)	**0**	0	0	0	0	0	0	0	0		
Показатель направленности источника Di, дБ		исходные данные	**0**	0	0	0	0	0	0	0	0		
Поправка на направленность источника Dc, дБ	Dc	DΩ + Di	**0**	0	0	0	0	0	0	0	0		
Затухание из-за геометрической дивергенции, Adiv, дБ	расстояние = 218.67 м	ф-ла (7) [10]	**57,8**										

1		2	3	4	5	6	7	8	9	10	11	12	13
Коэффициент затухания звука в атмосфере α, дБ/км	Ta=20,°C Pa=101.33,кПа hотн.=70%	ф-ла (5) [9]	0,02	0,09	0,33	1,12	2,79	4,98	9,04	23,09	77,63		
Учет затухания звука в атмосфере Aatm, дБ		ф-ла (8) [10]	0	0	0,1	0,2	0,6	1,1	2	5	17		
Снижение поверхностью земли возле источника As, дБ	Gs = 0 hs = 1м	ф-лы таб.3 [10]	-1,5	-1,5	-1,5	-1,5	-1,5	-1,5	-1,5	-1,5	-1,5		
Снижение поверхностью земли возле приёмника Ar, дБ	Gr = 1 hr = 1.5м	ф-лы таб.3 [10]	-1,5	-1,5	1,3	6,9	4,9	0,7	0	0	0		
Снижение поверхностью земли в средней зоне, Am дБ	Gm = 1	ф-лы таб.3 [10]	-2	-2	0	0	0	0	0	0	0		
Суммарное снижение поверхностью земли на траектории распространения звука Agr, дБ		ф-ла (9) [10]	-5	-5	-0,2	5,4	3,4	-0,8	-1,5	-1,5	-1,5		
Уровни звукового давления от источника ШТ-1 в расчётной точке днём, дБ		**ф-ла(3)[10]**	**0**	**0**	**50,9**	**42**	**40,7**	**44,5**	**41,2**	**32,1**	**0**	**47,7**	**52,7**
Источник шума: ШТ-2, координаты источника (x,y,z), м =[665.17,-247.36,1.00]													
Уровни звуковой мощности источника днём, Lw, дБ		**исходные данные**	**0**	**0**	**104,5**	**101,5**	**98,5**	**98,5**	**95,5**	**89,5**	**0**		
Уровни звуковой мощности максимального звука источника днём, Lwx, дБ		**исходные данные**	**0**	**0**	**108,5**	**105,5**	**102,5**	**102,5**	**99,5**	**93,5**	**0**		
Поправка на телесный угол DΩ, дБ	Ω = 12.57	10Lg(4π/Ω)	**0**	0	0	0	0	0	0	0	0		
Показатель направленности источника Di, дБ		исходные данные	**0**	0	0	0	0	0	0	0	0		
Поправка на направленность источника Dc, дБ	Dc	DΩ + Di	**0**	0	0	0	0	0	0	0	0		
Затухание из-за геометрической дивергенции, Adiv, дБ	расстояние = 198.12 м	ф-ла (7) [10]	**56,9**										
Коэффициент затухания звука в атмосфере α, дБ/км	Ta=20,°C Pa=101.33,кПа hотн.=70%	ф-ла (5) [9]	0,02	0,09	0,33	1,12	2,79	4,98	9,04	23,09	77,63		
Учет затухания звука в атмосфере Aatm, дБ		ф-ла (8) [10]	0	0	0,1	0,2	0,6	1	1,8	4,6	15,4		

1		2	3	4	5	6	7	8	9	10	11	12	13
Снижение поверхностью земли возле источника As, дБ	Gs = 0 hs = 1м	ф-лы таб.3 [10]	-1,5	-1,5	-1,5	-1,5	-1,5	-1,5	-1,5	-1,5	-1,5		
Снижение поверхностью земли возле приёмника Ar, дБ	Gr = 1 hr = 1.5м	ф-лы таб.3 [10]	-1,5	-1,5	1,2	6,9	4,9	0,6	0	0	0		
Снижение поверхностью земли в средней зоне, Am дБ	Gm = 1	ф-лы таб.3 [10]	-1,9	-1,9	0	0	0	0	0	0	0		
Суммарное снижение поверхностью земли на траектории распространения звука Agr, дБ		ф-ла (9) [10]	-4,9	-4,9	-0,3	5,4	3,4	-0,9	-1,5	-1,5	-1,5		
Уровни звукового давления от источника ШТ-2 в расчётной точке днём, дБ		**ф-ла(3)[10]**	**0**	**0**	**47,8**	**38,9**	**37,6**	**41,4**	**38,3**	**29,5**	**0**	**44,6**	**48,6**
Источник шума: ШТ-3, координаты источника (x,y,z), м =[556.24,-281.90,1.00]													
Уровни звуковой мощности источника днём, Lw, дБ		**исходные данные**	**0**	**0**	**104,5**	**101,5**	**98,5**	**98,5**	**95,5**	**89,5**	**0**		
Уровни звуковой мощности максимального звука источника днём, Lwx, дБ		**исходные данные**	**0**	**0**	**108,5**	**105,5**	**102,5**	**102,5**	**99,5**	**93,5**	**0**		
Поправка на телесный угол DΩ, дБ	Ω = 12.57	10Lg(4π/Ω)	**0**	0	0	0	0	0	0	0	0		
Показатель направленности источника Di, дБ		исходные данные	**0**	0	0	0	0	0	0	0	0		
Поправка на направленность источника Dc, дБ	Dc	DΩ + Di	**0**	0	0	0	0	0	0	0	0		
Затухание из-за геометрической дивергенции, Adiv, дБ	расстояние = 94.23 м	ф-ла (7) [10]	**50,5**										
Коэффициент затухания звука в атмосфере α, дБ/км	Ta=20,°C Pa=101.33,кПа hотн.=70%	ф-ла (5) [9]	0,02	0,09	0,33	1,12	2,79	4,98	9,04	23,09	77,63		
Учет затухания звука в атмосфере Aatm, дБ		ф-ла (8) [10]	0	0	0	0,1	0,3	0,5	0,9	2,2	7,3		
Снижение поверхностью земли возле источника As, дБ	Gs = 0 hs = 1м	ф-лы таб.3 [10]	-1,5	-1,5	-1,5	-1,5	-1,5	-1,5	-1,5	-1,5	-1,5		
Снижение поверхностью земли возле приёмника Ar, дБ	Gr = 1 hr = 1.5м	ф-лы таб.3 [10]	-1,5	-1,5	0,7	6	4,2	0,6	0	0	0		

1		2	3	4	5	6	7	8	9	10	11	12	13
Снижение поверхностью земли в средней зоне, Am дБ	Gm = 1	ф-лы таб.3 [10]	-0,6	-0,6	0	0	0	0	0	0	0		
Суммарное снижение поверхностью земли на траектории распространения звука Agr, дБ		ф-ла (9) [10]	-3,6	-3,6	-0,8	4,5	2,7	-0,9	-1,5	-1,5	-1,5		
Уровни звукового давления прямого звука от источника ШТ-3 в расчётной точке днём, дБ		**ф-ла(3)[10]**	**0**	**0**	**54,8**	**46,4**	**45**	**48,5**	**45,7**	**38,3**	**0**	**51,9**	**55,9**
* уровни звукового давления для определения максимального прямого звука от источника ШТ-3 в расчётной точке днём, дБ		ф-ла(3)[10]	0	0	58,8	50,4	49	52,5	49,7	42,3	0	55,9	
Расчёт отражённого звука													
Уровни звукового давления от мнимого источника ШТ-3_мн.(1) в расчётной точке днём, дБ		**ф-ла(3)[10]**	**0**	**0**	**0**	**0**	**0**	**0**	**0**	**0**	**0**	**0**	**0**
Уровни звукового давления от мнимого источника ШТ-3_мн.(2) в расчётной точке днём, дБ		**ф-ла(3)[10]**	**0**	**0**	**0**	**0**	**0**	**0**	**27,2**	**15,2**	**0**	**28,6**	**32,6**
Суммарные уровни звукового давления от мнимых источников в расчётной точке днём, дБ		**ф-ла (19) [1]**	**0**	**0**	**0**	**0**	**0**	**0**	**27,2**	**15,2**	**0**	**0**	**32,6**
Уровни звукового давления от источника ШТ-3 в расчётной точке днём, дБ		**ф-ла(3)[10]**	**0**	**0**	**54,8**	**46,4**	**45**	**48,5**	**45,7**	**38,4**	**0**	**52**	**56**
Источник шума: ШТ-4, координаты источника (x,y,z), м =[600.61,-343.54,1.00]													
Уровни звуковой мощности источника днём, Lw, дБ		**исходные данные**	**0**	**0**	**104,5**	**101,5**	**98,5**	**98,5**	**95,5**	**89,5**	**0**		
Уровни звуковой мощности максимального звука источника днём, Lwx, дБ		**исходные данные**	**0**	**0**	**108,5**	**105,5**	**102,5**	**102,5**	**99,5**	**93,5**	**0**		
Поправка на телесный угол DΩ, дБ	Ω = 12.57	10Lg(4π/Ω)	**0**	0	0	0	0	0	0	0	0		
Показатель направленности источника Di, дБ		исходные данные	**0**	0	0	0	0	0	0	0	0		
Поправка на направленность источника Dc, дБ	Dc	DΩ + Di	**0**	0	0	0	0	0	0	0	0		
Затухание из-за геометрической дивергенции, Adiv, дБ	расстояние = 162.24 м	ф-ла (7) [10]	**55,2**										
Коэффициент затухания звука в атмосфере α, дБ/км	Ta=20,°C Pa=101.33,кПа hотн.=70%	ф-ла (5) [9]	0,02	0,09	0,33	1,12	2,79	4,98	9,04	23,09	77,63		

1		2	3	4	5	6	7	8	9	10	11	12	13
Учет затухания звука в атмосфере Aatm, дБ		ф-ла (8) [10]	0	0	0,1	0,2	0,5	0,8	1,5	3,7	12,6		
Снижение поверхностью земли возле источника As, дБ	Gs = 0 hs = 1м	ф-лы таб.3 [10]	-1,5	-1,5	-1,5	-1,5	-1,5	-1,5	-1,5	-1,5	-1,5		
Снижение поверхностью земли возле приёмника Ar, дБ	Gr = 1 hr = 1.5м	ф-лы таб.3 [10]	-1,5	-1,5	1	6,7	4,8	0,6	0	0	0		
Снижение поверхностью земли в средней зоне, Am дБ	Gm = 1	ф-лы таб.3 [10]	-1,6	-1,6	0	0	0	0	0	0	0		
Суммарное снижение поверхностью земли на траектории распространения звука Agr, дБ		ф-ла (9) [10]	-4,6	-4,6	-0,5	5,2	3,3	-0,9	-1,5	-1,5	-1,5		
Уровни звукового давления прямого звука от источника ШТ-4 в расчётной точке днём, дБ		**ф-ла(3)[10]**	**0**	**0**	**49,7**	**40,9**	**39,6**	**43,3**	**40,3**	**32**	**0**	**46,6**	**50,6**
* уровни звукового давления для определения максимального прямого звука от источника ШТ-4 в расчётной точке днём, дБ		ф-ла(3)[10]	0	0	53,7	44,9	43,6	47,3	44,3	36	0	50,6	
Расчёт отражённого звука													
Уровни звукового давления от мнимого источника ШТ-4_мн.(1) в расчётной точке днём, дБ		**ф-ла(3)[10]**	**0**	**0**	**0**	**0**	**0**	**0**	**0**	**0**	**0**	**0**	**0**
Уровни звукового давления от источника ШТ-4 в расчётной точке днём, дБ		**ф-ла(3)[10]**	**0**	**0**	**49,7**	**40,9**	**39,6**	**43,3**	**40,3**	**32**	**0**	**46,6**	**50,6**
Источник шума: ШТ-5, координаты источника (x,y,z), м =[453.13,-90.07,1.00]													
Уровни звуковой мощности источника днём, Lw, дБ		**исходные данные**	**0**	**0**	**103**	**100**	**97**	**97**	**94**	**88**	**0**		
Уровни звуковой мощности максимального звука источника днём, Lwx, дБ		**исходные данные**	**0**	**0**	**108**	**105**	**102**	**102**	**99**	**93**	**0**		
Поправка на телесный угол DΩ, дБ	Ω = 12.57	10Lg(4π/Ω)	**0**	0	0	0	0	0	0	0	0		
Показатель направленности источника Di, дБ		исходные данные	**0**	0	0	0	0	0	0	0	0		
Поправка на направленность источника Dc, дБ	Dc	DΩ + Di	**0**	0	0	0	0	0	0	0	0		
Затухание из-за геометрической дивергенции, Adiv, дБ	расстояние = 161.91 м	ф-ла (7) [10]	**55,2**										

1		2	3	4	5	6	7	8	9	10	11	12	13
Коэффициент затухания звука в атмосфере α, дБ/км	Та=20,°С Ра=101.33,кПа hотн.=70%	ф-ла (5) [9]	0,02	0,09	0,33	1,12	2,79	4,98	9,04	23,09	77,63		
Учет затухания звука в атмосфере Aatm, дБ		ф-ла (8) [10]	0	0	0,1	0,2	0,5	0,8	1,5	3,7	12,6		
Снижение уровня звукового давления из-за влияния застройки между источником шума и расчетной точкой													
Снижение уровня звукового давления на пути над экраном, Dz1, дБ	z = 1.60м (разность путей)	ф-лы (14-18) [10]	9	11,4	14,9	19,2	23,1	26,5	29,6	32,6	35,6		
Снижение уровня звукового давления на пути слева от экрана, Dz2, дБ	z = 4.67м (разность путей)	ф-лы (14-18) [10]	13,1	15,7	18,5	21,5	24,4	27,4	30,4	33,4	36,4		
Снижение уровня звукового давления на пути справа от экрана, Dz3, дБ	z = 1.67м (разность путей)	ф-лы (14-18) [10]	9,6	11,9	14,4	17,2	20,1	23	26	29	32		
Общее снижение уровня звука препятствием Dz, дБ		Эн.сумма(-Dzi)	5,5	7,9	10,8	14,2	17,4	20,4	23,4	26,4	29,4		
Общее снижение уровня звука препятствием с учётом ограничения (25 дБ) для октавных полос Dz, дБ		Раздел 7.4 [10]	5,5	7,9	10,8	14,2	17,4	20,4	23,4	25	25		
Уровни звукового давления прямого звука от источника ШТ-5 в расчётной точке днём, дБ		**ф-ла(3)[10]**	**0**	**0**	**36,9**	**30,4**	**24**	**20,6**	**13,9**	**4**	**0**	**27,3**	**32,3**
* уровни звукового давления для определения максимального прямого звука от источника ШТ-5 в расчётной точке днём, дБ		ф-ла(3)[10]	0	0	41,9	35,4	29	25,6	18,9	9	0	32,3	
Расчёт отражённого звука													
Уровни звукового давления от мнимого источника ШТ-5_мн.(1) в расчётной точке днём, дБ		**ф-ла(3)[10]**	**0**	**0**	**0**	**0**	**0**	**0**	**29**	**18,6**	**0**	**30,6**	**35,6**
Уровни звукового давления от источника ШТ-5 в расчётной точке днём, дБ		**ф-ла(3)[10]**	**0**	**0**	**36,9**	**30,4**	**24**	**20,6**	**29,2**	**18,7**	**0**	**32,3**	**37,3**
Источник шума: ШТ-6, координаты источника (x,y,z), м =[476.78,-97.62,1.00]													
Уровни звуковой мощности источника днём, Lw, дБ		**исходные данные**	**0**	**0**	**110,5**	**107,5**	**104,5**	**104,5**	**101,5**	**95,5**	**0**		
Уровни звуковой мощности максимального звука источника днём, Lwx, дБ		**исходные данные**	**0**	**0**	**115,5**	**112,5**	**109,5**	**109,5**	**106,5**	**100,5**	**0**		

1		2	3	4	5	6	7	8	9	10	11	12	13
Поправка на телесный угол DΩ, дБ	Ω = 12.57	10Lg(4π/Ω)	**0**	0	0	0	0	0	0	0	0		
Показатель направленности источника Di, дБ		исходные данные	**0**	0	0	0	0	0	0	0	0		
Поправка на направленность источника Dc, дБ	Dc	DΩ + Di	**0**	0	0	0	0	0	0	0	0		
Затухание из-за геометрической дивергенции, Adiv, дБ	расстояние = 154.06 м	ф-ла (7) [10]	**54,8**										
Коэффициент затухания звука в атмосфере α, дБ/км	Ta=20,°C Pa=101.33,кПа hотн.=70%	ф-ла (5) [9]	0,02	0,09	0,33	1,12	2,79	4,98	9,04	23,09	77,63		
Учет затухания звука в атмосфере Aatm, дБ		ф-ла (8) [10]	0	0	0,1	0,2	0,4	0,8	1,4	3,6	12		
Снижение поверхностью земли возле источника As, дБ	Gs = 0 hs = 1м	ф-лы таб.3 [10]	-1,5	-1,5	-1,5	-1,5	-1,5	-1,5	-1,5	-1,5	-1,5		
Снижение поверхностью земли возле приёмника Ar, дБ	Gr = 1 hr = 1.5м	ф-лы таб.3 [10]	-1,5	-1,5	1	6,7	4,7	0,6	0	0	0		
Снижение поверхностью земли в средней зоне, Am дБ	Gm = 1	ф-лы таб.3 [10]	-1,5	-1,5	0	0	0	0	0	0	0		
Суммарное снижение поверхностью земли на траектории распространения звука Agr, дБ		ф-ла (9) [10]	-4,5	-4,5	-0,5	5,2	3,2	-0,9	-1,5	-1,5	-1,5		
Уровни звукового давления от источника ШТ-6 в расчётной точке днём, дБ		**ф-ла(3)[10]**	**0**	**0**	**56,2**	**47,4**	**46,1**	**49,8**	**46,8**	**38,7**	**0**	**53,2**	**58,2**
Источник шума: ШТ-7, координаты источника (x,y,z), м =[632.16,-298.34,1.00]													
Уровни звуковой мощности источника днём, Lw, дБ		**исходные данные**	**0**	**0**	**104,5**	**101,5**	**98,5**	**98,5**	**95,5**	**89,5**	**0**		
Уровни звуковой мощности максимального звука источника днём, Lwx, дБ		**исходные данные**	**0**	**0**	**111,5**	**108,5**	**105,5**	**105,5**	**102,5**	**96,5**	**0**		
Поправка на телесный угол DΩ, дБ	Ω = 12.57	10Lg(4π/Ω)	**0**	0	0	0	0	0	0	0	0		
Показатель направленности источника Di, дБ		исходные данные	**0**	0	0	0	0	0	0	0	0		

1		2	3	4	5	6	7	8	9	10	11	12	13
Поправка на направленность источника Dc, дБ	Dc	DΩ + Di	**0**	0	0	0	0	0	0	0	0		
Затухание из-за геометрической дивергенции, Adiv, дБ	расстояние = 171.62 м	ф-ла (7) [10]	**55,7**										
Коэффициент затухания звука в атмосфере α, дБ/км	Ta=20,°C Pa=101.33,кПа hотн.=70%	ф-ла (5) [9]	0,02	0,09	0,33	1,12	2,79	4,98	9,04	23,09	77,63		
Учет затухания звука в атмосфере Aatm, дБ		ф-ла (8) [10]	0	0	0,1	0,2	0,5	0,9	1,6	4	13,3		
Снижение поверхностью земли возле источника As, дБ	Gs = 0 hs = 1м	ф-лы таб.3 [10]	-1,5	-1,5	-1,5	-1,5	-1,5	-1,5	-1,5	-1,5	-1,5		
Снижение поверхностью земли возле приёмника Ar, дБ	Gr = 1 hr = 1.5м	ф-лы таб.3 [10]	-1,5	-1,5	1	6,8	4,8	0,6	0	0	0		
Снижение поверхностью земли в средней зоне, Am дБ	Gm = 1	ф-лы таб.3 [10]	-1,7	-1,7	0	0	0	0	0	0	0		
Суммарное снижение поверхностью земли на траектории распространения звука Agr, дБ		ф-ла (9) [10]	-4,7	-4,7	-0,5	5,3	3,3	-0,9	-1,5	-1,5	-1,5		
Уровни звукового давления от источника ШТ-7 в расчётной точке днём, дБ		**ф-ла(3)[10]**	**0**	**0**	**49,2**	**40,3**	**39**	**42,8**	**39,8**	**31,3**	**0**	**46,1**	**53,1**
Источник шума: ШТ-8, координаты источника (x,y,z), м =[637.74,-278.95,1.00]													
Уровни звуковой мощности источника днём, Lw, дБ		**исходные данные**	**86**	**86**	**92**	**89**	**93**	**92**	**90**	**89**	**86**		
Поправка на телесный угол DΩ, дБ	Ω = 12.57	10Lg(4π/Ω)	**0**	0	0	0	0	0	0	0	0		
Показатель направленности источника Di, дБ		исходные данные	**0**	0	0	0	0	0	0	0	0		
Поправка на направленность источника Dc, дБ	Dc	DΩ + Di	**0**	0	0	0	0	0	0	0	0		
Затухание из-за геометрической дивергенции, Adiv, дБ	расстояние = 172.87 м	ф-ла (7) [10]	**55,8**										
Коэффициент затухания звука в атмосфере α, дБ/км	Ta=20,°C Pa=101.33,кПа hотн.=70%	ф-ла (5) [9]	0,02	0,09	0,33	1,12	2,79	4,98	9,04	23,09	77,63		

1		2	3	4	5	6	7	8	9	10	11	12	13
Учет затухания звука в атмосфере Aatm, дБ		ф-ла (8) [10]	0	0	0,1	0,2	0,5	0,9	1,6	4	13,4		
Снижение поверхностью земли возле источника As, дБ	Gs = 0 hs = 1м	ф-лы таб.3 [10]	-1,5	-1,5	-1,5	-1,5	-1,5	-1,5	-1,5	-1,5	-1,5		
Снижение поверхностью земли возле приёмника Ar, дБ	Gr = 1 hr = 1.5м	ф-лы таб.3 [10]	-1,5	-1,5	1	6,8	4,8	0,6	0	0	0		
Снижение поверхностью земли в средней зоне, Am дБ	Gm = 1	ф-лы таб.3 [10]	-1,7	-1,7	0	0	0	0	0	0	0		
Суммарное снижение поверхностью земли на траектории распространения звука Agr, дБ		ф-ла (9) [10]	-4,7	-4,7	-0,5	5,3	3,3	-0,9	-1,5	-1,5	-1,5		
Уровни звукового давления от источника ШТ-8 в расчётной точке днём, дБ		**ф-ла(3)[10]**	**34,9**	**34,9**	**36,6**	**27,7**	**33,4**	**36,2**	**34,2**	**30,8**	**18,3**	**40,2**	**40,2**
Источник шума: ШТ-9, координаты источника (x,y,z), м =[627.56,-280.27,1.00]													
Уровни звуковой мощности источника днём, Lw, дБ		**исходные данные**	**73**	**73**	**84**	**69**	**71**	**70**	**70**	**60**	**52**		
Поправка на телесный угол DΩ, дБ	Ω = 12.57	10Lg(4π/Ω)	**0**	0	0	0	0	0	0	0	0		
Показатель направленности источника Di, дБ		исходные данные	**0**	0	0	0	0	0	0	0	0		
Поправка на направленность источника Dc, дБ	Dc	DΩ + Di	**0**	0	0	0	0	0	0	0	0		
Затухание из-за геометрической дивергенции, Adiv, дБ	расстояние = 163.05 м	ф-ла (7) [10]	**55,2**										
Коэффициент затухания звука в атмосфере α, дБ/км	Ta=20,°C Pa=101.33,кПа hотн.=70%	ф-ла (5) [9]	0,02	0,09	0,33	1,12	2,79	4,98	9,04	23,09	77,63		
Учет затухания звука в атмосфере Aatm, дБ		ф-ла (8) [10]	0	0	0,1	0,2	0,5	0,8	1,5	3,8	12,7		
Снижение поверхностью земли возле источника As, дБ	Gs = 0 hs = 1м	ф-лы таб.3 [10]	-1,5	-1,5	-1,5	-1,5	-1,5	-1,5	-1,5	-1,5	-1,5		
Снижение поверхностью земли возле приёмника Ar, дБ	Gr = 1 hr = 1.5м	ф-лы таб.3 [10]	-1,5	-1,5	1	6,8	4,8	0,6	0	0	0		

1		2	3	4	5	6	7	8	9	10	11	12	13
Снижение поверхностью земли в средней зоне, Am дБ	Gm = 1	ф-лы таб.3 [10]	-1,6	-1,6	0	0	0	0	0	0	0		
Суммарное снижение поверхностью земли на траектории распространения звука Agr, дБ		ф-ла (9) [10]	-4,6	-4,6	-0,5	5,3	3,3	-0,9	-1,5	-1,5	-1,5		
Уровни звукового давления от источника ШТ-9 в расчётной точке днём, дБ		**ф-ла(3)[10]**	**22,4**	**22,4**	**29,2**	**8,3**	**12**	**14,8**	**14,8**	**2,5**	**0**	**20,1**	**20,1**
Источник шума: ШТ-10, координаты источника (x,y,z), м =[629.86,-268.44,1.00]													
Уровни звуковой мощности источника днём, Lw, дБ		**исходные данные**	**100**	**100**	**94**	**90**	**88**	**77**	**73**	**65**	**58**		
Поправка на телесный угол DΩ, дБ	Ω = 12.57	10Lg(4π/Ω)	**0**	0	0	0	0	0	0	0	0		
Показатель направленности источника Di, дБ		исходные данные	**0**	0	0	0	0	0	0	0	0		
Поправка на направленность источника Dc, дБ	Dc	DΩ + Di	**0**	0	0	0	0	0	0	0	0		
Затухание из-за геометрической дивергенции, Adiv, дБ	расстояние = 163.66 м	ф-ла (7) [10]	**55,3**										
Коэффициент затухания звука в атмосфере α, дБ/км	Ta=20,°C Pa=101.33,кПа hотн.=70%	ф-ла (5) [9]	0,02	0,09	0,33	1,12	2,79	4,98	9,04	23,09	77,63		
Учет затухания звука в атмосфере Aatm, дБ		ф-ла (8) [10]	0	0	0,1	0,2	0,5	0,8	1,5	3,8	12,7		
Снижение поверхностью земли возле источника As, дБ	Gs = 0 hs = 1м	ф-лы таб.3 [10]	-1,5	-1,5	-1,5	-1,5	-1,5	-1,5	-1,5	-1,5	-1,5		
Снижение поверхностью земли возле приёмника Ar, дБ	Gr = 1 hr = 1.5м	ф-лы таб.3 [10]	-1,5	-1,5	1	6,8	4,8	0,6	0	0	0		
Снижение поверхностью земли в средней зоне, Am дБ	Gm = 1	ф-лы таб.3 [10]	-1,6	-1,6	0	0	0	0	0	0	0		
Суммарное снижение поверхностью земли на траектории распространения звука Agr, дБ		ф-ла (9) [10]	-4,6	-4,6	-0,5	5,3	3,3	-0,9	-1,5	-1,5	-1,5		
Уровни звукового давления от источника ШТ-10 в расчётной точке днём, дБ		**ф-ла(3)[10]**	**49,3**	**49,3**	**39,2**	**29,3**	**29**	**21,8**	**17,7**	**7,4**	**0**	**30,6**	**30,6**

1		2	3	4	5	6	7	8	9	10	11	12	13
Источник шума: ШТ-11, координаты источника (x,y,z), м =[585.91,-204.05,1.00]													
Уровни звуковой мощности источника днём, Lw, дБ		**исходные данные**	**100**	**100**	**94**	**90**	**88**	**77**	**73**	**65**	**58**		
Поправка на телесный угол DΩ, дБ	Ω = 12.57	10Lg(4π/Ω)	**0**	0	0	0	0	0	0	0	0		
Показатель направленности источника Di, дБ		исходные данные	**0**	0	0	0	0	0	0	0	0		
Поправка на направленность источника Dc, дБ	Dc	DΩ + Di	**0**	0	0	0	0	0	0	0	0		
Затухание из-за геометрической дивергенции, Adiv, дБ	расстояние = 127.90 м	ф-ла (7) [10]	**53,1**										
Коэффициент затухания звука в атмосфере α, дБ/км	Ta=20,°C Pa=101.33,кПа hотн.=70%	ф-ла (5) [9]	0,02	0,09	0,33	1,12	2,79	4,98	9,04	23,09	77,63		
Учет затухания звука в атмосфере Aatm, дБ		ф-ла (8) [10]	0	0	0	0,1	0,4	0,6	1,2	3	9,9		
Снижение поверхностью земли возле источника As, дБ	Gs = 0 hs = 1м	ф-лы таб.3 [10]	-1,5	-1,5	-1,5	-1,5	-1,5	-1,5	-1,5	-1,5	-1,5		
Снижение поверхностью земли возле приёмника Ar, дБ	Gr = 1 hr = 1.5м	ф-лы таб.3 [10]	-1,5	-1,5	0,8	6,5	4,6	0,6	0	0	0		
Снижение поверхностью земли в средней зоне, Am дБ	Gm = 1	ф-лы таб.3 [10]	-1,2	-1,2	0	0	0	0	0	0	0		
Суммарное снижение поверхностью земли на траектории распространения звука Agr, дБ		ф-ла (9) [10]	-4,2	-4,2	-0,7	5	3,1	-0,9	-1,5	-1,5	-1,5		
Уровни звукового давления от источника ШТ-11 в расчётной точке днём, дБ		**ф-ла(3)[10]**	**51,1**	**51,1**	**41,5**	**31,7**	**31,4**	**24,1**	**20,2**	**10,4**	**0**	**32,9**	**32,9**
Источник шума: ШТ-12, координаты источника (x,y,z), м =[529.09,-315.23,1.00]													
Уровни звуковой мощности источника днём, Lw, дБ		**исходные данные**	**100**	**100**	**94**	**90**	**88**	**77**	**73**	**65**	**58**		
Поправка на телесный угол DΩ, дБ	Ω = 12.57	10Lg(4π/Ω)	**0**	0	0	0	0	0	0	0	0		

1		2	3	4	5	6	7	8	9	10	11	12	13
Показатель направленности источника Di, дБ		исходные данные	**0**	0	0	0	0	0	0	0	0		
Поправка на направленность источника Dc, дБ	Dc	DΩ + Di	**0**	0	0	0	0	0	0	0	0		
Затухание из-за геометрической дивергенции, Adiv, дБ	расстояние = 89.00 м	ф-ла (7) [10]	**50**										
Коэффициент затухания звука в атмосфере α, дБ/км	Ta=20,°C Pa=101.33,кПа hотн.=70%	ф-ла (5) [9]	0,02	0,09	0,33	1,12	2,79	4,98	9,04	23,09	77,63		
Учет затухания звука в атмосфере Aatm, дБ		ф-ла (8) [10]	0	0	0	0,1	0,2	0,4	0,8	2,1	6,9		
Снижение поверхностью земли возле источника As, дБ	Gs = 0 hs = 1м	ф-лы таб.3 [10]	-1,5	-1,5	-1,5	-1,5	-1,5	-1,5	-1,5	-1,5	-1,5		
Снижение поверхностью земли возле приёмника Ar, дБ	Gr = 1 hr = 1.5м	ф-лы таб.3 [10]	-1,5	-1,5	0,7	5,8	4,1	0,5	0	0	0		
Снижение поверхностью земли в средней зоне, Am дБ	Gm = 1	ф-лы таб.3 [10]	-0,5	-0,5	0	0	0	0	0	0	0		
Суммарное снижение поверхностью земли на траектории распространения звука Agr, дБ		ф-ла (9) [10]	-3,5	-3,5	-0,8	4,3	2,6	-1	-1,5	-1,5	-1,5		
Уровни звукового давления прямого звука от источника ШТ-12 в расчётной точке днём, дБ		**ф-ла(3)[10]**	**53,5**	**53,5**	**44,8**	**35,6**	**35,1**	**27,5**	**23,7**	**14,5**	**2,6**	**36,3**	**36,3**
Расчёт отражённого звука													
Уровни звукового давления от мнимого источника ШТ-12_мн.(1) в расчётной точке днём, дБ		**ф-ла(3)[10]**	**0**	**0**	**0**	**0**	**0**	**0**	**0**	**0**	**0**	**0**	**0**
Уровни звукового давления от источника ШТ-12 в расчётной точке днём, дБ		**ф-ла(3)[10]**	**53,5**	**53,5**	**44,8**	**35,6**	**35,1**	**27,5**	**23,7**	**14,5**	**2,6**	**36,3**	**36,3**
Источник шума: ШТ-13, координаты источника (x,y,z), м =[659.03,-392.14,1.00]													
Уровни звуковой мощности источника днём, Lw, дБ		**исходные данные**	**100**	**100**	**94**	**90**	**88**	**77**	**73**	**65**	**58**		
Поправка на телесный угол DΩ, дБ	Ω = 12.57	10Lg(4π/Ω)	**0**	0	0	0	0	0	0	0	0		

1		2	3	4	5	6	7	8	9	10	11	12	13
Показатель направленности источника Di, дБ		исходные данные	**0**	0	0	0	0	0	0	0	0		
Поправка на направленность источника Dc, дБ	Dc	DΩ + Di	**0**	0	0	0	0	0	0	0	0		
Затухание из-за геометрической дивергенции, Adiv, дБ	расстояние = 238.03 м	ф-ла (7) [10]	**58,5**										
Коэффициент затухания звука в атмосфере α, дБ/км	Ta=20,°C Pa=101.33,кПа hотн.=70%	ф-ла (5) [9]	0,02	0,09	0,33	1,12	2,79	4,98	9,04	23,09	77,63		
Учет затухания звука в атмосфере Aatm, дБ		ф-ла (8) [10]	0	0	0,1	0,3	0,7	1,2	2,2	5,5	18,5		
Снижение поверхностью земли возле источника As, дБ	Gs = 0 hs = 1м	ф-лы таб.3 [10]	-1,5	-1,5	-1,5	-1,5	-1,5	-1,5	-1,5	-1,5	-1,5		
Снижение поверхностью земли возле приёмника Ar, дБ	Gr = 1 hr = 1.5м	ф-лы таб.3 [10]	-1,5	-1,5	1,4	7	4,9	0,7	0	0	0		
Снижение поверхностью земли в средней зоне, Am дБ	Gm = 1	ф-лы таб.3 [10]	-2,1	-2,1	0	0	0	0	0	0	0		
Суммарное снижение поверхностью земли на траектории распространения звука Agr, дБ		ф-ла (9) [10]	-5,1	-5,1	-0,1	5,5	3,4	-0,8	-1,5	-1,5	-1,5		
Уровни звукового давления прямого звука от источника ШТ-13 в расчётной точке днём, дБ		**ф-ла(3)[10]**	**46,5**	**46,5**	**35,5**	**25,7**	**25,4**	**18,1**	**13,8**	**2,5**	**0**	**27,1**	**27,1**
Расчёт отражённого звука													
Уровни звукового давления от мнимого источника ШТ-13_мн.(1) в расчётной точке днём, дБ		**ф-ла(3)[10]**	**0**	**0**	**0**	**0**	**0**	**0**	**0**	**0**	**0**	**0**	**0**
Уровни звукового давления от источника ШТ-13 в расчётной точке днём, дБ		**ф-ла(3)[10]**	**46,5**	**46,5**	**35,5**	**25,7**	**25,4**	**18,1**	**13,8**	**2,5**	**0**	**27,1**	**27,1**
Источник шума: ШТ-14, координаты источника (x,y,z), м =[499.22,-149.33,1.00]													
Уровни звуковой мощности источника днём, Lw, дБ		**исходные данные**	**100**	**100**	**94**	**90**	**88**	**77**	**73**	**65**	**58**		
Поправка на телесный угол DΩ, дБ	Ω = 12.57	10Lg(4π/Ω)	**0**	0	0	0	0	0	0	0	0		

1		2	3	4	5	6	7	8	9	10	11	12	13
Показатель направленности источника Di, дБ		исходные данные	**0**	0	0	0	0	0	0	0	0		
Поправка на направленность источника Dc, дБ	Dc	DΩ + Di	**0**	0	0	0	0	0	0	0	0		
Затухание из-за геометрической дивергенции, Adiv, дБ	расстояние = 106.99 м	ф-ла (7) [10]	**51,6**										
Коэффициент затухания звука в атмосфере α, дБ/км	Ta=20,°C Pa=101.33,кПа hотн.=70%	ф-ла (5) [9]	0,02	0,09	0,33	1,12	2,79	4,98	9,04	23,09	77,63		
Учет затухания звука в атмосфере Aatm, дБ		ф-ла (8) [10]	0	0	0	0,1	0,3	0,5	1	2,5	8,3		
Снижение поверхностью земли возле источника As, дБ	Gs = 0 hs = 1м	ф-лы таб.3 [10]	-1,5	-1,5	-1,5	-1,5	-1,5	-1,5	-1,5	-1,5	-1,5		
Снижение поверхностью земли возле приёмника Ar, дБ	Gr = 1 hr = 1.5м	ф-лы таб.3 [10]	-1,5	-1,5	0,8	6,2	4,4	0,6	0	0	0		
Снижение поверхностью земли в средней зоне, Am дБ	Gm = 1	ф-лы таб.3 [10]	-0,9	-0,9	0	0	0	0	0	0	0		
Суммарное снижение поверхностью земли на траектории распространения звука Agr, дБ		ф-ла (9) [10]	-3,9	-3,9	-0,7	4,7	2,9	-0,9	-1,5	-1,5	-1,5		
Уровни звукового давления от источника ШТ-14 в расчётной точке днём, дБ		**ф-ла(3)[10]**	**52,3**	**52,3**	**43,1**	**33,6**	**33,2**	**25,8**	**21,9**	**12,4**	**0**	**34,6**	**34,6**
Уровни звукового давления в расчётной точке													
Суммарные уровни звукового давления в расчётной точке от всех источников шума днём, Lрт, дБ		**ф-ла (19) [1]**	**64**	**63,5**	**62,2**	**54,9**	**55,2**	**59,5**	**55,9**	**46,9**	**24,6**	**62,3**	**64,5**
Допускаемые УЗД днём, Lдоп, дБ	Территории предприятий с постоянными рабочими местами	Табл. 1[3]	107	95	87	82	78	75	73	71	69	80	95
Превышение днём, дБ		**Lрт - Lдоп**	**-43**	**-31,5**	**-24,8**	**-27,1**	**-22,8**	**-15,5**	**-17,1**	**-24,1**	**-44,4**	**-17,7**	**-30,5**

Расчетные точки

возле здания ВЖК

(РТ-2-1 ÷ РТ-2-6)

Определение уровней звукового давления в точке РТ-2-1 (координаты точки, м: x = 184.27, y = -179.07, z = 1.60)													
Наименование величин и их описание		**Ссылка**	**Расчётные уровни в октавных полосах, со среднегеометрическими частотами, Гц**									**La, дБА**	**Lмакс, дБА**
			31,5	**63**	**125**	**250**	**500**	**1000**	**2000**	**4000**	**8000**		
1		**2**	**3**	**4**	**5**	**6**	**7**	**8**	**9**	**10**	**11**	**12**	**13**
Источник шума: ИШ-1-1, координаты источника (x,y,z), м =[271.72,229.68,1.00]													
Уровни звуковой мощности источника днём, Lw, дБ		**исходные данные**	**97**	**97**	**104**	**106**	**105**	**105**	**98**	**87**	**81**		
Уровни звуковой мощности источника ночью, Lw, дБ		**исходные данные**	**97**	**97**	**104**	**106**	**105**	**105**	**98**	**87**	**81**		
Поправка на телесный угол DΩ, дБ	Ω = 6.28	10Lg(4π/Ω)	**3**	3	3	3	3	3	3	3	3		
Показатель направленности источника Di, дБ		исходные данные	**0**	0	0	0	0	0	0	0	0		
Поправка на направленность источника Dc, дБ	Dc	DΩ + Di	**3**	3	3	3	3	3	3	3	3		
Затухание из-за геометрической дивергенции, Adiv, дБ	расстояние = 418.00 м	ф-ла (7) [10]	**63,4**										
Коэффициент затухания звука в атмосфере α, дБ/км	Ta=20,°C Pa=101.33,кПа hотн.=70%	ф-ла (5) [9]	0,02	0,09	0,33	1,12	2,79	4,98	9,04	23,09	77,63		
Учет затухания звука в атмосфере Aatm, дБ		ф-ла (8) [10]	0	0	0,1	0,5	1,2	2,1	3,8	9,6	32,5		
Снижение уровня звукового давления из-за влияния застройки между источником шума и расчетной точкой													
Снижение уровня звукового давления на пути над экраном, Dz1, дБ	z = 0.04м (разность путей)	ф-лы (14-18) [10]	4,8	4,8	4,8	4,8	4,8	4,8	4,8	4,8	4,8		
Снижение уровня звукового давления на пути слева от экрана, Dz2, дБ	z = 0.13м (разность путей)	ф-лы (14-18) [10]	5,4	5,9	6,8	8,2	10,2	12,5	15,1	17,9	20,8		
Снижение уровня звукового давления на пути справа от экрана, Dz3, дБ	z = 0.96м (разность путей)	ф-лы (14-18) [10]	8,2	10	12,3	14,9	17,7	20,6	23,6	26,6	29,6		

1		2	3	4	5	6	7	8	9	10	11	12	13
Общее снижение уровня звука препятствием Dz, дБ		Эн.сумма(-Dzi)	1,1	1,6	2,2	2,9	3,5	4	4,3	4,6	4,7		
Уровни звукового давления прямого звука от источника ИШ-1-1 в расчётной точке днём, дБ		**ф-ла(3)[10]**	**35,5**	**34,9**	**41,2**	**42,2**	**39,9**	**38,5**	**29,5**	**12,4**	**0**	**41,9**	**41,9**
Уровни звукового давления прямого звука от источника ИШ-1-1 в расчётной точке ночью, дБ		**ф-ла(3)[10]**	**35,5**	**34,9**	**41,2**	**42,2**	**39,9**	**38,5**	**29,5**	**12,4**	**0**	**41,9**	**41,9**
Расчёт отражённого звука													
Уровни звукового давления от мнимого источника ИШ-1-1_мн.(1) в расчётной точке днём, дБ		**ф-ла(3)[10]**	**0**	**0**	**0**	**0**	**0**	**0**	**32,2**	**15**	**0**	**33,5**	**33,5**
Уровни звукового давления от мнимого источника ИШ-1-1_мн.(1) в расчётной точке ночью, дБ		**ф-ла(3)[10]**	**0**	**0**	**0**	**0**	**0**	**0**	**0**	**0**	**0**	**33,5**	**33,5**
Уровни звукового давления от мнимого источника ИШ-1-1_мн.(2) в расчётной точке днём, дБ		**ф-ла(3)[10]**	**0**	**0**	**0**	**0**	**0**	**33,2**	**28,4**	**9,2**	**0**	**34,8**	**34,8**
Уровни звукового давления от мнимого источника ИШ-1-1_мн.(2) в расчётной точке ночью, дБ		**ф-ла(3)[10]**	**0**	**0**	**0**	**0**	**0**	**0**	**0**	**0**	**0**	**34,8**	**34,8**
Суммарные уровни звукового давления от мнимых источников в расчётной точке днём, дБ		**ф-ла (19) [1]**	**0**	**0**	**0**	**0**	**0**	**33,2**	**33,7**	**16**	**0**	**0**	**37,2**
Суммарные уровни звукового давления от мнимых источников в расчётной точке ночью, дБ		**ф-ла (19) [1]**	**0**	**0**	**0**	**0**	**0**	**33,2**	**33,7**	**16**	**0**	**0**	**37,2**
Уровни звукового давления от источника ИШ-1-1 в расчётной точке днём, дБ		**ф-ла(3)[10]**	**35,5**	**34,9**	**41,2**	**42,2**	**39,9**	**39,6**	**35,1**	**17,6**	**0**	**43,2**	**43,2**
Уровни звукового давления от источника ИШ-1-1 в расчётной точке ночью, дБ		**ф-ла(3)[10]**	**35,5**	**34,9**	**41,2**	**42,2**	**39,9**	**39,6**	**35,1**	**17,6**	**0**	**43,2**	**43,2**
Источник шума: ИШ-1-2, координаты источника (x,y,z), м =[261.74,199.14,1.00]													
Уровни звуковой мощности источника днём, Lw, дБ		**исходные данные**	**97**	**97**	**104**	**106**	**105**	**105**	**98**	**87**	**81**		
Уровни звуковой мощности источника ночью, Lw, дБ		**исходные данные**	**97**	**97**	**104**	**106**	**105**	**105**	**98**	**87**	**81**		
Поправка на телесный угол DΩ, дБ	Ω = 6.28	10Lg(4π/Ω)	**3**	3	3	3	3	3	3	3	3		
Показатель направленности источника Di, дБ		исходные данные	**0**	0	0	0	0	0	0	0	0		

1		2	3	4	5	6	7	8	9	10	11	12	13
Поправка на направленность источника Dc, дБ	Dc	DΩ + Di	**3**	3	3	3	3	3	3	3	3		
Затухание из-за геометрической дивергенции, Adiv, дБ	расстояние = 386.06 м	ф-ла (7) [10]	**62,7**										
Коэффициент затухания звука в атмосфере α, дБ/км	Ta=20,°C Pa=101.33,кПа hотн.=70%	ф-ла (5) [9]	0,02	0,09	0,33	1,12	2,79	4,98	9,04	23,09	77,63		
Учет затухания звука в атмосфере Aatm, дБ		ф-ла (8) [10]	0	0	0,1	0,4	1,1	1,9	3,5	8,9	30		
Снижение уровня звукового давления из-за влияния застройки между источником шума и расчетной точкой													
Снижение уровня звукового давления на пути над экраном, Dz1, дБ	z = 0.04м (разность путей)	ф-лы (14-18) [10]	4,8	4,8	4,8	4,8	4,8	4,8	4,8	4,9	5		
Снижение уровня звукового давления на пути слева от экрана, Dz2, дБ	z = 0.25м (разность путей)	ф-лы (14-18) [10]	5,9	6,9	8,3	10,2	12,5	15,1	18	20,9	23,8		
Снижение уровня звукового давления на пути справа от экрана, Dz3, дБ	z = 0.79м (разность путей)	ф-лы (14-18) [10]	7,7	9,5	11,7	14,2	17	19,8	22,8	25,8	28,7		
Общее снижение уровня звука препятствием Dz, дБ		Эн.сумма(-Dzi)	1,2	1,9	2,6	3,3	3,9	4,3	4,6	4,7	4,9		
Уровни звукового давления прямого звука от источника ИШ-1-2 в расчётной точке днём, дБ		**ф-ла(3)[10]**	**36,1**	**35,4**	**41,6**	**42,5**	**40,3**	**39,1**	**30,2**	**13,6**	**0**	**42,4**	**42,4**
Уровни звукового давления прямого звука от источника ИШ-1-2 в расчётной точке ночью, дБ		**ф-ла(3)[10]**	**36,1**	**35,4**	**41,6**	**42,5**	**40,3**	**39,1**	**30,2**	**13,6**	**0**	**42,4**	**42,4**
Расчёт отражённого звука													
Уровни звукового давления от мнимого источника ИШ-1-2_мн.(1) в расчётной точке днём, дБ		**ф-ла(3)[10]**	**0**	**0**	**0**	**0**	**0**	**34,6**	**27,7**	**8**	**0**	**35,7**	**35,7**
Уровни звукового давления от мнимого источника ИШ-1-2_мн.(1) в расчётной точке ночью, дБ		**ф-ла(3)[10]**	**0**	**0**	**0**	**0**	**0**	**0**	**0**	**0**	**0**	**35,7**	**35,7**
Уровни звукового давления от источника ИШ-1-2 в расчётной точке днём, дБ		**ф-ла(3)[10]**	**36,1**	**35,4**	**41,6**	**42,5**	**40,3**	**40,4**	**32,1**	**14,7**	**0**	**43,3**	**43,3**
Уровни звукового давления от источника ИШ-1-2 в расчётной точке ночью, дБ		**ф-ла(3)[10]**	**36,1**	**35,4**	**41,6**	**42,5**	**40,3**	**40,4**	**32,1**	**14,7**	**0**	**43,3**	**43,3**

1		2	3	4	5	6	7	8	9	10	11	12	13
Источник шума: ИШ-1-3, координаты источника (x,y,z), м =[251.75,236.44,1.00]													
Уровни звуковой мощности источника днём, Lw, дБ		**исходные данные**	**0**	**91,3**	**92,7**	**94**	**94,3**	**93,9**	**90,6**	**86,4**	**81,9**		
Уровни звуковой мощности источника ночью, Lw, дБ		**исходные данные**	**0**	**91,3**	**92,7**	**94**	**94,3**	**93,9**	**90,6**	**86,4**	**81,9**		
Поправка на телесный угол DΩ, дБ	Ω = 6.28	10Lg(4π/Ω)	**3**	3	3	3	3	3	3	3	3		
Показатель направленности источника Di, дБ		исходные данные	**0**	0	0	0	0	0	0	0	0		
Поправка на направленность источника Dc, дБ	Dc	DΩ + Di	**3**	3	3	3	3	3	3	3	3		
Затухание из-за геометрической дивергенции, Adiv, дБ	расстояние = 420.95 м	ф-ла (7) [10]	**63,5**										
Коэффициент затухания звука в атмосфере α, дБ/км	Ta=20,°C Pa=101.33,кПа hотн.=70%	ф-ла (5) [9]	0,02	0,09	0,33	1,12	2,79	4,98	9,04	23,09	77,63		
Учет затухания звука в атмосфере Aatm, дБ		ф-ла (8) [10]	0	0	0,1	0,5	1,2	2,1	3,8	9,7	32,7		
Снижение уровня звукового давления из-за влияния застройки между источником шума и расчетной точкой													
Снижение уровня звукового давления на пути над экраном, Dz1, дБ	z = 0.04м (разность путей)	ф-лы (14-18) [10]	4,8	4,8	4,8	4,8	4,8	4,8	4,8	4,8	4,8		
Снижение уровня звукового давления на пути слева от экрана, Dz2, дБ	z = 1.15м (разность путей)	ф-лы (14-18) [10]	8,6	10,6	13	15,7	18,5	21,4	24,4	27,4	30,4		
Снижение уровня звукового давления на пути справа от экрана, Dz3, дБ	z = 0.08м (разность путей)	ф-лы (14-18) [10]	5,2	5,6	6,2	7,3	8,9	11	13,5	16,2	19		
Общее снижение уровня звука препятствием Dz, дБ		Эн.сумма(-Dzi)	1,1	1,6	2,1	2,6	3,2	3,8	4,2	4,5	4,7		
Уровни звукового давления прямого звука от источника ИШ-1-3 в расчётной точке днём, дБ		**ф-ла(3)[10]**	**0**	**29,2**	**30**	**30,4**	**29,4**	**27,5**	**22,1**	**11,7**	**0**	**31,4**	**31,4**
Уровни звукового давления прямого звука от источника ИШ-1-3 в расчётной точке ночью, дБ		**ф-ла(3)[10]**	**0**	**29,2**	**30**	**30,4**	**29,4**	**27,5**	**22,1**	**11,7**	**0**	**31,4**	**31,4**

1		2	3	4	5	6	7	8	9	10	11	12	13
Расчёт отражённого звука													
Уровни звукового давления от мнимого источника ИШ-1-3_мн.(1) в расчётной точке днём, дБ		**ф-ла(3)[10]**	**0**	**0**	**0**	**0**	**0**	**22,6**	**16,6**	**4**	**0**	**23,9**	**23,9**
Уровни звукового давления от мнимого источника ИШ-1-3_мн.(1) в расчётной точке ночью, дБ		**ф-ла(3)[10]**	**0**	**0**	**0**	**0**	**0**	**0**	**0**	**0**	**0**	**23,9**	**23,9**
Уровни звукового давления от источника ИШ-1-3 в расчётной точке днём, дБ		**ф-ла(3)[10]**	**0**	**29,2**	**30**	**30,4**	**29,4**	**28,8**	**23,2**	**12,4**	**0**	**32,2**	**32,2**
Уровни звукового давления от источника ИШ-1-3 в расчётной точке ночью, дБ		**ф-ла(3)[10]**	**0**	**29,2**	**30**	**30,4**	**29,4**	**28,8**	**23,2**	**12,4**	**0**	**32,2**	**32,2**
Источник шума: ИШ-1-4, координаты источника (x,y,z), м =[290.25,223.25,1.00]													
Уровни звуковой мощности источника днём, Lw, дБ		**исходные данные**	**0**	**91,3**	**92,7**	**94**	**94,3**	**93,9**	**90,6**	**86,4**	**81,9**		
Уровни звуковой мощности источника ночью, Lw, дБ		**исходные данные**	**0**	**91,3**	**92,7**	**94**	**94,3**	**93,9**	**90,6**	**86,4**	**81,9**		
Поправка на телесный угол DΩ, дБ	Ω = 6.28	10Lg(4π/Ω)	**3**	3	3	3	3	3	3	3	3		
Показатель направленности источника Di, дБ		исходные данные	**0**	0	0	0	0	0	0	0	0		
Поправка на направленность источника Dc, дБ	Dc	DΩ + Di	**3**	3	3	3	3	3	3	3	3		
Затухание из-за геометрической дивергенции, Adiv, дБ	расстояние = 416.04 м	ф-ла (7) [10]	**63,4**										
Коэффициент затухания звука в атмосфере α, дБ/км	Ta=20,°C Pa=101.33,кПа hотн.=70%	ф-ла (5) [9]	0,02	0,09	0,33	1,12	2,79	4,98	9,04	23,09	77,63		
Учет затухания звука в атмосфере Aatm, дБ		ф-ла (8) [10]	0	0	0,1	0,5	1,2	2,1	3,8	9,6	32,3		
Снижение уровня звукового давления из-за влияния застройки между источником шума и расчетной точкой													
Снижение уровня звукового давления препятствием справа от трассы ИШ-РТ, Dz3, дБ	z = -0.11м (разность путей)	ф-лы (14-18) [10]	0	0	1,5	NAN	NAN	NAN	NAN	NAN	NAN		

* отрицательное значение z означает прохождение траектории вблизи экрана, в этом случае дополнительно производится учёт снижения подстилающей поверхностью (см.ниже)

1		2	3	4	5	6	7	8	9	10	11	12	13
Снижение поверхностью земли возле источника As, дБ	Gs = 0 hs = 1м	ф-лы таб.3 [10]	-1,5	-1,5	-1,5	-1,5	-1,5	-1,5	-1,5	-1,5	-1,5		
Снижение поверхностью земли возле приёмника Ar, дБ	Gr = 1 hr = 1.6м	ф-лы таб.3 [10]	-1,5	-1,5	2,5	6,8	4,3	0,5	0	0	0		
Снижение поверхностью земли в средней зоне, Am дБ	Gm = 1	ф-лы таб.3 [10]	-2,4	-2,4	0	0	0	0	0	0	0		
Суммарное снижение поверхностью земли на траектории распространения звука Agr, дБ		ф-ла (9) [10]	-5,4	-5,4	1	5,3	2,8	-1	-1,5	-1,5	-1,5		
Уровни звукового давления прямого звука от источника ИШ-1-4 в расчётной точке днём, дБ		**ф-ла(3)[10]**	**0**	**36,3**	**29,7**	**27,8**	**29,9**	**32,4**	**27,9**	**17,9**	**0**	**35,1**	**35,1**
Уровни звукового давления прямого звука от источника ИШ-1-4 в расчётной точке ночью, дБ		**ф-ла(3)[10]**	**0**	**36,3**	**29,7**	**27,8**	**29,9**	**32,4**	**27,9**	**17,9**	**0**	**35,1**	**35,1**
Расчёт отражённого звука													
Уровни звукового давления от мнимого источника ИШ-1-4_мн.(1) в расчётной точке днём, дБ		**ф-ла(3)[10]**	**0**	**0**	**0**	**0**	**15,2**	**24,2**	**21**	**8,6**	**0**	**26,6**	**26,6**
Уровни звукового давления от мнимого источника ИШ-1-4_мн.(1) в расчётной точке ночью, дБ		**ф-ла(3)[10]**	**0**	**0**	**0**	**0**	**0**	**0**	**0**	**0**	**0**	**26,6**	**26,6**
Уровни звукового давления от мнимого источника ИШ-1-4_мн.(2) в расчётной точке днём, дБ		**ф-ла(3)[10]**	**0**	**35,3**	**26,1**	**17,4**	**18,5**	**27,8**	**25,4**	**15,3**	**0**	**30,7**	**30,7**
Уровни звукового давления от мнимого источника ИШ-1-4_мн.(2) в расчётной точке ночью, дБ		**ф-ла(3)[10]**	**35,3**	**35,3**	**35,3**	**35,3**	**35,3**	**35,3**	**35,3**	**35,3**	**35,3**	**30,7**	**30,7**
Суммарные уровни звукового давления от мнимых источников в расчётной точке днём, дБ		**ф-ла (19) [1]**	**0**	**35,3**	**26,1**	**17,4**	**20,2**	**29,4**	**26,7**	**16,1**	**0**	**0**	**32,1**
Суммарные уровни звукового давления от мнимых источников в расчётной точке ночью, дБ		**ф-ла (19) [1]**	**0**	**35,3**	**26,1**	**17,4**	**20,2**	**29,4**	**26,7**	**16,1**	**0**	**0**	**32,1**
Уровни звукового давления от источника ИШ-1-4 в расчётной точке днём, дБ		**ф-ла(3)[10]**	**0**	**38,8**	**31,3**	**28,2**	**30,4**	**34,2**	**30,4**	**20,1**	**0**	**36,9**	**36,9**
Уровни звукового давления от источника ИШ-1-4 в расчётной точке ночью, дБ		**ф-ла(3)[10]**	**0**	**38,8**	**31,3**	**28,2**	**30,4**	**34,2**	**30,4**	**20,1**	**0**	**36,9**	**36,9**
Источник шума: ИШ-1-5, координаты источника (x,y,z), м =[241.49,205.86,1.00]													
Уровни звуковой мощности источника днём, Lw, дБ		**исходные данные**	**0**	**91,3**	**92,7**	**94**	**94,3**	**93,9**	**90,6**	**86,4**	**81,9**		

1		2	3	4	5	6	7	8	9	10	11	12	13
Уровни звуковой мощности источника ночью, Lw, дБ		**исходные данные**	**0**	**91,3**	**92,7**	**94**	**94,3**	**93,9**	**90,6**	**86,4**	**81,9**		
Поправка на телесный угол DΩ, дБ	Ω = 6.28	10Lg(4π/Ω)	**3**	3	3	3	3	3	3	3	3		
Показатель направленности источника Di, дБ		исходные данные	**0**	0	0	0	0	0	0	0	0		
Поправка на направленность источника Dc, дБ	Dc	DΩ + Di	**3**	3	3	3	3	3	3	3	3		
Затухание из-за геометрической дивергенции, Adiv, дБ	расстояние = 389.15 м	ф-ла (7) [10]	**62,8**										
Коэффициент затухания звука в атмосфере α, дБ/км	Ta=20,°C Pa=101.33,кПа hотн.=70%	ф-ла (5) [9]	0,02	0,09	0,33	1,12	2,79	4,98	9,04	23,09	77,63		
Учет затухания звука в атмосфере Aatm, дБ		ф-ла (8) [10]	0	0	0,1	0,4	1,1	1,9	3,5	9	30,2		
Снижение уровня звукового давления из-за влияния застройки между источником шума и расчетной точкой													
Снижение уровня звукового давления на пути над экраном, Dz1, дБ	z = 0.04м (разность путей)	ф-лы (14-18) [10]	4,8	4,8	4,8	4,8	4,8	4,8	4,8	4,9	5		
Снижение уровня звукового давления на пути слева от экрана, Dz2, дБ	z = 1.74м (разность путей)	ф-лы (14-18) [10]	9,8	12	14,6	17,3	20,2	23,2	26,2	29,2	32,2		
Снижение уровня звукового давления на пути справа от экрана, Dz3, дБ	z = 0.01м (разность путей)	ф-лы (14-18) [10]	4,8	4,9	5	5,2	5,6	6,3	7,4	9	11,1		
Общее снижение уровня звука препятствием Dz, дБ		Эн.сумма(-Dzi)	1,1	1,4	1,6	1,8	2,1	2,4	2,9	3,4	4		
Уровни звукового давления прямого звука от источника ИШ-1-5 в расчётной точке днём, дБ		**ф-ла(3)[10]**	**0**	**30**	**31,1**	**31,9**	**31,3**	**29,7**	**24,4**	**14,2**	**0**	**33,5**	**33,5**
Уровни звукового давления прямого звука от источника ИШ-1-5 в расчётной точке ночью, дБ		**ф-ла(3)[10]**	**0**	**30**	**31,1**	**31,9**	**31,3**	**29,7**	**24,4**	**14,2**	**0**	**33,5**	**33,5**
Расчёт отражённого звука													
Уровни звукового давления от мнимого источника ИШ-1-5_мн.(1) в расчётной точке днём, дБ		**ф-ла(3)[10]**	**0**	**0**	**0**	**0**	**0**	**22,2**	**16**	**2,9**	**0**	**23,5**	**23,5**
Уровни звукового давления от мнимого источника ИШ-1-5_мн.(1) в расчётной точке ночью, дБ		**ф-ла(3)[10]**	**0**	**0**	**0**	**0**	**0**	**0**	**0**	**0**	**0**	**23,5**	**23,5**

1		2	3	4	5	6	7	8	9	10	11	12	13
Уровни звукового давления от источника ИШ-1-5 в расчётной точке днём, дБ		**ф-ла(3)[10]**	**0**	**30**	**31,1**	**31,9**	**31,3**	**30,4**	**25**	**14,5**	**0**	**33,9**	**33,9**
Уровни звукового давления от источника ИШ-1-5 в расчётной точке ночью, дБ		**ф-ла(3)[10]**	**0**	**30**	**31,1**	**31,9**	**31,3**	**30,4**	**25**	**14,5**	**0**	**33,9**	**33,9**
Источник шума: ИШ-1-6, координаты источника (x,y,z), м =[279.85,192.97,1.00]													
Уровни звуковой мощности источника днём, Lw, дБ		**исходные данные**	**0**	**91,3**	**92,7**	**94**	**94,3**	**93,9**	**90,6**	**86,4**	**81,9**		
Уровни звуковой мощности источника ночью, Lw, дБ		**исходные данные**	**0**	**91,3**	**92,7**	**94**	**94,3**	**93,9**	**90,6**	**86,4**	**81,9**		
Поправка на телесный угол DΩ, дБ	Ω = 6.28	10Lg(4π/Ω)	**3**	3	3	3	3	3	3	3	3		
Показатель направленности источника Di, дБ		исходные данные	**0**	0	0	0	0	0	0	0	0		
Поправка на направленность источника Dc, дБ	Dc	DΩ + Di	**3**	3	3	3	3	3	3	3	3		
Затухание из-за геометрической дивергенции, Adiv, дБ	расстояние = 384.11 м	ф-ла (7) [10]	**62,7**										
Коэффициент затухания звука в атмосфере α, дБ/км	Ta=20,°C Pa=101.33,кПа hотн.=70%	ф-ла (5) [9]	0,02	0,09	0,33	1,12	2,79	4,98	9,04	23,09	77,63		
Учет затухания звука в атмосфере Aatm, дБ		ф-ла (8) [10]	0	0	0,1	0,4	1,1	1,9	3,5	8,9	29,8		
Снижение уровня звукового давления из-за влияния застройки между источником шума и расчетной точкой													
Снижение уровня звукового давления препятствием справа от трассы ИШ-РТ, Dz3, дБ	z = -0.06м (разность путей)	ф-лы (14-18) [10]	0	0	3,2	0,6	NAN	NAN	NAN	NAN	NAN		
* отрицательное значение z означает прохождение траектории вблизи экрана, в этом случае дополнительно производится учёт снижения подстилающей поверхностью (см.ниже)													
Снижение поверхностью земли возле источника As, дБ	Gs = 0 hs = 1м	ф-лы таб.3 [10]	-1,5	-1,5	-1,5	-1,5	-1,5	-1,5	-1,5	-1,5	-1,5		
Снижение поверхностью земли возле приёмника Ar, дБ	Gr = 1 hr = 1.6м	ф-лы таб.3 [10]	-1,5	-1,5	2,3	6,8	4,3	0,5	0	0	0		
Снижение поверхностью земли в средней зоне, Am дБ	Gm = 1	ф-лы таб.3 [10]	-2,4	-2,4	0	0	0	0	0	0	0		

1	2	3	4	5	6	7	8	9	10	11	12	13
Суммарное снижение поверхностью земли на траектории распространения звука Agr, дБ	ф-ла (9) [10]	-5,4	-5,4	0,8	5,3	2,8	-1	-1,5	-1,5	-1,5		
Уровни звукового давления прямого звука от источника ИШ-1-6 в расчётной точке днём, дБ	**ф-ла(3)[10]**	**0**	**37**	**28,9**	**27,9**	**30,7**	**33,3**	**28,9**	**19,3**	**0**	**36**	**36**
Уровни звукового давления прямого звука от источника ИШ-1-6 в расчётной точке ночью, дБ	**ф-ла(3)[10]**	**0**	**37**	**28,9**	**27,9**	**30,7**	**33,3**	**28,9**	**19,3**	**0**	**36**	**36**
Расчёт отражённого звука												
Уровни звукового давления от мнимого источника ИШ-1-6_мн.(1) в расчётной точке днём, дБ	**ф-ла(3)[10]**	**0**	**0**	**0**	**0**	**0**	**0**	**0**	**14,6**	**0**	**15,6**	**15,6**
Уровни звукового давления от мнимого источника ИШ-1-6_мн.(1) в расчётной точке ночью, дБ	**ф-ла(3)[10]**	**0**	**0**	**0**	**0**	**0**	**0**	**0**	**0**	**0**	**15,6**	**15,6**
Уровни звукового давления от мнимого источника ИШ-1-6_мн.(2) в расчётной точке днём, дБ	**ф-ла(3)[10]**	**0**	**0**	**0**	**0**	**0**	**0**	**0**	**0**	**0**	**0**	**0**
Уровни звукового давления от мнимого источника ИШ-1-6_мн.(2) в расчётной точке ночью, дБ	**ф-ла(3)[10]**	**0**	**0**	**0**	**0**	**0**	**0**	**0**	**0**	**0**	**0**	**0**
Уровни звукового давления от мнимого источника ИШ-1-6_мн.(3) в расчётной точке днём, дБ	**ф-ла(3)[10]**	**0**	**0**	**0**	**0**	**0**	**23,5**	**20,3**	**7,4**	**0**	**25,7**	**25,7**
Уровни звукового давления от мнимого источника ИШ-1-6_мн.(3) в расчётной точке ночью, дБ	**ф-ла(3)[10]**	**0**	**0**	**0**	**0**	**0**	**0**	**0**	**0**	**0**	**25,7**	**25,7**
Уровни звукового давления от мнимого источника ИШ-1-6_мн.(4) в расчётной точке днём, дБ	**ф-ла(3)[10]**	**0**	**35,9**	**27,3**	**18,1**	**19,3**	**28,7**	**26,3**	**16,7**	**0**	**31,6**	**31,6**
Уровни звукового давления от мнимого источника ИШ-1-6_мн.(4) в расчётной точке ночью, дБ	**ф-ла(3)[10]**	**18,1**	**18,1**	**18,1**	**18,1**	**18,1**	**18,1**	**18,1**	**18,1**	**18,1**	**31,6**	**31,6**
Суммарные уровни звукового давления от мнимых источников в расчётной точке днём, дБ	**ф-ла (19) [1]**	**0**	**35,9**	**27,3**	**18,1**	**19,3**	**29,8**	**27,3**	**19,1**	**0**	**0**	**32,7**
Суммарные уровни звукового давления от мнимых источников в расчётной точке ночью, дБ	**ф-ла (19) [1]**	**0**	**35,9**	**27,3**	**18,1**	**19,3**	**29,8**	**27,3**	**19,1**	**0**	**0**	**32,7**
Уровни звукового давления от источника ИШ-1-6 в расчётной точке днём, дБ	**ф-ла(3)[10]**	**0**	**39,5**	**31,2**	**28,3**	**31**	**34,9**	**31,2**	**22,2**	**0**	**37,6**	**37,6**
Уровни звукового давления от источника ИШ-1-6 в расчётной точке ночью, дБ	**ф-ла(3)[10]**	**0**	**39,5**	**31,2**	**28,3**	**31**	**34,9**	**31,2**	**22,2**	**0**	**37,6**	**37,6**
Источник шума: ИШ-1-7, координаты источника (x,y,z), м =[451.87,146.66,1.00]												

1		2	3	4	5	6	7	8	9	10	11	12	13
Уровни звуковой мощности источника днём, Lw, дБ		**исходные данные**	**0**	**93,3**	**94,7**	**96**	**96,3**	**95,9**	**92,6**	**88,4**	**83,9**		
Уровни звуковой мощности источника ночью, Lw, дБ		**исходные данные**	**0**	**93,3**	**94,7**	**96**	**96,3**	**95,9**	**92,6**	**88,4**	**83,9**		
Поправка на телесный угол DΩ, дБ	Ω = 6.28	10Lg(4π/Ω)	**3**	3	3	3	3	3	3	3	3		
Показатель направленности источника Di, дБ		исходные данные	**0**	0	0	0	0	0	0	0	0		
Поправка на направленность источника Dc, дБ	Dc	DΩ + Di	**3**	3	3	3	3	3	3	3	3		
Затухание из-за геометрической дивергенции, Adiv, дБ	расстояние = 421.55 м	ф-ла (7) [10]	**63,5**										
Коэффициент затухания звука в атмосфере α, дБ/км	Ta=20,°C Pa=101.33,кПа hотн.=70%	ф-ла (5) [9]	0,02	0,09	0,33	1,12	2,79	4,98	9,04	23,09	77,63		
Учет затухания звука в атмосфере Aatm, дБ		ф-ла (8) [10]	0	0	0,1	0,5	1,2	2,1	3,8	9,7	32,7		
Снижение уровня звукового давления из-за влияния застройки между источником шума и расчетной точкой													
Снижение уровня звукового давления на пути над экраном, Dz1, дБ	z = 0.78м (разность путей)	ф-лы (14-18) [10]	7,9	10	12,4	15	17,9	20,8	23,7	26,7	29,7		
Снижение уровня звукового давления на пути слева от экрана, Dz2, дБ	z = 31.74м (разность путей)	ф-лы (14-18) [10]	24,8	28,3	31,4	34,5	37,5	40,5	43,5	46,5	49,5		
Снижение уровня звукового давления на пути справа от экрана, Dz3, дБ	z = 100.31м (разность путей)	ф-лы (14-18) [10]	29,9	33,3	36,4	39,5	42,5	45,5	48,5	51,5	54,5		
Общее снижение уровня звука препятствием Dz, дБ		Эн.сумма(-Dzi)	7,8	9,9	12,3	15	17,8	20,7	23,7	26,6	29,6		
Общее снижение уровня звука препятствием с учётом ограничения (25 дБ) для октавных полос Dz, дБ		Раздел 7.4 [10]	7,8	9,9	12,3	15	17,8	20,7	23,7	25	25		
Уровни звукового давления прямого звука от источника ИШ-1-7 в расчётной точке днём, дБ		**ф-ла(3)[10]**	**0**	**22,8**	**21,7**	**20**	**16,8**	**12,6**	**4,6**	**0**	**0**	**18**	**18**
Уровни звукового давления прямого звука от источника ИШ-1-7 в расчётной точке ночью, дБ		**ф-ла(3)[10]**	**0**	**22,8**	**21,7**	**20**	**16,8**	**12,6**	**4,6**	**0**	**0**	**18**	**18**
Расчёт отражённого звука													

1		2	3	4	5	6	7	8	9	10	11	12	13
Уровни звукового давления от мнимого источника ИШ-1-7_мн.(1) в расчётной точке днём, дБ		**ф-ла(3)[10]**	**0**	**0**	**0**	**0**	**0**	**0**	**2**	**0**	**0**	**3,2**	**3,2**
Уровни звукового давления от мнимого источника ИШ-1-7_мн.(1) в расчётной точке ночью, дБ		**ф-ла(3)[10]**	**0**	**0**	**0**	**0**	**0**	**0**	**0**	**0**	**0**	**3,2**	**3,2**
Уровни звукового давления от источника ИШ-1-7 в расчётной точке днём, дБ		**ф-ла(3)[10]**	**0**	**22,8**	**21,7**	**20**	**16,8**	**12,6**	**6,5**	**0**	**0**	**18,1**	**18,1**
Уровни звукового давления от источника ИШ-1-7 в расчётной точке ночью, дБ		**ф-ла(3)[10]**	**0**	**22,8**	**21,7**	**20**	**16,8**	**12,6**	**6,5**	**0**	**0**	**18,1**	**18,1**
Источник шума: ИШ-1-8, координаты источника (x,y,z), м =[454.99,145.29,1.00]													
Уровни звуковой мощности источника днём, Lw, дБ		**исходные данные**	**0**	**93,3**	**94,7**	**96**	**96,3**	**95,9**	**92,6**	**88,4**	**83,9**		
Уровни звуковой мощности источника ночью, Lw, дБ		**исходные данные**	**0**	**93,3**	**94,7**	**96**	**96,3**	**95,9**	**92,6**	**88,4**	**83,9**		
Поправка на телесный угол DΩ, дБ	Ω = 6.28	10Lg(4π/Ω)	**3**	3	3	3	3	3	3	3	3		
Показатель направленности источника Di, дБ		исходные данные	**0**	0	0	0	0	0	0	0	0		
Поправка на направленность источника Dc, дБ	Dc	DΩ + Di	**3**	3	3	3	3	3	3	3	3		
Затухание из-за геометрической дивергенции, Adiv, дБ	расстояние = 422.49 м	ф-ла (7) [10]	**63,5**										
Коэффициент затухания звука в атмосфере α, дБ/км	Ta=20,°C Pa=101.33,кПа hотн.=70%	ф-ла (5) [9]	0,02	0,09	0,33	1,12	2,79	4,98	9,04	23,09	77,63		
Учет затухания звука в атмосфере Aatm, дБ		ф-ла (8) [10]	0	0	0,1	0,5	1,2	2,1	3,8	9,8	32,8		
Снижение уровня звукового давления из-за влияния застройки между источником шума и расчетной точкой													
Снижение уровня звукового давления на пути над экраном, Dz1, дБ	z = 0.73м (разность путей)	ф-лы (14-18) [10]	7,6	9,6	11,9	14,5	17,3	20,1	23,1	26,1	29,1		
Снижение уровня звукового давления на пути слева от экрана, Dz2, дБ	z = 30.10м (разность путей)	ф-лы (14-18) [10]	24,6	28,1	31,2	34,2	37,3	40,3	43,3	46,3	49,3		

1		2	3	4	5	6	7	8	9	10	11	12	13
Снижение уровня звукового давления на пути справа от экрана, Dz3, дБ	z = 101.27м (разность путей)	ф-лы (14-18) [10]	30	33,4	36,5	39,5	42,5	45,5	48,5	51,6	54,6		
Общее снижение уровня звука препятствием Dz, дБ		Эн.сумма(-Dzi)	7,5	9,5	11,8	14,4	17,2	20,1	23	26	29		
Общее снижение уровня звука препятствием с учётом ограничения (25 дБ) для октавных полос Dz, дБ		Раздел 7.4 [10]	7,5	9,5	11,8	14,4	17,2	20,1	23	25	25		
Уровни звукового давления прямого звука от источника ИШ-1-8 в расчётной точке днём, дБ		**ф-ла(3)[10]**	**0**	**23,2**	**22,2**	**20,6**	**17,4**	**13,2**	**5,2**	**0**	**0**	**18,6**	**18,6**
Уровни звукового давления прямого звука от источника ИШ-1-8 в расчётной точке ночью, дБ		**ф-ла(3)[10]**	**0**	**23,2**	**22,2**	**20,6**	**17,4**	**13,2**	**5,2**	**0**	**0**	**18,6**	**18,6**
Расчёт отражённого звука													
Уровни звукового давления от мнимого источника ИШ-1-8_мн.(1) в расчётной точке днём, дБ		**ф-ла(3)[10]**	**0**	**0**	**0**	**0**	**0**	**0**	**2,6**	**0**	**0**	**3,8**	**3,8**
Уровни звукового давления от мнимого источника ИШ-1-8_мн.(1) в расчётной точке ночью, дБ		**ф-ла(3)[10]**	**0**	**0**	**0**	**0**	**0**	**0**	**0**	**0**	**0**	**3,8**	**3,8**
Уровни звукового давления от источника ИШ-1-8 в расчётной точке днём, дБ		**ф-ла(3)[10]**	**0**	**23,2**	**22,2**	**20,6**	**17,4**	**13,2**	**7,1**	**0**	**0**	**18,7**	**18,7**
Уровни звукового давления от источника ИШ-1-8 в расчётной точке ночью, дБ		**ф-ла(3)[10]**	**0**	**23,2**	**22,2**	**20,6**	**17,4**	**13,2**	**7,1**	**0**	**0**	**18,7**	**18,7**
Источник шума: ИШ-1-9, координаты источника (x,y,z), м =[458.12,144.31,1.00]													
Уровни звуковой мощности источника днём, Lw, дБ		**исходные данные**	**0**	**93,3**	**94,7**	**96**	**96,3**	**95,9**	**92,6**	**88,4**	**83,9**		
Уровни звуковой мощности источника ночью, Lw, дБ		**исходные данные**	**0**	**93,3**	**94,7**	**96**	**96,3**	**95,9**	**92,6**	**88,4**	**83,9**		
Поправка на телесный угол DΩ, дБ	Ω = 6.28	10Lg(4π/Ω)	**3**	3	3	3	3	3	3	3	3		
Показатель направленности источника Di, дБ		исходные данные	**0**	0	0	0	0	0	0	0	0		
Поправка на направленность источника Dc, дБ	Dc	DΩ + Di	**3**	3	3	3	3	3	3	3	3		
Затухание из-за геометрической дивергенции, Adiv, дБ	расстояние = 423.75 м	ф-ла (7) [10]	**63,5**										

1		2	3	4	5	6	7	8	9	10	11	12	13
Коэффициент затухания звука в атмосфере α, дБ/км	Та=20,°С Ра=101.33,кПа hотн.=70%	ф-ла (5) [9]	0,02	0,09	0,33	1,12	2,79	4,98	9,04	23,09	77,63		
Учет затухания звука в атмосфере Aatm, дБ		ф-ла (8) [10]	0	0	0,1	0,5	1,2	2,1	3,8	9,8	32,9		
Снижение уровня звукового давления из-за влияния застройки между источником шума и расчетной точкой													
Снижение уровня звукового давления на пути над экраном, Dz1, дБ	z = 0.57м (разность путей)	ф-лы (14-18) [10]	6,4	7,9	9,8	12,2	14,8	17,6	20,4	23,4	26,4		
Снижение уровня звукового давления на пути слева от экрана, Dz2, дБ	z = 28.61м (разность путей)	ф-лы (14-18) [10]	24,4	27,9	31	34	37	40	43,1	46,1	49,1		
Снижение уровня звукового давления на пути справа от экрана, Dz3, дБ	z = 101.66м (разность путей)	ф-лы (14-18) [10]	30	33,4	36,5	39,5	42,5	45,5	48,6	51,6	54,6		
Общее снижение уровня звука препятствием Dz, дБ		Эн.сумма(-Dzi)	6,3	7,9	9,8	12,1	14,7	17,5	20,4	23,4	26,3		
Общее снижение уровня звука препятствием с учётом ограничения (25 дБ) для октавных полос Dz, дБ		Раздел 7.4 [10]	6,3	7,9	9,8	12,1	14,7	17,5	20,4	23,4	25		
Уровни звукового давления прямого звука от источника ИШ-1-9 в расчётной точке днём, дБ		**ф-ла(3)[10]**	**0**	**24,8**	**24,2**	**22,9**	**19,8**	**15,7**	**7,8**	**0**	**0**	**21**	**21**
Уровни звукового давления прямого звука от источника ИШ-1-9 в расчётной точке ночью, дБ		**ф-ла(3)[10]**	**0**	**24,8**	**24,2**	**22,9**	**19,8**	**15,7**	**7,8**	**0**	**0**	**21**	**21**
Расчёт отражённого звука													
Уровни звукового давления от мнимого источника ИШ-1-9_мн.(1) в расчётной точке днём, дБ		**ф-ла(3)[10]**	**0**	**0**	**0**	**0**	**0**	**0**	**3**	**0**	**0**	**4,2**	**4,2**
Уровни звукового давления от мнимого источника ИШ-1-9_мн.(1) в расчётной точке ночью, дБ		**ф-ла(3)[10]**	**0**	**0**	**0**	**0**	**0**	**0**	**0**	**0**	**0**	**4,2**	**4,2**
Уровни звукового давления от источника ИШ-1-9 в расчётной точке днём, дБ		**ф-ла(3)[10]**	**0**	**24,8**	**24,2**	**22,9**	**19,8**	**15,7**	**9,1**	**0**	**0**	**21,1**	**21,1**
Уровни звукового давления от источника ИШ-1-9 в расчётной точке ночью, дБ		**ф-ла(3)[10]**	**0**	**24,8**	**24,2**	**22,9**	**19,8**	**15,7**	**9,1**	**0**	**0**	**21,1**	**21,1**
Источник шума: ИШ-1-10, координаты источника (x,y,z), м =[461.05,143.53,1.00]													

1		2	3	4	5	6	7	8	9	10	11	12	13
Уровни звуковой мощности источника днём, Lw, дБ		**исходные данные**	**0**	**93,3**	**94,7**	**96**	**96,3**	**95,9**	**92,6**	**88,4**	**83,9**		
Уровни звуковой мощности источника ночью, Lw, дБ		**исходные данные**	**0**	**93,3**	**94,7**	**96**	**96,3**	**95,9**	**92,6**	**88,4**	**83,9**		
Поправка на телесный угол DΩ, дБ	Ω = 6.28	10Lg(4π/Ω)	**3**	3	3	3	3	3	3	3	3		
Показатель направленности источника Di, дБ		исходные данные	**0**	0	0	0	0	0	0	0	0		
Поправка на направленность источника Dc, дБ	Dc	DΩ + Di	**3**	3	3	3	3	3	3	3	3		
Затухание из-за геометрической дивергенции, Adiv, дБ	расстояние = 425.06 м	ф-ла (7) [10]	**63,6**										
Коэффициент затухания звука в атмосфере α, дБ/км	Ta=20,°C Pa=101.33,кПа hотн.=70%	ф-ла (5) [9]	0,02	0,09	0,33	1,12	2,79	4,98	9,04	23,09	77,63		
Учет затухания звука в атмосфере Aatm, дБ		ф-ла (8) [10]	0	0	0,1	0,5	1,2	2,1	3,8	9,8	33		
Снижение уровня звукового давления из-за влияния застройки между источником шума и расчетной точкой													
Снижение уровня звукового давления на пути над экраном, Dz1, дБ	z = 0.56м (разность путей)	ф-лы (14-18) [10]	6,4	7,9	9,8	12,1	14,7	17,5	20,4	23,3	26,3		
Снижение уровня звукового давления на пути слева от экрана, Dz2, дБ	z = 27.30м (разность путей)	ф-лы (14-18) [10]	24,2	27,7	30,8	33,8	36,8	39,8	42,8	45,9	48,9		
Снижение уровня звукового давления на пути справа от экрана, Dz3, дБ	z = 101.89м (разность путей)	ф-лы (14-18) [10]	30	33,4	36,5	39,5	42,5	45,6	48,6	51,6	54,6		
Общее снижение уровня звука препятствием Dz, дБ		Эн.сумма(-Dzi)	6,3	7,8	9,8	12,1	14,7	17,5	20,4	23,3	26,3		
Общее снижение уровня звука препятствием с учётом ограничения (25 дБ) для октавных полос Dz, дБ		Раздел 7.4 [10]	6,3	7,8	9,8	12,1	14,7	17,5	20,4	23,3	25		
Уровни звукового давления прямого звука от источника ИШ-1-10 в расчётной точке днём, дБ		**ф-ла(3)[10]**	**0**	**24,8**	**24,2**	**22,9**	**19,9**	**15,7**	**7,8**	**0**	**0**	**21**	**21**
Уровни звукового давления прямого звука от источника ИШ-1-10 в расчётной точке ночью, дБ		**ф-ла(3)[10]**	**0**	**24,8**	**24,2**	**22,9**	**19,9**	**15,7**	**7,8**	**0**	**0**	**21**	**21**
Расчёт отражённого звука													

1		2	3	4	5	6	7	8	9	10	11	12	13
Уровни звукового давления от мнимого источника ИШ-1-10_мн.(1) в расчётной точке днём, дБ		**ф-ла(3)[10]**	**0**	**0**	**0**	**0**	**0**	**0**	**3,6**	**0**	**0**	**4,8**	**4,8**
Уровни звукового давления от мнимого источника ИШ-1-10_мн.(1) в расчётной точке ночью, дБ		**ф-ла(3)[10]**	**0**	**0**	**0**	**0**	**0**	**0**	**0**	**0**	**0**	**4,8**	**4,8**
Уровни звукового давления от источника ИШ-1-10 в расчётной точке днём, дБ		**ф-ла(3)[10]**	**0**	**24,8**	**24,2**	**22,9**	**19,9**	**15,7**	**9,2**	**0**	**0**	**21,1**	**21,1**
Уровни звукового давления от источника ИШ-1-10 в расчётной точке ночью, дБ		**ф-ла(3)[10]**	**0**	**24,8**	**24,2**	**22,9**	**19,9**	**15,7**	**9,2**	**0**	**0**	**21,1**	**21,1**
Источник шума: ИШ-1-11, координаты источника (x,y,z), м =[464.18,142.55,1.00]													
Уровни звуковой мощности источника днём, Lw, дБ		**исходные данные**	**0**	**93,3**	**94,7**	**96**	**96,3**	**95,9**	**92,6**	**88,4**	**83,9**		
Уровни звуковой мощности источника ночью, Lw, дБ		**исходные данные**	**0**	**93,3**	**94,7**	**96**	**96,3**	**95,9**	**92,6**	**88,4**	**83,9**		
Поправка на телесный угол DΩ, дБ	Ω = 6.28	10Lg(4π/Ω)	**3**	3	3	3	3	3	3	3	3		
Показатель направленности источника Di, дБ		исходные данные	**0**	0	0	0	0	0	0	0	0		
Поправка на направленность источника Dc, дБ	Dc	DΩ + Di	**3**	3	3	3	3	3	3	3	3		
Затухание из-за геометрической дивергенции, Adiv, дБ	расстояние = 426.37 м	ф-ла (7) [10]	**63,6**										
Коэффициент затухания звука в атмосфере α, дБ/км	Ta=20,°C Pa=101.33,кПа hотн.=70%	ф-ла (5) [9]	0,02	0,09	0,33	1,12	2,79	4,98	9,04	23,09	77,63		
Учет затухания звука в атмосфере Aatm, дБ		ф-ла (8) [10]	0	0	0,1	0,5	1,2	2,1	3,9	9,8	33,1		
Снижение уровня звукового давления из-за влияния застройки между источником шума и расчетной точкой													
Снижение уровня звукового давления на пути над экраном, Dz1, дБ	z = 0.56м (разность путей)	ф-лы (14-18) [10]	6,4	7,9	9,8	12,1	14,7	17,5	20,3	23,3	26,3		
Снижение уровня звукового давления на пути слева от экрана, Dz2, дБ	z = 25.94м (разность путей)	ф-лы (14-18) [10]	24	27,4	30,5	33,6	36,6	39,6	42,6	45,6	48,6		

1		2	3	4	5	6	7	8	9	10	11	12	13
Снижение уровня звукового давления на пути справа от экрана, Dz3, дБ	z = 102.47м (разность путей)	ф-лы (14-18) [10]	30	33,4	36,5	39,6	42,6	45,6	48,6	51,6	54,6		
Общее снижение уровня звука препятствием Dz, дБ		Эн.сумма(-Dzi)	6,3	7,8	9,7	12	14,6	17,4	20,3	23,3	26,2		
Общее снижение уровня звука препятствием с учётом ограничения (25 дБ) для октавных полос Dz, дБ		Раздел 7.4 [10]	6,3	7,8	9,7	12	14,6	17,4	20,3	23,3	25		
Уровни звукового давления прямого звука от источника ИШ-1-11 в расчётной точке днём, дБ		**ф-ла(3)[10]**	**0**	**24,8**	**24,2**	**22,9**	**19,9**	**15,8**	**7,8**	**0**	**0**	**21**	**21**
Уровни звукового давления прямого звука от источника ИШ-1-11 в расчётной точке ночью, дБ		**ф-ла(3)[10]**	**0**	**24,8**	**24,2**	**22,9**	**19,9**	**15,8**	**7,8**	**0**	**0**	**21**	**21**
Расчёт отражённого звука													
Уровни звукового давления от мнимого источника ИШ-1-11_мн.(1) в расчётной точке днём, дБ		**ф-ла(3)[10]**	**0**	**0**	**0**	**0**	**0**	**0**	**3,1**	**0**	**0**	**4,3**	**4,3**
Уровни звукового давления от мнимого источника ИШ-1-11_мн.(1) в расчётной точке ночью, дБ		**ф-ла(3)[10]**	**0**	**0**	**0**	**0**	**0**	**0**	**0**	**0**	**0**	**4,3**	**4,3**
Уровни звукового давления от источника ИШ-1-11 в расчётной точке днём, дБ		**ф-ла(3)[10]**	**0**	**24,8**	**24,2**	**22,9**	**19,9**	**15,8**	**9,1**	**0**	**0**	**21,1**	**21,1**
Уровни звукового давления от источника ИШ-1-11 в расчётной точке ночью, дБ		**ф-ла(3)[10]**	**0**	**24,8**	**24,2**	**22,9**	**19,9**	**15,8**	**9,1**	**0**	**0**	**21,1**	**21,1**
Источник шума: ИШ-1-12, координаты источника (x,y,z), м =[435.45,97.79,1.00]													
Уровни звуковой мощности источника днём, Lw, дБ		**исходные данные**	**0**	**93,3**	**94,7**	**96**	**96,3**	**95,9**	**92,6**	**88,4**	**83,9**		
Уровни звуковой мощности источника ночью, Lw, дБ		**исходные данные**	**0**	**93,3**	**94,7**	**96**	**96,3**	**95,9**	**92,6**	**88,4**	**83,9**		
Поправка на телесный угол DΩ, дБ	Ω = 6.28	10Lg(4π/Ω)	**3**	3	3	3	3	3	3	3	3		
Показатель направленности источника Di, дБ		исходные данные	**0**	0	0	0	0	0	0	0	0		
Поправка на направленность источника Dc, дБ	Dc	DΩ + Di	**3**	3	3	3	3	3	3	3	3		
Затухание из-за геометрической дивергенции, Adiv, дБ	расстояние = 373.82 м	ф-ла (7) [10]	**62,5**										

1		2	3	4	5	6	7	8	9	10	11	12	13
Коэффициент затухания звука в атмосфере α, дБ/км	Та=20,°С Ра=101.33,кПа hотн.=70%	ф-ла (5) [9]	0,02	0,09	0,33	1,12	2,79	4,98	9,04	23,09	77,63		
Учет затухания звука в атмосфере Aatm, дБ		ф-ла (8) [10]	0	0	0,1	0,4	1	1,9	3,4	8,6	29		
Снижение уровня звукового давления из-за влияния застройки между источником шума и расчетной точкой													
Снижение уровня звукового давления на пути над экраном, Dz1, дБ	z = 0.81м (разность путей)	ф-лы (14-18) [10]	8,1	10,4	12,8	15,5	18,4	21,3	24,3	27,2	30,2		
Снижение уровня звукового давления на пути слева от экрана, Dz2, дБ	z = 28.74м (разность путей)	ф-лы (14-18) [10]	24,4	27,9	31	34	37,1	40,1	43,1	46,1	49,1		
Снижение уровня звукового давления на пути справа от экрана, Dz3, дБ	z = 196.47м (разность путей)	ф-лы (14-18) [10]	32,8	36,2	39,3	42,4	45,4	48,4	51,4	54,4	57,4		
Общее снижение уровня звука препятствием Dz, дБ		Эн.сумма(-Dzi)	8	10,3	12,8	15,5	18,3	21,2	24,2	27,2	30,2		
Общее снижение уровня звука препятствием с учётом ограничения (25 дБ) для октавных полос Dz, дБ		Раздел 7.4 [10]	8	10,3	12,8	15,5	18,3	21,2	24,2	25	25		
Уровни звукового давления от источника ИШ-1-12 в расчётной точке днём, дБ		**ф-ла(3)[10]**	**0**	**23,5**	**22,3**	**20,6**	**17,5**	**13,3**	**5,6**	**0**	**0**	**18,7**	**18,7**
Уровни звукового давления от источника ИШ-1-12 в расчётной точке ночью, дБ		**ф-ла(3)[10]**	**0**	**23,5**	**22,3**	**20,6**	**17,5**	**13,3**	**5,6**	**0**	**0**	**18,7**	**18,7**
Источник шума: ИШ-1-13, координаты источника (x,y,z), м =[438.77,96.82,1.00]													
Уровни звуковой мощности источника днём, Lw, дБ		**исходные данные**	**0**	**93,3**	**94,7**	**96**	**96,3**	**95,9**	**92,6**	**88,4**	**83,9**		
Уровни звуковой мощности источника ночью, Lw, дБ		**исходные данные**	**0**	**93,3**	**94,7**	**96**	**96,3**	**95,9**	**92,6**	**88,4**	**83,9**		
Поправка на телесный угол DΩ, дБ	Ω = 6.28	10Lg($4\pi/\Omega$)	**3**	3	3	3	3	3	3	3	3		
Показатель направленности источника Di, дБ		исходные данные	**0**	0	0	0	0	0	0	0	0		
Поправка на направленность источника Dc, дБ	Dc	DΩ + Di	**3**	3	3	3	3	3	3	3	3		

1		2	3	4	5	6	7	8	9	10	11	12	13
Затухание из-за геометрической дивергенции, Adiv, дБ	расстояние = 375.34 м	ф-ла (7) [10]	**62,5**										
Коэффициент затухания звука в атмосфере α, дБ/км	Ta=20,°C Pa=101.33,кПа hотн.=70%	ф-ла (5) [9]	0,02	0,09	0,33	1,12	2,79	4,98	9,04	23,09	77,63		
Учет затухания звука в атмосфере Aatm, дБ		ф-ла (8) [10]	0	0	0,1	0,4	1	1,9	3,4	8,7	29,1		
Снижение уровня звукового давления из-за влияния застройки между источником шума и расчетной точкой													
Снижение уровня звукового давления на пути над экраном, Dz1, дБ	z = 0.81м (разность путей)	ф-лы (14-18) [10]	8	10,3	12,8	15,5	18,3	21,2	24,2	27,2	30,2		
Снижение уровня звукового давления на пути слева от экрана, Dz2, дБ	z = 26.62м (разность путей)	ф-лы (14-18) [10]	24,1	27,6	30,7	33,7	36,7	39,7	42,7	45,8	48,8		
Снижение уровня звукового давления на пути справа от экрана, Dz3, дБ	z = 195.74м (разность путей)	ф-лы (14-18) [10]	32,8	36,2	39,3	42,4	45,4	48,4	51,4	54,4	57,4		
Общее снижение уровня звука препятствием Dz, дБ		Эн.сумма(-Dzi)	7,9	10,2	12,7	15,4	18,3	21,2	24,1	27,1	30,1		
Общее снижение уровня звука препятствием с учётом ограничения (25 дБ) для октавных полос Dz, дБ		Раздел 7.4 [10]	7,9	10,2	12,7	15,4	18,3	21,2	24,1	25	25		
Уровни звукового давления прямого звука от источника ИШ-1-13 в расчётной точке днём, дБ		**ф-ла(3)[10]**	**0**	**23,5**	**22,4**	**20,7**	**17,5**	**13,4**	**5,6**	**0**	**0**	**18,7**	**18,7**
Уровни звукового давления прямого звука от источника ИШ-1-13 в расчётной точке ночью, дБ		**ф-ла(3)[10]**	**0**	**23,5**	**22,4**	**20,7**	**17,5**	**13,4**	**5,6**	**0**	**0**	**18,7**	**18,7**
Расчёт отражённого звука													
Уровни звукового давления от мнимого источника ИШ-1-13_мн.(1) в расчётной точке днём, дБ		**ф-ла(3)[10]**	**0**	**0**	**0**	**0**	**0**	**0**	**0**	**0**	**0**	**0**	**0**
Уровни звукового давления от мнимого источника ИШ-1-13_мн.(1) в расчётной точке ночью, дБ		**ф-ла(3)[10]**	**0**	**0**	**0**	**0**	**0**	**0**	**0**	**0**	**0**	**0**	**0**
Уровни звукового давления от источника ИШ-1-13 в расчётной точке днём, дБ		**ф-ла(3)[10]**	**0**	**23,5**	**22,4**	**20,7**	**17,5**	**13,4**	**5,6**	**0**	**0**	**18,7**	**18,7**
Уровни звукового давления от источника ИШ-1-13 в расчётной точке ночью, дБ		**ф-ла(3)[10]**	**0**	**23,5**	**22,4**	**20,7**	**17,5**	**13,4**	**5,6**	**0**	**0**	**18,7**	**18,7**

1		2	3	4	5	6	7	8	9	10	11	12	13
Источник шума: ИШ-1-14, координаты источника (x,y,z), м =[441.70,96.03,1.00]													
Уровни звуковой мощности источника днём, Lw, дБ		**исходные данные**	**0**	**93,3**	**94,7**	**96**	**96,3**	**95,9**	**92,6**	**88,4**	**83,9**		
Уровни звуковой мощности источника ночью, Lw, дБ		**исходные данные**	**0**	**93,3**	**94,7**	**96**	**96,3**	**95,9**	**92,6**	**88,4**	**83,9**		
Поправка на телесный угол DΩ, дБ	Ω = 6.28	10Lg(4π/Ω)	**3**	3	3	3	3	3	3	3	3		
Показатель направленности источника Di, дБ		исходные данные	**0**	0	0	0	0	0	0	0	0		
Поправка на направленность источника Dc, дБ	Dc	DΩ + Di	**3**	3	3	3	3	3	3	3	3		
Затухание из-за геометрической дивергенции, Adiv, дБ	расстояние = 376.77 м	ф-ла (7) [10]	**62,5**										
Коэффициент затухания звука в атмосфере α, дБ/км	Ta=20,°C Pa=101.33,кПа hотн.=70%	ф-ла (5) [9]	0,02	0,09	0,33	1,12	2,79	4,98	9,04	23,09	77,63		
Учет затухания звука в атмосфере Aatm, дБ		ф-ла (8) [10]	0	0	0,1	0,4	1,1	1,9	3,4	8,7	29,2		
Снижение уровня звукового давления из-за влияния застройки между источником шума и расчетной точкой													
Снижение уровня звукового давления на пути над экраном, Dz1, дБ	z = 0.80м (разность путей)	ф-лы (14-18) [10]	8	10,3	12,8	15,4	18,3	21,2	24,2	27,1	30,1		
Снижение уровня звукового давления на пути слева от экрана, Dz2, дБ	z = 24.90м (разность путей)	ф-лы (14-18) [10]	23,8	27,3	30,4	33,4	36,4	39,4	42,4	45,5	48,5		
Снижение уровня звукового давления на пути справа от экрана, Dz3, дБ	z = 195.03м (разность путей)	ф-лы (14-18) [10]	32,8	36,2	39,3	42,3	45,4	48,4	51,4	54,4	57,4		
Общее снижение уровня звука препятствием Dz, дБ		Эн.сумма(-Dzi)	7,9	10,2	12,7	15,4	18,2	21,1	24,1	27,1	30,1		
Общее снижение уровня звука препятствием с учётом ограничения (25 дБ) для октавных полос Dz, дБ		Раздел 7.4 [10]	7,9	10,2	12,7	15,4	18,2	21,1	24,1	25	25		
Уровни звукового давления от источника ИШ-1-14 в расчётной точке днём, дБ		**ф-ла(3)[10]**	**0**	**23,6**	**22,4**	**20,7**	**17,5**	**13,4**	**5,6**	**0**	**0**	**18,7**	**18,7**

1		2	3	4	5	6	7	8	9	10	11	12	13
Уровни звукового давления от источника ИШ-1-14 в расчётной точке ночью, дБ		**ф-ла(3)[10]**	**0**	**23,6**	**22,4**	**20,7**	**17,5**	**13,4**	**5,6**	**0**	**0**	**18,7**	**18,7**
Источник шума: ИШ-1-15, координаты источника (x,y,z), м =[445.03,95.25,1.00]													
Уровни звуковой мощности источника днём, Lw, дБ		**исходные данные**	**0**	**93,3**	**94,7**	**96**	**96,3**	**95,9**	**92,6**	**88,4**	**83,9**		
Уровни звуковой мощности источника ночью, Lw, дБ		**исходные данные**	**0**	**93,3**	**94,7**	**96**	**96,3**	**95,9**	**92,6**	**88,4**	**83,9**		
Поправка на телесный угол DΩ, дБ	Ω = 6.28	10Lg(4π/Ω)	**3**	3	3	3	3	3	3	3	3		
Показатель направленности источника Di, дБ		исходные данные	**0**	0	0	0	0	0	0	0	0		
Поправка на направленность источника Dc, дБ	Dc	DΩ + Di	**3**	3	3	3	3	3	3	3	3		
Затухание из-за геометрической дивергенции, Adiv, дБ	расстояние = 378.48 м	ф-ла (7) [10]	**62,6**										
Коэффициент затухания звука в атмосфере α, дБ/км	Ta=20,°C Pa=101.33,кПа hотн.=70%	ф-ла (5) [9]	0,02	0,09	0,33	1,12	2,79	4,98	9,04	23,09	77,63		
Учет затухания звука в атмосфере Aatm, дБ		ф-ла (8) [10]	0	0	0,1	0,4	1,1	1,9	3,4	8,7	29,4		
Снижение уровня звукового давления из-за влияния застройки между источником шума и расчетной точкой													
Снижение уровня звукового давления на пути над экраном, Dz1, дБ	z = 0.80м (разность путей)	ф-лы (14-18) [10]	8	10,2	12,7	15,4	18,2	21,1	24,1	27,1	30,1		
Снижение уровня звукового давления на пути слева от экрана, Dz2, дБ	z = 23.12м (разность путей)	ф-лы (14-18) [10]	23,5	26,9	30	33,1	36,1	39,1	42,1	45,1	48,1		
Снижение уровня звукового давления на пути справа от экрана, Dz3, дБ	z = 194.11м (разность путей)	ф-лы (14-18) [10]	32,8	36,2	39,3	42,3	45,3	48,4	51,4	54,4	57,4		
Общее снижение уровня звука препятствием Dz, дБ		Эн.сумма(-Dzi)	7,9	10,1	12,6	15,3	18,1	21	24	27	30		
Общее снижение уровня звука препятствием с учётом ограничения (25 дБ) для октавных полос Dz, дБ		Раздел 7.4 [10]	7,9	10,1	12,6	15,3	18,1	21	24	25	25		

1		2	3	4	5	6	7	8	9	10	11	12	13
Уровни звукового давления от источника ИШ-1-15 в расчётной точке днём, дБ		**ф-ла(3)[10]**	**0**	**23,6**	**22,4**	**20,7**	**17,5**	**13,4**	**5,6**	**0**	**0**	**18,7**	**18,7**
Уровни звукового давления от источника ИШ-1-15 в расчётной точке ночью, дБ		**ф-ла(3)[10]**	**0**	**23,6**	**22,4**	**20,7**	**17,5**	**13,4**	**5,6**	**0**	**0**	**18,7**	**18,7**
Источник шума: ИШ-1-16, координаты источника (x,y,z), м =[447.96,94.28,1.00]													
Уровни звуковой мощности источника днём, Lw, дБ		**исходные данные**	**0**	**93,3**	**94,7**	**96**	**96,3**	**95,9**	**92,6**	**88,4**	**83,9**		
Уровни звуковой мощности источника ночью, Lw, дБ		**исходные данные**	**0**	**93,3**	**94,7**	**96**	**96,3**	**95,9**	**92,6**	**88,4**	**83,9**		
Поправка на телесный угол DΩ, дБ	Ω = 6.28	10Lg(4π/Ω)	**3**	3	3	3	3	3	3	3	3		
Показатель направленности источника Di, дБ		исходные данные	**0**	0	0	0	0	0	0	0	0		
Поправка на направленность источника Dc, дБ	Dc	DΩ + Di	**3**	3	3	3	3	3	3	3	3		
Затухание из-за геометрической дивергенции, Adiv, дБ	расстояние = 379.80 м	ф-ла (7) [10]	**62,6**										
Коэффициент затухания звука в атмосфере α, дБ/км	Ta=20,°C Pa=101.33,кПа hотн.=70%	ф-ла (5) [9]	0,02	0,09	0,33	1,12	2,79	4,98	9,04	23,09	77,63		
Учет затухания звука в атмосфере Aatm, дБ		ф-ла (8) [10]	0	0	0,1	0,4	1,1	1,9	3,4	8,8	29,5		
Снижение уровня звукового давления из-за влияния застройки между источником шума и расчетной точкой													
Снижение уровня звукового давления на пути над экраном, Dz1, дБ	z = 0.80м (разность путей)	ф-лы (14-18) [10]	8	10,2	12,7	15,3	18,2	21,1	24	27	30		
Снижение уровня звукового давления на пути слева от экрана, Dz2, дБ	z = 21.60м (разность путей)	ф-лы (14-18) [10]	23,2	26,7	29,8	32,8	35,8	38,8	41,8	44,8	47,9		
Снижение уровня звукового давления на пути справа от экрана, Dz3, дБ	z = 193.86м (разность путей)	ф-лы (14-18) [10]	32,8	36,2	39,3	42,3	45,3	48,4	51,4	54,4	57,4		
Общее снижение уровня звука препятствием Dz, дБ		Эн.сумма(-Dzi)	7,8	10,1	12,6	15,3	18,1	21	24	27	29,9		

1		2	3	4	5	6	7	8	9	10	11	12	13
Общее снижение уровня звука препятствием с учётом ограничения (25 дБ) для октавных полос Dz, дБ		Раздел 7.4 [10]	7,8	10,1	12,6	15,3	18,1	21	24	25	25		
Уровни звукового давления от источника ИШ-1-16 в расчётной точке днём, дБ		**ф-ла(3)[10]**	**0**	**23,6**	**22,4**	**20,7**	**17,6**	**13,4**	**5,6**	**0**	**0**	**18,8**	**18,8**
Уровни звукового давления от источника ИШ-1-16 в расчётной точке ночью, дБ		**ф-ла(3)[10]**	**0**	**23,6**	**22,4**	**20,7**	**17,6**	**13,4**	**5,6**	**0**	**0**	**18,8**	**18,8**
Источник шума: ИШ-1-17, координаты источника (x,y,z), м =[540.99,141.77,1.00]													
Уровни звуковой мощности источника днём, Lw, дБ		**исходные данные**	**0**	**93,3**	**94,7**	**96**	**96,3**	**95,9**	**92,6**	**88,4**	**83,9**		
Уровни звуковой мощности источника ночью, Lw, дБ		**исходные данные**	**0**	**93,3**	**94,7**	**96**	**96,3**	**95,9**	**92,6**	**88,4**	**83,9**		
Поправка на телесный угол DΩ, дБ	Ω = 6.28	10Lg(4π/Ω)	**3**	3	3	3	3	3	3	3	3		
Показатель направленности источника Di, дБ		исходные данные	**0**	0	0	0	0	0	0	0	0		
Поправка на направленность источника Dc, дБ	Dc	DΩ + Di	**3**	3	3	3	3	3	3	3	3		
Затухание из-за геометрической дивергенции, Adiv, дБ	расстояние = 479.78 м	ф-ла (7) [10]	**64,6**										
Коэффициент затухания звука в атмосфере α, дБ/км	Ta=20,°C Pa=101.33,кПа hотн.=70%	ф-ла (5) [9]	0,02	0,09	0,33	1,12	2,79	4,98	9,04	23,09	77,63		
Учет затухания звука в атмосфере Aatm, дБ		ф-ла (8) [10]	0	0	0,2	0,5	1,3	2,4	4,3	11,1	37,2		
Снижение уровня звукового давления из-за влияния застройки между источником шума и расчетной точкой													
Снижение уровня звукового давления на пути над экраном, Dz1, дБ	z = 0.91м (разность путей)	ф-лы (14-18) [10]	8,3	10,4	12,9	15,6	18,4	21,3	24,3	27,3	30,3		
Снижение уровня звукового давления на пути слева от экрана, Dz2, дБ	z = 12.53м (разность путей)	ф-лы (14-18) [10]	21,1	24,4	27,4	30,4	33,4	36,5	39,5	42,5	45,5		
Снижение уровня звукового давления на пути справа от экрана, Dz3, дБ	z = 67.56м (разность путей)	ф-лы (14-18) [10]	28,4	31,7	34,7	37,7	40,8	43,8	46,8	49,8	52,8		

1		2	3	4	5	6	7	8	9	10	11	12	13
Общее снижение уровня звука препятствием Dz, дБ		Эн.сумма(-Dzi)	8	10,2	12,7	15,4	18,2	21,2	24,1	27,1	30,1		
Общее снижение уровня звука препятствием с учётом ограничения (25 дБ) для октавных полос Dz, дБ		Раздел 7.4 [10]	8	10,2	12,7	15,4	18,2	21,2	24,1	25	25		
Уровни звукового давления от источника ИШ-1-17 в расчётной точке днём, дБ		**ф-ла(3)[10]**	**0**	**21,4**	**20,2**	**18,4**	**15,1**	**10,7**	**2,5**	**0**	**0**	**16,3**	**16,3**
Уровни звукового давления от источника ИШ-1-17 в расчётной точке ночью, дБ		**ф-ла(3)[10]**	**0**	**21,4**	**20,2**	**18,4**	**15,1**	**10,7**	**2,5**	**0**	**0**	**16,3**	**16,3**
Источник шума: ИШ-1-18, координаты источника (x,y,z), м =[543.53,140.79,1.00]													
Уровни звуковой мощности источника днём, Lw, дБ		**исходные данные**	**0**	**93,3**	**94,7**	**96**	**96,3**	**95,9**	**92,6**	**88,4**	**83,9**		
Уровни звуковой мощности источника ночью, Lw, дБ		**исходные данные**	**0**	**93,3**	**94,7**	**96**	**96,3**	**95,9**	**92,6**	**88,4**	**83,9**		
Поправка на телесный угол DΩ, дБ	Ω = 6.28	10Lg(4π/Ω)	**3**	3	3	3	3	3	3	3	3		
Показатель направленности источника Di, дБ		исходные данные	**0**	0	0	0	0	0	0	0	0		
Поправка на направленность источника Dc, дБ	Dc	DΩ + Di	**3**	3	3	3	3	3	3	3	3		
Затухание из-за геометрической дивергенции, Adiv, дБ	расстояние = 481.02 м	ф-ла (7) [10]	**64,6**										
Коэффициент затухания звука в атмосфере α, дБ/км	Ta=20,°C Pa=101.33,кПа hотн.=70%	ф-ла (5) [9]	0,02	0,09	0,33	1,12	2,79	4,98	9,04	23,09	77,63		
Учет затухания звука в атмосфере Aatm, дБ		ф-ла (8) [10]	0	0	0,2	0,5	1,3	2,4	4,3	11,1	37,3		
Снижение уровня звукового давления из-за влияния застройки между источником шума и расчетной точкой													
Снижение уровня звукового давления на пути над экраном, Dz1, дБ	z = 0.84м (разность путей)	ф-лы (14-18) [10]	7,9	10	12,4	15	17,8	20,7	23,7	26,7	29,7		
Снижение уровня звукового давления на пути слева от экрана, Dz2, дБ	z = 11.88м (разность путей)	ф-лы (14-18) [10]	20,9	24,1	27,2	30,2	33,2	36,2	39,2	42,2	45,3		

1		2	3	4	5	6	7	8	9	10	11	12	13
Снижение уровня звукового давления на пути справа от экрана, Dz3, дБ	z = 68.34м (разность путей)	ф-лы (14-18) [10]	28,4	31,7	34,8	37,8	40,8	43,8	46,8	49,8	52,9		
Общее снижение уровня звука препятствием Dz, дБ		Эн.сумма(-Dzi)	7,7	9,8	12,2	14,9	17,7	20,6	23,5	26,5	29,5		
Общее снижение уровня звука препятствием с учётом ограничения (25 дБ) для октавных полос Dz, дБ		Раздел 7.4 [10]	7,7	9,8	12,2	14,9	17,7	20,6	23,5	25	25		
Уровни звукового давления от источника ИШ-1-18 в расчётной точке днём, дБ		**ф-ла(3)[10]**	**0**	**21,8**	**20,7**	**18,9**	**15,6**	**11,3**	**3,1**	**0**	**0**	**16,8**	**16,8**
Уровни звукового давления от источника ИШ-1-18 в расчётной точке ночью, дБ		**ф-ла(3)[10]**	**0**	**21,8**	**20,7**	**18,9**	**15,6**	**11,3**	**3,1**	**0**	**0**	**16,8**	**16,8**
Источник шума: ИШ-1-19, координаты источника (x,y,z), м =[547.25,139.62,1.00]													
Уровни звуковой мощности источника днём, Lw, дБ		**исходные данные**	**0**	**93,3**	**94,7**	**96**	**96,3**	**95,9**	**92,6**	**88,4**	**83,9**		
Уровни звуковой мощности источника ночью, Lw, дБ		**исходные данные**	**0**	**93,3**	**94,7**	**96**	**96,3**	**95,9**	**92,6**	**88,4**	**83,9**		
Поправка на телесный угол DΩ, дБ	Ω = 6.28	10Lg(4π/Ω)	**3**	3	3	3	3	3	3	3	3		
Показатель направленности источника Di, дБ		исходные данные	**0**	0	0	0	0	0	0	0	0		
Поправка на направленность источника Dc, дБ	Dc	DΩ + Di	**3**	3	3	3	3	3	3	3	3		
Затухание из-за геометрической дивергенции, Adiv, дБ	расстояние = 483.03 м	ф-ла (7) [10]	**64,7**										
Коэффициент затухания звука в атмосфере α, дБ/км	Ta=20,°C Pa=101.33,кПа hотн.=70%	ф-ла (5) [9]	0,02	0,09	0,33	1,12	2,79	4,98	9,04	23,09	77,63		
Учет затухания звука в атмосфере Aatm, дБ		ф-ла (8) [10]	0	0	0,2	0,5	1,3	2,4	4,4	11,2	37,5		
Снижение уровня звукового давления из-за влияния застройки между источником шума и расчетной точкой													
Снижение уровня звукового давления на пути над экраном, Dz1, дБ	z = 0.78м (разность путей)	ф-лы (14-18) [10]	7,6	9,5	11,7	14,3	17,1	20	22,9	25,9	28,9		

1		2	3	4	5	6	7	8	9	10	11	12	13
Снижение уровня звукового давления на пути слева от экрана, Dz2, дБ	z = 11.06м (разность путей)	ф-лы (14-18) [10]	20,6	23,8	26,9	29,9	32,9	35,9	38,9	41,9	44,9		
Снижение уровня звукового давления на пути справа от экрана, Dz3, дБ	z = 69.20м (разность путей)	ф-лы (14-18) [10]	28,5	31,8	34,8	37,9	40,9	43,9	46,9	49,9	52,9		
Общее снижение уровня звука препятствием Dz, дБ		Эн.сумма(-Dzi)	7,3	9,3	11,6	14,2	17	19,8	22,8	25,8	28,8		
Общее снижение уровня звука препятствием с учётом ограничения (25 дБ) для октавных полос Dz, дБ		Раздел 7.4 [10]	7,3	9,3	11,6	14,2	17	19,8	22,8	25	25		
Уровни звукового давления от источника ИШ-1-19 в расчётной точке днём, дБ		**ф-ла(3)[10]**	**0**	**22,3**	**21,3**	**19,6**	**16,3**	**12**	**3,8**	**0**	**0**	**17,4**	**17,4**
Уровни звукового давления от источника ИШ-1-19 в расчётной точке ночью, дБ		**ф-ла(3)[10]**	**0**	**22,3**	**21,3**	**19,6**	**16,3**	**12**	**3,8**	**0**	**0**	**17,4**	**17,4**
Источник шума: ИШ-1-20, координаты источника (x,y,z), м =[550.38,138.64,1.00]													
Уровни звуковой мощности источника днём, Lw, дБ		**исходные данные**	**0**	**93,3**	**94,7**	**96**	**96,3**	**95,9**	**92,6**	**88,4**	**83,9**		
Уровни звуковой мощности источника ночью, Lw, дБ		**исходные данные**	**0**	**93,3**	**94,7**	**96**	**96,3**	**95,9**	**92,6**	**88,4**	**83,9**		
Поправка на телесный угол DΩ, дБ	Ω = 6.28	10Lg(4π/Ω)	**3**	3	3	3	3	3	3	3	3		
Показатель направленности источника Di, дБ		исходные данные	**0**	0	0	0	0	0	0	0	0		
Поправка на направленность источника Dc, дБ	Dc	DΩ + Di	**3**	3	3	3	3	3	3	3	3		
Затухание из-за геометрической дивергенции, Adiv, дБ	расстояние = 484.74 м	ф-ла (7) [10]	**64,7**										
Коэффициент затухания звука в атмосфере α, дБ/км	Ta=20,°C Pa=101.33,кПа hотн.=70%	ф-ла (5) [9]	0,02	0,09	0,33	1,12	2,79	4,98	9,04	23,09	77,63		
Учет затухания звука в атмосфере Aatm, дБ		ф-ла (8) [10]	0	0	0,2	0,5	1,4	2,4	4,4	11,2	37,6		
Снижение уровня звукового давления из-за влияния застройки между источником шума и расчетной точкой													

1		2	3	4	5	6	7	8	9	10	11	12	13
Снижение уровня звукового давления на пути над экраном, Dz1, дБ	z = 0.73м (разность путей)	ф-лы (14-18) [10]	7,3	9,1	11,3	13,8	16,5	19,4	22,3	25,3	28,3		
Снижение уровня звукового давления на пути слева от экрана, Dz2, дБ	z = 10.45м (разность путей)	ф-лы (14-18) [10]	20,3	23,6	26,6	29,7	32,7	35,7	38,7	41,7	44,7		
Снижение уровня звукового давления на пути справа от экрана, Dz3, дБ	z = 70.01м (разность путей)	ф-лы (14-18) [10]	28,5	31,8	34,9	37,9	40,9	43,9	46,9	49,9	53		
Общее снижение уровня звука препятствием Dz, дБ		Эн.сумма(-Dzi)	7	8,9	11,1	13,7	16,4	19,3	22,2	25,2	28,2		
Общее снижение уровня звука препятствием с учётом ограничения (25 дБ) для октавных полос Dz, дБ		Раздел 7.4 [10]	7	8,9	11,1	13,7	16,4	19,3	22,2	25	25		
Уровни звукового давления от источника ИШ-1-20 в расчётной точке днём, дБ		**ф-ла(3)[10]**	**0**	**22,6**	**21,7**	**20,1**	**16,8**	**12,5**	**4,3**	**0**	**0**	**18**	**18**
Уровни звукового давления от источника ИШ-1-20 в расчётной точке ночью, дБ		**ф-ла(3)[10]**	**0**	**22,6**	**21,7**	**20,1**	**16,8**	**12,5**	**4,3**	**0**	**0**	**18**	**18**
Источник шума: ИШ-1-21, координаты источника (x,y,z), м =[553.31,137.67,1.00]													
Уровни звуковой мощности источника днём, Lw, дБ		**исходные данные**	**0**	**93,3**	**94,7**	**96**	**96,3**	**95,9**	**92,6**	**88,4**	**83,9**		
Уровни звуковой мощности источника ночью, Lw, дБ		**исходные данные**	**0**	**93,3**	**94,7**	**96**	**96,3**	**95,9**	**92,6**	**88,4**	**83,9**		
Поправка на телесный угол DΩ, дБ	Ω = 6.28	10Lg(4π/Ω)	**3**	3	3	3	3	3	3	3	3		
Показатель направленности источника Di, дБ		исходные данные	**0**	0	0	0	0	0	0	0	0		
Поправка на направленность источника Dc, дБ	Dc	DΩ + Di	**3**	3	3	3	3	3	3	3	3		
Затухание из-за геометрической дивергенции, Adiv, дБ	расстояние = 486.32 м	ф-ла (7) [10]	**64,7**										
Коэффициент затухания звука в атмосфере α, дБ/км	Та=20,°С Ра=101.33,кПа hотн.=70%	ф-ла (5) [9]	0,02	0,09	0,33	1,12	2,79	4,98	9,04	23,09	77,63		
Учет затухания звука в атмосфере Aatm, дБ		ф-ла (8) [10]	0	0	0,2	0,5	1,4	2,4	4,4	11,2	37,8		

1		2	3	4	5	6	7	8	9	10	11	12	13
Снижение уровня звукового давления из-за влияния застройки между источником шума и расчетной точкой													
Снижение уровня звукового давления на пути над экраном, Dz1, дБ	z = 0.69м (разность путей)	ф-лы (14-18) [10]	7,1	8,8	10,9	13,3	16	18,9	21,8	24,8	27,8		
Снижение уровня звукового давления на пути слева от экрана, Dz2, дБ	z = 9.93м (разность путей)	ф-лы (14-18) [10]	20,1	23,4	26,4	29,4	32,4	35,5	38,5	41,5	44,5		
Снижение уровня звукового давления на пути справа от экрана, Dz3, дБ	z = 70.92м (разность путей)	ф-лы (14-18) [10]	28,6	31,9	34,9	38	41	44	47	50	53		
Общее снижение уровня звука препятствием Dz, дБ		Эн.сумма(-Dzi)	6,8	8,6	10,7	13,2	15,9	18,8	21,7	24,7	27,7		
Общее снижение уровня звука препятствием с учётом ограничения (25 дБ) для октавных полос Dz, дБ		Раздел 7.4 [10]	6,8	8,6	10,7	13,2	15,9	18,8	21,7	24,7	25		
Уровни звукового давления от источника ИШ-1-21 в расчётной точке днём, дБ		**ф-ла(3)[10]**	**0**	**22,9**	**22,1**	**20,5**	**17,3**	**12,9**	**4,7**	**0**	**0**	**18,4**	**18,4**
Уровни звукового давления от источника ИШ-1-21 в расчётной точке ночью, дБ		**ф-ла(3)[10]**	**0**	**22,9**	**22,1**	**20,5**	**17,3**	**12,9**	**4,7**	**0**	**0**	**18,4**	**18,4**
Источник шума: ИШ-1-22, координаты источника (x,y,z), м =[522.03,85.28,1.00]													
Уровни звуковой мощности источника днём, Lw, дБ		**исходные данные**	**0**	**93,3**	**94,7**	**96**	**96,3**	**95,9**	**92,6**	**88,4**	**83,9**		
Уровни звуковой мощности источника ночью, Lw, дБ		**исходные данные**	**0**	**93,3**	**94,7**	**96**	**96,3**	**95,9**	**92,6**	**88,4**	**83,9**		
Поправка на телесный угол DΩ, дБ	Ω = 6.28	10Lg(4π/Ω)	**3**	3	3	3	3	3	3	3	3		
Показатель направленности источника Di, дБ		исходные данные	**0**	0	0	0	0	0	0	0	0		
Поправка на направленность источника Dc, дБ	Dc	DΩ + Di	**3**	3	3	3	3	3	3	3	3		
Затухание из-за геометрической дивергенции, Adiv, дБ	расстояние = 428.91 м	ф-ла (7) [10]	**63,6**										
Коэффициент затухания звука в атмосфере α, дБ/км	Ta=20,°C Pa=101.33,кПа hотн.=70%	ф-ла (5) [9]	0,02	0,09	0,33	1,12	2,79	4,98	9,04	23,09	77,63		

1		2	3	4	5	6	7	8	9	10	11	12	13
Учет затухания звука в атмосфере Aatm, дБ		ф-ла (8) [10]	0	0	0,1	0,5	1,2	2,1	3,9	9,9	33,3		
Снижение уровня звукового давления из-за влияния застройки между источником шума и расчетной точкой													
Снижение уровня звукового давления на пути над экраном, Dz1, дБ	z = 1.01м (разность путей)	ф-лы (14-18) [10]	8,9	11,4	13,9	16,7	19,6	22,5	25,5	28,5	31,5		
Снижение уровня звукового давления на пути слева от экрана, Dz2, дБ	z = 7.51м (разность путей)	ф-лы (14-18) [10]	14,9	17,7	20,5	23,5	26,5	29,5	32,5	35,5	38,5		
Снижение уровня звукового давления на пути справа от экрана, Dz3, дБ	z = 171.22м (разность путей)	ф-лы (14-18) [10]	32,4	35,7	38,8	41,8	44,8	47,8	50,8	53,8	56,8		
Общее снижение уровня звука препятствием Dz, дБ		Эн.сумма(-Dzi)	7,9	10,4	13,1	15,9	18,8	21,7	24,7	27,7	30,7		
Общее снижение уровня звука препятствием с учётом ограничения (25 дБ) для октавных полос Dz, дБ		Раздел 7.4 [10]	7,9	10,4	13,1	15,9	18,8	21,7	24,7	25	25		
Уровни звукового давления от источника ИШ-1-22 в расчётной точке днём, дБ		**ф-ла(3)[10]**	**0**	**22,2**	**20,8**	**19**	**15,7**	**11,4**	**3,4**	**0**	**0**	**16,9**	**16,9**
Уровни звукового давления от источника ИШ-1-22 в расчётной точке ночью, дБ		**ф-ла(3)[10]**	**0**	**22,2**	**20,8**	**19**	**15,7**	**11,4**	**3,4**	**0**	**0**	**16,9**	**16,9**
Источник шума: ИШ-1-23, координаты источника (x,y,z), м =[525.16,84.11,1.00]													
Уровни звуковой мощности источника днём, Lw, дБ		**исходные данные**	**0**	**93,3**	**94,7**	**96**	**96,3**	**95,9**	**92,6**	**88,4**	**83,9**		
Уровни звуковой мощности источника ночью, Lw, дБ		**исходные данные**	**0**	**93,3**	**94,7**	**96**	**96,3**	**95,9**	**92,6**	**88,4**	**83,9**		
Поправка на телесный угол DΩ, дБ	Ω = 6.28	10Lg(4π/Ω)	**3**	3	3	3	3	3	3	3	3		
Показатель направленности источника Di, дБ		исходные данные	**0**	0	0	0	0	0	0	0	0		
Поправка на направленность источника Dc, дБ	Dc	DΩ + Di	**3**	3	3	3	3	3	3	3	3		
Затухание из-за геометрической дивергенции, Adiv, дБ	расстояние = 430.66 м	ф-ла (7) [10]	**63,7**										

1		2	3	4	5	6	7	8	9	10	11	12	13
Коэффициент затухания звука в атмосфере α, дБ/км	Та=20,°С Ра=101.33,кПа hотн.=70%	ф-ла (5) [9]	0,02	0,09	0,33	1,12	2,79	4,98	9,04	23,09	77,63		
Учет затухания звука в атмосфере Aatm, дБ		ф-ла (8) [10]	0	0	0,1	0,5	1,2	2,1	3,9	9,9	33,4		
Снижение уровня звукового давления из-за влияния застройки между источником шума и расчетной точкой													
Снижение уровня звукового давления на пути над экраном, Dz1, дБ	z = 0.38м (разность путей)	ф-лы (14-18) [10]	5	5,4	6,3	7,7	9,6	11,9	14,5	17,3	20,2		
Снижение уровня звукового давления на пути слева от экрана, Dz2, дБ	z = 7.10м (разность путей)	ф-лы (14-18) [10]	14,7	17,5	20,3	23,3	26,2	29,2	32,2	35,2	38,3		
Снижение уровня звукового давления на пути справа от экрана, Dz3, дБ	z = 170.62м (разность путей)	ф-лы (14-18) [10]	32,4	35,7	38,7	41,8	44,8	47,8	50,8	53,8	56,8		
Общее снижение уровня звука препятствием Dz, дБ		Эн.сумма(-Dzi)	4,5	5,1	6,1	7,6	9,5	11,8	14,4	17,2	20,1		
Уровни звукового давления от источника ИШ-1-23 в расчётной точке днём, дБ		**ф-ла(3)[10]**	**0**	**27,5**	**27,8**	**27,2**	**24,9**	**21,2**	**13,6**	**0,6**	**0**	**26**	**26**
Уровни звукового давления от источника ИШ-1-23 в расчётной точке ночью, дБ		**ф-ла(3)[10]**	**0**	**27,5**	**27,8**	**27,2**	**24,9**	**21,2**	**13,6**	**0,6**	**0**	**26**	**26**
Источник шума: ИШ-1-24, координаты источника (x,y,z), м =[528.48,82.94,1.00]													
Уровни звуковой мощности источника днём, Lw, дБ		**исходные данные**	**0**	**93,3**	**94,7**	**96**	**96,3**	**95,9**	**92,6**	**88,4**	**83,9**		
Уровни звуковой мощности источника ночью, Lw, дБ		**исходные данные**	**0**	**93,3**	**94,7**	**96**	**96,3**	**95,9**	**92,6**	**88,4**	**83,9**		
Поправка на телесный угол DΩ, дБ	Ω = 6.28	10Lg(4π/Ω)	**3**	3	3	3	3	3	3	3	3		
Показатель направленности источника Di, дБ		исходные данные	**0**	0	0	0	0	0	0	0	0		
Поправка на направленность источника Dc, дБ	Dc	DΩ + Di	**3**	3	3	3	3	3	3	3	3		
Затухание из-за геометрической дивергенции, Adiv, дБ	расстояние = 432.59 м	ф-ла (7) [10]	**63,7**										

1		2	3	4	5	6	7	8	9	10	11	12	13
Коэффициент затухания звука в атмосфере α, дБ/км	Та=20,°С Ра=101.33,кПа hотн.=70%	ф-ла (5) [9]	0,02	0,09	0,33	1,12	2,79	4,98	9,04	23,09	77,63		
Учет затухания звука в атмосфере Aatm, дБ		ф-ла (8) [10]	0	0	0,1	0,5	1,2	2,2	3,9	10	33,6		
Снижение уровня звукового давления из-за влияния застройки между источником шума и расчетной точкой													
Снижение уровня звукового давления на пути над экраном, Dz1, дБ	z = 0.38м (разность путей)	ф-лы (14-18) [10]	5	5,4	6,2	7,7	9,5	11,8	14,4	17,2	20,1		
Снижение уровня звукового давления на пути слева от экрана, Dz2, дБ	z = 6.69м (разность путей)	ф-лы (14-18) [10]	14,4	17,2	20,1	23	26	29	32	35	38		
Снижение уровня звукового давления на пути справа от экрана, Dz3, дБ	z = 169.95м (разность путей)	ф-лы (14-18) [10]	32,4	35,7	38,7	41,8	44,8	47,8	50,8	53,8	56,8		
Общее снижение уровня звука препятствием Dz, дБ		Эн.сумма(-Dzi)	4,5	5,1	6	7,5	9,5	11,7	14,3	17,1	20		
Уровни звукового давления от источника ИШ-1-24 в расчётной точке днём, дБ		**ф-ла(3)[10]**	**0**	**27,5**	**27,8**	**27,2**	**24,9**	**21,3**	**13,6**	**0,6**	**0**	**26,1**	**26,1**
Уровни звукового давления от источника ИШ-1-24 в расчётной точке ночью, дБ		**ф-ла(3)[10]**	**0**	**27,5**	**27,8**	**27,2**	**24,9**	**21,3**	**13,6**	**0,6**	**0**	**26,1**	**26,1**
Источник шума: ИШ-1-25, координаты источника (x,y,z), м =[531.22,82.16,1.00]													
Уровни звуковой мощности источника днём, Lw, дБ		**исходные данные**	**0**	**93,3**	**94,7**	**96**	**96,3**	**95,9**	**92,6**	**88,4**	**83,9**		
Уровни звуковой мощности источника ночью, Lw, дБ		**исходные данные**	**0**	**93,3**	**94,7**	**96**	**96,3**	**95,9**	**92,6**	**88,4**	**83,9**		
Поправка на телесный угол DΩ, дБ	Ω = 6.28	10Lg(4π/Ω)	**3**	3	3	3	3	3	3	3	3		
Показатель направленности источника Di, дБ		исходные данные	**0**	0	0	0	0	0	0	0	0		
Поправка на направленность источника Dc, дБ	Dc	DΩ + Di	**3**	3	3	3	3	3	3	3	3		
Затухание из-за геометрической дивергенции, Adiv, дБ	расстояние = 434.30 м	ф-ла (7) [10]	**63,8**										

1		2	3	4	5	6	7	8	9	10	11	12	13
Коэффициент затухания звука в атмосфере α, дБ/км	Та=20,°С Ра=101.33,кПа hотн.=70%	ф-ла (5) [9]	0,02	0,09	0,33	1,12	2,79	4,98	9,04	23,09	77,63		
Учет затухания звука в атмосфере Aatm, дБ		ф-ла (8) [10]	0	0	0,1	0,5	1,2	2,2	3,9	10	33,7		
Снижение уровня звукового давления из-за влияния застройки между источником шума и расчетной точкой													
Снижение уровня звукового давления на пути над экраном, Dz1, дБ	z = 0.38м (разность путей)	ф-лы (14-18) [10]	5	5,3	6,2	7,6	9,5	11,7	14,3	17,1	20		
Снижение уровня звукового давления на пути слева от экрана, Dz2, дБ	z = 6.38м (разность путей)	ф-лы (14-18) [10]	14,3	17	19,9	22,8	25,8	28,8	31,8	34,8	37,8		
Снижение уровня звукового давления на пути справа от экрана, Dz3, дБ	z = 169.18м (разность путей)	ф-лы (14-18) [10]	32,4	35,7	38,7	41,7	44,7	47,8	50,8	53,8	56,8		
Общее снижение уровня звука препятствием Dz, дБ		Эн.сумма(-Dzi)	4,5	5	6	7,5	9,4	11,7	14,2	17	19,9		
Уровни звукового давления от источника ИШ-1-25 в расчётной точке днём, дБ		**ф-ла(3)[10]**	**0**	**27,5**	**27,8**	**27,3**	**24,9**	**21,3**	**13,7**	**0,6**	**0**	**26,1**	**26,1**
Уровни звукового давления от источника ИШ-1-25 в расчётной точке ночью, дБ		**ф-ла(3)[10]**	**0**	**27,5**	**27,8**	**27,3**	**24,9**	**21,3**	**13,7**	**0,6**	**0**	**26,1**	**26,1**
Источник шума: ИШ-1-26, координаты источника (x,y,z), м =[534.15,80.79,1.00]													
Уровни звуковой мощности источника днём, Lw, дБ		**исходные данные**	**0**	**93,3**	**94,7**	**96**	**96,3**	**95,9**	**92,6**	**88,4**	**83,9**		
Уровни звуковой мощности источника ночью, Lw, дБ		**исходные данные**	**0**	**93,3**	**94,7**	**96**	**96,3**	**95,9**	**92,6**	**88,4**	**83,9**		
Поправка на телесный угол DΩ, дБ	Ω = 6.28	10Lg(4π/Ω)	**3**	3	3	3	3	3	3	3	3		
Показатель направленности источника Di, дБ		исходные данные	**0**	0	0	0	0	0	0	0	0		
Поправка на направленность источника Dc, дБ	Dc	DΩ + Di	**3**	3	3	3	3	3	3	3	3		
Затухание из-за геометрической дивергенции, Adiv, дБ	расстояние = 435.82 м	ф-ла (7) [10]	**63,8**										

1		2	3	4	5	6	7	8	9	10	11	12	13
Коэффициент затухания звука в атмосфере α, дБ/км	Та=20,°С Ра=101.33,кПа hотн.=70%	ф-ла (5) [9]	0,02	0,09	0,33	1,12	2,79	4,98	9,04	23,09	77,63		
Учет затухания звука в атмосфере Aatm, дБ		ф-ла (8) [10]	0	0	0,1	0,5	1,2	2,2	3,9	10,1	33,8		
Снижение уровня звукового давления из-за влияния застройки между источником шума и расчетной точкой													
Снижение уровня звукового давления на пути над экраном, Dz1, дБ	z = 0.38м (разность путей)	ф-лы (14-18) [10]	5	5,3	6,2	7,6	9,4	11,7	14,2	17	19,9		
Снижение уровня звукового давления на пути слева от экрана, Dz2, дБ	z = 6.01м (разность путей)	ф-лы (14-18) [10]	14	16,8	19,6	22,5	25,5	28,5	31,5	34,5	37,5		
Снижение уровня звукового давления на пути справа от экрана, Dz3, дБ	z = 169.26м (разность путей)	ф-лы (14-18) [10]	32,4	35,7	38,7	41,7	44,8	47,8	50,8	53,8	56,8		
Общее снижение уровня звука препятствием Dz, дБ		Эн.сумма(-Dzi)	4,5	5	6	7,4	9,3	11,6	14,1	16,9	19,8		
Уровни звукового давления от источника ИШ-1-26 в расчётной точке днём, дБ		**ф-ла(3)[10]**	**0**	**27,4**	**27,8**	**27,3**	**25**	**21,4**	**13,7**	**0,6**	**0**	**26,1**	**26,1**
Уровни звукового давления от источника ИШ-1-26 в расчётной точке ночью, дБ		**ф-ла(3)[10]**	**0**	**27,4**	**27,8**	**27,3**	**25**	**21,4**	**13,7**	**0,6**	**0**	**26,1**	**26,1**
Источник шума: ИШ-1-27, координаты источника (x,y,z), м =[469.65,197.67,1.00]													
Уровни звуковой мощности источника днём, Lw, дБ		**исходные данные**	**0**	**93,3**	**94,7**	**96**	**96,3**	**95,9**	**92,6**	**88,4**	**83,9**		
Уровни звуковой мощности источника ночью, Lw, дБ		**исходные данные**	**0**	**93,3**	**94,7**	**96**	**96,3**	**95,9**	**92,6**	**88,4**	**83,9**		
Поправка на телесный угол DΩ, дБ	Ω = 6.28	10Lg(4π/Ω)	**3**	3	3	3	3	3	3	3	3		
Показатель направленности источника Di, дБ		исходные данные	**0**	0	0	0	0	0	0	0	0		
Поправка на направленность источника Dc, дБ	Dc	DΩ + Di	**3**	3	3	3	3	3	3	3	3		
Затухание из-за геометрической дивергенции, Adiv, дБ	расстояние = 472.62 м	ф-ла (7) [10]	**64,5**										

1		2	3	4	5	6	7	8	9	10	11	12	13
Коэффициент затухания звука в атмосфере α, дБ/км	Та=20,°С Ра=101.33,кПа hотн.=70%	ф-ла (5) [9]	0,02	0,09	0,33	1,12	2,79	4,98	9,04	23,09	77,63		
Учет затухания звука в атмосфере Aatm, дБ		ф-ла (8) [10]	0	0	0,2	0,5	1,3	2,4	4,3	10,9	36,7		
Снижение уровня звукового давления из-за влияния застройки между источником шума и расчетной точкой													
Снижение уровня звукового давления на пути над экраном, Dz1, дБ	z = 0.70м (разность путей)	ф-лы (14-18) [10]	7,3	9,1	11,3	13,8	16,6	19,4	22,4	25,3	28,3		
Снижение уровня звукового давления на пути слева от экрана, Dz2, дБ	z = 34.30м (разность путей)	ф-лы (14-18) [10]	25,2	28,6	31,8	34,8	37,8	40,8	43,8	46,9	49,9		
Снижение уровня звукового давления на пути справа от экрана, Dz3, дБ	z = 30.86м (разность путей)	ф-лы (14-18) [10]	24,8	28,2	31,3	34,3	37,4	40,4	43,4	46,4	49,4		
Общее снижение уровня звука препятствием Dz, дБ		Эн.сумма(-Dzi)	7,2	9	11,2	13,8	16,5	19,4	22,3	25,3	28,3		
Общее снижение уровня звука препятствием с учётом ограничения (25 дБ) для октавных полос Dz, дБ		Раздел 7.4 [10]	7,2	9	11,2	13,8	16,5	19,4	22,3	25	25		
Уровни звукового давления прямого звука от источника ИШ-1-27 в расчётной точке днём, дБ		**ф-ла(3)[10]**	**0**	**22,7**	**21,8**	**20,2**	**17**	**12,7**	**4,5**	**0**	**0**	**18,1**	**18,1**
Уровни звукового давления прямого звука от источника ИШ-1-27 в расчётной точке ночью, дБ		**ф-ла(3)[10]**	**0**	**22,7**	**21,8**	**20,2**	**17**	**12,7**	**4,5**	**0**	**0**	**18,1**	**18,1**
Расчёт отражённого звука													
Уровни звукового давления от мнимого источника ИШ-1-27_мн.(1) в расчётной точке днём, дБ		**ф-ла(3)[10]**	**0**	**0**	**0**	**0**	**0**	**0**	**3,6**	**0**	**0**	**4,8**	**4,8**
Уровни звукового давления от мнимого источника ИШ-1-27_мн.(1) в расчётной точке ночью, дБ		**ф-ла(3)[10]**	**0**	**0**	**0**	**0**	**0**	**0**	**0**	**0**	**0**	**4,8**	**4,8**
Уровни звукового давления от источника ИШ-1-27 в расчётной точке днём, дБ		**ф-ла(3)[10]**	**0**	**22,7**	**21,8**	**20,2**	**17**	**12,7**	**7,1**	**0**	**0**	**18,3**	**18,3**
Уровни звукового давления от источника ИШ-1-27 в расчётной точке ночью, дБ		**ф-ла(3)[10]**	**0**	**22,7**	**21,8**	**20,2**	**17**	**12,7**	**7,1**	**0**	**0**	**18,3**	**18,3**
Источник шума: ИШ-1-28, координаты источника (x,y,z), м =[472.78,196.69,1.00]													

1		2	3	4	5	6	7	8	9	10	11	12	13
Уровни звуковой мощности источника днём, Lw, дБ		**исходные данные**	**0**	**93,3**	**94,7**	**96**	**96,3**	**95,9**	**92,6**	**88,4**	**83,9**		
Уровни звуковой мощности источника ночью, Lw, дБ		**исходные данные**	**0**	**93,3**	**94,7**	**96**	**96,3**	**95,9**	**92,6**	**88,4**	**83,9**		
Поправка на телесный угол DΩ, дБ	Ω = 6.28	10Lg(4π/Ω)	**3**	3	3	3	3	3	3	3	3		
Показатель направленности источника Di, дБ		исходные данные	**0**	0	0	0	0	0	0	0	0		
Поправка на направленность источника Dc, дБ	Dc	DΩ + Di	**3**	3	3	3	3	3	3	3	3		
Затухание из-за геометрической дивергенции, Adiv, дБ	расстояние = 473.74 м	ф-ла (7) [10]	**64,5**										
Коэффициент затухания звука в атмосфере α, дБ/км	Ta=20,°C Pa=101.33,кПа hотн.=70%	ф-ла (5) [9]	0,02	0,09	0,33	1,12	2,79	4,98	9,04	23,09	77,63		
Учет затухания звука в атмосфере Aatm, дБ		ф-ла (8) [10]	0	0	0,2	0,5	1,3	2,4	4,3	10,9	36,8		
Снижение уровня звукового давления из-за влияния застройки между источником шума и расчетной точкой													
Снижение уровня звукового давления на пути над экраном, Dz1, дБ	z = 0.66м (разность путей)	ф-лы (14-18) [10]	7,1	8,8	10,9	13,3	16	18,9	21,8	24,8	27,8		
Снижение уровня звукового давления на пути слева от экрана, Dz2, дБ	z = 33.00м (разность путей)	ф-лы (14-18) [10]	25	28,5	31,6	34,6	37,7	40,7	43,7	46,7	49,7		
Снижение уровня звукового давления на пути справа от экрана, Dz3, дБ	z = 33.02м (разность путей)	ф-лы (14-18) [10]	25,1	28,5	31,6	34,6	37,7	40,7	43,7	46,7	49,7		
Общее снижение уровня звука препятствием Dz, дБ		Эн.сумма(-Dzi)	7	8,7	10,8	13,3	16	18,8	21,8	24,7	27,7		
Общее снижение уровня звука препятствием с учётом ограничения (25 дБ) для октавных полос Dz, дБ		Раздел 7.4 [10]	7	8,7	10,8	13,3	16	18,8	21,8	24,7	25		
Уровни звукового давления прямого звука от источника ИШ-1-28 в расчётной точке днём, дБ		**ф-ла(3)[10]**	**0**	**23**	**22,2**	**20,7**	**17,5**	**13,2**	**5**	**0**	**0**	**18,6**	**18,6**
Уровни звукового давления прямого звука от источника ИШ-1-28 в расчётной точке ночью, дБ		**ф-ла(3)[10]**	**0**	**23**	**22,2**	**20,7**	**17,5**	**13,2**	**5**	**0**	**0**	**18,6**	**18,6**
Расчёт отражённого звука													

1		2	3	4	5	6	7	8	9	10	11	12	13
Уровни звукового давления от мнимого источника ИШ-1-28_мн.(1) в расчётной точке днём, дБ		**ф-ла(3)[10]**	**0**	**0**	**0**	**0**	**0**	**0**	**4**	**0**	**0**	**5,2**	**5,2**
Уровни звукового давления от мнимого источника ИШ-1-28_мн.(1) в расчётной точке ночью, дБ		**ф-ла(3)[10]**	**0**	**0**	**0**	**0**	**0**	**0**	**0**	**0**	**0**	**5,2**	**5,2**
Уровни звукового давления от источника ИШ-1-28 в расчётной точке днём, дБ		**ф-ла(3)[10]**	**0**	**23**	**22,2**	**20,7**	**17,5**	**13,2**	**7,6**	**0**	**0**	**18,8**	**18,8**
Уровни звукового давления от источника ИШ-1-28 в расчётной точке ночью, дБ		**ф-ла(3)[10]**	**0**	**23**	**22,2**	**20,7**	**17,5**	**13,2**	**7,6**	**0**	**0**	**18,8**	**18,8**
Источник шума: ИШ-1-29, координаты источника (x,y,z), м =[475.52,195.72,1.00]													
Уровни звуковой мощности источника днём, Lw, дБ		**исходные данные**	**0**	**93,3**	**94,7**	**96**	**96,3**	**95,9**	**92,6**	**88,4**	**83,9**		
Уровни звуковой мощности источника ночью, Lw, дБ		**исходные данные**	**0**	**93,3**	**94,7**	**96**	**96,3**	**95,9**	**92,6**	**88,4**	**83,9**		
Поправка на телесный угол DΩ, дБ	Ω = 6.28	10Lg(4π/Ω)	**3**	3	3	3	3	3	3	3	3		
Показатель направленности источника Di, дБ		исходные данные	**0**	0	0	0	0	0	0	0	0		
Поправка на направленность источника Dc, дБ	Dc	DΩ + Di	**3**	3	3	3	3	3	3	3	3		
Затухание из-за геометрической дивергенции, Adiv, дБ	расстояние = 474.64 м	ф-ла (7) [10]	**64,5**										
Коэффициент затухания звука в атмосфере α, дБ/км	Ta=20,°C Pa=101.33,кПа hотн.=70%	ф-ла (5) [9]	0,02	0,09	0,33	1,12	2,79	4,98	9,04	23,09	77,63		
Учет затухания звука в атмосфере Aatm, дБ		ф-ла (8) [10]	0	0	0,2	0,5	1,3	2,4	4,3	11	36,8		
Снижение уровня звукового давления из-за влияния застройки между источником шума и расчетной точкой													
Снижение уровня звукового давления на пути над экраном, Dz1, дБ	z = 0.63м (разность путей)	ф-лы (14-18) [10]	6,9	8,5	10,6	13	15,6	18,5	21,4	24,4	27,3		
Снижение уровня звукового давления на пути слева от экрана, Dz2, дБ	z = 31.87м (разность путей)	ф-лы (14-18) [10]	24,9	28,3	31,4	34,5	37,5	40,5	43,5	46,5	49,5		

1		2	3	4	5	6	7	8	9	10	11	12	13
Снижение уровня звукового давления на пути справа от экрана, Dz3, дБ	z = 35.02м (разность путей)	ф-лы (14-18) [10]	25,3	28,8	31,9	34,9	37,9	40,9	43,9	46,9	50		
Общее снижение уровня звука препятствием Dz, дБ		Эн.сумма(-Dzi)	6,8	8,4	10,5	12,9	15,6	18,4	21,3	24,3	27,3		
Общее снижение уровня звука препятствием с учётом ограничения (25 дБ) для октавных полос Dz, дБ		Раздел 7.4 [10]	6,8	8,4	10,5	12,9	15,6	18,4	21,3	24,3	25		
Уровни звукового давления прямого звука от источника ИШ-1-29 в расчётной точке днём, дБ		**ф-ла(3)[10]**	**0**	**23,3**	**22,5**	**21**	**17,8**	**13,6**	**5,4**	**0**	**0**	**19**	**19**
Уровни звукового давления прямого звука от источника ИШ-1-29 в расчётной точке ночью, дБ		**ф-ла(3)[10]**	**0**	**23,3**	**22,5**	**21**	**17,8**	**13,6**	**5,4**	**0**	**0**	**19**	**19**
Расчёт отражённого звука													
Уровни звукового давления от мнимого источника ИШ-1-29_мн.(1) в расчётной точке днём, дБ		**ф-ла(3)[10]**	**0**	**0**	**0**	**0**	**0**	**0**	**4,4**	**0**	**0**	**5,6**	**5,6**
Уровни звукового давления от мнимого источника ИШ-1-29_мн.(1) в расчётной точке ночью, дБ		**ф-ла(3)[10]**	**0**	**0**	**0**	**0**	**0**	**0**	**0**	**0**	**0**	**5,6**	**5,6**
Уровни звукового давления от источника ИШ-1-29 в расчётной точке днём, дБ		**ф-ла(3)[10]**	**0**	**23,3**	**22,5**	**21**	**17,8**	**13,6**	**7,9**	**0**	**0**	**19,2**	**19,2**
Уровни звукового давления от источника ИШ-1-29 в расчётной точке ночью, дБ		**ф-ла(3)[10]**	**0**	**23,3**	**22,5**	**21**	**17,8**	**13,6**	**7,9**	**0**	**0**	**19,2**	**19,2**
Источник шума: ИШ-1-30, координаты источника (x,y,z), м =[478.45,194.54,1.00]													
Уровни звуковой мощности источника днём, Lw, дБ		**исходные данные**	**0**	**93,3**	**94,7**	**96**	**96,3**	**95,9**	**92,6**	**88,4**	**83,9**		
Уровни звуковой мощности источника ночью, Lw, дБ		**исходные данные**	**0**	**93,3**	**94,7**	**96**	**96,3**	**95,9**	**92,6**	**88,4**	**83,9**		
Поправка на телесный угол DΩ, дБ	Ω = 6.28	10Lg(4π/Ω)	**3**	3	3	3	3	3	3	3	3		
Показатель направленности источника Di, дБ		исходные данные	**0**	0	0	0	0	0	0	0	0		
Поправка на направленность источника Dc, дБ	Dc	DΩ + Di	**3**	3	3	3	3	3	3	3	3		
Затухание из-за геометрической дивергенции, Adiv, дБ	расстояние = 475.53 м	ф-ла (7) [10]	**64,5**										

1		2	3	4	5	6	7	8	9	10	11	12	13
Коэффициент затухания звука в атмосфере α, дБ/км	Та=20,°С Ра=101.33,кПа hотн.=70%	ф-ла (5) [9]	0,02	0,09	0,33	1,12	2,79	4,98	9,04	23,09	77,63		
Учет затухания звука в атмосфере Aatm, дБ		ф-ла (8) [10]	0	0	0,2	0,5	1,3	2,4	4,3	11	36,9		
Снижение уровня звукового давления из-за влияния застройки между источником шума и расчетной точкой													
Снижение уровня звукового давления на пути над экраном, Dz1, дБ	z = 0.61м (разность путей)	ф-лы (14-18) [10]	6,8	8,3	10,3	12,6	15,3	18,1	21	24	26,9		
Снижение уровня звукового давления на пути слева от экрана, Dz2, дБ	z = 30.68м (разность путей)	ф-лы (14-18) [10]	24,7	28,2	31,3	34,3	37,3	40,3	43,4	46,4	49,4		
Снижение уровня звукового давления на пути справа от экрана, Dz3, дБ	z = 37.28м (разность путей)	ф-лы (14-18) [10]	25,6	29	32,1	35,2	38,2	41,2	44,2	47,2	50,2		
Общее снижение уровня звука препятствием Dz, дБ		Эн.сумма(-Dzi)	6,6	8,2	10,2	12,6	15,2	18	20,9	23,9	26,9		
Общее снижение уровня звука препятствием с учётом ограничения (25 дБ) для октавных полос Dz, дБ		Раздел 7.4 [10]	6,6	8,2	10,2	12,6	15,2	18	20,9	23,9	25		
Уровни звукового давления прямого звука от источника ИШ-1-30 в расчётной точке днём, дБ		**ф-ла(3)[10]**	**0**	**23,5**	**22,8**	**21,3**	**18,2**	**13,9**	**5,8**	**0**	**0**	**19,3**	**19,3**
Уровни звукового давления прямого звука от источника ИШ-1-30 в расчётной точке ночью, дБ		**ф-ла(3)[10]**	**0**	**23,5**	**22,8**	**21,3**	**18,2**	**13,9**	**5,8**	**0**	**0**	**19,3**	**19,3**
Расчёт отражённого звука													
Уровни звукового давления от мнимого источника ИШ-1-30_мн.(1) в расчётной точке днём, дБ		**ф-ла(3)[10]**	**0**	**0**	**0**	**0**	**0**	**0**	**4,7**	**0**	**0**	**5,9**	**5,9**
Уровни звукового давления от мнимого источника ИШ-1-30_мн.(1) в расчётной точке ночью, дБ		**ф-ла(3)[10]**	**0**	**0**	**0**	**0**	**0**	**0**	**0**	**0**	**0**	**5,9**	**5,9**
Уровни звукового давления от источника ИШ-1-30 в расчётной точке днём, дБ		**ф-ла(3)[10]**	**0**	**23,5**	**22,8**	**21,3**	**18,2**	**13,9**	**8,3**	**0**	**0**	**19,5**	**19,5**
Уровни звукового давления от источника ИШ-1-30 в расчётной точке ночью, дБ		**ф-ла(3)[10]**	**0**	**23,5**	**22,8**	**21,3**	**18,2**	**13,9**	**8,3**	**0**	**0**	**19,5**	**19,5**
Источник шума: ИШ-1-31, координаты источника (x,y,z), м =[481.58,193.96,1.00]													

1		2	3	4	5	6	7	8	9	10	11	12	13
Уровни звуковой мощности источника днём, Lw, дБ		**исходные данные**	**0**	**93,3**	**94,7**	**96**	**96,3**	**95,9**	**92,6**	**88,4**	**83,9**		
Уровни звуковой мощности источника ночью, Lw, дБ		**исходные данные**	**0**	**93,3**	**94,7**	**96**	**96,3**	**95,9**	**92,6**	**88,4**	**83,9**		
Поправка на телесный угол DΩ, дБ	Ω = 6.28	10Lg(4π/Ω)	**3**	3	3	3	3	3	3	3	3		
Показатель направленности источника Di, дБ		исходные данные	**0**	0	0	0	0	0	0	0	0		
Поправка на направленность источника Dc, дБ	Dc	DΩ + Di	**3**	3	3	3	3	3	3	3	3		
Затухание из-за геометрической дивергенции, Adiv, дБ	расстояние = 477.01 м	ф-ла (7) [10]	**64,6**										
Коэффициент затухания звука в атмосфере α, дБ/км	Ta=20,°C Pa=101.33,кПа hотн.=70%	ф-ла (5) [9]	0,02	0,09	0,33	1,12	2,79	4,98	9,04	23,09	77,63		
Учет затухания звука в атмосфере Aatm, дБ		ф-ла (8) [10]	0	0	0,2	0,5	1,3	2,4	4,3	11	37		
Снижение уровня звукового давления из-за влияния застройки между источником шума и расчетной точкой													
Снижение уровня звукового давления на пути над экраном, Dz1, дБ	z = 0.59м (разность путей)	ф-лы (14-18) [10]	6,6	8,1	10	12,3	14,9	17,7	20,6	23,6	26,6		
Снижение уровня звукового давления на пути слева от экрана, Dz2, дБ	z = 29.56м (разность путей)	ф-лы (14-18) [10]	24,5	28	31,1	34,2	37,2	40,2	43,2	46,2	49,2		
Снижение уровня звукового давления на пути справа от экрана, Dz3, дБ	z = 38.96м (разность путей)	ф-лы (14-18) [10]	25,8	29,2	32,3	35,4	38,4	41,4	44,4	47,4	50,4		
Общее снижение уровня звука препятствием Dz, дБ		Эн.сумма(-Dzi)	6,5	8	9,9	12,3	14,9	17,7	20,6	23,5	26,5		
Общее снижение уровня звука препятствием с учётом ограничения (25 дБ) для октавных полос Dz, дБ		Раздел 7.4 [10]	6,5	8	9,9	12,3	14,9	17,7	20,6	23,5	25		
Уровни звукового давления прямого звука от источника ИШ-1-31 в расчётной точке днём, дБ		**ф-ла(3)[10]**	**0**	**23,7**	**23**	**21,6**	**18,5**	**14,3**	**6,1**	**0**	**0**	**19,6**	**19,6**
Уровни звукового давления прямого звука от источника ИШ-1-31 в расчётной точке ночью, дБ		**ф-ла(3)[10]**	**0**	**23,7**	**23**	**21,6**	**18,5**	**14,3**	**6,1**	**0**	**0**	**19,6**	**19,6**
Расчёт отражённого звука													

1		2	3	4	5	6	7	8	9	10	11	12	13
Уровни звукового давления от мнимого источника ИШ-1-31_мн.(1) в расчётной точке днём, дБ		**ф-ла(3)[10]**	**0**	**0**	**0**	**0**	**0**	**0**	**5,1**	**0**	**0**	**6,3**	**6,3**
Уровни звукового давления от мнимого источника ИШ-1-31_мн.(1) в расчётной точке ночью, дБ		**ф-ла(3)[10]**	**0**	**0**	**0**	**0**	**0**	**0**	**0**	**0**	**0**	**6,3**	**6,3**
Уровни звукового давления от источника ИШ-1-31 в расчётной точке днём, дБ		**ф-ла(3)[10]**	**0**	**23,7**	**23**	**21,6**	**18,5**	**14,3**	**8,7**	**0**	**0**	**19,8**	**19,8**
Уровни звукового давления от источника ИШ-1-31 в расчётной точке ночью, дБ		**ф-ла(3)[10]**	**0**	**23,7**	**23**	**21,6**	**18,5**	**14,3**	**8,7**	**0**	**0**	**19,8**	**19,8**
Источник шума: ИШ-1-32, координаты источника (x,y,z), м =[871.21,281.99,50.00]													
Уровни звуковой мощности источника днём, Lw, дБ		**исходные данные**	**125**	**119,6**	**113,4**	**111,4**	**110,8**	**112,7**	**113,8**	**109,2**	**97,4**		
Уровни звуковой мощности источника ночью, Lw, дБ		**исходные данные**	**0**	**0**	**0**	**0**	**0**	**0**	**0**	**0**	**0**		
Поправка на телесный угол DΩ, дБ	Ω = 12.57	10Lg(4π/Ω)	**0**	0	0	0	0	0	0	0	0		
Показатель направленности источника Di, дБ		исходные данные	**0**	0	0	0	0	0	0	0	0		
Поправка на направленность источника Dc, дБ	Dc	DΩ + Di	**0**	0	0	0	0	0	0	0	0		
Затухание из-за геометрической дивергенции, Adiv, дБ	расстояние = 828.74 м	ф-ла (7) [10]	**69,4**										
Коэффициент затухания звука в атмосфере α, дБ/км	Ta=20,°C Pa=101.33,кПа hотн.=70%	ф-ла (5) [9]	0,02	0,09	0,33	1,12	2,79	4,98	9,04	23,09	77,63		
Учет затухания звука в атмосфере Aatm, дБ		ф-ла (8) [10]	0	0,1	0,3	0,9	2,3	4,1	7,5	19,1	64,3		
Снижение поверхностью земли возле источника As, дБ	Gs = 0 hs = 50м	ф-лы таб.3 [10]	-1,5	-1,5	-1,5	-1,5	-1,5	-1,5	-1,5	-1,5	-1,5		
Снижение поверхностью земли возле приёмника Ar, дБ	Gr = 1 hr = 1.6м	ф-лы таб.3 [10]	-1,5	-1,5	4,6	6,8	4,3	0,5	0	0	0		
Снижение поверхностью земли в средней зоне, Am дБ	Gm = 1	ф-лы таб.3 [10]	0	0	0	0	0	0	0	0	0		

1		2	3	4	5	6	7	8	9	10	11	12	13
Суммарное снижение поверхностью земли на траектории распространения звука Agr, дБ		ф-ла (9) [10]	-3	-3	3,1	5,3	2,8	-1	-1,5	-1,5	-1,5		
Уровни звукового давления прямого звука от источника ИШ-1-32 в расчётной точке днём, дБ		**ф-ла(3)[10]**	**58,6**	**53,2**	**40,7**	**35,8**	**36,3**	**40,2**	**38,5**	**22,2**	**0**	**43,7**	**43,7**
Уровни звукового давления прямого звука от источника ИШ-1-32 в расчётной точке ночью, дБ		**ф-ла(3)[10]**	**0**	**0**	**0**	**0**	**0**	**0**	**0**	**0**	**0**	**0**	**0**
Расчёт отражённого звука													
Уровни звукового давления от мнимого источника ИШ-1-32_мн.(1) в расчётной точке днём, дБ		**ф-ла(3)[10]**	**0**	**0**	**0**	**0**	**33,8**	**37,7**	**35,9**	**19,7**	**0**	**40,9**	**40,9**
Уровни звукового давления от мнимого источника ИШ-1-32_мн.(1) в расчётной точке ночью, дБ		**ф-ла(3)[10]**	**0**	**0**	**0**	**0**	**0**	**0**	**0**	**0**	**0**	**0**	**0**
Уровни звукового давления от источника ИШ-1-32 в расчётной точке днём, дБ		**ф-ла(3)[10]**	**58,6**	**53,2**	**40,7**	**35,8**	**38,3**	**42,2**	**40,4**	**24,1**	**0**	**45,5**	**45,5**
Уровни звукового давления от источника ИШ-1-32 в расчётной точке ночью, дБ		**ф-ла(3)[10]**	**0**	**0**	**0**	**0**	**0**	**0**	**0**	**0**	**0**	**0**	**0**
Источник шума: ИШ-1-33, координаты источника (x,y,z), м =[743.42,374.85,1.00]													
Уровни звуковой мощности источника днём, Lw, дБ		**исходные данные**	**0**	**88,7**	**90,1**	**93,1**	**96,4**	**103**	**112**	**108**	**99,2**		
Уровни звуковой мощности источника ночью, Lw, дБ		**исходные данные**	**0**	**0**	**0**	**0**	**0**	**0**	**0**	**0**	**0**		
Поправка на телесный угол DΩ, дБ	Ω = 6.28	10Lg(4π/Ω)	**3**	3	3	3	3	3	3	3	3		
Показатель направленности источника Di, дБ		исходные данные	**0**	0	0	0	0	0	0	0	0		
Поправка на направленность источника Dc, дБ	Dc	DΩ + Di	**3**	3	3	3	3	3	3	3	3		
Затухание из-за геометрической дивергенции, Adiv, дБ	расстояние = 787.07 м	ф-ла (7) [10]	**68,9**										
Коэффициент затухания звука в атмосфере α, дБ/км	Ta=20,°C Pa=101.33,кПа hотн.=70%	ф-ла (5) [9]	0,02	0,09	0,33	1,12	2,79	4,98	9,04	23,09	77,63		

1		2	3	4	5	6	7	8	9	10	11	12	13
Учет затухания звука в атмосфере Aatm, дБ		ф-ла (8) [10]	0	0,1	0,3	0,9	2,2	3,9	7,1	18,2	61,1		
Снижение уровня звукового давления из-за влияния застройки между источником шума и расчетной точкой													
Снижение уровня звукового давления на пути над экраном, Dz1, дБ	z = 0.36м (разность путей)	ф-лы (14-18) [10]	4,9	5	5,3	5,8	6,6	7,9	9,7	12	14,5		
Снижение уровня звукового давления на пути слева от экрана, Dz2, дБ	z = 13.16м (разность путей)	ф-лы (14-18) [10]	21,3	24,6	27,6	30,7	33,7	36,7	39,7	42,7	45,7		
Снижение уровня звукового давления на пути справа от экрана, Dz3, дБ	z = 28.98м (разность путей)	ф-лы (14-18) [10]	24,5	27,9	31	34,1	37,1	40,1	43,1	46,1	49,1		
Общее снижение уровня звука препятствием Dz, дБ		Эн.сумма(-Dzi)	4,8	5	5,3	5,8	6,6	7,9	9,7	12	14,5		
Уровни звукового давления от источника ИШ-1-33 в расчётной точке днём, дБ		**ф-ла(3)[10]**	**0**	**17,7**	**18,7**	**20,5**	**21,7**	**25,3**	**29,3**	**12**	**0**	**31,9**	**31,9**
Уровни звукового давления от источника ИШ-1-33 в расчётной точке ночью, дБ		**ф-ла(3)[10]**	**0**	**0**	**0**	**0**	**0**	**0**	**0**	**0**	**0**	**0**	**0**
Источник шума: ИШ-1-34, координаты источника (x,y,z), м =[1042.35,199.07,1.00]													
Уровни звуковой мощности источника днём, Lw, дБ		**исходные данные**	**0**	**88,7**	**90,1**	**93,1**	**96,4**	**103**	**112**	**108**	**99,2**		
Уровни звуковой мощности источника ночью, Lw, дБ		**исходные данные**	**0**	**0**	**0**	**0**	**0**	**0**	**0**	**0**	**0**		
Поправка на телесный угол DΩ, дБ	Ω = 6.28	10Lg(4π/Ω)	**3**	3	3	3	3	3	3	3	3		
Показатель направленности источника Di, дБ		исходные данные	**0**	0	0	0	0	0	0	0	0		
Поправка на направленность источника Dc, дБ	Dc	DΩ + Di	**3**	3	3	3	3	3	3	3	3		
Затухание из-за геометрической дивергенции, Adiv, дБ	расстояние = 937.70 м	ф-ла (7) [10]	**70,4**										
Коэффициент затухания звука в атмосфере α, дБ/км	Ta=20,°C Pa=101.33,кПа hотн.=70%	ф-ла (5) [9]	0,02	0,09	0,33	1,12	2,79	4,98	9,04	23,09	77,63		

1		2	3	4	5	6	7	8	9	10	11	12	13
Учет затухания звука в атмосфере Aatm, дБ		ф-ла (8) [10]	0	0,1	0,3	1,1	2,6	4,7	8,5	21,6	72,8		
Снижение уровня звукового давления из-за влияния застройки между источником шума и расчетной точкой													
Снижение уровня звукового давления на пути над экраном, Dz1, дБ	z = 0.07м (разность путей)	ф-лы (14-18) [10]	4,8	4,8	4,8	4,8	4,8	4,8	4,8	4,8	4,8		
Снижение уровня звукового давления на пути слева от экрана, Dz2, дБ	z = 7.86м (разность путей)	ф-лы (14-18) [10]	15,1	17,9	20,7	23,7	26,7	29,7	32,7	35,7	38,7		
Снижение уровня звукового давления на пути справа от экрана, Dz3, дБ	z = 23.76м (разность путей)	ф-лы (14-18) [10]	19,6	22,5	25,5	28,5	31,5	34,5	37,5	40,5	43,5		
Общее снижение уровня звука препятствием Dz, дБ		Эн.сумма(-Dzi)	4,3	4,5	4,6	4,7	4,7	4,8	4,8	4,8	4,8		
Уровни звукового давления от источника ИШ-1-34 в расчётной точке днём, дБ		**ф-ла(3)[10]**	**0**	**16,7**	**17,7**	**19,9**	**21,6**	**26,2**	**31,3**	**14,2**	**0**	**33,7**	**33,7**
Уровни звукового давления от источника ИШ-1-34 в расчётной точке ночью, дБ		**ф-ла(3)[10]**	**0**	**0**	**0**	**0**	**0**	**0**	**0**	**0**	**0**	**0**	**0**
Источник шума: ИШ-2-1, координаты источника (x,y,z), м =[696.50,124.40,3.00]													
Уровни звуковой мощности источника днём, Lw, дБ		**исходные данные**	**105**	**104**	**104**	**101**	**102**	**106**	**101**	**95**	**87**		
Уровни звуковой мощности источника ночью, Lw, дБ		**исходные данные**	**105**	**104**	**104**	**101**	**102**	**106**	**101**	**95**	**87**		
Поправка на телесный угол DΩ, дБ	Ω = 6.28	10Lg(4π/Ω)	**3**	3	3	3	3	3	3	3	3		
Показатель направленности источника Di, дБ		исходные данные	**0**	0	0	0	0	0	0	0	0		
Поправка на направленность источника Dc, дБ	Dc	DΩ + Di	**3**	3	3	3	3	3	3	3	3		
Затухание из-за геометрической дивергенции, Adiv, дБ	расстояние = 595.38 м	ф-ла (7) [10]	**66,5**										
Коэффициент затухания звука в атмосфере α, дБ/км	Ta=20,°C Pa=101.33,кПа hотн.=70%	ф-ла (5) [9]	0,02	0,09	0,33	1,12	2,79	4,98	9,04	23,09	77,63		

1		2	3	4	5	6	7	8	9	10	11	12	13
Учет затухания звука в атмосфере Aatm, дБ		ф-ла (8) [10]	0	0,1	0,2	0,7	1,7	3	5,4	13,7	46,2		
Снижение уровня звукового давления из-за влияния застройки между источником шума и расчетной точкой													
Снижение уровня звукового давления на пути над экраном, Dz1, дБ	z = 0.25м (разность путей)	ф-лы (14-18) [10]	4,8	4,8	4,8	5	5,3	5,8	6,8	8,2	10		
Снижение уровня звукового давления на пути слева от экрана, Dz2, дБ	z = 1.47м (разность путей)	ф-лы (14-18) [10]	9,3	11,4	13,9	16,6	19,5	22,4	25,4	28,4	31,4		
Снижение уровня звукового давления на пути справа от экрана, Dz3, дБ	z = 15.85м (разность путей)	ф-лы (14-18) [10]	17,9	20,8	23,7	26,7	29,7	32,7	35,7	38,7	41,7		
Общее снижение уровня звука препятствием Dz, дБ		Эн.сумма(-Dzi)	3,3	3,9	4,3	4,6	5,1	5,7	6,7	8,1	10		
Уровни звукового давления от источника ИШ-2-1 в расчётной точке днём, дБ		**ф-ла(3)[10]**	**38,2**	**36,6**	**36**	**32,2**	**31,8**	**33,8**	**25,4**	**9,7**	**0**	**36**	**36**
Уровни звукового давления от источника ИШ-2-1 в расчётной точке ночью, дБ		**ф-ла(3)[10]**	**38,2**	**36,6**	**36**	**32,2**	**31,8**	**33,8**	**25,4**	**9,7**	**0**	**36**	**36**
Источник шума: ИШ-2-2, координаты источника (x,y,z), м =[682.20,81.60,3.00]													
Уровни звуковой мощности источника днём, Lw, дБ		**исходные данные**	**105**	**104**	**104**	**101**	**102**	**106**	**101**	**95**	**87**		
Уровни звуковой мощности источника ночью, Lw, дБ		**исходные данные**	**105**	**104**	**104**	**101**	**102**	**106**	**101**	**95**	**87**		
Поправка на телесный угол DΩ, дБ	Ω = 6.28	10Lg(4π/Ω)	**3**	3	3	3	3	3	3	3	3		
Показатель направленности источника Di, дБ		исходные данные	**0**	0	0	0	0	0	0	0	0		
Поправка на направленность источника Dc, дБ	Dc	DΩ + Di	**3**	3	3	3	3	3	3	3	3		
Затухание из-за геометрической дивергенции, Adiv, дБ	расстояние = 562.04 м	ф-ла (7) [10]	**66**										
Коэффициент затухания звука в атмосфере α, дБ/км	Ta=20,°C Pa=101.33,кПа hотн.=70%	ф-ла (5) [9]	0,02	0,09	0,33	1,12	2,79	4,98	9,04	23,09	77,63		

1		2	3	4	5	6	7	8	9	10	11	12	13
Учет затухания звука в атмосфере Aatm, дБ		ф-ла (8) [10]	0	0,1	0,2	0,6	1,6	2,8	5,1	13	43,6		
Снижение уровня звукового давления из-за влияния застройки между источником шума и расчетной точкой													
Снижение уровня звукового давления на пути над экраном, Dz1, дБ	z = 0.29м (разность путей)	ф-лы (14-18) [10]	4,8	4,9	5	5,4	6,1	7,2	8,8	10,9	13,3		
Снижение уровня звукового давления на пути слева от экрана, Dz2, дБ	z = 0.45м (разность путей)	ф-лы (14-18) [10]	6,7	8	9,8	12,1	14,7	17,5	20,4	23,3	26,3		
Снижение уровня звукового давления на пути справа от экрана, Dz3, дБ	z = 20.61м (разность путей)	ф-лы (14-18) [10]	19	21,9	24,9	27,8	30,8	33,9	36,9	39,9	42,9		
Общее снижение уровня звука препятствием Dz, дБ		Эн.сумма(-Dzi)	2,5	3,1	3,7	4,5	5,5	6,8	8,5	10,6	13,1		
Уровни звукового давления от источника ИШ-2-2 в расчётной точке днём, дБ		**ф-ла(3)[10]**	**39,5**	**37,9**	**37,1**	**32,9**	**31,9**	**33,4**	**24,4**	**8,4**	**0**	**35,7**	**35,7**
Уровни звукового давления от источника ИШ-2-2 в расчётной точке ночью, дБ		**ф-ла(3)[10]**	**39,5**	**37,9**	**37,1**	**32,9**	**31,9**	**33,4**	**24,4**	**8,4**	**0**	**35,7**	**35,7**
Источник шума: ИШ-2-3, координаты источника (x,y,z), м =[667.80,38.90,3.00]													
Уровни звуковой мощности источника днём, Lw, дБ		**исходные данные**	**105**	**104**	**104**	**101**	**102**	**106**	**101**	**95**	**87**		
Уровни звуковой мощности источника ночью, Lw, дБ		**исходные данные**	**105**	**104**	**104**	**101**	**102**	**106**	**101**	**95**	**87**		
Поправка на телесный угол DΩ, дБ	Ω = 6.28	10Lg(4π/Ω)	**3**	3	3	3	3	3	3	3	3		
Показатель направленности источника Di, дБ		исходные данные	**0**	0	0	0	0	0	0	0	0		
Поправка на направленность источника Dc, дБ	Dc	DΩ + Di	**3**	3	3	3	3	3	3	3	3		
Затухание из-за геометрической дивергенции, Adiv, дБ	расстояние = 530.39 м	ф-ла (7) [10]	**65,5**										
Коэффициент затухания звука в атмосфере α, дБ/км	Ta=20,°C Pa=101.33,кПа hотн.=70%	ф-ла (5) [9]	0,02	0,09	0,33	1,12	2,79	4,98	9,04	23,09	77,63		

1		2	3	4	5	6	7	8	9	10	11	12	13
Учет затухания звука в атмосфере Aatm, дБ		ф-ла (8) [10]	0	0	0,2	0,6	1,5	2,6	4,8	12,2	41,2		
Снижение уровня звукового давления из-за влияния застройки между источником шума и расчетной точкой													
Снижение уровня звукового давления на пути над экраном, Dz1, дБ	z = 0.30м (разность путей)	ф-лы (14-18) [10]	5,3	5,8	6,6	7,9	9,7	11,9	14,5	17,3	20,2		
Снижение уровня звукового давления на пути слева от экрана, Dz2, дБ	z = 20.12м (разность путей)	ф-лы (14-18) [10]	18,9	21,8	24,8	27,7	30,7	33,7	36,8	39,8	42,8		
Снижение уровня звукового давления на пути справа от экрана, Dz3, дБ	z = 1.27м (разность путей)	ф-лы (14-18) [10]	8,9	10,9	13,3	16	18,9	21,8	24,8	27,8	30,8		
Общее снижение уровня звука препятствием Dz, дБ		Эн.сумма(-Dzi)	3,6	4,5	5,7	7,2	9,2	11,5	14,1	16,9	19,8		
Уровни звукового давления от источника ИШ-2-3 в расчётной точке днём, дБ		**ф-ла(3)[10]**	**38,9**	**36,9**	**35,6**	**30,7**	**28,9**	**29,4**	**19,6**	**3,4**	**0**	**32,1**	**32,1**
Уровни звукового давления от источника ИШ-2-3 в расчётной точке ночью, дБ		**ф-ла(3)[10]**	**38,9**	**36,9**	**35,6**	**30,7**	**28,9**	**29,4**	**19,6**	**3,4**	**0**	**32,1**	**32,1**
Источник шума: ИШ-2-6, координаты источника (x,y,z), м =[765.97,112.43,1.00]													
Уровни звуковой мощности источника днём, Lw, дБ		**исходные данные**	**0**	**93,3**	**94,7**	**96**	**96,3**	**95,9**	**92,6**	**88,4**	**83,9**		
Уровни звуковой мощности источника ночью, Lw, дБ		**исходные данные**	**0**	**93,3**	**94,7**	**96**	**96,3**	**95,9**	**92,6**	**88,4**	**83,9**		
Поправка на телесный угол DΩ, дБ	Ω = 6.28	10Lg(4π/Ω)	**3**	3	3	3	3	3	3	3	3		
Показатель направленности источника Di, дБ		исходные данные	**0**	0	0	0	0	0	0	0	0		
Поправка на направленность источника Dc, дБ	Dc	DΩ + Di	**3**	3	3	3	3	3	3	3	3		
Затухание из-за геометрической дивергенции, Adiv, дБ	расстояние = 650.65 м	ф-ла (7) [10]	**67,3**										
Коэффициент затухания звука в атмосфере α, дБ/км	Ta=20,°C Pa=101.33,кПа hотн.=70%	ф-ла (5) [9]	0,02	0,09	0,33	1,12	2,79	4,98	9,04	23,09	77,63		

1		2	3	4	5	6	7	8	9	10	11	12	13
Учет затухания звука в атмосфере Aatm, дБ		ф-ла (8) [10]	0	0,1	0,2	0,7	1,8	3,2	5,9	15	50,5		
Снижение уровня звукового давления из-за влияния застройки между источником шума и расчетной точкой													
Снижение уровня звукового давления на пути над экраном, Dz1, дБ	z = 0.32м (разность путей)	ф-лы (14-18) [10]	4,8	4,8	4,9	5,1	5,6	6,4	7,6	9,4	11,6		
Снижение уровня звукового давления на пути слева от экрана, Dz2, дБ	z = 0.22м (разность путей)	ф-лы (14-18) [10]	5,8	6,7	8	9,8	12,1	14,6	17,4	20,3	23,3		
Снижение уровня звукового давления на пути справа от экрана, Dz3, дБ	z = 21.23м (разность путей)	ф-лы (14-18) [10]	19,1	22,1	25	28	31	34	37	40	43		
Общее снижение уровня звука препятствием Dz, дБ		Эн.сумма(-Dzi)	2,2	2,6	3,1	3,8	4,7	5,8	7,2	9	11,3		
Уровни звукового давления от источника ИШ-2-6 в расчётной точке днём, дБ		**ф-ла(3)[10]**	**0**	**26,4**	**27,1**	**27,2**	**25,5**	**22,6**	**15,2**	**0,1**	**0**	**26,8**	**26,8**
Уровни звукового давления от источника ИШ-2-6 в расчётной точке ночью, дБ		**ф-ла(3)[10]**	**0**	**26,4**	**27,1**	**27,2**	**25,5**	**22,6**	**15,2**	**0,1**	**0**	**26,8**	**26,8**
Источник шума: ИШ-2-7, координаты источника (x,y,z), м =[764.91,109.54,1.00]													
Уровни звуковой мощности источника днём, Lw, дБ		**исходные данные**	**0**	**93,3**	**94,7**	**96**	**96,3**	**95,9**	**92,6**	**88,4**	**83,9**		
Уровни звуковой мощности источника ночью, Lw, дБ		**исходные данные**	**0**	**93,3**	**94,7**	**96**	**96,3**	**95,9**	**92,6**	**88,4**	**83,9**		
Поправка на телесный угол DΩ, дБ	Ω = 6.28	10Lg(4π/Ω)	**3**	3	3	3	3	3	3	3	3		
Показатель направленности источника Di, дБ		исходные данные	**0**	0	0	0	0	0	0	0	0		
Поправка на направленность источника Dc, дБ	Dc	DΩ + Di	**3**	3	3	3	3	3	3	3	3		
Затухание из-за геометрической дивергенции, Adiv, дБ	расстояние = 648.41 м	ф-ла (7) [10]	**67,2**										
Коэффициент затухания звука в атмосфере α, дБ/км	Ta=20,°C Pa=101.33,кПа hотн.=70%	ф-ла (5) [9]	0,02	0,09	0,33	1,12	2,79	4,98	9,04	23,09	77,63		

1		2	3	4	5	6	7	8	9	10	11	12	13
Учет затухания звука в атмосфере Aatm, дБ		ф-ла (8) [10]	0	0,1	0,2	0,7	1,8	3,2	5,9	15	50,3		
Снижение уровня звукового давления из-за влияния застройки между источником шума и расчетной точкой													
Снижение уровня звукового давления на пути над экраном, Dz1, дБ	z = 0.31м (разность путей)	ф-лы (14-18) [10]	4,8	4,8	4,9	5,1	5,6	6,4	7,7	9,4	11,6		
Снижение уровня звукового давления на пути слева от экрана, Dz2, дБ	z = 0.19м (разность путей)	ф-лы (14-18) [10]	5,7	6,5	7,7	9,4	11,6	14,1	16,8	19,7	22,6		
Снижение уровня звукового давления на пути справа от экрана, Dz3, дБ	z = 21.54м (разность путей)	ф-лы (14-18) [10]	19,2	22,1	25	28	31	34	37,1	40,1	43,1		
Общее снижение уровня звука препятствием Dz, дБ		Эн.сумма(-Dzi)	2,1	2,5	3	3,7	4,6	5,7	7,2	9	11,2		
Уровни звукового давления от источника ИШ-2-7 в расчётной точке днём, дБ		**ф-ла(3)[10]**	**0**	**26,5**	**27,2**	**27,3**	**25,6**	**22,7**	**15,3**	**0,2**	**0**	**27**	**27**
Уровни звукового давления от источника ИШ-2-7 в расчётной точке ночью, дБ		**ф-ла(3)[10]**	**0**	**26,5**	**27,2**	**27,3**	**25,6**	**22,7**	**15,3**	**0,2**	**0**	**27**	**27**
Источник шума: ИШ-2-8, координаты источника (x,y,z), м =[764.03,106.58,1.00]													
Уровни звуковой мощности источника днём, Lw, дБ		**исходные данные**	**0**	**93,3**	**94,7**	**96**	**96,3**	**95,9**	**92,6**	**88,4**	**83,9**		
Уровни звуковой мощности источника ночью, Lw, дБ		**исходные данные**	**0**	**93,3**	**94,7**	**96**	**96,3**	**95,9**	**92,6**	**88,4**	**83,9**		
Поправка на телесный угол DΩ, дБ	Ω = 6.28	10Lg(4π/Ω)	**3**	3	3	3	3	3	3	3	3		
Показатель направленности источника Di, дБ		исходные данные	**0**	0	0	0	0	0	0	0	0		
Поправка на направленность источника Dc, дБ	Dc	DΩ + Di	**3**	3	3	3	3	3	3	3	3		
Затухание из-за геометрической дивергенции, Adiv, дБ	расстояние = 646.31 м	ф-ла (7) [10]	**67,2**										
Коэффициент затухания звука в атмосфере α, дБ/км	Ta=20,°C Pa=101.33,кПа hотн.=70%	ф-ла (5) [9]	0,02	0,09	0,33	1,12	2,79	4,98	9,04	23,09	77,63		

1		2	3	4	5	6	7	8	9	10	11	12	13
Учет затухания звука в атмосфере Aatm, дБ		ф-ла (8) [10]	0	0,1	0,2	0,7	1,8	3,2	5,8	14,9	50,2		
Снижение уровня звукового давления из-за влияния застройки между источником шума и расчетной точкой													
Снижение уровня звукового давления на пути над экраном, Dz1, дБ	z = 0.31м (разность путей)	ф-лы (14-18) [10]	4,8	4,8	4,9	5,1	5,6	6,4	7,7	9,4	11,6		
Снижение уровня звукового давления на пути слева от экрана, Dz2, дБ	z = 0.16м (разность путей)	ф-лы (14-18) [10]	5,6	6,2	7,3	8,9	11	13,4	16,1	19	21,9		
Снижение уровня звукового давления на пути справа от экрана, Dz3, дБ	z = 21.87м (разность путей)	ф-лы (14-18) [10]	19,2	22,2	25,1	28,1	31,1	34,1	37,1	40,1	43,1		
Общее снижение уровня звука препятствием Dz, дБ		Эн.сумма(-Dzi)	2,1	2,4	2,9	3,6	4,5	5,6	7,1	8,9	11,2		
Уровни звукового давления от источника ИШ-2-8 в расчётной точке днём, дБ		**ф-ла(3)[10]**	**0**	**26,6**	**27,4**	**27,5**	**25,8**	**22,8**	**15,5**	**0,3**	**0**	**27,1**	**27,1**
Уровни звукового давления от источника ИШ-2-8 в расчётной точке ночью, дБ		**ф-ла(3)[10]**	**0**	**26,6**	**27,4**	**27,5**	**25,8**	**22,8**	**15,5**	**0,3**	**0**	**27,1**	**27,1**
Источник шума: ИШ-2-9, координаты источника (x,y,z), м =[763.26,103.71,1.00]													
Уровни звуковой мощности источника днём, Lw, дБ		**исходные данные**	**0**	**93,3**	**94,7**	**96**	**96,3**	**95,9**	**92,6**	**88,4**	**83,9**		
Уровни звуковой мощности источника ночью, Lw, дБ		**исходные данные**	**0**	**93,3**	**94,7**	**96**	**96,3**	**95,9**	**92,6**	**88,4**	**83,9**		
Поправка на телесный угол DΩ, дБ	Ω = 6.28	10Lg(4π/Ω)	**3**	3	3	3	3	3	3	3	3		
Показатель направленности источника Di, дБ		исходные данные	**0**	0	0	0	0	0	0	0	0		
Поправка на направленность источника Dc, дБ	Dc	DΩ + Di	**3**	3	3	3	3	3	3	3	3		
Затухание из-за геометрической дивергенции, Adiv, дБ	расстояние = 644.35 м	ф-ла (7) [10]	**67,2**										
Коэффициент затухания звука в атмосфере α, дБ/км	Ta=20,°C Pa=101.33,кПа hотн.=70%	ф-ла (5) [9]	0,02	0,09	0,33	1,12	2,79	4,98	9,04	23,09	77,63		

1		2	3	4	5	6	7	8	9	10	11	12	13
Учет затухания звука в атмосфере Aatm, дБ		ф-ла (8) [10]	0	0,1	0,2	0,7	1,8	3,2	5,8	14,9	50		
Снижение уровня звукового давления из-за влияния застройки между источником шума и расчетной точкой													
Снижение уровня звукового давления на пути над экраном, Dz1, дБ	z = 0.31м (разность путей)	ф-лы (14-18) [10]	4,8	4,8	4,9	5,1	5,6	6,4	7,6	9,4	11,6		
Снижение уровня звукового давления на пути слева от экрана, Dz2, дБ	z = 0.13м (разность путей)	ф-лы (14-18) [10]	5,4	6	7	8,4	10,4	12,8	15,4	18,2	21,1		
Снижение уровня звукового давления на пути справа от экрана, Dz3, дБ	z = 22.20м (разность путей)	ф-лы (14-18) [10]	21,6	25,9	29,6	32,8	35,9	38,9	42	45	48		
Общее снижение уровня звука препятствием Dz, дБ		Эн.сумма(-Dzi)	2	2,3	2,8	3,4	4,3	5,5	7	8,9	11,1		
Уровни звукового давления от источника ИШ-2-9 в расчётной точке днём, дБ		**ф-ла(3)[10]**	**0**	**26,7**	**27,5**	**27,6**	**26**	**23**	**15,6**	**0,5**	**0**	**27,3**	**27,3**
Уровни звукового давления от источника ИШ-2-9 в расчётной точке ночью, дБ		**ф-ла(3)[10]**	**0**	**26,7**	**27,5**	**27,6**	**26**	**23**	**15,6**	**0,5**	**0**	**27,3**	**27,3**
Источник шума: ИШ-2-10, координаты источника (x,y,z), м =[762.14,100.75,1.00]													
Уровни звуковой мощности источника днём, Lw, дБ		**исходные данные**	**0**	**93,3**	**94,7**	**96**	**96,3**	**95,9**	**92,6**	**88,4**	**83,9**		
Уровни звуковой мощности источника ночью, Lw, дБ		**исходные данные**	**0**	**93,3**	**94,7**	**96**	**96,3**	**95,9**	**92,6**	**88,4**	**83,9**		
Поправка на телесный угол DΩ, дБ	Ω = 6.28	10Lg(4π/Ω)	**3**	3	3	3	3	3	3	3	3		
Показатель направленности источника Di, дБ		исходные данные	**0**	0	0	0	0	0	0	0	0		
Поправка на направленность источника Dc, дБ	Dc	DΩ + Di	**3**	3	3	3	3	3	3	3	3		
Затухание из-за геометрической дивергенции, Adiv, дБ	расстояние = 642.05 м	ф-ла (7) [10]	**67,2**										
Коэффициент затухания звука в атмосфере α, дБ/км	Ta=20,°C Pa=101.33,кПа hотн.=70%	ф-ла (5) [9]	0,02	0,09	0,33	1,12	2,79	4,98	9,04	23,09	77,63		

1		2	3	4	5	6	7	8	9	10	11	12	13
Учет затухания звука в атмосфере Aatm, дБ		ф-ла (8) [10]	0	0,1	0,2	0,7	1,8	3,2	5,8	14,8	49,8		
Снижение уровня звукового давления из-за влияния застройки между источником шума и расчетной точкой													
Снижение уровня звукового давления на пути над экраном, Dz1, дБ	z = 0.31м (разность путей)	ф-лы (14-18) [10]	4,8	4,8	4,9	5,1	5,6	6,4	7,6	9,4	11,6		
Снижение уровня звукового давления на пути слева от экрана, Dz2, дБ	z = 0.11м (разность путей)	ф-лы (14-18) [10]	5,3	5,8	6,7	8	9,8	12	14,6	17,4	20,3		
Снижение уровня звукового давления на пути справа от экрана, Dz3, дБ	z = 22.53м (разность путей)	ф-лы (14-18) [10]	21,6	26	29,7	32,9	36	39	42	45	48		
Общее снижение уровня звука препятствием Dz, дБ		Эн.сумма(-Dzi)	2	2,3	2,7	3,3	4,2	5,3	6,9	8,8	11		
Уровни звукового давления от источника ИШ-2-10 в расчётной точке днём, дБ		**ф-ла(3)[10]**	**0**	**26,8**	**27,7**	**27,8**	**26,2**	**23,2**	**15,8**	**0,7**	**0**	**27,5**	**27,5**
Уровни звукового давления от источника ИШ-2-10 в расчётной точке ночью, дБ		**ф-ла(3)[10]**	**0**	**26,8**	**27,7**	**27,8**	**26,2**	**23,2**	**15,8**	**0,7**	**0**	**27,5**	**27,5**
Источник шума: ИШ-2-11, координаты источника (x,y,z), м =[761.13,97.90,1.00]													
Уровни звуковой мощности источника днём, Lw, дБ		**исходные данные**	**0**	**93,3**	**94,7**	**96**	**96,3**	**95,9**	**92,6**	**88,4**	**83,9**		
Уровни звуковой мощности источника ночью, Lw, дБ		**исходные данные**	**0**	**93,3**	**94,7**	**96**	**96,3**	**95,9**	**92,6**	**88,4**	**83,9**		
Поправка на телесный угол DΩ, дБ	Ω = 6.28	10Lg(4π/Ω)	**3**	3	3	3	3	3	3	3	3		
Показатель направленности источника Di, дБ		исходные данные	**0**	0	0	0	0	0	0	0	0		
Поправка на направленность источника Dc, дБ	Dc	DΩ + Di	**3**	3	3	3	3	3	3	3	3		
Затухание из-за геометрической дивергенции, Adiv, дБ	расстояние = 639.90 м	ф-ла (7) [10]	**67,1**										
Коэффициент затухания звука в атмосфере α, дБ/км	Ta=20,°C Pa=101.33,кПа hотн.=70%	ф-ла (5) [9]	0,02	0,09	0,33	1,12	2,79	4,98	9,04	23,09	77,63		

1		2	3	4	5	6	7	8	9	10	11	12	13
Учет затухания звука в атмосфере Aatm, дБ		ф-ла (8) [10]	0	0,1	0,2	0,7	1,8	3,2	5,8	14,8	49,7		
Снижение уровня звукового давления из-за влияния застройки между источником шума и расчетной точкой													
Снижение уровня звукового давления на пути над экраном, Dz1, дБ	z = 0.31м (разность путей)	ф-лы (14-18) [10]	4,8	4,8	4,9	5,1	5,5	6,4	7,6	9,4	11,6		
Снижение уровня звукового давления на пути слева от экрана, Dz2, дБ	z = 0.09м (разность путей)	ф-лы (14-18) [10]	5,2	5,6	6,3	7,5	9,2	11,3	13,8	16,5	19,4		
Снижение уровня звукового давления на пути справа от экрана, Dz3, дБ	z = 22.86м (разность путей)	ф-лы (14-18) [10]	21,7	26,1	29,7	33	36	39,1	42,1	45,1	48,1		
Общее снижение уровня звука препятствием Dz, дБ		Эн.сумма(-Dzi)	1,9	2,2	2,5	3,1	4	5,2	6,7	8,6	10,9		
Уровни звукового давления от источника ИШ-2-11 в расчётной точке днём, дБ		**ф-ла(3)[10]**	**0**	**26,9**	**27,8**	**28,1**	**26,4**	**23,4**	**16**	**0,9**	**0**	**27,7**	**27,7**
Уровни звукового давления от источника ИШ-2-11 в расчётной точке ночью, дБ		**ф-ла(3)[10]**	**0**	**26,9**	**27,8**	**28,1**	**26,4**	**23,4**	**16**	**0,9**	**0**	**27,7**	**27,7**
Источник шума: ИШ-2-12, координаты источника (x,y,z), м =[760.25,95.02,1.00]													
Уровни звуковой мощности источника днём, Lw, дБ		**исходные данные**	**0**	**93,3**	**94,7**	**96**	**96,3**	**95,9**	**92,6**	**88,4**	**83,9**		
Уровни звуковой мощности источника ночью, Lw, дБ		**исходные данные**	**0**	**93,3**	**94,7**	**96**	**96,3**	**95,9**	**92,6**	**88,4**	**83,9**		
Поправка на телесный угол DΩ, дБ	Ω = 6.28	10Lg(4π/Ω)	**3**	3	3	3	3	3	3	3	3		
Показатель направленности источника Di, дБ		исходные данные	**0**	0	0	0	0	0	0	0	0		
Поправка на направленность источника Dc, дБ	Dc	DΩ + Di	**3**	3	3	3	3	3	3	3	3		
Затухание из-за геометрической дивергенции, Adiv, дБ	расстояние = 637.87 м	ф-ла (7) [10]	**67,1**										
Коэффициент затухания звука в атмосфере α, дБ/км	Ta=20,°C Pa=101.33,кПа hотн.=70%	ф-ла (5) [9]	0,02	0,09	0,33	1,12	2,79	4,98	9,04	23,09	77,63		

1		2	3	4	5	6	7	8	9	10	11	12	13
Учет затухания звука в атмосфере Aatm, дБ		ф-ла (8) [10]	0	0,1	0,2	0,7	1,8	3,2	5,8	14,7	49,5		
Снижение уровня звукового давления из-за влияния застройки между источником шума и расчетной точкой													
Снижение уровня звукового давления на пути над экраном, Dz1, дБ	z = 0.31м (разность путей)	ф-лы (14-18) [10]	4,8	4,8	4,9	5	5,5	6,4	7,6	9,4	11,6		
Снижение уровня звукового давления на пути слева от экрана, Dz2, дБ	z = 0.07м (разность путей)	ф-лы (14-18) [10]	5,1	5,5	6	7	8,5	10,5	12,8	15,5	18,3		
Снижение уровня звукового давления на пути справа от экрана, Dz3, дБ	z = 23.21м (разность путей)	ф-лы (14-18) [10]	21,8	26,1	29,8	33	36,1	39,1	42,1	45,2	48,2		
Общее снижение уровня звука препятствием Dz, дБ		Эн.сумма(-Dzi)	1,9	2,1	2,4	2,9	3,7	4,9	6,5	8,4	10,8		
Уровни звукового давления от источника ИШ-2-12 в расчётной точке днём, дБ		**ф-ла(3)[10]**	**0**	**27**	**28**	**28,3**	**26,7**	**23,7**	**16,2**	**1,1**	**0**	**27,9**	**27,9**
Уровни звукового давления от источника ИШ-2-12 в расчётной точке ночью, дБ		**ф-ла(3)[10]**	**0**	**27**	**28**	**28,3**	**26,7**	**23,7**	**16,2**	**1,1**	**0**	**27,9**	**27,9**
Источник шума: ИШ-2-13, координаты источника (x,y,z), м =[759.28,92.25,1.00]													
Уровни звуковой мощности источника днём, Lw, дБ		**исходные данные**	**0**	**93,3**	**94,7**	**96**	**96,3**	**95,9**	**92,6**	**88,4**	**83,9**		
Уровни звуковой мощности источника ночью, Lw, дБ		**исходные данные**	**0**	**93,3**	**94,7**	**96**	**96,3**	**95,9**	**92,6**	**88,4**	**83,9**		
Поправка на телесный угол DΩ, дБ	Ω = 6.28	10Lg(4π/Ω)	**3**	3	3	3	3	3	3	3	3		
Показатель направленности источника Di, дБ		исходные данные	**0**	0	0	0	0	0	0	0	0		
Поправка на направленность источника Dc, дБ	Dc	DΩ + Di	**3**	3	3	3	3	3	3	3	3		
Затухание из-за геометрической дивергенции, Adiv, дБ	расстояние = 635.80 м	ф-ла (7) [10]	**67,1**										
Коэффициент затухания звука в атмосфере α, дБ/км	Ta=20,°C Pa=101.33,кПа hотн.=70%	ф-ла (5) [9]	0,02	0,09	0,33	1,12	2,79	4,98	9,04	23,09	77,63		

1		2	3	4	5	6	7	8	9	10	11	12	13
Учет затухания звука в атмосфере Aatm, дБ		ф-ла (8) [10]	0	0,1	0,2	0,7	1,8	3,2	5,7	14,7	49,4		
Снижение уровня звукового давления из-за влияния застройки между источником шума и расчетной точкой													
Снижение уровня звукового давления на пути над экраном, Dz1, дБ	z = 0.31м (разность путей)	ф-лы (14-18) [10]	4,8	4,8	4,9	5	5,5	6,3	7,6	9,4	11,6		
Снижение уровня звукового давления на пути слева от экрана, Dz2, дБ	z = 0.05м (разность путей)	ф-лы (14-18) [10]	5	5,3	5,8	6,6	7,8	9,6	11,9	14,4	17,2		
Снижение уровня звукового давления на пути справа от экрана, Dz3, дБ	z = 23.54м (разность путей)	ф-лы (14-18) [10]	21,8	26,2	29,9	33,1	36,2	39,2	42,2	45,2	48,2		
Общее снижение уровня звука препятствием Dz, дБ		Эн.сумма(-Dzi)	1,9	2	2,3	2,7	3,5	4,7	6,2	8,2	10,5		
Уровни звукового давления от источника ИШ-2-13 в расчётной точке днём, дБ		**ф-ла(3)[10]**	**0**	**27,1**	**28,1**	**28,5**	**27**	**24**	**16,5**	**1,4**	**0**	**28,2**	**28,2**
Уровни звукового давления от источника ИШ-2-13 в расчётной точке ночью, дБ		**ф-ла(3)[10]**	**0**	**27,1**	**28,1**	**28,5**	**27**	**24**	**16,5**	**1,4**	**0**	**28,2**	**28,2**
Источник шума: ИШ-2-14, координаты источника (x,y,z), м =[751.62,69.73,1.00]													
Уровни звуковой мощности источника днём, Lw, дБ		**исходные данные**	**0**	**93,3**	**94,7**	**96**	**96,3**	**95,9**	**92,6**	**88,4**	**83,9**		
Уровни звуковой мощности источника ночью, Lw, дБ		**исходные данные**	**0**	**93,3**	**94,7**	**96**	**96,3**	**95,9**	**92,6**	**88,4**	**83,9**		
Поправка на телесный угол DΩ, дБ	Ω = 6.28	10Lg(4π/Ω)	**3**	3	3	3	3	3	3	3	3		
Показатель направленности источника Di, дБ		исходные данные	**0**	0	0	0	0	0	0	0	0		
Поправка на направленность источника Dc, дБ	Dc	DΩ + Di	**3**	3	3	3	3	3	3	3	3		
Затухание из-за геометрической дивергенции, Adiv, дБ	расстояние = 619.50 м	ф-ла (7) [10]	**66,8**										
Коэффициент затухания звука в атмосфере α, дБ/км	Ta=20,°C Pa=101.33,кПа hотн.=70%	ф-ла (5) [9]	0,02	0,09	0,33	1,12	2,79	4,98	9,04	23,09	77,63		

1		2	3	4	5	6	7	8	9	10	11	12	13
Учет затухания звука в атмосфере Aatm, дБ		ф-ла (8) [10]	0	0,1	0,2	0,7	1,7	3,1	5,6	14,3	48,1		
Снижение уровня звукового давления из-за влияния застройки между источником шума и расчетной точкой													
Снижение уровня звукового давления на пути над экраном, Dz1, дБ	z = 0.12м (разность путей)	ф-лы (14-18) [10]	4,8	4,8	4,8	4,8	4,8	4,8	4,8	4,9	5,1		
Снижение уровня звукового давления на пути слева от экрана, Dz2, дБ	z = 12.45м (разность путей)	ф-лы (14-18) [10]	16,9	19,8	22,7	25,7	28,7	31,7	34,7	37,7	40,7		
Снижение уровня звукового давления на пути справа от экрана, Dz3, дБ	z = 1.44м (разность путей)	ф-лы (14-18) [10]	9,2	11,3	13,8	16,6	19,4	22,4	25,3	28,3	31,3		
Общее снижение уровня звука препятствием Dz, дБ		Эн.сумма(-Dzi)	3,2	3,8	4,2	4,5	4,6	4,7	4,8	4,9	5,1		
Уровни звукового давления от источника ИШ-2-14 в расчётной точке днём, дБ		**ф-ла(3)[10]**	**0**	**25,6**	**26,4**	**27**	**26,1**	**24,2**	**18,3**	**5,4**	**0**	**28**	**28**
Уровни звукового давления от источника ИШ-2-14 в расчётной точке ночью, дБ		**ф-ла(3)[10]**	**0**	**25,6**	**26,4**	**27**	**26,1**	**24,2**	**18,3**	**5,4**	**0**	**28**	**28**
Источник шума: ИШ-2-15, координаты источника (x,y,z), м =[750.74,66.89,1.00]													
Уровни звуковой мощности источника днём, Lw, дБ		**исходные данные**	**0**	**93,3**	**94,7**	**96**	**96,3**	**95,9**	**92,6**	**88,4**	**83,9**		
Уровни звуковой мощности источника ночью, Lw, дБ		**исходные данные**	**0**	**93,3**	**94,7**	**96**	**96,3**	**95,9**	**92,6**	**88,4**	**83,9**		
Поправка на телесный угол DΩ, дБ	Ω = 6.28	10Lg(4π/Ω)	**3**	3	3	3	3	3	3	3	3		
Показатель направленности источника Di, дБ		исходные данные	**0**	0	0	0	0	0	0	0	0		
Поправка на направленность источника Dc, дБ	Dc	DΩ + Di	**3**	3	3	3	3	3	3	3	3		
Затухание из-за геометрической дивергенции, Adiv, дБ	расстояние = 617.56 м	ф-ла (7) [10]	**66,8**										
Коэффициент затухания звука в атмосфере α, дБ/км	Ta=20,°C Pa=101.33,кПа hотн.=70%	ф-ла (5) [9]	0,02	0,09	0,33	1,12	2,79	4,98	9,04	23,09	77,63		

1		2	3	4	5	6	7	8	9	10	11	12	13
Учет затухания звука в атмосфере Aatm, дБ		ф-ла (8) [10]	0	0,1	0,2	0,7	1,7	3,1	5,6	14,3	47,9		
Снижение уровня звукового давления из-за влияния застройки между источником шума и расчетной точкой													
Снижение уровня звукового давления на пути над экраном, Dz1, дБ	z = 0.12м (разность путей)	ф-лы (14-18) [10]	4,8	4,8	4,8	4,8	4,8	4,8	4,9	4,9	5,1		
Снижение уровня звукового давления на пути слева от экрана, Dz2, дБ	z = 11.92м (разность путей)	ф-лы (14-18) [10]	16,7	19,6	22,5	25,5	28,5	31,5	34,5	37,5	40,5		
Снижение уровня звукового давления на пути справа от экрана, Dz3, дБ	z = 1.53м (разность путей)	ф-лы (14-18) [10]	9,4	11,6	14,1	16,8	19,7	22,6	25,6	28,6	31,6		
Общее снижение уровня звука препятствием Dz, дБ		Эн.сумма(-Dzi)	3,3	3,8	4,2	4,5	4,6	4,7	4,8	4,9	5,1		
Уровни звукового давления от источника ИШ-2-15 в расчётной точке днём, дБ		**ф-ла(3)[10]**	**0**	**25,6**	**26,4**	**27**	**26,1**	**24,3**	**18,4**	**5,4**	**0**	**28,1**	**28,1**
Уровни звукового давления от источника ИШ-2-15 в расчётной точке ночью, дБ		**ф-ла(3)[10]**	**0**	**25,6**	**26,4**	**27**	**26,1**	**24,3**	**18,4**	**5,4**	**0**	**28,1**	**28,1**
Источник шума: ИШ-2-16, координаты источника (x,y,z), м =[749.73,64.02,1.00]													
Уровни звуковой мощности источника днём, Lw, дБ		**исходные данные**	**0**	**93,3**	**94,7**	**96**	**96,3**	**95,9**	**92,6**	**88,4**	**83,9**		
Уровни звуковой мощности источника ночью, Lw, дБ		**исходные данные**	**0**	**93,3**	**94,7**	**96**	**96,3**	**95,9**	**92,6**	**88,4**	**83,9**		
Поправка на телесный угол DΩ, дБ	Ω = 6.28	10Lg(4π/Ω)	**3**	3	3	3	3	3	3	3	3		
Показатель направленности источника Di, дБ		исходные данные	**0**	0	0	0	0	0	0	0	0		
Поправка на направленность источника Dc, дБ	Dc	DΩ + Di	**3**	3	3	3	3	3	3	3	3		
Затухание из-за геометрической дивергенции, Adiv, дБ	расстояние = 615.50 м	ф-ла (7) [10]	**66,8**										
Коэффициент затухания звука в атмосфере α, дБ/км	Ta=20,°C Pa=101.33,кПа hотн.=70%	ф-ла (5) [9]	0,02	0,09	0,33	1,12	2,79	4,98	9,04	23,09	77,63		

1		2	3	4	5	6	7	8	9	10	11	12	13
Учет затухания звука в атмосфере Aatm, дБ		ф-ла (8) [10]	0	0,1	0,2	0,7	1,7	3,1	5,6	14,2	47,8		
Снижение уровня звукового давления из-за влияния застройки между источником шума и расчетной точкой													
Снижение уровня звукового давления на пути над экраном, Dz1, дБ	z = 0.12м (разность путей)	ф-лы (14-18) [10]	4,8	4,8	4,8	4,8	4,8	4,8	4,9	5	5,2		
Снижение уровня звукового давления на пути слева от экрана, Dz2, дБ	z = 11.41м (разность путей)	ф-лы (14-18) [10]	16,6	19,4	22,3	25,3	28,3	31,3	34,3	37,3	40,3		
Снижение уровня звукового давления на пути справа от экрана, Dz3, дБ	z = 1.62м (разность путей)	ф-лы (14-18) [10]	9,6	11,8	14,3	17,1	19,9	22,9	25,9	28,8	31,9		
Общее снижение уровня звука препятствием Dz, дБ		Эн.сумма(-Dzi)	3,3	3,9	4,2	4,5	4,6	4,7	4,8	5	5,2		
Уровни звукового давления от источника ИШ-2-16 в расчётной точке днём, дБ		**ф-ла(3)[10]**	**0**	**25,6**	**26,5**	**27**	**26,1**	**24,3**	**18,4**	**5,4**	**0**	**28,1**	**28,1**
Уровни звукового давления от источника ИШ-2-16 в расчётной точке ночью, дБ		**ф-ла(3)[10]**	**0**	**25,6**	**26,5**	**27**	**26,1**	**24,3**	**18,4**	**5,4**	**0**	**28,1**	**28,1**
Источник шума: ИШ-2-17, координаты источника (x,y,z), м =[748.87,61.06,1.00]													
Уровни звуковой мощности источника днём, Lw, дБ		**исходные данные**	**0**	**93,3**	**94,7**	**96**	**96,3**	**95,9**	**92,6**	**88,4**	**83,9**		
Уровни звуковой мощности источника ночью, Lw, дБ		**исходные данные**	**0**	**93,3**	**94,7**	**96**	**96,3**	**95,9**	**92,6**	**88,4**	**83,9**		
Поправка на телесный угол DΩ, дБ	Ω = 6.28	10Lg(4π/Ω)	**3**	3	3	3	3	3	3	3	3		
Показатель направленности источника Di, дБ		исходные данные	**0**	0	0	0	0	0	0	0	0		
Поправка на направленность источника Dc, дБ	Dc	DΩ + Di	**3**	3	3	3	3	3	3	3	3		
Затухание из-за геометрической дивергенции, Adiv, дБ	расстояние = 613.54 м	ф-ла (7) [10]	**66,8**										
Коэффициент затухания звука в атмосфере α, дБ/км	Ta=20,°C Pa=101.33,кПа hотн.=70%	ф-ла (5) [9]	0,02	0,09	0,33	1,12	2,79	4,98	9,04	23,09	77,63		

1		2	3	4	5	6	7	8	9	10	11	12	13
Учет затухания звука в атмосфере Aatm, дБ		ф-ла (8) [10]	0	0,1	0,2	0,7	1,7	3,1	5,5	14,2	47,6		
Снижение уровня звукового давления из-за влияния застройки между источником шума и расчетной точкой													
Снижение уровня звукового давления на пути над экраном, Dz1, дБ	z = 0.12м (разность путей)	ф-лы (14-18) [10]	4,8	4,8	4,8	4,8	4,8	4,8	4,9	5	5,2		
Снижение уровня звукового давления на пути слева от экрана, Dz2, дБ	z = 10.86м (разность путей)	ф-лы (14-18) [10]	16,4	19,2	22,1	25,1	28,1	31,1	34,1	37,1	40,1		
Снижение уровня звукового давления на пути справа от экрана, Dz3, дБ	z = 1.73м (разность путей)	ф-лы (14-18) [10]	9,7	12	14,5	17,3	20,2	23,2	26,1	29,1	32,1		
Общее снижение уровня звука препятствием Dz, дБ		Эн.сумма(-Dzi)	3,3	3,9	4,3	4,5	4,7	4,8	4,8	5	5,2		
Уровни звукового давления от источника ИШ-2-17 в расчётной точке днём, дБ		**ф-ла(3)[10]**	**0**	**25,6**	**26,5**	**27**	**26,2**	**24,3**	**18,4**	**5,5**	**0**	**28,1**	**28,1**
Уровни звукового давления от источника ИШ-2-17 в расчётной точке ночью, дБ		**ф-ла(3)[10]**	**0**	**25,6**	**26,5**	**27**	**26,2**	**24,3**	**18,4**	**5,5**	**0**	**28,1**	**28,1**
Источник шума: ИШ-2-18, координаты источника (x,y,z), м =[747.72,58.17,1.00]													
Уровни звуковой мощности источника днём, Lw, дБ		**исходные данные**	**0**	**93,3**	**94,7**	**96**	**96,3**	**95,9**	**92,6**	**88,4**	**83,9**		
Уровни звуковой мощности источника ночью, Lw, дБ		**исходные данные**	**0**	**93,3**	**94,7**	**96**	**96,3**	**95,9**	**92,6**	**88,4**	**83,9**		
Поправка на телесный угол DΩ, дБ	Ω = 6.28	10Lg(4π/Ω)	**3**	3	3	3	3	3	3	3	3		
Показатель направленности источника Di, дБ		исходные данные	**0**	0	0	0	0	0	0	0	0		
Поправка на направленность источника Dc, дБ	Dc	DΩ + Di	**3**	3	3	3	3	3	3	3	3		
Затухание из-за геометрической дивергенции, Adiv, дБ	расстояние = 611.36 м	ф-ла (7) [10]	**66,7**										
Коэффициент затухания звука в атмосфере α, дБ/км	Ta=20,°C Pa=101.33,кПа hотн.=70%	ф-ла (5) [9]	0,02	0,09	0,33	1,12	2,79	4,98	9,04	23,09	77,63		

1		2	3	4	5	6	7	8	9	10	11	12	13
Учет затухания звука в атмосфере Aatm, дБ		ф-ла (8) [10]	0	0,1	0,2	0,7	1,7	3	5,5	14,1	47,5		
Снижение уровня звукового давления из-за влияния застройки между источником шума и расчетной точкой													
Снижение уровня звукового давления на пути над экраном, Dz1, дБ	z = 0.13м (разность путей)	ф-лы (14-18) [10]	4,8	4,8	4,8	4,8	4,8	4,8	4,9	5	5,2		
Снижение уровня звукового давления на пути слева от экрана, Dz2, дБ	z = 10.38м (разность путей)	ф-лы (14-18) [10]	16,2	19	21,9	24,9	27,9	30,9	33,9	36,9	39,9		
Снижение уровня звукового давления на пути справа от экрана, Dz3, дБ	z = 1.84м (разность путей)	ф-лы (14-18) [10]	13,4	16,3	19,2	22,2	25,1	28,1	31,1	34,1	37,1		
Общее снижение уровня звука препятствием Dz, дБ		Эн.сумма(-Dzi)	3,9	4,3	4,5	4,7	4,7	4,8	4,9	5	5,2		
Уровни звукового давления от источника ИШ-2-18 в расчётной точке днём, дБ		**ф-ла(3)[10]**	**0**	**25,2**	**26,2**	**26,9**	**26,1**	**24,3**	**18,5**	**5,6**	**0**	**28,1**	**28,1**
Уровни звукового давления от источника ИШ-2-18 в расчётной точке ночью, дБ		**ф-ла(3)[10]**	**0**	**25,2**	**26,2**	**26,9**	**26,1**	**24,3**	**18,5**	**5,6**	**0**	**28,1**	**28,1**
Источник шума: ИШ-2-19, координаты источника (x,y,z), м =[746.80,55.25,1.00]													
Уровни звуковой мощности источника днём, Lw, дБ		**исходные данные**	**0**	**93,3**	**94,7**	**96**	**96,3**	**95,9**	**92,6**	**88,4**	**83,9**		
Уровни звуковой мощности источника ночью, Lw, дБ		**исходные данные**	**0**	**93,3**	**94,7**	**96**	**96,3**	**95,9**	**92,6**	**88,4**	**83,9**		
Поправка на телесный угол DΩ, дБ	Ω = 6.28	10Lg(4π/Ω)	**3**	3	3	3	3	3	3	3	3		
Показатель направленности источника Di, дБ		исходные данные	**0**	0	0	0	0	0	0	0	0		
Поправка на направленность источника Dc, дБ	Dc	DΩ + Di	**3**	3	3	3	3	3	3	3	3		
Затухание из-за геометрической дивергенции, Adiv, дБ	расстояние = 609.38 м	ф-ла (7) [10]	**66,7**										
Коэффициент затухания звука в атмосфере α, дБ/км	Ta=20,°C Pa=101.33,кПа hотн.=70%	ф-ла (5) [9]	0,02	0,09	0,33	1,12	2,79	4,98	9,04	23,09	77,63		

1		2	3	4	5	6	7	8	9	10	11	12	13
Учет затухания звука в атмосфере Aatm, дБ		ф-ла (8) [10]	0	0,1	0,2	0,7	1,7	3	5,5	14,1	47,3		
Снижение уровня звукового давления из-за влияния застройки между источником шума и расчетной точкой													
Снижение уровня звукового давления на пути над экраном, Dz1, дБ	z = 0.13м (разность путей)	ф-лы (14-18) [10]	4,8	4,8	4,8	4,8	4,8	4,8	4,9	5	5,2		
Снижение уровня звукового давления на пути слева от экрана, Dz2, дБ	z = 9.85м (разность путей)	ф-лы (14-18) [10]	16	18,8	21,7	24,7	27,7	30,7	33,7	36,7	39,7		
Снижение уровня звукового давления на пути справа от экрана, Dz3, дБ	z = 1.96м (разность путей)	ф-лы (14-18) [10]	13,6	16,6	19,5	22,5	25,4	28,4	31,4	34,4	37,4		
Общее снижение уровня звука препятствием Dz, дБ		Эн.сумма(-Dzi)	4	4,3	4,5	4,7	4,7	4,8	4,9	5	5,2		
Уровни звукового давления от источника ИШ-2-19 в расчётной точке днём, дБ		**ф-ла(3)[10]**	**0**	**25,2**	**26,2**	**26,9**	**26,2**	**24,4**	**18,5**	**5,6**	**0**	**28,1**	**28,1**
Уровни звукового давления от источника ИШ-2-19 в расчётной точке ночью, дБ		**ф-ла(3)[10]**	**0**	**25,2**	**26,2**	**26,9**	**26,2**	**24,4**	**18,5**	**5,6**	**0**	**28,1**	**28,1**
Источник шума: ИШ-2-20, координаты источника (x,y,z), м =[745.71,52.44,1.00]													
Уровни звуковой мощности источника днём, Lw, дБ		**исходные данные**	**0**	**93,3**	**94,7**	**96**	**96,3**	**95,9**	**92,6**	**88,4**	**83,9**		
Уровни звуковой мощности источника ночью, Lw, дБ		**исходные данные**	**0**	**93,3**	**94,7**	**96**	**96,3**	**95,9**	**92,6**	**88,4**	**83,9**		
Поправка на телесный угол DΩ, дБ	Ω = 6.28	10Lg(4π/Ω)	**3**	3	3	3	3	3	3	3	3		
Показатель направленности источника Di, дБ		исходные данные	**0**	0	0	0	0	0	0	0	0		
Поправка на направленность источника Dc, дБ	Dc	DΩ + Di	**3**	3	3	3	3	3	3	3	3		
Затухание из-за геометрической дивергенции, Adiv, дБ	расстояние = 607.30 м	ф-ла (7) [10]	**66,7**										
Коэффициент затухания звука в атмосфере α, дБ/км	Ta=20,°C Pa=101.33,кПа hотн.=70%	ф-ла (5) [9]	0,02	0,09	0,33	1,12	2,79	4,98	9,04	23,09	77,63		

1		2	3	4	5	6	7	8	9	10	11	12	13
Учет затухания звука в атмосфере Aatm, дБ		ф-ла (8) [10]	0	0,1	0,2	0,7	1,7	3	5,5	14	47,1		
Снижение уровня звукового давления из-за влияния застройки между источником шума и расчетной точкой													
Снижение уровня звукового давления на пути над экраном, Dz1, дБ	z = 0.13м (разность путей)	ф-лы (14-18) [10]	4,8	4,8	4,8	4,8	4,8	4,8	4,9	5	5,3		
Снижение уровня звукового давления на пути слева от экрана, Dz2, дБ	z = 9.38м (разность путей)	ф-лы (14-18) [10]	15,8	18,6	21,5	24,5	27,4	30,4	33,4	36,5	39,5		
Снижение уровня звукового давления на пути справа от экрана, Dz3, дБ	z = 2.10м (разность путей)	ф-лы (14-18) [10]	13,9	16,9	19,8	22,7	25,7	28,7	31,7	34,7	37,7		
Общее снижение уровня звука препятствием Dz, дБ		Эн.сумма(-Dzi)	4	4,3	4,6	4,7	4,7	4,8	4,9	5	5,3		
Уровни звукового давления от источника ИШ-2-20 в расчётной точке днём, дБ		**ф-ла(3)[10]**	**0**	**25,2**	**26,3**	**27**	**26,2**	**24,4**	**18,6**	**5,7**	**0**	**28,1**	**28,1**
Уровни звукового давления от источника ИШ-2-20 в расчётной точке ночью, дБ		**ф-ла(3)[10]**	**0**	**25,2**	**26,3**	**27**	**26,2**	**24,4**	**18,6**	**5,7**	**0**	**28,1**	**28,1**
Источник шума: ИШ-2-21, координаты источника (x,y,z), м =[744.89,49.62,1.00]													
Уровни звуковой мощности источника днём, Lw, дБ		**исходные данные**	**0**	**93,3**	**94,7**	**96**	**96,3**	**95,9**	**92,6**	**88,4**	**83,9**		
Уровни звуковой мощности источника ночью, Lw, дБ		**исходные данные**	**0**	**93,3**	**94,7**	**96**	**96,3**	**95,9**	**92,6**	**88,4**	**83,9**		
Поправка на телесный угол DΩ, дБ	Ω = 6.28	10Lg(4π/Ω)	**3**	3	3	3	3	3	3	3	3		
Показатель направленности источника Di, дБ		исходные данные	**0**	0	0	0	0	0	0	0	0		
Поправка на направленность источника Dc, дБ	Dc	DΩ + Di	**3**	3	3	3	3	3	3	3	3		
Затухание из-за геометрической дивергенции, Adiv, дБ	расстояние = 605.47 м	ф-ла (7) [10]	**66,6**										
Коэффициент затухания звука в атмосфере α, дБ/км	Ta=20,°C Pa=101.33,кПа hотн.=70%	ф-ла (5) [9]	0,02	0,09	0,33	1,12	2,79	4,98	9,04	23,09	77,63		

1		2	3	4	5	6	7	8	9	10	11	12	13
Учет затухания звука в атмосфере Aatm, дБ		ф-ла (8) [10]	0	0,1	0,2	0,7	1,7	3	5,5	14	47		
Снижение уровня звукового давления из-за влияния застройки между источником шума и расчетной точкой													
Снижение уровня звукового давления на пути над экраном, Dz1, дБ	z = 0.13м (разность путей)	ф-лы (14-18) [10]	4,8	4,8	4,8	4,8	4,8	4,8	4,9	5	5,3		
Снижение уровня звукового давления на пути слева от экрана, Dz2, дБ	z = 8.88м (разность путей)	ф-лы (14-18) [10]	15,6	18,4	21,3	24,2	27,2	30,2	33,2	36,2	39,2		
Снижение уровня звукового давления на пути справа от экрана, Dz3, дБ	z = 2.26м (разность путей)	ф-лы (14-18) [10]	14,1	17,2	20,1	23,1	26	29	32	35,1	38,1		
Общее снижение уровня звука препятствием Dz, дБ		Эн.сумма(-Dzi)	4	4,4	4,6	4,7	4,7	4,8	4,9	5	5,3		
Уровни звукового давления от источника ИШ-2-21 в расчётной точке днём, дБ		**ф-ла(3)[10]**	**0**	**25,2**	**26,3**	**27**	**26,2**	**24,4**	**18,6**	**5,7**	**0**	**28,2**	**28,2**
Уровни звукового давления от источника ИШ-2-21 в расчётной точке ночью, дБ		**ф-ла(3)[10]**	**0**	**25,2**	**26,3**	**27**	**26,2**	**24,4**	**18,6**	**5,7**	**0**	**28,2**	**28,2**
Источник шума: ИШ-2-22, координаты источника (x,y,z), м =[737.40,27.07,1.00]													
Уровни звуковой мощности источника днём, Lw, дБ		**исходные данные**	**0**	**93,3**	**94,7**	**96**	**96,3**	**95,9**	**92,6**	**88,4**	**83,9**		
Уровни звуковой мощности источника ночью, Lw, дБ		**исходные данные**	**0**	**93,3**	**94,7**	**96**	**96,3**	**95,9**	**92,6**	**88,4**	**83,9**		
Поправка на телесный угол DΩ, дБ	Ω = 6.28	10Lg(4π/Ω)	**3**	3	3	3	3	3	3	3	3		
Показатель направленности источника Di, дБ		исходные данные	**0**	0	0	0	0	0	0	0	0		
Поправка на направленность источника Dc, дБ	Dc	DΩ + Di	**3**	3	3	3	3	3	3	3	3		
Затухание из-за геометрической дивергенции, Adiv, дБ	расстояние = 590.29 м	ф-ла (7) [10]	**66,4**										
Коэффициент затухания звука в атмосфере α, дБ/км	Ta=20,°C Pa=101.33,кПа hотн.=70%	ф-ла (5) [9]	0,02	0,09	0,33	1,12	2,79	4,98	9,04	23,09	77,63		

1		2	3	4	5	6	7	8	9	10	11	12	13
Учет затухания звука в атмосфере Aatm, дБ		ф-ла (8) [10]	0	0,1	0,2	0,7	1,6	2,9	5,3	13,6	45,8		
Снижение уровня звукового давления из-за влияния застройки между источником шума и расчетной точкой													
Снижение уровня звукового давления на пути над экраном, Dz1, дБ	z = 0.20м (разность путей)	ф-лы (14-18) [10]	4,8	4,8	4,8	4,9	5,1	5,5	6,1	7,1	8,6		
Снижение уровня звукового давления на пути слева от экрана, Dz2, дБ	z = 5.26м (разность путей)	ф-лы (14-18) [10]	13,5	16,2	19,1	22	24,9	27,9	30,9	33,9	37		
Снижение уровня звукового давления на пути справа от экрана, Dz3, дБ	z = 4.30м (разность путей)	ф-лы (14-18) [10]	16,7	19,8	22,8	25,8	28,8	31,8	34,8	37,8	40,8		
Общее снижение уровня звука препятствием Dz, дБ		Эн.сумма(-Dzi)	4	4,4	4,6	4,8	5	5,4	6,1	7,1	8,6		
Уровни звукового давления от источника ИШ-2-22 в расчётной точке днём, дБ		**ф-ла(3)[10]**	**0**	**25,5**	**26,5**	**27,1**	**26,2**	**24,1**	**17,8**	**4,2**	**0**	**27,9**	**27,9**
Уровни звукового давления от источника ИШ-2-22 в расчётной точке ночью, дБ		**ф-ла(3)[10]**	**0**	**25,5**	**26,5**	**27,1**	**26,2**	**24,1**	**17,8**	**4,2**	**0**	**27,9**	**27,9**
Источник шума: ИШ-2-23, координаты источника (x,y,z), м =[736.46,24.18,1.00]													
Уровни звуковой мощности источника днём, Lw, дБ		**исходные данные**	**0**	**93,3**	**94,7**	**96**	**96,3**	**95,9**	**92,6**	**88,4**	**83,9**		
Уровни звуковой мощности источника ночью, Lw, дБ		**исходные данные**	**0**	**93,3**	**94,7**	**96**	**96,3**	**95,9**	**92,6**	**88,4**	**83,9**		
Поправка на телесный угол DΩ, дБ	Ω = 6.28	10Lg(4π/Ω)	**3**	3	3	3	3	3	3	3	3		
Показатель направленности источника Di, дБ		исходные данные	**0**	0	0	0	0	0	0	0	0		
Поправка на направленность источника Dc, дБ	Dc	DΩ + Di	**3**	3	3	3	3	3	3	3	3		
Затухание из-за геометрической дивергенции, Adiv, дБ	расстояние = 588.41 м	ф-ла (7) [10]	**66,4**										
Коэффициент затухания звука в атмосфере α, дБ/км	Ta=20,°C Pa=101.33,кПа hотн.=70%	ф-ла (5) [9]	0,02	0,09	0,33	1,12	2,79	4,98	9,04	23,09	77,63		

1		2	3	4	5	6	7	8	9	10	11	12	13
Учет затухания звука в атмосфере Aatm, дБ		ф-ла (8) [10]	0	0,1	0,2	0,7	1,6	2,9	5,3	13,6	45,7		
Снижение уровня звукового давления из-за влияния застройки между источником шума и расчетной точкой													
Снижение уровня звукового давления на пути над экраном, Dz1, дБ	z = 0.21м (разность путей)	ф-лы (14-18) [10]	4,8	4,8	4,8	4,9	5,2	5,6	6,3	7,4	9		
Снижение уровня звукового давления на пути слева от экрана, Dz2, дБ	z = 4.84м (разность путей)	ф-лы (14-18) [10]	13,2	15,9	18,7	21,6	24,6	27,6	30,6	33,6	36,6		
Снижение уровня звукового давления на пути справа от экрана, Dz3, дБ	z = 4.67м (разность путей)	ф-лы (14-18) [10]	17	20,2	23,2	26,2	29,2	32,2	35,2	38,2	41,2		
Общее снижение уровня звука препятствием Dz, дБ		Эн.сумма(-Dzi)	4	4,4	4,6	4,8	5,1	5,5	6,3	7,4	9		
Уровни звукового давления от источника ИШ-2-23 в расчётной точке днём, дБ		**ф-ла(3)[10]**	**0**	**25,5**	**26,5**	**27,1**	**26,2**	**24**	**17,6**	**4**	**0**	**27,9**	**27,9**
Уровни звукового давления от источника ИШ-2-23 в расчётной точке ночью, дБ		**ф-ла(3)[10]**	**0**	**25,5**	**26,5**	**27,1**	**26,2**	**24**	**17,6**	**4**	**0**	**27,9**	**27,9**
Источник шума: ИШ-2-24, координаты источника (x,y,z), м =[735.45,21.21,1.00]													
Уровни звуковой мощности источника днём, Lw, дБ		**исходные данные**	**0**	**93,3**	**94,7**	**96**	**96,3**	**95,9**	**92,6**	**88,4**	**83,9**		
Уровни звуковой мощности источника ночью, Lw, дБ		**исходные данные**	**0**	**93,3**	**94,7**	**96**	**96,3**	**95,9**	**92,6**	**88,4**	**83,9**		
Поправка на телесный угол DΩ, дБ	Ω = 6.28	10Lg(4π/Ω)	**3**	3	3	3	3	3	3	3	3		
Показатель направленности источника Di, дБ		исходные данные	**0**	0	0	0	0	0	0	0	0		
Поправка на направленность источника Dc, дБ	Dc	DΩ + Di	**3**	3	3	3	3	3	3	3	3		
Затухание из-за геометрической дивергенции, Adiv, дБ	расстояние = 586.44 м	ф-ла (7) [10]	**66,4**										
Коэффициент затухания звука в атмосфере α, дБ/км	Ta=20,°C Pa=101.33,кПа hотн.=70%	ф-ла (5) [9]	0,02	0,09	0,33	1,12	2,79	4,98	9,04	23,09	77,63		

1		2	3	4	5	6	7	8	9	10	11	12	13
Учет затухания звука в атмосфере Aatm, дБ		ф-ла (8) [10]	0	0,1	0,2	0,7	1,6	2,9	5,3	13,5	45,5		
Снижение уровня звукового давления из-за влияния застройки между источником шума и расчетной точкой													
Снижение уровня звукового давления на пути над экраном, Dz1, дБ	z = 0.21м (разность путей)	ф-лы (14-18) [10]	4,8	4,8	4,8	4,9	5,2	5,6	6,3	7,5	9,1		
Снижение уровня звукового давления на пути слева от экрана, Dz2, дБ	z = 4.42м (разность путей)	ф-лы (14-18) [10]	12,9	15,5	18,3	21,2	24,2	27,2	30,2	33,2	36,2		
Снижение уровня звукового давления на пути справа от экрана, Dz3, дБ	z = 5.07м (разность путей)	ф-лы (14-18) [10]	17,4	20,5	23,5	26,5	29,5	32,5	35,5	38,6	41,6		
Общее снижение уровня звука препятствием Dz, дБ		Эн.сумма(-Dzi)	4	4,3	4,6	4,8	5,1	5,6	6,3	7,5	9,1		
Уровни звукового давления от источника ИШ-2-24 в расчётной точке днём, дБ		**ф-ла(3)[10]**	**0**	**25,5**	**26,5**	**27,2**	**26,2**	**24**	**17,6**	**4**	**0**	**27,9**	**27,9**
Уровни звукового давления от источника ИШ-2-24 в расчётной точке ночью, дБ		**ф-ла(3)[10]**	**0**	**25,5**	**26,5**	**27,2**	**26,2**	**24**	**17,6**	**4**	**0**	**27,9**	**27,9**
Источник шума: ИШ-2-25, координаты источника (x,y,z), м =[734.58,18.32,1.00]													
Уровни звуковой мощности источника днём, Lw, дБ		**исходные данные**	**0**	**93,3**	**94,7**	**96**	**96,3**	**95,9**	**92,6**	**88,4**	**83,9**		
Уровни звуковой мощности источника ночью, Lw, дБ		**исходные данные**	**0**	**93,3**	**94,7**	**96**	**96,3**	**95,9**	**92,6**	**88,4**	**83,9**		
Поправка на телесный угол DΩ, дБ	Ω = 6.28	10Lg(4π/Ω)	**3**	3	3	3	3	3	3	3	3		
Показатель направленности источника Di, дБ		исходные данные	**0**	0	0	0	0	0	0	0	0		
Поправка на направленность источника Dc, дБ	Dc	DΩ + Di	**3**	3	3	3	3	3	3	3	3		
Затухание из-за геометрической дивергенции, Adiv, дБ	расстояние = 584.64 м	ф-ла (7) [10]	**66,3**										
Коэффициент затухания звука в атмосфере α, дБ/км	Ta=20,°C Pa=101.33,кПа hотн.=70%	ф-ла (5) [9]	0,02	0,09	0,33	1,12	2,79	4,98	9,04	23,09	77,63		

1		2	3	4	5	6	7	8	9	10	11	12	13
Учет затухания звука в атмосфере Aatm, дБ		ф-ла (8) [10]	0	0,1	0,2	0,7	1,6	2,9	5,3	13,5	45,4		
Снижение уровня звукового давления из-за влияния застройки между источником шума и расчетной точкой													
Снижение уровня звукового давления на пути над экраном, Dz1, дБ	z = 0.21м (разность путей)	ф-лы (14-18) [10]	4,8	4,8	4,8	5	5,2	5,6	6,4	7,5	9,2		
Снижение уровня звукового давления на пути слева от экрана, Dz2, дБ	z = 4.01м (разность путей)	ф-лы (14-18) [10]	12,5	15,1	17,9	20,8	23,8	26,8	29,8	32,8	35,8		
Снижение уровня звукового давления на пути справа от экрана, Dz3, дБ	z = 5.50м (разность путей)	ф-лы (14-18) [10]	17,7	20,9	23,9	26,9	29,9	32,9	35,9	38,9	41,9		
Общее снижение уровня звука препятствием Dz, дБ		Эн.сумма(-Dzi)	3,9	4,3	4,6	4,8	5,1	5,6	6,3	7,5	9,2		
Уровни звукового давления от источника ИШ-2-25 в расчётной точке днём, дБ		**ф-ла(3)[10]**	**0**	**25,6**	**26,6**	**27,2**	**26,2**	**24,1**	**17,6**	**4**	**0**	**27,9**	**27,9**
Уровни звукового давления от источника ИШ-2-25 в расчётной точке ночью, дБ		**ф-ла(3)[10]**	**0**	**25,6**	**26,6**	**27,2**	**26,2**	**24,1**	**17,6**	**4**	**0**	**27,9**	**27,9**
Источник шума: ИШ-2-26, координаты источника (x,y,z), м =[733.57,15.41,1.00]													
Уровни звуковой мощности источника днём, Lw, дБ		**исходные данные**	**0**	**93,3**	**94,7**	**96**	**96,3**	**95,9**	**92,6**	**88,4**	**83,9**		
Уровни звуковой мощности источника ночью, Lw, дБ		**исходные данные**	**0**	**93,3**	**94,7**	**96**	**96,3**	**95,9**	**92,6**	**88,4**	**83,9**		
Поправка на телесный угол DΩ, дБ	Ω = 6.28	10Lg(4π/Ω)	**3**	3	3	3	3	3	3	3	3		
Показатель направленности источника Di, дБ		исходные данные	**0**	0	0	0	0	0	0	0	0		
Поправка на направленность источника Dc, дБ	Dc	DΩ + Di	**3**	3	3	3	3	3	3	3	3		
Затухание из-за геометрической дивергенции, Adiv, дБ	расстояние = 582.71 м	ф-ла (7) [10]	**66,3**										
Коэффициент затухания звука в атмосфере α, дБ/км	Ta=20,°C Pa=101.33,кПа hотн.=70%	ф-ла (5) [9]	0,02	0,09	0,33	1,12	2,79	4,98	9,04	23,09	77,63		

1		2	3	4	5	6	7	8	9	10	11	12	13
Учет затухания звука в атмосфере Aatm, дБ		ф-ла (8) [10]	0	0,1	0,2	0,7	1,6	2,9	5,3	13,5	45,2		
Снижение уровня звукового давления из-за влияния застройки между источником шума и расчетной точкой													
Снижение уровня звукового давления на пути над экраном, Dz1, дБ	z = 0.21м (разность путей)	ф-лы (14-18) [10]	4,8	4,8	4,8	5	5,2	5,7	6,4	7,6	9,3		
Снижение уровня звукового давления на пути слева от экрана, Dz2, дБ	z = 3.63м (разность путей)	ф-лы (14-18) [10]	12,2	14,8	17,5	20,4	23,4	26,3	29,3	32,3	35,3		
Снижение уровня звукового давления на пути справа от экрана, Dz3, дБ	z = 5.95м (разность путей)	ф-лы (14-18) [10]	18	21,2	24,2	27,2	30,2	33,2	36,2	39,2	42,3		
Общее снижение уровня звука препятствием Dz, дБ		Эн.сумма(-Dzi)	3,9	4,3	4,6	4,8	5,1	5,6	6,4	7,6	9,3		
Уровни звукового давления от источника ИШ-2-26 в расчётной точке днём, дБ		**ф-ла(3)[10]**	**0**	**25,6**	**26,6**	**27,2**	**26,2**	**24,1**	**17,6**	**4**	**0**	**27,9**	**27,9**
Уровни звукового давления от источника ИШ-2-26 в расчётной точке ночью, дБ		**ф-ла(3)[10]**	**0**	**25,6**	**26,6**	**27,2**	**26,2**	**24,1**	**17,6**	**4**	**0**	**27,9**	**27,9**
Источник шума: ИШ-2-27, координаты источника (x,y,z), м =[732.43,12.66,1.00]													
Уровни звуковой мощности источника днём, Lw, дБ		**исходные данные**	**0**	**93,3**	**94,7**	**96**	**96,3**	**95,9**	**92,6**	**88,4**	**83,9**		
Уровни звуковой мощности источника ночью, Lw, дБ		**исходные данные**	**0**	**93,3**	**94,7**	**96**	**96,3**	**95,9**	**92,6**	**88,4**	**83,9**		
Поправка на телесный угол DΩ, дБ	Ω = 6.28	10Lg(4π/Ω)	**3**	3	3	3	3	3	3	3	3		
Показатель направленности источника Di, дБ		исходные данные	**0**	0	0	0	0	0	0	0	0		
Поправка на направленность источника Dc, дБ	Dc	DΩ + Di	**3**	3	3	3	3	3	3	3	3		
Затухание из-за геометрической дивергенции, Adiv, дБ	расстояние = 580.72 м	ф-ла (7) [10]	**66,3**										
Коэффициент затухания звука в атмосфере α, дБ/км	Ta=20,°C Pa=101.33,кПа hотн.=70%	ф-ла (5) [9]	0,02	0,09	0,33	1,12	2,79	4,98	9,04	23,09	77,63		

1		2	3	4	5	6	7	8	9	10	11	12	13
Учет затухания звука в атмосфере Aatm, дБ		ф-ла (8) [10]	0	0,1	0,2	0,7	1,6	2,9	5,2	13,4	45,1		
Снижение уровня звукового давления из-за влияния застройки между источником шума и расчетной точкой													
Снижение уровня звукового давления на пути над экраном, Dz1, дБ	z = 0.21м (разность путей)	ф-лы (14-18) [10]	4,8	4,8	4,8	5	5,2	5,7	6,5	7,7	9,4		
Снижение уровня звукового давления на пути слева от экрана, Dz2, дБ	z = 3.29м (разность путей)	ф-лы (14-18) [10]	11,8	14,4	17,1	20	22,9	25,9	28,9	31,9	34,9		
Снижение уровня звукового давления на пути справа от экрана, Dz3, дБ	z = 6.40м (разность путей)	ф-лы (14-18) [10]	18,3	21,5	24,5	27,5	30,5	33,5	36,5	39,6	42,6		
Общее снижение уровня звука препятствием Dz, дБ		Эн.сумма(-Dzi)	3,8	4,3	4,5	4,8	5,1	5,6	6,4	7,7	9,4		
Уровни звукового давления от источника ИШ-2-27 в расчётной точке днём, дБ		**ф-ла(3)[10]**	**0**	**25,7**	**26,7**	**27,3**	**26,3**	**24,1**	**17,6**	**4**	**0**	**27,9**	**27,9**
Уровни звукового давления от источника ИШ-2-27 в расчётной точке ночью, дБ		**ф-ла(3)[10]**	**0**	**25,7**	**26,7**	**27,3**	**26,3**	**24,1**	**17,6**	**4**	**0**	**27,9**	**27,9**
Источник шума: ИШ-2-28, координаты источника (x,y,z), м =[731.54,9.78,1.00]													
Уровни звуковой мощности источника днём, Lw, дБ		**исходные данные**	**0**	**93,3**	**94,7**	**96**	**96,3**	**95,9**	**92,6**	**88,4**	**83,9**		
Уровни звуковой мощности источника ночью, Lw, дБ		**исходные данные**	**0**	**93,3**	**94,7**	**96**	**96,3**	**95,9**	**92,6**	**88,4**	**83,9**		
Поправка на телесный угол DΩ, дБ	Ω = 6.28	10Lg(4π/Ω)	**3**	3	3	3	3	3	3	3	3		
Показатель направленности источника Di, дБ		исходные данные	**0**	0	0	0	0	0	0	0	0		
Поправка на направленность источника Dc, дБ	Dc	DΩ + Di	**3**	3	3	3	3	3	3	3	3		
Затухание из-за геометрической дивергенции, Adiv, дБ	расстояние = 578.93 м	ф-ла (7) [10]	**66,3**										
Коэффициент затухания звука в атмосфере α, дБ/км	Ta=20,°C Pa=101.33,кПа hотн.=70%	ф-ла (5) [9]	0,02	0,09	0,33	1,12	2,79	4,98	9,04	23,09	77,63		

1		2	3	4	5	6	7	8	9	10	11	12	13
Учет затухания звука в атмосфере Aatm, дБ		ф-ла (8) [10]	0	0,1	0,2	0,7	1,6	2,9	5,2	13,4	44,9		
Снижение уровня звукового давления из-за влияния застройки между источником шума и расчетной точкой													
Снижение уровня звукового давления на пути над экраном, Dz1, дБ	z = 0.21м (разность путей)	ф-лы (14-18) [10]	4,8	4,8	4,8	5	5,2	5,7	6,5	7,8	9,5		
Снижение уровня звукового давления на пути слева от экрана, Dz2, дБ	z = 2.93м (разность путей)	ф-лы (14-18) [10]	11,4	13,9	16,6	19,5	22,4	25,4	28,4	31,4	34,4		
Снижение уровня звукового давления на пути справа от экрана, Dz3, дБ	z = 6.91м (разность путей)	ф-лы (14-18) [10]	18,6	21,8	24,9	27,9	30,9	33,9	36,9	39,9	42,9		
Общее снижение уровня звука препятствием Dz, дБ		Эн.сумма(-Dzi)	3,8	4,2	4,5	4,8	5,1	5,7	6,5	7,7	9,5		
Уровни звукового давления от источника ИШ-2-28 в расчётной точке днём, дБ		**ф-ла(3)[10]**	**0**	**25,8**	**26,7**	**27,3**	**26,3**	**24,1**	**17,6**	**4**	**0**	**28**	**28**
Уровни звукового давления от источника ИШ-2-28 в расчётной точке ночью, дБ		**ф-ла(3)[10]**	**0**	**25,8**	**26,7**	**27,3**	**26,3**	**24,1**	**17,6**	**4**	**0**	**28**	**28**
Источник шума: ИШ-2-29, координаты источника (x,y,z), м =[730.57,6.88,1.00]													
Уровни звуковой мощности источника днём, Lw, дБ		**исходные данные**	**0**	**93,3**	**94,7**	**96**	**96,3**	**95,9**	**92,6**	**88,4**	**83,9**		
Уровни звуковой мощности источника ночью, Lw, дБ		**исходные данные**	**0**	**93,3**	**94,7**	**96**	**96,3**	**95,9**	**92,6**	**88,4**	**83,9**		
Поправка на телесный угол DΩ, дБ	Ω = 6.28	10Lg(4π/Ω)	**3**	3	3	3	3	3	3	3	3		
Показатель направленности источника Di, дБ		исходные данные	**0**	0	0	0	0	0	0	0	0		
Поправка на направленность источника Dc, дБ	Dc	DΩ + Di	**3**	3	3	3	3	3	3	3	3		
Затухание из-за геометрической дивергенции, Adiv, дБ	расстояние = 577.08 м	ф-ла (7) [10]	**66,2**										
Коэффициент затухания звука в атмосфере α, дБ/км	Ta=20,°C Pa=101.33,кПа hотн.=70%	ф-ла (5) [9]	0,02	0,09	0,33	1,12	2,79	4,98	9,04	23,09	77,63		

1		2	3	4	5	6	7	8	9	10	11	12	13
Учет затухания звука в атмосфере Aatm, дБ		ф-ла (8) [10]	0	0,1	0,2	0,6	1,6	2,9	5,2	13,3	44,8		
Снижение уровня звукового давления из-за влияния застройки между источником шума и расчетной точкой													
Снижение уровня звукового давления на пути над экраном, Dz1, дБ	z = 0.21м (разность путей)	ф-лы (14-18) [10]	4,8	4,8	4,8	5	5,3	5,7	6,6	7,8	9,6		
Снижение уровня звукового давления на пути слева от экрана, Dz2, дБ	z = 2.58м (разность путей)	ф-лы (14-18) [10]	11	13,5	16,1	19	21,9	24,9	27,9	30,9	33,9		
Снижение уровня звукового давления на пути справа от экрана, Dz3, дБ	z = 7.45м (разность путей)	ф-лы (14-18) [10]	19	22,2	25,2	28,2	31,2	34,2	37,2	40,2	43,2		
Общее снижение уровня звука препятствием Dz, дБ		Эн.сумма(-Dzi)	3,7	4,2	4,5	4,8	5,1	5,7	6,5	7,8	9,6		
Уровни звукового давления от источника ИШ-2-29 в расчётной точке днём, дБ		**ф-ла(3)[10]**	**0**	**25,8**	**26,8**	**27,3**	**26,3**	**24,1**	**17,6**	**4**	**0**	**28**	**28**
Уровни звукового давления от источника ИШ-2-29 в расчётной точке ночью, дБ		**ф-ла(3)[10]**	**0**	**25,8**	**26,8**	**27,3**	**26,3**	**24,1**	**17,6**	**4**	**0**	**28**	**28**
Источник шума: ИШ-2-4, координаты источника (x,y,z), м =[632.70,-65.30,3.00]													
Уровни звуковой мощности источника днём, Lw, дБ		**исходные данные**	**105**	**104**	**104**	**101**	**102**	**106**	**101**	**95**	**87**		
Уровни звуковой мощности источника ночью, Lw, дБ		**исходные данные**	**105**	**104**	**104**	**101**	**102**	**106**	**101**	**95**	**87**		
Поправка на телесный угол DΩ, дБ	Ω = 6.28	10Lg(4π/Ω)	**3**	3	3	3	3	3	3	3	3		
Показатель направленности источника Di, дБ		исходные данные	**0**	0	0	0	0	0	0	0	0		
Поправка на направленность источника Dc, дБ	Dc	DΩ + Di	**3**	3	3	3	3	3	3	3	3		
Затухание из-за геометрической дивергенции, Adiv, дБ	расстояние = 462.64 м	ф-ла (7) [10]	**64,3**										
Коэффициент затухания звука в атмосфере α, дБ/км	Ta=20,°C Pa=101.33,кПа hотн.=70%	ф-ла (5) [9]	0,02	0,09	0,33	1,12	2,79	4,98	9,04	23,09	77,63		

1		2	3	4	5	6	7	8	9	10	11	12	13
Учет затухания звука в атмосфере Aatm, дБ		ф-ла (8) [10]	0	0	0,2	0,5	1,3	2,3	4,2	10,7	35,9		
Снижение поверхностью земли возле источника As, дБ	Gs = 0 hs = 3м	ф-лы таб.3 [10]	-1,5	-1,5	-1,5	-1,5	-1,5	-1,5	-1,5	-1,5	-1,5		
Снижение поверхностью земли возле приёмника Ar, дБ	Gr = 1 hr = 1.6м	ф-лы таб.3 [10]	-1,5	-1,5	2,8	6,8	4,3	0,5	0	0	0		
Снижение поверхностью земли в средней зоне, Am дБ	Gm = 1	ф-лы таб.3 [10]	-2,1	-2,1	0	0	0	0	0	0	0		
Суммарное снижение поверхностью земли на траектории распространения звука Agr, дБ		ф-ла (9) [10]	-5,1	-5,1	1,3	5,3	2,8	-1	-1,5	-1,5	-1,5		
Уровни звукового давления прямого звука от источника ИШ-2-4 в расчётной точке днём, дБ		**ф-ла(3)[10]**	**48,8**	**47,8**	**41,3**	**33,9**	**36,6**	**43,4**	**37**	**24,5**	**0**	**45**	**45**
Уровни звукового давления прямого звука от источника ИШ-2-4 в расчётной точке ночью, дБ		**ф-ла(3)[10]**	**48,8**	**47,8**	**41,3**	**33,9**	**36,6**	**43,4**	**37**	**24,5**	**0**	**45**	**45**
Расчёт отражённого звука													
Уровни звукового давления от мнимого источника ИШ-2-4_мн.(1) в расчётной точке днём, дБ		**ф-ла(3)[10]**	**0**	**0**	**0**	**0**	**0**	**0**	**0**	**0**	**0**	**0**	**0**
Уровни звукового давления от мнимого источника ИШ-2-4_мн.(1) в расчётной точке ночью, дБ		**ф-ла(3)[10]**	**0**	**0**	**0**	**0**	**0**	**0**	**0**	**0**	**0**	**0**	**0**
Уровни звукового давления от мнимого источника ИШ-2-4_мн.(2) в расчётной точке днём, дБ		**ф-ла(3)[10]**	**0**	**0**	**0**	**27,5**	**33,9**	**40,9**	**34,5**	**22**	**0**	**42,4**	**42,4**
Уровни звукового давления от мнимого источника ИШ-2-4_мн.(2) в расчётной точке ночью, дБ		**ф-ла(3)[10]**	**0**	**0**	**0**	**0**	**0**	**0**	**0**	**0**	**0**	**42,4**	**42,4**
Суммарные уровни звукового давления от мнимых источников в расчётной точке днём, дБ		**ф-ла (19) [1]**	**0**	**0**	**0**	**27,5**	**33,9**	**40,9**	**34,5**	**22**	**0**	**0**	**42,4**
Суммарные уровни звукового давления от мнимых источников в расчётной точке ночью, дБ		**ф-ла (19) [1]**	**0**	**0**	**0**	**27,5**	**33,9**	**40,9**	**34,5**	**22**	**0**	**0**	**42,4**
Уровни звукового давления от источника ИШ-2-4 в расчётной точке днём, дБ		**ф-ла(3)[10]**	**48,8**	**47,8**	**41,3**	**34,8**	**38,5**	**45,3**	**39**	**26,4**	**0**	**46,9**	**46,9**
Уровни звукового давления от источника ИШ-2-4 в расчётной точке ночью, дБ		**ф-ла(3)[10]**	**48,8**	**47,8**	**41,3**	**34,8**	**38,5**	**45,3**	**39**	**26,4**	**0**	**46,9**	**46,9**
Источник шума: ИШ-2-30, координаты источника (x,y,z), м =[702.44,-77.23,1.00]													

1		2	3	4	5	6	7	8	9	10	11	12	13
Уровни звуковой мощности источника днём, Lw, дБ		**исходные данные**	**0**	**93,3**	**94,7**	**96**	**96,3**	**95,9**	**92,6**	**88,4**	**83,9**		
Уровни звуковой мощности источника ночью, Lw, дБ		**исходные данные**	**0**	**93,3**	**94,7**	**96**	**96,3**	**95,9**	**92,6**	**88,4**	**83,9**		
Поправка на телесный угол DΩ, дБ	Ω = 6.28	10Lg(4π/Ω)	**3**	3	3	3	3	3	3	3	3		
Показатель направленности источника Di, дБ		исходные данные	**0**	0	0	0	0	0	0	0	0		
Поправка на направленность источника Dc, дБ	Dc	DΩ + Di	**3**	3	3	3	3	3	3	3	3		
Затухание из-за геометрической дивергенции, Adiv, дБ	расстояние = 528.08 м	ф-ла (7) [10]	**65,5**										
Коэффициент затухания звука в атмосфере α, дБ/км	Ta=20,°C Pa=101.33,кПа hотн.=70%	ф-ла (5) [9]	0,02	0,09	0,33	1,12	2,79	4,98	9,04	23,09	77,63		
Учет затухания звука в атмосфере Aatm, дБ		ф-ла (8) [10]	0	0	0,2	0,6	1,5	2,6	4,8	12,2	41		
Снижение уровня звукового давления из-за влияния застройки между источником шума и расчетной точкой													
Снижение уровня звукового давления на пути над экраном, Dz1, дБ	z = 0.30м (разность путей)	ф-лы (14-18) [10]	4,8	4,9	5	5,4	6,2	7,3	8,9	11	13,5		
Снижение уровня звукового давления на пути слева от экрана, Dz2, дБ	z = 0.79м (разность путей)	ф-лы (14-18) [10]	7,7	9,5	11,7	14,2	17	19,8	22,8	25,8	28,8		
Снижение уровня звукового давления на пути справа от экрана, Dz3, дБ	z = 0.24м (разность путей)	ф-лы (14-18) [10]	5,9	6,8	8,1	10	12,3	14,9	17,7	20,6	23,5		
Общее снижение уровня звука препятствием Dz, дБ		Эн.сумма(-Dzi)	1,2	1,9	2,7	3,7	4,9	6,4	8,2	10,4	12,9		
Уровни звукового давления от источника ИШ-2-30 в расчётной точке днём, дБ		**ф-ла(3)[10]**	**0**	**28,9**	**29,4**	**29,2**	**27,4**	**24,4**	**17,2**	**3,3**	**0**	**28,8**	**28,8**
Уровни звукового давления от источника ИШ-2-30 в расчётной точке ночью, дБ		**ф-ла(3)[10]**	**0**	**28,9**	**29,4**	**29,2**	**27,4**	**24,4**	**17,2**	**3,3**	**0**	**28,8**	**28,8**
Источник шума: ИШ-2-31, координаты источника (x,y,z), м =[701.42,-80.17,1.00]													

1		2	3	4	5	6	7	8	9	10	11	12	13
Уровни звуковой мощности источника днём, Lw, дБ		**исходные данные**	**0**	**93,3**	**94,7**	**96**	**96,3**	**95,9**	**92,6**	**88,4**	**83,9**		
Уровни звуковой мощности источника ночью, Lw, дБ		**исходные данные**	**0**	**93,3**	**94,7**	**96**	**96,3**	**95,9**	**92,6**	**88,4**	**83,9**		
Поправка на телесный угол DΩ, дБ	Ω = 6.28	10Lg(4π/Ω)	**3**	3	3	3	3	3	3	3	3		
Показатель направленности источника Di, дБ		исходные данные	**0**	0	0	0	0	0	0	0	0		
Поправка на направленность источника Dc, дБ	Dc	DΩ + Di	**3**	3	3	3	3	3	3	3	3		
Затухание из-за геометрической дивергенции, Adiv, дБ	расстояние = 526.53 м	ф-ла (7) [10]	**65,4**										
Коэффициент затухания звука в атмосфере α, дБ/км	Та=20,°С Ра=101.33,кПа hотн.=70%	ф-ла (5) [9]	0,02	0,09	0,33	1,12	2,79	4,98	9,04	23,09	77,63		
Учет затухания звука в атмосфере Aatm, дБ		ф-ла (8) [10]	0	0	0,2	0,6	1,5	2,6	4,8	12,2	40,9		
Снижение уровня звукового давления из-за влияния застройки между источником шума и расчетной точкой													
Снижение уровня звукового давления на пути над экраном, Dz1, дБ	z = 0.30м (разность путей)	ф-лы (14-18) [10]	4,8	4,9	5,1	5,5	6,3	7,4	9,1	11,2	13,7		
Снижение уровня звукового давления на пути слева от экрана, Dz2, дБ	z = 0.64м (разность путей)	ф-лы (14-18) [10]	7,3	8,9	11	13,4	16,1	19	21,9	24,9	27,8		
Снижение уровня звукового давления на пути справа от экрана, Dz3, дБ	z = 0.33м (разность путей)	ф-лы (14-18) [10]	6,2	7,3	8,9	11	13,5	16,2	19	22	24,9		
Общее снижение уровня звука препятствием Dz, дБ		Эн.сумма(-Dzi)	1,2	1,9	2,8	3,9	5,1	6,6	8,5	10,7	13,3		
Уровни звукового давления от источника ИШ-2-31 в расчётной точке днём, дБ		**ф-ла(3)[10]**	**0**	**28,9**	**29,2**	**29,1**	**27,2**	**24,2**	**16,9**	**3,1**	**0**	**28,6**	**28,6**
Уровни звукового давления от источника ИШ-2-31 в расчётной точке ночью, дБ		**ф-ла(3)[10]**	**0**	**28,9**	**29,2**	**29,1**	**27,2**	**24,2**	**16,9**	**3,1**	**0**	**28,6**	**28,6**
Источник шума: ИШ-2-32, координаты источника (x,y,z), м =[700.38,-83.01,1.00]													

1		2	3	4	5	6	7	8	9	10	11	12	13
Уровни звуковой мощности источника днём, Lw, дБ		**исходные данные**	**0**	**93,3**	**94,7**	**96**	**96,3**	**95,9**	**92,6**	**88,4**	**83,9**		
Уровни звуковой мощности источника ночью, Lw, дБ		**исходные данные**	**0**	**93,3**	**94,7**	**96**	**96,3**	**95,9**	**92,6**	**88,4**	**83,9**		
Поправка на телесный угол DΩ, дБ	Ω = 6.28	10Lg(4π/Ω)	**3**	3	3	3	3	3	3	3	3		
Показатель направленности источника Di, дБ		исходные данные	**0**	0	0	0	0	0	0	0	0		
Поправка на направленность источника Dc, дБ	Dc	DΩ + Di	**3**	3	3	3	3	3	3	3	3		
Затухание из-за геометрической дивергенции, Adiv, дБ	расстояние = 524.98 м	ф-ла (7) [10]	**65,4**										
Коэффициент затухания звука в атмосфере α, дБ/км	Ta=20,°C Pa=101.33,кПа hотн.=70%	ф-ла (5) [9]	0,02	0,09	0,33	1,12	2,79	4,98	9,04	23,09	77,63		
Учет затухания звука в атмосфере Aatm, дБ		ф-ла (8) [10]	0	0	0,2	0,6	1,5	2,6	4,7	12,1	40,8		
Снижение уровня звукового давления из-за влияния застройки между источником шума и расчетной точкой													
Снижение уровня звукового давления на пути над экраном, Dz1, дБ	z = 0.31м (разность путей)	ф-лы (14-18) [10]	4,8	4,9	5,1	5,6	6,4	7,6	9,3	11,5	14		
Снижение уровня звукового давления на пути слева от экрана, Dz2, дБ	z = 0.51м (разность путей)	ф-лы (14-18) [10]	6,9	8,3	10,2	12,6	15,2	18	20,9	23,9	26,9		
Снижение уровня звукового давления на пути справа от экрана, Dz3, дБ	z = 0.43м (разность путей)	ф-лы (14-18) [10]	6,6	7,9	9,7	11,9	14,5	17,3	20,2	23,1	26,1		
Общее снижение уровня звука препятствием Dz, дБ		Эн.сумма(-Dzi)	1,2	2	2,9	4	5,3	6,8	8,7	11	13,5		
Уровни звукового давления от источника ИШ-2-32 в расчётной точке днём, дБ		**ф-ла(3)[10]**	**0**	**28,9**	**29,2**	**29**	**27,1**	**24,1**	**16,7**	**2,9**	**0**	**28,4**	**28,4**
Уровни звукового давления от источника ИШ-2-32 в расчётной точке ночью, дБ		**ф-ла(3)[10]**	**0**	**28,9**	**29,2**	**29**	**27,1**	**24,1**	**16,7**	**2,9**	**0**	**28,4**	**28,4**
Источник шума: ИШ-2-33, координаты источника (x,y,z), м =[699.52,-85.98,1.00]													

1		2	3	4	5	6	7	8	9	10	11	12	13
Уровни звуковой мощности источника днём, Lw, дБ		**исходные данные**	**0**	**93,3**	**94,7**	**96**	**96,3**	**95,9**	**92,6**	**88,4**	**83,9**		
Уровни звуковой мощности источника ночью, Lw, дБ		**исходные данные**	**0**	**93,3**	**94,7**	**96**	**96,3**	**95,9**	**92,6**	**88,4**	**83,9**		
Поправка на телесный угол DΩ, дБ	Ω = 6.28	10Lg(4π/Ω)	**3**	3	3	3	3	3	3	3	3		
Показатель направленности источника Di, дБ		исходные данные	**0**	0	0	0	0	0	0	0	0		
Поправка на направленность источника Dc, дБ	Dc	DΩ + Di	**3**	3	3	3	3	3	3	3	3		
Затухание из-за геометрической дивергенции, Adiv, дБ	расстояние = 523.60 м	ф-ла (7) [10]	**65,4**										
Коэффициент затухания звука в атмосфере α, дБ/км	Ta=20,°C Pa=101.33,кПа hотн.=70%	ф-ла (5) [9]	0,02	0,09	0,33	1,12	2,79	4,98	9,04	23,09	77,63		
Учет затухания звука в атмосфере Aatm, дБ		ф-ла (8) [10]	0	0	0,2	0,6	1,5	2,6	4,7	12,1	40,6		
Снижение уровня звукового давления из-за влияния застройки между источником шума и расчетной точкой													
Снижение уровня звукового давления на пути над экраном, Dz1, дБ	z = 0.31м (разность путей)	ф-лы (14-18) [10]	4,8	4,9	5,1	5,6	6,4	7,6	9,4	11,6	14,1		
Снижение уровня звукового давления на пути слева от экрана, Dz2, дБ	z = 0.39м (разность путей)	ф-лы (14-18) [10]	6,5	7,7	9,4	11,6	14,1	16,9	19,7	22,7	25,7		
Снижение уровня звукового давления на пути справа от экрана, Dz3, дБ	z = 0.56м (разность путей)	ф-лы (14-18) [10]	7	8,5	10,5	12,9	15,5	18,3	21,3	24,2	27,2		
Общее снижение уровня звука препятствием Dz, дБ		Эн.сумма(-Dzi)	1,2	2	2,9	4	5,3	6,8	8,7	11	13,6		
Уровни звукового давления от источника ИШ-2-33 в расчётной точке днём, дБ		**ф-ла(3)[10]**	**0**	**28,9**	**29,2**	**29**	**27,2**	**24,1**	**16,7**	**2,9**	**0**	**28,5**	**28,5**
Уровни звукового давления от источника ИШ-2-33 в расчётной точке ночью, дБ		**ф-ла(3)[10]**	**0**	**28,9**	**29,2**	**29**	**27,2**	**24,1**	**16,7**	**2,9**	**0**	**28,5**	**28,5**

Источник шума: ИШ-2-34, координаты источника (x,y,z), м =[698.43,-88.85,1.00]

1		2	3	4	5	6	7	8	9	10	11	12	13
Уровни звуковой мощности источника днём, Lw, дБ		**исходные данные**	**0**	**93,3**	**94,7**	**96**	**96,3**	**95,9**	**92,6**	**88,4**	**83,9**		
Уровни звуковой мощности источника ночью, Lw, дБ		**исходные данные**	**0**	**93,3**	**94,7**	**96**	**96,3**	**95,9**	**92,6**	**88,4**	**83,9**		
Поправка на телесный угол DΩ, дБ	Ω = 6.28	10Lg(4π/Ω)	**3**	3	3	3	3	3	3	3	3		
Показатель направленности источника Di, дБ		исходные данные	**0**	0	0	0	0	0	0	0	0		
Поправка на направленность источника Dc, дБ	Dc	DΩ + Di	**3**	3	3	3	3	3	3	3	3		
Затухание из-за геометрической дивергенции, Adiv, дБ	расстояние = 522.02 м	ф-ла (7) [10]	**65,4**										
Коэффициент затухания звука в атмосфере α, дБ/км	Ta=20,°C Pa=101.33,кПа hотн.=70%	ф-ла (5) [9]	0,02	0,09	0,33	1,12	2,79	4,98	9,04	23,09	77,63		
Учет затухания звука в атмосфере Aatm, дБ		ф-ла (8) [10]	0	0	0,2	0,6	1,5	2,6	4,7	12,1	40,5		
Снижение уровня звукового давления из-за влияния застройки между источником шума и расчетной точкой													
Снижение уровня звукового давления на пути над экраном, Dz1, дБ	z = 0.31м (разность путей)	ф-лы (14-18) [10]	4,8	4,9	5,1	5,5	6,4	7,6	9,3	11,5	14		
Снижение уровня звукового давления на пути слева от экрана, Dz2, дБ	z = 0.28м (разность путей)	ф-лы (14-18) [10]	6,1	7,1	8,6	10,6	13	15,6	18,4	21,4	24,3		
Снижение уровня звукового давления на пути справа от экрана, Dz3, дБ	z = 0.69м (разность путей)	ф-лы (14-18) [10]	7,5	9,1	11,2	13,7	16,4	19,3	22,2	25,2	28,2		
Общее снижение уровня звука препятствием Dz, дБ		Эн.сумма(-Dzi)	1,2	1,9	2,8	3,9	5,2	6,7	8,6	10,9	13,5		
Уровни звукового давления от источника ИШ-2-34 в расчётной точке днём, дБ		**ф-ла(3)[10]**	**0**	**29**	**29,4**	**29,2**	**27,3**	**24,2**	**16,9**	**3,1**	**0**	**28,6**	**28,6**
Уровни звукового давления от источника ИШ-2-34 в расчётной точке ночью, дБ		**ф-ла(3)[10]**	**0**	**29**	**29,4**	**29,2**	**27,3**	**24,2**	**16,9**	**3,1**	**0**	**28,6**	**28,6**
Источник шума: ИШ-2-35, координаты источника (x,y,z), м =[697.52,-91.66,1.00]													

1		2	3	4	5	6	7	8	9	10	11	12	13
Уровни звуковой мощности источника днём, Lw, дБ		**исходные данные**	**0**	**93,3**	**94,7**	**96**	**96,3**	**95,9**	**92,6**	**88,4**	**83,9**		
Уровни звуковой мощности источника ночью, Lw, дБ		**исходные данные**	**0**	**93,3**	**94,7**	**96**	**96,3**	**95,9**	**92,6**	**88,4**	**83,9**		
Поправка на телесный угол DΩ, дБ	Ω = 6.28	10Lg(4π/Ω)	**3**	3	3	3	3	3	3	3	3		
Показатель направленности источника Di, дБ		исходные данные	**0**	0	0	0	0	0	0	0	0		
Поправка на направленность источника Dc, дБ	Dc	DΩ + Di	**3**	3	3	3	3	3	3	3	3		
Затухание из-за геометрической дивергенции, Adiv, дБ	расстояние = 520.64 м	ф-ла (7) [10]	**65,3**										
Коэффициент затухания звука в атмосфере α, дБ/км	Ta=20,°C Pa=101.33,кПа hотн.=70%	ф-ла (5) [9]	0,02	0,09	0,33	1,12	2,79	4,98	9,04	23,09	77,63		
Учет затухания звука в атмосфере Aatm, дБ		ф-ла (8) [10]	0	0	0,2	0,6	1,5	2,6	4,7	12	40,4		
Снижение уровня звукового давления из-за влияния застройки между источником шума и расчетной точкой													
Снижение уровня звукового давления на пути над экраном, Dz1, дБ	z = 0.30м (разность путей)	ф-лы (14-18) [10]	4,8	4,9	5	5,5	6,3	7,6	9,3	11,5	14		
Снижение уровня звукового давления на пути слева от экрана, Dz2, дБ	z = 0.20м (разность путей)	ф-лы (14-18) [10]	5,7	6,5	7,7	9,4	11,6	14,2	16,9	19,8	22,8		
Снижение уровня звукового давления на пути справа от экрана, Dz3, дБ	z = 0.84м (разность путей)	ф-лы (14-18) [10]	7,9	9,7	11,9	14,4	17,2	20,1	23	26	29		
Общее снижение уровня звука препятствием Dz, дБ		Эн.сумма(-Dzi)	1,2	1,8	2,6	3,6	4,9	6,5	8,4	10,7	13,3		
Уровни звукового давления от источника ИШ-2-35 в расчётной точке днём, дБ		**ф-ла(3)[10]**	**0**	**29,1**	**29,6**	**29,4**	**27,6**	**24,5**	**17,1**	**3,3**	**0**	**28,9**	**28,9**
Уровни звукового давления от источника ИШ-2-35 в расчётной точке ночью, дБ		**ф-ла(3)[10]**	**0**	**29,1**	**29,6**	**29,4**	**27,6**	**24,5**	**17,1**	**3,3**	**0**	**28,9**	**28,9**
Источник шума: ИШ-2-36, координаты источника (x,y,z), м =[696.58,-94.55,1.00]													

1		2	3	4	5	6	7	8	9	10	11	12	13
Уровни звуковой мощности источника днём, Lw, дБ		**исходные данные**	**0**	**93,3**	**94,7**	**96**	**96,3**	**95,9**	**92,6**	**88,4**	**83,9**		
Уровни звуковой мощности источника ночью, Lw, дБ		**исходные данные**	**0**	**93,3**	**94,7**	**96**	**96,3**	**95,9**	**92,6**	**88,4**	**83,9**		
Поправка на телесный угол DΩ, дБ	Ω = 6.28	10Lg(4π/Ω)	**3**	3	3	3	3	3	3	3	3		
Показатель направленности источника Di, дБ		исходные данные	**0**	0	0	0	0	0	0	0	0		
Поправка на направленность источника Dc, дБ	Dc	DΩ + Di	**3**	3	3	3	3	3	3	3	3		
Затухание из-за геометрической дивергенции, Adiv, дБ	расстояние = 519.23 м	ф-ла (7) [10]	**65,3**										
Коэффициент затухания звука в атмосфере α, дБ/км	Ta=20,°C Pa=101.33,кПа hотн.=70%	ф-ла (5) [9]	0,02	0,09	0,33	1,12	2,79	4,98	9,04	23,09	77,63		
Учет затухания звука в атмосфере Aatm, дБ		ф-ла (8) [10]	0	0	0,2	0,6	1,4	2,6	4,7	12	40,3		
Снижение уровня звукового давления из-за влияния застройки между источником шума и расчетной точкой													
Снижение уровня звукового давления на пути над экраном, Dz1, дБ	z = 0.30м (разность путей)	ф-лы (14-18) [10]	4,8	4,9	5	5,4	6,2	7,5	9,2	11,4	13,9		
Снижение уровня звукового давления на пути слева от экрана, Dz2, дБ	z = 0.12м (разность путей)	ф-лы (14-18) [10]	5,4	5,9	6,8	8,2	10,1	12,4	15,1	17,9	20,8		
Снижение уровня звукового давления на пути справа от экрана, Dz3, дБ	z = 1.01м (разность путей)	ф-лы (14-18) [10]	8,3	10,2	12,5	15,2	18	20,9	23,8	26,8	29,8		
Общее снижение уровня звука препятствием Dz, дБ		Эн.сумма(-Dzi)	1,2	1,7	2,4	3,3	4,6	6,1	8,1	10,4	13		
Уровни звукового давления от источника ИШ-2-36 в расчётной точке днём, дБ		**ф-ла(3)[10]**	**0**	**29,2**	**29,8**	**29,8**	**28**	**24,9**	**17,5**	**3,7**	**0**	**29,2**	**29,2**
Уровни звукового давления от источника ИШ-2-36 в расчётной точке ночью, дБ		**ф-ла(3)[10]**	**0**	**29,2**	**29,8**	**29,8**	**28**	**24,9**	**17,5**	**3,7**	**0**	**29,2**	**29,2**
Источник шума: ИШ-2-37, координаты источника (x,y,z), м =[695.57,-97.37,1.00]													

1		2	3	4	5	6	7	8	9	10	11	12	13
Уровни звуковой мощности источника днём, Lw, дБ		**исходные данные**	**0**	**93,3**	**94,7**	**96**	**96,3**	**95,9**	**92,6**	**88,4**	**83,9**		
Уровни звуковой мощности источника ночью, Lw, дБ		**исходные данные**	**0**	**93,3**	**94,7**	**96**	**96,3**	**95,9**	**92,6**	**88,4**	**83,9**		
Поправка на телесный угол DΩ, дБ	Ω = 6.28	10Lg(4π/Ω)	**3**	3	3	3	3	3	3	3	3		
Показатель направленности источника Di, дБ		исходные данные	**0**	0	0	0	0	0	0	0	0		
Поправка на направленность источника Dc, дБ	Dc	DΩ + Di	**3**	3	3	3	3	3	3	3	3		
Затухание из-за геометрической дивергенции, Adiv, дБ	расстояние = 517.78 м	ф-ла (7) [10]	**65,3**										
Коэффициент затухания звука в атмосфере α, дБ/км	Ta=20,°C Pa=101.33,кПа hотн.=70%	ф-ла (5) [9]	0,02	0,09	0,33	1,12	2,79	4,98	9,04	23,09	77,63		
Учет затухания звука в атмосфере Aatm, дБ		ф-ла (8) [10]	0	0	0,2	0,6	1,4	2,6	4,7	12	40,2		
Снижение уровня звукового давления из-за влияния застройки между источником шума и расчетной точкой													
Снижение уровня звукового давления на пути над экраном, Dz1, дБ	z = 0.30м (разность путей)	ф-лы (14-18) [10]	4,8	4,9	5	5,3	6,1	7,4	9,2	11,4	13,9		
Снижение уровня звукового давления на пути слева от экрана, Dz2, дБ	z = 0.07м (разность путей)	ф-лы (14-18) [10]	5,1	5,4	6	7	8,5	10,4	12,8	15,5	18,3		
Снижение уровня звукового давления на пути справа от экрана, Dz3, дБ	z = 1.20м (разность путей)	ф-лы (14-18) [10]	8,7	10,7	13,1	15,8	18,7	21,6	24,5	27,5	30,5		
Общее снижение уровня звука препятствием Dz, дБ		Эн.сумма(-Dzi)	1,1	1,6	2,1	2,9	4	5,6	7,5	9,9	12,5		
Уровни звукового давления от источника ИШ-2-37 в расчётной точке днём, дБ		**ф-ла(3)[10]**	**0**	**29,4**	**30,1**	**30,3**	**28,6**	**25,5**	**18,1**	**4,3**	**0**	**29,8**	**29,8**
Уровни звукового давления от источника ИШ-2-37 в расчётной точке ночью, дБ		**ф-ла(3)[10]**	**0**	**29,4**	**30,1**	**30,3**	**28,6**	**25,5**	**18,1**	**4,3**	**0**	**29,8**	**29,8**
Источник шума: ИШ-2-5, координаты источника (x,y,z), м =[618.60,-108.00,3.00]													

1		2	3	4	5	6	7	8	9	10	11	12	13
Уровни звуковой мощности источника днём, Lw, дБ		**исходные данные**	**105**	**104**	**104**	**101**	**102**	**106**	**101**	**95**	**87**		
Уровни звуковой мощности источника ночью, Lw, дБ		**исходные данные**	**105**	**104**	**104**	**101**	**102**	**106**	**101**	**95**	**87**		
Поправка на телесный угол DΩ, дБ	Ω = 6.28	10Lg(4π/Ω)	**3**	3	3	3	3	3	3	3	3		
Показатель направленности источника Di, дБ		исходные данные	**0**	0	0	0	0	0	0	0	0		
Поправка на направленность источника Dc, дБ	Dc	DΩ + Di	**3**	3	3	3	3	3	3	3	3		
Затухание из-за геометрической дивергенции, Adiv, дБ	расстояние = 440.11 м	ф-ла (7) [10]	**63,9**										
Коэффициент затухания звука в атмосфере α, дБ/км	Ta=20,°C Pa=101.33,кПа hотн.=70%	ф-ла (5) [9]	0,02	0,09	0,33	1,12	2,79	4,98	9,04	23,09	77,63		
Учет затухания звука в атмосфере Aatm, дБ		ф-ла (8) [10]	0	0	0,1	0,5	1,2	2,2	4	10,2	34,2		
Снижение уровня звукового давления из-за влияния застройки между источником шума и расчетной точкой													
Снижение уровня звукового давления на пути над экраном, Dz1, дБ	z = 0.29м (разность путей)	ф-лы (14-18) [10]	4,9	5	5,3	6,1	7,6	9,5	11,8	14,4	17,1		
Снижение уровня звукового давления на пути слева от экрана, Dz2, дБ	z = 0.14м (разность путей)	ф-лы (14-18) [10]	5,5	6,1	7	8,5	10,5	12,9	15,5	18,3	21,3		
Снижение уровня звукового давления на пути справа от экрана, Dz3, дБ	z = 1.32м (разность путей)	ф-лы (14-18) [10]	9	11,1	13,5	16,2	19,1	22	25	27,9	30,9		
Общее снижение уровня звука препятствием Dz, дБ		Эн.сумма(-Dzi)	1,3	1,9	2,7	3,9	5,6	7,7	10,1	12,8	15,6		
Уровни звукового давления прямого звука от источника ИШ-2-5 в расчётной точке днём, дБ		**ф-ла(3)[10]**	**42,8**	**41,2**	**40,3**	**35,8**	**34,3**	**35,3**	**26,1**	**11,2**	**0**	**37,8**	**37,8**
Уровни звукового давления прямого звука от источника ИШ-2-5 в расчётной точке ночью, дБ		**ф-ла(3)[10]**	**42,8**	**41,2**	**40,3**	**35,8**	**34,3**	**35,3**	**26,1**	**11,2**	**0**	**37,8**	**37,8**
Расчёт отражённого звука													
Уровни звукового давления от мнимого источника ИШ-2-5_мн.(1) в расчётной точке днём, дБ		**ф-ла(3)[10]**	**0**	**0**	**0**	**0**	**0**	**0**	**0**	**0**	**0**	**0**	**0**

1		2	3	4	5	6	7	8	9	10	11	12	13
Уровни звукового давления от мнимого источника ИШ-2-5_мн.(1) в расчётной точке ночью, дБ		**ф-ла(3)[10]**	**0**	**0**	**0**	**0**	**0**	**0**	**0**	**0**	**0**	**0**	**0**
Уровни звукового давления от источника ИШ-2-5 в расчётной точке днём, дБ		**ф-ла(3)[10]**	**42,8**	**41,2**	**40,3**	**35,8**	**34,3**	**35,3**	**26,1**	**11,2**	**0**	**37,8**	**37,8**
Уровни звукового давления от источника ИШ-2-5 в расчётной точке ночью, дБ		**ф-ла(3)[10]**	**42,8**	**41,2**	**40,3**	**35,8**	**34,3**	**35,3**	**26,1**	**11,2**	**0**	**37,8**	**37,8**
Источник шума: ИШ-2-38, координаты источника (x,y,z), м =[688.13,-119.94,1.00]													
Уровни звуковой мощности источника днём, Lw, дБ		**исходные данные**	**0**	**93,3**	**94,7**	**96**	**96,3**	**95,9**	**92,6**	**88,4**	**83,9**		
Уровни звуковой мощности источника ночью, Lw, дБ		**исходные данные**	**0**	**93,3**	**94,7**	**96**	**96,3**	**95,9**	**92,6**	**88,4**	**83,9**		
Поправка на телесный угол DΩ, дБ	Ω = 6.28	10Lg(4π/Ω)	**3**	3	3	3	3	3	3	3	3		
Показатель направленности источника Di, дБ		исходные данные	**0**	0	0	0	0	0	0	0	0		
Поправка на направленность источника Dc, дБ	Dc	DΩ + Di	**3**	3	3	3	3	3	3	3	3		
Затухание из-за геометрической дивергенции, Adiv, дБ	расстояние = 507.32 м	ф-ла (7) [10]	**65,1**										
Коэффициент затухания звука в атмосфере α, дБ/км	Ta=20,°C Pa=101.33,кПа hотн.=70%	ф-ла (5) [9]	0,02	0,09	0,33	1,12	2,79	4,98	9,04	23,09	77,63		
Учет затухания звука в атмосфере Aatm, дБ		ф-ла (8) [10]	0	0	0,2	0,6	1,4	2,5	4,6	11,7	39,4		
Снижение поверхностью земли возле источника As, дБ	Gs = 0 hs = 1м	ф-лы таб.3 [10]	-1,5	-1,5	-1,5	-1,5	-1,5	-1,5	-1,5	-1,5	-1,5		
Снижение поверхностью земли возле приёмника Ar, дБ	Gr = 1 hr = 1.6м	ф-лы таб.3 [10]	-1,5	-1,5	3,1	6,8	4,3	0,5	0	0	0		
Снижение поверхностью земли в средней зоне, Am дБ	Gm = 1	ф-лы таб.3 [10]	-2,5	-2,5	0	0	0	0	0	0	0		
Суммарное снижение поверхностью земли на траектории распространения звука Agr, дБ		ф-ла (9) [10]	-5,5	-5,5	1,6	5,3	2,8	-1	-1,5	-1,5	-1,5		

1		2	3	4	5	6	7	8	9	10	11	12	13
Уровни звукового давления прямого звука от источника ИШ-2-38 в расчётной точке днём, дБ		**ф-ла(3)[10]**	**0**	**36,7**	**30,8**	**28**	**30**	**32,3**	**27,4**	**16,1**	**0**	**34,9**	**34,9**
Уровни звукового давления прямого звука от источника ИШ-2-38 в расчётной точке ночью, дБ		**ф-ла(3)[10]**	**0**	**36,7**	**30,8**	**28**	**30**	**32,3**	**27,4**	**16,1**	**0**	**34,9**	**34,9**
Расчёт отражённого звука													
Уровни звукового давления от мнимого источника ИШ-2-38_мн.(1) в расчётной точке днём, дБ		**ф-ла(3)[10]**	**0**	**0**	**0**	**0**	**0**	**0**	**0**	**0**	**0**	**0**	**0**
Уровни звукового давления от мнимого источника ИШ-2-38_мн.(1) в расчётной точке ночью, дБ		**ф-ла(3)[10]**	**0**	**0**	**0**	**0**	**0**	**0**	**0**	**0**	**0**	**0**	**0**
Уровни звукового давления от мнимого источника ИШ-2-38_мн.(2) в расчётной точке днём, дБ		**ф-ла(3)[10]**	**0**	**0**	**0**	**0**	**0**	**0**	**0**	**0**	**0**	**0**	**0**
Уровни звукового давления от мнимого источника ИШ-2-38_мн.(2) в расчётной точке ночью, дБ		**ф-ла(3)[10]**	**0**	**0**	**0**	**0**	**0**	**0**	**0**	**0**	**0**	**0**	**0**
Уровни звукового давления от мнимого источника ИШ-2-38_мн.(3) в расчётной точке днём, дБ		**ф-ла(3)[10]**	**0**	**0**	**25,2**	**17,6**	**18,6**	**27,7**	**24,9**	**13,5**	**0**	**30,3**	**30,3**
Уровни звукового давления от мнимого источника ИШ-2-38_мн.(3) в расчётной точке ночью, дБ		**ф-ла(3)[10]**	**25,2**	**25,2**	**25,2**	**25,2**	**25,2**	**25,2**	**25,2**	**25,2**	**25,2**	**30,3**	**30,3**
Суммарные уровни звукового давления от мнимых источников в расчётной точке днём, дБ		**ф-ла (19) [1]**	**0**	**0**	**25,2**	**17,6**	**18,6**	**27,7**	**24,9**	**13,5**	**0**	**0**	**30,3**
Суммарные уровни звукового давления от мнимых источников в расчётной точке ночью, дБ		**ф-ла (19) [1]**	**0**	**0**	**25,2**	**17,6**	**18,6**	**27,7**	**24,9**	**13,5**	**0**	**0**	**30,3**
Уровни звукового давления от источника ИШ-2-38 в расчётной точке днём, дБ		**ф-ла(3)[10]**	**0**	**36,7**	**31,9**	**28,4**	**30,3**	**33,6**	**29,3**	**18**	**0**	**36,2**	**36,2**
Уровни звукового давления от источника ИШ-2-38 в расчётной точке ночью, дБ		**ф-ла(3)[10]**	**0**	**36,7**	**31,9**	**28,4**	**30,3**	**33,6**	**29,3**	**18**	**0**	**36,2**	**36,2**
Источник шума: ИШ-2-39, координаты источника (x,y,z), м =[687.11,-122.83,1.00]													
Уровни звуковой мощности источника днём, Lw, дБ		**исходные данные**	**0**	**93,3**	**94,7**	**96**	**96,3**	**95,9**	**92,6**	**88,4**	**83,9**		
Уровни звуковой мощности источника ночью, Lw, дБ		**исходные данные**	**0**	**93,3**	**94,7**	**96**	**96,3**	**95,9**	**92,6**	**88,4**	**83,9**		
Поправка на телесный угол DΩ, дБ	Ω = 6.28	10Lg(4π/Ω)	**3**	3	3	3	3	3	3	3	3		

1		2	3	4	5	6	7	8	9	10	11	12	13
Показатель направленности источника Di, дБ		исходные данные	**0**	0	0	0	0	0	0	0	0		
Поправка на направленность источника Dc, дБ	Dc	DΩ + Di	**3**	3	3	3	3	3	3	3	3		
Затухание из-за геометрической дивергенции, Adiv, дБ	расстояние = 505.98 м	ф-ла (7) [10]	**65,1**										
Коэффициент затухания звука в атмосфере α, дБ/км	Ta=20,°C Pa=101.33,кПа hотн.=70%	ф-ла (5) [9]	0,02	0,09	0,33	1,12	2,79	4,98	9,04	23,09	77,63		
Учет затухания звука в атмосфере Aatm, дБ		ф-ла (8) [10]	0	0	0,2	0,6	1,4	2,5	4,6	11,7	39,3		
Снижение поверхностью земли возле источника As, дБ	Gs = 0 hs = 1м	ф-лы таб.3 [10]	-1,5	-1,5	-1,5	-1,5	-1,5	-1,5	-1,5	-1,5	-1,5		
Снижение поверхностью земли возле приёмника Ar, дБ	Gr = 1 hr = 1.6м	ф-лы таб.3 [10]	-1,5	-1,5	3,1	6,8	4,3	0,5	0	0	0		
Снижение поверхностью земли в средней зоне, Am дБ	Gm = 1	ф-лы таб.3 [10]	-2,5	-2,5	0	0	0	0	0	0	0		
Суммарное снижение поверхностью земли на траектории распространения звука Agr, дБ		ф-ла (9) [10]	-5,5	-5,5	1,6	5,3	2,8	-1	-1,5	-1,5	-1,5		
Уровни звукового давления прямого звука от источника ИШ-2-39 в расчётной точке днём, дБ		**ф-ла(3)[10]**	**0**	**36,7**	**30,9**	**28**	**30**	**32,3**	**27,4**	**16,1**	**0**	**34,9**	**34,9**
Уровни звукового давления прямого звука от источника ИШ-2-39 в расчётной точке ночью, дБ		**ф-ла(3)[10]**	**0**	**36,7**	**30,9**	**28**	**30**	**32,3**	**27,4**	**16,1**	**0**	**34,9**	**34,9**
Расчёт отражённого звука													
Уровни звукового давления от мнимого источника ИШ-2-39_мн.(1) в расчётной точке днём, дБ		**ф-ла(3)[10]**	**0**	**0**	**0**	**0**	**0**	**0**	**0**	**0**	**0**	**0**	**0**
Уровни звукового давления от мнимого источника ИШ-2-39_мн.(1) в расчётной точке ночью, дБ		**ф-ла(3)[10]**	**0**	**0**	**0**	**0**	**0**	**0**	**0**	**0**	**0**	**0**	**0**
Уровни звукового давления от мнимого источника ИШ-2-39_мн.(2) в расчётной точке днём, дБ		**ф-ла(3)[10]**	**0**	**0**	**0**	**0**	**0**	**0**	**0**	**0**	**0**	**0**	**0**
Уровни звукового давления от мнимого источника ИШ-2-39_мн.(2) в расчётной точке ночью, дБ		**ф-ла(3)[10]**	**0**	**0**	**0**	**0**	**0**	**0**	**0**	**0**	**0**	**0**	**0**
Уровни звукового давления от мнимого источника ИШ-2-39_мн.(3) в расчётной точке днём, дБ		**ф-ла(3)[10]**	**0**	**0**	**25,2**	**17,6**	**18,6**	**27,8**	**24,9**	**13,6**	**0**	**30,4**	**30,4**

1		2	3	4	5	6	7	8	9	10	11	12	13
Уровни звукового давления от мнимого источника ИШ-2-39_мн.(3) в расчётной точке ночью, дБ		**ф-ла(3)[10]**	**25,2**	**25,2**	**25,2**	**25,2**	**25,2**	**25,2**	**25,2**	**25,2**	**25,2**	**30,4**	**30,4**
Суммарные уровни звукового давления от мнимых источников в расчётной точке днём, дБ		**ф-ла (19) [1]**	**0**	**0**	**25,2**	**17,6**	**18,6**	**27,8**	**24,9**	**13,6**	**0**	**0**	**30,4**
Суммарные уровни звукового давления от мнимых источников в расчётной точке ночью, дБ		**ф-ла (19) [1]**	**0**	**0**	**25,2**	**17,6**	**18,6**	**27,8**	**24,9**	**13,6**	**0**	**0**	**30,4**
Уровни звукового давления от источника ИШ-2-39 в расчётной точке днём, дБ		**ф-ла(3)[10]**	**0**	**36,7**	**31,9**	**28,4**	**30,3**	**33,6**	**29,4**	**18,1**	**0**	**36,2**	**36,2**
Уровни звукового давления от источника ИШ-2-39 в расчётной точке ночью, дБ		**ф-ла(3)[10]**	**0**	**36,7**	**31,9**	**28,4**	**30,3**	**33,6**	**29,4**	**18,1**	**0**	**36,2**	**36,2**
Источник шума: ИШ-2-40, координаты источника (x,y,z), м =[686.10,-125.67,1.00]													
Уровни звуковой мощности источника днём, Lw, дБ		**исходные данные**	**0**	**93,3**	**94,7**	**96**	**96,3**	**95,9**	**92,6**	**88,4**	**83,9**		
Уровни звуковой мощности источника ночью, Lw, дБ		**исходные данные**	**0**	**93,3**	**94,7**	**96**	**96,3**	**95,9**	**92,6**	**88,4**	**83,9**		
Поправка на телесный угол DΩ, дБ	Ω = 6.28	10Lg(4π/Ω)	**3**	3	3	3	3	3	3	3	3		
Показатель направленности источника Di, дБ		исходные данные	**0**	0	0	0	0	0	0	0	0		
Поправка на направленность источника Dc, дБ	Dc	DΩ + Di	**3**	3	3	3	3	3	3	3	3		
Затухание из-за геометрической дивергенции, Adiv, дБ	расстояние = 504.67 м	ф-ла (7) [10]	**65,1**										
Коэффициент затухания звука в атмосфере α, дБ/км	Ta=20,°C Pa=101.33,кПа hотн.=70%	ф-ла (5) [9]	0,02	0,09	0,33	1,12	2,79	4,98	9,04	23,09	77,63		
Учет затухания звука в атмосфере Aatm, дБ		ф-ла (8) [10]	0	0	0,2	0,6	1,4	2,5	4,6	11,7	39,2		
Снижение поверхностью земли возле источника As, дБ	Gs = 0 hs = 1м	ф-лы таб.3 [10]	-1,5	-1,5	-1,5	-1,5	-1,5	-1,5	-1,5	-1,5	-1,5		
Снижение поверхностью земли возле приёмника Ar, дБ	Gr = 1 hr = 1.6м	ф-лы таб.3 [10]	-1,5	-1,5	3,1	6,8	4,3	0,5	0	0	0		

1		2	3	4	5	6	7	8	9	10	11	12	13
Снижение поверхностью земли в средней зоне, Am дБ	Gm = 1	ф-лы таб.3 [10]	-2,5	-2,5	0	0	0	0	0	0	0		
Суммарное снижение поверхностью земли на траектории распространения звука Agr, дБ		ф-ла (9) [10]	-5,5	-5,5	1,6	5,3	2,8	-1	-1,5	-1,5	-1,5		
Уровни звукового давления прямого звука от источника ИШ-2-40 в расчётной точке днём, дБ		**ф-ла(3)[10]**	**0**	**36,7**	**30,9**	**28**	**30**	**32,3**	**27,5**	**16,2**	**0**	**34,9**	**34,9**
Уровни звукового давления прямого звука от источника ИШ-2-40 в расчётной точке ночью, дБ		**ф-ла(3)[10]**	**0**	**36,7**	**30,9**	**28**	**30**	**32,3**	**27,5**	**16,2**	**0**	**34,9**	**34,9**
Расчёт отражённого звука													
Уровни звукового давления от мнимого источника ИШ-2-40_мн.(1) в расчётной точке днём, дБ		**ф-ла(3)[10]**	**0**	**0**	**0**	**0**	**0**	**0**	**0**	**0**	**0**	**0**	**0**
Уровни звукового давления от мнимого источника ИШ-2-40_мн.(1) в расчётной точке ночью, дБ		**ф-ла(3)[10]**	**0**	**0**	**0**	**0**	**0**	**0**	**0**	**0**	**0**	**0**	**0**
Уровни звукового давления от мнимого источника ИШ-2-40_мн.(2) в расчётной точке днём, дБ		**ф-ла(3)[10]**	**0**	**0**	**25,3**	**17,7**	**18,7**	**27,8**	**25**	**13,6**	**0**	**30,4**	**30,4**
Уровни звукового давления от мнимого источника ИШ-2-40_мн.(2) в расчётной точке ночью, дБ		**ф-ла(3)[10]**	**0**	**0**	**0**	**0**	**0**	**0**	**0**	**0**	**0**	**30,4**	**30,4**
Суммарные уровни звукового давления от мнимых источников в расчётной точке днём, дБ		**ф-ла (19) [1]**	**0**	**0**	**25,3**	**17,7**	**18,7**	**27,8**	**25**	**13,6**	**0**	**0**	**30,4**
Суммарные уровни звукового давления от мнимых источников в расчётной точке ночью, дБ		**ф-ла (19) [1]**	**0**	**0**	**25,3**	**17,7**	**18,7**	**27,8**	**25**	**13,6**	**0**	**0**	**30,4**
Уровни звукового давления от источника ИШ-2-40 в расчётной точке днём, дБ		**ф-ла(3)[10]**	**0**	**36,7**	**32**	**28,4**	**30,3**	**33,6**	**29,4**	**18,1**	**0**	**36,2**	**36,2**
Уровни звукового давления от источника ИШ-2-40 в расчётной точке ночью, дБ		**ф-ла(3)[10]**	**0**	**36,7**	**32**	**28,4**	**30,3**	**33,6**	**29,4**	**18,1**	**0**	**36,2**	**36,2**
Источник шума: ИШ-2-41, координаты источника (x,y,z), м =[685.14,-128.64,1.00]													
Уровни звуковой мощности источника днём, Lw, дБ		**исходные данные**	**0**	**93,3**	**94,7**	**96**	**96,3**	**95,9**	**92,6**	**88,4**	**83,9**		
Уровни звуковой мощности источника ночью, Lw, дБ		**исходные данные**	**0**	**93,3**	**94,7**	**96**	**96,3**	**95,9**	**92,6**	**88,4**	**83,9**		
Поправка на телесный угол DΩ, дБ	Ω = 6.28	10Lg(4π/Ω)	**3**	3	3	3	3	3	3	3	3		

1		2	3	4	5	6	7	8	9	10	11	12	13
Показатель направленности источника Di, дБ		исходные данные	**0**	0	0	0	0	0	0	0	0		
Поправка на направленность источника Dc, дБ	Dc	DΩ + Di	**3**	3	3	3	3	3	3	3	3		
Затухание из-за геометрической дивергенции, Adiv, дБ	расстояние = 503.40 м	ф-ла (7) [10]	**65**										
Коэффициент затухания звука в атмосфере α, дБ/км	Ta=20,°C Pa=101.33,кПа hотн.=70%	ф-ла (5) [9]	0,02	0,09	0,33	1,12	2,79	4,98	9,04	23,09	77,63		
Учет затухания звука в атмосфере Aatm, дБ		ф-ла (8) [10]	0	0	0,2	0,6	1,4	2,5	4,6	11,6	39,1		
Снижение поверхностью земли возле источника As, дБ	Gs = 0 hs = 1м	ф-лы таб.3 [10]	-1,5	-1,5	-1,5	-1,5	-1,5	-1,5	-1,5	-1,5	-1,5		
Снижение поверхностью земли возле приёмника Ar, дБ	Gr = 1 hr = 1.6м	ф-лы таб.3 [10]	-1,5	-1,5	3	6,8	4,3	0,5	0	0	0		
Снижение поверхностью земли в средней зоне, Am дБ	Gm = 1	ф-лы таб.3 [10]	-2,5	-2,5	0	0	0	0	0	0	0		
Суммарное снижение поверхностью земли на траектории распространения звука Agr, дБ		ф-ла (9) [10]	-5,5	-5,5	1,5	5,3	2,8	-1	-1,5	-1,5	-1,5		
Уровни звукового давления прямого звука от источника ИШ-2-41 в расчётной точке днём, дБ		**ф-ла(3)[10]**	**0**	**36,7**	**30,9**	**28,1**	**30**	**32,3**	**27,5**	**16,2**	**0**	**34,9**	**34,9**
Уровни звукового давления прямого звука от источника ИШ-2-41 в расчётной точке ночью, дБ		**ф-ла(3)[10]**	**0**	**36,7**	**30,9**	**28,1**	**30**	**32,3**	**27,5**	**16,2**	**0**	**34,9**	**34,9**
Расчёт отражённого звука													
Уровни звукового давления от мнимого источника ИШ-2-41_мн.(1) в расчётной точке днём, дБ		**ф-ла(3)[10]**	**0**	**0**	**0**	**0**	**0**	**0**	**0**	**0**	**0**	**0**	**0**
Уровни звукового давления от мнимого источника ИШ-2-41_мн.(1) в расчётной точке ночью, дБ		**ф-ла(3)[10]**	**0**	**0**	**0**	**0**	**0**	**0**	**0**	**0**	**0**	**0**	**0**
Уровни звукового давления от мнимого источника ИШ-2-41_мн.(2) в расчётной точке днём, дБ		**ф-ла(3)[10]**	**0**	**0**	**25,3**	**17,7**	**18,7**	**27,8**	**25**	**13,7**	**0**	**30,4**	**30,4**
Уровни звукового давления от мнимого источника ИШ-2-41_мн.(2) в расчётной точке ночью, дБ		**ф-ла(3)[10]**	**0**	**0**	**0**	**0**	**0**	**0**	**0**	**0**	**0**	**30,4**	**30,4**
Суммарные уровни звукового давления от мнимых источников в расчётной точке днём, дБ		**ф-ла (19) [1]**	**0**	**0**	**25,3**	**17,7**	**18,7**	**27,8**	**25**	**13,7**	**0**	**0**	**30,4**

1		2	3	4	5	6	7	8	9	10	11	12	13
Суммарные уровни звукового давления от мнимых источников в расчётной точке ночью, дБ		**ф-ла (19) [1]**	**0**	**0**	**25,3**	**17,7**	**18,7**	**27,8**	**25**	**13,7**	**0**	**0**	**30,4**
Уровни звукового давления от источника ИШ-2-41 в расчётной точке днём, дБ		**ф-ла(3)[10]**	**0**	**36,7**	**32**	**28,4**	**30,3**	**33,7**	**29,4**	**18,2**	**0**	**36,3**	**36,3**
Уровни звукового давления от источника ИШ-2-41 в расчётной точке ночью, дБ		**ф-ла(3)[10]**	**0**	**36,7**	**32**	**28,4**	**30,3**	**33,7**	**29,4**	**18,2**	**0**	**36,3**	**36,3**
Источник шума: ИШ-2-42, координаты источника (x,y,z), м =[684.20,-131.46,1.00]													
Уровни звуковой мощности источника днём, Lw, дБ		**исходные данные**	**0**	**93,3**	**94,7**	**96**	**96,3**	**95,9**	**92,6**	**88,4**	**83,9**		
Уровни звуковой мощности источника ночью, Lw, дБ		**исходные данные**	**0**	**93,3**	**94,7**	**96**	**96,3**	**95,9**	**92,6**	**88,4**	**83,9**		
Поправка на телесный угол DΩ, дБ	Ω = 6.28	10Lg(4π/Ω)	**3**	3	3	3	3	3	3	3	3		
Показатель направленности источника Di, дБ		исходные данные	**0**	0	0	0	0	0	0	0	0		
Поправка на направленность источника Dc, дБ	Dc	DΩ + Di	**3**	3	3	3	3	3	3	3	3		
Затухание из-за геометрической дивергенции, Adiv, дБ	расстояние = 502.19 м	ф-ла (7) [10]	**65**										
Коэффициент затухания звука в атмосфере α, дБ/км	Ta=20,°C Pa=101.33,кПа hотн.=70%	ф-ла (5) [9]	0,02	0,09	0,33	1,12	2,79	4,98	9,04	23,09	77,63		
Учет затухания звука в атмосфере Aatm, дБ		ф-ла (8) [10]	0	0	0,2	0,6	1,4	2,5	4,5	11,6	39		
Снижение поверхностью земли возле источника As, дБ	Gs = 0 hs = 1м	ф-лы таб.3 [10]	-1,5	-1,5	-1,5	-1,5	-1,5	-1,5	-1,5	-1,5	-1,5		
Снижение поверхностью земли возле приёмника Ar, дБ	Gr = 1 hr = 1.6м	ф-лы таб.3 [10]	-1,5	-1,5	3	6,8	4,3	0,5	0	0	0		
Снижение поверхностью земли в средней зоне, Am дБ	Gm = 1	ф-лы таб.3 [10]	-2,5	-2,5	0	0	0	0	0	0	0		
Суммарное снижение поверхностью земли на траектории распространения звука Agr, дБ		ф-ла (9) [10]	-5,5	-5,5	1,5	5,3	2,8	-1	-1,5	-1,5	-1,5		

1		2	3	4	5	6	7	8	9	10	11	12	13
Уровни звукового давления прямого звука от источника ИШ-2-42 в расчётной точке днём, дБ		**ф-ла(3)[10]**	**0**	**36,8**	**31**	**28,1**	**30,1**	**32,4**	**27,5**	**16,3**	**0**	**35**	**35**
Уровни звукового давления прямого звука от источника ИШ-2-42 в расчётной точке ночью, дБ		**ф-ла(3)[10]**	**0**	**36,8**	**31**	**28,1**	**30,1**	**32,4**	**27,5**	**16,3**	**0**	**35**	**35**
Расчёт отражённого звука													
Уровни звукового давления от мнимого источника ИШ-2-42_мн.(1) в расчётной точке днём, дБ		**ф-ла(3)[10]**	**0**	**0**	**0**	**0**	**0**	**0**	**0**	**0**	**0**	**0**	**0**
Уровни звукового давления от мнимого источника ИШ-2-42_мн.(1) в расчётной точке ночью, дБ		**ф-ла(3)[10]**	**0**	**0**	**0**	**0**	**0**	**0**	**0**	**0**	**0**	**0**	**0**
Уровни звукового давления от мнимого источника ИШ-2-42_мн.(2) в расчётной точке днём, дБ		**ф-ла(3)[10]**	**0**	**0**	**25,4**	**17,7**	**18,7**	**27,8**	**25**	**13,7**	**0**	**30,4**	**30,4**
Уровни звукового давления от мнимого источника ИШ-2-42_мн.(2) в расчётной точке ночью, дБ		**ф-ла(3)[10]**	**0**	**0**	**0**	**0**	**0**	**0**	**0**	**0**	**0**	**30,4**	**30,4**
Суммарные уровни звукового давления от мнимых источников в расчётной точке днём, дБ		**ф-ла (19) [1]**	**0**	**0**	**25,4**	**17,7**	**18,7**	**27,8**	**25**	**13,7**	**0**	**0**	**30,4**
Суммарные уровни звукового давления от мнимых источников в расчётной точке ночью, дБ		**ф-ла (19) [1]**	**0**	**0**	**25,4**	**17,7**	**18,7**	**27,8**	**25**	**13,7**	**0**	**0**	**30,4**
Уровни звукового давления от источника ИШ-2-42 в расчётной точке днём, дБ		**ф-ла(3)[10]**	**0**	**36,8**	**32**	**28,5**	**30,4**	**33,7**	**29,5**	**18,2**	**0**	**36,3**	**36,3**
Уровни звукового давления от источника ИШ-2-42 в расчётной точке ночью, дБ		**ф-ла(3)[10]**	**0**	**36,8**	**32**	**28,5**	**30,4**	**33,7**	**29,5**	**18,2**	**0**	**36,3**	**36,3**
Источник шума: ИШ-2-43, координаты источника (x,y,z), м =[683.13,-134.37,1.00]													
Уровни звуковой мощности источника днём, Lw, дБ		**исходные данные**	**0**	**93,3**	**94,7**	**96**	**96,3**	**95,9**	**92,6**	**88,4**	**83,9**		
Уровни звуковой мощности источника ночью, Lw, дБ		**исходные данные**	**0**	**93,3**	**94,7**	**96**	**96,3**	**95,9**	**92,6**	**88,4**	**83,9**		
Поправка на телесный угол DΩ, дБ	Ω = 6.28	10Lg(4π/Ω)	**3**	3	3	3	3	3	3	3	3		
Показатель направленности источника Di, дБ		исходные данные	**0**	0	0	0	0	0	0	0	0		
Поправка на направленность источника Dc, дБ	Dc	DΩ + Di	**3**	3	3	3	3	3	3	3	3		

1		2	3	4	5	6	7	8	9	10	11	12	13
Затухание из-за геометрической дивергенции, Adiv, дБ	расстояние = 500.86 м	ф-ла (7) [10]	**65**										
Коэффициент затухания звука в атмосфере α, дБ/км	Ta=20,°C Pa=101.33,кПа hотн.=70%	ф-ла (5) [9]	0,02	0,09	0,33	1,12	2,79	4,98	9,04	23,09	77,63		
Учет затухания звука в атмосфере Aatm, дБ		ф-ла (8) [10]	0	0	0,2	0,6	1,4	2,5	4,5	11,6	38,9		
Снижение поверхностью земли возле источника As, дБ	Gs = 0 hs = 1м	ф-лы таб.3 [10]	-1,5	-1,5	-1,5	-1,5	-1,5	-1,5	-1,5	-1,5	-1,5		
Снижение поверхностью земли возле приёмника Ar, дБ	Gr = 1 hr = 1.6м	ф-лы таб.3 [10]	-1,5	-1,5	3	6,8	4,3	0,5	0	0	0		
Снижение поверхностью земли в средней зоне, Am дБ	Gm = 1	ф-лы таб.3 [10]	-2,5	-2,5	0	0	0	0	0	0	0		
Суммарное снижение поверхностью земли на траектории распространения звука Agr, дБ		ф-ла (9) [10]	-5,5	-5,5	1,5	5,3	2,8	-1	-1,5	-1,5	-1,5		
Уровни звукового давления прямого звука от источника ИШ-2-43 в расчётной точке днём, дБ		**ф-ла(3)[10]**	**0**	**36,8**	**31**	**28,1**	**30,1**	**32,4**	**27,6**	**16,3**	**0**	**35**	**35**
Уровни звукового давления прямого звука от источника ИШ-2-43 в расчётной точке ночью, дБ		**ф-ла(3)[10]**	**0**	**36,8**	**31**	**28,1**	**30,1**	**32,4**	**27,6**	**16,3**	**0**	**35**	**35**
Расчёт отражённого звука													
Уровни звукового давления от мнимого источника ИШ-2-43_мн.(1) в расчётной точке днём, дБ		**ф-ла(3)[10]**	**0**	**0**	**0**	**0**	**0**	**0**	**0**	**0**	**0**	**0**	**0**
Уровни звукового давления от мнимого источника ИШ-2-43_мн.(1) в расчётной точке ночью, дБ		**ф-ла(3)[10]**	**0**	**0**	**0**	**0**	**0**	**0**	**0**	**0**	**0**	**0**	**0**
Уровни звукового давления от мнимого источника ИШ-2-43_мн.(2) в расчётной точке днём, дБ		**ф-ла(3)[10]**	**0**	**0**	**25,4**	**17,7**	**18,7**	**27,9**	**25,1**	**13,8**	**0**	**30,5**	**30,5**
Уровни звукового давления от мнимого источника ИШ-2-43_мн.(2) в расчётной точке ночью, дБ		**ф-ла(3)[10]**	**0**	**0**	**0**	**0**	**0**	**0**	**0**	**0**	**0**	**30,5**	**30,5**
Суммарные уровни звукового давления от мнимых источников в расчётной точке днём, дБ		**ф-ла (19) [1]**	**0**	**0**	**25,4**	**17,7**	**18,7**	**27,9**	**25,1**	**13,8**	**0**	**0**	**30,5**
Суммарные уровни звукового давления от мнимых источников в расчётной точке ночью, дБ		**ф-ла (19) [1]**	**0**	**0**	**25,4**	**17,7**	**18,7**	**27,9**	**25,1**	**13,8**	**0**	**0**	**30,5**
Уровни звукового давления от источника ИШ-2-43 в расчётной точке днём, дБ		**ф-ла(3)[10]**	**0**	**36,8**	**32,1**	**28,5**	**30,4**	**33,7**	**29,5**	**18,3**	**0**	**36,3**	**36,3**

1		2	3	4	5	6	7	8	9	10	11	12	13
Уровни звукового давления от источника ИШ-2-43 в расчётной точке ночью, дБ		**ф-ла(3)[10]**	**0**	**36,8**	**32,1**	**28,5**	**30,4**	**33,7**	**29,5**	**18,3**	**0**	**36,3**	**36,3**
Источник шума: ИШ-2-44, координаты источника (x,y,z), м =[682.20,-137.16,1.00]													
Уровни звуковой мощности источника днём, Lw, дБ		**исходные данные**	**0**	**93,3**	**94,7**	**96**	**96,3**	**95,9**	**92,6**	**88,4**	**83,9**		
Уровни звуковой мощности источника ночью, Lw, дБ		**исходные данные**	**0**	**93,3**	**94,7**	**96**	**96,3**	**95,9**	**92,6**	**88,4**	**83,9**		
Поправка на телесный угол DΩ, дБ	Ω = 6.28	10Lg(4π/Ω)	**3**	3	3	3	3	3	3	3	3		
Показатель направленности источника Di, дБ		исходные данные	**0**	0	0	0	0	0	0	0	0		
Поправка на направленность источника Dc, дБ	Dc	DΩ + Di	**3**	3	3	3	3	3	3	3	3		
Затухание из-за геометрической дивергенции, Adiv, дБ	расстояние = 499.69 м	ф-ла (7) [10]	**65**										
Коэффициент затухания звука в атмосфере α, дБ/км	Ta=20,°C Pa=101.33,кПа hотн.=70%	ф-ла (5) [9]	0,02	0,09	0,33	1,12	2,79	4,98	9,04	23,09	77,63		
Учет затухания звука в атмосфере Aatm, дБ		ф-ла (8) [10]	0	0	0,2	0,6	1,4	2,5	4,5	11,5	38,8		
Снижение поверхностью земли возле источника As, дБ	Gs = 0 hs = 1м	ф-лы таб.3 [10]	-1,5	-1,5	-1,5	-1,5	-1,5	-1,5	-1,5	-1,5	-1,5		
Снижение поверхностью земли возле приёмника Ar, дБ	Gr = 1 hr = 1.6м	ф-лы таб.3 [10]	-1,5	-1,5	3	6,8	4,3	0,5	0	0	0		
Снижение поверхностью земли в средней зоне, Am дБ	Gm = 1	ф-лы таб.3 [10]	-2,5	-2,5	0	0	0	0	0	0	0		
Суммарное снижение поверхностью земли на траектории распространения звука Agr, дБ		ф-ла (9) [10]	-5,5	-5,5	1,5	5,3	2,8	-1	-1,5	-1,5	-1,5		
Уровни звукового давления прямого звука от источника ИШ-2-44 в расчётной точке днём, дБ		**ф-ла(3)[10]**	**0**	**36,8**	**31**	**28,1**	**30,1**	**32,4**	**27,6**	**16,4**	**0**	**35**	**35**
Уровни звукового давления прямого звука от источника ИШ-2-44 в расчётной точке ночью, дБ		**ф-ла(3)[10]**	**0**	**36,8**	**31**	**28,1**	**30,1**	**32,4**	**27,6**	**16,4**	**0**	**35**	**35**

1		2	3	4	5	6	7	8	9	10	11	12	13
Расчёт отражённого звука													
Уровни звукового давления от мнимого источника ИШ-2-44_мн.(1) в расчётной точке днём, дБ		**ф-ла(3)[10]**	**0**	**0**	**0**	**0**	**0**	**0**	**0**	**0**	**0**	**0**	**0**
Уровни звукового давления от мнимого источника ИШ-2-44_мн.(1) в расчётной точке ночью, дБ		**ф-ла(3)[10]**	**0**	**0**	**0**	**0**	**0**	**0**	**0**	**0**	**0**	**0**	**0**
Уровни звукового давления от мнимого источника ИШ-2-44_мн.(2) в расчётной точке днём, дБ		**ф-ла(3)[10]**	**0**	**0**	**25,4**	**17,8**	**18,8**	**27,9**	**25,1**	**13,8**	**0**	**30,5**	**30,5**
Уровни звукового давления от мнимого источника ИШ-2-44_мн.(2) в расчётной точке ночью, дБ		**ф-ла(3)[10]**	**0**	**0**	**0**	**0**	**0**	**0**	**0**	**0**	**0**	**30,5**	**30,5**
Суммарные уровни звукового давления от мнимых источников в расчётной точке днём, дБ		**ф-ла (19) [1]**	**0**	**0**	**25,4**	**17,8**	**18,8**	**27,9**	**25,1**	**13,8**	**0**	**0**	**30,5**
Суммарные уровни звукового давления от мнимых источников в расчётной точке ночью, дБ		**ф-ла (19) [1]**	**0**	**0**	**25,4**	**17,8**	**18,8**	**27,9**	**25,1**	**13,8**	**0**	**0**	**30,5**
Уровни звукового давления от источника ИШ-2-44 в расчётной точке днём, дБ		**ф-ла(3)[10]**	**0**	**36,8**	**32,1**	**28,5**	**30,4**	**33,7**	**29,5**	**18,3**	**0**	**36,3**	**36,3**
Уровни звукового давления от источника ИШ-2-44 в расчётной точке ночью, дБ		**ф-ла(3)[10]**	**0**	**36,8**	**32,1**	**28,5**	**30,4**	**33,7**	**29,5**	**18,3**	**0**	**36,3**	**36,3**
Источник шума: ИШ-2-45, координаты источника (x,y,z), м =[681.26,-139.98,1.00]													
Уровни звуковой мощности источника днём, Lw, дБ		**исходные данные**	**0**	**93,3**	**94,7**	**96**	**96,3**	**95,9**	**92,6**	**88,4**	**83,9**		
Уровни звуковой мощности источника ночью, Lw, дБ		**исходные данные**	**0**	**93,3**	**94,7**	**96**	**96,3**	**95,9**	**92,6**	**88,4**	**83,9**		
Поправка на телесный угол DΩ, дБ	Ω = 6.28	10Lg(4π/Ω)	**3**	3	3	3	3	3	3	3	3		
Показатель направленности источника Di, дБ		исходные данные	**0**	0	0	0	0	0	0	0	0		
Поправка на направленность источника Dc, дБ	Dc	DΩ + Di	**3**	3	3	3	3	3	3	3	3		
Затухание из-за геометрической дивергенции, Adiv, дБ	расстояние = 498.53 м	ф-ла (7) [10]	**65**										
Коэффициент затухания звука в атмосфере α, дБ/км	Ta=20,°C Pa=101.33,кПа hотн.=70%	ф-ла (5) [9]	0,02	0,09	0,33	1,12	2,79	4,98	9,04	23,09	77,63		

1		2	3	4	5	6	7	8	9	10	11	12	13
Учет затухания звука в атмосфере Aatm, дБ		ф-ла (8) [10]	0	0	0,2	0,6	1,4	2,5	4,5	11,5	38,7		
Снижение поверхностью земли возле источника As, дБ	Gs = 0 hs = 1м	ф-лы таб.3 [10]	-1,5	-1,5	-1,5	-1,5	-1,5	-1,5	-1,5	-1,5	-1,5		
Снижение поверхностью земли возле приёмника Ar, дБ	Gr = 1 hr = 1.6м	ф-лы таб.3 [10]	-1,5	-1,5	3	6,8	4,3	0,5	0	0	0		
Снижение поверхностью земли в средней зоне, Am дБ	Gm = 1	ф-лы таб.3 [10]	-2,5	-2,5	0	0	0	0	0	0	0		
Суммарное снижение поверхностью земли на траектории распространения звука Agr, дБ		ф-ла (9) [10]	-5,5	-5,5	1,5	5,3	2,8	-1	-1,5	-1,5	-1,5		
Уровни звукового давления прямого звука от источника ИШ-2-45 в расчётной точке днём, дБ		**ф-ла(3)[10]**	**0**	**36,8**	**31,1**	**28,1**	**30,1**	**32,5**	**27,6**	**16,4**	**0**	**35,1**	**35,1**
Уровни звукового давления прямого звука от источника ИШ-2-45 в расчётной точке ночью, дБ		**ф-ла(3)[10]**	**0**	**36,8**	**31,1**	**28,1**	**30,1**	**32,5**	**27,6**	**16,4**	**0**	**35,1**	**35,1**
Расчёт отражённого звука													
Уровни звукового давления от мнимого источника ИШ-2-45_мн.(1) в расчётной точке днём, дБ		**ф-ла(3)[10]**	**0**	**0**	**0**	**0**	**0**	**0**	**0**	**0**	**0**	**0**	**0**
Уровни звукового давления от мнимого источника ИШ-2-45_мн.(1) в расчётной точке ночью, дБ		**ф-ла(3)[10]**	**0**	**0**	**0**	**0**	**0**	**0**	**0**	**0**	**0**	**0**	**0**
Уровни звукового давления от мнимого источника ИШ-2-45_мн.(2) в расчётной точке днём, дБ		**ф-ла(3)[10]**	**0**	**0**	**25,5**	**17,8**	**18,8**	**27,9**	**25,1**	**13,9**	**0**	**30,5**	**30,5**
Уровни звукового давления от мнимого источника ИШ-2-45_мн.(2) в расчётной точке ночью, дБ		**ф-ла(3)[10]**	**0**	**0**	**0**	**0**	**0**	**0**	**0**	**0**	**0**	**30,5**	**30,5**
Суммарные уровни звукового давления от мнимых источников в расчётной точке днём, дБ		**ф-ла (19) [1]**	**0**	**0**	**25,5**	**17,8**	**18,8**	**27,9**	**25,1**	**13,9**	**0**	**0**	**30,5**
Суммарные уровни звукового давления от мнимых источников в расчётной точке ночью, дБ		**ф-ла (19) [1]**	**0**	**0**	**25,5**	**17,8**	**18,8**	**27,9**	**25,1**	**13,9**	**0**	**0**	**30,5**
Уровни звукового давления от источника ИШ-2-45 в расчётной точке днём, дБ		**ф-ла(3)[10]**	**0**	**36,8**	**32,1**	**28,5**	**30,4**	**33,8**	**29,6**	**18,4**	**0**	**36,4**	**36,4**
Уровни звукового давления от источника ИШ-2-45 в расчётной точке ночью, дБ		**ф-ла(3)[10]**	**0**	**36,8**	**32,1**	**28,5**	**30,4**	**33,8**	**29,6**	**18,4**	**0**	**36,4**	**36,4**

Источник шума: ИШ-4-1, координаты источника (x,y,z), м =[141.82,201.03,1.00]

1		2	3	4	5	6	7	8	9	10	11	12	13
Уровни звуковой мощности источника днём, Lw, дБ		**исходные данные**	**0**	**90,3**	**91,7**	**93**	**93,3**	**92,9**	**89,6**	**85,4**	**80,9**		
Уровни звуковой мощности источника ночью, Lw, дБ		**исходные данные**	**0**	**90,3**	**91,7**	**93**	**93,3**	**92,9**	**89,6**	**85,4**	**80,9**		
Поправка на телесный угол DΩ, дБ	Ω = 6.28	10Lg(4π/Ω)	**3**	3	3	3	3	3	3	3	3		
Показатель направленности источника Di, дБ		исходные данные	**0**	0	0	0	0	0	0	0	0		
Поправка на направленность источника Dc, дБ	Dc	DΩ + Di	**3**	3	3	3	3	3	3	3	3		
Затухание из-за геометрической дивергенции, Adiv, дБ	расстояние = 382.46 м	ф-ла (7) [10]	**62,7**										
Коэффициент затухания звука в атмосфере α, дБ/км	Ta=20,°C Pa=101.33,кПа hотн.=70%	ф-ла (5) [9]	0,02	0,09	0,33	1,12	2,79	4,98	9,04	23,09	77,63		
Учет затухания звука в атмосфере Aatm, дБ		ф-ла (8) [10]	0	0	0,1	0,4	1,1	1,9	3,5	8,8	29,7		
Снижение поверхностью земли возле источника As, дБ	Gs = 0 hs = 1м	ф-лы таб.3 [10]	-1,5	-1,5	-1,5	-1,5	-1,5	-1,5	-1,5	-1,5	-1,5		
Снижение поверхностью земли возле приёмника Ar, дБ	Gr = 1 hr = 1.6м	ф-лы таб.3 [10]	-1,5	-1,5	2,3	6,8	4,3	0,5	0	0	0		
Снижение поверхностью земли в средней зоне, Am дБ	Gm = 1	ф-лы таб.3 [10]	-2,4	-2,4	0	0	0	0	0	0	0		
Суммарное снижение поверхностью земли на траектории распространения звука Agr, дБ		ф-ла (9) [10]	-5,4	-5,4	0,8	5,3	2,8	-1	-1,5	-1,5	-1,5		
Уровни звукового давления прямого звука от источника ИШ-4-1 в расчётной точке днём, дБ		**ф-ла(3)[10]**	**0**	**36**	**31,1**	**27,6**	**29,8**	**32,3**	**28**	**18,4**	**0**	**35,1**	**35,1**
Уровни звукового давления прямого звука от источника ИШ-4-1 в расчётной точке ночью, дБ		**ф-ла(3)[10]**	**0**	**36**	**31,1**	**27,6**	**29,8**	**32,3**	**28**	**18,4**	**0**	**35,1**	**35,1**
Расчёт отражённого звука													
Уровни звукового давления от мнимого источника ИШ-4-1_мн.(1) в расчётной точке днём, дБ		**ф-ла(3)[10]**	**0**	**0**	**0**	**0**	**0**	**16,2**	**8,2**	**0**	**0**	**17**	**17**
Уровни звукового давления от мнимого источника ИШ-4-1_мн.(1) в расчётной точке ночью, дБ		**ф-ла(3)[10]**	**0**	**0**	**0**	**0**	**0**	**0**	**0**	**0**	**0**	**17**	**17**

1		2	3	4	5	6	7	8	9	10	11	12	13
Уровни звукового давления от мнимого источника ИШ-4-1_мн.(2) в расчётной точке днём, дБ		**ф-ла(3)[10]**	**0**	**34,9**	**26,3**	**17,2**	**18,4**	**27,7**	**25,4**	**15,8**	**0**	**30,6**	**30,6**
Уровни звукового давления от мнимого источника ИШ-4-1_мн.(2) в расчётной точке ночью, дБ		**ф-ла(3)[10]**	**34,9**	**34,9**	**34,9**	**34,9**	**34,9**	**34,9**	**34,9**	**34,9**	**34,9**	**30,6**	**30,6**
Суммарные уровни звукового давления от мнимых источников в расчётной точке днём, дБ		**ф-ла (19) [1]**	**0**	**34,9**	**26,3**	**17,2**	**18,4**	**28**	**25,5**	**15,8**	**0**	**0**	**30,8**
Суммарные уровни звукового давления от мнимых источников в расчётной точке ночью, дБ		**ф-ла (19) [1]**	**0**	**34,9**	**26,3**	**17,2**	**18,4**	**28**	**25,5**	**15,8**	**0**	**0**	**30,8**
Уровни звукового давления от источника ИШ-4-1 в расчётной точке днём, дБ		**ф-ла(3)[10]**	**0**	**38,5**	**32,4**	**28**	**30,1**	**33,7**	**29,9**	**20,3**	**0**	**36,4**	**36,4**
Уровни звукового давления от источника ИШ-4-1 в расчётной точке ночью, дБ		**ф-ла(3)[10]**	**0**	**38,5**	**32,4**	**28**	**30,1**	**33,7**	**29,9**	**20,3**	**0**	**36,4**	**36,4**
Источник шума: ИШ-4-2, координаты источника (x,y,z), м =[133.85,183.21,1.00]													
Уровни звуковой мощности источника днём, Lw, дБ		**исходные данные**	**0**	**90,3**	**91,7**	**93**	**93,3**	**92,9**	**89,6**	**85,4**	**80,9**		
Уровни звуковой мощности источника ночью, Lw, дБ		**исходные данные**	**0**	**90,3**	**91,7**	**93**	**93,3**	**92,9**	**89,6**	**85,4**	**80,9**		
Поправка на телесный угол DΩ, дБ	Ω = 6.28	10Lg(4π/Ω)	**3**	3	3	3	3	3	3	3	3		
Показатель направленности источника Di, дБ		исходные данные	**0**	0	0	0	0	0	0	0	0		
Поправка на направленность источника Dc, дБ	Dc	DΩ + Di	**3**	3	3	3	3	3	3	3	3		
Затухание из-за геометрической дивергенции, Adiv, дБ	расстояние = 365.77 м	ф-ла (7) [10]	**62,3**										
Коэффициент затухания звука в атмосфере α, дБ/км	Ta=20,°C Pa=101.33,кПа hотн.=70%	ф-ла (5) [9]	0,02	0,09	0,33	1,12	2,79	4,98	9,04	23,09	77,63		
Учет затухания звука в атмосфере Aatm, дБ		ф-ла (8) [10]	0	0	0,1	0,4	1	1,8	3,3	8,4	28,4		
Снижение уровня звукового давления из-за влияния застройки между источником шума и расчетной точкой													

1		2	3	4	5	6	7	8	9	10	11	12	13
Снижение уровня звукового давления препятствием справа от трассы ИШ-РТ, Dz3, дБ	z = -0.27м (разность путей)	ф-лы (14-18) [10]	0	0	NAN	NAN	NAN	NAN	NAN	NAN	NAN		
* отрицательное значение z означает прохождение траектории вблизи экрана, в этом случае дополнительно производится учёт снижения подстилающей поверхностью (см.ниже)													
Снижение поверхностью земли возле источника As, дБ	Gs = 0 hs = 1м	ф-лы таб.3 [10]	-1,5	-1,5	-1,5	-1,5	-1,5	-1,5	-1,5	-1,5	-1,5		
Снижение поверхностью земли возле приёмника Ar, дБ	Gr = 1 hr = 1.6м	ф-лы таб.3 [10]	-1,5	-1,5	2,2	6,8	4,3	0,5	0	0	0		
Снижение поверхностью земли в средней зоне, Am дБ	Gm = 1	ф-лы таб.3 [10]	-2,4	-2,4	0	0	0	0	0	0	0		
Суммарное снижение поверхностью земли на траектории распространения звука Agr, дБ		ф-ла (9) [10]	-5,4	-5,4	0,7	5,3	2,8	-1	-1,5	-1,5	-1,5		
Уровни звукового давления прямого звука от источника ИШ-4-2 в расчётной точке днём, дБ		**ф-ла(3)[10]**	**0**	**36,3**	**31,6**	**28**	**30,2**	**32,8**	**28,5**	**19,2**	**0**	**35,5**	**35,5**
Уровни звукового давления прямого звука от источника ИШ-4-2 в расчётной точке ночью, дБ		**ф-ла(3)[10]**	**0**	**36,3**	**31,6**	**28**	**30,2**	**32,8**	**28,5**	**19,2**	**0**	**35,5**	**35,5**
Расчёт отражённого звука													
Уровни звукового давления от мнимого источника ИШ-4-2_мн.(1) в расчётной точке днём, дБ		**ф-ла(3)[10]**	**0**	**0**	**0**	**0**	**0**	**0**	**22**	**10,7**	**0**	**23,5**	**23,5**
Уровни звукового давления от мнимого источника ИШ-4-2_мн.(1) в расчётной точке ночью, дБ		**ф-ла(3)[10]**	**0**	**0**	**0**	**0**	**0**	**0**	**0**	**0**	**0**	**23,5**	**23,5**
Уровни звукового давления от мнимого источника ИШ-4-2_мн.(2) в расчётной точке днём, дБ		**ф-ла(3)[10]**	**0**	**35,3**	**27**	**17,6**	**18,8**	**28,2**	**25,9**	**16,5**	**0**	**31,1**	**31,1**
Уровни звукового давления от мнимого источника ИШ-4-2_мн.(2) в расчётной точке ночью, дБ		**ф-ла(3)[10]**	**35,3**	**35,3**	**35,3**	**35,3**	**35,3**	**35,3**	**35,3**	**35,3**	**35,3**	**31,1**	**31,1**
Суммарные уровни звукового давления от мнимых источников в расчётной точке днём, дБ		**ф-ла (19) [1]**	**0**	**35,3**	**27**	**17,6**	**18,8**	**28,2**	**27,4**	**17,5**	**0**	**0**	**31,8**
Суммарные уровни звукового давления от мнимых источников в расчётной точке ночью, дБ		**ф-ла (19) [1]**	**0**	**35,3**	**27**	**17,6**	**18,8**	**28,2**	**27,4**	**17,5**	**0**	**0**	**31,8**
Уровни звукового давления от источника ИШ-4-2 в расчётной точке днём, дБ		**ф-ла(3)[10]**	**0**	**38,8**	**32,9**	**28,4**	**30,5**	**34,1**	**31**	**21,5**	**0**	**37,1**	**37,1**
Уровни звукового давления от источника ИШ-4-2 в расчётной точке ночью, дБ		**ф-ла(3)[10]**	**0**	**38,8**	**32,9**	**28,4**	**30,5**	**34,1**	**31**	**21,5**	**0**	**37,1**	**37,1**
Источник шума: ИШ-4-3, координаты источника (x,y,z), м =[152.61,172.66,1.00]													

1		2	3	4	5	6	7	8	9	10	11	12	13
Уровни звуковой мощности источника днём, Lw, дБ		**исходные данные**	**0**	**90,3**	**91,7**	**93**	**93,3**	**92,9**	**89,6**	**85,4**	**80,9**		
Уровни звуковой мощности источника ночью, Lw, дБ		**исходные данные**	**0**	**90,3**	**91,7**	**93**	**93,3**	**92,9**	**89,6**	**85,4**	**80,9**		
Поправка на телесный угол DΩ, дБ	Ω = 6.28	10Lg(4π/Ω)	**3**	3	3	3	3	3	3	3	3		
Показатель направленности источника Di, дБ		исходные данные	**0**	0	0	0	0	0	0	0	0		
Поправка на направленность источника Dc, дБ	Dc	DΩ + Di	**3**	3	3	3	3	3	3	3	3		
Затухание из-за геометрической дивергенции, Adiv, дБ	расстояние = 353.15 м	ф-ла (7) [10]	**62**										
Коэффициент затухания звука в атмосфере α, дБ/км	Ta=20,°C Pa=101.33,кПа hотн.=70%	ф-ла (5) [9]	0,02	0,09	0,33	1,12	2,79	4,98	9,04	23,09	77,63		
Учет затухания звука в атмосфере Aatm, дБ		ф-ла (8) [10]	0	0	0,1	0,4	1	1,8	3,2	8,2	27,4		
Снижение поверхностью земли возле источника As, дБ	Gs = 0 hs = 1м	ф-лы таб.3 [10]	-1,5	-1,5	-1,5	-1,5	-1,5	-1,5	-1,5	-1,5	-1,5		
Снижение поверхностью земли возле приёмника Ar, дБ	Gr = 1 hr = 1.6м	ф-лы таб.3 [10]	-1,5	-1,5	2,1	6,8	4,3	0,5	0	0	0		
Снижение поверхностью земли в средней зоне, Am дБ	Gm = 1	ф-лы таб.3 [10]	-2,3	-2,3	0	0	0	0	0	0	0		
Суммарное снижение поверхностью земли на траектории распространения звука Agr, дБ		ф-ла (9) [10]	-5,3	-5,3	0,6	5,3	2,8	-1	-1,5	-1,5	-1,5		
Уровни звукового давления прямого звука от источника ИШ-4-3 в расчётной точке днём, дБ		**ф-ла(3)[10]**	**0**	**36,6**	**32**	**28,3**	**30,5**	**33,2**	**28,9**	**19,8**	**0**	**35,9**	**35,9**
Уровни звукового давления прямого звука от источника ИШ-4-3 в расчётной точке ночью, дБ		**ф-ла(3)[10]**	**0**	**36,6**	**32**	**28,3**	**30,5**	**33,2**	**28,9**	**19,8**	**0**	**35,9**	**35,9**
Расчёт отражённого звука													
Уровни звукового давления от мнимого источника ИШ-4-3_мн.(1) в расчётной точке днём, дБ		**ф-ла(3)[10]**	**0**	**0**	**0**	**0**	**0**	**27,1**	**24,7**	**14,8**	**0**	**29,8**	**29,8**
Уровни звукового давления от мнимого источника ИШ-4-3_мн.(1) в расчётной точке ночью, дБ		**ф-ла(3)[10]**	**0**	**0**	**0**	**0**	**0**	**0**	**0**	**0**	**0**	**29,8**	**29,8**

1		2	3	4	5	6	7	8	9	10	11	12	13
Уровни звукового давления от мнимого источника ИШ-4-3_мн.(2) в расчётной точке днём, дБ		**ф-ла(3)[10]**	**0**	**35,6**	**27,4**	**17,9**	**19,1**	**28,6**	**26,3**	**17,1**	**0**	**31,5**	**31,5**
Уровни звукового давления от мнимого источника ИШ-4-3_мн.(2) в расчётной точке ночью, дБ		**ф-ла(3)[10]**	**35,6**	**35,6**	**35,6**	**35,6**	**35,6**	**35,6**	**35,6**	**35,6**	**35,6**	**31,5**	**31,5**
Уровни звукового давления от мнимого источника ИШ-4-3_мн.(3) в расчётной точке днём, дБ		**ф-ла(3)[10]**	**0**	**0**	**0**	**0**	**0**	**0**	**0**	**0**	**0**	**0**	**0**
Уровни звукового давления от мнимого источника ИШ-4-3_мн.(3) в расчётной точке ночью, дБ		**ф-ла(3)[10]**	**0**	**0**	**0**	**0**	**0**	**0**	**0**	**0**	**0**	**0**	**0**
Суммарные уровни звукового давления от мнимых источников в расчётной точке днём, дБ		**ф-ла (19) [1]**	**0**	**35,6**	**27,4**	**17,9**	**19,1**	**30,9**	**28,6**	**19,1**	**0**	**0**	**33,7**
Суммарные уровни звукового давления от мнимых источников в расчётной точке ночью, дБ		**ф-ла (19) [1]**	**0**	**35,6**	**27,4**	**17,9**	**19,1**	**30,9**	**28,6**	**19,1**	**0**	**0**	**33,7**
Уровни звукового давления от источника ИШ-4-3 в расчётной точке днём, дБ		**ф-ла(3)[10]**	**0**	**39,2**	**33,3**	**28,7**	**30,8**	**35,2**	**31,8**	**22,5**	**0**	**38**	**38**
Уровни звукового давления от источника ИШ-4-3 в расчётной точке ночью, дБ		**ф-ла(3)[10]**	**0**	**39,2**	**33,3**	**28,7**	**30,8**	**35,2**	**31,8**	**22,5**	**0**	**38**	**38**
Источник шума: ИШ-4-4, координаты источника (x,y,z), м =[156.83,171.25,1.00]													
Уровни звуковой мощности источника днём, Lw, дБ		**исходные данные**	**0**	**90,3**	**91,7**	**93**	**93,3**	**92,9**	**89,6**	**85,4**	**80,9**		
Уровни звуковой мощности источника ночью, Lw, дБ		**исходные данные**	**0**	**90,3**	**91,7**	**93**	**93,3**	**92,9**	**89,6**	**85,4**	**80,9**		
Поправка на телесный угол DΩ, дБ	Ω = 6.28	10Lg(4π/Ω)	**3**	3	3	3	3	3	3	3	3		
Показатель направленности источника Di, дБ		исходные данные	**0**	0	0	0	0	0	0	0	0		
Поправка на направленность источника Dc, дБ	Dc	DΩ + Di	**3**	3	3	3	3	3	3	3	3		
Затухание из-за геометрической дивергенции, Adiv, дБ	расстояние = 351.39 м	ф-ла (7) [10]	**61,9**										
Коэффициент затухания звука в атмосфере α, дБ/км	Ta=20,°C Pa=101.33,кПа hотн.=70%	ф-ла (5) [9]	0,02	0,09	0,33	1,12	2,79	4,98	9,04	23,09	77,63		

1		2	3	4	5	6	7	8	9	10	11	12	13
Учет затухания звука в атмосфере Aatm, дБ		ф-ла (8) [10]	0	0	0,1	0,4	1	1,7	3,2	8,1	27,3		
Снижение поверхностью земли возле источника As, дБ	Gs = 0 hs = 1м	ф-лы таб.3 [10]	-1,5	-1,5	-1,5	-1,5	-1,5	-1,5	-1,5	-1,5	-1,5		
Снижение поверхностью земли возле приёмника Ar, дБ	Gr = 1 hr = 1.6м	ф-лы таб.3 [10]	-1,5	-1,5	2,1	6,8	4,3	0,5	0	0	0		
Снижение поверхностью земли в средней зоне, Am дБ	Gm = 1	ф-лы таб.3 [10]	-2,3	-2,3	0	0	0	0	0	0	0		
Суммарное снижение поверхностью земли на траектории распространения звука Agr, дБ		ф-ла (9) [10]	-5,3	-5,3	0,6	5,3	2,8	-1	-1,5	-1,5	-1,5		
Уровни звукового давления прямого звука от источника ИШ-4-4 в расчётной точке днём, дБ		**ф-ла(3)[10]**	**0**	**36,7**	**32,1**	**28,4**	**30,6**	**33,2**	**29**	**19,9**	**0**	**36**	**36**
Уровни звукового давления прямого звука от источника ИШ-4-4 в расчётной точке ночью, дБ		**ф-ла(3)[10]**	**0**	**36,7**	**32,1**	**28,4**	**30,6**	**33,2**	**29**	**19,9**	**0**	**36**	**36**
Расчёт отражённого звука													
Уровни звукового давления от мнимого источника ИШ-4-4_мн.(1) в расчётной точке днём, дБ		**ф-ла(3)[10]**	**0**	**35,6**	**27,5**	**17,9**	**19,2**	**28,6**	**26,4**	**17,2**	**0**	**31,6**	**31,6**
Уровни звукового давления от мнимого источника ИШ-4-4_мн.(1) в расчётной точке ночью, дБ		**ф-ла(3)[10]**	**0**	**0**	**0**	**0**	**0**	**0**	**0**	**0**	**0**	**31,6**	**31,6**
Уровни звукового давления от источника ИШ-4-4 в расчётной точке днём, дБ		**ф-ла(3)[10]**	**0**	**39,2**	**33,4**	**28,7**	**30,9**	**34,5**	**30,9**	**21,7**	**0**	**37,3**	**37,3**
Уровни звукового давления от источника ИШ-4-4 в расчётной точке ночью, дБ		**ф-ла(3)[10]**	**0**	**39,2**	**33,4**	**28,7**	**30,9**	**34,5**	**30,9**	**21,7**	**0**	**37,3**	**37,3**
Источник шума: ИШ-4-5, координаты источника (x,y,z), м =[126.48,222.66,11.00]													
Уровни звуковой мощности источника днём, Lw, дБ		**исходные данные**	**0**	**90,3**	**91,7**	**93**	**93,3**	**92,9**	**89,6**	**85,4**	**80,9**		
Уровни звуковой мощности источника ночью, Lw, дБ		**исходные данные**	**0**	**90,3**	**91,7**	**93**	**93,3**	**92,9**	**89,6**	**85,4**	**80,9**		
Поправка на телесный угол DΩ, дБ	Ω = 6.28	10Lg(4π/Ω)	**3**	3	3	3	3	3	3	3	3		
Показатель направленности источника Di, дБ		исходные данные	**0**	0	0	0	0	0	0	0	0		

1		2	3	4	5	6	7	8	9	10	11	12	13
Поправка на направленность источника Dc, дБ	Dc	DΩ + Di	**3**	3	3	3	3	3	3	3	3		
Затухание из-за геометрической дивергенции, Adiv, дБ	расстояние = 405.97 м	ф-ла (7) [10]	**63,2**										
Коэффициент затухания звука в атмосфере α, дБ/км	Ta=20,°C Pa=101.33,кПа hотн.=70%	ф-ла (5) [9]	0,02	0,09	0,33	1,12	2,79	4,98	9,04	23,09	77,63		
Учет затухания звука в атмосфере Aatm, дБ		ф-ла (8) [10]	0	0	0,1	0,5	1,1	2	3,7	9,4	31,5		
Снижение поверхностью земли возле источника As, дБ	Gs = 0 hs = 1м	ф-лы таб.3 [10]	-1,5	-1,5	-1,5	-1,5	-1,5	-1,5	-1,5	-1,5	-1,5		
Снижение поверхностью земли возле приёмника Ar, дБ	Gr = 1 hr = 1.6м	ф-лы таб.3 [10]	-1,5	-1,5	2,4	6,8	4,3	0,5	0	0	0		
Снижение поверхностью земли в средней зоне, Am дБ	Gm = 1	ф-лы таб.3 [10]	-2,4	-2,4	0	0	0	0	0	0	0		
Суммарное снижение поверхностью земли на траектории распространения звука Agr, дБ		ф-ла (9) [10]	-5,4	-5,4	0,9	5,3	2,8	-1	-1,5	-1,5	-1,5		
Уровни звукового давления прямого звука от источника ИШ-4-5 в расчётной точке днём, дБ		**ф-ла(3)[10]**	**0**	**35,5**	**30,5**	**27**	**29,2**	**31,7**	**27,3**	**17,4**	**0**	**34,4**	**34,4**
Уровни звукового давления прямого звука от источника ИШ-4-5 в расчётной точке ночью, дБ		**ф-ла(3)[10]**	**0**	**35,5**	**30,5**	**27**	**29,2**	**31,7**	**27,3**	**17,4**	**0**	**34,4**	**34,4**
Расчёт отражённого звука													
Уровни звукового давления от мнимого источника ИШ-4-5_мн.(1) в расчётной точке днём, дБ		**ф-ла(3)[10]**	**0**	**34,5**	**25,5**	**16,6**	**17,8**	**27,1**	**24,7**	**14,7**	**0**	**29,9**	**29,9**
Уровни звукового давления от мнимого источника ИШ-4-5_мн.(1) в расчётной точке ночью, дБ		**ф-ла(3)[10]**	**0**	**0**	**0**	**0**	**0**	**0**	**0**	**0**	**0**	**29,9**	**29,9**
Уровни звукового давления от источника ИШ-4-5 в расчётной точке днём, дБ		**ф-ла(3)[10]**	**0**	**38**	**31,7**	**27,4**	**29,5**	**33**	**29,2**	**19,2**	**0**	**35,7**	**35,7**
Уровни звукового давления от источника ИШ-4-5 в расчётной точке ночью, дБ		**ф-ла(3)[10]**	**0**	**38**	**31,7**	**27,4**	**29,5**	**33**	**29,2**	**19,2**	**0**	**35,7**	**35,7**
Источник шума: ИШ-4-6, координаты источника (x,y,z), м =[125.17,218.57,11.00]													

1		2	3	4	5	6	7	8	9	10	11	12	13
Уровни звуковой мощности источника днём, Lw, дБ		**исходные данные**	**0**	**90,3**	**91,7**	**93**	**93,3**	**92,9**	**89,6**	**85,4**	**80,9**		
Уровни звуковой мощности источника ночью, Lw, дБ		**исходные данные**	**0**	**90,3**	**91,7**	**93**	**93,3**	**92,9**	**89,6**	**85,4**	**80,9**		
Поправка на телесный угол DΩ, дБ	Ω = 6.28	10Lg(4π/Ω)	**3**	3	3	3	3	3	3	3	3		
Показатель направленности источника Di, дБ		исходные данные	**0**	0	0	0	0	0	0	0	0		
Поправка на направленность источника Dc, дБ	Dc	DΩ + Di	**3**	3	3	3	3	3	3	3	3		
Затухание из-за геометрической дивергенции, Adiv, дБ	расстояние = 402.11 м	ф-ла (7) [10]	**63,1**										
Коэффициент затухания звука в атмосфере α, дБ/км	Ta=20,°C Pa=101.33,кПа hотн.=70%	ф-ла (5) [9]	0,02	0,09	0,33	1,12	2,79	4,98	9,04	23,09	77,63		
Учет затухания звука в атмосфере Aatm, дБ		ф-ла (8) [10]	0	0	0,1	0,5	1,1	2	3,6	9,3	31,2		
Снижение уровня звукового давления из-за влияния застройки между источником шума и расчетной точкой													
Снижение уровня звукового давления препятствием справа от трассы ИШ-РТ, Dz3, дБ	z = -0.09м (разность путей)	ф-лы (14-18) [10]	0	0	2,1	0	NAN	NAN	NAN	NAN	NAN		
* отрицательное значение z означает прохождение траектории вблизи экрана, в этом случае дополнительно производится учёт снижения подстилающей поверхностью (см.ниже)													
Снижение поверхностью земли возле источника As, дБ	Gs = 0 hs = 1м	ф-лы таб.3 [10]	-1,5	-1,5	-1,5	-1,5	-1,5	-1,5	-1,5	-1,5	-1,5		
Снижение поверхностью земли возле приёмника Ar, дБ	Gr = 1 hr = 1.6м	ф-лы таб.3 [10]	-1,5	-1,5	2,4	6,8	4,3	0,5	0	0	0		
Снижение поверхностью земли в средней зоне, Am дБ	Gm = 1	ф-лы таб.3 [10]	-2,4	-2,4	0	0	0	0	0	0	0		
Суммарное снижение поверхностью земли на траектории распространения звука Agr, дБ		ф-ла (9) [10]	-5,4	-5,4	0,9	5,3	2,8	-1	-1,5	-1,5	-1,5		
Уровни звукового давления прямого звука от источника ИШ-4-6 в расчётной точке днём, дБ		**ф-ла(3)[10]**	**0**	**35,6**	**28,5**	**27,1**	**29,3**	**31,8**	**27,4**	**17,5**	**0**	**34,5**	**34,5**
Уровни звукового давления прямого звука от источника ИШ-4-6 в расчётной точке ночью, дБ		**ф-ла(3)[10]**	**0**	**35,6**	**28,5**	**27,1**	**29,3**	**31,8**	**27,4**	**17,5**	**0**	**34,5**	**34,5**
Расчёт отражённого звука													

1		2	3	4	5	6	7	8	9	10	11	12	13
Уровни звукового давления от мнимого источника ИШ-4-6_мн.(1) в расчётной точке днём, дБ		**ф-ла(3)[10]**	**0**	**34,5**	**25,6**	**16,7**	**17,9**	**27,2**	**24,8**	**14,9**	**0**	**30,1**	**30,1**
Уровни звукового давления от мнимого источника ИШ-4-6_мн.(1) в расчётной точке ночью, дБ		**ф-ла(3)[10]**	**0**	**0**	**0**	**0**	**0**	**0**	**0**	**0**	**0**	**30,1**	**30,1**
Уровни звукового давления от источника ИШ-4-6 в расчётной точке днём, дБ		**ф-ла(3)[10]**	**0**	**38,1**	**30,3**	**27,5**	**29,6**	**33,1**	**29,3**	**19,4**	**0**	**35,8**	**35,8**
Уровни звукового давления от источника ИШ-4-6 в расчётной точке ночью, дБ		**ф-ла(3)[10]**	**0**	**38,1**	**30,3**	**27,5**	**29,6**	**33,1**	**29,3**	**19,4**	**0**	**35,8**	**35,8**
Источник шума: ИШ-4-7, координаты источника (x,y,z), м =[177.91,257.92,11.00]													
Уровни звуковой мощности источника днём, Lw, дБ		**исходные данные**	**0**	**90,3**	**91,7**	**93**	**93,3**	**92,9**	**89,6**	**85,4**	**80,9**		
Уровни звуковой мощности источника ночью, Lw, дБ		**исходные данные**	**0**	**90,3**	**91,7**	**93**	**93,3**	**92,9**	**89,6**	**85,4**	**80,9**		
Поправка на телесный угол DΩ, дБ	Ω = 6.28	10Lg(4π/Ω)	**3**	3	3	3	3	3	3	3	3		
Показатель направленности источника Di, дБ		исходные данные	**0**	0	0	0	0	0	0	0	0		
Поправка на направленность источника Dc, дБ	Dc	DΩ + Di	**3**	3	3	3	3	3	3	3	3		
Затухание из-за геометрической дивергенции, Adiv, дБ	расстояние = 437.13 м	ф-ла (7) [10]	**63,8**										
Коэффициент затухания звука в атмосфере α, дБ/км	Ta=20,°C Pa=101.33,кПа hотн.=70%	ф-ла (5) [9]	0,02	0,09	0,33	1,12	2,79	4,98	9,04	23,09	77,63		
Учет затухания звука в атмосфере Aatm, дБ		ф-ла (8) [10]	0	0	0,1	0,5	1,2	2,2	4	10,1	33,9		
Снижение поверхностью земли возле источника As, дБ	Gs = 0 hs = 3м	ф-лы таб.3 [10]	-1,5	-1,5	-1,5	-1,5	-1,5	-1,5	-1,5	-1,5	-1,5		
Снижение поверхностью земли возле приёмника Ar, дБ	Gr = 1 hr = 1.6м	ф-лы таб.3 [10]	-1,5	-1,5	2,6	6,8	4,3	0,5	0	0	0		
Снижение поверхностью земли в средней зоне, Am дБ	Gm = 1	ф-лы таб.3 [10]	-2,1	-2,1	0	0	0	0	0	0	0		

1		2	3	4	5	6	7	8	9	10	11	12	13
Суммарное снижение поверхностью земли на траектории распространения звука Agr, дБ		ф-ла (9) [10]	-5,1	-5,1	1,1	5,3	2,8	-1	-1,5	-1,5	-1,5		
Уровни звукового давления прямого звука от источника ИШ-4-7 в расчётной точке днём, дБ		**ф-ла(3)[10]**	**0**	**34,5**	**29,6**	**26,4**	**28,4**	**30,9**	**26,3**	**16**	**0**	**33,6**	**33,6**
Уровни звукового давления прямого звука от источника ИШ-4-7 в расчётной точке ночью, дБ		**ф-ла(3)[10]**	**0**	**34,5**	**29,6**	**26,4**	**28,4**	**30,9**	**26,3**	**16**	**0**	**33,6**	**33,6**
Расчёт отражённого звука													
Уровни звукового давления от мнимого источника ИШ-4-7_мн.(1) в расчётной точке днём, дБ		**ф-ла(3)[10]**	**0**	**0**	**0**	**0**	**0**	**0**	**23,1**	**12,4**	**0**	**24,7**	**24,7**
Уровни звукового давления от мнимого источника ИШ-4-7_мн.(1) в расчётной точке ночью, дБ		**ф-ла(3)[10]**	**0**	**0**	**0**	**0**	**0**	**0**	**0**	**0**	**0**	**24,7**	**24,7**
Уровни звукового давления от мнимого источника ИШ-4-7_мн.(2) в расчётной точке днём, дБ		**ф-ла(3)[10]**	**0**	**33,5**	**24,1**	**20**	**25,7**	**28,3**	**23,7**	**13,4**	**0**	**30,9**	**30,9**
Уровни звукового давления от мнимого источника ИШ-4-7_мн.(2) в расчётной точке ночью, дБ		**ф-ла(3)[10]**	**33,5**	**33,5**	**33,5**	**33,5**	**33,5**	**33,5**	**33,5**	**33,5**	**33,5**	**30,9**	**30,9**
Суммарные уровни звукового давления от мнимых источников в расчётной точке днём, дБ		**ф-ла (19) [1]**	**0**	**33,5**	**24,1**	**20**	**25,7**	**28,3**	**26,5**	**15,9**	**0**	**0**	**31,8**
Суммарные уровни звукового давления от мнимых источников в расчётной точке ночью, дБ		**ф-ла (19) [1]**	**0**	**33,5**	**24,1**	**20**	**25,7**	**28,3**	**26,5**	**15,9**	**0**	**0**	**31,8**
Уровни звукового давления от источника ИШ-4-7 в расчётной точке днём, дБ		**ф-ла(3)[10]**	**0**	**37**	**30,7**	**27,3**	**30,3**	**32,8**	**29,4**	**19**	**0**	**35,8**	**35,8**
Уровни звукового давления от источника ИШ-4-7 в расчётной точке ночью, дБ		**ф-ла(3)[10]**	**0**	**37**	**30,7**	**27,3**	**30,3**	**32,8**	**29,4**	**19**	**0**	**35,8**	**35,8**
Источник шума: ИШ-4-8, координаты источника (x,y,z), м =[178.24,257.77,13.00]													
Уровни звуковой мощности источника днём, Lw, дБ		**исходные данные**	**0**	**90,3**	**91,7**	**93**	**93,3**	**92,9**	**89,6**	**85,4**	**80,9**		
Уровни звуковой мощности источника ночью, Lw, дБ		**исходные данные**	**0**	**90,3**	**91,7**	**93**	**93,3**	**92,9**	**89,6**	**85,4**	**80,9**		
Поправка на телесный угол DΩ, дБ	Ω = 6.28	10Lg(4π/Ω)	**3**	3	3	3	3	3	3	3	3		
Показатель направленности источника Di, дБ		исходные данные	**0**	0	0	0	0	0	0	0	0		

1		2	3	4	5	6	7	8	9	10	11	12	13
Поправка на направленность источника Dc, дБ	Dc	DΩ + Di	**3**	3	3	3	3	3	3	3	3		
Затухание из-за геометрической дивергенции, Adiv, дБ	расстояние = 437.03 м	ф-ла (7) [10]	**63,8**										
Коэффициент затухания звука в атмосфере α, дБ/км	Ta=20,°C Pa=101.33,кПа hотн.=70%	ф-ла (5) [9]	0,02	0,09	0,33	1,12	2,79	4,98	9,04	23,09	77,63		
Учет затухания звука в атмосфере Aatm, дБ		ф-ла (8) [10]	0	0	0,1	0,5	1,2	2,2	4	10,1	33,9		
Снижение уровня звукового давления из-за влияния застройки между источником шума и расчетной точкой													
Снижение уровня звукового давления препятствием снизу от трассы ИШ-РТ, Dz4, дБ	z = -0.14м (разность путей)	ф-лы (14-18) [10]	3,9	2,9	0	NAN	NAN	NAN	NAN	NAN	NAN		
* отрицательное значение z означает прохождение траектории вблизи экрана, в этом случае дополнительно производится учёт снижения подстилающей поверхностью (см.ниже)													
Снижение поверхностью земли возле источника As, дБ	Gs = 0 hs = 5м	ф-лы таб.3 [10]	-1,5	-1,5	-1,5	-1,5	-1,5	-1,5	-1,5	-1,5	-1,5		
Снижение поверхностью земли возле приёмника Ar, дБ	Gr = 1 hr = 1.6м	ф-лы таб.3 [10]	-1,5	-1,5	2,6	6,8	4,3	0,5	0	0	0		
Снижение поверхностью земли в средней зоне, Am дБ	Gm = 1	ф-лы таб.3 [10]	-1,6	-1,6	0	0	0	0	0	0	0		
Суммарное снижение поверхностью земли на траектории распространения звука Agr, дБ		ф-ла (9) [10]	-4,6	-4,6	1,1	5,3	2,8	-1	-1,5	-1,5	-1,5		
Уровни звукового давления прямого звука от источника ИШ-4-8 в расчётной точке днём, дБ		**ф-ла(3)[10]**	**0**	**31,2**	**29,6**	**26,4**	**28,5**	**30,9**	**26,3**	**16**	**0**	**33,6**	**33,6**
Уровни звукового давления прямого звука от источника ИШ-4-8 в расчётной точке ночью, дБ		**ф-ла(3)[10]**	**0**	**31,2**	**29,6**	**26,4**	**28,5**	**30,9**	**26,3**	**16**	**0**	**33,6**	**33,6**
Расчёт отражённого звука													
Уровни звукового давления от мнимого источника ИШ-4-8_мн.(1) в расчётной точке днём, дБ		**ф-ла(3)[10]**	**0**	**33**	**23,8**	**22,9**	**25,9**	**28,3**	**23,7**	**13,4**	**0**	**31**	**31**
Уровни звукового давления от мнимого источника ИШ-4-8_мн.(1) в расчётной точке ночью, дБ		**ф-ла(3)[10]**	**0**	**0**	**0**	**0**	**0**	**0**	**0**	**0**	**0**	**31**	**31**
Уровни звукового давления от источника ИШ-4-8 в расчётной точке днём, дБ		**ф-ла(3)[10]**	**0**	**35,2**	**30,6**	**28**	**30,4**	**32,8**	**28,2**	**17,9**	**0**	**35,5**	**35,5**
Уровни звукового давления от источника ИШ-4-8 в расчётной точке ночью, дБ		**ф-ла(3)[10]**	**0**	**35,2**	**30,6**	**28**	**30,4**	**32,8**	**28,2**	**17,9**	**0**	**35,5**	**35,5**

1		2	3	4	5	6	7	8	9	10	11	12	13
Источник шума: ИШ-4-9, координаты источника (x,y,z), м =[178.68,257.63,15.50]													
Уровни звуковой мощности источника днём, Lw, дБ		**исходные данные**	**0**	**90,3**	**91,7**	**93**	**93,3**	**92,9**	**89,6**	**85,4**	**80,9**		
Уровни звуковой мощности источника ночью, Lw, дБ		**исходные данные**	**0**	**90,3**	**91,7**	**93**	**93,3**	**92,9**	**89,6**	**85,4**	**80,9**		
Поправка на телесный угол DΩ, дБ	Ω = 6.28	10Lg(4π/Ω)	**3**	3	3	3	3	3	3	3	3		
Показатель направленности источника Di, дБ		исходные данные	**0**	0	0	0	0	0	0	0	0		
Поправка на направленность источника Dc, дБ	Dc	DΩ + Di	**3**	3	3	3	3	3	3	3	3		
Затухание из-за геометрической дивергенции, Adiv, дБ	расстояние = 436.95 м	ф-ла (7) [10]	**63,8**										
Коэффициент затухания звука в атмосфере α, дБ/км	Ta=20,°C Pa=101.33,кПа hотн.=70%	ф-ла (5) [9]	0,02	0,09	0,33	1,12	2,79	4,98	9,04	23,09	77,63		
Учет затухания звука в атмосфере Aatm, дБ		ф-ла (8) [10]	0	0	0,1	0,5	1,2	2,2	3,9	10,1	33,9		
Снижение уровня звукового давления из-за влияния застройки между источником шума и расчетной точкой													
Снижение уровня звукового давления препятствием снизу от трассы ИШ-РТ, Dz4, дБ	z = -0.37м (разность путей)	ф-лы (14-18) [10]	2,1	0	NAN	NAN	NAN	NAN	NAN	NAN	NAN		
* отрицательное значение z означает прохождение траектории вблизи экрана, в этом случае дополнительно производится учёт снижения подстилающей поверхностью (см.ниже)													
Снижение поверхностью земли возле источника As, дБ	Gs = 0 hs = 7.5м	ф-лы таб.3 [10]	-1,5	-1,5	-1,5	-1,5	-1,5	-1,5	-1,5	-1,5	-1,5		
Снижение поверхностью земли возле приёмника Ar, дБ	Gr = 1 hr = 1.6м	ф-лы таб.3 [10]	-1,5	-1,5	2,6	6,8	4,3	0,5	0	0	0		
Снижение поверхностью земли в средней зоне, Am дБ	Gm = 1	ф-лы таб.3 [10]	-1,1	-1,1	0	0	0	0	0	0	0		
Суммарное снижение поверхностью земли на траектории распространения звука Agr, дБ		ф-ла (9) [10]	-4,1	-4,1	1,1	5,3	2,8	-1	-1,5	-1,5	-1,5		
Уровни звукового давления прямого звука от источника ИШ-4-9 в расчётной точке днём, дБ		**ф-ла(3)[10]**	**0**	**33,6**	**29,6**	**26,4**	**28,5**	**30,9**	**26,3**	**16**	**0**	**33,6**	**33,6**

1		2	3	4	5	6	7	8	9	10	11	12	13
Уровни звукового давления прямого звука от источника ИШ-4-9 в расчётной точке ночью, дБ		**ф-ла(3)[10]**	**0**	**33,6**	**29,6**	**26,4**	**28,5**	**30,9**	**26,3**	**16**	**0**	**33,6**	**33,6**
Расчёт отражённого звука													
Уровни звукового давления от мнимого источника ИШ-4-9_мн.(1) в расчётной точке днём, дБ		**ф-ла(3)[10]**	**0**	**32,5**	**25,6**	**23,8**	**25,9**	**28,3**	**23,8**	**13,4**	**0**	**31**	**31**
Уровни звукового давления от мнимого источника ИШ-4-9_мн.(1) в расчётной точке ночью, дБ		**ф-ла(3)[10]**	**0**	**0**	**0**	**0**	**0**	**0**	**0**	**0**	**0**	**31**	**31**
Уровни звукового давления от источника ИШ-4-9 в расчётной точке днём, дБ		**ф-ла(3)[10]**	**0**	**36,1**	**31,1**	**28,3**	**30,4**	**32,8**	**28,2**	**17,9**	**0**	**35,5**	**35,5**
Уровни звукового давления от источника ИШ-4-9 в расчётной точке ночью, дБ		**ф-ла(3)[10]**	**0**	**36,1**	**31,1**	**28,3**	**30,4**	**32,8**	**28,2**	**17,9**	**0**	**35,5**	**35,5**
Источник шума: ИШ-4-10, координаты источника (x,y,z), м =[185.65,255.31,11.00]													
Уровни звуковой мощности источника днём, Lw, дБ		**исходные данные**	**0**	**90,3**	**91,7**	**93**	**93,3**	**92,9**	**89,6**	**85,4**	**80,9**		
Уровни звуковой мощности источника ночью, Lw, дБ		**исходные данные**	**0**	**90,3**	**91,7**	**93**	**93,3**	**92,9**	**89,6**	**85,4**	**80,9**		
Поправка на телесный угол DΩ, дБ	Ω = 6.28	10Lg(4π/Ω)	**3**	3	3	3	3	3	3	3	3		
Показатель направленности источника Di, дБ		исходные данные	**0**	0	0	0	0	0	0	0	0		
Поправка на направленность источника Dc, дБ	Dc	DΩ + Di	**3**	3	3	3	3	3	3	3	3		
Затухание из-за геометрической дивергенции, Adiv, дБ	расстояние = 434.48 м	ф-ла (7) [10]	**63,8**										
Коэффициент затухания звука в атмосфере α, дБ/км	Ta=20,°C Pa=101.33,кПа hотн.=70%	ф-ла (5) [9]	0,02	0,09	0,33	1,12	2,79	4,98	9,04	23,09	77,63		
Учет затухания звука в атмосфере Aatm, дБ		ф-ла (8) [10]	0	0	0,1	0,5	1,2	2,2	3,9	10	33,7		
Снижение поверхностью земли возле источника As, дБ	Gs = 0 hs = 3м	ф-лы таб.3 [10]	-1,5	-1,5	-1,5	-1,5	-1,5	-1,5	-1,5	-1,5	-1,5		

1		2	3	4	5	6	7	8	9	10	11	12	13
Снижение поверхностью земли возле приёмника Ar, дБ	Gr = 1 hr = 1.6м	ф-лы таб.3 [10]	-1,5	-1,5	2,6	6,8	4,3	0,5	0	0	0		
Снижение поверхностью земли в средней зоне, Am дБ	Gm = 1	ф-лы таб.3 [10]	-2	-2	0	0	0	0	0	0	0		
Суммарное снижение поверхностью земли на траектории распространения звука Agr, дБ		ф-ла (9) [10]	-5	-5	1,1	5,3	2,8	-1	-1,5	-1,5	-1,5		
Уровни звукового давления прямого звука от источника ИШ-4-10 в расчётной точке днём, дБ		**ф-ла(3)[10]**	**0**	**34,5**	**29,7**	**26,4**	**28,5**	**31**	**26,4**	**16,1**	**0**	**33,6**	**33,6**
Уровни звукового давления прямого звука от источника ИШ-4-10 в расчётной точке ночью, дБ		**ф-ла(3)[10]**	**0**	**34,5**	**29,7**	**26,4**	**28,5**	**31**	**26,4**	**16,1**	**0**	**33,6**	**33,6**
Расчёт отражённого звука													
Уровни звукового давления от мнимого источника ИШ-4-10_мн.(1) в расчётной точке днём, дБ		**ф-ла(3)[10]**	**0**	**0**	**0**	**0**	**0**	**0**	**21**	**9,9**	**0**	**22,5**	**22,5**
Уровни звукового давления от мнимого источника ИШ-4-10_мн.(1) в расчётной точке ночью, дБ		**ф-ла(3)[10]**	**0**	**0**	**0**	**0**	**0**	**0**	**0**	**0**	**0**	**22,5**	**22,5**
Уровни звукового давления от мнимого источника ИШ-4-10_мн.(2) в расчётной точке днём, дБ		**ф-ла(3)[10]**	**0**	**33,5**	**24,2**	**20**	**25,7**	**28,4**	**23,8**	**13,5**	**0**	**30,9**	**30,9**
Уровни звукового давления от мнимого источника ИШ-4-10_мн.(2) в расчётной точке ночью, дБ		**ф-ла(3)[10]**	**33,5**	**33,5**	**33,5**	**33,5**	**33,5**	**33,5**	**33,5**	**33,5**	**33,5**	**30,9**	**30,9**
Суммарные уровни звукового давления от мнимых источников в расчётной точке днём, дБ		**ф-ла (19) [1]**	**0**	**33,5**	**24,2**	**20**	**25,7**	**28,4**	**25,6**	**15**	**0**	**0**	**31,5**
Суммарные уровни звукового давления от мнимых источников в расчётной точке ночью, дБ		**ф-ла (19) [1]**	**0**	**33,5**	**24,2**	**20**	**25,7**	**28,4**	**25,6**	**15**	**0**	**0**	**31,5**
Уровни звукового давления от источника ИШ-4-10 в расчётной точке днём, дБ		**ф-ла(3)[10]**	**0**	**37,1**	**30,8**	**27,3**	**30,3**	**32,9**	**29,1**	**18,6**	**0**	**35,7**	**35,7**
Уровни звукового давления от источника ИШ-4-10 в расчётной точке ночью, дБ		**ф-ла(3)[10]**	**0**	**37,1**	**30,8**	**27,3**	**30,3**	**32,9**	**29,1**	**18,6**	**0**	**35,7**	**35,7**
Источник шума: ИШ-4-11, координаты источника (x,y,z), м =[185.89,255.16,13.00]													
Уровни звуковой мощности источника днём, Lw, дБ		**исходные данные**	**0**	**90,3**	**91,7**	**93**	**93,3**	**92,9**	**89,6**	**85,4**	**80,9**		
Уровни звуковой мощности источника ночью, Lw, дБ		**исходные данные**	**0**	**90,3**	**91,7**	**93**	**93,3**	**92,9**	**89,6**	**85,4**	**80,9**		

1		2	3	4	5	6	7	8	9	10	11	12	13
Поправка на телесный угол DΩ, дБ	Ω = 6.28	10Lg(4π/Ω)	**3**	3	3	3	3	3	3	3	3		
Показатель направленности источника Di, дБ		исходные данные	**0**	0	0	0	0	0	0	0	0		
Поправка на направленность источника Dc, дБ	Dc	DΩ + Di	**3**	3	3	3	3	3	3	3	3		
Затухание из-за геометрической дивергенции, Adiv, дБ	расстояние = 434.38 м	ф-ла (7) [10]	**63,8**										
Коэффициент затухания звука в атмосфере α, дБ/км	Ta=20,°C Pa=101.33,кПа hотн.=70%	ф-ла (5) [9]	0,02	0,09	0,33	1,12	2,79	4,98	9,04	23,09	77,63		
Учет затухания звука в атмосфере Aatm, дБ		ф-ла (8) [10]	0	0	0,1	0,5	1,2	2,2	3,9	10	33,7		
Снижение поверхностью земли возле источника As, дБ	Gs = 0 hs = 5м	ф-лы таб.3 [10]	-1,5	-1,5	-1,5	-1,5	-1,5	-1,5	-1,5	-1,5	-1,5		
Снижение поверхностью земли возле приёмника Ar, дБ	Gr = 1 hr = 1.6м	ф-лы таб.3 [10]	-1,5	-1,5	2,6	6,8	4,3	0,5	0	0	0		
Снижение поверхностью земли в средней зоне, Am дБ	Gm = 1	ф-лы таб.3 [10]	-1,6	-1,6	0	0	0	0	0	0	0		
Суммарное снижение поверхностью земли на траектории распространения звука Agr, дБ		ф-ла (9) [10]	-4,6	-4,6	1,1	5,3	2,8	-1	-1,5	-1,5	-1,5		
Уровни звукового давления прямого звука от источника ИШ-4-11 в расчётной точке днём, дБ		**ф-ла(3)[10]**	**0**	**34,1**	**29,7**	**26,4**	**28,5**	**31**	**26,4**	**16,1**	**0**	**33,6**	**33,6**
Уровни звукового давления прямого звука от источника ИШ-4-11 в расчётной точке ночью, дБ		**ф-ла(3)[10]**	**0**	**34,1**	**29,7**	**26,4**	**28,5**	**31**	**26,4**	**16,1**	**0**	**33,6**	**33,6**
Расчёт отражённого звука													
Уровни звукового давления от мнимого источника ИШ-4-11_мн.(1) в расчётной точке днём, дБ		**ф-ла(3)[10]**	**0**	**33,1**	**23,9**	**23**	**26**	**28,4**	**23,8**	**13,5**	**0**	**31**	**31**
Уровни звукового давления от мнимого источника ИШ-4-11_мн.(1) в расчётной точке ночью, дБ		**ф-ла(3)[10]**	**0**	**0**	**0**	**0**	**0**	**0**	**0**	**0**	**0**	**31**	**31**
Уровни звукового давления от источника ИШ-4-11 в расчётной точке днём, дБ		**ф-ла(3)[10]**	**0**	**36,7**	**30,7**	**28**	**30,4**	**32,9**	**28,3**	**18**	**0**	**35,5**	**35,5**
Уровни звукового давления от источника ИШ-4-11 в расчётной точке ночью, дБ		**ф-ла(3)[10]**	**0**	**36,7**	**30,7**	**28**	**30,4**	**32,9**	**28,3**	**18**	**0**	**35,5**	**35,5**

1		2	3	4	5	6	7	8	9	10	11	12	13
Источник шума: ИШ-4-12, координаты источника (x,y,z), м =[186.18,255.02,15.50]													
Уровни звуковой мощности источника днём, Lw, дБ		**исходные данные**	**0**	**90,3**	**91,7**	**93**	**93,3**	**92,9**	**89,6**	**85,4**	**80,9**		
Уровни звуковой мощности источника ночью, Lw, дБ		**исходные данные**	**0**	**90,3**	**91,7**	**93**	**93,3**	**92,9**	**89,6**	**85,4**	**80,9**		
Поправка на телесный угол DΩ, дБ	Ω = 6.28	10Lg(4π/Ω)	**3**	3	3	3	3	3	3	3	3		
Показатель направленности источника Di, дБ		исходные данные	**0**	0	0	0	0	0	0	0	0		
Поправка на направленность источника Dc, дБ	Dc	DΩ + Di	**3**	3	3	3	3	3	3	3	3		
Затухание из-за геометрической дивергенции, Adiv, дБ	расстояние = 434.31 м	ф-ла (7) [10]	**63,8**										
Коэффициент затухания звука в атмосфере α, дБ/км	Ta=20,°C Pa=101.33,кПа hотн.=70%	ф-ла (5) [9]	0,02	0,09	0,33	1,12	2,79	4,98	9,04	23,09	77,63		
Учет затухания звука в атмосфере Aatm, дБ		ф-ла (8) [10]	0	0	0,1	0,5	1,2	2,2	3,9	10	33,7		
Снижение поверхностью земли возле источника As, дБ	Gs = 0 hs = 7.5м	ф-лы таб.3 [10]	-1,5	-1,5	-1,5	-1,5	-1,5	-1,5	-1,5	-1,5	-1,5		
Снижение поверхностью земли возле приёмника Ar, дБ	Gr = 1 hr = 1.6м	ф-лы таб.3 [10]	-1,5	-1,5	2,6	6,8	4,3	0,5	0	0	0		
Снижение поверхностью земли в средней зоне, Am дБ	Gm = 1	ф-лы таб.3 [10]	-1,1	-1,1	0	0	0	0	0	0	0		
Суммарное снижение поверхностью земли на траектории распространения звука Agr, дБ		ф-ла (9) [10]	-4,1	-4,1	1,1	5,3	2,8	-1	-1,5	-1,5	-1,5		
Уровни звукового давления прямого звука от источника ИШ-4-12 в расчётной точке днём, дБ		**ф-ла(3)[10]**	**0**	**33,6**	**29,7**	**26,4**	**28,5**	**31**	**26,4**	**16,1**	**0**	**33,6**	**33,6**
Уровни звукового давления прямого звука от источника ИШ-4-12 в расчётной точке ночью, дБ		**ф-ла(3)[10]**	**0**	**33,6**	**29,7**	**26,4**	**28,5**	**31**	**26,4**	**16,1**	**0**	**33,6**	**33,6**
Расчёт отражённого звука													

1		2	3	4	5	6	7	8	9	10	11	12	13
Уровни звукового давления от мнимого источника ИШ-4-12_мн.(1) в расчётной точке днём, дБ		**ф-ла(3)[10]**	**0**	**32,6**	**25,7**	**23,8**	**26**	**28,4**	**23,8**	**13,5**	**0**	**31,1**	**31,1**
Уровни звукового давления от мнимого источника ИШ-4-12_мн.(1) в расчётной точке ночью, дБ		**ф-ла(3)[10]**	**0**	**0**	**0**	**0**	**0**	**0**	**0**	**0**	**0**	**31,1**	**31,1**
Уровни звукового давления от источника ИШ-4-12 в расчётной точке днём, дБ		**ф-ла(3)[10]**	**0**	**36,1**	**31,1**	**28,3**	**30,4**	**32,9**	**28,3**	**18**	**0**	**35,5**	**35,5**
Уровни звукового давления от источника ИШ-4-12 в расчётной точке ночью, дБ		**ф-ла(3)[10]**	**0**	**36,1**	**31,1**	**28,3**	**30,4**	**32,9**	**28,3**	**18**	**0**	**35,5**	**35,5**
Источник шума: ИШ-4-13, координаты источника (x,y,z), м =[94.56,229.10,1.00]													
Уровни звуковой мощности источника днём, Lw, дБ		**исходные данные**	**0**	**81,3**	**82,7**	**84**	**84,3**	**83,9**	**80,6**	**76,4**	**71,9**		
Уровни звуковой мощности источника ночью, Lw, дБ		**исходные данные**	**0**	**81,3**	**82,7**	**84**	**84,3**	**83,9**	**80,6**	**76,4**	**71,9**		
Поправка на телесный угол DΩ, дБ	Ω = 6.28	10Lg(4π/Ω)	**3**	3	3	3	3	3	3	3	3		
Показатель направленности источника Di, дБ		исходные данные	**0**	0	0	0	0	0	0	0	0		
Поправка на направленность источника Dc, дБ	Dc	DΩ + Di	**3**	3	3	3	3	3	3	3	3		
Затухание из-за геометрической дивергенции, Adiv, дБ	расстояние = 417.90 м	ф-ла (7) [10]	**63,4**										
Коэффициент затухания звука в атмосфере α, дБ/км	Ta=20,°C Pa=101.33,кПа hотн.=70%	ф-ла (5) [9]	0,02	0,09	0,33	1,12	2,79	4,98	9,04	23,09	77,63		
Учет затухания звука в атмосфере Aatm, дБ		ф-ла (8) [10]	0	0	0,1	0,5	1,2	2,1	3,8	9,6	32,4		
Снижение уровня звукового давления из-за влияния застройки между источником шума и расчетной точкой													
Снижение уровня звукового давления на пути над экраном, Dz1, дБ	z = 3.26м (разность путей)	ф-лы (14-18) [10]	14,4	17,6	20,6	23,6	26,6	29,6	32,6	35,6	38,6		
Снижение уровня звукового давления на пути слева от экрана, Dz2, дБ	z = 132.03м (разность путей)	ф-лы (14-18) [10]	27,7	32	36,4	40,3	43,6	46,7	49,7	52,7	55,7		

1		2	3	4	5	6	7	8	9	10	11	12	13
Снижение уровня звукового давления на пути справа от экрана, Dz3, дБ	z = 3.60м (разность путей)	ф-лы (14-18) [10]	15,7	19	22	25	28	31	34,1	37,1	40,1		
Общее снижение уровня звука препятствием Dz, дБ		Эн.сумма(-Dzi)	11,9	15,2	18,2	21,2	24,2	27,2	30,2	33,2	36,2		
Общее снижение уровня звука препятствием с учётом ограничения (25 дБ) для октавных полос Dz, дБ		Раздел 7.4 [10]	11,9	15,2	18,2	21,2	24,2	25	25	25	25		
Уровни звукового давления от источника ИШ-4-13 в расчётной точке днём, дБ		**ф-ла(3)[10]**	**0**	**5,7**	**3,9**	**1,9**	**0**	**0**	**0**	**0**	**0**	**0**	**0**
Уровни звукового давления от источника ИШ-4-13 в расчётной точке ночью, дБ		**ф-ла(3)[10]**	**0**	**5,7**	**3,9**	**1,9**	**0**	**0**	**0**	**0**	**0**	**0**	**0**
Источник шума: ИШ-4-14, координаты источника (x,y,z), м =[91.88,221.30,1.00]													
Уровни звуковой мощности источника днём, Lw, дБ		**исходные данные**	**0**	**81,3**	**82,7**	**84**	**84,3**	**83,9**	**80,6**	**76,4**	**71,9**		
Уровни звуковой мощности источника ночью, Lw, дБ		**исходные данные**	**0**	**81,3**	**82,7**	**84**	**84,3**	**83,9**	**80,6**	**76,4**	**71,9**		
Поправка на телесный угол DΩ, дБ	Ω = 6.28	10Lg(4π/Ω)	**3**	3	3	3	3	3	3	3	3		
Показатель направленности источника Di, дБ		исходные данные	**0**	0	0	0	0	0	0	0	0		
Поправка на направленность источника Dc, дБ	Dc	DΩ + Di	**3**	3	3	3	3	3	3	3	3		
Затухание из-за геометрической дивергенции, Adiv, дБ	расстояние = 410.89 м	ф-ла (7) [10]	**63,3**										
Коэффициент затухания звука в атмосфере α, дБ/км	Ta=20,°C Pa=101.33,кПа hотн.=70%	ф-ла (5) [9]	0,02	0,09	0,33	1,12	2,79	4,98	9,04	23,09	77,63		
Учет затухания звука в атмосфере Aatm, дБ		ф-ла (8) [10]	0	0	0,1	0,5	1,1	2	3,7	9,5	31,9		
Снижение уровня звукового давления из-за влияния застройки между источником шума и расчетной точкой													
Снижение уровня звукового давления на пути над экраном, Dz1, дБ	z = 3.28м (разность путей)	ф-лы (14-18) [10]	14,4	17,7	20,7	23,7	26,7	29,7	32,7	35,7	38,7		

1		2	3	4	5	6	7	8	9	10	11	12	13
Снижение уровня звукового давления на пути слева от экрана, Dz2, дБ	z = 147.26м (разность путей)	ф-лы (14-18) [10]	28,2	32,4	36,9	40,7	44	47,1	50,2	53,2	56,2		
Снижение уровня звукового давления на пути справа от экрана, Dz3, дБ	z = 2.53м (разность путей)	ф-лы (14-18) [10]	14,3	17,5	20,5	23,5	26,5	29,5	32,5	35,5	38,5		
Общее снижение уровня звука препятствием Dz, дБ		Эн.сумма(-Dzi)	11,3	14,5	17,6	20,6	23,5	26,5	29,5	32,6	35,6		
Общее снижение уровня звука препятствием с учётом ограничения (25 дБ) для октавных полос Dz, дБ		Раздел 7.4 [10]	11,3	14,5	17,6	20,6	23,5	25	25	25	25		
Уровни звукового давления от источника ИШ-4-14 в расчётной точке днём, дБ		**ф-ла(3)[10]**	**0**	**6,5**	**4,7**	**2,7**	**0**	**0**	**0**	**0**	**0**	**0**	**0**
Уровни звукового давления от источника ИШ-4-14 в расчётной точке ночью, дБ		**ф-ла(3)[10]**	**0**	**6,5**	**4,7**	**2,7**	**0**	**0**	**0**	**0**	**0**	**0**	**0**
Источник шума: ИШ-5-1, координаты источника (x,y,z), м =[626.70,162.36,1.00]													
Уровни звуковой мощности источника днём, Lw, дБ		**исходные данные**	**0**	**93,3**	**94,7**	**96**	**96,3**	**95,9**	**92,6**	**88,4**	**83,9**		
Уровни звуковой мощности источника ночью, Lw, дБ		**исходные данные**	**0**	**93,3**	**94,7**	**96**	**96,3**	**95,9**	**92,6**	**88,4**	**83,9**		
Поправка на телесный угол DΩ, дБ	Ω = 6.28	10Lg(4π/Ω)	**3**	3	3	3	3	3	3	3	3		
Показатель направленности источника Di, дБ		исходные данные	**0**	0	0	0	0	0	0	0	0		
Поправка на направленность источника Dc, дБ	Dc	DΩ + Di	**3**	3	3	3	3	3	3	3	3		
Затухание из-за геометрической дивергенции, Adiv, дБ	расстояние = 558.85 м	ф-ла (7) [10]	**65,9**										
Коэффициент затухания звука в атмосфере α, дБ/км	Ta=20,°C Pa=101.33,кПа hотн.=70%	ф-ла (5) [9]	0,02	0,09	0,33	1,12	2,79	4,98	9,04	23,09	77,63		
Учет затухания звука в атмосфере Aatm, дБ		ф-ла (8) [10]	0	0	0,2	0,6	1,6	2,8	5,1	12,9	43,4		
Снижение уровня звукового давления из-за влияния застройки между источником шума и расчетной точкой													

1		2	3	4	5	6	7	8	9	10	11	12	13
Снижение уровня звукового давления на пути над экраном, Dz1, дБ	z = 0.31м (разность путей)	ф-лы (14-18) [10]	4,8	4,9	5,1	5,5	6,2	7,3	8,9	11	13,5		
Снижение уровня звукового давления на пути слева от экрана, Dz2, дБ	z = 6.28м (разность путей)	ф-лы (14-18) [10]	14,2	16,9	19,8	22,7	25,7	28,7	31,7	34,7	37,7		
Снижение уровня звукового давления на пути справа от экрана, Dz3, дБ	z = 105.57м (разность путей)	ф-лы (14-18) [10]	30,1	33,5	36,6	39,7	42,7	45,7	48,7	51,7	54,7		
Общее снижение уровня звука препятствием Dz, дБ		Эн.сумма(-Dzi)	4,3	4,6	4,9	5,4	6,2	7,3	8,9	11	13,4		
Уровни звукового давления от источника ИШ-5-1 в расчётной точке днём, дБ		**ф-ла(3)[10]**	**0**	**25,7**	**26,6**	**27**	**25,6**	**22,9**	**15,7**	**1,6**	**0**	**27**	**27**
Уровни звукового давления от источника ИШ-5-1 в расчётной точке ночью, дБ		**ф-ла(3)[10]**	**0**	**25,7**	**26,6**	**27**	**25,6**	**22,9**	**15,7**	**1,6**	**0**	**27**	**27**
Источник шума: ИШ-5-2, координаты источника (x,y,z), м =[625.81,159.52,1.00]													
Уровни звуковой мощности источника днём, Lw, дБ		**исходные данные**	**0**	**93,3**	**94,7**	**96**	**96,3**	**95,9**	**92,6**	**88,4**	**83,9**		
Уровни звуковой мощности источника ночью, Lw, дБ		**исходные данные**	**0**	**93,3**	**94,7**	**96**	**96,3**	**95,9**	**92,6**	**88,4**	**83,9**		
Поправка на телесный угол DΩ, дБ	Ω = 6.28	10Lg(4π/Ω)	**3**	3	3	3	3	3	3	3	3		
Показатель направленности источника Di, дБ		исходные данные	**0**	0	0	0	0	0	0	0	0		
Поправка на направленность источника Dc, дБ	Dc	DΩ + Di	**3**	3	3	3	3	3	3	3	3		
Затухание из-за геометрической дивергенции, Adiv, дБ	расстояние = 556.42 м	ф-ла (7) [10]	**65,9**										
Коэффициент затухания звука в атмосфере α, дБ/км	Ta=20,°C Pa=101.33,кПа hотн.=70%	ф-ла (5) [9]	0,02	0,09	0,33	1,12	2,79	4,98	9,04	23,09	77,63		
Учет затухания звука в атмосфере Aatm, дБ		ф-ла (8) [10]	0	0	0,2	0,6	1,6	2,8	5	12,8	43,2		
Снижение уровня звукового давления из-за влияния застройки между источником шума и расчетной точкой													

1		2	3	4	5	6	7	8	9	10	11	12	13
Снижение уровня звукового давления на пути над экраном, Dz1, дБ	z = 0.31м (разность путей)	ф-лы (14-18) [10]	4,8	4,9	5,1	5,5	6,3	7,4	9	11,1	13,6		
Снижение уровня звукового давления на пути слева от экрана, Dz2, дБ	z = 6.13м (разность путей)	ф-лы (14-18) [10]	14,1	16,9	19,7	22,6	25,6	28,6	31,6	34,6	37,6		
Снижение уровня звукового давления на пути справа от экрана, Dz3, дБ	z = 107.81м (разность путей)	ф-лы (14-18) [10]	30,2	33,6	36,7	39,8	42,8	45,8	48,8	51,8	54,8		
Общее снижение уровня звука препятствием Dz, дБ		Эн.сумма(-Dzi)	4,3	4,6	5	5,4	6,2	7,3	9	11,1	13,6		
Уровни звукового давления от источника ИШ-5-2 в расчётной точке днём, дБ		**ф-ла(3)[10]**	**0**	**25,7**	**26,6**	**27**	**25,6**	**22,9**	**15,7**	**1,5**	**0**	**27**	**27**
Уровни звукового давления от источника ИШ-5-2 в расчётной точке ночью, дБ		**ф-ла(3)[10]**	**0**	**25,7**	**26,6**	**27**	**25,6**	**22,9**	**15,7**	**1,5**	**0**	**27**	**27**
Источник шума: ИШ-5-3, координаты источника (x,y,z), м =[624.84,156.69,1.00]													
Уровни звуковой мощности источника днём, Lw, дБ		**исходные данные**	**0**	**93,3**	**94,7**	**96**	**96,3**	**95,9**	**92,6**	**88,4**	**83,9**		
Уровни звуковой мощности источника ночью, Lw, дБ		**исходные данные**	**0**	**93,3**	**94,7**	**96**	**96,3**	**95,9**	**92,6**	**88,4**	**83,9**		
Поправка на телесный угол DΩ, дБ	Ω = 6.28	10Lg(4π/Ω)	**3**	3	3	3	3	3	3	3	3		
Показатель направленности источника Di, дБ		исходные данные	**0**	0	0	0	0	0	0	0	0		
Поправка на направленность источника Dc, дБ	Dc	DΩ + Di	**3**	3	3	3	3	3	3	3	3		
Затухание из-за геометрической дивергенции, Adiv, дБ	расстояние = 553.93 м	ф-ла (7) [10]	**65,9**										
Коэффициент затухания звука в атмосфере α, дБ/км	Ta=20,°C Pa=101.33,кПа hотн.=70%	ф-ла (5) [9]	0,02	0,09	0,33	1,12	2,79	4,98	9,04	23,09	77,63		
Учет затухания звука в атмосфере Aatm, дБ		ф-ла (8) [10]	0	0	0,2	0,6	1,5	2,8	5	12,8	43		
Снижение уровня звукового давления из-за влияния застройки между источником шума и расчетной точкой													

1		2	3	4	5	6	7	8	9	10	11	12	13
Снижение уровня звукового давления на пути над экраном, Dz1, дБ	z = 0.31м (разность путей)	ф-лы (14-18) [10]	4,8	4,9	5,1	5,6	6,3	7,5	9,1	11,2	13,7		
Снижение уровня звукового давления на пути слева от экрана, Dz2, дБ	z = 5.99м (разность путей)	ф-лы (14-18) [10]	14	16,8	19,6	22,5	25,5	28,5	31,5	34,5	37,5		
Снижение уровня звукового давления на пути справа от экрана, Dz3, дБ	z = 110.07м (разность путей)	ф-лы (14-18) [10]	30,3	33,7	36,8	39,9	42,9	45,9	48,9	51,9	54,9		
Общее снижение уровня звука препятствием Dz, дБ		Эн.сумма(-Dzi)	4,3	4,6	5	5,5	6,2	7,4	9,1	11,2	13,7		
Уровни звукового давления от источника ИШ-5-3 в расчётной точке днём, дБ		**ф-ла(3)[10]**	**0**	**25,8**	**26,7**	**27**	**25,6**	**22,8**	**15,6**	**1,5**	**0**	**27**	**27**
Уровни звукового давления от источника ИШ-5-3 в расчётной точке ночью, дБ		**ф-ла(3)[10]**	**0**	**25,8**	**26,7**	**27**	**25,6**	**22,8**	**15,6**	**1,5**	**0**	**27**	**27**
Источник шума: ИШ-6-1, координаты источника (x,y,z), м =[836.30,122.24,1.00]													
Уровни звуковой мощности источника днём, Lw, дБ		**исходные данные**	**0**	**96,3**	**97,7**	**99**	**99,3**	**98,9**	**95,6**	**91,4**	**86,9**		
Уровни звуковой мощности источника ночью, Lw, дБ		**исходные данные**	**0**	**96,3**	**97,7**	**99**	**99,3**	**98,9**	**95,6**	**91,4**	**86,9**		
Поправка на телесный угол DΩ, дБ	Ω = 12.57	10Lg(4π/Ω)	**0**	0	0	0	0	0	0	0	0		
Показатель направленности источника Di, дБ		исходные данные	**0**	0	0	0	0	0	0	0	0		
Поправка на направленность источника Dc, дБ	Dc	DΩ + Di	**0**	0	0	0	0	0	0	0	0		
Затухание из-за геометрической дивергенции, Adiv, дБ	расстояние = 718.28 м	ф-ла (7) [10]	**68,1**										
Коэффициент затухания звука в атмосфере α, дБ/км	Ta=20,°C Pa=101.33,кПа hотн.=70%	ф-ла (5) [9]	0,02	0,09	0,33	1,12	2,79	4,98	9,04	23,09	77,63		
Учет затухания звука в атмосфере Aatm, дБ		ф-ла (8) [10]	0	0,1	0,2	0,8	2	3,6	6,5	16,6	55,8		
Снижение уровня звукового давления из-за влияния застройки между источником шума и расчетной точкой													

1		2	3	4	5	6	7	8	9	10	11	12	13
Снижение уровня звукового давления на пути над экраном, Dz1, дБ	z = 0.30м (разность путей)	ф-лы (14-18) [10]	4,8	4,8	4,8	4,9	5	5,4	6,2	7,3	9		
Снижение уровня звукового давления на пути слева от экрана, Dz2, дБ	z = 0.02м (разность путей)	ф-лы (14-18) [10]	4,9	5	5,2	5,6	6,3	7,4	9	11,1	13,5		
Снижение уровня звукового давления на пути справа от экрана, Dz3, дБ	z = 23.49м (разность путей)	ф-лы (14-18) [10]	21,8	26,2	29,9	33,1	36,2	39,2	42,2	45,2	48,2		
Общее снижение уровня звука препятствием Dz, дБ		Эн.сумма(-Dzi)	1,8	1,9	2	2,2	2,6	3,3	4,3	5,8	7,6		
Уровни звукового давления прямого звука от источника ИШ-6-1 в расчётной точке днём, дБ		**ф-ла(3)[10]**	**0**	**26,2**	**27,3**	**27,9**	**26,6**	**23,9**	**16,6**	**0,9**	**0**	**28**	**28**
Уровни звукового давления прямого звука от источника ИШ-6-1 в расчётной точке ночью, дБ		**ф-ла(3)[10]**	**0**	**26,2**	**27,3**	**27,9**	**26,6**	**23,9**	**16,6**	**0,9**	**0**	**28**	**28**
Расчёт отражённого звука													
Уровни звукового давления от мнимого источника ИШ-6-1_мн.(1) в расчётной точке днём, дБ		**ф-ла(3)[10]**	**0**	**0**	**0**	**0**	**0**	**0**	**0**	**0**	**0**	**0**	**0**
Уровни звукового давления от мнимого источника ИШ-6-1_мн.(1) в расчётной точке ночью, дБ		**ф-ла(3)[10]**	**0**	**0**	**0**	**0**	**0**	**0**	**0**	**0**	**0**	**0**	**0**
Уровни звукового давления от источника ИШ-6-1 в расчётной точке днём, дБ		**ф-ла(3)[10]**	**0**	**26,2**	**27,3**	**27,9**	**26,6**	**23,9**	**16,6**	**0,9**	**0**	**28**	**28**
Уровни звукового давления от источника ИШ-6-1 в расчётной точке ночью, дБ		**ф-ла(3)[10]**	**0**	**26,2**	**27,3**	**27,9**	**26,6**	**23,9**	**16,6**	**0,9**	**0**	**28**	**28**
Источник шума: ИШ-6-2, координаты источника (x,y,z), м =[835.37,119.30,1.00]													
Уровни звуковой мощности источника днём, Lw, дБ		**исходные данные**	**0**	**96,3**	**97,7**	**99**	**99,3**	**98,9**	**95,6**	**91,4**	**86,9**		
Уровни звуковой мощности источника ночью, Lw, дБ		**исходные данные**	**0**	**96,3**	**97,7**	**99**	**99,3**	**98,9**	**95,6**	**91,4**	**86,9**		
Поправка на телесный угол DΩ, дБ	Ω = 12.57	10Lg(4π/Ω)	**0**	0	0	0	0	0	0	0	0		
Показатель направленности источника Di, дБ		исходные данные	**0**	0	0	0	0	0	0	0	0		
Поправка на направленность источника Dc, дБ	Dc	DΩ + Di	**0**	0	0	0	0	0	0	0	0		

1		2	3	4	5	6	7	8	9	10	11	12	13
Затухание из-за геометрической дивергенции, Adiv, дБ	расстояние = 716.21 м	ф-ла (7) [10]	**68,1**										
Коэффициент затухания звука в атмосфере α, дБ/км	Та=20,°С Ра=101.33,кПа hотн.=70%	ф-ла (5) [9]	0,02	0,09	0,33	1,12	2,79	4,98	9,04	23,09	77,63		
Учет затухания звука в атмосфере Aatm, дБ		ф-ла (8) [10]	0	0,1	0,2	0,8	2	3,6	6,5	16,5	55,6		
Снижение уровня звукового давления из-за влияния застройки между источником шума и расчетной точкой													
Снижение уровня звукового давления на пути над экраном, Dz1, дБ	z = 0.30м (разность путей)	ф-лы (14-18) [10]	4,8	4,8	4,8	4,9	5	5,4	6,1	7,3	8,9		
Снижение уровня звукового давления на пути слева от экрана, Dz2, дБ	z = 0.01м (разность путей)	ф-лы (14-18) [10]	4,8	4,9	5	5,3	5,7	6,5	7,7	9,5	11,7		
Снижение уровня звукового давления на пути справа от экрана, Dz3, дБ	z = 23.81м (разность путей)	ф-лы (14-18) [10]	21,9	26,2	29,9	33,1	36,2	39,2	42,3	45,3	48,3		
Общее снижение уровня звука препятствием Dz, дБ		Эн.сумма(-Dzi)	1,8	1,8	1,9	2	2,3	2,9	3,8	5,2	7,1		
Уровни звукового давления прямого звука от источника ИШ-6-2 в расчётной точке днём, дБ		**ф-ла(3)[10]**	**0**	**26,3**	**27,5**	**28**	**26,9**	**24,3**	**17,2**	**1,5**	**0**	**28,3**	**28,3**
Уровни звукового давления прямого звука от источника ИШ-6-2 в расчётной точке ночью, дБ		**ф-ла(3)[10]**	**0**	**26,3**	**27,5**	**28**	**26,9**	**24,3**	**17,2**	**1,5**	**0**	**28,3**	**28,3**
Расчёт отражённого звука													
Уровни звукового давления от мнимого источника ИШ-6-2_мн.(1) в расчётной точке днём, дБ		**ф-ла(3)[10]**	**0**	**0**	**0**	**0**	**0**	**0**	**0**	**5,7**	**0**	**6,7**	**6,7**
Уровни звукового давления от мнимого источника ИШ-6-2_мн.(1) в расчётной точке ночью, дБ		**ф-ла(3)[10]**	**0**	**0**	**0**	**0**	**0**	**0**	**0**	**0**	**0**	**6,7**	**6,7**
Уровни звукового давления от источника ИШ-6-2 в расчётной точке днём, дБ		**ф-ла(3)[10]**	**0**	**26,3**	**27,5**	**28**	**26,9**	**24,3**	**17,2**	**7,1**	**0**	**28,3**	**28,3**
Уровни звукового давления от источника ИШ-6-2 в расчётной точке ночью, дБ		**ф-ла(3)[10]**	**0**	**26,3**	**27,5**	**28**	**26,9**	**24,3**	**17,2**	**7,1**	**0**	**28,3**	**28,3**
Источник шума: ИШ-6-3, координаты источника (x,y,z), м =[834.03,116.36,1.00]													

1		2	3	4	5	6	7	8	9	10	11	12	13
Уровни звуковой мощности источника днём, Lw, дБ		**исходные данные**	**0**	**96,3**	**97,7**	**99**	**99,3**	**98,9**	**95,6**	**91,4**	**86,9**		
Уровни звуковой мощности источника ночью, Lw, дБ		**исходные данные**	**0**	**96,3**	**97,7**	**99**	**99,3**	**98,9**	**95,6**	**91,4**	**86,9**		
Поправка на телесный угол DΩ, дБ	Ω = 12.57	10Lg(4π/Ω)	**0**	0	0	0	0	0	0	0	0		
Показатель направленности источника Di, дБ		исходные данные	**0**	0	0	0	0	0	0	0	0		
Поправка на направленность источника Dc, дБ	Dc	DΩ + Di	**0**	0	0	0	0	0	0	0	0		
Затухание из-за геометрической дивергенции, Adiv, дБ	расстояние = 713.77 м	ф-ла (7) [10]	**68,1**										
Коэффициент затухания звука в атмосфере α, дБ/км	Ta=20,°C Pa=101.33,кПа hотн.=70%	ф-ла (5) [9]	0,02	0,09	0,33	1,12	2,79	4,98	9,04	23,09	77,63		
Учет затухания звука в атмосфере Aatm, дБ		ф-ла (8) [10]	0	0,1	0,2	0,8	2	3,6	6,5	16,5	55,4		
Снижение уровня звукового давления из-за влияния застройки между источником шума и расчетной точкой													
Снижение уровня звукового давления на пути над экраном, Dz1, дБ	z = 0.30м (разность путей)	ф-лы (14-18) [10]	4,8	4,8	4,8	4,9	5	5,3	6	7,3	8,9		
Снижение уровня звукового давления на пути слева от экрана, Dz2, дБ	z = 0.01м (разность путей)	ф-лы (14-18) [10]	4,8	4,8	4,9	5	5,3	5,8	6,6	7,9	9,7		
Снижение уровня звукового давления на пути справа от экрана, Dz3, дБ	z = 24.11м (разность путей)	ф-лы (14-18) [10]	21,9	26,3	30	33,2	36,3	39,3	42,3	45,3	48,3		
Общее снижение уровня звука препятствием Dz, дБ		Эн.сумма(-Dzi)	1,7	1,8	1,8	1,9	2,1	2,5	3,3	4,6	6,3		
Уровни звукового давления от источника ИШ-6-3 в расчётной точке днём, дБ		**ф-ла(3)[10]**	**0**	**26,4**	**27,5**	**28,2**	**27,1**	**24,7**	**17,8**	**2,3**	**0**	**28,6**	**28,6**
Уровни звукового давления от источника ИШ-6-3 в расчётной точке ночью, дБ		**ф-ла(3)[10]**	**0**	**26,4**	**27,5**	**28,2**	**27,1**	**24,7**	**17,8**	**2,3**	**0**	**28,6**	**28,6**
Источник шума: ИШ-6-4, координаты источника (x,y,z), м =[833.23,113.30,1.00]													

1		2	3	4	5	6	7	8	9	10	11	12	13
Уровни звуковой мощности источника днём, Lw, дБ		**исходные данные**	**0**	**96,3**	**97,7**	**99**	**99,3**	**98,9**	**95,6**	**91,4**	**86,9**		
Уровни звуковой мощности источника ночью, Lw, дБ		**исходные данные**	**0**	**96,3**	**97,7**	**99**	**99,3**	**98,9**	**95,6**	**91,4**	**86,9**		
Поправка на телесный угол DΩ, дБ	Ω = 12.57	10Lg(4π/Ω)	**0**	0	0	0	0	0	0	0	0		
Показатель направленности источника Di, дБ		исходные данные	**0**	0	0	0	0	0	0	0	0		
Поправка на направленность источника Dc, дБ	Dc	DΩ + Di	**0**	0	0	0	0	0	0	0	0		
Затухание из-за геометрической дивергенции, Adiv, дБ	расстояние = 711.78 м	ф-ла (7) [10]	**68**										
Коэффициент затухания звука в атмосфере α, дБ/км	Ta=20,°C Pa=101.33,кПа hотн.=70%	ф-ла (5) [9]	0,02	0,09	0,33	1,12	2,79	4,98	9,04	23,09	77,63		
Учет затухания звука в атмосфере Aatm, дБ		ф-ла (8) [10]	0	0,1	0,2	0,8	2	3,5	6,4	16,4	55,3		
Снижение уровня звукового давления из-за влияния застройки между источником шума и расчетной точкой													
Снижение уровня звукового давления на пути над экраном, Dz1, дБ	z = 0.30м (разность путей)	ф-лы (14-18) [10]	4,9	5	5,2	5,5	6,2	7,2	8,8	10,8	13,2		
Снижение уровня звукового давления на пути слева от экрана, Dz2, дБ	z = 11.47м (разность путей)	ф-лы (14-18) [10]	16,6	19,4	22,3	25,3	28,3	31,3	34,3	37,3	40,3		
Снижение уровня звукового давления на пути справа от экрана, Dz3, дБ	z = 24.45м (разность путей)	ф-лы (14-18) [10]	22	26,4	30	33,3	36,3	39,4	42,4	45,4	48,4		
Общее снижение уровня звука препятствием Dz, дБ		Эн.сумма(-Dzi)	4,5	4,8	5,1	5,5	6,1	7,2	8,8	10,8	13,2		
Уровни звукового давления от источника ИШ-6-4 в расчётной точке днём, дБ		**ф-ла(3)[10]**	**0**	**23,4**	**24,3**	**24,7**	**23,1**	**20,1**	**12,4**	**0**	**0**	**24,3**	**24,3**
Уровни звукового давления от источника ИШ-6-4 в расчётной точке ночью, дБ		**ф-ла(3)[10]**	**0**	**23,4**	**24,3**	**24,7**	**23,1**	**20,1**	**12,4**	**0**	**0**	**24,3**	**24,3**
Источник шума: ИШ-6-5, координаты источника (x,y,z), м =[832.03,110.36,1.00]													

1		2	3	4	5	6	7	8	9	10	11	12	13
Уровни звуковой мощности источника днём, Lw, дБ		**исходные данные**	**0**	**96,3**	**97,7**	**99**	**99,3**	**98,9**	**95,6**	**91,4**	**86,9**		
Уровни звуковой мощности источника ночью, Lw, дБ		**исходные данные**	**0**	**96,3**	**97,7**	**99**	**99,3**	**98,9**	**95,6**	**91,4**	**86,9**		
Поправка на телесный угол DΩ, дБ	Ω = 12.57	10Lg(4π/Ω)	**0**	0	0	0	0	0	0	0	0		
Показатель направленности источника Di, дБ		исходные данные	**0**	0	0	0	0	0	0	0	0		
Поправка на направленность источника Dc, дБ	Dc	DΩ + Di	**0**	0	0	0	0	0	0	0	0		
Затухание из-за геометрической дивергенции, Adiv, дБ	расстояние = 709.48 м	ф-ла (7) [10]	**68**										
Коэффициент затухания звука в атмосфере α, дБ/км	Ta=20,°C Pa=101.33,кПа hотн.=70%	ф-ла (5) [9]	0,02	0,09	0,33	1,12	2,79	4,98	9,04	23,09	77,63		
Учет затухания звука в атмосфере Aatm, дБ		ф-ла (8) [10]	0	0,1	0,2	0,8	2	3,5	6,4	16,4	55,1		
Снижение уровня звукового давления из-за влияния застройки между источником шума и расчетной точкой													
Снижение уровня звукового давления на пути над экраном, Dz1, дБ	z = 0.30м (разность путей)	ф-лы (14-18) [10]	4,9	5	5,2	5,5	6,2	7,3	8,8	10,9	13,3		
Снижение уровня звукового давления на пути слева от экрана, Dz2, дБ	z = 11.08м (разность путей)	ф-лы (14-18) [10]	16,4	19,3	22,2	25,2	28,2	31,2	34,2	37,2	40,2		
Снижение уровня звукового давления на пути справа от экрана, Dz3, дБ	z = 24.77м (разность путей)	ф-лы (14-18) [10]	22	26,4	30,1	33,3	36,4	39,4	42,4	45,4	48,4		
Общее снижение уровня звука препятствием Dz, дБ		Эн.сумма(-Dzi)	4,5	4,8	5,1	5,5	6,2	7,2	8,8	10,9	13,3		
Уровни звукового давления от источника ИШ-6-5 в расчётной точке днём, дБ		**ф-ла(3)[10]**	**0**	**23,4**	**24,4**	**24,7**	**23,1**	**20,1**	**12,3**	**0**	**0**	**24,3**	**24,3**
Уровни звукового давления от источника ИШ-6-5 в расчётной точке ночью, дБ		**ф-ла(3)[10]**	**0**	**23,4**	**24,4**	**24,7**	**23,1**	**20,1**	**12,3**	**0**	**0**	**24,3**	**24,3**
Источник шума: ИШ-6-6, координаты источника (x,y,z), м =[830.97,107.42,1.00]													

1		2	3	4	5	6	7	8	9	10	11	12	13
Уровни звуковой мощности источника днём, Lw, дБ		**исходные данные**	**0**	**96,3**	**97,7**	**99**	**99,3**	**98,9**	**95,6**	**91,4**	**86,9**		
Уровни звуковой мощности источника ночью, Lw, дБ		**исходные данные**	**0**	**96,3**	**97,7**	**99**	**99,3**	**98,9**	**95,6**	**91,4**	**86,9**		
Поправка на телесный угол DΩ, дБ	Ω = 12.57	10Lg(4π/Ω)	**0**	0	0	0	0	0	0	0	0		
Показатель направленности источника Di, дБ		исходные данные	**0**	0	0	0	0	0	0	0	0		
Поправка на направленность источника Dc, дБ	Dc	DΩ + Di	**0**	0	0	0	0	0	0	0	0		
Затухание из-за геометрической дивергенции, Adiv, дБ	расстояние = 707.31 м	ф-ла (7) [10]	**68**										
Коэффициент затухания звука в атмосфере α, дБ/км	Ta=20,°C Pa=101.33,кПа hотн.=70%	ф-ла (5) [9]	0,02	0,09	0,33	1,12	2,79	4,98	9,04	23,09	77,63		
Учет затухания звука в атмосфере Aatm, дБ		ф-ла (8) [10]	0	0,1	0,2	0,8	2	3,5	6,4	16,3	54,9		
Снижение уровня звукового давления из-за влияния застройки между источником шума и расчетной точкой													
Снижение уровня звукового давления на пути над экраном, Dz1, дБ	z = 0.10м (разность путей)	ф-лы (14-18) [10]	4,8	4,8	4,8	4,8	4,8	4,8	4,8	4,8	4,8		
Снижение уровня звукового давления на пути слева от экрана, Dz2, дБ	z = 10.68м (разность путей)	ф-лы (14-18) [10]	16,3	19,1	22	25	28	31	34	37	40		
Снижение уровня звукового давления на пути справа от экрана, Dz3, дБ	z = 25.10м (разность путей)	ф-лы (14-18) [10]	22,1	26,5	30,1	33,4	36,4	39,5	42,5	45,5	48,5		
Общее снижение уровня звука препятствием Dz, дБ		Эн.сумма(-Dzi)	4,4	4,6	4,7	4,7	4,7	4,8	4,8	4,8	4,8		
Уровни звукового давления от источника ИШ-6-6 в расчётной точке днём, дБ		**ф-ла(3)[10]**	**0**	**23,6**	**24,8**	**25,5**	**24,6**	**22,6**	**16,4**	**2,3**	**0**	**26,4**	**26,4**
Уровни звукового давления от источника ИШ-6-6 в расчётной точке ночью, дБ		**ф-ла(3)[10]**	**0**	**23,6**	**24,8**	**25,5**	**24,6**	**22,6**	**16,4**	**2,3**	**0**	**26,4**	**26,4**
Источник шума: ИШ-6-7, координаты источника (x,y,z), м =[830.30,104.49,1.00]													

1		2	3	4	5	6	7	8	9	10	11	12	13
Уровни звуковой мощности источника днём, Lw, дБ		**исходные данные**	**0**	**96,3**	**97,7**	**99**	**99,3**	**98,9**	**95,6**	**91,4**	**86,9**		
Уровни звуковой мощности источника ночью, Lw, дБ		**исходные данные**	**0**	**96,3**	**97,7**	**99**	**99,3**	**98,9**	**95,6**	**91,4**	**86,9**		
Поправка на телесный угол DΩ, дБ	Ω = 12.57	10Lg(4π/Ω)	**0**	0	0	0	0	0	0	0	0		
Показатель направленности источника Di, дБ		исходные данные	**0**	0	0	0	0	0	0	0	0		
Поправка на направленность источника Dc, дБ	Dc	DΩ + Di	**0**	0	0	0	0	0	0	0	0		
Затухание из-за геометрической дивергенции, Adiv, дБ	расстояние = 705.52 м	ф-ла (7) [10]	**68**										
Коэффициент затухания звука в атмосфере α, дБ/км	Ta=20,°C Pa=101.33,кПа hотн.=70%	ф-ла (5) [9]	0,02	0,09	0,33	1,12	2,79	4,98	9,04	23,09	77,63		
Учет затухания звука в атмосфере Aatm, дБ		ф-ла (8) [10]	0	0,1	0,2	0,8	2	3,5	6,4	16,3	54,8		
Снижение уровня звукового давления из-за влияния застройки между источником шума и расчетной точкой													
Снижение уровня звукового давления на пути над экраном, Dz1, дБ	z = 0.10м (разность путей)	ф-лы (14-18) [10]	4,8	4,8	4,8	4,8	4,8	4,8	4,8	4,8	4,8		
Снижение уровня звукового давления на пути слева от экрана, Dz2, дБ	z = 10.24м (разность путей)	ф-лы (14-18) [10]	16,1	19	21,9	24,8	27,8	30,8	33,8	36,8	39,8		
Снижение уровня звукового давления на пути справа от экрана, Dz3, дБ	z = 1.37м (разность путей)	ф-лы (14-18) [10]	9,1	11,2	13,6	16,4	19,2	22,2	25,1	28,1	31,1		
Общее снижение уровня звука препятствием Dz, дБ		Эн.сумма(-Dzi)	3,2	3,7	4,2	4,4	4,6	4,7	4,7	4,8	4,8		
Уровни звукового давления от источника ИШ-6-7 в расчётной точке днём, дБ		**ф-ла(3)[10]**	**0**	**24,5**	**25,3**	**25,8**	**24,8**	**22,7**	**16,5**	**2,4**	**0**	**26,6**	**26,6**
Уровни звукового давления от источника ИШ-6-7 в расчётной точке ночью, дБ		**ф-ла(3)[10]**	**0**	**24,5**	**25,3**	**25,8**	**24,8**	**22,7**	**16,5**	**2,4**	**0**	**26,6**	**26,6**
Источник шума: ИШ-6-8, координаты источника (x,y,z), м =[829.36,101.42,1.00]													

1		2	3	4	5	6	7	8	9	10	11	12	13
Уровни звуковой мощности источника днём, Lw, дБ		**исходные данные**	**0**	**96,3**	**97,7**	**99**	**99,3**	**98,9**	**95,6**	**91,4**	**86,9**		
Уровни звуковой мощности источника ночью, Lw, дБ		**исходные данные**	**0**	**96,3**	**97,7**	**99**	**99,3**	**98,9**	**95,6**	**91,4**	**86,9**		
Поправка на телесный угол DΩ, дБ	Ω = 12.57	10Lg(4π/Ω)	**0**	0	0	0	0	0	0	0	0		
Показатель направленности источника Di, дБ		исходные данные	**0**	0	0	0	0	0	0	0	0		
Поправка на направленность источника Dc, дБ	Dc	DΩ + Di	**0**	0	0	0	0	0	0	0	0		
Затухание из-за геометрической дивергенции, Adiv, дБ	расстояние = 703.44 м	ф-ла (7) [10]	**67,9**										
Коэффициент затухания звука в атмосфере α, дБ/км	Ta=20,°C Pa=101.33,кПа hотн.=70%	ф-ла (5) [9]	0,02	0,09	0,33	1,12	2,79	4,98	9,04	23,09	77,63		
Учет затухания звука в атмосфере Aatm, дБ		ф-ла (8) [10]	0	0,1	0,2	0,8	2	3,5	6,4	16,2	54,6		
Снижение уровня звукового давления из-за влияния застройки между источником шума и расчетной точкой													
Снижение уровня звукового давления на пути над экраном, Dz1, дБ	z = 0.10м (разность путей)	ф-лы (14-18) [10]	4,8	4,8	4,8	4,8	4,8	4,8	4,8	4,8	4,8		
Снижение уровня звукового давления на пути слева от экрана, Dz2, дБ	z = 9.81м (разность путей)	ф-лы (14-18) [10]	15,9	18,8	21,7	24,6	27,6	30,6	33,6	36,6	39,7		
Снижение уровня звукового давления на пути справа от экрана, Dz3, дБ	z = 1.45м (разность путей)	ф-лы (14-18) [10]	9,2	11,4	13,9	16,6	19,5	22,4	25,4	28,4	31,4		
Общее снижение уровня звука препятствием Dz, дБ		Эн.сумма(-Dzi)	3,2	3,8	4,2	4,5	4,6	4,7	4,7	4,8	4,8		
Уровни звукового давления от источника ИШ-6-8 в расчётной точке днём, дБ		**ф-ла(3)[10]**	**0**	**24,5**	**25,3**	**25,8**	**24,8**	**22,8**	**16,6**	**2,5**	**0**	**26,6**	**26,6**
Уровни звукового давления от источника ИШ-6-8 в расчётной точке ночью, дБ		**ф-ла(3)[10]**	**0**	**24,5**	**25,3**	**25,8**	**24,8**	**22,8**	**16,6**	**2,5**	**0**	**26,6**	**26,6**
Источник шума: ИШ-6-9, координаты источника (x,y,z), м =[828.03,98.62,1.00]													

1		2	3	4	5	6	7	8	9	10	11	12	13
Уровни звуковой мощности источника днём, Lw, дБ		**исходные данные**	**0**	**96,3**	**97,7**	**99**	**99,3**	**98,9**	**95,6**	**91,4**	**86,9**		
Уровни звуковой мощности источника ночью, Lw, дБ		**исходные данные**	**0**	**96,3**	**97,7**	**99**	**99,3**	**98,9**	**95,6**	**91,4**	**86,9**		
Поправка на телесный угол DΩ, дБ	Ω = 12.57	10Lg(4π/Ω)	**0**	0	0	0	0	0	0	0	0		
Показатель направленности источника Di, дБ		исходные данные	**0**	0	0	0	0	0	0	0	0		
Поправка на направленность источника Dc, дБ	Dc	DΩ + Di	**0**	0	0	0	0	0	0	0	0		
Затухание из-за геометрической дивергенции, Adiv, дБ	расстояние = 701.10 м	ф-ла (7) [10]	**67,9**										
Коэффициент затухания звука в атмосфере α, дБ/км	Ta=20,°C Pa=101.33,кПа hотн.=70%	ф-ла (5) [9]	0,02	0,09	0,33	1,12	2,79	4,98	9,04	23,09	77,63		
Учет затухания звука в атмосфере Aatm, дБ		ф-ла (8) [10]	0	0,1	0,2	0,8	2	3,5	6,3	16,2	54,4		
Снижение уровня звукового давления из-за влияния застройки между источником шума и расчетной точкой													
Снижение уровня звукового давления на пути над экраном, Dz1, дБ	z = 0.10м (разность путей)	ф-лы (14-18) [10]	4,8	4,8	4,8	4,8	4,8	4,8	4,8	4,8	4,8		
Снижение уровня звукового давления на пути слева от экрана, Dz2, дБ	z = 9.46м (разность путей)	ф-лы (14-18) [10]	15,8	18,6	21,5	24,5	27,5	30,5	33,5	36,5	39,5		
Снижение уровня звукового давления на пути справа от экрана, Dz3, дБ	z = 1.53м (разность путей)	ф-лы (14-18) [10]	9,4	11,6	14,1	16,8	19,7	22,6	25,6	28,6	31,6		
Общее снижение уровня звука препятствием Dz, дБ		Эн.сумма(-Dzi)	3,2	3,8	4,2	4,5	4,6	4,7	4,7	4,8	4,8		
Уровни звукового давления от источника ИШ-6-9 в расчётной точке днём, дБ		**ф-ла(3)[10]**	**0**	**24,5**	**25,3**	**25,8**	**24,8**	**22,8**	**16,6**	**2,5**	**0**	**26,6**	**26,6**
Уровни звукового давления от источника ИШ-6-9 в расчётной точке ночью, дБ		**ф-ла(3)[10]**	**0**	**24,5**	**25,3**	**25,8**	**24,8**	**22,8**	**16,6**	**2,5**	**0**	**26,6**	**26,6**
Источник шума: ИШ-6-10, координаты источника (x,y,z), м =[827.23,95.55,1.00]													

1		2	3	4	5	6	7	8	9	10	11	12	13
Уровни звуковой мощности источника днём, Lw, дБ		**исходные данные**	**0**	**96,3**	**97,7**	**99**	**99,3**	**98,9**	**95,6**	**91,4**	**86,9**		
Уровни звуковой мощности источника ночью, Lw, дБ		**исходные данные**	**0**	**96,3**	**97,7**	**99**	**99,3**	**98,9**	**95,6**	**91,4**	**86,9**		
Поправка на телесный угол DΩ, дБ	Ω = 12.57	10Lg(4π/Ω)	**0**	0	0	0	0	0	0	0	0		
Показатель направленности источника Di, дБ		исходные данные	**0**	0	0	0	0	0	0	0	0		
Поправка на направленность источника Dc, дБ	Dc	DΩ + Di	**0**	0	0	0	0	0	0	0	0		
Затухание из-за геометрической дивергенции, Adiv, дБ	расстояние = 699.15 м	ф-ла (7) [10]	**67,9**										
Коэффициент затухания звука в атмосфере α, дБ/км	Ta=20,°C Pa=101.33,кПа hотн.=70%	ф-ла (5) [9]	0,02	0,09	0,33	1,12	2,79	4,98	9,04	23,09	77,63		
Учет затухания звука в атмосфере Aatm, дБ		ф-ла (8) [10]	0	0,1	0,2	0,8	2	3,5	6,3	16,1	54,3		
Снижение уровня звукового давления из-за влияния застройки между источником шума и расчетной точкой													
Снижение уровня звукового давления на пути над экраном, Dz1, дБ	z = 0.10м (разность путей)	ф-лы (14-18) [10]	4,8	4,8	4,8	4,8	4,8	4,8	4,8	4,8	4,8		
Снижение уровня звукового давления на пути слева от экрана, Dz2, дБ	z = 9.02м (разность путей)	ф-лы (14-18) [10]	15,6	18,4	21,3	24,3	27,3	30,3	33,3	36,3	39,3		
Снижение уровня звукового давления на пути справа от экрана, Dz3, дБ	z = 1.62м (разность путей)	ф-лы (14-18) [10]	9,5	11,8	14,3	17	19,9	22,9	25,8	28,8	31,8		
Общее снижение уровня звука препятствием Dz, дБ		Эн.сумма(-Dzi)	3,3	3,8	4,2	4,5	4,6	4,7	4,7	4,8	4,8		
Уровни звукового давления от источника ИШ-6-10 в расчётной точке днём, дБ		**ф-ла(3)[10]**	**0**	**24,5**	**25,3**	**25,8**	**24,8**	**22,8**	**16,6**	**2,6**	**0**	**26,7**	**26,7**
Уровни звукового давления от источника ИШ-6-10 в расчётной точке ночью, дБ		**ф-ла(3)[10]**	**0**	**24,5**	**25,3**	**25,8**	**24,8**	**22,8**	**16,6**	**2,6**	**0**	**26,7**	**26,7**
Источник шума: ИШ-6-11, координаты источника (x,y,z), м =[826.30,92.48,1.00]													

1		2	3	4	5	6	7	8	9	10	11	12	13
Уровни звуковой мощности источника днём, Lw, дБ		**исходные данные**	**0**	**96,3**	**97,7**	**99**	**99,3**	**98,9**	**95,6**	**91,4**	**86,9**		
Уровни звуковой мощности источника ночью, Lw, дБ		**исходные данные**	**0**	**96,3**	**97,7**	**99**	**99,3**	**98,9**	**95,6**	**91,4**	**86,9**		
Поправка на телесный угол DΩ, дБ	Ω = 12.57	10Lg(4π/Ω)	**0**	0	0	0	0	0	0	0	0		
Показатель направленности источника Di, дБ		исходные данные	**0**	0	0	0	0	0	0	0	0		
Поправка на направленность источника Dc, дБ	Dc	DΩ + Di	**0**	0	0	0	0	0	0	0	0		
Затухание из-за геометрической дивергенции, Adiv, дБ	расстояние = 697.09 м	ф-ла (7) [10]	**67,9**										
Коэффициент затухания звука в атмосфере α, дБ/км	Ta=20,°C Pa=101.33,кПа hотн.=70%	ф-ла (5) [9]	0,02	0,09	0,33	1,12	2,79	4,98	9,04	23,09	77,63		
Учет затухания звука в атмосфере Aatm, дБ		ф-ла (8) [10]	0	0,1	0,2	0,8	1,9	3,5	6,3	16,1	54,1		
Снижение уровня звукового давления из-за влияния застройки между источником шума и расчетной точкой													
Снижение уровня звукового давления на пути над экраном, Dz1, дБ	z = 0.10м (разность путей)	ф-лы (14-18) [10]	4,8	4,8	4,8	4,8	4,8	4,8	4,8	4,8	4,8		
Снижение уровня звукового давления на пути слева от экрана, Dz2, дБ	z = 8.61м (разность путей)	ф-лы (14-18) [10]	15,4	18,2	21,1	24,1	27,1	30,1	33,1	36,1	39,1		
Снижение уровня звукового давления на пути справа от экрана, Dz3, дБ	z = 1.71м (разность путей)	ф-лы (14-18) [10]	9,7	12	14,5	17,3	20,2	23,1	26,1	29,1	32,1		
Общее снижение уровня звука препятствием Dz, дБ		Эн.сумма(-Dzi)	3,3	3,9	4,2	4,5	4,6	4,7	4,7	4,8	4,8		
Уровни звукового давления от источника ИШ-6-11 в расчётной точке днём, дБ		**ф-ла(3)[10]**	**0**	**24,5**	**25,4**	**25,9**	**24,9**	**22,9**	**16,7**	**2,7**	**0**	**26,7**	**26,7**
Уровни звукового давления от источника ИШ-6-11 в расчётной точке ночью, дБ		**ф-ла(3)[10]**	**0**	**24,5**	**25,4**	**25,9**	**24,9**	**22,9**	**16,7**	**2,7**	**0**	**26,7**	**26,7**
Источник шума: ИШ-6-12, координаты источника (x,y,z), м =[825.09,89.54,1.00]													

1		2	3	4	5	6	7	8	9	10	11	12	13
Уровни звуковой мощности источника днём, Lw, дБ		**исходные данные**	**0**	**96,3**	**97,7**	**99**	**99,3**	**98,9**	**95,6**	**91,4**	**86,9**		
Уровни звуковой мощности источника ночью, Lw, дБ		**исходные данные**	**0**	**96,3**	**97,7**	**99**	**99,3**	**98,9**	**95,6**	**91,4**	**86,9**		
Поправка на телесный угол DΩ, дБ	Ω = 12.57	10Lg(4π/Ω)	**0**	0	0	0	0	0	0	0	0		
Показатель направленности источника Di, дБ		исходные данные	**0**	0	0	0	0	0	0	0	0		
Поправка на направленность источника Dc, дБ	Dc	DΩ + Di	**0**	0	0	0	0	0	0	0	0		
Затухание из-за геометрической дивергенции, Adiv, дБ	расстояние = 694.84 м	ф-ла (7) [10]	**67,8**										
Коэффициент затухания звука в атмосфере α, дБ/км	Ta=20,°C Pa=101.33,кПа hотн.=70%	ф-ла (5) [9]	0,02	0,09	0,33	1,12	2,79	4,98	9,04	23,09	77,63		
Учет затухания звука в атмосфере Aatm, дБ		ф-ла (8) [10]	0	0,1	0,2	0,8	1,9	3,5	6,3	16	53,9		
Снижение уровня звукового давления из-за влияния застройки между источником шума и расчетной точкой													
Снижение уровня звукового давления на пути над экраном, Dz1, дБ	z = 0.10м (разность путей)	ф-лы (14-18) [10]	4,8	4,8	4,8	4,8	4,8	4,8	4,8	4,8	4,8		
Снижение уровня звукового давления на пути слева от экрана, Dz2, дБ	z = 8.24м (разность путей)	ф-лы (14-18) [10]	15,3	18,1	20,9	23,9	26,9	29,9	32,9	35,9	38,9		
Снижение уровня звукового давления на пути справа от экрана, Dz3, дБ	z = 1.80м (разность путей)	ф-лы (14-18) [10]	9,9	12,1	14,7	17,5	20,4	23,3	26,3	29,3	32,3		
Общее снижение уровня звука препятствием Dz, дБ		Эн.сумма(-Dzi)	3,3	3,9	4,3	4,5	4,6	4,7	4,7	4,8	4,8		
Уровни звукового давления от источника ИШ-6-12 в расчётной точке днём, дБ		**ф-ла(3)[10]**	**0**	**24,5**	**25,4**	**25,9**	**24,9**	**22,9**	**16,7**	**2,8**	**0**	**26,7**	**26,7**
Уровни звукового давления от источника ИШ-6-12 в расчётной точке ночью, дБ		**ф-ла(3)[10]**	**0**	**24,5**	**25,4**	**25,9**	**24,9**	**22,9**	**16,7**	**2,8**	**0**	**26,7**	**26,7**
Источник шума: ИШ-6-13, координаты источника (x,y,z), м =[767.76,-114.15,1.00]													

1		2	3	4	5	6	7	8	9	10	11	12	13
Уровни звуковой мощности источника днём, Lw, дБ		**исходные данные**	**0**	**96,3**	**97,7**	**99**	**99,3**	**98,9**	**95,6**	**91,4**	**86,9**		
Уровни звуковой мощности источника ночью, Lw, дБ		**исходные данные**	**0**	**96,3**	**97,7**	**99**	**99,3**	**98,9**	**95,6**	**91,4**	**86,9**		
Поправка на телесный угол DΩ, дБ	Ω = 12.57	10Lg(4π/Ω)	**0**	0	0	0	0	0	0	0	0		
Показатель направленности источника Di, дБ		исходные данные	**0**	0	0	0	0	0	0	0	0		
Поправка на направленность источника Dc, дБ	Dc	DΩ + Di	**0**	0	0	0	0	0	0	0	0		
Затухание из-за геометрической дивергенции, Adiv, дБ	расстояние = 587.09 м	ф-ла (7) [10]	**66,4**										
Коэффициент затухания звука в атмосфере α, дБ/км	Ta=20,°C Pa=101.33,кПа hотн.=70%	ф-ла (5) [9]	0,02	0,09	0,33	1,12	2,79	4,98	9,04	23,09	77,63		
Учет затухания звука в атмосфере Aatm, дБ		ф-ла (8) [10]	0	0,1	0,2	0,7	1,6	2,9	5,3	13,6	45,6		
Снижение поверхностью земли возле источника As, дБ	Gs = 0 hs = 1м	ф-лы таб.3 [10]	-1,5	-1,5	-1,5	-1,5	-1,5	-1,5	-1,5	-1,5	-1,5		
Снижение поверхностью земли возле приёмника Ar, дБ	Gr = 1 hr = 1.6м	ф-лы таб.3 [10]	-1,5	-1,5	3,6	6,8	4,3	0,5	0	0	0		
Снижение поверхностью земли в средней зоне, Am дБ	Gm = 1	ф-лы таб.3 [10]	-2,6	-2,6	0	0	0	0	0	0	0		
Суммарное снижение поверхностью земли на траектории распространения звука Agr, дБ		ф-ла (9) [10]	-5,6	-5,6	2,1	5,3	2,8	-1	-1,5	-1,5	-1,5		
Уровни звукового давления прямого звука от источника ИШ-6-13 в расчётной точке днём, дБ		**ф-ла(3)[10]**	**0**	**35,5**	**29,1**	**26,6**	**28,5**	**30,6**	**25,4**	**13**	**0**	**33,1**	**33,1**
Уровни звукового давления прямого звука от источника ИШ-6-13 в расчётной точке ночью, дБ		**ф-ла(3)[10]**	**0**	**35,5**	**29,1**	**26,6**	**28,5**	**30,6**	**25,4**	**13**	**0**	**33,1**	**33,1**
Расчёт отражённого звука													
Уровни звукового давления от мнимого источника ИШ-6-13_мн.(1) в расчётной точке днём, дБ		**ф-ла(3)[10]**	**0**	**0**	**22,9**	**16,3**	**17,1**	**26,1**	**22,9**	**10,4**	**0**	**28,5**	**28,5**
Уровни звукового давления от мнимого источника ИШ-6-13_мн.(1) в расчётной точке ночью, дБ		**ф-ла(3)[10]**	**0**	**0**	**0**	**0**	**0**	**0**	**0**	**0**	**0**	**28,5**	**28,5**

1		2	3	4	5	6	7	8	9	10	11	12	13
Уровни звукового давления от источника ИШ-6-13 в расчётной точке днём, дБ		**ф-ла(3)[10]**	**0**	**35,5**	**30**	**27**	**28,8**	**31,9**	**27,3**	**14,9**	**0**	**34,4**	**34,4**
Уровни звукового давления от источника ИШ-6-13 в расчётной точке ночью, дБ		**ф-ла(3)[10]**	**0**	**35,5**	**30**	**27**	**28,8**	**31,9**	**27,3**	**14,9**	**0**	**34,4**	**34,4**
Источник шума: ИШ-6-14, координаты источника (x,y,z), м =[766.82,-117.10,1.00]													
Уровни звуковой мощности источника днём, Lw, дБ		**исходные данные**	**0**	**96,3**	**97,7**	**99**	**99,3**	**98,9**	**95,6**	**91,4**	**86,9**		
Уровни звуковой мощности источника ночью, Lw, дБ		**исходные данные**	**0**	**96,3**	**97,7**	**99**	**99,3**	**98,9**	**95,6**	**91,4**	**86,9**		
Поправка на телесный угол DΩ, дБ	Ω = 12.57	10Lg(4π/Ω)	**0**	0	0	0	0	0	0	0	0		
Показатель направленности источника Di, дБ		исходные данные	**0**	0	0	0	0	0	0	0	0		
Поправка на направленность источника Dc, дБ	Dc	DΩ + Di	**0**	0	0	0	0	0	0	0	0		
Затухание из-за геометрической дивергенции, Adiv, дБ	расстояние = 585.83 м	ф-ла (7) [10]	**66,4**										
Коэффициент затухания звука в атмосфере α, дБ/км	Ta=20,°C Pa=101.33,кПа hотн.=70%	ф-ла (5) [9]	0,02	0,09	0,33	1,12	2,79	4,98	9,04	23,09	77,63		
Учет затухания звука в атмосфере Aatm, дБ		ф-ла (8) [10]	0	0,1	0,2	0,7	1,6	2,9	5,3	13,5	45,5		
Снижение поверхностью земли возле источника As, дБ	Gs = 0 hs = 1м	ф-лы таб.3 [10]	-1,5	-1,5	-1,5	-1,5	-1,5	-1,5	-1,5	-1,5	-1,5		
Снижение поверхностью земли возле приёмника Ar, дБ	Gr = 1 hr = 1.6м	ф-лы таб.3 [10]	-1,5	-1,5	3,5	6,8	4,3	0,5	0	0	0		
Снижение поверхностью земли в средней зоне, Am дБ	Gm = 1	ф-лы таб.3 [10]	-2,6	-2,6	0	0	0	0	0	0	0		
Суммарное снижение поверхностью земли на траектории распространения звука Agr, дБ		ф-ла (9) [10]	-5,6	-5,6	2	5,3	2,8	-1	-1,5	-1,5	-1,5		
Уровни звукового давления прямого звука от источника ИШ-6-14 в расчётной точке днём, дБ		**ф-ла(3)[10]**	**0**	**35,5**	**29,1**	**26,6**	**28,5**	**30,6**	**25,4**	**13**	**0**	**33,2**	**33,2**

1		2	3	4	5	6	7	8	9	10	11	12	13
Уровни звукового давления прямого звука от источника ИШ-6-14 в расчётной точке ночью, дБ		**ф-ла(3)[10]**	**0**	**35,5**	**29,1**	**26,6**	**28,5**	**30,6**	**25,4**	**13**	**0**	**33,2**	**33,2**
Расчёт отражённого звука													
Уровни звукового давления от мнимого источника ИШ-6-14_мн.(1) в расчётной точке днём, дБ		**ф-ла(3)[10]**	**0**	**0**	**22,9**	**16,3**	**17,2**	**26,1**	**22,9**	**10,5**	**0**	**28,5**	**28,5**
Уровни звукового давления от мнимого источника ИШ-6-14_мн.(1) в расчётной точке ночью, дБ		**ф-ла(3)[10]**	**0**	**0**	**0**	**0**	**0**	**0**	**0**	**0**	**0**	**28,5**	**28,5**
Уровни звукового давления от источника ИШ-6-14 в расчётной точке днём, дБ		**ф-ла(3)[10]**	**0**	**35,5**	**30**	**27**	**28,8**	**31,9**	**27,4**	**14,9**	**0**	**34,4**	**34,4**
Уровни звукового давления от источника ИШ-6-14 в расчётной точке ночью, дБ		**ф-ла(3)[10]**	**0**	**35,5**	**30**	**27**	**28,8**	**31,9**	**27,4**	**14,9**	**0**	**34,4**	**34,4**
Источник шума: ИШ-6-15, координаты источника (x,y,z), м =[765.71,-120.27,1.00]													
Уровни звуковой мощности источника днём, Lw, дБ		**исходные данные**	**0**	**96,3**	**97,7**	**99**	**99,3**	**98,9**	**95,6**	**91,4**	**86,9**		
Уровни звуковой мощности источника ночью, Lw, дБ		**исходные данные**	**0**	**96,3**	**97,7**	**99**	**99,3**	**98,9**	**95,6**	**91,4**	**86,9**		
Поправка на телесный угол DΩ, дБ	Ω = 12.57	10Lg(4π/Ω)	**0**	0	0	0	0	0	0	0	0		
Показатель направленности источника Di, дБ		исходные данные	**0**	0	0	0	0	0	0	0	0		
Поправка на направленность источника Dc, дБ	Dc	DΩ + Di	**0**	0	0	0	0	0	0	0	0		
Затухание из-за геометрической дивергенции, Adiv, дБ	расстояние = 584.41 м	ф-ла (7) [10]	**66,3**										
Коэффициент затухания звука в атмосфере α, дБ/км	Ta=20,°C Pa=101.33,кПа hотн.=70%	ф-ла (5) [9]	0,02	0,09	0,33	1,12	2,79	4,98	9,04	23,09	77,63		
Учет затухания звука в атмосфере Aatm, дБ		ф-ла (8) [10]	0	0,1	0,2	0,7	1,6	2,9	5,3	13,5	45,4		
Снижение поверхностью земли возле источника As, дБ	Gs = 0 hs = 1м	ф-лы таб.3 [10]	-1,5	-1,5	-1,5	-1,5	-1,5	-1,5	-1,5	-1,5	-1,5		

1		2	3	4	5	6	7	8	9	10	11	12	13
Снижение поверхностью земли возле приёмника Ar, дБ	Gr = 1 hr = 1.6м	ф-лы таб.3 [10]	-1,5	-1,5	3,5	6,8	4,3	0,5	0	0	0		
Снижение поверхностью земли в средней зоне, Am дБ	Gm = 1	ф-лы таб.3 [10]	-2,6	-2,6	0	0	0	0	0	0	0		
Суммарное снижение поверхностью земли на траектории распространения звука Agr, дБ		ф-ла (9) [10]	-5,6	-5,6	2	5,3	2,8	-1	-1,5	-1,5	-1,5		
Уровни звукового давления прямого звука от источника ИШ-6-15 в расчётной точке днём, дБ		**ф-ла(3)[10]**	**0**	**35,5**	**29,1**	**26,7**	**28,5**	**30,6**	**25,5**	**13,1**	**0**	**33,2**	**33,2**
Уровни звукового давления прямого звука от источника ИШ-6-15 в расчётной точке ночью, дБ		**ф-ла(3)[10]**	**0**	**35,5**	**29,1**	**26,7**	**28,5**	**30,6**	**25,5**	**13,1**	**0**	**33,2**	**33,2**
Расчёт отражённого звука													
Уровни звукового давления от мнимого источника ИШ-6-15_мн.(1) в расчётной точке днём, дБ		**ф-ла(3)[10]**	**0**	**0**	**23**	**16,3**	**17,2**	**26,1**	**23**	**10,5**	**0**	**28,6**	**28,6**
Уровни звукового давления от мнимого источника ИШ-6-15_мн.(1) в расчётной точке ночью, дБ		**ф-ла(3)[10]**	**0**	**0**	**0**	**0**	**0**	**0**	**0**	**0**	**0**	**28,6**	**28,6**
Уровни звукового давления от источника ИШ-6-15 в расчётной точке днём, дБ		**ф-ла(3)[10]**	**0**	**35,5**	**30,1**	**27,1**	**28,8**	**32**	**27,4**	**15**	**0**	**34,5**	**34,5**
Уровни звукового давления от источника ИШ-6-15 в расчётной точке ночью, дБ		**ф-ла(3)[10]**	**0**	**35,5**	**30,1**	**27,1**	**28,8**	**32**	**27,4**	**15**	**0**	**34,5**	**34,5**
Источник шума: ИШ-6-16, координаты источника (x,y,z), м =[764.57,-123.22,1.00]													
Уровни звуковой мощности источника днём, Lw, дБ		**исходные данные**	**0**	**96,3**	**97,7**	**99**	**99,3**	**98,9**	**95,6**	**91,4**	**86,9**		
Уровни звуковой мощности источника ночью, Lw, дБ		**исходные данные**	**0**	**96,3**	**97,7**	**99**	**99,3**	**98,9**	**95,6**	**91,4**	**86,9**		
Поправка на телесный угол DΩ, дБ	Ω = 12.57	10Lg(4π/Ω)	**0**	0	0	0	0	0	0	0	0		
Показатель направленности источника Di, дБ		исходные данные	**0**	0	0	0	0	0	0	0	0		
Поправка на направленность источника Dc, дБ	Dc	DΩ + Di	**0**	0	0	0	0	0	0	0	0		
Затухание из-за геометрической дивергенции, Adiv, дБ	расстояние = 582.98 м	ф-ла (7) [10]	**66,3**										

1		2	3	4	5	6	7	8	9	10	11	12	13
Коэффициент затухания звука в атмосфере α, дБ/км	Та=20,°С Ра=101.33,кПа hотн.=70%	ф-ла (5) [9]	0,02	0,09	0,33	1,12	2,79	4,98	9,04	23,09	77,63		
Учет затухания звука в атмосфере Aatm, дБ		ф-ла (8) [10]	0	0,1	0,2	0,7	1,6	2,9	5,3	13,5	45,3		
Снижение поверхностью земли возле источника As, дБ	Gs = 0 hs = 1м	ф-лы таб.3 [10]	-1,5	-1,5	-1,5	-1,5	-1,5	-1,5	-1,5	-1,5	-1,5		
Снижение поверхностью земли возле приёмника Ar, дБ	Gr = 1 hr = 1.6м	ф-лы таб.3 [10]	-1,5	-1,5	3,5	6,8	4,3	0,5	0	0	0		
Снижение поверхностью земли в средней зоне, Am дБ	Gm = 1	ф-лы таб.3 [10]	-2,6	-2,6	0	0	0	0	0	0	0		
Суммарное снижение поверхностью земли на траектории распространения звука Agr, дБ		ф-ла (9) [10]	-5,6	-5,6	2	5,3	2,8	-1	-1,5	-1,5	-1,5		
Уровни звукового давления прямого звука от источника ИШ-6-16 в расчётной точке днём, дБ		**ф-ла(3)[10]**	**0**	**35,5**	**29,2**	**26,7**	**28,5**	**30,7**	**25,5**	**13,1**	**0**	**33,2**	**33,2**
Уровни звукового давления прямого звука от источника ИШ-6-16 в расчётной точке ночью, дБ		**ф-ла(3)[10]**	**0**	**35,5**	**29,2**	**26,7**	**28,5**	**30,7**	**25,5**	**13,1**	**0**	**33,2**	**33,2**
Расчёт отражённого звука													
Уровни звукового давления от мнимого источника ИШ-6-16_мн.(1) в расчётной точке днём, дБ		**ф-ла(3)[10]**	**0**	**0**	**23**	**16,3**	**17,2**	**26,1**	**23**	**10,6**	**0**	**28,6**	**28,6**
Уровни звукового давления от мнимого источника ИШ-6-16_мн.(1) в расчётной точке ночью, дБ		**ф-ла(3)[10]**	**0**	**0**	**0**	**0**	**0**	**0**	**0**	**0**	**0**	**28,6**	**28,6**
Уровни звукового давления от источника ИШ-6-16 в расчётной точке днём, дБ		**ф-ла(3)[10]**	**0**	**35,5**	**30,1**	**27,1**	**28,8**	**32**	**27,4**	**15**	**0**	**34,5**	**34,5**
Уровни звукового давления от источника ИШ-6-16 в расчётной точке ночью, дБ		**ф-ла(3)[10]**	**0**	**35,5**	**30,1**	**27,1**	**28,8**	**32**	**27,4**	**15**	**0**	**34,5**	**34,5**
Источник шума: ИШ-6-17, координаты источника (x,y,z), м =[763.57,-126.18,1.00]													
Уровни звуковой мощности источника днём, Lw, дБ		**исходные данные**	**0**	**96,3**	**97,7**	**99**	**99,3**	**98,9**	**95,6**	**91,4**	**86,9**		
Уровни звуковой мощности источника ночью, Lw, дБ		**исходные данные**	**0**	**96,3**	**97,7**	**99**	**99,3**	**98,9**	**95,6**	**91,4**	**86,9**		

1		2	3	4	5	6	7	8	9	10	11	12	13
Поправка на телесный угол DΩ, дБ	Ω = 12.57	10Lg(4π/Ω)	**0**	0	0	0	0	0	0	0	0		
Показатель направленности источника Di, дБ		исходные данные	**0**	0	0	0	0	0	0	0	0		
Поправка на направленность источника Dc, дБ	Dc	DΩ + Di	**0**	0	0	0	0	0	0	0	0		
Затухание из-за геометрической дивергенции, Adiv, дБ	расстояние = 581.71 м	ф-ла (7) [10]	**66,3**										
Коэффициент затухания звука в атмосфере α, дБ/км	Ta=20,°C Pa=101.33,кПа hотн.=70%	ф-ла (5) [9]	0,02	0,09	0,33	1,12	2,79	4,98	9,04	23,09	77,63		
Учет затухания звука в атмосфере Aatm, дБ		ф-ла (8) [10]	0	0,1	0,2	0,7	1,6	2,9	5,3	13,4	45,2		
Снижение поверхностью земли возле источника As, дБ	Gs = 0 hs = 1м	ф-лы таб.3 [10]	-1,5	-1,5	-1,5	-1,5	-1,5	-1,5	-1,5	-1,5	-1,5		
Снижение поверхностью земли возле приёмника Ar, дБ	Gr = 1 hr = 1.6м	ф-лы таб.3 [10]	-1,5	-1,5	3,5	6,8	4,3	0,5	0	0	0		
Снижение поверхностью земли в средней зоне, Am дБ	Gm = 1	ф-лы таб.3 [10]	-2,6	-2,6	0	0	0	0	0	0	0		
Суммарное снижение поверхностью земли на траектории распространения звука Agr, дБ		ф-ла (9) [10]	-5,6	-5,6	2	5,3	2,8	-1	-1,5	-1,5	-1,5		
Уровни звукового давления прямого звука от источника ИШ-6-17 в расчётной точке днём, дБ		**ф-ла(3)[10]**	**0**	**35,5**	**29,2**	**26,7**	**28,6**	**30,7**	**25,5**	**13,2**	**0**	**33,2**	**33,2**
Уровни звукового давления прямого звука от источника ИШ-6-17 в расчётной точке ночью, дБ		**ф-ла(3)[10]**	**0**	**35,5**	**29,2**	**26,7**	**28,6**	**30,7**	**25,5**	**13,2**	**0**	**33,2**	**33,2**
Расчёт отражённого звука													
Уровни звукового давления от мнимого источника ИШ-6-17_мн.(1) в расчётной точке днём, дБ		**ф-ла(3)[10]**	**0**	**0**	**23**	**16,4**	**17,2**	**26,2**	**23**	**10,6**	**0**	**28,6**	**28,6**
Уровни звукового давления от мнимого источника ИШ-6-17_мн.(1) в расчётной точке ночью, дБ		**ф-ла(3)[10]**	**0**	**0**	**0**	**0**	**0**	**0**	**0**	**0**	**0**	**28,6**	**28,6**
Уровни звукового давления от источника ИШ-6-17 в расчётной точке днём, дБ		**ф-ла(3)[10]**	**0**	**35,5**	**30,1**	**27,1**	**28,9**	**32**	**27,5**	**15,1**	**0**	**34,5**	**34,5**
Уровни звукового давления от источника ИШ-6-17 в расчётной точке ночью, дБ		**ф-ла(3)[10]**	**0**	**35,5**	**30,1**	**27,1**	**28,9**	**32**	**27,5**	**15,1**	**0**	**34,5**	**34,5**

1		2	3	4	5	6	7	8	9	10	11	12	13
Источник шума: ИШ-6-18, координаты источника (x,y,z), м =[804.77,-126.28,1.00]													
Уровни звуковой мощности источника днём, Lw, дБ		**исходные данные**	**0**	**96,3**	**97,7**	**99**	**99,3**	**98,9**	**95,6**	**91,4**	**86,9**		
Уровни звуковой мощности источника ночью, Lw, дБ		**исходные данные**	**0**	**96,3**	**97,7**	**99**	**99,3**	**98,9**	**95,6**	**91,4**	**86,9**		
Поправка на телесный угол DΩ, дБ	Ω = 12.57	10Lg(4π/Ω)	**0**	0	0	0	0	0	0	0	0		
Показатель направленности источника Di, дБ		исходные данные	**0**	0	0	0	0	0	0	0	0		
Поправка на направленность источника Dc, дБ	Dc	DΩ + Di	**0**	0	0	0	0	0	0	0	0		
Затухание из-за геометрической дивергенции, Adiv, дБ	расстояние = 622.75 м	ф-ла (7) [10]	**66,9**										
Коэффициент затухания звука в атмосфере α, дБ/км	Ta=20,°C Pa=101.33,кПа hотн.=70%	ф-ла (5) [9]	0,02	0,09	0,33	1,12	2,79	4,98	9,04	23,09	77,63		
Учет затухания звука в атмосфере Aatm, дБ		ф-ла (8) [10]	0	0,1	0,2	0,7	1,7	3,1	5,6	14,4	48,3		
Снижение поверхностью земли возле источника As, дБ	Gs = 0 hs = 1м	ф-лы таб.3 [10]	-1,5	-1,5	-1,5	-1,5	-1,5	-1,5	-1,5	-1,5	-1,5		
Снижение поверхностью земли возле приёмника Ar, дБ	Gr = 1 hr = 1.6м	ф-лы таб.3 [10]	-1,5	-1,5	3,7	6,8	4,3	0,5	0	0	0		
Снижение поверхностью земли в средней зоне, Am дБ	Gm = 1	ф-лы таб.3 [10]	-2,6	-2,6	0	0	0	0	0	0	0		
Суммарное снижение поверхностью земли на траектории распространения звука Agr, дБ		ф-ла (9) [10]	-5,6	-5,6	2,2	5,3	2,8	-1	-1,5	-1,5	-1,5		
Уровни звукового давления прямого звука от источника ИШ-6-18 в расчётной точке днём, дБ		**ф-ла(3)[10]**	**0**	**35**	**28,3**	**26,1**	**27,9**	**29,9**	**24,6**	**11,6**	**0**	**32,4**	**32,4**
Уровни звукового давления прямого звука от источника ИШ-6-18 в расчётной точке ночью, дБ		**ф-ла(3)[10]**	**0**	**35**	**28,3**	**26,1**	**27,9**	**29,9**	**24,6**	**11,6**	**0**	**32,4**	**32,4**
Расчёт отражённого звука													

1		2	3	4	5	6	7	8	9	10	11	12	13
Уровни звукового давления от мнимого источника ИШ-6-18_мн.(1) в расчётной точке днём, дБ		**ф-ла(3)[10]**	**0**	**0**	**21,9**	**15,7**	**16,5**	**25,4**	**22,1**	**9,1**	**0**	**27,8**	**27,8**
Уровни звукового давления от мнимого источника ИШ-6-18_мн.(1) в расчётной точке ночью, дБ		**ф-ла(3)[10]**	**0**	**0**	**0**	**0**	**0**	**0**	**0**	**0**	**0**	**27,8**	**27,8**
Уровни звукового давления от источника ИШ-6-18 в расчётной точке днём, дБ		**ф-ла(3)[10]**	**0**	**35**	**29,2**	**26,5**	**28,2**	**31,2**	**26,5**	**13,6**	**0**	**33,7**	**33,7**
Уровни звукового давления от источника ИШ-6-18 в расчётной точке ночью, дБ		**ф-ла(3)[10]**	**0**	**35**	**29,2**	**26,5**	**28,2**	**31,2**	**26,5**	**13,6**	**0**	**33,7**	**33,7**
Источник шума: ИШ-6-19, координаты источника (x,y,z), м =[803.81,-129.30,1.00]													
Уровни звуковой мощности источника днём, Lw, дБ		**исходные данные**	**0**	**96,3**	**97,7**	**99**	**99,3**	**98,9**	**95,6**	**91,4**	**86,9**		
Уровни звуковой мощности источника ночью, Lw, дБ		**исходные данные**	**0**	**96,3**	**97,7**	**99**	**99,3**	**98,9**	**95,6**	**91,4**	**86,9**		
Поправка на телесный угол DΩ, дБ	Ω = 12.57	10Lg(4π/Ω)	**0**	0	0	0	0	0	0	0	0		
Показатель направленности источника Di, дБ		исходные данные	**0**	0	0	0	0	0	0	0	0		
Поправка на направленность источника Dc, дБ	Dc	DΩ + Di	**0**	0	0	0	0	0	0	0	0		
Затухание из-за геометрической дивергенции, Adiv, дБ	расстояние = 621.54 м	ф-ла (7) [10]	**66,9**										
Коэффициент затухания звука в атмосфере α, дБ/км	Ta=20,°C Pa=101.33,кПа hотн.=70%	ф-ла (5) [9]	0,02	0,09	0,33	1,12	2,79	4,98	9,04	23,09	77,63		
Учет затухания звука в атмосфере Aatm, дБ		ф-ла (8) [10]	0	0,1	0,2	0,7	1,7	3,1	5,6	14,3	48,3		
Снижение поверхностью земли возле источника As, дБ	Gs = 0 hs = 1м	ф-лы таб.3 [10]	-1,5	-1,5	-1,5	-1,5	-1,5	-1,5	-1,5	-1,5	-1,5		
Снижение поверхностью земли возле приёмника Ar, дБ	Gr = 1 hr = 1.6м	ф-лы таб.3 [10]	-1,5	-1,5	3,7	6,8	4,3	0,5	0	0	0		
Снижение поверхностью земли в средней зоне, Am дБ	Gm = 1	ф-лы таб.3 [10]	-2,6	-2,6	0	0	0	0	0	0	0		

1		2	3	4	5	6	7	8	9	10	11	12	13
Суммарное снижение поверхностью земли на траектории распространения звука Agr, дБ		ф-ла (9) [10]	-5,6	-5,6	2,2	5,3	2,8	-1	-1,5	-1,5	-1,5		
Уровни звукового давления прямого звука от источника ИШ-6-19 в расчётной точке днём, дБ		**ф-ла(3)[10]**	**0**	**35**	**28,4**	**26,1**	**27,9**	**29,9**	**24,6**	**11,7**	**0**	**32,4**	**32,4**
Уровни звукового давления прямого звука от источника ИШ-6-19 в расчётной точке ночью, дБ		**ф-ла(3)[10]**	**0**	**35**	**28,4**	**26,1**	**27,9**	**29,9**	**24,6**	**11,7**	**0**	**32,4**	**32,4**
Расчёт отражённого звука													
Уровни звукового давления от мнимого источника ИШ-6-19_мн.(1) в расчётной точке днём, дБ		**ф-ла(3)[10]**	**0**	**0**	**22**	**15,7**	**16,5**	**25,4**	**22,1**	**9,1**	**0**	**27,8**	**27,8**
Уровни звукового давления от мнимого источника ИШ-6-19_мн.(1) в расчётной точке ночью, дБ		**ф-ла(3)[10]**	**0**	**0**	**0**	**0**	**0**	**0**	**0**	**0**	**0**	**27,8**	**27,8**
Уровни звукового давления от источника ИШ-6-19 в расчётной точке днём, дБ		**ф-ла(3)[10]**	**0**	**35**	**29,3**	**26,5**	**28,2**	**31,2**	**26,5**	**13,6**	**0**	**33,7**	**33,7**
Уровни звукового давления от источника ИШ-6-19 в расчётной точке ночью, дБ		**ф-ла(3)[10]**	**0**	**35**	**29,3**	**26,5**	**28,2**	**31,2**	**26,5**	**13,6**	**0**	**33,7**	**33,7**
Источник шума: ИШ-6-20, координаты источника (x,y,z), м =[802.67,-132.35,1.00]													
Уровни звуковой мощности источника днём, Lw, дБ		**исходные данные**	**0**	**96,3**	**97,7**	**99**	**99,3**	**98,9**	**95,6**	**91,4**	**86,9**		
Уровни звуковой мощности источника ночью, Lw, дБ		**исходные данные**	**0**	**96,3**	**97,7**	**99**	**99,3**	**98,9**	**95,6**	**91,4**	**86,9**		
Поправка на телесный угол DΩ, дБ	Ω = 12.57	10Lg(4π/Ω)	**0**	0	0	0	0	0	0	0	0		
Показатель направленности источника Di, дБ		исходные данные	**0**	0	0	0	0	0	0	0	0		
Поправка на направленность источника Dc, дБ	Dc	DΩ + Di	**0**	0	0	0	0	0	0	0	0		
Затухание из-за геометрической дивергенции, Adiv, дБ	расстояние = 620.16 м	ф-ла (7) [10]	**66,9**										
Коэффициент затухания звука в атмосфере α, дБ/км	Ta=20,°C Pa=101.33,кПа hотн.=70%	ф-ла (5) [9]	0,02	0,09	0,33	1,12	2,79	4,98	9,04	23,09	77,63		

1		2	3	4	5	6	7	8	9	10	11	12	13
Учет затухания звука в атмосфере Aatm, дБ		ф-ла (8) [10]	0	0,1	0,2	0,7	1,7	3,1	5,6	14,3	48,1		
Снижение поверхностью земли возле источника As, дБ	Gs = 0 hs = 1м	ф-лы таб.3 [10]	-1,5	-1,5	-1,5	-1,5	-1,5	-1,5	-1,5	-1,5	-1,5		
Снижение поверхностью земли возле приёмника Ar, дБ	Gr = 1 hr = 1.6м	ф-лы таб.3 [10]	-1,5	-1,5	3,7	6,8	4,3	0,5	0	0	0		
Снижение поверхностью земли в средней зоне, Am дБ	Gm = 1	ф-лы таб.3 [10]	-2,6	-2,6	0	0	0	0	0	0	0		
Суммарное снижение поверхностью земли на траектории распространения звука Agr, дБ		ф-ла (9) [10]	-5,6	-5,6	2,2	5,3	2,8	-1	-1,5	-1,5	-1,5		
Уровни звукового давления прямого звука от источника ИШ-6-20 в расчётной точке днём, дБ		**ф-ла(3)[10]**	**0**	**35**	**28,4**	**26,1**	**27,9**	**30**	**24,6**	**11,7**	**0**	**32,5**	**32,5**
Уровни звукового давления прямого звука от источника ИШ-6-20 в расчётной точке ночью, дБ		**ф-ла(3)[10]**	**0**	**35**	**28,4**	**26,1**	**27,9**	**30**	**24,6**	**11,7**	**0**	**32,5**	**32,5**
Расчёт отражённого звука													
Уровни звукового давления от мнимого источника ИШ-6-20_мн.(1) в расчётной точке днём, дБ		**ф-ла(3)[10]**	**0**	**0**	**22**	**15,8**	**16,6**	**25,4**	**22,1**	**9,2**	**0**	**27,8**	**27,8**
Уровни звукового давления от мнимого источника ИШ-6-20_мн.(1) в расчётной точке ночью, дБ		**ф-ла(3)[10]**	**0**	**0**	**0**	**0**	**0**	**0**	**0**	**0**	**0**	**27,8**	**27,8**
Уровни звукового давления от источника ИШ-6-20 в расчётной точке днём, дБ		**ф-ла(3)[10]**	**0**	**35**	**29,3**	**26,5**	**28,2**	**31,3**	**26,6**	**13,7**	**0**	**33,8**	**33,8**
Уровни звукового давления от источника ИШ-6-20 в расчётной точке ночью, дБ		**ф-ла(3)[10]**	**0**	**35**	**29,3**	**26,5**	**28,2**	**31,3**	**26,6**	**13,7**	**0**	**33,8**	**33,8**
Источник шума: ИШ-6-21, координаты источника (x,y,z), м =[801.69,-135.42,1.00]													
Уровни звуковой мощности источника днём, Lw, дБ		**исходные данные**	**0**	**96,3**	**97,7**	**99**	**99,3**	**98,9**	**95,6**	**91,4**	**86,9**		
Уровни звуковой мощности источника ночью, Lw, дБ		**исходные данные**	**0**	**96,3**	**97,7**	**99**	**99,3**	**98,9**	**95,6**	**91,4**	**86,9**		
Поправка на телесный угол DΩ, дБ	Ω = 12.57	10Lg(4π/Ω)	**0**	0	0	0	0	0	0	0	0		
Показатель направленности источника Di, дБ		исходные данные	**0**	0	0	0	0	0	0	0	0		

1		2	3	4	5	6	7	8	9	10	11	12	13
Поправка на направленность источника Dc, дБ	Dc	DΩ + Di	**0**	0	0	0	0	0	0	0	0		
Затухание из-за геометрической дивергенции, Adiv, дБ	расстояние = 618.96 м	ф-ла (7) [10]	**66,8**										
Коэффициент затухания звука в атмосфере α, дБ/км	Ta=20,°C Pa=101.33,кПа hотн.=70%	ф-ла (5) [9]	0,02	0,09	0,33	1,12	2,79	4,98	9,04	23,09	77,63		
Учет затухания звука в атмосфере Aatm, дБ		ф-ла (8) [10]	0	0,1	0,2	0,7	1,7	3,1	5,6	14,3	48,1		
Снижение поверхностью земли возле источника As, дБ	Gs = 0 hs = 1м	ф-лы таб.3 [10]	-1,5	-1,5	-1,5	-1,5	-1,5	-1,5	-1,5	-1,5	-1,5		
Снижение поверхностью земли возле приёмника Ar, дБ	Gr = 1 hr = 1.6м	ф-лы таб.3 [10]	-1,5	-1,5	3,7	6,8	4,3	0,5	0	0	0		
Снижение поверхностью земли в средней зоне, Am дБ	Gm = 1	ф-лы таб.3 [10]	-2,6	-2,6	0	0	0	0	0	0	0		
Суммарное снижение поверхностью земли на траектории распространения звука Agr, дБ		ф-ла (9) [10]	-5,6	-5,6	2,2	5,3	2,8	-1	-1,5	-1,5	-1,5		
Уровни звукового давления прямого звука от источника ИШ-6-21 в расчётной точке днём, дБ		**ф-ла(3)[10]**	**0**	**35**	**28,4**	**26,1**	**27,9**	**30**	**24,7**	**11,8**	**0**	**32,5**	**32,5**
Уровни звукового давления прямого звука от источника ИШ-6-21 в расчётной точке ночью, дБ		**ф-ла(3)[10]**	**0**	**35**	**28,4**	**26,1**	**27,9**	**30**	**24,7**	**11,8**	**0**	**32,5**	**32,5**
Расчёт отражённого звука													
Уровни звукового давления от мнимого источника ИШ-6-21_мн.(1) в расчётной точке днём, дБ		**ф-ла(3)[10]**	**0**	**0**	**22**	**15,8**	**16,6**	**25,4**	**22,2**	**9,2**	**0**	**27,8**	**27,8**
Уровни звукового давления от мнимого источника ИШ-6-21_мн.(1) в расчётной точке ночью, дБ		**ф-ла(3)[10]**	**0**	**0**	**0**	**0**	**0**	**0**	**0**	**0**	**0**	**27,8**	**27,8**
Уровни звукового давления от источника ИШ-6-21 в расчётной точке днём, дБ		**ф-ла(3)[10]**	**0**	**35**	**29,3**	**26,5**	**28,2**	**31,3**	**26,6**	**13,7**	**0**	**33,8**	**33,8**
Уровни звукового давления от источника ИШ-6-21 в расчётной точке ночью, дБ		**ф-ла(3)[10]**	**0**	**35**	**29,3**	**26,5**	**28,2**	**31,3**	**26,6**	**13,7**	**0**	**33,8**	**33,8**
Источник шума: ИШ-6-22, координаты источника (x,y,z), м =[800.65,-138.47,1.00]													

1		2	3	4	5	6	7	8	9	10	11	12	13
Уровни звуковой мощности источника днём, Lw, дБ		**исходные данные**	**0**	**96,3**	**97,7**	**99**	**99,3**	**98,9**	**95,6**	**91,4**	**86,9**		
Уровни звуковой мощности источника ночью, Lw, дБ		**исходные данные**	**0**	**96,3**	**97,7**	**99**	**99,3**	**98,9**	**95,6**	**91,4**	**86,9**		
Поправка на телесный угол DΩ, дБ	Ω = 12.57	10Lg(4π/Ω)	**0**	0	0	0	0	0	0	0	0		
Показатель направленности источника Di, дБ		исходные данные	**0**	0	0	0	0	0	0	0	0		
Поправка на направленность источника Dc, дБ	Dc	DΩ + Di	**0**	0	0	0	0	0	0	0	0		
Затухание из-за геометрической дивергенции, Adiv, дБ	расстояние = 617.71 м	ф-ла (7) [10]	**66,8**										
Коэффициент затухания звука в атмосфере α, дБ/км	Ta=20,°C Pa=101.33,кПа hотн.=70%	ф-ла (5) [9]	0,02	0,09	0,33	1,12	2,79	4,98	9,04	23,09	77,63		
Учет затухания звука в атмосфере Aatm, дБ		ф-ла (8) [10]	0	0,1	0,2	0,7	1,7	3,1	5,6	14,3	48		
Снижение поверхностью земли возле источника As, дБ	Gs = 0 hs = 1м	ф-лы таб.3 [10]	-1,5	-1,5	-1,5	-1,5	-1,5	-1,5	-1,5	-1,5	-1,5		
Снижение поверхностью земли возле приёмника Ar, дБ	Gr = 1 hr = 1.6м	ф-лы таб.3 [10]	-1,5	-1,5	3,7	6,8	4,3	0,5	0	0	0		
Снижение поверхностью земли в средней зоне, Am дБ	Gm = 1	ф-лы таб.3 [10]	-2,6	-2,6	0	0	0	0	0	0	0		
Суммарное снижение поверхностью земли на траектории распространения звука Agr, дБ		ф-ла (9) [10]	-5,6	-5,6	2,2	5,3	2,8	-1	-1,5	-1,5	-1,5		
Уровни звукового давления прямого звука от источника ИШ-6-22 в расчётной точке днём, дБ		**ф-ла(3)[10]**	**0**	**35**	**28,4**	**26,2**	**27,9**	**30**	**24,7**	**11,8**	**0**	**32,5**	**32,5**
Уровни звукового давления прямого звука от источника ИШ-6-22 в расчётной точке ночью, дБ		**ф-ла(3)[10]**	**0**	**35**	**28,4**	**26,2**	**27,9**	**30**	**24,7**	**11,8**	**0**	**32,5**	**32,5**
Расчёт отражённого звука													
Уровни звукового давления от мнимого источника ИШ-6-22_мн.(1) в расчётной точке днём, дБ		**ф-ла(3)[10]**	**0**	**0**	**22,1**	**15,8**	**16,6**	**25,5**	**22,2**	**9,3**	**0**	**27,9**	**27,9**
Уровни звукового давления от мнимого источника ИШ-6-22_мн.(1) в расчётной точке ночью, дБ		**ф-ла(3)[10]**	**0**	**0**	**0**	**0**	**0**	**0**	**0**	**0**	**0**	**27,9**	**27,9**

1		2	3	4	5	6	7	8	9	10	11	12	13
Уровни звукового давления от источника ИШ-6-22 в расчётной точке днём, дБ		**ф-ла(3)[10]**	**0**	**35**	**29,3**	**26,5**	**28,2**	**31,3**	**26,6**	**13,7**	**0**	**33,8**	**33,8**
Уровни звукового давления от источника ИШ-6-22 в расчётной точке ночью, дБ		**ф-ла(3)[10]**	**0**	**35**	**29,3**	**26,5**	**28,2**	**31,3**	**26,6**	**13,7**	**0**	**33,8**	**33,8**
Источник шума: ИШ-7-1, координаты источника (x,y,z), м =[821.44,63.31,1.00]													
Уровни звуковой мощности источника днём, Lw, дБ		**исходные данные**	**77**	**75**	**67**	**66**	**63**	**55**	**53**	**48**	**51**		
Уровни звуковой мощности источника ночью, Lw, дБ		**исходные данные**	**77**	**75**	**67**	**66**	**63**	**55**	**53**	**48**	**51**		
Поправка на телесный угол DΩ, дБ	Ω = 12.57	10Lg(4π/Ω)	**0**	0	0	0	0	0	0	0	0		
Показатель направленности источника Di, дБ		исходные данные	**0**	0	0	0	0	0	0	0	0		
Поправка на направленность источника Dc, дБ	Dc	DΩ + Di	**0**	0	0	0	0	0	0	0	0		
Затухание из-за геометрической дивергенции, Adiv, дБ	расстояние = 681.72 м	ф-ла (7) [10]	**67,7**										
Коэффициент затухания звука в атмосфере α, дБ/км	Ta=20,°C Pa=101.33,кПа hотн.=70%	ф-ла (5) [9]	0,02	0,09	0,33	1,12	2,79	4,98	9,04	23,09	77,63		
Учет затухания звука в атмосфере Aatm, дБ		ф-ла (8) [10]	0	0,1	0,2	0,8	1,9	3,4	6,2	15,7	52,9		
Снижение уровня звукового давления из-за влияния застройки между источником шума и расчетной точкой													
Снижение уровня звукового давления на пути над экраном, Dz1, дБ	z = 0.15м (разность путей)	ф-лы (14-18) [10]	4,8	4,8	4,8	4,8	4,8	4,8	4,8	4,9	5		
Уровни звукового давления от источника ИШ-7-1 в расчётной точке днём, дБ		**ф-ла(3)[10]**	**4,5**	**2,5**	**0**	**0**	**0**	**0**	**0**	**0**	**0**	**0**	**0**
Уровни звукового давления от источника ИШ-7-1 в расчётной точке ночью, дБ		**ф-ла(3)[10]**	**4,5**	**2,5**	**0**	**0**	**0**	**0**	**0**	**0**	**0**	**0**	**0**
Источник шума: ИШ-7-2, координаты источника (x,y,z), м =[768.90,-86.75,1.00]													

1		2	3	4	5	6	7	8	9	10	11	12	13
Уровни звуковой мощности источника днём, Lw, дБ		**исходные данные**	**77**	**75**	**67**	**66**	**63**	**55**	**53**	**48**	**51**		
Уровни звуковой мощности источника ночью, Lw, дБ		**исходные данные**	**77**	**75**	**67**	**66**	**63**	**55**	**53**	**48**	**51**		
Поправка на телесный угол DΩ, дБ	Ω = 12.57	10Lg(4π/Ω)	**0**	0	0	0	0	0	0	0	0		
Показатель направленности источника Di, дБ		исходные данные	**0**	0	0	0	0	0	0	0	0		
Поправка на направленность источника Dc, дБ	Dc	DΩ + Di	**0**	0	0	0	0	0	0	0	0		
Затухание из-за геометрической дивергенции, Adiv, дБ	расстояние = 591.87 м	ф-ла (7) [10]	**66,4**										
Коэффициент затухания звука в атмосфере α, дБ/км	Ta=20,°C Pa=101.33,кПа hотн.=70%	ф-ла (5) [9]	0,02	0,09	0,33	1,12	2,79	4,98	9,04	23,09	77,63		
Учет затухания звука в атмосфере Aatm, дБ		ф-ла (8) [10]	0	0,1	0,2	0,7	1,7	2,9	5,4	13,7	45,9		
Снижение уровня звукового давления из-за влияния застройки между источником шума и расчетной точкой													
Снижение уровня звукового давления на пути над экраном, Dz1, дБ	z = 0.26м (разность путей)	ф-лы (14-18) [10]	4,8	4,8	4,8	4,9	5,1	5,6	6,3	7,5	9,2		
Уровни звукового давления от источника ИШ-7-2 в расчётной точке днём, дБ		**ф-ла(3)[10]**	**5,8**	**3,7**	**0**	**0**	**0**	**0**	**0**	**0**	**0**	**0**	**0**
Уровни звукового давления от источника ИШ-7-2 в расчётной точке ночью, дБ		**ф-ла(3)[10]**	**5,8**	**3,7**	**0**	**0**	**0**	**0**	**0**	**0**	**0**	**0**	**0**
Источник шума: ИШ-7-3, координаты источника (x,y,z), м =[766.80,-93.20,1.00]													
Уровни звуковой мощности источника днём, Lw, дБ		**исходные данные**	**77**	**75**	**67**	**66**	**63**	**55**	**53**	**48**	**51**		
Уровни звуковой мощности источника ночью, Lw, дБ		**исходные данные**	**77**	**75**	**67**	**66**	**63**	**55**	**53**	**48**	**51**		
Поправка на телесный угол DΩ, дБ	Ω = 12.57	10Lg(4π/Ω)	**0**	0	0	0	0	0	0	0	0		

1		2	3	4	5	6	7	8	9	10	11	12	13
Показатель направленности источника Di, дБ		исходные данные	**0**	0	0	0	0	0	0	0	0		
Поправка на направленность источника Dc, дБ	Dc	DΩ + Di	**0**	0	0	0	0	0	0	0	0		
Затухание из-за геометрической дивергенции, Adiv, дБ	расстояние = 588.83 м	ф-ла (7) [10]	**66,4**										
Коэффициент затухания звука в атмосфере α, дБ/км	Ta=20,°C Pa=101.33,кПа hотн.=70%	ф-ла (5) [9]	0,02	0,09	0,33	1,12	2,79	4,98	9,04	23,09	77,63		
Учет затухания звука в атмосфере Aatm, дБ		ф-ла (8) [10]	0	0,1	0,2	0,7	1,6	2,9	5,3	13,6	45,7		
Снижение уровня звукового давления из-за влияния застройки между источником шума и расчетной точкой													
Снижение уровня звукового давления на пути над экраном, Dz1, дБ	z = 0.26м (разность путей)	ф-лы (14-18) [10]	4,8	4,8	4,8	4,9	4,9	5,2	5,9	7,2	9		
Уровни звукового давления от источника ИШ-7-3 в расчётной точке днём, дБ		**ф-ла(3)[10]**	**5,8**	**3,8**	**0**	**0**	**0**	**0**	**0**	**0**	**0**	**0**	**0**
Уровни звукового давления от источника ИШ-7-3 в расчётной точке ночью, дБ		**ф-ла(3)[10]**	**5,8**	**3,8**	**0**	**0**	**0**	**0**	**0**	**0**	**0**	**0**	**0**
Источник шума: ИШ-7-4, координаты источника (x,y,z), м =[866.76,37.18,1.00]													
Уровни звуковой мощности источника днём, Lw, дБ		**исходные данные**	**77**	**75**	**67**	**66**	**63**	**55**	**53**	**48**	**51**		
Уровни звуковой мощности источника ночью, Lw, дБ		**исходные данные**	**77**	**75**	**67**	**66**	**63**	**55**	**53**	**48**	**51**		
Поправка на телесный угол DΩ, дБ	Ω = 12.57	10Lg(4π/Ω)	**0**	0	0	0	0	0	0	0	0		
Показатель направленности источника Di, дБ		исходные данные	**0**	0	0	0	0	0	0	0	0		
Поправка на направленность источника Dc, дБ	Dc	DΩ + Di	**0**	0	0	0	0	0	0	0	0		
Затухание из-за геометрической дивергенции, Adiv, дБ	расстояние = 715.93 м	ф-ла (7) [10]	**68,1**										

1		2	3	4	5	6	7	8	9	10	11	12	13
Коэффициент затухания звука в атмосфере α, дБ/км	Ta=20,°C Pa=101.33,кПа hотн.=70%	ф-ла (5) [9]	0,02	0,09	0,33	1,12	2,79	4,98	9,04	23,09	77,63		
Учет затухания звука в атмосфере Aatm, дБ		ф-ла (8) [10]	0	0,1	0,2	0,8	2	3,6	6,5	16,5	55,6		
Снижение уровня звукового давления из-за влияния застройки между источником шума и расчетной точкой													
Снижение уровня звукового давления на пути над экраном, Dz1, дБ	z = 0.13м (разность путей)	ф-лы (14-18) [10]	4,8	4,8	4,8	4,8	4,8	4,8	4,8	4,8	4,8		
Уровни звукового давления от источника ИШ-7-4 в расчётной точке днём, дБ		**ф-ла(3)[10]**	**4,1**	**2,1**	**0**	**0**	**0**	**0**	**0**	**0**	**0**	**0**	**0**
Уровни звукового давления от источника ИШ-7-4 в расчётной точке ночью, дБ		**ф-ла(3)[10]**	**4,1**	**2,1**	**0**	**0**	**0**	**0**	**0**	**0**	**0**	**0**	**0**
Источник шума: ИШ-7-5, координаты источника (x,y,z), м =[861.80,21.34,1.00]													
Уровни звуковой мощности источника днём, Lw, дБ		**исходные данные**	**77**	**75**	**67**	**66**	**63**	**55**	**53**	**48**	**51**		
Уровни звуковой мощности источника ночью, Lw, дБ		**исходные данные**	**77**	**75**	**67**	**66**	**63**	**55**	**53**	**48**	**51**		
Поправка на телесный угол DΩ, дБ	Ω = 12.57	10Lg(4π/Ω)	**0**	0	0	0	0	0	0	0	0		
Показатель направленности источника Di, дБ		исходные данные	**0**	0	0	0	0	0	0	0	0		
Поправка на направленность источника Dc, дБ	Dc	DΩ + Di	**0**	0	0	0	0	0	0	0	0		
Затухание из-за геометрической дивергенции, Adiv, дБ	расстояние = 706.55 м	ф-ла (7) [10]	**68**										
Коэффициент затухания звука в атмосфере α, дБ/км	Ta=20,°C Pa=101.33,кПа hотн.=70%	ф-ла (5) [9]	0,02	0,09	0,33	1,12	2,79	4,98	9,04	23,09	77,63		
Учет затухания звука в атмосфере Aatm, дБ		ф-ла (8) [10]	0	0,1	0,2	0,8	2	3,5	6,4	16,3	54,9		
Снижение уровня звукового давления из-за влияния застройки между источником шума и расчетной точкой													

1		2	3	4	5	6	7	8	9	10	11	12	13
Снижение уровня звукового давления на пути над экраном, Dz1, дБ	z = 0.13м (разность путей)	ф-лы (14-18) [10]	4,8	4,8	4,8	4,8	4,8	4,8	4,8	4,8	4,9		
Уровни звукового давления от источника ИШ-7-5 в расчётной точке днём, дБ		**ф-ла(3)[10]**	**4,2**	**2,2**	**0**	**0**	**0**	**0**	**0**	**0**	**0**	**0**	**0**
Уровни звукового давления от источника ИШ-7-5 в расчётной точке ночью, дБ		**ф-ла(3)[10]**	**4,2**	**2,2**	**0**	**0**	**0**	**0**	**0**	**0**	**0**	**0**	**0**
Источник шума: ИШ-7-6, координаты источника (x,y,z), м =[856.52,5.94,1.00]													
Уровни звуковой мощности источника днём, Lw, дБ		**исходные данные**	**77**	**75**	**67**	**66**	**63**	**55**	**53**	**48**	**51**		
Уровни звуковой мощности источника ночью, Lw, дБ		**исходные данные**	**77**	**75**	**67**	**66**	**63**	**55**	**53**	**48**	**51**		
Поправка на телесный угол DΩ, дБ	Ω = 12.57	10Lg(4π/Ω)	**0**	0	0	0	0	0	0	0	0		
Показатель направленности источника Di, дБ		исходные данные	**0**	0	0	0	0	0	0	0	0		
Поправка на направленность источника Dc, дБ	Dc	DΩ + Di	**0**	0	0	0	0	0	0	0	0		
Затухание из-за геометрической дивергенции, Adiv, дБ	расстояние = 697.24 м	ф-ла (7) [10]	**67,9**										
Коэффициент затухания звука в атмосфере α, дБ/км	Ta=20,°C Pa=101.33,кПа hотн.=70%	ф-ла (5) [9]	0,02	0,09	0,33	1,12	2,79	4,98	9,04	23,09	77,63		
Учет затухания звука в атмосфере Aatm, дБ		ф-ла (8) [10]	0	0,1	0,2	0,8	1,9	3,5	6,3	16,1	54,1		
Снижение уровня звукового давления из-за влияния застройки между источником шума и расчетной точкой													
Снижение уровня звукового давления на пути над экраном, Dz1, дБ	z = 0.14м (разность путей)	ф-лы (14-18) [10]	4,8	4,8	4,8	4,8	4,8	4,8	4,8	4,8	4,9		
Уровни звукового давления от источника ИШ-7-6 в расчётной точке днём, дБ		**ф-ла(3)[10]**	**4,3**	**2,3**	**0**	**0**	**0**	**0**	**0**	**0**	**0**	**0**	**0**
Уровни звукового давления от источника ИШ-7-6 в расчётной точке ночью, дБ		**ф-ла(3)[10]**	**4,3**	**2,3**	**0**	**0**	**0**	**0**	**0**	**0**	**0**	**0**	**0**

1		2	3	4	5	6	7	8	9	10	11	12	13
Источник шума: ИШ-7-7, координаты источника (x,y,z), м =[851.06,-9.89,1.00]													
Уровни звуковой мощности источника днём, Lw, дБ		**исходные данные**	**77**	**75**	**67**	**66**	**63**	**55**	**53**	**48**	**51**		
Уровни звуковой мощности источника ночью, Lw, дБ		**исходные данные**	**77**	**75**	**67**	**66**	**63**	**55**	**53**	**48**	**51**		
Поправка на телесный угол DΩ, дБ	Ω = 12.57	10Lg(4π/Ω)	**0**	0	0	0	0	0	0	0	0		
Показатель направленности источника Di, дБ		исходные данные	**0**	0	0	0	0	0	0	0	0		
Поправка на направленность источника Dc, дБ	Dc	DΩ + Di	**0**	0	0	0	0	0	0	0	0		
Затухание из-за геометрической дивергенции, Adiv, дБ	расстояние = 687.91 м	ф-ла (7) [10]	**67,8**										
Коэффициент затухания звука в атмосфере α, дБ/км	Ta=20,°C Pa=101.33,кПа hотн.=70%	ф-ла (5) [9]	0,02	0,09	0,33	1,12	2,79	4,98	9,04	23,09	77,63		
Учет затухания звука в атмосфере Aatm, дБ		ф-ла (8) [10]	0	0,1	0,2	0,8	1,9	3,4	6,2	15,9	53,4		
Снижение поверхностью земли возле источника As, дБ	Gs = 0 hs = 1м	ф-лы таб.3 [10]	-1,5	-1,5	-1,5	-1,5	-1,5	-1,5	-1,5	-1,5	-1,5		
Снижение поверхностью земли возле приёмника Ar, дБ	Gr = 1 hr = 1.6м	ф-лы таб.3 [10]	-1,5	-1,5	4,1	6,8	4,3	0,5	0	0	0		
Снижение поверхностью земли в средней зоне, Am дБ	Gm = 1	ф-лы таб.3 [10]	-2,7	-2,7	0	0	0	0	0	0	0		
Суммарное снижение поверхностью земли на траектории распространения звука Agr, дБ		ф-ла (9) [10]	-5,7	-5,7	2,6	5,3	2,8	-1	-1,5	-1,5	-1,5		
Уровни звукового давления от источника ИШ-7-7 в расчётной точке днём, дБ		**ф-ла(3)[10]**	**14,9**	**12,8**	**0**	**0**	**0**	**0**	**0**	**0**	**0**	**0**	**0**
Уровни звукового давления от источника ИШ-7-7 в расчётной точке ночью, дБ		**ф-ла(3)[10]**	**14,9**	**12,8**	**0**	**0**	**0**	**0**	**0**	**0**	**0**	**0**	**0**
Источник шума: ИШ-7-8, координаты источника (x,y,z), м =[821.90,-104.30,1.00]													

1		2	3	4	5	6	7	8	9	10	11	12	13
Уровни звуковой мощности источника днём, Lw, дБ		**исходные данные**	**77**	**75**	**67**	**66**	**63**	**55**	**53**	**48**	**51**		
Уровни звуковой мощности источника ночью, Lw, дБ		**исходные данные**	**77**	**75**	**67**	**66**	**63**	**55**	**53**	**48**	**51**		
Поправка на телесный угол DΩ, дБ	Ω = 12.57	10Lg(4π/Ω)	**0**	0	0	0	0	0	0	0	0		
Показатель направленности источника Di, дБ		исходные данные	**0**	0	0	0	0	0	0	0	0		
Поправка на направленность источника Dc, дБ	Dc	DΩ + Di	**0**	0	0	0	0	0	0	0	0		
Затухание из-за геометрической дивергенции, Adiv, дБ	расстояние = 642.00 м	ф-ла (7) [10]	**67,2**										
Коэффициент затухания звука в атмосфере α, дБ/км	Ta=20,°C Pa=101.33,кПа hотн.=70%	ф-ла (5) [9]	0,02	0,09	0,33	1,12	2,79	4,98	9,04	23,09	77,63		
Учет затухания звука в атмосфере Aatm, дБ		ф-ла (8) [10]	0	0,1	0,2	0,7	1,8	3,2	5,8	14,8	49,8		
Снижение поверхностью земли возле источника As, дБ	Gs = 0 hs = 1м	ф-лы таб.3 [10]	-1,5	-1,5	-1,5	-1,5	-1,5	-1,5	-1,5	-1,5	-1,5		
Снижение поверхностью земли возле приёмника Ar, дБ	Gr = 1 hr = 1.6м	ф-лы таб.3 [10]	-1,5	-1,5	3,8	6,8	4,3	0,5	0	0	0		
Снижение поверхностью земли в средней зоне, Am дБ	Gm = 1	ф-лы таб.3 [10]	-2,6	-2,6	0	0	0	0	0	0	0		
Суммарное снижение поверхностью земли на траектории распространения звука Agr, дБ		ф-ла (9) [10]	-5,6	-5,6	2,3	5,3	2,8	-1	-1,5	-1,5	-1,5		
Уровни звукового давления от источника ИШ-7-8 в расчётной точке днём, дБ		**ф-ла(3)[10]**	**15,5**	**13,4**	**0**	**0**	**0**	**0**	**0**	**0**	**0**	**0**	**0**
Уровни звукового давления от источника ИШ-7-8 в расчётной точке ночью, дБ		**ф-ла(3)[10]**	**15,5**	**13,4**	**0**	**0**	**0**	**0**	**0**	**0**	**0**	**0**	**0**
Источник шума: ИШ-7-9, координаты источника (x,y,z), м =[819.93,-110.97,1.00]													
Уровни звуковой мощности источника днём, Lw, дБ		**исходные данные**	**77**	**75**	**67**	**66**	**63**	**55**	**53**	**48**	**51**		

1		2	3	4	5	6	7	8	9	10	11	12	13
Уровни звуковой мощности источника ночью, Lw, дБ		**исходные данные**	**77**	**75**	**67**	**66**	**63**	**55**	**53**	**48**	**51**		
Поправка на телесный угол DΩ, дБ	Ω = 12.57	10Lg(4π/Ω)	**0**	0	0	0	0	0	0	0	0		
Показатель направленности источника Di, дБ		исходные данные	**0**	0	0	0	0	0	0	0	0		
Поправка на направленность источника Dc, дБ	Dc	DΩ + Di	**0**	0	0	0	0	0	0	0	0		
Затухание из-за геометрической дивергенции, Adiv, дБ	расстояние = 639.30 м	ф-ла (7) [10]	**67,1**										
Коэффициент затухания звука в атмосфере α, дБ/км	Ta=20,°C Pa=101.33,кПа hотн.=70%	ф-ла (5) [9]	0,02	0,09	0,33	1,12	2,79	4,98	9,04	23,09	77,63		
Учет затухания звука в атмосфере Aatm, дБ		ф-ла (8) [10]	0	0,1	0,2	0,7	1,8	3,2	5,8	14,8	49,6		
Снижение поверхностью земли возле источника As, дБ	Gs = 0 hs = 1м	ф-лы таб.3 [10]	-1,5	-1,5	-1,5	-1,5	-1,5	-1,5	-1,5	-1,5	-1,5		
Снижение поверхностью земли возле приёмника Ar, дБ	Gr = 1 hr = 1.6м	ф-лы таб.3 [10]	-1,5	-1,5	3,8	6,8	4,3	0,5	0	0	0		
Снижение поверхностью земли в средней зоне, Am дБ	Gm = 1	ф-лы таб.3 [10]	-2,6	-2,6	0	0	0	0	0	0	0		
Суммарное снижение поверхностью земли на траектории распространения звука Agr, дБ		ф-ла (9) [10]	-5,6	-5,6	2,3	5,3	2,8	-1	-1,5	-1,5	-1,5		
Уровни звукового давления от источника ИШ-7-9 в расчётной точке днём, дБ		**ф-ла(3)[10]**	**15,5**	**13,5**	**0**	**0**	**0**	**0**	**0**	**0**	**0**	**0**	**0**
Уровни звукового давления от источника ИШ-7-9 в расчётной точке ночью, дБ		**ф-ла(3)[10]**	**15,5**	**13,5**	**0**	**0**	**0**	**0**	**0**	**0**	**0**	**0**	**0**
Источник шума: ИШ-7-10, координаты источника (x,y,z), м =[868.68,92.66,1.00]													
Уровни звуковой мощности источника днём, Lw, дБ		**исходные данные**	**77**	**75**	**67**	**66**	**63**	**55**	**53**	**48**	**51**		
Уровни звуковой мощности источника ночью, Lw, дБ		**исходные данные**	**77**	**75**	**67**	**66**	**63**	**55**	**53**	**48**	**51**		

1		2	3	4	5	6	7	8	9	10	11	12	13
Поправка на телесный угол DΩ, дБ	Ω = 12.57	10Lg(4π/Ω)	**0**	0	0	0	0	0	0	0	0		
Показатель направленности источника Di, дБ		исходные данные	**0**	0	0	0	0	0	0	0	0		
Поправка на направленность источника Dc, дБ	Dc	DΩ + Di	**0**	0	0	0	0	0	0	0	0		
Затухание из-за геометрической дивергенции, Adiv, дБ	расстояние = 736.37 м	ф-ла (7) [10]	**68,3**										
Коэффициент затухания звука в атмосфере α, дБ/км	Та=20,°С Ра=101.33,кПа hотн.=70%	ф-ла (5) [9]	0,02	0,09	0,33	1,12	2,79	4,98	9,04	23,09	77,63		
Учет затухания звука в атмосфере Aatm, дБ		ф-ла (8) [10]	0	0,1	0,2	0,8	2,1	3,7	6,7	17	57,2		
Снижение уровня звукового давления из-за влияния застройки между источником шума и расчетной точкой													
Снижение уровня звукового давления на пути над экраном, Dz1, дБ	z = 0.09м (разность путей)	ф-лы (14-18) [10]	4,8	4,8	4,8	4,8	4,8	4,8	4,8	4,8	4,8		
Уровни звукового давления от источника ИШ-7-10 в расчётной точке днём, дБ		**ф-ла(3)[10]**	**3,9**	**1,8**	**0**	**0**	**0**	**0**	**0**	**0**	**0**	**0**	**0**
Уровни звукового давления от источника ИШ-7-10 в расчётной точке ночью, дБ		**ф-ла(3)[10]**	**3,9**	**1,8**	**0**	**0**	**0**	**0**	**0**	**0**	**0**	**0**	**0**
Источник шума: ИШ-7-11, координаты источника (x,y,z), м =[877.95,88.75,1.00]													
Уровни звуковой мощности источника днём, Lw, дБ		**исходные данные**	**77**	**75**	**67**	**66**	**63**	**55**	**53**	**48**	**51**		
Уровни звуковой мощности источника ночью, Lw, дБ		**исходные данные**	**77**	**75**	**67**	**66**	**63**	**55**	**53**	**48**	**51**		
Поправка на телесный угол DΩ, дБ	Ω = 12.57	10Lg(4π/Ω)	**0**	0	0	0	0	0	0	0	0		
Показатель направленности источника Di, дБ		исходные данные	**0**	0	0	0	0	0	0	0	0		
Поправка на направленность источника Dc, дБ	Dc	DΩ + Di	**0**	0	0	0	0	0	0	0	0		

1		2	3	4	5	6	7	8	9	10	11	12	13
Затухание из-за геометрической дивергенции, Adiv, дБ	расстояние = 743.59 м	ф-ла (7) [10]	**68,4**										
Коэффициент затухания звука в атмосфере α, дБ/км	Ta=20,°C Pa=101.33,кПа hотн.=70%	ф-ла (5) [9]	0,02	0,09	0,33	1,12	2,79	4,98	9,04	23,09	77,63		
Учет затухания звука в атмосфере Aatm, дБ		ф-ла (8) [10]	0	0,1	0,2	0,8	2,1	3,7	6,7	17,2	57,7		
Снижение уровня звукового давления из-за влияния застройки между источником шума и расчетной точкой													
Снижение уровня звукового давления на пути над экраном, Dz1, дБ	z = 0.13м (разность путей)	ф-лы (14-18) [10]	4,8	4,8	4,8	4,8	4,8	4,8	4,8	4,8	4,8		
Уровни звукового давления от источника ИШ-7-11 в расчётной точке днём, дБ		**ф-ла(3)[10]**	**3,8**	**1,7**	**0**	**0**	**0**	**0**	**0**	**0**	**0**	**0**	**0**
Уровни звукового давления от источника ИШ-7-11 в расчётной точке ночью, дБ		**ф-ла(3)[10]**	**3,8**	**1,7**	**0**	**0**	**0**	**0**	**0**	**0**	**0**	**0**	**0**
Источник шума: ИШ-7-12, координаты источника (x,y,z), м =[887.42,85.45,1.00]													
Уровни звуковой мощности источника днём, Lw, дБ		**исходные данные**	**77**	**75**	**67**	**66**	**63**	**55**	**53**	**48**	**51**		
Уровни звуковой мощности источника ночью, Lw, дБ		**исходные данные**	**77**	**75**	**67**	**66**	**63**	**55**	**53**	**48**	**51**		
Поправка на телесный угол DΩ, дБ	Ω = 12.57	10Lg(4π/Ω)	**0**	0	0	0	0	0	0	0	0		
Показатель направленности источника Di, дБ		исходные данные	**0**	0	0	0	0	0	0	0	0		
Поправка на направленность источника Dc, дБ	Dc	DΩ + Di	**0**	0	0	0	0	0	0	0	0		
Затухание из-за геометрической дивергенции, Adiv, дБ	расстояние = 751.26 м	ф-ла (7) [10]	**68,5**										
Коэффициент затухания звука в атмосфере α, дБ/км	Ta=20,°C Pa=101.33,кПа hотн.=70%	ф-ла (5) [9]	0,02	0,09	0,33	1,12	2,79	4,98	9,04	23,09	77,63		
Учет затухания звука в атмосфере Aatm, дБ		ф-ла (8) [10]	0	0,1	0,3	0,8	2,1	3,7	6,8	17,3	58,3		

1		2	3	4	5	6	7	8	9	10	11	12	13
Снижение уровня звукового давления из-за влияния застройки между источником шума и расчетной точкой													
Снижение уровня звукового давления на пути над экраном, Dz1, дБ	z = 0.12м (разность путей)	ф-лы (14-18) [10]	4,8	4,8	4,8	4,8	4,8	4,8	4,8	4,8	4,8		
Уровни звукового давления от источника ИШ-7-12 в расчётной точке днём, дБ		**ф-ла(3)[10]**	**3,7**	**1,6**	**0**	**0**	**0**	**0**	**0**	**0**	**0**	**0**	**0**
Уровни звукового давления от источника ИШ-7-12 в расчётной точке ночью, дБ		**ф-ла(3)[10]**	**3,7**	**1,6**	**0**	**0**	**0**	**0**	**0**	**0**	**0**	**0**	**0**
Источник шума: ИШ-6-23, координаты источника (x,y,z), м =[756.16,-136.23,3.00]													
Уровни звуковой мощности источника днём, Lw, дБ		**исходные данные**	**91**	**91**	**91**	**91**	**91**	**91**	**91**	**91**	**91**		
Уровни звуковой мощности источника ночью, Lw, дБ		**исходные данные**	**91**	**91**	**91**	**91**	**91**	**91**	**91**	**91**	**91**		
Поправка на телесный угол DΩ, дБ	Ω = 12.57	10Lg(4π/Ω)	**0**	0	0	0	0	0	0	0	0		
Показатель направленности источника Di, дБ		исходные данные	**0**	0	0	0	0	0	0	0	0		
Поправка на направленность источника Dc, дБ	Dc	DΩ + Di	**0**	0	0	0	0	0	0	0	0		
Затухание из-за геометрической дивергенции, Adiv, дБ	расстояние = 573.49 м	ф-ла (7) [10]	**66,2**										
Коэффициент затухания звука в атмосфере α, дБ/км	Ta=20,°C Pa=101.33,кПа hотн.=70%	ф-ла (5) [9]	0,02	0,09	0,33	1,12	2,79	4,98	9,04	23,09	77,63		
Учет затухания звука в атмосфере Aatm, дБ		ф-ла (8) [10]	0	0,1	0,2	0,6	1,6	2,9	5,2	13,2	44,5		
Снижение поверхностью земли возле источника As, дБ	Gs = 0 hs = 3м	ф-лы таб.3 [10]	-1,5	-1,5	-1,5	-1,5	-1,5	-1,5	-1,5	-1,5	-1,5		
Снижение поверхностью земли возле приёмника Ar, дБ	Gr = 1 hr = 1.6м	ф-лы таб.3 [10]	-1,5	-1,5	3,5	6,8	4,3	0,5	0	0	0		
Снижение поверхностью земли в средней зоне, Am дБ	Gm = 1	ф-лы таб.3 [10]	-2,3	-2,3	0	0	0	0	0	0	0		

1		2	3	4	5	6	7	8	9	10	11	12	13
Суммарное снижение поверхностью земли на траектории распространения звука Agr, дБ		ф-ла (9) [10]	-5,3	-5,3	2	5,3	2,8	-1	-1,5	-1,5	-1,5		
Уровни звукового давления прямого звука от источника ИШ-6-23 в расчётной точке днём, дБ		**ф-ла(3)[10]**	**30,1**	**30**	**22,7**	**18,8**	**20,4**	**23**	**21,1**	**13,1**	**0**	**26,7**	**26,7**
Уровни звукового давления прямого звука от источника ИШ-6-23 в расчётной точке ночью, дБ		**ф-ла(3)[10]**	**30,1**	**30**	**22,7**	**18,8**	**20,4**	**23**	**21,1**	**13,1**	**0**	**26,7**	**26,7**
Расчёт отражённого звука													
Уровни звукового давления от мнимого источника ИШ-6-23_мн.(1) в расчётной точке днём, дБ		**ф-ла(3)[10]**	**0**	**0**	**16,8**	**12,5**	**17,7**	**20,5**	**18,6**	**10,6**	**0**	**24**	**24**
Уровни звукового давления от мнимого источника ИШ-6-23_мн.(1) в расчётной точке ночью, дБ		**ф-ла(3)[10]**	**0**	**0**	**0**	**0**	**0**	**0**	**0**	**0**	**0**	**24**	**24**
Уровни звукового давления от источника ИШ-6-23 в расчётной точке днём, дБ		**ф-ла(3)[10]**	**30,1**	**30**	**23,7**	**19,8**	**22,3**	**24,9**	**23,1**	**15**	**0**	**28,6**	**28,6**
Уровни звукового давления от источника ИШ-6-23 в расчётной точке ночью, дБ		**ф-ла(3)[10]**	**30,1**	**30**	**23,7**	**19,8**	**22,3**	**24,9**	**23,1**	**15**	**0**	**28,6**	**28,6**
Источник шума: ИШ-6-24, координаты источника (x,y,z), м =[800.98,-151.27,3.00]													
Уровни звуковой мощности источника днём, Lw, дБ		**исходные данные**	**91**	**91**	**91**	**91**	**91**	**91**	**91**	**91**	**91**		
Уровни звуковой мощности источника ночью, Lw, дБ		**исходные данные**	**91**	**91**	**91**	**91**	**91**	**91**	**91**	**91**	**91**		
Поправка на телесный угол DΩ, дБ	Ω = 12.57	10Lg(4π/Ω)	**0**	0	0	0	0	0	0	0	0		
Показатель направленности источника Di, дБ		исходные данные	**0**	0	0	0	0	0	0	0	0		
Поправка на направленность источника Dc, дБ	Dc	DΩ + Di	**0**	0	0	0	0	0	0	0	0		
Затухание из-за геометрической дивергенции, Adiv, дБ	расстояние = 617.34 м	ф-ла (7) [10]	**66,8**										
Коэффициент затухания звука в атмосфере α, дБ/км	Ta=20,°C Pa=101.33,кПа hотн.=70%	ф-ла (5) [9]	0,02	0,09	0,33	1,12	2,79	4,98	9,04	23,09	77,63		

1		2	3	4	5	6	7	8	9	10	11	12	13
Учет затухания звука в атмосфере Aatm, дБ		ф-ла (8) [10]	0	0,1	0,2	0,7	1,7	3,1	5,6	14,3	47,9		
Снижение поверхностью земли возле источника As, дБ	Gs = 0 hs = 3м	ф-лы таб.3 [10]	-1,5	-1,5	-1,5	-1,5	-1,5	-1,5	-1,5	-1,5	-1,5		
Снижение поверхностью земли возле приёмника Ar, дБ	Gr = 1 hr = 1.6м	ф-лы таб.3 [10]	-1,5	-1,5	3,7	6,8	4,3	0,5	0	0	0		
Снижение поверхностью земли в средней зоне, Am дБ	Gm = 1	ф-лы таб.3 [10]	-2,3	-2,3	0	0	0	0	0	0	0		
Суммарное снижение поверхностью земли на траектории распространения звука Agr, дБ		ф-ла (9) [10]	-5,3	-5,3	2,2	5,3	2,8	-1	-1,5	-1,5	-1,5		
Уровни звукового давления прямого звука от источника ИШ-6-24 в расчётной точке днём, дБ		**ф-ла(3)[10]**	**29,5**	**29,5**	**21,8**	**18,2**	**19,6**	**22,1**	**20,1**	**11,4**	**0**	**25,7**	**25,7**
Уровни звукового давления прямого звука от источника ИШ-6-24 в расчётной точке ночью, дБ		**ф-ла(3)[10]**	**29,5**	**29,5**	**21,8**	**18,2**	**19,6**	**22,1**	**20,1**	**11,4**	**0**	**25,7**	**25,7**
Расчёт отражённого звука													
Уровни звукового давления от мнимого источника ИШ-6-24_мн.(1) в расчётной точке днём, дБ		**ф-ла(3)[10]**	**0**	**0**	**15,7**	**11,8**	**16,9**	**19,6**	**17,6**	**8,9**	**0**	**23,1**	**23,1**
Уровни звукового давления от мнимого источника ИШ-6-24_мн.(1) в расчётной точке ночью, дБ		**ф-ла(3)[10]**	**0**	**0**	**0**	**0**	**0**	**0**	**0**	**0**	**0**	**23,1**	**23,1**
Уровни звукового давления от источника ИШ-6-24 в расчётной точке днём, дБ		**ф-ла(3)[10]**	**29,5**	**29,5**	**22,7**	**19,1**	**21,5**	**24**	**22**	**13,4**	**0**	**27,6**	**27,6**
Уровни звукового давления от источника ИШ-6-24 в расчётной точке ночью, дБ		**ф-ла(3)[10]**	**29,5**	**29,5**	**22,7**	**19,1**	**21,5**	**24**	**22**	**13,4**	**0**	**27,6**	**27,6**
Источник шума: ИШ-10-1, координаты источника (x,y,z), м =[17.37,413.17,1.00]													
Уровни звуковой мощности источника днём, Lw, дБ		**исходные данные**	**0**	**98,3**	**99,7**	**101**	**101,3**	**100,9**	**97,6**	**93,4**	**88,9**		
Уровни звуковой мощности источника ночью, Lw, дБ		**исходные данные**	**0**	**98,3**	**99,7**	**101**	**101,3**	**100,9**	**97,6**	**93,4**	**88,9**		
Поправка на телесный угол DΩ, дБ	Ω = 6.28	10Lg(4π/Ω)	**3**	3	3	3	3	3	3	3	3		
Показатель направленности источника Di, дБ		исходные данные	**0**	0	0	0	0	0	0	0	0		

1		2	3	4	5	6	7	8	9	10	11	12	13
Поправка на направленность источника Dc, дБ	Dc	DΩ + Di	**3**	3	3	3	3	3	3	3	3		
Затухание из-за геометрической дивергенции, Adiv, дБ	расстояние = 615.30 м	ф-ла (7) [10]	**66,8**										
Коэффициент затухания звука в атмосфере α, дБ/км	Ta=20,°C Pa=101.33,кПа hотн.=70%	ф-ла (5) [9]	0,02	0,09	0,33	1,12	2,79	4,98	9,04	23,09	77,63		
Учет затухания звука в атмосфере Aatm, дБ		ф-ла (8) [10]	0	0,1	0,2	0,7	1,7	3,1	5,6	14,2	47,8		
Снижение уровня звукового давления из-за влияния застройки между источником шума и расчетной точкой													
Снижение уровня звукового давления на пути над экраном, Dz1, дБ	z = 0.27м (разность путей)	ф-лы (14-18) [10]	4,8	4,8	4,9	5	5,3	5,8	6,6	7,9	9,7		
Снижение уровня звукового давления на пути слева от экрана, Dz2, дБ	z = 31.36м (разность путей)	ф-лы (14-18) [10]	20,8	23,7	26,7	29,7	32,7	35,7	38,7	41,7	44,7		
Снижение уровня звукового давления на пути справа от экрана, Dz3, дБ	z = 0.23м (разность путей)	ф-лы (14-18) [10]	5,8	6,7	8	9,9	12,1	14,7	17,5	20,4	23,4		
Общее снижение уровня звука препятствием Dz, дБ		Эн.сумма(-Dzi)	2,2	2,6	3,1	3,8	4,5	5,3	6,3	7,7	9,5		
Уровни звукового давления от источника ИШ-10-1 в расчётной точке днём, дБ		**ф-ла(3)[10]**	**0**	**31,9**	**32,6**	**32,8**	**31,4**	**28,8**	**22**	**7,7**	**0**	**32,9**	**32,9**
Уровни звукового давления от источника ИШ-10-1 в расчётной точке ночью, дБ		**ф-ла(3)[10]**	**0**	**31,9**	**32,6**	**32,8**	**31,4**	**28,8**	**22**	**7,7**	**0**	**32,9**	**32,9**
Источник шума: ИШ-10-2, координаты источника (x,y,z), м =[27.87,443.46,1.00]													
Уровни звуковой мощности источника днём, Lw, дБ		**исходные данные**	**0**	**98,3**	**99,7**	**101**	**101,3**	**100,9**	**97,6**	**93,4**	**88,9**		
Уровни звуковой мощности источника ночью, Lw, дБ		**исходные данные**	**0**	**98,3**	**99,7**	**101**	**101,3**	**100,9**	**97,6**	**93,4**	**88,9**		
Поправка на телесный угол DΩ, дБ	Ω = 6.28	10Lg(4π/Ω)	**3**	3	3	3	3	3	3	3	3		
Показатель направленности источника Di, дБ		исходные данные	**0**	0	0	0	0	0	0	0	0		

1		2	3	4	5	6	7	8	9	10	11	12	13
Поправка на направленность источника Dc, дБ	Dc	DΩ + Di	**3**	3	3	3	3	3	3	3	3		
Затухание из-за геометрической дивергенции, Adiv, дБ	расстояние = 641.87 м	ф-ла (7) [10]	**67,1**										
Коэффициент затухания звука в атмосфере α, дБ/км	Ta=20,°C Pa=101.33,кПа hотн.=70%	ф-ла (5) [9]	0,02	0,09	0,33	1,12	2,79	4,98	9,04	23,09	77,63		
Учет затухания звука в атмосфере Aatm, дБ		ф-ла (8) [10]	0	0,1	0,2	0,7	1,8	3,2	5,8	14,8	49,8		
Снижение уровня звукового давления из-за влияния застройки между источником шума и расчетной точкой													
Снижение уровня звукового давления на пути над экраном, Dz1, дБ	z = 0.31м (разность путей)	ф-лы (14-18) [10]	5,7	6,4	7,7	9,4	11,6	14,1	16,8	19,7	22,6		
Снижение уровня звукового давления на пути слева от экрана, Dz2, дБ	z = 22.24м (разность путей)	ф-лы (14-18) [10]	23,1	26,7	29,9	32,9	35,9	38,9	42	45	48		
Снижение уровня звукового давления на пути справа от экрана, Dz3, дБ	z = 0.69м (разность путей)	ф-лы (14-18) [10]	7,5	9,1	11,2	13,7	16,4	19,3	22,2	25,2	28,2		
Общее снижение уровня звука препятствием Dz, дБ		Эн.сумма(-Dzi)	3,4	4,5	6	8	10,3	12,9	15,7	18,6	21,6		
Уровни звукового давления от источника ИШ-10-2 в расчётной точке днём, дБ		**ф-ла(3)[10]**	**0**	**29,6**	**29,3**	**28,1**	**25,1**	**20,6**	**11,9**	**0**	**0**	**26,1**	**26,1**
Уровни звукового давления от источника ИШ-10-2 в расчётной точке ночью, дБ		**ф-ла(3)[10]**	**0**	**29,6**	**29,3**	**28,1**	**25,1**	**20,6**	**11,9**	**0**	**0**	**26,1**	**26,1**
Источник шума: ШТ-1, координаты источника (x,y,z), м =[684.30,-276.59,1.00]													
Уровни звуковой мощности источника днём, Lw, дБ		**исходные данные**	**0**	**0**	**108,5**	**105,5**	**102,5**	**102,5**	**99,5**	**93,5**	**0**		
Уровни звуковой мощности максимального звука источника днём, Lwx, дБ		**исходные данные**	**0**	**0**	**113,5**	**110,5**	**107,5**	**107,5**	**104,5**	**98,5**	**0**		
Уровни звуковой мощности источника ночью, Lw, дБ		**исходные данные**	**0**	**0**	**0**	**0**	**0**	**0**	**0**	**0**	**0**		
Уровни звуковой мощности максимального звука источника ночью, Lwx, дБ		**исходные данные**	**0**	**0**	**0**	**0**	**0**	**0**	**0**	**0**	**0**		

1		2	3	4	5	6	7	8	9	10	11	12	13
Поправка на телесный угол DΩ, дБ	Ω = 12.57	10Lg(4π/Ω)	**0**	0	0	0	0	0	0	0	0		
Показатель направленности источника Di, дБ		исходные данные	**0**	0	0	0	0	0	0	0	0		
Поправка на направленность источника Dc, дБ	Dc	DΩ + Di	**0**	0	0	0	0	0	0	0	0		
Затухание из-за геометрической дивергенции, Adiv, дБ	расстояние = 509.45 м	ф-ла (7) [10]	**65,1**										
Коэффициент затухания звука в атмосфере α, дБ/км	Ta=20,°C Pa=101.33,кПа hотн.=70%	ф-ла (5) [9]	0,02	0,09	0,33	1,12	2,79	4,98	9,04	23,09	77,63		
Учет затухания звука в атмосфере Aatm, дБ		ф-ла (8) [10]	0	0	0,2	0,6	1,4	2,5	4,6	11,8	39,6		
Снижение уровня звукового давления из-за влияния застройки между источником шума и расчетной точкой													
Снижение уровня звукового давления на пути над экраном, Dz1, дБ	z = 0.04м (разность путей)	ф-лы (14-18) [10]	4,8	4,8	4,8	4,8	4,8	4,8	4,8	4,8	4,8		
Снижение уровня звукового давления на пути слева от экрана, Dz2, дБ	z = 24.20м (разность путей)	ф-лы (14-18) [10]	23,4	27	30,2	33,3	36,3	39,3	42,3	45,3	48,3		
Снижение уровня звукового давления на пути справа от экрана, Dz3, дБ	z = 0.00м (разность путей)	ф-лы (14-18) [10]	4,8	4,8	4,8	4,9	5	5,2	5,7	6,4	7,6		
Общее снижение уровня звука препятствием Dz, дБ		Эн.сумма(-Dzi)	1,7	1,8	1,8	1,8	1,9	2	2,2	2,5	3		
Уровни звукового давления прямого звука от источника ШТ-1 в расчётной точке днём, дБ		**ф-ла(3)[10]**	**0**	**0**	**41,4**	**38**	**34,1**	**32,8**	**27,6**	**14,1**	**0**	**37,1**	**42,1**
* уровни звукового давления для определения максимального прямого звука от источника ШТ-1 в расчётной точке днём, дБ		ф-ла(3)[10]	0	0	46,4	43	39,1	37,8	32,6	19,1	0	42,1	
Уровни звукового давления прямого звука от источника ШТ-1 в расчётной точке ночью, дБ		**ф-ла(3)[10]**	**0**	**0**	**0**	**0**	**0**	**0**	**0**	**0**	**0**	**0**	**0**
* уровни звукового давления для определения максимального прямого звука от источника ШТ-1 в расчётной точке ночью, дБ		ф-ла(3)[10]	0	0	0	0	0	0	0	0	0	0	
Расчёт отражённого звука													
Уровни звукового давления от мнимого источника ШТ-1_мн.(1) в расчётной точке днём, дБ		**ф-ла(3)[10]**	**0**	**0**	**0**	**0**	**0**	**0**	**0**	**0**	**0**	**0**	**0**

1		2	3	4	5	6	7	8	9	10	11	12	13
Уровни звукового давления от мнимого источника ШТ-1_мн.(1) в расчётной точке ночью, дБ		**ф-ла(3)[10]**	**0**	**0**	**0**	**0**	**0**	**0**	**0**	**0**	**0**	**0**	**0**
Уровни звукового давления от мнимого источника ШТ-1_мн.(2) в расчётной точке днём, дБ		**ф-ла(3)[10]**	**0**	**0**	**0**	**0**	**0**	**0**	**0**	**0**	**0**	**0**	**0**
Уровни звукового давления от мнимого источника ШТ-1_мн.(2) в расчётной точке ночью, дБ		**ф-ла(3)[10]**	**0**	**0**	**0**	**0**	**0**	**0**	**0**	**0**	**0**	**0**	**0**
Суммарные уровни звукового давления от мнимых источников в расчётной точке днём, дБ		**ф-ла (19) [1]**	**0**	**0**	**0**	**0**	**0**	**0**	**0**	**0**	**0**	**0**	**0**
Суммарные уровни звукового давления от мнимых источников в расчётной точке ночью, дБ		**ф-ла (19) [1]**	**0**	**0**	**0**	**0**	**0**	**0**	**0**	**0**	**0**	**0**	**0**
Уровни звукового давления от источника ШТ-1 в расчётной точке днём, дБ		**ф-ла(3)[10]**	**0**	**0**	**41,4**	**38**	**34,1**	**32,8**	**27,6**	**14,1**	**0**	**37,1**	**42,1**
Уровни звукового давления от источника ШТ-1 в расчётной точке ночью, дБ		**ф-ла(3)[10]**	**0**	**0**	**0**	**0**	**0**	**0**	**0**	**0**	**0**	**0**	**0**
Источник шума: ШТ-2, координаты источника (x,y,z), м =[665.17,-247.36,1.00]													
Уровни звуковой мощности источника днём, Lw, дБ		**исходные данные**	**0**	**0**	**104,5**	**101,5**	**98,5**	**98,5**	**95,5**	**89,5**	**0**		
Уровни звуковой мощности максимального звука источника днём, Lwx, дБ		**исходные данные**	**0**	**0**	**108,5**	**105,5**	**102,5**	**102,5**	**99,5**	**93,5**	**0**		
Уровни звуковой мощности источника ночью, Lw, дБ		**исходные данные**	**0**	**0**	**0**	**0**	**0**	**0**	**0**	**0**	**0**		
Уровни звуковой мощности максимального звука источника ночью, Lwx, дБ		**исходные данные**	**0**	**0**	**0**	**0**	**0**	**0**	**0**	**0**	**0**		
Поправка на телесный угол DΩ, дБ	Ω = 12.57	10Lg(4π/Ω)	**0**	0	0	0	0	0	0	0	0		
Показатель направленности источника Di, дБ		исходные данные	**0**	0	0	0	0	0	0	0	0		
Поправка на направленность источника Dc, дБ	Dc	DΩ + Di	**0**	0	0	0	0	0	0	0	0		
Затухание из-за геометрической дивергенции, Adiv, дБ	расстояние = 485.72 м	ф-ла (7) [10]	**64,7**										
Коэффициент затухания звука в атмосфере α, дБ/км	Ta=20,°C Pa=101.33,кПа hотн.=70%	ф-ла (5) [9]	0,02	0,09	0,33	1,12	2,79	4,98	9,04	23,09	77,63		

1		2	3	4	5	6	7	8	9	10	11	12	13
Учет затухания звука в атмосфере Aatm, дБ		ф-ла (8) [10]	0	0	0,2	0,5	1,4	2,4	4,4	11,2	37,7		
Снижение поверхностью земли возле источника As, дБ	Gs = 0 hs = 1м	ф-лы таб.3 [10]	-1,5	-1,5	-1,5	-1,5	-1,5	-1,5	-1,5	-1,5	-1,5		
Снижение поверхностью земли возле приёмника Ar, дБ	Gr = 1 hr = 1.6м	ф-лы таб.3 [10]	-1,5	-1,5	2,9	6,8	4,3	0,5	0	0	0		
Снижение поверхностью земли в средней зоне, Am дБ	Gm = 1	ф-лы таб.3 [10]	-2,5	-2,5	0	0	0	0	0	0	0		
Суммарное снижение поверхностью земли на траектории распространения звука Agr, дБ		ф-ла (9) [10]	-5,5	-5,5	1,4	5,3	2,8	-1	-1,5	-1,5	-1,5		
Уровни звукового давления прямого звука от источника ШТ-2 в расчётной точке днём, дБ		**ф-ла(3)[10]**	**0**	**0**	**38,2**	**30,9**	**29,6**	**32,3**	**27,9**	**15,1**	**0**	**35,2**	**39,2**
* уровни звукового давления для определения максимального прямого звука от источника ШТ-2 в расчётной точке днём, дБ		ф-ла(3)[10]	0	0	42,2	34,9	33,6	36,3	31,9	19,1	0	39,2	
Уровни звукового давления прямого звука от источника ШТ-2 в расчётной точке ночью, дБ		**ф-ла(3)[10]**	**0**	**0**	**0**	**0**	**0**	**0**	**0**	**0**	**0**	**0**	**0**
* уровни звукового давления для определения максимального прямого звука от источника ШТ-2 в расчётной точке ночью, дБ		ф-ла(3)[10]	0	0	0	0	0	0	0	0	0	0	
Расчёт отражённого звука													
Уровни звукового давления от мнимого источника ШТ-2_мн.(1) в расчётной точке днём, дБ		**ф-ла(3)[10]**	**0**	**0**	**32,7**	**20,5**	**18,3**	**27,8**	**25,4**	**12,6**	**0**	**30,7**	**34,7**
Уровни звукового давления от мнимого источника ШТ-2_мн.(1) в расчётной точке ночью, дБ		**ф-ла(3)[10]**	**0**	**0**	**0**	**0**	**0**	**0**	**0**	**0**	**0**	**0**	**0**
Уровни звукового давления от мнимого источника ШТ-2_мн.(2) в расчётной точке днём, дБ		**ф-ла(3)[10]**	**0**	**0**	**0**	**0**	**0**	**0**	**0**	**0**	**0**	**0**	**0**
Уровни звукового давления от мнимого источника ШТ-2_мн.(2) в расчётной точке ночью, дБ		**ф-ла(3)[10]**	**0**	**0**	**0**	**0**	**0**	**0**	**0**	**0**	**0**	**0**	**0**
Суммарные уровни звукового давления от мнимых источников в расчётной точке днём, дБ		**ф-ла (19) [1]**	**0**	**0**	**32,7**	**20,5**	**18,3**	**27,8**	**25,4**	**12,6**	**0**	**0**	**34,7**
Суммарные уровни звукового давления от мнимых источников в расчётной точке ночью, дБ		**ф-ла (19) [1]**	**0**	**0**	**0**	**0**	**0**	**0**	**0**	**0**	**0**	**0**	**0**
Уровни звукового давления от источника ШТ-2 в расчётной точке днём, дБ		**ф-ла(3)[10]**	**0**	**0**	**39,3**	**31,3**	**29,9**	**33,7**	**29,8**	**17**	**0**	**36,5**	**40,5**

1		2	3	4	5	6	7	8	9	10	11	12	13
Уровни звукового давления от источника ШТ-2 в расчётной точке ночью, дБ		**ф-ла(3)[10]**	**0**	**0**	**0**	**0**	**0**	**0**	**0**	**0**	**0**	**0**	**0**
Источник шума: ШТ-3, координаты источника (x,y,z), м =[556.24,-281.90,1.00]													
Уровни звуковой мощности источника днём, Lw, дБ		**исходные данные**	**0**	**0**	**104,5**	**101,5**	**98,5**	**98,5**	**95,5**	**89,5**	**0**		
Уровни звуковой мощности максимального звука источника днём, Lwx, дБ		**исходные данные**	**0**	**0**	**108,5**	**105,5**	**102,5**	**102,5**	**99,5**	**93,5**	**0**		
Уровни звуковой мощности источника ночью, Lw, дБ		**исходные данные**	**0**	**0**	**0**	**0**	**0**	**0**	**0**	**0**	**0**		
Уровни звуковой мощности максимального звука источника ночью, Lwx, дБ		**исходные данные**	**0**	**0**	**0**	**0**	**0**	**0**	**0**	**0**	**0**		
Поправка на телесный угол DΩ, дБ	Ω = 12.57	10Lg(4π/Ω)	**0**	0	0	0	0	0	0	0	0		
Показатель направленности источника Di, дБ		исходные данные	**0**	0	0	0	0	0	0	0	0		
Поправка на направленность источника Dc, дБ	Dc	DΩ + Di	**0**	0	0	0	0	0	0	0	0		
Затухание из-за геометрической дивергенции, Adiv, дБ	расстояние = 385.92 м	ф-ла (7) [10]	**62,7**										
Коэффициент затухания звука в атмосфере α, дБ/км	Ta=20,°C Pa=101.33,кПа hотн.=70%	ф-ла (5) [9]	0,02	0,09	0,33	1,12	2,79	4,98	9,04	23,09	77,63		
Учет затухания звука в атмосфере Aatm, дБ		ф-ла (8) [10]	0	0	0,1	0,4	1,1	1,9	3,5	8,9	30		
Снижение уровня звукового давления из-за влияния застройки между источником шума и расчетной точкой													
Снижение уровня звукового давления на пути над экраном, Dz1, дБ	z = 0.04м (разность путей)	ф-лы (14-18) [10]	4,8	4,8	4,8	4,8	4,8	4,8	4,9	5	5,3		
Снижение уровня звукового давления на пути слева от экрана, Dz2, дБ	z = 21.41м (разность путей)	ф-лы (14-18) [10]	22,9	26,5	29,7	32,7	35,8	38,8	41,8	44,8	47,8		
Снижение уровня звукового давления на пути справа от экрана, Dz3, дБ	z = 0.57м (разность путей)	ф-лы (14-18) [10]	7,1	8,6	10,6	13	15,6	18,4	21,4	24,3	27,3		

1		2	3	4	5	6	7	8	9	10	11	12	13
Общее снижение уровня звука препятствием Dz, дБ		Эн.сумма(-Dzi)	2,7	3,2	3,7	4,2	4,5	4,7	4,8	5	5,3		
Уровни звукового давления прямого звука от источника ШТ-3 в расчётной точке днём, дБ		**ф-ла(3)[10]**	**0**	**0**	**37,9**	**34,2**	**30,2**	**29,2**	**24,5**	**12,9**	**0**	**33,5**	**37,5**
* уровни звукового давления для определения максимального прямого звука от источника ШТ-3 в расчётной точке днём, дБ		ф-ла(3)[10]	0	0	41,9	38,2	34,2	33,2	28,5	16,9	0	37,5	
Уровни звукового давления прямого звука от источника ШТ-3 в расчётной точке ночью, дБ		**ф-ла(3)[10]**	**0**	**0**	**0**	**0**	**0**	**0**	**0**	**0**	**0**	**0**	**0**
* уровни звукового давления для определения максимального прямого звука от источника ШТ-3 в расчётной точке ночью, дБ		ф-ла(3)[10]	0	0	0	0	0	0	0	0	0	0	
Расчёт отражённого звука													
Уровни звукового давления от мнимого источника ШТ-3_мн.(1) в расчётной точке днём, дБ		**ф-ла(3)[10]**	**0**	**0**	**0**	**0**	**0**	**0**	**0**	**0**	**0**	**0**	**0**
Уровни звукового давления от мнимого источника ШТ-3_мн.(1) в расчётной точке ночью, дБ		**ф-ла(3)[10]**	**0**	**0**	**0**	**0**	**0**	**0**	**0**	**0**	**0**	**0**	**0**
Уровни звукового давления от источника ШТ-3 в расчётной точке днём, дБ		**ф-ла(3)[10]**	**0**	**0**	**37,9**	**34,2**	**30,2**	**29,2**	**24,5**	**12,9**	**0**	**33,5**	**37,5**
Уровни звукового давления от источника ШТ-3 в расчётной точке ночью, дБ		**ф-ла(3)[10]**	**0**	**0**	**0**	**0**	**0**	**0**	**0**	**0**	**0**	**0**	**0**
Источник шума: ШТ-4, координаты источника (x,y,z), м =[600.61,-343.54,1.00]													
Уровни звуковой мощности источника днём, Lw, дБ		**исходные данные**	**0**	**0**	**104,5**	**101,5**	**98,5**	**98,5**	**95,5**	**89,5**	**0**		
Уровни звуковой мощности максимального звука источника днём, Lwx, дБ		**исходные данные**	**0**	**0**	**108,5**	**105,5**	**102,5**	**102,5**	**99,5**	**93,5**	**0**		
Уровни звуковой мощности источника ночью, Lw, дБ		**исходные данные**	**0**	**0**	**0**	**0**	**0**	**0**	**0**	**0**	**0**		
Уровни звуковой мощности максимального звука источника ночью, Lwx, дБ		**исходные данные**	**0**	**0**	**0**	**0**	**0**	**0**	**0**	**0**	**0**		
Поправка на телесный угол DΩ, дБ	Ω = 12.57	10Lg(4π/Ω)	**0**	0	0	0	0	0	0	0	0		
Показатель направленности источника Di, дБ		исходные данные	**0**	0	0	0	0	0	0	0	0		

1		2	3	4	5	6	7	8	9	10	11	12	13
Поправка на направленность источника Dc, дБ	Dc	DΩ + Di	**0**	0	0	0	0	0	0	0	0		
Затухание из-за геометрической дивергенции, Adiv, дБ	расстояние = 447.65 м	ф-ла (7) [10]	**64**										
Коэффициент затухания звука в атмосфере α, дБ/км	Ta=20,°C Pa=101.33,кПа hотн.=70%	ф-ла (5) [9]	0,02	0,09	0,33	1,12	2,79	4,98	9,04	23,09	77,63		
Учет затухания звука в атмосфере Aatm, дБ		ф-ла (8) [10]	0	0	0,1	0,5	1,2	2,2	4	10,3	34,8		
Снижение уровня звукового давления из-за влияния застройки между источником шума и расчетной точкой													
Снижение уровня звукового давления на пути над экраном, Dz1, дБ	z = 0.96м (разность путей)	ф-лы (14-18) [10]	7,1	9,6	12,5	15,5	18,4	21,3	24,3	27,3	30,3		
Снижение уровня звукового давления на пути слева от экрана, Dz2, дБ	z = 34.60м (разность путей)	ф-лы (14-18) [10]	21,5	25,1	29,4	33,8	37,6	40,8	43,9	46,9	49,9		
Снижение уровня звукового давления на пути справа от экрана, Dz3, дБ	z = 2.90м (разность путей)	ф-лы (14-18) [10]	11,6	14,8	18,9	23,2	26,8	30	33,1	36,1	39,1		
Общее снижение уровня звука препятствием Dz, дБ		Эн.сумма(-Dzi)	5,7	8,3	11,6	14,7	17,8	20,7	23,7	26,7	29,7		
Общее снижение уровня звука препятствием с учётом ограничения (25 дБ) для октавных полос Dz, дБ		Раздел 7.4 [10]	5,7	8,3	11,6	14,7	17,8	20,7	23,7	25	25		
Уровни звукового давления от источника ШТ-4 в расчётной точке днём, дБ		**ф-ла(3)[10]**	**0**	**0**	**28,8**	**22,2**	**15,5**	**11,5**	**3,7**	**0**	**0**	**18,8**	**22,8**
Уровни звукового давления от источника ШТ-4 в расчётной точке ночью, дБ		**ф-ла(3)[10]**	**0**	**0**	**0**	**0**	**0**	**0**	**0**	**0**	**0**	**0**	**0**
Источник шума: ШТ-5, координаты источника (x,y,z), м =[453.13,-90.07,1.00]													
Уровни звуковой мощности источника днём, Lw, дБ		**исходные данные**	**0**	**0**	**103**	**100**	**97**	**97**	**94**	**88**	**0**		
Уровни звуковой мощности максимального звука источника днём, Lwx, дБ		**исходные данные**	**0**	**0**	**108**	**105**	**102**	**102**	**99**	**93**	**0**		
Уровни звуковой мощности источника ночью, Lw, дБ		**исходные данные**	**0**	**0**	**0**	**0**	**0**	**0**	**0**	**0**	**0**		

1		2	3	4	5	6	7	8	9	10	11	12	13
Уровни звуковой мощности максимального звука источника ночью, Lwx, дБ		**исходные данные**	**0**	**0**	**0**	**0**	**0**	**0**	**0**	**0**	**0**		
Поправка на телесный угол DΩ, дБ	Ω = 12.57	10Lg(4π/Ω)	**0**	0	0	0	0	0	0	0	0		
Показатель направленности источника Di, дБ		исходные данные	**0**	0	0	0	0	0	0	0	0		
Поправка на направленность источника Dc, дБ	Dc	DΩ + Di	**0**	0	0	0	0	0	0	0	0		
Затухание из-за геометрической дивергенции, Adiv, дБ	расстояние = 283.20 м	ф-ла (7) [10]	**60**										
Коэффициент затухания звука в атмосфере α, дБ/км	Ta=20,°C Pa=101.33,кПа hотн.=70%	ф-ла (5) [9]	0,02	0,09	0,33	1,12	2,79	4,98	9,04	23,09	77,63		
Учет затухания звука в атмосфере Aatm, дБ		ф-ла (8) [10]	0	0	0,1	0,3	0,8	1,4	2,6	6,5	22		
Снижение поверхностью земли возле источника As, дБ	Gs = 0 hs = 1м	ф-лы таб.3 [10]	-1,5	-1,5	-1,5	-1,5	-1,5	-1,5	-1,5	-1,5	-1,5		
Снижение поверхностью земли возле приёмника Ar, дБ	Gr = 1 hr = 1.6м	ф-лы таб.3 [10]	-1,5	-1,5	1,7	6,8	4,3	0,5	0	0	0		
Снижение поверхностью земли в средней зоне, Am дБ	Gm = 1	ф-лы таб.3 [10]	-2,2	-2,2	0	0	0	0	0	0	0		
Суммарное снижение поверхностью земли на траектории распространения звука Agr, дБ		ф-ла (9) [10]	-5,2	-5,2	0,2	5,3	2,8	-1	-1,5	-1,5	-1,5		
Уровни звукового давления прямого звука от источника ШТ-5 в расчётной точке днём, дБ		**ф-ла(3)[10]**	**0**	**0**	**42,7**	**34,3**	**33,3**	**36,5**	**32,9**	**22,9**	**0**	**39,6**	**44,6**
* уровни звукового давления для определения максимального прямого звука от источника ШТ-5 в расчётной точке днём, дБ		ф-ла(3)[10]	0	0	47,7	39,3	38,3	41,5	37,9	27,9	0	44,6	
Уровни звукового давления прямого звука от источника ШТ-5 в расчётной точке ночью, дБ		**ф-ла(3)[10]**	**0**	**0**	**0**	**0**	**0**	**0**	**0**	**0**	**0**	**0**	**0**
* уровни звукового давления для определения максимального прямого звука от источника ШТ-5 в расчётной точке ночью, дБ		ф-ла(3)[10]	0	0	0	0	0	0	0	0	0	0	
Расчёт отражённого звука													
Уровни звукового давления от мнимого источника ШТ-5_мн.(1) в расчётной точке днём, дБ		**ф-ла(3)[10]**	**0**	**0**	**0**	**0**	**22**	**31,9**	**30,3**	**20,3**	**0**	**35**	**40**

1		2	3	4	5	6	7	8	9	10	11	12	13
Уровни звукового давления от мнимого источника ШТ-5_мн.(1) в расчётной точке ночью, дБ		**ф-ла(3)[10]**	**0**	**0**	**0**	**0**	**0**	**0**	**0**	**0**	**0**	**0**	**0**
Уровни звукового давления от источника ШТ-5 в расчётной точке днём, дБ		**ф-ла(3)[10]**	**0**	**0**	**42,7**	**34,3**	**33,6**	**37,8**	**34,8**	**24,8**	**0**	**40,9**	**45,9**
Уровни звукового давления от источника ШТ-5 в расчётной точке ночью, дБ		**ф-ла(3)[10]**	**0**	**0**	**0**	**0**	**0**	**0**	**0**	**0**	**0**	**0**	**0**
Источник шума: ШТ-6, координаты источника (x,y,z), м =[476.78,-97.62,1.00]													
Уровни звуковой мощности источника днём, Lw, дБ		**исходные данные**	**0**	**0**	**110,5**	**107,5**	**104,5**	**104,5**	**101,5**	**95,5**	**0**		
Уровни звуковой мощности максимального звука источника днём, Lwx, дБ		**исходные данные**	**0**	**0**	**115,5**	**112,5**	**109,5**	**109,5**	**106,5**	**100,5**	**0**		
Уровни звуковой мощности источника ночью, Lw, дБ		**исходные данные**	**0**	**0**	**0**	**0**	**0**	**0**	**0**	**0**	**0**		
Уровни звуковой мощности максимального звука источника ночью, Lwx, дБ		**исходные данные**	**0**	**0**	**0**	**0**	**0**	**0**	**0**	**0**	**0**		
Поправка на телесный угол DΩ, дБ	Ω = 12.57	10Lg(4π/Ω)	**0**	0	0	0	0	0	0	0	0		
Показатель направленности источника Di, дБ		исходные данные	**0**	0	0	0	0	0	0	0	0		
Поправка на направленность источника Dc, дБ	Dc	DΩ + Di	**0**	0	0	0	0	0	0	0	0		
Затухание из-за геометрической дивергенции, Adiv, дБ	расстояние = 303.64 м	ф-ла (7) [10]	**60,6**										
Коэффициент затухания звука в атмосфере α, дБ/км	Ta=20,°C Pa=101.33,кПа hотн.=70%	ф-ла (5) [9]	0,02	0,09	0,33	1,12	2,79	4,98	9,04	23,09	77,63		
Учет затухания звука в атмосфере Aatm, дБ		ф-ла (8) [10]	0	0	0,1	0,3	0,8	1,5	2,7	7	23,6		
Снижение поверхностью земли возле источника As, дБ	Gs = 0 hs = 1м	ф-лы таб.3 [10]	-1,5	-1,5	-1,5	-1,5	-1,5	-1,5	-1,5	-1,5	-1,5		
Снижение поверхностью земли возле приёмника Ar, дБ	Gr = 1 hr = 1.6м	ф-лы таб.3 [10]	-1,5	-1,5	1,8	6,8	4,3	0,5	0	0	0		

1		2	3	4	5	6	7	8	9	10	11	12	13
Снижение поверхностью земли в средней зоне, Am дБ	Gm = 1	ф-лы таб.3 [10]	-2,2	-2,2	0	0	0	0	0	0	0		
Суммарное снижение поверхностью земли на траектории распространения звука Agr, дБ		ф-ла (9) [10]	-5,2	-5,2	0,3	5,3	2,8	-1	-1,5	-1,5	-1,5		
Уровни звукового давления прямого звука от источника ШТ-6 в расчётной точке днём, дБ		**ф-ла(3)[10]**	**0**	**0**	**49,5**	**41,2**	**40,2**	**43,3**	**39,6**	**29,3**	**0**	**46,4**	**51,4**
* уровни звукового давления для определения максимального прямого звука от источника ШТ-6 в расчётной точке днём, дБ		ф-ла(3)[10]	0	0	54,5	46,2	45,2	48,3	44,6	34,3	0	51,4	
Уровни звукового давления прямого звука от источника ШТ-6 в расчётной точке ночью, дБ		**ф-ла(3)[10]**	**0**	**0**	**0**	**0**	**0**	**0**	**0**	**0**	**0**	**0**	**0**
* уровни звукового давления для определения максимального прямого звука от источника ШТ-6 в расчётной точке ночью, дБ		ф-ла(3)[10]	0	0	0	0	0	0	0	0	0	0	
Расчёт отражённого звука													
Уровни звукового давления от мнимого источника ШТ-6_мн.(1) в расчётной точке днём, дБ		**ф-ла(3)[10]**	**0**	**0**	**0**	**30,8**	**28,8**	**38,8**	**37**	**26,7**	**0**	**41,9**	**46,9**
Уровни звукового давления от мнимого источника ШТ-6_мн.(1) в расчётной точке ночью, дБ		**ф-ла(3)[10]**	**0**	**0**	**0**	**0**	**0**	**0**	**0**	**0**	**0**	**0**	**0**
Уровни звукового давления от источника ШТ-6 в расчётной точке днём, дБ		**ф-ла(3)[10]**	**0**	**0**	**49,5**	**41,6**	**40,5**	**44,6**	**41,5**	**31,2**	**0**	**47,7**	**52,7**
Уровни звукового давления от источника ШТ-6 в расчётной точке ночью, дБ		**ф-ла(3)[10]**	**0**	**0**	**0**	**0**	**0**	**0**	**0**	**0**	**0**	**0**	**0**
Источник шума: ШТ-7, координаты источника (x,y,z), м =[632.16,-298.34,1.00]													
Уровни звуковой мощности источника днём, Lw, дБ		**исходные данные**	**0**	**0**	**104,5**	**101,5**	**98,5**	**98,5**	**95,5**	**89,5**	**0**		
Уровни звуковой мощности максимального звука источника днём, Lwx, дБ		**исходные данные**	**0**	**0**	**111,5**	**108,5**	**105,5**	**105,5**	**102,5**	**96,5**	**0**		
Уровни звуковой мощности источника ночью, Lw, дБ		**исходные данные**	**0**	**0**	**0**	**0**	**0**	**0**	**0**	**0**	**0**		
Уровни звуковой мощности максимального звука источника ночью, Lwx, дБ		**исходные данные**	**0**	**0**	**0**	**0**	**0**	**0**	**0**	**0**	**0**		
Поправка на телесный угол DΩ, дБ	Ω = 12.57	10Lg(4π/Ω)	**0**	0	0	0	0	0	0	0	0		

1		2	3	4	5	6	7	8	9	10	11	12	13
Показатель направленности источника Di, дБ		исходные данные	**0**	0	0	0	0	0	0	0	0		
Поправка на направленность источника Dc, дБ	Dc	DΩ + Di	**0**	0	0	0	0	0	0	0	0		
Затухание из-за геометрической дивергенции, Adiv, дБ	расстояние = 463.50 м	ф-ла (7) [10]	**64,3**										
Коэффициент затухания звука в атмосфере α, дБ/км	Ta=20,°C Pa=101.33,кПа hотн.=70%	ф-ла (5) [9]	0,02	0,09	0,33	1,12	2,79	4,98	9,04	23,09	77,63		
Учет затухания звука в атмосфере Aatm, дБ		ф-ла (8) [10]	0	0	0,2	0,5	1,3	2,3	4,2	10,7	36		
Снижение уровня звукового давления из-за влияния застройки между источником шума и расчетной точкой													
Снижение уровня звукового давления на пути над экраном, Dz1, дБ	z = 0.04м (разность путей)	ф-лы (14-18) [10]	4,8	4,8	4,8	4,8	4,8	4,8	4,8	4,8	4,9		
Снижение уровня звукового давления на пути слева от экрана, Dz2, дБ	z = 21.45м (разность путей)	ф-лы (14-18) [10]	22,9	26,5	29,7	32,8	35,8	38,8	41,8	44,8	47,8		
Снижение уровня звукового давления на пути справа от экрана, Dz3, дБ	z = 0.42м (разность путей)	ф-лы (14-18) [10]	6,6	7,8	9,6	11,8	14,4	17,2	20,1	23	26		
Общее снижение уровня звука препятствием Dz, дБ		Эн.сумма(-Dzi)	2,5	3	3,5	4	4,3	4,5	4,7	4,7	4,8		
Уровни звукового давления от источника ШТ-7 в расчётной точке днём, дБ		**ф-ла(3)[10]**	**0**	**0**	**36,5**	**32,7**	**28,6**	**27,3**	**22,3**	**9,7**	**0**	**31,7**	**38,7**
Уровни звукового давления от источника ШТ-7 в расчётной точке ночью, дБ		**ф-ла(3)[10]**	**0**	**0**	**0**	**0**	**0**	**0**	**0**	**0**	**0**	**0**	**0**
Источник шума: ШТ-8, координаты источника (x,y,z), м =[637.74,-278.95,1.00]													
Уровни звуковой мощности источника днём, Lw, дБ		**исходные данные**	**86**	**86**	**92**	**89**	**93**	**92**	**90**	**89**	**86**		
Уровни звуковой мощности источника ночью, Lw, дБ		**исходные данные**	**0**	**0**	**0**	**0**	**0**	**0**	**0**	**0**	**0**		
Поправка на телесный угол DΩ, дБ	Ω = 12.57	10Lg(4π/Ω)	**0**	0	0	0	0	0	0	0	0		

1		2	3	4	5	6	7	8	9	10	11	12	13
Показатель направленности источника Di, дБ		исходные данные	**0**	0	0	0	0	0	0	0	0		
Поправка на направленность источника Dc, дБ	Dc	DΩ + Di	**0**	0	0	0	0	0	0	0	0		
Затухание из-за геометрической дивергенции, Adiv, дБ	расстояние = 464.34 м	ф-ла (7) [10]	**64,3**										
Коэффициент затухания звука в атмосфере α, дБ/км	Ta=20,°C Pa=101.33,кПа hотн.=70%	ф-ла (5) [9]	0,02	0,09	0,33	1,12	2,79	4,98	9,04	23,09	77,63		
Учет затухания звука в атмосфере Aatm, дБ		ф-ла (8) [10]	0	0	0,2	0,5	1,3	2,3	4,2	10,7	36		
Снижение уровня звукового давления из-за влияния застройки между источником шума и расчетной точкой													
Снижение уровня звукового давления на пути над экраном, Dz1, дБ	z = 0.04м (разность путей)	ф-лы (14-18) [10]	4,8	4,8	4,8	4,8	4,8	4,8	4,8	4,8	4,8		
Снижение уровня звукового давления на пути слева от экрана, Dz2, дБ	z = 23.27м (разность путей)	ф-лы (14-18) [10]	23,2	26,9	30	33,1	36,1	39,1	42,2	45,2	48,2		
Снижение уровня звукового давления на пути справа от экрана, Dz3, дБ	z = 0.07м (разность путей)	ф-лы (14-18) [10]	5,1	5,5	6,1	7,1	8,6	10,5	12,9	15,6	18,4		
Общее снижение уровня звука препятствием Dz, дБ		Эн.сумма(-Dzi)	1,9	2,1	2,4	2,8	3,3	3,8	4,2	4,5	4,7		
Уровни звукового давления от источника ШТ-8 в расчётной точке днём, дБ		**ф-ла(3)[10]**	**19,7**	**19,5**	**25,2**	**21,4**	**24,1**	**21,6**	**17,3**	**9,5**	**0**	**25,8**	**25,8**
Уровни звукового давления от источника ШТ-8 в расчётной точке ночью, дБ		**ф-ла(3)[10]**	**0**	**0**	**0**	**0**	**0**	**0**	**0**	**0**	**0**	**0**	**0**
Источник шума: ШТ-9, координаты источника (x,y,z), м =[627.56,-280.27,1.00]													
Уровни звуковой мощности источника днём, Lw, дБ		**исходные данные**	**73**	**73**	**84**	**69**	**71**	**70**	**70**	**60**	**52**		
Уровни звуковой мощности источника ночью, Lw, дБ		**исходные данные**	**0**	**0**	**0**	**0**	**0**	**0**	**0**	**0**	**0**		
Поправка на телесный угол DΩ, дБ	Ω = 12.57	10Lg(4π/Ω)	**0**	0	0	0	0	0	0	0	0		

1		2	3	4	5	6	7	8	9	10	11	12	13
Показатель направленности источника Di, дБ		исходные данные	**0**	0	0	0	0	0	0	0	0		
Поправка на направленность источника Dc, дБ	Dc	DΩ + Di	**0**	0	0	0	0	0	0	0	0		
Затухание из-за геометрической дивергенции, Adiv, дБ	расстояние = 454.69 м	ф-ла (7) [10]	**64,2**										
Коэффициент затухания звука в атмосфере α, дБ/км	Ta=20,°C Pa=101.33,кПа hотн.=70%	ф-ла (5) [9]	0,02	0,09	0,33	1,12	2,79	4,98	9,04	23,09	77,63		
Учет затухания звука в атмосфере Aatm, дБ		ф-ла (8) [10]	0	0	0,2	0,5	1,3	2,3	4,1	10,5	35,3		
Снижение уровня звукового давления из-за влияния застройки между источником шума и расчетной точкой													
Снижение уровня звукового давления на пути над экраном, Dz1, дБ	z = 0.04м (разность путей)	ф-лы (14-18) [10]	4,8	4,8	4,8	4,8	4,8	4,8	4,8	4,8	4,9		
Снижение уровня звукового давления на пути слева от экрана, Dz2, дБ	z = 22.97м (разность путей)	ф-лы (14-18) [10]	23,2	26,8	30	33,1	36,1	39,1	42,1	45,1	48,1		
Снижение уровня звукового давления на пути справа от экрана, Dz3, дБ	z = 0.11м (разность путей)	ф-лы (14-18) [10]	5,3	5,8	6,7	8	9,8	12,1	14,7	17,4	20,3		
Общее снижение уровня звука препятствием Dz, дБ		Эн.сумма(-Dzi)	2	2,2	2,6	3,1	3,6	4	4,4	4,6	4,7		
Уровни звукового давления от источника ШТ-9 в расчётной точке днём, дБ		**ф-ла(3)[10]**	**6,8**	**6,6**	**17,1**	**1,3**	**2**	**0**	**0**	**0**	**0**	**3,4**	**3,4**
Уровни звукового давления от источника ШТ-9 в расчётной точке ночью, дБ		**ф-ла(3)[10]**	**0**	**0**	**0**	**0**	**0**	**0**	**0**	**0**	**0**	**0**	**0**
Источник шума: ШТ-10, координаты источника (x,y,z), м =[629.86,-268.44,1.00]													
Уровни звуковой мощности источника днём, Lw, дБ		**исходные данные**	**100**	**100**	**94**	**90**	**88**	**77**	**73**	**65**	**58**		
Уровни звуковой мощности источника ночью, Lw, дБ		**исходные данные**	**0**	**0**	**0**	**0**	**0**	**0**	**0**	**0**	**0**		
Поправка на телесный угол DΩ, дБ	Ω = 12.57	10Lg(4π/Ω)	**0**	0	0	0	0	0	0	0	0		

1		2	3	4	5	6	7	8	9	10	11	12	13
Показатель направленности источника Di, дБ		исходные данные	**0**	0	0	0	0	0	0	0	0		
Поправка на направленность источника Dc, дБ	Dc	DΩ + Di	**0**	0	0	0	0	0	0	0	0		
Затухание из-за геометрической дивергенции, Adiv, дБ	расстояние = 454.46 м	ф-ла (7) [10]	**64,2**										
Коэффициент затухания звука в атмосфере α, дБ/км	Ta=20,°C Pa=101.33,кПа hотн.=70%	ф-ла (5) [9]	0,02	0,09	0,33	1,12	2,79	4,98	9,04	23,09	77,63		
Учет затухания звука в атмосфере Aatm, дБ		ф-ла (8) [10]	0	0	0,2	0,5	1,3	2,3	4,1	10,5	35,3		
Снижение уровня звукового давления из-за влияния застройки между источником шума и расчетной точкой													
Снижение уровня звукового давления на пути над экраном, Dz1, дБ	z = 0.04м (разность путей)	ф-лы (14-18) [10]	4,8	4,8	4,8	4,8	4,8	4,8	4,8	4,8	4,9		
Снижение уровня звукового давления на пути слева от экрана, Dz2, дБ	z = 24.22м (разность путей)	ф-лы (14-18) [10]	23,4	27	30,2	33,3	36,3	39,3	42,3	45,3	48,4		
Снижение уровня звукового давления на пути справа от экрана, Dz3, дБ	z = 0.01м (разность путей)	ф-лы (14-18) [10]	4,8	4,9	5	5,2	5,6	6,2	7,3	9	11		
Общее снижение уровня звука препятствием Dz, дБ		Эн.сумма(-Dzi)	1,8	1,8	1,9	2	2,1	2,4	2,9	3,4	3,9		
Уровни звукового давления от источника ШТ-10 в расчётной точке днём, дБ		**ф-ла(3)[10]**	**34,1**	**34**	**27,8**	**23,4**	**20,4**	**8,1**	**1,9**	**0**	**0**	**20,5**	**20,5**
Уровни звукового давления от источника ШТ-10 в расчётной точке ночью, дБ		**ф-ла(3)[10]**	**0**	**0**	**0**	**0**	**0**	**0**	**0**	**0**	**0**	**0**	**0**
Источник шума: ШТ-11, координаты источника (x,y,z), м =[585.91,-204.05,1.00]													
Уровни звуковой мощности источника днём, Lw, дБ		**исходные данные**	**100**	**100**	**94**	**90**	**88**	**77**	**73**	**65**	**58**		
Уровни звуковой мощности источника ночью, Lw, дБ		**исходные данные**	**0**	**0**	**0**	**0**	**0**	**0**	**0**	**0**	**0**		
Поправка на телесный угол DΩ, дБ	Ω = 12.57	10Lg(4π/Ω)	**0**	0	0	0	0	0	0	0	0		

1		2	3	4	5	6	7	8	9	10	11	12	13
Показатель направленности источника Di, дБ		исходные данные	**0**	0	0	0	0	0	0	0	0		
Поправка на направленность источника Dc, дБ	Dc	DΩ + Di	**0**	0	0	0	0	0	0	0	0		
Затухание из-за геометрической дивергенции, Adiv, дБ	расстояние = 402.42 м	ф-ла (7) [10]	**63,1**										
Коэффициент затухания звука в атмосфере α, дБ/км	Ta=20,°C Pa=101.33,кПа hотн.=70%	ф-ла (5) [9]	0,02	0,09	0,33	1,12	2,79	4,98	9,04	23,09	77,63		
Учет затухания звука в атмосфере Aatm, дБ		ф-ла (8) [10]	0	0	0,1	0,5	1,1	2	3,6	9,3	31,2		
Снижение поверхностью земли возле источника As, дБ	Gs = 0 hs = 1м	ф-лы таб.3 [10]	-1,5	-1,5	-1,5	-1,5	-1,5	-1,5	-1,5	-1,5	-1,5		
Снижение поверхностью земли возле приёмника Ar, дБ	Gr = 1 hr = 1.6м	ф-лы таб.3 [10]	-1,5	-1,5	2,4	6,8	4,3	0,5	0	0	0		
Снижение поверхностью земли в средней зоне, Am дБ	Gm = 1	ф-лы таб.3 [10]	-2,4	-2,4	0	0	0	0	0	0	0		
Суммарное снижение поверхностью земли на траектории распространения звука Agr, дБ		ф-ла (9) [10]	-5,4	-5,4	0,9	5,3	2,8	-1	-1,5	-1,5	-1,5		
Уровни звукового давления прямого звука от источника ШТ-11 в расчётной точке днём, дБ		**ф-ла(3)[10]**	**42,3**	**42,3**	**29,9**	**21,1**	**21**	**12,9**	**7,8**	**0**	**0**	**22,3**	**22,3**
Уровни звукового давления прямого звука от источника ШТ-11 в расчётной точке ночью, дБ		**ф-ла(3)[10]**	**0**	**0**	**0**	**0**	**0**	**0**	**0**	**0**	**0**	**0**	**0**
Расчёт отражённого звука													
Уровни звукового давления от мнимого источника ШТ-11_мн.(1) в расчётной точке днём, дБ		**ф-ла(3)[10]**	**0**	**0**	**25**	**10,8**	**9,6**	**8,4**	**5,3**	**0**	**0**	**14**	**14**
Уровни звукового давления от мнимого источника ШТ-11_мн.(1) в расчётной точке ночью, дБ		**ф-ла(3)[10]**	**0**	**0**	**0**	**0**	**0**	**0**	**0**	**0**	**0**	**0**	**0**
Уровни звукового давления от источника ШТ-11 в расчётной точке днём, дБ		**ф-ла(3)[10]**	**42,3**	**42,3**	**31,1**	**21,5**	**21,3**	**14,2**	**9,7**	**0**	**0**	**22,9**	**22,9**
Уровни звукового давления от источника ШТ-11 в расчётной точке ночью, дБ		**ф-ла(3)[10]**	**0**	**0**	**0**	**0**	**0**	**0**	**0**	**0**	**0**	**0**	**0**

1		2	3	4	5	6	7	8	9	10	11	12	13
Источник шума: ШТ-12, координаты источника (x,y,z), м =[529.09,-315.23,1.00]													
Уровни звуковой мощности источника днём, Lw, дБ		**исходные данные**	**100**	**100**	**94**	**90**	**88**	**77**	**73**	**65**	**58**		
Уровни звуковой мощности источника ночью, Lw, дБ		**исходные данные**	**0**	**0**	**0**	**0**	**0**	**0**	**0**	**0**	**0**		
Поправка на телесный угол DΩ, дБ	Ω = 12.57	10Lg(4π/Ω)	**0**	0	0	0	0	0	0	0	0		
Показатель направленности источника Di, дБ		исходные данные	**0**	0	0	0	0	0	0	0	0		
Поправка на направленность источника Dc, дБ	Dc	DΩ + Di	**0**	0	0	0	0	0	0	0	0		
Затухание из-за геометрической дивергенции, Adiv, дБ	расстояние = 370.73 м	ф-ла (7) [10]	**62,4**										
Коэффициент затухания звука в атмосфере α, дБ/км	Ta=20,°C Pa=101.33,кПа hотн.=70%	ф-ла (5) [9]	0,02	0,09	0,33	1,12	2,79	4,98	9,04	23,09	77,63		
Учет затухания звука в атмосфере Aatm, дБ		ф-ла (8) [10]	0	0	0,1	0,4	1	1,8	3,4	8,6	28,8		
Снижение уровня звукового давления из-за влияния застройки между источником шума и расчетной точкой													
Снижение уровня звукового давления на пути над экраном, Dz1, дБ	z = 0.99м (разность путей)	ф-лы (14-18) [10]	7,5	10,3	13,4	16,4	19,3	22,3	25,3	28,3	31,3		
Снижение уровня звукового давления на пути слева от экрана, Dz2, дБ	z = 18.71м (разность путей)	ф-лы (14-18) [10]	21,8	25,7	29	32,2	35,2	38,2	41,2	44,2	47,2		
Снижение уровня звукового давления на пути справа от экрана, Dz3, дБ	z = 3.16м (разность путей)	ф-лы (14-18) [10]	11,9	15,1	19,2	23,5	27,2	30,4	33,5	36,5	39,5		
Общее снижение уровня звука препятствием Dz, дБ		Эн.сумма(-Dzi)	6,1	8,9	12,3	15,5	18,6	21,6	24,6	27,6	30,6		
Общее снижение уровня звука препятствием с учётом ограничения (25 дБ) для октавных полос Dz, дБ		Раздел 7.4 [10]	6,1	8,9	12,3	15,5	18,6	21,6	24,6	25	25		
Уровни звукового давления от источника ШТ-12 в расчётной точке днём, дБ		**ф-ла(3)[10]**	**31,5**	**28,6**	**19,2**	**11,7**	**6**	**0**	**0**	**0**	**0**	**9**	**9**

1		2	3	4	5	6	7	8	9	10	11	12	13
Уровни звукового давления от источника ШТ-12 в расчётной точке ночью, дБ		**ф-ла(3)[10]**	**0**	**0**	**0**	**0**	**0**	**0**	**0**	**0**	**0**	**0**	**0**
Источник шума: ШТ-13, координаты источника (x,y,z), м =[659.03,-392.14,1.00]													
Уровни звуковой мощности источника днём, Lw, дБ		**исходные данные**	**100**	**100**	**94**	**90**	**88**	**77**	**73**	**65**	**58**		
Уровни звуковой мощности источника ночью, Lw, дБ		**исходные данные**	**0**	**0**	**0**	**0**	**0**	**0**	**0**	**0**	**0**		
Поправка на телесный угол DΩ, дБ	Ω = 12.57	10Lg(4π/Ω)	**0**	0	0	0	0	0	0	0	0		
Показатель направленности источника Di, дБ		исходные данные	**0**	0	0	0	0	0	0	0	0		
Поправка на направленность источника Dc, дБ	Dc	DΩ + Di	**0**	0	0	0	0	0	0	0	0		
Затухание из-за геометрической дивергенции, Adiv, дБ	расстояние = 520.38 м	ф-ла (7) [10]	**65,3**										
Коэффициент затухания звука в атмосфере α, дБ/км	Ta=20,°C Pa=101.33,кПа hотн.=70%	ф-ла (5) [9]	0,02	0,09	0,33	1,12	2,79	4,98	9,04	23,09	77,63		
Учет затухания звука в атмосфере Aatm, дБ		ф-ла (8) [10]	0	0	0,2	0,6	1,5	2,6	4,7	12	40,4		
Снижение уровня звукового давления из-за влияния застройки между источником шума и расчетной точкой													
Снижение уровня звукового давления на пути над экраном, Dz1, дБ	z = 1.63м (разность путей)	ф-лы (14-18) [10]	9,4	12,7	15,9	18,9	21,9	24,9	27,9	30,9	33,9		
Снижение уровня звукового давления на пути слева от экрана, Dz2, дБ	z = 33.63м (разность путей)	ф-лы (14-18) [10]	21,3	25	29,3	33,7	37,4	40,7	43,7	46,8	49,8		
Снижение уровня звукового давления на пути справа от экрана, Dz3, дБ	z = 4.31м (разность путей)	ф-лы (14-18) [10]	13	16,3	20,5	24,9	28,5	31,8	34,8	37,8	40,9		
Общее снижение уровня звука препятствием Dz, дБ		Эн.сумма(-Dzi)	7,7	11	14,5	17,8	21	24	27	30	33		
Общее снижение уровня звука препятствием с учётом ограничения (25 дБ) для октавных полос Dz, дБ		Раздел 7.4 [10]	7,7	11	14,5	17,8	21	24	25	25	25		

1		2	3	4	5	6	7	8	9	10	11	12	13
Уровни звукового давления от источника ШТ-13 в расчётной точке днём, дБ		**ф-ла(3)[10]**	**27**	**23,6**	**14**	**6,3**	**0,3**	**0**	**0**	**0**	**0**	**3,7**	**3,7**
Уровни звукового давления от источника ШТ-13 в расчётной точке ночью, дБ		**ф-ла(3)[10]**	**0**	**0**	**0**	**0**	**0**	**0**	**0**	**0**	**0**	**0**	**0**
Источник шума: ШТ-14, координаты источника (x,y,z), м =[499.22,-149.33,1.00]													
Уровни звуковой мощности источника днём, Lw, дБ		**исходные данные**	**100**	**100**	**94**	**90**	**88**	**77**	**73**	**65**	**58**		
Уровни звуковой мощности источника ночью, Lw, дБ		**исходные данные**	**0**	**0**	**0**	**0**	**0**	**0**	**0**	**0**	**0**		
Поправка на телесный угол DΩ, дБ	Ω = 12.57	10Lg(4π/Ω)	**0**	0	0	0	0	0	0	0	0		
Показатель направленности источника Di, дБ		исходные данные	**0**	0	0	0	0	0	0	0	0		
Поправка на направленность источника Dc, дБ	Dc	DΩ + Di	**0**	0	0	0	0	0	0	0	0		
Затухание из-за геометрической дивергенции, Adiv, дБ	расстояние = 316.35 м	ф-ла (7) [10]	**61**										
Коэффициент затухания звука в атмосфере α, дБ/км	Ta=20,°C Pa=101.33,кПа hотн.=70%	ф-ла (5) [9]	0,02	0,09	0,33	1,12	2,79	4,98	9,04	23,09	77,63		
Учет затухания звука в атмосфере Aatm, дБ		ф-ла (8) [10]	0	0	0,1	0,4	0,9	1,6	2,9	7,3	24,6		
Снижение поверхностью земли возле источника As, дБ	Gs = 0 hs = 1м	ф-лы таб.3 [10]	-1,5	-1,5	-1,5	-1,5	-1,5	-1,5	-1,5	-1,5	-1,5		
Снижение поверхностью земли возле приёмника Ar, дБ	Gr = 1 hr = 1.6м	ф-лы таб.3 [10]	-1,5	-1,5	1,9	6,8	4,3	0,5	0	0	0		
Снижение поверхностью земли в средней зоне, Am дБ	Gm = 1	ф-лы таб.3 [10]	-2,3	-2,3	0	0	0	0	0	0	0		
Суммарное снижение поверхностью земли на траектории распространения звука Agr, дБ		ф-ла (9) [10]	-5,3	-5,3	0,4	5,3	2,8	-1	-1,5	-1,5	-1,5		
Уровни звукового давления прямого звука от источника ШТ-14 в расчётной точке днём, дБ		**ф-ла(3)[10]**	**44,2**	**44,2**	**32,5**	**23,3**	**23,3**	**15,4**	**10,6**	**0**	**0**	**24,7**	**24,7**

1		2	3	4	5	6	7	8	9	10	11	12	13
Уровни звукового давления прямого звука от источника ШТ-14 в расчётной точке ночью, дБ		**ф-ла(3)[10]**	**0**	**0**	**0**	**0**	**0**	**0**	**0**	**0**	**0**	**0**	**0**
Расчёт отражённого звука													
Уровни звукового давления от мнимого источника ШТ-14_мн.(1) в расчётной точке днём, дБ		**ф-ла(3)[10]**	**0**	**0**	**28,3**	**13**	**12**	**10,9**	**8,1**	**0**	**0**	**16,8**	**16,8**
Уровни звукового давления от мнимого источника ШТ-14_мн.(1) в расчётной точке ночью, дБ		**ф-ла(3)[10]**	**0**	**0**	**0**	**0**	**0**	**0**	**0**	**0**	**0**	**0**	**0**
Уровни звукового давления от источника ШТ-14 в расчётной точке днём, дБ		**ф-ла(3)[10]**	**44,2**	**44,2**	**33,9**	**23,7**	**23,6**	**16,7**	**12,6**	**0**	**0**	**25,3**	**25,3**
Уровни звукового давления от источника ШТ-14 в расчётной точке ночью, дБ		**ф-ла(3)[10]**	**0**	**0**	**0**	**0**	**0**	**0**	**0**	**0**	**0**	**0**	**0**
Уровни звукового давления в расчётной точке													
Суммарные уровни звукового давления в расчётной точке от всех источников шума днём, Lрт, дБ		**ф-ла (19) [1]**	**59,6**	**57,3**	**54,8**	**51,3**	**50,7**	**53,1**	**48,8**	**37**	**0**	**55,9**	**57,6**
Суммарные уровни звукового давления в расчётной точке от всех источников шума ночью, Lрт, дБ		**ф-ла (19) [1]**	**51,1**	**54,6**	**51,6**	**50,1**	**49,6**	**51,6**	**46,3**	**34,7**	**0**	**54,3**	**54,3**
Допускаемые УЗД днём, Lдоп, дБ	Территории предприятий с постоянными рабочими местами	Табл. 1[3]	107	95	87	82	78	75	73	71	69	80	95
Допускаемые УЗД ночью, Lдоп, дБ	Территории предприятий с постоянными рабочими местами	Табл. 1[3]	107	95	87	82	78	75	73	71	69	80	95
Превышение днём, дБ		**Lрт - Lдоп**	**-47,4**	**-37,7**	**-32,2**	**-30,7**	**-27,3**	**-21,9**	**-24,2**	**-34**	**-69**	**-24,1**	**-37,4**
Превышение ночью, дБ		**Lрт - Lдоп**	**-55,9**	**-40,4**	**-35,4**	**-31,9**	**-28,4**	**-23,4**	**-26,7**	**-36,3**	**-69**	**-25,7**	**-40,7**

Определение уровней звукового давления в точке РТ-2-2 (координаты точки, м: x = 225.18, y = -192.82, z = 1.60)													
Наименование величин и их описание		**Ссылка**	**Расчётные уровни в октавных полосах, со среднегеометрическими частотами, Гц**									**La, дБА**	**Lмакс, дБА**
			31,5	**63**	**125**	**250**	**500**	**1000**	**2000**	**4000**	**8000**		
1		**2**	**3**	**4**	**5**	**6**	**7**	**8**	**9**	**10**	**11**	**12**	**13**
Источник шума: ИШ-1-1, координаты источника (x,y,z), м =[271.72,229.68,1.00]													
Уровни звуковой мощности источника днём, Lw, дБ		**исходные данные**	**97**	**97**	**104**	**106**	**105**	**105**	**98**	**87**	**81**		
Уровни звуковой мощности источника ночью, Lw, дБ		**исходные данные**	**97**	**97**	**104**	**106**	**105**	**105**	**98**	**87**	**81**		
Поправка на телесный угол DΩ, дБ	Ω = 6.28	10Lg(4π/Ω)	**3**	3	3	3	3	3	3	3	3		
Показатель направленности источника Di, дБ		исходные данные	**0**	0	0	0	0	0	0	0	0		
Поправка на направленность источника Dc, дБ	Dc	DΩ + Di	**3**	3	3	3	3	3	3	3	3		
Затухание из-за геометрической дивергенции, Adiv, дБ	расстояние = 425.06 м	ф-ла (7) [10]	**63,6**										
Коэффициент затухания звука в атмосфере α, дБ/км	Ta=20,°C Pa=101.33,кПа hотн.=70%	ф-ла (5) [9]	0,02	0,09	0,33	1,12	2,79	4,98	9,04	23,09	77,63		
Учет затухания звука в атмосфере Aatm, дБ		ф-ла (8) [10]	0	0	0,1	0,5	1,2	2,1	3,8	9,8	33		
Снижение поверхностью земли возле источника As, дБ	Gs = 0 hs = 1м	ф-лы таб.3 [10]	-1,5	-1,5	-1,5	-1,5	-1,5	-1,5	-1,5	-1,5	-1,5		
Снижение поверхностью земли возле приёмника Ar, дБ	Gr = 1 hr = 1.6м	ф-лы таб.3 [10]	-1,5	-1,5	2,5	6,8	4,3	0,5	0	0	0		
Снижение поверхностью земли в средней зоне, Am дБ	Gm = 1	ф-лы таб.3 [10]	-2,4	-2,4	0	0	0	0	0	0	0		
Суммарное снижение поверхностью земли на траектории распространения звука Agr, дБ		ф-ла (9) [10]	-5,4	-5,4	1	5,3	2,8	-1	-1,5	-1,5	-1,5		

1	2	3	4	5	6	7	8	9	10	11	12	13
Уровни звукового давления прямого звука от источника ИШ-1-1 в расчётной точке днём, дБ	**ф-ла(3)[10]**	**41,9**	**41,9**	**42,3**	**39,6**	**40,4**	**43,3**	**35,1**	**18,1**	**0**	**45,2**	**45,2**
Уровни звукового давления прямого звука от источника ИШ-1-1 в расчётной точке ночью, дБ	**ф-ла(3)[10]**	**41,9**	**41,9**	**42,3**	**39,6**	**40,4**	**43,3**	**35,1**	**18,1**	**0**	**45,2**	**45,2**
Расчёт отражённого звука												
Уровни звукового давления от мнимого источника ИШ-1-1_мн.(1) в расчётной точке днём, дБ	**ф-ла(3)[10]**	**0**	**0**	**0**	**0**	**0**	**35,2**	**28,3**	**9**	**0**	**36,2**	**36,2**
Уровни звукового давления от мнимого источника ИШ-1-1_мн.(1) в расчётной точке ночью, дБ	**ф-ла(3)[10]**	**0**	**0**	**0**	**0**	**0**	**0**	**0**	**0**	**0**	**36,2**	**36,2**
Уровни звукового давления от мнимого источника ИШ-1-1_мн.(2) в расчётной точке днём, дБ	**ф-ла(3)[10]**	**40,8**	**40,8**	**37,1**	**29,2**	**29**	**38,7**	**32,5**	**15,5**	**0**	**40,2**	**40,2**
Уровни звукового давления от мнимого источника ИШ-1-1_мн.(2) в расчётной точке ночью, дБ	**ф-ла(3)[10]**	**40,8**	**40,8**	**40,8**	**40,8**	**40,8**	**40,8**	**40,8**	**40,8**	**40,8**	**40,2**	**40,2**
Уровни звукового давления от мнимого источника ИШ-1-1_мн.(3) в расчётной точке днём, дБ	**ф-ла(3)[10]**	**0**	**0**	**0**	**0**	**0**	**0**	**0**	**0**	**0**	**0**	**0**
Уровни звукового давления от мнимого источника ИШ-1-1_мн.(3) в расчётной точке ночью, дБ	**ф-ла(3)[10]**	**0**	**0**	**0**	**0**	**0**	**0**	**0**	**0**	**0**	**0**	**0**
Суммарные уровни звукового давления от мнимых источников в расчётной точке днём, дБ	**ф-ла (19) [1]**	**40,8**	**40,8**	**37,1**	**29,2**	**29**	**40,3**	**33,9**	**16,4**	**0**	**0**	**41,7**
Суммарные уровни звукового давления от мнимых источников в расчётной точке ночью, дБ	**ф-ла (19) [1]**	**40,8**	**40,8**	**37,1**	**29,2**	**29**	**40,3**	**33,9**	**16,4**	**0**	**0**	**41,7**
Уровни звукового давления от источника ИШ-1-1 в расчётной точке днём, дБ	**ф-ла(3)[10]**	**44,4**	**44,4**	**43,4**	**40**	**40,7**	**45,1**	**37,6**	**20,3**	**0**	**46,8**	**46,8**
Уровни звукового давления от источника ИШ-1-1 в расчётной точке ночью, дБ	**ф-ла(3)[10]**	**44,4**	**44,4**	**43,4**	**40**	**40,7**	**45,1**	**37,6**	**20,3**	**0**	**46,8**	**46,8**
Источник шума: ИШ-1-2, координаты источника (x,y,z), м =[261.74,199.14,1.00]												
Уровни звуковой мощности источника днём, Lw, дБ	**исходные данные**	**97**	**97**	**104**	**106**	**105**	**105**	**98**	**87**	**81**		
Уровни звуковой мощности источника ночью, Lw, дБ	**исходные данные**	**97**	**97**	**104**	**106**	**105**	**105**	**98**	**87**	**81**		
Поправка на телесный угол DΩ, дБ, Ω = 6.28	10Lg(4π/Ω)	**3**	3	3	3	3	3	3	3	3		

1		2	3	4	5	6	7	8	9	10	11	12	13
Показатель направленности источника Di, дБ		исходные данные	**0**	0	0	0	0	0	0	0	0		
Поправка на направленность источника Dc, дБ	Dc	DΩ + Di	**3**	3	3	3	3	3	3	3	3		
Затухание из-за геометрической дивергенции, Adiv, дБ	расстояние = 393.66 м	ф-ла (7) [10]	**62,9**										
Коэффициент затухания звука в атмосфере α, дБ/км	Ta=20,°C Pa=101.33,кПа hотн.=70%	ф-ла (5) [9]	0,02	0,09	0,33	1,12	2,79	4,98	9,04	23,09	77,63		
Учет затухания звука в атмосфере Aatm, дБ		ф-ла (8) [10]	0	0	0,1	0,4	1,1	2	3,6	9,1	30,6		
Снижение поверхностью земли возле источника As, дБ	Gs = 0 hs = 1м	ф-лы таб.3 [10]	-1,5	-1,5	-1,5	-1,5	-1,5	-1,5	-1,5	-1,5	-1,5		
Снижение поверхностью земли возле приёмника Ar, дБ	Gr = 1 hr = 1.6м	ф-лы таб.3 [10]	-1,5	-1,5	2,3	6,8	4,3	0,5	0	0	0		
Снижение поверхностью земли в средней зоне, Am дБ	Gm = 1	ф-лы таб.3 [10]	-2,4	-2,4	0	0	0	0	0	0	0		
Суммарное снижение поверхностью земли на траектории распространения звука Agr, дБ		ф-ла (9) [10]	-5,4	-5,4	0,8	5,3	2,8	-1	-1,5	-1,5	-1,5		
Уровни звукового давления прямого звука от источника ИШ-1-2 в расчётной точке днём, дБ		**ф-ла(3)[10]**	**42,5**	**42,5**	**43,1**	**40,3**	**41,2**	**44,2**	**36,1**	**19,5**	**0**	**46**	**46**
Уровни звукового давления прямого звука от источника ИШ-1-2 в расчётной точке ночью, дБ		**ф-ла(3)[10]**	**42,5**	**42,5**	**43,1**	**40,3**	**41,2**	**44,2**	**36,1**	**19,5**	**0**	**46**	**46**
Расчёт отражённого звука													
Уровни звукового давления от мнимого источника ИШ-1-2_мн.(1) в расчётной точке днём, дБ		**ф-ла(3)[10]**	**0**	**0**	**0**	**0**	**0**	**34,6**	**27,6**	**7,8**	**0**	**35,6**	**35,6**
Уровни звукового давления от мнимого источника ИШ-1-2_мн.(1) в расчётной точке ночью, дБ		**ф-ла(3)[10]**	**0**	**0**	**0**	**0**	**0**	**0**	**0**	**0**	**0**	**35,6**	**35,6**
Уровни звукового давления от мнимого источника ИШ-1-2_мн.(2) в расчётной точке днём, дБ		**ф-ла(3)[10]**	**41,5**	**41,4**	**38,2**	**29,9**	**29,8**	**39,5**	**33,5**	**16,9**	**0**	**41,1**	**41,1**
Уровни звукового давления от мнимого источника ИШ-1-2_мн.(2) в расчётной точке ночью, дБ		**ф-ла(3)[10]**	**41,4**	**41,4**	**41,4**	**41,4**	**41,4**	**41,4**	**41,4**	**41,4**	**41,4**	**41,1**	**41,1**
Суммарные уровни звукового давления от мнимых источников в расчётной точке днём, дБ		**ф-ла (19) [1]**	**41,5**	**41,4**	**38,2**	**29,9**	**29,8**	**40,7**	**34,5**	**17,4**	**0**	**0**	**42,1**

1		2	3	4	5	6	7	8	9	10	11	12	13
Суммарные уровни звукового давления от мнимых источников в расчётной точке ночью, дБ		**ф-ла (19) [1]**	**41,5**	**41,4**	**38,2**	**29,9**	**29,8**	**40,7**	**34,5**	**17,4**	**0**	**0**	**42,1**
Уровни звукового давления от источника ИШ-1-2 в расчётной точке днём, дБ		**ф-ла(3)[10]**	**45**	**45**	**44,4**	**40,7**	**41,5**	**45,8**	**38,3**	**21,6**	**0**	**47,5**	**47,5**
Уровни звукового давления от источника ИШ-1-2 в расчётной точке ночью, дБ		**ф-ла(3)[10]**	**45**	**45**	**44,4**	**40,7**	**41,5**	**45,8**	**38,3**	**21,6**	**0**	**47,5**	**47,5**
Источник шума: ИШ-1-3, координаты источника (x,y,z), м =[251.75,236.44,1.00]													
Уровни звуковой мощности источника днём, Lw, дБ		**исходные данные**	**0**	**91,3**	**92,7**	**94**	**94,3**	**93,9**	**90,6**	**86,4**	**81,9**		
Уровни звуковой мощности источника ночью, Lw, дБ		**исходные данные**	**0**	**91,3**	**92,7**	**94**	**94,3**	**93,9**	**90,6**	**86,4**	**81,9**		
Поправка на телесный угол DΩ, дБ	Ω = 6.28	10Lg(4π/Ω)	**3**	3	3	3	3	3	3	3	3		
Показатель направленности источника Di, дБ		исходные данные	**0**	0	0	0	0	0	0	0	0		
Поправка на направленность источника Dc, дБ	Dc	DΩ + Di	**3**	3	3	3	3	3	3	3	3		
Затухание из-за геометрической дивергенции, Adiv, дБ	расстояние = 430.08 м	ф-ла (7) [10]	**63,7**										
Коэффициент затухания звука в атмосфере α, дБ/км	Ta=20,°C Pa=101.33,кПа hотн.=70%	ф-ла (5) [9]	0,02	0,09	0,33	1,12	2,79	4,98	9,04	23,09	77,63		
Учет затухания звука в атмосфере Aatm, дБ		ф-ла (8) [10]	0	0	0,1	0,5	1,2	2,1	3,9	9,9	33,4		
Снижение уровня звукового давления из-за влияния застройки между источником шума и расчетной точкой													
Снижение уровня звукового давления препятствием справа от трассы ИШ-РТ, Dz3, дБ	z = -0.14м (разность путей)	ф-лы (14-18) [10]	0	3	0	NAN	NAN	NAN	NAN	NAN	NAN		
* отрицательное значение z означает прохождение траектории вблизи экрана, в этом случае дополнительно производится учёт снижения подстилающей поверхностью (см.ниже)													
Снижение поверхностью земли возле источника As, дБ	Gs = 0 hs = 1м	ф-лы таб.3 [10]	-1,5	-1,5	-1,5	-1,5	-1,5	-1,5	-1,5	-1,5	-1,5		
Снижение поверхностью земли возле приёмника Ar, дБ	Gr = 1 hr = 1.6м	ф-лы таб.3 [10]	-1,5	-1,5	2,6	6,8	4,3	0,5	0	0	0		

1		2	3	4	5	6	7	8	9	10	11	12	13
Снижение поверхностью земли в средней зоне, Am дБ	Gm = 1	ф-лы таб.3 [10]	-2,5	-2,5	0	0	0	0	0	0	0		
Суммарное снижение поверхностью земли на траектории распространения звука Agr, дБ		ф-ла (9) [10]	-5,5	-5,5	1,1	5,3	2,8	-1	-1,5	-1,5	-1,5		
Уровни звукового давления прямого звука от источника ИШ-1-3 в расчётной точке днём, дБ		**ф-ла(3)[10]**	**0**	**33**	**30,8**	**27,5**	**29,6**	**32,1**	**27,5**	**17,3**	**0**	**34,7**	**34,7**
Уровни звукового давления прямого звука от источника ИШ-1-3 в расчётной точке ночью, дБ		**ф-ла(3)[10]**	**0**	**33**	**30,8**	**27,5**	**29,6**	**32,1**	**27,5**	**17,3**	**0**	**34,7**	**34,7**
Расчёт отражённого звука													
Уровни звукового давления от мнимого источника ИШ-1-3_мн.(1) в расчётной точке днём, дБ		**ф-ла(3)[10]**	**0**	**0**	**0**	**0**	**0**	**0**	**0**	**12,8**	**0**	**13,8**	**13,8**
Уровни звукового давления от мнимого источника ИШ-1-3_мн.(1) в расчётной точке ночью, дБ		**ф-ла(3)[10]**	**0**	**0**	**0**	**0**	**0**	**0**	**0**	**0**	**0**	**13,8**	**13,8**
Уровни звукового давления от мнимого источника ИШ-1-3_мн.(2) в расчётной точке днём, дБ		**ф-ла(3)[10]**	**0**	**0**	**0**	**0**	**0**	**24**	**20,8**	**8,3**	**0**	**26,2**	**26,2**
Уровни звукового давления от мнимого источника ИШ-1-3_мн.(2) в расчётной точке ночью, дБ		**ф-ла(3)[10]**	**0**	**0**	**0**	**0**	**0**	**0**	**0**	**0**	**0**	**26,2**	**26,2**
Уровни звукового давления от мнимого источника ИШ-1-3_мн.(3) в расчётной точке днём, дБ		**ф-ла(3)[10]**	**0**	**35**	**25,6**	**17,1**	**18,2**	**27,5**	**24,9**	**14,7**	**0**	**30,3**	**30,3**
Уровни звукового давления от мнимого источника ИШ-1-3_мн.(3) в расчётной точке ночью, дБ		**ф-ла(3)[10]**	**25,6**	**25,6**	**25,6**	**25,6**	**25,6**	**25,6**	**25,6**	**25,6**	**25,6**	**30,3**	**30,3**
Суммарные уровни звукового давления от мнимых источников в расчётной точке днём, дБ		**ф-ла (19) [1]**	**0**	**35**	**25,6**	**17,1**	**18,2**	**29,1**	**26,4**	**17,4**	**0**	**0**	**31,8**
Суммарные уровни звукового давления от мнимых источников в расчётной точке ночью, дБ		**ф-ла (19) [1]**	**0**	**35**	**25,6**	**17,1**	**18,2**	**29,1**	**26,4**	**17,4**	**0**	**0**	**31,8**
Уровни звукового давления от источника ИШ-1-3 в расчётной точке днём, дБ		**ф-ла(3)[10]**	**0**	**37,1**	**32**	**27,9**	**29,9**	**33,8**	**30**	**20,4**	**0**	**36,5**	**36,5**
Уровни звукового давления от источника ИШ-1-3 в расчётной точке ночью, дБ		**ф-ла(3)[10]**	**0**	**37,1**	**32**	**27,9**	**29,9**	**33,8**	**30**	**20,4**	**0**	**36,5**	**36,5**
Источник шума: ИШ-1-4, координаты источника (x,y,z), м =[290.25,223.25,1.00]													
Уровни звуковой мощности источника днём, Lw, дБ		**исходные данные**	**0**	**91,3**	**92,7**	**94**	**94,3**	**93,9**	**90,6**	**86,4**	**81,9**		

1		2	3	4	5	6	7	8	9	10	11	12	13
Уровни звуковой мощности источника ночью, Lw, дБ		**исходные данные**	**0**	**91,3**	**92,7**	**94**	**94,3**	**93,9**	**90,6**	**86,4**	**81,9**		
Поправка на телесный угол DΩ, дБ	Ω = 6.28	10Lg(4π/Ω)	**3**	3	3	3	3	3	3	3	3		
Показатель направленности источника Di, дБ		исходные данные	**0**	0	0	0	0	0	0	0	0		
Поправка на направленность источника Dc, дБ	Dc	DΩ + Di	**3**	3	3	3	3	3	3	3	3		
Затухание из-за геометрической дивергенции, Adiv, дБ	расстояние = 421.13 м	ф-ла (7) [10]	**63,5**										
Коэффициент затухания звука в атмосфере α, дБ/км	Ta=20,°C Pa=101.33,кПа hотн.=70%	ф-ла (5) [9]	0,02	0,09	0,33	1,12	2,79	4,98	9,04	23,09	77,63		
Учет затухания звука в атмосфере Aatm, дБ		ф-ла (8) [10]	0	0	0,1	0,5	1,2	2,1	3,8	9,7	32,7		
Снижение поверхностью земли возле источника As, дБ	Gs = 0 hs = 1м	ф-лы таб.3 [10]	-1,5	-1,5	-1,5	-1,5	-1,5	-1,5	-1,5	-1,5	-1,5		
Снижение поверхностью земли возле приёмника Ar, дБ	Gr = 1 hr = 1.6м	ф-лы таб.3 [10]	-1,5	-1,5	2,5	6,8	4,3	0,5	0	0	0		
Снижение поверхностью земли в средней зоне, Am дБ	Gm = 1	ф-лы таб.3 [10]	-2,4	-2,4	0	0	0	0	0	0	0		
Суммарное снижение поверхностью земли на траектории распространения звука Agr, дБ		ф-ла (9) [10]	-5,4	-5,4	1	5,3	2,8	-1	-1,5	-1,5	-1,5		
Уровни звукового давления прямого звука от источника ИШ-1-4 в расчётной точке днём, дБ		**ф-ла(3)[10]**	**0**	**36,2**	**31**	**27,7**	**29,8**	**32,3**	**27,8**	**17,7**	**0**	**35**	**35**
Уровни звукового давления прямого звука от источника ИШ-1-4 в расчётной точке ночью, дБ		**ф-ла(3)[10]**	**0**	**36,2**	**31**	**27,7**	**29,8**	**32,3**	**27,8**	**17,7**	**0**	**35**	**35**
Расчёт отражённого звука													
Уровни звукового давления от мнимого источника ИШ-1-4_мн.(1) в расчётной точке днём, дБ		**ф-ла(3)[10]**	**0**	**0**	**0**	**0**	**0**	**24,1**	**20,9**	**8,5**	**0**	**26,3**	**26,3**
Уровни звукового давления от мнимого источника ИШ-1-4_мн.(1) в расчётной точке ночью, дБ		**ф-ла(3)[10]**	**0**	**0**	**0**	**0**	**0**	**0**	**0**	**0**	**0**	**26,3**	**26,3**
Уровни звукового давления от мнимого источника ИШ-1-4_мн.(2) в расчётной точке днём, дБ		**ф-ла(3)[10]**	**0**	**35,2**	**26**	**17,3**	**18,4**	**27,7**	**25,2**	**15**	**0**	**30,5**	**30,5**

1		2	3	4	5	6	7	8	9	10	11	12	13
Уровни звукового давления от мнимого источника ИШ-1-4_мн.(2) в расчётной точке ночью, дБ		**ф-ла(3)[10]**	**35,2**	**35,2**	**35,2**	**35,2**	**35,2**	**35,2**	**35,2**	**35,2**	**35,2**	**30,5**	**30,5**
Суммарные уровни звукового давления от мнимых источников в расчётной точке днём, дБ		**ф-ла (19) [1]**	**0**	**35,2**	**26**	**17,3**	**18,4**	**29,3**	**26,6**	**15,9**	**0**	**0**	**31,9**
Суммарные уровни звукового давления от мнимых источников в расчётной точке ночью, дБ		**ф-ла (19) [1]**	**0**	**35,2**	**26**	**17,3**	**18,4**	**29,3**	**26,6**	**15,9**	**0**	**0**	**31,9**
Уровни звукового давления от источника ИШ-1-4 в расчётной точке днём, дБ		**ф-ла(3)[10]**	**0**	**38,7**	**32,2**	**28,1**	**30,1**	**34,1**	**30,2**	**19,9**	**0**	**36,7**	**36,7**
Уровни звукового давления от источника ИШ-1-4 в расчётной точке ночью, дБ		**ф-ла(3)[10]**	**0**	**38,7**	**32,2**	**28,1**	**30,1**	**34,1**	**30,2**	**19,9**	**0**	**36,7**	**36,7**
Источник шума: ИШ-1-5, координаты источника (x,y,z), м =[241.49,205.86,1.00]													
Уровни звуковой мощности источника днём, Lw, дБ		**исходные данные**	**0**	**91,3**	**92,7**	**94**	**94,3**	**93,9**	**90,6**	**86,4**	**81,9**		
Уровни звуковой мощности источника ночью, Lw, дБ		**исходные данные**	**0**	**91,3**	**92,7**	**94**	**94,3**	**93,9**	**90,6**	**86,4**	**81,9**		
Поправка на телесный угол DΩ, дБ	Ω = 6.28	10Lg(4π/Ω)	**3**	3	3	3	3	3	3	3	3		
Показатель направленности источника Di, дБ		исходные данные	**0**	0	0	0	0	0	0	0	0		
Поправка на направленность источника Dc, дБ	Dc	DΩ + Di	**3**	3	3	3	3	3	3	3	3		
Затухание из-за геометрической дивергенции, Adiv, дБ	расстояние = 399.01 м	ф-ла (7) [10]	**63**										
Коэффициент затухания звука в атмосфере α, дБ/км	Ta=20,°C Pa=101.33,кПа hотн.=70%	ф-ла (5) [9]	0,02	0,09	0,33	1,12	2,79	4,98	9,04	23,09	77,63		
Учет затухания звука в атмосфере Aatm, дБ		ф-ла (8) [10]	0	0	0,1	0,4	1,1	2	3,6	9,2	31		
Снижение уровня звукового давления из-за влияния застройки между источником шума и расчетной точкой													
Снижение уровня звукового давления препятствием справа от трассы ИШ-РТ, Dz3, дБ	z = 0.00м (разность путей)	ф-лы (14-18) [10]	0	0	0	0	4,5	4,1	3,4	1,4	NAN		

* отрицательное значение z означает прохождение траектории вблизи экрана, в этом случае дополнительно производится учёт снижения подстилающей поверхностью (см.ниже)

1		2	3	4	5	6	7	8	9	10	11	12	13
Снижение поверхностью земли возле источника As, дБ	Gs = 0 hs = 1м	ф-лы таб.3 [10]	-1,5	-1,5	-1,5	-1,5	-1,5	-1,5	-1,5	-1,5	-1,5		
Снижение поверхностью земли возле приёмника Ar, дБ	Gr = 1 hr = 1.6м	ф-лы таб.3 [10]	-1,5	-1,5	2,4	6,8	4,3	0,5	0	0	0		
Снижение поверхностью земли в средней зоне, Am дБ	Gm = 1	ф-лы таб.3 [10]	-2,4	-2,4	0	0	0	0	0	0	0		
Суммарное снижение поверхностью земли на траектории распространения звука Agr, дБ		ф-ла (9) [10]	-5,4	-5,4	0,9	5,3	2,8	-1	-1,5	-1,5	-1,5		
Уровни звукового давления прямого звука от источника ИШ-1-5 в расчётной точке днём, дБ		**ф-ла(3)[10]**	**0**	**36,7**	**31,7**	**28,2**	**25,9**	**28,8**	**25,1**	**17,3**	**0**	**31,9**	**31,9**
Уровни звукового давления прямого звука от источника ИШ-1-5 в расчётной точке ночью, дБ		**ф-ла(3)[10]**	**0**	**36,7**	**31,7**	**28,2**	**25,9**	**28,8**	**25,1**	**17,3**	**0**	**31,9**	**31,9**
Расчёт отражённого звука													
Уровни звукового давления от мнимого источника ИШ-1-5_мн.(1) в расчётной точке днём, дБ		**ф-ла(3)[10]**	**0**	**0**	**0**	**0**	**0**	**23,4**	**20,1**	**7,1**	**0**	**25,5**	**25,5**
Уровни звукового давления от мнимого источника ИШ-1-5_мн.(1) в расчётной точке ночью, дБ		**ф-ла(3)[10]**	**0**	**0**	**0**	**0**	**0**	**0**	**0**	**0**	**0**	**25,5**	**25,5**
Уровни звукового давления от мнимого источника ИШ-1-5_мн.(2) в расчётной точке днём, дБ		**ф-ла(3)[10]**	**0**	**35,6**	**26,7**	**17,8**	**18,9**	**28,3**	**25,9**	**16**	**0**	**31,1**	**31,1**
Уровни звукового давления от мнимого источника ИШ-1-5_мн.(2) в расчётной точке ночью, дБ		**ф-ла(3)[10]**	**35,6**	**35,6**	**35,6**	**35,6**	**35,6**	**35,6**	**35,6**	**35,6**	**35,6**	**31,1**	**31,1**
Суммарные уровни звукового давления от мнимых источников в расчётной точке днём, дБ		**ф-ла (19) [1]**	**0**	**35,6**	**26,7**	**17,8**	**18,9**	**29,5**	**26,9**	**16,5**	**0**	**0**	**32,2**
Суммарные уровни звукового давления от мнимых источников в расчётной точке ночью, дБ		**ф-ла (19) [1]**	**0**	**35,6**	**26,7**	**17,8**	**18,9**	**29,5**	**26,9**	**16,5**	**0**	**0**	**32,2**
Уровни звукового давления от источника ИШ-1-5 в расчётной точке днём, дБ		**ф-ла(3)[10]**	**0**	**39,2**	**32,9**	**28,6**	**26,7**	**32,1**	**29,1**	**20**	**0**	**35,1**	**35,1**
Уровни звукового давления от источника ИШ-1-5 в расчётной точке ночью, дБ		**ф-ла(3)[10]**	**0**	**39,2**	**32,9**	**28,6**	**26,7**	**32,1**	**29,1**	**20**	**0**	**35,1**	**35,1**
Источник шума: ИШ-1-6, координаты источника (x,y,z), м =[279.85,192.97,1.00]													
Уровни звуковой мощности источника днём, Lw, дБ		**исходные данные**	**0**	**91,3**	**92,7**	**94**	**94,3**	**93,9**	**90,6**	**86,4**	**81,9**		

1		2	3	4	5	6	7	8	9	10	11	12	13
Уровни звуковой мощности источника ночью, Lw, дБ		**исходные данные**	**0**	**91,3**	**92,7**	**94**	**94,3**	**93,9**	**90,6**	**86,4**	**81,9**		
Поправка на телесный угол DΩ, дБ	Ω = 6.28	10Lg(4π/Ω)	**3**	3	3	3	3	3	3	3	3		
Показатель направленности источника Di, дБ		исходные данные	**0**	0	0	0	0	0	0	0	0		
Поправка на направленность источника Dc, дБ	Dc	DΩ + Di	**3**	3	3	3	3	3	3	3	3		
Затухание из-за геометрической дивергенции, Adiv, дБ	расстояние = 389.64 м	ф-ла (7) [10]	**62,8**										
Коэффициент затухания звука в атмосфере α, дБ/км	Ta=20,°C Pa=101.33,кПа hотн.=70%	ф-ла (5) [9]	0,02	0,09	0,33	1,12	2,79	4,98	9,04	23,09	77,63		
Учет затухания звука в атмосфере Aatm, дБ		ф-ла (8) [10]	0	0	0,1	0,4	1,1	1,9	3,5	9	30,2		
Снижение поверхностью земли возле источника As, дБ	Gs = 0 hs = 1м	ф-лы таб.3 [10]	-1,5	-1,5	-1,5	-1,5	-1,5	-1,5	-1,5	-1,5	-1,5		
Снижение поверхностью земли возле приёмника Ar, дБ	Gr = 1 hr = 1.6м	ф-лы таб.3 [10]	-1,5	-1,5	2,3	6,8	4,3	0,5	0	0	0		
Снижение поверхностью земли в средней зоне, Am дБ	Gm = 1	ф-лы таб.3 [10]	-2,4	-2,4	0	0	0	0	0	0	0		
Суммарное снижение поверхностью земли на траектории распространения звука Agr, дБ		ф-ла (9) [10]	-5,4	-5,4	0,8	5,3	2,8	-1	-1,5	-1,5	-1,5		
Уровни звукового давления прямого звука от источника ИШ-1-6 в расчётной точке днём, дБ		**ф-ла(3)[10]**	**0**	**36,8**	**31,9**	**28,4**	**30,6**	**33,1**	**28,8**	**19,1**	**0**	**35,8**	**35,8**
Уровни звукового давления прямого звука от источника ИШ-1-6 в расчётной точке ночью, дБ		**ф-ла(3)[10]**	**0**	**36,8**	**31,9**	**28,4**	**30,6**	**33,1**	**28,8**	**19,1**	**0**	**35,8**	**35,8**
Расчёт отражённого звука													
Уровни звукового давления от мнимого источника ИШ-1-6_мн.(1) в расчётной точке днём, дБ		**ф-ла(3)[10]**	**0**	**0**	**0**	**0**	**0**	**23,5**	**20,2**	**7,3**	**0**	**25,6**	**25,6**
Уровни звукового давления от мнимого источника ИШ-1-6_мн.(1) в расчётной точке ночью, дБ		**ф-ла(3)[10]**	**0**	**0**	**0**	**0**	**0**	**0**	**0**	**0**	**0**	**25,6**	**25,6**
Уровни звукового давления от мнимого источника ИШ-1-6_мн.(2) в расчётной точке днём, дБ		**ф-ла(3)[10]**	**0**	**35,8**	**27,1**	**18**	**19,2**	**28,5**	**26,2**	**16,4**	**0**	**31,4**	**31,4**

1		2	3	4	5	6	7	8	9	10	11	12	13
Уровни звукового давления от мнимого источника ИШ-1-6_мн.(2) в расчётной точке ночью, дБ		**ф-ла(3)[10]**	**35,8**	**35,8**	**35,8**	**35,8**	**35,8**	**35,8**	**35,8**	**35,8**	**35,8**	**31,4**	**31,4**
Суммарные уровни звукового давления от мнимых источников в расчётной точке днём, дБ		**ф-ла (19) [1]**	**0**	**35,8**	**27,1**	**18**	**19,2**	**29,7**	**27,1**	**16,9**	**0**	**0**	**32,4**
Суммарные уровни звукового давления от мнимых источников в расчётной точке ночью, дБ		**ф-ла (19) [1]**	**0**	**35,8**	**27,1**	**18**	**19,2**	**29,7**	**27,1**	**16,9**	**0**	**0**	**32,4**
Уровни звукового давления от источника ИШ-1-6 в расчётной точке днём, дБ		**ф-ла(3)[10]**	**0**	**39,4**	**33,2**	**28,8**	**30,9**	**34,8**	**31**	**21,2**	**0**	**37,5**	**37,5**
Уровни звукового давления от источника ИШ-1-6 в расчётной точке ночью, дБ		**ф-ла(3)[10]**	**0**	**39,4**	**33,2**	**28,8**	**30,9**	**34,8**	**31**	**21,2**	**0**	**37,5**	**37,5**
Источник шума: ИШ-1-7, координаты источника (x,y,z), м =[451.87,146.66,1.00]													
Уровни звуковой мощности источника днём, Lw, дБ		**исходные данные**	**0**	**93,3**	**94,7**	**96**	**96,3**	**95,9**	**92,6**	**88,4**	**83,9**		
Уровни звуковой мощности источника ночью, Lw, дБ		**исходные данные**	**0**	**93,3**	**94,7**	**96**	**96,3**	**95,9**	**92,6**	**88,4**	**83,9**		
Поправка на телесный угол DΩ, дБ	Ω = 6.28	10Lg(4π/Ω)	**3**	3	3	3	3	3	3	3	3		
Показатель направленности источника Di, дБ		исходные данные	**0**	0	0	0	0	0	0	0	0		
Поправка на направленность источника Dc, дБ	Dc	DΩ + Di	**3**	3	3	3	3	3	3	3	3		
Затухание из-за геометрической дивергенции, Adiv, дБ	расстояние = 408.20 м	ф-ла (7) [10]	**63,2**										
Коэффициент затухания звука в атмосфере α, дБ/км	Ta=20,°C Pa=101.33,кПа hотн.=70%	ф-ла (5) [9]	0,02	0,09	0,33	1,12	2,79	4,98	9,04	23,09	77,63		
Учет затухания звука в атмосфере Aatm, дБ		ф-ла (8) [10]	0	0	0,1	0,5	1,1	2	3,7	9,4	31,7		
Снижение уровня звукового давления из-за влияния застройки между источником шума и расчетной точкой													
Снижение уровня звукового давления на пути над экраном, Dz1, дБ	z = 0.47м (разность путей)	ф-лы (14-18) [10]	5,2	5,8	7,2	9,4	11,9	14,6	17,4	20,3	23,3		

1		2	3	4	5	6	7	8	9	10	11	12	13
Снижение уровня звукового давления на пути слева от экрана, Dz2, дБ	z = 16.60м (разность путей)	ф-лы (14-18) [10]	22,1	25,5	28,6	31,7	34,7	37,7	40,7	43,7	46,7		
Снижение уровня звукового давления на пути справа от экрана, Dz3, дБ	z = 108.66м (разность путей)	ф-лы (14-18) [10]	30,3	33,7	36,8	39,8	42,8	45,8	48,8	51,9	54,9		
Общее снижение уровня звука препятствием Dz, дБ		Эн.сумма(-Dzi)	5,1	5,7	7,2	9,4	11,9	14,6	17,4	20,3	23,2		
Уровни звукового давления от источника ИШ-1-7 в расчётной точке днём, дБ		**ф-ла(3)[10]**	**0**	**27,3**	**27,2**	**25,9**	**23**	**19,1**	**11,3**	**0**	**0**	**24,2**	**24,2**
Уровни звукового давления от источника ИШ-1-7 в расчётной точке ночью, дБ		**ф-ла(3)[10]**	**0**	**27,3**	**27,2**	**25,9**	**23**	**19,1**	**11,3**	**0**	**0**	**24,2**	**24,2**
Источник шума: ИШ-1-8, координаты источника (x,y,z), м =[454.99,145.29,1.00]													
Уровни звуковой мощности источника днём, Lw, дБ		**исходные данные**	**0**	**93,3**	**94,7**	**96**	**96,3**	**95,9**	**92,6**	**88,4**	**83,9**		
Уровни звуковой мощности источника ночью, Lw, дБ		**исходные данные**	**0**	**93,3**	**94,7**	**96**	**96,3**	**95,9**	**92,6**	**88,4**	**83,9**		
Поправка на телесный угол DΩ, дБ	Ω = 6.28	10Lg(4π/Ω)	**3**	3	3	3	3	3	3	3	3		
Показатель направленности источника Di, дБ		исходные данные	**0**	0	0	0	0	0	0	0	0		
Поправка на направленность источника Dc, дБ	Dc	DΩ + Di	**3**	3	3	3	3	3	3	3	3		
Затухание из-за геометрической дивергенции, Adiv, дБ	расстояние = 408.82 м	ф-ла (7) [10]	**63,2**										
Коэффициент затухания звука в атмосфере α, дБ/км	Ta=20,°C Pa=101.33,кПа hотн.=70%	ф-ла (5) [9]	0,02	0,09	0,33	1,12	2,79	4,98	9,04	23,09	77,63		
Учет затухания звука в атмосфере Aatm, дБ		ф-ла (8) [10]	0	0	0,1	0,5	1,1	2	3,7	9,4	31,7		
Снижение уровня звукового давления из-за влияния застройки между источником шума и расчетной точкой													
Снижение уровня звукового давления на пути над экраном, Dz1, дБ	z = 0.47м (разность путей)	ф-лы (14-18) [10]	5,2	5,8	7,2	9,4	11,9	14,6	17,4	20,3	23,2		

1		2	3	4	5	6	7	8	9	10	11	12	13
Снижение уровня звукового давления на пути слева от экрана, Dz2, дБ	z = 15.28м (разность путей)	ф-лы (14-18) [10]	21,7	25,2	28,3	31,3	34,3	37,3	40,3	43,3	46,3		
Снижение уровня звукового давления на пути справа от экрана, Dz3, дБ	z = 109.95м (разность путей)	ф-лы (14-18) [10]	30,3	33,7	36,8	39,9	42,9	45,9	48,9	51,9	54,9		
Общее снижение уровня звука препятствием Dz, дБ		Эн.сумма(-Dzi)	5,1	5,7	7,2	9,4	11,9	14,6	17,4	20,3	23,2		
Уровни звукового давления прямого звука от источника ИШ-1-8 в расчётной точке днём, дБ		**ф-ла(3)[10]**	**0**	**27,3**	**27,2**	**25,9**	**23**	**19,1**	**11,3**	**0**	**0**	**24,2**	**24,2**
Уровни звукового давления прямого звука от источника ИШ-1-8 в расчётной точке ночью, дБ		**ф-ла(3)[10]**	**0**	**27,3**	**27,2**	**25,9**	**23**	**19,1**	**11,3**	**0**	**0**	**24,2**	**24,2**
Расчёт отражённого звука													
Уровни звукового давления от мнимого источника ИШ-1-8_мн.(1) в расчётной точке днём, дБ		**ф-ла(3)[10]**	**0**	**0**	**0**	**0**	**0**	**0**	**3,6**	**0**	**0**	**4,8**	**4,8**
Уровни звукового давления от мнимого источника ИШ-1-8_мн.(1) в расчётной точке ночью, дБ		**ф-ла(3)[10]**	**0**	**0**	**0**	**0**	**0**	**0**	**0**	**0**	**0**	**4,8**	**4,8**
Уровни звукового давления от источника ИШ-1-8 в расчётной точке днём, дБ		**ф-ла(3)[10]**	**0**	**27,3**	**27,2**	**25,9**	**23**	**19,1**	**12**	**0**	**0**	**24,2**	**24,2**
Уровни звукового давления от источника ИШ-1-8 в расчётной точке ночью, дБ		**ф-ла(3)[10]**	**0**	**27,3**	**27,2**	**25,9**	**23**	**19,1**	**12**	**0**	**0**	**24,2**	**24,2**
Источник шума: ИШ-1-9, координаты источника (x,y,z), м =[458.12,144.31,1.00]													
Уровни звуковой мощности источника днём, Lw, дБ		**исходные данные**	**0**	**93,3**	**94,7**	**96**	**96,3**	**95,9**	**92,6**	**88,4**	**83,9**		
Уровни звуковой мощности источника ночью, Lw, дБ		**исходные данные**	**0**	**93,3**	**94,7**	**96**	**96,3**	**95,9**	**92,6**	**88,4**	**83,9**		
Поправка на телесный угол DΩ, дБ	Ω = 6.28	10Lg(4π/Ω)	**3**	3	3	3	3	3	3	3	3		
Показатель направленности источника Di, дБ		исходные данные	**0**	0	0	0	0	0	0	0	0		
Поправка на направленность источника Dc, дБ	Dc	DΩ + Di	**3**	3	3	3	3	3	3	3	3		
Затухание из-за геометрической дивергенции, Adiv, дБ	расстояние = 409.78 м	ф-ла (7) [10]	**63,3**										

1		2	3	4	5	6	7	8	9	10	11	12	13
Коэффициент затухания звука в атмосфере α, дБ/км	Та=20,°С Ра=101.33,кПа hотн.=70%	ф-ла (5) [9]	0,02	0,09	0,33	1,12	2,79	4,98	9,04	23,09	77,63		
Учет затухания звука в атмосфере Aatm, дБ		ф-ла (8) [10]	0	0	0,1	0,5	1,1	2	3,7	9,5	31,8		
Снижение уровня звукового давления из-за влияния застройки между источником шума и расчетной точкой													
Снижение уровня звукового давления на пути над экраном, Dz1, дБ	z = 0.47м (разность путей)	ф-лы (14-18) [10]	5,2	5,8	7,2	9,4	11,9	14,5	17,4	20,2	23,2		
Снижение уровня звукового давления на пути слева от экрана, Dz2, дБ	z = 14.09м (разность путей)	ф-лы (14-18) [10]	21,4	24,8	27,9	30,9	34	37	40	43	46		
Снижение уровня звукового давления на пути справа от экрана, Dz3, дБ	z = 110.65м (разность путей)	ф-лы (14-18) [10]	30,3	33,8	36,8	39,9	42,9	45,9	48,9	51,9	54,9		
Общее снижение уровня звука препятствием Dz, дБ		Эн.сумма(-Dzi)	5,1	5,7	7,1	9,3	11,9	14,5	17,3	20,2	23,2		
Уровни звукового давления прямого звука от источника ИШ-1-9 в расчётной точке днём, дБ		**ф-ла(3)[10]**	**0**	**27,3**	**27,2**	**25,9**	**23**	**19,1**	**11,3**	**0**	**0**	**24,2**	**24,2**
Уровни звукового давления прямого звука от источника ИШ-1-9 в расчётной точке ночью, дБ		**ф-ла(3)[10]**	**0**	**27,3**	**27,2**	**25,9**	**23**	**19,1**	**11,3**	**0**	**0**	**24,2**	**24,2**
Расчёт отражённого звука													
Уровни звукового давления от мнимого источника ИШ-1-9_мн.(1) в расчётной точке днём, дБ		**ф-ла(3)[10]**	**0**	**0**	**0**	**0**	**0**	**0**	**3,6**	**0**	**0**	**4,8**	**4,8**
Уровни звукового давления от мнимого источника ИШ-1-9_мн.(1) в расчётной точке ночью, дБ		**ф-ла(3)[10]**	**0**	**0**	**0**	**0**	**0**	**0**	**0**	**0**	**0**	**4,8**	**4,8**
Уровни звукового давления от источника ИШ-1-9 в расчётной точке днём, дБ		**ф-ла(3)[10]**	**0**	**27,3**	**27,2**	**25,9**	**23**	**19,1**	**12**	**0**	**0**	**24,3**	**24,3**
Уровни звукового давления от источника ИШ-1-9 в расчётной точке ночью, дБ		**ф-ла(3)[10]**	**0**	**27,3**	**27,2**	**25,9**	**23**	**19,1**	**12**	**0**	**0**	**24,3**	**24,3**
Источник шума: ИШ-1-10, координаты источника (x,y,z), м =[461.05,143.53,1.00]													
Уровни звуковой мощности источника днём, Lw, дБ		**исходные данные**	**0**	**93,3**	**94,7**	**96**	**96,3**	**95,9**	**92,6**	**88,4**	**83,9**		

1		2	3	4	5	6	7	8	9	10	11	12	13
Уровни звуковой мощности источника ночью, Lw, дБ		**исходные данные**	**0**	**93,3**	**94,7**	**96**	**96,3**	**95,9**	**92,6**	**88,4**	**83,9**		
Поправка на телесный угол DΩ, дБ	Ω = 6.28	10Lg(4π/Ω)	**3**	3	3	3	3	3	3	3	3		
Показатель направленности источника Di, дБ		исходные данные	**0**	0	0	0	0	0	0	0	0		
Поправка на направленность источника Dc, дБ	Dc	DΩ + Di	**3**	3	3	3	3	3	3	3	3		
Затухание из-за геометрической дивергенции, Adiv, дБ	расстояние = 410.81 м	ф-ла (7) [10]	**63,3**										
Коэффициент затухания звука в атмосфере α, дБ/км	Ta=20,°C Pa=101.33,кПа hотн.=70%	ф-ла (5) [9]	0,02	0,09	0,33	1,12	2,79	4,98	9,04	23,09	77,63		
Учет затухания звука в атмосфере Aatm, дБ		ф-ла (8) [10]	0	0	0,1	0,5	1,1	2	3,7	9,5	31,9		
Снижение уровня звукового давления из-за влияния застройки между источником шума и расчетной точкой													
Снижение уровня звукового давления на пути над экраном, Dz1, дБ	z = 0.47м (разность путей)	ф-лы (14-18) [10]	5,2	5,8	7,2	9,3	11,8	14,5	17,3	20,2	23,1		
Снижение уровня звукового давления на пути слева от экрана, Dz2, дБ	z = 13.05м (разность путей)	ф-лы (14-18) [10]	21	24,5	27,6	30,6	33,6	36,6	39,6	42,7	45,7		
Снижение уровня звукового давления на пути справа от экрана, Dz3, дБ	z = 111.15м (разность путей)	ф-лы (14-18) [10]	30,4	33,8	36,9	39,9	42,9	45,9	48,9	52	55		
Общее снижение уровня звука препятствием Dz, дБ		Эн.сумма(-Dzi)	5,1	5,7	7,1	9,3	11,8	14,5	17,3	20,2	23,1		
Уровни звукового давления прямого звука от источника ИШ-1-10 в расчётной точке днём, дБ		**ф-ла(3)[10]**	**0**	**27,3**	**27,2**	**25,9**	**23,1**	**19,1**	**11,3**	**0**	**0**	**24,2**	**24,2**
Уровни звукового давления прямого звука от источника ИШ-1-10 в расчётной точке ночью, дБ		**ф-ла(3)[10]**	**0**	**27,3**	**27,2**	**25,9**	**23,1**	**19,1**	**11,3**	**0**	**0**	**24,2**	**24,2**
Расчёт отражённого звука													
Уровни звукового давления от мнимого источника ИШ-1-10_мн.(1) в расчётной точке днём, дБ		**ф-ла(3)[10]**	**0**	**0**	**0**	**0**	**0**	**11,7**	**3,6**	**0**	**0**	**12,5**	**12,5**
Уровни звукового давления от мнимого источника ИШ-1-10_мн.(1) в расчётной точке ночью, дБ		**ф-ла(3)[10]**	**0**	**0**	**0**	**0**	**0**	**0**	**0**	**0**	**0**	**12,5**	**12,5**

1		2	3	4	5	6	7	8	9	10	11	12	13
Уровни звукового давления от источника ИШ-1-10 в расчётной точке днём, дБ		**ф-ла(3)[10]**	**0**	**27,3**	**27,2**	**25,9**	**23,1**	**19,8**	**12**	**0**	**0**	**24,5**	**24,5**
Уровни звукового давления от источника ИШ-1-10 в расчётной точке ночью, дБ		**ф-ла(3)[10]**	**0**	**27,3**	**27,2**	**25,9**	**23,1**	**19,8**	**12**	**0**	**0**	**24,5**	**24,5**
Источник шума: ИШ-1-11, координаты источника (x,y,z), м =[464.18,142.55,1.00]													
Уровни звуковой мощности источника днём, Lw, дБ		**исходные данные**	**0**	**93,3**	**94,7**	**96**	**96,3**	**95,9**	**92,6**	**88,4**	**83,9**		
Уровни звуковой мощности источника ночью, Lw, дБ		**исходные данные**	**0**	**93,3**	**94,7**	**96**	**96,3**	**95,9**	**92,6**	**88,4**	**83,9**		
Поправка на телесный угол DΩ, дБ	Ω = 6.28	10Lg(4π/Ω)	**3**	3	3	3	3	3	3	3	3		
Показатель направленности источника Di, дБ		исходные данные	**0**	0	0	0	0	0	0	0	0		
Поправка на направленность источника Dc, дБ	Dc	DΩ + Di	**3**	3	3	3	3	3	3	3	3		
Затухание из-за геометрической дивергенции, Adiv, дБ	расстояние = 411.82 м	ф-ла (7) [10]	**63,3**										
Коэффициент затухания звука в атмосфере α, дБ/км	Ta=20,°C Pa=101.33,кПа hотн.=70%	ф-ла (5) [9]	0,02	0,09	0,33	1,12	2,79	4,98	9,04	23,09	77,63		
Учет затухания звука в атмосфере Aatm, дБ		ф-ла (8) [10]	0	0	0,1	0,5	1,1	2	3,7	9,5	32		
Снижение уровня звукового давления из-за влияния застройки между источником шума и расчетной точкой													
Снижение уровня звукового давления на пути над экраном, Dz1, дБ	z = 0.47м (разность путей)	ф-лы (14-18) [10]	5,2	5,8	7,1	9,3	11,8	14,4	17,2	20,1	23,1		
Снижение уровня звукового давления на пути слева от экрана, Dz2, дБ	z = 12.00м (разность путей)	ф-лы (14-18) [10]	20,7	24,1	27,2	30,2	33,3	36,3	39,3	42,3	45,3		
Снижение уровня звукового давления на пути справа от экрана, Dz3, дБ	z = 112.03м (разность путей)	ф-лы (14-18) [10]	30,4	33,8	36,9	39,9	43	46	49	52	55		
Общее снижение уровня звука препятствием Dz, дБ		Эн.сумма(-Dzi)	5,1	5,7	7,1	9,3	11,8	14,4	17,2	20,1	23,1		

1		2	3	4	5	6	7	8	9	10	11	12	13
Уровни звукового давления прямого звука от источника ИШ-1-11 в расчётной точке днём, дБ		**ф-ла(3)[10]**	**0**	**27,3**	**27,2**	**26**	**23,1**	**19,1**	**11,4**	**0**	**0**	**24,2**	**24,2**
Уровни звукового давления прямого звука от источника ИШ-1-11 в расчётной точке ночью, дБ		**ф-ла(3)[10]**	**0**	**27,3**	**27,2**	**26**	**23,1**	**19,1**	**11,4**	**0**	**0**	**24,2**	**24,2**
Расчёт отражённого звука													
Уровни звукового давления от мнимого источника ИШ-1-11_мн.(1) в расчётной точке днём, дБ		**ф-ла(3)[10]**	**0**	**0**	**0**	**0**	**0**	**11,7**	**3,7**	**0**	**0**	**12,5**	**12,5**
Уровни звукового давления от мнимого источника ИШ-1-11_мн.(1) в расчётной точке ночью, дБ		**ф-ла(3)[10]**	**0**	**0**	**0**	**0**	**0**	**0**	**0**	**0**	**0**	**12,5**	**12,5**
Уровни звукового давления от источника ИШ-1-11 в расчётной точке днём, дБ		**ф-ла(3)[10]**	**0**	**27,3**	**27,2**	**26**	**23,1**	**19,9**	**12**	**0**	**0**	**24,5**	**24,5**
Уровни звукового давления от источника ИШ-1-11 в расчётной точке ночью, дБ		**ф-ла(3)[10]**	**0**	**27,3**	**27,2**	**26**	**23,1**	**19,9**	**12**	**0**	**0**	**24,5**	**24,5**
Источник шума: ИШ-1-12, координаты источника (x,y,z), м =[435.45,97.79,1.00]													
Уровни звуковой мощности источника днём, Lw, дБ		**исходные данные**	**0**	**93,3**	**94,7**	**96**	**96,3**	**95,9**	**92,6**	**88,4**	**83,9**		
Уровни звуковой мощности источника ночью, Lw, дБ		**исходные данные**	**0**	**93,3**	**94,7**	**96**	**96,3**	**95,9**	**92,6**	**88,4**	**83,9**		
Поправка на телесный угол DΩ, дБ	Ω = 6.28	10Lg(4π/Ω)	**3**	3	3	3	3	3	3	3	3		
Показатель направленности источника Di, дБ		исходные данные	**0**	0	0	0	0	0	0	0	0		
Поправка на направленность источника Dc, дБ	Dc	DΩ + Di	**3**	3	3	3	3	3	3	3	3		
Затухание из-за геометрической дивергенции, Adiv, дБ	расстояние = 358.70 м	ф-ла (7) [10]	**62,1**										
Коэффициент затухания звука в атмосфере α, дБ/км	Ta=20,°C Pa=101.33,кПа hотн.=70%	ф-ла (5) [9]	0,02	0,09	0,33	1,12	2,79	4,98	9,04	23,09	77,63		
Учет затухания звука в атмосфере Aatm, дБ		ф-ла (8) [10]	0	0	0,1	0,4	1	1,8	3,2	8,3	27,8		

1		2	3	4	5	6	7	8	9	10	11	12	13
Снижение уровня звукового давления из-за влияния застройки между источником шума и расчетной точкой													
Снижение уровня звукового давления на пути над экраном, Dz1, дБ	z = 0.73м (разность путей)	ф-лы (14-18) [10]	6,1	7,6	10,4	13,6	16,7	19,7	22,6	25,6	28,6		
Снижение уровня звукового давления на пути слева от экрана, Dz2, дБ	z = 15.37м (разность путей)	ф-лы (14-18) [10]	21,7	25,2	28,3	31,3	34,3	37,3	40,4	43,4	46,4		
Снижение уровня звукового давления на пути справа от экрана, Dz3, дБ	z = 206.60м (разность путей)	ф-лы (14-18) [10]	33	36,5	39,6	42,6	45,6	48,6	51,6	54,6	57,7		
Общее снижение уровня звука препятствием Dz, дБ		Эн.сумма(-Dzi)	6	7,5	10,3	13,5	16,6	19,6	22,6	25,5	28,5		
Общее снижение уровня звука препятствием с учётом ограничения (25 дБ) для октавных полос Dz, дБ		Раздел 7.4 [10]	6	7,5	10,3	13,5	16,6	19,6	22,6	25	25		
Уровни звукового давления от источника ИШ-1-12 в расчётной точке днём, дБ		**ф-ла(3)[10]**	**0**	**26,6**	**25,2**	**23**	**19,6**	**15,4**	**7,7**	**0**	**0**	**20,9**	**20,9**
Уровни звукового давления от источника ИШ-1-12 в расчётной точке ночью, дБ		**ф-ла(3)[10]**	**0**	**26,6**	**25,2**	**23**	**19,6**	**15,4**	**7,7**	**0**	**0**	**20,9**	**20,9**
Источник шума: ИШ-1-13, координаты источника (x,y,z), м =[438.77,96.82,1.00]													
Уровни звуковой мощности источника днём, Lw, дБ		**исходные данные**	**0**	**93,3**	**94,7**	**96**	**96,3**	**95,9**	**92,6**	**88,4**	**83,9**		
Уровни звуковой мощности источника ночью, Lw, дБ		**исходные данные**	**0**	**93,3**	**94,7**	**96**	**96,3**	**95,9**	**92,6**	**88,4**	**83,9**		
Поправка на телесный угол DΩ, дБ	Ω = 6.28	10Lg(4π/Ω)	**3**	3	3	3	3	3	3	3	3		
Показатель направленности источника Di, дБ		исходные данные	**0**	0	0	0	0	0	0	0	0		
Поправка на направленность источника Dc, дБ	Dc	DΩ + Di	**3**	3	3	3	3	3	3	3	3		
Затухание из-за геометрической дивергенции, Adiv, дБ	расстояние = 359.87 м	ф-ла (7) [10]	**62,1**										
Коэффициент затухания звука в атмосфере α, дБ/км	Ta=20,°C Pa=101.33,кПа hотн.=70%	ф-ла (5) [9]	0,02	0,09	0,33	1,12	2,79	4,98	9,04	23,09	77,63		

1		2	3	4	5	6	7	8	9	10	11	12	13
Учет затухания звука в атмосфере Aatm, дБ		ф-ла (8) [10]	0	0	0,1	0,4	1	1,8	3,3	8,3	27,9		
Снижение уровня звукового давления из-за влияния застройки между источником шума и расчетной точкой													
Снижение уровня звукового давления на пути над экраном, Dz1, дБ	z = 0.73м (разность путей)	ф-лы (14-18) [10]	6,1	7,6	10,3	13,6	16,6	19,6	22,6	25,6	28,6		
Снижение уровня звукового давления на пути слева от экрана, Dz2, дБ	z = 13.60м (разность путей)	ф-лы (14-18) [10]	21,2	24,7	27,8	30,8	33,8	36,8	39,8	42,8	45,8		
Снижение уровня звукового давления на пути справа от экрана, Dz3, дБ	z = 206.22м (разность путей)	ф-лы (14-18) [10]	33	36,5	39,5	42,6	45,6	48,6	51,6	54,6	57,7		
Общее снижение уровня звука препятствием Dz, дБ		Эн.сумма(-Dzi)	6	7,5	10,2	13,5	16,6	19,5	22,5	25,5	28,5		
Общее снижение уровня звука препятствием с учётом ограничения (25 дБ) для октавных полос Dz, дБ		Раздел 7.4 [10]	6	7,5	10,2	13,5	16,6	19,5	22,5	25	25		
Уровни звукового давления от источника ИШ-1-13 в расчётной точке днём, дБ		**ф-ла(3)[10]**	**0**	**26,6**	**25,2**	**23**	**19,6**	**15,4**	**7,7**	**0**	**0**	**20,9**	**20,9**
Уровни звукового давления от источника ИШ-1-13 в расчётной точке ночью, дБ		**ф-ла(3)[10]**	**0**	**26,6**	**25,2**	**23**	**19,6**	**15,4**	**7,7**	**0**	**0**	**20,9**	**20,9**
Источник шума: ИШ-1-14, координаты источника (x,y,z), м =[441.70,96.03,1.00]													
Уровни звуковой мощности источника днём, Lw, дБ		**исходные данные**	**0**	**93,3**	**94,7**	**96**	**96,3**	**95,9**	**92,6**	**88,4**	**83,9**		
Уровни звуковой мощности источника ночью, Lw, дБ		**исходные данные**	**0**	**93,3**	**94,7**	**96**	**96,3**	**95,9**	**92,6**	**88,4**	**83,9**		
Поправка на телесный угол DΩ, дБ	Ω = 6.28	10Lg(4π/Ω)	**3**	3	3	3	3	3	3	3	3		
Показатель направленности источника Di, дБ		исходные данные	**0**	0	0	0	0	0	0	0	0		
Поправка на направленность источника Dc, дБ	Dc	DΩ + Di	**3**	3	3	3	3	3	3	3	3		
Затухание из-за геометрической дивергенции, Adiv, дБ	расстояние = 361.00 м	ф-ла (7) [10]	**62,2**										

1		2	3	4	5	6	7	8	9	10	11	12	13
Коэффициент затухания звука в атмосфере α, дБ/км	Та=20,°С Ра=101.33,кПа hотн.=70%	ф-ла (5) [9]	0,02	0,09	0,33	1,12	2,79	4,98	9,04	23,09	77,63		
Учет затухания звука в атмосфере Aatm, дБ		ф-ла (8) [10]	0	0	0,1	0,4	1	1,8	3,3	8,3	28		
Снижение уровня звукового давления из-за влияния застройки между источником шума и расчетной точкой													
Снижение уровня звукового давления на пути над экраном, Dz1, дБ	z = 0.77м (разность путей)	ф-лы (14-18) [10]	7,3	9,6	12,2	14,9	17,7	20,6	23,6	26,5	29,5		
Снижение уровня звукового давления на пути слева от экрана, Dz2, дБ	z = 12.17м (разность путей)	ф-лы (14-18) [10]	20,7	24,2	27,3	30,3	33,3	36,3	39,3	42,4	45,4		
Снижение уровня звукового давления на пути справа от экрана, Dz3, дБ	z = 205.81м (разность путей)	ф-лы (14-18) [10]	33	36,4	39,5	42,6	45,6	48,6	51,6	54,6	57,6		
Общее снижение уровня звука препятствием Dz, дБ		Эн.сумма(-Dzi)	7,1	9,5	12	14,8	17,6	20,5	23,4	26,4	29,4		
Общее снижение уровня звука препятствием с учётом ограничения (25 дБ) для октавных полос Dz, дБ		Раздел 7.4 [10]	7,1	9,5	12	14,8	17,6	20,5	23,4	25	25		
Уровни звукового давления от источника ИШ-1-14 в расчётной точке днём, дБ		**ф-ла(3)[10]**	**0**	**24,6**	**23,4**	**21,7**	**18,6**	**14,5**	**6,7**	**0**	**0**	**19,8**	**19,8**
Уровни звукового давления от источника ИШ-1-14 в расчётной точке ночью, дБ		**ф-ла(3)[10]**	**0**	**24,6**	**23,4**	**21,7**	**18,6**	**14,5**	**6,7**	**0**	**0**	**19,8**	**19,8**
Источник шума: ИШ-1-15, координаты источника (x,y,z), м =[445.03,95.25,1.00]													
Уровни звуковой мощности источника днём, Lw, дБ		**исходные данные**	**0**	**93,3**	**94,7**	**96**	**96,3**	**95,9**	**92,6**	**88,4**	**83,9**		
Уровни звуковой мощности источника ночью, Lw, дБ		**исходные данные**	**0**	**93,3**	**94,7**	**96**	**96,3**	**95,9**	**92,6**	**88,4**	**83,9**		
Поправка на телесный угол DΩ, дБ	Ω = 6.28	10Lg($4\pi/\Omega$)	**3**	3	3	3	3	3	3	3	3		
Показатель направленности источника Di, дБ		исходные данные	**0**	0	0	0	0	0	0	0	0		
Поправка на направленность источника Dc, дБ	Dc	DΩ + Di	**3**	3	3	3	3	3	3	3	3		

1		2	3	4	5	6	7	8	9	10	11	12	13
Затухание из-за геометрической дивергенции, Adiv, дБ	расстояние = 362.38 м	ф-ла (7) [10]	**62,2**										
Коэффициент затухания звука в атмосфере α, дБ/км	Та=20,°С Ра=101.33,кПа hотн.=70%	ф-ла (5) [9]	0,02	0,09	0,33	1,12	2,79	4,98	9,04	23,09	77,63		
Учет затухания звука в атмосфере Aatm, дБ		ф-ла (8) [10]	0	0	0,1	0,4	1	1,8	3,3	8,4	28,1		
Снижение уровня звукового давления из-за влияния застройки между источником шума и расчетной точкой													
Снижение уровня звукового давления на пути над экраном, Dz1, дБ	z = 0.77м (разность путей)	ф-лы (14-18) [10]	7,4	9,7	12,2	14,9	17,7	20,6	23,6	26,6	29,6		
Снижение уровня звукового давления на пути слева от экрана, Dz2, дБ	z = 10.72м (разность путей)	ф-лы (14-18) [10]	20,2	23,6	26,7	29,8	32,8	35,8	38,8	41,8	44,8		
Снижение уровня звукового давления на пути справа от экрана, Dz3, дБ	z = 205.22м (разность путей)	ф-лы (14-18) [10]	33	36,4	39,5	42,6	45,6	48,6	51,6	54,6	57,6		
Общее снижение уровня звука препятствием Dz, дБ		Эн.сумма(-Dzi)	7,1	9,5	12,1	14,8	17,6	20,5	23,5	26,4	29,4		
Общее снижение уровня звука препятствием с учётом ограничения (25 дБ) для октавных полос Dz, дБ		Раздел 7.4 [10]	7,1	9,5	12,1	14,8	17,6	20,5	23,5	25	25		
Уровни звукового давления от источника ИШ-1-15 в расчётной точке днём, дБ		**ф-ла(3)[10]**	**0**	**24,6**	**23,3**	**21,6**	**18,5**	**14,4**	**6,7**	**0**	**0**	**19,7**	**19,7**
Уровни звукового давления от источника ИШ-1-15 в расчётной точке ночью, дБ		**ф-ла(3)[10]**	**0**	**24,6**	**23,3**	**21,6**	**18,5**	**14,4**	**6,7**	**0**	**0**	**19,7**	**19,7**
Источник шума: ИШ-1-16, координаты источника (x,y,z), м =[447.96,94.28,1.00]													
Уровни звуковой мощности источника днём, Lw, дБ		**исходные данные**	**0**	**93,3**	**94,7**	**96**	**96,3**	**95,9**	**92,6**	**88,4**	**83,9**		
Уровни звуковой мощности источника ночью, Lw, дБ		**исходные данные**	**0**	**93,3**	**94,7**	**96**	**96,3**	**95,9**	**92,6**	**88,4**	**83,9**		
Поправка на телесный угол DΩ, дБ	Ω = 6.28	10Lg(4π/Ω)	**3**	3	3	3	3	3	3	3	3		
Показатель направленности источника Di, дБ		исходные данные	**0**	0	0	0	0	0	0	0	0		

1		2	3	4	5	6	7	8	9	10	11	12	13
Поправка на направленность источника Dc, дБ	Dc	DΩ + Di	**3**	3	3	3	3	3	3	3	3		
Затухание из-за геометрической дивергенции, Adiv, дБ	расстояние = 363.39 м	ф-ла (7) [10]	**62,2**										
Коэффициент затухания звука в атмосфере α, дБ/км	Ta=20,°C Pa=101.33,кПа hотн.=70%	ф-ла (5) [9]	0,02	0,09	0,33	1,12	2,79	4,98	9,04	23,09	77,63		
Учет затухания звука в атмосфере Aatm, дБ		ф-ла (8) [10]	0	0	0,1	0,4	1	1,8	3,3	8,4	28,2		
Снижение уровня звукового давления из-за влияния застройки между источником шума и расчетной точкой													
Снижение уровня звукового давления на пути над экраном, Dz1, дБ	z = 0.78м (разность путей)	ф-лы (14-18) [10]	7,5	9,7	12,3	15	17,8	20,7	23,6	26,6	29,6		
Снижение уровня звукового давления на пути слева от экрана, Dz2, дБ	z = 9.52м (разность путей)	ф-лы (14-18) [10]	19,7	23,1	26,2	29,2	32,3	35,3	38,3	41,3	44,3		
Снижение уровня звукового давления на пути справа от экрана, Dz3, дБ	z = 205.28м (разность путей)	ф-лы (14-18) [10]	33	36,4	39,5	42,6	45,6	48,6	51,6	54,6	57,6		
Общее снижение уровня звука препятствием Dz, дБ		Эн.сумма(-Dzi)	7,2	9,5	12,1	14,8	17,6	20,5	23,5	26,5	29,5		
Общее снижение уровня звука препятствием с учётом ограничения (25 дБ) для октавных полос Dz, дБ		Раздел 7.4 [10]	7,2	9,5	12,1	14,8	17,6	20,5	23,5	25	25		
Уровни звукового давления от источника ИШ-1-16 в расчётной точке днём, дБ		**ф-ла(3)[10]**	**0**	**24,5**	**23,3**	**21,6**	**18,4**	**14,3**	**6,6**	**0**	**0**	**19,7**	**19,7**
Уровни звукового давления от источника ИШ-1-16 в расчётной точке ночью, дБ		**ф-ла(3)[10]**	**0**	**24,5**	**23,3**	**21,6**	**18,4**	**14,3**	**6,6**	**0**	**0**	**19,7**	**19,7**
Источник шума: ИШ-1-17, координаты источника (x,y,z), м =[540.99,141.77,1.00]													
Уровни звуковой мощности источника днём, Lw, дБ		**исходные данные**	**0**	**93,3**	**94,7**	**96**	**96,3**	**95,9**	**92,6**	**88,4**	**83,9**		
Уровни звуковой мощности источника ночью, Lw, дБ		**исходные данные**	**0**	**93,3**	**94,7**	**96**	**96,3**	**95,9**	**92,6**	**88,4**	**83,9**		
Поправка на телесный угол DΩ, дБ	Ω = 6.28	10Lg(4π/Ω)	**3**	3	3	3	3	3	3	3	3		

1		2	3	4	5	6	7	8	9	10	11	12	13
Показатель направленности источника Di, дБ		исходные данные	**0**	0	0	0	0	0	0	0	0		
Поправка на направленность источника Dc, дБ	Dc	DΩ + Di	**3**	3	3	3	3	3	3	3	3		
Затухание из-за геометрической дивергенции, Adiv, дБ	расстояние = 460.09 м	ф-ла (7) [10]	**64,3**										
Коэффициент затухания звука в атмосфере α, дБ/км	Ta=20,°C Pa=101.33,кПа hотн.=70%	ф-ла (5) [9]	0,02	0,09	0,33	1,12	2,79	4,98	9,04	23,09	77,63		
Учет затухания звука в атмосфере Aatm, дБ		ф-ла (8) [10]	0	0	0,2	0,5	1,3	2,3	4,2	10,6	35,7		
Снижение уровня звукового давления из-за влияния застройки между источником шума и расчетной точкой													
Снижение уровня звукового давления на пути над экраном, Dz1, дБ	z = 0.87м (разность путей)	ф-лы (14-18) [10]	8,4	10,6	13	15,7	18,6	21,5	24,4	27,4	30,4		
Снижение уровня звукового давления на пути слева от экрана, Dz2, дБ	z = 3.72м (разность путей)	ф-лы (14-18) [10]	16	19,2	22,2	25,2	28,2	31,2	34,2	37,2	40,2		
Снижение уровня звукового давления на пути справа от экрана, Dz3, дБ	z = 82.26м (разность путей)	ф-лы (14-18) [10]	29,2	32,5	35,6	38,6	41,6	44,6	47,6	50,6	53,7		
Общее снижение уровня звука препятствием Dz, дБ		Эн.сумма(-Dzi)	7,7	10	12,5	15,2	18,1	21	24	27	30		
Общее снижение уровня звука препятствием с учётом ограничения (25 дБ) для октавных полос Dz, дБ		Раздел 7.4 [10]	7,7	10	12,5	15,2	18,1	21	24	25	25		
Уровни звукового давления от источника ИШ-1-17 в расчётной точке днём, дБ		**ф-ла(3)[10]**	**0**	**22**	**20,8**	**19**	**15,7**	**11,3**	**3,2**	**0**	**0**	**16,8**	**16,8**
Уровни звукового давления от источника ИШ-1-17 в расчётной точке ночью, дБ		**ф-ла(3)[10]**	**0**	**22**	**20,8**	**19**	**15,7**	**11,3**	**3,2**	**0**	**0**	**16,8**	**16,8**
Источник шума: ИШ-1-18, координаты источника (x,y,z), м =[543.53,140.79,1.00]													
Уровни звуковой мощности источника днём, Lw, дБ		**исходные данные**	**0**	**93,3**	**94,7**	**96**	**96,3**	**95,9**	**92,6**	**88,4**	**83,9**		
Уровни звуковой мощности источника ночью, Lw, дБ		**исходные данные**	**0**	**93,3**	**94,7**	**96**	**96,3**	**95,9**	**92,6**	**88,4**	**83,9**		

1		2	3	4	5	6	7	8	9	10	11	12	13
Поправка на телесный угол DΩ, дБ	Ω = 6.28	10Lg(4π/Ω)	**3**	3	3	3	3	3	3	3	3		
Показатель направленности источника Di, дБ		исходные данные	**0**	0	0	0	0	0	0	0	0		
Поправка на направленность источника Dc, дБ	Dc	DΩ + Di	**3**	3	3	3	3	3	3	3	3		
Затухание из-за геометрической дивергенции, Adiv, дБ	расстояние = 461.14 м	ф-ла (7) [10]	**64,3**										
Коэффициент затухания звука в атмосфере α, дБ/км	Ta=20,°C Pa=101.33,кПа hотн.=70%	ф-ла (5) [9]	0,02	0,09	0,33	1,12	2,79	4,98	9,04	23,09	77,63		
Учет затухания звука в атмосфере Aatm, дБ		ф-ла (8) [10]	0	0	0,2	0,5	1,3	2,3	4,2	10,6	35,8		
Снижение уровня звукового давления из-за влияния застройки между источником шума и расчетной точкой													
Снижение уровня звукового давления на пути над экраном, Dz1, дБ	z = 0.82м (разность путей)	ф-лы (14-18) [10]	8,1	10,2	12,6	15,2	18	20,9	23,9	26,9	29,9		
Снижение уровня звукового давления на пути слева от экрана, Dz2, дБ	z = 3.27м (разность путей)	ф-лы (14-18) [10]	15,5	18,7	21,6	24,6	27,6	30,6	33,6	36,6	39,7		
Снижение уровня звукового давления на пути справа от экрана, Dz3, дБ	z = 83.23м (разность путей)	ф-лы (14-18) [10]	29,3	32,6	35,6	38,7	41,7	44,7	47,7	50,7	53,7		
Общее снижение уровня звука препятствием Dz, дБ		Эн.сумма(-Dzi)	7,4	9,6	12	14,7	17,6	20,5	23,4	26,4	29,4		
Общее снижение уровня звука препятствием с учётом ограничения (25 дБ) для октавных полос Dz, дБ		Раздел 7.4 [10]	7,4	9,6	12	14,7	17,6	20,5	23,4	25	25		
Уровни звукового давления от источника ИШ-1-18 в расчётной точке днём, дБ		**ф-ла(3)[10]**	**0**	**22,4**	**21,2**	**19,5**	**16,2**	**11,8**	**3,7**	**0**	**0**	**17,3**	**17,3**
Уровни звукового давления от источника ИШ-1-18 в расчётной точке ночью, дБ		**ф-ла(3)[10]**	**0**	**22,4**	**21,2**	**19,5**	**16,2**	**11,8**	**3,7**	**0**	**0**	**17,3**	**17,3**
Источник шума: ИШ-1-19, координаты источника (x,y,z), м =[547.25,139.62,1.00]													
Уровни звуковой мощности источника днём, Lw, дБ		**исходные данные**	**0**	**93,3**	**94,7**	**96**	**96,3**	**95,9**	**92,6**	**88,4**	**83,9**		

1		2	3	4	5	6	7	8	9	10	11	12	13
Уровни звуковой мощности источника ночью, Lw, дБ		**исходные данные**	**0**	**93,3**	**94,7**	**96**	**96,3**	**95,9**	**92,6**	**88,4**	**83,9**		
Поправка на телесный угол DΩ, дБ	Ω = 6.28	10Lg(4π/Ω)	**3**	3	3	3	3	3	3	3	3		
Показатель направленности источника Di, дБ		исходные данные	**0**	0	0	0	0	0	0	0	0		
Поправка на направленность источника Dc, дБ	Dc	DΩ + Di	**3**	3	3	3	3	3	3	3	3		
Затухание из-за геометрической дивергенции, Adiv, дБ	расстояние = 462.86 м	ф-ла (7) [10]	**64,3**										
Коэффициент затухания звука в атмосфере α, дБ/км	Ta=20,°C Pa=101.33,кПа hотн.=70%	ф-ла (5) [9]	0,02	0,09	0,33	1,12	2,79	4,98	9,04	23,09	77,63		
Учет затухания звука в атмосфере Aatm, дБ		ф-ла (8) [10]	0	0	0,2	0,5	1,3	2,3	4,2	10,7	35,9		
Снижение уровня звукового давления из-за влияния застройки между источником шума и расчетной точкой													
Снижение уровня звукового давления на пути над экраном, Dz1, дБ	z = 0.76м (разность путей)	ф-лы (14-18) [10]	7,7	9,7	12	14,6	17,4	20,3	23,2	26,2	29,2		
Снижение уровня звукового давления на пути слева от экрана, Dz2, дБ	z = 2.73м (разность путей)	ф-лы (14-18) [10]	14,8	17,9	20,9	23,9	26,8	29,8	32,9	35,9	38,9		
Снижение уровня звукового давления на пути справа от экрана, Dz3, дБ	z = 84.37м (разность путей)	ф-лы (14-18) [10]	29,3	32,6	35,7	38,7	41,7	44,7	47,7	50,8	53,8		
Общее снижение уровня звука препятствием Dz, дБ		Эн.сумма(-Dzi)	6,9	9,1	11,4	14,1	16,9	19,8	22,7	25,7	28,7		
Общее снижение уровня звука препятствием с учётом ограничения (25 дБ) для октавных полос Dz, дБ		Раздел 7.4 [10]	6,9	9,1	11,4	14,1	16,9	19,8	22,7	25	25		
Уровни звукового давления от источника ИШ-1-19 в расчётной точке днём, дБ		**ф-ла(3)[10]**	**0**	**22,9**	**21,8**	**20,1**	**16,8**	**12,5**	**4,4**	**0**	**0**	**18**	**18**
Уровни звукового давления от источника ИШ-1-19 в расчётной точке ночью, дБ		**ф-ла(3)[10]**	**0**	**22,9**	**21,8**	**20,1**	**16,8**	**12,5**	**4,4**	**0**	**0**	**18**	**18**

Источник шума: ИШ-1-20, координаты источника (x,y,z), м =[550.38,138.64,1.00]

1		2	3	4	5	6	7	8	9	10	11	12	13
Уровни звуковой мощности источника днём, Lw, дБ		**исходные данные**	**0**	**93,3**	**94,7**	**96**	**96,3**	**95,9**	**92,6**	**88,4**	**83,9**		
Уровни звуковой мощности источника ночью, Lw, дБ		**исходные данные**	**0**	**93,3**	**94,7**	**96**	**96,3**	**95,9**	**92,6**	**88,4**	**83,9**		
Поправка на телесный угол DΩ, дБ	Ω = 6.28	10Lg(4π/Ω)	**3**	3	3	3	3	3	3	3	3		
Показатель направленности источника Di, дБ		исходные данные	**0**	0	0	0	0	0	0	0	0		
Поправка на направленность источника Dc, дБ	Dc	DΩ + Di	**3**	3	3	3	3	3	3	3	3		
Затухание из-за геометрической дивергенции, Adiv, дБ	расстояние = 464.35 м	ф-ла (7) [10]	**64,3**										
Коэффициент затухания звука в атмосфере α, дБ/км	Ta=20,°C Pa=101.33,кПа hотн.=70%	ф-ла (5) [9]	0,02	0,09	0,33	1,12	2,79	4,98	9,04	23,09	77,63		
Учет затухания звука в атмосфере Aatm, дБ		ф-ла (8) [10]	0	0	0,2	0,5	1,3	2,3	4,2	10,7	36		
Снижение уровня звукового давления из-за влияния застройки между источником шума и расчетной точкой													
Снижение уровня звукового давления на пути над экраном, Dz1, дБ	z = 0.71м (разность путей)	ф-лы (14-18) [10]	7,5	9,3	11,6	14,1	16,9	19,7	22,7	25,6	28,6		
Снижение уровня звукового давления на пути слева от экрана, Dz2, дБ	z = 2.35м (разность путей)	ф-лы (14-18) [10]	14,2	17,3	20,2	23,2	26,2	29,2	32,2	35,2	38,2		
Снижение уровня звукового давления на пути справа от экрана, Dz3, дБ	z = 85.41м (разность путей)	ф-лы (14-18) [10]	29,4	32,7	35,7	38,8	41,8	44,8	47,8	50,8	53,8		
Общее снижение уровня звука препятствием Dz, дБ		Эн.сумма(-Dzi)	6,6	8,7	11	13,6	16,4	19,3	22,2	25,2	28,2		
Общее снижение уровня звука препятствием с учётом ограничения (25 дБ) для октавных полос Dz, дБ		Раздел 7.4 [10]	6,6	8,7	11	13,6	16,4	19,3	22,2	25	25		
Уровни звукового давления от источника ИШ-1-20 в расчётной точке днём, дБ		**ф-ла(3)[10]**	**0**	**23,2**	**22,2**	**20,5**	**17,3**	**13**	**4,9**	**0**	**0**	**18,4**	**18,4**
Уровни звукового давления от источника ИШ-1-20 в расчётной точке ночью, дБ		**ф-ла(3)[10]**	**0**	**23,2**	**22,2**	**20,5**	**17,3**	**13**	**4,9**	**0**	**0**	**18,4**	**18,4**

1		2	3	4	5	6	7	8	9	10	11	12	13
Источник шума: ИШ-1-21, координаты источника (x,y,z), м =[553.31,137.67,1.00]													
Уровни звуковой мощности источника днём, Lw, дБ		**исходные данные**	**0**	**93,3**	**94,7**	**96**	**96,3**	**95,9**	**92,6**	**88,4**	**83,9**		
Уровни звуковой мощности источника ночью, Lw, дБ		**исходные данные**	**0**	**93,3**	**94,7**	**96**	**96,3**	**95,9**	**92,6**	**88,4**	**83,9**		
Поправка на телесный угол DΩ, дБ	Ω = 6.28	10Lg(4π/Ω)	**3**	3	3	3	3	3	3	3	3		
Показатель направленности источника Di, дБ		исходные данные	**0**	0	0	0	0	0	0	0	0		
Поправка на направленность источника Dc, дБ	Dc	DΩ + Di	**3**	3	3	3	3	3	3	3	3		
Затухание из-за геометрической дивергенции, Adiv, дБ	расстояние = 465.71 м	ф-ла (7) [10]	**64,4**										
Коэффициент затухания звука в атмосфере α, дБ/км	Ta=20,°C Pa=101.33,кПа hотн.=70%	ф-ла (5) [9]	0,02	0,09	0,33	1,12	2,79	4,98	9,04	23,09	77,63		
Учет затухания звука в атмосфере Aatm, дБ		ф-ла (8) [10]	0	0	0,2	0,5	1,3	2,3	4,2	10,8	36,2		
Снижение уровня звукового давления из-за влияния застройки между источником шума и расчетной точкой													
Снижение уровня звукового давления на пути над экраном, Dz1, дБ	z = 0.68м (разность путей)	ф-лы (14-18) [10]	7,3	9	11,2	13,7	16,4	19,3	22,2	25,2	28,2		
Снижение уровня звукового давления на пути слева от экрана, Dz2, дБ	z = 2.05м (разность путей)	ф-лы (14-18) [10]	13,7	16,8	19,7	22,6	25,6	28,6	31,6	34,6	37,6		
Снижение уровня звукового давления на пути справа от экрана, Dz3, дБ	z = 86.55м (разность путей)	ф-лы (14-18) [10]	29,4	32,7	35,8	38,8	41,8	44,8	47,9	50,9	53,9		
Общее снижение уровня звука препятствием Dz, дБ		Эн.сумма(-Dzi)	6,4	8,3	10,6	13,2	15,9	18,8	21,7	24,7	27,7		
Общее снижение уровня звука препятствием с учётом ограничения (25 дБ) для октавных полос Dz, дБ		Раздел 7.4 [10]	6,4	8,3	10,6	13,2	15,9	18,8	21,7	24,7	25		
Уровни звукового давления от источника ИШ-1-21 в расчётной точке днём, дБ		**ф-ла(3)[10]**	**0**	**23,6**	**22,6**	**21**	**17,7**	**13,4**	**5,3**	**0**	**0**	**18,9**	**18,9**

1		2	3	4	5	6	7	8	9	10	11	12	13
Уровни звукового давления от источника ИШ-1-21 в расчётной точке ночью, дБ		**ф-ла(3)[10]**	**0**	**23,6**	**22,6**	**21**	**17,7**	**13,4**	**5,3**	**0**	**0**	**18,9**	**18,9**
Источник шума: ИШ-1-22, координаты источника (x,y,z), м =[522.03,85.28,1.00]													
Уровни звуковой мощности источника днём, Lw, дБ		**исходные данные**	**0**	**93,3**	**94,7**	**96**	**96,3**	**95,9**	**92,6**	**88,4**	**83,9**		
Уровни звуковой мощности источника ночью, Lw, дБ		**исходные данные**	**0**	**93,3**	**94,7**	**96**	**96,3**	**95,9**	**92,6**	**88,4**	**83,9**		
Поправка на телесный угол DΩ, дБ	Ω = 6.28	10Lg(4π/Ω)	**3**	3	3	3	3	3	3	3	3		
Показатель направленности источника Di, дБ		исходные данные	**0**	0	0	0	0	0	0	0	0		
Поправка на направленность источника Dc, дБ	Dc	DΩ + Di	**3**	3	3	3	3	3	3	3	3		
Затухание из-за геометрической дивергенции, Adiv, дБ	расстояние = 406.77 м	ф-ла (7) [10]	**63,2**										
Коэффициент затухания звука в атмосфере α, дБ/км	Ta=20,°C Pa=101.33,кПа hотн.=70%	ф-ла (5) [9]	0,02	0,09	0,33	1,12	2,79	4,98	9,04	23,09	77,63		
Учет затухания звука в атмосфере Aatm, дБ		ф-ла (8) [10]	0	0	0,1	0,5	1,1	2	3,7	9,4	31,6		
Снижение уровня звукового давления из-за влияния застройки между источником шума и расчетной точкой													
Снижение уровня звукового давления на пути над экраном, Dz1, дБ	z = 0.44м (разность путей)	ф-лы (14-18) [10]	5,2	5,9	7,3	9,3	11,6	14,2	17	19,8	22,8		
Снижение уровня звукового давления на пути слева от экрана, Dz2, дБ	z = 1.16м (разность путей)	ф-лы (14-18) [10]	8,6	10,6	13	15,7	18,5	21,4	24,4	27,4	30,4		
Снижение уровня звукового давления на пути справа от экрана, Dz3, дБ	z = 188.38м (разность путей)	ф-лы (14-18) [10]	32,8	36,1	39,2	42,2	45,2	48,2	51,2	54,2	57,3		
Общее снижение уровня звука препятствием Dz, дБ		Эн.сумма(-Dzi)	3,6	4,6	6,3	8,4	10,8	13,4	16,2	19,1	22,1		
Уровни звукового давления прямого звука от источника ИШ-1-22 в расчётной точке днём, дБ		**ф-ла(3)[10]**	**0**	**28,4**	**28,1**	**27**	**24,2**	**20,2**	**12,5**	**0**	**0**	**25,3**	**25,3**

1		2	3	4	5	6	7	8	9	10	11	12	13
Уровни звукового давления прямого звука от источника ИШ-1-22 в расчётной точке ночью, дБ		**ф-ла(3)[10]**	**0**	**28,4**	**28,1**	**27**	**24,2**	**20,2**	**12,5**	**0**	**0**	**25,3**	**25,3**
Расчёт отражённого звука													
Уровни звукового давления от мнимого источника ИШ-1-22_мн.(1) в расчётной точке днём, дБ		**ф-ла(3)[10]**	**0**	**0**	**0**	**0**	**0**	**0**	**0**	**0**	**0**	**0**	**0**
Уровни звукового давления от мнимого источника ИШ-1-22_мн.(1) в расчётной точке ночью, дБ		**ф-ла(3)[10]**	**0**	**0**	**0**	**0**	**0**	**0**	**0**	**0**	**0**	**0**	**0**
Уровни звукового давления от источника ИШ-1-22 в расчётной точке днём, дБ		**ф-ла(3)[10]**	**0**	**28,4**	**28,1**	**27**	**24,2**	**20,2**	**12,5**	**0**	**0**	**25,3**	**25,3**
Уровни звукового давления от источника ИШ-1-22 в расчётной точке ночью, дБ		**ф-ла(3)[10]**	**0**	**28,4**	**28,1**	**27**	**24,2**	**20,2**	**12,5**	**0**	**0**	**25,3**	**25,3**
Источник шума: ИШ-1-23, координаты источника (x,y,z), м =[525.16,84.11,1.00]													
Уровни звуковой мощности источника днём, Lw, дБ		**исходные данные**	**0**	**93,3**	**94,7**	**96**	**96,3**	**95,9**	**92,6**	**88,4**	**83,9**		
Уровни звуковой мощности источника ночью, Lw, дБ		**исходные данные**	**0**	**93,3**	**94,7**	**96**	**96,3**	**95,9**	**92,6**	**88,4**	**83,9**		
Поправка на телесный угол DΩ, дБ	Ω = 6.28	10Lg(4π/Ω)	**3**	3	3	3	3	3	3	3	3		
Показатель направленности источника Di, дБ		исходные данные	**0**	0	0	0	0	0	0	0	0		
Поправка на направленность источника Dc, дБ	Dc	DΩ + Di	**3**	3	3	3	3	3	3	3	3		
Затухание из-за геометрической дивергенции, Adiv, дБ	расстояние = 408.26 м	ф-ла (7) [10]	**63,2**										
Коэффициент затухания звука в атмосфере α, дБ/км	Ta=20,°C Pa=101.33,кПа hотн.=70%	ф-ла (5) [9]	0,02	0,09	0,33	1,12	2,79	4,98	9,04	23,09	77,63		
Учет затухания звука в атмосфере Aatm, дБ		ф-ла (8) [10]	0	0	0,1	0,5	1,1	2	3,7	9,4	31,7		
Снижение уровня звукового давления из-за влияния застройки между источником шума и расчетной точкой													

1		2	3	4	5	6	7	8	9	10	11	12	13
Снижение уровня звукового давления на пути над экраном, Dz1, дБ	z = 0.44м (разность путей)	ф-лы (14-18) [10]	5,2	5,9	7,3	9,3	11,6	14,2	17	19,8	22,8		
Снижение уровня звукового давления на пути слева от экрана, Dz2, дБ	z = 1.00м (разность путей)	ф-лы (14-18) [10]	8,3	10,2	12,5	15,1	17,9	20,8	23,8	26,8	29,8		
Снижение уровня звукового давления на пути справа от экрана, Dz3, дБ	z = 188.03м (разность путей)	ф-лы (14-18) [10]	32,8	36,1	39,2	42,2	45,2	48,2	51,2	54,2	57,3		
Общее снижение уровня звука препятствием Dz, дБ		Эн.сумма(-Dzi)	3,5	4,5	6,2	8,3	10,7	13,3	16,1	19	22		
Уровни звукового давления от источника ИШ-1-23 в расчётной точке днём, дБ		**ф-ла(3)[10]**	**0**	**28,5**	**28,2**	**27**	**24,2**	**20,3**	**12,5**	**0**	**0**	**25,4**	**25,4**
Уровни звукового давления от источника ИШ-1-23 в расчётной точке ночью, дБ		**ф-ла(3)[10]**	**0**	**28,5**	**28,2**	**27**	**24,2**	**20,3**	**12,5**	**0**	**0**	**25,4**	**25,4**
Источник шума: ИШ-1-24, координаты источника (x,y,z), м =[528.48,82.94,1.00]													
Уровни звуковой мощности источника днём, Lw, дБ		**исходные данные**	**0**	**93,3**	**94,7**	**96**	**96,3**	**95,9**	**92,6**	**88,4**	**83,9**		
Уровни звуковой мощности источника ночью, Lw, дБ		**исходные данные**	**0**	**93,3**	**94,7**	**96**	**96,3**	**95,9**	**92,6**	**88,4**	**83,9**		
Поправка на телесный угол DΩ, дБ	Ω = 6.28	10Lg(4π/Ω)	**3**	3	3	3	3	3	3	3	3		
Показатель направленности источника Di, дБ		исходные данные	**0**	0	0	0	0	0	0	0	0		
Поправка на направленность источника Dc, дБ	Dc	DΩ + Di	**3**	3	3	3	3	3	3	3	3		
Затухание из-за геометрической дивергенции, Adiv, дБ	расстояние = 409.92 м	ф-ла (7) [10]	**63,3**										
Коэффициент затухания звука в атмосфере α, дБ/км	Ta=20,°C Pa=101.33,кПа hотн.=70%	ф-ла (5) [9]	0,02	0,09	0,33	1,12	2,79	4,98	9,04	23,09	77,63		
Учет затухания звука в атмосфере Aatm, дБ		ф-ла (8) [10]	0	0	0,1	0,5	1,1	2	3,7	9,5	31,8		
Снижение уровня звукового давления из-за влияния застройки между источником шума и расчетной точкой													

1		2	3	4	5	6	7	8	9	10	11	12	13
Снижение уровня звукового давления на пути над экраном, Dz1, дБ	z = 0.44м (разность путей)	ф-лы (14-18) [10]	5,2	5,9	7,3	9,3	11,6	14,2	16,9	19,8	22,8		
Снижение уровня звукового давления на пути слева от экрана, Dz2, дБ	z = 0.86м (разность путей)	ф-лы (14-18) [10]	7,9	9,7	11,9	14,5	17,3	20,2	23,1	26,1	29,1		
Снижение уровня звукового давления на пути справа от экрана, Dz3, дБ	z = 187.63м (разность путей)	ф-лы (14-18) [10]	32,8	36,1	39,2	42,2	45,2	48,2	51,2	54,2	57,2		
Общее снижение уровня звука препятствием Dz, дБ		Эн.сумма(-Dzi)	3,3	4,4	6	8,1	10,6	13,2	16	18,9	21,9		
Уровни звукового давления от источника ИШ-1-24 в расчётной точке днём, дБ		**ф-ла(3)[10]**	**0**	**28,6**	**28,3**	**27,1**	**24,3**	**20,4**	**12,6**	**0**	**0**	**25,5**	**25,5**
Уровни звукового давления от источника ИШ-1-24 в расчётной точке ночью, дБ		**ф-ла(3)[10]**	**0**	**28,6**	**28,3**	**27,1**	**24,3**	**20,4**	**12,6**	**0**	**0**	**25,5**	**25,5**
Источник шума: ИШ-1-25, координаты источника (x,y,z), м =[531.22,82.16,1.00]													
Уровни звуковой мощности источника днём, Lw, дБ		**исходные данные**	**0**	**93,3**	**94,7**	**96**	**96,3**	**95,9**	**92,6**	**88,4**	**83,9**		
Уровни звуковой мощности источника ночью, Lw, дБ		**исходные данные**	**0**	**93,3**	**94,7**	**96**	**96,3**	**95,9**	**92,6**	**88,4**	**83,9**		
Поправка на телесный угол DΩ, дБ	Ω = 6.28	10Lg(4π/Ω)	**3**	3	3	3	3	3	3	3	3		
Показатель направленности источника Di, дБ		исходные данные	**0**	0	0	0	0	0	0	0	0		
Поправка на направленность источника Dc, дБ	Dc	DΩ + Di	**3**	3	3	3	3	3	3	3	3		
Затухание из-за геометрической дивергенции, Adiv, дБ	расстояние = 411.43 м	ф-ла (7) [10]	**63,3**										
Коэффициент затухания звука в атмосфере α, дБ/км	Ta=20,°C Pa=101.33,кПа hотн.=70%	ф-ла (5) [9]	0,02	0,09	0,33	1,12	2,79	4,98	9,04	23,09	77,63		
Учет затухания звука в атмосфере Aatm, дБ		ф-ла (8) [10]	0	0	0,1	0,5	1,1	2	3,7	9,5	31,9		
Снижение уровня звукового давления из-за влияния застройки между источником шума и расчетной точкой													

1		2	3	4	5	6	7	8	9	10	11	12	13
Снижение уровня звукового давления на пути над экраном, Dz1, дБ	z = 0.44м (разность путей)	ф-лы (14-18) [10]	5,2	5,9	7,3	9,3	11,6	14,2	16,9	19,8	22,8		
Снижение уровня звукового давления на пути слева от экрана, Dz2, дБ	z = 0.75м (разность путей)	ф-лы (14-18) [10]	7,6	9,3	11,5	14	16,8	19,6	22,6	25,5	28,5		
Снижение уровня звукового давления на пути справа от экрана, Dz3, дБ	z = 187.06м (разность путей)	ф-лы (14-18) [10]	32,8	36,1	39,1	42,2	45,2	48,2	51,2	54,2	57,2		
Общее снижение уровня звука препятствием Dz, дБ		Эн.сумма(-Dzi)	3,2	4,3	5,9	8	10,4	13,1	15,9	18,8	21,7		
Уровни звукового давления от источника ИШ-1-25 в расчётной точке днём, дБ		**ф-ла(3)[10]**	**0**	**28,7**	**28,4**	**27,2**	**24,4**	**20,5**	**12,7**	**0**	**0**	**25,6**	**25,6**
Уровни звукового давления от источника ИШ-1-25 в расчётной точке ночью, дБ		**ф-ла(3)[10]**	**0**	**28,7**	**28,4**	**27,2**	**24,4**	**20,5**	**12,7**	**0**	**0**	**25,6**	**25,6**
Источник шума: ИШ-1-26, координаты источника (x,y,z), м =[534.15,80.79,1.00]													
Уровни звуковой мощности источника днём, Lw, дБ		**исходные данные**	**0**	**93,3**	**94,7**	**96**	**96,3**	**95,9**	**92,6**	**88,4**	**83,9**		
Уровни звуковой мощности источника ночью, Lw, дБ		**исходные данные**	**0**	**93,3**	**94,7**	**96**	**96,3**	**95,9**	**92,6**	**88,4**	**83,9**		
Поправка на телесный угол DΩ, дБ	Ω = 6.28	10Lg(4π/Ω)	**3**	3	3	3	3	3	3	3	3		
Показатель направленности источника Di, дБ		исходные данные	**0**	0	0	0	0	0	0	0	0		
Поправка на направленность источника Dc, дБ	Dc	DΩ + Di	**3**	3	3	3	3	3	3	3	3		
Затухание из-за геометрической дивергенции, Adiv, дБ	расстояние = 412.70 м	ф-ла (7) [10]	**63,3**										
Коэффициент затухания звука в атмосфере α, дБ/км	Ta=20,°C Pa=101.33,кПа hотн.=70%	ф-ла (5) [9]	0,02	0,09	0,33	1,12	2,79	4,98	9,04	23,09	77,63		
Учет затухания звука в атмосфере Aatm, дБ		ф-ла (8) [10]	0	0	0,1	0,5	1,2	2,1	3,7	9,5	32		
Снижение уровня звукового давления из-за влияния застройки между источником шума и расчетной точкой													

1		2	3	4	5	6	7	8	9	10	11	12	13
Снижение уровня звукового давления на пути над экраном, Dz1, дБ	z = 0.44м (разность путей)	ф-лы (14-18) [10]	5,2	5,9	7,3	9,3	11,6	14,2	16,9	19,8	22,7		
Снижение уровня звукового давления на пути слева от экрана, Dz2, дБ	z = 0.64м (разность путей)	ф-лы (14-18) [10]	7,3	8,9	10,9	13,4	16,1	18,9	21,8	24,8	27,8		
Снижение уровня звукового давления на пути справа от экрана, Dz3, дБ	z = 187.39м (разность путей)	ф-лы (14-18) [10]	32,8	36,1	39,1	42,2	45,2	48,2	51,2	54,2	57,2		
Общее снижение уровня звука препятствием Dz, дБ		Эн.сумма(-Dzi)	3,1	4,1	5,7	7,8	10,3	12,9	15,7	18,6	21,6		
Уровни звукового давления от источника ИШ-1-26 в расчётной точке днём, дБ		**ф-ла(3)[10]**	**0**	**28,8**	**28,5**	**27,4**	**24,6**	**20,6**	**12,8**	**0**	**0**	**25,7**	**25,7**
Уровни звукового давления от источника ИШ-1-26 в расчётной точке ночью, дБ		**ф-ла(3)[10]**	**0**	**28,8**	**28,5**	**27,4**	**24,6**	**20,6**	**12,8**	**0**	**0**	**25,7**	**25,7**
Источник шума: ИШ-1-27, координаты источника (x,y,z), м =[469.65,197.67,1.00]													
Уровни звуковой мощности источника днём, Lw, дБ		**исходные данные**	**0**	**93,3**	**94,7**	**96**	**96,3**	**95,9**	**92,6**	**88,4**	**83,9**		
Уровни звуковой мощности источника ночью, Lw, дБ		**исходные данные**	**0**	**93,3**	**94,7**	**96**	**96,3**	**95,9**	**92,6**	**88,4**	**83,9**		
Поправка на телесный угол DΩ, дБ	Ω = 6.28	10Lg(4π/Ω)	**3**	3	3	3	3	3	3	3	3		
Показатель направленности источника Di, дБ		исходные данные	**0**	0	0	0	0	0	0	0	0		
Поправка на направленность источника Dc, дБ	Dc	DΩ + Di	**3**	3	3	3	3	3	3	3	3		
Затухание из-за геометрической дивергенции, Adiv, дБ	расстояние = 460.70 м	ф-ла (7) [10]	**64,3**										
Коэффициент затухания звука в атмосфере α, дБ/км	Ta=20,°C Pa=101.33,кПа hотн.=70%	ф-ла (5) [9]	0,02	0,09	0,33	1,12	2,79	4,98	9,04	23,09	77,63		
Учет затухания звука в атмосфере Aatm, дБ		ф-ла (8) [10]	0	0	0,2	0,5	1,3	2,3	4,2	10,6	35,8		
Снижение уровня звукового давления из-за влияния застройки между источником шума и расчетной точкой													

1		2	3	4	5	6	7	8	9	10	11	12	13
Снижение уровня звукового давления на пути над экраном, Dz1, дБ	z = 0.60м (разность путей)	ф-лы (14-18) [10]	6,7	8,2	10,2	12,5	15,2	18	20,9	23,8	26,8		
Снижение уровня звукового давления на пути слева от экрана, Dz2, дБ	z = 17.73м (разность путей)	ф-лы (14-18) [10]	22,3	25,8	28,9	31,9	35	38	41	44	47		
Снижение уровня звукового давления на пути справа от экрана, Dz3, дБ	z = 37.80м (разность путей)	ф-лы (14-18) [10]	25,7	29,1	32,2	35,2	38,2	41,3	44,3	47,3	50,3		
Общее снижение уровня звука препятствием Dz, дБ		Эн.сумма(-Dzi)	6,5	8,1	10,1	12,5	15,1	17,9	20,8	23,8	26,8		
Общее снижение уровня звука препятствием с учётом ограничения (25 дБ) для октавных полос Dz, дБ		Раздел 7.4 [10]	6,5	8,1	10,1	12,5	15,1	17,9	20,8	23,8	25		
Уровни звукового давления прямого звука от источника ИШ-1-27 в расчётной точке днём, дБ		**ф-ла(3)[10]**	**0**	**23,9**	**23,2**	**21,8**	**18,6**	**14,4**	**6,3**	**0**	**0**	**19,8**	**19,8**
Уровни звукового давления прямого звука от источника ИШ-1-27 в расчётной точке ночью, дБ		**ф-ла(3)[10]**	**0**	**23,9**	**23,2**	**21,8**	**18,6**	**14,4**	**6,3**	**0**	**0**	**19,8**	**19,8**
Расчёт отражённого звука													
Уровни звукового давления от мнимого источника ИШ-1-27_мн.(1) в расчётной точке днём, дБ		**ф-ла(3)[10]**	**0**	**0**	**0**	**0**	**0**	**0**	**2,8**	**0**	**0**	**4**	**4**
Уровни звукового давления от мнимого источника ИШ-1-27_мн.(1) в расчётной точке ночью, дБ		**ф-ла(3)[10]**	**0**	**0**	**0**	**0**	**0**	**0**	**0**	**0**	**0**	**4**	**4**
Уровни звукового давления от источника ИШ-1-27 в расчётной точке днём, дБ		**ф-ла(3)[10]**	**0**	**23,9**	**23,2**	**21,8**	**18,6**	**14,4**	**7,9**	**0**	**0**	**19,9**	**19,9**
Уровни звукового давления от источника ИШ-1-27 в расчётной точке ночью, дБ		**ф-ла(3)[10]**	**0**	**23,9**	**23,2**	**21,8**	**18,6**	**14,4**	**7,9**	**0**	**0**	**19,9**	**19,9**
Источник шума: ИШ-1-28, координаты источника (x,y,z), м =[472.78,196.69,1.00]													
Уровни звуковой мощности источника днём, Lw, дБ		**исходные данные**	**0**	**93,3**	**94,7**	**96**	**96,3**	**95,9**	**92,6**	**88,4**	**83,9**		
Уровни звуковой мощности источника ночью, Lw, дБ		**исходные данные**	**0**	**93,3**	**94,7**	**96**	**96,3**	**95,9**	**92,6**	**88,4**	**83,9**		
Поправка на телесный угол DΩ, дБ	Ω = 6.28	10Lg(4π/Ω)	**3**	3	3	3	3	3	3	3	3		
Показатель направленности источника Di, дБ		исходные данные	**0**	0	0	0	0	0	0	0	0		

1		2	3	4	5	6	7	8	9	10	11	12	13
Поправка на направленность источника Dc, дБ	Dc	DΩ + Di	**3**	3	3	3	3	3	3	3	3		
Затухание из-за геометрической дивергенции, Adiv, дБ	расстояние = 461.55 м	ф-ла (7) [10]	**64,3**										
Коэффициент затухания звука в атмосфере α, дБ/км	Ta=20,°C Pa=101.33,кПа hотн.=70%	ф-ла (5) [9]	0,02	0,09	0,33	1,12	2,79	4,98	9,04	23,09	77,63		
Учет затухания звука в атмосфере Aatm, дБ		ф-ла (8) [10]	0	0	0,2	0,5	1,3	2,3	4,2	10,7	35,8		
Снижение уровня звукового давления из-за влияния застройки между источником шума и расчетной точкой													
Снижение уровня звукового давления на пути над экраном, Dz1, дБ	z = 0.45м (разность путей)	ф-лы (14-18) [10]	5,3	6	7,3	9	11,2	13,7	16,4	19,2	22,2		
Снижение уровня звукового давления на пути слева от экрана, Dz2, дБ	z = 16.70м (разность путей)	ф-лы (14-18) [10]	22,1	25,5	28,6	31,7	34,7	37,7	40,7	43,7	46,7		
Снижение уровня звукового давления на пути справа от экрана, Dz3, дБ	z = 40.23м (разность путей)	ф-лы (14-18) [10]	25,9	29,4	32,5	35,5	38,5	41,5	44,5	47,5	50,6		
Общее снижение уровня звука препятствием Dz, дБ		Эн.сумма(-Dzi)	5,2	6	7,3	9	11,1	13,6	16,4	19,2	22,1		
Уровни звукового давления прямого звука от источника ИШ-1-28 в расчётной точке днём, дБ		**ф-ла(3)[10]**	**0**	**26**	**26**	**25,2**	**22,6**	**18,7**	**10,8**	**0**	**0**	**23,7**	**23,7**
Уровни звукового давления прямого звука от источника ИШ-1-28 в расчётной точке ночью, дБ		**ф-ла(3)[10]**	**0**	**26**	**26**	**25,2**	**22,6**	**18,7**	**10,8**	**0**	**0**	**23,7**	**23,7**
Расчёт отражённого звука													
Уровни звукового давления от мнимого источника ИШ-1-28_мн.(1) в расчётной точке днём, дБ		**ф-ла(3)[10]**	**0**	**0**	**0**	**0**	**0**	**0**	**3,3**	**0**	**0**	**4,5**	**4,5**
Уровни звукового давления от мнимого источника ИШ-1-28_мн.(1) в расчётной точке ночью, дБ		**ф-ла(3)[10]**	**0**	**0**	**0**	**0**	**0**	**0**	**0**	**0**	**0**	**4,5**	**4,5**
Уровни звукового давления от источника ИШ-1-28 в расчётной точке днём, дБ		**ф-ла(3)[10]**	**0**	**26**	**26**	**25,2**	**22,6**	**18,7**	**11,5**	**0**	**0**	**23,7**	**23,7**
Уровни звукового давления от источника ИШ-1-28 в расчётной точке ночью, дБ		**ф-ла(3)[10]**	**0**	**26**	**26**	**25,2**	**22,6**	**18,7**	**11,5**	**0**	**0**	**23,7**	**23,7**

1		2	3	4	5	6	7	8	9	10	11	12	13
Источник шума: ИШ-1-29, координаты источника (x,y,z), м =[475.52,195.72,1.00]													
Уровни звуковой мощности источника днём, Lw, дБ		**исходные данные**	**0**	**93,3**	**94,7**	**96**	**96,3**	**95,9**	**92,6**	**88,4**	**83,9**		
Уровни звуковой мощности источника ночью, Lw, дБ		**исходные данные**	**0**	**93,3**	**94,7**	**96**	**96,3**	**95,9**	**92,6**	**88,4**	**83,9**		
Поправка на телесный угол DΩ, дБ	Ω = 6.28	10Lg(4π/Ω)	**3**	3	3	3	3	3	3	3	3		
Показатель направленности источника Di, дБ		исходные данные	**0**	0	0	0	0	0	0	0	0		
Поправка на направленность источника Dc, дБ	Dc	DΩ + Di	**3**	3	3	3	3	3	3	3	3		
Затухание из-за геометрической дивергенции, Adiv, дБ	расстояние = 462.20 м	ф-ла (7) [10]	**64,3**										
Коэффициент затухания звука в атмосфере α, дБ/км	Ta=20,°C Pa=101.33,кПа hотн.=70%	ф-ла (5) [9]	0,02	0,09	0,33	1,12	2,79	4,98	9,04	23,09	77,63		
Учет затухания звука в атмосфере Aatm, дБ		ф-ла (8) [10]	0	0	0,2	0,5	1,3	2,3	4,2	10,7	35,9		
Снижение уровня звукового давления из-за влияния застройки между источником шума и расчетной точкой													
Снижение уровня звукового давления на пути над экраном, Dz1, дБ	z = 0.43м (разность путей)	ф-лы (14-18) [10]	5,2	5,8	7	8,6	10,6	13	15,7	18,5	21,4		
Снижение уровня звукового давления на пути слева от экрана, Dz2, дБ	z = 15.82м (разность путей)	ф-лы (14-18) [10]	21,9	25,3	28,4	31,4	34,5	37,5	40,5	43,5	46,5		
Снижение уровня звукового давления на пути справа от экрана, Dz3, дБ	z = 42.47м (разность путей)	ф-лы (14-18) [10]	26,2	29,6	32,7	35,7	38,7	41,8	44,8	47,8	50,8		
Общее снижение уровня звука препятствием Dz, дБ		Эн.сумма(-Dzi)	5,1	5,8	6,9	8,5	10,6	13	15,7	18,5	21,4		
Уровни звукового давления прямого звука от источника ИШ-1-29 в расчётной точке днём, дБ		**ф-ла(3)[10]**	**0**	**26,2**	**26,3**	**25,7**	**23,1**	**19,3**	**11,4**	**0**	**0**	**24,2**	**24,2**
Уровни звукового давления прямого звука от источника ИШ-1-29 в расчётной точке ночью, дБ		**ф-ла(3)[10]**	**0**	**26,2**	**26,3**	**25,7**	**23,1**	**19,3**	**11,4**	**0**	**0**	**24,2**	**24,2**

1		2	3	4	5	6	7	8	9	10	11	12	13
Расчёт отражённого звука													
Уровни звукового давления от мнимого источника ИШ-1-29_мн.(1) в расчётной точке днём, дБ		**ф-ла(3)[10]**	**0**	**0**	**0**	**0**	**0**	**12**	**3,8**	**0**	**0**	**12,8**	**12,8**
Уровни звукового давления от мнимого источника ИШ-1-29_мн.(1) в расчётной точке ночью, дБ		**ф-ла(3)[10]**	**0**	**0**	**0**	**0**	**0**	**0**	**0**	**0**	**0**	**12,8**	**12,8**
Уровни звукового давления от источника ИШ-1-29 в расчётной точке днём, дБ		**ф-ла(3)[10]**	**0**	**26,2**	**26,3**	**25,7**	**23,1**	**20**	**12,1**	**0**	**0**	**24,5**	**24,5**
Уровни звукового давления от источника ИШ-1-29 в расчётной точке ночью, дБ		**ф-ла(3)[10]**	**0**	**26,2**	**26,3**	**25,7**	**23,1**	**20**	**12,1**	**0**	**0**	**24,5**	**24,5**
Источник шума: ИШ-1-30, координаты источника (x,y,z), м =[478.45,194.54,1.00]													
Уровни звуковой мощности источника днём, Lw, дБ		**исходные данные**	**0**	**93,3**	**94,7**	**96**	**96,3**	**95,9**	**92,6**	**88,4**	**83,9**		
Уровни звуковой мощности источника ночью, Lw, дБ		**исходные данные**	**0**	**93,3**	**94,7**	**96**	**96,3**	**95,9**	**92,6**	**88,4**	**83,9**		
Поправка на телесный угол DΩ, дБ	Ω = 6.28	10Lg(4π/Ω)	**3**	3	3	3	3	3	3	3	3		
Показатель направленности источника Di, дБ		исходные данные	**0**	0	0	0	0	0	0	0	0		
Поправка на направленность источника Dc, дБ	Dc	DΩ + Di	**3**	3	3	3	3	3	3	3	3		
Затухание из-за геометрической дивергенции, Adiv, дБ	расстояние = 462.81 м	ф-ла (7) [10]	**64,3**										
Коэффициент затухания звука в атмосфере α, дБ/км	Ta=20,°C Pa=101.33,кПа hотн.=70%	ф-ла (5) [9]	0,02	0,09	0,33	1,12	2,79	4,98	9,04	23,09	77,63		
Учет затухания звука в атмосфере Aatm, дБ		ф-ла (8) [10]	0	0	0,2	0,5	1,3	2,3	4,2	10,7	35,9		
Снижение уровня звукового давления из-за влияния застройки между источником шума и расчетной точкой													
Снижение уровня звукового давления на пути над экраном, Dz1, дБ	z = 0.37м (разность путей)	ф-лы (14-18) [10]	4,9	5,1	5,7	6,9	8,6	10,6	13,1	15,7	18,6		

1		2	3	4	5	6	7	8	9	10	11	12	13
Снижение уровня звукового давления на пути слева от экрана, Dz2, дБ	z = 14.90м (разность путей)	ф-лы (14-18) [10]	21,6	25	28,1	31,2	34,2	37,2	40,2	43,2	46,2		
Снижение уровня звукового давления на пути справа от экрана, Dz3, дБ	z = 45.00м (разность путей)	ф-лы (14-18) [10]	26,4	29,8	32,9	36	39	42	45	48	51		
Общее снижение уровня звука препятствием Dz, дБ		Эн.сумма(-Dzi)	4,8	5,1	5,7	6,9	8,5	10,6	13,1	15,7	18,6		
Уровни звукового давления прямого звука от источника ИШ-1-30 в расчётной точке днём, дБ		**ф-ла(3)[10]**	**0**	**26,9**	**27,5**	**27,3**	**25,1**	**21,7**	**14**	**0,7**	**0**	**26,3**	**26,3**
Уровни звукового давления прямого звука от источника ИШ-1-30 в расчётной точке ночью, дБ		**ф-ла(3)[10]**	**0**	**26,9**	**27,5**	**27,3**	**25,1**	**21,7**	**14**	**0,7**	**0**	**26,3**	**26,3**
Расчёт отражённого звука													
Уровни звукового давления от мнимого источника ИШ-1-30_мн.(1) в расчётной точке днём, дБ		**ф-ла(3)[10]**	**0**	**0**	**0**	**0**	**0**	**12,5**	**4,3**	**0**	**0**	**13,3**	**13,3**
Уровни звукового давления от мнимого источника ИШ-1-30_мн.(1) в расчётной точке ночью, дБ		**ф-ла(3)[10]**	**0**	**0**	**0**	**0**	**0**	**0**	**0**	**0**	**0**	**13,3**	**13,3**
Уровни звукового давления от источника ИШ-1-30 в расчётной точке днём, дБ		**ф-ла(3)[10]**	**0**	**26,9**	**27,5**	**27,3**	**25,1**	**22,2**	**14,5**	**0,7**	**0**	**26,5**	**26,5**
Уровни звукового давления от источника ИШ-1-30 в расчётной точке ночью, дБ		**ф-ла(3)[10]**	**0**	**26,9**	**27,5**	**27,3**	**25,1**	**22,2**	**14,5**	**0,7**	**0**	**26,5**	**26,5**
Источник шума: ИШ-1-31, координаты источника (x,y,z), м =[481.58,193.96,1.00]													
Уровни звуковой мощности источника днём, Lw, дБ		**исходные данные**	**0**	**93,3**	**94,7**	**96**	**96,3**	**95,9**	**92,6**	**88,4**	**83,9**		
Уровни звуковой мощности источника ночью, Lw, дБ		**исходные данные**	**0**	**93,3**	**94,7**	**96**	**96,3**	**95,9**	**92,6**	**88,4**	**83,9**		
Поправка на телесный угол DΩ, дБ	Ω = 6.28	10Lg(4π/Ω)	**3**	3	3	3	3	3	3	3	3		
Показатель направленности источника Di, дБ		исходные данные	**0**	0	0	0	0	0	0	0	0		
Поправка на направленность источника Dc, дБ	Dc	DΩ + Di	**3**	3	3	3	3	3	3	3	3		
Затухание из-за геометрической дивергенции, Adiv, дБ	расстояние = 464.04 м	ф-ла (7) [10]	**64,3**										

1		2	3	4	5	6	7	8	9	10	11	12	13
Коэффициент затухания звука в атмосфере α, дБ/км	Та=20,°С Ра=101.33,кПа hотн.=70%	ф-ла (5) [9]	0,02	0,09	0,33	1,12	2,79	4,98	9,04	23,09	77,63		
Учет затухания звука в атмосфере Aatm, дБ		ф-ла (8) [10]	0	0	0,2	0,5	1,3	2,3	4,2	10,7	36		
Снижение уровня звукового давления из-за влияния застройки между источником шума и расчетной точкой													
Снижение уровня звукового давления на пути над экраном, Dz1, дБ	z = 0.36м (разность путей)	ф-лы (14-18) [10]	4,9	5,1	5,7	6,9	8,5	10,6	13	15,7	18,5		
Снижение уровня звукового давления на пути слева от экрана, Dz2, дБ	z = 14.03м (разность путей)	ф-лы (14-18) [10]	21,3	24,8	27,9	30,9	33,9	37	40	43	46		
Снижение уровня звукового давления на пути справа от экрана, Dz3, дБ	z = 46.94м (разность путей)	ф-лы (14-18) [10]	26,6	30	33,1	36,2	39,2	42,2	45,2	48,2	51,2		
Общее снижение уровня звука препятствием Dz, дБ		Эн.сумма(-Dzi)	4,8	5,1	5,7	6,9	8,5	10,6	13	15,7	18,5		
Уровни звукового давления прямого звука от источника ИШ-1-31 в расчётной точке днём, дБ		**ф-ла(3)[10]**	**0**	**26,8**	**27,5**	**27,3**	**25,2**	**21,7**	**14,1**	**0,7**	**0**	**26,3**	**26,3**
Уровни звукового давления прямого звука от источника ИШ-1-31 в расчётной точке ночью, дБ		**ф-ла(3)[10]**	**0**	**26,8**	**27,5**	**27,3**	**25,2**	**21,7**	**14,1**	**0,7**	**0**	**26,3**	**26,3**
Расчёт отражённого звука													
Уровни звукового давления от мнимого источника ИШ-1-31_мн.(1) в расчётной точке днём, дБ		**ф-ла(3)[10]**	**0**	**0**	**0**	**0**	**0**	**13,1**	**4,9**	**0**	**0**	**13,9**	**13,9**
Уровни звукового давления от мнимого источника ИШ-1-31_мн.(1) в расчётной точке ночью, дБ		**ф-ла(3)[10]**	**0**	**0**	**0**	**0**	**0**	**0**	**0**	**0**	**0**	**13,9**	**13,9**
Уровни звукового давления от источника ИШ-1-31 в расчётной точке днём, дБ		**ф-ла(3)[10]**	**0**	**26,8**	**27,5**	**27,3**	**25,2**	**22,3**	**14,6**	**0,7**	**0**	**26,6**	**26,6**
Уровни звукового давления от источника ИШ-1-31 в расчётной точке ночью, дБ		**ф-ла(3)[10]**	**0**	**26,8**	**27,5**	**27,3**	**25,2**	**22,3**	**14,6**	**0,7**	**0**	**26,6**	**26,6**
Источник шума: ИШ-1-32, координаты источника (x,y,z), м =[871.21,281.99,50.00]													
Уровни звуковой мощности источника днём, Lw, дБ		**исходные данные**	**125**	**119,6**	**113,4**	**111,4**	**110,8**	**112,7**	**113,8**	**109,2**	**97,4**		

1		2	3	4	5	6	7	8	9	10	11	12	13
Уровни звуковой мощности источника ночью, Lw, дБ		**исходные данные**	**0**	**0**	**0**	**0**	**0**	**0**	**0**	**0**	**0**		
Поправка на телесный угол DΩ, дБ	Ω = 12.57	10Lg(4π/Ω)	**0**	0	0	0	0	0	0	0	0		
Показатель направленности источника Di, дБ		исходные данные	**0**	0	0	0	0	0	0	0	0		
Поправка на направленность источника Dc, дБ	Dc	DΩ + Di	**0**	0	0	0	0	0	0	0	0		
Затухание из-за геометрической дивергенции, Adiv, дБ	расстояние = 803.20 м	ф-ла (7) [10]	**69,1**										
Коэффициент затухания звука в атмосфере α, дБ/км	Ta=20,°C Pa=101.33,кПа hотн.=70%	ф-ла (5) [9]	0,02	0,09	0,33	1,12	2,79	4,98	9,04	23,09	77,63		
Учет затухания звука в атмосфере Aatm, дБ		ф-ла (8) [10]	0	0,1	0,3	0,9	2,2	4	7,3	18,5	62,4		
Снижение поверхностью земли возле источника As, дБ	Gs = 0 hs = 50м	ф-лы таб.3 [10]	-1,5	-1,5	-1,5	-1,5	-1,5	-1,5	-1,5	-1,5	-1,5		
Снижение поверхностью земли возле приёмника Ar, дБ	Gr = 1 hr = 1.6м	ф-лы таб.3 [10]	-1,5	-1,5	4,5	6,8	4,3	0,5	0	0	0		
Снижение поверхностью земли в средней зоне, Am дБ	Gm = 1	ф-лы таб.3 [10]	0	0	0	0	0	0	0	0	0		
Суммарное снижение поверхностью земли на траектории распространения звука Agr, дБ		ф-ла (9) [10]	-3	-3	3	5,3	2,8	-1	-1,5	-1,5	-1,5		
Уровни звукового давления прямого звука от источника ИШ-1-32 в расчётной точке днём, дБ		**ф-ла(3)[10]**	**58,9**	**53,5**	**41**	**36,1**	**36,7**	**40,6**	**39**	**23,1**	**0**	**44,1**	**44,1**
Уровни звукового давления прямого звука от источника ИШ-1-32 в расчётной точке ночью, дБ		**ф-ла(3)[10]**	**0**	**0**	**0**	**0**	**0**	**0**	**0**	**0**	**0**	**0**	**0**
Расчёт отражённого звука													
Уровни звукового давления от мнимого источника ИШ-1-32_мн.(1) в расчётной точке днём, дБ		**ф-ла(3)[10]**	**0**	**0**	**0**	**33,6**	**34,2**	**38,1**	**36,4**	**20,5**	**0**	**41,5**	**41,5**
Уровни звукового давления от мнимого источника ИШ-1-32_мн.(1) в расчётной точке ночью, дБ		**ф-ла(3)[10]**	**0**	**0**	**0**	**0**	**0**	**0**	**0**	**0**	**0**	**0**	**0**
Уровни звукового давления от источника ИШ-1-32 в расчётной точке днём, дБ		**ф-ла(3)[10]**	**58,9**	**53,5**	**41**	**38**	**38,6**	**42,6**	**40,9**	**25**	**0**	**46**	**46**

1		2	3	4	5	6	7	8	9	10	11	12	13
Уровни звукового давления от источника ИШ-1-32 в расчётной точке ночью, дБ		**ф-ла(3)[10]**	**0**	**0**	**0**	**0**	**0**	**0**	**0**	**0**	**0**	**0**	**0**
Источник шума: ИШ-1-33, координаты источника (x,y,z), м =[743.42,374.85,1.00]													
Уровни звуковой мощности источника днём, Lw, дБ		**исходные данные**	**0**	**88,7**	**90,1**	**93,1**	**96,4**	**103**	**112**	**108**	**99,2**		
Уровни звуковой мощности источника ночью, Lw, дБ		**исходные данные**	**0**	**0**	**0**	**0**	**0**	**0**	**0**	**0**	**0**		
Поправка на телесный угол DΩ, дБ	Ω = 6.28	10Lg(4π/Ω)	**3**	3	3	3	3	3	3	3	3		
Показатель направленности источника Di, дБ		исходные данные	**0**	0	0	0	0	0	0	0	0		
Поправка на направленность источника Dc, дБ	Dc	DΩ + Di	**3**	3	3	3	3	3	3	3	3		
Затухание из-за геометрической дивергенции, Adiv, дБ	расстояние = 768.65 м	ф-ла (7) [10]	**68,7**										
Коэффициент затухания звука в атмосфере α, дБ/км	Ta=20,°C Pa=101.33,кПа hотн.=70%	ф-ла (5) [9]	0,02	0,09	0,33	1,12	2,79	4,98	9,04	23,09	77,63		
Учет затухания звука в атмосфере Aatm, дБ		ф-ла (8) [10]	0	0,1	0,3	0,9	2,1	3,8	6,9	17,7	59,7		
Снижение уровня звукового давления из-за влияния застройки между источником шума и расчетной точкой													
Снижение уровня звукового давления на пути над экраном, Dz1, дБ	z = 0.34м (разность путей)	ф-лы (14-18) [10]	4,9	5	5,2	5,6	6,2	7,3	8,9	11	13,5		
Снижение уровня звукового давления на пути слева от экрана, Dz2, дБ	z = 3.08м (разность путей)	ф-лы (14-18) [10]	15,3	18,4	21,4	24,4	27,4	30,4	33,4	36,4	39,4		
Снижение уровня звукового давления на пути справа от экрана, Dz3, дБ	z = 42.41м (разность путей)	ф-лы (14-18) [10]	26,2	29,6	32,7	35,7	38,7	41,8	44,8	47,8	50,8		
Общее снижение уровня звука препятствием Dz, дБ		Эн.сумма(-Dzi)	4,5	4,8	5,1	5,5	6,2	7,3	8,9	11	13,5		
Уровни звукового давления от источника ИШ-1-33 в расчётной точке днём, дБ		**ф-ла(3)[10]**	**0**	**18,2**	**19,1**	**21**	**22,4**	**26,2**	**30,4**	**13,6**	**0**	**33**	**33**

1		2	3	4	5	6	7	8	9	10	11	12	13
Уровни звукового давления от источника ИШ-1-33 в расчётной точке ночью, дБ		**ф-ла(3)[10]**	**0**	**0**	**0**	**0**	**0**	**0**	**0**	**0**	**0**	**0**	**0**
Источник шума: ИШ-1-34, координаты источника (x,y,z), м =[1042.35,199.07,1.00]													
Уровни звуковой мощности источника днём, Lw, дБ		**исходные данные**	**0**	**88,7**	**90,1**	**93,1**	**96,4**	**103**	**112**	**108**	**99,2**		
Уровни звуковой мощности источника ночью, Lw, дБ		**исходные данные**	**0**	**0**	**0**	**0**	**0**	**0**	**0**	**0**	**0**		
Поправка на телесный угол DΩ, дБ	Ω = 6.28	10Lg(4π/Ω)	**3**	3	3	3	3	3	3	3	3		
Показатель направленности источника Di, дБ		исходные данные	**0**	0	0	0	0	0	0	0	0		
Поправка на направленность источника Dc, дБ	Dc	DΩ + Di	**3**	3	3	3	3	3	3	3	3		
Затухание из-за геометрической дивергенции, Adiv, дБ	расстояние = 906.28 м	ф-ла (7) [10]	**70,1**										
Коэффициент затухания звука в атмосфере α, дБ/км	Ta=20,°C Pa=101.33,кПа hотн.=70%	ф-ла (5) [9]	0,02	0,09	0,33	1,12	2,79	4,98	9,04	23,09	77,63		
Учет затухания звука в атмосфере Aatm, дБ		ф-ла (8) [10]	0	0,1	0,3	1	2,5	4,5	8,2	20,9	70,4		
Снижение уровня звукового давления из-за влияния застройки между источником шума и расчетной точкой													
Снижение уровня звукового давления на пути над экраном, Dz1, дБ	z = 0.07м (разность путей)	ф-лы (14-18) [10]	4,8	4,8	4,8	4,8	4,8	4,8	4,8	4,8	4,8		
Снижение уровня звукового давления на пути слева от экрана, Dz2, дБ	z = 4.23м (разность путей)	ф-лы (14-18) [10]	12,7	15,4	18,1	21,1	24	27	30	33	36		
Снижение уровня звукового давления на пути справа от экрана, Dz3, дБ	z = 1.02м (разность путей)	ф-лы (14-18) [10]	8,3	10,2	12,6	15,2	18	20,9	23,9	26,8	29,8		
Общее снижение уровня звука препятствием Dz, дБ		Эн.сумма(-Dzi)	2,7	3,4	3,9	4,3	4,5	4,6	4,7	4,7	4,8		
Уровни звукового давления от источника ИШ-1-34 в расчётной точке днём, дБ		**ф-ла(3)[10]**	**0**	**18,1**	**18,7**	**20,6**	**22,2**	**26,7**	**32**	**15,2**	**0**	**34,3**	**34,3**

1		2	3	4	5	6	7	8	9	10	11	12	13
Уровни звукового давления от источника ИШ-1-34 в расчётной точке ночью, дБ		**ф-ла(3)[10]**	**0**	**0**	**0**	**0**	**0**	**0**	**0**	**0**	**0**	**0**	**0**
Источник шума: ИШ-2-1, координаты источника (x,y,z), м =[696.50,124.40,3.00]													
Уровни звуковой мощности источника днём, Lw, дБ		**исходные данные**	**105**	**104**	**104**	**101**	**102**	**106**	**101**	**95**	**87**		
Уровни звуковой мощности источника ночью, Lw, дБ		**исходные данные**	**105**	**104**	**104**	**101**	**102**	**106**	**101**	**95**	**87**		
Поправка на телесный угол DΩ, дБ	Ω = 6.28	10Lg(4π/Ω)	**3**	3	3	3	3	3	3	3	3		
Показатель направленности источника Di, дБ		исходные данные	**0**	0	0	0	0	0	0	0	0		
Поправка на направленность источника Dc, дБ	Dc	DΩ + Di	**3**	3	3	3	3	3	3	3	3		
Затухание из-за геометрической дивергенции, Adiv, дБ	расстояние = 568.13 м	ф-ла (7) [10]	**66,1**										
Коэффициент затухания звука в атмосфере α, дБ/км	Ta=20,°C Pa=101.33,кПа hотн.=70%	ф-ла (5) [9]	0,02	0,09	0,33	1,12	2,79	4,98	9,04	23,09	77,63		
Учет затухания звука в атмосфере Aatm, дБ		ф-ла (8) [10]	0	0,1	0,2	0,6	1,6	2,8	5,1	13,1	44,1		
Снижение поверхностью земли возле источника As, дБ	Gs = 0 hs = 3м	ф-лы таб.3 [10]	-1,5	-1,5	-1,5	-1,5	-1,5	-1,5	-1,5	-1,5	-1,5		
Снижение поверхностью земли возле приёмника Ar, дБ	Gr = 1 hr = 1.6м	ф-лы таб.3 [10]	-1,5	-1,5	3,4	6,8	4,3	0,5	0	0	0		
Снижение поверхностью земли в средней зоне, Am дБ	Gm = 1	ф-лы таб.3 [10]	-2,3	-2,3	0	0	0	0	0	0	0		
Суммарное снижение поверхностью земли на траектории распространения звука Agr, дБ		ф-ла (9) [10]	-5,3	-5,3	1,9	5,3	2,8	-1	-1,5	-1,5	-1,5		
Уровни звукового давления прямого звука от источника ИШ-2-1 в расчётной точке днём, дБ		**ф-ла(3)[10]**	**47,2**	**46,1**	**38,8**	**32**	**34,5**	**41,1**	**34,3**	**20,3**	**0**	**42,7**	**42,7**
Уровни звукового давления прямого звука от источника ИШ-2-1 в расчётной точке ночью, дБ		**ф-ла(3)[10]**	**47,2**	**46,1**	**38,8**	**32**	**34,5**	**41,1**	**34,3**	**20,3**	**0**	**42,7**	**42,7**

1		2	3	4	5	6	7	8	9	10	11	12	13
Расчёт отражённого звука													
Уровни звукового давления от мнимого источника ИШ-2-1_мн.(1) в расчётной точке днём, дБ		**ф-ла(3)[10]**	**0**	**0**	**0**	**0**	**31,8**	**38,6**	**31,7**	**17,7**	**0**	**40**	**40**
Уровни звукового давления от мнимого источника ИШ-2-1_мн.(1) в расчётной точке ночью, дБ		**ф-ла(3)[10]**	**0**	**0**	**0**	**0**	**0**	**0**	**0**	**0**	**0**	**40**	**40**
Уровни звукового давления от источника ИШ-2-1 в расчётной точке днём, дБ		**ф-ла(3)[10]**	**47,2**	**46,1**	**38,8**	**32**	**36,4**	**43**	**36,2**	**22,2**	**0**	**44,5**	**44,5**
Уровни звукового давления от источника ИШ-2-1 в расчётной точке ночью, дБ		**ф-ла(3)[10]**	**47,2**	**46,1**	**38,8**	**32**	**36,4**	**43**	**36,2**	**22,2**	**0**	**44,5**	**44,5**
Источник шума: ИШ-2-2, координаты источника (x,y,z), м =[682.20,81.60,3.00]													
Уровни звуковой мощности источника днём, Lw, дБ		**исходные данные**	**105**	**104**	**104**	**101**	**102**	**106**	**101**	**95**	**87**		
Уровни звуковой мощности источника ночью, Lw, дБ		**исходные данные**	**105**	**104**	**104**	**101**	**102**	**106**	**101**	**95**	**87**		
Поправка на телесный угол DΩ, дБ	Ω = 6.28	10Lg(4π/Ω)	**3**	3	3	3	3	3	3	3	3		
Показатель направленности источника Di, дБ		исходные данные	**0**	0	0	0	0	0	0	0	0		
Поправка на направленность источника Dc, дБ	Dc	DΩ + Di	**3**	3	3	3	3	3	3	3	3		
Затухание из-за геометрической дивергенции, Adiv, дБ	расстояние = 533.08 м	ф-ла (7) [10]	**65,5**										
Коэффициент затухания звука в атмосфере α, дБ/км	Ta=20,°C Pa=101.33,кПа hотн.=70%	ф-ла (5) [9]	0,02	0,09	0,33	1,12	2,79	4,98	9,04	23,09	77,63		
Учет затухания звука в атмосфере Aatm, дБ		ф-ла (8) [10]	0	0	0,2	0,6	1,5	2,7	4,8	12,3	41,4		
Снижение поверхностью земли возле источника As, дБ	Gs = 0 hs = 3м	ф-лы таб.3 [10]	-1,5	-1,5	-1,5	-1,5	-1,5	-1,5	-1,5	-1,5	-1,5		
Снижение поверхностью земли возле приёмника Ar, дБ	Gr = 1 hr = 1.6м	ф-лы таб.3 [10]	-1,5	-1,5	3,2	6,8	4,3	0,5	0	0	0		

1		2	3	4	5	6	7	8	9	10	11	12	13
Снижение поверхностью земли в средней зоне, Am дБ	Gm = 1	ф-лы таб.3 [10]	-2,2	-2,2	0	0	0	0	0	0	0		
Суммарное снижение поверхностью земли на траектории распространения звука Agr, дБ		ф-ла (9) [10]	-5,2	-5,2	1,7	5,3	2,8	-1	-1,5	-1,5	-1,5		
Уровни звукового давления прямого звука от источника ИШ-2-2 в расчётной точке днём, дБ		**ф-ла(3)[10]**	**47,7**	**46,7**	**39,6**	**32,5**	**35,2**	**41,8**	**35,2**	**21,7**	**0**	**43,4**	**43,4**
Уровни звукового давления прямого звука от источника ИШ-2-2 в расчётной точке ночью, дБ		**ф-ла(3)[10]**	**47,7**	**46,7**	**39,6**	**32,5**	**35,2**	**41,8**	**35,2**	**21,7**	**0**	**43,4**	**43,4**
Расчёт отражённого звука													
Уровни звукового давления от мнимого источника ИШ-2-2_мн.(1) в расчётной точке днём, дБ		**ф-ла(3)[10]**	**0**	**0**	**0**	**0**	**0**	**39,3**	**32,6**	**19,1**	**0**	**40,4**	**40,4**
Уровни звукового давления от мнимого источника ИШ-2-2_мн.(1) в расчётной точке ночью, дБ		**ф-ла(3)[10]**	**0**	**0**	**0**	**0**	**0**	**0**	**0**	**0**	**0**	**40,4**	**40,4**
Уровни звукового давления от источника ИШ-2-2 в расчётной точке днём, дБ		**ф-ла(3)[10]**	**47,7**	**46,7**	**39,6**	**32,5**	**35,2**	**43,7**	**37,1**	**23,6**	**0**	**45,2**	**45,2**
Уровни звукового давления от источника ИШ-2-2 в расчётной точке ночью, дБ		**ф-ла(3)[10]**	**47,7**	**46,7**	**39,6**	**32,5**	**35,2**	**43,7**	**37,1**	**23,6**	**0**	**45,2**	**45,2**
Источник шума: ИШ-2-3, координаты источника (x,y,z), м =[667.80,38.90,3.00]													
Уровни звуковой мощности источника днём, Lw, дБ		**исходные данные**	**105**	**104**	**104**	**101**	**102**	**106**	**101**	**95**	**87**		
Уровни звуковой мощности источника ночью, Lw, дБ		**исходные данные**	**105**	**104**	**104**	**101**	**102**	**106**	**101**	**95**	**87**		
Поправка на телесный угол DΩ, дБ	Ω = 6.28	10Lg(4π/Ω)	**3**	3	3	3	3	3	3	3	3		
Показатель направленности источника Di, дБ		исходные данные	**0**	0	0	0	0	0	0	0	0		
Поправка на направленность источника Dc, дБ	Dc	DΩ + Di	**3**	3	3	3	3	3	3	3	3		
Затухание из-за геометрической дивергенции, Adiv, дБ	расстояние = 499.61 м	ф-ла (7) [10]	**65**										
Коэффициент затухания звука в атмосфере α, дБ/км	Ta=20,°C Pa=101.33,кПа hотн.=70%	ф-ла (5) [9]	0,02	0,09	0,33	1,12	2,79	4,98	9,04	23,09	77,63		

1		2	3	4	5	6	7	8	9	10	11	12	13
Учет затухания звука в атмосфере Aatm, дБ		ф-ла (8) [10]	0	0	0,2	0,6	1,4	2,5	4,5	11,5	38,8		
Снижение уровня звукового давления из-за влияния застройки между источником шума и расчетной точкой													
Снижение уровня звукового давления на пути над экраном, Dz1, дБ	z = 0.10м (разность путей)	ф-лы (14-18) [10]	4,8	4,8	4,8	4,8	4,9	5,1	5,3	5,9	6,7		
Снижение уровня звукового давления на пути слева от экрана, Dz2, дБ	z = 15.85м (разность путей)	ф-лы (14-18) [10]	17,9	20,8	23,7	26,7	29,7	32,7	35,7	38,7	41,7		
Снижение уровня звукового давления на пути справа от экрана, Dz3, дБ	z = 0.35м (разность путей)	ф-лы (14-18) [10]	6,3	7,5	9,1	11,2	13,7	16,4	19,3	22,2	25,2		
Общее снижение уровня звука препятствием Dz, дБ		Эн.сумма(-Dzi)	2,3	2,8	3,4	3,9	4,4	4,8	5,2	5,8	6,7		
Уровни звукового давления прямого звука от источника ИШ-2-3 в расчётной точке днём, дБ		**ф-ла(3)[10]**	**40,7**	**39,2**	**38,5**	**34,6**	**34,3**	**36,8**	**29,4**	**15,7**	**0**	**38,9**	**38,9**
Уровни звукового давления прямого звука от источника ИШ-2-3 в расчётной точке ночью, дБ		**ф-ла(3)[10]**	**40,7**	**39,2**	**38,5**	**34,6**	**34,3**	**36,8**	**29,4**	**15,7**	**0**	**38,9**	**38,9**
Расчёт отражённого звука													
Уровни звукового давления от мнимого источника ИШ-2-3_мн.(1) в расчётной точке днём, дБ		**ф-ла(3)[10]**	**0**	**0**	**0**	**0**	**0**	**0**	**0**	**0**	**0**	**0**	**0**
Уровни звукового давления от мнимого источника ИШ-2-3_мн.(1) в расчётной точке ночью, дБ		**ф-ла(3)[10]**	**0**	**0**	**0**	**0**	**0**	**0**	**0**	**0**	**0**	**0**	**0**
Уровни звукового давления от источника ИШ-2-3 в расчётной точке днём, дБ		**ф-ла(3)[10]**	**40,7**	**39,2**	**38,5**	**34,6**	**34,3**	**36,8**	**29,4**	**15,7**	**0**	**38,9**	**38,9**
Уровни звукового давления от источника ИШ-2-3 в расчётной точке ночью, дБ		**ф-ла(3)[10]**	**40,7**	**39,2**	**38,5**	**34,6**	**34,3**	**36,8**	**29,4**	**15,7**	**0**	**38,9**	**38,9**
Источник шума: ИШ-2-6, координаты источника (x,y,z), м =[765.97,112.43,1.00]													
Уровни звуковой мощности источника днём, Lw, дБ		**исходные данные**	**0**	**93,3**	**94,7**	**96**	**96,3**	**95,9**	**92,6**	**88,4**	**83,9**		
Уровни звуковой мощности источника ночью, Lw, дБ		**исходные данные**	**0**	**93,3**	**94,7**	**96**	**96,3**	**95,9**	**92,6**	**88,4**	**83,9**		
Поправка на телесный угол DΩ, дБ	Ω = 6.28	10Lg(4π/Ω)	**3**	3	3	3	3	3	3	3	3		

1		2	3	4	5	6	7	8	9	10	11	12	13
Показатель направленности источника Di, дБ		исходные данные	**0**	0	0	0	0	0	0	0	0		
Поправка на направленность источника Dc, дБ	Dc	DΩ + Di	**3**	3	3	3	3	3	3	3	3		
Затухание из-за геометрической дивергенции, Adiv, дБ	расстояние = 620.99 м	ф-ла (7) [10]	**66,9**										
Коэффициент затухания звука в атмосфере α, дБ/км	Ta=20,°C Pa=101.33,кПа hотн.=70%	ф-ла (5) [9]	0,02	0,09	0,33	1,12	2,79	4,98	9,04	23,09	77,63		
Учет затухания звука в атмосфере Aatm, дБ		ф-ла (8) [10]	0	0,1	0,2	0,7	1,7	3,1	5,6	14,3	48,2		
Снижение уровня звукового давления из-за влияния застройки между источником шума и расчетной точкой													
Снижение уровня звукового давления препятствием слева от трассы ИШ-РТ, Dz2, дБ	z = -0.04м (разность путей)	ф-лы (14-18) [10]	4,5	4,3	3,8	2,5	0	NAN	NAN	NAN	NAN		
* отрицательное значение z означает прохождение траектории вблизи экрана, в этом случае дополнительно производится учёт снижения подстилающей поверхностью (см.ниже)													
Снижение поверхностью земли возле источника As, дБ	Gs = 0 hs = 1м	ф-лы таб.3 [10]	-1,5	-1,5	-1,5	-1,5	-1,5	-1,5	-1,5	-1,5	-1,5		
Снижение поверхностью земли возле приёмника Ar, дБ	Gr = 1 hr = 1.6м	ф-лы таб.3 [10]	-1,5	-1,5	3,7	6,8	4,3	0,5	0	0	0		
Снижение поверхностью земли в средней зоне, Am дБ	Gm = 1	ф-лы таб.3 [10]	-2,6	-2,6	0	0	0	0	0	0	0		
Суммарное снижение поверхностью земли на траектории распространения звука Agr, дБ		ф-ла (9) [10]	-5,6	-5,6	2,2	5,3	2,8	-1	-1,5	-1,5	-1,5		
Уровни звукового давления прямого звука от источника ИШ-2-6 в расчётной точке днём, дБ		**ф-ла(3)[10]**	**0**	**30,7**	**24,6**	**23,6**	**27,9**	**29,9**	**24,6**	**11,7**	**0**	**32,4**	**32,4**
Уровни звукового давления прямого звука от источника ИШ-2-6 в расчётной точке ночью, дБ		**ф-ла(3)[10]**	**0**	**30,7**	**24,6**	**23,6**	**27,9**	**29,9**	**24,6**	**11,7**	**0**	**32,4**	**32,4**
Расчёт отражённого звука													
Уровни звукового давления от мнимого источника ИШ-2-6_мн.(1) в расчётной точке днём, дБ		**ф-ла(3)[10]**	**0**	**0**	**0**	**0**	**0**	**0**	**0**	**9,1**	**0**	**10,1**	**10,1**
Уровни звукового давления от мнимого источника ИШ-2-6_мн.(1) в расчётной точке ночью, дБ		**ф-ла(3)[10]**	**0**	**0**	**0**	**0**	**0**	**0**	**0**	**0**	**0**	**10,1**	**10,1**
Уровни звукового давления от источника ИШ-2-6 в расчётной точке днём, дБ		**ф-ла(3)[10]**	**0**	**30,7**	**24,6**	**23,6**	**27,9**	**29,9**	**24,6**	**13,6**	**0**	**32,4**	**32,4**

1		2	3	4	5	6	7	8	9	10	11	12	13
Уровни звукового давления от источника ИШ-2-6 в расчётной точке ночью, дБ		**ф-ла(3)[10]**	**0**	**30,7**	**24,6**	**23,6**	**27,9**	**29,9**	**24,6**	**13,6**	**0**	**32,4**	**32,4**
Источник шума: ИШ-2-7, координаты источника (x,y,z), м =[764.91,109.54,1.00]													
Уровни звуковой мощности источника днём, Lw, дБ		**исходные данные**	**0**	**93,3**	**94,7**	**96**	**96,3**	**95,9**	**92,6**	**88,4**	**83,9**		
Уровни звуковой мощности источника ночью, Lw, дБ		**исходные данные**	**0**	**93,3**	**94,7**	**96**	**96,3**	**95,9**	**92,6**	**88,4**	**83,9**		
Поправка на телесный угол DΩ, дБ	Ω = 6.28	10Lg(4π/Ω)	**3**	3	3	3	3	3	3	3	3		
Показатель направленности источника Di, дБ		исходные данные	**0**	0	0	0	0	0	0	0	0		
Поправка на направленность источника Dc, дБ	Dc	DΩ + Di	**3**	3	3	3	3	3	3	3	3		
Затухание из-за геометрической дивергенции, Adiv, дБ	расстояние = 618.65 м	ф-ла (7) [10]	**66,8**										
Коэффициент затухания звука в атмосфере α, дБ/км	Ta=20,°C Pa=101.33,кПа hотн.=70%	ф-ла (5) [9]	0,02	0,09	0,33	1,12	2,79	4,98	9,04	23,09	77,63		
Учет затухания звука в атмосфере Aatm, дБ		ф-ла (8) [10]	0	0,1	0,2	0,7	1,7	3,1	5,6	14,3	48		
Снижение уровня звукового давления из-за влияния застройки между источником шума и расчетной точкой													
Снижение уровня звукового давления препятствием слева от трассы ИШ-РТ, Dz2, дБ	z = -0.02м (разность путей)	ф-лы (14-18) [10]	4,7	4,6	4,4	3,9	2,9	0	NAN	NAN	NAN		
* отрицательное значение z означает прохождение траектории вблизи экрана, в этом случае дополнительно производится учёт снижения подстилающей поверхностью (см.ниже)													
Снижение поверхностью земли возле источника As, дБ	Gs = 0 hs = 1м	ф-лы таб.3 [10]	-1,5	-1,5	-1,5	-1,5	-1,5	-1,5	-1,5	-1,5	-1,5		
Снижение поверхностью земли возле приёмника Ar, дБ	Gr = 1 hr = 1.6м	ф-лы таб.3 [10]	-1,5	-1,5	3,7	6,8	4,3	0,5	0	0	0		
Снижение поверхностью земли в средней зоне, Am дБ	Gm = 1	ф-лы таб.3 [10]	-2,6	-2,6	0	0	0	0	0	0	0		
Суммарное снижение поверхностью земли на траектории распространения звука Agr, дБ		ф-ла (9) [10]	-5,6	-5,6	2,2	5,3	2,8	-1	-1,5	-1,5	-1,5		

1		2	3	4	5	6	7	8	9	10	11	12	13
Уровни звукового давления прямого звука от источника ИШ-2-7 в расчётной точке днём, дБ		**ф-ла(3)[10]**	**0**	**30,5**	**24,1**	**22,2**	**25,1**	**30**	**24,7**	**11,8**	**0**	**32**	**32**
Уровни звукового давления прямого звука от источника ИШ-2-7 в расчётной точке ночью, дБ		**ф-ла(3)[10]**	**0**	**30,5**	**24,1**	**22,2**	**25,1**	**30**	**24,7**	**11,8**	**0**	**32**	**32**
Расчёт отражённого звука													
Уровни звукового давления от мнимого источника ИШ-2-7_мн.(1) в расчётной точке днём, дБ		**ф-ла(3)[10]**	**0**	**0**	**0**	**0**	**0**	**0**	**0**	**9,2**	**0**	**10,2**	**10,2**
Уровни звукового давления от мнимого источника ИШ-2-7_мн.(1) в расчётной точке ночью, дБ		**ф-ла(3)[10]**	**0**	**0**	**0**	**0**	**0**	**0**	**0**	**0**	**0**	**10,2**	**10,2**
Уровни звукового давления от источника ИШ-2-7 в расчётной точке днём, дБ		**ф-ла(3)[10]**	**0**	**30,5**	**24,1**	**22,2**	**25,1**	**30**	**24,7**	**13,7**	**0**	**32**	**32**
Уровни звукового давления от источника ИШ-2-7 в расчётной точке ночью, дБ		**ф-ла(3)[10]**	**0**	**30,5**	**24,1**	**22,2**	**25,1**	**30**	**24,7**	**13,7**	**0**	**32**	**32**
Источник шума: ИШ-2-8, координаты источника (x,y,z), м =[764.03,106.58,1.00]													
Уровни звуковой мощности источника днём, Lw, дБ		**исходные данные**	**0**	**93,3**	**94,7**	**96**	**96,3**	**95,9**	**92,6**	**88,4**	**83,9**		
Уровни звуковой мощности источника ночью, Lw, дБ		**исходные данные**	**0**	**93,3**	**94,7**	**96**	**96,3**	**95,9**	**92,6**	**88,4**	**83,9**		
Поправка на телесный угол DΩ, дБ	Ω = 6.28	10Lg(4π/Ω)	**3**	3	3	3	3	3	3	3	3		
Показатель направленности источника Di, дБ		исходные данные	**0**	0	0	0	0	0	0	0	0		
Поправка на направленность источника Dc, дБ	Dc	DΩ + Di	**3**	3	3	3	3	3	3	3	3		
Затухание из-за геометрической дивергенции, Adiv, дБ	расстояние = 616.44 м	ф-ла (7) [10]	**66,8**										
Коэффициент затухания звука в атмосфере α, дБ/км	Ta=20,°C Pa=101.33,кПа hотн.=70%	ф-ла (5) [9]	0,02	0,09	0,33	1,12	2,79	4,98	9,04	23,09	77,63		
Учет затухания звука в атмосфере Aatm, дБ		ф-ла (8) [10]	0	0,1	0,2	0,7	1,7	3,1	5,6	14,2	47,9		

1		2	3	4	5	6	7	8	9	10	11	12	13
Снижение уровня звукового давления из-за влияния застройки между источником шума и расчетной точкой													
Снижение уровня звукового давления препятствием слева от трассы ИШ-РТ, Dz2, дБ	z = 0.00м (разность путей)	ф-лы (14-18) [10]	4,8	4,7	4,7	4,6	4,5	4,1	3,3	1,2	NAN		
* отрицательное значение z означает прохождение траектории вблизи экрана, в этом случае дополнительно производится учёт снижения подстилающей поверхностью (см.ниже)													
Снижение поверхностью земли возле источника As, дБ	Gs = 0 hs = 1м	ф-лы таб.3 [10]	-1,5	-1,5	-1,5	-1,5	-1,5	-1,5	-1,5	-1,5	-1,5		
Снижение поверхностью земли возле приёмника Ar, дБ	Gr = 1 hr = 1.6м	ф-лы таб.3 [10]	-1,5	-1,5	3,7	6,8	4,3	0,5	0	0	0		
Снижение поверхностью земли в средней зоне, Am дБ	Gm = 1	ф-лы таб.3 [10]	-2,6	-2,6	0	0	0	0	0	0	0		
Суммарное снижение поверхностью земли на траектории распространения звука Agr, дБ		ф-ла (9) [10]	-5,6	-5,6	2,2	5,3	2,8	-1	-1,5	-1,5	-1,5		
Уровни звукового давления от источника ИШ-2-8 в расчётной точке днём, дБ		**ф-ла(3)[10]**	**0**	**30,3**	**23,8**	**21,6**	**23,5**	**25,9**	**21,4**	**10,7**	**0**	**28,6**	**28,6**
Уровни звукового давления от источника ИШ-2-8 в расчётной точке ночью, дБ		**ф-ла(3)[10]**	**0**	**30,3**	**23,8**	**21,6**	**23,5**	**25,9**	**21,4**	**10,7**	**0**	**28,6**	**28,6**
Источник шума: ИШ-2-9, координаты источника (x,y,z), м =[763.26,103.71,1.00]													
Уровни звуковой мощности источника днём, Lw, дБ		**исходные данные**	**0**	**93,3**	**94,7**	**96**	**96,3**	**95,9**	**92,6**	**88,4**	**83,9**		
Уровни звуковой мощности источника ночью, Lw, дБ		**исходные данные**	**0**	**93,3**	**94,7**	**96**	**96,3**	**95,9**	**92,6**	**88,4**	**83,9**		
Поправка на телесный угол DΩ, дБ	Ω = 6.28	10Lg(4π/Ω)	**3**	3	3	3	3	3	3	3	3		
Показатель направленности источника Di, дБ		исходные данные	**0**	0	0	0	0	0	0	0	0		
Поправка на направленность источника Dc, дБ	Dc	DΩ + Di	**3**	3	3	3	3	3	3	3	3		
Затухание из-за геометрической дивергенции, Adiv, дБ	расстояние = 614.37 м	ф-ла (7) [10]	**66,8**										
Коэффициент затухания звука в атмосфере α, дБ/км	Ta=20,°C Pa=101.33,кПа hотн.=70%	ф-ла (5) [9]	0,02	0,09	0,33	1,12	2,79	4,98	9,04	23,09	77,63		

1		2	3	4	5	6	7	8	9	10	11	12	13
Учет затухания звука в атмосфере Aatm, дБ		ф-ла (8) [10]	0	0,1	0,2	0,7	1,7	3,1	5,6	14,2	47,7		
Снижение уровня звукового давления из-за влияния застройки между источником шума и расчетной точкой													
Снижение уровня звукового давления на пути над экраном, Dz1, дБ	z = 0.11м (разность путей)	ф-лы (14-18) [10]	4,8	4,8	4,8	4,8	4,8	4,8	4,8	4,8	4,9		
Снижение уровня звукового давления на пути слева от экрана, Dz2, дБ	z = 13.72м (разность путей)	ф-лы (14-18) [10]	17,3	20,2	23,1	26,1	29,1	32,1	35,1	38,1	41,1		
Снижение уровня звукового давления на пути справа от экрана, Dz3, дБ	z = 0.00м (разность путей)	ф-лы (14-18) [10]	4,8	4,8	4,8	4,8	4,8	4,8	4,8	4,9	5,1		
Общее снижение уровня звука препятствием Dz, дБ		Эн.сумма(-Dzi)	1,6	1,7	1,7	1,8	1,8	1,8	1,8	1,9	2		
Уровни звукового давления от источника ИШ-2-9 в расчётной точке днём, дБ		**ф-ла(3)[10]**	**0**	**27,8**	**29**	**29,8**	**29**	**27,3**	**21,5**	**8,6**	**0**	**31**	**31**
Уровни звукового давления от источника ИШ-2-9 в расчётной точке ночью, дБ		**ф-ла(3)[10]**	**0**	**27,8**	**29**	**29,8**	**29**	**27,3**	**21,5**	**8,6**	**0**	**31**	**31**
Источник шума: ИШ-2-10, координаты источника (x,y,z), м =[762.14,100.75,1.00]													
Уровни звуковой мощности источника днём, Lw, дБ		**исходные данные**	**0**	**93,3**	**94,7**	**96**	**96,3**	**95,9**	**92,6**	**88,4**	**83,9**		
Уровни звуковой мощности источника ночью, Lw, дБ		**исходные данные**	**0**	**93,3**	**94,7**	**96**	**96,3**	**95,9**	**92,6**	**88,4**	**83,9**		
Поправка на телесный угол DΩ, дБ	Ω = 6.28	10Lg(4π/Ω)	**3**	3	3	3	3	3	3	3	3		
Показатель направленности источника Di, дБ		исходные данные	**0**	0	0	0	0	0	0	0	0		
Поправка на направленность источника Dc, дБ	Dc	DΩ + Di	**3**	3	3	3	3	3	3	3	3		
Затухание из-за геометрической дивергенции, Adiv, дБ	расстояние = 611.97 м	ф-ла (7) [10]	**66,7**										
Коэффициент затухания звука в атмосфере α, дБ/км	Ta=20,°C Pa=101.33,кПа hотн.=70%	ф-ла (5) [9]	0,02	0,09	0,33	1,12	2,79	4,98	9,04	23,09	77,63		

1		2	3	4	5	6	7	8	9	10	11	12	13
Учет затухания звука в атмосфере Aatm, дБ		ф-ла (8) [10]	0	0,1	0,2	0,7	1,7	3	5,5	14,1	47,5		
Снижение уровня звукового давления из-за влияния застройки между источником шума и расчетной точкой													
Снижение уровня звукового давления на пути над экраном, Dz1, дБ	z = 0.11м (разность путей)	ф-лы (14-18) [10]	4,8	4,8	4,8	4,8	4,8	4,8	4,8	4,9	5		
Снижение уровня звукового давления на пути слева от экрана, Dz2, дБ	z = 13.28м (разность путей)	ф-лы (14-18) [10]	17,2	20,1	23	26	28,9	31,9	35	38	41		
Снижение уровня звукового давления на пути справа от экрана, Dz3, дБ	z = 0.01м (разность путей)	ф-лы (14-18) [10]	4,8	4,9	4,9	5,1	5,4	5,9	6,8	8,2	10,1		
Общее снижение уровня звука препятствием Dz, дБ		Эн.сумма(-Dzi)	1,7	1,7	1,8	1,9	2	2,3	2,7	3,2	3,8		
Уровни звукового давления от источника ИШ-2-10 в расчётной точке днём, дБ		**ф-ла(3)[10]**	**0**	**27,8**	**28,9**	**29,7**	**28,8**	**26,8**	**20,6**	**7,3**	**0**	**30,6**	**30,6**
Уровни звукового давления от источника ИШ-2-10 в расчётной точке ночью, дБ		**ф-ла(3)[10]**	**0**	**27,8**	**28,9**	**29,7**	**28,8**	**26,8**	**20,6**	**7,3**	**0**	**30,6**	**30,6**
Источник шума: ИШ-2-11, координаты источника (x,y,z), м =[761.13,97.90,1.00]													
Уровни звуковой мощности источника днём, Lw, дБ		**исходные данные**	**0**	**93,3**	**94,7**	**96**	**96,3**	**95,9**	**92,6**	**88,4**	**83,9**		
Уровни звуковой мощности источника ночью, Lw, дБ		**исходные данные**	**0**	**93,3**	**94,7**	**96**	**96,3**	**95,9**	**92,6**	**88,4**	**83,9**		
Поправка на телесный угол DΩ, дБ	Ω = 6.28	10Lg(4π/Ω)	**3**	3	3	3	3	3	3	3	3		
Показатель направленности источника Di, дБ		исходные данные	**0**	0	0	0	0	0	0	0	0		
Поправка на направленность источника Dc, дБ	Dc	DΩ + Di	**3**	3	3	3	3	3	3	3	3		
Затухание из-за геометрической дивергенции, Adiv, дБ	расстояние = 609.72 м	ф-ла (7) [10]	**66,7**										
Коэффициент затухания звука в атмосфере α, дБ/км	Ta=20,°C Pa=101.33,кПа hотн.=70%	ф-ла (5) [9]	0,02	0,09	0,33	1,12	2,79	4,98	9,04	23,09	77,63		

1		2	3	4	5	6	7	8	9	10	11	12	13
Учет затухания звука в атмосфере Aatm, дБ		ф-ла (8) [10]	0	0,1	0,2	0,7	1,7	3	5,5	14,1	47,3		
Снижение уровня звукового давления из-за влияния застройки между источником шума и расчетной точкой													
Снижение уровня звукового давления на пути над экраном, Dz1, дБ	z = 0.12м (разность путей)	ф-лы (14-18) [10]	4,8	4,8	4,8	4,8	4,8	4,8	4,8	4,9	5		
Снижение уровня звукового давления на пути слева от экрана, Dz2, дБ	z = 12.85м (разность путей)	ф-лы (14-18) [10]	17	19,9	22,8	25,8	28,8	31,8	34,8	37,8	40,8		
Снижение уровня звукового давления на пути справа от экрана, Dz3, дБ	z = 0.03м (разность путей)	ф-лы (14-18) [10]	4,9	5	5,3	5,7	6,5	7,8	9,5	11,7	14,3		
Общее снижение уровня звука препятствием Dz, дБ		Эн.сумма(-Dzi)	1,7	1,8	2	2,2	2,5	3	3,6	4,1	4,5		
Уровни звукового давления от источника ИШ-2-11 в расчётной точке днём, дБ		**ф-ла(3)[10]**	**0**	**27,7**	**28,8**	**29,4**	**28,3**	**26,1**	**19,8**	**6,5**	**0**	**30**	**30**
Уровни звукового давления от источника ИШ-2-11 в расчётной точке ночью, дБ		**ф-ла(3)[10]**	**0**	**27,7**	**28,8**	**29,4**	**28,3**	**26,1**	**19,8**	**6,5**	**0**	**30**	**30**
Источник шума: ИШ-2-12, координаты источника (x,y,z), м =[760.25,95.02,1.00]													
Уровни звуковой мощности источника днём, Lw, дБ		**исходные данные**	**0**	**93,3**	**94,7**	**96**	**96,3**	**95,9**	**92,6**	**88,4**	**83,9**		
Уровни звуковой мощности источника ночью, Lw, дБ		**исходные данные**	**0**	**93,3**	**94,7**	**96**	**96,3**	**95,9**	**92,6**	**88,4**	**83,9**		
Поправка на телесный угол DΩ, дБ	Ω = 6.28	10Lg(4π/Ω)	**3**	3	3	3	3	3	3	3	3		
Показатель направленности источника Di, дБ		исходные данные	**0**	0	0	0	0	0	0	0	0		
Поправка на направленность источника Dc, дБ	Dc	DΩ + Di	**3**	3	3	3	3	3	3	3	3		
Затухание из-за геометрической дивергенции, Adiv, дБ	расстояние = 607.58 м	ф-ла (7) [10]	**66,7**										
Коэффициент затухания звука в атмосфере α, дБ/км	Ta=20,°C Pa=101.33,кПа hотн.=70%	ф-ла (5) [9]	0,02	0,09	0,33	1,12	2,79	4,98	9,04	23,09	77,63		

1		2	3	4	5	6	7	8	9	10	11	12	13
Учет затухания звука в атмосфере Aatm, дБ		ф-ла (8) [10]	0	0,1	0,2	0,7	1,7	3	5,5	14	47,2		
Снижение уровня звукового давления из-за влияния застройки между источником шума и расчетной точкой													
Снижение уровня звукового давления на пути над экраном, Dz1, дБ	z = 0.12м (разность путей)	ф-лы (14-18) [10]	4,8	4,8	4,8	4,8	4,8	4,8	4,8	4,9	5		
Снижение уровня звукового давления на пути слева от экрана, Dz2, дБ	z = 12.40м (разность путей)	ф-лы (14-18) [10]	16,9	19,8	22,7	25,7	28,6	31,6	34,7	37,7	40,7		
Снижение уровня звукового давления на пути справа от экрана, Dz3, дБ	z = 0.06м (разность путей)	ф-лы (14-18) [10]	5,1	5,3	5,8	6,7	8	9,8	12,1	14,6	17,4		
Общее снижение уровня звука препятствием Dz, дБ		Эн.сумма(-Dzi)	1,8	2	2,2	2,6	3,1	3,6	4,1	4,5	4,8		
Уровни звукового давления от источника ИШ-2-12 в расчётной точке днём, дБ		**ф-ла(3)[10]**	**0**	**27,6**	**28,6**	**29,1**	**27,9**	**25,6**	**19,3**	**6,2**	**0**	**29,6**	**29,6**
Уровни звукового давления от источника ИШ-2-12 в расчётной точке ночью, дБ		**ф-ла(3)[10]**	**0**	**27,6**	**28,6**	**29,1**	**27,9**	**25,6**	**19,3**	**6,2**	**0**	**29,6**	**29,6**
Источник шума: ИШ-2-13, координаты источника (x,y,z), м =[759.28,92.25,1.00]													
Уровни звуковой мощности источника днём, Lw, дБ		**исходные данные**	**0**	**93,3**	**94,7**	**96**	**96,3**	**95,9**	**92,6**	**88,4**	**83,9**		
Уровни звуковой мощности источника ночью, Lw, дБ		**исходные данные**	**0**	**93,3**	**94,7**	**96**	**96,3**	**95,9**	**92,6**	**88,4**	**83,9**		
Поправка на телесный угол DΩ, дБ	Ω = 6.28	10Lg(4π/Ω)	**3**	3	3	3	3	3	3	3	3		
Показатель направленности источника Di, дБ		исходные данные	**0**	0	0	0	0	0	0	0	0		
Поправка на направленность источника Dc, дБ	Dc	DΩ + Di	**3**	3	3	3	3	3	3	3	3		
Затухание из-за геометрической дивергенции, Adiv, дБ	расстояние = 605.41 м	ф-ла (7) [10]	**66,6**										
Коэффициент затухания звука в атмосфере α, дБ/км	Ta=20,°C Pa=101.33,кПа hотн.=70%	ф-ла (5) [9]	0,02	0,09	0,33	1,12	2,79	4,98	9,04	23,09	77,63		

1		2	3	4	5	6	7	8	9	10	11	12	13
Учет затухания звука в атмосфере Aatm, дБ		ф-ла (8) [10]	0	0,1	0,2	0,7	1,7	3	5,5	14	47		
Снижение уровня звукового давления из-за влияния застройки между источником шума и расчетной точкой													
Снижение уровня звукового давления на пути над экраном, Dz1, дБ	z = 0.12м (разность путей)	ф-лы (14-18) [10]	4,8	4,8	4,8	4,8	4,8	4,8	4,8	4,9	5,1		
Снижение уровня звукового давления на пути слева от экрана, Dz2, дБ	z = 11.98м (разность путей)	ф-лы (14-18) [10]	16,8	19,6	22,5	25,5	28,5	31,5	34,5	37,5	40,5		
Снижение уровня звукового давления на пути справа от экрана, Dz3, дБ	z = 0.09м (разность путей)	ф-лы (14-18) [10]	5,3	5,7	6,4	7,6	9,3	11,5	14	16,8	19,6		
Общее снижение уровня звука препятствием Dz, дБ		Эн.сумма(-Dzi)	1,9	2,1	2,5	2,9	3,5	4	4,3	4,6	4,9		
Уровни звукового давления от источника ИШ-2-13 в расчётной точке днём, дБ		**ф-ла(3)[10]**	**0**	**27,5**	**28,4**	**28,7**	**27,5**	**25,3**	**19,1**	**6,1**	**0**	**29,2**	**29,2**
Уровни звукового давления от источника ИШ-2-13 в расчётной точке ночью, дБ		**ф-ла(3)[10]**	**0**	**27,5**	**28,4**	**28,7**	**27,5**	**25,3**	**19,1**	**6,1**	**0**	**29,2**	**29,2**
Источник шума: ИШ-2-14, координаты источника (x,y,z), м =[751.62,69.73,1.00]													
Уровни звуковой мощности источника днём, Lw, дБ		**исходные данные**	**0**	**93,3**	**94,7**	**96**	**96,3**	**95,9**	**92,6**	**88,4**	**83,9**		
Уровни звуковой мощности источника ночью, Lw, дБ		**исходные данные**	**0**	**93,3**	**94,7**	**96**	**96,3**	**95,9**	**92,6**	**88,4**	**83,9**		
Поправка на телесный угол DΩ, дБ	Ω = 6.28	10Lg(4π/Ω)	**3**	3	3	3	3	3	3	3	3		
Показатель направленности источника Di, дБ		исходные данные	**0**	0	0	0	0	0	0	0	0		
Поправка на направленность источника Dc, дБ	Dc	DΩ + Di	**3**	3	3	3	3	3	3	3	3		
Затухание из-за геометрической дивергенции, Adiv, дБ	расстояние = 588.28 м	ф-ла (7) [10]	**66,4**										
Коэффициент затухания звука в атмосфере α, дБ/км	Ta=20,°C Pa=101.33,кПа hотн.=70%	ф-ла (5) [9]	0,02	0,09	0,33	1,12	2,79	4,98	9,04	23,09	77,63		

1		2	3	4	5	6	7	8	9	10	11	12	13
Учет затухания звука в атмосфере Aatm, дБ		ф-ла (8) [10]	0	0,1	0,2	0,7	1,6	2,9	5,3	13,6	45,7		
Снижение уровня звукового давления из-за влияния застройки между источником шума и расчетной точкой													
Снижение уровня звукового давления на пути над экраном, Dz1, дБ	z = 0.12м (разность путей)	ф-лы (14-18) [10]	4,8	4,8	4,8	4,8	4,8	4,8	4,9	5,1	5,3		
Снижение уровня звукового давления на пути слева от экрана, Dz2, дБ	z = 8.63м (разность путей)	ф-лы (14-18) [10]	15,4	18,3	21,1	24,1	27,1	30,1	33,1	36,1	39,1		
Снижение уровня звукового давления на пути справа от экрана, Dz3, дБ	z = 0.87м (разность путей)	ф-лы (14-18) [10]	7,9	9,7	12	14,5	17,3	20,2	23,2	26,1	29,1		
Общее снижение уровня звука препятствием Dz, дБ		Эн.сумма(-Dzi)	2,8	3,4	3,9	4,3	4,5	4,7	4,8	5	5,3		
Уровни звукового давления от источника ИШ-2-14 в расчётной точке днём, дБ		**ф-ла(3)[10]**	**0**	**26,4**	**27,2**	**27,6**	**26,7**	**24,9**	**19**	**6,4**	**0**	**28,7**	**28,7**
Уровни звукового давления от источника ИШ-2-14 в расчётной точке ночью, дБ		**ф-ла(3)[10]**	**0**	**26,4**	**27,2**	**27,6**	**26,7**	**24,9**	**19**	**6,4**	**0**	**28,7**	**28,7**
Источник шума: ИШ-2-15, координаты источника (x,y,z), м =[750.74,66.89,1.00]													
Уровни звуковой мощности источника днём, Lw, дБ		**исходные данные**	**0**	**93,3**	**94,7**	**96**	**96,3**	**95,9**	**92,6**	**88,4**	**83,9**		
Уровни звуковой мощности источника ночью, Lw, дБ		**исходные данные**	**0**	**93,3**	**94,7**	**96**	**96,3**	**95,9**	**92,6**	**88,4**	**83,9**		
Поправка на телесный угол DΩ, дБ	Ω = 6.28	10Lg(4π/Ω)	**3**	3	3	3	3	3	3	3	3		
Показатель направленности источника Di, дБ		исходные данные	**0**	0	0	0	0	0	0	0	0		
Поправка на направленность источника Dc, дБ	Dc	DΩ + Di	**3**	3	3	3	3	3	3	3	3		
Затухание из-за геометрической дивергенции, Adiv, дБ	расстояние = 586.23 м	ф-ла (7) [10]	**66,4**										
Коэффициент затухания звука в атмосфере α, дБ/км	Ta=20,°C Pa=101.33,кПа hотн.=70%	ф-ла (5) [9]	0,02	0,09	0,33	1,12	2,79	4,98	9,04	23,09	77,63		

1		2	3	4	5	6	7	8	9	10	11	12	13
Учет затухания звука в атмосфере Aatm, дБ		ф-ла (8) [10]	0	0,1	0,2	0,7	1,6	2,9	5,3	13,5	45,5		
Снижение уровня звукового давления из-за влияния застройки между источником шума и расчетной точкой													
Снижение уровня звукового давления на пути над экраном, Dz1, дБ	z = 0.12м (разность путей)	ф-лы (14-18) [10]	4,8	4,8	4,8	4,8	4,8	4,8	4,9	5,1	5,3		
Снижение уровня звукового давления на пути слева от экрана, Dz2, дБ	z = 8.21м (разность путей)	ф-лы (14-18) [10]	15,2	18,1	20,9	23,9	26,9	29,9	32,9	35,9	38,9		
Снижение уровня звукового давления на пути справа от экрана, Dz3, дБ	z = 1.03м (разность путей)	ф-лы (14-18) [10]	8,3	10,3	12,6	15,2	18	20,9	23,9	26,9	29,9		
Общее снижение уровня звука препятствием Dz, дБ		Эн.сумма(-Dzi)	2,9	3,5	4	4,4	4,6	4,7	4,9	5	5,3		
Уровни звукового давления от источника ИШ-2-15 в расчётной точке днём, дБ		**ф-ла(3)[10]**	**0**	**26,3**	**27,1**	**27,6**	**26,7**	**24,9**	**19,1**	**6,5**	**0**	**28,7**	**28,7**
Уровни звукового давления от источника ИШ-2-15 в расчётной точке ночью, дБ		**ф-ла(3)[10]**	**0**	**26,3**	**27,1**	**27,6**	**26,7**	**24,9**	**19,1**	**6,5**	**0**	**28,7**	**28,7**
Источник шума: ИШ-2-16, координаты источника (x,y,z), м =[749.73,64.02,1.00]													
Уровни звуковой мощности источника днём, Lw, дБ		**исходные данные**	**0**	**93,3**	**94,7**	**96**	**96,3**	**95,9**	**92,6**	**88,4**	**83,9**		
Уровни звуковой мощности источника ночью, Lw, дБ		**исходные данные**	**0**	**93,3**	**94,7**	**96**	**96,3**	**95,9**	**92,6**	**88,4**	**83,9**		
Поправка на телесный угол DΩ, дБ	Ω = 6.28	10Lg(4π/Ω)	**3**	3	3	3	3	3	3	3	3		
Показатель направленности источника Di, дБ		исходные данные	**0**	0	0	0	0	0	0	0	0		
Поправка на направленность источника Dc, дБ	Dc	DΩ + Di	**3**	3	3	3	3	3	3	3	3		
Затухание из-за геометрической дивергенции, Adiv, дБ	расстояние = 584.05 м	ф-ла (7) [10]	**66,3**										
Коэффициент затухания звука в атмосфере α, дБ/км	Ta=20,°C Pa=101.33,кПа hотн.=70%	ф-ла (5) [9]	0,02	0,09	0,33	1,12	2,79	4,98	9,04	23,09	77,63		

1		2	3	4	5	6	7	8	9	10	11	12	13
Учет затухания звука в атмосфере Aatm, дБ		ф-ла (8) [10]	0	0,1	0,2	0,7	1,6	2,9	5,3	13,5	45,3		
Снижение уровня звукового давления из-за влияния застройки между источником шума и расчетной точкой													
Снижение уровня звукового давления на пути над экраном, Dz1, дБ	z = 0.12м (разность путей)	ф-лы (14-18) [10]	4,8	4,8	4,8	4,8	4,8	4,9	4,9	5,1	5,4		
Снижение уровня звукового давления на пути слева от экрана, Dz2, дБ	z = 7.80м (разность путей)	ф-лы (14-18) [10]	15	17,8	20,7	23,7	26,6	29,6	32,6	35,7	38,7		
Снижение уровня звукового давления на пути справа от экрана, Dz3, дБ	z = 1.21м (разность путей)	ф-лы (14-18) [10]	8,7	10,8	13,2	15,9	18,7	21,6	24,6	27,6	30,6		
Общее снижение уровня звука препятствием Dz, дБ		Эн.сумма(-Dzi)	3	3,6	4,1	4,4	4,6	4,7	4,9	5,1	5,4		
Уровни звукового давления от источника ИШ-2-16 в расчётной точке днём, дБ		**ф-ла(3)[10]**	**0**	**26,3**	**27,1**	**27,6**	**26,7**	**24,9**	**19,1**	**6,5**	**0**	**28,7**	**28,7**
Уровни звукового давления от источника ИШ-2-16 в расчётной точке ночью, дБ		**ф-ла(3)[10]**	**0**	**26,3**	**27,1**	**27,6**	**26,7**	**24,9**	**19,1**	**6,5**	**0**	**28,7**	**28,7**
Источник шума: ИШ-2-17, координаты источника (x,y,z), м =[748.87,61.06,1.00]													
Уровни звуковой мощности источника днём, Lw, дБ		**исходные данные**	**0**	**93,3**	**94,7**	**96**	**96,3**	**95,9**	**92,6**	**88,4**	**83,9**		
Уровни звуковой мощности источника ночью, Lw, дБ		**исходные данные**	**0**	**93,3**	**94,7**	**96**	**96,3**	**95,9**	**92,6**	**88,4**	**83,9**		
Поправка на телесный угол DΩ, дБ	Ω = 6.28	10Lg(4π/Ω)	**3**	3	3	3	3	3	3	3	3		
Показатель направленности источника Di, дБ		исходные данные	**0**	0	0	0	0	0	0	0	0		
Поправка на направленность источника Dc, дБ	Dc	DΩ + Di	**3**	3	3	3	3	3	3	3	3		
Затухание из-за геометрической дивергенции, Adiv, дБ	расстояние = 581.99 м	ф-ла (7) [10]	**66,3**										
Коэффициент затухания звука в атмосфере α, дБ/км	Ta=20,°C Pa=101.33,кПа hотн.=70%	ф-ла (5) [9]	0,02	0,09	0,33	1,12	2,79	4,98	9,04	23,09	77,63		

1		2	3	4	5	6	7	8	9	10	11	12	13
Учет затухания звука в атмосфере Aatm, дБ		ф-ла (8) [10]	0	0,1	0,2	0,7	1,6	2,9	5,3	13,4	45,2		
Снижение уровня звукового давления из-за влияния застройки между источником шума и расчетной точкой													
Снижение уровня звукового давления на пути над экраном, Dz1, дБ	z = 0.13м (разность путей)	ф-лы (14-18) [10]	4,8	4,8	4,8	4,8	4,8	4,9	4,9	5,1	5,4		
Снижение уровня звукового давления на пути слева от экрана, Dz2, дБ	z = 7.37м (разность путей)	ф-лы (14-18) [10]	14,8	17,6	20,5	23,4	26,4	29,4	32,4	35,4	38,4		
Снижение уровня звукового давления на пути справа от экрана, Dz3, дБ	z = 1.42м (разность путей)	ф-лы (14-18) [10]	9,2	11,3	13,8	16,5	19,4	22,3	25,3	28,3	31,3		
Общее снижение уровня звука препятствием Dz, дБ		Эн.сумма(-Dzi)	3,1	3,7	4,2	4,4	4,6	4,8	4,9	5,1	5,4		
Уровни звукового давления от источника ИШ-2-17 в расчётной точке днём, дБ		**ф-ла(3)[10]**	**0**	**26,2**	**27**	**27,6**	**26,7**	**24,9**	**19,1**	**6,6**	**0**	**28,7**	**28,7**
Уровни звукового давления от источника ИШ-2-17 в расчётной точке ночью, дБ		**ф-ла(3)[10]**	**0**	**26,2**	**27**	**27,6**	**26,7**	**24,9**	**19,1**	**6,6**	**0**	**28,7**	**28,7**
Источник шума: ИШ-2-18, координаты источника (x,y,z), м =[747.72,58.17,1.00]													
Уровни звуковой мощности источника днём, Lw, дБ		**исходные данные**	**0**	**93,3**	**94,7**	**96**	**96,3**	**95,9**	**92,6**	**88,4**	**83,9**		
Уровни звуковой мощности источника ночью, Lw, дБ		**исходные данные**	**0**	**93,3**	**94,7**	**96**	**96,3**	**95,9**	**92,6**	**88,4**	**83,9**		
Поправка на телесный угол DΩ, дБ	Ω = 6.28	10Lg(4π/Ω)	**3**	3	3	3	3	3	3	3	3		
Показатель направленности источника Di, дБ		исходные данные	**0**	0	0	0	0	0	0	0	0		
Поправка на направленность источника Dc, дБ	Dc	DΩ + Di	**3**	3	3	3	3	3	3	3	3		
Затухание из-за геометрической дивергенции, Adiv, дБ	расстояние = 579.69 м	ф-ла (7) [10]	**66,3**										
Коэффициент затухания звука в атмосфере α, дБ/км	Ta=20,°C Pa=101.33,кПа hотн.=70%	ф-ла (5) [9]	0,02	0,09	0,33	1,12	2,79	4,98	9,04	23,09	77,63		

1		2	3	4	5	6	7	8	9	10	11	12	13
Учет затухания звука в атмосфере Aatm, дБ		ф-ла (8) [10]	0	0,1	0,2	0,7	1,6	2,9	5,2	13,4	45		
Снижение уровня звукового давления из-за влияния застройки между источником шума и расчетной точкой													
Снижение уровня звукового давления на пути над экраном, Dz1, дБ	z = 0.13м (разность путей)	ф-лы (14-18) [10]	4,8	4,8	4,8	4,8	4,8	4,9	4,9	5,1	5,4		
Снижение уровня звукового давления на пути слева от экрана, Dz2, дБ	z = 6.99м (разность путей)	ф-лы (14-18) [10]	14,6	17,4	20,2	23,2	26,2	29,2	32,2	35,2	38,2		
Снижение уровня звукового давления на пути справа от экрана, Dz3, дБ	z = 1.63м (разность путей)	ф-лы (14-18) [10]	9,6	11,8	14,3	17,1	20	22,9	25,9	28,9	31,9		
Общее снижение уровня звука препятствием Dz, дБ		Эн.сумма(-Dzi)	3,2	3,8	4,2	4,5	4,7	4,8	4,9	5,1	5,4		
Уровни звукового давления от источника ИШ-2-18 в расчётной точке днём, дБ		**ф-ла(3)[10]**	**0**	**26,2**	**27**	**27,6**	**26,8**	**25**	**19,2**	**6,7**	**0**	**28,7**	**28,7**
Уровни звукового давления от источника ИШ-2-18 в расчётной точке ночью, дБ		**ф-ла(3)[10]**	**0**	**26,2**	**27**	**27,6**	**26,8**	**25**	**19,2**	**6,7**	**0**	**28,7**	**28,7**
Источник шума: ИШ-2-19, координаты источника (x,y,z), м =[746.80,55.25,1.00]													
Уровни звуковой мощности источника днём, Lw, дБ		**исходные данные**	**0**	**93,3**	**94,7**	**96**	**96,3**	**95,9**	**92,6**	**88,4**	**83,9**		
Уровни звуковой мощности источника ночью, Lw, дБ		**исходные данные**	**0**	**93,3**	**94,7**	**96**	**96,3**	**95,9**	**92,6**	**88,4**	**83,9**		
Поправка на телесный угол DΩ, дБ	Ω = 6.28	10Lg(4π/Ω)	**3**	3	3	3	3	3	3	3	3		
Показатель направленности источника Di, дБ		исходные данные	**0**	0	0	0	0	0	0	0	0		
Поправка на направленность источника Dc, дБ	Dc	DΩ + Di	**3**	3	3	3	3	3	3	3	3		
Затухание из-за геометрической дивергенции, Adiv, дБ	расстояние = 577.61 м	ф-ла (7) [10]	**66,2**										
Коэффициент затухания звука в атмосфере α, дБ/км	Ta=20,°C Pa=101.33,кПа hотн.=70%	ф-ла (5) [9]	0,02	0,09	0,33	1,12	2,79	4,98	9,04	23,09	77,63		

1		2	3	4	5	6	7	8	9	10	11	12	13
Учет затухания звука в атмосфере Aatm, дБ		ф-ла (8) [10]	0	0,1	0,2	0,6	1,6	2,9	5,2	13,3	44,8		
Снижение уровня звукового давления из-за влияния застройки между источником шума и расчетной точкой													
Снижение уровня звукового давления на пути над экраном, Dz1, дБ	z = 0.13м (разность путей)	ф-лы (14-18) [10]	4,8	4,8	4,8	4,8	4,8	4,9	5	5,1	5,5		
Снижение уровня звукового давления на пути слева от экрана, Dz2, дБ	z = 6.58м (разность путей)	ф-лы (14-18) [10]	14,4	17,1	20	22,9	25,9	28,9	31,9	34,9	37,9		
Снижение уровня звукового давления на пути справа от экрана, Dz3, дБ	z = 1.87м (разность путей)	ф-лы (14-18) [10]	10	12,3	14,8	17,6	20,5	23,5	26,5	29,5	32,5		
Общее снижение уровня звука препятствием Dz, дБ		Эн.сумма(-Dzi)	3,3	3,9	4,3	4,5	4,7	4,8	4,9	5,1	5,5		
Уровни звукового давления от источника ИШ-2-19 в расчётной точке днём, дБ		**ф-ла(3)[10]**	**0**	**26,2**	**27**	**27,6**	**26,8**	**25**	**19,2**	**6,7**	**0**	**28,8**	**28,8**
Уровни звукового давления от источника ИШ-2-19 в расчётной точке ночью, дБ		**ф-ла(3)[10]**	**0**	**26,2**	**27**	**27,6**	**26,8**	**25**	**19,2**	**6,7**	**0**	**28,8**	**28,8**
Источник шума: ИШ-2-20, координаты источника (x,y,z), м =[745.71,52.44,1.00]													
Уровни звуковой мощности источника днём, Lw, дБ		**исходные данные**	**0**	**93,3**	**94,7**	**96**	**96,3**	**95,9**	**92,6**	**88,4**	**83,9**		
Уровни звуковой мощности источника ночью, Lw, дБ		**исходные данные**	**0**	**93,3**	**94,7**	**96**	**96,3**	**95,9**	**92,6**	**88,4**	**83,9**		
Поправка на телесный угол DΩ, дБ	Ω = 6.28	10Lg(4π/Ω)	**3**	3	3	3	3	3	3	3	3		
Показатель направленности источника Di, дБ		исходные данные	**0**	0	0	0	0	0	0	0	0		
Поправка на направленность источника Dc, дБ	Dc	DΩ + Di	**3**	3	3	3	3	3	3	3	3		
Затухание из-за геометрической дивергенции, Adiv, дБ	расстояние = 575.42 м	ф-ла (7) [10]	**66,2**										
Коэффициент затухания звука в атмосфере α, дБ/км	Ta=20,°C Pa=101.33,кПа hотн.=70%	ф-ла (5) [9]	0,02	0,09	0,33	1,12	2,79	4,98	9,04	23,09	77,63		

1		2	3	4	5	6	7	8	9	10	11	12	13
Учет затухания звука в атмосфере Aatm, дБ		ф-ла (8) [10]	0	0,1	0,2	0,6	1,6	2,9	5,2	13,3	44,7		
Снижение уровня звукового давления из-за влияния застройки между источником шума и расчетной точкой													
Снижение уровня звукового давления на пути над экраном, Dz1, дБ	z = 0.13м (разность путей)	ф-лы (14-18) [10]	4,8	4,8	4,8	4,8	4,8	4,9	5	5,2	5,5		
Снижение уровня звукового давления на пути слева от экрана, Dz2, дБ	z = 6.21м (разность путей)	ф-лы (14-18) [10]	14,2	16,9	19,7	22,7	25,7	28,7	31,7	34,7	37,7		
Снижение уровня звукового давления на пути справа от экрана, Dz3, дБ	z = 2.11м (разность путей)	ф-лы (14-18) [10]	10,3	12,7	15,3	18,1	21	24	27	30	33		
Общее снижение уровня звука препятствием Dz, дБ		Эн.сумма(-Dzi)	3,3	3,9	4,3	4,5	4,7	4,8	4,9	5,1	5,5		
Уровни звукового давления от источника ИШ-2-20 в расчётной точке днём, дБ		**ф-ла(3)[10]**	**0**	**26,1**	**27**	**27,6**	**26,8**	**25**	**19,3**	**6,8**	**0**	**28,8**	**28,8**
Уровни звукового давления от источника ИШ-2-20 в расчётной точке ночью, дБ		**ф-ла(3)[10]**	**0**	**26,1**	**27**	**27,6**	**26,8**	**25**	**19,3**	**6,8**	**0**	**28,8**	**28,8**
Источник шума: ИШ-2-21, координаты источника (x,y,z), м =[744.89,49.62,1.00]													
Уровни звуковой мощности источника днём, Lw, дБ		**исходные данные**	**0**	**93,3**	**94,7**	**96**	**96,3**	**95,9**	**92,6**	**88,4**	**83,9**		
Уровни звуковой мощности источника ночью, Lw, дБ		**исходные данные**	**0**	**93,3**	**94,7**	**96**	**96,3**	**95,9**	**92,6**	**88,4**	**83,9**		
Поправка на телесный угол DΩ, дБ	Ω = 6.28	10Lg(4π/Ω)	**3**	3	3	3	3	3	3	3	3		
Показатель направленности источника Di, дБ		исходные данные	**0**	0	0	0	0	0	0	0	0		
Поправка на направленность источника Dc, дБ	Dc	DΩ + Di	**3**	3	3	3	3	3	3	3	3		
Затухание из-за геометрической дивергенции, Adiv, дБ	расстояние = 573.48 м	ф-ла (7) [10]	**66,2**										
Коэффициент затухания звука в атмосфере α, дБ/км	Ta=20,°C Pa=101.33,кПа hотн.=70%	ф-ла (5) [9]	0,02	0,09	0,33	1,12	2,79	4,98	9,04	23,09	77,63		

1		2	3	4	5	6	7	8	9	10	11	12	13
Учет затухания звука в атмосфере Aatm, дБ		ф-ла (8) [10]	0	0,1	0,2	0,6	1,6	2,9	5,2	13,2	44,5		
Снижение уровня звукового давления из-за влияния застройки между источником шума и расчетной точкой													
Снижение уровня звукового давления на пути над экраном, Dz1, дБ	z = 0.19м (разность путей)	ф-лы (14-18) [10]	4,8	4,8	4,8	4,8	4,9	5,1	5,7	6,5	7,8		
Снижение уровня звукового давления на пути слева от экрана, Dz2, дБ	z = 5.82м (разность путей)	ф-лы (14-18) [10]	13,9	16,6	19,5	22,4	25,4	28,4	31,4	34,4	37,4		
Снижение уровня звукового давления на пути справа от экрана, Dz3, дБ	z = 2.39м (разность путей)	ф-лы (14-18) [10]	10,7	13,2	15,8	18,6	21,6	24,5	27,5	30,5	33,5		
Общее снижение уровня звука препятствием Dz, дБ		Эн.сумма(-Dzi)	3,4	4	4,3	4,6	4,8	5,1	5,6	6,5	7,8		
Уровни звукового давления от источника ИШ-2-21 в расчётной точке днём, дБ		**ф-ла(3)[10]**	**0**	**26,1**	**27**	**27,6**	**26,8**	**24,8**	**18,6**	**5,5**	**0**	**28,6**	**28,6**
Уровни звукового давления от источника ИШ-2-21 в расчётной точке ночью, дБ		**ф-ла(3)[10]**	**0**	**26,1**	**27**	**27,6**	**26,8**	**24,8**	**18,6**	**5,5**	**0**	**28,6**	**28,6**
Источник шума: ИШ-2-22, координаты источника (x,y,z), м =[737.40,27.07,1.00]													
Уровни звуковой мощности источника днём, Lw, дБ		**исходные данные**	**0**	**93,3**	**94,7**	**96**	**96,3**	**95,9**	**92,6**	**88,4**	**83,9**		
Уровни звуковой мощности источника ночью, Lw, дБ		**исходные данные**	**0**	**93,3**	**94,7**	**96**	**96,3**	**95,9**	**92,6**	**88,4**	**83,9**		
Поправка на телесный угол DΩ, дБ	Ω = 6.28	10Lg(4π/Ω)	**3**	3	3	3	3	3	3	3	3		
Показатель направленности источника Di, дБ		исходные данные	**0**	0	0	0	0	0	0	0	0		
Поправка на направленность источника Dc, дБ	Dc	DΩ + Di	**3**	3	3	3	3	3	3	3	3		
Затухание из-за геометрической дивергенции, Adiv, дБ	расстояние = 557.42 м	ф-ла (7) [10]	**65,9**										
Коэффициент затухания звука в атмосфере α, дБ/км	Ta=20,°C Pa=101.33,кПа hотн.=70%	ф-ла (5) [9]	0,02	0,09	0,33	1,12	2,79	4,98	9,04	23,09	77,63		

1		2	3	4	5	6	7	8	9	10	11	12	13
Учет затухания звука в атмосфере Aatm, дБ		ф-ла (8) [10]	0	0	0,2	0,6	1,6	2,8	5	12,9	43,3		
Снижение уровня звукового давления из-за влияния застройки между источником шума и расчетной точкой													
Снижение уровня звукового давления на пути над экраном, Dz1, дБ	z = 0.21м (разность путей)	ф-лы (14-18) [10]	4,8	4,8	4,8	5	5,3	5,8	6,6	7,9	9,7		
Снижение уровня звукового давления на пути слева от экрана, Dz2, дБ	z = 3.08м (разность путей)	ф-лы (14-18) [10]	11,6	14,1	16,8	19,7	22,6	25,6	28,6	31,6	34,6		
Снижение уровня звукового давления на пути справа от экрана, Dz3, дБ	z = 5.30м (разность путей)	ф-лы (14-18) [10]	13,5	16,3	19,1	22	25	28	31	34	37		
Общее снижение уровня звука препятствием Dz, дБ		Эн.сумма(-Dzi)	3,5	4	4,4	4,8	5,1	5,7	6,5	7,8	9,6		
Уровни звукового давления от источника ИШ-2-22 в расчётной точке днём, дБ		**ф-ла(3)[10]**	**0**	**26,3**	**27,2**	**27,7**	**26,7**	**24,5**	**18,1**	**4,8**	**0**	**28,4**	**28,4**
Уровни звукового давления от источника ИШ-2-22 в расчётной точке ночью, дБ		**ф-ла(3)[10]**	**0**	**26,3**	**27,2**	**27,7**	**26,7**	**24,5**	**18,1**	**4,8**	**0**	**28,4**	**28,4**
Источник шума: ИШ-2-23, координаты источника (x,y,z), м =[736.46,24.18,1.00]													
Уровни звуковой мощности источника днём, Lw, дБ		**исходные данные**	**0**	**93,3**	**94,7**	**96**	**96,3**	**95,9**	**92,6**	**88,4**	**83,9**		
Уровни звуковой мощности источника ночью, Lw, дБ		**исходные данные**	**0**	**93,3**	**94,7**	**96**	**96,3**	**95,9**	**92,6**	**88,4**	**83,9**		
Поправка на телесный угол DΩ, дБ	Ω = 6.28	10Lg(4π/Ω)	**3**	3	3	3	3	3	3	3	3		
Показатель направленности источника Di, дБ		исходные данные	**0**	0	0	0	0	0	0	0	0		
Поправка на направленность источника Dc, дБ	Dc	DΩ + Di	**3**	3	3	3	3	3	3	3	3		
Затухание из-за геометрической дивергенции, Adiv, дБ	расстояние = 555.42 м	ф-ла (7) [10]	**65,9**										
Коэффициент затухания звука в атмосфере α, дБ/км	Ta=20,°C Pa=101.33,кПа hотн.=70%	ф-ла (5) [9]	0,02	0,09	0,33	1,12	2,79	4,98	9,04	23,09	77,63		

1		2	3	4	5	6	7	8	9	10	11	12	13
Учет затухания звука в атмосфере Aatm, дБ		ф-ла (8) [10]	0	0	0,2	0,6	1,6	2,8	5	12,8	43,1		
Снижение уровня звукового давления из-за влияния застройки между источником шума и расчетной точкой													
Снижение уровня звукового давления на пути над экраном, Dz1, дБ	z = 0.21м (разность путей)	ф-лы (14-18) [10]	4,8	4,8	4,9	5	5,3	5,8	6,6	7,9	9,8		
Снижение уровня звукового давления на пути слева от экрана, Dz2, дБ	z = 2.77м (разность путей)	ф-лы (14-18) [10]	11,2	13,7	16,4	19,3	22,2	25,2	28,2	31,2	34,2		
Снижение уровня звукового давления на пути справа от экрана, Dz3, дБ	z = 5.78м (разность путей)	ф-лы (14-18) [10]	13,9	16,6	19,4	22,4	25,4	28,3	31,3	34,4	37,4		
Общее снижение уровня звука препятствием Dz, дБ		Эн.сумма(-Dzi)	3,5	4	4,4	4,8	5,1	5,7	6,6	7,9	9,7		
Уровни звукового давления от источника ИШ-2-23 в расчётной точке днём, дБ		**ф-ла(3)[10]**	**0**	**26,3**	**27,2**	**27,7**	**26,7**	**24,5**	**18,1**	**4,8**	**0**	**28,4**	**28,4**
Уровни звукового давления от источника ИШ-2-23 в расчётной точке ночью, дБ		**ф-ла(3)[10]**	**0**	**26,3**	**27,2**	**27,7**	**26,7**	**24,5**	**18,1**	**4,8**	**0**	**28,4**	**28,4**
Источник шума: ИШ-2-24, координаты источника (x,y,z), м =[735.45,21.21,1.00]													
Уровни звуковой мощности источника днём, Lw, дБ		**исходные данные**	**0**	**93,3**	**94,7**	**96**	**96,3**	**95,9**	**92,6**	**88,4**	**83,9**		
Уровни звуковой мощности источника ночью, Lw, дБ		**исходные данные**	**0**	**93,3**	**94,7**	**96**	**96,3**	**95,9**	**92,6**	**88,4**	**83,9**		
Поправка на телесный угол DΩ, дБ	Ω = 6.28	10Lg(4π/Ω)	**3**	3	3	3	3	3	3	3	3		
Показатель направленности источника Di, дБ		исходные данные	**0**	0	0	0	0	0	0	0	0		
Поправка на направленность источника Dc, дБ	Dc	DΩ + Di	**3**	3	3	3	3	3	3	3	3		
Затухание из-за геометрической дивергенции, Adiv, дБ	расстояние = 553.34 м	ф-ла (7) [10]	**65,9**										
Коэффициент затухания звука в атмосфере α, дБ/км	Ta=20,°C Pa=101.33,кПа hотн.=70%	ф-ла (5) [9]	0,02	0,09	0,33	1,12	2,79	4,98	9,04	23,09	77,63		

1		2	3	4	5	6	7	8	9	10	11	12	13
Учет затухания звука в атмосфере Aatm, дБ		ф-ла (8) [10]	0	0	0,2	0,6	1,5	2,8	5	12,8	43		
Снижение уровня звукового давления из-за влияния застройки между источником шума и расчетной точкой													
Снижение уровня звукового давления на пути над экраном, Dz1, дБ	z = 0.21м (разность путей)	ф-лы (14-18) [10]	4,8	4,8	4,9	5	5,3	5,8	6,7	8	9,9		
Снижение уровня звукового давления на пути слева от экрана, Dz2, дБ	z = 2.46м (разность путей)	ф-лы (14-18) [10]	10,8	13,3	15,9	18,8	21,7	24,7	27,7	30,7	33,7		
Снижение уровня звукового давления на пути справа от экрана, Dz3, дБ	z = 6.30м (разность путей)	ф-лы (14-18) [10]	14,2	17	19,8	22,7	25,7	28,7	31,7	34,7	37,7		
Общее снижение уровня звука препятствием Dz, дБ		Эн.сумма(-Dzi)	3,4	4	4,4	4,7	5,2	5,7	6,6	8	9,8		
Уровни звукового давления от источника ИШ-2-24 в расчётной точке днём, дБ		**ф-ла(3)[10]**	**0**	**26,4**	**27,2**	**27,8**	**26,7**	**24,5**	**18,1**	**4,8**	**0**	**28,4**	**28,4**
Уровни звукового давления от источника ИШ-2-24 в расчётной точке ночью, дБ		**ф-ла(3)[10]**	**0**	**26,4**	**27,2**	**27,8**	**26,7**	**24,5**	**18,1**	**4,8**	**0**	**28,4**	**28,4**
Источник шума: ИШ-2-25, координаты источника (x,y,z), м =[734.58,18.32,1.00]													
Уровни звуковой мощности источника днём, Lw, дБ		**исходные данные**	**0**	**93,3**	**94,7**	**96**	**96,3**	**95,9**	**92,6**	**88,4**	**83,9**		
Уровни звуковой мощности источника ночью, Lw, дБ		**исходные данные**	**0**	**93,3**	**94,7**	**96**	**96,3**	**95,9**	**92,6**	**88,4**	**83,9**		
Поправка на телесный угол DΩ, дБ	Ω = 6.28	10Lg(4π/Ω)	**3**	3	3	3	3	3	3	3	3		
Показатель направленности источника Di, дБ		исходные данные	**0**	0	0	0	0	0	0	0	0		
Поправка на направленность источника Dc, дБ	Dc	DΩ + Di	**3**	3	3	3	3	3	3	3	3		
Затухание из-за геометрической дивергенции, Adiv, дБ	расстояние = 551.42 м	ф-ла (7) [10]	**65,8**										
Коэффициент затухания звука в атмосфере α, дБ/км	Ta=20,°C Pa=101.33,кПа hотн.=70%	ф-ла (5) [9]	0,02	0,09	0,33	1,12	2,79	4,98	9,04	23,09	77,63		

1		2	3	4	5	6	7	8	9	10	11	12	13
Учет затухания звука в атмосфере Aatm, дБ		ф-ла (8) [10]	0	0	0,2	0,6	1,5	2,7	5	12,7	42,8		
Снижение уровня звукового давления из-за влияния застройки между источником шума и расчетной точкой													
Снижение уровня звукового давления на пути над экраном, Dz1, дБ	z = 0.21м (разность путей)	ф-лы (14-18) [10]	4,8	4,8	4,9	5	5,3	5,9	6,7	8,1	10		
Снижение уровня звукового давления на пути слева от экрана, Dz2, дБ	z = 2.17м (разность путей)	ф-лы (14-18) [10]	10,4	12,8	15,4	18,3	21,2	24,1	27,1	30,1	33,1		
Снижение уровня звукового давления на пути справа от экрана, Dz3, дБ	z = 6.84м (разность путей)	ф-лы (14-18) [10]	14,5	17,3	20,2	23,1	26,1	29,1	32,1	35,1	38,1		
Общее снижение уровня звука препятствием Dz, дБ		Эн.сумма(-Dzi)	3,4	4	4,4	4,7	5,2	5,8	6,7	8,1	9,9		
Уровни звукового давления от источника ИШ-2-25 в расчётной точке днём, дБ		**ф-ла(3)[10]**	**0**	**26,5**	**27,3**	**27,8**	**26,8**	**24,6**	**18,1**	**4,8**	**0**	**28,4**	**28,4**
Уровни звукового давления от источника ИШ-2-25 в расчётной точке ночью, дБ		**ф-ла(3)[10]**	**0**	**26,5**	**27,3**	**27,8**	**26,8**	**24,6**	**18,1**	**4,8**	**0**	**28,4**	**28,4**
Источник шума: ИШ-2-26, координаты источника (x,y,z), м =[733.57,15.41,1.00]													
Уровни звуковой мощности источника днём, Lw, дБ		**исходные данные**	**0**	**93,3**	**94,7**	**96**	**96,3**	**95,9**	**92,6**	**88,4**	**83,9**		
Уровни звуковой мощности источника ночью, Lw, дБ		**исходные данные**	**0**	**93,3**	**94,7**	**96**	**96,3**	**95,9**	**92,6**	**88,4**	**83,9**		
Поправка на телесный угол DΩ, дБ	Ω = 6.28	10Lg(4π/Ω)	**3**	3	3	3	3	3	3	3	3		
Показатель направленности источника Di, дБ		исходные данные	**0**	0	0	0	0	0	0	0	0		
Поправка на направленность источника Dc, дБ	Dc	DΩ + Di	**3**	3	3	3	3	3	3	3	3		
Затухание из-за геометрической дивергенции, Adiv, дБ	расстояние = 549.38 м	ф-ла (7) [10]	**65,8**										
Коэффициент затухания звука в атмосфере α, дБ/км	Ta=20,°C Pa=101.33,кПа hотн.=70%	ф-ла (5) [9]	0,02	0,09	0,33	1,12	2,79	4,98	9,04	23,09	77,63		

1		2	3	4	5	6	7	8	9	10	11	12	13
Учет затухания звука в атмосфере Aatm, дБ		ф-ла (8) [10]	0	0	0,2	0,6	1,5	2,7	5	12,7	42,6		
Снижение уровня звукового давления из-за влияния застройки между источником шума и расчетной точкой													
Снижение уровня звукового давления на пути над экраном, Dz1, дБ	z = 0.21м (разность путей)	ф-лы (14-18) [10]	4,8	4,8	4,9	5	5,3	5,9	6,8	8,2	10,1		
Снижение уровня звукового давления на пути слева от экрана, Dz2, дБ	z = 1.90м (разность путей)	ф-лы (14-18) [10]	10	12,3	14,9	17,7	20,6	23,6	26,5	29,5	32,5		
Снижение уровня звукового давления на пути справа от экрана, Dz3, дБ	z = 7.41м (разность путей)	ф-лы (14-18) [10]	14,8	17,6	20,5	23,4	26,4	29,4	32,4	35,4	38,4		
Общее снижение уровня звука препятствием Dz, дБ		Эн.сумма(-Dzi)	3,3	3,9	4,3	4,7	5,2	5,8	6,7	8,2	10,1		
Уровни звукового давления от источника ИШ-2-26 в расчётной точке днём, дБ		**ф-ла(3)[10]**	**0**	**26,5**	**27,4**	**27,9**	**26,8**	**24,6**	**18,1**	**4,8**	**0**	**28,5**	**28,5**
Уровни звукового давления от источника ИШ-2-26 в расчётной точке ночью, дБ		**ф-ла(3)[10]**	**0**	**26,5**	**27,4**	**27,9**	**26,8**	**24,6**	**18,1**	**4,8**	**0**	**28,5**	**28,5**
Источник шума: ИШ-2-27, координаты источника (x,y,z), м =[732.43,12.66,1.00]													
Уровни звуковой мощности источника днём, Lw, дБ		**исходные данные**	**0**	**93,3**	**94,7**	**96**	**96,3**	**95,9**	**92,6**	**88,4**	**83,9**		
Уровни звуковой мощности источника ночью, Lw, дБ		**исходные данные**	**0**	**93,3**	**94,7**	**96**	**96,3**	**95,9**	**92,6**	**88,4**	**83,9**		
Поправка на телесный угол DΩ, дБ	Ω = 6.28	10Lg(4π/Ω)	**3**	3	3	3	3	3	3	3	3		
Показатель направленности источника Di, дБ		исходные данные	**0**	0	0	0	0	0	0	0	0		
Поправка на направленность источника Dc, дБ	Dc	DΩ + Di	**3**	3	3	3	3	3	3	3	3		
Затухание из-за геометрической дивергенции, Adiv, дБ	расстояние = 547.28 м	ф-ла (7) [10]	**65,8**										
Коэффициент затухания звука в атмосфере α, дБ/км	Ta=20,°C Pa=101.33,кПа hотн.=70%	ф-ла (5) [9]	0,02	0,09	0,33	1,12	2,79	4,98	9,04	23,09	77,63		

1		2	3	4	5	6	7	8	9	10	11	12	13
Учет затухания звука в атмосфере Aatm, дБ		ф-ла (8) [10]	0	0	0,2	0,6	1,5	2,7	4,9	12,6	42,5		
Снижение уровня звукового давления из-за влияния застройки между источником шума и расчетной точкой													
Снижение уровня звукового давления на пути над экраном, Dz1, дБ	z = 0.21м (разность путей)	ф-лы (14-18) [10]	4,8	4,8	4,9	5	5,4	5,9	6,9	8,3	10,2		
Снижение уровня звукового давления на пути слева от экрана, Dz2, дБ	z = 1.67м (разность путей)	ф-лы (14-18) [10]	9,6	11,9	14,4	17,2	20,1	23	26	29	32		
Снижение уровня звукового давления на пути справа от экрана, Dz3, дБ	z = 7.96м (разность путей)	ф-лы (14-18) [10]	15,1	17,9	20,8	23,8	26,7	29,7	32,7	35,7	38,7		
Общее снижение уровня звука препятствием Dz, дБ		Эн.сумма(-Dzi)	3,3	3,9	4,3	4,7	5,2	5,8	6,8	8,2	10,2		
Уровни звукового давления от источника ИШ-2-27 в расчётной точке днём, дБ		**ф-ла(3)[10]**	**0**	**26,6**	**27,4**	**27,9**	**26,8**	**24,6**	**18,1**	**4,7**	**0**	**28,5**	**28,5**
Уровни звукового давления от источника ИШ-2-27 в расчётной точке ночью, дБ		**ф-ла(3)[10]**	**0**	**26,6**	**27,4**	**27,9**	**26,8**	**24,6**	**18,1**	**4,7**	**0**	**28,5**	**28,5**
Источник шума: ИШ-2-28, координаты источника (x,y,z), м =[731.54,9.78,1.00]													
Уровни звуковой мощности источника днём, Lw, дБ		**исходные данные**	**0**	**93,3**	**94,7**	**96**	**96,3**	**95,9**	**92,6**	**88,4**	**83,9**		
Уровни звуковой мощности источника ночью, Lw, дБ		**исходные данные**	**0**	**93,3**	**94,7**	**96**	**96,3**	**95,9**	**92,6**	**88,4**	**83,9**		
Поправка на телесный угол DΩ, дБ	Ω = 6.28	10Lg(4π/Ω)	**3**	3	3	3	3	3	3	3	3		
Показатель направленности источника Di, дБ		исходные данные	**0**	0	0	0	0	0	0	0	0		
Поправка на направленность источника Dc, дБ	Dc	DΩ + Di	**3**	3	3	3	3	3	3	3	3		
Затухание из-за геометрической дивергенции, Adiv, дБ	расстояние = 545.38 м	ф-ла (7) [10]	**65,7**										
Коэффициент затухания звука в атмосфере α, дБ/км	Ta=20,°C Pa=101.33,кПа hотн.=70%	ф-ла (5) [9]	0,02	0,09	0,33	1,12	2,79	4,98	9,04	23,09	77,63		

1		2	3	4	5	6	7	8	9	10	11	12	13
Учет затухания звука в атмосфере Aatm, дБ		ф-ла (8) [10]	0	0	0,2	0,6	1,5	2,7	4,9	12,6	42,3		
Снижение уровня звукового давления из-за влияния застройки между источником шума и расчетной точкой													
Снижение уровня звукового давления на пути над экраном, Dz1, дБ	z = 0.21м (разность путей)	ф-лы (14-18) [10]	4,8	4,8	4,9	5	5,4	6	6,9	8,4	10,3		
Снижение уровня звукового давления на пути слева от экрана, Dz2, дБ	z = 1.42м (разность путей)	ф-лы (14-18) [10]	9,2	11,3	13,8	16,5	19,4	22,3	25,3	28,3	31,3		
Снижение уровня звукового давления на пути справа от экрана, Dz3, дБ	z = 8.59м (разность путей)	ф-лы (14-18) [10]	15,4	18,2	21,1	24,1	27,1	30,1	33,1	36,1	39,1		
Общее снижение уровня звука препятствием Dz, дБ		Эн.сумма(-Dzi)	3,2	3,8	4,3	4,7	5,2	5,8	6,9	8,3	10,3		
Уровни звукового давления от источника ИШ-2-28 в расчётной точке днём, дБ		**ф-ла(3)[10]**	**0**	**26,7**	**27,5**	**28**	**26,9**	**24,6**	**18,1**	**4,8**	**0**	**28,5**	**28,5**
Уровни звукового давления от источника ИШ-2-28 в расчётной точке ночью, дБ		**ф-ла(3)[10]**	**0**	**26,7**	**27,5**	**28**	**26,9**	**24,6**	**18,1**	**4,8**	**0**	**28,5**	**28,5**
Источник шума: ИШ-2-29, координаты источника (x,y,z), м =[730.57,6.88,1.00]													
Уровни звуковой мощности источника днём, Lw, дБ		**исходные данные**	**0**	**93,3**	**94,7**	**96**	**96,3**	**95,9**	**92,6**	**88,4**	**83,9**		
Уровни звуковой мощности источника ночью, Lw, дБ		**исходные данные**	**0**	**93,3**	**94,7**	**96**	**96,3**	**95,9**	**92,6**	**88,4**	**83,9**		
Поправка на телесный угол DΩ, дБ	Ω = 6.28	10Lg(4π/Ω)	**3**	3	3	3	3	3	3	3	3		
Показатель направленности источника Di, дБ		исходные данные	**0**	0	0	0	0	0	0	0	0		
Поправка на направленность источника Dc, дБ	Dc	DΩ + Di	**3**	3	3	3	3	3	3	3	3		
Затухание из-за геометрической дивергенции, Adiv, дБ	расстояние = 543.42 м	ф-ла (7) [10]	**65,7**										
Коэффициент затухания звука в атмосфере α, дБ/км	Ta=20,°C Pa=101.33,кПа hотн.=70%	ф-ла (5) [9]	0,02	0,09	0,33	1,12	2,79	4,98	9,04	23,09	77,63		

1		2	3	4	5	6	7	8	9	10	11	12	13
Учет затухания звука в атмосфере Aatm, дБ		ф-ла (8) [10]	0	0	0,2	0,6	1,5	2,7	4,9	12,5	42,2		
Снижение уровня звукового давления из-за влияния застройки между источником шума и расчетной точкой													
Снижение уровня звукового давления на пути над экраном, Dz1, дБ	z = 0.21м (разность путей)	ф-лы (14-18) [10]	4,8	4,8	4,9	5	5,4	6	7	8,5	10,4		
Снижение уровня звукового давления на пути слева от экрана, Dz2, дБ	z = 1.20м (разность путей)	ф-лы (14-18) [10]	8,7	10,7	13,1	15,8	18,7	21,6	24,5	27,5	30,5		
Снижение уровня звукового давления на пути справа от экрана, Dz3, дБ	z = 9.24м (разность путей)	ф-лы (14-18) [10]	15,7	18,5	21,4	24,4	27,4	30,4	33,4	36,4	39,4		
Общее снижение уровня звука препятствием Dz, дБ		Эн.сумма(-Dzi)	3,1	3,7	4,2	4,6	5,2	5,9	6,9	8,4	10,4		
Уровни звукового давления от источника ИШ-2-29 в расчётной точке днём, дБ		**ф-ла(3)[10]**	**0**	**26,9**	**27,6**	**28**	**26,9**	**24,6**	**18,1**	**4,8**	**0**	**28,6**	**28,6**
Уровни звукового давления от источника ИШ-2-29 в расчётной точке ночью, дБ		**ф-ла(3)[10]**	**0**	**26,9**	**27,6**	**28**	**26,9**	**24,6**	**18,1**	**4,8**	**0**	**28,6**	**28,6**
Источник шума: ИШ-2-4, координаты источника (x,y,z), м =[632.70,-65.30,3.00]													
Уровни звуковой мощности источника днём, Lw, дБ		**исходные данные**	**105**	**104**	**104**	**101**	**102**	**106**	**101**	**95**	**87**		
Уровни звуковой мощности источника ночью, Lw, дБ		**исходные данные**	**105**	**104**	**104**	**101**	**102**	**106**	**101**	**95**	**87**		
Поправка на телесный угол DΩ, дБ	Ω = 6.28	10Lg(4π/Ω)	**3**	3	3	3	3	3	3	3	3		
Показатель направленности источника Di, дБ		исходные данные	**0**	0	0	0	0	0	0	0	0		
Поправка на направленность источника Dc, дБ	Dc	DΩ + Di	**3**	3	3	3	3	3	3	3	3		
Затухание из-за геометрической дивергенции, Adiv, дБ	расстояние = 427.01 м	ф-ла (7) [10]	**63,6**										
Коэффициент затухания звука в атмосфере α, дБ/км	Ta=20,°C Pa=101.33,кПа hотн.=70%	ф-ла (5) [9]	0,02	0,09	0,33	1,12	2,79	4,98	9,04	23,09	77,63		

1		2	3	4	5	6	7	8	9	10	11	12	13
Учет затухания звука в атмосфере Aatm, дБ		ф-ла (8) [10]	0	0	0,1	0,5	1,2	2,1	3,9	9,9	33,1		
Снижение уровня звукового давления из-за влияния застройки между источником шума и расчетной точкой													
Снижение уровня звукового давления на пути над экраном, Dz1, дБ	z = 0.28м (разность путей)	ф-лы (14-18) [10]	4,9	4,9	5,1	5,7	7	9,1	11,4	14	16,8		
Снижение уровня звукового давления на пути слева от экрана, Dz2, дБ	z = 1.99м (разность путей)	ф-лы (14-18) [10]	10,2	12,5	15,1	17,9	20,8	23,8	26,7	29,7	32,7		
Снижение уровня звукового давления на пути справа от экрана, Dz3, дБ	z = 0.06м (разность путей)	ф-лы (14-18) [10]	5,1	5,3	5,8	6,7	8	9,8	12,1	14,7	17,5		
Общее снижение уровня звука препятствием Dz, дБ		Эн.сумма(-Dzi)	1,3	1,7	2,2	3	4,4	6,3	8,7	11,3	14		
Уровни звукового давления прямого звука от источника ИШ-2-4 в расчётной точке днём, дБ		**ф-ла(3)[10]**	**43,1**	**41,6**	**41**	**36,9**	**35,8**	**36,9**	**27,9**	**13,3**	**0**	**39,4**	**39,4**
Уровни звукового давления прямого звука от источника ИШ-2-4 в расчётной точке ночью, дБ		**ф-ла(3)[10]**	**43,1**	**41,6**	**41**	**36,9**	**35,8**	**36,9**	**27,9**	**13,3**	**0**	**39,4**	**39,4**
Расчёт отражённого звука													
Уровни звукового давления от мнимого источника ИШ-2-4_мн.(1) в расчётной точке днём, дБ		**ф-ла(3)[10]**	**0**	**0**	**0**	**0**	**0**	**0**	**0**	**0**	**0**	**0**	**0**
Уровни звукового давления от мнимого источника ИШ-2-4_мн.(1) в расчётной точке ночью, дБ		**ф-ла(3)[10]**	**0**	**0**	**0**	**0**	**0**	**0**	**0**	**0**	**0**	**0**	**0**
Уровни звукового давления от источника ИШ-2-4 в расчётной точке днём, дБ		**ф-ла(3)[10]**	**43,1**	**41,6**	**41**	**36,9**	**35,8**	**36,9**	**27,9**	**13,3**	**0**	**39,4**	**39,4**
Уровни звукового давления от источника ИШ-2-4 в расчётной точке ночью, дБ		**ф-ла(3)[10]**	**43,1**	**41,6**	**41**	**36,9**	**35,8**	**36,9**	**27,9**	**13,3**	**0**	**39,4**	**39,4**
Источник шума: ИШ-2-30, координаты источника (x,y,z), м =[702.44,-77.23,1.00]													
Уровни звуковой мощности источника днём, Lw, дБ		**исходные данные**	**0**	**93,3**	**94,7**	**96**	**96,3**	**95,9**	**92,6**	**88,4**	**83,9**		
Уровни звуковой мощности источника ночью, Lw, дБ		**исходные данные**	**0**	**93,3**	**94,7**	**96**	**96,3**	**95,9**	**92,6**	**88,4**	**83,9**		
Поправка на телесный угол DΩ, дБ	Ω = 6.28	10Lg(4π/Ω)	**3**	3	3	3	3	3	3	3	3		

1		2	3	4	5	6	7	8	9	10	11	12	13
Показатель направленности источника Di, дБ		исходные данные	**0**	0	0	0	0	0	0	0	0		
Поправка на направленность источника Dc, дБ	Dc	DΩ + Di	**3**	3	3	3	3	3	3	3	3		
Затухание из-за геометрической дивергенции, Adiv, дБ	расстояние = 491.06 м	ф-ла (7) [10]	**64,8**										
Коэффициент затухания звука в атмосфере α, дБ/км	Ta=20,°C Pa=101.33,кПа hотн.=70%	ф-ла (5) [9]	0,02	0,09	0,33	1,12	2,79	4,98	9,04	23,09	77,63		
Учет затухания звука в атмосфере Aatm, дБ		ф-ла (8) [10]	0	0	0,2	0,6	1,4	2,4	4,4	11,3	38,1		
Снижение уровня звукового давления из-за влияния застройки между источником шума и расчетной точкой													
Снижение уровня звукового давления на пути над экраном, Dz1, дБ	z = 0.31м (разность путей)	ф-лы (14-18) [10]	4,8	4,9	5	5,5	6,5	8,2	10,2	12,6	15,2		
Снижение уровня звукового давления на пути слева от экрана, Dz2, дБ	z = 0.06м (разность путей)	ф-лы (14-18) [10]	5,1	5,4	5,9	6,9	8,3	10,2	12,5	15,2	18		
Снижение уровня звукового давления на пути справа от экрана, Dz3, дБ	z = 1.47м (разность путей)	ф-лы (14-18) [10]	9,3	11,4	13,9	16,6	19,5	22,4	25,4	28,4	31,4		
Общее снижение уровня звука препятствием Dz, дБ		Эн.сумма(-Dzi)	1,2	1,6	2,2	2,9	4,2	5,9	8,1	10,6	13,3		
Уровни звукового давления прямого звука от источника ИШ-2-30 в расчётной точке днём, дБ		**ф-ла(3)[10]**	**0**	**29,8**	**30,5**	**30,7**	**28,9**	**25,7**	**18,2**	**4,6**	**0**	**30,1**	**30,1**
Уровни звукового давления прямого звука от источника ИШ-2-30 в расчётной точке ночью, дБ		**ф-ла(3)[10]**	**0**	**29,8**	**30,5**	**30,7**	**28,9**	**25,7**	**18,2**	**4,6**	**0**	**30,1**	**30,1**
Расчёт отражённого звука													
Уровни звукового давления от мнимого источника ИШ-2-30_мн.(1) в расчётной точке днём, дБ		**ф-ла(3)[10]**	**0**	**0**	**0**	**0**	**0**	**0**	**0**	**0**	**0**	**0**	**0**
Уровни звукового давления от мнимого источника ИШ-2-30_мн.(1) в расчётной точке ночью, дБ		**ф-ла(3)[10]**	**0**	**0**	**0**	**0**	**0**	**0**	**0**	**0**	**0**	**0**	**0**
Уровни звукового давления от источника ИШ-2-30 в расчётной точке днём, дБ		**ф-ла(3)[10]**	**0**	**29,8**	**30,5**	**30,7**	**28,9**	**25,7**	**18,2**	**4,6**	**0**	**30,1**	**30,1**
Уровни звукового давления от источника ИШ-2-30 в расчётной точке ночью, дБ		**ф-ла(3)[10]**	**0**	**29,8**	**30,5**	**30,7**	**28,9**	**25,7**	**18,2**	**4,6**	**0**	**30,1**	**30,1**

1		2	3	4	5	6	7	8	9	10	11	12	13
Источник шума: ИШ-2-31, координаты источника (x,y,z), м =[701.42,-80.17,1.00]													
Уровни звуковой мощности источника днём, Lw, дБ		**исходные данные**	**0**	**93,3**	**94,7**	**96**	**96,3**	**95,9**	**92,6**	**88,4**	**83,9**		
Уровни звуковой мощности источника ночью, Lw, дБ		**исходные данные**	**0**	**93,3**	**94,7**	**96**	**96,3**	**95,9**	**92,6**	**88,4**	**83,9**		
Поправка на телесный угол DΩ, дБ	Ω = 6.28	10Lg(4π/Ω)	**3**	3	3	3	3	3	3	3	3		
Показатель направленности источника Di, дБ		исходные данные	**0**	0	0	0	0	0	0	0	0		
Поправка на направленность источника Dc, дБ	Dc	DΩ + Di	**3**	3	3	3	3	3	3	3	3		
Затухание из-за геометрической дивергенции, Adiv, дБ	расстояние = 489.39 м	ф-ла (7) [10]	**64,8**										
Коэффициент затухания звука в атмосфере α, дБ/км	Ta=20,°C Pa=101.33,кПа hотн.=70%	ф-ла (5) [9]	0,02	0,09	0,33	1,12	2,79	4,98	9,04	23,09	77,63		
Учет затухания звука в атмосфере Aatm, дБ		ф-ла (8) [10]	0	0	0,2	0,6	1,4	2,4	4,4	11,3	38		
Снижение уровня звукового давления из-за влияния застройки между источником шума и расчетной точкой													
Снижение уровня звукового давления на пути над экраном, Dz1, дБ	z = 0.31м (разность путей)	ф-лы (14-18) [10]	4,8	4,9	5	5,4	6,3	8	10,1	12,5	15,2		
Снижение уровня звукового давления на пути слева от экрана, Dz2, дБ	z = 0.03м (разность путей)	ф-лы (14-18) [10]	4,9	5,1	5,3	5,8	6,7	8	9,8	12,1	14,6		
Снижение уровня звукового давления на пути справа от экрана, Dz3, дБ	z = 1.68м (разность путей)	ф-лы (14-18) [10]	9,6	11,9	14,4	17,2	20,1	23	26	29	32		
Общее снижение уровня звука препятствием Dz, дБ		Эн.сумма(-Dzi)	1,2	1,5	1,9	2,4	3,4	4,9	6,9	9,2	11,9		
Уровни звукового давления прямого звука от источника ИШ-2-31 в расчётной точке днём, дБ		**ф-ла(3)[10]**	**0**	**29,9**	**30,8**	**31,2**	**29,8**	**26,8**	**19,5**	**6,1**	**0**	**31**	**31**
Уровни звукового давления прямого звука от источника ИШ-2-31 в расчётной точке ночью, дБ		**ф-ла(3)[10]**	**0**	**29,9**	**30,8**	**31,2**	**29,8**	**26,8**	**19,5**	**6,1**	**0**	**31**	**31**

1		2	3	4	5	6	7	8	9	10	11	12	13
Расчёт отражённого звука													
Уровни звукового давления от мнимого источника ИШ-2-31_мн.(1) в расчётной точке днём, дБ		**ф-ла(3)[10]**	**0**	**0**	**0**	**0**	**0**	**0**	**0**	**0**	**0**	**0**	**0**
Уровни звукового давления от мнимого источника ИШ-2-31_мн.(1) в расчётной точке ночью, дБ		**ф-ла(3)[10]**	**0**	**0**	**0**	**0**	**0**	**0**	**0**	**0**	**0**	**0**	**0**
Уровни звукового давления от источника ИШ-2-31 в расчётной точке днём, дБ		**ф-ла(3)[10]**	**0**	**29,9**	**30,8**	**31,2**	**29,8**	**26,8**	**19,5**	**6,1**	**0**	**31**	**31**
Уровни звукового давления от источника ИШ-2-31 в расчётной точке ночью, дБ		**ф-ла(3)[10]**	**0**	**29,9**	**30,8**	**31,2**	**29,8**	**26,8**	**19,5**	**6,1**	**0**	**31**	**31**
Источник шума: ИШ-2-32, координаты источника (x,y,z), м =[700.38,-83.01,1.00]													
Уровни звуковой мощности источника днём, Lw, дБ		**исходные данные**	**0**	**93,3**	**94,7**	**96**	**96,3**	**95,9**	**92,6**	**88,4**	**83,9**		
Уровни звуковой мощности источника ночью, Lw, дБ		**исходные данные**	**0**	**93,3**	**94,7**	**96**	**96,3**	**95,9**	**92,6**	**88,4**	**83,9**		
Поправка на телесный угол DΩ, дБ	Ω = 6.28	10Lg(4π/Ω)	**3**	3	3	3	3	3	3	3	3		
Показатель направленности источника Di, дБ		исходные данные	**0**	0	0	0	0	0	0	0	0		
Поправка на направленность источника Dc, дБ	Dc	DΩ + Di	**3**	3	3	3	3	3	3	3	3		
Затухание из-за геометрической дивергенции, Adiv, дБ	расстояние = 487.73 м	ф-ла (7) [10]	**64,8**										
Коэффициент затухания звука в атмосфере α, дБ/км	Ta=20,°C Pa=101.33,кПа hотн.=70%	ф-ла (5) [9]	0,02	0,09	0,33	1,12	2,79	4,98	9,04	23,09	77,63		
Учет затухания звука в атмосфере Aatm, дБ		ф-ла (8) [10]	0	0	0,2	0,5	1,4	2,4	4,4	11,3	37,9		
Снижение уровня звукового давления из-за влияния застройки между источником шума и расчетной точкой													
Снижение уровня звукового давления на пути над экраном, Dz1, дБ	z = 0.31м (разность путей)	ф-лы (14-18) [10]	4,8	4,9	5	5,2	5,9	7,4	9,8	12,4	15,1		

1		2	3	4	5	6	7	8	9	10	11	12	13
Снижение уровня звукового давления на пути слева от экрана, Dz2, дБ	z = 0.01м (разность путей)	ф-лы (14-18) [10]	4,8	4,8	4,9	5,1	5,3	5,8	6,7	8	9,8		
Снижение уровня звукового давления на пути справа от экрана, Dz3, дБ	z = 1.89м (разность путей)	ф-лы (14-18) [10]	10	12,3	14,9	17,7	20,6	23,5	26,5	29,5	32,5		
Общее снижение уровня звука препятствием Dz, дБ		Эн.сумма(-Dzi)	1,2	1,5	1,7	2	2,5	3,5	4,9	6,6	8,7		
Уровни звукового давления прямого звука от источника ИШ-2-32 в расчётной точке днём, дБ		**ф-ла(3)[10]**	**0**	**30**	**31**	**31,7**	**30,6**	**28,2**	**21,5**	**8,7**	**0**	**32,2**	**32,2**
Уровни звукового давления прямого звука от источника ИШ-2-32 в расчётной точке ночью, дБ		**ф-ла(3)[10]**	**0**	**30**	**31**	**31,7**	**30,6**	**28,2**	**21,5**	**8,7**	**0**	**32,2**	**32,2**
Расчёт отражённого звука													
Уровни звукового давления от мнимого источника ИШ-2-32_мн.(1) в расчётной точке днём, дБ		**ф-ла(3)[10]**	**0**	**0**	**0**	**0**	**0**	**0**	**0**	**0**	**0**	**0**	**0**
Уровни звукового давления от мнимого источника ИШ-2-32_мн.(1) в расчётной точке ночью, дБ		**ф-ла(3)[10]**	**0**	**0**	**0**	**0**	**0**	**0**	**0**	**0**	**0**	**0**	**0**
Уровни звукового давления от мнимого источника ИШ-2-32_мн.(2) в расчётной точке днём, дБ		**ф-ла(3)[10]**	**0**	**0**	**0**	**18**	**19**	**28,2**	**25,4**	**14,3**	**0**	**30,8**	**30,8**
Уровни звукового давления от мнимого источника ИШ-2-32_мн.(2) в расчётной точке ночью, дБ		**ф-ла(3)[10]**	**0**	**0**	**0**	**0**	**0**	**0**	**0**	**0**	**0**	**30,8**	**30,8**
Суммарные уровни звукового давления от мнимых источников в расчётной точке днём, дБ		**ф-ла (19) [1]**	**0**	**0**	**0**	**18**	**19**	**28,2**	**25,4**	**14,3**	**0**	**0**	**30,8**
Суммарные уровни звукового давления от мнимых источников в расчётной точке ночью, дБ		**ф-ла (19) [1]**	**0**	**0**	**0**	**18**	**19**	**28,2**	**25,4**	**14,3**	**0**	**0**	**30,8**
Уровни звукового давления от источника ИШ-2-32 в расчётной точке днём, дБ		**ф-ла(3)[10]**	**0**	**30**	**31**	**31,8**	**30,9**	**31,2**	**26,9**	**15,4**	**0**	**34,5**	**34,5**
Уровни звукового давления от источника ИШ-2-32 в расчётной точке ночью, дБ		**ф-ла(3)[10]**	**0**	**30**	**31**	**31,8**	**30,9**	**31,2**	**26,9**	**15,4**	**0**	**34,5**	**34,5**
Источник шума: ИШ-2-33, координаты источника (x,y,z), м =[699.52,-85.98,1.00]													
Уровни звуковой мощности источника днём, Lw, дБ		**исходные данные**	**0**	**93,3**	**94,7**	**96**	**96,3**	**95,9**	**92,6**	**88,4**	**83,9**		
Уровни звуковой мощности источника ночью, Lw, дБ		**исходные данные**	**0**	**93,3**	**94,7**	**96**	**96,3**	**95,9**	**92,6**	**88,4**	**83,9**		

1		2	3	4	5	6	7	8	9	10	11	12	13
Поправка на телесный угол DΩ, дБ	Ω = 6.28	10Lg(4π/Ω)	**3**	3	3	3	3	3	3	3	3		
Показатель направленности источника Di, дБ		исходные данные	**0**	0	0	0	0	0	0	0	0		
Поправка на направленность источника Dc, дБ	Dc	DΩ + Di	**3**	3	3	3	3	3	3	3	3		
Затухание из-за геометрической дивергенции, Adiv, дБ	расстояние = 486.23 м	ф-ла (7) [10]	**64,7**										
Коэффициент затухания звука в атмосфере α, дБ/км	Ta=20,°C Pa=101.33,кПа hотн.=70%	ф-ла (5) [9]	0,02	0,09	0,33	1,12	2,79	4,98	9,04	23,09	77,63		
Учет затухания звука в атмосфере Aatm, дБ		ф-ла (8) [10]	0	0	0,2	0,5	1,4	2,4	4,4	11,2	37,7		
Снижение поверхностью земли возле источника As, дБ	Gs = 0 hs = 1м	ф-лы таб.3 [10]	-1,5	-1,5	-1,5	-1,5	-1,5	-1,5	-1,5	-1,5	-1,5		
Снижение поверхностью земли возле приёмника Ar, дБ	Gr = 1 hr = 1.6м	ф-лы таб.3 [10]	-1,5	-1,5	2,9	6,8	4,3	0,5	0	0	0		
Снижение поверхностью земли в средней зоне, Am дБ	Gm = 1	ф-лы таб.3 [10]	-2,5	-2,5	0	0	0	0	0	0	0		
Суммарное снижение поверхностью земли на траектории распространения звука Agr, дБ		ф-ла (9) [10]	-5,5	-5,5	1,4	5,3	2,8	-1	-1,5	-1,5	-1,5		
Уровни звукового давления прямого звука от источника ИШ-2-33 в расчётной точке днём, дБ		**ф-ла(3)[10]**	**0**	**37**	**31,4**	**28,4**	**30,4**	**32,7**	**28**	**16,9**	**0**	**35,3**	**35,3**
Уровни звукового давления прямого звука от источника ИШ-2-33 в расчётной точке ночью, дБ		**ф-ла(3)[10]**	**0**	**37**	**31,4**	**28,4**	**30,4**	**32,7**	**28**	**16,9**	**0**	**35,3**	**35,3**
Расчёт отражённого звука													
Уровни звукового давления от мнимого источника ИШ-2-33_мн.(1) в расчётной точке днём, дБ		**ф-ла(3)[10]**	**0**	**0**	**0**	**0**	**0**	**0**	**0**	**0**	**0**	**0**	**0**
Уровни звукового давления от мнимого источника ИШ-2-33_мн.(1) в расчётной точке ночью, дБ		**ф-ла(3)[10]**	**0**	**0**	**0**	**0**	**0**	**0**	**0**	**0**	**0**	**0**	**0**
Уровни звукового давления от мнимого источника ИШ-2-33_мн.(2) в расчётной точке днём, дБ		**ф-ла(3)[10]**	**0**	**0**	**0**	**18**	**19**	**28,2**	**25,4**	**14,4**	**0**	**30,8**	**30,8**
Уровни звукового давления от мнимого источника ИШ-2-33_мн.(2) в расчётной точке ночью, дБ		**ф-ла(3)[10]**	**0**	**0**	**0**	**0**	**0**	**0**	**0**	**0**	**0**	**30,8**	**30,8**

1		2	3	4	5	6	7	8	9	10	11	12	13
Суммарные уровни звукового давления от мнимых источников в расчётной точке днём, дБ		**ф-ла (19) [1]**	**0**	**0**	**0**	**18**	**19**	**28,2**	**25,4**	**14,4**	**0**	**0**	**30,8**
Суммарные уровни звукового давления от мнимых источников в расчётной точке ночью, дБ		**ф-ла (19) [1]**	**0**	**0**	**0**	**18**	**19**	**28,2**	**25,4**	**14,4**	**0**	**0**	**30,8**
Уровни звукового давления от источника ИШ-2-33 в расчётной точке днём, дБ		**ф-ла(3)[10]**	**0**	**37**	**31,4**	**28,8**	**30,7**	**34**	**29,9**	**18,8**	**0**	**36,7**	**36,7**
Уровни звукового давления от источника ИШ-2-33 в расчётной точке ночью, дБ		**ф-ла(3)[10]**	**0**	**37**	**31,4**	**28,8**	**30,7**	**34**	**29,9**	**18,8**	**0**	**36,7**	**36,7**
Источник шума: ИШ-2-34, координаты источника (x,y,z), м =[698.43,-88.85,1.00]													
Уровни звуковой мощности источника днём, Lw, дБ		**исходные данные**	**0**	**93,3**	**94,7**	**96**	**96,3**	**95,9**	**92,6**	**88,4**	**83,9**		
Уровни звуковой мощности источника ночью, Lw, дБ		**исходные данные**	**0**	**93,3**	**94,7**	**96**	**96,3**	**95,9**	**92,6**	**88,4**	**83,9**		
Поправка на телесный угол DΩ, дБ	Ω = 6.28	10Lg(4π/Ω)	**3**	3	3	3	3	3	3	3	3		
Показатель направленности источника Di, дБ		исходные данные	**0**	0	0	0	0	0	0	0	0		
Поправка на направленность источника Dc, дБ	Dc	DΩ + Di	**3**	3	3	3	3	3	3	3	3		
Затухание из-за геометрической дивергенции, Adiv, дБ	расстояние = 484.54 м	ф-ла (7) [10]	**64,7**										
Коэффициент затухания звука в атмосфере α, дБ/км	Ta=20,°C Pa=101.33,кПа hотн.=70%	ф-ла (5) [9]	0,02	0,09	0,33	1,12	2,79	4,98	9,04	23,09	77,63		
Учет затухания звука в атмосфере Aatm, дБ		ф-ла (8) [10]	0	0	0,2	0,5	1,4	2,4	4,4	11,2	37,6		
Снижение поверхностью земли возле источника As, дБ	Gs = 0 hs = 1м	ф-лы таб.3 [10]	-1,5	-1,5	-1,5	-1,5	-1,5	-1,5	-1,5	-1,5	-1,5		
Снижение поверхностью земли возле приёмника Ar, дБ	Gr = 1 hr = 1.6м	ф-лы таб.3 [10]	-1,5	-1,5	2,9	6,8	4,3	0,5	0	0	0		
Снижение поверхностью земли в средней зоне, Am дБ	Gm = 1	ф-лы таб.3 [10]	-2,5	-2,5	0	0	0	0	0	0	0		

1		2	3	4	5	6	7	8	9	10	11	12	13
Суммарное снижение поверхностью земли на траектории распространения звука Agr, дБ		ф-ла (9) [10]	-5,5	-5,5	1,4	5,3	2,8	-1	-1,5	-1,5	-1,5		
Уровни звукового давления прямого звука от источника ИШ-2-34 в расчётной точке днём, дБ		**ф-ла(3)[10]**	**0**	**37,1**	**31,4**	**28,4**	**30,4**	**32,8**	**28**	**17**	**0**	**35,4**	**35,4**
Уровни звукового давления прямого звука от источника ИШ-2-34 в расчётной точке ночью, дБ		**ф-ла(3)[10]**	**0**	**37,1**	**31,4**	**28,4**	**30,4**	**32,8**	**28**	**17**	**0**	**35,4**	**35,4**
Расчёт отражённого звука													
Уровни звукового давления от мнимого источника ИШ-2-34_мн.(1) в расчётной точке днём, дБ		**ф-ла(3)[10]**	**0**	**0**	**25,9**	**18**	**19,1**	**28,2**	**25,5**	**14,4**	**0**	**30,9**	**30,9**
Уровни звукового давления от мнимого источника ИШ-2-34_мн.(1) в расчётной точке ночью, дБ		**ф-ла(3)[10]**	**0**	**0**	**0**	**0**	**0**	**0**	**0**	**0**	**0**	**30,9**	**30,9**
Уровни звукового давления от источника ИШ-2-34 в расчётной точке днём, дБ		**ф-ла(3)[10]**	**0**	**37,1**	**32,5**	**28,8**	**30,7**	**34,1**	**29,9**	**18,9**	**0**	**36,7**	**36,7**
Уровни звукового давления от источника ИШ-2-34 в расчётной точке ночью, дБ		**ф-ла(3)[10]**	**0**	**37,1**	**32,5**	**28,8**	**30,7**	**34,1**	**29,9**	**18,9**	**0**	**36,7**	**36,7**
Источник шума: ИШ-2-35, координаты источника (x,y,z), м =[697.52,-91.66,1.00]													
Уровни звуковой мощности источника днём, Lw, дБ		**исходные данные**	**0**	**93,3**	**94,7**	**96**	**96,3**	**95,9**	**92,6**	**88,4**	**83,9**		
Уровни звуковой мощности источника ночью, Lw, дБ		**исходные данные**	**0**	**93,3**	**94,7**	**96**	**96,3**	**95,9**	**92,6**	**88,4**	**83,9**		
Поправка на телесный угол DΩ, дБ	Ω = 6.28	10Lg(4π/Ω)	**3**	3	3	3	3	3	3	3	3		
Показатель направленности источника Di, дБ		исходные данные	**0**	0	0	0	0	0	0	0	0		
Поправка на направленность источника Dc, дБ	Dc	DΩ + Di	**3**	3	3	3	3	3	3	3	3		
Затухание из-за геометрической дивергенции, Adiv, дБ	расстояние = 483.05 м	ф-ла (7) [10]	**64,7**										
Коэффициент затухания звука в атмосфере α, дБ/км	Ta=20,°C Pa=101.33,кПа hотн.=70%	ф-ла (5) [9]	0,02	0,09	0,33	1,12	2,79	4,98	9,04	23,09	77,63		

1		2	3	4	5	6	7	8	9	10	11	12	13
Учет затухания звука в атмосфере Aatm, дБ		ф-ла (8) [10]	0	0	0,2	0,5	1,3	2,4	4,4	11,2	37,5		
Снижение поверхностью земли возле источника As, дБ	Gs = 0 hs = 1м	ф-лы таб.3 [10]	-1,5	-1,5	-1,5	-1,5	-1,5	-1,5	-1,5	-1,5	-1,5		
Снижение поверхностью земли возле приёмника Ar, дБ	Gr = 1 hr = 1.6м	ф-лы таб.3 [10]	-1,5	-1,5	2,9	6,8	4,3	0,5	0	0	0		
Снижение поверхностью земли в средней зоне, Am дБ	Gm = 1	ф-лы таб.3 [10]	-2,5	-2,5	0	0	0	0	0	0	0		
Суммарное снижение поверхностью земли на траектории распространения звука Agr, дБ		ф-ла (9) [10]	-5,5	-5,5	1,4	5,3	2,8	-1	-1,5	-1,5	-1,5		
Уровни звукового давления прямого звука от источника ИШ-2-35 в расчётной точке днём, дБ		**ф-ла(3)[10]**	**0**	**37,1**	**31,4**	**28,4**	**30,5**	**32,8**	**28**	**17,1**	**0**	**35,4**	**35,4**
Уровни звукового давления прямого звука от источника ИШ-2-35 в расчётной точке ночью, дБ		**ф-ла(3)[10]**	**0**	**37,1**	**31,4**	**28,4**	**30,5**	**32,8**	**28**	**17,1**	**0**	**35,4**	**35,4**
Расчёт отражённого звука													
Уровни звукового давления от мнимого источника ИШ-2-35_мн.(1) в расчётной точке днём, дБ		**ф-ла(3)[10]**	**0**	**0**	**26**	**18,1**	**19,1**	**28,3**	**25,5**	**14,5**	**0**	**30,9**	**30,9**
Уровни звукового давления от мнимого источника ИШ-2-35_мн.(1) в расчётной точке ночью, дБ		**ф-ла(3)[10]**	**0**	**0**	**0**	**0**	**0**	**0**	**0**	**0**	**0**	**30,9**	**30,9**
Уровни звукового давления от источника ИШ-2-35 в расчётной точке днём, дБ		**ф-ла(3)[10]**	**0**	**37,1**	**32,5**	**28,8**	**30,8**	**34,1**	**30**	**19**	**0**	**36,7**	**36,7**
Уровни звукового давления от источника ИШ-2-35 в расчётной точке ночью, дБ		**ф-ла(3)[10]**	**0**	**37,1**	**32,5**	**28,8**	**30,8**	**34,1**	**30**	**19**	**0**	**36,7**	**36,7**
Источник шума: ИШ-2-36, координаты источника (x,y,z), м =[696.58,-94.55,1.00]													
Уровни звуковой мощности источника днём, Lw, дБ		**исходные данные**	**0**	**93,3**	**94,7**	**96**	**96,3**	**95,9**	**92,6**	**88,4**	**83,9**		
Уровни звуковой мощности источника ночью, Lw, дБ		**исходные данные**	**0**	**93,3**	**94,7**	**96**	**96,3**	**95,9**	**92,6**	**88,4**	**83,9**		
Поправка на телесный угол DΩ, дБ	Ω = 6.28	10Lg(4π/Ω)	**3**	3	3	3	3	3	3	3	3		
Показатель направленности источника Di, дБ		исходные данные	**0**	0	0	0	0	0	0	0	0		

1		2	3	4	5	6	7	8	9	10	11	12	13
Поправка на направленность источника Dc, дБ	Dc	DΩ + Di	**3**	3	3	3	3	3	3	3	3		
Затухание из-за геометрической дивергенции, Adiv, дБ	расстояние = 481.53 м	ф-ла (7) [10]	**64,7**										
Коэффициент затухания звука в атмосфере α, дБ/км	Ta=20,°C Pa=101.33,кПа hотн.=70%	ф-ла (5) [9]	0,02	0,09	0,33	1,12	2,79	4,98	9,04	23,09	77,63		
Учет затухания звука в атмосфере Aatm, дБ		ф-ла (8) [10]	0	0	0,2	0,5	1,3	2,4	4,4	11,1	37,4		
Снижение поверхностью земли возле источника As, дБ	Gs = 0 hs = 1м	ф-лы таб.3 [10]	-1,5	-1,5	-1,5	-1,5	-1,5	-1,5	-1,5	-1,5	-1,5		
Снижение поверхностью земли возле приёмника Ar, дБ	Gr = 1 hr = 1.6м	ф-лы таб.3 [10]	-1,5	-1,5	2,9	6,8	4,3	0,5	0	0	0		
Снижение поверхностью земли в средней зоне, Am дБ	Gm = 1	ф-лы таб.3 [10]	-2,5	-2,5	0	0	0	0	0	0	0		
Суммарное снижение поверхностью земли на траектории распространения звука Agr, дБ		ф-ла (9) [10]	-5,5	-5,5	1,4	5,3	2,8	-1	-1,5	-1,5	-1,5		
Уровни звукового давления прямого звука от источника ИШ-2-36 в расчётной точке днём, дБ		**ф-ла(3)[10]**	**0**	**37,1**	**31,5**	**28,5**	**30,5**	**32,8**	**28,1**	**17,1**	**0**	**35,5**	**35,5**
Уровни звукового давления прямого звука от источника ИШ-2-36 в расчётной точке ночью, дБ		**ф-ла(3)[10]**	**0**	**37,1**	**31,5**	**28,5**	**30,5**	**32,8**	**28,1**	**17,1**	**0**	**35,5**	**35,5**
Расчёт отражённого звука													
Уровни звукового давления от мнимого источника ИШ-2-36_мн.(1) в расчётной точке днём, дБ		**ф-ла(3)[10]**	**0**	**0**	**26**	**18,1**	**19,1**	**28,3**	**25,6**	**14,6**	**0**	**30,9**	**30,9**
Уровни звукового давления от мнимого источника ИШ-2-36_мн.(1) в расчётной точке ночью, дБ		**ф-ла(3)[10]**	**0**	**0**	**0**	**0**	**0**	**0**	**0**	**0**	**0**	**30,9**	**30,9**
Уровни звукового давления от источника ИШ-2-36 в расчётной точке днём, дБ		**ф-ла(3)[10]**	**0**	**37,1**	**32,6**	**28,9**	**30,8**	**34,1**	**30**	**19**	**0**	**36,8**	**36,8**
Уровни звукового давления от источника ИШ-2-36 в расчётной точке ночью, дБ		**ф-ла(3)[10]**	**0**	**37,1**	**32,6**	**28,9**	**30,8**	**34,1**	**30**	**19**	**0**	**36,8**	**36,8**
Источник шума: ИШ-2-37, координаты источника (x,y,z), м =[695.57,-97.37,1.00]													

1		2	3	4	5	6	7	8	9	10	11	12	13
Уровни звуковой мощности источника днём, Lw, дБ		**исходные данные**	**0**	**93,3**	**94,7**	**96**	**96,3**	**95,9**	**92,6**	**88,4**	**83,9**		
Уровни звуковой мощности источника ночью, Lw, дБ		**исходные данные**	**0**	**93,3**	**94,7**	**96**	**96,3**	**95,9**	**92,6**	**88,4**	**83,9**		
Поправка на телесный угол DΩ, дБ	Ω = 6.28	10Lg(4π/Ω)	**3**	3	3	3	3	3	3	3	3		
Показатель направленности источника Di, дБ		исходные данные	**0**	0	0	0	0	0	0	0	0		
Поправка на направленность источника Dc, дБ	Dc	DΩ + Di	**3**	3	3	3	3	3	3	3	3		
Затухание из-за геометрической дивергенции, Adiv, дБ	расстояние = 479.97 м	ф-ла (7) [10]	**64,6**										
Коэффициент затухания звука в атмосфере α, дБ/км	Ta=20,°C Pa=101.33,кПа hотн.=70%	ф-ла (5) [9]	0,02	0,09	0,33	1,12	2,79	4,98	9,04	23,09	77,63		
Учет затухания звука в атмосфере Aatm, дБ		ф-ла (8) [10]	0	0	0,2	0,5	1,3	2,4	4,3	11,1	37,3		
Снижение поверхностью земли возле источника As, дБ	Gs = 0 hs = 1м	ф-лы таб.3 [10]	-1,5	-1,5	-1,5	-1,5	-1,5	-1,5	-1,5	-1,5	-1,5		
Снижение поверхностью земли возле приёмника Ar, дБ	Gr = 1 hr = 1.6м	ф-лы таб.3 [10]	-1,5	-1,5	2,9	6,8	4,3	0,5	0	0	0		
Снижение поверхностью земли в средней зоне, Am дБ	Gm = 1	ф-лы таб.3 [10]	-2,5	-2,5	0	0	0	0	0	0	0		
Суммарное снижение поверхностью земли на траектории распространения звука Agr, дБ		ф-ла (9) [10]	-5,5	-5,5	1,4	5,3	2,8	-1	-1,5	-1,5	-1,5		
Уровни звукового давления прямого звука от источника ИШ-2-37 в расчётной точке днём, дБ		**ф-ла(3)[10]**	**0**	**37,1**	**31,5**	**28,5**	**30,5**	**32,9**	**28,1**	**17,2**	**0**	**35,5**	**35,5**
Уровни звукового давления прямого звука от источника ИШ-2-37 в расчётной точке ночью, дБ		**ф-ла(3)[10]**	**0**	**37,1**	**31,5**	**28,5**	**30,5**	**32,9**	**28,1**	**17,2**	**0**	**35,5**	**35,5**
Расчёт отражённого звука													
Уровни звукового давления от мнимого источника ИШ-2-37_мн.(1) в расчётной точке днём, дБ		**ф-ла(3)[10]**	**0**	**0**	**26,1**	**18,1**	**19,2**	**28,3**	**25,6**	**14,6**	**0**	**31**	**31**
Уровни звукового давления от мнимого источника ИШ-2-37_мн.(1) в расчётной точке ночью, дБ		**ф-ла(3)[10]**	**0**	**0**	**0**	**0**	**0**	**0**	**0**	**0**	**0**	**31**	**31**

1		2	3	4	5	6	7	8	9	10	11	12	13
Уровни звукового давления от источника ИШ-2-37 в расчётной точке днём, дБ		**ф-ла(3)[10]**	**0**	**37,1**	**32,6**	**28,9**	**30,8**	**34,2**	**30,1**	**19,1**	**0**	**36,8**	**36,8**
Уровни звукового давления от источника ИШ-2-37 в расчётной точке ночью, дБ		**ф-ла(3)[10]**	**0**	**37,1**	**32,6**	**28,9**	**30,8**	**34,2**	**30,1**	**19,1**	**0**	**36,8**	**36,8**
Источник шума: ИШ-2-5, координаты источника (x,y,z), м =[618.60,-108.00,3.00]													
Уровни звуковой мощности источника днём, Lw, дБ		**исходные данные**	**105**	**104**	**104**	**101**	**102**	**106**	**101**	**95**	**87**		
Уровни звуковой мощности источника ночью, Lw, дБ		**исходные данные**	**105**	**104**	**104**	**101**	**102**	**106**	**101**	**95**	**87**		
Поправка на телесный угол DΩ, дБ	Ω = 6.28	10Lg(4π/Ω)	**3**	3	3	3	3	3	3	3	3		
Показатель направленности источника Di, дБ		исходные данные	**0**	0	0	0	0	0	0	0	0		
Поправка на направленность источника Dc, дБ	Dc	DΩ + Di	**3**	3	3	3	3	3	3	3	3		
Затухание из-за геометрической дивергенции, Adiv, дБ	расстояние = 402.46 м	ф-ла (7) [10]	**63,1**										
Коэффициент затухания звука в атмосфере α, дБ/км	Ta=20,°C Pa=101.33,кПа hотн.=70%	ф-ла (5) [9]	0,02	0,09	0,33	1,12	2,79	4,98	9,04	23,09	77,63		
Учет затухания звука в атмосфере Aatm, дБ		ф-ла (8) [10]	0	0	0,1	0,5	1,1	2	3,6	9,3	31,2		
Снижение поверхностью земли возле источника As, дБ	Gs = 0 hs = 3м	ф-лы таб.3 [10]	-1,5	-1,5	-1,5	-1,5	-1,5	-1,5	-1,5	-1,5	-1,5		
Снижение поверхностью земли возле приёмника Ar, дБ	Gr = 1 hr = 1.6м	ф-лы таб.3 [10]	-1,5	-1,5	2,4	6,8	4,3	0,5	0	0	0		
Снижение поверхностью земли в средней зоне, Am дБ	Gm = 1	ф-лы таб.3 [10]	-2	-2	0	0	0	0	0	0	0		
Суммарное снижение поверхностью земли на траектории распространения звука Agr, дБ		ф-ла (9) [10]	-5	-5	0,9	5,3	2,8	-1	-1,5	-1,5	-1,5		
Уровни звукового давления прямого звука от источника ИШ-2-5 в расчётной точке днём, дБ		**ф-ла(3)[10]**	**49,9**	**48,9**	**42,9**	**35,1**	**38**	**44,9**	**38,8**	**27,1**	**0**	**46,6**	**46,6**

1		2	3	4	5	6	7	8	9	10	11	12	13
Уровни звукового давления прямого звука от источника ИШ-2-5 в расчётной точке ночью, дБ		**ф-ла(3)[10]**	**49,9**	**48,9**	**42,9**	**35,1**	**38**	**44,9**	**38,8**	**27,1**	**0**	**46,6**	**46,6**
Расчёт отражённого звука													
Уровни звукового давления от мнимого источника ИШ-2-5_мн.(1) в расчётной точке днём, дБ		**ф-ла(3)[10]**	**0**	**0**	**0**	**0**	**0**	**0**	**0**	**0**	**0**	**0**	**0**
Уровни звукового давления от мнимого источника ИШ-2-5_мн.(1) в расчётной точке ночью, дБ		**ф-ла(3)[10]**	**0**	**0**	**0**	**0**	**0**	**0**	**0**	**0**	**0**	**0**	**0**
Уровни звукового давления от мнимого источника ИШ-2-5_мн.(2) в расчётной точке днём, дБ		**ф-ла(3)[10]**	**0**	**0**	**0**	**0**	**0**	**0**	**0**	**0**	**0**	**0**	**0**
Уровни звукового давления от мнимого источника ИШ-2-5_мн.(2) в расчётной точке ночью, дБ		**ф-ла(3)[10]**	**0**	**0**	**0**	**0**	**0**	**0**	**0**	**0**	**0**	**0**	**0**
Уровни звукового давления от мнимого источника ИШ-2-5_мн.(3) в расчётной точке днём, дБ		**ф-ла(3)[10]**	**0**	**0**	**37,6**	**28,8**	**35,2**	**42,4**	**36,2**	**24,6**	**0**	**44**	**44**
Уровни звукового давления от мнимого источника ИШ-2-5_мн.(3) в расчётной точке ночью, дБ		**ф-ла(3)[10]**	**37,6**	**37,6**	**37,6**	**37,6**	**37,6**	**37,6**	**37,6**	**37,6**	**37,6**	**44**	**44**
Суммарные уровни звукового давления от мнимых источников в расчётной точке днём, дБ		**ф-ла (19) [1]**	**0**	**0**	**37,6**	**28,8**	**35,2**	**42,4**	**36,2**	**24,6**	**0**	**0**	**44**
Суммарные уровни звукового давления от мнимых источников в расчётной точке ночью, дБ		**ф-ла (19) [1]**	**0**	**0**	**37,6**	**28,8**	**35,2**	**42,4**	**36,2**	**24,6**	**0**	**0**	**44**
Уровни звукового давления от источника ИШ-2-5 в расчётной точке днём, дБ		**ф-ла(3)[10]**	**49,9**	**48,9**	**44**	**36**	**39,8**	**46,8**	**40,7**	**29**	**0**	**48,5**	**48,5**
Уровни звукового давления от источника ИШ-2-5 в расчётной точке ночью, дБ		**ф-ла(3)[10]**	**49,9**	**48,9**	**44**	**36**	**39,8**	**46,8**	**40,7**	**29**	**0**	**48,5**	**48,5**
Источник шума: ИШ-2-38, координаты источника (x,y,z), м =[688.13,-119.94,1.00]													
Уровни звуковой мощности источника днём, Lw, дБ		**исходные данные**	**0**	**93,3**	**94,7**	**96**	**96,3**	**95,9**	**92,6**	**88,4**	**83,9**		
Уровни звуковой мощности источника ночью, Lw, дБ		**исходные данные**	**0**	**93,3**	**94,7**	**96**	**96,3**	**95,9**	**92,6**	**88,4**	**83,9**		
Поправка на телесный угол DΩ, дБ	Ω = 6.28	10Lg(4π/Ω)	**3**	3	3	3	3	3	3	3	3		
Показатель направленности источника Di, дБ		исходные данные	**0**	0	0	0	0	0	0	0	0		

1		2	3	4	5	6	7	8	9	10	11	12	13
Поправка на направленность источника Dc, дБ	Dc	DΩ + Di	**3**	3	3	3	3	3	3	3	3		
Затухание из-за геометрической дивергенции, Adiv, дБ	расстояние = 468.65 м	ф-ла (7) [10]	**64,4**										
Коэффициент затухания звука в атмосфере α, дБ/км	Ta=20,°C Pa=101.33,кПа hотн.=70%	ф-ла (5) [9]	0,02	0,09	0,33	1,12	2,79	4,98	9,04	23,09	77,63		
Учет затухания звука в атмосфере Aatm, дБ		ф-ла (8) [10]	0	0	0,2	0,5	1,3	2,3	4,2	10,8	36,4		
Снижение поверхностью земли возле источника As, дБ	Gs = 0 hs = 1м	ф-лы таб.3 [10]	-1,5	-1,5	-1,5	-1,5	-1,5	-1,5	-1,5	-1,5	-1,5		
Снижение поверхностью земли возле приёмника Ar, дБ	Gr = 1 hr = 1.6м	ф-лы таб.3 [10]	-1,5	-1,5	2,8	6,8	4,3	0,5	0	0	0		
Снижение поверхностью земли в средней зоне, Am дБ	Gm = 1	ф-лы таб.3 [10]	-2,5	-2,5	0	0	0	0	0	0	0		
Суммарное снижение поверхностью земли на траектории распространения звука Agr, дБ		ф-ла (9) [10]	-5,5	-5,5	1,3	5,3	2,8	-1	-1,5	-1,5	-1,5		
Уровни звукового давления прямого звука от источника ИШ-2-38 в расчётной точке днём, дБ		**ф-ла(3)[10]**	**0**	**37,3**	**31,8**	**28,7**	**30,8**	**33,1**	**28,4**	**17,7**	**0**	**35,8**	**35,8**
Уровни звукового давления прямого звука от источника ИШ-2-38 в расчётной точке ночью, дБ		**ф-ла(3)[10]**	**0**	**37,3**	**31,8**	**28,7**	**30,8**	**33,1**	**28,4**	**17,7**	**0**	**35,8**	**35,8**
Расчёт отражённого звука													
Уровни звукового давления от мнимого источника ИШ-2-38_мн.(1) в расчётной точке днём, дБ		**ф-ла(3)[10]**	**0**	**0**	**0**	**0**	**0**	**0**	**0**	**0**	**0**	**0**	**0**
Уровни звукового давления от мнимого источника ИШ-2-38_мн.(1) в расчётной точке ночью, дБ		**ф-ла(3)[10]**	**0**	**0**	**0**	**0**	**0**	**0**	**0**	**0**	**0**	**0**	**0**
Уровни звукового давления от мнимого источника ИШ-2-38_мн.(2) в расчётной точке днём, дБ		**ф-ла(3)[10]**	**0**	**0**	**26,4**	**18,4**	**19,4**	**28,6**	**25,9**	**15,1**	**0**	**31,3**	**31,3**
Уровни звукового давления от мнимого источника ИШ-2-38_мн.(2) в расчётной точке ночью, дБ		**ф-ла(3)[10]**	**0**	**0**	**0**	**0**	**0**	**0**	**0**	**0**	**0**	**31,3**	**31,3**
Суммарные уровни звукового давления от мнимых источников в расчётной точке днём, дБ		**ф-ла (19) [1]**	**0**	**0**	**26,4**	**18,4**	**19,4**	**28,6**	**25,9**	**15,1**	**0**	**0**	**31,3**
Суммарные уровни звукового давления от мнимых источников в расчётной точке ночью, дБ		**ф-ла (19) [1]**	**0**	**0**	**26,4**	**18,4**	**19,4**	**28,6**	**25,9**	**15,1**	**0**	**0**	**31,3**

1		2	3	4	5	6	7	8	9	10	11	12	13
Уровни звукового давления от источника ИШ-2-38 в расчётной точке днём, дБ		**ф-ла(3)[10]**	**0**	**37,3**	**32,9**	**29,1**	**31,1**	**34,4**	**30,4**	**19,6**	**0**	**37,1**	**37,1**
Уровни звукового давления от источника ИШ-2-38 в расчётной точке ночью, дБ		**ф-ла(3)[10]**	**0**	**37,3**	**32,9**	**29,1**	**31,1**	**34,4**	**30,4**	**19,6**	**0**	**37,1**	**37,1**
Источник шума: ИШ-2-39, координаты источника (x,y,z), м =[687.11,-122.83,1.00]													
Уровни звуковой мощности источника днём, Lw, дБ		**исходные данные**	**0**	**93,3**	**94,7**	**96**	**96,3**	**95,9**	**92,6**	**88,4**	**83,9**		
Уровни звуковой мощности источника ночью, Lw, дБ		**исходные данные**	**0**	**93,3**	**94,7**	**96**	**96,3**	**95,9**	**92,6**	**88,4**	**83,9**		
Поправка на телесный угол DΩ, дБ	Ω = 6.28	10Lg(4π/Ω)	**3**	3	3	3	3	3	3	3	3		
Показатель направленности источника Di, дБ		исходные данные	**0**	0	0	0	0	0	0	0	0		
Поправка на направленность источника Dc, дБ	Dc	DΩ + Di	**3**	3	3	3	3	3	3	3	3		
Затухание из-за геометрической дивергенции, Adiv, дБ	расстояние = 467.21 м	ф-ла (7) [10]	**64,4**										
Коэффициент затухания звука в атмосфере α, дБ/км	Ta=20,°C Pa=101.33,кПа hотн.=70%	ф-ла (5) [9]	0,02	0,09	0,33	1,12	2,79	4,98	9,04	23,09	77,63		
Учет затухания звука в атмосфере Aatm, дБ		ф-ла (8) [10]	0	0	0,2	0,5	1,3	2,3	4,2	10,8	36,3		
Снижение поверхностью земли возле источника As, дБ	Gs = 0 hs = 1м	ф-лы таб.3 [10]	-1,5	-1,5	-1,5	-1,5	-1,5	-1,5	-1,5	-1,5	-1,5		
Снижение поверхностью земли возле приёмника Ar, дБ	Gr = 1 hr = 1.6м	ф-лы таб.3 [10]	-1,5	-1,5	2,8	6,8	4,3	0,5	0	0	0		
Снижение поверхностью земли в средней зоне, Am дБ	Gm = 1	ф-лы таб.3 [10]	-2,5	-2,5	0	0	0	0	0	0	0		
Суммарное снижение поверхностью земли на траектории распространения звука Agr, дБ		ф-ла (9) [10]	-5,5	-5,5	1,3	5,3	2,8	-1	-1,5	-1,5	-1,5		
Уровни звукового давления прямого звука от источника ИШ-2-39 в расчётной точке днём, дБ		**ф-ла(3)[10]**	**0**	**37,4**	**31,8**	**28,7**	**30,8**	**33,2**	**28,5**	**17,7**	**0**	**35,8**	**35,8**

1		2	3	4	5	6	7	8	9	10	11	12	13
Уровни звукового давления прямого звука от источника ИШ-2-39 в расчётной точке ночью, дБ		**ф-ла(3)[10]**	**0**	**37,4**	**31,8**	**28,7**	**30,8**	**33,2**	**28,5**	**17,7**	**0**	**35,8**	**35,8**
Расчёт отражённого звука													
Уровни звукового давления от мнимого источника ИШ-2-39_мн.(1) в расчётной точке днём, дБ		**ф-ла(3)[10]**	**0**	**0**	**26,5**	**18,4**	**19,4**	**28,6**	**26**	**15,2**	**0**	**31,3**	**31,3**
Уровни звукового давления от мнимого источника ИШ-2-39_мн.(1) в расчётной точке ночью, дБ		**ф-ла(3)[10]**	**0**	**0**	**0**	**0**	**0**	**0**	**0**	**0**	**0**	**31,3**	**31,3**
Уровни звукового давления от источника ИШ-2-39 в расчётной точке днём, дБ		**ф-ла(3)[10]**	**0**	**37,4**	**32,9**	**29,1**	**31,1**	**34,5**	**30,4**	**19,6**	**0**	**37,1**	**37,1**
Уровни звукового давления от источника ИШ-2-39 в расчётной точке ночью, дБ		**ф-ла(3)[10]**	**0**	**37,4**	**32,9**	**29,1**	**31,1**	**34,5**	**30,4**	**19,6**	**0**	**37,1**	**37,1**
Источник шума: ИШ-2-40, координаты источника (x,y,z), м =[686.10,-125.67,1.00]													
Уровни звуковой мощности источника днём, Lw, дБ		**исходные данные**	**0**	**93,3**	**94,7**	**96**	**96,3**	**95,9**	**92,6**	**88,4**	**83,9**		
Уровни звуковой мощности источника ночью, Lw, дБ		**исходные данные**	**0**	**93,3**	**94,7**	**96**	**96,3**	**95,9**	**92,6**	**88,4**	**83,9**		
Поправка на телесный угол DΩ, дБ	Ω = 6.28	10Lg(4π/Ω)	**3**	3	3	3	3	3	3	3	3		
Показатель направленности источника Di, дБ		исходные данные	**0**	0	0	0	0	0	0	0	0		
Поправка на направленность источника Dc, дБ	Dc	DΩ + Di	**3**	3	3	3	3	3	3	3	3		
Затухание из-за геометрической дивергенции, Adiv, дБ	расстояние = 465.79 м	ф-ла (7) [10]	**64,4**										
Коэффициент затухания звука в атмосфере α, дБ/км	Ta=20,°C Pa=101.33,кПа hотн.=70%	ф-ла (5) [9]	0,02	0,09	0,33	1,12	2,79	4,98	9,04	23,09	77,63		
Учет затухания звука в атмосфере Aatm, дБ		ф-ла (8) [10]	0	0	0,2	0,5	1,3	2,3	4,2	10,8	36,2		
Снижение поверхностью земли возле источника As, дБ	Gs = 0 hs = 1м	ф-лы таб.3 [10]	-1,5	-1,5	-1,5	-1,5	-1,5	-1,5	-1,5	-1,5	-1,5		

1		2	3	4	5	6	7	8	9	10	11	12	13
Снижение поверхностью земли возле приёмника Ar, дБ	Gr = 1 hr = 1.6м	ф-лы таб.3 [10]	-1,5	-1,5	2,8	6,8	4,3	0,5	0	0	0		
Снижение поверхностью земли в средней зоне, Am дБ	Gm = 1	ф-лы таб.3 [10]	-2,5	-2,5	0	0	0	0	0	0	0		
Суммарное снижение поверхностью земли на траектории распространения звука Agr, дБ		ф-ла (9) [10]	-5,5	-5,5	1,3	5,3	2,8	-1	-1,5	-1,5	-1,5		
Уровни звукового давления прямого звука от источника ИШ-2-40 в расчётной точке днём, дБ		**ф-ла(3)[10]**	**0**	**37,4**	**31,9**	**28,8**	**30,8**	**33,2**	**28,5**	**17,8**	**0**	**35,8**	**35,8**
Уровни звукового давления прямого звука от источника ИШ-2-40 в расчётной точке ночью, дБ		**ф-ла(3)[10]**	**0**	**37,4**	**31,9**	**28,8**	**30,8**	**33,2**	**28,5**	**17,8**	**0**	**35,8**	**35,8**
Расчёт отражённого звука													
Уровни звукового давления от мнимого источника ИШ-2-40_мн.(1) в расчётной точке днём, дБ		**ф-ла(3)[10]**	**0**	**0**	**26,5**	**18,4**	**19,5**	**28,7**	**26**	**15,2**	**0**	**31,4**	**31,4**
Уровни звукового давления от мнимого источника ИШ-2-40_мн.(1) в расчётной точке ночью, дБ		**ф-ла(3)[10]**	**0**	**0**	**0**	**0**	**0**	**0**	**0**	**0**	**0**	**31,4**	**31,4**
Уровни звукового давления от источника ИШ-2-40 в расчётной точке днём, дБ		**ф-ла(3)[10]**	**0**	**37,4**	**33**	**29,2**	**31,1**	**34,5**	**30,4**	**19,7**	**0**	**37,2**	**37,2**
Уровни звукового давления от источника ИШ-2-40 в расчётной точке ночью, дБ		**ф-ла(3)[10]**	**0**	**37,4**	**33**	**29,2**	**31,1**	**34,5**	**30,4**	**19,7**	**0**	**37,2**	**37,2**
Источник шума: ИШ-2-41, координаты источника (x,y,z), м =[685.14,-128.64,1.00]													
Уровни звуковой мощности источника днём, Lw, дБ		**исходные данные**	**0**	**93,3**	**94,7**	**96**	**96,3**	**95,9**	**92,6**	**88,4**	**83,9**		
Уровни звуковой мощности источника ночью, Lw, дБ		**исходные данные**	**0**	**93,3**	**94,7**	**96**	**96,3**	**95,9**	**92,6**	**88,4**	**83,9**		
Поправка на телесный угол DΩ, дБ	Ω = 6.28	10Lg(4π/Ω)	**3**	3	3	3	3	3	3	3	3		
Показатель направленности источника Di, дБ		исходные данные	**0**	0	0	0	0	0	0	0	0		
Поправка на направленность источника Dc, дБ	Dc	DΩ + Di	**3**	3	3	3	3	3	3	3	3		
Затухание из-за геометрической дивергенции, Adiv, дБ	расстояние = 464.42 м	ф-ла (7) [10]	**64,3**										

1		2	3	4	5	6	7	8	9	10	11	12	13
Коэффициент затухания звука в атмосфере α, дБ/км	Ta=20,°C Pa=101.33,кПа hотн.=70%	ф-ла (5) [9]	0,02	0,09	0,33	1,12	2,79	4,98	9,04	23,09	77,63		
Учет затухания звука в атмосфере Aatm, дБ		ф-ла (8) [10]	0	0	0,2	0,5	1,3	2,3	4,2	10,7	36,1		
Снижение поверхностью земли возле источника As, дБ	Gs = 0 hs = 1м	ф-лы таб.3 [10]	-1,5	-1,5	-1,5	-1,5	-1,5	-1,5	-1,5	-1,5	-1,5		
Снижение поверхностью земли возле приёмника Ar, дБ	Gr = 1 hr = 1.6м	ф-лы таб.3 [10]	-1,5	-1,5	2,8	6,8	4,3	0,5	0	0	0		
Снижение поверхностью земли в средней зоне, Am дБ	Gm = 1	ф-лы таб.3 [10]	-2,5	-2,5	0	0	0	0	0	0	0		
Суммарное снижение поверхностью земли на траектории распространения звука Agr, дБ		ф-ла (9) [10]	-5,5	-5,5	1,3	5,3	2,8	-1	-1,5	-1,5	-1,5		
Уровни звукового давления прямого звука от источника ИШ-2-41 в расчётной точке днём, дБ		**ф-ла(3)[10]**	**0**	**37,4**	**31,9**	**28,8**	**30,8**	**33,2**	**28,6**	**17,8**	**0**	**35,9**	**35,9**
Уровни звукового давления прямого звука от источника ИШ-2-41 в расчётной точке ночью, дБ		**ф-ла(3)[10]**	**0**	**37,4**	**31,9**	**28,8**	**30,8**	**33,2**	**28,6**	**17,8**	**0**	**35,9**	**35,9**
Расчёт отражённого звука													
Уровни звукового давления от мнимого источника ИШ-2-41_мн.(1) в расчётной точке днём, дБ		**ф-ла(3)[10]**	**0**	**0**	**26,6**	**18,4**	**19,5**	**28,7**	**26**	**15,3**	**0**	**31,4**	**31,4**
Уровни звукового давления от мнимого источника ИШ-2-41_мн.(1) в расчётной точке ночью, дБ		**ф-ла(3)[10]**	**0**	**0**	**0**	**0**	**0**	**0**	**0**	**0**	**0**	**31,4**	**31,4**
Уровни звукового давления от источника ИШ-2-41 в расчётной точке днём, дБ		**ф-ла(3)[10]**	**0**	**37,4**	**33**	**29,2**	**31,2**	**34,5**	**30,5**	**19,8**	**0**	**37,2**	**37,2**
Уровни звукового давления от источника ИШ-2-41 в расчётной точке ночью, дБ		**ф-ла(3)[10]**	**0**	**37,4**	**33**	**29,2**	**31,2**	**34,5**	**30,5**	**19,8**	**0**	**37,2**	**37,2**
Источник шума: ИШ-2-42, координаты источника (x,y,z), м =[684.20,-131.46,1.00]													
Уровни звуковой мощности источника днём, Lw, дБ		**исходные данные**	**0**	**93,3**	**94,7**	**96**	**96,3**	**95,9**	**92,6**	**88,4**	**83,9**		
Уровни звуковой мощности источника ночью, Lw, дБ		**исходные данные**	**0**	**93,3**	**94,7**	**96**	**96,3**	**95,9**	**92,6**	**88,4**	**83,9**		

1		2	3	4	5	6	7	8	9	10	11	12	13
Поправка на телесный угол DΩ, дБ	Ω = 6.28	10Lg(4π/Ω)	**3**	3	3	3	3	3	3	3	3		
Показатель направленности источника Di, дБ		исходные данные	**0**	0	0	0	0	0	0	0	0		
Поправка на направленность источника Dc, дБ	Dc	DΩ + Di	**3**	3	3	3	3	3	3	3	3		
Затухание из-за геометрической дивергенции, Adiv, дБ	расстояние = 463.10 м	ф-ла (7) [10]	**64,3**										
Коэффициент затухания звука в атмосфере α, дБ/км	Ta=20,°C Pa=101.33,кПа hотн.=70%	ф-ла (5) [9]	0,02	0,09	0,33	1,12	2,79	4,98	9,04	23,09	77,63		
Учет затухания звука в атмосфере Aatm, дБ		ф-ла (8) [10]	0	0	0,2	0,5	1,3	2,3	4,2	10,7	36		
Снижение поверхностью земли возле источника As, дБ	Gs = 0 hs = 1м	ф-лы таб.3 [10]	-1,5	-1,5	-1,5	-1,5	-1,5	-1,5	-1,5	-1,5	-1,5		
Снижение поверхностью земли возле приёмника Ar, дБ	Gr = 1 hr = 1.6м	ф-лы таб.3 [10]	-1,5	-1,5	2,8	6,8	4,3	0,5	0	0	0		
Снижение поверхностью земли в средней зоне, Am дБ	Gm = 1	ф-лы таб.3 [10]	-2,5	-2,5	0	0	0	0	0	0	0		
Суммарное снижение поверхностью земли на траектории распространения звука Agr, дБ		ф-ла (9) [10]	-5,5	-5,5	1,3	5,3	2,8	-1	-1,5	-1,5	-1,5		
Уровни звукового давления прямого звука от источника ИШ-2-42 в расчётной точке днём, дБ		**ф-ла(3)[10]**	**0**	**37,4**	**31,9**	**28,8**	**30,9**	**33,3**	**28,6**	**17,9**	**0**	**35,9**	**35,9**
Уровни звукового давления прямого звука от источника ИШ-2-42 в расчётной точке ночью, дБ		**ф-ла(3)[10]**	**0**	**37,4**	**31,9**	**28,8**	**30,9**	**33,3**	**28,6**	**17,9**	**0**	**35,9**	**35,9**
Расчёт отражённого звука													
Уровни звукового давления от мнимого источника ИШ-2-42_мн.(1) в расчётной точке днём, дБ		**ф-ла(3)[10]**	**0**	**0**	**26,6**	**18,5**	**19,5**	**28,7**	**26,1**	**15,3**	**0**	**31,4**	**31,4**
Уровни звукового давления от мнимого источника ИШ-2-42_мн.(1) в расчётной точке ночью, дБ		**ф-ла(3)[10]**	**0**	**0**	**0**	**0**	**0**	**0**	**0**	**0**	**0**	**31,4**	**31,4**
Уровни звукового давления от источника ИШ-2-42 в расчётной точке днём, дБ		**ф-ла(3)[10]**	**0**	**37,4**	**33**	**29,2**	**31,2**	**34,6**	**30,5**	**19,8**	**0**	**37,2**	**37,2**
Уровни звукового давления от источника ИШ-2-42 в расчётной точке ночью, дБ		**ф-ла(3)[10]**	**0**	**37,4**	**33**	**29,2**	**31,2**	**34,6**	**30,5**	**19,8**	**0**	**37,2**	**37,2**

1		2	3	4	5	6	7	8	9	10	11	12	13
Источник шума: ИШ-2-43, координаты источника (x,y,z), м =[683.13,-134.37,1.00]													
Уровни звуковой мощности источника днём, Lw, дБ		**исходные данные**	**0**	**93,3**	**94,7**	**96**	**96,3**	**95,9**	**92,6**	**88,4**	**83,9**		
Уровни звуковой мощности источника ночью, Lw, дБ		**исходные данные**	**0**	**93,3**	**94,7**	**96**	**96,3**	**95,9**	**92,6**	**88,4**	**83,9**		
Поправка на телесный угол DΩ, дБ	Ω = 6.28	10Lg(4π/Ω)	**3**	3	3	3	3	3	3	3	3		
Показатель направленности источника Di, дБ		исходные данные	**0**	0	0	0	0	0	0	0	0		
Поправка на направленность источника Dc, дБ	Dc	DΩ + Di	**3**	3	3	3	3	3	3	3	3		
Затухание из-за геометрической дивергенции, Adiv, дБ	расстояние = 461.67 м	ф-ла (7) [10]	**64,3**										
Коэффициент затухания звука в атмосфере α, дБ/км	Ta=20,°C Pa=101.33,кПа hотн.=70%	ф-ла (5) [9]	0,02	0,09	0,33	1,12	2,79	4,98	9,04	23,09	77,63		
Учет затухания звука в атмосфере Aatm, дБ		ф-ла (8) [10]	0	0	0,2	0,5	1,3	2,3	4,2	10,7	35,8		
Снижение поверхностью земли возле источника As, дБ	Gs = 0 hs = 1м	ф-лы таб.3 [10]	-1,5	-1,5	-1,5	-1,5	-1,5	-1,5	-1,5	-1,5	-1,5		
Снижение поверхностью земли возле приёмника Ar, дБ	Gr = 1 hr = 1.6м	ф-лы таб.3 [10]	-1,5	-1,5	2,8	6,8	4,3	0,5	0	0	0		
Снижение поверхностью земли в средней зоне, Am дБ	Gm = 1	ф-лы таб.3 [10]	-2,5	-2,5	0	0	0	0	0	0	0		
Суммарное снижение поверхностью земли на траектории распространения звука Agr, дБ		ф-ла (9) [10]	-5,5	-5,5	1,3	5,3	2,8	-1	-1,5	-1,5	-1,5		
Уровни звукового давления прямого звука от источника ИШ-2-43 в расчётной точке днём, дБ		**ф-ла(3)[10]**	**0**	**37,5**	**32**	**28,9**	**30,9**	**33,3**	**28,6**	**17,9**	**0**	**35,9**	**35,9**
Уровни звукового давления прямого звука от источника ИШ-2-43 в расчётной точке ночью, дБ		**ф-ла(3)[10]**	**0**	**37,5**	**32**	**28,9**	**30,9**	**33,3**	**28,6**	**17,9**	**0**	**35,9**	**35,9**
Расчёт отражённого звука													

1		2	3	4	5	6	7	8	9	10	11	12	13
Уровни звукового давления от мнимого источника ИШ-2-43_мн.(1) в расчётной точке днём, дБ		**ф-ла(3)[10]**	**0**	**0**	**26,7**	**18,5**	**19,6**	**28,8**	**26,1**	**15,4**	**0**	**31,5**	**31,5**
Уровни звукового давления от мнимого источника ИШ-2-43_мн.(1) в расчётной точке ночью, дБ		**ф-ла(3)[10]**	**0**	**0**	**0**	**0**	**0**	**0**	**0**	**0**	**0**	**31,5**	**31,5**
Уровни звукового давления от источника ИШ-2-43 в расчётной точке днём, дБ		**ф-ла(3)[10]**	**0**	**37,5**	**33,1**	**29,2**	**31,2**	**34,6**	**30,6**	**19,9**	**0**	**37,3**	**37,3**
Уровни звукового давления от источника ИШ-2-43 в расчётной точке ночью, дБ		**ф-ла(3)[10]**	**0**	**37,5**	**33,1**	**29,2**	**31,2**	**34,6**	**30,6**	**19,9**	**0**	**37,3**	**37,3**
Источник шума: ИШ-2-44, координаты источника (x,y,z), м =[682.20,-137.16,1.00]													
Уровни звуковой мощности источника днём, Lw, дБ		**исходные данные**	**0**	**93,3**	**94,7**	**96**	**96,3**	**95,9**	**92,6**	**88,4**	**83,9**		
Уровни звуковой мощности источника ночью, Lw, дБ		**исходные данные**	**0**	**93,3**	**94,7**	**96**	**96,3**	**95,9**	**92,6**	**88,4**	**83,9**		
Поправка на телесный угол DΩ, дБ	Ω = 6.28	10Lg(4π/Ω)	**3**	3	3	3	3	3	3	3	3		
Показатель направленности источника Di, дБ		исходные данные	**0**	0	0	0	0	0	0	0	0		
Поправка на направленность источника Dc, дБ	Dc	DΩ + Di	**3**	3	3	3	3	3	3	3	3		
Затухание из-за геометрической дивергенции, Adiv, дБ	расстояние = 460.39 м	ф-ла (7) [10]	**64,3**										
Коэффициент затухания звука в атмосфере α, дБ/км	Ta=20,°C Pa=101.33,кПа hотн.=70%	ф-ла (5) [9]	0,02	0,09	0,33	1,12	2,79	4,98	9,04	23,09	77,63		
Учет затухания звука в атмосфере Aatm, дБ		ф-ла (8) [10]	0	0	0,2	0,5	1,3	2,3	4,2	10,6	35,7		
Снижение поверхностью земли возле источника As, дБ	Gs = 0 hs = 1м	ф-лы таб.3 [10]	-1,5	-1,5	-1,5	-1,5	-1,5	-1,5	-1,5	-1,5	-1,5		
Снижение поверхностью земли возле приёмника Ar, дБ	Gr = 1 hr = 1.6м	ф-лы таб.3 [10]	-1,5	-1,5	2,8	6,8	4,3	0,5	0	0	0		
Снижение поверхностью земли в средней зоне, Am дБ	Gm = 1	ф-лы таб.3 [10]	-2,5	-2,5	0	0	0	0	0	0	0		

1		2	3	4	5	6	7	8	9	10	11	12	13
Суммарное снижение поверхностью земли на траектории распространения звука Agr, дБ		ф-ла (9) [10]	-5,5	-5,5	1,3	5,3	2,8	-1	-1,5	-1,5	-1,5		
Уровни звукового давления прямого звука от источника ИШ-2-44 в расчётной точке днём, дБ		**ф-ла(3)[10]**	**0**	**37,5**	**32**	**28,9**	**30,9**	**33,3**	**28,7**	**18**	**0**	**36**	**36**
Уровни звукового давления прямого звука от источника ИШ-2-44 в расчётной точке ночью, дБ		**ф-ла(3)[10]**	**0**	**37,5**	**32**	**28,9**	**30,9**	**33,3**	**28,7**	**18**	**0**	**36**	**36**
Расчёт отражённого звука													
Уровни звукового давления от мнимого источника ИШ-2-44_мн.(1) в расчётной точке днём, дБ		**ф-ла(3)[10]**	**0**	**0**	**0**	**0**	**0**	**0**	**0**	**0**	**0**	**0**	**0**
Уровни звукового давления от мнимого источника ИШ-2-44_мн.(1) в расчётной точке ночью, дБ		**ф-ла(3)[10]**	**0**	**0**	**0**	**0**	**0**	**0**	**0**	**0**	**0**	**0**	**0**
Уровни звукового давления от мнимого источника ИШ-2-44_мн.(2) в расчётной точке днём, дБ		**ф-ла(3)[10]**	**0**	**0**	**26,7**	**18,5**	**19,6**	**28,8**	**26,1**	**15,5**	**0**	**31,5**	**31,5**
Уровни звукового давления от мнимого источника ИШ-2-44_мн.(2) в расчётной точке ночью, дБ		**ф-ла(3)[10]**	**0**	**0**	**0**	**0**	**0**	**0**	**0**	**0**	**0**	**31,5**	**31,5**
Суммарные уровни звукового давления от мнимых источников в расчётной точке днём, дБ		**ф-ла (19) [1]**	**0**	**0**	**26,7**	**18,5**	**19,6**	**28,8**	**26,1**	**15,5**	**0**	**0**	**31,5**
Суммарные уровни звукового давления от мнимых источников в расчётной точке ночью, дБ		**ф-ла (19) [1]**	**0**	**0**	**26,7**	**18,5**	**19,6**	**28,8**	**26,1**	**15,5**	**0**	**0**	**31,5**
Уровни звукового давления от источника ИШ-2-44 в расчётной точке днём, дБ		**ф-ла(3)[10]**	**0**	**37,5**	**33,1**	**29,3**	**31,2**	**34,6**	**30,6**	**19,9**	**0**	**37,3**	**37,3**
Уровни звукового давления от источника ИШ-2-44 в расчётной точке ночью, дБ		**ф-ла(3)[10]**	**0**	**37,5**	**33,1**	**29,3**	**31,2**	**34,6**	**30,6**	**19,9**	**0**	**37,3**	**37,3**
Источник шума: ИШ-2-45, координаты источника (x,y,z), м =[681.26,-139.98,1.00]													
Уровни звуковой мощности источника днём, Lw, дБ		**исходные данные**	**0**	**93,3**	**94,7**	**96**	**96,3**	**95,9**	**92,6**	**88,4**	**83,9**		
Уровни звуковой мощности источника ночью, Lw, дБ		**исходные данные**	**0**	**93,3**	**94,7**	**96**	**96,3**	**95,9**	**92,6**	**88,4**	**83,9**		
Поправка на телесный угол DΩ, дБ	Ω = 6.28	10Lg(4π/Ω)	**3**	3	3	3	3	3	3	3	3		
Показатель направленности источника Di, дБ		исходные данные	**0**	0	0	0	0	0	0	0	0		

1		2	3	4	5	6	7	8	9	10	11	12	13
Поправка на направленность источника Dc, дБ	Dc	DΩ + Di	**3**	3	3	3	3	3	3	3	3		
Затухание из-за геометрической дивергенции, Adiv, дБ	расстояние = 459.13 м	ф-ла (7) [10]	**64,2**										
Коэффициент затухания звука в атмосфере α, дБ/км	Ta=20,°C Pa=101.33,кПа hотн.=70%	ф-ла (5) [9]	0,02	0,09	0,33	1,12	2,79	4,98	9,04	23,09	77,63		
Учет затухания звука в атмосфере Aatm, дБ		ф-ла (8) [10]	0	0	0,2	0,5	1,3	2,3	4,2	10,6	35,6		
Снижение поверхностью земли возле источника As, дБ	Gs = 0 hs = 1м	ф-лы таб.3 [10]	-1,5	-1,5	-1,5	-1,5	-1,5	-1,5	-1,5	-1,5	-1,5		
Снижение поверхностью земли возле приёмника Ar, дБ	Gr = 1 hr = 1.6м	ф-лы таб.3 [10]	-1,5	-1,5	2,8	6,8	4,3	0,5	0	0	0		
Снижение поверхностью земли в средней зоне, Am дБ	Gm = 1	ф-лы таб.3 [10]	-2,5	-2,5	0	0	0	0	0	0	0		
Суммарное снижение поверхностью земли на траектории распространения звука Agr, дБ		ф-ла (9) [10]	-5,5	-5,5	1,3	5,3	2,8	-1	-1,5	-1,5	-1,5		
Уровни звукового давления прямого звука от источника ИШ-2-45 в расчётной точке днём, дБ		**ф-ла(3)[10]**	**0**	**37,5**	**32**	**28,9**	**31**	**33,4**	**28,7**	**18,1**	**0**	**36**	**36**
Уровни звукового давления прямого звука от источника ИШ-2-45 в расчётной точке ночью, дБ		**ф-ла(3)[10]**	**0**	**37,5**	**32**	**28,9**	**31**	**33,4**	**28,7**	**18,1**	**0**	**36**	**36**
Расчёт отражённого звука													
Уровни звукового давления от мнимого источника ИШ-2-45_мн.(1) в расчётной точке днём, дБ		**ф-ла(3)[10]**	**0**	**0**	**0**	**0**	**0**	**0**	**0**	**0**	**0**	**0**	**0**
Уровни звукового давления от мнимого источника ИШ-2-45_мн.(1) в расчётной точке ночью, дБ		**ф-ла(3)[10]**	**0**	**0**	**0**	**0**	**0**	**0**	**0**	**0**	**0**	**0**	**0**
Уровни звукового давления от мнимого источника ИШ-2-45_мн.(2) в расчётной точке днём, дБ		**ф-ла(3)[10]**	**0**	**0**	**26,7**	**18,5**	**19,6**	**28,8**	**26,2**	**15,5**	**0**	**31,5**	**31,5**
Уровни звукового давления от мнимого источника ИШ-2-45_мн.(2) в расчётной точке ночью, дБ		**ф-ла(3)[10]**	**0**	**0**	**0**	**0**	**0**	**0**	**0**	**0**	**0**	**31,5**	**31,5**
Суммарные уровни звукового давления от мнимых источников в расчётной точке днём, дБ		**ф-ла (19) [1]**	**0**	**0**	**26,7**	**18,5**	**19,6**	**28,8**	**26,2**	**15,5**	**0**	**0**	**31,5**
Суммарные уровни звукового давления от мнимых источников в расчётной точке ночью, дБ		**ф-ла (19) [1]**	**0**	**0**	**26,7**	**18,5**	**19,6**	**28,8**	**26,2**	**15,5**	**0**	**0**	**31,5**

1		2	3	4	5	6	7	8	9	10	11	12	13
Уровни звукового давления от источника ИШ-2-45 в расчётной точке днём, дБ		**ф-ла(3)[10]**	**0**	**37,5**	**33,2**	**29,3**	**31,3**	**34,7**	**30,6**	**20**	**0**	**37,3**	**37,3**
Уровни звукового давления от источника ИШ-2-45 в расчётной точке ночью, дБ		**ф-ла(3)[10]**	**0**	**37,5**	**33,2**	**29,3**	**31,3**	**34,7**	**30,6**	**20**	**0**	**37,3**	**37,3**
Источник шума: ИШ-4-1, координаты источника (x,y,z), м =[141.82,201.03,1.00]													
Уровни звуковой мощности источника днём, Lw, дБ		**исходные данные**	**0**	**90,3**	**91,7**	**93**	**93,3**	**92,9**	**89,6**	**85,4**	**80,9**		
Уровни звуковой мощности источника ночью, Lw, дБ		**исходные данные**	**0**	**90,3**	**91,7**	**93**	**93,3**	**92,9**	**89,6**	**85,4**	**80,9**		
Поправка на телесный угол DΩ, дБ	Ω = 6.28	10Lg(4π/Ω)	**3**	3	3	3	3	3	3	3	3		
Показатель направленности источника Di, дБ		исходные данные	**0**	0	0	0	0	0	0	0	0		
Поправка на направленность источника Dc, дБ	Dc	DΩ + Di	**3**	3	3	3	3	3	3	3	3		
Затухание из-за геометрической дивергенции, Adiv, дБ	расстояние = 402.57 м	ф-ла (7) [10]	**63,1**										
Коэффициент затухания звука в атмосфере α, дБ/км	Ta=20,°C Pa=101.33,кПа hотн.=70%	ф-ла (5) [9]	0,02	0,09	0,33	1,12	2,79	4,98	9,04	23,09	77,63		
Учет затухания звука в атмосфере Aatm, дБ		ф-ла (8) [10]	0	0	0,1	0,5	1,1	2	3,6	9,3	31,3		
Снижение поверхностью земли возле источника As, дБ	Gs = 0 hs = 1м	ф-лы таб.3 [10]	-1,5	-1,5	-1,5	-1,5	-1,5	-1,5	-1,5	-1,5	-1,5		
Снижение поверхностью земли возле приёмника Ar, дБ	Gr = 1 hr = 1.6м	ф-лы таб.3 [10]	-1,5	-1,5	2,4	6,8	4,3	0,5	0	0	0		
Снижение поверхностью земли в средней зоне, Am дБ	Gm = 1	ф-лы таб.3 [10]	-2,4	-2,4	0	0	0	0	0	0	0		
Суммарное снижение поверхностью земли на траектории распространения звука Agr, дБ		ф-ла (9) [10]	-5,4	-5,4	0,9	5,3	2,8	-1	-1,5	-1,5	-1,5		
Уровни звукового давления прямого звука от источника ИШ-4-1 в расчётной точке днём, дБ		**ф-ла(3)[10]**	**0**	**35,6**	**30,6**	**27,1**	**29,3**	**31,8**	**27,4**	**17,5**	**0**	**34,5**	**34,5**

1		2	3	4	5	6	7	8	9	10	11	12	13
Уровни звукового давления прямого звука от источника ИШ-4-1 в расчётной точке ночью, дБ		**ф-ла(3)[10]**	**0**	**35,6**	**30,6**	**27,1**	**29,3**	**31,8**	**27,4**	**17,5**	**0**	**34,5**	**34,5**
Расчёт отражённого звука													
Уровни звукового давления от мнимого источника ИШ-4-1_мн.(1) в расчётной точке днём, дБ		**ф-ла(3)[10]**	**0**	**0**	**0**	**0**	**0**	**0**	**22,1**	**10,8**	**0**	**23,6**	**23,6**
Уровни звукового давления от мнимого источника ИШ-4-1_мн.(1) в расчётной точке ночью, дБ		**ф-ла(3)[10]**	**0**	**0**	**0**	**0**	**0**	**0**	**0**	**0**	**0**	**23,6**	**23,6**
Уровни звукового давления от мнимого источника ИШ-4-1_мн.(2) в расчётной точке днём, дБ		**ф-ла(3)[10]**	**0**	**0**	**25,6**	**16,7**	**17,9**	**27,2**	**24,8**	**14,9**	**0**	**30**	**30**
Уровни звукового давления от мнимого источника ИШ-4-1_мн.(2) в расчётной точке ночью, дБ		**ф-ла(3)[10]**	**0**	**0**	**0**	**0**	**0**	**0**	**0**	**0**	**0**	**30**	**30**
Суммарные уровни звукового давления от мнимых источников в расчётной точке днём, дБ		**ф-ла (19) [1]**	**0**	**0**	**25,6**	**16,7**	**17,9**	**27,2**	**26,6**	**16,3**	**0**	**0**	**30,9**
Суммарные уровни звукового давления от мнимых источников в расчётной точке ночью, дБ		**ф-ла (19) [1]**	**0**	**0**	**25,6**	**16,7**	**17,9**	**27,2**	**26,6**	**16,3**	**0**	**0**	**30,9**
Уровни звукового давления от источника ИШ-4-1 в расчётной точке днём, дБ		**ф-ла(3)[10]**	**0**	**35,6**	**31,8**	**27,5**	**29,6**	**33,1**	**30**	**20**	**0**	**36,1**	**36,1**
Уровни звукового давления от источника ИШ-4-1 в расчётной точке ночью, дБ		**ф-ла(3)[10]**	**0**	**35,6**	**31,8**	**27,5**	**29,6**	**33,1**	**30**	**20**	**0**	**36,1**	**36,1**
Источник шума: ИШ-4-2, координаты источника (x,y,z), м =[133.85,183.21,1.00]													
Уровни звуковой мощности источника днём, Lw, дБ		**исходные данные**	**0**	**90,3**	**91,7**	**93**	**93,3**	**92,9**	**89,6**	**85,4**	**80,9**		
Уровни звуковой мощности источника ночью, Lw, дБ		**исходные данные**	**0**	**90,3**	**91,7**	**93**	**93,3**	**92,9**	**89,6**	**85,4**	**80,9**		
Поправка на телесный угол DΩ, дБ	Ω = 6.28	10Lg(4π/Ω)	**3**	3	3	3	3	3	3	3	3		
Показатель направленности источника Di, дБ		исходные данные	**0**	0	0	0	0	0	0	0	0		
Поправка на направленность источника Dc, дБ	Dc	DΩ + Di	**3**	3	3	3	3	3	3	3	3		
Затухание из-за геометрической дивергенции, Adiv, дБ	расстояние = 386.96 м	ф-ла (7) [10]	**62,8**										

1		2	3	4	5	6	7	8	9	10	11	12	13
Коэффициент затухания звука в атмосфере α, дБ/км	Та=20,°С Ра=101.33,кПа hотн.=70%	ф-ла (5) [9]	0,02	0,09	0,33	1,12	2,79	4,98	9,04	23,09	77,63		
Учет затухания звука в атмосфере Aatm, дБ		ф-ла (8) [10]	0	0	0,1	0,4	1,1	1,9	3,5	8,9	30		
Снижение поверхностью земли возле источника As, дБ	Gs = 0 hs = 1м	ф-лы таб.3 [10]	-1,5	-1,5	-1,5	-1,5	-1,5	-1,5	-1,5	-1,5	-1,5		
Снижение поверхностью земли возле приёмника Ar, дБ	Gr = 1 hr = 1.6м	ф-лы таб.3 [10]	-1,5	-1,5	2,3	6,8	4,3	0,5	0	0	0		
Снижение поверхностью земли в средней зоне, Am дБ	Gm = 1	ф-лы таб.3 [10]	-2,4	-2,4	0	0	0	0	0	0	0		
Суммарное снижение поверхностью земли на траектории распространения звука Agr, дБ		ф-ла (9) [10]	-5,4	-5,4	0,8	5,3	2,8	-1	-1,5	-1,5	-1,5		
Уровни звукового давления прямого звука от источника ИШ-4-2 в расчётной точке днём, дБ		**ф-ла(3)[10]**	**0**	**35,9**	**31**	**27,5**	**29,6**	**32,2**	**27,8**	**18,2**	**0**	**34,9**	**34,9**
Уровни звукового давления прямого звука от источника ИШ-4-2 в расчётной точке ночью, дБ		**ф-ла(3)[10]**	**0**	**35,9**	**31**	**27,5**	**29,6**	**32,2**	**27,8**	**18,2**	**0**	**34,9**	**34,9**
Расчёт отражённого звука													
Уровни звукового давления от мнимого источника ИШ-4-2_мн.(1) в расчётной точке днём, дБ		**ф-ла(3)[10]**	**0**	**0**	**26,2**	**17,1**	**18,3**	**27,6**	**25,3**	**15,6**	**0**	**30,5**	**30,5**
Уровни звукового давления от мнимого источника ИШ-4-2_мн.(1) в расчётной точке ночью, дБ		**ф-ла(3)[10]**	**0**	**0**	**0**	**0**	**0**	**0**	**0**	**0**	**0**	**30,5**	**30,5**
Уровни звукового давления от источника ИШ-4-2 в расчётной точке днём, дБ		**ф-ла(3)[10]**	**0**	**35,9**	**32,2**	**27,9**	**30**	**33,5**	**29,8**	**20,1**	**0**	**36,3**	**36,3**
Уровни звукового давления от источника ИШ-4-2 в расчётной точке ночью, дБ		**ф-ла(3)[10]**	**0**	**35,9**	**32,2**	**27,9**	**30**	**33,5**	**29,8**	**20,1**	**0**	**36,3**	**36,3**
Источник шума: ИШ-4-3, координаты источника (x,y,z), м =[152.61,172.66,1.00]													
Уровни звуковой мощности источника днём, Lw, дБ		**исходные данные**	**0**	**90,3**	**91,7**	**93**	**93,3**	**92,9**	**89,6**	**85,4**	**80,9**		
Уровни звуковой мощности источника ночью, Lw, дБ		**исходные данные**	**0**	**90,3**	**91,7**	**93**	**93,3**	**92,9**	**89,6**	**85,4**	**80,9**		

1		2	3	4	5	6	7	8	9	10	11	12	13
Поправка на телесный угол DΩ, дБ	Ω = 6.28	10Lg(4π/Ω)	**3**	3	3	3	3	3	3	3	3		
Показатель направленности источника Di, дБ		исходные данные	**0**	0	0	0	0	0	0	0	0		
Поправка на направленность источника Dc, дБ	Dc	DΩ + Di	**3**	3	3	3	3	3	3	3	3		
Затухание из-за геометрической дивергенции, Adiv, дБ	расстояние = 372.61 м	ф-ла (7) [10]	**62,4**										
Коэффициент затухания звука в атмосфере α, дБ/км	Ta=20,°C Pa=101.33,кПа hотн.=70%	ф-ла (5) [9]	0,02	0,09	0,33	1,12	2,79	4,98	9,04	23,09	77,63		
Учет затухания звука в атмосфере Aatm, дБ		ф-ла (8) [10]	0	0	0,1	0,4	1	1,9	3,4	8,6	28,9		
Снижение поверхностью земли возле источника As, дБ	Gs = 0 hs = 1м	ф-лы таб.3 [10]	-1,5	-1,5	-1,5	-1,5	-1,5	-1,5	-1,5	-1,5	-1,5		
Снижение поверхностью земли возле приёмника Ar, дБ	Gr = 1 hr = 1.6м	ф-лы таб.3 [10]	-1,5	-1,5	2,2	6,8	4,3	0,5	0	0	0		
Снижение поверхностью земли в средней зоне, Am дБ	Gm = 1	ф-лы таб.3 [10]	-2,4	-2,4	0	0	0	0	0	0	0		
Суммарное снижение поверхностью земли на траектории распространения звука Agr, дБ		ф-ла (9) [10]	-5,4	-5,4	0,7	5,3	2,8	-1	-1,5	-1,5	-1,5		
Уровни звукового давления прямого звука от источника ИШ-4-3 в расчётной точке днём, дБ		**ф-ла(3)[10]**	**0**	**36,2**	**31,4**	**27,8**	**30**	**32,6**	**28,3**	**18,9**	**0**	**35,3**	**35,3**
Уровни звукового давления прямого звука от источника ИШ-4-3 в расчётной точке ночью, дБ		**ф-ла(3)[10]**	**0**	**36,2**	**31,4**	**27,8**	**30**	**32,6**	**28,3**	**18,9**	**0**	**35,3**	**35,3**
Расчёт отражённого звука													
Уровни звукового давления от мнимого источника ИШ-4-3_мн.(1) в расчётной точке днём, дБ		**ф-ла(3)[10]**	**0**	**0**	**0**	**0**	**0**	**26,7**	**24,2**	**14**	**0**	**29,3**	**29,3**
Уровни звукового давления от мнимого источника ИШ-4-3_мн.(1) в расчётной точке ночью, дБ		**ф-ла(3)[10]**	**0**	**0**	**0**	**0**	**0**	**0**	**0**	**0**	**0**	**29,3**	**29,3**
Уровни звукового давления от мнимого источника ИШ-4-3_мн.(2) в расчётной точке днём, дБ		**ф-ла(3)[10]**	**0**	**0**	**26,7**	**17,4**	**18,6**	**28**	**25,7**	**16,2**	**0**	**30,9**	**30,9**
Уровни звукового давления от мнимого источника ИШ-4-3_мн.(2) в расчётной точке ночью, дБ		**ф-ла(3)[10]**	**0**	**0**	**0**	**0**	**0**	**0**	**0**	**0**	**0**	**30,9**	**30,9**

1		2	3	4	5	6	7	8	9	10	11	12	13
Суммарные уровни звукового давления от мнимых источников в расчётной точке днём, дБ		**ф-ла (19) [1]**	**0**	**0**	**26,7**	**17,4**	**18,6**	**30,4**	**28**	**18,3**	**0**	**0**	**33,2**
Суммарные уровни звукового давления от мнимых источников в расчётной точке ночью, дБ		**ф-ла (19) [1]**	**0**	**0**	**26,7**	**17,4**	**18,6**	**30,4**	**28**	**18,3**	**0**	**0**	**33,2**
Уровни звукового давления от источника ИШ-4-3 в расчётной точке днём, дБ		**ф-ла(3)[10]**	**0**	**36,2**	**32,7**	**28,2**	**30,3**	**34,7**	**31,2**	**21,6**	**0**	**37,4**	**37,4**
Уровни звукового давления от источника ИШ-4-3 в расчётной точке ночью, дБ		**ф-ла(3)[10]**	**0**	**36,2**	**32,7**	**28,2**	**30,3**	**34,7**	**31,2**	**21,6**	**0**	**37,4**	**37,4**
Источник шума: ИШ-4-4, координаты источника (x,y,z), м =[156.83,171.25,1.00]													
Уровни звуковой мощности источника днём, Lw, дБ		**исходные данные**	**0**	**90,3**	**91,7**	**93**	**93,3**	**92,9**	**89,6**	**85,4**	**80,9**		
Уровни звуковой мощности источника ночью, Lw, дБ		**исходные данные**	**0**	**90,3**	**91,7**	**93**	**93,3**	**92,9**	**89,6**	**85,4**	**80,9**		
Поправка на телесный угол DΩ, дБ	Ω = 6.28	10Lg(4π/Ω)	**3**	3	3	3	3	3	3	3	3		
Показатель направленности источника Di, дБ		исходные данные	**0**	0	0	0	0	0	0	0	0		
Поправка на направленность источника Dc, дБ	Dc	DΩ + Di	**3**	3	3	3	3	3	3	3	3		
Затухание из-за геометрической дивергенции, Adiv, дБ	расстояние = 370.43 м	ф-ла (7) [10]	**62,4**										
Коэффициент затухания звука в атмосфере α, дБ/км	Ta=20,°C Pa=101.33,кПа hотн.=70%	ф-ла (5) [9]	0,02	0,09	0,33	1,12	2,79	4,98	9,04	23,09	77,63		
Учет затухания звука в атмосфере Aatm, дБ		ф-ла (8) [10]	0	0	0,1	0,4	1	1,8	3,3	8,6	28,8		
Снижение поверхностью земли возле источника As, дБ	Gs = 0 hs = 1м	ф-лы таб.3 [10]	-1,5	-1,5	-1,5	-1,5	-1,5	-1,5	-1,5	-1,5	-1,5		
Снижение поверхностью земли возле приёмника Ar, дБ	Gr = 1 hr = 1.6м	ф-лы таб.3 [10]	-1,5	-1,5	2,2	6,8	4,3	0,5	0	0	0		
Снижение поверхностью земли в средней зоне, Am дБ	Gm = 1	ф-лы таб.3 [10]	-2,4	-2,4	0	0	0	0	0	0	0		

1		2	3	4	5	6	7	8	9	10	11	12	13
Суммарное снижение поверхностью земли на траектории распространения звука Agr, дБ		ф-ла (9) [10]	-5,4	-5,4	0,7	5,3	2,8	-1	-1,5	-1,5	-1,5		
Уровни звукового давления прямого звука от источника ИШ-4-4 в расчётной точке днём, дБ		**ф-ла(3)[10]**	**0**	**36,3**	**31,5**	**27,9**	**30,1**	**32,7**	**28,4**	**19**	**0**	**35,4**	**35,4**
Уровни звукового давления прямого звука от источника ИШ-4-4 в расчётной точке ночью, дБ		**ф-ла(3)[10]**	**0**	**36,3**	**31,5**	**27,9**	**30,1**	**32,7**	**28,4**	**19**	**0**	**35,4**	**35,4**
Расчёт отражённого звука													
Уровни звукового давления от мнимого источника ИШ-4-4_мн.(1) в расчётной точке днём, дБ		**ф-ла(3)[10]**	**0**	**35,2**	**26,8**	**17,5**	**18,7**	**28,1**	**25,8**	**16,3**	**0**	**31**	**31**
Уровни звукового давления от мнимого источника ИШ-4-4_мн.(1) в расчётной точке ночью, дБ		**ф-ла(3)[10]**	**0**	**0**	**0**	**0**	**0**	**0**	**0**	**0**	**0**	**31**	**31**
Уровни звукового давления от мнимого источника ИШ-4-4_мн.(2) в расчётной точке днём, дБ		**ф-ла(3)[10]**	**0**	**0**	**0**	**0**	**0**	**0**	**0**	**0**	**0**	**0**	**0**
Уровни звукового давления от мнимого источника ИШ-4-4_мн.(2) в расчётной точке ночью, дБ		**ф-ла(3)[10]**	**0**	**0**	**0**	**0**	**0**	**0**	**0**	**0**	**0**	**0**	**0**
Суммарные уровни звукового давления от мнимых источников в расчётной точке днём, дБ		**ф-ла (19) [1]**	**0**	**35,2**	**26,8**	**17,5**	**18,7**	**28,1**	**25,8**	**16,3**	**0**	**0**	**31**
Суммарные уровни звукового давления от мнимых источников в расчётной точке ночью, дБ		**ф-ла (19) [1]**	**0**	**35,2**	**26,8**	**17,5**	**18,7**	**28,1**	**25,8**	**16,3**	**0**	**0**	**31**
Уровни звукового давления от источника ИШ-4-4 в расчётной точке днём, дБ		**ф-ла(3)[10]**	**0**	**38,8**	**32,8**	**28,3**	**30,4**	**34**	**30,3**	**20,9**	**0**	**36,7**	**36,7**
Уровни звукового давления от источника ИШ-4-4 в расчётной точке ночью, дБ		**ф-ла(3)[10]**	**0**	**38,8**	**32,8**	**28,3**	**30,4**	**34**	**30,3**	**20,9**	**0**	**36,7**	**36,7**
Источник шума: ИШ-4-5, координаты источника (x,y,z), м =[126.48,222.66,11.00]													
Уровни звуковой мощности источника днём, Lw, дБ		**исходные данные**	**0**	**90,3**	**91,7**	**93**	**93,3**	**92,9**	**89,6**	**85,4**	**80,9**		
Уровни звуковой мощности источника ночью, Lw, дБ		**исходные данные**	**0**	**90,3**	**91,7**	**93**	**93,3**	**92,9**	**89,6**	**85,4**	**80,9**		
Поправка на телесный угол DΩ, дБ	Ω = 6.28	10Lg(4π/Ω)	**3**	3	3	3	3	3	3	3	3		
Показатель направленности источника Di, дБ		исходные данные	**0**	0	0	0	0	0	0	0	0		

1		2	3	4	5	6	7	8	9	10	11	12	13
Поправка на направленность источника Dc, дБ	Dc	DΩ + Di	**3**	3	3	3	3	3	3	3	3		
Затухание из-за геометрической дивергенции, Adiv, дБ	расстояние = 427.14 м	ф-ла (7) [10]	**63,6**										
Коэффициент затухания звука в атмосфере α, дБ/км	Ta=20,°C Pa=101.33,кПа hотн.=70%	ф-ла (5) [9]	0,02	0,09	0,33	1,12	2,79	4,98	9,04	23,09	77,63		
Учет затухания звука в атмосфере Aatm, дБ		ф-ла (8) [10]	0	0	0,1	0,5	1,2	2,1	3,9	9,9	33,2		
Снижение поверхностью земли возле источника As, дБ	Gs = 0 hs = 1м	ф-лы таб.3 [10]	-1,5	-1,5	-1,5	-1,5	-1,5	-1,5	-1,5	-1,5	-1,5		
Снижение поверхностью земли возле приёмника Ar, дБ	Gr = 1 hr = 1.6м	ф-лы таб.3 [10]	-1,5	-1,5	2,6	6,8	4,3	0,5	0	0	0		
Снижение поверхностью земли в средней зоне, Am дБ	Gm = 1	ф-лы таб.3 [10]	-2,5	-2,5	0	0	0	0	0	0	0		
Суммарное снижение поверхностью земли на траектории распространения звука Agr, дБ		ф-ла (9) [10]	-5,5	-5,5	1,1	5,3	2,8	-1	-1,5	-1,5	-1,5		
Уровни звукового давления прямого звука от источника ИШ-4-5 в расчётной точке днём, дБ		**ф-ла(3)[10]**	**0**	**35,1**	**29,9**	**26,6**	**28,7**	**31,2**	**26,6**	**16,4**	**0**	**33,8**	**33,8**
Уровни звукового давления прямого звука от источника ИШ-4-5 в расчётной точке ночью, дБ		**ф-ла(3)[10]**	**0**	**35,1**	**29,9**	**26,6**	**28,7**	**31,2**	**26,6**	**16,4**	**0**	**33,8**	**33,8**
Расчёт отражённого звука													
Уровни звукового давления от мнимого источника ИШ-4-5_мн.(1) в расчётной точке днём, дБ		**ф-ла(3)[10]**	**0**	**0**	**24,8**	**16,2**	**17,3**	**26,6**	**24**	**13,8**	**0**	**29,3**	**29,3**
Уровни звукового давления от мнимого источника ИШ-4-5_мн.(1) в расчётной точке ночью, дБ		**ф-ла(3)[10]**	**0**	**0**	**0**	**0**	**0**	**0**	**0**	**0**	**0**	**29,3**	**29,3**
Уровни звукового давления от источника ИШ-4-5 в расчётной точке днём, дБ		**ф-ла(3)[10]**	**0**	**35,1**	**31**	**27**	**29**	**32,5**	**28,5**	**18,3**	**0**	**35,1**	**35,1**
Уровни звукового давления от источника ИШ-4-5 в расчётной точке ночью, дБ		**ф-ла(3)[10]**	**0**	**35,1**	**31**	**27**	**29**	**32,5**	**28,5**	**18,3**	**0**	**35,1**	**35,1**
Источник шума: ИШ-4-6, координаты источника (x,y,z), м =[125.17,218.57,11.00]													

1		2	3	4	5	6	7	8	9	10	11	12	13
Уровни звуковой мощности источника днём, Lw, дБ		**исходные данные**	**0**	**90,3**	**91,7**	**93**	**93,3**	**92,9**	**89,6**	**85,4**	**80,9**		
Уровни звуковой мощности источника ночью, Lw, дБ		**исходные данные**	**0**	**90,3**	**91,7**	**93**	**93,3**	**92,9**	**89,6**	**85,4**	**80,9**		
Поправка на телесный угол DΩ, дБ	Ω = 6.28	10Lg(4π/Ω)	**3**	3	3	3	3	3	3	3	3		
Показатель направленности источника Di, дБ		исходные данные	**0**	0	0	0	0	0	0	0	0		
Поправка на направленность источника Dc, дБ	Dc	DΩ + Di	**3**	3	3	3	3	3	3	3	3		
Затухание из-за геометрической дивергенции, Adiv, дБ	расстояние = 423.48 м	ф-ла (7) [10]	**63,5**										
Коэффициент затухания звука в атмосфере α, дБ/км	Ta=20,°C Pa=101.33,кПа hотн.=70%	ф-ла (5) [9]	0,02	0,09	0,33	1,12	2,79	4,98	9,04	23,09	77,63		
Учет затухания звука в атмосфере Aatm, дБ		ф-ла (8) [10]	0	0	0,1	0,5	1,2	2,1	3,8	9,8	32,9		
Снижение поверхностью земли возле источника As, дБ	Gs = 0 hs = 1м	ф-лы таб.3 [10]	-1,5	-1,5	-1,5	-1,5	-1,5	-1,5	-1,5	-1,5	-1,5		
Снижение поверхностью земли возле приёмника Ar, дБ	Gr = 1 hr = 1.6м	ф-лы таб.3 [10]	-1,5	-1,5	2,5	6,8	4,3	0,5	0	0	0		
Снижение поверхностью земли в средней зоне, Am дБ	Gm = 1	ф-лы таб.3 [10]	-2,4	-2,4	0	0	0	0	0	0	0		
Суммарное снижение поверхностью земли на траектории распространения звука Agr, дБ		ф-ла (9) [10]	-5,4	-5,4	1	5,3	2,8	-1	-1,5	-1,5	-1,5		
Уровни звукового давления прямого звука от источника ИШ-4-6 в расчётной точке днём, дБ		**ф-ла(3)[10]**	**0**	**35,2**	**30**	**26,7**	**28,8**	**31,2**	**26,7**	**16,6**	**0**	**33,9**	**33,9**
Уровни звукового давления прямого звука от источника ИШ-4-6 в расчётной точке ночью, дБ		**ф-ла(3)[10]**	**0**	**35,2**	**30**	**26,7**	**28,8**	**31,2**	**26,7**	**16,6**	**0**	**33,9**	**33,9**
Расчёт отражённого звука													
Уровни звукового давления от мнимого источника ИШ-4-6_мн.(1) в расчётной точке днём, дБ		**ф-ла(3)[10]**	**0**	**0**	**24,9**	**16,2**	**17,4**	**26,7**	**24,2**	**14**	**0**	**29,4**	**29,4**
Уровни звукового давления от мнимого источника ИШ-4-6_мн.(1) в расчётной точке ночью, дБ		**ф-ла(3)[10]**	**0**	**0**	**0**	**0**	**0**	**0**	**0**	**0**	**0**	**29,4**	**29,4**

1		2	3	4	5	6	7	8	9	10	11	12	13
Уровни звукового давления от источника ИШ-4-6 в расчётной точке днём, дБ		**ф-ла(3)[10]**	**0**	**35,2**	**31,2**	**27**	**29,1**	**32,5**	**28,6**	**18,5**	**0**	**35,2**	**35,2**
Уровни звукового давления от источника ИШ-4-6 в расчётной точке ночью, дБ		**ф-ла(3)[10]**	**0**	**35,2**	**31,2**	**27**	**29,1**	**32,5**	**28,6**	**18,5**	**0**	**35,2**	**35,2**
Источник шума: ИШ-4-7, координаты источника (x,y,z), м =[177.91,257.92,11.00]													
Уровни звуковой мощности источника днём, Lw, дБ		**исходные данные**	**0**	**90,3**	**91,7**	**93**	**93,3**	**92,9**	**89,6**	**85,4**	**80,9**		
Уровни звуковой мощности источника ночью, Lw, дБ		**исходные данные**	**0**	**90,3**	**91,7**	**93**	**93,3**	**92,9**	**89,6**	**85,4**	**80,9**		
Поправка на телесный угол DΩ, дБ	Ω = 6.28	10Lg(4π/Ω)	**3**	3	3	3	3	3	3	3	3		
Показатель направленности источника Di, дБ		исходные данные	**0**	0	0	0	0	0	0	0	0		
Поправка на направленность источника Dc, дБ	Dc	DΩ + Di	**3**	3	3	3	3	3	3	3	3		
Затухание из-за геометрической дивергенции, Adiv, дБ	расстояние = 453.31 м	ф-ла (7) [10]	**64,1**										
Коэффициент затухания звука в атмосфере α, дБ/км	Ta=20,°C Pa=101.33,кПа hотн.=70%	ф-ла (5) [9]	0,02	0,09	0,33	1,12	2,79	4,98	9,04	23,09	77,63		
Учет затухания звука в атмосфере Aatm, дБ		ф-ла (8) [10]	0	0	0,2	0,5	1,3	2,3	4,1	10,5	35,2		
Снижение поверхностью земли возле источника As, дБ	Gs = 0 hs = 3м	ф-лы таб.3 [10]	-1,5	-1,5	-1,5	-1,5	-1,5	-1,5	-1,5	-1,5	-1,5		
Снижение поверхностью земли возле приёмника Ar, дБ	Gr = 1 hr = 1.6м	ф-лы таб.3 [10]	-1,5	-1,5	2,7	6,8	4,3	0,5	0	0	0		
Снижение поверхностью земли в средней зоне, Am дБ	Gm = 1	ф-лы таб.3 [10]	-2,1	-2,1	0	0	0	0	0	0	0		
Суммарное снижение поверхностью земли на траектории распространения звука Agr, дБ		ф-ла (9) [10]	-5,1	-5,1	1,2	5,3	2,8	-1	-1,5	-1,5	-1,5		
Уровни звукового давления прямого звука от источника ИШ-4-7 в расчётной точке днём, дБ		**ф-ла(3)[10]**	**0**	**34,2**	**29,2**	**26**	**28,1**	**30,5**	**25,9**	**15,3**	**0**	**33,2**	**33,2**

1		2	3	4	5	6	7	8	9	10	11	12	13
Уровни звукового давления прямого звука от источника ИШ-4-7 в расчётной точке ночью, дБ		**ф-ла(3)[10]**	**0**	**34,2**	**29,2**	**26**	**28,1**	**30,5**	**25,9**	**15,3**	**0**	**33,2**	**33,2**
Расчёт отражённого звука													
Уровни звукового давления от мнимого источника ИШ-4-7_мн.(1) в расчётной точке днём, дБ		**ф-ла(3)[10]**	**0**	**0**	**0**	**0**	**0**	**0**	**22,5**	**11,5**	**0**	**24,1**	**24,1**
Уровни звукового давления от мнимого источника ИШ-4-7_мн.(1) в расчётной точке ночью, дБ		**ф-ла(3)[10]**	**0**	**0**	**0**	**0**	**0**	**0**	**0**	**0**	**0**	**24,1**	**24,1**
Уровни звукового давления от мнимого источника ИШ-4-7_мн.(2) в расчётной точке днём, дБ		**ф-ла(3)[10]**	**0**	**33,2**	**23,6**	**19,7**	**25,3**	**27,9**	**23,3**	**12,7**	**0**	**30,5**	**30,5**
Уровни звукового давления от мнимого источника ИШ-4-7_мн.(2) в расчётной точке ночью, дБ		**ф-ла(3)[10]**	**33,2**	**33,2**	**33,2**	**33,2**	**33,2**	**33,2**	**33,2**	**33,2**	**33,2**	**30,5**	**30,5**
Суммарные уровни звукового давления от мнимых источников в расчётной точке днём, дБ		**ф-ла (19) [1]**	**0**	**33,2**	**23,6**	**19,7**	**25,3**	**27,9**	**25,9**	**15,1**	**0**	**0**	**31,4**
Суммарные уровни звукового давления от мнимых источников в расчётной точке ночью, дБ		**ф-ла (19) [1]**	**0**	**33,2**	**23,6**	**19,7**	**25,3**	**27,9**	**25,9**	**15,1**	**0**	**0**	**31,4**
Уровни звукового давления от источника ИШ-4-7 в расчётной точке днём, дБ		**ф-ла(3)[10]**	**0**	**36,7**	**30,3**	**26,9**	**29,9**	**32,4**	**28,9**	**18,2**	**0**	**35,4**	**35,4**
Уровни звукового давления от источника ИШ-4-7 в расчётной точке ночью, дБ		**ф-ла(3)[10]**	**0**	**36,7**	**30,3**	**26,9**	**29,9**	**32,4**	**28,9**	**18,2**	**0**	**35,4**	**35,4**
Источник шума: ИШ-4-8, координаты источника (x,y,z), м =[178.24,257.77,13.00]													
Уровни звуковой мощности источника днём, Lw, дБ		**исходные данные**	**0**	**90,3**	**91,7**	**93**	**93,3**	**92,9**	**89,6**	**85,4**	**80,9**		
Уровни звуковой мощности источника ночью, Lw, дБ		**исходные данные**	**0**	**90,3**	**91,7**	**93**	**93,3**	**92,9**	**89,6**	**85,4**	**80,9**		
Поправка на телесный угол DΩ, дБ	Ω = 6.28	10Lg(4π/Ω)	**3**	3	3	3	3	3	3	3	3		
Показатель направленности источника Di, дБ		исходные данные	**0**	0	0	0	0	0	0	0	0		
Поправка на направленность источника Dc, дБ	Dc	DΩ + Di	**3**	3	3	3	3	3	3	3	3		
Затухание из-за геометрической дивергенции, Adiv, дБ	расстояние = 453.17 м	ф-ла (7) [10]	**64,1**										

1		2	3	4	5	6	7	8	9	10	11	12	13
Коэффициент затухания звука в атмосфере α, дБ/км	Та=20,°С Ра=101.33,кПа hотн.=70%	ф-ла (5) [9]	0,02	0,09	0,33	1,12	2,79	4,98	9,04	23,09	77,63		
Учет затухания звука в атмосфере Aatm, дБ		ф-ла (8) [10]	0	0	0,2	0,5	1,3	2,3	4,1	10,5	35,2		
Снижение поверхностью земли возле источника As, дБ	Gs = 0 hs = 5м	ф-лы таб.3 [10]	-1,5	-1,5	-1,5	-1,5	-1,5	-1,5	-1,5	-1,5	-1,5		
Снижение поверхностью земли возле приёмника Ar, дБ	Gr = 1 hr = 1.6м	ф-лы таб.3 [10]	-1,5	-1,5	2,7	6,8	4,3	0,5	0	0	0		
Снижение поверхностью земли в средней зоне, Am дБ	Gm = 1	ф-лы таб.3 [10]	-1,7	-1,7	0	0	0	0	0	0	0		
Суммарное снижение поверхностью земли на траектории распространения звука Agr, дБ		ф-ла (9) [10]	-4,7	-4,7	1,2	5,3	2,8	-1	-1,5	-1,5	-1,5		
Уровни звукового давления прямого звука от источника ИШ-4-8 в расчётной точке днём, дБ		**ф-ла(3)[10]**	**0**	**33,8**	**29,2**	**26**	**28,1**	**30,5**	**25,9**	**15,3**	**0**	**33,2**	**33,2**
Уровни звукового давления прямого звука от источника ИШ-4-8 в расчётной точке ночью, дБ		**ф-ла(3)[10]**	**0**	**33,8**	**29,2**	**26**	**28,1**	**30,5**	**25,9**	**15,3**	**0**	**33,2**	**33,2**
Расчёт отражённого звука													
Уровни звукового давления от мнимого источника ИШ-4-8_мн.(1) в расчётной точке днём, дБ		**ф-ла(3)[10]**	**0**	**32,8**	**23,4**	**22,6**	**25,5**	**28**	**23,3**	**12,7**	**0**	**30,6**	**30,6**
Уровни звукового давления от мнимого источника ИШ-4-8_мн.(1) в расчётной точке ночью, дБ		**ф-ла(3)[10]**	**0**	**0**	**0**	**0**	**0**	**0**	**0**	**0**	**0**	**30,6**	**30,6**
Уровни звукового давления от источника ИШ-4-8 в расчётной точке днём, дБ		**ф-ла(3)[10]**	**0**	**36,3**	**30,2**	**27,6**	**30**	**32,4**	**27,8**	**17,2**	**0**	**35,1**	**35,1**
Уровни звукового давления от источника ИШ-4-8 в расчётной точке ночью, дБ		**ф-ла(3)[10]**	**0**	**36,3**	**30,2**	**27,6**	**30**	**32,4**	**27,8**	**17,2**	**0**	**35,1**	**35,1**
Источник шума: ИШ-4-9, координаты источника (x,y,z), м =[178.68,257.63,15.50]													
Уровни звуковой мощности источника днём, Lw, дБ		**исходные данные**	**0**	**90,3**	**91,7**	**93**	**93,3**	**92,9**	**89,6**	**85,4**	**80,9**		
Уровни звуковой мощности источника ночью, Lw, дБ		**исходные данные**	**0**	**90,3**	**91,7**	**93**	**93,3**	**92,9**	**89,6**	**85,4**	**80,9**		

1		2	3	4	5	6	7	8	9	10	11	12	13
Поправка на телесный угол DΩ, дБ	Ω = 6.28	10Lg(4π/Ω)	**3**	3	3	3	3	3	3	3	3		
Показатель направленности источника Di, дБ		исходные данные	**0**	0	0	0	0	0	0	0	0		
Поправка на направленность источника Dc, дБ	Dc	DΩ + Di	**3**	3	3	3	3	3	3	3	3		
Затухание из-за геометрической дивергенции, Adiv, дБ	расстояние = 453.05 м	ф-ла (7) [10]	**64,1**										
Коэффициент затухания звука в атмосфере α, дБ/км	Ta=20,°C Pa=101.33,кПа hотн.=70%	ф-ла (5) [9]	0,02	0,09	0,33	1,12	2,79	4,98	9,04	23,09	77,63		
Учет затухания звука в атмосфере Aatm, дБ		ф-ла (8) [10]	0	0	0,2	0,5	1,3	2,3	4,1	10,5	35,2		
Снижение поверхностью земли возле источника As, дБ	Gs = 0 hs = 7.5м	ф-лы таб.3 [10]	-1,5	-1,5	-1,5	-1,5	-1,5	-1,5	-1,5	-1,5	-1,5		
Снижение поверхностью земли возле приёмника Ar, дБ	Gr = 1 hr = 1.6м	ф-лы таб.3 [10]	-1,5	-1,5	2,7	6,8	4,3	0,5	0	0	0		
Снижение поверхностью земли в средней зоне, Am дБ	Gm = 1	ф-лы таб.3 [10]	-1,2	-1,2	0	0	0	0	0	0	0		
Суммарное снижение поверхностью земли на траектории распространения звука Agr, дБ		ф-ла (9) [10]	-4,2	-4,2	1,2	5,3	2,8	-1	-1,5	-1,5	-1,5		
Уровни звукового давления прямого звука от источника ИШ-4-9 в расчётной точке днём, дБ		**ф-ла(3)[10]**	**0**	**33,3**	**29,2**	**26**	**28,1**	**30,5**	**25,9**	**15,3**	**0**	**33,2**	**33,2**
Уровни звукового давления прямого звука от источника ИШ-4-9 в расчётной точке ночью, дБ		**ф-ла(3)[10]**	**0**	**33,3**	**29,2**	**26**	**28,1**	**30,5**	**25,9**	**15,3**	**0**	**33,2**	**33,2**
Расчёт отражённого звука													
Уровни звукового давления от мнимого источника ИШ-4-9_мн.(1) в расчётной точке днём, дБ		**ф-ла(3)[10]**	**0**	**0**	**0**	**0**	**0**	**0**	**0**	**0**	**0**	**0**	**0**
Уровни звукового давления от мнимого источника ИШ-4-9_мн.(1) в расчётной точке ночью, дБ		**ф-ла(3)[10]**	**0**	**0**	**0**	**0**	**0**	**0**	**0**	**0**	**0**	**0**	**0**
Уровни звукового давления от мнимого источника ИШ-4-9_мн.(2) в расчётной точке днём, дБ		**ф-ла(3)[10]**	**0**	**32,3**	**25,2**	**23,4**	**25,5**	**28**	**23,3**	**12,7**	**0**	**30,6**	**30,6**
Уровни звукового давления от мнимого источника ИШ-4-9_мн.(2) в расчётной точке ночью, дБ		**ф-ла(3)[10]**	**32,3**	**32,3**	**32,3**	**32,3**	**32,3**	**32,3**	**32,3**	**32,3**	**32,3**	**30,6**	**30,6**

1		2	3	4	5	6	7	8	9	10	11	12	13
Суммарные уровни звукового давления от мнимых источников в расчётной точке днём, дБ		**ф-ла (19) [1]**	**0**	**32,3**	**25,2**	**23,4**	**25,5**	**28**	**23,3**	**12,7**	**0**	**0**	**30,6**
Суммарные уровни звукового давления от мнимых источников в расчётной точке ночью, дБ		**ф-ла (19) [1]**	**0**	**32,3**	**25,2**	**23,4**	**25,5**	**28**	**23,3**	**12,7**	**0**	**0**	**30,6**
Уровни звукового давления от источника ИШ-4-9 в расчётной точке днём, дБ		**ф-ла(3)[10]**	**0**	**35,8**	**30,6**	**27,9**	**30**	**32,4**	**27,8**	**17,2**	**0**	**35,1**	**35,1**
Уровни звукового давления от источника ИШ-4-9 в расчётной точке ночью, дБ		**ф-ла(3)[10]**	**0**	**35,8**	**30,6**	**27,9**	**30**	**32,4**	**27,8**	**17,2**	**0**	**35,1**	**35,1**
Источник шума: ИШ-4-10, координаты источника (x,y,z), м =[185.65,255.31,11.00]													
Уровни звуковой мощности источника днём, Lw, дБ		**исходные данные**	**0**	**90,3**	**91,7**	**93**	**93,3**	**92,9**	**89,6**	**85,4**	**80,9**		
Уровни звуковой мощности источника ночью, Lw, дБ		**исходные данные**	**0**	**90,3**	**91,7**	**93**	**93,3**	**92,9**	**89,6**	**85,4**	**80,9**		
Поправка на телесный угол DΩ, дБ	Ω = 6.28	10Lg(4π/Ω)	**3**	3	3	3	3	3	3	3	3		
Показатель направленности источника Di, дБ		исходные данные	**0**	0	0	0	0	0	0	0	0		
Поправка на направленность источника Dc, дБ	Dc	DΩ + Di	**3**	3	3	3	3	3	3	3	3		
Затухание из-за геометрической дивергенции, Adiv, дБ	расстояние = 449.96 м	ф-ла (7) [10]	**64,1**										
Коэффициент затухания звука в атмосфере α, дБ/км	Ta=20,°C Pa=101.33,кПа hотн.=70%	ф-ла (5) [9]	0,02	0,09	0,33	1,12	2,79	4,98	9,04	23,09	77,63		
Учет затухания звука в атмосфере Aatm, дБ		ф-ла (8) [10]	0	0	0,2	0,5	1,3	2,2	4,1	10,4	34,9		
Снижение поверхностью земли возле источника As, дБ	Gs = 0 hs = 3м	ф-лы таб.3 [10]	-1,5	-1,5	-1,5	-1,5	-1,5	-1,5	-1,5	-1,5	-1,5		
Снижение поверхностью земли возле приёмника Ar, дБ	Gr = 1 hr = 1.6м	ф-лы таб.3 [10]	-1,5	-1,5	2,7	6,8	4,3	0,5	0	0	0		
Снижение поверхностью земли в средней зоне, Am дБ	Gm = 1	ф-лы таб.3 [10]	-2,1	-2,1	0	0	0	0	0	0	0		

1		2	3	4	5	6	7	8	9	10	11	12	13
Суммарное снижение поверхностью земли на траектории распространения звука Agr, дБ		ф-ла (9) [10]	-5,1	-5,1	1,2	5,3	2,8	-1	-1,5	-1,5	-1,5		
Уровни звукового давления прямого звука от источника ИШ-4-10 в расчётной точке днём, дБ		**ф-ла(3)[10]**	**0**	**34,3**	**29,3**	**26,1**	**28,2**	**30,6**	**26**	**15,4**	**0**	**33,2**	**33,2**
Уровни звукового давления прямого звука от источника ИШ-4-10 в расчётной точке ночью, дБ		**ф-ла(3)[10]**	**0**	**34,3**	**29,3**	**26,1**	**28,2**	**30,6**	**26**	**15,4**	**0**	**33,2**	**33,2**
Расчёт отражённого звука													
Уровни звукового давления от мнимого источника ИШ-4-10_мн.(1) в расчётной точке днём, дБ		**ф-ла(3)[10]**	**0**	**0**	**0**	**0**	**0**	**0**	**0**	**11,3**	**0**	**12,3**	**12,3**
Уровни звукового давления от мнимого источника ИШ-4-10_мн.(1) в расчётной точке ночью, дБ		**ф-ла(3)[10]**	**0**	**0**	**0**	**0**	**0**	**0**	**0**	**0**	**0**	**12,3**	**12,3**
Уровни звукового давления от мнимого источника ИШ-4-10_мн.(2) в расчётной точке днём, дБ		**ф-ла(3)[10]**	**0**	**33,2**	**23,7**	**19,7**	**25,4**	**28**	**23,4**	**12,8**	**0**	**30,6**	**30,6**
Уровни звукового давления от мнимого источника ИШ-4-10_мн.(2) в расчётной точке ночью, дБ		**ф-ла(3)[10]**	**33,2**	**33,2**	**33,2**	**33,2**	**33,2**	**33,2**	**33,2**	**33,2**	**33,2**	**30,6**	**30,6**
Суммарные уровни звукового давления от мнимых источников в расчётной точке днём, дБ		**ф-ла (19) [1]**	**0**	**33,2**	**23,7**	**19,7**	**25,4**	**28**	**23,4**	**15,2**	**0**	**0**	**30,6**
Суммарные уровни звукового давления от мнимых источников в расчётной точке ночью, дБ		**ф-ла (19) [1]**	**0**	**33,2**	**23,7**	**19,7**	**25,4**	**28**	**23,4**	**15,2**	**0**	**0**	**30,6**
Уровни звукового давления от источника ИШ-4-10 в расчётной точке днём, дБ		**ф-ла(3)[10]**	**0**	**36,8**	**30,3**	**27**	**30**	**32,5**	**27,9**	**18,3**	**0**	**35,1**	**35,1**
Уровни звукового давления от источника ИШ-4-10 в расчётной точке ночью, дБ		**ф-ла(3)[10]**	**0**	**36,8**	**30,3**	**27**	**30**	**32,5**	**27,9**	**18,3**	**0**	**35,1**	**35,1**
Источник шума: ИШ-4-11, координаты источника (x,y,z), м =[185.89,255.16,13.00]													
Уровни звуковой мощности источника днём, Lw, дБ		**исходные данные**	**0**	**90,3**	**91,7**	**93**	**93,3**	**92,9**	**89,6**	**85,4**	**80,9**		
Уровни звуковой мощности источника ночью, Lw, дБ		**исходные данные**	**0**	**90,3**	**91,7**	**93**	**93,3**	**92,9**	**89,6**	**85,4**	**80,9**		
Поправка на телесный угол DΩ, дБ	Ω = 6.28	10Lg(4π/Ω)	**3**	3	3	3	3	3	3	3	3		
Показатель направленности источника Di, дБ		исходные данные	**0**	0	0	0	0	0	0	0	0		

1		2	3	4	5	6	7	8	9	10	11	12	13
Поправка на направленность источника Dc, дБ	Dc	DΩ + Di	**3**	3	3	3	3	3	3	3	3		
Затухание из-за геометрической дивергенции, Adiv, дБ	расстояние = 449.84 м	ф-ла (7) [10]	**64,1**										
Коэффициент затухания звука в атмосфере α, дБ/км	Ta=20,°C Pa=101.33,кПа hотн.=70%	ф-ла (5) [9]	0,02	0,09	0,33	1,12	2,79	4,98	9,04	23,09	77,63		
Учет затухания звука в атмосфере Aatm, дБ		ф-ла (8) [10]	0	0	0,2	0,5	1,3	2,2	4,1	10,4	34,9		
Снижение поверхностью земли возле источника As, дБ	Gs = 0 hs = 5м	ф-лы таб.3 [10]	-1,5	-1,5	-1,5	-1,5	-1,5	-1,5	-1,5	-1,5	-1,5		
Снижение поверхностью земли возле приёмника Ar, дБ	Gr = 1 hr = 1.6м	ф-лы таб.3 [10]	-1,5	-1,5	2,7	6,8	4,3	0,5	0	0	0		
Снижение поверхностью земли в средней зоне, Am дБ	Gm = 1	ф-лы таб.3 [10]	-1,7	-1,7	0	0	0	0	0	0	0		
Суммарное снижение поверхностью земли на траектории распространения звука Agr, дБ		ф-ла (9) [10]	-4,7	-4,7	1,2	5,3	2,8	-1	-1,5	-1,5	-1,5		
Уровни звукового давления прямого звука от источника ИШ-4-11 в расчётной точке днём, дБ		**ф-ла(3)[10]**	**0**	**33,9**	**29,3**	**26,1**	**28,2**	**30,6**	**26**	**15,4**	**0**	**33,2**	**33,2**
Уровни звукового давления прямого звука от источника ИШ-4-11 в расчётной точке ночью, дБ		**ф-ла(3)[10]**	**0**	**33,9**	**29,3**	**26,1**	**28,2**	**30,6**	**26**	**15,4**	**0**	**33,2**	**33,2**
Расчёт отражённого звука													
Уровни звукового давления от мнимого источника ИШ-4-11_мн.(1) в расчётной точке днём, дБ		**ф-ла(3)[10]**	**0**	**32,8**	**23,4**	**22,6**	**25,6**	**28**	**23,4**	**12,8**	**0**	**30,6**	**30,6**
Уровни звукового давления от мнимого источника ИШ-4-11_мн.(1) в расчётной точке ночью, дБ		**ф-ла(3)[10]**	**0**	**0**	**0**	**0**	**0**	**0**	**0**	**0**	**0**	**30,6**	**30,6**
Уровни звукового давления от источника ИШ-4-11 в расчётной точке днём, дБ		**ф-ла(3)[10]**	**0**	**36,4**	**30,3**	**27,7**	**30,1**	**32,5**	**27,9**	**17,3**	**0**	**35,1**	**35,1**
Уровни звукового давления от источника ИШ-4-11 в расчётной точке ночью, дБ		**ф-ла(3)[10]**	**0**	**36,4**	**30,3**	**27,7**	**30,1**	**32,5**	**27,9**	**17,3**	**0**	**35,1**	**35,1**
Источник шума: ИШ-4-12, координаты источника (x,y,z), м =[186.18,255.02,15.50]													

1		2	3	4	5	6	7	8	9	10	11	12	13
Уровни звуковой мощности источника днём, Lw, дБ		**исходные данные**	**0**	**90,3**	**91,7**	**93**	**93,3**	**92,9**	**89,6**	**85,4**	**80,9**		
Уровни звуковой мощности источника ночью, Lw, дБ		**исходные данные**	**0**	**90,3**	**91,7**	**93**	**93,3**	**92,9**	**89,6**	**85,4**	**80,9**		
Поправка на телесный угол DΩ, дБ	Ω = 6.28	10Lg(4π/Ω)	**3**	3	3	3	3	3	3	3	3		
Показатель направленности источника Di, дБ		исходные данные	**0**	0	0	0	0	0	0	0	0		
Поправка на направленность источника Dc, дБ	Dc	DΩ + Di	**3**	3	3	3	3	3	3	3	3		
Затухание из-за геометрической дивергенции, Adiv, дБ	расстояние = 449.74 м	ф-ла (7) [10]	**64,1**										
Коэффициент затухания звука в атмосфере α, дБ/км	Ta=20,°C Pa=101.33,кПа hотн.=70%	ф-ла (5) [9]	0,02	0,09	0,33	1,12	2,79	4,98	9,04	23,09	77,63		
Учет затухания звука в атмосфере Aatm, дБ		ф-ла (8) [10]	0	0	0,2	0,5	1,3	2,2	4,1	10,4	34,9		
Снижение поверхностью земли возле источника As, дБ	Gs = 0 hs = 7.5м	ф-лы таб.3 [10]	-1,5	-1,5	-1,5	-1,5	-1,5	-1,5	-1,5	-1,5	-1,5		
Снижение поверхностью земли возле приёмника Ar, дБ	Gr = 1 hr = 1.6м	ф-лы таб.3 [10]	-1,5	-1,5	2,7	6,8	4,3	0,5	0	0	0		
Снижение поверхностью земли в средней зоне, Am дБ	Gm = 1	ф-лы таб.3 [10]	-1,2	-1,2	0	0	0	0	0	0	0		
Суммарное снижение поверхностью земли на траектории распространения звука Agr, дБ		ф-ла (9) [10]	-4,2	-4,2	1,2	5,3	2,8	-1	-1,5	-1,5	-1,5		
Уровни звукового давления прямого звука от источника ИШ-4-12 в расчётной точке днём, дБ		**ф-ла(3)[10]**	**0**	**33,4**	**29,3**	**26,1**	**28,2**	**30,6**	**26**	**15,5**	**0**	**33,2**	**33,2**
Уровни звукового давления прямого звука от источника ИШ-4-12 в расчётной точке ночью, дБ		**ф-ла(3)[10]**	**0**	**33,4**	**29,3**	**26,1**	**28,2**	**30,6**	**26**	**15,5**	**0**	**33,2**	**33,2**
Расчёт отражённого звука													
Уровни звукового давления от мнимого источника ИШ-4-12_мн.(1) в расчётной точке днём, дБ		**ф-ла(3)[10]**	**0**	**0**	**0**	**0**	**0**	**0**	**0**	**0**	**0**	**0**	**0**
Уровни звукового давления от мнимого источника ИШ-4-12_мн.(1) в расчётной точке ночью, дБ		**ф-ла(3)[10]**	**0**	**0**	**0**	**0**	**0**	**0**	**0**	**0**	**0**	**0**	**0**

1		2	3	4	5	6	7	8	9	10	11	12	13
Уровни звукового давления от мнимого источника ИШ-4-12_мн.(2) в расчётной точке днём, дБ		**ф-ла(3)[10]**	**0**	**32,3**	**25,3**	**23,5**	**25,6**	**28**	**23,4**	**12,8**	**0**	**30,7**	**30,7**
Уровни звукового давления от мнимого источника ИШ-4-12_мн.(2) в расчётной точке ночью, дБ		**ф-ла(3)[10]**	**32,3**	**32,3**	**32,3**	**32,3**	**32,3**	**32,3**	**32,3**	**32,3**	**32,3**	**30,7**	**30,7**
Суммарные уровни звукового давления от мнимых источников в расчётной точке днём, дБ		**ф-ла (19) [1]**	**0**	**32,3**	**25,3**	**23,5**	**25,6**	**28**	**23,4**	**12,8**	**0**	**0**	**30,7**
Суммарные уровни звукового давления от мнимых источников в расчётной точке ночью, дБ		**ф-ла (19) [1]**	**0**	**32,3**	**25,3**	**23,5**	**25,6**	**28**	**23,4**	**12,8**	**0**	**0**	**30,7**
Уровни звукового давления от источника ИШ-4-12 в расчётной точке днём, дБ		**ф-ла(3)[10]**	**0**	**35,9**	**30,7**	**28**	**30,1**	**32,5**	**27,9**	**17,3**	**0**	**35,1**	**35,1**
Уровни звукового давления от источника ИШ-4-12 в расчётной точке ночью, дБ		**ф-ла(3)[10]**	**0**	**35,9**	**30,7**	**28**	**30,1**	**32,5**	**27,9**	**17,3**	**0**	**35,1**	**35,1**
Источник шума: ИШ-4-13, координаты источника (x,y,z), м =[94.56,229.10,1.00]													
Уровни звуковой мощности источника днём, Lw, дБ		**исходные данные**	**0**	**81,3**	**82,7**	**84**	**84,3**	**83,9**	**80,6**	**76,4**	**71,9**		
Уровни звуковой мощности источника ночью, Lw, дБ		**исходные данные**	**0**	**81,3**	**82,7**	**84**	**84,3**	**83,9**	**80,6**	**76,4**	**71,9**		
Поправка на телесный угол DΩ, дБ	Ω = 6.28	10Lg(4π/Ω)	**3**	3	3	3	3	3	3	3	3		
Показатель направленности источника Di, дБ		исходные данные	**0**	0	0	0	0	0	0	0	0		
Поправка на направленность источника Dc, дБ	Dc	DΩ + Di	**3**	3	3	3	3	3	3	3	3		
Затухание из-за геометрической дивергенции, Adiv, дБ	расстояние = 441.67 м	ф-ла (7) [10]	**63,9**										
Коэффициент затухания звука в атмосфере α, дБ/км	Ta=20,°C Pa=101.33,кПа hотн.=70%	ф-ла (5) [9]	0,02	0,09	0,33	1,12	2,79	4,98	9,04	23,09	77,63		
Учет затухания звука в атмосфере Aatm, дБ		ф-ла (8) [10]	0	0	0,1	0,5	1,2	2,2	4	10,2	34,3		
Снижение уровня звукового давления из-за влияния застройки между источником шума и расчетной точкой													

1		2	3	4	5	6	7	8	9	10	11	12	13
Снижение уровня звукового давления на пути над экраном, Dz1, дБ	z = 3.51м (разность путей)	ф-лы (14-18) [10]	11,7	15,5	19,7	23,4	26,6	29,7	32,7	35,7	38,7		
Снижение уровня звукового давления на пути слева от экрана, Dz2, дБ	z = 126.79м (разность путей)	ф-лы (14-18) [10]	27,5	31,8	36,2	40,1	43,4	46,5	49,5	52,5	55,5		
Снижение уровня звукового давления на пути справа от экрана, Dz3, дБ	z = 7.98м (разность путей)	ф-лы (14-18) [10]	18,9	22,4	25,4	28,5	31,5	34,5	37,5	40,5	43,5		
Общее снижение уровня звука препятствием Dz, дБ		Эн.сумма(-Dzi)	10,9	14,6	18,6	22,1	25,3	28,4	31,4	34,4	37,4		
Общее снижение уровня звука препятствием с учётом ограничения (25 дБ) для октавных полос Dz, дБ		Раздел 7.4 [10]	10,9	14,6	18,6	22,1	25	25	25	25	25		
Уровни звукового давления от источника ИШ-4-13 в расчётной точке днём, дБ		**ф-ла(3)[10]**	**0**	**5,7**	**3,1**	**0,5**	**0**	**0**	**0**	**0**	**0**	**0**	**0**
Уровни звукового давления от источника ИШ-4-13 в расчётной точке ночью, дБ		**ф-ла(3)[10]**	**0**	**5,7**	**3,1**	**0,5**	**0**	**0**	**0**	**0**	**0**	**0**	**0**
Источник шума: ИШ-4-14, координаты источника (x,y,z), м =[91.88,221.30,1.00]													
Уровни звуковой мощности источника днём, Lw, дБ		**исходные данные**	**0**	**81,3**	**82,7**	**84**	**84,3**	**83,9**	**80,6**	**76,4**	**71,9**		
Уровни звуковой мощности источника ночью, Lw, дБ		**исходные данные**	**0**	**81,3**	**82,7**	**84**	**84,3**	**83,9**	**80,6**	**76,4**	**71,9**		
Поправка на телесный угол DΩ, дБ	Ω = 6.28	10Lg(4π/Ω)	**3**	3	3	3	3	3	3	3	3		
Показатель направленности источника Di, дБ		исходные данные	**0**	0	0	0	0	0	0	0	0		
Поправка на направленность источника Dc, дБ	Dc	DΩ + Di	**3**	3	3	3	3	3	3	3	3		
Затухание из-за геометрической дивергенции, Adiv, дБ	расстояние = 435.04 м	ф-ла (7) [10]	**63,8**										
Коэффициент затухания звука в атмосфере α, дБ/км	Та=20,°С Ра=101.33,кПа hотн.=70%	ф-ла (5) [9]	0,02	0,09	0,33	1,12	2,79	4,98	9,04	23,09	77,63		
Учет затухания звука в атмосфере Aatm, дБ		ф-ла (8) [10]	0	0	0,1	0,5	1,2	2,2	3,9	10	33,8		

1		2	3	4	5	6	7	8	9	10	11	12	13
Снижение уровня звукового давления из-за влияния застройки между источником шума и расчетной точкой													
Снижение уровня звукового давления на пути над экраном, Dz1, дБ	z = 3.57м (разность путей)	ф-лы (14-18) [10]	14,6	17,9	21	24	27	30	33	36	39		
Снижение уровня звукового давления на пути слева от экрана, Dz2, дБ	z = 141.63м (разность путей)	ф-лы (14-18) [10]	28	32,3	36,7	40,6	43,9	47	50	53	56		
Снижение уровня звукового давления на пути справа от экрана, Dz3, дБ	z = 6.52м (разность путей)	ф-лы (14-18) [10]	18,1	21,5	24,6	27,6	30,6	33,6	36,6	39,6	42,7		
Общее снижение уровня звука препятствием Dz, дБ		Эн.сумма(-Dzi)	12,8	16,2	19,3	22,4	25,4	28,4	31,4	34,4	37,4		
Общее снижение уровня звука препятствием с учётом ограничения (25 дБ) для октавных полос Dz, дБ		Раздел 7.4 [10]	12,8	16,2	19,3	22,4	25	25	25	25	25		
Уровни звукового давления от источника ИШ-4-14 в расчётной точке днём, дБ		**ф-ла(3)[10]**	**0**	**4,2**	**2,4**	**0,4**	**0**	**0**	**0**	**0**	**0**	**0**	**0**
Уровни звукового давления от источника ИШ-4-14 в расчётной точке ночью, дБ		**ф-ла(3)[10]**	**0**	**4,2**	**2,4**	**0,4**	**0**	**0**	**0**	**0**	**0**	**0**	**0**
Источник шума: ИШ-5-1, координаты источника (x,y,z), м =[626.70,162.36,1.00]													
Уровни звуковой мощности источника днём, Lw, дБ		**исходные данные**	**0**	**93,3**	**94,7**	**96**	**96,3**	**95,9**	**92,6**	**88,4**	**83,9**		
Уровни звуковой мощности источника ночью, Lw, дБ		**исходные данные**	**0**	**93,3**	**94,7**	**96**	**96,3**	**95,9**	**92,6**	**88,4**	**83,9**		
Поправка на телесный угол DΩ, дБ	Ω = 6.28	10Lg(4π/Ω)	**3**	3	3	3	3	3	3	3	3		
Показатель направленности источника Di, дБ		исходные данные	**0**	0	0	0	0	0	0	0	0		
Поправка на направленность источника Dc, дБ	Dc	DΩ + Di	**3**	3	3	3	3	3	3	3	3		
Затухание из-за геометрической дивергенции, Adiv, дБ	расстояние = 536.07 м	ф-ла (7) [10]	**65,6**										
Коэффициент затухания звука в атмосфере α, дБ/км	Ta=20,°C Pa=101.33,кПа hотн.=70%	ф-ла (5) [9]	0,02	0,09	0,33	1,12	2,79	4,98	9,04	23,09	77,63		

1		2	3	4	5	6	7	8	9	10	11	12	13
Учет затухания звука в атмосфере Aatm, дБ		ф-ла (8) [10]	0	0	0,2	0,6	1,5	2,7	4,8	12,4	41,6		
Снижение уровня звукового давления из-за влияния застройки между источником шума и расчетной точкой													
Снижение уровня звукового давления на пути над экраном, Dz1, дБ	z = 0.39м (разность путей)	ф-лы (14-18) [10]	4,9	5,2	5,8	6,9	8,4	10,4	12,8	15,5	18,3		
Снижение уровня звукового давления на пути слева от экрана, Dz2, дБ	z = 0.57м (разность путей)	ф-лы (14-18) [10]	7,1	8,6	10,5	12,9	15,6	18,4	21,4	24,3	27,3		
Снижение уровня звукового давления на пути справа от экрана, Dz3, дБ	z = 123.36м (разность путей)	ф-лы (14-18) [10]	30,8	34,2	37,3	40,4	43,4	46,4	49,4	52,4	55,4		
Общее снижение уровня звука препятствием Dz, дБ		Эн.сумма(-Dzi)	2,9	3,5	4,6	5,9	7,7	9,8	12,3	15	17,8		
Уровни звукового давления от источника ИШ-5-1 в расчётной точке днём, дБ		**ф-ла(3)[10]**	**0**	**27,1**	**27,4**	**26,9**	**24,5**	**20,8**	**12,9**	**0**	**0**	**25,6**	**25,6**
Уровни звукового давления от источника ИШ-5-1 в расчётной точке ночью, дБ		**ф-ла(3)[10]**	**0**	**27,1**	**27,4**	**26,9**	**24,5**	**20,8**	**12,9**	**0**	**0**	**25,6**	**25,6**
Источник шума: ИШ-5-2, координаты источника (x,y,z), м =[625.81,159.52,1.00]													
Уровни звуковой мощности источника днём, Lw, дБ		**исходные данные**	**0**	**93,3**	**94,7**	**96**	**96,3**	**95,9**	**92,6**	**88,4**	**83,9**		
Уровни звуковой мощности источника ночью, Lw, дБ		**исходные данные**	**0**	**93,3**	**94,7**	**96**	**96,3**	**95,9**	**92,6**	**88,4**	**83,9**		
Поправка на телесный угол DΩ, дБ	Ω = 6.28	10Lg(4π/Ω)	**3**	3	3	3	3	3	3	3	3		
Показатель направленности источника Di, дБ		исходные данные	**0**	0	0	0	0	0	0	0	0		
Поправка на направленность источника Dc, дБ	Dc	DΩ + Di	**3**	3	3	3	3	3	3	3	3		
Затухание из-за геометрической дивергенции, Adiv, дБ	расстояние = 533.52 м	ф-ла (7) [10]	**65,5**										
Коэффициент затухания звука в атмосфере α, дБ/км	Ta=20,°C Pa=101.33,кПа hотн.=70%	ф-ла (5) [9]	0,02	0,09	0,33	1,12	2,79	4,98	9,04	23,09	77,63		

1		2	3	4	5	6	7	8	9	10	11	12	13
Учет затухания звука в атмосфере Aatm, дБ		ф-ла (8) [10]	0	0	0,2	0,6	1,5	2,7	4,8	12,3	41,4		
Снижение уровня звукового давления из-за влияния застройки между источником шума и расчетной точкой													
Снижение уровня звукового давления на пути над экраном, Dz1, дБ	z = 0.39м (разность путей)	ф-лы (14-18) [10]	4,9	5,2	5,8	6,9	8,5	10,5	12,9	15,5	18,4		
Снижение уровня звукового давления на пути слева от экрана, Dz2, дБ	z = 0.53м (разность путей)	ф-лы (14-18) [10]	7	8,4	10,3	12,7	15,3	18,1	21	24	27		
Снижение уровня звукового давления на пути справа от экрана, Dz3, дБ	z = 125.71м (разность путей)	ф-лы (14-18) [10]	30,9	34,3	37,4	40,4	43,5	46,5	49,5	52,5	55,5		
Общее снижение уровня звука препятствием Dz, дБ		Эн.сумма(-Dzi)	2,8	3,5	4,5	5,9	7,7	9,8	12,3	15	17,8		
Уровни звукового давления от источника ИШ-5-2 в расчётной точке днём, дБ		**ф-ла(3)[10]**	**0**	**27,2**	**27,5**	**27**	**24,6**	**20,9**	**13**	**0**	**0**	**25,7**	**25,7**
Уровни звукового давления от источника ИШ-5-2 в расчётной точке ночью, дБ		**ф-ла(3)[10]**	**0**	**27,2**	**27,5**	**27**	**24,6**	**20,9**	**13**	**0**	**0**	**25,7**	**25,7**
Источник шума: ИШ-5-3, координаты источника (x,y,z), м =[624.84,156.69,1.00]													
Уровни звуковой мощности источника днём, Lw, дБ		**исходные данные**	**0**	**93,3**	**94,7**	**96**	**96,3**	**95,9**	**92,6**	**88,4**	**83,9**		
Уровни звуковой мощности источника ночью, Lw, дБ		**исходные данные**	**0**	**93,3**	**94,7**	**96**	**96,3**	**95,9**	**92,6**	**88,4**	**83,9**		
Поправка на телесный угол DΩ, дБ	Ω = 6.28	10Lg(4π/Ω)	**3**	3	3	3	3	3	3	3	3		
Показатель направленности источника Di, дБ		исходные данные	**0**	0	0	0	0	0	0	0	0		
Поправка на направленность источника Dc, дБ	Dc	DΩ + Di	**3**	3	3	3	3	3	3	3	3		
Затухание из-за геометрической дивергенции, Adiv, дБ	расстояние = 530.93 м	ф-ла (7) [10]	**65,5**										
Коэффициент затухания звука в атмосфере α, дБ/км	Ta=20,°C Pa=101.33,кПа hотн.=70%	ф-ла (5) [9]	0,02	0,09	0,33	1,12	2,79	4,98	9,04	23,09	77,63		

1		2	3	4	5	6	7	8	9	10	11	12	13
Учет затухания звука в атмосфере Aatm, дБ		ф-ла (8) [10]	0	0	0,2	0,6	1,5	2,6	4,8	12,3	41,2		
Снижение уровня звукового давления из-за влияния застройки между источником шума и расчетной точкой													
Снижение уровня звукового давления на пути над экраном, Dz1, дБ	z = 0.39м (разность путей)	ф-лы (14-18) [10]	4,9	5,2	5,8	6,9	8,5	10,5	12,9	15,6	18,4		
Снижение уровня звукового давления на пути слева от экрана, Dz2, дБ	z = 0.49м (разность путей)	ф-лы (14-18) [10]	6,8	8,2	10,1	12,4	15	17,8	20,7	23,7	26,7		
Снижение уровня звукового давления на пути справа от экрана, Dz3, дБ	z = 128.08м (разность путей)	ф-лы (14-18) [10]	30,9	34,4	37,5	40,5	43,5	46,6	49,6	52,6	55,6		
Общее снижение уровня звука препятствием Dz, дБ		Эн.сумма(-Dzi)	2,8	3,4	4,4	5,8	7,6	9,8	12,3	15	17,8		
Уровни звукового давления от источника ИШ-5-3 в расчётной точке днём, дБ		**ф-ла(3)[10]**	**0**	**27,3**	**27,6**	**27**	**24,7**	**21**	**13**	**0**	**0**	**25,8**	**25,8**
Уровни звукового давления от источника ИШ-5-3 в расчётной точке ночью, дБ		**ф-ла(3)[10]**	**0**	**27,3**	**27,6**	**27**	**24,7**	**21**	**13**	**0**	**0**	**25,8**	**25,8**
Источник шума: ИШ-6-1, координаты источника (x,y,z), м =[836.30,122.24,1.00]													
Уровни звуковой мощности источника днём, Lw, дБ		**исходные данные**	**0**	**96,3**	**97,7**	**99**	**99,3**	**98,9**	**95,6**	**91,4**	**86,9**		
Уровни звуковой мощности источника ночью, Lw, дБ		**исходные данные**	**0**	**96,3**	**97,7**	**99**	**99,3**	**98,9**	**95,6**	**91,4**	**86,9**		
Поправка на телесный угол DΩ, дБ	Ω = 12.57	10Lg(4π/Ω)	**0**	0	0	0	0	0	0	0	0		
Показатель направленности источника Di, дБ		исходные данные	**0**	0	0	0	0	0	0	0	0		
Поправка на направленность источника Dc, дБ	Dc	DΩ + Di	**0**	0	0	0	0	0	0	0	0		
Затухание из-за геометрической дивергенции, Adiv, дБ	расстояние = 687.55 м	ф-ла (7) [10]	**67,7**										
Коэффициент затухания звука в атмосфере α, дБ/км	Ta=20,°C Pa=101.33,кПа hотн.=70%	ф-ла (5) [9]	0,02	0,09	0,33	1,12	2,79	4,98	9,04	23,09	77,63		

1		2	3	4	5	6	7	8	9	10	11	12	13
Учет затухания звука в атмосфере Aatm, дБ		ф-ла (8) [10]	0	0,1	0,2	0,8	1,9	3,4	6,2	15,9	53,4		
Снижение уровня звукового давления из-за влияния застройки между источником шума и расчетной точкой													
Снижение уровня звукового давления на пути над экраном, Dz1, дБ	z = 0.10м (разность путей)	ф-лы (14-18) [10]	4,8	4,8	4,8	4,8	4,8	4,8	4,8	4,8	4,8		
Снижение уровня звукового давления на пути слева от экрана, Dz2, дБ	z = 8.42м (разность путей)	ф-лы (14-18) [10]	15,3	18,2	21	24	27	30	33	36	39		
Снижение уровня звукового давления на пути справа от экрана, Dz3, дБ	z = 0.32м (разность путей)	ф-лы (14-18) [10]	6,2	7,3	8,9	11	13,4	16,1	19	21,9	24,9		
Общее снижение уровня звука препятствием Dz, дБ		Эн.сумма(-Dzi)	2,2	2,7	3,3	3,8	4,2	4,5	4,6	4,7	4,7		
Уровни звукового давления от источника ИШ-6-1 в расчётной точке днём, дБ		**ф-ла(3)[10]**	**0**	**25,8**	**26,4**	**26,7**	**25,4**	**23,3**	**17**	**3,1**	**0**	**27,2**	**27,2**
Уровни звукового давления от источника ИШ-6-1 в расчётной точке ночью, дБ		**ф-ла(3)[10]**	**0**	**25,8**	**26,4**	**26,7**	**25,4**	**23,3**	**17**	**3,1**	**0**	**27,2**	**27,2**
Источник шума: ИШ-6-2, координаты источника (x,y,z), м =[835.37,119.30,1.00]													
Уровни звуковой мощности источника днём, Lw, дБ		**исходные данные**	**0**	**96,3**	**97,7**	**99**	**99,3**	**98,9**	**95,6**	**91,4**	**86,9**		
Уровни звуковой мощности источника ночью, Lw, дБ		**исходные данные**	**0**	**96,3**	**97,7**	**99**	**99,3**	**98,9**	**95,6**	**91,4**	**86,9**		
Поправка на телесный угол DΩ, дБ	Ω = 12.57	10Lg(4π/Ω)	**0**	0	0	0	0	0	0	0	0		
Показатель направленности источника Di, дБ		исходные данные	**0**	0	0	0	0	0	0	0	0		
Поправка на направленность источника Dc, дБ	Dc	DΩ + Di	**0**	0	0	0	0	0	0	0	0		
Затухание из-за геометрической дивергенции, Adiv, дБ	расстояние = 685.38 м	ф-ла (7) [10]	**67,7**										
Коэффициент затухания звука в атмосфере α, дБ/км	Ta=20,°C Pa=101.33,кПа hотн.=70%	ф-ла (5) [9]	0,02	0,09	0,33	1,12	2,79	4,98	9,04	23,09	77,63		

1		2	3	4	5	6	7	8	9	10	11	12	13
Учет затухания звука в атмосфере Aatm, дБ		ф-ла (8) [10]	0	0,1	0,2	0,8	1,9	3,4	6,2	15,8	53,2		
Снижение уровня звукового давления из-за влияния застройки между источником шума и расчетной точкой													
Снижение уровня звукового давления на пути над экраном, Dz1, дБ	z = 0.10м (разность путей)	ф-лы (14-18) [10]	4,8	4,8	4,8	4,8	4,8	4,8	4,8	4,8	4,8		
Снижение уровня звукового давления на пути слева от экрана, Dz2, дБ	z = 8.09м (разность путей)	ф-лы (14-18) [10]	15,2	18	20,9	23,8	26,8	29,8	32,8	35,8	38,8		
Снижение уровня звукового давления на пути справа от экрана, Dz3, дБ	z = 0.40м (разность путей)	ф-лы (14-18) [10]	6,5	7,8	9,5	11,7	14,2	17	19,9	22,8	25,8		
Общее снижение уровня звука препятствием Dz, дБ		Эн.сумма(-Dzi)	2,3	2,9	3,4	3,9	4,3	4,5	4,6	4,7	4,8		
Уровни звукового давления от источника ИШ-6-2 в расчётной точке днём, дБ		**ф-ла(3)[10]**	**0**	**25,6**	**26,3**	**26,6**	**25,4**	**23,3**	**17**	**3,1**	**0**	**27,2**	**27,2**
Уровни звукового давления от источника ИШ-6-2 в расчётной точке ночью, дБ		**ф-ла(3)[10]**	**0**	**25,6**	**26,3**	**26,6**	**25,4**	**23,3**	**17**	**3,1**	**0**	**27,2**	**27,2**
Источник шума: ИШ-6-3, координаты источника (x,y,z), м =[834.03,116.36,1.00]													
Уровни звуковой мощности источника днём, Lw, дБ		**исходные данные**	**0**	**96,3**	**97,7**	**99**	**99,3**	**98,9**	**95,6**	**91,4**	**86,9**		
Уровни звуковой мощности источника ночью, Lw, дБ		**исходные данные**	**0**	**96,3**	**97,7**	**99**	**99,3**	**98,9**	**95,6**	**91,4**	**86,9**		
Поправка на телесный угол DΩ, дБ	Ω = 12.57	10Lg(4π/Ω)	**0**	0	0	0	0	0	0	0	0		
Показатель направленности источника Di, дБ		исходные данные	**0**	0	0	0	0	0	0	0	0		
Поправка на направленность источника Dc, дБ	Dc	DΩ + Di	**0**	0	0	0	0	0	0	0	0		
Затухание из-за геометрической дивергенции, Adiv, дБ	расстояние = 682.86 м	ф-ла (7) [10]	**67,7**										
Коэффициент затухания звука в атмосфере α, дБ/км	Ta=20,°C Pa=101.33,кПа hотн.=70%	ф-ла (5) [9]	0,02	0,09	0,33	1,12	2,79	4,98	9,04	23,09	77,63		

1		2	3	4	5	6	7	8	9	10	11	12	13
Учет затухания звука в атмосфере Aatm, дБ		ф-ла (8) [10]	0	0,1	0,2	0,8	1,9	3,4	6,2	15,8	53		
Снижение уровня звукового давления из-за влияния застройки между источником шума и расчетной точкой													
Снижение уровня звукового давления на пути над экраном, Dz1, дБ	z = 0.10м (разность путей)	ф-лы (14-18) [10]	4,8	4,8	4,8	4,8	4,8	4,8	4,8	4,8	4,8		
Снижение уровня звукового давления на пути слева от экрана, Dz2, дБ	z = 7.79м (разность путей)	ф-лы (14-18) [10]	15	17,8	20,7	23,7	26,6	29,6	32,6	35,6	38,7		
Снижение уровня звукового давления на пути справа от экрана, Dz3, дБ	z = 0.48м (разность путей)	ф-лы (14-18) [10]	6,8	8,2	10	12,3	14,9	17,7	20,6	23,6	26,6		
Общее снижение уровня звука препятствием Dz, дБ		Эн.сумма(-Dzi)	2,4	3	3,6	4	4,3	4,5	4,7	4,7	4,8		
Уровни звукового давления от источника ИШ-6-3 в расчётной точке днём, дБ		**ф-ла(3)[10]**	**0**	**25,6**	**26,2**	**26,5**	**25,4**	**23,3**	**17,1**	**3,2**	**0**	**27,1**	**27,1**
Уровни звукового давления от источника ИШ-6-3 в расчётной точке ночью, дБ		**ф-ла(3)[10]**	**0**	**25,6**	**26,2**	**26,5**	**25,4**	**23,3**	**17,1**	**3,2**	**0**	**27,1**	**27,1**
Источник шума: ИШ-6-4, координаты источника (x,y,z), м =[833.23,113.30,1.00]													
Уровни звуковой мощности источника днём, Lw, дБ		**исходные данные**	**0**	**96,3**	**97,7**	**99**	**99,3**	**98,9**	**95,6**	**91,4**	**86,9**		
Уровни звуковой мощности источника ночью, Lw, дБ		**исходные данные**	**0**	**96,3**	**97,7**	**99**	**99,3**	**98,9**	**95,6**	**91,4**	**86,9**		
Поправка на телесный угол DΩ, дБ	Ω = 12.57	10Lg(4π/Ω)	**0**	0	0	0	0	0	0	0	0		
Показатель направленности источника Di, дБ		исходные данные	**0**	0	0	0	0	0	0	0	0		
Поправка на направленность источника Dc, дБ	Dc	DΩ + Di	**0**	0	0	0	0	0	0	0	0		
Затухание из-за геометрической дивергенции, Adiv, дБ	расстояние = 680.76 м	ф-ла (7) [10]	**67,7**										
Коэффициент затухания звука в атмосфере α, дБ/км	Ta=20,°C Pa=101.33,кПа hотн.=70%	ф-ла (5) [9]	0,02	0,09	0,33	1,12	2,79	4,98	9,04	23,09	77,63		

1		2	3	4	5	6	7	8	9	10	11	12	13
Учет затухания звука в атмосфере Aatm, дБ		ф-ла (8) [10]	0	0,1	0,2	0,8	1,9	3,4	6,2	15,7	52,8		
Снижение уровня звукового давления из-за влияния застройки между источником шума и расчетной точкой													
Снижение уровня звукового давления на пути над экраном, Dz1, дБ	z = 0.10м (разность путей)	ф-лы (14-18) [10]	4,8	4,8	4,8	4,8	4,8	4,8	4,8	4,8	4,8		
Снижение уровня звукового давления на пути слева от экрана, Dz2, дБ	z = 7.44м (разность путей)	ф-лы (14-18) [10]	14,9	17,6	20,5	23,5	26,4	29,4	32,4	35,4	38,5		
Снижение уровня звукового давления на пути справа от экрана, Dz3, дБ	z = 0.58м (разность путей)	ф-лы (14-18) [10]	7,1	8,6	10,6	13	15,7	18,6	21,5	24,4	27,4		
Общее снижение уровня звука препятствием Dz, дБ		Эн.сумма(-Dzi)	2,5	3,1	3,7	4,1	4,4	4,6	4,7	4,7	4,8		
Уровни звукового давления от источника ИШ-6-4 в расчётной точке днём, дБ		**ф-ла(3)[10]**	**0**	**25,4**	**26,1**	**26,4**	**25,3**	**23,3**	**17,1**	**3,3**	**0**	**27,1**	**27,1**
Уровни звукового давления от источника ИШ-6-4 в расчётной точке ночью, дБ		**ф-ла(3)[10]**	**0**	**25,4**	**26,1**	**26,4**	**25,3**	**23,3**	**17,1**	**3,3**	**0**	**27,1**	**27,1**
Источник шума: ИШ-6-5, координаты источника (x,y,z), м =[832.03,110.36,1.00]													
Уровни звуковой мощности источника днём, Lw, дБ		**исходные данные**	**0**	**96,3**	**97,7**	**99**	**99,3**	**98,9**	**95,6**	**91,4**	**86,9**		
Уровни звуковой мощности источника ночью, Lw, дБ		**исходные данные**	**0**	**96,3**	**97,7**	**99**	**99,3**	**98,9**	**95,6**	**91,4**	**86,9**		
Поправка на телесный угол DΩ, дБ	Ω = 12.57	10Lg(4π/Ω)	**0**	0	0	0	0	0	0	0	0		
Показатель направленности источника Di, дБ		исходные данные	**0**	0	0	0	0	0	0	0	0		
Поправка на направленность источника Dc, дБ	Dc	DΩ + Di	**0**	0	0	0	0	0	0	0	0		
Затухание из-за геометрической дивергенции, Adiv, дБ	расстояние = 678.37 м	ф-ла (7) [10]	**67,6**										
Коэффициент затухания звука в атмосфере α, дБ/км	Ta=20,°C Pa=101.33,кПа hотн.=70%	ф-ла (5) [9]	0,02	0,09	0,33	1,12	2,79	4,98	9,04	23,09	77,63		

1		2	3	4	5	6	7	8	9	10	11	12	13
Учет затухания звука в атмосфере Aatm, дБ		ф-ла (8) [10]	0	0,1	0,2	0,8	1,9	3,4	6,1	15,7	52,7		
Снижение уровня звукового давления из-за влияния застройки между источником шума и расчетной точкой													
Снижение уровня звукового давления на пути над экраном, Dz1, дБ	z = 0.10м (разность путей)	ф-лы (14-18) [10]	4,8	4,8	4,8	4,8	4,8	4,8	4,8	4,8	4,8		
Снижение уровня звукового давления на пути слева от экрана, Dz2, дБ	z = 7.14м (разность путей)	ф-лы (14-18) [10]	14,7	17,5	20,3	23,3	26,3	29,3	32,3	35,3	38,3		
Снижение уровня звукового давления на пути справа от экрана, Dz3, дБ	z = 0.68м (разность путей)	ф-лы (14-18) [10]	7,4	9,1	11,2	13,6	16,4	19,2	22,2	25,1	28,1		
Общее снижение уровня звука препятствием Dz, дБ		Эн.сумма(-Dzi)	2,6	3,2	3,8	4,2	4,5	4,6	4,7	4,7	4,8		
Уровни звукового давления от источника ИШ-6-5 в расчётной точке днём, дБ		**ф-ла(3)[10]**	**0**	**25,4**	**26,1**	**26,4**	**25,3**	**23,3**	**17,1**	**3,4**	**0**	**27,1**	**27,1**
Уровни звукового давления от источника ИШ-6-5 в расчётной точке ночью, дБ		**ф-ла(3)[10]**	**0**	**25,4**	**26,1**	**26,4**	**25,3**	**23,3**	**17,1**	**3,4**	**0**	**27,1**	**27,1**
Источник шума: ИШ-6-6, координаты источника (x,y,z), м =[830.97,107.42,1.00]													
Уровни звуковой мощности источника днём, Lw, дБ		**исходные данные**	**0**	**96,3**	**97,7**	**99**	**99,3**	**98,9**	**95,6**	**91,4**	**86,9**		
Уровни звуковой мощности источника ночью, Lw, дБ		**исходные данные**	**0**	**96,3**	**97,7**	**99**	**99,3**	**98,9**	**95,6**	**91,4**	**86,9**		
Поправка на телесный угол DΩ, дБ	Ω = 12.57	10Lg(4π/Ω)	**0**	0	0	0	0	0	0	0	0		
Показатель направленности источника Di, дБ		исходные данные	**0**	0	0	0	0	0	0	0	0		
Поправка на направленность источника Dc, дБ	Dc	DΩ + Di	**0**	0	0	0	0	0	0	0	0		
Затухание из-за геометрической дивергенции, Adiv, дБ	расстояние = 676.11 м	ф-ла (7) [10]	**67,6**										
Коэффициент затухания звука в атмосфере α, дБ/км	Ta=20,°C Pa=101.33,кПа hотн.=70%	ф-ла (5) [9]	0,02	0,09	0,33	1,12	2,79	4,98	9,04	23,09	77,63		

1		2	3	4	5	6	7	8	9	10	11	12	13
Учет затухания звука в атмосфере Aatm, дБ		ф-ла (8) [10]	0	0,1	0,2	0,8	1,9	3,4	6,1	15,6	52,5		
Снижение уровня звукового давления из-за влияния застройки между источником шума и расчетной точкой													
Снижение уровня звукового давления на пути над экраном, Dz1, дБ	z = 0.10м (разность путей)	ф-лы (14-18) [10]	4,8	4,8	4,8	4,8	4,8	4,8	4,8	4,8	4,8		
Снижение уровня звукового давления на пути слева от экрана, Dz2, дБ	z = 6.83м (разность путей)	ф-лы (14-18) [10]	14,5	17,3	20,1	23,1	26,1	29,1	32,1	35,1	38,1		
Снижение уровня звукового давления на пути справа от экрана, Dz3, дБ	z = 0.80м (разность путей)	ф-лы (14-18) [10]	7,7	9,5	11,7	14,2	17	19,9	22,8	25,8	28,8		
Общее снижение уровня звука препятствием Dz, дБ		Эн.сумма(-Dzi)	2,7	3,3	3,9	4,2	4,5	4,6	4,7	4,7	4,8		
Уровни звукового давления от источника ИШ-6-6 в расчётной точке днём, дБ		**ф-ла(3)[10]**	**0**	**25,3**	**26**	**26,4**	**25,3**	**23,3**	**17,2**	**3,4**	**0**	**27,1**	**27,1**
Уровни звукового давления от источника ИШ-6-6 в расчётной точке ночью, дБ		**ф-ла(3)[10]**	**0**	**25,3**	**26**	**26,4**	**25,3**	**23,3**	**17,2**	**3,4**	**0**	**27,1**	**27,1**
Источник шума: ИШ-6-7, координаты источника (x,y,z), м =[830.30,104.49,1.00]													
Уровни звуковой мощности источника днём, Lw, дБ		**исходные данные**	**0**	**96,3**	**97,7**	**99**	**99,3**	**98,9**	**95,6**	**91,4**	**86,9**		
Уровни звуковой мощности источника ночью, Lw, дБ		**исходные данные**	**0**	**96,3**	**97,7**	**99**	**99,3**	**98,9**	**95,6**	**91,4**	**86,9**		
Поправка на телесный угол DΩ, дБ	Ω = 12.57	10Lg(4π/Ω)	**0**	0	0	0	0	0	0	0	0		
Показатель направленности источника Di, дБ		исходные данные	**0**	0	0	0	0	0	0	0	0		
Поправка на направленность источника Dc, дБ	Dc	DΩ + Di	**0**	0	0	0	0	0	0	0	0		
Затухание из-за геометрической дивергенции, Adiv, дБ	расстояние = 674.21 м	ф-ла (7) [10]	**67,6**										
Коэффициент затухания звука в атмосфере α, дБ/км	Ta=20,°C Pa=101.33,кПа hотн.=70%	ф-ла (5) [9]	0,02	0,09	0,33	1,12	2,79	4,98	9,04	23,09	77,63		

1		2	3	4	5	6	7	8	9	10	11	12	13
Учет затухания звука в атмосфере Aatm, дБ		ф-ла (8) [10]	0	0,1	0,2	0,8	1,9	3,4	6,1	15,6	52,3		
Снижение уровня звукового давления из-за влияния застройки между источником шума и расчетной точкой													
Снижение уровня звукового давления на пути над экраном, Dz1, дБ	z = 0.10м (разность путей)	ф-лы (14-18) [10]	4,8	4,8	4,8	4,8	4,8	4,8	4,8	4,8	4,8		
Снижение уровня звукового давления на пути слева от экрана, Dz2, дБ	z = 6.49м (разность путей)	ф-лы (14-18) [10]	14,3	17,1	19,9	22,9	25,9	28,8	31,8	34,9	37,9		
Снижение уровня звукового давления на пути справа от экрана, Dz3, дБ	z = 0.93м (разность путей)	ф-лы (14-18) [10]	8,1	10	12,2	14,8	17,6	20,5	23,5	26,4	29,4		
Общее снижение уровня звука препятствием Dz, дБ		Эн.сумма(-Dzi)	2,8	3,4	3,9	4,3	4,5	4,6	4,7	4,8	4,8		
Уровни звукового давления от источника ИШ-6-7 в расчётной точке днём, дБ		**ф-ла(3)[10]**	**0**	**25,2**	**25,9**	**26,4**	**25,3**	**23,3**	**17,2**	**3,5**	**0**	**27,2**	**27,2**
Уровни звукового давления от источника ИШ-6-7 в расчётной точке ночью, дБ		**ф-ла(3)[10]**	**0**	**25,2**	**25,9**	**26,4**	**25,3**	**23,3**	**17,2**	**3,5**	**0**	**27,2**	**27,2**
Источник шума: ИШ-6-8, координаты источника (x,y,z), м =[829.36,101.42,1.00]													
Уровни звуковой мощности источника днём, Lw, дБ		**исходные данные**	**0**	**96,3**	**97,7**	**99**	**99,3**	**98,9**	**95,6**	**91,4**	**86,9**		
Уровни звуковой мощности источника ночью, Lw, дБ		**исходные данные**	**0**	**96,3**	**97,7**	**99**	**99,3**	**98,9**	**95,6**	**91,4**	**86,9**		
Поправка на телесный угол DΩ, дБ	Ω = 12.57	10Lg(4π/Ω)	**0**	0	0	0	0	0	0	0	0		
Показатель направленности источника Di, дБ		исходные данные	**0**	0	0	0	0	0	0	0	0		
Поправка на направленность источника Dc, дБ	Dc	DΩ + Di	**0**	0	0	0	0	0	0	0	0		
Затухание из-за геометрической дивергенции, Adiv, дБ	расстояние = 672.02 м	ф-ла (7) [10]	**67,5**										
Коэффициент затухания звука в атмосфере α, дБ/км	Ta=20,°C Pa=101.33,кПа hотн.=70%	ф-ла (5) [9]	0,02	0,09	0,33	1,12	2,79	4,98	9,04	23,09	77,63		

1		2	3	4	5	6	7	8	9	10	11	12	13
Учет затухания звука в атмосфере Aatm, дБ		ф-ла (8) [10]	0	0,1	0,2	0,8	1,9	3,3	6,1	15,5	52,2		
Снижение уровня звукового давления из-за влияния застройки между источником шума и расчетной точкой													
Снижение уровня звукового давления на пути над экраном, Dz1, дБ	z = 0.10м (разность путей)	ф-лы (14-18) [10]	4,8	4,8	4,8	4,8	4,8	4,8	4,8	4,8	4,8		
Снижение уровня звукового давления на пути слева от экрана, Dz2, дБ	z = 6.16м (разность путей)	ф-лы (14-18) [10]	14,1	16,9	19,7	22,7	25,6	28,6	31,6	34,6	37,6		
Снижение уровня звукового давления на пути справа от экрана, Dz3, дБ	z = 1.08м (разность путей)	ф-лы (14-18) [10]	8,4	10,4	12,7	15,4	18,2	21,1	24,1	27,1	30,1		
Общее снижение уровня звука препятствием Dz, дБ		Эн.сумма(-Dzi)	2,9	3,5	4	4,3	4,5	4,7	4,7	4,8	4,8		
Уровни звукового давления от источника ИШ-6-8 в расчётной точке днём, дБ		**ф-ла(3)[10]**	**0**	**25,2**	**25,9**	**26,3**	**25,3**	**23,3**	**17,3**	**3,6**	**0**	**27,2**	**27,2**
Уровни звукового давления от источника ИШ-6-8 в расчётной точке ночью, дБ		**ф-ла(3)[10]**	**0**	**25,2**	**25,9**	**26,3**	**25,3**	**23,3**	**17,3**	**3,6**	**0**	**27,2**	**27,2**
Источник шума: ИШ-6-9, координаты источника (x,y,z), м =[828.03,98.62,1.00]													
Уровни звуковой мощности источника днём, Lw, дБ		**исходные данные**	**0**	**96,3**	**97,7**	**99**	**99,3**	**98,9**	**95,6**	**91,4**	**86,9**		
Уровни звуковой мощности источника ночью, Lw, дБ		**исходные данные**	**0**	**96,3**	**97,7**	**99**	**99,3**	**98,9**	**95,6**	**91,4**	**86,9**		
Поправка на телесный угол DΩ, дБ	Ω = 12.57	10Lg(4π/Ω)	**0**	0	0	0	0	0	0	0	0		
Показатель направленности источника Di, дБ		исходные данные	**0**	0	0	0	0	0	0	0	0		
Поправка на направленность источника Dc, дБ	Dc	DΩ + Di	**0**	0	0	0	0	0	0	0	0		
Затухание из-за геометрической дивергенции, Adiv, дБ	расстояние = 669.60 м	ф-ла (7) [10]	**67,5**										
Коэффициент затухания звука в атмосфере α, дБ/км	Ta=20,°C Pa=101.33,кПа hотн.=70%	ф-ла (5) [9]	0,02	0,09	0,33	1,12	2,79	4,98	9,04	23,09	77,63		

1		2	3	4	5	6	7	8	9	10	11	12	13
Учет затухания звука в атмосфере Aatm, дБ		ф-ла (8) [10]	0	0,1	0,2	0,8	1,9	3,3	6,1	15,5	52		
Снижение уровня звукового давления из-за влияния застройки между источником шума и расчетной точкой													
Снижение уровня звукового давления на пути над экраном, Dz1, дБ	z = 0.10м (разность путей)	ф-лы (14-18) [10]	4,8	4,8	4,8	4,8	4,8	4,8	4,8	4,8	4,8		
Снижение уровня звукового давления на пути слева от экрана, Dz2, дБ	z = 5.90м (разность путей)	ф-лы (14-18) [10]	14	16,7	19,5	22,5	25,4	28,4	31,4	34,4	37,4		
Снижение уровня звукового давления на пути справа от экрана, Dz3, дБ	z = 1.21м (разность путей)	ф-лы (14-18) [10]	8,7	10,8	13,2	15,8	18,7	21,6	24,6	27,6	30,6		
Общее снижение уровня звука препятствием Dz, дБ		Эн.сумма(-Dzi)	2,9	3,6	4,1	4,4	4,6	4,7	4,7	4,8	4,8		
Уровни звукового давления от источника ИШ-6-9 в расчётной точке днём, дБ		**ф-ла(3)[10]**	**0**	**25,1**	**25,9**	**26,3**	**25,3**	**23,4**	**17,3**	**3,7**	**0**	**27,2**	**27,2**
Уровни звукового давления от источника ИШ-6-9 в расчётной точке ночью, дБ		**ф-ла(3)[10]**	**0**	**25,1**	**25,9**	**26,3**	**25,3**	**23,4**	**17,3**	**3,7**	**0**	**27,2**	**27,2**
Источник шума: ИШ-6-10, координаты источника (x,y,z), м =[827.23,95.55,1.00]													
Уровни звуковой мощности источника днём, Lw, дБ		**исходные данные**	**0**	**96,3**	**97,7**	**99**	**99,3**	**98,9**	**95,6**	**91,4**	**86,9**		
Уровни звуковой мощности источника ночью, Lw, дБ		**исходные данные**	**0**	**96,3**	**97,7**	**99**	**99,3**	**98,9**	**95,6**	**91,4**	**86,9**		
Поправка на телесный угол DΩ, дБ	Ω = 12.57	10Lg(4π/Ω)	**0**	0	0	0	0	0	0	0	0		
Показатель направленности источника Di, дБ		исходные данные	**0**	0	0	0	0	0	0	0	0		
Поправка на направленность источника Dc, дБ	Dc	DΩ + Di	**0**	0	0	0	0	0	0	0	0		
Затухание из-за геометрической дивергенции, Adiv, дБ	расстояние = 667.55 м	ф-ла (7) [10]	**67,5**										
Коэффициент затухания звука в атмосфере α, дБ/км	Ta=20,°C Pa=101.33,кПа hотн.=70%	ф-ла (5) [9]	0,02	0,09	0,33	1,12	2,79	4,98	9,04	23,09	77,63		

1		2	3	4	5	6	7	8	9	10	11	12	13
Учет затухания звука в атмосфере Aatm, дБ		ф-ла (8) [10]	0	0,1	0,2	0,8	1,9	3,3	6	15,4	51,8		
Снижение уровня звукового давления из-за влияния застройки между источником шума и расчетной точкой													
Снижение уровня звукового давления на пути над экраном, Dz1, дБ	z = 0.10м (разность путей)	ф-лы (14-18) [10]	4,8	4,8	4,8	4,8	4,8	4,8	4,8	4,8	4,8		
Снижение уровня звукового давления на пути слева от экрана, Dz2, дБ	z = 5.57м (разность путей)	ф-лы (14-18) [10]	13,7	16,5	19,3	22,2	25,2	28,2	31,2	34,2	37,2		
Снижение уровня звукового давления на пути справа от экрана, Dz3, дБ	z = 1.38м (разность путей)	ф-лы (14-18) [10]	9,1	11,2	13,7	16,4	19,2	22,2	25,1	28,1	31,1		
Общее снижение уровня звука препятствием Dz, дБ		Эн.сумма(-Dzi)	3	3,6	4,1	4,4	4,6	4,7	4,7	4,8	4,8		
Уровни звукового давления от источника ИШ-6-10 в расчётной точке днём, дБ		**ф-ла(3)[10]**	**0**	**25,1**	**25,9**	**26,3**	**25,4**	**23,4**	**17,3**	**3,7**	**0**	**27,2**	**27,2**
Уровни звукового давления от источника ИШ-6-10 в расчётной точке ночью, дБ		**ф-ла(3)[10]**	**0**	**25,1**	**25,9**	**26,3**	**25,4**	**23,4**	**17,3**	**3,7**	**0**	**27,2**	**27,2**
Источник шума: ИШ-6-11, координаты источника (x,y,z), м =[826.30,92.48,1.00]													
Уровни звуковой мощности источника днём, Lw, дБ		**исходные данные**	**0**	**96,3**	**97,7**	**99**	**99,3**	**98,9**	**95,6**	**91,4**	**86,9**		
Уровни звуковой мощности источника ночью, Lw, дБ		**исходные данные**	**0**	**96,3**	**97,7**	**99**	**99,3**	**98,9**	**95,6**	**91,4**	**86,9**		
Поправка на телесный угол DΩ, дБ	Ω = 12.57	10Lg(4π/Ω)	**0**	0	0	0	0	0	0	0	0		
Показатель направленности источника Di, дБ		исходные данные	**0**	0	0	0	0	0	0	0	0		
Поправка на направленность источника Dc, дБ	Dc	DΩ + Di	**0**	0	0	0	0	0	0	0	0		
Затухание из-за геометрической дивергенции, Adiv, дБ	расстояние = 665.38 м	ф-ла (7) [10]	**67,5**										
Коэффициент затухания звука в атмосфере α, дБ/км	Ta=20,°C Pa=101.33,кПа hотн.=70%	ф-ла (5) [9]	0,02	0,09	0,33	1,12	2,79	4,98	9,04	23,09	77,63		

1		2	3	4	5	6	7	8	9	10	11	12	13
Учет затухания звука в атмосфере Aatm, дБ		ф-ла (8) [10]	0	0,1	0,2	0,7	1,9	3,3	6	15,4	51,7		
Снижение уровня звукового давления из-за влияния застройки между источником шума и расчетной точкой													
Снижение уровня звукового давления на пути над экраном, Dz1, дБ	z = 0.10м (разность путей)	ф-лы (14-18) [10]	4,8	4,8	4,8	4,8	4,8	4,8	4,8	4,8	4,8		
Снижение уровня звукового давления на пути слева от экрана, Dz2, дБ	z = 5.26м (разность путей)	ф-лы (14-18) [10]	13,5	16,2	19	22	24,9	27,9	30,9	33,9	36,9		
Снижение уровня звукового давления на пути справа от экрана, Dz3, дБ	z = 1.56м (разность путей)	ф-лы (14-18) [10]	9,4	11,6	14,1	16,9	19,8	22,7	25,7	28,7	31,7		
Общее снижение уровня звука препятствием Dz, дБ		Эн.сумма(-Dzi)	3,1	3,7	4,2	4,4	4,6	4,7	4,7	4,8	4,8		
Уровни звукового давления от источника ИШ-6-11 в расчётной точке днём, дБ		**ф-ла(3)[10]**	**0**	**25,1**	**25,9**	**26,3**	**25,4**	**23,4**	**17,4**	**3,8**	**0**	**27,2**	**27,2**
Уровни звукового давления от источника ИШ-6-11 в расчётной точке ночью, дБ		**ф-ла(3)[10]**	**0**	**25,1**	**25,9**	**26,3**	**25,4**	**23,4**	**17,4**	**3,8**	**0**	**27,2**	**27,2**
Источник шума: ИШ-6-12, координаты источника (x,y,z), м =[825.09,89.54,1.00]													
Уровни звуковой мощности источника днём, Lw, дБ		**исходные данные**	**0**	**96,3**	**97,7**	**99**	**99,3**	**98,9**	**95,6**	**91,4**	**86,9**		
Уровни звуковой мощности источника ночью, Lw, дБ		**исходные данные**	**0**	**96,3**	**97,7**	**99**	**99,3**	**98,9**	**95,6**	**91,4**	**86,9**		
Поправка на телесный угол DΩ, дБ	Ω = 12.57	10Lg(4π/Ω)	**0**	0	0	0	0	0	0	0	0		
Показатель направленности источника Di, дБ		исходные данные	**0**	0	0	0	0	0	0	0	0		
Поправка на направленность источника Dc, дБ	Dc	DΩ + Di	**0**	0	0	0	0	0	0	0	0		
Затухание из-за геометрической дивергенции, Adiv, дБ	расстояние = 663.04 м	ф-ла (7) [10]	**67,4**										
Коэффициент затухания звука в атмосфере α, дБ/км	Ta=20,°C Pa=101.33,кПа hотн.=70%	ф-ла (5) [9]	0,02	0,09	0,33	1,12	2,79	4,98	9,04	23,09	77,63		

1		2	3	4	5	6	7	8	9	10	11	12	13
Учет затухания звука в атмосфере Aatm, дБ		ф-ла (8) [10]	0	0,1	0,2	0,7	1,9	3,3	6	15,3	51,5		
Снижение уровня звукового давления из-за влияния застройки между источником шума и расчетной точкой													
Снижение уровня звукового давления на пути над экраном, Dz1, дБ	z = 0.14м (разность путей)	ф-лы (14-18) [10]	4,8	4,8	4,8	4,8	4,8	4,8	4,8	4,8	4,9		
Снижение уровня звукового давления на пути слева от экрана, Dz2, дБ	z = 4.98м (разность путей)	ф-лы (14-18) [10]	13,3	16	18,8	21,7	24,7	27,7	30,7	33,7	36,7		
Снижение уровня звукового давления на пути справа от экрана, Dz3, дБ	z = 1.73м (разность путей)	ф-лы (14-18) [10]	9,7	12	14,5	17,3	20,2	23,2	26,1	29,1	32,1		
Общее снижение уровня звука препятствием Dz, дБ		Эн.сумма(-Dzi)	3,1	3,8	4,2	4,5	4,6	4,7	4,7	4,8	4,9		
Уровни звукового давления от источника ИШ-6-12 в расчётной точке днём, дБ		**ф-ла(3)[10]**	**0**	**25**	**25,9**	**26,4**	**25,4**	**23,5**	**17,4**	**3,9**	**0**	**27,3**	**27,3**
Уровни звукового давления от источника ИШ-6-12 в расчётной точке ночью, дБ		**ф-ла(3)[10]**	**0**	**25**	**25,9**	**26,4**	**25,4**	**23,5**	**17,4**	**3,9**	**0**	**27,3**	**27,3**
Источник шума: ИШ-6-13, координаты источника (x,y,z), м =[767.76,-114.15,1.00]													
Уровни звуковой мощности источника днём, Lw, дБ		**исходные данные**	**0**	**96,3**	**97,7**	**99**	**99,3**	**98,9**	**95,6**	**91,4**	**86,9**		
Уровни звуковой мощности источника ночью, Lw, дБ		**исходные данные**	**0**	**96,3**	**97,7**	**99**	**99,3**	**98,9**	**95,6**	**91,4**	**86,9**		
Поправка на телесный угол DΩ, дБ	Ω = 12.57	10Lg(4π/Ω)	**0**	0	0	0	0	0	0	0	0		
Показатель направленности источника Di, дБ		исходные данные	**0**	0	0	0	0	0	0	0	0		
Поправка на направленность источника Dc, дБ	Dc	DΩ + Di	**0**	0	0	0	0	0	0	0	0		
Затухание из-за геометрической дивергенции, Adiv, дБ	расстояние = 548.25 м	ф-ла (7) [10]	**65,8**										
Коэффициент затухания звука в атмосфере α, дБ/км	Ta=20,°C Pa=101.33,кПа hотн.=70%	ф-ла (5) [9]	0,02	0,09	0,33	1,12	2,79	4,98	9,04	23,09	77,63		

1		2	3	4	5	6	7	8	9	10	11	12	13
Учет затухания звука в атмосфере Aatm, дБ		ф-ла (8) [10]	0	0	0,2	0,6	1,5	2,7	5	12,7	42,6		
Снижение поверхностью земли возле источника As, дБ	Gs = 0 hs = 1м	ф-лы таб.3 [10]	-1,5	-1,5	-1,5	-1,5	-1,5	-1,5	-1,5	-1,5	-1,5		
Снижение поверхностью земли возле приёмника Ar, дБ	Gr = 1 hr = 1.6м	ф-лы таб.3 [10]	-1,5	-1,5	3,3	6,8	4,3	0,5	0	0	0		
Снижение поверхностью земли в средней зоне, Am дБ	Gm = 1	ф-лы таб.3 [10]	-2,6	-2,6	0	0	0	0	0	0	0		
Суммарное снижение поверхностью земли на траектории распространения звука Agr, дБ		ф-ла (9) [10]	-5,6	-5,6	1,8	5,3	2,8	-1	-1,5	-1,5	-1,5		
Уровни звукового давления прямого звука от источника ИШ-6-13 в расчётной точке днём, дБ		**ф-ла(3)[10]**	**0**	**36**	**29,9**	**27,3**	**29,2**	**31,4**	**26,4**	**14,5**	**0**	**33,9**	**33,9**
Уровни звукового давления прямого звука от источника ИШ-6-13 в расчётной точке ночью, дБ		**ф-ла(3)[10]**	**0**	**36**	**29,9**	**27,3**	**29,2**	**31,4**	**26,4**	**14,5**	**0**	**33,9**	**33,9**
Расчёт отражённого звука													
Уровни звукового давления от мнимого источника ИШ-6-13_мн.(1) в расчётной точке днём, дБ		**ф-ла(3)[10]**	**0**	**0**	**24**	**16,9**	**17,8**	**26,8**	**23,8**	**11,9**	**0**	**29,4**	**29,4**
Уровни звукового давления от мнимого источника ИШ-6-13_мн.(1) в расчётной точке ночью, дБ		**ф-ла(3)[10]**	**0**	**0**	**0**	**0**	**0**	**0**	**0**	**0**	**0**	**29,4**	**29,4**
Уровни звукового давления от источника ИШ-6-13 в расчётной точке днём, дБ		**ф-ла(3)[10]**	**0**	**36**	**30,9**	**27,6**	**29,5**	**32,7**	**28,3**	**16,4**	**0**	**35,2**	**35,2**
Уровни звукового давления от источника ИШ-6-13 в расчётной точке ночью, дБ		**ф-ла(3)[10]**	**0**	**36**	**30,9**	**27,6**	**29,5**	**32,7**	**28,3**	**16,4**	**0**	**35,2**	**35,2**
Источник шума: ИШ-6-14, координаты источника (x,y,z), м =[766.82,-117.10,1.00]													
Уровни звуковой мощности источника днём, Lw, дБ		**исходные данные**	**0**	**96,3**	**97,7**	**99**	**99,3**	**98,9**	**95,6**	**91,4**	**86,9**		
Уровни звуковой мощности источника ночью, Lw, дБ		**исходные данные**	**0**	**96,3**	**97,7**	**99**	**99,3**	**98,9**	**95,6**	**91,4**	**86,9**		
Поправка на телесный угол DΩ, дБ	Ω = 12.57	10Lg(4π/Ω)	**0**	0	0	0	0	0	0	0	0		
Показатель направленности источника Di, дБ		исходные данные	**0**	0	0	0	0	0	0	0	0		

1		2	3	4	5	6	7	8	9	10	11	12	13
Поправка на направленность источника Dc, дБ	Dc	DΩ + Di	**0**	0	0	0	0	0	0	0	0		
Затухание из-за геометрической дивергенции, Adiv, дБ	расстояние = 546.90 м	ф-ла (7) [10]	**65,8**										
Коэффициент затухания звука в атмосфере α, дБ/км	Ta=20,°C Pa=101.33,кПа hотн.=70%	ф-ла (5) [9]	0,02	0,09	0,33	1,12	2,79	4,98	9,04	23,09	77,63		
Учет затухания звука в атмосфере Aatm, дБ		ф-ла (8) [10]	0	0	0,2	0,6	1,5	2,7	4,9	12,6	42,5		
Снижение поверхностью земли возле источника As, дБ	Gs = 0 hs = 1м	ф-лы таб.3 [10]	-1,5	-1,5	-1,5	-1,5	-1,5	-1,5	-1,5	-1,5	-1,5		
Снижение поверхностью земли возле приёмника Ar, дБ	Gr = 1 hr = 1.6м	ф-лы таб.3 [10]	-1,5	-1,5	3,3	6,8	4,3	0,5	0	0	0		
Снижение поверхностью земли в средней зоне, Am дБ	Gm = 1	ф-лы таб.3 [10]	-2,6	-2,6	0	0	0	0	0	0	0		
Суммарное снижение поверхностью земли на траектории распространения звука Agr, дБ		ф-ла (9) [10]	-5,6	-5,6	1,8	5,3	2,8	-1	-1,5	-1,5	-1,5		
Уровни звукового давления прямого звука от источника ИШ-6-14 в расчётной точке днём, дБ		**ф-ла(3)[10]**	**0**	**36,1**	**29,9**	**27,3**	**29,2**	**31,4**	**26,4**	**14,5**	**0**	**34**	**34**
Уровни звукового давления прямого звука от источника ИШ-6-14 в расчётной точке ночью, дБ		**ф-ла(3)[10]**	**0**	**36,1**	**29,9**	**27,3**	**29,2**	**31,4**	**26,4**	**14,5**	**0**	**34**	**34**
Расчёт отражённого звука													
Уровни звукового давления от мнимого источника ИШ-6-14_мн.(1) в расчётной точке днём, дБ		**ф-ла(3)[10]**	**0**	**0**	**24**	**16,9**	**17,9**	**26,9**	**23,9**	**12**	**0**	**29,4**	**29,4**
Уровни звукового давления от мнимого источника ИШ-6-14_мн.(1) в расчётной точке ночью, дБ		**ф-ла(3)[10]**	**0**	**0**	**0**	**0**	**0**	**0**	**0**	**0**	**0**	**29,4**	**29,4**
Уровни звукового давления от источника ИШ-6-14 в расчётной точке днём, дБ		**ф-ла(3)[10]**	**0**	**36,1**	**30,9**	**27,7**	**29,5**	**32,7**	**28,3**	**16,4**	**0**	**35,3**	**35,3**
Уровни звукового давления от источника ИШ-6-14 в расчётной точке ночью, дБ		**ф-ла(3)[10]**	**0**	**36,1**	**30,9**	**27,7**	**29,5**	**32,7**	**28,3**	**16,4**	**0**	**35,3**	**35,3**
Источник шума: ИШ-6-15, координаты источника (x,y,z), м =[765.71,-120.27,1.00]													

1		2	3	4	5	6	7	8	9	10	11	12	13
Уровни звуковой мощности источника днём, Lw, дБ		**исходные данные**	**0**	**96,3**	**97,7**	**99**	**99,3**	**98,9**	**95,6**	**91,4**	**86,9**		
Уровни звуковой мощности источника ночью, Lw, дБ		**исходные данные**	**0**	**96,3**	**97,7**	**99**	**99,3**	**98,9**	**95,6**	**91,4**	**86,9**		
Поправка на телесный угол DΩ, дБ	Ω = 12.57	10Lg(4π/Ω)	**0**	0	0	0	0	0	0	0	0		
Показатель направленности источника Di, дБ		исходные данные	**0**	0	0	0	0	0	0	0	0		
Поправка на направленность источника Dc, дБ	Dc	DΩ + Di	**0**	0	0	0	0	0	0	0	0		
Затухание из-за геометрической дивергенции, Adiv, дБ	расстояние = 545.38 м	ф-ла (7) [10]	**65,7**										
Коэффициент затухания звука в атмосфере α, дБ/км	Ta=20,°C Pa=101.33,кПа hотн.=70%	ф-ла (5) [9]	0,02	0,09	0,33	1,12	2,79	4,98	9,04	23,09	77,63		
Учет затухания звука в атмосфере Aatm, дБ		ф-ла (8) [10]	0	0	0,2	0,6	1,5	2,7	4,9	12,6	42,3		
Снижение поверхностью земли возле источника As, дБ	Gs = 0 hs = 1м	ф-лы таб.3 [10]	-1,5	-1,5	-1,5	-1,5	-1,5	-1,5	-1,5	-1,5	-1,5		
Снижение поверхностью земли возле приёмника Ar, дБ	Gr = 1 hr = 1.6м	ф-лы таб.3 [10]	-1,5	-1,5	3,3	6,8	4,3	0,5	0	0	0		
Снижение поверхностью земли в средней зоне, Am дБ	Gm = 1	ф-лы таб.3 [10]	-2,6	-2,6	0	0	0	0	0	0	0		
Суммарное снижение поверхностью земли на траектории распространения звука Agr, дБ		ф-ла (9) [10]	-5,6	-5,6	1,8	5,3	2,8	-1	-1,5	-1,5	-1,5		
Уровни звукового давления прямого звука от источника ИШ-6-15 в расчётной точке днём, дБ		**ф-ла(3)[10]**	**0**	**36,1**	**30**	**27,3**	**29,2**	**31,4**	**26,4**	**14,6**	**0**	**34**	**34**
Уровни звукового давления прямого звука от источника ИШ-6-15 в расчётной точке ночью, дБ		**ф-ла(3)[10]**	**0**	**36,1**	**30**	**27,3**	**29,2**	**31,4**	**26,4**	**14,6**	**0**	**34**	**34**
Расчёт отражённого звука													
Уровни звукового давления от мнимого источника ИШ-6-15_мн.(1) в расчётной точке днём, дБ		**ф-ла(3)[10]**	**0**	**0**	**24,1**	**17**	**17,9**	**26,9**	**23,9**	**12**	**0**	**29,4**	**29,4**
Уровни звукового давления от мнимого источника ИШ-6-15_мн.(1) в расчётной точке ночью, дБ		**ф-ла(3)[10]**	**0**	**0**	**0**	**0**	**0**	**0**	**0**	**0**	**0**	**29,4**	**29,4**

1		2	3	4	5	6	7	8	9	10	11	12	13
Уровни звукового давления от источника ИШ-6-15 в расчётной точке днём, дБ		**ф-ла(3)[10]**	**0**	**36,1**	**31**	**27,7**	**29,5**	**32,8**	**28,4**	**16,5**	**0**	**35,3**	**35,3**
Уровни звукового давления от источника ИШ-6-15 в расчётной точке ночью, дБ		**ф-ла(3)[10]**	**0**	**36,1**	**31**	**27,7**	**29,5**	**32,8**	**28,4**	**16,5**	**0**	**35,3**	**35,3**
Источник шума: ИШ-6-16, координаты источника (x,y,z), м =[764.57,-123.22,1.00]													
Уровни звуковой мощности источника днём, Lw, дБ		**исходные данные**	**0**	**96,3**	**97,7**	**99**	**99,3**	**98,9**	**95,6**	**91,4**	**86,9**		
Уровни звуковой мощности источника ночью, Lw, дБ		**исходные данные**	**0**	**96,3**	**97,7**	**99**	**99,3**	**98,9**	**95,6**	**91,4**	**86,9**		
Поправка на телесный угол DΩ, дБ	Ω = 12.57	10Lg(4π/Ω)	**0**	0	0	0	0	0	0	0	0		
Показатель направленности источника Di, дБ		исходные данные	**0**	0	0	0	0	0	0	0	0		
Поправка на направленность источника Dc, дБ	Dc	DΩ + Di	**0**	0	0	0	0	0	0	0	0		
Затухание из-за геометрической дивергенции, Adiv, дБ	расстояние = 543.86 м	ф-ла (7) [10]	**65,7**										
Коэффициент затухания звука в атмосфере α, дБ/км	Ta=20,°C Pa=101.33,кПа hотн.=70%	ф-ла (5) [9]	0,02	0,09	0,33	1,12	2,79	4,98	9,04	23,09	77,63		
Учет затухания звука в атмосфере Aatm, дБ		ф-ла (8) [10]	0	0	0,2	0,6	1,5	2,7	4,9	12,6	42,2		
Снижение поверхностью земли возле источника As, дБ	Gs = 0 hs = 1м	ф-лы таб.3 [10]	-1,5	-1,5	-1,5	-1,5	-1,5	-1,5	-1,5	-1,5	-1,5		
Снижение поверхностью земли возле приёмника Ar, дБ	Gr = 1 hr = 1.6м	ф-лы таб.3 [10]	-1,5	-1,5	3,3	6,8	4,3	0,5	0	0	0		
Снижение поверхностью земли в средней зоне, Am дБ	Gm = 1	ф-лы таб.3 [10]	-2,6	-2,6	0	0	0	0	0	0	0		
Суммарное снижение поверхностью земли на траектории распространения звука Agr, дБ		ф-ла (9) [10]	-5,6	-5,6	1,8	5,3	2,8	-1	-1,5	-1,5	-1,5		
Уровни звукового давления прямого звука от источника ИШ-6-16 в расчётной точке днём, дБ		**ф-ла(3)[10]**	**0**	**36,1**	**30**	**27,3**	**29,3**	**31,5**	**26,5**	**14,6**	**0**	**34**	**34**

1		2	3	4	5	6	7	8	9	10	11	12	13
Уровни звукового давления прямого звука от источника ИШ-6-16 в расчётной точке ночью, дБ		**ф-ла(3)[10]**	**0**	**36,1**	**30**	**27,3**	**29,3**	**31,5**	**26,5**	**14,6**	**0**	**34**	**34**
Расчёт отражённого звука													
Уровни звукового давления от мнимого источника ИШ-6-16_мн.(1) в расчётной точке днём, дБ		**ф-ла(3)[10]**	**0**	**0**	**24,1**	**17**	**17,9**	**26,9**	**24**	**12,1**	**0**	**29,5**	**29,5**
Уровни звукового давления от мнимого источника ИШ-6-16_мн.(1) в расчётной точке ночью, дБ		**ф-ла(3)[10]**	**0**	**0**	**0**	**0**	**0**	**0**	**0**	**0**	**0**	**29,5**	**29,5**
Уровни звукового давления от источника ИШ-6-16 в расчётной точке днём, дБ		**ф-ла(3)[10]**	**0**	**36,1**	**31**	**27,7**	**29,6**	**32,8**	**28,4**	**16,6**	**0**	**35,3**	**35,3**
Уровни звукового давления от источника ИШ-6-16 в расчётной точке ночью, дБ		**ф-ла(3)[10]**	**0**	**36,1**	**31**	**27,7**	**29,6**	**32,8**	**28,4**	**16,6**	**0**	**35,3**	**35,3**
Источник шума: ИШ-6-17, координаты источника (x,y,z), м =[763.57,-126.18,1.00]													
Уровни звуковой мощности источника днём, Lw, дБ		**исходные данные**	**0**	**96,3**	**97,7**	**99**	**99,3**	**98,9**	**95,6**	**91,4**	**86,9**		
Уровни звуковой мощности источника ночью, Lw, дБ		**исходные данные**	**0**	**96,3**	**97,7**	**99**	**99,3**	**98,9**	**95,6**	**91,4**	**86,9**		
Поправка на телесный угол DΩ, дБ	Ω = 12.57	10Lg(4π/Ω)	**0**	0	0	0	0	0	0	0	0		
Показатель направленности источника Di, дБ		исходные данные	**0**	0	0	0	0	0	0	0	0		
Поправка на направленность источника Dc, дБ	Dc	DΩ + Di	**0**	0	0	0	0	0	0	0	0		
Затухание из-за геометрической дивергенции, Adiv, дБ	расстояние = 542.50 м	ф-ла (7) [10]	**65,7**										
Коэффициент затухания звука в атмосфере α, дБ/км	Ta=20,°C Pa=101.33,кПа hотн.=70%	ф-ла (5) [9]	0,02	0,09	0,33	1,12	2,79	4,98	9,04	23,09	77,63		
Учет затухания звука в атмосфере Aatm, дБ		ф-ла (8) [10]	0	0	0,2	0,6	1,5	2,7	4,9	12,5	42,1		
Снижение поверхностью земли возле источника As, дБ	Gs = 0 hs = 1м	ф-лы таб.3 [10]	-1,5	-1,5	-1,5	-1,5	-1,5	-1,5	-1,5	-1,5	-1,5		

1		2	3	4	5	6	7	8	9	10	11	12	13
Снижение поверхностью земли возле приёмника Ar, дБ	Gr = 1 hr = 1.6м	ф-лы таб.3 [10]	-1,5	-1,5	3,3	6,8	4,3	0,5	0	0	0		
Снижение поверхностью земли в средней зоне, Am дБ	Gm = 1	ф-лы таб.3 [10]	-2,6	-2,6	0	0	0	0	0	0	0		
Суммарное снижение поверхностью земли на траектории распространения звука Agr, дБ		ф-ла (9) [10]	-5,6	-5,6	1,8	5,3	2,8	-1	-1,5	-1,5	-1,5		
Уровни звукового давления прямого звука от источника ИШ-6-17 в расчётной точке днём, дБ		**ф-ла(3)[10]**	**0**	**36,1**	**30**	**27,4**	**29,3**	**31,5**	**26,5**	**14,7**	**0**	**34,1**	**34,1**
Уровни звукового давления прямого звука от источника ИШ-6-17 в расчётной точке ночью, дБ		**ф-ла(3)[10]**	**0**	**36,1**	**30**	**27,4**	**29,3**	**31,5**	**26,5**	**14,7**	**0**	**34,1**	**34,1**
Расчёт отражённого звука													
Уровни звукового давления от мнимого источника ИШ-6-17_мн.(1) в расчётной точке днём, дБ		**ф-ла(3)[10]**	**0**	**0**	**24,1**	**17**	**17,9**	**27**	**24**	**12,1**	**0**	**29,5**	**29,5**
Уровни звукового давления от мнимого источника ИШ-6-17_мн.(1) в расчётной точке ночью, дБ		**ф-ла(3)[10]**	**0**	**0**	**0**	**0**	**0**	**0**	**0**	**0**	**0**	**29,5**	**29,5**
Уровни звукового давления от источника ИШ-6-17 в расчётной точке днём, дБ		**ф-ла(3)[10]**	**0**	**36,1**	**31**	**27,7**	**29,6**	**32,8**	**28,4**	**16,6**	**0**	**35,4**	**35,4**
Уровни звукового давления от источника ИШ-6-17 в расчётной точке ночью, дБ		**ф-ла(3)[10]**	**0**	**36,1**	**31**	**27,7**	**29,6**	**32,8**	**28,4**	**16,6**	**0**	**35,4**	**35,4**
Источник шума: ИШ-6-18, координаты источника (x,y,z), м =[804.77,-126.28,1.00]													
Уровни звуковой мощности источника днём, Lw, дБ		**исходные данные**	**0**	**96,3**	**97,7**	**99**	**99,3**	**98,9**	**95,6**	**91,4**	**86,9**		
Уровни звуковой мощности источника ночью, Lw, дБ		**исходные данные**	**0**	**96,3**	**97,7**	**99**	**99,3**	**98,9**	**95,6**	**91,4**	**86,9**		
Поправка на телесный угол DΩ, дБ	Ω = 12.57	10Lg(4π/Ω)	**0**	0	0	0	0	0	0	0	0		
Показатель направленности источника Di, дБ		исходные данные	**0**	0	0	0	0	0	0	0	0		
Поправка на направленность источника Dc, дБ	Dc	DΩ + Di	**0**	0	0	0	0	0	0	0	0		
Затухание из-за геометрической дивергенции, Adiv, дБ	расстояние = 583.40 м	ф-ла (7) [10]	**66,3**										

1		2	3	4	5	6	7	8	9	10	11	12	13
Коэффициент затухания звука в атмосфере α, дБ/км	Ta=20,°C Pa=101.33,кПа hотн.=70%	ф-ла (5) [9]	0,02	0,09	0,33	1,12	2,79	4,98	9,04	23,09	77,63		
Учет затухания звука в атмосфере Aatm, дБ		ф-ла (8) [10]	0	0,1	0,2	0,7	1,6	2,9	5,3	13,5	45,3		
Снижение поверхностью земли возле источника As, дБ	Gs = 0 hs = 1м	ф-лы таб.3 [10]	-1,5	-1,5	-1,5	-1,5	-1,5	-1,5	-1,5	-1,5	-1,5		
Снижение поверхностью земли возле приёмника Ar, дБ	Gr = 1 hr = 1.6м	ф-лы таб.3 [10]	-1,5	-1,5	3,5	6,8	4,3	0,5	0	0	0		
Снижение поверхностью земли в средней зоне, Am дБ	Gm = 1	ф-лы таб.3 [10]	-2,6	-2,6	0	0	0	0	0	0	0		
Суммарное снижение поверхностью земли на траектории распространения звука Agr, дБ		ф-ла (9) [10]	-5,6	-5,6	2	5,3	2,8	-1	-1,5	-1,5	-1,5		
Уровни звукового давления прямого звука от источника ИШ-6-18 в расчётной точке днём, дБ		**ф-ла(3)[10]**	**0**	**35,5**	**29,1**	**26,7**	**28,5**	**30,7**	**25,5**	**13,1**	**0**	**33,2**	**33,2**
Уровни звукового давления прямого звука от источника ИШ-6-18 в расчётной точке ночью, дБ		**ф-ла(3)[10]**	**0**	**35,5**	**29,1**	**26,7**	**28,5**	**30,7**	**25,5**	**13,1**	**0**	**33,2**	**33,2**
Расчёт отражённого звука													
Уровни звукового давления от мнимого источника ИШ-6-18_мн.(1) в расчётной точке днём, дБ		**ф-ла(3)[10]**	**0**	**0**	**23**	**16,3**	**17,2**	**26,1**	**23**	**10,6**	**0**	**28,6**	**28,6**
Уровни звукового давления от мнимого источника ИШ-6-18_мн.(1) в расчётной точке ночью, дБ		**ф-ла(3)[10]**	**0**	**0**	**0**	**0**	**0**	**0**	**0**	**0**	**0**	**28,6**	**28,6**
Уровни звукового давления от источника ИШ-6-18 в расчётной точке днём, дБ		**ф-ла(3)[10]**	**0**	**35,5**	**30,1**	**27,1**	**28,8**	**32**	**27,4**	**15**	**0**	**34,5**	**34,5**
Уровни звукового давления от источника ИШ-6-18 в расчётной точке ночью, дБ		**ф-ла(3)[10]**	**0**	**35,5**	**30,1**	**27,1**	**28,8**	**32**	**27,4**	**15**	**0**	**34,5**	**34,5**
Источник шума: ИШ-6-19, координаты источника (x,y,z), м =[803.81,-129.30,1.00]													
Уровни звуковой мощности источника днём, Lw, дБ		**исходные данные**	**0**	**96,3**	**97,7**	**99**	**99,3**	**98,9**	**95,6**	**91,4**	**86,9**		
Уровни звуковой мощности источника ночью, Lw, дБ		**исходные данные**	**0**	**96,3**	**97,7**	**99**	**99,3**	**98,9**	**95,6**	**91,4**	**86,9**		

1		2	3	4	5	6	7	8	9	10	11	12	13
Поправка на телесный угол DΩ, дБ	Ω = 12.57	10Lg(4π/Ω)	**0**	0	0	0	0	0	0	0	0		
Показатель направленности источника Di, дБ		исходные данные	**0**	0	0	0	0	0	0	0	0		
Поправка на направленность источника Dc, дБ	Dc	DΩ + Di	**0**	0	0	0	0	0	0	0	0		
Затухание из-за геометрической дивергенции, Adiv, дБ	расстояние = 582.11 м	ф-ла (7) [10]	**66,3**										
Коэффициент затухания звука в атмосфере α, дБ/км	Ta=20,°C Pa=101.33,кПа hотн.=70%	ф-ла (5) [9]	0,02	0,09	0,33	1,12	2,79	4,98	9,04	23,09	77,63		
Учет затухания звука в атмосфере Aatm, дБ		ф-ла (8) [10]	0	0,1	0,2	0,7	1,6	2,9	5,3	13,4	45,2		
Снижение поверхностью земли возле источника As, дБ	Gs = 0 hs = 1м	ф-лы таб.3 [10]	-1,5	-1,5	-1,5	-1,5	-1,5	-1,5	-1,5	-1,5	-1,5		
Снижение поверхностью земли возле приёмника Ar, дБ	Gr = 1 hr = 1.6м	ф-лы таб.3 [10]	-1,5	-1,5	3,5	6,8	4,3	0,5	0	0	0		
Снижение поверхностью земли в средней зоне, Am дБ	Gm = 1	ф-лы таб.3 [10]	-2,6	-2,6	0	0	0	0	0	0	0		
Суммарное снижение поверхностью земли на траектории распространения звука Agr, дБ		ф-ла (9) [10]	-5,6	-5,6	2	5,3	2,8	-1	-1,5	-1,5	-1,5		
Уровни звукового давления прямого звука от источника ИШ-6-19 в расчётной точке днём, дБ		**ф-ла(3)[10]**	**0**	**35,5**	**29,2**	**26,7**	**28,6**	**30,7**	**25,5**	**13,2**	**0**	**33,2**	**33,2**
Уровни звукового давления прямого звука от источника ИШ-6-19 в расчётной точке ночью, дБ		**ф-ла(3)[10]**	**0**	**35,5**	**29,2**	**26,7**	**28,6**	**30,7**	**25,5**	**13,2**	**0**	**33,2**	**33,2**
Расчёт отражённого звука													
Уровни звукового давления от мнимого источника ИШ-6-19_мн.(1) в расчётной точке днём, дБ		**ф-ла(3)[10]**	**0**	**0**	**23**	**16,4**	**17,2**	**26,2**	**23**	**10,6**	**0**	**28,6**	**28,6**
Уровни звукового давления от мнимого источника ИШ-6-19_мн.(1) в расчётной точке ночью, дБ		**ф-ла(3)[10]**	**0**	**0**	**0**	**0**	**0**	**0**	**0**	**0**	**0**	**28,6**	**28,6**
Уровни звукового давления от источника ИШ-6-19 в расчётной точке днём, дБ		**ф-ла(3)[10]**	**0**	**35,5**	**30,1**	**27,1**	**28,9**	**32**	**27,5**	**15,1**	**0**	**34,5**	**34,5**
Уровни звукового давления от источника ИШ-6-19 в расчётной точке ночью, дБ		**ф-ла(3)[10]**	**0**	**35,5**	**30,1**	**27,1**	**28,9**	**32**	**27,5**	**15,1**	**0**	**34,5**	**34,5**

1		2	3	4	5	6	7	8	9	10	11	12	13
Источник шума: ИШ-6-20, координаты источника (x,y,z), м =[802.67,-132.35,1.00]													
Уровни звуковой мощности источника днём, Lw, дБ		**исходные данные**	**0**	**96,3**	**97,7**	**99**	**99,3**	**98,9**	**95,6**	**91,4**	**86,9**		
Уровни звуковой мощности источника ночью, Lw, дБ		**исходные данные**	**0**	**96,3**	**97,7**	**99**	**99,3**	**98,9**	**95,6**	**91,4**	**86,9**		
Поправка на телесный угол DΩ, дБ	Ω = 12.57	10Lg(4π/Ω)	**0**	0	0	0	0	0	0	0	0		
Показатель направленности источника Di, дБ		исходные данные	**0**	0	0	0	0	0	0	0	0		
Поправка на направленность источника Dc, дБ	Dc	DΩ + Di	**0**	0	0	0	0	0	0	0	0		
Затухание из-за геометрической дивергенции, Adiv, дБ	расстояние = 580.65 м	ф-ла (7) [10]	**66,3**										
Коэффициент затухания звука в атмосфере α, дБ/км	Ta=20,°C Pa=101.33,кПа hотн.=70%	ф-ла (5) [9]	0,02	0,09	0,33	1,12	2,79	4,98	9,04	23,09	77,63		
Учет затухания звука в атмосфере Aatm, дБ		ф-ла (8) [10]	0	0,1	0,2	0,7	1,6	2,9	5,2	13,4	45,1		
Снижение поверхностью земли возле источника As, дБ	Gs = 0 hs = 1м	ф-лы таб.3 [10]	-1,5	-1,5	-1,5	-1,5	-1,5	-1,5	-1,5	-1,5	-1,5		
Снижение поверхностью земли возле приёмника Ar, дБ	Gr = 1 hr = 1.6м	ф-лы таб.3 [10]	-1,5	-1,5	3,5	6,8	4,3	0,5	0	0	0		
Снижение поверхностью земли в средней зоне, Am дБ	Gm = 1	ф-лы таб.3 [10]	-2,6	-2,6	0	0	0	0	0	0	0		
Суммарное снижение поверхностью земли на траектории распространения звука Agr, дБ		ф-ла (9) [10]	-5,6	-5,6	2	5,3	2,8	-1	-1,5	-1,5	-1,5		
Уровни звукового давления прямого звука от источника ИШ-6-20 в расчётной точке днём, дБ		**ф-ла(3)[10]**	**0**	**35,6**	**29,2**	**26,7**	**28,6**	**30,7**	**25,6**	**13,2**	**0**	**33,3**	**33,3**
Уровни звукового давления прямого звука от источника ИШ-6-20 в расчётной точке ночью, дБ		**ф-ла(3)[10]**	**0**	**35,6**	**29,2**	**26,7**	**28,6**	**30,7**	**25,6**	**13,2**	**0**	**33,3**	**33,3**
Расчёт отражённого звука													

1		2	3	4	5	6	7	8	9	10	11	12	13
Уровни звукового давления от мнимого источника ИШ-6-20_мн.(1) в расчётной точке днём, дБ		**ф-ла(3)[10]**	**0**	**0**	**23,1**	**16,4**	**17,2**	**26,2**	**23,1**	**10,7**	**0**	**28,7**	**28,7**
Уровни звукового давления от мнимого источника ИШ-6-20_мн.(1) в расчётной точке ночью, дБ		**ф-ла(3)[10]**	**0**	**0**	**0**	**0**	**0**	**0**	**0**	**0**	**0**	**28,7**	**28,7**
Уровни звукового давления от источника ИШ-6-20 в расчётной точке днём, дБ		**ф-ла(3)[10]**	**0**	**35,6**	**30,1**	**27,1**	**28,9**	**32**	**27,5**	**15,1**	**0**	**34,6**	**34,6**
Уровни звукового давления от источника ИШ-6-20 в расчётной точке ночью, дБ		**ф-ла(3)[10]**	**0**	**35,6**	**30,1**	**27,1**	**28,9**	**32**	**27,5**	**15,1**	**0**	**34,6**	**34,6**
Источник шума: ИШ-6-21, координаты источника (x,y,z), м =[801.69,-135.42,1.00]													
Уровни звуковой мощности источника днём, Lw, дБ		**исходные данные**	**0**	**96,3**	**97,7**	**99**	**99,3**	**98,9**	**95,6**	**91,4**	**86,9**		
Уровни звуковой мощности источника ночью, Lw, дБ		**исходные данные**	**0**	**96,3**	**97,7**	**99**	**99,3**	**98,9**	**95,6**	**91,4**	**86,9**		
Поправка на телесный угол DΩ, дБ	Ω = 12.57	10Lg(4π/Ω)	**0**	0	0	0	0	0	0	0	0		
Показатель направленности источника Di, дБ		исходные данные	**0**	0	0	0	0	0	0	0	0		
Поправка на направленность источника Dc, дБ	Dc	DΩ + Di	**0**	0	0	0	0	0	0	0	0		
Затухание из-за геометрической дивергенции, Adiv, дБ	расстояние = 579.36 м	ф-ла (7) [10]	**66,3**										
Коэффициент затухания звука в атмосфере α, дБ/км	Ta=20,°C Pa=101.33,кПа hотн.=70%	ф-ла (5) [9]	0,02	0,09	0,33	1,12	2,79	4,98	9,04	23,09	77,63		
Учет затухания звука в атмосфере Aatm, дБ		ф-ла (8) [10]	0	0,1	0,2	0,7	1,6	2,9	5,2	13,4	45		
Снижение поверхностью земли возле источника As, дБ	Gs = 0 hs = 1м	ф-лы таб.3 [10]	-1,5	-1,5	-1,5	-1,5	-1,5	-1,5	-1,5	-1,5	-1,5		
Снижение поверхностью земли возле приёмника Ar, дБ	Gr = 1 hr = 1.6м	ф-лы таб.3 [10]	-1,5	-1,5	3,5	6,8	4,3	0,5	0	0	0		
Снижение поверхностью земли в средней зоне, Am дБ	Gm = 1	ф-лы таб.3 [10]	-2,6	-2,6	0	0	0	0	0	0	0		

1		2	3	4	5	6	7	8	9	10	11	12	13
Суммарное снижение поверхностью земли на траектории распространения звука Agr, дБ		ф-ла (9) [10]	-5,6	-5,6	2	5,3	2,8	-1	-1,5	-1,5	-1,5		
Уровни звукового давления прямого звука от источника ИШ-6-21 в расчётной точке днём, дБ		**ф-ла(3)[10]**	**0**	**35,6**	**29,2**	**26,8**	**28,6**	**30,7**	**25,6**	**13,3**	**0**	**33,3**	**33,3**
Уровни звукового давления прямого звука от источника ИШ-6-21 в расчётной точке ночью, дБ		**ф-ла(3)[10]**	**0**	**35,6**	**29,2**	**26,8**	**28,6**	**30,7**	**25,6**	**13,3**	**0**	**33,3**	**33,3**
Расчёт отражённого звука													
Уровни звукового давления от мнимого источника ИШ-6-21_мн.(1) в расчётной точке днём, дБ		**ф-ла(3)[10]**	**0**	**0**	**23,1**	**16,4**	**17,3**	**26,2**	**23,1**	**10,7**	**0**	**28,7**	**28,7**
Уровни звукового давления от мнимого источника ИШ-6-21_мн.(1) в расчётной точке ночью, дБ		**ф-ла(3)[10]**	**0**	**0**	**0**	**0**	**0**	**0**	**0**	**0**	**0**	**28,7**	**28,7**
Уровни звукового давления от источника ИШ-6-21 в расчётной точке днём, дБ		**ф-ла(3)[10]**	**0**	**35,6**	**30,2**	**27,1**	**28,9**	**32,1**	**27,5**	**15,2**	**0**	**34,6**	**34,6**
Уровни звукового давления от источника ИШ-6-21 в расчётной точке ночью, дБ		**ф-ла(3)[10]**	**0**	**35,6**	**30,2**	**27,1**	**28,9**	**32,1**	**27,5**	**15,2**	**0**	**34,6**	**34,6**
Источник шума: ИШ-6-22, координаты источника (x,y,z), м =[800.65,-138.47,1.00]													
Уровни звуковой мощности источника днём, Lw, дБ		**исходные данные**	**0**	**96,3**	**97,7**	**99**	**99,3**	**98,9**	**95,6**	**91,4**	**86,9**		
Уровни звуковой мощности источника ночью, Lw, дБ		**исходные данные**	**0**	**96,3**	**97,7**	**99**	**99,3**	**98,9**	**95,6**	**91,4**	**86,9**		
Поправка на телесный угол DΩ, дБ	Ω = 12.57	10Lg(4π/Ω)	**0**	0	0	0	0	0	0	0	0		
Показатель направленности источника Di, дБ		исходные данные	**0**	0	0	0	0	0	0	0	0		
Поправка на направленность источника Dc, дБ	Dc	DΩ + Di	**0**	0	0	0	0	0	0	0	0		
Затухание из-за геометрической дивергенции, Adiv, дБ	расстояние = 578.03 м	ф-ла (7) [10]	**66,2**										
Коэффициент затухания звука в атмосфере α, дБ/км	Ta=20,°C Pa=101.33,кПа hотн.=70%	ф-ла (5) [9]	0,02	0,09	0,33	1,12	2,79	4,98	9,04	23,09	77,63		

1		2	3	4	5	6	7	8	9	10	11	12	13
Учет затухания звука в атмосфере Aatm, дБ		ф-ла (8) [10]	0	0,1	0,2	0,6	1,6	2,9	5,2	13,3	44,9		
Снижение поверхностью земли возле источника As, дБ	Gs = 0 hs = 1м	ф-лы таб.3 [10]	-1,5	-1,5	-1,5	-1,5	-1,5	-1,5	-1,5	-1,5	-1,5		
Снижение поверхностью земли возле приёмника Ar, дБ	Gr = 1 hr = 1.6м	ф-лы таб.3 [10]	-1,5	-1,5	3,5	6,8	4,3	0,5	0	0	0		
Снижение поверхностью земли в средней зоне, Am дБ	Gm = 1	ф-лы таб.3 [10]	-2,6	-2,6	0	0	0	0	0	0	0		
Суммарное снижение поверхностью земли на траектории распространения звука Agr, дБ		ф-ла (9) [10]	-5,6	-5,6	2	5,3	2,8	-1	-1,5	-1,5	-1,5		
Уровни звукового давления прямого звука от источника ИШ-6-22 в расчётной точке днём, дБ		**ф-ла(3)[10]**	**0**	**35,6**	**29,3**	**26,8**	**28,6**	**30,8**	**25,6**	**13,3**	**0**	**33,3**	**33,3**
Уровни звукового давления прямого звука от источника ИШ-6-22 в расчётной точке ночью, дБ		**ф-ла(3)[10]**	**0**	**35,6**	**29,3**	**26,8**	**28,6**	**30,8**	**25,6**	**13,3**	**0**	**33,3**	**33,3**
Расчёт отражённого звука													
Уровни звукового давления от мнимого источника ИШ-6-22_мн.(1) в расчётной точке днём, дБ		**ф-ла(3)[10]**	**0**	**0**	**23,1**	**16,4**	**17,3**	**26,2**	**23,1**	**10,8**	**0**	**28,7**	**28,7**
Уровни звукового давления от мнимого источника ИШ-6-22_мн.(1) в расчётной точке ночью, дБ		**ф-ла(3)[10]**	**0**	**0**	**0**	**0**	**0**	**0**	**0**	**0**	**0**	**28,7**	**28,7**
Уровни звукового давления от источника ИШ-6-22 в расчётной точке днём, дБ		**ф-ла(3)[10]**	**0**	**35,6**	**30,2**	**27,2**	**28,9**	**32,1**	**27,6**	**15,2**	**0**	**34,6**	**34,6**
Уровни звукового давления от источника ИШ-6-22 в расчётной точке ночью, дБ		**ф-ла(3)[10]**	**0**	**35,6**	**30,2**	**27,2**	**28,9**	**32,1**	**27,6**	**15,2**	**0**	**34,6**	**34,6**
Источник шума: ИШ-7-1, координаты источника (x,y,z), м =[821.44,63.31,1.00]													
Уровни звуковой мощности источника днём, Lw, дБ		**исходные данные**	**77**	**75**	**67**	**66**	**63**	**55**	**53**	**48**	**51**		
Уровни звуковой мощности источника ночью, Lw, дБ		**исходные данные**	**77**	**75**	**67**	**66**	**63**	**55**	**53**	**48**	**51**		
Поправка на телесный угол DΩ, дБ	Ω = 12.57	10Lg(4π/Ω)	**0**	0	0	0	0	0	0	0	0		
Показатель направленности источника Di, дБ		исходные данные	**0**	0	0	0	0	0	0	0	0		

1		2	3	4	5	6	7	8	9	10	11	12	13
Поправка на направленность источника Dc, дБ	Dc	DΩ + Di	**0**	0	0	0	0	0	0	0	0		
Затухание из-за геометрической дивергенции, Adiv, дБ	расстояние = 648.94 м	ф-ла (7) [10]	**67,2**										
Коэффициент затухания звука в атмосфере α, дБ/км	Ta=20,°C Pa=101.33,кПа hотн.=70%	ф-ла (5) [9]	0,02	0,09	0,33	1,12	2,79	4,98	9,04	23,09	77,63		
Учет затухания звука в атмосфере Aatm, дБ		ф-ла (8) [10]	0	0,1	0,2	0,7	1,8	3,2	5,9	15	50,4		
Снижение уровня звукового давления из-за влияния застройки между источником шума и расчетной точкой													
Снижение уровня звукового давления на пути над экраном, Dz1, дБ	z = 0.15м (разность путей)	ф-лы (14-18) [10]	4,8	4,8	4,8	4,8	4,8	4,8	4,9	5	5,2		
Уровни звукового давления от источника ИШ-7-1 в расчётной точке днём, дБ		**ф-ла(3)[10]**	**5**	**2,9**	**0**	**0**	**0**	**0**	**0**	**0**	**0**	**0**	**0**
Уровни звукового давления от источника ИШ-7-1 в расчётной точке ночью, дБ		**ф-ла(3)[10]**	**5**	**2,9**	**0**	**0**	**0**	**0**	**0**	**0**	**0**	**0**	**0**
Источник шума: ИШ-7-2, координаты источника (x,y,z), м =[768.90,-86.75,1.00]													
Уровни звуковой мощности источника днём, Lw, дБ		**исходные данные**	**77**	**75**	**67**	**66**	**63**	**55**	**53**	**48**	**51**		
Уровни звуковой мощности источника ночью, Lw, дБ		**исходные данные**	**77**	**75**	**67**	**66**	**63**	**55**	**53**	**48**	**51**		
Поправка на телесный угол DΩ, дБ	Ω = 12.57	10Lg(4π/Ω)	**0**	0	0	0	0	0	0	0	0		
Показатель направленности источника Di, дБ		исходные данные	**0**	0	0	0	0	0	0	0	0		
Поправка на направленность источника Dc, дБ	Dc	DΩ + Di	**0**	0	0	0	0	0	0	0	0		
Затухание из-за геометрической дивергенции, Adiv, дБ	расстояние = 553.96 м	ф-ла (7) [10]	**65,9**										
Коэффициент затухания звука в атмосфере α, дБ/км	Ta=20,°C Pa=101.33,кПа hотн.=70%	ф-ла (5) [9]	0,02	0,09	0,33	1,12	2,79	4,98	9,04	23,09	77,63		

1		2	3	4	5	6	7	8	9	10	11	12	13
Учет затухания звука в атмосфере Aatm, дБ		ф-ла (8) [10]	0	0	0,2	0,6	1,5	2,8	5	12,8	43		
Снижение поверхностью земли возле источника As, дБ	Gs = 0 hs = 1м	ф-лы таб.3 [10]	-1,5	-1,5	-1,5	-1,5	-1,5	-1,5	-1,5	-1,5	-1,5		
Снижение поверхностью земли возле приёмника Ar, дБ	Gr = 1 hr = 1.6м	ф-лы таб.3 [10]	-1,5	-1,5	3,4	6,8	4,3	0,5	0	0	0		
Снижение поверхностью земли в средней зоне, Am дБ	Gm = 1	ф-лы таб.3 [10]	-2,6	-2,6	0	0	0	0	0	0	0		
Суммарное снижение поверхностью земли на траектории распространения звука Agr, дБ		ф-ла (9) [10]	-5,6	-5,6	1,9	5,3	2,8	-1	-1,5	-1,5	-1,5		
Уровни звукового давления от источника ИШ-7-2 в расчётной точке днём, дБ		**ф-ла(3)[10]**	**16,7**	**14,7**	**0**	**0**	**0**	**0**	**0**	**0**	**0**	**0**	**0**
Уровни звукового давления от источника ИШ-7-2 в расчётной точке ночью, дБ		**ф-ла(3)[10]**	**16,7**	**14,7**	**0**	**0**	**0**	**0**	**0**	**0**	**0**	**0**	**0**
Источник шума: ИШ-7-3, координаты источника (x,y,z), м =[766.80,-93.20,1.00]													
Уровни звуковой мощности источника днём, Lw, дБ		**исходные данные**	**77**	**75**	**67**	**66**	**63**	**55**	**53**	**48**	**51**		
Уровни звуковой мощности источника ночью, Lw, дБ		**исходные данные**	**77**	**75**	**67**	**66**	**63**	**55**	**53**	**48**	**51**		
Поправка на телесный угол DΩ, дБ	Ω = 12.57	10Lg(4π/Ω)	**0**	0	0	0	0	0	0	0	0		
Показатель направленности источника Di, дБ		исходные данные	**0**	0	0	0	0	0	0	0	0		
Поправка на направленность источника Dc, дБ	Dc	DΩ + Di	**0**	0	0	0	0	0	0	0	0		
Затухание из-за геометрической дивергенции, Adiv, дБ	расстояние = 550.71 м	ф-ла (7) [10]	**65,8**										
Коэффициент затухания звука в атмосфере α, дБ/км	Ta=20,°C Pa=101.33,кПа hотн.=70%	ф-ла (5) [9]	0,02	0,09	0,33	1,12	2,79	4,98	9,04	23,09	77,63		
Учет затухания звука в атмосфере Aatm, дБ		ф-ла (8) [10]	0	0	0,2	0,6	1,5	2,7	5	12,7	42,8		

1		2	3	4	5	6	7	8	9	10	11	12	13
Снижение поверхностью земли возле источника As, дБ	Gs = 0 hs = 1м	ф-лы таб.3 [10]	-1,5	-1,5	-1,5	-1,5	-1,5	-1,5	-1,5	-1,5	-1,5		
Снижение поверхностью земли возле приёмника Ar, дБ	Gr = 1 hr = 1.6м	ф-лы таб.3 [10]	-1,5	-1,5	3,3	6,8	4,3	0,5	0	0	0		
Снижение поверхностью земли в средней зоне, Am дБ	Gm = 1	ф-лы таб.3 [10]	-2,6	-2,6	0	0	0	0	0	0	0		
Суммарное снижение поверхностью земли на траектории распространения звука Agr, дБ		ф-ла (9) [10]	-5,6	-5,6	1,8	5,3	2,8	-1	-1,5	-1,5	-1,5		
Уровни звукового давления от источника ИШ-7-3 в расчётной точке днём, дБ		**ф-ла(3)[10]**	**16,7**	**14,7**	**0**	**0**	**0**	**0**	**0**	**0**	**0**	**0**	**0**
Уровни звукового давления от источника ИШ-7-3 в расчётной точке ночью, дБ		**ф-ла(3)[10]**	**16,7**	**14,7**	**0**	**0**	**0**	**0**	**0**	**0**	**0**	**0**	**0**
Источник шума: ИШ-7-4, координаты источника (x,y,z), м =[866.76,37.18,1.00]													
Уровни звуковой мощности источника днём, Lw, дБ		**исходные данные**	**77**	**75**	**67**	**66**	**63**	**55**	**53**	**48**	**51**		
Уровни звуковой мощности источника ночью, Lw, дБ		**исходные данные**	**77**	**75**	**67**	**66**	**63**	**55**	**53**	**48**	**51**		
Поправка на телесный угол DΩ, дБ	Ω = 12.57	10Lg(4π/Ω)	**0**	0	0	0	0	0	0	0	0		
Показатель направленности источника Di, дБ		исходные данные	**0**	0	0	0	0	0	0	0	0		
Поправка на направленность источника Dc, дБ	Dc	DΩ + Di	**0**	0	0	0	0	0	0	0	0		
Затухание из-за геометрической дивергенции, Adiv, дБ	расстояние = 681.56 м	ф-ла (7) [10]	**67,7**										
Коэффициент затухания звука в атмосфере α, дБ/км	Ta=20,°C Pa=101.33,кПа hотн.=70%	ф-ла (5) [9]	0,02	0,09	0,33	1,12	2,79	4,98	9,04	23,09	77,63		
Учет затухания звука в атмосфере Aatm, дБ		ф-ла (8) [10]	0	0,1	0,2	0,8	1,9	3,4	6,2	15,7	52,9		
Снижение уровня звукового давления из-за влияния застройки между источником шума и расчетной точкой													

1		2	3	4	5	6	7	8	9	10	11	12	13
Снижение уровня звукового давления на пути над экраном, Dz1, дБ	z = 0.14м (разность путей)	ф-лы (14-18) [10]	4,8	4,8	4,8	4,8	4,8	4,8	4,8	4,8	4,9		
Уровни звукового давления от источника ИШ-7-4 в расчётной точке днём, дБ		**ф-ла(3)[10]**	**4,5**	**2,5**	**0**	**0**	**0**	**0**	**0**	**0**	**0**	**0**	**0**
Уровни звукового давления от источника ИШ-7-4 в расчётной точке ночью, дБ		**ф-ла(3)[10]**	**4,5**	**2,5**	**0**	**0**	**0**	**0**	**0**	**0**	**0**	**0**	**0**
Источник шума: ИШ-7-5, координаты источника (x,y,z), м =[861.80,21.34,1.00]													
Уровни звуковой мощности источника днём, Lw, дБ		**исходные данные**	**77**	**75**	**67**	**66**	**63**	**55**	**53**	**48**	**51**		
Уровни звуковой мощности источника ночью, Lw, дБ		**исходные данные**	**77**	**75**	**67**	**66**	**63**	**55**	**53**	**48**	**51**		
Поправка на телесный угол DΩ, дБ	Ω = 12.57	10Lg(4π/Ω)	**0**	0	0	0	0	0	0	0	0		
Показатель направленности источника Di, дБ		исходные данные	**0**	0	0	0	0	0	0	0	0		
Поправка на направленность источника Dc, дБ	Dc	DΩ + Di	**0**	0	0	0	0	0	0	0	0		
Затухание из-за геометрической дивергенции, Adiv, дБ	расстояние = 671.68 м	ф-ла (7) [10]	**67,5**										
Коэффициент затухания звука в атмосфере α, дБ/км	Ta=20,°C Pa=101.33,кПа hотн.=70%	ф-ла (5) [9]	0,02	0,09	0,33	1,12	2,79	4,98	9,04	23,09	77,63		
Учет затухания звука в атмосфере Aatm, дБ		ф-ла (8) [10]	0	0,1	0,2	0,8	1,9	3,3	6,1	15,5	52,1		
Снижение уровня звукового давления из-за влияния застройки между источником шума и расчетной точкой													
Снижение уровня звукового давления препятствием слева от трассы ИШ-РТ, Dz2, дБ	z = -0.01м (разность путей)	ф-лы (14-18) [10]	0	0	0	4,4	4	3,1	0,3	NAN	NAN		
Снижение уровня звукового давления препятствием справа от трассы ИШ-РТ, Dz3, дБ	z = -0.02м (разность путей)	ф-лы (14-18) [10]	0	0	0	3,8	2,5	0	NAN	NAN	NAN		
Общее снижение уровня звука препятствием Dz, дБ		Эн.сумма(-Dzi)	0	0	0	1,1	0,2	0	0	0	0		
* отрицательное значение z означает прохождение траектории вблизи экрана, в этом случае дополнительно производится учёт снижения подстилающей поверхностью (см.ниже)													

1		2	3	4	5	6	7	8	9	10	11	12	13
Снижение поверхностью земли возле источника As, дБ	Gs = 0 hs = 1м	ф-лы таб.3 [10]	-1,5	-1,5	-1,5	-1,5	-1,5	-1,5	-1,5	-1,5	-1,5		
Снижение поверхностью земли возле приёмника Ar, дБ	Gr = 1 hr = 1.6м	ф-лы таб.3 [10]	-1,5	-1,5	4	6,8	4,3	0,5	0	0	0		
Снижение поверхностью земли в средней зоне, Am дБ	Gm = 1	ф-лы таб.3 [10]	-2,7	-2,7	0	0	0	0	0	0	0		
Суммарное снижение поверхностью земли на траектории распространения звука Agr, дБ		ф-ла (9) [10]	-5,7	-5,7	2,5	5,3	2,8	-1	-1,5	-1,5	-1,5		
Уровни звукового давления от источника ИШ-7-5 в расчётной точке днём, дБ		**ф-ла(3)[10]**	**15,1**	**13**	**0**	**0**	**0**	**0**	**0**	**0**	**0**	**0**	**0**
Уровни звукового давления от источника ИШ-7-5 в расчётной точке ночью, дБ		**ф-ла(3)[10]**	**15,1**	**13**	**0**	**0**	**0**	**0**	**0**	**0**	**0**	**0**	**0**
Источник шума: ИШ-7-6, координаты источника (x,y,z), м =[856.52,5.94,1.00]													
Уровни звуковой мощности источника днём, Lw, дБ		**исходные данные**	**77**	**75**	**67**	**66**	**63**	**55**	**53**	**48**	**51**		
Уровни звуковой мощности источника ночью, Lw, дБ		**исходные данные**	**77**	**75**	**67**	**66**	**63**	**55**	**53**	**48**	**51**		
Поправка на телесный угол DΩ, дБ	Ω = 12.57	10Lg(4π/Ω)	**0**	0	0	0	0	0	0	0	0		
Показатель направленности источника Di, дБ		исходные данные	**0**	0	0	0	0	0	0	0	0		
Поправка на направленность источника Dc, дБ	Dc	DΩ + Di	**0**	0	0	0	0	0	0	0	0		
Затухание из-за геометрической дивергенции, Adiv, дБ	расстояние = 661.88 м	ф-ла (7) [10]	**67,4**										
Коэффициент затухания звука в атмосфере α, дБ/км	Ta=20,°C Pa=101.33,кПа hотн.=70%	ф-ла (5) [9]	0,02	0,09	0,33	1,12	2,79	4,98	9,04	23,09	77,63		
Учет затухания звука в атмосфере Aatm, дБ		ф-ла (8) [10]	0	0,1	0,2	0,7	1,8	3,3	6	15,3	51,4		
Снижение уровня звукового давления из-за влияния застройки между источником шума и расчетной точкой													

1		2	3	4	5	6	7	8	9	10	11	12	13
Снижение уровня звукового давления на пути над экраном, Dz1, дБ	z = 0.25м (разность путей)	ф-лы (14-18) [10]	4,8	4,8	4,8	4,8	4,9	5,1	5,5	6,1	7,1		
Уровни звукового давления от источника ИШ-7-6 в расчётной точке днём, дБ		**ф-ла(3)[10]**	**4,8**	**2,7**	**0**	**0**	**0**	**0**	**0**	**0**	**0**	**0**	**0**
Уровни звукового давления от источника ИШ-7-6 в расчётной точке ночью, дБ		**ф-ла(3)[10]**	**4,8**	**2,7**	**0**	**0**	**0**	**0**	**0**	**0**	**0**	**0**	**0**
Источник шума: ИШ-7-7, координаты источника (x,y,z), м =[851.06,-9.89,1.00]													
Уровни звуковой мощности источника днём, Lw, дБ		**исходные данные**	**77**	**75**	**67**	**66**	**63**	**55**	**53**	**48**	**51**		
Уровни звуковой мощности источника ночью, Lw, дБ		**исходные данные**	**77**	**75**	**67**	**66**	**63**	**55**	**53**	**48**	**51**		
Поправка на телесный угол DΩ, дБ	Ω = 12.57	10Lg(4π/Ω)	**0**	0	0	0	0	0	0	0	0		
Показатель направленности источника Di, дБ		исходные данные	**0**	0	0	0	0	0	0	0	0		
Поправка на направленность источника Dc, дБ	Dc	DΩ + Di	**0**	0	0	0	0	0	0	0	0		
Затухание из-за геометрической дивергенции, Adiv, дБ	расстояние = 652.06 м	ф-ла (7) [10]	**67,3**										
Коэффициент затухания звука в атмосфере α, дБ/км	Ta=20,°C Pa=101.33,кПа hотн.=70%	ф-ла (5) [9]	0,02	0,09	0,33	1,12	2,79	4,98	9,04	23,09	77,63		
Учет затухания звука в атмосфере Aatm, дБ		ф-ла (8) [10]	0	0,1	0,2	0,7	1,8	3,2	5,9	15,1	50,6		
Снижение уровня звукового давления из-за влияния застройки между источником шума и расчетной точкой													
Снижение уровня звукового давления на пути над экраном, Dz1, дБ	z = 0.25м (разность путей)	ф-лы (14-18) [10]	4,8	4,8	4,8	4,9	5	5,3	5,7	6,5	7,7		
Уровни звукового давления от источника ИШ-7-7 в расчётной точке днём, дБ		**ф-ла(3)[10]**	**4,9**	**2,9**	**0**	**0**	**0**	**0**	**0**	**0**	**0**	**0**	**0**
Уровни звукового давления от источника ИШ-7-7 в расчётной точке ночью, дБ		**ф-ла(3)[10]**	**4,9**	**2,9**	**0**	**0**	**0**	**0**	**0**	**0**	**0**	**0**	**0**

1		2	3	4	5	6	7	8	9	10	11	12	13
Источник шума: ИШ-7-8, координаты источника (x,y,z), м =[821.90,-104.30,1.00]													
Уровни звуковой мощности источника днём, Lw, дБ		**исходные данные**	**77**	**75**	**67**	**66**	**63**	**55**	**53**	**48**	**51**		
Уровни звуковой мощности источника ночью, Lw, дБ		**исходные данные**	**77**	**75**	**67**	**66**	**63**	**55**	**53**	**48**	**51**		
Поправка на телесный угол DΩ, дБ	Ω = 12.57	10Lg(4π/Ω)	**0**	0	0	0	0	0	0	0	0		
Показатель направленности источника Di, дБ		исходные данные	**0**	0	0	0	0	0	0	0	0		
Поправка на направленность источника Dc, дБ	Dc	DΩ + Di	**0**	0	0	0	0	0	0	0	0		
Затухание из-за геометрической дивергенции, Adiv, дБ	расстояние = 603.24 м	ф-ла (7) [10]	**66,6**										
Коэффициент затухания звука в атмосфере α, дБ/км	Ta=20,°C Pa=101.33,кПа hотн.=70%	ф-ла (5) [9]	0,02	0,09	0,33	1,12	2,79	4,98	9,04	23,09	77,63		
Учет затухания звука в атмосфере Aatm, дБ		ф-ла (8) [10]	0	0,1	0,2	0,7	1,7	3	5,5	13,9	46,8		
Снижение поверхностью земли возле источника As, дБ	Gs = 0 hs = 1м	ф-лы таб.3 [10]	-1,5	-1,5	-1,5	-1,5	-1,5	-1,5	-1,5	-1,5	-1,5		
Снижение поверхностью земли возле приёмника Ar, дБ	Gr = 1 hr = 1.6м	ф-лы таб.3 [10]	-1,5	-1,5	3,6	6,8	4,3	0,5	0	0	0		
Снижение поверхностью земли в средней зоне, Am дБ	Gm = 1	ф-лы таб.3 [10]	-2,6	-2,6	0	0	0	0	0	0	0		
Суммарное снижение поверхностью земли на траектории распространения звука Agr, дБ		ф-ла (9) [10]	-5,6	-5,6	2,1	5,3	2,8	-1	-1,5	-1,5	-1,5		
Уровни звукового давления от источника ИШ-7-8 в расчётной точке днём, дБ		**ф-ла(3)[10]**	**16**	**13,9**	**0**	**0**	**0**	**0**	**0**	**0**	**0**	**0**	**0**
Уровни звукового давления от источника ИШ-7-8 в расчётной точке ночью, дБ		**ф-ла(3)[10]**	**16**	**13,9**	**0**	**0**	**0**	**0**	**0**	**0**	**0**	**0**	**0**
Источник шума: ИШ-7-9, координаты источника (x,y,z), м =[819.93,-110.97,1.00]													

1		2	3	4	5	6	7	8	9	10	11	12	13
Уровни звуковой мощности источника днём, Lw, дБ		**исходные данные**	**77**	**75**	**67**	**66**	**63**	**55**	**53**	**48**	**51**		
Уровни звуковой мощности источника ночью, Lw, дБ		**исходные данные**	**77**	**75**	**67**	**66**	**63**	**55**	**53**	**48**	**51**		
Поправка на телесный угол DΩ, дБ	Ω = 12.57	10Lg(4π/Ω)	**0**	0	0	0	0	0	0	0	0		
Показатель направленности источника Di, дБ		исходные данные	**0**	0	0	0	0	0	0	0	0		
Поправка на направленность источника Dc, дБ	Dc	DΩ + Di	**0**	0	0	0	0	0	0	0	0		
Затухание из-за геометрической дивергенции, Adiv, дБ	расстояние = 600.35 м	ф-ла (7) [10]	**66,6**										
Коэффициент затухания звука в атмосфере α, дБ/км	Ta=20,°C Pa=101.33,кПа hотн.=70%	ф-ла (5) [9]	0,02	0,09	0,33	1,12	2,79	4,98	9,04	23,09	77,63		
Учет затухания звука в атмосфере Aatm, дБ		ф-ла (8) [10]	0	0,1	0,2	0,7	1,7	3	5,4	13,9	46,6		
Снижение поверхностью земли возле источника As, дБ	Gs = 0 hs = 1м	ф-лы таб.3 [10]	-1,5	-1,5	-1,5	-1,5	-1,5	-1,5	-1,5	-1,5	-1,5		
Снижение поверхностью земли возле приёмника Ar, дБ	Gr = 1 hr = 1.6м	ф-лы таб.3 [10]	-1,5	-1,5	3,6	6,8	4,3	0,5	0	0	0		
Снижение поверхностью земли в средней зоне, Am дБ	Gm = 1	ф-лы таб.3 [10]	-2,6	-2,6	0	0	0	0	0	0	0		
Суммарное снижение поверхностью земли на траектории распространения звука Agr, дБ		ф-ла (9) [10]	-5,6	-5,6	2,1	5,3	2,8	-1	-1,5	-1,5	-1,5		
Уровни звукового давления от источника ИШ-7-9 в расчётной точке днём, дБ		**ф-ла(3)[10]**	**16**	**14**	**0**	**0**	**0**	**0**	**0**	**0**	**0**	**0**	**0**
Уровни звукового давления от источника ИШ-7-9 в расчётной точке ночью, дБ		**ф-ла(3)[10]**	**16**	**14**	**0**	**0**	**0**	**0**	**0**	**0**	**0**	**0**	**0**
Источник шума: ИШ-7-10, координаты источника (x,y,z), м =[868.68,92.66,1.00]													
Уровни звуковой мощности источника днём, Lw, дБ		**исходные данные**	**77**	**75**	**67**	**66**	**63**	**55**	**53**	**48**	**51**		

1		2	3	4	5	6	7	8	9	10	11	12	13
Уровни звуковой мощности источника ночью, Lw, дБ		**исходные данные**	**77**	**75**	**67**	**66**	**63**	**55**	**53**	**48**	**51**		
Поправка на телесный угол DΩ, дБ	Ω = 12.57	10Lg(4π/Ω)	**0**	0	0	0	0	0	0	0	0		
Показатель направленности источника Di, дБ		исходные данные	**0**	0	0	0	0	0	0	0	0		
Поправка на направленность источника Dc, дБ	Dc	DΩ + Di	**0**	0	0	0	0	0	0	0	0		
Затухание из-за геометрической дивергенции, Adiv, дБ	расстояние = 703.98 м	ф-ла (7) [10]	**68**										
Коэффициент затухания звука в атмосфере α, дБ/км	Ta=20,°C Pa=101.33,кПа hотн.=70%	ф-ла (5) [9]	0,02	0,09	0,33	1,12	2,79	4,98	9,04	23,09	77,63		
Учет затухания звука в атмосфере Aatm, дБ		ф-ла (8) [10]	0	0,1	0,2	0,8	2	3,5	6,4	16,3	54,7		
Снижение уровня звукового давления из-за влияния застройки между источником шума и расчетной точкой													
Снижение уровня звукового давления на пути над экраном, Dz1, дБ	z = 0.13м (разность путей)	ф-лы (14-18) [10]	4,8	4,8	4,8	4,8	4,8	4,8	4,8	4,8	4,9		
Уровни звукового давления от источника ИШ-7-10 в расчётной точке днём, дБ		**ф-ла(3)[10]**	**4,3**	**2,2**	**0**	**0**	**0**	**0**	**0**	**0**	**0**	**0**	**0**
Уровни звукового давления от источника ИШ-7-10 в расчётной точке ночью, дБ		**ф-ла(3)[10]**	**4,3**	**2,2**	**0**	**0**	**0**	**0**	**0**	**0**	**0**	**0**	**0**
Источник шума: ИШ-7-11, координаты источника (x,y,z), м =[877.95,88.75,1.00]													
Уровни звуковой мощности источника днём, Lw, дБ		**исходные данные**	**77**	**75**	**67**	**66**	**63**	**55**	**53**	**48**	**51**		
Уровни звуковой мощности источника ночью, Lw, дБ		**исходные данные**	**77**	**75**	**67**	**66**	**63**	**55**	**53**	**48**	**51**		
Поправка на телесный угол DΩ, дБ	Ω = 12.57	10Lg(4π/Ω)	**0**	0	0	0	0	0	0	0	0		
Показатель направленности источника Di, дБ		исходные данные	**0**	0	0	0	0	0	0	0	0		

1		2	3	4	5	6	7	8	9	10	11	12	13
Поправка на направленность источника Dc, дБ	Dc	DΩ + Di	**0**	0	0	0	0	0	0	0	0		
Затухание из-за геометрической дивергенции, Adiv, дБ	расстояние = 710.91 м	ф-ла (7) [10]	**68**										
Коэффициент затухания звука в атмосфере α, дБ/км	Ta=20,°C Pa=101.33,кПа hотн.=70%	ф-ла (5) [9]	0,02	0,09	0,33	1,12	2,79	4,98	9,04	23,09	77,63		
Учет затухания звука в атмосфере Aatm, дБ		ф-ла (8) [10]	0	0,1	0,2	0,8	2	3,5	6,4	16,4	55,2		
Снижение уровня звукового давления из-за влияния застройки между источником шума и расчетной точкой													
Снижение уровня звукового давления на пути над экраном, Dz1, дБ	z = 0.13м (разность путей)	ф-лы (14-18) [10]	4,8	4,8	4,8	4,8	4,8	4,8	4,8	4,8	4,8		
Уровни звукового давления от источника ИШ-7-11 в расчётной точке днём, дБ		**ф-ла(3)[10]**	**4,2**	**2,1**	**0**	**0**	**0**	**0**	**0**	**0**	**0**	**0**	**0**
Уровни звукового давления от источника ИШ-7-11 в расчётной точке ночью, дБ		**ф-ла(3)[10]**	**4,2**	**2,1**	**0**	**0**	**0**	**0**	**0**	**0**	**0**	**0**	**0**
Источник шума: ИШ-7-12, координаты источника (x,y,z), м =[887.42,85.45,1.00]													
Уровни звуковой мощности источника днём, Lw, дБ		**исходные данные**	**77**	**75**	**67**	**66**	**63**	**55**	**53**	**48**	**51**		
Уровни звуковой мощности источника ночью, Lw, дБ		**исходные данные**	**77**	**75**	**67**	**66**	**63**	**55**	**53**	**48**	**51**		
Поправка на телесный угол DΩ, дБ	Ω = 12.57	10Lg(4π/Ω)	**0**	0	0	0	0	0	0	0	0		
Показатель направленности источника Di, дБ		исходные данные	**0**	0	0	0	0	0	0	0	0		
Поправка на направленность источника Dc, дБ	Dc	DΩ + Di	**0**	0	0	0	0	0	0	0	0		
Затухание из-за геометрической дивергенции, Adiv, дБ	расстояние = 718.33 м	ф-ла (7) [10]	**68,1**										
Коэффициент затухания звука в атмосфере α, дБ/км	Ta=20,°C Pa=101.33,кПа hотн.=70%	ф-ла (5) [9]	0,02	0,09	0,33	1,12	2,79	4,98	9,04	23,09	77,63		

1		2	3	4	5	6	7	8	9	10	11	12	13
Учет затухания звука в атмосфере Aatm, дБ		ф-ла (8) [10]	0	0,1	0,2	0,8	2	3,6	6,5	16,6	55,8		
Снижение уровня звукового давления из-за влияния застройки между источником шума и расчетной точкой													
Снижение уровня звукового давления на пути над экраном, Dz1, дБ	z = 0.13м (разность путей)	ф-лы (14-18) [10]	4,8	4,8	4,8	4,8	4,8	4,8	4,8	4,8	4,8		
Уровни звукового давления от источника ИШ-7-12 в расчётной точке днём, дБ		**ф-ла(3)[10]**	**4,1**	**2**	**0**	**0**	**0**	**0**	**0**	**0**	**0**	**0**	**0**
Уровни звукового давления от источника ИШ-7-12 в расчётной точке ночью, дБ		**ф-ла(3)[10]**	**4,1**	**2**	**0**	**0**	**0**	**0**	**0**	**0**	**0**	**0**	**0**
Источник шума: ИШ-6-23, координаты источника (x,y,z), м =[756.16,-136.23,3.00]													
Уровни звуковой мощности источника днём, Lw, дБ		**исходные данные**	**91**	**91**	**91**	**91**	**91**	**91**	**91**	**91**	**91**		
Уровни звуковой мощности источника ночью, Lw, дБ		**исходные данные**	**91**	**91**	**91**	**91**	**91**	**91**	**91**	**91**	**91**		
Поправка на телесный угол DΩ, дБ	Ω = 12.57	10Lg(4π/Ω)	**0**	0	0	0	0	0	0	0	0		
Показатель направленности источника Di, дБ		исходные данные	**0**	0	0	0	0	0	0	0	0		
Поправка на направленность источника Dc, дБ	Dc	DΩ + Di	**0**	0	0	0	0	0	0	0	0		
Затухание из-за геометрической дивергенции, Adiv, дБ	расстояние = 533.99 м	ф-ла (7) [10]	**65,6**										
Коэффициент затухания звука в атмосфере α, дБ/км	Ta=20,°C Pa=101.33,кПа hотн.=70%	ф-ла (5) [9]	0,02	0,09	0,33	1,12	2,79	4,98	9,04	23,09	77,63		
Учет затухания звука в атмосфере Aatm, дБ		ф-ла (8) [10]	0	0	0,2	0,6	1,5	2,7	4,8	12,3	41,5		
Снижение поверхностью земли возле источника As, дБ	Gs = 0 hs = 3м	ф-лы таб.3 [10]	-1,5	-1,5	-1,5	-1,5	-1,5	-1,5	-1,5	-1,5	-1,5		
Снижение поверхностью земли возле приёмника Ar, дБ	Gr = 1 hr = 1.6м	ф-лы таб.3 [10]	-1,5	-1,5	3,2	6,8	4,3	0,5	0	0	0		

1		2	3	4	5	6	7	8	9	10	11	12	13
Снижение поверхностью земли в средней зоне, Am дБ	Gm = 1	ф-лы таб.3 [10]	-2,2	-2,2	0	0	0	0	0	0	0		
Суммарное снижение поверхностью земли на траектории распространения звука Agr, дБ		ф-ла (9) [10]	-5,2	-5,2	1,7	5,3	2,8	-1	-1,5	-1,5	-1,5		
Уровни звукового давления прямого звука от источника ИШ-6-23 в расчётной точке днём, дБ		**ф-ла(3)[10]**	**30,7**	**30,6**	**23,5**	**19,5**	**21,1**	**23,8**	**22,1**	**14,6**	**0**	**27,6**	**27,6**
Уровни звукового давления прямого звука от источника ИШ-6-23 в расчётной точке ночью, дБ		**ф-ла(3)[10]**	**30,7**	**30,6**	**23,5**	**19,5**	**21,1**	**23,8**	**22,1**	**14,6**	**0**	**27,6**	**27,6**
Расчёт отражённого звука													
Уровни звукового давления от мнимого источника ИШ-6-23_мн.(1) в расчётной точке днём, дБ		**ф-ла(3)[10]**	**0**	**0**	**17,8**	**13,2**	**18,4**	**21,3**	**19,6**	**12,1**	**0**	**24,9**	**24,9**
Уровни звукового давления от мнимого источника ИШ-6-23_мн.(1) в расчётной точке ночью, дБ		**ф-ла(3)[10]**	**0**	**0**	**0**	**0**	**0**	**0**	**0**	**0**	**0**	**24,9**	**24,9**
Уровни звукового давления от источника ИШ-6-23 в расчётной точке днём, дБ		**ф-ла(3)[10]**	**30,7**	**30,6**	**24,5**	**20,4**	**23**	**25,7**	**24**	**16,5**	**0**	**29,5**	**29,5**
Уровни звукового давления от источника ИШ-6-23 в расчётной точке ночью, дБ		**ф-ла(3)[10]**	**30,7**	**30,6**	**24,5**	**20,4**	**23**	**25,7**	**24**	**16,5**	**0**	**29,5**	**29,5**
Источник шума: ИШ-6-24, координаты источника (x,y,z), м =[800.98,-151.27,3.00]													
Уровни звуковой мощности источника днём, Lw, дБ		**исходные данные**	**91**	**91**	**91**	**91**	**91**	**91**	**91**	**91**	**91**		
Уровни звуковой мощности источника ночью, Lw, дБ		**исходные данные**	**91**	**91**	**91**	**91**	**91**	**91**	**91**	**91**	**91**		
Поправка на телесный угол DΩ, дБ	Ω = 12.57	10Lg(4π/Ω)	**0**	0	0	0	0	0	0	0	0		
Показатель направленности источника Di, дБ		исходные данные	**0**	0	0	0	0	0	0	0	0		
Поправка на направленность источника Dc, дБ	Dc	DΩ + Di	**0**	0	0	0	0	0	0	0	0		
Затухание из-за геометрической дивергенции, Adiv, дБ	расстояние = 577.30 м	ф-ла (7) [10]	**66,2**										
Коэффициент затухания звука в атмосфере α, дБ/км	Ta=20,°C Pa=101.33,кПа hотн.=70%	ф-ла (5) [9]	0,02	0,09	0,33	1,12	2,79	4,98	9,04	23,09	77,63		

1		2	3	4	5	6	7	8	9	10	11	12	13
Учет затухания звука в атмосфере Aatm, дБ		ф-ла (8) [10]	0	0,1	0,2	0,6	1,6	2,9	5,2	13,3	44,8		
Снижение поверхностью земли возле источника As, дБ	Gs = 0 hs = 3м	ф-лы таб.3 [10]	-1,5	-1,5	-1,5	-1,5	-1,5	-1,5	-1,5	-1,5	-1,5		
Снижение поверхностью земли возле приёмника Ar, дБ	Gr = 1 hr = 1.6м	ф-лы таб.3 [10]	-1,5	-1,5	3,5	6,8	4,3	0,5	0	0	0		
Снижение поверхностью земли в средней зоне, Am дБ	Gm = 1	ф-лы таб.3 [10]	-2,3	-2,3	0	0	0	0	0	0	0		
Суммарное снижение поверхностью земли на траектории распространения звука Agr, дБ		ф-ла (9) [10]	-5,3	-5,3	2	5,3	2,8	-1	-1,5	-1,5	-1,5		
Уровни звукового давления прямого звука от источника ИШ-6-24 в расчётной точке днём, дБ		**ф-ла(3)[10]**	**30**	**30**	**22,6**	**18,8**	**20,3**	**22,9**	**21**	**12,9**	**0**	**26,6**	**26,6**
Уровни звукового давления прямого звука от источника ИШ-6-24 в расчётной точке ночью, дБ		**ф-ла(3)[10]**	**30**	**30**	**22,6**	**18,8**	**20,3**	**22,9**	**21**	**12,9**	**0**	**26,6**	**26,6**
Расчёт отражённого звука													
Уровни звукового давления от мнимого источника ИШ-6-24_мн.(1) в расчётной точке днём, дБ		**ф-ла(3)[10]**	**0**	**0**	**16,7**	**12,5**	**17,6**	**20,4**	**18,5**	**10,4**	**0**	**24**	**24**
Уровни звукового давления от мнимого источника ИШ-6-24_мн.(1) в расчётной точке ночью, дБ		**ф-ла(3)[10]**	**0**	**0**	**0**	**0**	**0**	**0**	**0**	**0**	**0**	**24**	**24**
Уровни звукового давления от источника ИШ-6-24 в расчётной точке днём, дБ		**ф-ла(3)[10]**	**30**	**30**	**23,6**	**19,7**	**22,2**	**24,8**	**23**	**14,9**	**0**	**28,5**	**28,5**
Уровни звукового давления от источника ИШ-6-24 в расчётной точке ночью, дБ		**ф-ла(3)[10]**	**30**	**30**	**23,6**	**19,7**	**22,2**	**24,8**	**23**	**14,9**	**0**	**28,5**	**28,5**
Источник шума: ИШ-10-1, координаты источника (x,y,z), м =[17.37,413.17,1.00]													
Уровни звуковой мощности источника днём, Lw, дБ		**исходные данные**	**0**	**98,3**	**99,7**	**101**	**101,3**	**100,9**	**97,6**	**93,4**	**88,9**		
Уровни звуковой мощности источника ночью, Lw, дБ		**исходные данные**	**0**	**98,3**	**99,7**	**101**	**101,3**	**100,9**	**97,6**	**93,4**	**88,9**		
Поправка на телесный угол DΩ, дБ	Ω = 6.28	10Lg(4π/Ω)	**3**	3	3	3	3	3	3	3	3		
Показатель направленности источника Di, дБ		исходные данные	**0**	0	0	0	0	0	0	0	0		

1		2	3	4	5	6	7	8	9	10	11	12	13
Поправка на направленность источника Dc, дБ	Dc	DΩ + Di	**3**	3	3	3	3	3	3	3	3		
Затухание из-за геометрической дивергенции, Adiv, дБ	расстояние = 640.63 м	ф-ла (7) [10]	**67,1**										
Коэффициент затухания звука в атмосфере α, дБ/км	Ta=20,°C Pa=101.33,кПа hотн.=70%	ф-ла (5) [9]	0,02	0,09	0,33	1,12	2,79	4,98	9,04	23,09	77,63		
Учет затухания звука в атмосфере Aatm, дБ		ф-ла (8) [10]	0	0,1	0,2	0,7	1,8	3,2	5,8	14,8	49,7		
Снижение уровня звукового давления из-за влияния застройки между источником шума и расчетной точкой													
Снижение уровня звукового давления на пути над экраном, Dz1, дБ	z = 0.31м (разность путей)	ф-лы (14-18) [10]	4,9	5	5,1	5,5	6,1	7,2	8,7	10,7	13,1		
Снижение уровня звукового давления на пути слева от экрана, Dz2, дБ	z = 24.57м (разность путей)	ф-лы (14-18) [10]	19,7	22,7	25,6	28,6	31,6	34,6	37,6	40,6	43,6		
Снижение уровня звукового давления на пути справа от экрана, Dz3, дБ	z = 3.04м (разность путей)	ф-лы (14-18) [10]	11,5	14,1	16,8	19,7	22,6	25,6	28,6	31,6	34,6		
Общее снижение уровня звука препятствием Dz, дБ		Эн.сумма(-Dzi)	3,9	4,4	4,8	5,3	6	7,1	8,6	10,7	13,1		
Уровни звукового давления от источника ИШ-10-1 в расчётной точке днём, дБ		**ф-ла(3)[10]**	**0**	**29,7**	**30,5**	**30,8**	**29,4**	**26,5**	**19**	**3,8**	**0**	**30,7**	**30,7**
Уровни звукового давления от источника ИШ-10-1 в расчётной точке ночью, дБ		**ф-ла(3)[10]**	**0**	**29,7**	**30,5**	**30,8**	**29,4**	**26,5**	**19**	**3,8**	**0**	**30,7**	**30,7**
Источник шума: ИШ-10-2, координаты источника (x,y,z), м =[27.87,443.46,1.00]													
Уровни звуковой мощности источника днём, Lw, дБ		**исходные данные**	**0**	**98,3**	**99,7**	**101**	**101,3**	**100,9**	**97,6**	**93,4**	**88,9**		
Уровни звуковой мощности источника ночью, Lw, дБ		**исходные данные**	**0**	**98,3**	**99,7**	**101**	**101,3**	**100,9**	**97,6**	**93,4**	**88,9**		
Поправка на телесный угол DΩ, дБ	Ω = 6.28	10Lg(4π/Ω)	**3**	3	3	3	3	3	3	3	3		
Показатель направленности источника Di, дБ		исходные данные	**0**	0	0	0	0	0	0	0	0		

1		2	3	4	5	6	7	8	9	10	11	12	13
Поправка на направленность источника Dc, дБ	Dc	DΩ + Di	**3**	3	3	3	3	3	3	3	3		
Затухание из-за геометрической дивергенции, Adiv, дБ	расстояние = 666.17 м	ф-ла (7) [10]	**67,5**										
Коэффициент затухания звука в атмосфере α, дБ/км	Ta=20,°C Pa=101.33,кПа hотн.=70%	ф-ла (5) [9]	0,02	0,09	0,33	1,12	2,79	4,98	9,04	23,09	77,63		
Учет затухания звука в атмосфере Aatm, дБ		ф-ла (8) [10]	0	0,1	0,2	0,7	1,9	3,3	6	15,4	51,7		
Снижение уровня звукового давления из-за влияния застройки между источником шума и расчетной точкой													
Снижение уровня звукового давления на пути над экраном, Dz1, дБ	z = 0.28м (разность путей)	ф-лы (14-18) [10]	5,2	5,6	6,4	7,5	9,2	11,4	13,9	16,6	19,5		
Снижение уровня звукового давления на пути слева от экрана, Dz2, дБ	z = 16.47м (разность путей)	ф-лы (14-18) [10]	21,8	25,4	28,6	31,6	34,6	37,6	40,7	43,7	46,7		
Снижение уровня звукового давления на пути справа от экрана, Dz3, дБ	z = 4.54м (разность путей)	ф-лы (14-18) [10]	13	15,6	18,4	21,4	24,3	27,3	30,3	33,3	36,3		
Общее снижение уровня звука препятствием Dz, дБ		Эн.сумма(-Dzi)	4,4	5,2	6,1	7,3	9,1	11,3	13,8	16,5	19,4		
Уровни звукового давления прямого звука от источника ИШ-10-2 в расчётной точке днём, дБ		**ф-ла(3)[10]**	**0**	**28,6**	**28,9**	**28,4**	**25,9**	**21,9**	**13,3**	**0**	**0**	**26,9**	**26,9**
Уровни звукового давления прямого звука от источника ИШ-10-2 в расчётной точке ночью, дБ		**ф-ла(3)[10]**	**0**	**28,6**	**28,9**	**28,4**	**25,9**	**21,9**	**13,3**	**0**	**0**	**26,9**	**26,9**
Расчёт отражённого звука													
Уровни звукового давления от мнимого источника ИШ-10-2_мн.(1) в расчётной точке днём, дБ		**ф-ла(3)[10]**	**0**	**0**	**0**	**0**	**0**	**0**	**0**	**0**	**0**	**0**	**0**
Уровни звукового давления от мнимого источника ИШ-10-2_мн.(1) в расчётной точке ночью, дБ		**ф-ла(3)[10]**	**0**	**0**	**0**	**0**	**0**	**0**	**0**	**0**	**0**	**0**	**0**
Уровни звукового давления от источника ИШ-10-2 в расчётной точке днём, дБ		**ф-ла(3)[10]**	**0**	**28,6**	**28,9**	**28,4**	**25,9**	**21,9**	**13,3**	**0**	**0**	**26,9**	**26,9**
Уровни звукового давления от источника ИШ-10-2 в расчётной точке ночью, дБ		**ф-ла(3)[10]**	**0**	**28,6**	**28,9**	**28,4**	**25,9**	**21,9**	**13,3**	**0**	**0**	**26,9**	**26,9**

1		2	3	4	5	6	7	8	9	10	11	12	13
Источник шума: ШТ-1, координаты источника (x,y,z), м =[684.30,-276.59,1.00]													
Уровни звуковой мощности источника днём, Lw, дБ		**исходные данные**	**0**	**0**	**108,5**	**105,5**	**102,5**	**102,5**	**99,5**	**93,5**	**0**		
Уровни звуковой мощности максимального звука источника днём, Lwx, дБ		**исходные данные**	**0**	**0**	**113,5**	**110,5**	**107,5**	**107,5**	**104,5**	**98,5**	**0**		
Уровни звуковой мощности источника ночью, Lw, дБ		**исходные данные**	**0**	**0**	**0**	**0**	**0**	**0**	**0**	**0**	**0**		
Уровни звуковой мощности максимального звука источника ночью, Lwx, дБ		**исходные данные**	**0**	**0**	**0**	**0**	**0**	**0**	**0**	**0**	**0**		
Поправка на телесный угол DΩ, дБ	Ω = 12.57	10Lg(4π/Ω)	**0**	0	0	0	0	0	0	0	0		
Показатель направленности источника Di, дБ		исходные данные	**0**	0	0	0	0	0	0	0	0		
Поправка на направленность источника Dc, дБ	Dc	DΩ + Di	**0**	0	0	0	0	0	0	0	0		
Затухание из-за геометрической дивергенции, Adiv, дБ	расстояние = 466.70 м	ф-ла (7) [10]	**64,4**										
Коэффициент затухания звука в атмосфере α, дБ/км	Ta=20,°C Pa=101.33,кПа hотн.=70%	ф-ла (5) [9]	0,02	0,09	0,33	1,12	2,79	4,98	9,04	23,09	77,63		
Учет затухания звука в атмосфере Aatm, дБ		ф-ла (8) [10]	0	0	0,2	0,5	1,3	2,3	4,2	10,8	36,2		
Снижение уровня звукового давления из-за влияния застройки между источником шума и расчетной точкой													
Снижение уровня звукового давления на пути над экраном, Dz1, дБ	z = 0.05м (разность путей)	ф-лы (14-18) [10]	4,8	4,8	4,8	4,8	4,8	4,9	5	5,2	5,5		
Снижение уровня звукового давления на пути слева от экрана, Dz2, дБ	z = 109.89м (разность путей)	ф-лы (14-18) [10]	29,9	33,6	36,8	39,8	42,9	45,9	48,9	51,9	54,9		
Снижение уровня звукового давления на пути справа от экрана, Dz3, дБ	z = 0.25м (разность путей)	ф-лы (14-18) [10]	5,9	6,8	8,2	10,1	12,4	15,1	17,9	20,8	23,7		
Общее снижение уровня звука препятствием Dz, дБ		Эн.сумма(-Dzi)	2,3	2,7	3,2	3,7	4,1	4,5	4,8	5,1	5,5		

1		2	3	4	5	6	7	8	9	10	11	12	13
Уровни звукового давления от источника ШТ-1 в расчётной точке днём, дБ		**ф-ла(3)[10]**	**0**	**0**	**40,8**	**36,9**	**32,7**	**31,3**	**26,1**	**13,3**	**0**	**35,8**	**40,8**
Уровни звукового давления от источника ШТ-1 в расчётной точке ночью, дБ		**ф-ла(3)[10]**	**0**	**0**	**0**	**0**	**0**	**0**	**0**	**0**	**0**	**0**	**0**
Источник шума: ШТ-2, координаты источника (x,y,z), м =[665.17,-247.36,1.00]													
Уровни звуковой мощности источника днём, Lw, дБ		**исходные данные**	**0**	**0**	**104,5**	**101,5**	**98,5**	**98,5**	**95,5**	**89,5**	**0**		
Уровни звуковой мощности максимального звука источника днём, Lwx, дБ		**исходные данные**	**0**	**0**	**108,5**	**105,5**	**102,5**	**102,5**	**99,5**	**93,5**	**0**		
Уровни звуковой мощности источника ночью, Lw, дБ		**исходные данные**	**0**	**0**	**0**	**0**	**0**	**0**	**0**	**0**	**0**		
Уровни звуковой мощности максимального звука источника ночью, Lwx, дБ		**исходные данные**	**0**	**0**	**0**	**0**	**0**	**0**	**0**	**0**	**0**		
Поправка на телесный угол DΩ, дБ	Ω = 12.57	10Lg(4π/Ω)	**0**	0	0	0	0	0	0	0	0		
Показатель направленности источника Di, дБ		исходные данные	**0**	0	0	0	0	0	0	0	0		
Поправка на направленность источника Dc, дБ	Dc	DΩ + Di	**0**	0	0	0	0	0	0	0	0		
Затухание из-за геометрической дивергенции, Adiv, дБ	расстояние = 443.36 м	ф-ла (7) [10]	**63,9**										
Коэффициент затухания звука в атмосфере α, дБ/км	Ta=20,°C Pa=101.33,кПа hотн.=70%	ф-ла (5) [9]	0,02	0,09	0,33	1,12	2,79	4,98	9,04	23,09	77,63		
Учет затухания звука в атмосфере Aatm, дБ		ф-ла (8) [10]	0	0	0,1	0,5	1,2	2,2	4	10,2	34,4		
Снижение уровня звукового давления из-за влияния застройки между источником шума и расчетной точкой													
Снижение уровня звукового давления на пути над экраном, Dz1, дБ	z = 0.05м (разность путей)	ф-лы (14-18) [10]	4,8	4,8	4,8	4,8	4,8	4,9	5	5,3	5,7		
Снижение уровня звукового давления на пути слева от экрана, Dz2, дБ	z = 112.37м (разность путей)	ф-лы (14-18) [10]	30	33,7	36,9	39,9	43	46	49	52	55		

1		2	3	4	5	6	7	8	9	10	11	12	13
Снижение уровня звукового давления на пути справа от экрана, Dz3, дБ	z = 0.02м (разность путей)	ф-лы (14-18) [10]	4,9	4,9	5,1	5,4	5,9	6,8	8,2	10,1	12,4		
Общее снижение уровня звука препятствием Dz, дБ		Эн.сумма(-Dzi)	1,8	1,8	1,9	2,1	2,3	2,7	3,3	4	4,9		
Уровни звукового давления от источника ШТ-2 в расчётной точке днём, дБ		**ф-ла(3)[10]**	**0**	**0**	**38,5**	**35**	**31**	**29,6**	**24,2**	**11,3**	**0**	**34**	**38**
Уровни звукового давления от источника ШТ-2 в расчётной точке ночью, дБ		**ф-ла(3)[10]**	**0**	**0**	**0**	**0**	**0**	**0**	**0**	**0**	**0**	**0**	**0**
Источник шума: ШТ-3, координаты источника (x,y,z), м =[556.24,-281.90,1.00]													
Уровни звуковой мощности источника днём, Lw, дБ		**исходные данные**	**0**	**0**	**104,5**	**101,5**	**98,5**	**98,5**	**95,5**	**89,5**	**0**		
Уровни звуковой мощности максимального звука источника днём, Lwx, дБ		**исходные данные**	**0**	**0**	**108,5**	**105,5**	**102,5**	**102,5**	**99,5**	**93,5**	**0**		
Уровни звуковой мощности источника ночью, Lw, дБ		**исходные данные**	**0**	**0**	**0**	**0**	**0**	**0**	**0**	**0**	**0**		
Уровни звуковой мощности максимального звука источника ночью, Lwx, дБ		**исходные данные**	**0**	**0**	**0**	**0**	**0**	**0**	**0**	**0**	**0**		
Поправка на телесный угол DΩ, дБ	Ω = 12.57	10Lg(4π/Ω)	**0**	0	0	0	0	0	0	0	0		
Показатель направленности источника Di, дБ		исходные данные	**0**	0	0	0	0	0	0	0	0		
Поправка на направленность источника Dc, дБ	Dc	DΩ + Di	**0**	0	0	0	0	0	0	0	0		
Затухание из-за геометрической дивергенции, Adiv, дБ	расстояние = 342.83 м	ф-ла (7) [10]	**61,7**										
Коэффициент затухания звука в атмосфере α, дБ/км	Ta=20,°C Pa=101.33,кПа hотн.=70%	ф-ла (5) [9]	0,02	0,09	0,33	1,12	2,79	4,98	9,04	23,09	77,63		
Учет затухания звука в атмосфере Aatm, дБ		ф-ла (8) [10]	0	0	0,1	0,4	1	1,7	3,1	7,9	26,6		
Снижение уровня звукового давления из-за влияния застройки между источником шума и расчетной точкой													

1		2	3	4	5	6	7	8	9	10	11	12	13
Снижение уровня звукового давления на пути над экраном, Dz1, дБ	z = 0.06м (разность путей)	ф-лы (14-18) [10]	4,8	4,8	4,8	4,9	5,1	5,5	6,1	7,1	8,6		
Снижение уровня звукового давления на пути слева от экрана, Dz2, дБ	z = 107.44м (разность путей)	ф-лы (14-18) [10]	29,8	33,5	36,7	39,7	42,8	45,8	48,8	51,8	54,8		
Снижение уровня звукового давления на пути справа от экрана, Dz3, дБ	z = 1.15м (разность путей)	ф-лы (14-18) [10]	8,6	10,6	13	15,7	18,5	21,4	24,4	27,4	30,4		
Общее снижение уровня звука препятствием Dz, дБ		Эн.сумма(-Dzi)	3,3	3,8	4,2	4,6	4,9	5,4	6	7	8,5		
Уровни звукового давления от источника ШТ-3 в расчётной точке днём, дБ		**ф-ла(3)[10]**	**0**	**0**	**38,5**	**34,8**	**30,9**	**29,7**	**24,7**	**12,8**	**0**	**34**	**38**
Уровни звукового давления от источника ШТ-3 в расчётной точке ночью, дБ		**ф-ла(3)[10]**	**0**	**0**	**0**	**0**	**0**	**0**	**0**	**0**	**0**	**0**	**0**
Источник шума: ШТ-4, координаты источника (x,y,z), м =[600.61,-343.54,1.00]													
Уровни звуковой мощности источника днём, Lw, дБ		**исходные данные**	**0**	**0**	**104,5**	**101,5**	**98,5**	**98,5**	**95,5**	**89,5**	**0**		
Уровни звуковой мощности максимального звука источника днём, Lwx, дБ		**исходные данные**	**0**	**0**	**108,5**	**105,5**	**102,5**	**102,5**	**99,5**	**93,5**	**0**		
Уровни звуковой мощности источника ночью, Lw, дБ		**исходные данные**	**0**	**0**	**0**	**0**	**0**	**0**	**0**	**0**	**0**		
Уровни звуковой мощности максимального звука источника ночью, Lwx, дБ		**исходные данные**	**0**	**0**	**0**	**0**	**0**	**0**	**0**	**0**	**0**		
Поправка на телесный угол DΩ, дБ	Ω = 12.57	10Lg(4π/Ω)	**0**	0	0	0	0	0	0	0	0		
Показатель направленности источника Di, дБ		исходные данные	**0**	0	0	0	0	0	0	0	0		
Поправка на направленность источника Dc, дБ	Dc	DΩ + Di	**0**	0	0	0	0	0	0	0	0		
Затухание из-за геометрической дивергенции, Adiv, дБ	расстояние = 404.55 м	ф-ла (7) [10]	**63,1**										
Коэффициент затухания звука в атмосфере α, дБ/км	Ta=20,°C Pa=101.33,кПа hотн.=70%	ф-ла (5) [9]	0,02	0,09	0,33	1,12	2,79	4,98	9,04	23,09	77,63		

1		2	3	4	5	6	7	8	9	10	11	12	13
Учет затухания звука в атмосфере Aatm, дБ		ф-ла (8) [10]	0	0	0,1	0,5	1,1	2	3,7	9,3	31,4		
Снижение уровня звукового давления из-за влияния застройки между источником шума и расчетной точкой													
Снижение уровня звукового давления на пути над экраном, Dz1, дБ	z = 1.05м (разность путей)	ф-лы (14-18) [10]	6,9	8,6	11,7	15,5	19	22,2	25,2	28,2	31,2		
Снижение уровня звукового давления на пути слева от экрана, Dz2, дБ	z = 120.64м (разность путей)	ф-лы (14-18) [10]	26,8	30,5	34,8	39,3	43	46,2	49,3	52,3	55,3		
Снижение уровня звукового давления на пути справа от экрана, Dz3, дБ	z = 3.49м (разность путей)	ф-лы (14-18) [10]	12,3	15,5	19,6	24	27,6	30,8	33,9	36,9	39,9		
Общее снижение уровня звука препятствием Dz, дБ		Эн.сумма(-Dzi)	5,7	7,8	11	14,9	18,5	21,6	24,7	27,7	30,7		
Общее снижение уровня звука препятствием с учётом ограничения (25 дБ) для октавных полос Dz, дБ		Раздел 7.4 [10]	5,7	7,8	11	14,9	18,5	21,6	24,7	25	25		
Уровни звукового давления от источника ШТ-4 в расчётной точке днём, дБ		**ф-ла(3)[10]**	**0**	**0**	**30,2**	**23**	**15,8**	**11,7**	**4**	**0**	**0**	**19,5**	**23,5**
Уровни звукового давления от источника ШТ-4 в расчётной точке ночью, дБ		**ф-ла(3)[10]**	**0**	**0**	**0**	**0**	**0**	**0**	**0**	**0**	**0**	**0**	**0**
Источник шума: ШТ-5, координаты источника (x,y,z), м =[453.13,-90.07,1.00]													
Уровни звуковой мощности источника днём, Lw, дБ		**исходные данные**	**0**	**0**	**103**	**100**	**97**	**97**	**94**	**88**	**0**		
Уровни звуковой мощности максимального звука источника днём, Lwx, дБ		**исходные данные**	**0**	**0**	**108**	**105**	**102**	**102**	**99**	**93**	**0**		
Уровни звуковой мощности источника ночью, Lw, дБ		**исходные данные**	**0**	**0**	**0**	**0**	**0**	**0**	**0**	**0**	**0**		
Уровни звуковой мощности максимального звука источника ночью, Lwx, дБ		**исходные данные**	**0**	**0**	**0**	**0**	**0**	**0**	**0**	**0**	**0**		
Поправка на телесный угол DΩ, дБ	Ω = 12.57	10Lg(4π/Ω)	**0**	0	0	0	0	0	0	0	0		
Показатель направленности источника Di, дБ		исходные данные	**0**	0	0	0	0	0	0	0	0		
Поправка на направленность источника Dc, дБ	Dc	DΩ + Di	**0**	0	0	0	0	0	0	0	0		

1		2	3	4	5	6	7	8	9	10	11	12	13
Затухание из-за геометрической дивергенции, Adiv, дБ	расстояние = 250.03 м	ф-ла (7) [10]	**59**										
Коэффициент затухания звука в атмосфере α, дБ/км	Ta=20,°C Pa=101.33,кПа hотн.=70%	ф-ла (5) [9]	0,02	0,09	0,33	1,12	2,79	4,98	9,04	23,09	77,63		
Учет затухания звука в атмосфере Aatm, дБ		ф-ла (8) [10]	0	0	0,1	0,3	0,7	1,2	2,3	5,8	19,4		
Снижение поверхностью земли возле источника As, дБ	Gs = 0 hs = 1м	ф-лы таб.3 [10]	-1,5	-1,5	-1,5	-1,5	-1,5	-1,5	-1,5	-1,5	-1,5		
Снижение поверхностью земли возле приёмника Ar, дБ	Gr = 1 hr = 1.6м	ф-лы таб.3 [10]	-1,5	-1,5	1,5	6,8	4,3	0,5	0	0	0		
Снижение поверхностью земли в средней зоне, Am дБ	Gm = 1	ф-лы таб.3 [10]	-2,1	-2,1	0	0	0	0	0	0	0		
Суммарное снижение поверхностью земли на траектории распространения звука Agr, дБ		ф-ла (9) [10]	-5,1	-5,1	0	5,3	2,8	-1	-1,5	-1,5	-1,5		
Уровни звукового давления прямого звука от источника ШТ-5 в расчётной точке днём, дБ		**ф-ла(3)[10]**	**0**	**0**	**44**	**35,4**	**34,5**	**37,8**	**34,3**	**24,7**	**0**	**40,9**	**45,9**
* уровни звукового давления для определения максимального прямого звука от источника ШТ-5 в расчётной точке днём, дБ		ф-ла(3)[10]	0	0	49	40,4	39,5	42,8	39,3	29,7	0	45,9	
Уровни звукового давления прямого звука от источника ШТ-5 в расчётной точке ночью, дБ		**ф-ла(3)[10]**	**0**	**0**	**0**	**0**	**0**	**0**	**0**	**0**	**0**	**0**	**0**
* уровни звукового давления для определения максимального прямого звука от источника ШТ-5 в расчётной точке ночью, дБ		ф-ла(3)[10]	0	0	0	0	0	0	0	0	0	0	
Расчёт отражённого звука													
Уровни звукового давления от мнимого источника ШТ-5_мн.(1) в расчётной точке днём, дБ		**ф-ла(3)[10]**	**0**	**0**	**0**	**0**	**0**	**0**	**0**	**22,1**	**0**	**23,1**	**28,1**
Уровни звукового давления от мнимого источника ШТ-5_мн.(1) в расчётной точке ночью, дБ		**ф-ла(3)[10]**	**0**	**0**	**0**	**0**	**0**	**0**	**0**	**0**	**0**	**0**	**0**
Уровни звукового давления от источника ШТ-5 в расчётной точке днём, дБ		**ф-ла(3)[10]**	**0**	**0**	**44**	**35,4**	**34,5**	**37,8**	**34,3**	**26,6**	**0**	**41**	**46**
Уровни звукового давления от источника ШТ-5 в расчётной точке ночью, дБ		**ф-ла(3)[10]**	**0**	**0**	**0**	**0**	**0**	**0**	**0**	**0**	**0**	**0**	**0**

1		2	3	4	5	6	7	8	9	10	11	12	13
Источник шума: ШТ-6, координаты источника (x,y,z), м =[476.78,-97.62,1.00]													
Уровни звуковой мощности источника днём, Lw, дБ		**исходные данные**	**0**	**0**	**110,5**	**107,5**	**104,5**	**104,5**	**101,5**	**95,5**	**0**		
Уровни звуковой мощности максимального звука источника днём, Lwx, дБ		**исходные данные**	**0**	**0**	**115,5**	**112,5**	**109,5**	**109,5**	**106,5**	**100,5**	**0**		
Уровни звуковой мощности источника ночью, Lw, дБ		**исходные данные**	**0**	**0**	**0**	**0**	**0**	**0**	**0**	**0**	**0**		
Уровни звуковой мощности максимального звука источника ночью, Lwx, дБ		**исходные данные**	**0**	**0**	**0**	**0**	**0**	**0**	**0**	**0**	**0**		
Поправка на телесный угол DΩ, дБ	Ω = 12.57	10Lg(4π/Ω)	**0**	0	0	0	0	0	0	0	0		
Показатель направленности источника Di, дБ		исходные данные	**0**	0	0	0	0	0	0	0	0		
Поправка на направленность источника Dc, дБ	Dc	DΩ + Di	**0**	0	0	0	0	0	0	0	0		
Затухание из-за геометрической дивергенции, Adiv, дБ	расстояние = 269.00 м	ф-ла (7) [10]	**59,6**										
Коэффициент затухания звука в атмосфере α, дБ/км	Ta=20,°C Pa=101.33,кПа hотн.=70%	ф-ла (5) [9]	0,02	0,09	0,33	1,12	2,79	4,98	9,04	23,09	77,63		
Учет затухания звука в атмосфере Aatm, дБ		ф-ла (8) [10]	0	0	0,1	0,3	0,8	1,3	2,4	6,2	20,9		
Снижение поверхностью земли возле источника As, дБ	Gs = 0 hs = 1м	ф-лы таб.3 [10]	-1,5	-1,5	-1,5	-1,5	-1,5	-1,5	-1,5	-1,5	-1,5		
Снижение поверхностью земли возле приёмника Ar, дБ	Gr = 1 hr = 1.6м	ф-лы таб.3 [10]	-1,5	-1,5	1,6	6,8	4,3	0,5	0	0	0		
Снижение поверхностью земли в средней зоне, Am дБ	Gm = 1	ф-лы таб.3 [10]	-2,1	-2,1	0	0	0	0	0	0	0		
Суммарное снижение поверхностью земли на траектории распространения звука Agr, дБ		ф-ла (9) [10]	-5,1	-5,1	0,1	5,3	2,8	-1	-1,5	-1,5	-1,5		
Уровни звукового давления прямого звука от источника ШТ-6 в расчётной точке днём, дБ		**ф-ла(3)[10]**	**0**	**0**	**50,7**	**42,3**	**41,4**	**44,6**	**41**	**31,2**	**0**	**47,7**	**52,7**

1		2	3	4	5	6	7	8	9	10	11	12	13
* уровни звукового давления для определения максимального прямого звука от источника ШТ-6 в расчётной точке днём, дБ		ф-ла(3)[10]	0	0	55,7	47,3	46,4	49,6	46	36,2	0	52,7	
Уровни звукового давления прямого звука от источника ШТ-6 в расчётной точке ночью, дБ		**ф-ла(3)[10]**	**0**	**0**	**0**	**0**	**0**	**0**	**0**	**0**	**0**	**0**	**0**
* уровни звукового давления для определения максимального прямого звука от источника ШТ-6 в расчётной точке ночью, дБ		ф-ла(3)[10]	0	0	0	0	0	0	0	0	0	0	
Расчёт отражённого звука													
Уровни звукового давления от мнимого источника ШТ-6_мн.(1) в расчётной точке днём, дБ		**ф-ла(3)[10]**	**0**	**0**	**0**	**0**	**0**	**40**	**38,4**	**28,6**	**0**	**43**	**48**
Уровни звукового давления от мнимого источника ШТ-6_мн.(1) в расчётной точке ночью, дБ		**ф-ла(3)[10]**	**0**	**0**	**0**	**0**	**0**	**0**	**0**	**0**	**0**	**0**	**0**
Уровни звукового давления от источника ШТ-6 в расчётной точке днём, дБ		**ф-ла(3)[10]**	**0**	**0**	**50,7**	**42,3**	**41,4**	**45,9**	**42,9**	**33,1**	**0**	**48,9**	**53,9**
Уровни звукового давления от источника ШТ-6 в расчётной точке ночью, дБ		**ф-ла(3)[10]**	**0**	**0**	**0**	**0**	**0**	**0**	**0**	**0**	**0**	**0**	**0**
Источник шума: ШТ-7, координаты источника (x,y,z), м =[632.16,-298.34,1.00]													
Уровни звуковой мощности источника днём, Lw, дБ		**исходные данные**	**0**	**0**	**104,5**	**101,5**	**98,5**	**98,5**	**95,5**	**89,5**	**0**		
Уровни звуковой мощности максимального звука источника днём, Lwx, дБ		**исходные данные**	**0**	**0**	**111,5**	**108,5**	**105,5**	**105,5**	**102,5**	**96,5**	**0**		
Уровни звуковой мощности источника ночью, Lw, дБ		**исходные данные**	**0**	**0**	**0**	**0**	**0**	**0**	**0**	**0**	**0**		
Уровни звуковой мощности максимального звука источника ночью, Lwx, дБ		**исходные данные**	**0**	**0**	**0**	**0**	**0**	**0**	**0**	**0**	**0**		
Поправка на телесный угол DΩ, дБ	Ω = 12.57	10Lg(4π/Ω)	**0**	0	0	0	0	0	0	0	0		
Показатель направленности источника Di, дБ		исходные данные	**0**	0	0	0	0	0	0	0	0		
Поправка на направленность источника Dc, дБ	Dc	DΩ + Di	**0**	0	0	0	0	0	0	0	0		
Затухание из-за геометрической дивергенции, Adiv, дБ	расстояние = 420.43 м	ф-ла (7) [10]	**63,5**										

1		2	3	4	5	6	7	8	9	10	11	12	13
Коэффициент затухания звука в атмосфере α, дБ/км	Та=20,°С Ра=101.33,кПа hотн.=70%	ф-ла (5) [9]	0,02	0,09	0,33	1,12	2,79	4,98	9,04	23,09	77,63		
Учет затухания звука в атмосфере Aatm, дБ		ф-ла (8) [10]	0	0	0,1	0,5	1,2	2,1	3,8	9,7	32,6		
Снижение уровня звукового давления из-за влияния застройки между источником шума и расчетной точкой													
Снижение уровня звукового давления на пути над экраном, Dz1, дБ	z = 0.05м (разность путей)	ф-лы (14-18) [10]	4,8	4,8	4,8	4,8	4,9	5	5,2	5,6	6,3		
Снижение уровня звукового давления на пути слева от экрана, Dz2, дБ	z = 107.46м (разность путей)	ф-лы (14-18) [10]	29,8	33,5	36,7	39,8	42,8	45,8	48,8	51,8	54,8		
Снижение уровня звукового давления на пути справа от экрана, Dz3, дБ	z = 0.97м (разность путей)	ф-лы (14-18) [10]	8,2	10,1	12,4	15	17,8	20,7	23,7	26,6	29,6		
Общее снижение уровня звука препятствием Dz, дБ		Эн.сумма(-Dzi)	3,1	3,7	4,1	4,4	4,7	4,9	5,1	5,6	6,3		
Уровни звукового давления от источника ШТ-7 в расчётной точке днём, дБ		**ф-ла(3)[10]**	**0**	**0**	**36,8**	**33,1**	**29,2**	**28,1**	**23,1**	**10,8**	**0**	**32,4**	**39,4**
Уровни звукового давления от источника ШТ-7 в расчётной точке ночью, дБ		**ф-ла(3)[10]**	**0**	**0**	**0**	**0**	**0**	**0**	**0**	**0**	**0**	**0**	**0**
Источник шума: ШТ-8, координаты источника (x,y,z), м =[637.74,-278.95,1.00]													
Уровни звуковой мощности источника днём, Lw, дБ		**исходные данные**	**86**	**86**	**92**	**89**	**93**	**92**	**90**	**89**	**86**		
Уровни звуковой мощности источника ночью, Lw, дБ		**исходные данные**	**0**	**0**	**0**	**0**	**0**	**0**	**0**	**0**	**0**		
Поправка на телесный угол DΩ, дБ	Ω = 12.57	10Lg(4π/Ω)	**0**	0	0	0	0	0	0	0	0		
Показатель направленности источника Di, дБ		исходные данные	**0**	0	0	0	0	0	0	0	0		
Поправка на направленность источника Dc, дБ	Dc	DΩ + Di	**0**	0	0	0	0	0	0	0	0		
Затухание из-за геометрической дивергенции, Adiv, дБ	расстояние = 421.46 м	ф-ла (7) [10]	**63,5**										

1		2	3	4	5	6	7	8	9	10	11	12	13
Коэффициент затухания звука в атмосфере α, дБ/км	Та=20,°С Ра=101.33,кПа hотн.=70%	ф-ла (5) [9]	0,02	0,09	0,33	1,12	2,79	4,98	9,04	23,09	77,63		
Учет затухания звука в атмосфере Aatm, дБ		ф-ла (8) [10]	0	0	0,1	0,5	1,2	2,1	3,8	9,7	32,7		
Снижение уровня звукового давления из-за влияния застройки между источником шума и расчетной точкой													
Снижение уровня звукового давления на пути над экраном, Dz1, дБ	z = 0.05м (разность путей)	ф-лы (14-18) [10]	4,8	4,8	4,8	4,8	4,9	5	5,2	5,6	6,2		
Снижение уровня звукового давления на пути слева от экрана, Dz2, дБ	z = 109.10м (разность путей)	ф-лы (14-18) [10]	29,9	33,6	36,7	39,8	42,8	45,9	48,9	51,9	54,9		
Снижение уровня звукового давления на пути справа от экрана, Dz3, дБ	z = 0.45м (разность путей)	ф-лы (14-18) [10]	6,7	8	9,8	12,1	14,7	17,5	20,4	23,3	26,3		
Общее снижение уровня звука препятствием Dz, дБ		Эн.сумма(-Dzi)	2,6	3,1	3,6	4,1	4,4	4,7	5,1	5,5	6,2		
Уровни звукового давления от источника ШТ-8 в расчётной точке днём, дБ		**ф-ла(3)[10]**	**19,9**	**19,4**	**24,8**	**21**	**23,9**	**21,7**	**17,6**	**10,3**	**0**	**25,8**	**25,8**
Уровни звукового давления от источника ШТ-8 в расчётной точке ночью, дБ		**ф-ла(3)[10]**	**0**	**0**	**0**	**0**	**0**	**0**	**0**	**0**	**0**	**0**	**0**
Источник шума: ШТ-9, координаты источника (x,y,z), м =[627.56,-280.27,1.00]													
Уровни звуковой мощности источника днём, Lw, дБ		**исходные данные**	**73**	**73**	**84**	**69**	**71**	**70**	**70**	**60**	**52**		
Уровни звуковой мощности источника ночью, Lw, дБ		**исходные данные**	**0**	**0**	**0**	**0**	**0**	**0**	**0**	**0**	**0**		
Поправка на телесный угол DΩ, дБ	Ω = 12.57	10Lg(4π/Ω)	**0**	0	0	0	0	0	0	0	0		
Показатель направленности источника Di, дБ		исходные данные	**0**	0	0	0	0	0	0	0	0		
Поправка на направленность источника Dc, дБ	Dc	DΩ + Di	**0**	0	0	0	0	0	0	0	0		
Затухание из-за геометрической дивергенции, Adiv, дБ	расстояние = 411.77 м	ф-ла (7) [10]	**63,3**										

1		2	3	4	5	6	7	8	9	10	11	12	13
Коэффициент затухания звука в атмосфере α, дБ/км	Та=20,°С Ра=101.33,кПа hотн.=70%	ф-ла (5) [9]	0,02	0,09	0,33	1,12	2,79	4,98	9,04	23,09	77,63		
Учет затухания звука в атмосфере Aatm, дБ		ф-ла (8) [10]	0	0	0,1	0,5	1,1	2	3,7	9,5	32		
Снижение уровня звукового давления из-за влияния застройки между источником шума и расчетной точкой													
Снижение уровня звукового давления на пути над экраном, Dz1, дБ	z = 0.05м (разность путей)	ф-лы (14-18) [10]	4,8	4,8	4,8	4,8	4,9	5	5,2	5,7	6,4		
Снижение уровня звукового давления на пути слева от экрана, Dz2, дБ	z = 108.84м (разность путей)	ф-лы (14-18) [10]	29,9	33,6	36,7	39,8	42,8	45,8	48,9	51,9	54,9		
Снижение уровня звукового давления на пути справа от экрана, Dz3, дБ	z = 0.53м (разность путей)	ф-лы (14-18) [10]	6,9	8,4	10,3	12,7	15,3	18,1	21	24	27		
Общее снижение уровня звука препятствием Dz, дБ		Эн.сумма(-Dzi)	2,7	3,2	3,7	4,2	4,5	4,8	5,1	5,6	6,4		
Уровни звукового давления от источника ШТ-9 в расчётной точке днём, дБ		**ф-ла(3)[10]**	**7**	**6,5**	**16,9**	**1,1**	**2**	**0**	**0**	**0**	**0**	**3,3**	**3,3**
Уровни звукового давления от источника ШТ-9 в расчётной точке ночью, дБ		**ф-ла(3)[10]**	**0**	**0**	**0**	**0**	**0**	**0**	**0**	**0**	**0**	**0**	**0**
Источник шума: ШТ-10, координаты источника (x,y,z), м =[629.86,-268.44,1.00]													
Уровни звуковой мощности источника днём, Lw, дБ		**исходные данные**	**100**	**100**	**94**	**90**	**88**	**77**	**73**	**65**	**58**		
Уровни звуковой мощности источника ночью, Lw, дБ		**исходные данные**	**0**	**0**	**0**	**0**	**0**	**0**	**0**	**0**	**0**		
Поправка на телесный угол DΩ, дБ	Ω = 12.57	10Lg(4π/Ω)	**0**	0	0	0	0	0	0	0	0		
Показатель направленности источника Di, дБ		исходные данные	**0**	0	0	0	0	0	0	0	0		
Поправка на направленность источника Dc, дБ	Dc	DΩ + Di	**0**	0	0	0	0	0	0	0	0		
Затухание из-за геометрической дивергенции, Adiv, дБ	расстояние = 411.68 м	ф-ла (7) [10]	**63,3**										

1		2	3	4	5	6	7	8	9	10	11	12	13
Коэффициент затухания звука в атмосфере α, дБ/км	Та=20,°С Ра=101.33,кПа hотн.=70%	ф-ла (5) [9]	0,02	0,09	0,33	1,12	2,79	4,98	9,04	23,09	77,63		
Учет затухания звука в атмосфере Aatm, дБ		ф-ла (8) [10]	0	0	0,1	0,5	1,1	2	3,7	9,5	32		
Снижение уровня звукового давления из-за влияния застройки между источником шума и расчетной точкой													
Снижение уровня звукового давления на пути над экраном, Dz1, дБ	z = 0.05м (разность путей)	ф-лы (14-18) [10]	4,8	4,8	4,8	4,8	4,9	5	5,2	5,7	6,4		
Снижение уровня звукового давления на пути слева от экрана, Dz2, дБ	z = 109.95м (разность путей)	ф-лы (14-18) [10]	29,9	33,6	36,8	39,8	42,9	45,9	48,9	51,9	54,9		
Снижение уровня звукового давления на пути справа от экрана, Dz3, дБ	z = 0.28м (разность путей)	ф-лы (14-18) [10]	6,1	7,1	8,6	10,5	12,9	15,6	18,4	21,3	24,3		
Общее снижение уровня звука препятствием Dz, дБ		Эн.сумма(-Dzi)	2,4	2,8	3,3	3,8	4,3	4,6	5	5,6	6,3		
Уровни звукового давления от источника ШТ-10 в расчётной точке днём, дБ		**ф-ла(3)[10]**	**34,3**	**33,9**	**27,3**	**22,5**	**19,3**	**7**	**0,9**	**0**	**0**	**19,6**	**19,6**
Уровни звукового давления от источника ШТ-10 в расчётной точке ночью, дБ		**ф-ла(3)[10]**	**0**	**0**	**0**	**0**	**0**	**0**	**0**	**0**	**0**	**0**	**0**
Источник шума: ШТ-11, координаты источника (x,y,z), м =[585.91,-204.05,1.00]													
Уровни звуковой мощности источника днём, Lw, дБ		**исходные данные**	**100**	**100**	**94**	**90**	**88**	**77**	**73**	**65**	**58**		
Уровни звуковой мощности источника ночью, Lw, дБ		**исходные данные**	**0**	**0**	**0**	**0**	**0**	**0**	**0**	**0**	**0**		
Поправка на телесный угол DΩ, дБ	Ω = 12.57	10Lg(4π/Ω)	**0**	0	0	0	0	0	0	0	0		
Показатель направленности источника Di, дБ		исходные данные	**0**	0	0	0	0	0	0	0	0		
Поправка на направленность источника Dc, дБ	Dc	DΩ + Di	**0**	0	0	0	0	0	0	0	0		
Затухание из-за геометрической дивергенции, Adiv, дБ	расстояние = 360.91 м	ф-ла (7) [10]	**62,1**										

1		2	3	4	5	6	7	8	9	10	11	12	13
Коэффициент затухания звука в атмосфере α, дБ/км	Ta=20,°C Pa=101.33,кПа hотн.=70%	ф-ла (5) [9]	0,02	0,09	0,33	1,12	2,79	4,98	9,04	23,09	77,63		
Учет затухания звука в атмосфере Aatm, дБ		ф-ла (8) [10]	0	0	0,1	0,4	1	1,8	3,3	8,3	28		
Снижение уровня звукового давления из-за влияния застройки между источником шума и расчетной точкой													
Снижение уровня звукового давления препятствием слева от трассы ИШ-РТ, Dz2, дБ	z = -0.25м (разность путей)	ф-лы (14-18) [10]	3,2	0,7	NAN	NAN	NAN	NAN	NAN	NAN	NAN		
* отрицательное значение z означает прохождение траектории вблизи экрана, в этом случае дополнительно производится учёт снижения подстилающей поверхностью (см.ниже)													
Снижение поверхностью земли возле источника As, дБ	Gs = 0 hs = 1м	ф-лы таб.3 [10]	-1,5	-1,5	-1,5	-1,5	-1,5	-1,5	-1,5	-1,5	-1,5		
Снижение поверхностью земли возле приёмника Ar, дБ	Gr = 1 hr = 1.6м	ф-лы таб.3 [10]	-1,5	-1,5	2,1	6,8	4,3	0,5	0	0	0		
Снижение поверхностью земли в средней зоне, Am дБ	Gm = 1	ф-лы таб.3 [10]	-2,4	-2,4	0	0	0	0	0	0	0		
Суммарное снижение поверхностью земли на траектории распространения звука Agr, дБ		ф-ла (9) [10]	-5,4	-5,4	0,6	5,3	2,8	-1	-1,5	-1,5	-1,5		
Уровни звукового давления прямого звука от источника ШТ-11 в расчётной точке днём, дБ		**ф-ла(3)[10]**	**40**	**42,4**	**31,1**	**22,1**	**22**	**14,1**	**9,1**	**0**	**0**	**23,2**	**23,2**
Уровни звукового давления прямого звука от источника ШТ-11 в расчётной точке ночью, дБ		**ф-ла(3)[10]**	**0**	**0**	**0**	**0**	**0**	**0**	**0**	**0**	**0**	**0**	**0**
Расчёт отражённого звука													
Уровни звукового давления от мнимого источника ШТ-11_мн.(1) в расчётной точке днём, дБ		**ф-ла(3)[10]**	**0**	**0**	**26,6**	**11,8**	**10,7**	**9,5**	**6,6**	**0**	**0**	**15,3**	**15,3**
Уровни звукового давления от мнимого источника ШТ-11_мн.(1) в расчётной точке ночью, дБ		**ф-ла(3)[10]**	**0**	**0**	**0**	**0**	**0**	**0**	**0**	**0**	**0**	**0**	**0**
Уровни звукового давления от источника ШТ-11 в расчётной точке днём, дБ		**ф-ла(3)[10]**	**40**	**42,4**	**32,4**	**22,5**	**22,3**	**15,4**	**11**	**0**	**0**	**23,9**	**23,9**
Уровни звукового давления от источника ШТ-11 в расчётной точке ночью, дБ		**ф-ла(3)[10]**	**0**	**0**	**0**	**0**	**0**	**0**	**0**	**0**	**0**	**0**	**0**
Источник шума: ШТ-12, координаты источника (x,y,z), м =[529.09,-315.23,1.00]													

1		2	3	4	5	6	7	8	9	10	11	12	13
Уровни звуковой мощности источника днём, Lw, дБ		**исходные данные**	**100**	**100**	**94**	**90**	**88**	**77**	**73**	**65**	**58**		
Уровни звуковой мощности источника ночью, Lw, дБ		**исходные данные**	**0**	**0**	**0**	**0**	**0**	**0**	**0**	**0**	**0**		
Поправка на телесный угол DΩ, дБ	Ω = 12.57	10Lg(4π/Ω)	**0**	0	0	0	0	0	0	0	0		
Показатель направленности источника Di, дБ		исходные данные	**0**	0	0	0	0	0	0	0	0		
Поправка на направленность источника Dc, дБ	Dc	DΩ + Di	**0**	0	0	0	0	0	0	0	0		
Затухание из-за геометрической дивергенции, Adiv, дБ	расстояние = 327.63 м	ф-ла (7) [10]	**61,3**										
Коэффициент затухания звука в атмосфере α, дБ/км	Ta=20,°C Pa=101.33,кПа hотн.=70%	ф-ла (5) [9]	0,02	0,09	0,33	1,12	2,79	4,98	9,04	23,09	77,63		
Учет затухания звука в атмосфере Aatm, дБ		ф-ла (8) [10]	0	0	0,1	0,4	0,9	1,6	3	7,6	25,4		
Снижение уровня звукового давления из-за влияния застройки между источником шума и расчетной точкой													
Снижение уровня звукового давления на пути над экраном, Dz1, дБ	z = 1.10м (разность путей)	ф-лы (14-18) [10]	7,3	9,3	12,6	16,5	20	23,2	26,2	29,2	32,3		
Снижение уровня звукового давления на пути слева от экрана, Dz2, дБ	z = 104.75м (разность путей)	ф-лы (14-18) [10]	29,2	33,2	36,5	39,6	42,7	45,7	48,7	51,7	54,7		
Снижение уровня звукового давления на пути справа от экрана, Dz3, дБ	z = 3.74м (разность путей)	ф-лы (14-18) [10]	12,5	15,8	19,9	24,3	27,9	31,1	34,2	37,2	40,2		
Общее снижение уровня звука препятствием Dz, дБ		Эн.сумма(-Dzi)	6,1	8,4	11,8	15,8	19,4	22,5	25,6	28,6	31,6		
Общее снижение уровня звука препятствием с учётом ограничения (25 дБ) для октавных полос Dz, дБ		Раздел 7.4 [10]	6,1	8,4	11,8	15,8	19,4	22,5	25	25	25		
Уровни звукового давления прямого звука от источника ШТ-12 в расчётной точке днём, дБ		**ф-ла(3)[10]**	**32,6**	**30,3**	**20,8**	**12,5**	**6,4**	**0**	**0**	**0**	**0**	**10,1**	**10,1**
Уровни звукового давления прямого звука от источника ШТ-12 в расчётной точке ночью, дБ		**ф-ла(3)[10]**	**0**	**0**	**0**	**0**	**0**	**0**	**0**	**0**	**0**	**0**	**0**
Расчёт отражённого звука													

1		2	3	4	5	6	7	8	9	10	11	12	13
Уровни звукового давления от мнимого источника ШТ-12_мн.(1) в расчётной точке днём, дБ		**ф-ла(3)[10]**	**0**	**0**	**0**	**0**	**0**	**0**	**0**	**0**	**0**	**0**	**0**
Уровни звукового давления от мнимого источника ШТ-12_мн.(1) в расчётной точке ночью, дБ		**ф-ла(3)[10]**	**0**	**0**	**0**	**0**	**0**	**0**	**0**	**0**	**0**	**0**	**0**
Уровни звукового давления от источника ШТ-12 в расчётной точке днём, дБ		**ф-ла(3)[10]**	**32,6**	**30,3**	**20,8**	**12,5**	**6,4**	**0**	**0**	**0**	**0**	**10,1**	**10,1**
Уровни звукового давления от источника ШТ-12 в расчётной точке ночью, дБ		**ф-ла(3)[10]**	**0**	**0**	**0**	**0**	**0**	**0**	**0**	**0**	**0**	**0**	**0**
Источник шума: ШТ-13, координаты источника (x,y,z), м =[659.03,-392.14,1.00]													
Уровни звуковой мощности источника днём, Lw, дБ		**исходные данные**	**100**	**100**	**94**	**90**	**88**	**77**	**73**	**65**	**58**		
Уровни звуковой мощности источника ночью, Lw, дБ		**исходные данные**	**0**	**0**	**0**	**0**	**0**	**0**	**0**	**0**	**0**		
Поправка на телесный угол DΩ, дБ	Ω = 12.57	10Lg(4π/Ω)	**0**	0	0	0	0	0	0	0	0		
Показатель направленности источника Di, дБ		исходные данные	**0**	0	0	0	0	0	0	0	0		
Поправка на направленность источника Dc, дБ	Dc	DΩ + Di	**0**	0	0	0	0	0	0	0	0		
Затухание из-за геометрической дивергенции, Adiv, дБ	расстояние = 477.45 м	ф-ла (7) [10]	**64,6**										
Коэффициент затухания звука в атмосфере α, дБ/км	Ta=20,°C Pa=101.33,кПа hотн.=70%	ф-ла (5) [9]	0,02	0,09	0,33	1,12	2,79	4,98	9,04	23,09	77,63		
Учет затухания звука в атмосфере Aatm, дБ		ф-ла (8) [10]	0	0	0,2	0,5	1,3	2,4	4,3	11	37,1		
Снижение уровня звукового давления из-за влияния застройки между источником шума и расчетной точкой													
Снижение уровня звукового давления на пути над экраном, Dz1, дБ	z = 1.77м (разность путей)	ф-лы (14-18) [10]	8,8	12	15,8	19,4	22,5	25,6	28,6	31,6	34,6		
Снижение уровня звукового давления на пути слева от экрана, Dz2, дБ	z = 119.51м (разность путей)	ф-лы (14-18) [10]	26,8	30,4	34,8	39,2	42,9	46,2	49,2	52,3	55,3		

1		2	3	4	5	6	7	8	9	10	11	12	13
Снижение уровня звукового давления на пути справа от экрана, Dz3, дБ	z = 4.74м (разность путей)	ф-лы (14-18) [10]	13,4	16,7	20,9	25,3	28,9	32,2	35,2	38,2	41,3		
Общее снижение уровня звука препятствием Dz, дБ		Эн.сумма(-Dzi)	7,5	10,7	14,6	18,3	21,6	24,7	27,7	30,7	33,7		
Общее снижение уровня звука препятствием с учётом ограничения (25 дБ) для октавных полос Dz, дБ		Раздел 7.4 [10]	7,5	10,7	14,6	18,3	21,6	24,7	25	25	25		
Уровни звукового давления прямого звука от источника ШТ-13 в расчётной точке днём, дБ		**ф-ла(3)[10]**	**27,9**	**24,7**	**14,7**	**6,6**	**0,5**	**0**	**0**	**0**	**0**	**4,2**	**4,2**
Уровни звукового давления прямого звука от источника ШТ-13 в расчётной точке ночью, дБ		**ф-ла(3)[10]**	**0**	**0**	**0**	**0**	**0**	**0**	**0**	**0**	**0**	**0**	**0**
Расчёт отражённого звука													
Уровни звукового давления от мнимого источника ШТ-13_мн.(1) в расчётной точке днём, дБ		**ф-ла(3)[10]**	**0**	**0**	**0**	**0**	**0**	**0**	**0**	**0**	**0**	**0**	**0**
Уровни звукового давления от мнимого источника ШТ-13_мн.(1) в расчётной точке ночью, дБ		**ф-ла(3)[10]**	**0**	**0**	**0**	**0**	**0**	**0**	**0**	**0**	**0**	**0**	**0**
Уровни звукового давления от источника ШТ-13 в расчётной точке днём, дБ		**ф-ла(3)[10]**	**27,9**	**24,7**	**14,7**	**6,6**	**0,5**	**0**	**0**	**0**	**0**	**4,2**	**4,2**
Уровни звукового давления от источника ШТ-13 в расчётной точке ночью, дБ		**ф-ла(3)[10]**	**0**	**0**	**0**	**0**	**0**	**0**	**0**	**0**	**0**	**0**	**0**
Источник шума: ШТ-14, координаты источника (x,y,z), м =[499.22,-149.33,1.00]													
Уровни звуковой мощности источника днём, Lw, дБ		**исходные данные**	**100**	**100**	**94**	**90**	**88**	**77**	**73**	**65**	**58**		
Уровни звуковой мощности источника ночью, Lw, дБ		**исходные данные**	**0**	**0**	**0**	**0**	**0**	**0**	**0**	**0**	**0**		
Поправка на телесный угол DΩ, дБ	Ω = 12.57	10Lg(4π/Ω)	**0**	0	0	0	0	0	0	0	0		
Показатель направленности источника Di, дБ		исходные данные	**0**	0	0	0	0	0	0	0	0		
Поправка на направленность источника Dc, дБ	Dc	DΩ + Di	**0**	0	0	0	0	0	0	0	0		
Затухание из-за геометрической дивергенции, Adiv, дБ	расстояние = 277.47 м	ф-ла (7) [10]	**59,9**										

1		2	3	4	5	6	7	8	9	10	11	12	13
Коэффициент затухания звука в атмосфере α, дБ/км	Ta=20,°C Pa=101.33,кПа hотн.=70%	ф-ла (5) [9]	0,02	0,09	0,33	1,12	2,79	4,98	9,04	23,09	77,63		
Учет затухания звука в атмосфере Aatm, дБ		ф-ла (8) [10]	0	0	0,1	0,3	0,8	1,4	2,5	6,4	21,5		
Снижение поверхностью земли возле источника As, дБ	Gs = 0 hs = 1м	ф-лы таб.3 [10]	-1,5	-1,5	-1,5	-1,5	-1,5	-1,5	-1,5	-1,5	-1,5		
Снижение поверхностью земли возле приёмника Ar, дБ	Gr = 1 hr = 1.6м	ф-лы таб.3 [10]	-1,5	-1,5	1,6	6,8	4,3	0,5	0	0	0		
Снижение поверхностью земли в средней зоне, Am дБ	Gm = 1	ф-лы таб.3 [10]	-2,2	-2,2	0	0	0	0	0	0	0		
Суммарное снижение поверхностью земли на траектории распространения звука Agr, дБ		ф-ла (9) [10]	-5,2	-5,2	0,1	5,3	2,8	-1	-1,5	-1,5	-1,5		
Уровни звукового давления прямого звука от источника ШТ-14 в расчётной точке днём, дБ		**ф-ла(3)[10]**	**45,3**	**45,3**	**33,9**	**24,5**	**24,6**	**16,8**	**12,1**	**0**	**0**	**25,9**	**25,9**
Уровни звукового давления прямого звука от источника ШТ-14 в расчётной точке ночью, дБ		**ф-ла(3)[10]**	**0**	**0**	**0**	**0**	**0**	**0**	**0**	**0**	**0**	**0**	**0**
Расчёт отражённого звука													
Уровни звукового давления от мнимого источника ШТ-14_мн.(1) в расчётной точке днём, дБ		**ф-ла(3)[10]**	**0**	**0**	**0**	**0**	**0**	**0**	**0**	**0**	**0**	**0**	**0**
Уровни звукового давления от мнимого источника ШТ-14_мн.(1) в расчётной точке ночью, дБ		**ф-ла(3)[10]**	**0**	**0**	**0**	**0**	**0**	**0**	**0**	**0**	**0**	**0**	**0**
Уровни звукового давления от мнимого источника ШТ-14_мн.(2) в расчётной точке днём, дБ		**ф-ла(3)[10]**	**0**	**0**	**29,9**	**14,2**	**13,2**	**12,2**	**9,6**	**0**	**0**	**18,2**	**18,2**
Уровни звукового давления от мнимого источника ШТ-14_мн.(2) в расчётной точке ночью, дБ		**ф-ла(3)[10]**	**0**	**0**	**0**	**0**	**0**	**0**	**0**	**0**	**0**	**0**	**0**
Суммарные уровни звукового давления от мнимых источников в расчётной точке днём, дБ		**ф-ла (19) [1]**	**0**	**0**	**29,9**	**14,2**	**13,2**	**12,2**	**9,6**	**0**	**0**	**0**	**18,2**
Суммарные уровни звукового давления от мнимых источников в расчётной точке ночью, дБ		**ф-ла (19) [1]**	**0**	**0**	**0**	**0**	**0**	**0**	**0**	**0**	**0**	**0**	**0**
Уровни звукового давления от источника ШТ-14 в расчётной точке днём, дБ		**ф-ла(3)[10]**	**45,3**	**45,3**	**35,4**	**24,9**	**24,9**	**18,1**	**14**	**0**	**0**	**26,6**	**26,6**
Уровни звукового давления от источника ШТ-14 в расчётной точке ночью, дБ		**ф-ла(3)[10]**	**0**	**0**	**0**	**0**	**0**	**0**	**0**	**0**	**0**	**0**	**0**

1		2	3	4	5	6	7	8	9	10	11	12	13
Уровни звукового давления в расчётной точке													
Суммарные уровни звукового давления в расчётной точке от всех источников шума днём, Lрт, дБ		**ф-ла (19) [1]**	**60,5**	**58,7**	**56**	**51,4**	**51,6**	**55,4**	**50,5**	**38,9**	**0**	**57,8**	**59,1**
Суммарные уровни звукового давления в расчётной точке от всех источников шума ночью, Lрт, дБ		**ф-ла (19) [1]**	**54,8**	**56,7**	**53,1**	**49,9**	**50,6**	**54,4**	**48,7**	**36,7**	**0**	**56,6**	**56,6**
Допускаемые УЗД днём, Lдоп, дБ	Территории предприятий с постоянными рабочими местами	Табл. 1[3]	107	95	87	82	78	75	73	71	69	80	95
Допускаемые УЗД ночью, Lдоп, дБ	Территории предприятий с постоянными рабочими местами	Табл. 1[3]	107	95	87	82	78	75	73	71	69	80	95
Превышение днём, дБ		**Lрт - Lдоп**	**-46,5**	**-36,3**	**-31**	**-30,6**	**-26,4**	**-19,6**	**-22,5**	**-32,1**	**-69**	**-22,2**	**-35,9**
Превышение ночью, дБ		**Lрт - Lдоп**	**-52,2**	**-38,3**	**-33,9**	**-32,1**	**-27,4**	**-20,6**	**-24,3**	**-34,3**	**-69**	**-23,4**	**-38,4**

Определение уровней звукового давления в точке РТ-2-3 (координаты точки, м: x = 268.75, y = -207.38, z = 1.60)													
Наименование величин и их описание		**Ссылка**	**Расчётные уровни в октавных полосах, со среднегеометрическими частотами, Гц**									**La, дБА**	**Lмакс, дБА**
			31,5	**63**	**125**	**250**	**500**	**1000**	**2000**	**4000**	**8000**		
1		**2**	**3**	**4**	**5**	**6**	**7**	**8**	**9**	**10**	**11**	**12**	**13**
Источник шума: ИШ-1-1, координаты источника (x,y,z), м =[271.72,229.68,1.00]													
Уровни звуковой мощности источника днём, Lw, дБ		**исходные данные**	**97**	**97**	**104**	**106**	**105**	**105**	**98**	**87**	**81**		
Уровни звуковой мощности источника ночью, Lw, дБ		**исходные данные**	**97**	**97**	**104**	**106**	**105**	**105**	**98**	**87**	**81**		
Поправка на телесный угол DΩ, дБ	Ω = 6.28	10Lg(4π/Ω)	**3**	3	3	3	3	3	3	3	3		
Показатель направленности источника Di, дБ		исходные данные	**0**	0	0	0	0	0	0	0	0		
Поправка на направленность источника Dc, дБ	Dc	DΩ + Di	**3**	3	3	3	3	3	3	3	3		
Затухание из-за геометрической дивергенции, Adiv, дБ	расстояние = 437.07 м	ф-ла (7) [10]	**63,8**										
Коэффициент затухания звука в атмосфере α, дБ/км	Ta=20,°C Pa=101.33,кПа hотн.=70%	ф-ла (5) [9]	0,02	0,09	0,33	1,12	2,79	4,98	9,04	23,09	77,63		
Учет затухания звука в атмосфере Aatm, дБ		ф-ла (8) [10]	0	0	0,1	0,5	1,2	2,2	4	10,1	33,9		
Снижение поверхностью земли возле источника As, дБ	Gs = 0 hs = 1м	ф-лы таб.3 [10]	-1,5	-1,5	-1,5	-1,5	-1,5	-1,5	-1,5	-1,5	-1,5		
Снижение поверхностью земли возле приёмника Ar, дБ	Gr = 1 hr = 1.6м	ф-лы таб.3 [10]	-1,5	-1,5	2,6	6,8	4,3	0,5	0	0	0		
Снижение поверхностью земли в средней зоне, Am дБ	Gm = 1	ф-лы таб.3 [10]	-2,5	-2,5	0	0	0	0	0	0	0		
Суммарное снижение поверхностью земли на траектории распространения звука Agr, дБ		ф-ла (9) [10]	-5,5	-5,5	1,1	5,3	2,8	-1	-1,5	-1,5	-1,5		

1		2	3	4	5	6	7	8	9	10	11	12	13
Уровни звукового давления прямого звука от источника ИШ-1-1 в расчётной точке днём, дБ		**ф-ла(3)[10]**	**41,7**	**41,6**	**41,9**	**39,4**	**40,2**	**43**	**34,8**	**17,6**	**0**	**44,9**	**44,9**
Уровни звукового давления прямого звука от источника ИШ-1-1 в расчётной точке ночью, дБ		**ф-ла(3)[10]**	**41,7**	**41,6**	**41,9**	**39,4**	**40,2**	**43**	**34,8**	**17,6**	**0**	**44,9**	**44,9**
Расчёт отражённого звука													
Уровни звукового давления от мнимого источника ИШ-1-1_мн.(1) в расчётной точке днём, дБ		**ф-ла(3)[10]**	**0**	**0**	**0**	**0**	**0**	**23,3**	**11,1**	**0**	**0**	**23,7**	**23,7**
Уровни звукового давления от мнимого источника ИШ-1-1_мн.(1) в расчётной точке ночью, дБ		**ф-ла(3)[10]**	**0**	**0**	**0**	**0**	**0**	**0**	**0**	**0**	**0**	**23,7**	**23,7**
Уровни звукового давления от мнимого источника ИШ-1-1_мн.(2) в расчётной точке днём, дБ		**ф-ла(3)[10]**	**40,6**	**40,6**	**36,7**	**29**	**28,8**	**38,4**	**32,2**	**15**	**0**	**39,9**	**39,9**
Уровни звукового давления от мнимого источника ИШ-1-1_мн.(2) в расчётной точке ночью, дБ		**ф-ла(3)[10]**	**40,6**	**40,6**	**40,6**	**40,6**	**40,6**	**40,6**	**40,6**	**40,6**	**40,6**	**39,9**	**39,9**
Суммарные уровни звукового давления от мнимых источников в расчётной точке днём, дБ		**ф-ла (19) [1]**	**40,6**	**40,6**	**36,7**	**29**	**28,8**	**38,6**	**32,2**	**15**	**0**	**0**	**40**
Суммарные уровни звукового давления от мнимых источников в расчётной точке ночью, дБ		**ф-ла (19) [1]**	**40,6**	**40,6**	**36,7**	**29**	**28,8**	**38,6**	**32,2**	**15**	**0**	**0**	**40**
Уровни звукового давления от источника ИШ-1-1 в расчётной точке днём, дБ		**ф-ла(3)[10]**	**44,2**	**44,1**	**43,1**	**39,8**	**40,5**	**44,4**	**36,7**	**19,5**	**0**	**46,1**	**46,1**
Уровни звукового давления от источника ИШ-1-1 в расчётной точке ночью, дБ		**ф-ла(3)[10]**	**44,2**	**44,1**	**43,1**	**39,8**	**40,5**	**44,4**	**36,7**	**19,5**	**0**	**46,1**	**46,1**
Источник шума: ИШ-1-2, координаты источника (x,y,z), м =[261.74,199.14,1.00]													
Уровни звуковой мощности источника днём, Lw, дБ		**исходные данные**	**97**	**97**	**104**	**106**	**105**	**105**	**98**	**87**	**81**		
Уровни звуковой мощности источника ночью, Lw, дБ		**исходные данные**	**97**	**97**	**104**	**106**	**105**	**105**	**98**	**87**	**81**		
Поправка на телесный угол DΩ, дБ	Ω = 6.28	10Lg(4π/Ω)	**3**	3	3	3	3	3	3	3	3		
Показатель направленности источника Di, дБ		исходные данные	**0**	0	0	0	0	0	0	0	0		
Поправка на направленность источника Dc, дБ	Dc	DΩ + Di	**3**	3	3	3	3	3	3	3	3		

1		2	3	4	5	6	7	8	9	10	11	12	13
Затухание из-за геометрической дивергенции, Adiv, дБ	расстояние = 406.58 м	ф-ла (7) [10]	**63,2**										
Коэффициент затухания звука в атмосфере α, дБ/км	Ta=20,°C Pa=101.33,кПа hотн.=70%	ф-ла (5) [9]	0,02	0,09	0,33	1,12	2,79	4,98	9,04	23,09	77,63		
Учет затухания звука в атмосфере Aatm, дБ		ф-ла (8) [10]	0	0	0,1	0,5	1,1	2	3,7	9,4	31,6		
Снижение поверхностью земли возле источника As, дБ	Gs = 0 hs = 1м	ф-лы таб.3 [10]	-1,5	-1,5	-1,5	-1,5	-1,5	-1,5	-1,5	-1,5	-1,5		
Снижение поверхностью земли возле приёмника Ar, дБ	Gr = 1 hr = 1.6м	ф-лы таб.3 [10]	-1,5	-1,5	2,4	6,8	4,3	0,5	0	0	0		
Снижение поверхностью земли в средней зоне, Am дБ	Gm = 1	ф-лы таб.3 [10]	-2,4	-2,4	0	0	0	0	0	0	0		
Суммарное снижение поверхностью земли на траектории распространения звука Agr, дБ		ф-ла (9) [10]	-5,4	-5,4	0,9	5,3	2,8	-1	-1,5	-1,5	-1,5		
Уровни звукового давления прямого звука от источника ИШ-1-2 в расчётной точке днём, дБ		**ф-ла(3)[10]**	**42,2**	**42,2**	**42,8**	**40**	**40,9**	**43,8**	**35,7**	**18,9**	**0**	**45,7**	**45,7**
Уровни звукового давления прямого звука от источника ИШ-1-2 в расчётной точке ночью, дБ		**ф-ла(3)[10]**	**42,2**	**42,2**	**42,8**	**40**	**40,9**	**43,8**	**35,7**	**18,9**	**0**	**45,7**	**45,7**
Расчёт отражённого звука													
Уровни звукового давления от мнимого источника ИШ-1-2_мн.(1) в расчётной точке днём, дБ		**ф-ла(3)[10]**	**0**	**0**	**0**	**0**	**0**	**21,4**	**9**	**0**	**0**	**21,8**	**21,8**
Уровни звукового давления от мнимого источника ИШ-1-2_мн.(1) в расчётной точке ночью, дБ		**ф-ла(3)[10]**	**0**	**0**	**0**	**0**	**0**	**0**	**0**	**0**	**0**	**21,8**	**21,8**
Уровни звукового давления от мнимого источника ИШ-1-2_мн.(2) в расчётной точке днём, дБ		**ф-ла(3)[10]**	**41,2**	**41,2**	**37,8**	**29,6**	**29,5**	**39,2**	**33,1**	**16,3**	**0**	**40,7**	**40,7**
Уровни звукового давления от мнимого источника ИШ-1-2_мн.(2) в расчётной точке ночью, дБ		**ф-ла(3)[10]**	**41,2**	**41,2**	**41,2**	**41,2**	**41,2**	**41,2**	**41,2**	**41,2**	**41,2**	**40,7**	**40,7**
Суммарные уровни звукового давления от мнимых источников в расчётной точке днём, дБ		**ф-ла (19) [1]**	**41,2**	**41,2**	**37,8**	**29,6**	**29,5**	**39,3**	**33,1**	**16,3**	**0**	**0**	**40,8**
Суммарные уровни звукового давления от мнимых источников в расчётной точке ночью, дБ		**ф-ла (19) [1]**	**41,2**	**41,2**	**37,8**	**29,6**	**29,5**	**39,3**	**33,1**	**16,3**	**0**	**0**	**40,8**
Уровни звукового давления от источника ИШ-1-2 в расчётной точке днём, дБ		**ф-ла(3)[10]**	**44,8**	**44,7**	**44**	**40,4**	**41,2**	**45,1**	**37,6**	**20,8**	**0**	**46,9**	**46,9**

1		2	3	4	5	6	7	8	9	10	11	12	13
Уровни звукового давления от источника ИШ-1-2 в расчётной точке ночью, дБ		**ф-ла(3)[10]**	**44,8**	**44,7**	**44**	**40,4**	**41,2**	**45,1**	**37,6**	**20,8**	**0**	**46,9**	**46,9**
Источник шума: ИШ-1-3, координаты источника (x,y,z), м =[251.75,236.44,1.00]													
Уровни звуковой мощности источника днём, Lw, дБ		**исходные данные**	**0**	**91,3**	**92,7**	**94**	**94,3**	**93,9**	**90,6**	**86,4**	**81,9**		
Уровни звуковой мощности источника ночью, Lw, дБ		**исходные данные**	**0**	**91,3**	**92,7**	**94**	**94,3**	**93,9**	**90,6**	**86,4**	**81,9**		
Поправка на телесный угол DΩ, дБ	Ω = 6.28	10Lg(4π/Ω)	**3**	3	3	3	3	3	3	3	3		
Показатель направленности источника Di, дБ		исходные данные	**0**	0	0	0	0	0	0	0	0		
Поправка на направленность источника Dc, дБ	Dc	DΩ + Di	**3**	3	3	3	3	3	3	3	3		
Затухание из-за геометрической дивергенции, Adiv, дБ	расстояние = 444.14 м	ф-ла (7) [10]	**64**										
Коэффициент затухания звука в атмосфере α, дБ/км	Ta=20,°C Pa=101.33,кПа hотн.=70%	ф-ла (5) [9]	0,02	0,09	0,33	1,12	2,79	4,98	9,04	23,09	77,63		
Учет затухания звука в атмосфере Aatm, дБ		ф-ла (8) [10]	0	0	0,1	0,5	1,2	2,2	4	10,3	34,5		
Снижение поверхностью земли возле источника As, дБ	Gs = 0 hs = 1м	ф-лы таб.3 [10]	-1,5	-1,5	-1,5	-1,5	-1,5	-1,5	-1,5	-1,5	-1,5		
Снижение поверхностью земли возле приёмника Ar, дБ	Gr = 1 hr = 1.6м	ф-лы таб.3 [10]	-1,5	-1,5	2,7	6,8	4,3	0,5	0	0	0		
Снижение поверхностью земли в средней зоне, Am дБ	Gm = 1	ф-лы таб.3 [10]	-2,5	-2,5	0	0	0	0	0	0	0		
Суммарное снижение поверхностью земли на траектории распространения звука Agr, дБ		ф-ла (9) [10]	-5,5	-5,5	1,2	5,3	2,8	-1	-1,5	-1,5	-1,5		
Уровни звукового давления прямого звука от источника ИШ-1-3 в расчётной точке днём, дБ		**ф-ла(3)[10]**	**0**	**35,8**	**30,4**	**27,2**	**29,3**	**31,7**	**27,1**	**16,7**	**0**	**34,4**	**34,4**
Уровни звукового давления прямого звука от источника ИШ-1-3 в расчётной точке ночью, дБ		**ф-ла(3)[10]**	**0**	**35,8**	**30,4**	**27,2**	**29,3**	**31,7**	**27,1**	**16,7**	**0**	**34,4**	**34,4**

1		2	3	4	5	6	7	8	9	10	11	12	13
Расчёт отражённого звука													
Уровни звукового давления от мнимого источника ИШ-1-3_мн.(1) в расчётной точке днём, дБ		**ф-ла(3)[10]**	**0**	**0**	**0**	**0**	**0**	**20,5**	**12,6**	**0**	**0**	**21,3**	**21,3**
Уровни звукового давления от мнимого источника ИШ-1-3_мн.(1) в расчётной точке ночью, дБ		**ф-ла(3)[10]**	**0**	**0**	**0**	**0**	**0**	**0**	**0**	**0**	**0**	**21,3**	**21,3**
Уровни звукового давления от мнимого источника ИШ-1-3_мн.(2) в расчётной точке днём, дБ		**ф-ла(3)[10]**	**0**	**34,7**	**25,2**	**16,8**	**17,9**	**27,1**	**24,5**	**14,1**	**0**	**29,9**	**29,9**
Уровни звукового давления от мнимого источника ИШ-1-3_мн.(2) в расчётной точке ночью, дБ		**ф-ла(3)[10]**	**34,7**	**34,7**	**34,7**	**34,7**	**34,7**	**34,7**	**34,7**	**34,7**	**34,7**	**29,9**	**29,9**
Суммарные уровни звукового давления от мнимых источников в расчётной точке днём, дБ		**ф-ла (19) [1]**	**0**	**34,7**	**25,2**	**16,8**	**17,9**	**28**	**24,8**	**14,1**	**0**	**0**	**30,5**
Суммарные уровни звукового давления от мнимых источников в расчётной точке ночью, дБ		**ф-ла (19) [1]**	**0**	**34,7**	**25,2**	**16,8**	**17,9**	**28**	**24,8**	**14,1**	**0**	**0**	**30,5**
Уровни звукового давления от источника ИШ-1-3 в расчётной точке днём, дБ		**ф-ла(3)[10]**	**0**	**38,3**	**31,6**	**27,6**	**29,6**	**33,3**	**29,1**	**18,6**	**0**	**35,9**	**35,9**
Уровни звукового давления от источника ИШ-1-3 в расчётной точке ночью, дБ		**ф-ла(3)[10]**	**0**	**38,3**	**31,6**	**27,6**	**29,6**	**33,3**	**29,1**	**18,6**	**0**	**35,9**	**35,9**
Источник шума: ИШ-1-4, координаты источника (x,y,z), м =[290.25,223.25,1.00]													
Уровни звуковой мощности источника днём, Lw, дБ		**исходные данные**	**0**	**91,3**	**92,7**	**94**	**94,3**	**93,9**	**90,6**	**86,4**	**81,9**		
Уровни звуковой мощности источника ночью, Lw, дБ		**исходные данные**	**0**	**91,3**	**92,7**	**94**	**94,3**	**93,9**	**90,6**	**86,4**	**81,9**		
Поправка на телесный угол DΩ, дБ	Ω = 6.28	10Lg(4π/Ω)	**3**	3	3	3	3	3	3	3	3		
Показатель направленности источника Di, дБ		исходные данные	**0**	0	0	0	0	0	0	0	0		
Поправка на направленность источника Dc, дБ	Dc	DΩ + Di	**3**	3	3	3	3	3	3	3	3		
Затухание из-за геометрической дивергенции, Adiv, дБ	расстояние = 431.17 м	ф-ла (7) [10]	**63,7**										
Коэффициент затухания звука в атмосфере α, дБ/км	Ta=20,°C Pa=101.33,кПа hотн.=70%	ф-ла (5) [9]	0,02	0,09	0,33	1,12	2,79	4,98	9,04	23,09	77,63		

1		2	3	4	5	6	7	8	9	10	11	12	13
Учет затухания звука в атмосфере Aatm, дБ		ф-ла (8) [10]	0	0	0,1	0,5	1,2	2,1	3,9	10	33,5		
Снижение уровня звукового давления из-за влияния застройки между источником шума и расчетной точкой													
Снижение уровня звукового давления на пути над экраном, Dz1, дБ	z = 0.39м (разность путей)	ф-лы (14-18) [10]	5	5,2	5,5	6,4	8,3	11,2	14,3	17,3	20,3		
Снижение уровня звукового давления на пути слева от экрана, Dz2, дБ	z = 90.62м (разность путей)	ф-лы (14-18) [10]	29,5	32,9	36	39	42	45	48,1	51,1	54,1		
Снижение уровня звукового давления на пути справа от экрана, Dz3, дБ	z = 0.01м (разность путей)	ф-лы (14-18) [10]	4,8	4,8	4,9	5	5,3	5,8	6,6	7,9	9,7		
Общее снижение уровня звука препятствием Dz, дБ		Эн.сумма(-Dzi)	1,9	2	2,2	2,7	3,5	4,7	5,9	7,4	9,3		
Уровни звукового давления прямого звука от источника ИШ-1-4 в расчётной точке днём, дБ		**ф-ла(3)[10]**	**0**	**28,6**	**29,7**	**30,2**	**28,9**	**26,4**	**20,1**	**8,3**	**0**	**30,5**	**30,5**
Уровни звукового давления прямого звука от источника ИШ-1-4 в расчётной точке ночью, дБ		**ф-ла(3)[10]**	**0**	**28,6**	**29,7**	**30,2**	**28,9**	**26,4**	**20,1**	**8,3**	**0**	**30,5**	**30,5**
Расчёт отражённого звука													
Уровни звукового давления от мнимого источника ИШ-1-4_мн.(1) в расчётной точке днём, дБ		**ф-ла(3)[10]**	**0**	**0**	**0**	**0**	**0**	**8,6**	**0**	**0**	**0**	**8,6**	**8,6**
Уровни звукового давления от мнимого источника ИШ-1-4_мн.(1) в расчётной точке ночью, дБ		**ф-ла(3)[10]**	**0**	**0**	**0**	**0**	**0**	**0**	**0**	**0**	**0**	**8,6**	**8,6**
Уровни звукового давления от мнимого источника ИШ-1-4_мн.(2) в расчётной точке днём, дБ		**ф-ла(3)[10]**	**0**	**0**	**0**	**0**	**0**	**0**	**0**	**0**	**0**	**0**	**0**
Уровни звукового давления от мнимого источника ИШ-1-4_мн.(2) в расчётной точке ночью, дБ		**ф-ла(3)[10]**	**0**	**0**	**0**	**0**	**0**	**0**	**0**	**0**	**0**	**0**	**0**
Суммарные уровни звукового давления от мнимых источников в расчётной точке днём, дБ		**ф-ла (19) [1]**	**0**	**0**	**0**	**0**	**0**	**8,6**	**0**	**0**	**0**	**0**	**8,6**
Суммарные уровни звукового давления от мнимых источников в расчётной точке ночью, дБ		**ф-ла (19) [1]**	**0**	**0**	**0**	**0**	**0**	**8,6**	**0**	**0**	**0**	**0**	**8,6**
Уровни звукового давления от источника ИШ-1-4 в расчётной точке днём, дБ		**ф-ла(3)[10]**	**0**	**28,6**	**29,7**	**30,2**	**28,9**	**26,4**	**20,1**	**8,3**	**0**	**30,5**	**30,5**
Уровни звукового давления от источника ИШ-1-4 в расчётной точке ночью, дБ		**ф-ла(3)[10]**	**0**	**28,6**	**29,7**	**30,2**	**28,9**	**26,4**	**20,1**	**8,3**	**0**	**30,5**	**30,5**

1		2	3	4	5	6	7	8	9	10	11	12	13
Источник шума: ИШ-1-5, координаты источника (x,y,z), м =[241.49,205.86,1.00]													
Уровни звуковой мощности источника днём, Lw, дБ		**исходные данные**	**0**	**91,3**	**92,7**	**94**	**94,3**	**93,9**	**90,6**	**86,4**	**81,9**		
Уровни звуковой мощности источника ночью, Lw, дБ		**исходные данные**	**0**	**91,3**	**92,7**	**94**	**94,3**	**93,9**	**90,6**	**86,4**	**81,9**		
Поправка на телесный угол DΩ, дБ	Ω = 6.28	10Lg(4π/Ω)	**3**	3	3	3	3	3	3	3	3		
Показатель направленности источника Di, дБ		исходные данные	**0**	0	0	0	0	0	0	0	0		
Поправка на направленность источника Dc, дБ	Dc	DΩ + Di	**3**	3	3	3	3	3	3	3	3		
Затухание из-за геометрической дивергенции, Adiv, дБ	расстояние = 414.13 м	ф-ла (7) [10]	**63,3**										
Коэффициент затухания звука в атмосфере α, дБ/км	Ta=20,°C Pa=101.33,кПа hотн.=70%	ф-ла (5) [9]	0,02	0,09	0,33	1,12	2,79	4,98	9,04	23,09	77,63		
Учет затухания звука в атмосфере Aatm, дБ		ф-ла (8) [10]	0	0	0,1	0,5	1,2	2,1	3,7	9,6	32,2		
Снижение поверхностью земли возле источника As, дБ	Gs = 0 hs = 1м	ф-лы таб.3 [10]	-1,5	-1,5	-1,5	-1,5	-1,5	-1,5	-1,5	-1,5	-1,5		
Снижение поверхностью земли возле приёмника Ar, дБ	Gr = 1 hr = 1.6м	ф-лы таб.3 [10]	-1,5	-1,5	2,5	6,8	4,3	0,5	0	0	0		
Снижение поверхностью земли в средней зоне, Am дБ	Gm = 1	ф-лы таб.3 [10]	-2,4	-2,4	0	0	0	0	0	0	0		
Суммарное снижение поверхностью земли на траектории распространения звука Agr, дБ		ф-ла (9) [10]	-5,4	-5,4	1	5,3	2,8	-1	-1,5	-1,5	-1,5		
Уровни звукового давления прямого звука от источника ИШ-1-5 в расчётной точке днём, дБ		**ф-ла(3)[10]**	**0**	**36,3**	**31,2**	**27,9**	**30**	**32,5**	**28**	**18**	**0**	**35,2**	**35,2**
Уровни звукового давления прямого звука от источника ИШ-1-5 в расчётной точке ночью, дБ		**ф-ла(3)[10]**	**0**	**36,3**	**31,2**	**27,9**	**30**	**32,5**	**28**	**18**	**0**	**35,2**	**35,2**
Расчёт отражённого звука													

1		2	3	4	5	6	7	8	9	10	11	12	13
Уровни звукового давления от мнимого источника ИШ-1-5_мн.(1) в расчётной точке днём, дБ		**ф-ла(3)[10]**	**0**	**0**	**0**	**0**	**0**	**18,3**	**10**	**0**	**0**	**19,1**	**19,1**
Уровни звукового давления от мнимого источника ИШ-1-5_мн.(1) в расчётной точке ночью, дБ		**ф-ла(3)[10]**	**0**	**0**	**0**	**0**	**0**	**0**	**0**	**0**	**0**	**19,1**	**19,1**
Уровни звукового давления от мнимого источника ИШ-1-5_мн.(2) в расчётной точке днём, дБ		**ф-ла(3)[10]**	**0**	**35,3**	**26,2**	**17,4**	**18,6**	**27,9**	**25,4**	**15,3**	**0**	**30,7**	**30,7**
Уровни звукового давления от мнимого источника ИШ-1-5_мн.(2) в расчётной точке ночью, дБ		**ф-ла(3)[10]**	**35,3**	**35,3**	**35,3**	**35,3**	**35,3**	**35,3**	**35,3**	**35,3**	**35,3**	**30,7**	**30,7**
Суммарные уровни звукового давления от мнимых источников в расчётной точке днём, дБ		**ф-ла (19) [1]**	**0**	**35,3**	**26,2**	**17,4**	**18,6**	**28,3**	**25,5**	**15,3**	**0**	**0**	**31**
Суммарные уровни звукового давления от мнимых источников в расчётной точке ночью, дБ		**ф-ла (19) [1]**	**0**	**35,3**	**26,2**	**17,4**	**18,6**	**28,3**	**25,5**	**15,3**	**0**	**0**	**31**
Уровни звукового давления от источника ИШ-1-5 в расчётной точке днём, дБ		**ф-ла(3)[10]**	**0**	**38,9**	**32,4**	**28,2**	**30,3**	**33,9**	**30**	**19,9**	**0**	**36,6**	**36,6**
Уровни звукового давления от источника ИШ-1-5 в расчётной точке ночью, дБ		**ф-ла(3)[10]**	**0**	**38,9**	**32,4**	**28,2**	**30,3**	**33,9**	**30**	**19,9**	**0**	**36,6**	**36,6**
Источник шума: ИШ-1-6, координаты источника (x,y,z), м =[279.85,192.97,1.00]													
Уровни звуковой мощности источника днём, Lw, дБ		**исходные данные**	**0**	**91,3**	**92,7**	**94**	**94,3**	**93,9**	**90,6**	**86,4**	**81,9**		
Уровни звуковой мощности источника ночью, Lw, дБ		**исходные данные**	**0**	**91,3**	**92,7**	**94**	**94,3**	**93,9**	**90,6**	**86,4**	**81,9**		
Поправка на телесный угол DΩ, дБ	Ω = 6.28	10Lg(4π/Ω)	**3**	3	3	3	3	3	3	3	3		
Показатель направленности источника Di, дБ		исходные данные	**0**	0	0	0	0	0	0	0	0		
Поправка на направленность источника Dc, дБ	Dc	DΩ + Di	**3**	3	3	3	3	3	3	3	3		
Затухание из-за геометрической дивергенции, Adiv, дБ	расстояние = 400.50 м	ф-ла (7) [10]	**63,1**										
Коэффициент затухания звука в атмосфере α, дБ/км	Ta=20,°C Pa=101.33,кПа hотн.=70%	ф-ла (5) [9]	0,02	0,09	0,33	1,12	2,79	4,98	9,04	23,09	77,63		

1		2	3	4	5	6	7	8	9	10	11	12	13
Учет затухания звука в атмосфере Aatm, дБ		ф-ла (8) [10]	0	0	0,1	0,5	1,1	2	3,6	9,2	31,1		
Снижение поверхностью земли возле источника As, дБ	Gs = 0 hs = 1м	ф-лы таб.3 [10]	-1,5	-1,5	-1,5	-1,5	-1,5	-1,5	-1,5	-1,5	-1,5		
Снижение поверхностью земли возле приёмника Ar, дБ	Gr = 1 hr = 1.6м	ф-лы таб.3 [10]	-1,5	-1,5	2,4	6,8	4,3	0,5	0	0	0		
Снижение поверхностью земли в средней зоне, Am дБ	Gm = 1	ф-лы таб.3 [10]	-2,4	-2,4	0	0	0	0	0	0	0		
Суммарное снижение поверхностью земли на траектории распространения звука Agr, дБ		ф-ла (9) [10]	-5,4	-5,4	0,9	5,3	2,8	-1	-1,5	-1,5	-1,5		
Уровни звукового давления прямого звука от источника ИШ-1-6 в расчётной точке днём, дБ		**ф-ла(3)[10]**	**0**	**36,6**	**31,6**	**28,2**	**30,3**	**32,8**	**28,4**	**18,6**	**0**	**35,5**	**35,5**
Уровни звукового давления прямого звука от источника ИШ-1-6 в расчётной точке ночью, дБ		**ф-ла(3)[10]**	**0**	**36,6**	**31,6**	**28,2**	**30,3**	**32,8**	**28,4**	**18,6**	**0**	**35,5**	**35,5**
Расчёт отражённого звука													
Уровни звукового давления от мнимого источника ИШ-1-6_мн.(1) в расчётной точке днём, дБ		**ф-ла(3)[10]**	**0**	**0**	**0**	**0**	**0**	**6,6**	**0**	**0**	**0**	**6,6**	**6,6**
Уровни звукового давления от мнимого источника ИШ-1-6_мн.(1) в расчётной точке ночью, дБ		**ф-ла(3)[10]**	**0**	**0**	**0**	**0**	**0**	**0**	**0**	**0**	**0**	**6,6**	**6,6**
Уровни звукового давления от мнимого источника ИШ-1-6_мн.(2) в расчётной точке днём, дБ		**ф-ла(3)[10]**	**0**	**35,6**	**26,7**	**17,7**	**18,9**	**28,2**	**25,8**	**15,9**	**0**	**31,1**	**31,1**
Уровни звукового давления от мнимого источника ИШ-1-6_мн.(2) в расчётной точке ночью, дБ		**ф-ла(3)[10]**	**35,6**	**35,6**	**35,6**	**35,6**	**35,6**	**35,6**	**35,6**	**35,6**	**35,6**	**31,1**	**31,1**
Суммарные уровни звукового давления от мнимых источников в расчётной точке днём, дБ		**ф-ла (19) [1]**	**0**	**35,6**	**26,7**	**17,7**	**18,9**	**28,3**	**25,8**	**15,9**	**0**	**0**	**31,1**
Суммарные уровни звукового давления от мнимых источников в расчётной точке ночью, дБ		**ф-ла (19) [1]**	**0**	**35,6**	**26,7**	**17,7**	**18,9**	**28,3**	**25,8**	**15,9**	**0**	**0**	**31,1**
Уровни звукового давления от источника ИШ-1-6 в расчётной точке днём, дБ		**ф-ла(3)[10]**	**0**	**39,1**	**32,8**	**28,5**	**30,6**	**34,1**	**30,3**	**20,5**	**0**	**36,9**	**36,9**
Уровни звукового давления от источника ИШ-1-6 в расчётной точке ночью, дБ		**ф-ла(3)[10]**	**0**	**39,1**	**32,8**	**28,5**	**30,6**	**34,1**	**30,3**	**20,5**	**0**	**36,9**	**36,9**
Источник шума: ИШ-1-7, координаты источника (x,y,z), м =[451.87,146.66,1.00]													

1		2	3	4	5	6	7	8	9	10	11	12	13
Уровни звуковой мощности источника днём, Lw, дБ		**исходные данные**	**0**	**93,3**	**94,7**	**96**	**96,3**	**95,9**	**92,6**	**88,4**	**83,9**		
Уровни звуковой мощности источника ночью, Lw, дБ		**исходные данные**	**0**	**93,3**	**94,7**	**96**	**96,3**	**95,9**	**92,6**	**88,4**	**83,9**		
Поправка на телесный угол DΩ, дБ	Ω = 6.28	10Lg(4π/Ω)	**3**	3	3	3	3	3	3	3	3		
Показатель направленности источника Di, дБ		исходные данные	**0**	0	0	0	0	0	0	0	0		
Поправка на направленность источника Dc, дБ	Dc	DΩ + Di	**3**	3	3	3	3	3	3	3	3		
Затухание из-за геометрической дивергенции, Adiv, дБ	расстояние = 398.59 м	ф-ла (7) [10]	**63**										
Коэффициент затухания звука в атмосфере α, дБ/км	Ta=20,°C Pa=101.33,кПа hотн.=70%	ф-ла (5) [9]	0,02	0,09	0,33	1,12	2,79	4,98	9,04	23,09	77,63		
Учет затухания звука в атмосфере Aatm, дБ		ф-ла (8) [10]	0	0	0,1	0,4	1,1	2	3,6	9,2	30,9		
Снижение уровня звукового давления из-за влияния застройки между источником шума и расчетной точкой													
Снижение уровня звукового давления на пути над экраном, Dz1, дБ	z = 0.67м (разность путей)	ф-лы (14-18) [10]	7,3	9,2	11,4	14	16,7	19,6	22,6	25,5	28,5		
Снижение уровня звукового давления на пути слева от экрана, Dz2, дБ	z = 7.62м (разность путей)	ф-лы (14-18) [10]	15,4	19,2	23,6	27,7	31,1	34,3	37,3	40,3	43,3		
Снижение уровня звукового давления на пути справа от экрана, Dz3, дБ	z = 123.03м (разность путей)	ф-лы (14-18) [10]	26,9	30,6	35	39,4	43,1	46,3	49,4	52,4	55,4		
Общее снижение уровня звука препятствием Dz, дБ		Эн.сумма(-Dzi)	6,6	8,8	11,2	13,8	16,6	19,5	22,4	25,4	28,4		
Общее снижение уровня звука препятствием с учётом ограничения (25 дБ) для октавных полос Dz, дБ		Раздел 7.4 [10]	6,6	8,8	11,2	13,8	16,6	19,5	22,4	25	25		
Уровни звукового давления от источника ИШ-1-7 в расчётной точке днём, дБ		**ф-ла(3)[10]**	**0**	**24,5**	**23,4**	**21,7**	**18,6**	**14,4**	**6,6**	**0**	**0**	**19,8**	**19,8**
Уровни звукового давления от источника ИШ-1-7 в расчётной точке ночью, дБ		**ф-ла(3)[10]**	**0**	**24,5**	**23,4**	**21,7**	**18,6**	**14,4**	**6,6**	**0**	**0**	**19,8**	**19,8**

1		2	3	4	5	6	7	8	9	10	11	12	13
Источник шума: ИШ-1-8, координаты источника (x,y,z), м =[454.99,145.29,1.00]													
Уровни звуковой мощности источника днём, Lw, дБ		**исходные данные**	**0**	**93,3**	**94,7**	**96**	**96,3**	**95,9**	**92,6**	**88,4**	**83,9**		
Уровни звуковой мощности источника ночью, Lw, дБ		**исходные данные**	**0**	**93,3**	**94,7**	**96**	**96,3**	**95,9**	**92,6**	**88,4**	**83,9**		
Поправка на телесный угол DΩ, дБ	Ω = 6.28	10Lg(4π/Ω)	**3**	3	3	3	3	3	3	3	3		
Показатель направленности источника Di, дБ		исходные данные	**0**	0	0	0	0	0	0	0	0		
Поправка на направленность источника Dc, дБ	Dc	DΩ + Di	**3**	3	3	3	3	3	3	3	3		
Затухание из-за геометрической дивергенции, Adiv, дБ	расстояние = 398.83 м	ф-ла (7) [10]	**63**										
Коэффициент затухания звука в атмосфере α, дБ/км	Ta=20,°C Pa=101.33,кПа hотн.=70%	ф-ла (5) [9]	0,02	0,09	0,33	1,12	2,79	4,98	9,04	23,09	77,63		
Учет затухания звука в атмосфере Aatm, дБ		ф-ла (8) [10]	0	0	0,1	0,4	1,1	2	3,6	9,2	31		
Снижение уровня звукового давления из-за влияния застройки между источником шума и расчетной точкой													
Снижение уровня звукового давления на пути над экраном, Dz1, дБ	z = 0.67м (разность путей)	ф-лы (14-18) [10]	7,3	9,2	11,4	14	16,7	19,6	22,6	25,5	28,5		
Снижение уровня звукового давления на пути слева от экрана, Dz2, дБ	z = 6.68м (разность путей)	ф-лы (14-18) [10]	14,9	18,7	23,1	27,1	30,6	33,7	36,7	39,7	42,8		
Снижение уровня звукового давления на пути справа от экрана, Dz3, дБ	z = 124.70м (разность путей)	ф-лы (14-18) [10]	27	30,7	35	39,4	43,1	46,4	49,4	52,5	55,5		
Общее снижение уровня звука препятствием Dz, дБ		Эн.сумма(-Dzi)	6,6	8,7	11,1	13,8	16,6	19,4	22,4	25,4	28,4		
Общее снижение уровня звука препятствием с учётом ограничения (25 дБ) для октавных полос Dz, дБ		Раздел 7.4 [10]	6,6	8,7	11,1	13,8	16,6	19,4	22,4	25	25		
Уровни звукового давления от источника ИШ-1-8 в расчётной точке днём, дБ		**ф-ла(3)[10]**	**0**	**24,5**	**23,4**	**21,8**	**18,6**	**14,5**	**6,6**	**0**	**0**	**19,8**	**19,8**

1		2	3	4	5	6	7	8	9	10	11	12	13
Уровни звукового давления от источника ИШ-1-8 в расчётной точке ночью, дБ		**ф-ла(3)[10]**	**0**	**24,5**	**23,4**	**21,8**	**18,6**	**14,5**	**6,6**	**0**	**0**	**19,8**	**19,8**
Источник шума: ИШ-1-9, координаты источника (x,y,z), м =[458.12,144.31,1.00]													
Уровни звуковой мощности источника днём, Lw, дБ		**исходные данные**	**0**	**93,3**	**94,7**	**96**	**96,3**	**95,9**	**92,6**	**88,4**	**83,9**		
Уровни звуковой мощности источника ночью, Lw, дБ		**исходные данные**	**0**	**93,3**	**94,7**	**96**	**96,3**	**95,9**	**92,6**	**88,4**	**83,9**		
Поправка на телесный угол DΩ, дБ	Ω = 6.28	10Lg(4π/Ω)	**3**	3	3	3	3	3	3	3	3		
Показатель направленности источника Di, дБ		исходные данные	**0**	0	0	0	0	0	0	0	0		
Поправка на направленность источника Dc, дБ	Dc	DΩ + Di	**3**	3	3	3	3	3	3	3	3		
Затухание из-за геометрической дивергенции, Adiv, дБ	расстояние = 399.43 м	ф-ла (7) [10]	**63**										
Коэффициент затухания звука в атмосфере α, дБ/км	Ta=20,°C Pa=101.33,кПа hотн.=70%	ф-ла (5) [9]	0,02	0,09	0,33	1,12	2,79	4,98	9,04	23,09	77,63		
Учет затухания звука в атмосфере Aatm, дБ		ф-ла (8) [10]	0	0	0,1	0,4	1,1	2	3,6	9,2	31		
Снижение уровня звукового давления из-за влияния застройки между источником шума и расчетной точкой													
Снижение уровня звукового давления на пути над экраном, Dz1, дБ	z = 0.67м (разность путей)	ф-лы (14-18) [10]	7,3	9,2	11,4	14	16,7	19,6	22,5	25,5	28,5		
Снижение уровня звукового давления на пути слева от экрана, Dz2, дБ	z = 5.84м (разность путей)	ф-лы (14-18) [10]	14,4	18,1	22,5	26,6	30	33,1	36,1	39,2	42,2		
Снижение уровня звукового давления на пути справа от экрана, Dz3, дБ	z = 125.74м (разность путей)	ф-лы (14-18) [10]	27	30,7	35,1	39,5	43,2	46,4	49,5	52,5	55,5		
Общее снижение уровня звука препятствием Dz, дБ		Эн.сумма(-Dzi)	6,5	8,6	11,1	13,7	16,5	19,4	22,3	25,3	28,3		
Общее снижение уровня звука препятствием с учётом ограничения (25 дБ) для октавных полос Dz, дБ		Раздел 7.4 [10]	6,5	8,6	11,1	13,7	16,5	19,4	22,3	25	25		

1		2	3	4	5	6	7	8	9	10	11	12	13
Уровни звукового давления от источника ИШ-1-9 в расчётной точке днём, дБ		**ф-ла(3)[10]**	**0**	**24,6**	**23,4**	**21,8**	**18,6**	**14,5**	**6,6**	**0**	**0**	**19,8**	**19,8**
Уровни звукового давления от источника ИШ-1-9 в расчётной точке ночью, дБ		**ф-ла(3)[10]**	**0**	**24,6**	**23,4**	**21,8**	**18,6**	**14,5**	**6,6**	**0**	**0**	**19,8**	**19,8**
Источник шума: ИШ-1-10, координаты источника (x,y,z), м =[461.05,143.53,1.00]													
Уровни звуковой мощности источника днём, Lw, дБ		**исходные данные**	**0**	**93,3**	**94,7**	**96**	**96,3**	**95,9**	**92,6**	**88,4**	**83,9**		
Уровни звуковой мощности источника ночью, Lw, дБ		**исходные данные**	**0**	**93,3**	**94,7**	**96**	**96,3**	**95,9**	**92,6**	**88,4**	**83,9**		
Поправка на телесный угол DΩ, дБ	Ω = 6.28	10Lg(4π/Ω)	**3**	3	3	3	3	3	3	3	3		
Показатель направленности источника Di, дБ		исходные данные	**0**	0	0	0	0	0	0	0	0		
Поправка на направленность источника Dc, дБ	Dc	DΩ + Di	**3**	3	3	3	3	3	3	3	3		
Затухание из-за геометрической дивергенции, Adiv, дБ	расстояние = 400.15 м	ф-ла (7) [10]	**63**										
Коэффициент затухания звука в атмосфере α, дБ/км	Ta=20,°C Pa=101.33,кПа hотн.=70%	ф-ла (5) [9]	0,02	0,09	0,33	1,12	2,79	4,98	9,04	23,09	77,63		
Учет затухания звука в атмосфере Aatm, дБ		ф-ла (8) [10]	0	0	0,1	0,4	1,1	2	3,6	9,2	31,1		
Снижение уровня звукового давления из-за влияния застройки между источником шума и расчетной точкой													
Снижение уровня звукового давления на пути над экраном, Dz1, дБ	z = 0.67м (разность путей)	ф-лы (14-18) [10]	7,3	9,2	11,4	14	16,7	19,6	22,5	25,5	28,5		
Снижение уровня звукового давления на пути слева от экрана, Dz2, дБ	z = 5.13м (разность путей)	ф-лы (14-18) [10]	13,9	17,6	22	26	29,4	32,5	35,6	38,6	41,6		
Снижение уровня звукового давления на пути справа от экрана, Dz3, дБ	z = 126.57м (разность путей)	ф-лы (14-18) [10]	27	30,7	35,1	39,5	43,2	46,4	49,5	52,5	55,5		
Общее снижение уровня звука препятствием Dz, дБ		Эн.сумма(-Dzi)	6,4	8,6	11	13,7	16,5	19,3	22,3	25,3	28,3		

1		2	3	4	5	6	7	8	9	10	11	12	13
Общее снижение уровня звука препятствием с учётом ограничения (25 дБ) для октавных полос Dz, дБ		Раздел 7.4 [10]	6,4	8,6	11	13,7	16,5	19,3	22,3	25	25		
Уровни звукового давления от источника ИШ-1-10 в расчётной точке днём, дБ		**ф-ла(3)[10]**	**0**	**24,6**	**23,5**	**21,8**	**18,7**	**14,5**	**6,6**	**0**	**0**	**19,9**	**19,9**
Уровни звукового давления от источника ИШ-1-10 в расчётной точке ночью, дБ		**ф-ла(3)[10]**	**0**	**24,6**	**23,5**	**21,8**	**18,7**	**14,5**	**6,6**	**0**	**0**	**19,9**	**19,9**
Источник шума: ИШ-1-11, координаты источника (x,y,z), м =[464.18,142.55,1.00]													
Уровни звуковой мощности источника днём, Lw, дБ		**исходные данные**	**0**	**93,3**	**94,7**	**96**	**96,3**	**95,9**	**92,6**	**88,4**	**83,9**		
Уровни звуковой мощности источника ночью, Lw, дБ		**исходные данные**	**0**	**93,3**	**94,7**	**96**	**96,3**	**95,9**	**92,6**	**88,4**	**83,9**		
Поправка на телесный угол DΩ, дБ	Ω = 6.28	10Lg(4π/Ω)	**3**	3	3	3	3	3	3	3	3		
Показатель направленности источника Di, дБ		исходные данные	**0**	0	0	0	0	0	0	0	0		
Поправка на направленность источника Dc, дБ	Dc	DΩ + Di	**3**	3	3	3	3	3	3	3	3		
Затухание из-за геометрической дивергенции, Adiv, дБ	расстояние = 400.81 м	ф-ла (7) [10]	**63,1**										
Коэффициент затухания звука в атмосфере α, дБ/км	Ta=20,°C Pa=101.33,кПа hотн.=70%	ф-ла (5) [9]	0,02	0,09	0,33	1,12	2,79	4,98	9,04	23,09	77,63		
Учет затухания звука в атмосфере Aatm, дБ		ф-ла (8) [10]	0	0	0,1	0,5	1,1	2	3,6	9,3	31,1		
Снижение уровня звукового давления из-за влияния застройки между источником шума и расчетной точкой													
Снижение уровня звукового давления на пути над экраном, Dz1, дБ	z = 0.66м (разность путей)	ф-лы (14-18) [10]	7,3	9,2	11,4	13,9	16,7	19,5	22,5	25,5	28,5		
Снижение уровня звукового давления на пути слева от экрана, Dz2, дБ	z = 4.42м (разность путей)	ф-лы (14-18) [10]	13,3	17	21,3	25,4	28,8	31,9	34,9	38	41		
Снижение уровня звукового давления на пути справа от экрана, Dz3, дБ	z = 127.80м (разность путей)	ф-лы (14-18) [10]	27,1	30,8	35,1	39,6	43,2	46,5	49,5	52,6	55,6		

1		2	3	4	5	6	7	8	9	10	11	12	13
Общее снижение уровня звука препятствием Dz, дБ		Эн.сумма(-Dzi)	6,3	8,5	11	13,6	16,4	19,3	22,2	25,2	28,2		
Общее снижение уровня звука препятствием с учётом ограничения (25 дБ) для октавных полос Dz, дБ		Раздел 7.4 [10]	6,3	8,5	11	13,6	16,4	19,3	22,2	25	25		
Уровни звукового давления от источника ИШ-1-11 в расчётной точке днём, дБ		**ф-ла(3)[10]**	**0**	**24,7**	**23,5**	**21,9**	**18,7**	**14,5**	**6,7**	**0**	**0**	**19,9**	**19,9**
Уровни звукового давления от источника ИШ-1-11 в расчётной точке ночью, дБ		**ф-ла(3)[10]**	**0**	**24,7**	**23,5**	**21,9**	**18,7**	**14,5**	**6,7**	**0**	**0**	**19,9**	**19,9**
Источник шума: ИШ-1-12, координаты источника (x,y,z), м =[435.45,97.79,1.00]													
Уровни звуковой мощности источника днём, Lw, дБ		**исходные данные**	**0**	**93,3**	**94,7**	**96**	**96,3**	**95,9**	**92,6**	**88,4**	**83,9**		
Уровни звуковой мощности источника ночью, Lw, дБ		**исходные данные**	**0**	**93,3**	**94,7**	**96**	**96,3**	**95,9**	**92,6**	**88,4**	**83,9**		
Поправка на телесный угол DΩ, дБ	Ω = 6.28	10Lg(4π/Ω)	**3**	3	3	3	3	3	3	3	3		
Показатель направленности источника Di, дБ		исходные данные	**0**	0	0	0	0	0	0	0	0		
Поправка на направленность источника Dc, дБ	Dc	DΩ + Di	**3**	3	3	3	3	3	3	3	3		
Затухание из-за геометрической дивергенции, Adiv, дБ	расстояние = 347.73 м	ф-ла (7) [10]	**61,8**										
Коэффициент затухания звука в атмосфере α, дБ/км	Ta=20,°C Pa=101.33,кПа hотн.=70%	ф-ла (5) [9]	0,02	0,09	0,33	1,12	2,79	4,98	9,04	23,09	77,63		
Учет затухания звука в атмосфере Aatm, дБ		ф-ла (8) [10]	0	0	0,1	0,4	1	1,7	3,1	8	27		
Снижение уровня звукового давления из-за влияния застройки между источником шума и расчетной точкой													
Снижение уровня звукового давления на пути над экраном, Dz1, дБ	z = 0.94м (разность путей)	ф-лы (14-18) [10]	9	11,5	14,2	16,9	19,8	22,8	25,7	28,7	31,7		
Снижение уровня звукового давления на пути слева от экрана, Dz2, дБ	z = 7.75м (разность путей)	ф-лы (14-18) [10]	15,5	19,3	23,7	27,8	31,2	34,3	37,4	40,4	43,4		

1		2	3	4	5	6	7	8	9	10	11	12	13
Снижение уровня звукового давления на пути справа от экрана, Dz3, дБ	z = 9.24м (разность путей)	ф-лы (14-18) [10]	15,7	18,5	21,4	24,4	27,4	30,4	33,4	36,4	39,4		
Общее снижение уровня звука препятствием Dz, дБ		Эн.сумма(-Dzi)	7,4	10,2	13	15,9	18,9	21,8	24,8	27,8	30,8		
Общее снижение уровня звука препятствием с учётом ограничения (25 дБ) для октавных полос Dz, дБ		Раздел 7.4 [10]	7,4	10,2	13	15,9	18,9	21,8	24,8	25	25		
Уровни звукового давления от источника ИШ-1-12 в расчётной точке днём, дБ		**ф-ла(3)[10]**	**0**	**24,3**	**22,7**	**20,8**	**17,6**	**13,5**	**5,8**	**0**	**0**	**18,9**	**18,9**
Уровни звукового давления от источника ИШ-1-12 в расчётной точке ночью, дБ		**ф-ла(3)[10]**	**0**	**24,3**	**22,7**	**20,8**	**17,6**	**13,5**	**5,8**	**0**	**0**	**18,9**	**18,9**
Источник шума: ИШ-1-13, координаты источника (x,y,z), м =[438.77,96.82,1.00]													
Уровни звуковой мощности источника днём, Lw, дБ		**исходные данные**	**0**	**93,3**	**94,7**	**96**	**96,3**	**95,9**	**92,6**	**88,4**	**83,9**		
Уровни звуковой мощности источника ночью, Lw, дБ		**исходные данные**	**0**	**93,3**	**94,7**	**96**	**96,3**	**95,9**	**92,6**	**88,4**	**83,9**		
Поправка на телесный угол DΩ, дБ	Ω = 6.28	10Lg(4π/Ω)	**3**	3	3	3	3	3	3	3	3		
Показатель направленности источника Di, дБ		исходные данные	**0**	0	0	0	0	0	0	0	0		
Поправка на направленность источника Dc, дБ	Dc	DΩ + Di	**3**	3	3	3	3	3	3	3	3		
Затухание из-за геометрической дивергенции, Adiv, дБ	расстояние = 348.49 м	ф-ла (7) [10]	**61,8**										
Коэффициент затухания звука в атмосфере α, дБ/км	Ta=20,°C Pa=101.33,кПа hотн.=70%	ф-ла (5) [9]	0,02	0,09	0,33	1,12	2,79	4,98	9,04	23,09	77,63		
Учет затухания звука в атмосфере Aatm, дБ		ф-ла (8) [10]	0	0	0,1	0,4	1	1,7	3,2	8	27,1		
Снижение уровня звукового давления из-за влияния застройки между источником шума и расчетной точкой													
Снижение уровня звукового давления на пути над экраном, Dz1, дБ	z = 0.94м (разность путей)	ф-лы (14-18) [10]	9	11,5	14,1	16,9	19,8	22,7	25,7	28,7	31,7		

1		2	3	4	5	6	7	8	9	10	11	12	13
Снижение уровня звукового давления на пути слева от экрана, Dz2, дБ	z = 6.40м (разность путей)	ф-лы (14-18) [10]	14,7	18,5	22,9	27	30,4	33,5	36,5	39,6	42,6		
Снижение уровня звукового давления на пути справа от экрана, Dz3, дБ	z = 10.63м (разность путей)	ф-лы (14-18) [10]	16,3	19,1	22	25	28	31	34	37	40		
Общее снижение уровня звука препятствием Dz, дБ		Эн.сумма(-Dzi)	7,4	10,1	13	15,9	18,9	21,8	24,8	27,8	30,8		
Общее снижение уровня звука препятствием с учётом ограничения (25 дБ) для октавных полос Dz, дБ		Раздел 7.4 [10]	7,4	10,1	13	15,9	18,9	21,8	24,8	25	25		
Уровни звукового давления от источника ИШ-1-13 в расчётной точке днём, дБ		**ф-ла(3)[10]**	**0**	**24,3**	**22,7**	**20,8**	**17,6**	**13,5**	**5,8**	**0**	**0**	**18,9**	**18,9**
Уровни звукового давления от источника ИШ-1-13 в расчётной точке ночью, дБ		**ф-ла(3)[10]**	**0**	**24,3**	**22,7**	**20,8**	**17,6**	**13,5**	**5,8**	**0**	**0**	**18,9**	**18,9**
Источник шума: ИШ-1-14, координаты источника (x,y,z), м =[441.70,96.03,1.00]													
Уровни звуковой мощности источника днём, Lw, дБ		**исходные данные**	**0**	**93,3**	**94,7**	**96**	**96,3**	**95,9**	**92,6**	**88,4**	**83,9**		
Уровни звуковой мощности источника ночью, Lw, дБ		**исходные данные**	**0**	**93,3**	**94,7**	**96**	**96,3**	**95,9**	**92,6**	**88,4**	**83,9**		
Поправка на телесный угол DΩ, дБ	Ω = 6.28	10Lg(4π/Ω)	**3**	3	3	3	3	3	3	3	3		
Показатель направленности источника Di, дБ		исходные данные	**0**	0	0	0	0	0	0	0	0		
Поправка на направленность источника Dc, дБ	Dc	DΩ + Di	**3**	3	3	3	3	3	3	3	3		
Затухание из-за геометрической дивергенции, Adiv, дБ	расстояние = 349.25 м	ф-ла (7) [10]	**61,9**										
Коэффициент затухания звука в атмосфере α, дБ/км	Ta=20,°C Pa=101.33,кПа hотн.=70%	ф-ла (5) [9]	0,02	0,09	0,33	1,12	2,79	4,98	9,04	23,09	77,63		
Учет затухания звука в атмосфере Aatm, дБ		ф-ла (8) [10]	0	0	0,1	0,4	1	1,7	3,2	8,1	27,1		
Снижение уровня звукового давления из-за влияния застройки между источником шума и расчетной точкой													

1		2	3	4	5	6	7	8	9	10	11	12	13
Снижение уровня звукового давления на пути над экраном, Dz1, дБ	z = 0.93м (разность путей)	ф-лы (14-18) [10]	9	11,5	14,1	16,9	19,8	22,7	25,7	28,7	31,7		
Снижение уровня звукового давления на пути слева от экрана, Dz2, дБ	z = 5.34м (разность путей)	ф-лы (14-18) [10]	14	17,7	22,1	26,2	29,6	32,7	35,8	38,8	41,8		
Снижение уровня звукового давления на пути справа от экрана, Dz3, дБ	z = 11.88м (разность путей)	ф-лы (14-18) [10]	16,7	19,6	22,5	25,5	28,5	31,5	34,5	37,5	40,5		
Общее снижение уровня звука препятствием Dz, дБ		Эн.сумма(-Dzi)	7,3	10	13	15,9	18,8	21,8	24,8	27,8	30,8		
Общее снижение уровня звука препятствием с учётом ограничения (25 дБ) для октавных полос Dz, дБ		Раздел 7.4 [10]	7,3	10	13	15,9	18,8	21,8	24,8	25	25		
Уровни звукового давления от источника ИШ-1-14 в расчётной точке днём, дБ		**ф-ла(3)[10]**	**0**	**24,4**	**22,8**	**20,8**	**17,6**	**13,5**	**5,8**	**0**	**0**	**18,9**	**18,9**
Уровни звукового давления от источника ИШ-1-14 в расчётной точке ночью, дБ		**ф-ла(3)[10]**	**0**	**24,4**	**22,8**	**20,8**	**17,6**	**13,5**	**5,8**	**0**	**0**	**18,9**	**18,9**
Источник шума: ИШ-1-15, координаты источника (x,y,z), м =[445.03,95.25,1.00]													
Уровни звуковой мощности источника днём, Lw, дБ		**исходные данные**	**0**	**93,3**	**94,7**	**96**	**96,3**	**95,9**	**92,6**	**88,4**	**83,9**		
Уровни звуковой мощности источника ночью, Lw, дБ		**исходные данные**	**0**	**93,3**	**94,7**	**96**	**96,3**	**95,9**	**92,6**	**88,4**	**83,9**		
Поправка на телесный угол DΩ, дБ	Ω = 6.28	10Lg(4π/Ω)	**3**	3	3	3	3	3	3	3	3		
Показатель направленности источника Di, дБ		исходные данные	**0**	0	0	0	0	0	0	0	0		
Поправка на направленность источника Dc, дБ	Dc	DΩ + Di	**3**	3	3	3	3	3	3	3	3		
Затухание из-за геометрической дивергенции, Adiv, дБ	расстояние = 350.23 м	ф-ла (7) [10]	**61,9**										
Коэффициент затухания звука в атмосфере α, дБ/км	Та=20,°С Ра=101.33,кПа hотн.=70%	ф-ла (5) [9]	0,02	0,09	0,33	1,12	2,79	4,98	9,04	23,09	77,63		
Учет затухания звука в атмосфере Aatm, дБ		ф-ла (8) [10]	0	0	0,1	0,4	1	1,7	3,2	8,1	27,2		

1		2	3	4	5	6	7	8	9	10	11	12	13
Снижение уровня звукового давления из-за влияния застройки между источником шума и расчетной точкой													
Снижение уровня звукового давления на пути над экраном, Dz1, дБ	z = 0.93м (разность путей)	ф-лы (14-18) [10]	9	11,4	14,1	16,8	19,7	22,7	25,6	28,6	31,6		
Снижение уровня звукового давления на пути слева от экрана, Dz2, дБ	z = 4.28м (разность путей)	ф-лы (14-18) [10]	13,2	16,8	21,2	25,2	28,6	31,8	34,8	37,8	40,8		
Снижение уровня звукового давления на пути справа от экрана, Dz3, дБ	z = 13.30м (разность путей)	ф-лы (14-18) [10]	17,2	20,1	23	26	29	32	35	38	41		
Общее снижение уровня звука препятствием Dz, дБ		Эн.сумма(-Dzi)	7,1	9,9	12,8	15,8	18,8	21,7	24,7	27,7	30,7		
Общее снижение уровня звука препятствием с учётом ограничения (25 дБ) для октавных полос Dz, дБ		Раздел 7.4 [10]	7,1	9,9	12,8	15,8	18,8	21,7	24,7	25	25		
Уровни звукового давления от источника ИШ-1-15 в расчётной точке днём, дБ		**ф-ла(3)[10]**	**0**	**24,5**	**22,8**	**20,9**	**17,7**	**13,5**	**5,8**	**0**	**0**	**18,9**	**18,9**
Уровни звукового давления от источника ИШ-1-15 в расчётной точке ночью, дБ		**ф-ла(3)[10]**	**0**	**24,5**	**22,8**	**20,9**	**17,7**	**13,5**	**5,8**	**0**	**0**	**18,9**	**18,9**
Источник шума: ИШ-1-16, координаты источника (x,y,z), м =[447.96,94.28,1.00]													
Уровни звуковой мощности источника днём, Lw, дБ		**исходные данные**	**0**	**93,3**	**94,7**	**96**	**96,3**	**95,9**	**92,6**	**88,4**	**83,9**		
Уровни звуковой мощности источника ночью, Lw, дБ		**исходные данные**	**0**	**93,3**	**94,7**	**96**	**96,3**	**95,9**	**92,6**	**88,4**	**83,9**		
Поправка на телесный угол DΩ, дБ	Ω = 6.28	10Lg(4π/Ω)	**3**	3	3	3	3	3	3	3	3		
Показатель направленности источника Di, дБ		исходные данные	**0**	0	0	0	0	0	0	0	0		
Поправка на направленность источника Dc, дБ	Dc	DΩ + Di	**3**	3	3	3	3	3	3	3	3		
Затухание из-за геометрической дивергенции, Adiv, дБ	расстояние = 350.87 м	ф-ла (7) [10]	**61,9**										
Коэффициент затухания звука в атмосфере α, дБ/км	Ta=20,°C Pa=101.33,кПа hотн.=70%	ф-ла (5) [9]	0,02	0,09	0,33	1,12	2,79	4,98	9,04	23,09	77,63		

1		2	3	4	5	6	7	8	9	10	11	12	13
Учет затухания звука в атмосфере Aatm, дБ		ф-ла (8) [10]	0	0	0,1	0,4	1	1,7	3,2	8,1	27,2		
Снижение уровня звукового давления из-за влияния застройки между источником шума и расчетной точкой													
Снижение уровня звукового давления на пути над экраном, Dz1, дБ	z = 0.93м (разность путей)	ф-лы (14-18) [10]	9	11,4	14	16,8	19,7	22,7	25,6	28,6	31,6		
Снижение уровня звукового давления на пути слева от экрана, Dz2, дБ	z = 3.45м (разность путей)	ф-лы (14-18) [10]	12,4	16	20,3	24,3	27,7	30,8	33,9	36,9	39,9		
Снижение уровня звукового давления на пути справа от экрана, Dz3, дБ	z = 14.69м (разность путей)	ф-лы (14-18) [10]	17,6	20,5	23,4	26,4	29,4	32,4	35,4	38,4	41,4		
Общее снижение уровня звука препятствием Dz, дБ		Эн.сумма(-Dzi)	6,9	9,7	12,7	15,7	18,7	21,7	24,6	27,6	30,6		
Общее снижение уровня звука препятствием с учётом ограничения (25 дБ) для октавных полос Dz, дБ		Раздел 7.4 [10]	6,9	9,7	12,7	15,7	18,7	21,7	24,6	25	25		
Уровни звукового давления от источника ИШ-1-16 в расчётной точке днём, дБ		**ф-ла(3)[10]**	**0**	**24,6**	**22,9**	**21**	**17,7**	**13,6**	**5,9**	**0**	**0**	**19**	**19**
Уровни звукового давления от источника ИШ-1-16 в расчётной точке ночью, дБ		**ф-ла(3)[10]**	**0**	**24,6**	**22,9**	**21**	**17,7**	**13,6**	**5,9**	**0**	**0**	**19**	**19**
Источник шума: ИШ-1-17, координаты источника (x,y,z), м =[540.99,141.77,1.00]													
Уровни звуковой мощности источника днём, Lw, дБ		**исходные данные**	**0**	**93,3**	**94,7**	**96**	**96,3**	**95,9**	**92,6**	**88,4**	**83,9**		
Уровни звуковой мощности источника ночью, Lw, дБ		**исходные данные**	**0**	**93,3**	**94,7**	**96**	**96,3**	**95,9**	**92,6**	**88,4**	**83,9**		
Поправка на телесный угол DΩ, дБ	Ω = 6.28	10Lg(4π/Ω)	**3**	3	3	3	3	3	3	3	3		
Показатель направленности источника Di, дБ		исходные данные	**0**	0	0	0	0	0	0	0	0		
Поправка на направленность источника Dc, дБ	Dc	DΩ + Di	**3**	3	3	3	3	3	3	3	3		
Затухание из-за геометрической дивергенции, Adiv, дБ	расстояние = 442.74 м	ф-ла (7) [10]	**63,9**										

1		2	3	4	5	6	7	8	9	10	11	12	13
Коэффициент затухания звука в атмосфере α, дБ/км	Та=20,°С Ра=101.33,кПа hотн.=70%	ф-ла (5) [9]	0,02	0,09	0,33	1,12	2,79	4,98	9,04	23,09	77,63		
Учет затухания звука в атмосфере Aatm, дБ		ф-ла (8) [10]	0	0	0,1	0,5	1,2	2,2	4	10,2	34,4		
Снижение уровня звукового давления из-за влияния застройки между источником шума и расчетной точкой													
Снижение уровня звукового давления на пути над экраном, Dz1, дБ	z = 0.61м (разность путей)	ф-лы (14-18) [10]	5,5	6,5	8,6	11,2	14	16,8	19,7	22,6	25,6		
Снижение уровня звукового давления на пути слева от экрана, Dz2, дБ	z = 0.55м (разность путей)	ф-лы (14-18) [10]	7	8,5	10,5	12,8	15,5	18,3	21,2	24,2	27,2		
Снижение уровня звукового давления на пути справа от экрана, Dz3, дБ	z = 145.43м (разность путей)	ф-лы (14-18) [10]	30,6	34,6	37,9	41	44,1	47,1	50,1	53,1	56,1		
Общее снижение уровня звука препятствием Dz, дБ		Эн.сумма(-Dzi)	3,2	4,4	6,4	8,9	11,6	14,5	17,4	20,3	23,3		
Уровни звукового давления от источника ИШ-1-17 в расчётной точке днём, дБ		**ф-ла(3)[10]**	**0**	**27,9**	**27,2**	**25,6**	**22,5**	**18,3**	**10,3**	**0**	**0**	**23,6**	**23,6**
Уровни звукового давления от источника ИШ-1-17 в расчётной точке ночью, дБ		**ф-ла(3)[10]**	**0**	**27,9**	**27,2**	**25,6**	**22,5**	**18,3**	**10,3**	**0**	**0**	**23,6**	**23,6**
Источник шума: ИШ-1-18, координаты источника (x,y,z), м =[543.53,140.79,1.00]													
Уровни звуковой мощности источника днём, Lw, дБ		**исходные данные**	**0**	**93,3**	**94,7**	**96**	**96,3**	**95,9**	**92,6**	**88,4**	**83,9**		
Уровни звуковой мощности источника ночью, Lw, дБ		**исходные данные**	**0**	**93,3**	**94,7**	**96**	**96,3**	**95,9**	**92,6**	**88,4**	**83,9**		
Поправка на телесный угол DΩ, дБ	Ω = 6.28	10Lg(4π/Ω)	**3**	3	3	3	3	3	3	3	3		
Показатель направленности источника Di, дБ		исходные данные	**0**	0	0	0	0	0	0	0	0		
Поправка на направленность источника Dc, дБ	Dc	DΩ + Di	**3**	3	3	3	3	3	3	3	3		
Затухание из-за геометрической дивергенции, Adiv, дБ	расстояние = 443.54 м	ф-ла (7) [10]	**63,9**										

1		2	3	4	5	6	7	8	9	10	11	12	13
Коэффициент затухания звука в атмосфере α, дБ/км	Та=20,°С Ра=101.33,кПа hотн.=70%	ф-ла (5) [9]	0,02	0,09	0,33	1,12	2,79	4,98	9,04	23,09	77,63		
Учет затухания звука в атмосфере Aatm, дБ		ф-ла (8) [10]	0	0	0,1	0,5	1,2	2,2	4	10,2	34,4		
Снижение уровня звукового давления из-за влияния застройки между источником шума и расчетной точкой													
Снижение уровня звукового давления на пути над экраном, Dz1, дБ	z = 0.57м (разность путей)	ф-лы (14-18) [10]	5,4	6,1	7,9	10,4	13,2	16	18,9	21,8	24,8		
Снижение уровня звукового давления на пути слева от экрана, Dz2, дБ	z = 0.35м (разность путей)	ф-лы (14-18) [10]	6,3	7,5	9,1	11,2	13,7	16,4	19,3	22,2	25,2		
Снижение уровня звукового давления на пути справа от экрана, Dz3, дБ	z = 146.64м (разность путей)	ф-лы (14-18) [10]	30,6	34,6	38	41,1	44,1	47,1	50,1	53,2	56,2		
Общее снижение уровня звука препятствием Dz, дБ		Эн.сумма(-Dzi)	2,8	3,7	5,4	7,8	10,4	13,2	16	19	22		
Уровни звукового давления от источника ИШ-1-18 в расчётной точке днём, дБ		**ф-ла(3)[10]**	**0**	**28,6**	**28,2**	**26,8**	**23,7**	**19,6**	**11,6**	**0**	**0**	**24,8**	**24,8**
Уровни звукового давления от источника ИШ-1-18 в расчётной точке ночью, дБ		**ф-ла(3)[10]**	**0**	**28,6**	**28,2**	**26,8**	**23,7**	**19,6**	**11,6**	**0**	**0**	**24,8**	**24,8**
Источник шума: ИШ-1-19, координаты источника (x,y,z), м =[547.25,139.62,1.00]													
Уровни звуковой мощности источника днём, Lw, дБ		**исходные данные**	**0**	**93,3**	**94,7**	**96**	**96,3**	**95,9**	**92,6**	**88,4**	**83,9**		
Уровни звуковой мощности источника ночью, Lw, дБ		**исходные данные**	**0**	**93,3**	**94,7**	**96**	**96,3**	**95,9**	**92,6**	**88,4**	**83,9**		
Поправка на телесный угол DΩ, дБ	Ω = 6.28	10Lg(4π/Ω)	**3**	3	3	3	3	3	3	3	3		
Показатель направленности источника Di, дБ		исходные данные	**0**	0	0	0	0	0	0	0	0		
Поправка на направленность источника Dc, дБ	Dc	DΩ + Di	**3**	3	3	3	3	3	3	3	3		
Затухание из-за геометрической дивергенции, Adiv, дБ	расстояние = 444.94 м	ф-ла (7) [10]	**64**										

1		2	3	4	5	6	7	8	9	10	11	12	13
Коэффициент затухания звука в атмосфере α, дБ/км	Та=20,°С Ра=101.33,кПа hотн.=70%	ф-ла (5) [9]	0,02	0,09	0,33	1,12	2,79	4,98	9,04	23,09	77,63		
Учет затухания звука в атмосфере Aatm, дБ		ф-ла (8) [10]	0	0	0,1	0,5	1,2	2,2	4	10,3	34,5		
Снижение уровня звукового давления из-за влияния застройки между источником шума и расчетной точкой													
Снижение уровня звукового давления на пути над экраном, Dz1, дБ	z = 0.52м (разность путей)	ф-лы (14-18) [10]	5,2	5,7	6,9	9,2	12,1	14,9	17,8	20,7	23,7		
Снижение уровня звукового давления на пути слева от экрана, Dz2, дБ	z = 0.14м (разность путей)	ф-лы (14-18) [10]	5,5	6	7	8,5	10,5	12,9	15,5	18,3	21,2		
Снижение уровня звукового давления на пути справа от экрана, Dz3, дБ	z = 148.12м (разность путей)	ф-лы (14-18) [10]	30,6	34,7	38	41,1	44,2	47,2	50,2	53,2	56,2		
Общее снижение уровня звука препятствием Dz, дБ		Эн.сумма(-Dzi)	2,3	2,9	3,9	5,8	8,2	10,8	13,5	16,4	19,3		
Уровни звукового давления от источника ИШ-1-19 в расчётной точке днём, дБ		**ф-ла(3)[10]**	**0**	**29,4**	**29,6**	**28,7**	**25,9**	**22**	**14,1**	**0,8**	**0**	**27**	**27**
Уровни звукового давления от источника ИШ-1-19 в расчётной точке ночью, дБ		**ф-ла(3)[10]**	**0**	**29,4**	**29,6**	**28,7**	**25,9**	**22**	**14,1**	**0,8**	**0**	**27**	**27**
Источник шума: ИШ-1-20, координаты источника (x,y,z), м =[550.38,138.64,1.00]													
Уровни звуковой мощности источника днём, Lw, дБ		**исходные данные**	**0**	**93,3**	**94,7**	**96**	**96,3**	**95,9**	**92,6**	**88,4**	**83,9**		
Уровни звуковой мощности источника ночью, Lw, дБ		**исходные данные**	**0**	**93,3**	**94,7**	**96**	**96,3**	**95,9**	**92,6**	**88,4**	**83,9**		
Поправка на телесный угол DΩ, дБ	Ω = 6.28	10Lg(4π/Ω)	**3**	3	3	3	3	3	3	3	3		
Показатель направленности источника Di, дБ		исходные данные	**0**	0	0	0	0	0	0	0	0		
Поправка на направленность источника Dc, дБ	Dc	DΩ + Di	**3**	3	3	3	3	3	3	3	3		
Затухание из-за геометрической дивергенции, Adiv, дБ	расстояние = 446.14 м	ф-ла (7) [10]	**64**										

1		2	3	4	5	6	7	8	9	10	11	12	13
Коэффициент затухания звука в атмосфере α, дБ/км	Та=20,°С Ра=101.33,кПа hотн.=70%	ф-ла (5) [9]	0,02	0,09	0,33	1,12	2,79	4,98	9,04	23,09	77,63		
Учет затухания звука в атмосфере Aatm, дБ		ф-ла (8) [10]	0	0	0,1	0,5	1,2	2,2	4	10,3	34,6		
Снижение уровня звукового давления из-за влияния застройки между источником шума и расчетной точкой													
Снижение уровня звукового давления на пути над экраном, Dz1, дБ	z = 0.49м (разность путей)	ф-лы (14-18) [10]	5,1	5,5	6,2	7,9	10,8	13,9	16,9	19,9	22,9		
Снижение уровня звукового давления на пути слева от экрана, Dz2, дБ	z = 0.04м (разность путей)	ф-лы (14-18) [10]	5	5,2	5,5	6,1	7,2	8,7	10,7	13,1	15,8		
Снижение уровня звукового давления на пути справа от экрана, Dz3, дБ	z = 149.43м (разность путей)	ф-лы (14-18) [10]	30,7	34,7	38	41,2	44,2	47,2	50,2	53,2	56,3		
Общее снижение уровня звука препятствием Dz, дБ		Эн.сумма(-Dzi)	2	2,3	2,8	3,9	5,6	7,5	9,8	12,3	15		
Уровни звукового давления от источника ИШ-1-20 в расчётной точке днём, дБ		**ф-ла(3)[10]**	**0**	**30**	**30,7**	**30,6**	**28,5**	**25,1**	**17,8**	**4,8**	**0**	**29,7**	**29,7**
Уровни звукового давления от источника ИШ-1-20 в расчётной точке ночью, дБ		**ф-ла(3)[10]**	**0**	**30**	**30,7**	**30,6**	**28,5**	**25,1**	**17,8**	**4,8**	**0**	**29,7**	**29,7**
Источник шума: ИШ-1-21, координаты источника (x,y,z), м =[553.31,137.67,1.00]													
Уровни звуковой мощности источника днём, Lw, дБ		**исходные данные**	**0**	**93,3**	**94,7**	**96**	**96,3**	**95,9**	**92,6**	**88,4**	**83,9**		
Уровни звуковой мощности источника ночью, Lw, дБ		**исходные данные**	**0**	**93,3**	**94,7**	**96**	**96,3**	**95,9**	**92,6**	**88,4**	**83,9**		
Поправка на телесный угол DΩ, дБ	Ω = 6.28	10Lg(4π/Ω)	**3**	3	3	3	3	3	3	3	3		
Показатель направленности источника Di, дБ		исходные данные	**0**	0	0	0	0	0	0	0	0		
Поправка на направленность источника Dc, дБ	Dc	DΩ + Di	**3**	3	3	3	3	3	3	3	3		
Затухание из-за геометрической дивергенции, Adiv, дБ	расстояние = 447.25 м	ф-ла (7) [10]	**64**										

1		2	3	4	5	6	7	8	9	10	11	12	13
Коэффициент затухания звука в атмосфере α, дБ/км	Ta=20,°C Pa=101.33,кПа hотн.=70%	ф-ла (5) [9]	0,02	0,09	0,33	1,12	2,79	4,98	9,04	23,09	77,63		
Учет затухания звука в атмосфере Aatm, дБ		ф-ла (8) [10]	0	0	0,1	0,5	1,2	2,2	4	10,3	34,7		
Снижение уровня звукового давления из-за влияния застройки между источником шума и расчетной точкой													
Снижение уровня звукового давления на пути над экраном, Dz1, дБ	z = 0.47м (разность путей)	ф-лы (14-18) [10]	5,1	5,3	5,8	6,7	8,1	10,4	13,9	18	21,8		
Снижение уровня звукового давления на пути слева от экрана, Dz2, дБ	z = 0.00м (разность путей)	ф-лы (14-18) [10]	4,8	4,8	4,8	4,8	4,8	4,9	5	5,2	5,5		
Снижение уровня звукового давления на пути справа от экрана, Dz3, дБ	z = 150.83м (разность путей)	ф-лы (14-18) [10]	30,7	34,7	38,1	41,2	44,2	47,3	50,3	53,3	56,3		
Общее снижение уровня звука препятствием Dz, дБ		Эн.сумма(-Dzi)	1,9	2	2,3	2,6	3,2	3,8	4,5	5	5,4		
Уровни звукового давления прямого звука от источника ИШ-1-21 в расчётной точке днём, дБ		**ф-ла(3)[10]**	**0**	**30,2**	**31,3**	**31,8**	**30,9**	**28,9**	**23,1**	**12,1**	**0**	**32,8**	**32,8**
Уровни звукового давления прямого звука от источника ИШ-1-21 в расчётной точке ночью, дБ		**ф-ла(3)[10]**	**0**	**30,2**	**31,3**	**31,8**	**30,9**	**28,9**	**23,1**	**12,1**	**0**	**32,8**	**32,8**
Расчёт отражённого звука													
Уровни звукового давления от мнимого источника ИШ-1-21_мн.(1) в расчётной точке днём, дБ		**ф-ла(3)[10]**	**0**	**36,7**	**27,1**	**18,7**	**19,8**	**29,1**	**26,5**	**15,9**	**0**	**31,8**	**31,8**
Уровни звукового давления от мнимого источника ИШ-1-21_мн.(1) в расчётной точке ночью, дБ		**ф-ла(3)[10]**	**0**	**0**	**0**	**0**	**0**	**0**	**0**	**0**	**0**	**31,8**	**31,8**
Уровни звукового давления от источника ИШ-1-21 в расчётной точке днём, дБ		**ф-ла(3)[10]**	**0**	**37,6**	**32,7**	**32**	**31,2**	**32**	**28,1**	**17,4**	**0**	**35,3**	**35,3**
Уровни звукового давления от источника ИШ-1-21 в расчётной точке ночью, дБ		**ф-ла(3)[10]**	**0**	**37,6**	**32,7**	**32**	**31,2**	**32**	**28,1**	**17,4**	**0**	**35,3**	**35,3**
Источник шума: ИШ-1-22, координаты источника (x,y,z), м =[522.03,85.28,1.00]													
Уровни звуковой мощности источника днём, Lw, дБ		**исходные данные**	**0**	**93,3**	**94,7**	**96**	**96,3**	**95,9**	**92,6**	**88,4**	**83,9**		

1		2	3	4	5	6	7	8	9	10	11	12	13
Уровни звуковой мощности источника ночью, Lw, дБ		**исходные данные**	**0**	**93,3**	**94,7**	**96**	**96,3**	**95,9**	**92,6**	**88,4**	**83,9**		
Поправка на телесный угол DΩ, дБ	Ω = 6.28	10Lg(4π/Ω)	**3**	3	3	3	3	3	3	3	3		
Показатель направленности источника Di, дБ		исходные данные	**0**	0	0	0	0	0	0	0	0		
Поправка на направленность источника Dc, дБ	Dc	DΩ + Di	**3**	3	3	3	3	3	3	3	3		
Затухание из-за геометрической дивергенции, Adiv, дБ	расстояние = 387.05 м	ф-ла (7) [10]	**62,8**										
Коэффициент затухания звука в атмосфере α, дБ/км	Ta=20,°C Pa=101.33,кПа hотн.=70%	ф-ла (5) [9]	0,02	0,09	0,33	1,12	2,79	4,98	9,04	23,09	77,63		
Учет затухания звука в атмосфере Aatm, дБ		ф-ла (8) [10]	0	0	0,1	0,4	1,1	1,9	3,5	8,9	30		
Снижение поверхностью земли возле источника As, дБ	Gs = 0 hs = 1м	ф-лы таб.3 [10]	-1,5	-1,5	-1,5	-1,5	-1,5	-1,5	-1,5	-1,5	-1,5		
Снижение поверхностью земли возле приёмника Ar, дБ	Gr = 1 hr = 1.6м	ф-лы таб.3 [10]	-1,5	-1,5	2,3	6,8	4,3	0,5	0	0	0		
Снижение поверхностью земли в средней зоне, Am дБ	Gm = 1	ф-лы таб.3 [10]	-2,4	-2,4	0	0	0	0	0	0	0		
Суммарное снижение поверхностью земли на траектории распространения звука Agr, дБ		ф-ла (9) [10]	-5,4	-5,4	0,8	5,3	2,8	-1	-1,5	-1,5	-1,5		
Уровни звукового давления прямого звука от источника ИШ-1-22 в расчётной точке днём, дБ		**ф-ла(3)[10]**	**0**	**38,9**	**34**	**30,5**	**32,6**	**35,2**	**30,8**	**21,2**	**0**	**37,9**	**37,9**
Уровни звукового давления прямого звука от источника ИШ-1-22 в расчётной точке ночью, дБ		**ф-ла(3)[10]**	**0**	**38,9**	**34**	**30,5**	**32,6**	**35,2**	**30,8**	**21,2**	**0**	**37,9**	**37,9**
Расчёт отражённого звука													
Уровни звукового давления от мнимого источника ИШ-1-22_мн.(1) в расчётной точке днём, дБ		**ф-ла(3)[10]**	**0**	**0**	**0**	**0**	**0**	**0**	**0**	**0**	**0**	**0**	**0**
Уровни звукового давления от мнимого источника ИШ-1-22_мн.(1) в расчётной точке ночью, дБ		**ф-ла(3)[10]**	**0**	**0**	**0**	**0**	**0**	**0**	**0**	**0**	**0**	**0**	**0**
Уровни звукового давления от мнимого источника ИШ-1-22_мн.(2) в расчётной точке днём, дБ		**ф-ла(3)[10]**	**0**	**37,8**	**29,2**	**20,1**	**21,2**	**30,6**	**28,2**	**18,6**	**0**	**33,5**	**33,5**

1		2	3	4	5	6	7	8	9	10	11	12	13
Уровни звукового давления от мнимого источника ИШ-1-22_мн.(2) в расчётной точке ночью, дБ		**ф-ла(3)[10]**	**37,8**	**37,8**	**37,8**	**37,8**	**37,8**	**37,8**	**37,8**	**37,8**	**37,8**	**33,5**	**33,5**
Суммарные уровни звукового давления от мнимых источников в расчётной точке днём, дБ		**ф-ла (19) [1]**	**0**	**37,8**	**29,2**	**20,1**	**21,2**	**30,6**	**28,2**	**18,6**	**0**	**0**	**33,5**
Суммарные уровни звукового давления от мнимых источников в расчётной точке ночью, дБ		**ф-ла (19) [1]**	**0**	**37,8**	**29,2**	**20,1**	**21,2**	**30,6**	**28,2**	**18,6**	**0**	**0**	**33,5**
Уровни звукового давления от источника ИШ-1-22 в расчётной точке днём, дБ		**ф-ла(3)[10]**	**0**	**41,4**	**35,2**	**30,9**	**32,9**	**36,5**	**32,7**	**23,1**	**0**	**39,3**	**39,3**
Уровни звукового давления от источника ИШ-1-22 в расчётной точке ночью, дБ		**ф-ла(3)[10]**	**0**	**41,4**	**35,2**	**30,9**	**32,9**	**36,5**	**32,7**	**23,1**	**0**	**39,3**	**39,3**
Источник шума: ИШ-1-23, координаты источника (x,y,z), м =[525.16,84.11,1.00]													
Уровни звуковой мощности источника днём, Lw, дБ		**исходные данные**	**0**	**93,3**	**94,7**	**96**	**96,3**	**95,9**	**92,6**	**88,4**	**83,9**		
Уровни звуковой мощности источника ночью, Lw, дБ		**исходные данные**	**0**	**93,3**	**94,7**	**96**	**96,3**	**95,9**	**92,6**	**88,4**	**83,9**		
Поправка на телесный угол DΩ, дБ	Ω = 6.28	10Lg(4π/Ω)	**3**	3	3	3	3	3	3	3	3		
Показатель направленности источника Di, дБ		исходные данные	**0**	0	0	0	0	0	0	0	0		
Поправка на направленность источника Dc, дБ	Dc	DΩ + Di	**3**	3	3	3	3	3	3	3	3		
Затухание из-за геометрической дивергенции, Adiv, дБ	расстояние = 388.22 м	ф-ла (7) [10]	**62,8**										
Коэффициент затухания звука в атмосфере α, дБ/км	Ta=20,°C Pa=101.33,кПа hотн.=70%	ф-ла (5) [9]	0,02	0,09	0,33	1,12	2,79	4,98	9,04	23,09	77,63		
Учет затухания звука в атмосфере Aatm, дБ		ф-ла (8) [10]	0	0	0,1	0,4	1,1	1,9	3,5	9	30,1		
Снижение поверхностью земли возле источника As, дБ	Gs = 0 hs = 1м	ф-лы таб.3 [10]	-1,5	-1,5	-1,5	-1,5	-1,5	-1,5	-1,5	-1,5	-1,5		
Снижение поверхностью земли возле приёмника Ar, дБ	Gr = 1 hr = 1.6м	ф-лы таб.3 [10]	-1,5	-1,5	2,3	6,8	4,3	0,5	0	0	0		

1		2	3	4	5	6	7	8	9	10	11	12	13
Снижение поверхностью земли в средней зоне, Am дБ	Gm = 1	ф-лы таб.3 [10]	-2,4	-2,4	0	0	0	0	0	0	0		
Суммарное снижение поверхностью земли на траектории распространения звука Agr, дБ		ф-ла (9) [10]	-5,4	-5,4	0,8	5,3	2,8	-1	-1,5	-1,5	-1,5		
Уровни звукового давления прямого звука от источника ИШ-1-23 в расчётной точке днём, дБ		**ф-ла(3)[10]**	**0**	**38,9**	**34**	**30,4**	**32,6**	**35,2**	**30,8**	**21,1**	**0**	**37,9**	**37,9**
Уровни звукового давления прямого звука от источника ИШ-1-23 в расчётной точке ночью, дБ		**ф-ла(3)[10]**	**0**	**38,9**	**34**	**30,4**	**32,6**	**35,2**	**30,8**	**21,1**	**0**	**37,9**	**37,9**
Расчёт отражённого звука													
Уровни звукового давления от мнимого источника ИШ-1-23_мн.(1) в расчётной точке днём, дБ		**ф-ла(3)[10]**	**0**	**0**	**0**	**0**	**0**	**0**	**0**	**0**	**0**	**0**	**0**
Уровни звукового давления от мнимого источника ИШ-1-23_мн.(1) в расчётной точке ночью, дБ		**ф-ла(3)[10]**	**0**	**0**	**0**	**0**	**0**	**0**	**0**	**0**	**0**	**0**	**0**
Уровни звукового давления от мнимого источника ИШ-1-23_мн.(2) в расчётной точке днём, дБ		**ф-ла(3)[10]**	**0**	**37,8**	**29,1**	**20**	**21,2**	**30,6**	**28,2**	**18,5**	**0**	**33,5**	**33,5**
Уровни звукового давления от мнимого источника ИШ-1-23_мн.(2) в расчётной точке ночью, дБ		**ф-ла(3)[10]**	**37,8**	**37,8**	**37,8**	**37,8**	**37,8**	**37,8**	**37,8**	**37,8**	**37,8**	**33,5**	**33,5**
Суммарные уровни звукового давления от мнимых источников в расчётной точке днём, дБ		**ф-ла (19) [1]**	**0**	**37,8**	**29,1**	**20**	**21,2**	**30,6**	**28,2**	**18,5**	**0**	**0**	**33,5**
Суммарные уровни звукового давления от мнимых источников в расчётной точке ночью, дБ		**ф-ла (19) [1]**	**0**	**37,8**	**29,1**	**20**	**21,2**	**30,6**	**28,2**	**18,5**	**0**	**0**	**33,5**
Уровни звукового давления от источника ИШ-1-23 в расчётной точке днём, дБ		**ф-ла(3)[10]**	**0**	**41,4**	**35,2**	**30,8**	**32,9**	**36,5**	**32,7**	**23**	**0**	**39,2**	**39,2**
Уровни звукового давления от источника ИШ-1-23 в расчётной точке ночью, дБ		**ф-ла(3)[10]**	**0**	**41,4**	**35,2**	**30,8**	**32,9**	**36,5**	**32,7**	**23**	**0**	**39,2**	**39,2**
Источник шума: ИШ-1-24, координаты источника (x,y,z), м =[528.48,82.94,1.00]													
Уровни звуковой мощности источника днём, Lw, дБ		**исходные данные**	**0**	**93,3**	**94,7**	**96**	**96,3**	**95,9**	**92,6**	**88,4**	**83,9**		
Уровни звуковой мощности источника ночью, Lw, дБ		**исходные данные**	**0**	**93,3**	**94,7**	**96**	**96,3**	**95,9**	**92,6**	**88,4**	**83,9**		
Поправка на телесный угол DΩ, дБ	Ω = 6.28	10Lg(4π/Ω)	**3**	3	3	3	3	3	3	3	3		

1		2	3	4	5	6	7	8	9	10	11	12	13
Показатель направленности источника Di, дБ		исходные данные	**0**	0	0	0	0	0	0	0	0		
Поправка на направленность источника Dc, дБ	Dc	DΩ + Di	**3**	3	3	3	3	3	3	3	3		
Затухание из-за геометрической дивергенции, Adiv, дБ	расстояние = 389.55 м	ф-ла (7) [10]	**62,8**										
Коэффициент затухания звука в атмосфере α, дБ/км	Ta=20,°C Pa=101.33,кПа hотн.=70%	ф-ла (5) [9]	0,02	0,09	0,33	1,12	2,79	4,98	9,04	23,09	77,63		
Учет затухания звука в атмосфере Aatm, дБ		ф-ла (8) [10]	0	0	0,1	0,4	1,1	1,9	3,5	9	30,2		
Снижение поверхностью земли возле источника As, дБ	Gs = 0 hs = 1м	ф-лы таб.3 [10]	-1,5	-1,5	-1,5	-1,5	-1,5	-1,5	-1,5	-1,5	-1,5		
Снижение поверхностью земли возле приёмника Ar, дБ	Gr = 1 hr = 1.6м	ф-лы таб.3 [10]	-1,5	-1,5	2,3	6,8	4,3	0,5	0	0	0		
Снижение поверхностью земли в средней зоне, Am дБ	Gm = 1	ф-лы таб.3 [10]	-2,4	-2,4	0	0	0	0	0	0	0		
Суммарное снижение поверхностью земли на траектории распространения звука Agr, дБ		ф-ла (9) [10]	-5,4	-5,4	0,8	5,3	2,8	-1	-1,5	-1,5	-1,5		
Уровни звукового давления прямого звука от источника ИШ-1-24 в расчётной точке днём, дБ		**ф-ла(3)[10]**	**0**	**38,8**	**33,9**	**30,4**	**32,6**	**35,1**	**30,8**	**21,1**	**0**	**37,9**	**37,9**
Уровни звукового давления прямого звука от источника ИШ-1-24 в расчётной точке ночью, дБ		**ф-ла(3)[10]**	**0**	**38,8**	**33,9**	**30,4**	**32,6**	**35,1**	**30,8**	**21,1**	**0**	**37,9**	**37,9**
Расчёт отражённого звука													
Уровни звукового давления от мнимого источника ИШ-1-24_мн.(1) в расчётной точке днём, дБ		**ф-ла(3)[10]**	**0**	**0**	**0**	**0**	**0**	**0**	**0**	**0**	**0**	**0**	**0**
Уровни звукового давления от мнимого источника ИШ-1-24_мн.(1) в расчётной точке ночью, дБ		**ф-ла(3)[10]**	**0**	**0**	**0**	**0**	**0**	**0**	**0**	**0**	**0**	**0**	**0**
Уровни звукового давления от мнимого источника ИШ-1-24_мн.(2) в расчётной точке днём, дБ		**ф-ла(3)[10]**	**0**	**37,8**	**29,1**	**20**	**21,2**	**30,5**	**28,2**	**18,4**	**0**	**33,4**	**33,4**
Уровни звукового давления от мнимого источника ИШ-1-24_мн.(2) в расчётной точке ночью, дБ		**ф-ла(3)[10]**	**37,8**	**37,8**	**37,8**	**37,8**	**37,8**	**37,8**	**37,8**	**37,8**	**37,8**	**33,4**	**33,4**
Суммарные уровни звукового давления от мнимых источников в расчётной точке днём, дБ		**ф-ла (19) [1]**	**0**	**37,8**	**29,1**	**20**	**21,2**	**30,5**	**28,2**	**18,4**	**0**	**0**	**33,4**

1		2	3	4	5	6	7	8	9	10	11	12	13
Суммарные уровни звукового давления от мнимых источников в расчётной точке ночью, дБ		**ф-ла (19) [1]**	**0**	**37,8**	**29,1**	**20**	**21,2**	**30,5**	**28,2**	**18,4**	**0**	**0**	**33,4**
Уровни звукового давления от источника ИШ-1-24 в расчётной точке днём, дБ		**ф-ла(3)[10]**	**0**	**41,4**	**35,2**	**30,8**	**32,9**	**36,4**	**32,7**	**23**	**0**	**39,2**	**39,2**
Уровни звукового давления от источника ИШ-1-24 в расчётной точке ночью, дБ		**ф-ла(3)[10]**	**0**	**41,4**	**35,2**	**30,8**	**32,9**	**36,4**	**32,7**	**23**	**0**	**39,2**	**39,2**
Источник шума: ИШ-1-25, координаты источника (x,y,z), м =[531.22,82.16,1.00]													
Уровни звуковой мощности источника днём, Lw, дБ		**исходные данные**	**0**	**93,3**	**94,7**	**96**	**96,3**	**95,9**	**92,6**	**88,4**	**83,9**		
Уровни звуковой мощности источника ночью, Lw, дБ		**исходные данные**	**0**	**93,3**	**94,7**	**96**	**96,3**	**95,9**	**92,6**	**88,4**	**83,9**		
Поправка на телесный угол DΩ, дБ	Ω = 6.28	10Lg(4π/Ω)	**3**	3	3	3	3	3	3	3	3		
Показатель направленности источника Di, дБ		исходные данные	**0**	0	0	0	0	0	0	0	0		
Поправка на направленность источника Dc, дБ	Dc	DΩ + Di	**3**	3	3	3	3	3	3	3	3		
Затухание из-за геометрической дивергенции, Adiv, дБ	расстояние = 390.80 м	ф-ла (7) [10]	**62,8**										
Коэффициент затухания звука в атмосфере α, дБ/км	Ta=20,°C Pa=101.33,кПа hотн.=70%	ф-ла (5) [9]	0,02	0,09	0,33	1,12	2,79	4,98	9,04	23,09	77,63		
Учет затухания звука в атмосфере Aatm, дБ		ф-ла (8) [10]	0	0	0,1	0,4	1,1	1,9	3,5	9	30,3		
Снижение поверхностью земли возле источника As, дБ	Gs = 0 hs = 1м	ф-лы таб.3 [10]	-1,5	-1,5	-1,5	-1,5	-1,5	-1,5	-1,5	-1,5	-1,5		
Снижение поверхностью земли возле приёмника Ar, дБ	Gr = 1 hr = 1.6м	ф-лы таб.3 [10]	-1,5	-1,5	2,3	6,8	4,3	0,5	0	0	0		
Снижение поверхностью земли в средней зоне, Am дБ	Gm = 1	ф-лы таб.3 [10]	-2,4	-2,4	0	0	0	0	0	0	0		
Суммарное снижение поверхностью земли на траектории распространения звука Agr, дБ		ф-ла (9) [10]	-5,4	-5,4	0,8	5,3	2,8	-1	-1,5	-1,5	-1,5		

1		2	3	4	5	6	7	8	9	10	11	12	13
Уровни звукового давления прямого звука от источника ИШ-1-25 в расчётной точке днём, дБ		**ф-ла(3)[10]**	**0**	**38,8**	**33,9**	**30,4**	**32,6**	**35,1**	**30,7**	**21**	**0**	**37,8**	**37,8**
Уровни звукового давления прямого звука от источника ИШ-1-25 в расчётной точке ночью, дБ		**ф-ла(3)[10]**	**0**	**38,8**	**33,9**	**30,4**	**32,6**	**35,1**	**30,7**	**21**	**0**	**37,8**	**37,8**
Расчёт отражённого звука													
Уровни звукового давления от мнимого источника ИШ-1-25_мн.(1) в расчётной точке днём, дБ		**ф-ла(3)[10]**	**0**	**0**	**0**	**0**	**0**	**0**	**0**	**0**	**0**	**0**	**0**
Уровни звукового давления от мнимого источника ИШ-1-25_мн.(1) в расчётной точке ночью, дБ		**ф-ла(3)[10]**	**0**	**0**	**0**	**0**	**0**	**0**	**0**	**0**	**0**	**0**	**0**
Уровни звукового давления от мнимого источника ИШ-1-25_мн.(2) в расчётной точке днём, дБ		**ф-ла(3)[10]**	**0**	**37,8**	**29**	**20**	**21,2**	**30,5**	**28,1**	**18,4**	**0**	**33,4**	**33,4**
Уровни звукового давления от мнимого источника ИШ-1-25_мн.(2) в расчётной точке ночью, дБ		**ф-ла(3)[10]**	**37,8**	**37,8**	**37,8**	**37,8**	**37,8**	**37,8**	**37,8**	**37,8**	**37,8**	**33,4**	**33,4**
Суммарные уровни звукового давления от мнимых источников в расчётной точке днём, дБ		**ф-ла (19) [1]**	**0**	**37,8**	**29**	**20**	**21,2**	**30,5**	**28,1**	**18,4**	**0**	**0**	**33,4**
Суммарные уровни звукового давления от мнимых источников в расчётной точке ночью, дБ		**ф-ла (19) [1]**	**0**	**37,8**	**29**	**20**	**21,2**	**30,5**	**28,1**	**18,4**	**0**	**0**	**33,4**
Уровни звукового давления от источника ИШ-1-25 в расчётной точке днём, дБ		**ф-ла(3)[10]**	**0**	**41,3**	**35,1**	**30,8**	**32,9**	**36,4**	**32,6**	**22,9**	**0**	**39,2**	**39,2**
Уровни звукового давления от источника ИШ-1-25 в расчётной точке ночью, дБ		**ф-ла(3)[10]**	**0**	**41,3**	**35,1**	**30,8**	**32,9**	**36,4**	**32,6**	**22,9**	**0**	**39,2**	**39,2**
Источник шума: ИШ-1-26, координаты источника (x,y,z), м =[534.15,80.79,1.00]													
Уровни звуковой мощности источника днём, Lw, дБ		**исходные данные**	**0**	**93,3**	**94,7**	**96**	**96,3**	**95,9**	**92,6**	**88,4**	**83,9**		
Уровни звуковой мощности источника ночью, Lw, дБ		**исходные данные**	**0**	**93,3**	**94,7**	**96**	**96,3**	**95,9**	**92,6**	**88,4**	**83,9**		
Поправка на телесный угол DΩ, дБ	Ω = 6.28	10Lg(4π/Ω)	**3**	3	3	3	3	3	3	3	3		
Показатель направленности источника Di, дБ		исходные данные	**0**	0	0	0	0	0	0	0	0		
Поправка на направленность источника Dc, дБ	Dc	DΩ + Di	**3**	3	3	3	3	3	3	3	3		

1		2	3	4	5	6	7	8	9	10	11	12	13
Затухание из-за геометрической дивергенции, Adiv, дБ	расстояние = 391.77 м	ф-ла (7) [10]	**62,9**										
Коэффициент затухания звука в атмосфере α, дБ/км	Ta=20,°C Pa=101.33,кПа hотн.=70%	ф-ла (5) [9]	0,02	0,09	0,33	1,12	2,79	4,98	9,04	23,09	77,63		
Учет затухания звука в атмосфере Aatm, дБ		ф-ла (8) [10]	0	0	0,1	0,4	1,1	2	3,5	9	30,4		
Снижение поверхностью земли возле источника As, дБ	Gs = 0 hs = 1м	ф-лы таб.3 [10]	-1,5	-1,5	-1,5	-1,5	-1,5	-1,5	-1,5	-1,5	-1,5		
Снижение поверхностью земли возле приёмника Ar, дБ	Gr = 1 hr = 1.6м	ф-лы таб.3 [10]	-1,5	-1,5	2,3	6,8	4,3	0,5	0	0	0		
Снижение поверхностью земли в средней зоне, Am дБ	Gm = 1	ф-лы таб.3 [10]	-2,4	-2,4	0	0	0	0	0	0	0		
Суммарное снижение поверхностью земли на траектории распространения звука Agr, дБ		ф-ла (9) [10]	-5,4	-5,4	0,8	5,3	2,8	-1	-1,5	-1,5	-1,5		
Уровни звукового давления прямого звука от источника ИШ-1-26 в расчётной точке днём, дБ		**ф-ла(3)[10]**	**0**	**38,8**	**33,9**	**30,4**	**32,5**	**35,1**	**30,7**	**21**	**0**	**37,8**	**37,8**
Уровни звукового давления прямого звука от источника ИШ-1-26 в расчётной точке ночью, дБ		**ф-ла(3)[10]**	**0**	**38,8**	**33,9**	**30,4**	**32,5**	**35,1**	**30,7**	**21**	**0**	**37,8**	**37,8**
Расчёт отражённого звука													
Уровни звукового давления от мнимого источника ИШ-1-26_мн.(1) в расчётной точке днём, дБ		**ф-ла(3)[10]**	**0**	**0**	**0**	**0**	**0**	**0**	**0**	**0**	**0**	**0**	**0**
Уровни звукового давления от мнимого источника ИШ-1-26_мн.(1) в расчётной точке ночью, дБ		**ф-ла(3)[10]**	**0**	**0**	**0**	**0**	**0**	**0**	**0**	**0**	**0**	**0**	**0**
Уровни звукового давления от мнимого источника ИШ-1-26_мн.(2) в расчётной точке днём, дБ		**ф-ла(3)[10]**	**0**	**37,8**	**29**	**19,9**	**21,1**	**30,5**	**28,1**	**18,3**	**0**	**33,4**	**33,4**
Уровни звукового давления от мнимого источника ИШ-1-26_мн.(2) в расчётной точке ночью, дБ		**ф-ла(3)[10]**	**37,8**	**37,8**	**37,8**	**37,8**	**37,8**	**37,8**	**37,8**	**37,8**	**37,8**	**33,4**	**33,4**
Суммарные уровни звукового давления от мнимых источников в расчётной точке днём, дБ		**ф-ла (19) [1]**	**0**	**37,8**	**29**	**19,9**	**21,1**	**30,5**	**28,1**	**18,3**	**0**	**0**	**33,4**
Суммарные уровни звукового давления от мнимых источников в расчётной точке ночью, дБ		**ф-ла (19) [1]**	**0**	**37,8**	**29**	**19,9**	**21,1**	**30,5**	**28,1**	**18,3**	**0**	**0**	**33,4**
Уровни звукового давления от источника ИШ-1-26 в расчётной точке днём, дБ		**ф-ла(3)[10]**	**0**	**41,3**	**35,1**	**30,7**	**32,8**	**36,4**	**32,6**	**22,9**	**0**	**39,1**	**39,1**

1		2	3	4	5	6	7	8	9	10	11	12	13
Уровни звукового давления от источника ИШ-1-26 в расчётной точке ночью, дБ		**ф-ла(3)[10]**	**0**	**41,3**	**35,1**	**30,7**	**32,8**	**36,4**	**32,6**	**22,9**	**0**	**39,1**	**39,1**
Источник шума: ИШ-1-27, координаты источника (x,y,z), м =[469.65,197.67,1.00]													
Уровни звуковой мощности источника днём, Lw, дБ		**исходные данные**	**0**	**93,3**	**94,7**	**96**	**96,3**	**95,9**	**92,6**	**88,4**	**83,9**		
Уровни звуковой мощности источника ночью, Lw, дБ		**исходные данные**	**0**	**93,3**	**94,7**	**96**	**96,3**	**95,9**	**92,6**	**88,4**	**83,9**		
Поправка на телесный угол DΩ, дБ	Ω = 6.28	10Lg(4π/Ω)	**3**	3	3	3	3	3	3	3	3		
Показатель направленности источника Di, дБ		исходные данные	**0**	0	0	0	0	0	0	0	0		
Поправка на направленность источника Dc, дБ	Dc	DΩ + Di	**3**	3	3	3	3	3	3	3	3		
Затухание из-за геометрической дивергенции, Adiv, дБ	расстояние = 452.14 м	ф-ла (7) [10]	**64,1**										
Коэффициент затухания звука в атмосфере α, дБ/км	Ta=20,°C Pa=101.33,кПа hотн.=70%	ф-ла (5) [9]	0,02	0,09	0,33	1,12	2,79	4,98	9,04	23,09	77,63		
Учет затухания звука в атмосфере Aatm, дБ		ф-ла (8) [10]	0	0	0,2	0,5	1,3	2,3	4,1	10,4	35,1		
Снижение уровня звукового давления из-за влияния застройки между источником шума и расчетной точкой													
Снижение уровня звукового давления на пути над экраном, Dz1, дБ	z = 0.54м (разность путей)	ф-лы (14-18) [10]	6,2	7,5	9,2	11,4	14	16,7	19,6	22,5	25,5		
Снижение уровня звукового давления на пути слева от экрана, Dz2, дБ	z = 7.71м (разность путей)	ф-лы (14-18) [10]	15,5	19,3	23,7	27,8	31,2	34,3	37,4	40,4	43,4		
Снижение уровня звукового давления на пути справа от экрана, Dz3, дБ	z = 38.91м (разность путей)	ф-лы (14-18) [10]	21,7	24,6	27,6	30,6	33,6	36,6	39,6	42,6	45,6		
Общее снижение уровня звука препятствием Dz, дБ		Эн.сумма(-Dzi)	5,6	7,1	9	11,3	13,8	16,6	19,5	22,4	25,4		
Общее снижение уровня звука препятствием с учётом ограничения (25 дБ) для октавных полос Dz, дБ		Раздел 7.4 [10]	5,6	7,1	9	11,3	13,8	16,6	19,5	22,4	25		

1		2	3	4	5	6	7	8	9	10	11	12	13
Уровни звукового давления прямого звука от источника ИШ-1-27 в расчётной точке днём, дБ		**ф-ла(3)[10]**	**0**	**25**	**24,4**	**23,1**	**20,1**	**15,9**	**7,9**	**0**	**0**	**21,2**	**21,2**
Уровни звукового давления прямого звука от источника ИШ-1-27 в расчётной точке ночью, дБ		**ф-ла(3)[10]**	**0**	**25**	**24,4**	**23,1**	**20,1**	**15,9**	**7,9**	**0**	**0**	**21,2**	**21,2**
Расчёт отражённого звука													
Уровни звукового давления от мнимого источника ИШ-1-27_мн.(1) в расчётной точке днём, дБ		**ф-ла(3)[10]**	**0**	**0**	**0**	**0**	**0**	**28,6**	**25,9**	**15,1**	**0**	**31,1**	**31,1**
Уровни звукового давления от мнимого источника ИШ-1-27_мн.(1) в расчётной точке ночью, дБ		**ф-ла(3)[10]**	**0**	**0**	**0**	**0**	**0**	**0**	**0**	**0**	**0**	**31,1**	**31,1**
Уровни звукового давления от источника ИШ-1-27 в расчётной точке днём, дБ		**ф-ла(3)[10]**	**0**	**25**	**24,4**	**23,1**	**20,1**	**28,8**	**26**	**15,1**	**0**	**31,5**	**31,5**
Уровни звукового давления от источника ИШ-1-27 в расчётной точке ночью, дБ		**ф-ла(3)[10]**	**0**	**25**	**24,4**	**23,1**	**20,1**	**28,8**	**26**	**15,1**	**0**	**31,5**	**31,5**
Источник шума: ИШ-1-28, координаты источника (x,y,z), м =[472.78,196.69,1.00]													
Уровни звуковой мощности источника днём, Lw, дБ		**исходные данные**	**0**	**93,3**	**94,7**	**96**	**96,3**	**95,9**	**92,6**	**88,4**	**83,9**		
Уровни звуковой мощности источника ночью, Lw, дБ		**исходные данные**	**0**	**93,3**	**94,7**	**96**	**96,3**	**95,9**	**92,6**	**88,4**	**83,9**		
Поправка на телесный угол DΩ, дБ	Ω = 6.28	10Lg(4π/Ω)	**3**	3	3	3	3	3	3	3	3		
Показатель направленности источника Di, дБ		исходные данные	**0**	0	0	0	0	0	0	0	0		
Поправка на направленность источника Dc, дБ	Dc	DΩ + Di	**3**	3	3	3	3	3	3	3	3		
Затухание из-за геометрической дивергенции, Adiv, дБ	расстояние = 452.66 м	ф-ла (7) [10]	**64,1**										
Коэффициент затухания звука в атмосфере α, дБ/км	Ta=20,°C Pa=101.33,кПа hотн.=70%	ф-ла (5) [9]	0,02	0,09	0,33	1,12	2,79	4,98	9,04	23,09	77,63		
Учет затухания звука в атмосфере Aatm, дБ		ф-ла (8) [10]	0	0	0,2	0,5	1,3	2,3	4,1	10,5	35,1		

1		2	3	4	5	6	7	8	9	10	11	12	13
Снижение уровня звукового давления из-за влияния застройки между источником шума и расчетной точкой													
Снижение уровня звукового давления на пути над экраном, Dz1, дБ	z = 0.55м (разность путей)	ф-лы (14-18) [10]	6,3	7,7	9,5	11,7	14,3	17	19,9	22,9	25,8		
Снижение уровня звукового давления на пути слева от экрана, Dz2, дБ	z = 7.00м (разность путей)	ф-лы (14-18) [10]	15,1	18,9	23,3	27,3	30,8	33,9	36,9	39,9	43		
Снижение уровня звукового давления на пути справа от экрана, Dz3, дБ	z = 41.65м (разность путей)	ф-лы (14-18) [10]	22	24,9	27,9	30,9	33,9	36,9	39,9	42,9	45,9		
Общее снижение уровня звука препятствием Dz, дБ		Эн.сумма(-Dzi)	5,7	7,3	9,2	11,6	14,1	16,9	19,8	22,7	25,7		
Общее снижение уровня звука препятствием с учётом ограничения (25 дБ) для октавных полос Dz, дБ		Раздел 7.4 [10]	5,7	7,3	9,2	11,6	14,1	16,9	19,8	22,7	25		
Уровни звукового давления прямого звука от источника ИШ-1-28 в расчётной точке днём, дБ		**ф-ла(3)[10]**	**0**	**24,9**	**24,2**	**22,8**	**19,8**	**15,6**	**7,6**	**0**	**0**	**20,9**	**20,9**
Уровни звукового давления прямого звука от источника ИШ-1-28 в расчётной точке ночью, дБ		**ф-ла(3)[10]**	**0**	**24,9**	**24,2**	**22,8**	**19,8**	**15,6**	**7,6**	**0**	**0**	**20,9**	**20,9**
Расчёт отражённого звука													
Уровни звукового давления от мнимого источника ИШ-1-28_мн.(1) в расчётной точке днём, дБ		**ф-ла(3)[10]**	**0**	**0**	**0**	**0**	**0**	**28,6**	**26**	**15,2**	**0**	**31,1**	**31,1**
Уровни звукового давления от мнимого источника ИШ-1-28_мн.(1) в расчётной точке ночью, дБ		**ф-ла(3)[10]**	**0**	**0**	**0**	**0**	**0**	**0**	**0**	**0**	**0**	**31,1**	**31,1**
Уровни звукового давления от источника ИШ-1-28 в расчётной точке днём, дБ		**ф-ла(3)[10]**	**0**	**24,9**	**24,2**	**22,8**	**19,8**	**28,8**	**26**	**15,2**	**0**	**31,5**	**31,5**
Уровни звукового давления от источника ИШ-1-28 в расчётной точке ночью, дБ		**ф-ла(3)[10]**	**0**	**24,9**	**24,2**	**22,8**	**19,8**	**28,8**	**26**	**15,2**	**0**	**31,5**	**31,5**
Источник шума: ИШ-1-29, координаты источника (x,y,z), м =[475.52,195.72,1.00]													
Уровни звуковой мощности источника днём, Lw, дБ		**исходные данные**	**0**	**93,3**	**94,7**	**96**	**96,3**	**95,9**	**92,6**	**88,4**	**83,9**		
Уровни звуковой мощности источника ночью, Lw, дБ		**исходные данные**	**0**	**93,3**	**94,7**	**96**	**96,3**	**95,9**	**92,6**	**88,4**	**83,9**		
Поправка на телесный угол DΩ, дБ	Ω = 6.28	10Lg(4π/Ω)	**3**	3	3	3	3	3	3	3	3		

1		2	3	4	5	6	7	8	9	10	11	12	13
Показатель направленности источника Di, дБ		исходные данные	**0**	0	0	0	0	0	0	0	0		
Поправка на направленность источника Dc, дБ	Dc	DΩ + Di	**3**	3	3	3	3	3	3	3	3		
Затухание из-за геометрической дивергенции, Adiv, дБ	расстояние = 453.03 м	ф-ла (7) [10]	**64,1**										
Коэффициент затухания звука в атмосфере α, дБ/км	Ta=20,°C Pa=101.33,кПа hотн.=70%	ф-ла (5) [9]	0,02	0,09	0,33	1,12	2,79	4,98	9,04	23,09	77,63		
Учет затухания звука в атмосфере Aatm, дБ		ф-ла (8) [10]	0	0	0,2	0,5	1,3	2,3	4,1	10,5	35,2		
Снижение уровня звукового давления из-за влияния застройки между источником шума и расчетной точкой													
Снижение уровня звукового давления на пути над экраном, Dz1, дБ	z = 0.56м (разность путей)	ф-лы (14-18) [10]	6,4	7,8	9,6	11,9	14,4	17,2	20,1	23	26		
Снижение уровня звукового давления на пути слева от экрана, Dz2, дБ	z = 6.40м (разность путей)	ф-лы (14-18) [10]	14,7	18,5	22,9	27	30,4	33,5	36,5	39,6	42,6		
Снижение уровня звукового давления на пути справа от экрана, Dz3, дБ	z = 44.18м (разность путей)	ф-лы (14-18) [10]	22,2	25,2	28,1	31,1	34,2	37,2	40,2	43,2	46,2		
Общее снижение уровня звука препятствием Dz, дБ		Эн.сумма(-Dzi)	5,7	7,3	9,3	11,7	14,3	17,1	20	22,9	25,9		
Общее снижение уровня звука препятствием с учётом ограничения (25 дБ) для октавных полос Dz, дБ		Раздел 7.4 [10]	5,7	7,3	9,3	11,7	14,3	17,1	20	22,9	25		
Уровни звукового давления прямого звука от источника ИШ-1-29 в расчётной точке днём, дБ		**ф-ла(3)[10]**	**0**	**24,8**	**24,1**	**22,7**	**19,6**	**15,5**	**7,4**	**0**	**0**	**20,8**	**20,8**
Уровни звукового давления прямого звука от источника ИШ-1-29 в расчётной точке ночью, дБ		**ф-ла(3)[10]**	**0**	**24,8**	**24,1**	**22,7**	**19,6**	**15,5**	**7,4**	**0**	**0**	**20,8**	**20,8**
Расчёт отражённого звука													
Уровни звукового давления от мнимого источника ИШ-1-29_мн.(1) в расчётной точке днём, дБ		**ф-ла(3)[10]**	**0**	**0**	**0**	**0**	**0**	**25,1**	**24,3**	**15,2**	**0**	**28,6**	**28,6**
Уровни звукового давления от мнимого источника ИШ-1-29_мн.(1) в расчётной точке ночью, дБ		**ф-ла(3)[10]**	**0**	**0**	**0**	**0**	**0**	**0**	**0**	**0**	**0**	**28,6**	**28,6**
Уровни звукового давления от источника ИШ-1-29 в расчётной точке днём, дБ		**ф-ла(3)[10]**	**0**	**24,8**	**24,1**	**22,7**	**19,6**	**25,6**	**24,4**	**15,2**	**0**	**29,2**	**29,2**

1		2	3	4	5	6	7	8	9	10	11	12	13
Уровни звукового давления от источника ИШ-1-29 в расчётной точке ночью, дБ		**ф-ла(3)[10]**	**0**	**24,8**	**24,1**	**22,7**	**19,6**	**25,6**	**24,4**	**15,2**	**0**	**29,2**	**29,2**
Источник шума: ИШ-1-30, координаты источника (x,y,z), м =[478.45,194.54,1.00]													
Уровни звуковой мощности источника днём, Lw, дБ		**исходные данные**	**0**	**93,3**	**94,7**	**96**	**96,3**	**95,9**	**92,6**	**88,4**	**83,9**		
Уровни звуковой мощности источника ночью, Lw, дБ		**исходные данные**	**0**	**93,3**	**94,7**	**96**	**96,3**	**95,9**	**92,6**	**88,4**	**83,9**		
Поправка на телесный угол DΩ, дБ	Ω = 6.28	10Lg(4π/Ω)	**3**	3	3	3	3	3	3	3	3		
Показатель направленности источника Di, дБ		исходные данные	**0**	0	0	0	0	0	0	0	0		
Поправка на направленность источника Dc, дБ	Dc	DΩ + Di	**3**	3	3	3	3	3	3	3	3		
Затухание из-за геометрической дивергенции, Adiv, дБ	расстояние = 453.34 м	ф-ла (7) [10]	**64,1**										
Коэффициент затухания звука в атмосфере α, дБ/км	Ta=20,°C Pa=101.33,кПа hотн.=70%	ф-ла (5) [9]	0,02	0,09	0,33	1,12	2,79	4,98	9,04	23,09	77,63		
Учет затухания звука в атмосфере Aatm, дБ		ф-ла (8) [10]	0	0	0,2	0,5	1,3	2,3	4,1	10,5	35,2		
Снижение уровня звукового давления из-за влияния застройки между источником шума и расчетной точкой													
Снижение уровня звукового давления на пути над экраном, Dz1, дБ	z = 0.56м (разность путей)	ф-лы (14-18) [10]	6,4	7,8	9,6	11,9	14,4	17,2	20,1	23	26		
Снижение уровня звукового давления на пути слева от экрана, Dz2, дБ	z = 5.78м (разность путей)	ф-лы (14-18) [10]	14,3	18,1	22,5	26,5	29,9	33,1	36,1	39,1	42,1		
Снижение уровня звукового давления на пути справа от экрана, Dz3, дБ	z = 47.02м (разность путей)	ф-лы (14-18) [10]	22,5	25,5	28,4	31,4	34,4	37,4	40,4	43,4	46,5		
Общее снижение уровня звука препятствием Dz, дБ		Эн.сумма(-Dzi)	5,6	7,3	9,3	11,7	14,3	17	19,9	22,9	25,9		
Общее снижение уровня звука препятствием с учётом ограничения (25 дБ) для октавных полос Dz, дБ		Раздел 7.4 [10]	5,6	7,3	9,3	11,7	14,3	17	19,9	22,9	25		

1		2	3	4	5	6	7	8	9	10	11	12	13
Уровни звукового давления прямого звука от источника ИШ-1-30 в расчётной точке днём, дБ		**ф-ла(3)[10]**	**0**	**24,8**	**24,1**	**22,7**	**19,6**	**15,5**	**7,4**	**0**	**0**	**20,8**	**20,8**
Уровни звукового давления прямого звука от источника ИШ-1-30 в расчётной точке ночью, дБ		**ф-ла(3)[10]**	**0**	**24,8**	**24,1**	**22,7**	**19,6**	**15,5**	**7,4**	**0**	**0**	**20,8**	**20,8**
Расчёт отражённого звука													
Уровни звукового давления от мнимого источника ИШ-1-30_мн.(1) в расчётной точке днём, дБ		**ф-ла(3)[10]**	**0**	**0**	**0**	**0**	**0**	**26,2**	**20,2**	**8,3**	**0**	**27,5**	**27,5**
Уровни звукового давления от мнимого источника ИШ-1-30_мн.(1) в расчётной точке ночью, дБ		**ф-ла(3)[10]**	**0**	**0**	**0**	**0**	**0**	**0**	**0**	**0**	**0**	**27,5**	**27,5**
Уровни звукового давления от источника ИШ-1-30 в расчётной точке днём, дБ		**ф-ла(3)[10]**	**0**	**24,8**	**24,1**	**22,7**	**19,6**	**26,5**	**20,4**	**8,3**	**0**	**28,3**	**28,3**
Уровни звукового давления от источника ИШ-1-30 в расчётной точке ночью, дБ		**ф-ла(3)[10]**	**0**	**24,8**	**24,1**	**22,7**	**19,6**	**26,5**	**20,4**	**8,3**	**0**	**28,3**	**28,3**
Источник шума: ИШ-1-31, координаты источника (x,y,z), м =[481.58,193.96,1.00]													
Уровни звуковой мощности источника днём, Lw, дБ		**исходные данные**	**0**	**93,3**	**94,7**	**96**	**96,3**	**95,9**	**92,6**	**88,4**	**83,9**		
Уровни звуковой мощности источника ночью, Lw, дБ		**исходные данные**	**0**	**93,3**	**94,7**	**96**	**96,3**	**95,9**	**92,6**	**88,4**	**83,9**		
Поправка на телесный угол DΩ, дБ	Ω = 6.28	10Lg(4π/Ω)	**3**	3	3	3	3	3	3	3	3		
Показатель направленности источника Di, дБ		исходные данные	**0**	0	0	0	0	0	0	0	0		
Поправка на направленность источника Dc, дБ	Dc	DΩ + Di	**3**	3	3	3	3	3	3	3	3		
Затухание из-за геометрической дивергенции, Adiv, дБ	расстояние = 454.28 м	ф-ла (7) [10]	**64,1**										
Коэффициент затухания звука в атмосфере α, дБ/км	Ta=20,°C Pa=101.33,кПа hотн.=70%	ф-ла (5) [9]	0,02	0,09	0,33	1,12	2,79	4,98	9,04	23,09	77,63		
Учет затухания звука в атмосфере Aatm, дБ		ф-ла (8) [10]	0	0	0,2	0,5	1,3	2,3	4,1	10,5	35,3		

1		2	3	4	5	6	7	8	9	10	11	12	13
Снижение уровня звукового давления из-за влияния застройки между источником шума и расчетной точкой													
Снижение уровня звукового давления на пути над экраном, Dz1, дБ	z = 0.56м (разность путей)	ф-лы (14-18) [10]	6,3	7,7	9,6	11,8	14,4	17,2	20	23	26		
Снижение уровня звукового давления на пути слева от экрана, Dz2, дБ	z = 5.21м (разность путей)	ф-лы (14-18) [10]	13,9	17,6	22	26,1	29,5	32,6	35,6	38,7	41,7		
Снижение уровня звукового давления на пути справа от экрана, Dz3, дБ	z = 49.25м (разность путей)	ф-лы (14-18) [10]	22,7	25,7	28,6	31,6	34,6	37,6	40,6	43,7	46,7		
Общее снижение уровня звука препятствием Dz, дБ		Эн.сумма(-Dzi)	5,6	7,3	9,3	11,6	14,2	17	19,9	22,8	25,8		
Общее снижение уровня звука препятствием с учётом ограничения (25 дБ) для октавных полос Dz, дБ		Раздел 7.4 [10]	5,6	7,3	9,3	11,6	14,2	17	19,9	22,8	25		
Уровни звукового давления прямого звука от источника ИШ-1-31 в расчётной точке днём, дБ		**ф-ла(3)[10]**	**0**	**24,8**	**24,1**	**22,7**	**19,7**	**15,5**	**7,4**	**0**	**0**	**20,8**	**20,8**
Уровни звукового давления прямого звука от источника ИШ-1-31 в расчётной точке ночью, дБ		**ф-ла(3)[10]**	**0**	**24,8**	**24,1**	**22,7**	**19,7**	**15,5**	**7,4**	**0**	**0**	**20,8**	**20,8**
Расчёт отражённого звука													
Уровни звукового давления от мнимого источника ИШ-1-31_мн.(1) в расчётной точке днём, дБ		**ф-ла(3)[10]**	**0**	**0**	**0**	**0**	**0**	**22,7**	**15,3**	**2**	**0**	**23,7**	**23,7**
Уровни звукового давления от мнимого источника ИШ-1-31_мн.(1) в расчётной точке ночью, дБ		**ф-ла(3)[10]**	**0**	**0**	**0**	**0**	**0**	**0**	**0**	**0**	**0**	**23,7**	**23,7**
Уровни звукового давления от источника ИШ-1-31 в расчётной точке днём, дБ		**ф-ла(3)[10]**	**0**	**24,8**	**24,1**	**22,7**	**19,7**	**23,5**	**16**	**2**	**0**	**25,5**	**25,5**
Уровни звукового давления от источника ИШ-1-31 в расчётной точке ночью, дБ		**ф-ла(3)[10]**	**0**	**24,8**	**24,1**	**22,7**	**19,7**	**23,5**	**16**	**2**	**0**	**25,5**	**25,5**
Источник шума: ИШ-1-32, координаты источника (x,y,z), м =[871.21,281.99,50.00]													
Уровни звуковой мощности источника днём, Lw, дБ		**исходные данные**	**125**	**119,6**	**113,4**	**111,4**	**110,8**	**112,7**	**113,8**	**109,2**	**97,4**		
Уровни звуковой мощности источника ночью, Lw, дБ		**исходные данные**	**0**	**0**	**0**	**0**	**0**	**0**	**0**	**0**	**0**		
Поправка на телесный угол DΩ, дБ	Ω = 12.57	10Lg(4π/Ω)	**0**	0	0	0	0	0	0	0	0		

1		2	3	4	5	6	7	8	9	10	11	12	13
Показатель направленности источника Di, дБ		исходные данные	**0**	0	0	0	0	0	0	0	0		
Поправка на направленность источника Dc, дБ	Dc	DΩ + Di	**0**	0	0	0	0	0	0	0	0		
Затухание из-за геометрической дивергенции, Adiv, дБ	расстояние = 777.68 м	ф-ла (7) [10]	**68,8**										
Коэффициент затухания звука в атмосфере α, дБ/км	Ta=20,°C Pa=101.33,кПа hотн.=70%	ф-ла (5) [9]	0,02	0,09	0,33	1,12	2,79	4,98	9,04	23,09	77,63		
Учет затухания звука в атмосфере Aatm, дБ		ф-ла (8) [10]	0	0,1	0,3	0,9	2,2	3,9	7	18	60,4		
Снижение поверхностью земли возле источника As, дБ	Gs = 0 hs = 50м	ф-лы таб.3 [10]	-1,5	-1,5	-1,5	-1,5	-1,5	-1,5	-1,5	-1,5	-1,5		
Снижение поверхностью земли возле приёмника Ar, дБ	Gr = 1 hr = 1.6м	ф-лы таб.3 [10]	-1,5	-1,5	4,4	6,8	4,3	0,5	0	0	0		
Снижение поверхностью земли в средней зоне, Am дБ	Gm = 1	ф-лы таб.3 [10]	0	0	0	0	0	0	0	0	0		
Суммарное снижение поверхностью земли на траектории распространения звука Agr, дБ		ф-ла (9) [10]	-3	-3	2,9	5,3	2,8	-1	-1,5	-1,5	-1,5		
Уровни звукового давления прямого звука от источника ИШ-1-32 в расчётной точке днём, дБ		**ф-ла(3)[10]**	**59,2**	**53,7**	**41,4**	**36,4**	**37**	**41**	**39,5**	**24**	**0**	**44,6**	**44,6**
Уровни звукового давления прямого звука от источника ИШ-1-32 в расчётной точке ночью, дБ		**ф-ла(3)[10]**	**0**	**0**	**0**	**0**	**0**	**0**	**0**	**0**	**0**	**0**	**0**
Расчёт отражённого звука													
Уровни звукового давления от мнимого источника ИШ-1-32_мн.(1) в расчётной точке днём, дБ		**ф-ла(3)[10]**	**0**	**0**	**38,9**	**33,9**	**34,5**	**38,5**	**36,9**	**21,4**	**0**	**42**	**42**
Уровни звукового давления от мнимого источника ИШ-1-32_мн.(1) в расчётной точке ночью, дБ		**ф-ла(3)[10]**	**0**	**0**	**0**	**0**	**0**	**0**	**0**	**0**	**0**	**0**	**0**
Уровни звукового давления от источника ИШ-1-32 в расчётной точке днём, дБ		**ф-ла(3)[10]**	**59,2**	**53,7**	**43,3**	**38,3**	**39**	**43**	**41,4**	**25,9**	**0**	**46,5**	**46,5**
Уровни звукового давления от источника ИШ-1-32 в расчётной точке ночью, дБ		**ф-ла(3)[10]**	**0**	**0**	**0**	**0**	**0**	**0**	**0**	**0**	**0**	**0**	**0**

1		2	3	4	5	6	7	8	9	10	11	12	13
Источник шума: ИШ-1-33, координаты источника (x,y,z), м =[743.42,374.85,1.00]													
Уровни звуковой мощности источника днём, Lw, дБ		**исходные данные**	**0**	**88,7**	**90,1**	**93,1**	**96,4**	**103**	**112**	**108**	**99,2**		
Уровни звуковой мощности источника ночью, Lw, дБ		**исходные данные**	**0**	**0**	**0**	**0**	**0**	**0**	**0**	**0**	**0**		
Поправка на телесный угол DΩ, дБ	Ω = 6.28	10Lg(4π/Ω)	**3**	3	3	3	3	3	3	3	3		
Показатель направленности источника Di, дБ		исходные данные	**0**	0	0	0	0	0	0	0	0		
Поправка на направленность источника Dc, дБ	Dc	DΩ + Di	**3**	3	3	3	3	3	3	3	3		
Затухание из-за геометрической дивергенции, Adiv, дБ	расстояние = 751.20 м	ф-ла (7) [10]	**68,5**										
Коэффициент затухания звука в атмосфере α, дБ/км	Ta=20,°C Pa=101.33,кПа hотн.=70%	ф-ла (5) [9]	0,02	0,09	0,33	1,12	2,79	4,98	9,04	23,09	77,63		
Учет затухания звука в атмосфере Aatm, дБ		ф-ла (8) [10]	0	0,1	0,3	0,8	2,1	3,7	6,8	17,3	58,3		
Снижение уровня звукового давления из-за влияния застройки между источником шума и расчетной точкой													
Снижение уровня звукового давления на пути над экраном, Dz1, дБ	z = 0.20м (разность путей)	ф-лы (14-18) [10]	4,8	4,8	4,8	4,8	4,8	4,8	4,8	4,9	5,1		
Снижение уровня звукового давления на пути слева от экрана, Dz2, дБ	z = 0.01м (разность путей)	ф-лы (14-18) [10]	4,8	4,9	5	5,3	5,8	6,6	7,9	9,6	11,9		
Снижение уровня звукового давления на пути справа от экрана, Dz3, дБ	z = 52.40м (разность путей)	ф-лы (14-18) [10]	22,9	25,9	28,9	31,9	34,9	37,9	40,9	43,9	46,9		
Общее снижение уровня звука препятствием Dz, дБ		Эн.сумма(-Dzi)	1,8	1,8	1,9	2	2,2	2,6	3,1	3,7	4,2		
Уровни звукового давления от источника ИШ-1-33 в расчётной точке днём, дБ		**ф-ла(3)[10]**	**0**	**21,3**	**22,5**	**24,7**	**26,6**	**31,2**	**36,6**	**21,5**	**0**	**38,9**	**38,9**
Уровни звукового давления от источника ИШ-1-33 в расчётной точке ночью, дБ		**ф-ла(3)[10]**	**0**	**0**	**0**	**0**	**0**	**0**	**0**	**0**	**0**	**0**	**0**

1		2	3	4	5	6	7	8	9	10	11	12	13
Источник шума: ИШ-1-34, координаты источника (x,y,z), м =[1042.35,199.07,1.00]													
Уровни звуковой мощности источника днём, Lw, дБ		**исходные данные**	**0**	**88,7**	**90,1**	**93,1**	**96,4**	**103**	**112**	**108**	**99,2**		
Уровни звуковой мощности источника ночью, Lw, дБ		**исходные данные**	**0**	**0**	**0**	**0**	**0**	**0**	**0**	**0**	**0**		
Поправка на телесный угол DΩ, дБ	Ω = 6.28	10Lg(4π/Ω)	**3**	3	3	3	3	3	3	3	3		
Показатель направленности источника Di, дБ		исходные данные	**0**	0	0	0	0	0	0	0	0		
Поправка на направленность источника Dc, дБ	Dc	DΩ + Di	**3**	3	3	3	3	3	3	3	3		
Затухание из-за геометрической дивергенции, Adiv, дБ	расстояние = 873.87 м	ф-ла (7) [10]	**69,8**										
Коэффициент затухания звука в атмосфере α, дБ/км	Ta=20,°C Pa=101.33,кПа hотн.=70%	ф-ла (5) [9]	0,02	0,09	0,33	1,12	2,79	4,98	9,04	23,09	77,63		
Учет затухания звука в атмосфере Aatm, дБ		ф-ла (8) [10]	0	0,1	0,3	1	2,4	4,3	7,9	20,2	67,8		
Снижение уровня звукового давления из-за влияния застройки между источником шума и расчетной точкой													
Снижение уровня звукового давления на пути над экраном, Dz1, дБ	z = 0.11м (разность путей)	ф-лы (14-18) [10]	4,8	4,8	4,8	4,8	4,8	4,8	4,8	4,8	4,8		
Снижение уровня звукового давления на пути слева от экрана, Dz2, дБ	z = 3.12м (разность путей)	ф-лы (14-18) [10]	11,6	14,2	16,9	19,8	22,7	25,7	28,7	31,7	34,7		
Снижение уровня звукового давления на пути справа от экрана, Dz3, дБ	z = 4.00м (разность путей)	ф-лы (14-18) [10]	12,5	15,1	17,9	20,8	23,8	26,8	29,8	32,8	35,8		
Общее снижение уровня звука препятствием Dz, дБ		Эн.сумма(-Dzi)	3,4	4	4,3	4,5	4,6	4,7	4,7	4,8	4,8		
Уровни звукового давления от источника ИШ-1-34 в расчётной точке днём, дБ		**ф-ла(3)[10]**	**0**	**17,8**	**18,7**	**20,8**	**22,5**	**27,1**	**32,5**	**16,3**	**0**	**34,8**	**34,8**
Уровни звукового давления от источника ИШ-1-34 в расчётной точке ночью, дБ		**ф-ла(3)[10]**	**0**	**0**	**0**	**0**	**0**	**0**	**0**	**0**	**0**	**0**	**0**

1		2	3	4	5	6	7	8	9	10	11	12	13
Источник шума: ИШ-2-1, координаты источника (x,y,z), м =[696.50,124.40,3.00]													
Уровни звуковой мощности источника днём, Lw, дБ		**исходные данные**	**105**	**104**	**104**	**101**	**102**	**106**	**101**	**95**	**87**		
Уровни звуковой мощности источника ночью, Lw, дБ		**исходные данные**	**105**	**104**	**104**	**101**	**102**	**106**	**101**	**95**	**87**		
Поправка на телесный угол DΩ, дБ	Ω = 6.28	10Lg(4π/Ω)	**3**	3	3	3	3	3	3	3	3		
Показатель направленности источника Di, дБ		исходные данные	**0**	0	0	0	0	0	0	0	0		
Поправка на направленность источника Dc, дБ	Dc	DΩ + Di	**3**	3	3	3	3	3	3	3	3		
Затухание из-за геометрической дивергенции, Adiv, дБ	расстояние = 541.34 м	ф-ла (7) [10]	**65,7**										
Коэффициент затухания звука в атмосфере α, дБ/км	Ta=20,°C Pa=101.33,кПа hотн.=70%	ф-ла (5) [9]	0,02	0,09	0,33	1,12	2,79	4,98	9,04	23,09	77,63		
Учет затухания звука в атмосфере Aatm, дБ		ф-ла (8) [10]	0	0	0,2	0,6	1,5	2,7	4,9	12,5	42		
Снижение поверхностью земли возле источника As, дБ	Gs = 0 hs = 3м	ф-лы таб.3 [10]	-1,5	-1,5	-1,5	-1,5	-1,5	-1,5	-1,5	-1,5	-1,5		
Снижение поверхностью земли возле приёмника Ar, дБ	Gr = 1 hr = 1.6м	ф-лы таб.3 [10]	-1,5	-1,5	3,3	6,8	4,3	0,5	0	0	0		
Снижение поверхностью земли в средней зоне, Am дБ	Gm = 1	ф-лы таб.3 [10]	-2,2	-2,2	0	0	0	0	0	0	0		
Суммарное снижение поверхностью земли на траектории распространения звука Agr, дБ		ф-ла (9) [10]	-5,2	-5,2	1,8	5,3	2,8	-1	-1,5	-1,5	-1,5		
Уровни звукового давления прямого звука от источника ИШ-2-1 в расчётной точке днём, дБ		**ф-ла(3)[10]**	**47,6**	**46,5**	**39,4**	**32,4**	**35**	**41,6**	**34,9**	**21,3**	**0**	**43,2**	**43,2**
Уровни звукового давления прямого звука от источника ИШ-2-1 в расчётной точке ночью, дБ		**ф-ла(3)[10]**	**47,6**	**46,5**	**39,4**	**32,4**	**35**	**41,6**	**34,9**	**21,3**	**0**	**43,2**	**43,2**
Расчёт отражённого звука													

1		2	3	4	5	6	7	8	9	10	11	12	13
Уровни звукового давления от мнимого источника ИШ-2-1_мн.(1) в расчётной точке днём, дБ		**ф-ла(3)[10]**	**0**	**0**	**33,5**	**26**	**32,3**	**39,1**	**32,4**	**18,7**	**0**	**40,6**	**40,6**
Уровни звукового давления от мнимого источника ИШ-2-1_мн.(1) в расчётной точке ночью, дБ		**ф-ла(3)[10]**	**0**	**0**	**0**	**0**	**0**	**0**	**0**	**0**	**0**	**40,6**	**40,6**
Уровни звукового давления от источника ИШ-2-1 в расчётной точке днём, дБ		**ф-ла(3)[10]**	**47,6**	**46,5**	**40,4**	**33,3**	**36,9**	**43,6**	**36,9**	**23,2**	**0**	**45,1**	**45,1**
Уровни звукового давления от источника ИШ-2-1 в расчётной точке ночью, дБ		**ф-ла(3)[10]**	**47,6**	**46,5**	**40,4**	**33,3**	**36,9**	**43,6**	**36,9**	**23,2**	**0**	**45,1**	**45,1**
Источник шума: ИШ-2-2, координаты источника (x,y,z), м =[682.20,81.60,3.00]													
Уровни звуковой мощности источника днём, Lw, дБ		**исходные данные**	**105**	**104**	**104**	**101**	**102**	**106**	**101**	**95**	**87**		
Уровни звуковой мощности источника ночью, Lw, дБ		**исходные данные**	**105**	**104**	**104**	**101**	**102**	**106**	**101**	**95**	**87**		
Поправка на телесный угол DΩ, дБ	Ω = 6.28	10Lg(4π/Ω)	**3**	3	3	3	3	3	3	3	3		
Показатель направленности источника Di, дБ		исходные данные	**0**	0	0	0	0	0	0	0	0		
Поправка на направленность источника Dc, дБ	Dc	DΩ + Di	**3**	3	3	3	3	3	3	3	3		
Затухание из-за геометрической дивергенции, Adiv, дБ	расстояние = 504.43 м	ф-ла (7) [10]	**65,1**										
Коэффициент затухания звука в атмосфере α, дБ/км	Ta=20,°C Pa=101.33,кПа hотн.=70%	ф-ла (5) [9]	0,02	0,09	0,33	1,12	2,79	4,98	9,04	23,09	77,63		
Учет затухания звука в атмосфере Aatm, дБ		ф-ла (8) [10]	0	0	0,2	0,6	1,4	2,5	4,6	11,6	39,2		
Снижение уровня звукового давления из-за влияния застройки между источником шума и расчетной точкой													
Снижение уровня звукового давления препятствием слева от трассы ИШ-РТ, Dz2, дБ	z = -0.02м (разность путей)	ф-лы (14-18) [10]	4,7	4,5	4,3	3,8	2,6	0	NAN	NAN	NAN		
* отрицательное значение z означает прохождение траектории вблизи экрана, в этом случае дополнительно производится учёт снижения подстилающей поверхностью (см.ниже)													
Снижение поверхностью земли возле источника As, дБ	Gs = 0 hs = 3м	ф-лы таб.3 [10]	-1,5	-1,5	-1,5	-1,5	-1,5	-1,5	-1,5	-1,5	-1,5		

1		2	3	4	5	6	7	8	9	10	11	12	13
Снижение поверхностью земли возле приёмника Ar, дБ	Gr = 1 hr = 1.6м	ф-лы таб.3 [10]	-1,5	-1,5	3,1	6,8	4,3	0,5	0	0	0		
Снижение поверхностью земли в средней зоне, Am дБ	Gm = 1	ф-лы таб.3 [10]	-2,2	-2,2	0	0	0	0	0	0	0		
Суммарное снижение поверхностью земли на траектории распространения звука Agr, дБ		ф-ла (9) [10]	-5,2	-5,2	1,6	5,3	2,8	-1	-1,5	-1,5	-1,5		
Уровни звукового давления прямого звука от источника ИШ-2-2 в расчётной точке днём, дБ		**ф-ла(3)[10]**	**43,5**	**42,5**	**35,9**	**29,3**	**33,2**	**42,4**	**35,9**	**22,8**	**0**	**43,8**	**43,8**
Уровни звукового давления прямого звука от источника ИШ-2-2 в расчётной точке ночью, дБ		**ф-ла(3)[10]**	**43,5**	**42,5**	**35,9**	**29,3**	**33,2**	**42,4**	**35,9**	**22,8**	**0**	**43,8**	**43,8**
Расчёт отражённого звука													
Уровни звукового давления от мнимого источника ИШ-2-2_мн.(1) в расчётной точке днём, дБ		**ф-ла(3)[10]**	**0**	**0**	**0**	**26,7**	**33**	**39,9**	**33,3**	**20,2**	**0**	**41,4**	**41,4**
Уровни звукового давления от мнимого источника ИШ-2-2_мн.(1) в расчётной точке ночью, дБ		**ф-ла(3)[10]**	**0**	**0**	**0**	**0**	**0**	**0**	**0**	**0**	**0**	**41,4**	**41,4**
Уровни звукового давления от источника ИШ-2-2 в расчётной точке днём, дБ		**ф-ла(3)[10]**	**43,5**	**42,5**	**35,9**	**31,2**	**36,1**	**44,4**	**37,8**	**24,7**	**0**	**45,8**	**45,8**
Уровни звукового давления от источника ИШ-2-2 в расчётной точке ночью, дБ		**ф-ла(3)[10]**	**43,5**	**42,5**	**35,9**	**31,2**	**36,1**	**44,4**	**37,8**	**24,7**	**0**	**45,8**	**45,8**
Источник шума: ИШ-2-3, координаты источника (x,y,z), м =[667.80,38.90,3.00]													
Уровни звуковой мощности источника днём, Lw, дБ		**исходные данные**	**105**	**104**	**104**	**101**	**102**	**106**	**101**	**95**	**87**		
Уровни звуковой мощности источника ночью, Lw, дБ		**исходные данные**	**105**	**104**	**104**	**101**	**102**	**106**	**101**	**95**	**87**		
Поправка на телесный угол DΩ, дБ	Ω = 6.28	10Lg(4π/Ω)	**3**	3	3	3	3	3	3	3	3		
Показатель направленности источника Di, дБ		исходные данные	**0**	0	0	0	0	0	0	0	0		
Поправка на направленность источника Dc, дБ	Dc	DΩ + Di	**3**	3	3	3	3	3	3	3	3		
Затухание из-за геометрической дивергенции, Adiv, дБ	расстояние = 468.93 м	ф-ла (7) [10]	**64,4**										

1		2	3	4	5	6	7	8	9	10	11	12	13
Коэффициент затухания звука в атмосфере α, дБ/км	Та=20,°С Ра=101.33,кПа hотн.=70%	ф-ла (5) [9]	0,02	0,09	0,33	1,12	2,79	4,98	9,04	23,09	77,63		
Учет затухания звука в атмосфере Aatm, дБ		ф-ла (8) [10]	0	0	0,2	0,5	1,3	2,3	4,2	10,8	36,4		
Снижение уровня звукового давления из-за влияния застройки между источником шума и расчетной точкой													
Снижение уровня звукового давления на пути над экраном, Dz1, дБ	z = 0.10м (разность путей)	ф-лы (14-18) [10]	4,8	4,8	4,8	4,9	5	5,2	5,5	6,2	7,3		
Снижение уровня звукового давления на пути слева от экрана, Dz2, дБ	z = 13.03м (разность путей)	ф-лы (14-18) [10]	20,6	24,3	27,5	30,6	33,6	36,6	39,6	42,6	45,7		
Снижение уровня звукового давления на пути справа от экрана, Dz3, дБ	z = 1.60м (разность путей)	ф-лы (14-18) [10]	9,5	11,7	14,2	17	19,9	22,8	25,8	28,8	31,8		
Общее снижение уровня звука препятствием Dz, дБ		Эн.сумма(-Dzi)	3,4	3,9	4,3	4,6	4,8	5,1	5,5	6,2	7,3		
Уровни звукового давления от источника ИШ-2-3 в расчётной точке днём, дБ		**ф-ла(3)[10]**	**40,1**	**38,6**	**38,1**	**34,5**	**34,5**	**37,2**	**29,9**	**16,6**	**0**	**39,3**	**39,3**
Уровни звукового давления от источника ИШ-2-3 в расчётной точке ночью, дБ		**ф-ла(3)[10]**	**40,1**	**38,6**	**38,1**	**34,5**	**34,5**	**37,2**	**29,9**	**16,6**	**0**	**39,3**	**39,3**
Источник шума: ИШ-2-6, координаты источника (x,y,z), м =[765.97,112.43,1.00]													
Уровни звуковой мощности источника днём, Lw, дБ		**исходные данные**	**0**	**93,3**	**94,7**	**96**	**96,3**	**95,9**	**92,6**	**88,4**	**83,9**		
Уровни звуковой мощности источника ночью, Lw, дБ		**исходные данные**	**0**	**93,3**	**94,7**	**96**	**96,3**	**95,9**	**92,6**	**88,4**	**83,9**		
Поправка на телесный угол DΩ, дБ	Ω = 6.28	10Lg(4π/Ω)	**3**	3	3	3	3	3	3	3	3		
Показатель направленности источника Di, дБ		исходные данные	**0**	0	0	0	0	0	0	0	0		
Поправка на направленность источника Dc, дБ	Dc	DΩ + Di	**3**	3	3	3	3	3	3	3	3		
Затухание из-за геометрической дивергенции, Adiv, дБ	расстояние = 591.19 м	ф-ла (7) [10]	**66,4**										

1		2	3	4	5	6	7	8	9	10	11	12	13
Коэффициент затухания звука в атмосфере α, дБ/км	Та=20,°С Ра=101.33,кПа hотн.=70%	ф-ла (5) [9]	0,02	0,09	0,33	1,12	2,79	4,98	9,04	23,09	77,63		
Учет затухания звука в атмосфере Aatm, дБ		ф-ла (8) [10]	0	0,1	0,2	0,7	1,7	2,9	5,3	13,6	45,9		
Снижение уровня звукового давления из-за влияния застройки между источником шума и расчетной точкой													
Снижение уровня звукового давления на пути над экраном, Dz1, дБ	z = 0.12м (разность путей)	ф-лы (14-18) [10]	4,8	4,8	4,8	4,8	4,8	4,8	4,9	5	5,2		
Снижение уровня звукового давления на пути слева от экрана, Dz2, дБ	z = 11.42м (разность путей)	ф-лы (14-18) [10]	20	23,7	27	30	33	36,1	39,1	42,1	45,1		
Снижение уровня звукового давления на пути справа от экрана, Dz3, дБ	z = 0.42м (разность путей)	ф-лы (14-18) [10]	6,6	7,8	9,6	11,8	14,4	17,2	20	23	26		
Общее снижение уровня звука препятствием Dz, дБ		Эн.сумма(-Dzi)	2,5	3	3,5	4	4,3	4,6	4,7	4,9	5,1		
Уровни звукового давления от источника ИШ-2-6 в расчётной точке днём, дБ		**ф-ла(3)[10]**	**0**	**26,8**	**27,5**	**27,9**	**26,9**	**24,9**	**19,1**	**6,4**	**0**	**28,8**	**28,8**
Уровни звукового давления от источника ИШ-2-6 в расчётной точке ночью, дБ		**ф-ла(3)[10]**	**0**	**26,8**	**27,5**	**27,9**	**26,9**	**24,9**	**19,1**	**6,4**	**0**	**28,8**	**28,8**
Источник шума: ИШ-2-7, координаты источника (x,y,z), м =[764.91,109.54,1.00]													
Уровни звуковой мощности источника днём, Lw, дБ		**исходные данные**	**0**	**93,3**	**94,7**	**96**	**96,3**	**95,9**	**92,6**	**88,4**	**83,9**		
Уровни звуковой мощности источника ночью, Lw, дБ		**исходные данные**	**0**	**93,3**	**94,7**	**96**	**96,3**	**95,9**	**92,6**	**88,4**	**83,9**		
Поправка на телесный угол DΩ, дБ	Ω = 6.28	10Lg(4π/Ω)	**3**	3	3	3	3	3	3	3	3		
Показатель направленности источника Di, дБ		исходные данные	**0**	0	0	0	0	0	0	0	0		
Поправка на направленность источника Dc, дБ	Dc	DΩ + Di	**3**	3	3	3	3	3	3	3	3		
Затухание из-за геометрической дивергенции, Adiv, дБ	расстояние = 588.74 м	ф-ла (7) [10]	**66,4**										

1		2	3	4	5	6	7	8	9	10	11	12	13
Коэффициент затухания звука в атмосфере α, дБ/км	Та=20,°С Ра=101.33,кПа hотн.=70%	ф-ла (5) [9]	0,02	0,09	0,33	1,12	2,79	4,98	9,04	23,09	77,63		
Учет затухания звука в атмосфере Aatm, дБ		ф-ла (8) [10]	0	0,1	0,2	0,7	1,6	2,9	5,3	13,6	45,7		
Снижение уровня звукового давления из-за влияния застройки между источником шума и расчетной точкой													
Снижение уровня звукового давления на пути над экраном, Dz1, дБ	z = 0.12м (разность путей)	ф-лы (14-18) [10]	4,8	4,8	4,8	4,8	4,8	4,8	4,9	5	5,2		
Снижение уровня звукового давления на пути слева от экрана, Dz2, дБ	z = 11.09м (разность путей)	ф-лы (14-18) [10]	19,9	23,6	26,8	29,9	32,9	35,9	38,9	41,9	45		
Снижение уровня звукового давления на пути справа от экрана, Dz3, дБ	z = 0.50м (разность путей)	ф-лы (14-18) [10]	6,9	8,3	10,2	12,5	15,1	17,9	20,9	23,8	26,8		
Общее снижение уровня звука препятствием Dz, дБ		Эн.сумма(-Dzi)	2,6	3,1	3,7	4,1	4,4	4,6	4,8	4,9	5,1		
Уровни звукового давления от источника ИШ-2-7 в расчётной точке днём, дБ		**ф-ла(3)[10]**	**0**	**26,7**	**27,4**	**27,8**	**26,8**	**24,9**	**19,1**	**6,5**	**0**	**28,8**	**28,8**
Уровни звукового давления от источника ИШ-2-7 в расчётной точке ночью, дБ		**ф-ла(3)[10]**	**0**	**26,7**	**27,4**	**27,8**	**26,8**	**24,9**	**19,1**	**6,5**	**0**	**28,8**	**28,8**
Источник шума: ИШ-2-8, координаты источника (x,y,z), м =[764.03,106.58,1.00]													
Уровни звуковой мощности источника днём, Lw, дБ		**исходные данные**	**0**	**93,3**	**94,7**	**96**	**96,3**	**95,9**	**92,6**	**88,4**	**83,9**		
Уровни звуковой мощности источника ночью, Lw, дБ		**исходные данные**	**0**	**93,3**	**94,7**	**96**	**96,3**	**95,9**	**92,6**	**88,4**	**83,9**		
Поправка на телесный угол DΩ, дБ	Ω = 6.28	10Lg(4π/Ω)	**3**	3	3	3	3	3	3	3	3		
Показатель направленности источника Di, дБ		исходные данные	**0**	0	0	0	0	0	0	0	0		
Поправка на направленность источника Dc, дБ	Dc	DΩ + Di	**3**	3	3	3	3	3	3	3	3		
Затухание из-за геометрической дивергенции, Adiv, дБ	расстояние = 586.40 м	ф-ла (7) [10]	**66,4**										

1		2	3	4	5	6	7	8	9	10	11	12	13
Коэффициент затухания звука в атмосфере α, дБ/км	Та=20,°С Ра=101.33,кПа hотн.=70%	ф-ла (5) [9]	0,02	0,09	0,33	1,12	2,79	4,98	9,04	23,09	77,63		
Учет затухания звука в атмосфере Aatm, дБ		ф-ла (8) [10]	0	0,1	0,2	0,7	1,6	2,9	5,3	13,5	45,5		
Снижение уровня звукового давления из-за влияния застройки между источником шума и расчетной точкой													
Снижение уровня звукового давления на пути над экраном, Dz1, дБ	z = 0.12м (разность путей)	ф-лы (14-18) [10]	4,8	4,8	4,8	4,8	4,8	4,8	4,9	5	5,2		
Снижение уровня звукового давления на пути слева от экрана, Dz2, дБ	z = 10.74м (разность путей)	ф-лы (14-18) [10]	19,8	23,5	26,7	29,8	32,8	35,8	38,8	41,8	44,8		
Снижение уровня звукового давления на пути справа от экрана, Dz3, дБ	z = 0.61м (разность путей)	ф-лы (14-18) [10]	7,2	8,8	10,8	13,2	15,9	18,7	21,7	24,6	27,6		
Общее снижение уровня звука препятствием Dz, дБ		Эн.сумма(-Dzi)	2,7	3,3	3,8	4,2	4,5	4,7	4,8	4,9	5,2		
Уровни звукового давления от источника ИШ-2-8 в расчётной точке днём, дБ		**ф-ла(3)[10]**	**0**	**26,6**	**27,3**	**27,8**	**26,8**	**25**	**19,1**	**6,5**	**0**	**28,8**	**28,8**
Уровни звукового давления от источника ИШ-2-8 в расчётной точке ночью, дБ		**ф-ла(3)[10]**	**0**	**26,6**	**27,3**	**27,8**	**26,8**	**25**	**19,1**	**6,5**	**0**	**28,8**	**28,8**
Источник шума: ИШ-2-9, координаты источника (x,y,z), м =[763.26,103.71,1.00]													
Уровни звуковой мощности источника днём, Lw, дБ		**исходные данные**	**0**	**93,3**	**94,7**	**96**	**96,3**	**95,9**	**92,6**	**88,4**	**83,9**		
Уровни звуковой мощности источника ночью, Lw, дБ		**исходные данные**	**0**	**93,3**	**94,7**	**96**	**96,3**	**95,9**	**92,6**	**88,4**	**83,9**		
Поправка на телесный угол DΩ, дБ	Ω = 6.28	10Lg(4π/Ω)	**3**	3	3	3	3	3	3	3	3		
Показатель направленности источника Di, дБ		исходные данные	**0**	0	0	0	0	0	0	0	0		
Поправка на направленность источника Dc, дБ	Dc	DΩ + Di	**3**	3	3	3	3	3	3	3	3		
Затухание из-за геометрической дивергенции, Adiv, дБ	расстояние = 584.22 м	ф-ла (7) [10]	**66,3**										

1		2	3	4	5	6	7	8	9	10	11	12	13
Коэффициент затухания звука в атмосфере α, дБ/км	Та=20,°С Ра=101.33,кПа hотн.=70%	ф-ла (5) [9]	0,02	0,09	0,33	1,12	2,79	4,98	9,04	23,09	77,63		
Учет затухания звука в атмосфере Aatm, дБ		ф-ла (8) [10]	0	0,1	0,2	0,7	1,6	2,9	5,3	13,5	45,4		
Снижение уровня звукового давления из-за влияния застройки между источником шума и расчетной точкой													
Снижение уровня звукового давления на пути над экраном, Dz1, дБ	z = 0.12м (разность путей)	ф-лы (14-18) [10]	4,8	4,8	4,8	4,8	4,8	4,8	4,9	5	5,2		
Снижение уровня звукового давления на пути слева от экрана, Dz2, дБ	z = 10.38м (разность путей)	ф-лы (14-18) [10]	19,6	23,3	26,5	29,6	32,6	35,6	38,7	41,7	44,7		
Снижение уровня звукового давления на пути справа от экрана, Dz3, дБ	z = 0.73м (разность путей)	ф-лы (14-18) [10]	7,6	9,2	11,4	13,9	16,6	19,5	22,4	25,4	28,4		
Общее снижение уровня звука препятствием Dz, дБ		Эн.сумма(-Dzi)	2,8	3,4	3,9	4,3	4,5	4,7	4,8	5	5,2		
Уровни звукового давления от источника ИШ-2-9 в расчётной точке днём, дБ		**ф-ла(3)[10]**	**0**	**26,5**	**27,3**	**27,7**	**26,8**	**25**	**19,2**	**6,6**	**0**	**28,8**	**28,8**
Уровни звукового давления от источника ИШ-2-9 в расчётной точке ночью, дБ		**ф-ла(3)[10]**	**0**	**26,5**	**27,3**	**27,7**	**26,8**	**25**	**19,2**	**6,6**	**0**	**28,8**	**28,8**
Источник шума: ИШ-2-10, координаты источника (x,y,z), м =[762.14,100.75,1.00]													
Уровни звуковой мощности источника днём, Lw, дБ		**исходные данные**	**0**	**93,3**	**94,7**	**96**	**96,3**	**95,9**	**92,6**	**88,4**	**83,9**		
Уровни звуковой мощности источника ночью, Lw, дБ		**исходные данные**	**0**	**93,3**	**94,7**	**96**	**96,3**	**95,9**	**92,6**	**88,4**	**83,9**		
Поправка на телесный угол DΩ, дБ	Ω = 6.28	10Lg(4π/Ω)	**3**	3	3	3	3	3	3	3	3		
Показатель направленности источника Di, дБ		исходные данные	**0**	0	0	0	0	0	0	0	0		
Поправка на направленность источника Dc, дБ	Dc	DΩ + Di	**3**	3	3	3	3	3	3	3	3		
Затухание из-за геометрической дивергенции, Adiv, дБ	расстояние = 581.70 м	ф-ла (7) [10]	**66,3**										

1		2	3	4	5	6	7	8	9	10	11	12	13
Коэффициент затухания звука в атмосфере α, дБ/км	Та=20,°С Ра=101.33,кПа hотн.=70%	ф-ла (5) [9]	0,02	0,09	0,33	1,12	2,79	4,98	9,04	23,09	77,63		
Учет затухания звука в атмосфере Aatm, дБ		ф-ла (8) [10]	0	0,1	0,2	0,7	1,6	2,9	5,3	13,4	45,2		
Снижение уровня звукового давления из-за влияния застройки между источником шума и расчетной точкой													
Снижение уровня звукового давления на пути над экраном, Dz1, дБ	z = 0.12м (разность путей)	ф-лы (14-18) [10]	4,8	4,8	4,8	4,8	4,8	4,8	4,9	5	5,3		
Снижение уровня звукового давления на пути слева от экрана, Dz2, дБ	z = 10.06м (разность путей)	ф-лы (14-18) [10]	19,5	23,2	26,4	29,5	32,5	35,5	38,5	41,5	44,5		
Снижение уровня звукового давления на пути справа от экрана, Dz3, дБ	z = 0.85м (разность путей)	ф-лы (14-18) [10]	7,9	9,7	11,9	14,5	17,2	20,1	23,1	26,1	29		
Общее снижение уровня звука препятствием Dz, дБ		Эн.сумма(-Dzi)	2,9	3,5	4	4,3	4,6	4,7	4,8	5	5,2		
Уровни звукового давления от источника ИШ-2-10 в расчётной точке днём, дБ		**ф-ла(3)[10]**	**0**	**26,4**	**27,2**	**27,7**	**26,8**	**25**	**19,2**	**6,7**	**0**	**28,8**	**28,8**
Уровни звукового давления от источника ИШ-2-10 в расчётной точке ночью, дБ		**ф-ла(3)[10]**	**0**	**26,4**	**27,2**	**27,7**	**26,8**	**25**	**19,2**	**6,7**	**0**	**28,8**	**28,8**
Источник шума: ИШ-2-11, координаты источника (x,y,z), м =[761.13,97.90,1.00]													
Уровни звуковой мощности источника днём, Lw, дБ		**исходные данные**	**0**	**93,3**	**94,7**	**96**	**96,3**	**95,9**	**92,6**	**88,4**	**83,9**		
Уровни звуковой мощности источника ночью, Lw, дБ		**исходные данные**	**0**	**93,3**	**94,7**	**96**	**96,3**	**95,9**	**92,6**	**88,4**	**83,9**		
Поправка на телесный угол DΩ, дБ	Ω = 6.28	10Lg(4π/Ω)	**3**	3	3	3	3	3	3	3	3		
Показатель направленности источника Di, дБ		исходные данные	**0**	0	0	0	0	0	0	0	0		
Поправка на направленность источника Dc, дБ	Dc	DΩ + Di	**3**	3	3	3	3	3	3	3	3		
Затухание из-за геометрической дивергенции, Adiv, дБ	расстояние = 579.34 м	ф-ла (7) [10]	**66,3**										

1		2	3	4	5	6	7	8	9	10	11	12	13
Коэффициент затухания звука в атмосфере α, дБ/км	Та=20,°С Ра=101.33,кПа hотн.=70%	ф-ла (5) [9]	0,02	0,09	0,33	1,12	2,79	4,98	9,04	23,09	77,63		
Учет затухания звука в атмосфере Aatm, дБ		ф-ла (8) [10]	0	0,1	0,2	0,7	1,6	2,9	5,2	13,4	45		
Снижение уровня звукового давления из-за влияния застройки между источником шума и расчетной точкой													
Снижение уровня звукового давления на пути над экраном, Dz1, дБ	z = 0.12м (разность путей)	ф-лы (14-18) [10]	4,8	4,8	4,8	4,8	4,8	4,8	4,9	5	5,3		
Снижение уровня звукового давления на пути слева от экрана, Dz2, дБ	z = 9.74м (разность путей)	ф-лы (14-18) [10]	19,4	23,1	26,3	29,3	32,4	35,4	38,4	41,4	44,4		
Снижение уровня звукового давления на пути справа от экрана, Dz3, дБ	z = 0.98м (разность путей)	ф-лы (14-18) [10]	8,2	10,1	12,4	15	17,8	20,7	23,7	26,7	29,7		
Общее снижение уровня звука препятствием Dz, дБ		Эн.сумма(-Dzi)	3	3,6	4,1	4,4	4,6	4,7	4,8	5	5,3		
Уровни звукового давления от источника ИШ-2-11 в расчётной точке днём, дБ		**ф-ла(3)[10]**	**0**	**26,4**	**27,2**	**27,7**	**26,8**	**25**	**19,3**	**6,8**	**0**	**28,8**	**28,8**
Уровни звукового давления от источника ИШ-2-11 в расчётной точке ночью, дБ		**ф-ла(3)[10]**	**0**	**26,4**	**27,2**	**27,7**	**26,8**	**25**	**19,3**	**6,8**	**0**	**28,8**	**28,8**
Источник шума: ИШ-2-12, координаты источника (x,y,z), м =[760.25,95.02,1.00]													
Уровни звуковой мощности источника днём, Lw, дБ		**исходные данные**	**0**	**93,3**	**94,7**	**96**	**96,3**	**95,9**	**92,6**	**88,4**	**83,9**		
Уровни звуковой мощности источника ночью, Lw, дБ		**исходные данные**	**0**	**93,3**	**94,7**	**96**	**96,3**	**95,9**	**92,6**	**88,4**	**83,9**		
Поправка на телесный угол DΩ, дБ	Ω = 6.28	10Lg(4π/Ω)	**3**	3	3	3	3	3	3	3	3		
Показатель направленности источника Di, дБ		исходные данные	**0**	0	0	0	0	0	0	0	0		
Поправка на направленность источника Dc, дБ	Dc	DΩ + Di	**3**	3	3	3	3	3	3	3	3		
Затухание из-за геометрической дивергенции, Adiv, дБ	расстояние = 577.08 м	ф-ла (7) [10]	**66,2**										

1		2	3	4	5	6	7	8	9	10	11	12	13
Коэффициент затухания звука в атмосфере α, дБ/км	Та=20,°С Ра=101.33,кПа hотн.=70%	ф-ла (5) [9]	0,02	0,09	0,33	1,12	2,79	4,98	9,04	23,09	77,63		
Учет затухания звука в атмосфере Aatm, дБ		ф-ла (8) [10]	0	0,1	0,2	0,6	1,6	2,9	5,2	13,3	44,8		
Снижение уровня звукового давления из-за влияния застройки между источником шума и расчетной точкой													
Снижение уровня звукового давления на пути над экраном, Dz1, дБ	z = 0.12м (разность путей)	ф-лы (14-18) [10]	4,8	4,8	4,8	4,8	4,8	4,8	4,9	5	5,3		
Снижение уровня звукового давления на пути слева от экрана, Dz2, дБ	z = 9.40м (разность путей)	ф-лы (14-18) [10]	19,2	22,9	26,1	29,2	32,2	35,2	38,2	41,2	44,2		
Снижение уровня звукового давления на пути справа от экрана, Dz3, дБ	z = 1.13м (разность путей)	ф-лы (14-18) [10]	8,6	10,6	12,9	15,6	18,4	21,3	24,3	27,3	30,3		
Общее снижение уровня звука препятствием Dz, дБ		Эн.сумма(-Dzi)	3,1	3,7	4,1	4,4	4,6	4,7	4,9	5	5,3		
Уровни звукового давления от источника ИШ-2-12 в расчётной точке днём, дБ		**ф-ла(3)[10]**	**0**	**26,3**	**27,1**	**27,7**	**26,8**	**25,1**	**19,3**	**6,8**	**0**	**28,8**	**28,8**
Уровни звукового давления от источника ИШ-2-12 в расчётной точке ночью, дБ		**ф-ла(3)[10]**	**0**	**26,3**	**27,1**	**27,7**	**26,8**	**25,1**	**19,3**	**6,8**	**0**	**28,8**	**28,8**
Источник шума: ИШ-2-13, координаты источника (x,y,z), м =[759.28,92.25,1.00]													
Уровни звуковой мощности источника днём, Lw, дБ		**исходные данные**	**0**	**93,3**	**94,7**	**96**	**96,3**	**95,9**	**92,6**	**88,4**	**83,9**		
Уровни звуковой мощности источника ночью, Lw, дБ		**исходные данные**	**0**	**93,3**	**94,7**	**96**	**96,3**	**95,9**	**92,6**	**88,4**	**83,9**		
Поправка на телесный угол DΩ, дБ	Ω = 6.28	10Lg(4π/Ω)	**3**	3	3	3	3	3	3	3	3		
Показатель направленности источника Di, дБ		исходные данные	**0**	0	0	0	0	0	0	0	0		
Поправка на направленность источника Dc, дБ	Dc	DΩ + Di	**3**	3	3	3	3	3	3	3	3		
Затухание из-за геометрической дивергенции, Adiv, дБ	расстояние = 574.80 м	ф-ла (7) [10]	**66,2**										

1		2	3	4	5	6	7	8	9	10	11	12	13
Коэффициент затухания звука в атмосфере α, дБ/км	Та=20,°С Ра=101.33,кПа hотн.=70%	ф-ла (5) [9]	0,02	0,09	0,33	1,12	2,79	4,98	9,04	23,09	77,63		
Учет затухания звука в атмосфере Aatm, дБ		ф-ла (8) [10]	0	0,1	0,2	0,6	1,6	2,9	5,2	13,3	44,6		
Снижение уровня звукового давления из-за влияния застройки между источником шума и расчетной точкой													
Снижение уровня звукового давления на пути над экраном, Dz1, дБ	z = 0.12м (разность путей)	ф-лы (14-18) [10]	4,8	4,8	4,8	4,8	4,8	4,8	4,9	5,1	5,3		
Снижение уровня звукового давления на пути слева от экрана, Dz2, дБ	z = 9.10м (разность путей)	ф-лы (14-18) [10]	19,1	22,8	26	29	32,1	35,1	38,1	41,1	44,1		
Снижение уровня звукового давления на пути справа от экрана, Dz3, дБ	z = 1.28м (разность путей)	ф-лы (14-18) [10]	8,9	11	13,4	16,1	18,9	21,9	24,8	27,8	30,8		
Общее снижение уровня звука препятствием Dz, дБ		Эн.сумма(-Dzi)	3,2	3,8	4,2	4,5	4,6	4,8	4,9	5	5,3		
Уровни звукового давления от источника ИШ-2-13 в расчётной точке днём, дБ		**ф-ла(3)[10]**	**0**	**26,3**	**27,1**	**27,7**	**26,9**	**25,1**	**19,3**	**6,9**	**0**	**28,9**	**28,9**
Уровни звукового давления от источника ИШ-2-13 в расчётной точке ночью, дБ		**ф-ла(3)[10]**	**0**	**26,3**	**27,1**	**27,7**	**26,9**	**25,1**	**19,3**	**6,9**	**0**	**28,9**	**28,9**
Источник шума: ИШ-2-14, координаты источника (x,y,z), м =[751.62,69.73,1.00]													
Уровни звуковой мощности источника днём, Lw, дБ		**исходные данные**	**0**	**93,3**	**94,7**	**96**	**96,3**	**95,9**	**92,6**	**88,4**	**83,9**		
Уровни звуковой мощности источника ночью, Lw, дБ		**исходные данные**	**0**	**93,3**	**94,7**	**96**	**96,3**	**95,9**	**92,6**	**88,4**	**83,9**		
Поправка на телесный угол DΩ, дБ	Ω = 6.28	10Lg(4π/Ω)	**3**	3	3	3	3	3	3	3	3		
Показатель направленности источника Di, дБ		исходные данные	**0**	0	0	0	0	0	0	0	0		
Поправка на направленность источника Dc, дБ	Dc	DΩ + Di	**3**	3	3	3	3	3	3	3	3		
Затухание из-за геометрической дивергенции, Adiv, дБ	расстояние = 556.73 м	ф-ла (7) [10]	**65,9**										

1		2	3	4	5	6	7	8	9	10	11	12	13
Коэффициент затухания звука в атмосфере α, дБ/км	Та=20,°С Ра=101.33,кПа hотн.=70%	ф-ла (5) [9]	0,02	0,09	0,33	1,12	2,79	4,98	9,04	23,09	77,63		
Учет затухания звука в атмосфере Aatm, дБ		ф-ла (8) [10]	0	0	0,2	0,6	1,6	2,8	5	12,9	43,2		
Снижение уровня звукового давления из-за влияния застройки между источником шума и расчетной точкой													
Снижение уровня звукового давления на пути над экраном, Dz1, дБ	z = 0.18м (разность путей)	ф-лы (14-18) [10]	4,8	4,8	4,8	4,8	4,9	5,2	5,7	6,6	7,9		
Снижение уровня звукового давления на пути слева от экрана, Dz2, дБ	z = 6.68м (разность путей)	ф-лы (14-18) [10]	17,8	21,5	24,6	27,7	30,7	33,7	36,7	39,7	42,8		
Снижение уровня звукового давления на пути справа от экрана, Dz3, дБ	z = 2.98м (разность путей)	ф-лы (14-18) [10]	11,5	14	16,7	19,6	22,5	25,5	28,5	31,5	34,5		
Общее снижение уровня звука препятствием Dz, дБ		Эн.сумма(-Dzi)	3,8	4,2	4,5	4,7	4,9	5,2	5,7	6,6	7,8		
Уровни звукового давления от источника ИШ-2-14 в расчётной точке днём, дБ		**ф-ла(3)[10]**	**0**	**26,1**	**27,1**	**27,8**	**27**	**25**	**18,9**	**6,1**	**0**	**28,8**	**28,8**
Уровни звукового давления от источника ИШ-2-14 в расчётной точке ночью, дБ		**ф-ла(3)[10]**	**0**	**26,1**	**27,1**	**27,8**	**27**	**25**	**18,9**	**6,1**	**0**	**28,8**	**28,8**
Источник шума: ИШ-2-15, координаты источника (x,y,z), м =[750.74,66.89,1.00]													
Уровни звуковой мощности источника днём, Lw, дБ		**исходные данные**	**0**	**93,3**	**94,7**	**96**	**96,3**	**95,9**	**92,6**	**88,4**	**83,9**		
Уровни звуковой мощности источника ночью, Lw, дБ		**исходные данные**	**0**	**93,3**	**94,7**	**96**	**96,3**	**95,9**	**92,6**	**88,4**	**83,9**		
Поправка на телесный угол DΩ, дБ	Ω = 6.28	10Lg(4π/Ω)	**3**	3	3	3	3	3	3	3	3		
Показатель направленности источника Di, дБ		исходные данные	**0**	0	0	0	0	0	0	0	0		
Поправка на направленность источника Dc, дБ	Dc	DΩ + Di	**3**	3	3	3	3	3	3	3	3		
Затухание из-за геометрической дивергенции, Adiv, дБ	расстояние = 554.56 м	ф-ла (7) [10]	**65,9**										

1		2	3	4	5	6	7	8	9	10	11	12	13
Коэффициент затухания звука в атмосфере α, дБ/км	Та=20,°С Ра=101.33,кПа hотн.=70%	ф-ла (5) [9]	0,02	0,09	0,33	1,12	2,79	4,98	9,04	23,09	77,63		
Учет затухания звука в атмосфере Aatm, дБ		ф-ла (8) [10]	0	0	0,2	0,6	1,5	2,8	5	12,8	43,1		
Снижение уровня звукового давления из-за влияния застройки между источником шума и расчетной точкой													
Снижение уровня звукового давления на пути над экраном, Dz1, дБ	z = 0.19м (разность путей)	ф-лы (14-18) [10]	4,8	4,8	4,8	4,9	5	5,3	5,9	6,8	8,1		
Снижение уровня звукового давления на пути слева от экрана, Dz2, дБ	z = 6.38м (разность путей)	ф-лы (14-18) [10]	17,6	21,3	24,4	27,5	30,5	33,5	36,5	39,5	42,6		
Снижение уровня звукового давления на пути справа от экрана, Dz3, дБ	z = 3.27м (разность путей)	ф-лы (14-18) [10]	11,8	14,4	17,1	20	22,9	25,9	28,9	31,9	34,9		
Общее снижение уровня звука препятствием Dz, дБ		Эн.сумма(-Dzi)	3,8	4,2	4,5	4,7	4,9	5,3	5,8	6,7	8,1		
Уровни звукового давления от источника ИШ-2-15 в расчётной точке днём, дБ		**ф-ла(3)[10]**	**0**	**26,1**	**27,1**	**27,8**	**26,9**	**25**	**18,9**	**6**	**0**	**28,8**	**28,8**
Уровни звукового давления от источника ИШ-2-15 в расчётной точке ночью, дБ		**ф-ла(3)[10]**	**0**	**26,1**	**27,1**	**27,8**	**26,9**	**25**	**18,9**	**6**	**0**	**28,8**	**28,8**
Источник шума: ИШ-2-16, координаты источника (x,y,z), м =[749.73,64.02,1.00]													
Уровни звуковой мощности источника днём, Lw, дБ		**исходные данные**	**0**	**93,3**	**94,7**	**96**	**96,3**	**95,9**	**92,6**	**88,4**	**83,9**		
Уровни звуковой мощности источника ночью, Lw, дБ		**исходные данные**	**0**	**93,3**	**94,7**	**96**	**96,3**	**95,9**	**92,6**	**88,4**	**83,9**		
Поправка на телесный угол DΩ, дБ	Ω = 6.28	10Lg(4π/Ω)	**3**	3	3	3	3	3	3	3	3		
Показатель направленности источника Di, дБ		исходные данные	**0**	0	0	0	0	0	0	0	0		
Поправка на направленность источника Dc, дБ	Dc	DΩ + Di	**3**	3	3	3	3	3	3	3	3		
Затухание из-за геометрической дивергенции, Adiv, дБ	расстояние = 552.27 м	ф-ла (7) [10]	**65,8**										

1		2	3	4	5	6	7	8	9	10	11	12	13
Коэффициент затухания звука в атмосфере α, дБ/км	Та=20,°С Ра=101.33,кПа hотн.=70%	ф-ла (5) [9]	0,02	0,09	0,33	1,12	2,79	4,98	9,04	23,09	77,63		
Учет затухания звука в атмосфере Aatm, дБ		ф-ла (8) [10]	0	0	0,2	0,6	1,5	2,7	5	12,7	42,9		
Снижение уровня звукового давления из-за влияния застройки между источником шума и расчетной точкой													
Снижение уровня звукового давления на пути над экраном, Dz1, дБ	z = 0.19м (разность путей)	ф-лы (14-18) [10]	4,8	4,8	4,8	4,9	5,1	5,4	6	6,9	8,4		
Снижение уровня звукового давления на пути слева от экрана, Dz2, дБ	z = 6.10м (разность путей)	ф-лы (14-18) [10]	17,4	21,1	24,2	27,3	30,3	33,3	36,3	39,3	42,4		
Снижение уровня звукового давления на пути справа от экрана, Dz3, дБ	z = 3.57м (разность путей)	ф-лы (14-18) [10]	12,1	14,7	17,4	20,3	23,3	26,3	29,3	32,3	35,3		
Общее снижение уровня звука препятствием Dz, дБ		Эн.сумма(-Dzi)	3,8	4,3	4,5	4,7	5	5,4	6	6,9	8,4		
Уровни звукового давления от источника ИШ-2-16 в расчётной точке днём, дБ		**ф-ла(3)[10]**	**0**	**26,1**	**27,1**	**27,8**	**26,9**	**24,9**	**18,8**	**5,9**	**0**	**28,7**	**28,7**
Уровни звукового давления от источника ИШ-2-16 в расчётной точке ночью, дБ		**ф-ла(3)[10]**	**0**	**26,1**	**27,1**	**27,8**	**26,9**	**24,9**	**18,8**	**5,9**	**0**	**28,7**	**28,7**
Источник шума: ИШ-2-17, координаты источника (x,y,z), м =[748.87,61.06,1.00]													
Уровни звуковой мощности источника днём, Lw, дБ		**исходные данные**	**0**	**93,3**	**94,7**	**96**	**96,3**	**95,9**	**92,6**	**88,4**	**83,9**		
Уровни звуковой мощности источника ночью, Lw, дБ		**исходные данные**	**0**	**93,3**	**94,7**	**96**	**96,3**	**95,9**	**92,6**	**88,4**	**83,9**		
Поправка на телесный угол DΩ, дБ	Ω = 6.28	10Lg(4π/Ω)	**3**	3	3	3	3	3	3	3	3		
Показатель направленности источника Di, дБ		исходные данные	**0**	0	0	0	0	0	0	0	0		
Поправка на направленность источника Dc, дБ	Dc	DΩ + Di	**3**	3	3	3	3	3	3	3	3		
Затухание из-за геометрической дивергенции, Adiv, дБ	расстояние = 550.07 м	ф-ла (7) [10]	**65,8**										

1		2	3	4	5	6	7	8	9	10	11	12	13
Коэффициент затухания звука в атмосфере α, дБ/км	Та=20,°С Ра=101.33,кПа hотн.=70%	ф-ла (5) [9]	0,02	0,09	0,33	1,12	2,79	4,98	9,04	23,09	77,63		
Учет затухания звука в атмосфере Aatm, дБ		ф-ла (8) [10]	0	0	0,2	0,6	1,5	2,7	5	12,7	42,7		
Снижение уровня звукового давления из-за влияния застройки между источником шума и расчетной точкой													
Снижение уровня звукового давления на пути над экраном, Dz1, дБ	z = 0.19м (разность путей)	ф-лы (14-18) [10]	4,8	4,8	4,8	4,9	5,1	5,5	6,1	7,2	8,7		
Снижение уровня звукового давления на пути слева от экрана, Dz2, дБ	z = 5.79м (разность путей)	ф-лы (14-18) [10]	17,2	20,9	24	27,1	30,1	33,1	36,1	39,1	42,1		
Снижение уровня звукового давления на пути справа от экрана, Dz3, дБ	z = 3.91м (разность путей)	ф-лы (14-18) [10]	12,4	15	17,8	20,7	23,7	26,7	29,7	32,7	35,7		
Общее снижение уровня звука препятствием Dz, дБ		Эн.сумма(-Dzi)	3,9	4,3	4,6	4,8	5	5,4	6,1	7,1	8,7		
Уровни звукового давления от источника ИШ-2-17 в расчётной точке днём, дБ		**ф-ла(3)[10]**	**0**	**26,1**	**27,1**	**27,8**	**26,9**	**24,9**	**18,7**	**5,7**	**0**	**28,7**	**28,7**
Уровни звукового давления от источника ИШ-2-17 в расчётной точке ночью, дБ		**ф-ла(3)[10]**	**0**	**26,1**	**27,1**	**27,8**	**26,9**	**24,9**	**18,7**	**5,7**	**0**	**28,7**	**28,7**
Источник шума: ИШ-2-18, координаты источника (x,y,z), м =[747.72,58.17,1.00]													
Уровни звуковой мощности источника днём, Lw, дБ		**исходные данные**	**0**	**93,3**	**94,7**	**96**	**96,3**	**95,9**	**92,6**	**88,4**	**83,9**		
Уровни звуковой мощности источника ночью, Lw, дБ		**исходные данные**	**0**	**93,3**	**94,7**	**96**	**96,3**	**95,9**	**92,6**	**88,4**	**83,9**		
Поправка на телесный угол DΩ, дБ	Ω = 6.28	10Lg(4π/Ω)	**3**	3	3	3	3	3	3	3	3		
Показатель направленности источника Di, дБ		исходные данные	**0**	0	0	0	0	0	0	0	0		
Поправка на направленность источника Dc, дБ	Dc	DΩ + Di	**3**	3	3	3	3	3	3	3	3		
Затухание из-за геометрической дивергенции, Adiv, дБ	расстояние = 547.66 м	ф-ла (7) [10]	**65,8**										

1		2	3	4	5	6	7	8	9	10	11	12	13
Коэффициент затухания звука в атмосфере α, дБ/км	Та=20,°С Ра=101.33,кПа hотн.=70%	ф-ла (5) [9]	0,02	0,09	0,33	1,12	2,79	4,98	9,04	23,09	77,63		
Учет затухания звука в атмосфере Aatm, дБ		ф-ла (8) [10]	0	0	0,2	0,6	1,5	2,7	5	12,6	42,5		
Снижение уровня звукового давления из-за влияния застройки между источником шума и расчетной точкой													
Снижение уровня звукового давления на пути над экраном, Dz1, дБ	z = 0.19м (разность путей)	ф-лы (14-18) [10]	4,8	4,8	4,8	4,9	5,2	5,6	6,3	7,4	9		
Снижение уровня звукового давления на пути слева от экрана, Dz2, дБ	z = 5.53м (разность путей)	ф-лы (14-18) [10]	17	20,7	23,8	26,9	29,9	32,9	35,9	38,9	41,9		
Снижение уровня звукового давления на пути справа от экрана, Dz3, дБ	z = 4.24м (разность путей)	ф-лы (14-18) [10]	12,7	15,4	18,2	21,1	24	27	30	33	36		
Общее снижение уровня звука препятствием Dz, дБ		Эн.сумма(-Dzi)	3,9	4,3	4,6	4,8	5,1	5,5	6,2	7,4	9		
Уровни звукового давления от источника ИШ-2-18 в расчётной точке днём, дБ		**ф-ла(3)[10]**	**0**	**26,1**	**27,2**	**27,8**	**26,9**	**24,9**	**18,6**	**5,6**	**0**	**28,7**	**28,7**
Уровни звукового давления от источника ИШ-2-18 в расчётной точке ночью, дБ		**ф-ла(3)[10]**	**0**	**26,1**	**27,2**	**27,8**	**26,9**	**24,9**	**18,6**	**5,6**	**0**	**28,7**	**28,7**
Источник шума: ИШ-2-19, координаты источника (x,y,z), м =[746.80,55.25,1.00]													
Уровни звуковой мощности источника днём, Lw, дБ		**исходные данные**	**0**	**93,3**	**94,7**	**96**	**96,3**	**95,9**	**92,6**	**88,4**	**83,9**		
Уровни звуковой мощности источника ночью, Lw, дБ		**исходные данные**	**0**	**93,3**	**94,7**	**96**	**96,3**	**95,9**	**92,6**	**88,4**	**83,9**		
Поправка на телесный угол DΩ, дБ	Ω = 6.28	10Lg(4π/Ω)	**3**	3	3	3	3	3	3	3	3		
Показатель направленности источника Di, дБ		исходные данные	**0**	0	0	0	0	0	0	0	0		
Поправка на направленность источника Dc, дБ	Dc	DΩ + Di	**3**	3	3	3	3	3	3	3	3		
Затухание из-за геометрической дивергенции, Adiv, дБ	расстояние = 545.44 м	ф-ла (7) [10]	**65,7**										

1		2	3	4	5	6	7	8	9	10	11	12	13
Коэффициент затухания звука в атмосфере α, дБ/км	Та=20,°С Ра=101.33,кПа hотн.=70%	ф-ла (5) [9]	0,02	0,09	0,33	1,12	2,79	4,98	9,04	23,09	77,63		
Учет затухания звука в атмосфере Aatm, дБ		ф-ла (8) [10]	0	0	0,2	0,6	1,5	2,7	4,9	12,6	42,3		
Снижение уровня звукового давления из-за влияния застройки между источником шума и расчетной точкой													
Снижение уровня звукового давления на пути над экраном, Dz1, дБ	z = 0.20м (разность путей)	ф-лы (14-18) [10]	4,8	4,8	4,8	5	5,2	5,6	6,4	7,6	9,3		
Снижение уровня звукового давления на пути слева от экрана, Dz2, дБ	z = 5.25м (разность путей)	ф-лы (14-18) [10]	16,8	20,4	23,6	26,7	29,7	32,7	35,7	38,7	41,7		
Снижение уровня звукового давления на пути справа от экрана, Dz3, дБ	z = 4.61м (разность путей)	ф-лы (14-18) [10]	13	15,7	18,5	21,4	24,4	27,4	30,4	33,4	36,4		
Общее снижение уровня звука препятствием Dz, дБ		Эн.сумма(-Dzi)	3,9	4,3	4,6	4,8	5,1	5,6	6,4	7,6	9,3		
Уровни звукового давления от источника ИШ-2-19 в расчётной точке днём, дБ		**ф-ла(3)[10]**	**0**	**26,2**	**27,2**	**27,8**	**26,9**	**24,8**	**18,6**	**5,5**	**0**	**28,7**	**28,7**
Уровни звукового давления от источника ИШ-2-19 в расчётной точке ночью, дБ		**ф-ла(3)[10]**	**0**	**26,2**	**27,2**	**27,8**	**26,9**	**24,8**	**18,6**	**5,5**	**0**	**28,7**	**28,7**
Источник шума: ИШ-2-20, координаты источника (x,y,z), м =[745.71,52.44,1.00]													
Уровни звуковой мощности источника днём, Lw, дБ		**исходные данные**	**0**	**93,3**	**94,7**	**96**	**96,3**	**95,9**	**92,6**	**88,4**	**83,9**		
Уровни звуковой мощности источника ночью, Lw, дБ		**исходные данные**	**0**	**93,3**	**94,7**	**96**	**96,3**	**95,9**	**92,6**	**88,4**	**83,9**		
Поправка на телесный угол DΩ, дБ	Ω = 6.28	10Lg(4π/Ω)	**3**	3	3	3	3	3	3	3	3		
Показатель направленности источника Di, дБ		исходные данные	**0**	0	0	0	0	0	0	0	0		
Поправка на направленность источника Dc, дБ	Dc	DΩ + Di	**3**	3	3	3	3	3	3	3	3		
Затухание из-за геометрической дивергенции, Adiv, дБ	расстояние = 543.14 м	ф-ла (7) [10]	**65,7**										

1		2	3	4	5	6	7	8	9	10	11	12	13
Коэффициент затухания звука в атмосфере α, дБ/км	Ta=20,°C Pa=101.33,кПа hотн.=70%	ф-ла (5) [9]	0,02	0,09	0,33	1,12	2,79	4,98	9,04	23,09	77,63		
Учет затухания звука в атмосфере Aatm, дБ		ф-ла (8) [10]	0	0	0,2	0,6	1,5	2,7	4,9	12,5	42,2		
Снижение уровня звукового давления из-за влияния застройки между источником шума и расчетной точкой													
Снижение уровня звукового давления на пути над экраном, Dz1, дБ	z = 0.20м (разность путей)	ф-лы (14-18) [10]	4,8	4,8	4,8	5	5,2	5,7	6,5	7,7	9,4		
Снижение уровня звукового давления на пути слева от экрана, Dz2, дБ	z = 5.00м (разность путей)	ф-лы (14-18) [10]	16,6	20,2	23,4	26,4	29,5	32,5	35,5	38,5	41,5		
Снижение уровня звукового давления на пути справа от экрана, Dz3, дБ	z = 4.97м (разность путей)	ф-лы (14-18) [10]	13,3	16	18,8	21,7	24,7	27,7	30,7	33,7	36,7		
Общее снижение уровня звука препятствием Dz, дБ		Эн.сумма(-Dzi)	4	4,4	4,6	4,9	5,2	5,6	6,4	7,7	9,4		
Уровни звукового давления от источника ИШ-2-20 в расчётной точке днём, дБ		**ф-ла(3)[10]**	**0**	**26,2**	**27,2**	**27,8**	**26,9**	**24,8**	**18,6**	**5,5**	**0**	**28,7**	**28,7**
Уровни звукового давления от источника ИШ-2-20 в расчётной точке ночью, дБ		**ф-ла(3)[10]**	**0**	**26,2**	**27,2**	**27,8**	**26,9**	**24,8**	**18,6**	**5,5**	**0**	**28,7**	**28,7**
Источник шума: ИШ-2-21, координаты источника (x,y,z), м =[744.89,49.62,1.00]													
Уровни звуковой мощности источника днём, Lw, дБ		**исходные данные**	**0**	**93,3**	**94,7**	**96**	**96,3**	**95,9**	**92,6**	**88,4**	**83,9**		
Уровни звуковой мощности источника ночью, Lw, дБ		**исходные данные**	**0**	**93,3**	**94,7**	**96**	**96,3**	**95,9**	**92,6**	**88,4**	**83,9**		
Поправка на телесный угол DΩ, дБ	Ω = 6.28	10Lg(4π/Ω)	**3**	3	3	3	3	3	3	3	3		
Показатель направленности источника Di, дБ		исходные данные	**0**	0	0	0	0	0	0	0	0		
Поправка на направленность источника Dc, дБ	Dc	DΩ + Di	**3**	3	3	3	3	3	3	3	3		
Затухание из-за геометрической дивергенции, Adiv, дБ	расстояние = 541.07 м	ф-ла (7) [10]	**65,7**										

1		2	3	4	5	6	7	8	9	10	11	12	13
Коэффициент затухания звука в атмосфере α, дБ/км	Та=20,°С Ра=101.33,кПа hотн.=70%	ф-ла (5) [9]	0,02	0,09	0,33	1,12	2,79	4,98	9,04	23,09	77,63		
Учет затухания звука в атмосфере Aatm, дБ		ф-ла (8) [10]	0	0	0,2	0,6	1,5	2,7	4,9	12,5	42		
Снижение уровня звукового давления из-за влияния застройки между источником шума и расчетной точкой													
Снижение уровня звукового давления на пути над экраном, Dz1, дБ	z = 0.20м (разность путей)	ф-лы (14-18) [10]	4,8	4,8	4,8	5	5,2	5,7	6,5	7,7	9,5		
Снижение уровня звукового давления на пути слева от экрана, Dz2, дБ	z = 4.73м (разность путей)	ф-лы (14-18) [10]	16,4	20	23,2	26,2	29,2	32,2	35,2	38,3	41,3		
Снижение уровня звукового давления на пути справа от экрана, Dz3, дБ	z = 5.37м (разность путей)	ф-лы (14-18) [10]	13,6	16,3	19,1	22,1	25	28	31	34	37		
Общее снижение уровня звука препятствием Dz, дБ		Эн.сумма(-Dzi)	4	4,4	4,6	4,9	5,2	5,7	6,5	7,7	9,5		
Уровни звукового давления от источника ИШ-2-21 в расчётной точке днём, дБ		**ф-ла(3)[10]**	**0**	**26,2**	**27,2**	**27,9**	**26,9**	**24,9**	**18,6**	**5,5**	**0**	**28,7**	**28,7**
Уровни звукового давления от источника ИШ-2-21 в расчётной точке ночью, дБ		**ф-ла(3)[10]**	**0**	**26,2**	**27,2**	**27,9**	**26,9**	**24,9**	**18,6**	**5,5**	**0**	**28,7**	**28,7**
Источник шума: ИШ-2-22, координаты источника (x,y,z), м =[737.40,27.07,1.00]													
Уровни звуковой мощности источника днём, Lw, дБ		**исходные данные**	**0**	**93,3**	**94,7**	**96**	**96,3**	**95,9**	**92,6**	**88,4**	**83,9**		
Уровни звуковой мощности источника ночью, Lw, дБ		**исходные данные**	**0**	**93,3**	**94,7**	**96**	**96,3**	**95,9**	**92,6**	**88,4**	**83,9**		
Поправка на телесный угол DΩ, дБ	Ω = 6.28	10Lg(4π/Ω)	**3**	3	3	3	3	3	3	3	3		
Показатель направленности источника Di, дБ		исходные данные	**0**	0	0	0	0	0	0	0	0		
Поправка на направленность источника Dc, дБ	Dc	DΩ + Di	**3**	3	3	3	3	3	3	3	3		
Затухание из-за геометрической дивергенции, Adiv, дБ	расстояние = 524.02 м	ф-ла (7) [10]	**65,4**										

1		2	3	4	5	6	7	8	9	10	11	12	13
Коэффициент затухания звука в атмосфере α, дБ/км	Та=20,°С Ра=101.33,кПа hотн.=70%	ф-ла (5) [9]	0,02	0,09	0,33	1,12	2,79	4,98	9,04	23,09	77,63		
Учет затухания звука в атмосфере Aatm, дБ		ф-ла (8) [10]	0	0	0,2	0,6	1,5	2,6	4,7	12,1	40,7		
Снижение уровня звукового давления из-за влияния застройки между источником шума и расчетной точкой													
Снижение уровня звукового давления на пути над экраном, Dz1, дБ	z = 0.21м (разность путей)	ф-лы (14-18) [10]	4,8	4,8	4,9	5	5,4	6	7	8,5	10,4		
Снижение уровня звукового давления на пути слева от экрана, Dz2, дБ	z = 2.98м (разность путей)	ф-лы (14-18) [10]	14,5	18,1	21,2	24,2	27,2	30,2	33,2	36,2	39,3		
Снижение уровня звукового давления на пути справа от экрана, Dz3, дБ	z = 9.27м (разность путей)	ф-лы (14-18) [10]	15,7	18,6	21,4	24,4	27,4	30,4	33,4	36,4	39,4		
Общее снижение уровня звука препятствием Dz, дБ		Эн.сумма(-Dzi)	4	4,4	4,7	4,9	5,3	6	7	8,5	10,4		
Уровни звукового давления от источника ИШ-2-22 в расчётной точке днём, дБ		**ф-ла(3)[10]**	**0**	**26,4**	**27,4**	**28,1**	**27,1**	**24,9**	**18,5**	**5,4**	**0**	**28,8**	**28,8**
Уровни звукового давления от источника ИШ-2-22 в расчётной точке ночью, дБ		**ф-ла(3)[10]**	**0**	**26,4**	**27,4**	**28,1**	**27,1**	**24,9**	**18,5**	**5,4**	**0**	**28,8**	**28,8**
Источник шума: ИШ-2-23, координаты источника (x,y,z), м =[736.46,24.18,1.00]													
Уровни звуковой мощности источника днём, Lw, дБ		**исходные данные**	**0**	**93,3**	**94,7**	**96**	**96,3**	**95,9**	**92,6**	**88,4**	**83,9**		
Уровни звуковой мощности источника ночью, Lw, дБ		**исходные данные**	**0**	**93,3**	**94,7**	**96**	**96,3**	**95,9**	**92,6**	**88,4**	**83,9**		
Поправка на телесный угол DΩ, дБ	Ω = 6.28	10Lg(4π/Ω)	**3**	3	3	3	3	3	3	3	3		
Показатель направленности источника Di, дБ		исходные данные	**0**	0	0	0	0	0	0	0	0		
Поправка на направленность источника Dc, дБ	Dc	DΩ + Di	**3**	3	3	3	3	3	3	3	3		
Затухание из-за геометрической дивергенции, Adiv, дБ	расстояние = 521.89 м	ф-ла (7) [10]	**65,4**										

1		2	3	4	5	6	7	8	9	10	11	12	13
Коэффициент затухания звука в атмосфере α, дБ/км	Та=20,°С Ра=101.33,кПа hотн.=70%	ф-ла (5) [9]	0,02	0,09	0,33	1,12	2,79	4,98	9,04	23,09	77,63		
Учет затухания звука в атмосфере Aatm, дБ		ф-ла (8) [10]	0	0	0,2	0,6	1,5	2,6	4,7	12	40,5		
Снижение уровня звукового давления из-за влияния застройки между источником шума и расчетной точкой													
Снижение уровня звукового давления на пути над экраном, Dz1, дБ	z = 0.21м (разность путей)	ф-лы (14-18) [10]	4,8	4,8	4,9	5,1	5,4	6,1	7,1	8,6	10,6		
Снижение уровня звукового давления на пути слева от экрана, Dz2, дБ	z = 2.80м (разность путей)	ф-лы (14-18) [10]	11,3	13,8	16,5	19,3	22,2	25,2	28,2	31,2	34,2		
Снижение уровня звукового давления на пути справа от экрана, Dz3, дБ	z = 9.88м (разность путей)	ф-лы (14-18) [10]	16	18,8	21,7	24,7	27,7	30,7	33,7	36,7	39,7		
Общее снижение уровня звука препятствием Dz, дБ		Эн.сумма(-Dzi)	3,6	4,1	4,5	4,9	5,3	6	7	8,5	10,5		
Уровни звукового давления от источника ИШ-2-23 в расчётной точке днём, дБ		**ф-ла(3)[10]**	**0**	**26,8**	**27,7**	**28,2**	**27,2**	**25**	**18,5**	**5,5**	**0**	**28,8**	**28,8**
Уровни звукового давления от источника ИШ-2-23 в расчётной точке ночью, дБ		**ф-ла(3)[10]**	**0**	**26,8**	**27,7**	**28,2**	**27,2**	**25**	**18,5**	**5,5**	**0**	**28,8**	**28,8**
Источник шума: ИШ-2-24, координаты источника (x,y,z), м =[735.45,21.21,1.00]													
Уровни звуковой мощности источника днём, Lw, дБ		**исходные данные**	**0**	**93,3**	**94,7**	**96**	**96,3**	**95,9**	**92,6**	**88,4**	**83,9**		
Уровни звуковой мощности источника ночью, Lw, дБ		**исходные данные**	**0**	**93,3**	**94,7**	**96**	**96,3**	**95,9**	**92,6**	**88,4**	**83,9**		
Поправка на телесный угол DΩ, дБ	Ω = 6.28	10Lg(4π/Ω)	**3**	3	3	3	3	3	3	3	3		
Показатель направленности источника Di, дБ		исходные данные	**0**	0	0	0	0	0	0	0	0		
Поправка на направленность источника Dc, дБ	Dc	DΩ + Di	**3**	3	3	3	3	3	3	3	3		
Затухание из-за геометрической дивергенции, Adiv, дБ	расстояние = 519.67 м	ф-ла (7) [10]	**65,3**										

1		2	3	4	5	6	7	8	9	10	11	12	13
Коэффициент затухания звука в атмосфере α, дБ/км	Та=20,°С Ра=101.33,кПа hотн.=70%	ф-ла (5) [9]	0,02	0,09	0,33	1,12	2,79	4,98	9,04	23,09	77,63		
Учет затухания звука в атмосфере Aatm, дБ		ф-ла (8) [10]	0	0	0,2	0,6	1,5	2,6	4,7	12	40,3		
Снижение уровня звукового давления из-за влияния застройки между источником шума и расчетной точкой													
Снижение уровня звукового давления на пути над экраном, Dz1, дБ	z = 0.21м (разность путей)	ф-лы (14-18) [10]	4,8	4,8	4,9	5,1	5,4	6,1	7,1	8,7	10,7		
Снижение уровня звукового давления на пути слева от экрана, Dz2, дБ	z = 2.62м (разность путей)	ф-лы (14-18) [10]	11	13,5	16,2	19	22	24,9	27,9	30,9	33,9		
Снижение уровня звукового давления на пути справа от экрана, Dz3, дБ	z = 10.54м (разность путей)	ф-лы (14-18) [10]	16,2	19,1	22	25	27,9	30,9	33,9	37	40		
Общее снижение уровня звука препятствием Dz, дБ		Эн.сумма(-Dzi)	3,6	4,1	4,5	4,9	5,3	6	7,1	8,6	10,7		
Уровни звукового давления от источника ИШ-2-24 в расчётной точке днём, дБ		**ф-ла(3)[10]**	**0**	**26,8**	**27,7**	**28,2**	**27,2**	**25**	**18,5**	**5,4**	**0**	**28,9**	**28,9**
Уровни звукового давления от источника ИШ-2-24 в расчётной точке ночью, дБ		**ф-ла(3)[10]**	**0**	**26,8**	**27,7**	**28,2**	**27,2**	**25**	**18,5**	**5,4**	**0**	**28,9**	**28,9**
Источник шума: ИШ-2-25, координаты источника (x,y,z), м =[734.58,18.32,1.00]													
Уровни звуковой мощности источника днём, Lw, дБ		**исходные данные**	**0**	**93,3**	**94,7**	**96**	**96,3**	**95,9**	**92,6**	**88,4**	**83,9**		
Уровни звуковой мощности источника ночью, Lw, дБ		**исходные данные**	**0**	**93,3**	**94,7**	**96**	**96,3**	**95,9**	**92,6**	**88,4**	**83,9**		
Поправка на телесный угол DΩ, дБ	Ω = 6.28	10Lg(4π/Ω)	**3**	3	3	3	3	3	3	3	3		
Показатель направленности источника Di, дБ		исходные данные	**0**	0	0	0	0	0	0	0	0		
Поправка на направленность источника Dc, дБ	Dc	DΩ + Di	**3**	3	3	3	3	3	3	3	3		
Затухание из-за геометрической дивергенции, Adiv, дБ	расстояние = 517.63 м	ф-ла (7) [10]	**65,3**										

1		2	3	4	5	6	7	8	9	10	11	12	13
Коэффициент затухания звука в атмосфере α, дБ/км	Та=20,°С Ра=101.33,кПа hотн.=70%	ф-ла (5) [9]	0,02	0,09	0,33	1,12	2,79	4,98	9,04	23,09	77,63		
Учет затухания звука в атмосфере Aatm, дБ		ф-ла (8) [10]	0	0	0,2	0,6	1,4	2,6	4,7	11,9	40,2		
Снижение уровня звукового давления из-за влияния застройки между источником шума и расчетной точкой													
Снижение уровня звукового давления на пути над экраном, Dz1, дБ	z = 0.33м (разность путей)	ф-лы (14-18) [10]	5,1	5,5	6,2	7,2	8,8	10,9	13,3	16	18,8		
Снижение уровня звукового давления на пути слева от экрана, Dz2, дБ	z = 2.45м (разность путей)	ф-лы (14-18) [10]	10,8	13,3	15,9	18,8	21,7	24,6	27,6	30,6	33,6		
Снижение уровня звукового давления на пути справа от экрана, Dz3, дБ	z = 11.21м (разность путей)	ф-лы (14-18) [10]	16,5	19,4	22,3	25,2	28,2	31,2	34,2	37,2	40,2		
Общее снижение уровня звука препятствием Dz, дБ		Эн.сумма(-Dzi)	3,8	4,7	5,6	6,9	8,5	10,6	13,1	15,8	18,7		
Уровни звукового давления от источника ИШ-2-25 в расчётной точке днём, дБ		**ф-ла(3)[10]**	**0**	**26,3**	**26,6**	**26,3**	**24**	**20,4**	**12,5**	**0**	**0**	**25,1**	**25,1**
Уровни звукового давления от источника ИШ-2-25 в расчётной точке ночью, дБ		**ф-ла(3)[10]**	**0**	**26,3**	**26,6**	**26,3**	**24**	**20,4**	**12,5**	**0**	**0**	**25,1**	**25,1**
Источник шума: ИШ-2-26, координаты источника (x,y,z), м =[733.57,15.41,1.00]													
Уровни звуковой мощности источника днём, Lw, дБ		**исходные данные**	**0**	**93,3**	**94,7**	**96**	**96,3**	**95,9**	**92,6**	**88,4**	**83,9**		
Уровни звуковой мощности источника ночью, Lw, дБ		**исходные данные**	**0**	**93,3**	**94,7**	**96**	**96,3**	**95,9**	**92,6**	**88,4**	**83,9**		
Поправка на телесный угол DΩ, дБ	Ω = 6.28	10Lg(4π/Ω)	**3**	3	3	3	3	3	3	3	3		
Показатель направленности источника Di, дБ		исходные данные	**0**	0	0	0	0	0	0	0	0		
Поправка на направленность источника Dc, дБ	Dc	DΩ + Di	**3**	3	3	3	3	3	3	3	3		
Затухание из-за геометрической дивергенции, Adiv, дБ	расстояние = 515.45 м	ф-ла (7) [10]	**65,2**										

1		2	3	4	5	6	7	8	9	10	11	12	13
Коэффициент затухания звука в атмосфере α, дБ/км	Та=20,°С Ра=101.33,кПа hотн.=70%	ф-ла (5) [9]	0,02	0,09	0,33	1,12	2,79	4,98	9,04	23,09	77,63		
Учет затухания звука в атмосфере Aatm, дБ		ф-ла (8) [10]	0	0	0,2	0,6	1,4	2,6	4,7	11,9	40		
Снижение уровня звукового давления из-за влияния застройки между источником шума и расчетной точкой													
Снижение уровня звукового давления на пути над экраном, Dz1, дБ	z = 0.34м (разность путей)	ф-лы (14-18) [10]	5,1	5,5	6,2	7,3	8,9	10,9	13,4	16,1	19		
Снижение уровня звукового давления на пути слева от экрана, Dz2, дБ	z = 2.28м (разность путей)	ф-лы (14-18) [10]	10,6	13	15,6	18,5	21,4	24,3	27,3	30,3	33,3		
Снижение уровня звукового давления на пути справа от экрана, Dz3, дБ	z = 11.91м (разность путей)	ф-лы (14-18) [10]	16,7	19,6	22,5	25,5	28,5	31,5	34,5	37,5	40,5		
Общее снижение уровня звука препятствием Dz, дБ		Эн.сумма(-Dzi)	3,8	4,7	5,6	6,9	8,6	10,7	13,2	15,9	18,8		
Уровни звукового давления от источника ИШ-2-26 в расчётной точке днём, дБ		**ф-ла(3)[10]**	**0**	**26,3**	**26,6**	**26,3**	**24**	**20,4**	**12,5**	**0**	**0**	**25,1**	**25,1**
Уровни звукового давления от источника ИШ-2-26 в расчётной точке ночью, дБ		**ф-ла(3)[10]**	**0**	**26,3**	**26,6**	**26,3**	**24**	**20,4**	**12,5**	**0**	**0**	**25,1**	**25,1**
Источник шума: ИШ-2-27, координаты источника (x,y,z), м =[732.43,12.66,1.00]													
Уровни звуковой мощности источника днём, Lw, дБ		**исходные данные**	**0**	**93,3**	**94,7**	**96**	**96,3**	**95,9**	**92,6**	**88,4**	**83,9**		
Уровни звуковой мощности источника ночью, Lw, дБ		**исходные данные**	**0**	**93,3**	**94,7**	**96**	**96,3**	**95,9**	**92,6**	**88,4**	**83,9**		
Поправка на телесный угол DΩ, дБ	Ω = 6.28	10Lg(4π/Ω)	**3**	3	3	3	3	3	3	3	3		
Показатель направленности источника Di, дБ		исходные данные	**0**	0	0	0	0	0	0	0	0		
Поправка на направленность источника Dc, дБ	Dc	DΩ + Di	**3**	3	3	3	3	3	3	3	3		
Затухание из-за геометрической дивергенции, Adiv, дБ	расстояние = 513.24 м	ф-ла (7) [10]	**65,2**										

1		2	3	4	5	6	7	8	9	10	11	12	13
Коэффициент затухания звука в атмосфере α, дБ/км	Та=20,°С Ра=101.33,кПа hотн.=70%	ф-ла (5) [9]	0,02	0,09	0,33	1,12	2,79	4,98	9,04	23,09	77,63		
Учет затухания звука в атмосфере Aatm, дБ		ф-ла (8) [10]	0	0	0,2	0,6	1,4	2,6	4,6	11,8	39,8		
Снижение уровня звукового давления из-за влияния застройки между источником шума и расчетной точкой													
Снижение уровня звукового давления на пути над экраном, Dz1, дБ	z = 0.34м (разность путей)	ф-лы (14-18) [10]	5,1	5,5	6,2	7,3	8,9	11	13,5	16,2	19,1		
Снижение уровня звукового давления на пути слева от экрана, Dz2, дБ	z = 2.14м (разность путей)	ф-лы (14-18) [10]	10,4	12,8	15,4	18,2	21,1	24,1	27	30	33		
Снижение уровня звукового давления на пути справа от экрана, Dz3, дБ	z = 12.58м (разность путей)	ф-лы (14-18) [10]	17	19,8	22,7	25,7	28,7	31,7	34,7	37,7	40,7		
Общее снижение уровня звука препятствием Dz, дБ		Эн.сумма(-Dzi)	3,8	4,6	5,6	6,9	8,6	10,8	13,3	16	18,9		
Уровни звукового давления от источника ИШ-2-27 в расчётной точке днём, дБ		**ф-ла(3)[10]**	**0**	**26,4**	**26,7**	**26,3**	**24**	**20,3**	**12,5**	**0**	**0**	**25,1**	**25,1**
Уровни звукового давления от источника ИШ-2-27 в расчётной точке ночью, дБ		**ф-ла(3)[10]**	**0**	**26,4**	**26,7**	**26,3**	**24**	**20,3**	**12,5**	**0**	**0**	**25,1**	**25,1**
Источник шума: ИШ-2-28, координаты источника (x,y,z), м =[731.54,9.78,1.00]													
Уровни звуковой мощности источника днём, Lw, дБ		**исходные данные**	**0**	**93,3**	**94,7**	**96**	**96,3**	**95,9**	**92,6**	**88,4**	**83,9**		
Уровни звуковой мощности источника ночью, Lw, дБ		**исходные данные**	**0**	**93,3**	**94,7**	**96**	**96,3**	**95,9**	**92,6**	**88,4**	**83,9**		
Поправка на телесный угол DΩ, дБ	Ω = 6.28	10Lg(4π/Ω)	**3**	3	3	3	3	3	3	3	3		
Показатель направленности источника Di, дБ		исходные данные	**0**	0	0	0	0	0	0	0	0		
Поправка на направленность источника Dc, дБ	Dc	DΩ + Di	**3**	3	3	3	3	3	3	3	3		
Затухание из-за геометрической дивергенции, Adiv, дБ	расстояние = 511.20 м	ф-ла (7) [10]	**65,2**										

1		2	3	4	5	6	7	8	9	10	11	12	13
Коэффициент затухания звука в атмосфере α, дБ/км	Та=20,°С Ра=101.33,кПа hотн.=70%	ф-ла (5) [9]	0,02	0,09	0,33	1,12	2,79	4,98	9,04	23,09	77,63		
Учет затухания звука в атмосфере Aatm, дБ		ф-ла (8) [10]	0	0	0,2	0,6	1,4	2,5	4,6	11,8	39,7		
Снижение уровня звукового давления из-за влияния застройки между источником шума и расчетной точкой													
Снижение уровня звукового давления на пути над экраном, Dz1, дБ	z = 0.34м (разность путей)	ф-лы (14-18) [10]	5,1	5,5	6,3	7,4	9	11,1	13,6	16,3	19,2		
Снижение уровня звукового давления на пути слева от экрана, Dz2, дБ	z = 1.98м (разность путей)	ф-лы (14-18) [10]	10,1	12,5	15,1	17,9	20,8	23,7	26,7	29,7	32,7		
Снижение уровня звукового давления на пути справа от экрана, Dz3, дБ	z = 13.34м (разность путей)	ф-лы (14-18) [10]	17,2	20,1	23	26	29	32	35	38	41		
Общее снижение уровня звука препятствием Dz, дБ		Эн.сумма(-Dzi)	3,7	4,6	5,6	7	8,7	10,8	13,4	16,1	18,9		
Уровни звукового давления от источника ИШ-2-28 в расчётной точке днём, дБ		**ф-ла(3)[10]**	**0**	**26,5**	**26,7**	**26,3**	**24**	**20,3**	**12,4**	**0**	**0**	**25,1**	**25,1**
Уровни звукового давления от источника ИШ-2-28 в расчётной точке ночью, дБ		**ф-ла(3)[10]**	**0**	**26,5**	**26,7**	**26,3**	**24**	**20,3**	**12,4**	**0**	**0**	**25,1**	**25,1**
Источник шума: ИШ-2-29, координаты источника (x,y,z), м =[730.57,6.88,1.00]													
Уровни звуковой мощности источника днём, Lw, дБ		**исходные данные**	**0**	**93,3**	**94,7**	**96**	**96,3**	**95,9**	**92,6**	**88,4**	**83,9**		
Уровни звуковой мощности источника ночью, Lw, дБ		**исходные данные**	**0**	**93,3**	**94,7**	**96**	**96,3**	**95,9**	**92,6**	**88,4**	**83,9**		
Поправка на телесный угол DΩ, дБ	Ω = 6.28	10Lg(4π/Ω)	**3**	3	3	3	3	3	3	3	3		
Показатель направленности источника Di, дБ		исходные данные	**0**	0	0	0	0	0	0	0	0		
Поправка на направленность источника Dc, дБ	Dc	DΩ + Di	**3**	3	3	3	3	3	3	3	3		
Затухание из-за геометрической дивергенции, Adiv, дБ	расстояние = 509.10 м	ф-ла (7) [10]	**65,1**										

1		2	3	4	5	6	7	8	9	10	11	12	13
Коэффициент затухания звука в атмосфере α, дБ/км	Та=20,°С Ра=101.33,кПа hотн.=70%	ф-ла (5) [9]	0,02	0,09	0,33	1,12	2,79	4,98	9,04	23,09	77,63		
Учет затухания звука в атмосфере Aatm, дБ		ф-ла (8) [10]	0	0	0,2	0,6	1,4	2,5	4,6	11,8	39,5		
Снижение уровня звукового давления из-за влияния застройки между источником шума и расчетной точкой													
Снижение уровня звукового давления на пути над экраном, Dz1, дБ	z = 0.34м (разность путей)	ф-лы (14-18) [10]	5,1	5,6	6,3	7,4	9,1	11,2	13,7	16,4	19,3		
Снижение уровня звукового давления на пути слева от экрана, Dz2, дБ	z = 1.82м (разность путей)	ф-лы (14-18) [10]	9,9	12,2	14,7	17,5	20,4	23,4	26,3	29,3	32,3		
Снижение уровня звукового давления на пути справа от экрана, Dz3, дБ	z = 14.13м (разность путей)	ф-лы (14-18) [10]	17,4	20,3	23,2	26,2	29,2	32,2	35,2	38,2	41,2		
Общее снижение уровня звука препятствием Dz, дБ		Эн.сумма(-Dzi)	3,7	4,6	5,6	7	8,7	10,9	13,4	16,2	19		
Уровни звукового давления от источника ИШ-2-29 в расчётной точке днём, дБ		**ф-ла(3)[10]**	**0**	**26,5**	**26,8**	**26,3**	**24**	**20,3**	**12,4**	**0**	**0**	**25,1**	**25,1**
Уровни звукового давления от источника ИШ-2-29 в расчётной точке ночью, дБ		**ф-ла(3)[10]**	**0**	**26,5**	**26,8**	**26,3**	**24**	**20,3**	**12,4**	**0**	**0**	**25,1**	**25,1**
Источник шума: ИШ-2-4, координаты источника (x,y,z), м =[632.70,-65.30,3.00]													
Уровни звуковой мощности источника днём, Lw, дБ		**исходные данные**	**105**	**104**	**104**	**101**	**102**	**106**	**101**	**95**	**87**		
Уровни звуковой мощности источника ночью, Lw, дБ		**исходные данные**	**105**	**104**	**104**	**101**	**102**	**106**	**101**	**95**	**87**		
Поправка на телесный угол DΩ, дБ	Ω = 6.28	10Lg(4π/Ω)	**3**	3	3	3	3	3	3	3	3		
Показатель направленности источника Di, дБ		исходные данные	**0**	0	0	0	0	0	0	0	0		
Поправка на направленность источника Dc, дБ	Dc	DΩ + Di	**3**	3	3	3	3	3	3	3	3		
Затухание из-за геометрической дивергенции, Adiv, дБ	расстояние = 390.70 м	ф-ла (7) [10]	**62,8**										

1		2	3	4	5	6	7	8	9	10	11	12	13
Коэффициент затухания звука в атмосфере α, дБ/км	Ta=20,°C Pa=101.33,кПа hотн.=70%	ф-ла (5) [9]	0,02	0,09	0,33	1,12	2,79	4,98	9,04	23,09	77,63		
Учет затухания звука в атмосфере Aatm, дБ		ф-ла (8) [10]	0	0	0,1	0,4	1,1	1,9	3,5	9	30,3		
Снижение уровня звукового давления из-за влияния застройки между источником шума и расчетной точкой													
Снижение уровня звукового давления на пути над экраном, Dz1, дБ	z = 0.31м (разность путей)	ф-лы (14-18) [10]	4,9	5,2	5,7	7,1	9	11,3	13,9	16,6	19,5		
Снижение уровня звукового давления на пути слева от экрана, Dz2, дБ	z = 0.34м (разность путей)	ф-лы (14-18) [10]	6,3	7,4	9	11,1	13,6	16,3	19,1	22,1	25		
Снижение уровня звукового давления на пути справа от экрана, Dz3, дБ	z = 1.40м (разность путей)	ф-лы (14-18) [10]	9,1	11,3	13,7	16,4	19,3	22,2	25,2	28,2	31,2		
Общее снижение уровня звука препятствием Dz, дБ		Эн.сумма(-Dzi)	1,7	2,5	3,6	5,3	7,4	9,9	12,5	15,3	18,2		
Уровни звукового давления прямого звука от источника ИШ-2-4 в расчётной точке днём, дБ		**ф-ла(3)[10]**	**43,5**	**41,6**	**40,4**	**35,5**	**33,7**	**34,4**	**25,1**	**10,8**	**0**	**37,1**	**37,1**
Уровни звукового давления прямого звука от источника ИШ-2-4 в расчётной точке ночью, дБ		**ф-ла(3)[10]**	**43,5**	**41,6**	**40,4**	**35,5**	**33,7**	**34,4**	**25,1**	**10,8**	**0**	**37,1**	**37,1**
Расчёт отражённого звука													
Уровни звукового давления от мнимого источника ИШ-2-4_мн.(1) в расчётной точке днём, дБ		**ф-ла(3)[10]**	**0**	**0**	**0**	**0**	**0**	**0**	**0**	**0**	**0**	**0**	**0**
Уровни звукового давления от мнимого источника ИШ-2-4_мн.(1) в расчётной точке ночью, дБ		**ф-ла(3)[10]**	**0**	**0**	**0**	**0**	**0**	**0**	**0**	**0**	**0**	**0**	**0**
Уровни звукового давления от мнимого источника ИШ-2-4_мн.(2) в расчётной точке днём, дБ		**ф-ла(3)[10]**	**0**	**0**	**0**	**0**	**0**	**0**	**0**	**0**	**0**	**0**	**0**
Уровни звукового давления от мнимого источника ИШ-2-4_мн.(2) в расчётной точке ночью, дБ		**ф-ла(3)[10]**	**0**	**0**	**0**	**0**	**0**	**0**	**0**	**0**	**0**	**0**	**0**
Суммарные уровни звукового давления от мнимых источников в расчётной точке днём, дБ		**ф-ла (19) [1]**	**0**	**0**	**0**	**0**	**0**	**0**	**0**	**0**	**0**	**0**	**0**
Суммарные уровни звукового давления от мнимых источников в расчётной точке ночью, дБ		**ф-ла (19) [1]**	**0**	**0**	**0**	**0**	**0**	**0**	**0**	**0**	**0**	**0**	**0**
Уровни звукового давления от источника ИШ-2-4 в расчётной точке днём, дБ		**ф-ла(3)[10]**	**43,5**	**41,6**	**40,4**	**35,5**	**33,7**	**34,4**	**25,1**	**10,8**	**0**	**37,1**	**37,1**

1		2	3	4	5	6	7	8	9	10	11	12	13
Уровни звукового давления от источника ИШ-2-4 в расчётной точке ночью, дБ		**ф-ла(3)[10]**	**43,5**	**41,6**	**40,4**	**35,5**	**33,7**	**34,4**	**25,1**	**10,8**	**0**	**37,1**	**37,1**
Источник шума: ИШ-2-30, координаты источника (x,y,z), м =[702.44,-77.23,1.00]													
Уровни звуковой мощности источника днём, Lw, дБ		**исходные данные**	**0**	**93,3**	**94,7**	**96**	**96,3**	**95,9**	**92,6**	**88,4**	**83,9**		
Уровни звуковой мощности источника ночью, Lw, дБ		**исходные данные**	**0**	**93,3**	**94,7**	**96**	**96,3**	**95,9**	**92,6**	**88,4**	**83,9**		
Поправка на телесный угол DΩ, дБ	Ω = 6.28	10Lg(4π/Ω)	**3**	3	3	3	3	3	3	3	3		
Показатель направленности источника Di, дБ		исходные данные	**0**	0	0	0	0	0	0	0	0		
Поправка на направленность источника Dc, дБ	Dc	DΩ + Di	**3**	3	3	3	3	3	3	3	3		
Затухание из-за геометрической дивергенции, Adiv, дБ	расстояние = 452.80 м	ф-ла (7) [10]	**64,1**										
Коэффициент затухания звука в атмосфере α, дБ/км	Ta=20,°C Pa=101.33,кПа hотн.=70%	ф-ла (5) [9]	0,02	0,09	0,33	1,12	2,79	4,98	9,04	23,09	77,63		
Учет затухания звука в атмосфере Aatm, дБ		ф-ла (8) [10]	0	0	0,2	0,5	1,3	2,3	4,1	10,5	35,2		
Снижение поверхностью земли возле источника As, дБ	Gs = 0 hs = 1м	ф-лы таб.3 [10]	-1,5	-1,5	-1,5	-1,5	-1,5	-1,5	-1,5	-1,5	-1,5		
Снижение поверхностью земли возле приёмника Ar, дБ	Gr = 1 hr = 1.6м	ф-лы таб.3 [10]	-1,5	-1,5	2,7	6,8	4,3	0,5	0	0	0		
Снижение поверхностью земли в средней зоне, Am дБ	Gm = 1	ф-лы таб.3 [10]	-2,5	-2,5	0	0	0	0	0	0	0		
Суммарное снижение поверхностью земли на траектории распространения звука Agr, дБ		ф-ла (9) [10]	-5,5	-5,5	1,2	5,3	2,8	-1	-1,5	-1,5	-1,5		
Уровни звукового давления от источника ИШ-2-30 в расчётной точке днём, дБ		**ф-ла(3)[10]**	**0**	**37,6**	**32,2**	**29**	**31,1**	**33,5**	**28,9**	**18,3**	**0**	**36,2**	**36,2**
Уровни звукового давления от источника ИШ-2-30 в расчётной точке ночью, дБ		**ф-ла(3)[10]**	**0**	**37,6**	**32,2**	**29**	**31,1**	**33,5**	**28,9**	**18,3**	**0**	**36,2**	**36,2**

1		2	3	4	5	6	7	8	9	10	11	12	13
Источник шума: ИШ-2-31, координаты источника (x,y,z), м =[701.42,-80.17,1.00]													
Уровни звуковой мощности источника днём, Lw, дБ		**исходные данные**	**0**	**93,3**	**94,7**	**96**	**96,3**	**95,9**	**92,6**	**88,4**	**83,9**		
Уровни звуковой мощности источника ночью, Lw, дБ		**исходные данные**	**0**	**93,3**	**94,7**	**96**	**96,3**	**95,9**	**92,6**	**88,4**	**83,9**		
Поправка на телесный угол DΩ, дБ	Ω = 6.28	10Lg(4π/Ω)	**3**	3	3	3	3	3	3	3	3		
Показатель направленности источника Di, дБ		исходные данные	**0**	0	0	0	0	0	0	0	0		
Поправка на направленность источника Dc, дБ	Dc	DΩ + Di	**3**	3	3	3	3	3	3	3	3		
Затухание из-за геометрической дивергенции, Adiv, дБ	расстояние = 450.99 м	ф-ла (7) [10]	**64,1**										
Коэффициент затухания звука в атмосфере α, дБ/км	Ta=20,°C Pa=101.33,кПа hотн.=70%	ф-ла (5) [9]	0,02	0,09	0,33	1,12	2,79	4,98	9,04	23,09	77,63		
Учет затухания звука в атмосфере Aatm, дБ		ф-ла (8) [10]	0	0	0,2	0,5	1,3	2,2	4,1	10,4	35		
Снижение поверхностью земли возле источника As, дБ	Gs = 0 hs = 1м	ф-лы таб.3 [10]	-1,5	-1,5	-1,5	-1,5	-1,5	-1,5	-1,5	-1,5	-1,5		
Снижение поверхностью земли возле приёмника Ar, дБ	Gr = 1 hr = 1.6м	ф-лы таб.3 [10]	-1,5	-1,5	2,7	6,8	4,3	0,5	0	0	0		
Снижение поверхностью земли в средней зоне, Am дБ	Gm = 1	ф-лы таб.3 [10]	-2,5	-2,5	0	0	0	0	0	0	0		
Суммарное снижение поверхностью земли на траектории распространения звука Agr, дБ		ф-ла (9) [10]	-5,5	-5,5	1,2	5,3	2,8	-1	-1,5	-1,5	-1,5		
Уровни звукового давления от источника ИШ-2-31 в расчётной точке днём, дБ		**ф-ла(3)[10]**	**0**	**37,6**	**32,2**	**29,1**	**31,1**	**33,6**	**28,9**	**18,4**	**0**	**36,2**	**36,2**
Уровни звукового давления от источника ИШ-2-31 в расчётной точке ночью, дБ		**ф-ла(3)[10]**	**0**	**37,6**	**32,2**	**29,1**	**31,1**	**33,6**	**28,9**	**18,4**	**0**	**36,2**	**36,2**
Источник шума: ИШ-2-32, координаты источника (x,y,z), м =[700.38,-83.01,1.00]													

1		2	3	4	5	6	7	8	9	10	11	12	13
Уровни звуковой мощности источника днём, Lw, дБ		**исходные данные**	**0**	**93,3**	**94,7**	**96**	**96,3**	**95,9**	**92,6**	**88,4**	**83,9**		
Уровни звуковой мощности источника ночью, Lw, дБ		**исходные данные**	**0**	**93,3**	**94,7**	**96**	**96,3**	**95,9**	**92,6**	**88,4**	**83,9**		
Поправка на телесный угол DΩ, дБ	Ω = 6.28	10Lg(4π/Ω)	**3**	3	3	3	3	3	3	3	3		
Показатель направленности источника Di, дБ		исходные данные	**0**	0	0	0	0	0	0	0	0		
Поправка на направленность источника Dc, дБ	Dc	DΩ + Di	**3**	3	3	3	3	3	3	3	3		
Затухание из-за геометрической дивергенции, Adiv, дБ	расстояние = 449.19 м	ф-ла (7) [10]	**64**										
Коэффициент затухания звука в атмосфере α, дБ/км	Ta=20,°C Pa=101.33,кПа hотн.=70%	ф-ла (5) [9]	0,02	0,09	0,33	1,12	2,79	4,98	9,04	23,09	77,63		
Учет затухания звука в атмосфере Aatm, дБ		ф-ла (8) [10]	0	0	0,2	0,5	1,3	2,2	4,1	10,4	34,9		
Снижение уровня звукового давления из-за влияния застройки между источником шума и расчетной точкой													
Снижение уровня звукового давления препятствием слева от трассы ИШ-РТ, Dz2, дБ	z = -0.03м (разность путей)	ф-лы (14-18) [10]	4,6	4,5	4,1	3,4	1,4	NAN	NAN	NAN	NAN		
* отрицательное значение z означает прохождение траектории вблизи экрана, в этом случае дополнительно производится учёт снижения подстилающей поверхностью (см.ниже)													
Снижение поверхностью земли возле источника As, дБ	Gs = 0 hs = 1м	ф-лы таб.3 [10]	-1,5	-1,5	-1,5	-1,5	-1,5	-1,5	-1,5	-1,5	-1,5		
Снижение поверхностью земли возле приёмника Ar, дБ	Gr = 1 hr = 1.6м	ф-лы таб.3 [10]	-1,5	-1,5	2,7	6,8	4,3	0,5	0	0	0		
Снижение поверхностью земли в средней зоне, Am дБ	Gm = 1	ф-лы таб.3 [10]	-2,5	-2,5	0	0	0	0	0	0	0		
Суммарное снижение поверхностью земли на траектории распространения звука Agr, дБ		ф-ла (9) [10]	-5,5	-5,5	1,2	5,3	2,8	-1	-1,5	-1,5	-1,5		
Уровни звукового давления от источника ИШ-2-32 в расчётной точке днём, дБ		**ф-ла(3)[10]**	**0**	**33,2**	**28,1**	**25,7**	**29,7**	**33,6**	**29**	**18,5**	**0**	**36**	**36**
Уровни звукового давления от источника ИШ-2-32 в расчётной точке ночью, дБ		**ф-ла(3)[10]**	**0**	**33,2**	**28,1**	**25,7**	**29,7**	**33,6**	**29**	**18,5**	**0**	**36**	**36**

1		2	3	4	5	6	7	8	9	10	11	12	13
Источник шума: ИШ-2-33, координаты источника (x,y,z), м =[699.52,-85.98,1.00]													
Уровни звуковой мощности источника днём, Lw, дБ		**исходные данные**	**0**	**93,3**	**94,7**	**96**	**96,3**	**95,9**	**92,6**	**88,4**	**83,9**		
Уровни звуковой мощности источника ночью, Lw, дБ		**исходные данные**	**0**	**93,3**	**94,7**	**96**	**96,3**	**95,9**	**92,6**	**88,4**	**83,9**		
Поправка на телесный угол DΩ, дБ	Ω = 6.28	10Lg(4π/Ω)	**3**	3	3	3	3	3	3	3	3		
Показатель направленности источника Di, дБ		исходные данные	**0**	0	0	0	0	0	0	0	0		
Поправка на направленность источника Dc, дБ	Dc	DΩ + Di	**3**	3	3	3	3	3	3	3	3		
Затухание из-за геометрической дивергенции, Adiv, дБ	расстояние = 447.55 м	ф-ла (7) [10]	**64**										
Коэффициент затухания звука в атмосфере α, дБ/км	Ta=20,°C Pa=101.33,кПа hотн.=70%	ф-ла (5) [9]	0,02	0,09	0,33	1,12	2,79	4,98	9,04	23,09	77,63		
Учет затухания звука в атмосфере Aatm, дБ		ф-ла (8) [10]	0	0	0,1	0,5	1,2	2,2	4	10,3	34,7		
Снижение уровня звукового давления из-за влияния застройки между источником шума и расчетной точкой													
Снижение уровня звукового давления препятствием слева от трассы ИШ-РТ, Dz2, дБ	z = -0.02м (разность путей)	ф-лы (14-18) [10]	4,7	4,5	4,3	3,8	2,6	0	NAN	NAN	NAN		
* отрицательное значение z означает прохождение траектории вблизи экрана, в этом случае дополнительно производится учёт снижения подстилающей поверхностью (см.ниже)													
Снижение поверхностью земли возле источника As, дБ	Gs = 0 hs = 1м	ф-лы таб.3 [10]	-1,5	-1,5	-1,5	-1,5	-1,5	-1,5	-1,5	-1,5	-1,5		
Снижение поверхностью земли возле приёмника Ar, дБ	Gr = 1 hr = 1.6м	ф-лы таб.3 [10]	-1,5	-1,5	2,7	6,8	4,3	0,5	0	0	0		
Снижение поверхностью земли в средней зоне, Am дБ	Gm = 1	ф-лы таб.3 [10]	-2,5	-2,5	0	0	0	0	0	0	0		
Суммарное снижение поверхностью земли на траектории распространения звука Agr, дБ		ф-ла (9) [10]	-5,5	-5,5	1,2	5,3	2,8	-1	-1,5	-1,5	-1,5		
Уровни звукового давления от источника ИШ-2-33 в расчётной точке днём, дБ		**ф-ла(3)[10]**	**0**	**33,2**	**28**	**25,3**	**28,6**	**33,6**	**29**	**18,5**	**0**	**35,9**	**35,9**

1		2	3	4	5	6	7	8	9	10	11	12	13
Уровни звукового давления от источника ИШ-2-33 в расчётной точке ночью, дБ		**ф-ла(3)[10]**	**0**	**33,2**	**28**	**25,3**	**28,6**	**33,6**	**29**	**18,5**	**0**	**35,9**	**35,9**
Источник шума: ИШ-2-34, координаты источника (x,y,z), м =[698.43,-88.85,1.00]													
Уровни звуковой мощности источника днём, Lw, дБ		**исходные данные**	**0**	**93,3**	**94,7**	**96**	**96,3**	**95,9**	**92,6**	**88,4**	**83,9**		
Уровни звуковой мощности источника ночью, Lw, дБ		**исходные данные**	**0**	**93,3**	**94,7**	**96**	**96,3**	**95,9**	**92,6**	**88,4**	**83,9**		
Поправка на телесный угол DΩ, дБ	Ω = 6.28	10Lg(4π/Ω)	**3**	3	3	3	3	3	3	3	3		
Показатель направленности источника Di, дБ		исходные данные	**0**	0	0	0	0	0	0	0	0		
Поправка на направленность источника Dc, дБ	Dc	DΩ + Di	**3**	3	3	3	3	3	3	3	3		
Затухание из-за геометрической дивергенции, Adiv, дБ	расстояние = 445.73 м	ф-ла (7) [10]	**64**										
Коэффициент затухания звука в атмосфере α, дБ/км	Ta=20,°C Pa=101.33,кПа hотн.=70%	ф-ла (5) [9]	0,02	0,09	0,33	1,12	2,79	4,98	9,04	23,09	77,63		
Учет затухания звука в атмосфере Aatm, дБ		ф-ла (8) [10]	0	0	0,1	0,5	1,2	2,2	4	10,3	34,6		
Снижение уровня звукового давления из-за влияния застройки между источником шума и расчетной точкой													
Снижение уровня звукового давления препятствием слева от трассы ИШ-РТ, Dz2, дБ	z = -0.01м (разность путей)	ф-лы (14-18) [10]	4,7	4,6	4,5	4,1	3,3	1,1	NAN	NAN	NAN		
* отрицательное значение z означает прохождение траектории вблизи экрана, в этом случае дополнительно производится учёт снижения подстилающей поверхностью (см.ниже)													
Снижение поверхностью земли возле источника As, дБ	Gs = 0 hs = 1м	ф-лы таб.3 [10]	-1,5	-1,5	-1,5	-1,5	-1,5	-1,5	-1,5	-1,5	-1,5		
Снижение поверхностью земли возле приёмника Ar, дБ	Gr = 1 hr = 1.6м	ф-лы таб.3 [10]	-1,5	-1,5	2,7	6,8	4,3	0,5	0	0	0		
Снижение поверхностью земли в средней зоне, Am дБ	Gm = 1	ф-лы таб.3 [10]	-2,5	-2,5	0	0	0	0	0	0	0		
Суммарное снижение поверхностью земли на траектории распространения звука Agr, дБ		ф-ла (9) [10]	-5,5	-5,5	1,2	5,3	2,8	-1	-1,5	-1,5	-1,5		

1		2	3	4	5	6	7	8	9	10	11	12	13
Уровни звукового давления от источника ИШ-2-34 в расчётной точке днём, дБ		**ф-ла(3)[10]**	**0**	**33,1**	**27,9**	**25,1**	**27,9**	**32,5**	**29,1**	**18,6**	**0**	**35,2**	**35,2**
Уровни звукового давления от источника ИШ-2-34 в расчётной точке ночью, дБ		**ф-ла(3)[10]**	**0**	**33,1**	**27,9**	**25,1**	**27,9**	**32,5**	**29,1**	**18,6**	**0**	**35,2**	**35,2**
Источник шума: ИШ-2-35, координаты источника (x,y,z), м =[697.52,-91.66,1.00]													
Уровни звуковой мощности источника днём, Lw, дБ		**исходные данные**	**0**	**93,3**	**94,7**	**96**	**96,3**	**95,9**	**92,6**	**88,4**	**83,9**		
Уровни звуковой мощности источника ночью, Lw, дБ		**исходные данные**	**0**	**93,3**	**94,7**	**96**	**96,3**	**95,9**	**92,6**	**88,4**	**83,9**		
Поправка на телесный угол DΩ, дБ	Ω = 6.28	10Lg(4π/Ω)	**3**	3	3	3	3	3	3	3	3		
Показатель направленности источника Di, дБ		исходные данные	**0**	0	0	0	0	0	0	0	0		
Поправка на направленность источника Dc, дБ	Dc	DΩ + Di	**3**	3	3	3	3	3	3	3	3		
Затухание из-за геометрической дивергенции, Adiv, дБ	расстояние = 444.11 м	ф-ла (7) [10]	**63,9**										
Коэффициент затухания звука в атмосфере α, дБ/км	Ta=20,°C Pa=101.33,кПа hотн.=70%	ф-ла (5) [9]	0,02	0,09	0,33	1,12	2,79	4,98	9,04	23,09	77,63		
Учет затухания звука в атмосфере Aatm, дБ		ф-ла (8) [10]	0	0	0,1	0,5	1,2	2,2	4	10,3	34,5		
Снижение уровня звукового давления из-за влияния застройки между источником шума и расчетной точкой													
Снижение уровня звукового давления препятствием слева от трассы ИШ-РТ, Dz2, дБ	z = -0.01м (разность путей)	ф-лы (14-18) [10]	4,7	4,7	4,6	4,3	3,9	2,7	0	NAN	NAN		
* отрицательное значение z означает прохождение траектории вблизи экрана, в этом случае дополнительно производится учёт снижения подстилающей поверхностью (см.ниже)													
Снижение поверхностью земли возле источника As, дБ	Gs = 0 hs = 1м	ф-лы таб.3 [10]	-1,5	-1,5	-1,5	-1,5	-1,5	-1,5	-1,5	-1,5	-1,5		
Снижение поверхностью земли возле приёмника Ar, дБ	Gr = 1 hr = 1.6м	ф-лы таб.3 [10]	-1,5	-1,5	2,7	6,8	4,3	0,5	0	0	0		
Снижение поверхностью земли в средней зоне, Am дБ	Gm = 1	ф-лы таб.3 [10]	-2,5	-2,5	0	0	0	0	0	0	0		

1		2	3	4	5	6	7	8	9	10	11	12	13
Суммарное снижение поверхностью земли на траектории распространения звука Agr, дБ		ф-ла (9) [10]	-5,5	-5,5	1,2	5,3	2,8	-1	-1,5	-1,5	-1,5		
Уровни звукового давления от источника ИШ-2-35 в расчётной точке днём, дБ		**ф-ла(3)[10]**	**0**	**33,1**	**27,9**	**24,9**	**27,4**	**31**	**29,1**	**18,7**	**0**	**34,4**	**34,4**
Уровни звукового давления от источника ИШ-2-35 в расчётной точке ночью, дБ		**ф-ла(3)[10]**	**0**	**33,1**	**27,9**	**24,9**	**27,4**	**31**	**29,1**	**18,7**	**0**	**34,4**	**34,4**
Источник шума: ИШ-2-36, координаты источника (x,y,z), м =[696.58,-94.55,1.00]													
Уровни звуковой мощности источника днём, Lw, дБ		**исходные данные**	**0**	**93,3**	**94,7**	**96**	**96,3**	**95,9**	**92,6**	**88,4**	**83,9**		
Уровни звуковой мощности источника ночью, Lw, дБ		**исходные данные**	**0**	**93,3**	**94,7**	**96**	**96,3**	**95,9**	**92,6**	**88,4**	**83,9**		
Поправка на телесный угол DΩ, дБ	Ω = 6.28	10Lg(4π/Ω)	**3**	3	3	3	3	3	3	3	3		
Показатель направленности источника Di, дБ		исходные данные	**0**	0	0	0	0	0	0	0	0		
Поправка на направленность источника Dc, дБ	Dc	DΩ + Di	**3**	3	3	3	3	3	3	3	3		
Затухание из-за геометрической дивергенции, Adiv, дБ	расстояние = 442.46 м	ф-ла (7) [10]	**63,9**										
Коэффициент затухания звука в атмосфере α, дБ/км	Ta=20,°C Pa=101.33,кПа hотн.=70%	ф-ла (5) [9]	0,02	0,09	0,33	1,12	2,79	4,98	9,04	23,09	77,63		
Учет затухания звука в атмосфере Aatm, дБ		ф-ла (8) [10]	0	0	0,1	0,5	1,2	2,2	4	10,2	34,3		
Снижение уровня звукового давления из-за влияния застройки между источником шума и расчетной точкой													
Снижение уровня звукового давления препятствием слева от трассы ИШ-РТ, Dz2, дБ	z = -0.01м (разность путей)	ф-лы (14-18) [10]	4,7	4,7	4,6	4,5	4,3	3,7	2,2	0	NAN		
* отрицательное значение z означает прохождение траектории вблизи экрана, в этом случае дополнительно производится учёт снижения подстилающей поверхностью (см.ниже)													
Снижение поверхностью земли возле источника As, дБ	Gs = 0 hs = 1м	ф-лы таб.3 [10]	-1,5	-1,5	-1,5	-1,5	-1,5	-1,5	-1,5	-1,5	-1,5		
Снижение поверхностью земли возле приёмника Ar, дБ	Gr = 1 hr = 1.6м	ф-лы таб.3 [10]	-1,5	-1,5	2,7	6,8	4,3	0,5	0	0	0		

1		2	3	4	5	6	7	8	9	10	11	12	13
Снижение поверхностью земли в средней зоне, Am дБ	Gm = 1	ф-лы таб.3 [10]	-2,5	-2,5	0	0	0	0	0	0	0		
Суммарное снижение поверхностью земли на траектории распространения звука Agr, дБ		ф-ла (9) [10]	-5,5	-5,5	1,2	5,3	2,8	-1	-1,5	-1,5	-1,5		
Уровни звукового давления от источника ИШ-2-36 в расчётной точке днём, дБ		**ф-ла(3)[10]**	**0**	**33,1**	**27,8**	**24,7**	**27,1**	**30,1**	**26,9**	**18,8**	**0**	**33,2**	**33,2**
Уровни звукового давления от источника ИШ-2-36 в расчётной точке ночью, дБ		**ф-ла(3)[10]**	**0**	**33,1**	**27,8**	**24,7**	**27,1**	**30,1**	**26,9**	**18,8**	**0**	**33,2**	**33,2**
Источник шума: ИШ-2-37, координаты источника (x,y,z), м =[695.57,-97.37,1.00]													
Уровни звуковой мощности источника днём, Lw, дБ		**исходные данные**	**0**	**93,3**	**94,7**	**96**	**96,3**	**95,9**	**92,6**	**88,4**	**83,9**		
Уровни звуковой мощности источника ночью, Lw, дБ		**исходные данные**	**0**	**93,3**	**94,7**	**96**	**96,3**	**95,9**	**92,6**	**88,4**	**83,9**		
Поправка на телесный угол DΩ, дБ	Ω = 6.28	10Lg(4π/Ω)	**3**	3	3	3	3	3	3	3	3		
Показатель направленности источника Di, дБ		исходные данные	**0**	0	0	0	0	0	0	0	0		
Поправка на направленность источника Dc, дБ	Dc	DΩ + Di	**3**	3	3	3	3	3	3	3	3		
Затухание из-за геометрической дивергенции, Adiv, дБ	расстояние = 440.77 м	ф-ла (7) [10]	**63,9**										
Коэффициент затухания звука в атмосфере α, дБ/км	Ta=20,°C Pa=101.33,кПа hотн.=70%	ф-ла (5) [9]	0,02	0,09	0,33	1,12	2,79	4,98	9,04	23,09	77,63		
Учет затухания звука в атмосфере Aatm, дБ		ф-ла (8) [10]	0	0	0,1	0,5	1,2	2,2	4	10,2	34,2		
Снижение уровня звукового давления из-за влияния застройки между источником шума и расчетной точкой													
Снижение уровня звукового давления препятствием слева от трассы ИШ-РТ, Dz2, дБ	z = 0.00м (разность путей)	ф-лы (14-18) [10]	4,8	4,7	4,7	4,7	4,5	4,3	3,7	2,3	0		
* отрицательное значение z означает прохождение траектории вблизи экрана, в этом случае дополнительно производится учёт снижения подстилающей поверхностью (см.ниже)													
Снижение поверхностью земли возле источника As, дБ	Gs = 0 hs = 1м	ф-лы таб.3 [10]	-1,5	-1,5	-1,5	-1,5	-1,5	-1,5	-1,5	-1,5	-1,5		

1		2	3	4	5	6	7	8	9	10	11	12	13
Снижение поверхностью земли возле приёмника Ar, дБ	Gr = 1 hr = 1.6м	ф-лы таб.3 [10]	-1,5	-1,5	2,6	6,8	4,3	0,5	0	0	0		
Снижение поверхностью земли в средней зоне, Am дБ	Gm = 1	ф-лы таб.3 [10]	-2,5	-2,5	0	0	0	0	0	0	0		
Суммарное снижение поверхностью земли на траектории распространения звука Agr, дБ		ф-ла (9) [10]	-5,5	-5,5	1,1	5,3	2,8	-1	-1,5	-1,5	-1,5		
Уровни звукового давления от источника ИШ-2-37 в расчётной точке днём, дБ		**ф-ла(3)[10]**	**0**	**33,1**	**27,8**	**24,6**	**26,8**	**29,5**	**25,5**	**16,6**	**0**	**32,4**	**32,4**
Уровни звукового давления от источника ИШ-2-37 в расчётной точке ночью, дБ		**ф-ла(3)[10]**	**0**	**33,1**	**27,8**	**24,6**	**26,8**	**29,5**	**25,5**	**16,6**	**0**	**32,4**	**32,4**
Источник шума: ИШ-2-5, координаты источника (x,y,z), м =[618.60,-108.00,3.00]													
Уровни звуковой мощности источника днём, Lw, дБ		**исходные данные**	**105**	**104**	**104**	**101**	**102**	**106**	**101**	**95**	**87**		
Уровни звуковой мощности источника ночью, Lw, дБ		**исходные данные**	**105**	**104**	**104**	**101**	**102**	**106**	**101**	**95**	**87**		
Поправка на телесный угол DΩ, дБ	Ω = 6.28	10Lg(4π/Ω)	**3**	3	3	3	3	3	3	3	3		
Показатель направленности источника Di, дБ		исходные данные	**0**	0	0	0	0	0	0	0	0		
Поправка на направленность источника Dc, дБ	Dc	DΩ + Di	**3**	3	3	3	3	3	3	3	3		
Затухание из-за геометрической дивергенции, Adiv, дБ	расстояние = 363.69 м	ф-ла (7) [10]	**62,2**										
Коэффициент затухания звука в атмосфере α, дБ/км	Ta=20,°C Pa=101.33,кПа hотн.=70%	ф-ла (5) [9]	0,02	0,09	0,33	1,12	2,79	4,98	9,04	23,09	77,63		
Учет затухания звука в атмосфере Aatm, дБ		ф-ла (8) [10]	0	0	0,1	0,4	1	1,8	3,3	8,4	28,2		
Снижение уровня звукового давления из-за влияния застройки между источником шума и расчетной точкой													
Снижение уровня звукового давления препятствием слева от трассы ИШ-РТ, Dz2, дБ	z = -0.02м (разность путей)	ф-лы (14-18) [10]	4,6	4,5	4,3	3,7	2,2	0	NAN	NAN	NAN		
* отрицательное значение z означает прохождение траектории вблизи экрана, в этом случае дополнительно производится учёт снижения подстилающей поверхностью (см.ниже)													

1		2	3	4	5	6	7	8	9	10	11	12	13
Снижение поверхностью земли возле источника As, дБ	Gs = 0 hs = 3м	ф-лы таб.3 [10]	-1,5	-1,5	-1,5	-1,5	-1,5	-1,5	-1,5	-1,5	-1,5		
Снижение поверхностью земли возле приёмника Ar, дБ	Gr = 1 hr = 1.6м	ф-лы таб.3 [10]	-1,5	-1,5	2,1	6,8	4,3	0,5	0	0	0		
Снижение поверхностью земли в средней зоне, Am дБ	Gm = 1	ф-лы таб.3 [10]	-1,9	-1,9	0	0	0	0	0	0	0		
Суммарное снижение поверхностью земли на траектории распространения звука Agr, дБ		ф-ла (9) [10]	-4,9	-4,9	0,6	5,3	2,8	-1	-1,5	-1,5	-1,5		
Уровни звукового давления прямого звука от источника ИШ-2-5 в расчётной точке днём, дБ		**ф-ла(3)[10]**	**46**	**45,1**	**39,8**	**32,4**	**36,8**	**46**	**40**	**28,9**	**0**	**47,5**	**47,5**
Уровни звукового давления прямого звука от источника ИШ-2-5 в расчётной точке ночью, дБ		**ф-ла(3)[10]**	**46**	**45,1**	**39,8**	**32,4**	**36,8**	**46**	**40**	**28,9**	**0**	**47,5**	**47,5**
Расчёт отражённого звука													
Уровни звукового давления от мнимого источника ИШ-2-5_мн.(1) в расчётной точке днём, дБ		**ф-ла(3)[10]**	**0**	**0**	**0**	**0**	**0**	**0**	**0**	**0**	**0**	**0**	**0**
Уровни звукового давления от мнимого источника ИШ-2-5_мн.(1) в расчётной точке ночью, дБ		**ф-ла(3)[10]**	**0**	**0**	**0**	**0**	**0**	**0**	**0**	**0**	**0**	**0**	**0**
Уровни звукового давления от источника ИШ-2-5 в расчётной точке днём, дБ		**ф-ла(3)[10]**	**46**	**45,1**	**39,8**	**32,4**	**36,8**	**46**	**40**	**28,9**	**0**	**47,5**	**47,5**
Уровни звукового давления от источника ИШ-2-5 в расчётной точке ночью, дБ		**ф-ла(3)[10]**	**46**	**45,1**	**39,8**	**32,4**	**36,8**	**46**	**40**	**28,9**	**0**	**47,5**	**47,5**
Источник шума: ИШ-2-38, координаты источника (x,y,z), м =[688.13,-119.94,1.00]													
Уровни звуковой мощности источника днём, Lw, дБ		**исходные данные**	**0**	**93,3**	**94,7**	**96**	**96,3**	**95,9**	**92,6**	**88,4**	**83,9**		
Уровни звуковой мощности источника ночью, Lw, дБ		**исходные данные**	**0**	**93,3**	**94,7**	**96**	**96,3**	**95,9**	**92,6**	**88,4**	**83,9**		
Поправка на телесный угол DΩ, дБ	Ω = 6.28	10Lg(4π/Ω)	**3**	3	3	3	3	3	3	3	3		
Показатель направленности источника Di, дБ		исходные данные	**0**	0	0	0	0	0	0	0	0		
Поправка на направленность источника Dc, дБ	Dc	DΩ + Di	**3**	3	3	3	3	3	3	3	3		

1		2	3	4	5	6	7	8	9	10	11	12	13
Затухание из-за геометрической дивергенции, Adiv, дБ	расстояние = 428.40 м	ф-ла (7) [10]	**63,6**										
Коэффициент затухания звука в атмосфере α, дБ/км	Та=20,°С Ра=101.33,кПа hотн.=70%	ф-ла (5) [9]	0,02	0,09	0,33	1,12	2,79	4,98	9,04	23,09	77,63		
Учет затухания звука в атмосфере Aatm, дБ		ф-ла (8) [10]	0	0	0,1	0,5	1,2	2,1	3,9	9,9	33,3		
Снижение уровня звукового давления из-за влияния застройки между источником шума и расчетной точкой													
Снижение уровня звукового давления на пути над экраном, Dz1, дБ	z = 0.11м (разность путей)	ф-лы (14-18) [10]	4,8	4,9	5	5,2	5,8	7,1	9,5	12,2	15		
Снижение уровня звукового давления на пути слева от экрана, Dz2, дБ	z = 214.19м (разность путей)	ф-лы (14-18) [10]	32,8	36,5	39,7	42,7	45,8	48,8	51,8	54,8	57,8		
Снижение уровня звукового давления на пути справа от экрана, Dz3, дБ	z = 0.02м (разность путей)	ф-лы (14-18) [10]	4,9	5	5,1	5,5	6,1	7,1	8,5	10,5	12,9		
Общее снижение уровня звука препятствием Dz, дБ		Эн.сумма(-Dzi)	1,8	1,9	2	2,3	2,9	4,1	6	8,3	10,8		
Уровни звукового давления прямого звука от источника ИШ-2-38 в расчётной точке днём, дБ		**ф-ла(3)[10]**	**0**	**30,7**	**31,9**	**32,5**	**31,6**	**29,1**	**22,1**	**9,6**	**0**	**33**	**33**
Уровни звукового давления прямого звука от источника ИШ-2-38 в расчётной точке ночью, дБ		**ф-ла(3)[10]**	**0**	**30,7**	**31,9**	**32,5**	**31,6**	**29,1**	**22,1**	**9,6**	**0**	**33**	**33**
Расчёт отражённого звука													
Уровни звукового давления от мнимого источника ИШ-2-38_мн.(1) в расчётной точке днём, дБ		**ф-ла(3)[10]**	**0**	**0**	**0**	**0**	**0**	**0**	**0**	**0**	**0**	**0**	**0**
Уровни звукового давления от мнимого источника ИШ-2-38_мн.(1) в расчётной точке ночью, дБ		**ф-ла(3)[10]**	**0**	**0**	**0**	**0**	**0**	**0**	**0**	**0**	**0**	**0**	**0**
Уровни звукового давления от источника ИШ-2-38 в расчётной точке днём, дБ		**ф-ла(3)[10]**	**0**	**30,7**	**31,9**	**32,5**	**31,6**	**29,1**	**22,1**	**9,6**	**0**	**33**	**33**
Уровни звукового давления от источника ИШ-2-38 в расчётной точке ночью, дБ		**ф-ла(3)[10]**	**0**	**30,7**	**31,9**	**32,5**	**31,6**	**29,1**	**22,1**	**9,6**	**0**	**33**	**33**
Источник шума: ИШ-2-39, координаты источника (x,y,z), м =[687.11,-122.83,1.00]													

1		2	3	4	5	6	7	8	9	10	11	12	13
Уровни звуковой мощности источника днём, Lw, дБ		**исходные данные**	**0**	**93,3**	**94,7**	**96**	**96,3**	**95,9**	**92,6**	**88,4**	**83,9**		
Уровни звуковой мощности источника ночью, Lw, дБ		**исходные данные**	**0**	**93,3**	**94,7**	**96**	**96,3**	**95,9**	**92,6**	**88,4**	**83,9**		
Поправка на телесный угол DΩ, дБ	Ω = 6.28	10Lg(4π/Ω)	**3**	3	3	3	3	3	3	3	3		
Показатель направленности источника Di, дБ		исходные данные	**0**	0	0	0	0	0	0	0	0		
Поправка на направленность источника Dc, дБ	Dc	DΩ + Di	**3**	3	3	3	3	3	3	3	3		
Затухание из-за геометрической дивергенции, Adiv, дБ	расстояние = 426.82 м	ф-ла (7) [10]	**63,6**										
Коэффициент затухания звука в атмосфере α, дБ/км	Ta=20,°C Pa=101.33,кПа hотн.=70%	ф-ла (5) [9]	0,02	0,09	0,33	1,12	2,79	4,98	9,04	23,09	77,63		
Учет затухания звука в атмосфере Aatm, дБ		ф-ла (8) [10]	0	0	0,1	0,5	1,2	2,1	3,9	9,9	33,1		
Снижение уровня звукового давления из-за влияния застройки между источником шума и расчетной точкой													
Снижение уровня звукового давления на пути над экраном, Dz1, дБ	z = 0.11м (разность путей)	ф-лы (14-18) [10]	4,8	4,9	5	5,2	5,8	7,3	9,7	12,4	15,1		
Снижение уровня звукового давления на пути слева от экрана, Dz2, дБ	z = 213.95м (разность путей)	ф-лы (14-18) [10]	32,8	36,5	39,7	42,7	45,8	48,8	51,8	54,8	57,8		
Снижение уровня звукового давления на пути справа от экрана, Dz3, дБ	z = 0.02м (разность путей)	ф-лы (14-18) [10]	4,9	5	5,3	5,7	6,5	7,7	9,5	11,7	14,2		
Общее снижение уровня звука препятствием Dz, дБ		Эн.сумма(-Dzi)	1,9	1,9	2,1	2,5	3,1	4,5	6,6	9	11,6		
Уровни звукового давления от источника ИШ-2-39 в расчётной точке днём, дБ		**ф-ла(3)[10]**	**0**	**30,7**	**31,8**	**32,4**	**31,4**	**28,7**	**21,6**	**8,9**	**0**	**32,7**	**32,7**
Уровни звукового давления от источника ИШ-2-39 в расчётной точке ночью, дБ		**ф-ла(3)[10]**	**0**	**30,7**	**31,8**	**32,4**	**31,4**	**28,7**	**21,6**	**8,9**	**0**	**32,7**	**32,7**
Источник шума: ИШ-2-40, координаты источника (x,y,z), м =[686.10,-125.67,1.00]													

1		2	3	4	5	6	7	8	9	10	11	12	13
Уровни звуковой мощности источника днём, Lw, дБ		**исходные данные**	**0**	**93,3**	**94,7**	**96**	**96,3**	**95,9**	**92,6**	**88,4**	**83,9**		
Уровни звуковой мощности источника ночью, Lw, дБ		**исходные данные**	**0**	**93,3**	**94,7**	**96**	**96,3**	**95,9**	**92,6**	**88,4**	**83,9**		
Поправка на телесный угол DΩ, дБ	Ω = 6.28	10Lg(4π/Ω)	**3**	3	3	3	3	3	3	3	3		
Показатель направленности источника Di, дБ		исходные данные	**0**	0	0	0	0	0	0	0	0		
Поправка на направленность источника Dc, дБ	Dc	DΩ + Di	**3**	3	3	3	3	3	3	3	3		
Затухание из-за геометрической дивергенции, Adiv, дБ	расстояние = 425.27 м	ф-ла (7) [10]	**63,6**										
Коэффициент затухания звука в атмосфере α, дБ/км	Ta=20,°C Pa=101.33,кПа hотн.=70%	ф-ла (5) [9]	0,02	0,09	0,33	1,12	2,79	4,98	9,04	23,09	77,63		
Учет затухания звука в атмосфере Aatm, дБ		ф-ла (8) [10]	0	0	0,1	0,5	1,2	2,1	3,8	9,8	33		
Снижение уровня звукового давления из-за влияния застройки между источником шума и расчетной точкой													
Снижение уровня звукового давления на пути над экраном, Dz1, дБ	z = 0.11м (разность путей)	ф-лы (14-18) [10]	4,8	4,9	5	5,3	5,9	7,5	9,9	12,5	15,2		
Снижение уровня звукового давления на пути слева от экрана, Dz2, дБ	z = 213.71м (разность путей)	ф-лы (14-18) [10]	32,8	36,5	39,7	42,7	45,8	48,8	51,8	54,8	57,8		
Снижение уровня звукового давления на пути справа от экрана, Dz3, дБ	z = 0.03м (разность путей)	ф-лы (14-18) [10]	4,9	5,1	5,4	6	6,9	8,4	10,3	12,7	15,3		
Общее снижение уровня звука препятствием Dz, дБ		Эн.сумма(-Dzi)	1,9	2	2,2	2,6	3,4	4,9	7,1	9,6	12,3		
Уровни звукового давления от источника ИШ-2-40 в расчётной точке днём, дБ		**ф-ла(3)[10]**	**0**	**30,7**	**31,8**	**32,3**	**31,1**	**28,3**	**21,1**	**8,4**	**0**	**32,4**	**32,4**
Уровни звукового давления от источника ИШ-2-40 в расчётной точке ночью, дБ		**ф-ла(3)[10]**	**0**	**30,7**	**31,8**	**32,3**	**31,1**	**28,3**	**21,1**	**8,4**	**0**	**32,4**	**32,4**
Источник шума: ИШ-2-41, координаты источника (x,y,z), м =[685.14,-128.64,1.00]													

1		2	3	4	5	6	7	8	9	10	11	12	13
Уровни звуковой мощности источника днём, Lw, дБ		**исходные данные**	**0**	**93,3**	**94,7**	**96**	**96,3**	**95,9**	**92,6**	**88,4**	**83,9**		
Уровни звуковой мощности источника ночью, Lw, дБ		**исходные данные**	**0**	**93,3**	**94,7**	**96**	**96,3**	**95,9**	**92,6**	**88,4**	**83,9**		
Поправка на телесный угол DΩ, дБ	Ω = 6.28	10Lg(4π/Ω)	**3**	3	3	3	3	3	3	3	3		
Показатель направленности источника Di, дБ		исходные данные	**0**	0	0	0	0	0	0	0	0		
Поправка на направленность источника Dc, дБ	Dc	DΩ + Di	**3**	3	3	3	3	3	3	3	3		
Затухание из-за геометрической дивергенции, Adiv, дБ	расстояние = 423.77 м	ф-ла (7) [10]	**63,5**										
Коэффициент затухания звука в атмосфере α, дБ/км	Ta=20,°C Pa=101.33,кПа hотн.=70%	ф-ла (5) [9]	0,02	0,09	0,33	1,12	2,79	4,98	9,04	23,09	77,63		
Учет затухания звука в атмосфере Aatm, дБ		ф-ла (8) [10]	0	0	0,1	0,5	1,2	2,1	3,8	9,8	32,9		
Снижение уровня звукового давления из-за влияния застройки между источником шума и расчетной точкой													
Снижение уровня звукового давления на пути над экраном, Dz1, дБ	z = 0.11м (разность путей)	ф-лы (14-18) [10]	4,8	4,9	5	5,3	6	7,7	10	12,6	15,3		
Снижение уровня звукового давления на пути слева от экрана, Dz2, дБ	z = 213.46м (разность путей)	ф-лы (14-18) [10]	32,8	36,5	39,7	42,7	45,8	48,8	51,8	54,8	57,8		
Снижение уровня звукового давления на пути справа от экрана, Dz3, дБ	z = 0.04м (разность путей)	ф-лы (14-18) [10]	5	5,2	5,6	6,3	7,4	9,1	11,2	13,7	16,4		
Общее снижение уровня звука препятствием Dz, дБ		Эн.сумма(-Dzi)	1,9	2	2,3	2,8	3,7	5,3	7,6	10,1	12,8		
Уровни звукового давления от источника ИШ-2-41 в расчётной точке днём, дБ		**ф-ла(3)[10]**	**0**	**30,7**	**31,7**	**32,2**	**30,9**	**27,9**	**20,7**	**8**	**0**	**32,2**	**32,2**
Уровни звукового давления от источника ИШ-2-41 в расчётной точке ночью, дБ		**ф-ла(3)[10]**	**0**	**30,7**	**31,7**	**32,2**	**30,9**	**27,9**	**20,7**	**8**	**0**	**32,2**	**32,2**
Источник шума: ИШ-2-42, координаты источника (x,y,z), м =[684.20,-131.46,1.00]													

1		2	3	4	5	6	7	8	9	10	11	12	13
Уровни звуковой мощности источника днём, Lw, дБ		**исходные данные**	**0**	**93,3**	**94,7**	**96**	**96,3**	**95,9**	**92,6**	**88,4**	**83,9**		
Уровни звуковой мощности источника ночью, Lw, дБ		**исходные данные**	**0**	**93,3**	**94,7**	**96**	**96,3**	**95,9**	**92,6**	**88,4**	**83,9**		
Поправка на телесный угол DΩ, дБ	Ω = 6.28	10Lg(4π/Ω)	**3**	3	3	3	3	3	3	3	3		
Показатель направленности источника Di, дБ		исходные данные	**0**	0	0	0	0	0	0	0	0		
Поправка на направленность источника Dc, дБ	Dc	DΩ + Di	**3**	3	3	3	3	3	3	3	3		
Затухание из-за геометрической дивергенции, Adiv, дБ	расстояние = 422.33 м	ф-ла (7) [10]	**63,5**										
Коэффициент затухания звука в атмосфере α, дБ/км	Ta=20,°C Pa=101.33,кПа hотн.=70%	ф-ла (5) [9]	0,02	0,09	0,33	1,12	2,79	4,98	9,04	23,09	77,63		
Учет затухания звука в атмосфере Aatm, дБ		ф-ла (8) [10]	0	0	0,1	0,5	1,2	2,1	3,8	9,7	32,8		
Снижение уровня звукового давления из-за влияния застройки между источником шума и расчетной точкой													
Снижение уровня звукового давления на пути над экраном, Dz1, дБ	z = 0.11м (разность путей)	ф-лы (14-18) [10]	4,8	4,9	5	5,3	6,1	7,8	10,2	12,7	15,4		
Снижение уровня звукового давления на пути слева от экрана, Dz2, дБ	z = 213.22м (разность путей)	ф-лы (14-18) [10]	32,8	36,5	39,7	42,7	45,8	48,8	51,8	54,8	57,8		
Снижение уровня звукового давления на пути справа от экрана, Dz3, дБ	z = 0.05м (разность путей)	ф-лы (14-18) [10]	5	5,3	5,8	6,6	7,9	9,7	11,9	14,5	17,3		
Общее снижение уровня звука препятствием Dz, дБ		Эн.сумма(-Dzi)	1,9	2,1	2,4	2,9	3,9	5,7	7,9	10,5	13,2		
Уровни звукового давления от источника ИШ-2-42 в расчётной точке днём, дБ		**ф-ла(3)[10]**	**0**	**30,7**	**31,7**	**32,1**	**30,7**	**27,6**	**20,3**	**7,6**	**0**	**31,9**	**31,9**
Уровни звукового давления от источника ИШ-2-42 в расчётной точке ночью, дБ		**ф-ла(3)[10]**	**0**	**30,7**	**31,7**	**32,1**	**30,7**	**27,6**	**20,3**	**7,6**	**0**	**31,9**	**31,9**
Источник шума: ИШ-2-43, координаты источника (x,y,z), м =[683.13,-134.37,1.00]													

1		2	3	4	5	6	7	8	9	10	11	12	13
Уровни звуковой мощности источника днём, Lw, дБ		**исходные данные**	**0**	**93,3**	**94,7**	**96**	**96,3**	**95,9**	**92,6**	**88,4**	**83,9**		
Уровни звуковой мощности источника ночью, Lw, дБ		**исходные данные**	**0**	**93,3**	**94,7**	**96**	**96,3**	**95,9**	**92,6**	**88,4**	**83,9**		
Поправка на телесный угол DΩ, дБ	Ω = 6.28	10Lg(4π/Ω)	**3**	3	3	3	3	3	3	3	3		
Показатель направленности источника Di, дБ		исходные данные	**0**	0	0	0	0	0	0	0	0		
Поправка на направленность источника Dc, дБ	Dc	DΩ + Di	**3**	3	3	3	3	3	3	3	3		
Затухание из-за геометрической дивергенции, Adiv, дБ	расстояние = 420.77 м	ф-ла (7) [10]	**63,5**										
Коэффициент затухания звука в атмосфере α, дБ/км	Ta=20,°C Pa=101.33,кПа hотн.=70%	ф-ла (5) [9]	0,02	0,09	0,33	1,12	2,79	4,98	9,04	23,09	77,63		
Учет затухания звука в атмосфере Aatm, дБ		ф-ла (8) [10]	0	0	0,1	0,5	1,2	2,1	3,8	9,7	32,7		
Снижение уровня звукового давления из-за влияния застройки между источником шума и расчетной точкой													
Снижение уровня звукового давления на пути над экраном, Dz1, дБ	z = 0.11м (разность путей)	ф-лы (14-18) [10]	4,8	4,9	5	5,4	6,2	8	10,3	12,8	15,5		
Снижение уровня звукового давления на пути слева от экрана, Dz2, дБ	z = 212.97м (разность путей)	ф-лы (14-18) [10]	32,8	36,5	39,7	42,7	45,7	48,8	51,8	54,8	57,8		
Снижение уровня звукового давления на пути справа от экрана, Dz3, дБ	z = 0.07м (разность путей)	ф-лы (14-18) [10]	5,1	5,4	6	6,9	8,4	10,3	12,7	15,3	18,1		
Общее снижение уровня звука препятствием Dz, дБ		Эн.сумма(-Dzi)	2	2,1	2,5	3,1	4,2	6	8,3	10,9	13,6		
Уровни звукового давления от источника ИШ-2-43 в расчётной точке днём, дБ		**ф-ла(3)[10]**	**0**	**30,6**	**31,6**	**32**	**30,5**	**27,3**	**20**	**7,3**	**0**	**31,7**	**31,7**
Уровни звукового давления от источника ИШ-2-43 в расчётной точке ночью, дБ		**ф-ла(3)[10]**	**0**	**30,6**	**31,6**	**32**	**30,5**	**27,3**	**20**	**7,3**	**0**	**31,7**	**31,7**
Источник шума: ИШ-2-44, координаты источника (x,y,z), м =[682.20,-137.16,1.00]													

1		2	3	4	5	6	7	8	9	10	11	12	13
Уровни звуковой мощности источника днём, Lw, дБ		**исходные данные**	**0**	**93,3**	**94,7**	**96**	**96,3**	**95,9**	**92,6**	**88,4**	**83,9**		
Уровни звуковой мощности источника ночью, Lw, дБ		**исходные данные**	**0**	**93,3**	**94,7**	**96**	**96,3**	**95,9**	**92,6**	**88,4**	**83,9**		
Поправка на телесный угол DΩ, дБ	Ω = 6.28	10Lg(4π/Ω)	**3**	3	3	3	3	3	3	3	3		
Показатель направленности источника Di, дБ		исходные данные	**0**	0	0	0	0	0	0	0	0		
Поправка на направленность источника Dc, дБ	Dc	DΩ + Di	**3**	3	3	3	3	3	3	3	3		
Затухание из-за геометрической дивергенции, Adiv, дБ	расстояние = 419.37 м	ф-ла (7) [10]	**63,5**										
Коэффициент затухания звука в атмосфере α, дБ/км	Ta=20,°C Pa=101.33,кПа hотн.=70%	ф-ла (5) [9]	0,02	0,09	0,33	1,12	2,79	4,98	9,04	23,09	77,63		
Учет затухания звука в атмосфере Aatm, дБ		ф-ла (8) [10]	0	0	0,1	0,5	1,2	2,1	3,8	9,7	32,6		
Снижение уровня звукового давления из-за влияния застройки между источником шума и расчетной точкой													
Снижение уровня звукового давления на пути над экраном, Dz1, дБ	z = 0.11м (разность путей)	ф-лы (14-18) [10]	4,8	4,9	5	5,4	6,3	8,1	10,4	12,9	15,6		
Снижение уровня звукового давления на пути слева от экрана, Dz2, дБ	z = 212.73м (разность путей)	ф-лы (14-18) [10]	32,8	36,5	39,6	42,7	45,7	48,8	51,8	54,8	57,8		
Снижение уровня звукового давления на пути справа от экрана, Dz3, дБ	z = 0.08м (разность путей)	ф-лы (14-18) [10]	5,2	5,5	6,2	7,3	8,8	10,9	13,4	16,1	18,9		
Общее снижение уровня звука препятствием Dz, дБ		Эн.сумма(-Dzi)	2	2,2	2,6	3,2	4,4	6,3	8,6	11,2	13,9		
Уровни звукового давления от источника ИШ-2-44 в расчётной точке днём, дБ		**ф-ла(3)[10]**	**0**	**30,6**	**31,5**	**31,9**	**30,3**	**27,1**	**19,7**	**7,1**	**0**	**31,5**	**31,5**
Уровни звукового давления от источника ИШ-2-44 в расчётной точке ночью, дБ		**ф-ла(3)[10]**	**0**	**30,6**	**31,5**	**31,9**	**30,3**	**27,1**	**19,7**	**7,1**	**0**	**31,5**	**31,5**
Источник шума: ИШ-2-45, координаты источника (x,y,z), м =[681.26,-139.98,1.00]													

1		2	3	4	5	6	7	8	9	10	11	12	13
Уровни звуковой мощности источника днём, Lw, дБ		**исходные данные**	**0**	**93,3**	**94,7**	**96**	**96,3**	**95,9**	**92,6**	**88,4**	**83,9**		
Уровни звуковой мощности источника ночью, Lw, дБ		**исходные данные**	**0**	**93,3**	**94,7**	**96**	**96,3**	**95,9**	**92,6**	**88,4**	**83,9**		
Поправка на телесный угол DΩ, дБ	Ω = 6.28	10Lg(4π/Ω)	**3**	3	3	3	3	3	3	3	3		
Показатель направленности источника Di, дБ		исходные данные	**0**	0	0	0	0	0	0	0	0		
Поправка на направленность источника Dc, дБ	Dc	DΩ + Di	**3**	3	3	3	3	3	3	3	3		
Затухание из-за геометрической дивергенции, Adiv, дБ	расстояние = 417.98 м	ф-ла (7) [10]	**63,4**										
Коэффициент затухания звука в атмосфере α, дБ/км	Ta=20,°C Pa=101.33,кПа hотн.=70%	ф-ла (5) [9]	0,02	0,09	0,33	1,12	2,79	4,98	9,04	23,09	77,63		
Учет затухания звука в атмосфере Aatm, дБ		ф-ла (8) [10]	0	0	0,1	0,5	1,2	2,1	3,8	9,6	32,4		
Снижение уровня звукового давления из-за влияния застройки между источником шума и расчетной точкой													
Снижение уровня звукового давления на пути над экраном, Dz1, дБ	z = 0.11м (разность путей)	ф-лы (14-18) [10]	4,8	4,9	5	5,4	6,4	8,2	10,5	13	15,7		
Снижение уровня звукового давления на пути слева от экрана, Dz2, дБ	z = 212.49м (разность путей)	ф-лы (14-18) [10]	32,8	36,5	39,6	42,7	45,7	48,7	51,8	54,8	57,8		
Снижение уровня звукового давления на пути справа от экрана, Dz3, дБ	z = 0.09м (разность путей)	ф-лы (14-18) [10]	5,2	5,7	6,4	7,6	9,3	11,5	14	16,7	19,6		
Общее снижение уровня звука препятствием Dz, дБ		Эн.сумма(-Dzi)	2	2,3	2,7	3,4	4,6	6,5	8,9	11,4	14,2		
Уровни звукового давления от источника ИШ-2-45 в расчётной точке днём, дБ		**ф-ла(3)[10]**	**0**	**30,6**	**31,5**	**31,7**	**30,1**	**26,9**	**19,5**	**6,9**	**0**	**31,3**	**31,3**
Уровни звукового давления от источника ИШ-2-45 в расчётной точке ночью, дБ		**ф-ла(3)[10]**	**0**	**30,6**	**31,5**	**31,7**	**30,1**	**26,9**	**19,5**	**6,9**	**0**	**31,3**	**31,3**
Источник шума: ИШ-4-1, координаты источника (x,y,z), м =[141.82,201.03,1.00]													

1		2	3	4	5	6	7	8	9	10	11	12	13
Уровни звуковой мощности источника днём, Lw, дБ		**исходные данные**	**0**	**90,3**	**91,7**	**93**	**93,3**	**92,9**	**89,6**	**85,4**	**80,9**		
Уровни звуковой мощности источника ночью, Lw, дБ		**исходные данные**	**0**	**90,3**	**91,7**	**93**	**93,3**	**92,9**	**89,6**	**85,4**	**80,9**		
Поправка на телесный угол DΩ, дБ	Ω = 6.28	10Lg(4π/Ω)	**3**	3	3	3	3	3	3	3	3		
Показатель направленности источника Di, дБ		исходные данные	**0**	0	0	0	0	0	0	0	0		
Поправка на направленность источника Dc, дБ	Dc	DΩ + Di	**3**	3	3	3	3	3	3	3	3		
Затухание из-за геометрической дивергенции, Adiv, дБ	расстояние = 427.68 м	ф-ла (7) [10]	**63,6**										
Коэффициент затухания звука в атмосфере α, дБ/км	Ta=20,°C Pa=101.33,кПа hотн.=70%	ф-ла (5) [9]	0,02	0,09	0,33	1,12	2,79	4,98	9,04	23,09	77,63		
Учет затухания звука в атмосфере Aatm, дБ		ф-ла (8) [10]	0	0	0,1	0,5	1,2	2,1	3,9	9,9	33,2		
Снижение поверхностью земли возле источника As, дБ	Gs = 0 hs = 1м	ф-лы таб.3 [10]	-1,5	-1,5	-1,5	-1,5	-1,5	-1,5	-1,5	-1,5	-1,5		
Снижение поверхностью земли возле приёмника Ar, дБ	Gr = 1 hr = 1.6м	ф-лы таб.3 [10]	-1,5	-1,5	2,6	6,8	4,3	0,5	0	0	0		
Снижение поверхностью земли в средней зоне, Am дБ	Gm = 1	ф-лы таб.3 [10]	-2,5	-2,5	0	0	0	0	0	0	0		
Суммарное снижение поверхностью земли на траектории распространения звука Agr, дБ		ф-ла (9) [10]	-5,5	-5,5	1,1	5,3	2,8	-1	-1,5	-1,5	-1,5		
Уровни звукового давления прямого звука от источника ИШ-4-1 в расчётной точке днём, дБ		**ф-ла(3)[10]**	**0**	**35,1**	**29,9**	**26,6**	**28,7**	**31,1**	**26,6**	**16,4**	**0**	**33,8**	**33,8**
Уровни звукового давления прямого звука от источника ИШ-4-1 в расчётной точке ночью, дБ		**ф-ла(3)[10]**	**0**	**35,1**	**29,9**	**26,6**	**28,7**	**31,1**	**26,6**	**16,4**	**0**	**33,8**	**33,8**
Расчёт отражённого звука													
Уровни звукового давления от мнимого источника ИШ-4-1_мн.(1) в расчётной точке днём, дБ		**ф-ла(3)[10]**	**0**	**0**	**0**	**0**	**0**	**0**	**0**	**0**	**0**	**0**	**0**
Уровни звукового давления от мнимого источника ИШ-4-1_мн.(1) в расчётной точке ночью, дБ		**ф-ла(3)[10]**	**0**	**0**	**0**	**0**	**0**	**0**	**0**	**0**	**0**	**0**	**0**

1		2	3	4	5	6	7	8	9	10	11	12	13
Уровни звукового давления от мнимого источника ИШ-4-1_мн.(2) в расчётной точке днём, дБ		**ф-ла(3)[10]**	**0**	**0**	**0**	**16,2**	**17,3**	**26,6**	**24**	**13,8**	**0**	**29,3**	**29,3**
Уровни звукового давления от мнимого источника ИШ-4-1_мн.(2) в расчётной точке ночью, дБ		**ф-ла(3)[10]**	**0**	**0**	**0**	**0**	**0**	**0**	**0**	**0**	**0**	**29,3**	**29,3**
Суммарные уровни звукового давления от мнимых источников в расчётной точке днём, дБ		**ф-ла (19) [1]**	**0**	**0**	**0**	**16,2**	**17,3**	**26,6**	**24**	**13,8**	**0**	**0**	**29,3**
Суммарные уровни звукового давления от мнимых источников в расчётной точке ночью, дБ		**ф-ла (19) [1]**	**0**	**0**	**0**	**16,2**	**17,3**	**26,6**	**24**	**13,8**	**0**	**0**	**29,3**
Уровни звукового давления от источника ИШ-4-1 в расчётной точке днём, дБ		**ф-ла(3)[10]**	**0**	**35,1**	**29,9**	**26,9**	**29**	**32,4**	**28,5**	**18,3**	**0**	**35,1**	**35,1**
Уровни звукового давления от источника ИШ-4-1 в расчётной точке ночью, дБ		**ф-ла(3)[10]**	**0**	**35,1**	**29,9**	**26,9**	**29**	**32,4**	**28,5**	**18,3**	**0**	**35,1**	**35,1**
Источник шума: ИШ-4-2, координаты источника (x,y,z), м =[133.85,183.21,1.00]													
Уровни звуковой мощности источника днём, Lw, дБ		**исходные данные**	**0**	**90,3**	**91,7**	**93**	**93,3**	**92,9**	**89,6**	**85,4**	**80,9**		
Уровни звуковой мощности источника ночью, Lw, дБ		**исходные данные**	**0**	**90,3**	**91,7**	**93**	**93,3**	**92,9**	**89,6**	**85,4**	**80,9**		
Поправка на телесный угол DΩ, дБ	Ω = 6.28	10Lg(4π/Ω)	**3**	3	3	3	3	3	3	3	3		
Показатель направленности источника Di, дБ		исходные данные	**0**	0	0	0	0	0	0	0	0		
Поправка на направленность источника Dc, дБ	Dc	DΩ + Di	**3**	3	3	3	3	3	3	3	3		
Затухание из-за геометрической дивергенции, Adiv, дБ	расстояние = 413.23 м	ф-ла (7) [10]	**63,3**										
Коэффициент затухания звука в атмосфере α, дБ/км	Ta=20,°C Pa=101.33,кПа hотн.=70%	ф-ла (5) [9]	0,02	0,09	0,33	1,12	2,79	4,98	9,04	23,09	77,63		
Учет затухания звука в атмосфере Aatm, дБ		ф-ла (8) [10]	0	0	0,1	0,5	1,2	2,1	3,7	9,5	32,1		
Снижение поверхностью земли возле источника As, дБ	Gs = 0 hs = 1м	ф-лы таб.3 [10]	-1,5	-1,5	-1,5	-1,5	-1,5	-1,5	-1,5	-1,5	-1,5		

1		2	3	4	5	6	7	8	9	10	11	12	13
Снижение поверхностью земли возле приёмника Ar, дБ	Gr = 1 hr = 1.6м	ф-лы таб.3 [10]	-1,5	-1,5	2,5	6,8	4,3	0,5	0	0	0		
Снижение поверхностью земли в средней зоне, Am дБ	Gm = 1	ф-лы таб.3 [10]	-2,4	-2,4	0	0	0	0	0	0	0		
Суммарное снижение поверхностью земли на траектории распространения звука Agr, дБ		ф-ла (9) [10]	-5,4	-5,4	1	5,3	2,8	-1	-1,5	-1,5	-1,5		
Уровни звукового давления прямого звука от источника ИШ-4-2 в расчётной точке днём, дБ		**ф-ла(3)[10]**	**0**	**35,4**	**30,3**	**26,9**	**29**	**31,5**	**27**	**17**	**0**	**34,2**	**34,2**
Уровни звукового давления прямого звука от источника ИШ-4-2 в расчётной точке ночью, дБ		**ф-ла(3)[10]**	**0**	**35,4**	**30,3**	**26,9**	**29**	**31,5**	**27**	**17**	**0**	**34,2**	**34,2**
Расчёт отражённого звука													
Уровни звукового давления от мнимого источника ИШ-4-2_мн.(1) в расчётной точке днём, дБ		**ф-ла(3)[10]**	**0**	**0**	**0**	**0**	**0**	**0**	**0**	**0**	**0**	**0**	**0**
Уровни звукового давления от мнимого источника ИШ-4-2_мн.(1) в расчётной точке ночью, дБ		**ф-ла(3)[10]**	**0**	**0**	**0**	**0**	**0**	**0**	**0**	**0**	**0**	**0**	**0**
Уровни звукового давления от мнимого источника ИШ-4-2_мн.(2) в расчётной точке днём, дБ		**ф-ла(3)[10]**	**0**	**0**	**0**	**0**	**17,6**	**26,9**	**24,5**	**14,4**	**0**	**29,7**	**29,7**
Уровни звукового давления от мнимого источника ИШ-4-2_мн.(2) в расчётной точке ночью, дБ		**ф-ла(3)[10]**	**0**	**0**	**0**	**0**	**0**	**0**	**0**	**0**	**0**	**29,7**	**29,7**
Суммарные уровни звукового давления от мнимых источников в расчётной точке днём, дБ		**ф-ла (19) [1]**	**0**	**0**	**0**	**0**	**17,6**	**26,9**	**24,5**	**14,4**	**0**	**0**	**29,7**
Суммарные уровни звукового давления от мнимых источников в расчётной точке ночью, дБ		**ф-ла (19) [1]**	**0**	**0**	**0**	**0**	**17,6**	**26,9**	**24,5**	**14,4**	**0**	**0**	**29,7**
Уровни звукового давления от источника ИШ-4-2 в расчётной точке днём, дБ		**ф-ла(3)[10]**	**0**	**35,4**	**30,3**	**26,9**	**29,3**	**32,8**	**28,9**	**18,9**	**0**	**35,5**	**35,5**
Уровни звукового давления от источника ИШ-4-2 в расчётной точке ночью, дБ		**ф-ла(3)[10]**	**0**	**35,4**	**30,3**	**26,9**	**29,3**	**32,8**	**28,9**	**18,9**	**0**	**35,5**	**35,5**
Источник шума: ИШ-4-3, координаты источника (x,y,z), м =[152.61,172.66,1.00]													
Уровни звуковой мощности источника днём, Lw, дБ		**исходные данные**	**0**	**90,3**	**91,7**	**93**	**93,3**	**92,9**	**89,6**	**85,4**	**80,9**		
Уровни звуковой мощности источника ночью, Lw, дБ		**исходные данные**	**0**	**90,3**	**91,7**	**93**	**93,3**	**92,9**	**89,6**	**85,4**	**80,9**		

1		2	3	4	5	6	7	8	9	10	11	12	13
Поправка на телесный угол DΩ, дБ	Ω = 6.28	10Lg(4π/Ω)	**3**	3	3	3	3	3	3	3	3		
Показатель направленности источника Di, дБ		исходные данные	**0**	0	0	0	0	0	0	0	0		
Поправка на направленность источника Dc, дБ	Dc	DΩ + Di	**3**	3	3	3	3	3	3	3	3		
Затухание из-за геометрической дивергенции, Adiv, дБ	расстояние = 397.39 м	ф-ла (7) [10]	**63**										
Коэффициент затухания звука в атмосфере α, дБ/км	Ta=20,°C Pa=101.33,кПа hотн.=70%	ф-ла (5) [9]	0,02	0,09	0,33	1,12	2,79	4,98	9,04	23,09	77,63		
Учет затухания звука в атмосфере Aatm, дБ		ф-ла (8) [10]	0	0	0,1	0,4	1,1	2	3,6	9,2	30,9		
Снижение поверхностью земли возле источника As, дБ	Gs = 0 hs = 1м	ф-лы таб.3 [10]	-1,5	-1,5	-1,5	-1,5	-1,5	-1,5	-1,5	-1,5	-1,5		
Снижение поверхностью земли возле приёмника Ar, дБ	Gr = 1 hr = 1.6м	ф-лы таб.3 [10]	-1,5	-1,5	2,4	6,8	4,3	0,5	0	0	0		
Снижение поверхностью земли в средней зоне, Am дБ	Gm = 1	ф-лы таб.3 [10]	-2,4	-2,4	0	0	0	0	0	0	0		
Суммарное снижение поверхностью земли на траектории распространения звука Agr, дБ		ф-ла (9) [10]	-5,4	-5,4	0,9	5,3	2,8	-1	-1,5	-1,5	-1,5		
Уровни звукового давления прямого звука от источника ИШ-4-3 в расчётной точке днём, дБ		**ф-ла(3)[10]**	**0**	**35,7**	**30,7**	**27,2**	**29,4**	**31,9**	**27,5**	**17,7**	**0**	**34,6**	**34,6**
Уровни звукового давления прямого звука от источника ИШ-4-3 в расчётной точке ночью, дБ		**ф-ла(3)[10]**	**0**	**35,7**	**30,7**	**27,2**	**29,4**	**31,9**	**27,5**	**17,7**	**0**	**34,6**	**34,6**
Расчёт отражённого звука													
Уровни звукового давления от мнимого источника ИШ-4-3_мн.(1) в расчётной точке днём, дБ		**ф-ла(3)[10]**	**0**	**0**	**0**	**16,8**	**18**	**27,3**	**24,9**	**15,1**	**0**	**30,1**	**30,1**
Уровни звукового давления от мнимого источника ИШ-4-3_мн.(1) в расчётной точке ночью, дБ		**ф-ла(3)[10]**	**0**	**0**	**0**	**0**	**0**	**0**	**0**	**0**	**0**	**30,1**	**30,1**
Уровни звукового давления от источника ИШ-4-3 в расчётной точке днём, дБ		**ф-ла(3)[10]**	**0**	**35,7**	**30,7**	**27,6**	**29,7**	**33,2**	**29,4**	**19,6**	**0**	**35,9**	**35,9**
Уровни звукового давления от источника ИШ-4-3 в расчётной точке ночью, дБ		**ф-ла(3)[10]**	**0**	**35,7**	**30,7**	**27,6**	**29,7**	**33,2**	**29,4**	**19,6**	**0**	**35,9**	**35,9**

1		2	3	4	5	6	7	8	9	10	11	12	13
Источник шума: ИШ-4-4, координаты источника (x,y,z), м =[156.83,171.25,1.00]													
Уровни звуковой мощности источника днём, Lw, дБ		**исходные данные**	**0**	**90,3**	**91,7**	**93**	**93,3**	**92,9**	**89,6**	**85,4**	**80,9**		
Уровни звуковой мощности источника ночью, Lw, дБ		**исходные данные**	**0**	**90,3**	**91,7**	**93**	**93,3**	**92,9**	**89,6**	**85,4**	**80,9**		
Поправка на телесный угол DΩ, дБ	Ω = 6.28	10Lg(4π/Ω)	**3**	3	3	3	3	3	3	3	3		
Показатель направленности источника Di, дБ		исходные данные	**0**	0	0	0	0	0	0	0	0		
Поправка на направленность источника Dc, дБ	Dc	DΩ + Di	**3**	3	3	3	3	3	3	3	3		
Затухание из-за геометрической дивергенции, Adiv, дБ	расстояние = 394.83 м	ф-ла (7) [10]	**62,9**										
Коэффициент затухания звука в атмосфере α, дБ/км	Ta=20,°C Pa=101.33,кПа hотн.=70%	ф-ла (5) [9]	0,02	0,09	0,33	1,12	2,79	4,98	9,04	23,09	77,63		
Учет затухания звука в атмосфере Aatm, дБ		ф-ла (8) [10]	0	0	0,1	0,4	1,1	2	3,6	9,1	30,7		
Снижение поверхностью земли возле источника As, дБ	Gs = 0 hs = 1м	ф-лы таб.3 [10]	-1,5	-1,5	-1,5	-1,5	-1,5	-1,5	-1,5	-1,5	-1,5		
Снижение поверхностью земли возле приёмника Ar, дБ	Gr = 1 hr = 1.6м	ф-лы таб.3 [10]	-1,5	-1,5	2,4	6,8	4,3	0,5	0	0	0		
Снижение поверхностью земли в средней зоне, Am дБ	Gm = 1	ф-лы таб.3 [10]	-2,4	-2,4	0	0	0	0	0	0	0		
Суммарное снижение поверхностью земли на траектории распространения звука Agr, дБ		ф-ла (9) [10]	-5,4	-5,4	0,9	5,3	2,8	-1	-1,5	-1,5	-1,5		
Уровни звукового давления прямого звука от источника ИШ-4-4 в расчётной точке днём, дБ		**ф-ла(3)[10]**	**0**	**35,7**	**30,8**	**27,3**	**29,5**	**32**	**27,6**	**17,8**	**0**	**34,7**	**34,7**
Уровни звукового давления прямого звука от источника ИШ-4-4 в расчётной точке ночью, дБ		**ф-ла(3)[10]**	**0**	**35,7**	**30,8**	**27,3**	**29,5**	**32**	**27,6**	**17,8**	**0**	**34,7**	**34,7**
Расчёт отражённого звука													

1		2	3	4	5	6	7	8	9	10	11	12	13
Уровни звукового давления от мнимого источника ИШ-4-4_мн.(1) в расчётной точке днём, дБ		**ф-ла(3)[10]**	**0**	**0**	**0**	**16,9**	**18,1**	**27,4**	**25**	**15,2**	**0**	**30,2**	**30,2**
Уровни звукового давления от мнимого источника ИШ-4-4_мн.(1) в расчётной точке ночью, дБ		**ф-ла(3)[10]**	**0**	**0**	**0**	**0**	**0**	**0**	**0**	**0**	**0**	**30,2**	**30,2**
Уровни звукового давления от источника ИШ-4-4 в расчётной точке днём, дБ		**ф-ла(3)[10]**	**0**	**35,7**	**30,8**	**27,7**	**29,8**	**33,3**	**29,5**	**19,7**	**0**	**36**	**36**
Уровни звукового давления от источника ИШ-4-4 в расчётной точке ночью, дБ		**ф-ла(3)[10]**	**0**	**35,7**	**30,8**	**27,7**	**29,8**	**33,3**	**29,5**	**19,7**	**0**	**36**	**36**
Источник шума: ИШ-4-5, координаты источника (x,y,z), м =[126.48,222.66,11.00]													
Уровни звуковой мощности источника днём, Lw, дБ		**исходные данные**	**0**	**90,3**	**91,7**	**93**	**93,3**	**92,9**	**89,6**	**85,4**	**80,9**		
Уровни звуковой мощности источника ночью, Lw, дБ		**исходные данные**	**0**	**90,3**	**91,7**	**93**	**93,3**	**92,9**	**89,6**	**85,4**	**80,9**		
Поправка на телесный угол DΩ, дБ	Ω = 6.28	10Lg(4π/Ω)	**3**	3	3	3	3	3	3	3	3		
Показатель направленности источника Di, дБ		исходные данные	**0**	0	0	0	0	0	0	0	0		
Поправка на направленность источника Dc, дБ	Dc	DΩ + Di	**3**	3	3	3	3	3	3	3	3		
Затухание из-за геометрической дивергенции, Adiv, дБ	расстояние = 453.06 м	ф-ла (7) [10]	**64,1**										
Коэффициент затухания звука в атмосфере α, дБ/км	Ta=20,°C Pa=101.33,кПа hотн.=70%	ф-ла (5) [9]	0,02	0,09	0,33	1,12	2,79	4,98	9,04	23,09	77,63		
Учет затухания звука в атмосфере Aatm, дБ		ф-ла (8) [10]	0	0	0,2	0,5	1,3	2,3	4,1	10,5	35,2		
Снижение поверхностью земли возле источника As, дБ	Gs = 0 hs = 1м	ф-лы таб.3 [10]	-1,5	-1,5	-1,5	-1,5	-1,5	-1,5	-1,5	-1,5	-1,5		
Снижение поверхностью земли возле приёмника Ar, дБ	Gr = 1 hr = 1.6м	ф-лы таб.3 [10]	-1,5	-1,5	2,7	6,8	4,3	0,5	0	0	0		
Снижение поверхностью земли в средней зоне, Am дБ	Gm = 1	ф-лы таб.3 [10]	-2,5	-2,5	0	0	0	0	0	0	0		

1		2	3	4	5	6	7	8	9	10	11	12	13
Суммарное снижение поверхностью земли на траектории распространения звука Agr, дБ		ф-ла (9) [10]	-5,5	-5,5	1,2	5,3	2,8	-1	-1,5	-1,5	-1,5		
Уровни звукового давления прямого звука от источника ИШ-4-5 в расчётной точке днём, дБ		**ф-ла(3)[10]**	**0**	**34,6**	**29,2**	**26**	**28,1**	**30,5**	**25,9**	**15,3**	**0**	**33,2**	**33,2**
Уровни звукового давления прямого звука от источника ИШ-4-5 в расчётной точке ночью, дБ		**ф-ла(3)[10]**	**0**	**34,6**	**29,2**	**26**	**28,1**	**30,5**	**25,9**	**15,3**	**0**	**33,2**	**33,2**
Расчёт отражённого звука													
Уровни звукового давления от мнимого источника ИШ-4-5_мн.(1) в расчётной точке днём, дБ		**ф-ла(3)[10]**	**0**	**0**	**0**	**15,6**	**16,7**	**25,9**	**23,3**	**12,7**	**0**	**28,6**	**28,6**
Уровни звукового давления от мнимого источника ИШ-4-5_мн.(1) в расчётной точке ночью, дБ		**ф-ла(3)[10]**	**0**	**0**	**0**	**0**	**0**	**0**	**0**	**0**	**0**	**28,6**	**28,6**
Уровни звукового давления от источника ИШ-4-5 в расчётной точке днём, дБ		**ф-ла(3)[10]**	**0**	**34,6**	**29,2**	**26,4**	**28,4**	**31,8**	**27,8**	**17,2**	**0**	**34,5**	**34,5**
Уровни звукового давления от источника ИШ-4-5 в расчётной точке ночью, дБ		**ф-ла(3)[10]**	**0**	**34,6**	**29,2**	**26,4**	**28,4**	**31,8**	**27,8**	**17,2**	**0**	**34,5**	**34,5**
Источник шума: ИШ-4-6, координаты источника (x,y,z), м =[125.17,218.57,11.00]													
Уровни звуковой мощности источника днём, Lw, дБ		**исходные данные**	**0**	**90,3**	**91,7**	**93**	**93,3**	**92,9**	**89,6**	**85,4**	**80,9**		
Уровни звуковой мощности источника ночью, Lw, дБ		**исходные данные**	**0**	**90,3**	**91,7**	**93**	**93,3**	**92,9**	**89,6**	**85,4**	**80,9**		
Поправка на телесный угол DΩ, дБ	Ω = 6.28	10Lg(4π/Ω)	**3**	3	3	3	3	3	3	3	3		
Показатель направленности источника Di, дБ		исходные данные	**0**	0	0	0	0	0	0	0	0		
Поправка на направленность источника Dc, дБ	Dc	DΩ + Di	**3**	3	3	3	3	3	3	3	3		
Затухание из-за геометрической дивергенции, Adiv, дБ	расстояние = 449.60 м	ф-ла (7) [10]	**64,1**										
Коэффициент затухания звука в атмосфере α, дБ/км	Ta=20,°C Pa=101.33,кПа hотн.=70%	ф-ла (5) [9]	0,02	0,09	0,33	1,12	2,79	4,98	9,04	23,09	77,63		

1		2	3	4	5	6	7	8	9	10	11	12	13
Учет затухания звука в атмосфере Aatm, дБ		ф-ла (8) [10]	0	0	0,2	0,5	1,3	2,2	4,1	10,4	34,9		
Снижение поверхностью земли возле источника As, дБ	Gs = 0 hs = 1м	ф-лы таб.3 [10]	-1,5	-1,5	-1,5	-1,5	-1,5	-1,5	-1,5	-1,5	-1,5		
Снижение поверхностью земли возле приёмника Ar, дБ	Gr = 1 hr = 1.6м	ф-лы таб.3 [10]	-1,5	-1,5	2,7	6,8	4,3	0,5	0	0	0		
Снижение поверхностью земли в средней зоне, Am дБ	Gm = 1	ф-лы таб.3 [10]	-2,5	-2,5	0	0	0	0	0	0	0		
Суммарное снижение поверхностью земли на траектории распространения звука Agr, дБ		ф-ла (9) [10]	-5,5	-5,5	1,2	5,3	2,8	-1	-1,5	-1,5	-1,5		
Уровни звукового давления прямого звука от источника ИШ-4-6 в расчётной точке днём, дБ		**ф-ла(3)[10]**	**0**	**34,7**	**29,3**	**26,1**	**28,2**	**30,6**	**26**	**15,5**	**0**	**33,2**	**33,2**
Уровни звукового давления прямого звука от источника ИШ-4-6 в расчётной точке ночью, дБ		**ф-ла(3)[10]**	**0**	**34,7**	**29,3**	**26,1**	**28,2**	**30,6**	**26**	**15,5**	**0**	**33,2**	**33,2**
Расчёт отражённого звука													
Уровни звукового давления от мнимого источника ИШ-4-6_мн.(1) в расчётной точке днём, дБ		**ф-ла(3)[10]**	**0**	**0**	**0**	**0**	**16,8**	**26**	**23,4**	**12,8**	**0**	**28,7**	**28,7**
Уровни звукового давления от мнимого источника ИШ-4-6_мн.(1) в расчётной точке ночью, дБ		**ф-ла(3)[10]**	**0**	**0**	**0**	**0**	**0**	**0**	**0**	**0**	**0**	**28,7**	**28,7**
Уровни звукового давления от источника ИШ-4-6 в расчётной точке днём, дБ		**ф-ла(3)[10]**	**0**	**34,7**	**29,3**	**26,1**	**28,5**	**31,9**	**27,9**	**17,4**	**0**	**34,5**	**34,5**
Уровни звукового давления от источника ИШ-4-6 в расчётной точке ночью, дБ		**ф-ла(3)[10]**	**0**	**34,7**	**29,3**	**26,1**	**28,5**	**31,9**	**27,9**	**17,4**	**0**	**34,5**	**34,5**
Источник шума: ИШ-4-7, координаты источника (x,y,z), м =[177.91,257.92,11.00]													
Уровни звуковой мощности источника днём, Lw, дБ		**исходные данные**	**0**	**90,3**	**91,7**	**93**	**93,3**	**92,9**	**89,6**	**85,4**	**80,9**		
Уровни звуковой мощности источника ночью, Lw, дБ		**исходные данные**	**0**	**90,3**	**91,7**	**93**	**93,3**	**92,9**	**89,6**	**85,4**	**80,9**		
Поправка на телесный угол DΩ, дБ	Ω = 6.28	10Lg(4π/Ω)	**3**	3	3	3	3	3	3	3	3		
Показатель направленности источника Di, дБ		исходные данные	**0**	0	0	0	0	0	0	0	0		

1		2	3	4	5	6	7	8	9	10	11	12	13
Поправка на направленность источника Dc, дБ	Dc	DΩ + Di	**3**	3	3	3	3	3	3	3	3		
Затухание из-за геометрической дивергенции, Adiv, дБ	расстояние = 474.18 м	ф-ла (7) [10]	**64,5**										
Коэффициент затухания звука в атмосфере α, дБ/км	Ta=20,°C Pa=101.33,кПа hотн.=70%	ф-ла (5) [9]	0,02	0,09	0,33	1,12	2,79	4,98	9,04	23,09	77,63		
Учет затухания звука в атмосфере Aatm, дБ		ф-ла (8) [10]	0	0	0,2	0,5	1,3	2,4	4,3	10,9	36,8		
Снижение поверхностью земли возле источника As, дБ	Gs = 0 hs = 3м	ф-лы таб.3 [10]	-1,5	-1,5	-1,5	-1,5	-1,5	-1,5	-1,5	-1,5	-1,5		
Снижение поверхностью земли возле приёмника Ar, дБ	Gr = 1 hr = 1.6м	ф-лы таб.3 [10]	-1,5	-1,5	2,9	6,8	4,3	0,5	0	0	0		
Снижение поверхностью земли в средней зоне, Am дБ	Gm = 1	ф-лы таб.3 [10]	-2,1	-2,1	0	0	0	0	0	0	0		
Суммарное снижение поверхностью земли на траектории распространения звука Agr, дБ		ф-ла (9) [10]	-5,1	-5,1	1,4	5,3	2,8	-1	-1,5	-1,5	-1,5		
Уровни звукового давления прямого звука от источника ИШ-4-7 в расчётной точке днём, дБ		**ф-ла(3)[10]**	**0**	**33,9**	**28,7**	**25,6**	**27,6**	**30**	**25,3**	**14,4**	**0**	**32,6**	**32,6**
Уровни звукового давления прямого звука от источника ИШ-4-7 в расчётной точке ночью, дБ		**ф-ла(3)[10]**	**0**	**33,9**	**28,7**	**25,6**	**27,6**	**30**	**25,3**	**14,4**	**0**	**32,6**	**32,6**
Расчёт отражённого звука													
Уровни звукового давления от мнимого источника ИШ-4-7_мн.(1) в расчётной точке днём, дБ		**ф-ла(3)[10]**	**0**	**0**	**0**	**0**	**0**	**0**	**0**	**10,5**	**0**	**11,5**	**11,5**
Уровни звукового давления от мнимого источника ИШ-4-7_мн.(1) в расчётной точке ночью, дБ		**ф-ла(3)[10]**	**0**	**0**	**0**	**0**	**0**	**0**	**0**	**0**	**0**	**11,5**	**11,5**
Уровни звукового давления от мнимого источника ИШ-4-7_мн.(2) в расчётной точке днём, дБ		**ф-ла(3)[10]**	**0**	**0**	**23**	**19,2**	**24,9**	**27,5**	**22,7**	**11,8**	**0**	**29,9**	**29,9**
Уровни звукового давления от мнимого источника ИШ-4-7_мн.(2) в расчётной точке ночью, дБ		**ф-ла(3)[10]**	**0**	**0**	**0**	**0**	**0**	**0**	**0**	**0**	**0**	**29,9**	**29,9**
Суммарные уровни звукового давления от мнимых источников в расчётной точке днём, дБ		**ф-ла (19) [1]**	**0**	**0**	**23**	**19,2**	**24,9**	**27,5**	**22,7**	**14,2**	**0**	**0**	**30**
Суммарные уровни звукового давления от мнимых источников в расчётной точке ночью, дБ		**ф-ла (19) [1]**	**0**	**0**	**23**	**19,2**	**24,9**	**27,5**	**22,7**	**14,2**	**0**	**0**	**30**

1		2	3	4	5	6	7	8	9	10	11	12	13
Уровни звукового давления от источника ИШ-4-7 в расчётной точке днём, дБ		**ф-ла(3)[10]**	**0**	**33,9**	**29,7**	**26,5**	**29,5**	**31,9**	**27,2**	**17,3**	**0**	**34,5**	**34,5**
Уровни звукового давления от источника ИШ-4-7 в расчётной точке ночью, дБ		**ф-ла(3)[10]**	**0**	**33,9**	**29,7**	**26,5**	**29,5**	**31,9**	**27,2**	**17,3**	**0**	**34,5**	**34,5**
Источник шума: ИШ-4-8, координаты источника (x,y,z), м =[178.24,257.77,13.00]													
Уровни звуковой мощности источника днём, Lw, дБ		**исходные данные**	**0**	**90,3**	**91,7**	**93**	**93,3**	**92,9**	**89,6**	**85,4**	**80,9**		
Уровни звуковой мощности источника ночью, Lw, дБ		**исходные данные**	**0**	**90,3**	**91,7**	**93**	**93,3**	**92,9**	**89,6**	**85,4**	**80,9**		
Поправка на телесный угол DΩ, дБ	Ω = 6.28	10Lg(4π/Ω)	**3**	3	3	3	3	3	3	3	3		
Показатель направленности источника Di, дБ		исходные данные	**0**	0	0	0	0	0	0	0	0		
Поправка на направленность источника Dc, дБ	Dc	DΩ + Di	**3**	3	3	3	3	3	3	3	3		
Затухание из-за геометрической дивергенции, Adiv, дБ	расстояние = 474.01 м	ф-ла (7) [10]	**64,5**										
Коэффициент затухания звука в атмосфере α, дБ/км	Ta=20,°C Pa=101.33,кПа hотн.=70%	ф-ла (5) [9]	0,02	0,09	0,33	1,12	2,79	4,98	9,04	23,09	77,63		
Учет затухания звука в атмосфере Aatm, дБ		ф-ла (8) [10]	0	0	0,2	0,5	1,3	2,4	4,3	10,9	36,8		
Снижение поверхностью земли возле источника As, дБ	Gs = 0 hs = 5м	ф-лы таб.3 [10]	-1,5	-1,5	-1,5	-1,5	-1,5	-1,5	-1,5	-1,5	-1,5		
Снижение поверхностью земли возле приёмника Ar, дБ	Gr = 1 hr = 1.6м	ф-лы таб.3 [10]	-1,5	-1,5	2,9	6,8	4,3	0,5	0	0	0		
Снижение поверхностью земли в средней зоне, Am дБ	Gm = 1	ф-лы таб.3 [10]	-1,7	-1,7	0	0	0	0	0	0	0		
Суммарное снижение поверхностью земли на траектории распространения звука Agr, дБ		ф-ла (9) [10]	-4,7	-4,7	1,4	5,3	2,8	-1	-1,5	-1,5	-1,5		
Уровни звукового давления прямого звука от источника ИШ-4-8 в расчётной точке днём, дБ		**ф-ла(3)[10]**	**0**	**33,5**	**28,7**	**25,6**	**27,6**	**30**	**25,3**	**14,4**	**0**	**32,6**	**32,6**

1		2	3	4	5	6	7	8	9	10	11	12	13
Уровни звукового давления прямого звука от источника ИШ-4-8 в расчётной точке ночью, дБ		**ф-ла(3)[10]**	**0**	**33,5**	**28,7**	**25,6**	**27,6**	**30**	**25,3**	**14,4**	**0**	**32,6**	**32,6**
Расчёт отражённого звука													
Уровни звукового давления от мнимого источника ИШ-4-8_мн.(1) в расчётной точке днём, дБ		**ф-ла(3)[10]**	**0**	**0**	**22,8**	**22,2**	**25,1**	**27,5**	**22,7**	**11,8**	**0**	**30**	**30**
Уровни звукового давления от мнимого источника ИШ-4-8_мн.(1) в расчётной точке ночью, дБ		**ф-ла(3)[10]**	**0**	**0**	**0**	**0**	**0**	**0**	**0**	**0**	**0**	**30**	**30**
Уровни звукового давления от источника ИШ-4-8 в расчётной точке днём, дБ		**ф-ла(3)[10]**	**0**	**33,5**	**29,7**	**27,2**	**29,6**	**31,9**	**27,2**	**16,3**	**0**	**34,5**	**34,5**
Уровни звукового давления от источника ИШ-4-8 в расчётной точке ночью, дБ		**ф-ла(3)[10]**	**0**	**33,5**	**29,7**	**27,2**	**29,6**	**31,9**	**27,2**	**16,3**	**0**	**34,5**	**34,5**
Источник шума: ИШ-4-9, координаты источника (x,y,z), м =[178.68,257.63,15.50]													
Уровни звуковой мощности источника днём, Lw, дБ		**исходные данные**	**0**	**90,3**	**91,7**	**93**	**93,3**	**92,9**	**89,6**	**85,4**	**80,9**		
Уровни звуковой мощности источника ночью, Lw, дБ		**исходные данные**	**0**	**90,3**	**91,7**	**93**	**93,3**	**92,9**	**89,6**	**85,4**	**80,9**		
Поправка на телесный угол DΩ, дБ	Ω = 6.28	10Lg(4π/Ω)	**3**	3	3	3	3	3	3	3	3		
Показатель направленности источника Di, дБ		исходные данные	**0**	0	0	0	0	0	0	0	0		
Поправка на направленность источника Dc, дБ	Dc	DΩ + Di	**3**	3	3	3	3	3	3	3	3		
Затухание из-за геометрической дивергенции, Adiv, дБ	расстояние = 473.86 м	ф-ла (7) [10]	**64,5**										
Коэффициент затухания звука в атмосфере α, дБ/км	Ta=20,°C Pa=101.33,кПа hотн.=70%	ф-ла (5) [9]	0,02	0,09	0,33	1,12	2,79	4,98	9,04	23,09	77,63		
Учет затухания звука в атмосфере Aatm, дБ		ф-ла (8) [10]	0	0	0,2	0,5	1,3	2,4	4,3	10,9	36,8		
Снижение поверхностью земли возле источника As, дБ	Gs = 0 hs = 7.5м	ф-лы таб.3 [10]	-1,5	-1,5	-1,5	-1,5	-1,5	-1,5	-1,5	-1,5	-1,5		

1		2	3	4	5	6	7	8	9	10	11	12	13
Снижение поверхностью земли возле приёмника Ar, дБ	Gr = 1 hr = 1.6м	ф-лы таб.3 [10]	-1,5	-1,5	2,9	6,8	4,3	0,5	0	0	0		
Снижение поверхностью земли в средней зоне, Am дБ	Gm = 1	ф-лы таб.3 [10]	-1,3	-1,3	0	0	0	0	0	0	0		
Суммарное снижение поверхностью земли на траектории распространения звука Agr, дБ		ф-ла (9) [10]	-4,3	-4,3	1,4	5,3	2,8	-1	-1,5	-1,5	-1,5		
Уровни звукового давления прямого звука от источника ИШ-4-9 в расчётной точке днём, дБ		**ф-ла(3)[10]**	**0**	**33**	**28,7**	**25,6**	**27,6**	**30**	**25,3**	**14,4**	**0**	**32,6**	**32,6**
Уровни звукового давления прямого звука от источника ИШ-4-9 в расчётной точке ночью, дБ		**ф-ла(3)[10]**	**0**	**33**	**28,7**	**25,6**	**27,6**	**30**	**25,3**	**14,4**	**0**	**32,6**	**32,6**
Расчёт отражённого звука													
Уровни звукового давления от мнимого источника ИШ-4-9_мн.(1) в расчётной точке днём, дБ		**ф-ла(3)[10]**	**0**	**0**	**24,7**	**23**	**25,1**	**27,5**	**22,7**	**11,8**	**0**	**30,1**	**30,1**
Уровни звукового давления от мнимого источника ИШ-4-9_мн.(1) в расчётной точке ночью, дБ		**ф-ла(3)[10]**	**0**	**0**	**0**	**0**	**0**	**0**	**0**	**0**	**0**	**30,1**	**30,1**
Уровни звукового давления от источника ИШ-4-9 в расчётной точке днём, дБ		**ф-ла(3)[10]**	**0**	**33**	**30,1**	**27,5**	**29,6**	**31,9**	**27,2**	**16,3**	**0**	**34,6**	**34,6**
Уровни звукового давления от источника ИШ-4-9 в расчётной точке ночью, дБ		**ф-ла(3)[10]**	**0**	**33**	**30,1**	**27,5**	**29,6**	**31,9**	**27,2**	**16,3**	**0**	**34,6**	**34,6**
Источник шума: ИШ-4-10, координаты источника (x,y,z), м =[185.65,255.31,11.00]													
Уровни звуковой мощности источника днём, Lw, дБ		**исходные данные**	**0**	**90,3**	**91,7**	**93**	**93,3**	**92,9**	**89,6**	**85,4**	**80,9**		
Уровни звуковой мощности источника ночью, Lw, дБ		**исходные данные**	**0**	**90,3**	**91,7**	**93**	**93,3**	**92,9**	**89,6**	**85,4**	**80,9**		
Поправка на телесный угол DΩ, дБ	Ω = 6.28	10Lg(4π/Ω)	**3**	3	3	3	3	3	3	3	3		
Показатель направленности источника Di, дБ		исходные данные	**0**	0	0	0	0	0	0	0	0		
Поправка на направленность источника Dc, дБ	Dc	DΩ + Di	**3**	3	3	3	3	3	3	3	3		
Затухание из-за геометрической дивергенции, Adiv, дБ	расстояние = 470.18 м	ф-ла (7) [10]	**64,4**										

1		2	3	4	5	6	7	8	9	10	11	12	13
Коэффициент затухания звука в атмосфере α, дБ/км	Ta=20,°C Pa=101.33,кПа hотн.=70%	ф-ла (5) [9]	0,02	0,09	0,33	1,12	2,79	4,98	9,04	23,09	77,63		
Учет затухания звука в атмосфере Aatm, дБ		ф-ла (8) [10]	0	0	0,2	0,5	1,3	2,3	4,3	10,9	36,5		
Снижение поверхностью земли возле источника As, дБ	Gs = 0 hs = 3м	ф-лы таб.3 [10]	-1,5	-1,5	-1,5	-1,5	-1,5	-1,5	-1,5	-1,5	-1,5		
Снижение поверхностью земли возле приёмника Ar, дБ	Gr = 1 hr = 1.6м	ф-лы таб.3 [10]	-1,5	-1,5	2,8	6,8	4,3	0,5	0	0	0		
Снижение поверхностью земли в средней зоне, Am дБ	Gm = 1	ф-лы таб.3 [10]	-2,1	-2,1	0	0	0	0	0	0	0		
Суммарное снижение поверхностью земли на траектории распространения звука Agr, дБ		ф-ла (9) [10]	-5,1	-5,1	1,3	5,3	2,8	-1	-1,5	-1,5	-1,5		
Уровни звукового давления прямого звука от источника ИШ-4-10 в расчётной точке днём, дБ		**ф-ла(3)[10]**	**0**	**33,9**	**28,8**	**25,7**	**27,7**	**30,1**	**25,4**	**14,6**	**0**	**32,7**	**32,7**
Уровни звукового давления прямого звука от источника ИШ-4-10 в расчётной точке ночью, дБ		**ф-ла(3)[10]**	**0**	**33,9**	**28,8**	**25,7**	**27,7**	**30,1**	**25,4**	**14,6**	**0**	**32,7**	**32,7**
Расчёт отражённого звука													
Уровни звукового давления от мнимого источника ИШ-4-10_мн.(1) в расчётной точке днём, дБ		**ф-ла(3)[10]**	**0**	**0**	**0**	**0**	**0**	**0**	**0**	**0**	**0**	**0**	**0**
Уровни звукового давления от мнимого источника ИШ-4-10_мн.(1) в расчётной точке ночью, дБ		**ф-ла(3)[10]**	**0**	**0**	**0**	**0**	**0**	**0**	**0**	**0**	**0**	**0**	**0**
Уровни звукового давления от мнимого источника ИШ-4-10_мн.(2) в расчётной точке днём, дБ		**ф-ла(3)[10]**	**0**	**32,9**	**23,1**	**19,3**	**25**	**27,5**	**22,8**	**12**	**0**	**30,1**	**30,1**
Уровни звукового давления от мнимого источника ИШ-4-10_мн.(2) в расчётной точке ночью, дБ		**ф-ла(3)[10]**	**32,9**	**32,9**	**32,9**	**32,9**	**32,9**	**32,9**	**32,9**	**32,9**	**32,9**	**30,1**	**30,1**
Суммарные уровни звукового давления от мнимых источников в расчётной точке днём, дБ		**ф-ла (19) [1]**	**0**	**32,9**	**23,1**	**19,3**	**25**	**27,5**	**22,8**	**12**	**0**	**0**	**30,1**
Суммарные уровни звукового давления от мнимых источников в расчётной точке ночью, дБ		**ф-ла (19) [1]**	**0**	**32,9**	**23,1**	**19,3**	**25**	**27,5**	**22,8**	**12**	**0**	**0**	**30,1**
Уровни звукового давления от источника ИШ-4-10 в расчётной точке днём, дБ		**ф-ла(3)[10]**	**0**	**36,4**	**29,8**	**26,6**	**29,6**	**32**	**27,3**	**16,5**	**0**	**34,6**	**34,6**
Уровни звукового давления от источника ИШ-4-10 в расчётной точке ночью, дБ		**ф-ла(3)[10]**	**0**	**36,4**	**29,8**	**26,6**	**29,6**	**32**	**27,3**	**16,5**	**0**	**34,6**	**34,6**

1		2	3	4	5	6	7	8	9	10	11	12	13
Источник шума: ИШ-4-11, координаты источника (x,y,z), м =[185.89,255.16,13.00]													
Уровни звуковой мощности источника днём, Lw, дБ		**исходные данные**	**0**	**90,3**	**91,7**	**93**	**93,3**	**92,9**	**89,6**	**85,4**	**80,9**		
Уровни звуковой мощности источника ночью, Lw, дБ		**исходные данные**	**0**	**90,3**	**91,7**	**93**	**93,3**	**92,9**	**89,6**	**85,4**	**80,9**		
Поправка на телесный угол DΩ, дБ	Ω = 6.28	10Lg(4π/Ω)	**3**	3	3	3	3	3	3	3	3		
Показатель направленности источника Di, дБ		исходные данные	**0**	0	0	0	0	0	0	0	0		
Поправка на направленность источника Dc, дБ	Dc	DΩ + Di	**3**	3	3	3	3	3	3	3	3		
Затухание из-за геометрической дивергенции, Adiv, дБ	расстояние = 470.04 м	ф-ла (7) [10]	**64,4**										
Коэффициент затухания звука в атмосфере α, дБ/км	Ta=20,°C Pa=101.33,кПа hотн.=70%	ф-ла (5) [9]	0,02	0,09	0,33	1,12	2,79	4,98	9,04	23,09	77,63		
Учет затухания звука в атмосфере Aatm, дБ		ф-ла (8) [10]	0	0	0,2	0,5	1,3	2,3	4,2	10,9	36,5		
Снижение поверхностью земли возле источника As, дБ	Gs = 0 hs = 5м	ф-лы таб.3 [10]	-1,5	-1,5	-1,5	-1,5	-1,5	-1,5	-1,5	-1,5	-1,5		
Снижение поверхностью земли возле приёмника Ar, дБ	Gr = 1 hr = 1.6м	ф-лы таб.3 [10]	-1,5	-1,5	2,8	6,8	4,3	0,5	0	0	0		
Снижение поверхностью земли в средней зоне, Am дБ	Gm = 1	ф-лы таб.3 [10]	-1,7	-1,7	0	0	0	0	0	0	0		
Суммарное снижение поверхностью земли на траектории распространения звука Agr, дБ		ф-ла (9) [10]	-4,7	-4,7	1,3	5,3	2,8	-1	-1,5	-1,5	-1,5		
Уровни звукового давления прямого звука от источника ИШ-4-11 в расчётной точке днём, дБ		**ф-ла(3)[10]**	**0**	**33,5**	**28,8**	**25,7**	**27,7**	**30,1**	**25,4**	**14,6**	**0**	**32,7**	**32,7**
Уровни звукового давления прямого звука от источника ИШ-4-11 в расчётной точке ночью, дБ		**ф-ла(3)[10]**	**0**	**33,5**	**28,8**	**25,7**	**27,7**	**30,1**	**25,4**	**14,6**	**0**	**32,7**	**32,7**
Расчёт отражённого звука													

1		2	3	4	5	6	7	8	9	10	11	12	13
Уровни звукового давления от мнимого источника ИШ-4-11_мн.(1) в расчётной точке днём, дБ		**ф-ла(3)[10]**	**0**	**32,5**	**22,9**	**22,2**	**25,2**	**27,6**	**22,8**	**12**	**0**	**30,1**	**30,1**
Уровни звукового давления от мнимого источника ИШ-4-11_мн.(1) в расчётной точке ночью, дБ		**ф-ла(3)[10]**	**0**	**0**	**0**	**0**	**0**	**0**	**0**	**0**	**0**	**30,1**	**30,1**
Уровни звукового давления от источника ИШ-4-11 в расчётной точке днём, дБ		**ф-ла(3)[10]**	**0**	**36,1**	**29,8**	**27,3**	**29,6**	**32**	**27,3**	**16,5**	**0**	**34,6**	**34,6**
Уровни звукового давления от источника ИШ-4-11 в расчётной точке ночью, дБ		**ф-ла(3)[10]**	**0**	**36,1**	**29,8**	**27,3**	**29,6**	**32**	**27,3**	**16,5**	**0**	**34,6**	**34,6**
Источник шума: ИШ-4-12, координаты источника (x,y,z), м =[186.18,255.02,15.50]													
Уровни звуковой мощности источника днём, Lw, дБ		**исходные данные**	**0**	**90,3**	**91,7**	**93**	**93,3**	**92,9**	**89,6**	**85,4**	**80,9**		
Уровни звуковой мощности источника ночью, Lw, дБ		**исходные данные**	**0**	**90,3**	**91,7**	**93**	**93,3**	**92,9**	**89,6**	**85,4**	**80,9**		
Поправка на телесный угол DΩ, дБ	Ω = 6.28	10Lg(4π/Ω)	**3**	3	3	3	3	3	3	3	3		
Показатель направленности источника Di, дБ		исходные данные	**0**	0	0	0	0	0	0	0	0		
Поправка на направленность источника Dc, дБ	Dc	DΩ + Di	**3**	3	3	3	3	3	3	3	3		
Затухание из-за геометрической дивергенции, Adiv, дБ	расстояние = 469.92 м	ф-ла (7) [10]	**64,4**										
Коэффициент затухания звука в атмосфере α, дБ/км	Ta=20,°C Pa=101.33,кПа hотн.=70%	ф-ла (5) [9]	0,02	0,09	0,33	1,12	2,79	4,98	9,04	23,09	77,63		
Учет затухания звука в атмосфере Aatm, дБ		ф-ла (8) [10]	0	0	0,2	0,5	1,3	2,3	4,2	10,8	36,5		
Снижение поверхностью земли возле источника As, дБ	Gs = 0 hs = 7.5м	ф-лы таб.3 [10]	-1,5	-1,5	-1,5	-1,5	-1,5	-1,5	-1,5	-1,5	-1,5		
Снижение поверхностью земли возле приёмника Ar, дБ	Gr = 1 hr = 1.6м	ф-лы таб.3 [10]	-1,5	-1,5	2,8	6,8	4,3	0,5	0	0	0		
Снижение поверхностью земли в средней зоне, Am дБ	Gm = 1	ф-лы таб.3 [10]	-1,3	-1,3	0	0	0	0	0	0	0		

1		2	3	4	5	6	7	8	9	10	11	12	13
Суммарное снижение поверхностью земли на траектории распространения звука Agr, дБ		ф-ла (9) [10]	-4,3	-4,3	1,3	5,3	2,8	-1	-1,5	-1,5	-1,5		
Уровни звукового давления прямого звука от источника ИШ-4-12 в расчётной точке днём, дБ		**ф-ла(3)[10]**	**0**	**33,1**	**28,8**	**25,7**	**27,7**	**30,1**	**25,4**	**14,6**	**0**	**32,7**	**32,7**
Уровни звукового давления прямого звука от источника ИШ-4-12 в расчётной точке ночью, дБ		**ф-ла(3)[10]**	**0**	**33,1**	**28,8**	**25,7**	**27,7**	**30,1**	**25,4**	**14,6**	**0**	**32,7**	**32,7**
Расчёт отражённого звука													
Уровни звукового давления от мнимого источника ИШ-4-12_мн.(1) в расчётной точке днём, дБ		**ф-ла(3)[10]**	**0**	**32**	**24,8**	**23,1**	**25,2**	**27,6**	**22,8**	**12**	**0**	**30,2**	**30,2**
Уровни звукового давления от мнимого источника ИШ-4-12_мн.(1) в расчётной точке ночью, дБ		**ф-ла(3)[10]**	**0**	**0**	**0**	**0**	**0**	**0**	**0**	**0**	**0**	**30,2**	**30,2**
Уровни звукового давления от источника ИШ-4-12 в расчётной точке днём, дБ		**ф-ла(3)[10]**	**0**	**35,6**	**30,2**	**27,6**	**29,6**	**32**	**27,3**	**16,5**	**0**	**34,7**	**34,7**
Уровни звукового давления от источника ИШ-4-12 в расчётной точке ночью, дБ		**ф-ла(3)[10]**	**0**	**35,6**	**30,2**	**27,6**	**29,6**	**32**	**27,3**	**16,5**	**0**	**34,7**	**34,7**
Источник шума: ИШ-4-13, координаты источника (x,y,z), м =[94.56,229.10,1.00]													
Уровни звуковой мощности источника днём, Lw, дБ		**исходные данные**	**0**	**81,3**	**82,7**	**84**	**84,3**	**83,9**	**80,6**	**76,4**	**71,9**		
Уровни звуковой мощности источника ночью, Lw, дБ		**исходные данные**	**0**	**81,3**	**82,7**	**84**	**84,3**	**83,9**	**80,6**	**76,4**	**71,9**		
Поправка на телесный угол DΩ, дБ	Ω = 6.28	10Lg(4π/Ω)	**3**	3	3	3	3	3	3	3	3		
Показатель направленности источника Di, дБ		исходные данные	**0**	0	0	0	0	0	0	0	0		
Поправка на направленность источника Dc, дБ	Dc	DΩ + Di	**3**	3	3	3	3	3	3	3	3		
Затухание из-за геометрической дивергенции, Adiv, дБ	расстояние = 469.95 м	ф-ла (7) [10]	**64,4**										
Коэффициент затухания звука в атмосфере α, дБ/км	Ta=20,°C Pa=101.33,кПа hотн.=70%	ф-ла (5) [9]	0,02	0,09	0,33	1,12	2,79	4,98	9,04	23,09	77,63		

1		2	3	4	5	6	7	8	9	10	11	12	13
Учет затухания звука в атмосфере Aatm, дБ		ф-ла (8) [10]	0	0	0,2	0,5	1,3	2,3	4,2	10,8	36,5		
Снижение уровня звукового давления из-за влияния застройки между источником шума и расчетной точкой													
Снижение уровня звукового давления на пути над экраном, Dz1, дБ	z = 3.77м (разность путей)	ф-лы (14-18) [10]	12,1	16	20,1	23,7	26,9	30	33	36	39		
Снижение уровня звукового давления на пути слева от экрана, Dz2, дБ	z = 112.29м (разность путей)	ф-лы (14-18) [10]	30,7	33,9	36,9	40	43	46	49	52	55		
Снижение уровня звукового давления на пути справа от экрана, Dz3, дБ	z = 5.40м (разность путей)	ф-лы (14-18) [10]	13,6	16,3	19,2	22,1	25,1	28,1	31,1	34,1	37,1		
Общее снижение уровня звука препятствием Dz, дБ		Эн.сумма(-Dzi)	9,8	13,1	16,6	19,8	22,8	25,9	28,9	31,9	34,9		
Общее снижение уровня звука препятствием с учётом ограничения (25 дБ) для октавных полос Dz, дБ		Раздел 7.4 [10]	9,8	13,1	16,6	19,8	22,8	25	25	25	25		
Уровни звукового давления от источника ИШ-4-13 в расчётной точке днём, дБ		**ф-ла(3)[10]**	**0**	**6,7**	**4,5**	**2,2**	**0**	**0**	**0**	**0**	**0**	**0**	**0**
Уровни звукового давления от источника ИШ-4-13 в расчётной точке ночью, дБ		**ф-ла(3)[10]**	**0**	**6,7**	**4,5**	**2,2**	**0**	**0**	**0**	**0**	**0**	**0**	**0**
Источник шума: ИШ-4-14, координаты источника (x,y,z), м =[91.88,221.30,1.00]													
Уровни звуковой мощности источника днём, Lw, дБ		**исходные данные**	**0**	**81,3**	**82,7**	**84**	**84,3**	**83,9**	**80,6**	**76,4**	**71,9**		
Уровни звуковой мощности источника ночью, Lw, дБ		**исходные данные**	**0**	**81,3**	**82,7**	**84**	**84,3**	**83,9**	**80,6**	**76,4**	**71,9**		
Поправка на телесный угол DΩ, дБ	Ω = 6.28	10Lg(4π/Ω)	**3**	3	3	3	3	3	3	3	3		
Показатель направленности источника Di, дБ		исходные данные	**0**	0	0	0	0	0	0	0	0		
Поправка на направленность источника Dc, дБ	Dc	DΩ + Di	**3**	3	3	3	3	3	3	3	3		
Затухание из-за геометрической дивергенции, Adiv, дБ	расстояние = 463.74 м	ф-ла (7) [10]	**64,3**										

1		2	3	4	5	6	7	8	9	10	11	12	13
Коэффициент затухания звука в атмосфере α, дБ/км	Та=20,°С Ра=101.33,кПа hотн.=70%	ф-ла (5) [9]	0,02	0,09	0,33	1,12	2,79	4,98	9,04	23,09	77,63		
Учет затухания звука в атмосфере Aatm, дБ		ф-ла (8) [10]	0	0	0,2	0,5	1,3	2,3	4,2	10,7	36		
Снижение уровня звукового давления из-за влияния застройки между источником шума и расчетной точкой													
Снижение уровня звукового давления на пути над экраном, Dz1, дБ	z = 3.78м (разность путей)	ф-лы (14-18) [10]	11,8	15,3	19,6	23,5	26,9	30	33	36	39		
Снижение уровня звукового давления на пути слева от экрана, Dz2, дБ	z = 126.72м (разность путей)	ф-лы (14-18) [10]	31,2	34,4	37,5	40,5	43,5	46,5	49,5	52,5	55,5		
Снижение уровня звукового давления на пути справа от экрана, Dz3, дБ	z = 3.54м (разность путей)	ф-лы (14-18) [10]	12,1	14,7	17,4	20,3	23,2	26,2	29,2	32,2	35,2		
Общее снижение уровня звука препятствием Dz, дБ		Эн.сумма(-Dzi)	8,9	11,9	15,3	18,6	21,6	24,7	27,7	30,7	33,7		
Общее снижение уровня звука препятствием с учётом ограничения (25 дБ) для октавных полос Dz, дБ		Раздел 7.4 [10]	8,9	11,9	15,3	18,6	21,6	24,7	25	25	25		
Уровни звукового давления от источника ИШ-4-14 в расчётной точке днём, дБ		**ф-ла(3)[10]**	**0**	**8**	**5,9**	**3,6**	**0**	**0**	**0**	**0**	**0**	**0**	**0**
Уровни звукового давления от источника ИШ-4-14 в расчётной точке ночью, дБ		**ф-ла(3)[10]**	**0**	**8**	**5,9**	**3,6**	**0**	**0**	**0**	**0**	**0**	**0**	**0**
Источник шума: ИШ-5-1, координаты источника (x,y,z), м =[626.70,162.36,1.00]													
Уровни звуковой мощности источника днём, Lw, дБ		**исходные данные**	**0**	**93,3**	**94,7**	**96**	**96,3**	**95,9**	**92,6**	**88,4**	**83,9**		
Уровни звуковой мощности источника ночью, Lw, дБ		**исходные данные**	**0**	**93,3**	**94,7**	**96**	**96,3**	**95,9**	**92,6**	**88,4**	**83,9**		
Поправка на телесный угол DΩ, дБ	Ω = 6.28	10Lg($4\pi/\Omega$)	**3**	3	3	3	3	3	3	3	3		
Показатель направленности источника Di, дБ		исходные данные	**0**	0	0	0	0	0	0	0	0		
Поправка на направленность источника Dc, дБ	Dc	DΩ + Di	**3**	3	3	3	3	3	3	3	3		

1		2	3	4	5	6	7	8	9	10	11	12	13
Затухание из-за геометрической дивергенции, Adiv, дБ	расстояние = 514.62 м	ф-ла (7) [10]	**65,2**										
Коэффициент затухания звука в атмосфере α, дБ/км	Ta=20,°C Pa=101.33,кПа hотн.=70%	ф-ла (5) [9]	0,02	0,09	0,33	1,12	2,79	4,98	9,04	23,09	77,63		
Учет затухания звука в атмосфере Aatm, дБ		ф-ла (8) [10]	0	0	0,2	0,6	1,4	2,6	4,7	11,9	40		
Снижение уровня звукового давления из-за влияния застройки между источником шума и расчетной точкой													
Снижение уровня звукового давления на пути над экраном, Dz1, дБ	z = 0.06м (разность путей)	ф-лы (14-18) [10]	4,8	4,8	4,8	4,8	4,8	4,8	4,9	5,1	5,4		
Снижение уровня звукового давления на пути слева от экрана, Dz2, дБ	z = 1.49м (разность путей)	ф-лы (14-18) [10]	9,3	11,5	14	16,7	19,6	22,5	25,5	28,5	31,5		
Снижение уровня звукового давления на пути справа от экрана, Dz3, дБ	z = 0.00м (разность путей)	ф-лы (14-18) [10]	4,8	4,8	4,8	4,9	4,9	5,1	5,4	6	6,9		
Общее снижение уровня звука препятствием Dz, дБ		Эн.сумма(-Dzi)	1,1	1,3	1,5	1,7	1,8	1,9	2,1	2,5	3,1		
Уровни звукового давления от источника ИШ-5-1 в расчётной точке днём, дБ		**ф-ла(3)[10]**	**0**	**29,7**	**30,8**	**31,5**	**30,8**	**29,2**	**23,6**	**11,8**	**0**	**32,9**	**32,9**
Уровни звукового давления от источника ИШ-5-1 в расчётной точке ночью, дБ		**ф-ла(3)[10]**	**0**	**29,7**	**30,8**	**31,5**	**30,8**	**29,2**	**23,6**	**11,8**	**0**	**32,9**	**32,9**
Источник шума: ИШ-5-2, координаты источника (x,y,z), м =[625.81,159.52,1.00]													
Уровни звуковой мощности источника днём, Lw, дБ		**исходные данные**	**0**	**93,3**	**94,7**	**96**	**96,3**	**95,9**	**92,6**	**88,4**	**83,9**		
Уровни звуковой мощности источника ночью, Lw, дБ		**исходные данные**	**0**	**93,3**	**94,7**	**96**	**96,3**	**95,9**	**92,6**	**88,4**	**83,9**		
Поправка на телесный угол DΩ, дБ	Ω = 6.28	10Lg($4\pi/\Omega$)	**3**	3	3	3	3	3	3	3	3		
Показатель направленности источника Di, дБ		исходные данные	**0**	0	0	0	0	0	0	0	0		
Поправка на направленность источника Dc, дБ	Dc	DΩ + Di	**3**	3	3	3	3	3	3	3	3		

1		2	3	4	5	6	7	8	9	10	11	12	13
Затухание из-за геометрической дивергенции, Adiv, дБ	расстояние = 511.96 м	ф-ла (7) [10]	**65,2**										
Коэффициент затухания звука в атмосфере α, дБ/км	Ta=20,°C Pa=101.33,кПа hотн.=70%	ф-ла (5) [9]	0,02	0,09	0,33	1,12	2,79	4,98	9,04	23,09	77,63		
Учет затухания звука в атмосфере Aatm, дБ		ф-ла (8) [10]	0	0	0,2	0,6	1,4	2,5	4,6	11,8	39,7		
Снижение уровня звукового давления из-за влияния застройки между источником шума и расчетной точкой													
Снижение уровня звукового давления на пути над экраном, Dz1, дБ	z = 0.07м (разность путей)	ф-лы (14-18) [10]	4,8	4,8	4,8	4,8	4,8	4,9	5	5,2	5,6		
Снижение уровня звукового давления на пути слева от экрана, Dz2, дБ	z = 1.31м (разность путей)	ф-лы (14-18) [10]	8,9	11	13,5	16,2	19	21,9	24,9	27,9	30,9		
Снижение уровня звукового давления на пути справа от экрана, Dz3, дБ	z = 0.02м (разность путей)	ф-лы (14-18) [10]	4,9	5	5,2	5,6	6,3	7,4	9	11,1	13,6		
Общее снижение уровня звука препятствием Dz, дБ		Эн.сумма(-Dzi)	1	1,4	1,7	2	2,4	2,9	3,5	4,2	5		
Уровни звукового давления от источника ИШ-5-2 в расчётной точке днём, дБ		**ф-ла(3)[10]**	**0**	**29,7**	**30,7**	**31,2**	**30,3**	**28,3**	**22,3**	**10,2**	**0**	**32,1**	**32,1**
Уровни звукового давления от источника ИШ-5-2 в расчётной точке ночью, дБ		**ф-ла(3)[10]**	**0**	**29,7**	**30,7**	**31,2**	**30,3**	**28,3**	**22,3**	**10,2**	**0**	**32,1**	**32,1**
Источник шума: ИШ-5-3, координаты источника (x,y,z), м =[624.84,156.69,1.00]													
Уровни звуковой мощности источника днём, Lw, дБ		**исходные данные**	**0**	**93,3**	**94,7**	**96**	**96,3**	**95,9**	**92,6**	**88,4**	**83,9**		
Уровни звуковой мощности источника ночью, Lw, дБ		**исходные данные**	**0**	**93,3**	**94,7**	**96**	**96,3**	**95,9**	**92,6**	**88,4**	**83,9**		
Поправка на телесный угол DΩ, дБ	Ω = 6.28	10Lg($4\pi/\Omega$)	**3**	3	3	3	3	3	3	3	3		
Показатель направленности источника Di, дБ		исходные данные	**0**	0	0	0	0	0	0	0	0		
Поправка на направленность источника Dc, дБ	Dc	DΩ + Di	**3**	3	3	3	3	3	3	3	3		

1		2	3	4	5	6	7	8	9	10	11	12	13
Затухание из-за геометрической дивергенции, Adiv, дБ	расстояние = 509.26 м	ф-ла (7) [10]	**65,1**										
Коэффициент затухания звука в атмосфере α, дБ/км	Ta=20,°C Pa=101.33,кПа hотн.=70%	ф-ла (5) [9]	0,02	0,09	0,33	1,12	2,79	4,98	9,04	23,09	77,63		
Учет затухания звука в атмосфере Aatm, дБ		ф-ла (8) [10]	0	0	0,2	0,6	1,4	2,5	4,6	11,8	39,5		
Снижение уровня звукового давления из-за влияния застройки между источником шума и расчетной точкой													
Снижение уровня звукового давления на пути над экраном, Dz1, дБ	z = 0.07м (разность путей)	ф-лы (14-18) [10]	4,8	4,8	4,8	4,8	4,8	4,9	5,1	5,4	5,9		
Снижение уровня звукового давления на пути слева от экрана, Dz2, дБ	z = 1.14м (разность путей)	ф-лы (14-18) [10]	8,6	10,6	13	15,6	18,4	21,4	24,3	27,3	30,3		
Снижение уровня звукового давления на пути справа от экрана, Dz3, дБ	z = 0.06м (разность путей)	ф-лы (14-18) [10]	5,1	5,4	5,9	6,8	8,1	10	12,3	14,9	17,7		
Общее снижение уровня звука препятствием Dz, дБ		Эн.сумма(-Dzi)	1,1	1,5	1,9	2,4	3	3,7	4,3	4,9	5,6		
Уровни звукового давления от источника ИШ-5-3 в расчётной точке днём, дБ		**ф-ла(3)[10]**	**0**	**29,6**	**30,5**	**30,8**	**29,7**	**27,5**	**21,6**	**9,6**	**0**	**31,5**	**31,5**
Уровни звукового давления от источника ИШ-5-3 в расчётной точке ночью, дБ		**ф-ла(3)[10]**	**0**	**29,6**	**30,5**	**30,8**	**29,7**	**27,5**	**21,6**	**9,6**	**0**	**31,5**	**31,5**
Источник шума: ИШ-6-1, координаты источника (x,y,z), м =[836.30,122.24,1.00]													
Уровни звуковой мощности источника днём, Lw, дБ		**исходные данные**	**0**	**96,3**	**97,7**	**99**	**99,3**	**98,9**	**95,6**	**91,4**	**86,9**		
Уровни звуковой мощности источника ночью, Lw, дБ		**исходные данные**	**0**	**96,3**	**97,7**	**99**	**99,3**	**98,9**	**95,6**	**91,4**	**86,9**		
Поправка на телесный угол DΩ, дБ	Ω = 12.57	10Lg($4\pi/\Omega$)	**0**	0	0	0	0	0	0	0	0		
Показатель направленности источника Di, дБ		исходные данные	**0**	0	0	0	0	0	0	0	0		
Поправка на направленность источника Dc, дБ	Dc	DΩ + Di	**0**	0	0	0	0	0	0	0	0		

1		2	3	4	5	6	7	8	9	10	11	12	13
Затухание из-за геометрической дивергенции, Adiv, дБ	расстояние = 656.32 м	ф-ла (7) [10]	**67,3**										
Коэффициент затухания звука в атмосфере α, дБ/км	Ta=20,°C Pa=101.33,кПа hотн.=70%	ф-ла (5) [9]	0,02	0,09	0,33	1,12	2,79	4,98	9,04	23,09	77,63		
Учет затухания звука в атмосфере Aatm, дБ		ф-ла (8) [10]	0	0,1	0,2	0,7	1,8	3,3	5,9	15,2	51		
Снижение уровня звукового давления из-за влияния застройки между источником шума и расчетной точкой													
Снижение уровня звукового давления на пути над экраном, Dz1, дБ	z = 0.14м (разность путей)	ф-лы (14-18) [10]	4,8	4,8	4,8	4,8	4,8	4,8	4,8	4,9	5		
Снижение уровня звукового давления на пути слева от экрана, Dz2, дБ	z = 6.16м (разность путей)	ф-лы (14-18) [10]	17,5	21,1	24,3	27,3	30,4	33,4	36,4	39,4	42,4		
Снижение уровня звукового давления на пути справа от экрана, Dz3, дБ	z = 2.12м (разность путей)	ф-лы (14-18) [10]	10,4	12,7	15,3	18,2	21,1	24	27	30	33		
Общее снижение уровня звука препятствием Dz, дБ		Эн.сумма(-Dzi)	3,5	4	4,4	4,6	4,7	4,7	4,8	4,8	5		
Уровни звукового давления от источника ИШ-6-1 в расчётной точке днём, дБ		**ф-ла(3)[10]**	**0**	**24,9**	**25,8**	**26,4**	**25,5**	**23,6**	**17,5**	**4,1**	**0**	**27,3**	**27,3**
Уровни звукового давления от источника ИШ-6-1 в расчётной точке ночью, дБ		**ф-ла(3)[10]**	**0**	**24,9**	**25,8**	**26,4**	**25,5**	**23,6**	**17,5**	**4,1**	**0**	**27,3**	**27,3**
Источник шума: ИШ-6-2, координаты источника (x,y,z), м =[835.37,119.30,1.00]													
Уровни звуковой мощности источника днём, Lw, дБ		**исходные данные**	**0**	**96,3**	**97,7**	**99**	**99,3**	**98,9**	**95,6**	**91,4**	**86,9**		
Уровни звуковой мощности источника ночью, Lw, дБ		**исходные данные**	**0**	**96,3**	**97,7**	**99**	**99,3**	**98,9**	**95,6**	**91,4**	**86,9**		
Поправка на телесный угол DΩ, дБ	Ω = 12.57	10Lg(4π/Ω)	**0**	0	0	0	0	0	0	0	0		
Показатель направленности источника Di, дБ		исходные данные	**0**	0	0	0	0	0	0	0	0		
Поправка на направленность источника Dc, дБ	Dc	DΩ + Di	**0**	0	0	0	0	0	0	0	0		

1		2	3	4	5	6	7	8	9	10	11	12	13
Затухание из-за геометрической дивергенции, Adiv, дБ	расстояние = 654.05 м	ф-ла (7) [10]	**67,3**										
Коэффициент затухания звука в атмосфере α, дБ/км	Ta=20,°C Pa=101.33,кПа hотн.=70%	ф-ла (5) [9]	0,02	0,09	0,33	1,12	2,79	4,98	9,04	23,09	77,63		
Учет затухания звука в атмосфере Aatm, дБ		ф-ла (8) [10]	0	0,1	0,2	0,7	1,8	3,3	5,9	15,1	50,8		
Снижение уровня звукового давления из-за влияния застройки между источником шума и расчетной точкой													
Снижение уровня звукового давления на пути над экраном, Dz1, дБ	z = 0.14м (разность путей)	ф-лы (14-18) [10]	4,8	4,8	4,8	4,8	4,8	4,8	4,8	4,9	5		
Снижение уровня звукового давления на пути слева от экрана, Dz2, дБ	z = 5.93м (разность путей)	ф-лы (14-18) [10]	17,3	21	24,1	27,2	30,2	33,2	36,2	39,2	42,2		
Снижение уровня звукового давления на пути справа от экрана, Dz3, дБ	z = 2.31м (разность путей)	ф-лы (14-18) [10]	10,6	13	15,7	18,5	21,4	24,4	27,4	30,4	33,4		
Общее снижение уровня звука препятствием Dz, дБ		Эн.сумма(-Dzi)	3,6	4,1	4,4	4,6	4,7	4,7	4,8	4,9	5		
Уровни звукового давления от источника ИШ-6-2 в расчётной точке днём, дБ		**ф-ла(3)[10]**	**0**	**24,8**	**25,8**	**26,4**	**25,5**	**23,6**	**17,6**	**4,1**	**0**	**27,4**	**27,4**
Уровни звукового давления от источника ИШ-6-2 в расчётной точке ночью, дБ		**ф-ла(3)[10]**	**0**	**24,8**	**25,8**	**26,4**	**25,5**	**23,6**	**17,6**	**4,1**	**0**	**27,4**	**27,4**
Источник шума: ИШ-6-3, координаты источника (x,y,z), м =[834.03,116.36,1.00]													
Уровни звуковой мощности источника днём, Lw, дБ		**исходные данные**	**0**	**96,3**	**97,7**	**99**	**99,3**	**98,9**	**95,6**	**91,4**	**86,9**		
Уровни звуковой мощности источника ночью, Lw, дБ		**исходные данные**	**0**	**96,3**	**97,7**	**99**	**99,3**	**98,9**	**95,6**	**91,4**	**86,9**		
Поправка на телесный угол DΩ, дБ	Ω = 12.57	10Lg(4π/Ω)	**0**	0	0	0	0	0	0	0	0		
Показатель направленности источника Di, дБ		исходные данные	**0**	0	0	0	0	0	0	0	0		
Поправка на направленность источника Dc, дБ	Dc	DΩ + Di	**0**	0	0	0	0	0	0	0	0		

1		2	3	4	5	6	7	8	9	10	11	12	13
Затухание из-за геометрической дивергенции, Adiv, дБ	расстояние = 651.43 м	ф-ла (7) [10]	**67,3**										
Коэффициент затухания звука в атмосфере α, дБ/км	Та=20,°С Ра=101.33,кПа hотн.=70%	ф-ла (5) [9]	0,02	0,09	0,33	1,12	2,79	4,98	9,04	23,09	77,63		
Учет затухания звука в атмосфере Aatm, дБ		ф-ла (8) [10]	0	0,1	0,2	0,7	1,8	3,2	5,9	15	50,6		
Снижение уровня звукового давления из-за влияния застройки между источником шума и расчетной точкой													
Снижение уровня звукового давления на пути над экраном, Dz1, дБ	z = 0.14м (разность путей)	ф-лы (14-18) [10]	4,8	4,8	4,8	4,8	4,8	4,8	4,8	4,9	5		
Снижение уровня звукового давления на пути слева от экрана, Dz2, дБ	z = 5.73м (разность путей)	ф-лы (14-18) [10]	17,2	20,8	24	27	30,1	33,1	36,1	39,1	42,1		
Снижение уровня звукового давления на пути справа от экрана, Dz3, дБ	z = 2.49м (разность путей)	ф-лы (14-18) [10]	10,9	13,3	16	18,8	21,7	24,7	27,7	30,7	33,7		
Общее снижение уровня звука препятствием Dz, дБ		Эн.сумма(-Dzi)	3,6	4,1	4,4	4,6	4,7	4,7	4,8	4,9	5		
Уровни звукового давления от источника ИШ-6-3 в расчётной точке днём, дБ		**ф-ла(3)[10]**	**0**	**24,8**	**25,8**	**26,4**	**25,5**	**23,6**	**17,6**	**4,2**	**0**	**27,4**	**27,4**
Уровни звукового давления от источника ИШ-6-3 в расчётной точке ночью, дБ		**ф-ла(3)[10]**	**0**	**24,8**	**25,8**	**26,4**	**25,5**	**23,6**	**17,6**	**4,2**	**0**	**27,4**	**27,4**
Источник шума: ИШ-6-4, координаты источника (x,y,z), м =[833.23,113.30,1.00]													
Уровни звуковой мощности источника днём, Lw, дБ		**исходные данные**	**0**	**96,3**	**97,7**	**99**	**99,3**	**98,9**	**95,6**	**91,4**	**86,9**		
Уровни звуковой мощности источника ночью, Lw, дБ		**исходные данные**	**0**	**96,3**	**97,7**	**99**	**99,3**	**98,9**	**95,6**	**91,4**	**86,9**		
Поправка на телесный угол DΩ, дБ	Ω = 12.57	10Lg(4π/Ω)	**0**	0	0	0	0	0	0	0	0		
Показатель направленности источника Di, дБ		исходные данные	**0**	0	0	0	0	0	0	0	0		
Поправка на направленность источника Dc, дБ	Dc	DΩ + Di	**0**	0	0	0	0	0	0	0	0		

1		2	3	4	5	6	7	8	9	10	11	12	13
Затухание из-за геометрической дивергенции, Adiv, дБ	расстояние = 649.21 м	ф-ла (7) [10]	**67,2**										
Коэффициент затухания звука в атмосфере α, дБ/км	Ta=20,°C Pa=101.33,кПа hотн.=70%	ф-ла (5) [9]	0,02	0,09	0,33	1,12	2,79	4,98	9,04	23,09	77,63		
Учет затухания звука в атмосфере Aatm, дБ		ф-ла (8) [10]	0	0,1	0,2	0,7	1,8	3,2	5,9	15	50,4		
Снижение уровня звукового давления из-за влияния застройки между источником шума и расчетной точкой													
Снижение уровня звукового давления на пути над экраном, Dz1, дБ	z = 0.14м (разность путей)	ф-лы (14-18) [10]	4,8	4,8	4,8	4,8	4,8	4,8	4,8	4,9	5,1		
Снижение уровня звукового давления на пути слева от экрана, Dz2, дБ	z = 5.49м (разность путей)	ф-лы (14-18) [10]	17	20,6	23,8	26,9	29,9	32,9	35,9	38,9	41,9		
Снижение уровня звукового давления на пути справа от экрана, Dz3, дБ	z = 2.71м (разность путей)	ф-лы (14-18) [10]	11,2	13,6	16,3	19,2	22,1	25,1	28,1	31,1	34,1		
Общее снижение уровня звука препятствием Dz, дБ		Эн.сумма(-Dzi)	3,7	4,1	4,4	4,6	4,7	4,8	4,8	4,9	5,1		
Уровни звукового давления от источника ИШ-6-4 в расчётной точке днём, дБ		**ф-ла(3)[10]**	**0**	**24,8**	**25,8**	**26,4**	**25,5**	**23,7**	**17,7**	**4,3**	**0**	**27,4**	**27,4**
Уровни звукового давления от источника ИШ-6-4 в расчётной точке ночью, дБ		**ф-ла(3)[10]**	**0**	**24,8**	**25,8**	**26,4**	**25,5**	**23,7**	**17,7**	**4,3**	**0**	**27,4**	**27,4**
Источник шума: ИШ-6-5, координаты источника (x,y,z), м =[832.03,110.36,1.00]													
Уровни звуковой мощности источника днём, Lw, дБ		**исходные данные**	**0**	**96,3**	**97,7**	**99**	**99,3**	**98,9**	**95,6**	**91,4**	**86,9**		
Уровни звуковой мощности источника ночью, Lw, дБ		**исходные данные**	**0**	**96,3**	**97,7**	**99**	**99,3**	**98,9**	**95,6**	**91,4**	**86,9**		
Поправка на телесный угол DΩ, дБ	Ω = 12.57	10Lg($4\pi/\Omega$)	**0**	0	0	0	0	0	0	0	0		
Показатель направленности источника Di, дБ		исходные данные	**0**	0	0	0	0	0	0	0	0		
Поправка на направленность источника Dc, дБ	Dc	DΩ + Di	**0**	0	0	0	0	0	0	0	0		

1		2	3	4	5	6	7	8	9	10	11	12	13
Затухание из-за геометрической дивергенции, Adiv, дБ	расстояние = 646.72 м	ф-ла (7) [10]	**67,2**										
Коэффициент затухания звука в атмосфере α, дБ/км	Ta=20,°C Pa=101.33,кПа hотн.=70%	ф-ла (5) [9]	0,02	0,09	0,33	1,12	2,79	4,98	9,04	23,09	77,63		
Учет затухания звука в атмосфере Aatm, дБ		ф-ла (8) [10]	0	0,1	0,2	0,7	1,8	3,2	5,8	14,9	50,2		
Снижение уровня звукового давления из-за влияния застройки между источником шума и расчетной точкой													
Снижение уровня звукового давления на пути над экраном, Dz1, дБ	z = 0.14м (разность путей)	ф-лы (14-18) [10]	4,8	4,8	4,8	4,8	4,8	4,8	4,9	4,9	5,1		
Снижение уровня звукового давления на пути слева от экрана, Dz2, дБ	z = 5.30м (разность путей)	ф-лы (14-18) [10]	16,8	20,5	23,6	26,7	29,7	32,7	35,7	38,7	41,7		
Снижение уровня звукового давления на пути справа от экрана, Dz3, дБ	z = 2.91м (разность путей)	ф-лы (14-18) [10]	11,4	13,9	16,6	19,5	22,4	25,4	28,4	31,4	34,4		
Общее снижение уровня звука препятствием Dz, дБ		Эн.сумма(-Dzi)	3,7	4,2	4,4	4,6	4,7	4,8	4,8	4,9	5,1		
Уровни звукового давления от источника ИШ-6-5 в расчётной точке днём, дБ		**ф-ла(3)[10]**	**0**	**24,9**	**25,8**	**26,4**	**25,6**	**23,7**	**17,7**	**4,3**	**0**	**27,5**	**27,5**
Уровни звукового давления от источника ИШ-6-5 в расчётной точке ночью, дБ		**ф-ла(3)[10]**	**0**	**24,9**	**25,8**	**26,4**	**25,6**	**23,7**	**17,7**	**4,3**	**0**	**27,5**	**27,5**
Источник шума: ИШ-6-6, координаты источника (x,y,z), м =[830.97,107.42,1.00]													
Уровни звуковой мощности источника днём, Lw, дБ		**исходные данные**	**0**	**96,3**	**97,7**	**99**	**99,3**	**98,9**	**95,6**	**91,4**	**86,9**		
Уровни звуковой мощности источника ночью, Lw, дБ		**исходные данные**	**0**	**96,3**	**97,7**	**99**	**99,3**	**98,9**	**95,6**	**91,4**	**86,9**		
Поправка на телесный угол DΩ, дБ	Ω = 12.57	10Lg($4\pi/\Omega$)	**0**	0	0	0	0	0	0	0	0		
Показатель направленности источника Di, дБ		исходные данные	**0**	0	0	0	0	0	0	0	0		
Поправка на направленность источника Dc, дБ	Dc	DΩ + Di	**0**	0	0	0	0	0	0	0	0		

1		2	3	4	5	6	7	8	9	10	11	12	13
Затухание из-за геометрической дивергенции, Adiv, дБ	расстояние = 644.35 м	ф-ла (7) [10]	**67,2**										
Коэффициент затухания звука в атмосфере α, дБ/км	Ta=20,°C Pa=101.33,кПа hотн.=70%	ф-ла (5) [9]	0,02	0,09	0,33	1,12	2,79	4,98	9,04	23,09	77,63		
Учет затухания звука в атмосфере Aatm, дБ		ф-ла (8) [10]	0	0,1	0,2	0,7	1,8	3,2	5,8	14,9	50		
Снижение уровня звукового давления из-за влияния застройки между источником шума и расчетной точкой													
Снижение уровня звукового давления на пути над экраном, Dz1, дБ	z = 0.15м (разность путей)	ф-лы (14-18) [10]	4,8	4,8	4,8	4,8	4,8	4,8	4,9	5	5,1		
Снижение уровня звукового давления на пути слева от экрана, Dz2, дБ	z = 5.09м (разность путей)	ф-лы (14-18) [10]	16,7	20,3	23,5	26,5	29,5	32,6	35,6	38,6	41,6		
Снижение уровня звукового давления на пути справа от экрана, Dz3, дБ	z = 3.13м (разность путей)	ф-лы (14-18) [10]	11,6	14,2	16,9	19,8	22,7	25,7	28,7	31,7	34,7		
Общее снижение уровня звука препятствием Dz, дБ		Эн.сумма(-Dzi)	3,7	4,2	4,5	4,6	4,7	4,8	4,8	4,9	5,1		
Уровни звукового давления от источника ИШ-6-6 в расчётной точке днём, дБ		**ф-ла(3)[10]**	**0**	**24,9**	**25,8**	**26,5**	**25,6**	**23,7**	**17,7**	**4,4**	**0**	**27,5**	**27,5**
Уровни звукового давления от источника ИШ-6-6 в расчётной точке ночью, дБ		**ф-ла(3)[10]**	**0**	**24,9**	**25,8**	**26,5**	**25,6**	**23,7**	**17,7**	**4,4**	**0**	**27,5**	**27,5**
Источник шума: ИШ-6-7, координаты источника (x,y,z), м =[830.30,104.49,1.00]													
Уровни звуковой мощности источника днём, Lw, дБ		**исходные данные**	**0**	**96,3**	**97,7**	**99**	**99,3**	**98,9**	**95,6**	**91,4**	**86,9**		
Уровни звуковой мощности источника ночью, Lw, дБ		**исходные данные**	**0**	**96,3**	**97,7**	**99**	**99,3**	**98,9**	**95,6**	**91,4**	**86,9**		
Поправка на телесный угол DΩ, дБ	Ω = 12.57	10Lg($4\pi/\Omega$)	**0**	0	0	0	0	0	0	0	0		
Показатель направленности источника Di, дБ		исходные данные	**0**	0	0	0	0	0	0	0	0		
Поправка на направленность источника Dc, дБ	Dc	DΩ + Di	**0**	0	0	0	0	0	0	0	0		

1		2	3	4	5	6	7	8	9	10	11	12	13
Затухание из-за геометрической дивергенции, Adiv, дБ	расстояние = 642.34 м	ф-ла (7) [10]	**67,2**										
Коэффициент затухания звука в атмосфере α, дБ/км	Ta=20,°C Pa=101.33,кПа hотн.=70%	ф-ла (5) [9]	0,02	0,09	0,33	1,12	2,79	4,98	9,04	23,09	77,63		
Учет затухания звука в атмосфере Aatm, дБ		ф-ла (8) [10]	0	0,1	0,2	0,7	1,8	3,2	5,8	14,8	49,9		
Снижение уровня звукового давления из-за влияния застройки между источником шума и расчетной точкой													
Снижение уровня звукового давления на пути над экраном, Dz1, дБ	z = 0.15м (разность путей)	ф-лы (14-18) [10]	4,8	4,8	4,8	4,8	4,8	4,8	4,9	5	5,2		
Снижение уровня звукового давления на пути слева от экрана, Dz2, дБ	z = 4.87м (разность путей)	ф-лы (14-18) [10]	16,5	20,1	23,3	26,3	29,4	32,4	35,4	38,4	41,4		
Снижение уровня звукового давления на пути справа от экрана, Dz3, дБ	z = 3.38м (разность путей)	ф-лы (14-18) [10]	11,9	14,5	17,2	20,1	23	26	29	32	35		
Общее снижение уровня звука препятствием Dz, дБ		Эн.сумма(-Dzi)	3,8	4,2	4,5	4,6	4,7	4,8	4,9	5	5,2		
Уровни звукового давления от источника ИШ-6-7 в расчётной точке днём, дБ		**ф-ла(3)[10]**	**0**	**24,9**	**25,8**	**26,5**	**25,6**	**23,8**	**17,8**	**4,4**	**0**	**27,5**	**27,5**
Уровни звукового давления от источника ИШ-6-7 в расчётной точке ночью, дБ		**ф-ла(3)[10]**	**0**	**24,9**	**25,8**	**26,5**	**25,6**	**23,8**	**17,8**	**4,4**	**0**	**27,5**	**27,5**
Источник шума: ИШ-6-8, координаты источника (x,y,z), м =[829.36,101.42,1.00]													
Уровни звуковой мощности источника днём, Lw, дБ		**исходные данные**	**0**	**96,3**	**97,7**	**99**	**99,3**	**98,9**	**95,6**	**91,4**	**86,9**		
Уровни звуковой мощности источника ночью, Lw, дБ		**исходные данные**	**0**	**96,3**	**97,7**	**99**	**99,3**	**98,9**	**95,6**	**91,4**	**86,9**		
Поправка на телесный угол DΩ, дБ	Ω = 12.57	10Lg($4\pi/\Omega$)	**0**	0	0	0	0	0	0	0	0		
Показатель направленности источника Di, дБ		исходные данные	**0**	0	0	0	0	0	0	0	0		
Поправка на направленность источника Dc, дБ	Dc	DΩ + Di	**0**	0	0	0	0	0	0	0	0		

1		2	3	4	5	6	7	8	9	10	11	12	13
Затухание из-за геометрической дивергенции, Adiv, дБ	расстояние = 640.04 м	ф-ла (7) [10]	**67,1**										
Коэффициент затухания звука в атмосфере α, дБ/км	Та=20,°С Ра=101.33,кПа hотн.=70%	ф-ла (5) [9]	0,02	0,09	0,33	1,12	2,79	4,98	9,04	23,09	77,63		
Учет затухания звука в атмосфере Aatm, дБ		ф-ла (8) [10]	0	0,1	0,2	0,7	1,8	3,2	5,8	14,8	49,7		
Снижение уровня звукового давления из-за влияния застройки между источником шума и расчетной точкой													
Снижение уровня звукового давления на пути над экраном, Dz1, дБ	z = 0.15м (разность путей)	ф-лы (14-18) [10]	4,8	4,8	4,8	4,8	4,8	4,8	4,9	5	5,2		
Снижение уровня звукового давления на пути слева от экрана, Dz2, дБ	z = 4.66м (разность путей)	ф-лы (14-18) [10]	16,3	19,9	23,1	26,1	29,2	32,2	35,2	38,2	41,2		
Снижение уровня звукового давления на пути справа от экрана, Dz3, дБ	z = 3.64м (разность путей)	ф-лы (14-18) [10]	12,2	14,8	17,5	20,4	23,4	26,3	29,3	32,3	35,3		
Общее снижение уровня звука препятствием Dz, дБ		Эн.сумма(-Dzi)	3,8	4,2	4,5	4,6	4,7	4,8	4,9	5	5,2		
Уровни звукового давления от источника ИШ-6-8 в расчётной точке днём, дБ		**ф-ла(3)[10]**	**0**	**24,9**	**25,9**	**26,5**	**25,7**	**23,8**	**17,8**	**4,5**	**0**	**27,6**	**27,6**
Уровни звукового давления от источника ИШ-6-8 в расчётной точке ночью, дБ		**ф-ла(3)[10]**	**0**	**24,9**	**25,9**	**26,5**	**25,7**	**23,8**	**17,8**	**4,5**	**0**	**27,6**	**27,6**
Источник шума: ИШ-6-9, координаты источника (x,y,z), м =[828.03,98.62,1.00]													
Уровни звуковой мощности источника днём, Lw, дБ		**исходные данные**	**0**	**96,3**	**97,7**	**99**	**99,3**	**98,9**	**95,6**	**91,4**	**86,9**		
Уровни звуковой мощности источника ночью, Lw, дБ		**исходные данные**	**0**	**96,3**	**97,7**	**99**	**99,3**	**98,9**	**95,6**	**91,4**	**86,9**		
Поправка на телесный угол DΩ, дБ	Ω = 12.57	10Lg(4π/Ω)	**0**	0	0	0	0	0	0	0	0		
Показатель направленности источника Di, дБ		исходные данные	**0**	0	0	0	0	0	0	0	0		
Поправка на направленность источника Dc, дБ	Dc	DΩ + Di	**0**	0	0	0	0	0	0	0	0		

1		2	3	4	5	6	7	8	9	10	11	12	13
Затухание из-за геометрической дивергенции, Adiv, дБ	расстояние = 637.52 м	ф-ла (7) [10]	**67,1**										
Коэффициент затухания звука в атмосфере α, дБ/км	Ta=20,°C Pa=101.33,кПа hотн.=70%	ф-ла (5) [9]	0,02	0,09	0,33	1,12	2,79	4,98	9,04	23,09	77,63		
Учет затухания звука в атмосфере Aatm, дБ		ф-ла (8) [10]	0	0,1	0,2	0,7	1,8	3,2	5,8	14,7	49,5		
Снижение уровня звукового давления из-за влияния застройки между источником шума и расчетной точкой													
Снижение уровня звукового давления на пути над экраном, Dz1, дБ	z = 0.15м (разность путей)	ф-лы (14-18) [10]	4,8	4,8	4,8	4,8	4,8	4,8	4,9	5	5,2		
Снижение уровня звукового давления на пути слева от экрана, Dz2, дБ	z = 4.49м (разность путей)	ф-лы (14-18) [10]	16,2	19,8	22,9	26	29	32	35	38	41		
Снижение уровня звукового давления на пути справа от экрана, Dz3, дБ	z = 3.86м (разность путей)	ф-лы (14-18) [10]	12,4	15	17,8	20,7	23,6	26,6	29,6	32,6	35,6		
Общее снижение уровня звука препятствием Dz, дБ		Эн.сумма(-Dzi)	3,8	4,3	4,5	4,6	4,7	4,8	4,9	5	5,2		
Уровни звукового давления от источника ИШ-6-9 в расчётной точке днём, дБ		**ф-ла(3)[10]**	**0**	**24,9**	**25,9**	**26,5**	**25,7**	**23,8**	**17,9**	**4,6**	**0**	**27,6**	**27,6**
Уровни звукового давления от источника ИШ-6-9 в расчётной точке ночью, дБ		**ф-ла(3)[10]**	**0**	**24,9**	**25,9**	**26,5**	**25,7**	**23,8**	**17,9**	**4,6**	**0**	**27,6**	**27,6**
Источник шума: ИШ-6-10, координаты источника (x,y,z), м =[827.23,95.55,1.00]													
Уровни звуковой мощности источника днём, Lw, дБ		**исходные данные**	**0**	**96,3**	**97,7**	**99**	**99,3**	**98,9**	**95,6**	**91,4**	**86,9**		
Уровни звуковой мощности источника ночью, Lw, дБ		**исходные данные**	**0**	**96,3**	**97,7**	**99**	**99,3**	**98,9**	**95,6**	**91,4**	**86,9**		
Поправка на телесный угол DΩ, дБ	Ω = 12.57	10Lg($4\pi/\Omega$)	**0**	0	0	0	0	0	0	0	0		
Показатель направленности источника Di, дБ		исходные данные	**0**	0	0	0	0	0	0	0	0		
Поправка на направленность источника Dc, дБ	Dc	DΩ + Di	**0**	0	0	0	0	0	0	0	0		

1		2	3	4	5	6	7	8	9	10	11	12	13
Затухание из-за геометрической дивергенции, Adiv, дБ	расстояние = 635.35 м	ф-ла (7) [10]	**67,1**										
Коэффициент затухания звука в атмосфере α, дБ/км	Та=20,°С Ра=101.33,кПа hотн.=70%	ф-ла (5) [9]	0,02	0,09	0,33	1,12	2,79	4,98	9,04	23,09	77,63		
Учет затухания звука в атмосфере Aatm, дБ		ф-ла (8) [10]	0	0,1	0,2	0,7	1,8	3,2	5,7	14,7	49,3		
Снижение уровня звукового давления из-за влияния застройки между источником шума и расчетной точкой													
Снижение уровня звукового давления на пути над экраном, Dz1, дБ	z = 0.15м (разность путей)	ф-лы (14-18) [10]	4,8	4,8	4,8	4,8	4,8	4,8	4,9	5	5,3		
Снижение уровня звукового давления на пути слева от экрана, Dz2, дБ	z = 4.28м (разность путей)	ф-лы (14-18) [10]	16	19,6	22,7	25,8	28,8	31,8	34,8	37,8	40,8		
Снижение уровня звукового давления на пути справа от экрана, Dz3, дБ	z = 4.15м (разность путей)	ф-лы (14-18) [10]	12,6	15,3	18,1	21	23,9	26,9	29,9	32,9	35,9		
Общее снижение уровня звука препятствием Dz, дБ		Эн.сумма(-Dzi)	3,8	4,3	4,5	4,6	4,7	4,8	4,9	5	5,3		
Уровни звукового давления от источника ИШ-6-10 в расчётной точке днём, дБ		**ф-ла(3)[10]**	**0**	**24,9**	**25,9**	**26,6**	**25,7**	**23,9**	**17,9**	**4,6**	**0**	**27,6**	**27,6**
Уровни звукового давления от источника ИШ-6-10 в расчётной точке ночью, дБ		**ф-ла(3)[10]**	**0**	**24,9**	**25,9**	**26,6**	**25,7**	**23,9**	**17,9**	**4,6**	**0**	**27,6**	**27,6**
Источник шума: ИШ-6-11, координаты источника (x,y,z), м =[826.30,92.48,1.00]													
Уровни звуковой мощности источника днём, Lw, дБ		**исходные данные**	**0**	**96,3**	**97,7**	**99**	**99,3**	**98,9**	**95,6**	**91,4**	**86,9**		
Уровни звуковой мощности источника ночью, Lw, дБ		**исходные данные**	**0**	**96,3**	**97,7**	**99**	**99,3**	**98,9**	**95,6**	**91,4**	**86,9**		
Поправка на телесный угол DΩ, дБ	Ω = 12.57	10Lg($4\pi/\Omega$)	**0**	0	0	0	0	0	0	0	0		
Показатель направленности источника Di, дБ		исходные данные	**0**	0	0	0	0	0	0	0	0		
Поправка на направленность источника Dc, дБ	Dc	DΩ + Di	**0**	0	0	0	0	0	0	0	0		

1		2	3	4	5	6	7	8	9	10	11	12	13
Затухание из-за геометрической дивергенции, Adiv, дБ	расстояние = 633.07 м	ф-ла (7) [10]	**67**										
Коэффициент затухания звука в атмосфере α, дБ/км	Ta=20,°C Pa=101.33,кПа hотн.=70%	ф-ла (5) [9]	0,02	0,09	0,33	1,12	2,79	4,98	9,04	23,09	77,63		
Учет затухания звука в атмосфере Aatm, дБ		ф-ла (8) [10]	0	0,1	0,2	0,7	1,8	3,2	5,7	14,6	49,1		
Снижение уровня звукового давления из-за влияния застройки между источником шума и расчетной точкой													
Снижение уровня звукового давления на пути над экраном, Dz1, дБ	z = 0.15м (разность путей)	ф-лы (14-18) [10]	4,8	4,8	4,8	4,8	4,8	4,8	4,9	5	5,3		
Снижение уровня звукового давления на пути слева от экрана, Dz2, дБ	z = 4.08м (разность путей)	ф-лы (14-18) [10]	15,8	19,4	22,5	25,6	28,6	31,6	34,6	37,6	40,6		
Снижение уровня звукового давления на пути справа от экрана, Dz3, дБ	z = 4.45м (разность путей)	ф-лы (14-18) [10]	12,9	15,6	18,4	21,3	24,2	27,2	30,2	33,2	36,2		
Общее снижение уровня звука препятствием Dz, дБ		Эн.сумма(-Dzi)	3,9	4,3	4,5	4,7	4,7	4,8	4,9	5	5,3		
Уровни звукового давления от источника ИШ-6-11 в расчётной точке днём, дБ		**ф-ла(3)[10]**	**0**	**24,9**	**25,9**	**26,6**	**25,8**	**23,9**	**18**	**4,7**	**0**	**27,7**	**27,7**
Уровни звукового давления от источника ИШ-6-11 в расчётной точке ночью, дБ		**ф-ла(3)[10]**	**0**	**24,9**	**25,9**	**26,6**	**25,8**	**23,9**	**18**	**4,7**	**0**	**27,7**	**27,7**
Источник шума: ИШ-6-12, координаты источника (x,y,z), м =[825.09,89.54,1.00]													
Уровни звуковой мощности источника днём, Lw, дБ		**исходные данные**	**0**	**96,3**	**97,7**	**99**	**99,3**	**98,9**	**95,6**	**91,4**	**86,9**		
Уровни звуковой мощности источника ночью, Lw, дБ		**исходные данные**	**0**	**96,3**	**97,7**	**99**	**99,3**	**98,9**	**95,6**	**91,4**	**86,9**		
Поправка на телесный угол DΩ, дБ	Ω = 12.57	10Lg($4\pi/\Omega$)	**0**	0	0	0	0	0	0	0	0		
Показатель направленности источника Di, дБ		исходные данные	**0**	0	0	0	0	0	0	0	0		
Поправка на направленность источника Dc, дБ	Dc	DΩ + Di	**0**	0	0	0	0	0	0	0	0		

1		2	3	4	5	6	7	8	9	10	11	12	13
Затухание из-за геометрической дивергенции, Adiv, дБ	расстояние = 630.62 м	ф-ла (7) [10]	**67**										
Коэффициент затухания звука в атмосфере α, дБ/км	Та=20,°С Ра=101.33,кПа hотн.=70%	ф-ла (5) [9]	0,02	0,09	0,33	1,12	2,79	4,98	9,04	23,09	77,63		
Учет затухания звука в атмосфере Aatm, дБ		ф-ла (8) [10]	0	0,1	0,2	0,7	1,8	3,1	5,7	14,6	49		
Снижение уровня звукового давления из-за влияния застройки между источником шума и расчетной точкой													
Снижение уровня звукового давления на пути над экраном, Dz1, дБ	z = 0.15м (разность путей)	ф-лы (14-18) [10]	4,8	4,8	4,8	4,8	4,8	4,8	4,9	5,1	5,3		
Снижение уровня звукового давления на пути слева от экрана, Dz2, дБ	z = 3.91м (разность путей)	ф-лы (14-18) [10]	15,6	19,2	22,4	25,4	28,4	31,4	34,4	37,4	40,4		
Снижение уровня звукового давления на пути справа от экрана, Dz3, дБ	z = 4.73м (разность путей)	ф-лы (14-18) [10]	13,1	15,8	18,6	21,5	24,5	27,5	30,5	33,5	36,5		
Общее снижение уровня звука препятствием Dz, дБ		Эн.сумма(-Dzi)	3,9	4,3	4,5	4,7	4,7	4,8	4,9	5	5,3		
Уровни звукового давления от источника ИШ-6-12 в расчётной точке днём, дБ		**ф-ла(3)[10]**	**0**	**24,9**	**26**	**26,6**	**25,8**	**23,9**	**18**	**4,8**	**0**	**27,7**	**27,7**
Уровни звукового давления от источника ИШ-6-12 в расчётной точке ночью, дБ		**ф-ла(3)[10]**	**0**	**24,9**	**26**	**26,6**	**25,8**	**23,9**	**18**	**4,8**	**0**	**27,7**	**27,7**
Источник шума: ИШ-6-13, координаты источника (x,y,z), м =[767.76,-114.15,1.00]													
Уровни звуковой мощности источника днём, Lw, дБ		**исходные данные**	**0**	**96,3**	**97,7**	**99**	**99,3**	**98,9**	**95,6**	**91,4**	**86,9**		
Уровни звуковой мощности источника ночью, Lw, дБ		**исходные данные**	**0**	**96,3**	**97,7**	**99**	**99,3**	**98,9**	**95,6**	**91,4**	**86,9**		
Поправка на телесный угол DΩ, дБ	Ω = 12.57	10Lg(4π/Ω)	**0**	0	0	0	0	0	0	0	0		
Показатель направленности источника Di, дБ		исходные данные	**0**	0	0	0	0	0	0	0	0		
Поправка на направленность источника Dc, дБ	Dc	DΩ + Di	**0**	0	0	0	0	0	0	0	0		

1		2	3	4	5	6	7	8	9	10	11	12	13
Затухание из-за геометрической дивергенции, Adiv, дБ	расстояние = 507.64 м	ф-ла (7) [10]	**65,1**										
Коэффициент затухания звука в атмосфере α, дБ/км	Ta=20,°C Pa=101.33,кПа hотн.=70%	ф-ла (5) [9]	0,02	0,09	0,33	1,12	2,79	4,98	9,04	23,09	77,63		
Учет затухания звука в атмосфере Aatm, дБ		ф-ла (8) [10]	0	0	0,2	0,6	1,4	2,5	4,6	11,7	39,4		
Снижение уровня звукового давления из-за влияния застройки между источником шума и расчетной точкой													
Снижение уровня звукового давления на пути над экраном, Dz1, дБ	z = 0.11м (разность путей)	ф-лы (14-18) [10]	4,8	4,8	4,9	5,1	5,6	6,8	8,6	10,8	13,3		
Снижение уровня звукового давления на пути слева от экрана, Dz2, дБ	z = 213.06м (разность путей)	ф-лы (14-18) [10]	32,8	36,5	39,7	42,7	45,7	48,8	51,8	54,8	57,8		
Снижение уровня звукового давления на пути справа от экрана, Dz3, дБ	z = 0.05м (разность путей)	ф-лы (14-18) [10]	5	5,2	5,7	6,4	7,6	9,3	11,4	13,9	16,7		
Общее снижение уровня звука препятствием Dz, дБ		Эн.сумма(-Dzi)	1,9	2	2,3	2,7	3,5	4,8	6,8	9,1	11,7		
Уровни звукового давления от источника ИШ-6-13 в расчётной точке днём, дБ		**ф-ла(3)[10]**	**0**	**29,1**	**30,2**	**30,6**	**29,3**	**26,4**	**19,1**	**5,5**	**0**	**30,6**	**30,6**
Уровни звукового давления от источника ИШ-6-13 в расчётной точке ночью, дБ		**ф-ла(3)[10]**	**0**	**29,1**	**30,2**	**30,6**	**29,3**	**26,4**	**19,1**	**5,5**	**0**	**30,6**	**30,6**
Источник шума: ИШ-6-14, координаты источника (x,y,z), м =[766.82,-117.10,1.00]													
Уровни звуковой мощности источника днём, Lw, дБ		**исходные данные**	**0**	**96,3**	**97,7**	**99**	**99,3**	**98,9**	**95,6**	**91,4**	**86,9**		
Уровни звуковой мощности источника ночью, Lw, дБ		**исходные данные**	**0**	**96,3**	**97,7**	**99**	**99,3**	**98,9**	**95,6**	**91,4**	**86,9**		
Поправка на телесный угол DΩ, дБ	Ω = 12.57	10Lg(4π/Ω)	**0**	0	0	0	0	0	0	0	0		
Показатель направленности источника Di, дБ		исходные данные	**0**	0	0	0	0	0	0	0	0		
Поправка на направленность источника Dc, дБ	Dc	DΩ + Di	**0**	0	0	0	0	0	0	0	0		

1		2	3	4	5	6	7	8	9	10	11	12	13
Затухание из-за геометрической дивергенции, Adiv, дБ	расстояние = 506.18 м	ф-ла (7) [10]	**65,1**										
Коэффициент затухания звука в атмосфере α, дБ/км	Та=20,°С Ра=101.33,кПа hотн.=70%	ф-ла (5) [9]	0,02	0,09	0,33	1,12	2,79	4,98	9,04	23,09	77,63		
Учет затухания звука в атмосфере Aatm, дБ		ф-ла (8) [10]	0	0	0,2	0,6	1,4	2,5	4,6	11,7	39,3		
Снижение уровня звукового давления из-за влияния застройки между источником шума и расчетной точкой													
Снижение уровня звукового давления на пути над экраном, Dz1, дБ	z = 0.11м (разность путей)	ф-лы (14-18) [10]	4,8	4,8	4,9	5,1	5,6	6,9	8,7	10,9	13,4		
Снижение уровня звукового давления на пути слева от экрана, Dz2, дБ	z = 212.85м (разность путей)	ф-лы (14-18) [10]	32,8	36,5	39,6	42,7	45,7	48,8	51,8	54,8	57,8		
Снижение уровня звукового давления на пути справа от экрана, Dz3, дБ	z = 0.06м (разность путей)	ф-лы (14-18) [10]	5,1	5,3	5,8	6,7	8	9,8	12,1	14,7	17,4		
Общее снижение уровня звука препятствием Dz, дБ		Эн.сумма(-Dzi)	1,9	2,1	2,3	2,8	3,6	5,1	7,1	9,4	12		
Уровни звукового давления от источника ИШ-6-14 в расчётной точке днём, дБ		**ф-ла(3)[10]**	**0**	**29,1**	**30,1**	**30,5**	**29,2**	**26,2**	**18,9**	**5,2**	**0**	**30,4**	**30,4**
Уровни звукового давления от источника ИШ-6-14 в расчётной точке ночью, дБ		**ф-ла(3)[10]**	**0**	**29,1**	**30,1**	**30,5**	**29,2**	**26,2**	**18,9**	**5,2**	**0**	**30,4**	**30,4**
Источник шума: ИШ-6-15, координаты источника (x,y,z), м =[765.71,-120.27,1.00]													
Уровни звуковой мощности источника днём, Lw, дБ		**исходные данные**	**0**	**96,3**	**97,7**	**99**	**99,3**	**98,9**	**95,6**	**91,4**	**86,9**		
Уровни звуковой мощности источника ночью, Lw, дБ		**исходные данные**	**0**	**96,3**	**97,7**	**99**	**99,3**	**98,9**	**95,6**	**91,4**	**86,9**		
Поправка на телесный угол DΩ, дБ	Ω = 12.57	10Lg(4π/Ω)	**0**	0	0	0	0	0	0	0	0		
Показатель направленности источника Di, дБ		исходные данные	**0**	0	0	0	0	0	0	0	0		
Поправка на направленность источника Dc, дБ	Dc	DΩ + Di	**0**	0	0	0	0	0	0	0	0		

1		2	3	4	5	6	7	8	9	10	11	12	13
Затухание из-за геометрической дивергенции, Adiv, дБ	расстояние = 504.54 м	ф-ла (7) [10]	**65,1**										
Коэффициент затухания звука в атмосфере α, дБ/км	Ta=20,°C Pa=101.33,кПа hотн.=70%	ф-ла (5) [9]	0,02	0,09	0,33	1,12	2,79	4,98	9,04	23,09	77,63		
Учет затухания звука в атмосфере Aatm, дБ		ф-ла (8) [10]	0	0	0,2	0,6	1,4	2,5	4,6	11,6	39,2		
Снижение уровня звукового давления из-за влияния застройки между источником шума и расчетной точкой													
Снижение уровня звукового давления на пути над экраном, Dz1, дБ	z = 0.11м (разность путей)	ф-лы (14-18) [10]	4,8	4,8	4,9	5,1	5,7	7	8,8	11	13,5		
Снижение уровня звукового давления на пути слева от экрана, Dz2, дБ	z = 212.63м (разность путей)	ф-лы (14-18) [10]	32,8	36,5	39,6	42,7	45,7	48,8	51,8	54,8	57,8		
Снижение уровня звукового давления на пути справа от экрана, Dz3, дБ	z = 0.07м (разность путей)	ф-лы (14-18) [10]	5,1	5,4	6	7	8,4	10,4	12,7	15,4	18,2		
Общее снижение уровня звука препятствием Dz, дБ		Эн.сумма(-Dzi)	1,9	2,1	2,4	2,9	3,8	5,3	7,3	9,7	12,2		
Уровни звукового давления от источника ИШ-6-15 в расчётной точке днём, дБ		**ф-ла(3)[10]**	**0**	**29,1**	**30**	**30,4**	**29**	**26**	**18,6**	**5**	**0**	**30,2**	**30,2**
Уровни звукового давления от источника ИШ-6-15 в расчётной точке ночью, дБ		**ф-ла(3)[10]**	**0**	**29,1**	**30**	**30,4**	**29**	**26**	**18,6**	**5**	**0**	**30,2**	**30,2**
Источник шума: ИШ-6-16, координаты источника (x,y,z), м =[764.57,-123.22,1.00]													
Уровни звуковой мощности источника днём, Lw, дБ		**исходные данные**	**0**	**96,3**	**97,7**	**99**	**99,3**	**98,9**	**95,6**	**91,4**	**86,9**		
Уровни звуковой мощности источника ночью, Lw, дБ		**исходные данные**	**0**	**96,3**	**97,7**	**99**	**99,3**	**98,9**	**95,6**	**91,4**	**86,9**		
Поправка на телесный угол DΩ, дБ	Ω = 12.57	10Lg($4\pi/\Omega$)	**0**	0	0	0	0	0	0	0	0		
Показатель направленности источника Di, дБ		исходные данные	**0**	0	0	0	0	0	0	0	0		
Поправка на направленность источника Dc, дБ	Dc	DΩ + Di	**0**	0	0	0	0	0	0	0	0		

1		2	3	4	5	6	7	8	9	10	11	12	13
Затухание из-за геометрической дивергенции, Adiv, дБ	расстояние = 502.91 м	ф-ла (7) [10]	**65**										
Коэффициент затухания звука в атмосфере α, дБ/км	Та=20,°С Ра=101.33,кПа hотн.=70%	ф-ла (5) [9]	0,02	0,09	0,33	1,12	2,79	4,98	9,04	23,09	77,63		
Учет затухания звука в атмосфере Aatm, дБ		ф-ла (8) [10]	0	0	0,2	0,6	1,4	2,5	4,5	11,6	39		
Снижение уровня звукового давления из-за влияния застройки между источником шума и расчетной точкой													
Снижение уровня звукового давления на пути над экраном, Dz1, дБ	z = 0.11м (разность путей)	ф-лы (14-18) [10]	4,8	4,8	4,9	5,1	5,8	7	8,9	11,1	13,6		
Снижение уровня звукового давления на пути слева от экрана, Dz2, дБ	z = 212.42м (разность путей)	ф-лы (14-18) [10]	32,8	36,5	39,6	42,7	45,7	48,7	51,8	54,8	57,8		
Снижение уровня звукового давления на пути справа от экрана, Dz3, дБ	z = 0.08м (разность путей)	ф-лы (14-18) [10]	5,2	5,5	6,2	7,2	8,8	10,9	13,3	16	18,9		
Общее снижение уровня звука препятствием Dz, дБ		Эн.сумма(-Dzi)	2	2,2	2,5	3,1	4	5,5	7,5	9,9	12,5		
Уровни звукового давления от источника ИШ-6-16 в расчётной точке днём, дБ		**ф-ла(3)[10]**	**0**	**29**	**30**	**30,3**	**28,8**	**25,8**	**18,5**	**4,9**	**0**	**30,1**	**30,1**
Уровни звукового давления от источника ИШ-6-16 в расчётной точке ночью, дБ		**ф-ла(3)[10]**	**0**	**29**	**30**	**30,3**	**28,8**	**25,8**	**18,5**	**4,9**	**0**	**30,1**	**30,1**
Источник шума: ИШ-6-17, координаты источника (x,y,z), м =[763.57,-126.18,1.00]													
Уровни звуковой мощности источника днём, Lw, дБ		**исходные данные**	**0**	**96,3**	**97,7**	**99**	**99,3**	**98,9**	**95,6**	**91,4**	**86,9**		
Уровни звуковой мощности источника ночью, Lw, дБ		**исходные данные**	**0**	**96,3**	**97,7**	**99**	**99,3**	**98,9**	**95,6**	**91,4**	**86,9**		
Поправка на телесный угол DΩ, дБ	Ω = 12.57	10Lg($4\pi/\Omega$)	**0**	0	0	0	0	0	0	0	0		
Показатель направленности источника Di, дБ		исходные данные	**0**	0	0	0	0	0	0	0	0		
Поправка на направленность источника Dc, дБ	Dc	DΩ + Di	**0**	0	0	0	0	0	0	0	0		

1		2	3	4	5	6	7	8	9	10	11	12	13
Затухание из-за геометрической дивергенции, Adiv, дБ	расстояние = 501.43 м	ф-ла (7) [10]	**65**										
Коэффициент затухания звука в атмосфере α, дБ/км	Та=20,°С Ра=101.33,кПа hотн.=70%	ф-ла (5) [9]	0,02	0,09	0,33	1,12	2,79	4,98	9,04	23,09	77,63		
Учет затухания звука в атмосфере Aatm, дБ		ф-ла (8) [10]	0	0	0,2	0,6	1,4	2,5	4,5	11,6	38,9		
Снижение уровня звукового давления из-за влияния застройки между источником шума и расчетной точкой													
Снижение уровня звукового давления на пути над экраном, Dz1, дБ	z = 0.11м (разность путей)	ф-лы (14-18) [10]	4,8	4,9	4,9	5,2	5,8	7,1	9	11,2	13,7		
Снижение уровня звукового давления на пути слева от экрана, Dz2, дБ	z = 212.21м (разность путей)	ф-лы (14-18) [10]	32,8	36,4	39,6	42,7	45,7	48,7	51,8	54,8	57,8		
Снижение уровня звукового давления на пути справа от экрана, Dz3, дБ	z = 0.09м (разность путей)	ф-лы (14-18) [10]	5,2	5,7	6,4	7,5	9,2	11,4	13,9	16,6	19,5		
Общее снижение уровня звука препятствием Dz, дБ		Эн.сумма(-Dzi)	2	2,2	2,6	3,2	4,2	5,7	7,7	10,1	12,7		
Уровни звукового давления от источника ИШ-6-17 в расчётной точке днём, дБ		**ф-ла(3)[10]**	**0**	**29**	**29,9**	**30,2**	**28,7**	**25,6**	**18,3**	**4,7**	**0**	**29,9**	**29,9**
Уровни звукового давления от источника ИШ-6-17 в расчётной точке ночью, дБ		**ф-ла(3)[10]**	**0**	**29**	**29,9**	**30,2**	**28,7**	**25,6**	**18,3**	**4,7**	**0**	**29,9**	**29,9**
Источник шума: ИШ-6-18, координаты источника (x,y,z), м =[804.77,-126.28,1.00]													
Уровни звуковой мощности источника днём, Lw, дБ		**исходные данные**	**0**	**96,3**	**97,7**	**99**	**99,3**	**98,9**	**95,6**	**91,4**	**86,9**		
Уровни звуковой мощности источника ночью, Lw, дБ		**исходные данные**	**0**	**96,3**	**97,7**	**99**	**99,3**	**98,9**	**95,6**	**91,4**	**86,9**		
Поправка на телесный угол DΩ, дБ	Ω = 12.57	10Lg(4π/Ω)	**0**	0	0	0	0	0	0	0	0		
Показатель направленности источника Di, дБ		исходные данные	**0**	0	0	0	0	0	0	0	0		
Поправка на направленность источника Dc, дБ	Dc	DΩ + Di	**0**	0	0	0	0	0	0	0	0		

1		2	3	4	5	6	7	8	9	10	11	12	13
Затухание из-за геометрической дивергенции, Adiv, дБ	расстояние = 542.13 м	ф-ла (7) [10]	**65,7**										
Коэффициент затухания звука в атмосфере α, дБ/км	Ta=20,°C Pa=101.33,кПа hотн.=70%	ф-ла (5) [9]	0,02	0,09	0,33	1,12	2,79	4,98	9,04	23,09	77,63		
Учет затухания звука в атмосфере Aatm, дБ		ф-ла (8) [10]	0	0	0,2	0,6	1,5	2,7	4,9	12,5	42,1		
Снижение уровня звукового давления из-за влияния застройки между источником шума и расчетной точкой													
Снижение уровня звукового давления на пути над экраном, Dz1, дБ	z = 0.11м (разность путей)	ф-лы (14-18) [10]	4,8	4,8	4,9	5,1	5,7	6,8	8,4	10,5	12,9		
Снижение уровня звукового давления на пути слева от экрана, Dz2, дБ	z = 211.61м (разность путей)	ф-лы (14-18) [10]	32,7	36,4	39,6	42,7	45,7	48,7	51,7	54,8	57,8		
Снижение уровня звукового давления на пути справа от экрана, Dz3, дБ	z = 0.12м (разность путей)	ф-лы (14-18) [10]	5,4	5,9	6,8	8,2	10,1	12,4	15	17,8	20,7		
Общее снижение уровня звука препятствием Dz, дБ		Эн.сумма(-Dzi)	2,1	2,3	2,7	3,4	4,4	5,8	7,6	9,7	12,2		
Уровни звукового давления от источника ИШ-6-18 в расчётной точке днём, дБ		**ф-ла(3)[10]**	**0**	**28,2**	**29,1**	**29,3**	**27,7**	**24,7**	**17,4**	**3,5**	**0**	**29**	**29**
Уровни звукового давления от источника ИШ-6-18 в расчётной точке ночью, дБ		**ф-ла(3)[10]**	**0**	**28,2**	**29,1**	**29,3**	**27,7**	**24,7**	**17,4**	**3,5**	**0**	**29**	**29**
Источник шума: ИШ-6-19, координаты источника (x,y,z), м =[803.81,-129.30,1.00]													
Уровни звуковой мощности источника днём, Lw, дБ		**исходные данные**	**0**	**96,3**	**97,7**	**99**	**99,3**	**98,9**	**95,6**	**91,4**	**86,9**		
Уровни звуковой мощности источника ночью, Lw, дБ		**исходные данные**	**0**	**96,3**	**97,7**	**99**	**99,3**	**98,9**	**95,6**	**91,4**	**86,9**		
Поправка на телесный угол DΩ, дБ	Ω = 12.57	10Lg($4\pi/\Omega$)	**0**	0	0	0	0	0	0	0	0		
Показатель направленности источника Di, дБ		исходные данные	**0**	0	0	0	0	0	0	0	0		
Поправка на направленность источника Dc, дБ	Dc	DΩ + Di	**0**	0	0	0	0	0	0	0	0		

1		2	3	4	5	6	7	8	9	10	11	12	13
Затухание из-за геометрической дивергенции, Adiv, дБ	расстояние = 540.73 м	ф-ла (7) [10]	**65,7**										
Коэффициент затухания звука в атмосфере α, дБ/км	Ta=20,°C Pa=101.33,кПа hотн.=70%	ф-ла (5) [9]	0,02	0,09	0,33	1,12	2,79	4,98	9,04	23,09	77,63		
Учет затухания звука в атмосфере Aatm, дБ		ф-ла (8) [10]	0	0	0,2	0,6	1,5	2,7	4,9	12,5	42		
Снижение уровня звукового давления из-за влияния застройки между источником шума и расчетной точкой													
Снижение уровня звукового давления на пути над экраном, Dz1, дБ	z = 0.11м (разность путей)	ф-лы (14-18) [10]	4,8	4,8	4,9	5,1	5,7	6,9	8,5	10,5	12,9		
Снижение уровня звукового давления на пути слева от экрана, Dz2, дБ	z = 211.41м (разность путей)	ф-лы (14-18) [10]	32,7	36,4	39,6	42,7	45,7	48,7	51,7	54,7	57,8		
Снижение уровня звукового давления на пути справа от экрана, Dz3, дБ	z = 0.14м (разность путей)	ф-лы (14-18) [10]	5,5	6	7	8,5	10,5	12,8	15,5	18,3	21,2		
Общее снижение уровня звука препятствием Dz, дБ		Эн.сумма(-Dzi)	2,1	2,4	2,8	3,5	4,5	5,9	7,7	9,9	12,3		
Уровни звукового давления от источника ИШ-6-19 в расчётной точке днём, дБ		**ф-ла(3)[10]**	**0**	**28,2**	**29**	**29,2**	**27,6**	**24,6**	**17,3**	**3,4**	**0**	**28,9**	**28,9**
Уровни звукового давления от источника ИШ-6-19 в расчётной точке ночью, дБ		**ф-ла(3)[10]**	**0**	**28,2**	**29**	**29,2**	**27,6**	**24,6**	**17,3**	**3,4**	**0**	**28,9**	**28,9**
Источник шума: ИШ-6-20, координаты источника (x,y,z), м =[802.67,-132.35,1.00]													
Уровни звуковой мощности источника днём, Lw, дБ		**исходные данные**	**0**	**96,3**	**97,7**	**99**	**99,3**	**98,9**	**95,6**	**91,4**	**86,9**		
Уровни звуковой мощности источника ночью, Lw, дБ		**исходные данные**	**0**	**96,3**	**97,7**	**99**	**99,3**	**98,9**	**95,6**	**91,4**	**86,9**		
Поправка на телесный угол DΩ, дБ	Ω = 12.57	10Lg($4\pi/\Omega$)	**0**	0	0	0	0	0	0	0	0		
Показатель направленности источника Di, дБ		исходные данные	**0**	0	0	0	0	0	0	0	0		
Поправка на направленность источника Dc, дБ	Dc	DΩ + Di	**0**	0	0	0	0	0	0	0	0		

1		2	3	4	5	6	7	8	9	10	11	12	13
Затухание из-за геометрической дивергенции, Adiv, дБ	расстояние = 539.17 м	ф-ла (7) [10]	**65,6**										
Коэффициент затухания звука в атмосфере α, дБ/км	Ta=20,°C Pa=101.33,кПа hотн.=70%	ф-ла (5) [9]	0,02	0,09	0,33	1,12	2,79	4,98	9,04	23,09	77,63		
Учет затухания звука в атмосфере Aatm, дБ		ф-ла (8) [10]	0	0	0,2	0,6	1,5	2,7	4,9	12,4	41,9		
Снижение уровня звукового давления из-за влияния застройки между источником шума и расчетной точкой													
Снижение уровня звукового давления на пути над экраном, Dz1, дБ	z = 0.11м (разность путей)	ф-лы (14-18) [10]	4,8	4,8	4,9	5,2	5,8	6,9	8,5	10,6	13		
Снижение уровня звукового давления на пути слева от экрана, Dz2, дБ	z = 211.21м (разность путей)	ф-лы (14-18) [10]	32,7	36,4	39,6	42,7	45,7	48,7	51,7	54,7	57,8		
Снижение уровня звукового давления на пути справа от экрана, Dz3, дБ	z = 0.15м (разность путей)	ф-лы (14-18) [10]	5,5	6,2	7,2	8,8	10,8	13,2	15,9	18,8	21,7		
Общее снижение уровня звука препятствием Dz, дБ		Эн.сумма(-Dzi)	2,1	2,4	2,9	3,6	4,6	6	7,8	10	12,5		
Уровни звукового давления от источника ИШ-6-20 в расчётной точке днём, дБ		**ф-ла(3)[10]**	**0**	**28,2**	**29**	**29,2**	**27,6**	**24,6**	**17,3**	**3,3**	**0**	**28,8**	**28,8**
Уровни звукового давления от источника ИШ-6-20 в расчётной точке ночью, дБ		**ф-ла(3)[10]**	**0**	**28,2**	**29**	**29,2**	**27,6**	**24,6**	**17,3**	**3,3**	**0**	**28,8**	**28,8**
Источник шума: ИШ-6-21, координаты источника (x,y,z), м =[801.69,-135.42,1.00]													
Уровни звуковой мощности источника днём, Lw, дБ		**исходные данные**	**0**	**96,3**	**97,7**	**99**	**99,3**	**98,9**	**95,6**	**91,4**	**86,9**		
Уровни звуковой мощности источника ночью, Lw, дБ		**исходные данные**	**0**	**96,3**	**97,7**	**99**	**99,3**	**98,9**	**95,6**	**91,4**	**86,9**		
Поправка на телесный угол DΩ, дБ	Ω = 12.57	10Lg($4\pi/\Omega$)	**0**	0	0	0	0	0	0	0	0		
Показатель направленности источника Di, дБ		исходные данные	**0**	0	0	0	0	0	0	0	0		
Поправка на направленность источника Dc, дБ	Dc	DΩ + Di	**0**	0	0	0	0	0	0	0	0		

1		2	3	4	5	6	7	8	9	10	11	12	13
Затухание из-за геометрической дивергенции, Adiv, дБ	расстояние = 537.77 м	ф-ла (7) [10]	**65,6**										
Коэффициент затухания звука в атмосфере α, дБ/км	Ta=20,°C Pa=101.33,кПа hотн.=70%	ф-ла (5) [9]	0,02	0,09	0,33	1,12	2,79	4,98	9,04	23,09	77,63		
Учет затухания звука в атмосфере Aatm, дБ		ф-ла (8) [10]	0	0	0,2	0,6	1,5	2,7	4,9	12,4	41,7		
Снижение уровня звукового давления из-за влияния застройки между источником шума и расчетной точкой													
Снижение уровня звукового давления на пути над экраном, Dz1, дБ	z = 0.11м (разность путей)	ф-лы (14-18) [10]	4,8	4,8	4,9	5,2	5,8	7	8,6	10,7	13,1		
Снижение уровня звукового давления на пути слева от экрана, Dz2, дБ	z = 211.01м (разность путей)	ф-лы (14-18) [10]	32,7	36,4	39,6	42,7	45,7	48,7	51,7	54,7	57,8		
Снижение уровня звукового давления на пути справа от экрана, Dz3, дБ	z = 0.17м (разность путей)	ф-лы (14-18) [10]	5,6	6,3	7,4	9	11,2	13,6	16,4	19,2	22,1		
Общее снижение уровня звука препятствием Dz, дБ		Эн.сумма(-Dzi)	2,2	2,5	3	3,7	4,7	6,1	7,9	10,1	12,6		
Уровни звукового давления от источника ИШ-6-21 в расчётной точке днём, дБ		**ф-ла(3)[10]**	**0**	**28,1**	**28,9**	**29,1**	**27,5**	**24,5**	**17,2**	**3,3**	**0**	**28,8**	**28,8**
Уровни звукового давления от источника ИШ-6-21 в расчётной точке ночью, дБ		**ф-ла(3)[10]**	**0**	**28,1**	**28,9**	**29,1**	**27,5**	**24,5**	**17,2**	**3,3**	**0**	**28,8**	**28,8**
Источник шума: ИШ-6-22, координаты источника (x,y,z), м =[800.65,-138.47,1.00]													
Уровни звуковой мощности источника днём, Lw, дБ		**исходные данные**	**0**	**96,3**	**97,7**	**99**	**99,3**	**98,9**	**95,6**	**91,4**	**86,9**		
Уровни звуковой мощности источника ночью, Lw, дБ		**исходные данные**	**0**	**96,3**	**97,7**	**99**	**99,3**	**98,9**	**95,6**	**91,4**	**86,9**		
Поправка на телесный угол DΩ, дБ	Ω = 12.57	10Lg($4\pi/\Omega$)	**0**	0	0	0	0	0	0	0	0		
Показатель направленности источника Di, дБ		исходные данные	**0**	0	0	0	0	0	0	0	0		
Поправка на направленность источника Dc, дБ	Dc	DΩ + Di	**0**	0	0	0	0	0	0	0	0		

1		2	3	4	5	6	7	8	9	10	11	12	13
Затухание из-за геометрической дивергенции, Adiv, дБ	расстояние = 536.34 м	ф-ла (7) [10]	**65,6**										
Коэффициент затухания звука в атмосфере α, дБ/км	Ta=20,°C Pa=101.33,кПа hотн.=70%	ф-ла (5) [9]	0,02	0,09	0,33	1,12	2,79	4,98	9,04	23,09	77,63		
Учет затухания звука в атмосфере Aatm, дБ		ф-ла (8) [10]	0	0	0,2	0,6	1,5	2,7	4,8	12,4	41,6		
Снижение уровня звукового давления из-за влияния застройки между источником шума и расчетной точкой													
Снижение уровня звукового давления на пути над экраном, Dz1, дБ	z = 0.11м (разность путей)	ф-лы (14-18) [10]	4,8	4,8	4,9	5,2	5,9	7	8,7	10,7	13,2		
Снижение уровня звукового давления на пути слева от экрана, Dz2, дБ	z = 210.81м (разность путей)	ф-лы (14-18) [10]	32,7	36,4	39,6	42,7	45,7	48,7	51,7	54,7	57,7		
Снижение уровня звукового давления на пути справа от экрана, Dz3, дБ	z = 0.19м (разность путей)	ф-лы (14-18) [10]	5,7	6,4	7,6	9,3	11,5	14	16,8	19,6	22,6		
Общее снижение уровня звука препятствием Dz, дБ		Эн.сумма(-Dzi)	2,2	2,6	3,1	3,8	4,8	6,2	8	10,2	12,7		
Уровни звукового давления от источника ИШ-6-22 в расчётной точке днём, дБ		**ф-ла(3)[10]**	**0**	**28,1**	**28,9**	**29**	**27,4**	**24,4**	**17,1**	**3,2**	**0**	**28,7**	**28,7**
Уровни звукового давления от источника ИШ-6-22 в расчётной точке ночью, дБ		**ф-ла(3)[10]**	**0**	**28,1**	**28,9**	**29**	**27,4**	**24,4**	**17,1**	**3,2**	**0**	**28,7**	**28,7**
Источник шума: ИШ-7-1, координаты источника (x,y,z), м =[821.44,63.31,1.00]													
Уровни звуковой мощности источника днём, Lw, дБ		**исходные данные**	**77**	**75**	**67**	**66**	**63**	**55**	**53**	**48**	**51**		
Уровни звуковой мощности источника ночью, Lw, дБ		**исходные данные**	**77**	**75**	**67**	**66**	**63**	**55**	**53**	**48**	**51**		
Поправка на телесный угол DΩ, дБ	Ω = 12.57	10Lg($4\pi/\Omega$)	**0**	0	0	0	0	0	0	0	0		
Показатель направленности источника Di, дБ		исходные данные	**0**	0	0	0	0	0	0	0	0		
Поправка на направленность источника Dc, дБ	Dc	DΩ + Di	**0**	0	0	0	0	0	0	0	0		

1		2	3	4	5	6	7	8	9	10	11	12	13
Затухание из-за геометрической дивергенции, Adiv, дБ	расстояние = 615.42 м	ф-ла (7) [10]	**66,8**										
Коэффициент затухания звука в атмосфере α, дБ/км	Та=20,°С Ра=101.33,кПа hотн.=70%	ф-ла (5) [9]	0,02	0,09	0,33	1,12	2,79	4,98	9,04	23,09	77,63		
Учет затухания звука в атмосфере Aatm, дБ		ф-ла (8) [10]	0	0,1	0,2	0,7	1,7	3,1	5,6	14,2	47,8		
Снижение уровня звукового давления из-за влияния застройки между источником шума и расчетной точкой													
Снижение уровня звукового давления на пути над экраном, Dz1, дБ	z = 0.15м (разность путей)	ф-лы (14-18) [10]	4,8	4,8	4,8	4,8	4,8	4,9	5	5,2	5,5		
Уровни звукового давления от источника ИШ-7-1 в расчётной точке днём, дБ		**ф-ла(3)[10]**	**5,4**	**3,4**	**0**	**0**	**0**	**0**	**0**	**0**	**0**	**0**	**0**
Уровни звукового давления от источника ИШ-7-1 в расчётной точке ночью, дБ		**ф-ла(3)[10]**	**5,4**	**3,4**	**0**	**0**	**0**	**0**	**0**	**0**	**0**	**0**	**0**
Источник шума: ИШ-7-2, координаты источника (x,y,z), м =[768.90,-86.75,1.00]													
Уровни звуковой мощности источника днём, Lw, дБ		**исходные данные**	**77**	**75**	**67**	**66**	**63**	**55**	**53**	**48**	**51**		
Уровни звуковой мощности источника ночью, Lw, дБ		**исходные данные**	**77**	**75**	**67**	**66**	**63**	**55**	**53**	**48**	**51**		
Поправка на телесный угол DΩ, дБ	Ω = 12.57	10Lg(4π/Ω)	**0**	0	0	0	0	0	0	0	0		
Показатель направленности источника Di, дБ		исходные данные	**0**	0	0	0	0	0	0	0	0		
Поправка на направленность источника Dc, дБ	Dc	DΩ + Di	**0**	0	0	0	0	0	0	0	0		
Затухание из-за геометрической дивергенции, Adiv, дБ	расстояние = 514.49 м	ф-ла (7) [10]	**65,2**										
Коэффициент затухания звука в атмосфере α, дБ/км	Та=20,°С Ра=101.33,кПа hотн.=70%	ф-ла (5) [9]	0,02	0,09	0,33	1,12	2,79	4,98	9,04	23,09	77,63		
Учет затухания звука в атмосфере Aatm, дБ		ф-ла (8) [10]	0	0	0,2	0,6	1,4	2,6	4,7	11,9	39,9		

1		2	3	4	5	6	7	8	9	10	11	12	13
Снижение уровня звукового давления из-за влияния застройки между источником шума и расчетной точкой													
Снижение уровня звукового давления на пути над экраном, Dz1, дБ	z = 0.11м (разность путей)	ф-лы (14-18) [10]	4,8	4,8	4,9	5	5,2	5,6	6,4	7,7	9,9		
Уровни звукового давления от источника ИШ-7-2 в расчётной точке днём, дБ		**ф-ла(3)[10]**	**7**	**4,9**	**0**	**0**	**0**	**0**	**0**	**0**	**0**	**0**	**0**
Уровни звукового давления от источника ИШ-7-2 в расчётной точке ночью, дБ		**ф-ла(3)[10]**	**7**	**4,9**	**0**	**0**	**0**	**0**	**0**	**0**	**0**	**0**	**0**
Источник шума: ИШ-7-3, координаты источника (x,y,z), м =[766.80,-93.20,1.00]													
Уровни звуковой мощности источника днём, Lw, дБ		**исходные данные**	**77**	**75**	**67**	**66**	**63**	**55**	**53**	**48**	**51**		
Уровни звуковой мощности источника ночью, Lw, дБ		**исходные данные**	**77**	**75**	**67**	**66**	**63**	**55**	**53**	**48**	**51**		
Поправка на телесный угол DΩ, дБ	Ω = 12.57	10Lg(4π/Ω)	**0**	0	0	0	0	0	0	0	0		
Показатель направленности источника Di, дБ		исходные данные	**0**	0	0	0	0	0	0	0	0		
Поправка на направленность источника Dc, дБ	Dc	DΩ + Di	**0**	0	0	0	0	0	0	0	0		
Затухание из-за геометрической дивергенции, Adiv, дБ	расстояние = 510.97 м	ф-ла (7) [10]	**65,2**										
Коэффициент затухания звука в атмосфере α, дБ/км	Ta=20,°C Pa=101.33,кПа hотн.=70%	ф-ла (5) [9]	0,02	0,09	0,33	1,12	2,79	4,98	9,04	23,09	77,63		
Учет затухания звука в атмосфере Aatm, дБ		ф-ла (8) [10]	0	0	0,2	0,6	1,4	2,5	4,6	11,8	39,7		
Снижение уровня звукового давления из-за влияния застройки между источником шума и расчетной точкой													
Снижение уровня звукового давления на пути над экраном, Dz1, дБ	z = 0.11м (разность путей)	ф-лы (14-18) [10]	4,8	4,8	4,9	5	5,3	5,8	7,1	9,6	12,6		
Уровни звукового давления от источника ИШ-7-3 в расчётной точке днём, дБ		**ф-ла(3)[10]**	**7**	**5**	**0**	**0**	**0**	**0**	**0**	**0**	**0**	**0**	**0**

1		2	3	4	5	6	7	8	9	10	11	12	13
Уровни звукового давления от источника ИШ-7-3 в расчётной точке ночью, дБ		**ф-ла(3)[10]**	**7**	**5**	**0**	**0**	**0**	**0**	**0**	**0**	**0**	**0**	**0**
Источник шума: ИШ-7-4, координаты источника (x,y,z), м =[866.76,37.18,1.00]													
Уровни звуковой мощности источника днём, Lw, дБ		**исходные данные**	**77**	**75**	**67**	**66**	**63**	**55**	**53**	**48**	**51**		
Уровни звуковой мощности источника ночью, Lw, дБ		**исходные данные**	**77**	**75**	**67**	**66**	**63**	**55**	**53**	**48**	**51**		
Поправка на телесный угол DΩ, дБ	Ω = 12.57	10Lg(4π/Ω)	**0**	0	0	0	0	0	0	0	0		
Показатель направленности источника Di, дБ		исходные данные	**0**	0	0	0	0	0	0	0	0		
Поправка на направленность источника Dc, дБ	Dc	DΩ + Di	**0**	0	0	0	0	0	0	0	0		
Затухание из-за геометрической дивергенции, Adiv, дБ	расстояние = 646.09 м	ф-ла (7) [10]	**67,2**										
Коэффициент затухания звука в атмосфере α, дБ/км	Ta=20,°C Pa=101.33,кПа hотн.=70%	ф-ла (5) [9]	0,02	0,09	0,33	1,12	2,79	4,98	9,04	23,09	77,63		
Учет затухания звука в атмосфере Aatm, дБ		ф-ла (8) [10]	0	0,1	0,2	0,7	1,8	3,2	5,8	14,9	50,2		
Снижение уровня звукового давления из-за влияния застройки между источником шума и расчетной точкой													
Снижение уровня звукового давления на пути над экраном, Dz1, дБ	z = 0.27м (разность путей)	ф-лы (14-18) [10]	4,8	4,8	4,8	4,9	5,2	5,6	6,3	7,4	9		
Уровни звукового давления от источника ИШ-7-4 в расчётной точке днём, дБ		**ф-ла(3)[10]**	**5**	**2,9**	**0**	**0**	**0**	**0**	**0**	**0**	**0**	**0**	**0**
Уровни звукового давления от источника ИШ-7-4 в расчётной точке ночью, дБ		**ф-ла(3)[10]**	**5**	**2,9**	**0**	**0**	**0**	**0**	**0**	**0**	**0**	**0**	**0**
Источник шума: ИШ-7-5, координаты источника (x,y,z), м =[861.80,21.34,1.00]													
Уровни звуковой мощности источника днём, Lw, дБ		**исходные данные**	**77**	**75**	**67**	**66**	**63**	**55**	**53**	**48**	**51**		

1		2	3	4	5	6	7	8	9	10	11	12	13
Уровни звуковой мощности источника ночью, Lw, дБ		**исходные данные**	**77**	**75**	**67**	**66**	**63**	**55**	**53**	**48**	**51**		
Поправка на телесный угол DΩ, дБ	Ω = 12.57	10Lg(4π/Ω)	**0**	0	0	0	0	0	0	0	0		
Показатель направленности источника Di, дБ		исходные данные	**0**	0	0	0	0	0	0	0	0		
Поправка на направленность источника Dc, дБ	Dc	DΩ + Di	**0**	0	0	0	0	0	0	0	0		
Затухание из-за геометрической дивергенции, Adiv, дБ	расстояние = 635.63 м	ф-ла (7) [10]	**67,1**										
Коэффициент затухания звука в атмосфере α, дБ/км	Ta=20,°C Pa=101.33,кПа hотн.=70%	ф-ла (5) [9]	0,02	0,09	0,33	1,12	2,79	4,98	9,04	23,09	77,63		
Учет затухания звука в атмосфере Aatm, дБ		ф-ла (8) [10]	0	0,1	0,2	0,7	1,8	3,2	5,7	14,7	49,3		
Снижение уровня звукового давления из-за влияния застройки между источником шума и расчетной точкой													
Снижение уровня звукового давления на пути над экраном, Dz1, дБ	z = 0.27м (разность путей)	ф-лы (14-18) [10]	4,8	4,8	4,8	4,9	5,2	5,6	6,3	7,5	9,1		
Уровни звукового давления от источника ИШ-7-5 в расчётной точке днём, дБ		**ф-ла(3)[10]**	**5,1**	**3,1**	**0**	**0**	**0**	**0**	**0**	**0**	**0**	**0**	**0**
Уровни звукового давления от источника ИШ-7-5 в расчётной точке ночью, дБ		**ф-ла(3)[10]**	**5,1**	**3,1**	**0**	**0**	**0**	**0**	**0**	**0**	**0**	**0**	**0**
Источник шума: ИШ-7-6, координаты источника (x,y,z), м =[856.52,5.94,1.00]													
Уровни звуковой мощности источника днём, Lw, дБ		**исходные данные**	**77**	**75**	**67**	**66**	**63**	**55**	**53**	**48**	**51**		
Уровни звуковой мощности источника ночью, Lw, дБ		**исходные данные**	**77**	**75**	**67**	**66**	**63**	**55**	**53**	**48**	**51**		
Поправка на телесный угол DΩ, дБ	Ω = 12.57	10Lg(4π/Ω)	**0**	0	0	0	0	0	0	0	0		
Показатель направленности источника Di, дБ		исходные данные	**0**	0	0	0	0	0	0	0	0		

1		2	3	4	5	6	7	8	9	10	11	12	13
Поправка на направленность источника Dc, дБ	Dc	DΩ + Di	**0**	0	0	0	0	0	0	0	0		
Затухание из-за геометрической дивергенции, Adiv, дБ	расстояние = 625.28 м	ф-ла (7) [10]	**66,9**										
Коэффициент затухания звука в атмосфере α, дБ/км	Ta=20,°C Pa=101.33,кПа hотн.=70%	ф-ла (5) [9]	0,02	0,09	0,33	1,12	2,79	4,98	9,04	23,09	77,63		
Учет затухания звука в атмосфере Aatm, дБ		ф-ла (8) [10]	0	0,1	0,2	0,7	1,7	3,1	5,7	14,4	48,5		
Снижение уровня звукового давления из-за влияния застройки между источником шума и расчетной точкой													
Снижение уровня звукового давления на пути над экраном, Dz1, дБ	z = 0.27м (разность путей)	ф-лы (14-18) [10]	4,8	4,8	4,8	4,9	5,1	5,5	6,3	7,4	9,1		
Уровни звукового давления от источника ИШ-7-6 в расчётной точке днём, дБ		**ф-ла(3)[10]**	**5,3**	**3,2**	**0**	**0**	**0**	**0**	**0**	**0**	**0**	**0**	**0**
Уровни звукового давления от источника ИШ-7-6 в расчётной точке ночью, дБ		**ф-ла(3)[10]**	**5,3**	**3,2**	**0**	**0**	**0**	**0**	**0**	**0**	**0**	**0**	**0**
Источник шума: ИШ-7-7, координаты источника (x,y,z), м =[851.06,-9.89,1.00]													
Уровни звуковой мощности источника днём, Lw, дБ		**исходные данные**	**77**	**75**	**67**	**66**	**63**	**55**	**53**	**48**	**51**		
Уровни звуковой мощности источника ночью, Lw, дБ		**исходные данные**	**77**	**75**	**67**	**66**	**63**	**55**	**53**	**48**	**51**		
Поправка на телесный угол DΩ, дБ	Ω = 12.57	10Lg(4π/Ω)	**0**	0	0	0	0	0	0	0	0		
Показатель направленности источника Di, дБ		исходные данные	**0**	0	0	0	0	0	0	0	0		
Поправка на направленность источника Dc, дБ	Dc	DΩ + Di	**0**	0	0	0	0	0	0	0	0		
Затухание из-за геометрической дивергенции, Adiv, дБ	расстояние = 614.88 м	ф-ла (7) [10]	**66,8**										
Коэффициент затухания звука в атмосфере α, дБ/км	Ta=20,°C Pa=101.33,кПа hотн.=70%	ф-ла (5) [9]	0,02	0,09	0,33	1,12	2,79	4,98	9,04	23,09	77,63		

1		2	3	4	5	6	7	8	9	10	11	12	13
Учет затухания звука в атмосфере Aatm, дБ		ф-ла (8) [10]	0	0,1	0,2	0,7	1,7	3,1	5,6	14,2	47,7		
Снижение поверхностью земли возле источника As, дБ	Gs = 0 hs = 1м	ф-лы таб.3 [10]	-1,5	-1,5	-1,5	-1,5	-1,5	-1,5	-1,5	-1,5	-1,5		
Снижение поверхностью земли возле приёмника Ar, дБ	Gr = 1 hr = 1.6м	ф-лы таб.3 [10]	-1,5	-1,5	3,7	6,8	4,3	0,5	0	0	0		
Снижение поверхностью земли в средней зоне, Am дБ	Gm = 1	ф-лы таб.3 [10]	-2,6	-2,6	0	0	0	0	0	0	0		
Суммарное снижение поверхностью земли на траектории распространения звука Agr, дБ		ф-ла (9) [10]	-5,6	-5,6	2,2	5,3	2,8	-1	-1,5	-1,5	-1,5		
Уровни звукового давления от источника ИШ-7-7 в расчётной точке днём, дБ		**ф-ла(3)[10]**	**15,8**	**13,8**	**0**	**0**	**0**	**0**	**0**	**0**	**0**	**0**	**0**
Уровни звукового давления от источника ИШ-7-7 в расчётной точке ночью, дБ		**ф-ла(3)[10]**	**15,8**	**13,8**	**0**	**0**	**0**	**0**	**0**	**0**	**0**	**0**	**0**
Источник шума: ИШ-7-8, координаты источника (x,y,z), м =[821.90,-104.30,1.00]													
Уровни звуковой мощности источника днём, Lw, дБ		**исходные данные**	**77**	**75**	**67**	**66**	**63**	**55**	**53**	**48**	**51**		
Уровни звуковой мощности источника ночью, Lw, дБ		**исходные данные**	**77**	**75**	**67**	**66**	**63**	**55**	**53**	**48**	**51**		
Поправка на телесный угол DΩ, дБ	Ω = 12.57	10Lg(4π/Ω)	**0**	0	0	0	0	0	0	0	0		
Показатель направленности источника Di, дБ		исходные данные	**0**	0	0	0	0	0	0	0	0		
Поправка на направленность источника Dc, дБ	Dc	DΩ + Di	**0**	0	0	0	0	0	0	0	0		
Затухание из-за геометрической дивергенции, Adiv, дБ	расстояние = 562.67 м	ф-ла (7) [10]	**66**										
Коэффициент затухания звука в атмосфере α, дБ/км	Ta=20,°C Pa=101.33,кПа hотн.=70%	ф-ла (5) [9]	0,02	0,09	0,33	1,12	2,79	4,98	9,04	23,09	77,63		
Учет затухания звука в атмосфере Aatm, дБ		ф-ла (8) [10]	0	0,1	0,2	0,6	1,6	2,8	5,1	13	43,7		

1		2	3	4	5	6	7	8	9	10	11	12	13
Снижение уровня звукового давления из-за влияния застройки между источником шума и расчетной точкой													
Снижение уровня звукового давления на пути над экраном, Dz1, дБ	z = 0.11м (разность путей)	ф-лы (14-18) [10]	4,8	4,8	4,9	5	5,4	6,3	7,8	9,8	12,1		
Уровни звукового давления от источника ИШ-7-8 в расчётной точке днём, дБ		**ф-ла(3)[10]**	**6,2**	**4,1**	**0**	**0**	**0**	**0**	**0**	**0**	**0**	**0**	**0**
Уровни звукового давления от источника ИШ-7-8 в расчётной точке ночью, дБ		**ф-ла(3)[10]**	**6,2**	**4,1**	**0**	**0**	**0**	**0**	**0**	**0**	**0**	**0**	**0**
Источник шума: ИШ-7-9, координаты источника (x,y,z), м =[819.93,-110.97,1.00]													
Уровни звуковой мощности источника днём, Lw, дБ		**исходные данные**	**77**	**75**	**67**	**66**	**63**	**55**	**53**	**48**	**51**		
Уровни звуковой мощности источника ночью, Lw, дБ		**исходные данные**	**77**	**75**	**67**	**66**	**63**	**55**	**53**	**48**	**51**		
Поправка на телесный угол DΩ, дБ	Ω = 12.57	10Lg(4π/Ω)	**0**	0	0	0	0	0	0	0	0		
Показатель направленности источника Di, дБ		исходные данные	**0**	0	0	0	0	0	0	0	0		
Поправка на направленность источника Dc, дБ	Dc	DΩ + Di	**0**	0	0	0	0	0	0	0	0		
Затухание из-за геометрической дивергенции, Adiv, дБ	расстояние = 559.54 м	ф-ла (7) [10]	**66**										
Коэффициент затухания звука в атмосфере α, дБ/км	Ta=20,°C Pa=101.33,кПа hотн.=70%	ф-ла (5) [9]	0,02	0,09	0,33	1,12	2,79	4,98	9,04	23,09	77,63		
Учет затухания звука в атмосфере Aatm, дБ		ф-ла (8) [10]	0	0,1	0,2	0,6	1,6	2,8	5,1	12,9	43,4		
Снижение уровня звукового давления из-за влияния застройки между источником шума и расчетной точкой													
Снижение уровня звукового давления на пути над экраном, Dz1, дБ	z = 0.11м (разность путей)	ф-лы (14-18) [10]	4,8	4,8	4,9	5	5,5	6,4	8	10	12,3		
Уровни звукового давления от источника ИШ-7-9 в расчётной точке днём, дБ		**ф-ла(3)[10]**	**6,2**	**4,2**	**0**	**0**	**0**	**0**	**0**	**0**	**0**	**0**	**0**

1		2	3	4	5	6	7	8	9	10	11	12	13
Уровни звукового давления от источника ИШ-7-9 в расчётной точке ночью, дБ		**ф-ла(3)[10]**	**6,2**	**4,2**	**0**	**0**	**0**	**0**	**0**	**0**	**0**	**0**	**0**
Источник шума: ИШ-7-10, координаты источника (x,y,z), м =[868.68,92.66,1.00]													
Уровни звуковой мощности источника днём, Lw, дБ		**исходные данные**	**77**	**75**	**67**	**66**	**63**	**55**	**53**	**48**	**51**		
Уровни звуковой мощности источника ночью, Lw, дБ		**исходные данные**	**77**	**75**	**67**	**66**	**63**	**55**	**53**	**48**	**51**		
Поправка на телесный угол DΩ, дБ	Ω = 12.57	10Lg(4π/Ω)	**0**	0	0	0	0	0	0	0	0		
Показатель направленности источника Di, дБ		исходные данные	**0**	0	0	0	0	0	0	0	0		
Поправка на направленность источника Dc, дБ	Dc	DΩ + Di	**0**	0	0	0	0	0	0	0	0		
Затухание из-за геометрической дивергенции, Adiv, дБ	расстояние = 670.77 м	ф-ла (7) [10]	**67,5**										
Коэффициент затухания звука в атмосфере α, дБ/км	Ta=20,°C Pa=101.33,кПа hотн.=70%	ф-ла (5) [9]	0,02	0,09	0,33	1,12	2,79	4,98	9,04	23,09	77,63		
Учет затухания звука в атмосфере Aatm, дБ		ф-ла (8) [10]	0	0,1	0,2	0,8	1,9	3,3	6,1	15,5	52,1		
Снижение уровня звукового давления из-за влияния застройки между источником шума и расчетной точкой													
Снижение уровня звукового давления на пути над экраном, Dz1, дБ	z = 0.14м (разность путей)	ф-лы (14-18) [10]	4,8	4,8	4,8	4,8	4,8	4,8	4,8	4,9	4,9		
Уровни звукового давления от источника ИШ-7-10 в расчётной точке днём, дБ		**ф-ла(3)[10]**	**4,7**	**2,6**	**0**	**0**	**0**	**0**	**0**	**0**	**0**	**0**	**0**
Уровни звукового давления от источника ИШ-7-10 в расчётной точке ночью, дБ		**ф-ла(3)[10]**	**4,7**	**2,6**	**0**	**0**	**0**	**0**	**0**	**0**	**0**	**0**	**0**
Источник шума: ИШ-7-11, координаты источника (x,y,z), м =[877.95,88.75,1.00]													
Уровни звуковой мощности источника днём, Lw, дБ		**исходные данные**	**77**	**75**	**67**	**66**	**63**	**55**	**53**	**48**	**51**		

1		2	3	4	5	6	7	8	9	10	11	12	13
Уровни звуковой мощности источника ночью, Lw, дБ		**исходные данные**	**77**	**75**	**67**	**66**	**63**	**55**	**53**	**48**	**51**		
Поправка на телесный угол DΩ, дБ	Ω = 12.57	10Lg(4π/Ω)	**0**	0	0	0	0	0	0	0	0		
Показатель направленности источника Di, дБ		исходные данные	**0**	0	0	0	0	0	0	0	0		
Поправка на направленность источника Dc, дБ	Dc	DΩ + Di	**0**	0	0	0	0	0	0	0	0		
Затухание из-за геометрической дивергенции, Adiv, дБ	расстояние = 677.36 м	ф-ла (7) [10]	**67,6**										
Коэффициент затухания звука в атмосфере α, дБ/км	Ta=20,°C Pa=101.33,кПа hотн.=70%	ф-ла (5) [9]	0,02	0,09	0,33	1,12	2,79	4,98	9,04	23,09	77,63		
Учет затухания звука в атмосфере Aatm, дБ		ф-ла (8) [10]	0	0,1	0,2	0,8	1,9	3,4	6,1	15,6	52,6		
Снижение уровня звукового давления из-за влияния застройки между источником шума и расчетной точкой													
Снижение уровня звукового давления на пути над экраном, Dz1, дБ	z = 0.26м (разность путей)	ф-лы (14-18) [10]	4,8	4,9	4,9	5,1	5,4	5,9	6,9	8,3	10,2		
Уровни звукового давления от источника ИШ-7-11 в расчётной точке днём, дБ		**ф-ла(3)[10]**	**4,6**	**2,5**	**0**	**0**	**0**	**0**	**0**	**0**	**0**	**0**	**0**
Уровни звукового давления от источника ИШ-7-11 в расчётной точке ночью, дБ		**ф-ла(3)[10]**	**4,6**	**2,5**	**0**	**0**	**0**	**0**	**0**	**0**	**0**	**0**	**0**
Источник шума: ИШ-7-12, координаты источника (x,y,z), м =[887.42,85.45,1.00]													
Уровни звуковой мощности источника днём, Lw, дБ		**исходные данные**	**77**	**75**	**67**	**66**	**63**	**55**	**53**	**48**	**51**		
Уровни звуковой мощности источника ночью, Lw, дБ		**исходные данные**	**77**	**75**	**67**	**66**	**63**	**55**	**53**	**48**	**51**		
Поправка на телесный угол DΩ, дБ	Ω = 12.57	10Lg(4π/Ω)	**0**	0	0	0	0	0	0	0	0		
Показатель направленности источника Di, дБ		исходные данные	**0**	0	0	0	0	0	0	0	0		

1		2	3	4	5	6	7	8	9	10	11	12	13
Поправка на направленность источника Dc, дБ	Dc	DΩ + Di	**0**	0	0	0	0	0	0	0	0		
Затухание из-за геометрической дивергенции, Adiv, дБ	расстояние = 684.47 м	ф-ла (7) [10]	**67,7**										
Коэффициент затухания звука в атмосфере α, дБ/км	Ta=20,°C Pa=101.33,кПа hотн.=70%	ф-ла (5) [9]	0,02	0,09	0,33	1,12	2,79	4,98	9,04	23,09	77,63		
Учет затухания звука в атмосфере Aatm, дБ		ф-ла (8) [10]	0	0,1	0,2	0,8	1,9	3,4	6,2	15,8	53,1		
Снижение уровня звукового давления из-за влияния застройки между источником шума и расчетной точкой													
Снижение уровня звукового давления на пути над экраном, Dz1, дБ	z = 0.26м (разность путей)	ф-лы (14-18) [10]	4,8	4,8	4,9	5,1	5,3	5,9	6,7	8,1	9,9		
Уровни звукового давления от источника ИШ-7-12 в расчётной точке днём, дБ		**ф-ла(3)[10]**	**4,5**	**2,4**	**0**	**0**	**0**	**0**	**0**	**0**	**0**	**0**	**0**
Уровни звукового давления от источника ИШ-7-12 в расчётной точке ночью, дБ		**ф-ла(3)[10]**	**4,5**	**2,4**	**0**	**0**	**0**	**0**	**0**	**0**	**0**	**0**	**0**
Источник шума: ИШ-6-23, координаты источника (x,y,z), м =[756.16,-136.23,3.00]													
Уровни звуковой мощности источника днём, Lw, дБ		**исходные данные**	**91**	**91**	**91**	**91**	**91**	**91**	**91**	**91**	**91**		
Уровни звуковой мощности источника ночью, Lw, дБ		**исходные данные**	**91**	**91**	**91**	**91**	**91**	**91**	**91**	**91**	**91**		
Поправка на телесный угол DΩ, дБ	Ω = 12.57	10Lg(4π/Ω)	**0**	0	0	0	0	0	0	0	0		
Показатель направленности источника Di, дБ		исходные данные	**0**	0	0	0	0	0	0	0	0		
Поправка на направленность источника Dc, дБ	Dc	DΩ + Di	**0**	0	0	0	0	0	0	0	0		
Затухание из-за геометрической дивергенции, Adiv, дБ	расстояние = 492.57 м	ф-ла (7) [10]	**64,8**										
Коэффициент затухания звука в атмосфере α, дБ/км	Ta=20,°C Pa=101.33,кПа hотн.=70%	ф-ла (5) [9]	0,02	0,09	0,33	1,12	2,79	4,98	9,04	23,09	77,63		

1		2	3	4	5	6	7	8	9	10	11	12	13
Учет затухания звука в атмосфере Aatm, дБ		ф-ла (8) [10]	0	0	0,2	0,6	1,4	2,5	4,5	11,4	38,2		
Снижение уровня звукового давления из-за влияния застройки между источником шума и расчетной точкой													
Снижение уровня звукового давления на пути над экраном, Dz1, дБ	z = 0.10м (разность путей)	ф-лы (14-18) [10]	4,8	4,8	4,9	5,2	5,8	7	8,6	10,7	13,2		
Снижение уровня звукового давления на пути слева от экрана, Dz2, дБ	z = 211.55м (разность путей)	ф-лы (14-18) [10]	32,7	36,4	39,6	42,7	45,7	48,7	51,7	54,8	57,8		
Снижение уровня звукового давления на пути справа от экрана, Dz3, дБ	z = 0.14м (разность путей)	ф-лы (14-18) [10]	5,5	6	7	8,5	10,5	12,9	15,5	18,3	21,2		
Общее снижение уровня звука препятствием Dz, дБ		Эн.сумма(-Dzi)	2,1	2,4	2,8	3,5	4,5	6	7,8	10	12,5		
Уровни звукового давления от источника ИШ-6-23 в расчётной точке днём, дБ		**ф-ла(3)[10]**	**24**	**23,7**	**23,1**	**22,1**	**20,2**	**17,7**	**13,9**	**4,7**	**0**	**22,4**	**22,4**
Уровни звукового давления от источника ИШ-6-23 в расчётной точке ночью, дБ		**ф-ла(3)[10]**	**24**	**23,7**	**23,1**	**22,1**	**20,2**	**17,7**	**13,9**	**4,7**	**0**	**22,4**	**22,4**
Источник шума: ИШ-6-24, координаты источника (x,y,z), м =[800.98,-151.27,3.00]													
Уровни звуковой мощности источника днём, Lw, дБ		**исходные данные**	**91**	**91**	**91**	**91**	**91**	**91**	**91**	**91**	**91**		
Уровни звуковой мощности источника ночью, Lw, дБ		**исходные данные**	**91**	**91**	**91**	**91**	**91**	**91**	**91**	**91**	**91**		
Поправка на телесный угол DΩ, дБ	Ω = 12.57	10Lg(4π/Ω)	**0**	0	0	0	0	0	0	0	0		
Показатель направленности источника Di, дБ		исходные данные	**0**	0	0	0	0	0	0	0	0		
Поправка на направленность источника Dc, дБ	Dc	DΩ + Di	**0**	0	0	0	0	0	0	0	0		
Затухание из-за геометрической дивергенции, Adiv, дБ	расстояние = 535.18 м	ф-ла (7) [10]	**65,6**										
Коэффициент затухания звука в атмосфере α, дБ/км	Ta=20,°C Pa=101.33,кПа hотн.=70%	ф-ла (5) [9]	0,02	0,09	0,33	1,12	2,79	4,98	9,04	23,09	77,63		

1		2	3	4	5	6	7	8	9	10	11	12	13
Учет затухания звука в атмосфере Aatm, дБ		ф-ла (8) [10]	0	0	0,2	0,6	1,5	2,7	4,8	12,4	41,5		
Снижение уровня звукового давления из-за влияния застройки между источником шума и расчетной точкой													
Снижение уровня звукового давления на пути над экраном, Dz1, дБ	z = 0.10м (разность путей)	ф-лы (14-18) [10]	4,8	4,8	4,9	5,2	5,8	6,8	8,3	10,2	12,6		
Снижение уровня звукового давления на пути слева от экрана, Dz2, дБ	z = 209.91м (разность путей)	ф-лы (14-18) [10]	32,7	36,4	39,6	42,7	45,7	48,7	51,7	54,7	57,7		
Снижение уровня звукового давления на пути справа от экрана, Dz3, дБ	z = 0.28м (разность путей)	ф-лы (14-18) [10]	6,1	7,1	8,5	10,5	12,9	15,5	18,4	21,3	24,2		
Общее снижение уровня звука препятствием Dz, дБ		Эн.сумма(-Dzi)	2,4	2,8	3,3	4,1	5	6,3	7,9	9,9	12,3		
Уровни звукового давления от источника ИШ-6-24 в расчётной точке днём, дБ		**ф-ла(3)[10]**	**23**	**22,6**	**21,9**	**20,8**	**18,9**	**16,5**	**12,7**	**3,2**	**0**	**21,1**	**21,1**
Уровни звукового давления от источника ИШ-6-24 в расчётной точке ночью, дБ		**ф-ла(3)[10]**	**23**	**22,6**	**21,9**	**20,8**	**18,9**	**16,5**	**12,7**	**3,2**	**0**	**21,1**	**21,1**
Источник шума: ИШ-10-1, координаты источника (x,y,z), м =[17.37,413.17,1.00]													
Уровни звуковой мощности источника днём, Lw, дБ		**исходные данные**	**0**	**98,3**	**99,7**	**101**	**101,3**	**100,9**	**97,6**	**93,4**	**88,9**		
Уровни звуковой мощности источника ночью, Lw, дБ		**исходные данные**	**0**	**98,3**	**99,7**	**101**	**101,3**	**100,9**	**97,6**	**93,4**	**88,9**		
Поправка на телесный угол DΩ, дБ	Ω = 6.28	10Lg(4π/Ω)	**3**	3	3	3	3	3	3	3	3		
Показатель направленности источника Di, дБ		исходные данные	**0**	0	0	0	0	0	0	0	0		
Поправка на направленность источника Dc, дБ	Dc	DΩ + Di	**3**	3	3	3	3	3	3	3	3		
Затухание из-за геометрической дивергенции, Adiv, дБ	расстояние = 669.53 м	ф-ла (7) [10]	**67,5**										
Коэффициент затухания звука в атмосфере α, дБ/км	Ta=20,°C Pa=101.33,кПа hотн.=70%	ф-ла (5) [9]	0,02	0,09	0,33	1,12	2,79	4,98	9,04	23,09	77,63		

1		2	3	4	5	6	7	8	9	10	11	12	13
Учет затухания звука в атмосфере Aatm, дБ		ф-ла (8) [10]	0	0,1	0,2	0,8	1,9	3,3	6,1	15,5	52		
Снижение уровня звукового давления из-за влияния застройки между источником шума и расчетной точкой													
Снижение уровня звукового давления на пути над экраном, Dz1, дБ	z = 0.27м (разность путей)	ф-лы (14-18) [10]	4,8	4,8	4,8	4,9	5,1	5,4	6	7	8,5		
Снижение уровня звукового давления на пути слева от экрана, Dz2, дБ	z = 20.55м (разность путей)	ф-лы (14-18) [10]	23,3	26,5	29,6	32,6	35,6	38,6	41,6	44,6	47,6		
Снижение уровня звукового давления на пути справа от экрана, Dz3, дБ	z = 0.84м (разность путей)	ф-лы (14-18) [10]	7,9	9,7	11,9	14,4	17,2	20,1	23	26	29		
Общее снижение уровня звука препятствием Dz, дБ		Эн.сумма(-Dzi)	3	3,5	4	4,5	4,9	5,3	6	7	8,5		
Уровни звукового давления от источника ИШ-10-1 в расчётной точке днём, дБ		**ф-ла(3)[10]**	**0**	**30,2**	**30,9**	**31,3**	**30,1**	**27,8**	**21,1**	**6,5**	**0**	**31,7**	**31,7**
Уровни звукового давления от источника ИШ-10-1 в расчётной точке ночью, дБ		**ф-ла(3)[10]**	**0**	**30,2**	**30,9**	**31,3**	**30,1**	**27,8**	**21,1**	**6,5**	**0**	**31,7**	**31,7**
Источник шума: ИШ-10-2, координаты источника (x,y,z), м =[27.87,443.46,1.00]													
Уровни звуковой мощности источника днём, Lw, дБ		**исходные данные**	**0**	**98,3**	**99,7**	**101**	**101,3**	**100,9**	**97,6**	**93,4**	**88,9**		
Уровни звуковой мощности источника ночью, Lw, дБ		**исходные данные**	**0**	**98,3**	**99,7**	**101**	**101,3**	**100,9**	**97,6**	**93,4**	**88,9**		
Поправка на телесный угол DΩ, дБ	Ω = 6.28	10Lg(4π/Ω)	**3**	3	3	3	3	3	3	3	3		
Показатель направленности источника Di, дБ		исходные данные	**0**	0	0	0	0	0	0	0	0		
Поправка на направленность источника Dc, дБ	Dc	DΩ + Di	**3**	3	3	3	3	3	3	3	3		
Затухание из-за геометрической дивергенции, Adiv, дБ	расстояние = 693.98 м	ф-ла (7) [10]	**67,8**										
Коэффициент затухания звука в атмосфере α, дБ/км	Ta=20,°C Pa=101.33,кПа hотн.=70%	ф-ла (5) [9]	0,02	0,09	0,33	1,12	2,79	4,98	9,04	23,09	77,63		

1		2	3	4	5	6	7	8	9	10	11	12	13
Учет затухания звука в атмосфере Aatm, дБ		ф-ла (8) [10]	0	0,1	0,2	0,8	1,9	3,5	6,3	16	53,9		
Снижение уровня звукового давления из-за влияния застройки между источником шума и расчетной точкой													
Снижение уровня звукового давления на пути над экраном, Dz1, дБ	z = 0.28м (разность путей)	ф-лы (14-18) [10]	5,2	5,6	6,3	7,5	9,1	11,3	13,8	16,5	19,3		
Снижение уровня звукового давления на пути слева от экрана, Dz2, дБ	z = 10.69м (разность путей)	ф-лы (14-18) [10]	20,7	23,8	26,8	29,8	32,8	35,8	38,8	41,8	44,8		
Снижение уровня звукового давления на пути справа от экрана, Dz3, дБ	z = 2.66м (разность путей)	ф-лы (14-18) [10]	14,7	17,8	20,8	23,8	26,7	29,7	32,7	35,8	38,8		
Общее снижение уровня звука препятствием Dz, дБ		Эн.сумма(-Dzi)	4,6	5,3	6,1	7,3	9	11,2	13,7	16,4	19,3		
Уровни звукового давления от источника ИШ-10-2 в расчётной точке днём, дБ		**ф-ла(3)[10]**	**0**	**28,1**	**28,5**	**28,1**	**25,5**	**21,4**	**12,8**	**0**	**0**	**26,5**	**26,5**
Уровни звукового давления от источника ИШ-10-2 в расчётной точке ночью, дБ		**ф-ла(3)[10]**	**0**	**28,1**	**28,5**	**28,1**	**25,5**	**21,4**	**12,8**	**0**	**0**	**26,5**	**26,5**
Источник шума: ШТ-1, координаты источника (x,y,z), м =[684.30,-276.59,1.00]													
Уровни звуковой мощности источника днём, Lw, дБ		**исходные данные**	**0**	**0**	**108,5**	**105,5**	**102,5**	**102,5**	**99,5**	**93,5**	**0**		
Уровни звуковой мощности максимального звука источника днём, Lwx, дБ		**исходные данные**	**0**	**0**	**113,5**	**110,5**	**107,5**	**107,5**	**104,5**	**98,5**	**0**		
Уровни звуковой мощности источника ночью, Lw, дБ		**исходные данные**	**0**	**0**	**0**	**0**	**0**	**0**	**0**	**0**	**0**		
Уровни звуковой мощности максимального звука источника ночью, Lwx, дБ		**исходные данные**	**0**	**0**	**0**	**0**	**0**	**0**	**0**	**0**	**0**		
Поправка на телесный угол DΩ, дБ	Ω = 12.57	10Lg(4π/Ω)	**0**	0	0	0	0	0	0	0	0		
Показатель направленности источника Di, дБ		исходные данные	**0**	0	0	0	0	0	0	0	0		
Поправка на направленность источника Dc, дБ	Dc	DΩ + Di	**0**	0	0	0	0	0	0	0	0		
Затухание из-за геометрической дивергенции, Adiv, дБ	расстояние = 421.27 м	ф-ла (7) [10]	**63,5**										

1		2	3	4	5	6	7	8	9	10	11	12	13
Коэффициент затухания звука в атмосфере α, дБ/км	Та=20,°С Ра=101.33,кПа hотн.=70%	ф-ла (5) [9]	0,02	0,09	0,33	1,12	2,79	4,98	9,04	23,09	77,63		
Учет затухания звука в атмосфере Aatm, дБ		ф-ла (8) [10]	0	0	0,1	0,5	1,2	2,1	3,8	9,7	32,7		
Снижение уровня звукового давления из-за влияния застройки между источником шума и расчетной точкой													
Снижение уровня звукового давления на пути над экраном, Dz1, дБ	z = 0.13м (разность путей)	ф-лы (14-18) [10]	4,9	5	5,4	6,2	7,6	9,5	11,7	14,3	17		
Снижение уровня звукового давления на пути слева от экрана, Dz2, дБ	z = 201.24м (разность путей)	ф-лы (14-18) [10]	32,5	36,2	39,4	42,5	45,5	48,5	51,5	54,5	57,5		
Снижение уровня звукового давления на пути справа от экрана, Dz3, дБ	z = 2.54м (разность путей)	ф-лы (14-18) [10]	10,9	13,4	16,1	18,9	21,8	24,8	27,8	30,8	33,8		
Общее снижение уровня звука препятствием Dz, дБ		Эн.сумма(-Dzi)	3,9	4,4	5	6	7,5	9,3	11,6	14,2	16,9		
Уровни звукового давления прямого звука от источника ШТ-1 в расчётной точке днём, дБ		**ф-ла(3)[10]**	**0**	**0**	**39,9**	**35,5**	**30,4**	**27,6**	**20,6**	**6,1**	**0**	**33**	**38**
* уровни звукового давления для определения максимального прямого звука от источника ШТ-1 в расчётной точке днём, дБ		ф-ла(3)[10]	0	0	44,9	40,5	35,4	32,6	25,6	11,1	0	38	
Уровни звукового давления прямого звука от источника ШТ-1 в расчётной точке ночью, дБ		**ф-ла(3)[10]**	**0**	**0**	**0**	**0**	**0**	**0**	**0**	**0**	**0**	**0**	**0**
* уровни звукового давления для определения максимального прямого звука от источника ШТ-1 в расчётной точке ночью, дБ		ф-ла(3)[10]	0	0	0	0	0	0	0	0	0	0	
Расчёт отражённого звука													
Уровни звукового давления от мнимого источника ШТ-1_мн.(1) в расчётной точке днём, дБ		**ф-ла(3)[10]**	**0**	**0**	**0**	**0**	**0**	**0**	**0**	**0**	**0**	**0**	**0**
Уровни звукового давления от мнимого источника ШТ-1_мн.(1) в расчётной точке ночью, дБ		**ф-ла(3)[10]**	**0**	**0**	**0**	**0**	**0**	**0**	**0**	**0**	**0**	**0**	**0**
Уровни звукового давления от мнимого источника ШТ-1_мн.(2) в расчётной точке днём, дБ		**ф-ла(3)[10]**	**0**	**0**	**0**	**0**	**0**	**0**	**0**	**0**	**0**	**0**	**0**
Уровни звукового давления от мнимого источника ШТ-1_мн.(2) в расчётной точке ночью, дБ		**ф-ла(3)[10]**	**0**	**0**	**0**	**0**	**0**	**0**	**0**	**0**	**0**	**0**	**0**
Суммарные уровни звукового давления от мнимых источников в расчётной точке днём, дБ		**ф-ла (19) [1]**	**0**	**0**	**0**	**0**	**0**	**0**	**0**	**0**	**0**	**0**	**0**

1		2	3	4	5	6	7	8	9	10	11	12	13
Суммарные уровни звукового давления от мнимых источников в расчётной точке ночью, дБ		**ф-ла (19) [1]**	**0**	**0**	**0**	**0**	**0**	**0**	**0**	**0**	**0**	**0**	**0**
Уровни звукового давления от источника ШТ-1 в расчётной точке днём, дБ		**ф-ла(3)[10]**	**0**	**0**	**39,9**	**35,5**	**30,4**	**27,6**	**20,6**	**6,1**	**0**	**33**	**38**
Уровни звукового давления от источника ШТ-1 в расчётной точке ночью, дБ		**ф-ла(3)[10]**	**0**	**0**	**0**	**0**	**0**	**0**	**0**	**0**	**0**	**0**	**0**
Источник шума: ШТ-2, координаты источника (x,y,z), м =[665.17,-247.36,1.00]													
Уровни звуковой мощности источника днём, Lw, дБ		**исходные данные**	**0**	**0**	**104,5**	**101,5**	**98,5**	**98,5**	**95,5**	**89,5**	**0**		
Уровни звуковой мощности максимального звука источника днём, Lwx, дБ		**исходные данные**	**0**	**0**	**108,5**	**105,5**	**102,5**	**102,5**	**99,5**	**93,5**	**0**		
Уровни звуковой мощности источника ночью, Lw, дБ		**исходные данные**	**0**	**0**	**0**	**0**	**0**	**0**	**0**	**0**	**0**		
Уровни звуковой мощности максимального звука источника ночью, Lwx, дБ		**исходные данные**	**0**	**0**	**0**	**0**	**0**	**0**	**0**	**0**	**0**		
Поправка на телесный угол DΩ, дБ	Ω = 12.57	10Lg(4π/Ω)	**0**	0	0	0	0	0	0	0	0		
Показатель направленности источника Di, дБ		исходные данные	**0**	0	0	0	0	0	0	0	0		
Поправка на направленность источника Dc, дБ	Dc	DΩ + Di	**0**	0	0	0	0	0	0	0	0		
Затухание из-за геометрической дивергенции, Adiv, дБ	расстояние = 398.43 м	ф-ла (7) [10]	**63**										
Коэффициент затухания звука в атмосфере α, дБ/км	Ta=20,°C Pa=101.33,кПа hотн.=70%	ф-ла (5) [9]	0,02	0,09	0,33	1,12	2,79	4,98	9,04	23,09	77,63		
Учет затухания звука в атмосфере Aatm, дБ		ф-ла (8) [10]	0	0	0,1	0,4	1,1	2	3,6	9,2	30,9		
Снижение уровня звукового давления из-за влияния застройки между источником шума и расчетной точкой													
Снижение уровня звукового давления на пути над экраном, Dz1, дБ	z = 0.12м (разность путей)	ф-лы (14-18) [10]	4,9	5	5,4	6,3	7,8	9,7	12	14,6	17,4		

1		2	3	4	5	6	7	8	9	10	11	12	13
Снижение уровня звукового давления на пути слева от экрана, Dz2, дБ	z = 203.22м (разность путей)	ф-лы (14-18) [10]	32,6	36,3	39,4	42,5	45,5	48,6	51,6	54,6	57,6		
Снижение уровня звукового давления на пути справа от экрана, Dz3, дБ	z = 1.81м (разность путей)	ф-лы (14-18) [10]	9,9	12,2	14,7	17,5	20,4	23,4	26,3	29,3	32,3		
Общее снижение уровня звука препятствием Dz, дБ		Эн.сумма(-Dzi)	3,7	4,2	4,9	6	7,6	9,6	11,9	14,5	17,3		
Уровни звукового давления прямого звука от источника ШТ-2 в расчётной точке днём, дБ		**ф-ла(3)[10]**	**0**	**0**	**36,4**	**32**	**26,8**	**24**	**17**	**2,8**	**0**	**29,4**	**33,4**
* уровни звукового давления для определения максимального прямого звука от источника ШТ-2 в расчётной точке днём, дБ		ф-ла(3)[10]	0	0	40,4	36	30,8	28	21	6,8	0	33,4	
Уровни звукового давления прямого звука от источника ШТ-2 в расчётной точке ночью, дБ		**ф-ла(3)[10]**	**0**	**0**	**0**	**0**	**0**	**0**	**0**	**0**	**0**	**0**	**0**
* уровни звукового давления для определения максимального прямого звука от источника ШТ-2 в расчётной точке ночью, дБ		ф-ла(3)[10]	0	0	0	0	0	0	0	0	0	0	
Расчёт отражённого звука													
Уровни звукового давления от мнимого источника ШТ-2_мн.(1) в расчётной точке днём, дБ		**ф-ла(3)[10]**	**0**	**0**	**0**	**0**	**0**	**0**	**0**	**0**	**0**	**0**	**0**
Уровни звукового давления от мнимого источника ШТ-2_мн.(1) в расчётной точке ночью, дБ		**ф-ла(3)[10]**	**0**	**0**	**0**	**0**	**0**	**0**	**0**	**0**	**0**	**0**	**0**
Уровни звукового давления от мнимого источника ШТ-2_мн.(2) в расчётной точке днём, дБ		**ф-ла(3)[10]**	**0**	**0**	**0**	**0**	**0**	**0**	**0**	**0**	**0**	**0**	**0**
Уровни звукового давления от мнимого источника ШТ-2_мн.(2) в расчётной точке ночью, дБ		**ф-ла(3)[10]**	**0**	**0**	**0**	**0**	**0**	**0**	**0**	**0**	**0**	**0**	**0**
Уровни звукового давления от мнимого источника ШТ-2_мн.(3) в расчётной точке днём, дБ		**ф-ла(3)[10]**	**0**	**0**	**0**	**0**	**0**	**0**	**0**	**0**	**0**	**0**	**0**
Уровни звукового давления от мнимого источника ШТ-2_мн.(3) в расчётной точке ночью, дБ		**ф-ла(3)[10]**	**0**	**0**	**0**	**0**	**0**	**0**	**0**	**0**	**0**	**0**	**0**
Суммарные уровни звукового давления от мнимых источников в расчётной точке днём, дБ		**ф-ла (19) [1]**	**0**	**0**	**0**	**0**	**0**	**0**	**0**	**0**	**0**	**0**	**0**
Суммарные уровни звукового давления от мнимых источников в расчётной точке ночью, дБ		**ф-ла (19) [1]**	**0**	**0**	**0**	**0**	**0**	**0**	**0**	**0**	**0**	**0**	**0**
Уровни звукового давления от источника ШТ-2 в расчётной точке днём, дБ		**ф-ла(3)[10]**	**0**	**0**	**36,4**	**32**	**26,8**	**24**	**17**	**2,8**	**0**	**29,4**	**33,4**
Уровни звукового давления от источника ШТ-2 в расчётной точке ночью, дБ		**ф-ла(3)[10]**	**0**	**0**	**0**	**0**	**0**	**0**	**0**	**0**	**0**	**0**	**0**

1		2	3	4	5	6	7	8	9	10	11	12	13
Источник шума: ШТ-3, координаты источника (x,y,z), м =[556.24,-281.90,1.00]													
Уровни звуковой мощности источника днём, Lw, дБ		**исходные данные**	**0**	**0**	**104,5**	**101,5**	**98,5**	**98,5**	**95,5**	**89,5**	**0**		
Уровни звуковой мощности максимального звука источника днём, Lwx, дБ		**исходные данные**	**0**	**0**	**108,5**	**105,5**	**102,5**	**102,5**	**99,5**	**93,5**	**0**		
Уровни звуковой мощности источника ночью, Lw, дБ		**исходные данные**	**0**	**0**	**0**	**0**	**0**	**0**	**0**	**0**	**0**		
Уровни звуковой мощности максимального звука источника ночью, Lwx, дБ		**исходные данные**	**0**	**0**	**0**	**0**	**0**	**0**	**0**	**0**	**0**		
Поправка на телесный угол DΩ, дБ	Ω = 12.57	10Lg(4π/Ω)	**0**	0	0	0	0	0	0	0	0		
Показатель направленности источника Di, дБ		исходные данные	**0**	0	0	0	0	0	0	0	0		
Поправка на направленность источника Dc, дБ	Dc	DΩ + Di	**0**	0	0	0	0	0	0	0	0		
Затухание из-за геометрической дивергенции, Adiv, дБ	расстояние = 296.99 м	ф-ла (7) [10]	**60,5**										
Коэффициент затухания звука в атмосфере α, дБ/км	Ta=20,°C Pa=101.33,кПа hотн.=70%	ф-ла (5) [9]	0,02	0,09	0,33	1,12	2,79	4,98	9,04	23,09	77,63		
Учет затухания звука в атмосфере Aatm, дБ		ф-ла (8) [10]	0	0	0,1	0,3	0,8	1,5	2,7	6,9	23,1		
Снижение уровня звукового давления из-за влияния застройки между источником шума и расчетной точкой													
Снижение уровня звукового давления на пути над экраном, Dz1, дБ	z = 0.13м (разность путей)	ф-лы (14-18) [10]	5	5,2	5,9	7,4	9,4	11,8	14,4	17,1	20		
Снижение уровня звукового давления на пути слева от экрана, Dz2, дБ	z = 199.21м (разность путей)	ф-лы (14-18) [10]	32,5	36,2	39,4	42,4	45,5	48,5	51,5	54,5	57,5		
Снижение уровня звукового давления на пути справа от экрана, Dz3, дБ	z = 3.87м (разность путей)	ф-лы (14-18) [10]	12,4	15	17,8	20,7	23,6	26,6	29,6	32,6	35,6		
Общее снижение уровня звука препятствием Dz, дБ		Эн.сумма(-Dzi)	4,2	4,8	5,6	7,2	9,2	11,6	14,2	17	19,9		

1		2	3	4	5	6	7	8	9	10	11	12	13
Уровни звукового давления прямого звука от источника ШТ-3 в расчётной точке днём, дБ		**ф-ла(3)[10]**	**0**	**0**	**38,3**	**33,5**	**28**	**24,9**	**18,1**	**5,2**	**0**	**30,7**	**34,7**
* уровни звукового давления для определения максимального прямого звука от источника ШТ-3 в расчётной точке днём, дБ		ф-ла(3)[10]	0	0	42,3	37,5	32	28,9	22,1	9,2	0	34,7	
Уровни звукового давления прямого звука от источника ШТ-3 в расчётной точке ночью, дБ		**ф-ла(3)[10]**	**0**	**0**	**0**	**0**	**0**	**0**	**0**	**0**	**0**	**0**	**0**
* уровни звукового давления для определения максимального прямого звука от источника ШТ-3 в расчётной точке ночью, дБ		ф-ла(3)[10]	0	0	0	0	0	0	0	0	0	0	
Расчёт отражённого звука													
Уровни звукового давления от мнимого источника ШТ-3_мн.(1) в расчётной точке днём, дБ		**ф-ла(3)[10]**	**0**	**0**	**0**	**0**	**0**	**0**	**0**	**0**	**0**	**0**	**0**
Уровни звукового давления от мнимого источника ШТ-3_мн.(1) в расчётной точке ночью, дБ		**ф-ла(3)[10]**	**0**	**0**	**0**	**0**	**0**	**0**	**0**	**0**	**0**	**0**	**0**
Уровни звукового давления от источника ШТ-3 в расчётной точке днём, дБ		**ф-ла(3)[10]**	**0**	**0**	**38,3**	**33,5**	**28**	**24,9**	**18,1**	**5,2**	**0**	**30,7**	**34,7**
Уровни звукового давления от источника ШТ-3 в расчётной точке ночью, дБ		**ф-ла(3)[10]**	**0**	**0**	**0**	**0**	**0**	**0**	**0**	**0**	**0**	**0**	**0**
Источник шума: ШТ-4, координаты источника (x,y,z), м =[600.61,-343.54,1.00]													
Уровни звуковой мощности источника днём, Lw, дБ		**исходные данные**	**0**	**0**	**104,5**	**101,5**	**98,5**	**98,5**	**95,5**	**89,5**	**0**		
Уровни звуковой мощности максимального звука источника днём, Lwx, дБ		**исходные данные**	**0**	**0**	**108,5**	**105,5**	**102,5**	**102,5**	**99,5**	**93,5**	**0**		
Уровни звуковой мощности источника ночью, Lw, дБ		**исходные данные**	**0**	**0**	**0**	**0**	**0**	**0**	**0**	**0**	**0**		
Уровни звуковой мощности максимального звука источника ночью, Lwx, дБ		**исходные данные**	**0**	**0**	**0**	**0**	**0**	**0**	**0**	**0**	**0**		
Поправка на телесный угол DΩ, дБ	Ω = 12.57	10Lg(4π/Ω)	**0**	0	0	0	0	0	0	0	0		
Показатель направленности источника Di, дБ		исходные данные	**0**	0	0	0	0	0	0	0	0		
Поправка на направленность источника Dc, дБ	Dc	DΩ + Di	**0**	0	0	0	0	0	0	0	0		

1		2	3	4	5	6	7	8	9	10	11	12	13
Затухание из-за геометрической дивергенции, Adiv, дБ	расстояние = 358.70 м	ф-ла (7) [10]	**62,1**										
Коэффициент затухания звука в атмосфере α, дБ/км	Ta=20,°C Pa=101.33,кПа hотн.=70%	ф-ла (5) [9]	0,02	0,09	0,33	1,12	2,79	4,98	9,04	23,09	77,63		
Учет затухания звука в атмосфере Aatm, дБ		ф-ла (8) [10]	0	0	0,1	0,4	1	1,8	3,2	8,3	27,8		
Снижение уровня звукового давления из-за влияния застройки между источником шума и расчетной точкой													
Снижение уровня звукового давления на пути над экраном, Dz1, дБ	z = 0.13м (разность путей)	ф-лы (14-18) [10]	4,9	5,1	5,6	6,7	8,5	10,6	13	15,7	18,6		
Снижение уровня звукового давления на пути слева от экрана, Dz2, дБ	z = 212.41м (разность путей)	ф-лы (14-18) [10]	29,3	32,9	37,3	41,7	45,4	48,7	51,7	54,8	57,8		
Снижение уровня звукового давления на пути справа от экрана, Dz3, дБ	z = 6.21м (разность путей)	ф-лы (14-18) [10]	14,4	17,8	22,1	26,4	30,1	33,3	36,4	39,4	42,4		
Общее снижение уровня звука препятствием Dz, дБ		Эн.сумма(-Dzi)	4,4	4,9	5,5	6,7	8,4	10,6	13	15,7	18,6		
Уровни звукового давления прямого звука от источника ШТ-4 в расчётной точке днём, дБ		**ф-ла(3)[10]**	**0**	**0**	**36,8**	**32,3**	**27**	**24**	**17,1**	**3,4**	**0**	**29,6**	**33,6**
* уровни звукового давления для определения максимального прямого звука от источника ШТ-4 в расчётной точке днём, дБ		ф-ла(3)[10]	0	0	40,8	36,3	31	28	21,1	7,4	0	33,6	
Уровни звукового давления прямого звука от источника ШТ-4 в расчётной точке ночью, дБ		**ф-ла(3)[10]**	**0**	**0**	**0**	**0**	**0**	**0**	**0**	**0**	**0**	**0**	**0**
* уровни звукового давления для определения максимального прямого звука от источника ШТ-4 в расчётной точке ночью, дБ		ф-ла(3)[10]	0	0	0	0	0	0	0	0	0	0	
Расчёт отражённого звука													
Уровни звукового давления от мнимого источника ШТ-4_мн.(1) в расчётной точке днём, дБ		**ф-ла(3)[10]**	**0**	**0**	**0**	**0**	**0**	**0**	**0**	**0**	**0**	**0**	**0**
Уровни звукового давления от мнимого источника ШТ-4_мн.(1) в расчётной точке ночью, дБ		**ф-ла(3)[10]**	**0**	**0**	**0**	**0**	**0**	**0**	**0**	**0**	**0**	**0**	**0**
Уровни звукового давления от источника ШТ-4 в расчётной точке днём, дБ		**ф-ла(3)[10]**	**0**	**0**	**36,8**	**32,3**	**27**	**24**	**17,1**	**3,4**	**0**	**29,6**	**33,6**
Уровни звукового давления от источника ШТ-4 в расчётной точке ночью, дБ		**ф-ла(3)[10]**	**0**	**0**	**0**	**0**	**0**	**0**	**0**	**0**	**0**	**0**	**0**

1		2	3	4	5	6	7	8	9	10	11	12	13
Источник шума: ШТ-5, координаты источника (x,y,z), м =[453.13,-90.07,1.00]													
Уровни звуковой мощности источника днём, Lw, дБ		**исходные данные**	**0**	**0**	**103**	**100**	**97**	**97**	**94**	**88**	**0**		
Уровни звуковой мощности максимального звука источника днём, Lwx, дБ		**исходные данные**	**0**	**0**	**108**	**105**	**102**	**102**	**99**	**93**	**0**		
Уровни звуковой мощности источника ночью, Lw, дБ		**исходные данные**	**0**	**0**	**0**	**0**	**0**	**0**	**0**	**0**	**0**		
Уровни звуковой мощности максимального звука источника ночью, Lwx, дБ		**исходные данные**	**0**	**0**	**0**	**0**	**0**	**0**	**0**	**0**	**0**		
Поправка на телесный угол DΩ, дБ	Ω = 12.57	10Lg(4π/Ω)	**0**	0	0	0	0	0	0	0	0		
Показатель направленности источника Di, дБ		исходные данные	**0**	0	0	0	0	0	0	0	0		
Поправка на направленность источника Dc, дБ	Dc	DΩ + Di	**0**	0	0	0	0	0	0	0	0		
Затухание из-за геометрической дивергенции, Adiv, дБ	расстояние = 218.53 м	ф-ла (7) [10]	**57,8**										
Коэффициент затухания звука в атмосфере α, дБ/км	Ta=20,°C Pa=101.33,кПа hотн.=70%	ф-ла (5) [9]	0,02	0,09	0,33	1,12	2,79	4,98	9,04	23,09	77,63		
Учет затухания звука в атмосфере Aatm, дБ		ф-ла (8) [10]	0	0	0,1	0,2	0,6	1,1	2	5	17		
Снижение поверхностью земли возле источника As, дБ	Gs = 0 hs = 1м	ф-лы таб.3 [10]	-1,5	-1,5	-1,5	-1,5	-1,5	-1,5	-1,5	-1,5	-1,5		
Снижение поверхностью земли возле приёмника Ar, дБ	Gr = 1 hr = 1.6м	ф-лы таб.3 [10]	-1,5	-1,5	1,3	6,7	4,3	0,5	0	0	0		
Снижение поверхностью земли в средней зоне, Am дБ	Gm = 1	ф-лы таб.3 [10]	-1,9	-1,9	0	0	0	0	0	0	0		
Суммарное снижение поверхностью земли на траектории распространения звука Agr, дБ		ф-ла (9) [10]	-4,9	-4,9	-0,2	5,2	2,8	-1	-1,5	-1,5	-1,5		
Уровни звукового давления прямого звука от источника ШТ-5 в расчётной точке днём, дБ		**ф-ла(3)[10]**	**0**	**0**	**45,3**	**36,7**	**35,8**	**39,1**	**35,7**	**26,6**	**0**	**42,3**	**47,3**

1		2	3	4	5	6	7	8	9	10	11	12	13
* уровни звукового давления для определения максимального прямого звука от источника ШТ-5 в расчётной точке днём, дБ		ф-ла(3)[10]	0	0	50,3	41,7	40,8	44,1	40,7	31,6	0	47,3	
Уровни звукового давления прямого звука от источника ШТ-5 в расчётной точке ночью, дБ		**ф-ла(3)[10]**	**0**	**0**	**0**	**0**	**0**	**0**	**0**	**0**	**0**	**0**	**0**
* уровни звукового давления для определения максимального прямого звука от источника ШТ-5 в расчётной точке ночью, дБ		ф-ла(3)[10]	0	0	0	0	0	0	0	0	0	0	
Расчёт отражённого звука													
Уровни звукового давления от мнимого источника ШТ-5_мн.(1) в расчётной точке днём, дБ		**ф-ла(3)[10]**	**0**	**0**	**0**	**0**	**24,5**	**34,5**	**33,1**	**24**	**0**	**37,7**	**42,7**
Уровни звукового давления от мнимого источника ШТ-5_мн.(1) в расчётной точке ночью, дБ		**ф-ла(3)[10]**	**0**	**0**	**0**	**0**	**0**	**0**	**0**	**0**	**0**	**0**	**0**
Уровни звукового давления от источника ШТ-5 в расчётной точке днём, дБ		**ф-ла(3)[10]**	**0**	**0**	**45,3**	**36,7**	**36,1**	**40,4**	**37,6**	**28,5**	**0**	**43,6**	**48,6**
Уровни звукового давления от источника ШТ-5 в расчётной точке ночью, дБ		**ф-ла(3)[10]**	**0**	**0**	**0**	**0**	**0**	**0**	**0**	**0**	**0**	**0**	**0**
Источник шума: ШТ-6, координаты источника (x,y,z), м =[476.78,-97.62,1.00]													
Уровни звуковой мощности источника днём, Lw, дБ		**исходные данные**	**0**	**0**	**110,5**	**107,5**	**104,5**	**104,5**	**101,5**	**95,5**	**0**		
Уровни звуковой мощности максимального звука источника днём, Lwx, дБ		**исходные данные**	**0**	**0**	**115,5**	**112,5**	**109,5**	**109,5**	**106,5**	**100,5**	**0**		
Уровни звуковой мощности источника ночью, Lw, дБ		**исходные данные**	**0**	**0**	**0**	**0**	**0**	**0**	**0**	**0**	**0**		
Уровни звуковой мощности максимального звука источника ночью, Lwx, дБ		**исходные данные**	**0**	**0**	**0**	**0**	**0**	**0**	**0**	**0**	**0**		
Поправка на телесный угол DΩ, дБ	Ω = 12.57	10Lg(4π/Ω)	**0**	0	0	0	0	0	0	0	0		
Показатель направленности источника Di, дБ		исходные данные	**0**	0	0	0	0	0	0	0	0		
Поправка на направленность источника Dc, дБ	Dc	DΩ + Di	**0**	0	0	0	0	0	0	0	0		
Затухание из-за геометрической дивергенции, Adiv, дБ	расстояние = 235.21 м	ф-ла (7) [10]	**58,4**										

1		2	3	4	5	6	7	8	9	10	11	12	13
Коэффициент затухания звука в атмосфере α, дБ/км	Ta=20,°C Pa=101.33,кПа hотн.=70%	ф-ла (5) [9]	0,02	0,09	0,33	1,12	2,79	4,98	9,04	23,09	77,63		
Учет затухания звука в атмосфере Aatm, дБ		ф-ла (8) [10]	0	0	0,1	0,3	0,7	1,2	2,1	5,4	18,3		
Снижение поверхностью земли возле источника As, дБ	Gs = 0 hs = 1м	ф-лы таб.3 [10]	-1,5	-1,5	-1,5	-1,5	-1,5	-1,5	-1,5	-1,5	-1,5		
Снижение поверхностью земли возле приёмника Ar, дБ	Gr = 1 hr = 1.6м	ф-лы таб.3 [10]	-1,5	-1,5	1,4	6,8	4,3	0,5	0	0	0		
Снижение поверхностью земли в средней зоне, Am дБ	Gm = 1	ф-лы таб.3 [10]	-2	-2	0	0	0	0	0	0	0		
Суммарное снижение поверхностью земли на траектории распространения звука Agr, дБ		ф-ла (9) [10]	-5	-5	-0,1	5,3	2,8	-1	-1,5	-1,5	-1,5		
Уровни звукового давления прямого звука от источника ШТ-6 в расчётной точке днём, дБ		**ф-ла(3)[10]**	**0**	**0**	**52,1**	**43,5**	**42,6**	**45,9**	**42,4**	**33,1**	**0**	**49,1**	**54,1**
* уровни звукового давления для определения максимального прямого звука от источника ШТ-6 в расчётной точке днём, дБ		ф-ла(3)[10]	0	0	57,1	48,5	47,6	50,9	47,4	38,1	0	54,1	
Уровни звукового давления прямого звука от источника ШТ-6 в расчётной точке ночью, дБ		**ф-ла(3)[10]**	**0**	**0**	**0**	**0**	**0**	**0**	**0**	**0**	**0**	**0**	**0**
* уровни звукового давления для определения максимального прямого звука от источника ШТ-6 в расчётной точке ночью, дБ		ф-ла(3)[10]	0	0	0	0	0	0	0	0	0	0	
Расчёт отражённого звука													
Уровни звукового давления от мнимого источника ШТ-6_мн.(1) в расчётной точке днём, дБ		**ф-ла(3)[10]**	**0**	**0**	**0**	**0**	**0**	**0**	**31,5**	**18,7**	**0**	**32,9**	**37,9**
Уровни звукового давления от мнимого источника ШТ-6_мн.(1) в расчётной точке ночью, дБ		**ф-ла(3)[10]**	**0**	**0**	**0**	**0**	**0**	**0**	**0**	**0**	**0**	**0**	**0**
Уровни звукового давления от мнимого источника ШТ-6_мн.(2) в расчётной точке днём, дБ		**ф-ла(3)[10]**	**0**	**0**	**0**	**0**	**0**	**0**	**0**	**0**	**0**	**0**	**0**
Уровни звукового давления от мнимого источника ШТ-6_мн.(2) в расчётной точке ночью, дБ		**ф-ла(3)[10]**	**0**	**0**	**0**	**0**	**0**	**0**	**0**	**0**	**0**	**0**	**0**
Суммарные уровни звукового давления от мнимых источников в расчётной точке днём, дБ		**ф-ла (19) [1]**	**0**	**0**	**0**	**0**	**0**	**0**	**31,5**	**18,7**	**0**	**0**	**37,9**
Суммарные уровни звукового давления от мнимых источников в расчётной точке ночью, дБ		**ф-ла (19) [1]**	**0**	**0**	**0**	**0**	**0**	**0**	**0**	**0**	**0**	**0**	**0**

1		2	3	4	5	6	7	8	9	10	11	12	13
Уровни звукового давления от источника ШТ-6 в расчётной точке днём, дБ		**ф-ла(3)[10]**	**0**	**0**	**52,1**	**43,5**	**42,6**	**45,9**	**42,8**	**33,3**	**0**	**49,2**	**54,2**
Уровни звукового давления от источника ШТ-6 в расчётной точке ночью, дБ		**ф-ла(3)[10]**	**0**	**0**	**0**	**0**	**0**	**0**	**0**	**0**	**0**	**0**	**0**
Источник шума: ШТ-7, координаты источника (x,y,z), м =[632.16,-298.34,1.00]													
Уровни звуковой мощности источника днём, Lw, дБ		**исходные данные**	**0**	**0**	**104,5**	**101,5**	**98,5**	**98,5**	**95,5**	**89,5**	**0**		
Уровни звуковой мощности максимального звука источника днём, Lwx, дБ		**исходные данные**	**0**	**0**	**111,5**	**108,5**	**105,5**	**105,5**	**102,5**	**96,5**	**0**		
Уровни звуковой мощности источника ночью, Lw, дБ		**исходные данные**	**0**	**0**	**0**	**0**	**0**	**0**	**0**	**0**	**0**		
Уровни звуковой мощности максимального звука источника ночью, Lwx, дБ		**исходные данные**	**0**	**0**	**0**	**0**	**0**	**0**	**0**	**0**	**0**		
Поправка на телесный угол DΩ, дБ	Ω = 12.57	10Lg(4π/Ω)	**0**	0	0	0	0	0	0	0	0		
Показатель направленности источника Di, дБ		исходные данные	**0**	0	0	0	0	0	0	0	0		
Поправка на направленность источника Dc, дБ	Dc	DΩ + Di	**0**	0	0	0	0	0	0	0	0		
Затухание из-за геометрической дивергенции, Adiv, дБ	расстояние = 374.62 м	ф-ла (7) [10]	**62,5**										
Коэффициент затухания звука в атмосфере α, дБ/км	Ta=20,°C Pa=101.33,кПа hотн.=70%	ф-ла (5) [9]	0,02	0,09	0,33	1,12	2,79	4,98	9,04	23,09	77,63		
Учет затухания звука в атмосфере Aatm, дБ		ф-ла (8) [10]	0	0	0,1	0,4	1	1,9	3,4	8,6	29,1		
Снижение уровня звукового давления из-за влияния застройки между источником шума и расчетной точкой													
Снижение уровня звукового давления на пути над экраном, Dz1, дБ	z = 0.13м (разность путей)	ф-лы (14-18) [10]	4,9	5,1	5,5	6,6	8,2	10,3	12,7	15,4	18,2		
Снижение уровня звукового давления на пути слева от экрана, Dz2, дБ	z = 199.19м (разность путей)	ф-лы (14-18) [10]	32,5	36,2	39,4	42,4	45,5	48,5	51,5	54,5	57,5		

1		2	3	4	5	6	7	8	9	10	11	12	13
Снижение уровня звукового давления на пути справа от экрана, Dz3, дБ	z = 3.66м (разность путей)	ф-лы (14-18) [10]	12,2	14,8	17,5	20,4	23,4	26,4	29,4	32,4	35,4		
Общее снижение уровня звука препятствием Dz, дБ		Эн.сумма(-Dzi)	4,1	4,6	5,3	6,4	8,1	10,2	12,6	15,3	18,1		
Уровни звукового давления от источника ШТ-7 в расчётной точке днём, дБ		**ф-ла(3)[10]**	**0**	**0**	**36,6**	**32,2**	**26,9**	**24**	**17**	**3,1**	**0**	**29,5**	**36,5**
Уровни звукового давления от источника ШТ-7 в расчётной точке ночью, дБ		**ф-ла(3)[10]**	**0**	**0**	**0**	**0**	**0**	**0**	**0**	**0**	**0**	**0**	**0**
Источник шума: ШТ-8, координаты источника (x,y,z), м =[637.74,-278.95,1.00]													
Уровни звуковой мощности источника днём, Lw, дБ		**исходные данные**	**86**	**86**	**92**	**89**	**93**	**92**	**90**	**89**	**86**		
Уровни звуковой мощности источника ночью, Lw, дБ		**исходные данные**	**0**	**0**	**0**	**0**	**0**	**0**	**0**	**0**	**0**		
Поправка на телесный угол DΩ, дБ	Ω = 12.57	10Lg(4π/Ω)	**0**	0	0	0	0	0	0	0	0		
Показатель направленности источника Di, дБ		исходные данные	**0**	0	0	0	0	0	0	0	0		
Поправка на направленность источника Dc, дБ	Dc	DΩ + Di	**0**	0	0	0	0	0	0	0	0		
Затухание из-за геометрической дивергенции, Adiv, дБ	расстояние = 375.87 м	ф-ла (7) [10]	**62,5**										
Коэффициент затухания звука в атмосфере α, дБ/км	Ta=20,°C Pa=101.33,кПа hотн.=70%	ф-ла (5) [9]	0,02	0,09	0,33	1,12	2,79	4,98	9,04	23,09	77,63		
Учет затухания звука в атмосфере Aatm, дБ		ф-ла (8) [10]	0	0	0,1	0,4	1	1,9	3,4	8,7	29,2		
Снижение уровня звукового давления из-за влияния застройки между источником шума и расчетной точкой													
Снижение уровня звукового давления на пути над экраном, Dz1, дБ	z = 0.13м (разность путей)	ф-лы (14-18) [10]	4,9	5,1	5,5	6,6	8,2	10,2	12,6	15,3	18,1		
Снижение уровня звукового давления на пути слева от экрана, Dz2, дБ	z = 200.61м (разность путей)	ф-лы (14-18) [10]	32,5	36,2	39,4	42,5	45,5	48,5	51,5	54,5	57,5		

1		2	3	4	5	6	7	8	9	10	11	12	13
Снижение уровня звукового давления на пути справа от экрана, Dz3, дБ	z = 2.91м (разность путей)	ф-лы (14-18) [10]	11,4	13,9	16,6	19,5	22,4	25,4	28,4	31,4	34,4		
Общее снижение уровня звука препятствием Dz, дБ		Эн.сумма(-Dzi)	4	4,5	5,2	6,4	8	10,1	12,5	15,2	18		
Уровни звукового давления прямого звука от источника ШТ-8 в расчётной точке днём, дБ		**ф-ла(3)[10]**	**19,5**	**18,9**	**24,2**	**19,7**	**21,4**	**17,5**	**11,6**	**2,6**	**0**	**22,1**	**22,1**
Уровни звукового давления прямого звука от источника ШТ-8 в расчётной точке ночью, дБ		**ф-ла(3)[10]**	**0**	**0**	**0**	**0**	**0**	**0**	**0**	**0**	**0**	**0**	**0**
Расчёт отражённого звука													
Уровни звукового давления от мнимого источника ШТ-8_мн.(1) в расчётной точке днём, дБ		**ф-ла(3)[10]**	**0**	**0**	**0**	**0**	**0**	**0**	**0**	**0**	**0**	**0**	**0**
Уровни звукового давления от мнимого источника ШТ-8_мн.(1) в расчётной точке ночью, дБ		**ф-ла(3)[10]**	**0**	**0**	**0**	**0**	**0**	**0**	**0**	**0**	**0**	**0**	**0**
Уровни звукового давления от источника ШТ-8 в расчётной точке днём, дБ		**ф-ла(3)[10]**	**19,5**	**18,9**	**24,2**	**19,7**	**21,4**	**17,5**	**11,6**	**2,6**	**0**	**22,1**	**22,1**
Уровни звукового давления от источника ШТ-8 в расчётной точке ночью, дБ		**ф-ла(3)[10]**	**0**	**0**	**0**	**0**	**0**	**0**	**0**	**0**	**0**	**0**	**0**
Источник шума: ШТ-9, координаты источника (x,y,z), м =[627.56,-280.27,1.00]													
Уровни звуковой мощности источника днём, Lw, дБ		**исходные данные**	**73**	**73**	**84**	**69**	**71**	**70**	**70**	**60**	**52**		
Уровни звуковой мощности источника ночью, Lw, дБ		**исходные данные**	**0**	**0**	**0**	**0**	**0**	**0**	**0**	**0**	**0**		
Поправка на телесный угол DΩ, дБ	Ω = 12.57	10Lg(4π/Ω)	**0**	0	0	0	0	0	0	0	0		
Показатель направленности источника Di, дБ		исходные данные	**0**	0	0	0	0	0	0	0	0		
Поправка на направленность источника Dc, дБ	Dc	DΩ + Di	**0**	0	0	0	0	0	0	0	0		
Затухание из-за геометрической дивергенции, Adiv, дБ	расстояние = 366.14 м	ф-ла (7) [10]	**62,3**										
Коэффициент затухания звука в атмосфере α, дБ/км	Ta=20,°C Pa=101.33,кПа hотн.=70%	ф-ла (5) [9]	0,02	0,09	0,33	1,12	2,79	4,98	9,04	23,09	77,63		

1		2	3	4	5	6	7	8	9	10	11	12	13
Учет затухания звука в атмосфере Aatm, дБ		ф-ла (8) [10]	0	0	0,1	0,4	1	1,8	3,3	8,5	28,4		
Снижение уровня звукового давления из-за влияния застройки между источником шума и расчетной точкой													
Снижение уровня звукового давления на пути над экраном, Dz1, дБ	z = 0.13м (разность путей)	ф-лы (14-18) [10]	4,9	5,1	5,6	6,7	8,3	10,4	12,8	15,5	18,3		
Снижение уровня звукового давления на пути слева от экрана, Dz2, дБ	z = 200.39м (разность путей)	ф-лы (14-18) [10]	32,5	36,2	39,4	42,5	45,5	48,5	51,5	54,5	57,5		
Снижение уровня звукового давления на пути справа от экрана, Dz3, дБ	z = 3.03м (разность путей)	ф-лы (14-18) [10]	11,5	14,1	16,8	19,6	22,6	25,6	28,6	31,6	34,6		
Общее снижение уровня звука препятствием Dz, дБ		Эн.сумма(-Dzi)	4	4,6	5,2	6,4	8,2	10,3	12,7	15,4	18,2		
Уровни звукового давления от источника ШТ-9 в расчётной точке днём, дБ		**ф-ла(3)[10]**	**6,7**	**6,1**	**16,4**	**0**	**0**	**0**	**0**	**0**	**0**	**0,3**	**0,3**
Уровни звукового давления от источника ШТ-9 в расчётной точке ночью, дБ		**ф-ла(3)[10]**	**0**	**0**	**0**	**0**	**0**	**0**	**0**	**0**	**0**	**0**	**0**
Источник шума: ШТ-10, координаты источника (x,y,z), м =[629.86,-268.44,1.00]													
Уровни звуковой мощности источника днём, Lw, дБ		**исходные данные**	**100**	**100**	**94**	**90**	**88**	**77**	**73**	**65**	**58**		
Уровни звуковой мощности источника ночью, Lw, дБ		**исходные данные**	**0**	**0**	**0**	**0**	**0**	**0**	**0**	**0**	**0**		
Поправка на телесный угол DΩ, дБ	Ω = 12.57	10Lg(4π/Ω)	**0**	0	0	0	0	0	0	0	0		
Показатель направленности источника Di, дБ		исходные данные	**0**	0	0	0	0	0	0	0	0		
Поправка на направленность источника Dc, дБ	Dc	DΩ + Di	**0**	0	0	0	0	0	0	0	0		
Затухание из-за геометрической дивергенции, Adiv, дБ	расстояние = 366.23 м	ф-ла (7) [10]	**62,3**										
Коэффициент затухания звука в атмосфере α, дБ/км	Ta=20,°C Pa=101.33,кПа hотн.=70%	ф-ла (5) [9]	0,02	0,09	0,33	1,12	2,79	4,98	9,04	23,09	77,63		

1		2	3	4	5	6	7	8	9	10	11	12	13
Учет затухания звука в атмосфере Aatm, дБ		ф-ла (8) [10]	0	0	0,1	0,4	1	1,8	3,3	8,5	28,4		
Снижение уровня звукового давления из-за влияния застройки между источником шума и расчетной точкой													
Снижение уровня звукового давления на пути над экраном, Dz1, дБ	z = 0.13м (разность путей)	ф-лы (14-18) [10]	4,9	5,1	5,5	6,6	8,3	10,4	12,8	15,5	18,3		
Снижение уровня звукового давления на пути слева от экрана, Dz2, дБ	z = 201.31м (разность путей)	ф-лы (14-18) [10]	32,5	36,2	39,4	42,5	45,5	48,5	51,5	54,5	57,5		
Снижение уровня звукового давления на пути справа от экрана, Dz3, дБ	z = 2.60м (разность путей)	ф-лы (14-18) [10]	11	13,5	16,2	19	21,9	24,9	27,9	30,9	33,9		
Общее снижение уровня звука препятствием Dz, дБ		Эн.сумма(-Dzi)	3,9	4,5	5,2	6,4	8,1	10,2	12,7	15,3	18,2		
Уровни звукового давления прямого звука от источника ШТ-10 в расчётной точке днём, дБ		**ф-ла(3)[10]**	**33,8**	**33,2**	**26,4**	**20,9**	**16,6**	**2,7**	**0**	**0**	**0**	**17,5**	**17,5**
Уровни звукового давления прямого звука от источника ШТ-10 в расчётной точке ночью, дБ		**ф-ла(3)[10]**	**0**	**0**	**0**	**0**	**0**	**0**	**0**	**0**	**0**	**0**	**0**
Расчёт отражённого звука													
Уровни звукового давления от мнимого источника ШТ-10_мн.(1) в расчётной точке днём, дБ		**ф-ла(3)[10]**	**0**	**0**	**0**	**0**	**0**	**0**	**0**	**0**	**0**	**0**	**0**
Уровни звукового давления от мнимого источника ШТ-10_мн.(1) в расчётной точке ночью, дБ		**ф-ла(3)[10]**	**0**	**0**	**0**	**0**	**0**	**0**	**0**	**0**	**0**	**0**	**0**
Уровни звукового давления от мнимого источника ШТ-10_мн.(2) в расчётной точке днём, дБ		**ф-ла(3)[10]**	**0**	**0**	**0**	**0**	**0**	**0**	**0**	**0**	**0**	**0**	**0**
Уровни звукового давления от мнимого источника ШТ-10_мн.(2) в расчётной точке ночью, дБ		**ф-ла(3)[10]**	**0**	**0**	**0**	**0**	**0**	**0**	**0**	**0**	**0**	**0**	**0**
Суммарные уровни звукового давления от мнимых источников в расчётной точке днём, дБ		**ф-ла (19) [1]**	**0**	**0**	**0**	**0**	**0**	**0**	**0**	**0**	**0**	**0**	**0**
Суммарные уровни звукового давления от мнимых источников в расчётной точке ночью, дБ		**ф-ла (19) [1]**	**0**	**0**	**0**	**0**	**0**	**0**	**0**	**0**	**0**	**0**	**0**
Уровни звукового давления от источника ШТ-10 в расчётной точке днём, дБ		**ф-ла(3)[10]**	**33,8**	**33,2**	**26,4**	**20,9**	**16,6**	**2,7**	**0**	**0**	**0**	**17,5**	**17,5**
Уровни звукового давления от источника ШТ-10 в расчётной точке ночью, дБ		**ф-ла(3)[10]**	**0**	**0**	**0**	**0**	**0**	**0**	**0**	**0**	**0**	**0**	**0**

1		2	3	4	5	6	7	8	9	10	11	12	13
Источник шума: ШТ-11, координаты источника (x,y,z), м =[585.91,-204.05,1.00]													
Уровни звуковой мощности источника днём, Lw, дБ		**исходные данные**	**100**	**100**	**94**	**90**	**88**	**77**	**73**	**65**	**58**		
Уровни звуковой мощности источника ночью, Lw, дБ		**исходные данные**	**0**	**0**	**0**	**0**	**0**	**0**	**0**	**0**	**0**		
Поправка на телесный угол DΩ, дБ	Ω = 12.57	10Lg(4π/Ω)	**0**	0	0	0	0	0	0	0	0		
Показатель направленности источника Di, дБ		исходные данные	**0**	0	0	0	0	0	0	0	0		
Поправка на направленность источника Dc, дБ	Dc	DΩ + Di	**0**	0	0	0	0	0	0	0	0		
Затухание из-за геометрической дивергенции, Adiv, дБ	расстояние = 317.18 м	ф-ла (7) [10]	**61**										
Коэффициент затухания звука в атмосфере α, дБ/км	Ta=20,°C Pa=101.33,кПа hотн.=70%	ф-ла (5) [9]	0,02	0,09	0,33	1,12	2,79	4,98	9,04	23,09	77,63		
Учет затухания звука в атмосфере Aatm, дБ		ф-ла (8) [10]	0	0	0,1	0,4	0,9	1,6	2,9	7,3	24,6		
Снижение уровня звукового давления из-за влияния застройки между источником шума и расчетной точкой													
Снижение уровня звукового давления на пути над экраном, Dz1, дБ	z = 0.12м (разность путей)	ф-лы (14-18) [10]	4,9	5,1	5,7	7	8,8	11	13,5	16,2	19,1		
Снижение уровня звукового давления на пути слева от экрана, Dz2, дБ	z = 207.31м (разность путей)	ф-лы (14-18) [10]	32,7	36,3	39,5	42,6	45,6	48,6	51,7	54,7	57,7		
Снижение уровня звукового давления на пути справа от экрана, Dz3, дБ	z = 0.84м (разность путей)	ф-лы (14-18) [10]	7,9	9,7	11,9	14,4	17,2	20,1	23	26	29		
Общее снижение уровня звука препятствием Dz, дБ		Эн.сумма(-Dzi)	3,1	3,8	4,8	6,3	8,2	10,5	13	15,8	18,6		
Уровни звукового давления от источника ШТ-11 в расчётной точке днём, дБ		**ф-ла(3)[10]**	**35,8**	**35,1**	**28,1**	**22,4**	**17,9**	**3,9**	**0**	**0**	**0**	**19**	**19**
Уровни звукового давления от источника ШТ-11 в расчётной точке ночью, дБ		**ф-ла(3)[10]**	**0**	**0**	**0**	**0**	**0**	**0**	**0**	**0**	**0**	**0**	**0**

1		2	3	4	5	6	7	8	9	10	11	12	13
Источник шума: ШТ-12, координаты источника (x,y,z), м =[529.09,-315.23,1.00]													
Уровни звуковой мощности источника днём, Lw, дБ		**исходные данные**	**100**	**100**	**94**	**90**	**88**	**77**	**73**	**65**	**58**		
Уровни звуковой мощности источника ночью, Lw, дБ		**исходные данные**	**0**	**0**	**0**	**0**	**0**	**0**	**0**	**0**	**0**		
Поправка на телесный угол DΩ, дБ	Ω = 12.57	10Lg(4π/Ω)	**0**	0	0	0	0	0	0	0	0		
Показатель направленности источника Di, дБ		исходные данные	**0**	0	0	0	0	0	0	0	0		
Поправка на направленность источника Dc, дБ	Dc	DΩ + Di	**0**	0	0	0	0	0	0	0	0		
Затухание из-за геометрической дивергенции, Adiv, дБ	расстояние = 281.79 м	ф-ла (7) [10]	**60**										
Коэффициент затухания звука в атмосфере α, дБ/км	Ta=20,°C Pa=101.33,кПа hотн.=70%	ф-ла (5) [9]	0,02	0,09	0,33	1,12	2,79	4,98	9,04	23,09	77,63		
Учет затухания звука в атмосфере Aatm, дБ		ф-ла (8) [10]	0	0	0,1	0,3	0,8	1,4	2,5	6,5	21,9		
Снижение уровня звукового давления из-за влияния застройки между источником шума и расчетной точкой													
Снижение уровня звукового давления на пути над экраном, Dz1, дБ	z = 0.13м (разность путей)	ф-лы (14-18) [10]	5	5,3	6	7,5	9,7	12,1	14,7	17,5	20,4		
Снижение уровня звукового давления на пути слева от экрана, Dz2, дБ	z = 196.51м (разность путей)	ф-лы (14-18) [10]	31,9	35,9	39,2	42,4	45,4	48,4	51,4	54,4	57,4		
Снижение уровня звукового давления на пути справа от экрана, Dz3, дБ	z = 6.46м (разность путей)	ф-лы (14-18) [10]	14,6	18	22,2	26,6	30,3	33,5	36,6	39,6	42,6		
Общее снижение уровня звука препятствием Dz, дБ		Эн.сумма(-Dzi)	4,5	5	5,9	7,5	9,6	12	14,7	17,5	20,4		
Уровни звукового давления от источника ШТ-12 в расчётной точке днём, дБ		**ф-ла(3)[10]**	**35,5**	**35**	**28**	**22,2**	**17,6**	**3,6**	**0**	**0**	**0**	**18,8**	**18,8**
Уровни звукового давления от источника ШТ-12 в расчётной точке ночью, дБ		**ф-ла(3)[10]**	**0**	**0**	**0**	**0**	**0**	**0**	**0**	**0**	**0**	**0**	**0**

1		2	3	4	5	6	7	8	9	10	11	12	13
Источник шума: ШТ-13, координаты источника (x,y,z), м =[659.03,-392.14,1.00]													
Уровни звуковой мощности источника днём, Lw, дБ		**исходные данные**	**100**	**100**	**94**	**90**	**88**	**77**	**73**	**65**	**58**		
Уровни звуковой мощности источника ночью, Lw, дБ		**исходные данные**	**0**	**0**	**0**	**0**	**0**	**0**	**0**	**0**	**0**		
Поправка на телесный угол DΩ, дБ	Ω = 12.57	10Lg(4π/Ω)	**0**	0	0	0	0	0	0	0	0		
Показатель направленности источника Di, дБ		исходные данные	**0**	0	0	0	0	0	0	0	0		
Поправка на направленность источника Dc, дБ	Dc	DΩ + Di	**0**	0	0	0	0	0	0	0	0		
Затухание из-за геометрической дивергенции, Adiv, дБ	расстояние = 431.80 м	ф-ла (7) [10]	**63,7**										
Коэффициент затухания звука в атмосфере α, дБ/км	Ta=20,°C Pa=101.33,кПа hотн.=70%	ф-ла (5) [9]	0,02	0,09	0,33	1,12	2,79	4,98	9,04	23,09	77,63		
Учет затухания звука в атмосфере Aatm, дБ		ф-ла (8) [10]	0	0	0,1	0,5	1,2	2,1	3,9	10	33,5		
Снижение уровня звукового давления из-за влияния застройки между источником шума и расчетной точкой													
Снижение уровня звукового давления на пути над экраном, Dz1, дБ	z = 0.13м (разность путей)	ф-лы (14-18) [10]	4,9	5	5,3	6,2	7,5	9,3	11,6	14,1	16,9		
Снижение уровня звукового давления на пути слева от экрана, Dz2, дБ	z = 211.08м (разность путей)	ф-лы (14-18) [10]	29,2	32,9	37,2	41,7	45,4	48,6	51,7	54,7	57,8		
Снижение уровня звукового давления на пути справа от экрана, Dz3, дБ	z = 7.25м (разность путей)	ф-лы (14-18) [10]	15	18,5	22,7	27,1	30,8	34	37,1	40,1	43,1		
Общее снижение уровня звука препятствием Dz, дБ		Эн.сумма(-Dzi)	4,4	4,8	5,2	6,1	7,5	9,3	11,5	14,1	16,8		
Уровни звукового давления от источника ШТ-13 в расчётной точке днём, дБ		**ф-ла(3)[10]**	**31,8**	**31,5**	**24,9**	**19,7**	**15,6**	**1,8**	**0**	**0**	**0**	**16,3**	**16,3**
Уровни звукового давления от источника ШТ-13 в расчётной точке ночью, дБ		**ф-ла(3)[10]**	**0**	**0**	**0**	**0**	**0**	**0**	**0**	**0**	**0**	**0**	**0**

1		2	3	4	5	6	7	8	9	10	11	12	13
Источник шума: ШТ-14, координаты источника (x,y,z), м =[499.22,-149.33,1.00]													
Уровни звуковой мощности источника днём, Lw, дБ		**исходные данные**	**100**	**100**	**94**	**90**	**88**	**77**	**73**	**65**	**58**		
Уровни звуковой мощности источника ночью, Lw, дБ		**исходные данные**	**0**	**0**	**0**	**0**	**0**	**0**	**0**	**0**	**0**		
Поправка на телесный угол DΩ, дБ	Ω = 12.57	10Lg(4π/Ω)	**0**	0	0	0	0	0	0	0	0		
Показатель направленности источника Di, дБ		исходные данные	**0**	0	0	0	0	0	0	0	0		
Поправка на направленность источника Dc, дБ	Dc	DΩ + Di	**0**	0	0	0	0	0	0	0	0		
Затухание из-за геометрической дивергенции, Adiv, дБ	расстояние = 237.67 м	ф-ла (7) [10]	**58,5**										
Коэффициент затухания звука в атмосфере α, дБ/км	Ta=20,°C Pa=101.33,кПа hотн.=70%	ф-ла (5) [9]	0,02	0,09	0,33	1,12	2,79	4,98	9,04	23,09	77,63		
Учет затухания звука в атмосфере Aatm, дБ		ф-ла (8) [10]	0	0	0,1	0,3	0,7	1,2	2,1	5,5	18,5		
Снижение уровня звукового давления из-за влияния застройки между источником шума и расчетной точкой													
Снижение уровня звукового давления препятствием слева от трассы ИШ-РТ, Dz2, дБ	z = 0.00м (разность путей)	ф-лы (14-18) [10]	4,8	4,8	4,7	4,7	4,7	4,6	4,4	4	3,1		
* отрицательное значение z означает прохождение траектории вблизи экрана, в этом случае дополнительно производится учёт снижения подстилающей поверхностью (см.ниже)													
Снижение поверхностью земли возле источника As, дБ	Gs = 0 hs = 1м	ф-лы таб.3 [10]	-1,5	-1,5	-1,5	-1,5	-1,5	-1,5	-1,5	-1,5	-1,5		
Снижение поверхностью земли возле приёмника Ar, дБ	Gr = 1 hr = 1.6м	ф-лы таб.3 [10]	-1,5	-1,5	1,4	6,8	4,3	0,5	0	0	0		
Снижение поверхностью земли в средней зоне, Am дБ	Gm = 1	ф-лы таб.3 [10]	-2	-2	0	0	0	0	0	0	0		
Суммарное снижение поверхностью земли на траектории распространения звука Agr, дБ		ф-ла (9) [10]	-5	-5	-0,1	5,3	2,8	-1	-1,5	-1,5	-1,5		
Уровни звукового давления от источника ШТ-14 в расчётной точке днём, дБ		**ф-ла(3)[10]**	**41,7**	**41,7**	**30,7**	**21,2**	**21,4**	**13,7**	**9,4**	**0**	**0**	**22,7**	**22,7**

1		2	3	4	5	6	7	8	9	10	11	12	13
Уровни звукового давления от источника ШТ-14 в расчётной точке ночью, дБ		**ф-ла(3)[10]**	**0**	**0**	**0**	**0**	**0**	**0**	**0**	**0**	**0**	**0**	**0**
Уровни звукового давления в расчётной точке													
Суммарные уровни звукового давления в расчётной точке от всех источников шума днём, Lрт, дБ		**ф-ла (19) [1]**	**60,3**	**58,1**	**56,4**	**51,8**	**51,7**	**55,1**	**50,4**	**39**	**0**	**57,6**	**59,1**
Суммарные уровни звукового давления в расчётной точке от всех источников шума ночью, Lрт, дБ		**ф-ла (19) [1]**	**53,2**	**55,8**	**52,6**	**50,2**	**50,6**	**53,9**	**48,1**	**36,5**	**0**	**56,2**	**56,2**
Допускаемые УЗД днём, Lдоп, дБ	Территории предприятий с постоянными рабочими местами	Табл. 1[3]	107	95	87	82	78	75	73	71	69	80	95
Допускаемые УЗД ночью, Lдоп, дБ	Территории предприятий с постоянными рабочими местами	Табл. 1[3]	107	95	87	82	78	75	73	71	69	80	95
Превышение днём, дБ		**Lрт - Lдоп**	**-46,7**	**-36,9**	**-30,6**	**-30,2**	**-26,3**	**-19,9**	**-22,6**	**-32**	**-69**	**-22,4**	**-35,9**
Превышение ночью, дБ		**Lрт - Lдоп**	**-53,8**	**-39,2**	**-34,4**	**-31,8**	**-27,4**	**-21,1**	**-24,9**	**-34,5**	**-69**	**-23,8**	**-38,8**

Определение уровней звукового давления в точке РТ-2-4 (координаты точки, м: x = 184.27, y = -179.07, z = 4.60)													
Наименование величин и их описание		**Ссылка**	**Расчётные уровни в октавных полосах, со среднегеометрическими частотами, Гц**									**La, дБА**	**Lмакс, дБА**
			31,5	**63**	**125**	**250**	**500**	**1000**	**2000**	**4000**	**8000**		
1		**2**	**3**	**4**	**5**	**6**	**7**	**8**	**9**	**10**	**11**	**12**	**13**
Источник шума: ИШ-1-1, координаты источника (x,y,z), м =[271.72,229.68,1.00]													
Уровни звуковой мощности источника днём, Lw, дБ		**исходные данные**	**97**	**97**	**104**	**106**	**105**	**105**	**98**	**87**	**81**		
Уровни звуковой мощности источника ночью, Lw, дБ		**исходные данные**	**97**	**97**	**104**	**106**	**105**	**105**	**98**	**87**	**81**		
Поправка на телесный угол DΩ, дБ	Ω = 6.28	10Lg(4π/Ω)	**3**	3	3	3	3	3	3	3	3		
Показатель направленности источника Di, дБ		исходные данные	**0**	0	0	0	0	0	0	0	0		
Поправка на направленность источника Dc, дБ	Dc	DΩ + Di	**3**	3	3	3	3	3	3	3	3		
Затухание из-за геометрической дивергенции, Adiv, дБ	расстояние = 418.01 м	ф-ла (7) [10]	**63,4**										
Коэффициент затухания звука в атмосфере α, дБ/км	Ta=20,°C Pa=101.33,кПа hотн.=70%	ф-ла (5) [9]	0,02	0,09	0,33	1,12	2,79	4,98	9,04	23,09	77,63		
Учет затухания звука в атмосфере Aatm, дБ		ф-ла (8) [10]	0	0	0,1	0,5	1,2	2,1	3,8	9,7	32,5		
Снижение уровня звукового давления из-за влияния застройки между источником шума и расчетной точкой													
Снижение уровня звукового давления на пути над экраном, Dz1, дБ	z = 0.01м (разность путей)	ф-лы (14-18) [10]	4,8	4,8	4,8	4,8	4,8	4,8	4,8	4,8	4,8		
Снижение уровня звукового давления на пути слева от экрана, Dz2, дБ	z = 0.13м (разность путей)	ф-лы (14-18) [10]	5,4	5,9	6,8	8,2	10,2	12,5	15,1	17,9	20,8		
Снижение уровня звукового давления на пути справа от экрана, Dz3, дБ	z = 0.96м (разность путей)	ф-лы (14-18) [10]	8,2	10	12,3	14,9	17,7	20,6	23,6	26,6	29,6		

1		2	3	4	5	6	7	8	9	10	11	12	13
Общее снижение уровня звука препятствием Dz, дБ		Эн.сумма(-Dzi)	1,1	1,6	2,2	2,9	3,5	4	4,3	4,5	4,7		
Уровни звукового давления прямого звука от источника ИШ-1-1 в расчётной точке днём, дБ		**ф-ла(3)[10]**	**35,5**	**34,9**	**41,2**	**42,2**	**39,9**	**38,5**	**29,5**	**12,4**	**0**	**41,9**	**41,9**
Уровни звукового давления прямого звука от источника ИШ-1-1 в расчётной точке ночью, дБ		**ф-ла(3)[10]**	**35,5**	**34,9**	**41,2**	**42,2**	**39,9**	**38,5**	**29,5**	**12,4**	**0**	**41,9**	**41,9**
Расчёт отражённого звука													
Уровни звукового давления от мнимого источника ИШ-1-1_мн.(1) в расчётной точке днём, дБ		**ф-ла(3)[10]**	**0**	**0**	**0**	**0**	**0**	**0**	**32,2**	**15**	**0**	**33,5**	**33,5**
Уровни звукового давления от мнимого источника ИШ-1-1_мн.(1) в расчётной точке ночью, дБ		**ф-ла(3)[10]**	**0**	**0**	**0**	**0**	**0**	**0**	**0**	**0**	**0**	**33,5**	**33,5**
Уровни звукового давления от мнимого источника ИШ-1-1_мн.(2) в расчётной точке днём, дБ		**ф-ла(3)[10]**	**0**	**0**	**0**	**0**	**0**	**33,7**	**28,4**	**9,2**	**0**	**35,1**	**35,1**
Уровни звукового давления от мнимого источника ИШ-1-1_мн.(2) в расчётной точке ночью, дБ		**ф-ла(3)[10]**	**0**	**0**	**0**	**0**	**0**	**0**	**0**	**0**	**0**	**35,1**	**35,1**
Суммарные уровни звукового давления от мнимых источников в расчётной точке днём, дБ		**ф-ла (19) [1]**	**0**	**0**	**0**	**0**	**0**	**33,7**	**33,7**	**16**	**0**	**0**	**37,4**
Суммарные уровни звукового давления от мнимых источников в расчётной точке ночью, дБ		**ф-ла (19) [1]**	**0**	**0**	**0**	**0**	**0**	**33,7**	**33,7**	**16**	**0**	**0**	**37,4**
Уровни звукового давления от источника ИШ-1-1 в расчётной точке днём, дБ		**ф-ла(3)[10]**	**35,5**	**34,9**	**41,2**	**42,2**	**39,9**	**39,7**	**35,1**	**17,6**	**0**	**43,2**	**43,2**
Уровни звукового давления от источника ИШ-1-1 в расчётной точке ночью, дБ		**ф-ла(3)[10]**	**35,5**	**34,9**	**41,2**	**42,2**	**39,9**	**39,7**	**35,1**	**17,6**	**0**	**43,2**	**43,2**
Источник шума: ИШ-1-2, координаты источника (x,y,z), м =[261.74,199.14,1.00]													
Уровни звуковой мощности источника днём, Lw, дБ		**исходные данные**	**97**	**97**	**104**	**106**	**105**	**105**	**98**	**87**	**81**		
Уровни звуковой мощности источника ночью, Lw, дБ		**исходные данные**	**97**	**97**	**104**	**106**	**105**	**105**	**98**	**87**	**81**		
Поправка на телесный угол DΩ, дБ	Ω = 6.28	10Lg(4π/Ω)	**3**	3	3	3	3	3	3	3	3		
Показатель направленности источника Di, дБ		исходные данные	**0**	0	0	0	0	0	0	0	0		

1		2	3	4	5	6	7	8	9	10	11	12	13
Поправка на направленность источника Dc, дБ	Dc	DΩ + Di	**3**	3	3	3	3	3	3	3	3		
Затухание из-за геометрической дивергенции, Adiv, дБ	расстояние = 386.08 м	ф-ла (7) [10]	**62,7**										
Коэффициент затухания звука в атмосфере α, дБ/км	Ta=20,°C Pa=101.33,кПа hотн.=70%	ф-ла (5) [9]	0,02	0,09	0,33	1,12	2,79	4,98	9,04	23,09	77,63		
Учет затухания звука в атмосфере Aatm, дБ		ф-ла (8) [10]	0	0	0,1	0,4	1,1	1,9	3,5	8,9	30		
Снижение уровня звукового давления из-за влияния застройки между источником шума и расчетной точкой													
Снижение уровня звукового давления на пути над экраном, Dz1, дБ	z = 0.01м (разность путей)	ф-лы (14-18) [10]	4,8	4,8	4,8	4,8	4,8	4,8	4,8	4,8	4,8		
Снижение уровня звукового давления на пути слева от экрана, Dz2, дБ	z = 0.25м (разность путей)	ф-лы (14-18) [10]	5,9	6,9	8,3	10,2	12,5	15,1	18	20,9	23,8		
Снижение уровня звукового давления на пути справа от экрана, Dz3, дБ	z = 0.79м (разность путей)	ф-лы (14-18) [10]	7,7	9,5	11,7	14,2	17	19,8	22,8	25,8	28,7		
Общее снижение уровня звука препятствием Dz, дБ		Эн.сумма(-Dzi)	1,2	1,9	2,6	3,3	3,9	4,3	4,5	4,6	4,7		
Уровни звукового давления прямого звука от источника ИШ-1-2 в расчётной точке днём, дБ		**ф-ла(3)[10]**	**36,1**	**35,4**	**41,6**	**42,5**	**40,3**	**39,1**	**30,3**	**13,7**	**0**	**42,4**	**42,4**
Уровни звукового давления прямого звука от источника ИШ-1-2 в расчётной точке ночью, дБ		**ф-ла(3)[10]**	**36,1**	**35,4**	**41,6**	**42,5**	**40,3**	**39,1**	**30,3**	**13,7**	**0**	**42,4**	**42,4**
Расчёт отражённого звука													
Уровни звукового давления от мнимого источника ИШ-1-2_мн.(1) в расчётной точке днём, дБ		**ф-ла(3)[10]**	**0**	**0**	**0**	**0**	**0**	**35,1**	**27,7**	**8**	**0**	**36,1**	**36,1**
Уровни звукового давления от мнимого источника ИШ-1-2_мн.(1) в расчётной точке ночью, дБ		**ф-ла(3)[10]**	**0**	**0**	**0**	**0**	**0**	**0**	**0**	**0**	**0**	**36,1**	**36,1**
Уровни звукового давления от источника ИШ-1-2 в расчётной точке днём, дБ		**ф-ла(3)[10]**	**36,1**	**35,4**	**41,6**	**42,5**	**40,3**	**40,6**	**32,2**	**14,8**	**0**	**43,3**	**43,3**
Уровни звукового давления от источника ИШ-1-2 в расчётной точке ночью, дБ		**ф-ла(3)[10]**	**36,1**	**35,4**	**41,6**	**42,5**	**40,3**	**40,6**	**32,2**	**14,8**	**0**	**43,3**	**43,3**

1		2	3	4	5	6	7	8	9	10	11	12	13
Источник шума: ИШ-1-3, координаты источника (x,y,z), м =[251.75,236.44,1.00]													
Уровни звуковой мощности источника днём, Lw, дБ		**исходные данные**	**0**	**91,3**	**92,7**	**94**	**94,3**	**93,9**	**90,6**	**86,4**	**81,9**		
Уровни звуковой мощности источника ночью, Lw, дБ		**исходные данные**	**0**	**91,3**	**92,7**	**94**	**94,3**	**93,9**	**90,6**	**86,4**	**81,9**		
Поправка на телесный угол DΩ, дБ	Ω = 6.28	10Lg(4π/Ω)	**3**	3	3	3	3	3	3	3	3		
Показатель направленности источника Di, дБ		исходные данные	**0**	0	0	0	0	0	0	0	0		
Поправка на направленность источника Dc, дБ	Dc	DΩ + Di	**3**	3	3	3	3	3	3	3	3		
Затухание из-за геометрической дивергенции, Adiv, дБ	расстояние = 420.96 м	ф-ла (7) [10]	**63,5**										
Коэффициент затухания звука в атмосфере α, дБ/км	Ta=20,°C Pa=101.33,кПа hотн.=70%	ф-ла (5) [9]	0,02	0,09	0,33	1,12	2,79	4,98	9,04	23,09	77,63		
Учет затухания звука в атмосфере Aatm, дБ		ф-ла (8) [10]	0	0	0,1	0,5	1,2	2,1	3,8	9,7	32,7		
Снижение уровня звукового давления из-за влияния застройки между источником шума и расчетной точкой													
Снижение уровня звукового давления на пути над экраном, Dz1, дБ	z = 0.01м (разность путей)	ф-лы (14-18) [10]	4,8	4,8	4,8	4,8	4,8	4,8	4,8	4,8	4,8		
Снижение уровня звукового давления на пути слева от экрана, Dz2, дБ	z = 1.15м (разность путей)	ф-лы (14-18) [10]	8,6	10,6	13	15,7	18,5	21,4	24,4	27,4	30,4		
Снижение уровня звукового давления на пути справа от экрана, Dz3, дБ	z = 0.08м (разность путей)	ф-лы (14-18) [10]	5,2	5,6	6,2	7,3	8,9	11	13,5	16,2	19		
Общее снижение уровня звука препятствием Dz, дБ		Эн.сумма(-Dzi)	1,1	1,6	2,1	2,6	3,2	3,8	4,2	4,4	4,6		
Уровни звукового давления прямого звука от источника ИШ-1-3 в расчётной точке днём, дБ		**ф-ла(3)[10]**	**0**	**29,2**	**30**	**30,4**	**29,4**	**27,5**	**22,1**	**11,7**	**0**	**31,5**	**31,5**
Уровни звукового давления прямого звука от источника ИШ-1-3 в расчётной точке ночью, дБ		**ф-ла(3)[10]**	**0**	**29,2**	**30**	**30,4**	**29,4**	**27,5**	**22,1**	**11,7**	**0**	**31,5**	**31,5**

1		2	3	4	5	6	7	8	9	10	11	12	13
Расчёт отражённого звука													
Уровни звукового давления от мнимого источника ИШ-1-3_мн.(1) в расчётной точке днём, дБ		**ф-ла(3)[10]**	**0**	**0**	**0**	**0**	**0**	**22,6**	**16,6**	**4**	**0**	**23,9**	**23,9**
Уровни звукового давления от мнимого источника ИШ-1-3_мн.(1) в расчётной точке ночью, дБ		**ф-ла(3)[10]**	**0**	**0**	**0**	**0**	**0**	**0**	**0**	**0**	**0**	**23,9**	**23,9**
Уровни звукового давления от источника ИШ-1-3 в расчётной точке днём, дБ		**ф-ла(3)[10]**	**0**	**29,2**	**30**	**30,4**	**29,4**	**28,8**	**23,2**	**12,4**	**0**	**32,2**	**32,2**
Уровни звукового давления от источника ИШ-1-3 в расчётной точке ночью, дБ		**ф-ла(3)[10]**	**0**	**29,2**	**30**	**30,4**	**29,4**	**28,8**	**23,2**	**12,4**	**0**	**32,2**	**32,2**
Источник шума: ИШ-1-4, координаты источника (x,y,z), м =[290.25,223.25,1.00]													
Уровни звуковой мощности источника днём, Lw, дБ		**исходные данные**	**0**	**91,3**	**92,7**	**94**	**94,3**	**93,9**	**90,6**	**86,4**	**81,9**		
Уровни звуковой мощности источника ночью, Lw, дБ		**исходные данные**	**0**	**91,3**	**92,7**	**94**	**94,3**	**93,9**	**90,6**	**86,4**	**81,9**		
Поправка на телесный угол DΩ, дБ	Ω = 6.28	10Lg(4π/Ω)	**3**	3	3	3	3	3	3	3	3		
Показатель направленности источника Di, дБ		исходные данные	**0**	0	0	0	0	0	0	0	0		
Поправка на направленность источника Dc, дБ	Dc	DΩ + Di	**3**	3	3	3	3	3	3	3	3		
Затухание из-за геометрической дивергенции, Adiv, дБ	расстояние = 416.06 м	ф-ла (7) [10]	**63,4**										
Коэффициент затухания звука в атмосфере α, дБ/км	Ta=20,°C Pa=101.33,кПа hотн.=70%	ф-ла (5) [9]	0,02	0,09	0,33	1,12	2,79	4,98	9,04	23,09	77,63		
Учет затухания звука в атмосфере Aatm, дБ		ф-ла (8) [10]	0	0	0,1	0,5	1,2	2,1	3,8	9,6	32,3		
Снижение уровня звукового давления из-за влияния застройки между источником шума и расчетной точкой													
Снижение уровня звукового давления препятствием справа от трассы ИШ-РТ, Dz3, дБ	z = -0.11м (разность путей)	ф-лы (14-18) [10]	0	0	1,5	NAN	NAN	NAN	NAN	NAN	NAN		

* отрицательное значение z означает прохождение траектории вблизи экрана, в этом случае дополнительно производится учёт снижения подстилающей поверхностью (см.ниже)

1		2	3	4	5	6	7	8	9	10	11	12	13
Снижение поверхностью земли возле источника As, дБ	Gs = 0 hs = 1м	ф-лы таб.3 [10]	-1,5	-1,5	-1,5	-1,5	-1,5	-1,5	-1,5	-1,5	-1,5		
Снижение поверхностью земли возле приёмника Ar, дБ	Gr = 1 hr = 4.6м	ф-лы таб.3 [10]	-1,5	-1,5	3,3	1,3	0	0	0	0	0		
Снижение поверхностью земли в средней зоне, Am дБ	Gm = 1	ф-лы таб.3 [10]	-1,8	-1,8	0	0	0	0	0	0	0		
Суммарное снижение поверхностью земли на траектории распространения звука Agr, дБ		ф-ла (9) [10]	-4,8	-4,8	1,8	-0,2	-1,5	-1,5	-1,5	-1,5	-1,5		
Уровни звукового давления прямого звука от источника ИШ-1-4 в расчётной точке днём, дБ		**ф-ла(3)[10]**	**0**	**35,7**	**28,9**	**33,4**	**34,2**	**32,9**	**27,9**	**17,9**	**0**	**36,5**	**36,5**
Уровни звукового давления прямого звука от источника ИШ-1-4 в расчётной точке ночью, дБ		**ф-ла(3)[10]**	**0**	**35,7**	**28,9**	**33,4**	**34,2**	**32,9**	**27,9**	**17,9**	**0**	**36,5**	**36,5**
Расчёт отражённого звука													
Уровни звукового давления от мнимого источника ИШ-1-4_мн.(1) в расчётной точке днём, дБ		**ф-ла(3)[10]**	**0**	**0**	**0**	**0**	**19,5**	**24,7**	**21**	**8,6**	**0**	**27,1**	**27,1**
Уровни звукового давления от мнимого источника ИШ-1-4_мн.(1) в расчётной точке ночью, дБ		**ф-ла(3)[10]**	**0**	**0**	**0**	**0**	**0**	**0**	**0**	**0**	**0**	**27,1**	**27,1**
Уровни звукового давления от мнимого источника ИШ-1-4_мн.(2) в расчётной точке днём, дБ		**ф-ла(3)[10]**	**0**	**34,6**	**25,4**	**22,9**	**22,8**	**28,3**	**25,4**	**15,3**	**0**	**31,2**	**31,2**
Уровни звукового давления от мнимого источника ИШ-1-4_мн.(2) в расчётной точке ночью, дБ		**ф-ла(3)[10]**	**34,6**	**34,6**	**34,6**	**34,6**	**34,6**	**34,6**	**34,6**	**34,6**	**34,6**	**31,2**	**31,2**
Суммарные уровни звукового давления от мнимых источников в расчётной точке днём, дБ		**ф-ла (19) [1]**	**0**	**34,6**	**25,4**	**22,9**	**24,5**	**29,9**	**26,7**	**16,1**	**0**	**0**	**32,6**
Суммарные уровни звукового давления от мнимых источников в расчётной точке ночью, дБ		**ф-ла (19) [1]**	**0**	**34,6**	**25,4**	**22,9**	**24,5**	**29,9**	**26,7**	**16,1**	**0**	**0**	**32,6**
Уровни звукового давления от источника ИШ-1-4 в расчётной точке днём, дБ		**ф-ла(3)[10]**	**0**	**38,2**	**30,5**	**33,7**	**34,7**	**34,7**	**30,4**	**20,1**	**0**	**38**	**38**
Уровни звукового давления от источника ИШ-1-4 в расчётной точке ночью, дБ		**ф-ла(3)[10]**	**0**	**38,2**	**30,5**	**33,7**	**34,7**	**34,7**	**30,4**	**20,1**	**0**	**38**	**38**
Источник шума: ИШ-1-5, координаты источника (x,y,z), м =[241.49,205.86,1.00]													
Уровни звуковой мощности источника днём, Lw, дБ		**исходные данные**	**0**	**91,3**	**92,7**	**94**	**94,3**	**93,9**	**90,6**	**86,4**	**81,9**		

1		2	3	4	5	6	7	8	9	10	11	12	13
Уровни звуковой мощности источника ночью, Lw, дБ		**исходные данные**	**0**	**91,3**	**92,7**	**94**	**94,3**	**93,9**	**90,6**	**86,4**	**81,9**		
Поправка на телесный угол DΩ, дБ	Ω = 6.28	10Lg(4π/Ω)	**3**	3	3	3	3	3	3	3	3		
Показатель направленности источника Di, дБ		исходные данные	**0**	0	0	0	0	0	0	0	0		
Поправка на направленность источника Dc, дБ	Dc	DΩ + Di	**3**	3	3	3	3	3	3	3	3		
Затухание из-за геометрической дивергенции, Adiv, дБ	расстояние = 389.17 м	ф-ла (7) [10]	**62,8**										
Коэффициент затухания звука в атмосфере α, дБ/км	Ta=20,°C Pa=101.33,кПа hотн.=70%	ф-ла (5) [9]	0,02	0,09	0,33	1,12	2,79	4,98	9,04	23,09	77,63		
Учет затухания звука в атмосфере Aatm, дБ		ф-ла (8) [10]	0	0	0,1	0,4	1,1	1,9	3,5	9	30,2		
Снижение уровня звукового давления из-за влияния застройки между источником шума и расчетной точкой													
Снижение уровня звукового давления на пути над экраном, Dz1, дБ	z = 0.01м (разность путей)	ф-лы (14-18) [10]	4,8	4,8	4,8	4,8	4,8	4,8	4,8	4,8	4,8		
Снижение уровня звукового давления на пути слева от экрана, Dz2, дБ	z = 1.74м (разность путей)	ф-лы (14-18) [10]	9,8	12	14,6	17,3	20,2	23,2	26,2	29,2	32,2		
Снижение уровня звукового давления на пути справа от экрана, Dz3, дБ	z = 0.01м (разность путей)	ф-лы (14-18) [10]	4,8	4,9	5	5,2	5,6	6,3	7,4	9	11,1		
Общее снижение уровня звука препятствием Dz, дБ		Эн.сумма(-Dzi)	1,1	1,4	1,6	1,8	2,1	2,4	2,9	3,4	3,9		
Уровни звукового давления прямого звука от источника ИШ-1-5 в расчётной точке днём, дБ		**ф-ла(3)[10]**	**0**	**30**	**31,1**	**31,9**	**31,3**	**29,7**	**24,4**	**14,2**	**0**	**33,5**	**33,5**
Уровни звукового давления прямого звука от источника ИШ-1-5 в расчётной точке ночью, дБ		**ф-ла(3)[10]**	**0**	**30**	**31,1**	**31,9**	**31,3**	**29,7**	**24,4**	**14,2**	**0**	**33,5**	**33,5**
Расчёт отражённого звука													
Уровни звукового давления от мнимого источника ИШ-1-5_мн.(1) в расчётной точке днём, дБ		**ф-ла(3)[10]**	**0**	**0**	**0**	**0**	**0**	**22,2**	**16**	**2,9**	**0**	**23,5**	**23,5**
Уровни звукового давления от мнимого источника ИШ-1-5_мн.(1) в расчётной точке ночью, дБ		**ф-ла(3)[10]**	**0**	**0**	**0**	**0**	**0**	**0**	**0**	**0**	**0**	**23,5**	**23,5**

1		2	3	4	5	6	7	8	9	10	11	12	13
Уровни звукового давления от источника ИШ-1-5 в расчётной точке днём, дБ		**ф-ла(3)[10]**	**0**	**30**	**31,1**	**31,9**	**31,3**	**30,4**	**25**	**14,5**	**0**	**33,9**	**33,9**
Уровни звукового давления от источника ИШ-1-5 в расчётной точке ночью, дБ		**ф-ла(3)[10]**	**0**	**30**	**31,1**	**31,9**	**31,3**	**30,4**	**25**	**14,5**	**0**	**33,9**	**33,9**
Источник шума: ИШ-1-6, координаты источника (x,y,z), м =[279.85,192.97,1.00]													
Уровни звуковой мощности источника днём, Lw, дБ		**исходные данные**	**0**	**91,3**	**92,7**	**94**	**94,3**	**93,9**	**90,6**	**86,4**	**81,9**		
Уровни звуковой мощности источника ночью, Lw, дБ		**исходные данные**	**0**	**91,3**	**92,7**	**94**	**94,3**	**93,9**	**90,6**	**86,4**	**81,9**		
Поправка на телесный угол DΩ, дБ	Ω = 6.28	10Lg(4π/Ω)	**3**	3	3	3	3	3	3	3	3		
Показатель направленности источника Di, дБ		исходные данные	**0**	0	0	0	0	0	0	0	0		
Поправка на направленность источника Dc, дБ	Dc	DΩ + Di	**3**	3	3	3	3	3	3	3	3		
Затухание из-за геометрической дивергенции, Adiv, дБ	расстояние = 384.13 м	ф-ла (7) [10]	**62,7**										
Коэффициент затухания звука в атмосфере α, дБ/км	Ta=20,°C Pa=101.33,кПа hотн.=70%	ф-ла (5) [9]	0,02	0,09	0,33	1,12	2,79	4,98	9,04	23,09	77,63		
Учет затухания звука в атмосфере Aatm, дБ		ф-ла (8) [10]	0	0	0,1	0,4	1,1	1,9	3,5	8,9	29,8		
Снижение уровня звукового давления из-за влияния застройки между источником шума и расчетной точкой													
Снижение уровня звукового давления препятствием справа от трассы ИШ-РТ, Dz3, дБ	z = -0.06м (разность путей)	ф-лы (14-18) [10]	0	0	3,2	0,6	NAN	NAN	NAN	NAN	NAN		
* отрицательное значение z означает прохождение траектории вблизи экрана, в этом случае дополнительно производится учёт снижения подстилающей поверхностью (см.ниже)													
Снижение поверхностью земли возле источника As, дБ	Gs = 0 hs = 1м	ф-лы таб.3 [10]	-1,5	-1,5	-1,5	-1,5	-1,5	-1,5	-1,5	-1,5	-1,5		
Снижение поверхностью земли возле приёмника Ar, дБ	Gr = 1 hr = 4.6м	ф-лы таб.3 [10]	-1,5	-1,5	3,2	1,3	0	0	0	0	0		
Снижение поверхностью земли в средней зоне, Am дБ	Gm = 1	ф-лы таб.3 [10]	-1,7	-1,7	0	0	0	0	0	0	0		

1	2	3	4	5	6	7	8	9	10	11	12	13
Суммарное снижение поверхностью земли на траектории распространения звука Agr, дБ	ф-ла (9) [10]	-4,7	-4,7	1,7	-0,2	-1,5	-1,5	-1,5	-1,5	-1,5		
Уровни звукового давления прямого звука от источника ИШ-1-6 в расчётной точке днём, дБ	**ф-ла(3)[10]**	**0**	**36,3**	**28**	**33,4**	**35**	**33,8**	**28,9**	**19,3**	**0**	**37,3**	**37,3**
Уровни звукового давления прямого звука от источника ИШ-1-6 в расчётной точке ночью, дБ	**ф-ла(3)[10]**	**0**	**36,3**	**28**	**33,4**	**35**	**33,8**	**28,9**	**19,3**	**0**	**37,3**	**37,3**
Расчёт отражённого звука												
Уровни звукового давления от мнимого источника ИШ-1-6_мн.(1) в расчётной точке днём, дБ	**ф-ла(3)[10]**	**0**	**0**	**0**	**0**	**0**	**0**	**0**	**14,6**	**0**	**15,6**	**15,6**
Уровни звукового давления от мнимого источника ИШ-1-6_мн.(1) в расчётной точке ночью, дБ	**ф-ла(3)[10]**	**0**	**0**	**0**	**0**	**0**	**0**	**0**	**0**	**0**	**15,6**	**15,6**
Уровни звукового давления от мнимого источника ИШ-1-6_мн.(2) в расчётной точке днём, дБ	**ф-ла(3)[10]**	**0**	**0**	**0**	**0**	**0**	**0**	**0**	**0**	**0**	**0**	**0**
Уровни звукового давления от мнимого источника ИШ-1-6_мн.(2) в расчётной точке ночью, дБ	**ф-ла(3)[10]**	**0**	**0**	**0**	**0**	**0**	**0**	**0**	**0**	**0**	**0**	**0**
Уровни звукового давления от мнимого источника ИШ-1-6_мн.(3) в расчётной точке днём, дБ	**ф-ла(3)[10]**	**0**	**0**	**0**	**0**	**0**	**24**	**20,3**	**7,4**	**0**	**26**	**26**
Уровни звукового давления от мнимого источника ИШ-1-6_мн.(3) в расчётной точке ночью, дБ	**ф-ла(3)[10]**	**0**	**0**	**0**	**0**	**0**	**0**	**0**	**0**	**0**	**26**	**26**
Уровни звукового давления от мнимого источника ИШ-1-6_мн.(4) в расчётной точке днём, дБ	**ф-ла(3)[10]**	**0**	**35,2**	**26,3**	**23,7**	**23,6**	**29,2**	**26,3**	**16,7**	**0**	**32,1**	**32,1**
Уровни звукового давления от мнимого источника ИШ-1-6_мн.(4) в расчётной точке ночью, дБ	**ф-ла(3)[10]**	**23,7**	**23,7**	**23,7**	**23,7**	**23,7**	**23,7**	**23,7**	**23,7**	**23,7**	**32,1**	**32,1**
Суммарные уровни звукового давления от мнимых источников в расчётной точке днём, дБ	**ф-ла (19) [1]**	**0**	**35,2**	**26,3**	**23,7**	**23,6**	**30,3**	**27,3**	**19,1**	**0**	**0**	**33,1**
Суммарные уровни звукового давления от мнимых источников в расчётной точке ночью, дБ	**ф-ла (19) [1]**	**0**	**35,2**	**26,3**	**23,7**	**23,6**	**30,3**	**27,3**	**19,1**	**0**	**0**	**33,1**
Уровни звукового давления от источника ИШ-1-6 в расчётной точке днём, дБ	**ф-ла(3)[10]**	**0**	**38,8**	**30,2**	**33,9**	**35,3**	**35,4**	**31,2**	**22,2**	**0**	**38,7**	**38,7**
Уровни звукового давления от источника ИШ-1-6 в расчётной точке ночью, дБ	**ф-ла(3)[10]**	**0**	**38,8**	**30,2**	**33,9**	**35,3**	**35,4**	**31,2**	**22,2**	**0**	**38,7**	**38,7**
Источник шума: ИШ-1-7, координаты источника (x,y,z), м =[451.87,146.66,1.00]												

1		2	3	4	5	6	7	8	9	10	11	12	13
Уровни звуковой мощности источника днём, Lw, дБ		**исходные данные**	**0**	**93,3**	**94,7**	**96**	**96,3**	**95,9**	**92,6**	**88,4**	**83,9**		
Уровни звуковой мощности источника ночью, Lw, дБ		**исходные данные**	**0**	**93,3**	**94,7**	**96**	**96,3**	**95,9**	**92,6**	**88,4**	**83,9**		
Поправка на телесный угол DΩ, дБ	Ω = 6.28	10Lg(4π/Ω)	**3**	3	3	3	3	3	3	3	3		
Показатель направленности источника Di, дБ		исходные данные	**0**	0	0	0	0	0	0	0	0		
Поправка на направленность источника Dc, дБ	Dc	DΩ + Di	**3**	3	3	3	3	3	3	3	3		
Затухание из-за геометрической дивергенции, Adiv, дБ	расстояние = 421.56 м	ф-ла (7) [10]	**63,5**										
Коэффициент затухания звука в атмосфере α, дБ/км	Ta=20,°C Pa=101.33,кПа hотн.=70%	ф-ла (5) [9]	0,02	0,09	0,33	1,12	2,79	4,98	9,04	23,09	77,63		
Учет затухания звука в атмосфере Aatm, дБ		ф-ла (8) [10]	0	0	0,1	0,5	1,2	2,1	3,8	9,7	32,7		
Снижение уровня звукового давления из-за влияния застройки между источником шума и расчетной точкой													
Снижение уровня звукового давления на пути над экраном, Dz1, дБ	z = 0.62м (разность путей)	ф-лы (14-18) [10]	7,3	9,1	11,3	13,8	16,5	19,4	22,3	25,3	28,3		
Снижение уровня звукового давления на пути слева от экрана, Dz2, дБ	z = 31.74м (разность путей)	ф-лы (14-18) [10]	24,8	28,3	31,4	34,5	37,5	40,5	43,5	46,5	49,5		
Снижение уровня звукового давления на пути справа от экрана, Dz3, дБ	z = 100.31м (разность путей)	ф-лы (14-18) [10]	29,9	33,3	36,4	39,5	42,5	45,5	48,5	51,5	54,5		
Общее снижение уровня звука препятствием Dz, дБ		Эн.сумма(-Dzi)	7,2	9	11,2	13,7	16,5	19,3	22,3	25,2	28,2		
Общее снижение уровня звука препятствием с учётом ограничения (25 дБ) для октавных полос Dz, дБ		Раздел 7.4 [10]	7,2	9	11,2	13,7	16,5	19,3	22,3	25	25		
Уровни звукового давления прямого звука от источника ИШ-1-7 в расчётной точке днём, дБ		**ф-ла(3)[10]**	**0**	**23,7**	**22,8**	**21,3**	**18,1**	**14**	**6**	**0**	**0**	**19,3**	**19,3**
Уровни звукового давления прямого звука от источника ИШ-1-7 в расчётной точке ночью, дБ		**ф-ла(3)[10]**	**0**	**23,7**	**22,8**	**21,3**	**18,1**	**14**	**6**	**0**	**0**	**19,3**	**19,3**
Расчёт отражённого звука													

1		2	3	4	5	6	7	8	9	10	11	12	13
Уровни звукового давления от мнимого источника ИШ-1-7_мн.(1) в расчётной точке днём, дБ		**ф-ла(3)[10]**	**0**	**0**	**0**	**0**	**0**	**0**	**3,3**	**0**	**0**	**4,5**	**4,5**
Уровни звукового давления от мнимого источника ИШ-1-7_мн.(1) в расчётной точке ночью, дБ		**ф-ла(3)[10]**	**0**	**0**	**0**	**0**	**0**	**0**	**0**	**0**	**0**	**4,5**	**4,5**
Уровни звукового давления от источника ИШ-1-7 в расчётной точке днём, дБ		**ф-ла(3)[10]**	**0**	**23,7**	**22,8**	**21,3**	**18,1**	**14**	**7,9**	**0**	**0**	**19,5**	**19,5**
Уровни звукового давления от источника ИШ-1-7 в расчётной точке ночью, дБ		**ф-ла(3)[10]**	**0**	**23,7**	**22,8**	**21,3**	**18,1**	**14**	**7,9**	**0**	**0**	**19,5**	**19,5**
Источник шума: ИШ-1-8, координаты источника (x,y,z), м =[454.99,145.29,1.00]													
Уровни звуковой мощности источника днём, Lw, дБ		**исходные данные**	**0**	**93,3**	**94,7**	**96**	**96,3**	**95,9**	**92,6**	**88,4**	**83,9**		
Уровни звуковой мощности источника ночью, Lw, дБ		**исходные данные**	**0**	**93,3**	**94,7**	**96**	**96,3**	**95,9**	**92,6**	**88,4**	**83,9**		
Поправка на телесный угол DΩ, дБ	Ω = 6.28	10Lg(4π/Ω)	**3**	3	3	3	3	3	3	3	3		
Показатель направленности источника Di, дБ		исходные данные	**0**	0	0	0	0	0	0	0	0		
Поправка на направленность источника Dc, дБ	Dc	DΩ + Di	**3**	3	3	3	3	3	3	3	3		
Затухание из-за геометрической дивергенции, Adiv, дБ	расстояние = 422.51 м	ф-ла (7) [10]	**63,5**										
Коэффициент затухания звука в атмосфере α, дБ/км	Ta=20,°C Pa=101.33,кПа hотн.=70%	ф-ла (5) [9]	0,02	0,09	0,33	1,12	2,79	4,98	9,04	23,09	77,63		
Учет затухания звука в атмосфере Aatm, дБ		ф-ла (8) [10]	0	0	0,1	0,5	1,2	2,1	3,8	9,8	32,8		
Снижение уровня звукового давления из-за влияния застройки между источником шума и расчетной точкой													
Снижение уровня звукового давления на пути над экраном, Dz1, дБ	z = 0.57м (разность путей)	ф-лы (14-18) [10]	6,9	8,6	10,7	13,1	15,8	18,6	21,5	24,5	27,5		
Снижение уровня звукового давления на пути слева от экрана, Dz2, дБ	z = 30.10м (разность путей)	ф-лы (14-18) [10]	24,6	28,1	31,2	34,2	37,3	40,3	43,3	46,3	49,3		

1		2	3	4	5	6	7	8	9	10	11	12	13
Снижение уровня звукового давления на пути справа от экрана, Dz3, дБ	z = 101.27м (разность путей)	ф-лы (14-18) [10]	30	33,4	36,5	39,5	42,5	45,5	48,5	51,6	54,6		
Общее снижение уровня звука препятствием Dz, дБ		Эн.сумма(-Dzi)	6,8	8,5	10,6	13,1	15,7	18,6	21,5	24,5	27,5		
Общее снижение уровня звука препятствием с учётом ограничения (25 дБ) для октавных полос Dz, дБ		Раздел 7.4 [10]	6,8	8,5	10,6	13,1	15,7	18,6	21,5	24,5	25		
Уровни звукового давления прямого звука от источника ИШ-1-8 в расчётной точке днём, дБ		**ф-ла(3)[10]**	**0**	**24,2**	**23,4**	**21,9**	**18,9**	**14,7**	**6,8**	**0**	**0**	**20**	**20**
Уровни звукового давления прямого звука от источника ИШ-1-8 в расчётной точке ночью, дБ		**ф-ла(3)[10]**	**0**	**24,2**	**23,4**	**21,9**	**18,9**	**14,7**	**6,8**	**0**	**0**	**20**	**20**
Расчёт отражённого звука													
Уровни звукового давления от мнимого источника ИШ-1-8_мн.(1) в расчётной точке днём, дБ		**ф-ла(3)[10]**	**0**	**0**	**0**	**0**	**0**	**0**	**4**	**0**	**0**	**5,2**	**5,2**
Уровни звукового давления от мнимого источника ИШ-1-8_мн.(1) в расчётной точке ночью, дБ		**ф-ла(3)[10]**	**0**	**0**	**0**	**0**	**0**	**0**	**0**	**0**	**0**	**5,2**	**5,2**
Уровни звукового давления от источника ИШ-1-8 в расчётной точке днём, дБ		**ф-ла(3)[10]**	**0**	**24,2**	**23,4**	**21,9**	**18,9**	**14,7**	**8,6**	**0**	**0**	**20,1**	**20,1**
Уровни звукового давления от источника ИШ-1-8 в расчётной точке ночью, дБ		**ф-ла(3)[10]**	**0**	**24,2**	**23,4**	**21,9**	**18,9**	**14,7**	**8,6**	**0**	**0**	**20,1**	**20,1**
Источник шума: ИШ-1-9, координаты источника (x,y,z), м =[458.12,144.31,1.00]													
Уровни звуковой мощности источника днём, Lw, дБ		**исходные данные**	**0**	**93,3**	**94,7**	**96**	**96,3**	**95,9**	**92,6**	**88,4**	**83,9**		
Уровни звуковой мощности источника ночью, Lw, дБ		**исходные данные**	**0**	**93,3**	**94,7**	**96**	**96,3**	**95,9**	**92,6**	**88,4**	**83,9**		
Поправка на телесный угол DΩ, дБ	Ω = 6.28	10Lg(4π/Ω)	**3**	3	3	3	3	3	3	3	3		
Показатель направленности источника Di, дБ		исходные данные	**0**	0	0	0	0	0	0	0	0		
Поправка на направленность источника Dc, дБ	Dc	DΩ + Di	**3**	3	3	3	3	3	3	3	3		
Затухание из-за геометрической дивергенции, Adiv, дБ	расстояние = 423.77 м	ф-ла (7) [10]	**63,5**										

1		2	3	4	5	6	7	8	9	10	11	12	13
Коэффициент затухания звука в атмосфере α, дБ/км	Ta=20,°C Pa=101.33,кПа hотн.=70%	ф-ла (5) [9]	0,02	0,09	0,33	1,12	2,79	4,98	9,04	23,09	77,63		
Учет затухания звука в атмосфере Aatm, дБ		ф-ла (8) [10]	0	0	0,1	0,5	1,2	2,1	3,8	9,8	32,9		
Снижение уровня звукового давления из-за влияния застройки между источником шума и расчетной точкой													
Снижение уровня звукового давления на пути над экраном, Dz1, дБ	z = 0.41м (разность путей)	ф-лы (14-18) [10]	5,8	6,9	8,3	10,3	12,7	15,3	18,1	21,1	24		
Снижение уровня звукового давления на пути слева от экрана, Dz2, дБ	z = 28.61м (разность путей)	ф-лы (14-18) [10]	24,4	27,9	31	34	37	40	43,1	46,1	49,1		
Снижение уровня звукового давления на пути справа от экрана, Dz3, дБ	z = 101.66м (разность путей)	ф-лы (14-18) [10]	30	33,4	36,5	39,5	42,5	45,5	48,6	51,6	54,6		
Общее снижение уровня звука препятствием Dz, дБ		Эн.сумма(-Dzi)	5,7	6,8	8,3	10,3	12,7	15,3	18,1	21	24		
Уровни звукового давления прямого звука от источника ИШ-1-9 в расчётной точке днём, дБ		**ф-ла(3)[10]**	**0**	**25,9**	**25,7**	**24,7**	**21,9**	**17,9**	**10,1**	**0**	**0**	**23**	**23**
Уровни звукового давления прямого звука от источника ИШ-1-9 в расчётной точке ночью, дБ		**ф-ла(3)[10]**	**0**	**25,9**	**25,7**	**24,7**	**21,9**	**17,9**	**10,1**	**0**	**0**	**23**	**23**
Расчёт отражённого звука													
Уровни звукового давления от мнимого источника ИШ-1-9_мн.(1) в расчётной точке днём, дБ		**ф-ла(3)[10]**	**0**	**0**	**0**	**0**	**0**	**0**	**4,5**	**0**	**0**	**5,7**	**5,7**
Уровни звукового давления от мнимого источника ИШ-1-9_мн.(1) в расчётной точке ночью, дБ		**ф-ла(3)[10]**	**0**	**0**	**0**	**0**	**0**	**0**	**0**	**0**	**0**	**5,7**	**5,7**
Уровни звукового давления от источника ИШ-1-9 в расчётной точке днём, дБ		**ф-ла(3)[10]**	**0**	**25,9**	**25,7**	**24,7**	**21,9**	**17,9**	**11,2**	**0**	**0**	**23,1**	**23,1**
Уровни звукового давления от источника ИШ-1-9 в расчётной точке ночью, дБ		**ф-ла(3)[10]**	**0**	**25,9**	**25,7**	**24,7**	**21,9**	**17,9**	**11,2**	**0**	**0**	**23,1**	**23,1**
Источник шума: ИШ-1-10, координаты источника (x,y,z), м =[461.05,143.53,1.00]													
Уровни звуковой мощности источника днём, Lw, дБ		**исходные данные**	**0**	**93,3**	**94,7**	**96**	**96,3**	**95,9**	**92,6**	**88,4**	**83,9**		

1		2	3	4	5	6	7	8	9	10	11	12	13
Уровни звуковой мощности источника ночью, Lw, дБ		**исходные данные**	**0**	**93,3**	**94,7**	**96**	**96,3**	**95,9**	**92,6**	**88,4**	**83,9**		
Поправка на телесный угол DΩ, дБ	Ω = 6.28	10Lg(4π/Ω)	**3**	3	3	3	3	3	3	3	3		
Показатель направленности источника Di, дБ		исходные данные	**0**	0	0	0	0	0	0	0	0		
Поправка на направленность источника Dc, дБ	Dc	DΩ + Di	**3**	3	3	3	3	3	3	3	3		
Затухание из-за геометрической дивергенции, Adiv, дБ	расстояние = 425.08 м	ф-ла (7) [10]	**63,6**										
Коэффициент затухания звука в атмосфере α, дБ/км	Ta=20,°C Pa=101.33,кПа hотн.=70%	ф-ла (5) [9]	0,02	0,09	0,33	1,12	2,79	4,98	9,04	23,09	77,63		
Учет затухания звука в атмосфере Aatm, дБ		ф-ла (8) [10]	0	0	0,1	0,5	1,2	2,1	3,8	9,8	33		
Снижение уровня звукового давления из-за влияния застройки между источником шума и расчетной точкой													
Снижение уровня звукового давления на пути над экраном, Dz1, дБ	z = 0.41м (разность путей)	ф-лы (14-18) [10]	5,8	6,8	8,3	10,3	12,6	15,3	18,1	21	23,9		
Снижение уровня звукового давления на пути слева от экрана, Dz2, дБ	z = 27.30м (разность путей)	ф-лы (14-18) [10]	24,2	27,7	30,8	33,8	36,8	39,8	42,8	45,9	48,9		
Снижение уровня звукового давления на пути справа от экрана, Dz3, дБ	z = 101.89м (разность путей)	ф-лы (14-18) [10]	30	33,4	36,5	39,5	42,5	45,6	48,6	51,6	54,6		
Общее снижение уровня звука препятствием Dz, дБ		Эн.сумма(-Dzi)	5,7	6,8	8,3	10,2	12,6	15,2	18,1	21	23,9		
Уровни звукового давления прямого звука от источника ИШ-1-10 в расчётной точке днём, дБ		**ф-ла(3)[10]**	**0**	**25,9**	**25,7**	**24,7**	**21,9**	**18**	**10,1**	**0**	**0**	**23**	**23**
Уровни звукового давления прямого звука от источника ИШ-1-10 в расчётной точке ночью, дБ		**ф-ла(3)[10]**	**0**	**25,9**	**25,7**	**24,7**	**21,9**	**18**	**10,1**	**0**	**0**	**23**	**23**
Расчёт отражённого звука													
Уровни звукового давления от мнимого источника ИШ-1-10_мн.(1) в расчётной точке днём, дБ		**ф-ла(3)[10]**	**0**	**0**	**0**	**0**	**0**	**0**	**5,2**	**0**	**0**	**6,4**	**6,4**
Уровни звукового давления от мнимого источника ИШ-1-10_мн.(1) в расчётной точке ночью, дБ		**ф-ла(3)[10]**	**0**	**0**	**0**	**0**	**0**	**0**	**0**	**0**	**0**	**6,4**	**6,4**

1		2	3	4	5	6	7	8	9	10	11	12	13
Уровни звукового давления от источника ИШ-1-10 в расчётной точке днём, дБ		**ф-ла(3)[10]**	**0**	**25,9**	**25,7**	**24,7**	**21,9**	**18**	**11,3**	**0**	**0**	**23,1**	**23,1**
Уровни звукового давления от источника ИШ-1-10 в расчётной точке ночью, дБ		**ф-ла(3)[10]**	**0**	**25,9**	**25,7**	**24,7**	**21,9**	**18**	**11,3**	**0**	**0**	**23,1**	**23,1**
Источник шума: ИШ-1-11, координаты источника (x,y,z), м =[464.18,142.55,1.00]													
Уровни звуковой мощности источника днём, Lw, дБ		**исходные данные**	**0**	**93,3**	**94,7**	**96**	**96,3**	**95,9**	**92,6**	**88,4**	**83,9**		
Уровни звуковой мощности источника ночью, Lw, дБ		**исходные данные**	**0**	**93,3**	**94,7**	**96**	**96,3**	**95,9**	**92,6**	**88,4**	**83,9**		
Поправка на телесный угол DΩ, дБ	Ω = 6.28	10Lg(4π/Ω)	**3**	3	3	3	3	3	3	3	3		
Показатель направленности источника Di, дБ		исходные данные	**0**	0	0	0	0	0	0	0	0		
Поправка на направленность источника Dc, дБ	Dc	DΩ + Di	**3**	3	3	3	3	3	3	3	3		
Затухание из-за геометрической дивергенции, Adiv, дБ	расстояние = 426.38 м	ф-ла (7) [10]	**63,6**										
Коэффициент затухания звука в атмосфере α, дБ/км	Ta=20,°C Pa=101.33,кПа hотн.=70%	ф-ла (5) [9]	0,02	0,09	0,33	1,12	2,79	4,98	9,04	23,09	77,63		
Учет затухания звука в атмосфере Aatm, дБ		ф-ла (8) [10]	0	0	0,1	0,5	1,2	2,1	3,9	9,8	33,1		
Снижение уровня звукового давления из-за влияния застройки между источником шума и расчетной точкой													
Снижение уровня звукового давления на пути над экраном, Dz1, дБ	z = 0.41м (разность путей)	ф-лы (14-18) [10]	5,8	6,8	8,3	10,2	12,6	15,2	18	20,9	23,9		
Снижение уровня звукового давления на пути слева от экрана, Dz2, дБ	z = 25.94м (разность путей)	ф-лы (14-18) [10]	24	27,4	30,5	33,6	36,6	39,6	42,6	45,6	48,6		
Снижение уровня звукового давления на пути справа от экрана, Dz3, дБ	z = 102.47м (разность путей)	ф-лы (14-18) [10]	30	33,4	36,5	39,6	42,6	45,6	48,6	51,6	54,6		
Общее снижение уровня звука препятствием Dz, дБ		Эн.сумма(-Dzi)	5,7	6,8	8,2	10,2	12,6	15,2	18	20,9	23,9		

1		2	3	4	5	6	7	8	9	10	11	12	13
Уровни звукового давления прямого звука от источника ИШ-1-11 в расчётной точке днём, дБ		**ф-ла(3)[10]**	**0**	**25,9**	**25,7**	**24,7**	**21,9**	**18**	**10,1**	**0**	**0**	**23,1**	**23,1**
Уровни звукового давления прямого звука от источника ИШ-1-11 в расчётной точке ночью, дБ		**ф-ла(3)[10]**	**0**	**25,9**	**25,7**	**24,7**	**21,9**	**18**	**10,1**	**0**	**0**	**23,1**	**23,1**
Расчёт отражённого звука													
Уровни звукового давления от мнимого источника ИШ-1-11_мн.(1) в расчётной точке днём, дБ		**ф-ла(3)[10]**	**0**	**0**	**0**	**0**	**0**	**0**	**4,8**	**0**	**0**	**6**	**6**
Уровни звукового давления от мнимого источника ИШ-1-11_мн.(1) в расчётной точке ночью, дБ		**ф-ла(3)[10]**	**0**	**0**	**0**	**0**	**0**	**0**	**0**	**0**	**0**	**6**	**6**
Уровни звукового давления от источника ИШ-1-11 в расчётной точке днём, дБ		**ф-ла(3)[10]**	**0**	**25,9**	**25,7**	**24,7**	**21,9**	**18**	**11,3**	**0**	**0**	**23,1**	**23,1**
Уровни звукового давления от источника ИШ-1-11 в расчётной точке ночью, дБ		**ф-ла(3)[10]**	**0**	**25,9**	**25,7**	**24,7**	**21,9**	**18**	**11,3**	**0**	**0**	**23,1**	**23,1**
Источник шума: ИШ-1-12, координаты источника (x,y,z), м =[435.45,97.79,1.00]													
Уровни звуковой мощности источника днём, Lw, дБ		**исходные данные**	**0**	**93,3**	**94,7**	**96**	**96,3**	**95,9**	**92,6**	**88,4**	**83,9**		
Уровни звуковой мощности источника ночью, Lw, дБ		**исходные данные**	**0**	**93,3**	**94,7**	**96**	**96,3**	**95,9**	**92,6**	**88,4**	**83,9**		
Поправка на телесный угол DΩ, дБ	Ω = 6.28	10Lg(4π/Ω)	**3**	3	3	3	3	3	3	3	3		
Показатель направленности источника Di, дБ		исходные данные	**0**	0	0	0	0	0	0	0	0		
Поправка на направленность источника Dc, дБ	Dc	DΩ + Di	**3**	3	3	3	3	3	3	3	3		
Затухание из-за геометрической дивергенции, Adiv, дБ	расстояние = 373.84 м	ф-ла (7) [10]	**62,5**										
Коэффициент затухания звука в атмосфере α, дБ/км	Та=20,°С Ра=101.33,кПа hотн.=70%	ф-ла (5) [9]	0,02	0,09	0,33	1,12	2,79	4,98	9,04	23,09	77,63		
Учет затухания звука в атмосфере Aatm, дБ		ф-ла (8) [10]	0	0	0,1	0,4	1	1,9	3,4	8,6	29		

1		2	3	4	5	6	7	8	9	10	11	12	13
Снижение уровня звукового давления из-за влияния застройки между источником шума и расчетной точкой													
Снижение уровня звукового давления на пути над экраном, Dz1, дБ	z = 0.66м (разность путей)	ф-лы (14-18) [10]	7,4	9,5	11,8	14,4	17,1	20	23	26	28,9		
Снижение уровня звукового давления на пути слева от экрана, Dz2, дБ	z = 28.74м (разность путей)	ф-лы (14-18) [10]	24,4	27,9	31	34	37,1	40,1	43,1	46,1	49,1		
Снижение уровня звукового давления на пути справа от экрана, Dz3, дБ	z = 196.48м (разность путей)	ф-лы (14-18) [10]	32,8	36,2	39,3	42,4	45,4	48,4	51,4	54,4	57,4		
Общее снижение уровня звука препятствием Dz, дБ		Эн.сумма(-Dzi)	7,3	9,4	11,7	14,3	17,1	20	22,9	25,9	28,9		
Общее снижение уровня звука препятствием с учётом ограничения (25 дБ) для октавных полос Dz, дБ		Раздел 7.4 [10]	7,3	9,4	11,7	14,3	17,1	20	22,9	25	25		
Уровни звукового давления от источника ИШ-1-12 в расчётной точке днём, дБ		**ф-ла(3)[10]**	**0**	**24,4**	**23,4**	**21,8**	**18,7**	**14,6**	**6,8**	**0**	**0**	**19,9**	**19,9**
Уровни звукового давления от источника ИШ-1-12 в расчётной точке ночью, дБ		**ф-ла(3)[10]**	**0**	**24,4**	**23,4**	**21,8**	**18,7**	**14,6**	**6,8**	**0**	**0**	**19,9**	**19,9**
Источник шума: ИШ-1-13, координаты источника (x,y,z), м =[438.77,96.82,1.00]													
Уровни звуковой мощности источника днём, Lw, дБ		**исходные данные**	**0**	**93,3**	**94,7**	**96**	**96,3**	**95,9**	**92,6**	**88,4**	**83,9**		
Уровни звуковой мощности источника ночью, Lw, дБ		**исходные данные**	**0**	**93,3**	**94,7**	**96**	**96,3**	**95,9**	**92,6**	**88,4**	**83,9**		
Поправка на телесный угол DΩ, дБ	Ω = 6.28	10Lg(4π/Ω)	**3**	3	3	3	3	3	3	3	3		
Показатель направленности источника Di, дБ		исходные данные	**0**	0	0	0	0	0	0	0	0		
Поправка на направленность источника Dc, дБ	Dc	DΩ + Di	**3**	3	3	3	3	3	3	3	3		
Затухание из-за геометрической дивергенции, Adiv, дБ	расстояние = 375.36 м	ф-ла (7) [10]	**62,5**										
Коэффициент затухания звука в атмосфере α, дБ/км	Ta=20,°C Pa=101.33,кПа hотн.=70%	ф-ла (5) [9]	0,02	0,09	0,33	1,12	2,79	4,98	9,04	23,09	77,63		

1		2	3	4	5	6	7	8	9	10	11	12	13
Учет затухания звука в атмосфере Aatm, дБ		ф-ла (8) [10]	0	0	0,1	0,4	1	1,9	3,4	8,7	29,1		
Снижение уровня звукового давления из-за влияния застройки между источником шума и расчетной точкой													
Снижение уровня звукового давления на пути над экраном, Dz1, дБ	z = 0.65м (разность путей)	ф-лы (14-18) [10]	7,4	9,4	11,7	14,3	17,1	20	22,9	25,9	28,9		
Снижение уровня звукового давления на пути слева от экрана, Dz2, дБ	z = 26.62м (разность путей)	ф-лы (14-18) [10]	24,1	27,6	30,7	33,7	36,7	39,7	42,7	45,8	48,8		
Снижение уровня звукового давления на пути справа от экрана, Dz3, дБ	z = 195.75м (разность путей)	ф-лы (14-18) [10]	32,8	36,2	39,3	42,4	45,4	48,4	51,4	54,4	57,4		
Общее снижение уровня звука препятствием Dz, дБ		Эн.сумма(-Dzi)	7,3	9,3	11,7	14,3	17	19,9	22,9	25,8	28,8		
Общее снижение уровня звука препятствием с учётом ограничения (25 дБ) для октавных полос Dz, дБ		Раздел 7.4 [10]	7,3	9,3	11,7	14,3	17	19,9	22,9	25	25		
Уровни звукового давления прямого звука от источника ИШ-1-13 в расчётной точке днём, дБ		**ф-ла(3)[10]**	**0**	**24,4**	**23,4**	**21,8**	**18,7**	**14,6**	**6,8**	**0**	**0**	**19,9**	**19,9**
Уровни звукового давления прямого звука от источника ИШ-1-13 в расчётной точке ночью, дБ		**ф-ла(3)[10]**	**0**	**24,4**	**23,4**	**21,8**	**18,7**	**14,6**	**6,8**	**0**	**0**	**19,9**	**19,9**
Расчёт отражённого звука													
Уровни звукового давления от мнимого источника ИШ-1-13_мн.(1) в расчётной точке днём, дБ		**ф-ла(3)[10]**	**0**	**0**	**0**	**0**	**0**	**0**	**0**	**0**	**0**	**0**	**0**
Уровни звукового давления от мнимого источника ИШ-1-13_мн.(1) в расчётной точке ночью, дБ		**ф-ла(3)[10]**	**0**	**0**	**0**	**0**	**0**	**0**	**0**	**0**	**0**	**0**	**0**
Уровни звукового давления от источника ИШ-1-13 в расчётной точке днём, дБ		**ф-ла(3)[10]**	**0**	**24,4**	**23,4**	**21,8**	**18,7**	**14,6**	**6,8**	**0**	**0**	**19,9**	**19,9**
Уровни звукового давления от источника ИШ-1-13 в расчётной точке ночью, дБ		**ф-ла(3)[10]**	**0**	**24,4**	**23,4**	**21,8**	**18,7**	**14,6**	**6,8**	**0**	**0**	**19,9**	**19,9**
Источник шума: ИШ-1-14, координаты источника (x,y,z), м =[441.70,96.03,1.00]													
Уровни звуковой мощности источника днём, Lw, дБ		**исходные данные**	**0**	**93,3**	**94,7**	**96**	**96,3**	**95,9**	**92,6**	**88,4**	**83,9**		
Уровни звуковой мощности источника ночью, Lw, дБ		**исходные данные**	**0**	**93,3**	**94,7**	**96**	**96,3**	**95,9**	**92,6**	**88,4**	**83,9**		

1		2	3	4	5	6	7	8	9	10	11	12	13
Поправка на телесный угол DΩ, дБ	Ω = 6.28	10Lg(4π/Ω)	**3**	3	3	3	3	3	3	3	3		
Показатель направленности источника Di, дБ		исходные данные	**0**	0	0	0	0	0	0	0	0		
Поправка на направленность источника Dc, дБ	Dc	DΩ + Di	**3**	3	3	3	3	3	3	3	3		
Затухание из-за геометрической дивергенции, Adiv, дБ	расстояние = 376.78 м	ф-ла (7) [10]	**62,5**										
Коэффициент затухания звука в атмосфере α, дБ/км	Ta=20,°C Pa=101.33,кПа hотн.=70%	ф-ла (5) [9]	0,02	0,09	0,33	1,12	2,79	4,98	9,04	23,09	77,63		
Учет затухания звука в атмосфере Aatm, дБ		ф-ла (8) [10]	0	0	0,1	0,4	1,1	1,9	3,4	8,7	29,3		
Снижение уровня звукового давления из-за влияния застройки между источником шума и расчетной точкой													
Снижение уровня звукового давления на пути над экраном, Dz1, дБ	z = 0.65м (разность путей)	ф-лы (14-18) [10]	7,4	9,4	11,7	14,3	17	19,9	22,9	25,8	28,8		
Снижение уровня звукового давления на пути слева от экрана, Dz2, дБ	z = 24.90м (разность путей)	ф-лы (14-18) [10]	23,8	27,3	30,4	33,4	36,4	39,4	42,4	45,5	48,5		
Снижение уровня звукового давления на пути справа от экрана, Dz3, дБ	z = 195.04м (разность путей)	ф-лы (14-18) [10]	32,8	36,2	39,3	42,3	45,4	48,4	51,4	54,4	57,4		
Общее снижение уровня звука препятствием Dz, дБ		Эн.сумма(-Dzi)	7,3	9,3	11,6	14,2	17	19,9	22,8	25,8	28,8		
Общее снижение уровня звука препятствием с учётом ограничения (25 дБ) для октавных полос Dz, дБ		Раздел 7.4 [10]	7,3	9,3	11,6	14,2	17	19,9	22,8	25	25		
Уровни звукового давления от источника ИШ-1-14 в расчётной точке днём, дБ		**ф-ла(3)[10]**	**0**	**24,4**	**23,4**	**21,8**	**18,7**	**14,6**	**6,9**	**0**	**0**	**19,9**	**19,9**
Уровни звукового давления от источника ИШ-1-14 в расчётной точке ночью, дБ		**ф-ла(3)[10]**	**0**	**24,4**	**23,4**	**21,8**	**18,7**	**14,6**	**6,9**	**0**	**0**	**19,9**	**19,9**
Источник шума: ИШ-1-15, координаты источника (x,y,z), м =[445.03,95.25,1.00]													
Уровни звуковой мощности источника днём, Lw, дБ		**исходные данные**	**0**	**93,3**	**94,7**	**96**	**96,3**	**95,9**	**92,6**	**88,4**	**83,9**		

1		2	3	4	5	6	7	8	9	10	11	12	13
Уровни звуковой мощности источника ночью, Lw, дБ		**исходные данные**	**0**	**93,3**	**94,7**	**96**	**96,3**	**95,9**	**92,6**	**88,4**	**83,9**		
Поправка на телесный угол DΩ, дБ	Ω = 6.28	10Lg(4π/Ω)	**3**	3	3	3	3	3	3	3	3		
Показатель направленности источника Di, дБ		исходные данные	**0**	0	0	0	0	0	0	0	0		
Поправка на направленность источника Dc, дБ	Dc	DΩ + Di	**3**	3	3	3	3	3	3	3	3		
Затухание из-за геометрической дивергенции, Adiv, дБ	расстояние = 378.49 м	ф-ла (7) [10]	**62,6**										
Коэффициент затухания звука в атмосфере α, дБ/км	Ta=20,°C Pa=101.33,кПа hотн.=70%	ф-ла (5) [9]	0,02	0,09	0,33	1,12	2,79	4,98	9,04	23,09	77,63		
Учет затухания звука в атмосфере Aatm, дБ		ф-ла (8) [10]	0	0	0,1	0,4	1,1	1,9	3,4	8,7	29,4		
Снижение уровня звукового давления из-за влияния застройки между источником шума и расчетной точкой													
Снижение уровня звукового давления на пути над экраном, Dz1, дБ	z = 0.64м (разность путей)	ф-лы (14-18) [10]	7,3	9,3	11,6	14,2	17	19,8	22,8	25,8	28,7		
Снижение уровня звукового давления на пути слева от экрана, Dz2, дБ	z = 23.11м (разность путей)	ф-лы (14-18) [10]	23,5	26,9	30	33,1	36,1	39,1	42,1	45,1	48,1		
Снижение уровня звукового давления на пути справа от экрана, Dz3, дБ	z = 194.12м (разность путей)	ф-лы (14-18) [10]	32,8	36,2	39,3	42,3	45,3	48,4	51,4	54,4	57,4		
Общее снижение уровня звука препятствием Dz, дБ		Эн.сумма(-Dzi)	7,2	9,2	11,5	14,1	16,9	19,8	22,7	25,7	28,7		
Общее снижение уровня звука препятствием с учётом ограничения (25 дБ) для октавных полос Dz, дБ		Раздел 7.4 [10]	7,2	9,2	11,5	14,1	16,9	19,8	22,7	25	25		
Уровни звукового давления от источника ИШ-1-15 в расчётной точке днём, дБ		**ф-ла(3)[10]**	**0**	**24,5**	**23,5**	**21,9**	**18,8**	**14,7**	**6,9**	**0**	**0**	**20**	**20**
Уровни звукового давления от источника ИШ-1-15 в расчётной точке ночью, дБ		**ф-ла(3)[10]**	**0**	**24,5**	**23,5**	**21,9**	**18,8**	**14,7**	**6,9**	**0**	**0**	**20**	**20**
Источник шума: ИШ-1-16, координаты источника (x,y,z), м =[447.96,94.28,1.00]													

1		2	3	4	5	6	7	8	9	10	11	12	13
Уровни звуковой мощности источника днём, Lw, дБ		**исходные данные**	**0**	**93,3**	**94,7**	**96**	**96,3**	**95,9**	**92,6**	**88,4**	**83,9**		
Уровни звуковой мощности источника ночью, Lw, дБ		**исходные данные**	**0**	**93,3**	**94,7**	**96**	**96,3**	**95,9**	**92,6**	**88,4**	**83,9**		
Поправка на телесный угол DΩ, дБ	Ω = 6.28	10Lg(4π/Ω)	**3**	3	3	3	3	3	3	3	3		
Показатель направленности источника Di, дБ		исходные данные	**0**	0	0	0	0	0	0	0	0		
Поправка на направленность источника Dc, дБ	Dc	DΩ + Di	**3**	3	3	3	3	3	3	3	3		
Затухание из-за геометрической дивергенции, Adiv, дБ	расстояние = 379.82 м	ф-ла (7) [10]	**62,6**										
Коэффициент затухания звука в атмосфере α, дБ/км	Ta=20,°C Pa=101.33,кПа hотн.=70%	ф-ла (5) [9]	0,02	0,09	0,33	1,12	2,79	4,98	9,04	23,09	77,63		
Учет затухания звука в атмосфере Aatm, дБ		ф-ла (8) [10]	0	0	0,1	0,4	1,1	1,9	3,4	8,8	29,5		
Снижение уровня звукового давления из-за влияния застройки между источником шума и расчетной точкой													
Снижение уровня звукового давления на пути над экраном, Dz1, дБ	z = 0.64м (разность путей)	ф-лы (14-18) [10]	7,3	9,3	11,6	14,2	16,9	19,8	22,7	25,7	28,7		
Снижение уровня звукового давления на пути слева от экрана, Dz2, дБ	z = 21.60м (разность путей)	ф-лы (14-18) [10]	23,2	26,7	29,8	32,8	35,8	38,8	41,8	44,8	47,9		
Снижение уровня звукового давления на пути справа от экрана, Dz3, дБ	z = 193.87м (разность путей)	ф-лы (14-18) [10]	32,8	36,2	39,3	42,3	45,3	48,4	51,4	54,4	57,4		
Общее снижение уровня звука препятствием Dz, дБ		Эн.сумма(-Dzi)	7,2	9,2	11,5	14,1	16,9	19,7	22,7	25,7	28,6		
Общее снижение уровня звука препятствием с учётом ограничения (25 дБ) для октавных полос Dz, дБ		Раздел 7.4 [10]	7,2	9,2	11,5	14,1	16,9	19,7	22,7	25	25		
Уровни звукового давления от источника ИШ-1-16 в расчётной точке днём, дБ		**ф-ла(3)[10]**	**0**	**24,5**	**23,5**	**21,9**	**18,8**	**14,7**	**6,9**	**0**	**0**	**20**	**20**
Уровни звукового давления от источника ИШ-1-16 в расчётной точке ночью, дБ		**ф-ла(3)[10]**	**0**	**24,5**	**23,5**	**21,9**	**18,8**	**14,7**	**6,9**	**0**	**0**	**20**	**20**

1		2	3	4	5	6	7	8	9	10	11	12	13
Источник шума: ИШ-1-17, координаты источника (x,y,z), м =[540.99,141.77,1.00]													
Уровни звуковой мощности источника днём, Lw, дБ		**исходные данные**	**0**	**93,3**	**94,7**	**96**	**96,3**	**95,9**	**92,6**	**88,4**	**83,9**		
Уровни звуковой мощности источника ночью, Lw, дБ		**исходные данные**	**0**	**93,3**	**94,7**	**96**	**96,3**	**95,9**	**92,6**	**88,4**	**83,9**		
Поправка на телесный угол DΩ, дБ	Ω = 6.28	10Lg(4π/Ω)	**3**	3	3	3	3	3	3	3	3		
Показатель направленности источника Di, дБ		исходные данные	**0**	0	0	0	0	0	0	0	0		
Поправка на направленность источника Dc, дБ	Dc	DΩ + Di	**3**	3	3	3	3	3	3	3	3		
Затухание из-за геометрической дивергенции, Adiv, дБ	расстояние = 479.79 м	ф-ла (7) [10]	**64,6**										
Коэффициент затухания звука в атмосфере α, дБ/км	Ta=20,°C Pa=101.33,кПа hотн.=70%	ф-ла (5) [9]	0,02	0,09	0,33	1,12	2,79	4,98	9,04	23,09	77,63		
Учет затухания звука в атмосфере Aatm, дБ		ф-ла (8) [10]	0	0	0,2	0,5	1,3	2,4	4,3	11,1	37,2		
Снижение уровня звукового давления из-за влияния застройки между источником шума и расчетной точкой													
Снижение уровня звукового давления на пути над экраном, Dz1, дБ	z = 0.80м (разность путей)	ф-лы (14-18) [10]	7,8	9,9	12,2	14,8	17,6	20,5	23,5	26,4	29,4		
Снижение уровня звукового давления на пути слева от экрана, Dz2, дБ	z = 12.53м (разность путей)	ф-лы (14-18) [10]	21,1	24,4	27,4	30,4	33,4	36,5	39,5	42,5	45,5		
Снижение уровня звукового давления на пути справа от экрана, Dz3, дБ	z = 67.56м (разность путей)	ф-лы (14-18) [10]	28,4	31,7	34,7	37,7	40,8	43,8	46,8	49,8	52,8		
Общее снижение уровня звука препятствием Dz, дБ		Эн.сумма(-Dzi)	7,6	9,7	12	14,7	17,5	20,4	23,3	26,3	29,3		
Общее снижение уровня звука препятствием с учётом ограничения (25 дБ) для октавных полос Dz, дБ		Раздел 7.4 [10]	7,6	9,7	12	14,7	17,5	20,4	23,3	25	25		
Уровни звукового давления от источника ИШ-1-17 в расчётной точке днём, дБ		**ф-ла(3)[10]**	**0**	**21,9**	**20,9**	**19,2**	**15,9**	**11,5**	**3,3**	**0**	**0**	**17**	**17**

1		2	3	4	5	6	7	8	9	10	11	12	13
Уровни звукового давления от источника ИШ-1-17 в расчётной точке ночью, дБ		**ф-ла(3)[10]**	**0**	**21,9**	**20,9**	**19,2**	**15,9**	**11,5**	**3,3**	**0**	**0**	**17**	**17**
Источник шума: ИШ-1-18, координаты источника (x,y,z), м =[543.53,140.79,1.00]													
Уровни звуковой мощности источника днём, Lw, дБ		**исходные данные**	**0**	**93,3**	**94,7**	**96**	**96,3**	**95,9**	**92,6**	**88,4**	**83,9**		
Уровни звуковой мощности источника ночью, Lw, дБ		**исходные данные**	**0**	**93,3**	**94,7**	**96**	**96,3**	**95,9**	**92,6**	**88,4**	**83,9**		
Поправка на телесный угол DΩ, дБ	Ω = 6.28	10Lg(4π/Ω)	**3**	3	3	3	3	3	3	3	3		
Показатель направленности источника Di, дБ		исходные данные	**0**	0	0	0	0	0	0	0	0		
Поправка на направленность источника Dc, дБ	Dc	DΩ + Di	**3**	3	3	3	3	3	3	3	3		
Затухание из-за геометрической дивергенции, Adiv, дБ	расстояние = 481.03 м	ф-ла (7) [10]	**64,6**										
Коэффициент затухания звука в атмосфере α, дБ/км	Ta=20,°C Pa=101.33,кПа hотн.=70%	ф-ла (5) [9]	0,02	0,09	0,33	1,12	2,79	4,98	9,04	23,09	77,63		
Учет затухания звука в атмосфере Aatm, дБ		ф-ла (8) [10]	0	0	0,2	0,5	1,3	2,4	4,3	11,1	37,3		
Снижение уровня звукового давления из-за влияния застройки между источником шума и расчетной точкой													
Снижение уровня звукового давления на пути над экраном, Dz1, дБ	z = 0.73м (разность путей)	ф-лы (14-18) [10]	7,5	9,4	11,6	14,2	17	19,8	22,8	25,8	28,8		
Снижение уровня звукового давления на пути слева от экрана, Dz2, дБ	z = 11.88м (разность путей)	ф-лы (14-18) [10]	20,9	24,1	27,2	30,2	33,2	36,2	39,2	42,2	45,3		
Снижение уровня звукового давления на пути справа от экрана, Dz3, дБ	z = 68.34м (разность путей)	ф-лы (14-18) [10]	28,4	31,7	34,8	37,8	40,8	43,8	46,8	49,8	52,9		
Общее снижение уровня звука препятствием Dz, дБ		Эн.сумма(-Dzi)	7,3	9,2	11,5	14,1	16,8	19,7	22,7	25,6	28,6		
Общее снижение уровня звука препятствием с учётом ограничения (25 дБ) для октавных полос Dz, дБ		Раздел 7.4 [10]	7,3	9,2	11,5	14,1	16,8	19,7	22,7	25	25		

1		2	3	4	5	6	7	8	9	10	11	12	13
Уровни звукового давления от источника ИШ-1-18 в расчётной точке днём, дБ		**ф-ла(3)[10]**	**0**	**22,4**	**21,4**	**19,7**	**16,5**	**12,1**	**3,9**	**0**	**0**	**17,6**	**17,6**
Уровни звукового давления от источника ИШ-1-18 в расчётной точке ночью, дБ		**ф-ла(3)[10]**	**0**	**22,4**	**21,4**	**19,7**	**16,5**	**12,1**	**3,9**	**0**	**0**	**17,6**	**17,6**
Источник шума: ИШ-1-19, координаты источника (x,y,z), м =[547.25,139.62,1.00]													
Уровни звуковой мощности источника днём, Lw, дБ		**исходные данные**	**0**	**93,3**	**94,7**	**96**	**96,3**	**95,9**	**92,6**	**88,4**	**83,9**		
Уровни звуковой мощности источника ночью, Lw, дБ		**исходные данные**	**0**	**93,3**	**94,7**	**96**	**96,3**	**95,9**	**92,6**	**88,4**	**83,9**		
Поправка на телесный угол DΩ, дБ	Ω = 6.28	10Lg(4π/Ω)	**3**	3	3	3	3	3	3	3	3		
Показатель направленности источника Di, дБ		исходные данные	**0**	0	0	0	0	0	0	0	0		
Поправка на направленность источника Dc, дБ	Dc	DΩ + Di	**3**	3	3	3	3	3	3	3	3		
Затухание из-за геометрической дивергенции, Adiv, дБ	расстояние = 483.04 м	ф-ла (7) [10]	**64,7**										
Коэффициент затухания звука в атмосфере α, дБ/км	Ta=20,°C Pa=101.33,кПа hотн.=70%	ф-ла (5) [9]	0,02	0,09	0,33	1,12	2,79	4,98	9,04	23,09	77,63		
Учет затухания звука в атмосфере Aatm, дБ		ф-ла (8) [10]	0	0	0,2	0,5	1,3	2,4	4,4	11,2	37,5		
Снижение уровня звукового давления из-за влияния застройки между источником шума и расчетной точкой													
Снижение уровня звукового давления на пути над экраном, Dz1, дБ	z = 0.66м (разность путей)	ф-лы (14-18) [10]	7,1	8,8	10,9	13,4	16,1	19	21,9	24,9	27,8		
Снижение уровня звукового давления на пути слева от экрана, Dz2, дБ	z = 11.06м (разность путей)	ф-лы (14-18) [10]	20,6	23,8	26,9	29,9	32,9	35,9	38,9	41,9	44,9		
Снижение уровня звукового давления на пути справа от экрана, Dz3, дБ	z = 69.20м (разность путей)	ф-лы (14-18) [10]	28,5	31,8	34,8	37,9	40,9	43,9	46,9	49,9	52,9		
Общее снижение уровня звука препятствием Dz, дБ		Эн.сумма(-Dzi)	6,9	8,7	10,8	13,3	16	18,9	21,8	24,8	27,7		

1		2	3	4	5	6	7	8	9	10	11	12	13
Общее снижение уровня звука препятствием с учётом ограничения (25 дБ) для октавных полос Dz, дБ		Раздел 7.4 [10]	6,9	8,7	10,8	13,3	16	18,9	21,8	24,8	25		
Уровни звукового давления от источника ИШ-1-19 в расчётной точке днём, дБ		**ф-ла(3)[10]**	**0**	**22,9**	**22**	**20,5**	**17,3**	**12,9**	**4,8**	**0**	**0**	**18,4**	**18,4**
Уровни звукового давления от источника ИШ-1-19 в расчётной точке ночью, дБ		**ф-ла(3)[10]**	**0**	**22,9**	**22**	**20,5**	**17,3**	**12,9**	**4,8**	**0**	**0**	**18,4**	**18,4**
Источник шума: ИШ-1-20, координаты источника (x,y,z), м =[550.38,138.64,1.00]													
Уровни звуковой мощности источника днём, Lw, дБ		**исходные данные**	**0**	**93,3**	**94,7**	**96**	**96,3**	**95,9**	**92,6**	**88,4**	**83,9**		
Уровни звуковой мощности источника ночью, Lw, дБ		**исходные данные**	**0**	**93,3**	**94,7**	**96**	**96,3**	**95,9**	**92,6**	**88,4**	**83,9**		
Поправка на телесный угол DΩ, дБ	Ω = 6.28	10Lg(4π/Ω)	**3**	3	3	3	3	3	3	3	3		
Показатель направленности источника Di, дБ		исходные данные	**0**	0	0	0	0	0	0	0	0		
Поправка на направленность источника Dc, дБ	Dc	DΩ + Di	**3**	3	3	3	3	3	3	3	3		
Затухание из-за геометрической дивергенции, Adiv, дБ	расстояние = 484.75 м	ф-ла (7) [10]	**64,7**										
Коэффициент затухания звука в атмосфере α, дБ/км	Ta=20,°C Pa=101.33,кПа hотн.=70%	ф-ла (5) [9]	0,02	0,09	0,33	1,12	2,79	4,98	9,04	23,09	77,63		
Учет затухания звука в атмосфере Aatm, дБ		ф-ла (8) [10]	0	0	0,2	0,5	1,4	2,4	4,4	11,2	37,6		
Снижение уровня звукового давления из-за влияния застройки между источником шума и расчетной точкой													
Снижение уровня звукового давления на пути над экраном, Dz1, дБ	z = 0.62м (разность путей)	ф-лы (14-18) [10]	6,8	8,4	10,4	12,8	15,5	18,3	21,2	24,2	27,1		
Снижение уровня звукового давления на пути слева от экрана, Dz2, дБ	z = 10.45м (разность путей)	ф-лы (14-18) [10]	20,3	23,6	26,6	29,7	32,7	35,7	38,7	41,7	44,7		
Снижение уровня звукового давления на пути справа от экрана, Dz3, дБ	z = 70.01м (разность путей)	ф-лы (14-18) [10]	28,5	31,8	34,9	37,9	40,9	43,9	46,9	49,9	53		

1		2	3	4	5	6	7	8	9	10	11	12	13
Общее снижение уровня звука препятствием Dz, дБ		Эн.сумма(-Dzi)	6,6	8,3	10,3	12,7	15,4	18,2	21,1	24,1	27,1		
Общее снижение уровня звука препятствием с учётом ограничения (25 дБ) для октавных полос Dz, дБ		Раздел 7.4 [10]	6,6	8,3	10,3	12,7	15,4	18,2	21,1	24,1	25		
Уровни звукового давления от источника ИШ-1-20 в расчётной точке днём, дБ		**ф-ла(3)[10]**	**0**	**23,3**	**22,5**	**21**	**17,9**	**13,6**	**5,4**	**0**	**0**	**19**	**19**
Уровни звукового давления от источника ИШ-1-20 в расчётной точке ночью, дБ		**ф-ла(3)[10]**	**0**	**23,3**	**22,5**	**21**	**17,9**	**13,6**	**5,4**	**0**	**0**	**19**	**19**
Источник шума: ИШ-1-21, координаты источника (x,y,z), м =[553.31,137.67,1.00]													
Уровни звуковой мощности источника днём, Lw, дБ		**исходные данные**	**0**	**93,3**	**94,7**	**96**	**96,3**	**95,9**	**92,6**	**88,4**	**83,9**		
Уровни звуковой мощности источника ночью, Lw, дБ		**исходные данные**	**0**	**93,3**	**94,7**	**96**	**96,3**	**95,9**	**92,6**	**88,4**	**83,9**		
Поправка на телесный угол DΩ, дБ	Ω = 6.28	10Lg(4π/Ω)	**3**	3	3	3	3	3	3	3	3		
Показатель направленности источника Di, дБ		исходные данные	**0**	0	0	0	0	0	0	0	0		
Поправка на направленность источника Dc, дБ	Dc	DΩ + Di	**3**	3	3	3	3	3	3	3	3		
Затухание из-за геометрической дивергенции, Adiv, дБ	расстояние = 486.33 м	ф-ла (7) [10]	**64,7**										
Коэффициент затухания звука в атмосфере α, дБ/км	Ta=20,°C Pa=101.33,кПа hотн.=70%	ф-ла (5) [9]	0,02	0,09	0,33	1,12	2,79	4,98	9,04	23,09	77,63		
Учет затухания звука в атмосфере Aatm, дБ		ф-ла (8) [10]	0	0	0,2	0,5	1,4	2,4	4,4	11,2	37,8		
Снижение уровня звукового давления из-за влияния застройки между источником шума и расчетной точкой													
Снижение уровня звукового давления на пути над экраном, Dz1, дБ	z = 0.58м (разность путей)	ф-лы (14-18) [10]	6,6	8,1	10	12,3	14,9	17,7	20,6	23,5	26,5		
Снижение уровня звукового давления на пути слева от экрана, Dz2, дБ	z = 9.93м (разность путей)	ф-лы (14-18) [10]	20,1	23,4	26,4	29,4	32,4	35,5	38,5	41,5	44,5		

1		2	3	4	5	6	7	8	9	10	11	12	13
Снижение уровня звукового давления на пути справа от экрана, Dz3, дБ	z = 70.92м (разность путей)	ф-лы (14-18) [10]	28,6	31,9	34,9	38	41	44	47	50	53		
Общее снижение уровня звука препятствием Dz, дБ		Эн.сумма(-Dzi)	6,4	7,9	9,8	12,2	14,8	17,6	20,5	23,5	26,4		
Общее снижение уровня звука препятствием с учётом ограничения (25 дБ) для октавных полос Dz, дБ		Раздел 7.4 [10]	6,4	7,9	9,8	12,2	14,8	17,6	20,5	23,5	25		
Уровни звукового давления от источника ИШ-1-21 в расчётной точке днём, дБ		**ф-ла(3)[10]**	**0**	**23,6**	**22,9**	**21,5**	**18,4**	**14,1**	**6**	**0**	**0**	**19,5**	**19,5**
Уровни звукового давления от источника ИШ-1-21 в расчётной точке ночью, дБ		**ф-ла(3)[10]**	**0**	**23,6**	**22,9**	**21,5**	**18,4**	**14,1**	**6**	**0**	**0**	**19,5**	**19,5**
Источник шума: ИШ-1-22, координаты источника (x,y,z), м =[522.03,85.28,1.00]													
Уровни звуковой мощности источника днём, Lw, дБ		**исходные данные**	**0**	**93,3**	**94,7**	**96**	**96,3**	**95,9**	**92,6**	**88,4**	**83,9**		
Уровни звуковой мощности источника ночью, Lw, дБ		**исходные данные**	**0**	**93,3**	**94,7**	**96**	**96,3**	**95,9**	**92,6**	**88,4**	**83,9**		
Поправка на телесный угол DΩ, дБ	Ω = 6.28	10Lg(4π/Ω)	**3**	3	3	3	3	3	3	3	3		
Показатель направленности источника Di, дБ		исходные данные	**0**	0	0	0	0	0	0	0	0		
Поправка на направленность источника Dc, дБ	Dc	DΩ + Di	**3**	3	3	3	3	3	3	3	3		
Затухание из-за геометрической дивергенции, Adiv, дБ	расстояние = 428.93 м	ф-ла (7) [10]	**63,6**										
Коэффициент затухания звука в атмосфере α, дБ/км	Ta=20,°C Pa=101.33,кПа hотн.=70%	ф-ла (5) [9]	0,02	0,09	0,33	1,12	2,79	4,98	9,04	23,09	77,63		
Учет затухания звука в атмосфере Aatm, дБ		ф-ла (8) [10]	0	0	0,1	0,5	1,2	2,1	3,9	9,9	33,3		
Снижение уровня звукового давления из-за влияния застройки между источником шума и расчетной точкой													
Снижение уровня звукового давления на пути над экраном, Dz1, дБ	z = 0.89м (разность путей)	ф-лы (14-18) [10]	8,5	10,8	13,3	16	18,8	21,8	24,7	27,7	30,7		

1		2	3	4	5	6	7	8	9	10	11	12	13
Снижение уровня звукового давления на пути слева от экрана, Dz2, дБ	z = 7.51м (разность путей)	ф-лы (14-18) [10]	14,9	17,7	20,5	23,5	26,5	29,5	32,5	35,5	38,5		
Снижение уровня звукового давления на пути справа от экрана, Dz3, дБ	z = 171.23м (разность путей)	ф-лы (14-18) [10]	32,4	35,7	38,8	41,8	44,8	47,8	50,8	53,8	56,8		
Общее снижение уровня звука препятствием Dz, дБ		Эн.сумма(-Dzi)	7,6	9,9	12,5	15,3	18,1	21,1	24,1	27	30		
Общее снижение уровня звука препятствием с учётом ограничения (25 дБ) для октавных полос Dz, дБ		Раздел 7.4 [10]	7,6	9,9	12,5	15,3	18,1	21,1	24,1	25	25		
Уровни звукового давления от источника ИШ-1-22 в расчётной точке днём, дБ		**ф-ла(3)[10]**	**0**	**22,7**	**21,4**	**19,6**	**16,3**	**12**	**4**	**0**	**0**	**17,5**	**17,5**
Уровни звукового давления от источника ИШ-1-22 в расчётной точке ночью, дБ		**ф-ла(3)[10]**	**0**	**22,7**	**21,4**	**19,6**	**16,3**	**12**	**4**	**0**	**0**	**17,5**	**17,5**
Источник шума: ИШ-1-23, координаты источника (x,y,z), м =[525.16,84.11,1.00]													
Уровни звуковой мощности источника днём, Lw, дБ		**исходные данные**	**0**	**93,3**	**94,7**	**96**	**96,3**	**95,9**	**92,6**	**88,4**	**83,9**		
Уровни звуковой мощности источника ночью, Lw, дБ		**исходные данные**	**0**	**93,3**	**94,7**	**96**	**96,3**	**95,9**	**92,6**	**88,4**	**83,9**		
Поправка на телесный угол DΩ, дБ	Ω = 6.28	10Lg(4π/Ω)	**3**	3	3	3	3	3	3	3	3		
Показатель направленности источника Di, дБ		исходные данные	**0**	0	0	0	0	0	0	0	0		
Поправка на направленность источника Dc, дБ	Dc	DΩ + Di	**3**	3	3	3	3	3	3	3	3		
Затухание из-за геометрической дивергенции, Adiv, дБ	расстояние = 430.68 м	ф-ла (7) [10]	**63,7**										
Коэффициент затухания звука в атмосфере α, дБ/км	Ta=20,°C Pa=101.33,кПа hотн.=70%	ф-ла (5) [9]	0,02	0,09	0,33	1,12	2,79	4,98	9,04	23,09	77,63		
Учет затухания звука в атмосфере Aatm, дБ		ф-ла (8) [10]	0	0	0,1	0,5	1,2	2,1	3,9	9,9	33,4		
Снижение уровня звукового давления из-за влияния застройки между источником шума и расчетной точкой													

1		2	3	4	5	6	7	8	9	10	11	12	13
Снижение уровня звукового давления на пути над экраном, Dz1, дБ	z = 0.26м (разность путей)	ф-лы (14-18) [10]	4,9	5	5,4	6,2	7,4	9,1	11,2	13,7	16,4		
Снижение уровня звукового давления на пути слева от экрана, Dz2, дБ	z = 7.10м (разность путей)	ф-лы (14-18) [10]	14,7	17,5	20,3	23,3	26,2	29,2	32,2	35,2	38,3		
Снижение уровня звукового давления на пути справа от экрана, Dz3, дБ	z = 170.62м (разность путей)	ф-лы (14-18) [10]	32,4	35,7	38,7	41,8	44,8	47,8	50,8	53,8	56,8		
Общее снижение уровня звука препятствием Dz, дБ		Эн.сумма(-Dzi)	4,4	4,8	5,3	6,1	7,3	9	11,2	13,6	16,4		
Уровни звукового давления от источника ИШ-1-23 в расчётной точке днём, дБ		**ф-ла(3)[10]**	**0**	**27,8**	**28,6**	**28,7**	**27,1**	**24**	**16,9**	**4,1**	**0**	**28,4**	**28,4**
Уровни звукового давления от источника ИШ-1-23 в расчётной точке ночью, дБ		**ф-ла(3)[10]**	**0**	**27,8**	**28,6**	**28,7**	**27,1**	**24**	**16,9**	**4,1**	**0**	**28,4**	**28,4**
Источник шума: ИШ-1-24, координаты источника (x,y,z), м =[528.48,82.94,1.00]													
Уровни звуковой мощности источника днём, Lw, дБ		**исходные данные**	**0**	**93,3**	**94,7**	**96**	**96,3**	**95,9**	**92,6**	**88,4**	**83,9**		
Уровни звуковой мощности источника ночью, Lw, дБ		**исходные данные**	**0**	**93,3**	**94,7**	**96**	**96,3**	**95,9**	**92,6**	**88,4**	**83,9**		
Поправка на телесный угол DΩ, дБ	Ω = 6.28	10Lg(4π/Ω)	**3**	3	3	3	3	3	3	3	3		
Показатель направленности источника Di, дБ		исходные данные	**0**	0	0	0	0	0	0	0	0		
Поправка на направленность источника Dc, дБ	Dc	DΩ + Di	**3**	3	3	3	3	3	3	3	3		
Затухание из-за геометрической дивергенции, Adiv, дБ	расстояние = 432.60 м	ф-ла (7) [10]	**63,7**										
Коэффициент затухания звука в атмосфере α, дБ/км	Ta=20,°C Pa=101.33,кПа hотн.=70%	ф-ла (5) [9]	0,02	0,09	0,33	1,12	2,79	4,98	9,04	23,09	77,63		
Учет затухания звука в атмосфере Aatm, дБ		ф-ла (8) [10]	0	0	0,1	0,5	1,2	2,2	3,9	10	33,6		
Снижение уровня звукового давления из-за влияния застройки между источником шума и расчетной точкой													

1		2	3	4	5	6	7	8	9	10	11	12	13
Снижение уровня звукового давления на пути над экраном, Dz1, дБ	z = 0.25м (разность путей)	ф-лы (14-18) [10]	4,9	5	5,4	6,1	7,3	8,9	11	13,5	16,2		
Снижение уровня звукового давления на пути слева от экрана, Dz2, дБ	z = 6.69м (разность путей)	ф-лы (14-18) [10]	14,4	17,2	20,1	23	26	29	32	35	38		
Снижение уровня звукового давления на пути справа от экрана, Dz3, дБ	z = 169.95м (разность путей)	ф-лы (14-18) [10]	32,4	35,7	38,7	41,8	44,8	47,8	50,8	53,8	56,8		
Общее снижение уровня звука препятствием Dz, дБ		Эн.сумма(-Dzi)	4,4	4,8	5,3	6,1	7,2	8,9	11	13,5	16,2		
Уровни звукового давления от источника ИШ-1-24 в расчётной точке днём, дБ		**ф-ла(3)[10]**	**0**	**27,8**	**28,6**	**28,7**	**27,1**	**24,1**	**17**	**4,2**	**0**	**28,4**	**28,4**
Уровни звукового давления от источника ИШ-1-24 в расчётной точке ночью, дБ		**ф-ла(3)[10]**	**0**	**27,8**	**28,6**	**28,7**	**27,1**	**24,1**	**17**	**4,2**	**0**	**28,4**	**28,4**
Источник шума: ИШ-1-25, координаты источника (x,y,z), м =[531.22,82.16,1.00]													
Уровни звуковой мощности источника днём, Lw, дБ		**исходные данные**	**0**	**93,3**	**94,7**	**96**	**96,3**	**95,9**	**92,6**	**88,4**	**83,9**		
Уровни звуковой мощности источника ночью, Lw, дБ		**исходные данные**	**0**	**93,3**	**94,7**	**96**	**96,3**	**95,9**	**92,6**	**88,4**	**83,9**		
Поправка на телесный угол DΩ, дБ	Ω = 6.28	10Lg(4π/Ω)	**3**	3	3	3	3	3	3	3	3		
Показатель направленности источника Di, дБ		исходные данные	**0**	0	0	0	0	0	0	0	0		
Поправка на направленность источника Dc, дБ	Dc	DΩ + Di	**3**	3	3	3	3	3	3	3	3		
Затухание из-за геометрической дивергенции, Adiv, дБ	расстояние = 434.31 м	ф-ла (7) [10]	**63,8**										
Коэффициент затухания звука в атмосфере α, дБ/км	Ta=20,°C Pa=101.33,кПа hотн.=70%	ф-ла (5) [9]	0,02	0,09	0,33	1,12	2,79	4,98	9,04	23,09	77,63		
Учет затухания звука в атмосфере Aatm, дБ		ф-ла (8) [10]	0	0	0,1	0,5	1,2	2,2	3,9	10	33,7		
Снижение уровня звукового давления из-за влияния застройки между источником шума и расчетной точкой													

1		2	3	4	5	6	7	8	9	10	11	12	13
Снижение уровня звукового давления на пути над экраном, Dz1, дБ	z = 0.25м (разность путей)	ф-лы (14-18) [10]	4,9	5	5,4	6,1	7,2	8,8	10,9	13,3	16		
Снижение уровня звукового давления на пути слева от экрана, Dz2, дБ	z = 6.38м (разность путей)	ф-лы (14-18) [10]	14,3	17	19,9	22,8	25,8	28,8	31,8	34,8	37,8		
Снижение уровня звукового давления на пути справа от экрана, Dz3, дБ	z = 169.18м (разность путей)	ф-лы (14-18) [10]	32,4	35,7	38,7	41,7	44,7	47,8	50,8	53,8	56,8		
Общее снижение уровня звука препятствием Dz, дБ		Эн.сумма(-Dzi)	4,4	4,7	5,2	6	7,2	8,8	10,9	13,3	16		
Уровни звукового давления от источника ИШ-1-25 в расчётной точке днём, дБ		**ф-ла(3)[10]**	**0**	**27,8**	**28,6**	**28,7**	**27,2**	**24,2**	**17,1**	**4,3**	**0**	**28,5**	**28,5**
Уровни звукового давления от источника ИШ-1-25 в расчётной точке ночью, дБ		**ф-ла(3)[10]**	**0**	**27,8**	**28,6**	**28,7**	**27,2**	**24,2**	**17,1**	**4,3**	**0**	**28,5**	**28,5**
Источник шума: ИШ-1-26, координаты источника (x,y,z), м =[534.15,80.79,1.00]													
Уровни звуковой мощности источника днём, Lw, дБ		**исходные данные**	**0**	**93,3**	**94,7**	**96**	**96,3**	**95,9**	**92,6**	**88,4**	**83,9**		
Уровни звуковой мощности источника ночью, Lw, дБ		**исходные данные**	**0**	**93,3**	**94,7**	**96**	**96,3**	**95,9**	**92,6**	**88,4**	**83,9**		
Поправка на телесный угол DΩ, дБ	Ω = 6.28	10Lg(4π/Ω)	**3**	3	3	3	3	3	3	3	3		
Показатель направленности источника Di, дБ		исходные данные	**0**	0	0	0	0	0	0	0	0		
Поправка на направленность источника Dc, дБ	Dc	DΩ + Di	**3**	3	3	3	3	3	3	3	3		
Затухание из-за геометрической дивергенции, Adiv, дБ	расстояние = 435.84 м	ф-ла (7) [10]	**63,8**										
Коэффициент затухания звука в атмосфере α, дБ/км	Ta=20,°C Pa=101.33,кПа hотн.=70%	ф-ла (5) [9]	0,02	0,09	0,33	1,12	2,79	4,98	9,04	23,09	77,63		
Учет затухания звука в атмосфере Aatm, дБ		ф-ла (8) [10]	0	0	0,1	0,5	1,2	2,2	3,9	10,1	33,8		
Снижение уровня звукового давления из-за влияния застройки между источником шума и расчетной точкой													

1		2	3	4	5	6	7	8	9	10	11	12	13
Снижение уровня звукового давления на пути над экраном, Dz1, дБ	z = 0.25м (разность путей)	ф-лы (14-18) [10]	4,9	5	5,4	6,1	7,2	8,7	10,8	13,2	15,9		
Снижение уровня звукового давления на пути слева от экрана, Dz2, дБ	z = 6.01м (разность путей)	ф-лы (14-18) [10]	14	16,8	19,6	22,5	25,5	28,5	31,5	34,5	37,5		
Снижение уровня звукового давления на пути справа от экрана, Dz3, дБ	z = 169.26м (разность путей)	ф-лы (14-18) [10]	32,4	35,7	38,7	41,7	44,8	47,8	50,8	53,8	56,8		
Общее снижение уровня звука препятствием Dz, дБ		Эн.сумма(-Dzi)	4,4	4,7	5,2	6	7,1	8,7	10,7	13,2	15,9		
Уровни звукового давления от источника ИШ-1-26 в расчётной точке днём, дБ		**ф-ла(3)[10]**	**0**	**27,8**	**28,6**	**28,8**	**27,2**	**24,3**	**17,1**	**4,4**	**0**	**28,5**	**28,5**
Уровни звукового давления от источника ИШ-1-26 в расчётной точке ночью, дБ		**ф-ла(3)[10]**	**0**	**27,8**	**28,6**	**28,8**	**27,2**	**24,3**	**17,1**	**4,4**	**0**	**28,5**	**28,5**
Источник шума: ИШ-1-27, координаты источника (x,y,z), м =[469.65,197.67,1.00]													
Уровни звуковой мощности источника днём, Lw, дБ		**исходные данные**	**0**	**93,3**	**94,7**	**96**	**96,3**	**95,9**	**92,6**	**88,4**	**83,9**		
Уровни звуковой мощности источника ночью, Lw, дБ		**исходные данные**	**0**	**93,3**	**94,7**	**96**	**96,3**	**95,9**	**92,6**	**88,4**	**83,9**		
Поправка на телесный угол DΩ, дБ	Ω = 6.28	10Lg(4π/Ω)	**3**	3	3	3	3	3	3	3	3		
Показатель направленности источника Di, дБ		исходные данные	**0**	0	0	0	0	0	0	0	0		
Поправка на направленность источника Dc, дБ	Dc	DΩ + Di	**3**	3	3	3	3	3	3	3	3		
Затухание из-за геометрической дивергенции, Adiv, дБ	расстояние = 472.64 м	ф-ла (7) [10]	**64,5**										
Коэффициент затухания звука в атмосфере α, дБ/км	Ta=20,°C Pa=101.33,кПа hотн.=70%	ф-ла (5) [9]	0,02	0,09	0,33	1,12	2,79	4,98	9,04	23,09	77,63		
Учет затухания звука в атмосфере Aatm, дБ		ф-ла (8) [10]	0	0	0,2	0,5	1,3	2,4	4,3	10,9	36,7		
Снижение уровня звукового давления из-за влияния застройки между источником шума и расчетной точкой													

1		2	3	4	5	6	7	8	9	10	11	12	13
Снижение уровня звукового давления на пути над экраном, Dz1, дБ	z = 0.55м (разность путей)	ф-лы (14-18) [10]	6,7	8,2	10,1	12,5	15,1	17,9	20,8	23,8	26,7		
Снижение уровня звукового давления на пути слева от экрана, Dz2, дБ	z = 34.30м (разность путей)	ф-лы (14-18) [10]	25,2	28,6	31,8	34,8	37,8	40,8	43,8	46,9	49,9		
Снижение уровня звукового давления на пути справа от экрана, Dz3, дБ	z = 30.86м (разность путей)	ф-лы (14-18) [10]	24,8	28,2	31,3	34,3	37,4	40,4	43,4	46,4	49,4		
Общее снижение уровня звука препятствием Dz, дБ		Эн.сумма(-Dzi)	6,6	8,1	10,1	12,4	15	17,9	20,8	23,7	26,7		
Общее снижение уровня звука препятствием с учётом ограничения (25 дБ) для октавных полос Dz, дБ		Раздел 7.4 [10]	6,6	8,1	10,1	12,4	15	17,9	20,8	23,7	25		
Уровни звукового давления прямого звука от источника ИШ-1-27 в расчётной точке днём, дБ		**ф-ла(3)[10]**	**0**	**23,6**	**23**	**21,6**	**18,4**	**14,2**	**6,1**	**0**	**0**	**19,6**	**19,6**
Уровни звукового давления прямого звука от источника ИШ-1-27 в расчётной точке ночью, дБ		**ф-ла(3)[10]**	**0**	**23,6**	**23**	**21,6**	**18,4**	**14,2**	**6,1**	**0**	**0**	**19,6**	**19,6**
Расчёт отражённого звука													
Уровни звукового давления от мнимого источника ИШ-1-27_мн.(1) в расчётной точке днём, дБ		**ф-ла(3)[10]**	**0**	**0**	**0**	**0**	**0**	**0**	**6,1**	**0**	**0**	**7,3**	**7,3**
Уровни звукового давления от мнимого источника ИШ-1-27_мн.(1) в расчётной точке ночью, дБ		**ф-ла(3)[10]**	**0**	**0**	**0**	**0**	**0**	**0**	**0**	**0**	**0**	**7,3**	**7,3**
Уровни звукового давления от источника ИШ-1-27 в расчётной точке днём, дБ		**ф-ла(3)[10]**	**0**	**23,6**	**23**	**21,6**	**18,4**	**14,2**	**9,1**	**0**	**0**	**19,8**	**19,8**
Уровни звукового давления от источника ИШ-1-27 в расчётной точке ночью, дБ		**ф-ла(3)[10]**	**0**	**23,6**	**23**	**21,6**	**18,4**	**14,2**	**9,1**	**0**	**0**	**19,8**	**19,8**
Источник шума: ИШ-1-28, координаты источника (x,y,z), м =[472.78,196.69,1.00]													
Уровни звуковой мощности источника днём, Lw, дБ		**исходные данные**	**0**	**93,3**	**94,7**	**96**	**96,3**	**95,9**	**92,6**	**88,4**	**83,9**		
Уровни звуковой мощности источника ночью, Lw, дБ		**исходные данные**	**0**	**93,3**	**94,7**	**96**	**96,3**	**95,9**	**92,6**	**88,4**	**83,9**		
Поправка на телесный угол DΩ, дБ	Ω = 6.28	10Lg(4π/Ω)	**3**	3	3	3	3	3	3	3	3		
Показатель направленности источника Di, дБ		исходные данные	**0**	0	0	0	0	0	0	0	0		

1		2	3	4	5	6	7	8	9	10	11	12	13
Поправка на направленность источника Dc, дБ	Dc	DΩ + Di	**3**	3	3	3	3	3	3	3	3		
Затухание из-за геометрической дивергенции, Adiv, дБ	расстояние = 473.76 м	ф-ла (7) [10]	**64,5**										
Коэффициент затухания звука в атмосфере α, дБ/км	Ta=20,°C Pa=101.33,кПа hотн.=70%	ф-ла (5) [9]	0,02	0,09	0,33	1,12	2,79	4,98	9,04	23,09	77,63		
Учет затухания звука в атмосфере Aatm, дБ		ф-ла (8) [10]	0	0	0,2	0,5	1,3	2,4	4,3	10,9	36,8		
Снижение уровня звукового давления из-за влияния застройки между источником шума и расчетной точкой													
Снижение уровня звукового давления на пути над экраном, Dz1, дБ	z = 0.51м (разность путей)	ф-лы (14-18) [10]	6,4	7,8	9,6	11,9	14,4	17,2	20,1	23	26		
Снижение уровня звукового давления на пути слева от экрана, Dz2, дБ	z = 33.00м (разность путей)	ф-лы (14-18) [10]	25	28,5	31,6	34,6	37,7	40,7	43,7	46,7	49,7		
Снижение уровня звукового давления на пути справа от экрана, Dz3, дБ	z = 33.02м (разность путей)	ф-лы (14-18) [10]	25,1	28,5	31,6	34,6	37,7	40,7	43,7	46,7	49,7		
Общее снижение уровня звука препятствием Dz, дБ		Эн.сумма(-Dzi)	6,3	7,7	9,6	11,8	14,4	17,2	20	23	26		
Общее снижение уровня звука препятствием с учётом ограничения (25 дБ) для октавных полос Dz, дБ		Раздел 7.4 [10]	6,3	7,7	9,6	11,8	14,4	17,2	20	23	25		
Уровни звукового давления прямого звука от источника ИШ-1-28 в расчётной точке днём, дБ		**ф-ла(3)[10]**	**0**	**24**	**23,5**	**22,1**	**19,1**	**14,9**	**6,8**	**0**	**0**	**20,2**	**20,2**
Уровни звукового давления прямого звука от источника ИШ-1-28 в расчётной точке ночью, дБ		**ф-ла(3)[10]**	**0**	**24**	**23,5**	**22,1**	**19,1**	**14,9**	**6,8**	**0**	**0**	**20,2**	**20,2**
Расчёт отражённого звука													
Уровни звукового давления от мнимого источника ИШ-1-28_мн.(1) в расчётной точке днём, дБ		**ф-ла(3)[10]**	**0**	**0**	**0**	**0**	**0**	**0**	**6,6**	**0**	**0**	**7,8**	**7,8**
Уровни звукового давления от мнимого источника ИШ-1-28_мн.(1) в расчётной точке ночью, дБ		**ф-ла(3)[10]**	**0**	**0**	**0**	**0**	**0**	**0**	**0**	**0**	**0**	**7,8**	**7,8**
Уровни звукового давления от источника ИШ-1-28 в расчётной точке днём, дБ		**ф-ла(3)[10]**	**0**	**24**	**23,5**	**22,1**	**19,1**	**14,9**	**9,7**	**0**	**0**	**20,4**	**20,4**
Уровни звукового давления от источника ИШ-1-28 в расчётной точке ночью, дБ		**ф-ла(3)[10]**	**0**	**24**	**23,5**	**22,1**	**19,1**	**14,9**	**9,7**	**0**	**0**	**20,4**	**20,4**

1		2	3	4	5	6	7	8	9	10	11	12	13
Источник шума: ИШ-1-29, координаты источника (x,y,z), м =[475.52,195.72,1.00]													
Уровни звуковой мощности источника днём, Lw, дБ		**исходные данные**	**0**	**93,3**	**94,7**	**96**	**96,3**	**95,9**	**92,6**	**88,4**	**83,9**		
Уровни звуковой мощности источника ночью, Lw, дБ		**исходные данные**	**0**	**93,3**	**94,7**	**96**	**96,3**	**95,9**	**92,6**	**88,4**	**83,9**		
Поправка на телесный угол DΩ, дБ	Ω = 6.28	10Lg(4π/Ω)	**3**	3	3	3	3	3	3	3	3		
Показатель направленности источника Di, дБ		исходные данные	**0**	0	0	0	0	0	0	0	0		
Поправка на направленность источника Dc, дБ	Dc	DΩ + Di	**3**	3	3	3	3	3	3	3	3		
Затухание из-за геометрической дивергенции, Adiv, дБ	расстояние = 474.66 м	ф-ла (7) [10]	**64,5**										
Коэффициент затухания звука в атмосфере α, дБ/км	Ta=20,°C Pa=101.33,кПа hотн.=70%	ф-ла (5) [9]	0,02	0,09	0,33	1,12	2,79	4,98	9,04	23,09	77,63		
Учет затухания звука в атмосфере Aatm, дБ		ф-ла (8) [10]	0	0	0,2	0,5	1,3	2,4	4,3	11	36,8		
Снижение уровня звукового давления из-за влияния застройки между источником шума и расчетной точкой													
Снижение уровня звукового давления на пути над экраном, Dz1, дБ	z = 0.48м (разность путей)	ф-лы (14-18) [10]	6,3	7,5	9,2	11,4	13,9	16,6	19,5	22,4	25,4		
Снижение уровня звукового давления на пути слева от экрана, Dz2, дБ	z = 31.87м (разность путей)	ф-лы (14-18) [10]	24,9	28,3	31,4	34,5	37,5	40,5	43,5	46,5	49,5		
Снижение уровня звукового давления на пути справа от экрана, Dz3, дБ	z = 35.02м (разность путей)	ф-лы (14-18) [10]	25,3	28,8	31,9	34,9	37,9	40,9	43,9	46,9	50		
Общее снижение уровня звука препятствием Dz, дБ		Эн.сумма(-Dzi)	6,1	7,4	9,2	11,3	13,9	16,6	19,5	22,4	25,4		
Общее снижение уровня звука препятствием с учётом ограничения (25 дБ) для октавных полос Dz, дБ		Раздел 7.4 [10]	6,1	7,4	9,2	11,3	13,9	16,6	19,5	22,4	25		
Уровни звукового давления прямого звука от источника ИШ-1-29 в расчётной точке днём, дБ		**ф-ла(3)[10]**	**0**	**24,3**	**23,8**	**22,6**	**19,6**	**15,4**	**7,3**	**0**	**0**	**20,7**	**20,7**

1		2	3	4	5	6	7	8	9	10	11	12	13
Уровни звукового давления прямого звука от источника ИШ-1-29 в расчётной точке ночью, дБ		**ф-ла(3)[10]**	**0**	**24,3**	**23,8**	**22,6**	**19,6**	**15,4**	**7,3**	**0**	**0**	**20,7**	**20,7**
Расчёт отражённого звука													
Уровни звукового давления от мнимого источника ИШ-1-29_мн.(1) в расчётной точке днём, дБ		**ф-ла(3)[10]**	**0**	**0**	**0**	**0**	**0**	**0**	**7**	**0**	**0**	**8,2**	**8,2**
Уровни звукового давления от мнимого источника ИШ-1-29_мн.(1) в расчётной точке ночью, дБ		**ф-ла(3)[10]**	**0**	**0**	**0**	**0**	**0**	**0**	**0**	**0**	**0**	**8,2**	**8,2**
Уровни звукового давления от источника ИШ-1-29 в расчётной точке днём, дБ		**ф-ла(3)[10]**	**0**	**24,3**	**23,8**	**22,6**	**19,6**	**15,4**	**10,2**	**0**	**0**	**20,9**	**20,9**
Уровни звукового давления от источника ИШ-1-29 в расчётной точке ночью, дБ		**ф-ла(3)[10]**	**0**	**24,3**	**23,8**	**22,6**	**19,6**	**15,4**	**10,2**	**0**	**0**	**20,9**	**20,9**
Источник шума: ИШ-1-30, координаты источника (x,y,z), м =[478.45,194.54,1.00]													
Уровни звуковой мощности источника днём, Lw, дБ		**исходные данные**	**0**	**93,3**	**94,7**	**96**	**96,3**	**95,9**	**92,6**	**88,4**	**83,9**		
Уровни звуковой мощности источника ночью, Lw, дБ		**исходные данные**	**0**	**93,3**	**94,7**	**96**	**96,3**	**95,9**	**92,6**	**88,4**	**83,9**		
Поправка на телесный угол DΩ, дБ	Ω = 6.28	10Lg(4π/Ω)	**3**	3	3	3	3	3	3	3	3		
Показатель направленности источника Di, дБ		исходные данные	**0**	0	0	0	0	0	0	0	0		
Поправка на направленность источника Dc, дБ	Dc	DΩ + Di	**3**	3	3	3	3	3	3	3	3		
Затухание из-за геометрической дивергенции, Adiv, дБ	расстояние = 475.54 м	ф-ла (7) [10]	**64,5**										
Коэффициент затухания звука в атмосфере α, дБ/км	Ta=20,°C Pa=101.33,кПа hотн.=70%	ф-ла (5) [9]	0,02	0,09	0,33	1,12	2,79	4,98	9,04	23,09	77,63		
Учет затухания звука в атмосфере Aatm, дБ		ф-ла (8) [10]	0	0	0,2	0,5	1,3	2,4	4,3	11	36,9		
Снижение уровня звукового давления из-за влияния застройки между источником шума и расчетной точкой													

1		2	3	4	5	6	7	8	9	10	11	12	13
Снижение уровня звукового давления на пути над экраном, Dz1, дБ	z = 0.46м (разность путей)	ф-лы (14-18) [10]	6,1	7,3	8,9	10,9	13,4	16,1	19	21,9	24,8		
Снижение уровня звукового давления на пути слева от экрана, Dz2, дБ	z = 30.67м (разность путей)	ф-лы (14-18) [10]	24,7	28,2	31,3	34,3	37,3	40,3	43,4	46,4	49,4		
Снижение уровня звукового давления на пути справа от экрана, Dz3, дБ	z = 37.28м (разность путей)	ф-лы (14-18) [10]	25,6	29	32,1	35,2	38,2	41,2	44,2	47,2	50,2		
Общее снижение уровня звука препятствием Dz, дБ		Эн.сумма(-Dzi)	6	7,2	8,8	10,9	13,4	16,1	18,9	21,9	24,8		
Уровни звукового давления прямого звука от источника ИШ-1-30 в расчётной точке днём, дБ		**ф-ла(3)[10]**	**0**	**24,5**	**24,2**	**23**	**20,1**	**15,9**	**7,8**	**0**	**0**	**21,1**	**21,1**
Уровни звукового давления прямого звука от источника ИШ-1-30 в расчётной точке ночью, дБ		**ф-ла(3)[10]**	**0**	**24,5**	**24,2**	**23**	**20,1**	**15,9**	**7,8**	**0**	**0**	**21,1**	**21,1**
Расчёт отражённого звука													
Уровни звукового давления от мнимого источника ИШ-1-30_мн.(1) в расчётной точке днём, дБ		**ф-ла(3)[10]**	**0**	**0**	**0**	**0**	**0**	**0**	**7,4**	**0**	**0**	**8,6**	**8,6**
Уровни звукового давления от мнимого источника ИШ-1-30_мн.(1) в расчётной точке ночью, дБ		**ф-ла(3)[10]**	**0**	**0**	**0**	**0**	**0**	**0**	**0**	**0**	**0**	**8,6**	**8,6**
Уровни звукового давления от источника ИШ-1-30 в расчётной точке днём, дБ		**ф-ла(3)[10]**	**0**	**24,5**	**24,2**	**23**	**20,1**	**15,9**	**10,6**	**0**	**0**	**21,4**	**21,4**
Уровни звукового давления от источника ИШ-1-30 в расчётной точке ночью, дБ		**ф-ла(3)[10]**	**0**	**24,5**	**24,2**	**23**	**20,1**	**15,9**	**10,6**	**0**	**0**	**21,4**	**21,4**
Источник шума: ИШ-1-31, координаты источника (x,y,z), м =[481.58,193.96,1.00]													
Уровни звуковой мощности источника днём, Lw, дБ		**исходные данные**	**0**	**93,3**	**94,7**	**96**	**96,3**	**95,9**	**92,6**	**88,4**	**83,9**		
Уровни звуковой мощности источника ночью, Lw, дБ		**исходные данные**	**0**	**93,3**	**94,7**	**96**	**96,3**	**95,9**	**92,6**	**88,4**	**83,9**		
Поправка на телесный угол DΩ, дБ	Ω = 6.28	10Lg(4π/Ω)	**3**	3	3	3	3	3	3	3	3		
Показатель направленности источника Di, дБ		исходные данные	**0**	0	0	0	0	0	0	0	0		
Поправка на направленность источника Dc, дБ	Dc	DΩ + Di	**3**	3	3	3	3	3	3	3	3		

1		2	3	4	5	6	7	8	9	10	11	12	13
Затухание из-за геометрической дивергенции, Adiv, дБ	расстояние = 477.02 м	ф-ла (7) [10]	**64,6**										
Коэффициент затухания звука в атмосфере α, дБ/км	Ta=20,°C Pa=101.33,кПа hотн.=70%	ф-ла (5) [9]	0,02	0,09	0,33	1,12	2,79	4,98	9,04	23,09	77,63		
Учет затухания звука в атмосфере Aatm, дБ		ф-ла (8) [10]	0	0	0,2	0,5	1,3	2,4	4,3	11	37		
Снижение уровня звукового давления из-за влияния застройки между источником шума и расчетной точкой													
Снижение уровня звукового давления на пути над экраном, Dz1, дБ	z = 0.43м (разность путей)	ф-лы (14-18) [10]	6	7	8,5	10,5	12,9	15,6	18,4	21,3	24,3		
Снижение уровня звукового давления на пути слева от экрана, Dz2, дБ	z = 29.56м (разность путей)	ф-лы (14-18) [10]	24,5	28	31,1	34,2	37,2	40,2	43,2	46,2	49,2		
Снижение уровня звукового давления на пути справа от экрана, Dz3, дБ	z = 38.96м (разность путей)	ф-лы (14-18) [10]	25,8	29,2	32,3	35,4	38,4	41,4	44,4	47,4	50,4		
Общее снижение уровня звука препятствием Dz, дБ		Эн.сумма(-Dzi)	5,9	7	8,5	10,5	12,9	15,6	18,4	21,3	24,3		
Уровни звукового давления прямого звука от источника ИШ-1-31 в расчётной точке днём, дБ		**ф-ла(3)[10]**	**0**	**24,7**	**24,5**	**23,4**	**20,5**	**16,4**	**8,3**	**0**	**0**	**21,6**	**21,6**
Уровни звукового давления прямого звука от источника ИШ-1-31 в расчётной точке ночью, дБ		**ф-ла(3)[10]**	**0**	**24,7**	**24,5**	**23,4**	**20,5**	**16,4**	**8,3**	**0**	**0**	**21,6**	**21,6**
Расчёт отражённого звука													
Уровни звукового давления от мнимого источника ИШ-1-31_мн.(1) в расчётной точке днём, дБ		**ф-ла(3)[10]**	**0**	**0**	**0**	**0**	**0**	**0**	**7,9**	**0**	**0**	**9,1**	**9,1**
Уровни звукового давления от мнимого источника ИШ-1-31_мн.(1) в расчётной точке ночью, дБ		**ф-ла(3)[10]**	**0**	**0**	**0**	**0**	**0**	**0**	**0**	**0**	**0**	**9,1**	**9,1**
Уровни звукового давления от источника ИШ-1-31 в расчётной точке днём, дБ		**ф-ла(3)[10]**	**0**	**24,7**	**24,5**	**23,4**	**20,5**	**16,4**	**11,1**	**0**	**0**	**21,8**	**21,8**
Уровни звукового давления от источника ИШ-1-31 в расчётной точке ночью, дБ		**ф-ла(3)[10]**	**0**	**24,7**	**24,5**	**23,4**	**20,5**	**16,4**	**11,1**	**0**	**0**	**21,8**	**21,8**
Источник шума: ИШ-1-32, координаты источника (x,y,z), м =[871.21,281.99,50.00]													

1		2	3	4	5	6	7	8	9	10	11	12	13
Уровни звуковой мощности источника днём, Lw, дБ		**исходные данные**	**125**	**119,6**	**113,4**	**111,4**	**110,8**	**112,7**	**113,8**	**109,2**	**97,4**		
Уровни звуковой мощности источника ночью, Lw, дБ		**исходные данные**	**0**	**0**	**0**	**0**	**0**	**0**	**0**	**0**	**0**		
Поправка на телесный угол DΩ, дБ	Ω = 12.57	10Lg(4π/Ω)	**0**	0	0	0	0	0	0	0	0		
Показатель направленности источника Di, дБ		исходные данные	**0**	0	0	0	0	0	0	0	0		
Поправка на направленность источника Dc, дБ	Dc	DΩ + Di	**0**	0	0	0	0	0	0	0	0		
Затухание из-за геометрической дивергенции, Adiv, дБ	расстояние = 828.57 м	ф-ла (7) [10]	**69,4**										
Коэффициент затухания звука в атмосфере α, дБ/км	Ta=20,°C Pa=101.33,кПа hотн.=70%	ф-ла (5) [9]	0,02	0,09	0,33	1,12	2,79	4,98	9,04	23,09	77,63		
Учет затухания звука в атмосфере Aatm, дБ		ф-ла (8) [10]	0	0,1	0,3	0,9	2,3	4,1	7,5	19,1	64,3		
Снижение поверхностью земли возле источника As, дБ	Gs = 0 hs = 50м	ф-лы таб.3 [10]	-1,5	-1,5	-1,5	-1,5	-1,5	-1,5	-1,5	-1,5	-1,5		
Снижение поверхностью земли возле приёмника Ar, дБ	Gr = 1 hr = 4.6м	ф-лы таб.3 [10]	-1,5	-1,5	3,7	1,3	0	0	0	0	0		
Снижение поверхностью земли в средней зоне, Am дБ	Gm = 1	ф-лы таб.3 [10]	0	0	0	0	0	0	0	0	0		
Суммарное снижение поверхностью земли на траектории распространения звука Agr, дБ		ф-ла (9) [10]	-3	-3	2,2	-0,2	-1,5	-1,5	-1,5	-1,5	-1,5		
Уровни звукового давления прямого звука от источника ИШ-1-32 в расчётной точке днём, дБ		**ф-ла(3)[10]**	**58,6**	**53,2**	**41,6**	**41,4**	**40,7**	**40,7**	**38,5**	**22,2**	**0**	**44,7**	**44,7**
Уровни звукового давления прямого звука от источника ИШ-1-32 в расчётной точке ночью, дБ		**ф-ла(3)[10]**	**0**	**0**	**0**	**0**	**0**	**0**	**0**	**0**	**0**	**0**	**0**
Расчёт отражённого звука													
Уровни звукового давления от мнимого источника ИШ-1-32_мн.(1) в расчётной точке днём, дБ		**ф-ла(3)[10]**	**0**	**0**	**0**	**0**	**38,1**	**38,2**	**35,9**	**19,7**	**0**	**41,8**	**41,8**
Уровни звукового давления от мнимого источника ИШ-1-32_мн.(1) в расчётной точке ночью, дБ		**ф-ла(3)[10]**	**0**	**0**	**0**	**0**	**0**	**0**	**0**	**0**	**0**	**0**	**0**

1		2	3	4	5	6	7	8	9	10	11	12	13
Уровни звукового давления от источника ИШ-1-32 в расчётной точке днём, дБ		**ф-ла(3)[10]**	**58,6**	**53,2**	**41,6**	**41,4**	**42,6**	**42,7**	**40,4**	**24,1**	**0**	**46,5**	**46,5**
Уровни звукового давления от источника ИШ-1-32 в расчётной точке ночью, дБ		**ф-ла(3)[10]**	**0**	**0**	**0**	**0**	**0**	**0**	**0**	**0**	**0**	**0**	**0**
Источник шума: ИШ-1-33, координаты источника (x,y,z), м =[743.42,374.85,1.00]													
Уровни звуковой мощности источника днём, Lw, дБ		**исходные данные**	**0**	**88,7**	**90,1**	**93,1**	**96,4**	**103**	**112**	**108**	**99,2**		
Уровни звуковой мощности источника ночью, Lw, дБ		**исходные данные**	**0**	**0**	**0**	**0**	**0**	**0**	**0**	**0**	**0**		
Поправка на телесный угол DΩ, дБ	Ω = 6.28	10Lg(4π/Ω)	**3**	3	3	3	3	3	3	3	3		
Показатель направленности источника Di, дБ		исходные данные	**0**	0	0	0	0	0	0	0	0		
Поправка на направленность источника Dc, дБ	Dc	DΩ + Di	**3**	3	3	3	3	3	3	3	3		
Затухание из-за геометрической дивергенции, Adiv, дБ	расстояние = 787.07 м	ф-ла (7) [10]	**68,9**										
Коэффициент затухания звука в атмосфере α, дБ/км	Ta=20,°C Pa=101.33,кПа hотн.=70%	ф-ла (5) [9]	0,02	0,09	0,33	1,12	2,79	4,98	9,04	23,09	77,63		
Учет затухания звука в атмосфере Aatm, дБ		ф-ла (8) [10]	0	0,1	0,3	0,9	2,2	3,9	7,1	18,2	61,1		
Снижение уровня звукового давления из-за влияния застройки между источником шума и расчетной точкой													
Снижение уровня звукового давления на пути над экраном, Dz1, дБ	z = 0.21м (разность путей)	ф-лы (14-18) [10]	4,8	4,8	4,9	5	5,2	5,6	6,3	7,5	9,1		
Снижение уровня звукового давления на пути слева от экрана, Dz2, дБ	z = 13.16м (разность путей)	ф-лы (14-18) [10]	21,3	24,6	27,6	30,7	33,7	36,7	39,7	42,7	45,7		
Снижение уровня звукового давления на пути справа от экрана, Dz3, дБ	z = 28.98м (разность путей)	ф-лы (14-18) [10]	24,5	27,9	31	34,1	37,1	40,1	43,1	46,1	49,1		
Общее снижение уровня звука препятствием Dz, дБ		Эн.сумма(-Dzi)	4,7	4,8	4,9	5	5,2	5,6	6,3	7,5	9,1		

1		2	3	4	5	6	7	8	9	10	11	12	13
Уровни звукового давления от источника ИШ-1-33 в расчётной точке днём, дБ		**ф-ла(3)[10]**	**0**	**18**	**19,1**	**21,3**	**23,1**	**27,6**	**32,7**	**16,5**	**0**	**35**	**35**
Уровни звукового давления от источника ИШ-1-33 в расчётной точке ночью, дБ		**ф-ла(3)[10]**	**0**	**0**	**0**	**0**	**0**	**0**	**0**	**0**	**0**	**0**	**0**
Источник шума: ИШ-1-34, координаты источника (x,y,z), м =[1042.35,199.07,1.00]													
Уровни звуковой мощности источника днём, Lw, дБ		**исходные данные**	**0**	**88,7**	**90,1**	**93,1**	**96,4**	**103**	**112**	**108**	**99,2**		
Уровни звуковой мощности источника ночью, Lw, дБ		**исходные данные**	**0**	**0**	**0**	**0**	**0**	**0**	**0**	**0**	**0**		
Поправка на телесный угол DΩ, дБ	Ω = 6.28	10Lg(4π/Ω)	**3**	3	3	3	3	3	3	3	3		
Показатель направленности источника Di, дБ		исходные данные	**0**	0	0	0	0	0	0	0	0		
Поправка на направленность источника Dc, дБ	Dc	DΩ + Di	**3**	3	3	3	3	3	3	3	3		
Затухание из-за геометрической дивергенции, Adiv, дБ	расстояние = 937.71 м	ф-ла (7) [10]	**70,4**										
Коэффициент затухания звука в атмосфере α, дБ/км	Ta=20,°C Pa=101.33,кПа hотн.=70%	ф-ла (5) [9]	0,02	0,09	0,33	1,12	2,79	4,98	9,04	23,09	77,63		
Учет затухания звука в атмосфере Aatm, дБ		ф-ла (8) [10]	0	0,1	0,3	1,1	2,6	4,7	8,5	21,6	72,8		
Снижение уровня звукового давления из-за влияния застройки между источником шума и расчетной точкой													
Снижение уровня звукового давления на пути над экраном, Dz1, дБ	z = 0.03м (разность путей)	ф-лы (14-18) [10]	4,8	4,8	4,8	4,8	4,8	4,8	4,8	4,8	4,8		
Снижение уровня звукового давления на пути слева от экрана, Dz2, дБ	z = 7.86м (разность путей)	ф-лы (14-18) [10]	15,1	17,9	20,7	23,7	26,7	29,7	32,7	35,7	38,7		
Снижение уровня звукового давления на пути справа от экрана, Dz3, дБ	z = 23.76м (разность путей)	ф-лы (14-18) [10]	19,6	22,5	25,5	28,5	31,5	34,5	37,5	40,5	43,5		
Общее снижение уровня звука препятствием Dz, дБ		Эн.сумма(-Dzi)	4,3	4,5	4,6	4,7	4,7	4,8	4,8	4,8	4,8		

1		2	3	4	5	6	7	8	9	10	11	12	13
Уровни звукового давления от источника ИШ-1-34 в расчётной точке днём, дБ		**ф-ла(3)[10]**	**0**	**16,7**	**17,7**	**19,9**	**21,6**	**26,2**	**31,3**	**14,2**	**0**	**33,7**	**33,7**
Уровни звукового давления от источника ИШ-1-34 в расчётной точке ночью, дБ		**ф-ла(3)[10]**	**0**	**0**	**0**	**0**	**0**	**0**	**0**	**0**	**0**	**0**	**0**
Источник шума: ИШ-2-1, координаты источника (x,y,z), м =[696.50,124.40,3.00]													
Уровни звуковой мощности источника днём, Lw, дБ		**исходные данные**	**105**	**104**	**104**	**101**	**102**	**106**	**101**	**95**	**87**		
Уровни звуковой мощности источника ночью, Lw, дБ		**исходные данные**	**105**	**104**	**104**	**101**	**102**	**106**	**101**	**95**	**87**		
Поправка на телесный угол DΩ, дБ	Ω = 6.28	10Lg(4π/Ω)	**3**	3	3	3	3	3	3	3	3		
Показатель направленности источника Di, дБ		исходные данные	**0**	0	0	0	0	0	0	0	0		
Поправка на направленность источника Dc, дБ	Dc	DΩ + Di	**3**	3	3	3	3	3	3	3	3		
Затухание из-за геометрической дивергенции, Adiv, дБ	расстояние = 595.38 м	ф-ла (7) [10]	**66,5**										
Коэффициент затухания звука в атмосфере α, дБ/км	Ta=20,°C Pa=101.33,кПа hотн.=70%	ф-ла (5) [9]	0,02	0,09	0,33	1,12	2,79	4,98	9,04	23,09	77,63		
Учет затухания звука в атмосфере Aatm, дБ		ф-ла (8) [10]	0	0,1	0,2	0,7	1,7	3	5,4	13,7	46,2		
Снижение уровня звукового давления из-за влияния застройки между источником шума и расчетной точкой													
Снижение уровня звукового давления на пути над экраном, Dz1, дБ	z = 0.14м (разность путей)	ф-лы (14-18) [10]	4,8	4,8	4,8	4,8	4,8	4,9	5	5,3	5,8		
Снижение уровня звукового давления на пути слева от экрана, Dz2, дБ	z = 1.47м (разность путей)	ф-лы (14-18) [10]	9,3	11,4	13,9	16,6	19,5	22,4	25,4	28,4	31,4		
Снижение уровня звукового давления на пути справа от экрана, Dz3, дБ	z = 15.85м (разность путей)	ф-лы (14-18) [10]	17,9	20,8	23,7	26,7	29,7	32,7	35,7	38,7	41,7		
Общее снижение уровня звука препятствием Dz, дБ		Эн.сумма(-Dzi)	3,3	3,8	4,2	4,5	4,7	4,8	5	5,3	5,7		

1		2	3	4	5	6	7	8	9	10	11	12	13
Уровни звукового давления от источника ИШ-2-1 в расчётной точке днём, дБ		**ф-ла(3)[10]**	**38,2**	**36,6**	**36,1**	**32,4**	**32,2**	**34,7**	**27,1**	**12,5**	**0**	**36,8**	**36,8**
Уровни звукового давления от источника ИШ-2-1 в расчётной точке ночью, дБ		**ф-ла(3)[10]**	**38,2**	**36,6**	**36,1**	**32,4**	**32,2**	**34,7**	**27,1**	**12,5**	**0**	**36,8**	**36,8**
Источник шума: ИШ-2-2, координаты источника (x,y,z), м =[682.20,81.60,3.00]													
Уровни звуковой мощности источника днём, Lw, дБ		**исходные данные**	**105**	**104**	**104**	**101**	**102**	**106**	**101**	**95**	**87**		
Уровни звуковой мощности источника ночью, Lw, дБ		**исходные данные**	**105**	**104**	**104**	**101**	**102**	**106**	**101**	**95**	**87**		
Поправка на телесный угол DΩ, дБ	Ω = 6.28	10Lg(4π/Ω)	**3**	3	3	3	3	3	3	3	3		
Показатель направленности источника Di, дБ		исходные данные	**0**	0	0	0	0	0	0	0	0		
Поправка на направленность источника Dc, дБ	Dc	DΩ + Di	**3**	3	3	3	3	3	3	3	3		
Затухание из-за геометрической дивергенции, Adiv, дБ	расстояние = 562.04 м	ф-ла (7) [10]	**66**										
Коэффициент затухания звука в атмосфере α, дБ/км	Ta=20,°C Pa=101.33,кПа hотн.=70%	ф-ла (5) [9]	0,02	0,09	0,33	1,12	2,79	4,98	9,04	23,09	77,63		
Учет затухания звука в атмосфере Aatm, дБ		ф-ла (8) [10]	0	0,1	0,2	0,6	1,6	2,8	5,1	13	43,6		
Снижение уровня звукового давления из-за влияния застройки между источником шума и расчетной точкой													
Снижение уровня звукового давления на пути над экраном, Dz1, дБ	z = 0.16м (разность путей)	ф-лы (14-18) [10]	4,8	4,8	4,8	4,9	5	5,2	5,6	6,2	7,3		
Снижение уровня звукового давления на пути слева от экрана, Dz2, дБ	z = 0.45м (разность путей)	ф-лы (14-18) [10]	6,7	8	9,8	12,1	14,7	17,5	20,4	23,3	26,3		
Снижение уровня звукового давления на пути справа от экрана, Dz3, дБ	z = 20.61м (разность путей)	ф-лы (14-18) [10]	19	21,9	24,9	27,8	30,8	33,9	36,9	39,9	42,9		
Общее снижение уровня звука препятствием Dz, дБ		Эн.сумма(-Dzi)	2,5	3	3,6	4,1	4,5	4,9	5,4	6,1	7,3		

1		2	3	4	5	6	7	8	9	10	11	12	13
Уровни звукового давления от источника ИШ-2-2 в расчётной точке днём, дБ		**ф-ла(3)[10]**	**39,5**	**37,9**	**37,2**	**33,3**	**32,9**	**35,3**	**27,5**	**12,9**	**0**	**37,4**	**37,4**
Уровни звукового давления от источника ИШ-2-2 в расчётной точке ночью, дБ		**ф-ла(3)[10]**	**39,5**	**37,9**	**37,2**	**33,3**	**32,9**	**35,3**	**27,5**	**12,9**	**0**	**37,4**	**37,4**
Источник шума: ИШ-2-3, координаты источника (x,y,z), м =[667.80,38.90,3.00]													
Уровни звуковой мощности источника днём, Lw, дБ		**исходные данные**	**105**	**104**	**104**	**101**	**102**	**106**	**101**	**95**	**87**		
Уровни звуковой мощности источника ночью, Lw, дБ		**исходные данные**	**105**	**104**	**104**	**101**	**102**	**106**	**101**	**95**	**87**		
Поправка на телесный угол DΩ, дБ	Ω = 6.28	10Lg(4π/Ω)	**3**	3	3	3	3	3	3	3	3		
Показатель направленности источника Di, дБ		исходные данные	**0**	0	0	0	0	0	0	0	0		
Поправка на направленность источника Dc, дБ	Dc	DΩ + Di	**3**	3	3	3	3	3	3	3	3		
Затухание из-за геометрической дивергенции, Adiv, дБ	расстояние = 530.39 м	ф-ла (7) [10]	**65,5**										
Коэффициент затухания звука в атмосфере α, дБ/км	Ta=20,°C Pa=101.33,кПа hотн.=70%	ф-ла (5) [9]	0,02	0,09	0,33	1,12	2,79	4,98	9,04	23,09	77,63		
Учет затухания звука в атмосфере Aatm, дБ		ф-ла (8) [10]	0	0	0,2	0,6	1,5	2,6	4,8	12,2	41,2		
Снижение уровня звукового давления из-за влияния застройки между источником шума и расчетной точкой													
Снижение уровня звукового давления на пути над экраном, Dz1, дБ	z = 0.17м (разность путей)	ф-лы (14-18) [10]	4,9	5,1	5,4	5,9	6,8	8,1	10	12,3	14,9		
Снижение уровня звукового давления на пути слева от экрана, Dz2, дБ	z = 20.12м (разность путей)	ф-лы (14-18) [10]	18,9	21,8	24,8	27,7	30,7	33,7	36,8	39,8	42,8		
Снижение уровня звукового давления на пути справа от экрана, Dz3, дБ	z = 1.27м (разность путей)	ф-лы (14-18) [10]	8,9	10,9	13,3	16	18,9	21,8	24,8	27,8	30,8		
Общее снижение уровня звука препятствием Dz, дБ		Эн.сумма(-Dzi)	3,3	4	4,7	5,5	6,5	8	9,9	12,2	14,8		

1		2	3	4	5	6	7	8	9	10	11	12	13
Уровни звукового давления от источника ИШ-2-3 в расчётной точке днём, дБ		**ф-ла(3)[10]**	**39,2**	**37,5**	**36,7**	**32,5**	**31,5**	**32,9**	**23,9**	**8,1**	**0**	**35,2**	**35,2**
Уровни звукового давления от источника ИШ-2-3 в расчётной точке ночью, дБ		**ф-ла(3)[10]**	**39,2**	**37,5**	**36,7**	**32,5**	**31,5**	**32,9**	**23,9**	**8,1**	**0**	**35,2**	**35,2**
Источник шума: ИШ-2-6, координаты источника (x,y,z), м =[765.97,112.43,1.00]													
Уровни звуковой мощности источника днём, Lw, дБ		**исходные данные**	**0**	**93,3**	**94,7**	**96**	**96,3**	**95,9**	**92,6**	**88,4**	**83,9**		
Уровни звуковой мощности источника ночью, Lw, дБ		**исходные данные**	**0**	**93,3**	**94,7**	**96**	**96,3**	**95,9**	**92,6**	**88,4**	**83,9**		
Поправка на телесный угол DΩ, дБ	Ω = 6.28	10Lg(4π/Ω)	**3**	3	3	3	3	3	3	3	3		
Показатель направленности источника Di, дБ		исходные данные	**0**	0	0	0	0	0	0	0	0		
Поправка на направленность источника Dc, дБ	Dc	DΩ + Di	**3**	3	3	3	3	3	3	3	3		
Затухание из-за геометрической дивергенции, Adiv, дБ	расстояние = 650.66 м	ф-ла (7) [10]	**67,3**										
Коэффициент затухания звука в атмосфере α, дБ/км	Ta=20,°C Pa=101.33,кПа hотн.=70%	ф-ла (5) [9]	0,02	0,09	0,33	1,12	2,79	4,98	9,04	23,09	77,63		
Учет затухания звука в атмосфере Aatm, дБ		ф-ла (8) [10]	0	0,1	0,2	0,7	1,8	3,2	5,9	15	50,5		
Снижение уровня звукового давления из-за влияния застройки между источником шума и расчетной точкой													
Снижение уровня звукового давления на пути над экраном, Dz1, дБ	z = 0.17м (разность путей)	ф-лы (14-18) [10]	4,8	4,8	4,8	4,8	4,9	5	5,2	5,6	6,3		
Снижение уровня звукового давления на пути слева от экрана, Dz2, дБ	z = 0.22м (разность путей)	ф-лы (14-18) [10]	5,8	6,7	8	9,8	12,1	14,6	17,4	20,3	23,3		
Снижение уровня звукового давления на пути справа от экрана, Dz3, дБ	z = 21.23м (разность путей)	ф-лы (14-18) [10]	19,1	22,1	25	28	31	34	37	40	43		
Общее снижение уровня звука препятствием Dz, дБ		Эн.сумма(-Dzi)	2,2	2,6	3,1	3,6	4,1	4,5	4,9	5,4	6,2		

1		2	3	4	5	6	7	8	9	10	11	12	13
Уровни звукового давления от источника ИШ-2-6 в расчётной точке днём, дБ		**ф-ла(3)[10]**	**0**	**26,4**	**27,2**	**27,4**	**26,1**	**23,9**	**17,5**	**3,7**	**0**	**27,8**	**27,8**
Уровни звукового давления от источника ИШ-2-6 в расчётной точке ночью, дБ		**ф-ла(3)[10]**	**0**	**26,4**	**27,2**	**27,4**	**26,1**	**23,9**	**17,5**	**3,7**	**0**	**27,8**	**27,8**
Источник шума: ИШ-2-7, координаты источника (x,y,z), м =[764.91,109.54,1.00]													
Уровни звуковой мощности источника днём, Lw, дБ		**исходные данные**	**0**	**93,3**	**94,7**	**96**	**96,3**	**95,9**	**92,6**	**88,4**	**83,9**		
Уровни звуковой мощности источника ночью, Lw, дБ		**исходные данные**	**0**	**93,3**	**94,7**	**96**	**96,3**	**95,9**	**92,6**	**88,4**	**83,9**		
Поправка на телесный угол DΩ, дБ	Ω = 6.28	10Lg(4π/Ω)	**3**	3	3	3	3	3	3	3	3		
Показатель направленности источника Di, дБ		исходные данные	**0**	0	0	0	0	0	0	0	0		
Поправка на направленность источника Dc, дБ	Dc	DΩ + Di	**3**	3	3	3	3	3	3	3	3		
Затухание из-за геометрической дивергенции, Adiv, дБ	расстояние = 648.42 м	ф-ла (7) [10]	**67,2**										
Коэффициент затухания звука в атмосфере α, дБ/км	Ta=20,°C Pa=101.33,кПа hотн.=70%	ф-ла (5) [9]	0,02	0,09	0,33	1,12	2,79	4,98	9,04	23,09	77,63		
Учет затухания звука в атмосфере Aatm, дБ		ф-ла (8) [10]	0	0,1	0,2	0,7	1,8	3,2	5,9	15	50,3		
Снижение уровня звукового давления из-за влияния застройки между источником шума и расчетной точкой													
Снижение уровня звукового давления на пути над экраном, Dz1, дБ	z = 0.17м (разность путей)	ф-лы (14-18) [10]	4,8	4,8	4,8	4,8	4,9	5	5,2	5,6	6,3		
Снижение уровня звукового давления на пути слева от экрана, Dz2, дБ	z = 0.19м (разность путей)	ф-лы (14-18) [10]	5,7	6,5	7,7	9,4	11,6	14,1	16,8	19,7	22,6		
Снижение уровня звукового давления на пути справа от экрана, Dz3, дБ	z = 21.54м (разность путей)	ф-лы (14-18) [10]	19,2	22,1	25	28	31	34	37,1	40,1	43,1		
Общее снижение уровня звука препятствием Dz, дБ		Эн.сумма(-Dzi)	2,1	2,5	3	3,5	4	4,5	4,9	5,4	6,2		

1		2	3	4	5	6	7	8	9	10	11	12	13
Уровни звукового давления от источника ИШ-2-7 в расчётной точке днём, дБ		**ф-ла(3)[10]**	**0**	**26,5**	**27,3**	**27,5**	**26,2**	**23,9**	**17,6**	**3,8**	**0**	**27,9**	**27,9**
Уровни звукового давления от источника ИШ-2-7 в расчётной точке ночью, дБ		**ф-ла(3)[10]**	**0**	**26,5**	**27,3**	**27,5**	**26,2**	**23,9**	**17,6**	**3,8**	**0**	**27,9**	**27,9**
Источник шума: ИШ-2-8, координаты источника (x,y,z), м =[764.03,106.58,1.00]													
Уровни звуковой мощности источника днём, Lw, дБ		**исходные данные**	**0**	**93,3**	**94,7**	**96**	**96,3**	**95,9**	**92,6**	**88,4**	**83,9**		
Уровни звуковой мощности источника ночью, Lw, дБ		**исходные данные**	**0**	**93,3**	**94,7**	**96**	**96,3**	**95,9**	**92,6**	**88,4**	**83,9**		
Поправка на телесный угол DΩ, дБ	Ω = 6.28	10Lg(4π/Ω)	**3**	3	3	3	3	3	3	3	3		
Показатель направленности источника Di, дБ		исходные данные	**0**	0	0	0	0	0	0	0	0		
Поправка на направленность источника Dc, дБ	Dc	DΩ + Di	**3**	3	3	3	3	3	3	3	3		
Затухание из-за геометрической дивергенции, Adiv, дБ	расстояние = 646.32 м	ф-ла (7) [10]	**67,2**										
Коэффициент затухания звука в атмосфере α, дБ/км	Ta=20,°C Pa=101.33,кПа hотн.=70%	ф-ла (5) [9]	0,02	0,09	0,33	1,12	2,79	4,98	9,04	23,09	77,63		
Учет затухания звука в атмосфере Aatm, дБ		ф-ла (8) [10]	0	0,1	0,2	0,7	1,8	3,2	5,8	14,9	50,2		
Снижение уровня звукового давления из-за влияния застройки между источником шума и расчетной точкой													
Снижение уровня звукового давления на пути над экраном, Dz1, дБ	z = 0.17м (разность путей)	ф-лы (14-18) [10]	4,8	4,8	4,8	4,8	4,9	5	5,2	5,6	6,3		
Снижение уровня звукового давления на пути слева от экрана, Dz2, дБ	z = 0.16м (разность путей)	ф-лы (14-18) [10]	5,6	6,2	7,3	8,9	11	13,4	16,1	19	21,9		
Снижение уровня звукового давления на пути справа от экрана, Dz3, дБ	z = 21.87м (разность путей)	ф-лы (14-18) [10]	19,2	22,2	25,1	28,1	31,1	34,1	37,1	40,1	43,1		
Общее снижение уровня звука препятствием Dz, дБ		Эн.сумма(-Dzi)	2,1	2,4	2,8	3,4	3,9	4,4	4,9	5,4	6,2		

1		2	3	4	5	6	7	8	9	10	11	12	13
Уровни звукового давления от источника ИШ-2-8 в расчётной точке днём, дБ		**ф-ла(3)[10]**	**0**	**26,6**	**27,4**	**27,7**	**26,4**	**24,1**	**17,7**	**3,9**	**0**	**28**	**28**
Уровни звукового давления от источника ИШ-2-8 в расчётной точке ночью, дБ		**ф-ла(3)[10]**	**0**	**26,6**	**27,4**	**27,7**	**26,4**	**24,1**	**17,7**	**3,9**	**0**	**28**	**28**
Источник шума: ИШ-2-9, координаты источника (x,y,z), м =[763.26,103.71,1.00]													
Уровни звуковой мощности источника днём, Lw, дБ		**исходные данные**	**0**	**93,3**	**94,7**	**96**	**96,3**	**95,9**	**92,6**	**88,4**	**83,9**		
Уровни звуковой мощности источника ночью, Lw, дБ		**исходные данные**	**0**	**93,3**	**94,7**	**96**	**96,3**	**95,9**	**92,6**	**88,4**	**83,9**		
Поправка на телесный угол DΩ, дБ	Ω = 6.28	10Lg(4π/Ω)	**3**	3	3	3	3	3	3	3	3		
Показатель направленности источника Di, дБ		исходные данные	**0**	0	0	0	0	0	0	0	0		
Поправка на направленность источника Dc, дБ	Dc	DΩ + Di	**3**	3	3	3	3	3	3	3	3		
Затухание из-за геометрической дивергенции, Adiv, дБ	расстояние = 644.36 м	ф-ла (7) [10]	**67,2**										
Коэффициент затухания звука в атмосфере α, дБ/км	Ta=20,°C Pa=101.33,кПа hотн.=70%	ф-ла (5) [9]	0,02	0,09	0,33	1,12	2,79	4,98	9,04	23,09	77,63		
Учет затухания звука в атмосфере Aatm, дБ		ф-ла (8) [10]	0	0,1	0,2	0,7	1,8	3,2	5,8	14,9	50		
Снижение уровня звукового давления из-за влияния застройки между источником шума и расчетной точкой													
Снижение уровня звукового давления на пути над экраном, Dz1, дБ	z = 0.17м (разность путей)	ф-лы (14-18) [10]	4,8	4,8	4,8	4,8	4,9	5	5,2	5,6	6,3		
Снижение уровня звукового давления на пути слева от экрана, Dz2, дБ	z = 0.13м (разность путей)	ф-лы (14-18) [10]	5,4	6	7	8,4	10,4	12,8	15,4	18,2	21,1		
Снижение уровня звукового давления на пути справа от экрана, Dz3, дБ	z = 22.20м (разность путей)	ф-лы (14-18) [10]	21,6	25,9	29,6	32,8	35,9	38,9	42	45	48		
Общее снижение уровня звука препятствием Dz, дБ		Эн.сумма(-Dzi)	2	2,3	2,7	3,2	3,8	4,3	4,8	5,4	6,2		

1		2	3	4	5	6	7	8	9	10	11	12	13
Уровни звукового давления от источника ИШ-2-9 в расчётной точке днём, дБ		**ф-ла(3)[10]**	**0**	**26,7**	**27,6**	**27,8**	**26,5**	**24,2**	**17,8**	**4**	**0**	**28,2**	**28,2**
Уровни звукового давления от источника ИШ-2-9 в расчётной точке ночью, дБ		**ф-ла(3)[10]**	**0**	**26,7**	**27,6**	**27,8**	**26,5**	**24,2**	**17,8**	**4**	**0**	**28,2**	**28,2**
Источник шума: ИШ-2-10, координаты источника (x,y,z), м =[762.14,100.75,1.00]													
Уровни звуковой мощности источника днём, Lw, дБ		**исходные данные**	**0**	**93,3**	**94,7**	**96**	**96,3**	**95,9**	**92,6**	**88,4**	**83,9**		
Уровни звуковой мощности источника ночью, Lw, дБ		**исходные данные**	**0**	**93,3**	**94,7**	**96**	**96,3**	**95,9**	**92,6**	**88,4**	**83,9**		
Поправка на телесный угол DΩ, дБ	Ω = 6.28	10Lg(4π/Ω)	**3**	3	3	3	3	3	3	3	3		
Показатель направленности источника Di, дБ		исходные данные	**0**	0	0	0	0	0	0	0	0		
Поправка на направленность источника Dc, дБ	Dc	DΩ + Di	**3**	3	3	3	3	3	3	3	3		
Затухание из-за геометрической дивергенции, Adiv, дБ	расстояние = 642.06 м	ф-ла (7) [10]	**67,2**										
Коэффициент затухания звука в атмосфере α, дБ/км	Ta=20,°C Pa=101.33,кПа hотн.=70%	ф-ла (5) [9]	0,02	0,09	0,33	1,12	2,79	4,98	9,04	23,09	77,63		
Учет затухания звука в атмосфере Aatm, дБ		ф-ла (8) [10]	0	0,1	0,2	0,7	1,8	3,2	5,8	14,8	49,8		
Снижение уровня звукового давления из-за влияния застройки между источником шума и расчетной точкой													
Снижение уровня звукового давления на пути над экраном, Dz1, дБ	z = 0.17м (разность путей)	ф-лы (14-18) [10]	4,8	4,8	4,8	4,8	4,9	5	5,2	5,6	6,3		
Снижение уровня звукового давления на пути слева от экрана, Dz2, дБ	z = 0.11м (разность путей)	ф-лы (14-18) [10]	5,3	5,8	6,7	8	9,8	12	14,6	17,4	20,3		
Снижение уровня звукового давления на пути справа от экрана, Dz3, дБ	z = 22.53м (разность путей)	ф-лы (14-18) [10]	21,6	26	29,7	32,9	36	39	42	45	48		
Общее снижение уровня звука препятствием Dz, дБ		Эн.сумма(-Dzi)	2	2,2	2,6	3,1	3,7	4,2	4,7	5,3	6,2		

1		2	3	4	5	6	7	8	9	10	11	12	13
Уровни звукового давления от источника ИШ-2-10 в расчётной точке днём, дБ		**ф-ла(3)[10]**	**0**	**26,8**	**27,7**	**28**	**26,7**	**24,3**	**17,9**	**4,1**	**0**	**28,3**	**28,3**
Уровни звукового давления от источника ИШ-2-10 в расчётной точке ночью, дБ		**ф-ла(3)[10]**	**0**	**26,8**	**27,7**	**28**	**26,7**	**24,3**	**17,9**	**4,1**	**0**	**28,3**	**28,3**
Источник шума: ИШ-2-11, координаты источника (x,y,z), м =[761.13,97.90,1.00]													
Уровни звуковой мощности источника днём, Lw, дБ		**исходные данные**	**0**	**93,3**	**94,7**	**96**	**96,3**	**95,9**	**92,6**	**88,4**	**83,9**		
Уровни звуковой мощности источника ночью, Lw, дБ		**исходные данные**	**0**	**93,3**	**94,7**	**96**	**96,3**	**95,9**	**92,6**	**88,4**	**83,9**		
Поправка на телесный угол DΩ, дБ	Ω = 6.28	10Lg(4π/Ω)	**3**	3	3	3	3	3	3	3	3		
Показатель направленности источника Di, дБ		исходные данные	**0**	0	0	0	0	0	0	0	0		
Поправка на направленность источника Dc, дБ	Dc	DΩ + Di	**3**	3	3	3	3	3	3	3	3		
Затухание из-за геометрической дивергенции, Adiv, дБ	расстояние = 639.91 м	ф-ла (7) [10]	**67,1**										
Коэффициент затухания звука в атмосфере α, дБ/км	Ta=20,°C Pa=101.33,кПа hотн.=70%	ф-ла (5) [9]	0,02	0,09	0,33	1,12	2,79	4,98	9,04	23,09	77,63		
Учет затухания звука в атмосфере Aatm, дБ		ф-ла (8) [10]	0	0,1	0,2	0,7	1,8	3,2	5,8	14,8	49,7		
Снижение уровня звукового давления из-за влияния застройки между источником шума и расчетной точкой													
Снижение уровня звукового давления на пути над экраном, Dz1, дБ	z = 0.17м (разность путей)	ф-лы (14-18) [10]	4,8	4,8	4,8	4,8	4,9	5	5,2	5,6	6,3		
Снижение уровня звукового давления на пути слева от экрана, Dz2, дБ	z = 0.09м (разность путей)	ф-лы (14-18) [10]	5,2	5,6	6,3	7,5	9,2	11,3	13,8	16,5	19,4		
Снижение уровня звукового давления на пути справа от экрана, Dz3, дБ	z = 22.86м (разность путей)	ф-лы (14-18) [10]	21,7	26,1	29,7	33	36	39,1	42,1	45,1	48,1		
Общее снижение уровня звука препятствием Dz, дБ		Эн.сумма(-Dzi)	1,9	2,2	2,5	2,9	3,5	4,1	4,6	5,3	6,1		

1		2	3	4	5	6	7	8	9	10	11	12	13
Уровни звукового давления от источника ИШ-2-11 в расчётной точке днём, дБ		**ф-ла(3)[10]**	**0**	**27**	**27,9**	**28,2**	**26,9**	**24,5**	**18**	**4,2**	**0**	**28,5**	**28,5**
Уровни звукового давления от источника ИШ-2-11 в расчётной точке ночью, дБ		**ф-ла(3)[10]**	**0**	**27**	**27,9**	**28,2**	**26,9**	**24,5**	**18**	**4,2**	**0**	**28,5**	**28,5**
Источник шума: ИШ-2-12, координаты источника (x,y,z), м =[760.25,95.02,1.00]													
Уровни звуковой мощности источника днём, Lw, дБ		**исходные данные**	**0**	**93,3**	**94,7**	**96**	**96,3**	**95,9**	**92,6**	**88,4**	**83,9**		
Уровни звуковой мощности источника ночью, Lw, дБ		**исходные данные**	**0**	**93,3**	**94,7**	**96**	**96,3**	**95,9**	**92,6**	**88,4**	**83,9**		
Поправка на телесный угол DΩ, дБ	Ω = 6.28	10Lg(4π/Ω)	**3**	3	3	3	3	3	3	3	3		
Показатель направленности источника Di, дБ		исходные данные	**0**	0	0	0	0	0	0	0	0		
Поправка на направленность источника Dc, дБ	Dc	DΩ + Di	**3**	3	3	3	3	3	3	3	3		
Затухание из-за геометрической дивергенции, Adiv, дБ	расстояние = 637.88 м	ф-ла (7) [10]	**67,1**										
Коэффициент затухания звука в атмосфере α, дБ/км	Ta=20,°C Pa=101.33,кПа hотн.=70%	ф-ла (5) [9]	0,02	0,09	0,33	1,12	2,79	4,98	9,04	23,09	77,63		
Учет затухания звука в атмосфере Aatm, дБ		ф-ла (8) [10]	0	0,1	0,2	0,7	1,8	3,2	5,8	14,7	49,5		
Снижение уровня звукового давления из-за влияния застройки между источником шума и расчетной точкой													
Снижение уровня звукового давления на пути над экраном, Dz1, дБ	z = 0.17м (разность путей)	ф-лы (14-18) [10]	4,8	4,8	4,8	4,8	4,9	5	5,2	5,6	6,3		
Снижение уровня звукового давления на пути слева от экрана, Dz2, дБ	z = 0.07м (разность путей)	ф-лы (14-18) [10]	5,1	5,5	6	7	8,5	10,5	12,8	15,5	18,3		
Снижение уровня звукового давления на пути справа от экрана, Dz3, дБ	z = 23.21м (разность путей)	ф-лы (14-18) [10]	21,8	26,1	29,8	33	36,1	39,1	42,1	45,2	48,2		
Общее снижение уровня звука препятствием Dz, дБ		Эн.сумма(-Dzi)	1,9	2,1	2,3	2,8	3,3	3,9	4,5	5,2	6,1		

1		2	3	4	5	6	7	8	9	10	11	12	13
Уровни звукового давления от источника ИШ-2-12 в расчётной точке днём, дБ		**ф-ла(3)[10]**	**0**	**27,1**	**28**	**28,4**	**27,1**	**24,7**	**18,2**	**4,4**	**0**	**28,7**	**28,7**
Уровни звукового давления от источника ИШ-2-12 в расчётной точке ночью, дБ		**ф-ла(3)[10]**	**0**	**27,1**	**28**	**28,4**	**27,1**	**24,7**	**18,2**	**4,4**	**0**	**28,7**	**28,7**
Источник шума: ИШ-2-13, координаты источника (x,y,z), м =[759.28,92.25,1.00]													
Уровни звуковой мощности источника днём, Lw, дБ		**исходные данные**	**0**	**93,3**	**94,7**	**96**	**96,3**	**95,9**	**92,6**	**88,4**	**83,9**		
Уровни звуковой мощности источника ночью, Lw, дБ		**исходные данные**	**0**	**93,3**	**94,7**	**96**	**96,3**	**95,9**	**92,6**	**88,4**	**83,9**		
Поправка на телесный угол DΩ, дБ	Ω = 6.28	10Lg(4π/Ω)	**3**	3	3	3	3	3	3	3	3		
Показатель направленности источника Di, дБ		исходные данные	**0**	0	0	0	0	0	0	0	0		
Поправка на направленность источника Dc, дБ	Dc	DΩ + Di	**3**	3	3	3	3	3	3	3	3		
Затухание из-за геометрической дивергенции, Adiv, дБ	расстояние = 635.81 м	ф-ла (7) [10]	**67,1**										
Коэффициент затухания звука в атмосфере α, дБ/км	Ta=20,°C Pa=101.33,кПа hотн.=70%	ф-ла (5) [9]	0,02	0,09	0,33	1,12	2,79	4,98	9,04	23,09	77,63		
Учет затухания звука в атмосфере Aatm, дБ		ф-ла (8) [10]	0	0,1	0,2	0,7	1,8	3,2	5,7	14,7	49,4		
Снижение уровня звукового давления из-за влияния застройки между источником шума и расчетной точкой													
Снижение уровня звукового давления на пути над экраном, Dz1, дБ	z = 0.17м (разность путей)	ф-лы (14-18) [10]	4,8	4,8	4,8	4,8	4,9	5	5,2	5,6	6,4		
Снижение уровня звукового давления на пути слева от экрана, Dz2, дБ	z = 0.05м (разность путей)	ф-лы (14-18) [10]	5	5,3	5,8	6,6	7,8	9,6	11,9	14,4	17,2		
Снижение уровня звукового давления на пути справа от экрана, Dz3, дБ	z = 23.54м (разность путей)	ф-лы (14-18) [10]	21,8	26,2	29,9	33,1	36,2	39,2	42,2	45,2	48,2		
Общее снижение уровня звука препятствием Dz, дБ		Эн.сумма(-Dzi)	1,9	2	2,2	2,6	3,1	3,7	4,4	5,1	6		

1		2	3	4	5	6	7	8	9	10	11	12	13
Уровни звукового давления от источника ИШ-2-13 в расчётной точке днём, дБ		**ф-ла(3)[10]**	**0**	**27,2**	**28,2**	**28,6**	**27,4**	**25**	**18,4**	**4,6**	**0**	**29**	**29**
Уровни звукового давления от источника ИШ-2-13 в расчётной точке ночью, дБ		**ф-ла(3)[10]**	**0**	**27,2**	**28,2**	**28,6**	**27,4**	**25**	**18,4**	**4,6**	**0**	**29**	**29**
Источник шума: ИШ-2-14, координаты источника (x,y,z), м =[751.62,69.73,1.00]													
Уровни звуковой мощности источника днём, Lw, дБ		**исходные данные**	**0**	**93,3**	**94,7**	**96**	**96,3**	**95,9**	**92,6**	**88,4**	**83,9**		
Уровни звуковой мощности источника ночью, Lw, дБ		**исходные данные**	**0**	**93,3**	**94,7**	**96**	**96,3**	**95,9**	**92,6**	**88,4**	**83,9**		
Поправка на телесный угол DΩ, дБ	Ω = 6.28	10Lg(4π/Ω)	**3**	3	3	3	3	3	3	3	3		
Показатель направленности источника Di, дБ		исходные данные	**0**	0	0	0	0	0	0	0	0		
Поправка на направленность источника Dc, дБ	Dc	DΩ + Di	**3**	3	3	3	3	3	3	3	3		
Затухание из-за геометрической дивергенции, Adiv, дБ	расстояние = 619.51 м	ф-ла (7) [10]	**66,8**										
Коэффициент затухания звука в атмосфере α, дБ/км	Ta=20,°C Pa=101.33,кПа hотн.=70%	ф-ла (5) [9]	0,02	0,09	0,33	1,12	2,79	4,98	9,04	23,09	77,63		
Учет затухания звука в атмосфере Aatm, дБ		ф-ла (8) [10]	0	0,1	0,2	0,7	1,7	3,1	5,6	14,3	48,1		
Снижение уровня звукового давления из-за влияния застройки между источником шума и расчетной точкой													
Снижение уровня звукового давления на пути над экраном, Dz1, дБ	z = 0.08м (разность путей)	ф-лы (14-18) [10]	4,8	4,8	4,8	4,8	4,8	4,8	4,8	4,8	4,8		
Снижение уровня звукового давления на пути слева от экрана, Dz2, дБ	z = 12.45м (разность путей)	ф-лы (14-18) [10]	16,9	19,8	22,7	25,7	28,7	31,7	34,7	37,7	40,7		
Снижение уровня звукового давления на пути справа от экрана, Dz3, дБ	z = 1.44м (разность путей)	ф-лы (14-18) [10]	9,2	11,3	13,8	16,6	19,4	22,4	25,3	28,3	31,3		
Общее снижение уровня звука препятствием Dz, дБ		Эн.сумма(-Dzi)	3,2	3,8	4,2	4,5	4,6	4,7	4,7	4,8	4,8		

1		2	3	4	5	6	7	8	9	10	11	12	13
Уровни звукового давления от источника ИШ-2-14 в расчётной точке днём, дБ		**ф-ла(3)[10]**	**0**	**25,6**	**26,4**	**27**	**26,1**	**24,3**	**18,4**	**5,5**	**0**	**28,1**	**28,1**
Уровни звукового давления от источника ИШ-2-14 в расчётной точке ночью, дБ		**ф-ла(3)[10]**	**0**	**25,6**	**26,4**	**27**	**26,1**	**24,3**	**18,4**	**5,5**	**0**	**28,1**	**28,1**
Источник шума: ИШ-2-15, координаты источника (x,y,z), м =[750.74,66.89,1.00]													
Уровни звуковой мощности источника днём, Lw, дБ		**исходные данные**	**0**	**93,3**	**94,7**	**96**	**96,3**	**95,9**	**92,6**	**88,4**	**83,9**		
Уровни звуковой мощности источника ночью, Lw, дБ		**исходные данные**	**0**	**93,3**	**94,7**	**96**	**96,3**	**95,9**	**92,6**	**88,4**	**83,9**		
Поправка на телесный угол DΩ, дБ	Ω = 6.28	10Lg(4π/Ω)	**3**	3	3	3	3	3	3	3	3		
Показатель направленности источника Di, дБ		исходные данные	**0**	0	0	0	0	0	0	0	0		
Поправка на направленность источника Dc, дБ	Dc	DΩ + Di	**3**	3	3	3	3	3	3	3	3		
Затухание из-за геометрической дивергенции, Adiv, дБ	расстояние = 617.57 м	ф-ла (7) [10]	**66,8**										
Коэффициент затухания звука в атмосфере α, дБ/км	Ta=20,°C Pa=101.33,кПа hотн.=70%	ф-ла (5) [9]	0,02	0,09	0,33	1,12	2,79	4,98	9,04	23,09	77,63		
Учет затухания звука в атмосфере Aatm, дБ		ф-ла (8) [10]	0	0,1	0,2	0,7	1,7	3,1	5,6	14,3	47,9		
Снижение уровня звукового давления из-за влияния застройки между источником шума и расчетной точкой													
Снижение уровня звукового давления на пути над экраном, Dz1, дБ	z = 0.08м (разность путей)	ф-лы (14-18) [10]	4,8	4,8	4,8	4,8	4,8	4,8	4,8	4,8	4,8		
Снижение уровня звукового давления на пути слева от экрана, Dz2, дБ	z = 11.92м (разность путей)	ф-лы (14-18) [10]	16,7	19,6	22,5	25,5	28,5	31,5	34,5	37,5	40,5		
Снижение уровня звукового давления на пути справа от экрана, Dz3, дБ	z = 1.53м (разность путей)	ф-лы (14-18) [10]	9,4	11,6	14,1	16,8	19,7	22,6	25,6	28,6	31,6		
Общее снижение уровня звука препятствием Dz, дБ		Эн.сумма(-Dzi)	3,3	3,8	4,2	4,5	4,6	4,7	4,7	4,8	4,8		

1		2	3	4	5	6	7	8	9	10	11	12	13
Уровни звукового давления от источника ИШ-2-15 в расчётной точке днём, дБ		**ф-ла(3)[10]**	**0**	**25,6**	**26,4**	**27**	**26,1**	**24,3**	**18,5**	**5,5**	**0**	**28,1**	**28,1**
Уровни звукового давления от источника ИШ-2-15 в расчётной точке ночью, дБ		**ф-ла(3)[10]**	**0**	**25,6**	**26,4**	**27**	**26,1**	**24,3**	**18,5**	**5,5**	**0**	**28,1**	**28,1**
Источник шума: ИШ-2-16, координаты источника (x,y,z), м =[749.73,64.02,1.00]													
Уровни звуковой мощности источника днём, Lw, дБ		**исходные данные**	**0**	**93,3**	**94,7**	**96**	**96,3**	**95,9**	**92,6**	**88,4**	**83,9**		
Уровни звуковой мощности источника ночью, Lw, дБ		**исходные данные**	**0**	**93,3**	**94,7**	**96**	**96,3**	**95,9**	**92,6**	**88,4**	**83,9**		
Поправка на телесный угол DΩ, дБ	Ω = 6.28	10Lg(4π/Ω)	**3**	3	3	3	3	3	3	3	3		
Показатель направленности источника Di, дБ		исходные данные	**0**	0	0	0	0	0	0	0	0		
Поправка на направленность источника Dc, дБ	Dc	DΩ + Di	**3**	3	3	3	3	3	3	3	3		
Затухание из-за геометрической дивергенции, Adiv, дБ	расстояние = 615.51 м	ф-ла (7) [10]	**66,8**										
Коэффициент затухания звука в атмосфере α, дБ/км	Ta=20,°C Pa=101.33,кПа hотн.=70%	ф-ла (5) [9]	0,02	0,09	0,33	1,12	2,79	4,98	9,04	23,09	77,63		
Учет затухания звука в атмосфере Aatm, дБ		ф-ла (8) [10]	0	0,1	0,2	0,7	1,7	3,1	5,6	14,2	47,8		
Снижение уровня звукового давления из-за влияния застройки между источником шума и расчетной точкой													
Снижение уровня звукового давления на пути над экраном, Dz1, дБ	z = 0.08м (разность путей)	ф-лы (14-18) [10]	4,8	4,8	4,8	4,8	4,8	4,8	4,8	4,8	4,8		
Снижение уровня звукового давления на пути слева от экрана, Dz2, дБ	z = 11.41м (разность путей)	ф-лы (14-18) [10]	16,6	19,4	22,3	25,3	28,3	31,3	34,3	37,3	40,3		
Снижение уровня звукового давления на пути справа от экрана, Dz3, дБ	z = 1.62м (разность путей)	ф-лы (14-18) [10]	9,6	11,8	14,3	17,1	19,9	22,9	25,9	28,8	31,9		
Общее снижение уровня звука препятствием Dz, дБ		Эн.сумма(-Dzi)	3,3	3,9	4,2	4,5	4,6	4,7	4,7	4,8	4,8		

1		2	3	4	5	6	7	8	9	10	11	12	13
Уровни звукового давления от источника ИШ-2-16 в расчётной точке днём, дБ		**ф-ла(3)[10]**	**0**	**25,6**	**26,5**	**27**	**26,2**	**24,3**	**18,5**	**5,6**	**0**	**28,1**	**28,1**
Уровни звукового давления от источника ИШ-2-16 в расчётной точке ночью, дБ		**ф-ла(3)[10]**	**0**	**25,6**	**26,5**	**27**	**26,2**	**24,3**	**18,5**	**5,6**	**0**	**28,1**	**28,1**
Источник шума: ИШ-2-17, координаты источника (x,y,z), м =[748.87,61.06,1.00]													
Уровни звуковой мощности источника днём, Lw, дБ		**исходные данные**	**0**	**93,3**	**94,7**	**96**	**96,3**	**95,9**	**92,6**	**88,4**	**83,9**		
Уровни звуковой мощности источника ночью, Lw, дБ		**исходные данные**	**0**	**93,3**	**94,7**	**96**	**96,3**	**95,9**	**92,6**	**88,4**	**83,9**		
Поправка на телесный угол DΩ, дБ	Ω = 6.28	10Lg(4π/Ω)	**3**	3	3	3	3	3	3	3	3		
Показатель направленности источника Di, дБ		исходные данные	**0**	0	0	0	0	0	0	0	0		
Поправка на направленность источника Dc, дБ	Dc	DΩ + Di	**3**	3	3	3	3	3	3	3	3		
Затухание из-за геометрической дивергенции, Adiv, дБ	расстояние = 613.56 м	ф-ла (7) [10]	**66,8**										
Коэффициент затухания звука в атмосфере α, дБ/км	Ta=20,°C Pa=101.33,кПа hотн.=70%	ф-ла (5) [9]	0,02	0,09	0,33	1,12	2,79	4,98	9,04	23,09	77,63		
Учет затухания звука в атмосфере Aatm, дБ		ф-ла (8) [10]	0	0,1	0,2	0,7	1,7	3,1	5,5	14,2	47,6		
Снижение уровня звукового давления из-за влияния застройки между источником шума и расчетной точкой													
Снижение уровня звукового давления на пути над экраном, Dz1, дБ	z = 0.08м (разность путей)	ф-лы (14-18) [10]	4,8	4,8	4,8	4,8	4,8	4,8	4,8	4,8	4,8		
Снижение уровня звукового давления на пути слева от экрана, Dz2, дБ	z = 10.86м (разность путей)	ф-лы (14-18) [10]	16,4	19,2	22,1	25,1	28,1	31,1	34,1	37,1	40,1		
Снижение уровня звукового давления на пути справа от экрана, Dz3, дБ	z = 1.73м (разность путей)	ф-лы (14-18) [10]	9,7	12	14,5	17,3	20,2	23,2	26,1	29,1	32,1		
Общее снижение уровня звука препятствием Dz, дБ		Эн.сумма(-Dzi)	3,3	3,9	4,3	4,5	4,6	4,7	4,8	4,8	4,8		

1		2	3	4	5	6	7	8	9	10	11	12	13
Уровни звукового давления от источника ИШ-2-17 в расчётной точке днём, дБ		**ф-ла(3)[10]**	**0**	**25,6**	**26,5**	**27**	**26,2**	**24,4**	**18,5**	**5,7**	**0**	**28,2**	**28,2**
Уровни звукового давления от источника ИШ-2-17 в расчётной точке ночью, дБ		**ф-ла(3)[10]**	**0**	**25,6**	**26,5**	**27**	**26,2**	**24,4**	**18,5**	**5,7**	**0**	**28,2**	**28,2**
Источник шума: ИШ-2-18, координаты источника (x,y,z), м =[747.72,58.17,1.00]													
Уровни звуковой мощности источника днём, Lw, дБ		**исходные данные**	**0**	**93,3**	**94,7**	**96**	**96,3**	**95,9**	**92,6**	**88,4**	**83,9**		
Уровни звуковой мощности источника ночью, Lw, дБ		**исходные данные**	**0**	**93,3**	**94,7**	**96**	**96,3**	**95,9**	**92,6**	**88,4**	**83,9**		
Поправка на телесный угол DΩ, дБ	Ω = 6.28	10Lg(4π/Ω)	**3**	3	3	3	3	3	3	3	3		
Показатель направленности источника Di, дБ		исходные данные	**0**	0	0	0	0	0	0	0	0		
Поправка на направленность источника Dc, дБ	Dc	DΩ + Di	**3**	3	3	3	3	3	3	3	3		
Затухание из-за геометрической дивергенции, Adiv, дБ	расстояние = 611.37 м	ф-ла (7) [10]	**66,7**										
Коэффициент затухания звука в атмосфере α, дБ/км	Ta=20,°C Pa=101.33,кПа hотн.=70%	ф-ла (5) [9]	0,02	0,09	0,33	1,12	2,79	4,98	9,04	23,09	77,63		
Учет затухания звука в атмосфере Aatm, дБ		ф-ла (8) [10]	0	0,1	0,2	0,7	1,7	3	5,5	14,1	47,5		
Снижение уровня звукового давления из-за влияния застройки между источником шума и расчетной точкой													
Снижение уровня звукового давления на пути над экраном, Dz1, дБ	z = 0.08м (разность путей)	ф-лы (14-18) [10]	4,8	4,8	4,8	4,8	4,8	4,8	4,8	4,8	4,8		
Снижение уровня звукового давления на пути слева от экрана, Dz2, дБ	z = 10.38м (разность путей)	ф-лы (14-18) [10]	16,2	19	21,9	24,9	27,9	30,9	33,9	36,9	39,9		
Снижение уровня звукового давления на пути справа от экрана, Dz3, дБ	z = 1.84м (разность путей)	ф-лы (14-18) [10]	13,4	16,3	19,2	22,2	25,1	28,1	31,1	34,1	37,1		
Общее снижение уровня звука препятствием Dz, дБ		Эн.сумма(-Dzi)	3,9	4,3	4,5	4,7	4,7	4,7	4,8	4,8	4,8		

1		2	3	4	5	6	7	8	9	10	11	12	13
Уровни звукового давления от источника ИШ-2-18 в расчётной точке днём, дБ		**ф-ла(3)[10]**	**0**	**25,2**	**26,2**	**26,9**	**26,1**	**24,4**	**18,6**	**5,8**	**0**	**28,1**	**28,1**
Уровни звукового давления от источника ИШ-2-18 в расчётной точке ночью, дБ		**ф-ла(3)[10]**	**0**	**25,2**	**26,2**	**26,9**	**26,1**	**24,4**	**18,6**	**5,8**	**0**	**28,1**	**28,1**
Источник шума: ИШ-2-19, координаты источника (x,y,z), м =[746.80,55.25,1.00]													
Уровни звуковой мощности источника днём, Lw, дБ		**исходные данные**	**0**	**93,3**	**94,7**	**96**	**96,3**	**95,9**	**92,6**	**88,4**	**83,9**		
Уровни звуковой мощности источника ночью, Lw, дБ		**исходные данные**	**0**	**93,3**	**94,7**	**96**	**96,3**	**95,9**	**92,6**	**88,4**	**83,9**		
Поправка на телесный угол DΩ, дБ	Ω = 6.28	10Lg(4π/Ω)	**3**	3	3	3	3	3	3	3	3		
Показатель направленности источника Di, дБ		исходные данные	**0**	0	0	0	0	0	0	0	0		
Поправка на направленность источника Dc, дБ	Dc	DΩ + Di	**3**	3	3	3	3	3	3	3	3		
Затухание из-за геометрической дивергенции, Adiv, дБ	расстояние = 609.39 м	ф-ла (7) [10]	**66,7**										
Коэффициент затухания звука в атмосфере α, дБ/км	Ta=20,°C Pa=101.33,кПа hотн.=70%	ф-ла (5) [9]	0,02	0,09	0,33	1,12	2,79	4,98	9,04	23,09	77,63		
Учет затухания звука в атмосфере Aatm, дБ		ф-ла (8) [10]	0	0,1	0,2	0,7	1,7	3	5,5	14,1	47,3		
Снижение уровня звукового давления из-за влияния застройки между источником шума и расчетной точкой													
Снижение уровня звукового давления на пути над экраном, Dz1, дБ	z = 0.09м (разность путей)	ф-лы (14-18) [10]	4,8	4,8	4,8	4,8	4,8	4,8	4,8	4,8	4,8		
Снижение уровня звукового давления на пути слева от экрана, Dz2, дБ	z = 9.85м (разность путей)	ф-лы (14-18) [10]	16	18,8	21,7	24,7	27,7	30,7	33,7	36,7	39,7		
Снижение уровня звукового давления на пути справа от экрана, Dz3, дБ	z = 1.96м (разность путей)	ф-лы (14-18) [10]	13,6	16,6	19,5	22,5	25,4	28,4	31,4	34,4	37,4		
Общее снижение уровня звука препятствием Dz, дБ		Эн.сумма(-Dzi)	4	4,3	4,5	4,7	4,7	4,8	4,8	4,8	4,8		

1		2	3	4	5	6	7	8	9	10	11	12	13
Уровни звукового давления от источника ИШ-2-19 в расчётной точке днём, дБ		**ф-ла(3)[10]**	**0**	**25,2**	**26,2**	**27**	**26,2**	**24,4**	**18,6**	**5,8**	**0**	**28,2**	**28,2**
Уровни звукового давления от источника ИШ-2-19 в расчётной точке ночью, дБ		**ф-ла(3)[10]**	**0**	**25,2**	**26,2**	**27**	**26,2**	**24,4**	**18,6**	**5,8**	**0**	**28,2**	**28,2**
Источник шума: ИШ-2-20, координаты источника (x,y,z), м =[745.71,52.44,1.00]													
Уровни звуковой мощности источника днём, Lw, дБ		**исходные данные**	**0**	**93,3**	**94,7**	**96**	**96,3**	**95,9**	**92,6**	**88,4**	**83,9**		
Уровни звуковой мощности источника ночью, Lw, дБ		**исходные данные**	**0**	**93,3**	**94,7**	**96**	**96,3**	**95,9**	**92,6**	**88,4**	**83,9**		
Поправка на телесный угол DΩ, дБ	Ω = 6.28	10Lg(4π/Ω)	**3**	3	3	3	3	3	3	3	3		
Показатель направленности источника Di, дБ		исходные данные	**0**	0	0	0	0	0	0	0	0		
Поправка на направленность источника Dc, дБ	Dc	DΩ + Di	**3**	3	3	3	3	3	3	3	3		
Затухание из-за геометрической дивергенции, Adiv, дБ	расстояние = 607.31 м	ф-ла (7) [10]	**66,7**										
Коэффициент затухания звука в атмосфере α, дБ/км	Ta=20,°C Pa=101.33,кПа hотн.=70%	ф-ла (5) [9]	0,02	0,09	0,33	1,12	2,79	4,98	9,04	23,09	77,63		
Учет затухания звука в атмосфере Aatm, дБ		ф-ла (8) [10]	0	0,1	0,2	0,7	1,7	3	5,5	14	47,1		
Снижение уровня звукового давления из-за влияния застройки между источником шума и расчетной точкой													
Снижение уровня звукового давления на пути над экраном, Dz1, дБ	z = 0.09м (разность путей)	ф-лы (14-18) [10]	4,8	4,8	4,8	4,8	4,8	4,8	4,8	4,8	4,9		
Снижение уровня звукового давления на пути слева от экрана, Dz2, дБ	z = 9.38м (разность путей)	ф-лы (14-18) [10]	15,8	18,6	21,5	24,5	27,4	30,4	33,4	36,5	39,5		
Снижение уровня звукового давления на пути справа от экрана, Dz3, дБ	z = 2.10м (разность путей)	ф-лы (14-18) [10]	13,9	16,9	19,8	22,7	25,7	28,7	31,7	34,7	37,7		
Общее снижение уровня звука препятствием Dz, дБ		Эн.сумма(-Dzi)	4	4,3	4,5	4,7	4,7	4,8	4,8	4,8	4,8		

1		2	3	4	5	6	7	8	9	10	11	12	13
Уровни звукового давления от источника ИШ-2-20 в расчётной точке днём, дБ		**ф-ла(3)[10]**	**0**	**25,2**	**26,3**	**27**	**26,2**	**24,4**	**18,7**	**5,9**	**0**	**28,2**	**28,2**
Уровни звукового давления от источника ИШ-2-20 в расчётной точке ночью, дБ		**ф-ла(3)[10]**	**0**	**25,2**	**26,3**	**27**	**26,2**	**24,4**	**18,7**	**5,9**	**0**	**28,2**	**28,2**
Источник шума: ИШ-2-21, координаты источника (x,y,z), м =[744.89,49.62,1.00]													
Уровни звуковой мощности источника днём, Lw, дБ		**исходные данные**	**0**	**93,3**	**94,7**	**96**	**96,3**	**95,9**	**92,6**	**88,4**	**83,9**		
Уровни звуковой мощности источника ночью, Lw, дБ		**исходные данные**	**0**	**93,3**	**94,7**	**96**	**96,3**	**95,9**	**92,6**	**88,4**	**83,9**		
Поправка на телесный угол DΩ, дБ	Ω = 6.28	10Lg(4π/Ω)	**3**	3	3	3	3	3	3	3	3		
Показатель направленности источника Di, дБ		исходные данные	**0**	0	0	0	0	0	0	0	0		
Поправка на направленность источника Dc, дБ	Dc	DΩ + Di	**3**	3	3	3	3	3	3	3	3		
Затухание из-за геометрической дивергенции, Adiv, дБ	расстояние = 605.48 м	ф-ла (7) [10]	**66,6**										
Коэффициент затухания звука в атмосфере α, дБ/км	Ta=20,°C Pa=101.33,кПа hотн.=70%	ф-ла (5) [9]	0,02	0,09	0,33	1,12	2,79	4,98	9,04	23,09	77,63		
Учет затухания звука в атмосфере Aatm, дБ		ф-ла (8) [10]	0	0,1	0,2	0,7	1,7	3	5,5	14	47		
Снижение уровня звукового давления из-за влияния застройки между источником шума и расчетной точкой													
Снижение уровня звукового давления на пути над экраном, Dz1, дБ	z = 0.09м (разность путей)	ф-лы (14-18) [10]	4,8	4,8	4,8	4,8	4,8	4,8	4,8	4,8	4,9		
Снижение уровня звукового давления на пути слева от экрана, Dz2, дБ	z = 8.88м (разность путей)	ф-лы (14-18) [10]	15,6	18,4	21,3	24,2	27,2	30,2	33,2	36,2	39,2		
Снижение уровня звукового давления на пути справа от экрана, Dz3, дБ	z = 2.26м (разность путей)	ф-лы (14-18) [10]	14,1	17,2	20,1	23,1	26	29	32	35,1	38,1		
Общее снижение уровня звука препятствием Dz, дБ		Эн.сумма(-Dzi)	4	4,4	4,6	4,7	4,7	4,8	4,8	4,8	4,9		

1		2	3	4	5	6	7	8	9	10	11	12	13
Уровни звукового давления от источника ИШ-2-21 в расчётной точке днём, дБ		**ф-ла(3)[10]**	**0**	**25,2**	**26,3**	**27**	**26,2**	**24,5**	**18,7**	**6**	**0**	**28,2**	**28,2**
Уровни звукового давления от источника ИШ-2-21 в расчётной точке ночью, дБ		**ф-ла(3)[10]**	**0**	**25,2**	**26,3**	**27**	**26,2**	**24,5**	**18,7**	**6**	**0**	**28,2**	**28,2**
Источник шума: ИШ-2-22, координаты источника (x,y,z), м =[737.40,27.07,1.00]													
Уровни звуковой мощности источника днём, Lw, дБ		**исходные данные**	**0**	**93,3**	**94,7**	**96**	**96,3**	**95,9**	**92,6**	**88,4**	**83,9**		
Уровни звуковой мощности источника ночью, Lw, дБ		**исходные данные**	**0**	**93,3**	**94,7**	**96**	**96,3**	**95,9**	**92,6**	**88,4**	**83,9**		
Поправка на телесный угол DΩ, дБ	Ω = 6.28	10Lg(4π/Ω)	**3**	3	3	3	3	3	3	3	3		
Показатель направленности источника Di, дБ		исходные данные	**0**	0	0	0	0	0	0	0	0		
Поправка на направленность источника Dc, дБ	Dc	DΩ + Di	**3**	3	3	3	3	3	3	3	3		
Затухание из-за геометрической дивергенции, Adiv, дБ	расстояние = 590.30 м	ф-ла (7) [10]	**66,4**										
Коэффициент затухания звука в атмосфере α, дБ/км	Ta=20,°C Pa=101.33,кПа hотн.=70%	ф-ла (5) [9]	0,02	0,09	0,33	1,12	2,79	4,98	9,04	23,09	77,63		
Учет затухания звука в атмосфере Aatm, дБ		ф-ла (8) [10]	0	0,1	0,2	0,7	1,6	2,9	5,3	13,6	45,8		
Снижение уровня звукового давления из-за влияния застройки между источником шума и расчетной точкой													
Снижение уровня звукового давления на пути над экраном, Dz1, дБ	z = 0.16м (разность путей)	ф-лы (14-18) [10]	4,8	4,8	4,8	4,8	4,9	5,1	5,4	5,9	6,7		
Снижение уровня звукового давления на пути слева от экрана, Dz2, дБ	z = 5.26м (разность путей)	ф-лы (14-18) [10]	13,5	16,2	19,1	22	24,9	27,9	30,9	33,9	37		
Снижение уровня звукового давления на пути справа от экрана, Dz3, дБ	z = 4.30м (разность путей)	ф-лы (14-18) [10]	16,7	19,8	22,8	25,8	28,8	31,8	34,8	37,8	40,8		
Общее снижение уровня звука препятствием Dz, дБ		Эн.сумма(-Dzi)	4	4,4	4,6	4,7	4,8	5	5,3	5,9	6,7		

1		2	3	4	5	6	7	8	9	10	11	12	13
Уровни звукового давления от источника ИШ-2-22 в расчётной точке днём, дБ		**ф-ла(3)[10]**	**0**	**25,5**	**26,5**	**27,2**	**26,4**	**24,5**	**18,5**	**5,5**	**0**	**28,3**	**28,3**
Уровни звукового давления от источника ИШ-2-22 в расчётной точке ночью, дБ		**ф-ла(3)[10]**	**0**	**25,5**	**26,5**	**27,2**	**26,4**	**24,5**	**18,5**	**5,5**	**0**	**28,3**	**28,3**
Источник шума: ИШ-2-23, координаты источника (x,y,z), м =[736.46,24.18,1.00]													
Уровни звуковой мощности источника днём, Lw, дБ		**исходные данные**	**0**	**93,3**	**94,7**	**96**	**96,3**	**95,9**	**92,6**	**88,4**	**83,9**		
Уровни звуковой мощности источника ночью, Lw, дБ		**исходные данные**	**0**	**93,3**	**94,7**	**96**	**96,3**	**95,9**	**92,6**	**88,4**	**83,9**		
Поправка на телесный угол DΩ, дБ	Ω = 6.28	10Lg(4π/Ω)	**3**	3	3	3	3	3	3	3	3		
Показатель направленности источника Di, дБ		исходные данные	**0**	0	0	0	0	0	0	0	0		
Поправка на направленность источника Dc, дБ	Dc	DΩ + Di	**3**	3	3	3	3	3	3	3	3		
Затухание из-за геометрической дивергенции, Adiv, дБ	расстояние = 588.42 м	ф-ла (7) [10]	**66,4**										
Коэффициент затухания звука в атмосфере α, дБ/км	Ta=20,°C Pa=101.33,кПа hотн.=70%	ф-ла (5) [9]	0,02	0,09	0,33	1,12	2,79	4,98	9,04	23,09	77,63		
Учет затухания звука в атмосфере Aatm, дБ		ф-ла (8) [10]	0	0,1	0,2	0,7	1,6	2,9	5,3	13,6	45,7		
Снижение уровня звукового давления из-за влияния застройки между источником шума и расчетной точкой													
Снижение уровня звукового давления на пути над экраном, Dz1, дБ	z = 0.16м (разность путей)	ф-лы (14-18) [10]	4,8	4,8	4,8	4,8	4,9	5,1	5,5	6,1	7,1		
Снижение уровня звукового давления на пути слева от экрана, Dz2, дБ	z = 4.84м (разность путей)	ф-лы (14-18) [10]	13,2	15,9	18,7	21,6	24,6	27,6	30,6	33,6	36,6		
Снижение уровня звукового давления на пути справа от экрана, Dz3, дБ	z = 4.67м (разность путей)	ф-лы (14-18) [10]	17	20,2	23,2	26,2	29,2	32,2	35,2	38,2	41,2		
Общее снижение уровня звука препятствием Dz, дБ		Эн.сумма(-Dzi)	4	4,3	4,6	4,7	4,9	5,1	5,4	6,1	7,1		

1		2	3	4	5	6	7	8	9	10	11	12	13
Уровни звукового давления от источника ИШ-2-23 в расчётной точке днём, дБ		**ф-ла(3)[10]**	**0**	**25,5**	**26,5**	**27,2**	**26,4**	**24,5**	**18,4**	**5,4**	**0**	**28,3**	**28,3**
Уровни звукового давления от источника ИШ-2-23 в расчётной точке ночью, дБ		**ф-ла(3)[10]**	**0**	**25,5**	**26,5**	**27,2**	**26,4**	**24,5**	**18,4**	**5,4**	**0**	**28,3**	**28,3**
Источник шума: ИШ-2-24, координаты источника (x,y,z), м =[735.45,21.21,1.00]													
Уровни звуковой мощности источника днём, Lw, дБ		**исходные данные**	**0**	**93,3**	**94,7**	**96**	**96,3**	**95,9**	**92,6**	**88,4**	**83,9**		
Уровни звуковой мощности источника ночью, Lw, дБ		**исходные данные**	**0**	**93,3**	**94,7**	**96**	**96,3**	**95,9**	**92,6**	**88,4**	**83,9**		
Поправка на телесный угол DΩ, дБ	Ω = 6.28	10Lg(4π/Ω)	**3**	3	3	3	3	3	3	3	3		
Показатель направленности источника Di, дБ		исходные данные	**0**	0	0	0	0	0	0	0	0		
Поправка на направленность источника Dc, дБ	Dc	DΩ + Di	**3**	3	3	3	3	3	3	3	3		
Затухание из-за геометрической дивергенции, Adiv, дБ	расстояние = 586.45 м	ф-ла (7) [10]	**66,4**										
Коэффициент затухания звука в атмосфере α, дБ/км	Ta=20,°C Pa=101.33,кПа hотн.=70%	ф-ла (5) [9]	0,02	0,09	0,33	1,12	2,79	4,98	9,04	23,09	77,63		
Учет затухания звука в атмосфере Aatm, дБ		ф-ла (8) [10]	0	0,1	0,2	0,7	1,6	2,9	5,3	13,5	45,5		
Снижение уровня звукового давления из-за влияния застройки между источником шума и расчетной точкой													
Снижение уровня звукового давления на пути над экраном, Dz1, дБ	z = 0.16м (разность путей)	ф-лы (14-18) [10]	4,8	4,8	4,8	4,8	4,9	5,1	5,5	6,1	7,2		
Снижение уровня звукового давления на пути слева от экрана, Dz2, дБ	z = 4.42м (разность путей)	ф-лы (14-18) [10]	12,9	15,5	18,3	21,2	24,2	27,2	30,2	33,2	36,2		
Снижение уровня звукового давления на пути справа от экрана, Dz3, дБ	z = 5.07м (разность путей)	ф-лы (14-18) [10]	17,4	20,5	23,5	26,5	29,5	32,5	35,5	38,6	41,6		
Общее снижение уровня звука препятствием Dz, дБ		Эн.сумма(-Dzi)	3,9	4,3	4,6	4,7	4,9	5,1	5,5	6,1	7,1		

1		2	3	4	5	6	7	8	9	10	11	12	13
Уровни звукового давления от источника ИШ-2-24 в расчётной точке днём, дБ		**ф-ла(3)[10]**	**0**	**25,6**	**26,6**	**27,3**	**26,4**	**24,5**	**18,5**	**5,4**	**0**	**28,3**	**28,3**
Уровни звукового давления от источника ИШ-2-24 в расчётной точке ночью, дБ		**ф-ла(3)[10]**	**0**	**25,6**	**26,6**	**27,3**	**26,4**	**24,5**	**18,5**	**5,4**	**0**	**28,3**	**28,3**
Источник шума: ИШ-2-25, координаты источника (x,y,z), м =[734.58,18.32,1.00]													
Уровни звуковой мощности источника днём, Lw, дБ		**исходные данные**	**0**	**93,3**	**94,7**	**96**	**96,3**	**95,9**	**92,6**	**88,4**	**83,9**		
Уровни звуковой мощности источника ночью, Lw, дБ		**исходные данные**	**0**	**93,3**	**94,7**	**96**	**96,3**	**95,9**	**92,6**	**88,4**	**83,9**		
Поправка на телесный угол DΩ, дБ	Ω = 6.28	10Lg(4π/Ω)	**3**	3	3	3	3	3	3	3	3		
Показатель направленности источника Di, дБ		исходные данные	**0**	0	0	0	0	0	0	0	0		
Поправка на направленность источника Dc, дБ	Dc	DΩ + Di	**3**	3	3	3	3	3	3	3	3		
Затухание из-за геометрической дивергенции, Adiv, дБ	расстояние = 584.65 м	ф-ла (7) [10]	**66,3**										
Коэффициент затухания звука в атмосфере α, дБ/км	Ta=20,°C Pa=101.33,кПа hотн.=70%	ф-ла (5) [9]	0,02	0,09	0,33	1,12	2,79	4,98	9,04	23,09	77,63		
Учет затухания звука в атмосфере Aatm, дБ		ф-ла (8) [10]	0	0,1	0,2	0,7	1,6	2,9	5,3	13,5	45,4		
Снижение уровня звукового давления из-за влияния застройки между источником шума и расчетной точкой													
Снижение уровня звукового давления на пути над экраном, Dz1, дБ	z = 0.16м (разность путей)	ф-лы (14-18) [10]	4,8	4,8	4,8	4,8	5	5,2	5,5	6,2	7,2		
Снижение уровня звукового давления на пути слева от экрана, Dz2, дБ	z = 4.01м (разность путей)	ф-лы (14-18) [10]	12,5	15,1	17,9	20,8	23,8	26,8	29,8	32,8	35,8		
Снижение уровня звукового давления на пути справа от экрана, Dz3, дБ	z = 5.50м (разность путей)	ф-лы (14-18) [10]	17,7	20,9	23,9	26,9	29,9	32,9	35,9	38,9	41,9		
Общее снижение уровня звука препятствием Dz, дБ		Эн.сумма(-Dzi)	3,9	4,3	4,5	4,7	4,9	5,1	5,5	6,1	7,2		

1		2	3	4	5	6	7	8	9	10	11	12	13
Уровни звукового давления от источника ИШ-2-25 в расчётной точке днём, дБ		**ф-ла(3)[10]**	**0**	**25,6**	**26,6**	**27,3**	**26,4**	**24,5**	**18,5**	**5,4**	**0**	**28,3**	**28,3**
Уровни звукового давления от источника ИШ-2-25 в расчётной точке ночью, дБ		**ф-ла(3)[10]**	**0**	**25,6**	**26,6**	**27,3**	**26,4**	**24,5**	**18,5**	**5,4**	**0**	**28,3**	**28,3**
Источник шума: ИШ-2-26, координаты источника (x,y,z), м =[733.57,15.41,1.00]													
Уровни звуковой мощности источника днём, Lw, дБ		**исходные данные**	**0**	**93,3**	**94,7**	**96**	**96,3**	**95,9**	**92,6**	**88,4**	**83,9**		
Уровни звуковой мощности источника ночью, Lw, дБ		**исходные данные**	**0**	**93,3**	**94,7**	**96**	**96,3**	**95,9**	**92,6**	**88,4**	**83,9**		
Поправка на телесный угол DΩ, дБ	Ω = 6.28	10Lg(4π/Ω)	**3**	3	3	3	3	3	3	3	3		
Показатель направленности источника Di, дБ		исходные данные	**0**	0	0	0	0	0	0	0	0		
Поправка на направленность источника Dc, дБ	Dc	DΩ + Di	**3**	3	3	3	3	3	3	3	3		
Затухание из-за геометрической дивергенции, Adiv, дБ	расстояние = 582.72 м	ф-ла (7) [10]	**66,3**										
Коэффициент затухания звука в атмосфере α, дБ/км	Ta=20,°C Pa=101.33,кПа hотн.=70%	ф-ла (5) [9]	0,02	0,09	0,33	1,12	2,79	4,98	9,04	23,09	77,63		
Учет затухания звука в атмосфере Aatm, дБ		ф-ла (8) [10]	0	0,1	0,2	0,7	1,6	2,9	5,3	13,5	45,2		
Снижение уровня звукового давления из-за влияния застройки между источником шума и расчетной точкой													
Снижение уровня звукового давления на пути над экраном, Dz1, дБ	z = 0.16м (разность путей)	ф-лы (14-18) [10]	4,8	4,8	4,8	4,9	5	5,2	5,5	6,2	7,3		
Снижение уровня звукового давления на пути слева от экрана, Dz2, дБ	z = 3.63м (разность путей)	ф-лы (14-18) [10]	12,2	14,8	17,5	20,4	23,4	26,3	29,3	32,3	35,3		
Снижение уровня звукового давления на пути справа от экрана, Dz3, дБ	z = 5.95м (разность путей)	ф-лы (14-18) [10]	18	21,2	24,2	27,2	30,2	33,2	36,2	39,2	42,3		
Общее снижение уровня звука препятствием Dz, дБ		Эн.сумма(-Dzi)	3,9	4,3	4,5	4,7	4,9	5,1	5,5	6,2	7,3		

1		2	3	4	5	6	7	8	9	10	11	12	13
Уровни звукового давления от источника ИШ-2-26 в расчётной точке днём, дБ		**ф-ла(3)[10]**	**0**	**25,7**	**26,7**	**27,3**	**26,5**	**24,6**	**18,5**	**5,4**	**0**	**28,3**	**28,3**
Уровни звукового давления от источника ИШ-2-26 в расчётной точке ночью, дБ		**ф-ла(3)[10]**	**0**	**25,7**	**26,7**	**27,3**	**26,5**	**24,6**	**18,5**	**5,4**	**0**	**28,3**	**28,3**
Источник шума: ИШ-2-27, координаты источника (x,y,z), м =[732.43,12.66,1.00]													
Уровни звуковой мощности источника днём, Lw, дБ		**исходные данные**	**0**	**93,3**	**94,7**	**96**	**96,3**	**95,9**	**92,6**	**88,4**	**83,9**		
Уровни звуковой мощности источника ночью, Lw, дБ		**исходные данные**	**0**	**93,3**	**94,7**	**96**	**96,3**	**95,9**	**92,6**	**88,4**	**83,9**		
Поправка на телесный угол DΩ, дБ	Ω = 6.28	10Lg(4π/Ω)	**3**	3	3	3	3	3	3	3	3		
Показатель направленности источника Di, дБ		исходные данные	**0**	0	0	0	0	0	0	0	0		
Поправка на направленность источника Dc, дБ	Dc	DΩ + Di	**3**	3	3	3	3	3	3	3	3		
Затухание из-за геометрической дивергенции, Adiv, дБ	расстояние = 580.73 м	ф-ла (7) [10]	**66,3**										
Коэффициент затухания звука в атмосфере α, дБ/км	Ta=20,°C Pa=101.33,кПа hотн.=70%	ф-ла (5) [9]	0,02	0,09	0,33	1,12	2,79	4,98	9,04	23,09	77,63		
Учет затухания звука в атмосфере Aatm, дБ		ф-ла (8) [10]	0	0,1	0,2	0,7	1,6	2,9	5,2	13,4	45,1		
Снижение уровня звукового давления из-за влияния застройки между источником шума и расчетной точкой													
Снижение уровня звукового давления на пути над экраном, Dz1, дБ	z = 0.17м (разность путей)	ф-лы (14-18) [10]	4,8	4,8	4,8	4,9	5	5,2	5,6	6,3	7,4		
Снижение уровня звукового давления на пути слева от экрана, Dz2, дБ	z = 3.29м (разность путей)	ф-лы (14-18) [10]	11,8	14,4	17,1	20	22,9	25,9	28,9	31,9	34,9		
Снижение уровня звукового давления на пути справа от экрана, Dz3, дБ	z = 6.40м (разность путей)	ф-лы (14-18) [10]	18,3	21,5	24,5	27,5	30,5	33,5	36,5	39,6	42,6		
Общее снижение уровня звука препятствием Dz, дБ		Эн.сумма(-Dzi)	3,8	4,2	4,5	4,7	4,9	5,1	5,6	6,2	7,4		

1		2	3	4	5	6	7	8	9	10	11	12	13
Уровни звукового давления от источника ИШ-2-27 в расчётной точке днём, дБ		**ф-ла(3)[10]**	**0**	**25,7**	**26,7**	**27,4**	**26,5**	**24,6**	**18,5**	**5,5**	**0**	**28,4**	**28,4**
Уровни звукового давления от источника ИШ-2-27 в расчётной точке ночью, дБ		**ф-ла(3)[10]**	**0**	**25,7**	**26,7**	**27,4**	**26,5**	**24,6**	**18,5**	**5,5**	**0**	**28,4**	**28,4**
Источник шума: ИШ-2-28, координаты источника (x,y,z), м =[731.54,9.78,1.00]													
Уровни звуковой мощности источника днём, Lw, дБ		**исходные данные**	**0**	**93,3**	**94,7**	**96**	**96,3**	**95,9**	**92,6**	**88,4**	**83,9**		
Уровни звуковой мощности источника ночью, Lw, дБ		**исходные данные**	**0**	**93,3**	**94,7**	**96**	**96,3**	**95,9**	**92,6**	**88,4**	**83,9**		
Поправка на телесный угол DΩ, дБ	Ω = 6.28	10Lg(4π/Ω)	**3**	3	3	3	3	3	3	3	3		
Показатель направленности источника Di, дБ		исходные данные	**0**	0	0	0	0	0	0	0	0		
Поправка на направленность источника Dc, дБ	Dc	DΩ + Di	**3**	3	3	3	3	3	3	3	3		
Затухание из-за геометрической дивергенции, Adiv, дБ	расстояние = 578.94 м	ф-ла (7) [10]	**66,3**										
Коэффициент затухания звука в атмосфере α, дБ/км	Ta=20,°C Pa=101.33,кПа hотн.=70%	ф-ла (5) [9]	0,02	0,09	0,33	1,12	2,79	4,98	9,04	23,09	77,63		
Учет затухания звука в атмосфере Aatm, дБ		ф-ла (8) [10]	0	0,1	0,2	0,7	1,6	2,9	5,2	13,4	44,9		
Снижение уровня звукового давления из-за влияния застройки между источником шума и расчетной точкой													
Снижение уровня звукового давления на пути над экраном, Dz1, дБ	z = 0.17м (разность путей)	ф-лы (14-18) [10]	4,8	4,8	4,8	4,9	5	5,2	5,6	6,3	7,4		
Снижение уровня звукового давления на пути слева от экрана, Dz2, дБ	z = 2.93м (разность путей)	ф-лы (14-18) [10]	11,4	13,9	16,6	19,5	22,4	25,4	28,4	31,4	34,4		
Снижение уровня звукового давления на пути справа от экрана, Dz3, дБ	z = 6.91м (разность путей)	ф-лы (14-18) [10]	18,6	21,8	24,9	27,9	30,9	33,9	36,9	39,9	42,9		
Общее снижение уровня звука препятствием Dz, дБ		Эн.сумма(-Dzi)	3,8	4,2	4,5	4,7	4,9	5,2	5,6	6,3	7,4		

1		2	3	4	5	6	7	8	9	10	11	12	13
Уровни звукового давления от источника ИШ-2-28 в расчётной точке днём, дБ		**ф-ла(3)[10]**	**0**	**25,8**	**26,8**	**27,4**	**26,5**	**24,6**	**18,5**	**5,5**	**0**	**28,4**	**28,4**
Уровни звукового давления от источника ИШ-2-28 в расчётной точке ночью, дБ		**ф-ла(3)[10]**	**0**	**25,8**	**26,8**	**27,4**	**26,5**	**24,6**	**18,5**	**5,5**	**0**	**28,4**	**28,4**
Источник шума: ИШ-2-29, координаты источника (x,y,z), м =[730.57,6.88,1.00]													
Уровни звуковой мощности источника днём, Lw, дБ		**исходные данные**	**0**	**93,3**	**94,7**	**96**	**96,3**	**95,9**	**92,6**	**88,4**	**83,9**		
Уровни звуковой мощности источника ночью, Lw, дБ		**исходные данные**	**0**	**93,3**	**94,7**	**96**	**96,3**	**95,9**	**92,6**	**88,4**	**83,9**		
Поправка на телесный угол DΩ, дБ	Ω = 6.28	10Lg(4π/Ω)	**3**	3	3	3	3	3	3	3	3		
Показатель направленности источника Di, дБ		исходные данные	**0**	0	0	0	0	0	0	0	0		
Поправка на направленность источника Dc, дБ	Dc	DΩ + Di	**3**	3	3	3	3	3	3	3	3		
Затухание из-за геометрической дивергенции, Adiv, дБ	расстояние = 577.09 м	ф-ла (7) [10]	**66,2**										
Коэффициент затухания звука в атмосфере α, дБ/км	Ta=20,°C Pa=101.33,кПа hотн.=70%	ф-ла (5) [9]	0,02	0,09	0,33	1,12	2,79	4,98	9,04	23,09	77,63		
Учет затухания звука в атмосфере Aatm, дБ		ф-ла (8) [10]	0	0,1	0,2	0,6	1,6	2,9	5,2	13,3	44,8		
Снижение уровня звукового давления из-за влияния застройки между источником шума и расчетной точкой													
Снижение уровня звукового давления на пути над экраном, Dz1, дБ	z = 0.17м (разность путей)	ф-лы (14-18) [10]	4,8	4,8	4,8	4,9	5	5,2	5,6	6,4	7,5		
Снижение уровня звукового давления на пути слева от экрана, Dz2, дБ	z = 2.58м (разность путей)	ф-лы (14-18) [10]	11	13,5	16,1	19	21,9	24,9	27,9	30,9	33,9		
Снижение уровня звукового давления на пути справа от экрана, Dz3, дБ	z = 7.45м (разность путей)	ф-лы (14-18) [10]	19	22,2	25,2	28,2	31,2	34,2	37,2	40,2	43,2		
Общее снижение уровня звука препятствием Dz, дБ		Эн.сумма(-Dzi)	3,7	4,2	4,5	4,7	4,9	5,2	5,6	6,3	7,5		

1		2	3	4	5	6	7	8	9	10	11	12	13
Уровни звукового давления от источника ИШ-2-29 в расчётной точке днём, дБ		**ф-ла(3)[10]**	**0**	**25,9**	**26,8**	**27,4**	**26,6**	**24,6**	**18,5**	**5,5**	**0**	**28,4**	**28,4**
Уровни звукового давления от источника ИШ-2-29 в расчётной точке ночью, дБ		**ф-ла(3)[10]**	**0**	**25,9**	**26,8**	**27,4**	**26,6**	**24,6**	**18,5**	**5,5**	**0**	**28,4**	**28,4**
Источник шума: ИШ-2-4, координаты источника (x,y,z), м =[632.70,-65.30,3.00]													
Уровни звуковой мощности источника днём, Lw, дБ		**исходные данные**	**105**	**104**	**104**	**101**	**102**	**106**	**101**	**95**	**87**		
Уровни звуковой мощности источника ночью, Lw, дБ		**исходные данные**	**105**	**104**	**104**	**101**	**102**	**106**	**101**	**95**	**87**		
Поправка на телесный угол DΩ, дБ	Ω = 6.28	10Lg(4π/Ω)	**3**	3	3	3	3	3	3	3	3		
Показатель направленности источника Di, дБ		исходные данные	**0**	0	0	0	0	0	0	0	0		
Поправка на направленность источника Dc, дБ	Dc	DΩ + Di	**3**	3	3	3	3	3	3	3	3		
Затухание из-за геометрической дивергенции, Adiv, дБ	расстояние = 462.64 м	ф-ла (7) [10]	**64,3**										
Коэффициент затухания звука в атмосфере α, дБ/км	Ta=20,°C Pa=101.33,кПа hотн.=70%	ф-ла (5) [9]	0,02	0,09	0,33	1,12	2,79	4,98	9,04	23,09	77,63		
Учет затухания звука в атмосфере Aatm, дБ		ф-ла (8) [10]	0	0	0,2	0,5	1,3	2,3	4,2	10,7	35,9		
Снижение поверхностью земли возле источника As, дБ	Gs = 0 hs = 3м	ф-лы таб.3 [10]	-1,5	-1,5	-1,5	-1,5	-1,5	-1,5	-1,5	-1,5	-1,5		
Снижение поверхностью земли возле приёмника Ar, дБ	Gr = 1 hr = 4.6м	ф-лы таб.3 [10]	-1,5	-1,5	3,3	1,3	0	0	0	0	0		
Снижение поверхностью земли в средней зоне, Am дБ	Gm = 1	ф-лы таб.3 [10]	-1,5	-1,5	0	0	0	0	0	0	0		
Суммарное снижение поверхностью земли на траектории распространения звука Agr, дБ		ф-ла (9) [10]	-4,5	-4,5	1,8	-0,2	-1,5	-1,5	-1,5	-1,5	-1,5		
Уровни звукового давления прямого звука от источника ИШ-2-4 в расчётной точке днём, дБ		**ф-ла(3)[10]**	**48,2**	**47,2**	**40,7**	**39,4**	**40,9**	**43,9**	**37**	**24,5**	**0**	**45,9**	**45,9**

1		2	3	4	5	6	7	8	9	10	11	12	13
Уровни звукового давления прямого звука от источника ИШ-2-4 в расчётной точке ночью, дБ		**ф-ла(3)[10]**	**48,2**	**47,2**	**40,7**	**39,4**	**40,9**	**43,9**	**37**	**24,5**	**0**	**45,9**	**45,9**
Расчёт отражённого звука													
Уровни звукового давления от мнимого источника ИШ-2-4_мн.(1) в расчётной точке днём, дБ		**ф-ла(3)[10]**	**0**	**0**	**0**	**33,1**	**38,2**	**41,4**	**34,5**	**22**	**0**	**43,2**	**43,2**
Уровни звукового давления от мнимого источника ИШ-2-4_мн.(1) в расчётной точке ночью, дБ		**ф-ла(3)[10]**	**0**	**0**	**0**	**0**	**0**	**0**	**0**	**0**	**0**	**43,2**	**43,2**
Уровни звукового давления от источника ИШ-2-4 в расчётной точке днём, дБ		**ф-ла(3)[10]**	**48,2**	**47,2**	**40,7**	**40,3**	**42,8**	**45,8**	**39**	**26,4**	**0**	**47,8**	**47,8**
Уровни звукового давления от источника ИШ-2-4 в расчётной точке ночью, дБ		**ф-ла(3)[10]**	**48,2**	**47,2**	**40,7**	**40,3**	**42,8**	**45,8**	**39**	**26,4**	**0**	**47,8**	**47,8**
Источник шума: ИШ-2-30, координаты источника (x,y,z), м =[702.44,-77.23,1.00]													
Уровни звуковой мощности источника днём, Lw, дБ		**исходные данные**	**0**	**93,3**	**94,7**	**96**	**96,3**	**95,9**	**92,6**	**88,4**	**83,9**		
Уровни звуковой мощности источника ночью, Lw, дБ		**исходные данные**	**0**	**93,3**	**94,7**	**96**	**96,3**	**95,9**	**92,6**	**88,4**	**83,9**		
Поправка на телесный угол DΩ, дБ	Ω = 6.28	10Lg(4π/Ω)	**3**	3	3	3	3	3	3	3	3		
Показатель направленности источника Di, дБ		исходные данные	**0**	0	0	0	0	0	0	0	0		
Поправка на направленность источника Dc, дБ	Dc	DΩ + Di	**3**	3	3	3	3	3	3	3	3		
Затухание из-за геометрической дивергенции, Adiv, дБ	расстояние = 528.09 м	ф-ла (7) [10]	**65,5**										
Коэффициент затухания звука в атмосфере α, дБ/км	Ta=20,°C Pa=101.33,кПа hотн.=70%	ф-ла (5) [9]	0,02	0,09	0,33	1,12	2,79	4,98	9,04	23,09	77,63		
Учет затухания звука в атмосфере Aatm, дБ		ф-ла (8) [10]	0	0	0,2	0,6	1,5	2,6	4,8	12,2	41		
Снижение уровня звукового давления из-за влияния застройки между источником шума и расчетной точкой													

1		2	3	4	5	6	7	8	9	10	11	12	13
Снижение уровня звукового давления на пути над экраном, Dz1, дБ	z = 0.21м (разность путей)	ф-лы (14-18) [10]	4,8	4,8	4,9	5	5,3	5,8	6,6	7,9	9,8		
Снижение уровня звукового давления на пути слева от экрана, Dz2, дБ	z = 0.79м (разность путей)	ф-лы (14-18) [10]	7,7	9,5	11,7	14,2	17	19,8	22,8	25,8	28,8		
Снижение уровня звукового давления на пути справа от экрана, Dz3, дБ	z = 0.24м (разность путей)	ф-лы (14-18) [10]	5,9	6,8	8,1	10	12,3	14,9	17,7	20,6	23,5		
Общее снижение уровня звука препятствием Dz, дБ		Эн.сумма(-Dzi)	1,2	1,8	2,6	3,4	4,3	5,1	6,2	7,6	9,5		
Уровни звукового давления от источника ИШ-2-30 в расчётной точке днём, дБ		**ф-ла(3)[10]**	**0**	**28,9**	**29,5**	**29,5**	**28,1**	**25,7**	**19,2**	**6,1**	**0**	**29,7**	**29,7**
Уровни звукового давления от источника ИШ-2-30 в расчётной точке ночью, дБ		**ф-ла(3)[10]**	**0**	**28,9**	**29,5**	**29,5**	**28,1**	**25,7**	**19,2**	**6,1**	**0**	**29,7**	**29,7**
Источник шума: ИШ-2-31, координаты источника (x,y,z), м =[701.42,-80.17,1.00]													
Уровни звуковой мощности источника днём, Lw, дБ		**исходные данные**	**0**	**93,3**	**94,7**	**96**	**96,3**	**95,9**	**92,6**	**88,4**	**83,9**		
Уровни звуковой мощности источника ночью, Lw, дБ		**исходные данные**	**0**	**93,3**	**94,7**	**96**	**96,3**	**95,9**	**92,6**	**88,4**	**83,9**		
Поправка на телесный угол DΩ, дБ	Ω = 6.28	10Lg(4π/Ω)	**3**	3	3	3	3	3	3	3	3		
Показатель направленности источника Di, дБ		исходные данные	**0**	0	0	0	0	0	0	0	0		
Поправка на направленность источника Dc, дБ	Dc	DΩ + Di	**3**	3	3	3	3	3	3	3	3		
Затухание из-за геометрической дивергенции, Adiv, дБ	расстояние = 526.54 м	ф-ла (7) [10]	**65,4**										
Коэффициент затухания звука в атмосфере α, дБ/км	Ta=20,°C Pa=101.33,кПа hотн.=70%	ф-ла (5) [9]	0,02	0,09	0,33	1,12	2,79	4,98	9,04	23,09	77,63		
Учет затухания звука в атмосфере Aatm, дБ		ф-ла (8) [10]	0	0	0,2	0,6	1,5	2,6	4,8	12,2	40,9		
Снижение уровня звукового давления из-за влияния застройки между источником шума и расчетной точкой													

1		2	3	4	5	6	7	8	9	10	11	12	13
Снижение уровня звукового давления на пути над экраном, Dz1, дБ	z = 0.21м (разность путей)	ф-лы (14-18) [10]	4,8	4,8	4,9	5	5,3	5,9	6,8	8,2	10,1		
Снижение уровня звукового давления на пути слева от экрана, Dz2, дБ	z = 0.64м (разность путей)	ф-лы (14-18) [10]	7,3	8,9	11	13,4	16,1	19	21,9	24,9	27,8		
Снижение уровня звукового давления на пути справа от экрана, Dz3, дБ	z = 0.33м (разность путей)	ф-лы (14-18) [10]	6,2	7,3	8,9	11	13,5	16,2	19	22	24,9		
Общее снижение уровня звука препятствием Dz, дБ		Эн.сумма(-Dzi)	1,2	1,9	2,7	3,6	4,4	5,3	6,4	7,9	9,8		
Уровни звукового давления от источника ИШ-2-31 в расчётной точке днём, дБ		**ф-ла(3)[10]**	**0**	**28,9**	**29,4**	**29,4**	**28**	**25,5**	**19**	**5,9**	**0**	**29,6**	**29,6**
Уровни звукового давления от источника ИШ-2-31 в расчётной точке ночью, дБ		**ф-ла(3)[10]**	**0**	**28,9**	**29,4**	**29,4**	**28**	**25,5**	**19**	**5,9**	**0**	**29,6**	**29,6**
Источник шума: ИШ-2-32, координаты источника (x,y,z), м =[700.38,-83.01,1.00]													
Уровни звуковой мощности источника днём, Lw, дБ		**исходные данные**	**0**	**93,3**	**94,7**	**96**	**96,3**	**95,9**	**92,6**	**88,4**	**83,9**		
Уровни звуковой мощности источника ночью, Lw, дБ		**исходные данные**	**0**	**93,3**	**94,7**	**96**	**96,3**	**95,9**	**92,6**	**88,4**	**83,9**		
Поправка на телесный угол DΩ, дБ	Ω = 6.28	10Lg(4π/Ω)	**3**	3	3	3	3	3	3	3	3		
Показатель направленности источника Di, дБ		исходные данные	**0**	0	0	0	0	0	0	0	0		
Поправка на направленность источника Dc, дБ	Dc	DΩ + Di	**3**	3	3	3	3	3	3	3	3		
Затухание из-за геометрической дивергенции, Adiv, дБ	расстояние = 524.99 м	ф-ла (7) [10]	**65,4**										
Коэффициент затухания звука в атмосфере α, дБ/км	Ta=20,°C Pa=101.33,кПа hотн.=70%	ф-ла (5) [9]	0,02	0,09	0,33	1,12	2,79	4,98	9,04	23,09	77,63		
Учет затухания звука в атмосфере Aatm, дБ		ф-ла (8) [10]	0	0	0,2	0,6	1,5	2,6	4,7	12,1	40,8		
Снижение уровня звукового давления из-за влияния застройки между источником шума и расчетной точкой													

1		2	3	4	5	6	7	8	9	10	11	12	13
Снижение уровня звукового давления на пути над экраном, Dz1, дБ	z = 0.22м (разность путей)	ф-лы (14-18) [10]	4,8	4,8	4,9	5,1	5,4	6	6,9	8,4	10,3		
Снижение уровня звукового давления на пути слева от экрана, Dz2, дБ	z = 0.51м (разность путей)	ф-лы (14-18) [10]	6,9	8,3	10,2	12,6	15,2	18	20,9	23,9	26,9		
Снижение уровня звукового давления на пути справа от экрана, Dz3, дБ	z = 0.43м (разность путей)	ф-лы (14-18) [10]	6,6	7,9	9,7	11,9	14,5	17,3	20,2	23,1	26,1		
Общее снижение уровня звука препятствием Dz, дБ		Эн.сумма(-Dzi)	1,2	1,9	2,8	3,7	4,5	5,4	6,6	8,1	10,1		
Уровни звукового давления от источника ИШ-2-32 в расчётной точке днём, дБ		**ф-ла(3)[10]**	**0**	**28,9**	**29,3**	**29,3**	**27,9**	**25,4**	**18,9**	**5,7**	**0**	**29,5**	**29,5**
Уровни звукового давления от источника ИШ-2-32 в расчётной точке ночью, дБ		**ф-ла(3)[10]**	**0**	**28,9**	**29,3**	**29,3**	**27,9**	**25,4**	**18,9**	**5,7**	**0**	**29,5**	**29,5**
Источник шума: ИШ-2-33, координаты источника (x,y,z), м =[699.52,-85.98,1.00]													
Уровни звуковой мощности источника днём, Lw, дБ		**исходные данные**	**0**	**93,3**	**94,7**	**96**	**96,3**	**95,9**	**92,6**	**88,4**	**83,9**		
Уровни звуковой мощности источника ночью, Lw, дБ		**исходные данные**	**0**	**93,3**	**94,7**	**96**	**96,3**	**95,9**	**92,6**	**88,4**	**83,9**		
Поправка на телесный угол DΩ, дБ	Ω = 6.28	10Lg(4π/Ω)	**3**	3	3	3	3	3	3	3	3		
Показатель направленности источника Di, дБ		исходные данные	**0**	0	0	0	0	0	0	0	0		
Поправка на направленность источника Dc, дБ	Dc	DΩ + Di	**3**	3	3	3	3	3	3	3	3		
Затухание из-за геометрической дивергенции, Adiv, дБ	расстояние = 523.61 м	ф-ла (7) [10]	**65,4**										
Коэффициент затухания звука в атмосфере α, дБ/км	Ta=20,°C Pa=101.33,кПа hотн.=70%	ф-ла (5) [9]	0,02	0,09	0,33	1,12	2,79	4,98	9,04	23,09	77,63		
Учет затухания звука в атмосфере Aatm, дБ		ф-ла (8) [10]	0	0	0,2	0,6	1,5	2,6	4,7	12,1	40,6		
Снижение уровня звукового давления из-за влияния застройки между источником шума и расчетной точкой													

1		2	3	4	5	6	7	8	9	10	11	12	13
Снижение уровня звукового давления на пути над экраном, Dz1, дБ	z = 0.22м (разность путей)	ф-лы (14-18) [10]	4,8	4,8	4,9	5,1	5,4	6	7	8,5	10,5		
Снижение уровня звукового давления на пути слева от экрана, Dz2, дБ	z = 0.39м (разность путей)	ф-лы (14-18) [10]	6,5	7,7	9,4	11,6	14,1	16,9	19,7	22,7	25,7		
Снижение уровня звукового давления на пути справа от экрана, Dz3, дБ	z = 0.56м (разность путей)	ф-лы (14-18) [10]	7	8,5	10,5	12,9	15,5	18,3	21,3	24,2	27,2		
Общее снижение уровня звука препятствием Dz, дБ		Эн.сумма(-Dzi)	1,2	1,9	2,8	3,6	4,5	5,5	6,6	8,2	10,2		
Уровни звукового давления от источника ИШ-2-33 в расчётной точке днём, дБ		**ф-ла(3)[10]**	**0**	**28,9**	**29,4**	**29,4**	**27,9**	**25,5**	**18,8**	**5,7**	**0**	**29,5**	**29,5**
Уровни звукового давления от источника ИШ-2-33 в расчётной точке ночью, дБ		**ф-ла(3)[10]**	**0**	**28,9**	**29,4**	**29,4**	**27,9**	**25,5**	**18,8**	**5,7**	**0**	**29,5**	**29,5**
Источник шума: ИШ-2-34, координаты источника (x,y,z), м =[698.43,-88.85,1.00]													
Уровни звуковой мощности источника днём, Lw, дБ		**исходные данные**	**0**	**93,3**	**94,7**	**96**	**96,3**	**95,9**	**92,6**	**88,4**	**83,9**		
Уровни звуковой мощности источника ночью, Lw, дБ		**исходные данные**	**0**	**93,3**	**94,7**	**96**	**96,3**	**95,9**	**92,6**	**88,4**	**83,9**		
Поправка на телесный угол DΩ, дБ	Ω = 6.28	10Lg(4π/Ω)	**3**	3	3	3	3	3	3	3	3		
Показатель направленности источника Di, дБ		исходные данные	**0**	0	0	0	0	0	0	0	0		
Поправка на направленность источника Dc, дБ	Dc	DΩ + Di	**3**	3	3	3	3	3	3	3	3		
Затухание из-за геометрической дивергенции, Adiv, дБ	расстояние = 522.03 м	ф-ла (7) [10]	**65,4**										
Коэффициент затухания звука в атмосфере α, дБ/км	Ta=20,°C Pa=101.33,кПа hотн.=70%	ф-ла (5) [9]	0,02	0,09	0,33	1,12	2,79	4,98	9,04	23,09	77,63		
Учет затухания звука в атмосфере Aatm, дБ		ф-ла (8) [10]	0	0	0,2	0,6	1,5	2,6	4,7	12,1	40,5		
Снижение уровня звукового давления из-за влияния застройки между источником шума и расчетной точкой													

1		2	3	4	5	6	7	8	9	10	11	12	13
Снижение уровня звукового давления на пути над экраном, Dz1, дБ	z = 0.22м (разность путей)	ф-лы (14-18) [10]	4,8	4,8	4,9	5,1	5,4	6	7	8,5	10,4		
Снижение уровня звукового давления на пути слева от экрана, Dz2, дБ	z = 0.28м (разность путей)	ф-лы (14-18) [10]	6,1	7,1	8,6	10,6	13	15,6	18,4	21,4	24,3		
Снижение уровня звукового давления на пути справа от экрана, Dz3, дБ	z = 0.69м (разность путей)	ф-лы (14-18) [10]	7,5	9,1	11,2	13,7	16,4	19,3	22,2	25,2	28,2		
Общее снижение уровня звука препятствием Dz, дБ		Эн.сумма(-Dzi)	1,2	1,9	2,7	3,5	4,4	5,4	6,6	8,2	10,2		
Уровни звукового давления от источника ИШ-2-34 в расчётной точке днём, дБ		**ф-ла(3)[10]**	**0**	**29**	**29,5**	**29,5**	**28,1**	**25,6**	**18,9**	**5,8**	**0**	**29,6**	**29,6**
Уровни звукового давления от источника ИШ-2-34 в расчётной точке ночью, дБ		**ф-ла(3)[10]**	**0**	**29**	**29,5**	**29,5**	**28,1**	**25,6**	**18,9**	**5,8**	**0**	**29,6**	**29,6**
Источник шума: ИШ-2-35, координаты источника (x,y,z), м =[697.52,-91.66,1.00]													
Уровни звуковой мощности источника днём, Lw, дБ		**исходные данные**	**0**	**93,3**	**94,7**	**96**	**96,3**	**95,9**	**92,6**	**88,4**	**83,9**		
Уровни звуковой мощности источника ночью, Lw, дБ		**исходные данные**	**0**	**93,3**	**94,7**	**96**	**96,3**	**95,9**	**92,6**	**88,4**	**83,9**		
Поправка на телесный угол DΩ, дБ	Ω = 6.28	10Lg(4π/Ω)	**3**	3	3	3	3	3	3	3	3		
Показатель направленности источника Di, дБ		исходные данные	**0**	0	0	0	0	0	0	0	0		
Поправка на направленность источника Dc, дБ	Dc	DΩ + Di	**3**	3	3	3	3	3	3	3	3		
Затухание из-за геометрической дивергенции, Adiv, дБ	расстояние = 520.65 м	ф-ла (7) [10]	**65,3**										
Коэффициент затухания звука в атмосфере α, дБ/км	Ta=20,°C Pa=101.33,кПа hотн.=70%	ф-ла (5) [9]	0,02	0,09	0,33	1,12	2,79	4,98	9,04	23,09	77,63		
Учет затухания звука в атмосфере Aatm, дБ		ф-ла (8) [10]	0	0	0,2	0,6	1,5	2,6	4,7	12	40,4		
Снижение уровня звукового давления из-за влияния застройки между источником шума и расчетной точкой													

1		2	3	4	5	6	7	8	9	10	11	12	13
Снижение уровня звукового давления на пути над экраном, Dz1, дБ	z = 0.22м (разность путей)	ф-лы (14-18) [10]	4,8	4,8	4,9	5	5,4	6	7	8,5	10,4		
Снижение уровня звукового давления на пути слева от экрана, Dz2, дБ	z = 0.20м (разность путей)	ф-лы (14-18) [10]	5,7	6,5	7,7	9,4	11,6	14,2	16,9	19,8	22,8		
Снижение уровня звукового давления на пути справа от экрана, Dz3, дБ	z = 0.84м (разность путей)	ф-лы (14-18) [10]	7,9	9,7	11,9	14,4	17,2	20,1	23	26	29		
Общее снижение уровня звука препятствием Dz, дБ		Эн.сумма(-Dzi)	1,2	1,8	2,5	3,3	4,2	5,2	6,5	8,1	10,1		
Уровни звукового давления от источника ИШ-2-35 в расчётной точке днём, дБ		**ф-ла(3)[10]**	**0**	**29,1**	**29,7**	**29,7**	**28,3**	**25,7**	**19,1**	**6**	**0**	**29,8**	**29,8**
Уровни звукового давления от источника ИШ-2-35 в расчётной точке ночью, дБ		**ф-ла(3)[10]**	**0**	**29,1**	**29,7**	**29,7**	**28,3**	**25,7**	**19,1**	**6**	**0**	**29,8**	**29,8**
Источник шума: ИШ-2-36, координаты источника (x,y,z), м =[696.58,-94.55,1.00]													
Уровни звуковой мощности источника днём, Lw, дБ		**исходные данные**	**0**	**93,3**	**94,7**	**96**	**96,3**	**95,9**	**92,6**	**88,4**	**83,9**		
Уровни звуковой мощности источника ночью, Lw, дБ		**исходные данные**	**0**	**93,3**	**94,7**	**96**	**96,3**	**95,9**	**92,6**	**88,4**	**83,9**		
Поправка на телесный угол DΩ, дБ	Ω = 6.28	10Lg(4π/Ω)	**3**	3	3	3	3	3	3	3	3		
Показатель направленности источника Di, дБ		исходные данные	**0**	0	0	0	0	0	0	0	0		
Поправка на направленность источника Dc, дБ	Dc	DΩ + Di	**3**	3	3	3	3	3	3	3	3		
Затухание из-за геометрической дивергенции, Adiv, дБ	расстояние = 519.25 м	ф-ла (7) [10]	**65,3**										
Коэффициент затухания звука в атмосфере α, дБ/км	Ta=20,°C Pa=101.33,кПа hотн.=70%	ф-ла (5) [9]	0,02	0,09	0,33	1,12	2,79	4,98	9,04	23,09	77,63		
Учет затухания звука в атмосфере Aatm, дБ		ф-ла (8) [10]	0	0	0,2	0,6	1,4	2,6	4,7	12	40,3		
Снижение уровня звукового давления из-за влияния застройки между источником шума и расчетной точкой													

1		2	3	4	5	6	7	8	9	10	11	12	13
Снижение уровня звукового давления на пути над экраном, Dz1, дБ	z = 0.22м (разность путей)	ф-лы (14-18) [10]	4,8	4,8	4,9	5	5,4	6	7	8,4	10,4		
Снижение уровня звукового давления на пути слева от экрана, Dz2, дБ	z = 0.12м (разность путей)	ф-лы (14-18) [10]	5,4	5,9	6,8	8,2	10,1	12,4	15,1	17,9	20,8		
Снижение уровня звукового давления на пути справа от экрана, Dz3, дБ	z = 1.01м (разность путей)	ф-лы (14-18) [10]	8,3	10,2	12,5	15,2	18	20,9	23,8	26,8	29,8		
Общее снижение уровня звука препятствием Dz, дБ		Эн.сумма(-Dzi)	1,1	1,7	2,3	3	3,9	5	6,3	7,9	10		
Уровни звукового давления от источника ИШ-2-36 в расчётной точке днём, дБ		**ф-ла(3)[10]**	**0**	**29,3**	**29,9**	**30,1**	**28,6**	**26**	**19,3**	**6,2**	**0**	**30,1**	**30,1**
Уровни звукового давления от источника ИШ-2-36 в расчётной точке ночью, дБ		**ф-ла(3)[10]**	**0**	**29,3**	**29,9**	**30,1**	**28,6**	**26**	**19,3**	**6,2**	**0**	**30,1**	**30,1**
Источник шума: ИШ-2-37, координаты источника (x,y,z), м =[695.57,-97.37,1.00]													
Уровни звуковой мощности источника днём, Lw, дБ		**исходные данные**	**0**	**93,3**	**94,7**	**96**	**96,3**	**95,9**	**92,6**	**88,4**	**83,9**		
Уровни звуковой мощности источника ночью, Lw, дБ		**исходные данные**	**0**	**93,3**	**94,7**	**96**	**96,3**	**95,9**	**92,6**	**88,4**	**83,9**		
Поправка на телесный угол DΩ, дБ	Ω = 6.28	10Lg(4π/Ω)	**3**	3	3	3	3	3	3	3	3		
Показатель направленности источника Di, дБ		исходные данные	**0**	0	0	0	0	0	0	0	0		
Поправка на направленность источника Dc, дБ	Dc	DΩ + Di	**3**	3	3	3	3	3	3	3	3		
Затухание из-за геометрической дивергенции, Adiv, дБ	расстояние = 517.80 м	ф-ла (7) [10]	**65,3**										
Коэффициент затухания звука в атмосфере α, дБ/км	Ta=20,°C Pa=101.33,кПа hотн.=70%	ф-ла (5) [9]	0,02	0,09	0,33	1,12	2,79	4,98	9,04	23,09	77,63		
Учет затухания звука в атмосфере Aatm, дБ		ф-ла (8) [10]	0	0	0,2	0,6	1,4	2,6	4,7	12	40,2		
Снижение уровня звукового давления из-за влияния застройки между источником шума и расчетной точкой													

1		2	3	4	5	6	7	8	9	10	11	12	13
Снижение уровня звукового давления на пути над экраном, Dz1, дБ	z = 0.22м (разность путей)	ф-лы (14-18) [10]	4,8	4,8	4,8	5	5,3	5,9	6,9	8,4	10,4		
Снижение уровня звукового давления на пути слева от экрана, Dz2, дБ	z = 0.07м (разность путей)	ф-лы (14-18) [10]	5,1	5,4	6	7	8,5	10,4	12,8	15,5	18,3		
Снижение уровня звукового давления на пути справа от экрана, Dz3, дБ	z = 1.20м (разность путей)	ф-лы (14-18) [10]	8,7	10,7	13,1	15,8	18,7	21,6	24,5	27,5	30,5		
Общее снижение уровня звука препятствием Dz, дБ		Эн.сумма(-Dzi)	1,1	1,5	2	2,7	3,5	4,5	5,9	7,6	9,7		
Уровни звукового давления от источника ИШ-2-37 в расчётной точке днём, дБ		**ф-ла(3)[10]**	**0**	**29,4**	**30,2**	**30,5**	**29,1**	**26,5**	**19,8**	**6,6**	**0**	**30,6**	**30,6**
Уровни звукового давления от источника ИШ-2-37 в расчётной точке ночью, дБ		**ф-ла(3)[10]**	**0**	**29,4**	**30,2**	**30,5**	**29,1**	**26,5**	**19,8**	**6,6**	**0**	**30,6**	**30,6**
Источник шума: ИШ-2-5, координаты источника (x,y,z), м =[618.60,-108.00,3.00]													
Уровни звуковой мощности источника днём, Lw, дБ		**исходные данные**	**105**	**104**	**104**	**101**	**102**	**106**	**101**	**95**	**87**		
Уровни звуковой мощности источника ночью, Lw, дБ		**исходные данные**	**105**	**104**	**104**	**101**	**102**	**106**	**101**	**95**	**87**		
Поправка на телесный угол DΩ, дБ	Ω = 6.28	10Lg(4π/Ω)	**3**	3	3	3	3	3	3	3	3		
Показатель направленности источника Di, дБ		исходные данные	**0**	0	0	0	0	0	0	0	0		
Поправка на направленность источника Dc, дБ	Dc	DΩ + Di	**3**	3	3	3	3	3	3	3	3		
Затухание из-за геометрической дивергенции, Adiv, дБ	расстояние = 440.11 м	ф-ла (7) [10]	**63,9**										
Коэффициент затухания звука в атмосфере α, дБ/км	Ta=20,°C Pa=101.33,кПа hотн.=70%	ф-ла (5) [9]	0,02	0,09	0,33	1,12	2,79	4,98	9,04	23,09	77,63		
Учет затухания звука в атмосфере Aatm, дБ		ф-ла (8) [10]	0	0	0,1	0,5	1,2	2,2	4	10,2	34,2		
Снижение уровня звукового давления из-за влияния застройки между источником шума и расчетной точкой													

1		2	3	4	5	6	7	8	9	10	11	12	13
Снижение уровня звукового давления на пути над экраном, Dz1, дБ	z = 0.21м (разность путей)	ф-лы (14-18) [10]	4,8	4,9	5	5,4	6,3	7,6	9,4	11,6	14,1		
Снижение уровня звукового давления на пути слева от экрана, Dz2, дБ	z = 0.14м (разность путей)	ф-лы (14-18) [10]	5,5	6,1	7	8,5	10,5	12,9	15,5	18,3	21,3		
Снижение уровня звукового давления на пути справа от экрана, Dz3, дБ	z = 1.32м (разность путей)	ф-лы (14-18) [10]	9	11,1	13,5	16,2	19,1	22	25	27,9	30,9		
Общее снижение уровня звука препятствием Dz, дБ		Эн.сумма(-Dzi)	1,3	1,9	2,5	3,5	4,7	6,3	8,3	10,7	13,3		
Уровни звукового давления от источника ИШ-2-5 в расчётной точке днём, дБ		**ф-ла(3)[10]**	**42,8**	**41,2**	**40,5**	**36,2**	**35,2**	**36,6**	**27,8**	**13,3**	**0**	**39**	**39**
Уровни звукового давления от источника ИШ-2-5 в расчётной точке ночью, дБ		**ф-ла(3)[10]**	**42,8**	**41,2**	**40,5**	**36,2**	**35,2**	**36,6**	**27,8**	**13,3**	**0**	**39**	**39**
Источник шума: ИШ-2-38, координаты источника (x,y,z), м =[688.13,-119.94,1.00]													
Уровни звуковой мощности источника днём, Lw, дБ		**исходные данные**	**0**	**93,3**	**94,7**	**96**	**96,3**	**95,9**	**92,6**	**88,4**	**83,9**		
Уровни звуковой мощности источника ночью, Lw, дБ		**исходные данные**	**0**	**93,3**	**94,7**	**96**	**96,3**	**95,9**	**92,6**	**88,4**	**83,9**		
Поправка на телесный угол DΩ, дБ	Ω = 6.28	10Lg(4π/Ω)	**3**	3	3	3	3	3	3	3	3		
Показатель направленности источника Di, дБ		исходные данные	**0**	0	0	0	0	0	0	0	0		
Поправка на направленность источника Dc, дБ	Dc	DΩ + Di	**3**	3	3	3	3	3	3	3	3		
Затухание из-за геометрической дивергенции, Adiv, дБ	расстояние = 507.33 м	ф-ла (7) [10]	**65,1**										
Коэффициент затухания звука в атмосфере α, дБ/км	Ta=20,°C Pa=101.33,кПа hотн.=70%	ф-ла (5) [9]	0,02	0,09	0,33	1,12	2,79	4,98	9,04	23,09	77,63		
Учет затухания звука в атмосфере Aatm, дБ		ф-ла (8) [10]	0	0	0,2	0,6	1,4	2,5	4,6	11,7	39,4		
Снижение поверхностью земли возле источника As, дБ	Gs = 0 hs = 1м	ф-лы таб.3 [10]	-1,5	-1,5	-1,5	-1,5	-1,5	-1,5	-1,5	-1,5	-1,5		

1		2	3	4	5	6	7	8	9	10	11	12	13
Снижение поверхностью земли возле приёмника Ar, дБ	Gr = 1 hr = 4.6м	ф-лы таб.3 [10]	-1,5	-1,5	3,4	1,3	0	0	0	0	0		
Снижение поверхностью земли в средней зоне, Am дБ	Gm = 1	ф-лы таб.3 [10]	-2	-2	0	0	0	0	0	0	0		
Суммарное снижение поверхностью земли на траектории распространения звука Agr, дБ		ф-ла (9) [10]	-5	-5	1,9	-0,2	-1,5	-1,5	-1,5	-1,5	-1,5		
Уровни звукового давления прямого звука от источника ИШ-2-38 в расчётной точке днём, дБ		**ф-ла(3)[10]**	**0**	**36,1**	**30,5**	**33,5**	**34,3**	**32,8**	**27,4**	**16,1**	**0**	**36,3**	**36,3**
Уровни звукового давления прямого звука от источника ИШ-2-38 в расчётной точке ночью, дБ		**ф-ла(3)[10]**	**0**	**36,1**	**30,5**	**33,5**	**34,3**	**32,8**	**27,4**	**16,1**	**0**	**36,3**	**36,3**
Расчёт отражённого звука													
Уровни звукового давления от мнимого источника ИШ-2-38_мн.(1) в расчётной точке днём, дБ		**ф-ла(3)[10]**	**0**	**0**	**0**	**0**	**0**	**0**	**0**	**0**	**0**	**0**	**0**
Уровни звукового давления от мнимого источника ИШ-2-38_мн.(1) в расчётной точке ночью, дБ		**ф-ла(3)[10]**	**0**	**0**	**0**	**0**	**0**	**0**	**0**	**0**	**0**	**0**	**0**
Уровни звукового давления от мнимого источника ИШ-2-38_мн.(2) в расчётной точке днём, дБ		**ф-ла(3)[10]**	**0**	**0**	**0**	**0**	**0**	**0**	**0**	**0**	**0**	**0**	**0**
Уровни звукового давления от мнимого источника ИШ-2-38_мн.(2) в расчётной точке ночью, дБ		**ф-ла(3)[10]**	**0**	**0**	**0**	**0**	**0**	**0**	**0**	**0**	**0**	**0**	**0**
Уровни звукового давления от мнимого источника ИШ-2-38_мн.(3) в расчётной точке днём, дБ		**ф-ла(3)[10]**	**0**	**0**	**24,9**	**23,2**	**22,9**	**28,2**	**24,9**	**13,5**	**0**	**30,9**	**30,9**
Уровни звукового давления от мнимого источника ИШ-2-38_мн.(3) в расчётной точке ночью, дБ		**ф-ла(3)[10]**	**24,9**	**24,9**	**24,9**	**24,9**	**24,9**	**24,9**	**24,9**	**24,9**	**24,9**	**30,9**	**30,9**
Суммарные уровни звукового давления от мнимых источников в расчётной точке днём, дБ		**ф-ла (19) [1]**	**0**	**0**	**24,9**	**23,2**	**22,9**	**28,2**	**24,9**	**13,5**	**0**	**0**	**30,9**
Суммарные уровни звукового давления от мнимых источников в расчётной точке ночью, дБ		**ф-ла (19) [1]**	**0**	**0**	**24,9**	**23,2**	**22,9**	**28,2**	**24,9**	**13,5**	**0**	**0**	**30,9**
Уровни звукового давления от источника ИШ-2-38 в расчётной точке днём, дБ		**ф-ла(3)[10]**	**0**	**36,1**	**31,6**	**33,9**	**34,6**	**34,1**	**29,3**	**18**	**0**	**37,4**	**37,4**
Уровни звукового давления от источника ИШ-2-38 в расчётной точке ночью, дБ		**ф-ла(3)[10]**	**0**	**36,1**	**31,6**	**33,9**	**34,6**	**34,1**	**29,3**	**18**	**0**	**37,4**	**37,4**
Источник шума: ИШ-2-39, координаты источника (x,y,z), м =[687.11,-122.83,1.00]													

1		2	3	4	5	6	7	8	9	10	11	12	13
Уровни звуковой мощности источника днём, Lw, дБ		**исходные данные**	**0**	**93,3**	**94,7**	**96**	**96,3**	**95,9**	**92,6**	**88,4**	**83,9**		
Уровни звуковой мощности источника ночью, Lw, дБ		**исходные данные**	**0**	**93,3**	**94,7**	**96**	**96,3**	**95,9**	**92,6**	**88,4**	**83,9**		
Поправка на телесный угол DΩ, дБ	Ω = 6.28	10Lg(4π/Ω)	**3**	3	3	3	3	3	3	3	3		
Показатель направленности источника Di, дБ		исходные данные	**0**	0	0	0	0	0	0	0	0		
Поправка на направленность источника Dc, дБ	Dc	DΩ + Di	**3**	3	3	3	3	3	3	3	3		
Затухание из-за геометрической дивергенции, Adiv, дБ	расстояние = 505.99 м	ф-ла (7) [10]	**65,1**										
Коэффициент затухания звука в атмосфере α, дБ/км	Ta=20,°C Pa=101.33,кПа hотн.=70%	ф-ла (5) [9]	0,02	0,09	0,33	1,12	2,79	4,98	9,04	23,09	77,63		
Учет затухания звука в атмосфере Aatm, дБ		ф-ла (8) [10]	0	0	0,2	0,6	1,4	2,5	4,6	11,7	39,3		
Снижение поверхностью земли возле источника As, дБ	Gs = 0 hs = 1м	ф-лы таб.3 [10]	-1,5	-1,5	-1,5	-1,5	-1,5	-1,5	-1,5	-1,5	-1,5		
Снижение поверхностью земли возле приёмника Ar, дБ	Gr = 1 hr = 4.6м	ф-лы таб.3 [10]	-1,5	-1,5	3,4	1,3	0	0	0	0	0		
Снижение поверхностью земли в средней зоне, Am дБ	Gm = 1	ф-лы таб.3 [10]	-2	-2	0	0	0	0	0	0	0		
Суммарное снижение поверхностью земли на траектории распространения звука Agr, дБ		ф-ла (9) [10]	-5	-5	1,9	-0,2	-1,5	-1,5	-1,5	-1,5	-1,5		
Уровни звукового давления прямого звука от источника ИШ-2-39 в расчётной точке днём, дБ		**ф-ла(3)[10]**	**0**	**36,2**	**30,6**	**33,6**	**34,3**	**32,8**	**27,4**	**16,1**	**0**	**36,4**	**36,4**
Уровни звукового давления прямого звука от источника ИШ-2-39 в расчётной точке ночью, дБ		**ф-ла(3)[10]**	**0**	**36,2**	**30,6**	**33,6**	**34,3**	**32,8**	**27,4**	**16,1**	**0**	**36,4**	**36,4**
Расчёт отражённого звука													
Уровни звукового давления от мнимого источника ИШ-2-39_мн.(1) в расчётной точке днём, дБ		**ф-ла(3)[10]**	**0**	**0**	**0**	**0**	**0**	**0**	**0**	**0**	**0**	**0**	**0**
Уровни звукового давления от мнимого источника ИШ-2-39_мн.(1) в расчётной точке ночью, дБ		**ф-ла(3)[10]**	**0**	**0**	**0**	**0**	**0**	**0**	**0**	**0**	**0**	**0**	**0**

1		2	3	4	5	6	7	8	9	10	11	12	13
Уровни звукового давления от мнимого источника ИШ-2-39_мн.(2) в расчётной точке днём, дБ		**ф-ла(3)[10]**	**0**	**0**	**0**	**0**	**0**	**0**	**0**	**0**	**0**	**0**	**0**
Уровни звукового давления от мнимого источника ИШ-2-39_мн.(2) в расчётной точке ночью, дБ		**ф-ла(3)[10]**	**0**	**0**	**0**	**0**	**0**	**0**	**0**	**0**	**0**	**0**	**0**
Уровни звукового давления от мнимого источника ИШ-2-39_мн.(3) в расчётной точке днём, дБ		**ф-ла(3)[10]**	**0**	**0**	**24,9**	**23,2**	**23**	**28,2**	**24,9**	**13,6**	**0**	**30,9**	**30,9**
Уровни звукового давления от мнимого источника ИШ-2-39_мн.(3) в расчётной точке ночью, дБ		**ф-ла(3)[10]**	**24,9**	**24,9**	**24,9**	**24,9**	**24,9**	**24,9**	**24,9**	**24,9**	**24,9**	**30,9**	**30,9**
Суммарные уровни звукового давления от мнимых источников в расчётной точке днём, дБ		**ф-ла (19) [1]**	**0**	**0**	**24,9**	**23,2**	**23**	**28,2**	**24,9**	**13,6**	**0**	**0**	**30,9**
Суммарные уровни звукового давления от мнимых источников в расчётной точке ночью, дБ		**ф-ла (19) [1]**	**0**	**0**	**24,9**	**23,2**	**23**	**28,2**	**24,9**	**13,6**	**0**	**0**	**30,9**
Уровни звукового давления от источника ИШ-2-39 в расчётной точке днём, дБ		**ф-ла(3)[10]**	**0**	**36,2**	**31,6**	**33,9**	**34,6**	**34,1**	**29,4**	**18,1**	**0**	**37,4**	**37,4**
Уровни звукового давления от источника ИШ-2-39 в расчётной точке ночью, дБ		**ф-ла(3)[10]**	**0**	**36,2**	**31,6**	**33,9**	**34,6**	**34,1**	**29,4**	**18,1**	**0**	**37,4**	**37,4**
Источник шума: ИШ-2-40, координаты источника (x,y,z), м =[686.10,-125.67,1.00]													
Уровни звуковой мощности источника днём, Lw, дБ		**исходные данные**	**0**	**93,3**	**94,7**	**96**	**96,3**	**95,9**	**92,6**	**88,4**	**83,9**		
Уровни звуковой мощности источника ночью, Lw, дБ		**исходные данные**	**0**	**93,3**	**94,7**	**96**	**96,3**	**95,9**	**92,6**	**88,4**	**83,9**		
Поправка на телесный угол DΩ, дБ	Ω = 6.28	10Lg(4π/Ω)	**3**	3	3	3	3	3	3	3	3		
Показатель направленности источника Di, дБ		исходные данные	**0**	0	0	0	0	0	0	0	0		
Поправка на направленность источника Dc, дБ	Dc	DΩ + Di	**3**	3	3	3	3	3	3	3	3		
Затухание из-за геометрической дивергенции, Adiv, дБ	расстояние = 504.68 м	ф-ла (7) [10]	**65,1**										
Коэффициент затухания звука в атмосфере α, дБ/км	Ta=20,°C Pa=101.33,кПа hотн.=70%	ф-ла (5) [9]	0,02	0,09	0,33	1,12	2,79	4,98	9,04	23,09	77,63		

1		2	3	4	5	6	7	8	9	10	11	12	13
Учет затухания звука в атмосфере Aatm, дБ		ф-ла (8) [10]	0	0	0,2	0,6	1,4	2,5	4,6	11,7	39,2		
Снижение поверхностью земли возле источника As, дБ	Gs = 0 hs = 1м	ф-лы таб.3 [10]	-1,5	-1,5	-1,5	-1,5	-1,5	-1,5	-1,5	-1,5	-1,5		
Снижение поверхностью земли возле приёмника Ar, дБ	Gr = 1 hr = 4.6м	ф-лы таб.3 [10]	-1,5	-1,5	3,4	1,3	0	0	0	0	0		
Снижение поверхностью земли в средней зоне, Am дБ	Gm = 1	ф-лы таб.3 [10]	-2	-2	0	0	0	0	0	0	0		
Суммарное снижение поверхностью земли на траектории распространения звука Agr, дБ		ф-ла (9) [10]	-5	-5	1,9	-0,2	-1,5	-1,5	-1,5	-1,5	-1,5		
Уровни звукового давления прямого звука от источника ИШ-2-40 в расчётной точке днём, дБ		**ф-ла(3)[10]**	**0**	**36,2**	**30,6**	**33,6**	**34,3**	**32,8**	**27,5**	**16,2**	**0**	**36,4**	**36,4**
Уровни звукового давления прямого звука от источника ИШ-2-40 в расчётной точке ночью, дБ		**ф-ла(3)[10]**	**0**	**36,2**	**30,6**	**33,6**	**34,3**	**32,8**	**27,5**	**16,2**	**0**	**36,4**	**36,4**
Расчёт отражённого звука													
Уровни звукового давления от мнимого источника ИШ-2-40_мн.(1) в расчётной точке днём, дБ		**ф-ла(3)[10]**	**0**	**0**	**0**	**0**	**0**	**0**	**0**	**0**	**0**	**0**	**0**
Уровни звукового давления от мнимого источника ИШ-2-40_мн.(1) в расчётной точке ночью, дБ		**ф-ла(3)[10]**	**0**	**0**	**0**	**0**	**0**	**0**	**0**	**0**	**0**	**0**	**0**
Уровни звукового давления от мнимого источника ИШ-2-40_мн.(2) в расчётной точке днём, дБ		**ф-ла(3)[10]**	**0**	**0**	**25**	**23,2**	**23**	**28,3**	**25**	**13,6**	**0**	**31**	**31**
Уровни звукового давления от мнимого источника ИШ-2-40_мн.(2) в расчётной точке ночью, дБ		**ф-ла(3)[10]**	**0**	**0**	**0**	**0**	**0**	**0**	**0**	**0**	**0**	**31**	**31**
Суммарные уровни звукового давления от мнимых источников в расчётной точке днём, дБ		**ф-ла (19) [1]**	**0**	**0**	**25**	**23,2**	**23**	**28,3**	**25**	**13,6**	**0**	**0**	**31**
Суммарные уровни звукового давления от мнимых источников в расчётной точке ночью, дБ		**ф-ла (19) [1]**	**0**	**0**	**25**	**23,2**	**23**	**28,3**	**25**	**13,6**	**0**	**0**	**31**
Уровни звукового давления от источника ИШ-2-40 в расчётной точке днём, дБ		**ф-ла(3)[10]**	**0**	**36,2**	**31,6**	**34**	**34,6**	**34,1**	**29,4**	**18,1**	**0**	**37,5**	**37,5**
Уровни звукового давления от источника ИШ-2-40 в расчётной точке ночью, дБ		**ф-ла(3)[10]**	**0**	**36,2**	**31,6**	**34**	**34,6**	**34,1**	**29,4**	**18,1**	**0**	**37,5**	**37,5**
Источник шума: ИШ-2-41, координаты источника (x,y,z), м =[685.14,-128.64,1.00]													

1		2	3	4	5	6	7	8	9	10	11	12	13
Уровни звуковой мощности источника днём, Lw, дБ		**исходные данные**	**0**	**93,3**	**94,7**	**96**	**96,3**	**95,9**	**92,6**	**88,4**	**83,9**		
Уровни звуковой мощности источника ночью, Lw, дБ		**исходные данные**	**0**	**93,3**	**94,7**	**96**	**96,3**	**95,9**	**92,6**	**88,4**	**83,9**		
Поправка на телесный угол DΩ, дБ	Ω = 6.28	10Lg(4π/Ω)	**3**	3	3	3	3	3	3	3	3		
Показатель направленности источника Di, дБ		исходные данные	**0**	0	0	0	0	0	0	0	0		
Поправка на направленность источника Dc, дБ	Dc	DΩ + Di	**3**	3	3	3	3	3	3	3	3		
Затухание из-за геометрической дивергенции, Adiv, дБ	расстояние = 503.42 м	ф-ла (7) [10]	**65**										
Коэффициент затухания звука в атмосфере α, дБ/км	Ta=20,°C Pa=101.33,кПа hотн.=70%	ф-ла (5) [9]	0,02	0,09	0,33	1,12	2,79	4,98	9,04	23,09	77,63		
Учет затухания звука в атмосфере Aatm, дБ		ф-ла (8) [10]	0	0	0,2	0,6	1,4	2,5	4,6	11,6	39,1		
Снижение поверхностью земли возле источника As, дБ	Gs = 0 hs = 1м	ф-лы таб.3 [10]	-1,5	-1,5	-1,5	-1,5	-1,5	-1,5	-1,5	-1,5	-1,5		
Снижение поверхностью земли возле приёмника Ar, дБ	Gr = 1 hr = 4.6м	ф-лы таб.3 [10]	-1,5	-1,5	3,4	1,3	0	0	0	0	0		
Снижение поверхностью земли в средней зоне, Am дБ	Gm = 1	ф-лы таб.3 [10]	-2	-2	0	0	0	0	0	0	0		
Суммарное снижение поверхностью земли на траектории распространения звука Agr, дБ		ф-ла (9) [10]	-5	-5	1,9	-0,2	-1,5	-1,5	-1,5	-1,5	-1,5		
Уровни звукового давления прямого звука от источника ИШ-2-41 в расчётной точке днём, дБ		**ф-ла(3)[10]**	**0**	**36,2**	**30,6**	**33,6**	**34,3**	**32,8**	**27,5**	**16,2**	**0**	**36,4**	**36,4**
Уровни звукового давления прямого звука от источника ИШ-2-41 в расчётной точке ночью, дБ		**ф-ла(3)[10]**	**0**	**36,2**	**30,6**	**33,6**	**34,3**	**32,8**	**27,5**	**16,2**	**0**	**36,4**	**36,4**
Расчёт отражённого звука													
Уровни звукового давления от мнимого источника ИШ-2-41_мн.(1) в расчётной точке днём, дБ		**ф-ла(3)[10]**	**0**	**0**	**0**	**0**	**0**	**0**	**0**	**0**	**0**	**0**	**0**
Уровни звукового давления от мнимого источника ИШ-2-41_мн.(1) в расчётной точке ночью, дБ		**ф-ла(3)[10]**	**0**	**0**	**0**	**0**	**0**	**0**	**0**	**0**	**0**	**0**	**0**

1		2	3	4	5	6	7	8	9	10	11	12	13
Уровни звукового давления от мнимого источника ИШ-2-41_мн.(2) в расчётной точке днём, дБ		**ф-ла(3)[10]**	**0**	**0**	**25**	**23,2**	**23**	**28,3**	**25**	**13,7**	**0**	**31**	**31**
Уровни звукового давления от мнимого источника ИШ-2-41_мн.(2) в расчётной точке ночью, дБ		**ф-ла(3)[10]**	**0**	**0**	**0**	**0**	**0**	**0**	**0**	**0**	**0**	**31**	**31**
Суммарные уровни звукового давления от мнимых источников в расчётной точке днём, дБ		**ф-ла (19) [1]**	**0**	**0**	**25**	**23,2**	**23**	**28,3**	**25**	**13,7**	**0**	**0**	**31**
Суммарные уровни звукового давления от мнимых источников в расчётной точке ночью, дБ		**ф-ла (19) [1]**	**0**	**0**	**25**	**23,2**	**23**	**28,3**	**25**	**13,7**	**0**	**0**	**31**
Уровни звукового давления от источника ИШ-2-41 в расчётной точке днём, дБ		**ф-ла(3)[10]**	**0**	**36,2**	**31,7**	**34**	**34,7**	**34,2**	**29,4**	**18,2**	**0**	**37,5**	**37,5**
Уровни звукового давления от источника ИШ-2-41 в расчётной точке ночью, дБ		**ф-ла(3)[10]**	**0**	**36,2**	**31,7**	**34**	**34,7**	**34,2**	**29,4**	**18,2**	**0**	**37,5**	**37,5**
Источник шума: ИШ-2-42, координаты источника (x,y,z), м =[684.20,-131.46,1.00]													
Уровни звуковой мощности источника днём, Lw, дБ		**исходные данные**	**0**	**93,3**	**94,7**	**96**	**96,3**	**95,9**	**92,6**	**88,4**	**83,9**		
Уровни звуковой мощности источника ночью, Lw, дБ		**исходные данные**	**0**	**93,3**	**94,7**	**96**	**96,3**	**95,9**	**92,6**	**88,4**	**83,9**		
Поправка на телесный угол DΩ, дБ	Ω = 6.28	10Lg(4π/Ω)	**3**	3	3	3	3	3	3	3	3		
Показатель направленности источника Di, дБ		исходные данные	**0**	0	0	0	0	0	0	0	0		
Поправка на направленность источника Dc, дБ	Dc	DΩ + Di	**3**	3	3	3	3	3	3	3	3		
Затухание из-за геометрической дивергенции, Adiv, дБ	расстояние = 502.21 м	ф-ла (7) [10]	**65**										
Коэффициент затухания звука в атмосфере α, дБ/км	Ta=20,°C Pa=101.33,кПа hотн.=70%	ф-ла (5) [9]	0,02	0,09	0,33	1,12	2,79	4,98	9,04	23,09	77,63		
Учет затухания звука в атмосфере Aatm, дБ		ф-ла (8) [10]	0	0	0,2	0,6	1,4	2,5	4,5	11,6	39		
Снижение поверхностью земли возле источника As, дБ	Gs = 0 hs = 1м	ф-лы таб.3 [10]	-1,5	-1,5	-1,5	-1,5	-1,5	-1,5	-1,5	-1,5	-1,5		

1		2	3	4	5	6	7	8	9	10	11	12	13
Снижение поверхностью земли возле приёмника Ar, дБ	Gr = 1 hr = 4.6м	ф-лы таб.3 [10]	-1,5	-1,5	3,4	1,3	0	0	0	0	0		
Снижение поверхностью земли в средней зоне, Am дБ	Gm = 1	ф-лы таб.3 [10]	-2	-2	0	0	0	0	0	0	0		
Суммарное снижение поверхностью земли на траектории распространения звука Agr, дБ		ф-ла (9) [10]	-5	-5	1,9	-0,2	-1,5	-1,5	-1,5	-1,5	-1,5		
Уровни звукового давления прямого звука от источника ИШ-2-42 в расчётной точке днём, дБ		**ф-ла(3)[10]**	**0**	**36,2**	**30,6**	**33,6**	**34,4**	**32,9**	**27,5**	**16,3**	**0**	**36,4**	**36,4**
Уровни звукового давления прямого звука от источника ИШ-2-42 в расчётной точке ночью, дБ		**ф-ла(3)[10]**	**0**	**36,2**	**30,6**	**33,6**	**34,4**	**32,9**	**27,5**	**16,3**	**0**	**36,4**	**36,4**
Расчёт отражённого звука													
Уровни звукового давления от мнимого источника ИШ-2-42_мн.(1) в расчётной точке днём, дБ		**ф-ла(3)[10]**	**0**	**0**	**0**	**0**	**0**	**0**	**0**	**0**	**0**	**0**	**0**
Уровни звукового давления от мнимого источника ИШ-2-42_мн.(1) в расчётной точке ночью, дБ		**ф-ла(3)[10]**	**0**	**0**	**0**	**0**	**0**	**0**	**0**	**0**	**0**	**0**	**0**
Уровни звукового давления от мнимого источника ИШ-2-42_мн.(2) в расчётной точке днём, дБ		**ф-ла(3)[10]**	**0**	**0**	**25**	**23,3**	**23**	**28,3**	**25**	**13,7**	**0**	**31**	**31**
Уровни звукового давления от мнимого источника ИШ-2-42_мн.(2) в расчётной точке ночью, дБ		**ф-ла(3)[10]**	**0**	**0**	**0**	**0**	**0**	**0**	**0**	**0**	**0**	**31**	**31**
Суммарные уровни звукового давления от мнимых источников в расчётной точке днём, дБ		**ф-ла (19) [1]**	**0**	**0**	**25**	**23,3**	**23**	**28,3**	**25**	**13,7**	**0**	**0**	**31**
Суммарные уровни звукового давления от мнимых источников в расчётной точке ночью, дБ		**ф-ла (19) [1]**	**0**	**0**	**25**	**23,3**	**23**	**28,3**	**25**	**13,7**	**0**	**0**	**31**
Уровни звукового давления от источника ИШ-2-42 в расчётной точке днём, дБ		**ф-ла(3)[10]**	**0**	**36,2**	**31,7**	**34**	**34,7**	**34,2**	**29,5**	**18,2**	**0**	**37,5**	**37,5**
Уровни звукового давления от источника ИШ-2-42 в расчётной точке ночью, дБ		**ф-ла(3)[10]**	**0**	**36,2**	**31,7**	**34**	**34,7**	**34,2**	**29,5**	**18,2**	**0**	**37,5**	**37,5**
Источник шума: ИШ-2-43, координаты источника (x,y,z), м =[683.13,-134.37,1.00]													
Уровни звуковой мощности источника днём, Lw, дБ		**исходные данные**	**0**	**93,3**	**94,7**	**96**	**96,3**	**95,9**	**92,6**	**88,4**	**83,9**		
Уровни звуковой мощности источника ночью, Lw, дБ		**исходные данные**	**0**	**93,3**	**94,7**	**96**	**96,3**	**95,9**	**92,6**	**88,4**	**83,9**		

1		2	3	4	5	6	7	8	9	10	11	12	13
Поправка на телесный угол DΩ, дБ	Ω = 6.28	10Lg(4π/Ω)	**3**	3	3	3	3	3	3	3	3		
Показатель направленности источника Di, дБ		исходные данные	**0**	0	0	0	0	0	0	0	0		
Поправка на направленность источника Dc, дБ	Dc	DΩ + Di	**3**	3	3	3	3	3	3	3	3		
Затухание из-за геометрической дивергенции, Adiv, дБ	расстояние = 500.88 м	ф-ла (7) [10]	**65**										
Коэффициент затухания звука в атмосфере α, дБ/км	Ta=20,°C Pa=101.33,кПа hотн.=70%	ф-ла (5) [9]	0,02	0,09	0,33	1,12	2,79	4,98	9,04	23,09	77,63		
Учет затухания звука в атмосфере Aatm, дБ		ф-ла (8) [10]	0	0	0,2	0,6	1,4	2,5	4,5	11,6	38,9		
Снижение поверхностью земли возле источника As, дБ	Gs = 0 hs = 1м	ф-лы таб.3 [10]	-1,5	-1,5	-1,5	-1,5	-1,5	-1,5	-1,5	-1,5	-1,5		
Снижение поверхностью земли возле приёмника Ar, дБ	Gr = 1 hr = 4.6м	ф-лы таб.3 [10]	-1,5	-1,5	3,4	1,3	0	0	0	0	0		
Снижение поверхностью земли в средней зоне, Am дБ	Gm = 1	ф-лы таб.3 [10]	-2	-2	0	0	0	0	0	0	0		
Суммарное снижение поверхностью земли на траектории распространения звука Agr, дБ		ф-ла (9) [10]	-5	-5	1,9	-0,2	-1,5	-1,5	-1,5	-1,5	-1,5		
Уровни звукового давления прямого звука от источника ИШ-2-43 в расчётной точке днём, дБ		**ф-ла(3)[10]**	**0**	**36,2**	**30,7**	**33,7**	**34,4**	**32,9**	**27,6**	**16,3**	**0**	**36,5**	**36,5**
Уровни звукового давления прямого звука от источника ИШ-2-43 в расчётной точке ночью, дБ		**ф-ла(3)[10]**	**0**	**36,2**	**30,7**	**33,7**	**34,4**	**32,9**	**27,6**	**16,3**	**0**	**36,5**	**36,5**
Расчёт отражённого звука													
Уровни звукового давления от мнимого источника ИШ-2-43_мн.(1) в расчётной точке днём, дБ		**ф-ла(3)[10]**	**0**	**0**	**0**	**0**	**0**	**0**	**0**	**0**	**0**	**0**	**0**
Уровни звукового давления от мнимого источника ИШ-2-43_мн.(1) в расчётной точке ночью, дБ		**ф-ла(3)[10]**	**0**	**0**	**0**	**0**	**0**	**0**	**0**	**0**	**0**	**0**	**0**
Уровни звукового давления от мнимого источника ИШ-2-43_мн.(2) в расчётной точке днём, дБ		**ф-ла(3)[10]**	**0**	**0**	**25,1**	**23,3**	**23,1**	**28,4**	**25,1**	**13,8**	**0**	**31**	**31**
Уровни звукового давления от мнимого источника ИШ-2-43_мн.(2) в расчётной точке ночью, дБ		**ф-ла(3)[10]**	**0**	**0**	**0**	**0**	**0**	**0**	**0**	**0**	**0**	**31**	**31**

1		2	3	4	5	6	7	8	9	10	11	12	13
Суммарные уровни звукового давления от мнимых источников в расчётной точке днём, дБ		**ф-ла (19) [1]**	**0**	**0**	**25,1**	**23,3**	**23,1**	**28,4**	**25,1**	**13,8**	**0**	**0**	**31**
Суммарные уровни звукового давления от мнимых источников в расчётной точке ночью, дБ		**ф-ла (19) [1]**	**0**	**0**	**25,1**	**23,3**	**23,1**	**28,4**	**25,1**	**13,8**	**0**	**0**	**31**
Уровни звукового давления от источника ИШ-2-43 в расчётной точке днём, дБ		**ф-ла(3)[10]**	**0**	**36,2**	**31,7**	**34**	**34,7**	**34,2**	**29,5**	**18,3**	**0**	**37,6**	**37,6**
Уровни звукового давления от источника ИШ-2-43 в расчётной точке ночью, дБ		**ф-ла(3)[10]**	**0**	**36,2**	**31,7**	**34**	**34,7**	**34,2**	**29,5**	**18,3**	**0**	**37,6**	**37,6**
Источник шума: ИШ-2-44, координаты источника (x,y,z), м =[682.20,-137.16,1.00]													
Уровни звуковой мощности источника днём, Lw, дБ		**исходные данные**	**0**	**93,3**	**94,7**	**96**	**96,3**	**95,9**	**92,6**	**88,4**	**83,9**		
Уровни звуковой мощности источника ночью, Lw, дБ		**исходные данные**	**0**	**93,3**	**94,7**	**96**	**96,3**	**95,9**	**92,6**	**88,4**	**83,9**		
Поправка на телесный угол DΩ, дБ	Ω = 6.28	10Lg(4π/Ω)	**3**	3	3	3	3	3	3	3	3		
Показатель направленности источника Di, дБ		исходные данные	**0**	0	0	0	0	0	0	0	0		
Поправка на направленность источника Dc, дБ	Dc	DΩ + Di	**3**	3	3	3	3	3	3	3	3		
Затухание из-за геометрической дивергенции, Adiv, дБ	расстояние = 499.70 м	ф-ла (7) [10]	**65**										
Коэффициент затухания звука в атмосфере α, дБ/км	Ta=20,°C Pa=101.33,кПа hотн.=70%	ф-ла (5) [9]	0,02	0,09	0,33	1,12	2,79	4,98	9,04	23,09	77,63		
Учет затухания звука в атмосфере Aatm, дБ		ф-ла (8) [10]	0	0	0,2	0,6	1,4	2,5	4,5	11,5	38,8		
Снижение поверхностью земли возле источника As, дБ	Gs = 0 hs = 1м	ф-лы таб.3 [10]	-1,5	-1,5	-1,5	-1,5	-1,5	-1,5	-1,5	-1,5	-1,5		
Снижение поверхностью земли возле приёмника Ar, дБ	Gr = 1 hr = 4.6м	ф-лы таб.3 [10]	-1,5	-1,5	3,4	1,3	0	0	0	0	0		
Снижение поверхностью земли в средней зоне, Am дБ	Gm = 1	ф-лы таб.3 [10]	-2	-2	0	0	0	0	0	0	0		

1		2	3	4	5	6	7	8	9	10	11	12	13
Суммарное снижение поверхностью земли на траектории распространения звука Agr, дБ		ф-ла (9) [10]	-5	-5	1,9	-0,2	-1,5	-1,5	-1,5	-1,5	-1,5		
Уровни звукового давления прямого звука от источника ИШ-2-44 в расчётной точке днём, дБ		**ф-ла(3)[10]**	**0**	**36,3**	**30,7**	**33,7**	**34,4**	**32,9**	**27,6**	**16,4**	**0**	**36,5**	**36,5**
Уровни звукового давления прямого звука от источника ИШ-2-44 в расчётной точке ночью, дБ		**ф-ла(3)[10]**	**0**	**36,3**	**30,7**	**33,7**	**34,4**	**32,9**	**27,6**	**16,4**	**0**	**36,5**	**36,5**
Расчёт отражённого звука													
Уровни звукового давления от мнимого источника ИШ-2-44_мн.(1) в расчётной точке днём, дБ		**ф-ла(3)[10]**	**0**	**0**	**0**	**0**	**0**	**0**	**0**	**0**	**0**	**0**	**0**
Уровни звукового давления от мнимого источника ИШ-2-44_мн.(1) в расчётной точке ночью, дБ		**ф-ла(3)[10]**	**0**	**0**	**0**	**0**	**0**	**0**	**0**	**0**	**0**	**0**	**0**
Уровни звукового давления от мнимого источника ИШ-2-44_мн.(2) в расчётной точке днём, дБ		**ф-ла(3)[10]**	**0**	**0**	**25,1**	**23,3**	**23,1**	**28,4**	**25,1**	**13,8**	**0**	**31,1**	**31,1**
Уровни звукового давления от мнимого источника ИШ-2-44_мн.(2) в расчётной точке ночью, дБ		**ф-ла(3)[10]**	**0**	**0**	**0**	**0**	**0**	**0**	**0**	**0**	**0**	**31,1**	**31,1**
Суммарные уровни звукового давления от мнимых источников в расчётной точке днём, дБ		**ф-ла (19) [1]**	**0**	**0**	**25,1**	**23,3**	**23,1**	**28,4**	**25,1**	**13,8**	**0**	**0**	**31,1**
Суммарные уровни звукового давления от мнимых источников в расчётной точке ночью, дБ		**ф-ла (19) [1]**	**0**	**0**	**25,1**	**23,3**	**23,1**	**28,4**	**25,1**	**13,8**	**0**	**0**	**31,1**
Уровни звукового давления от источника ИШ-2-44 в расчётной точке днём, дБ		**ф-ла(3)[10]**	**0**	**36,3**	**31,7**	**34,1**	**34,7**	**34,2**	**29,5**	**18,3**	**0**	**37,6**	**37,6**
Уровни звукового давления от источника ИШ-2-44 в расчётной точке ночью, дБ		**ф-ла(3)[10]**	**0**	**36,3**	**31,7**	**34,1**	**34,7**	**34,2**	**29,5**	**18,3**	**0**	**37,6**	**37,6**
Источник шума: ИШ-2-45, координаты источника (x,y,z), м =[681.26,-139.98,1.00]													
Уровни звуковой мощности источника днём, Lw, дБ		**исходные данные**	**0**	**93,3**	**94,7**	**96**	**96,3**	**95,9**	**92,6**	**88,4**	**83,9**		
Уровни звуковой мощности источника ночью, Lw, дБ		**исходные данные**	**0**	**93,3**	**94,7**	**96**	**96,3**	**95,9**	**92,6**	**88,4**	**83,9**		
Поправка на телесный угол DΩ, дБ	Ω = 6.28	10Lg(4π/Ω)	**3**	3	3	3	3	3	3	3	3		
Показатель направленности источника Di, дБ		исходные данные	**0**	0	0	0	0	0	0	0	0		

1		2	3	4	5	6	7	8	9	10	11	12	13
Поправка на направленность источника Dc, дБ	Dc	DΩ + Di	**3**	3	3	3	3	3	3	3	3		
Затухание из-за геометрической дивергенции, Adiv, дБ	расстояние = 498.54 м	ф-ла (7) [10]	**65**										
Коэффициент затухания звука в атмосфере α, дБ/км	Ta=20,°C Pa=101.33,кПа hотн.=70%	ф-ла (5) [9]	0,02	0,09	0,33	1,12	2,79	4,98	9,04	23,09	77,63		
Учет затухания звука в атмосфере Aatm, дБ		ф-ла (8) [10]	0	0	0,2	0,6	1,4	2,5	4,5	11,5	38,7		
Снижение поверхностью земли возле источника As, дБ	Gs = 0 hs = 1м	ф-лы таб.3 [10]	-1,5	-1,5	-1,5	-1,5	-1,5	-1,5	-1,5	-1,5	-1,5		
Снижение поверхностью земли возле приёмника Ar, дБ	Gr = 1 hr = 4.6м	ф-лы таб.3 [10]	-1,5	-1,5	3,4	1,3	0	0	0	0	0		
Снижение поверхностью земли в средней зоне, Am дБ	Gm = 1	ф-лы таб.3 [10]	-2	-2	0	0	0	0	0	0	0		
Суммарное снижение поверхностью земли на траектории распространения звука Agr, дБ		ф-ла (9) [10]	-5	-5	1,9	-0,2	-1,5	-1,5	-1,5	-1,5	-1,5		
Уровни звукового давления прямого звука от источника ИШ-2-45 в расчётной точке днём, дБ		**ф-ла(3)[10]**	**0**	**36,3**	**30,7**	**33,7**	**34,4**	**33**	**27,6**	**16,4**	**0**	**36,5**	**36,5**
Уровни звукового давления прямого звука от источника ИШ-2-45 в расчётной точке ночью, дБ		**ф-ла(3)[10]**	**0**	**36,3**	**30,7**	**33,7**	**34,4**	**33**	**27,6**	**16,4**	**0**	**36,5**	**36,5**
Расчёт отражённого звука													
Уровни звукового давления от мнимого источника ИШ-2-45_мн.(1) в расчётной точке днём, дБ		**ф-ла(3)[10]**	**0**	**0**	**0**	**0**	**0**	**0**	**0**	**0**	**0**	**0**	**0**
Уровни звукового давления от мнимого источника ИШ-2-45_мн.(1) в расчётной точке ночью, дБ		**ф-ла(3)[10]**	**0**	**0**	**0**	**0**	**0**	**0**	**0**	**0**	**0**	**0**	**0**
Уровни звукового давления от мнимого источника ИШ-2-45_мн.(2) в расчётной точке днём, дБ		**ф-ла(3)[10]**	**0**	**0**	**25,1**	**23,3**	**23,1**	**28,4**	**25,1**	**13,9**	**0**	**31,1**	**31,1**
Уровни звукового давления от мнимого источника ИШ-2-45_мн.(2) в расчётной точке ночью, дБ		**ф-ла(3)[10]**	**0**	**0**	**0**	**0**	**0**	**0**	**0**	**0**	**0**	**31,1**	**31,1**
Суммарные уровни звукового давления от мнимых источников в расчётной точке днём, дБ		**ф-ла (19) [1]**	**0**	**0**	**25,1**	**23,3**	**23,1**	**28,4**	**25,1**	**13,9**	**0**	**0**	**31,1**
Суммарные уровни звукового давления от мнимых источников в расчётной точке ночью, дБ		**ф-ла (19) [1]**	**0**	**0**	**25,1**	**23,3**	**23,1**	**28,4**	**25,1**	**13,9**	**0**	**0**	**31,1**

1		2	3	4	5	6	7	8	9	10	11	12	13
Уровни звукового давления от источника ИШ-2-45 в расчётной точке днём, дБ		**ф-ла(3)[10]**	**0**	**36,3**	**31,8**	**34,1**	**34,8**	**34,3**	**29,6**	**18,4**	**0**	**37,6**	**37,6**
Уровни звукового давления от источника ИШ-2-45 в расчётной точке ночью, дБ		**ф-ла(3)[10]**	**0**	**36,3**	**31,8**	**34,1**	**34,8**	**34,3**	**29,6**	**18,4**	**0**	**37,6**	**37,6**
Источник шума: ИШ-4-1, координаты источника (x,y,z), м =[141.82,201.03,1.00]													
Уровни звуковой мощности источника днём, Lw, дБ		**исходные данные**	**0**	**90,3**	**91,7**	**93**	**93,3**	**92,9**	**89,6**	**85,4**	**80,9**		
Уровни звуковой мощности источника ночью, Lw, дБ		**исходные данные**	**0**	**90,3**	**91,7**	**93**	**93,3**	**92,9**	**89,6**	**85,4**	**80,9**		
Поправка на телесный угол DΩ, дБ	Ω = 6.28	10Lg(4π/Ω)	**3**	3	3	3	3	3	3	3	3		
Показатель направленности источника Di, дБ		исходные данные	**0**	0	0	0	0	0	0	0	0		
Поправка на направленность источника Dc, дБ	Dc	DΩ + Di	**3**	3	3	3	3	3	3	3	3		
Затухание из-за геометрической дивергенции, Adiv, дБ	расстояние = 382.47 м	ф-ла (7) [10]	**62,7**										
Коэффициент затухания звука в атмосфере α, дБ/км	Ta=20,°C Pa=101.33,кПа hотн.=70%	ф-ла (5) [9]	0,02	0,09	0,33	1,12	2,79	4,98	9,04	23,09	77,63		
Учет затухания звука в атмосфере Aatm, дБ		ф-ла (8) [10]	0	0	0,1	0,4	1,1	1,9	3,5	8,8	29,7		
Снижение поверхностью земли возле источника As, дБ	Gs = 0 hs = 1м	ф-лы таб.3 [10]	-1,5	-1,5	-1,5	-1,5	-1,5	-1,5	-1,5	-1,5	-1,5		
Снижение поверхностью земли возле приёмника Ar, дБ	Gr = 1 hr = 4.6м	ф-лы таб.3 [10]	-1,5	-1,5	3,2	1,3	0	0	0	0	0		
Снижение поверхностью земли в средней зоне, Am дБ	Gm = 1	ф-лы таб.3 [10]	-1,7	-1,7	0	0	0	0	0	0	0		
Суммарное снижение поверхностью земли на траектории распространения звука Agr, дБ		ф-ла (9) [10]	-4,7	-4,7	1,7	-0,2	-1,5	-1,5	-1,5	-1,5	-1,5		
Уровни звукового давления прямого звука от источника ИШ-4-1 в расчётной точке днём, дБ		**ф-ла(3)[10]**	**0**	**35,3**	**30,2**	**33,1**	**34,1**	**32,8**	**28**	**18,4**	**0**	**36,4**	**36,4**

1		2	3	4	5	6	7	8	9	10	11	12	13
Уровни звукового давления прямого звука от источника ИШ-4-1 в расчётной точке ночью, дБ		**ф-ла(3)[10]**	**0**	**35,3**	**30,2**	**33,1**	**34,1**	**32,8**	**28**	**18,4**	**0**	**36,4**	**36,4**
Расчёт отражённого звука													
Уровни звукового давления от мнимого источника ИШ-4-1_мн.(1) в расчётной точке днём, дБ		**ф-ла(3)[10]**	**0**	**0**	**0**	**0**	**0**	**16,3**	**8,3**	**0**	**0**	**17,2**	**17,2**
Уровни звукового давления от мнимого источника ИШ-4-1_мн.(1) в расчётной точке ночью, дБ		**ф-ла(3)[10]**	**0**	**0**	**0**	**0**	**0**	**0**	**0**	**0**	**0**	**17,2**	**17,2**
Уровни звукового давления от мнимого источника ИШ-4-1_мн.(2) в расчётной точке днём, дБ		**ф-ла(3)[10]**	**0**	**34,2**	**25,4**	**22,7**	**22,7**	**28,2**	**25,4**	**15,8**	**0**	**31,1**	**31,1**
Уровни звукового давления от мнимого источника ИШ-4-1_мн.(2) в расчётной точке ночью, дБ		**ф-ла(3)[10]**	**34,2**	**34,2**	**34,2**	**34,2**	**34,2**	**34,2**	**34,2**	**34,2**	**34,2**	**31,1**	**31,1**
Суммарные уровни звукового давления от мнимых источников в расчётной точке днём, дБ		**ф-ла (19) [1]**	**0**	**34,2**	**25,4**	**22,7**	**22,7**	**28,5**	**25,5**	**15,8**	**0**	**0**	**31,3**
Суммарные уровни звукового давления от мнимых источников в расчётной точке ночью, дБ		**ф-ла (19) [1]**	**0**	**34,2**	**25,4**	**22,7**	**22,7**	**28,5**	**25,5**	**15,8**	**0**	**0**	**31,3**
Уровни звукового давления от источника ИШ-4-1 в расчётной точке днём, дБ		**ф-ла(3)[10]**	**0**	**37,8**	**31,4**	**33,5**	**34,4**	**34,2**	**29,9**	**20,3**	**0**	**37,6**	**37,6**
Уровни звукового давления от источника ИШ-4-1 в расчётной точке ночью, дБ		**ф-ла(3)[10]**	**0**	**37,8**	**31,4**	**33,5**	**34,4**	**34,2**	**29,9**	**20,3**	**0**	**37,6**	**37,6**
Источник шума: ИШ-4-2, координаты источника (x,y,z), м =[133.85,183.21,1.00]													
Уровни звуковой мощности источника днём, Lw, дБ		**исходные данные**	**0**	**90,3**	**91,7**	**93**	**93,3**	**92,9**	**89,6**	**85,4**	**80,9**		
Уровни звуковой мощности источника ночью, Lw, дБ		**исходные данные**	**0**	**90,3**	**91,7**	**93**	**93,3**	**92,9**	**89,6**	**85,4**	**80,9**		
Поправка на телесный угол DΩ, дБ	Ω = 6.28	10Lg(4π/Ω)	**3**	3	3	3	3	3	3	3	3		
Показатель направленности источника Di, дБ		исходные данные	**0**	0	0	0	0	0	0	0	0		
Поправка на направленность источника Dc, дБ	Dc	DΩ + Di	**3**	3	3	3	3	3	3	3	3		
Затухание из-за геометрической дивергенции, Adiv, дБ	расстояние = 365.78 м	ф-ла (7) [10]	**62,3**										

1		2	3	4	5	6	7	8	9	10	11	12	13
Коэффициент затухания звука в атмосфере α, дБ/км	Ta=20,°C Pa=101.33,кПа hотн.=70%	ф-ла (5) [9]	0,02	0,09	0,33	1,12	2,79	4,98	9,04	23,09	77,63		
Учет затухания звука в атмосфере Aatm, дБ		ф-ла (8) [10]	0	0	0,1	0,4	1	1,8	3,3	8,4	28,4		
Снижение уровня звукового давления из-за влияния застройки между источником шума и расчетной точкой													
Снижение уровня звукового давления препятствием справа от трассы ИШ-РТ, Dz3, дБ	z = -0.27м (разность путей)	ф-лы (14-18) [10]	0	0	NAN	NAN	NAN	NAN	NAN	NAN	NAN		
* отрицательное значение z означает прохождение траектории вблизи экрана, в этом случае дополнительно производится учёт снижения подстилающей поверхностью (см.ниже)													
Снижение поверхностью земли возле источника As, дБ	Gs = 0 hs = 1м	ф-лы таб.3 [10]	-1,5	-1,5	-1,5	-1,5	-1,5	-1,5	-1,5	-1,5	-1,5		
Снижение поверхностью земли возле приёмника Ar, дБ	Gr = 1 hr = 4.6м	ф-лы таб.3 [10]	-1,5	-1,5	3,2	1,3	0	0	0	0	0		
Снижение поверхностью земли в средней зоне, Am дБ	Gm = 1	ф-лы таб.3 [10]	-1,6	-1,6	0	0	0	0	0	0	0		
Суммарное снижение поверхностью земли на траектории распространения звука Agr, дБ		ф-ла (9) [10]	-4,6	-4,6	1,7	-0,2	-1,5	-1,5	-1,5	-1,5	-1,5		
Уровни звукового давления прямого звука от источника ИШ-4-2 в расчётной точке днём, дБ		**ф-ла(3)[10]**	**0**	**35,6**	**30,6**	**33,5**	**34,5**	**33,3**	**28,5**	**19,2**	**0**	**36,9**	**36,9**
Уровни звукового давления прямого звука от источника ИШ-4-2 в расчётной точке ночью, дБ		**ф-ла(3)[10]**	**0**	**35,6**	**30,6**	**33,5**	**34,5**	**33,3**	**28,5**	**19,2**	**0**	**36,9**	**36,9**
Расчёт отражённого звука													
Уровни звукового давления от мнимого источника ИШ-4-2_мн.(1) в расчётной точке днём, дБ		**ф-ла(3)[10]**	**0**	**0**	**0**	**0**	**0**	**0**	**22**	**10,7**	**0**	**23,5**	**23,5**
Уровни звукового давления от мнимого источника ИШ-4-2_мн.(1) в расчётной точке ночью, дБ		**ф-ла(3)[10]**	**0**	**0**	**0**	**0**	**0**	**0**	**0**	**0**	**0**	**23,5**	**23,5**
Уровни звукового давления от мнимого источника ИШ-4-2_мн.(2) в расчётной точке днём, дБ		**ф-ла(3)[10]**	**0**	**34,6**	**25,9**	**23,1**	**23,1**	**28,7**	**25,9**	**16,5**	**0**	**31,6**	**31,6**
Уровни звукового давления от мнимого источника ИШ-4-2_мн.(2) в расчётной точке ночью, дБ		**ф-ла(3)[10]**	**34,6**	**34,6**	**34,6**	**34,6**	**34,6**	**34,6**	**34,6**	**34,6**	**34,6**	**31,6**	**31,6**
Суммарные уровни звукового давления от мнимых источников в расчётной точке днём, дБ		**ф-ла (19) [1]**	**0**	**34,6**	**25,9**	**23,1**	**23,1**	**28,7**	**27,4**	**17,5**	**0**	**0**	**32,3**
Суммарные уровни звукового давления от мнимых источников в расчётной точке ночью, дБ		**ф-ла (19) [1]**	**0**	**34,6**	**25,9**	**23,1**	**23,1**	**28,7**	**27,4**	**17,5**	**0**	**0**	**32,3**

1		2	3	4	5	6	7	8	9	10	11	12	13
Уровни звукового давления от источника ИШ-4-2 в расчётной точке днём, дБ		**ф-ла(3)[10]**	**0**	**38,1**	**31,9**	**33,9**	**34,8**	**34,6**	**31**	**21,5**	**0**	**38,2**	**38,2**
Уровни звукового давления от источника ИШ-4-2 в расчётной точке ночью, дБ		**ф-ла(3)[10]**	**0**	**38,1**	**31,9**	**33,9**	**34,8**	**34,6**	**31**	**21,5**	**0**	**38,2**	**38,2**
Источник шума: ИШ-4-3, координаты источника (x,y,z), м =[152.61,172.66,1.00]													
Уровни звуковой мощности источника днём, Lw, дБ		**исходные данные**	**0**	**90,3**	**91,7**	**93**	**93,3**	**92,9**	**89,6**	**85,4**	**80,9**		
Уровни звуковой мощности источника ночью, Lw, дБ		**исходные данные**	**0**	**90,3**	**91,7**	**93**	**93,3**	**92,9**	**89,6**	**85,4**	**80,9**		
Поправка на телесный угол DΩ, дБ	Ω = 6.28	10Lg(4π/Ω)	**3**	3	3	3	3	3	3	3	3		
Показатель направленности источника Di, дБ		исходные данные	**0**	0	0	0	0	0	0	0	0		
Поправка на направленность источника Dc, дБ	Dc	DΩ + Di	**3**	3	3	3	3	3	3	3	3		
Затухание из-за геометрической дивергенции, Adiv, дБ	расстояние = 353.16 м	ф-ла (7) [10]	**62**										
Коэффициент затухания звука в атмосфере α, дБ/км	Ta=20,°C Pa=101.33,кПа hотн.=70%	ф-ла (5) [9]	0,02	0,09	0,33	1,12	2,79	4,98	9,04	23,09	77,63		
Учет затухания звука в атмосфере Aatm, дБ		ф-ла (8) [10]	0	0	0,1	0,4	1	1,8	3,2	8,2	27,4		
Снижение поверхностью земли возле источника As, дБ	Gs = 0 hs = 1м	ф-лы таб.3 [10]	-1,5	-1,5	-1,5	-1,5	-1,5	-1,5	-1,5	-1,5	-1,5		
Снижение поверхностью земли возле приёмника Ar, дБ	Gr = 1 hr = 4.6м	ф-лы таб.3 [10]	-1,5	-1,5	3,2	1,3	0	0	0	0	0		
Снижение поверхностью земли в средней зоне, Am дБ	Gm = 1	ф-лы таб.3 [10]	-1,6	-1,6	0	0	0	0	0	0	0		
Суммарное снижение поверхностью земли на траектории распространения звука Agr, дБ		ф-ла (9) [10]	-4,6	-4,6	1,7	-0,2	-1,5	-1,5	-1,5	-1,5	-1,5		
Уровни звукового давления прямого звука от источника ИШ-4-3 в расчётной точке днём, дБ		**ф-ла(3)[10]**	**0**	**35,9**	**30,9**	**33,9**	**34,8**	**33,7**	**28,9**	**19,8**	**0**	**37,3**	**37,3**

1		2	3	4	5	6	7	8	9	10	11	12	13
Уровни звукового давления прямого звука от источника ИШ-4-3 в расчётной точке ночью, дБ		**ф-ла(3)[10]**	**0**	**35,9**	**30,9**	**33,9**	**34,8**	**33,7**	**28,9**	**19,8**	**0**	**37,3**	**37,3**
Расчёт отражённого звука													
Уровни звукового давления от мнимого источника ИШ-4-3_мн.(1) в расчётной точке днём, дБ		**ф-ла(3)[10]**	**0**	**0**	**0**	**0**	**0**	**27,6**	**24,7**	**14,8**	**0**	**30**	**30**
Уровни звукового давления от мнимого источника ИШ-4-3_мн.(1) в расчётной точке ночью, дБ		**ф-ла(3)[10]**	**0**	**0**	**0**	**0**	**0**	**0**	**0**	**0**	**0**	**30**	**30**
Уровни звукового давления от мнимого источника ИШ-4-3_мн.(2) в расчётной точке днём, дБ		**ф-ла(3)[10]**	**0**	**34,8**	**26,4**	**23,4**	**23,4**	**29,1**	**26,3**	**17,1**	**0**	**32**	**32**
Уровни звукового давления от мнимого источника ИШ-4-3_мн.(2) в расчётной точке ночью, дБ		**ф-ла(3)[10]**	**34,8**	**34,8**	**34,8**	**34,8**	**34,8**	**34,8**	**34,8**	**34,8**	**34,8**	**32**	**32**
Уровни звукового давления от мнимого источника ИШ-4-3_мн.(3) в расчётной точке днём, дБ		**ф-ла(3)[10]**	**0**	**0**	**0**	**0**	**0**	**0**	**0**	**0**	**0**	**0**	**0**
Уровни звукового давления от мнимого источника ИШ-4-3_мн.(3) в расчётной точке ночью, дБ		**ф-ла(3)[10]**	**0**	**0**	**0**	**0**	**0**	**0**	**0**	**0**	**0**	**0**	**0**
Суммарные уровни звукового давления от мнимых источников в расчётной точке днём, дБ		**ф-ла (19) [1]**	**0**	**34,8**	**26,4**	**23,4**	**23,4**	**31,4**	**28,6**	**19,1**	**0**	**0**	**34,2**
Суммарные уровни звукового давления от мнимых источников в расчётной точке ночью, дБ		**ф-ла (19) [1]**	**0**	**34,8**	**26,4**	**23,4**	**23,4**	**31,4**	**28,6**	**19,1**	**0**	**0**	**34,2**
Уровни звукового давления от источника ИШ-4-3 в расчётной точке днём, дБ		**ф-ла(3)[10]**	**0**	**38,4**	**32,2**	**34,2**	**35,1**	**35,7**	**31,8**	**22,5**	**0**	**39**	**39**
Уровни звукового давления от источника ИШ-4-3 в расчётной точке ночью, дБ		**ф-ла(3)[10]**	**0**	**38,4**	**32,2**	**34,2**	**35,1**	**35,7**	**31,8**	**22,5**	**0**	**39**	**39**
Источник шума: ИШ-4-4, координаты источника (x,y,z), м =[156.83,171.25,1.00]													
Уровни звуковой мощности источника днём, Lw, дБ		**исходные данные**	**0**	**90,3**	**91,7**	**93**	**93,3**	**92,9**	**89,6**	**85,4**	**80,9**		
Уровни звуковой мощности источника ночью, Lw, дБ		**исходные данные**	**0**	**90,3**	**91,7**	**93**	**93,3**	**92,9**	**89,6**	**85,4**	**80,9**		
Поправка на телесный угол DΩ, дБ	Ω = 6.28	10Lg(4π/Ω)	**3**	3	3	3	3	3	3	3	3		
Показатель направленности источника Di, дБ		исходные данные	**0**	0	0	0	0	0	0	0	0		

1		2	3	4	5	6	7	8	9	10	11	12	13
Поправка на направленность источника Dc, дБ	Dc	DΩ + Di	**3**	3	3	3	3	3	3	3	3		
Затухание из-за геометрической дивергенции, Adiv, дБ	расстояние = 351.41 м	ф-ла (7) [10]	**61,9**										
Коэффициент затухания звука в атмосфере α, дБ/км	Ta=20,°C Pa=101.33,кПа hотн.=70%	ф-ла (5) [9]	0,02	0,09	0,33	1,12	2,79	4,98	9,04	23,09	77,63		
Учет затухания звука в атмосфере Aatm, дБ		ф-ла (8) [10]	0	0	0,1	0,4	1	1,7	3,2	8,1	27,3		
Снижение поверхностью земли возле источника As, дБ	Gs = 0 hs = 1м	ф-лы таб.3 [10]	-1,5	-1,5	-1,5	-1,5	-1,5	-1,5	-1,5	-1,5	-1,5		
Снижение поверхностью земли возле приёмника Ar, дБ	Gr = 1 hr = 4.6м	ф-лы таб.3 [10]	-1,5	-1,5	3,2	1,3	0	0	0	0	0		
Снижение поверхностью земли в средней зоне, Am дБ	Gm = 1	ф-лы таб.3 [10]	-1,6	-1,6	0	0	0	0	0	0	0		
Суммарное снижение поверхностью земли на траектории распространения звука Agr, дБ		ф-ла (9) [10]	-4,6	-4,6	1,7	-0,2	-1,5	-1,5	-1,5	-1,5	-1,5		
Уровни звукового давления прямого звука от источника ИШ-4-4 в расчётной точке днём, дБ		**ф-ла(3)[10]**	**0**	**35,9**	**31**	**33,9**	**34,9**	**33,7**	**29**	**19,9**	**0**	**37,3**	**37,3**
Уровни звукового давления прямого звука от источника ИШ-4-4 в расчётной точке ночью, дБ		**ф-ла(3)[10]**	**0**	**35,9**	**31**	**33,9**	**34,9**	**33,7**	**29**	**19,9**	**0**	**37,3**	**37,3**
Расчёт отражённого звука													
Уровни звукового давления от мнимого источника ИШ-4-4_мн.(1) в расчётной точке днём, дБ		**ф-ла(3)[10]**	**0**	**34,9**	**26,4**	**23,5**	**23,5**	**29,1**	**26,4**	**17,2**	**0**	**32,1**	**32,1**
Уровни звукового давления от мнимого источника ИШ-4-4_мн.(1) в расчётной точке ночью, дБ		**ф-ла(3)[10]**	**0**	**0**	**0**	**0**	**0**	**0**	**0**	**0**	**0**	**32,1**	**32,1**
Уровни звукового давления от источника ИШ-4-4 в расчётной точке днём, дБ		**ф-ла(3)[10]**	**0**	**38,4**	**32,3**	**34,3**	**35,2**	**35**	**30,9**	**21,7**	**0**	**38,4**	**38,4**
Уровни звукового давления от источника ИШ-4-4 в расчётной точке ночью, дБ		**ф-ла(3)[10]**	**0**	**38,4**	**32,3**	**34,3**	**35,2**	**35**	**30,9**	**21,7**	**0**	**38,4**	**38,4**
Источник шума: ИШ-4-5, координаты источника (x,y,z), м =[126.48,222.66,11.00]													

1		2	3	4	5	6	7	8	9	10	11	12	13
Уровни звуковой мощности источника днём, Lw, дБ		**исходные данные**	**0**	**90,3**	**91,7**	**93**	**93,3**	**92,9**	**89,6**	**85,4**	**80,9**		
Уровни звуковой мощности источника ночью, Lw, дБ		**исходные данные**	**0**	**90,3**	**91,7**	**93**	**93,3**	**92,9**	**89,6**	**85,4**	**80,9**		
Поправка на телесный угол DΩ, дБ	Ω = 6.28	10Lg(4π/Ω)	**3**	3	3	3	3	3	3	3	3		
Показатель направленности источника Di, дБ		исходные данные	**0**	0	0	0	0	0	0	0	0		
Поправка на направленность источника Dc, дБ	Dc	DΩ + Di	**3**	3	3	3	3	3	3	3	3		
Затухание из-за геометрической дивергенции, Adiv, дБ	расстояние = 405.91 м	ф-ла (7) [10]	**63,2**										
Коэффициент затухания звука в атмосфере α, дБ/км	Ta=20,°C Pa=101.33,кПа hотн.=70%	ф-ла (5) [9]	0,02	0,09	0,33	1,12	2,79	4,98	9,04	23,09	77,63		
Учет затухания звука в атмосфере Aatm, дБ		ф-ла (8) [10]	0	0	0,1	0,5	1,1	2	3,7	9,4	31,5		
Снижение поверхностью земли возле источника As, дБ	Gs = 0 hs = 1м	ф-лы таб.3 [10]	-1,5	-1,5	-1,5	-1,5	-1,5	-1,5	-1,5	-1,5	-1,5		
Снижение поверхностью земли возле приёмника Ar, дБ	Gr = 1 hr = 4.6м	ф-лы таб.3 [10]	-1,5	-1,5	3,3	1,3	0	0	0	0	0		
Снижение поверхностью земли в средней зоне, Am дБ	Gm = 1	ф-лы таб.3 [10]	-1,8	-1,8	0	0	0	0	0	0	0		
Суммарное снижение поверхностью земли на траектории распространения звука Agr, дБ		ф-ла (9) [10]	-4,8	-4,8	1,8	-0,2	-1,5	-1,5	-1,5	-1,5	-1,5		
Уровни звукового давления прямого звука от источника ИШ-4-5 в расчётной точке днём, дБ		**ф-ла(3)[10]**	**0**	**34,8**	**29,6**	**32,6**	**33,5**	**32,2**	**27,3**	**17,4**	**0**	**35,8**	**35,8**
Уровни звукового давления прямого звука от источника ИШ-4-5 в расчётной точке ночью, дБ		**ф-ла(3)[10]**	**0**	**34,8**	**29,6**	**32,6**	**33,5**	**32,2**	**27,3**	**17,4**	**0**	**35,8**	**35,8**
Расчёт отражённого звука													
Уровни звукового давления от мнимого источника ИШ-4-5_мн.(1) в расчётной точке днём, дБ		**ф-ла(3)[10]**	**0**	**33,8**	**24,7**	**22,2**	**22,1**	**27,6**	**24,7**	**14,7**	**0**	**30,5**	**30,5**
Уровни звукового давления от мнимого источника ИШ-4-5_мн.(1) в расчётной точке ночью, дБ		**ф-ла(3)[10]**	**0**	**0**	**0**	**0**	**0**	**0**	**0**	**0**	**0**	**30,5**	**30,5**

1		2	3	4	5	6	7	8	9	10	11	12	13
Уровни звукового давления от источника ИШ-4-5 в расчётной точке днём, дБ		**ф-ла(3)[10]**	**0**	**37,4**	**30,8**	**33**	**33,8**	**33,5**	**29,2**	**19,2**	**0**	**36,9**	**36,9**
Уровни звукового давления от источника ИШ-4-5 в расчётной точке ночью, дБ		**ф-ла(3)[10]**	**0**	**37,4**	**30,8**	**33**	**33,8**	**33,5**	**29,2**	**19,2**	**0**	**36,9**	**36,9**
Источник шума: ИШ-4-6, координаты источника (x,y,z), м =[125.17,218.57,11.00]													
Уровни звуковой мощности источника днём, Lw, дБ		**исходные данные**	**0**	**90,3**	**91,7**	**93**	**93,3**	**92,9**	**89,6**	**85,4**	**80,9**		
Уровни звуковой мощности источника ночью, Lw, дБ		**исходные данные**	**0**	**90,3**	**91,7**	**93**	**93,3**	**92,9**	**89,6**	**85,4**	**80,9**		
Поправка на телесный угол DΩ, дБ	Ω = 6.28	10Lg(4π/Ω)	**3**	3	3	3	3	3	3	3	3		
Показатель направленности источника Di, дБ		исходные данные	**0**	0	0	0	0	0	0	0	0		
Поправка на направленность источника Dc, дБ	Dc	DΩ + Di	**3**	3	3	3	3	3	3	3	3		
Затухание из-за геометрической дивергенции, Adiv, дБ	расстояние = 402.06 м	ф-ла (7) [10]	**63,1**										
Коэффициент затухания звука в атмосфере α, дБ/км	Ta=20,°C Pa=101.33,кПа hотн.=70%	ф-ла (5) [9]	0,02	0,09	0,33	1,12	2,79	4,98	9,04	23,09	77,63		
Учет затухания звука в атмосфере Aatm, дБ		ф-ла (8) [10]	0	0	0,1	0,5	1,1	2	3,6	9,3	31,2		
Снижение уровня звукового давления из-за влияния застройки между источником шума и расчетной точкой													
Снижение уровня звукового давления препятствием справа от трассы ИШ-РТ, Dz3, дБ	z = -0.09м (разность путей)	ф-лы (14-18) [10]	0	0	2,1	0	NAN	NAN	NAN	NAN	NAN		
* отрицательное значение z означает прохождение траектории вблизи экрана, в этом случае дополнительно производится учёт снижения подстилающей поверхностью (см.ниже)													
Снижение поверхностью земли возле источника As, дБ	Gs = 0 hs = 1м	ф-лы таб.3 [10]	-1,5	-1,5	-1,5	-1,5	-1,5	-1,5	-1,5	-1,5	-1,5		
Снижение поверхностью земли возле приёмника Ar, дБ	Gr = 1 hr = 4.6м	ф-лы таб.3 [10]	-1,5	-1,5	3,3	1,3	0	0	0	0	0		
Снижение поверхностью земли в средней зоне, Am дБ	Gm = 1	ф-лы таб.3 [10]	-1,7	-1,7	0	0	0	0	0	0	0		

1		2	3	4	5	6	7	8	9	10	11	12	13
Суммарное снижение поверхностью земли на траектории распространения звука Agr, дБ		ф-ла (9) [10]	-4,7	-4,7	1,8	-0,2	-1,5	-1,5	-1,5	-1,5	-1,5		
Уровни звукового давления прямого звука от источника ИШ-4-6 в расчётной точке днём, дБ		**ф-ла(3)[10]**	**0**	**34,9**	**27,6**	**32,7**	**33,6**	**32,3**	**27,4**	**17,5**	**0**	**35,9**	**35,9**
Уровни звукового давления прямого звука от источника ИШ-4-6 в расчётной точке ночью, дБ		**ф-ла(3)[10]**	**0**	**34,9**	**27,6**	**32,7**	**33,6**	**32,3**	**27,4**	**17,5**	**0**	**35,9**	**35,9**
Расчёт отражённого звука													
Уровни звукового давления от мнимого источника ИШ-4-6_мн.(1) в расчётной точке днём, дБ		**ф-ла(3)[10]**	**0**	**33,9**	**24,8**	**22,3**	**22,2**	**27,7**	**24,8**	**14,9**	**0**	**30,6**	**30,6**
Уровни звукового давления от мнимого источника ИШ-4-6_мн.(1) в расчётной точке ночью, дБ		**ф-ла(3)[10]**	**0**	**0**	**0**	**0**	**0**	**0**	**0**	**0**	**0**	**30,6**	**30,6**
Уровни звукового давления от источника ИШ-4-6 в расчётной точке днём, дБ		**ф-ла(3)[10]**	**0**	**37,4**	**29,4**	**33,1**	**33,9**	**33,6**	**29,3**	**19,4**	**0**	**37**	**37**
Уровни звукового давления от источника ИШ-4-6 в расчётной точке ночью, дБ		**ф-ла(3)[10]**	**0**	**37,4**	**29,4**	**33,1**	**33,9**	**33,6**	**29,3**	**19,4**	**0**	**37**	**37**
Источник шума: ИШ-4-7, координаты источника (x,y,z), м =[177.91,257.92,11.00]													
Уровни звуковой мощности источника днём, Lw, дБ		**исходные данные**	**0**	**90,3**	**91,7**	**93**	**93,3**	**92,9**	**89,6**	**85,4**	**80,9**		
Уровни звуковой мощности источника ночью, Lw, дБ		**исходные данные**	**0**	**90,3**	**91,7**	**93**	**93,3**	**92,9**	**89,6**	**85,4**	**80,9**		
Поправка на телесный угол DΩ, дБ	Ω = 6.28	10Lg(4π/Ω)	**3**	3	3	3	3	3	3	3	3		
Показатель направленности источника Di, дБ		исходные данные	**0**	0	0	0	0	0	0	0	0		
Поправка на направленность источника Dc, дБ	Dc	DΩ + Di	**3**	3	3	3	3	3	3	3	3		
Затухание из-за геометрической дивергенции, Adiv, дБ	расстояние = 437.08 м	ф-ла (7) [10]	**63,8**										
Коэффициент затухания звука в атмосфере α, дБ/км	Ta=20,°C Pa=101.33,кПа hотн.=70%	ф-ла (5) [9]	0,02	0,09	0,33	1,12	2,79	4,98	9,04	23,09	77,63		

1		2	3	4	5	6	7	8	9	10	11	12	13
Учет затухания звука в атмосфере Aatm, дБ		ф-ла (8) [10]	0	0	0,1	0,5	1,2	2,2	4	10,1	33,9		
Снижение поверхностью земли возле источника As, дБ	Gs = 0 hs = 3м	ф-лы таб.3 [10]	-1,5	-1,5	-1,5	-1,5	-1,5	-1,5	-1,5	-1,5	-1,5		
Снижение поверхностью земли возле приёмника Ar, дБ	Gr = 1 hr = 4.6м	ф-лы таб.3 [10]	-1,5	-1,5	3,3	1,3	0	0	0	0	0		
Снижение поверхностью земли в средней зоне, Am дБ	Gm = 1	ф-лы таб.3 [10]	-1,4	-1,4	0	0	0	0	0	0	0		
Суммарное снижение поверхностью земли на траектории распространения звука Agr, дБ		ф-ла (9) [10]	-4,4	-4,4	1,8	-0,2	-1,5	-1,5	-1,5	-1,5	-1,5		
Уровни звукового давления прямого звука от источника ИШ-4-7 в расчётной точке днём, дБ		**ф-ла(3)[10]**	**0**	**33,9**	**28,9**	**31,9**	**32,8**	**31,4**	**26,3**	**16**	**0**	**35**	**35**
Уровни звукового давления прямого звука от источника ИШ-4-7 в расчётной точке ночью, дБ		**ф-ла(3)[10]**	**0**	**33,9**	**28,9**	**31,9**	**32,8**	**31,4**	**26,3**	**16**	**0**	**35**	**35**
Расчёт отражённого звука													
Уровни звукового давления от мнимого источника ИШ-4-7_мн.(1) в расчётной точке днём, дБ		**ф-ла(3)[10]**	**0**	**0**	**0**	**0**	**0**	**0**	**23,1**	**12,4**	**0**	**24,7**	**24,7**
Уровни звукового давления от мнимого источника ИШ-4-7_мн.(1) в расчётной точке ночью, дБ		**ф-ла(3)[10]**	**0**	**0**	**0**	**0**	**0**	**0**	**0**	**0**	**0**	**24,7**	**24,7**
Уровни звукового давления от мнимого источника ИШ-4-7_мн.(2) в расчётной точке днём, дБ		**ф-ла(3)[10]**	**0**	**32,8**	**23,5**	**25,5**	**30**	**28,8**	**23,7**	**13,4**	**0**	**32,2**	**32,2**
Уровни звукового давления от мнимого источника ИШ-4-7_мн.(2) в расчётной точке ночью, дБ		**ф-ла(3)[10]**	**32,8**	**32,8**	**32,8**	**32,8**	**32,8**	**32,8**	**32,8**	**32,8**	**32,8**	**32,2**	**32,2**
Суммарные уровни звукового давления от мнимых источников в расчётной точке днём, дБ		**ф-ла (19) [1]**	**0**	**32,8**	**23,5**	**25,5**	**30**	**28,8**	**26,5**	**15,9**	**0**	**0**	**32,9**
Суммарные уровни звукового давления от мнимых источников в расчётной точке ночью, дБ		**ф-ла (19) [1]**	**0**	**32,8**	**23,5**	**25,5**	**30**	**28,8**	**26,5**	**15,9**	**0**	**0**	**32,9**
Уровни звукового давления от источника ИШ-4-7 в расчётной точке днём, дБ		**ф-ла(3)[10]**	**0**	**36,4**	**30**	**32,8**	**34,6**	**33,3**	**29,4**	**19**	**0**	**37,1**	**37,1**
Уровни звукового давления от источника ИШ-4-7 в расчётной точке ночью, дБ		**ф-ла(3)[10]**	**0**	**36,4**	**30**	**32,8**	**34,6**	**33,3**	**29,4**	**19**	**0**	**37,1**	**37,1**
Источник шума: ИШ-4-8, координаты источника (x,y,z), м =[178.24,257.77,13.00]													

1		2	3	4	5	6	7	8	9	10	11	12	13
Уровни звуковой мощности источника днём, Lw, дБ		**исходные данные**	**0**	**90,3**	**91,7**	**93**	**93,3**	**92,9**	**89,6**	**85,4**	**80,9**		
Уровни звуковой мощности источника ночью, Lw, дБ		**исходные данные**	**0**	**90,3**	**91,7**	**93**	**93,3**	**92,9**	**89,6**	**85,4**	**80,9**		
Поправка на телесный угол DΩ, дБ	Ω = 6.28	10Lg(4π/Ω)	**3**	3	3	3	3	3	3	3	3		
Показатель направленности источника Di, дБ		исходные данные	**0**	0	0	0	0	0	0	0	0		
Поправка на направленность источника Dc, дБ	Dc	DΩ + Di	**3**	3	3	3	3	3	3	3	3		
Затухание из-за геометрической дивергенции, Adiv, дБ	расстояние = 436.96 м	ф-ла (7) [10]	**63,8**										
Коэффициент затухания звука в атмосфере α, дБ/км	Ta=20,°C Pa=101.33,кПа hотн.=70%	ф-ла (5) [9]	0,02	0,09	0,33	1,12	2,79	4,98	9,04	23,09	77,63		
Учет затухания звука в атмосфере Aatm, дБ		ф-ла (8) [10]	0	0	0,1	0,5	1,2	2,2	3,9	10,1	33,9		
Снижение уровня звукового давления из-за влияния застройки между источником шума и расчетной точкой													
Снижение уровня звукового давления препятствием снизу от трассы ИШ-РТ, Dz4, дБ	z = -0.17м (разность путей)	ф-лы (14-18) [10]	3,7	2,4	0	NAN	NAN	NAN	NAN	NAN	NAN		
* отрицательное значение z означает прохождение траектории вблизи экрана, в этом случае дополнительно производится учёт снижения подстилающей поверхностью (см.ниже)													
Снижение поверхностью земли возле источника As, дБ	Gs = 0 hs = 5м	ф-лы таб.3 [10]	-1,5	-1,5	-1,5	-1,5	-1,5	-1,5	-1,5	-1,5	-1,5		
Снижение поверхностью земли возле приёмника Ar, дБ	Gr = 1 hr = 4.6м	ф-лы таб.3 [10]	-1,5	-1,5	3,3	1,3	0	0	0	0	0		
Снижение поверхностью земли в средней зоне, Am дБ	Gm = 1	ф-лы таб.3 [10]	-1	-1	0	0	0	0	0	0	0		
Суммарное снижение поверхностью земли на траектории распространения звука Agr, дБ		ф-ла (9) [10]	-4	-4	1,8	-0,2	-1,5	-1,5	-1,5	-1,5	-1,5		
Уровни звукового давления прямого звука от источника ИШ-4-8 в расчётной точке днём, дБ		**ф-ла(3)[10]**	**0**	**31,1**	**28,9**	**31,9**	**32,8**	**31,4**	**26,3**	**16**	**0**	**35**	**35**
Уровни звукового давления прямого звука от источника ИШ-4-8 в расчётной точке ночью, дБ		**ф-ла(3)[10]**	**0**	**31,1**	**28,9**	**31,9**	**32,8**	**31,4**	**26,3**	**16**	**0**	**35**	**35**
Расчёт отражённого звука													

1		2	3	4	5	6	7	8	9	10	11	12	13
Уровни звукового давления от мнимого источника ИШ-4-8_мн.(1) в расчётной точке днём, дБ		**ф-ла(3)[10]**	**0**	**32,4**	**23,1**	**28,5**	**30,2**	**28,8**	**23,8**	**13,4**	**0**	**32,3**	**32,3**
Уровни звукового давления от мнимого источника ИШ-4-8_мн.(1) в расчётной точке ночью, дБ		**ф-ла(3)[10]**	**0**	**0**	**0**	**0**	**0**	**0**	**0**	**0**	**0**	**32,3**	**32,3**
Уровни звукового давления от источника ИШ-4-8 в расчётной точке днём, дБ		**ф-ла(3)[10]**	**0**	**34,8**	**30**	**33,5**	**34,7**	**33,3**	**28,2**	**17,9**	**0**	**36,9**	**36,9**
Уровни звукового давления от источника ИШ-4-8 в расчётной точке ночью, дБ		**ф-ла(3)[10]**	**0**	**34,8**	**30**	**33,5**	**34,7**	**33,3**	**28,2**	**17,9**	**0**	**36,9**	**36,9**
Источник шума: ИШ-4-9, координаты источника (x,y,z), м =[178.68,257.63,15.50]													
Уровни звуковой мощности источника днём, Lw, дБ		**исходные данные**	**0**	**90,3**	**91,7**	**93**	**93,3**	**92,9**	**89,6**	**85,4**	**80,9**		
Уровни звуковой мощности источника ночью, Lw, дБ		**исходные данные**	**0**	**90,3**	**91,7**	**93**	**93,3**	**92,9**	**89,6**	**85,4**	**80,9**		
Поправка на телесный угол DΩ, дБ	Ω = 6.28	10Lg(4π/Ω)	**3**	3	3	3	3	3	3	3	3		
Показатель направленности источника Di, дБ		исходные данные	**0**	0	0	0	0	0	0	0	0		
Поправка на направленность источника Dc, дБ	Dc	DΩ + Di	**3**	3	3	3	3	3	3	3	3		
Затухание из-за геометрической дивергенции, Adiv, дБ	расстояние = 436.87 м	ф-ла (7) [10]	**63,8**										
Коэффициент затухания звука в атмосфере α, дБ/км	Ta=20,°C Pa=101.33,кПа hотн.=70%	ф-ла (5) [9]	0,02	0,09	0,33	1,12	2,79	4,98	9,04	23,09	77,63		
Учет затухания звука в атмосфере Aatm, дБ		ф-ла (8) [10]	0	0	0,1	0,5	1,2	2,2	3,9	10,1	33,9		
Снижение уровня звукового давления из-за влияния застройки между источником шума и расчетной точкой													
Снижение уровня звукового давления препятствием снизу от трассы ИШ-РТ, Dz4, дБ	z = -0.42м (разность путей)	ф-лы (14-18) [10]	1,6	NAN	NAN	NAN	NAN	NAN	NAN	NAN	NAN		
* отрицательное значение z означает прохождение траектории вблизи экрана, в этом случае дополнительно производится учёт снижения подстилающей поверхностью (см.ниже)													
Снижение поверхностью земли возле источника As, дБ	Gs = 0 hs = 7.5м	ф-лы таб.3 [10]	-1,5	-1,5	-1,5	-1,5	-1,5	-1,5	-1,5	-1,5	-1,5		

1		2	3	4	5	6	7	8	9	10	11	12	13
Снижение поверхностью земли возле приёмника Ar, дБ	Gr = 1 hr = 4.6м	ф-лы таб.3 [10]	-1,5	-1,5	3,3	1,3	0	0	0	0	0		
Снижение поверхностью земли в средней зоне, Am дБ	Gm = 1	ф-лы таб.3 [10]	-0,5	-0,5	0	0	0	0	0	0	0		
Суммарное снижение поверхностью земли на траектории распространения звука Agr, дБ		ф-ла (9) [10]	-3,5	-3,5	1,8	-0,2	-1,5	-1,5	-1,5	-1,5	-1,5		
Уровни звукового давления прямого звука от источника ИШ-4-9 в расчётной точке днём, дБ		**ф-ла(3)[10]**	**0**	**33**	**28,9**	**31,9**	**32,8**	**31,4**	**26,3**	**16**	**0**	**35**	**35**
Уровни звукового давления прямого звука от источника ИШ-4-9 в расчётной точке ночью, дБ		**ф-ла(3)[10]**	**0**	**33**	**28,9**	**31,9**	**32,8**	**31,4**	**26,3**	**16**	**0**	**35**	**35**
Расчёт отражённого звука													
Уровни звукового давления от мнимого источника ИШ-4-9_мн.(1) в расчётной точке днём, дБ		**ф-ла(3)[10]**	**0**	**31,9**	**25**	**29,3**	**30,2**	**28,8**	**23,8**	**13,4**	**0**	**32,4**	**32,4**
Уровни звукового давления от мнимого источника ИШ-4-9_мн.(1) в расчётной точке ночью, дБ		**ф-ла(3)[10]**	**0**	**0**	**0**	**0**	**0**	**0**	**0**	**0**	**0**	**32,4**	**32,4**
Уровни звукового давления от источника ИШ-4-9 в расчётной точке днём, дБ		**ф-ла(3)[10]**	**0**	**35,5**	**30,4**	**33,8**	**34,7**	**33,3**	**28,2**	**17,9**	**0**	**36,9**	**36,9**
Уровни звукового давления от источника ИШ-4-9 в расчётной точке ночью, дБ		**ф-ла(3)[10]**	**0**	**35,5**	**30,4**	**33,8**	**34,7**	**33,3**	**28,2**	**17,9**	**0**	**36,9**	**36,9**
Источник шума: ИШ-4-10, координаты источника (x,y,z), м =[185.65,255.31,11.00]													
Уровни звуковой мощности источника днём, Lw, дБ		**исходные данные**	**0**	**90,3**	**91,7**	**93**	**93,3**	**92,9**	**89,6**	**85,4**	**80,9**		
Уровни звуковой мощности источника ночью, Lw, дБ		**исходные данные**	**0**	**90,3**	**91,7**	**93**	**93,3**	**92,9**	**89,6**	**85,4**	**80,9**		
Поправка на телесный угол DΩ, дБ	Ω = 6.28	10Lg(4π/Ω)	**3**	3	3	3	3	3	3	3	3		
Показатель направленности источника Di, дБ		исходные данные	**0**	0	0	0	0	0	0	0	0		
Поправка на направленность источника Dc, дБ	Dc	DΩ + Di	**3**	3	3	3	3	3	3	3	3		
Затухание из-за геометрической дивергенции, Adiv, дБ	расстояние = 434.42 м	ф-ла (7) [10]	**63,8**										

1		2	3	4	5	6	7	8	9	10	11	12	13
Коэффициент затухания звука в атмосфере α, дБ/км	Та=20,°С Ра=101.33,кПа hотн.=70%	ф-ла (5) [9]	0,02	0,09	0,33	1,12	2,79	4,98	9,04	23,09	77,63		
Учет затухания звука в атмосфере Aatm, дБ		ф-ла (8) [10]	0	0	0,1	0,5	1,2	2,2	3,9	10	33,7		
Снижение поверхностью земли возле источника As, дБ	Gs = 0 hs = 3м	ф-лы таб.3 [10]	-1,5	-1,5	-1,5	-1,5	-1,5	-1,5	-1,5	-1,5	-1,5		
Снижение поверхностью земли возле приёмника Ar, дБ	Gr = 1 hr = 4.6м	ф-лы таб.3 [10]	-1,5	-1,5	3,3	1,3	0	0	0	0	0		
Снижение поверхностью земли в средней зоне, Am дБ	Gm = 1	ф-лы таб.3 [10]	-1,4	-1,4	0	0	0	0	0	0	0		
Суммарное снижение поверхностью земли на траектории распространения звука Agr, дБ		ф-ла (9) [10]	-4,4	-4,4	1,8	-0,2	-1,5	-1,5	-1,5	-1,5	-1,5		
Уровни звукового давления прямого звука от источника ИШ-4-10 в расчётной точке днём, дБ		**ф-ла(3)[10]**	**0**	**33,9**	**29**	**32**	**32,8**	**31,5**	**26,4**	**16,1**	**0**	**35**	**35**
Уровни звукового давления прямого звука от источника ИШ-4-10 в расчётной точке ночью, дБ		**ф-ла(3)[10]**	**0**	**33,9**	**29**	**32**	**32,8**	**31,5**	**26,4**	**16,1**	**0**	**35**	**35**
Расчёт отражённого звука													
Уровни звукового давления от мнимого источника ИШ-4-10_мн.(1) в расчётной точке днём, дБ		**ф-ла(3)[10]**	**0**	**0**	**0**	**0**	**0**	**0**	**21,1**	**10,3**	**0**	**22,7**	**22,7**
Уровни звукового давления от мнимого источника ИШ-4-10_мн.(1) в расчётной точке ночью, дБ		**ф-ла(3)[10]**	**0**	**0**	**0**	**0**	**0**	**0**	**0**	**0**	**0**	**22,7**	**22,7**
Уровни звукового давления от мнимого источника ИШ-4-10_мн.(2) в расчётной точке днём, дБ		**ф-ла(3)[10]**	**0**	**32,9**	**23,5**	**25,6**	**30**	**28,9**	**23,8**	**13,5**	**0**	**32,2**	**32,2**
Уровни звукового давления от мнимого источника ИШ-4-10_мн.(2) в расчётной точке ночью, дБ		**ф-ла(3)[10]**	**32,9**	**32,9**	**32,9**	**32,9**	**32,9**	**32,9**	**32,9**	**32,9**	**32,9**	**32,2**	**32,2**
Суммарные уровни звукового давления от мнимых источников в расчётной точке днём, дБ		**ф-ла (19) [1]**	**0**	**32,9**	**23,5**	**25,6**	**30**	**28,9**	**25,7**	**15,2**	**0**	**0**	**32,7**
Суммарные уровни звукового давления от мнимых источников в расчётной точке ночью, дБ		**ф-ла (19) [1]**	**0**	**32,9**	**23,5**	**25,6**	**30**	**28,9**	**25,7**	**15,2**	**0**	**0**	**32,7**
Уровни звукового давления от источника ИШ-4-10 в расчётной точке днём, дБ		**ф-ла(3)[10]**	**0**	**36,4**	**30,1**	**32,9**	**34,7**	**33,4**	**29,1**	**18,7**	**0**	**37**	**37**
Уровни звукового давления от источника ИШ-4-10 в расчётной точке ночью, дБ		**ф-ла(3)[10]**	**0**	**36,4**	**30,1**	**32,9**	**34,7**	**33,4**	**29,1**	**18,7**	**0**	**37**	**37**

1		2	3	4	5	6	7	8	9	10	11	12	13
Источник шума: ИШ-4-11, координаты источника (x,y,z), м =[185.89,255.16,13.00]													
Уровни звуковой мощности источника днём, Lw, дБ		**исходные данные**	**0**	**90,3**	**91,7**	**93**	**93,3**	**92,9**	**89,6**	**85,4**	**80,9**		
Уровни звуковой мощности источника ночью, Lw, дБ		**исходные данные**	**0**	**90,3**	**91,7**	**93**	**93,3**	**92,9**	**89,6**	**85,4**	**80,9**		
Поправка на телесный угол DΩ, дБ	Ω = 6.28	10Lg(4π/Ω)	**3**	3	3	3	3	3	3	3	3		
Показатель направленности источника Di, дБ		исходные данные	**0**	0	0	0	0	0	0	0	0		
Поправка на направленность источника Dc, дБ	Dc	DΩ + Di	**3**	3	3	3	3	3	3	3	3		
Затухание из-за геометрической дивергенции, Adiv, дБ	расстояние = 434.31 м	ф-ла (7) [10]	**63,8**										
Коэффициент затухания звука в атмосфере α, дБ/км	Ta=20,°C Pa=101.33,кПа hотн.=70%	ф-ла (5) [9]	0,02	0,09	0,33	1,12	2,79	4,98	9,04	23,09	77,63		
Учет затухания звука в атмосфере Aatm, дБ		ф-ла (8) [10]	0	0	0,1	0,5	1,2	2,2	3,9	10	33,7		
Снижение поверхностью земли возле источника As, дБ	Gs = 0 hs = 5м	ф-лы таб.3 [10]	-1,5	-1,5	-1,5	-1,5	-1,5	-1,5	-1,5	-1,5	-1,5		
Снижение поверхностью земли возле приёмника Ar, дБ	Gr = 1 hr = 4.6м	ф-лы таб.3 [10]	-1,5	-1,5	3,3	1,3	0	0	0	0	0		
Снижение поверхностью земли в средней зоне, Am дБ	Gm = 1	ф-лы таб.3 [10]	-1	-1	0	0	0	0	0	0	0		
Суммарное снижение поверхностью земли на траектории распространения звука Agr, дБ		ф-ла (9) [10]	-4	-4	1,8	-0,2	-1,5	-1,5	-1,5	-1,5	-1,5		
Уровни звукового давления прямого звука от источника ИШ-4-11 в расчётной точке днём, дБ		**ф-ла(3)[10]**	**0**	**33,5**	**29**	**32**	**32,8**	**31,5**	**26,4**	**16,1**	**0**	**35**	**35**
Уровни звукового давления прямого звука от источника ИШ-4-11 в расчётной точке ночью, дБ		**ф-ла(3)[10]**	**0**	**33,5**	**29**	**32**	**32,8**	**31,5**	**26,4**	**16,1**	**0**	**35**	**35**
Расчёт отражённого звука													

1		2	3	4	5	6	7	8	9	10	11	12	13
Уровни звукового давления от мнимого источника ИШ-4-11_мн.(1) в расчётной точке днём, дБ		**ф-ла(3)[10]**	**0**	**32,5**	**23,2**	**28,5**	**30,3**	**28,9**	**23,8**	**13,5**	**0**	**32,4**	**32,4**
Уровни звукового давления от мнимого источника ИШ-4-11_мн.(1) в расчётной точке ночью, дБ		**ф-ла(3)[10]**	**0**	**0**	**0**	**0**	**0**	**0**	**0**	**0**	**0**	**32,4**	**32,4**
Уровни звукового давления от источника ИШ-4-11 в расчётной точке днём, дБ		**ф-ла(3)[10]**	**0**	**36**	**30**	**33,6**	**34,7**	**33,4**	**28,3**	**18**	**0**	**36,9**	**36,9**
Уровни звукового давления от источника ИШ-4-11 в расчётной точке ночью, дБ		**ф-ла(3)[10]**	**0**	**36**	**30**	**33,6**	**34,7**	**33,4**	**28,3**	**18**	**0**	**36,9**	**36,9**
Источник шума: ИШ-4-12, координаты источника (x,y,z), м =[186.18,255.02,15.50]													
Уровни звуковой мощности источника днём, Lw, дБ		**исходные данные**	**0**	**90,3**	**91,7**	**93**	**93,3**	**92,9**	**89,6**	**85,4**	**80,9**		
Уровни звуковой мощности источника ночью, Lw, дБ		**исходные данные**	**0**	**90,3**	**91,7**	**93**	**93,3**	**92,9**	**89,6**	**85,4**	**80,9**		
Поправка на телесный угол DΩ, дБ	Ω = 6.28	10Lg(4π/Ω)	**3**	3	3	3	3	3	3	3	3		
Показатель направленности источника Di, дБ		исходные данные	**0**	0	0	0	0	0	0	0	0		
Поправка на направленность источника Dc, дБ	Dc	DΩ + Di	**3**	3	3	3	3	3	3	3	3		
Затухание из-за геометрической дивергенции, Adiv, дБ	расстояние = 434.22 м	ф-ла (7) [10]	**63,8**										
Коэффициент затухания звука в атмосфере α, дБ/км	Ta=20,°C Pa=101.33,кПа hотн.=70%	ф-ла (5) [9]	0,02	0,09	0,33	1,12	2,79	4,98	9,04	23,09	77,63		
Учет затухания звука в атмосфере Aatm, дБ		ф-ла (8) [10]	0	0	0,1	0,5	1,2	2,2	3,9	10	33,7		
Снижение поверхностью земли возле источника As, дБ	Gs = 0 hs = 7.5м	ф-лы таб.3 [10]	-1,5	-1,5	-1,5	-1,5	-1,5	-1,5	-1,5	-1,5	-1,5		
Снижение поверхностью земли возле приёмника Ar, дБ	Gr = 1 hr = 4.6м	ф-лы таб.3 [10]	-1,5	-1,5	3,3	1,3	0	0	0	0	0		
Снижение поверхностью земли в средней зоне, Am дБ	Gm = 1	ф-лы таб.3 [10]	-0,5	-0,5	0	0	0	0	0	0	0		

1		2	3	4	5	6	7	8	9	10	11	12	13
Суммарное снижение поверхностью земли на траектории распространения звука Agr, дБ		ф-ла (9) [10]	-3,5	-3,5	1,8	-0,2	-1,5	-1,5	-1,5	-1,5	-1,5		
Уровни звукового давления прямого звука от источника ИШ-4-12 в расчётной точке днём, дБ		**ф-ла(3)[10]**	**0**	**33**	**29**	**32**	**32,8**	**31,5**	**26,4**	**16,1**	**0**	**35**	**35**
Уровни звукового давления прямого звука от источника ИШ-4-12 в расчётной точке ночью, дБ		**ф-ла(3)[10]**	**0**	**33**	**29**	**32**	**32,8**	**31,5**	**26,4**	**16,1**	**0**	**35**	**35**
Расчёт отражённого звука													
Уровни звукового давления от мнимого источника ИШ-4-12_мн.(1) в расчётной точке днём, дБ		**ф-ла(3)[10]**	**0**	**32**	**25**	**29,4**	**30,3**	**28,9**	**23,8**	**13,5**	**0**	**32,5**	**32,5**
Уровни звукового давления от мнимого источника ИШ-4-12_мн.(1) в расчётной точке ночью, дБ		**ф-ла(3)[10]**	**0**	**0**	**0**	**0**	**0**	**0**	**0**	**0**	**0**	**32,5**	**32,5**
Уровни звукового давления от источника ИШ-4-12 в расчётной точке днём, дБ		**ф-ла(3)[10]**	**0**	**35,5**	**30,5**	**33,9**	**34,7**	**33,4**	**28,3**	**18**	**0**	**37**	**37**
Уровни звукового давления от источника ИШ-4-12 в расчётной точке ночью, дБ		**ф-ла(3)[10]**	**0**	**35,5**	**30,5**	**33,9**	**34,7**	**33,4**	**28,3**	**18**	**0**	**37**	**37**
Источник шума: ИШ-4-13, координаты источника (x,y,z), м =[94.56,229.10,1.00]													
Уровни звуковой мощности источника днём, Lw, дБ		**исходные данные**	**0**	**81,3**	**82,7**	**84**	**84,3**	**83,9**	**80,6**	**76,4**	**71,9**		
Уровни звуковой мощности источника ночью, Lw, дБ		**исходные данные**	**0**	**81,3**	**82,7**	**84**	**84,3**	**83,9**	**80,6**	**76,4**	**71,9**		
Поправка на телесный угол DΩ, дБ	Ω = 6.28	10Lg(4π/Ω)	**3**	3	3	3	3	3	3	3	3		
Показатель направленности источника Di, дБ		исходные данные	**0**	0	0	0	0	0	0	0	0		
Поправка на направленность источника Dc, дБ	Dc	DΩ + Di	**3**	3	3	3	3	3	3	3	3		
Затухание из-за геометрической дивергенции, Adiv, дБ	расстояние = 417.92 м	ф-ла (7) [10]	**63,4**										
Коэффициент затухания звука в атмосфере α, дБ/км	Ta=20,°C Pa=101.33,кПа hотн.=70%	ф-ла (5) [9]	0,02	0,09	0,33	1,12	2,79	4,98	9,04	23,09	77,63		

1		2	3	4	5	6	7	8	9	10	11	12	13
Учет затухания звука в атмосфере Aatm, дБ		ф-ла (8) [10]	0	0	0,1	0,5	1,2	2,1	3,8	9,6	32,4		
Снижение уровня звукового давления из-за влияния застройки между источником шума и расчетной точкой													
Снижение уровня звукового давления на пути над экраном, Dz1, дБ	z = 3.15м (разность путей)	ф-лы (14-18) [10]	14,3	17,5	20,5	23,5	26,5	29,5	32,5	35,5	38,5		
Снижение уровня звукового давления на пути слева от экрана, Dz2, дБ	z = 132.03м (разность путей)	ф-лы (14-18) [10]	27,7	32	36,4	40,3	43,6	46,7	49,7	52,7	55,7		
Снижение уровня звукового давления на пути справа от экрана, Dz3, дБ	z = 3.60м (разность путей)	ф-лы (14-18) [10]	15,7	19	22	25	28	31	34,1	37,1	40,1		
Общее снижение уровня звука препятствием Dz, дБ		Эн.сумма(-Dzi)	11,8	15,1	18,1	21,1	24,1	27,1	30,1	33,1	36,1		
Общее снижение уровня звука препятствием с учётом ограничения (25 дБ) для октавных полос Dz, дБ		Раздел 7.4 [10]	11,8	15,1	18,1	21,1	24,1	25	25	25	25		
Уровни звукового давления от источника ИШ-4-13 в расчётной точке днём, дБ		**ф-ла(3)[10]**	**0**	**5,8**	**4**	**2**	**0**	**0**	**0**	**0**	**0**	**0**	**0**
Уровни звукового давления от источника ИШ-4-13 в расчётной точке ночью, дБ		**ф-ла(3)[10]**	**0**	**5,8**	**4**	**2**	**0**	**0**	**0**	**0**	**0**	**0**	**0**
Источник шума: ИШ-4-14, координаты источника (x,y,z), м =[91.88,221.30,1.00]													
Уровни звуковой мощности источника днём, Lw, дБ		**исходные данные**	**0**	**81,3**	**82,7**	**84**	**84,3**	**83,9**	**80,6**	**76,4**	**71,9**		
Уровни звуковой мощности источника ночью, Lw, дБ		**исходные данные**	**0**	**81,3**	**82,7**	**84**	**84,3**	**83,9**	**80,6**	**76,4**	**71,9**		
Поправка на телесный угол DΩ, дБ	Ω = 6.28	10Lg(4π/Ω)	**3**	3	3	3	3	3	3	3	3		
Показатель направленности источника Di, дБ		исходные данные	**0**	0	0	0	0	0	0	0	0		
Поправка на направленность источника Dc, дБ	Dc	DΩ + Di	**3**	3	3	3	3	3	3	3	3		
Затухание из-за геометрической дивергенции, Adiv, дБ	расстояние = 410.90 м	ф-ла (7) [10]	**63,3**										

1		2	3	4	5	6	7	8	9	10	11	12	13
Коэффициент затухания звука в атмосфере α, дБ/км	Та=20,°С Ра=101.33,кПа hотн.=70%	ф-ла (5) [9]	0,02	0,09	0,33	1,12	2,79	4,98	9,04	23,09	77,63		
Учет затухания звука в атмосфере Aatm, дБ		ф-ла (8) [10]	0	0	0,1	0,5	1,1	2	3,7	9,5	31,9		
Снижение уровня звукового давления из-за влияния застройки между источником шума и расчетной точкой													
Снижение уровня звукового давления на пути над экраном, Dz1, дБ	z = 3.17м (разность путей)	ф-лы (14-18) [10]	14,3	17,5	20,5	23,5	26,5	29,5	32,5	35,5	38,5		
Снижение уровня звукового давления на пути слева от экрана, Dz2, дБ	z = 147.26м (разность путей)	ф-лы (14-18) [10]	28,2	32,4	36,9	40,7	44	47,1	50,2	53,2	56,2		
Снижение уровня звукового давления на пути справа от экрана, Dz3, дБ	z = 2.53м (разность путей)	ф-лы (14-18) [10]	14,3	17,5	20,5	23,5	26,5	29,5	32,5	35,5	38,5		
Общее снижение уровня звука препятствием Dz, дБ		Эн.сумма(-Dzi)	11,2	14,4	17,5	20,5	23,5	26,5	29,5	32,5	35,5		
Общее снижение уровня звука препятствием с учётом ограничения (25 дБ) для октавных полос Dz, дБ		Раздел 7.4 [10]	11,2	14,4	17,5	20,5	23,5	25	25	25	25		
Уровни звукового давления от источника ИШ-4-14 в расчётной точке днём, дБ		**ф-ла(3)[10]**	**0**	**6,5**	**4,8**	**2,8**	**0**	**0**	**0**	**0**	**0**	**0**	**0**
Уровни звукового давления от источника ИШ-4-14 в расчётной точке ночью, дБ		**ф-ла(3)[10]**	**0**	**6,5**	**4,8**	**2,8**	**0**	**0**	**0**	**0**	**0**	**0**	**0**
Источник шума: ИШ-5-1, координаты источника (x,y,z), м =[626.70,162.36,1.00]													
Уровни звуковой мощности источника днём, Lw, дБ		**исходные данные**	**0**	**93,3**	**94,7**	**96**	**96,3**	**95,9**	**92,6**	**88,4**	**83,9**		
Уровни звуковой мощности источника ночью, Lw, дБ		**исходные данные**	**0**	**93,3**	**94,7**	**96**	**96,3**	**95,9**	**92,6**	**88,4**	**83,9**		
Поправка на телесный угол DΩ, дБ	Ω = 6.28	10Lg($4\pi/\Omega$)	**3**	3	3	3	3	3	3	3	3		
Показатель направленности источника Di, дБ		исходные данные	**0**	0	0	0	0	0	0	0	0		
Поправка на направленность источника Dc, дБ	Dc	DΩ + Di	**3**	3	3	3	3	3	3	3	3		

1		2	3	4	5	6	7	8	9	10	11	12	13
Затухание из-за геометрической дивергенции, Adiv, дБ	расстояние = 558.87 м	ф-ла (7) [10]	**65,9**										
Коэффициент затухания звука в атмосфере α, дБ/км	Ta=20,°C Pa=101.33,кПа hотн.=70%	ф-ла (5) [9]	0,02	0,09	0,33	1,12	2,79	4,98	9,04	23,09	77,63		
Учет затухания звука в атмосфере Aatm, дБ		ф-ла (8) [10]	0	0	0,2	0,6	1,6	2,8	5,1	12,9	43,4		
Снижение уровня звукового давления из-за влияния застройки между источником шума и расчетной точкой													
Снижение уровня звукового давления на пути над экраном, Dz1, дБ	z = 0.19м (разность путей)	ф-лы (14-18) [10]	4,8	4,8	4,8	4,9	5,1	5,4	6	7	8,4		
Снижение уровня звукового давления на пути слева от экрана, Dz2, дБ	z = 6.28м (разность путей)	ф-лы (14-18) [10]	14,2	16,9	19,8	22,7	25,7	28,7	31,7	34,7	37,7		
Снижение уровня звукового давления на пути справа от экрана, Dz3, дБ	z = 105.56м (разность путей)	ф-лы (14-18) [10]	30,1	33,5	36,6	39,7	42,7	45,7	48,7	51,7	54,7		
Общее снижение уровня звука препятствием Dz, дБ		Эн.сумма(-Dzi)	4,3	4,5	4,7	4,9	5,1	5,4	6	7	8,4		
Уровни звукового давления от источника ИШ-5-1 в расчётной точке днём, дБ		**ф-ла(3)[10]**	**0**	**25,8**	**26,9**	**27,6**	**26,7**	**24,8**	**18,6**	**5,6**	**0**	**28,5**	**28,5**
Уровни звукового давления от источника ИШ-5-1 в расчётной точке ночью, дБ		**ф-ла(3)[10]**	**0**	**25,8**	**26,9**	**27,6**	**26,7**	**24,8**	**18,6**	**5,6**	**0**	**28,5**	**28,5**
Источник шума: ИШ-5-2, координаты источника (x,y,z), м =[625.81,159.52,1.00]													
Уровни звуковой мощности источника днём, Lw, дБ		**исходные данные**	**0**	**93,3**	**94,7**	**96**	**96,3**	**95,9**	**92,6**	**88,4**	**83,9**		
Уровни звуковой мощности источника ночью, Lw, дБ		**исходные данные**	**0**	**93,3**	**94,7**	**96**	**96,3**	**95,9**	**92,6**	**88,4**	**83,9**		
Поправка на телесный угол DΩ, дБ	Ω = 6.28	10Lg(4π/Ω)	**3**	3	3	3	3	3	3	3	3		
Показатель направленности источника Di, дБ		исходные данные	**0**	0	0	0	0	0	0	0	0		
Поправка на направленность источника Dc, дБ	Dc	DΩ + Di	**3**	3	3	3	3	3	3	3	3		

1		2	3	4	5	6	7	8	9	10	11	12	13
Затухание из-за геометрической дивергенции, Adiv, дБ	расстояние = 556.43 м	ф-ла (7) [10]	**65,9**										
Коэффициент затухания звука в атмосфере α, дБ/км	Ta=20,°C Pa=101.33,кПа hотн.=70%	ф-ла (5) [9]	0,02	0,09	0,33	1,12	2,79	4,98	9,04	23,09	77,63		
Учет затухания звука в атмосфере Aatm, дБ		ф-ла (8) [10]	0	0	0,2	0,6	1,6	2,8	5	12,8	43,2		
Снижение уровня звукового давления из-за влияния застройки между источником шума и расчетной точкой													
Снижение уровня звукового давления на пути над экраном, Dz1, дБ	z = 0.19м (разность путей)	ф-лы (14-18) [10]	4,8	4,8	4,8	4,9	5,1	5,5	6,1	7	8,5		
Снижение уровня звукового давления на пути слева от экрана, Dz2, дБ	z = 6.13м (разность путей)	ф-лы (14-18) [10]	14,1	16,9	19,7	22,6	25,6	28,6	31,6	34,6	37,6		
Снижение уровня звукового давления на пути справа от экрана, Dz3, дБ	z = 107.81м (разность путей)	ф-лы (14-18) [10]	30,2	33,6	36,7	39,8	42,8	45,8	48,8	51,8	54,8		
Общее снижение уровня звука препятствием Dz, дБ		Эн.сумма(-Dzi)	4,3	4,5	4,7	4,9	5,1	5,4	6	7	8,5		
Уровни звукового давления от источника ИШ-5-2 в расчётной точке днём, дБ		**ф-ла(3)[10]**	**0**	**25,8**	**26,9**	**27,6**	**26,7**	**24,8**	**18,6**	**5,6**	**0**	**28,6**	**28,6**
Уровни звукового давления от источника ИШ-5-2 в расчётной точке ночью, дБ		**ф-ла(3)[10]**	**0**	**25,8**	**26,9**	**27,6**	**26,7**	**24,8**	**18,6**	**5,6**	**0**	**28,6**	**28,6**
Источник шума: ИШ-5-3, координаты источника (x,y,z), м =[624.84,156.69,1.00]													
Уровни звуковой мощности источника днём, Lw, дБ		**исходные данные**	**0**	**93,3**	**94,7**	**96**	**96,3**	**95,9**	**92,6**	**88,4**	**83,9**		
Уровни звуковой мощности источника ночью, Lw, дБ		**исходные данные**	**0**	**93,3**	**94,7**	**96**	**96,3**	**95,9**	**92,6**	**88,4**	**83,9**		
Поправка на телесный угол DΩ, дБ	Ω = 6.28	10Lg($4\pi/\Omega$)	**3**	3	3	3	3	3	3	3	3		
Показатель направленности источника Di, дБ		исходные данные	**0**	0	0	0	0	0	0	0	0		
Поправка на направленность источника Dc, дБ	Dc	DΩ + Di	**3**	3	3	3	3	3	3	3	3		

1		2	3	4	5	6	7	8	9	10	11	12	13
Затухание из-за геометрической дивергенции, Adiv, дБ	расстояние = 553.94 м	ф-ла (7) [10]	**65,9**										
Коэффициент затухания звука в атмосфере α, дБ/км	Ta=20,°C Pa=101.33,кПа hотн.=70%	ф-ла (5) [9]	0,02	0,09	0,33	1,12	2,79	4,98	9,04	23,09	77,63		
Учет затухания звука в атмосфере Aatm, дБ		ф-ла (8) [10]	0	0	0,2	0,6	1,5	2,8	5	12,8	43		
Снижение уровня звукового давления из-за влияния застройки между источником шума и расчетной точкой													
Снижение уровня звукового давления на пути над экраном, Dz1, дБ	z = 0.19м (разность путей)	ф-лы (14-18) [10]	4,8	4,8	4,8	4,9	5,1	5,5	6,1	7,1	8,6		
Снижение уровня звукового давления на пути слева от экрана, Dz2, дБ	z = 5.99м (разность путей)	ф-лы (14-18) [10]	14	16,8	19,6	22,5	25,5	28,5	31,5	34,5	37,5		
Снижение уровня звукового давления на пути справа от экрана, Dz3, дБ	z = 110.07м (разность путей)	ф-лы (14-18) [10]	30,3	33,7	36,8	39,9	42,9	45,9	48,9	51,9	54,9		
Общее снижение уровня звука препятствием Dz, дБ		Эн.сумма(-Dzi)	4,3	4,5	4,7	4,9	5,1	5,5	6,1	7,1	8,6		
Уровни звукового давления от источника ИШ-5-3 в расчётной точке днём, дБ		**ф-ла(3)[10]**	**0**	**25,8**	**26,9**	**27,6**	**26,8**	**24,8**	**18,6**	**5,6**	**0**	**28,6**	**28,6**
Уровни звукового давления от источника ИШ-5-3 в расчётной точке ночью, дБ		**ф-ла(3)[10]**	**0**	**25,8**	**26,9**	**27,6**	**26,8**	**24,8**	**18,6**	**5,6**	**0**	**28,6**	**28,6**
Источник шума: ИШ-6-1, координаты источника (x,y,z), м =[836.30,122.24,1.00]													
Уровни звуковой мощности источника днём, Lw, дБ		**исходные данные**	**0**	**96,3**	**97,7**	**99**	**99,3**	**98,9**	**95,6**	**91,4**	**86,9**		
Уровни звуковой мощности источника ночью, Lw, дБ		**исходные данные**	**0**	**96,3**	**97,7**	**99**	**99,3**	**98,9**	**95,6**	**91,4**	**86,9**		
Поправка на телесный угол DΩ, дБ	Ω = 12.57	10Lg($4\pi/\Omega$)	**0**	0	0	0	0	0	0	0	0		
Показатель направленности источника Di, дБ		исходные данные	**0**	0	0	0	0	0	0	0	0		
Поправка на направленность источника Dc, дБ	Dc	DΩ + Di	**0**	0	0	0	0	0	0	0	0		

1		2	3	4	5	6	7	8	9	10	11	12	13
Затухание из-за геометрической дивергенции, Adiv, дБ	расстояние = 718.29 м	ф-ла (7) [10]	**68,1**										
Коэффициент затухания звука в атмосфере α, дБ/км	Ta=20,°C Pa=101.33,кПа hотн.=70%	ф-ла (5) [9]	0,02	0,09	0,33	1,12	2,79	4,98	9,04	23,09	77,63		
Учет затухания звука в атмосфере Aatm, дБ		ф-ла (8) [10]	0	0,1	0,2	0,8	2	3,6	6,5	16,6	55,8		
Снижение уровня звукового давления из-за влияния застройки между источником шума и расчетной точкой													
Снижение уровня звукового давления на пути над экраном, Dz1, дБ	z = 0.16м (разность путей)	ф-лы (14-18) [10]	4,8	4,8	4,8	4,8	4,8	4,8	4,9	5	5,3		
Снижение уровня звукового давления на пути слева от экрана, Dz2, дБ	z = 0.02м (разность путей)	ф-лы (14-18) [10]	4,9	5	5,2	5,6	6,3	7,4	9	11,1	13,5		
Снижение уровня звукового давления на пути справа от экрана, Dz3, дБ	z = 23.49м (разность путей)	ф-лы (14-18) [10]	21,8	26,2	29,9	33,1	36,2	39,2	42,2	45,2	48,2		
Общее снижение уровня звука препятствием Dz, дБ		Эн.сумма(-Dzi)	1,8	1,9	2	2,1	2,4	2,9	3,5	4,1	4,7		
Уровни звукового давления прямого звука от источника ИШ-6-1 в расчётной точке днём, дБ		**ф-ла(3)[10]**	**0**	**26,2**	**27,4**	**27,9**	**26,7**	**24,3**	**17,5**	**2,6**	**0**	**28,3**	**28,3**
Уровни звукового давления прямого звука от источника ИШ-6-1 в расчётной точке ночью, дБ		**ф-ла(3)[10]**	**0**	**26,2**	**27,4**	**27,9**	**26,7**	**24,3**	**17,5**	**2,6**	**0**	**28,3**	**28,3**
Расчёт отражённого звука													
Уровни звукового давления от мнимого источника ИШ-6-1_мн.(1) в расчётной точке днём, дБ		**ф-ла(3)[10]**	**0**	**0**	**0**	**0**	**0**	**0**	**0**	**0**	**0**	**0**	**0**
Уровни звукового давления от мнимого источника ИШ-6-1_мн.(1) в расчётной точке ночью, дБ		**ф-ла(3)[10]**	**0**	**0**	**0**	**0**	**0**	**0**	**0**	**0**	**0**	**0**	**0**
Уровни звукового давления от источника ИШ-6-1 в расчётной точке днём, дБ		**ф-ла(3)[10]**	**0**	**26,2**	**27,4**	**27,9**	**26,7**	**24,3**	**17,5**	**2,6**	**0**	**28,3**	**28,3**
Уровни звукового давления от источника ИШ-6-1 в расчётной точке ночью, дБ		**ф-ла(3)[10]**	**0**	**26,2**	**27,4**	**27,9**	**26,7**	**24,3**	**17,5**	**2,6**	**0**	**28,3**	**28,3**
Источник шума: ИШ-6-2, координаты источника (x,y,z), м =[835.37,119.30,1.00]													

1		2	3	4	5	6	7	8	9	10	11	12	13
Уровни звуковой мощности источника днём, Lw, дБ		**исходные данные**	**0**	**96,3**	**97,7**	**99**	**99,3**	**98,9**	**95,6**	**91,4**	**86,9**		
Уровни звуковой мощности источника ночью, Lw, дБ		**исходные данные**	**0**	**96,3**	**97,7**	**99**	**99,3**	**98,9**	**95,6**	**91,4**	**86,9**		
Поправка на телесный угол DΩ, дБ	Ω = 12.57	10Lg(4π/Ω)	**0**	0	0	0	0	0	0	0	0		
Показатель направленности источника Di, дБ		исходные данные	**0**	0	0	0	0	0	0	0	0		
Поправка на направленность источника Dc, дБ	Dc	DΩ + Di	**0**	0	0	0	0	0	0	0	0		
Затухание из-за геометрической дивергенции, Adiv, дБ	расстояние = 716.22 м	ф-ла (7) [10]	**68,1**										
Коэффициент затухания звука в атмосфере α, дБ/км	Ta=20,°C Pa=101.33,кПа hотн.=70%	ф-ла (5) [9]	0,02	0,09	0,33	1,12	2,79	4,98	9,04	23,09	77,63		
Учет затухания звука в атмосфере Aatm, дБ		ф-ла (8) [10]	0	0,1	0,2	0,8	2	3,6	6,5	16,5	55,6		
Снижение уровня звукового давления из-за влияния застройки между источником шума и расчетной точкой													
Снижение уровня звукового давления на пути над экраном, Dz1, дБ	z = 0.16м (разность путей)	ф-лы (14-18) [10]	4,8	4,8	4,8	4,8	4,8	4,8	4,9	5	5,3		
Снижение уровня звукового давления на пути слева от экрана, Dz2, дБ	z = 0.01м (разность путей)	ф-лы (14-18) [10]	4,8	4,9	5	5,3	5,7	6,5	7,7	9,5	11,7		
Снижение уровня звукового давления на пути справа от экрана, Dz3, дБ	z = 23.81м (разность путей)	ф-лы (14-18) [10]	21,9	26,2	29,9	33,1	36,2	39,2	42,3	45,3	48,3		
Общее снижение уровня звука препятствием Dz, дБ		Эн.сумма(-Dzi)	1,8	1,8	1,9	2	2,2	2,6	3,1	3,7	4,4		
Уровни звукового давления прямого звука от источника ИШ-6-2 в расчётной точке днём, дБ		**ф-ла(3)[10]**	**0**	**26,3**	**27,5**	**28,1**	**27**	**24,7**	**17,9**	**3,1**	**0**	**28,6**	**28,6**
Уровни звукового давления прямого звука от источника ИШ-6-2 в расчётной точке ночью, дБ		**ф-ла(3)[10]**	**0**	**26,3**	**27,5**	**28,1**	**27**	**24,7**	**17,9**	**3,1**	**0**	**28,6**	**28,6**
Расчёт отражённого звука													
Уровни звукового давления от мнимого источника ИШ-6-2_мн.(1) в расчётной точке днём, дБ		**ф-ла(3)[10]**	**0**	**0**	**0**	**0**	**0**	**0**	**0**	**5,7**	**0**	**6,7**	**6,7**

1		2	3	4	5	6	7	8	9	10	11	12	13
Уровни звукового давления от мнимого источника ИШ-6-2_мн.(1) в расчётной точке ночью, дБ		**ф-ла(3)[10]**	**0**	**0**	**0**	**0**	**0**	**0**	**0**	**0**	**0**	**6,7**	**6,7**
Уровни звукового давления от источника ИШ-6-2 в расчётной точке днём, дБ		**ф-ла(3)[10]**	**0**	**26,3**	**27,5**	**28,1**	**27**	**24,7**	**17,9**	**7,6**	**0**	**28,6**	**28,6**
Уровни звукового давления от источника ИШ-6-2 в расчётной точке ночью, дБ		**ф-ла(3)[10]**	**0**	**26,3**	**27,5**	**28,1**	**27**	**24,7**	**17,9**	**7,6**	**0**	**28,6**	**28,6**
Источник шума: ИШ-6-3, координаты источника (x,y,z), м =[834.03,116.36,1.00]													
Уровни звуковой мощности источника днём, Lw, дБ		**исходные данные**	**0**	**96,3**	**97,7**	**99**	**99,3**	**98,9**	**95,6**	**91,4**	**86,9**		
Уровни звуковой мощности источника ночью, Lw, дБ		**исходные данные**	**0**	**96,3**	**97,7**	**99**	**99,3**	**98,9**	**95,6**	**91,4**	**86,9**		
Поправка на телесный угол DΩ, дБ	Ω = 12.57	10Lg(4π/Ω)	**0**	0	0	0	0	0	0	0	0		
Показатель направленности источника Di, дБ		исходные данные	**0**	0	0	0	0	0	0	0	0		
Поправка на направленность источника Dc, дБ	Dc	DΩ + Di	**0**	0	0	0	0	0	0	0	0		
Затухание из-за геометрической дивергенции, Adiv, дБ	расстояние = 713.78 м	ф-ла (7) [10]	**68,1**										
Коэффициент затухания звука в атмосфере α, дБ/км	Ta=20,°C Pa=101.33,кПа hотн.=70%	ф-ла (5) [9]	0,02	0,09	0,33	1,12	2,79	4,98	9,04	23,09	77,63		
Учет затухания звука в атмосфере Aatm, дБ		ф-ла (8) [10]	0	0,1	0,2	0,8	2	3,6	6,5	16,5	55,4		
Снижение уровня звукового давления из-за влияния застройки между источником шума и расчетной точкой													
Снижение уровня звукового давления на пути над экраном, Dz1, дБ	z = 0.16м (разность путей)	ф-лы (14-18) [10]	4,8	4,8	4,8	4,8	4,8	4,8	4,9	5	5,3		
Снижение уровня звукового давления на пути слева от экрана, Dz2, дБ	z = 0.01м (разность путей)	ф-лы (14-18) [10]	4,8	4,8	4,9	5	5,3	5,8	6,6	7,9	9,7		
Снижение уровня звукового давления на пути справа от экрана, Dz3, дБ	z = 24.11м (разность путей)	ф-лы (14-18) [10]	21,9	26,3	30	33,2	36,3	39,3	42,3	45,3	48,3		

1		2	3	4	5	6	7	8	9	10	11	12	13
Общее снижение уровня звука препятствием Dz, дБ		Эн.сумма(-Dzi)	1,7	1,8	1,8	1,9	2	2,3	2,6	3,2	3,9		
Уровни звукового давления от источника ИШ-6-3 в расчётной точке днём, дБ		**ф-ла(3)[10]**	**0**	**26,4**	**27,6**	**28,2**	**27,2**	**25**	**18,4**	**3,6**	**0**	**28,9**	**28,9**
Уровни звукового давления от источника ИШ-6-3 в расчётной точке ночью, дБ		**ф-ла(3)[10]**	**0**	**26,4**	**27,6**	**28,2**	**27,2**	**25**	**18,4**	**3,6**	**0**	**28,9**	**28,9**
Источник шума: ИШ-6-4, координаты источника (x,y,z), м =[833.23,113.30,1.00]													
Уровни звуковой мощности источника днём, Lw, дБ		**исходные данные**	**0**	**96,3**	**97,7**	**99**	**99,3**	**98,9**	**95,6**	**91,4**	**86,9**		
Уровни звуковой мощности источника ночью, Lw, дБ		**исходные данные**	**0**	**96,3**	**97,7**	**99**	**99,3**	**98,9**	**95,6**	**91,4**	**86,9**		
Поправка на телесный угол DΩ, дБ	Ω = 12.57	10Lg(4π/Ω)	**0**	0	0	0	0	0	0	0	0		
Показатель направленности источника Di, дБ		исходные данные	**0**	0	0	0	0	0	0	0	0		
Поправка на направленность источника Dc, дБ	Dc	DΩ + Di	**0**	0	0	0	0	0	0	0	0		
Затухание из-за геометрической дивергенции, Adiv, дБ	расстояние = 711.79 м	ф-ла (7) [10]	**68**										
Коэффициент затухания звука в атмосфере α, дБ/км	Ta=20,°C Pa=101.33,кПа hотн.=70%	ф-ла (5) [9]	0,02	0,09	0,33	1,12	2,79	4,98	9,04	23,09	77,63		
Учет затухания звука в атмосфере Aatm, дБ		ф-ла (8) [10]	0	0,1	0,2	0,8	2	3,5	6,4	16,4	55,3		
Снижение уровня звукового давления из-за влияния застройки между источником шума и расчетной точкой													
Снижение уровня звукового давления на пути над экраном, Dz1, дБ	z = 0.16м (разность путей)	ф-лы (14-18) [10]	4,8	4,8	4,8	4,9	5	5,2	5,5	6,2	7,3		
Снижение уровня звукового давления на пути слева от экрана, Dz2, дБ	z = 11.47м (разность путей)	ф-лы (14-18) [10]	16,6	19,4	22,3	25,3	28,3	31,3	34,3	37,3	40,3		
Снижение уровня звукового давления на пути справа от экрана, Dz3, дБ	z = 24.45м (разность путей)	ф-лы (14-18) [10]	22	26,4	30	33,3	36,3	39,4	42,4	45,4	48,4		

1		2	3	4	5	6	7	8	9	10	11	12	13
Общее снижение уровня звука препятствием Dz, дБ		Эн.сумма(-Dzi)	4,4	4,6	4,7	4,8	5	5,2	5,5	6,2	7,3		
Уровни звукового давления от источника ИШ-6-4 в расчётной точке днём, дБ		**ф-ла(3)[10]**	**0**	**23,6**	**24,7**	**25,3**	**24,3**	**22,1**	**15,6**	**0,7**	**0**	**26**	**26**
Уровни звукового давления от источника ИШ-6-4 в расчётной точке ночью, дБ		**ф-ла(3)[10]**	**0**	**23,6**	**24,7**	**25,3**	**24,3**	**22,1**	**15,6**	**0,7**	**0**	**26**	**26**
Источник шума: ИШ-6-5, координаты источника (x,y,z), м =[832.03,110.36,1.00]													
Уровни звуковой мощности источника днём, Lw, дБ		**исходные данные**	**0**	**96,3**	**97,7**	**99**	**99,3**	**98,9**	**95,6**	**91,4**	**86,9**		
Уровни звуковой мощности источника ночью, Lw, дБ		**исходные данные**	**0**	**96,3**	**97,7**	**99**	**99,3**	**98,9**	**95,6**	**91,4**	**86,9**		
Поправка на телесный угол DΩ, дБ	Ω = 12.57	10Lg(4π/Ω)	**0**	0	0	0	0	0	0	0	0		
Показатель направленности источника Di, дБ		исходные данные	**0**	0	0	0	0	0	0	0	0		
Поправка на направленность источника Dc, дБ	Dc	DΩ + Di	**0**	0	0	0	0	0	0	0	0		
Затухание из-за геометрической дивергенции, Adiv, дБ	расстояние = 709.49 м	ф-ла (7) [10]	**68**										
Коэффициент затухания звука в атмосфере α, дБ/км	Ta=20,°C Pa=101.33,кПа hотн.=70%	ф-ла (5) [9]	0,02	0,09	0,33	1,12	2,79	4,98	9,04	23,09	77,63		
Учет затухания звука в атмосфере Aatm, дБ		ф-ла (8) [10]	0	0,1	0,2	0,8	2	3,5	6,4	16,4	55,1		
Снижение уровня звукового давления из-за влияния застройки между источником шума и расчетной точкой													
Снижение уровня звукового давления на пути над экраном, Dz1, дБ	z = 0.16м (разность путей)	ф-лы (14-18) [10]	4,8	4,8	4,8	4,9	5	5,2	5,6	6,3	7,4		
Снижение уровня звукового давления на пути слева от экрана, Dz2, дБ	z = 11.08м (разность путей)	ф-лы (14-18) [10]	16,4	19,3	22,2	25,2	28,2	31,2	34,2	37,2	40,2		
Снижение уровня звукового давления на пути справа от экрана, Dz3, дБ	z = 24.77м (разность путей)	ф-лы (14-18) [10]	22	26,4	30,1	33,3	36,4	39,4	42,4	45,4	48,4		

1		2	3	4	5	6	7	8	9	10	11	12	13
Общее снижение уровня звука препятствием Dz, дБ		Эн.сумма(-Dzi)	4,4	4,6	4,7	4,8	5	5,2	5,6	6,3	7,4		
Уровни звукового давления от источника ИШ-6-5 в расчётной точке днём, дБ		**ф-ла(3)[10]**	**0**	**23,6**	**24,7**	**25,3**	**24,3**	**22,2**	**15,6**	**0,7**	**0**	**26**	**26**
Уровни звукового давления от источника ИШ-6-5 в расчётной точке ночью, дБ		**ф-ла(3)[10]**	**0**	**23,6**	**24,7**	**25,3**	**24,3**	**22,2**	**15,6**	**0,7**	**0**	**26**	**26**
Источник шума: ИШ-6-6, координаты источника (x,y,z), м =[830.97,107.42,1.00]													
Уровни звуковой мощности источника днём, Lw, дБ		**исходные данные**	**0**	**96,3**	**97,7**	**99**	**99,3**	**98,9**	**95,6**	**91,4**	**86,9**		
Уровни звуковой мощности источника ночью, Lw, дБ		**исходные данные**	**0**	**96,3**	**97,7**	**99**	**99,3**	**98,9**	**95,6**	**91,4**	**86,9**		
Поправка на телесный угол DΩ, дБ	Ω = 12.57	10Lg(4π/Ω)	**0**	0	0	0	0	0	0	0	0		
Показатель направленности источника Di, дБ		исходные данные	**0**	0	0	0	0	0	0	0	0		
Поправка на направленность источника Dc, дБ	Dc	DΩ + Di	**0**	0	0	0	0	0	0	0	0		
Затухание из-за геометрической дивергенции, Adiv, дБ	расстояние = 707.32 м	ф-ла (7) [10]	**68**										
Коэффициент затухания звука в атмосфере α, дБ/км	Ta=20,°C Pa=101.33,кПа hотн.=70%	ф-ла (5) [9]	0,02	0,09	0,33	1,12	2,79	4,98	9,04	23,09	77,63		
Учет затухания звука в атмосфере Aatm, дБ		ф-ла (8) [10]	0	0,1	0,2	0,8	2	3,5	6,4	16,3	54,9		
Снижение уровня звукового давления из-за влияния застройки между источником шума и расчетной точкой													
Снижение уровня звукового давления на пути над экраном, Dz1, дБ	z = 0.06м (разность путей)	ф-лы (14-18) [10]	4,8	4,8	4,8	4,8	4,8	4,8	4,8	4,8	4,8		
Снижение уровня звукового давления на пути слева от экрана, Dz2, дБ	z = 10.68м (разность путей)	ф-лы (14-18) [10]	16,3	19,1	22	25	28	31	34	37	40		
Снижение уровня звукового давления на пути справа от экрана, Dz3, дБ	z = 25.10м (разность путей)	ф-лы (14-18) [10]	22,1	26,5	30,1	33,4	36,4	39,5	42,5	45,5	48,5		

1		2	3	4	5	6	7	8	9	10	11	12	13
Общее снижение уровня звука препятствием Dz, дБ		Эн.сумма(-Dzi)	4,4	4,6	4,7	4,7	4,7	4,8	4,8	4,8	4,8		
Уровни звукового давления от источника ИШ-6-6 в расчётной точке днём, дБ		**ф-ла(3)[10]**	**0**	**23,6**	**24,8**	**25,5**	**24,6**	**22,6**	**16,4**	**2,3**	**0**	**26,4**	**26,4**
Уровни звукового давления от источника ИШ-6-6 в расчётной точке ночью, дБ		**ф-ла(3)[10]**	**0**	**23,6**	**24,8**	**25,5**	**24,6**	**22,6**	**16,4**	**2,3**	**0**	**26,4**	**26,4**
Источник шума: ИШ-6-7, координаты источника (x,y,z), м =[830.30,104.49,1.00]													
Уровни звуковой мощности источника днём, Lw, дБ		**исходные данные**	**0**	**96,3**	**97,7**	**99**	**99,3**	**98,9**	**95,6**	**91,4**	**86,9**		
Уровни звуковой мощности источника ночью, Lw, дБ		**исходные данные**	**0**	**96,3**	**97,7**	**99**	**99,3**	**98,9**	**95,6**	**91,4**	**86,9**		
Поправка на телесный угол DΩ, дБ	Ω = 12.57	10Lg(4π/Ω)	**0**	0	0	0	0	0	0	0	0		
Показатель направленности источника Di, дБ		исходные данные	**0**	0	0	0	0	0	0	0	0		
Поправка на направленность источника Dc, дБ	Dc	DΩ + Di	**0**	0	0	0	0	0	0	0	0		
Затухание из-за геометрической дивергенции, Adiv, дБ	расстояние = 705.53 м	ф-ла (7) [10]	**68**										
Коэффициент затухания звука в атмосфере α, дБ/км	Ta=20,°C Pa=101.33,кПа hотн.=70%	ф-ла (5) [9]	0,02	0,09	0,33	1,12	2,79	4,98	9,04	23,09	77,63		
Учет затухания звука в атмосфере Aatm, дБ		ф-ла (8) [10]	0	0,1	0,2	0,8	2	3,5	6,4	16,3	54,8		
Снижение уровня звукового давления из-за влияния застройки между источником шума и расчетной точкой													
Снижение уровня звукового давления на пути над экраном, Dz1, дБ	z = 0.06м (разность путей)	ф-лы (14-18) [10]	4,8	4,8	4,8	4,8	4,8	4,8	4,8	4,8	4,8		
Снижение уровня звукового давления на пути слева от экрана, Dz2, дБ	z = 10.24м (разность путей)	ф-лы (14-18) [10]	16,1	19	21,9	24,8	27,8	30,8	33,8	36,8	39,8		
Снижение уровня звукового давления на пути справа от экрана, Dz3, дБ	z = 1.37м (разность путей)	ф-лы (14-18) [10]	9,1	11,2	13,6	16,4	19,2	22,2	25,1	28,1	31,1		

1		2	3	4	5	6	7	8	9	10	11	12	13
Общее снижение уровня звука препятствием Dz, дБ		Эн.сумма(-Dzi)	3,2	3,7	4,2	4,4	4,6	4,7	4,7	4,7	4,8		
Уровни звукового давления от источника ИШ-6-7 в расчётной точке днём, дБ		**ф-ла(3)[10]**	**0**	**24,5**	**25,3**	**25,8**	**24,8**	**22,7**	**16,5**	**2,4**	**0**	**26,6**	**26,6**
Уровни звукового давления от источника ИШ-6-7 в расчётной точке ночью, дБ		**ф-ла(3)[10]**	**0**	**24,5**	**25,3**	**25,8**	**24,8**	**22,7**	**16,5**	**2,4**	**0**	**26,6**	**26,6**
Источник шума: ИШ-6-8, координаты источника (x,y,z), м =[829.36,101.42,1.00]													
Уровни звуковой мощности источника днём, Lw, дБ		**исходные данные**	**0**	**96,3**	**97,7**	**99**	**99,3**	**98,9**	**95,6**	**91,4**	**86,9**		
Уровни звуковой мощности источника ночью, Lw, дБ		**исходные данные**	**0**	**96,3**	**97,7**	**99**	**99,3**	**98,9**	**95,6**	**91,4**	**86,9**		
Поправка на телесный угол DΩ, дБ	Ω = 12.57	10Lg(4π/Ω)	**0**	0	0	0	0	0	0	0	0		
Показатель направленности источника Di, дБ		исходные данные	**0**	0	0	0	0	0	0	0	0		
Поправка на направленность источника Dc, дБ	Dc	DΩ + Di	**0**	0	0	0	0	0	0	0	0		
Затухание из-за геометрической дивергенции, Adiv, дБ	расстояние = 703.44 м	ф-ла (7) [10]	**67,9**										
Коэффициент затухания звука в атмосфере α, дБ/км	Ta=20,°C Pa=101.33,кПа hотн.=70%	ф-ла (5) [9]	0,02	0,09	0,33	1,12	2,79	4,98	9,04	23,09	77,63		
Учет затухания звука в атмосфере Aatm, дБ		ф-ла (8) [10]	0	0,1	0,2	0,8	2	3,5	6,4	16,2	54,6		
Снижение уровня звукового давления из-за влияния застройки между источником шума и расчетной точкой													
Снижение уровня звукового давления на пути над экраном, Dz1, дБ	z = 0.06м (разность путей)	ф-лы (14-18) [10]	4,8	4,8	4,8	4,8	4,8	4,8	4,8	4,8	4,8		
Снижение уровня звукового давления на пути слева от экрана, Dz2, дБ	z = 9.81м (разность путей)	ф-лы (14-18) [10]	15,9	18,8	21,7	24,6	27,6	30,6	33,6	36,6	39,7		
Снижение уровня звукового давления на пути справа от экрана, Dz3, дБ	z = 1.45м (разность путей)	ф-лы (14-18) [10]	9,2	11,4	13,9	16,6	19,5	22,4	25,4	28,4	31,4		

1		2	3	4	5	6	7	8	9	10	11	12	13
Общее снижение уровня звука препятствием Dz, дБ		Эн.сумма(-Dzi)	3,2	3,8	4,2	4,5	4,6	4,7	4,7	4,7	4,8		
Уровни звукового давления от источника ИШ-6-8 в расчётной точке днём, дБ		**ф-ла(3)[10]**	**0**	**24,5**	**25,3**	**25,8**	**24,8**	**22,8**	**16,6**	**2,5**	**0**	**26,6**	**26,6**
Уровни звукового давления от источника ИШ-6-8 в расчётной точке ночью, дБ		**ф-ла(3)[10]**	**0**	**24,5**	**25,3**	**25,8**	**24,8**	**22,8**	**16,6**	**2,5**	**0**	**26,6**	**26,6**
Источник шума: ИШ-6-9, координаты источника (x,y,z), м =[828.03,98.62,1.00]													
Уровни звуковой мощности источника днём, Lw, дБ		**исходные данные**	**0**	**96,3**	**97,7**	**99**	**99,3**	**98,9**	**95,6**	**91,4**	**86,9**		
Уровни звуковой мощности источника ночью, Lw, дБ		**исходные данные**	**0**	**96,3**	**97,7**	**99**	**99,3**	**98,9**	**95,6**	**91,4**	**86,9**		
Поправка на телесный угол DΩ, дБ	Ω = 12.57	10Lg(4π/Ω)	**0**	0	0	0	0	0	0	0	0		
Показатель направленности источника Di, дБ		исходные данные	**0**	0	0	0	0	0	0	0	0		
Поправка на направленность источника Dc, дБ	Dc	DΩ + Di	**0**	0	0	0	0	0	0	0	0		
Затухание из-за геометрической дивергенции, Adiv, дБ	расстояние = 701.11 м	ф-ла (7) [10]	**67,9**										
Коэффициент затухания звука в атмосфере α, дБ/км	Ta=20,°C Pa=101.33,кПа hотн.=70%	ф-ла (5) [9]	0,02	0,09	0,33	1,12	2,79	4,98	9,04	23,09	77,63		
Учет затухания звука в атмосфере Aatm, дБ		ф-ла (8) [10]	0	0,1	0,2	0,8	2	3,5	6,3	16,2	54,4		
Снижение уровня звукового давления из-за влияния застройки между источником шума и расчетной точкой													
Снижение уровня звукового давления на пути над экраном, Dz1, дБ	z = 0.06м (разность путей)	ф-лы (14-18) [10]	4,8	4,8	4,8	4,8	4,8	4,8	4,8	4,8	4,8		
Снижение уровня звукового давления на пути слева от экрана, Dz2, дБ	z = 9.46м (разность путей)	ф-лы (14-18) [10]	15,8	18,6	21,5	24,5	27,5	30,5	33,5	36,5	39,5		
Снижение уровня звукового давления на пути справа от экрана, Dz3, дБ	z = 1.53м (разность путей)	ф-лы (14-18) [10]	9,4	11,6	14,1	16,8	19,7	22,6	25,6	28,6	31,6		

1		2	3	4	5	6	7	8	9	10	11	12	13
Общее снижение уровня звука препятствием Dz, дБ		Эн.сумма(-Dzi)	3,2	3,8	4,2	4,5	4,6	4,7	4,7	4,8	4,8		
Уровни звукового давления от источника ИШ-6-9 в расчётной точке днём, дБ		**ф-ла(3)[10]**	**0**	**24,5**	**25,3**	**25,8**	**24,8**	**22,8**	**16,6**	**2,5**	**0**	**26,6**	**26,6**
Уровни звукового давления от источника ИШ-6-9 в расчётной точке ночью, дБ		**ф-ла(3)[10]**	**0**	**24,5**	**25,3**	**25,8**	**24,8**	**22,8**	**16,6**	**2,5**	**0**	**26,6**	**26,6**
Источник шума: ИШ-6-10, координаты источника (x,y,z), м =[827.23,95.55,1.00]													
Уровни звуковой мощности источника днём, Lw, дБ		**исходные данные**	**0**	**96,3**	**97,7**	**99**	**99,3**	**98,9**	**95,6**	**91,4**	**86,9**		
Уровни звуковой мощности источника ночью, Lw, дБ		**исходные данные**	**0**	**96,3**	**97,7**	**99**	**99,3**	**98,9**	**95,6**	**91,4**	**86,9**		
Поправка на телесный угол DΩ, дБ	Ω = 12.57	10Lg(4π/Ω)	**0**	0	0	0	0	0	0	0	0		
Показатель направленности источника Di, дБ		исходные данные	**0**	0	0	0	0	0	0	0	0		
Поправка на направленность источника Dc, дБ	Dc	DΩ + Di	**0**	0	0	0	0	0	0	0	0		
Затухание из-за геометрической дивергенции, Adiv, дБ	расстояние = 699.16 м	ф-ла (7) [10]	**67,9**										
Коэффициент затухания звука в атмосфере α, дБ/км	Ta=20,°C Pa=101.33,кПа hотн.=70%	ф-ла (5) [9]	0,02	0,09	0,33	1,12	2,79	4,98	9,04	23,09	77,63		
Учет затухания звука в атмосфере Aatm, дБ		ф-ла (8) [10]	0	0,1	0,2	0,8	2	3,5	6,3	16,1	54,3		
Снижение уровня звукового давления из-за влияния застройки между источником шума и расчетной точкой													
Снижение уровня звукового давления на пути над экраном, Dz1, дБ	z = 0.06м (разность путей)	ф-лы (14-18) [10]	4,8	4,8	4,8	4,8	4,8	4,8	4,8	4,8	4,8		
Снижение уровня звукового давления на пути слева от экрана, Dz2, дБ	z = 9.02м (разность путей)	ф-лы (14-18) [10]	15,6	18,4	21,3	24,3	27,3	30,3	33,3	36,3	39,3		
Снижение уровня звукового давления на пути справа от экрана, Dz3, дБ	z = 1.62м (разность путей)	ф-лы (14-18) [10]	9,5	11,8	14,3	17	19,9	22,9	25,8	28,8	31,8		

1		2	3	4	5	6	7	8	9	10	11	12	13
Общее снижение уровня звука препятствием Dz, дБ		Эн.сумма(-Dzi)	3,3	3,8	4,2	4,5	4,6	4,7	4,7	4,8	4,8		
Уровни звукового давления от источника ИШ-6-10 в расчётной точке днём, дБ		**ф-ла(3)[10]**	**0**	**24,5**	**25,3**	**25,8**	**24,8**	**22,8**	**16,6**	**2,6**	**0**	**26,7**	**26,7**
Уровни звукового давления от источника ИШ-6-10 в расчётной точке ночью, дБ		**ф-ла(3)[10]**	**0**	**24,5**	**25,3**	**25,8**	**24,8**	**22,8**	**16,6**	**2,6**	**0**	**26,7**	**26,7**
Источник шума: ИШ-6-11, координаты источника (x,y,z), м =[826.30,92.48,1.00]													
Уровни звуковой мощности источника днём, Lw, дБ		**исходные данные**	**0**	**96,3**	**97,7**	**99**	**99,3**	**98,9**	**95,6**	**91,4**	**86,9**		
Уровни звуковой мощности источника ночью, Lw, дБ		**исходные данные**	**0**	**96,3**	**97,7**	**99**	**99,3**	**98,9**	**95,6**	**91,4**	**86,9**		
Поправка на телесный угол DΩ, дБ	Ω = 12.57	10Lg(4π/Ω)	**0**	0	0	0	0	0	0	0	0		
Показатель направленности источника Di, дБ		исходные данные	**0**	0	0	0	0	0	0	0	0		
Поправка на направленность источника Dc, дБ	Dc	DΩ + Di	**0**	0	0	0	0	0	0	0	0		
Затухание из-за геометрической дивергенции, Adiv, дБ	расстояние = 697.10 м	ф-ла (7) [10]	**67,9**										
Коэффициент затухания звука в атмосфере α, дБ/км	Ta=20,°C Pa=101.33,кПа hотн.=70%	ф-ла (5) [9]	0,02	0,09	0,33	1,12	2,79	4,98	9,04	23,09	77,63		
Учет затухания звука в атмосфере Aatm, дБ		ф-ла (8) [10]	0	0,1	0,2	0,8	1,9	3,5	6,3	16,1	54,1		
Снижение уровня звукового давления из-за влияния застройки между источником шума и расчетной точкой													
Снижение уровня звукового давления на пути над экраном, Dz1, дБ	z = 0.06м (разность путей)	ф-лы (14-18) [10]	4,8	4,8	4,8	4,8	4,8	4,8	4,8	4,8	4,8		
Снижение уровня звукового давления на пути слева от экрана, Dz2, дБ	z = 8.61м (разность путей)	ф-лы (14-18) [10]	15,4	18,2	21,1	24,1	27,1	30,1	33,1	36,1	39,1		
Снижение уровня звукового давления на пути справа от экрана, Dz3, дБ	z = 1.71м (разность путей)	ф-лы (14-18) [10]	9,7	12	14,5	17,3	20,2	23,1	26,1	29,1	32,1		

1		2	3	4	5	6	7	8	9	10	11	12	13
Общее снижение уровня звука препятствием Dz, дБ		Эн.сумма(-Dzi)	3,3	3,9	4,2	4,5	4,6	4,7	4,7	4,8	4,8		
Уровни звукового давления от источника ИШ-6-11 в расчётной точке днём, дБ		**ф-ла(3)[10]**	**0**	**24,5**	**25,4**	**25,9**	**24,9**	**22,9**	**16,7**	**2,7**	**0**	**26,7**	**26,7**
Уровни звукового давления от источника ИШ-6-11 в расчётной точке ночью, дБ		**ф-ла(3)[10]**	**0**	**24,5**	**25,4**	**25,9**	**24,9**	**22,9**	**16,7**	**2,7**	**0**	**26,7**	**26,7**
Источник шума: ИШ-6-12, координаты источника (x,y,z), м =[825.09,89.54,1.00]													
Уровни звуковой мощности источника днём, Lw, дБ		**исходные данные**	**0**	**96,3**	**97,7**	**99**	**99,3**	**98,9**	**95,6**	**91,4**	**86,9**		
Уровни звуковой мощности источника ночью, Lw, дБ		**исходные данные**	**0**	**96,3**	**97,7**	**99**	**99,3**	**98,9**	**95,6**	**91,4**	**86,9**		
Поправка на телесный угол DΩ, дБ	Ω = 12.57	10Lg(4π/Ω)	**0**	0	0	0	0	0	0	0	0		
Показатель направленности источника Di, дБ		исходные данные	**0**	0	0	0	0	0	0	0	0		
Поправка на направленность источника Dc, дБ	Dc	DΩ + Di	**0**	0	0	0	0	0	0	0	0		
Затухание из-за геометрической дивергенции, Adiv, дБ	расстояние = 694.85 м	ф-ла (7) [10]	**67,8**										
Коэффициент затухания звука в атмосфере α, дБ/км	Ta=20,°C Pa=101.33,кПа hотн.=70%	ф-ла (5) [9]	0,02	0,09	0,33	1,12	2,79	4,98	9,04	23,09	77,63		
Учет затухания звука в атмосфере Aatm, дБ		ф-ла (8) [10]	0	0,1	0,2	0,8	1,9	3,5	6,3	16	53,9		
Снижение уровня звукового давления из-за влияния застройки между источником шума и расчетной точкой													
Снижение уровня звукового давления на пути над экраном, Dz1, дБ	z = 0.06м (разность путей)	ф-лы (14-18) [10]	4,8	4,8	4,8	4,8	4,8	4,8	4,8	4,8	4,8		
Снижение уровня звукового давления на пути слева от экрана, Dz2, дБ	z = 8.24м (разность путей)	ф-лы (14-18) [10]	15,3	18,1	20,9	23,9	26,9	29,9	32,9	35,9	38,9		
Снижение уровня звукового давления на пути справа от экрана, Dz3, дБ	z = 1.80м (разность путей)	ф-лы (14-18) [10]	9,9	12,1	14,7	17,5	20,4	23,3	26,3	29,3	32,3		

1		2	3	4	5	6	7	8	9	10	11	12	13
Общее снижение уровня звука препятствием Dz, дБ		Эн.сумма(-Dzi)	3,3	3,9	4,3	4,5	4,6	4,7	4,7	4,8	4,8		
Уровни звукового давления от источника ИШ-6-12 в расчётной точке днём, дБ		**ф-ла(3)[10]**	**0**	**24,5**	**25,4**	**25,9**	**24,9**	**22,9**	**16,7**	**2,8**	**0**	**26,7**	**26,7**
Уровни звукового давления от источника ИШ-6-12 в расчётной точке ночью, дБ		**ф-ла(3)[10]**	**0**	**24,5**	**25,4**	**25,9**	**24,9**	**22,9**	**16,7**	**2,8**	**0**	**26,7**	**26,7**
Источник шума: ИШ-6-13, координаты источника (x,y,z), м =[767.76,-114.15,1.00]													
Уровни звуковой мощности источника днём, Lw, дБ		**исходные данные**	**0**	**96,3**	**97,7**	**99**	**99,3**	**98,9**	**95,6**	**91,4**	**86,9**		
Уровни звуковой мощности источника ночью, Lw, дБ		**исходные данные**	**0**	**96,3**	**97,7**	**99**	**99,3**	**98,9**	**95,6**	**91,4**	**86,9**		
Поправка на телесный угол DΩ, дБ	Ω = 12.57	10Lg(4π/Ω)	**0**	0	0	0	0	0	0	0	0		
Показатель направленности источника Di, дБ		исходные данные	**0**	0	0	0	0	0	0	0	0		
Поправка на направленность источника Dc, дБ	Dc	DΩ + Di	**0**	0	0	0	0	0	0	0	0		
Затухание из-за геометрической дивергенции, Adiv, дБ	расстояние = 587.10 м	ф-ла (7) [10]	**66,4**										
Коэффициент затухания звука в атмосфере α, дБ/км	Ta=20,°C Pa=101.33,кПа hотн.=70%	ф-ла (5) [9]	0,02	0,09	0,33	1,12	2,79	4,98	9,04	23,09	77,63		
Учет затухания звука в атмосфере Aatm, дБ		ф-ла (8) [10]	0	0,1	0,2	0,7	1,6	2,9	5,3	13,6	45,6		
Снижение поверхностью земли возле источника As, дБ	Gs = 0 hs = 1м	ф-лы таб.3 [10]	-1,5	-1,5	-1,5	-1,5	-1,5	-1,5	-1,5	-1,5	-1,5		
Снижение поверхностью земли возле приёмника Ar, дБ	Gr = 1 hr = 4.6м	ф-лы таб.3 [10]	-1,5	-1,5	3,5	1,3	0	0	0	0	0		
Снижение поверхностью земли в средней зоне, Am дБ	Gm = 1	ф-лы таб.3 [10]	-2,1	-2,1	0	0	0	0	0	0	0		
Суммарное снижение поверхностью земли на траектории распространения звука Agr, дБ		ф-ла (9) [10]	-5,1	-5,1	2	-0,2	-1,5	-1,5	-1,5	-1,5	-1,5		

1		2	3	4	5	6	7	8	9	10	11	12	13
Уровни звукового давления прямого звука от источника ИШ-6-13 в расчётной точке днём, дБ		**ф-ла(3)[10]**	**0**	**35**	**29,2**	**32,2**	**32,8**	**31,1**	**25,4**	**13**	**0**	**34,7**	**34,7**
Уровни звукового давления прямого звука от источника ИШ-6-13 в расчётной точке ночью, дБ		**ф-ла(3)[10]**	**0**	**35**	**29,2**	**32,2**	**32,8**	**31,1**	**25,4**	**13**	**0**	**34,7**	**34,7**
Расчёт отражённого звука													
Уровни звукового давления от мнимого источника ИШ-6-13_мн.(1) в расчётной точке днём, дБ		**ф-ла(3)[10]**	**0**	**0**	**23**	**21,8**	**21,4**	**26,6**	**22,9**	**10,4**	**0**	**29,1**	**29,1**
Уровни звукового давления от мнимого источника ИШ-6-13_мн.(1) в расчётной точке ночью, дБ		**ф-ла(3)[10]**	**0**	**0**	**0**	**0**	**0**	**0**	**0**	**0**	**0**	**29,1**	**29,1**
Уровни звукового давления от источника ИШ-6-13 в расчётной точке днём, дБ		**ф-ла(3)[10]**	**0**	**35**	**30,1**	**32,6**	**33,1**	**32,4**	**27,3**	**14,9**	**0**	**35,7**	**35,7**
Уровни звукового давления от источника ИШ-6-13 в расчётной точке ночью, дБ		**ф-ла(3)[10]**	**0**	**35**	**30,1**	**32,6**	**33,1**	**32,4**	**27,3**	**14,9**	**0**	**35,7**	**35,7**
Источник шума: ИШ-6-14, координаты источника (x,y,z), м =[766.82,-117.10,1.00]													
Уровни звуковой мощности источника днём, Lw, дБ		**исходные данные**	**0**	**96,3**	**97,7**	**99**	**99,3**	**98,9**	**95,6**	**91,4**	**86,9**		
Уровни звуковой мощности источника ночью, Lw, дБ		**исходные данные**	**0**	**96,3**	**97,7**	**99**	**99,3**	**98,9**	**95,6**	**91,4**	**86,9**		
Поправка на телесный угол DΩ, дБ	Ω = 12.57	10Lg(4π/Ω)	**0**	0	0	0	0	0	0	0	0		
Показатель направленности источника Di, дБ		исходные данные	**0**	0	0	0	0	0	0	0	0		
Поправка на направленность источника Dc, дБ	Dc	DΩ + Di	**0**	0	0	0	0	0	0	0	0		
Затухание из-за геометрической дивергенции, Adiv, дБ	расстояние = 585.84 м	ф-ла (7) [10]	**66,4**										
Коэффициент затухания звука в атмосфере α, дБ/км	Та=20,°С Ра=101.33,кПа hотн.=70%	ф-ла (5) [9]	0,02	0,09	0,33	1,12	2,79	4,98	9,04	23,09	77,63		
Учет затухания звука в атмосфере Aatm, дБ		ф-ла (8) [10]	0	0,1	0,2	0,7	1,6	2,9	5,3	13,5	45,5		

1		2	3	4	5	6	7	8	9	10	11	12	13
Снижение поверхностью земли возле источника As, дБ	Gs = 0 hs = 1м	ф-лы таб.3 [10]	-1,5	-1,5	-1,5	-1,5	-1,5	-1,5	-1,5	-1,5	-1,5		
Снижение поверхностью земли возле приёмника Ar, дБ	Gr = 1 hr = 4.6м	ф-лы таб.3 [10]	-1,5	-1,5	3,5	1,3	0	0	0	0	0		
Снижение поверхностью земли в средней зоне, Am дБ	Gm = 1	ф-лы таб.3 [10]	-2,1	-2,1	0	0	0	0	0	0	0		
Суммарное снижение поверхностью земли на траектории распространения звука Agr, дБ		ф-ла (9) [10]	-5,1	-5,1	2	-0,2	-1,5	-1,5	-1,5	-1,5	-1,5		
Уровни звукового давления прямого звука от источника ИШ-6-14 в расчётной точке днём, дБ		**ф-ла(3)[10]**	**0**	**35**	**29,2**	**32,2**	**32,8**	**31,1**	**25,4**	**13**	**0**	**34,7**	**34,7**
Уровни звукового давления прямого звука от источника ИШ-6-14 в расчётной точке ночью, дБ		**ф-ла(3)[10]**	**0**	**35**	**29,2**	**32,2**	**32,8**	**31,1**	**25,4**	**13**	**0**	**34,7**	**34,7**
Расчёт отражённого звука													
Уровни звукового давления от мнимого источника ИШ-6-14_мн.(1) в расчётной точке днём, дБ		**ф-ла(3)[10]**	**0**	**0**	**23**	**21,8**	**21,5**	**26,6**	**22,9**	**10,5**	**0**	**29,1**	**29,1**
Уровни звукового давления от мнимого источника ИШ-6-14_мн.(1) в расчётной точке ночью, дБ		**ф-ла(3)[10]**	**0**	**0**	**0**	**0**	**0**	**0**	**0**	**0**	**0**	**29,1**	**29,1**
Уровни звукового давления от источника ИШ-6-14 в расчётной точке днём, дБ		**ф-ла(3)[10]**	**0**	**35**	**30,1**	**32,6**	**33,1**	**32,4**	**27,4**	**14,9**	**0**	**35,8**	**35,8**
Уровни звукового давления от источника ИШ-6-14 в расчётной точке ночью, дБ		**ф-ла(3)[10]**	**0**	**35**	**30,1**	**32,6**	**33,1**	**32,4**	**27,4**	**14,9**	**0**	**35,8**	**35,8**
Источник шума: ИШ-6-15, координаты источника (x,y,z), м =[765.71,-120.27,1.00]													
Уровни звуковой мощности источника днём, Lw, дБ		**исходные данные**	**0**	**96,3**	**97,7**	**99**	**99,3**	**98,9**	**95,6**	**91,4**	**86,9**		
Уровни звуковой мощности источника ночью, Lw, дБ		**исходные данные**	**0**	**96,3**	**97,7**	**99**	**99,3**	**98,9**	**95,6**	**91,4**	**86,9**		
Поправка на телесный угол DΩ, дБ	Ω = 12.57	10Lg(4π/Ω)	**0**	0	0	0	0	0	0	0	0		
Показатель направленности источника Di, дБ		исходные данные	**0**	0	0	0	0	0	0	0	0		
Поправка на направленность источника Dc, дБ	Dc	DΩ + Di	**0**	0	0	0	0	0	0	0	0		

1		2	3	4	5	6	7	8	9	10	11	12	13
Затухание из-за геометрической дивергенции, Adiv, дБ	расстояние = 584.42 м	ф-ла (7) [10]	**66,3**										
Коэффициент затухания звука в атмосфере α, дБ/км	Ta=20,°C Pa=101.33,кПа hотн.=70%	ф-ла (5) [9]	0,02	0,09	0,33	1,12	2,79	4,98	9,04	23,09	77,63		
Учет затухания звука в атмосфере Aatm, дБ		ф-ла (8) [10]	0	0,1	0,2	0,7	1,6	2,9	5,3	13,5	45,4		
Снижение поверхностью земли возле источника As, дБ	Gs = 0 hs = 1м	ф-лы таб.3 [10]	-1,5	-1,5	-1,5	-1,5	-1,5	-1,5	-1,5	-1,5	-1,5		
Снижение поверхностью земли возле приёмника Ar, дБ	Gr = 1 hr = 4.6м	ф-лы таб.3 [10]	-1,5	-1,5	3,5	1,3	0	0	0	0	0		
Снижение поверхностью земли в средней зоне, Am дБ	Gm = 1	ф-лы таб.3 [10]	-2,1	-2,1	0	0	0	0	0	0	0		
Суммарное снижение поверхностью земли на траектории распространения звука Agr, дБ		ф-ла (9) [10]	-5,1	-5,1	2	-0,2	-1,5	-1,5	-1,5	-1,5	-1,5		
Уровни звукового давления прямого звука от источника ИШ-6-15 в расчётной точке днём, дБ		**ф-ла(3)[10]**	**0**	**35**	**29,2**	**32,2**	**32,8**	**31,1**	**25,5**	**13,1**	**0**	**34,7**	**34,7**
Уровни звукового давления прямого звука от источника ИШ-6-15 в расчётной точке ночью, дБ		**ф-ла(3)[10]**	**0**	**35**	**29,2**	**32,2**	**32,8**	**31,1**	**25,5**	**13,1**	**0**	**34,7**	**34,7**
Расчёт отражённого звука													
Уровни звукового давления от мнимого источника ИШ-6-15_мн.(1) в расчётной точке днём, дБ		**ф-ла(3)[10]**	**0**	**0**	**23**	**21,9**	**21,5**	**26,6**	**23**	**10,5**	**0**	**29,2**	**29,2**
Уровни звукового давления от мнимого источника ИШ-6-15_мн.(1) в расчётной точке ночью, дБ		**ф-ла(3)[10]**	**0**	**0**	**0**	**0**	**0**	**0**	**0**	**0**	**0**	**29,2**	**29,2**
Уровни звукового давления от источника ИШ-6-15 в расчётной точке днём, дБ		**ф-ла(3)[10]**	**0**	**35**	**30,1**	**32,6**	**33,1**	**32,5**	**27,4**	**15**	**0**	**35,8**	**35,8**
Уровни звукового давления от источника ИШ-6-15 в расчётной точке ночью, дБ		**ф-ла(3)[10]**	**0**	**35**	**30,1**	**32,6**	**33,1**	**32,5**	**27,4**	**15**	**0**	**35,8**	**35,8**
Источник шума: ИШ-6-16, координаты источника (x,y,z), м =[764.57,-123.22,1.00]													
Уровни звуковой мощности источника днём, Lw, дБ		**исходные данные**	**0**	**96,3**	**97,7**	**99**	**99,3**	**98,9**	**95,6**	**91,4**	**86,9**		

1		2	3	4	5	6	7	8	9	10	11	12	13
Уровни звуковой мощности источника ночью, Lw, дБ		**исходные данные**	**0**	**96,3**	**97,7**	**99**	**99,3**	**98,9**	**95,6**	**91,4**	**86,9**		
Поправка на телесный угол DΩ, дБ	Ω = 12.57	10Lg(4π/Ω)	**0**	0	0	0	0	0	0	0	0		
Показатель направленности источника Di, дБ		исходные данные	**0**	0	0	0	0	0	0	0	0		
Поправка на направленность источника Dc, дБ	Dc	DΩ + Di	**0**	0	0	0	0	0	0	0	0		
Затухание из-за геометрической дивергенции, Adiv, дБ	расстояние = 582.99 м	ф-ла (7) [10]	**66,3**										
Коэффициент затухания звука в атмосфере α, дБ/км	Ta=20,°C Pa=101.33,кПа hотн.=70%	ф-ла (5) [9]	0,02	0,09	0,33	1,12	2,79	4,98	9,04	23,09	77,63		
Учет затухания звука в атмосфере Aatm, дБ		ф-ла (8) [10]	0	0,1	0,2	0,7	1,6	2,9	5,3	13,5	45,3		
Снижение поверхностью земли возле источника As, дБ	Gs = 0 hs = 1м	ф-лы таб.3 [10]	-1,5	-1,5	-1,5	-1,5	-1,5	-1,5	-1,5	-1,5	-1,5		
Снижение поверхностью земли возле приёмника Ar, дБ	Gr = 1 hr = 4.6м	ф-лы таб.3 [10]	-1,5	-1,5	3,5	1,3	0	0	0	0	0		
Снижение поверхностью земли в средней зоне, Am дБ	Gm = 1	ф-лы таб.3 [10]	-2,1	-2,1	0	0	0	0	0	0	0		
Суммарное снижение поверхностью земли на траектории распространения звука Agr, дБ		ф-ла (9) [10]	-5,1	-5,1	2	-0,2	-1,5	-1,5	-1,5	-1,5	-1,5		
Уровни звукового давления прямого звука от источника ИШ-6-16 в расчётной точке днём, дБ		**ф-ла(3)[10]**	**0**	**35,1**	**29,2**	**32,2**	**32,9**	**31,2**	**25,5**	**13,1**	**0**	**34,8**	**34,8**
Уровни звукового давления прямого звука от источника ИШ-6-16 в расчётной точке ночью, дБ		**ф-ла(3)[10]**	**0**	**35,1**	**29,2**	**32,2**	**32,9**	**31,2**	**25,5**	**13,1**	**0**	**34,8**	**34,8**
Расчёт отражённого звука													
Уровни звукового давления от мнимого источника ИШ-6-16_мн.(1) в расчётной точке днём, дБ		**ф-ла(3)[10]**	**0**	**0**	**23,1**	**21,9**	**21,5**	**26,6**	**23**	**10,6**	**0**	**29,2**	**29,2**
Уровни звукового давления от мнимого источника ИШ-6-16_мн.(1) в расчётной точке ночью, дБ		**ф-ла(3)[10]**	**0**	**0**	**0**	**0**	**0**	**0**	**0**	**0**	**0**	**29,2**	**29,2**
Уровни звукового давления от источника ИШ-6-16 в расчётной точке днём, дБ		**ф-ла(3)[10]**	**0**	**35,1**	**30,2**	**32,6**	**33,2**	**32,5**	**27,4**	**15**	**0**	**35,8**	**35,8**

1		2	3	4	5	6	7	8	9	10	11	12	13
Уровни звукового давления от источника ИШ-6-16 в расчётной точке ночью, дБ		**ф-ла(3)[10]**	**0**	**35,1**	**30,2**	**32,6**	**33,2**	**32,5**	**27,4**	**15**	**0**	**35,8**	**35,8**
Источник шума: ИШ-6-17, координаты источника (x,y,z), м =[763.57,-126.18,1.00]													
Уровни звуковой мощности источника днём, Lw, дБ		**исходные данные**	**0**	**96,3**	**97,7**	**99**	**99,3**	**98,9**	**95,6**	**91,4**	**86,9**		
Уровни звуковой мощности источника ночью, Lw, дБ		**исходные данные**	**0**	**96,3**	**97,7**	**99**	**99,3**	**98,9**	**95,6**	**91,4**	**86,9**		
Поправка на телесный угол DΩ, дБ	Ω = 12.57	10Lg(4π/Ω)	**0**	0	0	0	0	0	0	0	0		
Показатель направленности источника Di, дБ		исходные данные	**0**	0	0	0	0	0	0	0	0		
Поправка на направленность источника Dc, дБ	Dc	DΩ + Di	**0**	0	0	0	0	0	0	0	0		
Затухание из-за геометрической дивергенции, Adiv, дБ	расстояние = 581.72 м	ф-ла (7) [10]	**66,3**										
Коэффициент затухания звука в атмосфере α, дБ/км	Ta=20,°C Pa=101.33,кПа hотн.=70%	ф-ла (5) [9]	0,02	0,09	0,33	1,12	2,79	4,98	9,04	23,09	77,63		
Учет затухания звука в атмосфере Aatm, дБ		ф-ла (8) [10]	0	0,1	0,2	0,7	1,6	2,9	5,3	13,4	45,2		
Снижение поверхностью земли возле источника As, дБ	Gs = 0 hs = 1м	ф-лы таб.3 [10]	-1,5	-1,5	-1,5	-1,5	-1,5	-1,5	-1,5	-1,5	-1,5		
Снижение поверхностью земли возле приёмника Ar, дБ	Gr = 1 hr = 4.6м	ф-лы таб.3 [10]	-1,5	-1,5	3,5	1,3	0	0	0	0	0		
Снижение поверхностью земли в средней зоне, Am дБ	Gm = 1	ф-лы таб.3 [10]	-2,1	-2,1	0	0	0	0	0	0	0		
Суммарное снижение поверхностью земли на траектории распространения звука Agr, дБ		ф-ла (9) [10]	-5,1	-5,1	2	-0,2	-1,5	-1,5	-1,5	-1,5	-1,5		
Уровни звукового давления прямого звука от источника ИШ-6-17 в расчётной точке днём, дБ		**ф-ла(3)[10]**	**0**	**35,1**	**29,2**	**32,3**	**32,9**	**31,2**	**25,5**	**13,2**	**0**	**34,8**	**34,8**
Уровни звукового давления прямого звука от источника ИШ-6-17 в расчётной точке ночью, дБ		**ф-ла(3)[10]**	**0**	**35,1**	**29,2**	**32,3**	**32,9**	**31,2**	**25,5**	**13,2**	**0**	**34,8**	**34,8**

1		2	3	4	5	6	7	8	9	10	11	12	13
Расчёт отражённого звука													
Уровни звукового давления от мнимого источника ИШ-6-17_мн.(1) в расчётной точке днём, дБ		**ф-ла(3)[10]**	**0**	**0**	**23,1**	**21,9**	**21,5**	**26,7**	**23**	**10,6**	**0**	**29,2**	**29,2**
Уровни звукового давления от мнимого источника ИШ-6-17_мн.(1) в расчётной точке ночью, дБ		**ф-ла(3)[10]**	**0**	**0**	**0**	**0**	**0**	**0**	**0**	**0**	**0**	**29,2**	**29,2**
Уровни звукового давления от источника ИШ-6-17 в расчётной точке днём, дБ		**ф-ла(3)[10]**	**0**	**35,1**	**30,2**	**32,6**	**33,2**	**32,5**	**27,5**	**15,1**	**0**	**35,8**	**35,8**
Уровни звукового давления от источника ИШ-6-17 в расчётной точке ночью, дБ		**ф-ла(3)[10]**	**0**	**35,1**	**30,2**	**32,6**	**33,2**	**32,5**	**27,5**	**15,1**	**0**	**35,8**	**35,8**
Источник шума: ИШ-6-18, координаты источника (x,y,z), м =[804.77,-126.28,1.00]													
Уровни звуковой мощности источника днём, Lw, дБ		**исходные данные**	**0**	**96,3**	**97,7**	**99**	**99,3**	**98,9**	**95,6**	**91,4**	**86,9**		
Уровни звуковой мощности источника ночью, Lw, дБ		**исходные данные**	**0**	**96,3**	**97,7**	**99**	**99,3**	**98,9**	**95,6**	**91,4**	**86,9**		
Поправка на телесный угол DΩ, дБ	Ω = 12.57	10Lg(4π/Ω)	**0**	0	0	0	0	0	0	0	0		
Показатель направленности источника Di, дБ		исходные данные	**0**	0	0	0	0	0	0	0	0		
Поправка на направленность источника Dc, дБ	Dc	DΩ + Di	**0**	0	0	0	0	0	0	0	0		
Затухание из-за геометрической дивергенции, Adiv, дБ	расстояние = 622.76 м	ф-ла (7) [10]	**66,9**										
Коэффициент затухания звука в атмосфере α, дБ/км	Ta=20,°C Pa=101.33,кПа hотн.=70%	ф-ла (5) [9]	0,02	0,09	0,33	1,12	2,79	4,98	9,04	23,09	77,63		
Учет затухания звука в атмосфере Aatm, дБ		ф-ла (8) [10]	0	0,1	0,2	0,7	1,7	3,1	5,6	14,4	48,3		
Снижение поверхностью земли возле источника As, дБ	Gs = 0 hs = 1м	ф-лы таб.3 [10]	-1,5	-1,5	-1,5	-1,5	-1,5	-1,5	-1,5	-1,5	-1,5		
Снижение поверхностью земли возле приёмника Ar, дБ	Gr = 1 hr = 4.6м	ф-лы таб.3 [10]	-1,5	-1,5	3,5	1,3	0	0	0	0	0		

1		2	3	4	5	6	7	8	9	10	11	12	13
Снижение поверхностью земли в средней зоне, Am дБ	Gm = 1	ф-лы таб.3 [10]	-2,2	-2,2	0	0	0	0	0	0	0		
Суммарное снижение поверхностью земли на траектории распространения звука Agr, дБ		ф-ла (9) [10]	-5,2	-5,2	2	-0,2	-1,5	-1,5	-1,5	-1,5	-1,5		
Уровни звукового давления прямого звука от источника ИШ-6-18 в расчётной точке днём, дБ		**ф-ла(3)[10]**	**0**	**34,5**	**28,6**	**31,6**	**32,2**	**30,4**	**24,6**	**11,6**	**0**	**34**	**34**
Уровни звукового давления прямого звука от источника ИШ-6-18 в расчётной точке ночью, дБ		**ф-ла(3)[10]**	**0**	**34,5**	**28,6**	**31,6**	**32,2**	**30,4**	**24,6**	**11,6**	**0**	**34**	**34**
Расчёт отражённого звука													
Уровни звукового давления от мнимого источника ИШ-6-18_мн.(1) в расчётной точке днём, дБ		**ф-ла(3)[10]**	**0**	**0**	**22,2**	**21,3**	**20,8**	**25,9**	**22,1**	**9,1**	**0**	**28,4**	**28,4**
Уровни звукового давления от мнимого источника ИШ-6-18_мн.(1) в расчётной точке ночью, дБ		**ф-ла(3)[10]**	**0**	**0**	**0**	**0**	**0**	**0**	**0**	**0**	**0**	**28,4**	**28,4**
Уровни звукового давления от источника ИШ-6-18 в расчётной точке днём, дБ		**ф-ла(3)[10]**	**0**	**34,5**	**29,5**	**32**	**32,5**	**31,7**	**26,5**	**13,6**	**0**	**35**	**35**
Уровни звукового давления от источника ИШ-6-18 в расчётной точке ночью, дБ		**ф-ла(3)[10]**	**0**	**34,5**	**29,5**	**32**	**32,5**	**31,7**	**26,5**	**13,6**	**0**	**35**	**35**
Источник шума: ИШ-6-19, координаты источника (x,y,z), м =[803.81,-129.30,1.00]													
Уровни звуковой мощности источника днём, Lw, дБ		**исходные данные**	**0**	**96,3**	**97,7**	**99**	**99,3**	**98,9**	**95,6**	**91,4**	**86,9**		
Уровни звуковой мощности источника ночью, Lw, дБ		**исходные данные**	**0**	**96,3**	**97,7**	**99**	**99,3**	**98,9**	**95,6**	**91,4**	**86,9**		
Поправка на телесный угол DΩ, дБ	Ω = 12.57	10Lg(4π/Ω)	**0**	0	0	0	0	0	0	0	0		
Показатель направленности источника Di, дБ		исходные данные	**0**	0	0	0	0	0	0	0	0		
Поправка на направленность источника Dc, дБ	Dc	DΩ + Di	**0**	0	0	0	0	0	0	0	0		
Затухание из-за геометрической дивергенции, Adiv, дБ	расстояние = 621.55 м	ф-ла (7) [10]	**66,9**										
Коэффициент затухания звука в атмосфере α, дБ/км	Ta=20,°C Pa=101.33,кПа hотн.=70%	ф-ла (5) [9]	0,02	0,09	0,33	1,12	2,79	4,98	9,04	23,09	77,63		

1		2	3	4	5	6	7	8	9	10	11	12	13
Учет затухания звука в атмосфере Aatm, дБ		ф-ла (8) [10]	0	0,1	0,2	0,7	1,7	3,1	5,6	14,3	48,3		
Снижение поверхностью земли возле источника As, дБ	Gs = 0 hs = 1м	ф-лы таб.3 [10]	-1,5	-1,5	-1,5	-1,5	-1,5	-1,5	-1,5	-1,5	-1,5		
Снижение поверхностью земли возле приёмника Ar, дБ	Gr = 1 hr = 4.6м	ф-лы таб.3 [10]	-1,5	-1,5	3,5	1,3	0	0	0	0	0		
Снижение поверхностью земли в средней зоне, Am дБ	Gm = 1	ф-лы таб.3 [10]	-2,2	-2,2	0	0	0	0	0	0	0		
Суммарное снижение поверхностью земли на траектории распространения звука Agr, дБ		ф-ла (9) [10]	-5,2	-5,2	2	-0,2	-1,5	-1,5	-1,5	-1,5	-1,5		
Уровни звукового давления прямого звука от источника ИШ-6-19 в расчётной точке днём, дБ		**ф-ла(3)[10]**	**0**	**34,6**	**28,6**	**31,6**	**32,2**	**30,4**	**24,6**	**11,7**	**0**	**34**	**34**
Уровни звукового давления прямого звука от источника ИШ-6-19 в расчётной точке ночью, дБ		**ф-ла(3)[10]**	**0**	**34,6**	**28,6**	**31,6**	**32,2**	**30,4**	**24,6**	**11,7**	**0**	**34**	**34**
Расчёт отражённого звука													
Уровни звукового давления от мнимого источника ИШ-6-19_мн.(1) в расчётной точке днём, дБ		**ф-ла(3)[10]**	**0**	**0**	**22,2**	**21,3**	**20,9**	**25,9**	**22,1**	**9,1**	**0**	**28,4**	**28,4**
Уровни звукового давления от мнимого источника ИШ-6-19_мн.(1) в расчётной точке ночью, дБ		**ф-ла(3)[10]**	**0**	**0**	**0**	**0**	**0**	**0**	**0**	**0**	**0**	**28,4**	**28,4**
Уровни звукового давления от источника ИШ-6-19 в расчётной точке днём, дБ		**ф-ла(3)[10]**	**0**	**34,6**	**29,5**	**32**	**32,5**	**31,7**	**26,5**	**13,6**	**0**	**35,1**	**35,1**
Уровни звукового давления от источника ИШ-6-19 в расчётной точке ночью, дБ		**ф-ла(3)[10]**	**0**	**34,6**	**29,5**	**32**	**32,5**	**31,7**	**26,5**	**13,6**	**0**	**35,1**	**35,1**
Источник шума: ИШ-6-20, координаты источника (x,y,z), м =[802.67,-132.35,1.00]													
Уровни звуковой мощности источника днём, Lw, дБ		**исходные данные**	**0**	**96,3**	**97,7**	**99**	**99,3**	**98,9**	**95,6**	**91,4**	**86,9**		
Уровни звуковой мощности источника ночью, Lw, дБ		**исходные данные**	**0**	**96,3**	**97,7**	**99**	**99,3**	**98,9**	**95,6**	**91,4**	**86,9**		
Поправка на телесный угол DΩ, дБ	Ω = 12.57	10Lg(4π/Ω)	**0**	0	0	0	0	0	0	0	0		
Показатель направленности источника Di, дБ		исходные данные	**0**	0	0	0	0	0	0	0	0		

1		2	3	4	5	6	7	8	9	10	11	12	13
Поправка на направленность источника Dc, дБ	Dc	DΩ + Di	**0**	0	0	0	0	0	0	0	0		
Затухание из-за геометрической дивергенции, Adiv, дБ	расстояние = 620.17 м	ф-ла (7) [10]	**66,9**										
Коэффициент затухания звука в атмосфере α, дБ/км	Ta=20,°C Pa=101.33,кПа hотн.=70%	ф-ла (5) [9]	0,02	0,09	0,33	1,12	2,79	4,98	9,04	23,09	77,63		
Учет затухания звука в атмосфере Aatm, дБ		ф-ла (8) [10]	0	0,1	0,2	0,7	1,7	3,1	5,6	14,3	48,1		
Снижение поверхностью земли возле источника As, дБ	Gs = 0 hs = 1м	ф-лы таб.3 [10]	-1,5	-1,5	-1,5	-1,5	-1,5	-1,5	-1,5	-1,5	-1,5		
Снижение поверхностью земли возле приёмника Ar, дБ	Gr = 1 hr = 4.6м	ф-лы таб.3 [10]	-1,5	-1,5	3,5	1,3	0	0	0	0	0		
Снижение поверхностью земли в средней зоне, Am дБ	Gm = 1	ф-лы таб.3 [10]	-2,2	-2,2	0	0	0	0	0	0	0		
Суммарное снижение поверхностью земли на траектории распространения звука Agr, дБ		ф-ла (9) [10]	-5,2	-5,2	2	-0,2	-1,5	-1,5	-1,5	-1,5	-1,5		
Уровни звукового давления прямого звука от источника ИШ-6-20 в расчётной точке днём, дБ		**ф-ла(3)[10]**	**0**	**34,6**	**28,6**	**31,7**	**32,2**	**30,5**	**24,6**	**11,7**	**0**	**34**	**34**
Уровни звукового давления прямого звука от источника ИШ-6-20 в расчётной точке ночью, дБ		**ф-ла(3)[10]**	**0**	**34,6**	**28,6**	**31,7**	**32,2**	**30,5**	**24,6**	**11,7**	**0**	**34**	**34**
Расчёт отражённого звука													
Уровни звукового давления от мнимого источника ИШ-6-20_мн.(1) в расчётной точке днём, дБ		**ф-ла(3)[10]**	**0**	**0**	**22,3**	**21,3**	**20,9**	**25,9**	**22,1**	**9,2**	**0**	**28,4**	**28,4**
Уровни звукового давления от мнимого источника ИШ-6-20_мн.(1) в расчётной точке ночью, дБ		**ф-ла(3)[10]**	**0**	**0**	**0**	**0**	**0**	**0**	**0**	**0**	**0**	**28,4**	**28,4**
Уровни звукового давления от источника ИШ-6-20 в расчётной точке днём, дБ		**ф-ла(3)[10]**	**0**	**34,6**	**29,5**	**32**	**32,5**	**31,8**	**26,6**	**13,7**	**0**	**35,1**	**35,1**
Уровни звукового давления от источника ИШ-6-20 в расчётной точке ночью, дБ		**ф-ла(3)[10]**	**0**	**34,6**	**29,5**	**32**	**32,5**	**31,8**	**26,6**	**13,7**	**0**	**35,1**	**35,1**
Источник шума: ИШ-6-21, координаты источника (x,y,z), м =[801.69,-135.42,1.00]													

1		2	3	4	5	6	7	8	9	10	11	12	13
Уровни звуковой мощности источника днём, Lw, дБ		**исходные данные**	**0**	**96,3**	**97,7**	**99**	**99,3**	**98,9**	**95,6**	**91,4**	**86,9**		
Уровни звуковой мощности источника ночью, Lw, дБ		**исходные данные**	**0**	**96,3**	**97,7**	**99**	**99,3**	**98,9**	**95,6**	**91,4**	**86,9**		
Поправка на телесный угол DΩ, дБ	Ω = 12.57	10Lg(4π/Ω)	**0**	0	0	0	0	0	0	0	0		
Показатель направленности источника Di, дБ		исходные данные	**0**	0	0	0	0	0	0	0	0		
Поправка на направленность источника Dc, дБ	Dc	DΩ + Di	**0**	0	0	0	0	0	0	0	0		
Затухание из-за геометрической дивергенции, Adiv, дБ	расстояние = 618.97 м	ф-ла (7) [10]	**66,8**										
Коэффициент затухания звука в атмосфере α, дБ/км	Ta=20,°C Pa=101.33,кПа hотн.=70%	ф-ла (5) [9]	0,02	0,09	0,33	1,12	2,79	4,98	9,04	23,09	77,63		
Учет затухания звука в атмосфере Aatm, дБ		ф-ла (8) [10]	0	0,1	0,2	0,7	1,7	3,1	5,6	14,3	48,1		
Снижение поверхностью земли возле источника As, дБ	Gs = 0 hs = 1м	ф-лы таб.3 [10]	-1,5	-1,5	-1,5	-1,5	-1,5	-1,5	-1,5	-1,5	-1,5		
Снижение поверхностью земли возле приёмника Ar, дБ	Gr = 1 hr = 4.6м	ф-лы таб.3 [10]	-1,5	-1,5	3,5	1,3	0	0	0	0	0		
Снижение поверхностью земли в средней зоне, Am дБ	Gm = 1	ф-лы таб.3 [10]	-2,2	-2,2	0	0	0	0	0	0	0		
Суммарное снижение поверхностью земли на траектории распространения звука Agr, дБ		ф-ла (9) [10]	-5,2	-5,2	2	-0,2	-1,5	-1,5	-1,5	-1,5	-1,5		
Уровни звукового давления прямого звука от источника ИШ-6-21 в расчётной точке днём, дБ		**ф-ла(3)[10]**	**0**	**34,6**	**28,6**	**31,7**	**32,2**	**30,5**	**24,7**	**11,8**	**0**	**34,1**	**34,1**
Уровни звукового давления прямого звука от источника ИШ-6-21 в расчётной точке ночью, дБ		**ф-ла(3)[10]**	**0**	**34,6**	**28,6**	**31,7**	**32,2**	**30,5**	**24,7**	**11,8**	**0**	**34,1**	**34,1**
Расчёт отражённого звука													
Уровни звукового давления от мнимого источника ИШ-6-21_мн.(1) в расчётной точке днём, дБ		**ф-ла(3)[10]**	**0**	**0**	**22,3**	**21,3**	**20,9**	**25,9**	**22,2**	**9,2**	**0**	**28,5**	**28,5**
Уровни звукового давления от мнимого источника ИШ-6-21_мн.(1) в расчётной точке ночью, дБ		**ф-ла(3)[10]**	**0**	**0**	**0**	**0**	**0**	**0**	**0**	**0**	**0**	**28,5**	**28,5**

1		2	3	4	5	6	7	8	9	10	11	12	13
Уровни звукового давления от источника ИШ-6-21 в расчётной точке днём, дБ		**ф-ла(3)[10]**	**0**	**34,6**	**29,6**	**32,1**	**32,5**	**31,8**	**26,6**	**13,7**	**0**	**35,1**	**35,1**
Уровни звукового давления от источника ИШ-6-21 в расчётной точке ночью, дБ		**ф-ла(3)[10]**	**0**	**34,6**	**29,6**	**32,1**	**32,5**	**31,8**	**26,6**	**13,7**	**0**	**35,1**	**35,1**
Источник шума: ИШ-6-22, координаты источника (x,y,z), м =[800.65,-138.47,1.00]													
Уровни звуковой мощности источника днём, Lw, дБ		**исходные данные**	**0**	**96,3**	**97,7**	**99**	**99,3**	**98,9**	**95,6**	**91,4**	**86,9**		
Уровни звуковой мощности источника ночью, Lw, дБ		**исходные данные**	**0**	**96,3**	**97,7**	**99**	**99,3**	**98,9**	**95,6**	**91,4**	**86,9**		
Поправка на телесный угол DΩ, дБ	Ω = 12.57	10Lg(4π/Ω)	**0**	0	0	0	0	0	0	0	0		
Показатель направленности источника Di, дБ		исходные данные	**0**	0	0	0	0	0	0	0	0		
Поправка на направленность источника Dc, дБ	Dc	DΩ + Di	**0**	0	0	0	0	0	0	0	0		
Затухание из-за геометрической дивергенции, Adiv, дБ	расстояние = 617.72 м	ф-ла (7) [10]	**66,8**										
Коэффициент затухания звука в атмосфере α, дБ/км	Ta=20,°C Pa=101.33,кПа hотн.=70%	ф-ла (5) [9]	0,02	0,09	0,33	1,12	2,79	4,98	9,04	23,09	77,63		
Учет затухания звука в атмосфере Aatm, дБ		ф-ла (8) [10]	0	0,1	0,2	0,7	1,7	3,1	5,6	14,3	48		
Снижение поверхностью земли возле источника As, дБ	Gs = 0 hs = 1м	ф-лы таб.3 [10]	-1,5	-1,5	-1,5	-1,5	-1,5	-1,5	-1,5	-1,5	-1,5		
Снижение поверхностью земли возле приёмника Ar, дБ	Gr = 1 hr = 4.6м	ф-лы таб.3 [10]	-1,5	-1,5	3,5	1,3	0	0	0	0	0		
Снижение поверхностью земли в средней зоне, Am дБ	Gm = 1	ф-лы таб.3 [10]	-2,2	-2,2	0	0	0	0	0	0	0		
Суммарное снижение поверхностью земли на траектории распространения звука Agr, дБ		ф-ла (9) [10]	-5,2	-5,2	2	-0,2	-1,5	-1,5	-1,5	-1,5	-1,5		
Уровни звукового давления прямого звука от источника ИШ-6-22 в расчётной точке днём, дБ		**ф-ла(3)[10]**	**0**	**34,6**	**28,7**	**31,7**	**32,3**	**30,5**	**24,7**	**11,8**	**0**	**34,1**	**34,1**

1		2	3	4	5	6	7	8	9	10	11	12	13
Уровни звукового давления прямого звука от источника ИШ-6-22 в расчётной точке ночью, дБ		**ф-ла(3)[10]**	**0**	**34,6**	**28,7**	**31,7**	**32,3**	**30,5**	**24,7**	**11,8**	**0**	**34,1**	**34,1**
Расчёт отражённого звука													
Уровни звукового давления от мнимого источника ИШ-6-22_мн.(1) в расчётной точке днём, дБ		**ф-ла(3)[10]**	**0**	**0**	**22,3**	**21,3**	**20,9**	**26**	**22,2**	**9,3**	**0**	**28,5**	**28,5**
Уровни звукового давления от мнимого источника ИШ-6-22_мн.(1) в расчётной точке ночью, дБ		**ф-ла(3)[10]**	**0**	**0**	**0**	**0**	**0**	**0**	**0**	**0**	**0**	**28,5**	**28,5**
Уровни звукового давления от источника ИШ-6-22 в расчётной точке днём, дБ		**ф-ла(3)[10]**	**0**	**34,6**	**29,6**	**32,1**	**32,6**	**31,8**	**26,6**	**13,7**	**0**	**35,1**	**35,1**
Уровни звукового давления от источника ИШ-6-22 в расчётной точке ночью, дБ		**ф-ла(3)[10]**	**0**	**34,6**	**29,6**	**32,1**	**32,6**	**31,8**	**26,6**	**13,7**	**0**	**35,1**	**35,1**
Источник шума: ИШ-7-1, координаты источника (x,y,z), м =[821.44,63.31,1.00]													
Уровни звуковой мощности источника днём, Lw, дБ		**исходные данные**	**77**	**75**	**67**	**66**	**63**	**55**	**53**	**48**	**51**		
Уровни звуковой мощности источника ночью, Lw, дБ		**исходные данные**	**77**	**75**	**67**	**66**	**63**	**55**	**53**	**48**	**51**		
Поправка на телесный угол DΩ, дБ	Ω = 12.57	10Lg(4π/Ω)	**0**	0	0	0	0	0	0	0	0		
Показатель направленности источника Di, дБ		исходные данные	**0**	0	0	0	0	0	0	0	0		
Поправка на направленность источника Dc, дБ	Dc	DΩ + Di	**0**	0	0	0	0	0	0	0	0		
Затухание из-за геометрической дивергенции, Adiv, дБ	расстояние = 681.72 м	ф-ла (7) [10]	**67,7**										
Коэффициент затухания звука в атмосфере α, дБ/км	Ta=20,°C Pa=101.33,кПа hотн.=70%	ф-ла (5) [9]	0,02	0,09	0,33	1,12	2,79	4,98	9,04	23,09	77,63		
Учет затухания звука в атмосфере Aatm, дБ		ф-ла (8) [10]	0	0,1	0,2	0,8	1,9	3,4	6,2	15,7	52,9		
Снижение уровня звукового давления из-за влияния застройки между источником шума и расчетной точкой													

1		2	3	4	5	6	7	8	9	10	11	12	13
Снижение уровня звукового давления на пути над экраном, Dz1, дБ	z = 0.10м (разность путей)	ф-лы (14-18) [10]	4,8	4,8	4,8	4,8	4,8	4,8	4,8	4,8	4,8		
Уровни звукового давления от источника ИШ-7-1 в расчётной точке днём, дБ		**ф-ла(3)[10]**	**4,5**	**2,5**	**0**	**0**	**0**	**0**	**0**	**0**	**0**	**0**	**0**
Уровни звукового давления от источника ИШ-7-1 в расчётной точке ночью, дБ		**ф-ла(3)[10]**	**4,5**	**2,5**	**0**	**0**	**0**	**0**	**0**	**0**	**0**	**0**	**0**
Источник шума: ИШ-7-2, координаты источника (x,y,z), м =[768.90,-86.75,1.00]													
Уровни звуковой мощности источника днём, Lw, дБ		**исходные данные**	**77**	**75**	**67**	**66**	**63**	**55**	**53**	**48**	**51**		
Уровни звуковой мощности источника ночью, Lw, дБ		**исходные данные**	**77**	**75**	**67**	**66**	**63**	**55**	**53**	**48**	**51**		
Поправка на телесный угол DΩ, дБ	Ω = 12.57	10Lg(4π/Ω)	**0**	0	0	0	0	0	0	0	0		
Показатель направленности источника Di, дБ		исходные данные	**0**	0	0	0	0	0	0	0	0		
Поправка на направленность источника Dc, дБ	Dc	DΩ + Di	**0**	0	0	0	0	0	0	0	0		
Затухание из-за геометрической дивергенции, Adiv, дБ	расстояние = 591.88 м	ф-ла (7) [10]	**66,4**										
Коэффициент затухания звука в атмосфере α, дБ/км	Ta=20,°C Pa=101.33,кПа hотн.=70%	ф-ла (5) [9]	0,02	0,09	0,33	1,12	2,79	4,98	9,04	23,09	77,63		
Учет затухания звука в атмосфере Aatm, дБ		ф-ла (8) [10]	0	0,1	0,2	0,7	1,7	2,9	5,4	13,7	45,9		
Снижение уровня звукового давления из-за влияния застройки между источником шума и расчетной точкой													
Снижение уровня звукового давления на пути над экраном, Dz1, дБ	z = 0.18м (разность путей)	ф-лы (14-18) [10]	4,8	4,8	4,8	4,8	4,9	5	5,2	5,6	6,3		
Уровни звукового давления от источника ИШ-7-2 в расчётной точке днём, дБ		**ф-ла(3)[10]**	**5,8**	**3,7**	**0**	**0**	**0**	**0**	**0**	**0**	**0**	**0**	**0**
Уровни звукового давления от источника ИШ-7-2 в расчётной точке ночью, дБ		**ф-ла(3)[10]**	**5,8**	**3,7**	**0**	**0**	**0**	**0**	**0**	**0**	**0**	**0**	**0**

1		2	3	4	5	6	7	8	9	10	11	12	13
Источник шума: ИШ-7-3, координаты источника (x,y,z), м =[766.80,-93.20,1.00]													
Уровни звуковой мощности источника днём, Lw, дБ		**исходные данные**	**77**	**75**	**67**	**66**	**63**	**55**	**53**	**48**	**51**		
Уровни звуковой мощности источника ночью, Lw, дБ		**исходные данные**	**77**	**75**	**67**	**66**	**63**	**55**	**53**	**48**	**51**		
Поправка на телесный угол DΩ, дБ	Ω = 12.57	10Lg(4π/Ω)	**0**	0	0	0	0	0	0	0	0		
Показатель направленности источника Di, дБ		исходные данные	**0**	0	0	0	0	0	0	0	0		
Поправка на направленность источника Dc, дБ	Dc	DΩ + Di	**0**	0	0	0	0	0	0	0	0		
Затухание из-за геометрической дивергенции, Adiv, дБ	расстояние = 588.84 м	ф-ла (7) [10]	**66,4**										
Коэффициент затухания звука в атмосфере α, дБ/км	Ta=20,°C Pa=101.33,кПа hотн.=70%	ф-ла (5) [9]	0,02	0,09	0,33	1,12	2,79	4,98	9,04	23,09	77,63		
Учет затухания звука в атмосфере Aatm, дБ		ф-ла (8) [10]	0	0,1	0,2	0,7	1,6	2,9	5,3	13,6	45,7		
Снижение уровня звукового давления из-за влияния застройки между источником шума и расчетной точкой													
Снижение уровня звукового давления на пути над экраном, Dz1, дБ	z = 0.17м (разность путей)	ф-лы (14-18) [10]	4,8	4,8	4,8	4,8	4,8	4,9	5,1	5,5	6,2		
Уровни звукового давления от источника ИШ-7-3 в расчётной точке днём, дБ		**ф-ла(3)[10]**	**5,8**	**3,8**	**0**	**0**	**0**	**0**	**0**	**0**	**0**	**0**	**0**
Уровни звукового давления от источника ИШ-7-3 в расчётной точке ночью, дБ		**ф-ла(3)[10]**	**5,8**	**3,8**	**0**	**0**	**0**	**0**	**0**	**0**	**0**	**0**	**0**
Источник шума: ИШ-7-4, координаты источника (x,y,z), м =[866.76,37.18,1.00]													
Уровни звуковой мощности источника днём, Lw, дБ		**исходные данные**	**77**	**75**	**67**	**66**	**63**	**55**	**53**	**48**	**51**		
Уровни звуковой мощности источника ночью, Lw, дБ		**исходные данные**	**77**	**75**	**67**	**66**	**63**	**55**	**53**	**48**	**51**		

1		2	3	4	5	6	7	8	9	10	11	12	13
Поправка на телесный угол DΩ, дБ	Ω = 12.57	10Lg(4π/Ω)	**0**	0	0	0	0	0	0	0	0		
Показатель направленности источника Di, дБ		исходные данные	**0**	0	0	0	0	0	0	0	0		
Поправка на направленность источника Dc, дБ	Dc	DΩ + Di	**0**	0	0	0	0	0	0	0	0		
Затухание из-за геометрической дивергенции, Adiv, дБ	расстояние = 715.94 м	ф-ла (7) [10]	**68,1**										
Коэффициент затухания звука в атмосфере α, дБ/км	Ta=20,°C Pa=101.33,кПа hотн.=70%	ф-ла (5) [9]	0,02	0,09	0,33	1,12	2,79	4,98	9,04	23,09	77,63		
Учет затухания звука в атмосфере Aatm, дБ		ф-ла (8) [10]	0	0,1	0,2	0,8	2	3,6	6,5	16,5	55,6		
Снижение уровня звукового давления из-за влияния застройки между источником шума и расчетной точкой													
Снижение уровня звукового давления на пути над экраном, Dz1, дБ	z = 0.09м (разность путей)	ф-лы (14-18) [10]	4,8	4,8	4,8	4,8	4,8	4,8	4,8	4,8	4,8		
Уровни звукового давления от источника ИШ-7-4 в расчётной точке днём, дБ		**ф-ла(3)[10]**	**4,1**	**2,1**	**0**	**0**	**0**	**0**	**0**	**0**	**0**	**0**	**0**
Уровни звукового давления от источника ИШ-7-4 в расчётной точке ночью, дБ		**ф-ла(3)[10]**	**4,1**	**2,1**	**0**	**0**	**0**	**0**	**0**	**0**	**0**	**0**	**0**
Источник шума: ИШ-7-5, координаты источника (x,y,z), м =[861.80,21.34,1.00]													
Уровни звуковой мощности источника днём, Lw, дБ		**исходные данные**	**77**	**75**	**67**	**66**	**63**	**55**	**53**	**48**	**51**		
Уровни звуковой мощности источника ночью, Lw, дБ		**исходные данные**	**77**	**75**	**67**	**66**	**63**	**55**	**53**	**48**	**51**		
Поправка на телесный угол DΩ, дБ	Ω = 12.57	10Lg(4π/Ω)	**0**	0	0	0	0	0	0	0	0		
Показатель направленности источника Di, дБ		исходные данные	**0**	0	0	0	0	0	0	0	0		
Поправка на направленность источника Dc, дБ	Dc	DΩ + Di	**0**	0	0	0	0	0	0	0	0		

1		2	3	4	5	6	7	8	9	10	11	12	13
Затухание из-за геометрической дивергенции, Adiv, дБ	расстояние = 706.56 м	ф-ла (7) [10]	**68**										
Коэффициент затухания звука в атмосфере α, дБ/км	Ta=20,°C Pa=101.33,кПа hотн.=70%	ф-ла (5) [9]	0,02	0,09	0,33	1,12	2,79	4,98	9,04	23,09	77,63		
Учет затухания звука в атмосфере Aatm, дБ		ф-ла (8) [10]	0	0,1	0,2	0,8	2	3,5	6,4	16,3	54,9		
Снижение уровня звукового давления из-за влияния застройки между источником шума и расчетной точкой													
Снижение уровня звукового давления на пути над экраном, Dz1, дБ	z = 0.09м (разность путей)	ф-лы (14-18) [10]	4,8	4,8	4,8	4,8	4,8	4,8	4,8	4,8	4,8		
Уровни звукового давления от источника ИШ-7-5 в расчётной точке днём, дБ		**ф-ла(3)[10]**	**4,2**	**2,2**	**0**	**0**	**0**	**0**	**0**	**0**	**0**	**0**	**0**
Уровни звукового давления от источника ИШ-7-5 в расчётной точке ночью, дБ		**ф-ла(3)[10]**	**4,2**	**2,2**	**0**	**0**	**0**	**0**	**0**	**0**	**0**	**0**	**0**
Источник шума: ИШ-7-6, координаты источника (x,y,z), м =[856.52,5.94,1.00]													
Уровни звуковой мощности источника днём, Lw, дБ		**исходные данные**	**77**	**75**	**67**	**66**	**63**	**55**	**53**	**48**	**51**		
Уровни звуковой мощности источника ночью, Lw, дБ		**исходные данные**	**77**	**75**	**67**	**66**	**63**	**55**	**53**	**48**	**51**		
Поправка на телесный угол DΩ, дБ	Ω = 12.57	10Lg(4π/Ω)	**0**	0	0	0	0	0	0	0	0		
Показатель направленности источника Di, дБ		исходные данные	**0**	0	0	0	0	0	0	0	0		
Поправка на направленность источника Dc, дБ	Dc	DΩ + Di	**0**	0	0	0	0	0	0	0	0		
Затухание из-за геометрической дивергенции, Adiv, дБ	расстояние = 697.25 м	ф-ла (7) [10]	**67,9**										
Коэффициент затухания звука в атмосфере α, дБ/км	Ta=20,°C Pa=101.33,кПа hотн.=70%	ф-ла (5) [9]	0,02	0,09	0,33	1,12	2,79	4,98	9,04	23,09	77,63		
Учет затухания звука в атмосфере Aatm, дБ		ф-ла (8) [10]	0	0,1	0,2	0,8	1,9	3,5	6,3	16,1	54,1		

1		2	3	4	5	6	7	8	9	10	11	12	13
Снижение уровня звукового давления из-за влияния застройки между источником шума и расчетной точкой													
Снижение уровня звукового давления на пути над экраном, Dz1, дБ	z = 0.09м (разность путей)	ф-лы (14-18) [10]	4,8	4,8	4,8	4,8	4,8	4,8	4,8	4,8	4,8		
Уровни звукового давления от источника ИШ-7-6 в расчётной точке днём, дБ		**ф-ла(3)[10]**	**4,3**	**2,3**	**0**	**0**	**0**	**0**	**0**	**0**	**0**	**0**	**0**
Уровни звукового давления от источника ИШ-7-6 в расчётной точке ночью, дБ		**ф-ла(3)[10]**	**4,3**	**2,3**	**0**	**0**	**0**	**0**	**0**	**0**	**0**	**0**	**0**
Источник шума: ИШ-7-7, координаты источника (x,y,z), м =[851.06,-9.89,1.00]													
Уровни звуковой мощности источника днём, Lw, дБ		**исходные данные**	**77**	**75**	**67**	**66**	**63**	**55**	**53**	**48**	**51**		
Уровни звуковой мощности источника ночью, Lw, дБ		**исходные данные**	**77**	**75**	**67**	**66**	**63**	**55**	**53**	**48**	**51**		
Поправка на телесный угол DΩ, дБ	Ω = 12.57	10Lg(4π/Ω)	**0**	0	0	0	0	0	0	0	0		
Показатель направленности источника Di, дБ		исходные данные	**0**	0	0	0	0	0	0	0	0		
Поправка на направленность источника Dc, дБ	Dc	DΩ + Di	**0**	0	0	0	0	0	0	0	0		
Затухание из-за геометрической дивергенции, Adiv, дБ	расстояние = 687.92 м	ф-ла (7) [10]	**67,8**										
Коэффициент затухания звука в атмосфере α, дБ/км	Ta=20,°C Pa=101.33,кПа hотн.=70%	ф-ла (5) [9]	0,02	0,09	0,33	1,12	2,79	4,98	9,04	23,09	77,63		
Учет затухания звука в атмосфере Aatm, дБ		ф-ла (8) [10]	0	0,1	0,2	0,8	1,9	3,4	6,2	15,9	53,4		
Снижение поверхностью земли возле источника As, дБ	Gs = 0 hs = 1м	ф-лы таб.3 [10]	-1,5	-1,5	-1,5	-1,5	-1,5	-1,5	-1,5	-1,5	-1,5		
Снижение поверхностью земли возле приёмника Ar, дБ	Gr = 1 hr = 4.6м	ф-лы таб.3 [10]	-1,5	-1,5	3,6	1,3	0	0	0	0	0		
Снижение поверхностью земли в средней зоне, Am дБ	Gm = 1	ф-лы таб.3 [10]	-2,3	-2,3	0	0	0	0	0	0	0		

1		2	3	4	5	6	7	8	9	10	11	12	13
Суммарное снижение поверхностью земли на траектории распространения звука Agr, дБ		ф-ла (9) [10]	-5,3	-5,3	2,1	-0,2	-1,5	-1,5	-1,5	-1,5	-1,5		
Уровни звукового давления от источника ИШ-7-7 в расчётной точке днём, дБ		**ф-ла(3)[10]**	**14,5**	**12,9**	**0**	**0**	**0**	**0**	**0**	**0**	**0**	**0**	**0**
Уровни звукового давления от источника ИШ-7-7 в расчётной точке ночью, дБ		**ф-ла(3)[10]**	**14,5**	**12,9**	**0**	**0**	**0**	**0**	**0**	**0**	**0**	**0**	**0**
Источник шума: ИШ-7-8, координаты источника (x,y,z), м =[821.90,-104.30,1.00]													
Уровни звуковой мощности источника днём, Lw, дБ		**исходные данные**	**77**	**75**	**67**	**66**	**63**	**55**	**53**	**48**	**51**		
Уровни звуковой мощности источника ночью, Lw, дБ		**исходные данные**	**77**	**75**	**67**	**66**	**63**	**55**	**53**	**48**	**51**		
Поправка на телесный угол DΩ, дБ	Ω = 12.57	10Lg(4π/Ω)	**0**	0	0	0	0	0	0	0	0		
Показатель направленности источника Di, дБ		исходные данные	**0**	0	0	0	0	0	0	0	0		
Поправка на направленность источника Dc, дБ	Dc	DΩ + Di	**0**	0	0	0	0	0	0	0	0		
Затухание из-за геометрической дивергенции, Adiv, дБ	расстояние = 642.01 м	ф-ла (7) [10]	**67,2**										
Коэффициент затухания звука в атмосфере α, дБ/км	Ta=20,°C Pa=101.33,кПа hотн.=70%	ф-ла (5) [9]	0,02	0,09	0,33	1,12	2,79	4,98	9,04	23,09	77,63		
Учет затухания звука в атмосфере Aatm, дБ		ф-ла (8) [10]	0	0,1	0,2	0,7	1,8	3,2	5,8	14,8	49,8		
Снижение поверхностью земли возле источника As, дБ	Gs = 0 hs = 1м	ф-лы таб.3 [10]	-1,5	-1,5	-1,5	-1,5	-1,5	-1,5	-1,5	-1,5	-1,5		
Снижение поверхностью земли возле приёмника Ar, дБ	Gr = 1 hr = 4.6м	ф-лы таб.3 [10]	-1,5	-1,5	3,5	1,3	0	0	0	0	0		
Снижение поверхностью земли в средней зоне, Am дБ	Gm = 1	ф-лы таб.3 [10]	-2,2	-2,2	0	0	0	0	0	0	0		
Суммарное снижение поверхностью земли на траектории распространения звука Agr, дБ		ф-ла (9) [10]	-5,2	-5,2	2	-0,2	-1,5	-1,5	-1,5	-1,5	-1,5		

1		2	3	4	5	6	7	8	9	10	11	12	13
Уровни звукового давления от источника ИШ-7-8 в расчётной точке днём, дБ		**ф-ла(3)[10]**	**15**	**13**	**0**	**0**	**0**	**0**	**0**	**0**	**0**	**0**	**0**
Уровни звукового давления от источника ИШ-7-8 в расчётной точке ночью, дБ		**ф-ла(3)[10]**	**15**	**13**	**0**	**0**	**0**	**0**	**0**	**0**	**0**	**0**	**0**
Источник шума: ИШ-7-9, координаты источника (x,y,z), м =[819.93,-110.97,1.00]													
Уровни звуковой мощности источника днём, Lw, дБ		**исходные данные**	**77**	**75**	**67**	**66**	**63**	**55**	**53**	**48**	**51**		
Уровни звуковой мощности источника ночью, Lw, дБ		**исходные данные**	**77**	**75**	**67**	**66**	**63**	**55**	**53**	**48**	**51**		
Поправка на телесный угол DΩ, дБ	Ω = 12.57	10Lg(4π/Ω)	**0**	0	0	0	0	0	0	0	0		
Показатель направленности источника Di, дБ		исходные данные	**0**	0	0	0	0	0	0	0	0		
Поправка на направленность источника Dc, дБ	Dc	DΩ + Di	**0**	0	0	0	0	0	0	0	0		
Затухание из-за геометрической дивергенции, Adiv, дБ	расстояние = 639.31 м	ф-ла (7) [10]	**67,1**										
Коэффициент затухания звука в атмосфере α, дБ/км	Ta=20,°C Pa=101.33,кПа hотн.=70%	ф-ла (5) [9]	0,02	0,09	0,33	1,12	2,79	4,98	9,04	23,09	77,63		
Учет затухания звука в атмосфере Aatm, дБ		ф-ла (8) [10]	0	0,1	0,2	0,7	1,8	3,2	5,8	14,8	49,6		
Снижение поверхностью земли возле источника As, дБ	Gs = 0 hs = 1м	ф-лы таб.3 [10]	-1,5	-1,5	-1,5	-1,5	-1,5	-1,5	-1,5	-1,5	-1,5		
Снижение поверхностью земли возле приёмника Ar, дБ	Gr = 1 hr = 4.6м	ф-лы таб.3 [10]	-1,5	-1,5	3,5	1,3	0	0	0	0	0		
Снижение поверхностью земли в средней зоне, Am дБ	Gm = 1	ф-лы таб.3 [10]	-2,2	-2,2	0	0	0	0	0	0	0		
Суммарное снижение поверхностью земли на траектории распространения звука Agr, дБ		ф-ла (9) [10]	-5,2	-5,2	2	-0,2	-1,5	-1,5	-1,5	-1,5	-1,5		
Уровни звукового давления от источника ИШ-7-9 в расчётной точке днём, дБ		**ф-ла(3)[10]**	**15,1**	**13**	**0**	**0**	**0**	**0**	**0**	**0**	**0**	**0**	**0**

1		2	3	4	5	6	7	8	9	10	11	12	13
Уровни звукового давления от источника ИШ-7-9 в расчётной точке ночью, дБ		**ф-ла(3)[10]**	**15,1**	**13**	**0**	**0**	**0**	**0**	**0**	**0**	**0**	**0**	**0**
Источник шума: ИШ-7-10, координаты источника (x,y,z), м =[868.68,92.66,1.00]													
Уровни звуковой мощности источника днём, Lw, дБ		**исходные данные**	**77**	**75**	**67**	**66**	**63**	**55**	**53**	**48**	**51**		
Уровни звуковой мощности источника ночью, Lw, дБ		**исходные данные**	**77**	**75**	**67**	**66**	**63**	**55**	**53**	**48**	**51**		
Поправка на телесный угол DΩ, дБ	Ω = 12.57	10Lg(4π/Ω)	**0**	0	0	0	0	0	0	0	0		
Показатель направленности источника Di, дБ		исходные данные	**0**	0	0	0	0	0	0	0	0		
Поправка на направленность источника Dc, дБ	Dc	DΩ + Di	**0**	0	0	0	0	0	0	0	0		
Затухание из-за геометрической дивергенции, Adiv, дБ	расстояние = 736.38 м	ф-ла (7) [10]	**68,3**										
Коэффициент затухания звука в атмосфере α, дБ/км	Ta=20,°C Pa=101.33,кПа hотн.=70%	ф-ла (5) [9]	0,02	0,09	0,33	1,12	2,79	4,98	9,04	23,09	77,63		
Учет затухания звука в атмосфере Aatm, дБ		ф-ла (8) [10]	0	0,1	0,2	0,8	2,1	3,7	6,7	17	57,2		
Снижение уровня звукового давления из-за влияния застройки между источником шума и расчетной точкой													
Снижение уровня звукового давления на пути над экраном, Dz1, дБ	z = 0.05м (разность путей)	ф-лы (14-18) [10]	4,8	4,8	4,8	4,8	4,8	4,8	4,8	4,8	4,8		
Уровни звукового давления от источника ИШ-7-10 в расчётной точке днём, дБ		**ф-ла(3)[10]**	**3,9**	**1,8**	**0**	**0**	**0**	**0**	**0**	**0**	**0**	**0**	**0**
Уровни звукового давления от источника ИШ-7-10 в расчётной точке ночью, дБ		**ф-ла(3)[10]**	**3,9**	**1,8**	**0**	**0**	**0**	**0**	**0**	**0**	**0**	**0**	**0**
Источник шума: ИШ-7-11, координаты источника (x,y,z), м =[877.95,88.75,1.00]													
Уровни звуковой мощности источника днём, Lw, дБ		**исходные данные**	**77**	**75**	**67**	**66**	**63**	**55**	**53**	**48**	**51**		

1		2	3	4	5	6	7	8	9	10	11	12	13
Уровни звуковой мощности источника ночью, Lw, дБ		**исходные данные**	**77**	**75**	**67**	**66**	**63**	**55**	**53**	**48**	**51**		
Поправка на телесный угол DΩ, дБ	Ω = 12.57	10Lg(4π/Ω)	**0**	0	0	0	0	0	0	0	0		
Показатель направленности источника Di, дБ		исходные данные	**0**	0	0	0	0	0	0	0	0		
Поправка на направленность источника Dc, дБ	Dc	DΩ + Di	**0**	0	0	0	0	0	0	0	0		
Затухание из-за геометрической дивергенции, Adiv, дБ	расстояние = 743.59 м	ф-ла (7) [10]	**68,4**										
Коэффициент затухания звука в атмосфере α, дБ/км	Ta=20,°C Pa=101.33,кПа hотн.=70%	ф-ла (5) [9]	0,02	0,09	0,33	1,12	2,79	4,98	9,04	23,09	77,63		
Учет затухания звука в атмосфере Aatm, дБ		ф-ла (8) [10]	0	0,1	0,2	0,8	2,1	3,7	6,7	17,2	57,7		
Снижение уровня звукового давления из-за влияния застройки между источником шума и расчетной точкой													
Снижение уровня звукового давления на пути над экраном, Dz1, дБ	z = 0.08м (разность путей)	ф-лы (14-18) [10]	4,8	4,8	4,8	4,8	4,8	4,8	4,8	4,8	4,8		
Уровни звукового давления от источника ИШ-7-11 в расчётной точке днём, дБ		**ф-ла(3)[10]**	**3,8**	**1,7**	**0**	**0**	**0**	**0**	**0**	**0**	**0**	**0**	**0**
Уровни звукового давления от источника ИШ-7-11 в расчётной точке ночью, дБ		**ф-ла(3)[10]**	**3,8**	**1,7**	**0**	**0**	**0**	**0**	**0**	**0**	**0**	**0**	**0**
Источник шума: ИШ-7-12, координаты источника (x,y,z), м =[887.42,85.45,1.00]													
Уровни звуковой мощности источника днём, Lw, дБ		**исходные данные**	**77**	**75**	**67**	**66**	**63**	**55**	**53**	**48**	**51**		
Уровни звуковой мощности источника ночью, Lw, дБ		**исходные данные**	**77**	**75**	**67**	**66**	**63**	**55**	**53**	**48**	**51**		
Поправка на телесный угол DΩ, дБ	Ω = 12.57	10Lg(4π/Ω)	**0**	0	0	0	0	0	0	0	0		
Показатель направленности источника Di, дБ		исходные данные	**0**	0	0	0	0	0	0	0	0		

1		2	3	4	5	6	7	8	9	10	11	12	13
Поправка на направленность источника Dc, дБ	Dc	DΩ + Di	**0**	0	0	0	0	0	0	0	0		
Затухание из-за геометрической дивергенции, Adiv, дБ	расстояние = 751.27 м	ф-ла (7) [10]	**68,5**										
Коэффициент затухания звука в атмосфере α, дБ/км	Ta=20,°C Pa=101.33,кПа hотн.=70%	ф-ла (5) [9]	0,02	0,09	0,33	1,12	2,79	4,98	9,04	23,09	77,63		
Учет затухания звука в атмосфере Aatm, дБ		ф-ла (8) [10]	0	0,1	0,3	0,8	2,1	3,7	6,8	17,3	58,3		
Снижение уровня звукового давления из-за влияния застройки между источником шума и расчетной точкой													
Снижение уровня звукового давления на пути над экраном, Dz1, дБ	z = 0.08м (разность путей)	ф-лы (14-18) [10]	4,8	4,8	4,8	4,8	4,8	4,8	4,8	4,8	4,8		
Уровни звукового давления от источника ИШ-7-12 в расчётной точке днём, дБ		**ф-ла(3)[10]**	**3,7**	**1,6**	**0**	**0**	**0**	**0**	**0**	**0**	**0**	**0**	**0**
Уровни звукового давления от источника ИШ-7-12 в расчётной точке ночью, дБ		**ф-ла(3)[10]**	**3,7**	**1,6**	**0**	**0**	**0**	**0**	**0**	**0**	**0**	**0**	**0**
Источник шума: ИШ-6-23, координаты источника (x,y,z), м =[756.16,-136.23,3.00]													
Уровни звуковой мощности источника днём, Lw, дБ		**исходные данные**	**91**	**91**	**91**	**91**	**91**	**91**	**91**	**91**	**91**		
Уровни звуковой мощности источника ночью, Lw, дБ		**исходные данные**	**91**	**91**	**91**	**91**	**91**	**91**	**91**	**91**	**91**		
Поправка на телесный угол DΩ, дБ	Ω = 12.57	10Lg(4π/Ω)	**0**	0	0	0	0	0	0	0	0		
Показатель направленности источника Di, дБ		исходные данные	**0**	0	0	0	0	0	0	0	0		
Поправка на направленность источника Dc, дБ	Dc	DΩ + Di	**0**	0	0	0	0	0	0	0	0		
Затухание из-за геометрической дивергенции, Adiv, дБ	расстояние = 573.49 м	ф-ла (7) [10]	**66,2**										
Коэффициент затухания звука в атмосфере α, дБ/км	Ta=20,°C Pa=101.33,кПа hотн.=70%	ф-ла (5) [9]	0,02	0,09	0,33	1,12	2,79	4,98	9,04	23,09	77,63		

1		2	3	4	5	6	7	8	9	10	11	12	13
Учет затухания звука в атмосфере Aatm, дБ		ф-ла (8) [10]	0	0,1	0,2	0,6	1,6	2,9	5,2	13,2	44,5		
Снижение поверхностью земли возле источника As, дБ	Gs = 0 hs = 3м	ф-лы таб.3 [10]	-1,5	-1,5	-1,5	-1,5	-1,5	-1,5	-1,5	-1,5	-1,5		
Снижение поверхностью земли возле приёмника Ar, дБ	Gr = 1 hr = 4.6м	ф-лы таб.3 [10]	-1,5	-1,5	3,5	1,3	0	0	0	0	0		
Снижение поверхностью земли в средней зоне, Am дБ	Gm = 1	ф-лы таб.3 [10]	-1,8	-1,8	0	0	0	0	0	0	0		
Суммарное снижение поверхностью земли на траектории распространения звука Agr, дБ		ф-ла (9) [10]	-4,8	-4,8	2	-0,2	-1,5	-1,5	-1,5	-1,5	-1,5		
Уровни звукового давления прямого звука от источника ИШ-6-23 в расчётной точке днём, дБ		**ф-ла(3)[10]**	**29,6**	**29,6**	**22,7**	**24,4**	**24,7**	**23,5**	**21,1**	**13,1**	**0**	**27,8**	**27,8**
Уровни звукового давления прямого звука от источника ИШ-6-23 в расчётной точке ночью, дБ		**ф-ла(3)[10]**	**29,6**	**29,6**	**22,7**	**24,4**	**24,7**	**23,5**	**21,1**	**13,1**	**0**	**27,8**	**27,8**
Расчёт отражённого звука													
Уровни звукового давления от мнимого источника ИШ-6-23_мн.(1) в расчётной точке днём, дБ		**ф-ла(3)[10]**	**0**	**0**	**16,8**	**18,1**	**22**	**21**	**18,6**	**10,6**	**0**	**25,1**	**25,1**
Уровни звукового давления от мнимого источника ИШ-6-23_мн.(1) в расчётной точке ночью, дБ		**ф-ла(3)[10]**	**0**	**0**	**0**	**0**	**0**	**0**	**0**	**0**	**0**	**25,1**	**25,1**
Уровни звукового давления от источника ИШ-6-23 в расчётной точке днём, дБ		**ф-ла(3)[10]**	**29,6**	**29,6**	**23,7**	**25,3**	**26,6**	**25,4**	**23,1**	**15**	**0**	**29,7**	**29,7**
Уровни звукового давления от источника ИШ-6-23 в расчётной точке ночью, дБ		**ф-ла(3)[10]**	**29,6**	**29,6**	**23,7**	**25,3**	**26,6**	**25,4**	**23,1**	**15**	**0**	**29,7**	**29,7**
Источник шума: ИШ-6-24, координаты источника (x,y,z), м =[800.98,-151.27,3.00]													
Уровни звуковой мощности источника днём, Lw, дБ		**исходные данные**	**91**	**91**	**91**	**91**	**91**	**91**	**91**	**91**	**91**		
Уровни звуковой мощности источника ночью, Lw, дБ		**исходные данные**	**91**	**91**	**91**	**91**	**91**	**91**	**91**	**91**	**91**		
Поправка на телесный угол DΩ, дБ	Ω = 12.57	10Lg(4π/Ω)	**0**	0	0	0	0	0	0	0	0		
Показатель направленности источника Di, дБ		исходные данные	**0**	0	0	0	0	0	0	0	0		

1		2	3	4	5	6	7	8	9	10	11	12	13
Поправка на направленность источника Dc, дБ	Dc	DΩ + Di	**0**	0	0	0	0	0	0	0	0		
Затухание из-за геометрической дивергенции, Adiv, дБ	расстояние = 617.34 м	ф-ла (7) [10]	**66,8**										
Коэффициент затухания звука в атмосфере α, дБ/км	Ta=20,°C Pa=101.33,кПа hотн.=70%	ф-ла (5) [9]	0,02	0,09	0,33	1,12	2,79	4,98	9,04	23,09	77,63		
Учет затухания звука в атмосфере Aatm, дБ		ф-ла (8) [10]	0	0,1	0,2	0,7	1,7	3,1	5,6	14,3	47,9		
Снижение поверхностью земли возле источника As, дБ	Gs = 0 hs = 3м	ф-лы таб.3 [10]	-1,5	-1,5	-1,5	-1,5	-1,5	-1,5	-1,5	-1,5	-1,5		
Снижение поверхностью земли возле приёмника Ar, дБ	Gr = 1 hr = 4.6м	ф-лы таб.3 [10]	-1,5	-1,5	3,5	1,3	0	0	0	0	0		
Снижение поверхностью земли в средней зоне, Am дБ	Gm = 1	ф-лы таб.3 [10]	-1,9	-1,9	0	0	0	0	0	0	0		
Суммарное снижение поверхностью земли на траектории распространения звука Agr, дБ		ф-ла (9) [10]	-4,9	-4,9	2	-0,2	-1,5	-1,5	-1,5	-1,5	-1,5		
Уровни звукового давления прямого звука от источника ИШ-6-24 в расчётной точке днём, дБ		**ф-ла(3)[10]**	**29,1**	**29**	**22**	**23,7**	**24**	**22,6**	**20,1**	**11,4**	**0**	**26,9**	**26,9**
Уровни звукового давления прямого звука от источника ИШ-6-24 в расчётной точке ночью, дБ		**ф-ла(3)[10]**	**29,1**	**29**	**22**	**23,7**	**24**	**22,6**	**20,1**	**11,4**	**0**	**26,9**	**26,9**
Расчёт отражённого звука													
Уровни звукового давления от мнимого источника ИШ-6-24_мн.(1) в расчётной точке днём, дБ		**ф-ла(3)[10]**	**0**	**0**	**16**	**17,4**	**21,2**	**20,1**	**17,6**	**8,9**	**0**	**24,2**	**24,2**
Уровни звукового давления от мнимого источника ИШ-6-24_мн.(1) в расчётной точке ночью, дБ		**ф-ла(3)[10]**	**0**	**0**	**0**	**0**	**0**	**0**	**0**	**0**	**0**	**24,2**	**24,2**
Уровни звукового давления от источника ИШ-6-24 в расчётной точке днём, дБ		**ф-ла(3)[10]**	**29,1**	**29**	**22,9**	**24,6**	**25,8**	**24,5**	**22**	**13,4**	**0**	**28,8**	**28,8**
Уровни звукового давления от источника ИШ-6-24 в расчётной точке ночью, дБ		**ф-ла(3)[10]**	**29,1**	**29**	**22,9**	**24,6**	**25,8**	**24,5**	**22**	**13,4**	**0**	**28,8**	**28,8**
Источник шума: ИШ-10-1, координаты источника (x,y,z), м =[17.37,413.17,1.00]													

1		2	3	4	5	6	7	8	9	10	11	12	13
Уровни звуковой мощности источника днём, Lw, дБ		**исходные данные**	**0**	**98,3**	**99,7**	**101**	**101,3**	**100,9**	**97,6**	**93,4**	**88,9**		
Уровни звуковой мощности источника ночью, Lw, дБ		**исходные данные**	**0**	**98,3**	**99,7**	**101**	**101,3**	**100,9**	**97,6**	**93,4**	**88,9**		
Поправка на телесный угол DΩ, дБ	Ω = 6.28	10Lg(4π/Ω)	**3**	3	3	3	3	3	3	3	3		
Показатель направленности источника Di, дБ		исходные данные	**0**	0	0	0	0	0	0	0	0		
Поправка на направленность источника Dc, дБ	Dc	DΩ + Di	**3**	3	3	3	3	3	3	3	3		
Затухание из-за геометрической дивергенции, Adiv, дБ	расстояние = 615.31 м	ф-ла (7) [10]	**66,8**										
Коэффициент затухания звука в атмосфере α, дБ/км	Ta=20,°C Pa=101.33,кПа hотн.=70%	ф-ла (5) [9]	0,02	0,09	0,33	1,12	2,79	4,98	9,04	23,09	77,63		
Учет затухания звука в атмосфере Aatm, дБ		ф-ла (8) [10]	0	0,1	0,2	0,7	1,7	3,1	5,6	14,2	47,8		
Снижение уровня звукового давления из-за влияния застройки между источником шума и расчетной точкой													
Снижение уровня звукового давления на пути над экраном, Dz1, дБ	z = 0.16м (разность путей)	ф-лы (14-18) [10]	4,8	4,8	4,8	4,8	4,9	4,9	5,1	5,4	6		
Снижение уровня звукового давления на пути слева от экрана, Dz2, дБ	z = 31.36м (разность путей)	ф-лы (14-18) [10]	20,8	23,7	26,7	29,7	32,7	35,7	38,7	41,7	44,7		
Снижение уровня звукового давления на пути справа от экрана, Dz3, дБ	z = 0.23м (разность путей)	ф-лы (14-18) [10]	5,8	6,7	8	9,9	12,1	14,7	17,5	20,4	23,4		
Общее снижение уровня звука препятствием Dz, дБ		Эн.сумма(-Dzi)	2,2	2,6	3,1	3,6	4,1	4,5	4,9	5,3	5,9		
Уровни звукового давления от источника ИШ-10-1 в расчётной точке днём, дБ		**ф-ла(3)[10]**	**0**	**31,9**	**32,6**	**32,9**	**31,7**	**29,6**	**23,4**	**10,2**	**0**	**33,5**	**33,5**
Уровни звукового давления от источника ИШ-10-1 в расчётной точке ночью, дБ		**ф-ла(3)[10]**	**0**	**31,9**	**32,6**	**32,9**	**31,7**	**29,6**	**23,4**	**10,2**	**0**	**33,5**	**33,5**
Источник шума: ИШ-10-2, координаты источника (x,y,z), м =[27.87,443.46,1.00]													

1		2	3	4	5	6	7	8	9	10	11	12	13
Уровни звуковой мощности источника днём, Lw, дБ		**исходные данные**	**0**	**98,3**	**99,7**	**101**	**101,3**	**100,9**	**97,6**	**93,4**	**88,9**		
Уровни звуковой мощности источника ночью, Lw, дБ		**исходные данные**	**0**	**98,3**	**99,7**	**101**	**101,3**	**100,9**	**97,6**	**93,4**	**88,9**		
Поправка на телесный угол DΩ, дБ	Ω = 6.28	10Lg(4π/Ω)	**3**	3	3	3	3	3	3	3	3		
Показатель направленности источника Di, дБ		исходные данные	**0**	0	0	0	0	0	0	0	0		
Поправка на направленность источника Dc, дБ	Dc	DΩ + Di	**3**	3	3	3	3	3	3	3	3		
Затухание из-за геометрической дивергенции, Adiv, дБ	расстояние = 641.88 м	ф-ла (7) [10]	**67,1**										
Коэффициент затухания звука в атмосфере α, дБ/км	Ta=20,°C Pa=101.33,кПа hотн.=70%	ф-ла (5) [9]	0,02	0,09	0,33	1,12	2,79	4,98	9,04	23,09	77,63		
Учет затухания звука в атмосфере Aatm, дБ		ф-ла (8) [10]	0	0,1	0,2	0,7	1,8	3,2	5,8	14,8	49,8		
Снижение уровня звукового давления из-за влияния застройки между источником шума и расчетной точкой													
Снижение уровня звукового давления на пути над экраном, Dz1, дБ	z = 0.21м (разность путей)	ф-лы (14-18) [10]	5,2	5,6	6,3	7,5	9,2	11,3	13,8	16,5	19,4		
Снижение уровня звукового давления на пути слева от экрана, Dz2, дБ	z = 22.24м (разность путей)	ф-лы (14-18) [10]	23,1	26,7	29,9	32,9	35,9	38,9	42	45	48		
Снижение уровня звукового давления на пути справа от экрана, Dz3, дБ	z = 0.69м (разность путей)	ф-лы (14-18) [10]	7,5	9,1	11,2	13,7	16,4	19,3	22,2	25,2	28,2		
Общее снижение уровня звука препятствием Dz, дБ		Эн.сумма(-Dzi)	3,1	4	5,1	6,5	8,4	10,6	13,2	16	18,8		
Уровни звукового давления от источника ИШ-10-2 в расчётной точке днём, дБ		**ф-ла(3)[10]**	**0**	**30,1**	**30,2**	**29,6**	**27**	**22,9**	**14,5**	**0**	**0**	**28**	**28**
Уровни звукового давления от источника ИШ-10-2 в расчётной точке ночью, дБ		**ф-ла(3)[10]**	**0**	**30,1**	**30,2**	**29,6**	**27**	**22,9**	**14,5**	**0**	**0**	**28**	**28**

Источник шума: ШТ-1, координаты источника (x,y,z), м =[684.30,-276.59,1.00]

1		2	3	4	5	6	7	8	9	10	11	12	13
Уровни звуковой мощности источника днём, Lw, дБ		**исходные данные**	**0**	**0**	**108,5**	**105,5**	**102,5**	**102,5**	**99,5**	**93,5**	**0**		
Уровни звуковой мощности максимального звука источника днём, Lwx, дБ		**исходные данные**	**0**	**0**	**113,5**	**110,5**	**107,5**	**107,5**	**104,5**	**98,5**	**0**		
Уровни звуковой мощности источника ночью, Lw, дБ		**исходные данные**	**0**	**0**	**0**	**0**	**0**	**0**	**0**	**0**	**0**		
Уровни звуковой мощности максимального звука источника ночью, Lwx, дБ		**исходные данные**	**0**	**0**	**0**	**0**	**0**	**0**	**0**	**0**	**0**		
Поправка на телесный угол DΩ, дБ	Ω = 12.57	10Lg(4π/Ω)	**0**	0	0	0	0	0	0	0	0		
Показатель направленности источника Di, дБ		исходные данные	**0**	0	0	0	0	0	0	0	0		
Поправка на направленность источника Dc, дБ	Dc	DΩ + Di	**0**	0	0	0	0	0	0	0	0		
Затухание из-за геометрической дивергенции, Adiv, дБ	расстояние = 509.46 м	ф-ла (7) [10]	**65,1**										
Коэффициент затухания звука в атмосфере α, дБ/км	Ta=20,°C Pa=101.33,кПа hотн.=70%	ф-ла (5) [9]	0,02	0,09	0,33	1,12	2,79	4,98	9,04	23,09	77,63		
Учет затухания звука в атмосфере Aatm, дБ		ф-ла (8) [10]	0	0	0,2	0,6	1,4	2,5	4,6	11,8	39,6		
Снижение уровня звукового давления из-за влияния застройки между источником шума и расчетной точкой													
Снижение уровня звукового давления на пути над экраном, Dz1, дБ	z = 0.00м (разность путей)	ф-лы (14-18) [10]	4,8	4,8	4,8	4,8	4,8	4,8	4,8	4,8	4,8		
Снижение уровня звукового давления на пути слева от экрана, Dz2, дБ	z = 24.20м (разность путей)	ф-лы (14-18) [10]	23,4	27	30,2	33,3	36,3	39,3	42,3	45,3	48,3		
Снижение уровня звукового давления на пути справа от экрана, Dz3, дБ	z = 0.00м (разность путей)	ф-лы (14-18) [10]	4,8	4,8	4,8	4,9	5	5,2	5,7	6,4	7,6		
Общее снижение уровня звука препятствием Dz, дБ		Эн.сумма(-Dzi)	1,7	1,8	1,8	1,8	1,9	2	2,2	2,5	2,9		
Уровни звукового давления прямого звука от источника ШТ-1 в расчётной точке днём, дБ		**ф-ла(3)[10]**	**0**	**0**	**41,4**	**38**	**34,1**	**32,8**	**27,6**	**14,1**	**0**	**37,1**	**42,1**
* уровни звукового давления для определения максимального прямого звука от источника ШТ-1 в расчётной точке днём, дБ		ф-ла(3)[10]	0	0	46,4	43	39,1	37,8	32,6	19,1	0	42,1	

1		2	3	4	5	6	7	8	9	10	11	12	13
Уровни звукового давления прямого звука от источника ШТ-1 в расчётной точке ночью, дБ		**ф-ла(3)[10]**	**0**	**0**	**0**	**0**	**0**	**0**	**0**	**0**	**0**	**0**	**0**
* уровни звукового давления для определения максимального прямого звука от источника ШТ-1 в расчётной точке ночью, дБ		ф-ла(3)[10]	0	0	0	0	0	0	0	0	0	0	
Расчёт отражённого звука													
Уровни звукового давления от мнимого источника ШТ-1_мн.(1) в расчётной точке днём, дБ		**ф-ла(3)[10]**	**0**	**0**	**0**	**0**	**0**	**0**	**0**	**0**	**0**	**0**	**0**
Уровни звукового давления от мнимого источника ШТ-1_мн.(1) в расчётной точке ночью, дБ		**ф-ла(3)[10]**	**0**	**0**	**0**	**0**	**0**	**0**	**0**	**0**	**0**	**0**	**0**
Уровни звукового давления от мнимого источника ШТ-1_мн.(2) в расчётной точке днём, дБ		**ф-ла(3)[10]**	**0**	**0**	**0**	**0**	**0**	**0**	**0**	**0**	**0**	**0**	**0**
Уровни звукового давления от мнимого источника ШТ-1_мн.(2) в расчётной точке ночью, дБ		**ф-ла(3)[10]**	**0**	**0**	**0**	**0**	**0**	**0**	**0**	**0**	**0**	**0**	**0**
Суммарные уровни звукового давления от мнимых источников в расчётной точке днём, дБ		**ф-ла (19) [1]**	**0**	**0**	**0**	**0**	**0**	**0**	**0**	**0**	**0**	**0**	**0**
Суммарные уровни звукового давления от мнимых источников в расчётной точке ночью, дБ		**ф-ла (19) [1]**	**0**	**0**	**0**	**0**	**0**	**0**	**0**	**0**	**0**	**0**	**0**
Уровни звукового давления от источника ШТ-1 в расчётной точке днём, дБ		**ф-ла(3)[10]**	**0**	**0**	**41,4**	**38**	**34,1**	**32,8**	**27,6**	**14,1**	**0**	**37,1**	**42,1**
Уровни звукового давления от источника ШТ-1 в расчётной точке ночью, дБ		**ф-ла(3)[10]**	**0**	**0**	**0**	**0**	**0**	**0**	**0**	**0**	**0**	**0**	**0**
Источник шума: ШТ-2, координаты источника (x,y,z), м =[665.17,-247.36,1.00]													
Уровни звуковой мощности источника днём, Lw, дБ		**исходные данные**	**0**	**0**	**104,5**	**101,5**	**98,5**	**98,5**	**95,5**	**89,5**	**0**		
Уровни звуковой мощности максимального звука источника днём, Lwx, дБ		**исходные данные**	**0**	**0**	**108,5**	**105,5**	**102,5**	**102,5**	**99,5**	**93,5**	**0**		
Уровни звуковой мощности источника ночью, Lw, дБ		**исходные данные**	**0**	**0**	**0**	**0**	**0**	**0**	**0**	**0**	**0**		
Уровни звуковой мощности максимального звука источника ночью, Lwx, дБ		**исходные данные**	**0**	**0**	**0**	**0**	**0**	**0**	**0**	**0**	**0**		
Поправка на телесный угол DΩ, дБ	Ω = 12.57	10Lg(4π/Ω)	**0**	0	0	0	0	0	0	0	0		

1		2	3	4	5	6	7	8	9	10	11	12	13
Показатель направленности источника Di, дБ		исходные данные	**0**	0	0	0	0	0	0	0	0		
Поправка на направленность источника Dc, дБ	Dc	DΩ + Di	**0**	0	0	0	0	0	0	0	0		
Затухание из-за геометрической дивергенции, Adiv, дБ	расстояние = 485.74 м	ф-ла (7) [10]	**64,7**										
Коэффициент затухания звука в атмосфере α, дБ/км	Ta=20,°C Pa=101.33,кПа hотн.=70%	ф-ла (5) [9]	0,02	0,09	0,33	1,12	2,79	4,98	9,04	23,09	77,63		
Учет затухания звука в атмосфере Aatm, дБ		ф-ла (8) [10]	0	0	0,2	0,5	1,4	2,4	4,4	11,2	37,7		
Снижение уровня звукового давления из-за влияния застройки между источником шума и расчетной точкой													
Снижение уровня звукового давления препятствием слева от трассы ИШ-РТ, Dz2, дБ	z = -0.15м (разность путей)	ф-лы (14-18) [10]	3,8	2,7	0	NAN	NAN	NAN	NAN	NAN	NAN		
* отрицательное значение z означает прохождение траектории вблизи экрана, в этом случае дополнительно производится учёт снижения подстилающей поверхностью (см.ниже)													
Снижение поверхностью земли возле источника As, дБ	Gs = 0 hs = 1м	ф-лы таб.3 [10]	-1,5	-1,5	-1,5	-1,5	-1,5	-1,5	-1,5	-1,5	-1,5		
Снижение поверхностью земли возле приёмника Ar, дБ	Gr = 1 hr = 4.6м	ф-лы таб.3 [10]	-1,5	-1,5	3,4	1,3	0	0	0	0	0		
Снижение поверхностью земли в средней зоне, Am дБ	Gm = 1	ф-лы таб.3 [10]	-2	-2	0	0	0	0	0	0	0		
Суммарное снижение поверхностью земли на траектории распространения звука Agr, дБ		ф-ла (9) [10]	-5	-5	1,9	-0,2	-1,5	-1,5	-1,5	-1,5	-1,5		
Уровни звукового давления прямого звука от источника ШТ-2 в расчётной точке днём, дБ		**ф-ла(3)[10]**	**0**	**0**	**37,7**	**36,4**	**33,9**	**32,8**	**27,9**	**15,1**	**0**	**36,7**	**40,7**
* уровни звукового давления для определения максимального прямого звука от источника ШТ-2 в расчётной точке днём, дБ		ф-ла(3)[10]	0	0	41,7	40,4	37,9	36,8	31,9	19,1	0	40,7	
Уровни звукового давления прямого звука от источника ШТ-2 в расчётной точке ночью, дБ		**ф-ла(3)[10]**	**0**	**0**	**0**	**0**	**0**	**0**	**0**	**0**	**0**	**0**	**0**
* уровни звукового давления для определения максимального прямого звука от источника ШТ-2 в расчётной точке ночью, дБ		ф-ла(3)[10]	0	0	0	0	0	0	0	0	0	0	
Расчёт отражённого звука													
Уровни звукового давления от мнимого источника ШТ-2_мн.(1) в расчётной точке днём, дБ		**ф-ла(3)[10]**	**0**	**0**	**32,3**	**26,1**	**22,6**	**28,3**	**25,4**	**12,6**	**0**	**31,3**	**35,3**

1		2	3	4	5	6	7	8	9	10	11	12	13
Уровни звукового давления от мнимого источника ШТ-2_мн.(1) в расчётной точке ночью, дБ		**ф-ла(3)[10]**	**0**	**0**	**0**	**0**	**0**	**0**	**0**	**0**	**0**	**0**	**0**
Уровни звукового давления от мнимого источника ШТ-2_мн.(2) в расчётной точке днём, дБ		**ф-ла(3)[10]**	**0**	**0**	**0**	**0**	**0**	**0**	**0**	**0**	**0**	**0**	**0**
Уровни звукового давления от мнимого источника ШТ-2_мн.(2) в расчётной точке ночью, дБ		**ф-ла(3)[10]**	**0**	**0**	**0**	**0**	**0**	**0**	**0**	**0**	**0**	**0**	**0**
Суммарные уровни звукового давления от мнимых источников в расчётной точке днём, дБ		**ф-ла (19) [1]**	**0**	**0**	**32,3**	**26,1**	**22,6**	**28,3**	**25,4**	**12,6**	**0**	**0**	**35,3**
Суммарные уровни звукового давления от мнимых источников в расчётной точке ночью, дБ		**ф-ла (19) [1]**	**0**	**0**	**0**	**0**	**0**	**0**	**0**	**0**	**0**	**0**	**0**
Уровни звукового давления от источника ШТ-2 в расчётной точке днём, дБ		**ф-ла(3)[10]**	**0**	**0**	**38,8**	**36,8**	**34,2**	**34,2**	**29,8**	**17**	**0**	**37,8**	**41,8**
Уровни звукового давления от источника ШТ-2 в расчётной точке ночью, дБ		**ф-ла(3)[10]**	**0**	**0**	**0**	**0**	**0**	**0**	**0**	**0**	**0**	**0**	**0**
Источник шума: ШТ-3, координаты источника (x,y,z), м =[556.24,-281.90,1.00]													
Уровни звуковой мощности источника днём, Lw, дБ		**исходные данные**	**0**	**0**	**104,5**	**101,5**	**98,5**	**98,5**	**95,5**	**89,5**	**0**		
Уровни звуковой мощности максимального звука источника днём, Lwx, дБ		**исходные данные**	**0**	**0**	**108,5**	**105,5**	**102,5**	**102,5**	**99,5**	**93,5**	**0**		
Уровни звуковой мощности источника ночью, Lw, дБ		**исходные данные**	**0**	**0**	**0**	**0**	**0**	**0**	**0**	**0**	**0**		
Уровни звуковой мощности максимального звука источника ночью, Lwx, дБ		**исходные данные**	**0**	**0**	**0**	**0**	**0**	**0**	**0**	**0**	**0**		
Поправка на телесный угол DΩ, дБ	Ω = 12.57	10Lg(4π/Ω)	**0**	0	0	0	0	0	0	0	0		
Показатель направленности источника Di, дБ		исходные данные	**0**	0	0	0	0	0	0	0	0		
Поправка на направленность источника Dc, дБ	Dc	DΩ + Di	**0**	0	0	0	0	0	0	0	0		
Затухание из-за геометрической дивергенции, Adiv, дБ	расстояние = 385.94 м	ф-ла (7) [10]	**62,7**										
Коэффициент затухания звука в атмосфере α, дБ/км	Ta=20,°C Pa=101.33,кПа hотн.=70%	ф-ла (5) [9]	0,02	0,09	0,33	1,12	2,79	4,98	9,04	23,09	77,63		

1		2	3	4	5	6	7	8	9	10	11	12	13
Учет затухания звука в атмосфере Aatm, дБ		ф-ла (8) [10]	0	0	0,1	0,4	1,1	1,9	3,5	8,9	30		
Снижение уровня звукового давления из-за влияния застройки между источником шума и расчетной точкой													
Снижение уровня звукового давления на пути над экраном, Dz1, дБ	z = 0.00м (разность путей)	ф-лы (14-18) [10]	4,8	4,8	4,8	4,8	4,8	4,8	4,8	4,8	4,8		
Снижение уровня звукового давления на пути слева от экрана, Dz2, дБ	z = 21.41м (разность путей)	ф-лы (14-18) [10]	22,9	26,5	29,7	32,7	35,8	38,8	41,8	44,8	47,8		
Снижение уровня звукового давления на пути справа от экрана, Dz3, дБ	z = 0.57м (разность путей)	ф-лы (14-18) [10]	7,1	8,6	10,6	13	15,6	18,4	21,4	24,3	27,3		
Общее снижение уровня звука препятствием Dz, дБ		Эн.сумма(-Dzi)	2,7	3,2	3,7	4,2	4,4	4,6	4,7	4,7	4,7		
Уровни звукового давления прямого звука от источника ШТ-3 в расчётной точке днём, дБ		**ф-ла(3)[10]**	**0**	**0**	**37,9**	**34,2**	**30,3**	**29,3**	**24,6**	**13,1**	**0**	**33,6**	**37,6**
* уровни звукового давления для определения максимального прямого звука от источника ШТ-3 в расчётной точке днём, дБ		ф-ла(3)[10]	0	0	41,9	38,2	34,3	33,3	28,6	17,1	0	37,6	
Уровни звукового давления прямого звука от источника ШТ-3 в расчётной точке ночью, дБ		**ф-ла(3)[10]**	**0**	**0**	**0**	**0**	**0**	**0**	**0**	**0**	**0**	**0**	**0**
* уровни звукового давления для определения максимального прямого звука от источника ШТ-3 в расчётной точке ночью, дБ		ф-ла(3)[10]	0	0	0	0	0	0	0	0	0	0	
Расчёт отражённого звука													
Уровни звукового давления от мнимого источника ШТ-3_мн.(1) в расчётной точке днём, дБ		**ф-ла(3)[10]**	**0**	**0**	**0**	**0**	**0**	**0**	**0**	**0**	**0**	**0**	**0**
Уровни звукового давления от мнимого источника ШТ-3_мн.(1) в расчётной точке ночью, дБ		**ф-ла(3)[10]**	**0**	**0**	**0**	**0**	**0**	**0**	**0**	**0**	**0**	**0**	**0**
Уровни звукового давления от источника ШТ-3 в расчётной точке днём, дБ		**ф-ла(3)[10]**	**0**	**0**	**37,9**	**34,2**	**30,3**	**29,3**	**24,6**	**13,1**	**0**	**33,6**	**37,6**
Уровни звукового давления от источника ШТ-3 в расчётной точке ночью, дБ		**ф-ла(3)[10]**	**0**	**0**	**0**	**0**	**0**	**0**	**0**	**0**	**0**	**0**	**0**
Источник шума: ШТ-4, координаты источника (x,y,z), м =[600.61,-343.54,1.00]													
Уровни звуковой мощности источника днём, Lw, дБ		**исходные данные**	**0**	**0**	**104,5**	**101,5**	**98,5**	**98,5**	**95,5**	**89,5**	**0**		

1		2	3	4	5	6	7	8	9	10	11	12	13
Уровни звуковой мощности максимального звука источника днём, Lwx, дБ		**исходные данные**	**0**	**0**	**108,5**	**105,5**	**102,5**	**102,5**	**99,5**	**93,5**	**0**		
Уровни звуковой мощности источника ночью, Lw, дБ		**исходные данные**	**0**	**0**	**0**	**0**	**0**	**0**	**0**	**0**	**0**		
Уровни звуковой мощности максимального звука источника ночью, Lwx, дБ		**исходные данные**	**0**	**0**	**0**	**0**	**0**	**0**	**0**	**0**	**0**		
Поправка на телесный угол DΩ, дБ	Ω = 12.57	10Lg(4π/Ω)	**0**	0	0	0	0	0	0	0	0		
Показатель направленности источника Di, дБ		исходные данные	**0**	0	0	0	0	0	0	0	0		
Поправка на направленность источника Dc, дБ	Dc	DΩ + Di	**0**	0	0	0	0	0	0	0	0		
Затухание из-за геометрической дивергенции, Adiv, дБ	расстояние = 447.66 м	ф-ла (7) [10]	**64**										
Коэффициент затухания звука в атмосфере α, дБ/км	Ta=20,°C Pa=101.33,кПа hотн.=70%	ф-ла (5) [9]	0,02	0,09	0,33	1,12	2,79	4,98	9,04	23,09	77,63		
Учет затухания звука в атмосфере Aatm, дБ		ф-ла (8) [10]	0	0	0,1	0,5	1,2	2,2	4	10,3	34,8		
Снижение уровня звукового давления из-за влияния застройки между источником шума и расчетной точкой													
Снижение уровня звукового давления на пути над экраном, Dz1, дБ	z = 0.45м (разность путей)	ф-лы (14-18) [10]	5,6	6,9	8,8	11,2	13,7	16,5	19,3	22,3	25,2		
Снижение уровня звукового давления на пути слева от экрана, Dz2, дБ	z = 34.60м (разность путей)	ф-лы (14-18) [10]	21,5	25,1	29,4	33,8	37,6	40,8	43,9	46,9	49,9		
Снижение уровня звукового давления на пути справа от экрана, Dz3, дБ	z = 2.90м (разность путей)	ф-лы (14-18) [10]	11,6	14,8	18,9	23,2	26,8	30	33,1	36,1	39,1		
Общее снижение уровня звука препятствием Dz, дБ		Эн.сумма(-Dzi)	4,6	6,2	8,4	10,9	13,5	16,3	19,1	22,1	25		
Общее снижение уровня звука препятствием с учётом ограничения (25 дБ) для октавных полос Dz, дБ		Раздел 7.4 [10]	4,6	6,2	8,4	10,9	13,5	16,3	19,1	22,1	25		
Уровни звукового давления от источника ШТ-4 в расчётной точке днём, дБ		**ф-ла(3)[10]**	**0**	**0**	**31,9**	**26,1**	**19,7**	**16**	**8,3**	**0**	**0**	**22,7**	**26,7**
Уровни звукового давления от источника ШТ-4 в расчётной точке ночью, дБ		**ф-ла(3)[10]**	**0**	**0**	**0**	**0**	**0**	**0**	**0**	**0**	**0**	**0**	**0**

1		2	3	4	5	6	7	8	9	10	11	12	13
Источник шума: ШТ-5, координаты источника (x,y,z), м =[453.13,-90.07,1.00]													
Уровни звуковой мощности источника днём, Lw, дБ		**исходные данные**	**0**	**0**	**103**	**100**	**97**	**97**	**94**	**88**	**0**		
Уровни звуковой мощности максимального звука источника днём, Lwx, дБ		**исходные данные**	**0**	**0**	**108**	**105**	**102**	**102**	**99**	**93**	**0**		
Уровни звуковой мощности источника ночью, Lw, дБ		**исходные данные**	**0**	**0**	**0**	**0**	**0**	**0**	**0**	**0**	**0**		
Уровни звуковой мощности максимального звука источника ночью, Lwx, дБ		**исходные данные**	**0**	**0**	**0**	**0**	**0**	**0**	**0**	**0**	**0**		
Поправка на телесный угол DΩ, дБ	Ω = 12.57	10Lg(4π/Ω)	**0**	0	0	0	0	0	0	0	0		
Показатель направленности источника Di, дБ		исходные данные	**0**	0	0	0	0	0	0	0	0		
Поправка на направленность источника Dc, дБ	Dc	DΩ + Di	**0**	0	0	0	0	0	0	0	0		
Затухание из-за геометрической дивергенции, Adiv, дБ	расстояние = 283.23 м	ф-ла (7) [10]	**60**										
Коэффициент затухания звука в атмосфере α, дБ/км	Ta=20,°C Pa=101.33,кПа hотн.=70%	ф-ла (5) [9]	0,02	0,09	0,33	1,12	2,79	4,98	9,04	23,09	77,63		
Учет затухания звука в атмосфере Aatm, дБ		ф-ла (8) [10]	0	0	0,1	0,3	0,8	1,4	2,6	6,5	22		
Снижение поверхностью земли возле источника As, дБ	Gs = 0 hs = 1м	ф-лы таб.3 [10]	-1,5	-1,5	-1,5	-1,5	-1,5	-1,5	-1,5	-1,5	-1,5		
Снижение поверхностью земли возле приёмника Ar, дБ	Gr = 1 hr = 4.6м	ф-лы таб.3 [10]	-1,5	-1,5	3,1	1,3	0	0	0	0	0		
Снижение поверхностью земли в средней зоне, Am дБ	Gm = 1	ф-лы таб.3 [10]	-1,2	-1,2	0	0	0	0	0	0	0		
Суммарное снижение поверхностью земли на траектории распространения звука Agr, дБ		ф-ла (9) [10]	-4,2	-4,2	1,6	-0,2	-1,5	-1,5	-1,5	-1,5	-1,5		
Уровни звукового давления прямого звука от источника ШТ-5 в расчётной точке днём, дБ		**ф-ла(3)[10]**	**0**	**0**	**41,2**	**39,8**	**37,6**	**37**	**32,9**	**22,9**	**0**	**40,9**	**45,9**

1		2	3	4	5	6	7	8	9	10	11	12	13
* уровни звукового давления для определения максимального прямого звука от источника ШТ-5 в расчётной точке днём, дБ		ф-ла(3)[10]	0	0	46,2	44,8	42,6	42	37,9	27,9	0	45,9	
Уровни звукового давления прямого звука от источника ШТ-5 в расчётной точке ночью, дБ		**ф-ла(3)[10]**	**0**	**0**	**0**	**0**	**0**	**0**	**0**	**0**	**0**	**0**	**0**
* уровни звукового давления для определения максимального прямого звука от источника ШТ-5 в расчётной точке ночью, дБ		ф-ла(3)[10]	0	0	0	0	0	0	0	0	0	0	
Расчёт отражённого звука													
Уровни звукового давления от мнимого источника ШТ-5_мн.(1) в расчётной точке днём, дБ		**ф-ла(3)[10]**	**0**	**0**	**0**	**0**	**26,3**	**32,4**	**30,3**	**20,3**	**0**	**35,4**	**40,4**
Уровни звукового давления от мнимого источника ШТ-5_мн.(1) в расчётной точке ночью, дБ		**ф-ла(3)[10]**	**0**	**0**	**0**	**0**	**0**	**0**	**0**	**0**	**0**	**0**	**0**
Уровни звукового давления от источника ШТ-5 в расчётной точке днём, дБ		**ф-ла(3)[10]**	**0**	**0**	**41,2**	**39,8**	**37,9**	**38,3**	**34,8**	**24,8**	**0**	**42**	**47**
Уровни звукового давления от источника ШТ-5 в расчётной точке ночью, дБ		**ф-ла(3)[10]**	**0**	**0**	**0**	**0**	**0**	**0**	**0**	**0**	**0**	**0**	**0**
Источник шума: ШТ-6, координаты источника (x,y,z), м =[476.78,-97.62,1.00]													
Уровни звуковой мощности источника днём, Lw, дБ		**исходные данные**	**0**	**0**	**110,5**	**107,5**	**104,5**	**104,5**	**101,5**	**95,5**	**0**		
Уровни звуковой мощности максимального звука источника днём, Lwx, дБ		**исходные данные**	**0**	**0**	**115,5**	**112,5**	**109,5**	**109,5**	**106,5**	**100,5**	**0**		
Уровни звуковой мощности источника ночью, Lw, дБ		**исходные данные**	**0**	**0**	**0**	**0**	**0**	**0**	**0**	**0**	**0**		
Уровни звуковой мощности максимального звука источника ночью, Lwx, дБ		**исходные данные**	**0**	**0**	**0**	**0**	**0**	**0**	**0**	**0**	**0**		
Поправка на телесный угол DΩ, дБ	Ω = 12.57	10Lg(4π/Ω)	**0**	0	0	0	0	0	0	0	0		
Показатель направленности источника Di, дБ		исходные данные	**0**	0	0	0	0	0	0	0	0		
Поправка на направленность источника Dc, дБ	Dc	DΩ + Di	**0**	0	0	0	0	0	0	0	0		
Затухание из-за геометрической дивергенции, Adiv, дБ	расстояние = 303.66 м	ф-ла (7) [10]	**60,6**										

1		2	3	4	5	6	7	8	9	10	11	12	13
Коэффициент затухания звука в атмосфере α, дБ/км	Та=20,°С Ра=101.33,кПа hотн.=70%	ф-ла (5) [9]	0,02	0,09	0,33	1,12	2,79	4,98	9,04	23,09	77,63		
Учет затухания звука в атмосфере Aatm, дБ		ф-ла (8) [10]	0	0	0,1	0,3	0,8	1,5	2,7	7	23,6		
Снижение поверхностью земли возле источника As, дБ	Gs = 0 hs = 1м	ф-лы таб.3 [10]	-1,5	-1,5	-1,5	-1,5	-1,5	-1,5	-1,5	-1,5	-1,5		
Снижение поверхностью земли возле приёмника Ar, дБ	Gr = 1 hr = 4.6м	ф-лы таб.3 [10]	-1,5	-1,5	3,1	1,3	0	0	0	0	0		
Снижение поверхностью земли в средней зоне, Am дБ	Gm = 1	ф-лы таб.3 [10]	-1,3	-1,3	0	0	0	0	0	0	0		
Суммарное снижение поверхностью земли на траектории распространения звука Agr, дБ		ф-ла (9) [10]	-4,3	-4,3	1,6	-0,2	-1,5	-1,5	-1,5	-1,5	-1,5		
Уровни звукового давления прямого звука от источника ШТ-6 в расчётной точке днём, дБ		**ф-ла(3)[10]**	**0**	**0**	**48,1**	**46,7**	**44,5**	**43,8**	**39,6**	**29,3**	**0**	**47,7**	**52,7**
* уровни звукового давления для определения максимального прямого звука от источника ШТ-6 в расчётной точке днём, дБ		ф-ла(3)[10]	0	0	53,1	51,7	49,5	48,8	44,6	34,3	0	52,7	
Уровни звукового давления прямого звука от источника ШТ-6 в расчётной точке ночью, дБ		**ф-ла(3)[10]**	**0**	**0**	**0**	**0**	**0**	**0**	**0**	**0**	**0**	**0**	**0**
* уровни звукового давления для определения максимального прямого звука от источника ШТ-6 в расчётной точке ночью, дБ		ф-ла(3)[10]	0	0	0	0	0	0	0	0	0	0	
Расчёт отражённого звука													
Уровни звукового давления от мнимого источника ШТ-6_мн.(1) в расчётной точке днём, дБ		**ф-ла(3)[10]**	**0**	**0**	**0**	**36,3**	**33,1**	**39,3**	**37**	**26,7**	**0**	**42,4**	**47,4**
Уровни звукового давления от мнимого источника ШТ-6_мн.(1) в расчётной точке ночью, дБ		**ф-ла(3)[10]**	**0**	**0**	**0**	**0**	**0**	**0**	**0**	**0**	**0**	**0**	**0**
Уровни звукового давления от источника ШТ-6 в расчётной точке днём, дБ		**ф-ла(3)[10]**	**0**	**0**	**48,1**	**47,1**	**44,8**	**45,1**	**41,5**	**31,2**	**0**	**48,8**	**53,8**
Уровни звукового давления от источника ШТ-6 в расчётной точке ночью, дБ		**ф-ла(3)[10]**	**0**	**0**	**0**	**0**	**0**	**0**	**0**	**0**	**0**	**0**	**0**
Источник шума: ШТ-7, координаты источника (x,y,z), м =[632.16,-298.34,1.00]													

1		2	3	4	5	6	7	8	9	10	11	12	13
Уровни звуковой мощности источника днём, Lw, дБ		**исходные данные**	**0**	**0**	**104,5**	**101,5**	**98,5**	**98,5**	**95,5**	**89,5**	**0**		
Уровни звуковой мощности максимального звука источника днём, Lwx, дБ		**исходные данные**	**0**	**0**	**111,5**	**108,5**	**105,5**	**105,5**	**102,5**	**96,5**	**0**		
Уровни звуковой мощности источника ночью, Lw, дБ		**исходные данные**	**0**	**0**	**0**	**0**	**0**	**0**	**0**	**0**	**0**		
Уровни звуковой мощности максимального звука источника ночью, Lwx, дБ		**исходные данные**	**0**	**0**	**0**	**0**	**0**	**0**	**0**	**0**	**0**		
Поправка на телесный угол DΩ, дБ	Ω = 12.57	10Lg(4π/Ω)	**0**	0	0	0	0	0	0	0	0		
Показатель направленности источника Di, дБ		исходные данные	**0**	0	0	0	0	0	0	0	0		
Поправка на направленность источника Dc, дБ	Dc	DΩ + Di	**0**	0	0	0	0	0	0	0	0		
Затухание из-за геометрической дивергенции, Adiv, дБ	расстояние = 463.51 м	ф-ла (7) [10]	**64,3**										
Коэффициент затухания звука в атмосфере α, дБ/км	Ta=20,°C Pa=101.33,кПа hотн.=70%	ф-ла (5) [9]	0,02	0,09	0,33	1,12	2,79	4,98	9,04	23,09	77,63		
Учет затухания звука в атмосфере Aatm, дБ		ф-ла (8) [10]	0	0	0,2	0,5	1,3	2,3	4,2	10,7	36		
Снижение уровня звукового давления из-за влияния застройки между источником шума и расчетной точкой													
Снижение уровня звукового давления на пути над экраном, Dz1, дБ	z = 0.00м (разность путей)	ф-лы (14-18) [10]	4,8	4,8	4,8	4,8	4,8	4,8	4,8	4,8	4,8		
Снижение уровня звукового давления на пути слева от экрана, Dz2, дБ	z = 21.45м (разность путей)	ф-лы (14-18) [10]	22,9	26,5	29,7	32,8	35,8	38,8	41,8	44,8	47,8		
Снижение уровня звукового давления на пути справа от экрана, Dz3, дБ	z = 0.42м (разность путей)	ф-лы (14-18) [10]	6,6	7,8	9,6	11,8	14,4	17,2	20,1	23	26		
Общее снижение уровня звука препятствием Dz, дБ		Эн.сумма(-Dzi)	2,5	3	3,5	4	4,3	4,5	4,6	4,7	4,7		
Уровни звукового давления от источника ШТ-7 в расчётной точке днём, дБ		**ф-ла(3)[10]**	**0**	**0**	**36,5**	**32,7**	**28,6**	**27,3**	**22,3**	**9,8**	**0**	**31,7**	**38,7**
Уровни звукового давления от источника ШТ-7 в расчётной точке ночью, дБ		**ф-ла(3)[10]**	**0**	**0**	**0**	**0**	**0**	**0**	**0**	**0**	**0**	**0**	**0**

1		2	3	4	5	6	7	8	9	10	11	12	13
Источник шума: ШТ-8, координаты источника (x,y,z), м =[637.74,-278.95,1.00]													
Уровни звуковой мощности источника днём, Lw, дБ		**исходные данные**	**86**	**86**	**92**	**89**	**93**	**92**	**90**	**89**	**86**		
Уровни звуковой мощности источника ночью, Lw, дБ		**исходные данные**	**0**	**0**	**0**	**0**	**0**	**0**	**0**	**0**	**0**		
Поправка на телесный угол DΩ, дБ	Ω = 12.57	10Lg(4π/Ω)	**0**	0	0	0	0	0	0	0	0		
Показатель направленности источника Di, дБ		исходные данные	**0**	0	0	0	0	0	0	0	0		
Поправка на направленность источника Dc, дБ	Dc	DΩ + Di	**0**	0	0	0	0	0	0	0	0		
Затухание из-за геометрической дивергенции, Adiv, дБ	расстояние = 464.36 м	ф-ла (7) [10]	**64,3**										
Коэффициент затухания звука в атмосфере α, дБ/км	Ta=20,°C Pa=101.33,кПа hотн.=70%	ф-ла (5) [9]	0,02	0,09	0,33	1,12	2,79	4,98	9,04	23,09	77,63		
Учет затухания звука в атмосфере Aatm, дБ		ф-ла (8) [10]	0	0	0,2	0,5	1,3	2,3	4,2	10,7	36		
Снижение уровня звукового давления из-за влияния застройки между источником шума и расчетной точкой													
Снижение уровня звукового давления на пути над экраном, Dz1, дБ	z = 0.00м (разность путей)	ф-лы (14-18) [10]	4,8	4,8	4,8	4,8	4,8	4,8	4,8	4,8	4,8		
Снижение уровня звукового давления на пути слева от экрана, Dz2, дБ	z = 23.27м (разность путей)	ф-лы (14-18) [10]	23,2	26,9	30	33,1	36,1	39,1	42,2	45,2	48,2		
Снижение уровня звукового давления на пути справа от экрана, Dz3, дБ	z = 0.07м (разность путей)	ф-лы (14-18) [10]	5,1	5,5	6,1	7,1	8,6	10,5	12,9	15,6	18,4		
Общее снижение уровня звука препятствием Dz, дБ		Эн.сумма(-Dzi)	1,9	2,1	2,4	2,8	3,3	3,8	4,2	4,4	4,6		
Уровни звукового давления от источника ШТ-8 в расчётной точке днём, дБ		**ф-ла(3)[10]**	**19,7**	**19,5**	**25,2**	**21,4**	**24,1**	**21,6**	**17,3**	**9,5**	**0**	**25,8**	**25,8**
Уровни звукового давления от источника ШТ-8 в расчётной точке ночью, дБ		**ф-ла(3)[10]**	**0**	**0**	**0**	**0**	**0**	**0**	**0**	**0**	**0**	**0**	**0**

1		2	3	4	5	6	7	8	9	10	11	12	13
Источник шума: ШТ-9, координаты источника (x,y,z), м =[627.56,-280.27,1.00]													
Уровни звуковой мощности источника днём, Lw, дБ		**исходные данные**	**73**	**73**	**84**	**69**	**71**	**70**	**70**	**60**	**52**		
Уровни звуковой мощности источника ночью, Lw, дБ		**исходные данные**	**0**	**0**	**0**	**0**	**0**	**0**	**0**	**0**	**0**		
Поправка на телесный угол DΩ, дБ	Ω = 12.57	10Lg(4π/Ω)	**0**	0	0	0	0	0	0	0	0		
Показатель направленности источника Di, дБ		исходные данные	**0**	0	0	0	0	0	0	0	0		
Поправка на направленность источника Dc, дБ	Dc	DΩ + Di	**0**	0	0	0	0	0	0	0	0		
Затухание из-за геометрической дивергенции, Adiv, дБ	расстояние = 454.71 м	ф-ла (7) [10]	**64,2**										
Коэффициент затухания звука в атмосфере α, дБ/км	Ta=20,°C Pa=101.33,кПа hотн.=70%	ф-ла (5) [9]	0,02	0,09	0,33	1,12	2,79	4,98	9,04	23,09	77,63		
Учет затухания звука в атмосфере Aatm, дБ		ф-ла (8) [10]	0	0	0,2	0,5	1,3	2,3	4,1	10,5	35,3		
Снижение уровня звукового давления из-за влияния застройки между источником шума и расчетной точкой													
Снижение уровня звукового давления на пути над экраном, Dz1, дБ	z = 0.00м (разность путей)	ф-лы (14-18) [10]	4,8	4,8	4,8	4,8	4,8	4,8	4,8	4,8	4,8		
Снижение уровня звукового давления на пути слева от экрана, Dz2, дБ	z = 22.97м (разность путей)	ф-лы (14-18) [10]	23,2	26,8	30	33,1	36,1	39,1	42,1	45,1	48,1		
Снижение уровня звукового давления на пути справа от экрана, Dz3, дБ	z = 0.11м (разность путей)	ф-лы (14-18) [10]	5,3	5,8	6,7	8	9,8	12,1	14,7	17,4	20,3		
Общее снижение уровня звука препятствием Dz, дБ		Эн.сумма(-Dzi)	2	2,2	2,6	3,1	3,6	4	4,3	4,5	4,7		
Уровни звукового давления от источника ШТ-9 в расчётной точке днём, дБ		**ф-ла(3)[10]**	**6,8**	**6,6**	**17,1**	**1,3**	**2**	**0**	**0**	**0**	**0**	**3,4**	**3,4**
Уровни звукового давления от источника ШТ-9 в расчётной точке ночью, дБ		**ф-ла(3)[10]**	**0**	**0**	**0**	**0**	**0**	**0**	**0**	**0**	**0**	**0**	**0**

1		2	3	4	5	6	7	8	9	10	11	12	13
Источник шума: ШТ-10, координаты источника (x,y,z), м =[629.86,-268.44,1.00]													
Уровни звуковой мощности источника днём, Lw, дБ		**исходные данные**	**100**	**100**	**94**	**90**	**88**	**77**	**73**	**65**	**58**		
Уровни звуковой мощности источника ночью, Lw, дБ		**исходные данные**	**0**	**0**	**0**	**0**	**0**	**0**	**0**	**0**	**0**		
Поправка на телесный угол DΩ, дБ	Ω = 12.57	10Lg(4π/Ω)	**0**	0	0	0	0	0	0	0	0		
Показатель направленности источника Di, дБ		исходные данные	**0**	0	0	0	0	0	0	0	0		
Поправка на направленность источника Dc, дБ	Dc	DΩ + Di	**0**	0	0	0	0	0	0	0	0		
Затухание из-за геометрической дивергенции, Adiv, дБ	расстояние = 454.48 м	ф-ла (7) [10]	**64,2**										
Коэффициент затухания звука в атмосфере α, дБ/км	Ta=20,°C Pa=101.33,кПа hотн.=70%	ф-ла (5) [9]	0,02	0,09	0,33	1,12	2,79	4,98	9,04	23,09	77,63		
Учет затухания звука в атмосфере Aatm, дБ		ф-ла (8) [10]	0	0	0,2	0,5	1,3	2,3	4,1	10,5	35,3		
Снижение уровня звукового давления из-за влияния застройки между источником шума и расчетной точкой													
Снижение уровня звукового давления на пути над экраном, Dz1, дБ	z = 0.00м (разность путей)	ф-лы (14-18) [10]	4,8	4,8	4,8	4,8	4,8	4,8	4,8	4,8	4,8		
Снижение уровня звукового давления на пути слева от экрана, Dz2, дБ	z = 24.22м (разность путей)	ф-лы (14-18) [10]	23,4	27	30,2	33,3	36,3	39,3	42,3	45,3	48,4		
Снижение уровня звукового давления на пути справа от экрана, Dz3, дБ	z = 0.01м (разность путей)	ф-лы (14-18) [10]	4,8	4,9	5	5,2	5,6	6,2	7,3	9	11		
Общее снижение уровня звука препятствием Dz, дБ		Эн.сумма(-Dzi)	1,8	1,8	1,9	2	2,1	2,4	2,9	3,4	3,9		
Уровни звукового давления от источника ШТ-10 в расчётной точке днём, дБ		**ф-ла(3)[10]**	**34,1**	**34**	**27,8**	**23,4**	**20,4**	**8,1**	**1,9**	**0**	**0**	**20,5**	**20,5**
Уровни звукового давления от источника ШТ-10 в расчётной точке ночью, дБ		**ф-ла(3)[10]**	**0**	**0**	**0**	**0**	**0**	**0**	**0**	**0**	**0**	**0**	**0**

1		2	3	4	5	6	7	8	9	10	11	12	13
Источник шума: ШТ-11, координаты источника (x,y,z), м =[585.91,-204.05,1.00]													
Уровни звуковой мощности источника днём, Lw, дБ		**исходные данные**	**100**	**100**	**94**	**90**	**88**	**77**	**73**	**65**	**58**		
Уровни звуковой мощности источника ночью, Lw, дБ		**исходные данные**	**0**	**0**	**0**	**0**	**0**	**0**	**0**	**0**	**0**		
Поправка на телесный угол DΩ, дБ	Ω = 12.57	10Lg(4π/Ω)	**0**	0	0	0	0	0	0	0	0		
Показатель направленности источника Di, дБ		исходные данные	**0**	0	0	0	0	0	0	0	0		
Поправка на направленность источника Dc, дБ	Dc	DΩ + Di	**0**	0	0	0	0	0	0	0	0		
Затухание из-за геометрической дивергенции, Adiv, дБ	расстояние = 402.44 м	ф-ла (7) [10]	**63,1**										
Коэффициент затухания звука в атмосфере α, дБ/км	Ta=20,°C Pa=101.33,кПа hотн.=70%	ф-ла (5) [9]	0,02	0,09	0,33	1,12	2,79	4,98	9,04	23,09	77,63		
Учет затухания звука в атмосфере Aatm, дБ		ф-ла (8) [10]	0	0	0,1	0,5	1,1	2	3,6	9,3	31,2		
Снижение поверхностью земли возле источника As, дБ	Gs = 0 hs = 1м	ф-лы таб.3 [10]	-1,5	-1,5	-1,5	-1,5	-1,5	-1,5	-1,5	-1,5	-1,5		
Снижение поверхностью земли возле приёмника Ar, дБ	Gr = 1 hr = 4.6м	ф-лы таб.3 [10]	-1,5	-1,5	3,3	1,3	0	0	0	0	0		
Снижение поверхностью земли в средней зоне, Am дБ	Gm = 1	ф-лы таб.3 [10]	-1,7	-1,7	0	0	0	0	0	0	0		
Суммарное снижение поверхностью земли на траектории распространения звука Agr, дБ		ф-ла (9) [10]	-4,7	-4,7	1,8	-0,2	-1,5	-1,5	-1,5	-1,5	-1,5		
Уровни звукового давления прямого звука от источника ШТ-11 в расчётной точке днём, дБ		**ф-ла(3)[10]**	**41,6**	**41,6**	**29**	**26,7**	**25,3**	**13,4**	**7,8**	**0**	**0**	**24,9**	**24,9**
Уровни звукового давления прямого звука от источника ШТ-11 в расчётной точке ночью, дБ		**ф-ла(3)[10]**	**0**	**0**	**0**	**0**	**0**	**0**	**0**	**0**	**0**	**0**	**0**
Расчёт отражённого звука													

1		2	3	4	5	6	7	8	9	10	11	12	13
Уровни звукового давления от мнимого источника ШТ-11_мн.(1) в расчётной точке днём, дБ		**ф-ла(3)[10]**	**0**	**0**	**24,2**	**16,3**	**13,9**	**8,9**	**5,3**	**0**	**0**	**15,6**	**15,6**
Уровни звукового давления от мнимого источника ШТ-11_мн.(1) в расчётной точке ночью, дБ		**ф-ла(3)[10]**	**0**	**0**	**0**	**0**	**0**	**0**	**0**	**0**	**0**	**0**	**0**
Уровни звукового давления от источника ШТ-11 в расчётной точке днём, дБ		**ф-ла(3)[10]**	**41,6**	**41,6**	**30,3**	**27,1**	**25,6**	**14,7**	**9,7**	**0**	**0**	**25,4**	**25,4**
Уровни звукового давления от источника ШТ-11 в расчётной точке ночью, дБ		**ф-ла(3)[10]**	**0**	**0**	**0**	**0**	**0**	**0**	**0**	**0**	**0**	**0**	**0**
Источник шума: ШТ-12, координаты источника (x,y,z), м =[529.09,-315.23,1.00]													
Уровни звуковой мощности источника днём, Lw, дБ		**исходные данные**	**100**	**100**	**94**	**90**	**88**	**77**	**73**	**65**	**58**		
Уровни звуковой мощности источника ночью, Lw, дБ		**исходные данные**	**0**	**0**	**0**	**0**	**0**	**0**	**0**	**0**	**0**		
Поправка на телесный угол DΩ, дБ	Ω = 12.57	10Lg(4π/Ω)	**0**	0	0	0	0	0	0	0	0		
Показатель направленности источника Di, дБ		исходные данные	**0**	0	0	0	0	0	0	0	0		
Поправка на направленность источника Dc, дБ	Dc	DΩ + Di	**0**	0	0	0	0	0	0	0	0		
Затухание из-за геометрической дивергенции, Adiv, дБ	расстояние = 370.75 м	ф-ла (7) [10]	**62,4**										
Коэффициент затухания звука в атмосфере α, дБ/км	Ta=20,°C Pa=101.33,кПа hотн.=70%	ф-ла (5) [9]	0,02	0,09	0,33	1,12	2,79	4,98	9,04	23,09	77,63		
Учет затухания звука в атмосфере Aatm, дБ		ф-ла (8) [10]	0	0	0,1	0,4	1	1,8	3,4	8,6	28,8		
Снижение уровня звукового давления из-за влияния застройки между источником шума и расчетной точкой													
Снижение уровня звукового давления на пути над экраном, Dz1, дБ	z = 0.48м (разность путей)	ф-лы (14-18) [10]	6	7,6	9,8	12,4	15,1	17,9	20,8	23,8	26,8		
Снижение уровня звукового давления на пути слева от экрана, Dz2, дБ	z = 18.71м (разность путей)	ф-лы (14-18) [10]	21,8	25,7	29	32,2	35,2	38,2	41,2	44,2	47,2		

1		2	3	4	5	6	7	8	9	10	11	12	13
Снижение уровня звукового давления на пути справа от экрана, Dz3, дБ	z = 3.16м (разность путей)	ф-лы (14-18) [10]	11,9	15,1	19,2	23,5	27,2	30,4	33,5	36,5	39,5		
Общее снижение уровня звука препятствием Dz, дБ		Эн.сумма(-Dzi)	4,9	6,8	9,3	12	14,8	17,6	20,6	23,5	26,5		
Общее снижение уровня звука препятствием с учётом ограничения (25 дБ) для октавных полос Dz, дБ		Раздел 7.4 [10]	4,9	6,8	9,3	12	14,8	17,6	20,6	23,5	25		
Уровни звукового давления от источника ШТ-12 в расчётной точке днём, дБ		**ф-ла(3)[10]**	**32,7**	**30,8**	**22,2**	**15,2**	**9,8**	**0**	**0**	**0**	**0**	**12,1**	**12,1**
Уровни звукового давления от источника ШТ-12 в расчётной точке ночью, дБ		**ф-ла(3)[10]**	**0**	**0**	**0**	**0**	**0**	**0**	**0**	**0**	**0**	**0**	**0**
Источник шума: ШТ-13, координаты источника (x,y,z), м =[659.03,-392.14,1.00]													
Уровни звуковой мощности источника днём, Lw, дБ		**исходные данные**	**100**	**100**	**94**	**90**	**88**	**77**	**73**	**65**	**58**		
Уровни звуковой мощности источника ночью, Lw, дБ		**исходные данные**	**0**	**0**	**0**	**0**	**0**	**0**	**0**	**0**	**0**		
Поправка на телесный угол DΩ, дБ	Ω = 12.57	10Lg(4π/Ω)	**0**	0	0	0	0	0	0	0	0		
Показатель направленности источника Di, дБ		исходные данные	**0**	0	0	0	0	0	0	0	0		
Поправка на направленность источника Dc, дБ	Dc	DΩ + Di	**0**	0	0	0	0	0	0	0	0		
Затухание из-за геометрической дивергенции, Adiv, дБ	расстояние = 520.40 м	ф-ла (7) [10]	**65,3**										
Коэффициент затухания звука в атмосфере α, дБ/км	Ta=20,°C Pa=101.33,кПа hотн.=70%	ф-ла (5) [9]	0,02	0,09	0,33	1,12	2,79	4,98	9,04	23,09	77,63		
Учет затухания звука в атмосфере Aatm, дБ		ф-ла (8) [10]	0	0	0,2	0,6	1,5	2,6	4,7	12	40,4		
Снижение уровня звукового давления из-за влияния застройки между источником шума и расчетной точкой													
Снижение уровня звукового давления на пути над экраном, Dz1, дБ	z = 0.73м (разность путей)	ф-лы (14-18) [10]	6,9	9,2	11,8	14,5	17,3	20,2	23,2	26,1	29,1		

1		2	3	4	5	6	7	8	9	10	11	12	13
Снижение уровня звукового давления на пути слева от экрана, Dz2, дБ	z = 33.63м (разность путей)	ф-лы (14-18) [10]	21,3	25	29,3	33,7	37,4	40,7	43,7	46,8	49,8		
Снижение уровня звукового давления на пути справа от экрана, Dz3, дБ	z = 4.31м (разность путей)	ф-лы (14-18) [10]	13	16,3	20,5	24,9	28,5	31,8	34,8	37,8	40,8		
Общее снижение уровня звука препятствием Dz, дБ		Эн.сумма(-Dzi)	5,8	8,3	11,2	14,1	17	19,9	22,8	25,8	28,8		
Общее снижение уровня звука препятствием с учётом ограничения (25 дБ) для октавных полос Dz, дБ		Раздел 7.4 [10]	5,8	8,3	11,2	14,1	17	19,9	22,8	25	25		
Уровни звукового давления от источника ШТ-13 в расчётной точке днём, дБ		**ф-ла(3)[10]**	**28,8**	**26,3**	**17,3**	**10**	**4,3**	**0**	**0**	**0**	**0**	**7,1**	**7,1**
Уровни звукового давления от источника ШТ-13 в расчётной точке ночью, дБ		**ф-ла(3)[10]**	**0**	**0**	**0**	**0**	**0**	**0**	**0**	**0**	**0**	**0**	**0**
Источник шума: ШТ-14, координаты источника (x,y,z), м =[499.22,-149.33,1.00]													
Уровни звуковой мощности источника днём, Lw, дБ		**исходные данные**	**100**	**100**	**94**	**90**	**88**	**77**	**73**	**65**	**58**		
Уровни звуковой мощности источника ночью, Lw, дБ		**исходные данные**	**0**	**0**	**0**	**0**	**0**	**0**	**0**	**0**	**0**		
Поправка на телесный угол DΩ, дБ	Ω = 12.57	10Lg(4π/Ω)	**0**	0	0	0	0	0	0	0	0		
Показатель направленности источника Di, дБ		исходные данные	**0**	0	0	0	0	0	0	0	0		
Поправка на направленность источника Dc, дБ	Dc	DΩ + Di	**0**	0	0	0	0	0	0	0	0		
Затухание из-за геометрической дивергенции, Adiv, дБ	расстояние = 316.37 м	ф-ла (7) [10]	**61**										
Коэффициент затухания звука в атмосфере α, дБ/км	Ta=20,°C Pa=101.33,кПа hотн.=70%	ф-ла (5) [9]	0,02	0,09	0,33	1,12	2,79	4,98	9,04	23,09	77,63		
Учет затухания звука в атмосфере Aatm, дБ		ф-ла (8) [10]	0	0	0,1	0,4	0,9	1,6	2,9	7,3	24,6		
Снижение поверхностью земли возле источника As, дБ	Gs = 0 hs = 1м	ф-лы таб.3 [10]	-1,5	-1,5	-1,5	-1,5	-1,5	-1,5	-1,5	-1,5	-1,5		

1		2	3	4	5	6	7	8	9	10	11	12	13
Снижение поверхностью земли возле приёмника Ar, дБ	Gr = 1 hr = 4.6м	ф-лы таб.3 [10]	-1,5	-1,5	3,1	1,3	0	0	0	0	0		
Снижение поверхностью земли в средней зоне, Am дБ	Gm = 1	ф-лы таб.3 [10]	-1,4	-1,4	0	0	0	0	0	0	0		
Суммарное снижение поверхностью земли на траектории распространения звука Agr, дБ		ф-ла (9) [10]	-4,4	-4,4	1,6	-0,2	-1,5	-1,5	-1,5	-1,5	-1,5		
Уровни звукового давления прямого звука от источника ШТ-14 в расчётной точке днём, дБ		**ф-ла(3)[10]**	**43,4**	**43,4**	**31,2**	**28,9**	**27,6**	**15,9**	**10,6**	**0**	**0**	**27,2**	**27,2**
Уровни звукового давления прямого звука от источника ШТ-14 в расчётной точке ночью, дБ		**ф-ла(3)[10]**	**0**	**0**	**0**	**0**	**0**	**0**	**0**	**0**	**0**	**0**	**0**
Расчёт отражённого звука													
Уровни звукового давления от мнимого источника ШТ-14_мн.(1) в расчётной точке днём, дБ		**ф-ла(3)[10]**	**0**	**0**	**27**	**18,5**	**16,3**	**11,4**	**8,1**	**0**	**0**	**18,1**	**18,1**
Уровни звукового давления от мнимого источника ШТ-14_мн.(1) в расчётной точке ночью, дБ		**ф-ла(3)[10]**	**0**	**0**	**0**	**0**	**0**	**0**	**0**	**0**	**0**	**0**	**0**
Уровни звукового давления от источника ШТ-14 в расчётной точке днём, дБ		**ф-ла(3)[10]**	**43,4**	**43,4**	**32,6**	**29,2**	**27,9**	**17,2**	**12,6**	**0**	**0**	**27,7**	**27,7**
Уровни звукового давления от источника ШТ-14 в расчётной точке ночью, дБ		**ф-ла(3)[10]**	**0**	**0**	**0**	**0**	**0**	**0**	**0**	**0**	**0**	**0**	**0**
Уровни звукового давления в расчётной точке													
Суммарные уровни звукового давления в расчётной точке от всех источников шума днём, Lрт, дБ		**ф-ла (19) [1]**	**59,5**	**57,1**	**54,3**	**54,1**	**53,5**	**53,6**	**48,9**	**37,1**	**0**	**56,9**	**58,6**
Суммарные уровни звукового давления в расчётной точке от всех источников шума ночью, Lрт, дБ		**ф-ла (19) [1]**	**50,7**	**54,2**	**51,5**	**52,2**	**52,1**	**52,1**	**46,5**	**34,9**	**0**	**55,2**	**55,2**
Допускаемые УЗД днём, Lдоп, дБ	Территории предприятий с постоянными рабочими местами	Табл. 1[3]	107	95	87	82	78	75	73	71	69	80	95
Допускаемые УЗД ночью, Lдоп, дБ	Территории предприятий с постоянными рабочими местами	Табл. 1[3]	107	95	87	82	78	75	73	71	69	80	95
Превышение днём, дБ		**Lрт - Lдоп**	**-47,5**	**-37,9**	**-32,7**	**-27,9**	**-24,5**	**-21,4**	**-24,1**	**-33,9**	**-69**	**-23,1**	**-36,4**

1	2	3	4	5	6	7	8	9	10	11	12	13
Превышение ночью, дБ	**Lрт - Lдоп**	**-56,3**	**-40,8**	**-35,5**	**-29,8**	**-25,9**	**-22,9**	**-26,5**	**-36,1**	**-69**	**-24,8**	**-39,8**

Определение уровней звукового давления в точке РТ-2-5 (координаты точки, м: x = 225.18, y = -192.70, z = 4.60)													
Наименование величин и их описание		**Ссылка**	**Расчётные уровни в октавных полосах, со среднегеометрическими частотами, Гц**									**La, дБА**	**Lмакс, дБА**
			31,5	**63**	**125**	**250**	**500**	**1000**	**2000**	**4000**	**8000**		
1		**2**	**3**	**4**	**5**	**6**	**7**	**8**	**9**	**10**	**11**	**12**	**13**
Источник шума: ИШ-1-1, координаты источника (x,y,z), м =[271.72,229.68,1.00]													
Уровни звуковой мощности источника днём, Lw, дБ		**исходные данные**	**97**	**97**	**104**	**106**	**105**	**105**	**98**	**87**	**81**		
Уровни звуковой мощности источника ночью, Lw, дБ		**исходные данные**	**97**	**97**	**104**	**106**	**105**	**105**	**98**	**87**	**81**		
Поправка на телесный угол DΩ, дБ	Ω = 6.28	10Lg(4π/Ω)	**3**	3	3	3	3	3	3	3	3		
Показатель направленности источника Di, дБ		исходные данные	**0**	0	0	0	0	0	0	0	0		
Поправка на направленность источника Dc, дБ	Dc	DΩ + Di	**3**	3	3	3	3	3	3	3	3		
Затухание из-за геометрической дивергенции, Adiv, дБ	расстояние = 424.96 м	ф-ла (7) [10]	**63,6**										
Коэффициент затухания звука в атмосфере α, дБ/км	Ta=20,°C Pa=101.33,кПа hотн.=70%	ф-ла (5) [9]	0,02	0,09	0,33	1,12	2,79	4,98	9,04	23,09	77,63		
Учет затухания звука в атмосфере Aatm, дБ		ф-ла (8) [10]	0	0	0,1	0,5	1,2	2,1	3,8	9,8	33		
Снижение поверхностью земли возле источника As, дБ	Gs = 0 hs = 1м	ф-лы таб.3 [10]	-1,5	-1,5	-1,5	-1,5	-1,5	-1,5	-1,5	-1,5	-1,5		
Снижение поверхностью земли возле приёмника Ar, дБ	Gr = 1 hr = 4.6м	ф-лы таб.3 [10]	-1,5	-1,5	3,3	1,3	0	0	0	0	0		
Снижение поверхностью земли в средней зоне, Am дБ	Gm = 1	ф-лы таб.3 [10]	-1,8	-1,8	0	0	0	0	0	0	0		
Суммарное снижение поверхностью земли на траектории распространения звука Agr, дБ		ф-ла (9) [10]	-4,8	-4,8	1,8	-0,2	-1,5	-1,5	-1,5	-1,5	-1,5		

1		2	3	4	5	6	7	8	9	10	11	12	13
Уровни звукового давления прямого звука от источника ИШ-1-1 в расчётной точке днём, дБ		**ф-ла(3)[10]**	**41,2**	**41,2**	**41,5**	**45,2**	**44,8**	**43,8**	**35,1**	**18,1**	**0**	**46,8**	**46,8**
Уровни звукового давления прямого звука от источника ИШ-1-1 в расчётной точке ночью, дБ		**ф-ла(3)[10]**	**41,2**	**41,2**	**41,5**	**45,2**	**44,8**	**43,8**	**35,1**	**18,1**	**0**	**46,8**	**46,8**
Расчёт отражённого звука													
Уровни звукового давления от мнимого источника ИШ-1-1_мн.(1) в расчётной точке днём, дБ		**ф-ла(3)[10]**	**0**	**0**	**0**	**0**	**0**	**35,7**	**28,3**	**9**	**0**	**36,6**	**36,6**
Уровни звукового давления от мнимого источника ИШ-1-1_мн.(1) в расчётной точке ночью, дБ		**ф-ла(3)[10]**	**0**	**0**	**0**	**0**	**0**	**0**	**0**	**0**	**0**	**36,6**	**36,6**
Уровни звукового давления от мнимого источника ИШ-1-1_мн.(2) в расчётной точке днём, дБ		**ф-ла(3)[10]**	**40,2**	**40,2**	**36,4**	**34,8**	**33,4**	**39,2**	**32,5**	**15,5**	**0**	**40,9**	**40,9**
Уровни звукового давления от мнимого источника ИШ-1-1_мн.(2) в расчётной точке ночью, дБ		**ф-ла(3)[10]**	**40,2**	**40,2**	**40,2**	**40,2**	**40,2**	**40,2**	**40,2**	**40,2**	**40,2**	**40,9**	**40,9**
Уровни звукового давления от мнимого источника ИШ-1-1_мн.(3) в расчётной точке днём, дБ		**ф-ла(3)[10]**	**0**	**0**	**0**	**0**	**0**	**0**	**0**	**0**	**0**	**0**	**0**
Уровни звукового давления от мнимого источника ИШ-1-1_мн.(3) в расчётной точке ночью, дБ		**ф-ла(3)[10]**	**0**	**0**	**0**	**0**	**0**	**0**	**0**	**0**	**0**	**0**	**0**
Суммарные уровни звукового давления от мнимых источников в расчётной точке днём, дБ		**ф-ла (19) [1]**	**40,2**	**40,2**	**36,4**	**34,8**	**33,4**	**40,8**	**33,9**	**16,4**	**0**	**0**	**42,3**
Суммарные уровни звукового давления от мнимых источников в расчётной точке ночью, дБ		**ф-ла (19) [1]**	**40,2**	**40,2**	**36,4**	**34,8**	**33,4**	**40,8**	**33,9**	**16,4**	**0**	**0**	**42,3**
Уровни звукового давления от источника ИШ-1-1 в расчётной точке днём, дБ		**ф-ла(3)[10]**	**43,8**	**43,7**	**42,7**	**45,6**	**45,1**	**45,6**	**37,6**	**20,4**	**0**	**48,1**	**48,1**
Уровни звукового давления от источника ИШ-1-1 в расчётной точке ночью, дБ		**ф-ла(3)[10]**	**43,8**	**43,7**	**42,7**	**45,6**	**45,1**	**45,6**	**37,6**	**20,4**	**0**	**48,1**	**48,1**
Источник шума: ИШ-1-2, координаты источника (x,y,z), м =[261.74,199.14,1.00]													
Уровни звуковой мощности источника днём, Lw, дБ		**исходные данные**	**97**	**97**	**104**	**106**	**105**	**105**	**98**	**87**	**81**		
Уровни звуковой мощности источника ночью, Lw, дБ		**исходные данные**	**97**	**97**	**104**	**106**	**105**	**105**	**98**	**87**	**81**		
Поправка на телесный угол DΩ, дБ	Ω = 6.28	10Lg(4π/Ω)	**3**	3	3	3	3	3	3	3	3		

1		2	3	4	5	6	7	8	9	10	11	12	13
Показатель направленности источника Di, дБ		исходные данные	**0**	0	0	0	0	0	0	0	0		
Поправка на направленность источника Dc, дБ	Dc	DΩ + Di	**3**	3	3	3	3	3	3	3	3		
Затухание из-за геометрической дивергенции, Adiv, дБ	расстояние = 393.56 м	ф-ла (7) [10]	**62,9**										
Коэффициент затухания звука в атмосфере α, дБ/км	Ta=20,°C Pa=101.33,кПа hотн.=70%	ф-ла (5) [9]	0,02	0,09	0,33	1,12	2,79	4,98	9,04	23,09	77,63		
Учет затухания звука в атмосфере Aatm, дБ		ф-ла (8) [10]	0	0	0,1	0,4	1,1	2	3,6	9,1	30,6		
Снижение поверхностью земли возле источника As, дБ	Gs = 0 hs = 1м	ф-лы таб.3 [10]	-1,5	-1,5	-1,5	-1,5	-1,5	-1,5	-1,5	-1,5	-1,5		
Снижение поверхностью земли возле приёмника Ar, дБ	Gr = 1 hr = 4.6м	ф-лы таб.3 [10]	-1,5	-1,5	3,2	1,3	0	0	0	0	0		
Снижение поверхностью земли в средней зоне, Am дБ	Gm = 1	ф-лы таб.3 [10]	-1,7	-1,7	0	0	0	0	0	0	0		
Суммарное снижение поверхностью земли на траектории распространения звука Agr, дБ		ф-ла (9) [10]	-4,7	-4,7	1,7	-0,2	-1,5	-1,5	-1,5	-1,5	-1,5		
Уровни звукового давления прямого звука от источника ИШ-1-2 в расчётной точке днём, дБ		**ф-ла(3)[10]**	**41,8**	**41,8**	**42,2**	**45,9**	**45,5**	**44,7**	**36,1**	**19,5**	**0**	**47,6**	**47,6**
Уровни звукового давления прямого звука от источника ИШ-1-2 в расчётной точке ночью, дБ		**ф-ла(3)[10]**	**41,8**	**41,8**	**42,2**	**45,9**	**45,5**	**44,7**	**36,1**	**19,5**	**0**	**47,6**	**47,6**
Расчёт отражённого звука													
Уровни звукового давления от мнимого источника ИШ-1-2_мн.(1) в расчётной точке днём, дБ		**ф-ла(3)[10]**	**0**	**0**	**0**	**0**	**0**	**35,1**	**27,6**	**7,8**	**0**	**36**	**36**
Уровни звукового давления от мнимого источника ИШ-1-2_мн.(1) в расчётной точке ночью, дБ		**ф-ла(3)[10]**	**0**	**0**	**0**	**0**	**0**	**0**	**0**	**0**	**0**	**36**	**36**
Уровни звукового давления от мнимого источника ИШ-1-2_мн.(2) в расчётной точке днём, дБ		**ф-ла(3)[10]**	**40,8**	**40,7**	**37,4**	**35,5**	**34,1**	**40**	**33,5**	**16,9**	**0**	**41,7**	**41,7**
Уровни звукового давления от мнимого источника ИШ-1-2_мн.(2) в расчётной точке ночью, дБ		**ф-ла(3)[10]**	**40,7**	**40,7**	**40,7**	**40,7**	**40,7**	**40,7**	**40,7**	**40,7**	**40,7**	**41,7**	**41,7**
Суммарные уровни звукового давления от мнимых источников в расчётной точке днём, дБ		**ф-ла (19) [1]**	**40,8**	**40,7**	**37,4**	**35,5**	**34,1**	**41,2**	**34,4**	**17,4**	**0**	**0**	**42,8**

1		2	3	4	5	6	7	8	9	10	11	12	13
Суммарные уровни звукового давления от мнимых источников в расчётной точке ночью, дБ		**ф-ла (19) [1]**	**40,8**	**40,7**	**37,4**	**35,5**	**34,1**	**41,2**	**34,4**	**17,4**	**0**	**0**	**42,8**
Уровни звукового давления от источника ИШ-1-2 в расчётной точке днём, дБ		**ф-ла(3)[10]**	**44,3**	**44,3**	**43,5**	**46,3**	**45,8**	**46,3**	**38,3**	**21,6**	**0**	**48,8**	**48,8**
Уровни звукового давления от источника ИШ-1-2 в расчётной точке ночью, дБ		**ф-ла(3)[10]**	**44,3**	**44,3**	**43,5**	**46,3**	**45,8**	**46,3**	**38,3**	**21,6**	**0**	**48,8**	**48,8**
Источник шума: ИШ-1-3, координаты источника (x,y,z), м =[251.75,236.44,1.00]													
Уровни звуковой мощности источника днём, Lw, дБ		**исходные данные**	**0**	**91,3**	**92,7**	**94**	**94,3**	**93,9**	**90,6**	**86,4**	**81,9**		
Уровни звуковой мощности источника ночью, Lw, дБ		**исходные данные**	**0**	**91,3**	**92,7**	**94**	**94,3**	**93,9**	**90,6**	**86,4**	**81,9**		
Поправка на телесный угол DΩ, дБ	Ω = 6.28	10Lg(4π/Ω)	**3**	3	3	3	3	3	3	3	3		
Показатель направленности источника Di, дБ		исходные данные	**0**	0	0	0	0	0	0	0	0		
Поправка на направленность источника Dc, дБ	Dc	DΩ + Di	**3**	3	3	3	3	3	3	3	3		
Затухание из-за геометрической дивергенции, Adiv, дБ	расстояние = 429.97 м	ф-ла (7) [10]	**63,7**										
Коэффициент затухания звука в атмосфере α, дБ/км	Ta=20,°C Pa=101.33,кПа hотн.=70%	ф-ла (5) [9]	0,02	0,09	0,33	1,12	2,79	4,98	9,04	23,09	77,63		
Учет затухания звука в атмосфере Aatm, дБ		ф-ла (8) [10]	0	0	0,1	0,5	1,2	2,1	3,9	9,9	33,4		
Снижение поверхностью земли возле источника As, дБ	Gs = 0 hs = 1м	ф-лы таб.3 [10]	-1,5	-1,5	-1,5	-1,5	-1,5	-1,5	-1,5	-1,5	-1,5		
Снижение поверхностью земли возле приёмника Ar, дБ	Gr = 1 hr = 4.6м	ф-лы таб.3 [10]	-1,5	-1,5	3,3	1,3	0	0	0	0	0		
Снижение поверхностью земли в средней зоне, Am дБ	Gm = 1	ф-лы таб.3 [10]	-1,8	-1,8	0	0	0	0	0	0	0		
Суммарное снижение поверхностью земли на траектории распространения звука Agr, дБ		ф-ла (9) [10]	-4,8	-4,8	1,8	-0,2	-1,5	-1,5	-1,5	-1,5	-1,5		

1		2	3	4	5	6	7	8	9	10	11	12	13
Уровни звукового давления прямого звука от источника ИШ-1-3 в расчётной точке днём, дБ		**ф-ла(3)[10]**	**0**	**35,4**	**30,1**	**33,1**	**33,9**	**32,6**	**27,5**	**17,3**	**0**	**36,2**	**36,2**
Уровни звукового давления прямого звука от источника ИШ-1-3 в расчётной точке ночью, дБ		**ф-ла(3)[10]**	**0**	**35,4**	**30,1**	**33,1**	**33,9**	**32,6**	**27,5**	**17,3**	**0**	**36,2**	**36,2**
Расчёт отражённого звука													
Уровни звукового давления от мнимого источника ИШ-1-3_мн.(1) в расчётной точке днём, дБ		**ф-ла(3)[10]**	**0**	**0**	**0**	**0**	**0**	**0**	**0**	**12,8**	**0**	**13,8**	**13,8**
Уровни звукового давления от мнимого источника ИШ-1-3_мн.(1) в расчётной точке ночью, дБ		**ф-ла(3)[10]**	**0**	**0**	**0**	**0**	**0**	**0**	**0**	**0**	**0**	**13,8**	**13,8**
Уровни звукового давления от мнимого источника ИШ-1-3_мн.(2) в расчётной точке днём, дБ		**ф-ла(3)[10]**	**0**	**0**	**0**	**0**	**0**	**24,5**	**20,8**	**8,3**	**0**	**26,5**	**26,5**
Уровни звукового давления от мнимого источника ИШ-1-3_мн.(2) в расчётной точке ночью, дБ		**ф-ла(3)[10]**	**0**	**0**	**0**	**0**	**0**	**0**	**0**	**0**	**0**	**26,5**	**26,5**
Уровни звукового давления от мнимого источника ИШ-1-3_мн.(3) в расчётной точке днём, дБ		**ф-ла(3)[10]**	**0**	**34,4**	**25**	**22,6**	**22,5**	**28**	**24,9**	**14,6**	**0**	**30,8**	**30,8**
Уровни звукового давления от мнимого источника ИШ-1-3_мн.(3) в расчётной точке ночью, дБ		**ф-ла(3)[10]**	**25**	**25**	**25**	**25**	**25**	**25**	**25**	**25**	**25**	**30,8**	**30,8**
Суммарные уровни звукового давления от мнимых источников в расчётной точке днём, дБ		**ф-ла (19) [1]**	**0**	**34,4**	**25**	**22,6**	**22,5**	**29,6**	**26,4**	**17,4**	**0**	**0**	**32,2**
Суммарные уровни звукового давления от мнимых источников в расчётной точке ночью, дБ		**ф-ла (19) [1]**	**0**	**34,4**	**25**	**22,6**	**22,5**	**29,6**	**26,4**	**17,4**	**0**	**0**	**32,2**
Уровни звукового давления от источника ИШ-1-3 в расчётной точке днём, дБ		**ф-ла(3)[10]**	**0**	**37,9**	**31,3**	**33,4**	**34,2**	**34,3**	**30**	**20,4**	**0**	**37,6**	**37,6**
Уровни звукового давления от источника ИШ-1-3 в расчётной точке ночью, дБ		**ф-ла(3)[10]**	**0**	**37,9**	**31,3**	**33,4**	**34,2**	**34,3**	**30**	**20,4**	**0**	**37,6**	**37,6**
Источник шума: ИШ-1-4, координаты источника (x,y,z), м =[290.25,223.25,1.00]													
Уровни звуковой мощности источника днём, Lw, дБ		**исходные данные**	**0**	**91,3**	**92,7**	**94**	**94,3**	**93,9**	**90,6**	**86,4**	**81,9**		
Уровни звуковой мощности источника ночью, Lw, дБ		**исходные данные**	**0**	**91,3**	**92,7**	**94**	**94,3**	**93,9**	**90,6**	**86,4**	**81,9**		
Поправка на телесный угол DΩ, дБ	Ω = 6.28	10Lg(4π/Ω)	**3**	3	3	3	3	3	3	3	3		

1		2	3	4	5	6	7	8	9	10	11	12	13
Показатель направленности источника Di, дБ		исходные данные	**0**	0	0	0	0	0	0	0	0		
Поправка на направленность источника Dc, дБ	Dc	DΩ + Di	**3**	3	3	3	3	3	3	3	3		
Затухание из-за геометрической дивергенции, Adiv, дБ	расстояние = 421.03 м	ф-ла (7) [10]	**63,5**										
Коэффициент затухания звука в атмосфере α, дБ/км	Ta=20,°C Pa=101.33,кПа hотн.=70%	ф-ла (5) [9]	0,02	0,09	0,33	1,12	2,79	4,98	9,04	23,09	77,63		
Учет затухания звука в атмосфере Aatm, дБ		ф-ла (8) [10]	0	0	0,1	0,5	1,2	2,1	3,8	9,7	32,7		
Снижение поверхностью земли возле источника As, дБ	Gs = 0 hs = 1м	ф-лы таб.3 [10]	-1,5	-1,5	-1,5	-1,5	-1,5	-1,5	-1,5	-1,5	-1,5		
Снижение поверхностью земли возле приёмника Ar, дБ	Gr = 1 hr = 4.6м	ф-лы таб.3 [10]	-1,5	-1,5	3,3	1,3	0	0	0	0	0		
Снижение поверхностью земли в средней зоне, Am дБ	Gm = 1	ф-лы таб.3 [10]	-1,8	-1,8	0	0	0	0	0	0	0		
Суммарное снижение поверхностью земли на траектории распространения звука Agr, дБ		ф-ла (9) [10]	-4,8	-4,8	1,8	-0,2	-1,5	-1,5	-1,5	-1,5	-1,5		
Уровни звукового давления прямого звука от источника ИШ-1-4 в расчётной точке днём, дБ		**ф-ла(3)[10]**	**0**	**35,6**	**30,3**	**33,3**	**34,1**	**32,8**	**27,8**	**17,7**	**0**	**36,4**	**36,4**
Уровни звукового давления прямого звука от источника ИШ-1-4 в расчётной точке ночью, дБ		**ф-ла(3)[10]**	**0**	**35,6**	**30,3**	**33,3**	**34,1**	**32,8**	**27,8**	**17,7**	**0**	**36,4**	**36,4**
Расчёт отражённого звука													
Уровни звукового давления от мнимого источника ИШ-1-4_мн.(1) в расчётной точке днём, дБ		**ф-ла(3)[10]**	**0**	**0**	**0**	**0**	**0**	**24,6**	**20,9**	**8,5**	**0**	**26,6**	**26,6**
Уровни звукового давления от мнимого источника ИШ-1-4_мн.(1) в расчётной точке ночью, дБ		**ф-ла(3)[10]**	**0**	**0**	**0**	**0**	**0**	**0**	**0**	**0**	**0**	**26,6**	**26,6**
Уровни звукового давления от мнимого источника ИШ-1-4_мн.(2) в расчётной точке днём, дБ		**ф-ла(3)[10]**	**0**	**34,5**	**25,2**	**22,8**	**22,7**	**28,2**	**25,2**	**15**	**0**	**31**	**31**
Уровни звукового давления от мнимого источника ИШ-1-4_мн.(2) в расчётной точке ночью, дБ		**ф-ла(3)[10]**	**34,5**	**34,5**	**34,5**	**34,5**	**34,5**	**34,5**	**34,5**	**34,5**	**34,5**	**31**	**31**
Суммарные уровни звукового давления от мнимых источников в расчётной точке днём, дБ		**ф-ла (19) [1]**	**0**	**34,5**	**25,2**	**22,8**	**22,7**	**29,8**	**26,6**	**15,9**	**0**	**0**	**32,4**

1		2	3	4	5	6	7	8	9	10	11	12	13
Суммарные уровни звукового давления от мнимых источников в расчётной точке ночью, дБ		**ф-ла (19) [1]**	**0**	**34,5**	**25,2**	**22,8**	**22,7**	**29,8**	**26,6**	**15,9**	**0**	**0**	**32,4**
Уровни звукового давления от источника ИШ-1-4 в расчётной точке днём, дБ		**ф-ла(3)[10]**	**0**	**38,1**	**31,5**	**33,6**	**34,4**	**34,6**	**30,2**	**19,9**	**0**	**37,8**	**37,8**
Уровни звукового давления от источника ИШ-1-4 в расчётной точке ночью, дБ		**ф-ла(3)[10]**	**0**	**38,1**	**31,5**	**33,6**	**34,4**	**34,6**	**30,2**	**19,9**	**0**	**37,8**	**37,8**
Источник шума: ИШ-1-5, координаты источника (x,y,z), м =[241.49,205.86,1.00]													
Уровни звуковой мощности источника днём, Lw, дБ		**исходные данные**	**0**	**91,3**	**92,7**	**94**	**94,3**	**93,9**	**90,6**	**86,4**	**81,9**		
Уровни звуковой мощности источника ночью, Lw, дБ		**исходные данные**	**0**	**91,3**	**92,7**	**94**	**94,3**	**93,9**	**90,6**	**86,4**	**81,9**		
Поправка на телесный угол DΩ, дБ	Ω = 6.28	10Lg(4π/Ω)	**3**	3	3	3	3	3	3	3	3		
Показатель направленности источника Di, дБ		исходные данные	**0**	0	0	0	0	0	0	0	0		
Поправка на направленность источника Dc, дБ	Dc	DΩ + Di	**3**	3	3	3	3	3	3	3	3		
Затухание из-за геометрической дивергенции, Adiv, дБ	расстояние = 398.91 м	ф-ла (7) [10]	**63**										
Коэффициент затухания звука в атмосфере α, дБ/км	Ta=20,°C Pa=101.33,кПа hотн.=70%	ф-ла (5) [9]	0,02	0,09	0,33	1,12	2,79	4,98	9,04	23,09	77,63		
Учет затухания звука в атмосфере Aatm, дБ		ф-ла (8) [10]	0	0	0,1	0,4	1,1	2	3,6	9,2	31		
Снижение уровня звукового давления из-за влияния застройки между источником шума и расчетной точкой													
Снижение уровня звукового давления препятствием справа от трассы ИШ-РТ, Dz3, дБ	z = 0.00м (разность путей)	ф-лы (14-18) [10]	0	0	0	0	4,5	4,1	3,4	1,4	NAN		
* отрицательное значение z означает прохождение траектории вблизи экрана, в этом случае дополнительно производится учёт снижения подстилающей поверхностью (см.ниже)													
Снижение поверхностью земли возле источника As, дБ	Gs = 0 hs = 1м	ф-лы таб.3 [10]	-1,5	-1,5	-1,5	-1,5	-1,5	-1,5	-1,5	-1,5	-1,5		
Снижение поверхностью земли возле приёмника Ar, дБ	Gr = 1 hr = 4.6м	ф-лы таб.3 [10]	-1,5	-1,5	3,2	1,3	0	0	0	0	0		

1		2	3	4	5	6	7	8	9	10	11	12	13
Снижение поверхностью земли в средней зоне, Am дБ	Gm = 1	ф-лы таб.3 [10]	-1,7	-1,7	0	0	0	0	0	0	0		
Суммарное снижение поверхностью земли на траектории распространения звука Agr, дБ		ф-ла (9) [10]	-4,7	-4,7	1,7	-0,2	-1,5	-1,5	-1,5	-1,5	-1,5		
Уровни звукового давления прямого звука от источника ИШ-1-5 в расчётной точке днём, дБ		**ф-ла(3)[10]**	**0**	**36**	**30,8**	**33,7**	**30,2**	**29,3**	**25,1**	**17,3**	**0**	**33,4**	**33,4**
Уровни звукового давления прямого звука от источника ИШ-1-5 в расчётной точке ночью, дБ		**ф-ла(3)[10]**	**0**	**36**	**30,8**	**33,7**	**30,2**	**29,3**	**25,1**	**17,3**	**0**	**33,4**	**33,4**
Расчёт отражённого звука													
Уровни звукового давления от мнимого источника ИШ-1-5_мн.(1) в расчётной точке днём, дБ		**ф-ла(3)[10]**	**0**	**0**	**0**	**0**	**0**	**23,9**	**20,1**	**7,1**	**0**	**25,8**	**25,8**
Уровни звукового давления от мнимого источника ИШ-1-5_мн.(1) в расчётной точке ночью, дБ		**ф-ла(3)[10]**	**0**	**0**	**0**	**0**	**0**	**0**	**0**	**0**	**0**	**25,8**	**25,8**
Уровни звукового давления от мнимого источника ИШ-1-5_мн.(2) в расчётной точке днём, дБ		**ф-ла(3)[10]**	**0**	**34,9**	**25,9**	**23,3**	**23,3**	**28,8**	**25,9**	**16**	**0**	**31,7**	**31,7**
Уровни звукового давления от мнимого источника ИШ-1-5_мн.(2) в расчётной точке ночью, дБ		**ф-ла(3)[10]**	**34,9**	**34,9**	**34,9**	**34,9**	**34,9**	**34,9**	**34,9**	**34,9**	**34,9**	**31,7**	**31,7**
Суммарные уровни звукового давления от мнимых источников в расчётной точке днём, дБ		**ф-ла (19) [1]**	**0**	**34,9**	**25,9**	**23,3**	**23,3**	**30**	**26,9**	**16,5**	**0**	**0**	**32,7**
Суммарные уровни звукового давления от мнимых источников в расчётной точке ночью, дБ		**ф-ла (19) [1]**	**0**	**34,9**	**25,9**	**23,3**	**23,3**	**30**	**26,9**	**16,5**	**0**	**0**	**32,7**
Уровни звукового давления от источника ИШ-1-5 в расчётной точке днём, дБ		**ф-ла(3)[10]**	**0**	**38,5**	**32**	**34,1**	**31**	**32,6**	**29,1**	**19,9**	**0**	**36,1**	**36,1**
Уровни звукового давления от источника ИШ-1-5 в расчётной точке ночью, дБ		**ф-ла(3)[10]**	**0**	**38,5**	**32**	**34,1**	**31**	**32,6**	**29,1**	**19,9**	**0**	**36,1**	**36,1**
Источник шума: ИШ-1-6, координаты источника (x,y,z), м =[279.85,192.97,1.00]													
Уровни звуковой мощности источника днём, Lw, дБ		**исходные данные**	**0**	**91,3**	**92,7**	**94**	**94,3**	**93,9**	**90,6**	**86,4**	**81,9**		
Уровни звуковой мощности источника ночью, Lw, дБ		**исходные данные**	**0**	**91,3**	**92,7**	**94**	**94,3**	**93,9**	**90,6**	**86,4**	**81,9**		
Поправка на телесный угол DΩ, дБ	Ω = 6.28	10Lg(4π/Ω)	**3**	3	3	3	3	3	3	3	3		

1		2	3	4	5	6	7	8	9	10	11	12	13
Показатель направленности источника Di, дБ		исходные данные	**0**	0	0	0	0	0	0	0	0		
Поправка на направленность источника Dc, дБ	Dc	DΩ + Di	**3**	3	3	3	3	3	3	3	3		
Затухание из-за геометрической дивергенции, Adiv, дБ	расстояние = 389.54 м	ф-ла (7) [10]	**62,8**										
Коэффициент затухания звука в атмосфере α, дБ/км	Ta=20,°C Pa=101.33,кПа hотн.=70%	ф-ла (5) [9]	0,02	0,09	0,33	1,12	2,79	4,98	9,04	23,09	77,63		
Учет затухания звука в атмосфере Aatm, дБ		ф-ла (8) [10]	0	0	0,1	0,4	1,1	1,9	3,5	9	30,2		
Снижение поверхностью земли возле источника As, дБ	Gs = 0 hs = 1м	ф-лы таб.3 [10]	-1,5	-1,5	-1,5	-1,5	-1,5	-1,5	-1,5	-1,5	-1,5		
Снижение поверхностью земли возле приёмника Ar, дБ	Gr = 1 hr = 4.6м	ф-лы таб.3 [10]	-1,5	-1,5	3,2	1,3	0	0	0	0	0		
Снижение поверхностью земли в средней зоне, Am дБ	Gm = 1	ф-лы таб.3 [10]	-1,7	-1,7	0	0	0	0	0	0	0		
Суммарное снижение поверхностью земли на траектории распространения звука Agr, дБ		ф-ла (9) [10]	-4,7	-4,7	1,7	-0,2	-1,5	-1,5	-1,5	-1,5	-1,5		
Уровни звукового давления прямого звука от источника ИШ-1-6 в расчётной точке днём, дБ		**ф-ла(3)[10]**	**0**	**36,2**	**31**	**34**	**34,9**	**33,6**	**28,8**	**19,1**	**0**	**37,2**	**37,2**
Уровни звукового давления прямого звука от источника ИШ-1-6 в расчётной точке ночью, дБ		**ф-ла(3)[10]**	**0**	**36,2**	**31**	**34**	**34,9**	**33,6**	**28,8**	**19,1**	**0**	**37,2**	**37,2**
Расчёт отражённого звука													
Уровни звукового давления от мнимого источника ИШ-1-6_мн.(1) в расчётной точке днём, дБ		**ф-ла(3)[10]**	**0**	**0**	**0**	**0**	**0**	**24**	**20,2**	**7,3**	**0**	**26**	**26**
Уровни звукового давления от мнимого источника ИШ-1-6_мн.(1) в расчётной точке ночью, дБ		**ф-ла(3)[10]**	**0**	**0**	**0**	**0**	**0**	**0**	**0**	**0**	**0**	**26**	**26**
Уровни звукового давления от мнимого источника ИШ-1-6_мн.(2) в расчётной точке днём, дБ		**ф-ла(3)[10]**	**0**	**35,1**	**26,2**	**23,5**	**23,5**	**29**	**26,2**	**16,4**	**0**	**31,9**	**31,9**
Уровни звукового давления от мнимого источника ИШ-1-6_мн.(2) в расчётной точке ночью, дБ		**ф-ла(3)[10]**	**35,1**	**35,1**	**35,1**	**35,1**	**35,1**	**35,1**	**35,1**	**35,1**	**35,1**	**31,9**	**31,9**
Суммарные уровни звукового давления от мнимых источников в расчётной точке днём, дБ		**ф-ла (19) [1]**	**0**	**35,1**	**26,2**	**23,5**	**23,5**	**30,2**	**27,1**	**16,9**	**0**	**0**	**32,9**

1		2	3	4	5	6	7	8	9	10	11	12	13
Суммарные уровни звукового давления от мнимых источников в расчётной точке ночью, дБ		**ф-ла (19) [1]**	**0**	**35,1**	**26,2**	**23,5**	**23,5**	**30,2**	**27,1**	**16,9**	**0**	**0**	**32,9**
Уровни звукового давления от источника ИШ-1-6 в расчётной точке днём, дБ		**ф-ла(3)[10]**	**0**	**38,7**	**32,2**	**34,3**	**35,2**	**35,3**	**31**	**21,2**	**0**	**38,6**	**38,6**
Уровни звукового давления от источника ИШ-1-6 в расчётной точке ночью, дБ		**ф-ла(3)[10]**	**0**	**38,7**	**32,2**	**34,3**	**35,2**	**35,3**	**31**	**21,2**	**0**	**38,6**	**38,6**
Источник шума: ИШ-1-7, координаты источника (x,y,z), м =[451.87,146.66,1.00]													
Уровни звуковой мощности источника днём, Lw, дБ		**исходные данные**	**0**	**93,3**	**94,7**	**96**	**96,3**	**95,9**	**92,6**	**88,4**	**83,9**		
Уровни звуковой мощности источника ночью, Lw, дБ		**исходные данные**	**0**	**93,3**	**94,7**	**96**	**96,3**	**95,9**	**92,6**	**88,4**	**83,9**		
Поправка на телесный угол DΩ, дБ	Ω = 6.28	10Lg(4π/Ω)	**3**	3	3	3	3	3	3	3	3		
Показатель направленности источника Di, дБ		исходные данные	**0**	0	0	0	0	0	0	0	0		
Поправка на направленность источника Dc, дБ	Dc	DΩ + Di	**3**	3	3	3	3	3	3	3	3		
Затухание из-за геометрической дивергенции, Adiv, дБ	расстояние = 408.12 м	ф-ла (7) [10]	**63,2**										
Коэффициент затухания звука в атмосфере α, дБ/км	Ta=20,°C Pa=101.33,кПа hотн.=70%	ф-ла (5) [9]	0,02	0,09	0,33	1,12	2,79	4,98	9,04	23,09	77,63		
Учет затухания звука в атмосфере Aatm, дБ		ф-ла (8) [10]	0	0	0,1	0,5	1,1	2	3,7	9,4	31,7		
Снижение уровня звукового давления из-за влияния застройки между источником шума и расчетной точкой													
Снижение уровня звукового давления на пути над экраном, Dz1, дБ	z = 0.38м (разность путей)	ф-лы (14-18) [10]	5,1	5,5	6,5	8,3	10,5	12,9	15,6	18,5	21,4		
Снижение уровня звукового давления на пути слева от экрана, Dz2, дБ	z = 16.62м (разность путей)	ф-лы (14-18) [10]	22,1	25,5	28,6	31,7	34,7	37,7	40,7	43,7	46,7		
Снижение уровня звукового давления на пути справа от экрана, Dz3, дБ	z = 108.65м (разность путей)	ф-лы (14-18) [10]	30,3	33,7	36,8	39,8	42,8	45,8	48,8	51,9	54,9		

1		2	3	4	5	6	7	8	9	10	11	12	13
Общее снижение уровня звука препятствием Dz, дБ		Эн.сумма(-Dzi)	5	5,4	6,5	8,2	10,4	12,9	15,6	18,5	21,4		
Уровни звукового давления от источника ИШ-1-7 в расчётной точке днём, дБ		**ф-ла(3)[10]**	**0**	**27,6**	**27,9**	**27,1**	**24,5**	**20,7**	**13,1**	**0,3**	**0**	**25,7**	**25,7**
Уровни звукового давления от источника ИШ-1-7 в расчётной точке ночью, дБ		**ф-ла(3)[10]**	**0**	**27,6**	**27,9**	**27,1**	**24,5**	**20,7**	**13,1**	**0,3**	**0**	**25,7**	**25,7**
Источник шума: ИШ-1-8, координаты источника (x,y,z), м =[454.99,145.29,1.00]													
Уровни звуковой мощности источника днём, Lw, дБ		**исходные данные**	**0**	**93,3**	**94,7**	**96**	**96,3**	**95,9**	**92,6**	**88,4**	**83,9**		
Уровни звуковой мощности источника ночью, Lw, дБ		**исходные данные**	**0**	**93,3**	**94,7**	**96**	**96,3**	**95,9**	**92,6**	**88,4**	**83,9**		
Поправка на телесный угол DΩ, дБ	Ω = 6.28	10Lg(4π/Ω)	**3**	3	3	3	3	3	3	3	3		
Показатель направленности источника Di, дБ		исходные данные	**0**	0	0	0	0	0	0	0	0		
Поправка на направленность источника Dc, дБ	Dc	DΩ + Di	**3**	3	3	3	3	3	3	3	3		
Затухание из-за геометрической дивергенции, Adiv, дБ	расстояние = 408.74 м	ф-ла (7) [10]	**63,2**										
Коэффициент затухания звука в атмосфере α, дБ/км	Ta=20,°C Pa=101.33,кПа hотн.=70%	ф-ла (5) [9]	0,02	0,09	0,33	1,12	2,79	4,98	9,04	23,09	77,63		
Учет затухания звука в атмосфере Aatm, дБ		ф-ла (8) [10]	0	0	0,1	0,5	1,1	2	3,7	9,4	31,7		
Снижение уровня звукового давления из-за влияния застройки между источником шума и расчетной точкой													
Снижение уровня звукового давления на пути над экраном, Dz1, дБ	z = 0.38м (разность путей)	ф-лы (14-18) [10]	5,1	5,5	6,5	8,3	10,5	12,9	15,6	18,5	21,4		
Снижение уровня звукового давления на пути слева от экрана, Dz2, дБ	z = 15.30м (разность путей)	ф-лы (14-18) [10]	21,7	25,2	28,3	31,3	34,3	37,3	40,3	43,3	46,4		
Снижение уровня звукового давления на пути справа от экрана, Dz3, дБ	z = 109.94м (разность путей)	ф-лы (14-18) [10]	30,3	33,7	36,8	39,9	42,9	45,9	48,9	51,9	54,9		

1		2	3	4	5	6	7	8	9	10	11	12	13
Общее снижение уровня звука препятствием Dz, дБ		Эн.сумма(-Dzi)	4,9	5,4	6,5	8,2	10,4	12,9	15,6	18,4	21,4		
Уровни звукового давления прямого звука от источника ИШ-1-8 в расчётной точке днём, дБ		**ф-ла(3)[10]**	**0**	**27,6**	**27,9**	**27,1**	**24,5**	**20,7**	**13,1**	**0,3**	**0**	**25,6**	**25,6**
Уровни звукового давления прямого звука от источника ИШ-1-8 в расчётной точке ночью, дБ		**ф-ла(3)[10]**	**0**	**27,6**	**27,9**	**27,1**	**24,5**	**20,7**	**13,1**	**0,3**	**0**	**25,6**	**25,6**
Расчёт отражённого звука													
Уровни звукового давления от мнимого источника ИШ-1-8_мн.(1) в расчётной точке днём, дБ		**ф-ла(3)[10]**	**0**	**0**	**0**	**0**	**0**	**0**	**4,9**	**0**	**0**	**6,1**	**6,1**
Уровни звукового давления от мнимого источника ИШ-1-8_мн.(1) в расчётной точке ночью, дБ		**ф-ла(3)[10]**	**0**	**0**	**0**	**0**	**0**	**0**	**0**	**0**	**0**	**6,1**	**6,1**
Уровни звукового давления от источника ИШ-1-8 в расчётной точке днём, дБ		**ф-ла(3)[10]**	**0**	**27,6**	**27,9**	**27,1**	**24,5**	**20,7**	**13,7**	**0,3**	**0**	**25,7**	**25,7**
Уровни звукового давления от источника ИШ-1-8 в расчётной точке ночью, дБ		**ф-ла(3)[10]**	**0**	**27,6**	**27,9**	**27,1**	**24,5**	**20,7**	**13,7**	**0,3**	**0**	**25,7**	**25,7**
Источник шума: ИШ-1-9, координаты источника (x,y,z), м =[458.12,144.31,1.00]													
Уровни звуковой мощности источника днём, Lw, дБ		**исходные данные**	**0**	**93,3**	**94,7**	**96**	**96,3**	**95,9**	**92,6**	**88,4**	**83,9**		
Уровни звуковой мощности источника ночью, Lw, дБ		**исходные данные**	**0**	**93,3**	**94,7**	**96**	**96,3**	**95,9**	**92,6**	**88,4**	**83,9**		
Поправка на телесный угол DΩ, дБ	Ω = 6.28	10Lg(4π/Ω)	**3**	3	3	3	3	3	3	3	3		
Показатель направленности источника Di, дБ		исходные данные	**0**	0	0	0	0	0	0	0	0		
Поправка на направленность источника Dc, дБ	Dc	DΩ + Di	**3**	3	3	3	3	3	3	3	3		
Затухание из-за геометрической дивергенции, Adiv, дБ	расстояние = 409.70 м	ф-ла (7) [10]	**63,2**										
Коэффициент затухания звука в атмосфере α, дБ/км	Ta=20,°C Pa=101.33,кПа hотн.=70%	ф-ла (5) [9]	0,02	0,09	0,33	1,12	2,79	4,98	9,04	23,09	77,63		

1		2	3	4	5	6	7	8	9	10	11	12	13
Учет затухания звука в атмосфере Aatm, дБ		ф-ла (8) [10]	0	0	0,1	0,5	1,1	2	3,7	9,5	31,8		
Снижение уровня звукового давления из-за влияния застройки между источником шума и расчетной точкой													
Снижение уровня звукового давления на пути над экраном, Dz1, дБ	z = 0.38м (разность путей)	ф-лы (14-18) [10]	5	5,4	6,5	8,2	10,4	12,9	15,6	18,4	21,3		
Снижение уровня звукового давления на пути слева от экрана, Dz2, дБ	z = 14.11м (разность путей)	ф-лы (14-18) [10]	21,4	24,8	27,9	31	34	37	40	43	46		
Снижение уровня звукового давления на пути справа от экрана, Dz3, дБ	z = 110.63м (разность путей)	ф-лы (14-18) [10]	30,3	33,8	36,8	39,9	42,9	45,9	48,9	51,9	54,9		
Общее снижение уровня звука препятствием Dz, дБ		Эн.сумма(-Dzi)	4,9	5,4	6,4	8,2	10,4	12,9	15,6	18,4	21,3		
Уровни звукового давления прямого звука от источника ИШ-1-9 в расчётной точке днём, дБ		**ф-ла(3)[10]**	**0**	**27,6**	**27,9**	**27,1**	**24,5**	**20,7**	**13,1**	**0,3**	**0**	**25,7**	**25,7**
Уровни звукового давления прямого звука от источника ИШ-1-9 в расчётной точке ночью, дБ		**ф-ла(3)[10]**	**0**	**27,6**	**27,9**	**27,1**	**24,5**	**20,7**	**13,1**	**0,3**	**0**	**25,7**	**25,7**
Расчёт отражённого звука													
Уровни звукового давления от мнимого источника ИШ-1-9_мн.(1) в расчётной точке днём, дБ		**ф-ла(3)[10]**	**0**	**0**	**0**	**0**	**0**	**0**	**4,9**	**0**	**0**	**6,1**	**6,1**
Уровни звукового давления от мнимого источника ИШ-1-9_мн.(1) в расчётной точке ночью, дБ		**ф-ла(3)[10]**	**0**	**0**	**0**	**0**	**0**	**0**	**0**	**0**	**0**	**6,1**	**6,1**
Уровни звукового давления от источника ИШ-1-9 в расчётной точке днём, дБ		**ф-ла(3)[10]**	**0**	**27,6**	**27,9**	**27,1**	**24,5**	**20,7**	**13,7**	**0,3**	**0**	**25,7**	**25,7**
Уровни звукового давления от источника ИШ-1-9 в расчётной точке ночью, дБ		**ф-ла(3)[10]**	**0**	**27,6**	**27,9**	**27,1**	**24,5**	**20,7**	**13,7**	**0,3**	**0**	**25,7**	**25,7**
Источник шума: ИШ-1-10, координаты источника (x,y,z), м =[461.05,143.53,1.00]													
Уровни звуковой мощности источника днём, Lw, дБ		**исходные данные**	**0**	**93,3**	**94,7**	**96**	**96,3**	**95,9**	**92,6**	**88,4**	**83,9**		
Уровни звуковой мощности источника ночью, Lw, дБ		**исходные данные**	**0**	**93,3**	**94,7**	**96**	**96,3**	**95,9**	**92,6**	**88,4**	**83,9**		
Поправка на телесный угол DΩ, дБ	Ω = 6.28	10Lg(4π/Ω)	**3**	3	3	3	3	3	3	3	3		

1		2	3	4	5	6	7	8	9	10	11	12	13
Показатель направленности источника Di, дБ		исходные данные	**0**	0	0	0	0	0	0	0	0		
Поправка на направленность источника Dc, дБ	Dc	DΩ + Di	**3**	3	3	3	3	3	3	3	3		
Затухание из-за геометрической дивергенции, Adiv, дБ	расстояние = 410.73 м	ф-ла (7) [10]	**63,3**										
Коэффициент затухания звука в атмосфере α, дБ/км	Ta=20,°C Pa=101.33,кПа hотн.=70%	ф-ла (5) [9]	0,02	0,09	0,33	1,12	2,79	4,98	9,04	23,09	77,63		
Учет затухания звука в атмосфере Aatm, дБ		ф-ла (8) [10]	0	0	0,1	0,5	1,1	2	3,7	9,5	31,9		
Снижение уровня звукового давления из-за влияния застройки между источником шума и расчетной точкой													
Снижение уровня звукового давления на пути над экраном, Dz1, дБ	z = 0.37м (разность путей)	ф-лы (14-18) [10]	5	5,4	6,4	8,2	10,4	12,8	15,5	18,3	21,3		
Снижение уровня звукового давления на пути слева от экрана, Dz2, дБ	z = 13.08м (разность путей)	ф-лы (14-18) [10]	21	24,5	27,6	30,6	33,6	36,6	39,7	42,7	45,7		
Снижение уровня звукового давления на пути справа от экрана, Dz3, дБ	z = 111.14м (разность путей)	ф-лы (14-18) [10]	30,4	33,8	36,9	39,9	42,9	45,9	48,9	52	55		
Общее снижение уровня звука препятствием Dz, дБ		Эн.сумма(-Dzi)	4,9	5,4	6,4	8,2	10,3	12,8	15,5	18,3	21,2		
Уровни звукового давления прямого звука от источника ИШ-1-10 в расчётной точке днём, дБ		**ф-ла(3)[10]**	**0**	**27,6**	**27,9**	**27,1**	**24,5**	**20,8**	**13,1**	**0,3**	**0**	**25,7**	**25,7**
Уровни звукового давления прямого звука от источника ИШ-1-10 в расчётной точке ночью, дБ		**ф-ла(3)[10]**	**0**	**27,6**	**27,9**	**27,1**	**24,5**	**20,8**	**13,1**	**0,3**	**0**	**25,7**	**25,7**
Расчёт отражённого звука													
Уровни звукового давления от мнимого источника ИШ-1-10_мн.(1) в расчётной точке днём, дБ		**ф-ла(3)[10]**	**0**	**0**	**0**	**0**	**0**	**12,9**	**4,9**	**0**	**0**	**13,7**	**13,7**
Уровни звукового давления от мнимого источника ИШ-1-10_мн.(1) в расчётной точке ночью, дБ		**ф-ла(3)[10]**	**0**	**0**	**0**	**0**	**0**	**0**	**0**	**0**	**0**	**13,7**	**13,7**
Уровни звукового давления от источника ИШ-1-10 в расчётной точке днём, дБ		**ф-ла(3)[10]**	**0**	**27,6**	**27,9**	**27,1**	**24,5**	**21,4**	**13,7**	**0,3**	**0**	**26**	**26**
Уровни звукового давления от источника ИШ-1-10 в расчётной точке ночью, дБ		**ф-ла(3)[10]**	**0**	**27,6**	**27,9**	**27,1**	**24,5**	**21,4**	**13,7**	**0,3**	**0**	**26**	**26**

1		2	3	4	5	6	7	8	9	10	11	12	13
Источник шума: ИШ-1-11, координаты источника (x,y,z), м =[464.18,142.55,1.00]													
Уровни звуковой мощности источника днём, Lw, дБ		**исходные данные**	**0**	**93,3**	**94,7**	**96**	**96,3**	**95,9**	**92,6**	**88,4**	**83,9**		
Уровни звуковой мощности источника ночью, Lw, дБ		**исходные данные**	**0**	**93,3**	**94,7**	**96**	**96,3**	**95,9**	**92,6**	**88,4**	**83,9**		
Поправка на телесный угол DΩ, дБ	Ω = 6.28	10Lg(4π/Ω)	**3**	3	3	3	3	3	3	3	3		
Показатель направленности источника Di, дБ		исходные данные	**0**	0	0	0	0	0	0	0	0		
Поправка на направленность источника Dc, дБ	Dc	DΩ + Di	**3**	3	3	3	3	3	3	3	3		
Затухание из-за геометрической дивергенции, Adiv, дБ	расстояние = 411.74 м	ф-ла (7) [10]	**63,3**										
Коэффициент затухания звука в атмосфере α, дБ/км	Ta=20,°C Pa=101.33,кПа hотн.=70%	ф-ла (5) [9]	0,02	0,09	0,33	1,12	2,79	4,98	9,04	23,09	77,63		
Учет затухания звука в атмосфере Aatm, дБ		ф-ла (8) [10]	0	0	0,1	0,5	1,1	2	3,7	9,5	32		
Снижение уровня звукового давления из-за влияния застройки между источником шума и расчетной точкой													
Снижение уровня звукового давления на пути над экраном, Dz1, дБ	z = 0.37м (разность путей)	ф-лы (14-18) [10]	5	5,4	6,4	8,2	10,3	12,8	15,5	18,3	21,2		
Снижение уровня звукового давления на пути слева от экрана, Dz2, дБ	z = 12.02м (разность путей)	ф-лы (14-18) [10]	20,7	24,1	27,2	30,3	33,3	36,3	39,3	42,3	45,3		
Снижение уровня звукового давления на пути справа от экрана, Dz3, дБ	z = 112.02м (разность путей)	ф-лы (14-18) [10]	30,4	33,8	36,9	39,9	43	46	49	52	55		
Общее снижение уровня звука препятствием Dz, дБ		Эн.сумма(-Dzi)	4,9	5,4	6,4	8,1	10,3	12,8	15,4	18,3	21,2		
Уровни звукового давления прямого звука от источника ИШ-1-11 в расчётной точке днём, дБ		**ф-ла(3)[10]**	**0**	**27,6**	**27,9**	**27,1**	**24,6**	**20,8**	**13,1**	**0,3**	**0**	**25,7**	**25,7**
Уровни звукового давления прямого звука от источника ИШ-1-11 в расчётной точке ночью, дБ		**ф-ла(3)[10]**	**0**	**27,6**	**27,9**	**27,1**	**24,6**	**20,8**	**13,1**	**0,3**	**0**	**25,7**	**25,7**

1		2	3	4	5	6	7	8	9	10	11	12	13
Расчёт отражённого звука													
Уровни звукового давления от мнимого источника ИШ-1-11_мн.(1) в расчётной точке днём, дБ		**ф-ла(3)[10]**	**0**	**0**	**0**	**0**	**0**	**13**	**5**	**0**	**0**	**13,8**	**13,8**
Уровни звукового давления от мнимого источника ИШ-1-11_мн.(1) в расчётной точке ночью, дБ		**ф-ла(3)[10]**	**0**	**0**	**0**	**0**	**0**	**0**	**0**	**0**	**0**	**13,8**	**13,8**
Уровни звукового давления от источника ИШ-1-11 в расчётной точке днём, дБ		**ф-ла(3)[10]**	**0**	**27,6**	**27,9**	**27,1**	**24,6**	**21,5**	**13,8**	**0,3**	**0**	**26**	**26**
Уровни звукового давления от источника ИШ-1-11 в расчётной точке ночью, дБ		**ф-ла(3)[10]**	**0**	**27,6**	**27,9**	**27,1**	**24,6**	**21,5**	**13,8**	**0,3**	**0**	**26**	**26**
Источник шума: ИШ-1-12, координаты источника (x,y,z), м =[435.45,97.79,1.00]													
Уровни звуковой мощности источника днём, Lw, дБ		**исходные данные**	**0**	**93,3**	**94,7**	**96**	**96,3**	**95,9**	**92,6**	**88,4**	**83,9**		
Уровни звуковой мощности источника ночью, Lw, дБ		**исходные данные**	**0**	**93,3**	**94,7**	**96**	**96,3**	**95,9**	**92,6**	**88,4**	**83,9**		
Поправка на телесный угол DΩ, дБ	Ω = 6.28	10Lg(4π/Ω)	**3**	3	3	3	3	3	3	3	3		
Показатель направленности источника Di, дБ		исходные данные	**0**	0	0	0	0	0	0	0	0		
Поправка на направленность источника Dc, дБ	Dc	DΩ + Di	**3**	3	3	3	3	3	3	3	3		
Затухание из-за геометрической дивергенции, Adiv, дБ	расстояние = 358.63 м	ф-ла (7) [10]	**62,1**										
Коэффициент затухания звука в атмосфере α, дБ/км	Ta=20,°C Pa=101.33,кПа hотн.=70%	ф-ла (5) [9]	0,02	0,09	0,33	1,12	2,79	4,98	9,04	23,09	77,63		
Учет затухания звука в атмосфере Aatm, дБ		ф-ла (8) [10]	0	0	0,1	0,4	1	1,8	3,2	8,3	27,8		
Снижение уровня звукового давления из-за влияния застройки между источником шума и расчетной точкой													
Снижение уровня звукового давления на пути над экраном, Dz1, дБ	z = 0.64м (разность путей)	ф-лы (14-18) [10]	5,9	7,2	9,7	12,8	15,8	18,8	21,7	24,7	27,7		

1		2	3	4	5	6	7	8	9	10	11	12	13
Снижение уровня звукового давления на пути слева от экрана, Dz2, дБ	z = 15.39м (разность путей)	ф-лы (14-18) [10]	21,7	25,2	28,3	31,3	34,3	37,4	40,4	43,4	46,4		
Снижение уровня звукового давления на пути справа от экрана, Dz3, дБ	z = 206.59м (разность путей)	ф-лы (14-18) [10]	33	36,5	39,6	42,6	45,6	48,6	51,6	54,6	57,7		
Общее снижение уровня звука препятствием Dz, дБ		Эн.сумма(-Dzi)	5,8	7,1	9,6	12,8	15,8	18,7	21,7	24,6	27,6		
Общее снижение уровня звука препятствием с учётом ограничения (25 дБ) для октавных полос Dz, дБ		Раздел 7.4 [10]	5,8	7,1	9,6	12,8	15,8	18,7	21,7	24,6	25		
Уровни звукового давления от источника ИШ-1-12 в расчётной точке днём, дБ		**ф-ла(3)[10]**	**0**	**27**	**25,8**	**23,7**	**20,4**	**16,3**	**8,6**	**0**	**0**	**21,7**	**21,7**
Уровни звукового давления от источника ИШ-1-12 в расчётной точке ночью, дБ		**ф-ла(3)[10]**	**0**	**27**	**25,8**	**23,7**	**20,4**	**16,3**	**8,6**	**0**	**0**	**21,7**	**21,7**
Источник шума: ИШ-1-13, координаты источника (x,y,z), м =[438.77,96.82,1.00]													
Уровни звуковой мощности источника днём, Lw, дБ		**исходные данные**	**0**	**93,3**	**94,7**	**96**	**96,3**	**95,9**	**92,6**	**88,4**	**83,9**		
Уровни звуковой мощности источника ночью, Lw, дБ		**исходные данные**	**0**	**93,3**	**94,7**	**96**	**96,3**	**95,9**	**92,6**	**88,4**	**83,9**		
Поправка на телесный угол DΩ, дБ	Ω = 6.28	10Lg(4π/Ω)	**3**	3	3	3	3	3	3	3	3		
Показатель направленности источника Di, дБ		исходные данные	**0**	0	0	0	0	0	0	0	0		
Поправка на направленность источника Dc, дБ	Dc	DΩ + Di	**3**	3	3	3	3	3	3	3	3		
Затухание из-за геометрической дивергенции, Adiv, дБ	расстояние = 359.80 м	ф-ла (7) [10]	**62,1**										
Коэффициент затухания звука в атмосфере α, дБ/км	Ta=20,°C Pa=101.33,кПа hотн.=70%	ф-ла (5) [9]	0,02	0,09	0,33	1,12	2,79	4,98	9,04	23,09	77,63		
Учет затухания звука в атмосфере Aatm, дБ		ф-ла (8) [10]	0	0	0,1	0,4	1	1,8	3,3	8,3	27,9		
Снижение уровня звукового давления из-за влияния застройки между источником шума и расчетной точкой													

1		2	3	4	5	6	7	8	9	10	11	12	13
Снижение уровня звукового давления на пути над экраном, Dz1, дБ	z = 0.63м (разность путей)	ф-лы (14-18) [10]	5,9	7,2	9,7	12,8	15,8	18,7	21,7	24,6	27,6		
Снижение уровня звукового давления на пути слева от экрана, Dz2, дБ	z = 13.62м (разность путей)	ф-лы (14-18) [10]	21,2	24,7	27,8	30,8	33,8	36,8	39,8	42,8	45,9		
Снижение уровня звукового давления на пути справа от экрана, Dz3, дБ	z = 206.22м (разность путей)	ф-лы (14-18) [10]	33	36,5	39,5	42,6	45,6	48,6	51,6	54,6	57,7		
Общее снижение уровня звука препятствием Dz, дБ		Эн.сумма(-Dzi)	5,7	7,1	9,6	12,7	15,7	18,6	21,6	24,6	27,6		
Общее снижение уровня звука препятствием с учётом ограничения (25 дБ) для октавных полос Dz, дБ		Раздел 7.4 [10]	5,7	7,1	9,6	12,7	15,7	18,6	21,6	24,6	25		
Уровни звукового давления от источника ИШ-1-13 в расчётной точке днём, дБ		**ф-ла(3)[10]**	**0**	**27**	**25,9**	**23,8**	**20,5**	**16,3**	**8,6**	**0**	**0**	**21,7**	**21,7**
Уровни звукового давления от источника ИШ-1-13 в расчётной точке ночью, дБ		**ф-ла(3)[10]**	**0**	**27**	**25,9**	**23,8**	**20,5**	**16,3**	**8,6**	**0**	**0**	**21,7**	**21,7**
Источник шума: ИШ-1-14, координаты источника (x,y,z), м =[441.70,96.03,1.00]													
Уровни звуковой мощности источника днём, Lw, дБ		**исходные данные**	**0**	**93,3**	**94,7**	**96**	**96,3**	**95,9**	**92,6**	**88,4**	**83,9**		
Уровни звуковой мощности источника ночью, Lw, дБ		**исходные данные**	**0**	**93,3**	**94,7**	**96**	**96,3**	**95,9**	**92,6**	**88,4**	**83,9**		
Поправка на телесный угол DΩ, дБ	Ω = 6.28	10Lg(4π/Ω)	**3**	3	3	3	3	3	3	3	3		
Показатель направленности источника Di, дБ		исходные данные	**0**	0	0	0	0	0	0	0	0		
Поправка на направленность источника Dc, дБ	Dc	DΩ + Di	**3**	3	3	3	3	3	3	3	3		
Затухание из-за геометрической дивергенции, Adiv, дБ	расстояние = 360.92 м	ф-ла (7) [10]	**62,1**										
Коэффициент затухания звука в атмосфере α, дБ/км	Та=20,°С Ра=101.33,кПа hотн.=70%	ф-ла (5) [9]	0,02	0,09	0,33	1,12	2,79	4,98	9,04	23,09	77,63		
Учет затухания звука в атмосфере Aatm, дБ		ф-ла (8) [10]	0	0	0,1	0,4	1	1,8	3,3	8,3	28		

1		2	3	4	5	6	7	8	9	10	11	12	13
Снижение уровня звукового давления из-за влияния застройки между источником шума и расчетной точкой													
Снижение уровня звукового давления на пути над экраном, Dz1, дБ	z = 0.65м (разность путей)	ф-лы (14-18) [10]	6,9	8,9	11,3	13,9	16,7	19,5	22,5	25,5	28,5		
Снижение уровня звукового давления на пути слева от экрана, Dz2, дБ	z = 12.20м (разность путей)	ф-лы (14-18) [10]	20,8	24,2	27,3	30,3	33,3	36,3	39,4	42,4	45,4		
Снижение уровня звукового давления на пути справа от экрана, Dz3, дБ	z = 205.80м (разность путей)	ф-лы (14-18) [10]	33	36,4	39,5	42,6	45,6	48,6	51,6	54,6	57,6		
Общее снижение уровня звука препятствием Dz, дБ		Эн.сумма(-Dzi)	6,7	8,8	11,2	13,8	16,6	19,5	22,4	25,4	28,4		
Общее снижение уровня звука препятствием с учётом ограничения (25 дБ) для октавных полос Dz, дБ		Раздел 7.4 [10]	6,7	8,8	11,2	13,8	16,6	19,5	22,4	25	25		
Уровни звукового давления от источника ИШ-1-14 в расчётной точке днём, дБ		**ф-ла(3)[10]**	**0**	**25,3**	**24,2**	**22,6**	**19,6**	**15,5**	**7,8**	**0**	**0**	**20,8**	**20,8**
Уровни звукового давления от источника ИШ-1-14 в расчётной точке ночью, дБ		**ф-ла(3)[10]**	**0**	**25,3**	**24,2**	**22,6**	**19,6**	**15,5**	**7,8**	**0**	**0**	**20,8**	**20,8**
Источник шума: ИШ-1-15, координаты источника (x,y,z), м =[445.03,95.25,1.00]													
Уровни звуковой мощности источника днём, Lw, дБ		**исходные данные**	**0**	**93,3**	**94,7**	**96**	**96,3**	**95,9**	**92,6**	**88,4**	**83,9**		
Уровни звуковой мощности источника ночью, Lw, дБ		**исходные данные**	**0**	**93,3**	**94,7**	**96**	**96,3**	**95,9**	**92,6**	**88,4**	**83,9**		
Поправка на телесный угол DΩ, дБ	Ω = 6.28	10Lg(4π/Ω)	**3**	3	3	3	3	3	3	3	3		
Показатель направленности источника Di, дБ		исходные данные	**0**	0	0	0	0	0	0	0	0		
Поправка на направленность источника Dc, дБ	Dc	DΩ + Di	**3**	3	3	3	3	3	3	3	3		
Затухание из-за геометрической дивергенции, Adiv, дБ	расстояние = 362.30 м	ф-ла (7) [10]	**62,2**										
Коэффициент затухания звука в атмосфере α, дБ/км	Ta=20,°C Pa=101.33,кПа hотн.=70%	ф-ла (5) [9]	0,02	0,09	0,33	1,12	2,79	4,98	9,04	23,09	77,63		

1		2	3	4	5	6	7	8	9	10	11	12	13
Учет затухания звука в атмосфере Aatm, дБ		ф-ла (8) [10]	0	0	0,1	0,4	1	1,8	3,3	8,4	28,1		
Снижение уровня звукового давления из-за влияния застройки между источником шума и расчетной точкой													
Снижение уровня звукового давления на пути над экраном, Dz1, дБ	z = 0.65м (разность путей)	ф-лы (14-18) [10]	6,9	9	11,3	13,9	16,7	19,6	22,5	25,5	28,5		
Снижение уровня звукового давления на пути слева от экрана, Dz2, дБ	z = 10.74м (разность путей)	ф-лы (14-18) [10]	20,2	23,6	26,7	29,8	32,8	35,8	38,8	41,8	44,8		
Снижение уровня звукового давления на пути справа от экрана, Dz3, дБ	z = 205.21м (разность путей)	ф-лы (14-18) [10]	33	36,4	39,5	42,6	45,6	48,6	51,6	54,6	57,6		
Общее снижение уровня звука препятствием Dz, дБ		Эн.сумма(-Dzi)	6,7	8,8	11,2	13,8	16,6	19,4	22,4	25,4	28,4		
Общее снижение уровня звука препятствием с учётом ограничения (25 дБ) для октавных полос Dz, дБ		Раздел 7.4 [10]	6,7	8,8	11,2	13,8	16,6	19,4	22,4	25	25		
Уровни звукового давления от источника ИШ-1-15 в расчётной точке днём, дБ		**ф-ла(3)[10]**	**0**	**25,3**	**24,2**	**22,6**	**19,5**	**15,5**	**7,7**	**0**	**0**	**20,7**	**20,7**
Уровни звукового давления от источника ИШ-1-15 в расчётной точке ночью, дБ		**ф-ла(3)[10]**	**0**	**25,3**	**24,2**	**22,6**	**19,5**	**15,5**	**7,7**	**0**	**0**	**20,7**	**20,7**
Источник шума: ИШ-1-16, координаты источника (x,y,z), м =[447.96,94.28,1.00]													
Уровни звуковой мощности источника днём, Lw, дБ		**исходные данные**	**0**	**93,3**	**94,7**	**96**	**96,3**	**95,9**	**92,6**	**88,4**	**83,9**		
Уровни звуковой мощности источника ночью, Lw, дБ		**исходные данные**	**0**	**93,3**	**94,7**	**96**	**96,3**	**95,9**	**92,6**	**88,4**	**83,9**		
Поправка на телесный угол DΩ, дБ	Ω = 6.28	10Lg(4π/Ω)	**3**	3	3	3	3	3	3	3	3		
Показатель направленности источника Di, дБ		исходные данные	**0**	0	0	0	0	0	0	0	0		
Поправка на направленность источника Dc, дБ	Dc	DΩ + Di	**3**	3	3	3	3	3	3	3	3		
Затухание из-за геометрической дивергенции, Adiv, дБ	расстояние = 363.32 м	ф-ла (7) [10]	**62,2**										

1		2	3	4	5	6	7	8	9	10	11	12	13
Коэффициент затухания звука в атмосфере α, дБ/км	Та=20,°С Ра=101.33,кПа hотн.=70%	ф-ла (5) [9]	0,02	0,09	0,33	1,12	2,79	4,98	9,04	23,09	77,63		
Учет затухания звука в атмосфере Aatm, дБ		ф-ла (8) [10]	0	0	0,1	0,4	1	1,8	3,3	8,4	28,2		
Снижение уровня звукового давления из-за влияния застройки между источником шума и расчетной точкой													
Снижение уровня звукового давления на пути над экраном, Dz1, дБ	z = 0.65м (разность путей)	ф-лы (14-18) [10]	7	9	11,4	14	16,7	19,6	22,5	25,5	28,5		
Снижение уровня звукового давления на пути слева от экрана, Dz2, дБ	z = 9.54м (разность путей)	ф-лы (14-18) [10]	19,7	23,1	26,2	29,3	32,3	35,3	38,3	41,3	44,3		
Снижение уровня звукового давления на пути справа от экрана, Dz3, дБ	z = 205.27м (разность путей)	ф-лы (14-18) [10]	33	36,4	39,5	42,6	45,6	48,6	51,6	54,6	57,6		
Общее снижение уровня звука препятствием Dz, дБ		Эн.сумма(-Dzi)	6,7	8,8	11,2	13,8	16,6	19,5	22,4	25,4	28,4		
Общее снижение уровня звука препятствием с учётом ограничения (25 дБ) для октавных полос Dz, дБ		Раздел 7.4 [10]	6,7	8,8	11,2	13,8	16,6	19,5	22,4	25	25		
Уровни звукового давления от источника ИШ-1-16 в расчётной точке днём, дБ		**ф-ла(3)[10]**	**0**	**25,2**	**24,2**	**22,6**	**19,5**	**15,4**	**7,7**	**0**	**0**	**20,7**	**20,7**
Уровни звукового давления от источника ИШ-1-16 в расчётной точке ночью, дБ		**ф-ла(3)[10]**	**0**	**25,2**	**24,2**	**22,6**	**19,5**	**15,4**	**7,7**	**0**	**0**	**20,7**	**20,7**
Источник шума: ИШ-1-17, координаты источника (x,y,z), м =[540.99,141.77,1.00]													
Уровни звуковой мощности источника днём, Lw, дБ		**исходные данные**	**0**	**93,3**	**94,7**	**96**	**96,3**	**95,9**	**92,6**	**88,4**	**83,9**		
Уровни звуковой мощности источника ночью, Lw, дБ		**исходные данные**	**0**	**93,3**	**94,7**	**96**	**96,3**	**95,9**	**92,6**	**88,4**	**83,9**		
Поправка на телесный угол DΩ, дБ	Ω = 6.28	10Lg(4π/Ω)	**3**	3	3	3	3	3	3	3	3		
Показатель направленности источника Di, дБ		исходные данные	**0**	0	0	0	0	0	0	0	0		
Поправка на направленность источника Dc, дБ	Dc	DΩ + Di	**3**	3	3	3	3	3	3	3	3		

1		2	3	4	5	6	7	8	9	10	11	12	13
Затухание из-за геометрической дивергенции, Adiv, дБ	расстояние = 460.02 м	ф-ла (7) [10]	**64,3**										
Коэффициент затухания звука в атмосфере α, дБ/км	Ta=20,°C Pa=101.33,кПа hотн.=70%	ф-ла (5) [9]	0,02	0,09	0,33	1,12	2,79	4,98	9,04	23,09	77,63		
Учет затухания звука в атмосфере Aatm, дБ		ф-ла (8) [10]	0	0	0,2	0,5	1,3	2,3	4,2	10,6	35,7		
Снижение уровня звукового давления из-за влияния застройки между источником шума и расчетной точкой													
Снижение уровня звукового давления на пути над экраном, Dz1, дБ	z = 0.72м (разность путей)	ф-лы (14-18) [10]	7,8	9,8	12	14,6	17,4	20,3	23,3	26,3	29,2		
Снижение уровня звукового давления на пути слева от экрана, Dz2, дБ	z = 3.73м (разность путей)	ф-лы (14-18) [10]	16,1	19,2	22,2	25,2	28,2	31,2	34,2	37,2	40,2		
Снижение уровня звукового давления на пути справа от экрана, Dz3, дБ	z = 82.23м (разность путей)	ф-лы (14-18) [10]	29,2	32,5	35,6	38,6	41,6	44,6	47,6	50,6	53,7		
Общее снижение уровня звука препятствием Dz, дБ		Эн.сумма(-Dzi)	7,2	9,3	11,6	14,3	17,1	20	22,9	25,9	28,9		
Общее снижение уровня звука препятствием с учётом ограничения (25 дБ) для октавных полос Dz, дБ		Раздел 7.4 [10]	7,2	9,3	11,6	14,3	17,1	20	22,9	25	25		
Уровни звукового давления от источника ИШ-1-17 в расчётной точке днём, дБ		**ф-ла(3)[10]**	**0**	**22,7**	**21,7**	**20**	**16,7**	**12,4**	**4,3**	**0**	**0**	**17,8**	**17,8**
Уровни звукового давления от источника ИШ-1-17 в расчётной точке ночью, дБ		**ф-ла(3)[10]**	**0**	**22,7**	**21,7**	**20**	**16,7**	**12,4**	**4,3**	**0**	**0**	**17,8**	**17,8**
Источник шума: ИШ-1-18, координаты источника (x,y,z), м =[543.53,140.79,1.00]													
Уровни звуковой мощности источника днём, Lw, дБ		**исходные данные**	**0**	**93,3**	**94,7**	**96**	**96,3**	**95,9**	**92,6**	**88,4**	**83,9**		
Уровни звуковой мощности источника ночью, Lw, дБ		**исходные данные**	**0**	**93,3**	**94,7**	**96**	**96,3**	**95,9**	**92,6**	**88,4**	**83,9**		
Поправка на телесный угол DΩ, дБ	Ω = 6.28	10Lg(4π/Ω)	**3**	3	3	3	3	3	3	3	3		
Показатель направленности источника Di, дБ		исходные данные	**0**	0	0	0	0	0	0	0	0		

1		2	3	4	5	6	7	8	9	10	11	12	13
Поправка на направленность источника Dc, дБ	Dc	DΩ + Di	**3**	3	3	3	3	3	3	3	3		
Затухание из-за геометрической дивергенции, Adiv, дБ	расстояние = 461.07 м	ф-ла (7) [10]	**64,3**										
Коэффициент затухания звука в атмосфере α, дБ/км	Ta=20,°C Pa=101.33,кПа hотн.=70%	ф-ла (5) [9]	0,02	0,09	0,33	1,12	2,79	4,98	9,04	23,09	77,63		
Учет затухания звука в атмосфере Aatm, дБ		ф-ла (8) [10]	0	0	0,2	0,5	1,3	2,3	4,2	10,6	35,8		
Снижение уровня звукового давления из-за влияния застройки между источником шума и расчетной точкой													
Снижение уровня звукового давления на пути над экраном, Dz1, дБ	z = 0.66м (разность путей)	ф-лы (14-18) [10]	7,5	9,3	11,5	14,1	16,8	19,7	22,6	25,6	28,6		
Снижение уровня звукового давления на пути слева от экрана, Dz2, дБ	z = 3.28м (разность путей)	ф-лы (14-18) [10]	15,6	18,7	21,7	24,7	27,6	30,7	33,7	36,7	39,7		
Снижение уровня звукового давления на пути справа от экрана, Dz3, дБ	z = 83.21м (разность путей)	ф-лы (14-18) [10]	29,3	32,6	35,6	38,7	41,7	44,7	47,7	50,7	53,7		
Общее снижение уровня звука препятствием Dz, дБ		Эн.сумма(-Dzi)	6,8	8,8	11,1	13,7	16,5	19,3	22,3	25,3	28,3		
Общее снижение уровня звука препятствием с учётом ограничения (25 дБ) для октавных полос Dz, дБ		Раздел 7.4 [10]	6,8	8,8	11,1	13,7	16,5	19,3	22,3	25	25		
Уровни звукового давления от источника ИШ-1-18 в расчётной точке днём, дБ		**ф-ла(3)[10]**	**0**	**23,2**	**22,2**	**20,5**	**17,3**	**13**	**4,9**	**0**	**0**	**18,4**	**18,4**
Уровни звукового давления от источника ИШ-1-18 в расчётной точке ночью, дБ		**ф-ла(3)[10]**	**0**	**23,2**	**22,2**	**20,5**	**17,3**	**13**	**4,9**	**0**	**0**	**18,4**	**18,4**
Источник шума: ИШ-1-19, координаты источника (x,y,z), м =[547.25,139.62,1.00]													
Уровни звуковой мощности источника днём, Lw, дБ		**исходные данные**	**0**	**93,3**	**94,7**	**96**	**96,3**	**95,9**	**92,6**	**88,4**	**83,9**		
Уровни звуковой мощности источника ночью, Lw, дБ		**исходные данные**	**0**	**93,3**	**94,7**	**96**	**96,3**	**95,9**	**92,6**	**88,4**	**83,9**		
Поправка на телесный угол DΩ, дБ	Ω = 6.28	10Lg(4π/Ω)	**3**	3	3	3	3	3	3	3	3		

1		2	3	4	5	6	7	8	9	10	11	12	13
Показатель направленности источника Di, дБ		исходные данные	**0**	0	0	0	0	0	0	0	0		
Поправка на направленность источника Dc, дБ	Dc	DΩ + Di	**3**	3	3	3	3	3	3	3	3		
Затухание из-за геометрической дивергенции, Adiv, дБ	расстояние = 462.79 м	ф-ла (7) [10]	**64,3**										
Коэффициент затухания звука в атмосфере α, дБ/км	Ta=20,°C Pa=101.33,кПа hотн.=70%	ф-ла (5) [9]	0,02	0,09	0,33	1,12	2,79	4,98	9,04	23,09	77,63		
Учет затухания звука в атмосфере Aatm, дБ		ф-ла (8) [10]	0	0	0,2	0,5	1,3	2,3	4,2	10,7	35,9		
Снижение уровня звукового давления из-за влияния застройки между источником шума и расчетной точкой													
Снижение уровня звукового давления на пути над экраном, Dz1, дБ	z = 0.60м (разность путей)	ф-лы (14-18) [10]	7,1	8,8	10,9	13,3	16	18,9	21,8	24,8	27,7		
Снижение уровня звукового давления на пути слева от экрана, Dz2, дБ	z = 2.74м (разность путей)	ф-лы (14-18) [10]	14,8	17,9	20,9	23,9	26,9	29,9	32,9	35,9	38,9		
Снижение уровня звукового давления на пути справа от экрана, Dz3, дБ	z = 84.35м (разность путей)	ф-лы (14-18) [10]	29,3	32,6	35,7	38,7	41,7	44,7	47,7	50,8	53,8		
Общее снижение уровня звука препятствием Dz, дБ		Эн.сумма(-Dzi)	6,4	8,3	10,4	12,9	15,7	18,5	21,5	24,4	27,4		
Общее снижение уровня звука препятствием с учётом ограничения (25 дБ) для октавных полос Dz, дБ		Раздел 7.4 [10]	6,4	8,3	10,4	12,9	15,7	18,5	21,5	24,4	25		
Уровни звукового давления от источника ИШ-1-19 в расчётной точке днём, дБ		**ф-ла(3)[10]**	**0**	**23,7**	**22,8**	**21,2**	**18**	**13,8**	**5,6**	**0**	**0**	**19,2**	**19,2**
Уровни звукового давления от источника ИШ-1-19 в расчётной точке ночью, дБ		**ф-ла(3)[10]**	**0**	**23,7**	**22,8**	**21,2**	**18**	**13,8**	**5,6**	**0**	**0**	**19,2**	**19,2**
Источник шума: ИШ-1-20, координаты источника (x,y,z), м =[550.38,138.64,1.00]													
Уровни звуковой мощности источника днём, Lw, дБ		**исходные данные**	**0**	**93,3**	**94,7**	**96**	**96,3**	**95,9**	**92,6**	**88,4**	**83,9**		
Уровни звуковой мощности источника ночью, Lw, дБ		**исходные данные**	**0**	**93,3**	**94,7**	**96**	**96,3**	**95,9**	**92,6**	**88,4**	**83,9**		

1		2	3	4	5	6	7	8	9	10	11	12	13
Поправка на телесный угол DΩ, дБ	Ω = 6.28	10Lg(4π/Ω)	**3**	3	3	3	3	3	3	3	3		
Показатель направленности источника Di, дБ		исходные данные	**0**	0	0	0	0	0	0	0	0		
Поправка на направленность источника Dc, дБ	Dc	DΩ + Di	**3**	3	3	3	3	3	3	3	3		
Затухание из-за геометрической дивергенции, Adiv, дБ	расстояние = 464.28 м	ф-ла (7) [10]	**64,3**										
Коэффициент затухания звука в атмосфере α, дБ/км	Ta=20,°C Pa=101.33,кПа hотн.=70%	ф-ла (5) [9]	0,02	0,09	0,33	1,12	2,79	4,98	9,04	23,09	77,63		
Учет затухания звука в атмосфере Aatm, дБ		ф-ла (8) [10]	0	0	0,2	0,5	1,3	2,3	4,2	10,7	36		
Снижение уровня звукового давления из-за влияния застройки между источником шума и расчетной точкой													
Снижение уровня звукового давления на пути над экраном, Dz1, дБ	z = 0.56м (разность путей)	ф-лы (14-18) [10]	6,8	8,4	10,4	12,7	15,4	18,2	21,1	24,1	27,1		
Снижение уровня звукового давления на пути слева от экрана, Dz2, дБ	z = 2.36м (разность путей)	ф-лы (14-18) [10]	14,3	17,3	20,3	23,2	26,2	29,2	32,2	35,2	38,2		
Снижение уровня звукового давления на пути справа от экрана, Dz3, дБ	z = 85.39м (разность путей)	ф-лы (14-18) [10]	29,4	32,7	35,7	38,8	41,8	44,8	47,8	50,8	53,8		
Общее снижение уровня звука препятствием Dz, дБ		Эн.сумма(-Dzi)	6,1	7,8	9,9	12,4	15	17,9	20,8	23,8	26,7		
Общее снижение уровня звука препятствием с учётом ограничения (25 дБ) для октавных полос Dz, дБ		Раздел 7.4 [10]	6,1	7,8	9,9	12,4	15	17,9	20,8	23,8	25		
Уровни звукового давления от источника ИШ-1-20 в расчётной точке днём, дБ		**ф-ла(3)[10]**	**0**	**24,1**	**23,3**	**21,8**	**18,6**	**14,4**	**6,3**	**0**	**0**	**19,7**	**19,7**
Уровни звукового давления от источника ИШ-1-20 в расчётной точке ночью, дБ		**ф-ла(3)[10]**	**0**	**24,1**	**23,3**	**21,8**	**18,6**	**14,4**	**6,3**	**0**	**0**	**19,7**	**19,7**
Источник шума: ИШ-1-21, координаты источника (x,y,z), м =[553.31,137.67,1.00]													
Уровни звуковой мощности источника днём, Lw, дБ		**исходные данные**	**0**	**93,3**	**94,7**	**96**	**96,3**	**95,9**	**92,6**	**88,4**	**83,9**		

1		2	3	4	5	6	7	8	9	10	11	12	13
Уровни звуковой мощности источника ночью, Lw, дБ		**исходные данные**	**0**	**93,3**	**94,7**	**96**	**96,3**	**95,9**	**92,6**	**88,4**	**83,9**		
Поправка на телесный угол DΩ, дБ	Ω = 6.28	10Lg(4π/Ω)	**3**	3	3	3	3	3	3	3	3		
Показатель направленности источника Di, дБ		исходные данные	**0**	0	0	0	0	0	0	0	0		
Поправка на направленность источника Dc, дБ	Dc	DΩ + Di	**3**	3	3	3	3	3	3	3	3		
Затухание из-за геометрической дивергенции, Adiv, дБ	расстояние = 465.64 м	ф-ла (7) [10]	**64,4**										
Коэффициент затухания звука в атмосфере α, дБ/км	Ta=20,°C Pa=101.33,кПа hотн.=70%	ф-ла (5) [9]	0,02	0,09	0,33	1,12	2,79	4,98	9,04	23,09	77,63		
Учет затухания звука в атмосфере Aatm, дБ		ф-ла (8) [10]	0	0	0,2	0,5	1,3	2,3	4,2	10,7	36,1		
Снижение уровня звукового давления из-за влияния застройки между источником шума и расчетной точкой													
Снижение уровня звукового давления на пути над экраном, Dz1, дБ	z = 0.53м (разность путей)	ф-лы (14-18) [10]	6,6	8,1	9,9	12,2	14,9	17,7	20,5	23,5	26,5		
Снижение уровня звукового давления на пути слева от экрана, Dz2, дБ	z = 2.06м (разность путей)	ф-лы (14-18) [10]	13,7	16,8	19,7	22,7	25,6	28,6	31,6	34,6	37,7		
Снижение уровня звукового давления на пути справа от экрана, Dz3, дБ	z = 86.52м (разность путей)	ф-лы (14-18) [10]	29,4	32,7	35,8	38,8	41,8	44,8	47,9	50,9	53,9		
Общее снижение уровня звука препятствием Dz, дБ		Эн.сумма(-Dzi)	5,8	7,5	9,5	11,9	14,5	17,3	20,2	23,2	26,2		
Общее снижение уровня звука препятствием с учётом ограничения (25 дБ) для октавных полос Dz, дБ		Раздел 7.4 [10]	5,8	7,5	9,5	11,9	14,5	17,3	20,2	23,2	25		
Уровни звукового давления от источника ИШ-1-21 в расчётной точке днём, дБ		**ф-ла(3)[10]**	**0**	**24,4**	**23,7**	**22,2**	**19,1**	**14,9**	**6,8**	**0**	**0**	**20,3**	**20,3**
Уровни звукового давления от источника ИШ-1-21 в расчётной точке ночью, дБ		**ф-ла(3)[10]**	**0**	**24,4**	**23,7**	**22,2**	**19,1**	**14,9**	**6,8**	**0**	**0**	**20,3**	**20,3**

Источник шума: ИШ-1-22, координаты источника (x,y,z), м =[522.03,85.28,1.00]

1		2	3	4	5	6	7	8	9	10	11	12	13
Уровни звуковой мощности источника днём, Lw, дБ		**исходные данные**	**0**	**93,3**	**94,7**	**96**	**96,3**	**95,9**	**92,6**	**88,4**	**83,9**		
Уровни звуковой мощности источника ночью, Lw, дБ		**исходные данные**	**0**	**93,3**	**94,7**	**96**	**96,3**	**95,9**	**92,6**	**88,4**	**83,9**		
Поправка на телесный угол DΩ, дБ	Ω = 6.28	10Lg(4π/Ω)	**3**	3	3	3	3	3	3	3	3		
Показатель направленности источника Di, дБ		исходные данные	**0**	0	0	0	0	0	0	0	0		
Поправка на направленность источника Dc, дБ	Dc	DΩ + Di	**3**	3	3	3	3	3	3	3	3		
Затухание из-за геометрической дивергенции, Adiv, дБ	расстояние = 406.71 м	ф-ла (7) [10]	**63,2**										
Коэффициент затухания звука в атмосфере α, дБ/км	Ta=20,°C Pa=101.33,кПа hотн.=70%	ф-ла (5) [9]	0,02	0,09	0,33	1,12	2,79	4,98	9,04	23,09	77,63		
Учет затухания звука в атмосфере Aatm, дБ		ф-ла (8) [10]	0	0	0,1	0,5	1,1	2	3,7	9,4	31,6		
Снижение уровня звукового давления из-за влияния застройки между источником шума и расчетной точкой													
Снижение уровня звукового давления на пути над экраном, Dz1, дБ	z = 0.27м (разность путей)	ф-лы (14-18) [10]	4,9	5,2	5,9	6,9	8,5	10,5	12,9	15,6	18,4		
Снижение уровня звукового давления на пути слева от экрана, Dz2, дБ	z = 1.17м (разность путей)	ф-лы (14-18) [10]	8,6	10,7	13	15,7	18,5	21,5	24,4	27,4	30,4		
Снижение уровня звукового давления на пути справа от экрана, Dz3, дБ	z = 188.35м (разность путей)	ф-лы (14-18) [10]	32,8	36,1	39,2	42,2	45,2	48,2	51,2	54,2	57,3		
Общее снижение уровня звука препятствием Dz, дБ		Эн.сумма(-Dzi)	3,4	4,1	5,1	6,4	8,1	10,2	12,6	15,3	18,1		
Уровни звукового давления прямого звука от источника ИШ-1-22 в расчётной точке днём, дБ		**ф-ла(3)[10]**	**0**	**29**	**29,3**	**28,9**	**26,9**	**23,5**	**16,1**	**3,5**	**0**	**28,1**	**28,1**
Уровни звукового давления прямого звука от источника ИШ-1-22 в расчётной точке ночью, дБ		**ф-ла(3)[10]**	**0**	**29**	**29,3**	**28,9**	**26,9**	**23,5**	**16,1**	**3,5**	**0**	**28,1**	**28,1**
Расчёт отражённого звука													
Уровни звукового давления от мнимого источника ИШ-1-22_мн.(1) в расчётной точке днём, дБ		**ф-ла(3)[10]**	**0**	**0**	**0**	**0**	**0**	**0**	**0**	**0**	**0**	**0**	**0**

1		2	3	4	5	6	7	8	9	10	11	12	13
Уровни звукового давления от мнимого источника ИШ-1-22_мн.(1) в расчётной точке ночью, дБ		**ф-ла(3)[10]**	**0**	**0**	**0**	**0**	**0**	**0**	**0**	**0**	**0**	**0**	**0**
Уровни звукового давления от источника ИШ-1-22 в расчётной точке днём, дБ		**ф-ла(3)[10]**	**0**	**29**	**29,3**	**28,9**	**26,9**	**23,5**	**16,1**	**3,5**	**0**	**28,1**	**28,1**
Уровни звукового давления от источника ИШ-1-22 в расчётной точке ночью, дБ		**ф-ла(3)[10]**	**0**	**29**	**29,3**	**28,9**	**26,9**	**23,5**	**16,1**	**3,5**	**0**	**28,1**	**28,1**
Источник шума: ИШ-1-23, координаты источника (x,y,z), м =[525.16,84.11,1.00]													
Уровни звуковой мощности источника днём, Lw, дБ		**исходные данные**	**0**	**93,3**	**94,7**	**96**	**96,3**	**95,9**	**92,6**	**88,4**	**83,9**		
Уровни звуковой мощности источника ночью, Lw, дБ		**исходные данные**	**0**	**93,3**	**94,7**	**96**	**96,3**	**95,9**	**92,6**	**88,4**	**83,9**		
Поправка на телесный угол DΩ, дБ	Ω = 6.28	10Lg(4π/Ω)	**3**	3	3	3	3	3	3	3	3		
Показатель направленности источника Di, дБ		исходные данные	**0**	0	0	0	0	0	0	0	0		
Поправка на направленность источника Dc, дБ	Dc	DΩ + Di	**3**	3	3	3	3	3	3	3	3		
Затухание из-за геометрической дивергенции, Adiv, дБ	расстояние = 408.20 м	ф-ла (7) [10]	**63,2**										
Коэффициент затухания звука в атмосфере α, дБ/км	Ta=20,°C Pa=101.33,кПа hотн.=70%	ф-ла (5) [9]	0,02	0,09	0,33	1,12	2,79	4,98	9,04	23,09	77,63		
Учет затухания звука в атмосфере Aatm, дБ		ф-ла (8) [10]	0	0	0,1	0,5	1,1	2	3,7	9,4	31,7		
Снижение уровня звукового давления из-за влияния застройки между источником шума и расчетной точкой													
Снижение уровня звукового давления на пути над экраном, Dz1, дБ	z = 0.27м (разность путей)	ф-лы (14-18) [10]	4,9	5,2	5,8	6,9	8,4	10,4	12,8	15,5	18,3		
Снижение уровня звукового давления на пути слева от экрана, Dz2, дБ	z = 1.01м (разность путей)	ф-лы (14-18) [10]	8,3	10,2	12,5	15,2	18	20,9	23,8	26,8	29,8		
Снижение уровня звукового давления на пути справа от экрана, Dz3, дБ	z = 188.00м (разность путей)	ф-лы (14-18) [10]	32,8	36,1	39,2	42,2	45,2	48,2	51,2	54,2	57,2		

1		2	3	4	5	6	7	8	9	10	11	12	13
Общее снижение уровня звука препятствием Dz, дБ		Эн.сумма(-Dzi)	3,3	4	5	6,3	8	10,1	12,5	15,2	18		
Уровни звукового давления от источника ИШ-1-23 в расчётной точке днём, дБ		**ф-ла(3)[10]**	**0**	**29**	**29,4**	**29**	**26,9**	**23,6**	**16,2**	**3,6**	**0**	**28,2**	**28,2**
Уровни звукового давления от источника ИШ-1-23 в расчётной точке ночью, дБ		**ф-ла(3)[10]**	**0**	**29**	**29,4**	**29**	**26,9**	**23,6**	**16,2**	**3,6**	**0**	**28,2**	**28,2**
Источник шума: ИШ-1-24, координаты источника (x,y,z), м =[528.48,82.94,1.00]													
Уровни звуковой мощности источника днём, Lw, дБ		**исходные данные**	**0**	**93,3**	**94,7**	**96**	**96,3**	**95,9**	**92,6**	**88,4**	**83,9**		
Уровни звуковой мощности источника ночью, Lw, дБ		**исходные данные**	**0**	**93,3**	**94,7**	**96**	**96,3**	**95,9**	**92,6**	**88,4**	**83,9**		
Поправка на телесный угол DΩ, дБ	Ω = 6.28	10Lg(4π/Ω)	**3**	3	3	3	3	3	3	3	3		
Показатель направленности источника Di, дБ		исходные данные	**0**	0	0	0	0	0	0	0	0		
Поправка на направленность источника Dc, дБ	Dc	DΩ + Di	**3**	3	3	3	3	3	3	3	3		
Затухание из-за геометрической дивергенции, Adiv, дБ	расстояние = 409.86 м	ф-ла (7) [10]	**63,3**										
Коэффициент затухания звука в атмосфере α, дБ/км	Ta=20,°C Pa=101.33,кПа hотн.=70%	ф-ла (5) [9]	0,02	0,09	0,33	1,12	2,79	4,98	9,04	23,09	77,63		
Учет затухания звука в атмосфере Aatm, дБ		ф-ла (8) [10]	0	0	0,1	0,5	1,1	2	3,7	9,5	31,8		
Снижение уровня звукового давления из-за влияния застройки между источником шума и расчетной точкой													
Снижение уровня звукового давления на пути над экраном, Dz1, дБ	z = 0.26м (разность путей)	ф-лы (14-18) [10]	4,9	5,2	5,8	6,9	8,4	10,4	12,8	15,4	18,2		
Снижение уровня звукового давления на пути слева от экрана, Dz2, дБ	z = 0.87м (разность путей)	ф-лы (14-18) [10]	7,9	9,7	12	14,6	17,3	20,2	23,2	26,1	29,1		
Снижение уровня звукового давления на пути справа от экрана, Dz3, дБ	z = 187.60м (разность путей)	ф-лы (14-18) [10]	32,8	36,1	39,2	42,2	45,2	48,2	51,2	54,2	57,2		

1		2	3	4	5	6	7	8	9	10	11	12	13
Общее снижение уровня звука препятствием Dz, дБ		Эн.сумма(-Dzi)	3,2	3,9	4,9	6,2	7,9	10	12,4	15,1	17,9		
Уровни звукового давления от источника ИШ-1-24 в расчётной точке днём, дБ		**ф-ла(3)[10]**	**0**	**29,1**	**29,4**	**29,1**	**27**	**23,6**	**16,2**	**3,6**	**0**	**28,2**	**28,2**
Уровни звукового давления от источника ИШ-1-24 в расчётной точке ночью, дБ		**ф-ла(3)[10]**	**0**	**29,1**	**29,4**	**29,1**	**27**	**23,6**	**16,2**	**3,6**	**0**	**28,2**	**28,2**
Источник шума: ИШ-1-25, координаты источника (x,y,z), м =[531.22,82.16,1.00]													
Уровни звуковой мощности источника днём, Lw, дБ		**исходные данные**	**0**	**93,3**	**94,7**	**96**	**96,3**	**95,9**	**92,6**	**88,4**	**83,9**		
Уровни звуковой мощности источника ночью, Lw, дБ		**исходные данные**	**0**	**93,3**	**94,7**	**96**	**96,3**	**95,9**	**92,6**	**88,4**	**83,9**		
Поправка на телесный угол DΩ, дБ	Ω = 6.28	10Lg(4π/Ω)	**3**	3	3	3	3	3	3	3	3		
Показатель направленности источника Di, дБ		исходные данные	**0**	0	0	0	0	0	0	0	0		
Поправка на направленность источника Dc, дБ	Dc	DΩ + Di	**3**	3	3	3	3	3	3	3	3		
Затухание из-за геометрической дивергенции, Adiv, дБ	расстояние = 411.37 м	ф-ла (7) [10]	**63,3**										
Коэффициент затухания звука в атмосфере α, дБ/км	Ta=20,°C Pa=101.33,кПа hотн.=70%	ф-ла (5) [9]	0,02	0,09	0,33	1,12	2,79	4,98	9,04	23,09	77,63		
Учет затухания звука в атмосфере Aatm, дБ		ф-ла (8) [10]	0	0	0,1	0,5	1,1	2	3,7	9,5	31,9		
Снижение уровня звукового давления из-за влияния застройки между источником шума и расчетной точкой													
Снижение уровня звукового давления на пути над экраном, Dz1, дБ	z = 0.26м (разность путей)	ф-лы (14-18) [10]	4,9	5,2	5,8	6,9	8,4	10,3	12,7	15,4	18,2		
Снижение уровня звукового давления на пути слева от экрана, Dz2, дБ	z = 0.76м (разность путей)	ф-лы (14-18) [10]	7,7	9,4	11,5	14,1	16,8	19,7	22,6	25,6	28,6		
Снижение уровня звукового давления на пути справа от экрана, Dz3, дБ	z = 187.03м (разность путей)	ф-лы (14-18) [10]	32,8	36,1	39,1	42,2	45,2	48,2	51,2	54,2	57,2		

1		2	3	4	5	6	7	8	9	10	11	12	13
Общее снижение уровня звука препятствием Dz, дБ		Эн.сумма(-Dzi)	3,1	3,8	4,8	6,1	7,8	9,9	12,3	15	17,8		
Уровни звукового давления от источника ИШ-1-25 в расчётной точке днём, дБ		**ф-ла(3)[10]**	**0**	**29,2**	**29,5**	**29,2**	**27,1**	**23,7**	**16,3**	**3,6**	**0**	**28,3**	**28,3**
Уровни звукового давления от источника ИШ-1-25 в расчётной точке ночью, дБ		**ф-ла(3)[10]**	**0**	**29,2**	**29,5**	**29,2**	**27,1**	**23,7**	**16,3**	**3,6**	**0**	**28,3**	**28,3**
Источник шума: ИШ-1-26, координаты источника (x,y,z), м =[534.15,80.79,1.00]													
Уровни звуковой мощности источника днём, Lw, дБ		**исходные данные**	**0**	**93,3**	**94,7**	**96**	**96,3**	**95,9**	**92,6**	**88,4**	**83,9**		
Уровни звуковой мощности источника ночью, Lw, дБ		**исходные данные**	**0**	**93,3**	**94,7**	**96**	**96,3**	**95,9**	**92,6**	**88,4**	**83,9**		
Поправка на телесный угол DΩ, дБ	Ω = 6.28	10Lg(4π/Ω)	**3**	3	3	3	3	3	3	3	3		
Показатель направленности источника Di, дБ		исходные данные	**0**	0	0	0	0	0	0	0	0		
Поправка на направленность источника Dc, дБ	Dc	DΩ + Di	**3**	3	3	3	3	3	3	3	3		
Затухание из-за геометрической дивергенции, Adiv, дБ	расстояние = 412.64 м	ф-ла (7) [10]	**63,3**										
Коэффициент затухания звука в атмосфере α, дБ/км	Ta=20,°C Pa=101.33,кПа hотн.=70%	ф-ла (5) [9]	0,02	0,09	0,33	1,12	2,79	4,98	9,04	23,09	77,63		
Учет затухания звука в атмосфере Aatm, дБ		ф-ла (8) [10]	0	0	0,1	0,5	1,2	2,1	3,7	9,5	32		
Снижение уровня звукового давления из-за влияния застройки между источником шума и расчетной точкой													
Снижение уровня звукового давления на пути над экраном, Dz1, дБ	z = 0.26м (разность путей)	ф-лы (14-18) [10]	4,9	5,2	5,8	6,8	8,3	10,3	12,7	15,3	18,1		
Снижение уровня звукового давления на пути слева от экрана, Dz2, дБ	z = 0.64м (разность путей)	ф-лы (14-18) [10]	7,3	8,9	11	13,4	16,1	19	21,9	24,9	27,8		
Снижение уровня звукового давления на пути справа от экрана, Dz3, дБ	z = 187.37м (разность путей)	ф-лы (14-18) [10]	32,8	36,1	39,1	42,2	45,2	48,2	51,2	54,2	57,2		

1		2	3	4	5	6	7	8	9	10	11	12	13
Общее снижение уровня звука препятствием Dz, дБ		Эн.сумма(-Dzi)	2,9	3,6	4,6	6	7,7	9,7	12,2	14,9	17,7		
Уровни звукового давления от источника ИШ-1-26 в расчётной точке днём, дБ		**ф-ла(3)[10]**	**0**	**29,3**	**29,6**	**29,3**	**27,2**	**23,8**	**16,4**	**3,7**	**0**	**28,4**	**28,4**
Уровни звукового давления от источника ИШ-1-26 в расчётной точке ночью, дБ		**ф-ла(3)[10]**	**0**	**29,3**	**29,6**	**29,3**	**27,2**	**23,8**	**16,4**	**3,7**	**0**	**28,4**	**28,4**
Источник шума: ИШ-1-27, координаты источника (x,y,z), м =[469.65,197.67,1.00]													
Уровни звуковой мощности источника днём, Lw, дБ		**исходные данные**	**0**	**93,3**	**94,7**	**96**	**96,3**	**95,9**	**92,6**	**88,4**	**83,9**		
Уровни звуковой мощности источника ночью, Lw, дБ		**исходные данные**	**0**	**93,3**	**94,7**	**96**	**96,3**	**95,9**	**92,6**	**88,4**	**83,9**		
Поправка на телесный угол DΩ, дБ	Ω = 6.28	10Lg(4π/Ω)	**3**	3	3	3	3	3	3	3	3		
Показатель направленности источника Di, дБ		исходные данные	**0**	0	0	0	0	0	0	0	0		
Поправка на направленность источника Dc, дБ	Dc	DΩ + Di	**3**	3	3	3	3	3	3	3	3		
Затухание из-за геометрической дивергенции, Adiv, дБ	расстояние = 460.62 м	ф-ла (7) [10]	**64,3**										
Коэффициент затухания звука в атмосфере α, дБ/км	Ta=20,°C Pa=101.33,кПа hотн.=70%	ф-ла (5) [9]	0,02	0,09	0,33	1,12	2,79	4,98	9,04	23,09	77,63		
Учет затухания звука в атмосфере Aatm, дБ		ф-ла (8) [10]	0	0	0,2	0,5	1,3	2,3	4,2	10,6	35,8		
Снижение уровня звукового давления из-за влияния застройки между источником шума и расчетной точкой													
Снижение уровня звукового давления на пути над экраном, Dz1, дБ	z = 0.44м (разность путей)	ф-лы (14-18) [10]	6	7,1	8,7	10,7	13,1	15,8	18,7	21,6	24,5		
Снижение уровня звукового давления на пути слева от экрана, Dz2, дБ	z = 17.76м (разность путей)	ф-лы (14-18) [10]	22,3	25,8	28,9	31,9	35	38	41	44	47		
Снижение уровня звукового давления на пути справа от экрана, Dz3, дБ	z = 37.79м (разность путей)	ф-лы (14-18) [10]	25,7	29,1	32,2	35,2	38,2	41,3	44,3	47,3	50,3		

1		2	3	4	5	6	7	8	9	10	11	12	13
Общее снижение уровня звука препятствием Dz, дБ		Эн.сумма(-Dzi)	5,9	7	8,6	10,7	13,1	15,8	18,6	21,5	24,5		
Уровни звукового давления прямого звука от источника ИШ-1-27 в расчётной точке днём, дБ		**ф-ла(3)[10]**	**0**	**25**	**24,7**	**23,5**	**20,6**	**16,6**	**8,5**	**0**	**0**	**21,7**	**21,7**
Уровни звукового давления прямого звука от источника ИШ-1-27 в расчётной точке ночью, дБ		**ф-ла(3)[10]**	**0**	**25**	**24,7**	**23,5**	**20,6**	**16,6**	**8,5**	**0**	**0**	**21,7**	**21,7**
Расчёт отражённого звука													
Уровни звукового давления от мнимого источника ИШ-1-27_мн.(1) в расчётной точке днём, дБ		**ф-ла(3)[10]**	**0**	**0**	**0**	**0**	**0**	**0**	**4,8**	**0**	**0**	**6**	**6**
Уровни звукового давления от мнимого источника ИШ-1-27_мн.(1) в расчётной точке ночью, дБ		**ф-ла(3)[10]**	**0**	**0**	**0**	**0**	**0**	**0**	**0**	**0**	**0**	**6**	**6**
Уровни звукового давления от источника ИШ-1-27 в расчётной точке днём, дБ		**ф-ла(3)[10]**	**0**	**25**	**24,7**	**23,5**	**20,6**	**16,6**	**10,1**	**0**	**0**	**21,9**	**21,9**
Уровни звукового давления от источника ИШ-1-27 в расчётной точке ночью, дБ		**ф-ла(3)[10]**	**0**	**25**	**24,7**	**23,5**	**20,6**	**16,6**	**10,1**	**0**	**0**	**21,9**	**21,9**
Источник шума: ИШ-1-28, координаты источника (x,y,z), м =[472.78,196.69,1.00]													
Уровни звуковой мощности источника днём, Lw, дБ		**исходные данные**	**0**	**93,3**	**94,7**	**96**	**96,3**	**95,9**	**92,6**	**88,4**	**83,9**		
Уровни звуковой мощности источника ночью, Lw, дБ		**исходные данные**	**0**	**93,3**	**94,7**	**96**	**96,3**	**95,9**	**92,6**	**88,4**	**83,9**		
Поправка на телесный угол DΩ, дБ	Ω = 6.28	10Lg(4π/Ω)	**3**	3	3	3	3	3	3	3	3		
Показатель направленности источника Di, дБ		исходные данные	**0**	0	0	0	0	0	0	0	0		
Поправка на направленность источника Dc, дБ	Dc	DΩ + Di	**3**	3	3	3	3	3	3	3	3		
Затухание из-за геометрической дивергенции, Adiv, дБ	расстояние = 461.46 м	ф-ла (7) [10]	**64,3**										
Коэффициент затухания звука в атмосфере α, дБ/км	Ta=20,°C Pa=101.33,кПа hотн.=70%	ф-ла (5) [9]	0,02	0,09	0,33	1,12	2,79	4,98	9,04	23,09	77,63		

1		2	3	4	5	6	7	8	9	10	11	12	13
Учет затухания звука в атмосфере Aatm, дБ		ф-ла (8) [10]	0	0	0,2	0,5	1,3	2,3	4,2	10,7	35,8		
Снижение уровня звукового давления из-за влияния застройки между источником шума и расчетной точкой													
Снижение уровня звукового давления на пути над экраном, Dz1, дБ	z = 0.36м (разность путей)	ф-лы (14-18) [10]	5,1	5,6	6,5	7,8	9,7	11,9	14,5	17,2	20,1		
Снижение уровня звукового давления на пути слева от экрана, Dz2, дБ	z = 16.73м (разность путей)	ф-лы (14-18) [10]	22,1	25,5	28,6	31,7	34,7	37,7	40,7	43,7	46,7		
Снижение уровня звукового давления на пути справа от экрана, Dz3, дБ	z = 40.22м (разность путей)	ф-лы (14-18) [10]	25,9	29,4	32,5	35,5	38,5	41,5	44,5	47,5	50,6		
Общее снижение уровня звука препятствием Dz, дБ		Эн.сумма(-Dzi)	5	5,5	6,5	7,8	9,6	11,9	14,5	17,2	20,1		
Уровни звукового давления прямого звука от источника ИШ-1-28 в расчётной точке днём, дБ		**ф-ла(3)[10]**	**0**	**26,4**	**26,8**	**26,4**	**24,1**	**20,4**	**12,7**	**0**	**0**	**25,2**	**25,2**
Уровни звукового давления прямого звука от источника ИШ-1-28 в расчётной точке ночью, дБ		**ф-ла(3)[10]**	**0**	**26,4**	**26,8**	**26,4**	**24,1**	**20,4**	**12,7**	**0**	**0**	**25,2**	**25,2**
Расчёт отражённого звука													
Уровни звукового давления от мнимого источника ИШ-1-28_мн.(1) в расчётной точке днём, дБ		**ф-ла(3)[10]**	**0**	**0**	**0**	**0**	**0**	**0**	**5,5**	**0**	**0**	**6,7**	**6,7**
Уровни звукового давления от мнимого источника ИШ-1-28_мн.(1) в расчётной точке ночью, дБ		**ф-ла(3)[10]**	**0**	**0**	**0**	**0**	**0**	**0**	**0**	**0**	**0**	**6,7**	**6,7**
Уровни звукового давления от источника ИШ-1-28 в расчётной точке днём, дБ		**ф-ла(3)[10]**	**0**	**26,4**	**26,8**	**26,4**	**24,1**	**20,4**	**13,4**	**0**	**0**	**25,2**	**25,2**
Уровни звукового давления от источника ИШ-1-28 в расчётной точке ночью, дБ		**ф-ла(3)[10]**	**0**	**26,4**	**26,8**	**26,4**	**24,1**	**20,4**	**13,4**	**0**	**0**	**25,2**	**25,2**
Источник шума: ИШ-1-29, координаты источника (x,y,z), м =[475.52,195.72,1.00]													
Уровни звуковой мощности источника днём, Lw, дБ		**исходные данные**	**0**	**93,3**	**94,7**	**96**	**96,3**	**95,9**	**92,6**	**88,4**	**83,9**		
Уровни звуковой мощности источника ночью, Lw, дБ		**исходные данные**	**0**	**93,3**	**94,7**	**96**	**96,3**	**95,9**	**92,6**	**88,4**	**83,9**		
Поправка на телесный угол DΩ, дБ	Ω = 6.28	10Lg(4π/Ω)	**3**	3	3	3	3	3	3	3	3		

1		2	3	4	5	6	7	8	9	10	11	12	13
Показатель направленности источника Di, дБ		исходные данные	**0**	0	0	0	0	0	0	0	0		
Поправка на направленность источника Dc, дБ	Dc	DΩ + Di	**3**	3	3	3	3	3	3	3	3		
Затухание из-за геометрической дивергенции, Adiv, дБ	расстояние = 462.11 м	ф-ла (7) [10]	**64,3**										
Коэффициент затухания звука в атмосфере α, дБ/км	Ta=20,°C Pa=101.33,кПа hотн.=70%	ф-ла (5) [9]	0,02	0,09	0,33	1,12	2,79	4,98	9,04	23,09	77,63		
Учет затухания звука в атмосфере Aatm, дБ		ф-ла (8) [10]	0	0	0,2	0,5	1,3	2,3	4,2	10,7	35,9		
Снижение уровня звукового давления из-за влияния застройки между источником шума и расчетной точкой													
Снижение уровня звукового давления на пути над экраном, Dz1, дБ	z = 0.34м (разность путей)	ф-лы (14-18) [10]	5	5,4	6,2	7,4	9,1	11,2	13,7	16,4	19,2		
Снижение уровня звукового давления на пути слева от экрана, Dz2, дБ	z = 15.85м (разность путей)	ф-лы (14-18) [10]	21,9	25,3	28,4	31,5	34,5	37,5	40,5	43,5	46,5		
Снижение уровня звукового давления на пути справа от экрана, Dz3, дБ	z = 42.46м (разность путей)	ф-лы (14-18) [10]	26,2	29,6	32,7	35,7	38,7	41,8	44,8	47,8	50,8		
Общее снижение уровня звука препятствием Dz, дБ		Эн.сумма(-Dzi)	4,9	5,4	6,2	7,4	9	11,2	13,7	16,4	19,2		
Уровни звукового давления прямого звука от источника ИШ-1-29 в расчётной точке днём, дБ		**ф-ла(3)[10]**	**0**	**26,6**	**27,1**	**26,8**	**24,7**	**21,1**	**13,5**	**0,1**	**0**	**25,8**	**25,8**
Уровни звукового давления прямого звука от источника ИШ-1-29 в расчётной точке ночью, дБ		**ф-ла(3)[10]**	**0**	**26,6**	**27,1**	**26,8**	**24,7**	**21,1**	**13,5**	**0,1**	**0**	**25,8**	**25,8**
Расчёт отражённого звука													
Уровни звукового давления от мнимого источника ИШ-1-29_мн.(1) в расчётной точке днём, дБ		**ф-ла(3)[10]**	**0**	**0**	**0**	**0**	**0**	**14,2**	**6**	**0**	**0**	**15**	**15**
Уровни звукового давления от мнимого источника ИШ-1-29_мн.(1) в расчётной точке ночью, дБ		**ф-ла(3)[10]**	**0**	**0**	**0**	**0**	**0**	**0**	**0**	**0**	**0**	**15**	**15**
Уровни звукового давления от источника ИШ-1-29 в расчётной точке днём, дБ		**ф-ла(3)[10]**	**0**	**26,6**	**27,1**	**26,8**	**24,7**	**21,9**	**14,2**	**0,1**	**0**	**26,1**	**26,1**
Уровни звукового давления от источника ИШ-1-29 в расчётной точке ночью, дБ		**ф-ла(3)[10]**	**0**	**26,6**	**27,1**	**26,8**	**24,7**	**21,9**	**14,2**	**0,1**	**0**	**26,1**	**26,1**

1		2	3	4	5	6	7	8	9	10	11	12	13
Источник шума: ИШ-1-30, координаты источника (x,y,z), м =[478.45,194.54,1.00]													
Уровни звуковой мощности источника днём, Lw, дБ		**исходные данные**	**0**	**93,3**	**94,7**	**96**	**96,3**	**95,9**	**92,6**	**88,4**	**83,9**		
Уровни звуковой мощности источника ночью, Lw, дБ		**исходные данные**	**0**	**93,3**	**94,7**	**96**	**96,3**	**95,9**	**92,6**	**88,4**	**83,9**		
Поправка на телесный угол DΩ, дБ	Ω = 6.28	10Lg(4π/Ω)	**3**	3	3	3	3	3	3	3	3		
Показатель направленности источника Di, дБ		исходные данные	**0**	0	0	0	0	0	0	0	0		
Поправка на направленность источника Dc, дБ	Dc	DΩ + Di	**3**	3	3	3	3	3	3	3	3		
Затухание из-за геометрической дивергенции, Adiv, дБ	расстояние = 462.73 м	ф-ла (7) [10]	**64,3**										
Коэффициент затухания звука в атмосфере α, дБ/км	Ta=20,°C Pa=101.33,кПа hотн.=70%	ф-ла (5) [9]	0,02	0,09	0,33	1,12	2,79	4,98	9,04	23,09	77,63		
Учет затухания звука в атмосфере Aatm, дБ		ф-ла (8) [10]	0	0	0,2	0,5	1,3	2,3	4,2	10,7	35,9		
Снижение уровня звукового давления из-за влияния застройки между источником шума и расчетной точкой													
Снижение уровня звукового давления на пути над экраном, Dz1, дБ	z = 0.27м (разность путей)	ф-лы (14-18) [10]	4,8	5	5,3	5,9	7	8,6	10,6	13	15,7		
Снижение уровня звукового давления на пути слева от экрана, Dz2, дБ	z = 14.92м (разность путей)	ф-лы (14-18) [10]	21,6	25,1	28,2	31,2	34,2	37,2	40,2	43,2	46,2		
Снижение уровня звукового давления на пути справа от экрана, Dz3, дБ	z = 44.99м (разность путей)	ф-лы (14-18) [10]	26,4	29,8	32,9	36	39	42	45	48	51		
Общее снижение уровня звука препятствием Dz, дБ		Эн.сумма(-Dzi)	4,7	4,9	5,2	5,9	7	8,6	10,6	13	15,7		
Уровни звукового давления прямого звука от источника ИШ-1-30 в расчётной точке днём, дБ		**ф-ла(3)[10]**	**0**	**27**	**28**	**28,2**	**26,7**	**23,7**	**16,5**	**3,4**	**0**	**28**	**28**
Уровни звукового давления прямого звука от источника ИШ-1-30 в расчётной точке ночью, дБ		**ф-ла(3)[10]**	**0**	**27**	**28**	**28,2**	**26,7**	**23,7**	**16,5**	**3,4**	**0**	**28**	**28**

1		2	3	4	5	6	7	8	9	10	11	12	13
Расчёт отражённого звука													
Уровни звукового давления от мнимого источника ИШ-1-30_мн.(1) в расчётной точке днём, дБ		**ф-ла(3)[10]**	**0**	**0**	**0**	**0**	**0**	**14,8**	**6,7**	**0**	**0**	**15,6**	**15,6**
Уровни звукового давления от мнимого источника ИШ-1-30_мн.(1) в расчётной точке ночью, дБ		**ф-ла(3)[10]**	**0**	**0**	**0**	**0**	**0**	**0**	**0**	**0**	**0**	**15,6**	**15,6**
Уровни звукового давления от источника ИШ-1-30 в расчётной точке днём, дБ		**ф-ла(3)[10]**	**0**	**27**	**28**	**28,2**	**26,7**	**24,2**	**17**	**3,4**	**0**	**28,2**	**28,2**
Уровни звукового давления от источника ИШ-1-30 в расчётной точке ночью, дБ		**ф-ла(3)[10]**	**0**	**27**	**28**	**28,2**	**26,7**	**24,2**	**17**	**3,4**	**0**	**28,2**	**28,2**
Источник шума: ИШ-1-31, координаты источника (x,y,z), м =[481.58,193.96,1.00]													
Уровни звуковой мощности источника днём, Lw, дБ		**исходные данные**	**0**	**93,3**	**94,7**	**96**	**96,3**	**95,9**	**92,6**	**88,4**	**83,9**		
Уровни звуковой мощности источника ночью, Lw, дБ		**исходные данные**	**0**	**93,3**	**94,7**	**96**	**96,3**	**95,9**	**92,6**	**88,4**	**83,9**		
Поправка на телесный угол DΩ, дБ	Ω = 6.28	10Lg(4π/Ω)	**3**	3	3	3	3	3	3	3	3		
Показатель направленности источника Di, дБ		исходные данные	**0**	0	0	0	0	0	0	0	0		
Поправка на направленность источника Dc, дБ	Dc	DΩ + Di	**3**	3	3	3	3	3	3	3	3		
Затухание из-за геометрической дивергенции, Adiv, дБ	расстояние = 463.96 м	ф-ла (7) [10]	**64,3**										
Коэффициент затухания звука в атмосфере α, дБ/км	Ta=20,°C Pa=101.33,кПа hотн.=70%	ф-ла (5) [9]	0,02	0,09	0,33	1,12	2,79	4,98	9,04	23,09	77,63		
Учет затухания звука в атмосфере Aatm, дБ		ф-ла (8) [10]	0	0	0,2	0,5	1,3	2,3	4,2	10,7	36		
Снижение уровня звукового давления из-за влияния застройки между источником шума и расчетной точкой													
Снижение уровня звукового давления на пути над экраном, Dz1, дБ	z = 0.27м (разность путей)	ф-лы (14-18) [10]	4,8	5	5,3	5,9	7	8,5	10,5	12,9	15,6		

1		2	3	4	5	6	7	8	9	10	11	12	13
Снижение уровня звукового давления на пути слева от экрана, Dz2, дБ	z = 14.06м (разность путей)	ф-лы (14-18) [10]	21,4	24,8	27,9	30,9	33,9	37	40	43	46		
Снижение уровня звукового давления на пути справа от экрана, Dz3, дБ	z = 46.93м (разность путей)	ф-лы (14-18) [10]	26,6	30	33,1	36,2	39,2	42,2	45,2	48,2	51,2		
Общее снижение уровня звука препятствием Dz, дБ		Эн.сумма(-Dzi)	4,7	4,9	5,2	5,9	7	8,5	10,5	12,9	15,6		
Уровни звукового давления прямого звука от источника ИШ-1-31 в расчётной точке днём, дБ		**ф-ла(3)[10]**	**0**	**27**	**28**	**28,2**	**26,7**	**23,8**	**16,6**	**3,5**	**0**	**28**	**28**
Уровни звукового давления прямого звука от источника ИШ-1-31 в расчётной точке ночью, дБ		**ф-ла(3)[10]**	**0**	**27**	**28**	**28,2**	**26,7**	**23,8**	**16,6**	**3,5**	**0**	**28**	**28**
Расчёт отражённого звука													
Уровни звукового давления от мнимого источника ИШ-1-31_мн.(1) в расчётной точке днём, дБ		**ф-ла(3)[10]**	**0**	**0**	**0**	**0**	**0**	**15,4**	**7,3**	**0**	**0**	**16,2**	**16,2**
Уровни звукового давления от мнимого источника ИШ-1-31_мн.(1) в расчётной точке ночью, дБ		**ф-ла(3)[10]**	**0**	**0**	**0**	**0**	**0**	**0**	**0**	**0**	**0**	**16,2**	**16,2**
Уровни звукового давления от источника ИШ-1-31 в расчётной точке днём, дБ		**ф-ла(3)[10]**	**0**	**27**	**28**	**28,2**	**26,7**	**24,3**	**17,1**	**3,5**	**0**	**28,3**	**28,3**
Уровни звукового давления от источника ИШ-1-31 в расчётной точке ночью, дБ		**ф-ла(3)[10]**	**0**	**27**	**28**	**28,2**	**26,7**	**24,3**	**17,1**	**3,5**	**0**	**28,3**	**28,3**
Источник шума: ИШ-1-32, координаты источника (x,y,z), м =[871.21,281.99,50.00]													
Уровни звуковой мощности источника днём, Lw, дБ		**исходные данные**	**125**	**119,6**	**113,4**	**111,4**	**110,8**	**112,7**	**113,8**	**109,2**	**97,4**		
Уровни звуковой мощности источника ночью, Lw, дБ		**исходные данные**	**0**	**0**	**0**	**0**	**0**	**0**	**0**	**0**	**0**		
Поправка на телесный угол DΩ, дБ	Ω = 12.57	10Lg(4π/Ω)	**0**	0	0	0	0	0	0	0	0		
Показатель направленности источника Di, дБ		исходные данные	**0**	0	0	0	0	0	0	0	0		
Поправка на направленность источника Dc, дБ	Dc	DΩ + Di	**0**	0	0	0	0	0	0	0	0		
Затухание из-за геометрической дивергенции, Adiv, дБ	расстояние = 802.96 м	ф-ла (7) [10]	**69,1**										

1		2	3	4	5	6	7	8	9	10	11	12	13
Коэффициент затухания звука в атмосфере α, дБ/км	Та=20,°С Ра=101.33,кПа hотн.=70%	ф-ла (5) [9]	0,02	0,09	0,33	1,12	2,79	4,98	9,04	23,09	77,63		
Учет затухания звука в атмосфере Aatm, дБ		ф-ла (8) [10]	0	0,1	0,3	0,9	2,2	4	7,3	18,5	62,3		
Снижение поверхностью земли возле источника As, дБ	Gs = 0 hs = 50м	ф-лы таб.3 [10]	-1,5	-1,5	-1,5	-1,5	-1,5	-1,5	-1,5	-1,5	-1,5		
Снижение поверхностью земли возле приёмника Ar, дБ	Gr = 1 hr = 4.6м	ф-лы таб.3 [10]	-1,5	-1,5	3,7	1,3	0	0	0	0	0		
Снижение поверхностью земли в средней зоне, Am дБ	Gm = 1	ф-лы таб.3 [10]	0	0	0	0	0	0	0	0	0		
Суммарное снижение поверхностью земли на траектории распространения звука Agr, дБ		ф-ла (9) [10]	-3	-3	2,2	-0,2	-1,5	-1,5	-1,5	-1,5	-1,5		
Уровни звукового давления прямого звука от источника ИШ-1-32 в расчётной точке днём, дБ		**ф-ла(3)[10]**	**58,9**	**53,5**	**41,9**	**41,7**	**41**	**41,1**	**39**	**23,1**	**0**	**45,2**	**45,2**
Уровни звукового давления прямого звука от источника ИШ-1-32 в расчётной точке ночью, дБ		**ф-ла(3)[10]**	**0**	**0**	**0**	**0**	**0**	**0**	**0**	**0**	**0**	**0**	**0**
Расчёт отражённого звука													
Уровни звукового давления от мнимого источника ИШ-1-32_мн.(1) в расчётной точке днём, дБ		**ф-ла(3)[10]**	**0**	**0**	**0**	**39,1**	**38,5**	**38,6**	**36,4**	**20,5**	**0**	**42,5**	**42,5**
Уровни звукового давления от мнимого источника ИШ-1-32_мн.(1) в расчётной точке ночью, дБ		**ф-ла(3)[10]**	**0**	**0**	**0**	**0**	**0**	**0**	**0**	**0**	**0**	**0**	**0**
Уровни звукового давления от источника ИШ-1-32 в расчётной точке днём, дБ		**ф-ла(3)[10]**	**58,9**	**53,5**	**41,9**	**43,6**	**42,9**	**43,1**	**40,9**	**25**	**0**	**47**	**47**
Уровни звукового давления от источника ИШ-1-32 в расчётной точке ночью, дБ		**ф-ла(3)[10]**	**0**	**0**	**0**	**0**	**0**	**0**	**0**	**0**	**0**	**0**	**0**
Источник шума: ИШ-1-33, координаты источника (x,y,z), м =[743.42,374.85,1.00]													
Уровни звуковой мощности источника днём, Lw, дБ		**исходные данные**	**0**	**88,7**	**90,1**	**93,1**	**96,4**	**103**	**112**	**108**	**99,2**		
Уровни звуковой мощности источника ночью, Lw, дБ		**исходные данные**	**0**	**0**	**0**	**0**	**0**	**0**	**0**	**0**	**0**		

1		2	3	4	5	6	7	8	9	10	11	12	13
Поправка на телесный угол DΩ, дБ	Ω = 6.28	10Lg(4π/Ω)	**3**	3	3	3	3	3	3	3	3		
Показатель направленности источника Di, дБ		исходные данные	**0**	0	0	0	0	0	0	0	0		
Поправка на направленность источника Dc, дБ	Dc	DΩ + Di	**3**	3	3	3	3	3	3	3	3		
Затухание из-за геометрической дивергенции, Adiv, дБ	расстояние = 768.57 м	ф-ла (7) [10]	**68,7**										
Коэффициент затухания звука в атмосфере α, дБ/км	Ta=20,°C Pa=101.33,кПа hотн.=70%	ф-ла (5) [9]	0,02	0,09	0,33	1,12	2,79	4,98	9,04	23,09	77,63		
Учет затухания звука в атмосфере Aatm, дБ		ф-ла (8) [10]	0	0,1	0,3	0,9	2,1	3,8	6,9	17,7	59,7		
Снижение уровня звукового давления из-за влияния застройки между источником шума и расчетной точкой													
Снижение уровня звукового давления на пути над экраном, Dz1, дБ	z = 0.20м (разность путей)	ф-лы (14-18) [10]	4,8	4,8	4,8	4,9	5,1	5,3	5,8	6,7	8		
Снижение уровня звукового давления на пути слева от экрана, Dz2, дБ	z = 3.10м (разность путей)	ф-лы (14-18) [10]	15,3	18,4	21,4	24,4	27,4	30,4	33,4	36,4	39,4		
Снижение уровня звукового давления на пути справа от экрана, Dz3, дБ	z = 42.38м (разность путей)	ф-лы (14-18) [10]	26,2	29,6	32,7	35,7	38,7	41,7	44,8	47,8	50,8		
Общее снижение уровня звука препятствием Dz, дБ		Эн.сумма(-Dzi)	4,4	4,6	4,7	4,9	5	5,3	5,8	6,7	8		
Уровни звукового давления от источника ИШ-1-33 в расчётной точке днём, дБ		**ф-ла(3)[10]**	**0**	**18,3**	**19,4**	**21,7**	**23,5**	**28,2**	**33,5**	**17,9**	**0**	**35,8**	**35,8**
Уровни звукового давления от источника ИШ-1-33 в расчётной точке ночью, дБ		**ф-ла(3)[10]**	**0**	**0**	**0**	**0**	**0**	**0**	**0**	**0**	**0**	**0**	**0**
Источник шума: ИШ-1-34, координаты источника (x,y,z), м =[1042.35,199.07,1.00]													
Уровни звуковой мощности источника днём, Lw, дБ		**исходные данные**	**0**	**88,7**	**90,1**	**93,1**	**96,4**	**103**	**112**	**108**	**99,2**		
Уровни звуковой мощности источника ночью, Lw, дБ		**исходные данные**	**0**	**0**	**0**	**0**	**0**	**0**	**0**	**0**	**0**		

1		2	3	4	5	6	7	8	9	10	11	12	13
Поправка на телесный угол DΩ, дБ	Ω = 6.28	10Lg(4π/Ω)	**3**	3	3	3	3	3	3	3	3		
Показатель направленности источника Di, дБ		исходные данные	**0**	0	0	0	0	0	0	0	0		
Поправка на направленность источника Dc, дБ	Dc	DΩ + Di	**3**	3	3	3	3	3	3	3	3		
Затухание из-за геометрической дивергенции, Adiv, дБ	расстояние = 906.24 м	ф-ла (7) [10]	**70,1**										
Коэффициент затухания звука в атмосфере α, дБ/км	Ta=20,°C Pa=101.33,кПа hотн.=70%	ф-ла (5) [9]	0,02	0,09	0,33	1,12	2,79	4,98	9,04	23,09	77,63		
Учет затухания звука в атмосфере Aatm, дБ		ф-ла (8) [10]	0	0,1	0,3	1	2,5	4,5	8,2	20,9	70,4		
Снижение уровня звукового давления из-за влияния застройки между источником шума и расчетной точкой													
Снижение уровня звукового давления на пути над экраном, Dz1, дБ	z = 0.03м (разность путей)	ф-лы (14-18) [10]	4,8	4,8	4,8	4,8	4,8	4,8	4,8	4,8	4,8		
Снижение уровня звукового давления на пути слева от экрана, Dz2, дБ	z = 4.24м (разность путей)	ф-лы (14-18) [10]	12,7	15,4	18,2	21,1	24	27	30	33	36		
Снижение уровня звукового давления на пути справа от экрана, Dz3, дБ	z = 1.02м (разность путей)	ф-лы (14-18) [10]	8,3	10,2	12,5	15,2	18	20,9	23,8	26,8	29,8		
Общее снижение уровня звука препятствием Dz, дБ		Эн.сумма(-Dzi)	2,7	3,4	3,9	4,3	4,5	4,6	4,7	4,7	4,8		
Уровни звукового давления от источника ИШ-1-34 в расчётной точке днём, дБ		**ф-ла(3)[10]**	**0**	**18,1**	**18,7**	**20,6**	**22,2**	**26,7**	**32**	**15,2**	**0**	**34,3**	**34,3**
Уровни звукового давления от источника ИШ-1-34 в расчётной точке ночью, дБ		**ф-ла(3)[10]**	**0**	**0**	**0**	**0**	**0**	**0**	**0**	**0**	**0**	**0**	**0**
Источник шума: ИШ-2-1, координаты источника (x,y,z), м =[696.50,124.40,3.00]													
Уровни звуковой мощности источника днём, Lw, дБ		**исходные данные**	**105**	**104**	**104**	**101**	**102**	**106**	**101**	**95**	**87**		
Уровни звуковой мощности источника ночью, Lw, дБ		**исходные данные**	**105**	**104**	**104**	**101**	**102**	**106**	**101**	**95**	**87**		

1		2	3	4	5	6	7	8	9	10	11	12	13
Поправка на телесный угол DΩ, дБ	Ω = 6.28	10Lg(4π/Ω)	**3**	3	3	3	3	3	3	3	3		
Показатель направленности источника Di, дБ		исходные данные	**0**	0	0	0	0	0	0	0	0		
Поправка на направленность источника Dc, дБ	Dc	DΩ + Di	**3**	3	3	3	3	3	3	3	3		
Затухание из-за геометрической дивергенции, Adiv, дБ	расстояние = 568.07 м	ф-ла (7) [10]	**66,1**										
Коэффициент затухания звука в атмосфере α, дБ/км	Ta=20,°C Pa=101.33,кПа hотн.=70%	ф-ла (5) [9]	0,02	0,09	0,33	1,12	2,79	4,98	9,04	23,09	77,63		
Учет затухания звука в атмосфере Aatm, дБ		ф-ла (8) [10]	0	0,1	0,2	0,6	1,6	2,8	5,1	13,1	44,1		
Снижение поверхностью земли возле источника As, дБ	Gs = 0 hs = 3м	ф-лы таб.3 [10]	-1,5	-1,5	-1,5	-1,5	-1,5	-1,5	-1,5	-1,5	-1,5		
Снижение поверхностью земли возле приёмника Ar, дБ	Gr = 1 hr = 4.6м	ф-лы таб.3 [10]	-1,5	-1,5	3,4	1,3	0	0	0	0	0		
Снижение поверхностью земли в средней зоне, Am дБ	Gm = 1	ф-лы таб.3 [10]	-1,8	-1,8	0	0	0	0	0	0	0		
Суммарное снижение поверхностью земли на траектории распространения звука Agr, дБ		ф-ла (9) [10]	-4,8	-4,8	1,9	-0,2	-1,5	-1,5	-1,5	-1,5	-1,5		
Уровни звукового давления прямого звука от источника ИШ-2-1 в расчётной точке днём, дБ		**ф-ла(3)[10]**	**46,7**	**45,7**	**38,8**	**37,5**	**38,8**	**41,6**	**34,3**	**20,3**	**0**	**43,6**	**43,6**
Уровни звукового давления прямого звука от источника ИШ-2-1 в расчётной точке ночью, дБ		**ф-ла(3)[10]**	**46,7**	**45,7**	**38,8**	**37,5**	**38,8**	**41,6**	**34,3**	**20,3**	**0**	**43,6**	**43,6**
Расчёт отражённого звука													
Уровни звукового давления от мнимого источника ИШ-2-1_мн.(1) в расчётной точке днём, дБ		**ф-ла(3)[10]**	**0**	**0**	**0**	**0**	**36,1**	**39,1**	**31,7**	**17,7**	**0**	**40,8**	**40,8**
Уровни звукового давления от мнимого источника ИШ-2-1_мн.(1) в расчётной точке ночью, дБ		**ф-ла(3)[10]**	**0**	**0**	**0**	**0**	**0**	**0**	**0**	**0**	**0**	**40,8**	**40,8**
Уровни звукового давления от источника ИШ-2-1 в расчётной точке днём, дБ		**ф-ла(3)[10]**	**46,7**	**45,7**	**38,8**	**37,5**	**40,7**	**43,5**	**36,2**	**22,2**	**0**	**45,4**	**45,4**
Уровни звукового давления от источника ИШ-2-1 в расчётной точке ночью, дБ		**ф-ла(3)[10]**	**46,7**	**45,7**	**38,8**	**37,5**	**40,7**	**43,5**	**36,2**	**22,2**	**0**	**45,4**	**45,4**

1		2	3	4	5	6	7	8	9	10	11	12	13
Источник шума: ИШ-2-2, координаты источника (x,y,z), м =[682.20,81.60,3.00]													
Уровни звуковой мощности источника днём, Lw, дБ		**исходные данные**	**105**	**104**	**104**	**101**	**102**	**106**	**101**	**95**	**87**		
Уровни звуковой мощности источника ночью, Lw, дБ		**исходные данные**	**105**	**104**	**104**	**101**	**102**	**106**	**101**	**95**	**87**		
Поправка на телесный угол DΩ, дБ	Ω = 6.28	10Lg(4π/Ω)	**3**	3	3	3	3	3	3	3	3		
Показатель направленности источника Di, дБ		исходные данные	**0**	0	0	0	0	0	0	0	0		
Поправка на направленность источника Dc, дБ	Dc	DΩ + Di	**3**	3	3	3	3	3	3	3	3		
Затухание из-за геометрической дивергенции, Adiv, дБ	расстояние = 533.02 м	ф-ла (7) [10]	**65,5**										
Коэффициент затухания звука в атмосфере α, дБ/км	Ta=20,°C Pa=101.33,кПа hотн.=70%	ф-ла (5) [9]	0,02	0,09	0,33	1,12	2,79	4,98	9,04	23,09	77,63		
Учет затухания звука в атмосфере Aatm, дБ		ф-ла (8) [10]	0	0	0,2	0,6	1,5	2,7	4,8	12,3	41,4		
Снижение поверхностью земли возле источника As, дБ	Gs = 0 hs = 3м	ф-лы таб.3 [10]	-1,5	-1,5	-1,5	-1,5	-1,5	-1,5	-1,5	-1,5	-1,5		
Снижение поверхностью земли возле приёмника Ar, дБ	Gr = 1 hr = 4.6м	ф-лы таб.3 [10]	-1,5	-1,5	3,4	1,3	0	0	0	0	0		
Снижение поверхностью земли в средней зоне, Am дБ	Gm = 1	ф-лы таб.3 [10]	-1,7	-1,7	0	0	0	0	0	0	0		
Суммарное снижение поверхностью земли на траектории распространения звука Agr, дБ		ф-ла (9) [10]	-4,7	-4,7	1,9	-0,2	-1,5	-1,5	-1,5	-1,5	-1,5		
Уровни звукового давления прямого звука от источника ИШ-2-2 в расчётной точке днём, дБ		**ф-ла(3)[10]**	**47,2**	**46,1**	**39,4**	**38,1**	**39,5**	**42,3**	**35,2**	**21,7**	**0**	**44,3**	**44,3**
Уровни звукового давления прямого звука от источника ИШ-2-2 в расчётной точке ночью, дБ		**ф-ла(3)[10]**	**47,2**	**46,1**	**39,4**	**38,1**	**39,5**	**42,3**	**35,2**	**21,7**	**0**	**44,3**	**44,3**
Расчёт отражённого звука													

1		2	3	4	5	6	7	8	9	10	11	12	13
Уровни звукового давления от мнимого источника ИШ-2-2_мн.(1) в расчётной точке днём, дБ		**ф-ла(3)[10]**	**0**	**0**	**0**	**0**	**0**	**39,8**	**32,6**	**19,1**	**0**	**40,8**	**40,8**
Уровни звукового давления от мнимого источника ИШ-2-2_мн.(1) в расчётной точке ночью, дБ		**ф-ла(3)[10]**	**0**	**0**	**0**	**0**	**0**	**0**	**0**	**0**	**0**	**40,8**	**40,8**
Уровни звукового давления от источника ИШ-2-2 в расчётной точке днём, дБ		**ф-ла(3)[10]**	**47,2**	**46,1**	**39,4**	**38,1**	**39,5**	**44,2**	**37,1**	**23,6**	**0**	**45,9**	**45,9**
Уровни звукового давления от источника ИШ-2-2 в расчётной точке ночью, дБ		**ф-ла(3)[10]**	**47,2**	**46,1**	**39,4**	**38,1**	**39,5**	**44,2**	**37,1**	**23,6**	**0**	**45,9**	**45,9**
Источник шума: ИШ-2-3, координаты источника (x,y,z), м =[667.80,38.90,3.00]													
Уровни звуковой мощности источника днём, Lw, дБ		**исходные данные**	**105**	**104**	**104**	**101**	**102**	**106**	**101**	**95**	**87**		
Уровни звуковой мощности источника ночью, Lw, дБ		**исходные данные**	**105**	**104**	**104**	**101**	**102**	**106**	**101**	**95**	**87**		
Поправка на телесный угол DΩ, дБ	Ω = 6.28	10Lg(4π/Ω)	**3**	3	3	3	3	3	3	3	3		
Показатель направленности источника Di, дБ		исходные данные	**0**	0	0	0	0	0	0	0	0		
Поправка на направленность источника Dc, дБ	Dc	DΩ + Di	**3**	3	3	3	3	3	3	3	3		
Затухание из-за геометрической дивергенции, Adiv, дБ	расстояние = 499.55 м	ф-ла (7) [10]	**65**										
Коэффициент затухания звука в атмосфере α, дБ/км	Ta=20,°C Pa=101.33,кПа hотн.=70%	ф-ла (5) [9]	0,02	0,09	0,33	1,12	2,79	4,98	9,04	23,09	77,63		
Учет затухания звука в атмосфере Aatm, дБ		ф-ла (8) [10]	0	0	0,2	0,6	1,4	2,5	4,5	11,5	38,8		
Снижение уровня звукового давления из-за влияния застройки между источником шума и расчетной точкой													
Снижение уровня звукового давления на пути над экраном, Dz1, дБ	z = 0.07м (разность путей)	ф-лы (14-18) [10]	4,8	4,8	4,8	4,8	4,8	4,8	4,9	5	5,3		
Снижение уровня звукового давления на пути слева от экрана, Dz2, дБ	z = 15.86м (разность путей)	ф-лы (14-18) [10]	17,9	20,8	23,7	26,7	29,7	32,7	35,7	38,7	41,7		

1		2	3	4	5	6	7	8	9	10	11	12	13
Снижение уровня звукового давления на пути справа от экрана, Dz3, дБ	z = 0.34м (разность путей)	ф-лы (14-18) [10]	6,3	7,4	9,1	11,2	13,7	16,4	19,3	22,2	25,2		
Общее снижение уровня звука препятствием Dz, дБ		Эн.сумма(-Dzi)	2,3	2,8	3,4	3,9	4,3	4,5	4,8	5	5,3		
Уровни звукового давления прямого звука от источника ИШ-2-3 в расчётной точке днём, дБ		**ф-ла(3)[10]**	**40,7**	**39,2**	**38,5**	**34,6**	**34,4**	**37**	**29,8**	**16,5**	**0**	**39,2**	**39,2**
Уровни звукового давления прямого звука от источника ИШ-2-3 в расчётной точке ночью, дБ		**ф-ла(3)[10]**	**40,7**	**39,2**	**38,5**	**34,6**	**34,4**	**37**	**29,8**	**16,5**	**0**	**39,2**	**39,2**
Расчёт отражённого звука													
Уровни звукового давления от мнимого источника ИШ-2-3_мн.(1) в расчётной точке днём, дБ		**ф-ла(3)[10]**	**0**	**0**	**0**	**0**	**0**	**0**	**0**	**0**	**0**	**0**	**0**
Уровни звукового давления от мнимого источника ИШ-2-3_мн.(1) в расчётной точке ночью, дБ		**ф-ла(3)[10]**	**0**	**0**	**0**	**0**	**0**	**0**	**0**	**0**	**0**	**0**	**0**
Уровни звукового давления от источника ИШ-2-3 в расчётной точке днём, дБ		**ф-ла(3)[10]**	**40,7**	**39,2**	**38,5**	**34,6**	**34,4**	**37**	**29,8**	**16,5**	**0**	**39,2**	**39,2**
Уровни звукового давления от источника ИШ-2-3 в расчётной точке ночью, дБ		**ф-ла(3)[10]**	**40,7**	**39,2**	**38,5**	**34,6**	**34,4**	**37**	**29,8**	**16,5**	**0**	**39,2**	**39,2**
Источник шума: ИШ-2-6, координаты источника (x,y,z), м =[765.97,112.43,1.00]													
Уровни звуковой мощности источника днём, Lw, дБ		**исходные данные**	**0**	**93,3**	**94,7**	**96**	**96,3**	**95,9**	**92,6**	**88,4**	**83,9**		
Уровни звуковой мощности источника ночью, Lw, дБ		**исходные данные**	**0**	**93,3**	**94,7**	**96**	**96,3**	**95,9**	**92,6**	**88,4**	**83,9**		
Поправка на телесный угол DΩ, дБ	Ω = 6.28	10Lg(4π/Ω)	**3**	3	3	3	3	3	3	3	3		
Показатель направленности источника Di, дБ		исходные данные	**0**	0	0	0	0	0	0	0	0		
Поправка на направленность источника Dc, дБ	Dc	DΩ + Di	**3**	3	3	3	3	3	3	3	3		
Затухание из-за геометрической дивергенции, Adiv, дБ	расстояние = 620.94 м	ф-ла (7) [10]	**66,9**										
Коэффициент затухания звука в атмосфере α, дБ/км	Ta=20,°C Pa=101.33,кПа hотн.=70%	ф-ла (5) [9]	0,02	0,09	0,33	1,12	2,79	4,98	9,04	23,09	77,63		

1		2	3	4	5	6	7	8	9	10	11	12	13
Учет затухания звука в атмосфере Aatm, дБ		ф-ла (8) [10]	0	0,1	0,2	0,7	1,7	3,1	5,6	14,3	48,2		
Снижение уровня звукового давления из-за влияния застройки между источником шума и расчетной точкой													
Снижение уровня звукового давления препятствием слева от трассы ИШ-РТ, Dz2, дБ	z = -0.04м (разность путей)	ф-лы (14-18) [10]	4,5	4,3	3,8	2,4	0	NAN	NAN	NAN	NAN		
* отрицательное значение z означает прохождение траектории вблизи экрана, в этом случае дополнительно производится учёт снижения подстилающей поверхностью (см.ниже)													
Снижение поверхностью земли возле источника As, дБ	Gs = 0 hs = 1м	ф-лы таб.3 [10]	-1,5	-1,5	-1,5	-1,5	-1,5	-1,5	-1,5	-1,5	-1,5		
Снижение поверхностью земли возле приёмника Ar, дБ	Gr = 1 hr = 4.6м	ф-лы таб.3 [10]	-1,5	-1,5	3,5	1,3	0	0	0	0	0		
Снижение поверхностью земли в средней зоне, Am дБ	Gm = 1	ф-лы таб.3 [10]	-2,2	-2,2	0	0	0	0	0	0	0		
Суммарное снижение поверхностью земли на траектории распространения звука Agr, дБ		ф-ла (9) [10]	-5,2	-5,2	2	-0,2	-1,5	-1,5	-1,5	-1,5	-1,5		
Уровни звукового давления прямого звука от источника ИШ-2-6 в расчётной точке днём, дБ		**ф-ла(3)[10]**	**0**	**30,3**	**24,9**	**29,2**	**32,2**	**30,4**	**24,6**	**11,7**	**0**	**33,8**	**33,8**
Уровни звукового давления прямого звука от источника ИШ-2-6 в расчётной точке ночью, дБ		**ф-ла(3)[10]**	**0**	**30,3**	**24,9**	**29,2**	**32,2**	**30,4**	**24,6**	**11,7**	**0**	**33,8**	**33,8**
Расчёт отражённого звука													
Уровни звукового давления от мнимого источника ИШ-2-6_мн.(1) в расчётной точке днём, дБ		**ф-ла(3)[10]**	**0**	**0**	**0**	**0**	**0**	**0**	**0**	**9,1**	**0**	**10,1**	**10,1**
Уровни звукового давления от мнимого источника ИШ-2-6_мн.(1) в расчётной точке ночью, дБ		**ф-ла(3)[10]**	**0**	**0**	**0**	**0**	**0**	**0**	**0**	**0**	**0**	**10,1**	**10,1**
Уровни звукового давления от источника ИШ-2-6 в расчётной точке днём, дБ		**ф-ла(3)[10]**	**0**	**30,3**	**24,9**	**29,2**	**32,2**	**30,4**	**24,6**	**13,6**	**0**	**33,9**	**33,9**
Уровни звукового давления от источника ИШ-2-6 в расчётной точке ночью, дБ		**ф-ла(3)[10]**	**0**	**30,3**	**24,9**	**29,2**	**32,2**	**30,4**	**24,6**	**13,6**	**0**	**33,9**	**33,9**
Источник шума: ИШ-2-7, координаты источника (x,y,z), м =[764.91,109.54,1.00]													
Уровни звуковой мощности источника днём, Lw, дБ		**исходные данные**	**0**	**93,3**	**94,7**	**96**	**96,3**	**95,9**	**92,6**	**88,4**	**83,9**		

1		2	3	4	5	6	7	8	9	10	11	12	13
Уровни звуковой мощности источника ночью, Lw, дБ		**исходные данные**	**0**	**93,3**	**94,7**	**96**	**96,3**	**95,9**	**92,6**	**88,4**	**83,9**		
Поправка на телесный угол DΩ, дБ	Ω = 6.28	10Lg(4π/Ω)	**3**	3	3	3	3	3	3	3	3		
Показатель направленности источника Di, дБ		исходные данные	**0**	0	0	0	0	0	0	0	0		
Поправка на направленность источника Dc, дБ	Dc	DΩ + Di	**3**	3	3	3	3	3	3	3	3		
Затухание из-за геометрической дивергенции, Adiv, дБ	расстояние = 618.60 м	ф-ла (7) [10]	**66,8**										
Коэффициент затухания звука в атмосфере α, дБ/км	Ta=20,°C Pa=101.33,кПа hотн.=70%	ф-ла (5) [9]	0,02	0,09	0,33	1,12	2,79	4,98	9,04	23,09	77,63		
Учет затухания звука в атмосфере Aatm, дБ		ф-ла (8) [10]	0	0,1	0,2	0,7	1,7	3,1	5,6	14,3	48		
Снижение уровня звукового давления из-за влияния застройки между источником шума и расчетной точкой													
Снижение уровня звукового давления препятствием слева от трассы ИШ-РТ, Dz2, дБ	z = -0.02м (разность путей)	ф-лы (14-18) [10]	4,7	4,6	4,4	3,9	2,8	0	NAN	NAN	NAN		
* отрицательное значение z означает прохождение траектории вблизи экрана, в этом случае дополнительно производится учёт снижения подстилающей поверхностью (см.ниже)													
Снижение поверхностью земли возле источника As, дБ	Gs = 0 hs = 1м	ф-лы таб.3 [10]	-1,5	-1,5	-1,5	-1,5	-1,5	-1,5	-1,5	-1,5	-1,5		
Снижение поверхностью земли возле приёмника Ar, дБ	Gr = 1 hr = 4.6м	ф-лы таб.3 [10]	-1,5	-1,5	3,5	1,3	0	0	0	0	0		
Снижение поверхностью земли в средней зоне, Am дБ	Gm = 1	ф-лы таб.3 [10]	-2,2	-2,2	0	0	0	0	0	0	0		
Суммарное снижение поверхностью земли на траектории распространения звука Agr, дБ		ф-ла (9) [10]	-5,2	-5,2	2	-0,2	-1,5	-1,5	-1,5	-1,5	-1,5		
Уровни звукового давления прямого звука от источника ИШ-2-7 в расчётной точке днём, дБ		**ф-ла(3)[10]**	**0**	**30**	**24,3**	**27,8**	**29,5**	**30,5**	**24,7**	**11,8**	**0**	**33,1**	**33,1**
Уровни звукового давления прямого звука от источника ИШ-2-7 в расчётной точке ночью, дБ		**ф-ла(3)[10]**	**0**	**30**	**24,3**	**27,8**	**29,5**	**30,5**	**24,7**	**11,8**	**0**	**33,1**	**33,1**
Расчёт отражённого звука													
Уровни звукового давления от мнимого источника ИШ-2-7_мн.(1) в расчётной точке днём, дБ		**ф-ла(3)[10]**	**0**	**0**	**0**	**0**	**0**	**0**	**0**	**9,2**	**0**	**10,2**	**10,2**

1		2	3	4	5	6	7	8	9	10	11	12	13
Уровни звукового давления от мнимого источника ИШ-2-7_мн.(1) в расчётной точке ночью, дБ		**ф-ла(3)[10]**	**0**	**0**	**0**	**0**	**0**	**0**	**0**	**0**	**0**	**10,2**	**10,2**
Уровни звукового давления от источника ИШ-2-7 в расчётной точке днём, дБ		**ф-ла(3)[10]**	**0**	**30**	**24,3**	**27,8**	**29,5**	**30,5**	**24,7**	**13,7**	**0**	**33,1**	**33,1**
Уровни звукового давления от источника ИШ-2-7 в расчётной точке ночью, дБ		**ф-ла(3)[10]**	**0**	**30**	**24,3**	**27,8**	**29,5**	**30,5**	**24,7**	**13,7**	**0**	**33,1**	**33,1**
Источник шума: ИШ-2-8, координаты источника (x,y,z), м =[764.03,106.58,1.00]													
Уровни звуковой мощности источника днём, Lw, дБ		**исходные данные**	**0**	**93,3**	**94,7**	**96**	**96,3**	**95,9**	**92,6**	**88,4**	**83,9**		
Уровни звуковой мощности источника ночью, Lw, дБ		**исходные данные**	**0**	**93,3**	**94,7**	**96**	**96,3**	**95,9**	**92,6**	**88,4**	**83,9**		
Поправка на телесный угол DΩ, дБ	Ω = 6.28	10Lg(4π/Ω)	**3**	3	3	3	3	3	3	3	3		
Показатель направленности источника Di, дБ		исходные данные	**0**	0	0	0	0	0	0	0	0		
Поправка на направленность источника Dc, дБ	Dc	DΩ + Di	**3**	3	3	3	3	3	3	3	3		
Затухание из-за геометрической дивергенции, Adiv, дБ	расстояние = 616.39 м	ф-ла (7) [10]	**66,8**										
Коэффициент затухания звука в атмосфере α, дБ/км	Ta=20,°C Pa=101.33,кПа hотн.=70%	ф-ла (5) [9]	0,02	0,09	0,33	1,12	2,79	4,98	9,04	23,09	77,63		
Учет затухания звука в атмосфере Aatm, дБ		ф-ла (8) [10]	0	0,1	0,2	0,7	1,7	3,1	5,6	14,2	47,9		
Снижение уровня звукового давления из-за влияния застройки между источником шума и расчетной точкой													
Снижение уровня звукового давления препятствием слева от трассы ИШ-РТ, Dz2, дБ	z = 0.00м (разность путей)	ф-лы (14-18) [10]	4,8	4,7	4,7	4,6	4,4	4,1	3,2	0,7	NAN		
* отрицательное значение z означает прохождение траектории вблизи экрана, в этом случае дополнительно производится учёт снижения подстилающей поверхностью (см.ниже)													
Снижение поверхностью земли возле источника As, дБ	Gs = 0 hs = 1м	ф-лы таб.3 [10]	-1,5	-1,5	-1,5	-1,5	-1,5	-1,5	-1,5	-1,5	-1,5		
Снижение поверхностью земли возле приёмника Ar, дБ	Gr = 1 hr = 4.6м	ф-лы таб.3 [10]	-1,5	-1,5	3,5	1,3	0	0	0	0	0		

1		2	3	4	5	6	7	8	9	10	11	12	13
Снижение поверхностью земли в средней зоне, Am дБ	Gm = 1	ф-лы таб.3 [10]	-2,2	-2,2	0	0	0	0	0	0	0		
Суммарное снижение поверхностью земли на траектории распространения звука Agr, дБ		ф-ла (9) [10]	-5,2	-5,2	2	-0,2	-1,5	-1,5	-1,5	-1,5	-1,5		
Уровни звукового давления от источника ИШ-2-8 в расчётной точке днём, дБ		**ф-ла(3)[10]**	**0**	**29,9**	**24**	**27,1**	**27,8**	**26,5**	**21,5**	**11,1**	**0**	**30,1**	**30,1**
Уровни звукового давления от источника ИШ-2-8 в расчётной точке ночью, дБ		**ф-ла(3)[10]**	**0**	**29,9**	**24**	**27,1**	**27,8**	**26,5**	**21,5**	**11,1**	**0**	**30,1**	**30,1**
Источник шума: ИШ-2-9, координаты источника (x,y,z), м =[763.26,103.71,1.00]													
Уровни звуковой мощности источника днём, Lw, дБ		**исходные данные**	**0**	**93,3**	**94,7**	**96**	**96,3**	**95,9**	**92,6**	**88,4**	**83,9**		
Уровни звуковой мощности источника ночью, Lw, дБ		**исходные данные**	**0**	**93,3**	**94,7**	**96**	**96,3**	**95,9**	**92,6**	**88,4**	**83,9**		
Поправка на телесный угол DΩ, дБ	Ω = 6.28	10Lg(4π/Ω)	**3**	3	3	3	3	3	3	3	3		
Показатель направленности источника Di, дБ		исходные данные	**0**	0	0	0	0	0	0	0	0		
Поправка на направленность источника Dc, дБ	Dc	DΩ + Di	**3**	3	3	3	3	3	3	3	3		
Затухание из-за геометрической дивергенции, Adiv, дБ	расстояние = 614.33 м	ф-ла (7) [10]	**66,8**										
Коэффициент затухания звука в атмосфере α, дБ/км	Ta=20,°C Pa=101.33,кПа hотн.=70%	ф-ла (5) [9]	0,02	0,09	0,33	1,12	2,79	4,98	9,04	23,09	77,63		
Учет затухания звука в атмосфере Aatm, дБ		ф-ла (8) [10]	0	0,1	0,2	0,7	1,7	3,1	5,6	14,2	47,7		
Снижение уровня звукового давления из-за влияния застройки между источником шума и расчетной точкой													
Снижение уровня звукового давления на пути над экраном, Dz1, дБ	z = 0.07м (разность путей)	ф-лы (14-18) [10]	4,8	4,8	4,8	4,8	4,8	4,8	4,8	4,8	4,8		
Снижение уровня звукового давления на пути слева от экрана, Dz2, дБ	z = 13.74м (разность путей)	ф-лы (14-18) [10]	17,3	20,2	23,1	26,1	29,1	32,1	35,1	38,1	41,1		

1		2	3	4	5	6	7	8	9	10	11	12	13
Снижение уровня звукового давления на пути справа от экрана, Dz3, дБ	z = 0.00м (разность путей)	ф-лы (14-18) [10]	4,8	4,8	4,8	4,8	4,8	4,8	4,8	4,9	5		
Общее снижение уровня звука препятствием Dz, дБ		Эн.сумма(-Dzi)	1,6	1,7	1,7	1,7	1,8	1,8	1,8	1,8	1,9		
Уровни звукового давления от источника ИШ-2-9 в расчётной точке днём, дБ		**ф-ла(3)[10]**	**0**	**27,8**	**29**	**29,8**	**29**	**27,3**	**21,5**	**8,6**	**0**	**31**	**31**
Уровни звукового давления от источника ИШ-2-9 в расчётной точке ночью, дБ		**ф-ла(3)[10]**	**0**	**27,8**	**29**	**29,8**	**29**	**27,3**	**21,5**	**8,6**	**0**	**31**	**31**
Источник шума: ИШ-2-10, координаты источника (x,y,z), м =[762.14,100.75,1.00]													
Уровни звуковой мощности источника днём, Lw, дБ		**исходные данные**	**0**	**93,3**	**94,7**	**96**	**96,3**	**95,9**	**92,6**	**88,4**	**83,9**		
Уровни звуковой мощности источника ночью, Lw, дБ		**исходные данные**	**0**	**93,3**	**94,7**	**96**	**96,3**	**95,9**	**92,6**	**88,4**	**83,9**		
Поправка на телесный угол DΩ, дБ	Ω = 6.28	10Lg(4π/Ω)	**3**	3	3	3	3	3	3	3	3		
Показатель направленности источника Di, дБ		исходные данные	**0**	0	0	0	0	0	0	0	0		
Поправка на направленность источника Dc, дБ	Dc	DΩ + Di	**3**	3	3	3	3	3	3	3	3		
Затухание из-за геометрической дивергенции, Adiv, дБ	расстояние = 611.92 м	ф-ла (7) [10]	**66,7**										
Коэффициент затухания звука в атмосфере α, дБ/км	Ta=20,°C Pa=101.33,кПа hотн.=70%	ф-ла (5) [9]	0,02	0,09	0,33	1,12	2,79	4,98	9,04	23,09	77,63		
Учет затухания звука в атмосфере Aatm, дБ		ф-ла (8) [10]	0	0,1	0,2	0,7	1,7	3	5,5	14,1	47,5		
Снижение уровня звукового давления из-за влияния застройки между источником шума и расчетной точкой													
Снижение уровня звукового давления на пути над экраном, Dz1, дБ	z = 0.07м (разность путей)	ф-лы (14-18) [10]	4,8	4,8	4,8	4,8	4,8	4,8	4,8	4,8	4,8		
Снижение уровня звукового давления на пути слева от экрана, Dz2, дБ	z = 13.30м (разность путей)	ф-лы (14-18) [10]	17,2	20,1	23	26	29	32	35	38	41		

1		2	3	4	5	6	7	8	9	10	11	12	13
Снижение уровня звукового давления на пути справа от экрана, Dz3, дБ	z = 0.01м (разность путей)	ф-лы (14-18) [10]	4,8	4,8	4,9	5,1	5,3	5,9	6,7	8,1	9,9		
Общее снижение уровня звука препятствием Dz, дБ		Эн.сумма(-Dzi)	1,7	1,7	1,8	1,9	2	2,3	2,6	3,1	3,6		
Уровни звукового давления от источника ИШ-2-10 в расчётной точке днём, дБ		**ф-ла(3)[10]**	**0**	**27,8**	**29**	**29,7**	**28,8**	**26,8**	**20,7**	**7,4**	**0**	**30,6**	**30,6**
Уровни звукового давления от источника ИШ-2-10 в расчётной точке ночью, дБ		**ф-ла(3)[10]**	**0**	**27,8**	**29**	**29,7**	**28,8**	**26,8**	**20,7**	**7,4**	**0**	**30,6**	**30,6**
Источник шума: ИШ-2-11, координаты источника (x,y,z), м =[761.13,97.90,1.00]													
Уровни звуковой мощности источника днём, Lw, дБ		**исходные данные**	**0**	**93,3**	**94,7**	**96**	**96,3**	**95,9**	**92,6**	**88,4**	**83,9**		
Уровни звуковой мощности источника ночью, Lw, дБ		**исходные данные**	**0**	**93,3**	**94,7**	**96**	**96,3**	**95,9**	**92,6**	**88,4**	**83,9**		
Поправка на телесный угол DΩ, дБ	Ω = 6.28	10Lg(4π/Ω)	**3**	3	3	3	3	3	3	3	3		
Показатель направленности источника Di, дБ		исходные данные	**0**	0	0	0	0	0	0	0	0		
Поправка на направленность источника Dc, дБ	Dc	DΩ + Di	**3**	3	3	3	3	3	3	3	3		
Затухание из-за геометрической дивергенции, Adiv, дБ	расстояние = 609.67 м	ф-ла (7) [10]	**66,7**										
Коэффициент затухания звука в атмосфере α, дБ/км	Ta=20,°C Pa=101.33,кПа hотн.=70%	ф-ла (5) [9]	0,02	0,09	0,33	1,12	2,79	4,98	9,04	23,09	77,63		
Учет затухания звука в атмосфере Aatm, дБ		ф-ла (8) [10]	0	0,1	0,2	0,7	1,7	3	5,5	14,1	47,3		
Снижение уровня звукового давления из-за влияния застройки между источником шума и расчетной точкой													
Снижение уровня звукового давления на пути над экраном, Dz1, дБ	z = 0.07м (разность путей)	ф-лы (14-18) [10]	4,8	4,8	4,8	4,8	4,8	4,8	4,8	4,8	4,8		
Снижение уровня звукового давления на пути слева от экрана, Dz2, дБ	z = 12.87м (разность путей)	ф-лы (14-18) [10]	17	19,9	22,8	25,8	28,8	31,8	34,8	37,8	40,8		

1		2	3	4	5	6	7	8	9	10	11	12	13
Снижение уровня звукового давления на пути справа от экрана, Dz3, дБ	z = 0.02м (разность путей)	ф-лы (14-18) [10]	4,9	5	5,3	5,7	6,5	7,7	9,4	11,6	14,2		
Общее снижение уровня звука препятствием Dz, дБ		Эн.сумма(-Dzi)	1,7	1,8	2	2,2	2,5	3	3,5	4	4,3		
Уровни звукового давления от источника ИШ-2-11 в расчётной точке днём, дБ		**ф-ла(3)[10]**	**0**	**27,7**	**28,8**	**29,4**	**28,4**	**26,2**	**19,9**	**6,6**	**0**	**30,1**	**30,1**
Уровни звукового давления от источника ИШ-2-11 в расчётной точке ночью, дБ		**ф-ла(3)[10]**	**0**	**27,7**	**28,8**	**29,4**	**28,4**	**26,2**	**19,9**	**6,6**	**0**	**30,1**	**30,1**
Источник шума: ИШ-2-12, координаты источника (x,y,z), м =[760.25,95.02,1.00]													
Уровни звуковой мощности источника днём, Lw, дБ		**исходные данные**	**0**	**93,3**	**94,7**	**96**	**96,3**	**95,9**	**92,6**	**88,4**	**83,9**		
Уровни звуковой мощности источника ночью, Lw, дБ		**исходные данные**	**0**	**93,3**	**94,7**	**96**	**96,3**	**95,9**	**92,6**	**88,4**	**83,9**		
Поправка на телесный угол DΩ, дБ	Ω = 6.28	10Lg(4π/Ω)	**3**	3	3	3	3	3	3	3	3		
Показатель направленности источника Di, дБ		исходные данные	**0**	0	0	0	0	0	0	0	0		
Поправка на направленность источника Dc, дБ	Dc	DΩ + Di	**3**	3	3	3	3	3	3	3	3		
Затухание из-за геометрической дивергенции, Adiv, дБ	расстояние = 607.53 м	ф-ла (7) [10]	**66,7**										
Коэффициент затухания звука в атмосфере α, дБ/км	Ta=20,°C Pa=101.33,кПа hотн.=70%	ф-ла (5) [9]	0,02	0,09	0,33	1,12	2,79	4,98	9,04	23,09	77,63		
Учет затухания звука в атмосфере Aatm, дБ		ф-ла (8) [10]	0	0,1	0,2	0,7	1,7	3	5,5	14	47,2		
Снижение уровня звукового давления из-за влияния застройки между источником шума и расчетной точкой													
Снижение уровня звукового давления на пути над экраном, Dz1, дБ	z = 0.07м (разность путей)	ф-лы (14-18) [10]	4,8	4,8	4,8	4,8	4,8	4,8	4,8	4,8	4,8		
Снижение уровня звукового давления на пути слева от экрана, Dz2, дБ	z = 12.41м (разность путей)	ф-лы (14-18) [10]	16,9	19,8	22,7	25,7	28,7	31,7	34,7	37,7	40,7		

1		2	3	4	5	6	7	8	9	10	11	12	13
Снижение уровня звукового давления на пути справа от экрана, Dz3, дБ	z = 0.05м (разность путей)	ф-лы (14-18) [10]	5,1	5,3	5,8	6,6	7,9	9,7	12	14,6	17,3		
Общее снижение уровня звука препятствием Dz, дБ		Эн.сумма(-Dzi)	1,8	2	2,2	2,6	3	3,6	4	4,3	4,6		
Уровни звукового давления от источника ИШ-2-12 в расчётной точке днём, дБ		**ф-ла(3)[10]**	**0**	**27,6**	**28,6**	**29,1**	**27,9**	**25,6**	**19,4**	**6,3**	**0**	**29,6**	**29,6**
Уровни звукового давления от источника ИШ-2-12 в расчётной точке ночью, дБ		**ф-ла(3)[10]**	**0**	**27,6**	**28,6**	**29,1**	**27,9**	**25,6**	**19,4**	**6,3**	**0**	**29,6**	**29,6**
Источник шума: ИШ-2-13, координаты источника (x,y,z), м =[759.28,92.25,1.00]													
Уровни звуковой мощности источника днём, Lw, дБ		**исходные данные**	**0**	**93,3**	**94,7**	**96**	**96,3**	**95,9**	**92,6**	**88,4**	**83,9**		
Уровни звуковой мощности источника ночью, Lw, дБ		**исходные данные**	**0**	**93,3**	**94,7**	**96**	**96,3**	**95,9**	**92,6**	**88,4**	**83,9**		
Поправка на телесный угол DΩ, дБ	Ω = 6.28	10Lg(4π/Ω)	**3**	3	3	3	3	3	3	3	3		
Показатель направленности источника Di, дБ		исходные данные	**0**	0	0	0	0	0	0	0	0		
Поправка на направленность источника Dc, дБ	Dc	DΩ + Di	**3**	3	3	3	3	3	3	3	3		
Затухание из-за геометрической дивергенции, Adiv, дБ	расстояние = 605.37 м	ф-ла (7) [10]	**66,6**										
Коэффициент затухания звука в атмосфере α, дБ/км	Ta=20,°C Pa=101.33,кПа hотн.=70%	ф-ла (5) [9]	0,02	0,09	0,33	1,12	2,79	4,98	9,04	23,09	77,63		
Учет затухания звука в атмосфере Aatm, дБ		ф-ла (8) [10]	0	0,1	0,2	0,7	1,7	3	5,5	14	47		
Снижение уровня звукового давления из-за влияния застройки между источником шума и расчетной точкой													
Снижение уровня звукового давления на пути над экраном, Dz1, дБ	z = 0.08м (разность путей)	ф-лы (14-18) [10]	4,8	4,8	4,8	4,8	4,8	4,8	4,8	4,8	4,8		
Снижение уровня звукового давления на пути слева от экрана, Dz2, дБ	z = 12.00м (разность путей)	ф-лы (14-18) [10]	16,8	19,6	22,5	25,5	28,5	31,5	34,5	37,5	40,5		

1		2	3	4	5	6	7	8	9	10	11	12	13
Снижение уровня звукового давления на пути справа от экрана, Dz3, дБ	z = 0.09м (разность путей)	ф-лы (14-18) [10]	5,2	5,7	6,4	7,6	9,3	11,4	14	16,7	19,6		
Общее снижение уровня звука препятствием Dz, дБ		Эн.сумма(-Dzi)	1,8	2,1	2,5	2,9	3,4	3,9	4,3	4,5	4,7		
Уровни звукового давления от источника ИШ-2-13 в расчётной точке днём, дБ		**ф-ла(3)[10]**	**0**	**27,5**	**28,4**	**28,8**	**27,5**	**25,3**	**19,2**	**6,3**	**0**	**29,3**	**29,3**
Уровни звукового давления от источника ИШ-2-13 в расчётной точке ночью, дБ		**ф-ла(3)[10]**	**0**	**27,5**	**28,4**	**28,8**	**27,5**	**25,3**	**19,2**	**6,3**	**0**	**29,3**	**29,3**
Источник шума: ИШ-2-14, координаты источника (x,y,z), м =[751.62,69.73,1.00]													
Уровни звуковой мощности источника днём, Lw, дБ		**исходные данные**	**0**	**93,3**	**94,7**	**96**	**96,3**	**95,9**	**92,6**	**88,4**	**83,9**		
Уровни звуковой мощности источника ночью, Lw, дБ		**исходные данные**	**0**	**93,3**	**94,7**	**96**	**96,3**	**95,9**	**92,6**	**88,4**	**83,9**		
Поправка на телесный угол DΩ, дБ	Ω = 6.28	10Lg(4π/Ω)	**3**	3	3	3	3	3	3	3	3		
Показатель направленности источника Di, дБ		исходные данные	**0**	0	0	0	0	0	0	0	0		
Поправка на направленность источника Dc, дБ	Dc	DΩ + Di	**3**	3	3	3	3	3	3	3	3		
Затухание из-за геометрической дивергенции, Adiv, дБ	расстояние = 588.23 м	ф-ла (7) [10]	**66,4**										
Коэффициент затухания звука в атмосфере α, дБ/км	Ta=20,°C Pa=101.33,кПа hотн.=70%	ф-ла (5) [9]	0,02	0,09	0,33	1,12	2,79	4,98	9,04	23,09	77,63		
Учет затухания звука в атмосфере Aatm, дБ		ф-ла (8) [10]	0	0,1	0,2	0,7	1,6	2,9	5,3	13,6	45,7		
Снижение уровня звукового давления из-за влияния застройки между источником шума и расчетной точкой													
Снижение уровня звукового давления на пути над экраном, Dz1, дБ	z = 0.08м (разность путей)	ф-лы (14-18) [10]	4,8	4,8	4,8	4,8	4,8	4,8	4,8	4,8	4,8		
Снижение уровня звукового давления на пути слева от экрана, Dz2, дБ	z = 8.64м (разность путей)	ф-лы (14-18) [10]	15,4	18,3	21,1	24,1	27,1	30,1	33,1	36,1	39,1		

1		2	3	4	5	6	7	8	9	10	11	12	13
Снижение уровня звукового давления на пути справа от экрана, Dz3, дБ	z = 0.86м (разность путей)	ф-лы (14-18) [10]	7,9	9,7	12	14,5	17,3	20,2	23,1	26,1	29,1		
Общее снижение уровня звука препятствием Dz, дБ		Эн.сумма(-Dzi)	2,8	3,4	3,9	4,3	4,5	4,6	4,7	4,8	4,8		
Уровни звукового давления от источника ИШ-2-14 в расчётной точке днём, дБ		**ф-ла(3)[10]**	**0**	**26,4**	**27,2**	**27,6**	**26,7**	**24,9**	**19,2**	**6,6**	**0**	**28,7**	**28,7**
Уровни звукового давления от источника ИШ-2-14 в расчётной точке ночью, дБ		**ф-ла(3)[10]**	**0**	**26,4**	**27,2**	**27,6**	**26,7**	**24,9**	**19,2**	**6,6**	**0**	**28,7**	**28,7**
Источник шума: ИШ-2-15, координаты источника (x,y,z), м =[750.74,66.89,1.00]													
Уровни звуковой мощности источника днём, Lw, дБ		**исходные данные**	**0**	**93,3**	**94,7**	**96**	**96,3**	**95,9**	**92,6**	**88,4**	**83,9**		
Уровни звуковой мощности источника ночью, Lw, дБ		**исходные данные**	**0**	**93,3**	**94,7**	**96**	**96,3**	**95,9**	**92,6**	**88,4**	**83,9**		
Поправка на телесный угол DΩ, дБ	Ω = 6.28	10Lg(4π/Ω)	**3**	3	3	3	3	3	3	3	3		
Показатель направленности источника Di, дБ		исходные данные	**0**	0	0	0	0	0	0	0	0		
Поправка на направленность источника Dc, дБ	Dc	DΩ + Di	**3**	3	3	3	3	3	3	3	3		
Затухание из-за геометрической дивергенции, Adiv, дБ	расстояние = 586.19 м	ф-ла (7) [10]	**66,4**										
Коэффициент затухания звука в атмосфере α, дБ/км	Ta=20,°C Pa=101.33,кПа hотн.=70%	ф-ла (5) [9]	0,02	0,09	0,33	1,12	2,79	4,98	9,04	23,09	77,63		
Учет затухания звука в атмосфере Aatm, дБ		ф-ла (8) [10]	0	0,1	0,2	0,7	1,6	2,9	5,3	13,5	45,5		
Снижение уровня звукового давления из-за влияния застройки между источником шума и расчетной точкой													
Снижение уровня звукового давления на пути над экраном, Dz1, дБ	z = 0.08м (разность путей)	ф-лы (14-18) [10]	4,8	4,8	4,8	4,8	4,8	4,8	4,8	4,8	4,8		
Снижение уровня звукового давления на пути слева от экрана, Dz2, дБ	z = 8.22м (разность путей)	ф-лы (14-18) [10]	15,2	18,1	20,9	23,9	26,9	29,9	32,9	35,9	38,9		

1		2	3	4	5	6	7	8	9	10	11	12	13
Снижение уровня звукового давления на пути справа от экрана, Dz3, дБ	z = 1.03м (разность путей)	ф-лы (14-18) [10]	8,3	10,3	12,6	15,2	18	20,9	23,9	26,9	29,9		
Общее снижение уровня звука препятствием Dz, дБ		Эн.сумма(-Dzi)	2,9	3,5	4	4,3	4,5	4,7	4,7	4,8	4,8		
Уровни звукового давления от источника ИШ-2-15 в расчётной точке днём, дБ		**ф-ла(3)[10]**	**0**	**26,3**	**27,1**	**27,6**	**26,7**	**25**	**19,2**	**6,7**	**0**	**28,7**	**28,7**
Уровни звукового давления от источника ИШ-2-15 в расчётной точке ночью, дБ		**ф-ла(3)[10]**	**0**	**26,3**	**27,1**	**27,6**	**26,7**	**25**	**19,2**	**6,7**	**0**	**28,7**	**28,7**
Источник шума: ИШ-2-16, координаты источника (x,y,z), м =[749.73,64.02,1.00]													
Уровни звуковой мощности источника днём, Lw, дБ		**исходные данные**	**0**	**93,3**	**94,7**	**96**	**96,3**	**95,9**	**92,6**	**88,4**	**83,9**		
Уровни звуковой мощности источника ночью, Lw, дБ		**исходные данные**	**0**	**93,3**	**94,7**	**96**	**96,3**	**95,9**	**92,6**	**88,4**	**83,9**		
Поправка на телесный угол DΩ, дБ	Ω = 6.28	10Lg(4π/Ω)	**3**	3	3	3	3	3	3	3	3		
Показатель направленности источника Di, дБ		исходные данные	**0**	0	0	0	0	0	0	0	0		
Поправка на направленность источника Dc, дБ	Dc	DΩ + Di	**3**	3	3	3	3	3	3	3	3		
Затухание из-за геометрической дивергенции, Adiv, дБ	расстояние = 584.01 м	ф-ла (7) [10]	**66,3**										
Коэффициент затухания звука в атмосфере α, дБ/км	Ta=20,°C Pa=101.33,кПа hотн.=70%	ф-ла (5) [9]	0,02	0,09	0,33	1,12	2,79	4,98	9,04	23,09	77,63		
Учет затухания звука в атмосфере Aatm, дБ		ф-ла (8) [10]	0	0,1	0,2	0,7	1,6	2,9	5,3	13,5	45,3		
Снижение уровня звукового давления из-за влияния застройки между источником шума и расчетной точкой													
Снижение уровня звукового давления на пути над экраном, Dz1, дБ	z = 0.08м (разность путей)	ф-лы (14-18) [10]	4,8	4,8	4,8	4,8	4,8	4,8	4,8	4,8	4,9		
Снижение уровня звукового давления на пути слева от экрана, Dz2, дБ	z = 7.82м (разность путей)	ф-лы (14-18) [10]	15	17,8	20,7	23,7	26,7	29,7	32,7	35,7	38,7		

1		2	3	4	5	6	7	8	9	10	11	12	13
Снижение уровня звукового давления на пути справа от экрана, Dz3, дБ	z = 1.20м (разность путей)	ф-лы (14-18) [10]	8,7	10,8	13,2	15,8	18,7	21,6	24,6	27,6	30,6		
Общее снижение уровня звука препятствием Dz, дБ		Эн.сумма(-Dzi)	3	3,6	4,1	4,4	4,6	4,7	4,7	4,8	4,8		
Уровни звукового давления от источника ИШ-2-16 в расчётной точке днём, дБ		**ф-ла(3)[10]**	**0**	**26,3**	**27,1**	**27,6**	**26,8**	**25**	**19,2**	**6,8**	**0**	**28,8**	**28,8**
Уровни звукового давления от источника ИШ-2-16 в расчётной точке ночью, дБ		**ф-ла(3)[10]**	**0**	**26,3**	**27,1**	**27,6**	**26,8**	**25**	**19,2**	**6,8**	**0**	**28,8**	**28,8**
Источник шума: ИШ-2-17, координаты источника (x,y,z), м =[748.87,61.06,1.00]													
Уровни звуковой мощности источника днём, Lw, дБ		**исходные данные**	**0**	**93,3**	**94,7**	**96**	**96,3**	**95,9**	**92,6**	**88,4**	**83,9**		
Уровни звуковой мощности источника ночью, Lw, дБ		**исходные данные**	**0**	**93,3**	**94,7**	**96**	**96,3**	**95,9**	**92,6**	**88,4**	**83,9**		
Поправка на телесный угол DΩ, дБ	Ω = 6.28	10Lg(4π/Ω)	**3**	3	3	3	3	3	3	3	3		
Показатель направленности источника Di, дБ		исходные данные	**0**	0	0	0	0	0	0	0	0		
Поправка на направленность источника Dc, дБ	Dc	DΩ + Di	**3**	3	3	3	3	3	3	3	3		
Затухание из-за геометрической дивергенции, Adiv, дБ	расстояние = 581.95 м	ф-ла (7) [10]	**66,3**										
Коэффициент затухания звука в атмосфере α, дБ/км	Ta=20,°C Pa=101.33,кПа hотн.=70%	ф-ла (5) [9]	0,02	0,09	0,33	1,12	2,79	4,98	9,04	23,09	77,63		
Учет затухания звука в атмосфере Aatm, дБ		ф-ла (8) [10]	0	0,1	0,2	0,7	1,6	2,9	5,3	13,4	45,2		
Снижение уровня звукового давления из-за влияния застройки между источником шума и расчетной точкой													
Снижение уровня звукового давления на пути над экраном, Dz1, дБ	z = 0.08м (разность путей)	ф-лы (14-18) [10]	4,8	4,8	4,8	4,8	4,8	4,8	4,8	4,8	4,9		
Снижение уровня звукового давления на пути слева от экрана, Dz2, дБ	z = 7.38м (разность путей)	ф-лы (14-18) [10]	14,8	17,6	20,5	23,4	26,4	29,4	32,4	35,4	38,4		

1		2	3	4	5	6	7	8	9	10	11	12	13
Снижение уровня звукового давления на пути справа от экрана, Dz3, дБ	z = 1.41м (разность путей)	ф-лы (14-18) [10]	9,2	11,3	13,8	16,5	19,4	22,3	25,3	28,3	31,3		
Общее снижение уровня звука препятствием Dz, дБ		Эн.сумма(-Dzi)	3,1	3,7	4,2	4,4	4,6	4,7	4,7	4,8	4,8		
Уровни звукового давления от источника ИШ-2-17 в расчётной точке днём, дБ		**ф-ла(3)[10]**	**0**	**26,2**	**27**	**27,6**	**26,8**	**25**	**19,3**	**6,9**	**0**	**28,8**	**28,8**
Уровни звукового давления от источника ИШ-2-17 в расчётной точке ночью, дБ		**ф-ла(3)[10]**	**0**	**26,2**	**27**	**27,6**	**26,8**	**25**	**19,3**	**6,9**	**0**	**28,8**	**28,8**
Источник шума: ИШ-2-18, координаты источника (x,y,z), м =[747.72,58.17,1.00]													
Уровни звуковой мощности источника днём, Lw, дБ		**исходные данные**	**0**	**93,3**	**94,7**	**96**	**96,3**	**95,9**	**92,6**	**88,4**	**83,9**		
Уровни звуковой мощности источника ночью, Lw, дБ		**исходные данные**	**0**	**93,3**	**94,7**	**96**	**96,3**	**95,9**	**92,6**	**88,4**	**83,9**		
Поправка на телесный угол DΩ, дБ	Ω = 6.28	10Lg(4π/Ω)	**3**	3	3	3	3	3	3	3	3		
Показатель направленности источника Di, дБ		исходные данные	**0**	0	0	0	0	0	0	0	0		
Поправка на направленность источника Dc, дБ	Dc	DΩ + Di	**3**	3	3	3	3	3	3	3	3		
Затухание из-за геометрической дивергенции, Adiv, дБ	расстояние = 579.65 м	ф-ла (7) [10]	**66,3**										
Коэффициент затухания звука в атмосфере α, дБ/км	Ta=20,°C Pa=101.33,кПа hотн.=70%	ф-ла (5) [9]	0,02	0,09	0,33	1,12	2,79	4,98	9,04	23,09	77,63		
Учет затухания звука в атмосфере Aatm, дБ		ф-ла (8) [10]	0	0,1	0,2	0,7	1,6	2,9	5,2	13,4	45		
Снижение уровня звукового давления из-за влияния застройки между источником шума и расчетной точкой													
Снижение уровня звукового давления на пути над экраном, Dz1, дБ	z = 0.08м (разность путей)	ф-лы (14-18) [10]	4,8	4,8	4,8	4,8	4,8	4,8	4,8	4,8	4,9		
Снижение уровня звукового давления на пути слева от экрана, Dz2, дБ	z = 7.00м (разность путей)	ф-лы (14-18) [10]	14,6	17,4	20,3	23,2	26,2	29,2	32,2	35,2	38,2		

1		2	3	4	5	6	7	8	9	10	11	12	13
Снижение уровня звукового давления на пути справа от экрана, Dz3, дБ	z = 1.62м (разность путей)	ф-лы (14-18) [10]	9,6	11,8	14,3	17,1	19,9	22,9	25,9	28,8	31,9		
Общее снижение уровня звука препятствием Dz, дБ		Эн.сумма(-Dzi)	3,2	3,8	4,2	4,5	4,6	4,7	4,8	4,8	4,9		
Уровни звукового давления от источника ИШ-2-18 в расчётной точке днём, дБ		**ф-ла(3)[10]**	**0**	**26,2**	**27**	**27,6**	**26,8**	**25**	**19,3**	**6,9**	**0**	**28,8**	**28,8**
Уровни звукового давления от источника ИШ-2-18 в расчётной точке ночью, дБ		**ф-ла(3)[10]**	**0**	**26,2**	**27**	**27,6**	**26,8**	**25**	**19,3**	**6,9**	**0**	**28,8**	**28,8**
Источник шума: ИШ-2-19, координаты источника (x,y,z), м =[746.80,55.25,1.00]													
Уровни звуковой мощности источника днём, Lw, дБ		**исходные данные**	**0**	**93,3**	**94,7**	**96**	**96,3**	**95,9**	**92,6**	**88,4**	**83,9**		
Уровни звуковой мощности источника ночью, Lw, дБ		**исходные данные**	**0**	**93,3**	**94,7**	**96**	**96,3**	**95,9**	**92,6**	**88,4**	**83,9**		
Поправка на телесный угол DΩ, дБ	Ω = 6.28	10Lg(4π/Ω)	**3**	3	3	3	3	3	3	3	3		
Показатель направленности источника Di, дБ		исходные данные	**0**	0	0	0	0	0	0	0	0		
Поправка на направленность источника Dc, дБ	Dc	DΩ + Di	**3**	3	3	3	3	3	3	3	3		
Затухание из-за геометрической дивергенции, Adiv, дБ	расстояние = 577.57 м	ф-ла (7) [10]	**66,2**										
Коэффициент затухания звука в атмосфере α, дБ/км	Ta=20,°C Pa=101.33,кПа hотн.=70%	ф-ла (5) [9]	0,02	0,09	0,33	1,12	2,79	4,98	9,04	23,09	77,63		
Учет затухания звука в атмосфере Aatm, дБ		ф-ла (8) [10]	0	0,1	0,2	0,6	1,6	2,9	5,2	13,3	44,8		
Снижение уровня звукового давления из-за влияния застройки между источником шума и расчетной точкой													
Снижение уровня звукового давления на пути над экраном, Dz1, дБ	z = 0.08м (разность путей)	ф-лы (14-18) [10]	4,8	4,8	4,8	4,8	4,8	4,8	4,8	4,8	4,9		
Снижение уровня звукового давления на пути слева от экрана, Dz2, дБ	z = 6.59м (разность путей)	ф-лы (14-18) [10]	14,4	17,1	20	22,9	25,9	28,9	31,9	34,9	37,9		

1		2	3	4	5	6	7	8	9	10	11	12	13
Снижение уровня звукового давления на пути справа от экрана, Dz3, дБ	z = 1.87м (разность путей)	ф-лы (14-18) [10]	10	12,3	14,8	17,6	20,5	23,5	26,5	29,4	32,5		
Общее снижение уровня звука препятствием Dz, дБ		Эн.сумма(-Dzi)	3,3	3,9	4,2	4,5	4,6	4,7	4,8	4,8	4,9		
Уровни звукового давления от источника ИШ-2-19 в расчётной точке днём, дБ		**ф-ла(3)[10]**	**0**	**26,2**	**27**	**27,6**	**26,8**	**25,1**	**19,4**	**7**	**0**	**28,8**	**28,8**
Уровни звукового давления от источника ИШ-2-19 в расчётной точке ночью, дБ		**ф-ла(3)[10]**	**0**	**26,2**	**27**	**27,6**	**26,8**	**25,1**	**19,4**	**7**	**0**	**28,8**	**28,8**
Источник шума: ИШ-2-20, координаты источника (x,y,z), м =[745.71,52.44,1.00]													
Уровни звуковой мощности источника днём, Lw, дБ		**исходные данные**	**0**	**93,3**	**94,7**	**96**	**96,3**	**95,9**	**92,6**	**88,4**	**83,9**		
Уровни звуковой мощности источника ночью, Lw, дБ		**исходные данные**	**0**	**93,3**	**94,7**	**96**	**96,3**	**95,9**	**92,6**	**88,4**	**83,9**		
Поправка на телесный угол DΩ, дБ	Ω = 6.28	10Lg(4π/Ω)	**3**	3	3	3	3	3	3	3	3		
Показатель направленности источника Di, дБ		исходные данные	**0**	0	0	0	0	0	0	0	0		
Поправка на направленность источника Dc, дБ	Dc	DΩ + Di	**3**	3	3	3	3	3	3	3	3		
Затухание из-за геометрической дивергенции, Adiv, дБ	расстояние = 575.38 м	ф-ла (7) [10]	**66,2**										
Коэффициент затухания звука в атмосфере α, дБ/км	Ta=20,°C Pa=101.33,кПа hотн.=70%	ф-ла (5) [9]	0,02	0,09	0,33	1,12	2,79	4,98	9,04	23,09	77,63		
Учет затухания звука в атмосфере Aatm, дБ		ф-ла (8) [10]	0	0,1	0,2	0,6	1,6	2,9	5,2	13,3	44,7		
Снижение уровня звукового давления из-за влияния застройки между источником шума и расчетной точкой													
Снижение уровня звукового давления на пути над экраном, Dz1, дБ	z = 0.08м (разность путей)	ф-лы (14-18) [10]	4,8	4,8	4,8	4,8	4,8	4,8	4,8	4,8	4,9		
Снижение уровня звукового давления на пути слева от экрана, Dz2, дБ	z = 6.22м (разность путей)	ф-лы (14-18) [10]	14,2	16,9	19,8	22,7	25,7	28,7	31,7	34,7	37,7		

1		2	3	4	5	6	7	8	9	10	11	12	13
Снижение уровня звукового давления на пути справа от экрана, Dz3, дБ	z = 2.11м (разность путей)	ф-лы (14-18) [10]	10,3	12,7	15,3	18,1	21	24	27	30	33		
Общее снижение уровня звука препятствием Dz, дБ		Эн.сумма(-Dzi)	3,3	3,9	4,3	4,5	4,6	4,7	4,8	4,8	4,9		
Уровни звукового давления от источника ИШ-2-20 в расчётной точке днём, дБ		**ф-ла(3)[10]**	**0**	**26,1**	**27**	**27,6**	**26,8**	**25,1**	**19,4**	**7,1**	**0**	**28,9**	**28,9**
Уровни звукового давления от источника ИШ-2-20 в расчётной точке ночью, дБ		**ф-ла(3)[10]**	**0**	**26,1**	**27**	**27,6**	**26,8**	**25,1**	**19,4**	**7,1**	**0**	**28,9**	**28,9**
Источник шума: ИШ-2-21, координаты источника (x,y,z), м =[744.89,49.62,1.00]													
Уровни звуковой мощности источника днём, Lw, дБ		**исходные данные**	**0**	**93,3**	**94,7**	**96**	**96,3**	**95,9**	**92,6**	**88,4**	**83,9**		
Уровни звуковой мощности источника ночью, Lw, дБ		**исходные данные**	**0**	**93,3**	**94,7**	**96**	**96,3**	**95,9**	**92,6**	**88,4**	**83,9**		
Поправка на телесный угол DΩ, дБ	Ω = 6.28	10Lg(4π/Ω)	**3**	3	3	3	3	3	3	3	3		
Показатель направленности источника Di, дБ		исходные данные	**0**	0	0	0	0	0	0	0	0		
Поправка на направленность источника Dc, дБ	Dc	DΩ + Di	**3**	3	3	3	3	3	3	3	3		
Затухание из-за геометрической дивергенции, Adiv, дБ	расстояние = 573.44 м	ф-ла (7) [10]	**66,2**										
Коэффициент затухания звука в атмосфере α, дБ/км	Ta=20,°C Pa=101.33,кПа hотн.=70%	ф-ла (5) [9]	0,02	0,09	0,33	1,12	2,79	4,98	9,04	23,09	77,63		
Учет затухания звука в атмосфере Aatm, дБ		ф-ла (8) [10]	0	0,1	0,2	0,6	1,6	2,9	5,2	13,2	44,5		
Снижение уровня звукового давления из-за влияния застройки между источником шума и расчетной точкой													
Снижение уровня звукового давления на пути над экраном, Dz1, дБ	z = 0.14м (разность путей)	ф-лы (14-18) [10]	4,8	4,8	4,8	4,8	4,8	4,9	5,1	5,4	6		
Снижение уровня звукового давления на пути слева от экрана, Dz2, дБ	z = 5.83м (разность путей)	ф-лы (14-18) [10]	13,9	16,6	19,5	22,4	25,4	28,4	31,4	34,4	37,4		

1		2	3	4	5	6	7	8	9	10	11	12	13
Снижение уровня звукового давления на пути справа от экрана, Dz3, дБ	z = 2.38м (разность путей)	ф-лы (14-18) [10]	10,7	13,1	15,8	18,6	21,6	24,5	27,5	30,5	33,5		
Общее снижение уровня звука препятствием Dz, дБ		Эн.сумма(-Dzi)	3,4	3,9	4,3	4,5	4,7	4,8	5	5,4	6		
Уровни звукового давления от источника ИШ-2-21 в расчётной точке днём, дБ		**ф-ла(3)[10]**	**0**	**26,1**	**27**	**27,6**	**26,8**	**25**	**19,2**	**6,6**	**0**	**28,8**	**28,8**
Уровни звукового давления от источника ИШ-2-21 в расчётной точке ночью, дБ		**ф-ла(3)[10]**	**0**	**26,1**	**27**	**27,6**	**26,8**	**25**	**19,2**	**6,6**	**0**	**28,8**	**28,8**
Источник шума: ИШ-2-22, координаты источника (x,y,z), м =[737.40,27.07,1.00]													
Уровни звуковой мощности источника днём, Lw, дБ		**исходные данные**	**0**	**93,3**	**94,7**	**96**	**96,3**	**95,9**	**92,6**	**88,4**	**83,9**		
Уровни звуковой мощности источника ночью, Lw, дБ		**исходные данные**	**0**	**93,3**	**94,7**	**96**	**96,3**	**95,9**	**92,6**	**88,4**	**83,9**		
Поправка на телесный угол DΩ, дБ	Ω = 6.28	10Lg(4π/Ω)	**3**	3	3	3	3	3	3	3	3		
Показатель направленности источника Di, дБ		исходные данные	**0**	0	0	0	0	0	0	0	0		
Поправка на направленность источника Dc, дБ	Dc	DΩ + Di	**3**	3	3	3	3	3	3	3	3		
Затухание из-за геометрической дивергенции, Adiv, дБ	расстояние = 557.38 м	ф-ла (7) [10]	**65,9**										
Коэффициент затухания звука в атмосфере α, дБ/км	Ta=20,°C Pa=101.33,кПа hотн.=70%	ф-ла (5) [9]	0,02	0,09	0,33	1,12	2,79	4,98	9,04	23,09	77,63		
Учет затухания звука в атмосфере Aatm, дБ		ф-ла (8) [10]	0	0	0,2	0,6	1,6	2,8	5	12,9	43,3		
Снижение уровня звукового давления из-за влияния застройки между источником шума и расчетной точкой													
Снижение уровня звукового давления на пути над экраном, Dz1, дБ	z = 0.16м (разность путей)	ф-лы (14-18) [10]	4,8	4,8	4,8	4,9	5	5,2	5,6	6,2	7,3		
Снижение уровня звукового давления на пути слева от экрана, Dz2, дБ	z = 3.09м (разность путей)	ф-лы (14-18) [10]	11,6	14,1	16,8	19,7	22,7	25,6	28,6	31,6	34,6		

1		2	3	4	5	6	7	8	9	10	11	12	13
Снижение уровня звукового давления на пути справа от экрана, Dz3, дБ	z = 5.29м (разность путей)	ф-лы (14-18) [10]	13,5	16,3	19,1	22	25	28	31	34	37		
Общее снижение уровня звука препятствием Dz, дБ		Эн.сумма(-Dzi)	3,5	4	4,4	4,6	4,9	5,1	5,5	6,2	7,3		
Уровни звукового давления от источника ИШ-2-22 в расчётной точке днём, дБ		**ф-ла(3)[10]**	**0**	**26,3**	**27,2**	**27,8**	**27**	**25,1**	**19,1**	**6,4**	**0**	**28,9**	**28,9**
Уровни звукового давления от источника ИШ-2-22 в расчётной точке ночью, дБ		**ф-ла(3)[10]**	**0**	**26,3**	**27,2**	**27,8**	**27**	**25,1**	**19,1**	**6,4**	**0**	**28,9**	**28,9**
Источник шума: ИШ-2-23, координаты источника (x,y,z), м =[736.46,24.18,1.00]													
Уровни звуковой мощности источника днём, Lw, дБ		**исходные данные**	**0**	**93,3**	**94,7**	**96**	**96,3**	**95,9**	**92,6**	**88,4**	**83,9**		
Уровни звуковой мощности источника ночью, Lw, дБ		**исходные данные**	**0**	**93,3**	**94,7**	**96**	**96,3**	**95,9**	**92,6**	**88,4**	**83,9**		
Поправка на телесный угол DΩ, дБ	Ω = 6.28	10Lg(4π/Ω)	**3**	3	3	3	3	3	3	3	3		
Показатель направленности источника Di, дБ		исходные данные	**0**	0	0	0	0	0	0	0	0		
Поправка на направленность источника Dc, дБ	Dc	DΩ + Di	**3**	3	3	3	3	3	3	3	3		
Затухание из-за геометрической дивергенции, Adiv, дБ	расстояние = 555.39 м	ф-ла (7) [10]	**65,9**										
Коэффициент затухания звука в атмосфере α, дБ/км	Ta=20,°C Pa=101.33,кПа hотн.=70%	ф-ла (5) [9]	0,02	0,09	0,33	1,12	2,79	4,98	9,04	23,09	77,63		
Учет затухания звука в атмосфере Aatm, дБ		ф-ла (8) [10]	0	0	0,2	0,6	1,6	2,8	5	12,8	43,1		
Снижение уровня звукового давления из-за влияния застройки между источником шума и расчетной точкой													
Снижение уровня звукового давления на пути над экраном, Dz1, дБ	z = 0.16м (разность путей)	ф-лы (14-18) [10]	4,8	4,8	4,8	4,9	5	5,2	5,6	6,3	7,4		
Снижение уровня звукового давления на пути слева от экрана, Dz2, дБ	z = 2.77м (разность путей)	ф-лы (14-18) [10]	11,2	13,7	16,4	19,3	22,2	25,2	28,2	31,2	34,2		

1		2	3	4	5	6	7	8	9	10	11	12	13
Снижение уровня звукового давления на пути справа от экрана, Dz3, дБ	z = 5.77м (разность путей)	ф-лы (14-18) [10]	13,9	16,6	19,4	22,4	25,3	28,3	31,3	34,3	37,4		
Общее снижение уровня звука препятствием Dz, дБ		Эн.сумма(-Dzi)	3,5	4	4,4	4,6	4,9	5,1	5,6	6,3	7,4		
Уровни звукового давления от источника ИШ-2-23 в расчётной точке днём, дБ		**ф-ла(3)[10]**	**0**	**26,3**	**27,2**	**27,8**	**27**	**25,1**	**19,1**	**6,4**	**0**	**28,9**	**28,9**
Уровни звукового давления от источника ИШ-2-23 в расчётной точке ночью, дБ		**ф-ла(3)[10]**	**0**	**26,3**	**27,2**	**27,8**	**27**	**25,1**	**19,1**	**6,4**	**0**	**28,9**	**28,9**
Источник шума: ИШ-2-24, координаты источника (x,y,z), м =[735.45,21.21,1.00]													
Уровни звуковой мощности источника днём, Lw, дБ		**исходные данные**	**0**	**93,3**	**94,7**	**96**	**96,3**	**95,9**	**92,6**	**88,4**	**83,9**		
Уровни звуковой мощности источника ночью, Lw, дБ		**исходные данные**	**0**	**93,3**	**94,7**	**96**	**96,3**	**95,9**	**92,6**	**88,4**	**83,9**		
Поправка на телесный угол DΩ, дБ	Ω = 6.28	10Lg(4π/Ω)	**3**	3	3	3	3	3	3	3	3		
Показатель направленности источника Di, дБ		исходные данные	**0**	0	0	0	0	0	0	0	0		
Поправка на направленность источника Dc, дБ	Dc	DΩ + Di	**3**	3	3	3	3	3	3	3	3		
Затухание из-за геометрической дивергенции, Adiv, дБ	расстояние = 553.30 м	ф-ла (7) [10]	**65,9**										
Коэффициент затухания звука в атмосфере α, дБ/км	Ta=20,°C Pa=101.33,кПа hотн.=70%	ф-ла (5) [9]	0,02	0,09	0,33	1,12	2,79	4,98	9,04	23,09	77,63		
Учет затухания звука в атмосфере Aatm, дБ		ф-ла (8) [10]	0	0	0,2	0,6	1,5	2,8	5	12,8	43		
Снижение уровня звукового давления из-за влияния застройки между источником шума и расчетной точкой													
Снижение уровня звукового давления на пути над экраном, Dz1, дБ	z = 0.16м (разность путей)	ф-лы (14-18) [10]	4,8	4,8	4,8	4,9	5	5,2	5,6	6,3	7,5		
Снижение уровня звукового давления на пути слева от экрана, Dz2, дБ	z = 2.47м (разность путей)	ф-лы (14-18) [10]	10,8	13,3	15,9	18,8	21,7	24,7	27,7	30,7	33,7		

1		2	3	4	5	6	7	8	9	10	11	12	13
Снижение уровня звукового давления на пути справа от экрана, Dz3, дБ	z = 6.29м (разность путей)	ф-лы (14-18) [10]	14,2	17	19,8	22,7	25,7	28,7	31,7	34,7	37,7		
Общее снижение уровня звука препятствием Dz, дБ		Эн.сумма(-Dzi)	3,4	4	4,4	4,6	4,9	5,1	5,6	6,3	7,5		
Уровни звукового давления от источника ИШ-2-24 в расчётной точке днём, дБ		**ф-ла(3)[10]**	**0**	**26,4**	**27,3**	**27,9**	**27**	**25,1**	**19,1**	**6,4**	**0**	**28,9**	**28,9**
Уровни звукового давления от источника ИШ-2-24 в расчётной точке ночью, дБ		**ф-ла(3)[10]**	**0**	**26,4**	**27,3**	**27,9**	**27**	**25,1**	**19,1**	**6,4**	**0**	**28,9**	**28,9**
Источник шума: ИШ-2-25, координаты источника (x,y,z), м =[734.58,18.32,1.00]													
Уровни звуковой мощности источника днём, Lw, дБ		**исходные данные**	**0**	**93,3**	**94,7**	**96**	**96,3**	**95,9**	**92,6**	**88,4**	**83,9**		
Уровни звуковой мощности источника ночью, Lw, дБ		**исходные данные**	**0**	**93,3**	**94,7**	**96**	**96,3**	**95,9**	**92,6**	**88,4**	**83,9**		
Поправка на телесный угол DΩ, дБ	Ω = 6.28	10Lg(4π/Ω)	**3**	3	3	3	3	3	3	3	3		
Показатель направленности источника Di, дБ		исходные данные	**0**	0	0	0	0	0	0	0	0		
Поправка на направленность источника Dc, дБ	Dc	DΩ + Di	**3**	3	3	3	3	3	3	3	3		
Затухание из-за геометрической дивергенции, Adiv, дБ	расстояние = 551.39 м	ф-ла (7) [10]	**65,8**										
Коэффициент затухания звука в атмосфере α, дБ/км	Ta=20,°C Pa=101.33,кПа hотн.=70%	ф-ла (5) [9]	0,02	0,09	0,33	1,12	2,79	4,98	9,04	23,09	77,63		
Учет затухания звука в атмосфере Aatm, дБ		ф-ла (8) [10]	0	0	0,2	0,6	1,5	2,7	5	12,7	42,8		
Снижение уровня звукового давления из-за влияния застройки между источником шума и расчетной точкой													
Снижение уровня звукового давления на пути над экраном, Dz1, дБ	z = 0.16м (разность путей)	ф-лы (14-18) [10]	4,8	4,8	4,8	4,9	5	5,2	5,7	6,4	7,6		
Снижение уровня звукового давления на пути слева от экрана, Dz2, дБ	z = 2.18м (разность путей)	ф-лы (14-18) [10]	10,4	12,8	15,4	18,3	21,2	24,1	27,1	30,1	33,1		

1		2	3	4	5	6	7	8	9	10	11	12	13
Снижение уровня звукового давления на пути справа от экрана, Dz3, дБ	z = 6.83м (разность путей)	ф-лы (14-18) [10]	14,5	17,3	20,1	23,1	26,1	29,1	32,1	35,1	38,1		
Общее снижение уровня звука препятствием Dz, дБ		Эн.сумма(-Dzi)	3,4	3,9	4,3	4,6	4,9	5,2	5,6	6,4	7,6		
Уровни звукового давления от источника ИШ-2-25 в расчётной точке днём, дБ		**ф-ла(3)[10]**	**0**	**26,5**	**27,3**	**27,9**	**27,1**	**25,2**	**19,2**	**6,5**	**0**	**29**	**29**
Уровни звукового давления от источника ИШ-2-25 в расчётной точке ночью, дБ		**ф-ла(3)[10]**	**0**	**26,5**	**27,3**	**27,9**	**27,1**	**25,2**	**19,2**	**6,5**	**0**	**29**	**29**
Источник шума: ИШ-2-26, координаты источника (x,y,z), м =[733.57,15.41,1.00]													
Уровни звуковой мощности источника днём, Lw, дБ		**исходные данные**	**0**	**93,3**	**94,7**	**96**	**96,3**	**95,9**	**92,6**	**88,4**	**83,9**		
Уровни звуковой мощности источника ночью, Lw, дБ		**исходные данные**	**0**	**93,3**	**94,7**	**96**	**96,3**	**95,9**	**92,6**	**88,4**	**83,9**		
Поправка на телесный угол DΩ, дБ	Ω = 6.28	10Lg(4π/Ω)	**3**	3	3	3	3	3	3	3	3		
Показатель направленности источника Di, дБ		исходные данные	**0**	0	0	0	0	0	0	0	0		
Поправка на направленность источника Dc, дБ	Dc	DΩ + Di	**3**	3	3	3	3	3	3	3	3		
Затухание из-за геометрической дивергенции, Adiv, дБ	расстояние = 549.34 м	ф-ла (7) [10]	**65,8**										
Коэффициент затухания звука в атмосфере α, дБ/км	Ta=20,°C Pa=101.33,кПа hотн.=70%	ф-ла (5) [9]	0,02	0,09	0,33	1,12	2,79	4,98	9,04	23,09	77,63		
Учет затухания звука в атмосфере Aatm, дБ		ф-ла (8) [10]	0	0	0,2	0,6	1,5	2,7	5	12,7	42,6		
Снижение уровня звукового давления из-за влияния застройки между источником шума и расчетной точкой													
Снижение уровня звукового давления на пути над экраном, Dz1, дБ	z = 0.16м (разность путей)	ф-лы (14-18) [10]	4,8	4,8	4,8	4,9	5	5,2	5,7	6,5	7,7		
Снижение уровня звукового давления на пути слева от экрана, Dz2, дБ	z = 1.91м (разность путей)	ф-лы (14-18) [10]	10	12,3	14,9	17,7	20,6	23,6	26,6	29,5	32,6		

1		2	3	4	5	6	7	8	9	10	11	12	13
Снижение уровня звукового давления на пути справа от экрана, Dz3, дБ	z = 7.40м (разность путей)	ф-лы (14-18) [10]	14,8	17,6	20,5	23,4	26,4	29,4	32,4	35,4	38,4		
Общее снижение уровня звука препятствием Dz, дБ		Эн.сумма(-Dzi)	3,3	3,9	4,3	4,6	4,9	5,2	5,6	6,4	7,6		
Уровни звукового давления от источника ИШ-2-26 в расчётной точке днём, дБ		**ф-ла(3)[10]**	**0**	**26,6**	**27,4**	**28**	**27,1**	**25,2**	**19,2**	**6,5**	**0**	**29**	**29**
Уровни звукового давления от источника ИШ-2-26 в расчётной точке ночью, дБ		**ф-ла(3)[10]**	**0**	**26,6**	**27,4**	**28**	**27,1**	**25,2**	**19,2**	**6,5**	**0**	**29**	**29**
Источник шума: ИШ-2-27, координаты источника (x,y,z), м =[732.43,12.66,1.00]													
Уровни звуковой мощности источника днём, Lw, дБ		**исходные данные**	**0**	**93,3**	**94,7**	**96**	**96,3**	**95,9**	**92,6**	**88,4**	**83,9**		
Уровни звуковой мощности источника ночью, Lw, дБ		**исходные данные**	**0**	**93,3**	**94,7**	**96**	**96,3**	**95,9**	**92,6**	**88,4**	**83,9**		
Поправка на телесный угол DΩ, дБ	Ω = 6.28	10Lg(4π/Ω)	**3**	3	3	3	3	3	3	3	3		
Показатель направленности источника Di, дБ		исходные данные	**0**	0	0	0	0	0	0	0	0		
Поправка на направленность источника Dc, дБ	Dc	DΩ + Di	**3**	3	3	3	3	3	3	3	3		
Затухание из-за геометрической дивергенции, Adiv, дБ	расстояние = 547.25 м	ф-ла (7) [10]	**65,8**										
Коэффициент затухания звука в атмосфере α, дБ/км	Ta=20,°C Pa=101.33,кПа hотн.=70%	ф-ла (5) [9]	0,02	0,09	0,33	1,12	2,79	4,98	9,04	23,09	77,63		
Учет затухания звука в атмосфере Aatm, дБ		ф-ла (8) [10]	0	0	0,2	0,6	1,5	2,7	4,9	12,6	42,5		
Снижение уровня звукового давления из-за влияния застройки между источником шума и расчетной точкой													
Снижение уровня звукового давления на пути над экраном, Dz1, дБ	z = 0.16м (разность путей)	ф-лы (14-18) [10]	4,8	4,8	4,8	4,9	5	5,3	5,7	6,5	7,8		
Снижение уровня звукового давления на пути слева от экрана, Dz2, дБ	z = 1.68м (разность путей)	ф-лы (14-18) [10]	9,6	11,9	14,4	17,2	20,1	23	26	29	32		

1		2	3	4	5	6	7	8	9	10	11	12	13
Снижение уровня звукового давления на пути справа от экрана, Dz3, дБ	z = 7.95м (разность путей)	ф-лы (14-18) [10]	15,1	17,9	20,8	23,7	26,7	29,7	32,7	35,7	38,7		
Общее снижение уровня звука препятствием Dz, дБ		Эн.сумма(-Dzi)	3,3	3,8	4,3	4,6	4,9	5,2	5,7	6,5	7,8		
Уровни звукового давления от источника ИШ-2-27 в расчётной точке днём, дБ		**ф-ла(3)[10]**	**0**	**26,6**	**27,5**	**28**	**27,2**	**25,2**	**19,2**	**6,5**	**0**	**29**	**29**
Уровни звукового давления от источника ИШ-2-27 в расчётной точке ночью, дБ		**ф-ла(3)[10]**	**0**	**26,6**	**27,5**	**28**	**27,2**	**25,2**	**19,2**	**6,5**	**0**	**29**	**29**
Источник шума: ИШ-2-28, координаты источника (x,y,z), м =[731.54,9.78,1.00]													
Уровни звуковой мощности источника днём, Lw, дБ		**исходные данные**	**0**	**93,3**	**94,7**	**96**	**96,3**	**95,9**	**92,6**	**88,4**	**83,9**		
Уровни звуковой мощности источника ночью, Lw, дБ		**исходные данные**	**0**	**93,3**	**94,7**	**96**	**96,3**	**95,9**	**92,6**	**88,4**	**83,9**		
Поправка на телесный угол DΩ, дБ	Ω = 6.28	10Lg(4π/Ω)	**3**	3	3	3	3	3	3	3	3		
Показатель направленности источника Di, дБ		исходные данные	**0**	0	0	0	0	0	0	0	0		
Поправка на направленность источника Dc, дБ	Dc	DΩ + Di	**3**	3	3	3	3	3	3	3	3		
Затухание из-за геометрической дивергенции, Adiv, дБ	расстояние = 545.35 м	ф-ла (7) [10]	**65,7**										
Коэффициент затухания звука в атмосфере α, дБ/км	Ta=20,°C Pa=101.33,кПа hотн.=70%	ф-ла (5) [9]	0,02	0,09	0,33	1,12	2,79	4,98	9,04	23,09	77,63		
Учет затухания звука в атмосфере Aatm, дБ		ф-ла (8) [10]	0	0	0,2	0,6	1,5	2,7	4,9	12,6	42,3		
Снижение уровня звукового давления из-за влияния застройки между источником шума и расчетной точкой													
Снижение уровня звукового давления на пути над экраном, Dz1, дБ	z = 0.16м (разность путей)	ф-лы (14-18) [10]	4,8	4,8	4,8	4,9	5	5,3	5,8	6,6	7,8		
Снижение уровня звукового давления на пути слева от экрана, Dz2, дБ	z = 1.43м (разность путей)	ф-лы (14-18) [10]	9,2	11,3	13,8	16,5	19,4	22,3	25,3	28,3	31,3		

1		2	3	4	5	6	7	8	9	10	11	12	13
Снижение уровня звукового давления на пути справа от экрана, Dz3, дБ	z = 8.58м (разность путей)	ф-лы (14-18) [10]	15,4	18,2	21,1	24,1	27,1	30,1	33,1	36,1	39,1		
Общее снижение уровня звука препятствием Dz, дБ		Эн.сумма(-Dzi)	3,2	3,8	4,2	4,5	4,8	5,2	5,7	6,5	7,8		
Уровни звукового давления от источника ИШ-2-28 в расчётной точке днём, дБ		**ф-ла(3)[10]**	**0**	**26,8**	**27,6**	**28,1**	**27,2**	**25,3**	**19,2**	**6,5**	**0**	**29,1**	**29,1**
Уровни звукового давления от источника ИШ-2-28 в расчётной точке ночью, дБ		**ф-ла(3)[10]**	**0**	**26,8**	**27,6**	**28,1**	**27,2**	**25,3**	**19,2**	**6,5**	**0**	**29,1**	**29,1**
Источник шума: ИШ-2-29, координаты источника (x,y,z), м =[730.57,6.88,1.00]													
Уровни звуковой мощности источника днём, Lw, дБ		**исходные данные**	**0**	**93,3**	**94,7**	**96**	**96,3**	**95,9**	**92,6**	**88,4**	**83,9**		
Уровни звуковой мощности источника ночью, Lw, дБ		**исходные данные**	**0**	**93,3**	**94,7**	**96**	**96,3**	**95,9**	**92,6**	**88,4**	**83,9**		
Поправка на телесный угол DΩ, дБ	Ω = 6.28	10Lg(4π/Ω)	**3**	3	3	3	3	3	3	3	3		
Показатель направленности источника Di, дБ		исходные данные	**0**	0	0	0	0	0	0	0	0		
Поправка на направленность источника Dc, дБ	Dc	DΩ + Di	**3**	3	3	3	3	3	3	3	3		
Затухание из-за геометрической дивергенции, Adiv, дБ	расстояние = 543.39 м	ф-ла (7) [10]	**65,7**										
Коэффициент затухания звука в атмосфере α, дБ/км	Ta=20,°C Pa=101.33,кПа hотн.=70%	ф-ла (5) [9]	0,02	0,09	0,33	1,12	2,79	4,98	9,04	23,09	77,63		
Учет затухания звука в атмосфере Aatm, дБ		ф-ла (8) [10]	0	0	0,2	0,6	1,5	2,7	4,9	12,5	42,2		
Снижение уровня звукового давления из-за влияния застройки между источником шума и расчетной точкой													
Снижение уровня звукового давления на пути над экраном, Dz1, дБ	z = 0.16м (разность путей)	ф-лы (14-18) [10]	4,8	4,8	4,8	4,9	5	5,3	5,8	6,6	7,9		
Снижение уровня звукового давления на пути слева от экрана, Dz2, дБ	z = 1.20м (разность путей)	ф-лы (14-18) [10]	8,7	10,8	13,2	15,8	18,7	21,6	24,6	27,5	30,5		

1		2	3	4	5	6	7	8	9	10	11	12	13
Снижение уровня звукового давления на пути справа от экрана, Dz3, дБ	z = 9.23м (разность путей)	ф-лы (14-18) [10]	15,7	18,5	21,4	24,4	27,4	30,4	33,4	36,4	39,4		
Общее снижение уровня звука препятствием Dz, дБ		Эн.сумма(-Dzi)	3,1	3,7	4,1	4,5	4,8	5,2	5,7	6,6	7,9		
Уровни звукового давления от источника ИШ-2-29 в расчётной точке днём, дБ		**ф-ла(3)[10]**	**0**	**26,9**	**27,7**	**28,2**	**27,3**	**25,3**	**19,2**	**6,6**	**0**	**29,1**	**29,1**
Уровни звукового давления от источника ИШ-2-29 в расчётной точке ночью, дБ		**ф-ла(3)[10]**	**0**	**26,9**	**27,7**	**28,2**	**27,3**	**25,3**	**19,2**	**6,6**	**0**	**29,1**	**29,1**
Источник шума: ИШ-2-4, координаты источника (x,y,z), м =[632.70,-65.30,3.00]													
Уровни звуковой мощности источника днём, Lw, дБ		**исходные данные**	**105**	**104**	**104**	**101**	**102**	**106**	**101**	**95**	**87**		
Уровни звуковой мощности источника ночью, Lw, дБ		**исходные данные**	**105**	**104**	**104**	**101**	**102**	**106**	**101**	**95**	**87**		
Поправка на телесный угол DΩ, дБ	Ω = 6.28	10Lg(4π/Ω)	**3**	3	3	3	3	3	3	3	3		
Показатель направленности источника Di, дБ		исходные данные	**0**	0	0	0	0	0	0	0	0		
Поправка на направленность источника Dc, дБ	Dc	DΩ + Di	**3**	3	3	3	3	3	3	3	3		
Затухание из-за геометрической дивергенции, Adiv, дБ	расстояние = 426.97 м	ф-ла (7) [10]	**63,6**										
Коэффициент затухания звука в атмосфере α, дБ/км	Ta=20,°C Pa=101.33,кПа hотн.=70%	ф-ла (5) [9]	0,02	0,09	0,33	1,12	2,79	4,98	9,04	23,09	77,63		
Учет затухания звука в атмосфере Aatm, дБ		ф-ла (8) [10]	0	0	0,1	0,5	1,2	2,1	3,9	9,9	33,1		
Снижение уровня звукового давления из-за влияния застройки между источником шума и расчетной точкой													
Снижение уровня звукового давления на пути над экраном, Dz1, дБ	z = 0.19м (разность путей)	ф-лы (14-18) [10]	4,8	4,8	4,9	5,1	5,7	6,9	8,5	10,5	12,9		
Снижение уровня звукового давления на пути слева от экрана, Dz2, дБ	z = 2.00м (разность путей)	ф-лы (14-18) [10]	10,2	12,5	15,1	17,9	20,8	23,8	26,8	29,7	32,8		

1		2	3	4	5	6	7	8	9	10	11	12	13
Снижение уровня звукового давления на пути справа от экрана, Dz3, дБ	z = 0.05м (разность путей)	ф-лы (14-18) [10]	5,1	5,3	5,8	6,6	7,9	9,8	12	14,6	17,4		
Общее снижение уровня звука препятствием Dz, дБ		Эн.сумма(-Dzi)	1,3	1,7	2,1	2,7	3,6	5	6,8	9	11,6		
Уровни звукового давления от источника ИШ-2-4 в расчётной точке днём, дБ		**ф-ла(3)[10]**	**43,1**	**41,7**	**41,2**	**37,2**	**36,6**	**38,3**	**29,7**	**15,5**	**0**	**40,5**	**40,5**
Уровни звукового давления от источника ИШ-2-4 в расчётной точке ночью, дБ		**ф-ла(3)[10]**	**43,1**	**41,7**	**41,2**	**37,2**	**36,6**	**38,3**	**29,7**	**15,5**	**0**	**40,5**	**40,5**
Источник шума: ИШ-2-30, координаты источника (x,y,z), м =[702.44,-77.23,1.00]													
Уровни звуковой мощности источника днём, Lw, дБ		**исходные данные**	**0**	**93,3**	**94,7**	**96**	**96,3**	**95,9**	**92,6**	**88,4**	**83,9**		
Уровни звуковой мощности источника ночью, Lw, дБ		**исходные данные**	**0**	**93,3**	**94,7**	**96**	**96,3**	**95,9**	**92,6**	**88,4**	**83,9**		
Поправка на телесный угол DΩ, дБ	Ω = 6.28	10Lg(4π/Ω)	**3**	3	3	3	3	3	3	3	3		
Показатель направленности источника Di, дБ		исходные данные	**0**	0	0	0	0	0	0	0	0		
Поправка на направленность источника Dc, дБ	Dc	DΩ + Di	**3**	3	3	3	3	3	3	3	3		
Затухание из-за геометрической дивергенции, Adiv, дБ	расстояние = 491.04 м	ф-ла (7) [10]	**64,8**										
Коэффициент затухания звука в атмосфере α, дБ/км	Ta=20,°C Pa=101.33,кПа hотн.=70%	ф-ла (5) [9]	0,02	0,09	0,33	1,12	2,79	4,98	9,04	23,09	77,63		
Учет затухания звука в атмосфере Aatm, дБ		ф-ла (8) [10]	0	0	0,2	0,6	1,4	2,4	4,4	11,3	38,1		
Снижение уровня звукового давления из-за влияния застройки между источником шума и расчетной точкой													
Снижение уровня звукового давления на пути над экраном, Dz1, дБ	z = 0.22м (разность путей)	ф-лы (14-18) [10]	4,8	4,8	4,9	5	5,5	6,3	7,5	9,2	11,3		
Снижение уровня звукового давления на пути слева от экрана, Dz2, дБ	z = 0.07м (разность путей)	ф-лы (14-18) [10]	5,1	5,4	6	6,9	8,3	10,3	12,6	15,3	18,1		

1		2	3	4	5	6	7	8	9	10	11	12	13
Снижение уровня звукового давления на пути справа от экрана, Dz3, дБ	z = 1.46м (разность путей)	ф-лы (14-18) [10]	9,2	11,4	13,9	16,6	19,5	22,4	25,4	28,4	31,4		
Общее снижение уровня звука препятствием Dz, дБ		Эн.сумма(-Dzi)	1,2	1,6	2,1	2,7	3,6	4,7	6,3	8,2	10,4		
Уровни звукового давления прямого звука от источника ИШ-2-30 в расчётной точке днём, дБ		**ф-ла(3)[10]**	**0**	**29,8**	**30,6**	**30,9**	**29,5**	**26,9**	**20,1**	**7,1**	**0**	**31**	**31**
Уровни звукового давления прямого звука от источника ИШ-2-30 в расчётной точке ночью, дБ		**ф-ла(3)[10]**	**0**	**29,8**	**30,6**	**30,9**	**29,5**	**26,9**	**20,1**	**7,1**	**0**	**31**	**31**
Расчёт отражённого звука													
Уровни звукового давления от мнимого источника ИШ-2-30_мн.(1) в расчётной точке днём, дБ		**ф-ла(3)[10]**	**0**	**0**	**0**	**0**	**0**	**0**	**0**	**0**	**0**	**0**	**0**
Уровни звукового давления от мнимого источника ИШ-2-30_мн.(1) в расчётной точке ночью, дБ		**ф-ла(3)[10]**	**0**	**0**	**0**	**0**	**0**	**0**	**0**	**0**	**0**	**0**	**0**
Уровни звукового давления от источника ИШ-2-30 в расчётной точке днём, дБ		**ф-ла(3)[10]**	**0**	**29,8**	**30,6**	**30,9**	**29,5**	**26,9**	**20,1**	**7,1**	**0**	**31**	**31**
Уровни звукового давления от источника ИШ-2-30 в расчётной точке ночью, дБ		**ф-ла(3)[10]**	**0**	**29,8**	**30,6**	**30,9**	**29,5**	**26,9**	**20,1**	**7,1**	**0**	**31**	**31**
Источник шума: ИШ-2-31, координаты источника (x,y,z), м =[701.42,-80.17,1.00]													
Уровни звуковой мощности источника днём, Lw, дБ		**исходные данные**	**0**	**93,3**	**94,7**	**96**	**96,3**	**95,9**	**92,6**	**88,4**	**83,9**		
Уровни звуковой мощности источника ночью, Lw, дБ		**исходные данные**	**0**	**93,3**	**94,7**	**96**	**96,3**	**95,9**	**92,6**	**88,4**	**83,9**		
Поправка на телесный угол DΩ, дБ	Ω = 6.28	10Lg(4π/Ω)	**3**	3	3	3	3	3	3	3	3		
Показатель направленности источника Di, дБ		исходные данные	**0**	0	0	0	0	0	0	0	0		
Поправка на направленность источника Dc, дБ	Dc	DΩ + Di	**3**	3	3	3	3	3	3	3	3		
Затухание из-за геометрической дивергенции, Adiv, дБ	расстояние = 489.37 м	ф-ла (7) [10]	**64,8**										
Коэффициент затухания звука в атмосфере α, дБ/км	Ta=20,°C Pa=101.33,кПа hотн.=70%	ф-ла (5) [9]	0,02	0,09	0,33	1,12	2,79	4,98	9,04	23,09	77,63		

1		2	3	4	5	6	7	8	9	10	11	12	13
Учет затухания звука в атмосфере Aatm, дБ		ф-ла (8) [10]	0	0	0,2	0,6	1,4	2,4	4,4	11,3	38		
Снижение уровня звукового давления из-за влияния застройки между источником шума и расчетной точкой													
Снижение уровня звукового давления на пути над экраном, Dz1, дБ	z = 0.22м (разность путей)	ф-лы (14-18) [10]	4,8	4,8	4,9	5	5,4	6,2	7,4	9,1	11,3		
Снижение уровня звукового давления на пути слева от экрана, Dz2, дБ	z = 0.03м (разность путей)	ф-лы (14-18) [10]	4,9	5,1	5,3	5,9	6,7	8,1	9,9	12,2	14,8		
Снижение уровня звукового давления на пути справа от экрана, Dz3, дБ	z = 1.67м (разность путей)	ф-лы (14-18) [10]	9,6	11,9	14,4	17,2	20	23	26	29	32		
Общее снижение уровня звука препятствием Dz, дБ		Эн.сумма(-Dzi)	1,2	1,5	1,8	2,2	2,9	4	5,4	7,4	9,7		
Уровни звукового давления прямого звука от источника ИШ-2-31 в расчётной точке днём, дБ		**ф-ла(3)[10]**	**0**	**29,9**	**30,9**	**31,4**	**30,2**	**27,7**	**20,9**	**7,9**	**0**	**31,7**	**31,7**
Уровни звукового давления прямого звука от источника ИШ-2-31 в расчётной точке ночью, дБ		**ф-ла(3)[10]**	**0**	**29,9**	**30,9**	**31,4**	**30,2**	**27,7**	**20,9**	**7,9**	**0**	**31,7**	**31,7**
Расчёт отражённого звука													
Уровни звукового давления от мнимого источника ИШ-2-31_мн.(1) в расчётной точке днём, дБ		**ф-ла(3)[10]**	**0**	**0**	**0**	**0**	**0**	**0**	**0**	**0**	**0**	**0**	**0**
Уровни звукового давления от мнимого источника ИШ-2-31_мн.(1) в расчётной точке ночью, дБ		**ф-ла(3)[10]**	**0**	**0**	**0**	**0**	**0**	**0**	**0**	**0**	**0**	**0**	**0**
Уровни звукового давления от источника ИШ-2-31 в расчётной точке днём, дБ		**ф-ла(3)[10]**	**0**	**29,9**	**30,9**	**31,4**	**30,2**	**27,7**	**20,9**	**7,9**	**0**	**31,7**	**31,7**
Уровни звукового давления от источника ИШ-2-31 в расчётной точке ночью, дБ		**ф-ла(3)[10]**	**0**	**29,9**	**30,9**	**31,4**	**30,2**	**27,7**	**20,9**	**7,9**	**0**	**31,7**	**31,7**
Источник шума: ИШ-2-32, координаты источника (x,y,z), м =[700.38,-83.01,1.00]													
Уровни звуковой мощности источника днём, Lw, дБ		**исходные данные**	**0**	**93,3**	**94,7**	**96**	**96,3**	**95,9**	**92,6**	**88,4**	**83,9**		
Уровни звуковой мощности источника ночью, Lw, дБ		**исходные данные**	**0**	**93,3**	**94,7**	**96**	**96,3**	**95,9**	**92,6**	**88,4**	**83,9**		
Поправка на телесный угол DΩ, дБ	Ω = 6.28	10Lg(4π/Ω)	**3**	3	3	3	3	3	3	3	3		

1		2	3	4	5	6	7	8	9	10	11	12	13
Показатель направленности источника Di, дБ		исходные данные	**0**	0	0	0	0	0	0	0	0		
Поправка на направленность источника Dc, дБ	Dc	DΩ + Di	**3**	3	3	3	3	3	3	3	3		
Затухание из-за геометрической дивергенции, Adiv, дБ	расстояние = 487.71 м	ф-ла (7) [10]	**64,8**										
Коэффициент затухания звука в атмосфере α, дБ/км	Ta=20,°C Pa=101.33,кПа hотн.=70%	ф-ла (5) [9]	0,02	0,09	0,33	1,12	2,79	4,98	9,04	23,09	77,63		
Учет затухания звука в атмосфере Aatm, дБ		ф-ла (8) [10]	0	0	0,2	0,5	1,4	2,4	4,4	11,3	37,9		
Снижение уровня звукового давления из-за влияния застройки между источником шума и расчетной точкой													
Снижение уровня звукового давления на пути над экраном, Dz1, дБ	z = 0.22м (разность путей)	ф-лы (14-18) [10]	4,8	4,8	4,9	4,9	5,2	5,9	7,2	9,1	11,3		
Снижение уровня звукового давления на пути слева от экрана, Dz2, дБ	z = 0.01м (разность путей)	ф-лы (14-18) [10]	4,8	4,9	4,9	5,1	5,4	5,9	6,8	8,2	10,1		
Снижение уровня звукового давления на пути справа от экрана, Dz3, дБ	z = 1.88м (разность путей)	ф-лы (14-18) [10]	10	12,3	14,9	17,7	20,6	23,5	26,5	29,5	32,5		
Общее снижение уровня звука препятствием Dz, дБ		Эн.сумма(-Dzi)	1,2	1,4	1,7	1,9	2,2	2,9	4	5,6	7,6		
Уровни звукового давления прямого звука от источника ИШ-2-32 в расчётной точке днём, дБ		**ф-ла(3)[10]**	**0**	**30**	**31,1**	**31,8**	**31**	**28,8**	**22,4**	**9,8**	**0**	**32,7**	**32,7**
Уровни звукового давления прямого звука от источника ИШ-2-32 в расчётной точке ночью, дБ		**ф-ла(3)[10]**	**0**	**30**	**31,1**	**31,8**	**31**	**28,8**	**22,4**	**9,8**	**0**	**32,7**	**32,7**
Расчёт отражённого звука													
Уровни звукового давления от мнимого источника ИШ-2-32_мн.(1) в расчётной точке днём, дБ		**ф-ла(3)[10]**	**0**	**0**	**0**	**0**	**0**	**0**	**0**	**0**	**0**	**0**	**0**
Уровни звукового давления от мнимого источника ИШ-2-32_мн.(1) в расчётной точке ночью, дБ		**ф-ла(3)[10]**	**0**	**0**	**0**	**0**	**0**	**0**	**0**	**0**	**0**	**0**	**0**
Уровни звукового давления от мнимого источника ИШ-2-32_мн.(2) в расчётной точке днём, дБ		**ф-ла(3)[10]**	**0**	**0**	**0**	**23,5**	**23,3**	**28,6**	**25,4**	**14,3**	**0**	**31,3**	**31,3**
Уровни звукового давления от мнимого источника ИШ-2-32_мн.(2) в расчётной точке ночью, дБ		**ф-ла(3)[10]**	**0**	**0**	**0**	**0**	**0**	**0**	**0**	**0**	**0**	**31,3**	**31,3**

1		2	3	4	5	6	7	8	9	10	11	12	13
Суммарные уровни звукового давления от мнимых источников в расчётной точке днём, дБ		**ф-ла (19) [1]**	**0**	**0**	**0**	**23,5**	**23,3**	**28,6**	**25,4**	**14,3**	**0**	**0**	**31,3**
Суммарные уровни звукового давления от мнимых источников в расчётной точке ночью, дБ		**ф-ла (19) [1]**	**0**	**0**	**0**	**23,5**	**23,3**	**28,6**	**25,4**	**14,3**	**0**	**0**	**31,3**
Уровни звукового давления от источника ИШ-2-32 в расчётной точке днём, дБ		**ф-ла(3)[10]**	**0**	**30**	**31,1**	**32,4**	**31,6**	**31,8**	**27,2**	**15,6**	**0**	**35,1**	**35,1**
Уровни звукового давления от источника ИШ-2-32 в расчётной точке ночью, дБ		**ф-ла(3)[10]**	**0**	**30**	**31,1**	**32,4**	**31,6**	**31,8**	**27,2**	**15,6**	**0**	**35,1**	**35,1**
Источник шума: ИШ-2-33, координаты источника (x,y,z), м =[699.52,-85.98,1.00]													
Уровни звуковой мощности источника днём, Lw, дБ		**исходные данные**	**0**	**93,3**	**94,7**	**96**	**96,3**	**95,9**	**92,6**	**88,4**	**83,9**		
Уровни звуковой мощности источника ночью, Lw, дБ		**исходные данные**	**0**	**93,3**	**94,7**	**96**	**96,3**	**95,9**	**92,6**	**88,4**	**83,9**		
Поправка на телесный угол DΩ, дБ	Ω = 6.28	10Lg(4π/Ω)	**3**	3	3	3	3	3	3	3	3		
Показатель направленности источника Di, дБ		исходные данные	**0**	0	0	0	0	0	0	0	0		
Поправка на направленность источника Dc, дБ	Dc	DΩ + Di	**3**	3	3	3	3	3	3	3	3		
Затухание из-за геометрической дивергенции, Adiv, дБ	расстояние = 486.21 м	ф-ла (7) [10]	**64,7**										
Коэффициент затухания звука в атмосфере α, дБ/км	Ta=20,°C Pa=101.33,кПа hотн.=70%	ф-ла (5) [9]	0,02	0,09	0,33	1,12	2,79	4,98	9,04	23,09	77,63		
Учет затухания звука в атмосфере Aatm, дБ		ф-ла (8) [10]	0	0	0,2	0,5	1,4	2,4	4,4	11,2	37,7		
Снижение поверхностью земли возле источника As, дБ	Gs = 0 hs = 1м	ф-лы таб.3 [10]	-1,5	-1,5	-1,5	-1,5	-1,5	-1,5	-1,5	-1,5	-1,5		
Снижение поверхностью земли возле приёмника Ar, дБ	Gr = 1 hr = 4.6м	ф-лы таб.3 [10]	-1,5	-1,5	3,4	1,3	0	0	0	0	0		
Снижение поверхностью земли в средней зоне, Am дБ	Gm = 1	ф-лы таб.3 [10]	-2	-2	0	0	0	0	0	0	0		

1		2	3	4	5	6	7	8	9	10	11	12	13
Суммарное снижение поверхностью земли на траектории распространения звука Agr, дБ		ф-ла (9) [10]	-5	-5	1,9	-0,2	-1,5	-1,5	-1,5	-1,5	-1,5		
Уровни звукового давления прямого звука от источника ИШ-2-33 в расчётной точке днём, дБ		**ф-ла(3)[10]**	**0**	**36,5**	**30,9**	**33,9**	**34,7**	**33,2**	**28**	**16,9**	**0**	**36,8**	**36,8**
Уровни звукового давления прямого звука от источника ИШ-2-33 в расчётной точке ночью, дБ		**ф-ла(3)[10]**	**0**	**36,5**	**30,9**	**33,9**	**34,7**	**33,2**	**28**	**16,9**	**0**	**36,8**	**36,8**
Расчёт отражённого звука													
Уровни звукового давления от мнимого источника ИШ-2-33_мн.(1) в расчётной точке днём, дБ		**ф-ла(3)[10]**	**0**	**0**	**0**	**0**	**0**	**0**	**0**	**0**	**0**	**0**	**0**
Уровни звукового давления от мнимого источника ИШ-2-33_мн.(1) в расчётной точке ночью, дБ		**ф-ла(3)[10]**	**0**	**0**	**0**	**0**	**0**	**0**	**0**	**0**	**0**	**0**	**0**
Уровни звукового давления от мнимого источника ИШ-2-33_мн.(2) в расчётной точке днём, дБ		**ф-ла(3)[10]**	**0**	**0**	**0**	**23,6**	**23,3**	**28,7**	**25,4**	**14,4**	**0**	**31,4**	**31,4**
Уровни звукового давления от мнимого источника ИШ-2-33_мн.(2) в расчётной точке ночью, дБ		**ф-ла(3)[10]**	**0**	**0**	**0**	**0**	**0**	**0**	**0**	**0**	**0**	**31,4**	**31,4**
Суммарные уровни звукового давления от мнимых источников в расчётной точке днём, дБ		**ф-ла (19) [1]**	**0**	**0**	**0**	**23,6**	**23,3**	**28,7**	**25,4**	**14,4**	**0**	**0**	**31,4**
Суммарные уровни звукового давления от мнимых источников в расчётной точке ночью, дБ		**ф-ла (19) [1]**	**0**	**0**	**0**	**23,6**	**23,3**	**28,7**	**25,4**	**14,4**	**0**	**0**	**31,4**
Уровни звукового давления от источника ИШ-2-33 в расчётной точке днём, дБ		**ф-ла(3)[10]**	**0**	**36,5**	**30,9**	**34,3**	**35**	**34,5**	**29,9**	**18,8**	**0**	**37,9**	**37,9**
Уровни звукового давления от источника ИШ-2-33 в расчётной точке ночью, дБ		**ф-ла(3)[10]**	**0**	**36,5**	**30,9**	**34,3**	**35**	**34,5**	**29,9**	**18,8**	**0**	**37,9**	**37,9**
Источник шума: ИШ-2-34, координаты источника (x,y,z), м =[698.43,-88.85,1.00]													
Уровни звуковой мощности источника днём, Lw, дБ		**исходные данные**	**0**	**93,3**	**94,7**	**96**	**96,3**	**95,9**	**92,6**	**88,4**	**83,9**		
Уровни звуковой мощности источника ночью, Lw, дБ		**исходные данные**	**0**	**93,3**	**94,7**	**96**	**96,3**	**95,9**	**92,6**	**88,4**	**83,9**		
Поправка на телесный угол DΩ, дБ	Ω = 6.28	10Lg(4π/Ω)	**3**	3	3	3	3	3	3	3	3		
Показатель направленности источника Di, дБ		исходные данные	**0**	0	0	0	0	0	0	0	0		

1		2	3	4	5	6	7	8	9	10	11	12	13
Поправка на направленность источника Dc, дБ	Dc	DΩ + Di	**3**	3	3	3	3	3	3	3	3		
Затухание из-за геометрической дивергенции, Adiv, дБ	расстояние = 484.53 м	ф-ла (7) [10]	**64,7**										
Коэффициент затухания звука в атмосфере α, дБ/км	Ta=20,°C Pa=101.33,кПа hотн.=70%	ф-ла (5) [9]	0,02	0,09	0,33	1,12	2,79	4,98	9,04	23,09	77,63		
Учет затухания звука в атмосфере Aatm, дБ		ф-ла (8) [10]	0	0	0,2	0,5	1,4	2,4	4,4	11,2	37,6		
Снижение поверхностью земли возле источника As, дБ	Gs = 0 hs = 1м	ф-лы таб.3 [10]	-1,5	-1,5	-1,5	-1,5	-1,5	-1,5	-1,5	-1,5	-1,5		
Снижение поверхностью земли возле приёмника Ar, дБ	Gr = 1 hr = 4.6м	ф-лы таб.3 [10]	-1,5	-1,5	3,4	1,3	0	0	0	0	0		
Снижение поверхностью земли в средней зоне, Am дБ	Gm = 1	ф-лы таб.3 [10]	-2	-2	0	0	0	0	0	0	0		
Суммарное снижение поверхностью земли на траектории распространения звука Agr, дБ		ф-ла (9) [10]	-5	-5	1,9	-0,2	-1,5	-1,5	-1,5	-1,5	-1,5		
Уровни звукового давления прямого звука от источника ИШ-2-34 в расчётной точке днём, дБ		**ф-ла(3)[10]**	**0**	**36,5**	**31**	**34**	**34,7**	**33,3**	**28**	**17**	**0**	**36,8**	**36,8**
Уровни звукового давления прямого звука от источника ИШ-2-34 в расчётной точке ночью, дБ		**ф-ла(3)[10]**	**0**	**36,5**	**31**	**34**	**34,7**	**33,3**	**28**	**17**	**0**	**36,8**	**36,8**
Расчёт отражённого звука													
Уровни звукового давления от мнимого источника ИШ-2-34_мн.(1) в расчётной точке днём, дБ		**ф-ла(3)[10]**	**0**	**0**	**0**	**23,6**	**23,4**	**28,7**	**25,5**	**14,4**	**0**	**31,4**	**31,4**
Уровни звукового давления от мнимого источника ИШ-2-34_мн.(1) в расчётной точке ночью, дБ		**ф-ла(3)[10]**	**0**	**0**	**0**	**0**	**0**	**0**	**0**	**0**	**0**	**31,4**	**31,4**
Уровни звукового давления от источника ИШ-2-34 в расчётной точке днём, дБ		**ф-ла(3)[10]**	**0**	**36,5**	**31**	**34,3**	**35**	**34,6**	**29,9**	**18,9**	**0**	**37,9**	**37,9**
Уровни звукового давления от источника ИШ-2-34 в расчётной точке ночью, дБ		**ф-ла(3)[10]**	**0**	**36,5**	**31**	**34,3**	**35**	**34,6**	**29,9**	**18,9**	**0**	**37,9**	**37,9**
Источник шума: ИШ-2-35, координаты источника (x,y,z), м =[697.52,-91.66,1.00]													

1		2	3	4	5	6	7	8	9	10	11	12	13
Уровни звуковой мощности источника днём, Lw, дБ		**исходные данные**	**0**	**93,3**	**94,7**	**96**	**96,3**	**95,9**	**92,6**	**88,4**	**83,9**		
Уровни звуковой мощности источника ночью, Lw, дБ		**исходные данные**	**0**	**93,3**	**94,7**	**96**	**96,3**	**95,9**	**92,6**	**88,4**	**83,9**		
Поправка на телесный угол DΩ, дБ	Ω = 6.28	10Lg(4π/Ω)	**3**	3	3	3	3	3	3	3	3		
Показатель направленности источника Di, дБ		исходные данные	**0**	0	0	0	0	0	0	0	0		
Поправка на направленность источника Dc, дБ	Dc	DΩ + Di	**3**	3	3	3	3	3	3	3	3		
Затухание из-за геометрической дивергенции, Adiv, дБ	расстояние = 483.03 м	ф-ла (7) [10]	**64,7**										
Коэффициент затухания звука в атмосфере α, дБ/км	Ta=20,°C Pa=101.33,кПа hотн.=70%	ф-ла (5) [9]	0,02	0,09	0,33	1,12	2,79	4,98	9,04	23,09	77,63		
Учет затухания звука в атмосфере Aatm, дБ		ф-ла (8) [10]	0	0	0,2	0,5	1,3	2,4	4,4	11,2	37,5		
Снижение поверхностью земли возле источника As, дБ	Gs = 0 hs = 1м	ф-лы таб.3 [10]	-1,5	-1,5	-1,5	-1,5	-1,5	-1,5	-1,5	-1,5	-1,5		
Снижение поверхностью земли возле приёмника Ar, дБ	Gr = 1 hr = 4.6м	ф-лы таб.3 [10]	-1,5	-1,5	3,3	1,3	0	0	0	0	0		
Снижение поверхностью земли в средней зоне, Am дБ	Gm = 1	ф-лы таб.3 [10]	-2	-2	0	0	0	0	0	0	0		
Суммарное снижение поверхностью земли на траектории распространения звука Agr, дБ		ф-ла (9) [10]	-5	-5	1,8	-0,2	-1,5	-1,5	-1,5	-1,5	-1,5		
Уровни звукового давления прямого звука от источника ИШ-2-35 в расчётной точке днём, дБ		**ф-ла(3)[10]**	**0**	**36,5**	**31**	**34**	**34,8**	**33,3**	**28**	**17,1**	**0**	**36,9**	**36,9**
Уровни звукового давления прямого звука от источника ИШ-2-35 в расчётной точке ночью, дБ		**ф-ла(3)[10]**	**0**	**36,5**	**31**	**34**	**34,8**	**33,3**	**28**	**17,1**	**0**	**36,9**	**36,9**
Расчёт отражённого звука													
Уровни звукового давления от мнимого источника ИШ-2-35_мн.(1) в расчётной точке днём, дБ		**ф-ла(3)[10]**	**0**	**0**	**25,5**	**23,6**	**23,4**	**28,8**	**25,5**	**14,5**	**0**	**31,5**	**31,5**
Уровни звукового давления от мнимого источника ИШ-2-35_мн.(1) в расчётной точке ночью, дБ		**ф-ла(3)[10]**	**0**	**0**	**0**	**0**	**0**	**0**	**0**	**0**	**0**	**31,5**	**31,5**

1		2	3	4	5	6	7	8	9	10	11	12	13
Уровни звукового давления от источника ИШ-2-35 в расчётной точке днём, дБ		**ф-ла(3)[10]**	**0**	**36,5**	**32,1**	**34,4**	**35,1**	**34,6**	**30**	**19**	**0**	**38**	**38**
Уровни звукового давления от источника ИШ-2-35 в расчётной точке ночью, дБ		**ф-ла(3)[10]**	**0**	**36,5**	**32,1**	**34,4**	**35,1**	**34,6**	**30**	**19**	**0**	**38**	**38**
Источник шума: ИШ-2-36, координаты источника (x,y,z), м =[696.58,-94.55,1.00]													
Уровни звуковой мощности источника днём, Lw, дБ		**исходные данные**	**0**	**93,3**	**94,7**	**96**	**96,3**	**95,9**	**92,6**	**88,4**	**83,9**		
Уровни звуковой мощности источника ночью, Lw, дБ		**исходные данные**	**0**	**93,3**	**94,7**	**96**	**96,3**	**95,9**	**92,6**	**88,4**	**83,9**		
Поправка на телесный угол DΩ, дБ	Ω = 6.28	10Lg(4π/Ω)	**3**	3	3	3	3	3	3	3	3		
Показатель направленности источника Di, дБ		исходные данные	**0**	0	0	0	0	0	0	0	0		
Поправка на направленность источника Dc, дБ	Dc	DΩ + Di	**3**	3	3	3	3	3	3	3	3		
Затухание из-за геометрической дивергенции, Adiv, дБ	расстояние = 481.52 м	ф-ла (7) [10]	**64,7**										
Коэффициент затухания звука в атмосфере α, дБ/км	Ta=20,°C Pa=101.33,кПа hотн.=70%	ф-ла (5) [9]	0,02	0,09	0,33	1,12	2,79	4,98	9,04	23,09	77,63		
Учет затухания звука в атмосфере Aatm, дБ		ф-ла (8) [10]	0	0	0,2	0,5	1,3	2,4	4,4	11,1	37,4		
Снижение поверхностью земли возле источника As, дБ	Gs = 0 hs = 1м	ф-лы таб.3 [10]	-1,5	-1,5	-1,5	-1,5	-1,5	-1,5	-1,5	-1,5	-1,5		
Снижение поверхностью земли возле приёмника Ar, дБ	Gr = 1 hr = 4.6м	ф-лы таб.3 [10]	-1,5	-1,5	3,3	1,3	0	0	0	0	0		
Снижение поверхностью земли в средней зоне, Am дБ	Gm = 1	ф-лы таб.3 [10]	-2	-2	0	0	0	0	0	0	0		
Суммарное снижение поверхностью земли на траектории распространения звука Agr, дБ		ф-ла (9) [10]	-5	-5	1,8	-0,2	-1,5	-1,5	-1,5	-1,5	-1,5		
Уровни звукового давления прямого звука от источника ИШ-2-36 в расчётной точке днём, дБ		**ф-ла(3)[10]**	**0**	**36,6**	**31**	**34**	**34,8**	**33,3**	**28,1**	**17,1**	**0**	**36,9**	**36,9**

1		2	3	4	5	6	7	8	9	10	11	12	13
Уровни звукового давления прямого звука от источника ИШ-2-36 в расчётной точке ночью, дБ		**ф-ла(3)[10]**	**0**	**36,6**	**31**	**34**	**34,8**	**33,3**	**28,1**	**17,1**	**0**	**36,9**	**36,9**
Расчёт отражённого звука													
Уровни звукового давления от мнимого источника ИШ-2-36_мн.(1) в расчётной точке днём, дБ		**ф-ла(3)[10]**	**0**	**0**	**25,6**	**23,6**	**23,4**	**28,8**	**25,6**	**14,6**	**0**	**31,5**	**31,5**
Уровни звукового давления от мнимого источника ИШ-2-36_мн.(1) в расчётной точке ночью, дБ		**ф-ла(3)[10]**	**0**	**0**	**0**	**0**	**0**	**0**	**0**	**0**	**0**	**31,5**	**31,5**
Уровни звукового давления от источника ИШ-2-36 в расчётной точке днём, дБ		**ф-ла(3)[10]**	**0**	**36,6**	**32,1**	**34,4**	**35,1**	**34,6**	**30**	**19**	**0**	**38**	**38**
Уровни звукового давления от источника ИШ-2-36 в расчётной точке ночью, дБ		**ф-ла(3)[10]**	**0**	**36,6**	**32,1**	**34,4**	**35,1**	**34,6**	**30**	**19**	**0**	**38**	**38**
Источник шума: ИШ-2-37, координаты источника (x,y,z), м =[695.57,-97.37,1.00]													
Уровни звуковой мощности источника днём, Lw, дБ		**исходные данные**	**0**	**93,3**	**94,7**	**96**	**96,3**	**95,9**	**92,6**	**88,4**	**83,9**		
Уровни звуковой мощности источника ночью, Lw, дБ		**исходные данные**	**0**	**93,3**	**94,7**	**96**	**96,3**	**95,9**	**92,6**	**88,4**	**83,9**		
Поправка на телесный угол DΩ, дБ	Ω = 6.28	10Lg(4π/Ω)	**3**	3	3	3	3	3	3	3	3		
Показатель направленности источника Di, дБ		исходные данные	**0**	0	0	0	0	0	0	0	0		
Поправка на направленность источника Dc, дБ	Dc	DΩ + Di	**3**	3	3	3	3	3	3	3	3		
Затухание из-за геометрической дивергенции, Adiv, дБ	расстояние = 479.96 м	ф-ла (7) [10]	**64,6**										
Коэффициент затухания звука в атмосфере α, дБ/км	Ta=20,°C Pa=101.33,кПа hотн.=70%	ф-ла (5) [9]	0,02	0,09	0,33	1,12	2,79	4,98	9,04	23,09	77,63		
Учет затухания звука в атмосфере Aatm, дБ		ф-ла (8) [10]	0	0	0,2	0,5	1,3	2,4	4,3	11,1	37,3		
Снижение поверхностью земли возле источника As, дБ	Gs = 0 hs = 1м	ф-лы таб.3 [10]	-1,5	-1,5	-1,5	-1,5	-1,5	-1,5	-1,5	-1,5	-1,5		

1		2	3	4	5	6	7	8	9	10	11	12	13
Снижение поверхностью земли возле приёмника Ar, дБ	Gr = 1 hr = 4.6м	ф-лы таб.3 [10]	-1,5	-1,5	3,3	1,3	0	0	0	0	0		
Снижение поверхностью земли в средней зоне, Am дБ	Gm = 1	ф-лы таб.3 [10]	-1,9	-1,9	0	0	0	0	0	0	0		
Суммарное снижение поверхностью земли на траектории распространения звука Agr, дБ		ф-ла (9) [10]	-4,9	-4,9	1,8	-0,2	-1,5	-1,5	-1,5	-1,5	-1,5		
Уровни звукового давления прямого звука от источника ИШ-2-37 в расчётной точке днём, дБ		**ф-ла(3)[10]**	**0**	**36,6**	**31,1**	**34**	**34,8**	**33,4**	**28,1**	**17,2**	**0**	**36,9**	**36,9**
Уровни звукового давления прямого звука от источника ИШ-2-37 в расчётной точке ночью, дБ		**ф-ла(3)[10]**	**0**	**36,6**	**31,1**	**34**	**34,8**	**33,4**	**28,1**	**17,2**	**0**	**36,9**	**36,9**
Расчёт отражённого звука													
Уровни звукового давления от мнимого источника ИШ-2-37_мн.(1) в расчётной точке днём, дБ		**ф-ла(3)[10]**	**0**	**0**	**25,6**	**23,7**	**23,5**	**28,8**	**25,6**	**14,6**	**0**	**31,5**	**31,5**
Уровни звукового давления от мнимого источника ИШ-2-37_мн.(1) в расчётной точке ночью, дБ		**ф-ла(3)[10]**	**0**	**0**	**0**	**0**	**0**	**0**	**0**	**0**	**0**	**31,5**	**31,5**
Уровни звукового давления от источника ИШ-2-37 в расчётной точке днём, дБ		**ф-ла(3)[10]**	**0**	**36,6**	**32,2**	**34,4**	**35,1**	**34,7**	**30,1**	**19,1**	**0**	**38**	**38**
Уровни звукового давления от источника ИШ-2-37 в расчётной точке ночью, дБ		**ф-ла(3)[10]**	**0**	**36,6**	**32,2**	**34,4**	**35,1**	**34,7**	**30,1**	**19,1**	**0**	**38**	**38**
Источник шума: ИШ-2-5, координаты источника (x,y,z), м =[618.60,-108.00,3.00]													
Уровни звуковой мощности источника днём, Lw, дБ		**исходные данные**	**105**	**104**	**104**	**101**	**102**	**106**	**101**	**95**	**87**		
Уровни звуковой мощности источника ночью, Lw, дБ		**исходные данные**	**105**	**104**	**104**	**101**	**102**	**106**	**101**	**95**	**87**		
Поправка на телесный угол DΩ, дБ	Ω = 6.28	10Lg(4π/Ω)	**3**	3	3	3	3	3	3	3	3		
Показатель направленности источника Di, дБ		исходные данные	**0**	0	0	0	0	0	0	0	0		
Поправка на направленность источника Dc, дБ	Dc	DΩ + Di	**3**	3	3	3	3	3	3	3	3		
Затухание из-за геометрической дивергенции, Adiv, дБ	расстояние = 402.44 м	ф-ла (7) [10]	**63,1**										

1		2	3	4	5	6	7	8	9	10	11	12	13
Коэффициент затухания звука в атмосфере α, дБ/км	Ta=20,°C Pa=101.33,кПа hотн.=70%	ф-ла (5) [9]	0,02	0,09	0,33	1,12	2,79	4,98	9,04	23,09	77,63		
Учет затухания звука в атмосфере Aatm, дБ		ф-ла (8) [10]	0	0	0,1	0,5	1,1	2	3,6	9,3	31,2		
Снижение поверхностью земли возле источника As, дБ	Gs = 0 hs = 3м	ф-лы таб.3 [10]	-1,5	-1,5	-1,5	-1,5	-1,5	-1,5	-1,5	-1,5	-1,5		
Снижение поверхностью земли возле приёмника Ar, дБ	Gr = 1 hr = 4.6м	ф-лы таб.3 [10]	-1,5	-1,5	3,3	1,3	0	0	0	0	0		
Снижение поверхностью земли в средней зоне, Am дБ	Gm = 1	ф-лы таб.3 [10]	-1,3	-1,3	0	0	0	0	0	0	0		
Суммарное снижение поверхностью земли на траектории распространения звука Agr, дБ		ф-ла (9) [10]	-4,3	-4,3	1,8	-0,2	-1,5	-1,5	-1,5	-1,5	-1,5		
Уровни звукового давления прямого звука от источника ИШ-2-5 в расчётной точке днём, дБ		**ф-ла(3)[10]**	**49,2**	**48,2**	**42**	**40,7**	**42,3**	**45,4**	**38,8**	**27,1**	**0**	**47,5**	**47,5**
Уровни звукового давления прямого звука от источника ИШ-2-5 в расчётной точке ночью, дБ		**ф-ла(3)[10]**	**49,2**	**48,2**	**42**	**40,7**	**42,3**	**45,4**	**38,8**	**27,1**	**0**	**47,5**	**47,5**
Расчёт отражённого звука													
Уровни звукового давления от мнимого источника ИШ-2-5_мн.(1) в расчётной точке днём, дБ		**ф-ла(3)[10]**	**0**	**0**	**0**	**0**	**0**	**0**	**0**	**0**	**0**	**0**	**0**
Уровни звукового давления от мнимого источника ИШ-2-5_мн.(1) в расчётной точке ночью, дБ		**ф-ла(3)[10]**	**0**	**0**	**0**	**0**	**0**	**0**	**0**	**0**	**0**	**0**	**0**
Уровни звукового давления от мнимого источника ИШ-2-5_мн.(2) в расчётной точке днём, дБ		**ф-ла(3)[10]**	**0**	**0**	**0**	**34,3**	**39,5**	**42,9**	**36,2**	**24,6**	**0**	**44,8**	**44,8**
Уровни звукового давления от мнимого источника ИШ-2-5_мн.(2) в расчётной точке ночью, дБ		**ф-ла(3)[10]**	**0**	**0**	**0**	**0**	**0**	**0**	**0**	**0**	**0**	**44,8**	**44,8**
Суммарные уровни звукового давления от мнимых источников в расчётной точке днём, дБ		**ф-ла (19) [1]**	**0**	**0**	**0**	**34,3**	**39,5**	**42,9**	**36,2**	**24,6**	**0**	**0**	**44,8**
Суммарные уровни звукового давления от мнимых источников в расчётной точке ночью, дБ		**ф-ла (19) [1]**	**0**	**0**	**0**	**34,3**	**39,5**	**42,9**	**36,2**	**24,6**	**0**	**0**	**44,8**
Уровни звукового давления от источника ИШ-2-5 в расчётной точке днём, дБ		**ф-ла(3)[10]**	**49,2**	**48,2**	**42**	**41,6**	**44,1**	**47,3**	**40,7**	**29**	**0**	**49,3**	**49,3**
Уровни звукового давления от источника ИШ-2-5 в расчётной точке ночью, дБ		**ф-ла(3)[10]**	**49,2**	**48,2**	**42**	**41,6**	**44,1**	**47,3**	**40,7**	**29**	**0**	**49,3**	**49,3**

1		2	3	4	5	6	7	8	9	10	11	12	13
Источник шума: ИШ-2-38, координаты источника (x,y,z), м =[688.13,-119.94,1.00]													
Уровни звуковой мощности источника днём, Lw, дБ		**исходные данные**	**0**	**93,3**	**94,7**	**96**	**96,3**	**95,9**	**92,6**	**88,4**	**83,9**		
Уровни звуковой мощности источника ночью, Lw, дБ		**исходные данные**	**0**	**93,3**	**94,7**	**96**	**96,3**	**95,9**	**92,6**	**88,4**	**83,9**		
Поправка на телесный угол DΩ, дБ	Ω = 6.28	10Lg(4π/Ω)	**3**	3	3	3	3	3	3	3	3		
Показатель направленности источника Di, дБ		исходные данные	**0**	0	0	0	0	0	0	0	0		
Поправка на направленность источника Dc, дБ	Dc	DΩ + Di	**3**	3	3	3	3	3	3	3	3		
Затухание из-за геометрической дивергенции, Adiv, дБ	расстояние = 468.64 м	ф-ла (7) [10]	**64,4**										
Коэффициент затухания звука в атмосфере α, дБ/км	Ta=20,°C Pa=101.33,кПа hотн.=70%	ф-ла (5) [9]	0,02	0,09	0,33	1,12	2,79	4,98	9,04	23,09	77,63		
Учет затухания звука в атмосфере Aatm, дБ		ф-ла (8) [10]	0	0	0,2	0,5	1,3	2,3	4,2	10,8	36,4		
Снижение поверхностью земли возле источника As, дБ	Gs = 0 hs = 1м	ф-лы таб.3 [10]	-1,5	-1,5	-1,5	-1,5	-1,5	-1,5	-1,5	-1,5	-1,5		
Снижение поверхностью земли возле приёмника Ar, дБ	Gr = 1 hr = 4.6м	ф-лы таб.3 [10]	-1,5	-1,5	3,3	1,3	0	0	0	0	0		
Снижение поверхностью земли в средней зоне, Am дБ	Gm = 1	ф-лы таб.3 [10]	-1,9	-1,9	0	0	0	0	0	0	0		
Суммарное снижение поверхностью земли на траектории распространения звука Agr, дБ		ф-ла (9) [10]	-4,9	-4,9	1,8	-0,2	-1,5	-1,5	-1,5	-1,5	-1,5		
Уровни звукового давления прямого звука от источника ИШ-2-38 в расчётной точке днём, дБ		**ф-ла(3)[10]**	**0**	**36,8**	**31,3**	**34,3**	**35,1**	**33,6**	**28,4**	**17,7**	**0**	**37,2**	**37,2**
Уровни звукового давления прямого звука от источника ИШ-2-38 в расчётной точке ночью, дБ		**ф-ла(3)[10]**	**0**	**36,8**	**31,3**	**34,3**	**35,1**	**33,6**	**28,4**	**17,7**	**0**	**37,2**	**37,2**
Расчёт отражённого звука													

1		2	3	4	5	6	7	8	9	10	11	12	13
Уровни звукового давления от мнимого источника ИШ-2-38_мн.(1) в расчётной точке днём, дБ		**ф-ла(3)[10]**	**0**	**0**	**0**	**0**	**0**	**0**	**0**	**0**	**0**	**0**	**0**
Уровни звукового давления от мнимого источника ИШ-2-38_мн.(1) в расчётной точке ночью, дБ		**ф-ла(3)[10]**	**0**	**0**	**0**	**0**	**0**	**0**	**0**	**0**	**0**	**0**	**0**
Уровни звукового давления от мнимого источника ИШ-2-38_мн.(2) в расчётной точке днём, дБ		**ф-ла(3)[10]**	**0**	**0**	**25,9**	**23,9**	**23,7**	**29,1**	**25,9**	**15,1**	**0**	**31,8**	**31,8**
Уровни звукового давления от мнимого источника ИШ-2-38_мн.(2) в расчётной точке ночью, дБ		**ф-ла(3)[10]**	**0**	**0**	**0**	**0**	**0**	**0**	**0**	**0**	**0**	**31,8**	**31,8**
Суммарные уровни звукового давления от мнимых источников в расчётной точке днём, дБ		**ф-ла (19) [1]**	**0**	**0**	**25,9**	**23,9**	**23,7**	**29,1**	**25,9**	**15,1**	**0**	**0**	**31,8**
Суммарные уровни звукового давления от мнимых источников в расчётной точке ночью, дБ		**ф-ла (19) [1]**	**0**	**0**	**25,9**	**23,9**	**23,7**	**29,1**	**25,9**	**15,1**	**0**	**0**	**31,8**
Уровни звукового давления от источника ИШ-2-38 в расчётной точке днём, дБ		**ф-ла(3)[10]**	**0**	**36,8**	**32,4**	**34,6**	**35,4**	**34,9**	**30,4**	**19,6**	**0**	**38,3**	**38,3**
Уровни звукового давления от источника ИШ-2-38 в расчётной точке ночью, дБ		**ф-ла(3)[10]**	**0**	**36,8**	**32,4**	**34,6**	**35,4**	**34,9**	**30,4**	**19,6**	**0**	**38,3**	**38,3**
Источник шума: ИШ-2-39, координаты источника (x,y,z), м =[687.11,-122.83,1.00]													
Уровни звуковой мощности источника днём, Lw, дБ		**исходные данные**	**0**	**93,3**	**94,7**	**96**	**96,3**	**95,9**	**92,6**	**88,4**	**83,9**		
Уровни звуковой мощности источника ночью, Lw, дБ		**исходные данные**	**0**	**93,3**	**94,7**	**96**	**96,3**	**95,9**	**92,6**	**88,4**	**83,9**		
Поправка на телесный угол DΩ, дБ	Ω = 6.28	10Lg(4π/Ω)	**3**	3	3	3	3	3	3	3	3		
Показатель направленности источника Di, дБ		исходные данные	**0**	0	0	0	0	0	0	0	0		
Поправка на направленность источника Dc, дБ	Dc	DΩ + Di	**3**	3	3	3	3	3	3	3	3		
Затухание из-за геометрической дивергенции, Adiv, дБ	расстояние = 467.20 м	ф-ла (7) [10]	**64,4**										
Коэффициент затухания звука в атмосфере α, дБ/км	Ta=20,°C Pa=101.33,кПа hотн.=70%	ф-ла (5) [9]	0,02	0,09	0,33	1,12	2,79	4,98	9,04	23,09	77,63		

1		2	3	4	5	6	7	8	9	10	11	12	13
Учет затухания звука в атмосфере Aatm, дБ		ф-ла (8) [10]	0	0	0,2	0,5	1,3	2,3	4,2	10,8	36,3		
Снижение поверхностью земли возле источника As, дБ	Gs = 0 hs = 1м	ф-лы таб.3 [10]	-1,5	-1,5	-1,5	-1,5	-1,5	-1,5	-1,5	-1,5	-1,5		
Снижение поверхностью земли возле приёмника Ar, дБ	Gr = 1 hr = 4.6м	ф-лы таб.3 [10]	-1,5	-1,5	3,3	1,3	0	0	0	0	0		
Снижение поверхностью земли в средней зоне, Am дБ	Gm = 1	ф-лы таб.3 [10]	-1,9	-1,9	0	0	0	0	0	0	0		
Суммарное снижение поверхностью земли на траектории распространения звука Agr, дБ		ф-ла (9) [10]	-4,9	-4,9	1,8	-0,2	-1,5	-1,5	-1,5	-1,5	-1,5		
Уровни звукового давления прямого звука от источника ИШ-2-39 в расчётной точке днём, дБ		**ф-ла(3)[10]**	**0**	**36,8**	**31,3**	**34,3**	**35,1**	**33,7**	**28,5**	**17,7**	**0**	**37,2**	**37,2**
Уровни звукового давления прямого звука от источника ИШ-2-39 в расчётной точке ночью, дБ		**ф-ла(3)[10]**	**0**	**36,8**	**31,3**	**34,3**	**35,1**	**33,7**	**28,5**	**17,7**	**0**	**37,2**	**37,2**
Расчёт отражённого звука													
Уровни звукового давления от мнимого источника ИШ-2-39_мн.(1) в расчётной точке днём, дБ		**ф-ла(3)[10]**	**0**	**0**	**26**	**23,9**	**23,7**	**29,1**	**26**	**15,2**	**0**	**31,9**	**31,9**
Уровни звукового давления от мнимого источника ИШ-2-39_мн.(1) в расчётной точке ночью, дБ		**ф-ла(3)[10]**	**0**	**0**	**0**	**0**	**0**	**0**	**0**	**0**	**0**	**31,9**	**31,9**
Уровни звукового давления от источника ИШ-2-39 в расчётной точке днём, дБ		**ф-ла(3)[10]**	**0**	**36,8**	**32,4**	**34,7**	**35,4**	**35**	**30,4**	**19,6**	**0**	**38,3**	**38,3**
Уровни звукового давления от источника ИШ-2-39 в расчётной точке ночью, дБ		**ф-ла(3)[10]**	**0**	**36,8**	**32,4**	**34,7**	**35,4**	**35**	**30,4**	**19,6**	**0**	**38,3**	**38,3**
Источник шума: ИШ-2-40, координаты источника (x,y,z), м =[686.10,-125.67,1.00]													
Уровни звуковой мощности источника днём, Lw, дБ		**исходные данные**	**0**	**93,3**	**94,7**	**96**	**96,3**	**95,9**	**92,6**	**88,4**	**83,9**		
Уровни звуковой мощности источника ночью, Lw, дБ		**исходные данные**	**0**	**93,3**	**94,7**	**96**	**96,3**	**95,9**	**92,6**	**88,4**	**83,9**		
Поправка на телесный угол DΩ, дБ	Ω = 6.28	10Lg(4π/Ω)	**3**	3	3	3	3	3	3	3	3		
Показатель направленности источника Di, дБ		исходные данные	**0**	0	0	0	0	0	0	0	0		

1		2	3	4	5	6	7	8	9	10	11	12	13
Поправка на направленность источника Dc, дБ	Dc	DΩ + Di	**3**	3	3	3	3	3	3	3	3		
Затухание из-за геометрической дивергенции, Adiv, дБ	расстояние = 465.78 м	ф-ла (7) [10]	**64,4**										
Коэффициент затухания звука в атмосфере α, дБ/км	Ta=20,°C Pa=101.33,кПа hотн.=70%	ф-ла (5) [9]	0,02	0,09	0,33	1,12	2,79	4,98	9,04	23,09	77,63		
Учет затухания звука в атмосфере Aatm, дБ		ф-ла (8) [10]	0	0	0,2	0,5	1,3	2,3	4,2	10,8	36,2		
Снижение поверхностью земли возле источника As, дБ	Gs = 0 hs = 1м	ф-лы таб.3 [10]	-1,5	-1,5	-1,5	-1,5	-1,5	-1,5	-1,5	-1,5	-1,5		
Снижение поверхностью земли возле приёмника Ar, дБ	Gr = 1 hr = 4.6м	ф-лы таб.3 [10]	-1,5	-1,5	3,3	1,3	0	0	0	0	0		
Снижение поверхностью земли в средней зоне, Am дБ	Gm = 1	ф-лы таб.3 [10]	-1,9	-1,9	0	0	0	0	0	0	0		
Суммарное снижение поверхностью земли на траектории распространения звука Agr, дБ		ф-ла (9) [10]	-4,9	-4,9	1,8	-0,2	-1,5	-1,5	-1,5	-1,5	-1,5		
Уровни звукового давления прямого звука от источника ИШ-2-40 в расчётной точке днём, дБ		**ф-ла(3)[10]**	**0**	**36,8**	**31,3**	**34,3**	**35,1**	**33,7**	**28,5**	**17,8**	**0**	**37,3**	**37,3**
Уровни звукового давления прямого звука от источника ИШ-2-40 в расчётной точке ночью, дБ		**ф-ла(3)[10]**	**0**	**36,8**	**31,3**	**34,3**	**35,1**	**33,7**	**28,5**	**17,8**	**0**	**37,3**	**37,3**
Расчёт отражённого звука													
Уровни звукового давления от мнимого источника ИШ-2-40_мн.(1) в расчётной точке днём, дБ		**ф-ла(3)[10]**	**0**	**0**	**26**	**24**	**23,8**	**29,2**	**26**	**15,2**	**0**	**31,9**	**31,9**
Уровни звукового давления от мнимого источника ИШ-2-40_мн.(1) в расчётной точке ночью, дБ		**ф-ла(3)[10]**	**0**	**0**	**0**	**0**	**0**	**0**	**0**	**0**	**0**	**31,9**	**31,9**
Уровни звукового давления от источника ИШ-2-40 в расчётной точке днём, дБ		**ф-ла(3)[10]**	**0**	**36,8**	**32,5**	**34,7**	**35,4**	**35**	**30,4**	**19,7**	**0**	**38,4**	**38,4**
Уровни звукового давления от источника ИШ-2-40 в расчётной точке ночью, дБ		**ф-ла(3)[10]**	**0**	**36,8**	**32,5**	**34,7**	**35,4**	**35**	**30,4**	**19,7**	**0**	**38,4**	**38,4**
Источник шума: ИШ-2-41, координаты источника (x,y,z), м =[685.14,-128.64,1.00]													

1		2	3	4	5	6	7	8	9	10	11	12	13
Уровни звуковой мощности источника днём, Lw, дБ		**исходные данные**	**0**	**93,3**	**94,7**	**96**	**96,3**	**95,9**	**92,6**	**88,4**	**83,9**		
Уровни звуковой мощности источника ночью, Lw, дБ		**исходные данные**	**0**	**93,3**	**94,7**	**96**	**96,3**	**95,9**	**92,6**	**88,4**	**83,9**		
Поправка на телесный угол DΩ, дБ	Ω = 6.28	10Lg(4π/Ω)	**3**	3	3	3	3	3	3	3	3		
Показатель направленности источника Di, дБ		исходные данные	**0**	0	0	0	0	0	0	0	0		
Поправка на направленность источника Dc, дБ	Dc	DΩ + Di	**3**	3	3	3	3	3	3	3	3		
Затухание из-за геометрической дивергенции, Adiv, дБ	расстояние = 464.41 м	ф-ла (7) [10]	**64,3**										
Коэффициент затухания звука в атмосфере α, дБ/км	Ta=20,°C Pa=101.33,кПа hотн.=70%	ф-ла (5) [9]	0,02	0,09	0,33	1,12	2,79	4,98	9,04	23,09	77,63		
Учет затухания звука в атмосфере Aatm, дБ		ф-ла (8) [10]	0	0	0,2	0,5	1,3	2,3	4,2	10,7	36,1		
Снижение поверхностью земли возле источника As, дБ	Gs = 0 hs = 1м	ф-лы таб.3 [10]	-1,5	-1,5	-1,5	-1,5	-1,5	-1,5	-1,5	-1,5	-1,5		
Снижение поверхностью земли возле приёмника Ar, дБ	Gr = 1 hr = 4.6м	ф-лы таб.3 [10]	-1,5	-1,5	3,3	1,3	0	0	0	0	0		
Снижение поверхностью земли в средней зоне, Am дБ	Gm = 1	ф-лы таб.3 [10]	-1,9	-1,9	0	0	0	0	0	0	0		
Суммарное снижение поверхностью земли на траектории распространения звука Agr, дБ		ф-ла (9) [10]	-4,9	-4,9	1,8	-0,2	-1,5	-1,5	-1,5	-1,5	-1,5		
Уровни звукового давления прямого звука от источника ИШ-2-41 в расчётной точке днём, дБ		**ф-ла(3)[10]**	**0**	**36,8**	**31,4**	**34,4**	**35,2**	**33,7**	**28,6**	**17,8**	**0**	**37,3**	**37,3**
Уровни звукового давления прямого звука от источника ИШ-2-41 в расчётной точке ночью, дБ		**ф-ла(3)[10]**	**0**	**36,8**	**31,4**	**34,4**	**35,2**	**33,7**	**28,6**	**17,8**	**0**	**37,3**	**37,3**
Расчёт отражённого звука													
Уровни звукового давления от мнимого источника ИШ-2-41_мн.(1) в расчётной точке днём, дБ		**ф-ла(3)[10]**	**0**	**0**	**26**	**24**	**23,8**	**29,2**	**26**	**15,3**	**0**	**31,9**	**31,9**
Уровни звукового давления от мнимого источника ИШ-2-41_мн.(1) в расчётной точке ночью, дБ		**ф-ла(3)[10]**	**0**	**0**	**0**	**0**	**0**	**0**	**0**	**0**	**0**	**31,9**	**31,9**

1		2	3	4	5	6	7	8	9	10	11	12	13
Уровни звукового давления от источника ИШ-2-41 в расчётной точке днём, дБ		**ф-ла(3)[10]**	**0**	**36,8**	**32,5**	**34,7**	**35,5**	**35**	**30,5**	**19,8**	**0**	**38,4**	**38,4**
Уровни звукового давления от источника ИШ-2-41 в расчётной точке ночью, дБ		**ф-ла(3)[10]**	**0**	**36,8**	**32,5**	**34,7**	**35,5**	**35**	**30,5**	**19,8**	**0**	**38,4**	**38,4**
Источник шума: ИШ-2-42, координаты источника (x,y,z), м =[684.20,-131.46,1.00]													
Уровни звуковой мощности источника днём, Lw, дБ		**исходные данные**	**0**	**93,3**	**94,7**	**96**	**96,3**	**95,9**	**92,6**	**88,4**	**83,9**		
Уровни звуковой мощности источника ночью, Lw, дБ		**исходные данные**	**0**	**93,3**	**94,7**	**96**	**96,3**	**95,9**	**92,6**	**88,4**	**83,9**		
Поправка на телесный угол DΩ, дБ	Ω = 6.28	10Lg(4π/Ω)	**3**	3	3	3	3	3	3	3	3		
Показатель направленности источника Di, дБ		исходные данные	**0**	0	0	0	0	0	0	0	0		
Поправка на направленность источника Dc, дБ	Dc	DΩ + Di	**3**	3	3	3	3	3	3	3	3		
Затухание из-за геометрической дивергенции, Adiv, дБ	расстояние = 463.10 м	ф-ла (7) [10]	**64,3**										
Коэффициент затухания звука в атмосфере α, дБ/км	Ta=20,°C Pa=101.33,кПа hотн.=70%	ф-ла (5) [9]	0,02	0,09	0,33	1,12	2,79	4,98	9,04	23,09	77,63		
Учет затухания звука в атмосфере Aatm, дБ		ф-ла (8) [10]	0	0	0,2	0,5	1,3	2,3	4,2	10,7	36		
Снижение поверхностью земли возле источника As, дБ	Gs = 0 hs = 1м	ф-лы таб.3 [10]	-1,5	-1,5	-1,5	-1,5	-1,5	-1,5	-1,5	-1,5	-1,5		
Снижение поверхностью земли возле приёмника Ar, дБ	Gr = 1 hr = 4.6м	ф-лы таб.3 [10]	-1,5	-1,5	3,3	1,3	0	0	0	0	0		
Снижение поверхностью земли в средней зоне, Am дБ	Gm = 1	ф-лы таб.3 [10]	-1,9	-1,9	0	0	0	0	0	0	0		
Суммарное снижение поверхностью земли на траектории распространения звука Agr, дБ		ф-ла (9) [10]	-4,9	-4,9	1,8	-0,2	-1,5	-1,5	-1,5	-1,5	-1,5		
Уровни звукового давления прямого звука от источника ИШ-2-42 в расчётной точке днём, дБ		**ф-ла(3)[10]**	**0**	**36,8**	**31,4**	**34,4**	**35,2**	**33,8**	**28,6**	**17,9**	**0**	**37,3**	**37,3**

1		2	3	4	5	6	7	8	9	10	11	12	13
Уровни звукового давления прямого звука от источника ИШ-2-42 в расчётной точке ночью, дБ		**ф-ла(3)[10]**	**0**	**36,8**	**31,4**	**34,4**	**35,2**	**33,8**	**28,6**	**17,9**	**0**	**37,3**	**37,3**
Расчёт отражённого звука													
Уровни звукового давления от мнимого источника ИШ-2-42_мн.(1) в расчётной точке днём, дБ		**ф-ла(3)[10]**	**0**	**0**	**26,1**	**24**	**23,8**	**29,2**	**26,1**	**15,3**	**0**	**32**	**32**
Уровни звукового давления от мнимого источника ИШ-2-42_мн.(1) в расчётной точке ночью, дБ		**ф-ла(3)[10]**	**0**	**0**	**0**	**0**	**0**	**0**	**0**	**0**	**0**	**32**	**32**
Уровни звукового давления от источника ИШ-2-42 в расчётной точке днём, дБ		**ф-ла(3)[10]**	**0**	**36,8**	**32,5**	**34,8**	**35,5**	**35,1**	**30,5**	**19,8**	**0**	**38,4**	**38,4**
Уровни звукового давления от источника ИШ-2-42 в расчётной точке ночью, дБ		**ф-ла(3)[10]**	**0**	**36,8**	**32,5**	**34,8**	**35,5**	**35,1**	**30,5**	**19,8**	**0**	**38,4**	**38,4**
Источник шума: ИШ-2-43, координаты источника (x,y,z), м =[683.13,-134.37,1.00]													
Уровни звуковой мощности источника днём, Lw, дБ		**исходные данные**	**0**	**93,3**	**94,7**	**96**	**96,3**	**95,9**	**92,6**	**88,4**	**83,9**		
Уровни звуковой мощности источника ночью, Lw, дБ		**исходные данные**	**0**	**93,3**	**94,7**	**96**	**96,3**	**95,9**	**92,6**	**88,4**	**83,9**		
Поправка на телесный угол DΩ, дБ	Ω = 6.28	10Lg(4π/Ω)	**3**	3	3	3	3	3	3	3	3		
Показатель направленности источника Di, дБ		исходные данные	**0**	0	0	0	0	0	0	0	0		
Поправка на направленность источника Dc, дБ	Dc	DΩ + Di	**3**	3	3	3	3	3	3	3	3		
Затухание из-за геометрической дивергенции, Adiv, дБ	расстояние = 461.67 м	ф-ла (7) [10]	**64,3**										
Коэффициент затухания звука в атмосфере α, дБ/км	Ta=20,°C Pa=101.33,кПа hотн.=70%	ф-ла (5) [9]	0,02	0,09	0,33	1,12	2,79	4,98	9,04	23,09	77,63		
Учет затухания звука в атмосфере Aatm, дБ		ф-ла (8) [10]	0	0	0,2	0,5	1,3	2,3	4,2	10,7	35,8		
Снижение поверхностью земли возле источника As, дБ	Gs = 0 hs = 1м	ф-лы таб.3 [10]	-1,5	-1,5	-1,5	-1,5	-1,5	-1,5	-1,5	-1,5	-1,5		

1		2	3	4	5	6	7	8	9	10	11	12	13
Снижение поверхностью земли возле приёмника Ar, дБ	Gr = 1 hr = 4.6м	ф-лы таб.3 [10]	-1,5	-1,5	3,3	1,3	0	0	0	0	0		
Снижение поверхностью земли в средней зоне, Am дБ	Gm = 1	ф-лы таб.3 [10]	-1,9	-1,9	0	0	0	0	0	0	0		
Суммарное снижение поверхностью земли на траектории распространения звука Agr, дБ		ф-ла (9) [10]	-4,9	-4,9	1,8	-0,2	-1,5	-1,5	-1,5	-1,5	-1,5		
Уровни звукового давления прямого звука от источника ИШ-2-43 в расчётной точке днём, дБ		**ф-ла(3)[10]**	**0**	**36,9**	**31,4**	**34,4**	**35,2**	**33,8**	**28,6**	**17,9**	**0**	**37,4**	**37,4**
Уровни звукового давления прямого звука от источника ИШ-2-43 в расчётной точке ночью, дБ		**ф-ла(3)[10]**	**0**	**36,9**	**31,4**	**34,4**	**35,2**	**33,8**	**28,6**	**17,9**	**0**	**37,4**	**37,4**
Расчёт отражённого звука													
Уровни звукового давления от мнимого источника ИШ-2-43_мн.(1) в расчётной точке днём, дБ		**ф-ла(3)[10]**	**0**	**0**	**26,1**	**24**	**23,9**	**29,3**	**26,1**	**15,4**	**0**	**32**	**32**
Уровни звукового давления от мнимого источника ИШ-2-43_мн.(1) в расчётной точке ночью, дБ		**ф-ла(3)[10]**	**0**	**0**	**0**	**0**	**0**	**0**	**0**	**0**	**0**	**32**	**32**
Уровни звукового давления от источника ИШ-2-43 в расчётной точке днём, дБ		**ф-ла(3)[10]**	**0**	**36,9**	**32,5**	**34,8**	**35,5**	**35,1**	**30,6**	**19,9**	**0**	**38,5**	**38,5**
Уровни звукового давления от источника ИШ-2-43 в расчётной точке ночью, дБ		**ф-ла(3)[10]**	**0**	**36,9**	**32,5**	**34,8**	**35,5**	**35,1**	**30,6**	**19,9**	**0**	**38,5**	**38,5**
Источник шума: ИШ-2-44, координаты источника (x,y,z), м =[682.20,-137.16,1.00]													
Уровни звуковой мощности источника днём, Lw, дБ		**исходные данные**	**0**	**93,3**	**94,7**	**96**	**96,3**	**95,9**	**92,6**	**88,4**	**83,9**		
Уровни звуковой мощности источника ночью, Lw, дБ		**исходные данные**	**0**	**93,3**	**94,7**	**96**	**96,3**	**95,9**	**92,6**	**88,4**	**83,9**		
Поправка на телесный угол DΩ, дБ	Ω = 6.28	10Lg(4π/Ω)	**3**	3	3	3	3	3	3	3	3		
Показатель направленности источника Di, дБ		исходные данные	**0**	0	0	0	0	0	0	0	0		
Поправка на направленность источника Dc, дБ	Dc	DΩ + Di	**3**	3	3	3	3	3	3	3	3		
Затухание из-за геометрической дивергенции, Adiv, дБ	расстояние = 460.39 м	ф-ла (7) [10]	**64,3**										

1		2	3	4	5	6	7	8	9	10	11	12	13
Коэффициент затухания звука в атмосфере α, дБ/км	Ta=20,°C Pa=101.33,кПа hотн.=70%	ф-ла (5) [9]	0,02	0,09	0,33	1,12	2,79	4,98	9,04	23,09	77,63		
Учет затухания звука в атмосфере Aatm, дБ		ф-ла (8) [10]	0	0	0,2	0,5	1,3	2,3	4,2	10,6	35,7		
Снижение поверхностью земли возле источника As, дБ	Gs = 0 hs = 1м	ф-лы таб.3 [10]	-1,5	-1,5	-1,5	-1,5	-1,5	-1,5	-1,5	-1,5	-1,5		
Снижение поверхностью земли возле приёмника Ar, дБ	Gr = 1 hr = 4.6м	ф-лы таб.3 [10]	-1,5	-1,5	3,3	1,3	0	0	0	0	0		
Снижение поверхностью земли в средней зоне, Am дБ	Gm = 1	ф-лы таб.3 [10]	-1,9	-1,9	0	0	0	0	0	0	0		
Суммарное снижение поверхностью земли на траектории распространения звука Agr, дБ		ф-ла (9) [10]	-4,9	-4,9	1,8	-0,2	-1,5	-1,5	-1,5	-1,5	-1,5		
Уровни звукового давления прямого звука от источника ИШ-2-44 в расчётной точке днём, дБ		**ф-ла(3)[10]**	**0**	**36,9**	**31,5**	**34,4**	**35,2**	**33,8**	**28,7**	**18**	**0**	**37,4**	**37,4**
Уровни звукового давления прямого звука от источника ИШ-2-44 в расчётной точке ночью, дБ		**ф-ла(3)[10]**	**0**	**36,9**	**31,5**	**34,4**	**35,2**	**33,8**	**28,7**	**18**	**0**	**37,4**	**37,4**
Расчёт отражённого звука													
Уровни звукового давления от мнимого источника ИШ-2-44_мн.(1) в расчётной точке днём, дБ		**ф-ла(3)[10]**	**0**	**0**	**0**	**0**	**0**	**0**	**0**	**0**	**0**	**0**	**0**
Уровни звукового давления от мнимого источника ИШ-2-44_мн.(1) в расчётной точке ночью, дБ		**ф-ла(3)[10]**	**0**	**0**	**0**	**0**	**0**	**0**	**0**	**0**	**0**	**0**	**0**
Уровни звукового давления от мнимого источника ИШ-2-44_мн.(2) в расчётной точке днём, дБ		**ф-ла(3)[10]**	**0**	**0**	**26,2**	**24,1**	**23,9**	**29,3**	**26,1**	**15,5**	**0**	**32**	**32**
Уровни звукового давления от мнимого источника ИШ-2-44_мн.(2) в расчётной точке ночью, дБ		**ф-ла(3)[10]**	**0**	**0**	**0**	**0**	**0**	**0**	**0**	**0**	**0**	**32**	**32**
Суммарные уровни звукового давления от мнимых источников в расчётной точке днём, дБ		**ф-ла (19) [1]**	**0**	**0**	**26,2**	**24,1**	**23,9**	**29,3**	**26,1**	**15,5**	**0**	**0**	**32**
Суммарные уровни звукового давления от мнимых источников в расчётной точке ночью, дБ		**ф-ла (19) [1]**	**0**	**0**	**26,2**	**24,1**	**23,9**	**29,3**	**26,1**	**15,5**	**0**	**0**	**32**
Уровни звукового давления от источника ИШ-2-44 в расчётной точке днём, дБ		**ф-ла(3)[10]**	**0**	**36,9**	**32,6**	**34,8**	**35,6**	**35,1**	**30,6**	**19,9**	**0**	**38,5**	**38,5**
Уровни звукового давления от источника ИШ-2-44 в расчётной точке ночью, дБ		**ф-ла(3)[10]**	**0**	**36,9**	**32,6**	**34,8**	**35,6**	**35,1**	**30,6**	**19,9**	**0**	**38,5**	**38,5**

1		2	3	4	5	6	7	8	9	10	11	12	13
Источник шума: ИШ-2-45, координаты источника (x,y,z), м =[681.26,-139.98,1.00]													
Уровни звуковой мощности источника днём, Lw, дБ		**исходные данные**	**0**	**93,3**	**94,7**	**96**	**96,3**	**95,9**	**92,6**	**88,4**	**83,9**		
Уровни звуковой мощности источника ночью, Lw, дБ		**исходные данные**	**0**	**93,3**	**94,7**	**96**	**96,3**	**95,9**	**92,6**	**88,4**	**83,9**		
Поправка на телесный угол DΩ, дБ	Ω = 6.28	10Lg(4π/Ω)	**3**	3	3	3	3	3	3	3	3		
Показатель направленности источника Di, дБ		исходные данные	**0**	0	0	0	0	0	0	0	0		
Поправка на направленность источника Dc, дБ	Dc	DΩ + Di	**3**	3	3	3	3	3	3	3	3		
Затухание из-за геометрической дивергенции, Adiv, дБ	расстояние = 459.13 м	ф-ла (7) [10]	**64,2**										
Коэффициент затухания звука в атмосфере α, дБ/км	Ta=20,°C Pa=101.33,кПа hотн.=70%	ф-ла (5) [9]	0,02	0,09	0,33	1,12	2,79	4,98	9,04	23,09	77,63		
Учет затухания звука в атмосфере Aatm, дБ		ф-ла (8) [10]	0	0	0,2	0,5	1,3	2,3	4,2	10,6	35,6		
Снижение поверхностью земли возле источника As, дБ	Gs = 0 hs = 1м	ф-лы таб.3 [10]	-1,5	-1,5	-1,5	-1,5	-1,5	-1,5	-1,5	-1,5	-1,5		
Снижение поверхностью земли возле приёмника Ar, дБ	Gr = 1 hr = 4.6м	ф-лы таб.3 [10]	-1,5	-1,5	3,3	1,3	0	0	0	0	0		
Снижение поверхностью земли в средней зоне, Am дБ	Gm = 1	ф-лы таб.3 [10]	-1,9	-1,9	0	0	0	0	0	0	0		
Суммарное снижение поверхностью земли на траектории распространения звука Agr, дБ		ф-ла (9) [10]	-4,9	-4,9	1,8	-0,2	-1,5	-1,5	-1,5	-1,5	-1,5		
Уровни звукового давления прямого звука от источника ИШ-2-45 в расчётной точке днём, дБ		**ф-ла(3)[10]**	**0**	**36,9**	**31,5**	**34,5**	**35,3**	**33,9**	**28,7**	**18,1**	**0**	**37,4**	**37,4**
Уровни звукового давления прямого звука от источника ИШ-2-45 в расчётной точке ночью, дБ		**ф-ла(3)[10]**	**0**	**36,9**	**31,5**	**34,5**	**35,3**	**33,9**	**28,7**	**18,1**	**0**	**37,4**	**37,4**
Расчёт отражённого звука													

1		2	3	4	5	6	7	8	9	10	11	12	13
Уровни звукового давления от мнимого источника ИШ-2-45_мн.(1) в расчётной точке днём, дБ		**ф-ла(3)[10]**	**0**	**0**	**0**	**0**	**0**	**0**	**0**	**0**	**0**	**0**	**0**
Уровни звукового давления от мнимого источника ИШ-2-45_мн.(1) в расчётной точке ночью, дБ		**ф-ла(3)[10]**	**0**	**0**	**0**	**0**	**0**	**0**	**0**	**0**	**0**	**0**	**0**
Уровни звукового давления от мнимого источника ИШ-2-45_мн.(2) в расчётной точке днём, дБ		**ф-ла(3)[10]**	**0**	**0**	**26,2**	**24,1**	**23,9**	**29,3**	**26,2**	**15,5**	**0**	**32,1**	**32,1**
Уровни звукового давления от мнимого источника ИШ-2-45_мн.(2) в расчётной точке ночью, дБ		**ф-ла(3)[10]**	**0**	**0**	**0**	**0**	**0**	**0**	**0**	**0**	**0**	**32,1**	**32,1**
Суммарные уровни звукового давления от мнимых источников в расчётной точке днём, дБ		**ф-ла (19) [1]**	**0**	**0**	**26,2**	**24,1**	**23,9**	**29,3**	**26,2**	**15,5**	**0**	**0**	**32,1**
Суммарные уровни звукового давления от мнимых источников в расчётной точке ночью, дБ		**ф-ла (19) [1]**	**0**	**0**	**26,2**	**24,1**	**23,9**	**29,3**	**26,2**	**15,5**	**0**	**0**	**32,1**
Уровни звукового давления от источника ИШ-2-45 в расчётной точке днём, дБ		**ф-ла(3)[10]**	**0**	**36,9**	**32,6**	**34,8**	**35,6**	**35,2**	**30,6**	**20**	**0**	**38,5**	**38,5**
Уровни звукового давления от источника ИШ-2-45 в расчётной точке ночью, дБ		**ф-ла(3)[10]**	**0**	**36,9**	**32,6**	**34,8**	**35,6**	**35,2**	**30,6**	**20**	**0**	**38,5**	**38,5**
Источник шума: ИШ-4-1, координаты источника (x,y,z), м =[141.82,201.03,1.00]													
Уровни звуковой мощности источника днём, Lw, дБ		**исходные данные**	**0**	**90,3**	**91,7**	**93**	**93,3**	**92,9**	**89,6**	**85,4**	**80,9**		
Уровни звуковой мощности источника ночью, Lw, дБ		**исходные данные**	**0**	**90,3**	**91,7**	**93**	**93,3**	**92,9**	**89,6**	**85,4**	**80,9**		
Поправка на телесный угол DΩ, дБ	Ω = 6.28	10Lg(4π/Ω)	**3**	3	3	3	3	3	3	3	3		
Показатель направленности источника Di, дБ		исходные данные	**0**	0	0	0	0	0	0	0	0		
Поправка на направленность источника Dc, дБ	Dc	DΩ + Di	**3**	3	3	3	3	3	3	3	3		
Затухание из-за геометрической дивергенции, Adiv, дБ	расстояние = 402.48 м	ф-ла (7) [10]	**63,1**										
Коэффициент затухания звука в атмосфере α, дБ/км	Ta=20,°C Pa=101.33,кПа hотн.=70%	ф-ла (5) [9]	0,02	0,09	0,33	1,12	2,79	4,98	9,04	23,09	77,63		

1		2	3	4	5	6	7	8	9	10	11	12	13
Учет затухания звука в атмосфере Aatm, дБ		ф-ла (8) [10]	0	0	0,1	0,5	1,1	2	3,6	9,3	31,2		
Снижение поверхностью земли возле источника As, дБ	Gs = 0 hs = 1м	ф-лы таб.3 [10]	-1,5	-1,5	-1,5	-1,5	-1,5	-1,5	-1,5	-1,5	-1,5		
Снижение поверхностью земли возле приёмника Ar, дБ	Gr = 1 hr = 4.6м	ф-лы таб.3 [10]	-1,5	-1,5	3,3	1,3	0	0	0	0	0		
Снижение поверхностью земли в средней зоне, Am дБ	Gm = 1	ф-лы таб.3 [10]	-1,7	-1,7	0	0	0	0	0	0	0		
Суммарное снижение поверхностью земли на траектории распространения звука Agr, дБ		ф-ла (9) [10]	-4,7	-4,7	1,8	-0,2	-1,5	-1,5	-1,5	-1,5	-1,5		
Уровни звукового давления прямого звука от источника ИШ-4-1 в расчётной точке днём, дБ		**ф-ла(3)[10]**	**0**	**34,9**	**29,7**	**32,7**	**33,6**	**32,3**	**27,4**	**17,5**	**0**	**35,9**	**35,9**
Уровни звукового давления прямого звука от источника ИШ-4-1 в расчётной точке ночью, дБ		**ф-ла(3)[10]**	**0**	**34,9**	**29,7**	**32,7**	**33,6**	**32,3**	**27,4**	**17,5**	**0**	**35,9**	**35,9**
Расчёт отражённого звука													
Уровни звукового давления от мнимого источника ИШ-4-1_мн.(1) в расчётной точке днём, дБ		**ф-ла(3)[10]**	**0**	**0**	**0**	**0**	**0**	**0**	**22,1**	**10,8**	**0**	**23,6**	**23,6**
Уровни звукового давления от мнимого источника ИШ-4-1_мн.(1) в расчётной точке ночью, дБ		**ф-ла(3)[10]**	**0**	**0**	**0**	**0**	**0**	**0**	**0**	**0**	**0**	**23,6**	**23,6**
Уровни звукового давления от мнимого источника ИШ-4-1_мн.(2) в расчётной точке днём, дБ		**ф-ла(3)[10]**	**0**	**0**	**24,8**	**22,3**	**22,2**	**27,7**	**24,8**	**14,9**	**0**	**30,5**	**30,5**
Уровни звукового давления от мнимого источника ИШ-4-1_мн.(2) в расчётной точке ночью, дБ		**ф-ла(3)[10]**	**0**	**0**	**0**	**0**	**0**	**0**	**0**	**0**	**0**	**30,5**	**30,5**
Суммарные уровни звукового давления от мнимых источников в расчётной точке днём, дБ		**ф-ла (19) [1]**	**0**	**0**	**24,8**	**22,3**	**22,2**	**27,7**	**26,6**	**16,3**	**0**	**0**	**31,3**
Суммарные уровни звукового давления от мнимых источников в расчётной точке ночью, дБ		**ф-ла (19) [1]**	**0**	**0**	**24,8**	**22,3**	**22,2**	**27,7**	**26,6**	**16,3**	**0**	**0**	**31,3**
Уровни звукового давления от источника ИШ-4-1 в расчётной точке днём, дБ		**ф-ла(3)[10]**	**0**	**34,9**	**30,9**	**33**	**33,9**	**33,6**	**30**	**20**	**0**	**37,2**	**37,2**
Уровни звукового давления от источника ИШ-4-1 в расчётной точке ночью, дБ		**ф-ла(3)[10]**	**0**	**34,9**	**30,9**	**33**	**33,9**	**33,6**	**30**	**20**	**0**	**37,2**	**37,2**
Источник шума: ИШ-4-2, координаты источника (x,y,z), м =[133.85,183.21,1.00]													

1		2	3	4	5	6	7	8	9	10	11	12	13
Уровни звуковой мощности источника днём, Lw, дБ		**исходные данные**	**0**	**90,3**	**91,7**	**93**	**93,3**	**92,9**	**89,6**	**85,4**	**80,9**		
Уровни звуковой мощности источника ночью, Lw, дБ		**исходные данные**	**0**	**90,3**	**91,7**	**93**	**93,3**	**92,9**	**89,6**	**85,4**	**80,9**		
Поправка на телесный угол DΩ, дБ	Ω = 6.28	10Lg(4π/Ω)	**3**	3	3	3	3	3	3	3	3		
Показатель направленности источника Di, дБ		исходные данные	**0**	0	0	0	0	0	0	0	0		
Поправка на направленность источника Dc, дБ	Dc	DΩ + Di	**3**	3	3	3	3	3	3	3	3		
Затухание из-за геометрической дивергенции, Adiv, дБ	расстояние = 386.86 м	ф-ла (7) [10]	**62,8**										
Коэффициент затухания звука в атмосфере α, дБ/км	Ta=20,°C Pa=101.33,кПа hотн.=70%	ф-ла (5) [9]	0,02	0,09	0,33	1,12	2,79	4,98	9,04	23,09	77,63		
Учет затухания звука в атмосфере Aatm, дБ		ф-ла (8) [10]	0	0	0,1	0,4	1,1	1,9	3,5	8,9	30		
Снижение поверхностью земли возле источника As, дБ	Gs = 0 hs = 1м	ф-лы таб.3 [10]	-1,5	-1,5	-1,5	-1,5	-1,5	-1,5	-1,5	-1,5	-1,5		
Снижение поверхностью земли возле приёмника Ar, дБ	Gr = 1 hr = 4.6м	ф-лы таб.3 [10]	-1,5	-1,5	3,2	1,3	0	0	0	0	0		
Снижение поверхностью земли в средней зоне, Am дБ	Gm = 1	ф-лы таб.3 [10]	-1,7	-1,7	0	0	0	0	0	0	0		
Суммарное снижение поверхностью земли на траектории распространения звука Agr, дБ		ф-ла (9) [10]	-4,7	-4,7	1,7	-0,2	-1,5	-1,5	-1,5	-1,5	-1,5		
Уровни звукового давления прямого звука от источника ИШ-4-2 в расчётной точке днём, дБ		**ф-ла(3)[10]**	**0**	**35,2**	**30,1**	**33**	**34**	**32,7**	**27,8**	**18,2**	**0**	**36,3**	**36,3**
Уровни звукового давления прямого звука от источника ИШ-4-2 в расчётной точке ночью, дБ		**ф-ла(3)[10]**	**0**	**35,2**	**30,1**	**33**	**34**	**32,7**	**27,8**	**18,2**	**0**	**36,3**	**36,3**
Расчёт отражённого звука													
Уровни звукового давления от мнимого источника ИШ-4-2_мн.(1) в расчётной точке днём, дБ		**ф-ла(3)[10]**	**0**	**0**	**25,3**	**22,6**	**22,6**	**28,1**	**25,3**	**15,6**	**0**	**31**	**31**
Уровни звукового давления от мнимого источника ИШ-4-2_мн.(1) в расчётной точке ночью, дБ		**ф-ла(3)[10]**	**0**	**0**	**0**	**0**	**0**	**0**	**0**	**0**	**0**	**31**	**31**

1		2	3	4	5	6	7	8	9	10	11	12	13
Уровни звукового давления от источника ИШ-4-2 в расчётной точке днём, дБ		**ф-ла(3)[10]**	**0**	**35,2**	**31,3**	**33,4**	**34,3**	**34**	**29,8**	**20,1**	**0**	**37,4**	**37,4**
Уровни звукового давления от источника ИШ-4-2 в расчётной точке ночью, дБ		**ф-ла(3)[10]**	**0**	**35,2**	**31,3**	**33,4**	**34,3**	**34**	**29,8**	**20,1**	**0**	**37,4**	**37,4**
Источник шума: ИШ-4-3, координаты источника (x,y,z), м =[152.61,172.66,1.00]													
Уровни звуковой мощности источника днём, Lw, дБ		**исходные данные**	**0**	**90,3**	**91,7**	**93**	**93,3**	**92,9**	**89,6**	**85,4**	**80,9**		
Уровни звуковой мощности источника ночью, Lw, дБ		**исходные данные**	**0**	**90,3**	**91,7**	**93**	**93,3**	**92,9**	**89,6**	**85,4**	**80,9**		
Поправка на телесный угол DΩ, дБ	Ω = 6.28	10Lg(4π/Ω)	**3**	3	3	3	3	3	3	3	3		
Показатель направленности источника Di, дБ		исходные данные	**0**	0	0	0	0	0	0	0	0		
Поправка на направленность источника Dc, дБ	Dc	DΩ + Di	**3**	3	3	3	3	3	3	3	3		
Затухание из-за геометрической дивергенции, Adiv, дБ	расстояние = 372.52 м	ф-ла (7) [10]	**62,4**										
Коэффициент затухания звука в атмосфере α, дБ/км	Ta=20,°C Pa=101.33,кПа hотн.=70%	ф-ла (5) [9]	0,02	0,09	0,33	1,12	2,79	4,98	9,04	23,09	77,63		
Учет затухания звука в атмосфере Aatm, дБ		ф-ла (8) [10]	0	0	0,1	0,4	1	1,9	3,4	8,6	28,9		
Снижение поверхностью земли возле источника As, дБ	Gs = 0 hs = 1м	ф-лы таб.3 [10]	-1,5	-1,5	-1,5	-1,5	-1,5	-1,5	-1,5	-1,5	-1,5		
Снижение поверхностью земли возле приёмника Ar, дБ	Gr = 1 hr = 4.6м	ф-лы таб.3 [10]	-1,5	-1,5	3,2	1,3	0	0	0	0	0		
Снижение поверхностью земли в средней зоне, Am дБ	Gm = 1	ф-лы таб.3 [10]	-1,6	-1,6	0	0	0	0	0	0	0		
Суммарное снижение поверхностью земли на траектории распространения звука Agr, дБ		ф-ла (9) [10]	-4,6	-4,6	1,7	-0,2	-1,5	-1,5	-1,5	-1,5	-1,5		
Уровни звукового давления прямого звука от источника ИШ-4-3 в расчётной точке днём, дБ		**ф-ла(3)[10]**	**0**	**35,5**	**30,4**	**33,4**	**34,3**	**33,1**	**28,3**	**18,9**	**0**	**36,7**	**36,7**

1		2	3	4	5	6	7	8	9	10	11	12	13
Уровни звукового давления прямого звука от источника ИШ-4-3 в расчётной точке ночью, дБ		**ф-ла(3)[10]**	**0**	**35,5**	**30,4**	**33,4**	**34,3**	**33,1**	**28,3**	**18,9**	**0**	**36,7**	**36,7**
Расчёт отражённого звука													
Уровни звукового давления от мнимого источника ИШ-4-3_мн.(1) в расчётной точке днём, дБ		**ф-ла(3)[10]**	**0**	**0**	**0**	**0**	**0**	**27,2**	**24,2**	**14**	**0**	**29,6**	**29,6**
Уровни звукового давления от мнимого источника ИШ-4-3_мн.(1) в расчётной точке ночью, дБ		**ф-ла(3)[10]**	**0**	**0**	**0**	**0**	**0**	**0**	**0**	**0**	**0**	**29,6**	**29,6**
Уровни звукового давления от мнимого источника ИШ-4-3_мн.(2) в расчётной точке днём, дБ		**ф-ла(3)[10]**	**0**	**0**	**25,7**	**23**	**22,9**	**28,5**	**25,7**	**16,2**	**0**	**31,4**	**31,4**
Уровни звукового давления от мнимого источника ИШ-4-3_мн.(2) в расчётной точке ночью, дБ		**ф-ла(3)[10]**	**0**	**0**	**0**	**0**	**0**	**0**	**0**	**0**	**0**	**31,4**	**31,4**
Суммарные уровни звукового давления от мнимых источников в расчётной точке днём, дБ		**ф-ла (19) [1]**	**0**	**0**	**25,7**	**23**	**22,9**	**30,9**	**28**	**18,3**	**0**	**0**	**33,6**
Суммарные уровни звукового давления от мнимых источников в расчётной точке ночью, дБ		**ф-ла (19) [1]**	**0**	**0**	**25,7**	**23**	**22,9**	**30,9**	**28**	**18,3**	**0**	**0**	**33,6**
Уровни звукового давления от источника ИШ-4-3 в расчётной точке днём, дБ		**ф-ла(3)[10]**	**0**	**35,5**	**31,7**	**33,7**	**34,6**	**35,2**	**31,2**	**21,6**	**0**	**38,4**	**38,4**
Уровни звукового давления от источника ИШ-4-3 в расчётной точке ночью, дБ		**ф-ла(3)[10]**	**0**	**35,5**	**31,7**	**33,7**	**34,6**	**35,2**	**31,2**	**21,6**	**0**	**38,4**	**38,4**
Источник шума: ИШ-4-4, координаты источника (x,y,z), м =[156.83,171.25,1.00]													
Уровни звуковой мощности источника днём, Lw, дБ		**исходные данные**	**0**	**90,3**	**91,7**	**93**	**93,3**	**92,9**	**89,6**	**85,4**	**80,9**		
Уровни звуковой мощности источника ночью, Lw, дБ		**исходные данные**	**0**	**90,3**	**91,7**	**93**	**93,3**	**92,9**	**89,6**	**85,4**	**80,9**		
Поправка на телесный угол DΩ, дБ	Ω = 6.28	10Lg(4π/Ω)	**3**	3	3	3	3	3	3	3	3		
Показатель направленности источника Di, дБ		исходные данные	**0**	0	0	0	0	0	0	0	0		
Поправка на направленность источника Dc, дБ	Dc	DΩ + Di	**3**	3	3	3	3	3	3	3	3		
Затухание из-за геометрической дивергенции, Adiv, дБ	расстояние = 370.33 м	ф-ла (7) [10]	**62,4**										

1		2	3	4	5	6	7	8	9	10	11	12	13
Коэффициент затухания звука в атмосфере α, дБ/км	Ta=20,°C Pa=101.33,кПа hотн.=70%	ф-ла (5) [9]	0,02	0,09	0,33	1,12	2,79	4,98	9,04	23,09	77,63		
Учет затухания звука в атмосфере Aatm, дБ		ф-ла (8) [10]	0	0	0,1	0,4	1	1,8	3,3	8,5	28,8		
Снижение поверхностью земли возле источника As, дБ	Gs = 0 hs = 1м	ф-лы таб.3 [10]	-1,5	-1,5	-1,5	-1,5	-1,5	-1,5	-1,5	-1,5	-1,5		
Снижение поверхностью земли возле приёмника Ar, дБ	Gr = 1 hr = 4.6м	ф-лы таб.3 [10]	-1,5	-1,5	3,2	1,3	0	0	0	0	0		
Снижение поверхностью земли в средней зоне, Am дБ	Gm = 1	ф-лы таб.3 [10]	-1,6	-1,6	0	0	0	0	0	0	0		
Суммарное снижение поверхностью земли на траектории распространения звука Agr, дБ		ф-ла (9) [10]	-4,6	-4,6	1,7	-0,2	-1,5	-1,5	-1,5	-1,5	-1,5		
Уровни звукового давления прямого звука от источника ИШ-4-4 в расчётной точке днём, дБ		**ф-ла(3)[10]**	**0**	**35,5**	**30,5**	**33,4**	**34,4**	**33,2**	**28,4**	**19**	**0**	**36,8**	**36,8**
Уровни звукового давления прямого звука от источника ИШ-4-4 в расчётной точке ночью, дБ		**ф-ла(3)[10]**	**0**	**35,5**	**30,5**	**33,4**	**34,4**	**33,2**	**28,4**	**19**	**0**	**36,8**	**36,8**
Расчёт отражённого звука													
Уровни звукового давления от мнимого источника ИШ-4-4_мн.(1) в расчётной точке днём, дБ		**ф-ла(3)[10]**	**0**	**34,5**	**25,8**	**23**	**23**	**28,6**	**25,8**	**16,3**	**0**	**31,5**	**31,5**
Уровни звукового давления от мнимого источника ИШ-4-4_мн.(1) в расчётной точке ночью, дБ		**ф-ла(3)[10]**	**0**	**0**	**0**	**0**	**0**	**0**	**0**	**0**	**0**	**31,5**	**31,5**
Уровни звукового давления от мнимого источника ИШ-4-4_мн.(2) в расчётной точке днём, дБ		**ф-ла(3)[10]**	**0**	**0**	**0**	**0**	**0**	**0**	**0**	**0**	**0**	**0**	**0**
Уровни звукового давления от мнимого источника ИШ-4-4_мн.(2) в расчётной точке ночью, дБ		**ф-ла(3)[10]**	**0**	**0**	**0**	**0**	**0**	**0**	**0**	**0**	**0**	**0**	**0**
Суммарные уровни звукового давления от мнимых источников в расчётной точке днём, дБ		**ф-ла (19) [1]**	**0**	**34,5**	**25,8**	**23**	**23**	**28,6**	**25,8**	**16,3**	**0**	**0**	**31,5**
Суммарные уровни звукового давления от мнимых источников в расчётной точке ночью, дБ		**ф-ла (19) [1]**	**0**	**34,5**	**25,8**	**23**	**23**	**28,6**	**25,8**	**16,3**	**0**	**0**	**31,5**
Уровни звукового давления от источника ИШ-4-4 в расчётной точке днём, дБ		**ф-ла(3)[10]**	**0**	**38**	**31,8**	**33,8**	**34,7**	**34,5**	**30,3**	**20,9**	**0**	**37,9**	**37,9**
Уровни звукового давления от источника ИШ-4-4 в расчётной точке ночью, дБ		**ф-ла(3)[10]**	**0**	**38**	**31,8**	**33,8**	**34,7**	**34,5**	**30,3**	**20,9**	**0**	**37,9**	**37,9**

1		2	3	4	5	6	7	8	9	10	11	12	13
Источник шума: ИШ-4-5, координаты источника (x,y,z), м =[126.48,222.66,11.00]													
Уровни звуковой мощности источника днём, Lw, дБ		**исходные данные**	**0**	**90,3**	**91,7**	**93**	**93,3**	**92,9**	**89,6**	**85,4**	**80,9**		
Уровни звуковой мощности источника ночью, Lw, дБ		**исходные данные**	**0**	**90,3**	**91,7**	**93**	**93,3**	**92,9**	**89,6**	**85,4**	**80,9**		
Поправка на телесный угол DΩ, дБ	Ω = 6.28	10Lg(4π/Ω)	**3**	3	3	3	3	3	3	3	3		
Показатель направленности источника Di, дБ		исходные данные	**0**	0	0	0	0	0	0	0	0		
Поправка на направленность источника Dc, дБ	Dc	DΩ + Di	**3**	3	3	3	3	3	3	3	3		
Затухание из-за геометрической дивергенции, Adiv, дБ	расстояние = 426.98 м	ф-ла (7) [10]	**63,6**										
Коэффициент затухания звука в атмосфере α, дБ/км	Ta=20,°C Pa=101.33,кПа hотн.=70%	ф-ла (5) [9]	0,02	0,09	0,33	1,12	2,79	4,98	9,04	23,09	77,63		
Учет затухания звука в атмосфере Aatm, дБ		ф-ла (8) [10]	0	0	0,1	0,5	1,2	2,1	3,9	9,9	33,1		
Снижение поверхностью земли возле источника As, дБ	Gs = 0 hs = 1м	ф-лы таб.3 [10]	-1,5	-1,5	-1,5	-1,5	-1,5	-1,5	-1,5	-1,5	-1,5		
Снижение поверхностью земли возле приёмника Ar, дБ	Gr = 1 hr = 4.6м	ф-лы таб.3 [10]	-1,5	-1,5	3,3	1,3	0	0	0	0	0		
Снижение поверхностью земли в средней зоне, Am дБ	Gm = 1	ф-лы таб.3 [10]	-1,8	-1,8	0	0	0	0	0	0	0		
Суммарное снижение поверхностью земли на траектории распространения звука Agr, дБ		ф-ла (9) [10]	-4,8	-4,8	1,8	-0,2	-1,5	-1,5	-1,5	-1,5	-1,5		
Уровни звукового давления прямого звука от источника ИШ-4-5 в расчётной точке днём, дБ		**ф-ла(3)[10]**	**0**	**34,5**	**29,2**	**32,1**	**33**	**31,7**	**26,6**	**16,4**	**0**	**35,2**	**35,2**
Уровни звукового давления прямого звука от источника ИШ-4-5 в расчётной точке ночью, дБ		**ф-ла(3)[10]**	**0**	**34,5**	**29,2**	**32,1**	**33**	**31,7**	**26,6**	**16,4**	**0**	**35,2**	**35,2**
Расчёт отражённого звука													

1		2	3	4	5	6	7	8	9	10	11	12	13
Уровни звукового давления от мнимого источника ИШ-4-5_мн.(1) в расчётной точке днём, дБ		**ф-ла(3)[10]**	**0**	**0**	**24,1**	**21,7**	**21,6**	**27,1**	**24**	**13,8**	**0**	**29,9**	**29,9**
Уровни звукового давления от мнимого источника ИШ-4-5_мн.(1) в расчётной точке ночью, дБ		**ф-ла(3)[10]**	**0**	**0**	**0**	**0**	**0**	**0**	**0**	**0**	**0**	**29,9**	**29,9**
Уровни звукового давления от источника ИШ-4-5 в расчётной точке днём, дБ		**ф-ла(3)[10]**	**0**	**34,5**	**30,3**	**32,5**	**33,3**	**33**	**28,5**	**18,3**	**0**	**36,3**	**36,3**
Уровни звукового давления от источника ИШ-4-5 в расчётной точке ночью, дБ		**ф-ла(3)[10]**	**0**	**34,5**	**30,3**	**32,5**	**33,3**	**33**	**28,5**	**18,3**	**0**	**36,3**	**36,3**
Источник шума: ИШ-4-6, координаты источника (x,y,z), м =[125.17,218.57,11.00]													
Уровни звуковой мощности источника днём, Lw, дБ		**исходные данные**	**0**	**90,3**	**91,7**	**93**	**93,3**	**92,9**	**89,6**	**85,4**	**80,9**		
Уровни звуковой мощности источника ночью, Lw, дБ		**исходные данные**	**0**	**90,3**	**91,7**	**93**	**93,3**	**92,9**	**89,6**	**85,4**	**80,9**		
Поправка на телесный угол DΩ, дБ	Ω = 6.28	10Lg(4π/Ω)	**3**	3	3	3	3	3	3	3	3		
Показатель направленности источника Di, дБ		исходные данные	**0**	0	0	0	0	0	0	0	0		
Поправка на направленность источника Dc, дБ	Dc	DΩ + Di	**3**	3	3	3	3	3	3	3	3		
Затухание из-за геометрической дивергенции, Adiv, дБ	расстояние = 423.31 м	ф-ла (7) [10]	**63,5**										
Коэффициент затухания звука в атмосфере α, дБ/км	Ta=20,°C Pa=101.33,кПа hотн.=70%	ф-ла (5) [9]	0,02	0,09	0,33	1,12	2,79	4,98	9,04	23,09	77,63		
Учет затухания звука в атмосфере Aatm, дБ		ф-ла (8) [10]	0	0	0,1	0,5	1,2	2,1	3,8	9,8	32,9		
Снижение поверхностью земли возле источника As, дБ	Gs = 0 hs = 1м	ф-лы таб.3 [10]	-1,5	-1,5	-1,5	-1,5	-1,5	-1,5	-1,5	-1,5	-1,5		
Снижение поверхностью земли возле приёмника Ar, дБ	Gr = 1 hr = 4.6м	ф-лы таб.3 [10]	-1,5	-1,5	3,3	1,3	0	0	0	0	0		
Снижение поверхностью земли в средней зоне, Am дБ	Gm = 1	ф-лы таб.3 [10]	-1,8	-1,8	0	0	0	0	0	0	0		

1		2	3	4	5	6	7	8	9	10	11	12	13
Суммарное снижение поверхностью земли на траектории распространения звука Agr, дБ		ф-ла (9) [10]	-4,8	-4,8	1,8	-0,2	-1,5	-1,5	-1,5	-1,5	-1,5		
Уровни звукового давления прямого звука от источника ИШ-4-6 в расчётной точке днём, дБ		**ф-ла(3)[10]**	**0**	**34,5**	**29,2**	**32,2**	**33,1**	**31,8**	**26,7**	**16,6**	**0**	**35,3**	**35,3**
Уровни звукового давления прямого звука от источника ИШ-4-6 в расчётной точке ночью, дБ		**ф-ла(3)[10]**	**0**	**34,5**	**29,2**	**32,2**	**33,1**	**31,8**	**26,7**	**16,6**	**0**	**35,3**	**35,3**
Расчёт отражённого звука													
Уровни звукового давления от мнимого источника ИШ-4-6_мн.(1) в расчётной точке днём, дБ		**ф-ла(3)[10]**	**0**	**0**	**24,2**	**21,8**	**21,7**	**27,2**	**24,2**	**14**	**0**	**30**	**30**
Уровни звукового давления от мнимого источника ИШ-4-6_мн.(1) в расчётной точке ночью, дБ		**ф-ла(3)[10]**	**0**	**0**	**0**	**0**	**0**	**0**	**0**	**0**	**0**	**30**	**30**
Уровни звукового давления от источника ИШ-4-6 в расчётной точке днём, дБ		**ф-ла(3)[10]**	**0**	**34,5**	**30,4**	**32,6**	**33,4**	**33**	**28,6**	**18,5**	**0**	**36,4**	**36,4**
Уровни звукового давления от источника ИШ-4-6 в расчётной точке ночью, дБ		**ф-ла(3)[10]**	**0**	**34,5**	**30,4**	**32,6**	**33,4**	**33**	**28,6**	**18,5**	**0**	**36,4**	**36,4**
Источник шума: ИШ-4-7, координаты источника (x,y,z), м =[177.91,257.92,11.00]													
Уровни звуковой мощности источника днём, Lw, дБ		**исходные данные**	**0**	**90,3**	**91,7**	**93**	**93,3**	**92,9**	**89,6**	**85,4**	**80,9**		
Уровни звуковой мощности источника ночью, Lw, дБ		**исходные данные**	**0**	**90,3**	**91,7**	**93**	**93,3**	**92,9**	**89,6**	**85,4**	**80,9**		
Поправка на телесный угол DΩ, дБ	Ω = 6.28	10Lg(4π/Ω)	**3**	3	3	3	3	3	3	3	3		
Показатель направленности источника Di, дБ		исходные данные	**0**	0	0	0	0	0	0	0	0		
Поправка на направленность источника Dc, дБ	Dc	DΩ + Di	**3**	3	3	3	3	3	3	3	3		
Затухание из-за геометрической дивергенции, Adiv, дБ	расстояние = 453.14 м	ф-ла (7) [10]	**64,1**										
Коэффициент затухания звука в атмосфере α, дБ/км	Ta=20,°C Pa=101.33,кПа hотн.=70%	ф-ла (5) [9]	0,02	0,09	0,33	1,12	2,79	4,98	9,04	23,09	77,63		

1		2	3	4	5	6	7	8	9	10	11	12	13
Учет затухания звука в атмосфере Aatm, дБ		ф-ла (8) [10]	0	0	0,2	0,5	1,3	2,3	4,1	10,5	35,2		
Снижение поверхностью земли возле источника As, дБ	Gs = 0 hs = 3м	ф-лы таб.3 [10]	-1,5	-1,5	-1,5	-1,5	-1,5	-1,5	-1,5	-1,5	-1,5		
Снижение поверхностью земли возле приёмника Ar, дБ	Gr = 1 hr = 4.6м	ф-лы таб.3 [10]	-1,5	-1,5	3,3	1,3	0	0	0	0	0		
Снижение поверхностью земли в средней зоне, Am дБ	Gm = 1	ф-лы таб.3 [10]	-1,5	-1,5	0	0	0	0	0	0	0		
Суммарное снижение поверхностью земли на траектории распространения звука Agr, дБ		ф-ла (9) [10]	-4,5	-4,5	1,8	-0,2	-1,5	-1,5	-1,5	-1,5	-1,5		
Уровни звукового давления прямого звука от источника ИШ-4-7 в расчётной точке днём, дБ		**ф-ла(3)[10]**	**0**	**33,6**	**28,6**	**31,6**	**32,4**	**31**	**25,9**	**15,3**	**0**	**34,6**	**34,6**
Уровни звукового давления прямого звука от источника ИШ-4-7 в расчётной точке ночью, дБ		**ф-ла(3)[10]**	**0**	**33,6**	**28,6**	**31,6**	**32,4**	**31**	**25,9**	**15,3**	**0**	**34,6**	**34,6**
Расчёт отражённого звука													
Уровни звукового давления от мнимого источника ИШ-4-7_мн.(1) в расчётной точке днём, дБ		**ф-ла(3)[10]**	**0**	**32,6**	**23,1**	**25,2**	**29,6**	**28,4**	**23,3**	**12,7**	**0**	**31,8**	**31,8**
Уровни звукового давления от мнимого источника ИШ-4-7_мн.(1) в расчётной точке ночью, дБ		**ф-ла(3)[10]**	**0**	**0**	**0**	**0**	**0**	**0**	**0**	**0**	**0**	**31,8**	**31,8**
Уровни звукового давления от источника ИШ-4-7 в расчётной точке днём, дБ		**ф-ла(3)[10]**	**0**	**36,1**	**29,7**	**32,5**	**34,2**	**32,9**	**27,8**	**17,2**	**0**	**36,4**	**36,4**
Уровни звукового давления от источника ИШ-4-7 в расчётной точке ночью, дБ		**ф-ла(3)[10]**	**0**	**36,1**	**29,7**	**32,5**	**34,2**	**32,9**	**27,8**	**17,2**	**0**	**36,4**	**36,4**
Источник шума: ИШ-4-8, координаты источника (x,y,z), м =[178.24,257.77,13.00]													
Уровни звуковой мощности источника днём, Lw, дБ		**исходные данные**	**0**	**90,3**	**91,7**	**93**	**93,3**	**92,9**	**89,6**	**85,4**	**80,9**		
Уровни звуковой мощности источника ночью, Lw, дБ		**исходные данные**	**0**	**90,3**	**91,7**	**93**	**93,3**	**92,9**	**89,6**	**85,4**	**80,9**		
Поправка на телесный угол DΩ, дБ	Ω = 6.28	10Lg(4π/Ω)	**3**	3	3	3	3	3	3	3	3		
Показатель направленности источника Di, дБ		исходные данные	**0**	0	0	0	0	0	0	0	0		

1		2	3	4	5	6	7	8	9	10	11	12	13
Поправка на направленность источника Dc, дБ	Dc	DΩ + Di	**3**	3	3	3	3	3	3	3	3		
Затухание из-за геометрической дивергенции, Adiv, дБ	расстояние = 452.99 м	ф-ла (7) [10]	**64,1**										
Коэффициент затухания звука в атмосфере α, дБ/км	Ta=20,°C Pa=101.33,кПа hотн.=70%	ф-ла (5) [9]	0,02	0,09	0,33	1,12	2,79	4,98	9,04	23,09	77,63		
Учет затухания звука в атмосфере Aatm, дБ		ф-ла (8) [10]	0	0	0,2	0,5	1,3	2,3	4,1	10,5	35,2		
Снижение поверхностью земли возле источника As, дБ	Gs = 0 hs = 5м	ф-лы таб.3 [10]	-1,5	-1,5	-1,5	-1,5	-1,5	-1,5	-1,5	-1,5	-1,5		
Снижение поверхностью земли возле приёмника Ar, дБ	Gr = 1 hr = 4.6м	ф-лы таб.3 [10]	-1,5	-1,5	3,3	1,3	0	0	0	0	0		
Снижение поверхностью земли в средней зоне, Am дБ	Gm = 1	ф-лы таб.3 [10]	-1,1	-1,1	0	0	0	0	0	0	0		
Суммарное снижение поверхностью земли на траектории распространения звука Agr, дБ		ф-ла (9) [10]	-4,1	-4,1	1,8	-0,2	-1,5	-1,5	-1,5	-1,5	-1,5		
Уровни звукового давления прямого звука от источника ИШ-4-8 в расчётной точке днём, дБ		**ф-ла(3)[10]**	**0**	**33,2**	**28,6**	**31,6**	**32,4**	**31**	**25,9**	**15,3**	**0**	**34,6**	**34,6**
Уровни звукового давления прямого звука от источника ИШ-4-8 в расчётной точке ночью, дБ		**ф-ла(3)[10]**	**0**	**33,2**	**28,6**	**31,6**	**32,4**	**31**	**25,9**	**15,3**	**0**	**34,6**	**34,6**
Расчёт отражённого звука													
Уровни звукового давления от мнимого источника ИШ-4-8_мн.(1) в расчётной точке днём, дБ		**ф-ла(3)[10]**	**0**	**32,2**	**22,8**	**28,1**	**29,8**	**28,5**	**23,3**	**12,7**	**0**	**31,9**	**31,9**
Уровни звукового давления от мнимого источника ИШ-4-8_мн.(1) в расчётной точке ночью, дБ		**ф-ла(3)[10]**	**0**	**0**	**0**	**0**	**0**	**0**	**0**	**0**	**0**	**31,9**	**31,9**
Уровни звукового давления от источника ИШ-4-8 в расчётной точке днём, дБ		**ф-ла(3)[10]**	**0**	**35,7**	**29,6**	**33,2**	**34,3**	**32,9**	**27,8**	**17,2**	**0**	**36,5**	**36,5**
Уровни звукового давления от источника ИШ-4-8 в расчётной точке ночью, дБ		**ф-ла(3)[10]**	**0**	**35,7**	**29,6**	**33,2**	**34,3**	**32,9**	**27,8**	**17,2**	**0**	**36,5**	**36,5**

Источник шума: ИШ-4-9, координаты источника (x,y,z), м =[178.68,257.63,15.50]

1		2	3	4	5	6	7	8	9	10	11	12	13
Уровни звуковой мощности источника днём, Lw, дБ		**исходные данные**	**0**	**90,3**	**91,7**	**93**	**93,3**	**92,9**	**89,6**	**85,4**	**80,9**		
Уровни звуковой мощности источника ночью, Lw, дБ		**исходные данные**	**0**	**90,3**	**91,7**	**93**	**93,3**	**92,9**	**89,6**	**85,4**	**80,9**		
Поправка на телесный угол DΩ, дБ	Ω = 6.28	10Lg(4π/Ω)	**3**	3	3	3	3	3	3	3	3		
Показатель направленности источника Di, дБ		исходные данные	**0**	0	0	0	0	0	0	0	0		
Поправка на направленность источника Dc, дБ	Dc	DΩ + Di	**3**	3	3	3	3	3	3	3	3		
Затухание из-за геометрической дивергенции, Adiv, дБ	расстояние = 452.86 м	ф-ла (7) [10]	**64,1**										
Коэффициент затухания звука в атмосфере α, дБ/км	Ta=20,°C Pa=101.33,кПа hотн.=70%	ф-ла (5) [9]	0,02	0,09	0,33	1,12	2,79	4,98	9,04	23,09	77,63		
Учет затухания звука в атмосфере Aatm, дБ		ф-ла (8) [10]	0	0	0,2	0,5	1,3	2,3	4,1	10,5	35,2		
Снижение поверхностью земли возле источника As, дБ	Gs = 0 hs = 7.5м	ф-лы таб.3 [10]	-1,5	-1,5	-1,5	-1,5	-1,5	-1,5	-1,5	-1,5	-1,5		
Снижение поверхностью земли возле приёмника Ar, дБ	Gr = 1 hr = 4.6м	ф-лы таб.3 [10]	-1,5	-1,5	3,3	1,3	0	0	0	0	0		
Снижение поверхностью земли в средней зоне, Am дБ	Gm = 1	ф-лы таб.3 [10]	-0,6	-0,6	0	0	0	0	0	0	0		
Суммарное снижение поверхностью земли на траектории распространения звука Agr, дБ		ф-ла (9) [10]	-3,6	-3,6	1,8	-0,2	-1,5	-1,5	-1,5	-1,5	-1,5		
Уровни звукового давления прямого звука от источника ИШ-4-9 в расчётной точке днём, дБ		**ф-ла(3)[10]**	**0**	**32,7**	**28,6**	**31,6**	**32,4**	**31**	**25,9**	**15,3**	**0**	**34,6**	**34,6**
Уровни звукового давления прямого звука от источника ИШ-4-9 в расчётной точке ночью, дБ		**ф-ла(3)[10]**	**0**	**32,7**	**28,6**	**31,6**	**32,4**	**31**	**25,9**	**15,3**	**0**	**34,6**	**34,6**
Расчёт отражённого звука													
Уровни звукового давления от мнимого источника ИШ-4-9_мн.(1) в расчётной точке днём, дБ		**ф-ла(3)[10]**	**0**	**0**	**0**	**0**	**0**	**0**	**0**	**0**	**0**	**0**	**0**
Уровни звукового давления от мнимого источника ИШ-4-9_мн.(1) в расчётной точке ночью, дБ		**ф-ла(3)[10]**	**0**	**0**	**0**	**0**	**0**	**0**	**0**	**0**	**0**	**0**	**0**

1		2	3	4	5	6	7	8	9	10	11	12	13
Уровни звукового давления от мнимого источника ИШ-4-9_мн.(2) в расчётной точке днём, дБ		**ф-ла(3)[10]**	**0**	**31,7**	**24,6**	**29**	**29,9**	**28,5**	**23,3**	**12,7**	**0**	**32**	**32**
Уровни звукового давления от мнимого источника ИШ-4-9_мн.(2) в расчётной точке ночью, дБ		**ф-ла(3)[10]**	**31,7**	**31,7**	**31,7**	**31,7**	**31,7**	**31,7**	**31,7**	**31,7**	**31,7**	**32**	**32**
Суммарные уровни звукового давления от мнимых источников в расчётной точке днём, дБ		**ф-ла (19) [1]**	**0**	**31,7**	**24,6**	**29**	**29,9**	**28,5**	**23,3**	**12,7**	**0**	**0**	**32**
Суммарные уровни звукового давления от мнимых источников в расчётной точке ночью, дБ		**ф-ла (19) [1]**	**0**	**31,7**	**24,6**	**29**	**29,9**	**28,5**	**23,3**	**12,7**	**0**	**0**	**32**
Уровни звукового давления от источника ИШ-4-9 в расчётной точке днём, дБ		**ф-ла(3)[10]**	**0**	**35,3**	**30,1**	**33,5**	**34,3**	**32,9**	**27,8**	**17,2**	**0**	**36,5**	**36,5**
Уровни звукового давления от источника ИШ-4-9 в расчётной точке ночью, дБ		**ф-ла(3)[10]**	**0**	**35,3**	**30,1**	**33,5**	**34,3**	**32,9**	**27,8**	**17,2**	**0**	**36,5**	**36,5**
Источник шума: ИШ-4-10, координаты источника (x,y,z), м =[185.65,255.31,11.00]													
Уровни звуковой мощности источника днём, Lw, дБ		**исходные данные**	**0**	**90,3**	**91,7**	**93**	**93,3**	**92,9**	**89,6**	**85,4**	**80,9**		
Уровни звуковой мощности источника ночью, Lw, дБ		**исходные данные**	**0**	**90,3**	**91,7**	**93**	**93,3**	**92,9**	**89,6**	**85,4**	**80,9**		
Поправка на телесный угол DΩ, дБ	Ω = 6.28	10Lg(4π/Ω)	**3**	3	3	3	3	3	3	3	3		
Показатель направленности источника Di, дБ		исходные данные	**0**	0	0	0	0	0	0	0	0		
Поправка на направленность источника Dc, дБ	Dc	DΩ + Di	**3**	3	3	3	3	3	3	3	3		
Затухание из-за геометрической дивергенции, Adiv, дБ	расстояние = 449.79 м	ф-ла (7) [10]	**64,1**										
Коэффициент затухания звука в атмосфере α, дБ/км	Ta=20,°C Pa=101.33,кПа hотн.=70%	ф-ла (5) [9]	0,02	0,09	0,33	1,12	2,79	4,98	9,04	23,09	77,63		
Учет затухания звука в атмосфере Aatm, дБ		ф-ла (8) [10]	0	0	0,2	0,5	1,3	2,2	4,1	10,4	34,9		
Снижение поверхностью земли возле источника As, дБ	Gs = 0 hs = 3м	ф-лы таб.3 [10]	-1,5	-1,5	-1,5	-1,5	-1,5	-1,5	-1,5	-1,5	-1,5		

1		2	3	4	5	6	7	8	9	10	11	12	13
Снижение поверхностью земли возле приёмника Ar, дБ	Gr = 1 hr = 4.6м	ф-лы таб.3 [10]	-1,5	-1,5	3,3	1,3	0	0	0	0	0		
Снижение поверхностью земли в средней зоне, Am дБ	Gm = 1	ф-лы таб.3 [10]	-1,5	-1,5	0	0	0	0	0	0	0		
Суммарное снижение поверхностью земли на траектории распространения звука Agr, дБ		ф-ла (9) [10]	-4,5	-4,5	1,8	-0,2	-1,5	-1,5	-1,5	-1,5	-1,5		
Уровни звукового давления прямого звука от источника ИШ-4-10 в расчётной точке днём, дБ		**ф-ла(3)[10]**	**0**	**33,7**	**28,7**	**31,6**	**32,5**	**31,1**	**26**	**15,4**	**0**	**34,7**	**34,7**
Уровни звукового давления прямого звука от источника ИШ-4-10 в расчётной точке ночью, дБ		**ф-ла(3)[10]**	**0**	**33,7**	**28,7**	**31,6**	**32,5**	**31,1**	**26**	**15,4**	**0**	**34,7**	**34,7**
Расчёт отражённого звука													
Уровни звукового давления от мнимого источника ИШ-4-10_мн.(1) в расчётной точке днём, дБ		**ф-ла(3)[10]**	**0**	**0**	**0**	**0**	**0**	**0**	**0**	**11,4**	**0**	**12,4**	**12,4**
Уровни звукового давления от мнимого источника ИШ-4-10_мн.(1) в расчётной точке ночью, дБ		**ф-ла(3)[10]**	**0**	**0**	**0**	**0**	**0**	**0**	**0**	**0**	**0**	**12,4**	**12,4**
Уровни звукового давления от мнимого источника ИШ-4-10_мн.(2) в расчётной точке днём, дБ		**ф-ла(3)[10]**	**0**	**32,6**	**23,2**	**25,3**	**29,7**	**28,5**	**23,4**	**12,8**	**0**	**31,8**	**31,8**
Уровни звукового давления от мнимого источника ИШ-4-10_мн.(2) в расчётной точке ночью, дБ		**ф-ла(3)[10]**	**32,6**	**32,6**	**32,6**	**32,6**	**32,6**	**32,6**	**32,6**	**32,6**	**32,6**	**31,8**	**31,8**
Суммарные уровни звукового давления от мнимых источников в расчётной точке днём, дБ		**ф-ла (19) [1]**	**0**	**32,6**	**23,2**	**25,3**	**29,7**	**28,5**	**23,4**	**15,2**	**0**	**0**	**31,9**
Суммарные уровни звукового давления от мнимых источников в расчётной точке ночью, дБ		**ф-ла (19) [1]**	**0**	**32,6**	**23,2**	**25,3**	**29,7**	**28,5**	**23,4**	**15,2**	**0**	**0**	**31,9**
Уровни звукового давления от источника ИШ-4-10 в расчётной точке днём, дБ		**ф-ла(3)[10]**	**0**	**36,2**	**29,7**	**32,5**	**34,3**	**33**	**27,9**	**18,3**	**0**	**36,5**	**36,5**
Уровни звукового давления от источника ИШ-4-10 в расчётной точке ночью, дБ		**ф-ла(3)[10]**	**0**	**36,2**	**29,7**	**32,5**	**34,3**	**33**	**27,9**	**18,3**	**0**	**36,5**	**36,5**
Источник шума: ИШ-4-11, координаты источника (x,y,z), м =[185.89,255.16,13.00]													
Уровни звуковой мощности источника днём, Lw, дБ		**исходные данные**	**0**	**90,3**	**91,7**	**93**	**93,3**	**92,9**	**89,6**	**85,4**	**80,9**		
Уровни звуковой мощности источника ночью, Lw, дБ		**исходные данные**	**0**	**90,3**	**91,7**	**93**	**93,3**	**92,9**	**89,6**	**85,4**	**80,9**		

1		2	3	4	5	6	7	8	9	10	11	12	13
Поправка на телесный угол DΩ, дБ	Ω = 6.28	10Lg(4π/Ω)	**3**	3	3	3	3	3	3	3	3		
Показатель направленности источника Di, дБ		исходные данные	**0**	0	0	0	0	0	0	0	0		
Поправка на направленность источника Dc, дБ	Dc	DΩ + Di	**3**	3	3	3	3	3	3	3	3		
Затухание из-за геометрической дивергенции, Adiv, дБ	расстояние = 449.66 м	ф-ла (7) [10]	**64,1**										
Коэффициент затухания звука в атмосфере α, дБ/км	Ta=20,°C Pa=101.33,кПа hотн.=70%	ф-ла (5) [9]	0,02	0,09	0,33	1,12	2,79	4,98	9,04	23,09	77,63		
Учет затухания звука в атмосфере Aatm, дБ		ф-ла (8) [10]	0	0	0,2	0,5	1,3	2,2	4,1	10,4	34,9		
Снижение поверхностью земли возле источника As, дБ	Gs = 0 hs = 5м	ф-лы таб.3 [10]	-1,5	-1,5	-1,5	-1,5	-1,5	-1,5	-1,5	-1,5	-1,5		
Снижение поверхностью земли возле приёмника Ar, дБ	Gr = 1 hr = 4.6м	ф-лы таб.3 [10]	-1,5	-1,5	3,3	1,3	0	0	0	0	0		
Снижение поверхностью земли в средней зоне, Am дБ	Gm = 1	ф-лы таб.3 [10]	-1,1	-1,1	0	0	0	0	0	0	0		
Суммарное снижение поверхностью земли на траектории распространения звука Agr, дБ		ф-ла (9) [10]	-4,1	-4,1	1,8	-0,2	-1,5	-1,5	-1,5	-1,5	-1,5		
Уровни звукового давления прямого звука от источника ИШ-4-11 в расчётной точке днём, дБ		**ф-ла(3)[10]**	**0**	**33,3**	**28,7**	**31,6**	**32,5**	**31,1**	**26**	**15,5**	**0**	**34,7**	**34,7**
Уровни звукового давления прямого звука от источника ИШ-4-11 в расчётной точке ночью, дБ		**ф-ла(3)[10]**	**0**	**33,3**	**28,7**	**31,6**	**32,5**	**31,1**	**26**	**15,5**	**0**	**34,7**	**34,7**
Расчёт отражённого звука													
Уровни звукового давления от мнимого источника ИШ-4-11_мн.(1) в расчётной точке днём, дБ		**ф-ла(3)[10]**	**0**	**32,2**	**22,9**	**28,2**	**29,9**	**28,5**	**23,4**	**12,8**	**0**	**32**	**32**
Уровни звукового давления от мнимого источника ИШ-4-11_мн.(1) в расчётной точке ночью, дБ		**ф-ла(3)[10]**	**0**	**0**	**0**	**0**	**0**	**0**	**0**	**0**	**0**	**32**	**32**
Уровни звукового давления от источника ИШ-4-11 в расчётной точке днём, дБ		**ф-ла(3)[10]**	**0**	**35,8**	**29,7**	**33,3**	**34,4**	**33**	**27,9**	**17,3**	**0**	**36,6**	**36,6**
Уровни звукового давления от источника ИШ-4-11 в расчётной точке ночью, дБ		**ф-ла(3)[10]**	**0**	**35,8**	**29,7**	**33,3**	**34,4**	**33**	**27,9**	**17,3**	**0**	**36,6**	**36,6**

1		2	3	4	5	6	7	8	9	10	11	12	13
Источник шума: ИШ-4-12, координаты источника (x,y,z), м =[186.18,255.02,15.50]													
Уровни звуковой мощности источника днём, Lw, дБ		**исходные данные**	**0**	**90,3**	**91,7**	**93**	**93,3**	**92,9**	**89,6**	**85,4**	**80,9**		
Уровни звуковой мощности источника ночью, Lw, дБ		**исходные данные**	**0**	**90,3**	**91,7**	**93**	**93,3**	**92,9**	**89,6**	**85,4**	**80,9**		
Поправка на телесный угол DΩ, дБ	Ω = 6.28	10Lg(4π/Ω)	**3**	3	3	3	3	3	3	3	3		
Показатель направленности источника Di, дБ		исходные данные	**0**	0	0	0	0	0	0	0	0		
Поправка на направленность источника Dc, дБ	Dc	DΩ + Di	**3**	3	3	3	3	3	3	3	3		
Затухание из-за геометрической дивергенции, Adiv, дБ	расстояние = 449.55 м	ф-ла (7) [10]	**64,1**										
Коэффициент затухания звука в атмосфере α, дБ/км	Ta=20,°C Pa=101.33,кПа hотн.=70%	ф-ла (5) [9]	0,02	0,09	0,33	1,12	2,79	4,98	9,04	23,09	77,63		
Учет затухания звука в атмосфере Aatm, дБ		ф-ла (8) [10]	0	0	0,2	0,5	1,3	2,2	4,1	10,4	34,9		
Снижение поверхностью земли возле источника As, дБ	Gs = 0 hs = 7.5м	ф-лы таб.3 [10]	-1,5	-1,5	-1,5	-1,5	-1,5	-1,5	-1,5	-1,5	-1,5		
Снижение поверхностью земли возле приёмника Ar, дБ	Gr = 1 hr = 4.6м	ф-лы таб.3 [10]	-1,5	-1,5	3,3	1,3	0	0	0	0	0		
Снижение поверхностью земли в средней зоне, Am дБ	Gm = 1	ф-лы таб.3 [10]	-0,6	-0,6	0	0	0	0	0	0	0		
Суммарное снижение поверхностью земли на траектории распространения звука Agr, дБ		ф-ла (9) [10]	-3,6	-3,6	1,8	-0,2	-1,5	-1,5	-1,5	-1,5	-1,5		
Уровни звукового давления прямого звука от источника ИШ-4-12 в расчётной точке днём, дБ		**ф-ла(3)[10]**	**0**	**32,8**	**28,7**	**31,7**	**32,5**	**31,1**	**26**	**15,5**	**0**	**34,7**	**34,7**
Уровни звукового давления прямого звука от источника ИШ-4-12 в расчётной точке ночью, дБ		**ф-ла(3)[10]**	**0**	**32,8**	**28,7**	**31,7**	**32,5**	**31,1**	**26**	**15,5**	**0**	**34,7**	**34,7**
Расчёт отражённого звука													

1		2	3	4	5	6	7	8	9	10	11	12	13
Уровни звукового давления от мнимого источника ИШ-4-12_мн.(1) в расчётной точке днём, дБ		**ф-ла(3)[10]**	**0**	**0**	**0**	**0**	**0**	**0**	**0**	**0**	**0**	**0**	**0**
Уровни звукового давления от мнимого источника ИШ-4-12_мн.(1) в расчётной точке ночью, дБ		**ф-ла(3)[10]**	**0**	**0**	**0**	**0**	**0**	**0**	**0**	**0**	**0**	**0**	**0**
Уровни звукового давления от мнимого источника ИШ-4-12_мн.(2) в расчётной точке днём, дБ		**ф-ла(3)[10]**	**0**	**31,7**	**24,7**	**29**	**29,9**	**28,5**	**23,4**	**12,8**	**0**	**32,1**	**32,1**
Уровни звукового давления от мнимого источника ИШ-4-12_мн.(2) в расчётной точке ночью, дБ		**ф-ла(3)[10]**	**31,7**	**31,7**	**31,7**	**31,7**	**31,7**	**31,7**	**31,7**	**31,7**	**31,7**	**32,1**	**32,1**
Суммарные уровни звукового давления от мнимых источников в расчётной точке днём, дБ		**ф-ла (19) [1]**	**0**	**31,7**	**24,7**	**29**	**29,9**	**28,5**	**23,4**	**12,8**	**0**	**0**	**32,1**
Суммарные уровни звукового давления от мнимых источников в расчётной точке ночью, дБ		**ф-ла (19) [1]**	**0**	**31,7**	**24,7**	**29**	**29,9**	**28,5**	**23,4**	**12,8**	**0**	**0**	**32,1**
Уровни звукового давления от источника ИШ-4-12 в расчётной точке днём, дБ		**ф-ла(3)[10]**	**0**	**35,3**	**30,1**	**33,6**	**34,4**	**33**	**27,9**	**17,3**	**0**	**36,6**	**36,6**
Уровни звукового давления от источника ИШ-4-12 в расчётной точке ночью, дБ		**ф-ла(3)[10]**	**0**	**35,3**	**30,1**	**33,6**	**34,4**	**33**	**27,9**	**17,3**	**0**	**36,6**	**36,6**
Источник шума: ИШ-4-13, координаты источника (x,y,z), м =[94.56,229.10,1.00]													
Уровни звуковой мощности источника днём, Lw, дБ		**исходные данные**	**0**	**81,3**	**82,7**	**84**	**84,3**	**83,9**	**80,6**	**76,4**	**71,9**		
Уровни звуковой мощности источника ночью, Lw, дБ		**исходные данные**	**0**	**81,3**	**82,7**	**84**	**84,3**	**83,9**	**80,6**	**76,4**	**71,9**		
Поправка на телесный угол DΩ, дБ	Ω = 6.28	10Lg(4π/Ω)	**3**	3	3	3	3	3	3	3	3		
Показатель направленности источника Di, дБ		исходные данные	**0**	0	0	0	0	0	0	0	0		
Поправка на направленность источника Dc, дБ	Dc	DΩ + Di	**3**	3	3	3	3	3	3	3	3		
Затухание из-за геометрической дивергенции, Adiv, дБ	расстояние = 441.57 м	ф-ла (7) [10]	**63,9**										
Коэффициент затухания звука в атмосфере α, дБ/км	Ta=20,°C Pa=101.33,кПа hотн.=70%	ф-ла (5) [9]	0,02	0,09	0,33	1,12	2,79	4,98	9,04	23,09	77,63		

1		2	3	4	5	6	7	8	9	10	11	12	13
Учет затухания звука в атмосфере Aatm, дБ		ф-ла (8) [10]	0	0	0,1	0,5	1,2	2,2	4	10,2	34,3		
Снижение уровня звукового давления из-за влияния застройки между источником шума и расчетной точкой													
Снижение уровня звукового давления на пути над экраном, Dz1, дБ	z = 3.44м (разность путей)	ф-лы (14-18) [10]	11,7	15,4	19,6	23,3	26,5	29,6	32,6	35,6	38,6		
Снижение уровня звукового давления на пути слева от экрана, Dz2, дБ	z = 126.79м (разность путей)	ф-лы (14-18) [10]	27,5	31,8	36,2	40,1	43,4	46,5	49,5	52,5	55,5		
Снижение уровня звукового давления на пути справа от экрана, Dz3, дБ	z = 7.98м (разность путей)	ф-лы (14-18) [10]	18,9	22,4	25,5	28,5	31,5	34,5	37,5	40,5	43,5		
Общее снижение уровня звука препятствием Dz, дБ		Эн.сумма(-Dzi)	10,8	14,5	18,5	22,1	25,2	28,3	31,3	34,3	37,3		
Общее снижение уровня звука препятствием с учётом ограничения (25 дБ) для октавных полос Dz, дБ		Раздел 7.4 [10]	10,8	14,5	18,5	22,1	25	25	25	25	25		
Уровни звукового давления от источника ИШ-4-13 в расчётной точке днём, дБ		**ф-ла(3)[10]**	**0**	**5,8**	**3,1**	**0,5**	**0**	**0**	**0**	**0**	**0**	**0**	**0**
Уровни звукового давления от источника ИШ-4-13 в расчётной точке ночью, дБ		**ф-ла(3)[10]**	**0**	**5,8**	**3,1**	**0,5**	**0**	**0**	**0**	**0**	**0**	**0**	**0**
Источник шума: ИШ-4-14, координаты источника (x,y,z), м =[91.88,221.30,1.00]													
Уровни звуковой мощности источника днём, Lw, дБ		**исходные данные**	**0**	**81,3**	**82,7**	**84**	**84,3**	**83,9**	**80,6**	**76,4**	**71,9**		
Уровни звуковой мощности источника ночью, Lw, дБ		**исходные данные**	**0**	**81,3**	**82,7**	**84**	**84,3**	**83,9**	**80,6**	**76,4**	**71,9**		
Поправка на телесный угол DΩ, дБ	Ω = 6.28	10Lg(4π/Ω)	**3**	3	3	3	3	3	3	3	3		
Показатель направленности источника Di, дБ		исходные данные	**0**	0	0	0	0	0	0	0	0		
Поправка на направленность источника Dc, дБ	Dc	DΩ + Di	**3**	3	3	3	3	3	3	3	3		
Затухание из-за геометрической дивергенции, Adiv, дБ	расстояние = 434.95 м	ф-ла (7) [10]	**63,8**										

1		2	3	4	5	6	7	8	9	10	11	12	13
Коэффициент затухания звука в атмосфере α, дБ/км	Та=20,°С Ра=101.33,кПа hотн.=70%	ф-ла (5) [9]	0,02	0,09	0,33	1,12	2,79	4,98	9,04	23,09	77,63		
Учет затухания звука в атмосфере Aatm, дБ		ф-ла (8) [10]	0	0	0,1	0,5	1,2	2,2	3,9	10	33,8		
Снижение уровня звукового давления из-за влияния застройки между источником шума и расчетной точкой													
Снижение уровня звукового давления на пути над экраном, Dz1, дБ	z = 3.47м (разность путей)	ф-лы (14-18) [10]	14,5	17,8	20,9	23,9	26,9	29,9	32,9	35,9	38,9		
Снижение уровня звукового давления на пути слева от экрана, Dz2, дБ	z = 141.63м (разность путей)	ф-лы (14-18) [10]	28	32,3	36,7	40,6	43,9	47	50	53	56		
Снижение уровня звукового давления на пути справа от экрана, Dz3, дБ	z = 6.53м (разность путей)	ф-лы (14-18) [10]	18,1	21,5	24,6	27,6	30,6	33,6	36,6	39,6	42,7		
Общее снижение уровня звука препятствием Dz, дБ		Эн.сумма(-Dzi)	12,8	16,2	19,2	22,3	25,3	28,3	31,3	34,3	37,3		
Общее снижение уровня звука препятствием с учётом ограничения (25 дБ) для октавных полос Dz, дБ		Раздел 7.4 [10]	12,8	16,2	19,2	22,3	25	25	25	25	25		
Уровни звукового давления от источника ИШ-4-14 в расчётной точке днём, дБ		**ф-ла(3)[10]**	**0**	**4,3**	**2,5**	**0,5**	**0**	**0**	**0**	**0**	**0**	**0**	**0**
Уровни звукового давления от источника ИШ-4-14 в расчётной точке ночью, дБ		**ф-ла(3)[10]**	**0**	**4,3**	**2,5**	**0,5**	**0**	**0**	**0**	**0**	**0**	**0**	**0**
Источник шума: ИШ-5-1, координаты источника (x,y,z), м =[626.70,162.36,1.00]													
Уровни звуковой мощности источника днём, Lw, дБ		**исходные данные**	**0**	**93,3**	**94,7**	**96**	**96,3**	**95,9**	**92,6**	**88,4**	**83,9**		
Уровни звуковой мощности источника ночью, Lw, дБ		**исходные данные**	**0**	**93,3**	**94,7**	**96**	**96,3**	**95,9**	**92,6**	**88,4**	**83,9**		
Поправка на телесный угол DΩ, дБ	Ω = 6.28	10Lg(4π/Ω)	**3**	3	3	3	3	3	3	3	3		
Показатель направленности источника Di, дБ		исходные данные	**0**	0	0	0	0	0	0	0	0		
Поправка на направленность источника Dc, дБ	Dc	DΩ + Di	**3**	3	3	3	3	3	3	3	3		

1		2	3	4	5	6	7	8	9	10	11	12	13
Затухание из-за геометрической дивергенции, Adiv, дБ	расстояние = 536.00 м	ф-ла (7) [10]	**65,6**										
Коэффициент затухания звука в атмосфере α, дБ/км	Ta=20,°C Pa=101.33,кПа hотн.=70%	ф-ла (5) [9]	0,02	0,09	0,33	1,12	2,79	4,98	9,04	23,09	77,63		
Учет затухания звука в атмосфере Aatm, дБ		ф-ла (8) [10]	0	0	0,2	0,6	1,5	2,7	4,8	12,4	41,6		
Снижение уровня звукового давления из-за влияния застройки между источником шума и расчетной точкой													
Снижение уровня звукового давления на пути над экраном, Dz1, дБ	z = 0.21м (разность путей)	ф-лы (14-18) [10]	4,8	4,9	5	5,3	5,8	6,6	8	9,8	12		
Снижение уровня звукового давления на пути слева от экрана, Dz2, дБ	z = 0.57м (разность путей)	ф-лы (14-18) [10]	7,1	8,6	10,6	13	15,7	18,5	21,4	24,4	27,4		
Снижение уровня звукового давления на пути справа от экрана, Dz3, дБ	z = 123.33м (разность путей)	ф-лы (14-18) [10]	30,8	34,2	37,3	40,4	43,4	46,4	49,4	52,4	55,4		
Общее снижение уровня звука препятствием Dz, дБ		Эн.сумма(-Dzi)	2,8	3,3	3,9	4,6	5,4	6,4	7,8	9,6	11,9		
Уровни звукового давления от источника ИШ-5-1 в расчётной точке днём, дБ		**ф-ла(3)[10]**	**0**	**27,3**	**28**	**28,2**	**26,8**	**24,3**	**17,4**	**3,8**	**0**	**28,3**	**28,3**
Уровни звукового давления от источника ИШ-5-1 в расчётной точке ночью, дБ		**ф-ла(3)[10]**	**0**	**27,3**	**28**	**28,2**	**26,8**	**24,3**	**17,4**	**3,8**	**0**	**28,3**	**28,3**
Источник шума: ИШ-5-2, координаты источника (x,y,z), м =[625.81,159.52,1.00]													
Уровни звуковой мощности источника днём, Lw, дБ		**исходные данные**	**0**	**93,3**	**94,7**	**96**	**96,3**	**95,9**	**92,6**	**88,4**	**83,9**		
Уровни звуковой мощности источника ночью, Lw, дБ		**исходные данные**	**0**	**93,3**	**94,7**	**96**	**96,3**	**95,9**	**92,6**	**88,4**	**83,9**		
Поправка на телесный угол DΩ, дБ	Ω = 6.28	10Lg($4\pi/\Omega$)	**3**	3	3	3	3	3	3	3	3		
Показатель направленности источника Di, дБ		исходные данные	**0**	0	0	0	0	0	0	0	0		
Поправка на направленность источника Dc, дБ	Dc	DΩ + Di	**3**	3	3	3	3	3	3	3	3		

1		2	3	4	5	6	7	8	9	10	11	12	13
Затухание из-за геометрической дивергенции, Adiv, дБ	расстояние = 533.46 м	ф-ла (7) [10]	**65,5**										
Коэффициент затухания звука в атмосфере α, дБ/км	Ta=20,°C Pa=101.33,кПа hотн.=70%	ф-ла (5) [9]	0,02	0,09	0,33	1,12	2,79	4,98	9,04	23,09	77,63		
Учет затухания звука в атмосфере Aatm, дБ		ф-ла (8) [10]	0	0	0,2	0,6	1,5	2,7	4,8	12,3	41,4		
Снижение уровня звукового давления из-за влияния застройки между источником шума и расчетной точкой													
Снижение уровня звукового давления на пути над экраном, Dz1, дБ	z = 0.21м (разность путей)	ф-лы (14-18) [10]	4,8	4,9	5	5,3	5,8	6,7	8	9,8	12,1		
Снижение уровня звукового давления на пути слева от экрана, Dz2, дБ	z = 0.54м (разность путей)	ф-лы (14-18) [10]	7	8,4	10,4	12,7	15,4	18,2	21,1	24,1	27		
Снижение уровня звукового давления на пути справа от экрана, Dz3, дБ	z = 125.68м (разность путей)	ф-лы (14-18) [10]	30,9	34,3	37,4	40,4	43,5	46,5	49,5	52,5	55,5		
Общее снижение уровня звука препятствием Dz, дБ		Эн.сумма(-Dzi)	2,7	3,3	3,9	4,6	5,4	6,4	7,8	9,7	12		
Уровни звукового давления от источника ИШ-5-2 в расчётной точке днём, дБ		**ф-ла(3)[10]**	**0**	**27,4**	**28,1**	**28,3**	**26,9**	**24,3**	**17,4**	**3,9**	**0**	**28,4**	**28,4**
Уровни звукового давления от источника ИШ-5-2 в расчётной точке ночью, дБ		**ф-ла(3)[10]**	**0**	**27,4**	**28,1**	**28,3**	**26,9**	**24,3**	**17,4**	**3,9**	**0**	**28,4**	**28,4**
Источник шума: ИШ-5-3, координаты источника (x,y,z), м =[624.84,156.69,1.00]													
Уровни звуковой мощности источника днём, Lw, дБ		**исходные данные**	**0**	**93,3**	**94,7**	**96**	**96,3**	**95,9**	**92,6**	**88,4**	**83,9**		
Уровни звуковой мощности источника ночью, Lw, дБ		**исходные данные**	**0**	**93,3**	**94,7**	**96**	**96,3**	**95,9**	**92,6**	**88,4**	**83,9**		
Поправка на телесный угол DΩ, дБ	Ω = 6.28	10Lg($4\pi/\Omega$)	**3**	3	3	3	3	3	3	3	3		
Показатель направленности источника Di, дБ		исходные данные	**0**	0	0	0	0	0	0	0	0		
Поправка на направленность источника Dc, дБ	Dc	DΩ + Di	**3**	3	3	3	3	3	3	3	3		

1		2	3	4	5	6	7	8	9	10	11	12	13
Затухание из-за геометрической дивергенции, Adiv, дБ	расстояние = 530.86 м	ф-ла (7) [10]	**65,5**										
Коэффициент затухания звука в атмосфере α, дБ/км	Ta=20,°C Pa=101.33,кПа hотн.=70%	ф-ла (5) [9]	0,02	0,09	0,33	1,12	2,79	4,98	9,04	23,09	77,63		
Учет затухания звука в атмосфере Aatm, дБ		ф-ла (8) [10]	0	0	0,2	0,6	1,5	2,6	4,8	12,3	41,2		
Снижение уровня звукового давления из-за влияния застройки между источником шума и расчетной точкой													
Снижение уровня звукового давления на пути над экраном, Dz1, дБ	z = 0.21м (разность путей)	ф-лы (14-18) [10]	4,8	4,9	5	5,3	5,8	6,7	8	9,9	12,2		
Снижение уровня звукового давления на пути слева от экрана, Dz2, дБ	z = 0.50м (разность путей)	ф-лы (14-18) [10]	6,9	8,3	10,1	12,5	15,1	17,9	20,8	23,8	26,7		
Снижение уровня звукового давления на пути справа от экрана, Dz3, дБ	z = 128.04м (разность путей)	ф-лы (14-18) [10]	30,9	34,4	37,5	40,5	43,5	46,6	49,6	52,6	55,6		
Общее снижение уровня звука препятствием Dz, дБ		Эн.сумма(-Dzi)	2,7	3,2	3,8	4,5	5,3	6,4	7,8	9,7	12		
Уровни звукового давления от источника ИШ-5-3 в расчётной точке днём, дБ		**ф-ла(3)[10]**	**0**	**27,5**	**28,2**	**28,4**	**27**	**24,4**	**17,5**	**3,9**	**0**	**28,4**	**28,4**
Уровни звукового давления от источника ИШ-5-3 в расчётной точке ночью, дБ		**ф-ла(3)[10]**	**0**	**27,5**	**28,2**	**28,4**	**27**	**24,4**	**17,5**	**3,9**	**0**	**28,4**	**28,4**
Источник шума: ИШ-6-1, координаты источника (x,y,z), м =[836.30,122.24,1.00]													
Уровни звуковой мощности источника днём, Lw, дБ		**исходные данные**	**0**	**96,3**	**97,7**	**99**	**99,3**	**98,9**	**95,6**	**91,4**	**86,9**		
Уровни звуковой мощности источника ночью, Lw, дБ		**исходные данные**	**0**	**96,3**	**97,7**	**99**	**99,3**	**98,9**	**95,6**	**91,4**	**86,9**		
Поправка на телесный угол DΩ, дБ	Ω = 12.57	10Lg(4π/Ω)	**0**	0	0	0	0	0	0	0	0		
Показатель направленности источника Di, дБ		исходные данные	**0**	0	0	0	0	0	0	0	0		
Поправка на направленность источника Dc, дБ	Dc	DΩ + Di	**0**	0	0	0	0	0	0	0	0		

1		2	3	4	5	6	7	8	9	10	11	12	13
Затухание из-за геометрической дивергенции, Adiv, дБ	расстояние = 687.51 м	ф-ла (7) [10]	**67,7**										
Коэффициент затухания звука в атмосфере α, дБ/км	Ta=20,°C Pa=101.33,кПа hотн.=70%	ф-ла (5) [9]	0,02	0,09	0,33	1,12	2,79	4,98	9,04	23,09	77,63		
Учет затухания звука в атмосфере Aatm, дБ		ф-ла (8) [10]	0	0,1	0,2	0,8	1,9	3,4	6,2	15,9	53,4		
Снижение уровня звукового давления из-за влияния застройки между источником шума и расчетной точкой													
Снижение уровня звукового давления на пути над экраном, Dz1, дБ	z = 0.06м (разность путей)	ф-лы (14-18) [10]	4,8	4,8	4,8	4,8	4,8	4,8	4,8	4,8	4,8		
Снижение уровня звукового давления на пути слева от экрана, Dz2, дБ	z = 8.44м (разность путей)	ф-лы (14-18) [10]	15,3	18,2	21	24	27	30	33	36	39		
Снижение уровня звукового давления на пути справа от экрана, Dz3, дБ	z = 0.32м (разность путей)	ф-лы (14-18) [10]	6,2	7,3	8,9	10,9	13,4	16,1	18,9	21,9	24,8		
Общее снижение уровня звука препятствием Dz, дБ		Эн.сумма(-Dzi)	2,2	2,7	3,3	3,8	4,2	4,4	4,6	4,7	4,7		
Уровни звукового давления от источника ИШ-6-1 в расчётной точке днём, дБ		**ф-ла(3)[10]**	**0**	**25,8**	**26,4**	**26,7**	**25,4**	**23,3**	**17**	**3,1**	**0**	**27,2**	**27,2**
Уровни звукового давления от источника ИШ-6-1 в расчётной точке ночью, дБ		**ф-ла(3)[10]**	**0**	**25,8**	**26,4**	**26,7**	**25,4**	**23,3**	**17**	**3,1**	**0**	**27,2**	**27,2**
Источник шума: ИШ-6-2, координаты источника (x,y,z), м =[835.37,119.30,1.00]													
Уровни звуковой мощности источника днём, Lw, дБ		**исходные данные**	**0**	**96,3**	**97,7**	**99**	**99,3**	**98,9**	**95,6**	**91,4**	**86,9**		
Уровни звуковой мощности источника ночью, Lw, дБ		**исходные данные**	**0**	**96,3**	**97,7**	**99**	**99,3**	**98,9**	**95,6**	**91,4**	**86,9**		
Поправка на телесный угол DΩ, дБ	Ω = 12.57	10Lg($4\pi/\Omega$)	**0**	0	0	0	0	0	0	0	0		
Показатель направленности источника Di, дБ		исходные данные	**0**	0	0	0	0	0	0	0	0		
Поправка на направленность источника Dc, дБ	Dc	DΩ + Di	**0**	0	0	0	0	0	0	0	0		

1		2	3	4	5	6	7	8	9	10	11	12	13
Затухание из-за геометрической дивергенции, Adiv, дБ	расстояние = 685.34 м	ф-ла (7) [10]	**67,7**										
Коэффициент затухания звука в атмосфере α, дБ/км	Ta=20,°C Pa=101.33,кПа hотн.=70%	ф-ла (5) [9]	0,02	0,09	0,33	1,12	2,79	4,98	9,04	23,09	77,63		
Учет затухания звука в атмосфере Aatm, дБ		ф-ла (8) [10]	0	0,1	0,2	0,8	1,9	3,4	6,2	15,8	53,2		
Снижение уровня звукового давления из-за влияния застройки между источником шума и расчетной точкой													
Снижение уровня звукового давления на пути над экраном, Dz1, дБ	z = 0.06м (разность путей)	ф-лы (14-18) [10]	4,8	4,8	4,8	4,8	4,8	4,8	4,8	4,8	4,8		
Снижение уровня звукового давления на пути слева от экрана, Dz2, дБ	z = 8.10м (разность путей)	ф-лы (14-18) [10]	15,2	18	20,9	23,8	26,8	29,8	32,8	35,8	38,8		
Снижение уровня звукового давления на пути справа от экрана, Dz3, дБ	z = 0.40м (разность путей)	ф-лы (14-18) [10]	6,5	7,7	9,5	11,7	14,2	17	19,8	22,8	25,8		
Общее снижение уровня звука препятствием Dz, дБ		Эн.сумма(-Dzi)	2,3	2,9	3,4	3,9	4,3	4,5	4,6	4,7	4,7		
Уровни звукового давления от источника ИШ-6-2 в расчётной точке днём, дБ		**ф-ла(3)[10]**	**0**	**25,7**	**26,3**	**26,6**	**25,4**	**23,3**	**17**	**3,2**	**0**	**27,2**	**27,2**
Уровни звукового давления от источника ИШ-6-2 в расчётной точке ночью, дБ		**ф-ла(3)[10]**	**0**	**25,7**	**26,3**	**26,6**	**25,4**	**23,3**	**17**	**3,2**	**0**	**27,2**	**27,2**
Источник шума: ИШ-6-3, координаты источника (x,y,z), м =[834.03,116.36,1.00]													
Уровни звуковой мощности источника днём, Lw, дБ		**исходные данные**	**0**	**96,3**	**97,7**	**99**	**99,3**	**98,9**	**95,6**	**91,4**	**86,9**		
Уровни звуковой мощности источника ночью, Lw, дБ		**исходные данные**	**0**	**96,3**	**97,7**	**99**	**99,3**	**98,9**	**95,6**	**91,4**	**86,9**		
Поправка на телесный угол DΩ, дБ	Ω = 12.57	10Lg(4π/Ω)	**0**	0	0	0	0	0	0	0	0		
Показатель направленности источника Di, дБ		исходные данные	**0**	0	0	0	0	0	0	0	0		
Поправка на направленность источника Dc, дБ	Dc	DΩ + Di	**0**	0	0	0	0	0	0	0	0		

1		2	3	4	5	6	7	8	9	10	11	12	13
Затухание из-за геометрической дивергенции, Adiv, дБ	расстояние = 682.82 м	ф-ла (7) [10]	**67,7**										
Коэффициент затухания звука в атмосфере α, дБ/км	Ta=20,°C Pa=101.33,кПа hотн.=70%	ф-ла (5) [9]	0,02	0,09	0,33	1,12	2,79	4,98	9,04	23,09	77,63		
Учет затухания звука в атмосфере Aatm, дБ		ф-ла (8) [10]	0	0,1	0,2	0,8	1,9	3,4	6,2	15,8	53		
Снижение уровня звукового давления из-за влияния застройки между источником шума и расчетной точкой													
Снижение уровня звукового давления на пути над экраном, Dz1, дБ	z = 0.06м (разность путей)	ф-лы (14-18) [10]	4,8	4,8	4,8	4,8	4,8	4,8	4,8	4,8	4,8		
Снижение уровня звукового давления на пути слева от экрана, Dz2, дБ	z = 7.81м (разность путей)	ф-лы (14-18) [10]	15	17,8	20,7	23,7	26,6	29,6	32,6	35,7	38,7		
Снижение уровня звукового давления на пути справа от экрана, Dz3, дБ	z = 0.48м (разность путей)	ф-лы (14-18) [10]	6,8	8,1	10	12,3	14,9	17,7	20,6	23,6	26,5		
Общее снижение уровня звука препятствием Dz, дБ		Эн.сумма(-Dzi)	2,4	3	3,5	4	4,3	4,5	4,7	4,7	4,7		
Уровни звукового давления от источника ИШ-6-3 в расчётной точке днём, дБ		**ф-ла(3)[10]**	**0**	**25,6**	**26,2**	**26,5**	**25,4**	**23,3**	**17,1**	**3,2**	**0**	**27,2**	**27,2**
Уровни звукового давления от источника ИШ-6-3 в расчётной точке ночью, дБ		**ф-ла(3)[10]**	**0**	**25,6**	**26,2**	**26,5**	**25,4**	**23,3**	**17,1**	**3,2**	**0**	**27,2**	**27,2**
Источник шума: ИШ-6-4, координаты источника (x,y,z), м =[833.23,113.30,1.00]													
Уровни звуковой мощности источника днём, Lw, дБ		**исходные данные**	**0**	**96,3**	**97,7**	**99**	**99,3**	**98,9**	**95,6**	**91,4**	**86,9**		
Уровни звуковой мощности источника ночью, Lw, дБ		**исходные данные**	**0**	**96,3**	**97,7**	**99**	**99,3**	**98,9**	**95,6**	**91,4**	**86,9**		
Поправка на телесный угол DΩ, дБ	Ω = 12.57	10Lg($4\pi/\Omega$)	**0**	0	0	0	0	0	0	0	0		
Показатель направленности источника Di, дБ		исходные данные	**0**	0	0	0	0	0	0	0	0		
Поправка на направленность источника Dc, дБ	Dc	DΩ + Di	**0**	0	0	0	0	0	0	0	0		

1		2	3	4	5	6	7	8	9	10	11	12	13
Затухание из-за геометрической дивергенции, Adiv, дБ	расстояние = 680.72 м	ф-ла (7) [10]	**67,7**										
Коэффициент затухания звука в атмосфере α, дБ/км	Та=20,°С Ра=101.33,кПа hотн.=70%	ф-ла (5) [9]	0,02	0,09	0,33	1,12	2,79	4,98	9,04	23,09	77,63		
Учет затухания звука в атмосфере Aatm, дБ		ф-ла (8) [10]	0	0,1	0,2	0,8	1,9	3,4	6,2	15,7	52,8		
Снижение уровня звукового давления из-за влияния застройки между источником шума и расчетной точкой													
Снижение уровня звукового давления на пути над экраном, Dz1, дБ	z = 0.06м (разность путей)	ф-лы (14-18) [10]	4,8	4,8	4,8	4,8	4,8	4,8	4,8	4,8	4,8		
Снижение уровня звукового давления на пути слева от экрана, Dz2, дБ	z = 7.45м (разность путей)	ф-лы (14-18) [10]	14,9	17,7	20,5	23,5	26,4	29,4	32,4	35,5	38,5		
Снижение уровня звукового давления на пути справа от экрана, Dz3, дБ	z = 0.58м (разность путей)	ф-лы (14-18) [10]	7,1	8,6	10,6	13	15,7	18,5	21,4	24,4	27,4		
Общее снижение уровня звука препятствием Dz, дБ		Эн.сумма(-Dzi)	2,5	3,1	3,7	4,1	4,4	4,6	4,7	4,7	4,7		
Уровни звукового давления от источника ИШ-6-4 в расчётной точке днём, дБ		**ф-ла(3)[10]**	**0**	**25,5**	**26,1**	**26,5**	**25,3**	**23,3**	**17,1**	**3,3**	**0**	**27,1**	**27,1**
Уровни звукового давления от источника ИШ-6-4 в расчётной точке ночью, дБ		**ф-ла(3)[10]**	**0**	**25,5**	**26,1**	**26,5**	**25,3**	**23,3**	**17,1**	**3,3**	**0**	**27,1**	**27,1**
Источник шума: ИШ-6-5, координаты источника (x,y,z), м =[832.03,110.36,1.00]													
Уровни звуковой мощности источника днём, Lw, дБ		**исходные данные**	**0**	**96,3**	**97,7**	**99**	**99,3**	**98,9**	**95,6**	**91,4**	**86,9**		
Уровни звуковой мощности источника ночью, Lw, дБ		**исходные данные**	**0**	**96,3**	**97,7**	**99**	**99,3**	**98,9**	**95,6**	**91,4**	**86,9**		
Поправка на телесный угол DΩ, дБ	Ω = 12.57	10Lg(4π/Ω)	**0**	0	0	0	0	0	0	0	0		
Показатель направленности источника Di, дБ		исходные данные	**0**	0	0	0	0	0	0	0	0		
Поправка на направленность источника Dc, дБ	Dc	DΩ + Di	**0**	0	0	0	0	0	0	0	0		

1		2	3	4	5	6	7	8	9	10	11	12	13
Затухание из-за геометрической дивергенции, Adiv, дБ	расстояние = 678.33 м	ф-ла (7) [10]	**67,6**										
Коэффициент затухания звука в атмосфере α, дБ/км	Ta=20,°C Pa=101.33,кПа hотн.=70%	ф-ла (5) [9]	0,02	0,09	0,33	1,12	2,79	4,98	9,04	23,09	77,63		
Учет затухания звука в атмосфере Aatm, дБ		ф-ла (8) [10]	0	0,1	0,2	0,8	1,9	3,4	6,1	15,7	52,7		
Снижение уровня звукового давления из-за влияния застройки между источником шума и расчетной точкой													
Снижение уровня звукового давления на пути над экраном, Dz1, дБ	z = 0.06м (разность путей)	ф-лы (14-18) [10]	4,8	4,8	4,8	4,8	4,8	4,8	4,8	4,8	4,8		
Снижение уровня звукового давления на пути слева от экрана, Dz2, дБ	z = 7.15м (разность путей)	ф-лы (14-18) [10]	14,7	17,5	20,3	23,3	26,3	29,3	32,3	35,3	38,3		
Снижение уровня звукового давления на пути справа от экрана, Dz3, дБ	z = 0.68м (разность путей)	ф-лы (14-18) [10]	7,4	9,1	11,1	13,6	16,3	19,2	22,1	25,1	28,1		
Общее снижение уровня звука препятствием Dz, дБ		Эн.сумма(-Dzi)	2,6	3,2	3,8	4,2	4,4	4,6	4,7	4,7	4,7		
Уровни звукового давления от источника ИШ-6-5 в расчётной точке днём, дБ		**ф-ла(3)[10]**	**0**	**25,4**	**26,1**	**26,4**	**25,3**	**23,3**	**17,1**	**3,4**	**0**	**27,1**	**27,1**
Уровни звукового давления от источника ИШ-6-5 в расчётной точке ночью, дБ		**ф-ла(3)[10]**	**0**	**25,4**	**26,1**	**26,4**	**25,3**	**23,3**	**17,1**	**3,4**	**0**	**27,1**	**27,1**
Источник шума: ИШ-6-6, координаты источника (x,y,z), м =[830.97,107.42,1.00]													
Уровни звуковой мощности источника днём, Lw, дБ		**исходные данные**	**0**	**96,3**	**97,7**	**99**	**99,3**	**98,9**	**95,6**	**91,4**	**86,9**		
Уровни звуковой мощности источника ночью, Lw, дБ		**исходные данные**	**0**	**96,3**	**97,7**	**99**	**99,3**	**98,9**	**95,6**	**91,4**	**86,9**		
Поправка на телесный угол DΩ, дБ	Ω = 12.57	10Lg(4π/Ω)	**0**	0	0	0	0	0	0	0	0		
Показатель направленности источника Di, дБ		исходные данные	**0**	0	0	0	0	0	0	0	0		
Поправка на направленность источника Dc, дБ	Dc	DΩ + Di	**0**	0	0	0	0	0	0	0	0		

1		2	3	4	5	6	7	8	9	10	11	12	13
Затухание из-за геометрической дивергенции, Adiv, дБ	расстояние = 676.07 м	ф-ла (7) [10]	**67,6**										
Коэффициент затухания звука в атмосфере α, дБ/км	Та=20,°С Ра=101.33,кПа hотн.=70%	ф-ла (5) [9]	0,02	0,09	0,33	1,12	2,79	4,98	9,04	23,09	77,63		
Учет затухания звука в атмосфере Aatm, дБ		ф-ла (8) [10]	0	0,1	0,2	0,8	1,9	3,4	6,1	15,6	52,5		
Снижение уровня звукового давления из-за влияния застройки между источником шума и расчетной точкой													
Снижение уровня звукового давления на пути над экраном, Dz1, дБ	z = 0.06м (разность путей)	ф-лы (14-18) [10]	4,8	4,8	4,8	4,8	4,8	4,8	4,8	4,8	4,8		
Снижение уровня звукового давления на пути слева от экрана, Dz2, дБ	z = 6.84м (разность путей)	ф-лы (14-18) [10]	14,5	17,3	20,2	23,1	26,1	29,1	32,1	35,1	38,1		
Снижение уровня звукового давления на пути справа от экрана, Dz3, дБ	z = 0.79м (разность путей)	ф-лы (14-18) [10]	7,7	9,5	11,7	14,2	17	19,8	22,8	25,8	28,7		
Общее снижение уровня звука препятствием Dz, дБ		Эн.сумма(-Dzi)	2,7	3,3	3,9	4,2	4,5	4,6	4,7	4,7	4,8		
Уровни звукового давления от источника ИШ-6-6 в расчётной точке днём, дБ		**ф-ла(3)[10]**	**0**	**25,3**	**26**	**26,4**	**25,3**	**23,3**	**17,2**	**3,5**	**0**	**27,2**	**27,2**
Уровни звукового давления от источника ИШ-6-6 в расчётной точке ночью, дБ		**ф-ла(3)[10]**	**0**	**25,3**	**26**	**26,4**	**25,3**	**23,3**	**17,2**	**3,5**	**0**	**27,2**	**27,2**
Источник шума: ИШ-6-7, координаты источника (x,y,z), м =[830.30,104.49,1.00]													
Уровни звуковой мощности источника днём, Lw, дБ		**исходные данные**	**0**	**96,3**	**97,7**	**99**	**99,3**	**98,9**	**95,6**	**91,4**	**86,9**		
Уровни звуковой мощности источника ночью, Lw, дБ		**исходные данные**	**0**	**96,3**	**97,7**	**99**	**99,3**	**98,9**	**95,6**	**91,4**	**86,9**		
Поправка на телесный угол DΩ, дБ	Ω = 12.57	10Lg(4π/Ω)	**0**	0	0	0	0	0	0	0	0		
Показатель направленности источника Di, дБ		исходные данные	**0**	0	0	0	0	0	0	0	0		
Поправка на направленность источника Dc, дБ	Dc	DΩ + Di	**0**	0	0	0	0	0	0	0	0		

1		2	3	4	5	6	7	8	9	10	11	12	13
Затухание из-за геометрической дивергенции, Adiv, дБ	расстояние = 674.17 м	ф-ла (7) [10]	**67,6**										
Коэффициент затухания звука в атмосфере α, дБ/км	Ta=20,°C Pa=101.33,кПа hотн.=70%	ф-ла (5) [9]	0,02	0,09	0,33	1,12	2,79	4,98	9,04	23,09	77,63		
Учет затухания звука в атмосфере Aatm, дБ		ф-ла (8) [10]	0	0,1	0,2	0,8	1,9	3,4	6,1	15,6	52,3		
Снижение уровня звукового давления из-за влияния застройки между источником шума и расчетной точкой													
Снижение уровня звукового давления на пути над экраном, Dz1, дБ	z = 0.06м (разность путей)	ф-лы (14-18) [10]	4,8	4,8	4,8	4,8	4,8	4,8	4,8	4,8	4,8		
Снижение уровня звукового давления на пути слева от экрана, Dz2, дБ	z = 6.51м (разность путей)	ф-лы (14-18) [10]	14,3	17,1	19,9	22,9	25,9	28,9	31,9	34,9	37,9		
Снижение уровня звукового давления на пути справа от экрана, Dz3, дБ	z = 0.93м (разность путей)	ф-лы (14-18) [10]	8,1	9,9	12,2	14,8	17,6	20,5	23,4	26,4	29,4		
Общее снижение уровня звука препятствием Dz, дБ		Эн.сумма(-Dzi)	2,8	3,4	3,9	4,3	4,5	4,6	4,7	4,7	4,8		
Уровни звукового давления от источника ИШ-6-7 в расчётной точке днём, дБ		**ф-ла(3)[10]**	**0**	**25,2**	**26**	**26,4**	**25,3**	**23,3**	**17,2**	**3,5**	**0**	**27,2**	**27,2**
Уровни звукового давления от источника ИШ-6-7 в расчётной точке ночью, дБ		**ф-ла(3)[10]**	**0**	**25,2**	**26**	**26,4**	**25,3**	**23,3**	**17,2**	**3,5**	**0**	**27,2**	**27,2**
Источник шума: ИШ-6-8, координаты источника (x,y,z), м =[829.36,101.42,1.00]													
Уровни звуковой мощности источника днём, Lw, дБ		**исходные данные**	**0**	**96,3**	**97,7**	**99**	**99,3**	**98,9**	**95,6**	**91,4**	**86,9**		
Уровни звуковой мощности источника ночью, Lw, дБ		**исходные данные**	**0**	**96,3**	**97,7**	**99**	**99,3**	**98,9**	**95,6**	**91,4**	**86,9**		
Поправка на телесный угол DΩ, дБ	Ω = 12.57	10Lg(4π/Ω)	**0**	0	0	0	0	0	0	0	0		
Показатель направленности источника Di, дБ		исходные данные	**0**	0	0	0	0	0	0	0	0		
Поправка на направленность источника Dc, дБ	Dc	DΩ + Di	**0**	0	0	0	0	0	0	0	0		

1		2	3	4	5	6	7	8	9	10	11	12	13
Затухание из-за геометрической дивергенции, Adiv, дБ	расстояние = 671.98 м	ф-ла (7) [10]	**67,5**										
Коэффициент затухания звука в атмосфере α, дБ/км	Ta=20,°C Pa=101.33,кПа hотн.=70%	ф-ла (5) [9]	0,02	0,09	0,33	1,12	2,79	4,98	9,04	23,09	77,63		
Учет затухания звука в атмосфере Aatm, дБ		ф-ла (8) [10]	0	0,1	0,2	0,8	1,9	3,3	6,1	15,5	52,2		
Снижение уровня звукового давления из-за влияния застройки между источником шума и расчетной точкой													
Снижение уровня звукового давления на пути над экраном, Dz1, дБ	z = 0.06м (разность путей)	ф-лы (14-18) [10]	4,8	4,8	4,8	4,8	4,8	4,8	4,8	4,8	4,8		
Снижение уровня звукового давления на пути слева от экрана, Dz2, дБ	z = 6.18м (разность путей)	ф-лы (14-18) [10]	14,1	16,9	19,7	22,7	25,6	28,6	31,6	34,6	37,6		
Снижение уровня звукового давления на пути справа от экрана, Dz3, дБ	z = 1.07м (разность путей)	ф-лы (14-18) [10]	8,4	10,4	12,7	15,4	18,2	21,1	24,1	27	30		
Общее снижение уровня звука препятствием Dz, дБ		Эн.сумма(-Dzi)	2,9	3,5	4	4,3	4,5	4,7	4,7	4,7	4,8		
Уровни звукового давления от источника ИШ-6-8 в расчётной точке днём, дБ		**ф-ла(3)[10]**	**0**	**25,2**	**25,9**	**26,3**	**25,3**	**23,3**	**17,3**	**3,6**	**0**	**27,2**	**27,2**
Уровни звукового давления от источника ИШ-6-8 в расчётной точке ночью, дБ		**ф-ла(3)[10]**	**0**	**25,2**	**25,9**	**26,3**	**25,3**	**23,3**	**17,3**	**3,6**	**0**	**27,2**	**27,2**
Источник шума: ИШ-6-9, координаты источника (x,y,z), м =[828.03,98.62,1.00]													
Уровни звуковой мощности источника днём, Lw, дБ		**исходные данные**	**0**	**96,3**	**97,7**	**99**	**99,3**	**98,9**	**95,6**	**91,4**	**86,9**		
Уровни звуковой мощности источника ночью, Lw, дБ		**исходные данные**	**0**	**96,3**	**97,7**	**99**	**99,3**	**98,9**	**95,6**	**91,4**	**86,9**		
Поправка на телесный угол DΩ, дБ	Ω = 12.57	10Lg(4π/Ω)	**0**	0	0	0	0	0	0	0	0		
Показатель направленности источника Di, дБ		исходные данные	**0**	0	0	0	0	0	0	0	0		
Поправка на направленность источника Dc, дБ	Dc	DΩ + Di	**0**	0	0	0	0	0	0	0	0		

1		2	3	4	5	6	7	8	9	10	11	12	13
Затухание из-за геометрической дивергенции, Adiv, дБ	расстояние = 669.56 м	ф-ла (7) [10]	**67,5**										
Коэффициент затухания звука в атмосфере α, дБ/км	Ta=20,°C Pa=101.33,кПа hотн.=70%	ф-ла (5) [9]	0,02	0,09	0,33	1,12	2,79	4,98	9,04	23,09	77,63		
Учет затухания звука в атмосфере Aatm, дБ		ф-ла (8) [10]	0	0,1	0,2	0,8	1,9	3,3	6,1	15,5	52		
Снижение уровня звукового давления из-за влияния застройки между источником шума и расчетной точкой													
Снижение уровня звукового давления на пути над экраном, Dz1, дБ	z = 0.06м (разность путей)	ф-лы (14-18) [10]	4,8	4,8	4,8	4,8	4,8	4,8	4,8	4,8	4,8		
Снижение уровня звукового давления на пути слева от экрана, Dz2, дБ	z = 5.92м (разность путей)	ф-лы (14-18) [10]	14	16,7	19,5	22,5	25,5	28,4	31,4	34,5	37,5		
Снижение уровня звукового давления на пути справа от экрана, Dz3, дБ	z = 1.20м (разность путей)	ф-лы (14-18) [10]	8,7	10,8	13,1	15,8	18,7	21,6	24,6	27,5	30,5		
Общее снижение уровня звука препятствием Dz, дБ		Эн.сумма(-Dzi)	2,9	3,6	4,1	4,4	4,6	4,7	4,7	4,7	4,8		
Уровни звукового давления от источника ИШ-6-9 в расчётной точке днём, дБ		**ф-ла(3)[10]**	**0**	**25,1**	**25,9**	**26,3**	**25,3**	**23,4**	**17,3**	**3,7**	**0**	**27,2**	**27,2**
Уровни звукового давления от источника ИШ-6-9 в расчётной точке ночью, дБ		**ф-ла(3)[10]**	**0**	**25,1**	**25,9**	**26,3**	**25,3**	**23,4**	**17,3**	**3,7**	**0**	**27,2**	**27,2**
Источник шума: ИШ-6-10, координаты источника (x,y,z), м =[827.23,95.55,1.00]													
Уровни звуковой мощности источника днём, Lw, дБ		**исходные данные**	**0**	**96,3**	**97,7**	**99**	**99,3**	**98,9**	**95,6**	**91,4**	**86,9**		
Уровни звуковой мощности источника ночью, Lw, дБ		**исходные данные**	**0**	**96,3**	**97,7**	**99**	**99,3**	**98,9**	**95,6**	**91,4**	**86,9**		
Поправка на телесный угол DΩ, дБ	Ω = 12.57	10Lg(4π/Ω)	**0**	0	0	0	0	0	0	0	0		
Показатель направленности источника Di, дБ		исходные данные	**0**	0	0	0	0	0	0	0	0		
Поправка на направленность источника Dc, дБ	Dc	DΩ + Di	**0**	0	0	0	0	0	0	0	0		

1		2	3	4	5	6	7	8	9	10	11	12	13
Затухание из-за геометрической дивергенции, Adiv, дБ	расстояние = 667.51 м	ф-ла (7) [10]	**67,5**										
Коэффициент затухания звука в атмосфере α, дБ/км	Ta=20,°C Pa=101.33,кПа hотн.=70%	ф-ла (5) [9]	0,02	0,09	0,33	1,12	2,79	4,98	9,04	23,09	77,63		
Учет затухания звука в атмосфере Aatm, дБ		ф-ла (8) [10]	0	0,1	0,2	0,8	1,9	3,3	6	15,4	51,8		
Снижение уровня звукового давления из-за влияния застройки между источником шума и расчетной точкой													
Снижение уровня звукового давления на пути над экраном, Dz1, дБ	z = 0.06м (разность путей)	ф-лы (14-18) [10]	4,8	4,8	4,8	4,8	4,8	4,8	4,8	4,8	4,8		
Снижение уровня звукового давления на пути слева от экрана, Dz2, дБ	z = 5.59м (разность путей)	ф-лы (14-18) [10]	13,7	16,5	19,3	22,2	25,2	28,2	31,2	34,2	37,2		
Снижение уровня звукового давления на пути справа от экрана, Dz3, дБ	z = 1.37м (разность путей)	ф-лы (14-18) [10]	9,1	11,2	13,6	16,4	19,2	22,2	25,1	28,1	31,1		
Общее снижение уровня звука препятствием Dz, дБ		Эн.сумма(-Dzi)	3	3,6	4,1	4,4	4,6	4,7	4,7	4,7	4,8		
Уровни звукового давления от источника ИШ-6-10 в расчётной точке днём, дБ		**ф-ла(3)[10]**	**0**	**25,1**	**25,9**	**26,3**	**25,4**	**23,4**	**17,3**	**3,7**	**0**	**27,2**	**27,2**
Уровни звукового давления от источника ИШ-6-10 в расчётной точке ночью, дБ		**ф-ла(3)[10]**	**0**	**25,1**	**25,9**	**26,3**	**25,4**	**23,4**	**17,3**	**3,7**	**0**	**27,2**	**27,2**
Источник шума: ИШ-6-11, координаты источника (x,y,z), м =[826.30,92.48,1.00]													
Уровни звуковой мощности источника днём, Lw, дБ		**исходные данные**	**0**	**96,3**	**97,7**	**99**	**99,3**	**98,9**	**95,6**	**91,4**	**86,9**		
Уровни звуковой мощности источника ночью, Lw, дБ		**исходные данные**	**0**	**96,3**	**97,7**	**99**	**99,3**	**98,9**	**95,6**	**91,4**	**86,9**		
Поправка на телесный угол DΩ, дБ	Ω = 12.57	10Lg($4\pi/\Omega$)	**0**	0	0	0	0	0	0	0	0		
Показатель направленности источника Di, дБ		исходные данные	**0**	0	0	0	0	0	0	0	0		
Поправка на направленность источника Dc, дБ	Dc	DΩ + Di	**0**	0	0	0	0	0	0	0	0		

1		2	3	4	5	6	7	8	9	10	11	12	13
Затухание из-за геометрической дивергенции, Adiv, дБ	расстояние = 665.34 м	ф-ла (7) [10]	**67,5**										
Коэффициент затухания звука в атмосфере α, дБ/км	Ta=20,°C Pa=101.33,кПа hотн.=70%	ф-ла (5) [9]	0,02	0,09	0,33	1,12	2,79	4,98	9,04	23,09	77,63		
Учет затухания звука в атмосфере Aatm, дБ		ф-ла (8) [10]	0	0,1	0,2	0,7	1,9	3,3	6	15,4	51,7		
Снижение уровня звукового давления из-за влияния застройки между источником шума и расчетной точкой													
Снижение уровня звукового давления на пути над экраном, Dz1, дБ	z = 0.06м (разность путей)	ф-лы (14-18) [10]	4,8	4,8	4,8	4,8	4,8	4,8	4,8	4,8	4,8		
Снижение уровня звукового давления на пути слева от экрана, Dz2, дБ	z = 5.27м (разность путей)	ф-лы (14-18) [10]	13,5	16,2	19,1	22	25	27,9	30,9	34	37		
Снижение уровня звукового давления на пути справа от экрана, Dz3, дБ	z = 1.55м (разность путей)	ф-лы (14-18) [10]	9,4	11,6	14,1	16,9	19,7	22,7	25,7	28,7	31,7		
Общее снижение уровня звука препятствием Dz, дБ		Эн.сумма(-Dzi)	3,1	3,7	4,2	4,4	4,6	4,7	4,7	4,7	4,8		
Уровни звукового давления от источника ИШ-6-11 в расчётной точке днём, дБ		**ф-ла(3)[10]**	**0**	**25,1**	**25,9**	**26,3**	**25,4**	**23,4**	**17,4**	**3,8**	**0**	**27,3**	**27,3**
Уровни звукового давления от источника ИШ-6-11 в расчётной точке ночью, дБ		**ф-ла(3)[10]**	**0**	**25,1**	**25,9**	**26,3**	**25,4**	**23,4**	**17,4**	**3,8**	**0**	**27,3**	**27,3**
Источник шума: ИШ-6-12, координаты источника (x,y,z), м =[825.09,89.54,1.00]													
Уровни звуковой мощности источника днём, Lw, дБ		**исходные данные**	**0**	**96,3**	**97,7**	**99**	**99,3**	**98,9**	**95,6**	**91,4**	**86,9**		
Уровни звуковой мощности источника ночью, Lw, дБ		**исходные данные**	**0**	**96,3**	**97,7**	**99**	**99,3**	**98,9**	**95,6**	**91,4**	**86,9**		
Поправка на телесный угол DΩ, дБ	Ω = 12.57	10Lg($4\pi/\Omega$)	**0**	0	0	0	0	0	0	0	0		
Показатель направленности источника Di, дБ		исходные данные	**0**	0	0	0	0	0	0	0	0		
Поправка на направленность источника Dc, дБ	Dc	DΩ + Di	**0**	0	0	0	0	0	0	0	0		

1		2	3	4	5	6	7	8	9	10	11	12	13
Затухание из-за геометрической дивергенции, Adiv, дБ	расстояние = 663.00 м	ф-ла (7) [10]	**67,4**										
Коэффициент затухания звука в атмосфере α, дБ/км	Ta=20,°C Pa=101.33,кПа hотн.=70%	ф-ла (5) [9]	0,02	0,09	0,33	1,12	2,79	4,98	9,04	23,09	77,63		
Учет затухания звука в атмосфере Aatm, дБ		ф-ла (8) [10]	0	0,1	0,2	0,7	1,9	3,3	6	15,3	51,5		
Снижение уровня звукового давления из-за влияния застройки между источником шума и расчетной точкой													
Снижение уровня звукового давления на пути над экраном, Dz1, дБ	z = 0.10м (разность путей)	ф-лы (14-18) [10]	4,8	4,8	4,8	4,8	4,8	4,8	4,8	4,8	4,8		
Снижение уровня звукового давления на пути слева от экрана, Dz2, дБ	z = 5.00м (разность путей)	ф-лы (14-18) [10]	13,3	16	18,8	21,8	24,7	27,7	30,7	33,7	36,7		
Снижение уровня звукового давления на пути справа от экрана, Dz3, дБ	z = 1.73м (разность путей)	ф-лы (14-18) [10]	9,7	12	14,5	17,3	20,2	23,1	26,1	29,1	32,1		
Общее снижение уровня звука препятствием Dz, дБ		Эн.сумма(-Dzi)	3,1	3,8	4,2	4,5	4,6	4,7	4,7	4,8	4,8		
Уровни звукового давления от источника ИШ-6-12 в расчётной точке днём, дБ		**ф-ла(3)[10]**	**0**	**25,1**	**25,9**	**26,4**	**25,4**	**23,5**	**17,4**	**3,9**	**0**	**27,3**	**27,3**
Уровни звукового давления от источника ИШ-6-12 в расчётной точке ночью, дБ		**ф-ла(3)[10]**	**0**	**25,1**	**25,9**	**26,4**	**25,4**	**23,5**	**17,4**	**3,9**	**0**	**27,3**	**27,3**
Источник шума: ИШ-6-13, координаты источника (x,y,z), м =[767.76,-114.15,1.00]													
Уровни звуковой мощности источника днём, Lw, дБ		**исходные данные**	**0**	**96,3**	**97,7**	**99**	**99,3**	**98,9**	**95,6**	**91,4**	**86,9**		
Уровни звуковой мощности источника ночью, Lw, дБ		**исходные данные**	**0**	**96,3**	**97,7**	**99**	**99,3**	**98,9**	**95,6**	**91,4**	**86,9**		
Поправка на телесный угол DΩ, дБ	Ω = 12.57	10Lg(4π/Ω)	**0**	0	0	0	0	0	0	0	0		
Показатель направленности источника Di, дБ		исходные данные	**0**	0	0	0	0	0	0	0	0		
Поправка на направленность источника Dc, дБ	Dc	DΩ + Di	**0**	0	0	0	0	0	0	0	0		

1		2	3	4	5	6	7	8	9	10	11	12	13
Затухание из-за геометрической дивергенции, Adiv, дБ	расстояние = 548.25 м	ф-ла (7) [10]	**65,8**										
Коэффициент затухания звука в атмосфере α, дБ/км	Ta=20,°C Pa=101.33,кПа hотн.=70%	ф-ла (5) [9]	0,02	0,09	0,33	1,12	2,79	4,98	9,04	23,09	77,63		
Учет затухания звука в атмосфере Aatm, дБ		ф-ла (8) [10]	0	0	0,2	0,6	1,5	2,7	5	12,7	42,6		
Снижение поверхностью земли возле источника As, дБ	Gs = 0 hs = 1м	ф-лы таб.3 [10]	-1,5	-1,5	-1,5	-1,5	-1,5	-1,5	-1,5	-1,5	-1,5		
Снижение поверхностью земли возле приёмника Ar, дБ	Gr = 1 hr = 4.6м	ф-лы таб.3 [10]	-1,5	-1,5	3,4	1,3	0	0	0	0	0		
Снижение поверхностью земли в средней зоне, Am дБ	Gm = 1	ф-лы таб.3 [10]	-2,1	-2,1	0	0	0	0	0	0	0		
Суммарное снижение поверхностью земли на траектории распространения звука Agr, дБ		ф-ла (9) [10]	-5,1	-5,1	1,9	-0,2	-1,5	-1,5	-1,5	-1,5	-1,5		
Уровни звукового давления прямого звука от источника ИШ-6-13 в расчётной точке днём, дБ		**ф-ла(3)[10]**	**0**	**35,5**	**29,8**	**32,8**	**33,5**	**31,9**	**26,4**	**14,5**	**0**	**35,5**	**35,5**
Уровни звукового давления прямого звука от источника ИШ-6-13 в расчётной точке ночью, дБ		**ф-ла(3)[10]**	**0**	**35,5**	**29,8**	**32,8**	**33,5**	**31,9**	**26,4**	**14,5**	**0**	**35,5**	**35,5**
Расчёт отражённого звука													
Уровни звукового давления от мнимого источника ИШ-6-13_мн.(1) в расчётной точке днём, дБ		**ф-ла(3)[10]**	**0**	**0**	**23,9**	**22,5**	**22,1**	**27,3**	**23,8**	**11,9**	**0**	**30**	**30**
Уровни звукового давления от мнимого источника ИШ-6-13_мн.(1) в расчётной точке ночью, дБ		**ф-ла(3)[10]**	**0**	**0**	**0**	**0**	**0**	**0**	**0**	**0**	**0**	**30**	**30**
Уровни звукового давления от источника ИШ-6-13 в расчётной точке днём, дБ		**ф-ла(3)[10]**	**0**	**35,5**	**30,8**	**33,2**	**33,8**	**33,2**	**28,3**	**16,4**	**0**	**36,5**	**36,5**
Уровни звукового давления от источника ИШ-6-13 в расчётной точке ночью, дБ		**ф-ла(3)[10]**	**0**	**35,5**	**30,8**	**33,2**	**33,8**	**33,2**	**28,3**	**16,4**	**0**	**36,5**	**36,5**
Источник шума: ИШ-6-14, координаты источника (x,y,z), м =[766.82,-117.10,1.00]													
Уровни звуковой мощности источника днём, Lw, дБ		**исходные данные**	**0**	**96,3**	**97,7**	**99**	**99,3**	**98,9**	**95,6**	**91,4**	**86,9**		

1		2	3	4	5	6	7	8	9	10	11	12	13
Уровни звуковой мощности источника ночью, Lw, дБ		**исходные данные**	**0**	**96,3**	**97,7**	**99**	**99,3**	**98,9**	**95,6**	**91,4**	**86,9**		
Поправка на телесный угол DΩ, дБ	Ω = 12.57	10Lg(4π/Ω)	**0**	0	0	0	0	0	0	0	0		
Показатель направленности источника Di, дБ		исходные данные	**0**	0	0	0	0	0	0	0	0		
Поправка на направленность источника Dc, дБ	Dc	DΩ + Di	**0**	0	0	0	0	0	0	0	0		
Затухание из-за геометрической дивергенции, Adiv, дБ	расстояние = 546.90 м	ф-ла (7) [10]	**65,8**										
Коэффициент затухания звука в атмосфере α, дБ/км	Ta=20,°C Pa=101.33,кПа hотн.=70%	ф-ла (5) [9]	0,02	0,09	0,33	1,12	2,79	4,98	9,04	23,09	77,63		
Учет затухания звука в атмосфере Aatm, дБ		ф-ла (8) [10]	0	0	0,2	0,6	1,5	2,7	4,9	12,6	42,5		
Снижение поверхностью земли возле источника As, дБ	Gs = 0 hs = 1м	ф-лы таб.3 [10]	-1,5	-1,5	-1,5	-1,5	-1,5	-1,5	-1,5	-1,5	-1,5		
Снижение поверхностью земли возле приёмника Ar, дБ	Gr = 1 hr = 4.6м	ф-лы таб.3 [10]	-1,5	-1,5	3,4	1,3	0	0	0	0	0		
Снижение поверхностью земли в средней зоне, Am дБ	Gm = 1	ф-лы таб.3 [10]	-2,1	-2,1	0	0	0	0	0	0	0		
Суммарное снижение поверхностью земли на траектории распространения звука Agr, дБ		ф-ла (9) [10]	-5,1	-5,1	1,9	-0,2	-1,5	-1,5	-1,5	-1,5	-1,5		
Уровни звукового давления прямого звука от источника ИШ-6-14 в расчётной точке днём, дБ		**ф-ла(3)[10]**	**0**	**35,6**	**29,8**	**32,8**	**33,5**	**31,9**	**26,4**	**14,5**	**0**	**35,5**	**35,5**
Уровни звукового давления прямого звука от источника ИШ-6-14 в расчётной точке ночью, дБ		**ф-ла(3)[10]**	**0**	**35,6**	**29,8**	**32,8**	**33,5**	**31,9**	**26,4**	**14,5**	**0**	**35,5**	**35,5**
Расчёт отражённого звука													
Уровни звукового давления от мнимого источника ИШ-6-14_мн.(1) в расчётной точке днём, дБ		**ф-ла(3)[10]**	**0**	**0**	**23,9**	**22,5**	**22,2**	**27,4**	**23,9**	**12**	**0**	**30**	**30**
Уровни звукового давления от мнимого источника ИШ-6-14_мн.(1) в расчётной точке ночью, дБ		**ф-ла(3)[10]**	**0**	**0**	**0**	**0**	**0**	**0**	**0**	**0**	**0**	**30**	**30**
Уровни звукового давления от источника ИШ-6-14 в расчётной точке днём, дБ		**ф-ла(3)[10]**	**0**	**35,6**	**30,8**	**33,2**	**33,8**	**33,2**	**28,3**	**16,4**	**0**	**36,6**	**36,6**

1		2	3	4	5	6	7	8	9	10	11	12	13
Уровни звукового давления от источника ИШ-6-14 в расчётной точке ночью, дБ		**ф-ла(3)[10]**	**0**	**35,6**	**30,8**	**33,2**	**33,8**	**33,2**	**28,3**	**16,4**	**0**	**36,6**	**36,6**
Источник шума: ИШ-6-15, координаты источника (x,y,z), м =[765.71,-120.27,1.00]													
Уровни звуковой мощности источника днём, Lw, дБ		**исходные данные**	**0**	**96,3**	**97,7**	**99**	**99,3**	**98,9**	**95,6**	**91,4**	**86,9**		
Уровни звуковой мощности источника ночью, Lw, дБ		**исходные данные**	**0**	**96,3**	**97,7**	**99**	**99,3**	**98,9**	**95,6**	**91,4**	**86,9**		
Поправка на телесный угол DΩ, дБ	Ω = 12.57	10Lg(4π/Ω)	**0**	0	0	0	0	0	0	0	0		
Показатель направленности источника Di, дБ		исходные данные	**0**	0	0	0	0	0	0	0	0		
Поправка на направленность источника Dc, дБ	Dc	DΩ + Di	**0**	0	0	0	0	0	0	0	0		
Затухание из-за геометрической дивергенции, Adiv, дБ	расстояние = 545.38 м	ф-ла (7) [10]	**65,7**										
Коэффициент затухания звука в атмосфере α, дБ/км	Ta=20,°C Pa=101.33,кПа hотн.=70%	ф-ла (5) [9]	0,02	0,09	0,33	1,12	2,79	4,98	9,04	23,09	77,63		
Учет затухания звука в атмосфере Aatm, дБ		ф-ла (8) [10]	0	0	0,2	0,6	1,5	2,7	4,9	12,6	42,3		
Снижение поверхностью земли возле источника As, дБ	Gs = 0 hs = 1м	ф-лы таб.3 [10]	-1,5	-1,5	-1,5	-1,5	-1,5	-1,5	-1,5	-1,5	-1,5		
Снижение поверхностью земли возле приёмника Ar, дБ	Gr = 1 hr = 4.6м	ф-лы таб.3 [10]	-1,5	-1,5	3,4	1,3	0	0	0	0	0		
Снижение поверхностью земли в средней зоне, Am дБ	Gm = 1	ф-лы таб.3 [10]	-2,1	-2,1	0	0	0	0	0	0	0		
Суммарное снижение поверхностью земли на траектории распространения звука Agr, дБ		ф-ла (9) [10]	-5,1	-5,1	1,9	-0,2	-1,5	-1,5	-1,5	-1,5	-1,5		
Уровни звукового давления прямого звука от источника ИШ-6-15 в расчётной точке днём, дБ		**ф-ла(3)[10]**	**0**	**35,6**	**29,9**	**32,9**	**33,5**	**31,9**	**26,4**	**14,6**	**0**	**35,5**	**35,5**
Уровни звукового давления прямого звука от источника ИШ-6-15 в расчётной точке ночью, дБ		**ф-ла(3)[10]**	**0**	**35,6**	**29,9**	**32,9**	**33,5**	**31,9**	**26,4**	**14,6**	**0**	**35,5**	**35,5**

1		2	3	4	5	6	7	8	9	10	11	12	13
Расчёт отражённого звука													
Уровни звукового давления от мнимого источника ИШ-6-15_мн.(1) в расчётной точке днём, дБ		**ф-ла(3)[10]**	**0**	**0**	**24**	**22,5**	**22,2**	**27,4**	**23,9**	**12**	**0**	**30**	**30**
Уровни звукового давления от мнимого источника ИШ-6-15_мн.(1) в расчётной точке ночью, дБ		**ф-ла(3)[10]**	**0**	**0**	**0**	**0**	**0**	**0**	**0**	**0**	**0**	**30**	**30**
Уровни звукового давления от источника ИШ-6-15 в расчётной точке днём, дБ		**ф-ла(3)[10]**	**0**	**35,6**	**30,8**	**33,2**	**33,8**	**33,3**	**28,4**	**16,5**	**0**	**36,6**	**36,6**
Уровни звукового давления от источника ИШ-6-15 в расчётной точке ночью, дБ		**ф-ла(3)[10]**	**0**	**35,6**	**30,8**	**33,2**	**33,8**	**33,3**	**28,4**	**16,5**	**0**	**36,6**	**36,6**
Источник шума: ИШ-6-16, координаты источника (x,y,z), м =[764.57,-123.22,1.00]													
Уровни звуковой мощности источника днём, Lw, дБ		**исходные данные**	**0**	**96,3**	**97,7**	**99**	**99,3**	**98,9**	**95,6**	**91,4**	**86,9**		
Уровни звуковой мощности источника ночью, Lw, дБ		**исходные данные**	**0**	**96,3**	**97,7**	**99**	**99,3**	**98,9**	**95,6**	**91,4**	**86,9**		
Поправка на телесный угол DΩ, дБ	Ω = 12.57	10Lg(4π/Ω)	**0**	0	0	0	0	0	0	0	0		
Показатель направленности источника Di, дБ		исходные данные	**0**	0	0	0	0	0	0	0	0		
Поправка на направленность источника Dc, дБ	Dc	DΩ + Di	**0**	0	0	0	0	0	0	0	0		
Затухание из-за геометрической дивергенции, Adiv, дБ	расстояние = 543.86 м	ф-ла (7) [10]	**65,7**										
Коэффициент затухания звука в атмосфере α, дБ/км	Ta=20,°C Pa=101.33,кПа hотн.=70%	ф-ла (5) [9]	0,02	0,09	0,33	1,12	2,79	4,98	9,04	23,09	77,63		
Учет затухания звука в атмосфере Aatm, дБ		ф-ла (8) [10]	0	0	0,2	0,6	1,5	2,7	4,9	12,6	42,2		
Снижение поверхностью земли возле источника As, дБ	Gs = 0 hs = 1м	ф-лы таб.3 [10]	-1,5	-1,5	-1,5	-1,5	-1,5	-1,5	-1,5	-1,5	-1,5		
Снижение поверхностью земли возле приёмника Ar, дБ	Gr = 1 hr = 4.6м	ф-лы таб.3 [10]	-1,5	-1,5	3,4	1,3	0	0	0	0	0		

1		2	3	4	5	6	7	8	9	10	11	12	13
Снижение поверхностью земли в средней зоне, Am дБ	Gm = 1	ф-лы таб.3 [10]	-2,1	-2,1	0	0	0	0	0	0	0		
Суммарное снижение поверхностью земли на траектории распространения звука Agr, дБ		ф-ла (9) [10]	-5,1	-5,1	1,9	-0,2	-1,5	-1,5	-1,5	-1,5	-1,5		
Уровни звукового давления прямого звука от источника ИШ-6-16 в расчётной точке днём, дБ		**ф-ла(3)[10]**	**0**	**35,6**	**29,9**	**32,9**	**33,6**	**32**	**26,5**	**14,6**	**0**	**35,5**	**35,5**
Уровни звукового давления прямого звука от источника ИШ-6-16 в расчётной точке ночью, дБ		**ф-ла(3)[10]**	**0**	**35,6**	**29,9**	**32,9**	**33,6**	**32**	**26,5**	**14,6**	**0**	**35,5**	**35,5**
Расчёт отражённого звука													
Уровни звукового давления от мнимого источника ИШ-6-16_мн.(1) в расчётной точке днём, дБ		**ф-ла(3)[10]**	**0**	**0**	**24**	**22,5**	**22,2**	**27,4**	**23,9**	**12,1**	**0**	**30,1**	**30,1**
Уровни звукового давления от мнимого источника ИШ-6-16_мн.(1) в расчётной точке ночью, дБ		**ф-ла(3)[10]**	**0**	**0**	**0**	**0**	**0**	**0**	**0**	**0**	**0**	**30,1**	**30,1**
Уровни звукового давления от источника ИШ-6-16 в расчётной точке днём, дБ		**ф-ла(3)[10]**	**0**	**35,6**	**30,9**	**33,3**	**33,9**	**33,3**	**28,4**	**16,5**	**0**	**36,6**	**36,6**
Уровни звукового давления от источника ИШ-6-16 в расчётной точке ночью, дБ		**ф-ла(3)[10]**	**0**	**35,6**	**30,9**	**33,3**	**33,9**	**33,3**	**28,4**	**16,5**	**0**	**36,6**	**36,6**
Источник шума: ИШ-6-17, координаты источника (x,y,z), м =[763.57,-126.18,1.00]													
Уровни звуковой мощности источника днём, Lw, дБ		**исходные данные**	**0**	**96,3**	**97,7**	**99**	**99,3**	**98,9**	**95,6**	**91,4**	**86,9**		
Уровни звуковой мощности источника ночью, Lw, дБ		**исходные данные**	**0**	**96,3**	**97,7**	**99**	**99,3**	**98,9**	**95,6**	**91,4**	**86,9**		
Поправка на телесный угол DΩ, дБ	Ω = 12.57	10Lg(4π/Ω)	**0**	0	0	0	0	0	0	0	0		
Показатель направленности источника Di, дБ		исходные данные	**0**	0	0	0	0	0	0	0	0		
Поправка на направленность источника Dc, дБ	Dc	DΩ + Di	**0**	0	0	0	0	0	0	0	0		
Затухание из-за геометрической дивергенции, Adiv, дБ	расстояние = 542.49 м	ф-ла (7) [10]	**65,7**										
Коэффициент затухания звука в атмосфере α, дБ/км	Ta=20,°C Pa=101.33,кПа hотн.=70%	ф-ла (5) [9]	0,02	0,09	0,33	1,12	2,79	4,98	9,04	23,09	77,63		

1		2	3	4	5	6	7	8	9	10	11	12	13
Учет затухания звука в атмосфере Aatm, дБ		ф-ла (8) [10]	0	0	0,2	0,6	1,5	2,7	4,9	12,5	42,1		
Снижение поверхностью земли возле источника As, дБ	Gs = 0 hs = 1м	ф-лы таб.3 [10]	-1,5	-1,5	-1,5	-1,5	-1,5	-1,5	-1,5	-1,5	-1,5		
Снижение поверхностью земли возле приёмника Ar, дБ	Gr = 1 hr = 4.6м	ф-лы таб.3 [10]	-1,5	-1,5	3,4	1,3	0	0	0	0	0		
Снижение поверхностью земли в средней зоне, Am дБ	Gm = 1	ф-лы таб.3 [10]	-2,1	-2,1	0	0	0	0	0	0	0		
Суммарное снижение поверхностью земли на траектории распространения звука Agr, дБ		ф-ла (9) [10]	-5,1	-5,1	1,9	-0,2	-1,5	-1,5	-1,5	-1,5	-1,5		
Уровни звукового давления прямого звука от источника ИШ-6-17 в расчётной точке днём, дБ		**ф-ла(3)[10]**	**0**	**35,6**	**29,9**	**32,9**	**33,6**	**32**	**26,5**	**14,7**	**0**	**35,6**	**35,6**
Уровни звукового давления прямого звука от источника ИШ-6-17 в расчётной точке ночью, дБ		**ф-ла(3)[10]**	**0**	**35,6**	**29,9**	**32,9**	**33,6**	**32**	**26,5**	**14,7**	**0**	**35,6**	**35,6**
Расчёт отражённого звука													
Уровни звукового давления от мнимого источника ИШ-6-17_мн.(1) в расчётной точке днём, дБ		**ф-ла(3)[10]**	**0**	**0**	**24**	**22,6**	**22,2**	**27,5**	**24**	**12,1**	**0**	**30,1**	**30,1**
Уровни звукового давления от мнимого источника ИШ-6-17_мн.(1) в расчётной точке ночью, дБ		**ф-ла(3)[10]**	**0**	**0**	**0**	**0**	**0**	**0**	**0**	**0**	**0**	**30,1**	**30,1**
Уровни звукового давления от источника ИШ-6-17 в расчётной точке днём, дБ		**ф-ла(3)[10]**	**0**	**35,6**	**30,9**	**33,3**	**33,9**	**33,3**	**28,4**	**16,6**	**0**	**36,7**	**36,7**
Уровни звукового давления от источника ИШ-6-17 в расчётной точке ночью, дБ		**ф-ла(3)[10]**	**0**	**35,6**	**30,9**	**33,3**	**33,9**	**33,3**	**28,4**	**16,6**	**0**	**36,7**	**36,7**
Источник шума: ИШ-6-18, координаты источника (x,y,z), м =[804.77,-126.28,1.00]													
Уровни звуковой мощности источника днём, Lw, дБ		**исходные данные**	**0**	**96,3**	**97,7**	**99**	**99,3**	**98,9**	**95,6**	**91,4**	**86,9**		
Уровни звуковой мощности источника ночью, Lw, дБ		**исходные данные**	**0**	**96,3**	**97,7**	**99**	**99,3**	**98,9**	**95,6**	**91,4**	**86,9**		
Поправка на телесный угол DΩ, дБ	Ω = 12.57	10Lg(4π/Ω)	**0**	0	0	0	0	0	0	0	0		
Показатель направленности источника Di, дБ		исходные данные	**0**	0	0	0	0	0	0	0	0		

1		2	3	4	5	6	7	8	9	10	11	12	13
Поправка на направленность источника Dc, дБ	Dc	DΩ + Di	**0**	0	0	0	0	0	0	0	0		
Затухание из-за геометрической дивергенции, Adiv, дБ	расстояние = 583.40 м	ф-ла (7) [10]	**66,3**										
Коэффициент затухания звука в атмосфере α, дБ/км	Ta=20,°C Pa=101.33,кПа hотн.=70%	ф-ла (5) [9]	0,02	0,09	0,33	1,12	2,79	4,98	9,04	23,09	77,63		
Учет затухания звука в атмосфере Aatm, дБ		ф-ла (8) [10]	0	0,1	0,2	0,7	1,6	2,9	5,3	13,5	45,3		
Снижение поверхностью земли возле источника As, дБ	Gs = 0 hs = 1м	ф-лы таб.3 [10]	-1,5	-1,5	-1,5	-1,5	-1,5	-1,5	-1,5	-1,5	-1,5		
Снижение поверхностью земли возле приёмника Ar, дБ	Gr = 1 hr = 4.6м	ф-лы таб.3 [10]	-1,5	-1,5	3,5	1,3	0	0	0	0	0		
Снижение поверхностью земли в средней зоне, Am дБ	Gm = 1	ф-лы таб.3 [10]	-2,1	-2,1	0	0	0	0	0	0	0		
Суммарное снижение поверхностью земли на траектории распространения звука Agr, дБ		ф-ла (9) [10]	-5,1	-5,1	2	-0,2	-1,5	-1,5	-1,5	-1,5	-1,5		
Уровни звукового давления прямого звука от источника ИШ-6-18 в расчётной точке днём, дБ		**ф-ла(3)[10]**	**0**	**35,1**	**29,2**	**32,2**	**32,8**	**31,2**	**25,5**	**13,1**	**0**	**34,7**	**34,7**
Уровни звукового давления прямого звука от источника ИШ-6-18 в расчётной точке ночью, дБ		**ф-ла(3)[10]**	**0**	**35,1**	**29,2**	**32,2**	**32,8**	**31,2**	**25,5**	**13,1**	**0**	**34,7**	**34,7**
Расчёт отражённого звука													
Уровни звукового давления от мнимого источника ИШ-6-18_мн.(1) в расчётной точке днём, дБ		**ф-ла(3)[10]**	**0**	**0**	**23,1**	**21,9**	**21,5**	**26,6**	**23**	**10,6**	**0**	**29,2**	**29,2**
Уровни звукового давления от мнимого источника ИШ-6-18_мн.(1) в расчётной точке ночью, дБ		**ф-ла(3)[10]**	**0**	**0**	**0**	**0**	**0**	**0**	**0**	**0**	**0**	**29,2**	**29,2**
Уровни звукового давления от источника ИШ-6-18 в расчётной точке днём, дБ		**ф-ла(3)[10]**	**0**	**35,1**	**30,2**	**32,6**	**33,2**	**32,5**	**27,4**	**15**	**0**	**35,8**	**35,8**
Уровни звукового давления от источника ИШ-6-18 в расчётной точке ночью, дБ		**ф-ла(3)[10]**	**0**	**35,1**	**30,2**	**32,6**	**33,2**	**32,5**	**27,4**	**15**	**0**	**35,8**	**35,8**

Источник шума: ИШ-6-19, координаты источника (x,y,z), м =[803.81,-129.30,1.00]

1		2	3	4	5	6	7	8	9	10	11	12	13
Уровни звуковой мощности источника днём, Lw, дБ		**исходные данные**	**0**	**96,3**	**97,7**	**99**	**99,3**	**98,9**	**95,6**	**91,4**	**86,9**		
Уровни звуковой мощности источника ночью, Lw, дБ		**исходные данные**	**0**	**96,3**	**97,7**	**99**	**99,3**	**98,9**	**95,6**	**91,4**	**86,9**		
Поправка на телесный угол DΩ, дБ	Ω = 12.57	10Lg(4π/Ω)	**0**	0	0	0	0	0	0	0	0		
Показатель направленности источника Di, дБ		исходные данные	**0**	0	0	0	0	0	0	0	0		
Поправка на направленность источника Dc, дБ	Dc	DΩ + Di	**0**	0	0	0	0	0	0	0	0		
Затухание из-за геометрической дивергенции, Adiv, дБ	расстояние = 582.11 м	ф-ла (7) [10]	**66,3**										
Коэффициент затухания звука в атмосфере α, дБ/км	Ta=20,°C Pa=101.33,кПа hотн.=70%	ф-ла (5) [9]	0,02	0,09	0,33	1,12	2,79	4,98	9,04	23,09	77,63		
Учет затухания звука в атмосфере Aatm, дБ		ф-ла (8) [10]	0	0,1	0,2	0,7	1,6	2,9	5,3	13,4	45,2		
Снижение поверхностью земли возле источника As, дБ	Gs = 0 hs = 1м	ф-лы таб.3 [10]	-1,5	-1,5	-1,5	-1,5	-1,5	-1,5	-1,5	-1,5	-1,5		
Снижение поверхностью земли возле приёмника Ar, дБ	Gr = 1 hr = 4.6м	ф-лы таб.3 [10]	-1,5	-1,5	3,5	1,3	0	0	0	0	0		
Снижение поверхностью земли в средней зоне, Am дБ	Gm = 1	ф-лы таб.3 [10]	-2,1	-2,1	0	0	0	0	0	0	0		
Суммарное снижение поверхностью земли на траектории распространения звука Agr, дБ		ф-ла (9) [10]	-5,1	-5,1	2	-0,2	-1,5	-1,5	-1,5	-1,5	-1,5		
Уровни звукового давления прямого звука от источника ИШ-6-19 в расчётной точке днём, дБ		**ф-ла(3)[10]**	**0**	**35,1**	**29,2**	**32,3**	**32,9**	**31,2**	**25,5**	**13,2**	**0**	**34,8**	**34,8**
Уровни звукового давления прямого звука от источника ИШ-6-19 в расчётной точке ночью, дБ		**ф-ла(3)[10]**	**0**	**35,1**	**29,2**	**32,3**	**32,9**	**31,2**	**25,5**	**13,2**	**0**	**34,8**	**34,8**
Расчёт отражённого звука													
Уровни звукового давления от мнимого источника ИШ-6-19_мн.(1) в расчётной точке днём, дБ		**ф-ла(3)[10]**	**0**	**0**	**23,1**	**21,9**	**21,5**	**26,7**	**23**	**10,6**	**0**	**29,2**	**29,2**
Уровни звукового давления от мнимого источника ИШ-6-19_мн.(1) в расчётной точке ночью, дБ		**ф-ла(3)[10]**	**0**	**0**	**0**	**0**	**0**	**0**	**0**	**0**	**0**	**29,2**	**29,2**

1		2	3	4	5	6	7	8	9	10	11	12	13
Уровни звукового давления от источника ИШ-6-19 в расчётной точке днём, дБ		**ф-ла(3)[10]**	**0**	**35,1**	**30,2**	**32,6**	**33,2**	**32,5**	**27,5**	**15,1**	**0**	**35,8**	**35,8**
Уровни звукового давления от источника ИШ-6-19 в расчётной точке ночью, дБ		**ф-ла(3)[10]**	**0**	**35,1**	**30,2**	**32,6**	**33,2**	**32,5**	**27,5**	**15,1**	**0**	**35,8**	**35,8**
Источник шума: ИШ-6-20, координаты источника (x,y,z), м =[802.67,-132.35,1.00]													
Уровни звуковой мощности источника днём, Lw, дБ		**исходные данные**	**0**	**96,3**	**97,7**	**99**	**99,3**	**98,9**	**95,6**	**91,4**	**86,9**		
Уровни звуковой мощности источника ночью, Lw, дБ		**исходные данные**	**0**	**96,3**	**97,7**	**99**	**99,3**	**98,9**	**95,6**	**91,4**	**86,9**		
Поправка на телесный угол DΩ, дБ	Ω = 12.57	10Lg(4π/Ω)	**0**	0	0	0	0	0	0	0	0		
Показатель направленности источника Di, дБ		исходные данные	**0**	0	0	0	0	0	0	0	0		
Поправка на направленность источника Dc, дБ	Dc	DΩ + Di	**0**	0	0	0	0	0	0	0	0		
Затухание из-за геометрической дивергенции, Adiv, дБ	расстояние = 580.65 м	ф-ла (7) [10]	**66,3**										
Коэффициент затухания звука в атмосфере α, дБ/км	Ta=20,°C Pa=101.33,кПа hотн.=70%	ф-ла (5) [9]	0,02	0,09	0,33	1,12	2,79	4,98	9,04	23,09	77,63		
Учет затухания звука в атмосфере Aatm, дБ		ф-ла (8) [10]	0	0,1	0,2	0,7	1,6	2,9	5,2	13,4	45,1		
Снижение поверхностью земли возле источника As, дБ	Gs = 0 hs = 1м	ф-лы таб.3 [10]	-1,5	-1,5	-1,5	-1,5	-1,5	-1,5	-1,5	-1,5	-1,5		
Снижение поверхностью земли возле приёмника Ar, дБ	Gr = 1 hr = 4.6м	ф-лы таб.3 [10]	-1,5	-1,5	3,5	1,3	0	0	0	0	0		
Снижение поверхностью земли в средней зоне, Am дБ	Gm = 1	ф-лы таб.3 [10]	-2,1	-2,1	0	0	0	0	0	0	0		
Суммарное снижение поверхностью земли на траектории распространения звука Agr, дБ		ф-ла (9) [10]	-5,1	-5,1	2	-0,2	-1,5	-1,5	-1,5	-1,5	-1,5		
Уровни звукового давления прямого звука от источника ИШ-6-20 в расчётной точке днём, дБ		**ф-ла(3)[10]**	**0**	**35,1**	**29,3**	**32,3**	**32,9**	**31,2**	**25,6**	**13,2**	**0**	**34,8**	**34,8**

1		2	3	4	5	6	7	8	9	10	11	12	13
Уровни звукового давления прямого звука от источника ИШ-6-20 в расчётной точке ночью, дБ		**ф-ла(3)[10]**	**0**	**35,1**	**29,3**	**32,3**	**32,9**	**31,2**	**25,6**	**13,2**	**0**	**34,8**	**34,8**
Расчёт отражённого звука													
Уровни звукового давления от мнимого источника ИШ-6-20_мн.(1) в расчётной точке днём, дБ		**ф-ла(3)[10]**	**0**	**0**	**23,1**	**21,9**	**21,6**	**26,7**	**23,1**	**10,7**	**0**	**29,3**	**29,3**
Уровни звукового давления от мнимого источника ИШ-6-20_мн.(1) в расчётной точке ночью, дБ		**ф-ла(3)[10]**	**0**	**0**	**0**	**0**	**0**	**0**	**0**	**0**	**0**	**29,3**	**29,3**
Уровни звукового давления от источника ИШ-6-20 в расчётной точке днём, дБ		**ф-ла(3)[10]**	**0**	**35,1**	**30,2**	**32,7**	**33,2**	**32,5**	**27,5**	**15,1**	**0**	**35,9**	**35,9**
Уровни звукового давления от источника ИШ-6-20 в расчётной точке ночью, дБ		**ф-ла(3)[10]**	**0**	**35,1**	**30,2**	**32,7**	**33,2**	**32,5**	**27,5**	**15,1**	**0**	**35,9**	**35,9**
Источник шума: ИШ-6-21, координаты источника (x,y,z), м =[801.69,-135.42,1.00]													
Уровни звуковой мощности источника днём, Lw, дБ		**исходные данные**	**0**	**96,3**	**97,7**	**99**	**99,3**	**98,9**	**95,6**	**91,4**	**86,9**		
Уровни звуковой мощности источника ночью, Lw, дБ		**исходные данные**	**0**	**96,3**	**97,7**	**99**	**99,3**	**98,9**	**95,6**	**91,4**	**86,9**		
Поправка на телесный угол DΩ, дБ	Ω = 12.57	10Lg(4π/Ω)	**0**	0	0	0	0	0	0	0	0		
Показатель направленности источника Di, дБ		исходные данные	**0**	0	0	0	0	0	0	0	0		
Поправка на направленность источника Dc, дБ	Dc	DΩ + Di	**0**	0	0	0	0	0	0	0	0		
Затухание из-за геометрической дивергенции, Adiv, дБ	расстояние = 579.36 м	ф-ла (7) [10]	**66,3**										
Коэффициент затухания звука в атмосфере α, дБ/км	Ta=20,°C Pa=101.33,кПа hотн.=70%	ф-ла (5) [9]	0,02	0,09	0,33	1,12	2,79	4,98	9,04	23,09	77,63		
Учет затухания звука в атмосфере Aatm, дБ		ф-ла (8) [10]	0	0,1	0,2	0,7	1,6	2,9	5,2	13,4	45		
Снижение поверхностью земли возле источника As, дБ	Gs = 0 hs = 1м	ф-лы таб.3 [10]	-1,5	-1,5	-1,5	-1,5	-1,5	-1,5	-1,5	-1,5	-1,5		

1		2	3	4	5	6	7	8	9	10	11	12	13
Снижение поверхностью земли возле приёмника Ar, дБ	Gr = 1 hr = 4.6м	ф-лы таб.3 [10]	-1,5	-1,5	3,5	1,3	0	0	0	0	0		
Снижение поверхностью земли в средней зоне, Am дБ	Gm = 1	ф-лы таб.3 [10]	-2,1	-2,1	0	0	0	0	0	0	0		
Суммарное снижение поверхностью земли на траектории распространения звука Agr, дБ		ф-ла (9) [10]	-5,1	-5,1	2	-0,2	-1,5	-1,5	-1,5	-1,5	-1,5		
Уровни звукового давления прямого звука от источника ИШ-6-21 в расчётной точке днём, дБ		**ф-ла(3)[10]**	**0**	**35,1**	**29,3**	**32,3**	**32,9**	**31,2**	**25,6**	**13,3**	**0**	**34,8**	**34,8**
Уровни звукового давления прямого звука от источника ИШ-6-21 в расчётной точке ночью, дБ		**ф-ла(3)[10]**	**0**	**35,1**	**29,3**	**32,3**	**32,9**	**31,2**	**25,6**	**13,3**	**0**	**34,8**	**34,8**
Расчёт отражённого звука													
Уровни звукового давления от мнимого источника ИШ-6-21_мн.(1) в расчётной точке днём, дБ		**ф-ла(3)[10]**	**0**	**0**	**23,2**	**21,9**	**21,6**	**26,7**	**23,1**	**10,7**	**0**	**29,3**	**29,3**
Уровни звукового давления от мнимого источника ИШ-6-21_мн.(1) в расчётной точке ночью, дБ		**ф-ла(3)[10]**	**0**	**0**	**0**	**0**	**0**	**0**	**0**	**0**	**0**	**29,3**	**29,3**
Уровни звукового давления от источника ИШ-6-21 в расчётной точке днём, дБ		**ф-ла(3)[10]**	**0**	**35,1**	**30,2**	**32,7**	**33,2**	**32,6**	**27,5**	**15,2**	**0**	**35,9**	**35,9**
Уровни звукового давления от источника ИШ-6-21 в расчётной точке ночью, дБ		**ф-ла(3)[10]**	**0**	**35,1**	**30,2**	**32,7**	**33,2**	**32,6**	**27,5**	**15,2**	**0**	**35,9**	**35,9**
Источник шума: ИШ-6-22, координаты источника (x,y,z), м =[800.65,-138.47,1.00]													
Уровни звуковой мощности источника днём, Lw, дБ		**исходные данные**	**0**	**96,3**	**97,7**	**99**	**99,3**	**98,9**	**95,6**	**91,4**	**86,9**		
Уровни звуковой мощности источника ночью, Lw, дБ		**исходные данные**	**0**	**96,3**	**97,7**	**99**	**99,3**	**98,9**	**95,6**	**91,4**	**86,9**		
Поправка на телесный угол DΩ, дБ	Ω = 12.57	10Lg(4π/Ω)	**0**	0	0	0	0	0	0	0	0		
Показатель направленности источника Di, дБ		исходные данные	**0**	0	0	0	0	0	0	0	0		
Поправка на направленность источника Dc, дБ	Dc	DΩ + Di	**0**	0	0	0	0	0	0	0	0		
Затухание из-за геометрической дивергенции, Adiv, дБ	расстояние = 578.03 м	ф-ла (7) [10]	**66,2**										

1		2	3	4	5	6	7	8	9	10	11	12	13
Коэффициент затухания звука в атмосфере α, дБ/км	Ta=20,°C Pa=101.33,кПа hотн.=70%	ф-ла (5) [9]	0,02	0,09	0,33	1,12	2,79	4,98	9,04	23,09	77,63		
Учет затухания звука в атмосфере Aatm, дБ		ф-ла (8) [10]	0	0,1	0,2	0,6	1,6	2,9	5,2	13,3	44,9		
Снижение поверхностью земли возле источника As, дБ	Gs = 0 hs = 1м	ф-лы таб.3 [10]	-1,5	-1,5	-1,5	-1,5	-1,5	-1,5	-1,5	-1,5	-1,5		
Снижение поверхностью земли возле приёмника Ar, дБ	Gr = 1 hr = 4.6м	ф-лы таб.3 [10]	-1,5	-1,5	3,5	1,3	0	0	0	0	0		
Снижение поверхностью земли в средней зоне, Am дБ	Gm = 1	ф-лы таб.3 [10]	-2,1	-2,1	0	0	0	0	0	0	0		
Суммарное снижение поверхностью земли на траектории распространения звука Agr, дБ		ф-ла (9) [10]	-5,1	-5,1	2	-0,2	-1,5	-1,5	-1,5	-1,5	-1,5		
Уровни звукового давления прямого звука от источника ИШ-6-22 в расчётной точке днём, дБ		**ф-ла(3)[10]**	**0**	**35,1**	**29,3**	**32,3**	**32,9**	**31,3**	**25,6**	**13,3**	**0**	**34,9**	**34,9**
Уровни звукового давления прямого звука от источника ИШ-6-22 в расчётной точке ночью, дБ		**ф-ла(3)[10]**	**0**	**35,1**	**29,3**	**32,3**	**32,9**	**31,3**	**25,6**	**13,3**	**0**	**34,9**	**34,9**
Расчёт отражённого звука													
Уровни звукового давления от мнимого источника ИШ-6-22_мн.(1) в расчётной точке днём, дБ		**ф-ла(3)[10]**	**0**	**0**	**23,2**	**22**	**21,6**	**26,7**	**23,1**	**10,8**	**0**	**29,3**	**29,3**
Уровни звукового давления от мнимого источника ИШ-6-22_мн.(1) в расчётной точке ночью, дБ		**ф-ла(3)[10]**	**0**	**0**	**0**	**0**	**0**	**0**	**0**	**0**	**0**	**29,3**	**29,3**
Уровни звукового давления от источника ИШ-6-22 в расчётной точке днём, дБ		**ф-ла(3)[10]**	**0**	**35,1**	**30,3**	**32,7**	**33,2**	**32,6**	**27,6**	**15,2**	**0**	**35,9**	**35,9**
Уровни звукового давления от источника ИШ-6-22 в расчётной точке ночью, дБ		**ф-ла(3)[10]**	**0**	**35,1**	**30,3**	**32,7**	**33,2**	**32,6**	**27,6**	**15,2**	**0**	**35,9**	**35,9**
Источник шума: ИШ-7-1, координаты источника (x,y,z), м =[821.44,63.31,1.00]													
Уровни звуковой мощности источника днём, Lw, дБ		**исходные данные**	**77**	**75**	**67**	**66**	**63**	**55**	**53**	**48**	**51**		
Уровни звуковой мощности источника ночью, Lw, дБ		**исходные данные**	**77**	**75**	**67**	**66**	**63**	**55**	**53**	**48**	**51**		

1		2	3	4	5	6	7	8	9	10	11	12	13
Поправка на телесный угол DΩ, дБ	Ω = 12.57	10Lg(4π/Ω)	**0**	0	0	0	0	0	0	0	0		
Показатель направленности источника Di, дБ		исходные данные	**0**	0	0	0	0	0	0	0	0		
Поправка на направленность источника Dc, дБ	Dc	DΩ + Di	**0**	0	0	0	0	0	0	0	0		
Затухание из-за геометрической дивергенции, Adiv, дБ	расстояние = 648.91 м	ф-ла (7) [10]	**67,2**										
Коэффициент затухания звука в атмосфере α, дБ/км	Ta=20,°C Pa=101.33,кПа hотн.=70%	ф-ла (5) [9]	0,02	0,09	0,33	1,12	2,79	4,98	9,04	23,09	77,63		
Учет затухания звука в атмосфере Aatm, дБ		ф-ла (8) [10]	0	0,1	0,2	0,7	1,8	3,2	5,9	15	50,4		
Снижение уровня звукового давления из-за влияния застройки между источником шума и расчетной точкой													
Снижение уровня звукового давления на пути над экраном, Dz1, дБ	z = 0.10м (разность путей)	ф-лы (14-18) [10]	4,8	4,8	4,8	4,8	4,8	4,8	4,8	4,8	4,8		
Уровни звукового давления от источника ИШ-7-1 в расчётной точке днём, дБ		**ф-ла(3)[10]**	**5**	**2,9**	**0**	**0**	**0**	**0**	**0**	**0**	**0**	**0**	**0**
Уровни звукового давления от источника ИШ-7-1 в расчётной точке ночью, дБ		**ф-ла(3)[10]**	**5**	**2,9**	**0**	**0**	**0**	**0**	**0**	**0**	**0**	**0**	**0**
Источник шума: ИШ-7-2, координаты источника (x,y,z), м =[768.90,-86.75,1.00]													
Уровни звуковой мощности источника днём, Lw, дБ		**исходные данные**	**77**	**75**	**67**	**66**	**63**	**55**	**53**	**48**	**51**		
Уровни звуковой мощности источника ночью, Lw, дБ		**исходные данные**	**77**	**75**	**67**	**66**	**63**	**55**	**53**	**48**	**51**		
Поправка на телесный угол DΩ, дБ	Ω = 12.57	10Lg(4π/Ω)	**0**	0	0	0	0	0	0	0	0		
Показатель направленности источника Di, дБ		исходные данные	**0**	0	0	0	0	0	0	0	0		
Поправка на направленность источника Dc, дБ	Dc	DΩ + Di	**0**	0	0	0	0	0	0	0	0		

1		2	3	4	5	6	7	8	9	10	11	12	13
Затухание из-за геометрической дивергенции, Adiv, дБ	расстояние = 553.95 м	ф-ла (7) [10]	**65,9**										
Коэффициент затухания звука в атмосфере α, дБ/км	Ta=20,°C Pa=101.33,кПа hотн.=70%	ф-ла (5) [9]	0,02	0,09	0,33	1,12	2,79	4,98	9,04	23,09	77,63		
Учет затухания звука в атмосфере Aatm, дБ		ф-ла (8) [10]	0	0	0,2	0,6	1,5	2,8	5	12,8	43		
Снижение поверхностью земли возле источника As, дБ	Gs = 0 hs = 1м	ф-лы таб.3 [10]	-1,5	-1,5	-1,5	-1,5	-1,5	-1,5	-1,5	-1,5	-1,5		
Снижение поверхностью земли возле приёмника Ar, дБ	Gr = 1 hr = 4.6м	ф-лы таб.3 [10]	-1,5	-1,5	3,4	1,3	0	0	0	0	0		
Снижение поверхностью земли в средней зоне, Am дБ	Gm = 1	ф-лы таб.3 [10]	-2,1	-2,1	0	0	0	0	0	0	0		
Суммарное снижение поверхностью земли на траектории распространения звука Agr, дБ		ф-ла (9) [10]	-5,1	-5,1	1,9	-0,2	-1,5	-1,5	-1,5	-1,5	-1,5		
Уровни звукового давления от источника ИШ-7-2 в расчётной точке днём, дБ		**ф-ла(3)[10]**	**16,2**	**14,2**	**0**	**0**	**0**	**0**	**0**	**0**	**0**	**0**	**0**
Уровни звукового давления от источника ИШ-7-2 в расчётной точке ночью, дБ		**ф-ла(3)[10]**	**16,2**	**14,2**	**0**	**0**	**0**	**0**	**0**	**0**	**0**	**0**	**0**
Источник шума: ИШ-7-3, координаты источника (x,y,z), м =[766.80,-93.20,1.00]													
Уровни звуковой мощности источника днём, Lw, дБ		**исходные данные**	**77**	**75**	**67**	**66**	**63**	**55**	**53**	**48**	**51**		
Уровни звуковой мощности источника ночью, Lw, дБ		**исходные данные**	**77**	**75**	**67**	**66**	**63**	**55**	**53**	**48**	**51**		
Поправка на телесный угол DΩ, дБ	Ω = 12.57	10Lg(4π/Ω)	**0**	0	0	0	0	0	0	0	0		
Показатель направленности источника Di, дБ		исходные данные	**0**	0	0	0	0	0	0	0	0		
Поправка на направленность источника Dc, дБ	Dc	DΩ + Di	**0**	0	0	0	0	0	0	0	0		
Затухание из-за геометрической дивергенции, Adiv, дБ	расстояние = 550.70 м	ф-ла (7) [10]	**65,8**										

1		2	3	4	5	6	7	8	9	10	11	12	13
Коэффициент затухания звука в атмосфере α, дБ/км	Ta=20,°C Pa=101.33,кПа hотн.=70%	ф-ла (5) [9]	0,02	0,09	0,33	1,12	2,79	4,98	9,04	23,09	77,63		
Учет затухания звука в атмосфере Aatm, дБ		ф-ла (8) [10]	0	0	0,2	0,6	1,5	2,7	5	12,7	42,8		
Снижение поверхностью земли возле источника As, дБ	Gs = 0 hs = 1м	ф-лы таб.3 [10]	-1,5	-1,5	-1,5	-1,5	-1,5	-1,5	-1,5	-1,5	-1,5		
Снижение поверхностью земли возле приёмника Ar, дБ	Gr = 1 hr = 4.6м	ф-лы таб.3 [10]	-1,5	-1,5	3,4	1,3	0	0	0	0	0		
Снижение поверхностью земли в средней зоне, Am дБ	Gm = 1	ф-лы таб.3 [10]	-2,1	-2,1	0	0	0	0	0	0	0		
Суммарное снижение поверхностью земли на траектории распространения звука Agr, дБ		ф-ла (9) [10]	-5,1	-5,1	1,9	-0,2	-1,5	-1,5	-1,5	-1,5	-1,5		
Уровни звукового давления от источника ИШ-7-3 в расчётной точке днём, дБ		**ф-ла(3)[10]**	**16,3**	**14,2**	**0**	**0**	**0**	**0**	**0**	**0**	**0**	**0**	**0**
Уровни звукового давления от источника ИШ-7-3 в расчётной точке ночью, дБ		**ф-ла(3)[10]**	**16,3**	**14,2**	**0**	**0**	**0**	**0**	**0**	**0**	**0**	**0**	**0**
Источник шума: ИШ-7-4, координаты источника (x,y,z), м =[866.76,37.18,1.00]													
Уровни звуковой мощности источника днём, Lw, дБ		**исходные данные**	**77**	**75**	**67**	**66**	**63**	**55**	**53**	**48**	**51**		
Уровни звуковой мощности источника ночью, Lw, дБ		**исходные данные**	**77**	**75**	**67**	**66**	**63**	**55**	**53**	**48**	**51**		
Поправка на телесный угол DΩ, дБ	Ω = 12.57	10Lg(4π/Ω)	**0**	0	0	0	0	0	0	0	0		
Показатель направленности источника Di, дБ		исходные данные	**0**	0	0	0	0	0	0	0	0		
Поправка на направленность источника Dc, дБ	Dc	DΩ + Di	**0**	0	0	0	0	0	0	0	0		
Затухание из-за геометрической дивергенции, Adiv, дБ	расстояние = 681.53 м	ф-ла (7) [10]	**67,7**										
Коэффициент затухания звука в атмосфере α, дБ/км	Ta=20,°C Pa=101.33,кПа hотн.=70%	ф-ла (5) [9]	0,02	0,09	0,33	1,12	2,79	4,98	9,04	23,09	77,63		

1		2	3	4	5	6	7	8	9	10	11	12	13
Учет затухания звука в атмосфере Aatm, дБ		ф-ла (8) [10]	0	0,1	0,2	0,8	1,9	3,4	6,2	15,7	52,9		
Снижение уровня звукового давления из-за влияния застройки между источником шума и расчетной точкой													
Снижение уровня звукового давления на пути над экраном, Dz1, дБ	z = 0.09м (разность путей)	ф-лы (14-18) [10]	4,8	4,8	4,8	4,8	4,8	4,8	4,8	4,8	4,8		
Уровни звукового давления от источника ИШ-7-4 в расчётной точке днём, дБ		**ф-ла(3)[10]**	**4,5**	**2,5**	**0**	**0**	**0**	**0**	**0**	**0**	**0**	**0**	**0**
Уровни звукового давления от источника ИШ-7-4 в расчётной точке ночью, дБ		**ф-ла(3)[10]**	**4,5**	**2,5**	**0**	**0**	**0**	**0**	**0**	**0**	**0**	**0**	**0**
Источник шума: ИШ-7-5, координаты источника (x,y,z), м =[861.80,21.34,1.00]													
Уровни звуковой мощности источника днём, Lw, дБ		**исходные данные**	**77**	**75**	**67**	**66**	**63**	**55**	**53**	**48**	**51**		
Уровни звуковой мощности источника ночью, Lw, дБ		**исходные данные**	**77**	**75**	**67**	**66**	**63**	**55**	**53**	**48**	**51**		
Поправка на телесный угол DΩ, дБ	Ω = 12.57	10Lg(4π/Ω)	**0**	0	0	0	0	0	0	0	0		
Показатель направленности источника Di, дБ		исходные данные	**0**	0	0	0	0	0	0	0	0		
Поправка на направленность источника Dc, дБ	Dc	DΩ + Di	**0**	0	0	0	0	0	0	0	0		
Затухание из-за геометрической дивергенции, Adiv, дБ	расстояние = 671.65 м	ф-ла (7) [10]	**67,5**										
Коэффициент затухания звука в атмосфере α, дБ/км	Ta=20,°C Pa=101.33,кПа hотн.=70%	ф-ла (5) [9]	0,02	0,09	0,33	1,12	2,79	4,98	9,04	23,09	77,63		
Учет затухания звука в атмосфере Aatm, дБ		ф-ла (8) [10]	0	0,1	0,2	0,8	1,9	3,3	6,1	15,5	52,1		
Снижение уровня звукового давления из-за влияния застройки между источником шума и расчетной точкой													
Снижение уровня звукового давления препятствием слева от трассы ИШ-РТ, Dz2, дБ	z = -0.01м (разность путей)	ф-лы (14-18) [10]	0	0	0	4,4	3,9	2,9	0	NAN	NAN		

1		2	3	4	5	6	7	8	9	10	11	12	13
Снижение уровня звукового давления препятствием справа от трассы ИШ-РТ, Dz3, дБ	z = -0.02м (разность путей)	ф-лы (14-18) [10]	0	0	0	3,8	2,6	0	NAN	NAN	NAN		
Общее снижение уровня звука препятствием Dz, дБ		Эн.сумма(-Dzi)	0	0	0	1,1	0,2	0	0	0	0		
* отрицательное значение z означает прохождение траектории вблизи экрана, в этом случае дополнительно производится учёт снижения подстилающей поверхностью (см.ниже)													
Снижение поверхностью земли возле источника As, дБ	Gs = 0 hs = 1м	ф-лы таб.3 [10]	-1,5	-1,5	-1,5	-1,5	-1,5	-1,5	-1,5	-1,5	-1,5		
Снижение поверхностью земли возле приёмника Ar, дБ	Gr = 1 hr = 4.6м	ф-лы таб.3 [10]	-1,5	-1,5	3,6	1,3	0	0	0	0	0		
Снижение поверхностью земли в средней зоне, Am дБ	Gm = 1	ф-лы таб.3 [10]	-2,2	-2,2	0	0	0	0	0	0	0		
Суммарное снижение поверхностью земли на траектории распространения звука Agr, дБ		ф-ла (9) [10]	-5,2	-5,2	2,1	-0,2	-1,5	-1,5	-1,5	-1,5	-1,5		
Уровни звукового давления от источника ИШ-7-5 в расчётной точке днём, дБ		**ф-ла(3)[10]**	**14,7**	**12,6**	**0**	**0**	**0**	**0**	**0**	**0**	**0**	**0**	**0**
Уровни звукового давления от источника ИШ-7-5 в расчётной точке ночью, дБ		**ф-ла(3)[10]**	**14,7**	**12,6**	**0**	**0**	**0**	**0**	**0**	**0**	**0**	**0**	**0**
Источник шума: ИШ-7-6, координаты источника (x,y,z), м =[856.52,5.94,1.00]													
Уровни звуковой мощности источника днём, Lw, дБ		**исходные данные**	**77**	**75**	**67**	**66**	**63**	**55**	**53**	**48**	**51**		
Уровни звуковой мощности источника ночью, Lw, дБ		**исходные данные**	**77**	**75**	**67**	**66**	**63**	**55**	**53**	**48**	**51**		
Поправка на телесный угол DΩ, дБ	Ω = 12.57	10Lg(4π/Ω)	**0**	0	0	0	0	0	0	0	0		
Показатель направленности источника Di, дБ		исходные данные	**0**	0	0	0	0	0	0	0	0		
Поправка на направленность источника Dc, дБ	Dc	DΩ + Di	**0**	0	0	0	0	0	0	0	0		
Затухание из-за геометрической дивергенции, Adiv, дБ	расстояние = 661.86 м	ф-ла (7) [10]	**67,4**										
Коэффициент затухания звука в атмосфере α, дБ/км	Ta=20,°C Pa=101.33,кПа hотн.=70%	ф-ла (5) [9]	0,02	0,09	0,33	1,12	2,79	4,98	9,04	23,09	77,63		

1		2	3	4	5	6	7	8	9	10	11	12	13
Учет затухания звука в атмосфере Aatm, дБ		ф-ла (8) [10]	0	0,1	0,2	0,7	1,8	3,3	6	15,3	51,4		
Снижение уровня звукового давления из-за влияния застройки между источником шума и расчетной точкой													
Снижение уровня звукового давления на пути над экраном, Dz1, дБ	z = 0.15м (разность путей)	ф-лы (14-18) [10]	4,8	4,8	4,8	4,8	4,8	4,8	4,9	4,9	5,1		
Уровни звукового давления от источника ИШ-7-6 в расчётной точке днём, дБ		**ф-ла(3)[10]**	**4,8**	**2,8**	**0**	**0**	**0**	**0**	**0**	**0**	**0**	**0**	**0**
Уровни звукового давления от источника ИШ-7-6 в расчётной точке ночью, дБ		**ф-ла(3)[10]**	**4,8**	**2,8**	**0**	**0**	**0**	**0**	**0**	**0**	**0**	**0**	**0**
Источник шума: ИШ-7-7, координаты источника (x,y,z), м =[851.06,-9.89,1.00]													
Уровни звуковой мощности источника днём, Lw, дБ		**исходные данные**	**77**	**75**	**67**	**66**	**63**	**55**	**53**	**48**	**51**		
Уровни звуковой мощности источника ночью, Lw, дБ		**исходные данные**	**77**	**75**	**67**	**66**	**63**	**55**	**53**	**48**	**51**		
Поправка на телесный угол DΩ, дБ	Ω = 12.57	10Lg(4π/Ω)	**0**	0	0	0	0	0	0	0	0		
Показатель направленности источника Di, дБ		исходные данные	**0**	0	0	0	0	0	0	0	0		
Поправка на направленность источника Dc, дБ	Dc	DΩ + Di	**0**	0	0	0	0	0	0	0	0		
Затухание из-за геометрической дивергенции, Adiv, дБ	расстояние = 652.04 м	ф-ла (7) [10]	**67,3**										
Коэффициент затухания звука в атмосфере α, дБ/км	Ta=20,°C Pa=101.33,кПа hотн.=70%	ф-ла (5) [9]	0,02	0,09	0,33	1,12	2,79	4,98	9,04	23,09	77,63		
Учет затухания звука в атмосфере Aatm, дБ		ф-ла (8) [10]	0	0,1	0,2	0,7	1,8	3,2	5,9	15,1	50,6		
Снижение уровня звукового давления из-за влияния застройки между источником шума и расчетной точкой													
Снижение уровня звукового давления на пути над экраном, Dz1, дБ	z = 0.15м (разность путей)	ф-лы (14-18) [10]	4,8	4,8	4,8	4,8	4,8	4,8	4,9	5	5,3		

1		2	3	4	5	6	7	8	9	10	11	12	13
Уровни звукового давления от источника ИШ-7-7 в расчётной точке днём, дБ		**ф-ла(3)[10]**	**4,9**	**2,9**	**0**	**0**	**0**	**0**	**0**	**0**	**0**	**0**	**0**
Уровни звукового давления от источника ИШ-7-7 в расчётной точке ночью, дБ		**ф-ла(3)[10]**	**4,9**	**2,9**	**0**	**0**	**0**	**0**	**0**	**0**	**0**	**0**	**0**
Источник шума: ИШ-7-8, координаты источника (x,y,z), м =[821.90,-104.30,1.00]													
Уровни звуковой мощности источника днём, Lw, дБ		**исходные данные**	**77**	**75**	**67**	**66**	**63**	**55**	**53**	**48**	**51**		
Уровни звуковой мощности источника ночью, Lw, дБ		**исходные данные**	**77**	**75**	**67**	**66**	**63**	**55**	**53**	**48**	**51**		
Поправка на телесный угол DΩ, дБ	Ω = 12.57	10Lg(4π/Ω)	**0**	0	0	0	0	0	0	0	0		
Показатель направленности источника Di, дБ		исходные данные	**0**	0	0	0	0	0	0	0	0		
Поправка на направленность источника Dc, дБ	Dc	DΩ + Di	**0**	0	0	0	0	0	0	0	0		
Затухание из-за геометрической дивергенции, Adiv, дБ	расстояние = 603.24 м	ф-ла (7) [10]	**66,6**										
Коэффициент затухания звука в атмосфере α, дБ/км	Ta=20,°C Pa=101.33,кПа hотн.=70%	ф-ла (5) [9]	0,02	0,09	0,33	1,12	2,79	4,98	9,04	23,09	77,63		
Учет затухания звука в атмосфере Aatm, дБ		ф-ла (8) [10]	0	0,1	0,2	0,7	1,7	3	5,5	13,9	46,8		
Снижение поверхностью земли возле источника As, дБ	Gs = 0 hs = 1м	ф-лы таб.3 [10]	-1,5	-1,5	-1,5	-1,5	-1,5	-1,5	-1,5	-1,5	-1,5		
Снижение поверхностью земли возле приёмника Ar, дБ	Gr = 1 hr = 4.6м	ф-лы таб.3 [10]	-1,5	-1,5	3,5	1,3	0	0	0	0	0		
Снижение поверхностью земли в средней зоне, Am дБ	Gm = 1	ф-лы таб.3 [10]	-2,2	-2,2	0	0	0	0	0	0	0		
Суммарное снижение поверхностью земли на траектории распространения звука Agr, дБ		ф-ла (9) [10]	-5,2	-5,2	2	-0,2	-1,5	-1,5	-1,5	-1,5	-1,5		
Уровни звукового давления от источника ИШ-7-8 в расчётной точке днём, дБ		**ф-ла(3)[10]**	**15,5**	**13,5**	**0**	**0**	**0**	**0**	**0**	**0**	**0**	**0**	**0**

1		2	3	4	5	6	7	8	9	10	11	12	13
Уровни звукового давления от источника ИШ-7-8 в расчётной точке ночью, дБ		**ф-ла(3)[10]**	**15,5**	**13,5**	**0**	**0**	**0**	**0**	**0**	**0**	**0**	**0**	**0**
Источник шума: ИШ-7-9, координаты источника (x,y,z), м =[819.93,-110.97,1.00]													
Уровни звуковой мощности источника днём, Lw, дБ		**исходные данные**	**77**	**75**	**67**	**66**	**63**	**55**	**53**	**48**	**51**		
Уровни звуковой мощности источника ночью, Lw, дБ		**исходные данные**	**77**	**75**	**67**	**66**	**63**	**55**	**53**	**48**	**51**		
Поправка на телесный угол DΩ, дБ	Ω = 12.57	10Lg(4π/Ω)	**0**	0	0	0	0	0	0	0	0		
Показатель направленности источника Di, дБ		исходные данные	**0**	0	0	0	0	0	0	0	0		
Поправка на направленность источника Dc, дБ	Dc	DΩ + Di	**0**	0	0	0	0	0	0	0	0		
Затухание из-за геометрической дивергенции, Adiv, дБ	расстояние = 600.35 м	ф-ла (7) [10]	**66,6**										
Коэффициент затухания звука в атмосфере α, дБ/км	Ta=20,°C Pa=101.33,кПа hотн.=70%	ф-ла (5) [9]	0,02	0,09	0,33	1,12	2,79	4,98	9,04	23,09	77,63		
Учет затухания звука в атмосфере Aatm, дБ		ф-ла (8) [10]	0	0,1	0,2	0,7	1,7	3	5,4	13,9	46,6		
Снижение поверхностью земли возле источника As, дБ	Gs = 0 hs = 1м	ф-лы таб.3 [10]	-1,5	-1,5	-1,5	-1,5	-1,5	-1,5	-1,5	-1,5	-1,5		
Снижение поверхностью земли возле приёмника Ar, дБ	Gr = 1 hr = 4.6м	ф-лы таб.3 [10]	-1,5	-1,5	3,5	1,3	0	0	0	0	0		
Снижение поверхностью земли в средней зоне, Am дБ	Gm = 1	ф-лы таб.3 [10]	-2,2	-2,2	0	0	0	0	0	0	0		
Суммарное снижение поверхностью земли на траектории распространения звука Agr, дБ		ф-ла (9) [10]	-5,2	-5,2	2	-0,2	-1,5	-1,5	-1,5	-1,5	-1,5		
Уровни звукового давления от источника ИШ-7-9 в расчётной точке днём, дБ		**ф-ла(3)[10]**	**15,6**	**13,5**	**0**	**0**	**0**	**0**	**0**	**0**	**0**	**0**	**0**
Уровни звукового давления от источника ИШ-7-9 в расчётной точке ночью, дБ		**ф-ла(3)[10]**	**15,6**	**13,5**	**0**	**0**	**0**	**0**	**0**	**0**	**0**	**0**	**0**

1		2	3	4	5	6	7	8	9	10	11	12	13
Источник шума: ИШ-7-10, координаты источника (x,y,z), м =[868.68,92.66,1.00]													
Уровни звуковой мощности источника днём, Lw, дБ		**исходные данные**	**77**	**75**	**67**	**66**	**63**	**55**	**53**	**48**	**51**		
Уровни звуковой мощности источника ночью, Lw, дБ		**исходные данные**	**77**	**75**	**67**	**66**	**63**	**55**	**53**	**48**	**51**		
Поправка на телесный угол DΩ, дБ	Ω = 12.57	10Lg(4π/Ω)	**0**	0	0	0	0	0	0	0	0		
Показатель направленности источника Di, дБ		исходные данные	**0**	0	0	0	0	0	0	0	0		
Поправка на направленность источника Dc, дБ	Dc	DΩ + Di	**0**	0	0	0	0	0	0	0	0		
Затухание из-за геометрической дивергенции, Adiv, дБ	расстояние = 703.94 м	ф-ла (7) [10]	**68**										
Коэффициент затухания звука в атмосфере α, дБ/км	Ta=20,°C Pa=101.33,кПа hотн.=70%	ф-ла (5) [9]	0,02	0,09	0,33	1,12	2,79	4,98	9,04	23,09	77,63		
Учет затухания звука в атмосфере Aatm, дБ		ф-ла (8) [10]	0	0,1	0,2	0,8	2	3,5	6,4	16,3	54,6		
Снижение уровня звукового давления из-за влияния застройки между источником шума и расчетной точкой													
Снижение уровня звукового давления на пути над экраном, Dz1, дБ	z = 0.09м (разность путей)	ф-лы (14-18) [10]	4,8	4,8	4,8	4,8	4,8	4,8	4,8	4,8	4,8		
Уровни звукового давления от источника ИШ-7-10 в расчётной точке днём, дБ		**ф-ла(3)[10]**	**4,3**	**2,2**	**0**	**0**	**0**	**0**	**0**	**0**	**0**	**0**	**0**
Уровни звукового давления от источника ИШ-7-10 в расчётной точке ночью, дБ		**ф-ла(3)[10]**	**4,3**	**2,2**	**0**	**0**	**0**	**0**	**0**	**0**	**0**	**0**	**0**
Источник шума: ИШ-7-11, координаты источника (x,y,z), м =[877.95,88.75,1.00]													
Уровни звуковой мощности источника днём, Lw, дБ		**исходные данные**	**77**	**75**	**67**	**66**	**63**	**55**	**53**	**48**	**51**		
Уровни звуковой мощности источника ночью, Lw, дБ		**исходные данные**	**77**	**75**	**67**	**66**	**63**	**55**	**53**	**48**	**51**		

1		2	3	4	5	6	7	8	9	10	11	12	13
Поправка на телесный угол DΩ, дБ	Ω = 12.57	10Lg(4π/Ω)	**0**	0	0	0	0	0	0	0	0		
Показатель направленности источника Di, дБ		исходные данные	**0**	0	0	0	0	0	0	0	0		
Поправка на направленность источника Dc, дБ	Dc	DΩ + Di	**0**	0	0	0	0	0	0	0	0		
Затухание из-за геометрической дивергенции, Adiv, дБ	расстояние = 710.87 м	ф-ла (7) [10]	**68**										
Коэффициент затухания звука в атмосфере α, дБ/км	Ta=20,°C Pa=101.33,кПа hотн.=70%	ф-ла (5) [9]	0,02	0,09	0,33	1,12	2,79	4,98	9,04	23,09	77,63		
Учет затухания звука в атмосфере Aatm, дБ		ф-ла (8) [10]	0	0,1	0,2	0,8	2	3,5	6,4	16,4	55,2		
Снижение уровня звукового давления из-за влияния застройки между источником шума и расчетной точкой													
Снижение уровня звукового давления на пути над экраном, Dz1, дБ	z = 0.08м (разность путей)	ф-лы (14-18) [10]	4,8	4,8	4,8	4,8	4,8	4,8	4,8	4,8	4,8		
Уровни звукового давления от источника ИШ-7-11 в расчётной точке днём, дБ		**ф-ла(3)[10]**	**4,2**	**2,1**	**0**	**0**	**0**	**0**	**0**	**0**	**0**	**0**	**0**
Уровни звукового давления от источника ИШ-7-11 в расчётной точке ночью, дБ		**ф-ла(3)[10]**	**4,2**	**2,1**	**0**	**0**	**0**	**0**	**0**	**0**	**0**	**0**	**0**
Источник шума: ИШ-7-12, координаты источника (x,y,z), м =[887.42,85.45,1.00]													
Уровни звуковой мощности источника днём, Lw, дБ		**исходные данные**	**77**	**75**	**67**	**66**	**63**	**55**	**53**	**48**	**51**		
Уровни звуковой мощности источника ночью, Lw, дБ		**исходные данные**	**77**	**75**	**67**	**66**	**63**	**55**	**53**	**48**	**51**		
Поправка на телесный угол DΩ, дБ	Ω = 12.57	10Lg(4π/Ω)	**0**	0	0	0	0	0	0	0	0		
Показатель направленности источника Di, дБ		исходные данные	**0**	0	0	0	0	0	0	0	0		
Поправка на направленность источника Dc, дБ	Dc	DΩ + Di	**0**	0	0	0	0	0	0	0	0		

1		2	3	4	5	6	7	8	9	10	11	12	13
Затухание из-за геометрической дивергенции, Adiv, дБ	расстояние = 718.29 м	ф-ла (7) [10]	**68,1**										
Коэффициент затухания звука в атмосфере α, дБ/км	Ta=20,°C Pa=101.33,кПа hотн.=70%	ф-ла (5) [9]	0,02	0,09	0,33	1,12	2,79	4,98	9,04	23,09	77,63		
Учет затухания звука в атмосфере Aatm, дБ		ф-ла (8) [10]	0	0,1	0,2	0,8	2	3,6	6,5	16,6	55,8		
Снижение уровня звукового давления из-за влияния застройки между источником шума и расчетной точкой													
Снижение уровня звукового давления на пути над экраном, Dz1, дБ	z = 0.08м (разность путей)	ф-лы (14-18) [10]	4,8	4,8	4,8	4,8	4,8	4,8	4,8	4,8	4,8		
Уровни звукового давления от источника ИШ-7-12 в расчётной точке днём, дБ		**ф-ла(3)[10]**	**4,1**	**2**	**0**	**0**	**0**	**0**	**0**	**0**	**0**	**0**	**0**
Уровни звукового давления от источника ИШ-7-12 в расчётной точке ночью, дБ		**ф-ла(3)[10]**	**4,1**	**2**	**0**	**0**	**0**	**0**	**0**	**0**	**0**	**0**	**0**
Источник шума: ИШ-6-23, координаты источника (x,y,z), м =[756.16,-136.23,3.00]													
Уровни звуковой мощности источника днём, Lw, дБ		**исходные данные**	**91**	**91**	**91**	**91**	**91**	**91**	**91**	**91**	**91**		
Уровни звуковой мощности источника ночью, Lw, дБ		**исходные данные**	**91**	**91**	**91**	**91**	**91**	**91**	**91**	**91**	**91**		
Поправка на телесный угол DΩ, дБ	Ω = 12.57	10Lg(4π/Ω)	**0**	0	0	0	0	0	0	0	0		
Показатель направленности источника Di, дБ		исходные данные	**0**	0	0	0	0	0	0	0	0		
Поправка на направленность источника Dc, дБ	Dc	DΩ + Di	**0**	0	0	0	0	0	0	0	0		
Затухание из-за геометрической дивергенции, Adiv, дБ	расстояние = 533.97 м	ф-ла (7) [10]	**65,6**										
Коэффициент затухания звука в атмосфере α, дБ/км	Ta=20,°C Pa=101.33,кПа hотн.=70%	ф-ла (5) [9]	0,02	0,09	0,33	1,12	2,79	4,98	9,04	23,09	77,63		
Учет затухания звука в атмосфере Aatm, дБ		ф-ла (8) [10]	0	0	0,2	0,6	1,5	2,7	4,8	12,3	41,5		

1		2	3	4	5	6	7	8	9	10	11	12	13
Снижение поверхностью земли возле источника As, дБ	Gs = 0 hs = 3м	ф-лы таб.3 [10]	-1,5	-1,5	-1,5	-1,5	-1,5	-1,5	-1,5	-1,5	-1,5		
Снижение поверхностью земли возле приёмника Ar, дБ	Gr = 1 hr = 4.6м	ф-лы таб.3 [10]	-1,5	-1,5	3,4	1,3	0	0	0	0	0		
Снижение поверхностью земли в средней зоне, Am дБ	Gm = 1	ф-лы таб.3 [10]	-1,7	-1,7	0	0	0	0	0	0	0		
Суммарное снижение поверхностью земли на траектории распространения звука Agr, дБ		ф-ла (9) [10]	-4,7	-4,7	1,9	-0,2	-1,5	-1,5	-1,5	-1,5	-1,5		
Уровни звукового давления прямого звука от источника ИШ-6-23 в расчётной точке днём, дБ		**ф-ла(3)[10]**	**30,1**	**30,1**	**23,4**	**25,1**	**25,5**	**24,3**	**22,1**	**14,6**	**0**	**28,7**	**28,7**
Уровни звукового давления прямого звука от источника ИШ-6-23 в расчётной точке ночью, дБ		**ф-ла(3)[10]**	**30,1**	**30,1**	**23,4**	**25,1**	**25,5**	**24,3**	**22,1**	**14,6**	**0**	**28,7**	**28,7**
Расчёт отражённого звука													
Уровни звукового давления от мнимого источника ИШ-6-23_мн.(1) в расчётной точке днём, дБ		**ф-ла(3)[10]**	**0**	**0**	**17,6**	**18,7**	**22,7**	**21,8**	**19,6**	**12,1**	**0**	**25,9**	**25,9**
Уровни звукового давления от мнимого источника ИШ-6-23_мн.(1) в расчётной точке ночью, дБ		**ф-ла(3)[10]**	**0**	**0**	**0**	**0**	**0**	**0**	**0**	**0**	**0**	**25,9**	**25,9**
Уровни звукового давления от источника ИШ-6-23 в расчётной точке днём, дБ		**ф-ла(3)[10]**	**30,1**	**30,1**	**24,4**	**26**	**27,3**	**26,2**	**24**	**16,5**	**0**	**30,5**	**30,5**
Уровни звукового давления от источника ИШ-6-23 в расчётной точке ночью, дБ		**ф-ла(3)[10]**	**30,1**	**30,1**	**24,4**	**26**	**27,3**	**26,2**	**24**	**16,5**	**0**	**30,5**	**30,5**
Источник шума: ИШ-6-24, координаты источника (x,y,z), м =[800.98,-151.27,3.00]													
Уровни звуковой мощности источника днём, Lw, дБ		**исходные данные**	**91**	**91**	**91**	**91**	**91**	**91**	**91**	**91**	**91**		
Уровни звуковой мощности источника ночью, Lw, дБ		**исходные данные**	**91**	**91**	**91**	**91**	**91**	**91**	**91**	**91**	**91**		
Поправка на телесный угол DΩ, дБ	Ω = 12.57	10Lg(4π/Ω)	**0**	0	0	0	0	0	0	0	0		
Показатель направленности источника Di, дБ		исходные данные	**0**	0	0	0	0	0	0	0	0		
Поправка на направленность источника Dc, дБ	Dc	DΩ + Di	**0**	0	0	0	0	0	0	0	0		

1		2	3	4	5	6	7	8	9	10	11	12	13
Затухание из-за геометрической дивергенции, Adiv, дБ	расстояние = 577.29 м	ф-ла (7) [10]	**66,2**										
Коэффициент затухания звука в атмосфере α, дБ/км	Ta=20,°C Pa=101.33,кПа hотн.=70%	ф-ла (5) [9]	0,02	0,09	0,33	1,12	2,79	4,98	9,04	23,09	77,63		
Учет затухания звука в атмосфере Aatm, дБ		ф-ла (8) [10]	0	0,1	0,2	0,6	1,6	2,9	5,2	13,3	44,8		
Снижение поверхностью земли возле источника As, дБ	Gs = 0 hs = 3м	ф-лы таб.3 [10]	-1,5	-1,5	-1,5	-1,5	-1,5	-1,5	-1,5	-1,5	-1,5		
Снижение поверхностью земли возле приёмника Ar, дБ	Gr = 1 hr = 4.6м	ф-лы таб.3 [10]	-1,5	-1,5	3,5	1,3	0	0	0	0	0		
Снижение поверхностью земли в средней зоне, Am дБ	Gm = 1	ф-лы таб.3 [10]	-1,8	-1,8	0	0	0	0	0	0	0		
Суммарное снижение поверхностью земли на траектории распространения звука Agr, дБ		ф-ла (9) [10]	-4,8	-4,8	2	-0,2	-1,5	-1,5	-1,5	-1,5	-1,5		
Уровни звукового давления прямого звука от источника ИШ-6-24 в расчётной точке днём, дБ		**ф-ла(3)[10]**	**29,6**	**29,5**	**22,6**	**24,3**	**24,7**	**23,4**	**21**	**12,9**	**0**	**27,7**	**27,7**
Уровни звукового давления прямого звука от источника ИШ-6-24 в расчётной точке ночью, дБ		**ф-ла(3)[10]**	**29,6**	**29,5**	**22,6**	**24,3**	**24,7**	**23,4**	**21**	**12,9**	**0**	**27,7**	**27,7**
Расчёт отражённого звука													
Уровни звукового давления от мнимого источника ИШ-6-24_мн.(1) в расчётной точке днём, дБ		**ф-ла(3)[10]**	**0**	**0**	**16,7**	**18**	**21,9**	**20,9**	**18,5**	**10,4**	**0**	**25**	**25**
Уровни звукового давления от мнимого источника ИШ-6-24_мн.(1) в расчётной точке ночью, дБ		**ф-ла(3)[10]**	**0**	**0**	**0**	**0**	**0**	**0**	**0**	**0**	**0**	**25**	**25**
Уровни звукового давления от источника ИШ-6-24 в расчётной точке днём, дБ		**ф-ла(3)[10]**	**29,6**	**29,5**	**23,6**	**25,2**	**26,5**	**25,3**	**23**	**14,9**	**0**	**29,6**	**29,6**
Уровни звукового давления от источника ИШ-6-24 в расчётной точке ночью, дБ		**ф-ла(3)[10]**	**29,6**	**29,5**	**23,6**	**25,2**	**26,5**	**25,3**	**23**	**14,9**	**0**	**29,6**	**29,6**
Источник шума: ИШ-10-1, координаты источника (x,y,z), м =[17.37,413.17,1.00]													
Уровни звуковой мощности источника днём, Lw, дБ		**исходные данные**	**0**	**98,3**	**99,7**	**101**	**101,3**	**100,9**	**97,6**	**93,4**	**88,9**		

1		2	3	4	5	6	7	8	9	10	11	12	13
Уровни звуковой мощности источника ночью, Lw, дБ		**исходные данные**	**0**	**98,3**	**99,7**	**101**	**101,3**	**100,9**	**97,6**	**93,4**	**88,9**		
Поправка на телесный угол DΩ, дБ	Ω = 6.28	10Lg(4π/Ω)	**3**	3	3	3	3	3	3	3	3		
Показатель направленности источника Di, дБ		исходные данные	**0**	0	0	0	0	0	0	0	0		
Поправка на направленность источника Dc, дБ	Dc	DΩ + Di	**3**	3	3	3	3	3	3	3	3		
Затухание из-за геометрической дивергенции, Adiv, дБ	расстояние = 640.53 м	ф-ла (7) [10]	**67,1**										
Коэффициент затухания звука в атмосфере α, дБ/км	Ta=20,°C Pa=101.33,кПа hотн.=70%	ф-ла (5) [9]	0,02	0,09	0,33	1,12	2,79	4,98	9,04	23,09	77,63		
Учет затухания звука в атмосфере Aatm, дБ		ф-ла (8) [10]	0	0,1	0,2	0,7	1,8	3,2	5,8	14,8	49,7		
Снижение уровня звукового давления из-за влияния застройки между источником шума и расчетной точкой													
Снижение уровня звукового давления на пути над экраном, Dz1, дБ	z = 0.22м (разность путей)	ф-лы (14-18) [10]	4,8	4,8	4,9	5	5,3	5,8	6,6	7,9	9,7		
Снижение уровня звукового давления на пути слева от экрана, Dz2, дБ	z = 24.56м (разность путей)	ф-лы (14-18) [10]	19,7	22,7	25,6	28,6	31,6	34,6	37,6	40,6	43,6		
Снижение уровня звукового давления на пути справа от экрана, Dz3, дБ	z = 3.05м (разность путей)	ф-лы (14-18) [10]	11,6	14,1	16,8	19,7	22,6	25,6	28,6	31,6	34,6		
Общее снижение уровня звука препятствием Dz, дБ		Эн.сумма(-Dzi)	3,9	4,3	4,6	4,9	5,2	5,7	6,6	7,8	9,6		
Уровни звукового давления от источника ИШ-10-1 в расчётной точке днём, дБ		**ф-ла(3)[10]**	**0**	**29,8**	**30,8**	**31,3**	**30,2**	**27,9**	**21,1**	**6,6**	**0**	**31,8**	**31,8**
Уровни звукового давления от источника ИШ-10-1 в расчётной точке ночью, дБ		**ф-ла(3)[10]**	**0**	**29,8**	**30,8**	**31,3**	**30,2**	**27,9**	**21,1**	**6,6**	**0**	**31,8**	**31,8**
Источник шума: ИШ-10-2, координаты источника (x,y,z), м =[27.87,443.46,1.00]													
Уровни звуковой мощности источника днём, Lw, дБ		**исходные данные**	**0**	**98,3**	**99,7**	**101**	**101,3**	**100,9**	**97,6**	**93,4**	**88,9**		

1		2	3	4	5	6	7	8	9	10	11	12	13
Уровни звуковой мощности источника ночью, Lw, дБ		**исходные данные**	**0**	**98,3**	**99,7**	**101**	**101,3**	**100,9**	**97,6**	**93,4**	**88,9**		
Поправка на телесный угол DΩ, дБ	Ω = 6.28	10Lg(4π/Ω)	**3**	3	3	3	3	3	3	3	3		
Показатель направленности источника Di, дБ		исходные данные	**0**	0	0	0	0	0	0	0	0		
Поправка на направленность источника Dc, дБ	Dc	DΩ + Di	**3**	3	3	3	3	3	3	3	3		
Затухание из-за геометрической дивергенции, Adiv, дБ	расстояние = 666.07 м	ф-ла (7) [10]	**67,5**										
Коэффициент затухания звука в атмосфере α, дБ/км	Ta=20,°C Pa=101.33,кПа hотн.=70%	ф-ла (5) [9]	0,02	0,09	0,33	1,12	2,79	4,98	9,04	23,09	77,63		
Учет затухания звука в атмосфере Aatm, дБ		ф-ла (8) [10]	0	0,1	0,2	0,7	1,9	3,3	6	15,4	51,7		
Снижение уровня звукового давления из-за влияния застройки между источником шума и расчетной точкой													
Снижение уровня звукового давления на пути над экраном, Dz1, дБ	z = 0.22м (разность путей)	ф-лы (14-18) [10]	5	5,3	5,8	6,6	7,9	9,7	11,9	14,5	17,2		
Снижение уровня звукового давления на пути слева от экрана, Dz2, дБ	z = 16.47м (разность путей)	ф-лы (14-18) [10]	21,8	25,4	28,6	31,6	34,6	37,6	40,7	43,7	46,7		
Снижение уровня звукового давления на пути справа от экрана, Dz3, дБ	z = 4.55м (разность путей)	ф-лы (14-18) [10]	13	15,6	18,4	21,4	24,3	27,3	30,3	33,3	36,3		
Общее снижение уровня звука препятствием Dz, дБ		Эн.сумма(-Dzi)	4,3	4,9	5,5	6,4	7,8	9,6	11,8	14,4	17,2		
Уровни звукового давления прямого звука от источника ИШ-10-2 в расчётной точке днём, дБ		**ф-ла(3)[10]**	**0**	**28,9**	**29,5**	**29,4**	**27,2**	**23,6**	**15,3**	**0**	**0**	**28,2**	**28,2**
Уровни звукового давления прямого звука от источника ИШ-10-2 в расчётной точке ночью, дБ		**ф-ла(3)[10]**	**0**	**28,9**	**29,5**	**29,4**	**27,2**	**23,6**	**15,3**	**0**	**0**	**28,2**	**28,2**
Расчёт отражённого звука													
Уровни звукового давления от мнимого источника ИШ-10-2_мн.(1) в расчётной точке днём, дБ		**ф-ла(3)[10]**	**0**	**0**	**0**	**0**	**0**	**0**	**0**	**0**	**0**	**0**	**0**
Уровни звукового давления от мнимого источника ИШ-10-2_мн.(1) в расчётной точке ночью, дБ		**ф-ла(3)[10]**	**0**	**0**	**0**	**0**	**0**	**0**	**0**	**0**	**0**	**0**	**0**

1		2	3	4	5	6	7	8	9	10	11	12	13
Уровни звукового давления от источника ИШ-10-2 в расчётной точке днём, дБ		**ф-ла(3)[10]**	**0**	**28,9**	**29,5**	**29,4**	**27,2**	**23,6**	**15,3**	**0**	**0**	**28,2**	**28,2**
Уровни звукового давления от источника ИШ-10-2 в расчётной точке ночью, дБ		**ф-ла(3)[10]**	**0**	**28,9**	**29,5**	**29,4**	**27,2**	**23,6**	**15,3**	**0**	**0**	**28,2**	**28,2**
Источник шума: ШТ-1, координаты источника (x,y,z), м =[684.30,-276.59,1.00]													
Уровни звуковой мощности источника днём, Lw, дБ		**исходные данные**	**0**	**0**	**108,5**	**105,5**	**102,5**	**102,5**	**99,5**	**93,5**	**0**		
Уровни звуковой мощности максимального звука источника днём, Lwx, дБ		**исходные данные**	**0**	**0**	**113,5**	**110,5**	**107,5**	**107,5**	**104,5**	**98,5**	**0**		
Уровни звуковой мощности источника ночью, Lw, дБ		**исходные данные**	**0**	**0**	**0**	**0**	**0**	**0**	**0**	**0**	**0**		
Уровни звуковой мощности максимального звука источника ночью, Lwx, дБ		**исходные данные**	**0**	**0**	**0**	**0**	**0**	**0**	**0**	**0**	**0**		
Поправка на телесный угол DΩ, дБ	Ω = 12.57	10Lg(4π/Ω)	**0**	0	0	0	0	0	0	0	0		
Показатель направленности источника Di, дБ		исходные данные	**0**	0	0	0	0	0	0	0	0		
Поправка на направленность источника Dc, дБ	Dc	DΩ + Di	**0**	0	0	0	0	0	0	0	0		
Затухание из-за геометрической дивергенции, Adiv, дБ	расстояние = 466.73 м	ф-ла (7) [10]	**64,4**										
Коэффициент затухания звука в атмосфере α, дБ/км	Ta=20,°C Pa=101.33,кПа hотн.=70%	ф-ла (5) [9]	0,02	0,09	0,33	1,12	2,79	4,98	9,04	23,09	77,63		
Учет затухания звука в атмосфере Aatm, дБ		ф-ла (8) [10]	0	0	0,2	0,5	1,3	2,3	4,2	10,8	36,2		
Снижение уровня звукового давления из-за влияния застройки между источником шума и расчетной точкой													
Снижение уровня звукового давления на пути над экраном, Dz1, дБ	z = 0.00м (разность путей)	ф-лы (14-18) [10]	4,8	4,8	4,8	4,8	4,8	4,8	4,8	4,8	4,8		
Снижение уровня звукового давления на пути слева от экрана, Dz2, дБ	z = 109.84м (разность путей)	ф-лы (14-18) [10]	29,9	33,6	36,8	39,8	42,9	45,9	48,9	51,9	54,9		

1		2	3	4	5	6	7	8	9	10	11	12	13
Снижение уровня звукового давления на пути справа от экрана, Dz3, дБ	z = 0.17м (разность путей)	ф-лы (14-18) [10]	5,6	6,3	7,4	9	11,1	13,5	16,2	19,1	22		
Общее снижение уровня звука препятствием Dz, дБ		Эн.сумма(-Dzi)	2,1	2,4	2,9	3,4	3,9	4,2	4,5	4,6	4,7		
Уровни звукового давления от источника ШТ-1 в расчётной точке днём, дБ		**ф-ла(3)[10]**	**0**	**0**	**41,1**	**37,2**	**33**	**31,6**	**26,4**	**13,7**	**0**	**36,1**	**41,1**
Уровни звукового давления от источника ШТ-1 в расчётной точке ночью, дБ		**ф-ла(3)[10]**	**0**	**0**	**0**	**0**	**0**	**0**	**0**	**0**	**0**	**0**	**0**
Источник шума: ШТ-2, координаты источника (x,y,z), м =[665.17,-247.36,1.00]													
Уровни звуковой мощности источника днём, Lw, дБ		**исходные данные**	**0**	**0**	**104,5**	**101,5**	**98,5**	**98,5**	**95,5**	**89,5**	**0**		
Уровни звуковой мощности максимального звука источника днём, Lwx, дБ		**исходные данные**	**0**	**0**	**108,5**	**105,5**	**102,5**	**102,5**	**99,5**	**93,5**	**0**		
Уровни звуковой мощности источника ночью, Lw, дБ		**исходные данные**	**0**	**0**	**0**	**0**	**0**	**0**	**0**	**0**	**0**		
Уровни звуковой мощности максимального звука источника ночью, Lwx, дБ		**исходные данные**	**0**	**0**	**0**	**0**	**0**	**0**	**0**	**0**	**0**		
Поправка на телесный угол DΩ, дБ	Ω = 12.57	10Lg(4π/Ω)	**0**	0	0	0	0	0	0	0	0		
Показатель направленности источника Di, дБ		исходные данные	**0**	0	0	0	0	0	0	0	0		
Поправка на направленность источника Dc, дБ	Dc	DΩ + Di	**0**	0	0	0	0	0	0	0	0		
Затухание из-за геометрической дивергенции, Adiv, дБ	расстояние = 443.38 м	ф-ла (7) [10]	**63,9**										
Коэффициент затухания звука в атмосфере α, дБ/км	Ta=20,°C Pa=101.33,кПа hотн.=70%	ф-ла (5) [9]	0,02	0,09	0,33	1,12	2,79	4,98	9,04	23,09	77,63		
Учет затухания звука в атмосфере Aatm, дБ		ф-ла (8) [10]	0	0	0,1	0,5	1,2	2,2	4	10,2	34,4		
Снижение уровня звукового давления из-за влияния застройки между источником шума и расчетной точкой													

1		2	3	4	5	6	7	8	9	10	11	12	13
Снижение уровня звукового давления на пути над экраном, Dz1, дБ	z = 0.00м (разность путей)	ф-лы (14-18) [10]	4,8	4,8	4,8	4,8	4,8	4,8	4,8	4,8	4,8		
Снижение уровня звукового давления на пути слева от экрана, Dz2, дБ	z = 112.33м (разность путей)	ф-лы (14-18) [10]	30	33,7	36,9	39,9	43	46	49	52	55		
Снижение уровня звукового давления на пути справа от экрана, Dz3, дБ	z = 0.01м (разность путей)	ф-лы (14-18) [10]	4,8	4,9	4,9	5,1	5,4	6	6,9	8,4	10,3		
Общее снижение уровня звука препятствием Dz, дБ		Эн.сумма(-Dzi)	1,8	1,8	1,8	1,9	2,1	2,3	2,7	3,2	3,7		
Уровни звукового давления от источника ШТ-2 в расчётной точке днём, дБ		**ф-ла(3)[10]**	**0**	**0**	**38,6**	**35,1**	**31,2**	**30**	**24,8**	**12,1**	**0**	**34,3**	**38,3**
Уровни звукового давления от источника ШТ-2 в расчётной точке ночью, дБ		**ф-ла(3)[10]**	**0**	**0**	**0**	**0**	**0**	**0**	**0**	**0**	**0**	**0**	**0**
Источник шума: ШТ-3, координаты источника (x,y,z), м =[556.24,-281.90,1.00]													
Уровни звуковой мощности источника днём, Lw, дБ		**исходные данные**	**0**	**0**	**104,5**	**101,5**	**98,5**	**98,5**	**95,5**	**89,5**	**0**		
Уровни звуковой мощности максимального звука источника днём, Lwx, дБ		**исходные данные**	**0**	**0**	**108,5**	**105,5**	**102,5**	**102,5**	**99,5**	**93,5**	**0**		
Уровни звуковой мощности источника ночью, Lw, дБ		**исходные данные**	**0**	**0**	**0**	**0**	**0**	**0**	**0**	**0**	**0**		
Уровни звуковой мощности максимального звука источника ночью, Lwx, дБ		**исходные данные**	**0**	**0**	**0**	**0**	**0**	**0**	**0**	**0**	**0**		
Поправка на телесный угол DΩ, дБ	Ω = 12.57	10Lg(4π/Ω)	**0**	0	0	0	0	0	0	0	0		
Показатель направленности источника Di, дБ		исходные данные	**0**	0	0	0	0	0	0	0	0		
Поправка на направленность источника Dc, дБ	Dc	DΩ + Di	**0**	0	0	0	0	0	0	0	0		
Затухание из-за геометрической дивергенции, Adiv, дБ	расстояние = 342.88 м	ф-ла (7) [10]	**61,7**										
Коэффициент затухания звука в атмосфере α, дБ/км	Ta=20,°C Pa=101.33,кПа hотн.=70%	ф-ла (5) [9]	0,02	0,09	0,33	1,12	2,79	4,98	9,04	23,09	77,63		

1		2	3	4	5	6	7	8	9	10	11	12	13
Учет затухания звука в атмосфере Aatm, дБ		ф-ла (8) [10]	0	0	0,1	0,4	1	1,7	3,1	7,9	26,6		
Снижение уровня звукового давления из-за влияния застройки между источником шума и расчетной точкой													
Снижение уровня звукового давления на пути над экраном, Dz1, дБ	z = 0.00м (разность путей)	ф-лы (14-18) [10]	4,8	4,8	4,8	4,8	4,8	4,8	4,8	4,8	4,8		
Снижение уровня звукового давления на пути слева от экрана, Dz2, дБ	z = 107.39м (разность путей)	ф-лы (14-18) [10]	29,8	33,5	36,7	39,7	42,8	45,8	48,8	51,8	54,8		
Снижение уровня звукового давления на пути справа от экрана, Dz3, дБ	z = 1.13м (разность путей)	ф-лы (14-18) [10]	8,6	10,6	12,9	15,6	18,4	21,3	24,3	27,3	30,3		
Общее снижение уровня звука препятствием Dz, дБ		Эн.сумма(-Dzi)	3,2	3,8	4,2	4,4	4,6	4,7	4,7	4,7	4,8		
Уровни звукового давления от источника ШТ-3 в расчётной точке днём, дБ		**ф-ла(3)[10]**	**0**	**0**	**38,5**	**35**	**31,2**	**30,4**	**26**	**15,1**	**0**	**34,6**	**38,6**
Уровни звукового давления от источника ШТ-3 в расчётной точке ночью, дБ		**ф-ла(3)[10]**	**0**	**0**	**0**	**0**	**0**	**0**	**0**	**0**	**0**	**0**	**0**
Источник шума: ШТ-4, координаты источника (x,y,z), м =[600.61,-343.54,1.00]													
Уровни звуковой мощности источника днём, Lw, дБ		**исходные данные**	**0**	**0**	**104,5**	**101,5**	**98,5**	**98,5**	**95,5**	**89,5**	**0**		
Уровни звуковой мощности максимального звука источника днём, Lwx, дБ		**исходные данные**	**0**	**0**	**108,5**	**105,5**	**102,5**	**102,5**	**99,5**	**93,5**	**0**		
Уровни звуковой мощности источника ночью, Lw, дБ		**исходные данные**	**0**	**0**	**0**	**0**	**0**	**0**	**0**	**0**	**0**		
Уровни звуковой мощности максимального звука источника ночью, Lwx, дБ		**исходные данные**	**0**	**0**	**0**	**0**	**0**	**0**	**0**	**0**	**0**		
Поправка на телесный угол DΩ, дБ	Ω = 12.57	10Lg(4π/Ω)	**0**	0	0	0	0	0	0	0	0		
Показатель направленности источника Di, дБ		исходные данные	**0**	0	0	0	0	0	0	0	0		
Поправка на направленность источника Dc, дБ	Dc	DΩ + Di	**0**	0	0	0	0	0	0	0	0		
Затухание из-за геометрической дивергенции, Adiv, дБ	расстояние = 404.61 м	ф-ла (7) [10]	**63,1**										

1		2	3	4	5	6	7	8	9	10	11	12	13
Коэффициент затухания звука в атмосфере α, дБ/км	Та=20,°С Ра=101.33,кПа hотн.=70%	ф-ла (5) [9]	0,02	0,09	0,33	1,12	2,79	4,98	9,04	23,09	77,63		
Учет затухания звука в атмосфере Aatm, дБ		ф-ла (8) [10]	0	0	0,1	0,5	1,1	2	3,7	9,3	31,4		
Снижение уровня звукового давления из-за влияния застройки между источником шума и расчетной точкой													
Снижение уровня звукового давления на пути над экраном, Dz1, дБ	z = 0.47м (разность путей)	ф-лы (14-18) [10]	5,5	6,3	8	10,9	14,1	17,1	20,1	23	26		
Снижение уровня звукового давления на пути слева от экрана, Dz2, дБ	z = 120.57м (разность путей)	ф-лы (14-18) [10]	26,8	30,5	34,8	39,2	43	46,2	49,3	52,3	55,3		
Снижение уровня звукового давления на пути справа от экрана, Dz3, дБ	z = 3.46м (разность путей)	ф-лы (14-18) [10]	12,2	15,5	19,6	23,9	27,6	30,8	33,9	36,9	39,9		
Общее снижение уровня звука препятствием Dz, дБ		Эн.сумма(-Dzi)	4,6	5,8	7,7	10,7	13,9	16,9	19,9	22,8	25,8		
Общее снижение уровня звука препятствием с учётом ограничения (25 дБ) для октавных полос Dz, дБ		Раздел 7.4 [10]	4,6	5,8	7,7	10,7	13,9	16,9	19,9	22,8	25		
Уровни звукового давления от источника ШТ-4 в расчётной точке днём, дБ		**ф-ла(3)[10]**	**0**	**0**	**33,5**	**27,2**	**20,3**	**16,4**	**8,8**	**0**	**0**	**23,7**	**27,7**
Уровни звукового давления от источника ШТ-4 в расчётной точке ночью, дБ		**ф-ла(3)[10]**	**0**	**0**	**0**	**0**	**0**	**0**	**0**	**0**	**0**	**0**	**0**
Источник шума: ШТ-5, координаты источника (x,y,z), м =[453.13,-90.07,1.00]													
Уровни звуковой мощности источника днём, Lw, дБ		**исходные данные**	**0**	**0**	**103**	**100**	**97**	**97**	**94**	**88**	**0**		
Уровни звуковой мощности максимального звука источника днём, Lwx, дБ		**исходные данные**	**0**	**0**	**108**	**105**	**102**	**102**	**99**	**93**	**0**		
Уровни звуковой мощности источника ночью, Lw, дБ		**исходные данные**	**0**	**0**	**0**	**0**	**0**	**0**	**0**	**0**	**0**		
Уровни звуковой мощности максимального звука источника ночью, Lwx, дБ		**исходные данные**	**0**	**0**	**0**	**0**	**0**	**0**	**0**	**0**	**0**		
Поправка на телесный угол DΩ, дБ	Ω = 12.57	10Lg(4π/Ω)	**0**	0	0	0	0	0	0	0	0		

1		2	3	4	5	6	7	8	9	10	11	12	13
Показатель направленности источника Di, дБ		исходные данные	**0**	0	0	0	0	0	0	0	0		
Поправка на направленность источника Dc, дБ	Dc	DΩ + Di	**0**	0	0	0	0	0	0	0	0		
Затухание из-за геометрической дивергенции, Adiv, дБ	расстояние = 250.01 м	ф-ла (7) [10]	**59**										
Коэффициент затухания звука в атмосфере α, дБ/км	Ta=20,°C Pa=101.33,кПа hотн.=70%	ф-ла (5) [9]	0,02	0,09	0,33	1,12	2,79	4,98	9,04	23,09	77,63		
Учет затухания звука в атмосфере Aatm, дБ		ф-ла (8) [10]	0	0	0,1	0,3	0,7	1,2	2,3	5,8	19,4		
Снижение поверхностью земли возле источника As, дБ	Gs = 0 hs = 1м	ф-лы таб.3 [10]	-1,5	-1,5	-1,5	-1,5	-1,5	-1,5	-1,5	-1,5	-1,5		
Снижение поверхностью земли возле приёмника Ar, дБ	Gr = 1 hr = 4.6м	ф-лы таб.3 [10]	-1,5	-1,5	3,1	1,3	0	0	0	0	0		
Снижение поверхностью земли в средней зоне, Am дБ	Gm = 1	ф-лы таб.3 [10]	-1	-1	0	0	0	0	0	0	0		
Суммарное снижение поверхностью земли на траектории распространения звука Agr, дБ		ф-ла (9) [10]	-4	-4	1,6	-0,2	-1,5	-1,5	-1,5	-1,5	-1,5		
Уровни звукового давления прямого звука от источника ШТ-5 в расчётной точке днём, дБ		**ф-ла(3)[10]**	**0**	**0**	**42,4**	**41**	**38,8**	**38,3**	**34,3**	**24,7**	**0**	**42,1**	**47,1**
* уровни звукового давления для определения максимального прямого звука от источника ШТ-5 в расчётной точке днём, дБ		ф-ла(3)[10]	0	0	47,4	46	43,8	43,3	39,3	29,7	0	47,1	
Уровни звукового давления прямого звука от источника ШТ-5 в расчётной точке ночью, дБ		**ф-ла(3)[10]**	**0**	**0**	**0**	**0**	**0**	**0**	**0**	**0**	**0**	**0**	**0**
* уровни звукового давления для определения максимального прямого звука от источника ШТ-5 в расчётной точке ночью, дБ		ф-ла(3)[10]	0	0	0	0	0	0	0	0	0	0	
Расчёт отражённого звука													
Уровни звукового давления от мнимого источника ШТ-5_мн.(1) в расчётной точке днём, дБ		**ф-ла(3)[10]**	**0**	**0**	**0**	**0**	**0**	**0**	**0**	**22,1**	**0**	**23,1**	**28,1**
Уровни звукового давления от мнимого источника ШТ-5_мн.(1) в расчётной точке ночью, дБ		**ф-ла(3)[10]**	**0**	**0**	**0**	**0**	**0**	**0**	**0**	**0**	**0**	**0**	**0**
Уровни звукового давления от источника ШТ-5 в расчётной точке днём, дБ		**ф-ла(3)[10]**	**0**	**0**	**42,4**	**41**	**38,8**	**38,3**	**34,3**	**26,6**	**0**	**42,2**	**47,2**

1		2	3	4	5	6	7	8	9	10	11	12	13
Уровни звукового давления от источника ШТ-5 в расчётной точке ночью, дБ		**ф-ла(3)[10]**	**0**	**0**	**0**	**0**	**0**	**0**	**0**	**0**	**0**	**0**	**0**
Источник шума: ШТ-6, координаты источника (x,y,z), м =[476.78,-97.62,1.00]													
Уровни звуковой мощности источника днём, Lw, дБ		**исходные данные**	**0**	**0**	**110,5**	**107,5**	**104,5**	**104,5**	**101,5**	**95,5**	**0**		
Уровни звуковой мощности максимального звука источника днём, Lwx, дБ		**исходные данные**	**0**	**0**	**115,5**	**112,5**	**109,5**	**109,5**	**106,5**	**100,5**	**0**		
Уровни звуковой мощности источника ночью, Lw, дБ		**исходные данные**	**0**	**0**	**0**	**0**	**0**	**0**	**0**	**0**	**0**		
Уровни звуковой мощности максимального звука источника ночью, Lwx, дБ		**исходные данные**	**0**	**0**	**0**	**0**	**0**	**0**	**0**	**0**	**0**		
Поправка на телесный угол DΩ, дБ	Ω = 12.57	10Lg(4π/Ω)	**0**	0	0	0	0	0	0	0	0		
Показатель направленности источника Di, дБ		исходные данные	**0**	0	0	0	0	0	0	0	0		
Поправка на направленность источника Dc, дБ	Dc	DΩ + Di	**0**	0	0	0	0	0	0	0	0		
Затухание из-за геометрической дивергенции, Adiv, дБ	расстояние = 268.99 м	ф-ла (7) [10]	**59,6**										
Коэффициент затухания звука в атмосфере α, дБ/км	Ta=20,°C Pa=101.33,кПа hотн.=70%	ф-ла (5) [9]	0,02	0,09	0,33	1,12	2,79	4,98	9,04	23,09	77,63		
Учет затухания звука в атмосфере Aatm, дБ		ф-ла (8) [10]	0	0	0,1	0,3	0,8	1,3	2,4	6,2	20,9		
Снижение поверхностью земли возле источника As, дБ	Gs = 0 hs = 1м	ф-лы таб.3 [10]	-1,5	-1,5	-1,5	-1,5	-1,5	-1,5	-1,5	-1,5	-1,5		
Снижение поверхностью земли возле приёмника Ar, дБ	Gr = 1 hr = 4.6м	ф-лы таб.3 [10]	-1,5	-1,5	3,1	1,3	0	0	0	0	0		
Снижение поверхностью земли в средней зоне, Am дБ	Gm = 1	ф-лы таб.3 [10]	-1,1	-1,1	0	0	0	0	0	0	0		
Суммарное снижение поверхностью земли на траектории распространения звука Agr, дБ		ф-ла (9) [10]	-4,1	-4,1	1,6	-0,2	-1,5	-1,5	-1,5	-1,5	-1,5		

1		2	3	4	5	6	7	8	9	10	11	12	13
Уровни звукового давления прямого звука от источника ШТ-6 в расчётной точке днём, дБ		**ф-ла(3)[10]**	**0**	**0**	**49,2**	**47,8**	**45,6**	**45,1**	**41**	**31,2**	**0**	**48,9**	**53,9**
* уровни звукового давления для определения максимального прямого звука от источника ШТ-6 в расчётной точке днём, дБ		ф-ла(3)[10]	0	0	54,2	52,8	50,6	50,1	46	36,2	0	53,9	
Уровни звукового давления прямого звука от источника ШТ-6 в расчётной точке ночью, дБ		**ф-ла(3)[10]**	**0**	**0**	**0**	**0**	**0**	**0**	**0**	**0**	**0**	**0**	**0**
* уровни звукового давления для определения максимального прямого звука от источника ШТ-6 в расчётной точке ночью, дБ		ф-ла(3)[10]	0	0	0	0	0	0	0	0	0	0	
Расчёт отражённого звука													
Уровни звукового давления от мнимого источника ШТ-6_мн.(1) в расчётной точке днём, дБ		**ф-ла(3)[10]**	**0**	**0**	**0**	**0**	**0**	**40,5**	**38,4**	**28,6**	**0**	**43,2**	**48,2**
Уровни звукового давления от мнимого источника ШТ-6_мн.(1) в расчётной точке ночью, дБ		**ф-ла(3)[10]**	**0**	**0**	**0**	**0**	**0**	**0**	**0**	**0**	**0**	**0**	**0**
Уровни звукового давления от источника ШТ-6 в расчётной точке днём, дБ		**ф-ла(3)[10]**	**0**	**0**	**49,2**	**47,8**	**45,6**	**46,4**	**42,9**	**33,1**	**0**	**50**	**55**
Уровни звукового давления от источника ШТ-6 в расчётной точке ночью, дБ		**ф-ла(3)[10]**	**0**	**0**	**0**	**0**	**0**	**0**	**0**	**0**	**0**	**0**	**0**
Источник шума: ШТ-7, координаты источника (x,y,z), м =[632.16,-298.34,1.00]													
Уровни звуковой мощности источника днём, Lw, дБ		**исходные данные**	**0**	**0**	**104,5**	**101,5**	**98,5**	**98,5**	**95,5**	**89,5**	**0**		
Уровни звуковой мощности максимального звука источника днём, Lwx, дБ		**исходные данные**	**0**	**0**	**111,5**	**108,5**	**105,5**	**105,5**	**102,5**	**96,5**	**0**		
Уровни звуковой мощности источника ночью, Lw, дБ		**исходные данные**	**0**	**0**	**0**	**0**	**0**	**0**	**0**	**0**	**0**		
Уровни звуковой мощности максимального звука источника ночью, Lwx, дБ		**исходные данные**	**0**	**0**	**0**	**0**	**0**	**0**	**0**	**0**	**0**		
Поправка на телесный угол DΩ, дБ	Ω = 12.57	10Lg(4π/Ω)	**0**	0	0	0	0	0	0	0	0		
Показатель направленности источника Di, дБ		исходные данные	**0**	0	0	0	0	0	0	0	0		
Поправка на направленность источника Dc, дБ	Dc	DΩ + Di	**0**	0	0	0	0	0	0	0	0		

1		2	3	4	5	6	7	8	9	10	11	12	13
Затухание из-за геометрической дивергенции, Adiv, дБ	расстояние = 420.48 м	ф-ла (7) [10]	**63,5**										
Коэффициент затухания звука в атмосфере α, дБ/км	Ta=20,°C Pa=101.33,кПа hотн.=70%	ф-ла (5) [9]	0,02	0,09	0,33	1,12	2,79	4,98	9,04	23,09	77,63		
Учет затухания звука в атмосфере Aatm, дБ		ф-ла (8) [10]	0	0	0,1	0,5	1,2	2,1	3,8	9,7	32,6		
Снижение уровня звукового давления из-за влияния застройки между источником шума и расчетной точкой													
Снижение уровня звукового давления на пути над экраном, Dz1, дБ	z = 0.00м (разность путей)	ф-лы (14-18) [10]	4,8	4,8	4,8	4,8	4,8	4,8	4,8	4,8	4,8		
Снижение уровня звукового давления на пути слева от экрана, Dz2, дБ	z = 107.40м (разность путей)	ф-лы (14-18) [10]	29,8	33,5	36,7	39,7	42,8	45,8	48,8	51,8	54,8		
Снижение уровня звукового давления на пути справа от экрана, Dz3, дБ	z = 0.96м (разность путей)	ф-лы (14-18) [10]	8,2	10	12,3	14,9	17,7	20,6	23,6	26,6	29,6		
Общее снижение уровня звука препятствием Dz, дБ		Эн.сумма(-Dzi)	3,1	3,6	4,1	4,4	4,6	4,7	4,7	4,7	4,8		
Уровни звукового давления от источника ШТ-7 в расчётной точке днём, дБ		**ф-ла(3)[10]**	**0**	**0**	**36,8**	**33,2**	**29,3**	**28,3**	**23,5**	**11,6**	**0**	**32,5**	**39,5**
Уровни звукового давления от источника ШТ-7 в расчётной точке ночью, дБ		**ф-ла(3)[10]**	**0**	**0**	**0**	**0**	**0**	**0**	**0**	**0**	**0**	**0**	**0**
Источник шума: ШТ-8, координаты источника (x,y,z), м =[637.74,-278.95,1.00]													
Уровни звуковой мощности источника днём, Lw, дБ		**исходные данные**	**86**	**86**	**92**	**89**	**93**	**92**	**90**	**89**	**86**		
Уровни звуковой мощности источника ночью, Lw, дБ		**исходные данные**	**0**	**0**	**0**	**0**	**0**	**0**	**0**	**0**	**0**		
Поправка на телесный угол DΩ, дБ	Ω = 12.57	10Lg(4π/Ω)	**0**	0	0	0	0	0	0	0	0		
Показатель направленности источника Di, дБ		исходные данные	**0**	0	0	0	0	0	0	0	0		
Поправка на направленность источника Dc, дБ	Dc	DΩ + Di	**0**	0	0	0	0	0	0	0	0		

1		2	3	4	5	6	7	8	9	10	11	12	13
Затухание из-за геометрической дивергенции, Adiv, дБ	расстояние = 421.50 м	ф-ла (7) [10]	**63,5**										
Коэффициент затухания звука в атмосфере α, дБ/км	Ta=20,°C Pa=101.33,кПа hотн.=70%	ф-ла (5) [9]	0,02	0,09	0,33	1,12	2,79	4,98	9,04	23,09	77,63		
Учет затухания звука в атмосфере Aatm, дБ		ф-ла (8) [10]	0	0	0,1	0,5	1,2	2,1	3,8	9,7	32,7		
Снижение уровня звукового давления из-за влияния застройки между источником шума и расчетной точкой													
Снижение уровня звукового давления на пути над экраном, Dz1, дБ	z = 0.00м (разность путей)	ф-лы (14-18) [10]	4,8	4,8	4,8	4,8	4,8	4,8	4,8	4,8	4,8		
Снижение уровня звукового давления на пути слева от экрана, Dz2, дБ	z = 109.05м (разность путей)	ф-лы (14-18) [10]	29,9	33,6	36,7	39,8	42,8	45,9	48,9	51,9	54,9		
Снижение уровня звукового давления на пути справа от экрана, Dz3, дБ	z = 0.44м (разность путей)	ф-лы (14-18) [10]	6,6	8	9,7	12	14,6	17,4	20,3	23,2	26,2		
Общее снижение уровня звука препятствием Dz, дБ		Эн.сумма(-Dzi)	2,6	3,1	3,6	4	4,3	4,5	4,6	4,7	4,7		
Уровни звукового давления от источника ШТ-8 в расчётной точке днём, дБ		**ф-ла(3)[10]**	**19,9**	**19,4**	**24,8**	**21**	**24**	**21,9**	**18**	**11,1**	**0**	**26**	**26**
Уровни звукового давления от источника ШТ-8 в расчётной точке ночью, дБ		**ф-ла(3)[10]**	**0**	**0**	**0**	**0**	**0**	**0**	**0**	**0**	**0**	**0**	**0**
Источник шума: ШТ-9, координаты источника (x,y,z), м =[627.56,-280.27,1.00]													
Уровни звуковой мощности источника днём, Lw, дБ		**исходные данные**	**73**	**73**	**84**	**69**	**71**	**70**	**70**	**60**	**52**		
Уровни звуковой мощности источника ночью, Lw, дБ		**исходные данные**	**0**	**0**	**0**	**0**	**0**	**0**	**0**	**0**	**0**		
Поправка на телесный угол DΩ, дБ	Ω = 12.57	10Lg(4π/Ω)	**0**	0	0	0	0	0	0	0	0		
Показатель направленности источника Di, дБ		исходные данные	**0**	0	0	0	0	0	0	0	0		
Поправка на направленность источника Dc, дБ	Dc	DΩ + Di	**0**	0	0	0	0	0	0	0	0		

1		2	3	4	5	6	7	8	9	10	11	12	13
Затухание из-за геометрической дивергенции, Adiv, дБ	расстояние = 411.81 м	ф-ла (7) [10]	**63,3**										
Коэффициент затухания звука в атмосфере α, дБ/км	Ta=20,°C Pa=101.33,кПа hотн.=70%	ф-ла (5) [9]	0,02	0,09	0,33	1,12	2,79	4,98	9,04	23,09	77,63		
Учет затухания звука в атмосфере Aatm, дБ		ф-ла (8) [10]	0	0	0,1	0,5	1,1	2	3,7	9,5	32		
Снижение уровня звукового давления из-за влияния застройки между источником шума и расчетной точкой													
Снижение уровня звукового давления на пути над экраном, Dz1, дБ	z = 0.00м (разность путей)	ф-лы (14-18) [10]	4,8	4,8	4,8	4,8	4,8	4,8	4,8	4,8	4,8		
Снижение уровня звукового давления на пути слева от экрана, Dz2, дБ	z = 108.79м (разность путей)	ф-лы (14-18) [10]	29,9	33,5	36,7	39,8	42,8	45,8	48,9	51,9	54,9		
Снижение уровня звукового давления на пути справа от экрана, Dz3, дБ	z = 0.51м (разность путей)	ф-лы (14-18) [10]	6,9	8,3	10,2	12,6	15,2	18	20,9	23,9	26,9		
Общее снижение уровня звука препятствием Dz, дБ		Эн.сумма(-Dzi)	2,7	3,2	3,7	4,1	4,4	4,6	4,7	4,7	4,7		
Уровни звукового давления от источника ШТ-9 в расчётной точке днём, дБ		**ф-ла(3)[10]**	**7**	**6,5**	**16,9**	**1,1**	**2,2**	**0,1**	**0**	**0**	**0**	**5**	**5**
Уровни звукового давления от источника ШТ-9 в расчётной точке ночью, дБ		**ф-ла(3)[10]**	**0**	**0**	**0**	**0**	**0**	**0**	**0**	**0**	**0**	**0**	**0**
Источник шума: ШТ-10, координаты источника (x,y,z), м =[629.86,-268.44,1.00]													
Уровни звуковой мощности источника днём, Lw, дБ		**исходные данные**	**100**	**100**	**94**	**90**	**88**	**77**	**73**	**65**	**58**		
Уровни звуковой мощности источника ночью, Lw, дБ		**исходные данные**	**0**	**0**	**0**	**0**	**0**	**0**	**0**	**0**	**0**		
Поправка на телесный угол DΩ, дБ	Ω = 12.57	10Lg(4π/Ω)	**0**	0	0	0	0	0	0	0	0		
Показатель направленности источника Di, дБ		исходные данные	**0**	0	0	0	0	0	0	0	0		
Поправка на направленность источника Dc, дБ	Dc	DΩ + Di	**0**	0	0	0	0	0	0	0	0		

1		2	3	4	5	6	7	8	9	10	11	12	13
Затухание из-за геометрической дивергенции, Adiv, дБ	расстояние = 411.72 м	ф-ла (7) [10]	**63,3**										
Коэффициент затухания звука в атмосфере α, дБ/км	Ta=20,°C Pa=101.33,кПа hотн.=70%	ф-ла (5) [9]	0,02	0,09	0,33	1,12	2,79	4,98	9,04	23,09	77,63		
Учет затухания звука в атмосфере Aatm, дБ		ф-ла (8) [10]	0	0	0,1	0,5	1,1	2	3,7	9,5	32		
Снижение уровня звукового давления из-за влияния застройки между источником шума и расчетной точкой													
Снижение уровня звукового давления на пути над экраном, Dz1, дБ	z = 0.00м (разность путей)	ф-лы (14-18) [10]	4,8	4,8	4,8	4,8	4,8	4,8	4,8	4,8	4,8		
Снижение уровня звукового давления на пути слева от экрана, Dz2, дБ	z = 109.90м (разность путей)	ф-лы (14-18) [10]	29,9	33,6	36,8	39,8	42,9	45,9	48,9	51,9	54,9		
Снижение уровня звукового давления на пути справа от экрана, Dz3, дБ	z = 0.27м (разность путей)	ф-лы (14-18) [10]	6	7	8,5	10,4	12,8	15,5	18,3	21,2	24,2		
Общее снижение уровня звука препятствием Dz, дБ		Эн.сумма(-Dzi)	2,3	2,7	3,2	3,7	4,1	4,4	4,6	4,7	4,7		
Уровни звукового давления от источника ШТ-10 в расчётной точке днём, дБ		**ф-ла(3)[10]**	**34,4**	**33,9**	**27,3**	**22,5**	**19,4**	**7,2**	**1,4**	**0**	**0**	**19,7**	**19,7**
Уровни звукового давления от источника ШТ-10 в расчётной точке ночью, дБ		**ф-ла(3)[10]**	**0**	**0**	**0**	**0**	**0**	**0**	**0**	**0**	**0**	**0**	**0**
Источник шума: ШТ-11, координаты источника (x,y,z), м =[585.91,-204.05,1.00]													
Уровни звуковой мощности источника днём, Lw, дБ		**исходные данные**	**100**	**100**	**94**	**90**	**88**	**77**	**73**	**65**	**58**		
Уровни звуковой мощности источника ночью, Lw, дБ		**исходные данные**	**0**	**0**	**0**	**0**	**0**	**0**	**0**	**0**	**0**		
Поправка на телесный угол DΩ, дБ	Ω = 12.57	10Lg(4π/Ω)	**0**	0	0	0	0	0	0	0	0		
Показатель направленности источника Di, дБ		исходные данные	**0**	0	0	0	0	0	0	0	0		
Поправка на направленность источника Dc, дБ	Dc	DΩ + Di	**0**	0	0	0	0	0	0	0	0		

1		2	3	4	5	6	7	8	9	10	11	12	13
Затухание из-за геометрической дивергенции, Adiv, дБ	расстояние = 360.93 м	ф-ла (7) [10]	**62,1**										
Коэффициент затухания звука в атмосфере α, дБ/км	Ta=20,°C Pa=101.33,кПа hотн.=70%	ф-ла (5) [9]	0,02	0,09	0,33	1,12	2,79	4,98	9,04	23,09	77,63		
Учет затухания звука в атмосфере Aatm, дБ		ф-ла (8) [10]	0	0	0,1	0,4	1	1,8	3,3	8,3	28		
Снижение поверхностью земли возле источника As, дБ	Gs = 0 hs = 1м	ф-лы таб.3 [10]	-1,5	-1,5	-1,5	-1,5	-1,5	-1,5	-1,5	-1,5	-1,5		
Снижение поверхностью земли возле приёмника Ar, дБ	Gr = 1 hr = 4.6м	ф-лы таб.3 [10]	-1,5	-1,5	3,2	1,3	0	0	0	0	0		
Снижение поверхностью земли в средней зоне, Am дБ	Gm = 1	ф-лы таб.3 [10]	-1,6	-1,6	0	0	0	0	0	0	0		
Суммарное снижение поверхностью земли на траектории распространения звука Agr, дБ		ф-ла (9) [10]	-4,6	-4,6	1,7	-0,2	-1,5	-1,5	-1,5	-1,5	-1,5		
Уровни звукового давления прямого звука от источника ШТ-11 в расчётной точке днём, дБ		**ф-ла(3)[10]**	**42,4**	**42,4**	**30**	**27,7**	**26,3**	**14,6**	**9,1**	**0**	**0**	**26**	**26**
Уровни звукового давления прямого звука от источника ШТ-11 в расчётной точке ночью, дБ		**ф-ла(3)[10]**	**0**	**0**	**0**	**0**	**0**	**0**	**0**	**0**	**0**	**0**	**0**
Расчёт отражённого звука													
Уровни звукового давления от мнимого источника ШТ-11_мн.(1) в расчётной точке днём, дБ		**ф-ла(3)[10]**	**0**	**0**	**25,5**	**17,3**	**15**	**10**	**6,6**	**0**	**0**	**16,7**	**16,7**
Уровни звукового давления от мнимого источника ШТ-11_мн.(1) в расчётной точке ночью, дБ		**ф-ла(3)[10]**	**0**	**0**	**0**	**0**	**0**	**0**	**0**	**0**	**0**	**0**	**0**
Уровни звукового давления от источника ШТ-11 в расчётной точке днём, дБ		**ф-ла(3)[10]**	**42,4**	**42,4**	**31,3**	**28**	**26,7**	**15,9**	**11**	**0**	**0**	**26,5**	**26,5**
Уровни звукового давления от источника ШТ-11 в расчётной точке ночью, дБ		**ф-ла(3)[10]**	**0**	**0**	**0**	**0**	**0**	**0**	**0**	**0**	**0**	**0**	**0**
Источник шума: ШТ-12, координаты источника (x,y,z), м =[529.09,-315.23,1.00]													
Уровни звуковой мощности источника днём, Lw, дБ		**исходные данные**	**100**	**100**	**94**	**90**	**88**	**77**	**73**	**65**	**58**		

1		2	3	4	5	6	7	8	9	10	11	12	13
Уровни звуковой мощности источника ночью, Lw, дБ		**исходные данные**	**0**	**0**	**0**	**0**	**0**	**0**	**0**	**0**	**0**		
Поправка на телесный угол DΩ, дБ	Ω = 12.57	10Lg(4π/Ω)	**0**	0	0	0	0	0	0	0	0		
Показатель направленности источника Di, дБ		исходные данные	**0**	0	0	0	0	0	0	0	0		
Поправка на направленность источника Dc, дБ	Dc	DΩ + Di	**0**	0	0	0	0	0	0	0	0		
Затухание из-за геометрической дивергенции, Adiv, дБ	расстояние = 327.70 м	ф-ла (7) [10]	**61,3**										
Коэффициент затухания звука в атмосфере α, дБ/км	Ta=20,°C Pa=101.33,кПа hотн.=70%	ф-ла (5) [9]	0,02	0,09	0,33	1,12	2,79	4,98	9,04	23,09	77,63		
Учет затухания звука в атмосфере Aatm, дБ		ф-ла (8) [10]	0	0	0,1	0,4	0,9	1,6	3	7,6	25,4		
Снижение уровня звукового давления из-за влияния застройки между источником шума и расчетной точкой													
Снижение уровня звукового давления на пути над экраном, Dz1, дБ	z = 0.51м (разность путей)	ф-лы (14-18) [10]	5,8	6,8	9	12,2	15,6	18,6	21,6	24,6	27,6		
Снижение уровня звукового давления на пути слева от экрана, Dz2, дБ	z = 104.68м (разность путей)	ф-лы (14-18) [10]	29,2	33,2	36,5	39,6	42,7	45,7	48,7	51,7	54,7		
Снижение уровня звукового давления на пути справа от экрана, Dz3, дБ	z = 3.71м (разность путей)	ф-лы (14-18) [10]	12,5	15,7	19,9	24,2	27,9	31,1	34,2	37,2	40,2		
Общее снижение уровня звука препятствием Dz, дБ		Эн.сумма(-Dzi)	4,9	6,3	8,6	12	15,3	18,4	21,4	24,4	27,4		
Общее снижение уровня звука препятствием с учётом ограничения (25 дБ) для октавных полос Dz, дБ		Раздел 7.4 [10]	4,9	6,3	8,6	12	15,3	18,4	21,4	24,4	25		
Уровни звукового давления прямого звука от источника ШТ-12 в расчётной точке днём, дБ		**ф-ла(3)[10]**	**33,7**	**32,4**	**24**	**16,4**	**10,5**	**0**	**0**	**0**	**0**	**13,4**	**13,4**
Уровни звукового давления прямого звука от источника ШТ-12 в расчётной точке ночью, дБ		**ф-ла(3)[10]**	**0**	**0**	**0**	**0**	**0**	**0**	**0**	**0**	**0**	**0**	**0**
Расчёт отражённого звука													
Уровни звукового давления от мнимого источника ШТ-12_мн.(1) в расчётной точке днём, дБ		**ф-ла(3)[10]**	**0**	**0**	**0**	**0**	**0**	**0**	**0**	**0**	**0**	**0**	**0**

1		2	3	4	5	6	7	8	9	10	11	12	13
Уровни звукового давления от мнимого источника ШТ-12_мн.(1) в расчётной точке ночью, дБ		**ф-ла(3)[10]**	**0**	**0**	**0**	**0**	**0**	**0**	**0**	**0**	**0**	**0**	**0**
Уровни звукового давления от источника ШТ-12 в расчётной точке днём, дБ		**ф-ла(3)[10]**	**33,7**	**32,4**	**24**	**16,4**	**10,5**	**0**	**0**	**0**	**0**	**13,4**	**13,4**
Уровни звукового давления от источника ШТ-12 в расчётной точке ночью, дБ		**ф-ла(3)[10]**	**0**	**0**	**0**	**0**	**0**	**0**	**0**	**0**	**0**	**0**	**0**
Источник шума: ШТ-13, координаты источника (x,y,z), м =[659.03,-392.14,1.00]													
Уровни звуковой мощности источника днём, Lw, дБ		**исходные данные**	**100**	**100**	**94**	**90**	**88**	**77**	**73**	**65**	**58**		
Уровни звуковой мощности источника ночью, Lw, дБ		**исходные данные**	**0**	**0**	**0**	**0**	**0**	**0**	**0**	**0**	**0**		
Поправка на телесный угол DΩ, дБ	Ω = 12.57	10Lg(4π/Ω)	**0**	0	0	0	0	0	0	0	0		
Показатель направленности источника Di, дБ		исходные данные	**0**	0	0	0	0	0	0	0	0		
Поправка на направленность источника Dc, дБ	Dc	DΩ + Di	**0**	0	0	0	0	0	0	0	0		
Затухание из-за геометрической дивергенции, Adiv, дБ	расстояние = 477.51 м	ф-ла (7) [10]	**64,6**										
Коэффициент затухания звука в атмосфере α, дБ/км	Ta=20,°C Pa=101.33,кПа hотн.=70%	ф-ла (5) [9]	0,02	0,09	0,33	1,12	2,79	4,98	9,04	23,09	77,63		
Учет затухания звука в атмосфере Aatm, дБ		ф-ла (8) [10]	0	0	0,2	0,5	1,3	2,4	4,3	11	37,1		
Снижение уровня звукового давления из-за влияния застройки между источником шума и расчетной точкой													
Снижение уровня звукового давления на пути над экраном, Dz1, дБ	z = 0.76м (разность путей)	ф-лы (14-18) [10]	6,5	8,5	11,5	14,7	17,7	20,7	23,6	26,6	29,6		
Снижение уровня звукового давления на пути слева от экрана, Dz2, дБ	z = 119.44м (разность путей)	ф-лы (14-18) [10]	26,8	30,4	34,8	39,2	42,9	46,2	49,2	52,3	55,3		
Снижение уровня звукового давления на пути справа от экрана, Dz3, дБ	z = 4.48м (разность путей)	ф-лы (14-18) [10]	13	15,8	19	23,1	27,6	31,5	34,9	38	41		

1		2	3	4	5	6	7	8	9	10	11	12	13
Общее снижение уровня звука препятствием Dz, дБ		Эн.сумма(-Dzi)	5,6	7,7	10,8	14,1	17,3	20,3	23,3	26,3	29,3		
Общее снижение уровня звука препятствием с учётом ограничения (25 дБ) для октавных полос Dz, дБ		Раздел 7.4 [10]	5,6	7,7	10,8	14,1	17,3	20,3	23,3	25	25		
Уровни звукового давления прямого звука от источника ШТ-13 в расчётной точке днём, дБ		**ф-ла(3)[10]**	**29,8**	**27,7**	**18,5**	**10,8**	**4,8**	**0**	**0**	**0**	**0**	**8**	**8**
Уровни звукового давления прямого звука от источника ШТ-13 в расчётной точке ночью, дБ		**ф-ла(3)[10]**	**0**	**0**	**0**	**0**	**0**	**0**	**0**	**0**	**0**	**0**	**0**
Расчёт отражённого звука													
Уровни звукового давления от мнимого источника ШТ-13_мн.(1) в расчётной точке днём, дБ		**ф-ла(3)[10]**	**0**	**0**	**0**	**0**	**0**	**0**	**0**	**0**	**0**	**0**	**0**
Уровни звукового давления от мнимого источника ШТ-13_мн.(1) в расчётной точке ночью, дБ		**ф-ла(3)[10]**	**0**	**0**	**0**	**0**	**0**	**0**	**0**	**0**	**0**	**0**	**0**
Уровни звукового давления от источника ШТ-13 в расчётной точке днём, дБ		**ф-ла(3)[10]**	**29,8**	**27,7**	**18,5**	**10,8**	**4,8**	**0**	**0**	**0**	**0**	**8**	**8**
Уровни звукового давления от источника ШТ-13 в расчётной точке ночью, дБ		**ф-ла(3)[10]**	**0**	**0**	**0**	**0**	**0**	**0**	**0**	**0**	**0**	**0**	**0**
Источник шума: ШТ-14, координаты источника (x,y,z), м =[499.22,-149.33,1.00]													
Уровни звуковой мощности источника днём, Lw, дБ		**исходные данные**	**100**	**100**	**94**	**90**	**88**	**77**	**73**	**65**	**58**		
Уровни звуковой мощности источника ночью, Lw, дБ		**исходные данные**	**0**	**0**	**0**	**0**	**0**	**0**	**0**	**0**	**0**		
Поправка на телесный угол DΩ, дБ	Ω = 12.57	10Lg(4π/Ω)	**0**	0	0	0	0	0	0	0	0		
Показатель направленности источника Di, дБ		исходные данные	**0**	0	0	0	0	0	0	0	0		
Поправка на направленность источника Dc, дБ	Dc	DΩ + Di	**0**	0	0	0	0	0	0	0	0		
Затухание из-за геометрической дивергенции, Adiv, дБ	расстояние = 277.48 м	ф-ла (7) [10]	**59,9**										
Коэффициент затухания звука в атмосфере α, дБ/км	Ta=20,°C Pa=101.33,кПа hотн.=70%	ф-ла (5) [9]	0,02	0,09	0,33	1,12	2,79	4,98	9,04	23,09	77,63		

1		2	3	4	5	6	7	8	9	10	11	12	13
Учет затухания звука в атмосфере Aatm, дБ		ф-ла (8) [10]	0	0	0,1	0,3	0,8	1,4	2,5	6,4	21,5		
Снижение поверхностью земли возле источника As, дБ	Gs = 0 hs = 1м	ф-лы таб.3 [10]	-1,5	-1,5	-1,5	-1,5	-1,5	-1,5	-1,5	-1,5	-1,5		
Снижение поверхностью земли возле приёмника Ar, дБ	Gr = 1 hr = 4.6м	ф-лы таб.3 [10]	-1,5	-1,5	3,1	1,3	0	0	0	0	0		
Снижение поверхностью земли в средней зоне, Am дБ	Gm = 1	ф-лы таб.3 [10]	-1,2	-1,2	0	0	0	0	0	0	0		
Суммарное снижение поверхностью земли на траектории распространения звука Agr, дБ		ф-ла (9) [10]	-4,2	-4,2	1,6	-0,2	-1,5	-1,5	-1,5	-1,5	-1,5		
Уровни звукового давления прямого звука от источника ШТ-14 в расчётной точке днём, дБ		**ф-ла(3)[10]**	**44,3**	**44,3**	**32,4**	**30**	**28,9**	**17,3**	**12,1**	**0**	**0**	**28,4**	**28,4**
Уровни звукового давления прямого звука от источника ШТ-14 в расчётной точке ночью, дБ		**ф-ла(3)[10]**	**0**	**0**	**0**	**0**	**0**	**0**	**0**	**0**	**0**	**0**	**0**
Расчёт отражённого звука													
Уровни звукового давления от мнимого источника ШТ-14_мн.(1) в расчётной точке днём, дБ		**ф-ла(3)[10]**	**0**	**0**	**0**	**0**	**0**	**0**	**0**	**0**	**0**	**0**	**0**
Уровни звукового давления от мнимого источника ШТ-14_мн.(1) в расчётной точке ночью, дБ		**ф-ла(3)[10]**	**0**	**0**	**0**	**0**	**0**	**0**	**0**	**0**	**0**	**0**	**0**
Уровни звукового давления от мнимого источника ШТ-14_мн.(2) в расчётной точке днём, дБ		**ф-ла(3)[10]**	**0**	**0**	**28,4**	**19,7**	**17,5**	**12,7**	**9,6**	**0**	**0**	**19,4**	**19,4**
Уровни звукового давления от мнимого источника ШТ-14_мн.(2) в расчётной точке ночью, дБ		**ф-ла(3)[10]**	**0**	**0**	**0**	**0**	**0**	**0**	**0**	**0**	**0**	**0**	**0**
Суммарные уровни звукового давления от мнимых источников в расчётной точке днём, дБ		**ф-ла (19) [1]**	**0**	**0**	**28,4**	**19,7**	**17,5**	**12,7**	**9,6**	**0**	**0**	**0**	**19,4**
Суммарные уровни звукового давления от мнимых источников в расчётной точке ночью, дБ		**ф-ла (19) [1]**	**0**	**0**	**0**	**0**	**0**	**0**	**0**	**0**	**0**	**0**	**0**
Уровни звукового давления от источника ШТ-14 в расчётной точке днём, дБ		**ф-ла(3)[10]**	**44,3**	**44,3**	**33,9**	**30,4**	**29,2**	**18,6**	**14**	**0**	**0**	**28,9**	**28,9**
Уровни звукового давления от источника ШТ-14 в расчётной точке ночью, дБ		**ф-ла(3)[10]**	**0**	**0**	**0**	**0**	**0**	**0**	**0**	**0**	**0**	**0**	**0**
Уровни звукового давления в расчётной точке													

1		2	3	4	5	6	7	8	9	10	11	12	13
Суммарные уровни звукового давления в расчётной точке от всех источников шума днём, Lрт, дБ		**ф-ла (19) [1]**	**60,4**	**58,4**	**55,3**	**55,5**	**55,3**	**55,9**	**50,6**	**38,9**	**0**	**58,9**	**60,2**
Суммарные уровни звукового давления в расчётной точке от всех источников шума ночью, Lрт, дБ		**ф-ла (19) [1]**	**54,3**	**56,3**	**52,7**	**53,9**	**54,2**	**54,9**	**48,7**	**36,8**	**0**	**57,6**	**57,6**
Допускаемые УЗД днём, Lдоп, дБ	Территории предприятий с постоянными рабочими местами	Табл. 1[3]	107	95	87	82	78	75	73	71	69	80	95
Допускаемые УЗД ночью, Lдоп, дБ	Территории предприятий с постоянными рабочими местами	Табл. 1[3]	107	95	87	82	78	75	73	71	69	80	95
Превышение днём, дБ		**Lрт - Lдоп**	**-46,6**	**-36,6**	**-31,7**	**-26,5**	**-22,7**	**-19,1**	**-22,4**	**-32,1**	**-69**	**-21,1**	**-34,8**
Превышение ночью, дБ		**Lрт - Lдоп**	**-52,7**	**-38,7**	**-34,3**	**-28,1**	**-23,8**	**-20,1**	**-24,3**	**-34,2**	**-69**	**-22,4**	**-37,4**

Определение уровней звукового давления в точке РТ-2-6 (координаты точки, м: x = 268.75, y = -207.38, z = 4.60)													
Наименование величин и их описание		**Ссылка**	**Расчётные уровни в октавных полосах, со среднегеометрическими частотами, Гц**									**La, дБА**	**Lмакс, дБА**
			31,5	**63**	**125**	**250**	**500**	**1000**	**2000**	**4000**	**8000**		
1		**2**	**3**	**4**	**5**	**6**	**7**	**8**	**9**	**10**	**11**	**12**	**13**
Источник шума: ИШ-1-1, координаты источника (x,y,z), м =[271.72,229.68,1.00]													
Уровни звуковой мощности источника днём, Lw, дБ		**исходные данные**	**97**	**97**	**104**	**106**	**105**	**105**	**98**	**87**	**81**		
Уровни звуковой мощности источника ночью, Lw, дБ		**исходные данные**	**97**	**97**	**104**	**106**	**105**	**105**	**98**	**87**	**81**		
Поправка на телесный угол DΩ, дБ	Ω = 6.28	10Lg(4π/Ω)	**3**	3	3	3	3	3	3	3	3		
Показатель направленности источника Di, дБ		исходные данные	**0**	0	0	0	0	0	0	0	0		
Поправка на направленность источника Dc, дБ	Dc	DΩ + Di	**3**	3	3	3	3	3	3	3	3		
Затухание из-за геометрической дивергенции, Adiv, дБ	расстояние = 437.09 м	ф-ла (7) [10]	**63,8**										
Коэффициент затухания звука в атмосфере α, дБ/км	Ta=20,°C Pa=101.33,кПа hотн.=70%	ф-ла (5) [9]	0,02	0,09	0,33	1,12	2,79	4,98	9,04	23,09	77,63		
Учет затухания звука в атмосфере Aatm, дБ		ф-ла (8) [10]	0	0	0,1	0,5	1,2	2,2	4	10,1	33,9		
Снижение поверхностью земли возле источника As, дБ	Gs = 0 hs = 1м	ф-лы таб.3 [10]	-1,5	-1,5	-1,5	-1,5	-1,5	-1,5	-1,5	-1,5	-1,5		
Снижение поверхностью земли возле приёмника Ar, дБ	Gr = 1 hr = 4.6м	ф-лы таб.3 [10]	-1,5	-1,5	3,3	1,3	0	0	0	0	0		
Снижение поверхностью земли в средней зоне, Am дБ	Gm = 1	ф-лы таб.3 [10]	-1,8	-1,8	0	0	0	0	0	0	0		
Суммарное снижение поверхностью земли на траектории распространения звука Agr, дБ		ф-ла (9) [10]	-4,8	-4,8	1,8	-0,2	-1,5	-1,5	-1,5	-1,5	-1,5		

1		2	3	4	5	6	7	8	9	10	11	12	13
Уровни звукового давления прямого звука от источника ИШ-1-1 в расчётной точке днём, дБ		**ф-ла(3)[10]**	**41**	**41**	**41,3**	**44,9**	**44,5**	**43,5**	**34,8**	**17,6**	**0**	**46,5**	**46,5**
Уровни звукового давления прямого звука от источника ИШ-1-1 в расчётной точке ночью, дБ		**ф-ла(3)[10]**	**41**	**41**	**41,3**	**44,9**	**44,5**	**43,5**	**34,8**	**17,6**	**0**	**46,5**	**46,5**
Расчёт отражённого звука													
Уровни звукового давления от мнимого источника ИШ-1-1_мн.(1) в расчётной точке днём, дБ		**ф-ла(3)[10]**	**0**	**0**	**0**	**0**	**0**	**26,1**	**14**	**0**	**0**	**26,4**	**26,4**
Уровни звукового давления от мнимого источника ИШ-1-1_мн.(1) в расчётной точке ночью, дБ		**ф-ла(3)[10]**	**0**	**0**	**0**	**0**	**0**	**0**	**0**	**0**	**0**	**26,4**	**26,4**
Уровни звукового давления от мнимого источника ИШ-1-1_мн.(2) в расчётной точке днём, дБ		**ф-ла(3)[10]**	**40**	**40**	**36,1**	**34,5**	**33,1**	**38,9**	**32,2**	**15**	**0**	**40,6**	**40,6**
Уровни звукового давления от мнимого источника ИШ-1-1_мн.(2) в расчётной точке ночью, дБ		**ф-ла(3)[10]**	**40**	**40**	**40**	**40**	**40**	**40**	**40**	**40**	**40**	**40,6**	**40,6**
Суммарные уровни звукового давления от мнимых источников в расчётной точке днём, дБ		**ф-ла (19) [1]**	**40**	**40**	**36,1**	**34,5**	**33,1**	**39,1**	**32,2**	**15**	**0**	**0**	**40,8**
Суммарные уровни звукового давления от мнимых источников в расчётной точке ночью, дБ		**ф-ла (19) [1]**	**40**	**40**	**36,1**	**34,5**	**33,1**	**39,1**	**32,2**	**15**	**0**	**0**	**40,8**
Уровни звукового давления от источника ИШ-1-1 в расчётной точке днём, дБ		**ф-ла(3)[10]**	**43,6**	**43,5**	**42,4**	**45,3**	**44,8**	**44,9**	**36,7**	**19,5**	**0**	**47,5**	**47,5**
Уровни звукового давления от источника ИШ-1-1 в расчётной точке ночью, дБ		**ф-ла(3)[10]**	**43,6**	**43,5**	**42,4**	**45,3**	**44,8**	**44,9**	**36,7**	**19,5**	**0**	**47,5**	**47,5**
Источник шума: ИШ-1-2, координаты источника (x,y,z), м =[261.74,199.14,1.00]													
Уровни звуковой мощности источника днём, Lw, дБ		**исходные данные**	**97**	**97**	**104**	**106**	**105**	**105**	**98**	**87**	**81**		
Уровни звуковой мощности источника ночью, Lw, дБ		**исходные данные**	**97**	**97**	**104**	**106**	**105**	**105**	**98**	**87**	**81**		
Поправка на телесный угол DΩ, дБ	Ω = 6.28	10Lg(4π/Ω)	**3**	3	3	3	3	3	3	3	3		
Показатель направленности источника Di, дБ		исходные данные	**0**	0	0	0	0	0	0	0	0		
Поправка на направленность источника Dc, дБ	Dc	DΩ + Di	**3**	3	3	3	3	3	3	3	3		

1		2	3	4	5	6	7	8	9	10	11	12	13
Затухание из-за геометрической дивергенции, Adiv, дБ	расстояние = 406.60 м	ф-ла (7) [10]	**63,2**										
Коэффициент затухания звука в атмосфере α, дБ/км	Та=20,°С Ра=101.33,кПа hотн.=70%	ф-ла (5) [9]	0,02	0,09	0,33	1,12	2,79	4,98	9,04	23,09	77,63		
Учет затухания звука в атмосфере Aatm, дБ		ф-ла (8) [10]	0	0	0,1	0,5	1,1	2	3,7	9,4	31,6		
Снижение поверхностью земли возле источника As, дБ	Gs = 0 hs = 1м	ф-лы таб.3 [10]	-1,5	-1,5	-1,5	-1,5	-1,5	-1,5	-1,5	-1,5	-1,5		
Снижение поверхностью земли возле приёмника Ar, дБ	Gr = 1 hr = 4.6м	ф-лы таб.3 [10]	-1,5	-1,5	3,3	1,3	0	0	0	0	0		
Снижение поверхностью земли в средней зоне, Am дБ	Gm = 1	ф-лы таб.3 [10]	-1,8	-1,8	0	0	0	0	0	0	0		
Суммарное снижение поверхностью земли на траектории распространения звука Agr, дБ		ф-ла (9) [10]	-4,8	-4,8	1,8	-0,2	-1,5	-1,5	-1,5	-1,5	-1,5		
Уровни звукового давления прямого звука от источника ИШ-1-2 в расчётной точке днём, дБ		**ф-ла(3)[10]**	**41,6**	**41,6**	**41,9**	**45,6**	**45,2**	**44,3**	**35,7**	**18,9**	**0**	**47,3**	**47,3**
Уровни звукового давления прямого звука от источника ИШ-1-2 в расчётной точке ночью, дБ		**ф-ла(3)[10]**	**41,6**	**41,6**	**41,9**	**45,6**	**45,2**	**44,3**	**35,7**	**18,9**	**0**	**47,3**	**47,3**
Расчёт отражённого звука													
Уровни звукового давления от мнимого источника ИШ-1-2_мн.(1) в расчётной точке днём, дБ		**ф-ла(3)[10]**	**0**	**0**	**0**	**0**	**0**	**24,2**	**12**	**0**	**0**	**24,6**	**24,6**
Уровни звукового давления от мнимого источника ИШ-1-2_мн.(1) в расчётной точке ночью, дБ		**ф-ла(3)[10]**	**0**	**0**	**0**	**0**	**0**	**0**	**0**	**0**	**0**	**24,6**	**24,6**
Уровни звукового давления от мнимого источника ИШ-1-2_мн.(2) в расчётной точке днём, дБ		**ф-ла(3)[10]**	**40,5**	**40,5**	**37**	**35,2**	**33,8**	**39,7**	**33,1**	**16,3**	**0**	**41,4**	**41,4**
Уровни звукового давления от мнимого источника ИШ-1-2_мн.(2) в расчётной точке ночью, дБ		**ф-ла(3)[10]**	**40,5**	**40,5**	**40,5**	**40,5**	**40,5**	**40,5**	**40,5**	**40,5**	**40,5**	**41,4**	**41,4**
Суммарные уровни звукового давления от мнимых источников в расчётной точке днём, дБ		**ф-ла (19) [1]**	**40,5**	**40,5**	**37**	**35,2**	**33,8**	**39,8**	**33,1**	**16,3**	**0**	**0**	**41,5**
Суммарные уровни звукового давления от мнимых источников в расчётной точке ночью, дБ		**ф-ла (19) [1]**	**40,5**	**40,5**	**37**	**35,2**	**33,8**	**39,8**	**33,1**	**16,3**	**0**	**0**	**41,5**
Уровни звукового давления от источника ИШ-1-2 в расчётной точке днём, дБ		**ф-ла(3)[10]**	**44,1**	**44,1**	**43,1**	**46**	**45,5**	**45,6**	**37,6**	**20,8**	**0**	**48,3**	**48,3**

1		2	3	4	5	6	7	8	9	10	11	12	13
Уровни звукового давления от источника ИШ-1-2 в расчётной точке ночью, дБ		**ф-ла(3)[10]**	**44,1**	**44,1**	**43,1**	**46**	**45,5**	**45,6**	**37,6**	**20,8**	**0**	**48,3**	**48,3**
Источник шума: ИШ-1-3, координаты источника (x,y,z), м =[251.75,236.44,1.00]													
Уровни звуковой мощности источника днём, Lw, дБ		**исходные данные**	**0**	**91,3**	**92,7**	**94**	**94,3**	**93,9**	**90,6**	**86,4**	**81,9**		
Уровни звуковой мощности источника ночью, Lw, дБ		**исходные данные**	**0**	**91,3**	**92,7**	**94**	**94,3**	**93,9**	**90,6**	**86,4**	**81,9**		
Поправка на телесный угол DΩ, дБ	Ω = 6.28	10Lg(4π/Ω)	**3**	3	3	3	3	3	3	3	3		
Показатель направленности источника Di, дБ		исходные данные	**0**	0	0	0	0	0	0	0	0		
Поправка на направленность источника Dc, дБ	Dc	DΩ + Di	**3**	3	3	3	3	3	3	3	3		
Затухание из-за геометрической дивергенции, Adiv, дБ	расстояние = 444.16 м	ф-ла (7) [10]	**64**										
Коэффициент затухания звука в атмосфере α, дБ/км	Ta=20,°C Pa=101.33,кПа hотн.=70%	ф-ла (5) [9]	0,02	0,09	0,33	1,12	2,79	4,98	9,04	23,09	77,63		
Учет затухания звука в атмосфере Aatm, дБ		ф-ла (8) [10]	0	0	0,1	0,5	1,2	2,2	4	10,3	34,5		
Снижение поверхностью земли возле источника As, дБ	Gs = 0 hs = 1м	ф-лы таб.3 [10]	-1,5	-1,5	-1,5	-1,5	-1,5	-1,5	-1,5	-1,5	-1,5		
Снижение поверхностью земли возле приёмника Ar, дБ	Gr = 1 hr = 4.6м	ф-лы таб.3 [10]	-1,5	-1,5	3,3	1,3	0	0	0	0	0		
Снижение поверхностью земли в средней зоне, Am дБ	Gm = 1	ф-лы таб.3 [10]	-1,9	-1,9	0	0	0	0	0	0	0		
Суммарное снижение поверхностью земли на траектории распространения звука Agr, дБ		ф-ла (9) [10]	-4,9	-4,9	1,8	-0,2	-1,5	-1,5	-1,5	-1,5	-1,5		
Уровни звукового давления прямого звука от источника ИШ-1-3 в расчётной точке днём, дБ		**ф-ла(3)[10]**	**0**	**35,2**	**29,8**	**32,8**	**33,6**	**32,2**	**27,1**	**16,7**	**0**	**35,8**	**35,8**
Уровни звукового давления прямого звука от источника ИШ-1-3 в расчётной точке ночью, дБ		**ф-ла(3)[10]**	**0**	**35,2**	**29,8**	**32,8**	**33,6**	**32,2**	**27,1**	**16,7**	**0**	**35,8**	**35,8**

1		2	3	4	5	6	7	8	9	10	11	12	13
Расчёт отражённого звука													
Уровни звукового давления от мнимого источника ИШ-1-3_мн.(1) в расчётной точке днём, дБ		**ф-ла(3)[10]**	**0**	**0**	**0**	**0**	**0**	**22,3**	**15,2**	**0,7**	**0**	**23,3**	**23,3**
Уровни звукового давления от мнимого источника ИШ-1-3_мн.(1) в расчётной точке ночью, дБ		**ф-ла(3)[10]**	**0**	**0**	**0**	**0**	**0**	**0**	**0**	**0**	**0**	**23,3**	**23,3**
Уровни звукового давления от мнимого источника ИШ-1-3_мн.(2) в расчётной точке днём, дБ		**ф-ла(3)[10]**	**0**	**34,1**	**24,6**	**22,4**	**22,2**	**27,6**	**24,5**	**14,1**	**0**	**30,4**	**30,4**
Уровни звукового давления от мнимого источника ИШ-1-3_мн.(2) в расчётной точке ночью, дБ		**ф-ла(3)[10]**	**34,1**	**34,1**	**34,1**	**34,1**	**34,1**	**34,1**	**34,1**	**34,1**	**34,1**	**30,4**	**30,4**
Суммарные уровни звукового давления от мнимых источников в расчётной точке днём, дБ		**ф-ла (19) [1]**	**0**	**34,1**	**24,6**	**22,4**	**22,2**	**28,7**	**25**	**14,2**	**0**	**0**	**31,2**
Суммарные уровни звукового давления от мнимых источников в расчётной точке ночью, дБ		**ф-ла (19) [1]**	**0**	**34,1**	**24,6**	**22,4**	**22,2**	**28,7**	**25**	**14,2**	**0**	**0**	**31,2**
Уровни звукового давления от источника ИШ-1-3 в расчётной точке днём, дБ		**ф-ла(3)[10]**	**0**	**37,7**	**30,9**	**33,1**	**33,9**	**33,8**	**29,2**	**18,6**	**0**	**37,1**	**37,1**
Уровни звукового давления от источника ИШ-1-3 в расчётной точке ночью, дБ		**ф-ла(3)[10]**	**0**	**37,7**	**30,9**	**33,1**	**33,9**	**33,8**	**29,2**	**18,6**	**0**	**37,1**	**37,1**
Источник шума: ИШ-1-4, координаты источника (x,y,z), м =[290.25,223.25,1.00]													
Уровни звуковой мощности источника днём, Lw, дБ		**исходные данные**	**0**	**91,3**	**92,7**	**94**	**94,3**	**93,9**	**90,6**	**86,4**	**81,9**		
Уровни звуковой мощности источника ночью, Lw, дБ		**исходные данные**	**0**	**91,3**	**92,7**	**94**	**94,3**	**93,9**	**90,6**	**86,4**	**81,9**		
Поправка на телесный угол DΩ, дБ	Ω = 6.28	10Lg(4π/Ω)	**3**	3	3	3	3	3	3	3	3		
Показатель направленности источника Di, дБ		исходные данные	**0**	0	0	0	0	0	0	0	0		
Поправка на направленность источника Dc, дБ	Dc	DΩ + Di	**3**	3	3	3	3	3	3	3	3		
Затухание из-за геометрической дивергенции, Adiv, дБ	расстояние = 431.18 м	ф-ла (7) [10]	**63,7**										
Коэффициент затухания звука в атмосфере α, дБ/км	Ta=20,°C Pa=101.33,кПа hотн.=70%	ф-ла (5) [9]	0,02	0,09	0,33	1,12	2,79	4,98	9,04	23,09	77,63		

1			2	3	4	5	6	7	8	9	10	11	12	13
Учет затухания звука в атмосфере Aatm, дБ			ф-ла (8) [10]	0	0	0,1	0,5	1,2	2,1	3,9	10	33,5		
Снижение уровня звукового давления из-за влияния застройки между источником шума и расчетной точкой														
Длина звуковой волны для среднегеометрической частоты октавной полосы, λ, м				10,79	5,4	2,72	1,36	0,68	0,34	0,17	0,09	0,04		
Критерий наличия экранирования в горизонтальной плоскости	Горизонтальный размер экрана, lэкр = 55.76 м		lэкр > λ	да	да	да	да	да	да	да	да	да		
Траектория над экраном	Промежуточные точки:	Pss(x,y,z) = (276.02,-61.72,10.00)	Psr(x,y,z) = (275.81,-66.06,10.00)	dss = 285.47 м		dsr = 141.60 м		e = 4.35 м		z = 0.23 м				
	Константа C2, учитывающая эффект отражения от земли возле экрана			40	40	40	40	40	40	40	40	40		
	Константа C3 (дифракция на кромках)		ф-ла (15) [10]	1	1	1,1	1,2	1,7	2,4	2,8	2,9	3		
	K_{met} (влияние метеоусловий)		ф-ла (18) [10]	0	0	0	0	0	0	0	0	0		
	Снижение УЗД, Dz, дБ		ф-ла (14) [10]	4,8	4,9	5	5,3	6,1	7,7	10	12,5	15,2		
Траектория слева от экрана	Промежуточные точки:	Pss(x,y,z) = (338.06,249.69,0.76)	Psr(x,y,z) = (340.88,45.97,2.46)	dss = 54.63 м		dsr = 263.43 м		e = 203.74 м		z = 90.62 м				
	Константа C2, учитывающая эффект отражения от земли возле экрана			40	40	40	40	40	40	40	40	40		
	Константа C3 (дифракция на кромках)		ф-ла (15) [10]	2,7	2,9	3	3	3	3	3	3	3		
	K_{met} (влияние метеоусловий)		ф-ла (18) [10]	1	1	1	1	1	1	1	1	1		
	Снижение УЗД, Dz, дБ		ф-ла (14) [10]	29,5	32,9	36	39	42	45	48,1	51,1	54,1		
Траектория справа от экрана	Промежуточные точки:	Pss(x,y,z) = (274.69,-65.69,3.42)	Psr(x,y,z) = (274.69,-65.69,3.42)	dss = 289.36 м		dsr = 141.82 м		e = 0.00 м		z = 0.01 м				
	Константа C2, учитывающая эффект отражения от земли возле экрана			40	40	40	40	40	40	40	40	40		
	Константа C3 (дифракция на кромках)		ф-ла (15) [10]	1	1	1	1	1	1	1	1	1		

1		2	3	4	5	6	7	8	9	10	11	12	13
	K_{met} (влияние метеоусловий)	ф-ла (18) [10]	1	1	1	1	1	1	1	1	1		
	Снижение УЗД, Dz, дБ	ф-ла (14) [10]	4,8	4,8	4,9	5	5,3	5,8	6,6	7,9	9,7		
Общее снижение уровня звука препятствием Dz, дБ		Эн.сумма(-Dzi)	1,8	1,9	1,9	2,2	2,7	3,6	5	6,6	8,6		
Уровни звукового давления прямого звука от источника ИШ-1-4 в расчётной точке днём, дБ		**ф-ла(3)[10]**	**0**	**28,7**	**29,9**	**30,7**	**29,7**	**27,4**	**21**	**9,1**	**0**	**31,3**	**31,3**
Уровни звукового давления прямого звука от источника ИШ-1-4 в расчётной точке ночью, дБ		**ф-ла(3)[10]**	**0**	**28,7**	**29,9**	**30,7**	**29,7**	**27,4**	**21**	**9,1**	**0**	**31,3**	**31,3**
Расчёт отражённого звука													
Уровни звукового давления от мнимого источника ИШ-1-4_мн.(1) в расчётной точке днём, дБ		**ф-ла(3)[10]**	**0**	**0**	**0**	**0**	**0**	**10,8**	**2,2**	**0**	**0**	**11,5**	**11,5**
Уровни звукового давления от мнимого источника ИШ-1-4_мн.(1) в расчётной точке ночью, дБ		**ф-ла(3)[10]**	**0**	**0**	**0**	**0**	**0**	**0**	**0**	**0**	**0**	**11,5**	**11,5**
Уровни звукового давления от мнимого источника ИШ-1-4_мн.(2) в расчётной точке днём, дБ		**ф-ла(3)[10]**	**0**	**0**	**0**	**0**	**0**	**0**	**0**	**0**	**0**	**0**	**0**
Уровни звукового давления от мнимого источника ИШ-1-4_мн.(2) в расчётной точке ночью, дБ		**ф-ла(3)[10]**	**0**	**0**	**0**	**0**	**0**	**0**	**0**	**0**	**0**	**0**	**0**
Суммарные уровни звукового давления от мнимых источников в расчётной точке днём, дБ		**ф-ла (19) [1]**	**0**	**0**	**0**	**0**	**0**	**10,8**	**2,2**	**0**	**0**	**0**	**11,5**
Суммарные уровни звукового давления от мнимых источников в расчётной точке ночью, дБ		**ф-ла (19) [1]**	**0**	**0**	**0**	**0**	**0**	**10,8**	**2,2**	**0**	**0**	**0**	**11,5**
Уровни звукового давления от источника ИШ-1-4 в расчётной точке днём, дБ		**ф-ла(3)[10]**	**0**	**28,7**	**29,9**	**30,7**	**29,7**	**27,5**	**21,1**	**9,1**	**0**	**31,4**	**31,4**
Уровни звукового давления от источника ИШ-1-4 в расчётной точке ночью, дБ		**ф-ла(3)[10]**	**0**	**28,7**	**29,9**	**30,7**	**29,7**	**27,5**	**21,1**	**9,1**	**0**	**31,4**	**31,4**
Источник шума: ИШ-1-5, координаты источника (x,y,z), м =[241.49,205.86,1.00]													
Уровни звуковой мощности источника днём, Lw, дБ		**исходные данные**	**0**	**91,3**	**92,7**	**94**	**94,3**	**93,9**	**90,6**	**86,4**	**81,9**		
Уровни звуковой мощности источника ночью, Lw, дБ		**исходные данные**	**0**	**91,3**	**92,7**	**94**	**94,3**	**93,9**	**90,6**	**86,4**	**81,9**		

1		2	3	4	5	6	7	8	9	10	11	12	13
Поправка на телесный угол DΩ, дБ	Ω = 6.28	10Lg(4π/Ω)	**3**	3	3	3	3	3	3	3	3		
Показатель направленности источника Di, дБ		исходные данные	**0**	0	0	0	0	0	0	0	0		
Поправка на направленность источника Dc, дБ	Dc	DΩ + Di	**3**	3	3	3	3	3	3	3	3		
Затухание из-за геометрической дивергенции, Adiv, дБ	расстояние = 414.15 м	ф-ла (7) [10]	**63,3**										
Коэффициент затухания звука в атмосфере α, дБ/км	Ta=20,°C Pa=101.33,кПа hотн.=70%	ф-ла (5) [9]	0,02	0,09	0,33	1,12	2,79	4,98	9,04	23,09	77,63		
Учет затухания звука в атмосфере Aatm, дБ		ф-ла (8) [10]	0	0	0,1	0,5	1,2	2,1	3,7	9,6	32,2		
Снижение поверхностью земли возле источника As, дБ	Gs = 0 hs = 1м	ф-лы таб.3 [10]	-1,5	-1,5	-1,5	-1,5	-1,5	-1,5	-1,5	-1,5	-1,5		
Снижение поверхностью земли возле приёмника Ar, дБ	Gr = 1 hr = 4.6м	ф-лы таб.3 [10]	-1,5	-1,5	3,3	1,3	0	0	0	0	0		
Снижение поверхностью земли в средней зоне, Am дБ	Gm = 1	ф-лы таб.3 [10]	-1,8	-1,8	0	0	0	0	0	0	0		
Суммарное снижение поверхностью земли на траектории распространения звука Agr, дБ		ф-ла (9) [10]	-4,8	-4,8	1,8	-0,2	-1,5	-1,5	-1,5	-1,5	-1,5		
Уровни звукового давления прямого звука от источника ИШ-1-5 в расчётной точке днём, дБ		**ф-ла(3)[10]**	**0**	**35,7**	**30,4**	**33,4**	**34,3**	**33**	**28**	**18**	**0**	**36,6**	**36,6**
Уровни звукового давления прямого звука от источника ИШ-1-5 в расчётной точке ночью, дБ		**ф-ла(3)[10]**	**0**	**35,7**	**30,4**	**33,4**	**34,3**	**33**	**28**	**18**	**0**	**36,6**	**36,6**
Расчёт отражённого звука													
Уровни звукового давления от мнимого источника ИШ-1-5_мн.(1) в расчётной точке днём, дБ		**ф-ла(3)[10]**	**0**	**0**	**0**	**0**	**0**	**20,7**	**13,5**	**0**	**0**	**21,7**	**21,7**
Уровни звукового давления от мнимого источника ИШ-1-5_мн.(1) в расчётной точке ночью, дБ		**ф-ла(3)[10]**	**0**	**0**	**0**	**0**	**0**	**0**	**0**	**0**	**0**	**21,7**	**21,7**
Уровни звукового давления от мнимого источника ИШ-1-5_мн.(2) в расчётной точке днём, дБ		**ф-ла(3)[10]**	**0**	**34,7**	**25,4**	**23**	**22,9**	**28,4**	**25,4**	**15,3**	**0**	**31,2**	**31,2**
Уровни звукового давления от мнимого источника ИШ-1-5_мн.(2) в расчётной точке ночью, дБ		**ф-ла(3)[10]**	**34,7**	**34,7**	**34,7**	**34,7**	**34,7**	**34,7**	**34,7**	**34,7**	**34,7**	**31,2**	**31,2**

1		2	3	4	5	6	7	8	9	10	11	12	13
Суммарные уровни звукового давления от мнимых источников в расчётной точке днём, дБ		**ф-ла (19) [1]**	**0**	**34,7**	**25,4**	**23**	**22,9**	**29,1**	**25,7**	**15,3**	**0**	**0**	**31,7**
Суммарные уровни звукового давления от мнимых источников в расчётной точке ночью, дБ		**ф-ла (19) [1]**	**0**	**34,7**	**25,4**	**23**	**22,9**	**29,1**	**25,7**	**15,3**	**0**	**0**	**31,7**
Уровни звукового давления от источника ИШ-1-5 в расчётной точке днём, дБ		**ф-ла(3)[10]**	**0**	**38,2**	**31,6**	**33,8**	**34,6**	**34,5**	**30**	**19,9**	**0**	**37,8**	**37,8**
Уровни звукового давления от источника ИШ-1-5 в расчётной точке ночью, дБ		**ф-ла(3)[10]**	**0**	**38,2**	**31,6**	**33,8**	**34,6**	**34,5**	**30**	**19,9**	**0**	**37,8**	**37,8**
Источник шума: ИШ-1-6, координаты источника (x,y,z), м =[279.85,192.97,1.00]													
Уровни звуковой мощности источника днём, Lw, дБ		**исходные данные**	**0**	**91,3**	**92,7**	**94**	**94,3**	**93,9**	**90,6**	**86,4**	**81,9**		
Уровни звуковой мощности источника ночью, Lw, дБ		**исходные данные**	**0**	**91,3**	**92,7**	**94**	**94,3**	**93,9**	**90,6**	**86,4**	**81,9**		
Поправка на телесный угол DΩ, дБ	Ω = 6.28	10Lg(4π/Ω)	**3**	3	3	3	3	3	3	3	3		
Показатель направленности источника Di, дБ		исходные данные	**0**	0	0	0	0	0	0	0	0		
Поправка на направленность источника Dc, дБ	Dc	DΩ + Di	**3**	3	3	3	3	3	3	3	3		
Затухание из-за геометрической дивергенции, Adiv, дБ	расстояние = 400.52 м	ф-ла (7) [10]	**63,1**										
Коэффициент затухания звука в атмосфере α, дБ/км	Ta=20,°C Pa=101.33,кПа hотн.=70%	ф-ла (5) [9]	0,02	0,09	0,33	1,12	2,79	4,98	9,04	23,09	77,63		
Учет затухания звука в атмосфере Aatm, дБ		ф-ла (8) [10]	0	0	0,1	0,5	1,1	2	3,6	9,2	31,1		
Снижение поверхностью земли возле источника As, дБ	Gs = 0 hs = 1м	ф-лы таб.3 [10]	-1,5	-1,5	-1,5	-1,5	-1,5	-1,5	-1,5	-1,5	-1,5		
Снижение поверхностью земли возле приёмника Ar, дБ	Gr = 1 hr = 4.6м	ф-лы таб.3 [10]	-1,5	-1,5	3,2	1,3	0	0	0	0	0		
Снижение поверхностью земли в средней зоне, Am дБ	Gm = 1	ф-лы таб.3 [10]	-1,7	-1,7	0	0	0	0	0	0	0		

1		2	3	4	5	6	7	8	9	10	11	12	13
Суммарное снижение поверхностью земли на траектории распространения звука Agr, дБ		ф-ла (9) [10]	-4,7	-4,7	1,7	-0,2	-1,5	-1,5	-1,5	-1,5	-1,5		
Уровни звукового давления прямого звука от источника ИШ-1-6 в расчётной точке днём, дБ		**ф-ла(3)[10]**	**0**	**35,9**	**30,8**	**33,7**	**34,6**	**33,3**	**28,4**	**18,6**	**0**	**36,9**	**36,9**
Уровни звукового давления прямого звука от источника ИШ-1-6 в расчётной точке ночью, дБ		**ф-ла(3)[10]**	**0**	**35,9**	**30,8**	**33,7**	**34,6**	**33,3**	**28,4**	**18,6**	**0**	**36,9**	**36,9**
Расчёт отражённого звука													
Уровни звукового давления от мнимого источника ИШ-1-6_мн.(1) в расчётной точке днём, дБ		**ф-ла(3)[10]**	**0**	**0**	**0**	**0**	**0**	**8,5**	**0**	**0**	**0**	**8,5**	**8,5**
Уровни звукового давления от мнимого источника ИШ-1-6_мн.(1) в расчётной точке ночью, дБ		**ф-ла(3)[10]**	**0**	**0**	**0**	**0**	**0**	**0**	**0**	**0**	**0**	**8,5**	**8,5**
Уровни звукового давления от мнимого источника ИШ-1-6_мн.(2) в расчётной точке днём, дБ		**ф-ла(3)[10]**	**0**	**34,9**	**25,8**	**23,3**	**23,2**	**28,7**	**25,8**	**15,9**	**0**	**31,6**	**31,6**
Уровни звукового давления от мнимого источника ИШ-1-6_мн.(2) в расчётной точке ночью, дБ		**ф-ла(3)[10]**	**34,9**	**34,9**	**34,9**	**34,9**	**34,9**	**34,9**	**34,9**	**34,9**	**34,9**	**31,6**	**31,6**
Суммарные уровни звукового давления от мнимых источников в расчётной точке днём, дБ		**ф-ла (19) [1]**	**0**	**34,9**	**25,8**	**23,3**	**23,2**	**28,8**	**25,8**	**15,9**	**0**	**0**	**31,6**
Суммарные уровни звукового давления от мнимых источников в расчётной точке ночью, дБ		**ф-ла (19) [1]**	**0**	**34,9**	**25,8**	**23,3**	**23,2**	**28,8**	**25,8**	**15,9**	**0**	**0**	**31,6**
Уровни звукового давления от источника ИШ-1-6 в расчётной точке днём, дБ		**ф-ла(3)[10]**	**0**	**38,5**	**32**	**34,1**	**34,9**	**34,6**	**30,3**	**20,5**	**0**	**38**	**38**
Уровни звукового давления от источника ИШ-1-6 в расчётной точке ночью, дБ		**ф-ла(3)[10]**	**0**	**38,5**	**32**	**34,1**	**34,9**	**34,6**	**30,3**	**20,5**	**0**	**38**	**38**
Источник шума: ИШ-1-7, координаты источника (x,y,z), м =[451.87,146.66,1.00]													
Уровни звуковой мощности источника днём, Lw, дБ		**исходные данные**	**0**	**93,3**	**94,7**	**96**	**96,3**	**95,9**	**92,6**	**88,4**	**83,9**		
Уровни звуковой мощности источника ночью, Lw, дБ		**исходные данные**	**0**	**93,3**	**94,7**	**96**	**96,3**	**95,9**	**92,6**	**88,4**	**83,9**		
Поправка на телесный угол DΩ, дБ	Ω = 6.28	10Lg(4π/Ω)	**3**	3	3	3	3	3	3	3	3		
Показатель направленности источника Di, дБ		исходные данные	**0**	0	0	0	0	0	0	0	0		

1			2	3	4	5	6	7	8	9	10	11	12	13
Поправка на направленность источника Dc, дБ	Dc		DΩ + Di	**3**	3	3	3	3	3	3	3	3		
Затухание из-за геометрической дивергенции, Adiv, дБ	расстояние = 398.61 м		ф-ла (7) [10]	**63**										
Коэффициент затухания звука в атмосфере α, дБ/км	Ta=20,°C Pa=101.33,кПа hотн.=70%		ф-ла (5) [9]	0,02	0,09	0,33	1,12	2,79	4,98	9,04	23,09	77,63		
Учет затухания звука в атмосфере Aatm, дБ			ф-ла (8) [10]	0	0	0,1	0,4	1,1	2	3,6	9,2	30,9		
Снижение уровня звукового давления из-за влияния застройки между источником шума и расчетной точкой														
Длина звуковой волны для среднегеометрической частоты октавной полосы, λ, м				10,79	5,4	2,72	1,36	0,68	0,34	0,17	0,09	0,04		
Критерий наличия экранирования в горизонтальной плоскости	Горизонтальный размер экрана, lэкр = 90.99 м		lэкр > λ	да	да	да	да	да	да	да	да	да		
Траектория над экраном	Промежуточные точки:	Pss(x,y,z) = (398.12,42.74,10.00)	Psr(x,y,z) = (318.88,-110.45,10.00)	dss = 117.34 м		dsr = 109.26 м		e = 172.47 м		z = 0.46 м				
	Константа C2, учитывающая эффект отражения от земли возле экрана			40	40	40	40	40	40	40	40	40		
	Константа C3 (дифракция на кромках)		ф-ла (15) [10]	2,5	2,9	3	3	3	3	3	3	3		
	K_{met} (влияние метеоусловий)		ф-ла (18) [10]	0,3	0,3	0,3	0,3	0,3	0,3	0,3	0,3	0,3		
	Снижение УЗД, Dz, дБ		ф-ла (14) [10]	6,4	7,8	9,7	11,9	14,5	17,3	20,2	23,1	26,1		
Траектория слева от экрана	Промежуточные точки:	Pss(x,y,z) = (429.80,32.10,2.01)	Psr(x,y,z) = (422.02,8.93,2.23)	dss = 116.67 м		dsr = 265.12 м		e = 24.44 м		z = 7.62 м				
	Константа C2, учитывающая эффект отражения от земли возле экрана			40	40	40	40	40	40	40	40	40		
	Константа C3 (дифракция на кромках)		ф-ла (15) [10]	1,1	1,4	2	2,6	2,9	3	3	3	3		
	K_{met} (влияние метеоусловий)		ф-ла (18) [10]	1	1	1	1	1	1	1	1	1		
	Снижение УЗД, Dz, дБ		ф-ла (14) [10]	15,4	19,2	23,6	27,7	31,1	34,3	37,3	40,3	43,3		

1			2	3	4	5	6	7	8	9	10	11	12	13
Траектория справа от экрана	Промежуточные точки:	Pss(x,y,z) = (442.95,203.93,0.58)	Psr(x,y,z) = (425.88,209.66,0.60)	dss = 57.97 м		dsr = 445.68 м		e = 18.00 м		z = 123.04 м				
	Константа C2, учитывающая эффект отражения от земли возле экрана			40	40	40	40	40	40	40	40	40		
	Константа C3 (дифракция на кромках)		ф-ла (15) [10]	1,1	1,3	1,7	2,4	2,8	2,9	3	3	3		
	K_{met} (влияние метеоусловий)		ф-ла (18) [10]	1	1	1	1	1	1	1	1	1		
	Снижение УЗД, Dz, дБ		ф-ла (14) [10]	26,9	30,6	35	39,4	43,1	46,3	49,4	52,4	55,4		
Общее снижение уровня звука препятствием Dz, дБ			Эн.сумма(-Dzi)	5,8	7,5	9,5	11,8	14,4	17,2	20,1	23	26		
Общее снижение уровня звука препятствием с учётом ограничения (25 дБ) для октавных полос Dz, дБ			Раздел 7.4 [10]	5,8	7,5	9,5	11,8	14,4	17,2	20,1	23	25		
Уровни звукового давления от источника ИШ-1-7 в расчётной точке днём, дБ			**ф-ла(3)[10]**	**0**	**25,8**	**25,1**	**23,7**	**20,8**	**16,7**	**8,9**	**0**	**0**	**21,9**	**21,9**
Уровни звукового давления от источника ИШ-1-7 в расчётной точке ночью, дБ			**ф-ла(3)[10]**	**0**	**25,8**	**25,1**	**23,7**	**20,8**	**16,7**	**8,9**	**0**	**0**	**21,9**	**21,9**
Источник шума: ИШ-1-8, координаты источника (x,y,z), м =[454.99,145.29,1.00]														
Уровни звуковой мощности источника днём, Lw, дБ			**исходные данные**	**0**	**93,3**	**94,7**	**96**	**96,3**	**95,9**	**92,6**	**88,4**	**83,9**		
Уровни звуковой мощности источника ночью, Lw, дБ			**исходные данные**	**0**	**93,3**	**94,7**	**96**	**96,3**	**95,9**	**92,6**	**88,4**	**83,9**		
Поправка на телесный угол DΩ, дБ		Ω = 6.28	10Lg(4π/Ω)	**3**	3	3	3	3	3	3	3	3		
Показатель направленности источника Di, дБ			исходные данные	**0**	0	0	0	0	0	0	0	0		
Поправка на направленность источника Dc, дБ		Dc	DΩ + Di	**3**	3	3	3	3	3	3	3	3		
Затухание из-за геометрической дивергенции, Adiv, дБ		расстояние = 398.84 м	ф-ла (7) [10]	**63**										
Коэффициент затухания звука в атмосфере α, дБ/км		Ta=20,°C Pa=101.33,кПа hотн.=70%	ф-ла (5) [9]	0,02	0,09	0,33	1,12	2,79	4,98	9,04	23,09	77,63		

1			2	3	4	5	6	7	8	9	10	11	12	13
Учет затухания звука в атмосфере Aatm, дБ			ф-ла (8) [10]	0	0	0,1	0,4	1,1	2	3,6	9,2	31		
Снижение уровня звукового давления из-за влияния застройки между источником шума и расчетной точкой														
Длина звуковой волны для среднегеометрической частоты октавной полосы, λ, м				10,79	5,4	2,72	1,36	0,68	0,34	0,17	0,09	0,04		
Критерий наличия экранирования в горизонтальной плоскости	Горизонтальный размер экрана, lэкр = 90.45 м		lэкр > λ	да	да	да	да	да	да	да	да	да		
Траектория над экраном	Промежуточные точки:	Pss(x,y,z) = (400.43,41.96,10.00)	Psr(x,y,z) = (319.78,-110.75,10.00)	dss = 117.20 м		dsr = 109.41 м		e = 172.70 м		z = 0.46 м				
	Константа C2, учитывающая эффект отражения от земли возле экрана			40	40	40	40	40	40	40	40	40		
	Константа C3 (дифракция на кромках)		ф-ла (15) [10]	2,5	2,9	3	3	3	3	3	3	3		
	K_{met} (влияние метеоусловий)		ф-ла (18) [10]	0,3	0,3	0,3	0,3	0,3	0,3	0,3	0,3	0,3		
	Снижение УЗД, Dz, дБ		ф-ла (14) [10]	6,4	7,8	9,7	11,9	14,5	17,3	20,2	23,1	26,1		
Траектория слева от экрана	Промежуточные точки:	Pss(x,y,z) = (429.80,32.10,2.01)	Psr(x,y,z) = (422.02,8.93,2.23)	dss = 115.96 м		dsr = 265.12 м		e = 24.44 м		z = 6.68 м				
	Константа C2, учитывающая эффект отражения от земли возле экрана			40	40	40	40	40	40	40	40	40		
	Константа C3 (дифракция на кромках)		ф-ла (15) [10]	1,1	1,4	2	2,6	2,9	3	3	3	3		
	K_{met} (влияние метеоусловий)		ф-ла (18) [10]	1	1	1	1	1	1	1	1	1		
	Снижение УЗД, Dz, дБ		ф-ла (14) [10]	14,9	18,7	23,1	27,1	30,6	33,7	36,7	39,7	42,8		
Траектория справа от экрана	Промежуточные точки:	Pss(x,y,z) = (442.95,203.93,0.58)	Psr(x,y,z) = (425.88,209.66,0.61)	dss = 59.87 м		dsr = 445.68 м		e = 18.00 м		z = 124.70 м				
	Константа C2, учитывающая эффект отражения от земли возле экрана			40	40	40	40	40	40	40	40	40		
	Константа C3 (дифракция на кромках)		ф-ла (15) [10]	1,1	1,3	1,7	2,4	2,8	2,9	3	3	3		

1		2	3	4	5	6	7	8	9	10	11	12	13
	K_{met} (влияние метеоусловий)	ф-ла (18) [10]	1	1	1	1	1	1	1	1	1		
	Снижение УЗД, Dz, дБ	ф-ла (14) [10]	27	30,7	35	39,4	43,1	46,4	49,4	52,5	55,5		
Общее снижение уровня звука препятствием Dz, дБ		Эн.сумма(-Dzi)	5,8	7,4	9,4	11,8	14,4	17,2	20,1	23	26		
Общее снижение уровня звука препятствием с учётом ограничения (25 дБ) для октавных полос Dz, дБ		Раздел 7.4 [10]	5,8	7,4	9,4	11,8	14,4	17,2	20,1	23	25		
Уровни звукового давления от источника ИШ-1-8 в расчётной точке днём, дБ		**ф-ла(3)[10]**	**0**	**25,8**	**25,1**	**23,7**	**20,8**	**16,7**	**8,9**	**0**	**0**	**21,9**	**21,9**
Уровни звукового давления от источника ИШ-1-8 в расчётной точке ночью, дБ		**ф-ла(3)[10]**	**0**	**25,8**	**25,1**	**23,7**	**20,8**	**16,7**	**8,9**	**0**	**0**	**21,9**	**21,9**
Источник шума: ИШ-1-9, координаты источника (x,y,z), м =[458.12,144.31,1.00]													
Уровни звуковой мощности источника днём, Lw, дБ		**исходные данные**	**0**	**93,3**	**94,7**	**96**	**96,3**	**95,9**	**92,6**	**88,4**	**83,9**		
Уровни звуковой мощности источника ночью, Lw, дБ		**исходные данные**	**0**	**93,3**	**94,7**	**96**	**96,3**	**95,9**	**92,6**	**88,4**	**83,9**		
Поправка на телесный угол DΩ, дБ	Ω = 6.28	10Lg(4π/Ω)	**3**	3	3	3	3	3	3	3	3		
Показатель направленности источника Di, дБ		исходные данные	**0**	0	0	0	0	0	0	0	0		
Поправка на направленность источника Dc, дБ	Dc	DΩ + Di	**3**	3	3	3	3	3	3	3	3		
Затухание из-за геометрической дивергенции, Adiv, дБ	расстояние = 399.45 м	ф-ла (7) [10]	**63**										
Коэффициент затухания звука в атмосфере α, дБ/км	Ta=20,°C Pa=101.33,кПа hотн.=70%	ф-ла (5) [9]	0,02	0,09	0,33	1,12	2,79	4,98	9,04	23,09	77,63		
Учет затухания звука в атмосфере Aatm, дБ		ф-ла (8) [10]	0	0	0,1	0,4	1,1	2	3,6	9,2	31		
Снижение уровня звукового давления из-за влияния застройки между источником шума и расчетной точкой													

1			2	3	4	5	6	7	8	9	10	11	12	13
Длина звуковой волны для среднегеометрической частоты октавной полосы, λ, м				10,79	5,4	2,72	1,36	0,68	0,34	0,17	0,09	0,04		
Критерий наличия экранирования в горизонтальной плоскости	Горизонтальный размер экрана, lэкр = 89.79 м		lэкр > λ	да	да	да	да	да	да	да	да	да		
Траектория над экраном	Промежуточные точки:	Pss(x,y,z) = (402.61,41.23,10.00)	Psr(x,y,z) = (320.63,-111.04,10.00)	dss = 117.42 м		dsr = 109.55 м		e = 172.93 м		z = 0.46 м				
	Константа C2, учитывающая эффект отражения от земли возле экрана			40	40	40	40	40	40	40	40	40		
	Константа C3 (дифракция на кромках)		ф-ла (15) [10]	2,5	2,9	3	3	3	3	3	3	3		
	K_{met} (влияние метеоусловий)		ф-ла (18) [10]	0,3	0,3	0,3	0,3	0,3	0,3	0,3	0,3	0,3		
	Снижение УЗД, Dz, дБ		ф-ла (14) [10]	6,4	7,8	9,6	11,9	14,5	17,3	20,1	23,1	26,1		
Траектория слева от экрана	Промежуточные точки:	Pss(x,y,z) = (429.80,32.10,2.01)	Psr(x,y,z) = (422.02,8.93,2.23)	dss = 115.73 м		dsr = 265.12 м		e = 24.44 м		z = 5.84 м				
	Константа C2, учитывающая эффект отражения от земли возле экрана			40	40	40	40	40	40	40	40	40		
	Константа C3 (дифракция на кромках)		ф-ла (15) [10]	1,1	1,4	2	2,6	2,9	3	3	3	3		
	K_{met} (влияние метеоусловий)		ф-ла (18) [10]	1	1	1	1	1	1	1	1	1		
	Снижение УЗД, Dz, дБ		ф-ла (14) [10]	14,4	18,1	22,5	26,6	30	33,1	36,1	39,2	42,2		
Траектория справа от экрана	Промежуточные точки:	Pss(x,y,z) = (442.95,203.93,0.59)	Psr(x,y,z) = (425.88,209.66,0.62)	dss = 61.52 м		dsr = 445.68 м		e = 18.00 м		z = 125.75 м				
	Константа C2, учитывающая эффект отражения от земли возле экрана			40	40	40	40	40	40	40	40	40		
	Константа C3 (дифракция на кромках)		ф-ла (15) [10]	1,1	1,3	1,7	2,4	2,8	2,9	3	3	3		
	K_{met} (влияние метеоусловий)		ф-ла (18) [10]	1	1	1	1	1	1	1	1	1		
	Снижение УЗД, Dz, дБ		ф-ла (14) [10]	27	30,7	35,1	39,5	43,2	46,4	49,5	52,5	55,5		
Общее снижение уровня звука препятствием Dz, дБ			Эн.сумма(-Dzi)	5,7	7,4	9,4	11,8	14,4	17,1	20	23	26		

1			2	3	4	5	6	7	8	9	10	11	12	13
Общее снижение уровня звука препятствием с учётом ограничения (25 дБ) для октавных полос Dz, дБ			Раздел 7.4 [10]	5,7	7,4	9,4	11,8	14,4	17,1	20	23	25		
Уровни звукового давления от источника ИШ-1-9 в расчётной точке днём, дБ			**ф-ла(3)[10]**	**0**	**25,8**	**25,1**	**23,8**	**20,8**	**16,7**	**8,9**	**0**	**0**	**21,9**	**21,9**
Уровни звукового давления от источника ИШ-1-9 в расчётной точке ночью, дБ			**ф-ла(3)[10]**	**0**	**25,8**	**25,1**	**23,8**	**20,8**	**16,7**	**8,9**	**0**	**0**	**21,9**	**21,9**
Источник шума: ИШ-1-10, координаты источника (x,y,z), м =[461.05,143.53,1.00]														
Уровни звуковой мощности источника днём, Lw, дБ			**исходные данные**	**0**	**93,3**	**94,7**	**96**	**96,3**	**95,9**	**92,6**	**88,4**	**83,9**		
Уровни звуковой мощности источника ночью, Lw, дБ			**исходные данные**	**0**	**93,3**	**94,7**	**96**	**96,3**	**95,9**	**92,6**	**88,4**	**83,9**		
Поправка на телесный угол DΩ, дБ		Ω = 6.28	10Lg(4π/Ω)	**3**	3	3	3	3	3	3	3	3		
Показатель направленности источника Di, дБ			исходные данные	**0**	0	0	0	0	0	0	0	0		
Поправка на направленность источника Dc, дБ		Dc	DΩ + Di	**3**	3	3	3	3	3	3	3	3		
Затухание из-за геометрической дивергенции, Adiv, дБ		расстояние = 400.16 м	ф-ла (7) [10]	**63**										
Коэффициент затухания звука в атмосфере α, дБ/км		Ta=20,°C Pa=101.33,кПа hотн.=70%	ф-ла (5) [9]	0,02	0,09	0,33	1,12	2,79	4,98	9,04	23,09	77,63		
Учет затухания звука в атмосфере Aatm, дБ			ф-ла (8) [10]	0	0	0,1	0,4	1,1	2	3,6	9,2	31,1		
Снижение уровня звукового давления из-за влияния застройки между источником шума и расчетной точкой														
Длина звуковой волны для среднегеометрической частоты октавной полосы, λ, м				10,79	5,4	2,72	1,36	0,68	0,34	0,17	0,09	0,04		
Критерий наличия экранирования в горизонтальной плоскости	Горизонтальный размер экрана, lэкр = 89.20 м		lэкр > λ	да	да	да	да	да	да	да	да	да		
	Промежуточные точки:	Pss(x,y,z) = (404.62,40.55,10.00)	Psr(x,y,z) = (321.40,-111.30,10.00)	dss = 117.77 м		dsr = 109.70 м		e = 173.16 м		z = 0.46 м				

1			2	3	4	5	6	7	8	9	10	11	12	13
Траектория над экраном	Константа С2, учитывающая эффект отражения от земли возле экрана			40	40	40	40	40	40	40	40	40		
	Константа С3 (дифракция на кромках)		ф-ла (15) [10]	2,5	2,9	3	3	3	3	3	3	3		
	K_{met} (влияние метеоусловий)		ф-ла (18) [10]	0,3	0,3	0,3	0,3	0,3	0,3	0,3	0,3	0,3		
	Снижение УЗД, Dz, дБ		ф-ла (14) [10]	6,4	7,8	9,6	11,9	14,5	17,2	20,1	23,1	26		
Траектория слева от экрана	Промежуточные точки:	Pss(x,y,z) = (429.80,32.10,2.01)	Psr(x,y,z) = (422.02,8.93,2.23)	dss = 115.73 м		dsr = 265.12 м		e = 24.44 м		z = 5.13 м				
	Константа С2, учитывающая эффект отражения от земли возле экрана			40	40	40	40	40	40	40	40	40		
	Константа С3 (дифракция на кромках)		ф-ла (15) [10]	1,1	1,4	2	2,6	2,9	3	3	3	3		
	K_{met} (влияние метеоусловий)		ф-ла (18) [10]	1	1	1	1	1	1	1	1	1		
	Снижение УЗД, Dz, дБ		ф-ла (14) [10]	13,9	17,6	22	26	29,4	32,5	35,6	38,6	41,6		
Траектория справа от экрана	Промежуточные точки:	Pss(x,y,z) = (442.95,203.93,0.60)	Psr(x,y,z) = (425.88,209.66,0.63)	dss = 63.06 м		dsr = 445.68 м		e = 18.00 м		z = 126.57 м				
	Константа С2, учитывающая эффект отражения от земли возле экрана			40	40	40	40	40	40	40	40	40		
	Константа С3 (дифракция на кромках)		ф-ла (15) [10]	1,1	1,3	1,7	2,4	2,8	2,9	3	3	3		
	K_{met} (влияние метеоусловий)		ф-ла (18) [10]	1	1	1	1	1	1	1	1	1		
	Снижение УЗД, Dz, дБ		ф-ла (14) [10]	27	30,7	35,1	39,5	43,2	46,4	49,5	52,5	55,5		
Общее снижение уровня звука препятствием Dz, дБ			Эн.сумма(-Dzi)	5,6	7,3	9,4	11,7	14,3	17,1	20	22,9	25,9		
Общее снижение уровня звука препятствием с учётом ограничения (25 дБ) для октавных полос Dz, дБ			Раздел 7.4 [10]	5,6	7,3	9,4	11,7	14,3	17,1	20	22,9	25		
Уровни звукового давления от источника ИШ-1-10 в расчётной точке днём, дБ			**ф-ла(3)[10]**	**0**	**25,9**	**25,2**	**23,8**	**20,8**	**16,8**	**8,9**	**0**	**0**	**22**	**22**
Уровни звукового давления от источника ИШ-1-10 в расчётной точке ночью, дБ			**ф-ла(3)[10]**	**0**	**25,9**	**25,2**	**23,8**	**20,8**	**16,8**	**8,9**	**0**	**0**	**22**	**22**

1			2	3	4	5	6	7	8	9	10	11	12	13
Источник шума: ИШ-1-11, координаты источника (x,y,z), м =[464.18,142.55,1.00]														
Уровни звуковой мощности источника днём, Lw, дБ			**исходные данные**	**0**	**93,3**	**94,7**	**96**	**96,3**	**95,9**	**92,6**	**88,4**	**83,9**		
Уровни звуковой мощности источника ночью, Lw, дБ			**исходные данные**	**0**	**93,3**	**94,7**	**96**	**96,3**	**95,9**	**92,6**	**88,4**	**83,9**		
Поправка на телесный угол DΩ, дБ		Ω = 6.28	10Lg(4π/Ω)	**3**	3	3	3	3	3	3	3	3		
Показатель направленности источника Di, дБ			исходные данные	**0**	0	0	0	0	0	0	0	0		
Поправка на направленность источника Dc, дБ		Dc	DΩ + Di	**3**	3	3	3	3	3	3	3	3		
Затухание из-за геометрической дивергенции, Adiv, дБ		расстояние = 400.82 м	ф-ла (7) [10]	**63,1**										
Коэффициент затухания звука в атмосфере α, дБ/км		Ta=20,°C Pa=101.33,кПа hотн.=70%	ф-ла (5) [9]	0,02	0,09	0,33	1,12	2,79	4,98	9,04	23,09	77,63		
Учет затухания звука в атмосфере Aatm, дБ			ф-ла (8) [10]	0	0	0,1	0,5	1,1	2	3,6	9,3	31,1		
Снижение уровня звукового давления из-за влияния застройки между источником шума и расчетной точкой														
Длина звуковой волны для среднегеометрической частоты октавной полосы, λ, м				10,79	5,4	2,72	1,36	0,68	0,34	0,17	0,09	0,04		
Критерий наличия экранирования в горизонтальной плоскости	Горизонтальный размер экрана, lэкр = 88.79 м		lэкр > λ	да	да	да	да	да	да	да	да	да		
Траектория над экраном	Промежуточные точки:	Pss(x,y,z) = (406.80,39.82,10.00)	Psr(x,y,z) = (322.25,-111.58,10.00)	dss = 118.01 м		dsr = 109.86 м		e = 173.41 м		z = 0.46 м				
	Константа C2, учитывающая эффект отражения от земли возле экрана			40	40	40	40	40	40	40	40	40		
	Константа C3 (дифракция на кромках)		ф-ла (15) [10]	2,5	2,9	3	3	3	3	3	3	3		
	K_{met} (влияние метеоусловий)		ф-ла (18) [10]	0,3	0,3	0,3	0,3	0,3	0,3	0,3	0,3	0,3		

1			2	3	4	5	6	7	8	9	10	11	12	13
	Снижение УЗД, Dz, дБ		ф-ла (14) [10]	6,4	7,8	9,6	11,9	14,4	17,2	20,1	23	26		
Траектория слева от экрана	Промежуточные точки:	Pss(x,y,z) = (429.80,32.10,2.02)	Psr(x,y,z) = (422.02,8.93,2.23)	dss = 115.68 м		dsr = 265.12 м		e = 24.44 м		z = 4.42 м				
	Константа С2, учитывающая эффект отражения от земли возле экрана			40	40	40	40	40	40	40	40	40		
	Константа С3 (дифракция на кромках)		ф-ла (15) [10]	1,1	1,4	2	2,6	2,9	3	3	3	3		
	K_{met} (влияние метеоусловий)		ф-ла (18) [10]	1	1	1	1	1	1	1	1	1		
	Снижение УЗД, Dz, дБ		ф-ла (14) [10]	13,3	17	21,3	25,4	28,8	31,9	34,9	38	41		
Траектория справа от экрана	Промежуточные точки:	Pss(x,y,z) = (442.95,203.93,0.61)	Psr(x,y,z) = (425.88,209.66,0.64)	dss = 64.95 м		dsr = 445.68 м		e = 18.00 м		z = 127.80 м				
	Константа С2, учитывающая эффект отражения от земли возле экрана			40	40	40	40	40	40	40	40	40		
	Константа С3 (дифракция на кромках)		ф-ла (15) [10]	1,1	1,3	1,7	2,4	2,8	2,9	3	3	3		
	K_{met} (влияние метеоусловий)		ф-ла (18) [10]	1	1	1	1	1	1	1	1	1		
	Снижение УЗД, Dz, дБ		ф-ла (14) [10]	27,1	30,8	35,1	39,6	43,2	46,5	49,5	52,6	55,6		
Общее снижение уровня звука препятствием Dz, дБ			Эн.сумма(-Dzi)	5,5	7,3	9,3	11,7	14,3	17,1	19,9	22,9	25,9		
Общее снижение уровня звука препятствием с учётом ограничения (25 дБ) для октавных полос Dz, дБ			Раздел 7.4 [10]	5,5	7,3	9,3	11,7	14,3	17,1	19,9	22,9	25		
Уровни звукового давления от источника ИШ-1-11 в расчётной точке днём, дБ			**ф-ла(3)[10]**	**0**	**25,9**	**25,2**	**23,8**	**20,8**	**16,8**	**9**	**0**	**0**	**22**	**22**
Уровни звукового давления от источника ИШ-1-11 в расчётной точке ночью, дБ			**ф-ла(3)[10]**	**0**	**25,9**	**25,2**	**23,8**	**20,8**	**16,8**	**9**	**0**	**0**	**22**	**22**
Источник шума: ИШ-1-12, координаты источника (x,y,z), м =[435.45,97.79,1.00]														
Уровни звуковой мощности источника днём, Lw, дБ			**исходные данные**	**0**	**93,3**	**94,7**	**96**	**96,3**	**95,9**	**92,6**	**88,4**	**83,9**		

1			2	3	4	5	6	7	8	9	10	11	12	13
Уровни звуковой мощности источника ночью, Lw, дБ			**исходные данные**	**0**	**93,3**	**94,7**	**96**	**96,3**	**95,9**	**92,6**	**88,4**	**83,9**		
Поправка на телесный угол DΩ, дБ	Ω = 6.28		10Lg(4π/Ω)	**3**	3	3	3	3	3	3	3	3		
Показатель направленности источника Di, дБ			исходные данные	**0**	0	0	0	0	0	0	0	0		
Поправка на направленность источника Dc, дБ	Dc		DΩ + Di	**3**	3	3	3	3	3	3	3	3		
Затухание из-за геометрической дивергенции, Adiv, дБ	расстояние = 347.75 м		ф-ла (7) [10]	**61,8**										
Коэффициент затухания звука в атмосфере α, дБ/км	Ta=20,°C Pa=101.33,кПа hотн.=70%		ф-ла (5) [9]	0,02	0,09	0,33	1,12	2,79	4,98	9,04	23,09	77,63		
Учет затухания звука в атмосфере Aatm, дБ			ф-ла (8) [10]	0	0	0,1	0,4	1	1,7	3,1	8	27		
Снижение уровня звукового давления из-за влияния застройки между источником шума и расчетной точкой														
Длина звуковой волны для среднегеометрической частоты октавной полосы, λ, м				10,79	5,4	2,72	1,36	0,68	0,34	0,17	0,09	0,04		
Критерий наличия экранирования в горизонтальной плоскости	Горизонтальный размер экрана, lэкр = 59.51 м		lэкр > λ	да	да	да	да	да	да	да	да	да		
Траектория над экраном	Промежуточные точки:	Pss(x,y,z) = (404.25,40.68,10.00)	Psr(x,y,z) = (321.26,-111.25,10.00)	dss = 65.70 м		dsr = 109.67 м		e = 173.12 м		z = 0.73 м				
	Константа C2, учитывающая эффект отражения от земли возле экрана			40	40	40	40	40	40	40	40	40		
	Константа C3 (дифракция на кромках)		ф-ла (15) [10]	2,5	2,9	3	3	3	3	3	3	3		
	K_{met} (влияние метеоусловий)		ф-ла (18) [10]	0,5	0,5	0,5	0,5	0,5	0,5	0,5	0,5	0,5		
	Снижение УЗД, Dz, дБ		ф-ла (14) [10]	8,2	10,5	12,9	15,6	18,5	21,4	24,4	27,3	30,3		
	Промежуточные точки:	Pss(x,y,z) = (429.80,32.10,1.62)	Psr(x,y,z) = (422.02,8.93,1.87)	dss = 65.94 м		dsr = 265.12 м		e = 24.44 м		z = 7.75 м				
	Константа C2, учитывающая эффект отражения от земли возле экрана			40	40	40	40	40	40	40	40	40		

1			2	3	4	5	6	7	8	9	10	11	12	13
Траектория слева от экрана	Константа С3 (дифракция на кромках)		ф-ла (15) [10]	1,1	1,4	2	2,6	2,9	3	3	3	3		
	K_{met} (влияние метеоусловий)		ф-ла (18) [10]	1	1	1	1	1	1	1	1	1		
	Снижение УЗД, Dz, дБ		ф-ла (14) [10]	15,5	19,3	23,7	27,8	31,2	34,3	37,4	40,4	43,4		
Траектория справа от экрана	Промежуточные точки:	Pss(x,y,z) = (372.50,51.33,1.73)	Psr(x,y,z) = (372.50,51.33,1.73)	dss = 78.24 м		dsr = 278.76 м		e = 0.00 м		z = 9.24 м				
	Константа С2, учитывающая эффект отражения от земли возле экрана			40	40	40	40	40	40	40	40	40		
	Константа С3 (дифракция на кромках)		ф-ла (15) [10]	1	1	1	1	1	1	1	1	1		
	K_{met} (влияние метеоусловий)		ф-ла (18) [10]	1	1	1	1	1	1	1	1	1		
	Снижение УЗД, Dz, дБ		ф-ла (14) [10]	15,7	18,5	21,4	24,4	27,4	30,4	33,4	36,4	39,4		
Общее снижение уровня звука препятствием Dz, дБ			Эн.сумма(-Dzi)	6,9	9,4	12,1	14,9	17,7	20,7	23,7	26,6	29,6		
Общее снижение уровня звука препятствием с учётом ограничения (25 дБ) для октавных полос Dz, дБ			Раздел 7.4 [10]	6,9	9,4	12,1	14,9	17,7	20,7	23,7	25	25		
Уровни звукового давления от источника ИШ-1-12 в расчётной точке днём, дБ			**ф-ла(3)[10]**	**0**	**25,1**	**23,7**	**21,9**	**18,8**	**14,7**	**7**	**0**	**0**	**20**	**20**
Уровни звукового давления от источника ИШ-1-12 в расчётной точке ночью, дБ			**ф-ла(3)[10]**	**0**	**25,1**	**23,7**	**21,9**	**18,8**	**14,7**	**7**	**0**	**0**	**20**	**20**
Источник шума: ИШ-1-13, координаты источника (x,y,z), м =[438.77,96.82,1.00]														
Уровни звуковой мощности источника днём, Lw, дБ			**исходные данные**	**0**	**93,3**	**94,7**	**96**	**96,3**	**95,9**	**92,6**	**88,4**	**83,9**		
Уровни звуковой мощности источника ночью, Lw, дБ			**исходные данные**	**0**	**93,3**	**94,7**	**96**	**96,3**	**95,9**	**92,6**	**88,4**	**83,9**		
Поправка на телесный угол DΩ, дБ		Ω = 6.28	10Lg(4π/Ω)	**3**	3	3	3	3	3	3	3	3		
Показатель направленности источника Di, дБ			исходные данные	**0**	0	0	0	0	0	0	0	0		

1			2	3	4	5	6	7	8	9	10	11	12	13
Поправка на направленность источника Dc, дБ	Dc		DΩ + Di	**3**	3	3	3	3	3	3	3	3		
Затухание из-за геометрической дивергенции, Adiv, дБ	расстояние = 348.50 м		ф-ла (7) [10]	**61,8**										
Коэффициент затухания звука в атмосфере α, дБ/км	Ta=20,°C Pa=101.33,кПа hотн.=70%		ф-ла (5) [9]	0,02	0,09	0,33	1,12	2,79	4,98	9,04	23,09	77,63		
Учет затухания звука в атмосфере Aatm, дБ			ф-ла (8) [10]	0	0	0,1	0,4	1	1,7	3,2	8	27,1		
Снижение уровня звукового давления из-за влияния застройки между источником шума и расчетной точкой														
Длина звуковой волны для среднегеометрической частоты октавной полосы, λ, м				10,79	5,4	2,72	1,36	0,68	0,34	0,17	0,09	0,04		
Критерий наличия экранирования в горизонтальной плоскости	Горизонтальный размер экрана, lэкр = 59.40 м		lэкр > λ	да	да	да	да	да	да	да	да	да		
Траектория над экраном	Промежуточные точки:	Pss(x,y,z) = (406.90,39.79,10.00)	Psr(x,y,z) = (322.29,-111.59,10.00)	dss = 65.95 м		dsr = 109.86 м		e = 173.42 м		z = 0.73 м				
	Константа C2, учитывающая эффект отражения от земли возле экрана			40	40	40	40	40	40	40	40	40		
	Константа C3 (дифракция на кромках)		ф-ла (15) [10]	2,5	2,9	3	3	3	3	3	3	3		
	K_{met} (влияние метеоусловий)		ф-ла (18) [10]	0,5	0,5	0,5	0,5	0,5	0,5	0,5	0,5	0,5		
	Снижение УЗД, Dz, дБ		ф-ла (14) [10]	8,2	10,4	12,9	15,6	18,4	21,4	24,3	27,3	30,3		
Траектория слева от экрана	Промежуточные точки:	Pss(x,y,z) = (429.80,32.10,1.63)	Psr(x,y,z) = (422.02,8.93,1.88)	dss = 65.34 м		dsr = 265.12 м		e = 24.44 м		z = 6.40 м				
	Константа C2, учитывающая эффект отражения от земли возле экрана			40	40	40	40	40	40	40	40	40		
	Константа C3 (дифракция на кромках)		ф-ла (15) [10]	1,1	1,4	2	2,6	2,9	3	3	3	3		
	K_{met} (влияние метеоусловий)		ф-ла (18) [10]	1	1	1	1	1	1	1	1	1		
	Снижение УЗД, Dz, дБ		ф-ла (14) [10]	14,7	18,5	22,9	27	30,4	33,5	36,5	39,6	42,6		

1			2	3	4	5	6	7	8	9	10	11	12	13
Траектория справа от экрана	Промежуточные точки:	Pss(x,y,z) = (372.50,51.33,1.74)	Psr(x,y,z) = (372.50,51.33,1.74)	dss = 80.38 м		dsr = 278.76 м		e = 0.00 м		z = 10.63 м				
	Константа C2, учитывающая эффект отражения от земли возле экрана			40	40	40	40	40	40	40	40	40		
	Константа C3 (дифракция на кромках)		ф-ла (15) [10]	1	1	1	1	1	1	1	1	1		
	K_{met} (влияние метеоусловий)		ф-ла (18) [10]	1	1	1	1	1	1	1	1	1		
	Снижение УЗД, Dz, дБ		ф-ла (14) [10]	16,3	19,1	22	25	28	31	34	37	40		
Общее снижение уровня звука препятствием Dz, дБ			Эн.сумма(-Dzi)	6,8	9,3	12	14,9	17,7	20,7	23,6	26,6	29,6		
Общее снижение уровня звука препятствием с учётом ограничения (25 дБ) для октавных полос Dz, дБ			Раздел 7.4 [10]	6,8	9,3	12	14,9	17,7	20,7	23,6	25	25		
Уровни звукового давления от источника ИШ-1-13 в расчётной точке днём, дБ			**ф-ла(3)[10]**	**0**	**25,1**	**23,7**	**21,9**	**18,7**	**14,6**	**6,9**	**0**	**0**	**20**	**20**
Уровни звукового давления от источника ИШ-1-13 в расчётной точке ночью, дБ			**ф-ла(3)[10]**	**0**	**25,1**	**23,7**	**21,9**	**18,7**	**14,6**	**6,9**	**0**	**0**	**20**	**20**
Источник шума: ИШ-1-14, координаты источника (x,y,z), м =[441.70,96.03,1.00]														
Уровни звуковой мощности источника днём, Lw, дБ			**исходные данные**	**0**	**93,3**	**94,7**	**96**	**96,3**	**95,9**	**92,6**	**88,4**	**83,9**		
Уровни звуковой мощности источника ночью, Lw, дБ			**исходные данные**	**0**	**93,3**	**94,7**	**96**	**96,3**	**95,9**	**92,6**	**88,4**	**83,9**		
Поправка на телесный угол DΩ, дБ		Ω = 6.28	10Lg(4π/Ω)	**3**	3	3	3	3	3	3	3	3		
Показатель направленности источника Di, дБ			исходные данные	**0**	0	0	0	0	0	0	0	0		
Поправка на направленность источника Dc, дБ		Dc	DΩ + Di	**3**	3	3	3	3	3	3	3	3		
Затухание из-за геометрической дивергенции, Adiv, дБ		расстояние = 349.26 м	ф-ла (7) [10]	**61,9**										
Коэффициент затухания звука в атмосфере α, дБ/км		Ta=20,°C Pa=101.33,кПа hотн.=70%	ф-ла (5) [9]	0,02	0,09	0,33	1,12	2,79	4,98	9,04	23,09	77,63		

1			2	3	4	5	6	7	8	9	10	11	12	13
Учет затухания звука в атмосфере Aatm, дБ			ф-ла (8) [10]	0	0	0,1	0,4	1	1,7	3,2	8,1	27,1		
Снижение уровня звукового давления из-за влияния застройки между источником шума и расчетной точкой														
Длина звуковой волны для среднегеометрической частоты октавной полосы, λ, м				10,79	5,4	2,72	1,36	0,68	0,34	0,17	0,09	0,04		
Критерий наличия экранирования в горизонтальной плоскости	Горизонтальный размер экрана, lэкр = 59.31 м		lэкр > λ	да	да	да	да	да	да	да	да	да		
Траектория над экраном	Промежуточные точки:	Pss(x,y,z) = (409.20,39.01,10.00)	Psr(x,y,z) = (323.18,-111.89,10.00)	dss = 66.25 м		dsr = 110.04 м		e = 173.70 м		z = 0.73 м				
	Константа C2, учитывающая эффект отражения от земли возле экрана			40	40	40	40	40	40	40	40	40		
	Константа C3 (дифракция на кромках)		ф-ла (15) [10]	2,6	2,9	3	3	3	3	3	3	3		
	K_{met} (влияние метеоусловий)		ф-ла (18) [10]	0,5	0,5	0,5	0,5	0,5	0,5	0,5	0,5	0,5		
	Снижение УЗД, Dz, дБ		ф-ла (14) [10]	8,2	10,4	12,9	15,6	18,4	21,3	24,3	27,3	30,3		
Траектория слева от экрана	Промежуточные точки:	Pss(x,y,z) = (429.80,32.10,1.63)	Psr(x,y,z) = (422.02,8.93,1.88)	dss = 65.04 м		dsr = 265.12 м		e = 24.44 м		z = 5.34 м				
	Константа C2, учитывающая эффект отражения от земли возле экрана			40	40	40	40	40	40	40	40	40		
	Константа C3 (дифракция на кромках)		ф-ла (15) [10]	1,1	1,4	2	2,6	2,9	3	3	3	3		
	K_{met} (влияние метеоусловий)		ф-ла (18) [10]	1	1	1	1	1	1	1	1	1		
	Снижение УЗД, Dz, дБ		ф-ла (14) [10]	14	17,7	22,1	26,2	29,6	32,7	35,8	38,8	41,8		
Траектория справа от экрана	Промежуточные точки:	Pss(x,y,z) = (372.50,51.33,1.75)	Psr(x,y,z) = (372.50,51.33,1.75)	dss = 82.39 м		dsr = 278.76 м		e = 0.00 м		z = 11.88 м				
	Константа C2, учитывающая эффект отражения от земли возле экрана			40	40	40	40	40	40	40	40	40		
	Константа C3 (дифракция на кромках)		ф-ла (15) [10]	1	1	1	1	1	1	1	1	1		

1		2	3	4	5	6	7	8	9	10	11	12	13
	K_{met} (влияние метеоусловий)	ф-ла (18) [10]	1	1	1	1	1	1	1	1	1		
	Снижение УЗД, Dz, дБ	ф-ла (14) [10]	16,7	19,6	22,5	25,5	28,5	31,5	34,5	37,5	40,5		
Общее снижение уровня звука препятствием Dz, дБ		Эн.сумма(-Dzi)	6,7	9,3	12	14,8	17,7	20,6	23,6	26,6	29,6		
Общее снижение уровня звука препятствием с учётом ограничения (25 дБ) для октавных полос Dz, дБ		Раздел 7.4 [10]	6,7	9,3	12	14,8	17,7	20,6	23,6	25	25		
Уровни звукового давления от источника ИШ-1-14 в расчётной точке днём, дБ		**ф-ла(3)[10]**	**0**	**25,1**	**23,7**	**21,9**	**18,7**	**14,6**	**7**	**0**	**0**	**20**	**20**
Уровни звукового давления от источника ИШ-1-14 в расчётной точке ночью, дБ		**ф-ла(3)[10]**	**0**	**25,1**	**23,7**	**21,9**	**18,7**	**14,6**	**7**	**0**	**0**	**20**	**20**
Источник шума: ИШ-1-15, координаты источника (x,y,z), м =[445.03,95.25,1.00]													
Уровни звуковой мощности источника днём, Lw, дБ		**исходные данные**	**0**	**93,3**	**94,7**	**96**	**96,3**	**95,9**	**92,6**	**88,4**	**83,9**		
Уровни звуковой мощности источника ночью, Lw, дБ		**исходные данные**	**0**	**93,3**	**94,7**	**96**	**96,3**	**95,9**	**92,6**	**88,4**	**83,9**		
Поправка на телесный угол DΩ, дБ	Ω = 6.28	10Lg(4π/Ω)	**3**	3	3	3	3	3	3	3	3		
Показатель направленности источника Di, дБ		исходные данные	**0**	0	0	0	0	0	0	0	0		
Поправка на направленность источника Dc, дБ	Dc	DΩ + Di	**3**	3	3	3	3	3	3	3	3		
Затухание из-за геометрической дивергенции, Adiv, дБ	расстояние = 350.25 м	ф-ла (7) [10]	**61,9**										
Коэффициент затухания звука в атмосфере α, дБ/км	Ta=20,°C Pa=101.33,кПа hотн.=70%	ф-ла (5) [9]	0,02	0,09	0,33	1,12	2,79	4,98	9,04	23,09	77,63		
Учет затухания звука в атмосфере Aatm, дБ		ф-ла (8) [10]	0	0	0,1	0,4	1	1,7	3,2	8,1	27,2		
Снижение уровня звукового давления из-за влияния застройки между источником шума и расчетной точкой													

1			2	3	4	5	6	7	8	9	10	11	12	13
Длина звуковой волны для среднегеометрической частоты октавной полосы, λ, м				10,79	5,4	2,72	1,36	0,68	0,34	0,17	0,09	0,04		
Критерий наличия экранирования в горизонтальной плоскости	Горизонтальный размер экрана, lэкр = 59.19 м		lэкр > λ	да	да	да	да	да	да	да	да	да		
Траектория над экраном	Промежуточные точки:	Pss(x,y,z) = (411.77,38.15,10.00)	Psr(x,y,z) = (324.17,-112.23,10.00)	dss = 66.69 м		dsr = 110.25 м		e = 174.03 м		z = 0.72 м				
	Константа C2, учитывающая эффект отражения от земли возле экрана			40	40	40	40	40	40	40	40	40		
	Константа C3 (дифракция на кромках)		ф-ла (15) [10]	2,6	2,9	3	3	3	3	3	3	3		
	K_{met} (влияние метеоусловий)		ф-ла (18) [10]	0,5	0,5	0,5	0,5	0,5	0,5	0,5	0,5	0,5		
	Снижение УЗД, Dz, дБ		ф-ла (14) [10]	8,1	10,4	12,8	15,5	18,4	21,3	24,2	27,2	30,2		
Траектория слева от экрана	Промежуточные точки:	Pss(x,y,z) = (429.80,32.10,1.64)	Psr(x,y,z) = (422.02,8.93,1.89)	dss = 64.97 м		dsr = 265.12 м		e = 24.44 м		z = 4.28 м				
	Константа C2, учитывающая эффект отражения от земли возле экрана			40	40	40	40	40	40	40	40	40		
	Константа C3 (дифракция на кромках)		ф-ла (15) [10]	1,1	1,4	2	2,6	2,9	3	3	3	3		
	K_{met} (влияние метеоусловий)		ф-ла (18) [10]	1	1	1	1	1	1	1	1	1		
	Снижение УЗД, Dz, дБ		ф-ла (14) [10]	13,2	16,8	21,2	25,2	28,6	31,8	34,8	37,8	40,8		
Траектория справа от экрана	Промежуточные точки:	Pss(x,y,z) = (372.50,51.33,1.77)	Psr(x,y,z) = (372.50,51.33,1.77)	dss = 84.79 м		dsr = 278.76 м		e = 0.00 м		z = 13.30 м				
	Константа C2, учитывающая эффект отражения от земли возле экрана			40	40	40	40	40	40	40	40	40		
	Константа C3 (дифракция на кромках)		ф-ла (15) [10]	1	1	1	1	1	1	1	1	1		
	K_{met} (влияние метеоусловий)		ф-ла (18) [10]	1	1	1	1	1	1	1	1	1		
	Снижение УЗД, Dz, дБ		ф-ла (14) [10]	17,2	20,1	23	26	29	32	35	38	41		
Общее снижение уровня звука препятствием Dz, дБ			Эн.сумма(-Dzi)	6,6	9,1	11,9	14,7	17,6	20,6	23,5	26,5	29,5		

1			2	3	4	5	6	7	8	9	10	11	12	13
Общее снижение уровня звука препятствием с учётом ограничения (25 дБ) для октавных полос Dz, дБ			Раздел 7.4 [10]	6,6	9,1	11,9	14,7	17,6	20,6	23,5	25	25		
Уровни звукового давления от источника ИШ-1-15 в расчётной точке днём, дБ			**ф-ла(3)[10]**	**0**	**25,2**	**23,8**	**22**	**18,8**	**14,7**	**7**	**0**	**0**	**20**	**20**
Уровни звукового давления от источника ИШ-1-15 в расчётной точке ночью, дБ			**ф-ла(3)[10]**	**0**	**25,2**	**23,8**	**22**	**18,8**	**14,7**	**7**	**0**	**0**	**20**	**20**
Источник шума: ИШ-1-16, координаты источника (x,y,z), м =[447.96,94.28,1.00]														
Уровни звуковой мощности источника днём, Lw, дБ			**исходные данные**	**0**	**93,3**	**94,7**	**96**	**96,3**	**95,9**	**92,6**	**88,4**	**83,9**		
Уровни звуковой мощности источника ночью, Lw, дБ			**исходные данные**	**0**	**93,3**	**94,7**	**96**	**96,3**	**95,9**	**92,6**	**88,4**	**83,9**		
Поправка на телесный угол DΩ, дБ		Ω = 6.28	10Lg(4π/Ω)	**3**	3	3	3	3	3	3	3	3		
Показатель направленности источника Di, дБ			исходные данные	**0**	0	0	0	0	0	0	0	0		
Поправка на направленность источника Dc, дБ		Dc	DΩ + Di	**3**	3	3	3	3	3	3	3	3		
Затухание из-за геометрической дивергенции, Adiv, дБ		расстояние = 350.89 м	ф-ла (7) [10]	**61,9**										
Коэффициент затухания звука в атмосфере α, дБ/км		Ta=20,°C Pa=101.33,кПа hотн.=70%	ф-ла (5) [9]	0,02	0,09	0,33	1,12	2,79	4,98	9,04	23,09	77,63		
Учет затухания звука в атмосфере Aatm, дБ			ф-ла (8) [10]	0	0	0,1	0,4	1	1,7	3,2	8,1	27,2		
Снижение уровня звукового давления из-за влияния застройки между источником шума и расчетной точкой														
Длина звуковой волны для среднегеометрической частоты октавной полосы, λ, м				10,79	5,4	2,72	1,36	0,68	0,34	0,17	0,09	0,04		
Критерий наличия экранирования в горизонтальной плоскости	Горизонтальный размер экрана, lэкр = 59.09 м		lэкр > λ	да	да	да	да	да	да	да	да	да		
	Промежуточные точки:	Pss(x,y,z) = (414.14,37.36,10.00)	Psr(x,y,z) = (325.09,-112.54,10.00)	dss = 66.82 м		dsr = 110.45 м		e = 174.35 м		z = 0.72 м				

1			2	3	4	5	6	7	8	9	10	11	12	13
Траектория над экраном	Константа С2, учитывающая эффект отражения от земли возле экрана			40	40	40	40	40	40	40	40	40		
	Константа С3 (дифракция на кромках)		ф-ла (15) [10]	2,6	2,9	3	3	3	3	3	3	3		
	K_{met} (влияние метеоусловий)		ф-ла (18) [10]	0,5	0,5	0,5	0,5	0,5	0,5	0,5	0,5	0,5		
	Снижение УЗД, Dz, дБ		ф-ла (14) [10]	8,1	10,4	12,8	15,5	18,3	21,3	24,2	27,2	30,2		
Траектория слева от экрана	Промежуточные точки:	Pss(x,y,z) = (429.80,32.10,1.64)	Psr(x,y,z) = (422.02,8.93,1.89)	dss = 64.78 м		dsr = 265.12 м		e = 24.44 м		z = 3.45 м				
	Константа С2, учитывающая эффект отражения от земли возле экрана			40	40	40	40	40	40	40	40	40		
	Константа С3 (дифракция на кромках)		ф-ла (15) [10]	1,1	1,4	2	2,6	2,9	3	3	3	3		
	K_{met} (влияние метеоусловий)		ф-ла (18) [10]	1	1	1	1	1	1	1	1	1		
	Снижение УЗД, Dz, дБ		ф-ла (14) [10]	12,4	16	20,3	24,3	27,7	30,8	33,9	36,9	39,9		
Траектория справа от экрана	Промежуточные точки:	Pss(x,y,z) = (372.50,51.33,1.77)	Psr(x,y,z) = (372.50,51.33,1.77)	dss = 86.82 м		dsr = 278.76 м		e = 0.00 м		z = 14.69 м				
	Константа С2, учитывающая эффект отражения от земли возле экрана			40	40	40	40	40	40	40	40	40		
	Константа С3 (дифракция на кромках)		ф-ла (15) [10]	1	1	1	1	1	1	1	1	1		
	K_{met} (влияние метеоусловий)		ф-ла (18) [10]	1	1	1	1	1	1	1	1	1		
	Снижение УЗД, Dz, дБ		ф-ла (14) [10]	17,6	20,5	23,4	26,4	29,4	32,4	35,4	38,4	41,4		
Общее снижение уровня звука препятствием Dz, дБ			Эн.сумма(-Dzi)	6,4	9	11,8	14,7	17,6	20,5	23,5	26,5	29,5		
Общее снижение уровня звука препятствием с учётом ограничения (25 дБ) для октавных полос Dz, дБ			Раздел 7.4 [10]	6,4	9	11,8	14,7	17,6	20,5	23,5	25	25		
Уровни звукового давления от источника ИШ-1-16 в расчётной точке днём, дБ			**ф-ла(3)[10]**	**0**	**25,4**	**23,9**	**22**	**18,8**	**14,7**	**7**	**0**	**0**	**20,1**	**20,1**
Уровни звукового давления от источника ИШ-1-16 в расчётной точке ночью, дБ			**ф-ла(3)[10]**	**0**	**25,4**	**23,9**	**22**	**18,8**	**14,7**	**7**	**0**	**0**	**20,1**	**20,1**

1			2	3	4	5	6	7	8	9	10	11	12	13
Источник шума: ИШ-1-17, координаты источника (x,y,z), м =[540.99,141.77,1.00]														
Уровни звуковой мощности источника днём, Lw, дБ			**исходные данные**	**0**	**93,3**	**94,7**	**96**	**96,3**	**95,9**	**92,6**	**88,4**	**83,9**		
Уровни звуковой мощности источника ночью, Lw, дБ			**исходные данные**	**0**	**93,3**	**94,7**	**96**	**96,3**	**95,9**	**92,6**	**88,4**	**83,9**		
Поправка на телесный угол DΩ, дБ		Ω = 6.28	10Lg(4π/Ω)	**3**	3	3	3	3	3	3	3	3		
Показатель направленности источника Di, дБ			исходные данные	**0**	0	0	0	0	0	0	0	0		
Поправка на направленность источника Dc, дБ		Dc	DΩ + Di	**3**	3	3	3	3	3	3	3	3		
Затухание из-за геометрической дивергенции, Adiv, дБ		расстояние = 442.76 м	ф-ла (7) [10]	**63,9**										
Коэффициент затухания звука в атмосфере α, дБ/км		Ta=20,°C Pa=101.33,кПа hотн.=70%	ф-ла (5) [9]	0,02	0,09	0,33	1,12	2,79	4,98	9,04	23,09	77,63		
Учет затухания звука в атмосфере Aatm, дБ			ф-ла (8) [10]	0	0	0,1	0,5	1,2	2,2	4	10,2	34,4		
Снижение уровня звукового давления из-за влияния застройки между источником шума и расчетной точкой														
Длина звуковой волны для среднегеометрической частоты октавной полосы, λ, м				10,79	5,4	2,72	1,36	0,68	0,34	0,17	0,09	0,04		
Критерий наличия экранирования в горизонтальной плоскости	Горизонтальный размер экрана, lэкр = 48.01 м		lэкр > λ	да	да	да	да	да	да	да	да	да		
Траектория над экраном	Промежуточные точки:	Pss(x,y,z) = (491.47,78.26,10.00)	Psr(x,y,z) = (472.82,54.34,10.00)	dss = 81.04 м		dsr = 331.92 м		e = 30.32 м		z = 0.53 м				
	Константа C2, учитывающая эффект отражения от земли возле экрана			40	40	40	40	40	40	40	40	40		
	Константа C3 (дифракция на кромках)		ф-ла (15) [10]	1,2	1,6	2,2	2,7	2,9	3	3	3	3		
	K_{met} (влияние метеоусловий)		ф-ла (18) [10]	0,2	0,2	0,2	0,2	0,2	0,2	0,2	0,2	0,2		

1			2	3	4	5	6	7	8	9	10	11	12	13
	Снижение УЗД, Dz, дБ		ф-ла (14) [10]	5,4	6,2	8	10,4	13	15,8	18,6	21,6	24,5		
Траектория слева от экрана	Промежуточные точки:	Pss(x,y,z) = (482.37,51.14,1.87)	Psr(x,y,z) = (482.37,51.14,1.87)	dss = 107.94 м		dsr = 335.37 м		e = 0.00 м		z = 0.55 м				
	Константа С2, учитывающая эффект отражения от земли возле экрана			40	40	40	40	40	40	40	40	40		
	Константа С3 (дифракция на кромках)		ф-ла (15) [10]	1	1	1	1	1	1	1	1	1		
	K_{met} (влияние метеоусловий)		ф-ла (18) [10]	1	1	1	1	1	1	1	1	1		
	Снижение УЗД, Dz, дБ		ф-ла (14) [10]	7	8,5	10,5	12,8	15,5	18,3	21,2	24,2	27,2		
Траектория справа от экрана	Промежуточные точки:	Pss(x,y,z) = (524.47,176.56,0.86)	Psr(x,y,z) = (425.88,209.66,1.14)	dss = 38.51 м		dsr = 445.67 м		e = 104.00 м		z = 145.43 м				
	Константа С2, учитывающая эффект отражения от земли возле экрана			40	40	40	40	40	40	40	40	40		
	Константа С3 (дифракция на кромках)		ф-ла (15) [10]	2,1	2,7	2,9	3	3	3	3	3	3		
	K_{met} (влияние метеоусловий)		ф-ла (18) [10]	1	1	1	1	1	1	1	1	1		
	Снижение УЗД, Dz, дБ		ф-ла (14) [10]	30,6	34,6	37,9	41	44,1	47,1	50,1	53,1	56,1		
Общее снижение уровня звука препятствием Dz, дБ			Эн.сумма(-Dzi)	3,1	4,2	6	8,5	11,1	13,9	16,7	19,7	22,6		
Уровни звукового давления от источника ИШ-1-17 в расчётной точке днём, дБ			**ф-ла(3)[10]**	**0**	**28,1**	**27,6**	**26,1**	**23**	**18,9**	**10,9**	**0**	**0**	**24,2**	**24,2**
Уровни звукового давления от источника ИШ-1-17 в расчётной точке ночью, дБ			**ф-ла(3)[10]**	**0**	**28,1**	**27,6**	**26,1**	**23**	**18,9**	**10,9**	**0**	**0**	**24,2**	**24,2**
Источник шума: ИШ-1-18, координаты источника (x,y,z), м =[543.53,140.79,1.00]														
Уровни звуковой мощности источника днём, Lw, дБ			**исходные данные**	**0**	**93,3**	**94,7**	**96**	**96,3**	**95,9**	**92,6**	**88,4**	**83,9**		
Уровни звуковой мощности источника ночью, Lw, дБ			**исходные данные**	**0**	**93,3**	**94,7**	**96**	**96,3**	**95,9**	**92,6**	**88,4**	**83,9**		

1			2	3	4	5	6	7	8	9	10	11	12	13
Поправка на телесный угол DΩ, дБ		Ω = 6.28	10Lg(4π/Ω)	**3**	3	3	3	3	3	3	3	3		
Показатель направленности источника Di, дБ			исходные данные	**0**	0	0	0	0	0	0	0	0		
Поправка на направленность источника Dc, дБ		Dc	DΩ + Di	**3**	3	3	3	3	3	3	3	3		
Затухание из-за геометрической дивергенции, Adiv, дБ		расстояние = 443.56 м	ф-ла (7) [10]	**63,9**										
Коэффициент затухания звука в атмосфере α, дБ/км		Ta=20,°C Pa=101.33,кПа hотн.=70%	ф-ла (5) [9]	0,02	0,09	0,33	1,12	2,79	4,98	9,04	23,09	77,63		
Учет затухания звука в атмосфере Aatm, дБ			ф-ла (8) [10]	0	0	0,1	0,5	1,2	2,2	4	10,2	34,4		
Снижение уровня звукового давления из-за влияния застройки между источником шума и расчетной точкой														
Длина звуковой волны для среднегеометрической частоты октавной полосы, λ, м				10,79	5,4	2,72	1,36	0,68	0,34	0,17	0,09	0,04		
Критерий наличия экранирования в горизонтальной плоскости	Горизонтальный размер экрана, lэкр = 48.06 м		lэкр > λ	да	да	да	да	да	да	да	да	да		
Траектория над экраном	Промежуточные точки:	Pss(x,y,z) = (489.46,72.28,10.00)	Psr(x,y,z) = (474.79,53.68,10.00)	dss = 87.74 м		dsr = 332.62 м		e = 23.69 м		z = 0.49 м				
	Константа C2, учитывающая эффект отражения от земли возле экрана			40	40	40	40	40	40	40	40	40		
	Константа C3 (дифракция на кромках)		ф-ла (15) [10]	1,1	1,4	2	2,6	2,9	3	3	3	3		
	K_{met} (влияние метеоусловий)		ф-ла (18) [10]	0,2	0,2	0,2	0,2	0,2	0,2	0,2	0,2	0,2		
	Снижение УЗД, Dz, дБ		ф-ла (14) [10]	5,2	5,8	7,3	9,6	12,2	14,9	17,7	20,7	23,6		
Траектория слева от экрана	Промежуточные точки:	Pss(x,y,z) = (482.37,51.14,1.88)	Psr(x,y,z) = (482.37,51.14,1.88)	dss = 108.54 м		dsr = 335.37 м		e = 0.00 м		z = 0.35 м				
	Константа C2, учитывающая эффект отражения от земли возле экрана			40	40	40	40	40	40	40	40	40		
	Константа C3 (дифракция на кромках)		ф-ла (15) [10]	1	1	1	1	1	1	1	1	1		

1			2	3	4	5	6	7	8	9	10	11	12	13
	K_{met} (влияние метеоусловий)		ф-ла (18) [10]	1	1	1	1	1	1	1	1	1		
	Снижение УЗД, Dz, дБ		ф-ла (14) [10]	6,3	7,5	9,1	11,2	13,7	16,4	19,3	22,2	25,2		
Траектория справа от экрана	Промежуточные точки:	Pss(x,y,z) = (524.47,176.56,0.87)	Psr(x,y,z) = (425.88,209.66,1.15)	dss = 40.53 м		dsr = 445.67 м		e = 104.00 м		z = 146.64 м				
	Константа C2, учитывающая эффект отражения от земли возле экрана			40	40	40	40	40	40	40	40	40		
	Константа C3 (дифракция на кромках)		ф-ла (15) [10]	2,1	2,7	2,9	3	3	3	3	3	3		
	K_{met} (влияние метеоусловий)		ф-ла (18) [10]	1	1	1	1	1	1	1	1	1		
	Снижение УЗД, Dz, дБ		ф-ла (14) [10]	30,6	34,6	38	41,1	44,1	47,1	50,1	53,2	56,2		
Общее снижение уровня звука препятствием Dz, дБ			Эн.сумма(-Dzi)	2,7	3,6	5,1	7,3	9,9	12,6	15,4	18,3	21,3		
Уровни звукового давления от источника ИШ-1-18 в расчётной точке днём, дБ			**ф-ла(3)[10]**	**0**	**28,8**	**28,5**	**27,2**	**24,2**	**20,2**	**12,2**	**0**	**0**	**25,4**	**25,4**
Уровни звукового давления от источника ИШ-1-18 в расчётной точке ночью, дБ			**ф-ла(3)[10]**	**0**	**28,8**	**28,5**	**27,2**	**24,2**	**20,2**	**12,2**	**0**	**0**	**25,4**	**25,4**
Источник шума: ИШ-1-19, координаты источника (x,y,z), м =[547.25,139.62,1.00]														
Уровни звуковой мощности источника днём, Lw, дБ			**исходные данные**	**0**	**93,3**	**94,7**	**96**	**96,3**	**95,9**	**92,6**	**88,4**	**83,9**		
Уровни звуковой мощности источника ночью, Lw, дБ			**исходные данные**	**0**	**93,3**	**94,7**	**96**	**96,3**	**95,9**	**92,6**	**88,4**	**83,9**		
Поправка на телесный угол DΩ, дБ		Ω = 6.28	10Lg(4π/Ω)	**3**	3	3	3	3	3	3	3	3		
Показатель направленности источника Di, дБ			исходные данные	**0**	0	0	0	0	0	0	0	0		
Поправка на направленность источника Dc, дБ		Dc	DΩ + Di	**3**	3	3	3	3	3	3	3	3		
Затухание из-за геометрической дивергенции, Adiv, дБ		расстояние = 444.95 м	ф-ла (7) [10]	**64**										

1			2	3	4	5	6	7	8	9	10	11	12	13
Коэффициент затухания звука в атмосфере α, дБ/км	Ta=20,°C Pa=101.33,кПа hотн.=70%		ф-ла (5) [9]	0,02	0,09	0,33	1,12	2,79	4,98	9,04	23,09	77,63		
Учет затухания звука в атмосфере Aatm, дБ			ф-ла (8) [10]	0	0	0,1	0,5	1,2	2,2	4	10,3	34,5		
Снижение уровня звукового давления из-за влияния застройки между источником шума и расчетной точкой														
Длина звуковой волны для среднегеометрической частоты октавной полосы, λ, м				10,79	5,4	2,72	1,36	0,68	0,34	0,17	0,09	0,04		
Критерий наличия экранирования в горизонтальной плоскости	Горизонтальный размер экрана, lэкр = 48.18 м		lэкр > λ	да	да	да	да	да	да	да	да	да		
Траектория над экраном	Промежуточные точки:	Pss(x,y,z) = (486.78,64.27,10.00)	Psr(x,y,z) = (477.54,52.76,10.00)	dss = 97.03 м		dsr = 333.61 м		e = 14.76 м		z = 0.45 м				
	Константа C2, учитывающая эффект отражения от земли возле экрана			40	40	40	40	40	40	40	40	40		
	Константа C3 (дифракция на кромках)		ф-ла (15) [10]	1	1,2	1,6	2,2	2,7	2,9	3	3	3		
	K_{met} (влияние метеоусловий)		ф-ла (18) [10]	0,1	0,1	0,1	0,1	0,1	0,1	0,1	0,1	0,1		
	Снижение УЗД, Dz, дБ		ф-ла (14) [10]	5,1	5,5	6,4	8,4	11	13,7	16,6	19,4	22,4		
Траектория слева от экрана	Промежуточные точки:	Pss(x,y,z) = (482.37,51.14,1.89)	Psr(x,y,z) = (482.37,51.14,1.89)	dss = 109.72 м		dsr = 335.37 м		e = 0.00 м		z = 0.14 м				
	Константа C2, учитывающая эффект отражения от земли возле экрана			40	40	40	40	40	40	40	40	40		
	Константа C3 (дифракция на кромках)		ф-ла (15) [10]	1	1	1	1	1	1	1	1	1		
	K_{met} (влияние метеоусловий)		ф-ла (18) [10]	1	1	1	1	1	1	1	1	1		
	Снижение УЗД, Dz, дБ		ф-ла (14) [10]	5,5	6	7	8,5	10,5	12,9	15,5	18,3	21,2		
	Промежуточные точки:	Pss(x,y,z) = (524.47,176.56,0.88)	Psr(x,y,z) = (425.88,209.66,1.17)	dss = 43.40 м		dsr = 445.67 м		e = 104.00 м		z = 148.11 м				
	Константа C2, учитывающая эффект отражения от земли возле экрана			40	40	40	40	40	40	40	40	40		

1		2	3	4	5	6	7	8	9	10	11	12	13
Траектория справа от экрана	Константа СЗ (дифракция на кромках)	ф-ла (15) [10]	2,1	2,7	2,9	3	3	3	3	3	3		
	K_{met} (влияние метеоусловий)	ф-ла (18) [10]	1	1	1	1	1	1	1	1	1		
	Снижение УЗД, Dz, дБ	ф-ла (14) [10]	30,6	34,7	38	41,1	44,2	47,2	50,2	53,2	56,2		
Общее снижение уровня звука препятствием Dz, дБ		Эн.сумма(-Dzi)	2,3	2,7	3,7	5,4	7,7	10,3	13	15,8	18,8		
Уровни звукового давления от источника ИШ-1-19 в расчётной точке днём, дБ		**ф-ла(3)[10]**	**0**	**29,5**	**29,9**	**29,1**	**26,4**	**22,4**	**14,6**	**1,3**	**0**	**27,5**	**27,5**
Уровни звукового давления от источника ИШ-1-19 в расчётной точке ночью, дБ		**ф-ла(3)[10]**	**0**	**29,5**	**29,9**	**29,1**	**26,4**	**22,4**	**14,6**	**1,3**	**0**	**27,5**	**27,5**
Источник шума: ИШ-1-20, координаты источника (x,y,z), м =[550.38,138.64,1.00]													
Уровни звуковой мощности источника днём, Lw, дБ		**исходные данные**	**0**	**93,3**	**94,7**	**96**	**96,3**	**95,9**	**92,6**	**88,4**	**83,9**		
Уровни звуковой мощности источника ночью, Lw, дБ		**исходные данные**	**0**	**93,3**	**94,7**	**96**	**96,3**	**95,9**	**92,6**	**88,4**	**83,9**		
Поправка на телесный угол DΩ, дБ	Ω = 6.28	10Lg(4π/Ω)	**3**	3	3	3	3	3	3	3	3		
Показатель направленности источника Di, дБ		исходные данные	**0**	0	0	0	0	0	0	0	0		
Поправка на направленность источника Dc, дБ	Dc	DΩ + Di	**3**	3	3	3	3	3	3	3	3		
Затухание из-за геометрической дивергенции, Adiv, дБ	расстояние = 446.16 м	ф-ла (7) [10]	**64**										
Коэффициент затухания звука в атмосфере α, дБ/км	Ta=20,°C Pa=101.33,кПа hотн.=70%	ф-ла (5) [9]	0,02	0,09	0,33	1,12	2,79	4,98	9,04	23,09	77,63		
Учет затухания звука в атмосфере Aatm, дБ		ф-ла (8) [10]	0	0	0,1	0,5	1,2	2,2	4	10,3	34,6		
Снижение уровня звукового давления из-за влияния застройки между источником шума и расчетной точкой													

1			2	3	4	5	6	7	8	9	10	11	12	13
Длина звуковой волны для среднегеометрической частоты октавной полосы, λ, м				10,79	5,4	2,72	1,36	0,68	0,34	0,17	0,09	0,04		
Критерий наличия экранирования в горизонтальной плоскости	Горизонтальный размер экрана, lэкр = 48.41 м		lэкр > λ	да	да	да	да	да	да	да	да	да		
Траектория над экраном	Промежуточные точки:	Pss(x,y,z) = (484.62,57.85,10.00)	Psr(x,y,z) = (479.85,51.99,10.00)	dss = 104.56 м		dsr = 334.46 м		e = 7.56 м		z = 0.42 м				
	Константа C2, учитывающая эффект отражения от земли возле экрана			40	40	40	40	40	40	40	40	40		
	Константа C3 (дифракция на кромках)		ф-ла (15) [10]	1	1,1	1,2	1,6	2,2	2,7	2,9	3	3		
	K_{met} (влияние метеоусловий)		ф-ла (18) [10]	0,1	0,1	0,1	0,1	0,1	0,1	0,1	0,1	0,1		
	Снижение УЗД, Dz, дБ		ф-ла (14) [10]	5	5,3	5,8	7,2	9,7	12,7	15,6	18,5	21,4		
Траектория слева от экрана	Промежуточные точки:	Pss(x,y,z) = (482.37,51.14,1.89)	Psr(x,y,z) = (482.37,51.14,1.89)	dss = 110.83 м		dsr = 335.37 м		e = 0.00 м		z = 0.04 м				
	Константа C2, учитывающая эффект отражения от земли возле экрана			40	40	40	40	40	40	40	40	40		
	Константа C3 (дифракция на кромках)		ф-ла (15) [10]	1	1	1	1	1	1	1	1	1		
	K_{met} (влияние метеоусловий)		ф-ла (18) [10]	1	1	1	1	1	1	1	1	1		
	Снижение УЗД, Dz, дБ		ф-ла (14) [10]	5	5,2	5,5	6,1	7,2	8,7	10,7	13,1	15,8		
Траектория справа от экрана	Промежуточные точки:	Pss(x,y,z) = (524.47,176.56,0.89)	Psr(x,y,z) = (425.88,209.66,1.19)	dss = 45.92 м		dsr = 445.67 м		e = 104.00 м		z = 149.43 м				
	Константа C2, учитывающая эффект отражения от земли возле экрана			40	40	40	40	40	40	40	40	40		
	Константа C3 (дифракция на кромках)		ф-ла (15) [10]	2,1	2,7	2,9	3	3	3	3	3	3		
	K_{met} (влияние метеоусловий)		ф-ла (18) [10]	1	1	1	1	1	1	1	1	1		
	Снижение УЗД, Dz, дБ		ф-ла (14) [10]	30,7	34,7	38	41,2	44,2	47,2	50,2	53,2	56,3		
Общее снижение уровня звука препятствием Dz, дБ			Эн.сумма(-Dzi)	2	2,2	2,7	3,6	5,2	7,2	9,5	12	14,7		

1			2	3	4	5	6	7	8	9	10	11	12	13
Уровни звукового давления от источника ИШ-1-20 в расчётной точке днём, дБ			**ф-ла(3)[10]**	**0**	**30,1**	**30,9**	**30,9**	**28,8**	**25,5**	**18,1**	**5,1**	**0**	**30**	**30**
Уровни звукового давления от источника ИШ-1-20 в расчётной точке ночью, дБ			**ф-ла(3)[10]**	**0**	**30,1**	**30,9**	**30,9**	**28,8**	**25,5**	**18,1**	**5,1**	**0**	**30**	**30**
Источник шума: ИШ-1-21, координаты источника (x,y,z), м =[553.31,137.67,1.00]														
Уровни звуковой мощности источника днём, Lw, дБ			**исходные данные**	**0**	**93,3**	**94,7**	**96**	**96,3**	**95,9**	**92,6**	**88,4**	**83,9**		
Уровни звуковой мощности источника ночью, Lw, дБ			**исходные данные**	**0**	**93,3**	**94,7**	**96**	**96,3**	**95,9**	**92,6**	**88,4**	**83,9**		
Поправка на телесный угол DΩ, дБ		Ω = 6.28	10Lg(4π/Ω)	**3**	3	3	3	3	3	3	3	3		
Показатель направленности источника Di, дБ			исходные данные	**0**	0	0	0	0	0	0	0	0		
Поправка на направленность источника Dc, дБ		Dc	DΩ + Di	**3**	3	3	3	3	3	3	3	3		
Затухание из-за геометрической дивергенции, Adiv, дБ		расстояние = 447.26 м	ф-ла (7) [10]	**64**										
Коэффициент затухания звука в атмосфере α, дБ/км		Ta=20,°C Pa=101.33,кПа hотн.=70%	ф-ла (5) [9]	0,02	0,09	0,33	1,12	2,79	4,98	9,04	23,09	77,63		
Учет затухания звука в атмосфере Aatm, дБ			ф-ла (8) [10]	0	0	0,1	0,5	1,2	2,2	4	10,3	34,7		
Снижение уровня звукового давления из-за влияния застройки между источником шума и расчетной точкой														
Длина звуковой волны для среднегеометрической частоты октавной полосы, λ, м				10,79	5,4	2,72	1,36	0,68	0,34	0,17	0,09	0,04		
Критерий наличия экранирования в горизонтальной плоскости	Горизонтальный размер экрана, lэкр = 48.74 м		lэкр > λ	да	да	да	да	да	да	да	да	да		
	Промежуточные точки:	Pss(x,y,z) = (482.65,51.99,10.00)	Psr(x,y,z) = (482.04,51.25,10.00)	dss = 111.41 м		dsr = 335.28 м		e = 0.97 м		z = 0.39 м				
	Константа C2, учитывающая эффект отражения от земли возле экрана			40	40	40	40	40	40	40	40	40		

1			2	3	4	5	6	7	8	9	10	11	12	13
Траектория над экраном	Константа С3 (дифракция на кромках)		ф-ла (15) [10]	1	1	1	1	1,1	1,2	1,6	2,3	2,7		
	K_{met} (влияние метеоусловий)		ф-ла (18) [10]	0,1	0,1	0,1	0,1	0,1	0,1	0,1	0,1	0,1		
	Снижение УЗД, Dz, дБ		ф-ла (14) [10]	5	5,2	5,5	6,2	7,3	9,3	12,5	16,5	20,2		
Траектория слева от экрана	Промежуточные точки:	Pss(x,y,z) = (482.37,51.14,1.90)	Psr(x,y,z) = (482.37,51.14,1.90)	dss = 111.89 м		dsr = 335.37 м		e = 0.00 м		z = 0.00 м				
	Константа С2, учитывающая эффект отражения от земли возле экрана			40	40	40	40	40	40	40	40	40		
	Константа С3 (дифракция на кромках)		ф-ла (15) [10]	1	1	1	1	1	1	1	1	1		
	K_{met} (влияние метеоусловий)		ф-ла (18) [10]	1	1	1	1	1	1	1	1	1		
	Снижение УЗД, Dz, дБ		ф-ла (14) [10]	4,8	4,8	4,8	4,8	4,8	4,9	5	5,2	5,5		
Траектория справа от экрана	Промежуточные точки:	Pss(x,y,z) = (524.47,176.56,0.91)	Psr(x,y,z) = (425.88,209.66,1.21)	dss = 48.42 м		dsr = 445.67 м		e = 104.00 м		z = 150.83 м				
	Константа С2, учитывающая эффект отражения от земли возле экрана			40	40	40	40	40	40	40	40	40		
	Константа С3 (дифракция на кромках)		ф-ла (15) [10]	2,1	2,7	2,9	3	3	3	3	3	3		
	K_{met} (влияние метеоусловий)		ф-ла (18) [10]	1	1	1	1	1	1	1	1	1		
	Снижение УЗД, Dz, дБ		ф-ла (14) [10]	30,7	34,7	38,1	41,2	44,2	47,3	50,3	53,3	56,3		
Общее снижение уровня звука препятствием Dz, дБ			Эн.сумма(-Dzi)	1,9	2	2,1	2,4	2,9	3,5	4,3	4,9	5,4		
Уровни звукового давления прямого звука от источника ИШ-1-21 в расчётной точке днём, дБ			**ф-ла(3)[10]**	**0**	**30,3**	**31,4**	**32**	**31,1**	**29,1**	**23,3**	**12,2**	**0**	**33**	**33**
Уровни звукового давления прямого звука от источника ИШ-1-21 в расчётной точке ночью, дБ			**ф-ла(3)[10]**	**0**	**30,3**	**31,4**	**32**	**31,1**	**29,1**	**23,3**	**12,2**	**0**	**33**	**33**
Расчёт отражённого звука														
Уровни звукового давления от мнимого источника ИШ-1-21_мн.(1) в расчётной точке днём, дБ			**ф-ла(3)[10]**	**0**	**36,1**	**26,5**	**24,3**	**24,1**	**29,6**	**26,5**	**15,9**	**0**	**32,3**	**32,3**

1		2	3	4	5	6	7	8	9	10	11	12	13
Уровни звукового давления от мнимого источника ИШ-1-21_мн.(1) в расчётной точке ночью, дБ		**ф-ла(3)[10]**	**0**	**0**	**0**	**0**	**0**	**0**	**0**	**0**	**0**	**32,3**	**32,3**
Уровни звукового давления от источника ИШ-1-21 в расчётной точке днём, дБ		**ф-ла(3)[10]**	**0**	**37,1**	**32,6**	**32,7**	**31,9**	**32,4**	**28,2**	**17,5**	**0**	**35,7**	**35,7**
Уровни звукового давления от источника ИШ-1-21 в расчётной точке ночью, дБ		**ф-ла(3)[10]**	**0**	**37,1**	**32,6**	**32,7**	**31,9**	**32,4**	**28,2**	**17,5**	**0**	**35,7**	**35,7**
Источник шума: ИШ-1-22, координаты источника (x,y,z), м =[522.03,85.28,1.00]													
Уровни звуковой мощности источника днём, Lw, дБ		**исходные данные**	**0**	**93,3**	**94,7**	**96**	**96,3**	**95,9**	**92,6**	**88,4**	**83,9**		
Уровни звуковой мощности источника ночью, Lw, дБ		**исходные данные**	**0**	**93,3**	**94,7**	**96**	**96,3**	**95,9**	**92,6**	**88,4**	**83,9**		
Поправка на телесный угол DΩ, дБ	Ω = 6.28	10Lg(4π/Ω)	**3**	3	3	3	3	3	3	3	3		
Показатель направленности источника Di, дБ		исходные данные	**0**	0	0	0	0	0	0	0	0		
Поправка на направленность источника Dc, дБ	Dc	DΩ + Di	**3**	3	3	3	3	3	3	3	3		
Затухание из-за геометрической дивергенции, Adiv, дБ	расстояние = 387.06 м	ф-ла (7) [10]	**62,8**										
Коэффициент затухания звука в атмосфере α, дБ/км	Ta=20,°C Pa=101.33,кПа hотн.=70%	ф-ла (5) [9]	0,02	0,09	0,33	1,12	2,79	4,98	9,04	23,09	77,63		
Учет затухания звука в атмосфере Aatm, дБ		ф-ла (8) [10]	0	0	0,1	0,4	1,1	1,9	3,5	8,9	30		
Снижение поверхностью земли возле источника As, дБ	Gs = 0 hs = 1м	ф-лы таб.3 [10]	-1,5	-1,5	-1,5	-1,5	-1,5	-1,5	-1,5	-1,5	-1,5		
Снижение поверхностью земли возле приёмника Ar, дБ	Gr = 1 hr = 4.6м	ф-лы таб.3 [10]	-1,5	-1,5	3,2	1,3	0	0	0	0	0		
Снижение поверхностью земли в средней зоне, Am дБ	Gm = 1	ф-лы таб.3 [10]	-1,7	-1,7	0	0	0	0	0	0	0		
Суммарное снижение поверхностью земли на траектории распространения звука Agr, дБ		ф-ла (9) [10]	-4,7	-4,7	1,7	-0,2	-1,5	-1,5	-1,5	-1,5	-1,5		

1		2	3	4	5	6	7	8	9	10	11	12	13
Уровни звукового давления прямого звука от источника ИШ-1-22 в расчётной точке днём, дБ		**ф-ла(3)[10]**	**0**	**38,2**	**33,1**	**36**	**37**	**35,7**	**30,8**	**21,2**	**0**	**39,3**	**39,3**
Уровни звукового давления прямого звука от источника ИШ-1-22 в расчётной точке ночью, дБ		**ф-ла(3)[10]**	**0**	**38,2**	**33,1**	**36**	**37**	**35,7**	**30,8**	**21,2**	**0**	**39,3**	**39,3**
Расчёт отражённого звука													
Уровни звукового давления от мнимого источника ИШ-1-22_мн.(1) в расчётной точке днём, дБ		**ф-ла(3)[10]**	**0**	**0**	**0**	**0**	**0**	**0**	**0**	**0**	**0**	**0**	**0**
Уровни звукового давления от мнимого источника ИШ-1-22_мн.(1) в расчётной точке ночью, дБ		**ф-ла(3)[10]**	**0**	**0**	**0**	**0**	**0**	**0**	**0**	**0**	**0**	**0**	**0**
Уровни звукового давления от мнимого источника ИШ-1-22_мн.(2) в расчётной точке днём, дБ		**ф-ла(3)[10]**	**0**	**37,2**	**28,3**	**25,6**	**25,6**	**31,1**	**28,2**	**18,6**	**0**	**34**	**34**
Уровни звукового давления от мнимого источника ИШ-1-22_мн.(2) в расчётной точке ночью, дБ		**ф-ла(3)[10]**	**37,2**	**37,2**	**37,2**	**37,2**	**37,2**	**37,2**	**37,2**	**37,2**	**37,2**	**34**	**34**
Суммарные уровни звукового давления от мнимых источников в расчётной точке днём, дБ		**ф-ла (19) [1]**	**0**	**37,2**	**28,3**	**25,6**	**25,6**	**31,1**	**28,2**	**18,6**	**0**	**0**	**34**
Суммарные уровни звукового давления от мнимых источников в расчётной точке ночью, дБ		**ф-ла (19) [1]**	**0**	**37,2**	**28,3**	**25,6**	**25,6**	**31,1**	**28,2**	**18,6**	**0**	**0**	**34**
Уровни звукового давления от источника ИШ-1-22 в расчётной точке днём, дБ		**ф-ла(3)[10]**	**0**	**40,7**	**34,3**	**36,4**	**37,3**	**37**	**32,7**	**23,1**	**0**	**40,4**	**40,4**
Уровни звукового давления от источника ИШ-1-22 в расчётной точке ночью, дБ		**ф-ла(3)[10]**	**0**	**40,7**	**34,3**	**36,4**	**37,3**	**37**	**32,7**	**23,1**	**0**	**40,4**	**40,4**
Источник шума: ИШ-1-23, координаты источника (x,y,z), м =[525.16,84.11,1.00]													
Уровни звуковой мощности источника днём, Lw, дБ		**исходные данные**	**0**	**93,3**	**94,7**	**96**	**96,3**	**95,9**	**92,6**	**88,4**	**83,9**		
Уровни звуковой мощности источника ночью, Lw, дБ		**исходные данные**	**0**	**93,3**	**94,7**	**96**	**96,3**	**95,9**	**92,6**	**88,4**	**83,9**		
Поправка на телесный угол DΩ, дБ	Ω = 6.28	10Lg(4π/Ω)	**3**	3	3	3	3	3	3	3	3		
Показатель направленности источника Di, дБ		исходные данные	**0**	0	0	0	0	0	0	0	0		
Поправка на направленность источника Dc, дБ	Dc	DΩ + Di	**3**	3	3	3	3	3	3	3	3		

1		2	3	4	5	6	7	8	9	10	11	12	13
Затухание из-за геометрической дивергенции, Adiv, дБ	расстояние = 388.24 м	ф-ла (7) [10]	**62,8**										
Коэффициент затухания звука в атмосфере α, дБ/км	Ta=20,°C Pa=101.33,кПа hотн.=70%	ф-ла (5) [9]	0,02	0,09	0,33	1,12	2,79	4,98	9,04	23,09	77,63		
Учет затухания звука в атмосфере Aatm, дБ		ф-ла (8) [10]	0	0	0,1	0,4	1,1	1,9	3,5	9	30,1		
Снижение поверхностью земли возле источника As, дБ	Gs = 0 hs = 1м	ф-лы таб.3 [10]	-1,5	-1,5	-1,5	-1,5	-1,5	-1,5	-1,5	-1,5	-1,5		
Снижение поверхностью земли возле приёмника Ar, дБ	Gr = 1 hr = 4.6м	ф-лы таб.3 [10]	-1,5	-1,5	3,2	1,3	0	0	0	0	0		
Снижение поверхностью земли в средней зоне, Am дБ	Gm = 1	ф-лы таб.3 [10]	-1,7	-1,7	0	0	0	0	0	0	0		
Суммарное снижение поверхностью земли на траектории распространения звука Agr, дБ		ф-ла (9) [10]	-4,7	-4,7	1,7	-0,2	-1,5	-1,5	-1,5	-1,5	-1,5		
Уровни звукового давления прямого звука от источника ИШ-1-23 в расчётной точке днём, дБ		**ф-ла(3)[10]**	**0**	**38,2**	**33**	**36**	**36,9**	**35,7**	**30,8**	**21,1**	**0**	**39,3**	**39,3**
Уровни звукового давления прямого звука от источника ИШ-1-23 в расчётной точке ночью, дБ		**ф-ла(3)[10]**	**0**	**38,2**	**33**	**36**	**36,9**	**35,7**	**30,8**	**21,1**	**0**	**39,3**	**39,3**
Расчёт отражённого звука													
Уровни звукового давления от мнимого источника ИШ-1-23_мн.(1) в расчётной точке днём, дБ		**ф-ла(3)[10]**	**0**	**0**	**0**	**0**	**0**	**0**	**0**	**0**	**0**	**0**	**0**
Уровни звукового давления от мнимого источника ИШ-1-23_мн.(1) в расчётной точке ночью, дБ		**ф-ла(3)[10]**	**0**	**0**	**0**	**0**	**0**	**0**	**0**	**0**	**0**	**0**	**0**
Уровни звукового давления от мнимого источника ИШ-1-23_мн.(2) в расчётной точке днём, дБ		**ф-ла(3)[10]**	**0**	**37,1**	**28,2**	**25,6**	**25,5**	**31,1**	**28,2**	**18,5**	**0**	**34**	**34**
Уровни звукового давления от мнимого источника ИШ-1-23_мн.(2) в расчётной точке ночью, дБ		**ф-ла(3)[10]**	**37,1**	**37,1**	**37,1**	**37,1**	**37,1**	**37,1**	**37,1**	**37,1**	**37,1**	**34**	**34**
Суммарные уровни звукового давления от мнимых источников в расчётной точке днём, дБ		**ф-ла (19) [1]**	**0**	**37,1**	**28,2**	**25,6**	**25,5**	**31,1**	**28,2**	**18,5**	**0**	**0**	**34**
Суммарные уровни звукового давления от мнимых источников в расчётной точке ночью, дБ		**ф-ла (19) [1]**	**0**	**37,1**	**28,2**	**25,6**	**25,5**	**31,1**	**28,2**	**18,5**	**0**	**0**	**34**
Уровни звукового давления от источника ИШ-1-23 в расчётной точке днём, дБ		**ф-ла(3)[10]**	**0**	**40,7**	**34,3**	**36,4**	**37,2**	**37**	**32,7**	**23**	**0**	**40,4**	**40,4**

1		2	3	4	5	6	7	8	9	10	11	12	13
Уровни звукового давления от источника ИШ-1-23 в расчётной точке ночью, дБ		**ф-ла(3)[10]**	**0**	**40,7**	**34,3**	**36,4**	**37,2**	**37**	**32,7**	**23**	**0**	**40,4**	**40,4**
Источник шума: ИШ-1-24, координаты источника (x,y,z), м =[528.48,82.94,1.00]													
Уровни звуковой мощности источника днём, Lw, дБ		**исходные данные**	**0**	**93,3**	**94,7**	**96**	**96,3**	**95,9**	**92,6**	**88,4**	**83,9**		
Уровни звуковой мощности источника ночью, Lw, дБ		**исходные данные**	**0**	**93,3**	**94,7**	**96**	**96,3**	**95,9**	**92,6**	**88,4**	**83,9**		
Поправка на телесный угол DΩ, дБ	Ω = 6.28	10Lg(4π/Ω)	**3**	3	3	3	3	3	3	3	3		
Показатель направленности источника Di, дБ		исходные данные	**0**	0	0	0	0	0	0	0	0		
Поправка на направленность источника Dc, дБ	Dc	DΩ + Di	**3**	3	3	3	3	3	3	3	3		
Затухание из-за геометрической дивергенции, Adiv, дБ	расстояние = 389.56 м	ф-ла (7) [10]	**62,8**										
Коэффициент затухания звука в атмосфере α, дБ/км	Ta=20,°C Pa=101.33,кПа hотн.=70%	ф-ла (5) [9]	0,02	0,09	0,33	1,12	2,79	4,98	9,04	23,09	77,63		
Учет затухания звука в атмосфере Aatm, дБ		ф-ла (8) [10]	0	0	0,1	0,4	1,1	1,9	3,5	9	30,2		
Снижение поверхностью земли возле источника As, дБ	Gs = 0 hs = 1м	ф-лы таб.3 [10]	-1,5	-1,5	-1,5	-1,5	-1,5	-1,5	-1,5	-1,5	-1,5		
Снижение поверхностью земли возле приёмника Ar, дБ	Gr = 1 hr = 4.6м	ф-лы таб.3 [10]	-1,5	-1,5	3,2	1,3	0	0	0	0	0		
Снижение поверхностью земли в средней зоне, Am дБ	Gm = 1	ф-лы таб.3 [10]	-1,7	-1,7	0	0	0	0	0	0	0		
Суммарное снижение поверхностью земли на траектории распространения звука Agr, дБ		ф-ла (9) [10]	-4,7	-4,7	1,7	-0,2	-1,5	-1,5	-1,5	-1,5	-1,5		
Уровни звукового давления прямого звука от источника ИШ-1-24 в расчётной точке днём, дБ		**ф-ла(3)[10]**	**0**	**38,2**	**33**	**36**	**36,9**	**35,6**	**30,8**	**21,1**	**0**	**39,2**	**39,2**
Уровни звукового давления прямого звука от источника ИШ-1-24 в расчётной точке ночью, дБ		**ф-ла(3)[10]**	**0**	**38,2**	**33**	**36**	**36,9**	**35,6**	**30,8**	**21,1**	**0**	**39,2**	**39,2**

1		2	3	4	5	6	7	8	9	10	11	12	13
Расчёт отражённого звука													
Уровни звукового давления от мнимого источника ИШ-1-24_мн.(1) в расчётной точке днём, дБ		**ф-ла(3)[10]**	**0**	**0**	**0**	**0**	**0**	**0**	**0**	**0**	**0**	**0**	**0**
Уровни звукового давления от мнимого источника ИШ-1-24_мн.(1) в расчётной точке ночью, дБ		**ф-ла(3)[10]**	**0**	**0**	**0**	**0**	**0**	**0**	**0**	**0**	**0**	**0**	**0**
Уровни звукового давления от мнимого источника ИШ-1-24_мн.(2) в расчётной точке днём, дБ		**ф-ла(3)[10]**	**0**	**37,1**	**28,2**	**25,5**	**25,5**	**31**	**28,2**	**18,4**	**0**	**33,9**	**33,9**
Уровни звукового давления от мнимого источника ИШ-1-24_мн.(2) в расчётной точке ночью, дБ		**ф-ла(3)[10]**	**37,1**	**37,1**	**37,1**	**37,1**	**37,1**	**37,1**	**37,1**	**37,1**	**37,1**	**33,9**	**33,9**
Суммарные уровни звукового давления от мнимых источников в расчётной точке днём, дБ		**ф-ла (19) [1]**	**0**	**37,1**	**28,2**	**25,5**	**25,5**	**31**	**28,2**	**18,4**	**0**	**0**	**33,9**
Суммарные уровни звукового давления от мнимых источников в расчётной точке ночью, дБ		**ф-ла (19) [1]**	**0**	**37,1**	**28,2**	**25,5**	**25,5**	**31**	**28,2**	**18,4**	**0**	**0**	**33,9**
Уровни звукового давления от источника ИШ-1-24 в расчётной точке днём, дБ		**ф-ла(3)[10]**	**0**	**40,7**	**34,2**	**36,3**	**37,2**	**36,9**	**32,7**	**23**	**0**	**40,3**	**40,3**
Уровни звукового давления от источника ИШ-1-24 в расчётной точке ночью, дБ		**ф-ла(3)[10]**	**0**	**40,7**	**34,2**	**36,3**	**37,2**	**36,9**	**32,7**	**23**	**0**	**40,3**	**40,3**
Источник шума: ИШ-1-25, координаты источника (x,y,z), м =[531.22,82.16,1.00]													
Уровни звуковой мощности источника днём, Lw, дБ		**исходные данные**	**0**	**93,3**	**94,7**	**96**	**96,3**	**95,9**	**92,6**	**88,4**	**83,9**		
Уровни звуковой мощности источника ночью, Lw, дБ		**исходные данные**	**0**	**93,3**	**94,7**	**96**	**96,3**	**95,9**	**92,6**	**88,4**	**83,9**		
Поправка на телесный угол DΩ, дБ	Ω = 6.28	10Lg(4π/Ω)	**3**	3	3	3	3	3	3	3	3		
Показатель направленности источника Di, дБ		исходные данные	**0**	0	0	0	0	0	0	0	0		
Поправка на направленность источника Dc, дБ	Dc	DΩ + Di	**3**	3	3	3	3	3	3	3	3		
Затухание из-за геометрической дивергенции, Adiv, дБ	расстояние = 390.81 м	ф-ла (7) [10]	**62,8**										
Коэффициент затухания звука в атмосфере α, дБ/км	Ta=20,°C Pa=101.33,кПа hотн.=70%	ф-ла (5) [9]	0,02	0,09	0,33	1,12	2,79	4,98	9,04	23,09	77,63		

1		2	3	4	5	6	7	8	9	10	11	12	13
Учет затухания звука в атмосфере Aatm, дБ		ф-ла (8) [10]	0	0	0,1	0,4	1,1	1,9	3,5	9	30,3		
Снижение поверхностью земли возле источника As, дБ	Gs = 0 hs = 1м	ф-лы таб.3 [10]	-1,5	-1,5	-1,5	-1,5	-1,5	-1,5	-1,5	-1,5	-1,5		
Снижение поверхностью земли возле приёмника Ar, дБ	Gr = 1 hr = 4.6м	ф-лы таб.3 [10]	-1,5	-1,5	3,2	1,3	0	0	0	0	0		
Снижение поверхностью земли в средней зоне, Am дБ	Gm = 1	ф-лы таб.3 [10]	-1,7	-1,7	0	0	0	0	0	0	0		
Суммарное снижение поверхностью земли на траектории распространения звука Agr, дБ		ф-ла (9) [10]	-4,7	-4,7	1,7	-0,2	-1,5	-1,5	-1,5	-1,5	-1,5		
Уровни звукового давления прямого звука от источника ИШ-1-25 в расчётной точке днём, дБ		**ф-ла(3)[10]**	**0**	**38,1**	**33**	**35,9**	**36,9**	**35,6**	**30,7**	**21**	**0**	**39,2**	**39,2**
Уровни звукового давления прямого звука от источника ИШ-1-25 в расчётной точке ночью, дБ		**ф-ла(3)[10]**	**0**	**38,1**	**33**	**35,9**	**36,9**	**35,6**	**30,7**	**21**	**0**	**39,2**	**39,2**
Расчёт отражённого звука													
Уровни звукового давления от мнимого источника ИШ-1-25_мн.(1) в расчётной точке днём, дБ		**ф-ла(3)[10]**	**0**	**0**	**0**	**0**	**0**	**0**	**0**	**0**	**0**	**0**	**0**
Уровни звукового давления от мнимого источника ИШ-1-25_мн.(1) в расчётной точке ночью, дБ		**ф-ла(3)[10]**	**0**	**0**	**0**	**0**	**0**	**0**	**0**	**0**	**0**	**0**	**0**
Уровни звукового давления от мнимого источника ИШ-1-25_мн.(2) в расчётной точке днём, дБ		**ф-ла(3)[10]**	**0**	**37,1**	**28,1**	**25,5**	**25,5**	**31**	**28,1**	**18,4**	**0**	**33,9**	**33,9**
Уровни звукового давления от мнимого источника ИШ-1-25_мн.(2) в расчётной точке ночью, дБ		**ф-ла(3)[10]**	**37,1**	**37,1**	**37,1**	**37,1**	**37,1**	**37,1**	**37,1**	**37,1**	**37,1**	**33,9**	**33,9**
Суммарные уровни звукового давления от мнимых источников в расчётной точке днём, дБ		**ф-ла (19) [1]**	**0**	**37,1**	**28,1**	**25,5**	**25,5**	**31**	**28,1**	**18,4**	**0**	**0**	**33,9**
Суммарные уровни звукового давления от мнимых источников в расчётной точке ночью, дБ		**ф-ла (19) [1]**	**0**	**37,1**	**28,1**	**25,5**	**25,5**	**31**	**28,1**	**18,4**	**0**	**0**	**33,9**
Уровни звукового давления от источника ИШ-1-25 в расчётной точке днём, дБ		**ф-ла(3)[10]**	**0**	**40,6**	**34,2**	**36,3**	**37,2**	**36,9**	**32,6**	**22,9**	**0**	**40,3**	**40,3**
Уровни звукового давления от источника ИШ-1-25 в расчётной точке ночью, дБ		**ф-ла(3)[10]**	**0**	**40,6**	**34,2**	**36,3**	**37,2**	**36,9**	**32,6**	**22,9**	**0**	**40,3**	**40,3**
Источник шума: ИШ-1-26, координаты источника (x,y,z), м =[534.15,80.79,1.00]													

1		2	3	4	5	6	7	8	9	10	11	12	13
Уровни звуковой мощности источника днём, Lw, дБ		**исходные данные**	**0**	**93,3**	**94,7**	**96**	**96,3**	**95,9**	**92,6**	**88,4**	**83,9**		
Уровни звуковой мощности источника ночью, Lw, дБ		**исходные данные**	**0**	**93,3**	**94,7**	**96**	**96,3**	**95,9**	**92,6**	**88,4**	**83,9**		
Поправка на телесный угол DΩ, дБ	Ω = 6.28	10Lg(4π/Ω)	**3**	3	3	3	3	3	3	3	3		
Показатель направленности источника Di, дБ		исходные данные	**0**	0	0	0	0	0	0	0	0		
Поправка на направленность источника Dc, дБ	Dc	DΩ + Di	**3**	3	3	3	3	3	3	3	3		
Затухание из-за геометрической дивергенции, Adiv, дБ	расстояние = 391.78 м	ф-ла (7) [10]	**62,9**										
Коэффициент затухания звука в атмосфере α, дБ/км	Ta=20,°C Pa=101.33,кПа hотн.=70%	ф-ла (5) [9]	0,02	0,09	0,33	1,12	2,79	4,98	9,04	23,09	77,63		
Учет затухания звука в атмосфере Aatm, дБ		ф-ла (8) [10]	0	0	0,1	0,4	1,1	2	3,5	9	30,4		
Снижение поверхностью земли возле источника As, дБ	Gs = 0 hs = 1м	ф-лы таб.3 [10]	-1,5	-1,5	-1,5	-1,5	-1,5	-1,5	-1,5	-1,5	-1,5		
Снижение поверхностью земли возле приёмника Ar, дБ	Gr = 1 hr = 4.6м	ф-лы таб.3 [10]	-1,5	-1,5	3,2	1,3	0	0	0	0	0		
Снижение поверхностью земли в средней зоне, Am дБ	Gm = 1	ф-лы таб.3 [10]	-1,7	-1,7	0	0	0	0	0	0	0		
Суммарное снижение поверхностью земли на траектории распространения звука Agr, дБ		ф-ла (9) [10]	-4,7	-4,7	1,7	-0,2	-1,5	-1,5	-1,5	-1,5	-1,5		
Уровни звукового давления прямого звука от источника ИШ-1-26 в расчётной точке днём, дБ		**ф-ла(3)[10]**	**0**	**38,1**	**33**	**35,9**	**36,8**	**35,6**	**30,7**	**21**	**0**	**39,2**	**39,2**
Уровни звукового давления прямого звука от источника ИШ-1-26 в расчётной точке ночью, дБ		**ф-ла(3)[10]**	**0**	**38,1**	**33**	**35,9**	**36,8**	**35,6**	**30,7**	**21**	**0**	**39,2**	**39,2**
Расчёт отражённого звука													
Уровни звукового давления от мнимого источника ИШ-1-26_мн.(1) в расчётной точке днём, дБ		**ф-ла(3)[10]**	**0**	**0**	**0**	**0**	**0**	**0**	**0**	**0**	**0**	**0**	**0**
Уровни звукового давления от мнимого источника ИШ-1-26_мн.(1) в расчётной точке ночью, дБ		**ф-ла(3)[10]**	**0**	**0**	**0**	**0**	**0**	**0**	**0**	**0**	**0**	**0**	**0**

1		2	3	4	5	6	7	8	9	10	11	12	13
Уровни звукового давления от мнимого источника ИШ-1-26_мн.(2) в расчётной точке днём, дБ		**ф-ла(3)[10]**	**0**	**37,1**	**28,1**	**25,5**	**25,4**	**31**	**28,1**	**18,3**	**0**	**33,9**	**33,9**
Уровни звукового давления от мнимого источника ИШ-1-26_мн.(2) в расчётной точке ночью, дБ		**ф-ла(3)[10]**	**37,1**	**37,1**	**37,1**	**37,1**	**37,1**	**37,1**	**37,1**	**37,1**	**37,1**	**33,9**	**33,9**
Суммарные уровни звукового давления от мнимых источников в расчётной точке днём, дБ		**ф-ла (19) [1]**	**0**	**37,1**	**28,1**	**25,5**	**25,4**	**31**	**28,1**	**18,3**	**0**	**0**	**33,9**
Суммарные уровни звукового давления от мнимых источников в расчётной точке ночью, дБ		**ф-ла (19) [1]**	**0**	**37,1**	**28,1**	**25,5**	**25,4**	**31**	**28,1**	**18,3**	**0**	**0**	**33,9**
Уровни звукового давления от источника ИШ-1-26 в расчётной точке днём, дБ		**ф-ла(3)[10]**	**0**	**40,6**	**34,2**	**36,3**	**37,1**	**36,9**	**32,6**	**22,9**	**0**	**40,3**	**40,3**
Уровни звукового давления от источника ИШ-1-26 в расчётной точке ночью, дБ		**ф-ла(3)[10]**	**0**	**40,6**	**34,2**	**36,3**	**37,1**	**36,9**	**32,6**	**22,9**	**0**	**40,3**	**40,3**
Источник шума: ИШ-1-27, координаты источника (x,y,z), м =[469.65,197.67,1.00]													
Уровни звуковой мощности источника днём, Lw, дБ		**исходные данные**	**0**	**93,3**	**94,7**	**96**	**96,3**	**95,9**	**92,6**	**88,4**	**83,9**		
Уровни звуковой мощности источника ночью, Lw, дБ		**исходные данные**	**0**	**93,3**	**94,7**	**96**	**96,3**	**95,9**	**92,6**	**88,4**	**83,9**		
Поправка на телесный угол DΩ, дБ	Ω = 6.28	10Lg(4π/Ω)	**3**	3	3	3	3	3	3	3	3		
Показатель направленности источника Di, дБ		исходные данные	**0**	0	0	0	0	0	0	0	0		
Поправка на направленность источника Dc, дБ	Dc	DΩ + Di	**3**	3	3	3	3	3	3	3	3		
Затухание из-за геометрической дивергенции, Adiv, дБ	расстояние = 452.15 м	ф-ла (7) [10]	**64,1**										
Коэффициент затухания звука в атмосфере α, дБ/км	Ta=20,°C Pa=101.33,кПа hотн.=70%	ф-ла (5) [9]	0,02	0,09	0,33	1,12	2,79	4,98	9,04	23,09	77,63		
Учет затухания звука в атмосфере Aatm, дБ		ф-ла (8) [10]	0	0	0,2	0,5	1,3	2,3	4,1	10,4	35,1		
Снижение уровня звукового давления из-за влияния застройки между источником шума и расчетной точкой													

1			2	3	4	5	6	7	8	9	10	11	12	13
Длина звуковой волны для среднегеометрической частоты октавной полосы, λ, м				10,79	5,4	2,72	1,36	0,68	0,34	0,17	0,09	0,04		
Критерий наличия экранирования в горизонтальной плоскости	Горизонтальный размер экрана, lэкр = 82.41 м		lэкр > λ	да	да	да	да	да	да	да	да	да		
Траектория над экраном	Промежуточные точки:	Pss(x,y,z) = (393.56,44.26,10.00)	Psr(x,y,z) = (321.02,-101.99,10.00)	dss = 171.48 м		dsr = 117.77 м		e = 163.26 м		z = 0.35 м				
	Константа C2, учитывающая эффект отражения от земли возле экрана			40	40	40	40	40	40	40	40	40		
	Константа C3 (дифракция на кромках)		ф-ла (15) [10]	2,5	2,8	3	3	3	3	3	3	3		
	K_{met} (влияние метеоусловий)		ф-ла (18) [10]	0,2	0,2	0,2	0,2	0,2	0,2	0,2	0,2	0,2		
	Снижение УЗД, Dz, дБ		ф-ла (14) [10]	5,5	6,2	7,4	9	11,1	13,6	16,3	19,2	22,1		
Траектория слева от экрана	Промежуточные точки:	Pss(x,y,z) = (429.80,32.10,2.32)	Psr(x,y,z) = (422.02,8.93,2.51)	dss = 170.30 м		dsr = 265.12 м		e = 24.44 м		z = 7.71 м				
	Константа C2, учитывающая эффект отражения от земли возле экрана			40	40	40	40	40	40	40	40	40		
	Константа C3 (дифракция на кромках)		ф-ла (15) [10]	1,1	1,4	2	2,6	2,9	3	3	3	3		
	K_{met} (влияние метеоусловий)		ф-ла (18) [10]	1	1	1	1	1	1	1	1	1		
	Снижение УЗД, Dz, дБ		ф-ла (14) [10]	15,5	19,3	23,7	27,8	31,2	34,3	37,4	40,4	43,4		
Траектория справа от экрана	Промежуточные точки:	Pss(x,y,z) = (425.88,209.66,1.07)	Psr(x,y,z) = (425.88,209.66,1.07)	dss = 45.38 м		dsr = 445.67 м		e = 0.00 м		z = 38.90 м				
	Константа C2, учитывающая эффект отражения от земли возле экрана			40	40	40	40	40	40	40	40	40		
	Константа C3 (дифракция на кромках)		ф-ла (15) [10]	1	1	1	1	1	1	1	1	1		
	K_{met} (влияние метеоусловий)		ф-ла (18) [10]	1	1	1	1	1	1	1	1	1		
	Снижение УЗД, Dz, дБ		ф-ла (14) [10]	21,7	24,6	27,6	30,6	33,6	36,6	39,6	42,6	45,6		
Общее снижение уровня звука препятствием Dz, дБ			Эн.сумма(-Dzi)	5	6	7,2	8,9	11	13,5	16,2	19,1	22		

1		2	3	4	5	6	7	8	9	10	11	12	13
Уровни звукового давления прямого звука от источника ИШ-1-27 в расчётной точке днём, дБ		**ф-ла(3)[10]**	**0**	**26,2**	**26,2**	**25,5**	**22,9**	**19**	**11,1**	**0**	**0**	**24**	**24**
Уровни звукового давления прямого звука от источника ИШ-1-27 в расчётной точке ночью, дБ		**ф-ла(3)[10]**	**0**	**26,2**	**26,2**	**25,5**	**22,9**	**19**	**11,1**	**0**	**0**	**24**	**24**
Расчёт отражённого звука													
Уровни звукового давления от мнимого источника ИШ-1-27_мн.(1) в расчётной точке днём, дБ		**ф-ла(3)[10]**	**0**	**0**	**0**	**0**	**0**	**29,1**	**25,9**	**15,1**	**0**	**31,4**	**31,4**
Уровни звукового давления от мнимого источника ИШ-1-27_мн.(1) в расчётной точке ночью, дБ		**ф-ла(3)[10]**	**0**	**0**	**0**	**0**	**0**	**0**	**0**	**0**	**0**	**31,4**	**31,4**
Уровни звукового давления от источника ИШ-1-27 в расчётной точке днём, дБ		**ф-ла(3)[10]**	**0**	**26,2**	**26,2**	**25,5**	**22,9**	**29,5**	**26,1**	**15,1**	**0**	**32,1**	**32,1**
Уровни звукового давления от источника ИШ-1-27 в расчётной точке ночью, дБ		**ф-ла(3)[10]**	**0**	**26,2**	**26,2**	**25,5**	**22,9**	**29,5**	**26,1**	**15,1**	**0**	**32,1**	**32,1**
Источник шума: ИШ-1-28, координаты источника (x,y,z), м =[472.78,196.69,1.00]													
Уровни звуковой мощности источника днём, Lw, дБ		**исходные данные**	**0**	**93,3**	**94,7**	**96**	**96,3**	**95,9**	**92,6**	**88,4**	**83,9**		
Уровни звуковой мощности источника ночью, Lw, дБ		**исходные данные**	**0**	**93,3**	**94,7**	**96**	**96,3**	**95,9**	**92,6**	**88,4**	**83,9**		
Поправка на телесный угол DΩ, дБ	Ω = 6.28	10Lg(4π/Ω)	**3**	3	3	3	3	3	3	3	3		
Показатель направленности источника Di, дБ		исходные данные	**0**	0	0	0	0	0	0	0	0		
Поправка на направленность источника Dc, дБ	Dc	DΩ + Di	**3**	3	3	3	3	3	3	3	3		
Затухание из-за геометрической дивергенции, Adiv, дБ	расстояние = 452.68 м	ф-ла (7) [10]	**64,1**										
Коэффициент затухания звука в атмосфере α, дБ/км	Та=20,°С Ра=101.33,кПа hотн.=70%	ф-ла (5) [9]	0,02	0,09	0,33	1,12	2,79	4,98	9,04	23,09	77,63		
Учет затухания звука в атмосфере Aatm, дБ		ф-ла (8) [10]	0	0	0,2	0,5	1,3	2,3	4,1	10,5	35,1		

1			2	3	4	5	6	7	8	9	10	11	12	13
Снижение уровня звукового давления из-за влияния застройки между источником шума и расчетной точкой														
Длина звуковой волны для среднегеометрической частоты октавной полосы, λ, м				10,79	5,4	2,72	1,36	0,68	0,34	0,17	0,09	0,04		
Критерий наличия экранирования в горизонтальной плоскости	Горизонтальный размер экрана, lэкр = 83.53 м		lэкр > λ	да	да	да	да	да	да	да	да	да		
Траектория над экраном	Промежуточные точки:	Pss(x,y,z) = (395.49,43.62,10.00)	Psr(x,y,z) = (319.15,-107.56,10.00)	dss = 171.72 м		dsr = 111.96 м		e = 169.35 м		z = 0.35 м				
	Константа C2, учитывающая эффект отражения от земли возле экрана			40	40	40	40	40	40	40	40	40		
	Константа C3 (дифракция на кромках)		ф-ла (15) [10]	2,5	2,9	3	3	3	3	3	3	3		
	K_{met} (влияние метеоусловий)		ф-ла (18) [10]	0,2	0,2	0,2	0,2	0,2	0,2	0,2	0,2	0,2		
	Снижение УЗД, Dz, дБ		ф-ла (14) [10]	5,5	6,3	7,5	9,2	11,4	13,9	16,6	19,5	22,4		
Траектория слева от экрана	Промежуточные точки:	Pss(x,y,z) = (429.80,32.10,2.32)	Psr(x,y,z) = (422.02,8.93,2.51)	dss = 170.12 м		dsr = 265.12 м		e = 24.44 м		z = 7.00 м				
	Константа C2, учитывающая эффект отражения от земли возле экрана			40	40	40	40	40	40	40	40	40		
	Константа C3 (дифракция на кромках)		ф-ла (15) [10]	1,1	1,4	2	2,6	2,9	3	3	3	3		
	K_{met} (влияние метеоусловий)		ф-ла (18) [10]	1	1	1	1	1	1	1	1	1		
	Снижение УЗД, Dz, дБ		ф-ла (14) [10]	15,1	18,9	23,3	27,3	30,8	33,9	36,9	39,9	43		
Траектория справа от экрана	Промежуточные точки:	Pss(x,y,z) = (425.88,209.66,1.08)	Psr(x,y,z) = (425.88,209.66,1.08)	dss = 48.66 м		dsr = 445.67 м		e = 0.00 м		z = 41.65 м				
	Константа C2, учитывающая эффект отражения от земли возле экрана			40	40	40	40	40	40	40	40	40		
	Константа C3 (дифракция на кромках)		ф-ла (15) [10]	1	1	1	1	1	1	1	1	1		
	K_{met} (влияние метеоусловий)		ф-ла (18) [10]	1	1	1	1	1	1	1	1	1		
	Снижение УЗД, Dz, дБ		ф-ла (14) [10]	22	24,9	27,9	30,9	33,9	36,9	39,9	42,9	45,9		

1		2	3	4	5	6	7	8	9	10	11	12	13
Общее снижение уровня звука препятствием Dz, дБ		Эн.сумма(-Dzi)	5	6	7,4	9,1	11,3	13,8	16,6	19,4	22,4		
Уровни звукового давления прямого звука от источника ИШ-1-28 в расчётной точке днём, дБ		**ф-ла(3)[10]**	**0**	**26,1**	**26,1**	**25,3**	**22,6**	**18,7**	**10,8**	**0**	**0**	**23,7**	**23,7**
Уровни звукового давления прямого звука от источника ИШ-1-28 в расчётной точке ночью, дБ		**ф-ла(3)[10]**	**0**	**26,1**	**26,1**	**25,3**	**22,6**	**18,7**	**10,8**	**0**	**0**	**23,7**	**23,7**
Расчёт отражённого звука													
Уровни звукового давления от мнимого источника ИШ-1-28_мн.(1) в расчётной точке днём, дБ		**ф-ла(3)[10]**	**0**	**0**	**0**	**0**	**0**	**29,1**	**26**	**15,2**	**0**	**31,4**	**31,4**
Уровни звукового давления от мнимого источника ИШ-1-28_мн.(1) в расчётной точке ночью, дБ		**ф-ла(3)[10]**	**0**	**0**	**0**	**0**	**0**	**0**	**0**	**0**	**0**	**31,4**	**31,4**
Уровни звукового давления от источника ИШ-1-28 в расчётной точке днём, дБ		**ф-ла(3)[10]**	**0**	**26,1**	**26,1**	**25,3**	**22,6**	**29,5**	**26,1**	**15,2**	**0**	**32,1**	**32,1**
Уровни звукового давления от источника ИШ-1-28 в расчётной точке ночью, дБ		**ф-ла(3)[10]**	**0**	**26,1**	**26,1**	**25,3**	**22,6**	**29,5**	**26,1**	**15,2**	**0**	**32,1**	**32,1**
Источник шума: ИШ-1-29, координаты источника (x,y,z), м =[475.52,195.72,1.00]													
Уровни звуковой мощности источника днём, Lw, дБ		**исходные данные**	**0**	**93,3**	**94,7**	**96**	**96,3**	**95,9**	**92,6**	**88,4**	**83,9**		
Уровни звуковой мощности источника ночью, Lw, дБ		**исходные данные**	**0**	**93,3**	**94,7**	**96**	**96,3**	**95,9**	**92,6**	**88,4**	**83,9**		
Поправка на телесный угол DΩ, дБ	Ω = 6.28	10Lg(4π/Ω)	**3**	3	3	3	3	3	3	3	3		
Показатель направленности источника Di, дБ		исходные данные	**0**	0	0	0	0	0	0	0	0		
Поправка на направленность источника Dc, дБ	Dc	DΩ + Di	**3**	3	3	3	3	3	3	3	3		
Затухание из-за геометрической дивергенции, Adiv, дБ	расстояние = 453.05 м	ф-ла (7) [10]	**64,1**										
Коэффициент затухания звука в атмосфере α, дБ/км	Ta=20,°C Pa=101.33,кПа hотн.=70%	ф-ла (5) [9]	0,02	0,09	0,33	1,12	2,79	4,98	9,04	23,09	77,63		

1			2	3	4	5	6	7	8	9	10	11	12	13
Учет затухания звука в атмосфере Aatm, дБ			ф-ла (8) [10]	0	0	0,2	0,5	1,3	2,3	4,1	10,5	35,2		
Снижение уровня звукового давления из-за влияния застройки между источником шума и расчетной точкой														
Длина звуковой волны для среднегеометрической частоты октавной полосы, λ, м				10,79	5,4	2,72	1,36	0,68	0,34	0,17	0,09	0,04		
Критерий наличия экранирования в горизонтальной плоскости	Горизонтальный размер экрана, lэкр = 84.53 м		lэкр > λ	да	да	да	да	да	да	да	да	да		
Траектория над экраном	Промежуточные точки:	Pss(x,y,z) = (397.20,43.04,10.00)	Psr(x,y,z) = (318.53,-110.33,10.00)	dss = 171.82 м		dsr = 109.20 м		e = 172.38 м		z = 0.36 м				
	Константа C2, учитывающая эффект отражения от земли возле экрана			40	40	40	40	40	40	40	40	40		
	Константа C3 (дифракция на кромках)		ф-ла (15) [10]	2,5	2,9	3	3	3	3	3	3	3		
	K_{met} (влияние метеоусловий)		ф-ла (18) [10]	0,2	0,2	0,2	0,2	0,2	0,2	0,2	0,2	0,2		
	Снижение УЗД, Dz, дБ		ф-ла (14) [10]	5,6	6,4	7,6	9,3	11,5	14	16,8	19,6	22,6		
Траектория слева от экрана	Промежуточные точки:	Pss(x,y,z) = (429.80,32.10,2.32)	Psr(x,y,z) = (422.02,8.93,2.51)	dss = 169.89 м		dsr = 265.12 м		e = 24.44 м		z = 6.40 м				
	Константа C2, учитывающая эффект отражения от земли возле экрана			40	40	40	40	40	40	40	40	40		
	Константа C3 (дифракция на кромках)		ф-ла (15) [10]	1,1	1,4	2	2,6	2,9	3	3	3	3		
	K_{met} (влияние метеоусловий)		ф-ла (18) [10]	1	1	1	1	1	1	1	1	1		
	Снижение УЗД, Dz, дБ		ф-ла (14) [10]	14,7	18,5	22,9	27	30,4	33,5	36,5	39,6	42,6		
Траектория справа от экрана	Промежуточные точки:	Pss(x,y,z) = (425.88,209.66,1.08)	Psr(x,y,z) = (425.88,209.66,1.08)	dss = 51.56 м		dsr = 445.67 м		e = 0.00 м		z = 44.18 м				
	Константа C2, учитывающая эффект отражения от земли возле экрана			40	40	40	40	40	40	40	40	40		
	Константа C3 (дифракция на кромках)		ф-ла (15) [10]	1	1	1	1	1	1	1	1	1		

1		2	3	4	5	6	7	8	9	10	11	12	13
	K_{met} (влияние метеоусловий)	ф-ла (18) [10]	1	1	1	1	1	1	1	1	1		
	Снижение УЗД, Dz, дБ	ф-ла (14) [10]	22,2	25,2	28,1	31,1	34,2	37,2	40,2	43,2	46,2		
Общее снижение уровня звука препятствием Dz, дБ		Эн.сумма(-Dzi)	5	6,1	7,4	9,2	11,4	13,9	16,7	19,6	22,5		
Уровни звукового давления прямого звука от источника ИШ-1-29 в расчётной точке днём, дБ		**ф-ла(3)[10]**	**0**	**26,1**	**26**	**25,1**	**22,5**	**18,6**	**10,7**	**0**	**0**	**23,6**	**23,6**
Уровни звукового давления прямого звука от источника ИШ-1-29 в расчётной точке ночью, дБ		**ф-ла(3)[10]**	**0**	**26,1**	**26**	**25,1**	**22,5**	**18,6**	**10,7**	**0**	**0**	**23,6**	**23,6**
Расчёт отражённого звука													
Уровни звукового давления от мнимого источника ИШ-1-29_мн.(1) в расчётной точке днём, дБ		**ф-ла(3)[10]**	**0**	**0**	**0**	**0**	**0**	**25,6**	**24,3**	**15,2**	**0**	**28,8**	**28,8**
Уровни звукового давления от мнимого источника ИШ-1-29_мн.(1) в расчётной точке ночью, дБ		**ф-ла(3)[10]**	**0**	**0**	**0**	**0**	**0**	**0**	**0**	**0**	**0**	**28,8**	**28,8**
Уровни звукового давления от источника ИШ-1-29 в расчётной точке днём, дБ		**ф-ла(3)[10]**	**0**	**26,1**	**26**	**25,1**	**22,5**	**26,4**	**24,5**	**15,2**	**0**	**30**	**30**
Уровни звукового давления от источника ИШ-1-29 в расчётной точке ночью, дБ		**ф-ла(3)[10]**	**0**	**26,1**	**26**	**25,1**	**22,5**	**26,4**	**24,5**	**15,2**	**0**	**30**	**30**
Источник шума: ИШ-1-30, координаты источника (x,y,z), м =[478.45,194.54,1.00]													
Уровни звуковой мощности источника днём, Lw, дБ		**исходные данные**	**0**	**93,3**	**94,7**	**96**	**96,3**	**95,9**	**92,6**	**88,4**	**83,9**		
Уровни звуковой мощности источника ночью, Lw, дБ		**исходные данные**	**0**	**93,3**	**94,7**	**96**	**96,3**	**95,9**	**92,6**	**88,4**	**83,9**		
Поправка на телесный угол DΩ, дБ	Ω = 6.28	10Lg(4π/Ω)	**3**	3	3	3	3	3	3	3	3		
Показатель направленности источника Di, дБ		исходные данные	**0**	0	0	0	0	0	0	0	0		
Поправка на направленность источника Dc, дБ	Dc	DΩ + Di	**3**	3	3	3	3	3	3	3	3		
Затухание из-за геометрической дивергенции, Adiv, дБ	расстояние = 453.35 м	ф-ла (7) [10]	**64,1**										

1			2	3	4	5	6	7	8	9	10	11	12	13
Коэффициент затухания звука в атмосфере α, дБ/км		Ta=20,°C Pa=101.33,кПа hотн.=70%	ф-ла (5) [9]	0,02	0,09	0,33	1,12	2,79	4,98	9,04	23,09	77,63		
Учет затухания звука в атмосфере Aatm, дБ			ф-ла (8) [10]	0	0	0,2	0,5	1,3	2,3	4,1	10,5	35,2		
Снижение уровня звукового давления из-за влияния застройки между источником шума и расчетной точкой														
Длина звуковой волны для среднегеометрической частоты октавной полосы, λ, м				10,79	5,4	2,72	1,36	0,68	0,34	0,17	0,09	0,04		
Критерий наличия экранирования в горизонтальной плоскости	Горизонтальный размер экрана, lэкр = 85.61 м		lэкр > λ	да	да	да	да	да	да	да	да	да		
Траектория над экраном	Промежуточные точки:	Pss(x,y,z) = (399.08,42.41,10.00)	Psr(x,y,z) = (319.26,-110.58,10.00)	dss = 171.83 м		dsr = 109.32 м		e = 172.56 м		z = 0.36 м				
	Константа C2, учитывающая эффект отражения от земли возле экрана			40	40	40	40	40	40	40	40	40		
	Константа C3 (дифракция на кромках)		ф-ла (15) [10]	2,5	2,9	3	3	3	3	3	3	3		
	K_{met} (влияние метеоусловий)		ф-ла (18) [10]	0,2	0,2	0,2	0,2	0,2	0,2	0,2	0,2	0,2		
	Снижение УЗД, Dz, дБ		ф-ла (14) [10]	5,6	6,4	7,6	9,3	11,5	14	16,8	19,6	22,6		
Траектория слева от экрана	Промежуточные точки:	Pss(x,y,z) = (429.80,32.10,2.32)	Psr(x,y,z) = (422.02,8.93,2.51)	dss = 169.58 м		dsr = 265.12 м		e = 24.44 м		z = 5.78 м				
	Константа C2, учитывающая эффект отражения от земли возле экрана			40	40	40	40	40	40	40	40	40		
	Константа C3 (дифракция на кромках)		ф-ла (15) [10]	1,1	1,4	2	2,6	2,9	3	3	3	3		
	K_{met} (влияние метеоусловий)		ф-ла (18) [10]	1	1	1	1	1	1	1	1	1		
	Снижение УЗД, Dz, дБ		ф-ла (14) [10]	14,3	18,1	22,5	26,5	29,9	33,1	36,1	39,1	42,1		
	Промежуточные точки:	Pss(x,y,z) = (425.88,209.66,1.09)	Psr(x,y,z) = (425.88,209.66,1.09)	dss = 54.70 м		dsr = 445.67 м		e = 0.00 м		z = 47.02 м				
	Константа C2, учитывающая эффект отражения от земли возле экрана			40	40	40	40	40	40	40	40	40		

1		2	3	4	5	6	7	8	9	10	11	12	13
Траектория справа от экрана	Константа СЗ (дифракция на кромках)	ф-ла (15) [10]	1	1	1	1	1	1	1	1	1		
	K_{met} (влияние метеоусловий)	ф-ла (18) [10]	1	1	1	1	1	1	1	1	1		
	Снижение УЗД, Dz, дБ	ф-ла (14) [10]	22,5	25,5	28,4	31,4	34,4	37,4	40,4	43,4	46,5		
Общее снижение уровня звука препятствием Dz, дБ		Эн.сумма(-Dzi)	4,9	6	7,4	9,2	11,4	13,9	16,7	19,6	22,5		
Уровни звукового давления прямого звука от источника ИШ-1-30 в расчётной точке днём, дБ		**ф-ла(3)[10]**	**0**	**26,1**	**26**	**25,2**	**22,5**	**18,6**	**10,7**	**0**	**0**	**23,6**	**23,6**
Уровни звукового давления прямого звука от источника ИШ-1-30 в расчётной точке ночью, дБ		**ф-ла(3)[10]**	**0**	**26,1**	**26**	**25,2**	**22,5**	**18,6**	**10,7**	**0**	**0**	**23,6**	**23,6**
Расчёт отражённого звука													
Уровни звукового давления от мнимого источника ИШ-1-30_мн.(1) в расчётной точке днём, дБ		**ф-ла(3)[10]**	**0**	**0**	**0**	**0**	**0**	**26,4**	**20,3**	**8,4**	**0**	**27,7**	**27,7**
Уровни звукового давления от мнимого источника ИШ-1-30_мн.(1) в расчётной точке ночью, дБ		**ф-ла(3)[10]**	**0**	**0**	**0**	**0**	**0**	**0**	**0**	**0**	**0**	**27,7**	**27,7**
Уровни звукового давления от источника ИШ-1-30 в расчётной точке днём, дБ		**ф-ла(3)[10]**	**0**	**26,1**	**26**	**25,2**	**22,5**	**27,1**	**20,7**	**8,4**	**0**	**29,1**	**29,1**
Уровни звукового давления от источника ИШ-1-30 в расчётной точке ночью, дБ		**ф-ла(3)[10]**	**0**	**26,1**	**26**	**25,2**	**22,5**	**27,1**	**20,7**	**8,4**	**0**	**29,1**	**29,1**
Источник шума: ИШ-1-31, координаты источника (x,y,z), м =[481.58,193.96,1.00]													
Уровни звуковой мощности источника днём, Lw, дБ		**исходные данные**	**0**	**93,3**	**94,7**	**96**	**96,3**	**95,9**	**92,6**	**88,4**	**83,9**		
Уровни звуковой мощности источника ночью, Lw, дБ		**исходные данные**	**0**	**93,3**	**94,7**	**96**	**96,3**	**95,9**	**92,6**	**88,4**	**83,9**		
Поправка на телесный угол DΩ, дБ	Ω = 6.28	10Lg(4π/Ω)	**3**	3	3	3	3	3	3	3	3		
Показатель направленности источника Di, дБ		исходные данные	**0**	0	0	0	0	0	0	0	0		
Поправка на направленность источника Dc, дБ	Dc	DΩ + Di	**3**	3	3	3	3	3	3	3	3		

1			2	3	4	5	6	7	8	9	10	11	12	13
Затухание из-за геометрической дивергенции, Adiv, дБ		расстояние = 454.29 м	ф-ла (7) [10]	**64,1**										
Коэффициент затухания звука в атмосфере α, дБ/км		Ta=20,°C Pa=101.33,кПа hотн.=70%	ф-ла (5) [9]	0,02	0,09	0,33	1,12	2,79	4,98	9,04	23,09	77,63		
Учет затухания звука в атмосфере Aatm, дБ			ф-ла (8) [10]	0	0	0,2	0,5	1,3	2,3	4,1	10,5	35,3		
Снижение уровня звукового давления из-за влияния застройки между источником шума и расчетной точкой														
Длина звуковой волны для среднегеометрической частоты октавной полосы, λ, м				10,79	5,4	2,72	1,36	0,68	0,34	0,17	0,09	0,04		
Критерий наличия экранирования в горизонтальной плоскости	Горизонтальный размер экрана, lэкр = 86.65 м		lэкр > λ	да	да	да	да	да	да	да	да	да		
Траектория над экраном	Промежуточные точки:	Pss(x,y,z) = (400.89,41.80,10.00)	Psr(x,y,z) = (319.96,-110.81,10.00)	dss = 172.46 м		dsr = 109.44 м		e = 172.75 м		z = 0.35 м				
	Константа C2, учитывающая эффект отражения от земли возле экрана			40	40	40	40	40	40	40	40	40		
	Константа C3 (дифракция на кромках)		ф-ла (15) [10]	2,5	2,9	3	3	3	3	3	3	3		
	K_{met} (влияние метеоусловий)		ф-ла (18) [10]	0,2	0,2	0,2	0,2	0,2	0,2	0,2	0,2	0,2		
	Снижение УЗД, Dz, дБ		ф-ла (14) [10]	5,5	6,4	7,6	9,3	11,4	14	16,7	19,6	22,5		
Траектория слева от экрана	Промежуточные точки:	Pss(x,y,z) = (429.80,32.10,2.33)	Psr(x,y,z) = (422.02,8.93,2.52)	dss = 169.94 м		dsr = 265.12 м		e = 24.44 м		z = 5.21 м				
	Константа C2, учитывающая эффект отражения от земли возле экрана			40	40	40	40	40	40	40	40	40		
	Константа C3 (дифракция на кромках)		ф-ла (15) [10]	1,1	1,4	2	2,6	2,9	3	3	3	3		
	K_{met} (влияние метеоусловий)		ф-ла (18) [10]	1	1	1	1	1	1	1	1	1		
	Снижение УЗД, Dz, дБ		ф-ла (14) [10]	13,9	17,6	22	26,1	29,5	32,6	35,6	38,7	41,7		
	Промежуточные точки:	Pss(x,y,z) = (425.88,209.66,1.10)	Psr(x,y,z) = (425.88,209.66,1.10)	dss = 57.86 м		dsr = 445.67 м		e = 0.00 м		z = 49.25 м				

1		2	3	4	5	6	7	8	9	10	11	12	13
Траектория справа от экрана	Константа С2, учитывающая эффект отражения от земли возле экрана		40	40	40	40	40	40	40	40	40		
	Константа С3 (дифракция на кромках)	ф-ла (15) [10]	1	1	1	1	1	1	1	1	1		
	K_{met} (влияние метеоусловий)	ф-ла (18) [10]	1	1	1	1	1	1	1	1	1		
	Снижение УЗД, Dz, дБ	ф-ла (14) [10]	22,7	25,7	28,6	31,6	34,6	37,6	40,6	43,7	46,7		
Общее снижение уровня звука препятствием Dz, дБ		Эн.сумма(-Dzi)	4,9	6	7,4	9,2	11,4	13,9	16,6	19,5	22,4		
Уровни звукового давления прямого звука от источника ИШ-1-31 в расчётной точке днём, дБ		**ф-ла(3)[10]**	**0**	**26,1**	**26**	**25,2**	**22,5**	**18,6**	**10,7**	**0**	**0**	**23,6**	**23,6**
Уровни звукового давления прямого звука от источника ИШ-1-31 в расчётной точке ночью, дБ		**ф-ла(3)[10]**	**0**	**26,1**	**26**	**25,2**	**22,5**	**18,6**	**10,7**	**0**	**0**	**23,6**	**23,6**
Расчёт отражённого звука													
Уровни звукового давления от мнимого источника ИШ-1-31_мн.(1) в расчётной точке днём, дБ		**ф-ла(3)[10]**	**0**	**0**	**0**	**0**	**0**	**23,1**	**15,6**	**2,3**	**0**	**24,1**	**24,1**
Уровни звукового давления от мнимого источника ИШ-1-31_мн.(1) в расчётной точке ночью, дБ		**ф-ла(3)[10]**	**0**	**0**	**0**	**0**	**0**	**0**	**0**	**0**	**0**	**24,1**	**24,1**
Уровни звукового давления от источника ИШ-1-31 в расчётной точке днём, дБ		**ф-ла(3)[10]**	**0**	**26,1**	**26**	**25,2**	**22,5**	**24,4**	**16,8**	**2,3**	**0**	**26,9**	**26,9**
Уровни звукового давления от источника ИШ-1-31 в расчётной точке ночью, дБ		**ф-ла(3)[10]**	**0**	**26,1**	**26**	**25,2**	**22,5**	**24,4**	**16,8**	**2,3**	**0**	**26,9**	**26,9**
Источник шума: ИШ-1-32, координаты источника (x,y,z), м =[871.21,281.99,50.00]													
Уровни звуковой мощности источника днём, Lw, дБ		**исходные данные**	**125**	**119,6**	**113,4**	**111,4**	**110,8**	**112,7**	**113,8**	**109,2**	**97,4**		
Уровни звуковой мощности источника ночью, Lw, дБ		**исходные данные**	**0**	**0**	**0**	**0**	**0**	**0**	**0**	**0**	**0**		
Поправка на телесный угол DΩ, дБ	Ω = 12.57	10Lg(4π/Ω)	**0**	0	0	0	0	0	0	0	0		
Показатель направленности источника Di, дБ		исходные данные	**0**	0	0	0	0	0	0	0	0		

1		2	3	4	5	6	7	8	9	10	11	12	13
Поправка на направленность источника Dc, дБ	Dc	DΩ + Di	**0**	0	0	0	0	0	0	0	0		
Затухание из-за геометрической дивергенции, Adiv, дБ	расстояние = 777.50 м	ф-ла (7) [10]	**68,8**										
Коэффициент затухания звука в атмосфере α, дБ/км	Ta=20,°C Pa=101.33,кПа hотн.=70%	ф-ла (5) [9]	0,02	0,09	0,33	1,12	2,79	4,98	9,04	23,09	77,63		
Учет затухания звука в атмосфере Aatm, дБ		ф-ла (8) [10]	0	0,1	0,3	0,9	2,2	3,9	7	17,9	60,4		
Снижение поверхностью земли возле источника As, дБ	Gs = 0 hs = 50м	ф-лы таб.3 [10]	-1,5	-1,5	-1,5	-1,5	-1,5	-1,5	-1,5	-1,5	-1,5		
Снижение поверхностью земли возле приёмника Ar, дБ	Gr = 1 hr = 4.6м	ф-лы таб.3 [10]	-1,5	-1,5	3,6	1,3	0	0	0	0	0		
Снижение поверхностью земли в средней зоне, Am дБ	Gm = 1	ф-лы таб.3 [10]	0	0	0	0	0	0	0	0	0		
Суммарное снижение поверхностью земли на траектории распространения звука Agr, дБ		ф-ла (9) [10]	-3	-3	2,1	-0,2	-1,5	-1,5	-1,5	-1,5	-1,5		
Уровни звукового давления прямого звука от источника ИШ-1-32 в расчётной точке днём, дБ		**ф-ла(3)[10]**	**59,2**	**53,7**	**42,2**	**42**	**41,3**	**41,5**	**39,5**	**24**	**0**	**45,6**	**45,6**
Уровни звукового давления прямого звука от источника ИШ-1-32 в расчётной точке ночью, дБ		**ф-ла(3)[10]**	**0**	**0**	**0**	**0**	**0**	**0**	**0**	**0**	**0**	**0**	**0**
Расчёт отражённого звука													
Уровни звукового давления от мнимого источника ИШ-1-32_мн.(1) в расчётной точке днём, дБ		**ф-ла(3)[10]**	**0**	**0**	**39,7**	**39,5**	**38,8**	**39**	**37**	**21,4**	**0**	**43**	**43**
Уровни звукового давления от мнимого источника ИШ-1-32_мн.(1) в расчётной точке ночью, дБ		**ф-ла(3)[10]**	**0**	**0**	**0**	**0**	**0**	**0**	**0**	**0**	**0**	**0**	**0**
Уровни звукового давления от источника ИШ-1-32 в расчётной точке днём, дБ		**ф-ла(3)[10]**	**59,2**	**53,7**	**44,2**	**43,9**	**43,3**	**43,5**	**41,4**	**25,9**	**0**	**47,5**	**47,5**
Уровни звукового давления от источника ИШ-1-32 в расчётной точке ночью, дБ		**ф-ла(3)[10]**	**0**	**0**	**0**	**0**	**0**	**0**	**0**	**0**	**0**	**0**	**0**
Источник шума: ИШ-1-33, координаты источника (x,y,z), м =[743.42,374.85,1.00]													

1			2	3	4	5	6	7	8	9	10	11	12	13
Уровни звуковой мощности источника днём, Lw, дБ			**исходные данные**	**0**	**88,7**	**90,1**	**93,1**	**96,4**	**103**	**112**	**108**	**99,2**		
Уровни звуковой мощности источника ночью, Lw, дБ			**исходные данные**	**0**	**0**	**0**	**0**	**0**	**0**	**0**	**0**	**0**		
Поправка на телесный угол DΩ, дБ		Ω = 6.28	10Lg(4π/Ω)	**3**	3	3	3	3	3	3	3	3		
Показатель направленности источника Di, дБ			исходные данные	**0**	0	0	0	0	0	0	0	0		
Поправка на направленность источника Dc, дБ		Dc	DΩ + Di	**3**	3	3	3	3	3	3	3	3		
Затухание из-за геометрической дивергенции, Adiv, дБ		расстояние = 751.21 м	ф-ла (7) [10]	**68,5**										
Коэффициент затухания звука в атмосфере α, дБ/км		Ta=20,°C Pa=101.33,кПа hотн.=70%	ф-ла (5) [9]	0,02	0,09	0,33	1,12	2,79	4,98	9,04	23,09	77,63		
Учет затухания звука в атмосфере Aatm, дБ			ф-ла (8) [10]	0	0,1	0,3	0,8	2,1	3,7	6,8	17,3	58,3		
Снижение уровня звукового давления из-за влияния застройки между источником шума и расчетной точкой														
Длина звуковой волны для среднегеометрической частоты октавной полосы, λ, м				10,79	5,4	2,72	1,36	0,68	0,34	0,17	0,09	0,04		
Критерий наличия экранирования в горизонтальной плоскости	Горизонтальный размер экрана, lэкр = 143.95 м		lэкр > λ	да	да	да	да	да	да	да	да	да		
Траектория над экраном	Промежуточные точки:	Pss(x,y,z) = (484.36,57.09,10.00)	Psr(x,y,z) = (480.13,51.89,10.00)	dss = 410.08 м		dsr = 334.56 м		e = 6.70 м		z = 0.13 м				
	Константа C2, учитывающая эффект отражения от земли возле экрана			40	40	40	40	40	40	40	40	40		
	Константа C3 (дифракция на кромках)		ф-ла (15) [10]	1	1	1,1	1,5	2,1	2,7	2,9	3	3		
	K_{met} (влияние метеоусловий)		ф-ла (18) [10]	0	0	0	0	0	0	0	0	0		
	Снижение УЗД, Dz, дБ		ф-ла (14) [10]	4,8	4,8	4,8	4,8	4,8	4,8	4,8	4,8	4,8		
	Промежуточные точки:	Pss(x,y,z) = (482.37,51.14,2.99)	Psr(x,y,z) = (482.37,51.14,2.99)	dss = 415.86 м		dsr = 335.36 м		e = 0.00 м		z = 0.01 м				

1			2	3	4	5	6	7	8	9	10	11	12	13
Траектория слева от экрана	Константа С2, учитывающая эффект отражения от земли возле экрана			40	40	40	40	40	40	40	40	40		
	Константа С3 (дифракция на кромках)		ф-ла (15) [10]	1	1	1	1	1	1	1	1	1		
	K_{met} (влияние метеоусловий)		ф-ла (18) [10]	1	1	1	1	1	1	1	1	1		
	Снижение УЗД, Dz, дБ		ф-ла (14) [10]	4,8	4,9	5	5,3	5,8	6,6	7,9	9,6	11,9		
Траектория справа от экрана	Промежуточные точки:	Pss(x,y,z) = (425.88,209.66,2.58)	Psr(x,y,z) = (425.88,209.66,2.58)	dss = 357.94 м		dsr = 445.66 м		e = 0.00 м		z = 52.40 м				
	Константа С2, учитывающая эффект отражения от земли возле экрана			40	40	40	40	40	40	40	40	40		
	Константа С3 (дифракция на кромках)		ф-ла (15) [10]	1	1	1	1	1	1	1	1	1		
	K_{met} (влияние метеоусловий)		ф-ла (18) [10]	1	1	1	1	1	1	1	1	1		
	Снижение УЗД, Dz, дБ		ф-ла (14) [10]	22,9	25,9	28,9	31,9	34,9	37,9	40,9	43,9	46,9		
Общее снижение уровня звука препятствием Dz, дБ			Эн.сумма(-Dzi)	1,8	1,8	1,9	2	2,2	2,6	3	3,6	4		
Уровни звукового давления от источника ИШ-1-33 в расчётной точке днём, дБ			**ф-ла(3)[10]**	**0**	**21,3**	**22,5**	**24,7**	**26,6**	**31,2**	**36,7**	**21,6**	**0**	**39**	**39**
Уровни звукового давления от источника ИШ-1-33 в расчётной точке ночью, дБ			**ф-ла(3)[10]**	**0**	**0**	**0**	**0**	**0**	**0**	**0**	**0**	**0**	**0**	**0**
Источник шума: ИШ-1-34, координаты источника (x,y,z), м =[1042.35,199.07,1.00]														
Уровни звуковой мощности источника днём, Lw, дБ			**исходные данные**	**0**	**88,7**	**90,1**	**93,1**	**96,4**	**103**	**112**	**108**	**99,2**		
Уровни звуковой мощности источника ночью, Lw, дБ			**исходные данные**	**0**	**0**	**0**	**0**	**0**	**0**	**0**	**0**	**0**		
Поправка на телесный угол DΩ, дБ		Ω = 6.28	10Lg(4π/Ω)	**3**	3	3	3	3	3	3	3	3		
Показатель направленности источника Di, дБ			исходные данные	**0**	0	0	0	0	0	0	0	0		

1			2	3	4	5	6	7	8	9	10	11	12	13
Поправка на направленность источника Dc, дБ		Dc	DΩ + Di	**3**	3	3	3	3	3	3	3	3		
Затухание из-за геометрической дивергенции, Adiv, дБ		расстояние = 873.88 м	ф-ла (7) [10]	**69,8**										
Коэффициент затухания звука в атмосфере α, дБ/км		Ta=20,°C Pa=101.33,кПа hотн.=70%	ф-ла (5) [9]	0,02	0,09	0,33	1,12	2,79	4,98	9,04	23,09	77,63		
Учет затухания звука в атмосфере Aatm, дБ			ф-ла (8) [10]	0	0,1	0,3	1	2,4	4,4	7,9	20,2	67,8		
Снижение уровня звукового давления из-за влияния застройки между источником шума и расчетной точкой														
Длина звуковой волны для среднегеометрической частоты октавной полосы, λ, м				10,79	5,4	2,72	1,36	0,68	0,34	0,17	0,09	0,04		
Критерий наличия экранирования в горизонтальной плоскости	Горизонтальный размер экрана, lэкр = 72.41 м		lэкр > λ	да	да	да	да	да	да	да	да	да		
Траектория над экраном	Промежуточные точки:	Pss(x,y,z) = (589.57,-38.82,8.00)	Psr(x,y,z) = (574.21,-46.89,8.00)	dss = 511.52 м		dsr = 345.07 м		e = 17.35 м		z = 0.06 м				
	Константа C2, учитывающая эффект отражения от земли возле экрана			40	40	40	40	40	40	40	40	40		
	Константа C3 (дифракция на кромках)		ф-ла (15) [10]	1,1	1,2	1,7	2,4	2,8	2,9	3	3	3		
	K_{met} (влияние метеоусловий)		ф-ла (18) [10]	0	0	0	0	0	0	0	0	0		
	Снижение УЗД, Dz, дБ		ф-ла (14) [10]	4,8	4,8	4,8	4,8	4,8	4,8	4,8	4,8	4,8		
Траектория слева от экрана	Промежуточные точки:	Pss(x,y,z) = (469.27,-137.76,3.74)	Psr(x,y,z) = (469.27,-137.76,3.74)	dss = 664.74 м		dsr = 212.26 м		e = 0.00 м		z = 3.12 м				
	Константа C2, учитывающая эффект отражения от земли возле экрана			40	40	40	40	40	40	40	40	40		
	Константа C3 (дифракция на кромках)		ф-ла (15) [10]	1	1	1	1	1	1	1	1	1		
	K_{met} (влияние метеоусловий)		ф-ла (18) [10]	1	1	1	1	1	1	1	1	1		
	Снижение УЗД, Dz, дБ		ф-ла (14) [10]	11,6	14,2	16,9	19,8	22,7	25,7	28,7	31,7	34,7		

1			2	3	4	5	6	7	8	9	10	11	12	13
Траектория справа от экрана	Промежуточные точки:	Pss(x,y,z) = (549.08,-14.03,3.21)	Psr(x,y,z) = (549.08,-14.03,3.21)	dss = 537.33 м		dsr = 340.55 м		e = 0.00 м		z = 4.00 м				
	Константа C2, учитывающая эффект отражения от земли возле экрана			40	40	40	40	40	40	40	40	40		
	Константа C3 (дифракция на кромках)		ф-ла (15) [10]	1	1	1	1	1	1	1	1	1		
	K_{met} (влияние метеоусловий)		ф-ла (18) [10]	1	1	1	1	1	1	1	1	1		
	Снижение УЗД, Dz, дБ		ф-ла (14) [10]	12,5	15,1	17,9	20,8	23,8	26,8	29,8	32,8	35,8		
Общее снижение уровня звука препятствием Dz, дБ			Эн.сумма(-Dzi)	3,4	4	4,3	4,5	4,6	4,7	4,7	4,8	4,8		
Уровни звукового давления от источника ИШ-1-34 в расчётной точке днём, дБ			**ф-ла(3)[10]**	**0**	**17,8**	**18,7**	**20,8**	**22,5**	**27,1**	**32,5**	**16,3**	**0**	**34,8**	**34,8**
Уровни звукового давления от источника ИШ-1-34 в расчётной точке ночью, дБ			**ф-ла(3)[10]**	**0**	**0**	**0**	**0**	**0**	**0**	**0**	**0**	**0**	**0**	**0**
Источник шума: ИШ-2-1, координаты источника (x,y,z), м =[696.50,124.40,3.00]														
Уровни звуковой мощности источника днём, Lw, дБ			**исходные данные**	**105**	**104**	**104**	**101**	**102**	**106**	**101**	**95**	**87**		
Уровни звуковой мощности источника ночью, Lw, дБ			**исходные данные**	**105**	**104**	**104**	**101**	**102**	**106**	**101**	**95**	**87**		
Поправка на телесный угол DΩ, дБ		Ω = 6.28	10Lg(4π/Ω)	**3**	3	3	3	3	3	3	3	3		
Показатель направленности источника Di, дБ			исходные данные	**0**	0	0	0	0	0	0	0	0		
Поправка на направленность источника Dc, дБ		Dc	DΩ + Di	**3**	3	3	3	3	3	3	3	3		
Затухание из-за геометрической дивергенции, Adiv, дБ		расстояние = 541.34 м	ф-ла (7) [10]	**65,7**										
Коэффициент затухания звука в атмосфере α, дБ/км		Ta=20,°C Pa=101.33,кПа hотн.=70%	ф-ла (5) [9]	0,02	0,09	0,33	1,12	2,79	4,98	9,04	23,09	77,63		

1		2	3	4	5	6	7	8	9	10	11	12	13
Учет затухания звука в атмосфере Aatm, дБ		ф-ла (8) [10]	0	0	0,2	0,6	1,5	2,7	4,9	12,5	42		
Снижение поверхностью земли возле источника As, дБ	Gs = 0 hs = 3м	ф-лы таб.3 [10]	-1,5	-1,5	-1,5	-1,5	-1,5	-1,5	-1,5	-1,5	-1,5		
Снижение поверхностью земли возле приёмника Ar, дБ	Gr = 1 hr = 4.6м	ф-лы таб.3 [10]	-1,5	-1,5	3,4	1,3	0	0	0	0	0		
Снижение поверхностью земли в средней зоне, Am дБ	Gm = 1	ф-лы таб.3 [10]	-1,7	-1,7	0	0	0	0	0	0	0		
Суммарное снижение поверхностью земли на траектории распространения звука Agr, дБ		ф-ла (9) [10]	-4,7	-4,7	1,9	-0,2	-1,5	-1,5	-1,5	-1,5	-1,5		
Уровни звукового давления прямого звука от источника ИШ-2-1 в расчётной точке днём, дБ		**ф-ла(3)[10]**	**47,1**	**46**	**39,2**	**38**	**39,3**	**42,1**	**34,9**	**21,3**	**0**	**44,1**	**44,1**
Уровни звукового давления прямого звука от источника ИШ-2-1 в расчётной точке ночью, дБ		**ф-ла(3)[10]**	**47,1**	**46**	**39,2**	**38**	**39,3**	**42,1**	**34,9**	**21,3**	**0**	**44,1**	**44,1**
Расчёт отражённого звука													
Уровни звукового давления от мнимого источника ИШ-2-1_мн.(1) в расчётной точке днём, дБ		**ф-ла(3)[10]**	**0**	**0**	**33,4**	**31,6**	**36,6**	**39,6**	**32,4**	**18,7**	**0**	**41,4**	**41,4**
Уровни звукового давления от мнимого источника ИШ-2-1_мн.(1) в расчётной точке ночью, дБ		**ф-ла(3)[10]**	**0**	**0**	**0**	**0**	**0**	**0**	**0**	**0**	**0**	**41,4**	**41,4**
Уровни звукового давления от источника ИШ-2-1 в расчётной точке днём, дБ		**ф-ла(3)[10]**	**47,1**	**46**	**40,3**	**38,9**	**41,2**	**44,1**	**36,9**	**23,2**	**0**	**46**	**46**
Уровни звукового давления от источника ИШ-2-1 в расчётной точке ночью, дБ		**ф-ла(3)[10]**	**47,1**	**46**	**40,3**	**38,9**	**41,2**	**44,1**	**36,9**	**23,2**	**0**	**46**	**46**
Источник шума: ИШ-2-2, координаты источника (x,y,z), м =[682.20,81.60,3.00]													
Уровни звуковой мощности источника днём, Lw, дБ		**исходные данные**	**105**	**104**	**104**	**101**	**102**	**106**	**101**	**95**	**87**		
Уровни звуковой мощности источника ночью, Lw, дБ		**исходные данные**	**105**	**104**	**104**	**101**	**102**	**106**	**101**	**95**	**87**		
Поправка на телесный угол DΩ, дБ	Ω = 6.28	10Lg(4π/Ω)	**3**	3	3	3	3	3	3	3	3		
Показатель направленности источника Di, дБ		исходные данные	**0**	0	0	0	0	0	0	0	0		

1		2	3	4	5	6	7	8	9	10	11	12	13
Поправка на направленность источника Dc, дБ	Dc	DΩ + Di	**3**	3	3	3	3	3	3	3	3		
Затухание из-за геометрической дивергенции, Adiv, дБ	расстояние = 504.43 м	ф-ла (7) [10]	**65,1**										
Коэффициент затухания звука в атмосфере α, дБ/км	Ta=20,°C Pa=101.33,кПа hотн.=70%	ф-ла (5) [9]	0,02	0,09	0,33	1,12	2,79	4,98	9,04	23,09	77,63		
Учет затухания звука в атмосфере Aatm, дБ		ф-ла (8) [10]	0	0	0,2	0,6	1,4	2,5	4,6	11,6	39,2		
Снижение уровня звукового давления из-за влияния застройки между источником шума и расчетной точкой													
Препятствие слева от трассы ИШ-РТ	Промежуточные точки:	Pss(x,y,z) = (549.08,-14.03,3.52)	Psr(x,y,z) = (549.08,-14.03,3.52)	dss = 163.91 м		dsr = 340.55 м		e = 0.00 м		z = -0.02 м			
	Константа C2, учитывающая эффект отражения от земли возле экрана			40	40	40	40	40	40	40	40	40		
	Константа C3 (дифракция на кромках)		ф-ла (15) [10]	1	1	1	1	1	1	1	1	1		
	K_{met} (влияние метеоусловий)		ф-ла (18) [10]	1	1	1	1	1	1	1	1	1		
	Снижение УЗД, Dz, дБ		ф-ла (14) [10]	4,7	4,5	4,3	3,8	2,6	0	NAN	NAN	NAN		
* отрицательное значение z означает прохождение траектории вблизи экрана, в этом случае дополнительно производится учёт снижения подстилающей поверхностью (см.ниже)													
Снижение поверхностью земли возле источника As, дБ	Gs = 0 hs = 3м		ф-лы таб.3 [10]	-1,5	-1,5	-1,5	-1,5	-1,5	-1,5	-1,5	-1,5	-1,5		
Снижение поверхностью земли возле приёмника Ar, дБ	Gr = 1 hr = 4.6м		ф-лы таб.3 [10]	-1,5	-1,5	3,4	1,3	0	0	0	0	0		
Снижение поверхностью земли в средней зоне, Am дБ	Gm = 1		ф-лы таб.3 [10]	-1,6	-1,6	0	0	0	0	0	0	0		
Суммарное снижение поверхностью земли на траектории распространения звука Agr, дБ			ф-ла (9) [10]	-4,6	-4,6	1,9	-0,2	-1,5	-1,5	-1,5	-1,5	-1,5		
Уровни звукового давления прямого звука от источника ИШ-2-2 в расчётной точке днём, дБ			**ф-ла(3)[10]**	**42,9**	**42**	**35,6**	**34,8**	**37,5**	**42,9**	**35,9**	**22,8**	**0**	**44,5**	**44,5**
Уровни звукового давления прямого звука от источника ИШ-2-2 в расчётной точке ночью, дБ			**ф-ла(3)[10]**	**42,9**	**42**	**35,6**	**34,8**	**37,5**	**42,9**	**35,9**	**22,8**	**0**	**44,5**	**44,5**
Расчёт отражённого звука													

1		2	3	4	5	6	7	8	9	10	11	12	13
Уровни звукового давления от мнимого источника ИШ-2-2_мн.(1) в расчётной точке днём, дБ		**ф-ла(3)[10]**	**0**	**0**	**0**	**32,3**	**37,3**	**40,4**	**33,3**	**20,2**	**0**	**42,2**	**42,2**
Уровни звукового давления от мнимого источника ИШ-2-2_мн.(1) в расчётной точке ночью, дБ		**ф-ла(3)[10]**	**0**	**0**	**0**	**0**	**0**	**0**	**0**	**0**	**0**	**42,2**	**42,2**
Уровни звукового давления от источника ИШ-2-2 в расчётной точке днём, дБ		**ф-ла(3)[10]**	**42,9**	**42**	**35,6**	**36,7**	**40,4**	**44,9**	**37,8**	**24,7**	**0**	**46,5**	**46,5**
Уровни звукового давления от источника ИШ-2-2 в расчётной точке ночью, дБ		**ф-ла(3)[10]**	**42,9**	**42**	**35,6**	**36,7**	**40,4**	**44,9**	**37,8**	**24,7**	**0**	**46,5**	**46,5**
Источник шума: ИШ-2-3, координаты источника (x,y,z), м =[667.80,38.90,3.00]													
Уровни звуковой мощности источника днём, Lw, дБ		**исходные данные**	**105**	**104**	**104**	**101**	**102**	**106**	**101**	**95**	**87**		
Уровни звуковой мощности источника ночью, Lw, дБ		**исходные данные**	**105**	**104**	**104**	**101**	**102**	**106**	**101**	**95**	**87**		
Поправка на телесный угол DΩ, дБ	Ω = 6.28	10Lg(4π/Ω)	**3**	3	3	3	3	3	3	3	3		
Показатель направленности источника Di, дБ		исходные данные	**0**	0	0	0	0	0	0	0	0		
Поправка на направленность источника Dc, дБ	Dc	DΩ + Di	**3**	3	3	3	3	3	3	3	3		
Затухание из-за геометрической дивергенции, Adiv, дБ	расстояние = 468.93 м	ф-ла (7) [10]	**64,4**										
Коэффициент затухания звука в атмосфере α, дБ/км	Ta=20,°C Pa=101.33,кПа hотн.=70%	ф-ла (5) [9]	0,02	0,09	0,33	1,12	2,79	4,98	9,04	23,09	77,63		
Учет затухания звука в атмосфере Aatm, дБ		ф-ла (8) [10]	0	0	0,2	0,5	1,3	2,3	4,2	10,8	36,4		
Снижение уровня звукового давления из-за влияния застройки между источником шума и расчетной точкой													
Длина звуковой волны для среднегеометрической частоты октавной полосы, λ, м			10,79	5,4	2,72	1,36	0,68	0,34	0,17	0,09	0,04		
Критерий наличия экранирования в горизонтальной плоскости	Горизонтальный размер экрана, lэкр = 64.13 м	lэкр > λ	да	да	да	да	да	да	да	да	да		

1			2	3	4	5	6	7	8	9	10	11	12	13
Траектория над экраном	Промежуточные точки:	Pss(x,y,z) = (556.44,-29.83,7.00)	Psr(x,y,z) = (540.47,-39.68,7.00)	dss = 130.92 м		dsr = 319.31 м		e = 18.76 м		z = 0.07 м				
	Константа C2, учитывающая эффект отражения от земли возле экрана			40	40	40	40	40	40	40	40	40		
	Константа C3 (дифракция на кромках)		ф-ла (15) [10]	1,1	1,3	1,8	2,4	2,8	3	3	3	3		
	K_{met} (влияние метеоусловий)		ф-ла (18) [10]	0	0	0	0	0	0	0	0	0		
	Снижение УЗД, Dz, дБ		ф-ла (14) [10]	4,8	4,8	4,8	4,8	4,8	4,9	4,9	5,1	5,4		
Траектория слева от экрана	Промежуточные точки:	Pss(x,y,z) = (578.70,-71.12,3.46)	Psr(x,y,z) = (469.27,-137.76,3.89)	dss = 141.57 м		dsr = 212.26 м		e = 128.13 м		z = 13.03 м				
	Константа C2, учитывающая эффект отражения от земли возле экрана			40	40	40	40	40	40	40	40	40		
	Константа C3 (дифракция на кромках)		ф-ла (15) [10]	2,3	2,8	2,9	3	3	3	3	3	3		
	K_{met} (влияние метеоусловий)		ф-ла (18) [10]	1	1	1	1	1	1	1	1	1		
	Снижение УЗД, Dz, дБ		ф-ла (14) [10]	20,6	24,3	27,5	30,6	33,6	36,6	39,6	42,6	45,7		
Траектория справа от экрана	Промежуточные точки:	Pss(x,y,z) = (549.08,-14.03,3.44)	Psr(x,y,z) = (549.08,-14.03,3.44)	dss = 129.98 м		dsr = 340.55 м		e = 0.00 м		z = 1.60 м				
	Константа C2, учитывающая эффект отражения от земли возле экрана			40	40	40	40	40	40	40	40	40		
	Константа C3 (дифракция на кромках)		ф-ла (15) [10]	1	1	1	1	1	1	1	1	1		
	K_{met} (влияние метеоусловий)		ф-ла (18) [10]	1	1	1	1	1	1	1	1	1		
	Снижение УЗД, Dz, дБ		ф-ла (14) [10]	9,5	11,7	14,2	17	19,9	22,8	25,8	28,8	31,8		
Общее снижение уровня звука препятствием Dz, дБ			Эн.сумма(-Dzi)	3,4	3,9	4,3	4,5	4,7	4,8	4,9	5,1	5,4		
Уровни звукового давления от источника ИШ-2-3 в расчётной точке днём, дБ			**ф-ла(3)[10]**	**40,2**	**38,6**	**38,1**	**34,5**	**34,6**	**37,5**	**30,5**	**17,7**	**0**	**39,6**	**39,6**
Уровни звукового давления от источника ИШ-2-3 в расчётной точке ночью, дБ			**ф-ла(3)[10]**	**40,2**	**38,6**	**38,1**	**34,5**	**34,6**	**37,5**	**30,5**	**17,7**	**0**	**39,6**	**39,6**

1			2	3	4	5	6	7	8	9	10	11	12	13
Источник шума: ИШ-2-6, координаты источника (x,y,z), м =[765.97,112.43,1.00]														
Уровни звуковой мощности источника днём, Lw, дБ			**исходные данные**	**0**	**93,3**	**94,7**	**96**	**96,3**	**95,9**	**92,6**	**88,4**	**83,9**		
Уровни звуковой мощности источника ночью, Lw, дБ			**исходные данные**	**0**	**93,3**	**94,7**	**96**	**96,3**	**95,9**	**92,6**	**88,4**	**83,9**		
Поправка на телесный угол DΩ, дБ		Ω = 6.28	10Lg(4π/Ω)	**3**	3	3	3	3	3	3	3	3		
Показатель направленности источника Di, дБ			исходные данные	**0**	0	0	0	0	0	0	0	0		
Поправка на направленность источника Dc, дБ		Dc	DΩ + Di	**3**	3	3	3	3	3	3	3	3		
Затухание из-за геометрической дивергенции, Adiv, дБ		расстояние = 591.20 м	ф-ла (7) [10]	**66,4**										
Коэффициент затухания звука в атмосфере α, дБ/км		Ta=20,°C Pa=101.33,кПа hотн.=70%	ф-ла (5) [9]	0,02	0,09	0,33	1,12	2,79	4,98	9,04	23,09	77,63		
Учет затухания звука в атмосфере Aatm, дБ			ф-ла (8) [10]	0	0,1	0,2	0,7	1,7	2,9	5,3	13,6	45,9		
Снижение уровня звукового давления из-за влияния застройки между источником шума и расчетной точкой														
Длина звуковой волны для среднегеометрической частоты октавной полосы, λ, м				10,79	5,4	2,72	1,36	0,68	0,34	0,17	0,09	0,04		
Критерий наличия экранирования в горизонтальной плоскости	Горизонтальный размер экрана, lэкр = 64.03 м		lэкр > λ	да	да	да	да	да	да	да	да	да		
Траектория над экраном	Промежуточные точки:	Pss(x,y,z) = (559.64,-20.28,7.00)	Psr(x,y,z) = (543.50,-30.66,7.00)	dss = 245.39 м		dsr = 326.68 м		e = 19.20 м		z = 0.07 м				
	Константа C2, учитывающая эффект отражения от земли возле экрана			40	40	40	40	40	40	40	40	40		
	Константа C3 (дифракция на кромках)		ф-ла (15) [10]	1,1	1,3	1,8	2,5	2,8	3	3	3	3		
	K_{met} (влияние метеоусловий)		ф-ла (18) [10]	0	0	0	0	0	0	0	0	0		

1			2	3	4	5	6	7	8	9	10	11	12	13
	Снижение УЗД, Dz, дБ		ф-ла (14) [10]	4,8	4,8	4,8	4,8	4,8	4,8	4,8	4,8	4,8		
Траектория слева от экрана	Промежуточные точки:	Pss(x,y,z) = (578.70,-71.12,2.56)	Psr(x,y,z) = (469.27,-137.76,3.34)	dss = 262.23 м		dsr = 212.26 м		e = 128.13 м		z = 11.42 м				
	Константа С2, учитывающая эффект отражения от земли возле экрана			40	40	40	40	40	40	40	40	40		
	Константа С3 (дифракция на кромках)		ф-ла (15) [10]	2,3	2,8	2,9	3	3	3	3	3	3		
	K_{met} (влияние метеоусловий)		ф-ла (18) [10]	1	1	1	1	1	1	1	1	1		
	Снижение УЗД, Dz, дБ		ф-ла (14) [10]	20	23,7	27	30	33	36,1	39,1	42,1	45,1		
Траектория справа от экрана	Промежуточные точки:	Pss(x,y,z) = (549.08,-14.03,2.53)	Psr(x,y,z) = (549.08,-14.03,2.53)	dss = 251.06 м		dsr = 340.55 м		e = 0.00 м		z = 0.42 м				
	Константа С2, учитывающая эффект отражения от земли возле экрана			40	40	40	40	40	40	40	40	40		
	Константа С3 (дифракция на кромках)		ф-ла (15) [10]	1	1	1	1	1	1	1	1	1		
	K_{met} (влияние метеоусловий)		ф-ла (18) [10]	1	1	1	1	1	1	1	1	1		
	Снижение УЗД, Dz, дБ		ф-ла (14) [10]	6,6	7,8	9,6	11,8	14,4	17,2	20	23	26		
Общее снижение уровня звука препятствием Dz, дБ			Эн.сумма(-Dzi)	2,5	3	3,5	4	4,3	4,5	4,7	4,7	4,8		
Уровни звукового давления от источника ИШ-2-6 в расчётной точке днём, дБ			**ф-ла(3)[10]**	**0**	**26,8**	**27,5**	**27,9**	**26,9**	**25**	**19,2**	**6,6**	**0**	**28,8**	**28,8**
Уровни звукового давления от источника ИШ-2-6 в расчётной точке ночью, дБ			**ф-ла(3)[10]**	**0**	**26,8**	**27,5**	**27,9**	**26,9**	**25**	**19,2**	**6,6**	**0**	**28,8**	**28,8**
Источник шума: ИШ-2-7, координаты источника (x,y,z), м =[764.91,109.54,1.00]														
Уровни звуковой мощности источника днём, Lw, дБ			**исходные данные**	**0**	**93,3**	**94,7**	**96**	**96,3**	**95,9**	**92,6**	**88,4**	**83,9**		
Уровни звуковой мощности источника ночью, Lw, дБ			**исходные данные**	**0**	**93,3**	**94,7**	**96**	**96,3**	**95,9**	**92,6**	**88,4**	**83,9**		

1			2	3	4	5	6	7	8	9	10	11	12	13
Поправка на телесный угол DΩ, дБ	Ω = 6.28		10Lg(4π/Ω)	**3**	3	3	3	3	3	3	3	3		
Показатель направленности источника Di, дБ			исходные данные	**0**	0	0	0	0	0	0	0	0		
Поправка на направленность источника Dc, дБ	Dc		DΩ + Di	**3**	3	3	3	3	3	3	3	3		
Затухание из-за геометрической дивергенции, Adiv, дБ	расстояние = 588.75 м		ф-ла (7) [10]	**66,4**										
Коэффициент затухания звука в атмосфере α, дБ/км	Ta=20,°C Pa=101.33,кПа hотн.=70%		ф-ла (5) [9]	0,02	0,09	0,33	1,12	2,79	4,98	9,04	23,09	77,63		
Учет затухания звука в атмосфере Aatm, дБ			ф-ла (8) [10]	0	0,1	0,2	0,7	1,6	2,9	5,3	13,6	45,7		
Снижение уровня звукового давления из-за влияния застройки между источником шума и расчетной точкой														
Длина звуковой волны для среднегеометрической частоты октавной полосы, λ, м				10,79	5,4	2,72	1,36	0,68	0,34	0,17	0,09	0,04		
Критерий наличия экранирования в горизонтальной плоскости	Горизонтальный размер экрана, lэкр = 64.05 м		lэкр > λ	да	да	да	да	да	да	да	да	да		
Траектория над экраном	Промежуточные точки:	Pss(x,y,z) = (559.09,-21.92,7.00)	Psr(x,y,z) = (542.98,-32.22,7.00)	dss = 244.29 м		dsr = 325.41 м		e = 19.12 м		z = 0.07 м				
	Константа C2, учитывающая эффект отражения от земли возле экрана			40	40	40	40	40	40	40	40	40		
	Константа C3 (дифракция на кромках)		ф-ла (15) [10]	1,1	1,3	1,8	2,4	2,8	3	3	3	3		
	K_{met} (влияние метеоусловий)		ф-ла (18) [10]	0	0	0	0	0	0	0	0	0		
	Снижение УЗД, Dz, дБ		ф-ла (14) [10]	4,8	4,8	4,8	4,8	4,8	4,8	4,8	4,8	4,8		
Траектория слева от экрана	Промежуточные точки:	Pss(x,y,z) = (578.70,-71.12,2.55)	Psr(x,y,z) = (469.27,-137.76,3.34)	dss = 259.45 м		dsr = 212.26 м		e = 128.13 м		z = 11.09 м				
	Константа C2, учитывающая эффект отражения от земли возле экрана			40	40	40	40	40	40	40	40	40		
	Константа C3 (дифракция на кромках)		ф-ла (15) [10]	2,3	2,8	2,9	3	3	3	3	3	3		

1			2	3	4	5	6	7	8	9	10	11	12	13
	K_{met} (влияние метеоусловий)		ф-ла (18) [10]	1	1	1	1	1	1	1	1	1		
	Снижение УЗД, Dz, дБ		ф-ла (14) [10]	19,9	23,6	26,8	29,9	32,9	35,9	38,9	41,9	45		
Траектория справа от экрана	Промежуточные точки:	Pss(x,y,z) = (549.08,-14.03,2.52)	Psr(x,y,z) = (549.08,-14.03,2.52)	dss = 248.70 м		dsr = 340.55 м		e = 0.00 м		z = 0.50 м				
	Константа С2, учитывающая эффект отражения от земли возле экрана			40	40	40	40	40	40	40	40	40		
	Константа С3 (дифракция на кромках)		ф-ла (15) [10]	1	1	1	1	1	1	1	1	1		
	K_{met} (влияние метеоусловий)		ф-ла (18) [10]	1	1	1	1	1	1	1	1	1		
	Снижение УЗД, Dz, дБ		ф-ла (14) [10]	6,9	8,3	10,2	12,5	15,1	17,9	20,9	23,8	26,8		
Общее снижение уровня звука препятствием Dz, дБ			Эн.сумма(-Dzi)	2,6	3,1	3,7	4,1	4,4	4,6	4,7	4,7	4,8		
Уровни звукового давления от источника ИШ-2-7 в расчётной точке днём, дБ			**ф-ла(3)[10]**	**0**	**26,7**	**27,4**	**27,8**	**26,9**	**25**	**19,2**	**6,7**	**0**	**28,8**	**28,8**
Уровни звукового давления от источника ИШ-2-7 в расчётной точке ночью, дБ			**ф-ла(3)[10]**	**0**	**26,7**	**27,4**	**27,8**	**26,9**	**25**	**19,2**	**6,7**	**0**	**28,8**	**28,8**
Источник шума: ИШ-2-8, координаты источника (x,y,z), м =[764.03,106.58,1.00]														
Уровни звуковой мощности источника днём, Lw, дБ			**исходные данные**	**0**	**93,3**	**94,7**	**96**	**96,3**	**95,9**	**92,6**	**88,4**	**83,9**		
Уровни звуковой мощности источника ночью, Lw, дБ			**исходные данные**	**0**	**93,3**	**94,7**	**96**	**96,3**	**95,9**	**92,6**	**88,4**	**83,9**		
Поправка на телесный угол DΩ, дБ		Ω = 6.28	10Lg(4π/Ω)	**3**	3	3	3	3	3	3	3	3		
Показатель направленности источника Di, дБ			исходные данные	**0**	0	0	0	0	0	0	0	0		
Поправка на направленность источника Dc, дБ		Dc	DΩ + Di	**3**	3	3	3	3	3	3	3	3		
Затухание из-за геометрической дивергенции, Adiv, дБ		расстояние = 586.42 м	ф-ла (7) [10]	**66,4**										

1			2	3	4	5	6	7	8	9	10	11	12	13
Коэффициент затухания звука в атмосфере α, дБ/км	Ta=20,°C Pa=101.33,кПа hотн.=70%		ф-ла (5) [9]	0,02	0,09	0,33	1,12	2,79	4,98	9,04	23,09	77,63		
Учет затухания звука в атмосфере Aatm, дБ			ф-ла (8) [10]	0	0,1	0,2	0,7	1,6	2,9	5,3	13,5	45,5		
Снижение уровня звукового давления из-за влияния застройки между источником шума и расчетной точкой														
Длина звуковой волны для среднегеометрической частоты октавной полосы, λ, м				10,79	5,4	2,72	1,36	0,68	0,34	0,17	0,09	0,04		
Критерий наличия экранирования в горизонтальной плоскости	Горизонтальный размер экрана, lэкр = 64.07 м		lэкр > λ	да	да	да	да	да	да	да	да	да		
Траектория над экраном	Промежуточные точки:	Pss(x,y,z) = (558.49,-23.72,7.00)	Psr(x,y,z) = (542.41,-33.91,7.00)	dss = 243.43 м		dsr = 324.02 м		e = 19.04 м		z = 0.07 м				
	Константа C2, учитывающая эффект отражения от земли возле экрана			40	40	40	40	40	40	40	40	40		
	Константа C3 (дифракция на кромках)		ф-ла (15) [10]	1,1	1,3	1,8	2,4	2,8	3	3	3	3		
	K_{met} (влияние метеоусловий)		ф-ла (18) [10]	0	0	0	0	0	0	0	0	0		
	Снижение УЗД, Dz, дБ		ф-ла (14) [10]	4,8	4,8	4,8	4,8	4,8	4,8	4,8	4,8	4,8		
Траектория слева от экрана	Промежуточные точки:	Pss(x,y,z) = (578.70,-71.12,2.55)	Psr(x,y,z) = (469.27,-137.76,3.33)	dss = 256.76 м		dsr = 212.26 м		e = 128.13 м		z = 10.73 м				
	Константа C2, учитывающая эффект отражения от земли возле экрана			40	40	40	40	40	40	40	40	40		
	Константа C3 (дифракция на кромках)		ф-ла (15) [10]	2,3	2,8	2,9	3	3	3	3	3	3		
	K_{met} (влияние метеоусловий)		ф-ла (18) [10]	1	1	1	1	1	1	1	1	1		
	Снижение УЗД, Dz, дБ		ф-ла (14) [10]	19,8	23,5	26,7	29,8	32,8	35,8	38,8	41,8	44,8		
	Промежуточные точки:	Pss(x,y,z) = (549.08,-14.03,2.51)	Psr(x,y,z) = (549.08,-14.03,2.51)	dss = 246.47 м		dsr = 340.55 м		e = 0.00 м		z = 0.61 м				
	Константа C2, учитывающая эффект отражения от земли возле экрана			40	40	40	40	40	40	40	40	40		

1		2	3	4	5	6	7	8	9	10	11	12	13
Траектория справа от экрана	Константа СЗ (дифракция на кромках)	ф-ла (15) [10]	1	1	1	1	1	1	1	1	1		
	K_{met} (влияние метеоусловий)	ф-ла (18) [10]	1	1	1	1	1	1	1	1	1		
	Снижение УЗД, Dz, дБ	ф-ла (14) [10]	7,2	8,8	10,8	13,2	15,9	18,7	21,7	24,6	27,6		
Общее снижение уровня звука препятствием Dz, дБ		Эн.сумма(-Dzi)	2,7	3,3	3,8	4,2	4,4	4,6	4,7	4,7	4,8		
Уровни звукового давления от источника ИШ-2-8 в расчётной точке днём, дБ		**ф-ла(3)[10]**	**0**	**26,6**	**27,4**	**27,8**	**26,8**	**25**	**19,2**	**6,7**	**0**	**28,8**	**28,8**
Уровни звукового давления от источника ИШ-2-8 в расчётной точке ночью, дБ		**ф-ла(3)[10]**	**0**	**26,6**	**27,4**	**27,8**	**26,8**	**25**	**19,2**	**6,7**	**0**	**28,8**	**28,8**
Источник шума: ИШ-2-9, координаты источника (x,y,z), м =[763.26,103.71,1.00]													
Уровни звуковой мощности источника днём, Lw, дБ		**исходные данные**	**0**	**93,3**	**94,7**	**96**	**96,3**	**95,9**	**92,6**	**88,4**	**83,9**		
Уровни звуковой мощности источника ночью, Lw, дБ		**исходные данные**	**0**	**93,3**	**94,7**	**96**	**96,3**	**95,9**	**92,6**	**88,4**	**83,9**		
Поправка на телесный угол DΩ, дБ	Ω = 6.28	10Lg(4π/Ω)	**3**	3	3	3	3	3	3	3	3		
Показатель направленности источника Di, дБ		исходные данные	**0**	0	0	0	0	0	0	0	0		
Поправка на направленность источника Dc, дБ	Dc	DΩ + Di	**3**	3	3	3	3	3	3	3	3		
Затухание из-за геометрической дивергенции, Adiv, дБ	расстояние = 584.23 м	ф-ла (7) [10]	**66,3**										
Коэффициент затухания звука в атмосфере α, дБ/км	Ta=20,°C Pa=101.33,кПа hотн.=70%	ф-ла (5) [9]	0,02	0,09	0,33	1,12	2,79	4,98	9,04	23,09	77,63		
Учет затухания звука в атмосфере Aatm, дБ		ф-ла (8) [10]	0	0,1	0,2	0,7	1,6	2,9	5,3	13,5	45,4		
Снижение уровня звукового давления из-за влияния застройки между источником шума и расчетной точкой													

1			2	3	4	5	6	7	8	9	10	11	12	13
Длина звуковой волны для среднегеометрической частоты октавной полосы, λ, м				10,79	5,4	2,72	1,36	0,68	0,34	0,17	0,09	0,04		
Критерий наличия экранирования в горизонтальной плоскости	Горизонтальный размер экрана, lэкр = 64.09 м		lэкр > λ	да	да	да	да	да	да	да	да	да		
Траектория над экраном	Промежуточные точки:	Pss(x,y,z) = (557.90,-25.48,7.00)	Psr(x,y,z) = (541.85,-35.57,7.00)	dss = 242.69 м		dsr = 322.66 м		e = 18.96 м		z = 0.07 м				
	Константа C2, учитывающая эффект отражения от земли возле экрана			40	40	40	40	40	40	40	40	40		
	Константа C3 (дифракция на кромках)		ф-ла (15) [10]	1,1	1,3	1,8	2,4	2,8	3	3	3	3		
	K_{met} (влияние метеоусловий)		ф-ла (18) [10]	0	0	0	0	0	0	0	0	0		
	Снижение УЗД, Dz, дБ		ф-ла (14) [10]	4,8	4,8	4,8	4,8	4,8	4,8	4,8	4,8	4,8		
Траектория слева от экрана	Промежуточные точки:	Pss(x,y,z) = (578.70,-71.12,2.54)	Psr(x,y,z) = (469.27,-137.76,3.33)	dss = 254.22 м		dsr = 212.26 м		e = 128.13 м		z = 10.38 м				
	Константа C2, учитывающая эффект отражения от земли возле экрана			40	40	40	40	40	40	40	40	40		
	Константа C3 (дифракция на кромках)		ф-ла (15) [10]	2,3	2,8	2,9	3	3	3	3	3	3		
	K_{met} (влияние метеоусловий)		ф-ла (18) [10]	1	1	1	1	1	1	1	1	1		
	Снижение УЗД, Dz, дБ		ф-ла (14) [10]	19,6	23,3	26,5	29,6	32,6	35,6	38,7	41,7	44,7		
Траектория справа от экрана	Промежуточные точки:	Pss(x,y,z) = (549.08,-14.03,2.50)	Psr(x,y,z) = (549.08,-14.03,2.50)	dss = 244.40 м		dsr = 340.55 м		e = 0.00 м		z = 0.73 м				
	Константа C2, учитывающая эффект отражения от земли возле экрана			40	40	40	40	40	40	40	40	40		
	Константа C3 (дифракция на кромках)		ф-ла (15) [10]	1	1	1	1	1	1	1	1	1		
	K_{met} (влияние метеоусловий)		ф-ла (18) [10]	1	1	1	1	1	1	1	1	1		
	Снижение УЗД, Dz, дБ		ф-ла (14) [10]	7,6	9,2	11,4	13,9	16,6	19,5	22,4	25,4	28,4		
Общее снижение уровня звука препятствием Dz, дБ			Эн.сумма(-Dzi)	2,8	3,4	3,9	4,3	4,5	4,6	4,7	4,8	4,8		

1			2	3	4	5	6	7	8	9	10	11	12	13
Уровни звукового давления от источника ИШ-2-9 в расчётной точке днём, дБ			**ф-ла(3)[10]**	**0**	**26,5**	**27,3**	**27,7**	**26,8**	**25**	**19,3**	**6,8**	**0**	**28,8**	**28,8**
Уровни звукового давления от источника ИШ-2-9 в расчётной точке ночью, дБ			**ф-ла(3)[10]**	**0**	**26,5**	**27,3**	**27,7**	**26,8**	**25**	**19,3**	**6,8**	**0**	**28,8**	**28,8**
Источник шума: ИШ-2-10, координаты источника (x,y,z), м =[762.14,100.75,1.00]														
Уровни звуковой мощности источника днём, Lw, дБ			**исходные данные**	**0**	**93,3**	**94,7**	**96**	**96,3**	**95,9**	**92,6**	**88,4**	**83,9**		
Уровни звуковой мощности источника ночью, Lw, дБ			**исходные данные**	**0**	**93,3**	**94,7**	**96**	**96,3**	**95,9**	**92,6**	**88,4**	**83,9**		
Поправка на телесный угол DΩ, дБ	Ω = 6.28		10Lg(4π/Ω)	**3**	3	3	3	3	3	3	3	3		
Показатель направленности источника Di, дБ			исходные данные	**0**	0	0	0	0	0	0	0	0		
Поправка на направленность источника Dc, дБ	Dc		DΩ + Di	**3**	3	3	3	3	3	3	3	3		
Затухание из-за геометрической дивергенции, Adiv, дБ	расстояние = 581.71 м		ф-ла (7) [10]	**66,3**										
Коэффициент затухания звука в атмосфере α, дБ/км	Ta=20,°C Pa=101.33,кПа hотн.=70%		ф-ла (5) [9]	0,02	0,09	0,33	1,12	2,79	4,98	9,04	23,09	77,63		
Учет затухания звука в атмосфере Aatm, дБ			ф-ла (8) [10]	0	0,1	0,2	0,7	1,6	2,9	5,3	13,4	45,2		
Снижение уровня звукового давления из-за влияния застройки между источником шума и расчетной точкой														
Длина звуковой волны для среднегеометрической частоты октавной полосы, λ, м				10,79	5,4	2,72	1,36	0,68	0,34	0,17	0,09	0,04		
Критерий наличия экранирования в горизонтальной плоскости	Горизонтальный размер экрана, lэкр = 64.11 м		lэкр > λ	да	да	да	да	да	да	да	да	да		
	Промежуточные точки:	Pss(x,y,z) = (557.33,-27.16,7.00)	Psr(x,y,z) = (541.32,-37.16,7.00)	dss = 241.54 м		dsr = 321.36 м		e = 18.88 м		z = 0.07 м				
	Константа C2, учитывающая эффект отражения от земли возле экрана			40	40	40	40	40	40	40	40	40		

1			2	3	4	5	6	7	8	9	10	11	12	13
Траектория над экраном	Константа С3 (дифракция на кромках)		ф-ла (15) [10]	1,1	1,3	1,8	2,4	2,8	3	3	3	3		
	K_{met} (влияние метеоусловий)		ф-ла (18) [10]	0	0	0	0	0	0	0	0	0		
	Снижение УЗД, Dz, дБ		ф-ла (14) [10]	4,8	4,8	4,8	4,8	4,8	4,8	4,8	4,8	4,8		
Траектория слева от экрана	Промежуточные точки:	Pss(x,y,z) = (578.70,-71.12,2.53)	Psr(x,y,z) = (469.27,-137.76,3.32)	dss = 251.38 м		dsr = 212.26 м		e = 128.13 м		z = 10.06 м				
	Константа С2, учитывающая эффект отражения от земли возле экрана			40	40	40	40	40	40	40	40	40		
	Константа С3 (дифракция на кромках)		ф-ла (15) [10]	2,3	2,8	2,9	3	3	3	3	3	3		
	K_{met} (влияние метеоусловий)		ф-ла (18) [10]	1	1	1	1	1	1	1	1	1		
	Снижение УЗД, Dz, дБ		ф-ла (14) [10]	19,5	23,2	26,4	29,5	32,5	35,5	38,5	41,5	44,5		
Траектория справа от экрана	Промежуточные точки:	Pss(x,y,z) = (549.08,-14.03,2.49)	Psr(x,y,z) = (549.08,-14.03,2.49)	dss = 242.01 м		dsr = 340.55 м		e = 0.00 м		z = 0.85 м				
	Константа С2, учитывающая эффект отражения от земли возле экрана			40	40	40	40	40	40	40	40	40		
	Константа С3 (дифракция на кромках)		ф-ла (15) [10]	1	1	1	1	1	1	1	1	1		
	K_{met} (влияние метеоусловий)		ф-ла (18) [10]	1	1	1	1	1	1	1	1	1		
	Снижение УЗД, Dz, дБ		ф-ла (14) [10]	7,9	9,7	11,9	14,5	17,2	20,1	23,1	26,1	29		
Общее снижение уровня звука препятствием Dz, дБ			Эн.сумма(-Dzi)	2,9	3,5	4	4,3	4,5	4,6	4,7	4,8	4,8		
Уровни звукового давления от источника ИШ-2-10 в расчётной точке днём, дБ			**ф-ла(3)[10]**	**0**	**26,4**	**27,2**	**27,7**	**26,8**	**25,1**	**19,3**	**6,9**	**0**	**28,8**	**28,8**
Уровни звукового давления от источника ИШ-2-10 в расчётной точке ночью, дБ			**ф-ла(3)[10]**	**0**	**26,4**	**27,2**	**27,7**	**26,8**	**25,1**	**19,3**	**6,9**	**0**	**28,8**	**28,8**

Источник шума: ИШ-2-11, координаты источника (x,y,z), м =[761.13,97.90,1.00]

1			2	3	4	5	6	7	8	9	10	11	12	13
Уровни звуковой мощности источника днём, Lw, дБ			**исходные данные**	**0**	**93,3**	**94,7**	**96**	**96,3**	**95,9**	**92,6**	**88,4**	**83,9**		
Уровни звуковой мощности источника ночью, Lw, дБ			**исходные данные**	**0**	**93,3**	**94,7**	**96**	**96,3**	**95,9**	**92,6**	**88,4**	**83,9**		
Поправка на телесный угол DΩ, дБ	Ω = 6.28		10Lg(4π/Ω)	**3**	3	3	3	3	3	3	3	3		
Показатель направленности источника Di, дБ			исходные данные	**0**	0	0	0	0	0	0	0	0		
Поправка на направленность источника Dc, дБ	Dc		DΩ + Di	**3**	3	3	3	3	3	3	3	3		
Затухание из-за геометрической дивергенции, Adiv, дБ	расстояние = 579.35 м		ф-ла (7) [10]	**66,3**										
Коэффициент затухания звука в атмосфере α, дБ/км	Ta=20,°C Pa=101.33,кПа hотн.=70%		ф-ла (5) [9]	0,02	0,09	0,33	1,12	2,79	4,98	9,04	23,09	77,63		
Учет затухания звука в атмосфере Aatm, дБ			ф-ла (8) [10]	0	0,1	0,2	0,7	1,6	2,9	5,2	13,4	45		
Снижение уровня звукового давления из-за влияния застройки между источником шума и расчетной точкой														
Длина звуковой волны для среднегеометрической частоты октавной полосы, λ, м				10,79	5,4	2,72	1,36	0,68	0,34	0,17	0,09	0,04		
Критерий наличия экранирования в горизонтальной плоскости	Горизонтальный размер экрана, lэкр = 64.12 м		lэкр > λ	да	да	да	да	да	да	да	да	да		
Траектория над экраном	Промежуточные точки:	Pss(x,y,z) = (556.79,-28.79,7.00)	Psr(x,y,z) = (540.80,-38.70,7.00)	dss = 240.50 м		dsr = 320.11 м		e = 18.81 м		z = 0.07 м				
	Константа C2, учитывающая эффект отражения от земли возле экрана			40	40	40	40	40	40	40	40	40		
	Константа C3 (дифракция на кромках)		ф-ла (15) [10]	1,1	1,3	1,8	2,4	2,8	3	3	3	3		
	K_{met} (влияние метеоусловий)		ф-ла (18) [10]	0	0	0	0	0	0	0	0	0		
	Снижение УЗД, Dz, дБ		ф-ла (14) [10]	4,8	4,8	4,8	4,8	4,8	4,8	4,8	4,8	4,8		
	Промежуточные точки:	Pss(x,y,z) = (578.70,-71.12,2.52)	Psr(x,y,z) = (469.27,-137.76,3.31)	dss = 248.69 м		dsr = 212.26 м		e = 128.13 м		z = 9.74 м				

1			2	3	4	5	6	7	8	9	10	11	12	13
Траектория слева от экрана	Константа С2, учитывающая эффект отражения от земли возле экрана			40	40	40	40	40	40	40	40	40		
	Константа С3 (дифракция на кромках)		ф-ла (15) [10]	2,3	2,8	2,9	3	3	3	3	3	3		
	K_{met} (влияние метеоусловий)		ф-ла (18) [10]	1	1	1	1	1	1	1	1	1		
	Снижение УЗД, Dz, дБ		ф-ла (14) [10]	19,4	23,1	26,3	29,3	32,4	35,4	38,4	41,4	44,4		
Траектория справа от экрана	Промежуточные точки:	Pss(x,y,z) = (549.08,-14.03,2.49)	Psr(x,y,z) = (549.08,-14.03,2.49)	dss = 239.77 м		dsr = 340.55 м		e = 0.00 м		z = 0.98 м				
	Константа С2, учитывающая эффект отражения от земли возле экрана			40	40	40	40	40	40	40	40	40		
	Константа С3 (дифракция на кромках)		ф-ла (15) [10]	1	1	1	1	1	1	1	1	1		
	K_{met} (влияние метеоусловий)		ф-ла (18) [10]	1	1	1	1	1	1	1	1	1		
	Снижение УЗД, Dz, дБ		ф-ла (14) [10]	8,2	10,1	12,4	15	17,8	20,7	23,7	26,7	29,7		
Общее снижение уровня звука препятствием Dz, дБ			Эн.сумма(-Dzi)	3	3,6	4,1	4,4	4,6	4,7	4,7	4,8	4,8		
Уровни звукового давления от источника ИШ-2-11 в расчётной точке днём, дБ			**ф-ла(3)[10]**	**0**	**26,4**	**27,2**	**27,7**	**26,9**	**25,1**	**19,4**	**7**	**0**	**28,9**	**28,9**
Уровни звукового давления от источника ИШ-2-11 в расчётной точке ночью, дБ			**ф-ла(3)[10]**	**0**	**26,4**	**27,2**	**27,7**	**26,9**	**25,1**	**19,4**	**7**	**0**	**28,9**	**28,9**
Источник шума: ИШ-2-12, координаты источника (x,y,z), м =[760.25,95.02,1.00]														
Уровни звуковой мощности источника днём, Lw, дБ			**исходные данные**	**0**	**93,3**	**94,7**	**96**	**96,3**	**95,9**	**92,6**	**88,4**	**83,9**		
Уровни звуковой мощности источника ночью, Lw, дБ			**исходные данные**	**0**	**93,3**	**94,7**	**96**	**96,3**	**95,9**	**92,6**	**88,4**	**83,9**		
Поправка на телесный угол DΩ, дБ		Ω = 6.28	10Lg(4π/Ω)	**3**	3	3	3	3	3	3	3	3		
Показатель направленности источника Di, дБ			исходные данные	**0**	0	0	0	0	0	0	0	0		

1			2	3	4	5	6	7	8	9	10	11	12	13
Поправка на направленность источника Dc, дБ	Dc		DΩ + Di	**3**	3	3	3	3	3	3	3	3		
Затухание из-за геометрической дивергенции, Adiv, дБ	расстояние = 577.09 м		ф-ла (7) [10]	**66,2**										
Коэффициент затухания звука в атмосфере α, дБ/км	Ta=20,°C Pa=101.33,кПа hотн.=70%		ф-ла (5) [9]	0,02	0,09	0,33	1,12	2,79	4,98	9,04	23,09	77,63		
Учет затухания звука в атмосфере Aatm, дБ			ф-ла (8) [10]	0	0,1	0,2	0,6	1,6	2,9	5,2	13,3	44,8		
Снижение уровня звукового давления из-за влияния застройки между источником шума и расчетной точкой														
Длина звуковой волны для среднегеометрической частоты октавной полосы, λ, м				10,79	5,4	2,72	1,36	0,68	0,34	0,17	0,09	0,04		
Критерий наличия экранирования в горизонтальной плоскости	Горизонтальный размер экрана, lэкр = 64.14 м		lэкр > λ	да	да	да	да	да	да	да	да	да		
Траектория над экраном	Промежуточные точки:	Pss(x,y,z) = (556.20,-30.52,7.00)	Psr(x,y,z) = (540.25,-40.34,7.00)	dss = 239.65 м		dsr = 318.78 м		e = 18.73 м		z = 0.07 м				
	Константа C2, учитывающая эффект отражения от земли возле экрана			40	40	40	40	40	40	40	40	40		
	Константа C3 (дифракция на кромках)		ф-ла (15) [10]	1,1	1,3	1,8	2,4	2,8	3	3	3	3		
	K_{met} (влияние метеоусловий)		ф-ла (18) [10]	0	0	0	0	0	0	0	0	0		
	Снижение УЗД, Dz, дБ		ф-ла (14) [10]	4,8	4,8	4,8	4,8	4,8	4,8	4,8	4,8	4,8		
Траектория слева от экрана	Промежуточные точки:	Pss(x,y,z) = (578.70,-71.12,2.51)	Psr(x,y,z) = (469.27,-137.76,3.31)	dss = 246.10 м		dsr = 212.26 м		e = 128.13 м		z = 9.40 м				
	Константа C2, учитывающая эффект отражения от земли возле экрана			40	40	40	40	40	40	40	40	40		
	Константа C3 (дифракция на кромках)		ф-ла (15) [10]	2,3	2,8	2,9	3	3	3	3	3	3		
	K_{met} (влияние метеоусловий)		ф-ла (18) [10]	1	1	1	1	1	1	1	1	1		
	Снижение УЗД, Dz, дБ		ф-ла (14) [10]	19,2	22,9	26,1	29,2	32,2	35,2	38,2	41,2	44,2		

1			2	3	4	5	6	7	8	9	10	11	12	13
Траектория справа от экрана	Промежуточные точки:	Pss(x,y,z) = (549.08,-14.03,2.48)	Psr(x,y,z) = (549.08,-14.03,2.48)	dss = 237.67 м		dsr = 340.55 м		e = 0.00 м		z = 1.13 м				
	Константа C2, учитывающая эффект отражения от земли возле экрана			40	40	40	40	40	40	40	40	40		
	Константа C3 (дифракция на кромках)		ф-ла (15) [10]	1	1	1	1	1	1	1	1	1		
	K_{met} (влияние метеоусловий)		ф-ла (18) [10]	1	1	1	1	1	1	1	1	1		
	Снижение УЗД, Dz, дБ		ф-ла (14) [10]	8,6	10,6	12,9	15,6	18,4	21,3	24,3	27,3	30,3		
Общее снижение уровня звука препятствием Dz, дБ			Эн.сумма(-Dzi)	3,1	3,7	4,1	4,4	4,6	4,7	4,7	4,8	4,8		
Уровни звукового давления от источника ИШ-2-12 в расчётной точке днём, дБ			**ф-ла(3)[10]**	**0**	**26,3**	**27,1**	**27,7**	**26,9**	**25,1**	**19,4**	**7,1**	**0**	**28,9**	**28,9**
Уровни звукового давления от источника ИШ-2-12 в расчётной точке ночью, дБ			**ф-ла(3)[10]**	**0**	**26,3**	**27,1**	**27,7**	**26,9**	**25,1**	**19,4**	**7,1**	**0**	**28,9**	**28,9**
Источник шума: ИШ-2-13, координаты источника (x,y,z), м =[759.28,92.25,1.00]														
Уровни звуковой мощности источника днём, Lw, дБ			**исходные данные**	**0**	**93,3**	**94,7**	**96**	**96,3**	**95,9**	**92,6**	**88,4**	**83,9**		
Уровни звуковой мощности источника ночью, Lw, дБ			**исходные данные**	**0**	**93,3**	**94,7**	**96**	**96,3**	**95,9**	**92,6**	**88,4**	**83,9**		
Поправка на телесный угол DΩ, дБ		Ω = 6.28	10Lg(4π/Ω)	**3**	3	3	3	3	3	3	3	3		
Показатель направленности источника Di, дБ			исходные данные	**0**	0	0	0	0	0	0	0	0		
Поправка на направленность источника Dc, дБ		Dc	DΩ + Di	**3**	3	3	3	3	3	3	3	3		
Затухание из-за геометрической дивергенции, Adiv, дБ		расстояние = 574.81 м	ф-ла (7) [10]	**66,2**										
Коэффициент затухания звука в атмосфере α, дБ/км		Ta=20,°C Pa=101.33,кПа hотн.=70%	ф-ла (5) [9]	0,02	0,09	0,33	1,12	2,79	4,98	9,04	23,09	77,63		

1			2	3	4	5	6	7	8	9	10	11	12	13
Учет затухания звука в атмосфере Aatm, дБ			ф-ла (8) [10]	0	0,1	0,2	0,6	1,6	2,9	5,2	13,3	44,6		
Снижение уровня звукового давления из-за влияния застройки между источником шума и расчетной точкой														
Длина звуковой волны для среднегеометрической частоты октавной полосы, λ, м				10,79	5,4	2,72	1,36	0,68	0,34	0,17	0,09	0,04		
Критерий наличия экранирования в горизонтальной плоскости	Горизонтальный размер экрана, lэкр = 64.15 м		lэкр > λ	да	да	да	да	да	да	да	да	да		
Траектория над экраном	Промежуточные точки:	Pss(x,y,z) = (555.67,-32.12,7.00)	Psr(x,y,z) = (539.75,-41.85,7.00)	dss = 238.66 м		dsr = 317.56 м		e = 18.66 м		z = 0.07 м				
	Константа C2, учитывающая эффект отражения от земли возле экрана			40	40	40	40	40	40	40	40	40		
	Константа C3 (дифракция на кромках)		ф-ла (15) [10]	1,1	1,3	1,8	2,4	2,8	3	3	3	3		
	K_{met} (влияние метеоусловий)		ф-ла (18) [10]	0	0	0	0	0	0	0	0	0		
	Снижение УЗД, Dz, дБ		ф-ла (14) [10]	4,8	4,8	4,8	4,8	4,8	4,8	4,8	4,8	4,8		
Траектория слева от экрана	Промежуточные точки:	Pss(x,y,z) = (578.70,-71.12,2.50)	Psr(x,y,z) = (469.27,-137.76,3.30)	dss = 243.52 м		dsr = 212.26 м		e = 128.13 м		z = 9.10 м				
	Константа C2, учитывающая эффект отражения от земли возле экрана			40	40	40	40	40	40	40	40	40		
	Константа C3 (дифракция на кромках)		ф-ла (15) [10]	2,3	2,8	2,9	3	3	3	3	3	3		
	K_{met} (влияние метеоусловий)		ф-ла (18) [10]	1	1	1	1	1	1	1	1	1		
	Снижение УЗД, Dz, дБ		ф-ла (14) [10]	19,1	22,8	26	29	32,1	35,1	38,1	41,1	44,1		
Траектория справа от экрана	Промежуточные точки:	Pss(x,y,z) = (549.08,-14.03,2.47)	Psr(x,y,z) = (549.08,-14.03,2.47)	dss = 235.54 м		dsr = 340.55 м		e = 0.00 м		z = 1.28 м				
	Константа C2, учитывающая эффект отражения от земли возле экрана			40	40	40	40	40	40	40	40	40		
	Константа C3 (дифракция на кромках)		ф-ла (15) [10]	1	1	1	1	1	1	1	1	1		

1		2	3	4	5	6	7	8	9	10	11	12	13
	K_{met} (влияние метеоусловий)	ф-ла (18) [10]	1	1	1	1	1	1	1	1	1		
	Снижение УЗД, Dz, дБ	ф-ла (14) [10]	8,9	11	13,4	16,1	18,9	21,9	24,8	27,8	30,8		
Общее снижение уровня звука препятствием Dz, дБ		Эн.сумма(-Dzi)	3,2	3,8	4,2	4,4	4,6	4,7	4,7	4,8	4,8		
Уровни звукового давления от источника ИШ-2-13 в расчётной точке днём, дБ		**ф-ла(3)[10]**	**0**	**26,3**	**27,1**	**27,7**	**26,9**	**25,2**	**19,5**	**7,2**	**0**	**28,9**	**28,9**
Уровни звукового давления от источника ИШ-2-13 в расчётной точке ночью, дБ		**ф-ла(3)[10]**	**0**	**26,3**	**27,1**	**27,7**	**26,9**	**25,2**	**19,5**	**7,2**	**0**	**28,9**	**28,9**
Источник шума: ИШ-2-14, координаты источника (x,y,z), м =[751.62,69.73,1.00]													
Уровни звуковой мощности источника днём, Lw, дБ		**исходные данные**	**0**	**93,3**	**94,7**	**96**	**96,3**	**95,9**	**92,6**	**88,4**	**83,9**		
Уровни звуковой мощности источника ночью, Lw, дБ		**исходные данные**	**0**	**93,3**	**94,7**	**96**	**96,3**	**95,9**	**92,6**	**88,4**	**83,9**		
Поправка на телесный угол DΩ, дБ	Ω = 6.28	10Lg(4π/Ω)	**3**	3	3	3	3	3	3	3	3		
Показатель направленности источника Di, дБ		исходные данные	**0**	0	0	0	0	0	0	0	0		
Поправка на направленность источника Dc, дБ	Dc	DΩ + Di	**3**	3	3	3	3	3	3	3	3		
Затухание из-за геометрической дивергенции, Adiv, дБ	расстояние = 556.74 м	ф-ла (7) [10]	**65,9**										
Коэффициент затухания звука в атмосфере α, дБ/км	Ta=20,°C Pa=101.33,кПа hотн.=70%	ф-ла (5) [9]	0,02	0,09	0,33	1,12	2,79	4,98	9,04	23,09	77,63		
Учет затухания звука в атмосфере Aatm, дБ		ф-ла (8) [10]	0	0	0,2	0,6	1,6	2,8	5	12,9	43,2		
Снижение уровня звукового давления из-за влияния застройки между источником шума и расчетной точкой													
Длина звуковой волны для среднегеометрической частоты октавной полосы, λ, м			10,79	5,4	2,72	1,36	0,68	0,34	0,17	0,09	0,04		

1			2	3	4	5	6	7	8	9	10	11	12	13
Критерий наличия экранирования в горизонтальной плоскости	Горизонтальный размер экрана, lэкр = 64.25 м		lэкр > λ	да	да	да	да	да	да	да	да	да		
Траектория над экраном	Промежуточные точки:	Pss(x,y,z) = (584.78,-26.02,8.00)	Psr(x,y,z) = (580.37,-28.55,8.00)	dss = 192.49 м		dsr = 359.31 м		e = 5.08 м		z = 0.13 м				
	Константа C2, учитывающая эффект отражения от земли возле экрана			40	40	40	40	40	40	40	40	40		
	Константа C3 (дифракция на кромках)		ф-ла (15) [10]	1	1	1,1	1,3	1,9	2,5	2,8	3	3		
	K_{met} (влияние метеоусловий)		ф-ла (18) [10]	0	0	0	0	0	0	0	0	0		
	Снижение УЗД, Dz, дБ		ф-ла (14) [10]	4,8	4,8	4,8	4,8	4,8	4,9	5,1	5,4	5,9		
Траектория слева от экрана	Промежуточные точки:	Pss(x,y,z) = (578.70,-71.12,2.42)	Psr(x,y,z) = (469.27,-137.76,3.25)	dss = 223.03 м		dsr = 212.26 м		e = 128.13 м		z = 6.68 м				
	Константа C2, учитывающая эффект отражения от земли возле экрана			40	40	40	40	40	40	40	40	40		
	Константа C3 (дифракция на кромках)		ф-ла (15) [10]	2,3	2,8	2,9	3	3	3	3	3	3		
	K_{met} (влияние метеоусловий)		ф-ла (18) [10]	1	1	1	1	1	1	1	1	1		
	Снижение УЗД, Dz, дБ		ф-ла (14) [10]	17,8	21,5	24,6	27,7	30,7	33,7	36,7	39,7	42,8		
Траектория справа от экрана	Промежуточные точки:	Pss(x,y,z) = (549.08,-14.03,2.41)	Psr(x,y,z) = (549.08,-14.03,2.41)	dss = 219.17 м		dsr = 340.55 м		e = 0.00 м		z = 2.98 м				
	Константа C2, учитывающая эффект отражения от земли возле экрана			40	40	40	40	40	40	40	40	40		
	Константа C3 (дифракция на кромках)		ф-ла (15) [10]	1	1	1	1	1	1	1	1	1		
	K_{met} (влияние метеоусловий)		ф-ла (18) [10]	1	1	1	1	1	1	1	1	1		
	Снижение УЗД, Dz, дБ		ф-ла (14) [10]	11,5	14	16,7	19,6	22,5	25,5	28,5	31,5	34,5		
Общее снижение уровня звука препятствием Dz, дБ			Эн.сумма(-Dzi)	3,8	4,2	4,5	4,6	4,7	4,9	5	5,3	5,9		
Уровни звукового давления от источника ИШ-2-14 в расчётной точке днём, дБ			**ф-ла(3)[10]**	**0**	**26,1**	**27,1**	**27,8**	**27,1**	**25,3**	**19,6**	**7,3**	**0**	**29,1**	**29,1**

1			2	3	4	5	6	7	8	9	10	11	12	13
Уровни звукового давления от источника ИШ-2-14 в расчётной точке ночью, дБ			**ф-ла(3)[10]**	**0**	**26,1**	**27,1**	**27,8**	**27,1**	**25,3**	**19,6**	**7,3**	**0**	**29,1**	**29,1**
Источник шума: ИШ-2-15, координаты источника (x,y,z), м =[750.74,66.89,1.00]														
Уровни звуковой мощности источника днём, Lw, дБ			**исходные данные**	**0**	**93,3**	**94,7**	**96**	**96,3**	**95,9**	**92,6**	**88,4**	**83,9**		
Уровни звуковой мощности источника ночью, Lw, дБ			**исходные данные**	**0**	**93,3**	**94,7**	**96**	**96,3**	**95,9**	**92,6**	**88,4**	**83,9**		
Поправка на телесный угол DΩ, дБ		Ω = 6.28	10Lg(4π/Ω)	**3**	3	3	3	3	3	3	3	3		
Показатель направленности источника Di, дБ			исходные данные	**0**	0	0	0	0	0	0	0	0		
Поправка на направленность источника Dc, дБ		Dc	DΩ + Di	**3**	3	3	3	3	3	3	3	3		
Затухание из-за геометрической дивергенции, Adiv, дБ		расстояние = 554.57 м	ф-ла (7) [10]	**65,9**										
Коэффициент затухания звука в атмосфере α, дБ/км		Ta=20,°C Pa=101.33,кПа hотн.=70%	ф-ла (5) [9]	0,02	0,09	0,33	1,12	2,79	4,98	9,04	23,09	77,63		
Учет затухания звука в атмосфере Aatm, дБ			ф-ла (8) [10]	0	0	0,2	0,6	1,5	2,8	5	12,8	43,1		
Снижение уровня звукового давления из-за влияния застройки между источником шума и расчетной точкой														
Длина звуковой волны для среднегеометрической частоты октавной полосы, λ, м				10,79	5,4	2,72	1,36	0,68	0,34	0,17	0,09	0,04		
Критерий наличия экранирования в горизонтальной плоскости	Горизонтальный размер экрана, lэкр = 64.26 м		lэкр > λ	да	да	да	да	да	да	да	да	да		
Траектория над экраном	Промежуточные точки:	Pss(x,y,z) = (586.47,-26.59,8.00)	Psr(x,y,z) = (579.74,-30.42,8.00)	dss = 189.13 м		dsr = 357.83 м		e = 7.74 м		z = 0.13 м				
	Константа C2, учитывающая эффект отражения от земли возле экрана			40	40	40	40	40	40	40	40	40		
	Константа C3 (дифракция на кромках)		ф-ла (15) [10]	1	1,1	1,2	1,6	2,3	2,7	2,9	3	3		

1			2	3	4	5	6	7	8	9	10	11	12	13
	K_{met} (влияние метеоусловий)		ф-ла (18) [10]	0	0	0	0	0	0	0	0	0		
	Снижение УЗД, Dz, дБ		ф-ла (14) [10]	4,8	4,8	4,8	4,8	4,8	4,9	5,1	5,4	6		
Траектория слева от экрана	Промежуточные точки:	Pss(x,y,z) = (578.70,-71.12,2.41)	Psr(x,y,z) = (469.27,-137.76,3.25)	dss = 220.56 м		dsr = 212.26 м		e = 128.13 м		z = 6.38 м				
	Константа C2, учитывающая эффект отражения от земли возле экрана			40	40	40	40	40	40	40	40	40		
	Константа C3 (дифракция на кромках)		ф-ла (15) [10]	2,3	2,8	2,9	3	3	3	3	3	3		
	K_{met} (влияние метеоусловий)		ф-ла (18) [10]	1	1	1	1	1	1	1	1	1		
	Снижение УЗД, Dz, дБ		ф-ла (14) [10]	17,6	21,3	24,4	27,5	30,5	33,5	36,5	39,5	42,6		
Траектория справа от экрана	Промежуточные точки:	Pss(x,y,z) = (549.08,-14.03,2.40)	Psr(x,y,z) = (549.08,-14.03,2.40)	dss = 217.29 м		dsr = 340.55 м		e = 0.00 м		z = 3.27 м				
	Константа C2, учитывающая эффект отражения от земли возле экрана			40	40	40	40	40	40	40	40	40		
	Константа C3 (дифракция на кромках)		ф-ла (15) [10]	1	1	1	1	1	1	1	1	1		
	K_{met} (влияние метеоусловий)		ф-ла (18) [10]	1	1	1	1	1	1	1	1	1		
	Снижение УЗД, Dz, дБ		ф-ла (14) [10]	11,8	14,4	17,1	20	22,9	25,9	28,9	31,9	34,9		
Общее снижение уровня звука препятствием Dz, дБ			Эн.сумма(-Dzi)	3,8	4,2	4,5	4,6	4,8	4,9	5,1	5,4	6		
Уровни звукового давления от источника ИШ-2-15 в расчётной точке днём, дБ			**ф-ла(3)[10]**	**0**	**26,1**	**27,1**	**27,8**	**27,1**	**25,4**	**19,6**	**7,3**	**0**	**29,1**	**29,1**
Уровни звукового давления от источника ИШ-2-15 в расчётной точке ночью, дБ			**ф-ла(3)[10]**	**0**	**26,1**	**27,1**	**27,8**	**27,1**	**25,4**	**19,6**	**7,3**	**0**	**29,1**	**29,1**
Источник шума: ИШ-2-16, координаты источника (x,y,z), м =[749.73,64.02,1.00]														
Уровни звуковой мощности источника днём, Lw, дБ			**исходные данные**	**0**	**93,3**	**94,7**	**96**	**96,3**	**95,9**	**92,6**	**88,4**	**83,9**		

1			2	3	4	5	6	7	8	9	10	11	12	13
Уровни звуковой мощности источника ночью, Lw, дБ			**исходные данные**	**0**	**93,3**	**94,7**	**96**	**96,3**	**95,9**	**92,6**	**88,4**	**83,9**		
Поправка на телесный угол DΩ, дБ	Ω = 6.28		10Lg(4π/Ω)	**3**	3	3	3	3	3	3	3	3		
Показатель направленности источника Di, дБ			исходные данные	**0**	0	0	0	0	0	0	0	0		
Поправка на направленность источника Dc, дБ	Dc		DΩ + Di	**3**	3	3	3	3	3	3	3	3		
Затухание из-за геометрической дивергенции, Adiv, дБ	расстояние = 552.28 м		ф-ла (7) [10]	**65,8**										
Коэффициент затухания звука в атмосфере α, дБ/км	Ta=20,°C Pa=101.33,кПа hотн.=70%		ф-ла (5) [9]	0,02	0,09	0,33	1,12	2,79	4,98	9,04	23,09	77,63		
Учет затухания звука в атмосфере Aatm, дБ			ф-ла (8) [10]	0	0	0,2	0,6	1,5	2,7	5	12,7	42,9		
Снижение уровня звукового давления из-за влияния застройки между источником шума и расчетной точкой														
Длина звуковой волны для среднегеометрической частоты октавной полосы, λ, м				10,79	5,4	2,72	1,36	0,68	0,34	0,17	0,09	0,04		
Критерий наличия экранирования в горизонтальной плоскости	Горизонтальный размер экрана, lэкр = 64.27 м		lэкр > λ	да	да	да	да	да	да	да	да	да		
Траектория над экраном	Промежуточные точки:	Pss(x,y,z) = (588.15,-27.15,8.00)	Psr(x,y,z) = (579.13,-32.24,8.00)	dss = 185.66 м		dsr = 356.40 м		e = 10.36 м		z = 0.14 м				
	Константа C2, учитывающая эффект отражения от земли возле экрана			40	40	40	40	40	40	40	40	40		
	Константа C3 (дифракция на кромках)		ф-ла (15) [10]	1	1,1	1,3	1,9	2,5	2,9	3	3	3		
	K_{met} (влияние метеоусловий)		ф-ла (18) [10]	0	0	0	0	0	0	0	0	0		
	Снижение УЗД, Dz, дБ		ф-ла (14) [10]	4,8	4,8	4,8	4,8	4,9	5	5,2	5,6	6,2		
	Промежуточные точки:	Pss(x,y,z) = (578.70,-71.12,2.40)	Psr(x,y,z) = (469.27,-137.76,3.24)	dss = 217.98 м		dsr = 212.26 м		e = 128.13 м		z = 6.10 м				
	Константа C2, учитывающая эффект отражения от земли возле экрана			40	40	40	40	40	40	40	40	40		

1			2	3	4	5	6	7	8	9	10	11	12	13
Траектория слева от экрана	Константа С3 (дифракция на кромках)		ф-ла (15) [10]	2,3	2,8	2,9	3	3	3	3	3	3		
	K_{met} (влияние метеоусловий)		ф-ла (18) [10]	1	1	1	1	1	1	1	1	1		
	Снижение УЗД, Dz, дБ		ф-ла (14) [10]	17,4	21,1	24,2	27,3	30,3	33,3	36,3	39,3	42,4		
Траектория справа от экрана	Промежуточные точки:	Pss(x,y,z) = (549.08,-14.03,2.39)	Psr(x,y,z) = (549.08,-14.03,2.39)	dss = 215.29 м		dsr = 340.55 м		e = 0.00 м		z = 3.57 м				
	Константа С2, учитывающая эффект отражения от земли возле экрана			40	40	40	40	40	40	40	40	40		
	Константа С3 (дифракция на кромках)		ф-ла (15) [10]	1	1	1	1	1	1	1	1	1		
	K_{met} (влияние метеоусловий)		ф-ла (18) [10]	1	1	1	1	1	1	1	1	1		
	Снижение УЗД, Dz, дБ		ф-ла (14) [10]	12,1	14,7	17,4	20,3	23,3	26,3	29,3	32,3	35,3		
Общее снижение уровня звука препятствием Dz, дБ			Эн.сумма(-Dzi)	3,8	4,3	4,5	4,7	4,8	4,9	5,2	5,5	6,2		
Уровни звукового давления от источника ИШ-2-16 в расчётной точке днём, дБ			**ф-ла(3)[10]**	**0**	**26,1**	**27,2**	**27,9**	**27,1**	**25,4**	**19,6**	**7,3**	**0**	**29,1**	**29,1**
Уровни звукового давления от источника ИШ-2-16 в расчётной точке ночью, дБ			**ф-ла(3)[10]**	**0**	**26,1**	**27,2**	**27,9**	**27,1**	**25,4**	**19,6**	**7,3**	**0**	**29,1**	**29,1**
Источник шума: ИШ-2-17, координаты источника (x,y,z), м =[748.87,61.06,1.00]														
Уровни звуковой мощности источника днём, Lw, дБ			**исходные данные**	**0**	**93,3**	**94,7**	**96**	**96,3**	**95,9**	**92,6**	**88,4**	**83,9**		
Уровни звуковой мощности источника ночью, Lw, дБ			**исходные данные**	**0**	**93,3**	**94,7**	**96**	**96,3**	**95,9**	**92,6**	**88,4**	**83,9**		
Поправка на телесный угол DΩ, дБ		Ω = 6.28	10Lg(4π/Ω)	**3**	3	3	3	3	3	3	3	3		
Показатель направленности источника Di, дБ			исходные данные	**0**	0	0	0	0	0	0	0	0		
Поправка на направленность источника Dc, дБ		Dc	DΩ + Di	**3**	3	3	3	3	3	3	3	3		

1			2	3	4	5	6	7	8	9	10	11	12	13
Затухание из-за геометрической дивергенции, Adiv, дБ		расстояние = 550.08 м	ф-ла (7) [10]	**65,8**										
Коэффициент затухания звука в атмосфере α, дБ/км		Ta=20,°C Pa=101.33,кПа hотн.=70%	ф-ла (5) [9]	0,02	0,09	0,33	1,12	2,79	4,98	9,04	23,09	77,63		
Учет затухания звука в атмосфере Aatm, дБ			ф-ла (8) [10]	0	0	0,2	0,6	1,5	2,7	5	12,7	42,7		
Снижение уровня звукового давления из-за влияния застройки между источником шума и расчетной точкой														
Длина звуковой волны для среднегеометрической частоты октавной полосы, λ, м				10,79	5,4	2,72	1,36	0,68	0,34	0,17	0,09	0,04		
Критерий наличия экранирования в горизонтальной плоскости	Горизонтальный размер экрана, lэкр = 64.28 м		lэкр > λ	да	да	да	да	да	да	да	да	да		
Траектория над экраном	Промежуточные точки:	Pss(x,y,z) = (590.00,-27.77,8.00)	Psr(x,y,z) = (578.47,-34.22,8.00)	dss = 182.16 м		dsr = 354.85 м		e = 13.21 м		z = 0.14 м				
	Константа C2, учитывающая эффект отражения от земли возле экрана			40	40	40	40	40	40	40	40	40		
	Константа C3 (дифракция на кромках)		ф-ла (15) [10]	1	1,1	1,5	2,1	2,7	2,9	3	3	3		
	K_{met} (влияние метеоусловий)		ф-ла (18) [10]	0	0	0	0	0	0	0	0	0		
	Снижение УЗД, Dz, дБ		ф-ла (14) [10]	4,8	4,8	4,8	4,8	4,9	5	5,2	5,7	6,4		
Траектория слева от экрана	Промежуточные точки:	Pss(x,y,z) = (578.70,-71.12,2.39)	Psr(x,y,z) = (469.27,-137.76,3.23)	dss = 215.48 м		dsr = 212.26 м		e = 128.13 м		z = 5.79 м				
	Константа C2, учитывающая эффект отражения от земли возле экрана			40	40	40	40	40	40	40	40	40		
	Константа C3 (дифракция на кромках)		ф-ла (15) [10]	2,3	2,8	2,9	3	3	3	3	3	3		
	K_{met} (влияние метеоусловий)		ф-ла (18) [10]	1	1	1	1	1	1	1	1	1		
	Снижение УЗД, Dz, дБ		ф-ла (14) [10]	17,2	20,9	24	27,1	30,1	33,1	36,1	39,1	42,1		
	Промежуточные точки:	Pss(x,y,z) = (549.08,-14.03,2.38)	Psr(x,y,z) = (549.08,-14.03,2.38)	dss = 213.44 м		dsr = 340.55 м		e = 0.00 м		z = 3.91 м				

1		2	3	4	5	6	7	8	9	10	11	12	13
Траектория справа от экрана	Константа C2, учитывающая эффект отражения от земли возле экрана		40	40	40	40	40	40	40	40	40		
	Константа C3 (дифракция на кромках)	ф-ла (15) [10]	1	1	1	1	1	1	1	1	1		
	K_{met} (влияние метеоусловий)	ф-ла (18) [10]	1	1	1	1	1	1	1	1	1		
	Снижение УЗД, Dz, дБ	ф-ла (14) [10]	12,4	15	17,8	20,7	23,7	26,7	29,7	32,7	35,7		
Общее снижение уровня звука препятствием Dz, дБ		Эн.сумма(-Dzi)	3,9	4,3	4,5	4,7	4,8	5	5,2	5,7	6,4		
Уровни звукового давления от источника ИШ-2-17 в расчётной точке днём, дБ		**ф-ла(3)[10]**	**0**	**26,1**	**27,2**	**27,9**	**27,1**	**25,4**	**19,6**	**7,2**	**0**	**29,1**	**29,1**
Уровни звукового давления от источника ИШ-2-17 в расчётной точке ночью, дБ		**ф-ла(3)[10]**	**0**	**26,1**	**27,2**	**27,9**	**27,1**	**25,4**	**19,6**	**7,2**	**0**	**29,1**	**29,1**
Источник шума: ИШ-2-18, координаты источника (x,y,z), м =[747.72,58.17,1.00]													
Уровни звуковой мощности источника днём, Lw, дБ		**исходные данные**	**0**	**93,3**	**94,7**	**96**	**96,3**	**95,9**	**92,6**	**88,4**	**83,9**		
Уровни звуковой мощности источника ночью, Lw, дБ		**исходные данные**	**0**	**93,3**	**94,7**	**96**	**96,3**	**95,9**	**92,6**	**88,4**	**83,9**		
Поправка на телесный угол DΩ, дБ	Ω = 6.28	10Lg(4π/Ω)	**3**	3	3	3	3	3	3	3	3		
Показатель направленности источника Di, дБ		исходные данные	**0**	0	0	0	0	0	0	0	0		
Поправка на направленность источника Dc, дБ	Dc	DΩ + Di	**3**	3	3	3	3	3	3	3	3		
Затухание из-за геометрической дивергенции, Adiv, дБ	расстояние = 547.67 м	ф-ла (7) [10]	**65,8**										
Коэффициент затухания звука в атмосфере α, дБ/км	Ta=20,°C Pa=101.33,кПа hотн.=70%	ф-ла (5) [9]	0,02	0,09	0,33	1,12	2,79	4,98	9,04	23,09	77,63		
Учет затухания звука в атмосфере Aatm, дБ		ф-ла (8) [10]	0	0	0,2	0,6	1,5	2,7	5	12,6	42,5		

1			2	3	4	5	6	7	8	9	10	11	12	13
Снижение уровня звукового давления из-за влияния застройки между источником шума и расчетной точкой														
Длина звуковой волны для среднегеометрической частоты октавной полосы, λ, м				10,79	5,4	2,72	1,36	0,68	0,34	0,17	0,09	0,04		
Критерий наличия экранирования в горизонтальной плоскости	Горизонтальный размер экрана, lэкр = 64.29 м		lэкр > λ	да	да	да	да	да	да	да	да	да		
Траектория над экраном	Промежуточные точки:	Pss(x,y,z) = (591.68,-28.34,8.00)	Psr(x,y,z) = (577.87,-36.00,8.00)	dss = 178.55 м		dsr = 353.47 м		e = 15.80 м		z = 0.14 м				
	Константа C2, учитывающая эффект отражения от земли возле экрана			40	40	40	40	40	40	40	40	40		
	Константа C3 (дифракция на кромках)		ф-ла (15) [10]	1,1	1,2	1,6	2,3	2,8	2,9	3	3	3		
	K_{met} (влияние метеоусловий)		ф-ла (18) [10]	0	0	0	0	0	0	0	0	0		
	Снижение УЗД, Dz, дБ		ф-ла (14) [10]	4,8	4,8	4,8	4,8	4,9	5	5,3	5,8	6,6		
Траектория слева от экрана	Промежуточные точки:	Pss(x,y,z) = (578.70,-71.12,2.38)	Psr(x,y,z) = (469.27,-137.76,3.23)	dss = 212.80 м		dsr = 212.26 м		e = 128.13 м		z = 5.53 м				
	Константа C2, учитывающая эффект отражения от земли возле экрана			40	40	40	40	40	40	40	40	40		
	Константа C3 (дифракция на кромках)		ф-ла (15) [10]	2,3	2,8	2,9	3	3	3	3	3	3		
	K_{met} (влияние метеоусловий)		ф-ла (18) [10]	1	1	1	1	1	1	1	1	1		
	Снижение УЗД, Dz, дБ		ф-ла (14) [10]	17	20,7	23,8	26,9	29,9	32,9	35,9	38,9	41,9		
Траектория справа от экрана	Промежуточные точки:	Pss(x,y,z) = (549.08,-14.03,2.37)	Psr(x,y,z) = (549.08,-14.03,2.37)	dss = 211.35 м		dsr = 340.55 м		e = 0.00 м		z = 4.24 м				
	Константа C2, учитывающая эффект отражения от земли возле экрана			40	40	40	40	40	40	40	40	40		
	Константа C3 (дифракция на кромках)		ф-ла (15) [10]	1	1	1	1	1	1	1	1	1		
	K_{met} (влияние метеоусловий)		ф-ла (18) [10]	1	1	1	1	1	1	1	1	1		
	Снижение УЗД, Dz, дБ		ф-ла (14) [10]	12,7	15,4	18,2	21,1	24	27	30	33	36		

1			2	3	4	5	6	7	8	9	10	11	12	13
Общее снижение уровня звука препятствием Dz, дБ			Эн.сумма(-Dzi)	3,9	4,3	4,5	4,7	4,8	5	5,3	5,8	6,6		
Уровни звукового давления от источника ИШ-2-18 в расчётной точке днём, дБ			**ф-ла(3)[10]**	**0**	**26,2**	**27,2**	**27,9**	**27,2**	**25,4**	**19,6**	**7,2**	**0**	**29,1**	**29,1**
Уровни звукового давления от источника ИШ-2-18 в расчётной точке ночью, дБ			**ф-ла(3)[10]**	**0**	**26,2**	**27,2**	**27,9**	**27,2**	**25,4**	**19,6**	**7,2**	**0**	**29,1**	**29,1**
Источник шума: ИШ-2-19, координаты источника (x,y,z), м =[746.80,55.25,1.00]														
Уровни звуковой мощности источника днём, Lw, дБ			**исходные данные**	**0**	**93,3**	**94,7**	**96**	**96,3**	**95,9**	**92,6**	**88,4**	**83,9**		
Уровни звуковой мощности источника ночью, Lw, дБ			**исходные данные**	**0**	**93,3**	**94,7**	**96**	**96,3**	**95,9**	**92,6**	**88,4**	**83,9**		
Поправка на телесный угол DΩ, дБ		Ω = 6.28	10Lg(4π/Ω)	**3**	3	3	3	3	3	3	3	3		
Показатель направленности источника Di, дБ			исходные данные	**0**	0	0	0	0	0	0	0	0		
Поправка на направленность источника Dc, дБ		Dc	DΩ + Di	**3**	3	3	3	3	3	3	3	3		
Затухание из-за геометрической дивергенции, Adiv, дБ		расстояние = 545.46 м	ф-ла (7) [10]	**65,7**										
Коэффициент затухания звука в атмосфере α, дБ/км		Ta=20,°C Pa=101.33,кПа hотн.=70%	ф-ла (5) [9]	0,02	0,09	0,33	1,12	2,79	4,98	9,04	23,09	77,63		
Учет затухания звука в атмосфере Aatm, дБ			ф-ла (8) [10]	0	0	0,2	0,6	1,5	2,7	4,9	12,6	42,3		
Снижение уровня звукового давления из-за влияния застройки между источником шума и расчетной точкой														
Длина звуковой волны для среднегеометрической частоты октавной полосы, λ, м				10,79	5,4	2,72	1,36	0,68	0,34	0,17	0,09	0,04		
Критерий наличия экранирования в горизонтальной плоскости	Горизонтальный размер экрана, lэкр = 64.29 м		lэкр > λ	да	да	да	да	да	да	да	да	да		
	Промежуточные точки:	Pss(x,y,z) = (592.75,-29.39,8.00)	Psr(x,y,z) = (577.23,-37.91,8.00)	dss = 175.91 м		dsr = 351.98 м		e = 17.71 м		z = 0.14 м				

1	2	3	4	5	6	7	8	9	10	11	12	13
Траектория над экраном	Константа С2, учитывающая эффект отражения от земли возле экрана	40	40	40	40	40	40	40	40	40		
	Константа С3 (дифракция на кромках) ф-ла (15) [10]	1,1	1,3	1,7	2,4	2,8	2,9	3	3	3		
	K_{met} (влияние метеоусловий) ф-ла (18) [10]	0	0	0	0	0	0	0	0	0		
	Снижение УЗД, Dz, дБ ф-ла (14) [10]	4,8	4,8	4,8	4,8	4,9	5,1	5,4	5,9	6,8		
Траектория слева от экрана	Промежуточные точки: Pss(x,y,z) = (578.70,-71.12,2.37) Psr(x,y,z) = (469.27,-137.76,3.22)	dss = 210.31 м		dsr = 212.26 м		e = 128.13 м		z = 5.25 м				
	Константа С2, учитывающая эффект отражения от земли возле экрана	40	40	40	40	40	40	40	40	40		
	Константа С3 (дифракция на кромках) ф-ла (15) [10]	2,3	2,8	2,9	3	3	3	3	3	3		
	K_{met} (влияние метеоусловий) ф-ла (18) [10]	1	1	1	1	1	1	1	1	1		
	Снижение УЗД, Dz, дБ ф-ла (14) [10]	16,8	20,4	23,6	26,7	29,7	32,7	35,7	38,7	41,7		
Траектория справа от экрана	Промежуточные точки: Pss(x,y,z) = (549.08,-14.03,2.36) Psr(x,y,z) = (549.08,-14.03,2.36)	dss = 209.51 м		dsr = 340.55 м		e = 0.00 м		z = 4.61 м				
	Константа С2, учитывающая эффект отражения от земли возле экрана	40	40	40	40	40	40	40	40	40		
	Константа С3 (дифракция на кромках) ф-ла (15) [10]	1	1	1	1	1	1	1	1	1		
	K_{met} (влияние метеоусловий) ф-ла (18) [10]	1	1	1	1	1	1	1	1	1		
	Снижение УЗД, Dz, дБ ф-ла (14) [10]	13	15,7	18,5	21,4	24,4	27,4	30,4	33,4	36,4		
Общее снижение уровня звука препятствием Dz, дБ	Эн.сумма(-Dzi)	3,9	4,3	4,6	4,7	4,9	5	5,4	5,9	6,8		
Уровни звукового давления от источника ИШ-2-19 в расчётной точке днём, дБ	**ф-ла(3)[10]**	**0**	**26,2**	**27,2**	**27,9**	**27,2**	**25,4**	**19,6**	**7,2**	**0**	**29,1**	**29,1**
Уровни звукового давления от источника ИШ-2-19 в расчётной точке ночью, дБ	**ф-ла(3)[10]**	**0**	**26,2**	**27,2**	**27,9**	**27,2**	**25,4**	**19,6**	**7,2**	**0**	**29,1**	**29,1**

1			2	3	4	5	6	7	8	9	10	11	12	13
Источник шума: ИШ-2-20, координаты источника (x,y,z), м =[745.71,52.44,1.00]														
Уровни звуковой мощности источника днём, Lw, дБ			**исходные данные**	**0**	**93,3**	**94,7**	**96**	**96,3**	**95,9**	**92,6**	**88,4**	**83,9**		
Уровни звуковой мощности источника ночью, Lw, дБ			**исходные данные**	**0**	**93,3**	**94,7**	**96**	**96,3**	**95,9**	**92,6**	**88,4**	**83,9**		
Поправка на телесный угол DΩ, дБ		Ω = 6.28	10Lg(4π/Ω)	**3**	3	3	3	3	3	3	3	3		
Показатель направленности источника Di, дБ			исходные данные	**0**	0	0	0	0	0	0	0	0		
Поправка на направленность источника Dc, дБ		Dc	DΩ + Di	**3**	3	3	3	3	3	3	3	3		
Затухание из-за геометрической дивергенции, Adiv, дБ		расстояние = 543.15 м	ф-ла (7) [10]	**65,7**										
Коэффициент затухания звука в атмосфере α, дБ/км		Ta=20,°C Pa=101.33,кПа hотн.=70%	ф-ла (5) [9]	0,02	0,09	0,33	1,12	2,79	4,98	9,04	23,09	77,63		
Учет затухания звука в атмосфере Aatm, дБ			ф-ла (8) [10]	0	0	0,2	0,6	1,5	2,7	4,9	12,5	42,2		
Снижение уровня звукового давления из-за влияния застройки между источником шума и расчетной точкой														
Длина звуковой волны для среднегеометрической частоты октавной полосы, λ, м				10,79	5,4	2,72	1,36	0,68	0,34	0,17	0,09	0,04		
Критерий наличия экранирования в горизонтальной плоскости	Горизонтальный размер экрана, lэкр = 64.30 м		lэкр > λ	да	да	да	да	да	да	да	да	да		
Траектория над экраном	Промежуточные точки:	Pss(x,y,z) = (592.13,-31.22,8.00)	Psr(x,y,z) = (576.64,-39.66,8.00)	dss = 175.03 м		dsr = 350.63 м		e = 17.64 м		z = 0.14 м				
	Константа C2, учитывающая эффект отражения от земли возле экрана			40	40	40	40	40	40	40	40	40		
	Константа C3 (дифракция на кромках)		ф-ла (15) [10]	1,1	1,2	1,7	2,4	2,8	2,9	3	3	3		
	K_{met} (влияние метеоусловий)		ф-ла (18) [10]	0	0	0	0	0	0	0	0	0		

1			2	3	4	5	6	7	8	9	10	11	12	13
	Снижение УЗД, Dz, дБ		ф-ла (14) [10]	4,8	4,8	4,8	4,8	4,9	5,1	5,4	6	6,9		
Траектория слева от экрана	Промежуточные точки:	Pss(x,y,z) = (578.70,-71.12,2.36)	Psr(x,y,z) = (469.27,-137.76,3.21)	dss = 207.75 м		dsr = 212.26 м		e = 128.13 м		z = 5.00 м				
	Константа С2, учитывающая эффект отражения от земли возле экрана			40	40	40	40	40	40	40	40	40		
	Константа С3 (дифракция на кромках)		ф-ла (15) [10]	2,3	2,8	2,9	3	3	3	3	3	3		
	K_{met} (влияние метеоусловий)		ф-ла (18) [10]	1	1	1	1	1	1	1	1	1		
	Снижение УЗД, Dz, дБ		ф-ла (14) [10]	16,6	20,2	23,4	26,4	29,5	32,5	35,5	38,5	41,5		
Траектория справа от экрана	Промежуточные точки:	Pss(x,y,z) = (549.08,-14.03,2.36)	Psr(x,y,z) = (549.08,-14.03,2.36)	dss = 207.56 м		dsr = 340.55 м		e = 0.00 м		z = 4.97 м				
	Константа С2, учитывающая эффект отражения от земли возле экрана			40	40	40	40	40	40	40	40	40		
	Константа С3 (дифракция на кромках)		ф-ла (15) [10]	1	1	1	1	1	1	1	1	1		
	K_{met} (влияние метеоусловий)		ф-ла (18) [10]	1	1	1	1	1	1	1	1	1		
	Снижение УЗД, Dz, дБ		ф-ла (14) [10]	13,3	16	18,8	21,7	24,7	27,7	30,7	33,7	36,7		
Общее снижение уровня звука препятствием Dz, дБ			Эн.сумма(-Dzi)	4	4,4	4,6	4,7	4,9	5,1	5,4	6	6,9		
Уровни звукового давления от источника ИШ-2-20 в расчётной точке днём, дБ			**ф-ла(3)[10]**	**0**	**26,2**	**27,2**	**28**	**27,2**	**25,4**	**19,6**	**7,2**	**0**	**29,2**	**29,2**
Уровни звукового давления от источника ИШ-2-20 в расчётной точке ночью, дБ			**ф-ла(3)[10]**	**0**	**26,2**	**27,2**	**28**	**27,2**	**25,4**	**19,6**	**7,2**	**0**	**29,2**	**29,2**
Источник шума: ИШ-2-21, координаты источника (x,y,z), м =[744.89,49.62,1.00]														
Уровни звуковой мощности источника днём, Lw, дБ			**исходные данные**	**0**	**93,3**	**94,7**	**96**	**96,3**	**95,9**	**92,6**	**88,4**	**83,9**		
Уровни звуковой мощности источника ночью, Lw, дБ			**исходные данные**	**0**	**93,3**	**94,7**	**96**	**96,3**	**95,9**	**92,6**	**88,4**	**83,9**		

1			2	3	4	5	6	7	8	9	10	11	12	13
Поправка на телесный угол DΩ, дБ	Ω = 6.28		10Lg(4π/Ω)	**3**	3	3	3	3	3	3	3	3		
Показатель направленности источника Di, дБ			исходные данные	**0**	0	0	0	0	0	0	0	0		
Поправка на направленность источника Dc, дБ	Dc		DΩ + Di	**3**	3	3	3	3	3	3	3	3		
Затухание из-за геометрической дивергенции, Adiv, дБ	расстояние = 541.09 м		ф-ла (7) [10]	**65,7**										
Коэффициент затухания звука в атмосфере α, дБ/км	Ta=20,°C Pa=101.33,кПа hотн.=70%		ф-ла (5) [9]	0,02	0,09	0,33	1,12	2,79	4,98	9,04	23,09	77,63		
Учет затухания звука в атмосфере Aatm, дБ			ф-ла (8) [10]	0	0	0,2	0,6	1,5	2,7	4,9	12,5	42		
Снижение уровня звукового давления из-за влияния застройки между источником шума и расчетной точкой														
Длина звуковой волны для среднегеометрической частоты октавной полосы, λ, м				10,79	5,4	2,72	1,36	0,68	0,34	0,17	0,09	0,04		
Критерий наличия экранирования в горизонтальной плоскости	Горизонтальный размер экрана, lэкр = 64.30 м		lэкр > λ	да	да	да	да	да	да	да	да	да		
Траектория над экраном	Промежуточные точки:	Pss(x,y,z) = (591.46,-33.20,8.00)	Psr(x,y,z) = (576.01,-41.54,8.00)	dss = 174.49 м		dsr = 349.18 м		e = 17.56 м		z = 0.15 м				
	Константа C2, учитывающая эффект отражения от земли возле экрана			40	40	40	40	40	40	40	40	40		
	Константа C3 (дифракция на кромках)		ф-ла (15) [10]	1,1	1,2	1,7	2,4	2,8	2,9	3	3	3		
	K_{met} (влияние метеоусловий)		ф-ла (18) [10]	0	0	0	0	0	0	0	0	0		
	Снижение УЗД, Dz, дБ		ф-ла (14) [10]	4,8	4,8	4,8	4,8	4,9	5,1	5,4	6	7		
Траектория слева от экрана	Промежуточные точки:	Pss(x,y,z) = (578.70,-71.12,2.35)	Psr(x,y,z) = (469.27,-137.76,3.21)	dss = 205.43 м		dsr = 212.26 м		e = 128.13 м		z = 4.73 м				
	Константа C2, учитывающая эффект отражения от земли возле экрана			40	40	40	40	40	40	40	40	40		
	Константа C3 (дифракция на кромках)		ф-ла (15) [10]	2,3	2,8	2,9	3	3	3	3	3	3		

1			2	3	4	5	6	7	8	9	10	11	12	13
	K_{met} (влияние метеоусловий)		ф-ла (18) [10]	1	1	1	1	1	1	1	1	1		
	Снижение УЗД, Dz, дБ		ф-ла (14) [10]	16,4	20	23,2	26,2	29,2	32,2	35,2	38,3	41,3		
Траектория справа от экрана	Промежуточные точки:	Pss(x,y,z) = (549.08,-14.03,2.35)	Psr(x,y,z) = (549.08,-14.03,2.35)	dss = 205.90 м		dsr = 340.55 м		e = 0.00 м		z = 5.37 м				
	Константа C2, учитывающая эффект отражения от земли возле экрана			40	40	40	40	40	40	40	40	40		
	Константа C3 (дифракция на кромках)		ф-ла (15) [10]	1	1	1	1	1	1	1	1	1		
	K_{met} (влияние метеоусловий)		ф-ла (18) [10]	1	1	1	1	1	1	1	1	1		
	Снижение УЗД, Dz, дБ		ф-ла (14) [10]	13,6	16,3	19,1	22,1	25	28	31	34	37		
Общее снижение уровня звука препятствием Dz, дБ			Эн.сумма(-Dzi)	4	4,4	4,6	4,7	4,9	5,1	5,4	6	7		
Уровни звукового давления от источника ИШ-2-21 в расчётной точке днём, дБ			**ф-ла(3)[10]**	**0**	**26,2**	**27,3**	**28**	**27,2**	**25,5**	**19,6**	**7,2**	**0**	**29,2**	**29,2**
Уровни звукового давления от источника ИШ-2-21 в расчётной точке ночью, дБ			**ф-ла(3)[10]**	**0**	**26,2**	**27,3**	**28**	**27,2**	**25,5**	**19,6**	**7,2**	**0**	**29,2**	**29,2**
Источник шума: ИШ-2-22, координаты источника (x,y,z), м =[737.40,27.07,1.00]														
Уровни звуковой мощности источника днём, Lw, дБ			**исходные данные**	**0**	**93,3**	**94,7**	**96**	**96,3**	**95,9**	**92,6**	**88,4**	**83,9**		
Уровни звуковой мощности источника ночью, Lw, дБ			**исходные данные**	**0**	**93,3**	**94,7**	**96**	**96,3**	**95,9**	**92,6**	**88,4**	**83,9**		
Поправка на телесный угол DΩ, дБ		Ω = 6.28	10Lg(4π/Ω)	**3**	3	3	3	3	3	3	3	3		
Показатель направленности источника Di, дБ			исходные данные	**0**	0	0	0	0	0	0	0	0		
Поправка на направленность источника Dc, дБ		Dc	DΩ + Di	**3**	3	3	3	3	3	3	3	3		
Затухание из-за геометрической дивергенции, Adiv, дБ		расстояние = 524.03 м	ф-ла (7) [10]	**65,4**										

1			2	3	4	5	6	7	8	9	10	11	12	13
Коэффициент затухания звука в атмосфере α, дБ/км	Ta=20,°C Pa=101.33,кПа hотн.=70%		ф-ла (5) [9]	0,02	0,09	0,33	1,12	2,79	4,98	9,04	23,09	77,63		
Учет затухания звука в атмосфере Aatm, дБ			ф-ла (8) [10]	0	0	0,2	0,6	1,5	2,6	4,7	12,1	40,7		
Снижение уровня звукового давления из-за влияния застройки между источником шума и расчетной точкой														
Длина звуковой волны для среднегеометрической частоты октавной полосы, λ, м				10,79	5,4	2,72	1,36	0,68	0,34	0,17	0,09	0,04		
Критерий наличия экранирования в горизонтальной плоскости	Горизонтальный размер экрана, lэкр = 64.30 м		lэкр > λ	да	да	да	да	да	да	да	да	да		
Траектория над экраном	Промежуточные точки:	Pss(x,y,z) = (586.31,-48.51,8.00)	Psr(x,y,z) = (571.12,-56.11,8.00)	dss = 169.09 м		dsr = 338.11 м		e = 16.99 м		z = 0.15 м				
	Константа C2, учитывающая эффект отражения от земли возле экрана			40	40	40	40	40	40	40	40	40		
	Константа C3 (дифракция на кромках)		ф-ла (15) [10]	1,1	1,2	1,7	2,4	2,8	2,9	3	3	3		
	K_{met} (влияние метеоусловий)		ф-ла (18) [10]	0	0	0	0	0	0	0	0	0		
	Снижение УЗД, Dz, дБ		ф-ла (14) [10]	4,8	4,8	4,8	4,9	5	5,2	5,7	6,5	7,7		
Траектория слева от экрана	Промежуточные точки:	Pss(x,y,z) = (578.70,-71.12,2.28)	Psr(x,y,z) = (469.27,-137.76,3.15)	dss = 186.62 м		dsr = 212.26 м		e = 128.13 м		z = 2.98 м				
	Константа C2, учитывающая эффект отражения от земли возле экрана			40	40	40	40	40	40	40	40	40		
	Константа C3 (дифракция на кромках)		ф-ла (15) [10]	2,3	2,8	2,9	3	3	3	3	3	3		
	K_{met} (влияние метеоусловий)		ф-ла (18) [10]	1	1	1	1	1	1	1	1	1		
	Снижение УЗД, Dz, дБ		ф-ла (14) [10]	14,5	18,1	21,2	24,2	27,2	30,2	33,2	36,2	39,3		
	Промежуточные точки:	Pss(x,y,z) = (549.08,-14.03,2.28)	Psr(x,y,z) = (549.08,-14.03,2.28)	dss = 192.75 м		dsr = 340.55 м		e = 0.00 м		z = 9.27 м				
	Константа C2, учитывающая эффект отражения от земли возле экрана			40	40	40	40	40	40	40	40	40		

1		2	3	4	5	6	7	8	9	10	11	12	13
Траектория справа от экрана	Константа СЗ (дифракция на кромках)	ф-ла (15) [10]	1	1	1	1	1	1	1	1	1		
	K_{met} (влияние метеоусловий)	ф-ла (18) [10]	1	1	1	1	1	1	1	1	1		
	Снижение УЗД, Dz, дБ	ф-ла (14) [10]	15,7	18,6	21,4	24,4	27,4	30,4	33,4	36,4	39,4		
Общее снижение уровня звука препятствием Dz, дБ		Эн.сумма(-Dzi)	4	4,4	4,6	4,8	5	5,2	5,7	6,4	7,7		
Уровни звукового давления от источника ИШ-2-22 в расчётной точке днём, дБ		**ф-ла(3)[10]**	**0**	**26,4**	**27,5**	**28,2**	**27,5**	**25,7**	**19,8**	**7,5**	**0**	**29,4**	**29,4**
Уровни звукового давления от источника ИШ-2-22 в расчётной точке ночью, дБ		**ф-ла(3)[10]**	**0**	**26,4**	**27,5**	**28,2**	**27,5**	**25,7**	**19,8**	**7,5**	**0**	**29,4**	**29,4**
Источник шума: ИШ-2-23, координаты источника (x,y,z), м =[736.46,24.18,1.00]													
Уровни звуковой мощности источника днём, Lw, дБ		**исходные данные**	**0**	**93,3**	**94,7**	**96**	**96,3**	**95,9**	**92,6**	**88,4**	**83,9**		
Уровни звуковой мощности источника ночью, Lw, дБ		**исходные данные**	**0**	**93,3**	**94,7**	**96**	**96,3**	**95,9**	**92,6**	**88,4**	**83,9**		
Поправка на телесный угол DΩ, дБ	Ω = 6.28	10Lg(4π/Ω)	**3**	3	3	3	3	3	3	3	3		
Показатель направленности источника Di, дБ		исходные данные	**0**	0	0	0	0	0	0	0	0		
Поправка на направленность источника Dc, дБ	Dc	DΩ + Di	**3**	3	3	3	3	3	3	3	3		
Затухание из-за геометрической дивергенции, Adiv, дБ	расстояние = 521.90 м	ф-ла (7) [10]	**65,4**										
Коэффициент затухания звука в атмосфере α, дБ/км	Ta=20,°C Pa=101.33,кПа hотн.=70%	ф-ла (5) [9]	0,02	0,09	0,33	1,12	2,79	4,98	9,04	23,09	77,63		
Учет затухания звука в атмосфере Aatm, дБ		ф-ла (8) [10]	0	0	0,2	0,6	1,5	2,6	4,7	12	40,5		
Снижение уровня звукового давления из-за влияния застройки между источником шума и расчетной точкой													

1			2	3	4	5	6	7	8	9	10	11	12	13
Длина звуковой волны для среднегеометрической частоты октавной полосы, λ, м				10,79	5,4	2,72	1,36	0,68	0,34	0,17	0,09	0,04		
Критерий наличия экранирования в горизонтальной плоскости	Горизонтальный размер экрана, lэкр = 75.47 м		lэкр > λ	да	да	да	да	да	да	да	да	да		
Траектория над экраном	Промежуточные точки:	Pss(x,y,z) = (585.64,-50.49,8.00)	Psr(x,y,z) = (570.48,-57.99,8.00)	dss = 168.43 м		dsr = 336.71 м		e = 16.91 м		z = 0.15 м				
	Константа C2, учитывающая эффект отражения от земли возле экрана			40	40	40	40	40	40	40	40	40		
	Константа C3 (дифракция на кромках)		ф-ла (15) [10]	1,1	1,2	1,7	2,3	2,8	2,9	3	3	3		
	K_{met} (влияние метеоусловий)		ф-ла (18) [10]	0	0	0	0	0	0	0	0	0		
	Снижение УЗД, Dz, дБ		ф-ла (14) [10]	4,8	4,8	4,8	4,9	5	5,3	5,7	6,5	7,8		
Траектория слева от экрана	Промежуточные точки:	Pss(x,y,z) = (469.27,-137.76,3.15)	Psr(x,y,z) = (469.27,-137.76,3.15)	dss = 312.44 м		dsr = 212.26 м		e = 0.00 м		z = 2.80 м				
	Константа C2, учитывающая эффект отражения от земли возле экрана			40	40	40	40	40	40	40	40	40		
	Константа C3 (дифракция на кромках)		ф-ла (15) [10]	1	1	1	1	1	1	1	1	1		
	K_{met} (влияние метеоусловий)		ф-ла (18) [10]	1	1	1	1	1	1	1	1	1		
	Снижение УЗД, Dz, дБ		ф-ла (14) [10]	11,3	13,8	16,5	19,3	22,2	25,2	28,2	31,2	34,2		
Траектория справа от экрана	Промежуточные точки:	Pss(x,y,z) = (549.08,-14.03,2.28)	Psr(x,y,z) = (549.08,-14.03,2.28)	dss = 191.23 м		dsr = 340.55 м		e = 0.00 м		z = 9.88 м				
	Константа C2, учитывающая эффект отражения от земли возле экрана			40	40	40	40	40	40	40	40	40		
	Константа C3 (дифракция на кромках)		ф-ла (15) [10]	1	1	1	1	1	1	1	1	1		
	K_{met} (влияние метеоусловий)		ф-ла (18) [10]	1	1	1	1	1	1	1	1	1		
	Снижение УЗД, Dz, дБ		ф-ла (14) [10]	16	18,8	21,7	24,7	27,7	30,7	33,7	36,7	39,7		
Общее снижение уровня звука препятствием Dz, дБ			Эн.сумма(-Dzi)	3,6	4,1	4,4	4,7	4,9	5,2	5,7	6,5	7,7		

1			2	3	4	5	6	7	8	9	10	11	12	13
Уровни звукового давления от источника ИШ-2-23 в расчётной точке днём, дБ			**ф-ла(3)[10]**	**0**	**26,8**	**27,7**	**28,4**	**27,6**	**25,7**	**19,8**	**7,5**	**0**	**29,5**	**29,5**
Уровни звукового давления от источника ИШ-2-23 в расчётной точке ночью, дБ			**ф-ла(3)[10]**	**0**	**26,8**	**27,7**	**28,4**	**27,6**	**25,7**	**19,8**	**7,5**	**0**	**29,5**	**29,5**
Источник шума: ИШ-2-24, координаты источника (x,y,z), м =[735.45,21.21,1.00]														
Уровни звуковой мощности источника днём, Lw, дБ			**исходные данные**	**0**	**93,3**	**94,7**	**96**	**96,3**	**95,9**	**92,6**	**88,4**	**83,9**		
Уровни звуковой мощности источника ночью, Lw, дБ			**исходные данные**	**0**	**93,3**	**94,7**	**96**	**96,3**	**95,9**	**92,6**	**88,4**	**83,9**		
Поправка на телесный угол DΩ, дБ	Ω = 6.28		10Lg(4π/Ω)	**3**	3	3	3	3	3	3	3	3		
Показатель направленности источника Di, дБ			исходные данные	**0**	0	0	0	0	0	0	0	0		
Поправка на направленность источника Dc, дБ	Dc		DΩ + Di	**3**	3	3	3	3	3	3	3	3		
Затухание из-за геометрической дивергенции, Adiv, дБ	расстояние = 519.68 м		ф-ла (7) [10]	**65,3**										
Коэффициент затухания звука в атмосфере α, дБ/км	Ta=20,°C Pa=101.33,кПа hотн.=70%		ф-ла (5) [9]	0,02	0,09	0,33	1,12	2,79	4,98	9,04	23,09	77,63		
Учет затухания звука в атмосфере Aatm, дБ			ф-ла (8) [10]	0	0	0,2	0,6	1,5	2,6	4,7	12	40,3		
Снижение уровня звукового давления из-за влияния застройки между источником шума и расчетной точкой														
Длина звуковой волны для среднегеометрической частоты октавной полосы, λ, м				10,79	5,4	2,72	1,36	0,68	0,34	0,17	0,09	0,04		
Критерий наличия экранирования в горизонтальной плоскости	Горизонтальный размер экрана, lэкр = 76.01 м		lэкр > λ	да	да	да	да	да	да	да	да	да		
	Промежуточные точки:	Pss(x,y,z) = (584.97,-52.49,8.00)	Psr(x,y,z) = (569.84,-59.90,8.00)	dss = 167.71 м		dsr = 335.29 м		e = 16.84 м		z = 0.15 м				
	Константа C2, учитывающая эффект отражения от земли возле экрана			40	40	40	40	40	40	40	40	40		

1			2	3	4	5	6	7	8	9	10	11	12	13
Траектория над экраном	Константа С3 (дифракция на кромках)		ф-ла (15) [10]	1,1	1,2	1,7	2,3	2,8	2,9	3	3	3		
	K_{met} (влияние метеоусловий)		ф-ла (18) [10]	0	0	0	0	0	0	0	0	0		
	Снижение УЗД, Dz, дБ		ф-ла (14) [10]	4,8	4,8	4,8	4,9	5	5,3	5,8	6,6	7,9		
Траектория слева от экрана	Промежуточные точки:	Pss(x,y,z) = (469.27,-137.76,3.14)	Psr(x,y,z) = (469.27,-137.76,3.14)	dss = 310.05 м		dsr = 212.26 м		e = 0.00 м		z = 2.62 м				
	Константа С2, учитывающая эффект отражения от земли возле экрана			40	40	40	40	40	40	40	40	40		
	Константа С3 (дифракция на кромках)		ф-ла (15) [10]	1	1	1	1	1	1	1	1	1		
	K_{met} (влияние метеоусловий)		ф-ла (18) [10]	1	1	1	1	1	1	1	1	1		
	Снижение УЗД, Dz, дБ		ф-ла (14) [10]	11	13,5	16,2	19	22	24,9	27,9	30,9	33,9		
Траектория справа от экрана	Промежуточные точки:	Pss(x,y,z) = (549.08,-14.03,2.27)	Psr(x,y,z) = (549.08,-14.03,2.27)	dss = 189.67 м		dsr = 340.55 м		e = 0.00 м		z = 10.54 м				
	Константа С2, учитывающая эффект отражения от земли возле экрана			40	40	40	40	40	40	40	40	40		
	Константа С3 (дифракция на кромках)		ф-ла (15) [10]	1	1	1	1	1	1	1	1	1		
	K_{met} (влияние метеоусловий)		ф-ла (18) [10]	1	1	1	1	1	1	1	1	1		
	Снижение УЗД, Dz, дБ		ф-ла (14) [10]	16,2	19,1	22	25	27,9	30,9	33,9	37	40		
Общее снижение уровня звука препятствием Dz, дБ			Эн.сумма(-Dzi)	3,6	4,1	4,4	4,7	4,9	5,2	5,7	6,6	7,8		
Уровни звукового давления от источника ИШ-2-24 в расчётной точке днём, дБ			**ф-ла(3)[10]**	**0**	**26,8**	**27,8**	**28,4**	**27,6**	**25,8**	**19,8**	**7,5**	**0**	**29,5**	**29,5**
Уровни звукового давления от источника ИШ-2-24 в расчётной точке ночью, дБ			**ф-ла(3)[10]**	**0**	**26,8**	**27,8**	**28,4**	**27,6**	**25,8**	**19,8**	**7,5**	**0**	**29,5**	**29,5**

Источник шума: ИШ-2-25, координаты источника (x,y,z), м =[734.58,18.32,1.00]

1			2	3	4	5	6	7	8	9	10	11	12	13
Уровни звуковой мощности источника днём, Lw, дБ			**исходные данные**	**0**	**93,3**	**94,7**	**96**	**96,3**	**95,9**	**92,6**	**88,4**	**83,9**		
Уровни звуковой мощности источника ночью, Lw, дБ			**исходные данные**	**0**	**93,3**	**94,7**	**96**	**96,3**	**95,9**	**92,6**	**88,4**	**83,9**		
Поправка на телесный угол DΩ, дБ		Ω = 6.28	10Lg(4π/Ω)	**3**	3	3	3	3	3	3	3	3		
Показатель направленности источника Di, дБ			исходные данные	**0**	0	0	0	0	0	0	0	0		
Поправка на направленность источника Dc, дБ		Dc	DΩ + Di	**3**	3	3	3	3	3	3	3	3		
Затухание из-за геометрической дивергенции, Adiv, дБ		расстояние = 517.64 м	ф-ла (7) [10]	**65,3**										
Коэффициент затухания звука в атмосфере α, дБ/км		Ta=20,°C Pa=101.33,кПа hотн.=70%	ф-ла (5) [9]	0,02	0,09	0,33	1,12	2,79	4,98	9,04	23,09	77,63		
Учет затухания звука в атмосфере Aatm, дБ			ф-ла (8) [10]	0	0	0,2	0,6	1,4	2,6	4,7	12	40,2		
Снижение уровня звукового давления из-за влияния застройки между источником шума и расчетной точкой														
Длина звуковой волны для среднегеометрической частоты октавной полосы, λ, м				10,79	5,4	2,72	1,36	0,68	0,34	0,17	0,09	0,04		
Критерий наличия экранирования в горизонтальной плоскости	Горизонтальный размер экрана, lэкр = 76.55 м		lэкр > λ	да	да	да	да	да	да	да	да	да		
Траектория над экраном	Промежуточные точки:	Pss(x,y,z) = (584.29,-54.50,8.00)	Psr(x,y,z) = (450.07,-119.53,10.00)	dss = 167.15 м		dsr = 201.56 м		e = 149.16 м		z = 0.22 м				
	Константа C2, учитывающая эффект отражения от земли возле экрана			40	40	40	40	40	40	40	40	40		
	Константа C3 (дифракция на кромках)		ф-ла (15) [10]	2,4	2,8	3	3	3	3	3	3	3		
	K_{met} (влияние метеоусловий)		ф-ла (18) [10]	0	0	0	0	0	0	0	0	0		
	Снижение УЗД, Dz, дБ		ф-ла (14) [10]	4,9	5	5,3	5,8	6,7	8	9,8	12,1	14,7		
	Промежуточные точки:	Pss(x,y,z) = (469.27,-137.76,3.13)	Psr(x,y,z) = (469.27,-137.76,3.13)	dss = 307.83 м		dsr = 212.26 м		e = 0.00 м		z = 2.45 м				

1			2	3	4	5	6	7	8	9	10	11	12	13
Траектория слева от экрана	Константа С2, учитывающая эффект отражения от земли возле экрана			40	40	40	40	40	40	40	40	40		
	Константа С3 (дифракция на кромках)		ф-ла (15) [10]	1	1	1	1	1	1	1	1	1		
	K_{met} (влияние метеоусловий)		ф-ла (18) [10]	1	1	1	1	1	1	1	1	1		
	Снижение УЗД, Dz, дБ		ф-ла (14) [10]	10,8	13,3	15,9	18,8	21,7	24,6	27,6	30,6	33,6		
Траектория справа от экрана	Промежуточные точки:	Pss(x,y,z) = (549.08,-14.03,2.26)	Psr(x,y,z) = (549.08,-14.03,2.26)	dss = 188.30 м		dsr = 340.55 м		e = 0.00 м		z = 11.21 м				
	Константа С2, учитывающая эффект отражения от земли возле экрана			40	40	40	40	40	40	40	40	40		
	Константа С3 (дифракция на кромках)		ф-ла (15) [10]	1	1	1	1	1	1	1	1	1		
	K_{met} (влияние метеоусловий)		ф-ла (18) [10]	1	1	1	1	1	1	1	1	1		
	Снижение УЗД, Dz, дБ		ф-ла (14) [10]	16,5	19,4	22,3	25,2	28,2	31,2	34,2	37,2	40,2		
Общее снижение уровня звука препятствием Dz, дБ			Эн.сумма(-Dzi)	3,7	4,3	4,9	5,6	6,5	7,9	9,8	12,1	14,7		
Уровни звукового давления от источника ИШ-2-25 в расчётной точке днём, дБ			**ф-ла(3)[10]**	**0**	**26,7**	**27,4**	**27,6**	**26**	**23,1**	**15,9**	**2,1**	**0**	**27,4**	**27,4**
Уровни звукового давления от источника ИШ-2-25 в расчётной точке ночью, дБ			**ф-ла(3)[10]**	**0**	**26,7**	**27,4**	**27,6**	**26**	**23,1**	**15,9**	**2,1**	**0**	**27,4**	**27,4**
Источник шума: ИШ-2-26, координаты источника (x,y,z), м =[733.57,15.41,1.00]														
Уровни звуковой мощности источника днём, Lw, дБ			**исходные данные**	**0**	**93,3**	**94,7**	**96**	**96,3**	**95,9**	**92,6**	**88,4**	**83,9**		
Уровни звуковой мощности источника ночью, Lw, дБ			**исходные данные**	**0**	**93,3**	**94,7**	**96**	**96,3**	**95,9**	**92,6**	**88,4**	**83,9**		
Поправка на телесный угол DΩ, дБ		Ω = 6.28	10Lg(4π/Ω)	**3**	3	3	3	3	3	3	3	3		
Показатель направленности источника Di, дБ			исходные данные	**0**	0	0	0	0	0	0	0	0		

1			2	3	4	5	6	7	8	9	10	11	12	13
Поправка на направленность источника Dc, дБ	Dc		DΩ + Di	**3**	3	3	3	3	3	3	3	3		
Затухание из-за геометрической дивергенции, Adiv, дБ	расстояние = 515.46 м		ф-ла (7) [10]	**65,2**										
Коэффициент затухания звука в атмосфере α, дБ/км	Ta=20,°C Pa=101.33,кПа hотн.=70%		ф-ла (5) [9]	0,02	0,09	0,33	1,12	2,79	4,98	9,04	23,09	77,63		
Учет затухания звука в атмосфере Aatm, дБ			ф-ла (8) [10]	0	0	0,2	0,6	1,4	2,6	4,7	11,9	40		
Снижение уровня звукового давления из-за влияния застройки между источником шума и расчетной точкой														
Длина звуковой волны для среднегеометрической частоты октавной полосы, λ, м				10,79	5,4	2,72	1,36	0,68	0,34	0,17	0,09	0,04		
Критерий наличия экранирования в горизонтальной плоскости	Горизонтальный размер экрана, lэкр = 77.08 м		lэкр > λ	да	да	да	да	да	да	да	да	да		
Траектория над экраном	Промежуточные точки:	Pss(x,y,z) = (583.63,-56.46,8.00)	Psr(x,y,z) = (449.69,-120.65,10.00)	dss = 166.41 м		dsr = 200.73 м		e = 148.54 м		z = 0.22 м				
	Константа C2, учитывающая эффект отражения от земли возле экрана			40	40	40	40	40	40	40	40	40		
	Константа C3 (дифракция на кромках)		ф-ла (15) [10]	2,4	2,8	3	3	3	3	3	3	3		
	K_{met} (влияние метеоусловий)		ф-ла (18) [10]	0	0	0	0	0	0	0	0	0		
	Снижение УЗД, Dz, дБ		ф-ла (14) [10]	4,9	5,1	5,3	5,9	6,7	8,1	9,9	12,2	14,8		
Траектория слева от экрана	Промежуточные точки:	Pss(x,y,z) = (469.27,-137.76,3.13)	Psr(x,y,z) = (469.27,-137.76,3.13)	dss = 305.48 м		dsr = 212.26 м		e = 0.00 м		z = 2.28 м				
	Константа C2, учитывающая эффект отражения от земли возле экрана			40	40	40	40	40	40	40	40	40		
	Константа C3 (дифракция на кромках)		ф-ла (15) [10]	1	1	1	1	1	1	1	1	1		
	K_{met} (влияние метеоусловий)		ф-ла (18) [10]	1	1	1	1	1	1	1	1	1		
	Снижение УЗД, Dz, дБ		ф-ла (14) [10]	10,6	13	15,6	18,5	21,4	24,3	27,3	30,3	33,3		

1			2	3	4	5	6	7	8	9	10	11	12	13
Траектория справа от экрана	Промежуточные точки:	Pss(x,y,z) = (549.08,-14.03,2.25)	Psr(x,y,z) = (549.08,-14.03,2.25)	dss = 186.82 м		dsr = 340.55 м		e = 0.00 м		z = 11.91 м				
	Константа C2, учитывающая эффект отражения от земли возле экрана			40	40	40	40	40	40	40	40	40		
	Константа C3 (дифракция на кромках)		ф-ла (15) [10]	1	1	1	1	1	1	1	1	1		
	K_{met} (влияние метеоусловий)		ф-ла (18) [10]	1	1	1	1	1	1	1	1	1		
	Снижение УЗД, Dz, дБ		ф-ла (14) [10]	16,7	19,6	22,5	25,5	28,5	31,5	34,5	37,5	40,5		
Общее снижение уровня звука препятствием Dz, дБ			Эн.сумма(-Dzi)	3,6	4,3	4,9	5,6	6,6	8	9,8	12,2	14,8		
Уровни звукового давления от источника ИШ-2-26 в расчётной точке днём, дБ			**ф-ла(3)[10]**	**0**	**26,7**	**27,4**	**27,6**	**26**	**23,1**	**15,8**	**2,1**	**0**	**27,4**	**27,4**
Уровни звукового давления от источника ИШ-2-26 в расчётной точке ночью, дБ			**ф-ла(3)[10]**	**0**	**26,7**	**27,4**	**27,6**	**26**	**23,1**	**15,8**	**2,1**	**0**	**27,4**	**27,4**
Источник шума: ИШ-2-27, координаты источника (x,y,z), м =[732.43,12.66,1.00]														
Уровни звуковой мощности источника днём, Lw, дБ			**исходные данные**	**0**	**93,3**	**94,7**	**96**	**96,3**	**95,9**	**92,6**	**88,4**	**83,9**		
Уровни звуковой мощности источника ночью, Lw, дБ			**исходные данные**	**0**	**93,3**	**94,7**	**96**	**96,3**	**95,9**	**92,6**	**88,4**	**83,9**		
Поправка на телесный угол DΩ, дБ		Ω = 6.28	10Lg(4π/Ω)	**3**	3	3	3	3	3	3	3	3		
Показатель направленности источника Di, дБ			исходные данные	**0**	0	0	0	0	0	0	0	0		
Поправка на направленность источника Dc, дБ		Dc	DΩ + Di	**3**	3	3	3	3	3	3	3	3		
Затухание из-за геометрической дивергенции, Adiv, дБ		расстояние = 513.25 м	ф-ла (7) [10]	**65,2**										
Коэффициент затухания звука в атмосфере α, дБ/км		Ta=20,°C Pa=101.33,кПа hотн.=70%	ф-ла (5) [9]	0,02	0,09	0,33	1,12	2,79	4,98	9,04	23,09	77,63		

1			2	3	4	5	6	7	8	9	10	11	12	13
Учет затухания звука в атмосфере Aatm, дБ			ф-ла (8) [10]	0	0	0,2	0,6	1,4	2,6	4,6	11,8	39,8		
Снижение уровня звукового давления из-за влияния застройки между источником шума и расчетной точкой														
Длина звуковой волны для среднегеометрической частоты октавной полосы, λ, м				10,79	5,4	2,72	1,36	0,68	0,34	0,17	0,09	0,04		
Критерий наличия экранирования в горизонтальной плоскости	Горизонтальный размер экрана, lэкр = 77.56 м		lэкр > λ	да	да	да	да	да	да	да	да	да		
Траектория над экраном	Промежуточные точки:	Pss(x,y,z) = (583.03,-58.23,8.00)	Psr(x,y,z) = (449.35,-121.67,10.00)	dss = 165.51 м		dsr = 199.98 м		e = 147.98 м		z = 0.22 м				
	Константа C2, учитывающая эффект отражения от земли возле экрана			40	40	40	40	40	40	40	40	40		
	Константа C3 (дифракция на кромках)		ф-ла (15) [10]	2,4	2,8	3	3	3	3	3	3	3		
	K_{met} (влияние метеоусловий)		ф-ла (18) [10]	0	0	0	0	0	0	0	0	0		
	Снижение УЗД, Dz, дБ		ф-ла (14) [10]	4,9	5,1	5,4	5,9	6,8	8,2	10	12,4	15		
Траектория слева от экрана	Промежуточные точки:	Pss(x,y,z) = (469.27,-137.76,3.12)	Psr(x,y,z) = (469.27,-137.76,3.12)	dss = 303.12 м		dsr = 212.26 м		e = 0.00 м		z = 2.14 м				
	Константа C2, учитывающая эффект отражения от земли возле экрана			40	40	40	40	40	40	40	40	40		
	Константа C3 (дифракция на кромках)		ф-ла (15) [10]	1	1	1	1	1	1	1	1	1		
	K_{met} (влияние метеоусловий)		ф-ла (18) [10]	1	1	1	1	1	1	1	1	1		
	Снижение УЗД, Dz, дБ		ф-ла (14) [10]	10,4	12,8	15,4	18,2	21,1	24,1	27	30	33		
Траектория справа от экрана	Промежуточные точки:	Pss(x,y,z) = (549.08,-14.03,2.24)	Psr(x,y,z) = (549.08,-14.03,2.24)	dss = 185.28 м		dsr = 340.55 м		e = 0.00 м		z = 12.58 м				
	Константа C2, учитывающая эффект отражения от земли возле экрана			40	40	40	40	40	40	40	40	40		
	Константа C3 (дифракция на кромках)		ф-ла (15) [10]	1	1	1	1	1	1	1	1	1		

1		2	3	4	5	6	7	8	9	10	11	12	13
	K_{met} (влияние метеоусловий)	ф-ла (18) [10]	1	1	1	1	1	1	1	1	1		
	Снижение УЗД, Dz, дБ	ф-ла (14) [10]	17	19,8	22,7	25,7	28,7	31,7	34,7	37,7	40,7		
Общее снижение уровня звука препятствием Dz, дБ		Эн.сумма(-Dzi)	3,6	4,3	4,9	5,6	6,6	8	9,9	12,3	14,9		
Уровни звукового давления от источника ИШ-2-27 в расчётной точке днём, дБ		**ф-ла(3)[10]**	**0**	**26,8**	**27,4**	**27,6**	**26**	**23,1**	**15,8**	**2,1**	**0**	**27,3**	**27,3**
Уровни звукового давления от источника ИШ-2-27 в расчётной точке ночью, дБ		**ф-ла(3)[10]**	**0**	**26,8**	**27,4**	**27,6**	**26**	**23,1**	**15,8**	**2,1**	**0**	**27,3**	**27,3**
Источник шума: ИШ-2-28, координаты источника (x,y,z), м =[731.54,9.78,1.00]													
Уровни звуковой мощности источника днём, Lw, дБ		**исходные данные**	**0**	**93,3**	**94,7**	**96**	**96,3**	**95,9**	**92,6**	**88,4**	**83,9**		
Уровни звуковой мощности источника ночью, Lw, дБ		**исходные данные**	**0**	**93,3**	**94,7**	**96**	**96,3**	**95,9**	**92,6**	**88,4**	**83,9**		
Поправка на телесный угол DΩ, дБ	Ω = 6.28	10Lg(4π/Ω)	**3**	3	3	3	3	3	3	3	3		
Показатель направленности источника Di, дБ		исходные данные	**0**	0	0	0	0	0	0	0	0		
Поправка на направленность источника Dc, дБ	Dc	DΩ + Di	**3**	3	3	3	3	3	3	3	3		
Затухание из-за геометрической дивергенции, Adiv, дБ	расстояние = 511.21 м	ф-ла (7) [10]	**65,2**										
Коэффициент затухания звука в атмосфере α, дБ/км	Ta=20,°C Pa=101.33,кПа hотн.=70%	ф-ла (5) [9]	0,02	0,09	0,33	1,12	2,79	4,98	9,04	23,09	77,63		
Учет затухания звука в атмосфере Aatm, дБ		ф-ла (8) [10]	0	0	0,2	0,6	1,4	2,5	4,6	11,8	39,7		
Снижение уровня звукового давления из-за влияния застройки между источником шума и расчетной точкой													
Длина звуковой волны для среднегеометрической частоты октавной полосы, λ, м			10,79	5,4	2,72	1,36	0,68	0,34	0,17	0,09	0,04		

1			2	3	4	5	6	7	8	9	10	11	12	13
Критерий наличия экранирования в горизонтальной плоскости	Горизонтальный размер экрана, lэкр = 78.11 м		lэкр > λ	да	да	да	да	да	да	да	да	да		
Траектория над экраном	Промежуточные точки:	Pss(x,y,z) = (582.36,-60.22,8.00)	Psr(x,y,z) = (448.97,-122.82,10.00)	dss = 164.93 м		dsr = 199.15 м		e = 147.37 м		z = 0.22 м				
	Константа C2, учитывающая эффект отражения от земли возле экрана			40	40	40	40	40	40	40	40	40		
	Константа C3 (дифракция на кромках)		ф-ла (15) [10]	2,4	2,8	3	3	3	3	3	3	3		
	K_{met} (влияние метеоусловий)		ф-ла (18) [10]	0	0	0	0	0	0	0	0	0		
	Снижение УЗД, Dz, дБ		ф-ла (14) [10]	4,9	5,1	5,4	5,9	6,8	8,2	10,1	12,5	15,1		
Траектория слева от экрана	Промежуточные точки:	Pss(x,y,z) = (469.27,-137.76,3.11)	Psr(x,y,z) = (469.27,-137.76,3.11)	dss = 300.93 м		dsr = 212.26 м		e = 0.00 м		z = 1.98 м				
	Константа C2, учитывающая эффект отражения от земли возле экрана			40	40	40	40	40	40	40	40	40		
	Константа C3 (дифракция на кромках)		ф-ла (15) [10]	1	1	1	1	1	1	1	1	1		
	K_{met} (влияние метеоусловий)		ф-ла (18) [10]	1	1	1	1	1	1	1	1	1		
	Снижение УЗД, Dz, дБ		ф-ла (14) [10]	10,1	12,5	15,1	17,9	20,8	23,7	26,7	29,7	32,7		
Траектория справа от экрана	Промежуточные точки:	Pss(x,y,z) = (549.08,-14.03,2.23)	Psr(x,y,z) = (549.08,-14.03,2.23)	dss = 184.00 м		dsr = 340.55 м		e = 0.00 м		z = 13.34 м				
	Константа C2, учитывающая эффект отражения от земли возле экрана			40	40	40	40	40	40	40	40	40		
	Константа C3 (дифракция на кромках)		ф-ла (15) [10]	1	1	1	1	1	1	1	1	1		
	K_{met} (влияние метеоусловий)		ф-ла (18) [10]	1	1	1	1	1	1	1	1	1		
	Снижение УЗД, Dz, дБ		ф-ла (14) [10]	17,2	20,1	23	26	29	32	35	38	41		
Общее снижение уровня звука препятствием Dz, дБ			Эн.сумма(-Dzi)	3,6	4,2	4,9	5,6	6,6	8,1	10	12,4	15		
Уровни звукового давления от источника ИШ-2-28 в расчётной точке днём, дБ			**ф-ла(3)[10]**	**0**	**26,8**	**27,5**	**27,6**	**26,1**	**23,1**	**15,8**	**2,1**	**0**	**27,4**	**27,4**

1			2	3	4	5	6	7	8	9	10	11	12	13
Уровни звукового давления от источника ИШ-2-28 в расчётной точке ночью, дБ			**ф-ла(3)[10]**	**0**	**26,8**	**27,5**	**27,6**	**26,1**	**23,1**	**15,8**	**2,1**	**0**	**27,4**	**27,4**
Источник шума: ИШ-2-29, координаты источника (x,y,z), м =[730.57,6.88,1.00]														
Уровни звуковой мощности источника днём, Lw, дБ			**исходные данные**	**0**	**93,3**	**94,7**	**96**	**96,3**	**95,9**	**92,6**	**88,4**	**83,9**		
Уровни звуковой мощности источника ночью, Lw, дБ			**исходные данные**	**0**	**93,3**	**94,7**	**96**	**96,3**	**95,9**	**92,6**	**88,4**	**83,9**		
Поправка на телесный угол DΩ, дБ		Ω = 6.28	10Lg(4π/Ω)	**3**	3	3	3	3	3	3	3	3		
Показатель направленности источника Di, дБ			исходные данные	**0**	0	0	0	0	0	0	0	0		
Поправка на направленность источника Dc, дБ		Dc	DΩ + Di	**3**	3	3	3	3	3	3	3	3		
Затухание из-за геометрической дивергенции, Adiv, дБ		расстояние = 509.12 м	ф-ла (7) [10]	**65,1**										
Коэффициент затухания звука в атмосфере α, дБ/км		Ta=20,°C Pa=101.33,кПа hотн.=70%	ф-ла (5) [9]	0,02	0,09	0,33	1,12	2,79	4,98	9,04	23,09	77,63		
Учет затухания звука в атмосфере Aatm, дБ			ф-ла (8) [10]	0	0	0,2	0,6	1,4	2,5	4,6	11,8	39,5		
Снижение уровня звукового давления из-за влияния застройки между источником шума и расчетной точкой														
Длина звуковой волны для среднегеометрической частоты октавной полосы, λ, м				10,79	5,4	2,72	1,36	0,68	0,34	0,17	0,09	0,04		
Критерий наличия экранирования в горизонтальной плоскости	Горизонтальный размер экрана, lэкр = 78.65 м		lэкр > λ	да	да	да	да	да	да	да	да	да		
Траектория над экраном	Промежуточные точки:	Pss(x,y,z) = (581.70,-62.18,8.00)	Psr(x,y,z) = (448.59,-123.94,10.00)	dss = 164.26 м		dsr = 198.33 м		e = 146.76 м		z = 0.22 м				
	Константа C2, учитывающая эффект отражения от земли возле экрана			40	40	40	40	40	40	40	40	40		
	Константа C3 (дифракция на кромках)		ф-ла (15) [10]	2,4	2,8	2,9	3	3	3	3	3	3		

1			2	3	4	5	6	7	8	9	10	11	12	13
	K_{met} (влияние метеоусловий)		ф-ла (18) [10]	0	0	0	0	0	0	0	0	0		
	Снижение УЗД, Dz, дБ		ф-ла (14) [10]	4,9	5,1	5,4	6	6,9	8,3	10,2	12,6	15,2		
Траектория слева от экрана	Промежуточные точки:	Pss(x,y,z) = (469.27,-137.76,3.11)	Psr(x,y,z) = (469.27,-137.76,3.11)	dss = 298.67 м		dsr = 212.26 м		e = 0.00 м		z = 1.82 м				
	Константа C2, учитывающая эффект отражения от земли возле экрана			40	40	40	40	40	40	40	40	40		
	Константа C3 (дифракция на кромках)		ф-ла (15) [10]	1	1	1	1	1	1	1	1	1		
	K_{met} (влияние метеоусловий)		ф-ла (18) [10]	1	1	1	1	1	1	1	1	1		
	Снижение УЗД, Dz, дБ		ф-ла (14) [10]	9,9	12,2	14,7	17,5	20,4	23,4	26,3	29,3	32,3		
Траектория справа от экрана	Промежуточные точки:	Pss(x,y,z) = (549.08,-14.03,2.23)	Psr(x,y,z) = (549.08,-14.03,2.23)	dss = 182.69 м		dsr = 340.55 м		e = 0.00 м		z = 14.13 м				
	Константа C2, учитывающая эффект отражения от земли возле экрана			40	40	40	40	40	40	40	40	40		
	Константа C3 (дифракция на кромках)		ф-ла (15) [10]	1	1	1	1	1	1	1	1	1		
	K_{met} (влияние метеоусловий)		ф-ла (18) [10]	1	1	1	1	1	1	1	1	1		
	Снижение УЗД, Dz, дБ		ф-ла (14) [10]	17,4	20,3	23,2	26,2	29,2	32,2	35,2	38,2	41,2		
Общее снижение уровня звука препятствием Dz, дБ			Эн.сумма(-Dzi)	3,5	4,2	4,9	5,6	6,7	8,1	10,1	12,5	15,1		
Уровни звукового давления от источника ИШ-2-29 в расчётной точке днём, дБ			**ф-ла(3)[10]**	**0**	**26,9**	**27,5**	**27,7**	**26,1**	**23,1**	**15,8**	**2**	**0**	**27,4**	**27,4**
Уровни звукового давления от источника ИШ-2-29 в расчётной точке ночью, дБ			**ф-ла(3)[10]**	**0**	**26,9**	**27,5**	**27,7**	**26,1**	**23,1**	**15,8**	**2**	**0**	**27,4**	**27,4**
Источник шума: ИШ-2-4, координаты источника (x,y,z), м =[632.70,-65.30,3.00]														
Уровни звуковой мощности источника днём, Lw, дБ			**исходные данные**	**105**	**104**	**104**	**101**	**102**	**106**	**101**	**95**	**87**		

1			2	3	4	5	6	7	8	9	10	11	12	13
Уровни звуковой мощности источника ночью, Lw, дБ			**исходные данные**	**105**	**104**	**104**	**101**	**102**	**106**	**101**	**95**	**87**		
Поправка на телесный угол DΩ, дБ		Ω = 6.28	10Lg(4π/Ω)	**3**	3	3	3	3	3	3	3	3		
Показатель направленности источника Di, дБ			исходные данные	**0**	0	0	0	0	0	0	0	0		
Поправка на направленность источника Dc, дБ		Dc	DΩ + Di	**3**	3	3	3	3	3	3	3	3		
Затухание из-за геометрической дивергенции, Adiv, дБ		расстояние = 390.70 м	ф-ла (7) [10]	**62,8**										
Коэффициент затухания звука в атмосфере α, дБ/км		Ta=20,°C Pa=101.33,кПа hотн.=70%	ф-ла (5) [9]	0,02	0,09	0,33	1,12	2,79	4,98	9,04	23,09	77,63		
Учет затухания звука в атмосфере Aatm, дБ			ф-ла (8) [10]	0	0	0,1	0,4	1,1	1,9	3,5	9	30,3		
Снижение уровня звукового давления из-за влияния застройки между источником шума и расчетной точкой														
Длина звуковой волны для среднегеометрической частоты октавной полосы, λ, м				10,79	5,4	2,72	1,36	0,68	0,34	0,17	0,09	0,04		
Критерий наличия экранирования в горизонтальной плоскости	Горизонтальный размер экрана, lэкр = 24.60 м		lэкр > λ	да	да	да	да	да	да	да	да	да		
Траектория над экраном	Промежуточные точки:	Pss(x,y,z) = (472.61,-127.80,10.00)	Psr(x,y,z) = (457.34,-133.76,10.00)	dss = 172.00 м		dsr = 202.52 м		e = 16.40 м		z = 0.21 м				
	Константа C2, учитывающая эффект отражения от земли возле экрана			40	40	40	40	40	40	40	40	40		
	Константа C3 (дифракция на кромках)		ф-ла (15) [10]	1,1	1,2	1,7	2,3	2,8	2,9	3	3	3		
	K_{met} (влияние метеоусловий)		ф-ла (18) [10]	0,1	0,1	0,1	0,1	0,1	0,1	0,1	0,1	0,1		
	Снижение УЗД, Dz, дБ		ф-ла (14) [10]	4,8	4,9	5,2	5,8	7	8,6	10,7	13,1	15,8		
	Промежуточные точки:	Pss(x,y,z) = (469.27,-137.76,3.73)	Psr(x,y,z) = (469.27,-137.76,3.73)	dss = 178.78 м		dsr = 212.26 м		e = 0.00 м		z = 0.34 м				
	Константа C2, учитывающая эффект отражения от земли возле экрана			40	40	40	40	40	40	40	40	40		

1			2	3	4	5	6	7	8	9	10	11	12	13
Траектория слева от экрана	Константа С3 (дифракция на кромках)		ф-ла (15) [10]	1	1	1	1	1	1	1	1	1		
	K_{met} (влияние метеоусловий)		ф-ла (18) [10]	1	1	1	1	1	1	1	1	1		
	Снижение УЗД, Dz, дБ		ф-ла (14) [10]	6,3	7,4	9	11,1	13,6	16,3	19,1	22,1	25		
Траектория справа от экрана	Промежуточные точки:	Pss(x,y,z) = (450.34,-118.75,3.78)	Psr(x,y,z) = (450.34,-118.75,3.78)	dss = 190.04 м		dsr = 202.06 м		e = 0.00 м		z = 1.40 м				
	Константа С2, учитывающая эффект отражения от земли возле экрана			40	40	40	40	40	40	40	40	40		
	Константа С3 (дифракция на кромках)		ф-ла (15) [10]	1	1	1	1	1	1	1	1	1		
	K_{met} (влияние метеоусловий)		ф-ла (18) [10]	1	1	1	1	1	1	1	1	1		
	Снижение УЗД, Dz, дБ		ф-ла (14) [10]	9,1	11,3	13,7	16,4	19,3	22,2	25,2	28,2	31,2		
Общее снижение уровня звука препятствием Dz, дБ			Эн.сумма(-Dzi)	1,6	2,4	3,3	4,4	5,9	7,8	10	12,5	15,2		
Уровни звукового давления прямого звука от источника ИШ-2-4 в расчётной точке днём, дБ			**ф-ла(3)[10]**	**43,5**	**41,8**	**40,8**	**36,3**	**35,2**	**36,5**	**27,7**	**13,7**	**0**	**38,9**	**38,9**
Уровни звукового давления прямого звука от источника ИШ-2-4 в расчётной точке ночью, дБ			**ф-ла(3)[10]**	**43,5**	**41,8**	**40,8**	**36,3**	**35,2**	**36,5**	**27,7**	**13,7**	**0**	**38,9**	**38,9**
Расчёт отражённого звука														
Уровни звукового давления от мнимого источника ИШ-2-4_мн.(1) в расчётной точке днём, дБ			**ф-ла(3)[10]**	**0**	**0**	**0**	**0**	**0**	**0**	**0**	**0**	**0**	**0**	**0**
Уровни звукового давления от мнимого источника ИШ-2-4_мн.(1) в расчётной точке ночью, дБ			**ф-ла(3)[10]**	**0**	**0**	**0**	**0**	**0**	**0**	**0**	**0**	**0**	**0**	**0**
Уровни звукового давления от источника ИШ-2-4 в расчётной точке днём, дБ			**ф-ла(3)[10]**	**43,5**	**41,8**	**40,8**	**36,3**	**35,2**	**36,5**	**27,7**	**13,7**	**0**	**38,9**	**38,9**
Уровни звукового давления от источника ИШ-2-4 в расчётной точке ночью, дБ			**ф-ла(3)[10]**	**43,5**	**41,8**	**40,8**	**36,3**	**35,2**	**36,5**	**27,7**	**13,7**	**0**	**38,9**	**38,9**

Источник шума: ИШ-2-30, координаты источника (x,y,z), м =[702.44,-77.23,1.00]

1		2	3	4	5	6	7	8	9	10	11	12	13
Уровни звуковой мощности источника днём, Lw, дБ		**исходные данные**	**0**	**93,3**	**94,7**	**96**	**96,3**	**95,9**	**92,6**	**88,4**	**83,9**		
Уровни звуковой мощности источника ночью, Lw, дБ		**исходные данные**	**0**	**93,3**	**94,7**	**96**	**96,3**	**95,9**	**92,6**	**88,4**	**83,9**		
Поправка на телесный угол DΩ, дБ	Ω = 6.28	10Lg(4π/Ω)	**3**	3	3	3	3	3	3	3	3		
Показатель направленности источника Di, дБ		исходные данные	**0**	0	0	0	0	0	0	0	0		
Поправка на направленность источника Dc, дБ	Dc	DΩ + Di	**3**	3	3	3	3	3	3	3	3		
Затухание из-за геометрической дивергенции, Adiv, дБ	расстояние = 452.81 м	ф-ла (7) [10]	**64,1**										
Коэффициент затухания звука в атмосфере α, дБ/км	Ta=20,°C Pa=101.33,кПа hотн.=70%	ф-ла (5) [9]	0,02	0,09	0,33	1,12	2,79	4,98	9,04	23,09	77,63		
Учет затухания звука в атмосфере Aatm, дБ		ф-ла (8) [10]	0	0	0,2	0,5	1,3	2,3	4,1	10,5	35,2		
Снижение поверхностью земли возле источника As, дБ	Gs = 0 hs = 1м	ф-лы таб.3 [10]	-1,5	-1,5	-1,5	-1,5	-1,5	-1,5	-1,5	-1,5	-1,5		
Снижение поверхностью земли возле приёмника Ar, дБ	Gr = 1 hr = 4.6м	ф-лы таб.3 [10]	-1,5	-1,5	3,3	1,3	0	0	0	0	0		
Снижение поверхностью земли в средней зоне, Am дБ	Gm = 1	ф-лы таб.3 [10]	-1,9	-1,9	0	0	0	0	0	0	0		
Суммарное снижение поверхностью земли на траектории распространения звука Agr, дБ		ф-ла (9) [10]	-4,9	-4,9	1,8	-0,2	-1,5	-1,5	-1,5	-1,5	-1,5		
Уровни звукового давления прямого звука от источника ИШ-2-30 в расчётной точке днём, дБ		**ф-ла(3)[10]**	**0**	**37**	**31,6**	**34,6**	**35,4**	**34**	**28,9**	**18,3**	**0**	**37,6**	**37,6**
Уровни звукового давления прямого звука от источника ИШ-2-30 в расчётной точке ночью, дБ		**ф-ла(3)[10]**	**0**	**37**	**31,6**	**34,6**	**35,4**	**34**	**28,9**	**18,3**	**0**	**37,6**	**37,6**
Расчёт отражённого звука													
Уровни звукового давления от мнимого источника ИШ-2-30_мн.(1) в расчётной точке днём, дБ		**ф-ла(3)[10]**	**0**	**0**	**0**	**24,2**	**24**	**29,5**	**26,3**	**15,7**	**0**	**32,2**	**32,2**
Уровни звукового давления от мнимого источника ИШ-2-30_мн.(1) в расчётной точке ночью, дБ		**ф-ла(3)[10]**	**0**	**0**	**0**	**0**	**0**	**0**	**0**	**0**	**0**	**32,2**	**32,2**

1		2	3	4	5	6	7	8	9	10	11	12	13
Уровни звукового давления от источника ИШ-2-30 в расчётной точке днём, дБ		**ф-ла(3)[10]**	**0**	**37**	**31,6**	**35**	**35,7**	**35,3**	**30,8**	**20,2**	**0**	**38,7**	**38,7**
Уровни звукового давления от источника ИШ-2-30 в расчётной точке ночью, дБ		**ф-ла(3)[10]**	**0**	**37**	**31,6**	**35**	**35,7**	**35,3**	**30,8**	**20,2**	**0**	**38,7**	**38,7**
Источник шума: ИШ-2-31, координаты источника (x,y,z), м =[701.42,-80.17,1.00]													
Уровни звуковой мощности источника днём, Lw, дБ		**исходные данные**	**0**	**93,3**	**94,7**	**96**	**96,3**	**95,9**	**92,6**	**88,4**	**83,9**		
Уровни звуковой мощности источника ночью, Lw, дБ		**исходные данные**	**0**	**93,3**	**94,7**	**96**	**96,3**	**95,9**	**92,6**	**88,4**	**83,9**		
Поправка на телесный угол DΩ, дБ	Ω = 6.28	10Lg(4π/Ω)	**3**	3	3	3	3	3	3	3	3		
Показатель направленности источника Di, дБ		исходные данные	**0**	0	0	0	0	0	0	0	0		
Поправка на направленность источника Dc, дБ	Dc	DΩ + Di	**3**	3	3	3	3	3	3	3	3		
Затухание из-за геометрической дивергенции, Adiv, дБ	расстояние = 451.00 м	ф-ла (7) [10]	**64,1**										
Коэффициент затухания звука в атмосфере α, дБ/км	Ta=20,°C Pa=101.33,кПа hотн.=70%	ф-ла (5) [9]	0,02	0,09	0,33	1,12	2,79	4,98	9,04	23,09	77,63		
Учет затухания звука в атмосфере Aatm, дБ		ф-ла (8) [10]	0	0	0,2	0,5	1,3	2,2	4,1	10,4	35		
Снижение поверхностью земли возле источника As, дБ	Gs = 0 hs = 1м	ф-лы таб.3 [10]	-1,5	-1,5	-1,5	-1,5	-1,5	-1,5	-1,5	-1,5	-1,5		
Снижение поверхностью земли возле приёмника Ar, дБ	Gr = 1 hr = 4.6м	ф-лы таб.3 [10]	-1,5	-1,5	3,3	1,3	0	0	0	0	0		
Снижение поверхностью земли в средней зоне, Am дБ	Gm = 1	ф-лы таб.3 [10]	-1,9	-1,9	0	0	0	0	0	0	0		
Суммарное снижение поверхностью земли на траектории распространения звука Agr, дБ		ф-ла (9) [10]	-4,9	-4,9	1,8	-0,2	-1,5	-1,5	-1,5	-1,5	-1,5		
Уровни звукового давления прямого звука от источника ИШ-2-31 в расчётной точке днём, дБ		**ф-ла(3)[10]**	**0**	**37,1**	**31,6**	**34,6**	**35,4**	**34,1**	**28,9**	**18,4**	**0**	**37,6**	**37,6**

1		2	3	4	5	6	7	8	9	10	11	12	13
Уровни звукового давления прямого звука от источника ИШ-2-31 в расчётной точке ночью, дБ		**ф-ла(3)[10]**	**0**	**37,1**	**31,6**	**34,6**	**35,4**	**34,1**	**28,9**	**18,4**	**0**	**37,6**	**37,6**
Расчёт отражённого звука													
Уровни звукового давления от мнимого источника ИШ-2-31_мн.(1) в расчётной точке днём, дБ		**ф-ла(3)[10]**	**0**	**0**	**0**	**24,2**	**24,1**	**29,5**	**26,4**	**15,8**	**0**	**32,2**	**32,2**
Уровни звукового давления от мнимого источника ИШ-2-31_мн.(1) в расчётной точке ночью, дБ		**ф-ла(3)[10]**	**0**	**0**	**0**	**0**	**0**	**0**	**0**	**0**	**0**	**32,2**	**32,2**
Уровни звукового давления от источника ИШ-2-31 в расчётной точке днём, дБ		**ф-ла(3)[10]**	**0**	**37,1**	**31,6**	**35**	**35,8**	**35,4**	**30,9**	**20,3**	**0**	**38,7**	**38,7**
Уровни звукового давления от источника ИШ-2-31 в расчётной точке ночью, дБ		**ф-ла(3)[10]**	**0**	**37,1**	**31,6**	**35**	**35,8**	**35,4**	**30,9**	**20,3**	**0**	**38,7**	**38,7**
Источник шума: ИШ-2-32, координаты источника (x,y,z), м =[700.38,-83.01,1.00]													
Уровни звуковой мощности источника днём, Lw, дБ		**исходные данные**	**0**	**93,3**	**94,7**	**96**	**96,3**	**95,9**	**92,6**	**88,4**	**83,9**		
Уровни звуковой мощности источника ночью, Lw, дБ		**исходные данные**	**0**	**93,3**	**94,7**	**96**	**96,3**	**95,9**	**92,6**	**88,4**	**83,9**		
Поправка на телесный угол DΩ, дБ	Ω = 6.28	10Lg(4π/Ω)	**3**	3	3	3	3	3	3	3	3		
Показатель направленности источника Di, дБ		исходные данные	**0**	0	0	0	0	0	0	0	0		
Поправка на направленность источника Dc, дБ	Dc	DΩ + Di	**3**	3	3	3	3	3	3	3	3		
Затухание из-за геометрической дивергенции, Adiv, дБ	расстояние = 449.21 м	ф-ла (7) [10]	**64**										
Коэффициент затухания звука в атмосфере α, дБ/км	Ta=20,°C Pa=101.33,кПа hотн.=70%	ф-ла (5) [9]	0,02	0,09	0,33	1,12	2,79	4,98	9,04	23,09	77,63		
Учет затухания звука в атмосфере Aatm, дБ		ф-ла (8) [10]	0	0	0,2	0,5	1,3	2,2	4,1	10,4	34,9		
Снижение поверхностью земли возле источника As, дБ	Gs = 0 hs = 1м	ф-лы таб.3 [10]	-1,5	-1,5	-1,5	-1,5	-1,5	-1,5	-1,5	-1,5	-1,5		

1		2	3	4	5	6	7	8	9	10	11	12	13
Снижение поверхностью земли возле приёмника Ar, дБ	Gr = 1 hr = 4.6м	ф-лы таб.3 [10]	-1,5	-1,5	3,3	1,3	0	0	0	0	0		
Снижение поверхностью земли в средней зоне, Am дБ	Gm = 1	ф-лы таб.3 [10]	-1,9	-1,9	0	0	0	0	0	0	0		
Суммарное снижение поверхностью земли на траектории распространения звука Agr, дБ		ф-ла (9) [10]	-4,9	-4,9	1,8	-0,2	-1,5	-1,5	-1,5	-1,5	-1,5		
Уровни звукового давления прямого звука от источника ИШ-2-32 в расчётной точке днём, дБ		**ф-ла(3)[10]**	**0**	**37,1**	**31,7**	**34,7**	**35,5**	**34,1**	**29**	**18,5**	**0**	**37,7**	**37,7**
Уровни звукового давления прямого звука от источника ИШ-2-32 в расчётной точке ночью, дБ		**ф-ла(3)[10]**	**0**	**37,1**	**31,7**	**34,7**	**35,5**	**34,1**	**29**	**18,5**	**0**	**37,7**	**37,7**
Расчёт отражённого звука													
Уровни звукового давления от мнимого источника ИШ-2-32_мн.(1) в расчётной точке днём, дБ		**ф-ла(3)[10]**	**0**	**0**	**0**	**24,3**	**24,1**	**29,5**	**26,4**	**15,9**	**0**	**32,3**	**32,3**
Уровни звукового давления от мнимого источника ИШ-2-32_мн.(1) в расчётной точке ночью, дБ		**ф-ла(3)[10]**	**0**	**0**	**0**	**0**	**0**	**0**	**0**	**0**	**0**	**32,3**	**32,3**
Уровни звукового давления от источника ИШ-2-32 в расчётной точке днём, дБ		**ф-ла(3)[10]**	**0**	**37,1**	**31,7**	**35**	**35,8**	**35,4**	**30,9**	**20,4**	**0**	**38,8**	**38,8**
Уровни звукового давления от источника ИШ-2-32 в расчётной точке ночью, дБ		**ф-ла(3)[10]**	**0**	**37,1**	**31,7**	**35**	**35,8**	**35,4**	**30,9**	**20,4**	**0**	**38,8**	**38,8**
Источник шума: ИШ-2-33, координаты источника (x,y,z), м =[699.52,-85.98,1.00]													
Уровни звуковой мощности источника днём, Lw, дБ		**исходные данные**	**0**	**93,3**	**94,7**	**96**	**96,3**	**95,9**	**92,6**	**88,4**	**83,9**		
Уровни звуковой мощности источника ночью, Lw, дБ		**исходные данные**	**0**	**93,3**	**94,7**	**96**	**96,3**	**95,9**	**92,6**	**88,4**	**83,9**		
Поправка на телесный угол DΩ, дБ	Ω = 6.28	10Lg(4π/Ω)	**3**	3	3	3	3	3	3	3	3		
Показатель направленности источника Di, дБ		исходные данные	**0**	0	0	0	0	0	0	0	0		
Поправка на направленность источника Dc, дБ	Dc	DΩ + Di	**3**	3	3	3	3	3	3	3	3		
Затухание из-за геометрической дивергенции, Adiv, дБ	расстояние = 447.57 м	ф-ла (7) [10]	**64**										

1		2	3	4	5	6	7	8	9	10	11	12	13
Коэффициент затухания звука в атмосфере α, дБ/км	Ta=20,°C Pa=101.33,кПа hотн.=70%	ф-ла (5) [9]	0,02	0,09	0,33	1,12	2,79	4,98	9,04	23,09	77,63		
Учет затухания звука в атмосфере Aatm, дБ		ф-ла (8) [10]	0	0	0,1	0,5	1,2	2,2	4	10,3	34,7		
Снижение поверхностью земли возле источника As, дБ	Gs = 0 hs = 1м	ф-лы таб.3 [10]	-1,5	-1,5	-1,5	-1,5	-1,5	-1,5	-1,5	-1,5	-1,5		
Снижение поверхностью земли возле приёмника Ar, дБ	Gr = 1 hr = 4.6м	ф-лы таб.3 [10]	-1,5	-1,5	3,3	1,3	0	0	0	0	0		
Снижение поверхностью земли в средней зоне, Am дБ	Gm = 1	ф-лы таб.3 [10]	-1,9	-1,9	0	0	0	0	0	0	0		
Суммарное снижение поверхностью земли на траектории распространения звука Agr, дБ		ф-ла (9) [10]	-4,9	-4,9	1,8	-0,2	-1,5	-1,5	-1,5	-1,5	-1,5		
Уровни звукового давления прямого звука от источника ИШ-2-33 в расчётной точке днём, дБ		**ф-ла(3)[10]**	**0**	**37,1**	**31,7**	**34,7**	**35,5**	**34,1**	**29**	**18,5**	**0**	**37,7**	**37,7**
Уровни звукового давления прямого звука от источника ИШ-2-33 в расчётной точке ночью, дБ		**ф-ла(3)[10]**	**0**	**37,1**	**31,7**	**34,7**	**35,5**	**34,1**	**29**	**18,5**	**0**	**37,7**	**37,7**
Расчёт отражённого звука													
Уровни звукового давления от мнимого источника ИШ-2-33_мн.(1) в расчётной точке днём, дБ		**ф-ла(3)[10]**	**0**	**0**	**0**	**24,3**	**24,2**	**29,6**	**26,5**	**16**	**0**	**32,3**	**32,3**
Уровни звукового давления от мнимого источника ИШ-2-33_мн.(1) в расчётной точке ночью, дБ		**ф-ла(3)[10]**	**0**	**0**	**0**	**0**	**0**	**0**	**0**	**0**	**0**	**32,3**	**32,3**
Уровни звукового давления от источника ИШ-2-33 в расчётной точке днём, дБ		**ф-ла(3)[10]**	**0**	**37,1**	**31,7**	**35,1**	**35,8**	**35,5**	**31**	**20,5**	**0**	**38,8**	**38,8**
Уровни звукового давления от источника ИШ-2-33 в расчётной точке ночью, дБ		**ф-ла(3)[10]**	**0**	**37,1**	**31,7**	**35,1**	**35,8**	**35,5**	**31**	**20,5**	**0**	**38,8**	**38,8**
Источник шума: ИШ-2-34, координаты источника (x,y,z), м =[698.43,-88.85,1.00]													
Уровни звуковой мощности источника днём, Lw, дБ		**исходные данные**	**0**	**93,3**	**94,7**	**96**	**96,3**	**95,9**	**92,6**	**88,4**	**83,9**		
Уровни звуковой мощности источника ночью, Lw, дБ		**исходные данные**	**0**	**93,3**	**94,7**	**96**	**96,3**	**95,9**	**92,6**	**88,4**	**83,9**		

1		2	3	4	5	6	7	8	9	10	11	12	13
Поправка на телесный угол DΩ, дБ	Ω = 6.28	10Lg(4π/Ω)	**3**	3	3	3	3	3	3	3	3		
Показатель направленности источника Di, дБ		исходные данные	**0**	0	0	0	0	0	0	0	0		
Поправка на направленность источника Dc, дБ	Dc	DΩ + Di	**3**	3	3	3	3	3	3	3	3		
Затухание из-за геометрической дивергенции, Adiv, дБ	расстояние = 445.75 м	ф-ла (7) [10]	**64**										
Коэффициент затухания звука в атмосфере α, дБ/км	Ta=20,°C Pa=101.33,кПа hотн.=70%	ф-ла (5) [9]	0,02	0,09	0,33	1,12	2,79	4,98	9,04	23,09	77,63		
Учет затухания звука в атмосфере Aatm, дБ		ф-ла (8) [10]	0	0	0,1	0,5	1,2	2,2	4	10,3	34,6		
Снижение поверхностью земли возле источника As, дБ	Gs = 0 hs = 1м	ф-лы таб.3 [10]	-1,5	-1,5	-1,5	-1,5	-1,5	-1,5	-1,5	-1,5	-1,5		
Снижение поверхностью земли возле приёмника Ar, дБ	Gr = 1 hr = 4.6м	ф-лы таб.3 [10]	-1,5	-1,5	3,3	1,3	0	0	0	0	0		
Снижение поверхностью земли в средней зоне, Am дБ	Gm = 1	ф-лы таб.3 [10]	-1,9	-1,9	0	0	0	0	0	0	0		
Суммарное снижение поверхностью земли на траектории распространения звука Agr, дБ		ф-ла (9) [10]	-4,9	-4,9	1,8	-0,2	-1,5	-1,5	-1,5	-1,5	-1,5		
Уровни звукового давления прямого звука от источника ИШ-2-34 в расчётной точке днём, дБ		**ф-ла(3)[10]**	**0**	**37,1**	**31,8**	**34,7**	**35,6**	**34,2**	**29,1**	**18,6**	**0**	**37,8**	**37,8**
Уровни звукового давления прямого звука от источника ИШ-2-34 в расчётной точке ночью, дБ		**ф-ла(3)[10]**	**0**	**37,1**	**31,8**	**34,7**	**35,6**	**34,2**	**29,1**	**18,6**	**0**	**37,8**	**37,8**
Расчёт отражённого звука													
Уровни звукового давления от мнимого источника ИШ-2-34_мн.(1) в расчётной точке днём, дБ		**ф-ла(3)[10]**	**0**	**0**	**0**	**24,4**	**24,2**	**29,6**	**26,5**	**16**	**0**	**32,4**	**32,4**
Уровни звукового давления от мнимого источника ИШ-2-34_мн.(1) в расчётной точке ночью, дБ		**ф-ла(3)[10]**	**0**	**0**	**0**	**0**	**0**	**0**	**0**	**0**	**0**	**32,4**	**32,4**
Уровни звукового давления от источника ИШ-2-34 в расчётной точке днём, дБ		**ф-ла(3)[10]**	**0**	**37,1**	**31,8**	**35,1**	**35,9**	**35,5**	**31**	**20,5**	**0**	**38,9**	**38,9**
Уровни звукового давления от источника ИШ-2-34 в расчётной точке ночью, дБ		**ф-ла(3)[10]**	**0**	**37,1**	**31,8**	**35,1**	**35,9**	**35,5**	**31**	**20,5**	**0**	**38,9**	**38,9**

1		2	3	4	5	6	7	8	9	10	11	12	13
Источник шума: ИШ-2-35, координаты источника (x,y,z), м =[697.52,-91.66,1.00]													
Уровни звуковой мощности источника днём, Lw, дБ		**исходные данные**	**0**	**93,3**	**94,7**	**96**	**96,3**	**95,9**	**92,6**	**88,4**	**83,9**		
Уровни звуковой мощности источника ночью, Lw, дБ		**исходные данные**	**0**	**93,3**	**94,7**	**96**	**96,3**	**95,9**	**92,6**	**88,4**	**83,9**		
Поправка на телесный угол DΩ, дБ	Ω = 6.28	10Lg(4π/Ω)	**3**	3	3	3	3	3	3	3	3		
Показатель направленности источника Di, дБ		исходные данные	**0**	0	0	0	0	0	0	0	0		
Поправка на направленность источника Dc, дБ	Dc	DΩ + Di	**3**	3	3	3	3	3	3	3	3		
Затухание из-за геометрической дивергенции, Adiv, дБ	расстояние = 444.12 м	ф-ла (7) [10]	**64**										
Коэффициент затухания звука в атмосфере α, дБ/км	Ta=20,°C Pa=101.33,кПа hотн.=70%	ф-ла (5) [9]	0,02	0,09	0,33	1,12	2,79	4,98	9,04	23,09	77,63		
Учет затухания звука в атмосфере Aatm, дБ		ф-ла (8) [10]	0	0	0,1	0,5	1,2	2,2	4	10,3	34,5		
Снижение поверхностью земли возле источника As, дБ	Gs = 0 hs = 1м	ф-лы таб.3 [10]	-1,5	-1,5	-1,5	-1,5	-1,5	-1,5	-1,5	-1,5	-1,5		
Снижение поверхностью земли возле приёмника Ar, дБ	Gr = 1 hr = 4.6м	ф-лы таб.3 [10]	-1,5	-1,5	3,3	1,3	0	0	0	0	0		
Снижение поверхностью земли в средней зоне, Am дБ	Gm = 1	ф-лы таб.3 [10]	-1,9	-1,9	0	0	0	0	0	0	0		
Суммарное снижение поверхностью земли на траектории распространения звука Agr, дБ		ф-ла (9) [10]	-4,9	-4,9	1,8	-0,2	-1,5	-1,5	-1,5	-1,5	-1,5		
Уровни звукового давления прямого звука от источника ИШ-2-35 в расчётной точке днём, дБ		**ф-ла(3)[10]**	**0**	**37,2**	**31,8**	**34,8**	**35,6**	**34,2**	**29,1**	**18,7**	**0**	**37,8**	**37,8**
Уровни звукового давления прямого звука от источника ИШ-2-35 в расчётной точке ночью, дБ		**ф-ла(3)[10]**	**0**	**37,2**	**31,8**	**34,8**	**35,6**	**34,2**	**29,1**	**18,7**	**0**	**37,8**	**37,8**
Расчёт отражённого звука													

1		2	3	4	5	6	7	8	9	10	11	12	13
Уровни звукового давления от мнимого источника ИШ-2-35_мн.(1) в расчётной точке днём, дБ		**ф-ла(3)[10]**	**0**	**0**	**0**	**24,4**	**24,2**	**29,7**	**26,6**	**16,1**	**0**	**32,4**	**32,4**
Уровни звукового давления от мнимого источника ИШ-2-35_мн.(1) в расчётной точке ночью, дБ		**ф-ла(3)[10]**	**0**	**0**	**0**	**0**	**0**	**0**	**0**	**0**	**0**	**32,4**	**32,4**
Уровни звукового давления от источника ИШ-2-35 в расчётной точке днём, дБ		**ф-ла(3)[10]**	**0**	**37,2**	**31,8**	**35,1**	**35,9**	**35,5**	**31,1**	**20,6**	**0**	**38,9**	**38,9**
Уровни звукового давления от источника ИШ-2-35 в расчётной точке ночью, дБ		**ф-ла(3)[10]**	**0**	**37,2**	**31,8**	**35,1**	**35,9**	**35,5**	**31,1**	**20,6**	**0**	**38,9**	**38,9**
Источник шума: ИШ-2-36, координаты источника (x,y,z), м =[696.58,-94.55,1.00]													
Уровни звуковой мощности источника днём, Lw, дБ		**исходные данные**	**0**	**93,3**	**94,7**	**96**	**96,3**	**95,9**	**92,6**	**88,4**	**83,9**		
Уровни звуковой мощности источника ночью, Lw, дБ		**исходные данные**	**0**	**93,3**	**94,7**	**96**	**96,3**	**95,9**	**92,6**	**88,4**	**83,9**		
Поправка на телесный угол DΩ, дБ	Ω = 6.28	10Lg(4π/Ω)	**3**	3	3	3	3	3	3	3	3		
Показатель направленности источника Di, дБ		исходные данные	**0**	0	0	0	0	0	0	0	0		
Поправка на направленность источника Dc, дБ	Dc	DΩ + Di	**3**	3	3	3	3	3	3	3	3		
Затухание из-за геометрической дивергенции, Adiv, дБ	расстояние = 442.47 м	ф-ла (7) [10]	**63,9**										
Коэффициент затухания звука в атмосфере α, дБ/км	Ta=20,°C Pa=101.33,кПа hотн.=70%	ф-ла (5) [9]	0,02	0,09	0,33	1,12	2,79	4,98	9,04	23,09	77,63		
Учет затухания звука в атмосфере Aatm, дБ		ф-ла (8) [10]	0	0	0,1	0,5	1,2	2,2	4	10,2	34,4		
Снижение поверхностью земли возле источника As, дБ	Gs = 0 hs = 1м	ф-лы таб.3 [10]	-1,5	-1,5	-1,5	-1,5	-1,5	-1,5	-1,5	-1,5	-1,5		
Снижение поверхностью земли возле приёмника Ar, дБ	Gr = 1 hr = 4.6м	ф-лы таб.3 [10]	-1,5	-1,5	3,3	1,3	0	0	0	0	0		
Снижение поверхностью земли в средней зоне, Am дБ	Gm = 1	ф-лы таб.3 [10]	-1,9	-1,9	0	0	0	0	0	0	0		

1		2	3	4	5	6	7	8	9	10	11	12	13
Суммарное снижение поверхностью земли на траектории распространения звука Agr, дБ		ф-ла (9) [10]	-4,9	-4,9	1,8	-0,2	-1,5	-1,5	-1,5	-1,5	-1,5		
Уровни звукового давления прямого звука от источника ИШ-2-36 в расчётной точке днём, дБ		**ф-ла(3)[10]**	**0**	**37,2**	**31,8**	**34,8**	**35,6**	**34,3**	**29,2**	**18,8**	**0**	**37,8**	**37,8**
Уровни звукового давления прямого звука от источника ИШ-2-36 в расчётной точке ночью, дБ		**ф-ла(3)[10]**	**0**	**37,2**	**31,8**	**34,8**	**35,6**	**34,3**	**29,2**	**18,8**	**0**	**37,8**	**37,8**
Расчёт отражённого звука													
Уровни звукового давления от мнимого источника ИШ-2-36_мн.(1) в расчётной точке днём, дБ		**ф-ла(3)[10]**	**0**	**0**	**0**	**24,4**	**24,3**	**29,7**	**26,6**	**16,2**	**0**	**32,5**	**32,5**
Уровни звукового давления от мнимого источника ИШ-2-36_мн.(1) в расчётной точке ночью, дБ		**ф-ла(3)[10]**	**0**	**0**	**0**	**0**	**0**	**0**	**0**	**0**	**0**	**32,5**	**32,5**
Уровни звукового давления от источника ИШ-2-36 в расчётной точке днём, дБ		**ф-ла(3)[10]**	**0**	**37,2**	**31,8**	**35,2**	**35,9**	**35,6**	**31,1**	**20,7**	**0**	**38,9**	**38,9**
Уровни звукового давления от источника ИШ-2-36 в расчётной точке ночью, дБ		**ф-ла(3)[10]**	**0**	**37,2**	**31,8**	**35,2**	**35,9**	**35,6**	**31,1**	**20,7**	**0**	**38,9**	**38,9**
Источник шума: ИШ-2-37, координаты источника (x,y,z), м =[695.57,-97.37,1.00]													
Уровни звуковой мощности источника днём, Lw, дБ		**исходные данные**	**0**	**93,3**	**94,7**	**96**	**96,3**	**95,9**	**92,6**	**88,4**	**83,9**		
Уровни звуковой мощности источника ночью, Lw, дБ		**исходные данные**	**0**	**93,3**	**94,7**	**96**	**96,3**	**95,9**	**92,6**	**88,4**	**83,9**		
Поправка на телесный угол DΩ, дБ	Ω = 6.28	10Lg(4π/Ω)	**3**	3	3	3	3	3	3	3	3		
Показатель направленности источника Di, дБ		исходные данные	**0**	0	0	0	0	0	0	0	0		
Поправка на направленность источника Dc, дБ	Dc	DΩ + Di	**3**	3	3	3	3	3	3	3	3		
Затухание из-за геометрической дивергенции, Adiv, дБ	расстояние = 440.78 м	ф-ла (7) [10]	**63,9**										
Коэффициент затухания звука в атмосфере α, дБ/км	Ta=20,°C Pa=101.33,кПа hотн.=70%	ф-ла (5) [9]	0,02	0,09	0,33	1,12	2,79	4,98	9,04	23,09	77,63		

1		2	3	4	5	6	7	8	9	10	11	12	13
Учет затухания звука в атмосфере Aatm, дБ		ф-ла (8) [10]	0	0	0,1	0,5	1,2	2,2	4	10,2	34,2		
Снижение поверхностью земли возле источника As, дБ	Gs = 0 hs = 1м	ф-лы таб.3 [10]	-1,5	-1,5	-1,5	-1,5	-1,5	-1,5	-1,5	-1,5	-1,5		
Снижение поверхностью земли возле приёмника Ar, дБ	Gr = 1 hr = 4.6м	ф-лы таб.3 [10]	-1,5	-1,5	3,3	1,3	0	0	0	0	0		
Снижение поверхностью земли в средней зоне, Am дБ	Gm = 1	ф-лы таб.3 [10]	-1,9	-1,9	0	0	0	0	0	0	0		
Суммарное снижение поверхностью земли на траектории распространения звука Agr, дБ		ф-ла (9) [10]	-4,9	-4,9	1,8	-0,2	-1,5	-1,5	-1,5	-1,5	-1,5		
Уровни звукового давления прямого звука от источника ИШ-2-37 в расчётной точке днём, дБ		**ф-ла(3)[10]**	**0**	**37,2**	**31,9**	**34,8**	**35,7**	**34,3**	**29,2**	**18,8**	**0**	**37,9**	**37,9**
Уровни звукового давления прямого звука от источника ИШ-2-37 в расчётной точке ночью, дБ		**ф-ла(3)[10]**	**0**	**37,2**	**31,9**	**34,8**	**35,7**	**34,3**	**29,2**	**18,8**	**0**	**37,9**	**37,9**
Расчёт отражённого звука													
Уровни звукового давления от мнимого источника ИШ-2-37_мн.(1) в расчётной точке днём, дБ		**ф-ла(3)[10]**	**0**	**0**	**0**	**24,5**	**24,3**	**29,8**	**26,7**	**16,3**	**0**	**32,5**	**32,5**
Уровни звукового давления от мнимого источника ИШ-2-37_мн.(1) в расчётной точке ночью, дБ		**ф-ла(3)[10]**	**0**	**0**	**0**	**0**	**0**	**0**	**0**	**0**	**0**	**32,5**	**32,5**
Уровни звукового давления от источника ИШ-2-37 в расчётной точке днём, дБ		**ф-ла(3)[10]**	**0**	**37,2**	**31,9**	**35,2**	**36**	**35,6**	**31,1**	**20,7**	**0**	**39**	**39**
Уровни звукового давления от источника ИШ-2-37 в расчётной точке ночью, дБ		**ф-ла(3)[10]**	**0**	**37,2**	**31,9**	**35,2**	**36**	**35,6**	**31,1**	**20,7**	**0**	**39**	**39**
Источник шума: ИШ-2-5, координаты источника (x,y,z), м =[618.60,-108.00,3.00]													
Уровни звуковой мощности источника днём, Lw, дБ		**исходные данные**	**105**	**104**	**104**	**101**	**102**	**106**	**101**	**95**	**87**		
Уровни звуковой мощности источника ночью, Lw, дБ		**исходные данные**	**105**	**104**	**104**	**101**	**102**	**106**	**101**	**95**	**87**		
Поправка на телесный угол DΩ, дБ	Ω = 6.28	10Lg(4π/Ω)	**3**	3	3	3	3	3	3	3	3		
Показатель направленности источника Di, дБ		исходные данные	**0**	0	0	0	0	0	0	0	0		

1		2	3	4	5	6	7	8	9	10	11	12	13
Поправка на направленность источника Dc, дБ	Dc	DΩ + Di	**3**	3	3	3	3	3	3	3	3		
Затухание из-за геометрической дивергенции, Adiv, дБ	расстояние = 363.69 м	ф-ла (7) [10]	**62,2**										
Коэффициент затухания звука в атмосфере α, дБ/км	Ta=20,°C Pa=101.33,кПа hотн.=70%	ф-ла (5) [9]	0,02	0,09	0,33	1,12	2,79	4,98	9,04	23,09	77,63		
Учет затухания звука в атмосфере Aatm, дБ		ф-ла (8) [10]	0	0	0,1	0,4	1	1,8	3,3	8,4	28,2		
Снижение поверхностью земли возле источника As, дБ	Gs = 0 hs = 3м	ф-лы таб.3 [10]	-1,5	-1,5	-1,5	-1,5	-1,5	-1,5	-1,5	-1,5	-1,5		
Снижение поверхностью земли возле приёмника Ar, дБ	Gr = 1 hr = 4.6м	ф-лы таб.3 [10]	-1,5	-1,5	3,2	1,3	0	0	0	0	0		
Снижение поверхностью земли в средней зоне, Am дБ	Gm = 1	ф-лы таб.3 [10]	-1,1	-1,1	0	0	0	0	0	0	0		
Суммарное снижение поверхностью земли на траектории распространения звука Agr, дБ		ф-ла (9) [10]	-4,1	-4,1	1,7	-0,2	-1,5	-1,5	-1,5	-1,5	-1,5		
Уровни звукового давления прямого звука от источника ИШ-2-5 в расчётной точке днём, дБ		**ф-ла(3)[10]**	**49,9**	**48,9**	**43**	**41,6**	**43,3**	**46,5**	**40**	**28,9**	**0**	**48,5**	**48,5**
Уровни звукового давления прямого звука от источника ИШ-2-5 в расчётной точке ночью, дБ		**ф-ла(3)[10]**	**49,9**	**48,9**	**43**	**41,6**	**43,3**	**46,5**	**40**	**28,9**	**0**	**48,5**	**48,5**
Расчёт отражённого звука													
Уровни звукового давления от мнимого источника ИШ-2-5_мн.(1) в расчётной точке днём, дБ		**ф-ла(3)[10]**	**0**	**0**	**0**	**35,3**	**40,5**	**43,9**	**37,5**	**26,3**	**0**	**45,9**	**45,9**
Уровни звукового давления от мнимого источника ИШ-2-5_мн.(1) в расчётной точке ночью, дБ		**ф-ла(3)[10]**	**0**	**0**	**0**	**0**	**0**	**0**	**0**	**0**	**0**	**45,9**	**45,9**
Уровни звукового давления от источника ИШ-2-5 в расчётной точке днём, дБ		**ф-ла(3)[10]**	**49,9**	**48,9**	**43**	**42,5**	**45,1**	**48,4**	**41,9**	**30,8**	**0**	**50,4**	**50,4**
Уровни звукового давления от источника ИШ-2-5 в расчётной точке ночью, дБ		**ф-ла(3)[10]**	**49,9**	**48,9**	**43**	**42,5**	**45,1**	**48,4**	**41,9**	**30,8**	**0**	**50,4**	**50,4**

Источник шума: ИШ-2-38, координаты источника (x,y,z), м =[688.13,-119.94,1.00]

1		2	3	4	5	6	7	8	9	10	11	12	13
Уровни звуковой мощности источника днём, Lw, дБ		**исходные данные**	**0**	**93,3**	**94,7**	**96**	**96,3**	**95,9**	**92,6**	**88,4**	**83,9**		
Уровни звуковой мощности источника ночью, Lw, дБ		**исходные данные**	**0**	**93,3**	**94,7**	**96**	**96,3**	**95,9**	**92,6**	**88,4**	**83,9**		
Поправка на телесный угол DΩ, дБ	Ω = 6.28	10Lg(4π/Ω)	**3**	3	3	3	3	3	3	3	3		
Показатель направленности источника Di, дБ		исходные данные	**0**	0	0	0	0	0	0	0	0		
Поправка на направленность источника Dc, дБ	Dc	DΩ + Di	**3**	3	3	3	3	3	3	3	3		
Затухание из-за геометрической дивергенции, Adiv, дБ	расстояние = 428.41 м	ф-ла (7) [10]	**63,6**										
Коэффициент затухания звука в атмосфере α, дБ/км	Ta=20,°C Pa=101.33,кПа hотн.=70%	ф-ла (5) [9]	0,02	0,09	0,33	1,12	2,79	4,98	9,04	23,09	77,63		
Учет затухания звука в атмосфере Aatm, дБ		ф-ла (8) [10]	0	0	0,1	0,5	1,2	2,1	3,9	9,9	33,3		
Снижение поверхностью земли возле источника As, дБ	Gs = 0 hs = 1м	ф-лы таб.3 [10]	-1,5	-1,5	-1,5	-1,5	-1,5	-1,5	-1,5	-1,5	-1,5		
Снижение поверхностью земли возле приёмника Ar, дБ	Gr = 1 hr = 4.6м	ф-лы таб.3 [10]	-1,5	-1,5	3,3	1,3	0	0	0	0	0		
Снижение поверхностью земли в средней зоне, Am дБ	Gm = 1	ф-лы таб.3 [10]	-1,8	-1,8	0	0	0	0	0	0	0		
Суммарное снижение поверхностью земли на траектории распространения звука Agr, дБ		ф-ла (9) [10]	-4,8	-4,8	1,8	-0,2	-1,5	-1,5	-1,5	-1,5	-1,5		
Уровни звукового давления прямого звука от источника ИШ-2-38 в расчётной точке днём, дБ		**ф-ла(3)[10]**	**0**	**37,4**	**32,1**	**35,1**	**36**	**34,6**	**29,6**	**19,4**	**0**	**38,2**	**38,2**
Уровни звукового давления прямого звука от источника ИШ-2-38 в расчётной точке ночью, дБ		**ф-ла(3)[10]**	**0**	**37,4**	**32,1**	**35,1**	**36**	**34,6**	**29,6**	**19,4**	**0**	**38,2**	**38,2**
Расчёт отражённого звука													
Уровни звукового давления от мнимого источника ИШ-2-38_мн.(1) в расчётной точке днём, дБ		**ф-ла(3)[10]**	**0**	**0**	**0**	**0**	**0**	**0**	**0**	**0**	**0**	**0**	**0**
Уровни звукового давления от мнимого источника ИШ-2-38_мн.(1) в расчётной точке ночью, дБ		**ф-ла(3)[10]**	**0**	**0**	**0**	**0**	**0**	**0**	**0**	**0**	**0**	**0**	**0**

1		2	3	4	5	6	7	8	9	10	11	12	13
Уровни звукового давления от мнимого источника ИШ-2-38_мн.(2) в расчётной точке днём, дБ		**ф-ла(3)[10]**	**0**	**0**	**27,1**	**24,7**	**24,6**	**30,1**	**27,1**	**16,8**	**0**	**32,9**	**32,9**
Уровни звукового давления от мнимого источника ИШ-2-38_мн.(2) в расчётной точке ночью, дБ		**ф-ла(3)[10]**	**0**	**0**	**0**	**0**	**0**	**0**	**0**	**0**	**0**	**32,9**	**32,9**
Суммарные уровни звукового давления от мнимых источников в расчётной точке днём, дБ		**ф-ла (19) [1]**	**0**	**0**	**27,1**	**24,7**	**24,6**	**30,1**	**27,1**	**16,8**	**0**	**0**	**32,9**
Суммарные уровни звукового давления от мнимых источников в расчётной точке ночью, дБ		**ф-ла (19) [1]**	**0**	**0**	**27,1**	**24,7**	**24,6**	**30,1**	**27,1**	**16,8**	**0**	**0**	**32,9**
Уровни звукового давления от источника ИШ-2-38 в расчётной точке днём, дБ		**ф-ла(3)[10]**	**0**	**37,4**	**33,3**	**35,5**	**36,3**	**35,9**	**31,5**	**21,3**	**0**	**39,3**	**39,3**
Уровни звукового давления от источника ИШ-2-38 в расчётной точке ночью, дБ		**ф-ла(3)[10]**	**0**	**37,4**	**33,3**	**35,5**	**36,3**	**35,9**	**31,5**	**21,3**	**0**	**39,3**	**39,3**
Источник шума: ИШ-2-39, координаты источника (x,y,z), м =[687.11,-122.83,1.00]													
Уровни звуковой мощности источника днём, Lw, дБ		**исходные данные**	**0**	**93,3**	**94,7**	**96**	**96,3**	**95,9**	**92,6**	**88,4**	**83,9**		
Уровни звуковой мощности источника ночью, Lw, дБ		**исходные данные**	**0**	**93,3**	**94,7**	**96**	**96,3**	**95,9**	**92,6**	**88,4**	**83,9**		
Поправка на телесный угол DΩ, дБ	Ω = 6.28	10Lg(4π/Ω)	**3**	3	3	3	3	3	3	3	3		
Показатель направленности источника Di, дБ		исходные данные	**0**	0	0	0	0	0	0	0	0		
Поправка на направленность источника Dc, дБ	Dc	DΩ + Di	**3**	3	3	3	3	3	3	3	3		
Затухание из-за геометрической дивергенции, Adiv, дБ	расстояние = 426.84 м	ф-ла (7) [10]	**63,6**										
Коэффициент затухания звука в атмосфере α, дБ/км	Ta=20,°C Pa=101.33,кПа hотн.=70%	ф-ла (5) [9]	0,02	0,09	0,33	1,12	2,79	4,98	9,04	23,09	77,63		
Учет затухания звука в атмосфере Aatm, дБ		ф-ла (8) [10]	0	0	0,1	0,5	1,2	2,1	3,9	9,9	33,1		
Снижение поверхностью земли возле источника As, дБ	Gs = 0 hs = 1м	ф-лы таб.3 [10]	-1,5	-1,5	-1,5	-1,5	-1,5	-1,5	-1,5	-1,5	-1,5		

1		2	3	4	5	6	7	8	9	10	11	12	13
Снижение поверхностью земли возле приёмника Ar, дБ	Gr = 1 hr = 4.6м	ф-лы таб.3 [10]	-1,5	-1,5	3,3	1,3	0	0	0	0	0		
Снижение поверхностью земли в средней зоне, Am дБ	Gm = 1	ф-лы таб.3 [10]	-1,8	-1,8	0	0	0	0	0	0	0		
Суммарное снижение поверхностью земли на траектории распространения звука Agr, дБ		ф-ла (9) [10]	-4,8	-4,8	1,8	-0,2	-1,5	-1,5	-1,5	-1,5	-1,5		
Уровни звукового давления прямого звука от источника ИШ-2-39 в расчётной точке днём, дБ		**ф-ла(3)[10]**	**0**	**37,5**	**32,2**	**35,1**	**36**	**34,7**	**29,6**	**19,4**	**0**	**38,2**	**38,2**
Уровни звукового давления прямого звука от источника ИШ-2-39 в расчётной точке ночью, дБ		**ф-ла(3)[10]**	**0**	**37,5**	**32,2**	**35,1**	**36**	**34,7**	**29,6**	**19,4**	**0**	**38,2**	**38,2**
Расчёт отражённого звука													
Уровни звукового давления от мнимого источника ИШ-2-39_мн.(1) в расчётной точке днём, дБ		**ф-ла(3)[10]**	**0**	**0**	**27,1**	**24,8**	**24,6**	**30,1**	**27,1**	**16,9**	**0**	**32,9**	**32,9**
Уровни звукового давления от мнимого источника ИШ-2-39_мн.(1) в расчётной точке ночью, дБ		**ф-ла(3)[10]**	**0**	**0**	**0**	**0**	**0**	**0**	**0**	**0**	**0**	**32,9**	**32,9**
Уровни звукового давления от источника ИШ-2-39 в расчётной точке днём, дБ		**ф-ла(3)[10]**	**0**	**37,5**	**33,3**	**35,5**	**36,3**	**36**	**31,6**	**21,3**	**0**	**39,3**	**39,3**
Уровни звукового давления от источника ИШ-2-39 в расчётной точке ночью, дБ		**ф-ла(3)[10]**	**0**	**37,5**	**33,3**	**35,5**	**36,3**	**36**	**31,6**	**21,3**	**0**	**39,3**	**39,3**
Источник шума: ИШ-2-40, координаты источника (x,y,z), м =[686.10,-125.67,1.00]													
Уровни звуковой мощности источника днём, Lw, дБ		**исходные данные**	**0**	**93,3**	**94,7**	**96**	**96,3**	**95,9**	**92,6**	**88,4**	**83,9**		
Уровни звуковой мощности источника ночью, Lw, дБ		**исходные данные**	**0**	**93,3**	**94,7**	**96**	**96,3**	**95,9**	**92,6**	**88,4**	**83,9**		
Поправка на телесный угол DΩ, дБ	Ω = 6.28	10Lg(4π/Ω)	**3**	3	3	3	3	3	3	3	3		
Показатель направленности источника Di, дБ		исходные данные	**0**	0	0	0	0	0	0	0	0		
Поправка на направленность источника Dc, дБ	Dc	DΩ + Di	**3**	3	3	3	3	3	3	3	3		
Затухание из-за геометрической дивергенции, Adiv, дБ	расстояние = 425.29 м	ф-ла (7) [10]	**63,6**										

1		2	3	4	5	6	7	8	9	10	11	12	13
Коэффициент затухания звука в атмосфере α, дБ/км	Та=20,°С Ра=101.33,кПа hотн.=70%	ф-ла (5) [9]	0,02	0,09	0,33	1,12	2,79	4,98	9,04	23,09	77,63		
Учет затухания звука в атмосфере Aatm, дБ		ф-ла (8) [10]	0	0	0,1	0,5	1,2	2,1	3,8	9,8	33		
Снижение поверхностью земли возле источника As, дБ	Gs = 0 hs = 1м	ф-лы таб.3 [10]	-1,5	-1,5	-1,5	-1,5	-1,5	-1,5	-1,5	-1,5	-1,5		
Снижение поверхностью земли возле приёмника Ar, дБ	Gr = 1 hr = 4.6м	ф-лы таб.3 [10]	-1,5	-1,5	3,3	1,3	0	0	0	0	0		
Снижение поверхностью земли в средней зоне, Am дБ	Gm = 1	ф-лы таб.3 [10]	-1,8	-1,8	0	0	0	0	0	0	0		
Суммарное снижение поверхностью земли на траектории распространения звука Agr, дБ		ф-ла (9) [10]	-4,8	-4,8	1,8	-0,2	-1,5	-1,5	-1,5	-1,5	-1,5		
Уровни звукового давления прямого звука от источника ИШ-2-40 в расчётной точке днём, дБ		**ф-ла(3)[10]**	**0**	**37,5**	**32,2**	**35,2**	**36**	**34,7**	**29,7**	**19,5**	**0**	**38,3**	**38,3**
Уровни звукового давления прямого звука от источника ИШ-2-40 в расчётной точке ночью, дБ		**ф-ла(3)[10]**	**0**	**37,5**	**32,2**	**35,2**	**36**	**34,7**	**29,7**	**19,5**	**0**	**38,3**	**38,3**
Расчёт отражённого звука													
Уровни звукового давления от мнимого источника ИШ-2-40_мн.(1) в расчётной точке днём, дБ		**ф-ла(3)[10]**	**0**	**0**	**27,2**	**24,8**	**24,7**	**30,1**	**27,1**	**16,9**	**0**	**33**	**33**
Уровни звукового давления от мнимого источника ИШ-2-40_мн.(1) в расчётной точке ночью, дБ		**ф-ла(3)[10]**	**0**	**0**	**0**	**0**	**0**	**0**	**0**	**0**	**0**	**33**	**33**
Уровни звукового давления от источника ИШ-2-40 в расчётной точке днём, дБ		**ф-ла(3)[10]**	**0**	**37,5**	**33,4**	**35,5**	**36,3**	**36**	**31,6**	**21,4**	**0**	**39,4**	**39,4**
Уровни звукового давления от источника ИШ-2-40 в расчётной точке ночью, дБ		**ф-ла(3)[10]**	**0**	**37,5**	**33,4**	**35,5**	**36,3**	**36**	**31,6**	**21,4**	**0**	**39,4**	**39,4**
Источник шума: ИШ-2-41, координаты источника (x,y,z), м =[685.14,-128.64,1.00]													
Уровни звуковой мощности источника днём, Lw, дБ		**исходные данные**	**0**	**93,3**	**94,7**	**96**	**96,3**	**95,9**	**92,6**	**88,4**	**83,9**		
Уровни звуковой мощности источника ночью, Lw, дБ		**исходные данные**	**0**	**93,3**	**94,7**	**96**	**96,3**	**95,9**	**92,6**	**88,4**	**83,9**		

1		2	3	4	5	6	7	8	9	10	11	12	13
Поправка на телесный угол DΩ, дБ	Ω = 6.28	10Lg(4π/Ω)	**3**	3	3	3	3	3	3	3	3		
Показатель направленности источника Di, дБ		исходные данные	**0**	0	0	0	0	0	0	0	0		
Поправка на направленность источника Dc, дБ	Dc	DΩ + Di	**3**	3	3	3	3	3	3	3	3		
Затухание из-за геометрической дивергенции, Adiv, дБ	расстояние = 423.78 м	ф-ла (7) [10]	**63,5**										
Коэффициент затухания звука в атмосфере α, дБ/км	Ta=20,°C Pa=101.33,кПа hотн.=70%	ф-ла (5) [9]	0,02	0,09	0,33	1,12	2,79	4,98	9,04	23,09	77,63		
Учет затухания звука в атмосфере Aatm, дБ		ф-ла (8) [10]	0	0	0,1	0,5	1,2	2,1	3,8	9,8	32,9		
Снижение поверхностью земли возле источника As, дБ	Gs = 0 hs = 1м	ф-лы таб.3 [10]	-1,5	-1,5	-1,5	-1,5	-1,5	-1,5	-1,5	-1,5	-1,5		
Снижение поверхностью земли возле приёмника Ar, дБ	Gr = 1 hr = 4.6м	ф-лы таб.3 [10]	-1,5	-1,5	3,3	1,3	0	0	0	0	0		
Снижение поверхностью земли в средней зоне, Am дБ	Gm = 1	ф-лы таб.3 [10]	-1,8	-1,8	0	0	0	0	0	0	0		
Суммарное снижение поверхностью земли на траектории распространения звука Agr, дБ		ф-ла (9) [10]	-4,8	-4,8	1,8	-0,2	-1,5	-1,5	-1,5	-1,5	-1,5		
Уровни звукового давления прямого звука от источника ИШ-2-41 в расчётной точке днём, дБ		**ф-ла(3)[10]**	**0**	**37,5**	**32,2**	**35,2**	**36,1**	**34,7**	**29,7**	**19,6**	**0**	**38,3**	**38,3**
Уровни звукового давления прямого звука от источника ИШ-2-41 в расчётной точке ночью, дБ		**ф-ла(3)[10]**	**0**	**37,5**	**32,2**	**35,2**	**36,1**	**34,7**	**29,7**	**19,6**	**0**	**38,3**	**38,3**
Расчёт отражённого звука													
Уровни звукового давления от мнимого источника ИШ-2-41_мн.(1) в расчётной точке днём, дБ		**ф-ла(3)[10]**	**0**	**0**	**27,2**	**24,8**	**24,7**	**30,2**	**27,2**	**17**	**0**	**33**	**33**
Уровни звукового давления от мнимого источника ИШ-2-41_мн.(1) в расчётной точке ночью, дБ		**ф-ла(3)[10]**	**0**	**0**	**0**	**0**	**0**	**0**	**0**	**0**	**0**	**33**	**33**
Уровни звукового давления от источника ИШ-2-41 в расчётной точке днём, дБ		**ф-ла(3)[10]**	**0**	**37,5**	**33,4**	**35,6**	**36,4**	**36**	**31,6**	**21,5**	**0**	**39,4**	**39,4**
Уровни звукового давления от источника ИШ-2-41 в расчётной точке ночью, дБ		**ф-ла(3)[10]**	**0**	**37,5**	**33,4**	**35,6**	**36,4**	**36**	**31,6**	**21,5**	**0**	**39,4**	**39,4**

1		2	3	4	5	6	7	8	9	10	11	12	13
Источник шума: ИШ-2-42, координаты источника (x,y,z), м =[684.20,-131.46,1.00]													
Уровни звуковой мощности источника днём, Lw, дБ		**исходные данные**	**0**	**93,3**	**94,7**	**96**	**96,3**	**95,9**	**92,6**	**88,4**	**83,9**		
Уровни звуковой мощности источника ночью, Lw, дБ		**исходные данные**	**0**	**93,3**	**94,7**	**96**	**96,3**	**95,9**	**92,6**	**88,4**	**83,9**		
Поправка на телесный угол DΩ, дБ	Ω = 6.28	10Lg(4π/Ω)	**3**	3	3	3	3	3	3	3	3		
Показатель направленности источника Di, дБ		исходные данные	**0**	0	0	0	0	0	0	0	0		
Поправка на направленность источника Dc, дБ	Dc	DΩ + Di	**3**	3	3	3	3	3	3	3	3		
Затухание из-за геометрической дивергенции, Adiv, дБ	расстояние = 422.34 м	ф-ла (7) [10]	**63,5**										
Коэффициент затухания звука в атмосфере α, дБ/км	Ta=20,°C Pa=101.33,кПа hотн.=70%	ф-ла (5) [9]	0,02	0,09	0,33	1,12	2,79	4,98	9,04	23,09	77,63		
Учет затухания звука в атмосфере Aatm, дБ		ф-ла (8) [10]	0	0	0,1	0,5	1,2	2,1	3,8	9,8	32,8		
Снижение поверхностью земли возле источника As, дБ	Gs = 0 hs = 1м	ф-лы таб.3 [10]	-1,5	-1,5	-1,5	-1,5	-1,5	-1,5	-1,5	-1,5	-1,5		
Снижение поверхностью земли возле приёмника Ar, дБ	Gr = 1 hr = 4.6м	ф-лы таб.3 [10]	-1,5	-1,5	3,3	1,3	0	0	0	0	0		
Снижение поверхностью земли в средней зоне, Am дБ	Gm = 1	ф-лы таб.3 [10]	-1,8	-1,8	0	0	0	0	0	0	0		
Суммарное снижение поверхностью земли на траектории распространения звука Agr, дБ		ф-ла (9) [10]	-4,8	-4,8	1,8	-0,2	-1,5	-1,5	-1,5	-1,5	-1,5		
Уровни звукового давления прямого звука от источника ИШ-2-42 в расчётной точке днём, дБ		**ф-ла(3)[10]**	**0**	**37,5**	**32,3**	**35,2**	**36,1**	**34,8**	**29,8**	**19,6**	**0**	**38,3**	**38,3**
Уровни звукового давления прямого звука от источника ИШ-2-42 в расчётной точке ночью, дБ		**ф-ла(3)[10]**	**0**	**37,5**	**32,3**	**35,2**	**36,1**	**34,8**	**29,8**	**19,6**	**0**	**38,3**	**38,3**
Расчёт отражённого звука													

1		2	3	4	5	6	7	8	9	10	11	12	13
Уровни звукового давления от мнимого источника ИШ-2-42_мн.(1) в расчётной точке днём, дБ		**ф-ла(3)[10]**	**0**	**0**	**27,2**	**24,9**	**24,7**	**30,2**	**27,2**	**17,1**	**0**	**33**	**33**
Уровни звукового давления от мнимого источника ИШ-2-42_мн.(1) в расчётной точке ночью, дБ		**ф-ла(3)[10]**	**0**	**0**	**0**	**0**	**0**	**0**	**0**	**0**	**0**	**33**	**33**
Уровни звукового давления от источника ИШ-2-42 в расчётной точке днём, дБ		**ф-ла(3)[10]**	**0**	**37,5**	**33,5**	**35,6**	**36,4**	**36,1**	**31,7**	**21,5**	**0**	**39,5**	**39,5**
Уровни звукового давления от источника ИШ-2-42 в расчётной точке ночью, дБ		**ф-ла(3)[10]**	**0**	**37,5**	**33,5**	**35,6**	**36,4**	**36,1**	**31,7**	**21,5**	**0**	**39,5**	**39,5**
Источник шума: ИШ-2-43, координаты источника (x,y,z), м =[683.13,-134.37,1.00]													
Уровни звуковой мощности источника днём, Lw, дБ		**исходные данные**	**0**	**93,3**	**94,7**	**96**	**96,3**	**95,9**	**92,6**	**88,4**	**83,9**		
Уровни звуковой мощности источника ночью, Lw, дБ		**исходные данные**	**0**	**93,3**	**94,7**	**96**	**96,3**	**95,9**	**92,6**	**88,4**	**83,9**		
Поправка на телесный угол DΩ, дБ	Ω = 6.28	10Lg(4π/Ω)	**3**	3	3	3	3	3	3	3	3		
Показатель направленности источника Di, дБ		исходные данные	**0**	0	0	0	0	0	0	0	0		
Поправка на направленность источника Dc, дБ	Dc	DΩ + Di	**3**	3	3	3	3	3	3	3	3		
Затухание из-за геометрической дивергенции, Adiv, дБ	расстояние = 420.78 м	ф-ла (7) [10]	**63,5**										
Коэффициент затухания звука в атмосфере α, дБ/км	Ta=20,°C Pa=101.33,кПа hотн.=70%	ф-ла (5) [9]	0,02	0,09	0,33	1,12	2,79	4,98	9,04	23,09	77,63		
Учет затухания звука в атмосфере Aatm, дБ		ф-ла (8) [10]	0	0	0,1	0,5	1,2	2,1	3,8	9,7	32,7		
Снижение поверхностью земли возле источника As, дБ	Gs = 0 hs = 1м	ф-лы таб.3 [10]	-1,5	-1,5	-1,5	-1,5	-1,5	-1,5	-1,5	-1,5	-1,5		
Снижение поверхностью земли возле приёмника Ar, дБ	Gr = 1 hr = 4.6м	ф-лы таб.3 [10]	-1,5	-1,5	3,3	1,3	0	0	0	0	0		
Снижение поверхностью земли в средней зоне, Am дБ	Gm = 1	ф-лы таб.3 [10]	-1,8	-1,8	0	0	0	0	0	0	0		

1		2	3	4	5	6	7	8	9	10	11	12	13
Суммарное снижение поверхностью земли на траектории распространения звука Agr, дБ		ф-ла (9) [10]	-4,8	-4,8	1,8	-0,2	-1,5	-1,5	-1,5	-1,5	-1,5		
Уровни звукового давления прямого звука от источника ИШ-2-43 в расчётной точке днём, дБ		**ф-ла(3)[10]**	**0**	**37,6**	**32,3**	**35,3**	**36,1**	**34,8**	**29,8**	**19,7**	**0**	**38,4**	**38,4**
Уровни звукового давления прямого звука от источника ИШ-2-43 в расчётной точке ночью, дБ		**ф-ла(3)[10]**	**0**	**37,6**	**32,3**	**35,3**	**36,1**	**34,8**	**29,8**	**19,7**	**0**	**38,4**	**38,4**
Расчёт отражённого звука													
Уровни звукового давления от мнимого источника ИШ-2-43_мн.(1) в расчётной точке днём, дБ		**ф-ла(3)[10]**	**0**	**0**	**27,3**	**24,9**	**24,8**	**30,3**	**27,3**	**17,1**	**0**	**33,1**	**33,1**
Уровни звукового давления от мнимого источника ИШ-2-43_мн.(1) в расчётной точке ночью, дБ		**ф-ла(3)[10]**	**0**	**0**	**0**	**0**	**0**	**0**	**0**	**0**	**0**	**33,1**	**33,1**
Уровни звукового давления от источника ИШ-2-43 в расчётной точке днём, дБ		**ф-ла(3)[10]**	**0**	**37,6**	**33,5**	**35,6**	**36,4**	**36,1**	**31,7**	**21,6**	**0**	**39,5**	**39,5**
Уровни звукового давления от источника ИШ-2-43 в расчётной точке ночью, дБ		**ф-ла(3)[10]**	**0**	**37,6**	**33,5**	**35,6**	**36,4**	**36,1**	**31,7**	**21,6**	**0**	**39,5**	**39,5**
Источник шума: ИШ-2-44, координаты источника (x,y,z), м =[682.20,-137.16,1.00]													
Уровни звуковой мощности источника днём, Lw, дБ		**исходные данные**	**0**	**93,3**	**94,7**	**96**	**96,3**	**95,9**	**92,6**	**88,4**	**83,9**		
Уровни звуковой мощности источника ночью, Lw, дБ		**исходные данные**	**0**	**93,3**	**94,7**	**96**	**96,3**	**95,9**	**92,6**	**88,4**	**83,9**		
Поправка на телесный угол DΩ, дБ	Ω = 6.28	10Lg(4π/Ω)	**3**	3	3	3	3	3	3	3	3		
Показатель направленности источника Di, дБ		исходные данные	**0**	0	0	0	0	0	0	0	0		
Поправка на направленность источника Dc, дБ	Dc	DΩ + Di	**3**	3	3	3	3	3	3	3	3		
Затухание из-за геометрической дивергенции, Adiv, дБ	расстояние = 419.38 м	ф-ла (7) [10]	**63,5**										
Коэффициент затухания звука в атмосфере α, дБ/км	Ta=20,°C Pa=101.33,кПа hотн.=70%	ф-ла (5) [9]	0,02	0,09	0,33	1,12	2,79	4,98	9,04	23,09	77,63		

1		2	3	4	5	6	7	8	9	10	11	12	13
Учет затухания звука в атмосфере Aatm, дБ		ф-ла (8) [10]	0	0	0,1	0,5	1,2	2,1	3,8	9,7	32,6		
Снижение поверхностью земли возле источника As, дБ	Gs = 0 hs = 1м	ф-лы таб.3 [10]	-1,5	-1,5	-1,5	-1,5	-1,5	-1,5	-1,5	-1,5	-1,5		
Снижение поверхностью земли возле приёмника Ar, дБ	Gr = 1 hr = 4.6м	ф-лы таб.3 [10]	-1,5	-1,5	3,3	1,3	0	0	0	0	0		
Снижение поверхностью земли в средней зоне, Am дБ	Gm = 1	ф-лы таб.3 [10]	-1,8	-1,8	0	0	0	0	0	0	0		
Суммарное снижение поверхностью земли на траектории распространения звука Agr, дБ		ф-ла (9) [10]	-4,8	-4,8	1,8	-0,2	-1,5	-1,5	-1,5	-1,5	-1,5		
Уровни звукового давления прямого звука от источника ИШ-2-44 в расчётной точке днём, дБ		**ф-ла(3)[10]**	**0**	**37,6**	**32,3**	**35,3**	**36,2**	**34,9**	**29,8**	**19,8**	**0**	**38,4**	**38,4**
Уровни звукового давления прямого звука от источника ИШ-2-44 в расчётной точке ночью, дБ		**ф-ла(3)[10]**	**0**	**37,6**	**32,3**	**35,3**	**36,2**	**34,9**	**29,8**	**19,8**	**0**	**38,4**	**38,4**
Расчёт отражённого звука													
Уровни звукового давления от мнимого источника ИШ-2-44_мн.(1) в расчётной точке днём, дБ		**ф-ла(3)[10]**	**0**	**0**	**27,3**	**24,9**	**24,8**	**30,3**	**27,3**	**17,2**	**0**	**33,1**	**33,1**
Уровни звукового давления от мнимого источника ИШ-2-44_мн.(1) в расчётной точке ночью, дБ		**ф-ла(3)[10]**	**0**	**0**	**0**	**0**	**0**	**0**	**0**	**0**	**0**	**33,1**	**33,1**
Уровни звукового давления от источника ИШ-2-44 в расчётной точке днём, дБ		**ф-ла(3)[10]**	**0**	**37,6**	**33,5**	**35,7**	**36,5**	**36,2**	**31,8**	**21,7**	**0**	**39,5**	**39,5**
Уровни звукового давления от источника ИШ-2-44 в расчётной точке ночью, дБ		**ф-ла(3)[10]**	**0**	**37,6**	**33,5**	**35,7**	**36,5**	**36,2**	**31,8**	**21,7**	**0**	**39,5**	**39,5**
Источник шума: ИШ-2-45, координаты источника (x,y,z), м =[681.26,-139.98,1.00]													
Уровни звуковой мощности источника днём, Lw, дБ		**исходные данные**	**0**	**93,3**	**94,7**	**96**	**96,3**	**95,9**	**92,6**	**88,4**	**83,9**		
Уровни звуковой мощности источника ночью, Lw, дБ		**исходные данные**	**0**	**93,3**	**94,7**	**96**	**96,3**	**95,9**	**92,6**	**88,4**	**83,9**		
Поправка на телесный угол DΩ, дБ	Ω = 6.28	10Lg(4π/Ω)	**3**	3	3	3	3	3	3	3	3		
Показатель направленности источника Di, дБ		исходные данные	**0**	0	0	0	0	0	0	0	0		

1		2	3	4	5	6	7	8	9	10	11	12	13
Поправка на направленность источника Dc, дБ	Dc	DΩ + Di	**3**	3	3	3	3	3	3	3	3		
Затухание из-за геометрической дивергенции, Adiv, дБ	расстояние = 418.00 м	ф-ла (7) [10]	**63,4**										
Коэффициент затухания звука в атмосфере α, дБ/км	Ta=20,°C Pa=101.33,кПа hотн.=70%	ф-ла (5) [9]	0,02	0,09	0,33	1,12	2,79	4,98	9,04	23,09	77,63		
Учет затухания звука в атмосфере Aatm, дБ		ф-ла (8) [10]	0	0	0,1	0,5	1,2	2,1	3,8	9,6	32,5		
Снижение поверхностью земли возле источника As, дБ	Gs = 0 hs = 1м	ф-лы таб.3 [10]	-1,5	-1,5	-1,5	-1,5	-1,5	-1,5	-1,5	-1,5	-1,5		
Снижение поверхностью земли возле приёмника Ar, дБ	Gr = 1 hr = 4.6м	ф-лы таб.3 [10]	-1,5	-1,5	3,3	1,3	0	0	0	0	0		
Снижение поверхностью земли в средней зоне, Am дБ	Gm = 1	ф-лы таб.3 [10]	-1,8	-1,8	0	0	0	0	0	0	0		
Суммарное снижение поверхностью земли на траектории распространения звука Agr, дБ		ф-ла (9) [10]	-4,8	-4,8	1,8	-0,2	-1,5	-1,5	-1,5	-1,5	-1,5		
Уровни звукового давления прямого звука от источника ИШ-2-45 в расчётной точке днём, дБ		**ф-ла(3)[10]**	**0**	**37,6**	**32,4**	**35,3**	**36,2**	**34,9**	**29,9**	**19,8**	**0**	**38,5**	**38,5**
Уровни звукового давления прямого звука от источника ИШ-2-45 в расчётной точке ночью, дБ		**ф-ла(3)[10]**	**0**	**37,6**	**32,4**	**35,3**	**36,2**	**34,9**	**29,9**	**19,8**	**0**	**38,5**	**38,5**
Расчёт отражённого звука													
Уровни звукового давления от мнимого источника ИШ-2-45_мн.(1) в расчётной точке днём, дБ		**ф-ла(3)[10]**	**0**	**0**	**27,4**	**24,9**	**24,8**	**30,3**	**27,4**	**17,3**	**0**	**33,2**	**33,2**
Уровни звукового давления от мнимого источника ИШ-2-45_мн.(1) в расчётной точке ночью, дБ		**ф-ла(3)[10]**	**0**	**0**	**0**	**0**	**0**	**0**	**0**	**0**	**0**	**33,2**	**33,2**
Уровни звукового давления от источника ИШ-2-45 в расчётной точке днём, дБ		**ф-ла(3)[10]**	**0**	**37,6**	**33,6**	**35,7**	**36,5**	**36,2**	**31,8**	**21,7**	**0**	**39,6**	**39,6**
Уровни звукового давления от источника ИШ-2-45 в расчётной точке ночью, дБ		**ф-ла(3)[10]**	**0**	**37,6**	**33,6**	**35,7**	**36,5**	**36,2**	**31,8**	**21,7**	**0**	**39,6**	**39,6**
Источник шума: ИШ-4-1, координаты источника (x,y,z), м =[141.82,201.03,1.00]													

1		2	3	4	5	6	7	8	9	10	11	12	13
Уровни звуковой мощности источника днём, Lw, дБ		**исходные данные**	**0**	**90,3**	**91,7**	**93**	**93,3**	**92,9**	**89,6**	**85,4**	**80,9**		
Уровни звуковой мощности источника ночью, Lw, дБ		**исходные данные**	**0**	**90,3**	**91,7**	**93**	**93,3**	**92,9**	**89,6**	**85,4**	**80,9**		
Поправка на телесный угол DΩ, дБ	Ω = 6.28	10Lg(4π/Ω)	**3**	3	3	3	3	3	3	3	3		
Показатель направленности источника Di, дБ		исходные данные	**0**	0	0	0	0	0	0	0	0		
Поправка на направленность источника Dc, дБ	Dc	DΩ + Di	**3**	3	3	3	3	3	3	3	3		
Затухание из-за геометрической дивергенции, Adiv, дБ	расстояние = 427.69 м	ф-ла (7) [10]	**63,6**										
Коэффициент затухания звука в атмосфере α, дБ/км	Ta=20,°C Pa=101.33,кПа hотн.=70%	ф-ла (5) [9]	0,02	0,09	0,33	1,12	2,79	4,98	9,04	23,09	77,63		
Учет затухания звука в атмосфере Aatm, дБ		ф-ла (8) [10]	0	0	0,1	0,5	1,2	2,1	3,9	9,9	33,2		
Снижение поверхностью земли возле источника As, дБ	Gs = 0 hs = 1м	ф-лы таб.3 [10]	-1,5	-1,5	-1,5	-1,5	-1,5	-1,5	-1,5	-1,5	-1,5		
Снижение поверхностью земли возле приёмника Ar, дБ	Gr = 1 hr = 4.6м	ф-лы таб.3 [10]	-1,5	-1,5	3,3	1,3	0	0	0	0	0		
Снижение поверхностью земли в средней зоне, Am дБ	Gm = 1	ф-лы таб.3 [10]	-1,8	-1,8	0	0	0	0	0	0	0		
Суммарное снижение поверхностью земли на траектории распространения звука Agr, дБ		ф-ла (9) [10]	-4,8	-4,8	1,8	-0,2	-1,5	-1,5	-1,5	-1,5	-1,5		
Уровни звукового давления прямого звука от источника ИШ-4-1 в расчётной точке днём, дБ		**ф-ла(3)[10]**	**0**	**34,5**	**29,1**	**32,1**	**33**	**31,6**	**26,6**	**16,4**	**0**	**35,2**	**35,2**
Уровни звукового давления прямого звука от источника ИШ-4-1 в расчётной точке ночью, дБ		**ф-ла(3)[10]**	**0**	**34,5**	**29,1**	**32,1**	**33**	**31,6**	**26,6**	**16,4**	**0**	**35,2**	**35,2**
Расчёт отражённого звука													
Уровни звукового давления от мнимого источника ИШ-4-1_мн.(1) в расчётной точке днём, дБ		**ф-ла(3)[10]**	**0**	**0**	**0**	**0**	**0**	**0**	**0**	**0**	**0**	**0**	**0**
Уровни звукового давления от мнимого источника ИШ-4-1_мн.(1) в расчётной точке ночью, дБ		**ф-ла(3)[10]**	**0**	**0**	**0**	**0**	**0**	**0**	**0**	**0**	**0**	**0**	**0**

1		2	3	4	5	6	7	8	9	10	11	12	13
Уровни звукового давления от мнимого источника ИШ-4-1_мн.(2) в расчётной точке днём, дБ		**ф-ла(3)[10]**	**0**	**0**	**0**	**21,7**	**21,6**	**27,1**	**24**	**13,8**	**0**	**29,8**	**29,8**
Уровни звукового давления от мнимого источника ИШ-4-1_мн.(2) в расчётной точке ночью, дБ		**ф-ла(3)[10]**	**0**	**0**	**0**	**0**	**0**	**0**	**0**	**0**	**0**	**29,8**	**29,8**
Суммарные уровни звукового давления от мнимых источников в расчётной точке днём, дБ		**ф-ла (19) [1]**	**0**	**0**	**0**	**21,7**	**21,6**	**27,1**	**24**	**13,8**	**0**	**0**	**29,8**
Суммарные уровни звукового давления от мнимых источников в расчётной точке ночью, дБ		**ф-ла (19) [1]**	**0**	**0**	**0**	**21,7**	**21,6**	**27,1**	**24**	**13,8**	**0**	**0**	**29,8**
Уровни звукового давления от источника ИШ-4-1 в расчётной точке днём, дБ		**ф-ла(3)[10]**	**0**	**34,5**	**29,1**	**32,5**	**33,3**	**32,9**	**28,5**	**18,3**	**0**	**36,3**	**36,3**
Уровни звукового давления от источника ИШ-4-1 в расчётной точке ночью, дБ		**ф-ла(3)[10]**	**0**	**34,5**	**29,1**	**32,5**	**33,3**	**32,9**	**28,5**	**18,3**	**0**	**36,3**	**36,3**
Источник шума: ИШ-4-2, координаты источника (x,y,z), м =[133.85,183.21,1.00]													
Уровни звуковой мощности источника днём, Lw, дБ		**исходные данные**	**0**	**90,3**	**91,7**	**93**	**93,3**	**92,9**	**89,6**	**85,4**	**80,9**		
Уровни звуковой мощности источника ночью, Lw, дБ		**исходные данные**	**0**	**90,3**	**91,7**	**93**	**93,3**	**92,9**	**89,6**	**85,4**	**80,9**		
Поправка на телесный угол DΩ, дБ	Ω = 6.28	10Lg(4π/Ω)	**3**	3	3	3	3	3	3	3	3		
Показатель направленности источника Di, дБ		исходные данные	**0**	0	0	0	0	0	0	0	0		
Поправка на направленность источника Dc, дБ	Dc	DΩ + Di	**3**	3	3	3	3	3	3	3	3		
Затухание из-за геометрической дивергенции, Adiv, дБ	расстояние = 413.24 м	ф-ла (7) [10]	**63,3**										
Коэффициент затухания звука в атмосфере α, дБ/км	Ta=20,°C Pa=101.33,кПа hотн.=70%	ф-ла (5) [9]	0,02	0,09	0,33	1,12	2,79	4,98	9,04	23,09	77,63		
Учет затухания звука в атмосфере Aatm, дБ		ф-ла (8) [10]	0	0	0,1	0,5	1,2	2,1	3,7	9,5	32,1		
Снижение поверхностью земли возле источника As, дБ	Gs = 0 hs = 1м	ф-лы таб.3 [10]	-1,5	-1,5	-1,5	-1,5	-1,5	-1,5	-1,5	-1,5	-1,5		

1		2	3	4	5	6	7	8	9	10	11	12	13
Снижение поверхностью земли возле приёмника Ar, дБ	Gr = 1 hr = 4.6м	ф-лы таб.3 [10]	-1,5	-1,5	3,3	1,3	0	0	0	0	0		
Снижение поверхностью земли в средней зоне, Am дБ	Gm = 1	ф-лы таб.3 [10]	-1,8	-1,8	0	0	0	0	0	0	0		
Суммарное снижение поверхностью земли на траектории распространения звука Agr, дБ		ф-ла (9) [10]	-4,8	-4,8	1,8	-0,2	-1,5	-1,5	-1,5	-1,5	-1,5		
Уровни звукового давления прямого звука от источника ИШ-4-2 в расчётной точке днём, дБ		**ф-ла(3)[10]**	**0**	**34,7**	**29,5**	**32,4**	**33,3**	**32**	**27**	**17**	**0**	**35,6**	**35,6**
Уровни звукового давления прямого звука от источника ИШ-4-2 в расчётной точке ночью, дБ		**ф-ла(3)[10]**	**0**	**34,7**	**29,5**	**32,4**	**33,3**	**32**	**27**	**17**	**0**	**35,6**	**35,6**
Расчёт отражённого звука													
Уровни звукового давления от мнимого источника ИШ-4-2_мн.(1) в расчётной точке днём, дБ		**ф-ла(3)[10]**	**0**	**0**	**0**	**0**	**0**	**0**	**0**	**0**	**0**	**0**	**0**
Уровни звукового давления от мнимого источника ИШ-4-2_мн.(1) в расчётной точке ночью, дБ		**ф-ла(3)[10]**	**0**	**0**	**0**	**0**	**0**	**0**	**0**	**0**	**0**	**0**	**0**
Уровни звукового давления от мнимого источника ИШ-4-2_мн.(2) в расчётной точке днём, дБ		**ф-ла(3)[10]**	**0**	**0**	**0**	**0**	**21,9**	**27,4**	**24,5**	**14,4**	**0**	**30,1**	**30,1**
Уровни звукового давления от мнимого источника ИШ-4-2_мн.(2) в расчётной точке ночью, дБ		**ф-ла(3)[10]**	**0**	**0**	**0**	**0**	**0**	**0**	**0**	**0**	**0**	**30,1**	**30,1**
Суммарные уровни звукового давления от мнимых источников в расчётной точке днём, дБ		**ф-ла (19) [1]**	**0**	**0**	**0**	**0**	**21,9**	**27,4**	**24,5**	**14,4**	**0**	**0**	**30,1**
Суммарные уровни звукового давления от мнимых источников в расчётной точке ночью, дБ		**ф-ла (19) [1]**	**0**	**0**	**0**	**0**	**21,9**	**27,4**	**24,5**	**14,4**	**0**	**0**	**30,1**
Уровни звукового давления от источника ИШ-4-2 в расчётной точке днём, дБ		**ф-ла(3)[10]**	**0**	**34,7**	**29,5**	**32,4**	**33,6**	**33,3**	**28,9**	**18,9**	**0**	**36,7**	**36,7**
Уровни звукового давления от источника ИШ-4-2 в расчётной точке ночью, дБ		**ф-ла(3)[10]**	**0**	**34,7**	**29,5**	**32,4**	**33,6**	**33,3**	**28,9**	**18,9**	**0**	**36,7**	**36,7**
Источник шума: ИШ-4-3, координаты источника (x,y,z), м =[152.61,172.66,1.00]													
Уровни звуковой мощности источника днём, Lw, дБ		**исходные данные**	**0**	**90,3**	**91,7**	**93**	**93,3**	**92,9**	**89,6**	**85,4**	**80,9**		
Уровни звуковой мощности источника ночью, Lw, дБ		**исходные данные**	**0**	**90,3**	**91,7**	**93**	**93,3**	**92,9**	**89,6**	**85,4**	**80,9**		

1		2	3	4	5	6	7	8	9	10	11	12	13
Поправка на телесный угол DΩ, дБ	Ω = 6.28	10Lg(4π/Ω)	**3**	3	3	3	3	3	3	3	3		
Показатель направленности источника Di, дБ		исходные данные	**0**	0	0	0	0	0	0	0	0		
Поправка на направленность источника Dc, дБ	Dc	DΩ + Di	**3**	3	3	3	3	3	3	3	3		
Затухание из-за геометрической дивергенции, Adiv, дБ	расстояние = 397.41 м	ф-ла (7) [10]	**63**										
Коэффициент затухания звука в атмосфере α, дБ/км	Ta=20,°C Pa=101.33,кПа hотн.=70%	ф-ла (5) [9]	0,02	0,09	0,33	1,12	2,79	4,98	9,04	23,09	77,63		
Учет затухания звука в атмосфере Aatm, дБ		ф-ла (8) [10]	0	0	0,1	0,4	1,1	2	3,6	9,2	30,9		
Снижение поверхностью земли возле источника As, дБ	Gs = 0 hs = 1м	ф-лы таб.3 [10]	-1,5	-1,5	-1,5	-1,5	-1,5	-1,5	-1,5	-1,5	-1,5		
Снижение поверхностью земли возле приёмника Ar, дБ	Gr = 1 hr = 4.6м	ф-лы таб.3 [10]	-1,5	-1,5	3,2	1,3	0	0	0	0	0		
Снижение поверхностью земли в средней зоне, Am дБ	Gm = 1	ф-лы таб.3 [10]	-1,7	-1,7	0	0	0	0	0	0	0		
Суммарное снижение поверхностью земли на траектории распространения звука Agr, дБ		ф-ла (9) [10]	-4,7	-4,7	1,7	-0,2	-1,5	-1,5	-1,5	-1,5	-1,5		
Уровни звукового давления прямого звука от источника ИШ-4-3 в расчётной точке днём, дБ		**ф-ла(3)[10]**	**0**	**35**	**29,8**	**32,8**	**33,7**	**32,4**	**27,5**	**17,7**	**0**	**36**	**36**
Уровни звукового давления прямого звука от источника ИШ-4-3 в расчётной точке ночью, дБ		**ф-ла(3)[10]**	**0**	**35**	**29,8**	**32,8**	**33,7**	**32,4**	**27,5**	**17,7**	**0**	**36**	**36**
Расчёт отражённого звука													
Уровни звукового давления от мнимого источника ИШ-4-3_мн.(1) в расчётной точке днём, дБ		**ф-ла(3)[10]**	**0**	**0**	**0**	**22,4**	**22,3**	**27,8**	**24,9**	**15,1**	**0**	**30,7**	**30,7**
Уровни звукового давления от мнимого источника ИШ-4-3_мн.(1) в расчётной точке ночью, дБ		**ф-ла(3)[10]**	**0**	**0**	**0**	**0**	**0**	**0**	**0**	**0**	**0**	**30,7**	**30,7**
Уровни звукового давления от источника ИШ-4-3 в расчётной точке днём, дБ		**ф-ла(3)[10]**	**0**	**35**	**29,8**	**33,2**	**34**	**33,7**	**29,4**	**19,6**	**0**	**37,1**	**37,1**
Уровни звукового давления от источника ИШ-4-3 в расчётной точке ночью, дБ		**ф-ла(3)[10]**	**0**	**35**	**29,8**	**33,2**	**34**	**33,7**	**29,4**	**19,6**	**0**	**37,1**	**37,1**

1		2	3	4	5	6	7	8	9	10	11	12	13
Источник шума: ИШ-4-4, координаты источника (x,y,z), м =[156.83,171.25,1.00]													
Уровни звуковой мощности источника днём, Lw, дБ		**исходные данные**	**0**	**90,3**	**91,7**	**93**	**93,3**	**92,9**	**89,6**	**85,4**	**80,9**		
Уровни звуковой мощности источника ночью, Lw, дБ		**исходные данные**	**0**	**90,3**	**91,7**	**93**	**93,3**	**92,9**	**89,6**	**85,4**	**80,9**		
Поправка на телесный угол DΩ, дБ	Ω = 6.28	10Lg(4π/Ω)	**3**	3	3	3	3	3	3	3	3		
Показатель направленности источника Di, дБ		исходные данные	**0**	0	0	0	0	0	0	0	0		
Поправка на направленность источника Dc, дБ	Dc	DΩ + Di	**3**	3	3	3	3	3	3	3	3		
Затухание из-за геометрической дивергенции, Adiv, дБ	расстояние = 394.84 м	ф-ла (7) [10]	**62,9**										
Коэффициент затухания звука в атмосфере α, дБ/км	Ta=20,°C Pa=101.33,кПа hотн.=70%	ф-ла (5) [9]	0,02	0,09	0,33	1,12	2,79	4,98	9,04	23,09	77,63		
Учет затухания звука в атмосфере Aatm, дБ		ф-ла (8) [10]	0	0	0,1	0,4	1,1	2	3,6	9,1	30,7		
Снижение поверхностью земли возле источника As, дБ	Gs = 0 hs = 1м	ф-лы таб.3 [10]	-1,5	-1,5	-1,5	-1,5	-1,5	-1,5	-1,5	-1,5	-1,5		
Снижение поверхностью земли возле приёмника Ar, дБ	Gr = 1 hr = 4.6м	ф-лы таб.3 [10]	-1,5	-1,5	3,2	1,3	0	0	0	0	0		
Снижение поверхностью земли в средней зоне, Am дБ	Gm = 1	ф-лы таб.3 [10]	-1,7	-1,7	0	0	0	0	0	0	0		
Суммарное снижение поверхностью земли на траектории распространения звука Agr, дБ		ф-ла (9) [10]	-4,7	-4,7	1,7	-0,2	-1,5	-1,5	-1,5	-1,5	-1,5		
Уровни звукового давления прямого звука от источника ИШ-4-4 в расчётной точке днём, дБ		**ф-ла(3)[10]**	**0**	**35,1**	**29,9**	**32,8**	**33,8**	**32,5**	**27,6**	**17,8**	**0**	**36,1**	**36,1**
Уровни звукового давления прямого звука от источника ИШ-4-4 в расчётной точке ночью, дБ		**ф-ла(3)[10]**	**0**	**35,1**	**29,9**	**32,8**	**33,8**	**32,5**	**27,6**	**17,8**	**0**	**36,1**	**36,1**
Расчёт отражённого звука													

1		2	3	4	5	6	7	8	9	10	11	12	13
Уровни звукового давления от мнимого источника ИШ-4-4_мн.(1) в расчётной точке днём, дБ		**ф-ла(3)[10]**	**0**	**0**	**0**	**22,4**	**22,4**	**27,9**	**25**	**15,2**	**0**	**30,7**	**30,7**
Уровни звукового давления от мнимого источника ИШ-4-4_мн.(1) в расчётной точке ночью, дБ		**ф-ла(3)[10]**	**0**	**0**	**0**	**0**	**0**	**0**	**0**	**0**	**0**	**30,7**	**30,7**
Уровни звукового давления от источника ИШ-4-4 в расчётной точке днём, дБ		**ф-ла(3)[10]**	**0**	**35,1**	**29,9**	**33,2**	**34,1**	**33,8**	**29,5**	**19,7**	**0**	**37,2**	**37,2**
Уровни звукового давления от источника ИШ-4-4 в расчётной точке ночью, дБ		**ф-ла(3)[10]**	**0**	**35,1**	**29,9**	**33,2**	**34,1**	**33,8**	**29,5**	**19,7**	**0**	**37,2**	**37,2**
Источник шума: ИШ-4-5, координаты источника (x,y,z), м =[126.48,222.66,11.00]													
Уровни звуковой мощности источника днём, Lw, дБ		**исходные данные**	**0**	**90,3**	**91,7**	**93**	**93,3**	**92,9**	**89,6**	**85,4**	**80,9**		
Уровни звуковой мощности источника ночью, Lw, дБ		**исходные данные**	**0**	**90,3**	**91,7**	**93**	**93,3**	**92,9**	**89,6**	**85,4**	**80,9**		
Поправка на телесный угол DΩ, дБ	Ω = 6.28	10Lg(4π/Ω)	**3**	3	3	3	3	3	3	3	3		
Показатель направленности источника Di, дБ		исходные данные	**0**	0	0	0	0	0	0	0	0		
Поправка на направленность источника Dc, дБ	Dc	DΩ + Di	**3**	3	3	3	3	3	3	3	3		
Затухание из-за геометрической дивергенции, Adiv, дБ	расстояние = 453.01 м	ф-ла (7) [10]	**64,1**										
Коэффициент затухания звука в атмосфере α, дБ/км	Ta=20,°C Pa=101.33,кПа hотн.=70%	ф-ла (5) [9]	0,02	0,09	0,33	1,12	2,79	4,98	9,04	23,09	77,63		
Учет затухания звука в атмосфере Aatm, дБ		ф-ла (8) [10]	0	0	0,2	0,5	1,3	2,3	4,1	10,5	35,2		
Снижение поверхностью земли возле источника As, дБ	Gs = 0 hs = 1м	ф-лы таб.3 [10]	-1,5	-1,5	-1,5	-1,5	-1,5	-1,5	-1,5	-1,5	-1,5		
Снижение поверхностью земли возле приёмника Ar, дБ	Gr = 1 hr = 4.6м	ф-лы таб.3 [10]	-1,5	-1,5	3,3	1,3	0	0	0	0	0		
Снижение поверхностью земли в средней зоне, Am дБ	Gm = 1	ф-лы таб.3 [10]	-1,9	-1,9	0	0	0	0	0	0	0		

1		2	3	4	5	6	7	8	9	10	11	12	13
Суммарное снижение поверхностью земли на траектории распространения звука Agr, дБ		ф-ла (9) [10]	-4,9	-4,9	1,8	-0,2	-1,5	-1,5	-1,5	-1,5	-1,5		
Уровни звукового давления прямого звука от источника ИШ-4-5 в расчётной точке днём, дБ		**ф-ла(3)[10]**	**0**	**34**	**28,6**	**31,6**	**32,4**	**31**	**25,9**	**15,3**	**0**	**34,6**	**34,6**
Уровни звукового давления прямого звука от источника ИШ-4-5 в расчётной точке ночью, дБ		**ф-ла(3)[10]**	**0**	**34**	**28,6**	**31,6**	**32,4**	**31**	**25,9**	**15,3**	**0**	**34,6**	**34,6**
Расчёт отражённого звука													
Уровни звукового давления от мнимого источника ИШ-4-5_мн.(1) в расчётной точке днём, дБ		**ф-ла(3)[10]**	**0**	**0**	**0**	**21,2**	**21**	**26,4**	**23,3**	**12,7**	**0**	**29,2**	**29,2**
Уровни звукового давления от мнимого источника ИШ-4-5_мн.(1) в расчётной точке ночью, дБ		**ф-ла(3)[10]**	**0**	**0**	**0**	**0**	**0**	**0**	**0**	**0**	**0**	**29,2**	**29,2**
Уровни звукового давления от источника ИШ-4-5 в расчётной точке днём, дБ		**ф-ла(3)[10]**	**0**	**34**	**28,6**	**32**	**32,7**	**32,3**	**27,8**	**17,2**	**0**	**35,7**	**35,7**
Уровни звукового давления от источника ИШ-4-5 в расчётной точке ночью, дБ		**ф-ла(3)[10]**	**0**	**34**	**28,6**	**32**	**32,7**	**32,3**	**27,8**	**17,2**	**0**	**35,7**	**35,7**
Источник шума: ИШ-4-6, координаты источника (x,y,z), м =[125.17,218.57,11.00]													
Уровни звуковой мощности источника днём, Lw, дБ		**исходные данные**	**0**	**90,3**	**91,7**	**93**	**93,3**	**92,9**	**89,6**	**85,4**	**80,9**		
Уровни звуковой мощности источника ночью, Lw, дБ		**исходные данные**	**0**	**90,3**	**91,7**	**93**	**93,3**	**92,9**	**89,6**	**85,4**	**80,9**		
Поправка на телесный угол DΩ, дБ	Ω = 6.28	10Lg(4π/Ω)	**3**	3	3	3	3	3	3	3	3		
Показатель направленности источника Di, дБ		исходные данные	**0**	0	0	0	0	0	0	0	0		
Поправка на направленность источника Dc, дБ	Dc	DΩ + Di	**3**	3	3	3	3	3	3	3	3		
Затухание из-за геометрической дивергенции, Adiv, дБ	расстояние = 449.54 м	ф-ла (7) [10]	**64,1**										
Коэффициент затухания звука в атмосфере α, дБ/км	Ta=20,°C Pa=101.33,кПа hотн.=70%	ф-ла (5) [9]	0,02	0,09	0,33	1,12	2,79	4,98	9,04	23,09	77,63		

1		2	3	4	5	6	7	8	9	10	11	12	13
Учет затухания звука в атмосфере Aatm, дБ		ф-ла (8) [10]	0	0	0,2	0,5	1,3	2,2	4,1	10,4	34,9		
Снижение поверхностью земли возле источника As, дБ	Gs = 0 hs = 1м	ф-лы таб.3 [10]	-1,5	-1,5	-1,5	-1,5	-1,5	-1,5	-1,5	-1,5	-1,5		
Снижение поверхностью земли возле приёмника Ar, дБ	Gr = 1 hr = 4.6м	ф-лы таб.3 [10]	-1,5	-1,5	3,3	1,3	0	0	0	0	0		
Снижение поверхностью земли в средней зоне, Am дБ	Gm = 1	ф-лы таб.3 [10]	-1,9	-1,9	0	0	0	0	0	0	0		
Суммарное снижение поверхностью земли на траектории распространения звука Agr, дБ		ф-ла (9) [10]	-4,9	-4,9	1,8	-0,2	-1,5	-1,5	-1,5	-1,5	-1,5		
Уровни звукового давления прямого звука от источника ИШ-4-6 в расчётной точке днём, дБ		**ф-ла(3)[10]**	**0**	**34,1**	**28,7**	**31,7**	**32,5**	**31,1**	**26**	**15,5**	**0**	**34,7**	**34,7**
Уровни звукового давления прямого звука от источника ИШ-4-6 в расчётной точке ночью, дБ		**ф-ла(3)[10]**	**0**	**34,1**	**28,7**	**31,7**	**32,5**	**31,1**	**26**	**15,5**	**0**	**34,7**	**34,7**
Расчёт отражённого звука													
Уровни звукового давления от мнимого источника ИШ-4-6_мн.(1) в расчётной точке днём, дБ		**ф-ла(3)[10]**	**0**	**0**	**0**	**0**	**21,1**	**26,5**	**23,4**	**12,8**	**0**	**29,2**	**29,2**
Уровни звукового давления от мнимого источника ИШ-4-6_мн.(1) в расчётной точке ночью, дБ		**ф-ла(3)[10]**	**0**	**0**	**0**	**0**	**0**	**0**	**0**	**0**	**0**	**29,2**	**29,2**
Уровни звукового давления от источника ИШ-4-6 в расчётной точке днём, дБ		**ф-ла(3)[10]**	**0**	**34,1**	**28,7**	**31,7**	**32,8**	**32,4**	**27,9**	**17,4**	**0**	**35,7**	**35,7**
Уровни звукового давления от источника ИШ-4-6 в расчётной точке ночью, дБ		**ф-ла(3)[10]**	**0**	**34,1**	**28,7**	**31,7**	**32,8**	**32,4**	**27,9**	**17,4**	**0**	**35,7**	**35,7**
Источник шума: ИШ-4-7, координаты источника (x,y,z), м =[177.91,257.92,11.00]													
Уровни звуковой мощности источника днём, Lw, дБ		**исходные данные**	**0**	**90,3**	**91,7**	**93**	**93,3**	**92,9**	**89,6**	**85,4**	**80,9**		
Уровни звуковой мощности источника ночью, Lw, дБ		**исходные данные**	**0**	**90,3**	**91,7**	**93**	**93,3**	**92,9**	**89,6**	**85,4**	**80,9**		
Поправка на телесный угол DΩ, дБ	Ω = 6.28	10Lg(4π/Ω)	**3**	3	3	3	3	3	3	3	3		
Показатель направленности источника Di, дБ		исходные данные	**0**	0	0	0	0	0	0	0	0		

1		2	3	4	5	6	7	8	9	10	11	12	13
Поправка на направленность источника Dc, дБ	Dc	DΩ + Di	**3**	3	3	3	3	3	3	3	3		
Затухание из-за геометрической дивергенции, Adiv, дБ	расстояние = 474.13 м	ф-ла (7) [10]	**64,5**										
Коэффициент затухания звука в атмосфере α, дБ/км	Ta=20,°C Pa=101.33,кПа hотн.=70%	ф-ла (5) [9]	0,02	0,09	0,33	1,12	2,79	4,98	9,04	23,09	77,63		
Учет затухания звука в атмосфере Aatm, дБ		ф-ла (8) [10]	0	0	0,2	0,5	1,3	2,4	4,3	10,9	36,8		
Снижение поверхностью земли возле источника As, дБ	Gs = 0 hs = 3м	ф-лы таб.3 [10]	-1,5	-1,5	-1,5	-1,5	-1,5	-1,5	-1,5	-1,5	-1,5		
Снижение поверхностью земли возле приёмника Ar, дБ	Gr = 1 hr = 4.6м	ф-лы таб.3 [10]	-1,5	-1,5	3,3	1,3	0	0	0	0	0		
Снижение поверхностью земли в средней зоне, Am дБ	Gm = 1	ф-лы таб.3 [10]	-1,6	-1,6	0	0	0	0	0	0	0		
Суммарное снижение поверхностью земли на траектории распространения звука Agr, дБ		ф-ла (9) [10]	-4,6	-4,6	1,8	-0,2	-1,5	-1,5	-1,5	-1,5	-1,5		
Уровни звукового давления прямого звука от источника ИШ-4-7 в расчётной точке днём, дБ		**ф-ла(3)[10]**	**0**	**33,3**	**28,2**	**31,2**	**32**	**30,5**	**25,3**	**14,4**	**0**	**34,1**	**34,1**
Уровни звукового давления прямого звука от источника ИШ-4-7 в расчётной точке ночью, дБ		**ф-ла(3)[10]**	**0**	**33,3**	**28,2**	**31,2**	**32**	**30,5**	**25,3**	**14,4**	**0**	**34,1**	**34,1**
Расчёт отражённого звука													
Уровни звукового давления от мнимого источника ИШ-4-7_мн.(1) в расчётной точке днём, дБ		**ф-ла(3)[10]**	**0**	**0**	**22,6**	**24,8**	**29,2**	**28**	**22,7**	**11,8**	**0**	**31,2**	**31,2**
Уровни звукового давления от мнимого источника ИШ-4-7_мн.(1) в расчётной точке ночью, дБ		**ф-ла(3)[10]**	**0**	**0**	**0**	**0**	**0**	**0**	**0**	**0**	**0**	**31,2**	**31,2**
Уровни звукового давления от источника ИШ-4-7 в расчётной точке днём, дБ		**ф-ла(3)[10]**	**0**	**33,3**	**29,2**	**32,1**	**33,8**	**32,4**	**27,2**	**16,3**	**0**	**35,9**	**35,9**
Уровни звукового давления от источника ИШ-4-7 в расчётной точке ночью, дБ		**ф-ла(3)[10]**	**0**	**33,3**	**29,2**	**32,1**	**33,8**	**32,4**	**27,2**	**16,3**	**0**	**35,9**	**35,9**
Источник шума: ИШ-4-8, координаты источника (x,y,z), м =[178.24,257.77,13.00]													

1		2	3	4	5	6	7	8	9	10	11	12	13
Уровни звуковой мощности источника днём, Lw, дБ		**исходные данные**	**0**	**90,3**	**91,7**	**93**	**93,3**	**92,9**	**89,6**	**85,4**	**80,9**		
Уровни звуковой мощности источника ночью, Lw, дБ		**исходные данные**	**0**	**90,3**	**91,7**	**93**	**93,3**	**92,9**	**89,6**	**85,4**	**80,9**		
Поправка на телесный угол DΩ, дБ	Ω = 6.28	10Lg(4π/Ω)	**3**	3	3	3	3	3	3	3	3		
Показатель направленности источника Di, дБ		исходные данные	**0**	0	0	0	0	0	0	0	0		
Поправка на направленность источника Dc, дБ	Dc	DΩ + Di	**3**	3	3	3	3	3	3	3	3		
Затухание из-за геометрической дивергенции, Adiv, дБ	расстояние = 473.95 м	ф-ла (7) [10]	**64,5**										
Коэффициент затухания звука в атмосфере α, дБ/км	Ta=20,°C Pa=101.33,кПа hотн.=70%	ф-ла (5) [9]	0,02	0,09	0,33	1,12	2,79	4,98	9,04	23,09	77,63		
Учет затухания звука в атмосфере Aatm, дБ		ф-ла (8) [10]	0	0	0,2	0,5	1,3	2,4	4,3	10,9	36,8		
Снижение поверхностью земли возле источника As, дБ	Gs = 0 hs = 5м	ф-лы таб.3 [10]	-1,5	-1,5	-1,5	-1,5	-1,5	-1,5	-1,5	-1,5	-1,5		
Снижение поверхностью земли возле приёмника Ar, дБ	Gr = 1 hr = 4.6м	ф-лы таб.3 [10]	-1,5	-1,5	3,3	1,3	0	0	0	0	0		
Снижение поверхностью земли в средней зоне, Am дБ	Gm = 1	ф-лы таб.3 [10]	-1,2	-1,2	0	0	0	0	0	0	0		
Суммарное снижение поверхностью земли на траектории распространения звука Agr, дБ		ф-ла (9) [10]	-4,2	-4,2	1,8	-0,2	-1,5	-1,5	-1,5	-1,5	-1,5		
Уровни звукового давления прямого звука от источника ИШ-4-8 в расчётной точке днём, дБ		**ф-ла(3)[10]**	**0**	**32,9**	**28,2**	**31,2**	**32**	**30,5**	**25,3**	**14,4**	**0**	**34,1**	**34,1**
Уровни звукового давления прямого звука от источника ИШ-4-8 в расчётной точке ночью, дБ		**ф-ла(3)[10]**	**0**	**32,9**	**28,2**	**31,2**	**32**	**30,5**	**25,3**	**14,4**	**0**	**34,1**	**34,1**
Расчёт отражённого звука													
Уровни звукового давления от мнимого источника ИШ-4-8_мн.(1) в расчётной точке днём, дБ		**ф-ла(3)[10]**	**0**	**0**	**22,4**	**27,7**	**29,4**	**28**	**22,7**	**11,8**	**0**	**31,4**	**31,4**
Уровни звукового давления от мнимого источника ИШ-4-8_мн.(1) в расчётной точке ночью, дБ		**ф-ла(3)[10]**	**0**	**0**	**0**	**0**	**0**	**0**	**0**	**0**	**0**	**31,4**	**31,4**

1		2	3	4	5	6	7	8	9	10	11	12	13
Уровни звукового давления от источника ИШ-4-8 в расчётной точке днём, дБ		**ф-ла(3)[10]**	**0**	**32,9**	**29,2**	**32,8**	**33,9**	**32,4**	**27,2**	**16,3**	**0**	**36**	**36**
Уровни звукового давления от источника ИШ-4-8 в расчётной точке ночью, дБ		**ф-ла(3)[10]**	**0**	**32,9**	**29,2**	**32,8**	**33,9**	**32,4**	**27,2**	**16,3**	**0**	**36**	**36**
Источник шума: ИШ-4-9, координаты источника (x,y,z), м =[178.68,257.63,15.50]													
Уровни звуковой мощности источника днём, Lw, дБ		**исходные данные**	**0**	**90,3**	**91,7**	**93**	**93,3**	**92,9**	**89,6**	**85,4**	**80,9**		
Уровни звуковой мощности источника ночью, Lw, дБ		**исходные данные**	**0**	**90,3**	**91,7**	**93**	**93,3**	**92,9**	**89,6**	**85,4**	**80,9**		
Поправка на телесный угол DΩ, дБ	Ω = 6.28	10Lg(4π/Ω)	**3**	3	3	3	3	3	3	3	3		
Показатель направленности источника Di, дБ		исходные данные	**0**	0	0	0	0	0	0	0	0		
Поправка на направленность источника Dc, дБ	Dc	DΩ + Di	**3**	3	3	3	3	3	3	3	3		
Затухание из-за геометрической дивергенции, Adiv, дБ	расстояние = 473.78 м	ф-ла (7) [10]	**64,5**										
Коэффициент затухания звука в атмосфере α, дБ/км	Ta=20,°C Pa=101.33,кПа hотн.=70%	ф-ла (5) [9]	0,02	0,09	0,33	1,12	2,79	4,98	9,04	23,09	77,63		
Учет затухания звука в атмосфере Aatm, дБ		ф-ла (8) [10]	0	0	0,2	0,5	1,3	2,4	4,3	10,9	36,8		
Снижение поверхностью земли возле источника As, дБ	Gs = 0 hs = 7.5м	ф-лы таб.3 [10]	-1,5	-1,5	-1,5	-1,5	-1,5	-1,5	-1,5	-1,5	-1,5		
Снижение поверхностью земли возле приёмника Ar, дБ	Gr = 1 hr = 4.6м	ф-лы таб.3 [10]	-1,5	-1,5	3,3	1,3	0	0	0	0	0		
Снижение поверхностью земли в средней зоне, Am дБ	Gm = 1	ф-лы таб.3 [10]	-0,7	-0,7	0	0	0	0	0	0	0		
Суммарное снижение поверхностью земли на траектории распространения звука Agr, дБ		ф-ла (9) [10]	-3,7	-3,7	1,8	-0,2	-1,5	-1,5	-1,5	-1,5	-1,5		
Уровни звукового давления прямого звука от источника ИШ-4-9 в расчётной точке днём, дБ		**ф-ла(3)[10]**	**0**	**32,4**	**28,2**	**31,2**	**32**	**30,5**	**25,3**	**14,4**	**0**	**34,1**	**34,1**

1		2	3	4	5	6	7	8	9	10	11	12	13
Уровни звукового давления прямого звука от источника ИШ-4-9 в расчётной точке ночью, дБ		**ф-ла(3)[10]**	**0**	**32,4**	**28,2**	**31,2**	**32**	**30,5**	**25,3**	**14,4**	**0**	**34,1**	**34,1**
Расчёт отражённого звука													
Уровни звукового давления от мнимого источника ИШ-4-9_мн.(1) в расчётной точке днём, дБ		**ф-ла(3)[10]**	**0**	**0**	**24,2**	**28,6**	**29,4**	**28**	**22,7**	**11,8**	**0**	**31,5**	**31,5**
Уровни звукового давления от мнимого источника ИШ-4-9_мн.(1) в расчётной точке ночью, дБ		**ф-ла(3)[10]**	**0**	**0**	**0**	**0**	**0**	**0**	**0**	**0**	**0**	**31,5**	**31,5**
Уровни звукового давления от источника ИШ-4-9 в расчётной точке днём, дБ		**ф-ла(3)[10]**	**0**	**32,4**	**29,6**	**33,1**	**33,9**	**32,4**	**27,2**	**16,3**	**0**	**36**	**36**
Уровни звукового давления от источника ИШ-4-9 в расчётной точке ночью, дБ		**ф-ла(3)[10]**	**0**	**32,4**	**29,6**	**33,1**	**33,9**	**32,4**	**27,2**	**16,3**	**0**	**36**	**36**
Источник шума: ИШ-4-10, координаты источника (x,y,z), м =[185.65,255.31,11.00]													
Уровни звуковой мощности источника днём, Lw, дБ		**исходные данные**	**0**	**90,3**	**91,7**	**93**	**93,3**	**92,9**	**89,6**	**85,4**	**80,9**		
Уровни звуковой мощности источника ночью, Lw, дБ		**исходные данные**	**0**	**90,3**	**91,7**	**93**	**93,3**	**92,9**	**89,6**	**85,4**	**80,9**		
Поправка на телесный угол DΩ, дБ	Ω = 6.28	10Lg(4π/Ω)	**3**	3	3	3	3	3	3	3	3		
Показатель направленности источника Di, дБ		исходные данные	**0**	0	0	0	0	0	0	0	0		
Поправка на направленность источника Dc, дБ	Dc	DΩ + Di	**3**	3	3	3	3	3	3	3	3		
Затухание из-за геометрической дивергенции, Adiv, дБ	расстояние = 470.13 м	ф-ла (7) [10]	**64,4**										
Коэффициент затухания звука в атмосфере α, дБ/км	Ta=20,°C Pa=101.33,кПа hотн.=70%	ф-ла (5) [9]	0,02	0,09	0,33	1,12	2,79	4,98	9,04	23,09	77,63		
Учет затухания звука в атмосфере Aatm, дБ		ф-ла (8) [10]	0	0	0,2	0,5	1,3	2,3	4,2	10,9	36,5		
Снижение поверхностью земли возле источника As, дБ	Gs = 0 hs = 3м	ф-лы таб.3 [10]	-1,5	-1,5	-1,5	-1,5	-1,5	-1,5	-1,5	-1,5	-1,5		

1		2	3	4	5	6	7	8	9	10	11	12	13
Снижение поверхностью земли возле приёмника Ar, дБ	Gr = 1 hr = 4.6м	ф-лы таб.3 [10]	-1,5	-1,5	3,3	1,3	0	0	0	0	0		
Снижение поверхностью земли в средней зоне, Am дБ	Gm = 1	ф-лы таб.3 [10]	-1,5	-1,5	0	0	0	0	0	0	0		
Суммарное снижение поверхностью земли на траектории распространения звука Agr, дБ		ф-ла (9) [10]	-4,5	-4,5	1,8	-0,2	-1,5	-1,5	-1,5	-1,5	-1,5		
Уровни звукового давления прямого звука от источника ИШ-4-10 в расчётной точке днём, дБ		**ф-ла(3)[10]**	**0**	**33,4**	**28,3**	**31,2**	**32**	**30,6**	**25,4**	**14,6**	**0**	**34,2**	**34,2**
Уровни звукового давления прямого звука от источника ИШ-4-10 в расчётной точке ночью, дБ		**ф-ла(3)[10]**	**0**	**33,4**	**28,3**	**31,2**	**32**	**30,6**	**25,4**	**14,6**	**0**	**34,2**	**34,2**
Расчёт отражённого звука													
Уровни звукового давления от мнимого источника ИШ-4-10_мн.(1) в расчётной точке днём, дБ		**ф-ла(3)[10]**	**0**	**32,3**	**22,7**	**24,9**	**29,3**	**28**	**22,8**	**12**	**0**	**31,4**	**31,4**
Уровни звукового давления от мнимого источника ИШ-4-10_мн.(1) в расчётной точке ночью, дБ		**ф-ла(3)[10]**	**0**	**0**	**0**	**0**	**0**	**0**	**0**	**0**	**0**	**31,4**	**31,4**
Уровни звукового давления от источника ИШ-4-10 в расчётной точке днём, дБ		**ф-ла(3)[10]**	**0**	**35,9**	**29,3**	**32,1**	**33,9**	**32,5**	**27,3**	**16,5**	**0**	**36**	**36**
Уровни звукового давления от источника ИШ-4-10 в расчётной точке ночью, дБ		**ф-ла(3)[10]**	**0**	**35,9**	**29,3**	**32,1**	**33,9**	**32,5**	**27,3**	**16,5**	**0**	**36**	**36**
Источник шума: ИШ-4-11, координаты источника (x,y,z), м =[185.89,255.16,13.00]													
Уровни звуковой мощности источника днём, Lw, дБ		**исходные данные**	**0**	**90,3**	**91,7**	**93**	**93,3**	**92,9**	**89,6**	**85,4**	**80,9**		
Уровни звуковой мощности источника ночью, Lw, дБ		**исходные данные**	**0**	**90,3**	**91,7**	**93**	**93,3**	**92,9**	**89,6**	**85,4**	**80,9**		
Поправка на телесный угол DΩ, дБ	Ω = 6.28	10Lg(4π/Ω)	**3**	3	3	3	3	3	3	3	3		
Показатель направленности источника Di, дБ		исходные данные	**0**	0	0	0	0	0	0	0	0		
Поправка на направленность источника Dc, дБ	Dc	DΩ + Di	**3**	3	3	3	3	3	3	3	3		
Затухание из-за геометрической дивергенции, Adiv, дБ	расстояние = 469.98 м	ф-ла (7) [10]	**64,4**										

1		2	3	4	5	6	7	8	9	10	11	12	13
Коэффициент затухания звука в атмосфере α, дБ/км	Та=20,°С Ра=101.33,кПа hотн.=70%	ф-ла (5) [9]	0,02	0,09	0,33	1,12	2,79	4,98	9,04	23,09	77,63		
Учет затухания звука в атмосфере Aatm, дБ		ф-ла (8) [10]	0	0	0,2	0,5	1,3	2,3	4,2	10,8	36,5		
Снижение поверхностью земли возле источника As, дБ	Gs = 0 hs = 5м	ф-лы таб.3 [10]	-1,5	-1,5	-1,5	-1,5	-1,5	-1,5	-1,5	-1,5	-1,5		
Снижение поверхностью земли возле приёмника Ar, дБ	Gr = 1 hr = 4.6м	ф-лы таб.3 [10]	-1,5	-1,5	3,3	1,3	0	0	0	0	0		
Снижение поверхностью земли в средней зоне, Am дБ	Gm = 1	ф-лы таб.3 [10]	-1,2	-1,2	0	0	0	0	0	0	0		
Суммарное снижение поверхностью земли на траектории распространения звука Agr, дБ		ф-ла (9) [10]	-4,2	-4,2	1,8	-0,2	-1,5	-1,5	-1,5	-1,5	-1,5		
Уровни звукового давления прямого звука от источника ИШ-4-11 в расчётной точке днём, дБ		**ф-ла(3)[10]**	**0**	**33**	**28,3**	**31,2**	**32**	**30,6**	**25,4**	**14,6**	**0**	**34,2**	**34,2**
Уровни звукового давления прямого звука от источника ИШ-4-11 в расчётной точке ночью, дБ		**ф-ла(3)[10]**	**0**	**33**	**28,3**	**31,2**	**32**	**30,6**	**25,4**	**14,6**	**0**	**34,2**	**34,2**
Расчёт отражённого звука													
Уровни звукового давления от мнимого источника ИШ-4-11_мн.(1) в расчётной точке днём, дБ		**ф-ла(3)[10]**	**0**	**31,9**	**22,4**	**27,8**	**29,5**	**28,1**	**22,8**	**12**	**0**	**31,5**	**31,5**
Уровни звукового давления от мнимого источника ИШ-4-11_мн.(1) в расчётной точке ночью, дБ		**ф-ла(3)[10]**	**0**	**0**	**0**	**0**	**0**	**0**	**0**	**0**	**0**	**31,5**	**31,5**
Уровни звукового давления от источника ИШ-4-11 в расчётной точке днём, дБ		**ф-ла(3)[10]**	**0**	**35,5**	**29,3**	**32,9**	**34**	**32,5**	**27,3**	**16,5**	**0**	**36,1**	**36,1**
Уровни звукового давления от источника ИШ-4-11 в расчётной точке ночью, дБ		**ф-ла(3)[10]**	**0**	**35,5**	**29,3**	**32,9**	**34**	**32,5**	**27,3**	**16,5**	**0**	**36,1**	**36,1**
Источник шума: ИШ-4-12, координаты источника (x,y,z), м =[186.18,255.02,15.50]													
Уровни звуковой мощности источника днём, Lw, дБ		**исходные данные**	**0**	**90,3**	**91,7**	**93**	**93,3**	**92,9**	**89,6**	**85,4**	**80,9**		
Уровни звуковой мощности источника ночью, Lw, дБ		**исходные данные**	**0**	**90,3**	**91,7**	**93**	**93,3**	**92,9**	**89,6**	**85,4**	**80,9**		

1		2	3	4	5	6	7	8	9	10	11	12	13
Поправка на телесный угол DΩ, дБ	Ω = 6.28	10Lg(4π/Ω)	**3**	3	3	3	3	3	3	3	3		
Показатель направленности источника Di, дБ		исходные данные	**0**	0	0	0	0	0	0	0	0		
Поправка на направленность источника Dc, дБ	Dc	DΩ + Di	**3**	3	3	3	3	3	3	3	3		
Затухание из-за геометрической дивергенции, Adiv, дБ	расстояние = 469.84 м	ф-ла (7) [10]	**64,4**										
Коэффициент затухания звука в атмосфере α, дБ/км	Ta=20,°C Pa=101.33,кПа hотн.=70%	ф-ла (5) [9]	0,02	0,09	0,33	1,12	2,79	4,98	9,04	23,09	77,63		
Учет затухания звука в атмосфере Aatm, дБ		ф-ла (8) [10]	0	0	0,2	0,5	1,3	2,3	4,2	10,8	36,5		
Снижение поверхностью земли возле источника As, дБ	Gs = 0 hs = 7.5м	ф-лы таб.3 [10]	-1,5	-1,5	-1,5	-1,5	-1,5	-1,5	-1,5	-1,5	-1,5		
Снижение поверхностью земли возле приёмника Ar, дБ	Gr = 1 hr = 4.6м	ф-лы таб.3 [10]	-1,5	-1,5	3,3	1,3	0	0	0	0	0		
Снижение поверхностью земли в средней зоне, Am дБ	Gm = 1	ф-лы таб.3 [10]	-0,7	-0,7	0	0	0	0	0	0	0		
Суммарное снижение поверхностью земли на траектории распространения звука Agr, дБ		ф-ла (9) [10]	-3,7	-3,7	1,8	-0,2	-1,5	-1,5	-1,5	-1,5	-1,5		
Уровни звукового давления прямого звука от источника ИШ-4-12 в расчётной точке днём, дБ		**ф-ла(3)[10]**	**0**	**32,5**	**28,3**	**31,2**	**32**	**30,6**	**25,4**	**14,6**	**0**	**34,2**	**34,2**
Уровни звукового давления прямого звука от источника ИШ-4-12 в расчётной точке ночью, дБ		**ф-ла(3)[10]**	**0**	**32,5**	**28,3**	**31,2**	**32**	**30,6**	**25,4**	**14,6**	**0**	**34,2**	**34,2**
Расчёт отражённого звука													
Уровни звукового давления от мнимого источника ИШ-4-12_мн.(1) в расчётной точке днём, дБ		**ф-ла(3)[10]**	**0**	**31,5**	**24,3**	**28,6**	**29,5**	**28,1**	**22,8**	**12**	**0**	**31,6**	**31,6**
Уровни звукового давления от мнимого источника ИШ-4-12_мн.(1) в расчётной точке ночью, дБ		**ф-ла(3)[10]**	**0**	**0**	**0**	**0**	**0**	**0**	**0**	**0**	**0**	**31,6**	**31,6**
Уровни звукового давления от источника ИШ-4-12 в расчётной точке днём, дБ		**ф-ла(3)[10]**	**0**	**35**	**29,7**	**33,1**	**34**	**32,5**	**27,3**	**16,5**	**0**	**36,1**	**36,1**
Уровни звукового давления от источника ИШ-4-12 в расчётной точке ночью, дБ		**ф-ла(3)[10]**	**0**	**35**	**29,7**	**33,1**	**34**	**32,5**	**27,3**	**16,5**	**0**	**36,1**	**36,1**

1			2	3	4	5	6	7	8	9	10	11	12	13
Источник шума: ИШ-4-13, координаты источника (x,y,z), м =[94.56,229.10,1.00]														
Уровни звуковой мощности источника днём, Lw, дБ			**исходные данные**	**0**	**81,3**	**82,7**	**84**	**84,3**	**83,9**	**80,6**	**76,4**	**71,9**		
Уровни звуковой мощности источника ночью, Lw, дБ			**исходные данные**	**0**	**81,3**	**82,7**	**84**	**84,3**	**83,9**	**80,6**	**76,4**	**71,9**		
Поправка на телесный угол DΩ, дБ		Ω = 6.28	10Lg(4π/Ω)	**3**	3	3	3	3	3	3	3	3		
Показатель направленности источника Di, дБ			исходные данные	**0**	0	0	0	0	0	0	0	0		
Поправка на направленность источника Dc, дБ		Dc	DΩ + Di	**3**	3	3	3	3	3	3	3	3		
Затухание из-за геометрической дивергенции, Adiv, дБ		расстояние = 469.96 м	ф-ла (7) [10]	**64,4**										
Коэффициент затухания звука в атмосфере α, дБ/км		Ta=20,°C Pa=101.33,кПа hотн.=70%	ф-ла (5) [9]	0,02	0,09	0,33	1,12	2,79	4,98	9,04	23,09	77,63		
Учет затухания звука в атмосфере Aatm, дБ			ф-ла (8) [10]	0	0	0,2	0,5	1,3	2,3	4,2	10,8	36,5		
Снижение уровня звукового давления из-за влияния застройки между источником шума и расчетной точкой														
Длина звуковой волны для среднегеометрической частоты октавной полосы, λ, м				10,79	5,4	2,72	1,36	0,68	0,34	0,17	0,09	0,04		
Критерий наличия экранирования в горизонтальной плоскости	Горизонтальный размер экрана, lэкр = 80.71 м		lэкр > λ	да	да	да	да	да	да	да	да	да		
Траектория над экраном	Промежуточные точки:	Pss(x,y,z) = (97.95,220.60,10.00)	Psr(x,y,z) = (111.67,186.23,10.00)	dss = 12.83 м		dsr = 423.83 м		e = 37.01 м		z = 3.71 м				
	Константа C2, учитывающая эффект отражения от земли возле экрана			40	40	40	40	40	40	40	40	40		
	Константа C3 (дифракция на кромках)		ф-ла (15) [10]	1,3	1,8	2,4	2,8	3	3	3	3	3		
	K_{met} (влияние метеоусловий)		ф-ла (18) [10]	0,7	0,7	0,7	0,7	0,7	0,7	0,7	0,7	0,7		

1			2	3	4	5	6	7	8	9	10	11	12	13
	Снижение УЗД, Dz, дБ		ф-ла (14) [10]	12	15,9	20,1	23,7	26,8	29,9	32,9	35,9	38,9		
Траектория слева от экрана	Промежуточные точки:	Pss(x,y,z) = (119.96,286.15,0.67)	Psr(x,y,z) = (233.28,25.59,2.84)	dss = 62.45 м		dsr = 235.66 м		e = 284.15 м		z = 112.29 м				
	Константа С2, учитывающая эффект отражения от земли возле экрана			40	40	40	40	40	40	40	40	40		
	Константа С3 (дифракция на кромках)		ф-ла (15) [10]	2,8	2,9	3	3	3	3	3	3	3		
	K_{met} (влияние метеоусловий)		ф-ла (18) [10]	1	1	1	1	1	1	1	1	1		
	Снижение УЗД, Dz, дБ		ф-ла (14) [10]	30,7	33,9	36,9	40	43	46	49	52	55		
Траектория справа от экрана	Промежуточные точки:	Pss(x,y,z) = (88.97,193.85,1.23)	Psr(x,y,z) = (88.97,193.85,1.23)	dss = 35.69 м		dsr = 439.68 м		e = 0.00 м		z = 5.40 м				
	Константа С2, учитывающая эффект отражения от земли возле экрана			40	40	40	40	40	40	40	40	40		
	Константа С3 (дифракция на кромках)		ф-ла (15) [10]	1	1	1	1	1	1	1	1	1		
	K_{met} (влияние метеоусловий)		ф-ла (18) [10]	1	1	1	1	1	1	1	1	1		
	Снижение УЗД, Dz, дБ		ф-ла (14) [10]	13,6	16,3	19,2	22,1	25,1	28,1	31,1	34,1	37,1		
Общее снижение уровня звука препятствием Dz, дБ			Эн.сумма(-Dzi)	9,7	13,1	16,5	19,8	22,8	25,8	28,8	31,8	34,8		
Общее снижение уровня звука препятствием с учётом ограничения (25 дБ) для октавных полос Dz, дБ			Раздел 7.4 [10]	9,7	13,1	16,5	19,8	22,8	25	25	25	25		
Уровни звукового давления от источника ИШ-4-13 в расчётной точке днём, дБ			**ф-ла(3)[10]**	**0**	**6,7**	**4,6**	**2,3**	**0**	**0**	**0**	**0**	**0**	**0**	**0**
Уровни звукового давления от источника ИШ-4-13 в расчётной точке ночью, дБ			**ф-ла(3)[10]**	**0**	**6,7**	**4,6**	**2,3**	**0**	**0**	**0**	**0**	**0**	**0**	**0**
Источник шума: ИШ-4-14, координаты источника (x,y,z), м =[91.88,221.30,1.00]														
Уровни звуковой мощности источника днём, Lw, дБ			**исходные данные**	**0**	**81,3**	**82,7**	**84**	**84,3**	**83,9**	**80,6**	**76,4**	**71,9**		

1			2	3	4	5	6	7	8	9	10	11	12	13
Уровни звуковой мощности источника ночью, Lw, дБ			**исходные данные**	**0**	**81,3**	**82,7**	**84**	**84,3**	**83,9**	**80,6**	**76,4**	**71,9**		
Поправка на телесный угол DΩ, дБ		Ω = 6.28	10Lg(4π/Ω)	**3**	3	3	3	3	3	3	3	3		
Показатель направленности источника Di, дБ			исходные данные	**0**	0	0	0	0	0	0	0	0		
Поправка на направленность источника Dc, дБ		Dc	DΩ + Di	**3**	3	3	3	3	3	3	3	3		
Затухание из-за геометрической дивергенции, Adiv, дБ		расстояние = 463.75 м	ф-ла (7) [10]	**64,3**										
Коэффициент затухания звука в атмосфере α, дБ/км		Ta=20,°C Pa=101.33,кПа hотн.=70%	ф-ла (5) [9]	0,02	0,09	0,33	1,12	2,79	4,98	9,04	23,09	77,63		
Учет затухания звука в атмосфере Aatm, дБ			ф-ла (8) [10]	0	0	0,2	0,5	1,3	2,3	4,2	10,7	36		
Снижение уровня звукового давления из-за влияния застройки между источником шума и расчетной точкой														
Длина звуковой волны для среднегеометрической частоты октавной полосы, λ, м				10,79	5,4	2,72	1,36	0,68	0,34	0,17	0,09	0,04		
Критерий наличия экранирования в горизонтальной плоскости	Горизонтальный размер экрана, lэкр = 83.83 м		lэкр > λ	да	да	да	да	да	да	да	да	да		
Траектория над экраном	Промежуточные точки:	Pss(x,y,z) = (95.36,212.88,10.00)	Psr(x,y,z) = (105.50,188.31,10.00)	dss = 12.81 м		dsr = 428.07 м		e = 26.58 м		z = 3.72 м				
	Константа C2, учитывающая эффект отражения от земли возле экрана			40	40	40	40	40	40	40	40	40		
	Константа C3 (дифракция на кромках)		ф-ла (15) [10]	1,1	1,5	2,1	2,7	2,9	3	3	3	3		
	K_{met} (влияние метеоусловий)		ф-ла (18) [10]	0,7	0,7	0,7	0,7	0,7	0,7	0,7	0,7	0,7		
	Снижение УЗД, Dz, дБ		ф-ла (14) [10]	11,7	15,3	19,5	23,4	26,8	29,9	32,9	35,9	38,9		
	Промежуточные точки:	Pss(x,y,z) = (119.96,286.15,0.62)	Psr(x,y,z) = (233.28,25.59,2.82)	dss = 70.67 м		dsr = 235.66 м		e = 284.15 м		z = 126.72 м				
	Константа C2, учитывающая эффект отражения от земли возле экрана			40	40	40	40	40	40	40	40	40		

1			2	3	4	5	6	7	8	9	10	11	12	13
Траектория слева от экрана	Константа С3 (дифракция на кромках)		ф-ла (15) [10]	2,8	2,9	3	3	3	3	3	3	3		
	K_{met} (влияние метеоусловий)		ф-ла (18) [10]	1	1	1	1	1	1	1	1	1		
	Снижение УЗД, Dz, дБ		ф-ла (14) [10]	31,2	34,4	37,5	40,5	43,5	46,5	49,5	52,5	55,5		
Траектория справа от экрана	Промежуточные точки:	Pss(x,y,z) = (88.97,193.85,1.19)	Psr(x,y,z) = (88.97,193.85,1.19)	dss = 27.60 м		dsr = 439.68 м		e = 0.00 м		z = 3.54 м				
	Константа С2, учитывающая эффект отражения от земли возле экрана			40	40	40	40	40	40	40	40	40		
	Константа С3 (дифракция на кромках)		ф-ла (15) [10]	1	1	1	1	1	1	1	1	1		
	K_{met} (влияние метеоусловий)		ф-ла (18) [10]	1	1	1	1	1	1	1	1	1		
	Снижение УЗД, Dz, дБ		ф-ла (14) [10]	12,1	14,7	17,4	20,3	23,2	26,2	29,2	32,2	35,2		
Общее снижение уровня звука препятствием Dz, дБ			Эн.сумма(-Dzi)	8,8	11,9	15,3	18,6	21,6	24,6	27,6	30,7	33,7		
Общее снижение уровня звука препятствием с учётом ограничения (25 дБ) для октавных полос Dz, дБ			Раздел 7.4 [10]	8,8	11,9	15,3	18,6	21,6	24,6	25	25	25		
Уровни звукового давления от источника ИШ-4-14 в расчётной точке днём, дБ			**ф-ла(3)[10]**	**0**	**8**	**5,9**	**3,6**	**0**	**0**	**0**	**0**	**0**	**0**	**0**
Уровни звукового давления от источника ИШ-4-14 в расчётной точке ночью, дБ			**ф-ла(3)[10]**	**0**	**8**	**5,9**	**3,6**	**0**	**0**	**0**	**0**	**0**	**0**	**0**
Источник шума: ИШ-5-1, координаты источника (x,y,z), м =[626.70,162.36,1.00]														
Уровни звуковой мощности источника днём, Lw, дБ			**исходные данные**	**0**	**93,3**	**94,7**	**96**	**96,3**	**95,9**	**92,6**	**88,4**	**83,9**		
Уровни звуковой мощности источника ночью, Lw, дБ			**исходные данные**	**0**	**93,3**	**94,7**	**96**	**96,3**	**95,9**	**92,6**	**88,4**	**83,9**		
Поправка на телесный угол DΩ, дБ		Ω = 6.28	10Lg(4π/Ω)	**3**	3	3	3	3	3	3	3	3		
Показатель направленности источника Di, дБ			исходные данные	**0**	0	0	0	0	0	0	0	0		

1			2	3	4	5	6	7	8	9	10	11	12	13
Поправка на направленность источника Dc, дБ	Dc		DΩ + Di	**3**	3	3	3	3	3	3	3	3		
Затухание из-за геометрической дивергенции, Adiv, дБ	расстояние = 514.63 м		ф-ла (7) [10]	**65,2**										
Коэффициент затухания звука в атмосфере α, дБ/км	Ta=20,°C Pa=101.33,кПа hотн.=70%		ф-ла (5) [9]	0,02	0,09	0,33	1,12	2,79	4,98	9,04	23,09	77,63		
Учет затухания звука в атмосфере Aatm, дБ			ф-ла (8) [10]	0	0	0,2	0,6	1,4	2,6	4,7	11,9	40		
Снижение уровня звукового давления из-за влияния застройки между источником шума и расчетной точкой														
Длина звуковой волны для среднегеометрической частоты октавной полосы, λ, м				10,79	5,4	2,72	1,36	0,68	0,34	0,17	0,09	0,04		
Критерий наличия экранирования в горизонтальной плоскости	Горизонтальный размер экрана, lэкр = 15.10 м		lэкр > λ	да	да	да	да	да	да	да	да	да		
Траектория над экраном	Промежуточные точки:	Pss(x,y,z) = (572.03,105.89,4.00)	Psr(x,y,z) = (572.03,105.89,4.00)	dss = 78.66 м		dsr = 436.02 м		e = 0.00 м		z = 0.05 м				
	Константа C2, учитывающая эффект отражения от земли возле экрана			40	40	40	40	40	40	40	40	40		
	Константа C3 (дифракция на кромках)		ф-ла (15) [10]	1	1	1	1	1	1	1	1	1		
	K_{met} (влияние метеоусловий)		ф-ла (18) [10]	0	0	0	0	0	0	0	0	0		
	Снижение УЗД, Dz, дБ		ф-ла (14) [10]	4,8	4,8	4,8	4,8	4,8	4,8	4,8	4,8	4,8		
Траектория слева от экрана	Промежуточные точки:	Pss(x,y,z) = (578.10,91.19,1.59)	Psr(x,y,z) = (578.10,91.19,1.59)	dss = 86.18 м		dsr = 429.95 м		e = 0.00 м		z = 1.49 м				
	Константа C2, учитывающая эффект отражения от земли возле экрана			40	40	40	40	40	40	40	40	40		
	Константа C3 (дифракция на кромках)		ф-ла (15) [10]	1	1	1	1	1	1	1	1	1		
	K_{met} (влияние метеоусловий)		ф-ла (18) [10]	1	1	1	1	1	1	1	1	1		
	Снижение УЗД, Dz, дБ		ф-ла (14) [10]	9,3	11,5	14	16,7	19,6	22,5	25,5	28,5	31,5		

1			2	3	4	5	6	7	8	9	10	11	12	13
Траектория справа от экрана	Промежуточные точки:	Pss(x,y,z) = (571.49,106.07,1.55)	Psr(x,y,z) = (571.49,106.07,1.55)	dss = 78.85 м		dsr = 435.79 м		e = 0.00 м		z = 0.00 м				
	Константа C2, учитывающая эффект отражения от земли возле экрана			40	40	40	40	40	40	40	40	40		
	Константа C3 (дифракция на кромках)		ф-ла (15) [10]	1	1	1	1	1	1	1	1	1		
	K_{met} (влияние метеоусловий)		ф-ла (18) [10]	1	1	1	1	1	1	1	1	1		
	Снижение УЗД, Dz, дБ		ф-ла (14) [10]	4,8	4,8	4,8	4,9	4,9	5,1	5,4	6	6,9		
Общее снижение уровня звука препятствием Dz, дБ			Эн.сумма(-Dzi)	1,1	1,3	1,5	1,7	1,8	1,9	2,1	2,3	2,7		
Уровни звукового давления от источника ИШ-5-1 в расчётной точке днём, дБ			**ф-ла(3)[10]**	**0**	**29,7**	**30,8**	**31,5**	**30,9**	**29,2**	**23,7**	**12**	**0**	**32,9**	**32,9**
Уровни звукового давления от источника ИШ-5-1 в расчётной точке ночью, дБ			**ф-ла(3)[10]**	**0**	**29,7**	**30,8**	**31,5**	**30,9**	**29,2**	**23,7**	**12**	**0**	**32,9**	**32,9**
Источник шума: ИШ-5-2, координаты источника (x,y,z), м =[625.81,159.52,1.00]														
Уровни звуковой мощности источника днём, Lw, дБ			**исходные данные**	**0**	**93,3**	**94,7**	**96**	**96,3**	**95,9**	**92,6**	**88,4**	**83,9**		
Уровни звуковой мощности источника ночью, Lw, дБ			**исходные данные**	**0**	**93,3**	**94,7**	**96**	**96,3**	**95,9**	**92,6**	**88,4**	**83,9**		
Поправка на телесный угол DΩ, дБ		Ω = 6.28	10Lg(4π/Ω)	**3**	3	3	3	3	3	3	3	3		
Показатель направленности источника Di, дБ			исходные данные	**0**	0	0	0	0	0	0	0	0		
Поправка на направленность источника Dc, дБ		Dc	DΩ + Di	**3**	3	3	3	3	3	3	3	3		
Затухание из-за геометрической дивергенции, Adiv, дБ		расстояние = 511.98 м	ф-ла (7) [10]	**65,2**										
Коэффициент затухания звука в атмосфере α, дБ/км		Ta=20,°C Pa=101.33,кПа hотн.=70%	ф-ла (5) [9]	0,02	0,09	0,33	1,12	2,79	4,98	9,04	23,09	77,63		

1			2	3	4	5	6	7	8	9	10	11	12	13
Учет затухания звука в атмосфере Aatm, дБ			ф-ла (8) [10]	0	0	0,2	0,6	1,4	2,5	4,6	11,8	39,7		
Снижение уровня звукового давления из-за влияния застройки между источником шума и расчетной точкой														
Длина звуковой волны для среднегеометрической частоты октавной полосы, λ, м				10,79	5,4	2,72	1,36	0,68	0,34	0,17	0,09	0,04		
Критерий наличия экранирования в горизонтальной плоскости	Горизонтальный размер экрана, lэкр = 15.12 м		lэкр > λ	да	да	да	да	да	да	да	да	да		
Траектория над экраном	Промежуточные точки:	Pss(x,y,z) = (573.23,105.49,4.00)	Psr(x,y,z) = (573.23,105.49,4.00)	dss = 75.46 м		dsr = 436.57 м		e = 0.00 м		z = 0.05 м				
	Константа C2, учитывающая эффект отражения от земли возле экрана			40	40	40	40	40	40	40	40	40		
	Константа C3 (дифракция на кромках)		ф-ла (15) [10]	1	1	1	1	1	1	1	1	1		
	K_{met} (влияние метеоусловий)		ф-ла (18) [10]	0	0	0	0	0	0	0	0	0		
	Снижение УЗД, Dz, дБ		ф-ла (14) [10]	4,8	4,8	4,8	4,8	4,8	4,8	4,8	4,8	4,9		
Траектория слева от экрана	Промежуточные точки:	Pss(x,y,z) = (578.10,91.19,1.58)	Psr(x,y,z) = (578.10,91.19,1.58)	dss = 83.34 м		dsr = 429.95 м		e = 0.00 м		z = 1.31 м				
	Константа C2, учитывающая эффект отражения от земли возле экрана			40	40	40	40	40	40	40	40	40		
	Константа C3 (дифракция на кромках)		ф-ла (15) [10]	1	1	1	1	1	1	1	1	1		
	K_{met} (влияние метеоусловий)		ф-ла (18) [10]	1	1	1	1	1	1	1	1	1		
	Снижение УЗД, Dz, дБ		ф-ла (14) [10]	8,9	11	13,5	16,2	19	21,9	24,9	27,9	30,9		
Траектория справа от экрана	Промежуточные точки:	Pss(x,y,z) = (571.49,106.07,1.54)	Psr(x,y,z) = (571.49,106.07,1.54)	dss = 76.21 м		dsr = 435.79 м		e = 0.00 м		z = 0.02 м				
	Константа C2, учитывающая эффект отражения от земли возле экрана			40	40	40	40	40	40	40	40	40		
	Константа C3 (дифракция на кромках)		ф-ла (15) [10]	1	1	1	1	1	1	1	1	1		

1		2	3	4	5	6	7	8	9	10	11	12	13
	K_{met} (влияние метеоусловий)	ф-ла (18) [10]	1	1	1	1	1	1	1	1	1		
	Снижение УЗД, Dz, дБ	ф-ла (14) [10]	4,9	5	5,2	5,6	6,3	7,4	9	11,1	13,6		
Общее снижение уровня звука препятствием Dz, дБ		Эн.сумма(-Dzi)	1	1,4	1,7	2	2,4	2,8	3,4	3,9	4,3		
Уровни звукового давления от источника ИШ-5-2 в расчётной точке днём, дБ		**ф-ла(3)[10]**	**0**	**29,7**	**30,7**	**31,2**	**30,3**	**28,3**	**22,4**	**10,5**	**0**	**32,2**	**32,2**
Уровни звукового давления от источника ИШ-5-2 в расчётной точке ночью, дБ		**ф-ла(3)[10]**	**0**	**29,7**	**30,7**	**31,2**	**30,3**	**28,3**	**22,4**	**10,5**	**0**	**32,2**	**32,2**
Источник шума: ИШ-5-3, координаты источника (x,y,z), м =[624.84,156.69,1.00]													
Уровни звуковой мощности источника днём, Lw, дБ		**исходные данные**	**0**	**93,3**	**94,7**	**96**	**96,3**	**95,9**	**92,6**	**88,4**	**83,9**		
Уровни звуковой мощности источника ночью, Lw, дБ		**исходные данные**	**0**	**93,3**	**94,7**	**96**	**96,3**	**95,9**	**92,6**	**88,4**	**83,9**		
Поправка на телесный угол DΩ, дБ	Ω = 6.28	10Lg(4π/Ω)	**3**	3	3	3	3	3	3	3	3		
Показатель направленности источника Di, дБ		исходные данные	**0**	0	0	0	0	0	0	0	0		
Поправка на направленность источника Dc, дБ	Dc	DΩ + Di	**3**	3	3	3	3	3	3	3	3		
Затухание из-за геометрической дивергенции, Adiv, дБ	расстояние = 509.27 м	ф-ла (7) [10]	**65,1**										
Коэффициент затухания звука в атмосфере α, дБ/км	Ta=20,°C Pa=101.33,кПа hотн.=70%	ф-ла (5) [9]	0,02	0,09	0,33	1,12	2,79	4,98	9,04	23,09	77,63		
Учет затухания звука в атмосфере Aatm, дБ		ф-ла (8) [10]	0	0	0,2	0,6	1,4	2,5	4,6	11,8	39,5		
Снижение уровня звукового давления из-за влияния застройки между источником шума и расчетной точкой													
Длина звуковой волны для среднегеометрической частоты октавной полосы, λ, м			10,79	5,4	2,72	1,36	0,68	0,34	0,17	0,09	0,04		

1			2	3	4	5	6	7	8	9	10	11	12	13
Критерий наличия экранирования в горизонтальной плоскости	Горизонтальный размер экрана, lэкр = 15.13 м		lэкр > λ	да	да	да	да	да	да	да	да	да		
Траектория над экраном	Промежуточные точки:	Pss(x,y,z) = (574.38,105.10,4.00)	Psr(x,y,z) = (574.38,105.10,4.00)	dss = 72.23 м		dsr = 437.10 м		e = 0.00 м		z = 0.05 м				
	Константа C2, учитывающая эффект отражения от земли возле экрана			40	40	40	40	40	40	40	40	40		
	Константа C3 (дифракция на кромках)		ф-ла (15) [10]	1	1	1	1	1	1	1	1	1		
	K_{met} (влияние метеоусловий)		ф-ла (18) [10]	0	0	0	0	0	0	0	0	0		
	Снижение УЗД, Dz, дБ		ф-ла (14) [10]	4,8	4,8	4,8	4,8	4,8	4,8	4,8	4,8	4,9		
Траектория слева от экрана	Промежуточные точки:	Pss(x,y,z) = (578.10,91.19,1.56)	Psr(x,y,z) = (578.10,91.19,1.56)	dss = 80.46 м		dsr = 429.95 м		e = 0.00 м		z = 1.14 м				
	Константа C2, учитывающая эффект отражения от земли возле экрана			40	40	40	40	40	40	40	40	40		
	Константа C3 (дифракция на кромках)		ф-ла (15) [10]	1	1	1	1	1	1	1	1	1		
	K_{met} (влияние метеоусловий)		ф-ла (18) [10]	1	1	1	1	1	1	1	1	1		
	Снижение УЗД, Dz, дБ		ф-ла (14) [10]	8,6	10,6	13	15,6	18,4	21,4	24,3	27,3	30,3		
Траектория справа от экрана	Промежуточные точки:	Pss(x,y,z) = (571.49,106.07,1.52)	Psr(x,y,z) = (571.49,106.07,1.52)	dss = 73.55 м		dsr = 435.79 м		e = 0.00 м		z = 0.06 м				
	Константа C2, учитывающая эффект отражения от земли возле экрана			40	40	40	40	40	40	40	40	40		
	Константа C3 (дифракция на кромках)		ф-ла (15) [10]	1	1	1	1	1	1	1	1	1		
	K_{met} (влияние метеоусловий)		ф-ла (18) [10]	1	1	1	1	1	1	1	1	1		
	Снижение УЗД, Dz, дБ		ф-ла (14) [10]	5,1	5,4	5,9	6,8	8,1	10	12,3	14,9	17,7		
Общее снижение уровня звука препятствием Dz, дБ			Эн.сумма(-Dzi)	1,1	1,5	1,9	2,4	3	3,6	4,1	4,4	4,7		
Уровни звукового давления от источника ИШ-5-3 в расчётной точке днём, дБ			**ф-ла(3)[10]**	**0**	**29,6**	**30,5**	**30,8**	**29,7**	**27,6**	**21,8**	**10,1**	**0**	**31,6**	**31,6**

1			2	3	4	5	6	7	8	9	10	11	12	13
Уровни звукового давления от источника ИШ-5-3 в расчётной точке ночью, дБ			**ф-ла(3)[10]**	**0**	**29,6**	**30,5**	**30,8**	**29,7**	**27,6**	**21,8**	**10,1**	**0**	**31,6**	**31,6**
Источник шума: ИШ-6-1, координаты источника (x,y,z), м =[836.30,122.24,1.00]														
Уровни звуковой мощности источника днём, Lw, дБ			**исходные данные**	**0**	**96,3**	**97,7**	**99**	**99,3**	**98,9**	**95,6**	**91,4**	**86,9**		
Уровни звуковой мощности источника ночью, Lw, дБ			**исходные данные**	**0**	**96,3**	**97,7**	**99**	**99,3**	**98,9**	**95,6**	**91,4**	**86,9**		
Поправка на телесный угол DΩ, дБ		Ω = 12.57	10Lg(4π/Ω)	**0**	0	0	0	0	0	0	0	0		
Показатель направленности источника Di, дБ			исходные данные	**0**	0	0	0	0	0	0	0	0		
Поправка на направленность источника Dc, дБ		Dc	DΩ + Di	**0**	0	0	0	0	0	0	0	0		
Затухание из-за геометрической дивергенции, Adiv, дБ		расстояние = 656.33 м	ф-ла (7) [10]	**67,3**										
Коэффициент затухания звука в атмосфере α, дБ/км		Ta=20,°C Pa=101.33,кПа hотн.=70%	ф-ла (5) [9]	0,02	0,09	0,33	1,12	2,79	4,98	9,04	23,09	77,63		
Учет затухания звука в атмосфере Aatm, дБ			ф-ла (8) [10]	0	0,1	0,2	0,7	1,8	3,3	5,9	15,2	51		
Снижение уровня звукового давления из-за влияния застройки между источником шума и расчетной точкой														
Длина звуковой волны для среднегеометрической частоты октавной полосы, λ, м				10,79	5,4	2,72	1,36	0,68	0,34	0,17	0,09	0,04		
Критерий наличия экранирования в горизонтальной плоскости	Горизонтальный размер экрана, lэкр = 64.24 м		lэкр > λ	да	да	да	да	да	да	да	да	да		
Траектория над экраном	Промежуточные точки:	Pss(x,y,z) = (582.40,-25.22,8.00)	Psr(x,y,z) = (581.26,-25.88,8.00)	dss = 293.69 м		dsr = 361.41 м		e = 1.32 м		z = 0.09 м				
	Константа C2, учитывающая эффект отражения от земли возле экрана			40	40	40	40	40	40	40	40	40		
	Константа C3 (дифракция на кромках)		ф-ла (15) [10]	1	1	1	1	1,1	1,3	1,9	2,5	2,9		

1			2	3	4	5	6	7	8	9	10	11	12	13
	K_{met} (влияние метеоусловий)		ф-ла (18) [10]	0	0	0	0	0	0	0	0	0		
	Снижение УЗД, Dz, дБ		ф-ла (14) [10]	4,8	4,8	4,8	4,8	4,8	4,8	4,8	4,8	4,8		
Траектория слева от экрана	Промежуточные точки:	Pss(x,y,z) = (578.70,-71.12,2.75)	Psr(x,y,z) = (469.27,-137.76,3.46)	dss = 322.10 м		dsr = 212.26 м		e = 128.13 м		z = 6.16 м				
	Константа C2, учитывающая эффект отражения от земли возле экрана			40	40	40	40	40	40	40	40	40		
	Константа C3 (дифракция на кромках)		ф-ла (15) [10]	2,3	2,8	2,9	3	3	3	3	3	3		
	K_{met} (влияние метеоусловий)		ф-ла (18) [10]	1	1	1	1	1	1	1	1	1		
	Снижение УЗД, Dz, дБ		ф-ла (14) [10]	17,5	21,1	24,3	27,3	30,4	33,4	36,4	39,4	42,4		
Траектория справа от экрана	Промежуточные точки:	Pss(x,y,z) = (549.08,-14.03,2.74)	Psr(x,y,z) = (549.08,-14.03,2.74)	dss = 317.91 м		dsr = 340.55 м		e = 0.00 м		z = 2.12 м				
	Константа C2, учитывающая эффект отражения от земли возле экрана			40	40	40	40	40	40	40	40	40		
	Константа C3 (дифракция на кромках)		ф-ла (15) [10]	1	1	1	1	1	1	1	1	1		
	K_{met} (влияние метеоусловий)		ф-ла (18) [10]	1	1	1	1	1	1	1	1	1		
	Снижение УЗД, Dz, дБ		ф-ла (14) [10]	10,4	12,7	15,3	18,2	21,1	24	27	30	33		
Общее снижение уровня звука препятствием Dz, дБ			Эн.сумма(-Dzi)	3,5	4	4,4	4,6	4,7	4,7	4,7	4,8	4,8		
Уровни звукового давления от источника ИШ-6-1 в расчётной точке днём, дБ			**ф-ла(3)[10]**	**0**	**24,9**	**25,8**	**26,4**	**25,5**	**23,6**	**17,6**	**4,1**	**0**	**27,4**	**27,4**
Уровни звукового давления от источника ИШ-6-1 в расчётной точке ночью, дБ			**ф-ла(3)[10]**	**0**	**24,9**	**25,8**	**26,4**	**25,5**	**23,6**	**17,6**	**4,1**	**0**	**27,4**	**27,4**
Источник шума: ИШ-6-2, координаты источника (x,y,z), м =[835.37,119.30,1.00]														
Уровни звуковой мощности источника днём, Lw, дБ			**исходные данные**	**0**	**96,3**	**97,7**	**99**	**99,3**	**98,9**	**95,6**	**91,4**	**86,9**		

1			2	3	4	5	6	7	8	9	10	11	12	13
Уровни звуковой мощности источника ночью, Lw, дБ			**исходные данные**	**0**	**96,3**	**97,7**	**99**	**99,3**	**98,9**	**95,6**	**91,4**	**86,9**		
Поправка на телесный угол DΩ, дБ		Ω = 12.57	10Lg(4π/Ω)	**0**	0	0	0	0	0	0	0	0		
Показатель направленности источника Di, дБ			исходные данные	**0**	0	0	0	0	0	0	0	0		
Поправка на направленность источника Dc, дБ		Dc	DΩ + Di	**0**	0	0	0	0	0	0	0	0		
Затухание из-за геометрической дивергенции, Adiv, дБ		расстояние = 654.06 м	ф-ла (7) [10]	**67,3**										
Коэффициент затухания звука в атмосфере α, дБ/км		Ta=20,°C Pa=101.33,кПа hотн.=70%	ф-ла (5) [9]	0,02	0,09	0,33	1,12	2,79	4,98	9,04	23,09	77,63		
Учет затухания звука в атмосфере Aatm, дБ			ф-ла (8) [10]	0	0,1	0,2	0,7	1,8	3,3	5,9	15,1	50,8		
Снижение уровня звукового давления из-за влияния застройки между источником шума и расчетной точкой														
Длина звуковой волны для среднегеометрической частоты октавной полосы, λ, м				10,79	5,4	2,72	1,36	0,68	0,34	0,17	0,09	0,04		
Критерий наличия экранирования в горизонтальной плоскости	Горизонтальный размер экрана, lэкр = 64.25 м		lэкр > λ	да	да	да	да	да	да	да	да	да		
Траектория над экраном	Промежуточные точки:	Pss(x,y,z) = (583.86,-25.71,8.00)	Psr(x,y,z) = (580.72,-27.52,8.00)	dss = 290.40 м		dsr = 360.12 м		e = 3.63 м		z = 0.09 м				
	Константа C2, учитывающая эффект отражения от земли возле экрана			40	40	40	40	40	40	40	40	40		
	Константа C3 (дифракция на кромках)		ф-ла (15) [10]	1	1	1	1,2	1,5	2,2	2,7	2,9	3		
	K_{met} (влияние метеоусловий)		ф-ла (18) [10]	0	0	0	0	0	0	0	0	0		
	Снижение УЗД, Dz, дБ		ф-ла (14) [10]	4,8	4,8	4,8	4,8	4,8	4,8	4,8	4,8	4,8		
	Промежуточные точки:	Pss(x,y,z) = (578.70,-71.12,2.75)	Psr(x,y,z) = (469.27,-137.76,3.45)	dss = 319.60 м		dsr = 212.26 м		e = 128.13 м		z = 5.93 м				
	Константа C2, учитывающая эффект отражения от земли возле экрана			40	40	40	40	40	40	40	40	40		

1			2	3	4	5	6	7	8	9	10	11	12	13
Траектория слева от экрана	Константа С3 (дифракция на кромках)		ф-ла (15) [10]	2,3	2,8	2,9	3	3	3	3	3	3		
	K_{met} (влияние метеоусловий)		ф-ла (18) [10]	1	1	1	1	1	1	1	1	1		
	Снижение УЗД, Dz, дБ		ф-ла (14) [10]	17,3	21	24,1	27,2	30,2	33,2	36,2	39,2	42,2		
Траектория справа от экрана	Промежуточные точки:	Pss(x,y,z) = (549.08,-14.03,2.73)	Psr(x,y,z) = (549.08,-14.03,2.73)	dss = 315.81 м		dsr = 340.55 м		e = 0.00 м		z = 2.31 м				
	Константа С2, учитывающая эффект отражения от земли возле экрана			40	40	40	40	40	40	40	40	40		
	Константа С3 (дифракция на кромках)		ф-ла (15) [10]	1	1	1	1	1	1	1	1	1		
	K_{met} (влияние метеоусловий)		ф-ла (18) [10]	1	1	1	1	1	1	1	1	1		
	Снижение УЗД, Dz, дБ		ф-ла (14) [10]	10,6	13	15,7	18,5	21,4	24,4	27,4	30,4	33,4		
Общее снижение уровня звука препятствием Dz, дБ			Эн.сумма(-Dzi)	3,6	4,1	4,4	4,6	4,7	4,7	4,7	4,8	4,8		
Уровни звукового давления от источника ИШ-6-2 в расчётной точке днём, дБ			**ф-ла(3)[10]**	**0**	**24,8**	**25,8**	**26,4**	**25,5**	**23,6**	**17,6**	**4,2**	**0**	**27,4**	**27,4**
Уровни звукового давления от источника ИШ-6-2 в расчётной точке ночью, дБ			**ф-ла(3)[10]**	**0**	**24,8**	**25,8**	**26,4**	**25,5**	**23,6**	**17,6**	**4,2**	**0**	**27,4**	**27,4**
Источник шума: ИШ-6-3, координаты источника (x,y,z), м =[834.03,116.36,1.00]														
Уровни звуковой мощности источника днём, Lw, дБ			**исходные данные**	**0**	**96,3**	**97,7**	**99**	**99,3**	**98,9**	**95,6**	**91,4**	**86,9**		
Уровни звуковой мощности источника ночью, Lw, дБ			**исходные данные**	**0**	**96,3**	**97,7**	**99**	**99,3**	**98,9**	**95,6**	**91,4**	**86,9**		
Поправка на телесный угол DΩ, дБ		Ω = 12.57	10Lg(4π/Ω)	**0**	0	0	0	0	0	0	0	0		
Показатель направленности источника Di, дБ			исходные данные	**0**	0	0	0	0	0	0	0	0		
Поправка на направленность источника Dc, дБ		Dc	DΩ + Di	**0**	0	0	0	0	0	0	0	0		

1			2	3	4	5	6	7	8	9	10	11	12	13
Затухание из-за геометрической дивергенции, Adiv, дБ	расстояние = 651.44 м		ф-ла (7) [10]	**67,3**										
Коэффициент затухания звука в атмосфере α, дБ/км	Ta=20,°C Pa=101.33,кПа hотн.=70%		ф-ла (5) [9]	0,02	0,09	0,33	1,12	2,79	4,98	9,04	23,09	77,63		
Учет затухания звука в атмосфере Aatm, дБ			ф-ла (8) [10]	0	0,1	0,2	0,7	1,8	3,2	5,9	15	50,6		
Снижение уровня звукового давления из-за влияния застройки между источником шума и расчетной точкой														
Длина звуковой волны для среднегеометрической частоты октавной полосы, λ, м				10,79	5,4	2,72	1,36	0,68	0,34	0,17	0,09	0,04		
Критерий наличия экранирования в горизонтальной плоскости	Горизонтальный размер экрана, lэкр = 64.25 м		lэкр > λ	да	да	да	да	да	да	да	да	да		
Траектория над экраном	Промежуточные точки:	Pss(x,y,z) = (585.19,-26.15,8.00)	Psr(x,y,z) = (580.22,-29.00,8.00)	dss = 286.86 м		dsr = 358.95 м		e = 5.72 м		z = 0.09 м				
	Константа C2, учитывающая эффект отражения от земли возле экрана			40	40	40	40	40	40	40	40	40		
	Константа C3 (дифракция на кромках)		ф-ла (15) [10]	1	1	1,1	1,4	2	2,6	2,9	3	3		
	K_{met} (влияние метеоусловий)		ф-ла (18) [10]	0	0	0	0	0	0	0	0	0		
	Снижение УЗД, Dz, дБ		ф-ла (14) [10]	4,8	4,8	4,8	4,8	4,8	4,8	4,8	4,8	4,8		
Траектория слева от экрана	Промежуточные точки:	Pss(x,y,z) = (578.70,-71.12,2.74)	Psr(x,y,z) = (469.27,-137.76,3.45)	dss = 316.78 м		dsr = 212.26 м		e = 128.13 м		z = 5.73 м				
	Константа C2, учитывающая эффект отражения от земли возле экрана			40	40	40	40	40	40	40	40	40		
	Константа C3 (дифракция на кромках)		ф-ла (15) [10]	2,3	2,8	2,9	3	3	3	3	3	3		
	K_{met} (влияние метеоусловий)		ф-ла (18) [10]	1	1	1	1	1	1	1	1	1		
	Снижение УЗД, Dz, дБ		ф-ла (14) [10]	17,2	20,8	24	27	30,1	33,1	36,1	39,1	42,1		
	Промежуточные точки:	Pss(x,y,z) = (549.08,-14.03,2.72)	Psr(x,y,z) = (549.08,-14.03,2.72)	dss = 313.37 м		dsr = 340.55 м		e = 0.00 м		z = 2.49 м				

1		2	3	4	5	6	7	8	9	10	11	12	13
Траектория справа от экрана	Константа C2, учитывающая эффект отражения от земли возле экрана		40	40	40	40	40	40	40	40	40		
	Константа C3 (дифракция на кромках)	ф-ла (15) [10]	1	1	1	1	1	1	1	1	1		
	K_{met} (влияние метеоусловий)	ф-ла (18) [10]	1	1	1	1	1	1	1	1	1		
	Снижение УЗД, Dz, дБ	ф-ла (14) [10]	10,9	13,3	16	18,8	21,7	24,7	27,7	30,7	33,7		
Общее снижение уровня звука препятствием Dz, дБ		Эн.сумма(-Dzi)	3,6	4,1	4,4	4,6	4,7	4,7	4,8	4,8	4,8		
Уровни звукового давления от источника ИШ-6-3 в расчётной точке днём, дБ		**ф-ла(3)[10]**	**0**	**24,8**	**25,8**	**26,4**	**25,5**	**23,6**	**17,7**	**4,3**	**0**	**27,4**	**27,4**
Уровни звукового давления от источника ИШ-6-3 в расчётной точке ночью, дБ		**ф-ла(3)[10]**	**0**	**24,8**	**25,8**	**26,4**	**25,5**	**23,6**	**17,7**	**4,3**	**0**	**27,4**	**27,4**
Источник шума: ИШ-6-4, координаты источника (x,y,z), м =[833.23,113.30,1.00]													
Уровни звуковой мощности источника днём, Lw, дБ		**исходные данные**	**0**	**96,3**	**97,7**	**99**	**99,3**	**98,9**	**95,6**	**91,4**	**86,9**		
Уровни звуковой мощности источника ночью, Lw, дБ		**исходные данные**	**0**	**96,3**	**97,7**	**99**	**99,3**	**98,9**	**95,6**	**91,4**	**86,9**		
Поправка на телесный угол DΩ, дБ	Ω = 12.57	10Lg(4π/Ω)	**0**	0	0	0	0	0	0	0	0		
Показатель направленности источника Di, дБ		исходные данные	**0**	0	0	0	0	0	0	0	0		
Поправка на направленность источника Dc, дБ	Dc	DΩ + Di	**0**	0	0	0	0	0	0	0	0		
Затухание из-за геометрической дивергенции, Adiv, дБ	расстояние = 649.22 м	ф-ла (7) [10]	**67,2**										
Коэффициент затухания звука в атмосфере α, дБ/км	Ta=20,°C Pa=101.33,кПа hотн.=70%	ф-ла (5) [9]	0,02	0,09	0,33	1,12	2,79	4,98	9,04	23,09	77,63		
Учет затухания звука в атмосфере Aatm, дБ		ф-ла (8) [10]	0	0,1	0,2	0,7	1,8	3,2	5,9	15	50,4		

1			2	3	4	5	6	7	8	9	10	11	12	13
Снижение уровня звукового давления из-за влияния застройки между источником шума и расчетной точкой														
Длина звуковой волны для среднегеометрической частоты октавной полосы, λ, м				10,79	5,4	2,72	1,36	0,68	0,34	0,17	0,09	0,04		
Критерий наличия экранирования в горизонтальной плоскости	Горизонтальный размер экрана, lэкр = 64.26 м		lэкр > λ	да	да	да	да	да	да	да	да	да		
Траектория над экраном	Промежуточные точки:	Pss(x,y,z) = (586.80,-26.70,8.00)	Psr(x,y,z) = (579.62,-30.78,8.00)	dss = 283.50 м		dsr = 357.55 м		e = 8.26 м		z = 0.09 м				
	Константа C2, учитывающая эффект отражения от земли возле экрана			40	40	40	40	40	40	40	40	40		
	Константа C3 (дифракция на кромках)		ф-ла (15) [10]	1	1,1	1,2	1,7	2,3	2,8	2,9	3	3		
	K_{met} (влияние метеоусловий)		ф-ла (18) [10]	0	0	0	0	0	0	0	0	0		
	Снижение УЗД, Dz, дБ		ф-ла (14) [10]	4,8	4,8	4,8	4,8	4,8	4,8	4,8	4,8	4,8		
Траектория слева от экрана	Промежуточные точки:	Pss(x,y,z) = (578.70,-71.12,2.73)	Psr(x,y,z) = (469.27,-137.76,3.44)	dss = 314.32 м		dsr = 212.26 м		e = 128.13 м		z = 5.49 м				
	Константа C2, учитывающая эффект отражения от земли возле экрана			40	40	40	40	40	40	40	40	40		
	Константа C3 (дифракция на кромках)		ф-ла (15) [10]	2,3	2,8	2,9	3	3	3	3	3	3		
	K_{met} (влияние метеоусловий)		ф-ла (18) [10]	1	1	1	1	1	1	1	1	1		
	Снижение УЗД, Dz, дБ		ф-ла (14) [10]	17	20,6	23,8	26,9	29,9	32,9	35,9	38,9	41,9		
Траектория справа от экрана	Промежуточные точки:	Pss(x,y,z) = (549.08,-14.03,2.72)	Psr(x,y,z) = (549.08,-14.03,2.72)	dss = 311.38 м		dsr = 340.55 м		e = 0.00 м		z = 2.71 м				
	Константа C2, учитывающая эффект отражения от земли возле экрана			40	40	40	40	40	40	40	40	40		
	Константа C3 (дифракция на кромках)		ф-ла (15) [10]	1	1	1	1	1	1	1	1	1		
	K_{met} (влияние метеоусловий)		ф-ла (18) [10]	1	1	1	1	1	1	1	1	1		
	Снижение УЗД, Dz, дБ		ф-ла (14) [10]	11,2	13,6	16,3	19,2	22,1	25,1	28,1	31,1	34,1		

1			2	3	4	5	6	7	8	9	10	11	12	13
Общее снижение уровня звука препятствием Dz, дБ			Эн.сумма(-Dzi)	3,7	4,1	4,4	4,6	4,7	4,7	4,8	4,8	4,8		
Уровни звукового давления от источника ИШ-6-4 в расчётной точке днём, дБ			**ф-ла(3)[10]**	**0**	**24,8**	**25,8**	**26,4**	**25,6**	**23,7**	**17,7**	**4,4**	**0**	**27,5**	**27,5**
Уровни звукового давления от источника ИШ-6-4 в расчётной точке ночью, дБ			**ф-ла(3)[10]**	**0**	**24,8**	**25,8**	**26,4**	**25,6**	**23,7**	**17,7**	**4,4**	**0**	**27,5**	**27,5**
Источник шума: ИШ-6-5, координаты источника (x,y,z), м =[832.03,110.36,1.00]														
Уровни звуковой мощности источника днём, Lw, дБ			**исходные данные**	**0**	**96,3**	**97,7**	**99**	**99,3**	**98,9**	**95,6**	**91,4**	**86,9**		
Уровни звуковой мощности источника ночью, Lw, дБ			**исходные данные**	**0**	**96,3**	**97,7**	**99**	**99,3**	**98,9**	**95,6**	**91,4**	**86,9**		
Поправка на телесный угол DΩ, дБ		Ω = 12.57	10Lg(4π/Ω)	**0**	0	0	0	0	0	0	0	0		
Показатель направленности источника Di, дБ			исходные данные	**0**	0	0	0	0	0	0	0	0		
Поправка на направленность источника Dc, дБ		Dc	DΩ + Di	**0**	0	0	0	0	0	0	0	0		
Затухание из-за геометрической дивергенции, Adiv, дБ		расстояние = 646.73 м	ф-ла (7) [10]	**67,2**										
Коэффициент затухания звука в атмосфере α, дБ/км		Ta=20,°C Pa=101.33,кПа hотн.=70%	ф-ла (5) [9]	0,02	0,09	0,33	1,12	2,79	4,98	9,04	23,09	77,63		
Учет затухания звука в атмосфере Aatm, дБ			ф-ла (8) [10]	0	0,1	0,2	0,7	1,8	3,2	5,8	14,9	50,2		
Снижение уровня звукового давления из-за влияния застройки между источником шума и расчетной точкой														
Длина звуковой волны для среднегеометрической частоты октавной полосы, λ, м				10,79	5,4	2,72	1,36	0,68	0,34	0,17	0,09	0,04		
Критерий наличия экранирования в горизонтальной плоскости	Горизонтальный размер экрана, lэкр = 64.27 м		lэкр > λ	да	да	да	да	да	да	да	да	да		
	Промежуточные точки:	Pss(x,y,z) = (588.22,-27.17,8.00)	Psr(x,y,z) = (579.11,-32.31,8.00)	dss = 280.02 м		dsr = 356.34 м		e = 10.46 м		z = 0.09 м				

1			2	3	4	5	6	7	8	9	10	11	12	13
Траектория над экраном	Константа С2, учитывающая эффект отражения от земли возле экрана			40	40	40	40	40	40	40	40	40		
	Константа С3 (дифракция на кромках)		ф-ла (15) [10]	1	1,1	1,3	1,9	2,5	2,9	3	3	3		
	K_{met} (влияние метеоусловий)		ф-ла (18) [10]	0	0	0	0	0	0	0	0	0		
	Снижение УЗД, Dz, дБ		ф-ла (14) [10]	4,8	4,8	4,8	4,8	4,8	4,8	4,8	4,8	4,8		
Траектория слева от экрана	Промежуточные точки:	Pss(x,y,z) = (578.70,-71.12,2.72)	Psr(x,y,z) = (469.27,-137.76,3.44)	dss = 311.63 м		dsr = 212.26 м		e = 128.13 м		z = 5.30 м				
	Константа С2, учитывающая эффект отражения от земли возле экрана			40	40	40	40	40	40	40	40	40		
	Константа С3 (дифракция на кромках)		ф-ла (15) [10]	2,3	2,8	2,9	3	3	3	3	3	3		
	K_{met} (влияние метеоусловий)		ф-ла (18) [10]	1	1	1	1	1	1	1	1	1		
	Снижение УЗД, Dz, дБ		ф-ла (14) [10]	16,8	20,5	23,6	26,7	29,7	32,7	35,7	38,7	41,7		
Траектория справа от экрана	Промежуточные точки:	Pss(x,y,z) = (549.08,-14.03,2.71)	Psr(x,y,z) = (549.08,-14.03,2.71)	dss = 309.09 м		dsr = 340.55 м		e = 0.00 м		z = 2.91 м				
	Константа С2, учитывающая эффект отражения от земли возле экрана			40	40	40	40	40	40	40	40	40		
	Константа С3 (дифракция на кромках)		ф-ла (15) [10]	1	1	1	1	1	1	1	1	1		
	K_{met} (влияние метеоусловий)		ф-ла (18) [10]	1	1	1	1	1	1	1	1	1		
	Снижение УЗД, Dz, дБ		ф-ла (14) [10]	11,4	13,9	16,6	19,5	22,4	25,4	28,4	31,4	34,4		
Общее снижение уровня звука препятствием Dz, дБ			Эн.сумма(-Dzi)	3,7	4,2	4,4	4,6	4,7	4,7	4,8	4,8	4,8		
Уровни звукового давления от источника ИШ-6-5 в расчётной точке днём, дБ			**ф-ла(3)[10]**	**0**	**24,9**	**25,8**	**26,5**	**25,6**	**23,7**	**17,8**	**4,5**	**0**	**27,5**	**27,5**
Уровни звукового давления от источника ИШ-6-5 в расчётной точке ночью, дБ			**ф-ла(3)[10]**	**0**	**24,9**	**25,8**	**26,5**	**25,6**	**23,7**	**17,8**	**4,5**	**0**	**27,5**	**27,5**

1			2	3	4	5	6	7	8	9	10	11	12	13
Источник шума: ИШ-6-6, координаты источника (x,y,z), м =[830.97,107.42,1.00]														
Уровни звуковой мощности источника днём, Lw, дБ			**исходные данные**	**0**	**96,3**	**97,7**	**99**	**99,3**	**98,9**	**95,6**	**91,4**	**86,9**		
Уровни звуковой мощности источника ночью, Lw, дБ			**исходные данные**	**0**	**96,3**	**97,7**	**99**	**99,3**	**98,9**	**95,6**	**91,4**	**86,9**		
Поправка на телесный угол DΩ, дБ		Ω = 12.57	10Lg(4π/Ω)	**0**	0	0	0	0	0	0	0	0		
Показатель направленности источника Di, дБ			исходные данные	**0**	0	0	0	0	0	0	0	0		
Поправка на направленность источника Dc, дБ		Dc	DΩ + Di	**0**	0	0	0	0	0	0	0	0		
Затухание из-за геометрической дивергенции, Adiv, дБ		расстояние = 644.36 м	ф-ла (7) [10]	**67,2**										
Коэффициент затухания звука в атмосфере α, дБ/км		Ta=20,°C Pa=101.33,кПа hотн.=70%	ф-ла (5) [9]	0,02	0,09	0,33	1,12	2,79	4,98	9,04	23,09	77,63		
Учет затухания звука в атмосфере Aatm, дБ			ф-ла (8) [10]	0	0,1	0,2	0,7	1,8	3,2	5,8	14,9	50		
Снижение уровня звукового давления из-за влияния застройки между источником шума и расчетной точкой														
Длина звуковой волны для среднегеометрической частоты октавной полосы, λ, м				10,79	5,4	2,72	1,36	0,68	0,34	0,17	0,09	0,04		
Критерий наличия экранирования в горизонтальной плоскости	Горизонтальный размер экрана, lэкр = 64.28 м		lэкр > λ	да	да	да	да	да	да	да	да	да		
Траектория над экраном	Промежуточные точки:	Pss(x,y,z) = (589.70,-27.67,8.00)	Psr(x,y,z) = (578.57,-33.90,8.00)	dss = 276.60 м		dsr = 355.10 м		e = 12.75 м		z = 0.09 м				
	Константа C2, учитывающая эффект отражения от земли возле экрана			40	40	40	40	40	40	40	40	40		
	Константа C3 (дифракция на кромках)		ф-ла (15) [10]	1	1,1	1,5	2,1	2,6	2,9	3	3	3		
	K_{met} (влияние метеоусловий)		ф-ла (18) [10]	0	0	0	0	0	0	0	0	0		

1			2	3	4	5	6	7	8	9	10	11	12	13
	Снижение УЗД, Dz, дБ		ф-ла (14) [10]	4,8	4,8	4,8	4,8	4,8	4,8	4,8	4,8	4,8		
Траектория слева от экрана	Промежуточные точки:	Pss(x,y,z) = (578.70,-71.12,2.72)	Psr(x,y,z) = (469.27,-137.76,3.43)	dss = 309.06 м		dsr = 212.26 м		e = 128.13 м		z = 5.09 м				
	Константа C2, учитывающая эффект отражения от земли возле экрана			40	40	40	40	40	40	40	40	40		
	Константа C3 (дифракция на кромках)		ф-ла (15) [10]	2,3	2,8	2,9	3	3	3	3	3	3		
	K_{met} (влияние метеоусловий)		ф-ла (18) [10]	1	1	1	1	1	1	1	1	1		
	Снижение УЗД, Dz, дБ		ф-ла (14) [10]	16,7	20,3	23,5	26,5	29,5	32,6	35,6	38,6	41,6		
Траектория справа от экрана	Промежуточные точки:	Pss(x,y,z) = (549.08,-14.03,2.71)	Psr(x,y,z) = (549.08,-14.03,2.71)	dss = 306.94 м		dsr = 340.55 м		e = 0.00 м		z = 3.13 м				
	Константа C2, учитывающая эффект отражения от земли возле экрана			40	40	40	40	40	40	40	40	40		
	Константа C3 (дифракция на кромках)		ф-ла (15) [10]	1	1	1	1	1	1	1	1	1		
	K_{met} (влияние метеоусловий)		ф-ла (18) [10]	1	1	1	1	1	1	1	1	1		
	Снижение УЗД, Dz, дБ		ф-ла (14) [10]	11,6	14,2	16,9	19,8	22,7	25,7	28,7	31,7	34,7		
Общее снижение уровня звука препятствием Dz, дБ			Эн.сумма(-Dzi)	3,7	4,2	4,5	4,6	4,7	4,7	4,8	4,8	4,8		
Уровни звукового давления от источника ИШ-6-6 в расчётной точке днём, дБ			**ф-ла(3)[10]**	**0**	**24,9**	**25,8**	**26,5**	**25,6**	**23,8**	**17,8**	**4,6**	**0**	**27,5**	**27,5**
Уровни звукового давления от источника ИШ-6-6 в расчётной точке ночью, дБ			**ф-ла(3)[10]**	**0**	**24,9**	**25,8**	**26,5**	**25,6**	**23,8**	**17,8**	**4,6**	**0**	**27,5**	**27,5**
Источник шума: ИШ-6-7, координаты источника (x,y,z), м =[830.30,104.49,1.00]														
Уровни звуковой мощности источника днём, Lw, дБ			**исходные данные**	**0**	**96,3**	**97,7**	**99**	**99,3**	**98,9**	**95,6**	**91,4**	**86,9**		
Уровни звуковой мощности источника ночью, Lw, дБ			**исходные данные**	**0**	**96,3**	**97,7**	**99**	**99,3**	**98,9**	**95,6**	**91,4**	**86,9**		

1			2	3	4	5	6	7	8	9	10	11	12	13
Поправка на телесный угол DΩ, дБ		Ω = 12.57	10Lg(4π/Ω)	**0**	0	0	0	0	0	0	0	0		
Показатель направленности источника Di, дБ			исходные данные	**0**	0	0	0	0	0	0	0	0		
Поправка на направленность источника Dc, дБ		Dc	DΩ + Di	**0**	0	0	0	0	0	0	0	0		
Затухание из-за геометрической дивергенции, Adiv, дБ		расстояние = 642.35 м	ф-ла (7) [10]	**67,2**										
Коэффициент затухания звука в атмосфере α, дБ/км		Ta=20,°C Pa=101.33,кПа hотн.=70%	ф-ла (5) [9]	0,02	0,09	0,33	1,12	2,79	4,98	9,04	23,09	77,63		
Учет затухания звука в атмосфере Aatm, дБ			ф-ла (8) [10]	0	0,1	0,2	0,7	1,8	3,2	5,8	14,8	49,9		
Снижение уровня звукового давления из-за влияния застройки между источником шума и расчетной точкой														
Длина звуковой волны для среднегеометрической частоты октавной полосы, λ, м				10,79	5,4	2,72	1,36	0,68	0,34	0,17	0,09	0,04		
Критерий наличия экранирования в горизонтальной плоскости	Горизонтальный размер экрана, lэкр = 64.28 м		lэкр > λ	да	да	да	да	да	да	да	да	да		
Траектория над экраном	Промежуточные точки:	Pss(x,y,z) = (591.34,-28.22,8.00)	Psr(x,y,z) = (577.99,-35.64,8.00)	dss = 273.42 м		dsr = 353.75 м		e = 15.27 м		z = 0.10 м				
	Константа C2, учитывающая эффект отражения от земли возле экрана			40	40	40	40	40	40	40	40	40		
	Константа C3 (дифракция на кромках)		ф-ла (15) [10]	1,1	1,2	1,6	2,3	2,7	2,9	3	3	3		
	K_{met} (влияние метеоусловий)		ф-ла (18) [10]	0	0	0	0	0	0	0	0	0		
	Снижение УЗД, Dz, дБ		ф-ла (14) [10]	4,8	4,8	4,8	4,8	4,8	4,8	4,8	4,8	4,8		
Траектория слева от экрана	Промежуточные точки:	Pss(x,y,z) = (578.70,-71.12,2.71)	Psr(x,y,z) = (469.27,-137.76,3.43)	dss = 306.83 м		dsr = 212.26 м		e = 128.13 м		z = 4.87 м				
	Константа C2, учитывающая эффект отражения от земли возле экрана			40	40	40	40	40	40	40	40	40		
	Константа C3 (дифракция на кромках)		ф-ла (15) [10]	2,3	2,8	2,9	3	3	3	3	3	3		

1			2	3	4	5	6	7	8	9	10	11	12	13
	K_{met} (влияние метеоусловий)		ф-ла (18) [10]	1	1	1	1	1	1	1	1	1		
	Снижение УЗД, Dz, дБ		ф-ла (14) [10]	16,5	20,1	23,3	26,3	29,4	32,4	35,4	38,4	41,4		
Траектория справа от экрана	Промежуточные точки:	Pss(x,y,z) = (549.08,-14.03,2.70)	Psr(x,y,z) = (549.08,-14.03,2.70)	dss = 305.17 м		dsr = 340.55 м		e = 0.00 м		z = 3.38 м				
	Константа C2, учитывающая эффект отражения от земли возле экрана			40	40	40	40	40	40	40	40	40		
	Константа C3 (дифракция на кромках)		ф-ла (15) [10]	1	1	1	1	1	1	1	1	1		
	K_{met} (влияние метеоусловий)		ф-ла (18) [10]	1	1	1	1	1	1	1	1	1		
	Снижение УЗД, Dz, дБ		ф-ла (14) [10]	11,9	14,5	17,2	20,1	23	26	29	32	35		
Общее снижение уровня звука препятствием Dz, дБ			Эн.сумма(-Dzi)	3,8	4,2	4,5	4,6	4,7	4,7	4,8	4,8	4,8		
Уровни звукового давления от источника ИШ-6-7 в расчётной точке днём, дБ			**ф-ла(3)[10]**	**0**	**24,9**	**25,8**	**26,5**	**25,6**	**23,8**	**17,9**	**4,6**	**0**	**27,6**	**27,6**
Уровни звукового давления от источника ИШ-6-7 в расчётной точке ночью, дБ			**ф-ла(3)[10]**	**0**	**24,9**	**25,8**	**26,5**	**25,6**	**23,8**	**17,9**	**4,6**	**0**	**27,6**	**27,6**
Источник шума: ИШ-6-8, координаты источника (x,y,z), м =[829.36,101.42,1.00]														
Уровни звуковой мощности источника днём, Lw, дБ			**исходные данные**	**0**	**96,3**	**97,7**	**99**	**99,3**	**98,9**	**95,6**	**91,4**	**86,9**		
Уровни звуковой мощности источника ночью, Lw, дБ			**исходные данные**	**0**	**96,3**	**97,7**	**99**	**99,3**	**98,9**	**95,6**	**91,4**	**86,9**		
Поправка на телесный угол DΩ, дБ		Ω = 12.57	10Lg(4π/Ω)	**0**	0	0	0	0	0	0	0	0		
Показатель направленности источника Di, дБ			исходные данные	**0**	0	0	0	0	0	0	0	0		
Поправка на направленность источника Dc, дБ		Dc	DΩ + Di	**0**	0	0	0	0	0	0	0	0		
Затухание из-за геометрической дивергенции, Adiv, дБ		расстояние = 640.05 м	ф-ла (7) [10]	**67,1**										

1			2	3	4	5	6	7	8	9	10	11	12	13
Коэффициент затухания звука в атмосфере α, дБ/км	Ta=20,°C Pa=101.33,кПа hотн.=70%		ф-ла (5) [9]	0,02	0,09	0,33	1,12	2,79	4,98	9,04	23,09	77,63		
Учет затухания звука в атмосфере Aatm, дБ			ф-ла (8) [10]	0	0,1	0,2	0,7	1,8	3,2	5,8	14,8	49,7		
Снижение уровня звукового давления из-за влияния застройки между источником шума и расчетной точкой														
Длина звуковой волны для среднегеометрической частоты октавной полосы, λ, м				10,79	5,4	2,72	1,36	0,68	0,34	0,17	0,09	0,04		
Критерий наличия экранирования в горизонтальной плоскости	Горизонтальный размер экрана, lэкр = 64.29 м		lэкр > λ	да	да	да	да	да	да	да	да	да		
Траектория над экраном	Промежуточные точки:	Pss(x,y,z) = (592.94,-28.81,8.00)	Psr(x,y,z) = (577.41,-37.36,8.00)	dss = 270.01 м		dsr = 352.40 м		e = 17.73 м		z = 0.10 м				
	Константа C2, учитывающая эффект отражения от земли возле экрана			40	40	40	40	40	40	40	40	40		
	Константа C3 (дифракция на кромках)		ф-ла (15) [10]	1,1	1,3	1,7	2,4	2,8	2,9	3	3	3		
	K_{met} (влияние метеоусловий)		ф-ла (18) [10]	0	0	0	0	0	0	0	0	0		
	Снижение УЗД, Dz, дБ		ф-ла (14) [10]	4,8	4,8	4,8	4,8	4,8	4,8	4,8	4,8	4,8		
Траектория слева от экрана	Промежуточные точки:	Pss(x,y,z) = (578.70,-71.12,2.70)	Psr(x,y,z) = (469.27,-137.76,3.42)	dss = 304.31 м		dsr = 212.26 м		e = 128.13 м		z = 4.66 м				
	Константа C2, учитывающая эффект отражения от земли возле экрана			40	40	40	40	40	40	40	40	40		
	Константа C3 (дифракция на кромках)		ф-ла (15) [10]	2,3	2,8	2,9	3	3	3	3	3	3		
	K_{met} (влияние метеоусловий)		ф-ла (18) [10]	1	1	1	1	1	1	1	1	1		
	Снижение УЗД, Dz, дБ		ф-ла (14) [10]	16,3	19,9	23,1	26,1	29,2	32,2	35,2	38,2	41,2		
	Промежуточные точки:	Pss(x,y,z) = (549.08,-14.03,2.69)	Psr(x,y,z) = (549.08,-14.03,2.69)	dss = 303.13 м		dsr = 340.55 м		e = 0.00 м		z = 3.64 м				
	Константа C2, учитывающая эффект отражения от земли возле экрана			40	40	40	40	40	40	40	40	40		

1		2	3	4	5	6	7	8	9	10	11	12	13
Траектория справа от экрана	Константа СЗ (дифракция на кромках)	ф-ла (15) [10]	1	1	1	1	1	1	1	1	1		
	K_{met} (влияние метеоусловий)	ф-ла (18) [10]	1	1	1	1	1	1	1	1	1		
	Снижение УЗД, Dz, дБ	ф-ла (14) [10]	12,2	14,8	17,5	20,4	23,4	26,3	29,3	32,3	35,3		
Общее снижение уровня звука препятствием Dz, дБ		Эн.сумма(-Dzi)	3,8	4,2	4,5	4,6	4,7	4,7	4,8	4,8	4,8		
Уровни звукового давления от источника ИШ-6-8 в расчётной точке днём, дБ		**ф-ла(3)[10]**	**0**	**24,9**	**25,9**	**26,5**	**25,7**	**23,8**	**17,9**	**4,7**	**0**	**27,6**	**27,6**
Уровни звукового давления от источника ИШ-6-8 в расчётной точке ночью, дБ		**ф-ла(3)[10]**	**0**	**24,9**	**25,9**	**26,5**	**25,7**	**23,8**	**17,9**	**4,7**	**0**	**27,6**	**27,6**
Источник шума: ИШ-6-9, координаты источника (x,y,z), м =[828.03,98.62,1.00]													
Уровни звуковой мощности источника днём, Lw, дБ		**исходные данные**	**0**	**96,3**	**97,7**	**99**	**99,3**	**98,9**	**95,6**	**91,4**	**86,9**		
Уровни звуковой мощности источника ночью, Lw, дБ		**исходные данные**	**0**	**96,3**	**97,7**	**99**	**99,3**	**98,9**	**95,6**	**91,4**	**86,9**		
Поправка на телесный угол DΩ, дБ	Ω = 12.57	10Lg(4π/Ω)	**0**	0	0	0	0	0	0	0	0		
Показатель направленности источника Di, дБ		исходные данные	**0**	0	0	0	0	0	0	0	0		
Поправка на направленность источника Dc, дБ	Dc	DΩ + Di	**0**	0	0	0	0	0	0	0	0		
Затухание из-за геометрической дивергенции, Adiv, дБ	расстояние = 637.53 м	ф-ла (7) [10]	**67,1**										
Коэффициент затухания звука в атмосфере α, дБ/км	Ta=20,°C Pa=101.33,кПа hотн.=70%	ф-ла (5) [9]	0,02	0,09	0,33	1,12	2,79	4,98	9,04	23,09	77,63		
Учет затухания звука в атмосфере Aatm, дБ		ф-ла (8) [10]	0	0,1	0,2	0,7	1,8	3,2	5,8	14,7	49,5		
Снижение уровня звукового давления из-за влияния застройки между источником шума и расчетной точкой													

1			2	3	4	5	6	7	8	9	10	11	12	13
Длина звуковой волны для среднегеометрической частоты октавной полосы, λ, м				10,79	5,4	2,72	1,36	0,68	0,34	0,17	0,09	0,04		
Критерий наличия экранирования в горизонтальной плоскости	Горизонтальный размер экрана, lэкр = 64.29 м		lэкр > λ	да	да	да	да	да	да	да	да	да		
Траектория над экраном	Промежуточные точки:	Pss(x,y,z) = (592.45,-30.28,8.00)	Psr(x,y,z) = (576.94,-38.76,8.00)	dss = 268.63 м		dsr = 351.32 м		e = 17.67 м		z = 0.10 м				
	Константа C2, учитывающая эффект отражения от земли возле экрана			40	40	40	40	40	40	40	40	40		
	Константа C3 (дифракция на кромках)		ф-ла (15) [10]	1,1	1,3	1,7	2,4	2,8	2,9	3	3	3		
	K_{met} (влияние метеоусловий)		ф-ла (18) [10]	0	0	0	0	0	0	0	0	0		
	Снижение УЗД, Dz, дБ		ф-ла (14) [10]	4,8	4,8	4,8	4,8	4,8	4,8	4,8	4,8	4,8		
Траектория слева от экрана	Промежуточные точки:	Pss(x,y,z) = (578.70,-71.12,2.70)	Psr(x,y,z) = (469.27,-137.76,3.42)	dss = 301.63 м		dsr = 212.26 м		e = 128.13 м		z = 4.49 м				
	Константа C2, учитывающая эффект отражения от земли возле экрана			40	40	40	40	40	40	40	40	40		
	Константа C3 (дифракция на кромках)		ф-ла (15) [10]	2,3	2,8	2,9	3	3	3	3	3	3		
	K_{met} (влияние метеоусловий)		ф-ла (18) [10]	1	1	1	1	1	1	1	1	1		
	Снижение УЗД, Dz, дБ		ф-ла (14) [10]	16,2	19,8	22,9	26	29	32	35	38	41		
Траектория справа от экрана	Промежуточные точки:	Pss(x,y,z) = (549.08,-14.03,2.69)	Psr(x,y,z) = (549.08,-14.03,2.69)	dss = 300.84 м		dsr = 340.55 м		e = 0.00 м		z = 3.86 м				
	Константа C2, учитывающая эффект отражения от земли возле экрана			40	40	40	40	40	40	40	40	40		
	Константа C3 (дифракция на кромках)		ф-ла (15) [10]	1	1	1	1	1	1	1	1	1		
	K_{met} (влияние метеоусловий)		ф-ла (18) [10]	1	1	1	1	1	1	1	1	1		
	Снижение УЗД, Dz, дБ		ф-ла (14) [10]	12,4	15	17,8	20,7	23,6	26,6	29,6	32,6	35,6		
Общее снижение уровня звука препятствием Dz, дБ			Эн.сумма(-Dzi)	3,8	4,3	4,5	4,6	4,7	4,7	4,8	4,8	4,8		

1			2	3	4	5	6	7	8	9	10	11	12	13
Уровни звукового давления от источника ИШ-6-9 в расчётной точке днём, дБ			**ф-ла(3)[10]**	**0**	**24,9**	**25,9**	**26,6**	**25,7**	**23,9**	**18**	**4,8**	**0**	**27,7**	**27,7**
Уровни звукового давления от источника ИШ-6-9 в расчётной точке ночью, дБ			**ф-ла(3)[10]**	**0**	**24,9**	**25,9**	**26,6**	**25,7**	**23,9**	**18**	**4,8**	**0**	**27,7**	**27,7**
Источник шума: ИШ-6-10, координаты источника (x,y,z), м =[827.23,95.55,1.00]														
Уровни звуковой мощности источника днём, Lw, дБ			**исходные данные**	**0**	**96,3**	**97,7**	**99**	**99,3**	**98,9**	**95,6**	**91,4**	**86,9**		
Уровни звуковой мощности источника ночью, Lw, дБ			**исходные данные**	**0**	**96,3**	**97,7**	**99**	**99,3**	**98,9**	**95,6**	**91,4**	**86,9**		
Поправка на телесный угол DΩ, дБ	Ω = 12.57		10Lg(4π/Ω)	**0**	0	0	0	0	0	0	0	0		
Показатель направленности источника Di, дБ			исходные данные	**0**	0	0	0	0	0	0	0	0		
Поправка на направленность источника Dc, дБ	Dc		DΩ + Di	**0**	0	0	0	0	0	0	0	0		
Затухание из-за геометрической дивергенции, Adiv, дБ	расстояние = 635.36 м		ф-ла (7) [10]	**67,1**										
Коэффициент затухания звука в атмосфере α, дБ/км	Ta=20,°C Pa=101.33,кПа hотн.=70%		ф-ла (5) [9]	0,02	0,09	0,33	1,12	2,79	4,98	9,04	23,09	77,63		
Учет затухания звука в атмосфере Aatm, дБ			ф-ла (8) [10]	0	0,1	0,2	0,7	1,8	3,2	5,7	14,7	49,3		
Снижение уровня звукового давления из-за влияния застройки между источником шума и расчетной точкой														
Длина звуковой волны для среднегеометрической частоты октавной полосы, λ, м				10,79	5,4	2,72	1,36	0,68	0,34	0,17	0,09	0,04		
Критерий наличия экранирования в горизонтальной плоскости	Горизонтальный размер экрана, lэкр = 64.30 м		lэкр > λ	да	да	да	да	да	да	да	да	да		
	Промежуточные точки:	Pss(x,y,z) = (591.82,-32.14,8.00)	Psr(x,y,z) = (576.35,-40.53,8.00)	dss = 267.90 м		dsr = 349.95 м		e = 17.60 м		z = 0.10 м				
	Константа C2, учитывающая эффект отражения от земли возле экрана			40	40	40	40	40	40	40	40	40		

1			2	3	4	5	6	7	8	9	10	11	12	13
Траектория над экраном	Константа С3 (дифракция на кромках)		ф-ла (15) [10]	1,1	1,2	1,7	2,4	2,8	2,9	3	3	3		
	K_{met} (влияние метеоусловий)		ф-ла (18) [10]	0	0	0	0	0	0	0	0	0		
	Снижение УЗД, Dz, дБ		ф-ла (14) [10]	4,8	4,8	4,8	4,8	4,8	4,8	4,8	4,8	4,8		
Траектория слева от экрана	Промежуточные точки:	Pss(x,y,z) = (578.70,-71.12,2.69)	Psr(x,y,z) = (469.27,-137.76,3.41)	dss = 299.25 м		dsr = 212.26 м		e = 128.13 м		z = 4.28 м				
	Константа С2, учитывающая эффект отражения от земли возле экрана			40	40	40	40	40	40	40	40	40		
	Константа С3 (дифракция на кромках)		ф-ла (15) [10]	2,3	2,8	2,9	3	3	3	3	3	3		
	K_{met} (влияние метеоусловий)		ф-ла (18) [10]	1	1	1	1	1	1	1	1	1		
	Снижение УЗД, Dz, дБ		ф-ла (14) [10]	16	19,6	22,7	25,8	28,8	31,8	34,8	37,8	40,8		
Траектория справа от экрана	Промежуточные точки:	Pss(x,y,z) = (549.08,-14.03,2.68)	Psr(x,y,z) = (549.08,-14.03,2.68)	dss = 298.96 м		dsr = 340.55 м		e = 0.00 м		z = 4.15 м				
	Константа С2, учитывающая эффект отражения от земли возле экрана			40	40	40	40	40	40	40	40	40		
	Константа С3 (дифракция на кромках)		ф-ла (15) [10]	1	1	1	1	1	1	1	1	1		
	K_{met} (влияние метеоусловий)		ф-ла (18) [10]	1	1	1	1	1	1	1	1	1		
	Снижение УЗД, Dz, дБ		ф-ла (14) [10]	12,6	15,3	18,1	21	23,9	26,9	29,9	32,9	35,9		
Общее снижение уровня звука препятствием Dz, дБ			Эн.сумма(-Dzi)	3,8	4,3	4,5	4,6	4,7	4,7	4,8	4,8	4,8		
Уровни звукового давления от источника ИШ-6-10 в расчётной точке днём, дБ			**ф-ла(3)[10]**	**0**	**24,9**	**25,9**	**26,6**	**25,8**	**23,9**	**18**	**4,9**	**0**	**27,7**	**27,7**
Уровни звукового давления от источника ИШ-6-10 в расчётной точке ночью, дБ			**ф-ла(3)[10]**	**0**	**24,9**	**25,9**	**26,6**	**25,8**	**23,9**	**18**	**4,9**	**0**	**27,7**	**27,7**
Источник шума: ИШ-6-11, координаты источника (x,y,z), м =[826.30,92.48,1.00]														

1			2	3	4	5	6	7	8	9	10	11	12	13
Уровни звуковой мощности источника днём, Lw, дБ			**исходные данные**	**0**	**96,3**	**97,7**	**99**	**99,3**	**98,9**	**95,6**	**91,4**	**86,9**		
Уровни звуковой мощности источника ночью, Lw, дБ			**исходные данные**	**0**	**96,3**	**97,7**	**99**	**99,3**	**98,9**	**95,6**	**91,4**	**86,9**		
Поправка на телесный угол DΩ, дБ		Ω = 12.57	10Lg(4π/Ω)	**0**	0	0	0	0	0	0	0	0		
Показатель направленности источника Di, дБ			исходные данные	**0**	0	0	0	0	0	0	0	0		
Поправка на направленность источника Dc, дБ		Dc	DΩ + Di	**0**	0	0	0	0	0	0	0	0		
Затухание из-за геометрической дивергенции, Adiv, дБ		расстояние = 633.08 м	ф-ла (7) [10]	**67**										
Коэффициент затухания звука в атмосфере α, дБ/км		Ta=20,°C Pa=101.33,кПа hотн.=70%	ф-ла (5) [9]	0,02	0,09	0,33	1,12	2,79	4,98	9,04	23,09	77,63		
Учет затухания звука в атмосфере Aatm, дБ			ф-ла (8) [10]	0	0,1	0,2	0,7	1,8	3,2	5,7	14,6	49,1		
Снижение уровня звукового давления из-за влияния застройки между источником шума и расчетной точкой														
Длина звуковой волны для среднегеометрической частоты октавной полосы, λ, м				10,79	5,4	2,72	1,36	0,68	0,34	0,17	0,09	0,04		
Критерий наличия экранирования в горизонтальной плоскости	Горизонтальный размер экрана, lэкр = 64.30 м		lэкр > λ	да	да	да	да	да	да	да	да	да		
Траектория над экраном	Промежуточные точки:	Pss(x,y,z) = (591.21,-33.96,8.00)	Psr(x,y,z) = (575.77,-42.26,8.00)	dss = 267.02 м		dsr = 348.62 м		e = 17.53 м		z = 0.10 м				
	Константа C2, учитывающая эффект отражения от земли возле экрана			40	40	40	40	40	40	40	40	40		
	Константа C3 (дифракция на кромках)		ф-ла (15) [10]	1,1	1,2	1,7	2,4	2,8	2,9	3	3	3		
	K_{met} (влияние метеоусловий)		ф-ла (18) [10]	0	0	0	0	0	0	0	0	0		
	Снижение УЗД, Dz, дБ		ф-ла (14) [10]	4,8	4,8	4,8	4,8	4,8	4,8	4,8	4,8	4,8		
	Промежуточные точки:	Pss(x,y,z) = (578.70,-71.12,2.68)	Psr(x,y,z) = (469.27,-137.76,3.41)	dss = 296.77 м		dsr = 212.26 м		e = 128.13 м		z = 4.08 м				

1			2	3	4	5	6	7	8	9	10	11	12	13
Траектория слева от экрана	Константа С2, учитывающая эффект отражения от земли возле экрана			40	40	40	40	40	40	40	40	40		
	Константа С3 (дифракция на кромках)		ф-ла (15) [10]	2,3	2,8	2,9	3	3	3	3	3	3		
	K_{met} (влияние метеоусловий)		ф-ла (18) [10]	1	1	1	1	1	1	1	1	1		
	Снижение УЗД, Dz, дБ		ф-ла (14) [10]	15,8	19,4	22,5	25,6	28,6	31,6	34,6	37,6	40,6		
Траектория справа от экрана	Промежуточные точки:	Pss(x,y,z) = (549.08,-14.03,2.68)	Psr(x,y,z) = (549.08,-14.03,2.68)	dss = 296.97 м		dsr = 340.55 м		e = 0.00 м		z = 4.45 м				
	Константа С2, учитывающая эффект отражения от земли возле экрана			40	40	40	40	40	40	40	40	40		
	Константа С3 (дифракция на кромках)		ф-ла (15) [10]	1	1	1	1	1	1	1	1	1		
	K_{met} (влияние метеоусловий)		ф-ла (18) [10]	1	1	1	1	1	1	1	1	1		
	Снижение УЗД, Dz, дБ		ф-ла (14) [10]	12,9	15,6	18,4	21,3	24,2	27,2	30,2	33,2	36,2		
Общее снижение уровня звука препятствием Dz, дБ			Эн.сумма(-Dzi)	3,9	4,3	4,5	4,6	4,7	4,7	4,8	4,8	4,8		
Уровни звукового давления от источника ИШ-6-11 в расчётной точке днём, дБ			**ф-ла(3)[10]**	**0**	**24,9**	**25,9**	**26,6**	**25,8**	**24**	**18,1**	**5**	**0**	**27,7**	**27,7**
Уровни звукового давления от источника ИШ-6-11 в расчётной точке ночью, дБ			**ф-ла(3)[10]**	**0**	**24,9**	**25,9**	**26,6**	**25,8**	**24**	**18,1**	**5**	**0**	**27,7**	**27,7**
Источник шума: ИШ-6-12, координаты источника (x,y,z), м =[825.09,89.54,1.00]														
Уровни звуковой мощности источника днём, Lw, дБ			**исходные данные**	**0**	**96,3**	**97,7**	**99**	**99,3**	**98,9**	**95,6**	**91,4**	**86,9**		
Уровни звуковой мощности источника ночью, Lw, дБ			**исходные данные**	**0**	**96,3**	**97,7**	**99**	**99,3**	**98,9**	**95,6**	**91,4**	**86,9**		
Поправка на телесный угол DΩ, дБ		Ω = 12.57	10Lg(4π/Ω)	**0**	0	0	0	0	0	0	0	0		
Показатель направленности источника Di, дБ			исходные данные	**0**	0	0	0	0	0	0	0	0		

1			2	3	4	5	6	7	8	9	10	11	12	13
Поправка на направленность источника Dc, дБ	Dc		DΩ + Di	**0**	0	0	0	0	0	0	0	0		
Затухание из-за геометрической дивергенции, Adiv, дБ	расстояние = 630.63 м		ф-ла (7) [10]	**67**										
Коэффициент затухания звука в атмосфере α, дБ/км	Ta=20,°C Pa=101.33,кПа hотн.=70%		ф-ла (5) [9]	0,02	0,09	0,33	1,12	2,79	4,98	9,04	23,09	77,63		
Учет затухания звука в атмосфере Aatm, дБ			ф-ла (8) [10]	0	0,1	0,2	0,7	1,8	3,1	5,7	14,6	49		
Снижение уровня звукового давления из-за влияния застройки между источником шума и расчетной точкой														
Длина звуковой волны для среднегеометрической частоты октавной полосы, λ, м				10,79	5,4	2,72	1,36	0,68	0,34	0,17	0,09	0,04		
Критерий наличия экранирования в горизонтальной плоскости	Горизонтальный размер экрана, lэкр = 64.31 м		lэкр > λ	да	да	да	да	да	да	да	да	да		
Траектория над экраном	Промежуточные точки:	Pss(x,y,z) = (590.66,-35.57,8.00)	Psr(x,y,z) = (575.25,-43.80,8.00)	dss = 265.82 м		dsr = 347.44 м		e = 17.47 м		z = 0.10 м				
	Константа C2, учитывающая эффект отражения от земли возле экрана			40	40	40	40	40	40	40	40	40		
	Константа C3 (дифракция на кромках)		ф-ла (15) [10]	1,1	1,2	1,7	2,4	2,8	2,9	3	3	3		
	K_{met} (влияние метеоусловий)		ф-ла (18) [10]	0	0	0	0	0	0	0	0	0		
	Снижение УЗД, Dz, дБ		ф-ла (14) [10]	4,8	4,8	4,8	4,8	4,8	4,8	4,8	4,8	4,8		
Траектория слева от экрана	Промежуточные точки:	Pss(x,y,z) = (578.70,-71.12,2.67)	Psr(x,y,z) = (469.27,-137.76,3.40)	dss = 294.15 м		dsr = 212.26 м		e = 128.13 м		z = 3.91 м				
	Константа C2, учитывающая эффект отражения от земли возле экрана			40	40	40	40	40	40	40	40	40		
	Константа C3 (дифракция на кромках)		ф-ла (15) [10]	2,3	2,8	2,9	3	3	3	3	3	3		
	K_{met} (влияние метеоусловий)		ф-ла (18) [10]	1	1	1	1	1	1	1	1	1		
	Снижение УЗД, Dz, дБ		ф-ла (14) [10]	15,6	19,2	22,4	25,4	28,4	31,4	34,4	37,4	40,4		

1			2	3	4	5	6	7	8	9	10	11	12	13
Траектория справа от экрана	Промежуточные точки:	Pss(x,y,z) = (549.08,-14.03,2.67)	Psr(x,y,z) = (549.08,-14.03,2.67)	dss = 294.81 м		dsr = 340.55 м		e = 0.00 м		z = 4.73 м				
	Константа C2, учитывающая эффект отражения от земли возле экрана			40	40	40	40	40	40	40	40	40		
	Константа C3 (дифракция на кромках)		ф-ла (15) [10]	1	1	1	1	1	1	1	1	1		
	K_{met} (влияние метеоусловий)		ф-ла (18) [10]	1	1	1	1	1	1	1	1	1		
	Снижение УЗД, Dz, дБ		ф-ла (14) [10]	13,1	15,8	18,6	21,5	24,5	27,5	30,5	33,5	36,5		
Общее снижение уровня звука препятствием Dz, дБ			Эн.сумма(-Dzi)	3,9	4,3	4,5	4,6	4,7	4,7	4,8	4,8	4,8		
Уровни звукового давления от источника ИШ-6-12 в расчётной точке днём, дБ			**ф-ла(3)[10]**	**0**	**24,9**	**26**	**26,6**	**25,8**	**24**	**18,1**	**5**	**0**	**27,8**	**27,8**
Уровни звукового давления от источника ИШ-6-12 в расчётной точке ночью, дБ			**ф-ла(3)[10]**	**0**	**24,9**	**26**	**26,6**	**25,8**	**24**	**18,1**	**5**	**0**	**27,8**	**27,8**
Источник шума: ИШ-6-13, координаты источника (x,y,z), м =[767.76,-114.15,1.00]														
Уровни звуковой мощности источника днём, Lw, дБ			**исходные данные**	**0**	**96,3**	**97,7**	**99**	**99,3**	**98,9**	**95,6**	**91,4**	**86,9**		
Уровни звуковой мощности источника ночью, Lw, дБ			**исходные данные**	**0**	**96,3**	**97,7**	**99**	**99,3**	**98,9**	**95,6**	**91,4**	**86,9**		
Поправка на телесный угол DΩ, дБ		Ω = 12.57	10Lg(4π/Ω)	**0**	0	0	0	0	0	0	0	0		
Показатель направленности источника Di, дБ			исходные данные	**0**	0	0	0	0	0	0	0	0		
Поправка на направленность источника Dc, дБ		Dc	DΩ + Di	**0**	0	0	0	0	0	0	0	0		
Затухание из-за геометрической дивергенции, Adiv, дБ		расстояние = 507.65 м	ф-ла (7) [10]	**65,1**										
Коэффициент затухания звука в атмосфере α, дБ/км		Ta=20,°C Pa=101.33,кПа hотн.=70%	ф-ла (5) [9]	0,02	0,09	0,33	1,12	2,79	4,98	9,04	23,09	77,63		

1		2	3	4	5	6	7	8	9	10	11	12	13
Учет затухания звука в атмосфере Aatm, дБ		ф-ла (8) [10]	0	0	0,2	0,6	1,4	2,5	4,6	11,7	39,4		
Снижение поверхностью земли возле источника As, дБ	Gs = 0 hs = 1м	ф-лы таб.3 [10]	-1,5	-1,5	-1,5	-1,5	-1,5	-1,5	-1,5	-1,5	-1,5		
Снижение поверхностью земли возле приёмника Ar, дБ	Gr = 1 hr = 4.6м	ф-лы таб.3 [10]	-1,5	-1,5	3,4	1,3	0	0	0	0	0		
Снижение поверхностью земли в средней зоне, Am дБ	Gm = 1	ф-лы таб.3 [10]	-2	-2	0	0	0	0	0	0	0		
Суммарное снижение поверхностью земли на траектории распространения звука Agr, дБ		ф-ла (9) [10]	-5	-5	1,9	-0,2	-1,5	-1,5	-1,5	-1,5	-1,5		
Уровни звукового давления прямого звука от источника ИШ-6-13 в расчётной точке днём, дБ		**ф-ла(3)[10]**	**0**	**36,1**	**30,5**	**33,5**	**34,3**	**32,8**	**27,4**	**16,1**	**0**	**36,3**	**36,3**
Уровни звукового давления прямого звука от источника ИШ-6-13 в расчётной точке ночью, дБ		**ф-ла(3)[10]**	**0**	**36,1**	**30,5**	**33,5**	**34,3**	**32,8**	**27,4**	**16,1**	**0**	**36,3**	**36,3**
Расчёт отражённого звука													
Уровни звукового давления от мнимого источника ИШ-6-13_мн.(1) в расчётной точке днём, дБ		**ф-ла(3)[10]**	**0**	**0**	**24,9**	**23,2**	**22,9**	**28,2**	**24,9**	**13,5**	**0**	**30,9**	**30,9**
Уровни звукового давления от мнимого источника ИШ-6-13_мн.(1) в расчётной точке ночью, дБ		**ф-ла(3)[10]**	**0**	**0**	**0**	**0**	**0**	**0**	**0**	**0**	**0**	**30,9**	**30,9**
Уровни звукового давления от источника ИШ-6-13 в расчётной точке днём, дБ		**ф-ла(3)[10]**	**0**	**36,1**	**31,6**	**33,9**	**34,6**	**34,1**	**29,3**	**18**	**0**	**37,4**	**37,4**
Уровни звукового давления от источника ИШ-6-13 в расчётной точке ночью, дБ		**ф-ла(3)[10]**	**0**	**36,1**	**31,6**	**33,9**	**34,6**	**34,1**	**29,3**	**18**	**0**	**37,4**	**37,4**
Источник шума: ИШ-6-14, координаты источника (x,y,z), м =[766.82,-117.10,1.00]													
Уровни звуковой мощности источника днём, Lw, дБ		**исходные данные**	**0**	**96,3**	**97,7**	**99**	**99,3**	**98,9**	**95,6**	**91,4**	**86,9**		
Уровни звуковой мощности источника ночью, Lw, дБ		**исходные данные**	**0**	**96,3**	**97,7**	**99**	**99,3**	**98,9**	**95,6**	**91,4**	**86,9**		
Поправка на телесный угол DΩ, дБ	Ω = 12.57	10Lg(4π/Ω)	**0**	0	0	0	0	0	0	0	0		
Показатель направленности источника Di, дБ		исходные данные	**0**	0	0	0	0	0	0	0	0		

1		2	3	4	5	6	7	8	9	10	11	12	13
Поправка на направленность источника Dc, дБ	Dc	DΩ + Di	**0**	0	0	0	0	0	0	0	0		
Затухание из-за геометрической дивергенции, Adiv, дБ	расстояние = 506.19 м	ф-ла (7) [10]	**65,1**										
Коэффициент затухания звука в атмосфере α, дБ/км	Ta=20,°C Pa=101.33,кПа hотн.=70%	ф-ла (5) [9]	0,02	0,09	0,33	1,12	2,79	4,98	9,04	23,09	77,63		
Учет затухания звука в атмосфере Aatm, дБ		ф-ла (8) [10]	0	0	0,2	0,6	1,4	2,5	4,6	11,7	39,3		
Снижение поверхностью земли возле источника As, дБ	Gs = 0 hs = 1м	ф-лы таб.3 [10]	-1,5	-1,5	-1,5	-1,5	-1,5	-1,5	-1,5	-1,5	-1,5		
Снижение поверхностью земли возле приёмника Ar, дБ	Gr = 1 hr = 4.6м	ф-лы таб.3 [10]	-1,5	-1,5	3,4	1,3	0	0	0	0	0		
Снижение поверхностью земли в средней зоне, Am дБ	Gm = 1	ф-лы таб.3 [10]	-2	-2	0	0	0	0	0	0	0		
Суммарное снижение поверхностью земли на траектории распространения звука Agr, дБ		ф-ла (9) [10]	-5	-5	1,9	-0,2	-1,5	-1,5	-1,5	-1,5	-1,5		
Уровни звукового давления прямого звука от источника ИШ-6-14 в расчётной точке днём, дБ		**ф-ла(3)[10]**	**0**	**36,2**	**30,6**	**33,6**	**34,3**	**32,8**	**27,4**	**16,1**	**0**	**36,4**	**36,4**
Уровни звукового давления прямого звука от источника ИШ-6-14 в расчётной точке ночью, дБ		**ф-ла(3)[10]**	**0**	**36,2**	**30,6**	**33,6**	**34,3**	**32,8**	**27,4**	**16,1**	**0**	**36,4**	**36,4**
Расчёт отражённого звука													
Уровни звукового давления от мнимого источника ИШ-6-14_мн.(1) в расчётной точке днём, дБ		**ф-ла(3)[10]**	**0**	**0**	**24,9**	**23,2**	**22,9**	**28,2**	**24,9**	**13,6**	**0**	**30,9**	**30,9**
Уровни звукового давления от мнимого источника ИШ-6-14_мн.(1) в расчётной точке ночью, дБ		**ф-ла(3)[10]**	**0**	**0**	**0**	**0**	**0**	**0**	**0**	**0**	**0**	**30,9**	**30,9**
Уровни звукового давления от источника ИШ-6-14 в расчётной точке днём, дБ		**ф-ла(3)[10]**	**0**	**36,2**	**31,6**	**33,9**	**34,6**	**34,1**	**29,4**	**18**	**0**	**37,4**	**37,4**
Уровни звукового давления от источника ИШ-6-14 в расчётной точке ночью, дБ		**ф-ла(3)[10]**	**0**	**36,2**	**31,6**	**33,9**	**34,6**	**34,1**	**29,4**	**18**	**0**	**37,4**	**37,4**

Источник шума: ИШ-6-15, координаты источника (x,y,z), м =[765.71,-120.27,1.00]

1		2	3	4	5	6	7	8	9	10	11	12	13
Уровни звуковой мощности источника днём, Lw, дБ		**исходные данные**	**0**	**96,3**	**97,7**	**99**	**99,3**	**98,9**	**95,6**	**91,4**	**86,9**		
Уровни звуковой мощности источника ночью, Lw, дБ		**исходные данные**	**0**	**96,3**	**97,7**	**99**	**99,3**	**98,9**	**95,6**	**91,4**	**86,9**		
Поправка на телесный угол DΩ, дБ	Ω = 12.57	10Lg(4π/Ω)	**0**	0	0	0	0	0	0	0	0		
Показатель направленности источника Di, дБ		исходные данные	**0**	0	0	0	0	0	0	0	0		
Поправка на направленность источника Dc, дБ	Dc	DΩ + Di	**0**	0	0	0	0	0	0	0	0		
Затухание из-за геометрической дивергенции, Adiv, дБ	расстояние = 504.55 м	ф-ла (7) [10]	**65,1**										
Коэффициент затухания звука в атмосфере α, дБ/км	Ta=20,°C Pa=101.33,кПа hотн.=70%	ф-ла (5) [9]	0,02	0,09	0,33	1,12	2,79	4,98	9,04	23,09	77,63		
Учет затухания звука в атмосфере Aatm, дБ		ф-ла (8) [10]	0	0	0,2	0,6	1,4	2,5	4,6	11,6	39,2		
Снижение поверхностью земли возле источника As, дБ	Gs = 0 hs = 1м	ф-лы таб.3 [10]	-1,5	-1,5	-1,5	-1,5	-1,5	-1,5	-1,5	-1,5	-1,5		
Снижение поверхностью земли возле приёмника Ar, дБ	Gr = 1 hr = 4.6м	ф-лы таб.3 [10]	-1,5	-1,5	3,4	1,3	0	0	0	0	0		
Снижение поверхностью земли в средней зоне, Am дБ	Gm = 1	ф-лы таб.3 [10]	-2	-2	0	0	0	0	0	0	0		
Суммарное снижение поверхностью земли на траектории распространения звука Agr, дБ		ф-ла (9) [10]	-5	-5	1,9	-0,2	-1,5	-1,5	-1,5	-1,5	-1,5		
Уровни звукового давления прямого звука от источника ИШ-6-15 в расчётной точке днём, дБ		**ф-ла(3)[10]**	**0**	**36,2**	**30,6**	**33,6**	**34,3**	**32,8**	**27,5**	**16,2**	**0**	**36,4**	**36,4**
Уровни звукового давления прямого звука от источника ИШ-6-15 в расчётной точке ночью, дБ		**ф-ла(3)[10]**	**0**	**36,2**	**30,6**	**33,6**	**34,3**	**32,8**	**27,5**	**16,2**	**0**	**36,4**	**36,4**
Расчёт отражённого звука													
Уровни звукового давления от мнимого источника ИШ-6-15_мн.(1) в расчётной точке днём, дБ		**ф-ла(3)[10]**	**0**	**0**	**25**	**23,2**	**23**	**28,3**	**25**	**13,6**	**0**	**31**	**31**
Уровни звукового давления от мнимого источника ИШ-6-15_мн.(1) в расчётной точке ночью, дБ		**ф-ла(3)[10]**	**0**	**0**	**0**	**0**	**0**	**0**	**0**	**0**	**0**	**31**	**31**

1		2	3	4	5	6	7	8	9	10	11	12	13
Уровни звукового давления от источника ИШ-6-15 в расчётной точке днём, дБ		**ф-ла(3)[10]**	**0**	**36,2**	**31,6**	**34**	**34,6**	**34,1**	**29,4**	**18,1**	**0**	**37,5**	**37,5**
Уровни звукового давления от источника ИШ-6-15 в расчётной точке ночью, дБ		**ф-ла(3)[10]**	**0**	**36,2**	**31,6**	**34**	**34,6**	**34,1**	**29,4**	**18,1**	**0**	**37,5**	**37,5**
Источник шума: ИШ-6-16, координаты источника (x,y,z), м =[764.57,-123.22,1.00]													
Уровни звуковой мощности источника днём, Lw, дБ		**исходные данные**	**0**	**96,3**	**97,7**	**99**	**99,3**	**98,9**	**95,6**	**91,4**	**86,9**		
Уровни звуковой мощности источника ночью, Lw, дБ		**исходные данные**	**0**	**96,3**	**97,7**	**99**	**99,3**	**98,9**	**95,6**	**91,4**	**86,9**		
Поправка на телесный угол DΩ, дБ	Ω = 12.57	10Lg(4π/Ω)	**0**	0	0	0	0	0	0	0	0		
Показатель направленности источника Di, дБ		исходные данные	**0**	0	0	0	0	0	0	0	0		
Поправка на направленность источника Dc, дБ	Dc	DΩ + Di	**0**	0	0	0	0	0	0	0	0		
Затухание из-за геометрической дивергенции, Adiv, дБ	расстояние = 502.93 м	ф-ла (7) [10]	**65**										
Коэффициент затухания звука в атмосфере α, дБ/км	Ta=20,°C Pa=101.33,кПа hотн.=70%	ф-ла (5) [9]	0,02	0,09	0,33	1,12	2,79	4,98	9,04	23,09	77,63		
Учет затухания звука в атмосфере Aatm, дБ		ф-ла (8) [10]	0	0	0,2	0,6	1,4	2,5	4,5	11,6	39		
Снижение поверхностью земли возле источника As, дБ	Gs = 0 hs = 1м	ф-лы таб.3 [10]	-1,5	-1,5	-1,5	-1,5	-1,5	-1,5	-1,5	-1,5	-1,5		
Снижение поверхностью земли возле приёмника Ar, дБ	Gr = 1 hr = 4.6м	ф-лы таб.3 [10]	-1,5	-1,5	3,4	1,3	0	0	0	0	0		
Снижение поверхностью земли в средней зоне, Am дБ	Gm = 1	ф-лы таб.3 [10]	-2	-2	0	0	0	0	0	0	0		
Суммарное снижение поверхностью земли на траектории распространения звука Agr, дБ		ф-ла (9) [10]	-5	-5	1,9	-0,2	-1,5	-1,5	-1,5	-1,5	-1,5		
Уровни звукового давления прямого звука от источника ИШ-6-16 в расчётной точке днём, дБ		**ф-ла(3)[10]**	**0**	**36,2**	**30,6**	**33,6**	**34,4**	**32,9**	**27,5**	**16,3**	**0**	**36,4**	**36,4**

1		2	3	4	5	6	7	8	9	10	11	12	13
Уровни звукового давления прямого звука от источника ИШ-6-16 в расчётной точке ночью, дБ		**ф-ла(3)[10]**	**0**	**36,2**	**30,6**	**33,6**	**34,4**	**32,9**	**27,5**	**16,3**	**0**	**36,4**	**36,4**
Расчёт отражённого звука													
Уровни звукового давления от мнимого источника ИШ-6-16_мн.(1) в расчётной точке днём, дБ		**ф-ла(3)[10]**	**0**	**0**	**25**	**23,3**	**23**	**28,3**	**25**	**13,7**	**0**	**31**	**31**
Уровни звукового давления от мнимого источника ИШ-6-16_мн.(1) в расчётной точке ночью, дБ		**ф-ла(3)[10]**	**0**	**0**	**0**	**0**	**0**	**0**	**0**	**0**	**0**	**31**	**31**
Уровни звукового давления от источника ИШ-6-16 в расчётной точке днём, дБ		**ф-ла(3)[10]**	**0**	**36,2**	**31,7**	**34**	**34,7**	**34,2**	**29,4**	**18,2**	**0**	**37,5**	**37,5**
Уровни звукового давления от источника ИШ-6-16 в расчётной точке ночью, дБ		**ф-ла(3)[10]**	**0**	**36,2**	**31,7**	**34**	**34,7**	**34,2**	**29,4**	**18,2**	**0**	**37,5**	**37,5**
Источник шума: ИШ-6-17, координаты источника (x,y,z), м =[763.57,-126.18,1.00]													
Уровни звуковой мощности источника днём, Lw, дБ		**исходные данные**	**0**	**96,3**	**97,7**	**99**	**99,3**	**98,9**	**95,6**	**91,4**	**86,9**		
Уровни звуковой мощности источника ночью, Lw, дБ		**исходные данные**	**0**	**96,3**	**97,7**	**99**	**99,3**	**98,9**	**95,6**	**91,4**	**86,9**		
Поправка на телесный угол DΩ, дБ	Ω = 12.57	10Lg(4π/Ω)	**0**	0	0	0	0	0	0	0	0		
Показатель направленности источника Di, дБ		исходные данные	**0**	0	0	0	0	0	0	0	0		
Поправка на направленность источника Dc, дБ	Dc	DΩ + Di	**0**	0	0	0	0	0	0	0	0		
Затухание из-за геометрической дивергенции, Adiv, дБ	расстояние = 501.45 м	ф-ла (7) [10]	**65**										
Коэффициент затухания звука в атмосфере α, дБ/км	Ta=20,°C Pa=101.33,кПа hотн.=70%	ф-ла (5) [9]	0,02	0,09	0,33	1,12	2,79	4,98	9,04	23,09	77,63		
Учет затухания звука в атмосфере Aatm, дБ		ф-ла (8) [10]	0	0	0,2	0,6	1,4	2,5	4,5	11,6	38,9		
Снижение поверхностью земли возле источника As, дБ	Gs = 0 hs = 1м	ф-лы таб.3 [10]	-1,5	-1,5	-1,5	-1,5	-1,5	-1,5	-1,5	-1,5	-1,5		

1		2	3	4	5	6	7	8	9	10	11	12	13
Снижение поверхностью земли возле приёмника Ar, дБ	Gr = 1 hr = 4.6м	ф-лы таб.3 [10]	-1,5	-1,5	3,4	1,3	0	0	0	0	0		
Снижение поверхностью земли в средней зоне, Am дБ	Gm = 1	ф-лы таб.3 [10]	-2	-2	0	0	0	0	0	0	0		
Суммарное снижение поверхностью земли на траектории распространения звука Agr, дБ		ф-ла (9) [10]	-5	-5	1,9	-0,2	-1,5	-1,5	-1,5	-1,5	-1,5		
Уровни звукового давления прямого звука от источника ИШ-6-17 в расчётной точке днём, дБ		**ф-ла(3)[10]**	**0**	**36,2**	**30,6**	**33,6**	**34,4**	**32,9**	**27,6**	**16,3**	**0**	**36,5**	**36,5**
Уровни звукового давления прямого звука от источника ИШ-6-17 в расчётной точке ночью, дБ		**ф-ла(3)[10]**	**0**	**36,2**	**30,6**	**33,6**	**34,4**	**32,9**	**27,6**	**16,3**	**0**	**36,5**	**36,5**
Расчёт отражённого звука													
Уровни звукового давления от мнимого источника ИШ-6-17_мн.(1) в расчётной точке днём, дБ		**ф-ла(3)[10]**	**0**	**0**	**25,1**	**23,3**	**23**	**28,3**	**25**	**13,8**	**0**	**31**	**31**
Уровни звукового давления от мнимого источника ИШ-6-17_мн.(1) в расчётной точке ночью, дБ		**ф-ла(3)[10]**	**0**	**0**	**0**	**0**	**0**	**0**	**0**	**0**	**0**	**31**	**31**
Уровни звукового давления от источника ИШ-6-17 в расчётной точке днём, дБ		**ф-ла(3)[10]**	**0**	**36,2**	**31,7**	**34**	**34,7**	**34,2**	**29,5**	**18,2**	**0**	**37,6**	**37,6**
Уровни звукового давления от источника ИШ-6-17 в расчётной точке ночью, дБ		**ф-ла(3)[10]**	**0**	**36,2**	**31,7**	**34**	**34,7**	**34,2**	**29,5**	**18,2**	**0**	**37,6**	**37,6**
Источник шума: ИШ-6-18, координаты источника (x,y,z), м =[804.77,-126.28,1.00]													
Уровни звуковой мощности источника днём, Lw, дБ		**исходные данные**	**0**	**96,3**	**97,7**	**99**	**99,3**	**98,9**	**95,6**	**91,4**	**86,9**		
Уровни звуковой мощности источника ночью, Lw, дБ		**исходные данные**	**0**	**96,3**	**97,7**	**99**	**99,3**	**98,9**	**95,6**	**91,4**	**86,9**		
Поправка на телесный угол DΩ, дБ	Ω = 12.57	10Lg(4π/Ω)	**0**	0	0	0	0	0	0	0	0		
Показатель направленности источника Di, дБ		исходные данные	**0**	0	0	0	0	0	0	0	0		
Поправка на направленность источника Dc, дБ	Dc	DΩ + Di	**0**	0	0	0	0	0	0	0	0		
Затухание из-за геометрической дивергенции, Adiv, дБ	расстояние = 542.14 м	ф-ла (7) [10]	**65,7**										

1		2	3	4	5	6	7	8	9	10	11	12	13
Коэффициент затухания звука в атмосфере α, дБ/км	Ta=20,°C Pa=101.33,кПа hотн.=70%	ф-ла (5) [9]	0,02	0,09	0,33	1,12	2,79	4,98	9,04	23,09	77,63		
Учет затухания звука в атмосфере Aatm, дБ		ф-ла (8) [10]	0	0	0,2	0,6	1,5	2,7	4,9	12,5	42,1		
Снижение поверхностью земли возле источника As, дБ	Gs = 0 hs = 1м	ф-лы таб.3 [10]	-1,5	-1,5	-1,5	-1,5	-1,5	-1,5	-1,5	-1,5	-1,5		
Снижение поверхностью земли возле приёмника Ar, дБ	Gr = 1 hr = 4.6м	ф-лы таб.3 [10]	-1,5	-1,5	3,4	1,3	0	0	0	0	0		
Снижение поверхностью земли в средней зоне, Am дБ	Gm = 1	ф-лы таб.3 [10]	-2,1	-2,1	0	0	0	0	0	0	0		
Суммарное снижение поверхностью земли на траектории распространения звука Agr, дБ		ф-ла (9) [10]	-5,1	-5,1	1,9	-0,2	-1,5	-1,5	-1,5	-1,5	-1,5		
Уровни звукового давления прямого звука от источника ИШ-6-18 в расчётной точке днём, дБ		**ф-ла(3)[10]**	**0**	**35,6**	**29,9**	**32,9**	**33,6**	**32**	**26,5**	**14,7**	**0**	**35,6**	**35,6**
Уровни звукового давления прямого звука от источника ИШ-6-18 в расчётной точке ночью, дБ		**ф-ла(3)[10]**	**0**	**35,6**	**29,9**	**32,9**	**33,6**	**32**	**26,5**	**14,7**	**0**	**35,6**	**35,6**
Расчёт отражённого звука													
Уровни звукового давления от мнимого источника ИШ-6-18_мн.(1) в расчётной точке днём, дБ		**ф-ла(3)[10]**	**0**	**0**	**24**	**22,6**	**22,3**	**27,5**	**24**	**12,1**	**0**	**30,1**	**30,1**
Уровни звукового давления от мнимого источника ИШ-6-18_мн.(1) в расчётной точке ночью, дБ		**ф-ла(3)[10]**	**0**	**0**	**0**	**0**	**0**	**0**	**0**	**0**	**0**	**30,1**	**30,1**
Уровни звукового давления от источника ИШ-6-18 в расчётной точке днём, дБ		**ф-ла(3)[10]**	**0**	**35,6**	**30,9**	**33,3**	**33,9**	**33,3**	**28,4**	**16,6**	**0**	**36,7**	**36,7**
Уровни звукового давления от источника ИШ-6-18 в расчётной точке ночью, дБ		**ф-ла(3)[10]**	**0**	**35,6**	**30,9**	**33,3**	**33,9**	**33,3**	**28,4**	**16,6**	**0**	**36,7**	**36,7**
Источник шума: ИШ-6-19, координаты источника (x,y,z), м =[803.81,-129.30,1.00]													
Уровни звуковой мощности источника днём, Lw, дБ		**исходные данные**	**0**	**96,3**	**97,7**	**99**	**99,3**	**98,9**	**95,6**	**91,4**	**86,9**		
Уровни звуковой мощности источника ночью, Lw, дБ		**исходные данные**	**0**	**96,3**	**97,7**	**99**	**99,3**	**98,9**	**95,6**	**91,4**	**86,9**		

1		2	3	4	5	6	7	8	9	10	11	12	13
Поправка на телесный угол DΩ, дБ	Ω = 12.57	10Lg(4π/Ω)	**0**	0	0	0	0	0	0	0	0		
Показатель направленности источника Di, дБ		исходные данные	**0**	0	0	0	0	0	0	0	0		
Поправка на направленность источника Dc, дБ	Dc	DΩ + Di	**0**	0	0	0	0	0	0	0	0		
Затухание из-за геометрической дивергенции, Adiv, дБ	расстояние = 540.74 м	ф-ла (7) [10]	**65,7**										
Коэффициент затухания звука в атмосфере α, дБ/км	Ta=20,°C Pa=101.33,кПа hотн.=70%	ф-ла (5) [9]	0,02	0,09	0,33	1,12	2,79	4,98	9,04	23,09	77,63		
Учет затухания звука в атмосфере Aatm, дБ		ф-ла (8) [10]	0	0	0,2	0,6	1,5	2,7	4,9	12,5	42		
Снижение поверхностью земли возле источника As, дБ	Gs = 0 hs = 1м	ф-лы таб.3 [10]	-1,5	-1,5	-1,5	-1,5	-1,5	-1,5	-1,5	-1,5	-1,5		
Снижение поверхностью земли возле приёмника Ar, дБ	Gr = 1 hr = 4.6м	ф-лы таб.3 [10]	-1,5	-1,5	3,4	1,3	0	0	0	0	0		
Снижение поверхностью земли в средней зоне, Am дБ	Gm = 1	ф-лы таб.3 [10]	-2,1	-2,1	0	0	0	0	0	0	0		
Суммарное снижение поверхностью земли на траектории распространения звука Agr, дБ		ф-ла (9) [10]	-5,1	-5,1	1,9	-0,2	-1,5	-1,5	-1,5	-1,5	-1,5		
Уровни звукового давления прямого звука от источника ИШ-6-19 в расчётной точке днём, дБ		**ф-ла(3)[10]**	**0**	**35,7**	**29,9**	**32,9**	**33,6**	**32**	**26,5**	**14,7**	**0**	**35,6**	**35,6**
Уровни звукового давления прямого звука от источника ИШ-6-19 в расчётной точке ночью, дБ		**ф-ла(3)[10]**	**0**	**35,7**	**29,9**	**32,9**	**33,6**	**32**	**26,5**	**14,7**	**0**	**35,6**	**35,6**
Расчёт отражённого звука													
Уровни звукового давления от мнимого источника ИШ-6-19_мн.(1) в расчётной точке днём, дБ		**ф-ла(3)[10]**	**0**	**0**	**24,1**	**22,6**	**22,3**	**27,5**	**24**	**12,2**	**0**	**30,1**	**30,1**
Уровни звукового давления от мнимого источника ИШ-6-19_мн.(1) в расчётной точке ночью, дБ		**ф-ла(3)[10]**	**0**	**0**	**0**	**0**	**0**	**0**	**0**	**0**	**0**	**30,1**	**30,1**
Уровни звукового давления от источника ИШ-6-19 в расчётной точке днём, дБ		**ф-ла(3)[10]**	**0**	**35,7**	**30,9**	**33,3**	**33,9**	**33,3**	**28,5**	**16,7**	**0**	**36,7**	**36,7**
Уровни звукового давления от источника ИШ-6-19 в расчётной точке ночью, дБ		**ф-ла(3)[10]**	**0**	**35,7**	**30,9**	**33,3**	**33,9**	**33,3**	**28,5**	**16,7**	**0**	**36,7**	**36,7**

1		2	3	4	5	6	7	8	9	10	11	12	13
Источник шума: ИШ-6-20, координаты источника (x,y,z), м =[802.67,-132.35,1.00]													
Уровни звуковой мощности источника днём, Lw, дБ		**исходные данные**	**0**	**96,3**	**97,7**	**99**	**99,3**	**98,9**	**95,6**	**91,4**	**86,9**		
Уровни звуковой мощности источника ночью, Lw, дБ		**исходные данные**	**0**	**96,3**	**97,7**	**99**	**99,3**	**98,9**	**95,6**	**91,4**	**86,9**		
Поправка на телесный угол DΩ, дБ	Ω = 12.57	10Lg(4π/Ω)	**0**	0	0	0	0	0	0	0	0		
Показатель направленности источника Di, дБ		исходные данные	**0**	0	0	0	0	0	0	0	0		
Поправка на направленность источника Dc, дБ	Dc	DΩ + Di	**0**	0	0	0	0	0	0	0	0		
Затухание из-за геометрической дивергенции, Adiv, дБ	расстояние = 539.18 м	ф-ла (7) [10]	**65,6**										
Коэффициент затухания звука в атмосфере α, дБ/км	Ta=20,°C Pa=101.33,кПа hотн.=70%	ф-ла (5) [9]	0,02	0,09	0,33	1,12	2,79	4,98	9,04	23,09	77,63		
Учет затухания звука в атмосфере Aatm, дБ		ф-ла (8) [10]	0	0	0,2	0,6	1,5	2,7	4,9	12,4	41,9		
Снижение поверхностью земли возле источника As, дБ	Gs = 0 hs = 1м	ф-лы таб.3 [10]	-1,5	-1,5	-1,5	-1,5	-1,5	-1,5	-1,5	-1,5	-1,5		
Снижение поверхностью земли возле приёмника Ar, дБ	Gr = 1 hr = 4.6м	ф-лы таб.3 [10]	-1,5	-1,5	3,4	1,3	0	0	0	0	0		
Снижение поверхностью земли в средней зоне, Am дБ	Gm = 1	ф-лы таб.3 [10]	-2,1	-2,1	0	0	0	0	0	0	0		
Суммарное снижение поверхностью земли на траектории распространения звука Agr, дБ		ф-ла (9) [10]	-5,1	-5,1	1,9	-0,2	-1,5	-1,5	-1,5	-1,5	-1,5		
Уровни звукового давления прямого звука от источника ИШ-6-20 в расчётной точке днём, дБ		**ф-ла(3)[10]**	**0**	**35,7**	**30**	**33**	**33,7**	**32,1**	**26,6**	**14,8**	**0**	**35,6**	**35,6**
Уровни звукового давления прямого звука от источника ИШ-6-20 в расчётной точке ночью, дБ		**ф-ла(3)[10]**	**0**	**35,7**	**30**	**33**	**33,7**	**32,1**	**26,6**	**14,8**	**0**	**35,6**	**35,6**
Расчёт отражённого звука													

1		2	3	4	5	6	7	8	9	10	11	12	13
Уровни звукового давления от мнимого источника ИШ-6-20_мн.(1) в расчётной точке днём, дБ		**ф-ла(3)[10]**	**0**	**0**	**24,1**	**22,6**	**22,3**	**27,5**	**24,1**	**12,3**	**0**	**30,2**	**30,2**
Уровни звукового давления от мнимого источника ИШ-6-20_мн.(1) в расчётной точке ночью, дБ		**ф-ла(3)[10]**	**0**	**0**	**0**	**0**	**0**	**0**	**0**	**0**	**0**	**30,2**	**30,2**
Уровни звукового давления от источника ИШ-6-20 в расчётной точке днём, дБ		**ф-ла(3)[10]**	**0**	**35,7**	**31**	**33,4**	**34**	**33,4**	**28,5**	**16,7**	**0**	**36,7**	**36,7**
Уровни звукового давления от источника ИШ-6-20 в расчётной точке ночью, дБ		**ф-ла(3)[10]**	**0**	**35,7**	**31**	**33,4**	**34**	**33,4**	**28,5**	**16,7**	**0**	**36,7**	**36,7**
Источник шума: ИШ-6-21, координаты источника (x,y,z), м =[801.69,-135.42,1.00]													
Уровни звуковой мощности источника днём, Lw, дБ		**исходные данные**	**0**	**96,3**	**97,7**	**99**	**99,3**	**98,9**	**95,6**	**91,4**	**86,9**		
Уровни звуковой мощности источника ночью, Lw, дБ		**исходные данные**	**0**	**96,3**	**97,7**	**99**	**99,3**	**98,9**	**95,6**	**91,4**	**86,9**		
Поправка на телесный угол DΩ, дБ	Ω = 12.57	10Lg(4π/Ω)	**0**	0	0	0	0	0	0	0	0		
Показатель направленности источника Di, дБ		исходные данные	**0**	0	0	0	0	0	0	0	0		
Поправка на направленность источника Dc, дБ	Dc	DΩ + Di	**0**	0	0	0	0	0	0	0	0		
Затухание из-за геометрической дивергенции, Adiv, дБ	расстояние = 537.79 м	ф-ла (7) [10]	**65,6**										
Коэффициент затухания звука в атмосфере α, дБ/км	Ta=20,°C Pa=101.33,кПа hотн.=70%	ф-ла (5) [9]	0,02	0,09	0,33	1,12	2,79	4,98	9,04	23,09	77,63		
Учет затухания звука в атмосфере Aatm, дБ		ф-ла (8) [10]	0	0	0,2	0,6	1,5	2,7	4,9	12,4	41,7		
Снижение поверхностью земли возле источника As, дБ	Gs = 0 hs = 1м	ф-лы таб.3 [10]	-1,5	-1,5	-1,5	-1,5	-1,5	-1,5	-1,5	-1,5	-1,5		
Снижение поверхностью земли возле приёмника Ar, дБ	Gr = 1 hr = 4.6м	ф-лы таб.3 [10]	-1,5	-1,5	3,4	1,3	0	0	0	0	0		
Снижение поверхностью земли в средней зоне, Am дБ	Gm = 1	ф-лы таб.3 [10]	-2,1	-2,1	0	0	0	0	0	0	0		

1		2	3	4	5	6	7	8	9	10	11	12	13
Суммарное снижение поверхностью земли на траектории распространения звука Agr, дБ		ф-ла (9) [10]	-5,1	-5,1	1,9	-0,2	-1,5	-1,5	-1,5	-1,5	-1,5		
Уровни звукового давления прямого звука от источника ИШ-6-21 в расчётной точке днём, дБ		**ф-ла(3)[10]**	**0**	**35,7**	**30**	**33**	**33,7**	**32,1**	**26,6**	**14,9**	**0**	**35,7**	**35,7**
Уровни звукового давления прямого звука от источника ИШ-6-21 в расчётной точке ночью, дБ		**ф-ла(3)[10]**	**0**	**35,7**	**30**	**33**	**33,7**	**32,1**	**26,6**	**14,9**	**0**	**35,7**	**35,7**
Расчёт отражённого звука													
Уровни звукового давления от мнимого источника ИШ-6-21_мн.(1) в расчётной точке днём, дБ		**ф-ла(3)[10]**	**0**	**0**	**24,1**	**22,6**	**22,3**	**27,6**	**24,1**	**12,3**	**0**	**30,2**	**30,2**
Уровни звукового давления от мнимого источника ИШ-6-21_мн.(1) в расчётной точке ночью, дБ		**ф-ла(3)[10]**	**0**	**0**	**0**	**0**	**0**	**0**	**0**	**0**	**0**	**30,2**	**30,2**
Уровни звукового давления от источника ИШ-6-21 в расчётной точке днём, дБ		**ф-ла(3)[10]**	**0**	**35,7**	**31**	**33,4**	**34**	**33,4**	**28,6**	**16,8**	**0**	**36,8**	**36,8**
Уровни звукового давления от источника ИШ-6-21 в расчётной точке ночью, дБ		**ф-ла(3)[10]**	**0**	**35,7**	**31**	**33,4**	**34**	**33,4**	**28,6**	**16,8**	**0**	**36,8**	**36,8**
Источник шума: ИШ-6-22, координаты источника (x,y,z), м =[800.65,-138.47,1.00]													
Уровни звуковой мощности источника днём, Lw, дБ		**исходные данные**	**0**	**96,3**	**97,7**	**99**	**99,3**	**98,9**	**95,6**	**91,4**	**86,9**		
Уровни звуковой мощности источника ночью, Lw, дБ		**исходные данные**	**0**	**96,3**	**97,7**	**99**	**99,3**	**98,9**	**95,6**	**91,4**	**86,9**		
Поправка на телесный угол DΩ, дБ	Ω = 12.57	10Lg(4π/Ω)	**0**	0	0	0	0	0	0	0	0		
Показатель направленности источника Di, дБ		исходные данные	**0**	0	0	0	0	0	0	0	0		
Поправка на направленность источника Dc, дБ	Dc	DΩ + Di	**0**	0	0	0	0	0	0	0	0		
Затухание из-за геометрической дивергенции, Adiv, дБ	расстояние = 536.35 м	ф-ла (7) [10]	**65,6**										
Коэффициент затухания звука в атмосфере α, дБ/км	Ta=20,°C Pa=101.33,кПа hотн.=70%	ф-ла (5) [9]	0,02	0,09	0,33	1,12	2,79	4,98	9,04	23,09	77,63		

1		2	3	4	5	6	7	8	9	10	11	12	13
Учет затухания звука в атмосфере Aatm, дБ		ф-ла (8) [10]	0	0	0,2	0,6	1,5	2,7	4,8	12,4	41,6		
Снижение поверхностью земли возле источника As, дБ	Gs = 0 hs = 1м	ф-лы таб.3 [10]	-1,5	-1,5	-1,5	-1,5	-1,5	-1,5	-1,5	-1,5	-1,5		
Снижение поверхностью земли возле приёмника Ar, дБ	Gr = 1 hr = 4.6м	ф-лы таб.3 [10]	-1,5	-1,5	3,4	1,3	0	0	0	0	0		
Снижение поверхностью земли в средней зоне, Am дБ	Gm = 1	ф-лы таб.3 [10]	-2,1	-2,1	0	0	0	0	0	0	0		
Суммарное снижение поверхностью земли на траектории распространения звука Agr, дБ		ф-ла (9) [10]	-5,1	-5,1	1,9	-0,2	-1,5	-1,5	-1,5	-1,5	-1,5		
Уровни звукового давления прямого звука от источника ИШ-6-22 в расчётной точке днём, дБ		**ф-ла(3)[10]**	**0**	**35,7**	**30**	**33**	**33,7**	**32,1**	**26,7**	**14,9**	**0**	**35,7**	**35,7**
Уровни звукового давления прямого звука от источника ИШ-6-22 в расчётной точке ночью, дБ		**ф-ла(3)[10]**	**0**	**35,7**	**30**	**33**	**33,7**	**32,1**	**26,7**	**14,9**	**0**	**35,7**	**35,7**
Расчёт отражённого звука													
Уровни звукового давления от мнимого источника ИШ-6-22_мн.(1) в расчётной точке днём, дБ		**ф-ла(3)[10]**	**0**	**0**	**24,2**	**22,7**	**22,4**	**27,6**	**24,1**	**12,4**	**0**	**30,2**	**30,2**
Уровни звукового давления от мнимого источника ИШ-6-22_мн.(1) в расчётной точке ночью, дБ		**ф-ла(3)[10]**	**0**	**0**	**0**	**0**	**0**	**0**	**0**	**0**	**0**	**30,2**	**30,2**
Уровни звукового давления от источника ИШ-6-22 в расчётной точке днём, дБ		**ф-ла(3)[10]**	**0**	**35,7**	**31**	**33,4**	**34**	**33,4**	**28,6**	**16,8**	**0**	**36,8**	**36,8**
Уровни звукового давления от источника ИШ-6-22 в расчётной точке ночью, дБ		**ф-ла(3)[10]**	**0**	**35,7**	**31**	**33,4**	**34**	**33,4**	**28,6**	**16,8**	**0**	**36,8**	**36,8**
Источник шума: ИШ-7-1, координаты источника (x,y,z), м =[821.44,63.31,1.00]													
Уровни звуковой мощности источника днём, Lw, дБ		**исходные данные**	**77**	**75**	**67**	**66**	**63**	**55**	**53**	**48**	**51**		
Уровни звуковой мощности источника ночью, Lw, дБ		**исходные данные**	**77**	**75**	**67**	**66**	**63**	**55**	**53**	**48**	**51**		
Поправка на телесный угол DΩ, дБ	Ω = 12.57	10Lg(4π/Ω)	**0**	0	0	0	0	0	0	0	0		
Показатель направленности источника Di, дБ		исходные данные	**0**	0	0	0	0	0	0	0	0		

1			2	3	4	5	6	7	8	9	10	11	12	13
Поправка на направленность источника Dc, дБ		Dc	DΩ + Di	**0**	0	0	0	0	0	0	0	0		
Затухание из-за геометрической дивергенции, Adiv, дБ		расстояние = 615.43 м	ф-ла (7) [10]	**66,8**										
Коэффициент затухания звука в атмосфере α, дБ/км		Ta=20,°C Pa=101.33,кПа hотн.=70%	ф-ла (5) [9]	0,02	0,09	0,33	1,12	2,79	4,98	9,04	23,09	77,63		
Учет затухания звука в атмосфере Aatm, дБ			ф-ла (8) [10]	0	0,1	0,2	0,7	1,7	3,1	5,6	14,2	47,8		
Снижение уровня звукового давления из-за влияния застройки между источником шума и расчетной точкой														
Траектория над экраном	Промежуточные точки:	Pss(x,y,z) = (584.96,-52.51,8.00)	Psr(x,y,z) = (569.84,-59.92,8.00)	dss = 263.42 м		dsr = 335.28 м		e = 16.84 м		z = 0.10 м				
	Константа C2, учитывающая эффект отражения от земли возле экрана			40	40	40	40	40	40	40	40	40		
	Константа C3 (дифракция на кромках)		ф-ла (15) [10]	1,1	1,2	1,7	2,3	2,8	2,9	3	3	3		
	K_{met} (влияние метеоусловий)		ф-ла (18) [10]	0	0	0	0	0	0	0	0	0		
	Снижение УЗД, Dz, дБ		ф-ла (14) [10]	4,8	4,8	4,8	4,8	4,8	4,8	4,8	4,8	4,9		
Уровни звукового давления от источника ИШ-7-1 в расчётной точке днём, дБ			**ф-ла(3)[10]**	**5,4**	**3,4**	**0**	**0**	**0**	**0**	**0**	**0**	**0**	**0**	**0**
Уровни звукового давления от источника ИШ-7-1 в расчётной точке ночью, дБ			**ф-ла(3)[10]**	**5,4**	**3,4**	**0**	**0**	**0**	**0**	**0**	**0**	**0**	**0**	**0**
Источник шума: ИШ-7-2, координаты источника (x,y,z), м =[768.90,-86.75,1.00]														
Уровни звуковой мощности источника днём, Lw, дБ			**исходные данные**	**77**	**75**	**67**	**66**	**63**	**55**	**53**	**48**	**51**		
Уровни звуковой мощности источника ночью, Lw, дБ			**исходные данные**	**77**	**75**	**67**	**66**	**63**	**55**	**53**	**48**	**51**		
Поправка на телесный угол DΩ, дБ		Ω = 12.57	10Lg(4π/Ω)	**0**	0	0	0	0	0	0	0	0		

1		2	3	4	5	6	7	8	9	10	11	12	13
Показатель направленности источника Di, дБ		исходные данные	**0**	0	0	0	0	0	0	0	0		
Поправка на направленность источника Dc, дБ	Dc	DΩ + Di	**0**	0	0	0	0	0	0	0	0		
Затухание из-за геометрической дивергенции, Adiv, дБ	расстояние = 514.50 м	ф-ла (7) [10]	**65,2**										
Коэффициент затухания звука в атмосфере α, дБ/км	Ta=20,°C Pa=101.33,кПа hотн.=70%	ф-ла (5) [9]	0,02	0,09	0,33	1,12	2,79	4,98	9,04	23,09	77,63		
Учет затухания звука в атмосфере Aatm, дБ		ф-ла (8) [10]	0	0	0,2	0,6	1,4	2,6	4,7	11,9	39,9		
Снижение поверхностью земли возле источника As, дБ	Gs = 0 hs = 1м	ф-лы таб.3 [10]	-1,5	-1,5	-1,5	-1,5	-1,5	-1,5	-1,5	-1,5	-1,5		
Снижение поверхностью земли возле приёмника Ar, дБ	Gr = 1 hr = 4.6м	ф-лы таб.3 [10]	-1,5	-1,5	3,4	1,3	0	0	0	0	0		
Снижение поверхностью земли в средней зоне, Am дБ	Gm = 1	ф-лы таб.3 [10]	-2	-2	0	0	0	0	0	0	0		
Суммарное снижение поверхностью земли на траектории распространения звука Agr, дБ		ф-ла (9) [10]	-5	-5	1,9	-0,2	-1,5	-1,5	-1,5	-1,5	-1,5		
Уровни звукового давления от источника ИШ-7-2 в расчётной точке днём, дБ		**ф-ла(3)[10]**	**16,8**	**14,7**	**0**	**0,4**	**0**	**0**	**0**	**0**	**0**	**0**	**0**
Уровни звукового давления от источника ИШ-7-2 в расчётной точке ночью, дБ		**ф-ла(3)[10]**	**16,8**	**14,7**	**0**	**0,4**	**0**	**0**	**0**	**0**	**0**	**0**	**0**
Источник шума: ИШ-7-3, координаты источника (x,y,z), м =[766.80,-93.20,1.00]													
Уровни звуковой мощности источника днём, Lw, дБ		**исходные данные**	**77**	**75**	**67**	**66**	**63**	**55**	**53**	**48**	**51**		
Уровни звуковой мощности источника ночью, Lw, дБ		**исходные данные**	**77**	**75**	**67**	**66**	**63**	**55**	**53**	**48**	**51**		
Поправка на телесный угол DΩ, дБ	Ω = 12.57	10Lg(4π/Ω)	**0**	0	0	0	0	0	0	0	0		
Показатель направленности источника Di, дБ		исходные данные	**0**	0	0	0	0	0	0	0	0		

1		2	3	4	5	6	7	8	9	10	11	12	13
Поправка на направленность источника Dc, дБ	Dc	DΩ + Di	**0**	0	0	0	0	0	0	0	0		
Затухание из-за геометрической дивергенции, Adiv, дБ	расстояние = 510.99 м	ф-ла (7) [10]	**65,2**										
Коэффициент затухания звука в атмосфере α, дБ/км	Ta=20,°C Pa=101.33,кПа hотн.=70%	ф-ла (5) [9]	0,02	0,09	0,33	1,12	2,79	4,98	9,04	23,09	77,63		
Учет затухания звука в атмосфере Aatm, дБ		ф-ла (8) [10]	0	0	0,2	0,6	1,4	2,5	4,6	11,8	39,7		
Снижение поверхностью земли возле источника As, дБ	Gs = 0 hs = 1м	ф-лы таб.3 [10]	-1,5	-1,5	-1,5	-1,5	-1,5	-1,5	-1,5	-1,5	-1,5		
Снижение поверхностью земли возле приёмника Ar, дБ	Gr = 1 hr = 4.6м	ф-лы таб.3 [10]	-1,5	-1,5	3,4	1,3	0	0	0	0	0		
Снижение поверхностью земли в средней зоне, Am дБ	Gm = 1	ф-лы таб.3 [10]	-2	-2	0	0	0	0	0	0	0		
Суммарное снижение поверхностью земли на траектории распространения звука Agr, дБ		ф-ла (9) [10]	-5	-5	1,9	-0,2	-1,5	-1,5	-1,5	-1,5	-1,5		
Уровни звукового давления от источника ИШ-7-3 в расчётной точке днём, дБ		**ф-ла(3)[10]**	**16,8**	**14,8**	**0**	**0,5**	**0**	**0**	**0**	**0**	**0**	**0**	**0**
Уровни звукового давления от источника ИШ-7-3 в расчётной точке ночью, дБ		**ф-ла(3)[10]**	**16,8**	**14,8**	**0**	**0,5**	**0**	**0**	**0**	**0**	**0**	**0**	**0**
Источник шума: ИШ-7-4, координаты источника (x,y,z), м =[866.76,37.18,1.00]													
Уровни звуковой мощности источника днём, Lw, дБ		**исходные данные**	**77**	**75**	**67**	**66**	**63**	**55**	**53**	**48**	**51**		
Уровни звуковой мощности источника ночью, Lw, дБ		**исходные данные**	**77**	**75**	**67**	**66**	**63**	**55**	**53**	**48**	**51**		
Поправка на телесный угол DΩ, дБ	Ω = 12.57	10Lg(4π/Ω)	**0**	0	0	0	0	0	0	0	0		
Показатель направленности источника Di, дБ		исходные данные	**0**	0	0	0	0	0	0	0	0		
Поправка на направленность источника Dc, дБ	Dc	DΩ + Di	**0**	0	0	0	0	0	0	0	0		

1			2	3	4	5	6	7	8	9	10	11	12	13
Затухание из-за геометрической дивергенции, Adiv, дБ		расстояние = 646.10 м	ф-ла (7) [10]	**67,2**										
Коэффициент затухания звука в атмосфере α, дБ/км		Ta=20,°C Pa=101.33,кПа hотн.=70%	ф-ла (5) [9]	0,02	0,09	0,33	1,12	2,79	4,98	9,04	23,09	77,63		
Учет затухания звука в атмосфере Aatm, дБ			ф-ла (8) [10]	0	0,1	0,2	0,7	1,8	3,2	5,8	14,9	50,2		
Снижение уровня звукового давления из-за влияния застройки между источником шума и расчетной точкой														
Траектория над экраном	Промежуточные точки:	Pss(x,y,z) = (469.64,-125.23,10.00)	Psr(x,y,z) = (452.64,-132.18,10.00)	dss = 429.15 м		dsr = 198.74 м		e = 18.37 м		z = 0.16 м				
	Константа C2, учитывающая эффект отражения от земли возле экрана			40	40	40	40	40	40	40	40	40		
	Константа C3 (дифракция на кромках)		ф-ла (15) [10]	1,1	1,3	1,8	2,4	2,8	2,9	3	3	3		
	K_{met} (влияние метеоусловий)		ф-ла (18) [10]	0	0	0	0	0	0	0	0	0		
	Снижение УЗД, Dz, дБ		ф-ла (14) [10]	4,8	4,8	4,8	4,8	4,8	4,9	5	5,2	5,6		
Уровни звукового давления от источника ИШ-7-4 в расчётной точке днём, дБ			**ф-ла(3)[10]**	**5**	**3**	**0**	**0**	**0**	**0**	**0**	**0**	**0**	**0**	**0**
Уровни звукового давления от источника ИШ-7-4 в расчётной точке ночью, дБ			**ф-ла(3)[10]**	**5**	**3**	**0**	**0**	**0**	**0**	**0**	**0**	**0**	**0**	**0**
Источник шума: ИШ-7-5, координаты источника (x,y,z), м =[861.80,21.34,1.00]														
Уровни звуковой мощности источника днём, Lw, дБ			**исходные данные**	**77**	**75**	**67**	**66**	**63**	**55**	**53**	**48**	**51**		
Уровни звуковой мощности источника ночью, Lw, дБ			**исходные данные**	**77**	**75**	**67**	**66**	**63**	**55**	**53**	**48**	**51**		
Поправка на телесный угол DΩ, дБ		Ω = 12.57	10Lg(4π/Ω)	**0**	0	0	0	0	0	0	0	0		
Показатель направленности источника Di, дБ			исходные данные	**0**	0	0	0	0	0	0	0	0		

1			2	3	4	5	6	7	8	9	10	11	12	13
Поправка на направленность источника Dc, дБ		Dc	DΩ + Di	**0**	0	0	0	0	0	0	0	0		
Затухание из-за геометрической дивергенции, Adiv, дБ		расстояние = 635.64 м	ф-ла (7) [10]	**67,1**										
Коэффициент затухания звука в атмосфере α, дБ/км		Ta=20,°C Pa=101.33,кПа hотн.=70%	ф-ла (5) [9]	0,02	0,09	0,33	1,12	2,79	4,98	9,04	23,09	77,63		
Учет затухания звука в атмосфере Aatm, дБ			ф-ла (8) [10]	0	0,1	0,2	0,7	1,8	3,2	5,7	14,7	49,3		
Снижение уровня звукового давления из-за влияния застройки между источником шума и расчетной точкой														
Траектория над экраном	Промежуточные точки:	Pss(x,y,z) = (472.24,-128.90,10.00)	Psr(x,y,z) = (458.57,-134.17,10.00)	dss = 417.62 м		dsr = 203.52 м		e = 14.65 м		z = 0.16 м				
	Константа C2, учитывающая эффект отражения от земли возле экрана			40	40	40	40	40	40	40	40	40		
	Константа C3 (дифракция на кромках)		ф-ла (15) [10]	1	1,2	1,6	2,2	2,7	2,9	3	3	3		
	K_{met} (влияние метеоусловий)		ф-ла (18) [10]	0	0	0	0	0	0	0	0	0		
	Снижение УЗД, Dz, дБ		ф-ла (14) [10]	4,8	4,8	4,8	4,8	4,8	4,9	5	5,2	5,6		
Уровни звукового давления от источника ИШ-7-5 в расчётной точке днём, дБ			**ф-ла(3)[10]**	**5,1**	**3,1**	**0**	**0**	**0**	**0**	**0**	**0**	**0**	**0**	**0**
Уровни звукового давления от источника ИШ-7-5 в расчётной точке ночью, дБ			**ф-ла(3)[10]**	**5,1**	**3,1**	**0**	**0**	**0**	**0**	**0**	**0**	**0**	**0**	**0**
Источник шума: ИШ-7-6, координаты источника (x,y,z), м =[856.52,5.94,1.00]														
Уровни звуковой мощности источника днём, Lw, дБ			**исходные данные**	**77**	**75**	**67**	**66**	**63**	**55**	**53**	**48**	**51**		
Уровни звуковой мощности источника ночью, Lw, дБ			**исходные данные**	**77**	**75**	**67**	**66**	**63**	**55**	**53**	**48**	**51**		
Поправка на телесный угол DΩ, дБ		Ω = 12.57	10Lg(4π/Ω)	**0**	0	0	0	0	0	0	0	0		

1			2	3	4	5	6	7	8	9	10	11	12	13
Показатель направленности источника Di, дБ			исходные данные	**0**	0	0	0	0	0	0	0	0		
Поправка на направленность источника Dc, дБ		Dc	DΩ + Di	**0**	0	0	0	0	0	0	0	0		
Затухание из-за геометрической дивергенции, Adiv, дБ		расстояние = 625.29 м	ф-ла (7) [10]	**66,9**										
Коэффициент затухания звука в атмосфере α, дБ/км		Ta=20,°C Pa=101.33,кПа hотн.=70%	ф-ла (5) [9]	0,02	0,09	0,33	1,12	2,79	4,98	9,04	23,09	77,63		
Учет затухания звука в атмосфере Aatm, дБ			ф-ла (8) [10]	0	0,1	0,2	0,7	1,7	3,1	5,7	14,4	48,5		
Снижение уровня звукового давления из-за влияния застройки между источником шума и расчетной точкой														
Траектория над экраном	Промежуточные точки:	Pss(x,y,z) = (470.47,-134.17,10.00)	Psr(x,y,z) = (464.75,-136.25,10.00)	dss = 410.78 м		dsr = 208.58 м		e = 6.09 м		z = 0.16 м				
	Константа C2, учитывающая эффект отражения от земли возле экрана			40	40	40	40	40	40	40	40	40		
	Константа C3 (дифракция на кромках)		ф-ла (15) [10]	1	1	1,1	1,4	2	2,6	2,9	3	3		
	K_{met} (влияние метеоусловий)		ф-ла (18) [10]	0	0	0	0	0	0	0	0	0		
	Снижение УЗД, Dz, дБ		ф-ла (14) [10]	4,8	4,8	4,8	4,8	4,8	4,9	5	5,2	5,6		
Уровни звукового давления от источника ИШ-7-6 в расчётной точке днём, дБ			**ф-ла(3)[10]**	**5,3**	**3,2**	**0**	**0**	**0**	**0**	**0**	**0**	**0**	**0**	**0**
Уровни звукового давления от источника ИШ-7-6 в расчётной точке ночью, дБ			**ф-ла(3)[10]**	**5,3**	**3,2**	**0**	**0**	**0**	**0**	**0**	**0**	**0**	**0**	**0**
Источник шума: ИШ-7-7, координаты источника (x,y,z), м =[851.06,-9.89,1.00]														
Уровни звуковой мощности источника днём, Lw, дБ			**исходные данные**	**77**	**75**	**67**	**66**	**63**	**55**	**53**	**48**	**51**		
Уровни звуковой мощности источника ночью, Lw, дБ			**исходные данные**	**77**	**75**	**67**	**66**	**63**	**55**	**53**	**48**	**51**		

1		2	3	4	5	6	7	8	9	10	11	12	13
Поправка на телесный угол DΩ, дБ	Ω = 12.57	10Lg(4π/Ω)	**0**	0	0	0	0	0	0	0	0		
Показатель направленности источника Di, дБ		исходные данные	**0**	0	0	0	0	0	0	0	0		
Поправка на направленность источника Dc, дБ	Dc	DΩ + Di	**0**	0	0	0	0	0	0	0	0		
Затухание из-за геометрической дивергенции, Adiv, дБ	расстояние = 614.89 м	ф-ла (7) [10]	**66,8**										
Коэффициент затухания звука в атмосфере α, дБ/км	Ta=20,°C Pa=101.33,кПа hотн.=70%	ф-ла (5) [9]	0,02	0,09	0,33	1,12	2,79	4,98	9,04	23,09	77,63		
Учет затухания звука в атмосфере Aatm, дБ		ф-ла (8) [10]	0	0,1	0,2	0,7	1,7	3,1	5,6	14,2	47,7		
Снижение поверхностью земли возле источника As, дБ	Gs = 0 hs = 1м	ф-лы таб.3 [10]	-1,5	-1,5	-1,5	-1,5	-1,5	-1,5	-1,5	-1,5	-1,5		
Снижение поверхностью земли возле приёмника Ar, дБ	Gr = 1 hr = 4.6м	ф-лы таб.3 [10]	-1,5	-1,5	3,5	1,3	0	0	0	0	0		
Снижение поверхностью земли в средней зоне, Am дБ	Gm = 1	ф-лы таб.3 [10]	-2,2	-2,2	0	0	0	0	0	0	0		
Суммарное снижение поверхностью земли на траектории распространения звука Agr, дБ		ф-ла (9) [10]	-5,2	-5,2	2	-0,2	-1,5	-1,5	-1,5	-1,5	-1,5		
Уровни звукового давления от источника ИШ-7-7 в расчётной точке днём, дБ		**ф-ла(3)[10]**	**15,4**	**13,3**	**0**	**0**	**0**	**0**	**0**	**0**	**0**	**0**	**0**
Уровни звукового давления от источника ИШ-7-7 в расчётной точке ночью, дБ		**ф-ла(3)[10]**	**15,4**	**13,3**	**0**	**0**	**0**	**0**	**0**	**0**	**0**	**0**	**0**
Источник шума: ИШ-7-8, координаты источника (x,y,z), м =[821.90,-104.30,1.00]													
Уровни звуковой мощности источника днём, Lw, дБ		**исходные данные**	**77**	**75**	**67**	**66**	**63**	**55**	**53**	**48**	**51**		
Уровни звуковой мощности источника ночью, Lw, дБ		**исходные данные**	**77**	**75**	**67**	**66**	**63**	**55**	**53**	**48**	**51**		
Поправка на телесный угол DΩ, дБ	Ω = 12.57	10Lg(4π/Ω)	**0**	0	0	0	0	0	0	0	0		

1		2	3	4	5	6	7	8	9	10	11	12	13
Показатель направленности источника Di, дБ		исходные данные	**0**	0	0	0	0	0	0	0	0		
Поправка на направленность источника Dc, дБ	Dc	DΩ + Di	**0**	0	0	0	0	0	0	0	0		
Затухание из-за геометрической дивергенции, Adiv, дБ	расстояние = 562.68 м	ф-ла (7) [10]	**66**										
Коэффициент затухания звука в атмосфере α, дБ/км	Ta=20,°C Pa=101.33,кПа hотн.=70%	ф-ла (5) [9]	0,02	0,09	0,33	1,12	2,79	4,98	9,04	23,09	77,63		
Учет затухания звука в атмосфере Aatm, дБ		ф-ла (8) [10]	0	0,1	0,2	0,6	1,6	2,8	5,1	13	43,7		
Снижение поверхностью земли возле источника As, дБ	Gs = 0 hs = 1м	ф-лы таб.3 [10]	-1,5	-1,5	-1,5	-1,5	-1,5	-1,5	-1,5	-1,5	-1,5		
Снижение поверхностью земли возле приёмника Ar, дБ	Gr = 1 hr = 4.6м	ф-лы таб.3 [10]	-1,5	-1,5	3,4	1,3	0	0	0	0	0		
Снижение поверхностью земли в средней зоне, Am дБ	Gm = 1	ф-лы таб.3 [10]	-2,1	-2,1	0	0	0	0	0	0	0		
Суммарное снижение поверхностью земли на траектории распространения звука Agr, дБ		ф-ла (9) [10]	-5,1	-5,1	1,9	-0,2	-1,5	-1,5	-1,5	-1,5	-1,5		
Уровни звукового давления от источника ИШ-7-8 в расчётной точке днём, дБ		**ф-ла(3)[10]**	**16,1**	**14**	**0**	**0**	**0**	**0**	**0**	**0**	**0**	**0**	**0**
Уровни звукового давления от источника ИШ-7-8 в расчётной точке ночью, дБ		**ф-ла(3)[10]**	**16,1**	**14**	**0**	**0**	**0**	**0**	**0**	**0**	**0**	**0**	**0**
Источник шума: ИШ-7-9, координаты источника (x,y,z), м =[819.93,-110.97,1.00]													
Уровни звуковой мощности источника днём, Lw, дБ		**исходные данные**	**77**	**75**	**67**	**66**	**63**	**55**	**53**	**48**	**51**		
Уровни звуковой мощности источника ночью, Lw, дБ		**исходные данные**	**77**	**75**	**67**	**66**	**63**	**55**	**53**	**48**	**51**		
Поправка на телесный угол DΩ, дБ	Ω = 12.57	10Lg(4π/Ω)	**0**	0	0	0	0	0	0	0	0		
Показатель направленности источника Di, дБ		исходные данные	**0**	0	0	0	0	0	0	0	0		

1		2	3	4	5	6	7	8	9	10	11	12	13
Поправка на направленность источника Dc, дБ	Dc	DΩ + Di	**0**	0	0	0	0	0	0	0	0		
Затухание из-за геометрической дивергенции, Adiv, дБ	расстояние = 559.56 м	ф-ла (7) [10]	**66**										
Коэффициент затухания звука в атмосфере α, дБ/км	Ta=20,°C Pa=101.33,кПа hотн.=70%	ф-ла (5) [9]	0,02	0,09	0,33	1,12	2,79	4,98	9,04	23,09	77,63		
Учет затухания звука в атмосфере Aatm, дБ		ф-ла (8) [10]	0	0,1	0,2	0,6	1,6	2,8	5,1	12,9	43,4		
Снижение поверхностью земли возле источника As, дБ	Gs = 0 hs = 1м	ф-лы таб.3 [10]	-1,5	-1,5	-1,5	-1,5	-1,5	-1,5	-1,5	-1,5	-1,5		
Снижение поверхностью земли возле приёмника Ar, дБ	Gr = 1 hr = 4.6м	ф-лы таб.3 [10]	-1,5	-1,5	3,4	1,3	0	0	0	0	0		
Снижение поверхностью земли в средней зоне, Am дБ	Gm = 1	ф-лы таб.3 [10]	-2,1	-2,1	0	0	0	0	0	0	0		
Суммарное снижение поверхностью земли на траектории распространения звука Agr, дБ		ф-ла (9) [10]	-5,1	-5,1	1,9	-0,2	-1,5	-1,5	-1,5	-1,5	-1,5		
Уровни звукового давления от источника ИШ-7-9 в расчётной точке днём, дБ		**ф-ла(3)[10]**	**16,1**	**14,1**	**0**	**0**	**0**	**0**	**0**	**0**	**0**	**0**	**0**
Уровни звукового давления от источника ИШ-7-9 в расчётной точке ночью, дБ		**ф-ла(3)[10]**	**16,1**	**14,1**	**0**	**0**	**0**	**0**	**0**	**0**	**0**	**0**	**0**
Источник шума: ИШ-7-10, координаты источника (x,y,z), м =[868.68,92.66,1.00]													
Уровни звуковой мощности источника днём, Lw, дБ		**исходные данные**	**77**	**75**	**67**	**66**	**63**	**55**	**53**	**48**	**51**		
Уровни звуковой мощности источника ночью, Lw, дБ		**исходные данные**	**77**	**75**	**67**	**66**	**63**	**55**	**53**	**48**	**51**		
Поправка на телесный угол DΩ, дБ	Ω = 12.57	10Lg(4π/Ω)	**0**	0	0	0	0	0	0	0	0		
Показатель направленности источника Di, дБ		исходные данные	**0**	0	0	0	0	0	0	0	0		
Поправка на направленность источника Dc, дБ	Dc	DΩ + Di	**0**	0	0	0	0	0	0	0	0		

1			2	3	4	5	6	7	8	9	10	11	12	13
Затухание из-за геометрической дивергенции, Adiv, дБ		расстояние = 670.78 м	ф-ла (7) [10]	**67,5**										
Коэффициент затухания звука в атмосфере α, дБ/км		Ta=20,°C Pa=101.33,кПа hотн.=70%	ф-ла (5) [9]	0,02	0,09	0,33	1,12	2,79	4,98	9,04	23,09	77,63		
Учет затухания звука в атмосфере Aatm, дБ			ф-ла (8) [10]	0	0,1	0,2	0,8	1,9	3,3	6,1	15,5	52,1		
Снижение уровня звукового давления из-за влияния застройки между источником шума и расчетной точкой														
Траектория над экраном	Промежуточные точки:	Pss(x,y,z) = (586.29,-48.57,8.00)	Psr(x,y,z) = (571.10,-56.17,8.00)	dss = 315.81 м		dsr = 338.07 м		e = 16.98 м		z = 0.09 м				
	Константа C2, учитывающая эффект отражения от земли возле экрана			40	40	40	40	40	40	40	40	40		
	Константа C3 (дифракция на кромках)		ф-ла (15) [10]	1,1	1,2	1,7	2,4	2,8	2,9	3	3	3		
	K_{met} (влияние метеоусловий)		ф-ла (18) [10]	0	0	0	0	0	0	0	0	0		
	Снижение УЗД, Dz, дБ		ф-ла (14) [10]	4,8	4,8	4,8	4,8	4,8	4,8	4,8	4,8	4,8		
Уровни звукового давления от источника ИШ-7-10 в расчётной точке днём, дБ			**ф-ла(3)[10]**	**4,7**	**2,6**	**0**	**0**	**0**	**0**	**0**	**0**	**0**	**0**	**0**
Уровни звукового давления от источника ИШ-7-10 в расчётной точке ночью, дБ			**ф-ла(3)[10]**	**4,7**	**2,6**	**0**	**0**	**0**	**0**	**0**	**0**	**0**	**0**	**0**
Источник шума: ИШ-7-11, координаты источника (x,y,z), м =[877.95,88.75,1.00]														
Уровни звуковой мощности источника днём, Lw, дБ			**исходные данные**	**77**	**75**	**67**	**66**	**63**	**55**	**53**	**48**	**51**		
Уровни звуковой мощности источника ночью, Lw, дБ			**исходные данные**	**77**	**75**	**67**	**66**	**63**	**55**	**53**	**48**	**51**		
Поправка на телесный угол DΩ, дБ		Ω = 12.57	10Lg(4π/Ω)	**0**	0	0	0	0	0	0	0	0		
Показатель направленности источника Di, дБ			исходные данные	**0**	0	0	0	0	0	0	0	0		

1		2	3	4	5	6	7	8	9	10	11	12	13
Поправка на направленность источника Dc, дБ	Dc	DΩ + Di	**0**	0	0	0	0	0	0	0	0		
Затухание из-за геометрической дивергенции, Adiv, дБ	расстояние = 677.37 м	ф-ла (7) [10]	**67,6**										
Коэффициент затухания звука в атмосфере α, дБ/км	Ta=20,°C Pa=101.33,кПа hотн.=70%	ф-ла (5) [9]	0,02	0,09	0,33	1,12	2,79	4,98	9,04	23,09	77,63		
Учет затухания звука в атмосфере Aatm, дБ		ф-ла (8) [10]	0	0,1	0,2	0,8	1,9	3,4	6,1	15,6	52,6		
Снижение уровня звукового давления из-за влияния застройки между источником шума и расчетной точкой													
Траектория над экраном	Промежуточные точки:	Pss(x,y,z) = (584.49,-53.90,8.00) Psr(x,y,z) = (450.19,-119.18,10.00)	dss = 326.36 м		dsr = 201.81 м		e = 149.35 м		z = 0.15 м				
	Константа C2, учитывающая эффект отражения от земли возле экрана		40	40	40	40	40	40	40	40	40		
	Константа C3 (дифракция на кромках)	ф-ла (15) [10]	2,4	2,8	3	3	3	3	3	3	3		
	K_{met} (влияние метеоусловий)	ф-ла (18) [10]	0	0	0	0	0	0	0	0	0		
	Снижение УЗД, Dz, дБ	ф-ла (14) [10]	4,8	4,8	4,8	4,8	4,9	4,9	5,1	5,4	6		
Уровни звукового давления от источника ИШ-7-11 в расчётной точке днём, дБ		**ф-ла(3)[10]**	**4,6**	**2,5**	**0**	**0**	**0**	**0**	**0**	**0**	**0**	**0**	**0**
Уровни звукового давления от источника ИШ-7-11 в расчётной точке ночью, дБ		**ф-ла(3)[10]**	**4,6**	**2,5**	**0**	**0**	**0**	**0**	**0**	**0**	**0**	**0**	**0**
Источник шума: ИШ-7-12, координаты источника (x,y,z), м =[887.42,85.45,1.00]													
Уровни звуковой мощности источника днём, Lw, дБ		**исходные данные**	**77**	**75**	**67**	**66**	**63**	**55**	**53**	**48**	**51**		
Уровни звуковой мощности источника ночью, Lw, дБ		**исходные данные**	**77**	**75**	**67**	**66**	**63**	**55**	**53**	**48**	**51**		
Поправка на телесный угол DΩ, дБ	Ω = 12.57	10Lg(4π/Ω)	**0**	0	0	0	0	0	0	0	0		

1			2	3	4	5	6	7	8	9	10	11	12	13
Показатель направленности источника Di, дБ			исходные данные	**0**	0	0	0	0	0	0	0	0		
Поправка на направленность источника Dc, дБ		Dc	DΩ + Di	**0**	0	0	0	0	0	0	0	0		
Затухание из-за геометрической дивергенции, Adiv, дБ		расстояние = 684.48 м	ф-ла (7) [10]	**67,7**										
Коэффициент затухания звука в атмосфере α, дБ/км		Ta=20,°C Pa=101.33,кПа hотн.=70%	ф-ла (5) [9]	0,02	0,09	0,33	1,12	2,79	4,98	9,04	23,09	77,63		
Учет затухания звука в атмосфере Aatm, дБ			ф-ла (8) [10]	0	0,1	0,2	0,8	1,9	3,4	6,2	15,8	53,1		
Снижение уровня звукового давления из-за влияния застройки между источником шума и расчетной точкой														
Траектория над экраном	Промежуточные точки:	Pss(x,y,z) = (582.88,-58.70,8.00)	Psr(x,y,z) = (449.26,-121.94,10.00)	dss = 337.01 м		dsr = 199.78 м		e = 147.84 м		z = 0.15 м				
	Константа C2, учитывающая эффект отражения от земли возле экрана			40	40	40	40	40	40	40	40	40		
	Константа C3 (дифракция на кромках)		ф-ла (15) [10]	2,4	2,8	3	3	3	3	3	3	3		
	K_{met} (влияние метеоусловий)		ф-ла (18) [10]	0	0	0	0	0	0	0	0	0		
	Снижение УЗД, Dz, дБ		ф-ла (14) [10]	4,8	4,8	4,8	4,8	4,8	4,9	5,1	5,4	5,9		
Уровни звукового давления от источника ИШ-7-12 в расчётной точке днём, дБ			**ф-ла(3)[10]**	**4,5**	**2,4**	**0**	**0**	**0**	**0**	**0**	**0**	**0**	**0**	**0**
Уровни звукового давления от источника ИШ-7-12 в расчётной точке ночью, дБ			**ф-ла(3)[10]**	**4,5**	**2,4**	**0**	**0**	**0**	**0**	**0**	**0**	**0**	**0**	**0**
Источник шума: ИШ-6-23, координаты источника (x,y,z), м =[756.16,-136.23,3.00]														
Уровни звуковой мощности источника днём, Lw, дБ			**исходные данные**	**91**	**91**	**91**	**91**	**91**	**91**	**91**	**91**	**91**		
Уровни звуковой мощности источника ночью, Lw, дБ			**исходные данные**	**91**	**91**	**91**	**91**	**91**	**91**	**91**	**91**	**91**		

1		2	3	4	5	6	7	8	9	10	11	12	13
Поправка на телесный угол DΩ, дБ	Ω = 12.57	10Lg(4π/Ω)	**0**	0	0	0	0	0	0	0	0		
Показатель направленности источника Di, дБ		исходные данные	**0**	0	0	0	0	0	0	0	0		
Поправка на направленность источника Dc, дБ	Dc	DΩ + Di	**0**	0	0	0	0	0	0	0	0		
Затухание из-за геометрической дивергенции, Adiv, дБ	расстояние = 492.58 м	ф-ла (7) [10]	**64,8**										
Коэффициент затухания звука в атмосфере α, дБ/км	Ta=20,°C Pa=101.33,кПа hотн.=70%	ф-ла (5) [9]	0,02	0,09	0,33	1,12	2,79	4,98	9,04	23,09	77,63		
Учет затухания звука в атмосфере Aatm, дБ		ф-ла (8) [10]	0	0	0,2	0,6	1,4	2,5	4,5	11,4	38,2		
Снижение поверхностью земли возле источника As, дБ	Gs = 0 hs = 3м	ф-лы таб.3 [10]	-1,5	-1,5	-1,5	-1,5	-1,5	-1,5	-1,5	-1,5	-1,5		
Снижение поверхностью земли возле приёмника Ar, дБ	Gr = 1 hr = 4.6м	ф-лы таб.3 [10]	-1,5	-1,5	3,4	1,3	0	0	0	0	0		
Снижение поверхностью земли в средней зоне, Am дБ	Gm = 1	ф-лы таб.3 [10]	-1,6	-1,6	0	0	0	0	0	0	0		
Суммарное снижение поверхностью земли на траектории распространения звука Agr, дБ		ф-ла (9) [10]	-4,6	-4,6	1,9	-0,2	-1,5	-1,5	-1,5	-1,5	-1,5		
Уровни звукового давления прямого звука от источника ИШ-6-23 в расчётной точке днём, дБ		**ф-ла(3)[10]**	**30,7**	**30,7**	**24,1**	**25,8**	**26,3**	**25,2**	**23,2**	**16,3**	**0**	**29,7**	**29,7**
Уровни звукового давления прямого звука от источника ИШ-6-23 в расчётной точке ночью, дБ		**ф-ла(3)[10]**	**30,7**	**30,7**	**24,1**	**25,8**	**26,3**	**25,2**	**23,2**	**16,3**	**0**	**29,7**	**29,7**
Расчёт отражённого звука													
Уровни звукового давления от мнимого источника ИШ-6-23_мн.(1) в расчётной точке днём, дБ		**ф-ла(3)[10]**	**0**	**0**	**18,5**	**19,5**	**23,5**	**22,7**	**20,7**	**13,7**	**0**	**26,9**	**26,9**
Уровни звукового давления от мнимого источника ИШ-6-23_мн.(1) в расчётной точке ночью, дБ		**ф-ла(3)[10]**	**0**	**0**	**0**	**0**	**0**	**0**	**0**	**0**	**0**	**26,9**	**26,9**
Уровни звукового давления от источника ИШ-6-23 в расчётной точке днём, дБ		**ф-ла(3)[10]**	**30,7**	**30,7**	**25,2**	**26,7**	**28,1**	**27,1**	**25,1**	**18,2**	**0**	**31,5**	**31,5**
Уровни звукового давления от источника ИШ-6-23 в расчётной точке ночью, дБ		**ф-ла(3)[10]**	**30,7**	**30,7**	**25,2**	**26,7**	**28,1**	**27,1**	**25,1**	**18,2**	**0**	**31,5**	**31,5**

1		2	3	4	5	6	7	8	9	10	11	12	13
Источник шума: ИШ-6-24, координаты источника (x,y,z), м =[800.98,-151.27,3.00]													
Уровни звуковой мощности источника днём, Lw, дБ		**исходные данные**	**91**	**91**	**91**	**91**	**91**	**91**	**91**	**91**	**91**		
Уровни звуковой мощности источника ночью, Lw, дБ		**исходные данные**	**91**	**91**	**91**	**91**	**91**	**91**	**91**	**91**	**91**		
Поправка на телесный угол DΩ, дБ	Ω = 12.57	10Lg(4π/Ω)	**0**	0	0	0	0	0	0	0	0		
Показатель направленности источника Di, дБ		исходные данные	**0**	0	0	0	0	0	0	0	0		
Поправка на направленность источника Dc, дБ	Dc	DΩ + Di	**0**	0	0	0	0	0	0	0	0		
Затухание из-за геометрической дивергенции, Adiv, дБ	расстояние = 535.18 м	ф-ла (7) [10]	**65,6**										
Коэффициент затухания звука в атмосфере α, дБ/км	Ta=20,°C Pa=101.33,кПа hотн.=70%	ф-ла (5) [9]	0,02	0,09	0,33	1,12	2,79	4,98	9,04	23,09	77,63		
Учет затухания звука в атмосфере Aatm, дБ		ф-ла (8) [10]	0	0	0,2	0,6	1,5	2,7	4,8	12,4	41,5		
Снижение поверхностью земли возле источника As, дБ	Gs = 0 hs = 3м	ф-лы таб.3 [10]	-1,5	-1,5	-1,5	-1,5	-1,5	-1,5	-1,5	-1,5	-1,5		
Снижение поверхностью земли возле приёмника Ar, дБ	Gr = 1 hr = 4.6м	ф-лы таб.3 [10]	-1,5	-1,5	3,4	1,3	0	0	0	0	0		
Снижение поверхностью земли в средней зоне, Am дБ	Gm = 1	ф-лы таб.3 [10]	-1,7	-1,7	0	0	0	0	0	0	0		
Суммарное снижение поверхностью земли на траектории распространения звука Agr, дБ		ф-ла (9) [10]	-4,7	-4,7	1,9	-0,2	-1,5	-1,5	-1,5	-1,5	-1,5		
Уровни звукового давления прямого звука от источника ИШ-6-24 в расчётной точке днём, дБ		**ф-ла(3)[10]**	**30,1**	**30,1**	**23,3**	**25**	**25,4**	**24,3**	**22,1**	**14,6**	**0**	**28,7**	**28,7**
Уровни звукового давления прямого звука от источника ИШ-6-24 в расчётной точке ночью, дБ		**ф-ла(3)[10]**	**30,1**	**30,1**	**23,3**	**25**	**25,4**	**24,3**	**22,1**	**14,6**	**0**	**28,7**	**28,7**
Расчёт отражённого звука													

1		2	3	4	5	6	7	8	9	10	11	12	13
Уровни звукового давления от мнимого источника ИШ-6-24_мн.(1) в расчётной точке днём, дБ		**ф-ла(3)[10]**	**0**	**0**	**17,6**	**18,7**	**22,7**	**21,7**	**19,6**	**12**	**0**	**25,9**	**25,9**
Уровни звукового давления от мнимого источника ИШ-6-24_мн.(1) в расчётной точке ночью, дБ		**ф-ла(3)[10]**	**0**	**0**	**0**	**0**	**0**	**0**	**0**	**0**	**0**	**25,9**	**25,9**
Уровни звукового давления от источника ИШ-6-24 в расчётной точке днём, дБ		**ф-ла(3)[10]**	**30,1**	**30,1**	**24,4**	**25,9**	**27,3**	**26,2**	**24**	**16,5**	**0**	**30,5**	**30,5**
Уровни звукового давления от источника ИШ-6-24 в расчётной точке ночью, дБ		**ф-ла(3)[10]**	**30,1**	**30,1**	**24,4**	**25,9**	**27,3**	**26,2**	**24**	**16,5**	**0**	**30,5**	**30,5**
Источник шума: ИШ-10-1, координаты источника (x,y,z), м =[17.37,413.17,1.00]													
Уровни звуковой мощности источника днём, Lw, дБ		**исходные данные**	**0**	**98,3**	**99,7**	**101**	**101,3**	**100,9**	**97,6**	**93,4**	**88,9**		
Уровни звуковой мощности источника ночью, Lw, дБ		**исходные данные**	**0**	**98,3**	**99,7**	**101**	**101,3**	**100,9**	**97,6**	**93,4**	**88,9**		
Поправка на телесный угол DΩ, дБ	Ω = 6.28	10Lg(4π/Ω)	**3**	3	3	3	3	3	3	3	3		
Показатель направленности источника Di, дБ		исходные данные	**0**	0	0	0	0	0	0	0	0		
Поправка на направленность источника Dc, дБ	Dc	DΩ + Di	**3**	3	3	3	3	3	3	3	3		
Затухание из-за геометрической дивергенции, Adiv, дБ	расстояние = 669.54 м	ф-ла (7) [10]	**67,5**										
Коэффициент затухания звука в атмосфере α, дБ/км	Ta=20,°C Pa=101.33,кПа hотн.=70%	ф-ла (5) [9]	0,02	0,09	0,33	1,12	2,79	4,98	9,04	23,09	77,63		
Учет затухания звука в атмосфере Aatm, дБ		ф-ла (8) [10]	0	0,1	0,2	0,8	1,9	3,3	6,1	15,5	52		
Снижение уровня звукового давления из-за влияния застройки между источником шума и расчетной точкой													
Длина звуковой волны для среднегеометрической частоты октавной полосы, λ, м			10,79	5,4	2,72	1,36	0,68	0,34	0,17	0,09	0,04		
Критерий наличия экранирования в горизонтальной плоскости	Горизонтальный размер экрана, lэкр = 86.65 м	lэкр > λ	да	да	да	да	да	да	да	да	да		

1			2	3	4	5	6	7	8	9	10	11	12	13
Траектория над экраном	Промежуточные точки:	Pss(x,y,z) = (96.78,217.12,10.00)	Psr(x,y,z) = (108.92,187.15,10.00)	dss = 211.71 м		dsr = 425.71 м		e = 32.33 м		z = 0.22 м				
	Константа C2, учитывающая эффект отражения от земли возле экрана			40	40	40	40	40	40	40	40	40		
	Константа C3 (дифракция на кромках)		ф-ла (15) [10]	1,2	1,6	2,3	2,8	2,9	3	3	3	3		
	K_{met} (влияние метеоусловий)		ф-ла (18) [10]	0	0	0	0	0	0	0	0	0		
	Снижение УЗД, Dz, дБ		ф-ла (14) [10]	4,8	4,8	4,8	4,8	4,9	5,1	5,3	5,8	6,7		
Траектория слева от экрана	Промежуточные точки:	Pss(x,y,z) = (149.02,276.39,1.95)	Psr(x,y,z) = (233.28,25.59,3.37)	dss = 189.85 м		dsr = 235.66 м		e = 264.58 м		z = 20.55 м				
	Константа C2, учитывающая эффект отражения от земли возле экрана			40	40	40	40	40	40	40	40	40		
	Константа C3 (дифракция на кромках)		ф-ла (15) [10]	2,8	2,9	3	3	3	3	3	3	3		
	K_{met} (влияние метеоусловий)		ф-ла (18) [10]	1	1	1	1	1	1	1	1	1		
	Снижение УЗД, Dz, дБ		ф-ла (14) [10]	23,3	26,5	29,6	32,6	35,6	38,6	41,6	44,6	47,6		
Траектория справа от экрана	Промежуточные точки:	Pss(x,y,z) = (88.97,193.85,2.24)	Psr(x,y,z) = (88.97,193.85,2.24)	dss = 230.71 м		dsr = 439.67 м		e = 0.00 м		z = 0.84 м				
	Константа C2, учитывающая эффект отражения от земли возле экрана			40	40	40	40	40	40	40	40	40		
	Константа C3 (дифракция на кромках)		ф-ла (15) [10]	1	1	1	1	1	1	1	1	1		
	K_{met} (влияние метеоусловий)		ф-ла (18) [10]	1	1	1	1	1	1	1	1	1		
	Снижение УЗД, Dz, дБ		ф-ла (14) [10]	7,9	9,7	11,9	14,4	17,2	20,1	23	26	29		
Общее снижение уровня звука препятствием Dz, дБ			Эн.сумма(-Dzi)	3	3,5	4	4,4	4,7	4,9	5,3	5,8	6,7		
Уровни звукового давления от источника ИШ-10-1 в расчётной точке днём, дБ			**ф-ла(3)[10]**	**0**	**30,2**	**31**	**31,4**	**30,3**	**28,1**	**21,8**	**7,7**	**0**	**32**	**32**
Уровни звукового давления от источника ИШ-10-1 в расчётной точке ночью, дБ			**ф-ла(3)[10]**	**0**	**30,2**	**31**	**31,4**	**30,3**	**28,1**	**21,8**	**7,7**	**0**	**32**	**32**

1			2	3	4	5	6	7	8	9	10	11	12	13
Источник шума: ИШ-10-2, координаты источника (x,y,z), м =[27.87,443.46,1.00]														
Уровни звуковой мощности источника днём, Lw, дБ			**исходные данные**	**0**	**98,3**	**99,7**	**101**	**101,3**	**100,9**	**97,6**	**93,4**	**88,9**		
Уровни звуковой мощности источника ночью, Lw, дБ			**исходные данные**	**0**	**98,3**	**99,7**	**101**	**101,3**	**100,9**	**97,6**	**93,4**	**88,9**		
Поправка на телесный угол DΩ, дБ		Ω = 6.28	10Lg(4π/Ω)	**3**	3	3	3	3	3	3	3	3		
Показатель направленности источника Di, дБ			исходные данные	**0**	0	0	0	0	0	0	0	0		
Поправка на направленность источника Dc, дБ		Dc	DΩ + Di	**3**	3	3	3	3	3	3	3	3		
Затухание из-за геометрической дивергенции, Adiv, дБ		расстояние = 693.99 м	ф-ла (7) [10]	**67,8**										
Коэффициент затухания звука в атмосфере α, дБ/км		Ta=20,°C Pa=101.33,кПа hотн.=70%	ф-ла (5) [9]	0,02	0,09	0,33	1,12	2,79	4,98	9,04	23,09	77,63		
Учет затухания звука в атмосфере Aatm, дБ			ф-ла (8) [10]	0	0,1	0,2	0,8	1,9	3,5	6,3	16	53,9		
Снижение уровня звукового давления из-за влияния застройки между источником шума и расчетной точкой														
Длина звуковой волны для среднегеометрической частоты октавной полосы, λ, м				10,79	5,4	2,72	1,36	0,68	0,34	0,17	0,09	0,04		
Критерий наличия экранирования в горизонтальной плоскости	Горизонтальный размер экрана, lэкр = 29.40 м		lэкр > λ	да	да	да	да	да	да	да	да	да		
Траектория над экраном	Промежуточные точки:	Pss(x,y,z) = (41.08,407.77,4.00)	Psr(x,y,z) = (120.81,192.35,10.00)	dss = 38.18 м		dsr = 426.26 м		e = 229.78 м		z = 0.22 м				
	Константа C2, учитывающая эффект отражения от земли возле экрана			40	40	40	40	40	40	40	40	40		
	Константа C3 (дифракция на кромках)		ф-ла (15) [10]	2,7	2,9	3	3	3	3	3	3	3		
	K_{met} (влияние метеоусловий)		ф-ла (18) [10]	0,1	0,1	0,1	0,1	0,1	0,1	0,1	0,1	0,1		

1			2	3	4	5	6	7	8	9	10	11	12	13
	Снижение УЗД, Dz, дБ		ф-ла (14) [10]	5	5,3	5,8	6,6	7,9	9,7	11,9	14,5	17,2		
Траектория слева от экрана	Промежуточные точки:	Pss(x,y,z) = (68.79,401.92,1.28)	Psr(x,y,z) = (233.28,25.59,3.40)	dss = 58.31 м		dsr = 235.66 м		e = 410.72 м		z = 10.69 м				
	Константа С2, учитывающая эффект отражения от земли возле экрана			40	40	40	40	40	40	40	40	40		
	Константа С3 (дифракция на кромках)		ф-ла (15) [10]	2,9	3	3	3	3	3	3	3	3		
	K_{met} (влияние метеоусловий)		ф-ла (18) [10]	1	1	1	1	1	1	1	1	1		
	Снижение УЗД, Dz, дБ		ф-ла (14) [10]	20,7	23,8	26,8	29,8	32,8	35,8	38,8	41,8	44,8		
Траектория справа от экрана	Промежуточные точки:	Pss(x,y,z) = (38.31,399.57,1.23)	Psr(x,y,z) = (88.97,193.85,2.32)	dss = 45.12 м		dsr = 439.67 м		e = 211.86 м		z = 2.66 м				
	Константа С2, учитывающая эффект отражения от земли возле экрана			40	40	40	40	40	40	40	40	40		
	Константа С3 (дифракция на кромках)		ф-ла (15) [10]	2,7	2,9	3	3	3	3	3	3	3		
	K_{met} (влияние метеоусловий)		ф-ла (18) [10]	1	1	1	1	1	1	1	1	1		
	Снижение УЗД, Dz, дБ		ф-ла (14) [10]	14,7	17,8	20,8	23,8	26,7	29,7	32,7	35,8	38,8		
Общее снижение уровня звука препятствием Dz, дБ			Эн.сумма(-Dzi)	4,5	5	5,6	6,5	7,8	9,6	11,9	14,4	17,2		
Уровни звукового давления от источника ИШ-10-2 в расчётной точке днём, дБ			**ф-ла(3)[10]**	**0**	**28,4**	**29,1**	**28,9**	**26,7**	**23**	**14,7**	**0**	**0**	**27,7**	**27,7**
Уровни звукового давления от источника ИШ-10-2 в расчётной точке ночью, дБ			**ф-ла(3)[10]**	**0**	**28,4**	**29,1**	**28,9**	**26,7**	**23**	**14,7**	**0**	**0**	**27,7**	**27,7**
Источник шума: ШТ-1, координаты источника (x,y,z), м =[684.30,-276.59,1.00]														
Уровни звуковой мощности источника днём, Lw, дБ			**исходные данные**	**0**	**0**	**108,5**	**105,5**	**102,5**	**102,5**	**99,5**	**93,5**	**0**		
Уровни звуковой мощности максимального звука источника днём, Lwx, дБ			**исходные данные**	**0**	**0**	**113,5**	**110,5**	**107,5**	**107,5**	**104,5**	**98,5**	**0**		

1		2	3	4	5	6	7	8	9	10	11	12	13
Уровни звуковой мощности источника ночью, Lw, дБ		**исходные данные**	**0**	**0**	**0**	**0**	**0**	**0**	**0**	**0**	**0**		
Уровни звуковой мощности максимального звука источника ночью, Lwx, дБ		**исходные данные**	**0**	**0**	**0**	**0**	**0**	**0**	**0**	**0**	**0**		
Поправка на телесный угол DΩ, дБ	Ω = 12.57	10Lg(4π/Ω)	**0**	0	0	0	0	0	0	0	0		
Показатель направленности источника Di, дБ		исходные данные	**0**	0	0	0	0	0	0	0	0		
Поправка на направленность источника Dc, дБ	Dc	DΩ + Di	**0**	0	0	0	0	0	0	0	0		
Затухание из-за геометрической дивергенции, Adiv, дБ	расстояние = 421.29 м	ф-ла (7) [10]	**63,5**										
Коэффициент затухания звука в атмосфере α, дБ/км	Ta=20,°C Pa=101.33,кПа hотн.=70%	ф-ла (5) [9]	0,02	0,09	0,33	1,12	2,79	4,98	9,04	23,09	77,63		
Учет затухания звука в атмосфере Aatm, дБ		ф-ла (8) [10]	0	0	0,1	0,5	1,2	2,1	3,8	9,7	32,7		
Снижение поверхностью земли возле источника As, дБ	Gs = 0 hs = 1м	ф-лы таб.3 [10]	-1,5	-1,5	-1,5	-1,5	-1,5	-1,5	-1,5	-1,5	-1,5		
Снижение поверхностью земли возле приёмника Ar, дБ	Gr = 1 hr = 4.6м	ф-лы таб.3 [10]	-1,5	-1,5	3,3	1,3	0	0	0	0	0		
Снижение поверхностью земли в средней зоне, Am дБ	Gm = 1	ф-лы таб.3 [10]	-1,8	-1,8	0	0	0	0	0	0	0		
Суммарное снижение поверхностью земли на траектории распространения звука Agr, дБ		ф-ла (9) [10]	-4,8	-4,8	1,8	-0,2	-1,5	-1,5	-1,5	-1,5	-1,5		
Уровни звукового давления прямого звука от источника ШТ-1 в расчётной точке днём, дБ		**ф-ла(3)[10]**	**0**	**0**	**43,1**	**41,7**	**39,3**	**38,4**	**33,7**	**21,8**	**0**	**42,3**	**47,3**
* уровни звукового давления для определения максимального прямого звука от источника ШТ-1 в расчётной точке днём, дБ		ф-ла(3)[10]	0	0	48,1	46,7	44,3	43,4	38,7	26,8	0	47,3	
Уровни звукового давления прямого звука от источника ШТ-1 в расчётной точке ночью, дБ		**ф-ла(3)[10]**	**0**	**0**	**0**	**0**	**0**	**0**	**0**	**0**	**0**	**0**	**0**
* уровни звукового давления для определения максимального прямого звука от источника ШТ-1 в расчётной точке ночью, дБ		ф-ла(3)[10]	0	0	0	0	0	0	0	0	0	0	
Расчёт отражённого звука													

1		2	3	4	5	6	7	8	9	10	11	12	13
Уровни звукового давления от мнимого источника ШТ-1_мн.(1) в расчётной точке днём, дБ		**ф-ла(3)[10]**	**0**	**0**	**0**	**0**	**0**	**0**	**0**	**0**	**0**	**0**	**0**
Уровни звукового давления от мнимого источника ШТ-1_мн.(1) в расчётной точке ночью, дБ		**ф-ла(3)[10]**	**0**	**0**	**0**	**0**	**0**	**0**	**0**	**0**	**0**	**0**	**0**
Уровни звукового давления от мнимого источника ШТ-1_мн.(2) в расчётной точке днём, дБ		**ф-ла(3)[10]**	**0**	**0**	**0**	**0**	**0**	**0**	**0**	**0**	**0**	**0**	**0**
Уровни звукового давления от мнимого источника ШТ-1_мн.(2) в расчётной точке ночью, дБ		**ф-ла(3)[10]**	**0**	**0**	**0**	**0**	**0**	**0**	**0**	**0**	**0**	**0**	**0**
Суммарные уровни звукового давления от мнимых источников в расчётной точке днём, дБ		**ф-ла (19) [1]**	**0**	**0**	**0**	**0**	**0**	**0**	**0**	**0**	**0**	**0**	**0**
Суммарные уровни звукового давления от мнимых источников в расчётной точке ночью, дБ		**ф-ла (19) [1]**	**0**	**0**	**0**	**0**	**0**	**0**	**0**	**0**	**0**	**0**	**0**
Уровни звукового давления от источника ШТ-1 в расчётной точке днём, дБ		**ф-ла(3)[10]**	**0**	**0**	**43,1**	**41,7**	**39,3**	**38,4**	**33,7**	**21,8**	**0**	**42,3**	**47,3**
Уровни звукового давления от источника ШТ-1 в расчётной точке ночью, дБ		**ф-ла(3)[10]**	**0**	**0**	**0**	**0**	**0**	**0**	**0**	**0**	**0**	**0**	**0**
Источник шума: ШТ-2, координаты источника (x,y,z), м =[665.17,-247.36,1.00]													
Уровни звуковой мощности источника днём, Lw, дБ		**исходные данные**	**0**	**0**	**104,5**	**101,5**	**98,5**	**98,5**	**95,5**	**89,5**	**0**		
Уровни звуковой мощности максимального звука источника днём, Lwx, дБ		**исходные данные**	**0**	**0**	**108,5**	**105,5**	**102,5**	**102,5**	**99,5**	**93,5**	**0**		
Уровни звуковой мощности источника ночью, Lw, дБ		**исходные данные**	**0**	**0**	**0**	**0**	**0**	**0**	**0**	**0**	**0**		
Уровни звуковой мощности максимального звука источника ночью, Lwx, дБ		**исходные данные**	**0**	**0**	**0**	**0**	**0**	**0**	**0**	**0**	**0**		
Поправка на телесный угол DΩ, дБ	Ω = 12.57	10Lg(4π/Ω)	**0**	0	0	0	0	0	0	0	0		
Показатель направленности источника Di, дБ		исходные данные	**0**	0	0	0	0	0	0	0	0		
Поправка на направленность источника Dc, дБ	Dc	DΩ + Di	**0**	0	0	0	0	0	0	0	0		
Затухание из-за геометрической дивергенции, Adiv, дБ	расстояние = 398.44 м	ф-ла (7) [10]	**63**										

1		2	3	4	5	6	7	8	9	10	11	12	13
Коэффициент затухания звука в атмосфере α, дБ/км	Ta=20,°C Pa=101.33,кПа hотн.=70%	ф-ла (5) [9]	0,02	0,09	0,33	1,12	2,79	4,98	9,04	23,09	77,63		
Учет затухания звука в атмосфере Aatm, дБ		ф-ла (8) [10]	0	0	0,1	0,4	1,1	2	3,6	9,2	30,9		
Снижение поверхностью земли возле источника As, дБ	Gs = 0 hs = 1м	ф-лы таб.3 [10]	-1,5	-1,5	-1,5	-1,5	-1,5	-1,5	-1,5	-1,5	-1,5		
Снижение поверхностью земли возле приёмника Ar, дБ	Gr = 1 hr = 4.6м	ф-лы таб.3 [10]	-1,5	-1,5	3,2	1,3	0	0	0	0	0		
Снижение поверхностью земли в средней зоне, Am дБ	Gm = 1	ф-лы таб.3 [10]	-1,7	-1,7	0	0	0	0	0	0	0		
Суммарное снижение поверхностью земли на траектории распространения звука Agr, дБ		ф-ла (9) [10]	-4,7	-4,7	1,7	-0,2	-1,5	-1,5	-1,5	-1,5	-1,5		
Уровни звукового давления прямого звука от источника ШТ-2 в расчётной точке днём, дБ		**ф-ла(3)[10]**	**0**	**0**	**39,6**	**38,3**	**35,9**	**35**	**30,4**	**18,8**	**0**	**38,9**	**42,9**
* уровни звукового давления для определения максимального прямого звука от источника ШТ-2 в расчётной точке днём, дБ		ф-ла(3)[10]	0	0	43,6	42,3	39,9	39	34,4	22,8	0	42,9	
Уровни звукового давления прямого звука от источника ШТ-2 в расчётной точке ночью, дБ		**ф-ла(3)[10]**	**0**	**0**	**0**	**0**	**0**	**0**	**0**	**0**	**0**	**0**	**0**
* уровни звукового давления для определения максимального прямого звука от источника ШТ-2 в расчётной точке ночью, дБ		ф-ла(3)[10]	0	0	0	0	0	0	0	0	0	0	
Расчёт отражённого звука													
Уровни звукового давления от мнимого источника ШТ-2_мн.(1) в расчётной точке днём, дБ		**ф-ла(3)[10]**	**0**	**0**	**0**	**0**	**0**	**0**	**0**	**0**	**0**	**0**	**0**
Уровни звукового давления от мнимого источника ШТ-2_мн.(1) в расчётной точке ночью, дБ		**ф-ла(3)[10]**	**0**	**0**	**0**	**0**	**0**	**0**	**0**	**0**	**0**	**0**	**0**
Уровни звукового давления от мнимого источника ШТ-2_мн.(2) в расчётной точке днём, дБ		**ф-ла(3)[10]**	**0**	**0**	**0**	**0**	**0**	**0**	**0**	**0**	**0**	**0**	**0**
Уровни звукового давления от мнимого источника ШТ-2_мн.(2) в расчётной точке ночью, дБ		**ф-ла(3)[10]**	**0**	**0**	**0**	**0**	**0**	**0**	**0**	**0**	**0**	**0**	**0**
Уровни звукового давления от мнимого источника ШТ-2_мн.(3) в расчётной точке днём, дБ		**ф-ла(3)[10]**	**0**	**0**	**0**	**0**	**0**	**0**	**0**	**0**	**0**	**0**	**0**
Уровни звукового давления от мнимого источника ШТ-2_мн.(3) в расчётной точке ночью, дБ		**ф-ла(3)[10]**	**0**	**0**	**0**	**0**	**0**	**0**	**0**	**0**	**0**	**0**	**0**

1		2	3	4	5	6	7	8	9	10	11	12	13
Суммарные уровни звукового давления от мнимых источников в расчётной точке днём, дБ		**ф-ла (19) [1]**	**0**	**0**	**0**	**0**	**0**	**0**	**0**	**0**	**0**	**0**	**0**
Суммарные уровни звукового давления от мнимых источников в расчётной точке ночью, дБ		**ф-ла (19) [1]**	**0**	**0**	**0**	**0**	**0**	**0**	**0**	**0**	**0**	**0**	**0**
Уровни звукового давления от источника ШТ-2 в расчётной точке днём, дБ		**ф-ла(3)[10]**	**0**	**0**	**39,6**	**38,3**	**35,9**	**35**	**30,4**	**18,8**	**0**	**38,9**	**42,9**
Уровни звукового давления от источника ШТ-2 в расчётной точке ночью, дБ		**ф-ла(3)[10]**	**0**	**0**	**0**	**0**	**0**	**0**	**0**	**0**	**0**	**0**	**0**
Источник шума: ШТ-3, координаты источника (x,y,z), м =[556.24,-281.90,1.00]													
Уровни звуковой мощности источника днём, Lw, дБ		**исходные данные**	**0**	**0**	**104,5**	**101,5**	**98,5**	**98,5**	**95,5**	**89,5**	**0**		
Уровни звуковой мощности максимального звука источника днём, Lwx, дБ		**исходные данные**	**0**	**0**	**108,5**	**105,5**	**102,5**	**102,5**	**99,5**	**93,5**	**0**		
Уровни звуковой мощности источника ночью, Lw, дБ		**исходные данные**	**0**	**0**	**0**	**0**	**0**	**0**	**0**	**0**	**0**		
Уровни звуковой мощности максимального звука источника ночью, Lwx, дБ		**исходные данные**	**0**	**0**	**0**	**0**	**0**	**0**	**0**	**0**	**0**		
Поправка на телесный угол DΩ, дБ	Ω = 12.57	10Lg(4π/Ω)	**0**	0	0	0	0	0	0	0	0		
Показатель направленности источника Di, дБ		исходные данные	**0**	0	0	0	0	0	0	0	0		
Поправка на направленность источника Dc, дБ	Dc	DΩ + Di	**0**	0	0	0	0	0	0	0	0		
Затухание из-за геометрической дивергенции, Adiv, дБ	расстояние = 297.01 м	ф-ла (7) [10]	**60,5**										
Коэффициент затухания звука в атмосфере α, дБ/км	Ta=20,°C Pa=101.33,кПа hотн.=70%	ф-ла (5) [9]	0,02	0,09	0,33	1,12	2,79	4,98	9,04	23,09	77,63		
Учет затухания звука в атмосфере Aatm, дБ		ф-ла (8) [10]	0	0	0,1	0,3	0,8	1,5	2,7	6,9	23,1		
Снижение уровня звукового давления из-за влияния застройки между источником шума и расчетной точкой													

1			2	3	4	5	6	7	8	9	10	11	12	13
Препятствие слева от трассы ИШ-РТ	Промежуточные точки:	Pss(x,y,z) = (275.95,-212.13,4.50)	Psr(x,y,z) = (275.95,-212.13,4.50)	dss = 288.86 м		dsr = 8.62 м		e = 0.00 м		z = -0.48 м				
	Константа C2, учитывающая эффект отражения от земли возле экрана			40	40	40	40	40	40	40	40	40		
	Константа C3 (дифракция на кромках)		ф-ла (15) [10]	1	1	1	1	1	1	1	1	1		
	K_{met} (влияние метеоусловий)		ф-ла (18) [10]	1	1	1	1	1	1	1	1	1		
	Снижение УЗД, Dz, дБ		ф-ла (14) [10]	0,9	NAN	NAN	NAN	NAN	NAN	NAN	NAN	NAN		
* отрицательное значение z означает прохождение траектории вблизи экрана, в этом случае дополнительно производится учёт снижения подстилающей поверхностью (см.ниже)														
Снижение поверхностью земли возле источника As, дБ		Gs = 0 hs = 1м	ф-лы таб.3 [10]	-1,5	-1,5	-1,5	-1,5	-1,5	-1,5	-1,5	-1,5	-1,5		
Снижение поверхностью земли возле приёмника Ar, дБ		Gr = 1 hr = 4.6м	ф-лы таб.3 [10]	-1,5	-1,5	3,1	1,3	0	0	0	0	0		
Снижение поверхностью земли в средней зоне, Am дБ		Gm = 1	ф-лы таб.3 [10]	-1,3	-1,3	0	0	0	0	0	0	0		
Суммарное снижение поверхностью земли на траектории распространения звука Agr, дБ			ф-ла (9) [10]	-4,3	-4,3	1,6	-0,2	-1,5	-1,5	-1,5	-1,5	-1,5		
Уровни звукового давления прямого звука от источника ШТ-3 в расчётной точке днём, дБ			**ф-ла(3)[10]**	**0**	**0**	**42,3**	**40,9**	**38,7**	**38,1**	**33,9**	**23,7**	**0**	**41,9**	**45,9**
* уровни звукового давления для определения максимального прямого звука от источника ШТ-3 в расчётной точке днём, дБ			ф-ла(3)[10]	0	0	46,3	44,9	42,7	42,1	37,9	27,7	0	45,9	
Уровни звукового давления прямого звука от источника ШТ-3 в расчётной точке ночью, дБ			**ф-ла(3)[10]**	**0**	**0**	**0**	**0**	**0**	**0**	**0**	**0**	**0**	**0**	**0**
* уровни звукового давления для определения максимального прямого звука от источника ШТ-3 в расчётной точке ночью, дБ			ф-ла(3)[10]	0	0	0	0	0	0	0	0	0	0	
Расчёт отражённого звука														
Уровни звукового давления от мнимого источника ШТ-3_мн.(1) в расчётной точке днём, дБ			**ф-ла(3)[10]**	**0**	**0**	**0**	**0**	**0**	**0**	**0**	**0**	**0**	**0**	**0**
Уровни звукового давления от мнимого источника ШТ-3_мн.(1) в расчётной точке ночью, дБ			**ф-ла(3)[10]**	**0**	**0**	**0**	**0**	**0**	**0**	**0**	**0**	**0**	**0**	**0**
Уровни звукового давления от источника ШТ-3 в расчётной точке днём, дБ			**ф-ла(3)[10]**	**0**	**0**	**42,3**	**40,9**	**38,7**	**38,1**	**33,9**	**23,7**	**0**	**41,9**	**45,9**

1		2	3	4	5	6	7	8	9	10	11	12	13
Уровни звукового давления от источника ШТ-3 в расчётной точке ночью, дБ		**ф-ла(3)[10]**	**0**	**0**	**0**	**0**	**0**	**0**	**0**	**0**	**0**	**0**	**0**
Источник шума: ШТ-4, координаты источника (x,y,z), м =[600.61,-343.54,1.00]													
Уровни звуковой мощности источника днём, Lw, дБ		**исходные данные**	**0**	**0**	**104,5**	**101,5**	**98,5**	**98,5**	**95,5**	**89,5**	**0**		
Уровни звуковой мощности максимального звука источника днём, Lwx, дБ		**исходные данные**	**0**	**0**	**108,5**	**105,5**	**102,5**	**102,5**	**99,5**	**93,5**	**0**		
Уровни звуковой мощности источника ночью, Lw, дБ		**исходные данные**	**0**	**0**	**0**	**0**	**0**	**0**	**0**	**0**	**0**		
Уровни звуковой мощности максимального звука источника ночью, Lwx, дБ		**исходные данные**	**0**	**0**	**0**	**0**	**0**	**0**	**0**	**0**	**0**		
Поправка на телесный угол DΩ, дБ	Ω = 12.57	10Lg(4π/Ω)	**0**	0	0	0	0	0	0	0	0		
Показатель направленности источника Di, дБ		исходные данные	**0**	0	0	0	0	0	0	0	0		
Поправка на направленность источника Dc, дБ	Dc	DΩ + Di	**0**	0	0	0	0	0	0	0	0		
Затухание из-за геометрической дивергенции, Adiv, дБ	расстояние = 358.72 м	ф-ла (7) [10]	**62,1**										
Коэффициент затухания звука в атмосфере α, дБ/км	Ta=20,°C Pa=101.33,кПа hотн.=70%	ф-ла (5) [9]	0,02	0,09	0,33	1,12	2,79	4,98	9,04	23,09	77,63		
Учет затухания звука в атмосфере Aatm, дБ		ф-ла (8) [10]	0	0	0,1	0,4	1	1,8	3,2	8,3	27,8		
Снижение уровня звукового давления из-за влияния застройки между источником шума и расчетной точкой													
Препятствие слева от трассы ИШ-РТ	Промежуточные точки:	Pss(x,y,z) = (275.95,-212.13,4.52)	Psr(x,y,z) = (275.95,-212.13,4.52)	dss = 350.26 м		dsr = 8.62 м		e = 0.00 м		z = -0.17 м			
	Константа C2, учитывающая эффект отражения от земли возле экрана			40	40	40	40	40	40	40	40	40		
	Константа C3 (дифракция на кромках)		ф-ла (15) [10]	1	1	1	1	1	1	1	1	1		

1		2	3	4	5	6	7	8	9	10	11	12	13
	K_{met} (влияние метеоусловий)	ф-ла (18) [10]	1	1	1	1	1	1	1	1	1		
	Снижение УЗД, Dz, дБ	ф-ла (14) [10]	3,8	2,5	0	NAN	NAN	NAN	NAN	NAN	NAN		
* отрицательное значение z означает прохождение траектории вблизи экрана, в этом случае дополнительно производится учёт снижения подстилающей поверхностью (см.ниже)													
Снижение поверхностью земли возле источника As, дБ	Gs = 0 hs = 1м	ф-лы таб.3 [10]	-1,5	-1,5	-1,5	-1,5	-1,5	-1,5	-1,5	-1,5	-1,5		
Снижение поверхностью земли возле приёмника Ar, дБ	Gr = 1 hr = 4.6м	ф-лы таб.3 [10]	-1,5	-1,5	3,2	1,3	0	0	0	0	0		
Снижение поверхностью земли в средней зоне, Am дБ	Gm = 1	ф-лы таб.3 [10]	-1,6	-1,6	0	0	0	0	0	0	0		
Суммарное снижение поверхностью земли на траектории распространения звука Agr, дБ		ф-ла (9) [10]	-4,6	-4,6	1,7	-0,2	-1,5	-1,5	-1,5	-1,5	-1,5		
Уровни звукового давления прямого звука от источника ШТ-4 в расчётной точке днём, дБ		**ф-ла(3)[10]**	**0**	**0**	**40,6**	**39,2**	**36,9**	**36,1**	**31,7**	**20,6**	**0**	**40**	**44**
* уровни звукового давления для определения максимального прямого звука от источника ШТ-4 в расчётной точке днём, дБ		ф-ла(3)[10]	0	0	44,6	43,2	40,9	40,1	35,7	24,6	0	44	
Уровни звукового давления прямого звука от источника ШТ-4 в расчётной точке ночью, дБ		**ф-ла(3)[10]**	**0**	**0**	**0**	**0**	**0**	**0**	**0**	**0**	**0**	**0**	**0**
* уровни звукового давления для определения максимального прямого звука от источника ШТ-4 в расчётной точке ночью, дБ		ф-ла(3)[10]	0	0	0	0	0	0	0	0	0	0	
Расчёт отражённого звука													
Уровни звукового давления от мнимого источника ШТ-4_мн.(1) в расчётной точке днём, дБ		**ф-ла(3)[10]**	**0**	**0**	**0**	**0**	**0**	**0**	**0**	**0**	**0**	**0**	**0**
Уровни звукового давления от мнимого источника ШТ-4_мн.(1) в расчётной точке ночью, дБ		**ф-ла(3)[10]**	**0**	**0**	**0**	**0**	**0**	**0**	**0**	**0**	**0**	**0**	**0**
Уровни звукового давления от источника ШТ-4 в расчётной точке днём, дБ		**ф-ла(3)[10]**	**0**	**0**	**40,6**	**39,2**	**36,9**	**36,1**	**31,7**	**20,6**	**0**	**40**	**44**
Уровни звукового давления от источника ШТ-4 в расчётной точке ночью, дБ		**ф-ла(3)[10]**	**0**	**0**	**0**	**0**	**0**	**0**	**0**	**0**	**0**	**0**	**0**
Источник шума: ШТ-5, координаты источника (x,y,z), м =[453.13,-90.07,1.00]													
Уровни звуковой мощности источника днём, Lw, дБ		**исходные данные**	**0**	**0**	**103**	**100**	**97**	**97**	**94**	**88**	**0**		

1		2	3	4	5	6	7	8	9	10	11	12	13
Уровни звуковой мощности максимального звука источника днём, Lwx, дБ		**исходные данные**	**0**	**0**	**108**	**105**	**102**	**102**	**99**	**93**	**0**		
Уровни звуковой мощности источника ночью, Lw, дБ		**исходные данные**	**0**	**0**	**0**	**0**	**0**	**0**	**0**	**0**	**0**		
Уровни звуковой мощности максимального звука источника ночью, Lwx, дБ		**исходные данные**	**0**	**0**	**0**	**0**	**0**	**0**	**0**	**0**	**0**		
Поправка на телесный угол DΩ, дБ	Ω = 12.57	10Lg(4π/Ω)	**0**	0	0	0	0	0	0	0	0		
Показатель направленности источника Di, дБ		исходные данные	**0**	0	0	0	0	0	0	0	0		
Поправка на направленность источника Dc, дБ	Dc	DΩ + Di	**0**	0	0	0	0	0	0	0	0		
Затухание из-за геометрической дивергенции, Adiv, дБ	расстояние = 218.56 м	ф-ла (7) [10]	**57,8**										
Коэффициент затухания звука в атмосфере α, дБ/км	Ta=20,°C Pa=101.33,кПа hотн.=70%	ф-ла (5) [9]	0,02	0,09	0,33	1,12	2,79	4,98	9,04	23,09	77,63		
Учет затухания звука в атмосфере Aatm, дБ		ф-ла (8) [10]	0	0	0,1	0,2	0,6	1,1	2	5	17		
Снижение поверхностью земли возле источника As, дБ	Gs = 0 hs = 1м	ф-лы таб.3 [10]	-1,5	-1,5	-1,5	-1,5	-1,5	-1,5	-1,5	-1,5	-1,5		
Снижение поверхностью земли возле приёмника Ar, дБ	Gr = 1 hr = 4.6м	ф-лы таб.3 [10]	-1,5	-1,5	3	1,3	0	0	0	0	0		
Снижение поверхностью земли в средней зоне, Am дБ	Gm = 1	ф-лы таб.3 [10]	-0,7	-0,7	0	0	0	0	0	0	0		
Суммарное снижение поверхностью земли на траектории распространения звука Agr, дБ		ф-ла (9) [10]	-3,7	-3,7	1,5	-0,2	-1,5	-1,5	-1,5	-1,5	-1,5		
Уровни звукового давления прямого звука от источника ШТ-5 в расчётной точке днём, дБ		**ф-ла(3)[10]**	**0**	**0**	**43,6**	**42,2**	**40,1**	**39,6**	**35,7**	**26,6**	**0**	**43,5**	**48,5**
* уровни звукового давления для определения максимального прямого звука от источника ШТ-5 в расчётной точке днём, дБ		ф-ла(3)[10]	0	0	48,6	47,2	45,1	44,6	40,7	31,6	0	48,5	
Уровни звукового давления прямого звука от источника ШТ-5 в расчётной точке ночью, дБ		**ф-ла(3)[10]**	**0**	**0**	**0**	**0**	**0**	**0**	**0**	**0**	**0**	**0**	**0**
* уровни звукового давления для определения максимального прямого звука от источника ШТ-5 в расчётной точке ночью, дБ		ф-ла(3)[10]	0	0	0	0	0	0	0	0	0	0	

1		2	3	4	5	6	7	8	9	10	11	12	13
Расчёт отражённого звука													
Уровни звукового давления от мнимого источника ШТ-5_мн.(1) в расчётной точке днём, дБ		**ф-ла(3)[10]**	**0**	**0**	**0**	**0**	**28,7**	**35**	**33,1**	**24**	**0**	**38,1**	**43,1**
Уровни звукового давления от мнимого источника ШТ-5_мн.(1) в расчётной точке ночью, дБ		**ф-ла(3)[10]**	**0**	**0**	**0**	**0**	**0**	**0**	**0**	**0**	**0**	**0**	**0**
Уровни звукового давления от источника ШТ-5 в расчётной точке днём, дБ		**ф-ла(3)[10]**	**0**	**0**	**43,6**	**42,2**	**40,4**	**40,9**	**37,6**	**28,5**	**0**	**44,6**	**49,6**
Уровни звукового давления от источника ШТ-5 в расчётной точке ночью, дБ		**ф-ла(3)[10]**	**0**	**0**	**0**	**0**	**0**	**0**	**0**	**0**	**0**	**0**	**0**
Источник шума: ШТ-6, координаты источника (x,y,z), м =[476.78,-97.62,1.00]													
Уровни звуковой мощности источника днём, Lw, дБ		**исходные данные**	**0**	**0**	**110,5**	**107,5**	**104,5**	**104,5**	**101,5**	**95,5**	**0**		
Уровни звуковой мощности максимального звука источника днём, Lwx, дБ		**исходные данные**	**0**	**0**	**115,5**	**112,5**	**109,5**	**109,5**	**106,5**	**100,5**	**0**		
Уровни звуковой мощности источника ночью, Lw, дБ		**исходные данные**	**0**	**0**	**0**	**0**	**0**	**0**	**0**	**0**	**0**		
Уровни звуковой мощности максимального звука источника ночью, Lwx, дБ		**исходные данные**	**0**	**0**	**0**	**0**	**0**	**0**	**0**	**0**	**0**		
Поправка на телесный угол DΩ, дБ	Ω = 12.57	10Lg(4π/Ω)	**0**	0	0	0	0	0	0	0	0		
Показатель направленности источника Di, дБ		исходные данные	**0**	0	0	0	0	0	0	0	0		
Поправка на направленность источника Dc, дБ	Dc	DΩ + Di	**0**	0	0	0	0	0	0	0	0		
Затухание из-за геометрической дивергенции, Adiv, дБ	расстояние = 235.23 м	ф-ла (7) [10]	**58,4**										
Коэффициент затухания звука в атмосфере α, дБ/км	Ta=20,°C Pa=101.33,кПа hотн.=70%	ф-ла (5) [9]	0,02	0,09	0,33	1,12	2,79	4,98	9,04	23,09	77,63		
Учет затухания звука в атмосфере Aatm, дБ		ф-ла (8) [10]	0	0	0,1	0,3	0,7	1,2	2,1	5,4	18,3		

1		2	3	4	5	6	7	8	9	10	11	12	13
Снижение поверхностью земли возле источника As, дБ	Gs = 0 hs = 1м	ф-лы таб.3 [10]	-1,5	-1,5	-1,5	-1,5	-1,5	-1,5	-1,5	-1,5	-1,5		
Снижение поверхностью земли возле приёмника Ar, дБ	Gr = 1 hr = 4.6м	ф-лы таб.3 [10]	-1,5	-1,5	3	1,3	0	0	0	0	0		
Снижение поверхностью земли в средней зоне, Am дБ	Gm = 1	ф-лы таб.3 [10]	-0,9	-0,9	0	0	0	0	0	0	0		
Суммарное снижение поверхностью земли на траектории распространения звука Agr, дБ		ф-ла (9) [10]	-3,9	-3,9	1,5	-0,2	-1,5	-1,5	-1,5	-1,5	-1,5		
Уровни звукового давления прямого звука от источника ШТ-6 в расчётной точке днём, дБ		**ф-ла(3)[10]**	**0**	**0**	**50,4**	**49**	**46,9**	**46,4**	**42,4**	**33,1**	**0**	**50,3**	**55,3**
* уровни звукового давления для определения максимального прямого звука от источника ШТ-6 в расчётной точке днём, дБ		ф-ла(3)[10]	0	0	55,4	54	51,9	51,4	47,4	38,1	0	55,3	
Уровни звукового давления прямого звука от источника ШТ-6 в расчётной точке ночью, дБ		**ф-ла(3)[10]**	**0**	**0**	**0**	**0**	**0**	**0**	**0**	**0**	**0**	**0**	**0**
* уровни звукового давления для определения максимального прямого звука от источника ШТ-6 в расчётной точке ночью, дБ		ф-ла(3)[10]	0	0	0	0	0	0	0	0	0	0	
Расчёт отражённого звука													
Уровни звукового давления от мнимого источника ШТ-6_мн.(1) в расчётной точке днём, дБ		**ф-ла(3)[10]**	**0**	**0**	**0**	**0**	**0**	**0**	**31,5**	**18,7**	**0**	**32,9**	**37,9**
Уровни звукового давления от мнимого источника ШТ-6_мн.(1) в расчётной точке ночью, дБ		**ф-ла(3)[10]**	**0**	**0**	**0**	**0**	**0**	**0**	**0**	**0**	**0**	**0**	**0**
Уровни звукового давления от мнимого источника ШТ-6_мн.(2) в расчётной точке днём, дБ		**ф-ла(3)[10]**	**0**	**0**	**0**	**0**	**0**	**0**	**0**	**0**	**0**	**0**	**0**
Уровни звукового давления от мнимого источника ШТ-6_мн.(2) в расчётной точке ночью, дБ		**ф-ла(3)[10]**	**0**	**0**	**0**	**0**	**0**	**0**	**0**	**0**	**0**	**0**	**0**
Суммарные уровни звукового давления от мнимых источников в расчётной точке днём, дБ		**ф-ла (19) [1]**	**0**	**0**	**0**	**0**	**0**	**0**	**31,5**	**18,7**	**0**	**0**	**37,9**
Суммарные уровни звукового давления от мнимых источников в расчётной точке ночью, дБ		**ф-ла (19) [1]**	**0**	**0**	**0**	**0**	**0**	**0**	**0**	**0**	**0**	**0**	**0**
Уровни звукового давления от источника ШТ-6 в расчётной точке днём, дБ		**ф-ла(3)[10]**	**0**	**0**	**50,4**	**49**	**46,9**	**46,4**	**42,8**	**33,3**	**0**	**50,4**	**55,4**
Уровни звукового давления от источника ШТ-6 в расчётной точке ночью, дБ		**ф-ла(3)[10]**	**0**	**0**	**0**	**0**	**0**	**0**	**0**	**0**	**0**	**0**	**0**

1		2	3	4	5	6	7	8	9	10	11	12	13
Источник шума: ШТ-7, координаты источника (x,y,z), м =[632.16,-298.34,1.00]													
Уровни звуковой мощности источника днём, Lw, дБ		**исходные данные**	**0**	**0**	**104,5**	**101,5**	**98,5**	**98,5**	**95,5**	**89,5**	**0**		
Уровни звуковой мощности максимального звука источника днём, Lwx, дБ		**исходные данные**	**0**	**0**	**111,5**	**108,5**	**105,5**	**105,5**	**102,5**	**96,5**	**0**		
Уровни звуковой мощности источника ночью, Lw, дБ		**исходные данные**	**0**	**0**	**0**	**0**	**0**	**0**	**0**	**0**	**0**		
Уровни звуковой мощности максимального звука источника ночью, Lwx, дБ		**исходные данные**	**0**	**0**	**0**	**0**	**0**	**0**	**0**	**0**	**0**		
Поправка на телесный угол DΩ, дБ	Ω = 12.57	10Lg(4π/Ω)	**0**	0	0	0	0	0	0	0	0		
Показатель направленности источника Di, дБ		исходные данные	**0**	0	0	0	0	0	0	0	0		
Поправка на направленность источника Dc, дБ	Dc	DΩ + Di	**0**	0	0	0	0	0	0	0	0		
Затухание из-за геометрической дивергенции, Adiv, дБ	расстояние = 374.63 м	ф-ла (7) [10]	**62,5**										
Коэффициент затухания звука в атмосфере α, дБ/км	Ta=20,°C Pa=101.33,кПа hотн.=70%	ф-ла (5) [9]	0,02	0,09	0,33	1,12	2,79	4,98	9,04	23,09	77,63		
Учет затухания звука в атмосфере Aatm, дБ		ф-ла (8) [10]	0	0	0,1	0,4	1	1,9	3,4	8,6	29,1		
Снижение уровня звукового давления из-за влияния застройки между источником шума и расчетной точкой													
Препятствие слева от трассы ИШ-РТ	Промежуточные точки:	Pss(x,y,z) = (275.95,-212.13,4.52) / Psr(x,y,z) = (275.95,-212.13,4.52)	dss = 366.51 м		dsr = 8.62 м		e = 0.00 м		z = -0.50 м				
	Константа C2, учитывающая эффект отражения от земли возле экрана		40	40	40	40	40	40	40	40	40		
	Константа C3 (дифракция на кромках)	ф-ла (15) [10]	1	1	1	1	1	1	1	1	1		
	K_{met} (влияние метеоусловий)	ф-ла (18) [10]	1	1	1	1	1	1	1	1	1		

1		2	3	4	5	6	7	8	9	10	11	12	13
	Снижение УЗД, Dz, дБ	ф-ла (14) [10]	0,6	NAN	NAN	NAN	NAN	NAN	NAN	NAN	NAN		
* отрицательное значение z означает прохождение траектории вблизи экрана, в этом случае дополнительно производится учёт снижения подстилающей поверхностью (см.ниже)													
Снижение поверхностью земли возле источника As, дБ	Gs = 0 hs = 1м	ф-лы таб.3 [10]	-1,5	-1,5	-1,5	-1,5	-1,5	-1,5	-1,5	-1,5	-1,5		
Снижение поверхностью земли возле приёмника Ar, дБ	Gr = 1 hr = 4.6м	ф-лы таб.3 [10]	-1,5	-1,5	3,2	1,3	0	0	0	0	0		
Снижение поверхностью земли в средней зоне, Am дБ	Gm = 1	ф-лы таб.3 [10]	-1,7	-1,7	0	0	0	0	0	0	0		
Суммарное снижение поверхностью земли на траектории распространения звука Agr, дБ		ф-ла (9) [10]	-4,7	-4,7	1,7	-0,2	-1,5	-1,5	-1,5	-1,5	-1,5		
Уровни звукового давления от источника ШТ-7 в расчётной точке днём, дБ		**ф-ла(3)[10]**	**0**	**0**	**40,2**	**38,8**	**36,5**	**35,7**	**31,1**	**19,9**	**0**	**39,5**	**46,5**
Уровни звукового давления от источника ШТ-7 в расчётной точке ночью, дБ		**ф-ла(3)[10]**	**0**	**0**	**0**	**0**	**0**	**0**	**0**	**0**	**0**	**0**	**0**
Источник шума: ШТ-8, координаты источника (x,y,z), м =[637.74,-278.95,1.00]													
Уровни звуковой мощности источника днём, Lw, дБ		**исходные данные**	**86**	**86**	**92**	**89**	**93**	**92**	**90**	**89**	**86**		
Уровни звуковой мощности источника ночью, Lw, дБ		**исходные данные**	**0**	**0**	**0**	**0**	**0**	**0**	**0**	**0**	**0**		
Поправка на телесный угол DΩ, дБ	Ω = 12.57	10Lg(4π/Ω)	**0**	0	0	0	0	0	0	0	0		
Показатель направленности источника Di, дБ		исходные данные	**0**	0	0	0	0	0	0	0	0		
Поправка на направленность источника Dc, дБ	Dc	DΩ + Di	**0**	0	0	0	0	0	0	0	0		
Затухание из-за геометрической дивергенции, Adiv, дБ	расстояние = 375.89 м	ф-ла (7) [10]	**62,5**										
Коэффициент затухания звука в атмосфере α, дБ/км	Ta=20,°C Pa=101.33,кПа hотн.=70%	ф-ла (5) [9]	0,02	0,09	0,33	1,12	2,79	4,98	9,04	23,09	77,63		
Учет затухания звука в атмосфере Aatm, дБ		ф-ла (8) [10]	0	0	0,1	0,4	1	1,9	3,4	8,7	29,2		

1		2	3	4	5	6	7	8	9	10	11	12	13
Снижение поверхностью земли возле источника As, дБ	Gs = 0 hs = 1м	ф-лы таб.3 [10]	-1,5	-1,5	-1,5	-1,5	-1,5	-1,5	-1,5	-1,5	-1,5		
Снижение поверхностью земли возле приёмника Ar, дБ	Gr = 1 hr = 4.6м	ф-лы таб.3 [10]	-1,5	-1,5	3,2	1,3	0	0	0	0	0		
Снижение поверхностью земли в средней зоне, Am дБ	Gm = 1	ф-лы таб.3 [10]	-1,7	-1,7	0	0	0	0	0	0	0		
Суммарное снижение поверхностью земли на траектории распространения звука Agr, дБ		ф-ла (9) [10]	-4,7	-4,7	1,7	-0,2	-1,5	-1,5	-1,5	-1,5	-1,5		
Уровни звукового давления прямого звука от источника ШТ-8 в расчётной точке днём, дБ		**ф-ла(3)[10]**	**28,1**	**28,1**	**27,7**	**26,3**	**30,9**	**29,1**	**25,6**	**19,3**	**0**	**33,2**	**33,2**
Уровни звукового давления прямого звука от источника ШТ-8 в расчётной точке ночью, дБ		**ф-ла(3)[10]**	**0**	**0**	**0**	**0**	**0**	**0**	**0**	**0**	**0**	**0**	**0**
Расчёт отражённого звука													
Уровни звукового давления от мнимого источника ШТ-8_мн.(1) в расчётной точке днём, дБ		**ф-ла(3)[10]**	**0**	**0**	**0**	**0**	**0**	**0**	**0**	**0**	**0**	**0**	**0**
Уровни звукового давления от мнимого источника ШТ-8_мн.(1) в расчётной точке ночью, дБ		**ф-ла(3)[10]**	**0**	**0**	**0**	**0**	**0**	**0**	**0**	**0**	**0**	**0**	**0**
Уровни звукового давления от источника ШТ-8 в расчётной точке днём, дБ		**ф-ла(3)[10]**	**28,1**	**28,1**	**27,7**	**26,3**	**30,9**	**29,1**	**25,6**	**19,3**	**0**	**33,2**	**33,2**
Уровни звукового давления от источника ШТ-8 в расчётной точке ночью, дБ		**ф-ла(3)[10]**	**0**	**0**	**0**	**0**	**0**	**0**	**0**	**0**	**0**	**0**	**0**
Источник шума: ШТ-9, координаты источника (x,y,z), м =[627.56,-280.27,1.00]													
Уровни звуковой мощности источника днём, Lw, дБ		**исходные данные**	**73**	**73**	**84**	**69**	**71**	**70**	**70**	**60**	**52**		
Уровни звуковой мощности источника ночью, Lw, дБ		**исходные данные**	**0**	**0**	**0**	**0**	**0**	**0**	**0**	**0**	**0**		
Поправка на телесный угол DΩ, дБ	Ω = 12.57	10Lg(4π/Ω)	**0**	0	0	0	0	0	0	0	0		
Показатель направленности источника Di, дБ		исходные данные	**0**	0	0	0	0	0	0	0	0		
Поправка на направленность источника Dc, дБ	Dc	DΩ + Di	**0**	0	0	0	0	0	0	0	0		

1		2	3	4	5	6	7	8	9	10	11	12	13
Затухание из-за геометрической дивергенции, Adiv, дБ	расстояние = 366.15 м	ф-ла (7) [10]	**62,3**										
Коэффициент затухания звука в атмосфере α, дБ/км	Ta=20,°C Pa=101.33,кПа hотн.=70%	ф-ла (5) [9]	0,02	0,09	0,33	1,12	2,79	4,98	9,04	23,09	77,63		
Учет затухания звука в атмосфере Aatm, дБ		ф-ла (8) [10]	0	0	0,1	0,4	1	1,8	3,3	8,5	28,4		
Снижение поверхностью земли возле источника As, дБ	Gs = 0 hs = 1м	ф-лы таб.3 [10]	-1,5	-1,5	-1,5	-1,5	-1,5	-1,5	-1,5	-1,5	-1,5		
Снижение поверхностью земли возле приёмника Ar, дБ	Gr = 1 hr = 4.6м	ф-лы таб.3 [10]	-1,5	-1,5	3,2	1,3	0	0	0	0	0		
Снижение поверхностью земли в средней зоне, Am дБ	Gm = 1	ф-лы таб.3 [10]	-1,6	-1,6	0	0	0	0	0	0	0		
Суммарное снижение поверхностью земли на траектории распространения звука Agr, дБ		ф-ла (9) [10]	-4,6	-4,6	1,7	-0,2	-1,5	-1,5	-1,5	-1,5	-1,5		
Уровни звукового давления от источника ШТ-9 в расчётной точке днём, дБ		**ф-ла(3)[10]**	**15,3**	**15,3**	**19,9**	**6,5**	**9,2**	**7,4**	**5,9**	**0**	**0**	**12,5**	**12,5**
Уровни звукового давления от источника ШТ-9 в расчётной точке ночью, дБ		**ф-ла(3)[10]**	**0**	**0**	**0**	**0**	**0**	**0**	**0**	**0**	**0**	**0**	**0**
Источник шума: ШТ-10, координаты источника (x,y,z), м =[629.86,-268.44,1.00]													
Уровни звуковой мощности источника днём, Lw, дБ		**исходные данные**	**100**	**100**	**94**	**90**	**88**	**77**	**73**	**65**	**58**		
Уровни звуковой мощности источника ночью, Lw, дБ		**исходные данные**	**0**	**0**	**0**	**0**	**0**	**0**	**0**	**0**	**0**		
Поправка на телесный угол DΩ, дБ	Ω = 12.57	10Lg(4π/Ω)	**0**	0	0	0	0	0	0	0	0		
Показатель направленности источника Di, дБ		исходные данные	**0**	0	0	0	0	0	0	0	0		
Поправка на направленность источника Dc, дБ	Dc	DΩ + Di	**0**	0	0	0	0	0	0	0	0		
Затухание из-за геометрической дивергенции, Adiv, дБ	расстояние = 366.25 м	ф-ла (7) [10]	**62,3**										

1		2	3	4	5	6	7	8	9	10	11	12	13
Коэффициент затухания звука в атмосфере α, дБ/км	Ta=20,°C Pa=101.33,кПа hотн.=70%	ф-ла (5) [9]	0,02	0,09	0,33	1,12	2,79	4,98	9,04	23,09	77,63		
Учет затухания звука в атмосфере Aatm, дБ		ф-ла (8) [10]	0	0	0,1	0,4	1	1,8	3,3	8,5	28,4		
Снижение поверхностью земли возле источника As, дБ	Gs = 0 hs = 1м	ф-лы таб.3 [10]	-1,5	-1,5	-1,5	-1,5	-1,5	-1,5	-1,5	-1,5	-1,5		
Снижение поверхностью земли возле приёмника Ar, дБ	Gr = 1 hr = 4.6м	ф-лы таб.3 [10]	-1,5	-1,5	3,2	1,3	0	0	0	0	0		
Снижение поверхностью земли в средней зоне, Am дБ	Gm = 1	ф-лы таб.3 [10]	-1,6	-1,6	0	0	0	0	0	0	0		
Суммарное снижение поверхностью земли на траектории распространения звука Agr, дБ		ф-ла (9) [10]	-4,6	-4,6	1,7	-0,2	-1,5	-1,5	-1,5	-1,5	-1,5		
Уровни звукового давления прямого звука от источника ШТ-10 в расчётной точке днём, дБ		**ф-ла(3)[10]**	**42,3**	**42,3**	**29,9**	**27,5**	**26,2**	**14,4**	**8,9**	**0**	**0**	**25,8**	**25,8**
Уровни звукового давления прямого звука от источника ШТ-10 в расчётной точке ночью, дБ		**ф-ла(3)[10]**	**0**	**0**	**0**	**0**	**0**	**0**	**0**	**0**	**0**	**0**	**0**
Расчёт отражённого звука													
Уровни звукового давления от мнимого источника ШТ-10_мн.(1) в расчётной точке днём, дБ		**ф-ла(3)[10]**	**0**	**0**	**0**	**0**	**0**	**0**	**0**	**0**	**0**	**0**	**0**
Уровни звукового давления от мнимого источника ШТ-10_мн.(1) в расчётной точке ночью, дБ		**ф-ла(3)[10]**	**0**	**0**	**0**	**0**	**0**	**0**	**0**	**0**	**0**	**0**	**0**
Уровни звукового давления от мнимого источника ШТ-10_мн.(2) в расчётной точке днём, дБ		**ф-ла(3)[10]**	**0**	**0**	**0**	**0**	**0**	**0**	**0**	**0**	**0**	**0**	**0**
Уровни звукового давления от мнимого источника ШТ-10_мн.(2) в расчётной точке ночью, дБ		**ф-ла(3)[10]**	**0**	**0**	**0**	**0**	**0**	**0**	**0**	**0**	**0**	**0**	**0**
Суммарные уровни звукового давления от мнимых источников в расчётной точке днём, дБ		**ф-ла (19) [1]**	**0**	**0**	**0**	**0**	**0**	**0**	**0**	**0**	**0**	**0**	**0**
Суммарные уровни звукового давления от мнимых источников в расчётной точке ночью, дБ		**ф-ла (19) [1]**	**0**	**0**	**0**	**0**	**0**	**0**	**0**	**0**	**0**	**0**	**0**
Уровни звукового давления от источника ШТ-10 в расчётной точке днём, дБ		**ф-ла(3)[10]**	**42,3**	**42,3**	**29,9**	**27,5**	**26,2**	**14,4**	**8,9**	**0**	**0**	**25,8**	**25,8**
Уровни звукового давления от источника ШТ-10 в расчётной точке ночью, дБ		**ф-ла(3)[10]**	**0**	**0**	**0**	**0**	**0**	**0**	**0**	**0**	**0**	**0**	**0**

1		2	3	4	5	6	7	8	9	10	11	12	13
Источник шума: ШТ-11, координаты источника (x,y,z), м =[585.91,-204.05,1.00]													
Уровни звуковой мощности источника днём, Lw, дБ		**исходные данные**	**100**	**100**	**94**	**90**	**88**	**77**	**73**	**65**	**58**		
Уровни звуковой мощности источника ночью, Lw, дБ		**исходные данные**	**0**	**0**	**0**	**0**	**0**	**0**	**0**	**0**	**0**		
Поправка на телесный угол DΩ, дБ	Ω = 12.57	10Lg(4π/Ω)	**0**	0	0	0	0	0	0	0	0		
Показатель направленности источника Di, дБ		исходные данные	**0**	0	0	0	0	0	0	0	0		
Поправка на направленность источника Dc, дБ	Dc	DΩ + Di	**0**	0	0	0	0	0	0	0	0		
Затухание из-за геометрической дивергенции, Adiv, дБ	расстояние = 317.20 м	ф-ла (7) [10]	**61**										
Коэффициент затухания звука в атмосфере α, дБ/км	Ta=20,°C Pa=101.33,кПа hотн.=70%	ф-ла (5) [9]	0,02	0,09	0,33	1,12	2,79	4,98	9,04	23,09	77,63		
Учет затухания звука в атмосфере Aatm, дБ		ф-ла (8) [10]	0	0	0,1	0,4	0,9	1,6	2,9	7,3	24,6		
Снижение поверхностью земли возле источника As, дБ	Gs = 0 hs = 1м	ф-лы таб.3 [10]	-1,5	-1,5	-1,5	-1,5	-1,5	-1,5	-1,5	-1,5	-1,5		
Снижение поверхностью земли возле приёмника Ar, дБ	Gr = 1 hr = 4.6м	ф-лы таб.3 [10]	-1,5	-1,5	3,1	1,3	0	0	0	0	0		
Снижение поверхностью земли в средней зоне, Am дБ	Gm = 1	ф-лы таб.3 [10]	-1,4	-1,4	0	0	0	0	0	0	0		
Суммарное снижение поверхностью земли на траектории распространения звука Agr, дБ		ф-ла (9) [10]	-4,4	-4,4	1,6	-0,2	-1,5	-1,5	-1,5	-1,5	-1,5		
Уровни звукового давления прямого звука от источника ШТ-11 в расчётной точке днём, дБ		**ф-ла(3)[10]**	**43,4**	**43,4**	**31,2**	**28,8**	**27,6**	**15,9**	**10,6**	**0**	**0**	**27,2**	**27,2**
Уровни звукового давления прямого звука от источника ШТ-11 в расчётной точке ночью, дБ		**ф-ла(3)[10]**	**0**	**0**	**0**	**0**	**0**	**0**	**0**	**0**	**0**	**0**	**0**
Расчёт отражённого звука													

1		2	3	4	5	6	7	8	9	10	11	12	13
Уровни звукового давления от мнимого источника ШТ-11_мн.(1) в расчётной точке днём, дБ		**ф-ла(3)[10]**	**0**	**0**	**27**	**18,5**	**16,3**	**11,3**	**8,1**	**0**	**0**	**18,1**	**18,1**
Уровни звукового давления от мнимого источника ШТ-11_мн.(1) в расчётной точке ночью, дБ		**ф-ла(3)[10]**	**0**	**0**	**0**	**0**	**0**	**0**	**0**	**0**	**0**	**0**	**0**
Уровни звукового давления от источника ШТ-11 в расчётной точке днём, дБ		**ф-ла(3)[10]**	**43,4**	**43,4**	**32,6**	**29,2**	**27,9**	**17,2**	**12,5**	**0**	**0**	**27,7**	**27,7**
Уровни звукового давления от источника ШТ-11 в расчётной точке ночью, дБ		**ф-ла(3)[10]**	**0**	**0**	**0**	**0**	**0**	**0**	**0**	**0**	**0**	**0**	**0**
Источник шума: ШТ-12, координаты источника (x,y,z), м =[529.09,-315.23,1.00]													
Уровни звуковой мощности источника днём, Lw, дБ		**исходные данные**	**100**	**100**	**94**	**90**	**88**	**77**	**73**	**65**	**58**		
Уровни звуковой мощности источника ночью, Lw, дБ		**исходные данные**	**0**	**0**	**0**	**0**	**0**	**0**	**0**	**0**	**0**		
Поправка на телесный угол DΩ, дБ	Ω = 12.57	10Lg(4π/Ω)	**0**	0	0	0	0	0	0	0	0		
Показатель направленности источника Di, дБ		исходные данные	**0**	0	0	0	0	0	0	0	0		
Поправка на направленность источника Dc, дБ	Dc	DΩ + Di	**0**	0	0	0	0	0	0	0	0		
Затухание из-за геометрической дивергенции, Adiv, дБ	расстояние = 281.82 м	ф-ла (7) [10]	**60**										
Коэффициент затухания звука в атмосфере α, дБ/км	Ta=20,°C Pa=101.33,кПа hотн.=70%	ф-ла (5) [9]	0,02	0,09	0,33	1,12	2,79	4,98	9,04	23,09	77,63		
Учет затухания звука в атмосфере Aatm, дБ		ф-ла (8) [10]	0	0	0,1	0,3	0,8	1,4	2,5	6,5	21,9		
Снижение уровня звукового давления из-за влияния застройки между источником шума и расчетной точкой													
Промежуточные точки:	Pss(x,y,z) = (275.95,-212.13,4.49)	Psr(x,y,z) = (275.95,-212.13,4.49)	dss = 273.35 м		dsr = 8.62 м		e = 0.00 м		z = -0.16 м				
Константа C2, учитывающая эффект отражения от земли возле экрана			40	40	40	40	40	40	40	40	40		

1		2	3	4	5	6	7	8	9	10	11	12	13
Препятствие слева от трассы ИШ-РТ	Константа СЗ (дифракция на кромках)	ф-ла (15) [10]	1	1	1	1	1	1	1	1	1		
	K_{met} (влияние метеоусловий)	ф-ла (18) [10]	1	1	1	1	1	1	1	1	1		
	Снижение УЗД, Dz, дБ	ф-ла (14) [10]	3,8	2,6	0	NAN	NAN	NAN	NAN	NAN	NAN		
* отрицательное значение z означает прохождение траектории вблизи экрана, в этом случае дополнительно производится учёт снижения подстилающей поверхностью (см.ниже)													
Снижение поверхностью земли возле источника As, дБ	Gs = 0 hs = 1м	ф-лы таб.3 [10]	-1,5	-1,5	-1,5	-1,5	-1,5	-1,5	-1,5	-1,5	-1,5		
Снижение поверхностью земли возле приёмника Ar, дБ	Gr = 1 hr = 4.6м	ф-лы таб.3 [10]	-1,5	-1,5	3,1	1,3	0	0	0	0	0		
Снижение поверхностью земли в средней зоне, Am дБ	Gm = 1	ф-лы таб.3 [10]	-1,2	-1,2	0	0	0	0	0	0	0		
Суммарное снижение поверхностью земли на траектории распространения звука Agr, дБ		ф-ла (9) [10]	-4,2	-4,2	1,6	-0,2	-1,5	-1,5	-1,5	-1,5	-1,5		
Уровни звукового давления от источника ШТ-12 в расчётной точке днём, дБ		**ф-ла(3)[10]**	**40,4**	**41,6**	**32,3**	**29,9**	**28,7**	**17,1**	**12**	**0**	**0**	**28,1**	**28,1**
Уровни звукового давления от источника ШТ-12 в расчётной точке ночью, дБ		**ф-ла(3)[10]**	**0**	**0**	**0**	**0**	**0**	**0**	**0**	**0**	**0**	**0**	**0**
Источник шума: ШТ-13, координаты источника (x,y,z), м =[659.03,-392.14,1.00]													
Уровни звуковой мощности источника днём, Lw, дБ		**исходные данные**	**100**	**100**	**94**	**90**	**88**	**77**	**73**	**65**	**58**		
Уровни звуковой мощности источника ночью, Lw, дБ		**исходные данные**	**0**	**0**	**0**	**0**	**0**	**0**	**0**	**0**	**0**		
Поправка на телесный угол DΩ, дБ	Ω = 12.57	10Lg(4π/Ω)	**0**	0	0	0	0	0	0	0	0		
Показатель направленности источника Di, дБ		исходные данные	**0**	0	0	0	0	0	0	0	0		
Поправка на направленность источника Dc, дБ	Dc	DΩ + Di	**0**	0	0	0	0	0	0	0	0		
Затухание из-за геометрической дивергенции, Adiv, дБ	расстояние = 431.82 м	ф-ла (7) [10]	**63,7**										

1			2	3	4	5	6	7	8	9	10	11	12	13
Коэффициент затухания звука в атмосфере α, дБ/км		Ta=20,°C Pa=101.33,кПа hотн.=70%	ф-ла (5) [9]	0,02	0,09	0,33	1,12	2,79	4,98	9,04	23,09	77,63		
Учет затухания звука в атмосфере Aatm, дБ			ф-ла (8) [10]	0	0	0,1	0,5	1,2	2,1	3,9	10	33,5		
Снижение уровня звукового давления из-за влияния застройки между источником шума и расчетной точкой														
Препятствие слева от трассы ИШ-РТ	Промежуточные точки:	Pss(x,y,z) = (275.95,-212.13,4.53)	Psr(x,y,z) = (275.95,-212.13,4.53)	dss = 423.28 м		dsr = 8.62 м		e = 0.00 м		z = -0.09 м				
	Константа C2, учитывающая эффект отражения от земли возле экрана			40	40	40	40	40	40	40	40	40		
	Константа C3 (дифракция на кромках)		ф-ла (15) [10]	1	1	1	1	1	1	1	1	1		
	K_{met} (влияние метеоусловий)		ф-ла (18) [10]	1	1	1	1	1	1	1	1	1		
	Снижение УЗД, Dz, дБ		ф-ла (14) [10]	4,3	3,7	2,3	0	NAN	NAN	NAN	NAN	NAN		
* отрицательное значение z означает прохождение траектории вблизи экрана, в этом случае дополнительно производится учёт снижения подстилающей поверхностью (см.ниже)														
Снижение поверхностью земли возле источника As, дБ		Gs = 0 hs = 1м	ф-лы таб.3 [10]	-1,5	-1,5	-1,5	-1,5	-1,5	-1,5	-1,5	-1,5	-1,5		
Снижение поверхностью земли возле приёмника Ar, дБ		Gr = 1 hr = 4.6м	ф-лы таб.3 [10]	-1,5	-1,5	3,3	1,3	0	0	0	0	0		
Снижение поверхностью земли в средней зоне, Am дБ		Gm = 1	ф-лы таб.3 [10]	-1,8	-1,8	0	0	0	0	0	0	0		
Суммарное снижение поверхностью земли на траектории распространения звука Agr, дБ			ф-ла (9) [10]	-4,8	-4,8	1,8	-0,2	-1,5	-1,5	-1,5	-1,5	-1,5		
Уровни звукового давления от источника ШТ-13 в расчётной точке днём, дБ			**ф-ла(3)[10]**	**36,8**	**37,4**	**26**	**26**	**24,6**	**12,6**	**6,9**	**0**	**0**	**23,8**	**23,8**
Уровни звукового давления от источника ШТ-13 в расчётной точке ночью, дБ			**ф-ла(3)[10]**	**0**	**0**	**0**	**0**	**0**	**0**	**0**	**0**	**0**	**0**	**0**
Источник шума: ШТ-14, координаты источника (x,y,z), м =[499.22,-149.33,1.00]														
Уровни звуковой мощности источника днём, Lw, дБ			**исходные данные**	**100**	**100**	**94**	**90**	**88**	**77**	**73**	**65**	**58**		

1		2	3	4	5	6	7	8	9	10	11	12	13
Уровни звуковой мощности источника ночью, Lw, дБ		**исходные данные**	**0**	**0**	**0**	**0**	**0**	**0**	**0**	**0**	**0**		
Поправка на телесный угол DΩ, дБ	Ω = 12.57	10Lg(4π/Ω)	**0**	0	0	0	0	0	0	0	0		
Показатель направленности источника Di, дБ		исходные данные	**0**	0	0	0	0	0	0	0	0		
Поправка на направленность источника Dc, дБ	Dc	DΩ + Di	**0**	0	0	0	0	0	0	0	0		
Затухание из-за геометрической дивергенции, Adiv, дБ	расстояние = 237.70 м	ф-ла (7) [10]	**58,5**										
Коэффициент затухания звука в атмосфере α, дБ/км	Ta=20,°C Pa=101.33,кПа hотн.=70%	ф-ла (5) [9]	0,02	0,09	0,33	1,12	2,79	4,98	9,04	23,09	77,63		
Учет затухания звука в атмосфере Aatm, дБ		ф-ла (8) [10]	0	0	0,1	0,3	0,7	1,2	2,1	5,5	18,5		
Снижение поверхностью земли возле источника As, дБ	Gs = 0 hs = 1м	ф-лы таб.3 [10]	-1,5	-1,5	-1,5	-1,5	-1,5	-1,5	-1,5	-1,5	-1,5		
Снижение поверхностью земли возле приёмника Ar, дБ	Gr = 1 hr = 4.6м	ф-лы таб.3 [10]	-1,5	-1,5	3	1,3	0	0	0	0	0		
Снижение поверхностью земли в средней зоне, Am дБ	Gm = 1	ф-лы таб.3 [10]	-0,9	-0,9	0	0	0	0	0	0	0		
Суммарное снижение поверхностью земли на траектории распространения звука Agr, дБ		ф-ла (9) [10]	-3,9	-3,9	1,5	-0,2	-1,5	-1,5	-1,5	-1,5	-1,5		
Уровни звукового давления прямого звука от источника ШТ-14 в расчётной точке днём, дБ		**ф-ла(3)[10]**	**45,4**	**45,3**	**33,9**	**31,4**	**30,3**	**18,8**	**13,8**	**2,5**	**0**	**29,8**	**29,8**
Уровни звукового давления прямого звука от источника ШТ-14 в расчётной точке ночью, дБ		**ф-ла(3)[10]**	**0**	**0**	**0**	**0**	**0**	**0**	**0**	**0**	**0**	**0**	**0**
Расчёт отражённого звука													
Уровни звукового давления от мнимого источника ШТ-14_мн.(1) в расчётной точке днём, дБ		**ф-ла(3)[10]**	**0**	**0**	**0**	**21,1**	**19**	**14,2**	**11,3**	**0**	**0**	**20**	**20**
Уровни звукового давления от мнимого источника ШТ-14_мн.(1) в расчётной точке ночью, дБ		**ф-ла(3)[10]**	**0**	**0**	**0**	**0**	**0**	**0**	**0**	**0**	**0**	**0**	**0**
Уровни звукового давления от источника ШТ-14 в расчётной точке днём, дБ		**ф-ла(3)[10]**	**45,4**	**45,3**	**33,9**	**31,8**	**30,6**	**20,1**	**15,7**	**2,5**	**0**	**30,3**	**30,3**

1		2	3	4	5	6	7	8	9	10	11	12	13
Уровни звукового давления от источника ШТ-14 в расчётной точке ночью, дБ		**ф-ла(3)[10]**	**0**	**0**	**0**	**0**	**0**	**0**	**0**	**0**	**0**	**0**	**0**
Уровни звукового давления в расчётной точке													
Суммарные уровни звукового давления в расчётной точке от всех источников шума днём, Lрт, дБ		**ф-ла (19) [1]**	**60,7**	**59,1**	**56,4**	**56,6**	**56,3**	**56,7**	**51,7**	**40,5**	**0**	**59,8**	**61,4**
Суммарные уровни звукового давления в расчётной точке от всех источников шума ночью, Lрт, дБ		**ф-ла (19) [1]**	**54**	**56,8**	**52,9**	**54,4**	**54,9**	**55,6**	**49,7**	**38,5**	**0**	**58,4**	**58,4**
Допускаемые УЗД днём, Lдоп, дБ	Территории предприятий с постоянными рабочими местами	Табл. 1[3]	107	95	87	82	78	75	73	71	69	80	95
Допускаемые УЗД ночью, Lдоп, дБ	Территории предприятий с постоянными рабочими местами	Табл. 1[3]	107	95	87	82	78	75	73	71	69	80	95
Превышение днём, дБ		**Lрт - Lдоп**	**-46,3**	**-35,9**	**-30,6**	**-25,4**	**-21,7**	**-18,3**	**-21,3**	**-30,5**	**-69**	**-20,2**	**-33,6**
Превышение ночью, дБ		**Lрт - Lдоп**	**-53**	**-38,2**	**-34,1**	**-27,6**	**-23,1**	**-19,4**	**-23,3**	**-32,5**	**-69**	**-21,6**	**-36,6**

Расчетные приложения

на период

эксплуатации

Исходные данные и определение уровней звуковой мощности источников шума

Наименование величин и их описание		Ссылка	Расчётные уровни в октавных полосах, со среднегеометрическими частотами, Гц									La, дБА	Lмакс, дБА
			31,5	63	125	250	500	1000	2000	4000	8000		
1		2	3	4	5	6	7	8	9	10	11	12	13
ИШ-1-1 [координаты на плане (x,y,z), м = (271.7,229.7,1.0)]													
Режим работы источника:			постоянный										
Продолжительность работы в дневной период (7.00-23.00):			16 час										
Продолжительность работы в ночной период (23.00-7.00):			8 час										
Тип источника шума:			точечный										
Категория источника шума:			77.16.004 Ачимовка. ДКС										
:			МКУ-381										
:			ГОСТ 12.2.110-85										
Пространственный угол излучения, рад.	Ω = 6.28	исходные данные											
Октавные уровни звуковой мощности источника Lw, дБ		исходные данные	97	97	104	106	105	105	98	87	81		
ИШ-1-2 [координаты на плане (x,y,z), м = (261.7,199.1,1.0)]													
Режим работы источника:			постоянный										
Продолжительность работы в дневной период (7.00-23.00):			16 час										
Продолжительность работы в ночной период (23.00-7.00):			8 час										
Тип источника шума:			точечный										
Категория источника шума:			77.16.004 Ачимовка. ДКС										
:			МКУ-381										
:			ГОСТ 12.2.110-85										
Пространственный угол излучения, рад.	Ω = 6.28	исходные данные											
Октавные уровни звуковой мощности источника Lw, дБ		исходные данные	97	97	104	106	105	105	98	87	81		

1		2	3	4	5	6	7	8	9	10	11	12	13
ИШ-1-3 [координаты на плане (x,y,z), м = (251.8,236.4,1.0)]													
Режим работы источника:			постоянный										
Продолжительность работы в дневной период (7.00-23.00):			16 час										
Продолжительность работы в ночной период (23.00-7.00):			8 час										
Тип источника шума:			точечный										
Категория источника шума:			77.16.004 Ачимовка. ДКС										
:			АВО (МКУ) АВО-381-1/2										
:			(аналог АВГБ-83)										
Пространственный угол излучения, рад.	Ω = 6.28	исходные данные											
Уровень звука La на опорном расстоянии d, дБА	d = 1 м	исходные данные										90	
Габариты источника шума, м		исходные данные	длина (l_1) = 0.00			ширина (l_2) = 0.00			высота (l_3) = 0.00				
Уровни звуковой мощности источника LwA, дБА		LwA = La + 20lg(d) + 10lg(Ω)										98	
Спектральные поправки K(Δ_{LA}) для разложения общего уровня звуковой мощности в спектр по октавным полосам, дБ		[5]	-999	-6,7	-5,3	-4	-3,7	-4,1	-7,4	-11,6	-16,1		
Октавные уровни звуковой мощности источника Lw, дБ		Lw = LwA + K(Δ_{LA})	0	91,3	92,7	94	94,3	93,9	90,6	86,4	81,9		
ИШ-1-4 [координаты на плане (x,y,z), м = (290.3,223.2,1.0)]													
Режим работы источника:			постоянный										
Продолжительность работы в дневной период (7.00-23.00):			16 час										
Продолжительность работы в ночной период (23.00-7.00):			8 час										
Тип источника шума:			точечный										
Категория источника шума:			77.16.004 Ачимовка. ДКС										
:			АВО (МКУ) АВО-381-1/2										
:			(аналог АВГБ-83)										
Пространственный угол излучения, рад.	Ω = 6.28	исходные данные											
Уровень звука La на опорном расстоянии d, дБА	d = 1 м	исходные данные										90	

1		2	3	4	5	6	7	8	9	10	11	12	13
Габариты источника шума, м		исходные данные	длина (l_1) = 0.00			ширина (l_2) = 0.00			высота (l_3) = 0.00				
Уровни звуковой мощности источника LwA, дБА		LwA = La + 20lg(d) + 10lg(Ω)										98	
Спектральные поправки К(Δ_{LA}) для разложения общего уровня звуковой мощности в спектр по октавным полосам, дБ		[5]	-999	-6,7	-5,3	-4	-3,7	-4,1	-7,4	-11,6	-16,1		
Октавные уровни звуковой мощности источника Lw, дБ		Lw = LwA + К(Δ_{LA})	0	91,3	92,7	94	94,3	93,9	90,6	86,4	81,9		
ИШ-1-5 [координаты на плане (x,y,z), м = (241.5,205.9,1.0)]													
Режим работы источника:			постоянный										
Продолжительность работы в дневной период (7.00-23.00):			16 час										
Продолжительность работы в ночной период (23.00-7.00):			8 час										
Тип источника шума:			точечный										
Категория источника шума:			77.16.004 Ачимовка. ДКС										
:			АВО (МКУ) АВО-381-1/2										
:			(аналог АВГБ-83)										
Пространственный угол излучения, рад.	Ω = 6.28	исходные данные											
Уровень звука La на опорном расстоянии d, дБА	d = 1 м	исходные данные										90	
Габариты источника шума, м		исходные данные	длина (l_1) = 0.00			ширина (l_2) = 0.00			высота (l_3) = 0.00				
Уровни звуковой мощности источника LwA, дБА		LwA = La + 20lg(d) + 10lg(Ω)										98	
Спектральные поправки К(Δ_{LA}) для разложения общего уровня звуковой мощности в спектр по октавным полосам, дБ		[5]	-999	-6,7	-5,3	-4	-3,7	-4,1	-7,4	-11,6	-16,1		
Октавные уровни звуковой мощности источника Lw, дБ		Lw = LwA + К(Δ_{LA})	0	91,3	92,7	94	94,3	93,9	90,6	86,4	81,9		
ИШ-1-6 [координаты на плане (x,y,z), м = (279.8,193.0,1.0)]													
Режим работы источника:			постоянный										
Продолжительность работы в дневной период (7.00-23.00):			16 час										
Продолжительность работы в ночной период (23.00-7.00):			8 час										

1		2	3	4	5	6	7	8	9	10	11	12	13
Тип источника шума:			точечный										
Категория источника шума:			77.16.004 Ачимовка. ДКС										
:			АВО (МКУ) АВО-381-1/2										
:			(аналог АВГБ-83)										
Пространственный угол излучения, рад.	Ω = 6.28	исходные данные											
Уровень звука La на опорном расстоянии d, дБА	d = 1 м	исходные данные										90	
Габариты источника шума, м		исходные данные	длина (l_1) = 0.00			ширина (l_2) = 0.00			высота (l_3) = 0.00				
Уровни звуковой мощности источника LwA, дБА		LwA = La + 20lg(d) + 10lg(Ω)										98	
Спектральные поправки К(Δ_{LA}) для разложения общего уровня звуковой мощности в спектр по октавным полосам, дБ		[5]	-999	-6,7	-5,3	-4	-3,7	-4,1	-7,4	-11,6	-16,1		
Октавные уровни звуковой мощности источника Lw, дБ		Lw = LwA + К(Δ_{LA})	0	91,3	92,7	94	94,3	93,9	90,6	86,4	81,9		
ИШ-1-7 [координаты на плане (x,y,z), м = (451.9,146.7,1.0)]													
Режим работы источника:			постоянный										
Продолжительность работы в дневной период (7.00-23.00):			16 час										
Продолжительность работы в ночной период (23.00-7.00):			8 час										
Тип источника шума:			точечный										
Категория источника шума:			77.16.004 Ачимовка. ДКС										
:			АВО УВОГ-201										
:			(аналог АВГ-160-БМ)										
Пространственный угол излучения, рад.	Ω = 6.28	исходные данные											
Уровень звука La на опорном расстоянии d, дБА	d = 1 м	исходные данные										92	
Габариты источника шума, м		исходные данные	длина (l_1) = 0.00			ширина (l_2) = 0.00			высота (l_3) = 0.00				
Уровни звуковой мощности источника LwA, дБА		LwA = La + 20lg(d) + 10lg(Ω)										100	
Спектральные поправки К(Δ_{LA}) для разложения общего уровня звуковой мощности в спектр по октавным полосам, дБ		[5]	-999	-6,7	-5,3	-4	-3,7	-4,1	-7,4	-11,6	-16,1		

1		2	3	4	5	6	7	8	9	10	11	12	13
Октавные уровни звуковой мощности источника Lw, дБ		Lw = LwA + K(Δ_{LA})	0	93,3	94,7	96	96,3	95,9	92,6	88,4	83,9		
ИШ-1-8 [координаты на плане (x,y,z), м = (455.0,145.3,1.0)]													
Режим работы источника:			постоянный										
Продолжительность работы в дневной период (7.00-23.00):			16 час										
Продолжительность работы в ночной период (23.00-7.00):			8 час										
Тип источника шума:			точечный										
Категория источника шума:			77.16.004 Ачимовка. ДКС										
:			АВО УВОГ-201										
:			(аналог АВГ-160-БМ)										
Пространственный угол излучения, рад.	Ω = 6.28	исходные данные											
Уровень звука La на опорном расстоянии d, дБА	d = 1 м	исходные данные										92	
Габариты источника шума, м		исходные данные	длина (l_1) = 0.00			ширина (l_2) = 0.00			высота (l_3) = 0.00				
Уровни звуковой мощности источника LwA, дБА		LwA = La + 20lg(d) + 10lg(Ω)										100	
Спектральные поправки K(Δ_{LA}) для разложения общего уровня звуковой мощности в спектр по октавным полосам, дБ		[5]	-999	-6,7	-5,3	-4	-3,7	-4,1	-7,4	-11,6	-16,1		
Октавные уровни звуковой мощности источника Lw, дБ		Lw = LwA + K(Δ_{LA})	0	93,3	94,7	96	96,3	95,9	92,6	88,4	83,9		
ИШ-1-9 [координаты на плане (x,y,z), м = (458.1,144.3,1.0)]													
Режим работы источника:			постоянный										
Продолжительность работы в дневной период (7.00-23.00):			16 час										
Продолжительность работы в ночной период (23.00-7.00):			8 час										
Тип источника шума:			точечный										
Категория источника шума:			77.16.004 Ачимовка. ДКС										
:			АВО УВОГ-201										
:			(аналог АВГ-160-БМ)										
Пространственный угол излучения, рад.	Ω = 6.28	исходные данные											

1		2	3	4	5	6	7	8	9	10	11	12	13
Уровень звука La на опорном расстоянии d, дБА	d = 1 м	исходные данные										92	
Габариты источника шума, м		исходные данные	длина (l_1) = 0.00			ширина (l_2) = 0.00			высота (l_3) = 0.00				
Уровни звуковой мощности источника LwA, дБА		LwA = La + 20lg(d) + 10lg(Ω)										100	
Спектральные поправки К(Δ_{LA}) для разложения общего уровня звуковой мощности в спектр по октавным полосам, дБ		[5]	-999	-6,7	-5,3	-4	-3,7	-4,1	-7,4	-11,6	-16,1		
Октавные уровни звуковой мощности источника Lw, дБ		Lw = LwA + К(Δ_{LA})	0	93,3	94,7	96	96,3	95,9	92,6	88,4	83,9		
ИШ-1-10 [координаты на плане (x,y,z), м = (461.1,143.5,1.0)]													
Режим работы источника:		постоянный											
Продолжительность работы в дневной период (7.00-23.00):		16 час											
Продолжительность работы в ночной период (23.00-7.00):		8 час											
Тип источника шума:		точечный											
Категория источника шума:		77.16.004 Ачимовка. ДКС											
:		АВО УВОГ-201											
:		(аналог АВГ-160-БМ)											
Пространственный угол излучения, рад.	Ω = 6.28	исходные данные											
Уровень звука La на опорном расстоянии d, дБА	d = 1 м	исходные данные										92	
Габариты источника шума, м		исходные данные	длина (l_1) = 0.00			ширина (l_2) = 0.00			высота (l_3) = 0.00				
Уровни звуковой мощности источника LwA, дБА		LwA = La + 20lg(d) + 10lg(Ω)										100	
Спектральные поправки К(Δ_{LA}) для разложения общего уровня звуковой мощности в спектр по октавным полосам, дБ		[5]	-999	-6,7	-5,3	-4	-3,7	-4,1	-7,4	-11,6	-16,1		
Октавные уровни звуковой мощности источника Lw, дБ		Lw = LwA + К(Δ_{LA})	0	93,3	94,7	96	96,3	95,9	92,6	88,4	83,9		
ИШ-1-11 [координаты на плане (x,y,z), м = (464.2,142.6,1.0)]													
Режим работы источника:		постоянный											

1		2	3	4	5	6	7	8	9	10	11	12	13
Продолжительность работы в дневной период (7.00-23.00):			16 час										
Продолжительность работы в ночной период (23.00-7.00):			8 час										
Тип источника шума:			точечный										
Категория источника шума:			77.16.004 Ачимовка. ДКС										
:			АВО УВОГ-201										
:			(аналог АВГ-160-БМ)										
Пространственный угол излучения, рад.	Ω = 6.28	исходные данные											
Уровень звука La на опорном расстоянии d, дБА	d = 1 м	исходные данные										92	
Габариты источника шума, м		исходные данные	длина (l_1) = 0.00			ширина (l_2) = 0.00			высота (l_3) = 0.00				
Уровни звуковой мощности источника LwA, дБА		LwA = La + 20lg(d) + 10lg(Ω)										100	
Спектральные поправки К(Δ_{LA}) для разложения общего уровня звуковой мощности в спектр по октавным полосам, дБ		[5]	-999	-6,7	-5,3	-4	-3,7	-4,1	-7,4	-11,6	-16,1		
Октавные уровни звуковой мощности источника Lw, дБ		Lw = LwA + К(Δ_{LA})	0	93,3	94,7	96	96,3	95,9	92,6	88,4	83,9		
ИШ-1-12 [координаты на плане (x,y,z), м = (435.4,97.8,1.0)]													
Режим работы источника:			постоянный										
Продолжительность работы в дневной период (7.00-23.00):			16 час										
Продолжительность работы в ночной период (23.00-7.00):			8 час										
Тип источника шума:			точечный										
Категория источника шума:			77.16.004 Ачимовка. ДКС										
:			АВО УВОГ-201										
:			(аналог АВГ-160-БМ)										
Пространственный угол излучения, рад.	Ω = 6.28	исходные данные											
Уровень звука La на опорном расстоянии d, дБА	d = 1 м	исходные данные										92	
Габариты источника шума, м		исходные данные	длина (l_1) = 0.00			ширина (l_2) = 0.00			высота (l_3) = 0.00				
Уровни звуковой мощности источника LwA, дБА		LwA = La + 20lg(d) + 10lg(Ω)										100	

1		2	3	4	5	6	7	8	9	10	11	12	13
Спектральные поправки К(Δ_{LA}) для разложения общего уровня звуковой мощности в спектр по октавным полосам, дБ		[5]	-999	-6,7	-5,3	-4	-3,7	-4,1	-7,4	-11,6	-16,1		
Октавные уровни звуковой мощности источника Lw, дБ		Lw = LwA + К(Δ_{LA})	0	93,3	94,7	96	96,3	95,9	92,6	88,4	83,9		
ИШ-1-13 [координаты на плане (x,y,z), м = (438.8,96.8,1.0)]													
Режим работы источника:			постоянный										
Продолжительность работы в дневной период (7.00-23.00):			16 час										
Продолжительность работы в ночной период (23.00-7.00):			8 час										
Тип источника шума:			точечный										
Категория источника шума:			77.16.004 Ачимовка. ДКС										
:			АВО УВОГ-201										
:			(аналог АВГ-160-БМ)										
Пространственный угол излучения, рад.	Ω = 6.28	исходные данные											
Уровень звука La на опорном расстоянии d, дБА	d = 1 м	исходные данные										92	
Габариты источника шума, м		исходные данные	длина (l_1) = 0.00			ширина (l_2) = 0.00			высота (l_3) = 0.00				
Уровни звуковой мощности источника LwA, дБА		LwA = La + 20lg(d) + 10lg(Ω)										100	
Спектральные поправки К(Δ_{LA}) для разложения общего уровня звуковой мощности в спектр по октавным полосам, дБ		[5]	-999	-6,7	-5,3	-4	-3,7	-4,1	-7,4	-11,6	-16,1		
Октавные уровни звуковой мощности источника Lw, дБ		Lw = LwA + К(Δ_{LA})	0	93,3	94,7	96	96,3	95,9	92,6	88,4	83,9		
ИШ-1-14 [координаты на плане (x,y,z), м = (441.7,96.0,1.0)]													
Режим работы источника:			постоянный										
Продолжительность работы в дневной период (7.00-23.00):			16 час										
Продолжительность работы в ночной период (23.00-7.00):			8 час										
Тип источника шума:			точечный										
Категория источника шума:			77.16.004 Ачимовка. ДКС										
:			АВО УВОГ-201										
:			(аналог АВГ-160-БМ)										

1		2	3	4	5	6	7	8	9	10	11	12	13
Пространственный угол излучения, рад.	Ω = 6.28	исходные данные											
Уровень звука La на опорном расстоянии d, дБА	d = 1 м	исходные данные										92	
Габариты источника шума, м		исходные данные	длина (l_1) = 0.00			ширина (l_2) = 0.00			высота (l_3) = 0.00				
Уровни звуковой мощности источника LwA, дБА		LwA = La + 20lg(d) + 10lg(Ω)										100	
Спектральные поправки К(Δ_{LA}) для разложения общего уровня звуковой мощности в спектр по октавным полосам, дБ		[5]	-999	-6,7	-5,3	-4	-3,7	-4,1	-7,4	-11,6	-16,1		
Октавные уровни звуковой мощности источника Lw, дБ		Lw = LwA + К(Δ_{LA})	0	93,3	94,7	96	96,3	95,9	92,6	88,4	83,9		
ИШ-1-15 [координаты на плане (x,y,z), м = (445.0,95.3,1.0)]													
Режим работы источника:			постоянный										
Продолжительность работы в дневной период (7.00-23.00):			16 час										
Продолжительность работы в ночной период (23.00-7.00):			8 час										
Тип источника шума:			точечный										
Категория источника шума:			77.16.004 Ачимовка. ДКС										
:			АВО УВОГ-201										
:			(аналог АВГ-160-БМ)										
Пространственный угол излучения, рад.	Ω = 6.28	исходные данные											
Уровень звука La на опорном расстоянии d, дБА	d = 1 м	исходные данные										92	
Габариты источника шума, м		исходные данные	длина (l_1) = 0.00			ширина (l_2) = 0.00			высота (l_3) = 0.00				
Уровни звуковой мощности источника LwA, дБА		LwA = La + 20lg(d) + 10lg(Ω)										100	
Спектральные поправки К(Δ_{LA}) для разложения общего уровня звуковой мощности в спектр по октавным полосам, дБ		[5]	-999	-6,7	-5,3	-4	-3,7	-4,1	-7,4	-11,6	-16,1		
Октавные уровни звуковой мощности источника Lw, дБ		Lw = LwA + К(Δ_{LA})	0	93,3	94,7	96	96,3	95,9	92,6	88,4	83,9		

1		2	3	4	5	6	7	8	9	10	11	12	13
ИШ-1-16 [координаты на плане (x,y,z), м = (448.0,94.3,1.0)]													
Режим работы источника:			постоянный										
Продолжительность работы в дневной период (7.00-23.00):			16 час										
Продолжительность работы в ночной период (23.00-7.00):			8 час										
Тип источника шума:			точечный										
Категория источника шума:			77.16.004 Ачимовка. ДКС										
:			АВО УВОГ-201										
:			(аналог АВГ-160-БМ)										
Пространственный угол излучения, рад.	Ω = 6.28	исходные данные											
Уровень звука La на опорном расстоянии d, дБА	d = 1 м	исходные данные										92	
Габариты источника шума, м		исходные данные	длина (l_1) = 0.00			ширина (l_2) = 0.00			высота (l_3) = 0.00				
Уровни звуковой мощности источника LwA, дБА		LwA = La + 20lg(d) + 10lg(Ω)										100	
Спектральные поправки K(Δ_{LA}) для разложения общего уровня звуковой мощности в спектр по октавным полосам, дБ		[5]	-999	-6,7	-5,3	-4	-3,7	-4,1	-7,4	-11,6	-16,1		
Октавные уровни звуковой мощности источника Lw, дБ		Lw = LwA + K(Δ_{LA})	0	93,3	94,7	96	96,3	95,9	92,6	88,4	83,9		
ИШ-1-17 [координаты на плане (x,y,z), м = (541.0,141.8,1.0)]													
Режим работы источника:			постоянный										
Продолжительность работы в дневной период (7.00-23.00):			16 час										
Продолжительность работы в ночной период (23.00-7.00):			8 час										
Тип источника шума:			точечный										
Категория источника шума:			77.16.004 Ачимовка. ДКС										
:			АВО УВОГ-201										
:			(аналог АВГ-160-БМ)										
Пространственный угол излучения, рад.	Ω = 6.28	исходные данные											
Уровень звука La на опорном расстоянии d, дБА	d = 1 м	исходные данные										92	

1		2	3	4	5	6	7	8	9	10	11	12	13
Габариты источника шума, м		исходные данные	длина (l_1) = 0.00			ширина (l_2) = 0.00			высота (l_3) = 0.00				
Уровни звуковой мощности источника LwA, дБА		LwA = La + 20lg(d) + 10lg(Ω)										100	
Спектральные поправки К(Δ_{LA}) для разложения общего уровня звуковой мощности в спектр по октавным полосам, дБ		[5]	-999	-6,7	-5,3	-4	-3,7	-4,1	-7,4	-11,6	-16,1		
Октавные уровни звуковой мощности источника Lw, дБ		Lw = LwA + К(Δ_{LA})	0	93,3	94,7	96	96,3	95,9	92,6	88,4	83,9		
ИШ-1-18 [координаты на плане (x,y,z), м = (543.5,140.8,1.0)]													
Режим работы источника:			постоянный										
Продолжительность работы в дневной период (7.00-23.00):			16 час										
Продолжительность работы в ночной период (23.00-7.00):			8 час										
Тип источника шума:			точечный										
Категория источника шума:			77.16.004 Ачимовка. ДКС										
:			АВО УВОГ-201										
:			(аналог АВГ-160-БМ)										
Пространственный угол излучения, рад.	Ω = 6.28	исходные данные											
Уровень звука La на опорном расстоянии d, дБА	d = 1 м	исходные данные										92	
Габариты источника шума, м		исходные данные	длина (l_1) = 0.00			ширина (l_2) = 0.00			высота (l_3) = 0.00				
Уровни звуковой мощности источника LwA, дБА		LwA = La + 20lg(d) + 10lg(Ω)										100	
Спектральные поправки К(Δ_{LA}) для разложения общего уровня звуковой мощности в спектр по октавным полосам, дБ		[5]	-999	-6,7	-5,3	-4	-3,7	-4,1	-7,4	-11,6	-16,1		
Октавные уровни звуковой мощности источника Lw, дБ		Lw = LwA + К(Δ_{LA})	0	93,3	94,7	96	96,3	95,9	92,6	88,4	83,9		
ИШ-1-19 [координаты на плане (x,y,z), м = (547.2,139.6,1.0)]													
Режим работы источника:			постоянный										
Продолжительность работы в дневной период (7.00-23.00):			16 час										
Продолжительность работы в ночной период (23.00-7.00):			8 час										

1		2	3	4	5	6	7	8	9	10	11	12	13
Тип источника шума:			точечный										
Категория источника шума:			77.16.004 Ачимовка. ДКС										
:			АВО УВОГ-201										
:			(аналог АВГ-160-БМ)										
Пространственный угол излучения, рад.	Ω = 6.28	исходные данные											
Уровень звука La на опорном расстоянии d, дБА	d = 1 м	исходные данные										92	
Габариты источника шума, м		исходные данные	длина (l_1) = 0.00			ширина (l_2) = 0.00			высота (l_3) = 0.00				
Уровни звуковой мощности источника LwA, дБА		LwA = La + 20lg(d) + 10lg(Ω)										100	
Спектральные поправки К(Δ_{LA}) для разложения общего уровня звуковой мощности в спектр по октавным полосам, дБ		[5]	-999	-6,7	-5,3	-4	-3,7	-4,1	-7,4	-11,6	-16,1		
Октавные уровни звуковой мощности источника Lw, дБ		Lw = LwA + К(Δ_{LA})	0	93,3	94,7	96	96,3	95,9	92,6	88,4	83,9		
ИШ-1-20 [координаты на плане (x,y,z), м = (550.4,138.6,1.0)]													
Режим работы источника:			постоянный										
Продолжительность работы в дневной период (7.00-23.00):			16 час										
Продолжительность работы в ночной период (23.00-7.00):			8 час										
Тип источника шума:			точечный										
Категория источника шума:			77.16.004 Ачимовка. ДКС										
:			АВО УВОГ-201										
:			(аналог АВГ-160-БМ)										
Пространственный угол излучения, рад.	Ω = 6.28	исходные данные											
Уровень звука La на опорном расстоянии d, дБА	d = 1 м	исходные данные										92	
Габариты источника шума, м		исходные данные	длина (l_1) = 0.00			ширина (l_2) = 0.00			высота (l_3) = 0.00				
Уровни звуковой мощности источника LwA, дБА		LwA = La + 20lg(d) + 10lg(Ω)										100	
Спектральные поправки К(Δ_{LA}) для разложения общего уровня звуковой мощности в спектр по октавным полосам, дБ		[5]	-999	-6,7	-5,3	-4	-3,7	-4,1	-7,4	-11,6	-16,1		

1		2	3	4	5	6	7	8	9	10	11	12	13
Октавные уровни звуковой мощности источника Lw, дБ		Lw = LwA + K(Δ_{LA})	0	93,3	94,7	96	96,3	95,9	92,6	88,4	83,9		
ИШ-1-21 [координаты на плане (x,y,z), м = (553.3,137.7,1.0)]													
Режим работы источника:			постоянный										
Продолжительность работы в дневной период (7.00-23.00):			16 час										
Продолжительность работы в ночной период (23.00-7.00):			8 час										
Тип источника шума:			точечный										
Категория источника шума:			77.16.004 Ачимовка. ДКС										
:			АВО УВОГ-201										
:			(аналог АВГ-160-БМ)										
Пространственный угол излучения, рад.	Ω = 6.28	исходные данные											
Уровень звука La на опорном расстоянии d, дБА	d = 1 м	исходные данные										92	
Габариты источника шума, м		исходные данные	длина (l_1) = 0.00			ширина (l_2) = 0.00			высота (l_3) = 0.00				
Уровни звуковой мощности источника LwA, дБА		LwA = La + 20lg(d) + 10lg(Ω)										100	
Спектральные поправки K(Δ_{LA}) для разложения общего уровня звуковой мощности в спектр по октавным полосам, дБ		[5]	-999	-6,7	-5,3	-4	-3,7	-4,1	-7,4	-11,6	-16,1		
Октавные уровни звуковой мощности источника Lw, дБ		Lw = LwA + K(Δ_{LA})	0	93,3	94,7	96	96,3	95,9	92,6	88,4	83,9		
ИШ-1-22 [координаты на плане (x,y,z), м = (522.0,85.3,1.0)]													
Режим работы источника:			постоянный										
Продолжительность работы в дневной период (7.00-23.00):			16 час										
Продолжительность работы в ночной период (23.00-7.00):			8 час										
Тип источника шума:			точечный										
Категория источника шума:			77.16.004 Ачимовка. ДКС										
:			АВО УВОГ-201										
:			(аналог АВГ-160-БМ)										
Пространственный угол излучения, рад.	Ω = 6.28	исходные данные											

1		2	3	4	5	6	7	8	9	10	11	12	13
Уровень звука La на опорном расстоянии d, дБА	d = 1 м	исходные данные										92	
Габариты источника шума, м		исходные данные	длина (l_1) = 0.00			ширина (l_2) = 0.00			высота (l_3) = 0.00				
Уровни звуковой мощности источника LwA, дБА		LwA = La + 20lg(d) + 10lg(Ω)										100	
Спектральные поправки К(Δ_{LA}) для разложения общего уровня звуковой мощности в спектр по октавным полосам, дБ		[5]	-999	-6,7	-5,3	-4	-3,7	-4,1	-7,4	-11,6	-16,1		
Октавные уровни звуковой мощности источника Lw, дБ		Lw = LwA + К(Δ_{LA})	0	93,3	94,7	96	96,3	95,9	92,6	88,4	83,9		
ИШ-1-23 [координаты на плане (x,y,z), м = (525.2,84.1,1.0)]													
Режим работы источника:			постоянный										
Продолжительность работы в дневной период (7.00-23.00):			16 час										
Продолжительность работы в ночной период (23.00-7.00):			8 час										
Тип источника шума:			точечный										
Категория источника шума:			77.16.004 Ачимовка. ДКС										
:			АВО УВОГ-201										
:			(аналог АВГ-160-БМ)										
Пространственный угол излучения, рад.	Ω = 6.28	исходные данные											
Уровень звука La на опорном расстоянии d, дБА	d = 1 м	исходные данные										92	
Габариты источника шума, м		исходные данные	длина (l_1) = 0.00			ширина (l_2) = 0.00			высота (l_3) = 0.00				
Уровни звуковой мощности источника LwA, дБА		LwA = La + 20lg(d) + 10lg(Ω)										100	
Спектральные поправки К(Δ_{LA}) для разложения общего уровня звуковой мощности в спектр по октавным полосам, дБ		[5]	-999	-6,7	-5,3	-4	-3,7	-4,1	-7,4	-11,6	-16,1		
Октавные уровни звуковой мощности источника Lw, дБ		Lw = LwA + К(Δ_{LA})	0	93,3	94,7	96	96,3	95,9	92,6	88,4	83,9		
ИШ-1-24 [координаты на плане (x,y,z), м = (528.5,82.9,1.0)]													
Режим работы источника:			постоянный										

1		2	3	4	5	6	7	8	9	10	11	12	13
Продолжительность работы в дневной период (7.00-23.00):			16 час										
Продолжительность работы в ночной период (23.00-7.00):			8 час										
Тип источника шума:			точечный										
Категория источника шума:			77.16.004 Ачимовка. ДКС										
:			АВО УВОГ-201										
:			(аналог АВГ-160-БМ)										
Пространственный угол излучения, рад.	Ω = 6.28	исходные данные											
Уровень звука La на опорном расстоянии d, дБА	d = 1 м	исходные данные										92	
Габариты источника шума, м		исходные данные	длина (l_1) = 0.00			ширина (l_2) = 0.00			высота (l_3) = 0.00				
Уровни звуковой мощности источника LwA, дБА		LwA = La + 20lg(d) + 10lg(Ω)										100	
Спектральные поправки К(Δ_{LA}) для разложения общего уровня звуковой мощности в спектр по октавным полосам, дБ		[5]	-999	-6,7	-5,3	-4	-3,7	-4,1	-7,4	-11,6	-16,1		
Октавные уровни звуковой мощности источника Lw, дБ		Lw = LwA + К(Δ_{LA})	0	93,3	94,7	96	96,3	95,9	92,6	88,4	83,9		
ИШ-1-25 [координаты на плане (x,y,z), м = (531.2,82.2,1.0)]													
Режим работы источника:			постоянный										
Продолжительность работы в дневной период (7.00-23.00):			16 час										
Продолжительность работы в ночной период (23.00-7.00):			8 час										
Тип источника шума:			точечный										
Категория источника шума:			77.16.004 Ачимовка. ДКС										
:			АВО УВОГ-201										
:			(аналог АВГ-160-БМ)										
Пространственный угол излучения, рад.	Ω = 6.28	исходные данные											
Уровень звука La на опорном расстоянии d, дБА	d = 1 м	исходные данные										92	
Габариты источника шума, м		исходные данные	длина (l_1) = 0.00			ширина (l_2) = 0.00			высота (l_3) = 0.00				
Уровни звуковой мощности источника LwA, дБА		LwA = La + 20lg(d) + 10lg(Ω)										100	

1		2	3	4	5	6	7	8	9	10	11	12	13
Спектральные поправки К(Δ_{LA}) для разложения общего уровня звуковой мощности в спектр по октавным полосам, дБ		[5]	-999	-6,7	-5,3	-4	-3,7	-4,1	-7,4	-11,6	-16,1		
Октавные уровни звуковой мощности источника Lw, дБ		Lw = LwA + К(Δ_{LA})	0	93,3	94,7	96	96,3	95,9	92,6	88,4	83,9		
ИШ-1-26 [координаты на плане (x,y,z), м = (534.2,80.8,1.0)]													
Режим работы источника:			постоянный										
Продолжительность работы в дневной период (7.00-23.00):			16 час										
Продолжительность работы в ночной период (23.00-7.00):			8 час										
Тип источника шума:			точечный										
Категория источника шума:			77.16.004 Ачимовка. ДКС										
:			АВО УВОГ-201										
:			(аналог АВГ-160-БМ)										
Пространственный угол излучения, рад.	Ω = 6.28	исходные данные											
Уровень звука La на опорном расстоянии d, дБА	d = 1 м	исходные данные										92	
Габариты источника шума, м		исходные данные	длина (l_1) = 0.00			ширина (l_2) = 0.00			высота (l_3) = 0.00				
Уровни звуковой мощности источника LwA, дБА		LwA = La + 20lg(d) + 10lg(Ω)										100	
Спектральные поправки К(Δ_{LA}) для разложения общего уровня звуковой мощности в спектр по октавным полосам, дБ		[5]	-999	-6,7	-5,3	-4	-3,7	-4,1	-7,4	-11,6	-16,1		
Октавные уровни звуковой мощности источника Lw, дБ		Lw = LwA + К(Δ_{LA})	0	93,3	94,7	96	96,3	95,9	92,6	88,4	83,9		
ИШ-1-27 [координаты на плане (x,y,z), м = (469.7,197.7,1.0)]													
Режим работы источника:			постоянный										
Продолжительность работы в дневной период (7.00-23.00):			16 час										
Продолжительность работы в ночной период (23.00-7.00):			8 час										
Тип источника шума:			точечный										
Категория источника шума:			77.16.004 Ачимовка. ДКС										
:			АВО ВХ-301										
:			(аналог АВГ-БМ-135)										

1		2	3	4	5	6	7	8	9	10	11	12	13
Пространственный угол излучения, рад.	Ω = 6.28	исходные данные											
Уровень звука La на опорном расстоянии d, дБА	d = 1 м	исходные данные										92	
Габариты источника шума, м		исходные данные	длина (l_1) = 0.00			ширина (l_2) = 0.00			высота (l_3) = 0.00				
Уровни звуковой мощности источника LwA, дБА		LwA = La + 20lg(d) + 10lg(Ω)										100	
Спектральные поправки К(Δ_{LA}) для разложения общего уровня звуковой мощности в спектр по октавным полосам, дБ		[5]	-999	-6,7	-5,3	-4	-3,7	-4,1	-7,4	-11,6	-16,1		
Октавные уровни звуковой мощности источника Lw, дБ		Lw = LwA + К(Δ_{LA})	0	93,3	94,7	96	96,3	95,9	92,6	88,4	83,9		
ИШ-1-28 [координаты на плане (x,y,z), м = (472.8,196.7,1.0)]													
Режим работы источника:			постоянный										
Продолжительность работы в дневной период (7.00-23.00):			16 час										
Продолжительность работы в ночной период (23.00-7.00):			8 час										
Тип источника шума:			точечный										
Категория источника шума:			77.16.004 Ачимовка. ДКС										
:			АВО ВХ-301										
:			(аналог АВГ-БМ-135)										
Пространственный угол излучения, рад.	Ω = 6.28	исходные данные											
Уровень звука La на опорном расстоянии d, дБА	d = 1 м	исходные данные										92	
Габариты источника шума, м		исходные данные	длина (l_1) = 0.00			ширина (l_2) = 0.00			высота (l_3) = 0.00				
Уровни звуковой мощности источника LwA, дБА		LwA = La + 20lg(d) + 10lg(Ω)										100	
Спектральные поправки К(Δ_{LA}) для разложения общего уровня звуковой мощности в спектр по октавным полосам, дБ		[5]	-999	-6,7	-5,3	-4	-3,7	-4,1	-7,4	-11,6	-16,1		
Октавные уровни звуковой мощности источника Lw, дБ		Lw = LwA + К(Δ_{LA})	0	93,3	94,7	96	96,3	95,9	92,6	88,4	83,9		

1		2	3	4	5	6	7	8	9	10	11	12	13
ИШ-1-29 [координаты на плане (x,y,z), м = (475.5,195.7,1.0)]													
Режим работы источника:			постоянный										
Продолжительность работы в дневной период (7.00-23.00):			16 час										
Продолжительность работы в ночной период (23.00-7.00):			8 час										
Тип источника шума:			точечный										
Категория источника шума:			77.16.004 Ачимовка. ДКС										
:			АВО ВХ-301										
:			(аналог АВГ-БМ-135)										
Пространственный угол излучения, рад.	Ω = 6.28	исходные данные											
Уровень звука La на опорном расстоянии d, дБА	d = 1 м	исходные данные										92	
Габариты источника шума, м		исходные данные	длина (l_1) = 0.00			ширина (l_2) = 0.00			высота (l_3) = 0.00				
Уровни звуковой мощности источника LwA, дБА		LwA = La + 20lg(d) + 10lg(Ω)										100	
Спектральные поправки К(Δ_{LA}) для разложения общего уровня звуковой мощности в спектр по октавным полосам, дБ		[5]	-999	-6,7	-5,3	-4	-3,7	-4,1	-7,4	-11,6	-16,1		
Октавные уровни звуковой мощности источника Lw, дБ		Lw = LwA + К(Δ_{LA})	0	93,3	94,7	96	96,3	95,9	92,6	88,4	83,9		
ИШ-1-30 [координаты на плане (x,y,z), м = (478.4,194.5,1.0)]													
Режим работы источника:			постоянный										
Продолжительность работы в дневной период (7.00-23.00):			16 час										
Продолжительность работы в ночной период (23.00-7.00):			8 час										
Тип источника шума:			точечный										
Категория источника шума:			77.16.004 Ачимовка. ДКС										
:			АВО ВХ-301										
:			(аналог АВГ-БМ-135)										
Пространственный угол излучения, рад.	Ω = 6.28	исходные данные											
Уровень звука La на опорном расстоянии d, дБА	d = 1 м	исходные данные										92	

1		2	3	4	5	6	7	8	9	10	11	12	13
Габариты источника шума, м		исходные данные	длина (l_1) = 0.00			ширина (l_2) = 0.00			высота (l_3) = 0.00				
Уровни звуковой мощности источника LwA, дБА		LwA = La + 20lg(d) + 10lg(Ω)										100	
Спектральные поправки К(Δ_{LA}) для разложения общего уровня звуковой мощности в спектр по октавным полосам, дБ		[5]	-999	-6,7	-5,3	-4	-3,7	-4,1	-7,4	-11,6	-16,1		
Октавные уровни звуковой мощности источника Lw, дБ		Lw = LwA + К(Δ_{LA})	0	93,3	94,7	96	96,3	95,9	92,6	88,4	83,9		
ИШ-1-31 [координаты на плане (x,y,z), м = (481.6,194.0,1.0)]													
Режим работы источника:			постоянный										
Продолжительность работы в дневной период (7.00-23.00):			16 час										
Продолжительность работы в ночной период (23.00-7.00):			8 час										
Тип источника шума:			точечный										
Категория источника шума:			77.16.004 Ачимовка. ДКС										
:			АВО ВХ-301										
:			(аналог АВГ-БМ-135)										
Пространственный угол излучения, рад.	Ω = 6.28	исходные данные											
Уровень звука La на опорном расстоянии d, дБА	d = 1 м	исходные данные										92	
Габариты источника шума, м		исходные данные	длина (l_1) = 0.00			ширина (l_2) = 0.00			высота (l_3) = 0.00				
Уровни звуковой мощности источника LwA, дБА		LwA = La + 20lg(d) + 10lg(Ω)										100	
Спектральные поправки К(Δ_{LA}) для разложения общего уровня звуковой мощности в спектр по октавным полосам, дБ		[5]	-999	-6,7	-5,3	-4	-3,7	-4,1	-7,4	-11,6	-16,1		
Октавные уровни звуковой мощности источника Lw, дБ		Lw = LwA + К(Δ_{LA})	0	93,3	94,7	96	96,3	95,9	92,6	88,4	83,9		
ИШ-1-32 [координаты на плане (x,y,z), м = (871.2,282.0,50.0)]													
Режим работы источника:			постоянный										
Продолжительность работы в дневной период (7.00-23.00):			16 час										
Продолжительность работы в ночной период (23.00-7.00):			0 час										

1		2	3	4	5	6	7	8	9	10	11	12	13
Тип источника шума:			точечный										
Категория источника шума:			77.22.005 Расширение УКПГ. Лупинг										
:			Факел										
:			замеры по Астраханскому ГПЗ										
Пространственный угол излучения, рад.	Ω = 12.57	исходные данные											
Уровни звукового давления L на опорном расстоянии d, дБ	d = 40 м	исходные данные	82	76,6	70,4	68,4	67,8	69,7	70,8	66,2	54,4		
Габариты источника шума, м		исходные данные	длина (l_1) = 0.00			ширина (l_2) = 0.00			высота (l_3) = 0.00				
Октавные уровни звуковой мощности источника Lw, дБ		Lw = L + 20lg(d) + 10lg(Ω)	125	119,6	113,4	111,4	110,8	112,7	113,8	109,2	97,4		
ИШ-1-33 [координаты на плане (x,y,z), м = (743.4,374.8,1.0)]													
Режим работы источника:			постоянный										
Продолжительность работы в дневной период (7.00-23.00):			16 час										
Продолжительность работы в ночной период (23.00-7.00):			0 час										
Тип источника шума:			точечный										
Категория источника шума:			77.22.005 Расширение УКПГ. Лупинг										
:			УГГ (сущ)										
:													
Пространственный угол излучения, рад.	Ω = 6.28	исходные данные											
Уровень звука La на опорном расстоянии d, дБА	d = 0 м	исходные данные										115	
Габариты источника шума, м		исходные данные	длина (l_1) = 0.00			ширина (l_2) = 0.00			высота (l_3) = 0.00				
Площадь измерительной поверхности, расположенной на расстоянии d от огибающего источник шума параллелепипеда, S, м2		ф-ла (9) [18])	S = 0.00 м2										
Уровень звуковой мощности источника LwA, дБА		LwA = L + 10lg(S/1)										-INF	
Спектральные поправки К(Δ_{LA}) для разложения общего уровня звуковой мощности в спектр по октавным полосам, дБ		[5]	-999	-26,3	-24,9	-21,9	-18,6	-12	-3	-7	-15,8		

1		2	3	4	5	6	7	8	9	10	11	12	13
Октавные уровни звуковой мощности источника Lw, дБ		Lw = LwA + K(Δ_{LA})	0	88,7	90,1	93,1	96,4	103	112	108	99,2		
ИШ-1-34 [координаты на плане (x,y,z), м = (1042.3,199.1,1.0)]													
Режим работы источника:			постоянный										
Продолжительность работы в дневной период (7.00-23.00):			16 час										
Продолжительность работы в ночной период (23.00-7.00):			0 час										
Тип источника шума:			точечный										
Категория источника шума:			77.22.005 Расширение УКПГ. Лупинг										
:			УГГ (сущ)										
:													
Пространственный угол излучения, рад.	Ω = 6.28	исходные данные											
Уровень звука La на опорном расстоянии d, дБА	d = 0 м	исходные данные										115	
Габариты источника шума, м		исходные данные	длина (l_1) = 0.00			ширина (l_2) = 0.00			высота (l_3) = 0.00				
Площадь измерительной поверхности, расположенной на расстоянии d от огибающего источник шума параллелепипеда, S, м2		ф-ла (9) [18])	S = 0.00 м2										
Уровень звуковой мощности источника LwA, дБА		LwA = L + 10lg(S/1)										-INF	
Спектральные поправки K(Δ_{LA}) для разложения общего уровня звуковой мощности в спектр по октавным полосам, дБ		[5]	-999	-26,3	-24,9	-21,9	-18,6	-12	-3	-7	-15,8		
Октавные уровни звуковой мощности источника Lw, дБ		Lw = LwA + K(Δ_{LA})	0	88,7	90,1	93,1	96,4	103	112	108	99,2		
ИШ-2-1 [координаты на плане (x,y,z), м = (696.5,124.4,3.0)]													
Режим работы источника:			постоянный										
Продолжительность работы в дневной период (7.00-23.00):			16 час										
Продолжительность работы в ночной период (23.00-7.00):			8 час										
Тип источника шума:			точечный										
Категория источника шума:			15.013.1 Самбург ДКС										
:			ГПА-16 "Волга"										

1		2	3	4	5	6	7	8	9	10	11	12	13
:			Акт проверки шумовых характеристик ГПА										
Пространственный угол излучения, рад.	Ω = 6.28	исходные данные											
Октавные уровни звуковой мощности источника Lw, дБ		исходные данные	105	104	104	101	102	106	101	95	87		
ИШ-2-2 [координаты на плане (x,y,z), м = (682.2,81.6,3.0)]													
Режим работы источника:			постоянный										
Продолжительность работы в дневной период (7.00-23.00):			16 час										
Продолжительность работы в ночной период (23.00-7.00):			8 час										
Тип источника шума:			точечный										
Категория источника шума:			15.013.1 Самбург ДКС										
:			ГПА-16 "Волга"										
:			Акт проверки шумовых характеристик ГПА										
Пространственный угол излучения, рад.	Ω = 6.28	исходные данные											
Октавные уровни звуковой мощности источника Lw, дБ		исходные данные	105	104	104	101	102	106	101	95	87		
ИШ-2-3 [координаты на плане (x,y,z), м = (667.8,38.9,3.0)]													
Режим работы источника:			постоянный										
Продолжительность работы в дневной период (7.00-23.00):			16 час										
Продолжительность работы в ночной период (23.00-7.00):			8 час										
Тип источника шума:			точечный										
Категория источника шума:			15.013.1 Самбург ДКС										
:			ГПА-16 "Волга"										
:			Акт проверки шумовых характеристик ГПА										
Пространственный угол излучения, рад.	Ω = 6.28	исходные данные											
Октавные уровни звуковой мощности источника Lw, дБ		исходные данные	105	104	104	101	102	106	101	95	87		
ИШ-2-6 [координаты на плане (x,y,z), м = (766.0,112.4,1.0)]													

1		2	3	4	5	6	7	8	9	10	11	12	13
Режим работы источника:			постоянный										
Продолжительность работы в дневной период (7.00-23.00):			16 час										
Продолжительность работы в ночной период (23.00-7.00):			8 час										
Тип источника шума:			точечный										
Категория источника шума:			15.013.1 Самбург ДКС										
:			АВО КНД/КВД										
:			(по ТЗ)										
Пространственный угол излучения, рад.	Ω = 6.28	исходные данные											
Уровень звука La на опорном расстоянии d, дБА	d = 1 м	исходные данные										92	
Габариты источника шума, м		исходные данные	длина (l_1) = 0.00			ширина (l_2) = 0.00			высота (l_3) = 0.00				
Уровни звуковой мощности источника LwA, дБА		LwA = La + 20lg(d) + 10lg(Ω)										100	
Спектральные поправки К(Δ_{LA}) для разложения общего уровня звуковой мощности в спектр по октавным полосам, дБ		[5]	-999	-6,7	-5,3	-4	-3,7	-4,1	-7,4	-11,6	-16,1		
Октавные уровни звуковой мощности источника Lw, дБ		Lw = LwA + К(Δ_{LA})	0	93,3	94,7	96	96,3	95,9	92,6	88,4	83,9		
ИШ-2-7 [координаты на плане (x,y,z), м = (764.9,109.5,1.0)]													
Режим работы источника:			постоянный										
Продолжительность работы в дневной период (7.00-23.00):			16 час										
Продолжительность работы в ночной период (23.00-7.00):			8 час										
Тип источника шума:			точечный										
Категория источника шума:			15.013.1 Самбург ДКС										
:			АВО КНД/КВД										
:			(по ТЗ)										
Пространственный угол излучения, рад.	Ω = 6.28	исходные данные											
Уровень звука La на опорном расстоянии d, дБА	d = 1 м	исходные данные										92	
Габариты источника шума, м		исходные данные	длина (l_1) = 0.00			ширина (l_2) = 0.00			высота (l_3) = 0.00				

1		2	3	4	5	6	7	8	9	10	11	12	13
Уровни звуковой мощности источника LwA, дБА		LwA = La + 20lg(d) + 10lg(Ω)										100	
Спектральные поправки К(Δ_{LA}) для разложения общего уровня звуковой мощности в спектр по октавным полосам, дБ		[5]	-999	-6,7	-5,3	-4	-3,7	-4,1	-7,4	-11,6	-16,1		
Октавные уровни звуковой мощности источника Lw, дБ		Lw = LwA + К(Δ_{LA})	0	93,3	94,7	96	96,3	95,9	92,6	88,4	83,9		
ИШ-2-8 [координаты на плане (x,y,z), м = (764.0,106.6,1.0)]													
Режим работы источника:			постоянный										
Продолжительность работы в дневной период (7.00-23.00):			16 час										
Продолжительность работы в ночной период (23.00-7.00):			8 час										
Тип источника шума:			точечный										
Категория источника шума:			15.013.1 Самбург ДКС										
:			АВО КНД/КВД										
:			(по ТЗ)										
Пространственный угол излучения, рад.	Ω = 6.28	исходные данные											
Уровень звука La на опорном расстоянии d, дБА	d = 1 м	исходные данные										92	
Габариты источника шума, м		исходные данные	длина (l_1) = 0.00			ширина (l_2) = 0.00			высота (l_3) = 0.00				
Уровни звуковой мощности источника LwA, дБА		LwA = La + 20lg(d) + 10lg(Ω)										100	
Спектральные поправки К(Δ_{LA}) для разложения общего уровня звуковой мощности в спектр по октавным полосам, дБ		[5]	-999	-6,7	-5,3	-4	-3,7	-4,1	-7,4	-11,6	-16,1		
Октавные уровни звуковой мощности источника Lw, дБ		Lw = LwA + К(Δ_{LA})	0	93,3	94,7	96	96,3	95,9	92,6	88,4	83,9		
ИШ-2-9 [координаты на плане (x,y,z), м = (763.3,103.7,1.0)]													
Режим работы источника:			постоянный										
Продолжительность работы в дневной период (7.00-23.00):			16 час										
Продолжительность работы в ночной период (23.00-7.00):			8 час										
Тип источника шума:			точечный										
Категория источника шума:			15.013.1 Самбург ДКС										

1		2	3	4	5	6	7	8	9	10	11	12	13
:			АВО КНД/КВД										
:			(по ТЗ)										
Пространственный угол излучения, рад.	Ω = 6.28	исходные данные											
Уровень звука La на опорном расстоянии d, дБА	d = 1 м	исходные данные										92	
Габариты источника шума, м		исходные данные	длина (l_1) = 0.00			ширина (l_2) = 0.00			высота (l_3) = 0.00				
Уровни звуковой мощности источника LwA, дБА		LwA = La + 20lg(d) + 10lg(Ω)										100	
Спектральные поправки К(Δ_{LA}) для разложения общего уровня звуковой мощности в спектр по октавным полосам, дБ		[5]	-999	-6,7	-5,3	-4	-3,7	-4,1	-7,4	-11,6	-16,1		
Октавные уровни звуковой мощности источника Lw, дБ		Lw = LwA + К(Δ_{LA})	0	93,3	94,7	96	96,3	95,9	92,6	88,4	83,9		
ИШ-2-10 [координаты на плане (x,y,z), м = (762.1,100.7,1.0)]													
Режим работы источника:			постоянный										
Продолжительность работы в дневной период (7.00-23.00):			16 час										
Продолжительность работы в ночной период (23.00-7.00):			8 час										
Тип источника шума:			точечный										
Категория источника шума:			15.013.1 Самбург ДКС										
:			АВО КНД/КВД										
:			(по ТЗ)										
Пространственный угол излучения, рад.	Ω = 6.28	исходные данные											
Уровень звука La на опорном расстоянии d, дБА	d = 1 м	исходные данные										92	
Габариты источника шума, м		исходные данные	длина (l_1) = 0.00			ширина (l_2) = 0.00			высота (l_3) = 0.00				
Уровни звуковой мощности источника LwA, дБА		LwA = La + 20lg(d) + 10lg(Ω)										100	
Спектральные поправки К(Δ_{LA}) для разложения общего уровня звуковой мощности в спектр по октавным полосам, дБ		[5]	-999	-6,7	-5,3	-4	-3,7	-4,1	-7,4	-11,6	-16,1		
Октавные уровни звуковой мощности источника Lw, дБ		Lw = LwA + К(Δ_{LA})	0	93,3	94,7	96	96,3	95,9	92,6	88,4	83,9		

1		2	3	4	5	6	7	8	9	10	11	12	13
ИШ-2-11 [координаты на плане (x,y,z), м = (761.1,97.9,1.0)]													
Режим работы источника:			постоянный										
Продолжительность работы в дневной период (7.00-23.00):			16 час										
Продолжительность работы в ночной период (23.00-7.00):			8 час										
Тип источника шума:			точечный										
Категория источника шума:			15.013.1 Самбург ДКС										
:			АВО КНД/КВД										
:			(по ТЗ)										
Пространственный угол излучения, рад.	Ω = 6.28	исходные данные											
Уровень звука La на опорном расстоянии d, дБА	d = 1 м	исходные данные										92	
Габариты источника шума, м		исходные данные	длина (l_1) = 0.00			ширина (l_2) = 0.00			высота (l_3) = 0.00				
Уровни звуковой мощности источника LwA, дБА		LwA = La + 20lg(d) + 10lg(Ω)										100	
Спектральные поправки К(Δ_{LA}) для разложения общего уровня звуковой мощности в спектр по октавным полосам, дБ		[5]	-999	-6,7	-5,3	-4	-3,7	-4,1	-7,4	-11,6	-16,1		
Октавные уровни звуковой мощности источника Lw, дБ		Lw = LwA + К(Δ_{LA})	0	93,3	94,7	96	96,3	95,9	92,6	88,4	83,9		
ИШ-2-12 [координаты на плане (x,y,z), м = (760.3,95.0,1.0)]													
Режим работы источника:			постоянный										
Продолжительность работы в дневной период (7.00-23.00):			16 час										
Продолжительность работы в ночной период (23.00-7.00):			8 час										
Тип источника шума:			точечный										
Категория источника шума:			15.013.1 Самбург ДКС										
:			АВО КНД/КВД										
:			(по ТЗ)										
Пространственный угол излучения, рад.	Ω = 6.28	исходные данные											
Уровень звука La на опорном расстоянии d, дБА	d = 1 м	исходные данные										92	

1		2	3	4	5	6	7	8	9	10	11	12	13
Габариты источника шума, м		исходные данные	длина (l_1) = 0.00			ширина (l_2) = 0.00			высота (l_3) = 0.00				
Уровни звуковой мощности источника LwA, дБА		LwA = La + 20lg(d) + 10lg(Ω)										100	
Спектральные поправки К(Δ_{LA}) для разложения общего уровня звуковой мощности в спектр по октавным полосам, дБ		[5]	-999	-6,7	-5,3	-4	-3,7	-4,1	-7,4	-11,6	-16,1		
Октавные уровни звуковой мощности источника Lw, дБ		Lw = LwA + К(Δ_{LA})	0	93,3	94,7	96	96,3	95,9	92,6	88,4	83,9		
ИШ-2-13 [координаты на плане (x,y,z), м = (759.3,92.3,1.0)]													
Режим работы источника:			постоянный										
Продолжительность работы в дневной период (7.00-23.00):			16 час										
Продолжительность работы в ночной период (23.00-7.00):			8 час										
Тип источника шума:			точечный										
Категория источника шума:			15.013.1 Самбург ДКС										
:			АВО КНД/КВД										
:			(по ТЗ)										
Пространственный угол излучения, рад.	Ω = 6.28	исходные данные											
Уровень звука La на опорном расстоянии d, дБА	d = 1 м	исходные данные										92	
Габариты источника шума, м		исходные данные	длина (l_1) = 0.00			ширина (l_2) = 0.00			высота (l_3) = 0.00				
Уровни звуковой мощности источника LwA, дБА		LwA = La + 20lg(d) + 10lg(Ω)										100	
Спектральные поправки К(Δ_{LA}) для разложения общего уровня звуковой мощности в спектр по октавным полосам, дБ		[5]	-999	-6,7	-5,3	-4	-3,7	-4,1	-7,4	-11,6	-16,1		
Октавные уровни звуковой мощности источника Lw, дБ		Lw = LwA + К(Δ_{LA})	0	93,3	94,7	96	96,3	95,9	92,6	88,4	83,9		
ИШ-2-14 [координаты на плане (x,y,z), м = (751.6,69.7,1.0)]													
Режим работы источника:			постоянный										
Продолжительность работы в дневной период (7.00-23.00):			16 час										
Продолжительность работы в ночной период (23.00-7.00):			8 час										

1		2	3	4	5	6	7	8	9	10	11	12	13
Тип источника шума:			точечный										
Категория источника шума:			15.013.1 Самбург ДКС										
:			АВО КНД/КВД										
:			(по ТЗ)										
Пространственный угол излучения, рад.	Ω = 6.28	исходные данные											
Уровень звука La на опорном расстоянии d, дБА	d = 1 м	исходные данные										92	
Габариты источника шума, м		исходные данные	длина (l_1) = 0.00			ширина (l_2) = 0.00			высота (l_3) = 0.00				
Уровни звуковой мощности источника LwA, дБА		LwA = La + 20lg(d) + 10lg(Ω)										100	
Спектральные поправки К(Δ_{LA}) для разложения общего уровня звуковой мощности в спектр по октавным полосам, дБ		[5]	-999	-6,7	-5,3	-4	-3,7	-4,1	-7,4	-11,6	-16,1		
Октавные уровни звуковой мощности источника Lw, дБ		Lw = LwA + К(Δ_{LA})	0	93,3	94,7	96	96,3	95,9	92,6	88,4	83,9		
ИШ-2-15 [координаты на плане (x,y,z), м = (750.7,66.9,1.0)]													
Режим работы источника:			постоянный										
Продолжительность работы в дневной период (7.00-23.00):			16 час										
Продолжительность работы в ночной период (23.00-7.00):			8 час										
Тип источника шума:			точечный										
Категория источника шума:			15.013.1 Самбург ДКС										
:			АВО КНД/КВД										
:			(по ТЗ)										
Пространственный угол излучения, рад.	Ω = 6.28	исходные данные											
Уровень звука La на опорном расстоянии d, дБА	d = 1 м	исходные данные										92	
Габариты источника шума, м		исходные данные	длина (l_1) = 0.00			ширина (l_2) = 0.00			высота (l_3) = 0.00				
Уровни звуковой мощности источника LwA, дБА		LwA = La + 20lg(d) + 10lg(Ω)										100	
Спектральные поправки К(Δ_{LA}) для разложения общего уровня звуковой мощности в спектр по октавным полосам, дБ		[5]	-999	-6,7	-5,3	-4	-3,7	-4,1	-7,4	-11,6	-16,1		

1		2	3	4	5	6	7	8	9	10	11	12	13
Октавные уровни звуковой мощности источника Lw, дБ		Lw = LwA + K(Δ_{LA})	0	93,3	94,7	96	96,3	95,9	92,6	88,4	83,9		
ИШ-2-16 [координаты на плане (x,y,z), м = (749.7,64.0,1.0)]													
Режим работы источника:			постоянный										
Продолжительность работы в дневной период (7.00-23.00):			16 час										
Продолжительность работы в ночной период (23.00-7.00):			8 час										
Тип источника шума:			точечный										
Категория источника шума:			15.013.1 Самбург ДКС										
:			АВО КНД/КВД										
:			(по ТЗ)										
Пространственный угол излучения, рад.	Ω = 6.28	исходные данные											
Уровень звука La на опорном расстоянии d, дБА	d = 1 м	исходные данные										92	
Габариты источника шума, м		исходные данные	длина (l_1) = 0.00			ширина (l_2) = 0.00			высота (l_3) = 0.00				
Уровни звуковой мощности источника LwA, дБА		LwA = La + 20lg(d) + 10lg(Ω)										100	
Спектральные поправки K(Δ_{LA}) для разложения общего уровня звуковой мощности в спектр по октавным полосам, дБ		[5]	-999	-6,7	-5,3	-4	-3,7	-4,1	-7,4	-11,6	-16,1		
Октавные уровни звуковой мощности источника Lw, дБ		Lw = LwA + K(Δ_{LA})	0	93,3	94,7	96	96,3	95,9	92,6	88,4	83,9		
ИШ-2-17 [координаты на плане (x,y,z), м = (748.9,61.1,1.0)]													
Режим работы источника:			постоянный										
Продолжительность работы в дневной период (7.00-23.00):			16 час										
Продолжительность работы в ночной период (23.00-7.00):			8 час										
Тип источника шума:			точечный										
Категория источника шума:			15.013.1 Самбург ДКС										
:			АВО КНД/КВД										
:			(по ТЗ)										
Пространственный угол излучения, рад.	Ω = 6.28	исходные данные											

1		2	3	4	5	6	7	8	9	10	11	12	13
Уровень звука La на опорном расстоянии d, дБА	d = 1 м	исходные данные										92	
Габариты источника шума, м		исходные данные	длина (l_1) = 0.00			ширина (l_2) = 0.00			высота (l_3) = 0.00				
Уровни звуковой мощности источника LwA, дБА		LwA = La + 20lg(d) + 10lg(Ω)										100	
Спектральные поправки К(Δ_{LA}) для разложения общего уровня звуковой мощности в спектр по октавным полосам, дБ		[5]	-999	-6,7	-5,3	-4	-3,7	-4,1	-7,4	-11,6	-16,1		
Октавные уровни звуковой мощности источника Lw, дБ		Lw = LwA + К(Δ_{LA})	0	93,3	94,7	96	96,3	95,9	92,6	88,4	83,9		
ИШ-2-18 [координаты на плане (x,y,z), м = (747.7,58.2,1.0)]													
Режим работы источника:		постоянный											
Продолжительность работы в дневной период (7.00-23.00):		16 час											
Продолжительность работы в ночной период (23.00-7.00):		8 час											
Тип источника шума:		точечный											
Категория источника шума:		15.013.1 Самбург ДКС											
:		АВО КНД/КВД											
:		(по ТЗ)											
Пространственный угол излучения, рад.	Ω = 6.28	исходные данные											
Уровень звука La на опорном расстоянии d, дБА	d = 1 м	исходные данные										92	
Габариты источника шума, м		исходные данные	длина (l_1) = 0.00			ширина (l_2) = 0.00			высота (l_3) = 0.00				
Уровни звуковой мощности источника LwA, дБА		LwA = La + 20lg(d) + 10lg(Ω)										100	
Спектральные поправки К(Δ_{LA}) для разложения общего уровня звуковой мощности в спектр по октавным полосам, дБ		[5]	-999	-6,7	-5,3	-4	-3,7	-4,1	-7,4	-11,6	-16,1		
Октавные уровни звуковой мощности источника Lw, дБ		Lw = LwA + К(Δ_{LA})	0	93,3	94,7	96	96,3	95,9	92,6	88,4	83,9		
ИШ-2-19 [координаты на плане (x,y,z), м = (746.8,55.2,1.0)]													
Режим работы источника:		постоянный											

1		2	3	4	5	6	7	8	9	10	11	12	13
Продолжительность работы в дневной период (7.00-23.00):			16 час										
Продолжительность работы в ночной период (23.00-7.00):			8 час										
Тип источника шума:			точечный										
Категория источника шума:			15.013.1 Самбург ДКС										
:			АВО КНД/КВД										
:			(по ТЗ)										
Пространственный угол излучения, рад.	Ω = 6.28	исходные данные											
Уровень звука La на опорном расстоянии d, дБА	d = 1 м	исходные данные										92	
Габариты источника шума, м		исходные данные	длина (l_1) = 0.00			ширина (l_2) = 0.00			высота (l_3) = 0.00				
Уровни звуковой мощности источника LwA, дБА		LwA = La + 20lg(d) + 10lg(Ω)										100	
Спектральные поправки К(Δ_{LA}) для разложения общего уровня звуковой мощности в спектр по октавным полосам, дБ		[5]	-999	-6,7	-5,3	-4	-3,7	-4,1	-7,4	-11,6	-16,1		
Октавные уровни звуковой мощности источника Lw, дБ		Lw = LwA + К(Δ_{LA})	0	93,3	94,7	96	96,3	95,9	92,6	88,4	83,9		
ИШ-2-20 [координаты на плане (x,y,z), м = (745.7,52.4,1.0)]													
Режим работы источника:			постоянный										
Продолжительность работы в дневной период (7.00-23.00):			16 час										
Продолжительность работы в ночной период (23.00-7.00):			8 час										
Тип источника шума:			точечный										
Категория источника шума:			15.013.1 Самбург ДКС										
:			АВО КНД/КВД										
:			(по ТЗ)										
Пространственный угол излучения, рад.	Ω = 6.28	исходные данные											
Уровень звука La на опорном расстоянии d, дБА	d = 1 м	исходные данные										92	
Габариты источника шума, м		исходные данные	длина (l_1) = 0.00			ширина (l_2) = 0.00			высота (l_3) = 0.00				
Уровни звуковой мощности источника LwA, дБА		LwA = La + 20lg(d) + 10lg(Ω)										100	

1		2	3	4	5	6	7	8	9	10	11	12	13
Спектральные поправки К(Δ_{LA}) для разложения общего уровня звуковой мощности в спектр по октавным полосам, дБ		[5]	-999	-6,7	-5,3	-4	-3,7	-4,1	-7,4	-11,6	-16,1		
Октавные уровни звуковой мощности источника Lw, дБ		Lw = LwA + К(Δ_{LA})	0	93,3	94,7	96	96,3	95,9	92,6	88,4	83,9		
ИШ-2-21 [координаты на плане (x,y,z), м = (744.9,49.6,1.0)]													
Режим работы источника:			постоянный										
Продолжительность работы в дневной период (7.00-23.00):			16 час										
Продолжительность работы в ночной период (23.00-7.00):			8 час										
Тип источника шума:			точечный										
Категория источника шума:			15.013.1 Самбург ДКС										
:			АВО КНД/КВД										
:			(по ТЗ)										
Пространственный угол излучения, рад.	Ω = 6.28	исходные данные											
Уровень звука La на опорном расстоянии d, дБА	d = 1 м	исходные данные										92	
Габариты источника шума, м		исходные данные	длина (l_1) = 0.00			ширина (l_2) = 0.00			высота (l_3) = 0.00				
Уровни звуковой мощности источника LwA, дБА		LwA = La + 20lg(d) + 10lg(Ω)										100	
Спектральные поправки К(Δ_{LA}) для разложения общего уровня звуковой мощности в спектр по октавным полосам, дБ		[5]	-999	-6,7	-5,3	-4	-3,7	-4,1	-7,4	-11,6	-16,1		
Октавные уровни звуковой мощности источника Lw, дБ		Lw = LwA + К(Δ_{LA})	0	93,3	94,7	96	96,3	95,9	92,6	88,4	83,9		
ИШ-2-22 [координаты на плане (x,y,z), м = (737.4,27.1,1.0)]													
Режим работы источника:			постоянный										
Продолжительность работы в дневной период (7.00-23.00):			16 час										
Продолжительность работы в ночной период (23.00-7.00):			8 час										
Тип источника шума:			точечный										
Категория источника шума:			15.013.1 Самбург ДКС										
:			АВО КНД/КВД										
:			(по ТЗ)										

1		2	3	4	5	6	7	8	9	10	11	12	13
Пространственный угол излучения, рад.	Ω = 6.28	исходные данные											
Уровень звука La на опорном расстоянии d, дБА	d = 1 м	исходные данные										92	
Габариты источника шума, м		исходные данные	длина (l_1) = 0.00			ширина (l_2) = 0.00			высота (l_3) = 0.00				
Уровни звуковой мощности источника LwA, дБА		LwA = La + 20lg(d) + 10lg(Ω)										100	
Спектральные поправки К(Δ_{LA}) для разложения общего уровня звуковой мощности в спектр по октавным полосам, дБ		[5]	-999	-6,7	-5,3	-4	-3,7	-4,1	-7,4	-11,6	-16,1		
Октавные уровни звуковой мощности источника Lw, дБ		Lw = LwA + К(Δ_{LA})	0	93,3	94,7	96	96,3	95,9	92,6	88,4	83,9		
ИШ-2-23 [координаты на плане (x,y,z), м = (736.5,24.2,1.0)]													
Режим работы источника:			постоянный										
Продолжительность работы в дневной период (7.00-23.00):			16 час										
Продолжительность работы в ночной период (23.00-7.00):			8 час										
Тип источника шума:			точечный										
Категория источника шума:			15.013.1 Самбург ДКС										
:			АВО КНД/КВД										
:			(по ТЗ)										
Пространственный угол излучения, рад.	Ω = 6.28	исходные данные											
Уровень звука La на опорном расстоянии d, дБА	d = 1 м	исходные данные										92	
Габариты источника шума, м		исходные данные	длина (l_1) = 0.00			ширина (l_2) = 0.00			высота (l_3) = 0.00				
Уровни звуковой мощности источника LwA, дБА		LwA = La + 20lg(d) + 10lg(Ω)										100	
Спектральные поправки К(Δ_{LA}) для разложения общего уровня звуковой мощности в спектр по октавным полосам, дБ		[5]	-999	-6,7	-5,3	-4	-3,7	-4,1	-7,4	-11,6	-16,1		
Октавные уровни звуковой мощности источника Lw, дБ		Lw = LwA + К(Δ_{LA})	0	93,3	94,7	96	96,3	95,9	92,6	88,4	83,9		

1		2	3	4	5	6	7	8	9	10	11	12	13
ИШ-2-24 [координаты на плане (x,y,z), м = (735.4,21.2,1.0)]													
Режим работы источника:			постоянный										
Продолжительность работы в дневной период (7.00-23.00):			16 час										
Продолжительность работы в ночной период (23.00-7.00):			8 час										
Тип источника шума:			точечный										
Категория источника шума:			15.013.1 Самбург ДКС										
:			АВО КНД/КВД										
:			(по ТЗ)										
Пространственный угол излучения, рад.	Ω = 6.28	исходные данные											
Уровень звука La на опорном расстоянии d, дБА	d = 1 м	исходные данные										92	
Габариты источника шума, м		исходные данные	длина (l_1) = 0.00			ширина (l_2) = 0.00			высота (l_3) = 0.00				
Уровни звуковой мощности источника LwA, дБА		LwA = La + 20lg(d) + 10lg(Ω)										100	
Спектральные поправки К(Δ_{LA}) для разложения общего уровня звуковой мощности в спектр по октавным полосам, дБ		[5]	-999	-6,7	-5,3	-4	-3,7	-4,1	-7,4	-11,6	-16,1		
Октавные уровни звуковой мощности источника Lw, дБ		Lw = LwA + К(Δ_{LA})	0	93,3	94,7	96	96,3	95,9	92,6	88,4	83,9		
ИШ-2-25 [координаты на плане (x,y,z), м = (734.6,18.3,1.0)]													
Режим работы источника:			постоянный										
Продолжительность работы в дневной период (7.00-23.00):			16 час										
Продолжительность работы в ночной период (23.00-7.00):			8 час										
Тип источника шума:			точечный										
Категория источника шума:			15.013.1 Самбург ДКС										
:			АВО КНД/КВД										
:			(по ТЗ)										
Пространственный угол излучения, рад.	Ω = 6.28	исходные данные											
Уровень звука La на опорном расстоянии d, дБА	d = 1 м	исходные данные										92	

1		2	3	4	5	6	7	8	9	10	11	12	13
Габариты источника шума, м		исходные данные	длина (l_1) = 0.00			ширина (l_2) = 0.00			высота (l_3) = 0.00				
Уровни звуковой мощности источника LwA, дБА		LwA = La + 20lg(d) + 10lg(Ω)										100	
Спектральные поправки К(Δ_{LA}) для разложения общего уровня звуковой мощности в спектр по октавным полосам, дБ		[5]	-999	-6,7	-5,3	-4	-3,7	-4,1	-7,4	-11,6	-16,1		
Октавные уровни звуковой мощности источника Lw, дБ		Lw = LwA + К(Δ_{LA})	0	93,3	94,7	96	96,3	95,9	92,6	88,4	83,9		
ИШ-2-26 [координаты на плане (x,y,z), м = (733.6,15.4,1.0)]													
Режим работы источника:			постоянный										
Продолжительность работы в дневной период (7.00-23.00):			16 час										
Продолжительность работы в ночной период (23.00-7.00):			8 час										
Тип источника шума:			точечный										
Категория источника шума:			15.013.1 Самбург ДКС										
:			АВО КНД/КВД										
:			(по ТЗ)										
Пространственный угол излучения, рад.	Ω = 6.28	исходные данные											
Уровень звука La на опорном расстоянии d, дБА	d = 1 м	исходные данные										92	
Габариты источника шума, м		исходные данные	длина (l_1) = 0.00			ширина (l_2) = 0.00			высота (l_3) = 0.00				
Уровни звуковой мощности источника LwA, дБА		LwA = La + 20lg(d) + 10lg(Ω)										100	
Спектральные поправки К(Δ_{LA}) для разложения общего уровня звуковой мощности в спектр по октавным полосам, дБ		[5]	-999	-6,7	-5,3	-4	-3,7	-4,1	-7,4	-11,6	-16,1		
Октавные уровни звуковой мощности источника Lw, дБ		Lw = LwA + К(Δ_{LA})	0	93,3	94,7	96	96,3	95,9	92,6	88,4	83,9		
ИШ-2-27 [координаты на плане (x,y,z), м = (732.4,12.7,1.0)]													
Режим работы источника:			постоянный										
Продолжительность работы в дневной период (7.00-23.00):			16 час										
Продолжительность работы в ночной период (23.00-7.00):			8 час										

1		2	3	4	5	6	7	8	9	10	11	12	13
Тип источника шума:			точечный										
Категория источника шума:			15.013.1 Самбург ДКС										
:			АВО КНД/КВД										
:			(по ТЗ)										
Пространственный угол излучения, рад.	Ω = 6.28	исходные данные											
Уровень звука La на опорном расстоянии d, дБА	d = 1 м	исходные данные										92	
Габариты источника шума, м		исходные данные	длина (l_1) = 0.00			ширина (l_2) = 0.00			высота (l_3) = 0.00				
Уровни звуковой мощности источника LwA, дБА		LwA = La + 20lg(d) + 10lg(Ω)										100	
Спектральные поправки К(Δ_{LA}) для разложения общего уровня звуковой мощности в спектр по октавным полосам, дБ		[5]	-999	-6,7	-5,3	-4	-3,7	-4,1	-7,4	-11,6	-16,1		
Октавные уровни звуковой мощности источника Lw, дБ		Lw = LwA + К(Δ_{LA})	0	93,3	94,7	96	96,3	95,9	92,6	88,4	83,9		
ИШ-2-28 [координаты на плане (x,y,z), м = (731.5,9.8,1.0)]													
Режим работы источника:			постоянный										
Продолжительность работы в дневной период (7.00-23.00):			16 час										
Продолжительность работы в ночной период (23.00-7.00):			8 час										
Тип источника шума:			точечный										
Категория источника шума:			15.013.1 Самбург ДКС										
:			АВО КНД/КВД										
:			(по ТЗ)										
Пространственный угол излучения, рад.	Ω = 6.28	исходные данные											
Уровень звука La на опорном расстоянии d, дБА	d = 1 м	исходные данные										92	
Габариты источника шума, м		исходные данные	длина (l_1) = 0.00			ширина (l_2) = 0.00			высота (l_3) = 0.00				
Уровни звуковой мощности источника LwA, дБА		LwA = La + 20lg(d) + 10lg(Ω)										100	
Спектральные поправки К(Δ_{LA}) для разложения общего уровня звуковой мощности в спектр по октавным полосам, дБ		[5]	-999	-6,7	-5,3	-4	-3,7	-4,1	-7,4	-11,6	-16,1		

1		2	3	4	5	6	7	8	9	10	11	12	13
Октавные уровни звуковой мощности источника Lw, дБ		Lw = LwA + K(Δ_{LA})	0	93,3	94,7	96	96,3	95,9	92,6	88,4	83,9		
ИШ-2-29 [координаты на плане (x,y,z), м = (730.6,6.9,1.0)]													
Режим работы источника:			постоянный										
Продолжительность работы в дневной период (7.00-23.00):			16 час										
Продолжительность работы в ночной период (23.00-7.00):			8 час										
Тип источника шума:			точечный										
Категория источника шума:			15.013.1 Самбург ДКС										
:			АВО КНД/КВД										
:			(по ТЗ)										
Пространственный угол излучения, рад.	Ω = 6.28	исходные данные											
Уровень звука La на опорном расстоянии d, дБА	d = 1 м	исходные данные										92	
Габариты источника шума, м		исходные данные	длина (l_1) = 0.00			ширина (l_2) = 0.00			высота (l_3) = 0.00				
Уровни звуковой мощности источника LwA, дБА		LwA = La + 20lg(d) + 10lg(Ω)										100	
Спектральные поправки K(Δ_{LA}) для разложения общего уровня звуковой мощности в спектр по октавным полосам, дБ		[5]	-999	-6,7	-5,3	-4	-3,7	-4,1	-7,4	-11,6	-16,1		
Октавные уровни звуковой мощности источника Lw, дБ		Lw = LwA + K(Δ_{LA})	0	93,3	94,7	96	96,3	95,9	92,6	88,4	83,9		
ИШ-2-4 [координаты на плане (x,y,z), м = (632.7,-65.3,3.0)]													
Режим работы источника:			постоянный										
Продолжительность работы в дневной период (7.00-23.00):			16 час										
Продолжительность работы в ночной период (23.00-7.00):			8 час										
Тип источника шума:			точечный										
Категория источника шума:			15.013.1 Самбург ДКС										
:			ГПА-16 "Волга"										
:			Акт проверки шумовых характеристик ГПА										
Пространственный угол излучения, рад.	Ω = 6.28	исходные данные											

1		2	3	4	5	6	7	8	9	10	11	12	13
Октавные уровни звуковой мощности источника Lw, дБ		исходные данные	105	104	104	101	102	106	101	95	87		
ИШ-2-30 [координаты на плане (x,y,z), м = (702.4,-77.2,1.0)]													
Режим работы источника:			постоянный										
Продолжительность работы в дневной период (7.00-23.00):			16 час										
Продолжительность работы в ночной период (23.00-7.00):			8 час										
Тип источника шума:			точечный										
Категория источника шума:			15.013.1 Самбург ДКС										
:			АВО КНД/КВД										
:			(по ТЗ)										
Пространственный угол излучения, рад.	Ω = 6.28	исходные данные											
Уровень звука La на опорном расстоянии d, дБА	d = 1 м	исходные данные										92	
Габариты источника шума, м		исходные данные	длина (l_1) = 0.00			ширина (l_2) = 0.00			высота (l_3) = 0.00				
Уровни звуковой мощности источника LwA, дБА		LwA = La + 20lg(d) + 10lg(Ω)										100	
Спектральные поправки К(Δ_{LA}) для разложения общего уровня звуковой мощности в спектр по октавным полосам, дБ		[5]	-999	-6,7	-5,3	-4	-3,7	-4,1	-7,4	-11,6	-16,1		
Октавные уровни звуковой мощности источника Lw, дБ		Lw = LwA + К(Δ_{LA})	0	93,3	94,7	96	96,3	95,9	92,6	88,4	83,9		
ИШ-2-31 [координаты на плане (x,y,z), м = (701.4,-80.2,1.0)]													
Режим работы источника:			постоянный										
Продолжительность работы в дневной период (7.00-23.00):			16 час										
Продолжительность работы в ночной период (23.00-7.00):			8 час										
Тип источника шума:			точечный										
Категория источника шума:			15.013.1 Самбург ДКС										
:			АВО КНД/КВД										
:			(по ТЗ)										
Пространственный угол излучения, рад.	Ω = 6.28	исходные данные											

1		2	3	4	5	6	7	8	9	10	11	12	13
Уровень звука La на опорном расстоянии d, дБА	d = 1 м	исходные данные										92	
Габариты источника шума, м		исходные данные	длина (l_1) = 0.00			ширина (l_2) = 0.00			высота (l_3) = 0.00				
Уровни звуковой мощности источника LwA, дБА		LwA = La + 20lg(d) + 10lg(Ω)										100	
Спектральные поправки К(Δ_{LA}) для разложения общего уровня звуковой мощности в спектр по октавным полосам, дБ		[5]	-999	-6,7	-5,3	-4	-3,7	-4,1	-7,4	-11,6	-16,1		
Октавные уровни звуковой мощности источника Lw, дБ		Lw = LwA + К(Δ_{LA})	0	93,3	94,7	96	96,3	95,9	92,6	88,4	83,9		
ИШ-2-32 [координаты на плане (x,y,z), м = (700.4,-83.0,1.0)]													
Режим работы источника:		постоянный											
Продолжительность работы в дневной период (7.00-23.00):		16 час											
Продолжительность работы в ночной период (23.00-7.00):		8 час											
Тип источника шума:		точечный											
Категория источника шума:		15.013.1 Самбург ДКС											
:		АВО КНД/КВД											
:		(по ТЗ)											
Пространственный угол излучения, рад.	Ω = 6.28	исходные данные											
Уровень звука La на опорном расстоянии d, дБА	d = 1 м	исходные данные										92	
Габариты источника шума, м		исходные данные	длина (l_1) = 0.00			ширина (l_2) = 0.00			высота (l_3) = 0.00				
Уровни звуковой мощности источника LwA, дБА		LwA = La + 20lg(d) + 10lg(Ω)										100	
Спектральные поправки К(Δ_{LA}) для разложения общего уровня звуковой мощности в спектр по октавным полосам, дБ		[5]	-999	-6,7	-5,3	-4	-3,7	-4,1	-7,4	-11,6	-16,1		
Октавные уровни звуковой мощности источника Lw, дБ		Lw = LwA + К(Δ_{LA})	0	93,3	94,7	96	96,3	95,9	92,6	88,4	83,9		
ИШ-2-33 [координаты на плане (x,y,z), м = (699.5,-86.0,1.0)]													
Режим работы источника:		постоянный											

1		2	3	4	5	6	7	8	9	10	11	12	13
Продолжительность работы в дневной период (7.00-23.00):			16 час										
Продолжительность работы в ночной период (23.00-7.00):			8 час										
Тип источника шума:			точечный										
Категория источника шума:			15.013.1 Самбург ДКС										
:			АВО КНД/КВД										
:			(по ТЗ)										
Пространственный угол излучения, рад.	Ω = 6.28	исходные данные											
Уровень звука La на опорном расстоянии d, дБА	d = 1 м	исходные данные										92	
Габариты источника шума, м		исходные данные	длина (l_1) = 0.00			ширина (l_2) = 0.00			высота (l_3) = 0.00				
Уровни звуковой мощности источника LwA, дБА		LwA = La + 20lg(d) + 10lg(Ω)										100	
Спектральные поправки К(Δ_{LA}) для разложения общего уровня звуковой мощности в спектр по октавным полосам, дБ		[5]	-999	-6,7	-5,3	-4	-3,7	-4,1	-7,4	-11,6	-16,1		
Октавные уровни звуковой мощности источника Lw, дБ		Lw = LwA + К(Δ_{LA})	0	93,3	94,7	96	96,3	95,9	92,6	88,4	83,9		
ИШ-2-34 [координаты на плане (x,y,z), м = (698.4,-88.8,1.0)]													
Режим работы источника:			постоянный										
Продолжительность работы в дневной период (7.00-23.00):			16 час										
Продолжительность работы в ночной период (23.00-7.00):			8 час										
Тип источника шума:			точечный										
Категория источника шума:			15.013.1 Самбург ДКС										
:			АВО КНД/КВД										
:			(по ТЗ)										
Пространственный угол излучения, рад.	Ω = 6.28	исходные данные											
Уровень звука La на опорном расстоянии d, дБА	d = 1 м	исходные данные										92	
Габариты источника шума, м		исходные данные	длина (l_1) = 0.00			ширина (l_2) = 0.00			высота (l_3) = 0.00				
Уровни звуковой мощности источника LwA, дБА		LwA = La + 20lg(d) + 10lg(Ω)										100	

1		2	3	4	5	6	7	8	9	10	11	12	13
Спектральные поправки К(Δ_{LA}) для разложения общего уровня звуковой мощности в спектр по октавным полосам, дБ		[5]	-999	-6,7	-5,3	-4	-3,7	-4,1	-7,4	-11,6	-16,1		
Октавные уровни звуковой мощности источника Lw, дБ		Lw = LwA + К(Δ_{LA})	0	93,3	94,7	96	96,3	95,9	92,6	88,4	83,9		
ИШ-2-35 [координаты на плане (x,y,z), м = (697.5,-91.7,1.0)]													
Режим работы источника:			постоянный										
Продолжительность работы в дневной период (7.00-23.00):			16 час										
Продолжительность работы в ночной период (23.00-7.00):			8 час										
Тип источника шума:			точечный										
Категория источника шума:			15.013.1 Самбург ДКС										
:			АВО КНД/КВД										
:			(по ТЗ)										
Пространственный угол излучения, рад.	Ω = 6.28	исходные данные											
Уровень звука La на опорном расстоянии d, дБА	d = 1 м	исходные данные										92	
Габариты источника шума, м		исходные данные	длина (l_1) = 0.00			ширина (l_2) = 0.00			высота (l_3) = 0.00				
Уровни звуковой мощности источника LwA, дБА		LwA = La + 20lg(d) + 10lg(Ω)										100	
Спектральные поправки К(Δ_{LA}) для разложения общего уровня звуковой мощности в спектр по октавным полосам, дБ		[5]	-999	-6,7	-5,3	-4	-3,7	-4,1	-7,4	-11,6	-16,1		
Октавные уровни звуковой мощности источника Lw, дБ		Lw = LwA + К(Δ_{LA})	0	93,3	94,7	96	96,3	95,9	92,6	88,4	83,9		
ИШ-2-36 [координаты на плане (x,y,z), м = (696.6,-94.6,1.0)]													
Режим работы источника:			постоянный										
Продолжительность работы в дневной период (7.00-23.00):			16 час										
Продолжительность работы в ночной период (23.00-7.00):			8 час										
Тип источника шума:			точечный										
Категория источника шума:			15.013.1 Самбург ДКС										
:			АВО КНД/КВД										
:			(по ТЗ)										

1		2	3	4	5	6	7	8	9	10	11	12	13
Пространственный угол излучения, рад.	Ω = 6.28	исходные данные											
Уровень звука La на опорном расстоянии d, дБА	d = 1 м	исходные данные										92	
Габариты источника шума, м		исходные данные	длина (l_1) = 0.00			ширина (l_2) = 0.00			высота (l_3) = 0.00				
Уровни звуковой мощности источника LwA, дБА		LwA = La + 20lg(d) + 10lg(Ω)										100	
Спектральные поправки К(Δ_{LA}) для разложения общего уровня звуковой мощности в спектр по октавным полосам, дБ		[5]	-999	-6,7	-5,3	-4	-3,7	-4,1	-7,4	-11,6	-16,1		
Октавные уровни звуковой мощности источника Lw, дБ		Lw = LwA + К(Δ_{LA})	0	93,3	94,7	96	96,3	95,9	92,6	88,4	83,9		
ИШ-2-37 [координаты на плане (x,y,z), м = (695.6,-97.4,1.0)]													
Режим работы источника:			постоянный										
Продолжительность работы в дневной период (7.00-23.00):			16 час										
Продолжительность работы в ночной период (23.00-7.00):			8 час										
Тип источника шума:			точечный										
Категория источника шума:			15.013.1 Самбург ДКС										
:			АВО КНД/КВД										
:			(по ТЗ)										
Пространственный угол излучения, рад.	Ω = 6.28	исходные данные											
Уровень звука La на опорном расстоянии d, дБА	d = 1 м	исходные данные										92	
Габариты источника шума, м		исходные данные	длина (l_1) = 0.00			ширина (l_2) = 0.00			высота (l_3) = 0.00				
Уровни звуковой мощности источника LwA, дБА		LwA = La + 20lg(d) + 10lg(Ω)										100	
Спектральные поправки К(Δ_{LA}) для разложения общего уровня звуковой мощности в спектр по октавным полосам, дБ		[5]	-999	-6,7	-5,3	-4	-3,7	-4,1	-7,4	-11,6	-16,1		
Октавные уровни звуковой мощности источника Lw, дБ		Lw = LwA + К(Δ_{LA})	0	93,3	94,7	96	96,3	95,9	92,6	88,4	83,9		

1		2	3	4	5	6	7	8	9	10	11	12	13
ИШ-2-5 [координаты на плане (x,y,z), м = (618.6,-108.0,3.0)]													
Режим работы источника:			постоянный										
Продолжительность работы в дневной период (7.00-23.00):			16 час										
Продолжительность работы в ночной период (23.00-7.00):			8 час										
Тип источника шума:			точечный										
Категория источника шума:			15.013.1 Самбург ДКС										
:			ГПА-16 "Волга"										
:			Акт проверки шумовых характеристик ГПА										
Пространственный угол излучения, рад.	Ω = 6.28	исходные данные											
Октавные уровни звуковой мощности источника Lw, дБ		исходные данные	105	104	104	101	102	106	101	95	87		
ИШ-2-38 [координаты на плане (x,y,z), м = (688.1,-119.9,1.0)]													
Режим работы источника:			постоянный										
Продолжительность работы в дневной период (7.00-23.00):			16 час										
Продолжительность работы в ночной период (23.00-7.00):			8 час										
Тип источника шума:			точечный										
Категория источника шума:			15.013.1 Самбург ДКС										
:			АВО КНД/КВД										
:			(по ТЗ)										
Пространственный угол излучения, рад.	Ω = 6.28	исходные данные											
Уровень звука La на опорном расстоянии d, дБА	d = 1 м	исходные данные										92	
Габариты источника шума, м		исходные данные	длина (l_1) = 0.00			ширина (l_2) = 0.00			высота (l_3) = 0.00				
Уровни звуковой мощности источника LwA, дБА		LwA = La + 20lg(d) + 10lg(Ω)										100	
Спектральные поправки К(Δ_{LA}) для разложения общего уровня звуковой мощности в спектр по октавным полосам, дБ		[5]	-999	-6,7	-5,3	-4	-3,7	-4,1	-7,4	-11,6	-16,1		
Октавные уровни звуковой мощности источника Lw, дБ		Lw = LwA + К(Δ_{LA})	0	93,3	94,7	96	96,3	95,9	92,6	88,4	83,9		

1		2	3	4	5	6	7	8	9	10	11	12	13
ИШ-2-39 [координаты на плане (x,y,z), м = (687.1,-122.8,1.0)]													
Режим работы источника:			постоянный										
Продолжительность работы в дневной период (7.00-23.00):			16 час										
Продолжительность работы в ночной период (23.00-7.00):			8 час										
Тип источника шума:			точечный										
Категория источника шума:			15.013.1 Самбург ДКС										
:			АВО КНД/КВД										
:			(по ТЗ)										
Пространственный угол излучения, рад.	Ω = 6.28	исходные данные											
Уровень звука La на опорном расстоянии d, дБА	d = 1 м	исходные данные										92	
Габариты источника шума, м		исходные данные	длина (l_1) = 0.00			ширина (l_2) = 0.00			высота (l_3) = 0.00				
Уровни звуковой мощности источника LwA, дБА		LwA = La + 20lg(d) + 10lg(Ω)										100	
Спектральные поправки К(Δ_{LA}) для разложения общего уровня звуковой мощности в спектр по октавным полосам, дБ		[5]	-999	-6,7	-5,3	-4	-3,7	-4,1	-7,4	-11,6	-16,1		
Октавные уровни звуковой мощности источника Lw, дБ		Lw = LwA + К(Δ_{LA})	0	93,3	94,7	96	96,3	95,9	92,6	88,4	83,9		
ИШ-2-40 [координаты на плане (x,y,z), м = (686.1,-125.7,1.0)]													
Режим работы источника:			постоянный										
Продолжительность работы в дневной период (7.00-23.00):			16 час										
Продолжительность работы в ночной период (23.00-7.00):			8 час										
Тип источника шума:			точечный										
Категория источника шума:			15.013.1 Самбург ДКС										
:			АВО КНД/КВД										
:			(по ТЗ)										
Пространственный угол излучения, рад.	Ω = 6.28	исходные данные											
Уровень звука La на опорном расстоянии d, дБА	d = 1 м	исходные данные										92	

1		2	3	4	5	6	7	8	9	10	11	12	13
Габариты источника шума, м		исходные данные	длина (l_1) = 0.00			ширина (l_2) = 0.00			высота (l_3) = 0.00				
Уровни звуковой мощности источника LwA, дБА		LwA = La + 20lg(d) + 10lg(Ω)										100	
Спектральные поправки К(Δ_{LA}) для разложения общего уровня звуковой мощности в спектр по октавным полосам, дБ		[5]	-999	-6,7	-5,3	-4	-3,7	-4,1	-7,4	-11,6	-16,1		
Октавные уровни звуковой мощности источника Lw, дБ		Lw = LwA + К(Δ_{LA})	0	93,3	94,7	96	96,3	95,9	92,6	88,4	83,9		
ИШ-2-41 [координаты на плане (x,y,z), м = (685.1,-128.6,1.0)]													
Режим работы источника:			постоянный										
Продолжительность работы в дневной период (7.00-23.00):			16 час										
Продолжительность работы в ночной период (23.00-7.00):			8 час										
Тип источника шума:			точечный										
Категория источника шума:			15.013.1 Самбург ДКС										
:			АВО КНД/КВД										
:			(по ТЗ)										
Пространственный угол излучения, рад.	Ω = 6.28	исходные данные											
Уровень звука La на опорном расстоянии d, дБА	d = 1 м	исходные данные										92	
Габариты источника шума, м		исходные данные	длина (l_1) = 0.00			ширина (l_2) = 0.00			высота (l_3) = 0.00				
Уровни звуковой мощности источника LwA, дБА		LwA = La + 20lg(d) + 10lg(Ω)										100	
Спектральные поправки К(Δ_{LA}) для разложения общего уровня звуковой мощности в спектр по октавным полосам, дБ		[5]	-999	-6,7	-5,3	-4	-3,7	-4,1	-7,4	-11,6	-16,1		
Октавные уровни звуковой мощности источника Lw, дБ		Lw = LwA + К(Δ_{LA})	0	93,3	94,7	96	96,3	95,9	92,6	88,4	83,9		
ИШ-2-42 [координаты на плане (x,y,z), м = (684.2,-131.5,1.0)]													
Режим работы источника:			постоянный										
Продолжительность работы в дневной период (7.00-23.00):			16 час										
Продолжительность работы в ночной период (23.00-7.00):			8 час										

1		2	3	4	5	6	7	8	9	10	11	12	13
Тип источника шума:			точечный										
Категория источника шума:			15.013.1 Самбург ДКС										
:			АВО КНД/КВД										
:			(по ТЗ)										
Пространственный угол излучения, рад.	Ω = 6.28	исходные данные											
Уровень звука La на опорном расстоянии d, дБА	d = 1 м	исходные данные										92	
Габариты источника шума, м		исходные данные	длина (l_1) = 0.00			ширина (l_2) = 0.00			высота (l_3) = 0.00				
Уровни звуковой мощности источника LwA, дБА		LwA = La + 20lg(d) + 10lg(Ω)										100	
Спектральные поправки К(Δ_{LA}) для разложения общего уровня звуковой мощности в спектр по октавным полосам, дБ		[5]	-999	-6,7	-5,3	-4	-3,7	-4,1	-7,4	-11,6	-16,1		
Октавные уровни звуковой мощности источника Lw, дБ		Lw = LwA + К(Δ_{LA})	0	93,3	94,7	96	96,3	95,9	92,6	88,4	83,9		
ИШ-2-43 [координаты на плане (x,y,z), м = (683.1,-134.4,1.0)]													
Режим работы источника:			постоянный										
Продолжительность работы в дневной период (7.00-23.00):			16 час										
Продолжительность работы в ночной период (23.00-7.00):			8 час										
Тип источника шума:			точечный										
Категория источника шума:			15.013.1 Самбург ДКС										
:			АВО КНД/КВД										
:			(по ТЗ)										
Пространственный угол излучения, рад.	Ω = 6.28	исходные данные											
Уровень звука La на опорном расстоянии d, дБА	d = 1 м	исходные данные										92	
Габариты источника шума, м		исходные данные	длина (l_1) = 0.00			ширина (l_2) = 0.00			высота (l_3) = 0.00				
Уровни звуковой мощности источника LwA, дБА		LwA = La + 20lg(d) + 10lg(Ω)										100	
Спектральные поправки К(Δ_{LA}) для разложения общего уровня звуковой мощности в спектр по октавным полосам, дБ		[5]	-999	-6,7	-5,3	-4	-3,7	-4,1	-7,4	-11,6	-16,1		

1		2	3	4	5	6	7	8	9	10	11	12	13
Октавные уровни звуковой мощности источника Lw, дБ		Lw = LwA + K(Δ_{LA})	0	93,3	94,7	96	96,3	95,9	92,6	88,4	83,9		
ИШ-2-44 [координаты на плане (x,y,z), м = (682.2,-137.2,1.0)]													
Режим работы источника:			постоянный										
Продолжительность работы в дневной период (7.00-23.00):			16 час										
Продолжительность работы в ночной период (23.00-7.00):			8 час										
Тип источника шума:			точечный										
Категория источника шума:			15.013.1 Самбург ДКС										
:			АВО КНД/КВД										
:			(по ТЗ)										
Пространственный угол излучения, рад.	Ω = 6.28	исходные данные											
Уровень звука La на опорном расстоянии d, дБА	d = 1 м	исходные данные										92	
Габариты источника шума, м		исходные данные	длина (l_1) = 0.00			ширина (l_2) = 0.00			высота (l_3) = 0.00				
Уровни звуковой мощности источника LwA, дБА		LwA = La + 20lg(d) + 10lg(Ω)										100	
Спектральные поправки K(Δ_{LA}) для разложения общего уровня звуковой мощности в спектр по октавным полосам, дБ		[5]	-999	-6,7	-5,3	-4	-3,7	-4,1	-7,4	-11,6	-16,1		
Октавные уровни звуковой мощности источника Lw, дБ		Lw = LwA + K(Δ_{LA})	0	93,3	94,7	96	96,3	95,9	92,6	88,4	83,9		
ИШ-2-45 [координаты на плане (x,y,z), м = (681.3,-140.0,1.0)]													
Режим работы источника:			постоянный										
Продолжительность работы в дневной период (7.00-23.00):			16 час										
Продолжительность работы в ночной период (23.00-7.00):			8 час										
Тип источника шума:			точечный										
Категория источника шума:			15.013.1 Самбург ДКС										
:			АВО КНД/КВД										
:			(по ТЗ)										
Пространственный угол излучения, рад.	Ω = 6.28	исходные данные											

1		2	3	4	5	6	7	8	9	10	11	12	13
Уровень звука La на опорном расстоянии d, дБА	d = 1 м	исходные данные										92	
Габариты источника шума, м		исходные данные	длина (l_1) = 0.00			ширина (l_2) = 0.00			высота (l_3) = 0.00				
Уровни звуковой мощности источника LwA, дБА		LwA = La + 20lg(d) + 10lg(Ω)										100	
Спектральные поправки К(Δ_{LA}) для разложения общего уровня звуковой мощности в спектр по октавным полосам, дБ		[5]	-999	-6,7	-5,3	-4	-3,7	-4,1	-7,4	-11,6	-16,1		
Октавные уровни звуковой мощности источника Lw, дБ		Lw = LwA + К(Δ_{LA})	0	93,3	94,7	96	96,3	95,9	92,6	88,4	83,9		
ИШ-4-1 [координаты на плане (x,y,z), м = (141.8,201.0,1.0)]													
Режим работы источника:		постоянный											
Продолжительность работы в дневной период (7.00-23.00):		16 час											
Продолжительность работы в ночной период (23.00-7.00):		8 час											
Тип источника шума:		точечный											
Категория источника шума:		Источники шума на прилегающей территории											
Название:		АВО БМР											
Примечание:		ОАО "Борхиммаш", ТУ 3612-004-00218880-02											
Пространственный угол излучения, рад.	Ω = 6.28	исходные данные											
Уровень звука La на опорном расстоянии d, дБА	d = 1 м	исходные данные										89	
Габариты источника шума, м		исходные данные	длина (l_1) = 0.00			ширина (l_2) = 0.00			высота (l_3) = 0.00				
Уровни звуковой мощности источника LwA, дБА		LwA = La + 20lg(d) + 10lg(Ω)										97	
Спектральные поправки К(Δ_{LA}) для разложения общего уровня звуковой мощности в спектр по октавным полосам, дБ		[5]	-999	-6,7	-5,3	-4	-3,7	-4,1	-7,4	-11,6	-16,1		
Октавные уровни звуковой мощности источника Lw, дБ		Lw = LwA + К(Δ_{LA})	0	90,3	91,7	93	93,3	92,9	89,6	85,4	80,9		
ИШ-4-2 [координаты на плане (x,y,z), м = (133.9,183.2,1.0)]													
Режим работы источника:		постоянный											

1		2	3	4	5	6	7	8	9	10	11	12	13
Продолжительность работы в дневной период (7.00-23.00):			16 час										
Продолжительность работы в ночной период (23.00-7.00):			8 час										
Тип источника шума:			точечный										
Категория источника шума:			Источники шума на прилегающей территории										
Название:			АВО БМР										
Примечание:			ОАО "Борхиммаш", ТУ 3612-004-00218880-02										
Пространственный угол излучения, рад.	$\Omega = 6.28$	исходные данные											
Уровень звука La на опорном расстоянии d, дБА	d = 1 м	исходные данные										89	
Габариты источника шума, м		исходные данные	длина (l_1) = 0.00			ширина (l_2) = 0.00			высота (l_3) = 0.00				
Уровни звуковой мощности источника LwA, дБА		LwA = La + 20lg(d) + 10lg(Ω)										97	
Спектральные поправки К(Δ_{LA}) для разложения общего уровня звуковой мощности в спектр по октавным полосам, дБ		[5]	-999	-6,7	-5,3	-4	-3,7	-4,1	-7,4	-11,6	-16,1		
Октавные уровни звуковой мощности источника Lw, дБ		Lw = LwA + К(Δ_{LA})	0	90,3	91,7	93	93,3	92,9	89,6	85,4	80,9		
ИШ-4-3 [координаты на плане (x,y,z), м = (152.6,172.7,1.0)]													
Режим работы источника:			постоянный										
Продолжительность работы в дневной период (7.00-23.00):			16 час										
Продолжительность работы в ночной период (23.00-7.00):			8 час										
Тип источника шума:			точечный										
Категория источника шума:			Источники шума на прилегающей территории										
Название:			АВО БМР										
Примечание:			ОАО "Борхиммаш", ТУ 3612-004-00218880-02										
Пространственный угол излучения, рад.	$\Omega = 6.28$	исходные данные											
Уровень звука La на опорном расстоянии d, дБА	d = 1 м	исходные данные										89	
Габариты источника шума, м		исходные данные	длина (l_1) = 0.00			ширина (l_2) = 0.00			высота (l_3) = 0.00				
Уровни звуковой мощности источника LwA, дБА		LwA = La + 20lg(d) + 10lg(Ω)										97	

1		2	3	4	5	6	7	8	9	10	11	12	13
Спектральные поправки К(Δ_{LA}) для разложения общего уровня звуковой мощности в спектр по октавным полосам, дБ		[5]	-999	-6,7	-5,3	-4	-3,7	-4,1	-7,4	-11,6	-16,1		
Октавные уровни звуковой мощности источника Lw, дБ		Lw = LwA + К(Δ_{LA})	0	90,3	91,7	93	93,3	92,9	89,6	85,4	80,9		
ИШ-4-4 [координаты на плане (x,y,z), м = (156.8,171.3,1.0)]													
Режим работы источника:			постоянный										
Продолжительность работы в дневной период (7.00-23.00):			16 час										
Продолжительность работы в ночной период (23.00-7.00):			8 час										
Тип источника шума:			точечный										
Категория источника шума:			Источники шума на прилегающей территории										
Название:			АВО БМР										
Примечание:			ОАО "Борхиммаш", ТУ 3612-004-00218880-02										
Пространственный угол излучения, рад.	Ω = 6.28	исходные данные											
Уровень звука La на опорном расстоянии d, дБА	d = 1 м	исходные данные										89	
Габариты источника шума, м		исходные данные	длина (l_1) = 0.00			ширина (l_2) = 0.00			высота (l_3) = 0.00				
Уровни звуковой мощности источника LwA, дБА		LwA = La + 20lg(d) + 10lg(Ω)										97	
Спектральные поправки К(Δ_{LA}) для разложения общего уровня звуковой мощности в спектр по октавным полосам, дБ		[5]	-999	-6,7	-5,3	-4	-3,7	-4,1	-7,4	-11,6	-16,1		
Октавные уровни звуковой мощности источника Lw, дБ		Lw = LwA + К(Δ_{LA})	0	90,3	91,7	93	93,3	92,9	89,6	85,4	80,9		
ИШ-4-5 [координаты на плане (x,y,z), м = (126.5,222.7,11.0)]													
Режим работы источника:			постоянный										
Продолжительность работы в дневной период (7.00-23.00):			16 час										
Продолжительность работы в ночной период (23.00-7.00):			8 час										
Тип источника шума:			точечный										
Категория источника шума:			Источники шума на прилегающей территории										
Название:			АВО БМР										
Примечание:			ОАО "Борхиммаш", ТУ 3612-004-00218880-02										

1		2	3	4	5	6	7	8	9	10	11	12	13
Пространственный угол излучения, рад.	Ω = 6.28	исходные данные											
Уровень звука La на опорном расстоянии d, дБА	d = 1 м	исходные данные										89	
Габариты источника шума, м		исходные данные	длина (l_1) = 0.00			ширина (l_2) = 0.00			высота (l_3) = 0.00				
Уровни звуковой мощности источника LwA, дБА		LwA = La + 20lg(d) + 10lg(Ω)										97	
Спектральные поправки К(Δ_{LA}) для разложения общего уровня звуковой мощности в спектр по октавным полосам, дБ		[5]	-999	-6,7	-5,3	-4	-3,7	-4,1	-7,4	-11,6	-16,1		
Октавные уровни звуковой мощности источника Lw, дБ		Lw = LwA + К(Δ_{LA})	0	90,3	91,7	93	93,3	92,9	89,6	85,4	80,9		
ИШ-4-6 [координаты на плане (x,y,z), м = (125.2,218.6,11.0)]													
Режим работы источника:			постоянный										
Продолжительность работы в дневной период (7.00-23.00):			16 час										
Продолжительность работы в ночной период (23.00-7.00):			8 час										
Тип источника шума:			точечный										
Категория источника шума:			Источники шума на прилегающей территории										
Название:			АВО БМР										
Примечание:			ОАО "Борхиммаш", ТУ 3612-004-00218880-02										
Пространственный угол излучения, рад.	Ω = 6.28	исходные данные											
Уровень звука La на опорном расстоянии d, дБА	d = 1 м	исходные данные										89	
Габариты источника шума, м		исходные данные	длина (l_1) = 0.00			ширина (l_2) = 0.00			высота (l_3) = 0.00				
Уровни звуковой мощности источника LwA, дБА		LwA = La + 20lg(d) + 10lg(Ω)										97	
Спектральные поправки К(Δ_{LA}) для разложения общего уровня звуковой мощности в спектр по октавным полосам, дБ		[5]	-999	-6,7	-5,3	-4	-3,7	-4,1	-7,4	-11,6	-16,1		
Октавные уровни звуковой мощности источника Lw, дБ		Lw = LwA + К(Δ_{LA})	0	90,3	91,7	93	93,3	92,9	89,6	85,4	80,9		

1		2	3	4	5	6	7	8	9	10	11	12	13
ИШ-4-7 [координаты на плане (x,y,z), м = (177.9,257.9,11.0)]													
Режим работы источника:			постоянный										
Продолжительность работы в дневной период (7.00-23.00):			16 час										
Продолжительность работы в ночной период (23.00-7.00):			8 час										
Тип источника шума:			точечный										
Категория источника шума:			Источники шума на прилегающей территории										
Название:			АВО БМР										
Примечание:			ОАО "Борхиммаш", ТУ 3612-004-00218880-02										
Пространственный угол излучения, рад.	Ω = 6.28	исходные данные											
Уровень звука La на опорном расстоянии d, дБА	d = 1 м	исходные данные										89	
Габариты источника шума, м		исходные данные	длина (l_1) = 0.00			ширина (l_2) = 0.00			высота (l_3) = 0.00				
Уровни звуковой мощности источника LwA, дБА		LwA = La + 20lg(d) + 10lg(Ω)										97	
Спектральные поправки K(Δ_{LA}) для разложения общего уровня звуковой мощности в спектр по октавным полосам, дБ		[5]	-999	-6,7	-5,3	-4	-3,7	-4,1	-7,4	-11,6	-16,1		
Октавные уровни звуковой мощности источника Lw, дБ		Lw = LwA + K(Δ_{LA})	0	90,3	91,7	93	93,3	92,9	89,6	85,4	80,9		
ИШ-4-8 [координаты на плане (x,y,z), м = (178.2,257.8,13.0)]													
Режим работы источника:			постоянный										
Продолжительность работы в дневной период (7.00-23.00):			16 час										
Продолжительность работы в ночной период (23.00-7.00):			8 час										
Тип источника шума:			точечный										
Категория источника шума:			Источники шума на прилегающей территории										
Название:			АВО БМР										
Примечание:			ОАО "Борхиммаш", ТУ 3612-004-00218880-02										
Пространственный угол излучения, рад.	Ω = 6.28	исходные данные											
Уровень звука La на опорном расстоянии d, дБА	d = 1 м	исходные данные										89	

1		2	3	4	5	6	7	8	9	10	11	12	13
Габариты источника шума, м		исходные данные	длина (l_1) = 0.00			ширина (l_2) = 0.00			высота (l_3) = 0.00				
Уровни звуковой мощности источника LwA, дБА		LwA = La + 20lg(d) + 10lg(Ω)										97	
Спектральные поправки К(Δ_{LA}) для разложения общего уровня звуковой мощности в спектр по октавным полосам, дБ		[5]	-999	-6,7	-5,3	-4	-3,7	-4,1	-7,4	-11,6	-16,1		
Октавные уровни звуковой мощности источника Lw, дБ		Lw = LwA + К(Δ_{LA})	0	90,3	91,7	93	93,3	92,9	89,6	85,4	80,9		
ИШ-4-9 [координаты на плане (x,y,z), м = (178.7,257.6,15.5)]													
Режим работы источника:			постоянный										
Продолжительность работы в дневной период (7.00-23.00):			16 час										
Продолжительность работы в ночной период (23.00-7.00):			8 час										
Тип источника шума:			точечный										
Категория источника шума:			Источники шума на прилегающей территории										
Название:			АВО БМР										
Примечание:			ОАО "Борхиммаш", ТУ 3612-004-00218880-02										
Пространственный угол излучения, рад.	Ω = 6.28	исходные данные											
Уровень звука La на опорном расстоянии d, дБА	d = 1 м	исходные данные										89	
Габариты источника шума, м		исходные данные	длина (l_1) = 0.00			ширина (l_2) = 0.00			высота (l_3) = 0.00				
Уровни звуковой мощности источника LwA, дБА		LwA = La + 20lg(d) + 10lg(Ω)										97	
Спектральные поправки К(Δ_{LA}) для разложения общего уровня звуковой мощности в спектр по октавным полосам, дБ		[5]	-999	-6,7	-5,3	-4	-3,7	-4,1	-7,4	-11,6	-16,1		
Октавные уровни звуковой мощности источника Lw, дБ		Lw = LwA + К(Δ_{LA})	0	90,3	91,7	93	93,3	92,9	89,6	85,4	80,9		
ИШ-4-10 [координаты на плане (x,y,z), м = (185.6,255.3,11.0)]													
Режим работы источника:			постоянный										
Продолжительность работы в дневной период (7.00-23.00):			16 час										
Продолжительность работы в ночной период (23.00-7.00):			8 час										

1		2	3	4	5	6	7	8	9	10	11	12	13
Тип источника шума:			точечный										
Категория источника шума:			Источники шума на прилегающей территории										
Название:			АВО БМР										
Примечание:			ОАО "Борхиммаш", ТУ 3612-004-00218880-02										
Пространственный угол излучения, рад.	Ω = 6.28	исходные данные											
Уровень звука La на опорном расстоянии d, дБА	d = 1 м	исходные данные										89	
Габариты источника шума, м		исходные данные	длина (l_1) = 0.00			ширина (l_2) = 0.00			высота (l_3) = 0.00				
Уровни звуковой мощности источника LwA, дБА		LwA = La + 20lg(d) + 10lg(Ω)										97	
Спектральные поправки К(Δ_{LA}) для разложения общего уровня звуковой мощности в спектр по октавным полосам, дБ		[5]	-999	-6,7	-5,3	-4	-3,7	-4,1	-7,4	-11,6	-16,1		
Октавные уровни звуковой мощности источника Lw, дБ		Lw = LwA + К(Δ_{LA})	0	90,3	91,7	93	93,3	92,9	89,6	85,4	80,9		
ИШ-4-11 [координаты на плане (x,y,z), м = (185.9,255.2,13.0)]													
Режим работы источника:			постоянный										
Продолжительность работы в дневной период (7.00-23.00):			16 час										
Продолжительность работы в ночной период (23.00-7.00):			8 час										
Тип источника шума:			точечный										
Категория источника шума:			Источники шума на прилегающей территории										
Название:			АВО БМР										
Примечание:			ОАО "Борхиммаш", ТУ 3612-004-00218880-02										
Пространственный угол излучения, рад.	Ω = 6.28	исходные данные											
Уровень звука La на опорном расстоянии d, дБА	d = 1 м	исходные данные										89	
Габариты источника шума, м		исходные данные	длина (l_1) = 0.00			ширина (l_2) = 0.00			высота (l_3) = 0.00				
Уровни звуковой мощности источника LwA, дБА		LwA = La + 20lg(d) + 10lg(Ω)										97	
Спектральные поправки К(Δ_{LA}) для разложения общего уровня звуковой мощности в спектр по октавным полосам, дБ		[5]	-999	-6,7	-5,3	-4	-3,7	-4,1	-7,4	-11,6	-16,1		

1		2	3	4	5	6	7	8	9	10	11	12	13
Октавные уровни звуковой мощности источника Lw, дБ		Lw = LwA + K(Δ_{LA})	0	90,3	91,7	93	93,3	92,9	89,6	85,4	80,9		
ИШ-4-12 [координаты на плане (x,y,z), м = (186.2,255.0,15.5)]													
Режим работы источника:			постоянный										
Продолжительность работы в дневной период (7.00-23.00):			16 час										
Продолжительность работы в ночной период (23.00-7.00):			8 час										
Тип источника шума:			точечный										
Категория источника шума:			Источники шума на прилегающей территории										
Название:			АВО БМР										
Примечание:			ОАО "Борхиммаш", ТУ 3612-004-00218880-02										
Пространственный угол излучения, рад.	Ω = 6.28	исходные данные											
Уровень звука La на опорном расстоянии d, дБА	d = 1 м	исходные данные										89	
Габариты источника шума, м		исходные данные	длина (l_1) = 0.00			ширина (l_2) = 0.00			высота (l_3) = 0.00				
Уровни звуковой мощности источника LwA, дБА		LwA = La + 20lg(d) + 10lg(Ω)										97	
Спектральные поправки K(Δ_{LA}) для разложения общего уровня звуковой мощности в спектр по октавным полосам, дБ		[5]	-999	-6,7	-5,3	-4	-3,7	-4,1	-7,4	-11,6	-16,1		
Октавные уровни звуковой мощности источника Lw, дБ		Lw = LwA + K(Δ_{LA})	0	90,3	91,7	93	93,3	92,9	89,6	85,4	80,9		
ИШ-4-13 [координаты на плане (x,y,z), м = (94.6,229.1,1.0)]													
Режим работы источника:			постоянный										
Продолжительность работы в дневной период (7.00-23.00):			16 час										
Продолжительность работы в ночной период (23.00-7.00):			8 час										
Тип источника шума:			точечный										
Категория источника шума:			Источники шума на прилегающей территории										
Название:			АВМ-Г										
Примечание:			АВО (ТУ 3612-006-00218880-02)										
Пространственный угол излучения, рад.	Ω = 6.28	исходные данные											

1		2	3	4	5	6	7	8	9	10	11	12	13
Уровень звука La на опорном расстоянии d, дБА	d = 1 м	исходные данные										80	
Габариты источника шума, м		исходные данные	длина (l_1) = 0.00			ширина (l_2) = 0.00			высота (l_3) = 0.00				
Уровни звуковой мощности источника LwA, дБА		LwA = La + 20lg(d) + 10lg(Ω)										88	
Спектральные поправки К(Δ_{LA}) для разложения общего уровня звуковой мощности в спектр по октавным полосам, дБ		[5]	-999	-6,7	-5,3	-4	-3,7	-4,1	-7,4	-11,6	-16,1		
Октавные уровни звуковой мощности источника Lw, дБ		Lw = LwA + К(Δ_{LA})	0	81,3	82,7	84	84,3	83,9	80,6	76,4	71,9		
ИШ-4-14 [координаты на плане (x,y,z), м = (91.9,221.3,1.0)]													
Режим работы источника:			постоянный										
Продолжительность работы в дневной период (7.00-23.00):			16 час										
Продолжительность работы в ночной период (23.00-7.00):			8 час										
Тип источника шума:			точечный										
Категория источника шума:			Источники шума на прилегающей территории										
Название:			АВМ-Г										
Примечание:			АВО (ТУ 3612-006-00218880-02)										
Пространственный угол излучения, рад.	Ω = 6.28	исходные данные											
Уровень звука La на опорном расстоянии d, дБА	d = 1 м	исходные данные										80	
Габариты источника шума, м		исходные данные	длина (l_1) = 0.00			ширина (l_2) = 0.00			высота (l_3) = 0.00				
Уровни звуковой мощности источника LwA, дБА		LwA = La + 20lg(d) + 10lg(Ω)										88	
Спектральные поправки К(Δ_{LA}) для разложения общего уровня звуковой мощности в спектр по октавным полосам, дБ		[5]	-999	-6,7	-5,3	-4	-3,7	-4,1	-7,4	-11,6	-16,1		
Октавные уровни звуковой мощности источника Lw, дБ		Lw = LwA + К(Δ_{LA})	0	81,3	82,7	84	84,3	83,9	80,6	76,4	71,9		
ИШ-5-1 [координаты на плане (x,y,z), м = (626.7,162.4,1.0)]													
Режим работы источника:			постоянный										

1		2	3	4	5	6	7	8	9	10	11	12	13
Продолжительность работы в дневной период (7.00-23.00):			16 час										
Продолжительность работы в ночной период (23.00-7.00):			8 час										
Тип источника шума:			точечный										
Категория источника шума:			Источники шума на прилегающей территории										
Название:			2АВГ-КБ										
Примечание:			АВО (ТУ 3681-134-00220302-2007)										
Пространственный угол излучения, рад.	Ω = 6.28	исходные данные											
Уровень звука La на опорном расстоянии d, дБА	d = 1 м	исходные данные										92	
Габариты источника шума, м		исходные данные	длина (l_1) = 0.00			ширина (l_2) = 0.00			высота (l_3) = 0.00				
Уровни звуковой мощности источника LwA, дБА		LwA = La + 20lg(d) + 10lg(Ω)										100	
Спектральные поправки К(Δ_{LA}) для разложения общего уровня звуковой мощности в спектр по октавным полосам, дБ		[5]	-999	-6,7	-5,3	-4	-3,7	-4,1	-7,4	-11,6	-16,1		
Октавные уровни звуковой мощности источника Lw, дБ		Lw = LwA + К(Δ_{LA})	0	93,3	94,7	96	96,3	95,9	92,6	88,4	83,9		
ИШ-5-2 [координаты на плане (x,y,z), м = (625.8,159.5,1.0)]													
Режим работы источника:			постоянный										
Продолжительность работы в дневной период (7.00-23.00):			16 час										
Продолжительность работы в ночной период (23.00-7.00):			8 час										
Тип источника шума:			точечный										
Категория источника шума:			Источники шума на прилегающей территории										
Название:			2АВГ-КБ										
Примечание:			АВО (ТУ 3681-134-00220302-2007)										
Пространственный угол излучения, рад.	Ω = 6.28	исходные данные											
Уровень звука La на опорном расстоянии d, дБА	d = 1 м	исходные данные										92	
Габариты источника шума, м		исходные данные	длина (l_1) = 0.00			ширина (l_2) = 0.00			высота (l_3) = 0.00				
Уровни звуковой мощности источника LwA, дБА		LwA = La + 20lg(d) + 10lg(Ω)										100	

1		2	3	4	5	6	7	8	9	10	11	12	13
Спектральные поправки К(Δ_{LA}) для разложения общего уровня звуковой мощности в спектр по октавным полосам, дБ		[5]	-999	-6,7	-5,3	-4	-3,7	-4,1	-7,4	-11,6	-16,1		
Октавные уровни звуковой мощности источника Lw, дБ		Lw = LwA + К(Δ_{LA})	0	93,3	94,7	96	96,3	95,9	92,6	88,4	83,9		
ИШ-5-3 [координаты на плане (x,y,z), м = (624.8,156.7,1.0)]													
Режим работы источника:			постоянный										
Продолжительность работы в дневной период (7.00-23.00):			16 час										
Продолжительность работы в ночной период (23.00-7.00):			8 час										
Тип источника шума:			точечный										
Категория источника шума:			Источники шума на прилегающей территории										
Название:			2АВГ-КБ										
Примечание:			АВО (ТУ 3681-134-00220302-2007)										
Пространственный угол излучения, рад.	Ω = 6.28	исходные данные											
Уровень звука La на опорном расстоянии d, дБА	d = 1 м	исходные данные										92	
Габариты источника шума, м		исходные данные	длина (l_1) = 0.00			ширина (l_2) = 0.00			высота (l_3) = 0.00				
Уровни звуковой мощности источника LwA, дБА		LwA = La + 20lg(d) + 10lg(Ω)										100	
Спектральные поправки К(Δ_{LA}) для разложения общего уровня звуковой мощности в спектр по октавным полосам, дБ		[5]	-999	-6,7	-5,3	-4	-3,7	-4,1	-7,4	-11,6	-16,1		
Октавные уровни звуковой мощности источника Lw, дБ		Lw = LwA + К(Δ_{LA})	0	93,3	94,7	96	96,3	95,9	92,6	88,4	83,9		
ИШ-6-1 [координаты на плане (x,y,z), м = (836.3,122.2,1.0)]													
Режим работы источника:			постоянный										
Продолжительность работы в дневной период (7.00-23.00):			16 час										
Продолжительность работы в ночной период (23.00-7.00):			8 час										
Тип источника шума:			точечный										
Категория источника шума:			77.22.005 Расширение УКПГ. Лупинг										
:			АВО (УКПГ-2)										
:			(аналог АВГ-160-БМ)										

1		2	3	4	5	6	7	8	9	10	11	12	13
Пространственный угол излучения, рад.	Ω = 12.57	исходные данные											
Уровень звука La на опорном расстоянии d, дБА	d = 1 м	исходные данные										92	
Габариты источника шума, м		исходные данные	длина (l_1) = 0.00			ширина (l_2) = 0.00			высота (l_3) = 0.00				
Уровни звуковой мощности источника LwA, дБА		LwA = La + 20lg(d) + 10lg(Ω)										103	
Спектральные поправки К(Δ_{LA}) для разложения общего уровня звуковой мощности в спектр по октавным полосам, дБ		[5]	-999	-6,7	-5,3	-4	-3,7	-4,1	-7,4	-11,6	-16,1		
Октавные уровни звуковой мощности источника Lw, дБ		Lw = LwA + К(Δ_{LA})	0	96,3	97,7	99	99,3	98,9	95,6	91,4	86,9		
ИШ-6-2 [координаты на плане (x,y,z), м = (835.4,119.3,1.0)]													
Режим работы источника:			постоянный										
Продолжительность работы в дневной период (7.00-23.00):			16 час										
Продолжительность работы в ночной период (23.00-7.00):			8 час										
Тип источника шума:			точечный										
Категория источника шума:			77.22.005 Расширение УКПГ. Лупинг										
:			АВО (УКПГ-2)										
:			(аналог АВГ-160-БМ)										
Пространственный угол излучения, рад.	Ω = 12.57	исходные данные											
Уровень звука La на опорном расстоянии d, дБА	d = 1 м	исходные данные										92	
Габариты источника шума, м		исходные данные	длина (l_1) = 0.00			ширина (l_2) = 0.00			высота (l_3) = 0.00				
Уровни звуковой мощности источника LwA, дБА		LwA = La + 20lg(d) + 10lg(Ω)										103	
Спектральные поправки К(Δ_{LA}) для разложения общего уровня звуковой мощности в спектр по октавным полосам, дБ		[5]	-999	-6,7	-5,3	-4	-3,7	-4,1	-7,4	-11,6	-16,1		
Октавные уровни звуковой мощности источника Lw, дБ		Lw = LwA + К(Δ_{LA})	0	96,3	97,7	99	99,3	98,9	95,6	91,4	86,9		

1		2	3	4	5	6	7	8	9	10	11	12	13
ИШ-6-3 [координаты на плане (x,y,z), м = (834.0,116.4,1.0)]													
Режим работы источника:			постоянный										
Продолжительность работы в дневной период (7.00-23.00):			16 час										
Продолжительность работы в ночной период (23.00-7.00):			8 час										
Тип источника шума:			точечный										
Категория источника шума:			77.22.005 Расширение УКПГ. Лупинг										
:			АВО (УКПГ-2)										
:			(аналог АВГ-160-БМ)										
Пространственный угол излучения, рад.	Ω = 12.57	исходные данные											
Уровень звука La на опорном расстоянии d, дБА	d = 1 м	исходные данные										92	
Габариты источника шума, м		исходные данные	длина (l_1) = 0.00			ширина (l_2) = 0.00			высота (l_3) = 0.00				
Уровни звуковой мощности источника LwA, дБА		LwA = La + 20lg(d) + 10lg(Ω)										103	
Спектральные поправки K(Δ_{LA}) для разложения общего уровня звуковой мощности в спектр по октавным полосам, дБ		[5]	-999	-6,7	-5,3	-4	-3,7	-4,1	-7,4	-11,6	-16,1		
Октавные уровни звуковой мощности источника Lw, дБ		Lw = LwA + K(Δ_{LA})	0	96,3	97,7	99	99,3	98,9	95,6	91,4	86,9		
ИШ-6-4 [координаты на плане (x,y,z), м = (833.2,113.3,1.0)]													
Режим работы источника:			постоянный										
Продолжительность работы в дневной период (7.00-23.00):			16 час										
Продолжительность работы в ночной период (23.00-7.00):			8 час										
Тип источника шума:			точечный										
Категория источника шума:			77.22.005 Расширение УКПГ. Лупинг										
:			АВО (УКПГ-2)										
:			(аналог АВГ-160-БМ)										
Пространственный угол излучения, рад.	Ω = 12.57	исходные данные											
Уровень звука La на опорном расстоянии d, дБА	d = 1 м	исходные данные										92	

1		2	3	4	5	6	7	8	9	10	11	12	13
Габариты источника шума, м		исходные данные	длина (l_1) = 0.00			ширина (l_2) = 0.00			высота (l_3) = 0.00				
Уровни звуковой мощности источника LwA, дБА		LwA = La + 20lg(d) + 10lg(Ω)										103	
Спектральные поправки К(Δ_{LA}) для разложения общего уровня звуковой мощности в спектр по октавным полосам, дБ		[5]	-999	-6,7	-5,3	-4	-3,7	-4,1	-7,4	-11,6	-16,1		
Октавные уровни звуковой мощности источника Lw, дБ		Lw = LwA + К(Δ_{LA})	0	96,3	97,7	99	99,3	98,9	95,6	91,4	86,9		
ИШ-6-5 [координаты на плане (x,y,z), м = (832.0,110.4,1.0)]													
Режим работы источника:			постоянный										
Продолжительность работы в дневной период (7.00-23.00):			16 час										
Продолжительность работы в ночной период (23.00-7.00):			8 час										
Тип источника шума:			точечный										
Категория источника шума:			77.22.005 Расширение УКПГ. Лупинг										
:			АВО (УКПГ-2)										
:			(аналог АВГ-160-БМ)										
Пространственный угол излучения, рад.	Ω = 12.57	исходные данные											
Уровень звука La на опорном расстоянии d, дБА	d = 1 м	исходные данные										92	
Габариты источника шума, м		исходные данные	длина (l_1) = 0.00			ширина (l_2) = 0.00			высота (l_3) = 0.00				
Уровни звуковой мощности источника LwA, дБА		LwA = La + 20lg(d) + 10lg(Ω)										103	
Спектральные поправки К(Δ_{LA}) для разложения общего уровня звуковой мощности в спектр по октавным полосам, дБ		[5]	-999	-6,7	-5,3	-4	-3,7	-4,1	-7,4	-11,6	-16,1		
Октавные уровни звуковой мощности источника Lw, дБ		Lw = LwA + К(Δ_{LA})	0	96,3	97,7	99	99,3	98,9	95,6	91,4	86,9		
ИШ-6-6 [координаты на плане (x,y,z), м = (831.0,107.4,1.0)]													
Режим работы источника:			постоянный										
Продолжительность работы в дневной период (7.00-23.00):			16 час										
Продолжительность работы в ночной период (23.00-7.00):			8 час										

1		2	3	4	5	6	7	8	9	10	11	12	13
Тип источника шума:			точечный										
Категория источника шума:			77.22.005 Расширение УКПГ. Лупинг										
:			АВО (УКПГ-2)										
:			(аналог АВГ-160-БМ)										
Пространственный угол излучения, рад.	Ω = 12.57	исходные данные											
Уровень звука La на опорном расстоянии d, дБА	d = 1 м	исходные данные										92	
Габариты источника шума, м		исходные данные	длина (l_1) = 0.00			ширина (l_2) = 0.00			высота (l_3) = 0.00				
Уровни звуковой мощности источника LwA, дБА		LwA = La + 20lg(d) + 10lg(Ω)										103	
Спектральные поправки К(Δ_{LA}) для разложения общего уровня звуковой мощности в спектр по октавным полосам, дБ		[5]	-999	-6,7	-5,3	-4	-3,7	-4,1	-7,4	-11,6	-16,1		
Октавные уровни звуковой мощности источника Lw, дБ		Lw = LwA + К(Δ_{LA})	0	96,3	97,7	99	99,3	98,9	95,6	91,4	86,9		
ИШ-6-7 [координаты на плане (x,y,z), м = (830.3,104.5,1.0)]													
Режим работы источника:			постоянный										
Продолжительность работы в дневной период (7.00-23.00):			16 час										
Продолжительность работы в ночной период (23.00-7.00):			8 час										
Тип источника шума:			точечный										
Категория источника шума:			77.22.005 Расширение УКПГ. Лупинг										
:			АВО (УКПГ-2)										
:			(аналог АВГ-160-БМ)										
Пространственный угол излучения, рад.	Ω = 12.57	исходные данные											
Уровень звука La на опорном расстоянии d, дБА	d = 1 м	исходные данные										92	
Габариты источника шума, м		исходные данные	длина (l_1) = 0.00			ширина (l_2) = 0.00			высота (l_3) = 0.00				
Уровни звуковой мощности источника LwA, дБА		LwA = La + 20lg(d) + 10lg(Ω)										103	
Спектральные поправки К(Δ_{LA}) для разложения общего уровня звуковой мощности в спектр по октавным полосам, дБ		[5]	-999	-6,7	-5,3	-4	-3,7	-4,1	-7,4	-11,6	-16,1		

1		2	3	4	5	6	7	8	9	10	11	12	13
Октавные уровни звуковой мощности источника Lw, дБ		Lw = LwA + K(Δ_{LA})	0	96,3	97,7	99	99,3	98,9	95,6	91,4	86,9		
ИШ-6-8 [координаты на плане (x,y,z), м = (829.4,101.4,1.0)]													
Режим работы источника:			постоянный										
Продолжительность работы в дневной период (7.00-23.00):			16 час										
Продолжительность работы в ночной период (23.00-7.00):			8 час										
Тип источника шума:			точечный										
Категория источника шума:			77.22.005 Расширение УКПГ. Лупинг										
:			АВО (УКПГ-2)										
:			(аналог АВГ-160-БМ)										
Пространственный угол излучения, рад.	Ω = 12.57	исходные данные											
Уровень звука La на опорном расстоянии d, дБА	d = 1 м	исходные данные										92	
Габариты источника шума, м		исходные данные	длина (l_1) = 0.00			ширина (l_2) = 0.00			высота (l_3) = 0.00				
Уровни звуковой мощности источника LwA, дБА		LwA = La + 20lg(d) + 10lg(Ω)										103	
Спектральные поправки K(Δ_{LA}) для разложения общего уровня звуковой мощности в спектр по октавным полосам, дБ		[5]	-999	-6,7	-5,3	-4	-3,7	-4,1	-7,4	-11,6	-16,1		
Октавные уровни звуковой мощности источника Lw, дБ		Lw = LwA + K(Δ_{LA})	0	96,3	97,7	99	99,3	98,9	95,6	91,4	86,9		
ИШ-6-9 [координаты на плане (x,y,z), м = (828.0,98.6,1.0)]													
Режим работы источника:			постоянный										
Продолжительность работы в дневной период (7.00-23.00):			16 час										
Продолжительность работы в ночной период (23.00-7.00):			8 час										
Тип источника шума:			точечный										
Категория источника шума:			77.22.005 Расширение УКПГ. Лупинг										
:			АВО (УКПГ-2)										
:			(аналог АВГ-160-БМ)										
Пространственный угол излучения, рад.	Ω = 12.57	исходные данные											

1		2	3	4	5	6	7	8	9	10	11	12	13
Уровень звука La на опорном расстоянии d, дБА	d = 1 м	исходные данные										92	
Габариты источника шума, м		исходные данные	длина (l_1) = 0.00			ширина (l_2) = 0.00			высота (l_3) = 0.00				
Уровни звуковой мощности источника LwA, дБА		LwA = La + 20lg(d) + 10lg(Ω)										103	
Спектральные поправки К(Δ_{LA}) для разложения общего уровня звуковой мощности в спектр по октавным полосам, дБ		[5]	-999	-6,7	-5,3	-4	-3,7	-4,1	-7,4	-11,6	-16,1		
Октавные уровни звуковой мощности источника Lw, дБ		Lw = LwA + К(Δ_{LA})	0	96,3	97,7	99	99,3	98,9	95,6	91,4	86,9		
ИШ-6-10 [координаты на плане (x,y,z), м = (827.2,95.5,1.0)]													
Режим работы источника:		постоянный											
Продолжительность работы в дневной период (7.00-23.00):		16 час											
Продолжительность работы в ночной период (23.00-7.00):		8 час											
Тип источника шума:		точечный											
Категория источника шума:		77.22.005 Расширение УКПГ. Лупинг											
:		АВО (УКПГ-2)											
:		(аналог АВГ-160-БМ)											
Пространственный угол излучения, рад.	Ω = 12.57	исходные данные											
Уровень звука La на опорном расстоянии d, дБА	d = 1 м	исходные данные										92	
Габариты источника шума, м		исходные данные	длина (l_1) = 0.00			ширина (l_2) = 0.00			высота (l_3) = 0.00				
Уровни звуковой мощности источника LwA, дБА		LwA = La + 20lg(d) + 10lg(Ω)										103	
Спектральные поправки К(Δ_{LA}) для разложения общего уровня звуковой мощности в спектр по октавным полосам, дБ		[5]	-999	-6,7	-5,3	-4	-3,7	-4,1	-7,4	-11,6	-16,1		
Октавные уровни звуковой мощности источника Lw, дБ		Lw = LwA + К(Δ_{LA})	0	96,3	97,7	99	99,3	98,9	95,6	91,4	86,9		
ИШ-6-11 [координаты на плане (x,y,z), м = (826.3,92.5,1.0)]													
Режим работы источника:		постоянный											

1		2	3	4	5	6	7	8	9	10	11	12	13
Продолжительность работы в дневной период (7.00-23.00):			16 час										
Продолжительность работы в ночной период (23.00-7.00):			8 час										
Тип источника шума:			точечный										
Категория источника шума:			77.22.005 Расширение УКПГ. Лупинг										
:			АВО (УКПГ-2)										
:			(аналог АВГ-160-БМ)										
Пространственный угол излучения, рад.	Ω = 12.57	исходные данные											
Уровень звука La на опорном расстоянии d, дБА	d = 1 м	исходные данные										92	
Габариты источника шума, м		исходные данные	длина (l_1) = 0.00			ширина (l_2) = 0.00			высота (l_3) = 0.00				
Уровни звуковой мощности источника LwA, дБА		LwA = La + 20lg(d) + 10lg(Ω)										103	
Спектральные поправки К(Δ_{LA}) для разложения общего уровня звуковой мощности в спектр по октавным полосам, дБ		[5]	-999	-6,7	-5,3	-4	-3,7	-4,1	-7,4	-11,6	-16,1		
Октавные уровни звуковой мощности источника Lw, дБ		Lw = LwA + К(Δ_{LA})	0	96,3	97,7	99	99,3	98,9	95,6	91,4	86,9		
ИШ-6-12 [координаты на плане (x,y,z), м = (825.1,89.5,1.0)]													
Режим работы источника:			постоянный										
Продолжительность работы в дневной период (7.00-23.00):			16 час										
Продолжительность работы в ночной период (23.00-7.00):			8 час										
Тип источника шума:			точечный										
Категория источника шума:			77.22.005 Расширение УКПГ. Лупинг										
:			АВО (УКПГ-2)										
:			(аналог АВГ-160-БМ)										
Пространственный угол излучения, рад.	Ω = 12.57	исходные данные											
Уровень звука La на опорном расстоянии d, дБА	d = 1 м	исходные данные										92	
Габариты источника шума, м		исходные данные	длина (l_1) = 0.00			ширина (l_2) = 0.00			высота (l_3) = 0.00				
Уровни звуковой мощности источника LwA, дБА		LwA = La + 20lg(d) + 10lg(Ω)										103	

1		2	3	4	5	6	7	8	9	10	11	12	13
Спектральные поправки К(Δ_{LA}) для разложения общего уровня звуковой мощности в спектр по октавным полосам, дБ		[5]	-999	-6,7	-5,3	-4	-3,7	-4,1	-7,4	-11,6	-16,1		
Октавные уровни звуковой мощности источника Lw, дБ		Lw = LwA + К(Δ_{LA})	0	96,3	97,7	99	99,3	98,9	95,6	91,4	86,9		
ИШ-6-13 [координаты на плане (x,y,z), м = (767.8,-114.2,1.0)]													
Режим работы источника:			постоянный										
Продолжительность работы в дневной период (7.00-23.00):			16 час										
Продолжительность работы в ночной период (23.00-7.00):			8 час										
Тип источника шума:			точечный										
Категория источника шума:			77.22.005 Расширение УКПГ. Лупинг										
:			АВО (УВОГ-201)										
:			(аналог АВГ-160-БМ)										
Пространственный угол излучения, рад.	Ω = 12.57	исходные данные											
Уровень звука La на опорном расстоянии d, дБА	d = 1 м	исходные данные										92	
Габариты источника шума, м		исходные данные	длина (l_1) = 0.00			ширина (l_2) = 0.00			высота (l_3) = 0.00				
Уровни звуковой мощности источника LwA, дБА		LwA = La + 20lg(d) + 10lg(Ω)										103	
Спектральные поправки К(Δ_{LA}) для разложения общего уровня звуковой мощности в спектр по октавным полосам, дБ		[5]	-999	-6,7	-5,3	-4	-3,7	-4,1	-7,4	-11,6	-16,1		
Октавные уровни звуковой мощности источника Lw, дБ		Lw = LwA + К(Δ_{LA})	0	96,3	97,7	99	99,3	98,9	95,6	91,4	86,9		
ИШ-6-14 [координаты на плане (x,y,z), м = (766.8,-117.1,1.0)]													
Режим работы источника:			постоянный										
Продолжительность работы в дневной период (7.00-23.00):			16 час										
Продолжительность работы в ночной период (23.00-7.00):			8 час										
Тип источника шума:			точечный										
Категория источника шума:			77.22.005 Расширение УКПГ. Лупинг										
:			АВО (УВОГ-201)										
:			(аналог АВГ-160-БМ)										

1		2	3	4	5	6	7	8	9	10	11	12	13
Пространственный угол излучения, рад.	Ω = 12.57	исходные данные											
Уровень звука La на опорном расстоянии d, дБА	d = 1 м	исходные данные										92	
Габариты источника шума, м		исходные данные	длина (l_1) = 0.00			ширина (l_2) = 0.00			высота (l_3) = 0.00				
Уровни звуковой мощности источника LwA, дБА		LwA = La + 20lg(d) + 10lg(Ω)										103	
Спектральные поправки К(Δ_{LA}) для разложения общего уровня звуковой мощности в спектр по октавным полосам, дБ		[5]	-999	-6,7	-5,3	-4	-3,7	-4,1	-7,4	-11,6	-16,1		
Октавные уровни звуковой мощности источника Lw, дБ		Lw = LwA + К(Δ_{LA})	0	96,3	97,7	99	99,3	98,9	95,6	91,4	86,9		
ИШ-6-15 [координаты на плане (x,y,z), м = (765.7,-120.3,1.0)]													
Режим работы источника:			постоянный										
Продолжительность работы в дневной период (7.00-23.00):			16 час										
Продолжительность работы в ночной период (23.00-7.00):			8 час										
Тип источника шума:			точечный										
Категория источника шума:			77.22.005 Расширение УКПГ. Лупинг										
:			АВО (УВОГ-201)										
:			(аналог АВГ-160-БМ)										
Пространственный угол излучения, рад.	Ω = 12.57	исходные данные											
Уровень звука La на опорном расстоянии d, дБА	d = 1 м	исходные данные										92	
Габариты источника шума, м		исходные данные	длина (l_1) = 0.00			ширина (l_2) = 0.00			высота (l_3) = 0.00				
Уровни звуковой мощности источника LwA, дБА		LwA = La + 20lg(d) + 10lg(Ω)										103	
Спектральные поправки К(Δ_{LA}) для разложения общего уровня звуковой мощности в спектр по октавным полосам, дБ		[5]	-999	-6,7	-5,3	-4	-3,7	-4,1	-7,4	-11,6	-16,1		
Октавные уровни звуковой мощности источника Lw, дБ		Lw = LwA + К(Δ_{LA})	0	96,3	97,7	99	99,3	98,9	95,6	91,4	86,9		

1		2	3	4	5	6	7	8	9	10	11	12	13
ИШ-6-16 [координаты на плане (x,y,z), м = (764.6,-123.2,1.0)]													
Режим работы источника:			постоянный										
Продолжительность работы в дневной период (7.00-23.00):			16 час										
Продолжительность работы в ночной период (23.00-7.00):			8 час										
Тип источника шума:			точечный										
Категория источника шума:			77.22.005 Расширение УКПГ. Лупинг										
:			АВО (УВОГ-201)										
:			(аналог АВГ-160-БМ)										
Пространственный угол излучения, рад.	Ω = 12.57	исходные данные											
Уровень звука La на опорном расстоянии d, дБА	d = 1 м	исходные данные										92	
Габариты источника шума, м		исходные данные	длина (l_1) = 0.00			ширина (l_2) = 0.00			высота (l_3) = 0.00				
Уровни звуковой мощности источника LwA, дБА		LwA = La + 20lg(d) + 10lg(Ω)										103	
Спектральные поправки К(Δ_{LA}) для разложения общего уровня звуковой мощности в спектр по октавным полосам, дБ		[5]	-999	-6,7	-5,3	-4	-3,7	-4,1	-7,4	-11,6	-16,1		
Октавные уровни звуковой мощности источника Lw, дБ		Lw = LwA + К(Δ_{LA})	0	96,3	97,7	99	99,3	98,9	95,6	91,4	86,9		
ИШ-6-17 [координаты на плане (x,y,z), м = (763.6,-126.2,1.0)]													
Режим работы источника:			постоянный										
Продолжительность работы в дневной период (7.00-23.00):			16 час										
Продолжительность работы в ночной период (23.00-7.00):			8 час										
Тип источника шума:			точечный										
Категория источника шума:			77.22.005 Расширение УКПГ. Лупинг										
:			АВО (УВОГ-201)										
:			(аналог АВГ-160-БМ)										
Пространственный угол излучения, рад.	Ω = 12.57	исходные данные											
Уровень звука La на опорном расстоянии d, дБА	d = 1 м	исходные данные										92	

1		2	3	4	5	6	7	8	9	10	11	12	13
Габариты источника шума, м		исходные данные	длина (l_1) = 0.00			ширина (l_2) = 0.00			высота (l_3) = 0.00				
Уровни звуковой мощности источника LwA, дБА		LwA = La + 20lg(d) + 10lg(Ω)										103	
Спектральные поправки К(Δ_{LA}) для разложения общего уровня звуковой мощности в спектр по октавным полосам, дБ		[5]	-999	-6,7	-5,3	-4	-3,7	-4,1	-7,4	-11,6	-16,1		
Октавные уровни звуковой мощности источника Lw, дБ		Lw = LwA + К(Δ_{LA})	0	96,3	97,7	99	99,3	98,9	95,6	91,4	86,9		
ИШ-6-18 [координаты на плане (x,y,z), м = (804.8,-126.3,1.0)]													
Режим работы источника:			постоянный										
Продолжительность работы в дневной период (7.00-23.00):			16 час										
Продолжительность работы в ночной период (23.00-7.00):			8 час										
Тип источника шума:			точечный										
Категория источника шума:			77.22.005 Расширение УКПГ. Лупинг										
:			АВО (УВОГ-201)										
:			(аналог АВГ-160-БМ)										
Пространственный угол излучения, рад.	Ω = 12.57	исходные данные											
Уровень звука La на опорном расстоянии d, дБА	d = 1 м	исходные данные										92	
Габариты источника шума, м		исходные данные	длина (l_1) = 0.00			ширина (l_2) = 0.00			высота (l_3) = 0.00				
Уровни звуковой мощности источника LwA, дБА		LwA = La + 20lg(d) + 10lg(Ω)										103	
Спектральные поправки К(Δ_{LA}) для разложения общего уровня звуковой мощности в спектр по октавным полосам, дБ		[5]	-999	-6,7	-5,3	-4	-3,7	-4,1	-7,4	-11,6	-16,1		
Октавные уровни звуковой мощности источника Lw, дБ		Lw = LwA + К(Δ_{LA})	0	96,3	97,7	99	99,3	98,9	95,6	91,4	86,9		
ИШ-6-19 [координаты на плане (x,y,z), м = (803.8,-129.3,1.0)]													
Режим работы источника:			постоянный										
Продолжительность работы в дневной период (7.00-23.00):			16 час										
Продолжительность работы в ночной период (23.00-7.00):			8 час										

1		2	3	4	5	6	7	8	9	10	11	12	13
Тип источника шума:			точечный										
Категория источника шума:			77.22.005 Расширение УКПГ. Лупинг										
:			АВО (УВОГ-201)										
:			(аналог АВГ-160-БМ)										
Пространственный угол излучения, рад.	Ω = 12.57	исходные данные											
Уровень звука La на опорном расстоянии d, дБА	d = 1 м	исходные данные										92	
Габариты источника шума, м		исходные данные	длина (l_1) = 0.00			ширина (l_2) = 0.00			высота (l_3) = 0.00				
Уровни звуковой мощности источника LwA, дБА		LwA = La + 20lg(d) + 10lg(Ω)										103	
Спектральные поправки К(Δ_{LA}) для разложения общего уровня звуковой мощности в спектр по октавным полосам, дБ		[5]	-999	-6,7	-5,3	-4	-3,7	-4,1	-7,4	-11,6	-16,1		
Октавные уровни звуковой мощности источника Lw, дБ		Lw = LwA + К(Δ_{LA})	0	96,3	97,7	99	99,3	98,9	95,6	91,4	86,9		
ИШ-6-20 [координаты на плане (x,y,z), м = (802.7,-132.4,1.0)]													
Режим работы источника:			постоянный										
Продолжительность работы в дневной период (7.00-23.00):			16 час										
Продолжительность работы в ночной период (23.00-7.00):			8 час										
Тип источника шума:			точечный										
Категория источника шума:			77.22.005 Расширение УКПГ. Лупинг										
:			АВО (УВОГ-201)										
:			(аналог АВГ-160-БМ)										
Пространственный угол излучения, рад.	Ω = 12.57	исходные данные											
Уровень звука La на опорном расстоянии d, дБА	d = 1 м	исходные данные										92	
Габариты источника шума, м		исходные данные	длина (l_1) = 0.00			ширина (l_2) = 0.00			высота (l_3) = 0.00				
Уровни звуковой мощности источника LwA, дБА		LwA = La + 20lg(d) + 10lg(Ω)										103	
Спектральные поправки К(Δ_{LA}) для разложения общего уровня звуковой мощности в спектр по октавным полосам, дБ		[5]	-999	-6,7	-5,3	-4	-3,7	-4,1	-7,4	-11,6	-16,1		

1		2	3	4	5	6	7	8	9	10	11	12	13
Октавные уровни звуковой мощности источника Lw, дБ		Lw = LwA + K(Δ_{LA})	0	96,3	97,7	99	99,3	98,9	95,6	91,4	86,9		
ИШ-6-21 [координаты на плане (x,y,z), м = (801.7,-135.4,1.0)]													
Режим работы источника:			постоянный										
Продолжительность работы в дневной период (7.00-23.00):			16 час										
Продолжительность работы в ночной период (23.00-7.00):			8 час										
Тип источника шума:			точечный										
Категория источника шума:			77.22.005 Расширение УКПГ. Лупинг										
:			АВО (УВОГ-201)										
:			(аналог АВГ-160-БМ)										
Пространственный угол излучения, рад.	Ω = 12.57	исходные данные											
Уровень звука La на опорном расстоянии d, дБА	d = 1 м	исходные данные										92	
Габариты источника шума, м		исходные данные	длина (l_1) = 0.00			ширина (l_2) = 0.00			высота (l_3) = 0.00				
Уровни звуковой мощности источника LwA, дБА		LwA = La + 20lg(d) + 10lg(Ω)										103	
Спектральные поправки K(Δ_{LA}) для разложения общего уровня звуковой мощности в спектр по октавным полосам, дБ		[5]	-999	-6,7	-5,3	-4	-3,7	-4,1	-7,4	-11,6	-16,1		
Октавные уровни звуковой мощности источника Lw, дБ		Lw = LwA + K(Δ_{LA})	0	96,3	97,7	99	99,3	98,9	95,6	91,4	86,9		
ИШ-6-22 [координаты на плане (x,y,z), м = (800.6,-138.5,1.0)]													
Режим работы источника:			постоянный										
Продолжительность работы в дневной период (7.00-23.00):			16 час										
Продолжительность работы в ночной период (23.00-7.00):			8 час										
Тип источника шума:			точечный										
Категория источника шума:			77.22.005 Расширение УКПГ. Лупинг										
:			АВО (УВОГ-201)										
:			(аналог АВГ-160-БМ)										
Пространственный угол излучения, рад.	Ω = 12.57	исходные данные											

1		2	3	4	5	6	7	8	9	10	11	12	13
Уровень звука La на опорном расстоянии d, дБА	d = 1 м	исходные данные										92	
Габариты источника шума, м		исходные данные	длина (l_1) = 0.00			ширина (l_2) = 0.00			высота (l_3) = 0.00				
Уровни звуковой мощности источника LwA, дБА		LwA = La + 20lg(d) + 10lg(Ω)										103	
Спектральные поправки К(Δ_{LA}) для разложения общего уровня звуковой мощности в спектр по октавным полосам, дБ		[5]	-999	-6,7	-5,3	-4	-3,7	-4,1	-7,4	-11,6	-16,1		
Октавные уровни звуковой мощности источника Lw, дБ		Lw = LwA + К(Δ_{LA})	0	96,3	97,7	99	99,3	98,9	95,6	91,4	86,9		
ИШ-7-1 [координаты на плане (x,y,z), м = (821.4,63.3,1.0)]													
Режим работы источника:			постоянный										
Продолжительность работы в дневной период (7.00-23.00):			16 час										
Продолжительность работы в ночной период (23.00-7.00):			8 час										
Тип источника шума:			точечный										
Категория источника шума:			77.22.005 Расширение УКПГ. Лупинг										
:			Сепаратор										
:			СТО Газпром										
Пространственный угол излучения, рад.	Ω = 12.57	исходные данные											
Октавные уровни звуковой мощности источника Lw, дБ		исходные данные	77	75	67	66	63	55	53	48	51		
ИШ-7-2 [координаты на плане (x,y,z), м = (768.9,-86.8,1.0)]													
Режим работы источника:			постоянный										
Продолжительность работы в дневной период (7.00-23.00):			16 час										
Продолжительность работы в ночной период (23.00-7.00):			8 час										
Тип источника шума:			точечный										
Категория источника шума:			77.22.005 Расширение УКПГ. Лупинг										
:			Сепаратор										
:			СТО Газпром										
Пространственный угол излучения, рад.	Ω = 12.57	исходные данные											

1		2	3	4	5	6	7	8	9	10	11	12	13
Октавные уровни звуковой мощности источника Lw, дБ		исходные данные	77	75	67	66	63	55	53	48	51		
ИШ-7-3 [координаты на плане (x,y,z), м = (766.8,-93.2,1.0)]													
Режим работы источника:			постоянный										
Продолжительность работы в дневной период (7.00-23.00):			16 час										
Продолжительность работы в ночной период (23.00-7.00):			8 час										
Тип источника шума:			точечный										
Категория источника шума:			77.22.005 Расширение УКПГ. Лупинг										
:			Сепаратор										
:			СТО Газпром										
Пространственный угол излучения, рад.	Ω = 12.57	исходные данные											
Октавные уровни звуковой мощности источника Lw, дБ		исходные данные	77	75	67	66	63	55	53	48	51		
ИШ-7-4 [координаты на плане (x,y,z), м = (866.8,37.2,1.0)]													
Режим работы источника:			постоянный										
Продолжительность работы в дневной период (7.00-23.00):			16 час										
Продолжительность работы в ночной период (23.00-7.00):			8 час										
Тип источника шума:			точечный										
Категория источника шума:			77.22.005 Расширение УКПГ. Лупинг										
:			Сепаратор										
:			СТО Газпром										
Пространственный угол излучения, рад.	Ω = 12.57	исходные данные											
Октавные уровни звуковой мощности источника Lw, дБ		исходные данные	77	75	67	66	63	55	53	48	51		
ИШ-7-5 [координаты на плане (x,y,z), м = (861.8,21.3,1.0)]													
Режим работы источника:			постоянный										
Продолжительность работы в дневной период (7.00-23.00):			16 час										
Продолжительность работы в ночной период (23.00-7.00):			8 час										

1		2	3	4	5	6	7	8	9	10	11	12	13
Тип источника шума:			точечный										
Категория источника шума:			77.22.005 Расширение УКПГ. Лупинг										
:			Сепаратор										
:			СТО Газпром										
Пространственный угол излучения, рад.	Ω = 12.57	исходные данные											
Октавные уровни звуковой мощности источника Lw, дБ		исходные данные	77	75	67	66	63	55	53	48	51		
ИШ-7-6 [координаты на плане (x,y,z), м = (856.5,5.9,1.0)]													
Режим работы источника:			постоянный										
Продолжительность работы в дневной период (7.00-23.00):			16 час										
Продолжительность работы в ночной период (23.00-7.00):			8 час										
Тип источника шума:			точечный										
Категория источника шума:			77.22.005 Расширение УКПГ. Лупинг										
:			Сепаратор										
:			СТО Газпром										
Пространственный угол излучения, рад.	Ω = 12.57	исходные данные											
Октавные уровни звуковой мощности источника Lw, дБ		исходные данные	77	75	67	66	63	55	53	48	51		
ИШ-7-7 [координаты на плане (x,y,z), м = (851.1,-9.9,1.0)]													
Режим работы источника:			постоянный										
Продолжительность работы в дневной период (7.00-23.00):			16 час										
Продолжительность работы в ночной период (23.00-7.00):			8 час										
Тип источника шума:			точечный										
Категория источника шума:			77.22.005 Расширение УКПГ. Лупинг										
:			Сепаратор										
:			СТО Газпром										
Пространственный угол излучения, рад.	Ω = 12.57	исходные данные											
Октавные уровни звуковой мощности источника Lw, дБ		исходные данные	77	75	67	66	63	55	53	48	51		

1		2	3	4	5	6	7	8	9	10	11	12	13
ИШ-7-8 [координаты на плане (x,y,z), м = (821.9,-104.3,1.0)]													
Режим работы источника:			постоянный										
Продолжительность работы в дневной период (7.00-23.00):			16 час										
Продолжительность работы в ночной период (23.00-7.00):			8 час										
Тип источника шума:			точечный										
Категория источника шума:			77.22.005 Расширение УКПГ. Лупинг										
:			Сепаратор										
:			СТО Газпром										
Пространственный угол излучения, рад.	Ω = 12.57	исходные данные											
Октавные уровни звуковой мощности источника Lw, дБ		исходные данные	77	75	67	66	63	55	53	48	51		
ИШ-7-9 [координаты на плане (x,y,z), м = (819.9,-111.0,1.0)]													
Режим работы источника:			постоянный										
Продолжительность работы в дневной период (7.00-23.00):			16 час										
Продолжительность работы в ночной период (23.00-7.00):			8 час										
Тип источника шума:			точечный										
Категория источника шума:			77.22.005 Расширение УКПГ. Лупинг										
:			Сепаратор										
:			СТО Газпром										
Пространственный угол излучения, рад.	Ω = 12.57	исходные данные											
Октавные уровни звуковой мощности источника Lw, дБ		исходные данные	77	75	67	66	63	55	53	48	51		
ИШ-7-10 [координаты на плане (x,y,z), м = (868.7,92.7,1.0)]													
Режим работы источника:			постоянный										
Продолжительность работы в дневной период (7.00-23.00):			16 час										
Продолжительность работы в ночной период (23.00-7.00):			8 час										
Тип источника шума:			точечный										
Категория источника шума:			77.22.005 Расширение УКПГ. Лупинг										

1		2	3	4	5	6	7	8	9	10	11	12	13
:			Сепаратор										
:			СТО Газпром										
Пространственный угол излучения, рад.	Ω = 12.57	исходные данные											
Октавные уровни звуковой мощности источника Lw, дБ		исходные данные	77	75	67	66	63	55	53	48	51		
ИШ-7-11 [координаты на плане (x,y,z), м = (877.9,88.8,1.0)]													
Режим работы источника:			постоянный										
Продолжительность работы в дневной период (7.00-23.00):			16 час										
Продолжительность работы в ночной период (23.00-7.00):			8 час										
Тип источника шума:			точечный										
Категория источника шума:			77.22.005 Расширение УКПГ. Лупинг										
:			Сепаратор										
:			СТО Газпром										
Пространственный угол излучения, рад.	Ω = 12.57	исходные данные											
Октавные уровни звуковой мощности источника Lw, дБ		исходные данные	77	75	67	66	63	55	53	48	51		
ИШ-7-12 [координаты на плане (x,y,z), м = (887.4,85.4,1.0)]													
Режим работы источника:			постоянный										
Продолжительность работы в дневной период (7.00-23.00):			16 час										
Продолжительность работы в ночной период (23.00-7.00):			8 час										
Тип источника шума:			точечный										
Категория источника шума:			77.22.005 Расширение УКПГ. Лупинг										
:			Сепаратор										
:			СТО Газпром										
Пространственный угол излучения, рад.	Ω = 12.57	исходные данные											
Октавные уровни звуковой мощности источника Lw, дБ		исходные данные	77	75	67	66	63	55	53	48	51		

1		2	3	4	5	6	7	8	9	10	11	12	13
ИШ-6-23 [координаты на плане (x,y,z), м = (756.2,-136.2,3.0)]													
Режим работы источника:			постоянный										
Продолжительность работы в дневной период (7.00-23.00):			16 час										
Продолжительность работы в ночной период (23.00-7.00):			8 час										
Тип источника шума:			точечный										
Категория источника шума:			77.22.005 Расширение УКПГ. Лупинг										
:			ТДА-201										
:			(аналог АДКГ-9-10)										
Пространственный угол излучения, рад.	Ω = 12.57	исходные данные											
Уровень звука La на опорном расстоянии d, дБА	d = 1 м	исходные данные										80	
Габариты источника шума, м		исходные данные	длина (l_1) = 0.00			ширина (l_2) = 0.00			высота (l_3) = 0.00				
Уровни звуковой мощности источника LwA, дБА		LwA = La + 20lg(d) + 10lg(Ω)										91	
Спектральные поправки K(Δ_{LA}) для разложения общего уровня звуковой мощности в спектр по октавным полосам, дБ		исходные данные	0	0	0	0	0	0	0	0	0		
Октавные уровни звуковой мощности источника Lw, дБ		Lw = LwA + K(Δ_{LA})	91	91	91	91	91	91	91	91	91		
ИШ-6-24 [координаты на плане (x,y,z), м = (801.0,-151.3,3.0)]													
Режим работы источника:			постоянный										
Продолжительность работы в дневной период (7.00-23.00):			16 час										
Продолжительность работы в ночной период (23.00-7.00):			8 час										
Тип источника шума:			точечный										
Категория источника шума:			77.22.005 Расширение УКПГ. Лупинг										
:			ТДА-201										
:			(аналог АДКГ-9-10)										
Пространственный угол излучения, рад.	Ω = 12.57	исходные данные											
Уровень звука La на опорном расстоянии d, дБА	d = 1 м	исходные данные										80	

1	2	3	4	5	6	7	8	9	10	11	12	13
Габариты источника шума, м	исходные данные	длина (l_1) = 0.00			ширина (l_2) = 0.00			высота (l_3) = 0.00				
Уровни звуковой мощности источника LwA, дБА	LwA = La + 20lg(d) + 10lg(Ω)										91	
Спектральные поправки К(Δ_{LA}) для разложения общего уровня звуковой мощности в спектр по октавным полосам, дБ	исходные данные	0	0	0	0	0	0	0	0	0		
Октавные уровни звуковой мощности источника Lw, дБ	Lw = LwA + К(Δ_{LA})	91	91	91	91	91	91	91	91	91		
ИШ-8-1 [координаты на плане (x,y,z), м = (612.6,-227.7,3.0)]												
Режим работы источника:		постоянный										
Продолжительность работы в дневной период (7.00-23.00):		16 час										
Продолжительность работы в ночной период (23.00-7.00):		8 час										
Тип источника шума:		точечный										
Категория источника шума:		15.013.1 Самбург ДКС										
:		ГПА-16 "Волга"										
:		Акт проверки шумовых характеристик ГПА										
Пространственный угол излучения, рад. Ω = 6.28	исходные данные											
Октавные уровни звуковой мощности источника Lw, дБ	исходные данные	105	104	104	101	102	106	101	95	87		
ИШ-8-2 [координаты на плане (x,y,z), м = (596.6,-275.0,3.0)]												
Режим работы источника:		постоянный										
Продолжительность работы в дневной период (7.00-23.00):		16 час										
Продолжительность работы в ночной период (23.00-7.00):		8 час										
Тип источника шума:		точечный										
Категория источника шума:		15.013.1 Самбург ДКС										
:		ГПА-16 "Волга"										
:		Акт проверки шумовых характеристик ГПА										
Пространственный угол излучения, рад. Ω = 6.28	исходные данные											
Октавные уровни звуковой мощности источника Lw, дБ	исходные данные	105	104	104	101	102	106	101	95	87		

1		2	3	4	5	6	7	8	9	10	11	12	13
ИШ-8-3 [координаты на плане (x,y,z), м = (564.9,-369.9,3.0)]													
Режим работы источника:			постоянный										
Продолжительность работы в дневной период (7.00-23.00):			16 час										
Продолжительность работы в ночной период (23.00-7.00):			8 час										
Тип источника шума:			точечный										
Категория источника шума:			15.013.1 Самбург ДКС										
:			ГПА-16 "Волга"										
:			Акт проверки шумовых характеристик ГПА										
Пространственный угол излучения, рад.	Ω = 6.28	исходные данные											
Октавные уровни звуковой мощности источника Lw, дБ		исходные данные	105	104	104	101	102	106	101	95	87		
ИШ-9-1 [координаты на плане (x,y,z), м = (642.9,-357.5,1.0)]													
Режим работы источника:			постоянный										
Продолжительность работы в дневной период (7.00-23.00):			16 час										
Продолжительность работы в ночной период (23.00-7.00):			8 час										
Тип источника шума:			точечный										
Категория источника шума:			15.013.1 Самбург ДКС										
:			АВО КНД/КВД										
:			(по ТЗ)										
Пространственный угол излучения, рад.	Ω = 6.28	исходные данные											
Уровень звука La на опорном расстоянии d, дБА	d = 1 м	исходные данные										92	
Габариты источника шума, м		исходные данные	длина (l_1) = 0.00			ширина (l_2) = 0.00			высота (l_3) = 0.00				
Уровни звуковой мощности источника LwA, дБА		LwA = La + 20lg(d) + 10lg(Ω)										100	
Спектральные поправки К(Δ_{LA}) для разложения общего уровня звуковой мощности в спектр по октавным полосам, дБ		[5]	-999	-6,7	-5,3	-4	-3,7	-4,1	-7,4	-11,6	-16,1		
Октавные уровни звуковой мощности источника Lw, дБ		Lw = LwA + К(Δ_{LA})	0	93,3	94,7	96	96,3	95,9	92,6	88,4	83,9		

1		2	3	4	5	6	7	8	9	10	11	12	13
ИШ-9-2 [координаты на плане (x,y,z), м = (644.1,-354.8,1.0)]													
Режим работы источника:			постоянный										
Продолжительность работы в дневной период (7.00-23.00):			16 час										
Продолжительность работы в ночной период (23.00-7.00):			8 час										
Тип источника шума:			точечный										
Категория источника шума:			15.013.1 Самбург ДКС										
:			АВО КНД/КВД										
:			(по ТЗ)										
Пространственный угол излучения, рад.	Ω = 6.28	исходные данные											
Уровень звука La на опорном расстоянии d, дБА	d = 1 м	исходные данные										92	
Габариты источника шума, м		исходные данные	длина (l_1) = 0.00			ширина (l_2) = 0.00			высота (l_3) = 0.00				
Уровни звуковой мощности источника LwA, дБА		LwA = La + 20lg(d) + 10lg(Ω)										100	
Спектральные поправки K(Δ_{LA}) для разложения общего уровня звуковой мощности в спектр по октавным полосам, дБ		[5]	-999	-6,7	-5,3	-4	-3,7	-4,1	-7,4	-11,6	-16,1		
Октавные уровни звуковой мощности источника Lw, дБ		Lw = LwA + K(Δ_{LA})	0	93,3	94,7	96	96,3	95,9	92,6	88,4	83,9		
ИШ-9-3 [координаты на плане (x,y,z), м = (645.0,-351.9,1.0)]													
Режим работы источника:			постоянный										
Продолжительность работы в дневной период (7.00-23.00):			16 час										
Продолжительность работы в ночной период (23.00-7.00):			8 час										
Тип источника шума:			точечный										
Категория источника шума:			15.013.1 Самбург ДКС										
:			АВО КНД/КВД										
:			(по ТЗ)										
Пространственный угол излучения, рад.	Ω = 6.28	исходные данные											
Уровень звука La на опорном расстоянии d, дБА	d = 1 м	исходные данные										92	

1		2	3	4	5	6	7	8	9	10	11	12	13
Габариты источника шума, м		исходные данные	длина (l_1) = 0.00			ширина (l_2) = 0.00			высота (l_3) = 0.00				
Уровни звуковой мощности источника LwA, дБА		LwA = La + 20lg(d) + 10lg(Ω)										100	
Спектральные поправки К(Δ_{LA}) для разложения общего уровня звуковой мощности в спектр по октавным полосам, дБ		[5]	-999	-6,7	-5,3	-4	-3,7	-4,1	-7,4	-11,6	-16,1		
Октавные уровни звуковой мощности источника Lw, дБ		Lw = LwA + К(Δ_{LA})	0	93,3	94,7	96	96,3	95,9	92,6	88,4	83,9		
ИШ-9-4 [координаты на плане (x,y,z), м = (646.0,-349.2,1.0)]													
Режим работы источника:			постоянный										
Продолжительность работы в дневной период (7.00-23.00):			16 час										
Продолжительность работы в ночной период (23.00-7.00):			8 час										
Тип источника шума:			точечный										
Категория источника шума:			15.013.1 Самбург ДКС										
:			АВО КНД/КВД										
:			(по ТЗ)										
Пространственный угол излучения, рад.	Ω = 6.28	исходные данные											
Уровень звука La на опорном расстоянии d, дБА	d = 1 м	исходные данные										92	
Габариты источника шума, м		исходные данные	длина (l_1) = 0.00			ширина (l_2) = 0.00			высота (l_3) = 0.00				
Уровни звуковой мощности источника LwA, дБА		LwA = La + 20lg(d) + 10lg(Ω)										100	
Спектральные поправки К(Δ_{LA}) для разложения общего уровня звуковой мощности в спектр по октавным полосам, дБ		[5]	-999	-6,7	-5,3	-4	-3,7	-4,1	-7,4	-11,6	-16,1		
Октавные уровни звуковой мощности источника Lw, дБ		Lw = LwA + К(Δ_{LA})	0	93,3	94,7	96	96,3	95,9	92,6	88,4	83,9		
ИШ-9-5 [координаты на плане (x,y,z), м = (646.8,-346.2,1.0)]													
Режим работы источника:			постоянный										
Продолжительность работы в дневной период (7.00-23.00):			16 час										
Продолжительность работы в ночной период (23.00-7.00):			8 час										

1		2	3	4	5	6	7	8	9	10	11	12	13
Тип источника шума:			точечный										
Категория источника шума:			15.013.1 Самбург ДКС										
:			АВО КНД/КВД										
:			(по ТЗ)										
Пространственный угол излучения, рад.	Ω = 6.28	исходные данные											
Уровень звука La на опорном расстоянии d, дБА	d = 1 м	исходные данные										92	
Габариты источника шума, м		исходные данные	длина (l_1) = 0.00			ширина (l_2) = 0.00			высота (l_3) = 0.00				
Уровни звуковой мощности источника LwA, дБА		LwA = La + 20lg(d) + 10lg(Ω)										100	
Спектральные поправки К(Δ_{LA}) для разложения общего уровня звуковой мощности в спектр по октавным полосам, дБ		[5]	-999	-6,7	-5,3	-4	-3,7	-4,1	-7,4	-11,6	-16,1		
Октавные уровни звуковой мощности источника Lw, дБ		Lw = LwA + К(Δ_{LA})	0	93,3	94,7	96	96,3	95,9	92,6	88,4	83,9		
ИШ-9-6 [координаты на плане (x,y,z), м = (647.9,-343.5,1.0)]													
Режим работы источника:			постоянный										
Продолжительность работы в дневной период (7.00-23.00):			16 час										
Продолжительность работы в ночной период (23.00-7.00):			8 час										
Тип источника шума:			точечный										
Категория источника шума:			15.013.1 Самбург ДКС										
:			АВО КНД/КВД										
:			(по ТЗ)										
Пространственный угол излучения, рад.	Ω = 6.28	исходные данные											
Уровень звука La на опорном расстоянии d, дБА	d = 1 м	исходные данные										92	
Габариты источника шума, м		исходные данные	длина (l_1) = 0.00			ширина (l_2) = 0.00			высота (l_3) = 0.00				
Уровни звуковой мощности источника LwA, дБА		LwA = La + 20lg(d) + 10lg(Ω)										100	
Спектральные поправки К(Δ_{LA}) для разложения общего уровня звуковой мощности в спектр по октавным полосам, дБ		[5]	-999	-6,7	-5,3	-4	-3,7	-4,1	-7,4	-11,6	-16,1		

1		2	3	4	5	6	7	8	9	10	11	12	13
Октавные уровни звуковой мощности источника Lw, дБ		Lw = LwA + K(Δ_{LA})	0	93,3	94,7	96	96,3	95,9	92,6	88,4	83,9		
ИШ-9-7 [координаты на плане (x,y,z), м = (648.7,-340.5,1.0)]													
Режим работы источника:			постоянный										
Продолжительность работы в дневной период (7.00-23.00):			16 час										
Продолжительность работы в ночной период (23.00-7.00):			8 час										
Тип источника шума:			точечный										
Категория источника шума:			15.013.1 Самбург ДКС										
:			АВО КНД/КВД										
:			(по ТЗ)										
Пространственный угол излучения, рад.	Ω = 6.28	исходные данные											
Уровень звука La на опорном расстоянии d, дБА	d = 1 м	исходные данные										92	
Габариты источника шума, м		исходные данные	длина (l_1) = 0.00			ширина (l_2) = 0.00			высота (l_3) = 0.00				
Уровни звуковой мощности источника LwA, дБА		LwA = La + 20lg(d) + 10lg(Ω)										100	
Спектральные поправки K(Δ_{LA}) для разложения общего уровня звуковой мощности в спектр по октавным полосам, дБ		[5]	-999	-6,7	-5,3	-4	-3,7	-4,1	-7,4	-11,6	-16,1		
Октавные уровни звуковой мощности источника Lw, дБ		Lw = LwA + K(Δ_{LA})	0	93,3	94,7	96	96,3	95,9	92,6	88,4	83,9		
ИШ-9-8 [координаты на плане (x,y,z), м = (649.9,-337.7,1.0)]													
Режим работы источника:			постоянный										
Продолжительность работы в дневной период (7.00-23.00):			16 час										
Продолжительность работы в ночной период (23.00-7.00):			8 час										
Тип источника шума:			точечный										
Категория источника шума:			15.013.1 Самбург ДКС										
:			АВО КНД/КВД										
:			(по ТЗ)										
Пространственный угол излучения, рад.	Ω = 6.28	исходные данные											

1		2	3	4	5	6	7	8	9	10	11	12	13
Уровень звука La на опорном расстоянии d, дБА	d = 1 м	исходные данные										92	
Габариты источника шума, м		исходные данные	длина (l_1) = 0.00			ширина (l_2) = 0.00			высота (l_3) = 0.00				
Уровни звуковой мощности источника LwA, дБА		LwA = La + 20lg(d) + 10lg(Ω)										100	
Спектральные поправки К(Δ_{LA}) для разложения общего уровня звуковой мощности в спектр по октавным полосам, дБ		[5]	-999	-6,7	-5,3	-4	-3,7	-4,1	-7,4	-11,6	-16,1		
Октавные уровни звуковой мощности источника Lw, дБ		Lw = LwA + К(Δ_{LA})	0	93,3	94,7	96	96,3	95,9	92,6	88,4	83,9		
ИШ-9-9 [координаты на плане (x,y,z), м = (650.7,-334.9,1.0)]													
Режим работы источника:			постоянный										
Продолжительность работы в дневной период (7.00-23.00):			16 час										
Продолжительность работы в ночной период (23.00-7.00):			8 час										
Тип источника шума:			точечный										
Категория источника шума:			15.013.1 Самбург ДКС										
:			АВО КНД/КВД										
:			(по ТЗ)										
Пространственный угол излучения, рад.	Ω = 6.28	исходные данные											
Уровень звука La на опорном расстоянии d, дБА	d = 1 м	исходные данные										92	
Габариты источника шума, м		исходные данные	длина (l_1) = 0.00			ширина (l_2) = 0.00			высота (l_3) = 0.00				
Уровни звуковой мощности источника LwA, дБА		LwA = La + 20lg(d) + 10lg(Ω)										100	
Спектральные поправки К(Δ_{LA}) для разложения общего уровня звуковой мощности в спектр по октавным полосам, дБ		[5]	-999	-6,7	-5,3	-4	-3,7	-4,1	-7,4	-11,6	-16,1		
Октавные уровни звуковой мощности источника Lw, дБ		Lw = LwA + К(Δ_{LA})	0	93,3	94,7	96	96,3	95,9	92,6	88,4	83,9		
ИШ-9-10 [координаты на плане (x,y,z), м = (651.6,-332.0,1.0)]													
Режим работы источника:			постоянный										

1		2	3	4	5	6	7	8	9	10	11	12	13
Продолжительность работы в дневной период (7.00-23.00):			16 час										
Продолжительность работы в ночной период (23.00-7.00):			8 час										
Тип источника шума:			точечный										
Категория источника шума:			15.013.1 Самбург ДКС										
:			АВО КНД/КВД										
:			(по ТЗ)										
Пространственный угол излучения, рад.	Ω = 6.28	исходные данные											
Уровень звука La на опорном расстоянии d, дБА	d = 1 м	исходные данные										92	
Габариты источника шума, м		исходные данные	длина (l_1) = 0.00			ширина (l_2) = 0.00			высота (l_3) = 0.00				
Уровни звуковой мощности источника LwA, дБА		LwA = La + 20lg(d) + 10lg(Ω)										100	
Спектральные поправки К(Δ_{LA}) для разложения общего уровня звуковой мощности в спектр по октавным полосам, дБ		[5]	-999	-6,7	-5,3	-4	-3,7	-4,1	-7,4	-11,6	-16,1		
Октавные уровни звуковой мощности источника Lw, дБ		Lw = LwA + К(Δ_{LA})	0	93,3	94,7	96	96,3	95,9	92,6	88,4	83,9		
ИШ-9-11 [координаты на плане (x,y,z), м = (652.7,-329.2,1.0)]													
Режим работы источника:			постоянный										
Продолжительность работы в дневной период (7.00-23.00):			16 час										
Продолжительность работы в ночной период (23.00-7.00):			8 час										
Тип источника шума:			точечный										
Категория источника шума:			15.013.1 Самбург ДКС										
:			АВО КНД/КВД										
:			(по ТЗ)										
Пространственный угол излучения, рад.	Ω = 6.28	исходные данные											
Уровень звука La на опорном расстоянии d, дБА	d = 1 м	исходные данные										92	
Габариты источника шума, м		исходные данные	длина (l_1) = 0.00			ширина (l_2) = 0.00			высота (l_3) = 0.00				
Уровни звуковой мощности источника LwA, дБА		LwA = La + 20lg(d) + 10lg(Ω)										100	

1		2	3	4	5	6	7	8	9	10	11	12	13
Спектральные поправки К(Δ_{LA}) для разложения общего уровня звуковой мощности в спектр по октавным полосам, дБ		[5]	-999	-6,7	-5,3	-4	-3,7	-4,1	-7,4	-11,6	-16,1		
Октавные уровни звуковой мощности источника Lw, дБ		Lw = LwA + К(Δ_{LA})	0	93,3	94,7	96	96,3	95,9	92,6	88,4	83,9		
ИШ-9-12 [координаты на плане (x,y,z), м = (653.5,-326.3,1.0)]													
Режим работы источника:			постоянный										
Продолжительность работы в дневной период (7.00-23.00):			16 час										
Продолжительность работы в ночной период (23.00-7.00):			8 час										
Тип источника шума:			точечный										
Категория источника шума:			15.013.1 Самбург ДКС										
:			АВО КНД/КВД										
:			(по ТЗ)										
Пространственный угол излучения, рад.	Ω = 6.28	исходные данные											
Уровень звука La на опорном расстоянии d, дБА	d = 1 м	исходные данные										92	
Габариты источника шума, м		исходные данные	длина (l_1) = 0.00			ширина (l_2) = 0.00			высота (l_3) = 0.00				
Уровни звуковой мощности источника LwA, дБА		LwA = La + 20lg(d) + 10lg(Ω)										100	
Спектральные поправки К(Δ_{LA}) для разложения общего уровня звуковой мощности в спектр по октавным полосам, дБ		[5]	-999	-6,7	-5,3	-4	-3,7	-4,1	-7,4	-11,6	-16,1		
Октавные уровни звуковой мощности источника Lw, дБ		Lw = LwA + К(Δ_{LA})	0	93,3	94,7	96	96,3	95,9	92,6	88,4	83,9		
ИШ-9-13 [координаты на плане (x,y,z), м = (654.5,-323.5,1.0)]													
Режим работы источника:			постоянный										
Продолжительность работы в дневной период (7.00-23.00):			16 час										
Продолжительность работы в ночной период (23.00-7.00):			8 час										
Тип источника шума:			точечный										
Категория источника шума:			15.013.1 Самбург ДКС										
:			АВО КНД/КВД										
:			(по ТЗ)										

1		2	3	4	5	6	7	8	9	10	11	12	13
Пространственный угол излучения, рад.	Ω = 6.28	исходные данные											
Уровень звука La на опорном расстоянии d, дБА	d = 1 м	исходные данные										92	
Габариты источника шума, м		исходные данные	длина (l_1) = 0.00			ширина (l_2) = 0.00			высота (l_3) = 0.00				
Уровни звуковой мощности источника LwA, дБА		LwA = La + 20lg(d) + 10lg(Ω)										100	
Спектральные поправки К(Δ_{LA}) для разложения общего уровня звуковой мощности в спектр по октавным полосам, дБ		[5]	-999	-6,7	-5,3	-4	-3,7	-4,1	-7,4	-11,6	-16,1		
Октавные уровни звуковой мощности источника Lw, дБ		Lw = LwA + К(Δ_{LA})	0	93,3	94,7	96	96,3	95,9	92,6	88,4	83,9		
ИШ-9-14 [координаты на плане (x,y,z), м = (655.6,-320.7,1.0)]													
Режим работы источника:			постоянный										
Продолжительность работы в дневной период (7.00-23.00):			16 час										
Продолжительность работы в ночной период (23.00-7.00):			8 час										
Тип источника шума:			точечный										
Категория источника шума:			15.013.1 Самбург ДКС										
:			АВО КНД/КВД										
:			(по ТЗ)										
Пространственный угол излучения, рад.	Ω = 6.28	исходные данные											
Уровень звука La на опорном расстоянии d, дБА	d = 1 м	исходные данные										92	
Габариты источника шума, м		исходные данные	длина (l_1) = 0.00			ширина (l_2) = 0.00			высота (l_3) = 0.00				
Уровни звуковой мощности источника LwA, дБА		LwA = La + 20lg(d) + 10lg(Ω)										100	
Спектральные поправки К(Δ_{LA}) для разложения общего уровня звуковой мощности в спектр по октавным полосам, дБ		[5]	-999	-6,7	-5,3	-4	-3,7	-4,1	-7,4	-11,6	-16,1		
Октавные уровни звуковой мощности источника Lw, дБ		Lw = LwA + К(Δ_{LA})	0	93,3	94,7	96	96,3	95,9	92,6	88,4	83,9		

1		2	3	4	5	6	7	8	9	10	11	12	13
ИШ-9-15 [координаты на плане (x,y,z), м = (656.4,-317.9,1.0)]													
Режим работы источника:			постоянный										
Продолжительность работы в дневной период (7.00-23.00):			16 час										
Продолжительность работы в ночной период (23.00-7.00):			8 час										
Тип источника шума:			точечный										
Категория источника шума:			15.013.1 Самбург ДКС										
:			АВО КНД/КВД										
:			(по ТЗ)										
Пространственный угол излучения, рад.	Ω = 6.28	исходные данные											
Уровень звука La на опорном расстоянии d, дБА	d = 1 м	исходные данные										92	
Габариты источника шума, м		исходные данные	длина (l_1) = 0.00			ширина (l_2) = 0.00			высота (l_3) = 0.00				
Уровни звуковой мощности источника LwA, дБА		LwA = La + 20lg(d) + 10lg(Ω)										100	
Спектральные поправки К(Δ_{LA}) для разложения общего уровня звуковой мощности в спектр по октавным полосам, дБ		[5]	-999	-6,7	-5,3	-4	-3,7	-4,1	-7,4	-11,6	-16,1		
Октавные уровни звуковой мощности источника Lw, дБ		Lw = LwA + К(Δ_{LA})	0	93,3	94,7	96	96,3	95,9	92,6	88,4	83,9		
ИШ-9-16 [координаты на плане (x,y,z), м = (657.5,-315.0,1.0)]													
Режим работы источника:			постоянный										
Продолжительность работы в дневной период (7.00-23.00):			16 час										
Продолжительность работы в ночной период (23.00-7.00):			8 час										
Тип источника шума:			точечный										
Категория источника шума:			15.013.1 Самбург ДКС										
:			АВО КНД/КВД										
:			(по ТЗ)										
Пространственный угол излучения, рад.	Ω = 6.28	исходные данные											
Уровень звука La на опорном расстоянии d, дБА	d = 1 м	исходные данные										92	

1		2	3	4	5	6	7	8	9	10	11	12	13
Габариты источника шума, м		исходные данные	длина (l_1) = 0.00			ширина (l_2) = 0.00			высота (l_3) = 0.00				
Уровни звуковой мощности источника LwA, дБА		LwA = La + 20lg(d) + 10lg(Ω)										100	
Спектральные поправки К(Δ_{LA}) для разложения общего уровня звуковой мощности в спектр по октавным полосам, дБ		[5]	-999	-6,7	-5,3	-4	-3,7	-4,1	-7,4	-11,6	-16,1		
Октавные уровни звуковой мощности источника Lw, дБ		Lw = LwA + К(Δ_{LA})	0	93,3	94,7	96	96,3	95,9	92,6	88,4	83,9		
ИШ-9-17 [координаты на плане (x,y,z), м = (658.5,-312.2,1.0)]													
Режим работы источника:			постоянный										
Продолжительность работы в дневной период (7.00-23.00):			16 час										
Продолжительность работы в ночной период (23.00-7.00):			8 час										
Тип источника шума:			точечный										
Категория источника шума:			15.013.1 Самбург ДКС										
:			АВО КНД/КВД										
:			(по ТЗ)										
Пространственный угол излучения, рад.	Ω = 6.28	исходные данные											
Уровень звука La на опорном расстоянии d, дБА	d = 1 м	исходные данные										92	
Габариты источника шума, м		исходные данные	длина (l_1) = 0.00			ширина (l_2) = 0.00			высота (l_3) = 0.00				
Уровни звуковой мощности источника LwA, дБА		LwA = La + 20lg(d) + 10lg(Ω)										100	
Спектральные поправки К(Δ_{LA}) для разложения общего уровня звуковой мощности в спектр по октавным полосам, дБ		[5]	-999	-6,7	-5,3	-4	-3,7	-4,1	-7,4	-11,6	-16,1		
Октавные уровни звуковой мощности источника Lw, дБ		Lw = LwA + К(Δ_{LA})	0	93,3	94,7	96	96,3	95,9	92,6	88,4	83,9		
ИШ-9-18 [координаты на плане (x,y,z), м = (659.4,-309.2,1.0)]													
Режим работы источника:			постоянный										
Продолжительность работы в дневной период (7.00-23.00):			16 час										
Продолжительность работы в ночной период (23.00-7.00):			8 час										

1		2	3	4	5	6	7	8	9	10	11	12	13
Тип источника шума:			точечный										
Категория источника шума:			15.013.1 Самбург ДКС										
:			АВО КНД/КВД										
:			(по ТЗ)										
Пространственный угол излучения, рад.	Ω = 6.28	исходные данные											
Уровень звука La на опорном расстоянии d, дБА	d = 1 м	исходные данные										92	
Габариты источника шума, м		исходные данные	длина (l_1) = 0.00			ширина (l_2) = 0.00			высота (l_3) = 0.00				
Уровни звуковой мощности источника LwA, дБА		LwA = La + 20lg(d) + 10lg(Ω)										100	
Спектральные поправки К(Δ_{LA}) для разложения общего уровня звуковой мощности в спектр по октавным полосам, дБ		[5]	-999	-6,7	-5,3	-4	-3,7	-4,1	-7,4	-11,6	-16,1		
Октавные уровни звуковой мощности источника Lw, дБ		Lw = LwA + К(Δ_{LA})	0	93,3	94,7	96	96,3	95,9	92,6	88,4	83,9		
ИШ-9-19 [координаты на плане (x,y,z), м = (660.4,-306.5,1.0)]													
Режим работы источника:			постоянный										
Продолжительность работы в дневной период (7.00-23.00):			16 час										
Продолжительность работы в ночной период (23.00-7.00):			8 час										
Тип источника шума:			точечный										
Категория источника шума:			15.013.1 Самбург ДКС										
:			АВО КНД/КВД										
:			(по ТЗ)										
Пространственный угол излучения, рад.	Ω = 6.28	исходные данные											
Уровень звука La на опорном расстоянии d, дБА	d = 1 м	исходные данные										92	
Габариты источника шума, м		исходные данные	длина (l_1) = 0.00			ширина (l_2) = 0.00			высота (l_3) = 0.00				
Уровни звуковой мощности источника LwA, дБА		LwA = La + 20lg(d) + 10lg(Ω)										100	
Спектральные поправки К(Δ_{LA}) для разложения общего уровня звуковой мощности в спектр по октавным полосам, дБ		[5]	-999	-6,7	-5,3	-4	-3,7	-4,1	-7,4	-11,6	-16,1		

1		2	3	4	5	6	7	8	9	10	11	12	13
Октавные уровни звуковой мощности источника Lw, дБ		Lw = LwA + K(Δ_{LA})	0	93,3	94,7	96	96,3	95,9	92,6	88,4	83,9		
ИШ-9-20 [координаты на плане (x,y,z), м = (661.3,-303.6,1.0)]													
Режим работы источника:			постоянный										
Продолжительность работы в дневной период (7.00-23.00):			16 час										
Продолжительность работы в ночной период (23.00-7.00):			8 час										
Тип источника шума:			точечный										
Категория источника шума:			15.013.1 Самбург ДКС										
:			АВО КНД/КВД										
:			(по ТЗ)										
Пространственный угол излучения, рад.	Ω = 6.28	исходные данные											
Уровень звука La на опорном расстоянии d, дБА	d = 1 м	исходные данные										92	
Габариты источника шума, м		исходные данные	длина (l_1) = 0.00			ширина (l_2) = 0.00			высота (l_3) = 0.00				
Уровни звуковой мощности источника LwA, дБА		LwA = La + 20lg(d) + 10lg(Ω)										100	
Спектральные поправки K(Δ_{LA}) для разложения общего уровня звуковой мощности в спектр по октавным полосам, дБ		[5]	-999	-6,7	-5,3	-4	-3,7	-4,1	-7,4	-11,6	-16,1		
Октавные уровни звуковой мощности источника Lw, дБ		Lw = LwA + K(Δ_{LA})	0	93,3	94,7	96	96,3	95,9	92,6	88,4	83,9		
ИШ-9-21 [координаты на плане (x,y,z), м = (661.9,-300.7,1.0)]													
Режим работы источника:			постоянный										
Продолжительность работы в дневной период (7.00-23.00):			16 час										
Продолжительность работы в ночной период (23.00-7.00):			8 час										
Тип источника шума:			точечный										
Категория источника шума:			15.013.1 Самбург ДКС										
:			АВО КНД/КВД										
:			(по ТЗ)										
Пространственный угол излучения, рад.	Ω = 6.28	исходные данные											

1		2	3	4	5	6	7	8	9	10	11	12	13
Уровень звука La на опорном расстоянии d, дБА	d = 1 м	исходные данные										92	
Габариты источника шума, м		исходные данные	длина (l_1) = 0.00			ширина (l_2) = 0.00			высота (l_3) = 0.00				
Уровни звуковой мощности источника LwA, дБА		LwA = La + 20lg(d) + 10lg(Ω)										100	
Спектральные поправки К(Δ_{LA}) для разложения общего уровня звуковой мощности в спектр по октавным полосам, дБ		[5]	-999	-6,7	-5,3	-4	-3,7	-4,1	-7,4	-11,6	-16,1		
Октавные уровни звуковой мощности источника Lw, дБ		Lw = LwA + К(Δ_{LA})	0	93,3	94,7	96	96,3	95,9	92,6	88,4	83,9		
ИШ-9-22 [координаты на плане (x,y,z), м = (663.1,-297.8,1.0)]													
Режим работы источника:		постоянный											
Продолжительность работы в дневной период (7.00-23.00):		16 час											
Продолжительность работы в ночной период (23.00-7.00):		8 час											
Тип источника шума:		точечный											
Категория источника шума:		15.013.1 Самбург ДКС											
:		АВО КНД/КВД											
:		(по ТЗ)											
Пространственный угол излучения, рад.	Ω = 6.28	исходные данные											
Уровень звука La на опорном расстоянии d, дБА	d = 1 м	исходные данные										92	
Габариты источника шума, м		исходные данные	длина (l_1) = 0.00			ширина (l_2) = 0.00			высота (l_3) = 0.00				
Уровни звуковой мощности источника LwA, дБА		LwA = La + 20lg(d) + 10lg(Ω)										100	
Спектральные поправки К(Δ_{LA}) для разложения общего уровня звуковой мощности в спектр по октавным полосам, дБ		[5]	-999	-6,7	-5,3	-4	-3,7	-4,1	-7,4	-11,6	-16,1		
Октавные уровни звуковой мощности источника Lw, дБ		Lw = LwA + К(Δ_{LA})	0	93,3	94,7	96	96,3	95,9	92,6	88,4	83,9		
ИШ-9-23 [координаты на плане (x,y,z), м = (664.1,-295.1,1.0)]													
Режим работы источника:		постоянный											

1		2	3	4	5	6	7	8	9	10	11	12	13
Продолжительность работы в дневной период (7.00-23.00):			16 час										
Продолжительность работы в ночной период (23.00-7.00):			8 час										
Тип источника шума:			точечный										
Категория источника шума:			15.013.1 Самбург ДКС										
:			АВО КНД/КВД										
:			(по ТЗ)										
Пространственный угол излучения, рад.	Ω = 6.28	исходные данные											
Уровень звука La на опорном расстоянии d, дБА	d = 1 м	исходные данные										92	
Габариты источника шума, м		исходные данные	длина (l_1) = 0.00			ширина (l_2) = 0.00			высота (l_3) = 0.00				
Уровни звуковой мощности источника LwA, дБА		LwA = La + 20lg(d) + 10lg(Ω)										100	
Спектральные поправки К(Δ_{LA}) для разложения общего уровня звуковой мощности в спектр по октавным полосам, дБ		[5]	-999	-6,7	-5,3	-4	-3,7	-4,1	-7,4	-11,6	-16,1		
Октавные уровни звуковой мощности источника Lw, дБ		Lw = LwA + К(Δ_{LA})	0	93,3	94,7	96	96,3	95,9	92,6	88,4	83,9		
ИШ-9-24 [координаты на плане (x,y,z), м = (665.2,-292.3,1.0)]													
Режим работы источника:			постоянный										
Продолжительность работы в дневной период (7.00-23.00):			16 час										
Продолжительность работы в ночной период (23.00-7.00):			8 час										
Тип источника шума:			точечный										
Категория источника шума:			15.013.1 Самбург ДКС										
:			АВО КНД/КВД										
:			(по ТЗ)										
Пространственный угол излучения, рад.	Ω = 6.28	исходные данные											
Уровень звука La на опорном расстоянии d, дБА	d = 1 м	исходные данные										92	
Габариты источника шума, м		исходные данные	длина (l_1) = 0.00			ширина (l_2) = 0.00			высота (l_3) = 0.00				
Уровни звуковой мощности источника LwA, дБА		LwA = La + 20lg(d) + 10lg(Ω)										100	

1		2	3	4	5	6	7	8	9	10	11	12	13
Спектральные поправки К(Δ_{LA}) для разложения общего уровня звуковой мощности в спектр по октавным полосам, дБ		[5]	-999	-6,7	-5,3	-4	-3,7	-4,1	-7,4	-11,6	-16,1		
Октавные уровни звуковой мощности источника Lw, дБ		Lw = LwA + К(Δ_{LA})	0	93,3	94,7	96	96,3	95,9	92,6	88,4	83,9		
ИШ-9-25 [координаты на плане (x,y,z), м = (683.5,-239.2,1.0)]													
Режим работы источника:			постоянный										
Продолжительность работы в дневной период (7.00-23.00):			16 час										
Продолжительность работы в ночной период (23.00-7.00):			8 час										
Тип источника шума:			точечный										
Категория источника шума:			77.22.005 Расширение УКПГ. Лупинг										
:			Сепаратор										
:			СТО Газпром										
Пространственный угол излучения, рад.	Ω = 6.28	исходные данные											
Октавные уровни звуковой мощности источника Lw, дБ		исходные данные	77	75	67	66	63	55	53	48	51		
ИШ-9-26 [координаты на плане (x,y,z), м = (680.1,-249.5,1.0)]													
Режим работы источника:			постоянный										
Продолжительность работы в дневной период (7.00-23.00):			16 час										
Продолжительность работы в ночной период (23.00-7.00):			8 час										
Тип источника шума:			точечный										
Категория источника шума:			77.22.005 Расширение УКПГ. Лупинг										
:			Сепаратор										
:			СТО Газпром										
Пространственный угол излучения, рад.	Ω = 6.28	исходные данные											
Октавные уровни звуковой мощности источника Lw, дБ		исходные данные	77	75	67	66	63	55	53	48	51		
ИШ-9-27 [координаты на плане (x,y,z), м = (676.5,-260.1,1.0)]													
Режим работы источника:			постоянный										

1		2	3	4	5	6	7	8	9	10	11	12	13
Продолжительность работы в дневной период (7.00-23.00):			16 час										
Продолжительность работы в ночной период (23.00-7.00):			8 час										
Тип источника шума:			точечный										
Категория источника шума:			77.22.005 Расширение УКПГ. Лупинг										
:			Сепаратор										
:			СТО Газпром										
Пространственный угол излучения, рад.	Ω = 6.28	исходные данные											
Октавные уровни звуковой мощности источника Lw, дБ		исходные данные	77	75	67	66	63	55	53	48	51		
ИШ-10-1 [координаты на плане (x,y,z), м = (17.4,413.2,1.0)]													
Режим работы источника:			постоянный										
Продолжительность работы в дневной период (7.00-23.00):			16 час										
Продолжительность работы в ночной период (23.00-7.00):			8 час										
Тип источника шума:			точечный										
Категория источника шума:			77.22.005 Расширение УКПГ. Лупинг										
:			АВО (КОС)										
:			ИТС 29-2017										
Пространственный угол излучения, рад.	Ω = 6.28	исходные данные											
Уровень звука La на опорном расстоянии d, дБА	d = 0 м	исходные данные										105	
Габариты источника шума, м		исходные данные	длина (l_1) = 0.00			ширина (l_2) = 0.00			высота (l_3) = 0.00				
Площадь измерительной поверхности, расположенной на расстоянии d от огибающего источник шума параллелепипеда, S, м2		ф-ла (9) [18])	S = 0.00 м2										
Уровень звуковой мощности источника LwA, дБА		LwA = L + 10lg(S/1)										-INF	
Спектральные поправки К(Δ_{LA}) для разложения общего уровня звуковой мощности в спектр по октавным полосам, дБ		[5]	-999	-6,7	-5,3	-4	-3,7	-4,1	-7,4	-11,6	-16,1		
Октавные уровни звуковой мощности источника Lw, дБ		Lw = LwA + К(Δ_{LA})	0	98,3	99,7	101	101,3	100,9	97,6	93,4	88,9		

1		2	3	4	5	6	7	8	9	10	11	12	13
ИШ-10-2 [координаты на плане (x,y,z), м = (27.9,443.5,1.0)]													
Режим работы источника:			постоянный										
Продолжительность работы в дневной период (7.00-23.00):			16 час										
Продолжительность работы в ночной период (23.00-7.00):			8 час										
Тип источника шума:			точечный										
Категория источника шума:			77.22.005 Расширение УКПГ. Лупинг										
:			АВО (КОС)										
:			ИТС 29-2017										
Пространственный угол излучения, рад.	Ω = 6.28	исходные данные											
Уровень звука La на опорном расстоянии d, дБА	d = 0 м	исходные данные										105	
Габариты источника шума, м		исходные данные	длина (l_1) = 0.00			ширина (l_2) = 0.00			высота (l_3) = 0.00				
Площадь измерительной поверхности, расположенной на расстоянии d от огибающего источник шума параллелепипеда, S, м2		ф-ла (9) [18])	S = 0.00 м2										
Уровень звуковой мощности источника LwA, дБА		LwA = L + 10lg(S/1)										-INF	
Спектральные поправки К(Δ_{LA}) для разложения общего уровня звуковой мощности в спектр по октавным полосам, дБ		[5]	-999	-6,7	-5,3	-4	-3,7	-4,1	-7,4	-11,6	-16,1		
Октавные уровни звуковой мощности источника Lw, дБ		Lw = LwA + К(Δ_{LA})	0	98,3	99,7	101	101,3	100,9	97,6	93,4	88,9		

Расчетные точки

на границе отвода земель

(РТ-9 ÷ РТ-15)

Определение уровней звукового давления в точке РТ-9 (координаты точки, м: x = 771.04, y = 517.30, z = 1.50)													
Наименование величин и их описание		**Ссылка**	**Расчётные уровни в октавных полосах, со среднегеометрическими частотами, Гц**									**La, дБА**	**Lмакс, дБА**
			31,5	**63**	**125**	**250**	**500**	**1000**	**2000**	**4000**	**8000**		
1		**2**	**3**	**4**	**5**	**6**	**7**	**8**	**9**	**10**	**11**	**12**	**13**
Источник шума: ИШ-1-1, координаты источника (x,y,z), м =[271.72,229.68,1.00]													
Уровни звуковой мощности источника днём, Lw, дБ		**исходные данные**	**97**	**97**	**104**	**106**	**105**	**105**	**98**	**87**	**81**		
Уровни звуковой мощности источника ночью, Lw, дБ		**исходные данные**	**97**	**97**	**104**	**106**	**105**	**105**	**98**	**87**	**81**		
Поправка на телесный угол DΩ, дБ	Ω = 6.28	10Lg(4π/Ω)	**3**	3	3	3	3	3	3	3	3		
Показатель направленности источника Di, дБ		исходные данные	**0**	0	0	0	0	0	0	0	0		
Поправка на направленность источника Dc, дБ	Dc	DΩ + Di	**3**	3	3	3	3	3	3	3	3		
Затухание из-за геометрической дивергенции, Adiv, дБ	расстояние = 576.23 м	ф-ла (7) [10]	**66,2**										
Коэффициент затухания звука в атмосфере α, дБ/км	Ta=20,°C Pa=101.33,кПа hотн.=70%	ф-ла (5) [9]	0,02	0,09	0,33	1,12	2,79	4,98	9,04	23,09	77,63		
Учет затухания звука в атмосфере Aatm, дБ		ф-ла (8) [10]	0	0,1	0,2	0,6	1,6	2,9	5,2	13,3	44,7		
Снижение уровня звукового давления из-за влияния застройки между источником шума и расчетной точкой													
Снижение уровня звукового давления на пути над экраном, Dz1, дБ	z = 0.44м (разность путей)	ф-лы (14-18) [10]	4,9	5,1	5,7	6,9	8,7	10,8	13,2	15,9	18,8		
Снижение уровня звукового давления на пути слева от экрана, Dz2, дБ	z = 40.39м (разность путей)	ф-лы (14-18) [10]	22,1	25,6	29,9	34,4	38,2	41,4	44,5	47,6	50,6		
Снижение уровня звукового давления на пути справа от экрана, Dz3, дБ	z = 2.91м (разность путей)	ф-лы (14-18) [10]	11,4	13,9	16,6	19,5	22,4	25,4	28,4	31,4	34,4		

1	2	3	4	5	6	7	8	9	10	11	12	13
Общее снижение уровня звука препятствием Dz, дБ	Эн.сумма(-Dzi)	4	4,6	5,4	6,7	8,5	10,6	13,1	15,8	18,7		
Уровни звукового давления прямого звука от источника ИШ-1-1 в расчётной точке днём, дБ	**ф-ла(3)[10]**	**29,8**	**29,2**	**35,3**	**35,5**	**31,7**	**28,3**	**16,5**	**0**	**0**	**33**	**33**
Уровни звукового давления прямого звука от источника ИШ-1-1 в расчётной точке ночью, дБ	**ф-ла(3)[10]**	**29,8**	**29,2**	**35,3**	**35,5**	**31,7**	**28,3**	**16,5**	**0**	**0**	**33**	**33**
Расчёт отражённого звука												
Уровни звукового давления от мнимого источника ИШ-1-1_мн.(1) в расчётной точке днём, дБ	**ф-ла(3)[10]**	**0**	**0**	**0**	**0**	**0**	**0**	**0**	**0**	**0**	**0**	**0**
Уровни звукового давления от мнимого источника ИШ-1-1_мн.(1) в расчётной точке ночью, дБ	**ф-ла(3)[10]**	**0**	**0**	**0**	**0**	**0**	**0**	**0**	**0**	**0**	**0**	**0**
Уровни звукового давления от мнимого источника ИШ-1-1_мн.(2) в расчётной точке днём, дБ	**ф-ла(3)[10]**	**0**	**0**	**0**	**0**	**0**	**0**	**0**	**0**	**0**	**0**	**0**
Уровни звукового давления от мнимого источника ИШ-1-1_мн.(2) в расчётной точке ночью, дБ	**ф-ла(3)[10]**	**0**	**0**	**0**	**0**	**0**	**0**	**0**	**0**	**0**	**0**	**0**
Уровни звукового давления от мнимого источника ИШ-1-1_мн.(3) в расчётной точке днём, дБ	**ф-ла(3)[10]**	**0**	**0**	**0**	**0**	**0**	**0**	**0**	**0**	**0**	**0**	**0**
Уровни звукового давления от мнимого источника ИШ-1-1_мн.(3) в расчётной точке ночью, дБ	**ф-ла(3)[10]**	**0**	**0**	**0**	**0**	**0**	**0**	**0**	**0**	**0**	**0**	**0**
Суммарные уровни звукового давления от мнимых источников в расчётной точке днём, дБ	**ф-ла (19) [1]**	**0**	**0**	**0**	**0**	**0**	**0**	**0**	**0**	**0**	**0**	**0**
Суммарные уровни звукового давления от мнимых источников в расчётной точке ночью, дБ	**ф-ла (19) [1]**	**0**	**0**	**0**	**0**	**0**	**0**	**0**	**0**	**0**	**0**	**0**
Уровни звукового давления от источника ИШ-1-1 в расчётной точке днём, дБ	**ф-ла(3)[10]**	**29,8**	**29,2**	**35,3**	**35,5**	**31,7**	**28,3**	**16,5**	**0**	**0**	**33**	**33**
Уровни звукового давления от источника ИШ-1-1 в расчётной точке ночью, дБ	**ф-ла(3)[10]**	**29,8**	**29,2**	**35,3**	**35,5**	**31,7**	**28,3**	**16,5**	**0**	**0**	**33**	**33**
Источник шума: ИШ-1-2, координаты источника (x,y,z), м =[261.74,199.14,1.00]												
Уровни звуковой мощности источника днём, Lw, дБ	**исходные данные**	**97**	**97**	**104**	**106**	**105**	**105**	**98**	**87**	**81**		
Уровни звуковой мощности источника ночью, Lw, дБ	**исходные данные**	**97**	**97**	**104**	**106**	**105**	**105**	**98**	**87**	**81**		

1		2	3	4	5	6	7	8	9	10	11	12	13
Поправка на телесный угол DΩ, дБ	Ω = 6.28	10Lg(4π/Ω)	**3**	3	3	3	3	3	3	3	3		
Показатель направленности источника Di, дБ		исходные данные	**0**	0	0	0	0	0	0	0	0		
Поправка на направленность источника Dc, дБ	Dc	DΩ + Di	**3**	3	3	3	3	3	3	3	3		
Затухание из-за геометрической дивергенции, Adiv, дБ	расстояние = 600.51 м	ф-ла (7) [10]	**66,6**										
Коэффициент затухания звука в атмосфере α, дБ/км	Ta=20,°C Pa=101.33,кПа hотн.=70%	ф-ла (5) [9]	0,02	0,09	0,33	1,12	2,79	4,98	9,04	23,09	77,63		
Учет затухания звука в атмосфере Aatm, дБ		ф-ла (8) [10]	0	0,1	0,2	0,7	1,7	3	5,4	13,9	46,6		
Снижение уровня звукового давления из-за влияния застройки между источником шума и расчетной точкой													
Снижение уровня звукового давления на пути над экраном, Dz1, дБ	z = 0.54м (разность путей)	ф-лы (14-18) [10]	5,3	6	7,2	8,8	10,9	13,4	16,1	18,9	21,9		
Снижение уровня звукового давления на пути слева от экрана, Dz2, дБ	z = 47.99м (разность путей)	ф-лы (14-18) [10]	22,8	26,4	30,6	35,1	38,9	42,2	45,3	48,3	51,3		
Снижение уровня звукового давления на пути справа от экрана, Dz3, дБ	z = 177.46м (разность путей)	ф-лы (14-18) [10]	31,6	35,5	38,8	41,9	45	48	51	54	57		
Общее снижение уровня звука препятствием Dz, дБ		Эн.сумма(-Dzi)	5,2	6	7,2	8,8	10,9	13,4	16,1	18,9	21,9		
Уровни звукового давления прямого звука от источника ИШ-1-2 в расчётной точке днём, дБ		**ф-ла(3)[10]**	**28,2**	**27,4**	**33,1**	**33**	**28,9**	**25,1**	**12,9**	**0**	**0**	**30,2**	**30,2**
Уровни звукового давления прямого звука от источника ИШ-1-2 в расчётной точке ночью, дБ		**ф-ла(3)[10]**	**28,2**	**27,4**	**33,1**	**33**	**28,9**	**25,1**	**12,9**	**0**	**0**	**30,2**	**30,2**
Расчёт отражённого звука													
Уровни звукового давления от мнимого источника ИШ-1-2_мн.(1) в расчётной точке днём, дБ		**ф-ла(3)[10]**	**0**	**0**	**0**	**0**	**0**	**0**	**0**	**0**	**0**	**0**	**0**
Уровни звукового давления от мнимого источника ИШ-1-2_мн.(1) в расчётной точке ночью, дБ		**ф-ла(3)[10]**	**0**	**0**	**0**	**0**	**0**	**0**	**0**	**0**	**0**	**0**	**0**
Уровни звукового давления от источника ИШ-1-2 в расчётной точке днём, дБ		**ф-ла(3)[10]**	**28,2**	**27,4**	**33,1**	**33**	**28,9**	**25,1**	**12,9**	**0**	**0**	**30,2**	**30,2**

1		2	3	4	5	6	7	8	9	10	11	12	13
Уровни звукового давления от источника ИШ-1-2 в расчётной точке ночью, дБ		**ф-ла(3)[10]**	**28,2**	**27,4**	**33,1**	**33**	**28,9**	**25,1**	**12,9**	**0**	**0**	**30,2**	**30,2**
Источник шума: ИШ-1-3, координаты источника (x,y,z), м =[251.75,236.44,1.00]													
Уровни звуковой мощности источника днём, Lw, дБ		**исходные данные**	**0**	**91,3**	**92,7**	**94**	**94,3**	**93,9**	**90,6**	**86,4**	**81,9**		
Уровни звуковой мощности источника ночью, Lw, дБ		**исходные данные**	**0**	**91,3**	**92,7**	**94**	**94,3**	**93,9**	**90,6**	**86,4**	**81,9**		
Поправка на телесный угол DΩ, дБ	Ω = 6.28	10Lg(4π/Ω)	**3**	3	3	3	3	3	3	3	3		
Показатель направленности источника Di, дБ		исходные данные	**0**	0	0	0	0	0	0	0	0		
Поправка на направленность источника Dc, дБ	Dc	DΩ + Di	**3**	3	3	3	3	3	3	3	3		
Затухание из-за геометрической дивергенции, Adiv, дБ	расстояние = 590.38 м	ф-ла (7) [10]	**66,4**										
Коэффициент затухания звука в атмосфере α, дБ/км	Ta=20,°C Pa=101.33,кПа hотн.=70%	ф-ла (5) [9]	0,02	0,09	0,33	1,12	2,79	4,98	9,04	23,09	77,63		
Учет затухания звука в атмосфере Aatm, дБ		ф-ла (8) [10]	0	0,1	0,2	0,7	1,6	2,9	5,3	13,6	45,8		
Снижение уровня звукового давления из-за влияния застройки между источником шума и расчетной точкой													
Снижение уровня звукового давления на пути над экраном, Dz1, дБ	z = 0.43м (разность путей)	ф-лы (14-18) [10]	4,9	5,1	5,6	6,7	8,3	10,3	12,6	15,3	18,1		
Снижение уровня звукового давления на пути слева от экрана, Dz2, дБ	z = 25.50м (разность путей)	ф-лы (14-18) [10]	19,9	22,8	25,8	28,8	31,8	34,8	37,8	40,8	43,8		
Снижение уровня звукового давления на пути справа от экрана, Dz3, дБ	z = 5.89м (разность путей)	ф-лы (14-18) [10]	13,9	16,7	19,5	22,5	25,4	28,4	31,4	34,4	37,4		
Общее снижение уровня звука препятствием Dz, дБ		Эн.сумма(-Dzi)	4,3	4,7	5,4	6,5	8,2	10,2	12,6	15,2	18		
Уровни звукового давления прямого звука от источника ИШ-1-3 в расчётной точке днём, дБ		**ф-ла(3)[10]**	**0**	**23,1**	**23,7**	**23,4**	**21,1**	**17,3**	**9,3**	**0**	**0**	**22,1**	**22,1**

1		2	3	4	5	6	7	8	9	10	11	12	13
Уровни звукового давления прямого звука от источника ИШ-1-3 в расчётной точке ночью, дБ		**ф-ла(3)[10]**	**0**	**23,1**	**23,7**	**23,4**	**21,1**	**17,3**	**9,3**	**0**	**0**	**22,1**	**22,1**
Расчёт отражённого звука													
Уровни звукового давления от мнимого источника ИШ-1-3_мн.(1) в расчётной точке днём, дБ		**ф-ла(3)[10]**	**0**	**0**	**0**	**0**	**0**	**0**	**0**	**0**	**0**	**0**	**0**
Уровни звукового давления от мнимого источника ИШ-1-3_мн.(1) в расчётной точке ночью, дБ		**ф-ла(3)[10]**	**0**	**0**	**0**	**0**	**0**	**0**	**0**	**0**	**0**	**0**	**0**
Уровни звукового давления от источника ИШ-1-3 в расчётной точке днём, дБ		**ф-ла(3)[10]**	**0**	**23,1**	**23,7**	**23,4**	**21,1**	**17,3**	**9,3**	**0**	**0**	**22,1**	**22,1**
Уровни звукового давления от источника ИШ-1-3 в расчётной точке ночью, дБ		**ф-ла(3)[10]**	**0**	**23,1**	**23,7**	**23,4**	**21,1**	**17,3**	**9,3**	**0**	**0**	**22,1**	**22,1**
Источник шума: ИШ-1-4, координаты источника (x,y,z), м =[290.25,223.25,1.00]													
Уровни звуковой мощности источника днём, Lw, дБ		**исходные данные**	**0**	**91,3**	**92,7**	**94**	**94,3**	**93,9**	**90,6**	**86,4**	**81,9**		
Уровни звуковой мощности источника ночью, Lw, дБ		**исходные данные**	**0**	**91,3**	**92,7**	**94**	**94,3**	**93,9**	**90,6**	**86,4**	**81,9**		
Поправка на телесный угол DΩ, дБ	Ω = 6.28	10Lg(4π/Ω)	**3**	3	3	3	3	3	3	3	3		
Показатель направленности источника Di, дБ		исходные данные	**0**	0	0	0	0	0	0	0	0		
Поправка на направленность источника Dc, дБ	Dc	DΩ + Di	**3**	3	3	3	3	3	3	3	3		
Затухание из-за геометрической дивергенции, Adiv, дБ	расстояние = 563.58 м	ф-ла (7) [10]	**66**										
Коэффициент затухания звука в атмосфере α, дБ/км	Ta=20,°C Pa=101.33,кПа hотн.=70%	ф-ла (5) [9]	0,02	0,09	0,33	1,12	2,79	4,98	9,04	23,09	77,63		
Учет затухания звука в атмосфере Aatm, дБ		ф-ла (8) [10]	0	0,1	0,2	0,6	1,6	2,8	5,1	13	43,8		
Снижение уровня звукового давления из-за влияния застройки между источником шума и расчетной точкой													

1		2	3	4	5	6	7	8	9	10	11	12	13
Снижение уровня звукового давления на пути над экраном, Dz1, дБ	z = 0.45м (разность путей)	ф-лы (14-18) [10]	4,9	5,2	5,8	7,2	9	11,2	13,8	16,5	19,4		
Снижение уровня звукового давления на пути слева от экрана, Dz2, дБ	z = 58.38м (разность путей)	ф-лы (14-18) [10]	23,6	27,2	31,5	36	39,8	43	46,1	49,2	52,2		
Снижение уровня звукового давления на пути справа от экрана, Dz3, дБ	z = 233.00м (разность путей)	ф-лы (14-18) [10]	32,8	36,7	40	43,1	46,1	49,1	52,2	55,2	58,2		
Общее снижение уровня звука препятствием Dz, дБ		Эн.сумма(-Dzi)	4,9	5,1	5,8	7,1	9	11,2	13,8	16,5	19,4		
Уровни звукового давления прямого звука от источника ИШ-1-4 в расчётной точке днём, дБ		**ф-ла(3)[10]**	**0**	**23,1**	**23,7**	**23,2**	**20,7**	**16,8**	**8,7**	**0**	**0**	**21,7**	**21,7**
Уровни звукового давления прямого звука от источника ИШ-1-4 в расчётной точке ночью, дБ		**ф-ла(3)[10]**	**0**	**23,1**	**23,7**	**23,2**	**20,7**	**16,8**	**8,7**	**0**	**0**	**21,7**	**21,7**
Расчёт отражённого звука													
Уровни звукового давления от мнимого источника ИШ-1-4_мн.(1) в расчётной точке днём, дБ		**ф-ла(3)[10]**	**0**	**0**	**0**	**0**	**0**	**0**	**0**	**0**	**0**	**0**	**0**
Уровни звукового давления от мнимого источника ИШ-1-4_мн.(1) в расчётной точке ночью, дБ		**ф-ла(3)[10]**	**0**	**0**	**0**	**0**	**0**	**0**	**0**	**0**	**0**	**0**	**0**
Уровни звукового давления от источника ИШ-1-4 в расчётной точке днём, дБ		**ф-ла(3)[10]**	**0**	**23,1**	**23,7**	**23,2**	**20,7**	**16,8**	**8,7**	**0**	**0**	**21,7**	**21,7**
Уровни звукового давления от источника ИШ-1-4 в расчётной точке ночью, дБ		**ф-ла(3)[10]**	**0**	**23,1**	**23,7**	**23,2**	**20,7**	**16,8**	**8,7**	**0**	**0**	**21,7**	**21,7**
Источник шума: ИШ-1-5, координаты источника (x,y,z), м =[241.49,205.86,1.00]													
Уровни звуковой мощности источника днём, Lw, дБ		**исходные данные**	**0**	**91,3**	**92,7**	**94**	**94,3**	**93,9**	**90,6**	**86,4**	**81,9**		
Уровни звуковой мощности источника ночью, Lw, дБ		**исходные данные**	**0**	**91,3**	**92,7**	**94**	**94,3**	**93,9**	**90,6**	**86,4**	**81,9**		
Поправка на телесный угол DΩ, дБ	Ω = 6.28	10Lg(4π/Ω)	**3**	3	3	3	3	3	3	3	3		
Показатель направленности источника Di, дБ		исходные данные	**0**	0	0	0	0	0	0	0	0		
Поправка на направленность источника Dc, дБ	Dc	DΩ + Di	**3**	3	3	3	3	3	3	3	3		

1		2	3	4	5	6	7	8	9	10	11	12	13
Затухание из-за геометрической дивергенции, Adiv, дБ	расстояние = 614.35 м	ф-ла (7) [10]	**66,8**										
Коэффициент затухания звука в атмосфере α, дБ/км	Та=20,°С Ра=101.33,кПа hотн.=70%	ф-ла (5) [9]	0,02	0,09	0,33	1,12	2,79	4,98	9,04	23,09	77,63		
Учет затухания звука в атмосфере Aatm, дБ		ф-ла (8) [10]	0	0,1	0,2	0,7	1,7	3,1	5,6	14,2	47,7		
Снижение уровня звукового давления из-за влияния застройки между источником шума и расчетной точкой													
Снижение уровня звукового давления на пути над экраном, Dz1, дБ	z = 0.35м (разность путей)	ф-лы (14-18) [10]	4,8	4,9	5,1	5,5	6,2	7,4	9	11,2	13,6		
Снижение уровня звукового давления на пути слева от экрана, Dz2, дБ	z = 33.71м (разность путей)	ф-лы (14-18) [10]	21,1	24	27	30	33	36	39	42	45		
Снижение уровня звукового давления на пути справа от экрана, Dz3, дБ	z = 178.26м (разность путей)	ф-лы (14-18) [10]	31,6	35,5	38,8	41,9	45	48	51	54	57		
Общее снижение уровня звука препятствием Dz, дБ		Эн.сумма(-Dzi)	4,7	4,8	5	5,5	6,2	7,4	9	11,2	13,6		
Уровни звукового давления прямого звука от источника ИШ-1-5 в расчётной точке днём, дБ		**ф-ла(3)[10]**	**0**	**22,7**	**23,7**	**24,1**	**22,6**	**19,7**	**12,2**	**0**	**0**	**23,9**	**23,9**
Уровни звукового давления прямого звука от источника ИШ-1-5 в расчётной точке ночью, дБ		**ф-ла(3)[10]**	**0**	**22,7**	**23,7**	**24,1**	**22,6**	**19,7**	**12,2**	**0**	**0**	**23,9**	**23,9**
Расчёт отражённого звука													
Уровни звукового давления от мнимого источника ИШ-1-5_мн.(1) в расчётной точке днём, дБ		**ф-ла(3)[10]**	**0**	**0**	**0**	**0**	**0**	**0**	**0**	**0**	**0**	**0**	**0**
Уровни звукового давления от мнимого источника ИШ-1-5_мн.(1) в расчётной точке ночью, дБ		**ф-ла(3)[10]**	**0**	**0**	**0**	**0**	**0**	**0**	**0**	**0**	**0**	**0**	**0**
Уровни звукового давления от источника ИШ-1-5 в расчётной точке днём, дБ		**ф-ла(3)[10]**	**0**	**22,7**	**23,7**	**24,1**	**22,6**	**19,7**	**12,2**	**0**	**0**	**23,9**	**23,9**
Уровни звукового давления от источника ИШ-1-5 в расчётной точке ночью, дБ		**ф-ла(3)[10]**	**0**	**22,7**	**23,7**	**24,1**	**22,6**	**19,7**	**12,2**	**0**	**0**	**23,9**	**23,9**
Источник шума: ИШ-1-6, координаты источника (x,y,z), м =[279.85,192.97,1.00]													

1		2	3	4	5	6	7	8	9	10	11	12	13
Уровни звуковой мощности источника днём, Lw, дБ		**исходные данные**	**0**	**91,3**	**92,7**	**94**	**94,3**	**93,9**	**90,6**	**86,4**	**81,9**		
Уровни звуковой мощности источника ночью, Lw, дБ		**исходные данные**	**0**	**91,3**	**92,7**	**94**	**94,3**	**93,9**	**90,6**	**86,4**	**81,9**		
Поправка на телесный угол DΩ, дБ	Ω = 6.28	10Lg(4π/Ω)	**3**	3	3	3	3	3	3	3	3		
Показатель направленности источника Di, дБ		исходные данные	**0**	0	0	0	0	0	0	0	0		
Поправка на направленность источника Dc, дБ	Dc	DΩ + Di	**3**	3	3	3	3	3	3	3	3		
Затухание из-за геометрической дивергенции, Adiv, дБ	расстояние = 588.61 м	ф-ла (7) [10]	**66,4**										
Коэффициент затухания звука в атмосфере α, дБ/км	Ta=20,°C Pa=101.33,кПа hотн.=70%	ф-ла (5) [9]	0,02	0,09	0,33	1,12	2,79	4,98	9,04	23,09	77,63		
Учет затухания звука в атмосфере Aatm, дБ		ф-ла (8) [10]	0	0,1	0,2	0,7	1,6	2,9	5,3	13,6	45,7		
Снижение уровня звукового давления из-за влияния застройки между источником шума и расчетной точкой													
Снижение уровня звукового давления на пути над экраном, Dz1, дБ	z = 0.74м (разность путей)	ф-лы (14-18) [10]	5,5	6,6	8,7	11,3	14,1	16,9	19,8	22,7	25,7		
Снижение уровня звукового давления на пути слева от экрана, Dz2, дБ	z = 63.69м (разность путей)	ф-лы (14-18) [10]	24	27,6	31,8	36,3	40,1	43,4	46,5	49,5	52,5		
Снижение уровня звукового давления на пути справа от экрана, Dz3, дБ	z = 178.72м (разность путей)	ф-лы (14-18) [10]	31,6	35,6	38,8	41,9	45	48	51	54	57		
Общее снижение уровня звука препятствием Dz, дБ		Эн.сумма(-Dzi)	5,5	6,6	8,7	11,3	14,1	16,9	19,8	22,7	25,7		
Общее снижение уровня звука препятствием с учётом ограничения (25 дБ) для октавных полос Dz, дБ		Раздел 7.4 [10]	5,5	6,6	8,7	11,3	14,1	16,9	19,8	22,7	25		
Уровни звукового давления прямого звука от источника ИШ-1-6 в расчётной точке днём, дБ		**ф-ла(3)[10]**	**0**	**21,3**	**20,4**	**18,6**	**15,2**	**10,7**	**2,1**	**0**	**0**	**16,3**	**16,3**
Уровни звукового давления прямого звука от источника ИШ-1-6 в расчётной точке ночью, дБ		**ф-ла(3)[10]**	**0**	**21,3**	**20,4**	**18,6**	**15,2**	**10,7**	**2,1**	**0**	**0**	**16,3**	**16,3**
Расчёт отражённого звука													

1		2	3	4	5	6	7	8	9	10	11	12	13
Уровни звукового давления от мнимого источника ИШ-1-6_мн.(1) в расчётной точке днём, дБ		**ф-ла(3)[10]**	**0**	**0**	**0**	**0**	**0**	**0**	**0**	**0**	**0**	**0**	**0**
Уровни звукового давления от мнимого источника ИШ-1-6_мн.(1) в расчётной точке ночью, дБ		**ф-ла(3)[10]**	**0**	**0**	**0**	**0**	**0**	**0**	**0**	**0**	**0**	**0**	**0**
Уровни звукового давления от мнимого источника ИШ-1-6_мн.(2) в расчётной точке днём, дБ		**ф-ла(3)[10]**	**0**	**0**	**0**	**0**	**0**	**0**	**0**	**0**	**0**	**0**	**0**
Уровни звукового давления от мнимого источника ИШ-1-6_мн.(2) в расчётной точке ночью, дБ		**ф-ла(3)[10]**	**0**	**0**	**0**	**0**	**0**	**0**	**0**	**0**	**0**	**0**	**0**
Суммарные уровни звукового давления от мнимых источников в расчётной точке днём, дБ		**ф-ла (19) [1]**	**0**	**0**	**0**	**0**	**0**	**0**	**0**	**0**	**0**	**0**	**0**
Суммарные уровни звукового давления от мнимых источников в расчётной точке ночью, дБ		**ф-ла (19) [1]**	**0**	**0**	**0**	**0**	**0**	**0**	**0**	**0**	**0**	**0**	**0**
Уровни звукового давления от источника ИШ-1-6 в расчётной точке днём, дБ		**ф-ла(3)[10]**	**0**	**21,3**	**20,4**	**18,6**	**15,2**	**10,7**	**2,1**	**0**	**0**	**16,3**	**16,3**
Уровни звукового давления от источника ИШ-1-6 в расчётной точке ночью, дБ		**ф-ла(3)[10]**	**0**	**21,3**	**20,4**	**18,6**	**15,2**	**10,7**	**2,1**	**0**	**0**	**16,3**	**16,3**
Источник шума: ИШ-1-7, координаты источника (x,y,z), м =[451.87,146.66,1.00]													
Уровни звуковой мощности источника днём, Lw, дБ		**исходные данные**	**0**	**93,3**	**94,7**	**96**	**96,3**	**95,9**	**92,6**	**88,4**	**83,9**		
Уровни звуковой мощности источника ночью, Lw, дБ		**исходные данные**	**0**	**93,3**	**94,7**	**96**	**96,3**	**95,9**	**92,6**	**88,4**	**83,9**		
Поправка на телесный угол DΩ, дБ	Ω = 6.28	10Lg(4π/Ω)	**3**	3	3	3	3	3	3	3	3		
Показатель направленности источника Di, дБ		исходные данные	**0**	0	0	0	0	0	0	0	0		
Поправка на направленность источника Dc, дБ	Dc	DΩ + Di	**3**	3	3	3	3	3	3	3	3		
Затухание из-за геометрической дивергенции, Adiv, дБ	расстояние = 489.13 м	ф-ла (7) [10]	**64,8**										
Коэффициент затухания звука в атмосфере α, дБ/км	Ta=20,°C Pa=101.33,кПа hотн.=70%	ф-ла (5) [9]	0,02	0,09	0,33	1,12	2,79	4,98	9,04	23,09	77,63		

1		2	3	4	5	6	7	8	9	10	11	12	13
Учет затухания звука в атмосфере Aatm, дБ		ф-ла (8) [10]	0	0	0,2	0,5	1,4	2,4	4,4	11,3	38		
Снижение поверхностью земли возле источника As, дБ	Gs = 0 hs = 1м	ф-лы таб.3 [10]	-1,5	-1,5	-1,5	-1,5	-1,5	-1,5	-1,5	-1,5	-1,5		
Снижение поверхностью земли возле приёмника Ar, дБ	Gr = 1 hr = 1.5м	ф-лы таб.3 [10]	-1,5	-1,5	3	7	5	0,7	0	0	0		
Снижение поверхностью земли в средней зоне, Am дБ	Gm = 1	ф-лы таб.3 [10]	-2,5	-2,5	0	0	0	0	0	0	0		
Суммарное снижение поверхностью земли на траектории распространения звука Agr, дБ		ф-ла (9) [10]	-5,5	-5,5	1,5	5,5	3,5	-0,8	-1,5	-1,5	-1,5		
Уровни звукового давления прямого звука от источника ИШ-1-7 в расчётной точке днём, дБ		**ф-ла(3)[10]**	**0**	**37**	**31,3**	**28,1**	**29,7**	**32,5**	**27,9**	**16,8**	**0**	**35,1**	**35,1**
Уровни звукового давления прямого звука от источника ИШ-1-7 в расчётной точке ночью, дБ		**ф-ла(3)[10]**	**0**	**37**	**31,3**	**28,1**	**29,7**	**32,5**	**27,9**	**16,8**	**0**	**35,1**	**35,1**
Расчёт отражённого звука													
Уровни звукового давления от мнимого источника ИШ-1-7_мн.(1) в расчётной точке днём, дБ		**ф-ла(3)[10]**	**0**	**0**	**0**	**0**	**0**	**0**	**24,8**	**13,4**	**0**	**26,3**	**26,3**
Уровни звукового давления от мнимого источника ИШ-1-7_мн.(1) в расчётной точке ночью, дБ		**ф-ла(3)[10]**	**0**	**0**	**0**	**0**	**0**	**0**	**0**	**0**	**0**	**26,3**	**26,3**
Уровни звукового давления от источника ИШ-1-7 в расчётной точке днём, дБ		**ф-ла(3)[10]**	**0**	**37**	**31,3**	**28,1**	**29,7**	**32,5**	**29,6**	**18,5**	**0**	**35,6**	**35,6**
Уровни звукового давления от источника ИШ-1-7 в расчётной точке ночью, дБ		**ф-ла(3)[10]**	**0**	**37**	**31,3**	**28,1**	**29,7**	**32,5**	**29,6**	**18,5**	**0**	**35,6**	**35,6**
Источник шума: ИШ-1-8, координаты источника (x,y,z), м =[454.99,145.29,1.00]													
Уровни звуковой мощности источника днём, Lw, дБ		**исходные данные**	**0**	**93,3**	**94,7**	**96**	**96,3**	**95,9**	**92,6**	**88,4**	**83,9**		
Уровни звуковой мощности источника ночью, Lw, дБ		**исходные данные**	**0**	**93,3**	**94,7**	**96**	**96,3**	**95,9**	**92,6**	**88,4**	**83,9**		
Поправка на телесный угол DΩ, дБ	Ω = 6.28	10Lg(4π/Ω)	**3**	3	3	3	3	3	3	3	3		
Показатель направленности источника Di, дБ		исходные данные	**0**	0	0	0	0	0	0	0	0		

1		2	3	4	5	6	7	8	9	10	11	12	13
Поправка на направленность источника Dc, дБ	Dc	DΩ + Di	**3**	3	3	3	3	3	3	3	3		
Затухание из-за геометрической дивергенции, Adiv, дБ	расстояние = 488.14 м	ф-ла (7) [10]	**64,8**										
Коэффициент затухания звука в атмосфере α, дБ/км	Ta=20,°C Pa=101.33,кПа hотн.=70%	ф-ла (5) [9]	0,02	0,09	0,33	1,12	2,79	4,98	9,04	23,09	77,63		
Учет затухания звука в атмосфере Aatm, дБ		ф-ла (8) [10]	0	0	0,2	0,5	1,4	2,4	4,4	11,3	37,9		
Снижение поверхностью земли возле источника As, дБ	Gs = 0 hs = 1м	ф-лы таб.3 [10]	-1,5	-1,5	-1,5	-1,5	-1,5	-1,5	-1,5	-1,5	-1,5		
Снижение поверхностью земли возле приёмника Ar, дБ	Gr = 1 hr = 1.5м	ф-лы таб.3 [10]	-1,5	-1,5	3	7	5	0,7	0	0	0		
Снижение поверхностью земли в средней зоне, Am дБ	Gm = 1	ф-лы таб.3 [10]	-2,5	-2,5	0	0	0	0	0	0	0		
Суммарное снижение поверхностью земли на траектории распространения звука Agr, дБ		ф-ла (9) [10]	-5,5	-5,5	1,5	5,5	3,5	-0,8	-1,5	-1,5	-1,5		
Уровни звукового давления от источника ИШ-1-8 в расчётной точке днём, дБ		**ф-ла(3)[10]**	**0**	**37**	**31,3**	**28,1**	**29,7**	**32,5**	**27,9**	**16,9**	**0**	**35,1**	**35,1**
Уровни звукового давления от источника ИШ-1-8 в расчётной точке ночью, дБ		**ф-ла(3)[10]**	**0**	**37**	**31,3**	**28,1**	**29,7**	**32,5**	**27,9**	**16,9**	**0**	**35,1**	**35,1**
Источник шума: ИШ-1-9, координаты источника (x,y,z), м =[458.12,144.31,1.00]													
Уровни звуковой мощности источника днём, Lw, дБ		**исходные данные**	**0**	**93,3**	**94,7**	**96**	**96,3**	**95,9**	**92,6**	**88,4**	**83,9**		
Уровни звуковой мощности источника ночью, Lw, дБ		**исходные данные**	**0**	**93,3**	**94,7**	**96**	**96,3**	**95,9**	**92,6**	**88,4**	**83,9**		
Поправка на телесный угол DΩ, дБ	Ω = 6.28	10Lg(4π/Ω)	**3**	3	3	3	3	3	3	3	3		
Показатель направленности источника Di, дБ		исходные данные	**0**	0	0	0	0	0	0	0	0		
Поправка на направленность источника Dc, дБ	Dc	DΩ + Di	**3**	3	3	3	3	3	3	3	3		

1		2	3	4	5	6	7	8	9	10	11	12	13
Затухание из-за геометрической дивергенции, Adiv, дБ	расстояние = 486.87 м	ф-ла (7) [10]	**64,7**										
Коэффициент затухания звука в атмосфере α, дБ/км	Ta=20,°C Pa=101.33,кПа hотн.=70%	ф-ла (5) [9]	0,02	0,09	0,33	1,12	2,79	4,98	9,04	23,09	77,63		
Учет затухания звука в атмосфере Aatm, дБ		ф-ла (8) [10]	0	0	0,2	0,5	1,4	2,4	4,4	11,2	37,8		
Снижение поверхностью земли возле источника As, дБ	Gs = 0 hs = 1м	ф-лы таб.3 [10]	-1,5	-1,5	-1,5	-1,5	-1,5	-1,5	-1,5	-1,5	-1,5		
Снижение поверхностью земли возле приёмника Ar, дБ	Gr = 1 hr = 1.5м	ф-лы таб.3 [10]	-1,5	-1,5	2,9	7	5	0,7	0	0	0		
Снижение поверхностью земли в средней зоне, Am дБ	Gm = 1	ф-лы таб.3 [10]	-2,5	-2,5	0	0	0	0	0	0	0		
Суммарное снижение поверхностью земли на траектории распространения звука Agr, дБ		ф-ла (9) [10]	-5,5	-5,5	1,4	5,5	3,5	-0,8	-1,5	-1,5	-1,5		
Уровни звукового давления от источника ИШ-1-9 в расчётной точке днём, дБ		**ф-ла(3)[10]**	**0**	**37**	**31,3**	**28,2**	**29,7**	**32,6**	**27,9**	**16,9**	**0**	**35,1**	**35,1**
Уровни звукового давления от источника ИШ-1-9 в расчётной точке ночью, дБ		**ф-ла(3)[10]**	**0**	**37**	**31,3**	**28,2**	**29,7**	**32,6**	**27,9**	**16,9**	**0**	**35,1**	**35,1**
Источник шума: ИШ-1-10, координаты источника (x,y,z), м =[461.05,143.53,1.00]													
Уровни звуковой мощности источника днём, Lw, дБ		**исходные данные**	**0**	**93,3**	**94,7**	**96**	**96,3**	**95,9**	**92,6**	**88,4**	**83,9**		
Уровни звуковой мощности источника ночью, Lw, дБ		**исходные данные**	**0**	**93,3**	**94,7**	**96**	**96,3**	**95,9**	**92,6**	**88,4**	**83,9**		
Поправка на телесный угол DΩ, дБ	Ω = 6.28	10Lg(4π/Ω)	**3**	3	3	3	3	3	3	3	3		
Показатель направленности источника Di, дБ		исходные данные	**0**	0	0	0	0	0	0	0	0		
Поправка на направленность источника Dc, дБ	Dc	DΩ + Di	**3**	3	3	3	3	3	3	3	3		
Затухание из-за геометрической дивергенции, Adiv, дБ	расстояние = 485.59 м	ф-ла (7) [10]	**64,7**										

1		2	3	4	5	6	7	8	9	10	11	12	13
Коэффициент затухания звука в атмосфере α, дБ/км	Ta=20,°C Pa=101.33,кПа hотн.=70%	ф-ла (5) [9]	0,02	0,09	0,33	1,12	2,79	4,98	9,04	23,09	77,63		
Учет затухания звука в атмосфере Aatm, дБ		ф-ла (8) [10]	0	0	0,2	0,5	1,4	2,4	4,4	11,2	37,7		
Снижение поверхностью земли возле источника As, дБ	Gs = 0 hs = 1м	ф-лы таб.3 [10]	-1,5	-1,5	-1,5	-1,5	-1,5	-1,5	-1,5	-1,5	-1,5		
Снижение поверхностью земли возле приёмника Ar, дБ	Gr = 1 hr = 1.5м	ф-лы таб.3 [10]	-1,5	-1,5	2,9	7	5	0,7	0	0	0		
Снижение поверхностью земли в средней зоне, Am дБ	Gm = 1	ф-лы таб.3 [10]	-2,5	-2,5	0	0	0	0	0	0	0		
Суммарное снижение поверхностью земли на траектории распространения звука Agr, дБ		ф-ла (9) [10]	-5,5	-5,5	1,4	5,5	3,5	-0,8	-1,5	-1,5	-1,5		
Уровни звукового давления от источника ИШ-1-10 в расчётной точке днём, дБ		**ф-ла(3)[10]**	**0**	**37,1**	**31,4**	**28,2**	**29,7**	**32,6**	**28**	**17**	**0**	**35,2**	**35,2**
Уровни звукового давления от источника ИШ-1-10 в расчётной точке ночью, дБ		**ф-ла(3)[10]**	**0**	**37,1**	**31,4**	**28,2**	**29,7**	**32,6**	**28**	**17**	**0**	**35,2**	**35,2**
Источник шума: ИШ-1-11, координаты источника (x,y,z), м =[464.18,142.55,1.00]													
Уровни звуковой мощности источника днём, Lw, дБ		**исходные данные**	**0**	**93,3**	**94,7**	**96**	**96,3**	**95,9**	**92,6**	**88,4**	**83,9**		
Уровни звуковой мощности источника ночью, Lw, дБ		**исходные данные**	**0**	**93,3**	**94,7**	**96**	**96,3**	**95,9**	**92,6**	**88,4**	**83,9**		
Поправка на телесный угол DΩ, дБ	Ω = 6.28	10Lg(4π/Ω)	**3**	3	3	3	3	3	3	3	3		
Показатель направленности источника Di, дБ		исходные данные	**0**	0	0	0	0	0	0	0	0		
Поправка на направленность источника Dc, дБ	Dc	DΩ + Di	**3**	3	3	3	3	3	3	3	3		
Затухание из-за геометрической дивергенции, Adiv, дБ	расстояние = 484.36 м	ф-ла (7) [10]	**64,7**										
Коэффициент затухания звука в атмосфере α, дБ/км	Ta=20,°C Pa=101.33,кПа hотн.=70%	ф-ла (5) [9]	0,02	0,09	0,33	1,12	2,79	4,98	9,04	23,09	77,63		

1		2	3	4	5	6	7	8	9	10	11	12	13
Учет затухания звука в атмосфере Aatm, дБ		ф-ла (8) [10]	0	0	0,2	0,5	1,4	2,4	4,4	11,2	37,6		
Снижение поверхностью земли возле источника As, дБ	Gs = 0 hs = 1м	ф-лы таб.3 [10]	-1,5	-1,5	-1,5	-1,5	-1,5	-1,5	-1,5	-1,5	-1,5		
Снижение поверхностью земли возле приёмника Ar, дБ	Gr = 1 hr = 1.5м	ф-лы таб.3 [10]	-1,5	-1,5	2,9	7	5	0,7	0	0	0		
Снижение поверхностью земли в средней зоне, Am дБ	Gm = 1	ф-лы таб.3 [10]	-2,5	-2,5	0	0	0	0	0	0	0		
Суммарное снижение поверхностью земли на траектории распространения звука Agr, дБ		ф-ла (9) [10]	-5,5	-5,5	1,4	5,5	3,5	-0,8	-1,5	-1,5	-1,5		
Уровни звукового давления от источника ИШ-1-11 в расчётной точке днём, дБ		**ф-ла(3)[10]**	**0**	**37,1**	**31,4**	**28,2**	**29,8**	**32,6**	**28**	**17**	**0**	**35,2**	**35,2**
Уровни звукового давления от источника ИШ-1-11 в расчётной точке ночью, дБ		**ф-ла(3)[10]**	**0**	**37,1**	**31,4**	**28,2**	**29,8**	**32,6**	**28**	**17**	**0**	**35,2**	**35,2**
Источник шума: ИШ-1-12, координаты источника (x,y,z), м =[435.45,97.79,1.00]													
Уровни звуковой мощности источника днём, Lw, дБ		**исходные данные**	**0**	**93,3**	**94,7**	**96**	**96,3**	**95,9**	**92,6**	**88,4**	**83,9**		
Уровни звуковой мощности источника ночью, Lw, дБ		**исходные данные**	**0**	**93,3**	**94,7**	**96**	**96,3**	**95,9**	**92,6**	**88,4**	**83,9**		
Поправка на телесный угол DΩ, дБ	Ω = 6.28	10Lg(4π/Ω)	**3**	3	3	3	3	3	3	3	3		
Показатель направленности источника Di, дБ		исходные данные	**0**	0	0	0	0	0	0	0	0		
Поправка на направленность источника Dc, дБ	Dc	DΩ + Di	**3**	3	3	3	3	3	3	3	3		
Затухание из-за геометрической дивергенции, Adiv, дБ	расстояние = 537.22 м	ф-ла (7) [10]	**65,6**										
Коэффициент затухания звука в атмосфере α, дБ/км	Ta=20,°C Pa=101.33,кПа hотн.=70%	ф-ла (5) [9]	0,02	0,09	0,33	1,12	2,79	4,98	9,04	23,09	77,63		
Учет затухания звука в атмосфере Aatm, дБ		ф-ла (8) [10]	0	0	0,2	0,6	1,5	2,7	4,9	12,4	41,7		

1		2	3	4	5	6	7	8	9	10	11	12	13
Снижение уровня звукового давления из-за влияния застройки между источником шума и расчетной точкой													
Снижение уровня звукового давления препятствием справа от трассы ИШ-РТ, Dz3, дБ	z = -0.07м (разность путей)	ф-лы (14-18) [10]	0	0	3,1	0,2	NAN	NAN	NAN	NAN	NAN		
* отрицательное значение z означает прохождение траектории вблизи экрана, в этом случае дополнительно производится учёт снижения подстилающей поверхностью (см.ниже)													
Снижение поверхностью земли возле источника As, дБ	Gs = 0 hs = 1м	ф-лы таб.3 [10]	-1,5	-1,5	-1,5	-1,5	-1,5	-1,5	-1,5	-1,5	-1,5		
Снижение поверхностью земли возле приёмника Ar, дБ	Gr = 1 hr = 1.5м	ф-лы таб.3 [10]	-1,5	-1,5	3,3	7	5	0,7	0	0	0		
Снижение поверхностью земли в средней зоне, Am дБ	Gm = 1	ф-лы таб.3 [10]	-2,6	-2,6	0	0	0	0	0	0	0		
Суммарное снижение поверхностью земли на траектории распространения звука Agr, дБ		ф-ла (9) [10]	-5,6	-5,6	1,8	5,5	3,5	-0,8	-1,5	-1,5	-1,5		
Уровни звукового давления прямого звука от источника ИШ-1-12 в расчётной точке днём, дБ		**ф-ла(3)[10]**	**0**	**36,2**	**27,1**	**27**	**28,7**	**31,5**	**26,6**	**14,9**	**0**	**34**	**34**
Уровни звукового давления прямого звука от источника ИШ-1-12 в расчётной точке ночью, дБ		**ф-ла(3)[10]**	**0**	**36,2**	**27,1**	**27**	**28,7**	**31,5**	**26,6**	**14,9**	**0**	**34**	**34**
Расчёт отражённого звука													
Уровни звукового давления от мнимого источника ИШ-1-12_мн.(1) в расчётной точке днём, дБ		**ф-ла(3)[10]**	**0**	**0**	**0**	**0**	**0**	**26,5**	**23,7**	**11,6**	**0**	**28,9**	**28,9**
Уровни звукового давления от мнимого источника ИШ-1-12_мн.(1) в расчётной точке ночью, дБ		**ф-ла(3)[10]**	**0**	**0**	**0**	**0**	**0**	**0**	**0**	**0**	**0**	**28,9**	**28,9**
Уровни звукового давления от источника ИШ-1-12 в расчётной точке днём, дБ		**ф-ла(3)[10]**	**0**	**36,2**	**27,1**	**27**	**28,7**	**32,7**	**28,4**	**16,6**	**0**	**35,1**	**35,1**
Уровни звукового давления от источника ИШ-1-12 в расчётной точке ночью, дБ		**ф-ла(3)[10]**	**0**	**36,2**	**27,1**	**27**	**28,7**	**32,7**	**28,4**	**16,6**	**0**	**35,1**	**35,1**
Источник шума: ИШ-1-13, координаты источника (x,y,z), м =[438.77,96.82,1.00]													
Уровни звуковой мощности источника днём, Lw, дБ		**исходные данные**	**0**	**93,3**	**94,7**	**96**	**96,3**	**95,9**	**92,6**	**88,4**	**83,9**		
Уровни звуковой мощности источника ночью, Lw, дБ		**исходные данные**	**0**	**93,3**	**94,7**	**96**	**96,3**	**95,9**	**92,6**	**88,4**	**83,9**		
Поправка на телесный угол DΩ, дБ	Ω = 6.28	10Lg(4π/Ω)	**3**	3	3	3	3	3	3	3	3		

1		2	3	4	5	6	7	8	9	10	11	12	13
Показатель направленности источника Di, дБ		исходные данные	**0**	0	0	0	0	0	0	0	0		
Поправка на направленность источника Dc, дБ	Dc	DΩ + Di	**3**	3	3	3	3	3	3	3	3		
Затухание из-за геометрической дивергенции, Adiv, дБ	расстояние = 535.92 м	ф-ла (7) [10]	**65,6**										
Коэффициент затухания звука в атмосфере α, дБ/км	Ta=20,°C Pa=101.33,кПа hотн.=70%	ф-ла (5) [9]	0,02	0,09	0,33	1,12	2,79	4,98	9,04	23,09	77,63		
Учет затухания звука в атмосфере Aatm, дБ		ф-ла (8) [10]	0	0	0,2	0,6	1,5	2,7	4,8	12,4	41,6		
Снижение уровня звукового давления из-за влияния застройки между источником шума и расчетной точкой													
Снижение уровня звукового давления препятствием справа от трассы ИШ-РТ, Dz3, дБ	z = 0.00м (разность путей)	ф-лы (14-18) [10]	0	0	0	0	4,4	4	3	0	NAN		
* отрицательное значение z означает прохождение траектории вблизи экрана, в этом случае дополнительно производится учёт снижения подстилающей поверхностью (см.ниже)													
Снижение поверхностью земли возле источника As, дБ	Gs = 0 hs = 1м	ф-лы таб.3 [10]	-1,5	-1,5	-1,5	-1,5	-1,5	-1,5	-1,5	-1,5	-1,5		
Снижение поверхностью земли возле приёмника Ar, дБ	Gr = 1 hr = 1.5м	ф-лы таб.3 [10]	-1,5	-1,5	3,3	7	5	0,7	0	0	0		
Снижение поверхностью земли в средней зоне, Am дБ	Gm = 1	ф-лы таб.3 [10]	-2,6	-2,6	0	0	0	0	0	0	0		
Суммарное снижение поверхностью земли на траектории распространения звука Agr, дБ		ф-ла (9) [10]	-5,6	-5,6	1,8	5,5	3,5	-0,8	-1,5	-1,5	-1,5		
Уровни звукового давления прямого звука от источника ИШ-1-13 в расчётной точке днём, дБ		**ф-ла(3)[10]**	**0**	**36,2**	**30,2**	**27,3**	**24,3**	**27,5**	**23,7**	**14,9**	**0**	**30,6**	**30,6**
Уровни звукового давления прямого звука от источника ИШ-1-13 в расчётной точке ночью, дБ		**ф-ла(3)[10]**	**0**	**36,2**	**30,2**	**27,3**	**24,3**	**27,5**	**23,7**	**14,9**	**0**	**30,6**	**30,6**
Расчёт отражённого звука													
Уровни звукового давления от мнимого источника ИШ-1-13_мн.(1) в расчётной точке днём, дБ		**ф-ла(3)[10]**	**0**	**0**	**0**	**0**	**0**	**0**	**23,6**	**11,6**	**0**	**25,1**	**25,1**
Уровни звукового давления от мнимого источника ИШ-1-13_мн.(1) в расчётной точке ночью, дБ		**ф-ла(3)[10]**	**0**	**0**	**0**	**0**	**0**	**0**	**0**	**0**	**0**	**25,1**	**25,1**
Уровни звукового давления от источника ИШ-1-13 в расчётной точке днём, дБ		**ф-ла(3)[10]**	**0**	**36,2**	**30,2**	**27,3**	**24,3**	**27,5**	**26,6**	**16,6**	**0**	**31,7**	**31,7**

1		2	3	4	5	6	7	8	9	10	11	12	13
Уровни звукового давления от источника ИШ-1-13 в расчётной точке ночью, дБ		**ф-ла(3)[10]**	**0**	**36,2**	**30,2**	**27,3**	**24,3**	**27,5**	**26,6**	**16,6**	**0**	**31,7**	**31,7**
Источник шума: ИШ-1-14, координаты источника (x,y,z), м =[441.70,96.03,1.00]													
Уровни звуковой мощности источника днём, Lw, дБ		**исходные данные**	**0**	**93,3**	**94,7**	**96**	**96,3**	**95,9**	**92,6**	**88,4**	**83,9**		
Уровни звуковой мощности источника ночью, Lw, дБ		**исходные данные**	**0**	**93,3**	**94,7**	**96**	**96,3**	**95,9**	**92,6**	**88,4**	**83,9**		
Поправка на телесный угол DΩ, дБ	Ω = 6.28	10Lg(4π/Ω)	**3**	3	3	3	3	3	3	3	3		
Показатель направленности источника Di, дБ		исходные данные	**0**	0	0	0	0	0	0	0	0		
Поправка на направленность источника Dc, дБ	Dc	DΩ + Di	**3**	3	3	3	3	3	3	3	3		
Затухание из-за геометрической дивергенции, Adiv, дБ	расстояние = 534.72 м	ф-ла (7) [10]	**65,6**										
Коэффициент затухания звука в атмосфере α, дБ/км	Ta=20,°C Pa=101.33,кПа hотн.=70%	ф-ла (5) [9]	0,02	0,09	0,33	1,12	2,79	4,98	9,04	23,09	77,63		
Учет затухания звука в атмосфере Aatm, дБ		ф-ла (8) [10]	0	0	0,2	0,6	1,5	2,7	4,8	12,3	41,5		
Снижение уровня звукового давления из-за влияния застройки между источником шума и расчетной точкой													
Снижение уровня звукового давления на пути над экраном, Dz1, дБ	z = 0.47м (разность путей)	ф-лы (14-18) [10]	5	5,2	5,6	6,4	8,3	11,3	14,5	17,5	20,4		
Снижение уровня звукового давления на пути слева от экрана, Dz2, дБ	z = 0.01м (разность путей)	ф-лы (14-18) [10]	4,8	4,9	5	5,2	5,6	6,3	7,4	9,1	11,2		
Снижение уровня звукового давления на пути справа от экрана, Dz3, дБ	z = 77.31м (разность путей)	ф-лы (14-18) [10]	24,9	28,6	33	37,4	41,1	44,3	47,4	50,4	53,4		
Общее снижение уровня звука препятствием Dz, дБ		Эн.сумма(-Dzi)	1,9	2	2,3	2,8	3,7	5,1	6,6	8,5	10,7		
Уровни звукового давления прямого звука от источника ИШ-1-14 в расчётной точке днём, дБ		**ф-ла(3)[10]**	**0**	**28,7**	**29,7**	**30,1**	**28,5**	**25,6**	**18,6**	**5**	**0**	**29,8**	**29,8**

1		2	3	4	5	6	7	8	9	10	11	12	13
Уровни звукового давления прямого звука от источника ИШ-1-14 в расчётной точке ночью, дБ		**ф-ла(3)[10]**	**0**	**28,7**	**29,7**	**30,1**	**28,5**	**25,6**	**18,6**	**5**	**0**	**29,8**	**29,8**
Расчёт отражённого звука													
Уровни звукового давления от мнимого источника ИШ-1-14_мн.(1) в расчётной точке днём, дБ		**ф-ла(3)[10]**	**0**	**0**	**0**	**0**	**0**	**0**	**23,6**	**11,5**	**0**	**25**	**25**
Уровни звукового давления от мнимого источника ИШ-1-14_мн.(1) в расчётной точке ночью, дБ		**ф-ла(3)[10]**	**0**	**0**	**0**	**0**	**0**	**0**	**0**	**0**	**0**	**25**	**25**
Уровни звукового давления от источника ИШ-1-14 в расчётной точке днём, дБ		**ф-ла(3)[10]**	**0**	**28,7**	**29,7**	**30,1**	**28,5**	**25,6**	**24,8**	**12,4**	**0**	**31,1**	**31,1**
Уровни звукового давления от источника ИШ-1-14 в расчётной точке ночью, дБ		**ф-ла(3)[10]**	**0**	**28,7**	**29,7**	**30,1**	**28,5**	**25,6**	**24,8**	**12,4**	**0**	**31,1**	**31,1**
Источник шума: ИШ-1-15, координаты источника (x,y,z), м =[445.03,95.25,1.00]													
Уровни звуковой мощности источника днём, Lw, дБ		**исходные данные**	**0**	**93,3**	**94,7**	**96**	**96,3**	**95,9**	**92,6**	**88,4**	**83,9**		
Уровни звуковой мощности источника ночью, Lw, дБ		**исходные данные**	**0**	**93,3**	**94,7**	**96**	**96,3**	**95,9**	**92,6**	**88,4**	**83,9**		
Поправка на телесный угол DΩ, дБ	Ω = 6.28	10Lg(4π/Ω)	**3**	3	3	3	3	3	3	3	3		
Показатель направленности источника Di, дБ		исходные данные	**0**	0	0	0	0	0	0	0	0		
Поправка на направленность источника Dc, дБ	Dc	DΩ + Di	**3**	3	3	3	3	3	3	3	3		
Затухание из-за геометрической дивергенции, Adiv, дБ	расстояние = 533.30 м	ф-ла (7) [10]	**65,5**										
Коэффициент затухания звука в атмосфере α, дБ/км	Ta=20,°C Pa=101.33,кПа hотн.=70%	ф-ла (5) [9]	0,02	0,09	0,33	1,12	2,79	4,98	9,04	23,09	77,63		
Учет затухания звука в атмосфере Aatm, дБ		ф-ла (8) [10]	0	0	0,2	0,6	1,5	2,7	4,8	12,3	41,4		
Снижение уровня звукового давления из-за влияния застройки между источником шума и расчетной точкой													

1		2	3	4	5	6	7	8	9	10	11	12	13
Снижение уровня звукового давления на пути над экраном, Dz1, дБ	z = 0.51м (разность путей)	ф-лы (14-18) [10]	5	5,3	6,1	7,8	10,3	13	15,8	18,6	21,5		
Снижение уровня звукового давления на пути слева от экрана, Dz2, дБ	z = 0.09м (разность путей)	ф-лы (14-18) [10]	5,2	5,6	6,3	7,4	9,1	11,2	13,7	16,4	19,2		
Снижение уровня звукового давления на пути справа от экрана, Dz3, дБ	z = 76.41м (разность путей)	ф-лы (14-18) [10]	24,9	28,5	32,9	37,3	41	44,2	47,3	50,3	53,3		
Общее снижение уровня звука препятствием Dz, дБ		Эн.сумма(-Dzi)	2,1	2,4	3,2	4,6	6,6	9	11,6	14,3	17,2		
Уровни звукового давления прямого звука от источника ИШ-1-15 в расчётной точке днём, дБ		**ф-ла(3)[10]**	**0**	**28,3**	**28,8**	**28,3**	**25,6**	**21,7**	**13,7**	**0**	**0**	**26,7**	**26,7**
Уровни звукового давления прямого звука от источника ИШ-1-15 в расчётной точке ночью, дБ		**ф-ла(3)[10]**	**0**	**28,3**	**28,8**	**28,3**	**25,6**	**21,7**	**13,7**	**0**	**0**	**26,7**	**26,7**
Расчёт отражённого звука													
Уровни звукового давления от мнимого источника ИШ-1-15_мн.(1) в расчётной точке днём, дБ		**ф-ла(3)[10]**	**0**	**0**	**0**	**0**	**0**	**0**	**23,6**	**11,5**	**0**	**25**	**25**
Уровни звукового давления от мнимого источника ИШ-1-15_мн.(1) в расчётной точке ночью, дБ		**ф-ла(3)[10]**	**0**	**0**	**0**	**0**	**0**	**0**	**0**	**0**	**0**	**25**	**25**
Уровни звукового давления от источника ИШ-1-15 в расчётной точке днём, дБ		**ф-ла(3)[10]**	**0**	**28,3**	**28,8**	**28,3**	**25,6**	**21,7**	**24**	**11,5**	**0**	**28,9**	**28,9**
Уровни звукового давления от источника ИШ-1-15 в расчётной точке ночью, дБ		**ф-ла(3)[10]**	**0**	**28,3**	**28,8**	**28,3**	**25,6**	**21,7**	**24**	**11,5**	**0**	**28,9**	**28,9**
Источник шума: ИШ-1-16, координаты источника (x,y,z), м =[447.96,94.28,1.00]													
Уровни звуковой мощности источника днём, Lw, дБ		**исходные данные**	**0**	**93,3**	**94,7**	**96**	**96,3**	**95,9**	**92,6**	**88,4**	**83,9**		
Уровни звуковой мощности источника ночью, Lw, дБ		**исходные данные**	**0**	**93,3**	**94,7**	**96**	**96,3**	**95,9**	**92,6**	**88,4**	**83,9**		
Поправка на телесный угол DΩ, дБ	Ω = 6.28	10Lg(4π/Ω)	**3**	3	3	3	3	3	3	3	3		
Показатель направленности источника Di, дБ		исходные данные	**0**	0	0	0	0	0	0	0	0		
Поправка на направленность источника Dc, дБ	Dc	DΩ + Di	**3**	3	3	3	3	3	3	3	3		

1		2	3	4	5	6	7	8	9	10	11	12	13
Затухание из-за геометрической дивергенции, Adiv, дБ	расстояние = 532.29 м	ф-ла (7) [10]	**65,5**										
Коэффициент затухания звука в атмосфере α, дБ/км	Ta=20,°C Pa=101.33,кПа hотн.=70%	ф-ла (5) [9]	0,02	0,09	0,33	1,12	2,79	4,98	9,04	23,09	77,63		
Учет затухания звука в атмосфере Aatm, дБ		ф-ла (8) [10]	0	0	0,2	0,6	1,5	2,6	4,8	12,3	41,3		
Снижение уровня звукового давления из-за влияния застройки между источником шума и расчетной точкой													
Снижение уровня звукового давления на пути над экраном, Dz1, дБ	z = 0.54м (разность путей)	ф-лы (14-18) [10]	5,1	5,6	6,8	8,9	11,4	14	16,8	19,7	22,6		
Снижение уровня звукового давления на пути слева от экрана, Dz2, дБ	z = 0.22м (разность путей)	ф-лы (14-18) [10]	5,8	6,7	8	9,8	12,1	14,7	17,5	20,4	23,3		
Снижение уровня звукового давления на пути справа от экрана, Dz3, дБ	z = 75.25м (разность путей)	ф-лы (14-18) [10]	24,8	28,5	32,8	37,3	40,9	44,2	47,2	50,3	53,3		
Общее снижение уровня звука препятствием Dz, дБ		Эн.сумма(-Dzi)	2,4	3,1	4,3	6,3	8,7	11,3	14,1	17	19,9		
Уровни звукового давления прямого звука от источника ИШ-1-16 в расчётной точке днём, дБ		**ф-ла(3)[10]**	**0**	**27,6**	**27,7**	**26,6**	**23,6**	**19,4**	**11,1**	**0**	**0**	**24,6**	**24,6**
Уровни звукового давления прямого звука от источника ИШ-1-16 в расчётной точке ночью, дБ		**ф-ла(3)[10]**	**0**	**27,6**	**27,7**	**26,6**	**23,6**	**19,4**	**11,1**	**0**	**0**	**24,6**	**24,6**
Расчёт отражённого звука													
Уровни звукового давления от мнимого источника ИШ-1-16_мн.(1) в расчётной точке днём, дБ		**ф-ла(3)[10]**	**0**	**0**	**0**	**0**	**0**	**0**	**23,5**	**11,4**	**0**	**25**	**25**
Уровни звукового давления от мнимого источника ИШ-1-16_мн.(1) в расчётной точке ночью, дБ		**ф-ла(3)[10]**	**0**	**0**	**0**	**0**	**0**	**0**	**0**	**0**	**0**	**25**	**25**
Уровни звукового давления от источника ИШ-1-16 в расчётной точке днём, дБ		**ф-ла(3)[10]**	**0**	**27,6**	**27,7**	**26,6**	**23,6**	**19,4**	**23,8**	**11,4**	**0**	**27,8**	**27,8**
Уровни звукового давления от источника ИШ-1-16 в расчётной точке ночью, дБ		**ф-ла(3)[10]**	**0**	**27,6**	**27,7**	**26,6**	**23,6**	**19,4**	**23,8**	**11,4**	**0**	**27,8**	**27,8**
Источник шума: ИШ-1-17, координаты источника (x,y,z), м =[540.99,141.77,1.00]													

1		2	3	4	5	6	7	8	9	10	11	12	13
Уровни звуковой мощности источника днём, Lw, дБ		**исходные данные**	**0**	**93,3**	**94,7**	**96**	**96,3**	**95,9**	**92,6**	**88,4**	**83,9**		
Уровни звуковой мощности источника ночью, Lw, дБ		**исходные данные**	**0**	**93,3**	**94,7**	**96**	**96,3**	**95,9**	**92,6**	**88,4**	**83,9**		
Поправка на телесный угол DΩ, дБ	Ω = 6.28	10Lg(4π/Ω)	**3**	3	3	3	3	3	3	3	3		
Показатель направленности источника Di, дБ		исходные данные	**0**	0	0	0	0	0	0	0	0		
Поправка на направленность источника Dc, дБ	Dc	DΩ + Di	**3**	3	3	3	3	3	3	3	3		
Затухание из-за геометрической дивергенции, Adiv, дБ	расстояние = 440.39 м	ф-ла (7) [10]	**63,9**										
Коэффициент затухания звука в атмосфере α, дБ/км	Ta=20,°C Pa=101.33,кПа hотн.=70%	ф-ла (5) [9]	0,02	0,09	0,33	1,12	2,79	4,98	9,04	23,09	77,63		
Учет затухания звука в атмосфере Aatm, дБ		ф-ла (8) [10]	0	0	0,1	0,5	1,2	2,2	4	10,2	34,2		
Снижение поверхностью земли возле источника As, дБ	Gs = 0 hs = 1м	ф-лы таб.3 [10]	-1,5	-1,5	-1,5	-1,5	-1,5	-1,5	-1,5	-1,5	-1,5		
Снижение поверхностью земли возле приёмника Ar, дБ	Gr = 1 hr = 1.5м	ф-лы таб.3 [10]	-1,5	-1,5	2,6	7	5	0,7	0	0	0		
Снижение поверхностью земли в средней зоне, Am дБ	Gm = 1	ф-лы таб.3 [10]	-2,5	-2,5	0	0	0	0	0	0	0		
Суммарное снижение поверхностью земли на траектории распространения звука Agr, дБ		ф-ла (9) [10]	-5,5	-5,5	1,1	5,5	3,5	-0,8	-1,5	-1,5	-1,5		
Уровни звукового давления от источника ИШ-1-17 в расчётной точке днём, дБ		**ф-ла(3)[10]**	**0**	**37,9**	**32,5**	**29,1**	**30,7**	**33,7**	**29,2**	**18,8**	**0**	**36,3**	**36,3**
Уровни звукового давления от источника ИШ-1-17 в расчётной точке ночью, дБ		**ф-ла(3)[10]**	**0**	**37,9**	**32,5**	**29,1**	**30,7**	**33,7**	**29,2**	**18,8**	**0**	**36,3**	**36,3**
Источник шума: ИШ-1-18, координаты источника (x,y,z), м =[543.53,140.79,1.00]													
Уровни звуковой мощности источника днём, Lw, дБ		**исходные данные**	**0**	**93,3**	**94,7**	**96**	**96,3**	**95,9**	**92,6**	**88,4**	**83,9**		

1		2	3	4	5	6	7	8	9	10	11	12	13
Уровни звуковой мощности источника ночью, Lw, дБ		**исходные данные**	**0**	**93,3**	**94,7**	**96**	**96,3**	**95,9**	**92,6**	**88,4**	**83,9**		
Поправка на телесный угол DΩ, дБ	Ω = 6.28	10Lg(4π/Ω)	**3**	3	3	3	3	3	3	3	3		
Показатель направленности источника Di, дБ		исходные данные	**0**	0	0	0	0	0	0	0	0		
Поправка на направленность источника Dc, дБ	Dc	DΩ + Di	**3**	3	3	3	3	3	3	3	3		
Затухание из-за геометрической дивергенции, Adiv, дБ	расстояние = 439.91 м	ф-ла (7) [10]	**63,9**										
Коэффициент затухания звука в атмосфере α, дБ/км	Ta=20,°C Pa=101.33,кПа hотн.=70%	ф-ла (5) [9]	0,02	0,09	0,33	1,12	2,79	4,98	9,04	23,09	77,63		
Учет затухания звука в атмосфере Aatm, дБ		ф-ла (8) [10]	0	0	0,1	0,5	1,2	2,2	4	10,2	34,2		
Снижение поверхностью земли возле источника As, дБ	Gs = 0 hs = 1м	ф-лы таб.3 [10]	-1,5	-1,5	-1,5	-1,5	-1,5	-1,5	-1,5	-1,5	-1,5		
Снижение поверхностью земли возле приёмника Ar, дБ	Gr = 1 hr = 1.5м	ф-лы таб.3 [10]	-1,5	-1,5	2,6	7	5	0,7	0	0	0		
Снижение поверхностью земли в средней зоне, Am дБ	Gm = 1	ф-лы таб.3 [10]	-2,5	-2,5	0	0	0	0	0	0	0		
Суммарное снижение поверхностью земли на траектории распространения звука Agr, дБ		ф-ла (9) [10]	-5,5	-5,5	1,1	5,5	3,5	-0,8	-1,5	-1,5	-1,5		
Уровни звукового давления от источника ИШ-1-18 в расчётной точке днём, дБ		**ф-ла(3)[10]**	**0**	**37,9**	**32,5**	**29,1**	**30,7**	**33,7**	**29,2**	**18,9**	**0**	**36,3**	**36,3**
Уровни звукового давления от источника ИШ-1-18 в расчётной точке ночью, дБ		**ф-ла(3)[10]**	**0**	**37,9**	**32,5**	**29,1**	**30,7**	**33,7**	**29,2**	**18,9**	**0**	**36,3**	**36,3**
Источник шума: ИШ-1-19, координаты источника (x,y,z), м =[547.25,139.62,1.00]													
Уровни звуковой мощности источника днём, Lw, дБ		**исходные данные**	**0**	**93,3**	**94,7**	**96**	**96,3**	**95,9**	**92,6**	**88,4**	**83,9**		
Уровни звуковой мощности источника ночью, Lw, дБ		**исходные данные**	**0**	**93,3**	**94,7**	**96**	**96,3**	**95,9**	**92,6**	**88,4**	**83,9**		

1		2	3	4	5	6	7	8	9	10	11	12	13
Поправка на телесный угол DΩ, дБ	Ω = 6.28	10Lg(4π/Ω)	**3**	3	3	3	3	3	3	3	3		
Показатель направленности источника Di, дБ		исходные данные	**0**	0	0	0	0	0	0	0	0		
Поправка на направленность источника Dc, дБ	Dc	DΩ + Di	**3**	3	3	3	3	3	3	3	3		
Затухание из-за геометрической дивергенции, Adiv, дБ	расстояние = 439.01 м	ф-ла (7) [10]	**63,8**										
Коэффициент затухания звука в атмосфере α, дБ/км	Ta=20,°C Pa=101.33,кПа hотн.=70%	ф-ла (5) [9]	0,02	0,09	0,33	1,12	2,79	4,98	9,04	23,09	77,63		
Учет затухания звука в атмосфере Aatm, дБ		ф-ла (8) [10]	0	0	0,1	0,5	1,2	2,2	4	10,1	34,1		
Снижение поверхностью земли возле источника As, дБ	Gs = 0 hs = 1м	ф-лы таб.3 [10]	-1,5	-1,5	-1,5	-1,5	-1,5	-1,5	-1,5	-1,5	-1,5		
Снижение поверхностью земли возле приёмника Ar, дБ	Gr = 1 hr = 1.5м	ф-лы таб.3 [10]	-1,5	-1,5	2,6	7	5	0,7	0	0	0		
Снижение поверхностью земли в средней зоне, Am дБ	Gm = 1	ф-лы таб.3 [10]	-2,5	-2,5	0	0	0	0	0	0	0		
Суммарное снижение поверхностью земли на траектории распространения звука Agr, дБ		ф-ла (9) [10]	-5,5	-5,5	1,1	5,5	3,5	-0,8	-1,5	-1,5	-1,5		
Уровни звукового давления от источника ИШ-1-19 в расчётной точке днём, дБ		**ф-ла(3)[10]**	**0**	**37,9**	**32,6**	**29,1**	**30,7**	**33,7**	**29,3**	**18,9**	**0**	**36,3**	**36,3**
Уровни звукового давления от источника ИШ-1-19 в расчётной точке ночью, дБ		**ф-ла(3)[10]**	**0**	**37,9**	**32,6**	**29,1**	**30,7**	**33,7**	**29,3**	**18,9**	**0**	**36,3**	**36,3**
Источник шума: ИШ-1-20, координаты источника (x,y,z), м =[550.38,138.64,1.00]													
Уровни звуковой мощности источника днём, Lw, дБ		**исходные данные**	**0**	**93,3**	**94,7**	**96**	**96,3**	**95,9**	**92,6**	**88,4**	**83,9**		
Уровни звуковой мощности источника ночью, Lw, дБ		**исходные данные**	**0**	**93,3**	**94,7**	**96**	**96,3**	**95,9**	**92,6**	**88,4**	**83,9**		
Поправка на телесный угол DΩ, дБ	Ω = 6.28	10Lg(4π/Ω)	**3**	3	3	3	3	3	3	3	3		

1		2	3	4	5	6	7	8	9	10	11	12	13
Показатель направленности источника Di, дБ		исходные данные	**0**	0	0	0	0	0	0	0	0		
Поправка на направленность источника Dc, дБ	Dc	DΩ + Di	**3**	3	3	3	3	3	3	3	3		
Затухание из-за геометрической дивергенции, Adiv, дБ	расстояние = 438.26 м	ф-ла (7) [10]	**63,8**										
Коэффициент затухания звука в атмосфере α, дБ/км	Ta=20,°C Pa=101.33,кПа hотн.=70%	ф-ла (5) [9]	0,02	0,09	0,33	1,12	2,79	4,98	9,04	23,09	77,63		
Учет затухания звука в атмосфере Aatm, дБ		ф-ла (8) [10]	0	0	0,1	0,5	1,2	2,2	4	10,1	34		
Снижение поверхностью земли возле источника As, дБ	Gs = 0 hs = 1м	ф-лы таб.3 [10]	-1,5	-1,5	-1,5	-1,5	-1,5	-1,5	-1,5	-1,5	-1,5		
Снижение поверхностью земли возле приёмника Ar, дБ	Gr = 1 hr = 1.5м	ф-лы таб.3 [10]	-1,5	-1,5	2,6	7	5	0,7	0	0	0		
Снижение поверхностью земли в средней зоне, Am дБ	Gm = 1	ф-лы таб.3 [10]	-2,5	-2,5	0	0	0	0	0	0	0		
Суммарное снижение поверхностью земли на траектории распространения звука Agr, дБ		ф-ла (9) [10]	-5,5	-5,5	1,1	5,5	3,5	-0,8	-1,5	-1,5	-1,5		
Уровни звукового давления от источника ИШ-1-20 в расчётной точке днём, дБ		**ф-ла(3)[10]**	**0**	**37,9**	**32,6**	**29,1**	**30,8**	**33,7**	**29,3**	**18,9**	**0**	**36,4**	**36,4**
Уровни звукового давления от источника ИШ-1-20 в расчётной точке ночью, дБ		**ф-ла(3)[10]**	**0**	**37,9**	**32,6**	**29,1**	**30,8**	**33,7**	**29,3**	**18,9**	**0**	**36,4**	**36,4**
Источник шума: ИШ-1-21, координаты источника (x,y,z), м =[553.31,137.67,1.00]													
Уровни звуковой мощности источника днём, Lw, дБ		**исходные данные**	**0**	**93,3**	**94,7**	**96**	**96,3**	**95,9**	**92,6**	**88,4**	**83,9**		
Уровни звуковой мощности источника ночью, Lw, дБ		**исходные данные**	**0**	**93,3**	**94,7**	**96**	**96,3**	**95,9**	**92,6**	**88,4**	**83,9**		
Поправка на телесный угол DΩ, дБ	Ω = 6.28	10Lg(4π/Ω)	**3**	3	3	3	3	3	3	3	3		
Показатель направленности источника Di, дБ		исходные данные	**0**	0	0	0	0	0	0	0	0		

1		2	3	4	5	6	7	8	9	10	11	12	13
Поправка на направленность источника Dc, дБ	Dc	DΩ + Di	**3**	3	3	3	3	3	3	3	3		
Затухание из-за геометрической дивергенции, Adiv, дБ	расстояние = 437.64 м	ф-ла (7) [10]	**63,8**										
Коэффициент затухания звука в атмосфере α, дБ/км	Ta=20,°C Pa=101.33,кПа hотн.=70%	ф-ла (5) [9]	0,02	0,09	0,33	1,12	2,79	4,98	9,04	23,09	77,63		
Учет затухания звука в атмосфере Aatm, дБ		ф-ла (8) [10]	0	0	0,1	0,5	1,2	2,2	4	10,1	34		
Снижение поверхностью земли возле источника As, дБ	Gs = 0 hs = 1м	ф-лы таб.3 [10]	-1,5	-1,5	-1,5	-1,5	-1,5	-1,5	-1,5	-1,5	-1,5		
Снижение поверхностью земли возле приёмника Ar, дБ	Gr = 1 hr = 1.5м	ф-лы таб.3 [10]	-1,5	-1,5	2,6	7	5	0,7	0	0	0		
Снижение поверхностью земли в средней зоне, Am дБ	Gm = 1	ф-лы таб.3 [10]	-2,5	-2,5	0	0	0	0	0	0	0		
Суммарное снижение поверхностью земли на траектории распространения звука Agr, дБ		ф-ла (9) [10]	-5,5	-5,5	1,1	5,5	3,5	-0,8	-1,5	-1,5	-1,5		
Уровни звукового давления от источника ИШ-1-21 в расчётной точке днём, дБ		**ф-ла(3)[10]**	**0**	**37,9**	**32,6**	**29,2**	**30,8**	**33,7**	**29,3**	**19**	**0**	**36,4**	**36,4**
Уровни звукового давления от источника ИШ-1-21 в расчётной точке ночью, дБ		**ф-ла(3)[10]**	**0**	**37,9**	**32,6**	**29,2**	**30,8**	**33,7**	**29,3**	**19**	**0**	**36,4**	**36,4**
Источник шума: ИШ-1-22, координаты источника (x,y,z), м =[522.03,85.28,1.00]													
Уровни звуковой мощности источника днём, Lw, дБ		**исходные данные**	**0**	**93,3**	**94,7**	**96**	**96,3**	**95,9**	**92,6**	**88,4**	**83,9**		
Уровни звуковой мощности источника ночью, Lw, дБ		**исходные данные**	**0**	**93,3**	**94,7**	**96**	**96,3**	**95,9**	**92,6**	**88,4**	**83,9**		
Поправка на телесный угол DΩ, дБ	Ω = 6.28	10Lg(4π/Ω)	**3**	3	3	3	3	3	3	3	3		
Показатель направленности источника Di, дБ		исходные данные	**0**	0	0	0	0	0	0	0	0		
Поправка на направленность источника Dc, дБ	Dc	DΩ + Di	**3**	3	3	3	3	3	3	3	3		

1		2	3	4	5	6	7	8	9	10	11	12	13
Затухание из-за геометрической дивергенции, Adiv, дБ	расстояние = 498.64 м	ф-ла (7) [10]	**65**										
Коэффициент затухания звука в атмосфере α, дБ/км	Ta=20,°C Pa=101.33,кПа hотн.=70%	ф-ла (5) [9]	0,02	0,09	0,33	1,12	2,79	4,98	9,04	23,09	77,63		
Учет затухания звука в атмосфере Aatm, дБ		ф-ла (8) [10]	0	0	0,2	0,6	1,4	2,5	4,5	11,5	38,7		
Снижение поверхностью земли возле источника As, дБ	Gs = 0 hs = 1м	ф-лы таб.3 [10]	-1,5	-1,5	-1,5	-1,5	-1,5	-1,5	-1,5	-1,5	-1,5		
Снижение поверхностью земли возле приёмника Ar, дБ	Gr = 1 hr = 1.5м	ф-лы таб.3 [10]	-1,5	-1,5	3	7	5	0,7	0	0	0		
Снижение поверхностью земли в средней зоне, Am дБ	Gm = 1	ф-лы таб.3 [10]	-2,5	-2,5	0	0	0	0	0	0	0		
Суммарное снижение поверхностью земли на траектории распространения звука Agr, дБ		ф-ла (9) [10]	-5,5	-5,5	1,5	5,5	3,5	-0,8	-1,5	-1,5	-1,5		
Уровни звукового давления прямого звука от источника ИШ-1-22 в расчётной точке днём, дБ		**ф-ла(3)[10]**	**0**	**36,8**	**31**	**28**	**29,5**	**32,3**	**27,6**	**16,4**	**0**	**34,9**	**34,9**
Уровни звукового давления прямого звука от источника ИШ-1-22 в расчётной точке ночью, дБ		**ф-ла(3)[10]**	**0**	**36,8**	**31**	**28**	**29,5**	**32,3**	**27,6**	**16,4**	**0**	**34,9**	**34,9**
Расчёт отражённого звука													
Уровни звукового давления от мнимого источника ИШ-1-22_мн.(1) в расчётной точке днём, дБ		**ф-ла(3)[10]**	**0**	**0**	**0**	**0**	**0**	**27,5**	**24,8**	**13,4**	**0**	**30**	**30**
Уровни звукового давления от мнимого источника ИШ-1-22_мн.(1) в расчётной точке ночью, дБ		**ф-ла(3)[10]**	**0**	**0**	**0**	**0**	**0**	**0**	**0**	**0**	**0**	**30**	**30**
Уровни звукового давления от источника ИШ-1-22 в расчётной точке днём, дБ		**ф-ла(3)[10]**	**0**	**36,8**	**31**	**28**	**29,5**	**33,5**	**29,5**	**18,2**	**0**	**36,1**	**36,1**
Уровни звукового давления от источника ИШ-1-22 в расчётной точке ночью, дБ		**ф-ла(3)[10]**	**0**	**36,8**	**31**	**28**	**29,5**	**33,5**	**29,5**	**18,2**	**0**	**36,1**	**36,1**
Источник шума: ИШ-1-23, координаты источника (x,y,z), м =[525.16,84.11,1.00]													
Уровни звуковой мощности источника днём, Lw, дБ		**исходные данные**	**0**	**93,3**	**94,7**	**96**	**96,3**	**95,9**	**92,6**	**88,4**	**83,9**		

1		2	3	4	5	6	7	8	9	10	11	12	13
Уровни звуковой мощности источника ночью, Lw, дБ		**исходные данные**	**0**	**93,3**	**94,7**	**96**	**96,3**	**95,9**	**92,6**	**88,4**	**83,9**		
Поправка на телесный угол DΩ, дБ	Ω = 6.28	10Lg(4π/Ω)	**3**	3	3	3	3	3	3	3	3		
Показатель направленности источника Di, дБ		исходные данные	**0**	0	0	0	0	0	0	0	0		
Поправка на направленность источника Dc, дБ	Dc	DΩ + Di	**3**	3	3	3	3	3	3	3	3		
Затухание из-за геометрической дивергенции, Adiv, дБ	расстояние = 498.10 м	ф-ла (7) [10]	**64,9**										
Коэффициент затухания звука в атмосфере α, дБ/км	Ta=20,°C Pa=101.33,кПа hотн.=70%	ф-ла (5) [9]	0,02	0,09	0,33	1,12	2,79	4,98	9,04	23,09	77,63		
Учет затухания звука в атмосфере Aatm, дБ		ф-ла (8) [10]	0	0	0,2	0,6	1,4	2,5	4,5	11,5	38,7		
Снижение поверхностью земли возле источника As, дБ	Gs = 0 hs = 1м	ф-лы таб.3 [10]	-1,5	-1,5	-1,5	-1,5	-1,5	-1,5	-1,5	-1,5	-1,5		
Снижение поверхностью земли возле приёмника Ar, дБ	Gr = 1 hr = 1.5м	ф-лы таб.3 [10]	-1,5	-1,5	3	7	5	0,7	0	0	0		
Снижение поверхностью земли в средней зоне, Am дБ	Gm = 1	ф-лы таб.3 [10]	-2,5	-2,5	0	0	0	0	0	0	0		
Суммарное снижение поверхностью земли на траектории распространения звука Agr, дБ		ф-ла (9) [10]	-5,5	-5,5	1,5	5,5	3,5	-0,8	-1,5	-1,5	-1,5		
Уровни звукового давления от источника ИШ-1-23 в расчётной точке днём, дБ		**ф-ла(3)[10]**	**0**	**36,8**	**31,1**	**28**	**29,5**	**32,3**	**27,6**	**16,4**	**0**	**34,9**	**34,9**
Уровни звукового давления от источника ИШ-1-23 в расчётной точке ночью, дБ		**ф-ла(3)[10]**	**0**	**36,8**	**31,1**	**28**	**29,5**	**32,3**	**27,6**	**16,4**	**0**	**34,9**	**34,9**
Источник шума: ИШ-1-24, координаты источника (x,y,z), м =[528.48,82.94,1.00]													
Уровни звуковой мощности источника днём, Lw, дБ		**исходные данные**	**0**	**93,3**	**94,7**	**96**	**96,3**	**95,9**	**92,6**	**88,4**	**83,9**		
Уровни звуковой мощности источника ночью, Lw, дБ		**исходные данные**	**0**	**93,3**	**94,7**	**96**	**96,3**	**95,9**	**92,6**	**88,4**	**83,9**		

1		2	3	4	5	6	7	8	9	10	11	12	13
Поправка на телесный угол DΩ, дБ	Ω = 6.28	10Lg(4π/Ω)	**3**	3	3	3	3	3	3	3	3		
Показатель направленности источника Di, дБ		исходные данные	**0**	0	0	0	0	0	0	0	0		
Поправка на направленность источника Dc, дБ	Dc	DΩ + Di	**3**	3	3	3	3	3	3	3	3		
Затухание из-за геометрической дивергенции, Adiv, дБ	расстояние = 497.50 м	ф-ла (7) [10]	**64,9**										
Коэффициент затухания звука в атмосфере α, дБ/км	Ta=20,°C Pa=101.33,кПа hотн.=70%	ф-ла (5) [9]	0,02	0,09	0,33	1,12	2,79	4,98	9,04	23,09	77,63		
Учет затухания звука в атмосфере Aatm, дБ		ф-ла (8) [10]	0	0	0,2	0,6	1,4	2,5	4,5	11,5	38,6		
Снижение поверхностью земли возле источника As, дБ	Gs = 0 hs = 1м	ф-лы таб.3 [10]	-1,5	-1,5	-1,5	-1,5	-1,5	-1,5	-1,5	-1,5	-1,5		
Снижение поверхностью земли возле приёмника Ar, дБ	Gr = 1 hr = 1.5м	ф-лы таб.3 [10]	-1,5	-1,5	3	7	5	0,7	0	0	0		
Снижение поверхностью земли в средней зоне, Am дБ	Gm = 1	ф-лы таб.3 [10]	-2,5	-2,5	0	0	0	0	0	0	0		
Суммарное снижение поверхностью земли на траектории распространения звука Agr, дБ		ф-ла (9) [10]	-5,5	-5,5	1,5	5,5	3,5	-0,8	-1,5	-1,5	-1,5		
Уровни звукового давления от источника ИШ-1-24 в расчётной точке днём, дБ		**ф-ла(3)[10]**	**0**	**36,9**	**31,1**	**28**	**29,5**	**32,3**	**27,7**	**16,5**	**0**	**34,9**	**34,9**
Уровни звукового давления от источника ИШ-1-24 в расчётной точке ночью, дБ		**ф-ла(3)[10]**	**0**	**36,9**	**31,1**	**28**	**29,5**	**32,3**	**27,7**	**16,5**	**0**	**34,9**	**34,9**
Источник шума: ИШ-1-25, координаты источника (x,y,z), м =[531.22,82.16,1.00]													
Уровни звуковой мощности источника днём, Lw, дБ		**исходные данные**	**0**	**93,3**	**94,7**	**96**	**96,3**	**95,9**	**92,6**	**88,4**	**83,9**		
Уровни звуковой мощности источника ночью, Lw, дБ		**исходные данные**	**0**	**93,3**	**94,7**	**96**	**96,3**	**95,9**	**92,6**	**88,4**	**83,9**		
Поправка на телесный угол DΩ, дБ	Ω = 6.28	10Lg(4π/Ω)	**3**	3	3	3	3	3	3	3	3		

1		2	3	4	5	6	7	8	9	10	11	12	13
Показатель направленности источника Di, дБ		исходные данные	**0**	0	0	0	0	0	0	0	0		
Поправка на направленность источника Dc, дБ	Dc	DΩ + Di	**3**	3	3	3	3	3	3	3	3		
Затухание из-за геометрической дивергенции, Adiv, дБ	расстояние = 496.85 м	ф-ла (7) [10]	**64,9**										
Коэффициент затухания звука в атмосфере α, дБ/км	Ta=20,°C Pa=101.33,кПа hотн.=70%	ф-ла (5) [9]	0,02	0,09	0,33	1,12	2,79	4,98	9,04	23,09	77,63		
Учет затухания звука в атмосфере Aatm, дБ		ф-ла (8) [10]	0	0	0,2	0,6	1,4	2,5	4,5	11,5	38,6		
Снижение поверхностью земли возле источника As, дБ	Gs = 0 hs = 1м	ф-лы таб.3 [10]	-1,5	-1,5	-1,5	-1,5	-1,5	-1,5	-1,5	-1,5	-1,5		
Снижение поверхностью земли возле приёмника Ar, дБ	Gr = 1 hr = 1.5м	ф-лы таб.3 [10]	-1,5	-1,5	3	7	5	0,7	0	0	0		
Снижение поверхностью земли в средней зоне, Am дБ	Gm = 1	ф-лы таб.3 [10]	-2,5	-2,5	0	0	0	0	0	0	0		
Суммарное снижение поверхностью земли на траектории распространения звука Agr, дБ		ф-ла (9) [10]	-5,5	-5,5	1,5	5,5	3,5	-0,8	-1,5	-1,5	-1,5		
Уровни звукового давления от источника ИШ-1-25 в расчётной точке днём, дБ		**ф-ла(3)[10]**	**0**	**36,9**	**31,1**	**28**	**29,5**	**32,3**	**27,7**	**16,5**	**0**	**34,9**	**34,9**
Уровни звукового давления от источника ИШ-1-25 в расчётной точке ночью, дБ		**ф-ла(3)[10]**	**0**	**36,9**	**31,1**	**28**	**29,5**	**32,3**	**27,7**	**16,5**	**0**	**34,9**	**34,9**
Источник шума: ИШ-1-26, координаты источника (x,y,z), м =[534.15,80.79,1.00]													
Уровни звуковой мощности источника днём, Lw, дБ		**исходные данные**	**0**	**93,3**	**94,7**	**96**	**96,3**	**95,9**	**92,6**	**88,4**	**83,9**		
Уровни звуковой мощности источника ночью, Lw, дБ		**исходные данные**	**0**	**93,3**	**94,7**	**96**	**96,3**	**95,9**	**92,6**	**88,4**	**83,9**		
Поправка на телесный угол DΩ, дБ	Ω = 6.28	10Lg(4π/Ω)	**3**	3	3	3	3	3	3	3	3		
Показатель направленности источника Di, дБ		исходные данные	**0**	0	0	0	0	0	0	0	0		

1		2	3	4	5	6	7	8	9	10	11	12	13
Поправка на направленность источника Dc, дБ	Dc	DΩ + Di	**3**	3	3	3	3	3	3	3	3		
Затухание из-за геометрической дивергенции, Adiv, дБ	расстояние = 496.65 м	ф-ла (7) [10]	**64,9**										
Коэффициент затухания звука в атмосфере α, дБ/км	Ta=20,°C Pa=101.33,кПа hотн.=70%	ф-ла (5) [9]	0,02	0,09	0,33	1,12	2,79	4,98	9,04	23,09	77,63		
Учет затухания звука в атмосфере Aatm, дБ		ф-ла (8) [10]	0	0	0,2	0,6	1,4	2,5	4,5	11,5	38,6		
Снижение поверхностью земли возле источника As, дБ	Gs = 0 hs = 1м	ф-лы таб.3 [10]	-1,5	-1,5	-1,5	-1,5	-1,5	-1,5	-1,5	-1,5	-1,5		
Снижение поверхностью земли возле приёмника Ar, дБ	Gr = 1 hr = 1.5м	ф-лы таб.3 [10]	-1,5	-1,5	3	7	5	0,7	0	0	0		
Снижение поверхностью земли в средней зоне, Am дБ	Gm = 1	ф-лы таб.3 [10]	-2,5	-2,5	0	0	0	0	0	0	0		
Суммарное снижение поверхностью земли на траектории распространения звука Agr, дБ		ф-ла (9) [10]	-5,5	-5,5	1,5	5,5	3,5	-0,8	-1,5	-1,5	-1,5		
Уровни звукового давления от источника ИШ-1-26 в расчётной точке днём, дБ		**ф-ла(3)[10]**	**0**	**36,9**	**31,1**	**28**	**29,5**	**32,3**	**27,7**	**16,5**	**0**	**34,9**	**34,9**
Уровни звукового давления от источника ИШ-1-26 в расчётной точке ночью, дБ		**ф-ла(3)[10]**	**0**	**36,9**	**31,1**	**28**	**29,5**	**32,3**	**27,7**	**16,5**	**0**	**34,9**	**34,9**
Источник шума: ИШ-1-27, координаты источника (x,y,z), м =[469.65,197.67,1.00]													
Уровни звуковой мощности источника днём, Lw, дБ		**исходные данные**	**0**	**93,3**	**94,7**	**96**	**96,3**	**95,9**	**92,6**	**88,4**	**83,9**		
Уровни звуковой мощности источника ночью, Lw, дБ		**исходные данные**	**0**	**93,3**	**94,7**	**96**	**96,3**	**95,9**	**92,6**	**88,4**	**83,9**		
Поправка на телесный угол DΩ, дБ	Ω = 6.28	10Lg(4π/Ω)	**3**	3	3	3	3	3	3	3	3		
Показатель направленности источника Di, дБ		исходные данные	**0**	0	0	0	0	0	0	0	0		
Поправка на направленность источника Dc, дБ	Dc	DΩ + Di	**3**	3	3	3	3	3	3	3	3		

1		2	3	4	5	6	7	8	9	10	11	12	13
Затухание из-за геометрической дивергенции, Adiv, дБ	расстояние = 439.32 м	ф-ла (7) [10]	**63,9**										
Коэффициент затухания звука в атмосфере α, дБ/км	Ta=20,°C Pa=101.33,кПа hотн.=70%	ф-ла (5) [9]	0,02	0,09	0,33	1,12	2,79	4,98	9,04	23,09	77,63		
Учет затухания звука в атмосфере Aatm, дБ		ф-ла (8) [10]	0	0	0,1	0,5	1,2	2,2	4	10,1	34,1		
Снижение поверхностью земли возле источника As, дБ	Gs = 0 hs = 1м	ф-лы таб.3 [10]	-1,5	-1,5	-1,5	-1,5	-1,5	-1,5	-1,5	-1,5	-1,5		
Снижение поверхностью земли возле приёмника Ar, дБ	Gr = 1 hr = 1.5м	ф-лы таб.3 [10]	-1,5	-1,5	2,6	7	5	0,7	0	0	0		
Снижение поверхностью земли в средней зоне, Am дБ	Gm = 1	ф-лы таб.3 [10]	-2,5	-2,5	0	0	0	0	0	0	0		
Суммарное снижение поверхностью земли на траектории распространения звука Agr, дБ		ф-ла (9) [10]	-5,5	-5,5	1,1	5,5	3,5	-0,8	-1,5	-1,5	-1,5		
Уровни звукового давления от источника ИШ-1-27 в расчётной точке днём, дБ		**ф-ла(3)[10]**	**0**	**37,9**	**32,6**	**29,1**	**30,7**	**33,7**	**29,3**	**18,9**	**0**	**36,3**	**36,3**
Уровни звукового давления от источника ИШ-1-27 в расчётной точке ночью, дБ		**ф-ла(3)[10]**	**0**	**37,9**	**32,6**	**29,1**	**30,7**	**33,7**	**29,3**	**18,9**	**0**	**36,3**	**36,3**
Источник шума: ИШ-1-28, координаты источника (x,y,z), м =[472.78,196.69,1.00]													
Уровни звуковой мощности источника днём, Lw, дБ		**исходные данные**	**0**	**93,3**	**94,7**	**96**	**96,3**	**95,9**	**92,6**	**88,4**	**83,9**		
Уровни звуковой мощности источника ночью, Lw, дБ		**исходные данные**	**0**	**93,3**	**94,7**	**96**	**96,3**	**95,9**	**92,6**	**88,4**	**83,9**		
Поправка на телесный угол DΩ, дБ	Ω = 6.28	10Lg(4π/Ω)	**3**	3	3	3	3	3	3	3	3		
Показатель направленности источника Di, дБ		исходные данные	**0**	0	0	0	0	0	0	0	0		
Поправка на направленность источника Dc, дБ	Dc	DΩ + Di	**3**	3	3	3	3	3	3	3	3		
Затухание из-за геометрической дивергенции, Adiv, дБ	расстояние = 437.89 м	ф-ла (7) [10]	**63,8**										

1		2	3	4	5	6	7	8	9	10	11	12	13
Коэффициент затухания звука в атмосфере α, дБ/км	Ta=20,°C Pa=101.33,кПа hотн.=70%	ф-ла (5) [9]	0,02	0,09	0,33	1,12	2,79	4,98	9,04	23,09	77,63		
Учет затухания звука в атмосфере Aatm, дБ		ф-ла (8) [10]	0	0	0,1	0,5	1,2	2,2	4	10,1	34		
Снижение поверхностью земли возле источника As, дБ	Gs = 0 hs = 1м	ф-лы таб.3 [10]	-1,5	-1,5	-1,5	-1,5	-1,5	-1,5	-1,5	-1,5	-1,5		
Снижение поверхностью земли возле приёмника Ar, дБ	Gr = 1 hr = 1.5м	ф-лы таб.3 [10]	-1,5	-1,5	2,6	7	5	0,7	0	0	0		
Снижение поверхностью земли в средней зоне, Am дБ	Gm = 1	ф-лы таб.3 [10]	-2,5	-2,5	0	0	0	0	0	0	0		
Суммарное снижение поверхностью земли на траектории распространения звука Agr, дБ		ф-ла (9) [10]	-5,5	-5,5	1,1	5,5	3,5	-0,8	-1,5	-1,5	-1,5		
Уровни звукового давления от источника ИШ-1-28 в расчётной точке днём, дБ		**ф-ла(3)[10]**	**0**	**37,9**	**32,6**	**29,2**	**30,8**	**33,7**	**29,3**	**19**	**0**	**36,4**	**36,4**
Уровни звукового давления от источника ИШ-1-28 в расчётной точке ночью, дБ		**ф-ла(3)[10]**	**0**	**37,9**	**32,6**	**29,2**	**30,8**	**33,7**	**29,3**	**19**	**0**	**36,4**	**36,4**
Источник шума: ИШ-1-29, координаты источника (x,y,z), м =[475.52,195.72,1.00]													
Уровни звуковой мощности источника днём, Lw, дБ		**исходные данные**	**0**	**93,3**	**94,7**	**96**	**96,3**	**95,9**	**92,6**	**88,4**	**83,9**		
Уровни звуковой мощности источника ночью, Lw, дБ		**исходные данные**	**0**	**93,3**	**94,7**	**96**	**96,3**	**95,9**	**92,6**	**88,4**	**83,9**		
Поправка на телесный угол DΩ, дБ	Ω = 6.28	10Lg(4π/Ω)	**3**	3	3	3	3	3	3	3	3		
Показатель направленности источника Di, дБ		исходные данные	**0**	0	0	0	0	0	0	0	0		
Поправка на направленность источника Dc, дБ	Dc	DΩ + Di	**3**	3	3	3	3	3	3	3	3		
Затухание из-за геометрической дивергенции, Adiv, дБ	расстояние = 436.75 м	ф-ла (7) [10]	**63,8**										
Коэффициент затухания звука в атмосфере α, дБ/км	Ta=20,°C Pa=101.33,кПа hотн.=70%	ф-ла (5) [9]	0,02	0,09	0,33	1,12	2,79	4,98	9,04	23,09	77,63		

1		2	3	4	5	6	7	8	9	10	11	12	13
Учет затухания звука в атмосфере Aatm, дБ		ф-ла (8) [10]	0	0	0,1	0,5	1,2	2,2	3,9	10,1	33,9		
Снижение поверхностью земли возле источника As, дБ	Gs = 0 hs = 1м	ф-лы таб.3 [10]	-1,5	-1,5	-1,5	-1,5	-1,5	-1,5	-1,5	-1,5	-1,5		
Снижение поверхностью земли возле приёмника Ar, дБ	Gr = 1 hr = 1.5м	ф-лы таб.3 [10]	-1,5	-1,5	2,6	7	5	0,7	0	0	0		
Снижение поверхностью земли в средней зоне, Am дБ	Gm = 1	ф-лы таб.3 [10]	-2,5	-2,5	0	0	0	0	0	0	0		
Суммарное снижение поверхностью земли на траектории распространения звука Agr, дБ		ф-ла (9) [10]	-5,5	-5,5	1,1	5,5	3,5	-0,8	-1,5	-1,5	-1,5		
Уровни звукового давления от источника ИШ-1-29 в расчётной точке днём, дБ		**ф-ла(3)[10]**	**0**	**37,9**	**32,6**	**29,2**	**30,8**	**33,8**	**29,3**	**19**	**0**	**36,4**	**36,4**
Уровни звукового давления от источника ИШ-1-29 в расчётной точке ночью, дБ		**ф-ла(3)[10]**	**0**	**37,9**	**32,6**	**29,2**	**30,8**	**33,8**	**29,3**	**19**	**0**	**36,4**	**36,4**
Источник шума: ИШ-1-30, координаты источника (x,y,z), м =[478.45,194.54,1.00]													
Уровни звуковой мощности источника днём, Lw, дБ		**исходные данные**	**0**	**93,3**	**94,7**	**96**	**96,3**	**95,9**	**92,6**	**88,4**	**83,9**		
Уровни звуковой мощности источника ночью, Lw, дБ		**исходные данные**	**0**	**93,3**	**94,7**	**96**	**96,3**	**95,9**	**92,6**	**88,4**	**83,9**		
Поправка на телесный угол DΩ, дБ	Ω = 6.28	10Lg(4π/Ω)	**3**	3	3	3	3	3	3	3	3		
Показатель направленности источника Di, дБ		исходные данные	**0**	0	0	0	0	0	0	0	0		
Поправка на направленность источника Dc, дБ	Dc	DΩ + Di	**3**	3	3	3	3	3	3	3	3		
Затухание из-за геометрической дивергенции, Adiv, дБ	расстояние = 435.64 м	ф-ла (7) [10]	**63,8**										
Коэффициент затухания звука в атмосфере α, дБ/км	Ta=20,°C Pa=101.33,кПа hотн.=70%	ф-ла (5) [9]	0,02	0,09	0,33	1,12	2,79	4,98	9,04	23,09	77,63		
Учет затухания звука в атмосфере Aatm, дБ		ф-ла (8) [10]	0	0	0,1	0,5	1,2	2,2	3,9	10,1	33,8		

1		2	3	4	5	6	7	8	9	10	11	12	13
Снижение поверхностью земли возле источника As, дБ	Gs = 0 hs = 1м	ф-лы таб.3 [10]	-1,5	-1,5	-1,5	-1,5	-1,5	-1,5	-1,5	-1,5	-1,5		
Снижение поверхностью земли возле приёмника Ar, дБ	Gr = 1 hr = 1.5м	ф-лы таб.3 [10]	-1,5	-1,5	2,6	7	5	0,7	0	0	0		
Снижение поверхностью земли в средней зоне, Am дБ	Gm = 1	ф-лы таб.3 [10]	-2,5	-2,5	0	0	0	0	0	0	0		
Суммарное снижение поверхностью земли на траектории распространения звука Agr, дБ		ф-ла (9) [10]	-5,5	-5,5	1,1	5,5	3,5	-0,8	-1,5	-1,5	-1,5		
Уровни звукового давления от источника ИШ-1-30 в расчётной точке днём, дБ		**ф-ла(3)[10]**	**0**	**38**	**32,7**	**29,2**	**30,8**	**33,8**	**29,4**	**19,1**	**0**	**36,4**	**36,4**
Уровни звукового давления от источника ИШ-1-30 в расчётной точке ночью, дБ		**ф-ла(3)[10]**	**0**	**38**	**32,7**	**29,2**	**30,8**	**33,8**	**29,4**	**19,1**	**0**	**36,4**	**36,4**
Источник шума: ИШ-1-31, координаты источника (x,y,z), м =[481.58,193.96,1.00]													
Уровни звуковой мощности источника днём, Lw, дБ		**исходные данные**	**0**	**93,3**	**94,7**	**96**	**96,3**	**95,9**	**92,6**	**88,4**	**83,9**		
Уровни звуковой мощности источника ночью, Lw, дБ		**исходные данные**	**0**	**93,3**	**94,7**	**96**	**96,3**	**95,9**	**92,6**	**88,4**	**83,9**		
Поправка на телесный угол DΩ, дБ	Ω = 6.28	10Lg(4π/Ω)	**3**	3	3	3	3	3	3	3	3		
Показатель направленности источника Di, дБ		исходные данные	**0**	0	0	0	0	0	0	0	0		
Поправка на направленность источника Dc, дБ	Dc	DΩ + Di	**3**	3	3	3	3	3	3	3	3		
Затухание из-за геометрической дивергенции, Adiv, дБ	расстояние = 433.98 м	ф-ла (7) [10]	**63,7**										
Коэффициент затухания звука в атмосфере α, дБ/км	Ta=20,°C Pa=101.33,кПа hотн.=70%	ф-ла (5) [9]	0,02	0,09	0,33	1,12	2,79	4,98	9,04	23,09	77,63		
Учет затухания звука в атмосфере Aatm, дБ		ф-ла (8) [10]	0	0	0,1	0,5	1,2	2,2	3,9	10	33,7		
Снижение поверхностью земли возле источника As, дБ	Gs = 0 hs = 1м	ф-лы таб.3 [10]	-1,5	-1,5	-1,5	-1,5	-1,5	-1,5	-1,5	-1,5	-1,5		

1		2	3	4	5	6	7	8	9	10	11	12	13
Снижение поверхностью земли возле приёмника Ar, дБ	Gr = 1 hr = 1.5м	ф-лы таб.3 [10]	-1,5	-1,5	2,6	7	5	0,7	0	0	0		
Снижение поверхностью земли в средней зоне, Am дБ	Gm = 1	ф-лы таб.3 [10]	-2,5	-2,5	0	0	0	0	0	0	0		
Суммарное снижение поверхностью земли на траектории распространения звука Agr, дБ		ф-ла (9) [10]	-5,5	-5,5	1,1	5,5	3,5	-0,8	-1,5	-1,5	-1,5		
Уровни звукового давления от источника ИШ-1-31 в расчётной точке днём, дБ		**ф-ла(3)[10]**	**0**	**38**	**32,7**	**29,2**	**30,9**	**33,8**	**29,4**	**19,1**	**0**	**36,5**	**36,5**
Уровни звукового давления от источника ИШ-1-31 в расчётной точке ночью, дБ		**ф-ла(3)[10]**	**0**	**38**	**32,7**	**29,2**	**30,9**	**33,8**	**29,4**	**19,1**	**0**	**36,5**	**36,5**
Источник шума: ИШ-1-32, координаты источника (x,y,z), м =[871.21,281.99,50.00]													
Уровни звуковой мощности источника днём, Lw, дБ		**исходные данные**	**125**	**119,6**	**113,4**	**111,4**	**110,8**	**112,7**	**113,8**	**109,2**	**97,4**		
Уровни звуковой мощности источника ночью, Lw, дБ		**исходные данные**	**0**	**0**	**0**	**0**	**0**	**0**	**0**	**0**	**0**		
Поправка на телесный угол DΩ, дБ	Ω = 12.57	10Lg(4π/Ω)	**0**	0	0	0	0	0	0	0	0		
Показатель направленности источника Di, дБ		исходные данные	**0**	0	0	0	0	0	0	0	0		
Поправка на направленность источника Dc, дБ	Dc	DΩ + Di	**0**	0	0	0	0	0	0	0	0		
Затухание из-за геометрической дивергенции, Adiv, дБ	расстояние = 260.31 м	ф-ла (7) [10]	**59,3**										
Коэффициент затухания звука в атмосфере α, дБ/км	Ta=20,°C Pa=101.33,кПа hотн.=70%	ф-ла (5) [9]	0,02	0,09	0,33	1,12	2,79	4,98	9,04	23,09	77,63		
Учет затухания звука в атмосфере Aatm, дБ		ф-ла (8) [10]	0	0	0,1	0,3	0,7	1,3	2,4	6	20,2		
Снижение поверхностью земли возле источника As, дБ	Gs = 0 hs = 50м	ф-лы таб.3 [10]	-1,5	-1,5	-1,5	-1,5	-1,5	-1,5	-1,5	-1,5	-1,5		
Снижение поверхностью земли возле приёмника Ar, дБ	Gr = 1 hr = 1.5м	ф-лы таб.3 [10]	-1,5	-1,5	1,5	7	4,9	0,7	0	0	0		

1		2	3	4	5	6	7	8	9	10	11	12	13
Снижение поверхностью земли в средней зоне, Am дБ	Gm = 1	ф-лы таб.3 [10]	0	0	0	0	0	0	0	0	0		
Суммарное снижение поверхностью земли на траектории распространения звука Agr, дБ		ф-ла (9) [10]	-3	-3	0	5,5	3,4	-0,8	-1,5	-1,5	-1,5		
Уровни звукового давления от источника ИШ-1-32 в расчётной точке днём, дБ		**ф-ла(3)[10]**	**68,7**	**63,3**	**54,1**	**46,3**	**47,4**	**53**	**53,7**	**45,4**	**19,4**	**57,7**	**57,7**
Уровни звукового давления от источника ИШ-1-32 в расчётной точке ночью, дБ		**ф-ла(3)[10]**	**0**	**0**	**0**	**0**	**0**	**0**	**0**	**0**	**0**	**0**	**0**
Источник шума: ИШ-1-33, координаты источника (x,y,z), м =[743.42,374.85,1.00]													
Уровни звуковой мощности источника днём, Lw, дБ		**исходные данные**	**0**	**88,7**	**90,1**	**93,1**	**96,4**	**103**	**112**	**108**	**99,2**		
Уровни звуковой мощности источника ночью, Lw, дБ		**исходные данные**	**0**	**0**	**0**	**0**	**0**	**0**	**0**	**0**	**0**		
Поправка на телесный угол DΩ, дБ	Ω = 6.28	10Lg(4π/Ω)	**3**	3	3	3	3	3	3	3	3		
Показатель направленности источника Di, дБ		исходные данные	**0**	0	0	0	0	0	0	0	0		
Поправка на направленность источника Dc, дБ	Dc	DΩ + Di	**3**	3	3	3	3	3	3	3	3		
Затухание из-за геометрической дивергенции, Adiv, дБ	расстояние = 145.11 м	ф-ла (7) [10]	**54,2**										
Коэффициент затухания звука в атмосфере α, дБ/км	Ta=20,°C Pa=101.33,кПа hотн.=70%	ф-ла (5) [9]	0,02	0,09	0,33	1,12	2,79	4,98	9,04	23,09	77,63		
Учет затухания звука в атмосфере Aatm, дБ		ф-ла (8) [10]	0	0	0	0,2	0,4	0,7	1,3	3,3	11,3		
Снижение поверхностью земли возле источника As, дБ	Gs = 0 hs = 1м	ф-лы таб.3 [10]	-1,5	-1,5	-1,5	-1,5	-1,5	-1,5	-1,5	-1,5	-1,5		
Снижение поверхностью земли возле приёмника Ar, дБ	Gr = 1 hr = 1.5м	ф-лы таб.3 [10]	-1,5	-1,5	0,9	6,6	4,7	0,6	0	0	0		
Снижение поверхностью земли в средней зоне, Am дБ	Gm = 1	ф-лы таб.3 [10]	-1,4	-1,4	0	0	0	0	0	0	0		

1		2	3	4	5	6	7	8	9	10	11	12	13
Суммарное снижение поверхностью земли на траектории распространения звука Agr, дБ		ф-ла (9) [10]	-4,4	-4,4	-0,6	5,1	3,2	-0,9	-1,5	-1,5	-1,5		
Уровни звукового давления от источника ИШ-1-33 в расчётной точке днём, дБ		**ф-ла(3)[10]**	**0**	**41,9**	**39,4**	**36,6**	**41,6**	**51,9**	**61**	**54,9**	**38,2**	**63,4**	**63,4**
Уровни звукового давления от источника ИШ-1-33 в расчётной точке ночью, дБ		**ф-ла(3)[10]**	**0**	**0**	**0**	**0**	**0**	**0**	**0**	**0**	**0**	**0**	**0**
Источник шума: ИШ-1-34, координаты источника (x,y,z), м =[1042.35,199.07,1.00]													
Уровни звуковой мощности источника днём, Lw, дБ		**исходные данные**	**0**	**88,7**	**90,1**	**93,1**	**96,4**	**103**	**112**	**108**	**99,2**		
Уровни звуковой мощности источника ночью, Lw, дБ		**исходные данные**	**0**	**0**	**0**	**0**	**0**	**0**	**0**	**0**	**0**		
Поправка на телесный угол DΩ, дБ	Ω = 6.28	10Lg(4π/Ω)	**3**	3	3	3	3	3	3	3	3		
Показатель направленности источника Di, дБ		исходные данные	**0**	0	0	0	0	0	0	0	0		
Поправка на направленность источника Dc, дБ	Dc	DΩ + Di	**3**	3	3	3	3	3	3	3	3		
Затухание из-за геометрической дивергенции, Adiv, дБ	расстояние = 418.19 м	ф-ла (7) [10]	**63,4**										
Коэффициент затухания звука в атмосфере α, дБ/км	Ta=20,°C Pa=101.33,кПа hотн.=70%	ф-ла (5) [9]	0,02	0,09	0,33	1,12	2,79	4,98	9,04	23,09	77,63		
Учет затухания звука в атмосфере Aatm, дБ		ф-ла (8) [10]	0	0	0,1	0,5	1,2	2,1	3,8	9,7	32,5		
Снижение поверхностью земли возле источника As, дБ	Gs = 0 hs = 1м	ф-лы таб.3 [10]	-1,5	-1,5	-1,5	-1,5	-1,5	-1,5	-1,5	-1,5	-1,5		
Снижение поверхностью земли возле приёмника Ar, дБ	Gr = 1 hr = 1.5м	ф-лы таб.3 [10]	-1,5	-1,5	2,5	7	5	0,7	0	0	0		
Снижение поверхностью земли в средней зоне, Am дБ	Gm = 1	ф-лы таб.3 [10]	-2,5	-2,5	0	0	0	0	0	0	0		
Суммарное снижение поверхностью земли на траектории распространения звука Agr, дБ		ф-ла (9) [10]	-5,5	-5,5	1	5,5	3,5	-0,8	-1,5	-1,5	-1,5		

1		2	3	4	5	6	7	8	9	10	11	12	13
Уровни звукового давления от источника ИШ-1-34 в расчётной точке днём, дБ		**ф-ла(3)[10]**	**0**	**33,7**	**28,6**	**26,7**	**31,3**	**41,3**	**49,3**	**39,4**	**7,8**	**51,4**	**51,4**
Уровни звукового давления от источника ИШ-1-34 в расчётной точке ночью, дБ		**ф-ла(3)[10]**	**0**	**0**	**0**	**0**	**0**	**0**	**0**	**0**	**0**	**0**	**0**
Источник шума: ИШ-2-1, координаты источника (x,y,z), м =[696.50,124.40,3.00]													
Уровни звуковой мощности источника днём, Lw, дБ		**исходные данные**	**105**	**104**	**104**	**101**	**102**	**106**	**101**	**95**	**87**		
Уровни звуковой мощности источника ночью, Lw, дБ		**исходные данные**	**105**	**104**	**104**	**101**	**102**	**106**	**101**	**95**	**87**		
Поправка на телесный угол DΩ, дБ	Ω = 6.28	10Lg(4π/Ω)	**3**	3	3	3	3	3	3	3	3		
Показатель направленности источника Di, дБ		исходные данные	**0**	0	0	0	0	0	0	0	0		
Поправка на направленность источника Dc, дБ	Dc	DΩ + Di	**3**	3	3	3	3	3	3	3	3		
Затухание из-за геометрической дивергенции, Adiv, дБ	расстояние = 399.91 м	ф-ла (7) [10]	**63**										
Коэффициент затухания звука в атмосфере α, дБ/км	Ta=20,°C Pa=101.33,кПа hотн.=70%	ф-ла (5) [9]	0,02	0,09	0,33	1,12	2,79	4,98	9,04	23,09	77,63		
Учет затухания звука в атмосфере Aatm, дБ		ф-ла (8) [10]	0	0	0,1	0,4	1,1	2	3,6	9,2	31		
Снижение поверхностью земли возле источника As, дБ	Gs = 0 hs = 3м	ф-лы таб.3 [10]	-1,5	-1,5	-1,5	-1,5	-1,5	-1,5	-1,5	-1,5	-1,5		
Снижение поверхностью земли возле приёмника Ar, дБ	Gr = 1 hr = 1.5м	ф-лы таб.3 [10]	-1,5	-1,5	2,4	7	5	0,7	0	0	0		
Снижение поверхностью земли в средней зоне, Am дБ	Gm = 1	ф-лы таб.3 [10]	-2	-2	0	0	0	0	0	0	0		
Суммарное снижение поверхностью земли на траектории распространения звука Agr, дБ		ф-ла (9) [10]	-5	-5	0,9	5,5	3,5	-0,8	-1,5	-1,5	-1,5		
Уровни звукового давления прямого звука от источника ИШ-2-1 в расчётной точке днём, дБ		**ф-ла(3)[10]**	**50**	**48,9**	**43**	**35**	**37,4**	**44,8**	**38,9**	**27,2**	**0**	**46,5**	**46,5**

1		2	3	4	5	6	7	8	9	10	11	12	13
Уровни звукового давления прямого звука от источника ИШ-2-1 в расчётной точке ночью, дБ		**ф-ла(3)[10]**	**50**	**48,9**	**43**	**35**	**37,4**	**44,8**	**38,9**	**27,2**	**0**	**46,5**	**46,5**
Расчёт отражённого звука													
Уровни звукового давления от мнимого источника ИШ-2-1_мн.(1) в расчётной точке днём, дБ		**ф-ла(3)[10]**	**0**	**0**	**0**	**0**	**0**	**0**	**0**	**0**	**0**	**0**	**0**
Уровни звукового давления от мнимого источника ИШ-2-1_мн.(1) в расчётной точке ночью, дБ		**ф-ла(3)[10]**	**0**	**0**	**0**	**0**	**0**	**0**	**0**	**0**	**0**	**0**	**0**
Уровни звукового давления от источника ИШ-2-1 в расчётной точке днём, дБ		**ф-ла(3)[10]**	**50**	**48,9**	**43**	**35**	**37,4**	**44,8**	**38,9**	**27,2**	**0**	**46,5**	**46,5**
Уровни звукового давления от источника ИШ-2-1 в расчётной точке ночью, дБ		**ф-ла(3)[10]**	**50**	**48,9**	**43**	**35**	**37,4**	**44,8**	**38,9**	**27,2**	**0**	**46,5**	**46,5**
Источник шума: ИШ-2-2, координаты источника (x,y,z), м =[682.20,81.60,3.00]													
Уровни звуковой мощности источника днём, Lw, дБ		**исходные данные**	**105**	**104**	**104**	**101**	**102**	**106**	**101**	**95**	**87**		
Уровни звуковой мощности источника ночью, Lw, дБ		**исходные данные**	**105**	**104**	**104**	**101**	**102**	**106**	**101**	**95**	**87**		
Поправка на телесный угол DΩ, дБ	Ω = 6.28	10Lg(4π/Ω)	**3**	3	3	3	3	3	3	3	3		
Показатель направленности источника Di, дБ		исходные данные	**0**	0	0	0	0	0	0	0	0		
Поправка на направленность источника Dc, дБ	Dc	DΩ + Di	**3**	3	3	3	3	3	3	3	3		
Затухание из-за геометрической дивергенции, Adiv, дБ	расстояние = 444.67 м	ф-ла (7) [10]	**64**										
Коэффициент затухания звука в атмосфере α, дБ/км	Ta=20,°C Pa=101.33,кПа hотн.=70%	ф-ла (5) [9]	0,02	0,09	0,33	1,12	2,79	4,98	9,04	23,09	77,63		
Учет затухания звука в атмосфере Aatm, дБ		ф-ла (8) [10]	0	0	0,1	0,5	1,2	2,2	4	10,3	34,5		
Снижение поверхностью земли возле источника As, дБ	Gs = 0 hs = 3м	ф-лы таб.3 [10]	-1,5	-1,5	-1,5	-1,5	-1,5	-1,5	-1,5	-1,5	-1,5		

1		2	3	4	5	6	7	8	9	10	11	12	13
Снижение поверхностью земли возле приёмника Ar, дБ	Gr = 1 hr = 1.5м	ф-лы таб.3 [10]	-1,5	-1,5	2,7	7	5	0,7	0	0	0		
Снижение поверхностью земли в средней зоне, Am дБ	Gm = 1	ф-лы таб.3 [10]	-2,1	-2,1	0	0	0	0	0	0	0		
Суммарное снижение поверхностью земли на траектории распространения звука Agr, дБ		ф-ла (9) [10]	-5,1	-5,1	1,2	5,5	3,5	-0,8	-1,5	-1,5	-1,5		
Уровни звукового давления прямого звука от источника ИШ-2-2 в расчётной точке днём, дБ		**ф-ла(3)[10]**	**49,1**	**48,1**	**41,7**	**34**	**36,3**	**43,7**	**37,5**	**25,3**	**0**	**45,3**	**45,3**
Уровни звукового давления прямого звука от источника ИШ-2-2 в расчётной точке ночью, дБ		**ф-ла(3)[10]**	**49,1**	**48,1**	**41,7**	**34**	**36,3**	**43,7**	**37,5**	**25,3**	**0**	**45,3**	**45,3**
Расчёт отражённого звука													
Уровни звукового давления от мнимого источника ИШ-2-2_мн.(1) в расчётной точке днём, дБ		**ф-ла(3)[10]**	**0**	**0**	**0**	**0**	**0**	**0**	**0**	**0**	**0**	**0**	**0**
Уровни звукового давления от мнимого источника ИШ-2-2_мн.(1) в расчётной точке ночью, дБ		**ф-ла(3)[10]**	**0**	**0**	**0**	**0**	**0**	**0**	**0**	**0**	**0**	**0**	**0**
Уровни звукового давления от источника ИШ-2-2 в расчётной точке днём, дБ		**ф-ла(3)[10]**	**49,1**	**48,1**	**41,7**	**34**	**36,3**	**43,7**	**37,5**	**25,3**	**0**	**45,3**	**45,3**
Уровни звукового давления от источника ИШ-2-2 в расчётной точке ночью, дБ		**ф-ла(3)[10]**	**49,1**	**48,1**	**41,7**	**34**	**36,3**	**43,7**	**37,5**	**25,3**	**0**	**45,3**	**45,3**
Источник шума: ИШ-2-3, координаты источника (x,y,z), м =[667.80,38.90,3.00]													
Уровни звуковой мощности источника днём, Lw, дБ		**исходные данные**	**105**	**104**	**104**	**101**	**102**	**106**	**101**	**95**	**87**		
Уровни звуковой мощности источника ночью, Lw, дБ		**исходные данные**	**105**	**104**	**104**	**101**	**102**	**106**	**101**	**95**	**87**		
Поправка на телесный угол DΩ, дБ	Ω = 6.28	10Lg(4π/Ω)	**3**	3	3	3	3	3	3	3	3		
Показатель направленности источника Di, дБ		исходные данные	**0**	0	0	0	0	0	0	0	0		
Поправка на направленность источника Dc, дБ	Dc	DΩ + Di	**3**	3	3	3	3	3	3	3	3		
Затухание из-за геометрической дивергенции, Adiv, дБ	расстояние = 489.42 м	ф-ла (7) [10]	**64,8**										

1		2	3	4	5	6	7	8	9	10	11	12	13
Коэффициент затухания звука в атмосфере α, дБ/км	Та=20,°С Ра=101.33,кПа hотн.=70%	ф-ла (5) [9]	0,02	0,09	0,33	1,12	2,79	4,98	9,04	23,09	77,63		
Учет затухания звука в атмосфере Aatm, дБ		ф-ла (8) [10]	0	0	0,2	0,6	1,4	2,4	4,4	11,3	38		
Снижение поверхностью земли возле источника As, дБ	Gs = 0 hs = 3м	ф-лы таб.3 [10]	-1,5	-1,5	-1,5	-1,5	-1,5	-1,5	-1,5	-1,5	-1,5		
Снижение поверхностью земли возле приёмника Ar, дБ	Gr = 1 hr = 1.5м	ф-лы таб.3 [10]	-1,5	-1,5	3	7	5	0,7	0	0	0		
Снижение поверхностью земли в средней зоне, Am дБ	Gm = 1	ф-лы таб.3 [10]	-2,2	-2,2	0	0	0	0	0	0	0		
Суммарное снижение поверхностью земли на траектории распространения звука Agr, дБ		ф-ла (9) [10]	-5,2	-5,2	1,5	5,5	3,5	-0,8	-1,5	-1,5	-1,5		
Уровни звукового давления прямого звука от источника ИШ-2-3 в расчётной точке днём, дБ		**ф-ла(3)[10]**	**48,4**	**47,3**	**40,6**	**33,1**	**35,4**	**42,6**	**36,3**	**23,4**	**0**	**44,2**	**44,2**
Уровни звукового давления прямого звука от источника ИШ-2-3 в расчётной точке ночью, дБ		**ф-ла(3)[10]**	**48,4**	**47,3**	**40,6**	**33,1**	**35,4**	**42,6**	**36,3**	**23,4**	**0**	**44,2**	**44,2**
Расчёт отражённого звука													
Уровни звукового давления от мнимого источника ИШ-2-3_мн.(1) в расчётной точке днём, дБ		**ф-ла(3)[10]**	**0**	**0**	**0**	**0**	**0**	**0**	**0**	**0**	**0**	**0**	**0**
Уровни звукового давления от мнимого источника ИШ-2-3_мн.(1) в расчётной точке ночью, дБ		**ф-ла(3)[10]**	**0**	**0**	**0**	**0**	**0**	**0**	**0**	**0**	**0**	**0**	**0**
Уровни звукового давления от источника ИШ-2-3 в расчётной точке днём, дБ		**ф-ла(3)[10]**	**48,4**	**47,3**	**40,6**	**33,1**	**35,4**	**42,6**	**36,3**	**23,4**	**0**	**44,2**	**44,2**
Уровни звукового давления от источника ИШ-2-3 в расчётной точке ночью, дБ		**ф-ла(3)[10]**	**48,4**	**47,3**	**40,6**	**33,1**	**35,4**	**42,6**	**36,3**	**23,4**	**0**	**44,2**	**44,2**
Источник шума: ИШ-2-6, координаты источника (x,y,z), м =[765.97,112.43,1.00]													
Уровни звуковой мощности источника днём, Lw, дБ		**исходные данные**	**0**	**93,3**	**94,7**	**96**	**96,3**	**95,9**	**92,6**	**88,4**	**83,9**		
Уровни звуковой мощности источника ночью, Lw, дБ		**исходные данные**	**0**	**93,3**	**94,7**	**96**	**96,3**	**95,9**	**92,6**	**88,4**	**83,9**		

1		2	3	4	5	6	7	8	9	10	11	12	13
Поправка на телесный угол DΩ, дБ	Ω = 6.28	10Lg(4π/Ω)	**3**	3	3	3	3	3	3	3	3		
Показатель направленности источника Di, дБ		исходные данные	**0**	0	0	0	0	0	0	0	0		
Поправка на направленность источника Dc, дБ	Dc	DΩ + Di	**3**	3	3	3	3	3	3	3	3		
Затухание из-за геометрической дивергенции, Adiv, дБ	расстояние = 404.90 м	ф-ла (7) [10]	**63,1**										
Коэффициент затухания звука в атмосфере α, дБ/км	Ta=20,°C Pa=101.33,кПа hотн.=70%	ф-ла (5) [9]	0,02	0,09	0,33	1,12	2,79	4,98	9,04	23,09	77,63		
Учет затухания звука в атмосфере Aatm, дБ		ф-ла (8) [10]	0	0	0,1	0,5	1,1	2	3,7	9,3	31,4		
Снижение поверхностью земли возле источника As, дБ	Gs = 0 hs = 1м	ф-лы таб.3 [10]	-1,5	-1,5	-1,5	-1,5	-1,5	-1,5	-1,5	-1,5	-1,5		
Снижение поверхностью земли возле приёмника Ar, дБ	Gr = 1 hr = 1.5м	ф-лы таб.3 [10]	-1,5	-1,5	2,4	7	5	0,7	0	0	0		
Снижение поверхностью земли в средней зоне, Am дБ	Gm = 1	ф-лы таб.3 [10]	-2,4	-2,4	0	0	0	0	0	0	0		
Суммарное снижение поверхностью земли на траектории распространения звука Agr, дБ		ф-ла (9) [10]	-5,4	-5,4	0,9	5,5	3,5	-0,8	-1,5	-1,5	-1,5		
Уровни звукового давления от источника ИШ-2-6 в расчётной точке днём, дБ		**ф-ла(3)[10]**	**0**	**38,6**	**33,5**	**29,9**	**31,5**	**34,6**	**30,3**	**20,4**	**0**	**37,2**	**37,2**
Уровни звукового давления от источника ИШ-2-6 в расчётной точке ночью, дБ		**ф-ла(3)[10]**	**0**	**38,6**	**33,5**	**29,9**	**31,5**	**34,6**	**30,3**	**20,4**	**0**	**37,2**	**37,2**
Источник шума: ИШ-2-7, координаты источника (x,y,z), м =[764.91,109.54,1.00]													
Уровни звуковой мощности источника днём, Lw, дБ		**исходные данные**	**0**	**93,3**	**94,7**	**96**	**96,3**	**95,9**	**92,6**	**88,4**	**83,9**		
Уровни звуковой мощности источника ночью, Lw, дБ		**исходные данные**	**0**	**93,3**	**94,7**	**96**	**96,3**	**95,9**	**92,6**	**88,4**	**83,9**		
Поправка на телесный угол DΩ, дБ	Ω = 6.28	10Lg(4π/Ω)	**3**	3	3	3	3	3	3	3	3		

1		2	3	4	5	6	7	8	9	10	11	12	13
Показатель направленности источника Di, дБ		исходные данные	**0**	0	0	0	0	0	0	0	0		
Поправка на направленность источника Dc, дБ	Dc	DΩ + Di	**3**	3	3	3	3	3	3	3	3		
Затухание из-за геометрической дивергенции, Adiv, дБ	расстояние = 407.81 м	ф-ла (7) [10]	**63,2**										
Коэффициент затухания звука в атмосфере α, дБ/км	Ta=20,°C Pa=101.33,кПа hотн.=70%	ф-ла (5) [9]	0,02	0,09	0,33	1,12	2,79	4,98	9,04	23,09	77,63		
Учет затухания звука в атмосфере Aatm, дБ		ф-ла (8) [10]	0	0	0,1	0,5	1,1	2	3,7	9,4	31,7		
Снижение поверхностью земли возле источника As, дБ	Gs = 0 hs = 1м	ф-лы таб.3 [10]	-1,5	-1,5	-1,5	-1,5	-1,5	-1,5	-1,5	-1,5	-1,5		
Снижение поверхностью земли возле приёмника Ar, дБ	Gr = 1 hr = 1.5м	ф-лы таб.3 [10]	-1,5	-1,5	2,4	7	5	0,7	0	0	0		
Снижение поверхностью земли в средней зоне, Am дБ	Gm = 1	ф-лы таб.3 [10]	-2,4	-2,4	0	0	0	0	0	0	0		
Суммарное снижение поверхностью земли на траектории распространения звука Agr, дБ		ф-ла (9) [10]	-5,4	-5,4	0,9	5,5	3,5	-0,8	-1,5	-1,5	-1,5		
Уровни звукового давления от источника ИШ-2-7 в расчётной точке днём, дБ		**ф-ла(3)[10]**	**0**	**38,5**	**33,4**	**29,8**	**31,5**	**34,5**	**30,2**	**20,3**	**0**	**37,2**	**37,2**
Уровни звукового давления от источника ИШ-2-7 в расчётной точке ночью, дБ		**ф-ла(3)[10]**	**0**	**38,5**	**33,4**	**29,8**	**31,5**	**34,5**	**30,2**	**20,3**	**0**	**37,2**	**37,2**
Источник шума: ИШ-2-8, координаты источника (x,y,z), м =[764.03,106.58,1.00]													
Уровни звуковой мощности источника днём, Lw, дБ		**исходные данные**	**0**	**93,3**	**94,7**	**96**	**96,3**	**95,9**	**92,6**	**88,4**	**83,9**		
Уровни звуковой мощности источника ночью, Lw, дБ		**исходные данные**	**0**	**93,3**	**94,7**	**96**	**96,3**	**95,9**	**92,6**	**88,4**	**83,9**		
Поправка на телесный угол DΩ, дБ	Ω = 6.28	10Lg(4π/Ω)	**3**	3	3	3	3	3	3	3	3		
Показатель направленности источника Di, дБ		исходные данные	**0**	0	0	0	0	0	0	0	0		

1		2	3	4	5	6	7	8	9	10	11	12	13
Поправка на направленность источника Dc, дБ	Dc	DΩ + Di	**3**	3	3	3	3	3	3	3	3		
Затухание из-за геометрической дивергенции, Adiv, дБ	расстояние = 410.79 м	ф-ла (7) [10]	**63,3**										
Коэффициент затухания звука в атмосфере α, дБ/км	Ta=20,°C Pa=101.33,кПа hотн.=70%	ф-ла (5) [9]	0,02	0,09	0,33	1,12	2,79	4,98	9,04	23,09	77,63		
Учет затухания звука в атмосфере Aatm, дБ		ф-ла (8) [10]	0	0	0,1	0,5	1,1	2	3,7	9,5	31,9		
Снижение поверхностью земли возле источника As, дБ	Gs = 0 hs = 1м	ф-лы таб.3 [10]	-1,5	-1,5	-1,5	-1,5	-1,5	-1,5	-1,5	-1,5	-1,5		
Снижение поверхностью земли возле приёмника Ar, дБ	Gr = 1 hr = 1.5м	ф-лы таб.3 [10]	-1,5	-1,5	2,4	7	5	0,7	0	0	0		
Снижение поверхностью земли в средней зоне, Am дБ	Gm = 1	ф-лы таб.3 [10]	-2,5	-2,5	0	0	0	0	0	0	0		
Суммарное снижение поверхностью земли на траектории распространения звука Agr, дБ		ф-ла (9) [10]	-5,5	-5,5	0,9	5,5	3,5	-0,8	-1,5	-1,5	-1,5		
Уровни звукового давления от источника ИШ-2-8 в расчётной точке днём, дБ		**ф-ла(3)[10]**	**0**	**38,4**	**33,3**	**29,7**	**31,4**	**34,4**	**30,1**	**20,1**	**0**	**37,1**	**37,1**
Уровни звукового давления от источника ИШ-2-8 в расчётной точке ночью, дБ		**ф-ла(3)[10]**	**0**	**38,4**	**33,3**	**29,7**	**31,4**	**34,4**	**30,1**	**20,1**	**0**	**37,1**	**37,1**
Источник шума: ИШ-2-9, координаты источника (x,y,z), м =[763.26,103.71,1.00]													
Уровни звуковой мощности источника днём, Lw, дБ		**исходные данные**	**0**	**93,3**	**94,7**	**96**	**96,3**	**95,9**	**92,6**	**88,4**	**83,9**		
Уровни звуковой мощности источника ночью, Lw, дБ		**исходные данные**	**0**	**93,3**	**94,7**	**96**	**96,3**	**95,9**	**92,6**	**88,4**	**83,9**		
Поправка на телесный угол DΩ, дБ	Ω = 6.28	10Lg(4π/Ω)	**3**	3	3	3	3	3	3	3	3		
Показатель направленности источника Di, дБ		исходные данные	**0**	0	0	0	0	0	0	0	0		
Поправка на направленность источника Dc, дБ	Dc	DΩ + Di	**3**	3	3	3	3	3	3	3	3		

1		2	3	4	5	6	7	8	9	10	11	12	13
Затухание из-за геометрической дивергенции, Adiv, дБ	расстояние = 413.66 м	ф-ла (7) [10]	**63,3**										
Коэффициент затухания звука в атмосфере α, дБ/км	Ta=20,°C Pa=101.33,кПа hотн.=70%	ф-ла (5) [9]	0,02	0,09	0,33	1,12	2,79	4,98	9,04	23,09	77,63		
Учет затухания звука в атмосфере Aatm, дБ		ф-ла (8) [10]	0	0	0,1	0,5	1,2	2,1	3,7	9,5	32,1		
Снижение поверхностью земли возле источника As, дБ	Gs = 0 hs = 1м	ф-лы таб.3 [10]	-1,5	-1,5	-1,5	-1,5	-1,5	-1,5	-1,5	-1,5	-1,5		
Снижение поверхностью земли возле приёмника Ar, дБ	Gr = 1 hr = 1.5м	ф-лы таб.3 [10]	-1,5	-1,5	2,5	7	5	0,7	0	0	0		
Снижение поверхностью земли в средней зоне, Am дБ	Gm = 1	ф-лы таб.3 [10]	-2,5	-2,5	0	0	0	0	0	0	0		
Суммарное снижение поверхностью земли на траектории распространения звука Agr, дБ		ф-ла (9) [10]	-5,5	-5,5	1	5,5	3,5	-0,8	-1,5	-1,5	-1,5		
Уровни звукового давления от источника ИШ-2-9 в расчётной точке днём, дБ		**ф-ла(3)[10]**	**0**	**38,4**	**33,3**	**29,7**	**31,3**	**34,3**	**30**	**20**	**0**	**37**	**37**
Уровни звукового давления от источника ИШ-2-9 в расчётной точке ночью, дБ		**ф-ла(3)[10]**	**0**	**38,4**	**33,3**	**29,7**	**31,3**	**34,3**	**30**	**20**	**0**	**37**	**37**
Источник шума: ИШ-2-10, координаты источника (x,y,z), м =[762.14,100.75,1.00]													
Уровни звуковой мощности источника днём, Lw, дБ		**исходные данные**	**0**	**93,3**	**94,7**	**96**	**96,3**	**95,9**	**92,6**	**88,4**	**83,9**		
Уровни звуковой мощности источника ночью, Lw, дБ		**исходные данные**	**0**	**93,3**	**94,7**	**96**	**96,3**	**95,9**	**92,6**	**88,4**	**83,9**		
Поправка на телесный угол DΩ, дБ	Ω = 6.28	10Lg(4π/Ω)	**3**	3	3	3	3	3	3	3	3		
Показатель направленности источника Di, дБ		исходные данные	**0**	0	0	0	0	0	0	0	0		
Поправка на направленность источника Dc, дБ	Dc	DΩ + Di	**3**	3	3	3	3	3	3	3	3		
Затухание из-за геометрической дивергенции, Adiv, дБ	расстояние = 416.65 м	ф-ла (7) [10]	**63,4**										

1		2	3	4	5	6	7	8	9	10	11	12	13
Коэффициент затухания звука в атмосфере α, дБ/км	Ta=20,°C Pa=101.33,кПа hотн.=70%	ф-ла (5) [9]	0,02	0,09	0,33	1,12	2,79	4,98	9,04	23,09	77,63		
Учет затухания звука в атмосфере Aatm, дБ		ф-ла (8) [10]	0	0	0,1	0,5	1,2	2,1	3,8	9,6	32,3		
Снижение поверхностью земли возле источника As, дБ	Gs = 0 hs = 1м	ф-лы таб.3 [10]	-1,5	-1,5	-1,5	-1,5	-1,5	-1,5	-1,5	-1,5	-1,5		
Снижение поверхностью земли возле приёмника Ar, дБ	Gr = 1 hr = 1.5м	ф-лы таб.3 [10]	-1,5	-1,5	2,5	7	5	0,7	0	0	0		
Снижение поверхностью земли в средней зоне, Am дБ	Gm = 1	ф-лы таб.3 [10]	-2,5	-2,5	0	0	0	0	0	0	0		
Суммарное снижение поверхностью земли на траектории распространения звука Agr, дБ		ф-ла (9) [10]	-5,5	-5,5	1	5,5	3,5	-0,8	-1,5	-1,5	-1,5		
Уровни звукового давления от источника ИШ-2-10 в расчётной точке днём, дБ		**ф-ла(3)[10]**	**0**	**38,3**	**33,2**	**29,6**	**31,3**	**34,3**	**29,9**	**19,9**	**0**	**36,9**	**36,9**
Уровни звукового давления от источника ИШ-2-10 в расчётной точке ночью, дБ		**ф-ла(3)[10]**	**0**	**38,3**	**33,2**	**29,6**	**31,3**	**34,3**	**29,9**	**19,9**	**0**	**36,9**	**36,9**
Источник шума: ИШ-2-11, координаты источника (x,y,z), м =[761.13,97.90,1.00]													
Уровни звуковой мощности источника днём, Lw, дБ		**исходные данные**	**0**	**93,3**	**94,7**	**96**	**96,3**	**95,9**	**92,6**	**88,4**	**83,9**		
Уровни звуковой мощности источника ночью, Lw, дБ		**исходные данные**	**0**	**93,3**	**94,7**	**96**	**96,3**	**95,9**	**92,6**	**88,4**	**83,9**		
Поправка на телесный угол DΩ, дБ	Ω = 6.28	10Lg(4π/Ω)	**3**	3	3	3	3	3	3	3	3		
Показатель направленности источника Di, дБ		исходные данные	**0**	0	0	0	0	0	0	0	0		
Поправка на направленность источника Dc, дБ	Dc	DΩ + Di	**3**	3	3	3	3	3	3	3	3		
Затухание из-за геометрической дивергенции, Adiv, дБ	расстояние = 419.52 м	ф-ла (7) [10]	**63,5**										
Коэффициент затухания звука в атмосфере α, дБ/км	Ta=20,°C Pa=101.33,кПа hотн.=70%	ф-ла (5) [9]	0,02	0,09	0,33	1,12	2,79	4,98	9,04	23,09	77,63		

1		2	3	4	5	6	7	8	9	10	11	12	13
Учет затухания звука в атмосфере Aatm, дБ		ф-ла (8) [10]	0	0	0,1	0,5	1,2	2,1	3,8	9,7	32,6		
Снижение поверхностью земли возле источника As, дБ	Gs = 0 hs = 1м	ф-лы таб.3 [10]	-1,5	-1,5	-1,5	-1,5	-1,5	-1,5	-1,5	-1,5	-1,5		
Снижение поверхностью земли возле приёмника Ar, дБ	Gr = 1 hr = 1.5м	ф-лы таб.3 [10]	-1,5	-1,5	2,5	7	5	0,7	0	0	0		
Снижение поверхностью земли в средней зоне, Am дБ	Gm = 1	ф-лы таб.3 [10]	-2,5	-2,5	0	0	0	0	0	0	0		
Суммарное снижение поверхностью земли на траектории распространения звука Agr, дБ		ф-ла (9) [10]	-5,5	-5,5	1	5,5	3,5	-0,8	-1,5	-1,5	-1,5		
Уровни звукового давления от источника ИШ-2-11 в расчётной точке днём, дБ		**ф-ла(3)[10]**	**0**	**38,3**	**33,1**	**29,5**	**31,2**	**34,2**	**29,8**	**19,8**	**0**	**36,8**	**36,8**
Уровни звукового давления от источника ИШ-2-11 в расчётной точке ночью, дБ		**ф-ла(3)[10]**	**0**	**38,3**	**33,1**	**29,5**	**31,2**	**34,2**	**29,8**	**19,8**	**0**	**36,8**	**36,8**
Источник шума: ИШ-2-12, координаты источника (x,y,z), м =[760.25,95.02,1.00]													
Уровни звуковой мощности источника днём, Lw, дБ		**исходные данные**	**0**	**93,3**	**94,7**	**96**	**96,3**	**95,9**	**92,6**	**88,4**	**83,9**		
Уровни звуковой мощности источника ночью, Lw, дБ		**исходные данные**	**0**	**93,3**	**94,7**	**96**	**96,3**	**95,9**	**92,6**	**88,4**	**83,9**		
Поправка на телесный угол DΩ, дБ	Ω = 6.28	10Lg(4π/Ω)	**3**	3	3	3	3	3	3	3	3		
Показатель направленности источника Di, дБ		исходные данные	**0**	0	0	0	0	0	0	0	0		
Поправка на направленность источника Dc, дБ	Dc	DΩ + Di	**3**	3	3	3	3	3	3	3	3		
Затухание из-за геометрической дивергенции, Adiv, дБ	расстояние = 422.42 м	ф-ла (7) [10]	**63,5**										
Коэффициент затухания звука в атмосфере α, дБ/км	Ta=20,°C Pa=101.33,кПа hотн.=70%	ф-ла (5) [9]	0,02	0,09	0,33	1,12	2,79	4,98	9,04	23,09	77,63		
Учет затухания звука в атмосфере Aatm, дБ		ф-ла (8) [10]	0	0	0,1	0,5	1,2	2,1	3,8	9,8	32,8		

1		2	3	4	5	6	7	8	9	10	11	12	13
Снижение поверхностью земли возле источника As, дБ	Gs = 0 hs = 1м	ф-лы таб.3 [10]	-1,5	-1,5	-1,5	-1,5	-1,5	-1,5	-1,5	-1,5	-1,5		
Снижение поверхностью земли возле приёмника Ar, дБ	Gr = 1 hr = 1.5м	ф-лы таб.3 [10]	-1,5	-1,5	2,5	7	5	0,7	0	0	0		
Снижение поверхностью земли в средней зоне, Am дБ	Gm = 1	ф-лы таб.3 [10]	-2,5	-2,5	0	0	0	0	0	0	0		
Суммарное снижение поверхностью земли на траектории распространения звука Agr, дБ		ф-ла (9) [10]	-5,5	-5,5	1	5,5	3,5	-0,8	-1,5	-1,5	-1,5		
Уровни звукового давления от источника ИШ-2-12 в расчётной точке днём, дБ		**ф-ла(3)[10]**	**0**	**38,2**	**33**	**29,5**	**31,1**	**34,1**	**29,8**	**19,6**	**0**	**36,8**	**36,8**
Уровни звукового давления от источника ИШ-2-12 в расчётной точке ночью, дБ		**ф-ла(3)[10]**	**0**	**38,2**	**33**	**29,5**	**31,1**	**34,1**	**29,8**	**19,6**	**0**	**36,8**	**36,8**
Источник шума: ИШ-2-13, координаты источника (x,y,z), м =[759.28,92.25,1.00]													
Уровни звуковой мощности источника днём, Lw, дБ		**исходные данные**	**0**	**93,3**	**94,7**	**96**	**96,3**	**95,9**	**92,6**	**88,4**	**83,9**		
Уровни звуковой мощности источника ночью, Lw, дБ		**исходные данные**	**0**	**93,3**	**94,7**	**96**	**96,3**	**95,9**	**92,6**	**88,4**	**83,9**		
Поправка на телесный угол DΩ, дБ	Ω = 6.28	10Lg(4π/Ω)	**3**	3	3	3	3	3	3	3	3		
Показатель направленности источника Di, дБ		исходные данные	**0**	0	0	0	0	0	0	0	0		
Поправка на направленность источника Dc, дБ	Dc	DΩ + Di	**3**	3	3	3	3	3	3	3	3		
Затухание из-за геометрической дивергенции, Adiv, дБ	расстояние = 425.21 м	ф-ла (7) [10]	**63,6**										
Коэффициент затухания звука в атмосфере α, дБ/км	Ta=20,°C Pa=101.33,кПа hотн.=70%	ф-ла (5) [9]	0,02	0,09	0,33	1,12	2,79	4,98	9,04	23,09	77,63		
Учет затухания звука в атмосфере Aatm, дБ		ф-ла (8) [10]	0	0	0,1	0,5	1,2	2,1	3,8	9,8	33		
Снижение поверхностью земли возле источника As, дБ	Gs = 0 hs = 1м	ф-лы таб.3 [10]	-1,5	-1,5	-1,5	-1,5	-1,5	-1,5	-1,5	-1,5	-1,5		

1		2	3	4	5	6	7	8	9	10	11	12	13
Снижение поверхностью земли возле приёмника Ar, дБ	Gr = 1 hr = 1.5м	ф-лы таб.3 [10]	-1,5	-1,5	2,5	7	5	0,7	0	0	0		
Снижение поверхностью земли в средней зоне, Am дБ	Gm = 1	ф-лы таб.3 [10]	-2,5	-2,5	0	0	0	0	0	0	0		
Суммарное снижение поверхностью земли на траектории распространения звука Agr, дБ		ф-ла (9) [10]	-5,5	-5,5	1	5,5	3,5	-0,8	-1,5	-1,5	-1,5		
Уровни звукового давления от источника ИШ-2-13 в расчётной точке днём, дБ		**ф-ла(3)[10]**	**0**	**38,2**	**32,9**	**29,4**	**31,1**	**34**	**29,7**	**19,5**	**0**	**36,7**	**36,7**
Уровни звукового давления от источника ИШ-2-13 в расчётной точке ночью, дБ		**ф-ла(3)[10]**	**0**	**38,2**	**32,9**	**29,4**	**31,1**	**34**	**29,7**	**19,5**	**0**	**36,7**	**36,7**
Источник шума: ИШ-2-14, координаты источника (x,y,z), м =[751.62,69.73,1.00]													
Уровни звуковой мощности источника днём, Lw, дБ		**исходные данные**	**0**	**93,3**	**94,7**	**96**	**96,3**	**95,9**	**92,6**	**88,4**	**83,9**		
Уровни звуковой мощности источника ночью, Lw, дБ		**исходные данные**	**0**	**93,3**	**94,7**	**96**	**96,3**	**95,9**	**92,6**	**88,4**	**83,9**		
Поправка на телесный угол DΩ, дБ	Ω = 6.28	10Lg(4π/Ω)	**3**	3	3	3	3	3	3	3	3		
Показатель направленности источника Di, дБ		исходные данные	**0**	0	0	0	0	0	0	0	0		
Поправка на направленность источника Dc, дБ	Dc	DΩ + Di	**3**	3	3	3	3	3	3	3	3		
Затухание из-за геометрической дивергенции, Adiv, дБ	расстояние = 447.99 м	ф-ла (7) [10]	**64**										
Коэффициент затухания звука в атмосфере α, дБ/км	Ta=20,°C Pa=101.33,кПа hотн.=70%	ф-ла (5) [9]	0,02	0,09	0,33	1,12	2,79	4,98	9,04	23,09	77,63		
Учет затухания звука в атмосфере Aatm, дБ		ф-ла (8) [10]	0	0	0,2	0,5	1,3	2,2	4	10,3	34,8		
Снижение поверхностью земли возле источника As, дБ	Gs = 0 hs = 1м	ф-лы таб.3 [10]	-1,5	-1,5	-1,5	-1,5	-1,5	-1,5	-1,5	-1,5	-1,5		
Снижение поверхностью земли возле приёмника Ar, дБ	Gr = 1 hr = 1.5м	ф-лы таб.3 [10]	-1,5	-1,5	2,7	7	5	0,7	0	0	0		

1		2	3	4	5	6	7	8	9	10	11	12	13
Снижение поверхностью земли в средней зоне, Am дБ	Gm = 1	ф-лы таб.3 [10]	-2,5	-2,5	0	0	0	0	0	0	0		
Суммарное снижение поверхностью земли на траектории распространения звука Agr, дБ		ф-ла (9) [10]	-5,5	-5,5	1,2	5,5	3,5	-0,8	-1,5	-1,5	-1,5		
Уровни звукового давления от источника ИШ-2-14 в расчётной точке днём, дБ		**ф-ла(3)[10]**	**0**	**37,7**	**32,3**	**28,9**	**30,5**	**33,5**	**29**	**18,5**	**0**	**36,1**	**36,1**
Уровни звукового давления от источника ИШ-2-14 в расчётной точке ночью, дБ		**ф-ла(3)[10]**	**0**	**37,7**	**32,3**	**28,9**	**30,5**	**33,5**	**29**	**18,5**	**0**	**36,1**	**36,1**
Источник шума: ИШ-2-15, координаты источника (x,y,z), м =[750.74,66.89,1.00]													
Уровни звуковой мощности источника днём, Lw, дБ		**исходные данные**	**0**	**93,3**	**94,7**	**96**	**96,3**	**95,9**	**92,6**	**88,4**	**83,9**		
Уровни звуковой мощности источника ночью, Lw, дБ		**исходные данные**	**0**	**93,3**	**94,7**	**96**	**96,3**	**95,9**	**92,6**	**88,4**	**83,9**		
Поправка на телесный угол DΩ, дБ	Ω = 6.28	10Lg(4π/Ω)	**3**	3	3	3	3	3	3	3	3		
Показатель направленности источника Di, дБ		исходные данные	**0**	0	0	0	0	0	0	0	0		
Поправка на направленность источника Dc, дБ	Dc	DΩ + Di	**3**	3	3	3	3	3	3	3	3		
Затухание из-за геометрической дивергенции, Adiv, дБ	расстояние = 450.87 м	ф-ла (7) [10]	**64,1**										
Коэффициент затухания звука в атмосфере α, дБ/км	Ta=20,°C Pa=101.33,кПа hотн.=70%	ф-ла (5) [9]	0,02	0,09	0,33	1,12	2,79	4,98	9,04	23,09	77,63		
Учет затухания звука в атмосфере Aatm, дБ		ф-ла (8) [10]	0	0	0,2	0,5	1,3	2,2	4,1	10,4	35		
Снижение поверхностью земли возле источника As, дБ	Gs = 0 hs = 1м	ф-лы таб.3 [10]	-1,5	-1,5	-1,5	-1,5	-1,5	-1,5	-1,5	-1,5	-1,5		
Снижение поверхностью земли возле приёмника Ar, дБ	Gr = 1 hr = 1.5м	ф-лы таб.3 [10]	-1,5	-1,5	2,7	7	5	0,7	0	0	0		
Снижение поверхностью земли в средней зоне, Am дБ	Gm = 1	ф-лы таб.3 [10]	-2,5	-2,5	0	0	0	0	0	0	0		

1		2	3	4	5	6	7	8	9	10	11	12	13
Суммарное снижение поверхностью земли на траектории распространения звука Agr, дБ		ф-ла (9) [10]	-5,5	-5,5	1,2	5,5	3,5	-0,8	-1,5	-1,5	-1,5		
Уровни звукового давления от источника ИШ-2-15 в расчётной точке днём, дБ		**ф-ла(3)[10]**	**0**	**37,7**	**32,2**	**28,9**	**30,5**	**33,4**	**28,9**	**18,4**	**0**	**36**	**36**
Уровни звукового давления от источника ИШ-2-15 в расчётной точке ночью, дБ		**ф-ла(3)[10]**	**0**	**37,7**	**32,2**	**28,9**	**30,5**	**33,4**	**28,9**	**18,4**	**0**	**36**	**36**
Источник шума: ИШ-2-16, координаты источника (x,y,z), м =[749.73,64.02,1.00]													
Уровни звуковой мощности источника днём, Lw, дБ		**исходные данные**	**0**	**93,3**	**94,7**	**96**	**96,3**	**95,9**	**92,6**	**88,4**	**83,9**		
Уровни звуковой мощности источника ночью, Lw, дБ		**исходные данные**	**0**	**93,3**	**94,7**	**96**	**96,3**	**95,9**	**92,6**	**88,4**	**83,9**		
Поправка на телесный угол DΩ, дБ	Ω = 6.28	10Lg(4π/Ω)	**3**	3	3	3	3	3	3	3	3		
Показатель направленности источника Di, дБ		исходные данные	**0**	0	0	0	0	0	0	0	0		
Поправка на направленность источника Dc, дБ	Dc	DΩ + Di	**3**	3	3	3	3	3	3	3	3		
Затухание из-за геометрической дивергенции, Adiv, дБ	расстояние = 453.78 м	ф-ла (7) [10]	**64,1**										
Коэффициент затухания звука в атмосфере α, дБ/км	Ta=20,°C Pa=101.33,кПа hотн.=70%	ф-ла (5) [9]	0,02	0,09	0,33	1,12	2,79	4,98	9,04	23,09	77,63		
Учет затухания звука в атмосфере Aatm, дБ		ф-ла (8) [10]	0	0	0,2	0,5	1,3	2,3	4,1	10,5	35,2		
Снижение поверхностью земли возле источника As, дБ	Gs = 0 hs = 1м	ф-лы таб.3 [10]	-1,5	-1,5	-1,5	-1,5	-1,5	-1,5	-1,5	-1,5	-1,5		
Снижение поверхностью земли возле приёмника Ar, дБ	Gr = 1 hr = 1.5м	ф-лы таб.3 [10]	-1,5	-1,5	2,7	7	5	0,7	0	0	0		
Снижение поверхностью земли в средней зоне, Am дБ	Gm = 1	ф-лы таб.3 [10]	-2,5	-2,5	0	0	0	0	0	0	0		
Суммарное снижение поверхностью земли на траектории распространения звука Agr, дБ		ф-ла (9) [10]	-5,5	-5,5	1,2	5,5	3,5	-0,8	-1,5	-1,5	-1,5		

1		2	3	4	5	6	7	8	9	10	11	12	13
Уровни звукового давления от источника ИШ-2-16 в расчётной точке днём, дБ		**ф-ла(3)[10]**	**0**	**37,6**	**32,2**	**28,8**	**30,4**	**33,3**	**28,9**	**18,3**	**0**	**36**	**36**
Уровни звукового давления от источника ИШ-2-16 в расчётной точке ночью, дБ		**ф-ла(3)[10]**	**0**	**37,6**	**32,2**	**28,8**	**30,4**	**33,3**	**28,9**	**18,3**	**0**	**36**	**36**
Источник шума: ИШ-2-17, координаты источника (x,y,z), м =[748.87,61.06,1.00]													
Уровни звуковой мощности источника днём, Lw, дБ		**исходные данные**	**0**	**93,3**	**94,7**	**96**	**96,3**	**95,9**	**92,6**	**88,4**	**83,9**		
Уровни звуковой мощности источника ночью, Lw, дБ		**исходные данные**	**0**	**93,3**	**94,7**	**96**	**96,3**	**95,9**	**92,6**	**88,4**	**83,9**		
Поправка на телесный угол DΩ, дБ	Ω = 6.28	10Lg(4π/Ω)	**3**	3	3	3	3	3	3	3	3		
Показатель направленности источника Di, дБ		исходные данные	**0**	0	0	0	0	0	0	0	0		
Поправка на направленность источника Dc, дБ	Dc	DΩ + Di	**3**	3	3	3	3	3	3	3	3		
Затухание из-за геометрической дивергенции, Adiv, дБ	расстояние = 456.78 м	ф-ла (7) [10]	**64,2**										
Коэффициент затухания звука в атмосфере α, дБ/км	Ta=20,°C Pa=101.33,кПа hотн.=70%	ф-ла (5) [9]	0,02	0,09	0,33	1,12	2,79	4,98	9,04	23,09	77,63		
Учет затухания звука в атмосфере Aatm, дБ		ф-ла (8) [10]	0	0	0,2	0,5	1,3	2,3	4,1	10,5	35,5		
Снижение поверхностью земли возле источника As, дБ	Gs = 0 hs = 1м	ф-лы таб.3 [10]	-1,5	-1,5	-1,5	-1,5	-1,5	-1,5	-1,5	-1,5	-1,5		
Снижение поверхностью земли возле приёмника Ar, дБ	Gr = 1 hr = 1.5м	ф-лы таб.3 [10]	-1,5	-1,5	2,7	7	5	0,7	0	0	0		
Снижение поверхностью земли в средней зоне, Am дБ	Gm = 1	ф-лы таб.3 [10]	-2,5	-2,5	0	0	0	0	0	0	0		
Суммарное снижение поверхностью земли на траектории распространения звука Agr, дБ		ф-ла (9) [10]	-5,5	-5,5	1,2	5,5	3,5	-0,8	-1,5	-1,5	-1,5		
Уровни звукового давления от источника ИШ-2-17 в расчётной точке днём, дБ		**ф-ла(3)[10]**	**0**	**37,6**	**32,1**	**28,8**	**30,4**	**33,3**	**28,8**	**18,2**	**0**	**35,9**	**35,9**

1		2	3	4	5	6	7	8	9	10	11	12	13
Уровни звукового давления от источника ИШ-2-17 в расчётной точке ночью, дБ		**ф-ла(3)[10]**	**0**	**37,6**	**32,1**	**28,8**	**30,4**	**33,3**	**28,8**	**18,2**	**0**	**35,9**	**35,9**
Источник шума: ИШ-2-18, координаты источника (x,y,z), м =[747.72,58.17,1.00]													
Уровни звуковой мощности источника днём, Lw, дБ		**исходные данные**	**0**	**93,3**	**94,7**	**96**	**96,3**	**95,9**	**92,6**	**88,4**	**83,9**		
Уровни звуковой мощности источника ночью, Lw, дБ		**исходные данные**	**0**	**93,3**	**94,7**	**96**	**96,3**	**95,9**	**92,6**	**88,4**	**83,9**		
Поправка на телесный угол DΩ, дБ	Ω = 6.28	10Lg(4π/Ω)	**3**	3	3	3	3	3	3	3	3		
Показатель направленности источника Di, дБ		исходные данные	**0**	0	0	0	0	0	0	0	0		
Поправка на направленность источника Dc, дБ	Dc	DΩ + Di	**3**	3	3	3	3	3	3	3	3		
Затухание из-за геометрической дивергенции, Adiv, дБ	расстояние = 459.72 м	ф-ла (7) [10]	**64,2**										
Коэффициент затухания звука в атмосфере α, дБ/км	Ta=20,°C Pa=101.33,кПа hотн.=70%	ф-ла (5) [9]	0,02	0,09	0,33	1,12	2,79	4,98	9,04	23,09	77,63		
Учет затухания звука в атмосфере Aatm, дБ		ф-ла (8) [10]	0	0	0,2	0,5	1,3	2,3	4,2	10,6	35,7		
Снижение поверхностью земли возле источника As, дБ	Gs = 0 hs = 1м	ф-лы таб.3 [10]	-1,5	-1,5	-1,5	-1,5	-1,5	-1,5	-1,5	-1,5	-1,5		
Снижение поверхностью земли возле приёмника Ar, дБ	Gr = 1 hr = 1.5м	ф-лы таб.3 [10]	-1,5	-1,5	2,8	7	5	0,7	0	0	0		
Снижение поверхностью земли в средней зоне, Am дБ	Gm = 1	ф-лы таб.3 [10]	-2,5	-2,5	0	0	0	0	0	0	0		
Суммарное снижение поверхностью земли на траектории распространения звука Agr, дБ		ф-ла (9) [10]	-5,5	-5,5	1,3	5,5	3,5	-0,8	-1,5	-1,5	-1,5		
Уровни звукового давления от источника ИШ-2-18 в расчётной точке днём, дБ		**ф-ла(3)[10]**	**0**	**37,5**	**32**	**28,7**	**30,3**	**33,2**	**28,7**	**18**	**0**	**35,8**	**35,8**
Уровни звукового давления от источника ИШ-2-18 в расчётной точке ночью, дБ		**ф-ла(3)[10]**	**0**	**37,5**	**32**	**28,7**	**30,3**	**33,2**	**28,7**	**18**	**0**	**35,8**	**35,8**

1		2	3	4	5	6	7	8	9	10	11	12	13
Источник шума: ИШ-2-19, координаты источника (x,y,z), м =[746.80,55.25,1.00]													
Уровни звуковой мощности источника днём, Lw, дБ		**исходные данные**	**0**	**93,3**	**94,7**	**96**	**96,3**	**95,9**	**92,6**	**88,4**	**83,9**		
Уровни звуковой мощности источника ночью, Lw, дБ		**исходные данные**	**0**	**93,3**	**94,7**	**96**	**96,3**	**95,9**	**92,6**	**88,4**	**83,9**		
Поправка на телесный угол DΩ, дБ	Ω = 6.28	10Lg(4π/Ω)	**3**	3	3	3	3	3	3	3	3		
Показатель направленности источника Di, дБ		исходные данные	**0**	0	0	0	0	0	0	0	0		
Поправка на направленность источника Dc, дБ	Dc	DΩ + Di	**3**	3	3	3	3	3	3	3	3		
Затухание из-за геометрической дивергенции, Adiv, дБ	расстояние = 462.69 м	ф-ла (7) [10]	**64,3**										
Коэффициент затухания звука в атмосфере α, дБ/км	Ta=20,°C Pa=101.33,кПа hотн.=70%	ф-ла (5) [9]	0,02	0,09	0,33	1,12	2,79	4,98	9,04	23,09	77,63		
Учет затухания звука в атмосфере Aatm, дБ		ф-ла (8) [10]	0	0	0,2	0,5	1,3	2,3	4,2	10,7	35,9		
Снижение поверхностью земли возле источника As, дБ	Gs = 0 hs = 1м	ф-лы таб.3 [10]	-1,5	-1,5	-1,5	-1,5	-1,5	-1,5	-1,5	-1,5	-1,5		
Снижение поверхностью земли возле приёмника Ar, дБ	Gr = 1 hr = 1.5м	ф-лы таб.3 [10]	-1,5	-1,5	2,8	7	5	0,7	0	0	0		
Снижение поверхностью земли в средней зоне, Am дБ	Gm = 1	ф-лы таб.3 [10]	-2,5	-2,5	0	0	0	0	0	0	0		
Суммарное снижение поверхностью земли на траектории распространения звука Agr, дБ		ф-ла (9) [10]	-5,5	-5,5	1,3	5,5	3,5	-0,8	-1,5	-1,5	-1,5		
Уровни звукового давления от источника ИШ-2-19 в расчётной точке днём, дБ		**ф-ла(3)[10]**	**0**	**37,5**	**31,9**	**28,6**	**30,2**	**33,1**	**28,6**	**17,9**	**0**	**35,7**	**35,7**
Уровни звукового давления от источника ИШ-2-19 в расчётной точке ночью, дБ		**ф-ла(3)[10]**	**0**	**37,5**	**31,9**	**28,6**	**30,2**	**33,1**	**28,6**	**17,9**	**0**	**35,7**	**35,7**
Источник шума: ИШ-2-20, координаты источника (x,y,z), м =[745.71,52.44,1.00]													

1		2	3	4	5	6	7	8	9	10	11	12	13
Уровни звуковой мощности источника днём, Lw, дБ		**исходные данные**	**0**	**93,3**	**94,7**	**96**	**96,3**	**95,9**	**92,6**	**88,4**	**83,9**		
Уровни звуковой мощности источника ночью, Lw, дБ		**исходные данные**	**0**	**93,3**	**94,7**	**96**	**96,3**	**95,9**	**92,6**	**88,4**	**83,9**		
Поправка на телесный угол DΩ, дБ	Ω = 6.28	10Lg(4π/Ω)	**3**	3	3	3	3	3	3	3	3		
Показатель направленности источника Di, дБ		исходные данные	**0**	0	0	0	0	0	0	0	0		
Поправка на направленность источника Dc, дБ	Dc	DΩ + Di	**3**	3	3	3	3	3	3	3	3		
Затухание из-за геометрической дивергенции, Adiv, дБ	расстояние = 465.55 м	ф-ла (7) [10]	**64,4**										
Коэффициент затухания звука в атмосфере α, дБ/км	Ta=20,°C Pa=101.33,кПа hотн.=70%	ф-ла (5) [9]	0,02	0,09	0,33	1,12	2,79	4,98	9,04	23,09	77,63		
Учет затухания звука в атмосфере Aatm, дБ		ф-ла (8) [10]	0	0	0,2	0,5	1,3	2,3	4,2	10,7	36,1		
Снижение поверхностью земли возле источника As, дБ	Gs = 0 hs = 1м	ф-лы таб.3 [10]	-1,5	-1,5	-1,5	-1,5	-1,5	-1,5	-1,5	-1,5	-1,5		
Снижение поверхностью земли возле приёмника Ar, дБ	Gr = 1 hr = 1.5м	ф-лы таб.3 [10]	-1,5	-1,5	2,8	7	5	0,7	0	0	0		
Снижение поверхностью земли в средней зоне, Am дБ	Gm = 1	ф-лы таб.3 [10]	-2,5	-2,5	0	0	0	0	0	0	0		
Суммарное снижение поверхностью земли на траектории распространения звука Agr, дБ		ф-ла (9) [10]	-5,5	-5,5	1,3	5,5	3,5	-0,8	-1,5	-1,5	-1,5		
Уровни звукового давления от источника ИШ-2-20 в расчётной точке днём, дБ		**ф-ла(3)[10]**	**0**	**37,4**	**31,9**	**28,6**	**30,2**	**33,1**	**28,5**	**17,8**	**0**	**35,7**	**35,7**
Уровни звукового давления от источника ИШ-2-20 в расчётной точке ночью, дБ		**ф-ла(3)[10]**	**0**	**37,4**	**31,9**	**28,6**	**30,2**	**33,1**	**28,5**	**17,8**	**0**	**35,7**	**35,7**
Источник шума: ИШ-2-21, координаты источника (x,y,z), м =[744.89,49.62,1.00]													
Уровни звуковой мощности источника днём, Lw, дБ		**исходные данные**	**0**	**93,3**	**94,7**	**96**	**96,3**	**95,9**	**92,6**	**88,4**	**83,9**		

1		2	3	4	5	6	7	8	9	10	11	12	13
Уровни звуковой мощности источника ночью, Lw, дБ		**исходные данные**	**0**	**93,3**	**94,7**	**96**	**96,3**	**95,9**	**92,6**	**88,4**	**83,9**		
Поправка на телесный угол DΩ, дБ	Ω = 6.28	10Lg(4π/Ω)	**3**	3	3	3	3	3	3	3	3		
Показатель направленности источника Di, дБ		исходные данные	**0**	0	0	0	0	0	0	0	0		
Поправка на направленность источника Dc, дБ	Dc	DΩ + Di	**3**	3	3	3	3	3	3	3	3		
Затухание из-за геометрической дивергенции, Adiv, дБ	расстояние = 468.41 м	ф-ла (7) [10]	**64,4**										
Коэффициент затухания звука в атмосфере α, дБ/км	Ta=20,°C Pa=101.33,кПа hотн.=70%	ф-ла (5) [9]	0,02	0,09	0,33	1,12	2,79	4,98	9,04	23,09	77,63		
Учет затухания звука в атмосфере Aatm, дБ		ф-ла (8) [10]	0	0	0,2	0,5	1,3	2,3	4,2	10,8	36,4		
Снижение поверхностью земли возле источника As, дБ	Gs = 0 hs = 1м	ф-лы таб.3 [10]	-1,5	-1,5	-1,5	-1,5	-1,5	-1,5	-1,5	-1,5	-1,5		
Снижение поверхностью земли возле приёмника Ar, дБ	Gr = 1 hr = 1.5м	ф-лы таб.3 [10]	-1,5	-1,5	2,8	7	5	0,7	0	0	0		
Снижение поверхностью земли в средней зоне, Am дБ	Gm = 1	ф-лы таб.3 [10]	-2,5	-2,5	0	0	0	0	0	0	0		
Суммарное снижение поверхностью земли на траектории распространения звука Agr, дБ		ф-ла (9) [10]	-5,5	-5,5	1,3	5,5	3,5	-0,8	-1,5	-1,5	-1,5		
Уровни звукового давления от источника ИШ-2-21 в расчётной точке днём, дБ		**ф-ла(3)[10]**	**0**	**37,4**	**31,8**	**28,5**	**30,1**	**33**	**28,4**	**17,7**	**0**	**35,6**	**35,6**
Уровни звукового давления от источника ИШ-2-21 в расчётной точке ночью, дБ		**ф-ла(3)[10]**	**0**	**37,4**	**31,8**	**28,5**	**30,1**	**33**	**28,4**	**17,7**	**0**	**35,6**	**35,6**
Источник шума: ИШ-2-22, координаты источника (x,y,z), м =[737.40,27.07,1.00]													
Уровни звуковой мощности источника днём, Lw, дБ		**исходные данные**	**0**	**93,3**	**94,7**	**96**	**96,3**	**95,9**	**92,6**	**88,4**	**83,9**		
Уровни звуковой мощности источника ночью, Lw, дБ		**исходные данные**	**0**	**93,3**	**94,7**	**96**	**96,3**	**95,9**	**92,6**	**88,4**	**83,9**		

1		2	3	4	5	6	7	8	9	10	11	12	13
Поправка на телесный угол DΩ, дБ	Ω = 6.28	10Lg(4π/Ω)	**3**	3	3	3	3	3	3	3	3		
Показатель направленности источника Di, дБ		исходные данные	**0**	0	0	0	0	0	0	0	0		
Поправка на направленность источника Dc, дБ	Dc	DΩ + Di	**3**	3	3	3	3	3	3	3	3		
Затухание из-за геометрической дивергенции, Adiv, дБ	расстояние = 491.38 м	ф-ла (7) [10]	**64,8**										
Коэффициент затухания звука в атмосфере α, дБ/км	Ta=20,°C Pa=101.33,кПа hотн.=70%	ф-ла (5) [9]	0,02	0,09	0,33	1,12	2,79	4,98	9,04	23,09	77,63		
Учет затухания звука в атмосфере Aatm, дБ		ф-ла (8) [10]	0	0	0,2	0,6	1,4	2,4	4,4	11,3	38,1		
Снижение поверхностью земли возле источника As, дБ	Gs = 0 hs = 1м	ф-лы таб.3 [10]	-1,5	-1,5	-1,5	-1,5	-1,5	-1,5	-1,5	-1,5	-1,5		
Снижение поверхностью земли возле приёмника Ar, дБ	Gr = 1 hr = 1.5м	ф-лы таб.3 [10]	-1,5	-1,5	3	7	5	0,7	0	0	0		
Снижение поверхностью земли в средней зоне, Am дБ	Gm = 1	ф-лы таб.3 [10]	-2,5	-2,5	0	0	0	0	0	0	0		
Суммарное снижение поверхностью земли на траектории распространения звука Agr, дБ		ф-ла (9) [10]	-5,5	-5,5	1,5	5,5	3,5	-0,8	-1,5	-1,5	-1,5		
Уровни звукового давления от источника ИШ-2-22 в расчётной точке днём, дБ		**ф-ла(3)[10]**	**0**	**37**	**31,2**	**28,1**	**29,6**	**32,5**	**27,8**	**16,7**	**0**	**35**	**35**
Уровни звукового давления от источника ИШ-2-22 в расчётной точке ночью, дБ		**ф-ла(3)[10]**	**0**	**37**	**31,2**	**28,1**	**29,6**	**32,5**	**27,8**	**16,7**	**0**	**35**	**35**
Источник шума: ИШ-2-23, координаты источника (x,y,z), м =[736.46,24.18,1.00]													
Уровни звуковой мощности источника днём, Lw, дБ		**исходные данные**	**0**	**93,3**	**94,7**	**96**	**96,3**	**95,9**	**92,6**	**88,4**	**83,9**		
Уровни звуковой мощности источника ночью, Lw, дБ		**исходные данные**	**0**	**93,3**	**94,7**	**96**	**96,3**	**95,9**	**92,6**	**88,4**	**83,9**		
Поправка на телесный угол DΩ, дБ	Ω = 6.28	10Lg(4π/Ω)	**3**	3	3	3	3	3	3	3	3		

1		2	3	4	5	6	7	8	9	10	11	12	13
Показатель направленности источника Di, дБ		исходные данные	**0**	0	0	0	0	0	0	0	0		
Поправка на направленность источника Dc, дБ	Dc	DΩ + Di	**3**	3	3	3	3	3	3	3	3		
Затухание из-за геометрической дивергенции, Adiv, дБ	расстояние = 494.33 м	ф-ла (7) [10]	**64,9**										
Коэффициент затухания звука в атмосфере α, дБ/км	Ta=20,°C Pa=101.33,кПа hотн.=70%	ф-ла (5) [9]	0,02	0,09	0,33	1,12	2,79	4,98	9,04	23,09	77,63		
Учет затухания звука в атмосфере Aatm, дБ		ф-ла (8) [10]	0	0	0,2	0,6	1,4	2,5	4,5	11,4	38,4		
Снижение поверхностью земли возле источника As, дБ	Gs = 0 hs = 1м	ф-лы таб.3 [10]	-1,5	-1,5	-1,5	-1,5	-1,5	-1,5	-1,5	-1,5	-1,5		
Снижение поверхностью земли возле приёмника Ar, дБ	Gr = 1 hr = 1.5м	ф-лы таб.3 [10]	-1,5	-1,5	3	7	5	0,7	0	0	0		
Снижение поверхностью земли в средней зоне, Am дБ	Gm = 1	ф-лы таб.3 [10]	-2,5	-2,5	0	0	0	0	0	0	0		
Суммарное снижение поверхностью земли на траектории распространения звука Agr, дБ		ф-ла (9) [10]	-5,5	-5,5	1,5	5,5	3,5	-0,8	-1,5	-1,5	-1,5		
Уровни звукового давления от источника ИШ-2-23 в расчётной точке днём, дБ		**ф-ла(3)[10]**	**0**	**36,9**	**31,1**	**28**	**29,6**	**32,4**	**27,7**	**16,6**	**0**	**35**	**35**
Уровни звукового давления от источника ИШ-2-23 в расчётной точке ночью, дБ		**ф-ла(3)[10]**	**0**	**36,9**	**31,1**	**28**	**29,6**	**32,4**	**27,7**	**16,6**	**0**	**35**	**35**
Источник шума: ИШ-2-24, координаты источника (x,y,z), м =[735.45,21.21,1.00]													
Уровни звуковой мощности источника днём, Lw, дБ		**исходные данные**	**0**	**93,3**	**94,7**	**96**	**96,3**	**95,9**	**92,6**	**88,4**	**83,9**		
Уровни звуковой мощности источника ночью, Lw, дБ		**исходные данные**	**0**	**93,3**	**94,7**	**96**	**96,3**	**95,9**	**92,6**	**88,4**	**83,9**		
Поправка на телесный угол DΩ, дБ	Ω = 6.28	10Lg(4π/Ω)	**3**	3	3	3	3	3	3	3	3		
Показатель направленности источника Di, дБ		исходные данные	**0**	0	0	0	0	0	0	0	0		

1		2	3	4	5	6	7	8	9	10	11	12	13
Поправка на направленность источника Dc, дБ	Dc	DΩ + Di	**3**	3	3	3	3	3	3	3	3		
Затухание из-за геометрической дивергенции, Adiv, дБ	расстояние = 497.36 м	ф-ла (7) [10]	**64,9**										
Коэффициент затухания звука в атмосфере α, дБ/км	Ta=20,°C Pa=101.33,кПа hотн.=70%	ф-ла (5) [9]	0,02	0,09	0,33	1,12	2,79	4,98	9,04	23,09	77,63		
Учет затухания звука в атмосфере Aatm, дБ		ф-ла (8) [10]	0	0	0,2	0,6	1,4	2,5	4,5	11,5	38,6		
Снижение поверхностью земли возле источника As, дБ	Gs = 0 hs = 1м	ф-лы таб.3 [10]	-1,5	-1,5	-1,5	-1,5	-1,5	-1,5	-1,5	-1,5	-1,5		
Снижение поверхностью земли возле приёмника Ar, дБ	Gr = 1 hr = 1.5м	ф-лы таб.3 [10]	-1,5	-1,5	3	7	5	0,7	0	0	0		
Снижение поверхностью земли в средней зоне, Am дБ	Gm = 1	ф-лы таб.3 [10]	-2,5	-2,5	0	0	0	0	0	0	0		
Суммарное снижение поверхностью земли на траектории распространения звука Agr, дБ		ф-ла (9) [10]	-5,5	-5,5	1,5	5,5	3,5	-0,8	-1,5	-1,5	-1,5		
Уровни звукового давления от источника ИШ-2-24 в расчётной точке днём, дБ		**ф-ла(3)[10]**	**0**	**36,9**	**31,1**	**28**	**29,5**	**32,3**	**27,7**	**16,5**	**0**	**34,9**	**34,9**
Уровни звукового давления от источника ИШ-2-24 в расчётной точке ночью, дБ		**ф-ла(3)[10]**	**0**	**36,9**	**31,1**	**28**	**29,5**	**32,3**	**27,7**	**16,5**	**0**	**34,9**	**34,9**
Источник шума: ИШ-2-25, координаты источника (x,y,z), м =[734.58,18.32,1.00]													
Уровни звуковой мощности источника днём, Lw, дБ		**исходные данные**	**0**	**93,3**	**94,7**	**96**	**96,3**	**95,9**	**92,6**	**88,4**	**83,9**		
Уровни звуковой мощности источника ночью, Lw, дБ		**исходные данные**	**0**	**93,3**	**94,7**	**96**	**96,3**	**95,9**	**92,6**	**88,4**	**83,9**		
Поправка на телесный угол DΩ, дБ	Ω = 6.28	10Lg(4π/Ω)	**3**	3	3	3	3	3	3	3	3		
Показатель направленности источника Di, дБ		исходные данные	**0**	0	0	0	0	0	0	0	0		
Поправка на направленность источника Dc, дБ	Dc	DΩ + Di	**3**	3	3	3	3	3	3	3	3		

1		2	3	4	5	6	7	8	9	10	11	12	13
Затухание из-за геометрической дивергенции, Adiv, дБ	расстояние = 500.31 м	ф-ла (7) [10]	**65**										
Коэффициент затухания звука в атмосфере α, дБ/км	Ta=20,°C Pa=101.33,кПа hотн.=70%	ф-ла (5) [9]	0,02	0,09	0,33	1,12	2,79	4,98	9,04	23,09	77,63		
Учет затухания звука в атмосфере Aatm, дБ		ф-ла (8) [10]	0	0	0,2	0,6	1,4	2,5	4,5	11,6	38,8		
Снижение поверхностью земли возле источника As, дБ	Gs = 0 hs = 1м	ф-лы таб.3 [10]	-1,5	-1,5	-1,5	-1,5	-1,5	-1,5	-1,5	-1,5	-1,5		
Снижение поверхностью земли возле приёмника Ar, дБ	Gr = 1 hr = 1.5м	ф-лы таб.3 [10]	-1,5	-1,5	3	7	5	0,7	0	0	0		
Снижение поверхностью земли в средней зоне, Am дБ	Gm = 1	ф-лы таб.3 [10]	-2,6	-2,6	0	0	0	0	0	0	0		
Суммарное снижение поверхностью земли на траектории распространения звука Agr, дБ		ф-ла (9) [10]	-5,6	-5,6	1,5	5,5	3,5	-0,8	-1,5	-1,5	-1,5		
Уровни звукового давления от источника ИШ-2-25 в расчётной точке днём, дБ		**ф-ла(3)[10]**	**0**	**36,8**	**31**	**27,9**	**29,4**	**32,3**	**27,6**	**16,4**	**0**	**34,8**	**34,8**
Уровни звукового давления от источника ИШ-2-25 в расчётной точке ночью, дБ		**ф-ла(3)[10]**	**0**	**36,8**	**31**	**27,9**	**29,4**	**32,3**	**27,6**	**16,4**	**0**	**34,8**	**34,8**
Источник шума: ИШ-2-26, координаты источника (x,y,z), м =[733.57,15.41,1.00]													
Уровни звуковой мощности источника днём, Lw, дБ		**исходные данные**	**0**	**93,3**	**94,7**	**96**	**96,3**	**95,9**	**92,6**	**88,4**	**83,9**		
Уровни звуковой мощности источника ночью, Lw, дБ		**исходные данные**	**0**	**93,3**	**94,7**	**96**	**96,3**	**95,9**	**92,6**	**88,4**	**83,9**		
Поправка на телесный угол DΩ, дБ	Ω = 6.28	10Lg(4π/Ω)	**3**	3	3	3	3	3	3	3	3		
Показатель направленности источника Di, дБ		исходные данные	**0**	0	0	0	0	0	0	0	0		
Поправка на направленность источника Dc, дБ	Dc	DΩ + Di	**3**	3	3	3	3	3	3	3	3		
Затухание из-за геометрической дивергенции, Adiv, дБ	расстояние = 503.29 м	ф-ла (7) [10]	**65**										

1		2	3	4	5	6	7	8	9	10	11	12	13
Коэффициент затухания звука в атмосфере α, дБ/км	Ta=20,°C Pa=101.33,кПа hотн.=70%	ф-ла (5) [9]	0,02	0,09	0,33	1,12	2,79	4,98	9,04	23,09	77,63		
Учет затухания звука в атмосфере Aatm, дБ		ф-ла (8) [10]	0	0	0,2	0,6	1,4	2,5	4,5	11,6	39,1		
Снижение поверхностью земли возле источника As, дБ	Gs = 0 hs = 1м	ф-лы таб.3 [10]	-1,5	-1,5	-1,5	-1,5	-1,5	-1,5	-1,5	-1,5	-1,5		
Снижение поверхностью земли возле приёмника Ar, дБ	Gr = 1 hr = 1.5м	ф-лы таб.3 [10]	-1,5	-1,5	3,1	7	5	0,7	0	0	0		
Снижение поверхностью земли в средней зоне, Am дБ	Gm = 1	ф-лы таб.3 [10]	-2,6	-2,6	0	0	0	0	0	0	0		
Суммарное снижение поверхностью земли на траектории распространения звука Agr, дБ		ф-ла (9) [10]	-5,6	-5,6	1,6	5,5	3,5	-0,8	-1,5	-1,5	-1,5		
Уровни звукового давления от источника ИШ-2-26 в расчётной точке днём, дБ		**ф-ла(3)[10]**	**0**	**36,8**	**30,9**	**27,9**	**29,4**	**32,2**	**27,5**	**16,2**	**0**	**34,8**	**34,8**
Уровни звукового давления от источника ИШ-2-26 в расчётной точке ночью, дБ		**ф-ла(3)[10]**	**0**	**36,8**	**30,9**	**27,9**	**29,4**	**32,2**	**27,5**	**16,2**	**0**	**34,8**	**34,8**
Источник шума: ИШ-2-27, координаты источника (x,y,z), м =[732.43,12.66,1.00]													
Уровни звуковой мощности источника днём, Lw, дБ		**исходные данные**	**0**	**93,3**	**94,7**	**96**	**96,3**	**95,9**	**92,6**	**88,4**	**83,9**		
Уровни звуковой мощности источника ночью, Lw, дБ		**исходные данные**	**0**	**93,3**	**94,7**	**96**	**96,3**	**95,9**	**92,6**	**88,4**	**83,9**		
Поправка на телесный угол DΩ, дБ	Ω = 6.28	10Lg(4π/Ω)	**3**	3	3	3	3	3	3	3	3		
Показатель направленности источника Di, дБ		исходные данные	**0**	0	0	0	0	0	0	0	0		
Поправка на направленность источника Dc, дБ	Dc	DΩ + Di	**3**	3	3	3	3	3	3	3	3		
Затухание из-за геометрической дивергенции, Adiv, дБ	расстояние = 506.11 м	ф-ла (7) [10]	**65,1**										
Коэффициент затухания звука в атмосфере α, дБ/км	Ta=20,°C Pa=101.33,кПа hотн.=70%	ф-ла (5) [9]	0,02	0,09	0,33	1,12	2,79	4,98	9,04	23,09	77,63		

1		2	3	4	5	6	7	8	9	10	11	12	13
Учет затухания звука в атмосфере Aatm, дБ		ф-ла (8) [10]	0	0	0,2	0,6	1,4	2,5	4,6	11,7	39,3		
Снижение поверхностью земли возле источника As, дБ	Gs = 0 hs = 1м	ф-лы таб.3 [10]	-1,5	-1,5	-1,5	-1,5	-1,5	-1,5	-1,5	-1,5	-1,5		
Снижение поверхностью земли возле приёмника Ar, дБ	Gr = 1 hr = 1.5м	ф-лы таб.3 [10]	-1,5	-1,5	3,1	7	5	0,7	0	0	0		
Снижение поверхностью земли в средней зоне, Am дБ	Gm = 1	ф-лы таб.3 [10]	-2,6	-2,6	0	0	0	0	0	0	0		
Суммарное снижение поверхностью земли на траектории распространения звука Agr, дБ		ф-ла (9) [10]	-5,6	-5,6	1,6	5,5	3,5	-0,8	-1,5	-1,5	-1,5		
Уровни звукового давления от источника ИШ-2-27 в расчётной точке днём, дБ		**ф-ла(3)[10]**	**0**	**36,7**	**30,9**	**27,8**	**29,3**	**32,1**	**27,4**	**16,1**	**0**	**34,7**	**34,7**
Уровни звукового давления от источника ИШ-2-27 в расчётной точке ночью, дБ		**ф-ла(3)[10]**	**0**	**36,7**	**30,9**	**27,8**	**29,3**	**32,1**	**27,4**	**16,1**	**0**	**34,7**	**34,7**
Источник шума: ИШ-2-28, координаты источника (x,y,z), м =[731.54,9.78,1.00]													
Уровни звуковой мощности источника днём, Lw, дБ		**исходные данные**	**0**	**93,3**	**94,7**	**96**	**96,3**	**95,9**	**92,6**	**88,4**	**83,9**		
Уровни звуковой мощности источника ночью, Lw, дБ		**исходные данные**	**0**	**93,3**	**94,7**	**96**	**96,3**	**95,9**	**92,6**	**88,4**	**83,9**		
Поправка на телесный угол DΩ, дБ	Ω = 6.28	10Lg(4π/Ω)	**3**	3	3	3	3	3	3	3	3		
Показатель направленности источника Di, дБ		исходные данные	**0**	0	0	0	0	0	0	0	0		
Поправка на направленность источника Dc, дБ	Dc	DΩ + Di	**3**	3	3	3	3	3	3	3	3		
Затухание из-за геометрической дивергенции, Adiv, дБ	расстояние = 509.06 м	ф-ла (7) [10]	**65,1**										
Коэффициент затухания звука в атмосфере α, дБ/км	Ta=20,°C Pa=101.33,кПа hотн.=70%	ф-ла (5) [9]	0,02	0,09	0,33	1,12	2,79	4,98	9,04	23,09	77,63		
Учет затухания звука в атмосфере Aatm, дБ		ф-ла (8) [10]	0	0	0,2	0,6	1,4	2,5	4,6	11,8	39,5		

1		2	3	4	5	6	7	8	9	10	11	12	13
Снижение поверхностью земли возле источника As, дБ	Gs = 0 hs = 1м	ф-лы таб.3 [10]	-1,5	-1,5	-1,5	-1,5	-1,5	-1,5	-1,5	-1,5	-1,5		
Снижение поверхностью земли возле приёмника Ar, дБ	Gr = 1 hr = 1.5м	ф-лы таб.3 [10]	-1,5	-1,5	3,1	7	5	0,7	0	0	0		
Снижение поверхностью земли в средней зоне, Am дБ	Gm = 1	ф-лы таб.3 [10]	-2,6	-2,6	0	0	0	0	0	0	0		
Суммарное снижение поверхностью земли на траектории распространения звука Agr, дБ		ф-ла (9) [10]	-5,6	-5,6	1,6	5,5	3,5	-0,8	-1,5	-1,5	-1,5		
Уровни звукового давления от источника ИШ-2-28 в расчётной точке днём, дБ		**ф-ла(3)[10]**	**0**	**36,7**	**30,8**	**27,8**	**29,3**	**32,1**	**27,4**	**16**	**0**	**34,6**	**34,6**
Уровни звукового давления от источника ИШ-2-28 в расчётной точке ночью, дБ		**ф-ла(3)[10]**	**0**	**36,7**	**30,8**	**27,8**	**29,3**	**32,1**	**27,4**	**16**	**0**	**34,6**	**34,6**
Источник шума: ИШ-2-29, координаты источника (x,y,z), м =[730.57,6.88,1.00]													
Уровни звуковой мощности источника днём, Lw, дБ		**исходные данные**	**0**	**93,3**	**94,7**	**96**	**96,3**	**95,9**	**92,6**	**88,4**	**83,9**		
Уровни звуковой мощности источника ночью, Lw, дБ		**исходные данные**	**0**	**93,3**	**94,7**	**96**	**96,3**	**95,9**	**92,6**	**88,4**	**83,9**		
Поправка на телесный угол DΩ, дБ	Ω = 6.28	10Lg(4π/Ω)	**3**	3	3	3	3	3	3	3	3		
Показатель направленности источника Di, дБ		исходные данные	**0**	0	0	0	0	0	0	0	0		
Поправка на направленность источника Dc, дБ	Dc	DΩ + Di	**3**	3	3	3	3	3	3	3	3		
Затухание из-за геометрической дивергенции, Adiv, дБ	расстояние = 512.02 м	ф-ла (7) [10]	**65,2**										
Коэффициент затухания звука в атмосфере α, дБ/км	Ta=20,°C Pa=101.33,кПа hотн.=70%	ф-ла (5) [9]	0,02	0,09	0,33	1,12	2,79	4,98	9,04	23,09	77,63		
Учет затухания звука в атмосфере Aatm, дБ		ф-ла (8) [10]	0	0	0,2	0,6	1,4	2,5	4,6	11,8	39,7		
Снижение поверхностью земли возле источника As, дБ	Gs = 0 hs = 1м	ф-лы таб.3 [10]	-1,5	-1,5	-1,5	-1,5	-1,5	-1,5	-1,5	-1,5	-1,5		

1		2	3	4	5	6	7	8	9	10	11	12	13
Снижение поверхностью земли возле приёмника Ar, дБ	Gr = 1 hr = 1.5м	ф-лы таб.3 [10]	-1,5	-1,5	3,1	7	5	0,7	0	0	0		
Снижение поверхностью земли в средней зоне, Am дБ	Gm = 1	ф-лы таб.3 [10]	-2,6	-2,6	0	0	0	0	0	0	0		
Суммарное снижение поверхностью земли на траектории распространения звука Agr, дБ		ф-ла (9) [10]	-5,6	-5,6	1,6	5,5	3,5	-0,8	-1,5	-1,5	-1,5		
Уровни звукового давления от источника ИШ-2-29 в расчётной точке днём, дБ		**ф-ла(3)[10]**	**0**	**36,6**	**30,7**	**27,7**	**29,2**	**32**	**27,3**	**15,9**	**0**	**34,6**	**34,6**
Уровни звукового давления от источника ИШ-2-29 в расчётной точке ночью, дБ		**ф-ла(3)[10]**	**0**	**36,6**	**30,7**	**27,7**	**29,2**	**32**	**27,3**	**15,9**	**0**	**34,6**	**34,6**
Источник шума: ИШ-2-4, координаты источника (x,y,z), м =[632.70,-65.30,3.00]													
Уровни звуковой мощности источника днём, Lw, дБ		**исходные данные**	**105**	**104**	**104**	**101**	**102**	**106**	**101**	**95**	**87**		
Уровни звуковой мощности источника ночью, Lw, дБ		**исходные данные**	**105**	**104**	**104**	**101**	**102**	**106**	**101**	**95**	**87**		
Поправка на телесный угол DΩ, дБ	Ω = 6.28	10Lg(4π/Ω)	**3**	3	3	3	3	3	3	3	3		
Показатель направленности источника Di, дБ		исходные данные	**0**	0	0	0	0	0	0	0	0		
Поправка на направленность источника Dc, дБ	Dc	DΩ + Di	**3**	3	3	3	3	3	3	3	3		
Затухание из-за геометрической дивергенции, Adiv, дБ	расстояние = 598.80 м	ф-ла (7) [10]	**66,5**										
Коэффициент затухания звука в атмосфере α, дБ/км	Ta=20,°C Pa=101.33,кПа hотн.=70%	ф-ла (5) [9]	0,02	0,09	0,33	1,12	2,79	4,98	9,04	23,09	77,63		
Учет затухания звука в атмосфере Aatm, дБ		ф-ла (8) [10]	0	0,1	0,2	0,7	1,7	3	5,4	13,8	46,5		
Снижение поверхностью земли возле источника As, дБ	Gs = 0 hs = 3м	ф-лы таб.3 [10]	-1,5	-1,5	-1,5	-1,5	-1,5	-1,5	-1,5	-1,5	-1,5		
Снижение поверхностью земли возле приёмника Ar, дБ	Gr = 1 hr = 1.5м	ф-лы таб.3 [10]	-1,5	-1,5	3,6	7	5	0,7	0	0	0		

1		2	3	4	5	6	7	8	9	10	11	12	13
Снижение поверхностью земли в средней зоне, Am дБ	Gm = 1	ф-лы таб.3 [10]	-2,3	-2,3	0	0	0	0	0	0	0		
Суммарное снижение поверхностью земли на траектории распространения звука Agr, дБ		ф-ла (9) [10]	-5,3	-5,3	2,1	5,5	3,5	-0,8	-1,5	-1,5	-1,5		
Уровни звукового давления прямого звука от источника ИШ-2-4 в расчётной точке днём, дБ		**ф-ла(3)[10]**	**46,8**	**45,7**	**38,1**	**31,3**	**33,3**	**40,3**	**33,6**	**19,1**	**0**	**41,9**	**41,9**
Уровни звукового давления прямого звука от источника ИШ-2-4 в расчётной точке ночью, дБ		**ф-ла(3)[10]**	**46,8**	**45,7**	**38,1**	**31,3**	**33,3**	**40,3**	**33,6**	**19,1**	**0**	**41,9**	**41,9**
Расчёт отражённого звука													
Уровни звукового давления от мнимого источника ИШ-2-4_мн.(1) в расчётной точке днём, дБ		**ф-ла(3)[10]**	**0**	**0**	**0**	**0**	**0**	**0**	**0**	**0**	**0**	**0**	**0**
Уровни звукового давления от мнимого источника ИШ-2-4_мн.(1) в расчётной точке ночью, дБ		**ф-ла(3)[10]**	**0**	**0**	**0**	**0**	**0**	**0**	**0**	**0**	**0**	**0**	**0**
Уровни звукового давления от источника ИШ-2-4 в расчётной точке днём, дБ		**ф-ла(3)[10]**	**46,8**	**45,7**	**38,1**	**31,3**	**33,3**	**40,3**	**33,6**	**19,1**	**0**	**41,9**	**41,9**
Уровни звукового давления от источника ИШ-2-4 в расчётной точке ночью, дБ		**ф-ла(3)[10]**	**46,8**	**45,7**	**38,1**	**31,3**	**33,3**	**40,3**	**33,6**	**19,1**	**0**	**41,9**	**41,9**
Источник шума: ИШ-2-30, координаты источника (x,y,z), м =[702.44,-77.23,1.00]													
Уровни звуковой мощности источника днём, Lw, дБ		**исходные данные**	**0**	**93,3**	**94,7**	**96**	**96,3**	**95,9**	**92,6**	**88,4**	**83,9**		
Уровни звуковой мощности источника ночью, Lw, дБ		**исходные данные**	**0**	**93,3**	**94,7**	**96**	**96,3**	**95,9**	**92,6**	**88,4**	**83,9**		
Поправка на телесный угол DΩ, дБ	Ω = 6.28	10Lg(4π/Ω)	**3**	3	3	3	3	3	3	3	3		
Показатель направленности источника Di, дБ		исходные данные	**0**	0	0	0	0	0	0	0	0		
Поправка на направленность источника Dc, дБ	Dc	DΩ + Di	**3**	3	3	3	3	3	3	3	3		
Затухание из-за геометрической дивергенции, Adiv, дБ	расстояние = 598.47 м	ф-ла (7) [10]	**66,5**										
Коэффициент затухания звука в атмосфере α, дБ/км	Ta=20,°C Pa=101.33,кПа hотн.=70%	ф-ла (5) [9]	0,02	0,09	0,33	1,12	2,79	4,98	9,04	23,09	77,63		

1		2	3	4	5	6	7	8	9	10	11	12	13
Учет затухания звука в атмосфере Aatm, дБ		ф-ла (8) [10]	0	0,1	0,2	0,7	1,7	3	5,4	13,8	46,5		
Снижение поверхностью земли возле источника As, дБ	Gs = 0 hs = 1м	ф-лы таб.3 [10]	-1,5	-1,5	-1,5	-1,5	-1,5	-1,5	-1,5	-1,5	-1,5		
Снижение поверхностью земли возле приёмника Ar, дБ	Gr = 1 hr = 1.5м	ф-лы таб.3 [10]	-1,5	-1,5	3,6	7	5	0,7	0	0	0		
Снижение поверхностью земли в средней зоне, Am дБ	Gm = 1	ф-лы таб.3 [10]	-2,6	-2,6	0	0	0	0	0	0	0		
Суммарное снижение поверхностью земли на траектории распространения звука Agr, дБ		ф-ла (9) [10]	-5,6	-5,6	2,1	5,5	3,5	-0,8	-1,5	-1,5	-1,5		
Уровни звукового давления от источника ИШ-2-30 в расчётной точке днём, дБ		**ф-ла(3)[10]**	**0**	**35,3**	**28,8**	**26,3**	**27,6**	**30,2**	**25,1**	**12,5**	**0**	**32,7**	**32,7**
Уровни звукового давления от источника ИШ-2-30 в расчётной точке ночью, дБ		**ф-ла(3)[10]**	**0**	**35,3**	**28,8**	**26,3**	**27,6**	**30,2**	**25,1**	**12,5**	**0**	**32,7**	**32,7**
Источник шума: ИШ-2-31, координаты источника (x,y,z), м =[701.42,-80.17,1.00]													
Уровни звуковой мощности источника днём, Lw, дБ		**исходные данные**	**0**	**93,3**	**94,7**	**96**	**96,3**	**95,9**	**92,6**	**88,4**	**83,9**		
Уровни звуковой мощности источника ночью, Lw, дБ		**исходные данные**	**0**	**93,3**	**94,7**	**96**	**96,3**	**95,9**	**92,6**	**88,4**	**83,9**		
Поправка на телесный угол DΩ, дБ	Ω = 6.28	10Lg(4π/Ω)	**3**	3	3	3	3	3	3	3	3		
Показатель направленности источника Di, дБ		исходные данные	**0**	0	0	0	0	0	0	0	0		
Поправка на направленность источника Dc, дБ	Dc	DΩ + Di	**3**	3	3	3	3	3	3	3	3		
Затухание из-за геометрической дивергенции, Adiv, дБ	расстояние = 601.51 м	ф-ла (7) [10]	**66,6**										
Коэффициент затухания звука в атмосфере α, дБ/км	Ta=20,°C Pa=101.33,кПа hотн.=70%	ф-ла (5) [9]	0,02	0,09	0,33	1,12	2,79	4,98	9,04	23,09	77,63		
Учет затухания звука в атмосфере Aatm, дБ		ф-ла (8) [10]	0	0,1	0,2	0,7	1,7	3	5,4	13,9	46,7		

1		2	3	4	5	6	7	8	9	10	11	12	13
Снижение поверхностью земли возле источника As, дБ	Gs = 0 hs = 1м	ф-лы таб.3 [10]	-1,5	-1,5	-1,5	-1,5	-1,5	-1,5	-1,5	-1,5	-1,5		
Снижение поверхностью земли возле приёмника Ar, дБ	Gr = 1 hr = 1.5м	ф-лы таб.3 [10]	-1,5	-1,5	3,7	7	5	0,7	0	0	0		
Снижение поверхностью земли в средней зоне, Am дБ	Gm = 1	ф-лы таб.3 [10]	-2,6	-2,6	0	0	0	0	0	0	0		
Суммарное снижение поверхностью земли на траектории распространения звука Agr, дБ		ф-ла (9) [10]	-5,6	-5,6	2,2	5,5	3,5	-0,8	-1,5	-1,5	-1,5		
Уровни звукового давления от источника ИШ-2-31 в расчётной точке днём, дБ		**ф-ла(3)[10]**	**0**	**35,3**	**28,8**	**26,2**	**27,6**	**30,2**	**25,1**	**12,4**	**0**	**32,6**	**32,6**
Уровни звукового давления от источника ИШ-2-31 в расчётной точке ночью, дБ		**ф-ла(3)[10]**	**0**	**35,3**	**28,8**	**26,2**	**27,6**	**30,2**	**25,1**	**12,4**	**0**	**32,6**	**32,6**
Источник шума: ИШ-2-32, координаты источника (x,y,z), м =[700.38,-83.01,1.00]													
Уровни звуковой мощности источника днём, Lw, дБ		**исходные данные**	**0**	**93,3**	**94,7**	**96**	**96,3**	**95,9**	**92,6**	**88,4**	**83,9**		
Уровни звуковой мощности источника ночью, Lw, дБ		**исходные данные**	**0**	**93,3**	**94,7**	**96**	**96,3**	**95,9**	**92,6**	**88,4**	**83,9**		
Поправка на телесный угол DΩ, дБ	Ω = 6.28	10Lg(4π/Ω)	**3**	3	3	3	3	3	3	3	3		
Показатель направленности источника Di, дБ		исходные данные	**0**	0	0	0	0	0	0	0	0		
Поправка на направленность источника Dc, дБ	Dc	DΩ + Di	**3**	3	3	3	3	3	3	3	3		
Затухание из-за геометрической дивергенции, Adiv, дБ	расстояние = 604.45 м	ф-ла (7) [10]	**66,6**										
Коэффициент затухания звука в атмосфере α, дБ/км	Ta=20,°C Pa=101.33,кПа hотн.=70%	ф-ла (5) [9]	0,02	0,09	0,33	1,12	2,79	4,98	9,04	23,09	77,63		
Учет затухания звука в атмосфере Aatm, дБ		ф-ла (8) [10]	0	0,1	0,2	0,7	1,7	3	5,5	14	46,9		
Снижение поверхностью земли возле источника As, дБ	Gs = 0 hs = 1м	ф-лы таб.3 [10]	-1,5	-1,5	-1,5	-1,5	-1,5	-1,5	-1,5	-1,5	-1,5		

1		2	3	4	5	6	7	8	9	10	11	12	13
Снижение поверхностью земли возле приёмника Ar, дБ	Gr = 1 hr = 1.5м	ф-лы таб.3 [10]	-1,5	-1,5	3,7	7	5	0,7	0	0	0		
Снижение поверхностью земли в средней зоне, Am дБ	Gm = 1	ф-лы таб.3 [10]	-2,6	-2,6	0	0	0	0	0	0	0		
Суммарное снижение поверхностью земли на траектории распространения звука Agr, дБ		ф-ла (9) [10]	-5,6	-5,6	2,2	5,5	3,5	-0,8	-1,5	-1,5	-1,5		
Уровни звукового давления от источника ИШ-2-32 в расчётной точке днём, дБ		**ф-ла(3)[10]**	**0**	**35,2**	**28,7**	**26,2**	**27,5**	**30,1**	**25**	**12,3**	**0**	**32,6**	**32,6**
Уровни звукового давления от источника ИШ-2-32 в расчётной точке ночью, дБ		**ф-ла(3)[10]**	**0**	**35,2**	**28,7**	**26,2**	**27,5**	**30,1**	**25**	**12,3**	**0**	**32,6**	**32,6**
Источник шума: ИШ-2-33, координаты источника (x,y,z), м =[699.52,-85.98,1.00]													
Уровни звуковой мощности источника днём, Lw, дБ		**исходные данные**	**0**	**93,3**	**94,7**	**96**	**96,3**	**95,9**	**92,6**	**88,4**	**83,9**		
Уровни звуковой мощности источника ночью, Lw, дБ		**исходные данные**	**0**	**93,3**	**94,7**	**96**	**96,3**	**95,9**	**92,6**	**88,4**	**83,9**		
Поправка на телесный угол DΩ, дБ	Ω = 6.28	10Lg(4π/Ω)	**3**	3	3	3	3	3	3	3	3		
Показатель направленности источника Di, дБ		исходные данные	**0**	0	0	0	0	0	0	0	0		
Поправка на направленность источника Dc, дБ	Dc	DΩ + Di	**3**	3	3	3	3	3	3	3	3		
Затухание из-за геометрической дивергенции, Adiv, дБ	расстояние = 607.50 м	ф-ла (7) [10]	**66,7**										
Коэффициент затухания звука в атмосфере α, дБ/км	Ta=20,°C Pa=101.33,кПа hотн.=70%	ф-ла (5) [9]	0,02	0,09	0,33	1,12	2,79	4,98	9,04	23,09	77,63		
Учет затухания звука в атмосфере Aatm, дБ		ф-ла (8) [10]	0	0,1	0,2	0,7	1,7	3	5,5	14	47,2		
Снижение поверхностью земли возле источника As, дБ	Gs = 0 hs = 1м	ф-лы таб.3 [10]	-1,5	-1,5	-1,5	-1,5	-1,5	-1,5	-1,5	-1,5	-1,5		
Снижение поверхностью земли возле приёмника Ar, дБ	Gr = 1 hr = 1.5м	ф-лы таб.3 [10]	-1,5	-1,5	3,7	7	5	0,7	0	0	0		

1		2	3	4	5	6	7	8	9	10	11	12	13
Снижение поверхностью земли в средней зоне, Am дБ	Gm = 1	ф-лы таб.3 [10]	-2,6	-2,6	0	0	0	0	0	0	0		
Суммарное снижение поверхностью земли на траектории распространения звука Agr, дБ		ф-ла (9) [10]	-5,6	-5,6	2,2	5,5	3,5	-0,8	-1,5	-1,5	-1,5		
Уровни звукового давления от источника ИШ-2-33 в расчётной точке днём, дБ		**ф-ла(3)[10]**	**0**	**35,2**	**28,6**	**26,1**	**27,5**	**30**	**24,9**	**12,2**	**0**	**32,5**	**32,5**
Уровни звукового давления от источника ИШ-2-33 в расчётной точке ночью, дБ		**ф-ла(3)[10]**	**0**	**35,2**	**28,6**	**26,1**	**27,5**	**30**	**24,9**	**12,2**	**0**	**32,5**	**32,5**
Источник шума: ИШ-2-34, координаты источника (x,y,z), м =[698.43,-88.85,1.00]													
Уровни звуковой мощности источника днём, Lw, дБ		**исходные данные**	**0**	**93,3**	**94,7**	**96**	**96,3**	**95,9**	**92,6**	**88,4**	**83,9**		
Уровни звуковой мощности источника ночью, Lw, дБ		**исходные данные**	**0**	**93,3**	**94,7**	**96**	**96,3**	**95,9**	**92,6**	**88,4**	**83,9**		
Поправка на телесный угол DΩ, дБ	Ω = 6.28	10Lg(4π/Ω)	**3**	3	3	3	3	3	3	3	3		
Показатель направленности источника Di, дБ		исходные данные	**0**	0	0	0	0	0	0	0	0		
Поправка на направленность источника Dc, дБ	Dc	DΩ + Di	**3**	3	3	3	3	3	3	3	3		
Затухание из-за геометрической дивергенции, Adiv, дБ	расстояние = 610.48 м	ф-ла (7) [10]	**66,7**										
Коэффициент затухания звука в атмосфере α, дБ/км	Ta=20,°C Pa=101.33,кПа hотн.=70%	ф-ла (5) [9]	0,02	0,09	0,33	1,12	2,79	4,98	9,04	23,09	77,63		
Учет затухания звука в атмосфере Aatm, дБ		ф-ла (8) [10]	0	0,1	0,2	0,7	1,7	3	5,5	14,1	47,4		
Снижение поверхностью земли возле источника As, дБ	Gs = 0 hs = 1м	ф-лы таб.3 [10]	-1,5	-1,5	-1,5	-1,5	-1,5	-1,5	-1,5	-1,5	-1,5		
Снижение поверхностью земли возле приёмника Ar, дБ	Gr = 1 hr = 1.5м	ф-лы таб.3 [10]	-1,5	-1,5	3,7	7	5	0,7	0	0	0		
Снижение поверхностью земли в средней зоне, Am дБ	Gm = 1	ф-лы таб.3 [10]	-2,6	-2,6	0	0	0	0	0	0	0		

1		2	3	4	5	6	7	8	9	10	11	12	13
Суммарное снижение поверхностью земли на траектории распространения звука Agr, дБ		ф-ла (9) [10]	-5,6	-5,6	2,2	5,5	3,5	-0,8	-1,5	-1,5	-1,5		
Уровни звукового давления от источника ИШ-2-34 в расчётной точке днём, дБ		**ф-ла(3)[10]**	**0**	**35,2**	**28,6**	**26,1**	**27,4**	**30**	**24,9**	**12,1**	**0**	**32,5**	**32,5**
Уровни звукового давления от источника ИШ-2-34 в расчётной точке ночью, дБ		**ф-ла(3)[10]**	**0**	**35,2**	**28,6**	**26,1**	**27,4**	**30**	**24,9**	**12,1**	**0**	**32,5**	**32,5**
Источник шума: ИШ-2-35, координаты источника (x,y,z), м =[697.52,-91.66,1.00]													
Уровни звуковой мощности источника днём, Lw, дБ		**исходные данные**	**0**	**93,3**	**94,7**	**96**	**96,3**	**95,9**	**92,6**	**88,4**	**83,9**		
Уровни звуковой мощности источника ночью, Lw, дБ		**исходные данные**	**0**	**93,3**	**94,7**	**96**	**96,3**	**95,9**	**92,6**	**88,4**	**83,9**		
Поправка на телесный угол DΩ, дБ	Ω = 6.28	10Lg(4π/Ω)	**3**	3	3	3	3	3	3	3	3		
Показатель направленности источника Di, дБ		исходные данные	**0**	0	0	0	0	0	0	0	0		
Поправка на направленность источника Dc, дБ	Dc	DΩ + Di	**3**	3	3	3	3	3	3	3	3		
Затухание из-за геометрической дивергенции, Adiv, дБ	расстояние = 613.38 м	ф-ла (7) [10]	**66,8**										
Коэффициент затухания звука в атмосфере α, дБ/км	Ta=20,°C Pa=101.33,кПа hотн.=70%	ф-ла (5) [9]	0,02	0,09	0,33	1,12	2,79	4,98	9,04	23,09	77,63		
Учет затухания звука в атмосфере Aatm, дБ		ф-ла (8) [10]	0	0,1	0,2	0,7	1,7	3,1	5,5	14,2	47,6		
Снижение поверхностью земли возле источника As, дБ	Gs = 0 hs = 1м	ф-лы таб.3 [10]	-1,5	-1,5	-1,5	-1,5	-1,5	-1,5	-1,5	-1,5	-1,5		
Снижение поверхностью земли возле приёмника Ar, дБ	Gr = 1 hr = 1.5м	ф-лы таб.3 [10]	-1,5	-1,5	3,7	7	5	0,7	0	0	0		
Снижение поверхностью земли в средней зоне, Am дБ	Gm = 1	ф-лы таб.3 [10]	-2,6	-2,6	0	0	0	0	0	0	0		
Суммарное снижение поверхностью земли на траектории распространения звука Agr, дБ		ф-ла (9) [10]	-5,6	-5,6	2,2	5,5	3,5	-0,8	-1,5	-1,5	-1,5		

1		2	3	4	5	6	7	8	9	10	11	12	13
Уровни звукового давления от источника ИШ-2-35 в расчётной точке днём, дБ		**ф-ла(3)[10]**	**0**	**35,1**	**28,5**	**26**	**27,4**	**29,9**	**24,8**	**12**	**0**	**32,4**	**32,4**
Уровни звукового давления от источника ИШ-2-35 в расчётной точке ночью, дБ		**ф-ла(3)[10]**	**0**	**35,1**	**28,5**	**26**	**27,4**	**29,9**	**24,8**	**12**	**0**	**32,4**	**32,4**
Источник шума: ИШ-2-36, координаты источника (x,y,z), м =[696.58,-94.55,1.00]													
Уровни звуковой мощности источника днём, Lw, дБ		**исходные данные**	**0**	**93,3**	**94,7**	**96**	**96,3**	**95,9**	**92,6**	**88,4**	**83,9**		
Уровни звуковой мощности источника ночью, Lw, дБ		**исходные данные**	**0**	**93,3**	**94,7**	**96**	**96,3**	**95,9**	**92,6**	**88,4**	**83,9**		
Поправка на телесный угол DΩ, дБ	Ω = 6.28	10Lg(4π/Ω)	**3**	3	3	3	3	3	3	3	3		
Показатель направленности источника Di, дБ		исходные данные	**0**	0	0	0	0	0	0	0	0		
Поправка на направленность источника Dc, дБ	Dc	DΩ + Di	**3**	3	3	3	3	3	3	3	3		
Затухание из-за геометрической дивергенции, Adiv, дБ	расстояние = 616.37 м	ф-ла (7) [10]	**66,8**										
Коэффициент затухания звука в атмосфере α, дБ/км	Ta=20,°C Pa=101.33,кПа hотн.=70%	ф-ла (5) [9]	0,02	0,09	0,33	1,12	2,79	4,98	9,04	23,09	77,63		
Учет затухания звука в атмосфере Aatm, дБ		ф-ла (8) [10]	0	0,1	0,2	0,7	1,7	3,1	5,6	14,2	47,9		
Снижение поверхностью земли возле источника As, дБ	Gs = 0 hs = 1м	ф-лы таб.3 [10]	-1,5	-1,5	-1,5	-1,5	-1,5	-1,5	-1,5	-1,5	-1,5		
Снижение поверхностью земли возле приёмника Ar, дБ	Gr = 1 hr = 1.5м	ф-лы таб.3 [10]	-1,5	-1,5	3,7	7	5	0,7	0	0	0		
Снижение поверхностью земли в средней зоне, Am дБ	Gm = 1	ф-лы таб.3 [10]	-2,6	-2,6	0	0	0	0	0	0	0		
Суммарное снижение поверхностью земли на траектории распространения звука Agr, дБ		ф-ла (9) [10]	-5,6	-5,6	2,2	5,5	3,5	-0,8	-1,5	-1,5	-1,5		
Уровни звукового давления от источника ИШ-2-36 в расчётной точке днём, дБ		**ф-ла(3)[10]**	**0**	**35,1**	**28,5**	**26**	**27,3**	**29,9**	**24,7**	**11,9**	**0**	**32,3**	**32,3**

1		2	3	4	5	6	7	8	9	10	11	12	13
Уровни звукового давления от источника ИШ-2-36 в расчётной точке ночью, дБ		**ф-ла(3)[10]**	**0**	**35,1**	**28,5**	**26**	**27,3**	**29,9**	**24,7**	**11,9**	**0**	**32,3**	**32,3**
Источник шума: ИШ-2-37, координаты источника (x,y,z), м =[695.57,-97.37,1.00]													
Уровни звуковой мощности источника днём, Lw, дБ		**исходные данные**	**0**	**93,3**	**94,7**	**96**	**96,3**	**95,9**	**92,6**	**88,4**	**83,9**		
Уровни звуковой мощности источника ночью, Lw, дБ		**исходные данные**	**0**	**93,3**	**94,7**	**96**	**96,3**	**95,9**	**92,6**	**88,4**	**83,9**		
Поправка на телесный угол DΩ, дБ	Ω = 6.28	10Lg(4π/Ω)	**3**	3	3	3	3	3	3	3	3		
Показатель направленности источника Di, дБ		исходные данные	**0**	0	0	0	0	0	0	0	0		
Поправка на направленность источника Dc, дБ	Dc	DΩ + Di	**3**	3	3	3	3	3	3	3	3		
Затухание из-за геометрической дивергенции, Adiv, дБ	расстояние = 619.28 м	ф-ла (7) [10]	**66,8**										
Коэффициент затухания звука в атмосфере α, дБ/км	Ta=20,°C Pa=101.33,кПа hотн.=70%	ф-ла (5) [9]	0,02	0,09	0,33	1,12	2,79	4,98	9,04	23,09	77,63		
Учет затухания звука в атмосфере Aatm, дБ		ф-ла (8) [10]	0	0,1	0,2	0,7	1,7	3,1	5,6	14,3	48,1		
Снижение поверхностью земли возле источника As, дБ	Gs = 0 hs = 1м	ф-лы таб.3 [10]	-1,5	-1,5	-1,5	-1,5	-1,5	-1,5	-1,5	-1,5	-1,5		
Снижение поверхностью земли возле приёмника Ar, дБ	Gr = 1 hr = 1.5м	ф-лы таб.3 [10]	-1,5	-1,5	3,8	7	5	0,7	0	0	0		
Снижение поверхностью земли в средней зоне, Am дБ	Gm = 1	ф-лы таб.3 [10]	-2,6	-2,6	0	0	0	0	0	0	0		
Суммарное снижение поверхностью земли на траектории распространения звука Agr, дБ		ф-ла (9) [10]	-5,6	-5,6	2,3	5,5	3,5	-0,8	-1,5	-1,5	-1,5		
Уровни звукового давления от источника ИШ-2-37 в расчётной точке днём, дБ		**ф-ла(3)[10]**	**0**	**35**	**28,4**	**25,9**	**27,3**	**29,8**	**24,7**	**11,8**	**0**	**32,3**	**32,3**
Уровни звукового давления от источника ИШ-2-37 в расчётной точке ночью, дБ		**ф-ла(3)[10]**	**0**	**35**	**28,4**	**25,9**	**27,3**	**29,8**	**24,7**	**11,8**	**0**	**32,3**	**32,3**

1		2	3	4	5	6	7	8	9	10	11	12	13
Источник шума: ИШ-2-5, координаты источника (x,y,z), м =[618.60,-108.00,3.00]													
Уровни звуковой мощности источника днём, Lw, дБ		**исходные данные**	**105**	**104**	**104**	**101**	**102**	**106**	**101**	**95**	**87**		
Уровни звуковой мощности источника ночью, Lw, дБ		**исходные данные**	**105**	**104**	**104**	**101**	**102**	**106**	**101**	**95**	**87**		
Поправка на телесный угол DΩ, дБ	Ω = 6.28	10Lg(4π/Ω)	**3**	3	3	3	3	3	3	3	3		
Показатель направленности источника Di, дБ		исходные данные	**0**	0	0	0	0	0	0	0	0		
Поправка на направленность источника Dc, дБ	Dc	DΩ + Di	**3**	3	3	3	3	3	3	3	3		
Затухание из-за геометрической дивергенции, Adiv, дБ	расстояние = 643.62 м	ф-ла (7) [10]	**67,2**										
Коэффициент затухания звука в атмосфере α, дБ/км	Ta=20,°C Pa=101.33,кПа hотн.=70%	ф-ла (5) [9]	0,02	0,09	0,33	1,12	2,79	4,98	9,04	23,09	77,63		
Учет затухания звука в атмосфере Aatm, дБ		ф-ла (8) [10]	0	0,1	0,2	0,7	1,8	3,2	5,8	14,9	50		
Снижение поверхностью земли возле источника As, дБ	Gs = 0 hs = 3м	ф-лы таб.3 [10]	-1,5	-1,5	-1,5	-1,5	-1,5	-1,5	-1,5	-1,5	-1,5		
Снижение поверхностью земли возле приёмника Ar, дБ	Gr = 1 hr = 1.5м	ф-лы таб.3 [10]	-1,5	-1,5	3,9	7	5	0,7	0	0	0		
Снижение поверхностью земли в средней зоне, Am дБ	Gm = 1	ф-лы таб.3 [10]	-2,4	-2,4	0	0	0	0	0	0	0		
Суммарное снижение поверхностью земли на траектории распространения звука Agr, дБ		ф-ла (9) [10]	-5,4	-5,4	2,4	5,5	3,5	-0,8	-1,5	-1,5	-1,5		
Уровни звукового давления от источника ИШ-2-5 в расчётной точке днём, дБ		**ф-ла(3)[10]**	**46,2**	**45,2**	**37,2**	**30,6**	**32,6**	**39,5**	**32,5**	**17,5**	**0**	**41**	**41**
Уровни звукового давления от источника ИШ-2-5 в расчётной точке ночью, дБ		**ф-ла(3)[10]**	**46,2**	**45,2**	**37,2**	**30,6**	**32,6**	**39,5**	**32,5**	**17,5**	**0**	**41**	**41**
Источник шума: ИШ-2-38, координаты источника (x,y,z), м =[688.13,-119.94,1.00]													

1		2	3	4	5	6	7	8	9	10	11	12	13
Уровни звуковой мощности источника днём, Lw, дБ		**исходные данные**	**0**	**93,3**	**94,7**	**96**	**96,3**	**95,9**	**92,6**	**88,4**	**83,9**		
Уровни звуковой мощности источника ночью, Lw, дБ		**исходные данные**	**0**	**93,3**	**94,7**	**96**	**96,3**	**95,9**	**92,6**	**88,4**	**83,9**		
Поправка на телесный угол DΩ, дБ	Ω = 6.28	10Lg(4π/Ω)	**3**	3	3	3	3	3	3	3	3		
Показатель направленности источника Di, дБ		исходные данные	**0**	0	0	0	0	0	0	0	0		
Поправка на направленность источника Dc, дБ	Dc	DΩ + Di	**3**	3	3	3	3	3	3	3	3		
Затухание из-за геометрической дивергенции, Adiv, дБ	расстояние = 642.61 м	ф-ла (7) [10]	**67,2**										
Коэффициент затухания звука в атмосфере α, дБ/км	Ta=20,°C Pa=101.33,кПа hотн.=70%	ф-ла (5) [9]	0,02	0,09	0,33	1,12	2,79	4,98	9,04	23,09	77,63		
Учет затухания звука в атмосфере Aatm, дБ		ф-ла (8) [10]	0	0,1	0,2	0,7	1,8	3,2	5,8	14,8	49,9		
Снижение поверхностью земли возле источника As, дБ	Gs = 0 hs = 1м	ф-лы таб.3 [10]	-1,5	-1,5	-1,5	-1,5	-1,5	-1,5	-1,5	-1,5	-1,5		
Снижение поверхностью земли возле приёмника Ar, дБ	Gr = 1 hr = 1.5м	ф-лы таб.3 [10]	-1,5	-1,5	3,9	7	5	0,7	0	0	0		
Снижение поверхностью земли в средней зоне, Am дБ	Gm = 1	ф-лы таб.3 [10]	-2,6	-2,6	0	0	0	0	0	0	0		
Суммарное снижение поверхностью земли на траектории распространения звука Agr, дБ		ф-ла (9) [10]	-5,6	-5,6	2,4	5,5	3,5	-0,8	-1,5	-1,5	-1,5		
Уровни звукового давления от источника ИШ-2-38 в расчётной точке днём, дБ		**ф-ла(3)[10]**	**0**	**34,7**	**27,9**	**25,6**	**26,9**	**29,4**	**24,1**	**10,9**	**0**	**31,8**	**31,8**
Уровни звукового давления от источника ИШ-2-38 в расчётной точке ночью, дБ		**ф-ла(3)[10]**	**0**	**34,7**	**27,9**	**25,6**	**26,9**	**29,4**	**24,1**	**10,9**	**0**	**31,8**	**31,8**
Источник шума: ИШ-2-39, координаты источника (x,y,z), м =[687.11,-122.83,1.00]													
Уровни звуковой мощности источника днём, Lw, дБ		**исходные данные**	**0**	**93,3**	**94,7**	**96**	**96,3**	**95,9**	**92,6**	**88,4**	**83,9**		

1		2	3	4	5	6	7	8	9	10	11	12	13
Уровни звуковой мощности источника ночью, Lw, дБ		**исходные данные**	**0**	**93,3**	**94,7**	**96**	**96,3**	**95,9**	**92,6**	**88,4**	**83,9**		
Поправка на телесный угол DΩ, дБ	Ω = 6.28	10Lg(4π/Ω)	**3**	3	3	3	3	3	3	3	3		
Показатель направленности источника Di, дБ		исходные данные	**0**	0	0	0	0	0	0	0	0		
Поправка на направленность источника Dc, дБ	Dc	DΩ + Di	**3**	3	3	3	3	3	3	3	3		
Затухание из-за геометрической дивергенции, Adiv, дБ	расстояние = 645.61 м	ф-ла (7) [10]	**67,2**										
Коэффициент затухания звука в атмосфере α, дБ/км	Ta=20,°C Pa=101.33,кПа hотн.=70%	ф-ла (5) [9]	0,02	0,09	0,33	1,12	2,79	4,98	9,04	23,09	77,63		
Учет затухания звука в атмосфере Aatm, дБ		ф-ла (8) [10]	0	0,1	0,2	0,7	1,8	3,2	5,8	14,9	50,1		
Снижение поверхностью земли возле источника As, дБ	Gs = 0 hs = 1м	ф-лы таб.3 [10]	-1,5	-1,5	-1,5	-1,5	-1,5	-1,5	-1,5	-1,5	-1,5		
Снижение поверхностью земли возле приёмника Ar, дБ	Gr = 1 hr = 1.5м	ф-лы таб.3 [10]	-1,5	-1,5	3,9	7	5	0,7	0	0	0		
Снижение поверхностью земли в средней зоне, Am дБ	Gm = 1	ф-лы таб.3 [10]	-2,7	-2,7	0	0	0	0	0	0	0		
Суммарное снижение поверхностью земли на траектории распространения звука Agr, дБ		ф-ла (9) [10]	-5,7	-5,7	2,4	5,5	3,5	-0,8	-1,5	-1,5	-1,5		
Уровни звукового давления от источника ИШ-2-39 в расчётной точке днём, дБ		**ф-ла(3)[10]**	**0**	**34,7**	**27,9**	**25,5**	**26,8**	**29,3**	**24,1**	**10,8**	**0**	**31,8**	**31,8**
Уровни звукового давления от источника ИШ-2-39 в расчётной точке ночью, дБ		**ф-ла(3)[10]**	**0**	**34,7**	**27,9**	**25,5**	**26,8**	**29,3**	**24,1**	**10,8**	**0**	**31,8**	**31,8**
Источник шума: ИШ-2-40, координаты источника (x,y,z), м =[686.10,-125.67,1.00]													
Уровни звуковой мощности источника днём, Lw, дБ		**исходные данные**	**0**	**93,3**	**94,7**	**96**	**96,3**	**95,9**	**92,6**	**88,4**	**83,9**		
Уровни звуковой мощности источника ночью, Lw, дБ		**исходные данные**	**0**	**93,3**	**94,7**	**96**	**96,3**	**95,9**	**92,6**	**88,4**	**83,9**		

1		2	3	4	5	6	7	8	9	10	11	12	13
Поправка на телесный угол DΩ, дБ	Ω = 6.28	10Lg(4π/Ω)	**3**	3	3	3	3	3	3	3	3		
Показатель направленности источника Di, дБ		исходные данные	**0**	0	0	0	0	0	0	0	0		
Поправка на направленность источника Dc, дБ	Dc	DΩ + Di	**3**	3	3	3	3	3	3	3	3		
Затухание из-за геометрической дивергенции, Adiv, дБ	расстояние = 648.56 м	ф-ла (7) [10]	**67,2**										
Коэффициент затухания звука в атмосфере α, дБ/км	Ta=20,°C Pa=101.33,кПа hотн.=70%	ф-ла (5) [9]	0,02	0,09	0,33	1,12	2,79	4,98	9,04	23,09	77,63		
Учет затухания звука в атмосфере Aatm, дБ		ф-ла (8) [10]	0	0,1	0,2	0,7	1,8	3,2	5,9	15	50,3		
Снижение поверхностью земли возле источника As, дБ	Gs = 0 hs = 1м	ф-лы таб.3 [10]	-1,5	-1,5	-1,5	-1,5	-1,5	-1,5	-1,5	-1,5	-1,5		
Снижение поверхностью земли возле приёмника Ar, дБ	Gr = 1 hr = 1.5м	ф-лы таб.3 [10]	-1,5	-1,5	3,9	7	5	0,7	0	0	0		
Снижение поверхностью земли в средней зоне, Am дБ	Gm = 1	ф-лы таб.3 [10]	-2,7	-2,7	0	0	0	0	0	0	0		
Суммарное снижение поверхностью земли на траектории распространения звука Agr, дБ		ф-ла (9) [10]	-5,7	-5,7	2,4	5,5	3,5	-0,8	-1,5	-1,5	-1,5		
Уровни звукового давления от источника ИШ-2-40 в расчётной точке днём, дБ		**ф-ла(3)[10]**	**0**	**34,6**	**27,8**	**25,5**	**26,8**	**29,3**	**24**	**10,7**	**0**	**31,7**	**31,7**
Уровни звукового давления от источника ИШ-2-40 в расчётной точке ночью, дБ		**ф-ла(3)[10]**	**0**	**34,6**	**27,8**	**25,5**	**26,8**	**29,3**	**24**	**10,7**	**0**	**31,7**	**31,7**
Источник шума: ИШ-2-41, координаты источника (x,y,z), м =[685.14,-128.64,1.00]													
Уровни звуковой мощности источника днём, Lw, дБ		**исходные данные**	**0**	**93,3**	**94,7**	**96**	**96,3**	**95,9**	**92,6**	**88,4**	**83,9**		
Уровни звуковой мощности источника ночью, Lw, дБ		**исходные данные**	**0**	**93,3**	**94,7**	**96**	**96,3**	**95,9**	**92,6**	**88,4**	**83,9**		
Поправка на телесный угол DΩ, дБ	Ω = 6.28	10Lg(4π/Ω)	**3**	3	3	3	3	3	3	3	3		

1		2	3	4	5	6	7	8	9	10	11	12	13
Показатель направленности источника Di, дБ		исходные данные	**0**	0	0	0	0	0	0	0	0		
Поправка на направленность источника Dc, дБ	Dc	DΩ + Di	**3**	3	3	3	3	3	3	3	3		
Затухание из-за геометрической дивергенции, Adiv, дБ	расстояние = 651.63 м	ф-ла (7) [10]	**67,3**										
Коэффициент затухания звука в атмосфере α, дБ/км	Ta=20,°C Pa=101.33,кПа hотн.=70%	ф-ла (5) [9]	0,02	0,09	0,33	1,12	2,79	4,98	9,04	23,09	77,63		
Учет затухания звука в атмосфере Aatm, дБ		ф-ла (8) [10]	0	0,1	0,2	0,7	1,8	3,2	5,9	15	50,6		
Снижение поверхностью земли возле источника As, дБ	Gs = 0 hs = 1м	ф-лы таб.3 [10]	-1,5	-1,5	-1,5	-1,5	-1,5	-1,5	-1,5	-1,5	-1,5		
Снижение поверхностью земли возле приёмника Ar, дБ	Gr = 1 hr = 1.5м	ф-лы таб.3 [10]	-1,5	-1,5	3,9	7	5	0,7	0	0	0		
Снижение поверхностью земли в средней зоне, Am дБ	Gm = 1	ф-лы таб.3 [10]	-2,7	-2,7	0	0	0	0	0	0	0		
Суммарное снижение поверхностью земли на траектории распространения звука Agr, дБ		ф-ла (9) [10]	-5,7	-5,7	2,4	5,5	3,5	-0,8	-1,5	-1,5	-1,5		
Уровни звукового давления от источника ИШ-2-41 в расчётной точке днём, дБ		**ф-ла(3)[10]**	**0**	**34,6**	**27,8**	**25,5**	**26,7**	**29,2**	**23,9**	**10,6**	**0**	**31,7**	**31,7**
Уровни звукового давления от источника ИШ-2-41 в расчётной точке ночью, дБ		**ф-ла(3)[10]**	**0**	**34,6**	**27,8**	**25,5**	**26,7**	**29,2**	**23,9**	**10,6**	**0**	**31,7**	**31,7**
Источник шума: ИШ-2-42, координаты источника (x,y,z), м =[684.20,-131.46,1.00]													
Уровни звуковой мощности источника днём, Lw, дБ		**исходные данные**	**0**	**93,3**	**94,7**	**96**	**96,3**	**95,9**	**92,6**	**88,4**	**83,9**		
Уровни звуковой мощности источника ночью, Lw, дБ		**исходные данные**	**0**	**93,3**	**94,7**	**96**	**96,3**	**95,9**	**92,6**	**88,4**	**83,9**		
Поправка на телесный угол DΩ, дБ	Ω = 6.28	10Lg(4π/Ω)	**3**	3	3	3	3	3	3	3	3		
Показатель направленности источника Di, дБ		исходные данные	**0**	0	0	0	0	0	0	0	0		

1		2	3	4	5	6	7	8	9	10	11	12	13
Поправка на направленность источника Dc, дБ	Dc	DΩ + Di	**3**	3	3	3	3	3	3	3	3		
Затухание из-за геометрической дивергенции, Adiv, дБ	расстояние = 654.54 м	ф-ла (7) [10]	**67,3**										
Коэффициент затухания звука в атмосфере α, дБ/км	Ta=20,°C Pa=101.33,кПа hотн.=70%	ф-ла (5) [9]	0,02	0,09	0,33	1,12	2,79	4,98	9,04	23,09	77,63		
Учет затухания звука в атмосфере Aatm, дБ		ф-ла (8) [10]	0	0,1	0,2	0,7	1,8	3,3	5,9	15,1	50,8		
Снижение поверхностью земли возле источника As, дБ	Gs = 0 hs = 1м	ф-лы таб.3 [10]	-1,5	-1,5	-1,5	-1,5	-1,5	-1,5	-1,5	-1,5	-1,5		
Снижение поверхностью земли возле приёмника Ar, дБ	Gr = 1 hr = 1.5м	ф-лы таб.3 [10]	-1,5	-1,5	3,9	7	5	0,7	0	0	0		
Снижение поверхностью земли в средней зоне, Am дБ	Gm = 1	ф-лы таб.3 [10]	-2,7	-2,7	0	0	0	0	0	0	0		
Суммарное снижение поверхностью земли на траектории распространения звука Agr, дБ		ф-ла (9) [10]	-5,7	-5,7	2,4	5,5	3,5	-0,8	-1,5	-1,5	-1,5		
Уровни звукового давления от источника ИШ-2-42 в расчётной точке днём, дБ		**ф-ла(3)[10]**	**0**	**34,6**	**27,7**	**25,4**	**26,7**	**29,2**	**23,9**	**10,5**	**0**	**31,6**	**31,6**
Уровни звукового давления от источника ИШ-2-42 в расчётной точке ночью, дБ		**ф-ла(3)[10]**	**0**	**34,6**	**27,7**	**25,4**	**26,7**	**29,2**	**23,9**	**10,5**	**0**	**31,6**	**31,6**
Источник шума: ИШ-2-43, координаты источника (x,y,z), м =[683.13,-134.37,1.00]													
Уровни звуковой мощности источника днём, Lw, дБ		**исходные данные**	**0**	**93,3**	**94,7**	**96**	**96,3**	**95,9**	**92,6**	**88,4**	**83,9**		
Уровни звуковой мощности источника ночью, Lw, дБ		**исходные данные**	**0**	**93,3**	**94,7**	**96**	**96,3**	**95,9**	**92,6**	**88,4**	**83,9**		
Поправка на телесный угол DΩ, дБ	Ω = 6.28	10Lg(4π/Ω)	**3**	3	3	3	3	3	3	3	3		
Показатель направленности источника Di, дБ		исходные данные	**0**	0	0	0	0	0	0	0	0		
Поправка на направленность источника Dc, дБ	Dc	DΩ + Di	**3**	3	3	3	3	3	3	3	3		

1		2	3	4	5	6	7	8	9	10	11	12	13
Затухание из-за геометрической дивергенции, Adiv, дБ	расстояние = 657.57 м	ф-ла (7) [10]	**67,4**										
Коэффициент затухания звука в атмосфере α, дБ/км	Ta=20,°C Pa=101.33,кПа hотн.=70%	ф-ла (5) [9]	0,02	0,09	0,33	1,12	2,79	4,98	9,04	23,09	77,63		
Учет затухания звука в атмосфере Aatm, дБ		ф-ла (8) [10]	0	0,1	0,2	0,7	1,8	3,3	5,9	15,2	51		
Снижение поверхностью земли возле источника As, дБ	Gs = 0 hs = 1м	ф-лы таб.3 [10]	-1,5	-1,5	-1,5	-1,5	-1,5	-1,5	-1,5	-1,5	-1,5		
Снижение поверхностью земли возле приёмника Ar, дБ	Gr = 1 hr = 1.5м	ф-лы таб.3 [10]	-1,5	-1,5	4	7	5	0,7	0	0	0		
Снижение поверхностью земли в средней зоне, Am дБ	Gm = 1	ф-лы таб.3 [10]	-2,7	-2,7	0	0	0	0	0	0	0		
Суммарное снижение поверхностью земли на траектории распространения звука Agr, дБ		ф-ла (9) [10]	-5,7	-5,7	2,5	5,5	3,5	-0,8	-1,5	-1,5	-1,5		
Уровни звукового давления от источника ИШ-2-43 в расчётной точке днём, дБ		**ф-ла(3)[10]**	**0**	**34,5**	**27,7**	**25,4**	**26,6**	**29,1**	**23,8**	**10,4**	**0**	**31,6**	**31,6**
Уровни звукового давления от источника ИШ-2-43 в расчётной точке ночью, дБ		**ф-ла(3)[10]**	**0**	**34,5**	**27,7**	**25,4**	**26,6**	**29,1**	**23,8**	**10,4**	**0**	**31,6**	**31,6**
Источник шума: ИШ-2-44, координаты источника (x,y,z), м =[682.20,-137.16,1.00]													
Уровни звуковой мощности источника днём, Lw, дБ		**исходные данные**	**0**	**93,3**	**94,7**	**96**	**96,3**	**95,9**	**92,6**	**88,4**	**83,9**		
Уровни звуковой мощности источника ночью, Lw, дБ		**исходные данные**	**0**	**93,3**	**94,7**	**96**	**96,3**	**95,9**	**92,6**	**88,4**	**83,9**		
Поправка на телесный угол DΩ, дБ	Ω = 6.28	10Lg(4π/Ω)	**3**	3	3	3	3	3	3	3	3		
Показатель направленности источника Di, дБ		исходные данные	**0**	0	0	0	0	0	0	0	0		
Поправка на направленность источника Dc, дБ	Dc	DΩ + Di	**3**	3	3	3	3	3	3	3	3		
Затухание из-за геометрической дивергенции, Adiv, дБ	расстояние = 660.47 м	ф-ла (7) [10]	**67,4**										

1		2	3	4	5	6	7	8	9	10	11	12	13
Коэффициент затухания звука в атмосфере α, дБ/км	Ta=20,°C Pa=101.33,кПа hотн.=70%	ф-ла (5) [9]	0,02	0,09	0,33	1,12	2,79	4,98	9,04	23,09	77,63		
Учет затухания звука в атмосфере Aatm, дБ		ф-ла (8) [10]	0	0,1	0,2	0,7	1,8	3,3	6	15,2	51,3		
Снижение поверхностью земли возле источника As, дБ	Gs = 0 hs = 1м	ф-лы таб.3 [10]	-1,5	-1,5	-1,5	-1,5	-1,5	-1,5	-1,5	-1,5	-1,5		
Снижение поверхностью земли возле приёмника Ar, дБ	Gr = 1 hr = 1.5м	ф-лы таб.3 [10]	-1,5	-1,5	4	7	5	0,7	0	0	0		
Снижение поверхностью земли в средней зоне, Am дБ	Gm = 1	ф-лы таб.3 [10]	-2,7	-2,7	0	0	0	0	0	0	0		
Суммарное снижение поверхностью земли на траектории распространения звука Agr, дБ		ф-ла (9) [10]	-5,7	-5,7	2,5	5,5	3,5	-0,8	-1,5	-1,5	-1,5		
Уровни звукового давления от источника ИШ-2-44 в расчётной точке днём, дБ		**ф-ла(3)[10]**	**0**	**34,5**	**27,6**	**25,3**	**26,6**	**29**	**23,7**	**10,2**	**0**	**31,5**	**31,5**
Уровни звукового давления от источника ИШ-2-44 в расчётной точке ночью, дБ		**ф-ла(3)[10]**	**0**	**34,5**	**27,6**	**25,3**	**26,6**	**29**	**23,7**	**10,2**	**0**	**31,5**	**31,5**
Источник шума: ИШ-2-45, координаты источника (x,y,z), м =[681.26,-139.98,1.00]													
Уровни звуковой мощности источника днём, Lw, дБ		**исходные данные**	**0**	**93,3**	**94,7**	**96**	**96,3**	**95,9**	**92,6**	**88,4**	**83,9**		
Уровни звуковой мощности источника ночью, Lw, дБ		**исходные данные**	**0**	**93,3**	**94,7**	**96**	**96,3**	**95,9**	**92,6**	**88,4**	**83,9**		
Поправка на телесный угол DΩ, дБ	Ω = 6.28	10Lg(4π/Ω)	**3**	3	3	3	3	3	3	3	3		
Показатель направленности источника Di, дБ		исходные данные	**0**	0	0	0	0	0	0	0	0		
Поправка на направленность источника Dc, дБ	Dc	DΩ + Di	**3**	3	3	3	3	3	3	3	3		
Затухание из-за геометрической дивергенции, Adiv, дБ	расстояние = 663.38 м	ф-ла (7) [10]	**67,4**										
Коэффициент затухания звука в атмосфере α, дБ/км	Ta=20,°C Pa=101.33,кПа hотн.=70%	ф-ла (5) [9]	0,02	0,09	0,33	1,12	2,79	4,98	9,04	23,09	77,63		

1		2	3	4	5	6	7	8	9	10	11	12	13
Учет затухания звука в атмосфере Aatm, дБ		ф-ла (8) [10]	0	0,1	0,2	0,7	1,9	3,3	6	15,3	51,5		
Снижение поверхностью земли возле источника As, дБ	Gs = 0 hs = 1м	ф-лы таб.3 [10]	-1,5	-1,5	-1,5	-1,5	-1,5	-1,5	-1,5	-1,5	-1,5		
Снижение поверхностью земли возле приёмника Ar, дБ	Gr = 1 hr = 1.5м	ф-лы таб.3 [10]	-1,5	-1,5	4	7	5	0,7	0	0	0		
Снижение поверхностью земли в средней зоне, Am дБ	Gm = 1	ф-лы таб.3 [10]	-2,7	-2,7	0	0	0	0	0	0	0		
Суммарное снижение поверхностью земли на траектории распространения звука Agr, дБ		ф-ла (9) [10]	-5,7	-5,7	2,5	5,5	3,5	-0,8	-1,5	-1,5	-1,5		
Уровни звукового давления от источника ИШ-2-45 в расчётной точке днём, дБ		**ф-ла(3)[10]**	**0**	**34,5**	**27,5**	**25,3**	**26,5**	**29**	**23,7**	**10,1**	**0**	**31,4**	**31,4**
Уровни звукового давления от источника ИШ-2-45 в расчётной точке ночью, дБ		**ф-ла(3)[10]**	**0**	**34,5**	**27,5**	**25,3**	**26,5**	**29**	**23,7**	**10,1**	**0**	**31,4**	**31,4**
Источник шума: ИШ-4-1, координаты источника (x,y,z), м =[141.82,201.03,1.00]													
Уровни звуковой мощности источника днём, Lw, дБ		**исходные данные**	**0**	**90,3**	**91,7**	**93**	**93,3**	**92,9**	**89,6**	**85,4**	**80,9**		
Уровни звуковой мощности источника ночью, Lw, дБ		**исходные данные**	**0**	**90,3**	**91,7**	**93**	**93,3**	**92,9**	**89,6**	**85,4**	**80,9**		
Поправка на телесный угол DΩ, дБ	Ω = 6.28	10Lg(4π/Ω)	**3**	3	3	3	3	3	3	3	3		
Показатель направленности источника Di, дБ		исходные данные	**0**	0	0	0	0	0	0	0	0		
Поправка на направленность источника Dc, дБ	Dc	DΩ + Di	**3**	3	3	3	3	3	3	3	3		
Затухание из-за геометрической дивергенции, Adiv, дБ	расстояние = 704.23 м	ф-ла (7) [10]	**68**										
Коэффициент затухания звука в атмосфере α, дБ/км	Ta=20,°C Pa=101.33,кПа hотн.=70%	ф-ла (5) [9]	0,02	0,09	0,33	1,12	2,79	4,98	9,04	23,09	77,63		
Учет затухания звука в атмосфере Aatm, дБ		ф-ла (8) [10]	0	0,1	0,2	0,8	2	3,5	6,4	16,3	54,7		

1		2	3	4	5	6	7	8	9	10	11	12	13
Снижение уровня звукового давления из-за влияния застройки между источником шума и расчетной точкой													
Снижение уровня звукового давления на пути над экраном, Dz1, дБ	z = 0.90м (разность путей)	ф-лы (14-18) [10]	7,6	9,5	11,7	14,3	17,1	20	22,9	25,9	28,9		
Снижение уровня звукового давления на пути слева от экрана, Dz2, дБ	z = 7.81м (разность путей)	ф-лы (14-18) [10]	15	17,8	20,7	23,7	26,6	29,6	32,6	35,7	38,7		
Снижение уровня звукового давления на пути справа от экрана, Dz3, дБ	z = 10.86м (разность путей)	ф-лы (14-18) [10]	20,5	23,8	26,8	29,8	32,8	35,8	38,8	41,9	44,9		
Общее снижение уровня звука препятствием Dz, дБ		Эн.сумма(-Dzi)	6,7	8,8	11,1	13,7	16,5	19,4	22,4	25,4	28,4		
Общее снижение уровня звука препятствием с учётом ограничения (25 дБ) для октавных полос Dz, дБ		Раздел 7.4 [10]	6,7	8,8	11,1	13,7	16,5	19,4	22,4	25	25		
Уровни звукового давления прямого звука от источника ИШ-4-1 в расчётной точке днём, дБ		**ф-ла(3)[10]**	**0**	**16,5**	**15,4**	**13,5**	**9,8**	**5**	**0**	**0**	**0**	**10,7**	**10,7**
Уровни звукового давления прямого звука от источника ИШ-4-1 в расчётной точке ночью, дБ		**ф-ла(3)[10]**	**0**	**16,5**	**15,4**	**13,5**	**9,8**	**5**	**0**	**0**	**0**	**10,7**	**10,7**
Расчёт отражённого звука													
Уровни звукового давления от мнимого источника ИШ-4-1_мн.(1) в расчётной точке днём, дБ		**ф-ла(3)[10]**	**0**	**0**	**0**	**0**	**0**	**0**	**0**	**0**	**0**	**0**	**0**
Уровни звукового давления от мнимого источника ИШ-4-1_мн.(1) в расчётной точке ночью, дБ		**ф-ла(3)[10]**	**0**	**0**	**0**	**0**	**0**	**0**	**0**	**0**	**0**	**0**	**0**
Уровни звукового давления от источника ИШ-4-1 в расчётной точке днём, дБ		**ф-ла(3)[10]**	**0**	**16,5**	**15,4**	**13,5**	**9,8**	**5**	**0**	**0**	**0**	**10,7**	**10,7**
Уровни звукового давления от источника ИШ-4-1 в расчётной точке ночью, дБ		**ф-ла(3)[10]**	**0**	**16,5**	**15,4**	**13,5**	**9,8**	**5**	**0**	**0**	**0**	**10,7**	**10,7**
Источник шума: ИШ-4-2, координаты источника (x,y,z), м =[133.85,183.21,1.00]													
Уровни звуковой мощности источника днём, Lw, дБ		**исходные данные**	**0**	**90,3**	**91,7**	**93**	**93,3**	**92,9**	**89,6**	**85,4**	**80,9**		
Уровни звуковой мощности источника ночью, Lw, дБ		**исходные данные**	**0**	**90,3**	**91,7**	**93**	**93,3**	**92,9**	**89,6**	**85,4**	**80,9**		
Поправка на телесный угол DΩ, дБ	Ω = 6.28	10Lg(4π/Ω)	**3**	3	3	3	3	3	3	3	3		

1		2	3	4	5	6	7	8	9	10	11	12	13
Показатель направленности источника Di, дБ		исходные данные	**0**	0	0	0	0	0	0	0	0		
Поправка на направленность источника Dc, дБ	Dc	DΩ + Di	**3**	3	3	3	3	3	3	3	3		
Затухание из-за геометрической дивергенции, Adiv, дБ	расстояние = 719.46 м	ф-ла (7) [10]	**68,1**										
Коэффициент затухания звука в атмосфере α, дБ/км	Ta=20,°C Pa=101.33,кПа hотн.=70%	ф-ла (5) [9]	0,02	0,09	0,33	1,12	2,79	4,98	9,04	23,09	77,63		
Учет затухания звука в атмосфере Aatm, дБ		ф-ла (8) [10]	0	0,1	0,2	0,8	2	3,6	6,5	16,6	55,9		
Снижение уровня звукового давления из-за влияния застройки между источником шума и расчетной точкой													
Снижение уровня звукового давления на пути над экраном, Dz1, дБ	z = 0.77м (разность путей)	ф-лы (14-18) [10]	6,9	8,5	10,5	13	15,6	18,5	21,4	24,3	27,3		
Снижение уровня звукового давления на пути слева от экрана, Dz2, дБ	z = 10.38м (разность путей)	ф-лы (14-18) [10]	20	23,5	26,6	29,6	32,6	35,6	38,6	41,7	44,7		
Снижение уровня звукового давления на пути справа от экрана, Dz3, дБ	z = 5.20м (разность путей)	ф-лы (14-18) [10]	17,5	20,6	23,6	26,6	29,6	32,6	35,6	38,7	41,7		
Общее снижение уровня звука препятствием Dz, дБ		Эн.сумма(-Dzi)	6,3	8,1	10,2	12,7	15,4	18,2	21,1	24,1	27,1		
Общее снижение уровня звука препятствием с учётом ограничения (25 дБ) для октавных полос Dz, дБ		Раздел 7.4 [10]	6,3	8,1	10,2	12,7	15,4	18,2	21,1	24,1	25		
Уровни звукового давления прямого звука от источника ИШ-4-2 в расчётной точке днём, дБ		**ф-ла(3)[10]**	**0**	**17**	**16,1**	**14,4**	**10,8**	**6**	**0**	**0**	**0**	**11,6**	**11,6**
Уровни звукового давления прямого звука от источника ИШ-4-2 в расчётной точке ночью, дБ		**ф-ла(3)[10]**	**0**	**17**	**16,1**	**14,4**	**10,8**	**6**	**0**	**0**	**0**	**11,6**	**11,6**
Расчёт отражённого звука													
Уровни звукового давления от мнимого источника ИШ-4-2_мн.(1) в расчётной точке днём, дБ		**ф-ла(3)[10]**	**0**	**0**	**0**	**0**	**0**	**0**	**0**	**0**	**0**	**0**	**0**
Уровни звукового давления от мнимого источника ИШ-4-2_мн.(1) в расчётной точке ночью, дБ		**ф-ла(3)[10]**	**0**	**0**	**0**	**0**	**0**	**0**	**0**	**0**	**0**	**0**	**0**
Уровни звукового давления от источника ИШ-4-2 в расчётной точке днём, дБ		**ф-ла(3)[10]**	**0**	**17**	**16,1**	**14,4**	**10,8**	**6**	**0**	**0**	**0**	**11,6**	**11,6**

1		2	3	4	5	6	7	8	9	10	11	12	13
Уровни звукового давления от источника ИШ-4-2 в расчётной точке ночью, дБ		**ф-ла(3)[10]**	**0**	**17**	**16,1**	**14,4**	**10,8**	**6**	**0**	**0**	**0**	**11,6**	**11,6**
Источник шума: ИШ-4-3, координаты источника (x,y,z), м =[152.61,172.66,1.00]													
Уровни звуковой мощности источника днём, Lw, дБ		**исходные данные**	**0**	**90,3**	**91,7**	**93**	**93,3**	**92,9**	**89,6**	**85,4**	**80,9**		
Уровни звуковой мощности источника ночью, Lw, дБ		**исходные данные**	**0**	**90,3**	**91,7**	**93**	**93,3**	**92,9**	**89,6**	**85,4**	**80,9**		
Поправка на телесный угол DΩ, дБ	Ω = 6.28	10Lg(4π/Ω)	**3**	3	3	3	3	3	3	3	3		
Показатель направленности источника Di, дБ		исходные данные	**0**	0	0	0	0	0	0	0	0		
Поправка на направленность источника Dc, дБ	Dc	DΩ + Di	**3**	3	3	3	3	3	3	3	3		
Затухание из-за геометрической дивергенции, Adiv, дБ	расстояние = 707.98 м	ф-ла (7) [10]	**68**										
Коэффициент затухания звука в атмосфере α, дБ/км	Ta=20,°C Pa=101.33,кПа hотн.=70%	ф-ла (5) [9]	0,02	0,09	0,33	1,12	2,79	4,98	9,04	23,09	77,63		
Учет затухания звука в атмосфере Aatm, дБ		ф-ла (8) [10]	0	0,1	0,2	0,8	2	3,5	6,4	16,3	55		
Снижение уровня звукового давления из-за влияния застройки между источником шума и расчетной точкой													
Снижение уровня звукового давления на пути над экраном, Dz1, дБ	z = 0.25м (разность путей)	ф-лы (14-18) [10]	4,8	4,8	4,8	4,8	4,9	5	5,3	5,8	6,6		
Снижение уровня звукового давления на пути слева от экрана, Dz2, дБ	z = 20.17м (разность путей)	ф-лы (14-18) [10]	22,8	26,3	29,5	32,5	35,5	38,5	41,5	44,5	47,6		
Снижение уровня звукового давления на пути справа от экрана, Dz3, дБ	z = 131.75м (разность путей)	ф-лы (14-18) [10]	30,3	34,2	37,5	40,6	43,7	46,7	49,7	52,7	55,7		
Общее снижение уровня звука препятствием Dz, дБ		Эн.сумма(-Dzi)	4,7	4,7	4,8	4,8	4,9	5	5,3	5,8	6,6		
Уровни звукового давления прямого звука от источника ИШ-4-3 в расчётной точке днём, дБ		**ф-ла(3)[10]**	**0**	**20,5**	**21,7**	**22,4**	**21,4**	**19,3**	**12,9**	**0**	**0**	**23,1**	**23,1**

1		2	3	4	5	6	7	8	9	10	11	12	13
Уровни звукового давления прямого звука от источника ИШ-4-3 в расчётной точке ночью, дБ		**ф-ла(3)[10]**	**0**	**20,5**	**21,7**	**22,4**	**21,4**	**19,3**	**12,9**	**0**	**0**	**23,1**	**23,1**
Расчёт отражённого звука													
Уровни звукового давления от мнимого источника ИШ-4-3_мн.(1) в расчётной точке днём, дБ		**ф-ла(3)[10]**	**0**	**0**	**0**	**0**	**0**	**0**	**0**	**0**	**0**	**0**	**0**
Уровни звукового давления от мнимого источника ИШ-4-3_мн.(1) в расчётной точке ночью, дБ		**ф-ла(3)[10]**	**0**	**0**	**0**	**0**	**0**	**0**	**0**	**0**	**0**	**0**	**0**
Уровни звукового давления от источника ИШ-4-3 в расчётной точке днём, дБ		**ф-ла(3)[10]**	**0**	**20,5**	**21,7**	**22,4**	**21,4**	**19,3**	**12,9**	**0**	**0**	**23,1**	**23,1**
Уровни звукового давления от источника ИШ-4-3 в расчётной точке ночью, дБ		**ф-ла(3)[10]**	**0**	**20,5**	**21,7**	**22,4**	**21,4**	**19,3**	**12,9**	**0**	**0**	**23,1**	**23,1**
Источник шума: ИШ-4-4, координаты источника (x,y,z), м =[156.83,171.25,1.00]													
Уровни звуковой мощности источника днём, Lw, дБ		**исходные данные**	**0**	**90,3**	**91,7**	**93**	**93,3**	**92,9**	**89,6**	**85,4**	**80,9**		
Уровни звуковой мощности источника ночью, Lw, дБ		**исходные данные**	**0**	**90,3**	**91,7**	**93**	**93,3**	**92,9**	**89,6**	**85,4**	**80,9**		
Поправка на телесный угол DΩ, дБ	Ω = 6.28	10Lg(4π/Ω)	**3**	3	3	3	3	3	3	3	3		
Показатель направленности источника Di, дБ		исходные данные	**0**	0	0	0	0	0	0	0	0		
Поправка на направленность источника Dc, дБ	Dc	DΩ + Di	**3**	3	3	3	3	3	3	3	3		
Затухание из-за геометрической дивергенции, Adiv, дБ	расстояние = 704.98 м	ф-ла (7) [10]	**68**										
Коэффициент затухания звука в атмосфере α, дБ/км	Ta=20,°C Pa=101.33,кПа hотн.=70%	ф-ла (5) [9]	0,02	0,09	0,33	1,12	2,79	4,98	9,04	23,09	77,63		
Учет затухания звука в атмосфере Aatm, дБ		ф-ла (8) [10]	0	0,1	0,2	0,8	2	3,5	6,4	16,3	54,7		
Снижение уровня звукового давления из-за влияния застройки между источником шума и расчетной точкой													

1		2	3	4	5	6	7	8	9	10	11	12	13
Снижение уровня звукового давления на пути над экраном, Dz1, дБ	z = 0.25м (разность путей)	ф-лы (14-18) [10]	4,8	4,8	4,8	4,8	4,9	5,1	5,3	5,8	6,6		
Снижение уровня звукового давления на пути слева от экрана, Dz2, дБ	z = 17.53м (разность путей)	ф-лы (14-18) [10]	18,3	21,2	24,2	27,1	30,1	33,2	36,2	39,2	42,2		
Снижение уровня звукового давления на пути справа от экрана, Dz3, дБ	z = 130.31м (разность путей)	ф-лы (14-18) [10]	30,3	34,2	37,5	40,6	43,6	46,6	49,6	52,6	55,7		
Общее снижение уровня звука препятствием Dz, дБ		Эн.сумма(-Dzi)	4,6	4,7	4,7	4,8	4,9	5	5,3	5,8	6,6		
Уровни звукового давления прямого звука от источника ИШ-4-4 в расчётной точке днём, дБ		**ф-ла(3)[10]**	**0**	**20,6**	**21,8**	**22,4**	**21,5**	**19,4**	**12,9**	**0**	**0**	**23,2**	**23,2**
Уровни звукового давления прямого звука от источника ИШ-4-4 в расчётной точке ночью, дБ		**ф-ла(3)[10]**	**0**	**20,6**	**21,8**	**22,4**	**21,5**	**19,4**	**12,9**	**0**	**0**	**23,2**	**23,2**
Расчёт отражённого звука													
Уровни звукового давления от мнимого источника ИШ-4-4_мн.(1) в расчётной точке днём, дБ		**ф-ла(3)[10]**	**0**	**0**	**0**	**0**	**0**	**0**	**0**	**0**	**0**	**0**	**0**
Уровни звукового давления от мнимого источника ИШ-4-4_мн.(1) в расчётной точке ночью, дБ		**ф-ла(3)[10]**	**0**	**0**	**0**	**0**	**0**	**0**	**0**	**0**	**0**	**0**	**0**
Уровни звукового давления от мнимого источника ИШ-4-4_мн.(2) в расчётной точке днём, дБ		**ф-ла(3)[10]**	**0**	**0**	**0**	**0**	**0**	**0**	**0**	**0**	**0**	**0**	**0**
Уровни звукового давления от мнимого источника ИШ-4-4_мн.(2) в расчётной точке ночью, дБ		**ф-ла(3)[10]**	**0**	**0**	**0**	**0**	**0**	**0**	**0**	**0**	**0**	**0**	**0**
Суммарные уровни звукового давления от мнимых источников в расчётной точке днём, дБ		**ф-ла (19) [1]**	**0**	**0**	**0**	**0**	**0**	**0**	**0**	**0**	**0**	**0**	**0**
Суммарные уровни звукового давления от мнимых источников в расчётной точке ночью, дБ		**ф-ла (19) [1]**	**0**	**0**	**0**	**0**	**0**	**0**	**0**	**0**	**0**	**0**	**0**
Уровни звукового давления от источника ИШ-4-4 в расчётной точке днём, дБ		**ф-ла(3)[10]**	**0**	**20,6**	**21,8**	**22,4**	**21,5**	**19,4**	**12,9**	**0**	**0**	**23,2**	**23,2**
Уровни звукового давления от источника ИШ-4-4 в расчётной точке ночью, дБ		**ф-ла(3)[10]**	**0**	**20,6**	**21,8**	**22,4**	**21,5**	**19,4**	**12,9**	**0**	**0**	**23,2**	**23,2**
Источник шума: ИШ-4-5, координаты источника (x,y,z), м =[126.48,222.66,11.00]													
Уровни звуковой мощности источника днём, Lw, дБ		**исходные данные**	**0**	**90,3**	**91,7**	**93**	**93,3**	**92,9**	**89,6**	**85,4**	**80,9**		

1		2	3	4	5	6	7	8	9	10	11	12	13
Уровни звуковой мощности источника ночью, Lw, дБ		**исходные данные**	**0**	**90,3**	**91,7**	**93**	**93,3**	**92,9**	**89,6**	**85,4**	**80,9**		
Поправка на телесный угол DΩ, дБ	Ω = 6.28	10Lg(4π/Ω)	**3**	3	3	3	3	3	3	3	3		
Показатель направленности источника Di, дБ		исходные данные	**0**	0	0	0	0	0	0	0	0		
Поправка на направленность источника Dc, дБ	Dc	DΩ + Di	**3**	3	3	3	3	3	3	3	3		
Затухание из-за геометрической дивергенции, Adiv, дБ	расстояние = 708.77 м	ф-ла (7) [10]	**68**										
Коэффициент затухания звука в атмосфере α, дБ/км	Ta=20,°C Pa=101.33,кПа hотн.=70%	ф-ла (5) [9]	0,02	0,09	0,33	1,12	2,79	4,98	9,04	23,09	77,63		
Учет затухания звука в атмосфере Aatm, дБ		ф-ла (8) [10]	0	0,1	0,2	0,8	2	3,5	6,4	16,4	55		
Снижение уровня звукового давления из-за влияния застройки между источником шума и расчетной точкой													
Снижение уровня звукового давления на пути над экраном, Dz1, дБ	z = 0.01м (разность путей)	ф-лы (14-18) [10]	4,8	4,8	4,8	4,8	4,8	4,8	4,8	4,8	4,8		
Снижение уровня звукового давления на пути слева от экрана, Dz2, дБ	z = 2.74м (разность путей)	ф-лы (14-18) [10]	11,2	13,7	16,4	19,2	22,1	25,1	28,1	31,1	34,1		
Снижение уровня звукового давления на пути справа от экрана, Dz3, дБ	z = 12.84м (разность путей)	ф-лы (14-18) [10]	17	19,9	22,8	25,8	28,8	31,8	34,8	37,8	40,8		
Общее снижение уровня звука препятствием Dz, дБ		Эн.сумма(-Dzi)	3,7	4,1	4,4	4,6	4,7	4,7	4,7	4,8	4,8		
Уровни звукового давления от источника ИШ-4-5 в расчётной точке днём, дБ		**ф-ла(3)[10]**	**0**	**21,1**	**22**	**22,6**	**21,6**	**19,6**	**13,4**	**0**	**0**	**23,4**	**23,4**
Уровни звукового давления от источника ИШ-4-5 в расчётной точке ночью, дБ		**ф-ла(3)[10]**	**0**	**21,1**	**22**	**22,6**	**21,6**	**19,6**	**13,4**	**0**	**0**	**23,4**	**23,4**
Источник шума: ИШ-4-6, координаты источника (x,y,z), м =[125.17,218.57,11.00]													
Уровни звуковой мощности источника днём, Lw, дБ		**исходные данные**	**0**	**90,3**	**91,7**	**93**	**93,3**	**92,9**	**89,6**	**85,4**	**80,9**		

1		2	3	4	5	6	7	8	9	10	11	12	13
Уровни звуковой мощности источника ночью, Lw, дБ		**исходные данные**	**0**	**90,3**	**91,7**	**93**	**93,3**	**92,9**	**89,6**	**85,4**	**80,9**		
Поправка на телесный угол DΩ, дБ	Ω = 6.28	10Lg(4π/Ω)	**3**	3	3	3	3	3	3	3	3		
Показатель направленности источника Di, дБ		исходные данные	**0**	0	0	0	0	0	0	0	0		
Поправка на направленность источника Dc, дБ	Dc	DΩ + Di	**3**	3	3	3	3	3	3	3	3		
Затухание из-за геометрической дивергенции, Adiv, дБ	расстояние = 711.67 м	ф-ла (7) [10]	**68**										
Коэффициент затухания звука в атмосфере α, дБ/км	Ta=20,°C Pa=101.33,кПа hотн.=70%	ф-ла (5) [9]	0,02	0,09	0,33	1,12	2,79	4,98	9,04	23,09	77,63		
Учет затухания звука в атмосфере Aatm, дБ		ф-ла (8) [10]	0	0,1	0,2	0,8	2	3,5	6,4	16,4	55,2		
Снижение уровня звукового давления из-за влияния застройки между источником шума и расчетной точкой													
Снижение уровня звукового давления на пути над экраном, Dz1, дБ	z = 0.01м (разность путей)	ф-лы (14-18) [10]	4,8	4,8	4,8	4,8	4,8	4,8	4,8	4,8	4,8		
Снижение уровня звукового давления на пути слева от экрана, Dz2, дБ	z = 3.17м (разность путей)	ф-лы (14-18) [10]	11,7	14,2	17	19,8	22,8	25,8	28,7	31,7	34,8		
Снижение уровня звукового давления на пути справа от экрана, Dz3, дБ	z = 12.03м (разность путей)	ф-лы (14-18) [10]	16,8	19,6	22,5	25,5	28,5	31,5	34,5	37,5	40,5		
Общее снижение уровня звука препятствием Dz, дБ		Эн.сумма(-Dzi)	3,7	4,2	4,4	4,6	4,7	4,7	4,7	4,8	4,8		
Уровни звукового давления от источника ИШ-4-6 в расчётной точке днём, дБ		**ф-ла(3)[10]**	**0**	**21**	**22**	**22,5**	**21,6**	**19,6**	**13,4**	**0**	**0**	**23,4**	**23,4**
Уровни звукового давления от источника ИШ-4-6 в расчётной точке ночью, дБ		**ф-ла(3)[10]**	**0**	**21**	**22**	**22,5**	**21,6**	**19,6**	**13,4**	**0**	**0**	**23,4**	**23,4**
Источник шума: ИШ-4-7, координаты источника (x,y,z), м =[177.91,257.92,11.00]													
Уровни звуковой мощности источника днём, Lw, дБ		**исходные данные**	**0**	**90,3**	**91,7**	**93**	**93,3**	**92,9**	**89,6**	**85,4**	**80,9**		

1		2	3	4	5	6	7	8	9	10	11	12	13
Уровни звуковой мощности источника ночью, Lw, дБ		**исходные данные**	**0**	**90,3**	**91,7**	**93**	**93,3**	**92,9**	**89,6**	**85,4**	**80,9**		
Поправка на телесный угол DΩ, дБ	Ω = 6.28	10Lg(4π/Ω)	**3**	3	3	3	3	3	3	3	3		
Показатель направленности источника Di, дБ		исходные данные	**0**	0	0	0	0	0	0	0	0		
Поправка на направленность источника Dc, дБ	Dc	DΩ + Di	**3**	3	3	3	3	3	3	3	3		
Затухание из-за геометрической дивергенции, Adiv, дБ	расстояние = 647.44 м	ф-ла (7) [10]	**67,2**										
Коэффициент затухания звука в атмосфере α, дБ/км	Ta=20,°C Pa=101.33,кПа hотн.=70%	ф-ла (5) [9]	0,02	0,09	0,33	1,12	2,79	4,98	9,04	23,09	77,63		
Учет затухания звука в атмосфере Aatm, дБ		ф-ла (8) [10]	0	0,1	0,2	0,7	1,8	3,2	5,9	14,9	50,3		
Снижение уровня звукового давления из-за влияния застройки между источником шума и расчетной точкой													
Снижение уровня звукового давления на пути над экраном, Dz1, дБ	z = 0.01м (разность путей)	ф-лы (14-18) [10]	4,8	4,8	4,8	4,8	4,8	4,8	4,8	4,8	4,8		
Снижение уровня звукового давления на пути слева от экрана, Dz2, дБ	z = 1.77м (разность путей)	ф-лы (14-18) [10]	9,8	12,1	14,6	17,4	20,3	23,2	26,2	29,2	32,2		
Снижение уровня звукового давления на пути справа от экрана, Dz3, дБ	z = 18.43м (разность путей)	ф-лы (14-18) [10]	18,5	21,4	24,4	27,4	30,4	33,4	36,4	39,4	42,4		
Общее снижение уровня звука препятствием Dz, дБ		Эн.сумма(-Dzi)	3,4	4	4,3	4,5	4,6	4,7	4,7	4,8	4,8		
Уровни звукового давления прямого звука от источника ИШ-4-7 в расчётной точке днём, дБ		**ф-ла(3)[10]**	**0**	**22,1**	**23**	**23,5**	**22,6**	**20,7**	**14,8**	**1,5**	**0**	**24,5**	**24,5**
Уровни звукового давления прямого звука от источника ИШ-4-7 в расчётной точке ночью, дБ		**ф-ла(3)[10]**	**0**	**22,1**	**23**	**23,5**	**22,6**	**20,7**	**14,8**	**1,5**	**0**	**24,5**	**24,5**
Расчёт отражённого звука													
Уровни звукового давления от мнимого источника ИШ-4-7_мн.(1) в расчётной точке днём, дБ		**ф-ла(3)[10]**	**0**	**0**	**0**	**0**	**0**	**0**	**0**	**0**	**0**	**0**	**0**
Уровни звукового давления от мнимого источника ИШ-4-7_мн.(1) в расчётной точке ночью, дБ		**ф-ла(3)[10]**	**0**	**0**	**0**	**0**	**0**	**0**	**0**	**0**	**0**	**0**	**0**

1		2	3	4	5	6	7	8	9	10	11	12	13
Уровни звукового давления от источника ИШ-4-7 в расчётной точке днём, дБ		**ф-ла(3)[10]**	**0**	**22,1**	**23**	**23,5**	**22,6**	**20,7**	**14,8**	**1,5**	**0**	**24,5**	**24,5**
Уровни звукового давления от источника ИШ-4-7 в расчётной точке ночью, дБ		**ф-ла(3)[10]**	**0**	**22,1**	**23**	**23,5**	**22,6**	**20,7**	**14,8**	**1,5**	**0**	**24,5**	**24,5**
Источник шума: ИШ-4-8, координаты источника (x,y,z), м =[178.24,257.77,13.00]													
Уровни звуковой мощности источника днём, Lw, дБ		**исходные данные**	**0**	**90,3**	**91,7**	**93**	**93,3**	**92,9**	**89,6**	**85,4**	**80,9**		
Уровни звуковой мощности источника ночью, Lw, дБ		**исходные данные**	**0**	**90,3**	**91,7**	**93**	**93,3**	**92,9**	**89,6**	**85,4**	**80,9**		
Поправка на телесный угол DΩ, дБ	Ω = 6.28	10Lg(4π/Ω)	**3**	3	3	3	3	3	3	3	3		
Показатель направленности источника Di, дБ		исходные данные	**0**	0	0	0	0	0	0	0	0		
Поправка на направленность источника Dc, дБ	Dc	DΩ + Di	**3**	3	3	3	3	3	3	3	3		
Затухание из-за геометрической дивергенции, Adiv, дБ	расстояние = 647.22 м	ф-ла (7) [10]	**67,2**										
Коэффициент затухания звука в атмосфере α, дБ/км	Ta=20,°C Pa=101.33,кПа hотн.=70%	ф-ла (5) [9]	0,02	0,09	0,33	1,12	2,79	4,98	9,04	23,09	77,63		
Учет затухания звука в атмосфере Aatm, дБ		ф-ла (8) [10]	0	0,1	0,2	0,7	1,8	3,2	5,9	14,9	50,2		
Снижение поверхностью земли возле источника As, дБ	Gs = 0 hs = 5м	ф-лы таб.3 [10]	-1,5	-1,5	-1,5	-1,5	-1,5	-1,5	-1,5	-1,5	-1,5		
Снижение поверхностью земли возле приёмника Ar, дБ	Gr = 1 hr = 1.5м	ф-лы таб.3 [10]	-1,5	-1,5	3,9	7	5	0,7	0	0	0		
Снижение поверхностью земли в средней зоне, Am дБ	Gm = 1	ф-лы таб.3 [10]	-2,1	-2,1	0	0	0	0	0	0	0		
Суммарное снижение поверхностью земли на траектории распространения звука Agr, дБ		ф-ла (9) [10]	-5,1	-5,1	2,4	5,5	3,5	-0,8	-1,5	-1,5	-1,5		
Уровни звукового давления прямого звука от источника ИШ-4-8 в расчётной точке днём, дБ		**ф-ла(3)[10]**	**0**	**31,1**	**24,9**	**22,5**	**23,8**	**26,3**	**21**	**7,7**	**0**	**28,7**	**28,7**

1		2	3	4	5	6	7	8	9	10	11	12	13
Уровни звукового давления прямого звука от источника ИШ-4-8 в расчётной точке ночью, дБ		**ф-ла(3)[10]**	**0**	**31,1**	**24,9**	**22,5**	**23,8**	**26,3**	**21**	**7,7**	**0**	**28,7**	**28,7**
Расчёт отражённого звука													
Уровни звукового давления от мнимого источника ИШ-4-8_мн.(1) в расчётной точке днём, дБ		**ф-ла(3)[10]**	**0**	**0**	**0**	**0**	**0**	**0**	**0**	**0**	**0**	**0**	**0**
Уровни звукового давления от мнимого источника ИШ-4-8_мн.(1) в расчётной точке ночью, дБ		**ф-ла(3)[10]**	**0**	**0**	**0**	**0**	**0**	**0**	**0**	**0**	**0**	**0**	**0**
Уровни звукового давления от источника ИШ-4-8 в расчётной точке днём, дБ		**ф-ла(3)[10]**	**0**	**31,1**	**24,9**	**22,5**	**23,8**	**26,3**	**21**	**7,7**	**0**	**28,7**	**28,7**
Уровни звукового давления от источника ИШ-4-8 в расчётной точке ночью, дБ		**ф-ла(3)[10]**	**0**	**31,1**	**24,9**	**22,5**	**23,8**	**26,3**	**21**	**7,7**	**0**	**28,7**	**28,7**
Источник шума: ИШ-4-9, координаты источника (x,y,z), м =[178.68,257.63,15.50]													
Уровни звуковой мощности источника днём, Lw, дБ		**исходные данные**	**0**	**90,3**	**91,7**	**93**	**93,3**	**92,9**	**89,6**	**85,4**	**80,9**		
Уровни звуковой мощности источника ночью, Lw, дБ		**исходные данные**	**0**	**90,3**	**91,7**	**93**	**93,3**	**92,9**	**89,6**	**85,4**	**80,9**		
Поправка на телесный угол DΩ, дБ	Ω = 6.28	10Lg(4π/Ω)	**3**	3	3	3	3	3	3	3	3		
Показатель направленности источника Di, дБ		исходные данные	**0**	0	0	0	0	0	0	0	0		
Поправка на направленность источника Dc, дБ	Dc	DΩ + Di	**3**	3	3	3	3	3	3	3	3		
Затухание из-за геометрической дивергенции, Adiv, дБ	расстояние = 646.93 м	ф-ла (7) [10]	**67,2**										
Коэффициент затухания звука в атмосфере α, дБ/км	Ta=20,°C Pa=101.33,кПа hотн.=70%	ф-ла (5) [9]	0,02	0,09	0,33	1,12	2,79	4,98	9,04	23,09	77,63		
Учет затухания звука в атмосфере Aatm, дБ		ф-ла (8) [10]	0	0,1	0,2	0,7	1,8	3,2	5,8	14,9	50,2		
Снижение уровня звукового давления из-за влияния застройки между источником шума и расчетной точкой													

1		2	3	4	5	6	7	8	9	10	11	12	13
Снижение уровня звукового давления препятствием снизу от трассы ИШ-РТ, Dz4, дБ	z = -0.02м (разность путей)	ф-лы (14-18) [10]	4,7	4,5	4,3	3,8	2,5	0	NAN	NAN	NAN		
* отрицательное значение z означает прохождение траектории вблизи экрана, в этом случае дополнительно производится учёт снижения подстилающей поверхностью (см.ниже)													
Снижение поверхностью земли возле источника As, дБ	Gs = 0 hs = 7.5м	ф-лы таб.3 [10]	-1,5	-1,5	-1,5	-1,5	-1,5	-1,5	-1,5	-1,5	-1,5		
Снижение поверхностью земли возле приёмника Ar, дБ	Gr = 1 hr = 1.5м	ф-лы таб.3 [10]	-1,5	-1,5	3,9	7	5	0,7	0	0	0		
Снижение поверхностью земли в средней зоне, Am дБ	Gm = 1	ф-лы таб.3 [10]	-1,7	-1,7	0	0	0	0	0	0	0		
Суммарное снижение поверхностью земли на траектории распространения звука Agr, дБ		ф-ла (9) [10]	-4,7	-4,7	2,4	5,5	3,5	-0,8	-1,5	-1,5	-1,5		
Уровни звукового давления от источника ИШ-4-9 в расчётной точке днём, дБ		**ф-ла(3)[10]**	**0**	**26,2**	**20,5**	**18,7**	**21,2**	**26,3**	**21**	**7,7**	**0**	**28,3**	**28,3**
Уровни звукового давления от источника ИШ-4-9 в расчётной точке ночью, дБ		**ф-ла(3)[10]**	**0**	**26,2**	**20,5**	**18,7**	**21,2**	**26,3**	**21**	**7,7**	**0**	**28,3**	**28,3**
Источник шума: ИШ-4-10, координаты источника (x,y,z), м =[185.65,255.31,11.00]													
Уровни звуковой мощности источника днём, Lw, дБ		**исходные данные**	**0**	**90,3**	**91,7**	**93**	**93,3**	**92,9**	**89,6**	**85,4**	**80,9**		
Уровни звуковой мощности источника ночью, Lw, дБ		**исходные данные**	**0**	**90,3**	**91,7**	**93**	**93,3**	**92,9**	**89,6**	**85,4**	**80,9**		
Поправка на телесный угол DΩ, дБ	Ω = 6.28	10Lg(4π/Ω)	**3**	3	3	3	3	3	3	3	3		
Показатель направленности источника Di, дБ		исходные данные	**0**	0	0	0	0	0	0	0	0		
Поправка на направленность источника Dc, дБ	Dc	DΩ + Di	**3**	3	3	3	3	3	3	3	3		
Затухание из-за геометрической дивергенции, Adiv, дБ	расстояние = 641.42 м	ф-ла (7) [10]	**67,1**										
Коэффициент затухания звука в атмосфере α, дБ/км	Ta=20,°C Pa=101.33,кПа hотн.=70%	ф-ла (5) [9]	0,02	0,09	0,33	1,12	2,79	4,98	9,04	23,09	77,63		
Учет затухания звука в атмосфере Aatm, дБ		ф-ла (8) [10]	0	0,1	0,2	0,7	1,8	3,2	5,8	14,8	49,8		

1		2	3	4	5	6	7	8	9	10	11	12	13
Снижение уровня звукового давления из-за влияния застройки между источником шума и расчетной точкой													
Снижение уровня звукового давления на пути над экраном, Dz1, дБ	z = 0.01м (разность путей)	ф-лы (14-18) [10]	4,8	4,8	4,8	4,8	4,8	4,8	4,8	4,8	4,8		
Снижение уровня звукового давления на пути слева от экрана, Dz2, дБ	z = 2.76м (разность путей)	ф-лы (14-18) [10]	11,2	13,7	16,4	19,2	22,2	25,2	28,1	31,1	34,1		
Снижение уровня звукового давления на пути справа от экрана, Dz3, дБ	z = 16.96м (разность путей)	ф-лы (14-18) [10]	18,2	21,1	24	27	30	33	36	39	42		
Общее снижение уровня звука препятствием Dz, дБ		Эн.сумма(-Dzi)	3,7	4,2	4,4	4,6	4,7	4,7	4,7	4,8	4,8		
Уровни звукового давления прямого звука от источника ИШ-4-10 в расчётной точке днём, дБ		**ф-ла(3)[10]**	**0**	**21,9**	**22,9**	**23,5**	**22,7**	**20,8**	**14,9**	**1,7**	**0**	**24,6**	**24,6**
Уровни звукового давления прямого звука от источника ИШ-4-10 в расчётной точке ночью, дБ		**ф-ла(3)[10]**	**0**	**21,9**	**22,9**	**23,5**	**22,7**	**20,8**	**14,9**	**1,7**	**0**	**24,6**	**24,6**
Расчёт отражённого звука													
Уровни звукового давления от мнимого источника ИШ-4-10_мн.(1) в расчётной точке днём, дБ		**ф-ла(3)[10]**	**0**	**0**	**0**	**0**	**0**	**0**	**0**	**0**	**0**	**0**	**0**
Уровни звукового давления от мнимого источника ИШ-4-10_мн.(1) в расчётной точке ночью, дБ		**ф-ла(3)[10]**	**0**	**0**	**0**	**0**	**0**	**0**	**0**	**0**	**0**	**0**	**0**
Уровни звукового давления от источника ИШ-4-10 в расчётной точке днём, дБ		**ф-ла(3)[10]**	**0**	**21,9**	**22,9**	**23,5**	**22,7**	**20,8**	**14,9**	**1,7**	**0**	**24,6**	**24,6**
Уровни звукового давления от источника ИШ-4-10 в расчётной точке ночью, дБ		**ф-ла(3)[10]**	**0**	**21,9**	**22,9**	**23,5**	**22,7**	**20,8**	**14,9**	**1,7**	**0**	**24,6**	**24,6**
Источник шума: ИШ-4-11, координаты источника (x,y,z), м =[185.89,255.16,13.00]													
Уровни звуковой мощности источника днём, Lw, дБ		**исходные данные**	**0**	**90,3**	**91,7**	**93**	**93,3**	**92,9**	**89,6**	**85,4**	**80,9**		
Уровни звуковой мощности источника ночью, Lw, дБ		**исходные данные**	**0**	**90,3**	**91,7**	**93**	**93,3**	**92,9**	**89,6**	**85,4**	**80,9**		
Поправка на телесный угол DΩ, дБ	Ω = 6.28	10Lg(4π/Ω)	**3**	3	3	3	3	3	3	3	3		
Показатель направленности источника Di, дБ		исходные данные	**0**	0	0	0	0	0	0	0	0		

1		2	3	4	5	6	7	8	9	10	11	12	13
Поправка на направленность источника Dc, дБ	Dc	DΩ + Di	**3**	3	3	3	3	3	3	3	3		
Затухание из-за геометрической дивергенции, Adiv, дБ	расстояние = 641.29 м	ф-ла (7) [10]	**67,1**										
Коэффициент затухания звука в атмосфере α, дБ/км	Ta=20,°C Pa=101.33,кПа hотн.=70%	ф-ла (5) [9]	0,02	0,09	0,33	1,12	2,79	4,98	9,04	23,09	77,63		
Учет затухания звука в атмосфере Aatm, дБ		ф-ла (8) [10]	0	0,1	0,2	0,7	1,8	3,2	5,8	14,8	49,8		
Снижение поверхностью земли возле источника As, дБ	Gs = 0 hs = 5м	ф-лы таб.3 [10]	-1,5	-1,5	-1,5	-1,5	-1,5	-1,5	-1,5	-1,5	-1,5		
Снижение поверхностью земли возле приёмника Ar, дБ	Gr = 1 hr = 1.5м	ф-лы таб.3 [10]	-1,5	-1,5	3,9	7	5	0,7	0	0	0		
Снижение поверхностью земли в средней зоне, Am дБ	Gm = 1	ф-лы таб.3 [10]	-2,1	-2,1	0	0	0	0	0	0	0		
Суммарное снижение поверхностью земли на траектории распространения звука Agr, дБ		ф-ла (9) [10]	-5,1	-5,1	2,4	5,5	3,5	-0,8	-1,5	-1,5	-1,5		
Уровни звукового давления прямого звука от источника ИШ-4-11 в расчётной точке днём, дБ		**ф-ла(3)[10]**	**0**	**31,2**	**25**	**22,6**	**23,9**	**26,4**	**21,2**	**7,9**	**0**	**28,9**	**28,9**
Уровни звукового давления прямого звука от источника ИШ-4-11 в расчётной точке ночью, дБ		**ф-ла(3)[10]**	**0**	**31,2**	**25**	**22,6**	**23,9**	**26,4**	**21,2**	**7,9**	**0**	**28,9**	**28,9**
Расчёт отражённого звука													
Уровни звукового давления от мнимого источника ИШ-4-11_мн.(1) в расчётной точке днём, дБ		**ф-ла(3)[10]**	**0**	**0**	**0**	**0**	**0**	**0**	**0**	**0**	**0**	**0**	**0**
Уровни звукового давления от мнимого источника ИШ-4-11_мн.(1) в расчётной точке ночью, дБ		**ф-ла(3)[10]**	**0**	**0**	**0**	**0**	**0**	**0**	**0**	**0**	**0**	**0**	**0**
Уровни звукового давления от источника ИШ-4-11 в расчётной точке днём, дБ		**ф-ла(3)[10]**	**0**	**31,2**	**25**	**22,6**	**23,9**	**26,4**	**21,2**	**7,9**	**0**	**28,9**	**28,9**
Уровни звукового давления от источника ИШ-4-11 в расчётной точке ночью, дБ		**ф-ла(3)[10]**	**0**	**31,2**	**25**	**22,6**	**23,9**	**26,4**	**21,2**	**7,9**	**0**	**28,9**	**28,9**
Источник шума: ИШ-4-12, координаты источника (x,y,z), м =[186.18,255.02,15.50]													

1		2	3	4	5	6	7	8	9	10	11	12	13
Уровни звуковой мощности источника днём, Lw, дБ		**исходные данные**	**0**	**90,3**	**91,7**	**93**	**93,3**	**92,9**	**89,6**	**85,4**	**80,9**		
Уровни звуковой мощности источника ночью, Lw, дБ		**исходные данные**	**0**	**90,3**	**91,7**	**93**	**93,3**	**92,9**	**89,6**	**85,4**	**80,9**		
Поправка на телесный угол DΩ, дБ	Ω = 6.28	10Lg(4π/Ω)	**3**	3	3	3	3	3	3	3	3		
Показатель направленности источника Di, дБ		исходные данные	**0**	0	0	0	0	0	0	0	0		
Поправка на направленность источника Dc, дБ	Dc	DΩ + Di	**3**	3	3	3	3	3	3	3	3		
Затухание из-за геометрической дивергенции, Adiv, дБ	расстояние = 641.13 м	ф-ла (7) [10]	**67,1**										
Коэффициент затухания звука в атмосфере α, дБ/км	Ta=20,°C Pa=101.33,кПа hотн.=70%	ф-ла (5) [9]	0,02	0,09	0,33	1,12	2,79	4,98	9,04	23,09	77,63		
Учет затухания звука в атмосфере Aatm, дБ		ф-ла (8) [10]	0	0,1	0,2	0,7	1,8	3,2	5,8	14,8	49,8		
Снижение уровня звукового давления из-за влияния застройки между источником шума и расчетной точкой													
Снижение уровня звукового давления препятствием снизу от трассы ИШ-РТ, Dz4, дБ	z = -0.02м (разность путей)	ф-лы (14-18) [10]	4,7	4,5	4,3	3,8	2,5	0	NAN	NAN	NAN		
* отрицательное значение z означает прохождение траектории вблизи экрана, в этом случае дополнительно производится учёт снижения подстилающей поверхностью (см.ниже)													
Снижение поверхностью земли возле источника As, дБ	Gs = 0 hs = 7.5м	ф-лы таб.3 [10]	-1,5	-1,5	-1,5	-1,5	-1,5	-1,5	-1,5	-1,5	-1,5		
Снижение поверхностью земли возле приёмника Ar, дБ	Gr = 1 hr = 1.5м	ф-лы таб.3 [10]	-1,5	-1,5	3,9	7	5	0,7	0	0	0		
Снижение поверхностью земли в средней зоне, Am дБ	Gm = 1	ф-лы таб.3 [10]	-1,7	-1,7	0	0	0	0	0	0	0		
Суммарное снижение поверхностью земли на траектории распространения звука Agr, дБ		ф-ла (9) [10]	-4,7	-4,7	2,4	5,5	3,5	-0,8	-1,5	-1,5	-1,5		
Уровни звукового давления от источника ИШ-4-12 в расчётной точке днём, дБ		**ф-ла(3)[10]**	**0**	**26,3**	**20,7**	**18,8**	**21,4**	**26,4**	**21,2**	**8**	**0**	**28,4**	**28,4**
Уровни звукового давления от источника ИШ-4-12 в расчётной точке ночью, дБ		**ф-ла(3)[10]**	**0**	**26,3**	**20,7**	**18,8**	**21,4**	**26,4**	**21,2**	**8**	**0**	**28,4**	**28,4**

1		2	3	4	5	6	7	8	9	10	11	12	13
Источник шума: ИШ-4-13, координаты источника (x,y,z), м =[94.56,229.10,1.00]													
Уровни звуковой мощности источника днём, Lw, дБ		**исходные данные**	**0**	**81,3**	**82,7**	**84**	**84,3**	**83,9**	**80,6**	**76,4**	**71,9**		
Уровни звуковой мощности источника ночью, Lw, дБ		**исходные данные**	**0**	**81,3**	**82,7**	**84**	**84,3**	**83,9**	**80,6**	**76,4**	**71,9**		
Поправка на телесный угол DΩ, дБ	Ω = 6.28	10Lg(4π/Ω)	**3**	3	3	3	3	3	3	3	3		
Показатель направленности источника Di, дБ		исходные данные	**0**	0	0	0	0	0	0	0	0		
Поправка на направленность источника Dc, дБ	Dc	DΩ + Di	**3**	3	3	3	3	3	3	3	3		
Затухание из-за геометрической дивергенции, Adiv, дБ	расстояние = 735.31 м	ф-ла (7) [10]	**68,3**										
Коэффициент затухания звука в атмосфере α, дБ/км	Ta=20,°C Pa=101.33,кПа hотн.=70%	ф-ла (5) [9]	0,02	0,09	0,33	1,12	2,79	4,98	9,04	23,09	77,63		
Учет затухания звука в атмосфере Aatm, дБ		ф-ла (8) [10]	0	0,1	0,2	0,8	2,1	3,7	6,6	17	57,1		
Снижение уровня звукового давления из-за влияния застройки между источником шума и расчетной точкой													
Снижение уровня звукового давления на пути над экраном, Dz1, дБ	z = 4.14м (разность путей)	ф-лы (14-18) [10]	15	18,1	21,1	24,1	27,1	30,1	33,1	36,1	39,1		
Снижение уровня звукового давления на пути слева от экрана, Dz2, дБ	z = 18.04м (разность путей)	ф-лы (14-18) [10]	18,4	21,4	24,3	27,3	30,3	33,3	36,3	39,3	42,3		
Снижение уровня звукового давления на пути справа от экрана, Dz3, дБ	z = 64.89м (разность путей)	ф-лы (14-18) [10]	28,4	31,5	34,6	37,6	40,6	43,6	46,6	49,6	52,6		
Общее снижение уровня звука препятствием Dz, дБ		Эн.сумма(-Dzi)	13,3	16,3	19,3	22,3	25,2	28,2	31,3	34,3	37,3		
Общее снижение уровня звука препятствием с учётом ограничения (25 дБ) для октавных полос Dz, дБ		Раздел 7.4 [10]	13,3	16,3	19,3	22,3	25	25	25	25	25		
Уровни звукового давления от источника ИШ-4-13 в расчётной точке днём, дБ		**ф-ла(3)[10]**	**0**	**0**	**0**	**0**	**0**	**0**	**0**	**0**	**0**	**0**	**0**

1		2	3	4	5	6	7	8	9	10	11	12	13
Уровни звукового давления от источника ИШ-4-13 в расчётной точке ночью, дБ		**ф-ла(3)[10]**	**0**	**0**	**0**	**0**	**0**	**0**	**0**	**0**	**0**	**0**	**0**
Источник шума: ИШ-4-14, координаты источника (x,y,z), м =[91.88,221.30,1.00]													
Уровни звуковой мощности источника днём, Lw, дБ		**исходные данные**	**0**	**81,3**	**82,7**	**84**	**84,3**	**83,9**	**80,6**	**76,4**	**71,9**		
Уровни звуковой мощности источника ночью, Lw, дБ		**исходные данные**	**0**	**81,3**	**82,7**	**84**	**84,3**	**83,9**	**80,6**	**76,4**	**71,9**		
Поправка на телесный угол DΩ, дБ	Ω = 6.28	10Lg(4π/Ω)	**3**	3	3	3	3	3	3	3	3		
Показатель направленности источника Di, дБ		исходные данные	**0**	0	0	0	0	0	0	0	0		
Поправка на направленность источника Dc, дБ	Dc	DΩ + Di	**3**	3	3	3	3	3	3	3	3		
Затухание из-за геометрической дивергенции, Adiv, дБ	расстояние = 740.86 м	ф-ла (7) [10]	**68,4**										
Коэффициент затухания звука в атмосфере α, дБ/км	Ta=20,°C Pa=101.33,кПа hотн.=70%	ф-ла (5) [9]	0,02	0,09	0,33	1,12	2,79	4,98	9,04	23,09	77,63		
Учет затухания звука в атмосфере Aatm, дБ		ф-ла (8) [10]	0	0,1	0,2	0,8	2,1	3,7	6,7	17,1	57,5		
Снижение уровня звукового давления из-за влияния застройки между источником шума и расчетной точкой													
Снижение уровня звукового давления на пути над экраном, Dz1, дБ	z = 4.10м (разность путей)	ф-лы (14-18) [10]	15	18,1	21	24	27	30	33	36	39		
Снижение уровня звукового давления на пути слева от экрана, Dz2, дБ	z = 20.70м (разность путей)	ф-лы (14-18) [10]	19	21,9	24,9	27,9	30,9	33,9	36,9	39,9	42,9		
Снижение уровня звукового давления на пути справа от экрана, Dz3, дБ	z = 51.27м (разность путей)	ф-лы (14-18) [10]	27,4	30,5	33,5	36,6	39,6	42,6	45,6	48,6	51,6		
Общее снижение уровня звука препятствием Dz, дБ		Эн.сумма(-Dzi)	13,4	16,4	19,4	22,4	25,4	28,4	31,4	34,4	37,4		
Общее снижение уровня звука препятствием с учётом ограничения (25 дБ) для октавных полос Dz, дБ		Раздел 7.4 [10]	13,4	16,4	19,4	22,4	25	25	25	25	25		

1		2	3	4	5	6	7	8	9	10	11	12	13
Уровни звукового давления от источника ИШ-4-14 в расчётной точке днём, дБ		**ф-ла(3)[10]**	**0**	**0**	**0**	**0**	**0**	**0**	**0**	**0**	**0**	**0**	**0**
Уровни звукового давления от источника ИШ-4-14 в расчётной точке ночью, дБ		**ф-ла(3)[10]**	**0**	**0**	**0**	**0**	**0**	**0**	**0**	**0**	**0**	**0**	**0**
Источник шума: ИШ-5-1, координаты источника (x,y,z), м =[626.70,162.36,1.00]													
Уровни звуковой мощности источника днём, Lw, дБ		**исходные данные**	**0**	**93,3**	**94,7**	**96**	**96,3**	**95,9**	**92,6**	**88,4**	**83,9**		
Уровни звуковой мощности источника ночью, Lw, дБ		**исходные данные**	**0**	**93,3**	**94,7**	**96**	**96,3**	**95,9**	**92,6**	**88,4**	**83,9**		
Поправка на телесный угол DΩ, дБ	Ω = 6.28	10Lg(4π/Ω)	**3**	3	3	3	3	3	3	3	3		
Показатель направленности источника Di, дБ		исходные данные	**0**	0	0	0	0	0	0	0	0		
Поправка на направленность источника Dc, дБ	Dc	DΩ + Di	**3**	3	3	3	3	3	3	3	3		
Затухание из-за геометрической дивергенции, Adiv, дБ	расстояние = 383.17 м	ф-ла (7) [10]	**62,7**										
Коэффициент затухания звука в атмосфере α, дБ/км	Ta=20,°C Pa=101.33,кПа hотн.=70%	ф-ла (5) [9]	0,02	0,09	0,33	1,12	2,79	4,98	9,04	23,09	77,63		
Учет затухания звука в атмосфере Aatm, дБ		ф-ла (8) [10]	0	0	0,1	0,4	1,1	1,9	3,5	8,8	29,7		
Снижение поверхностью земли возле источника As, дБ	Gs = 0 hs = 1м	ф-лы таб.3 [10]	-1,5	-1,5	-1,5	-1,5	-1,5	-1,5	-1,5	-1,5	-1,5		
Снижение поверхностью земли возле приёмника Ar, дБ	Gr = 1 hr = 1.5м	ф-лы таб.3 [10]	-1,5	-1,5	2,3	7	5	0,7	0	0	0		
Снижение поверхностью земли в средней зоне, Am дБ	Gm = 1	ф-лы таб.3 [10]	-2,4	-2,4	0	0	0	0	0	0	0		
Суммарное снижение поверхностью земли на траектории распространения звука Agr, дБ		ф-ла (9) [10]	-5,4	-5,4	0,8	5,5	3,5	-0,8	-1,5	-1,5	-1,5		
Уровни звукового давления прямого звука от источника ИШ-5-1 в расчётной точке днём, дБ		**ф-ла(3)[10]**	**0**	**39**	**34,1**	**30,4**	**32,1**	**35,2**	**31**	**21,4**	**0**	**37,9**	**37,9**

1		2	3	4	5	6	7	8	9	10	11	12	13
Уровни звукового давления прямого звука от источника ИШ-5-1 в расчётной точке ночью, дБ		**ф-ла(3)[10]**	**0**	**39**	**34,1**	**30,4**	**32,1**	**35,2**	**31**	**21,4**	**0**	**37,9**	**37,9**
Расчёт отражённого звука													
Уровни звукового давления от мнимого источника ИШ-5-1_мн.(1) в расчётной точке днём, дБ		**ф-ла(3)[10]**	**0**	**0**	**0**	**0**	**0**	**0**	**26,4**	**15,9**	**0**	**28**	**28**
Уровни звукового давления от мнимого источника ИШ-5-1_мн.(1) в расчётной точке ночью, дБ		**ф-ла(3)[10]**	**0**	**0**	**0**	**0**	**0**	**0**	**0**	**0**	**0**	**28**	**28**
Уровни звукового давления от источника ИШ-5-1 в расчётной точке днём, дБ		**ф-ла(3)[10]**	**0**	**39**	**34,1**	**30,4**	**32,1**	**35,2**	**32,3**	**22,5**	**0**	**38,3**	**38,3**
Уровни звукового давления от источника ИШ-5-1 в расчётной точке ночью, дБ		**ф-ла(3)[10]**	**0**	**39**	**34,1**	**30,4**	**32,1**	**35,2**	**32,3**	**22,5**	**0**	**38,3**	**38,3**
Источник шума: ИШ-5-2, координаты источника (x,y,z), м =[625.81,159.52,1.00]													
Уровни звуковой мощности источника днём, Lw, дБ		**исходные данные**	**0**	**93,3**	**94,7**	**96**	**96,3**	**95,9**	**92,6**	**88,4**	**83,9**		
Уровни звуковой мощности источника ночью, Lw, дБ		**исходные данные**	**0**	**93,3**	**94,7**	**96**	**96,3**	**95,9**	**92,6**	**88,4**	**83,9**		
Поправка на телесный угол DΩ, дБ	Ω = 6.28	10Lg(4π/Ω)	**3**	3	3	3	3	3	3	3	3		
Показатель направленности источника Di, дБ		исходные данные	**0**	0	0	0	0	0	0	0	0		
Поправка на направленность источника Dc, дБ	Dc	DΩ + Di	**3**	3	3	3	3	3	3	3	3		
Затухание из-за геометрической дивергенции, Adiv, дБ	расстояние = 386.13 м	ф-ла (7) [10]	**62,7**										
Коэффициент затухания звука в атмосфере α, дБ/км	Ta=20,°C Pa=101.33,кПа hотн.=70%	ф-ла (5) [9]	0,02	0,09	0,33	1,12	2,79	4,98	9,04	23,09	77,63		
Учет затухания звука в атмосфере Aatm, дБ		ф-ла (8) [10]	0	0	0,1	0,4	1,1	1,9	3,5	8,9	30		
Снижение поверхностью земли возле источника As, дБ	Gs = 0 hs = 1м	ф-лы таб.3 [10]	-1,5	-1,5	-1,5	-1,5	-1,5	-1,5	-1,5	-1,5	-1,5		

1		2	3	4	5	6	7	8	9	10	11	12	13
Снижение поверхностью земли возле приёмника Ar, дБ	Gr = 1 hr = 1.5м	ф-лы таб.3 [10]	-1,5	-1,5	2,3	7	5	0,7	0	0	0		
Снижение поверхностью земли в средней зоне, Am дБ	Gm = 1	ф-лы таб.3 [10]	-2,4	-2,4	0	0	0	0	0	0	0		
Суммарное снижение поверхностью земли на траектории распространения звука Agr, дБ		ф-ла (9) [10]	-5,4	-5,4	0,8	5,5	3,5	-0,8	-1,5	-1,5	-1,5		
Уровни звукового давления прямого звука от источника ИШ-5-2 в расчётной точке днём, дБ		**ф-ла(3)[10]**	**0**	**38,9**	**34**	**30,3**	**32**	**35,1**	**30,9**	**21,2**	**0**	**37,8**	**37,8**
Уровни звукового давления прямого звука от источника ИШ-5-2 в расчётной точке ночью, дБ		**ф-ла(3)[10]**	**0**	**38,9**	**34**	**30,3**	**32**	**35,1**	**30,9**	**21,2**	**0**	**37,8**	**37,8**
Расчёт отражённого звука													
Уровни звукового давления от мнимого источника ИШ-5-2_мн.(1) в расчётной точке днём, дБ		**ф-ла(3)[10]**	**0**	**0**	**0**	**0**	**0**	**0**	**26,5**	**16**	**0**	**28,1**	**28,1**
Уровни звукового давления от мнимого источника ИШ-5-2_мн.(1) в расчётной точке ночью, дБ		**ф-ла(3)[10]**	**0**	**0**	**0**	**0**	**0**	**0**	**0**	**0**	**0**	**28,1**	**28,1**
Уровни звукового давления от источника ИШ-5-2 в расчётной точке днём, дБ		**ф-ла(3)[10]**	**0**	**38,9**	**34**	**30,3**	**32**	**35,1**	**32,2**	**22,4**	**0**	**38,2**	**38,2**
Уровни звукового давления от источника ИШ-5-2 в расчётной точке ночью, дБ		**ф-ла(3)[10]**	**0**	**38,9**	**34**	**30,3**	**32**	**35,1**	**32,2**	**22,4**	**0**	**38,2**	**38,2**
Источник шума: ИШ-5-3, координаты источника (x,y,z), м =[624.84,156.69,1.00]													
Уровни звуковой мощности источника днём, Lw, дБ		**исходные данные**	**0**	**93,3**	**94,7**	**96**	**96,3**	**95,9**	**92,6**	**88,4**	**83,9**		
Уровни звуковой мощности источника ночью, Lw, дБ		**исходные данные**	**0**	**93,3**	**94,7**	**96**	**96,3**	**95,9**	**92,6**	**88,4**	**83,9**		
Поправка на телесный угол DΩ, дБ	Ω = 6.28	10Lg(4π/Ω)	**3**	3	3	3	3	3	3	3	3		
Показатель направленности источника Di, дБ		исходные данные	**0**	0	0	0	0	0	0	0	0		
Поправка на направленность источника Dc, дБ	Dc	DΩ + Di	**3**	3	3	3	3	3	3	3	3		
Затухание из-за геометрической дивергенции, Adiv, дБ	расстояние = 389.12 м	ф-ла (7) [10]	**62,8**										

1		2	3	4	5	6	7	8	9	10	11	12	13
Коэффициент затухания звука в атмосфере α, дБ/км	Та=20,°С Ра=101.33,кПа hотн.=70%	ф-ла (5) [9]	0,02	0,09	0,33	1,12	2,79	4,98	9,04	23,09	77,63		
Учет затухания звука в атмосфере Aatm, дБ		ф-ла (8) [10]	0	0	0,1	0,4	1,1	1,9	3,5	9	30,2		
Снижение поверхностью земли возле источника As, дБ	Gs = 0 hs = 1м	ф-лы таб.3 [10]	-1,5	-1,5	-1,5	-1,5	-1,5	-1,5	-1,5	-1,5	-1,5		
Снижение поверхностью земли возле приёмника Ar, дБ	Gr = 1 hr = 1.5м	ф-лы таб.3 [10]	-1,5	-1,5	2,3	7	5	0,7	0	0	0		
Снижение поверхностью земли в средней зоне, Am дБ	Gm = 1	ф-лы таб.3 [10]	-2,4	-2,4	0	0	0	0	0	0	0		
Суммарное снижение поверхностью земли на траектории распространения звука Agr, дБ		ф-ла (9) [10]	-5,4	-5,4	0,8	5,5	3,5	-0,8	-1,5	-1,5	-1,5		
Уровни звукового давления прямого звука от источника ИШ-5-3 в расчётной точке днём, дБ		**ф-ла(3)[10]**	**0**	**38,9**	**34**	**30,2**	**31,9**	**35**	**30,8**	**21,1**	**0**	**37,7**	**37,7**
Уровни звукового давления прямого звука от источника ИШ-5-3 в расчётной точке ночью, дБ		**ф-ла(3)[10]**	**0**	**38,9**	**34**	**30,2**	**31,9**	**35**	**30,8**	**21,1**	**0**	**37,7**	**37,7**
Расчёт отражённого звука													
Уровни звукового давления от мнимого источника ИШ-5-3_мн.(1) в расчётной точке днём, дБ		**ф-ла(3)[10]**	**0**	**0**	**0**	**0**	**0**	**0**	**26,6**	**16,1**	**0**	**28,1**	**28,1**
Уровни звукового давления от мнимого источника ИШ-5-3_мн.(1) в расчётной точке ночью, дБ		**ф-ла(3)[10]**	**0**	**0**	**0**	**0**	**0**	**0**	**0**	**0**	**0**	**28,1**	**28,1**
Уровни звукового давления от источника ИШ-5-3 в расчётной точке днём, дБ		**ф-ла(3)[10]**	**0**	**38,9**	**34**	**30,2**	**31,9**	**35**	**32,2**	**22,3**	**0**	**38,1**	**38,1**
Уровни звукового давления от источника ИШ-5-3 в расчётной точке ночью, дБ		**ф-ла(3)[10]**	**0**	**38,9**	**34**	**30,2**	**31,9**	**35**	**32,2**	**22,3**	**0**	**38,1**	**38,1**
Источник шума: ИШ-6-1, координаты источника (x,y,z), м =[836.30,122.24,1.00]													
Уровни звуковой мощности источника днём, Lw, дБ		**исходные данные**	**0**	**96,3**	**97,7**	**99**	**99,3**	**98,9**	**95,6**	**91,4**	**86,9**		
Уровни звуковой мощности источника ночью, Lw, дБ		**исходные данные**	**0**	**96,3**	**97,7**	**99**	**99,3**	**98,9**	**95,6**	**91,4**	**86,9**		

1		2	3	4	5	6	7	8	9	10	11	12	13
Поправка на телесный угол DΩ, дБ	Ω = 12.57	10Lg(4π/Ω)	**0**	0	0	0	0	0	0	0	0		
Показатель направленности источника Di, дБ		исходные данные	**0**	0	0	0	0	0	0	0	0		
Поправка на направленность источника Dc, дБ	Dc	DΩ + Di	**0**	0	0	0	0	0	0	0	0		
Затухание из-за геометрической дивергенции, Adiv, дБ	расстояние = 400.42 м	ф-ла (7) [10]	**63,1**										
Коэффициент затухания звука в атмосфере α, дБ/км	Ta=20,°C Pa=101.33,кПа hотн.=70%	ф-ла (5) [9]	0,02	0,09	0,33	1,12	2,79	4,98	9,04	23,09	77,63		
Учет затухания звука в атмосфере Aatm, дБ		ф-ла (8) [10]	0	0	0,1	0,5	1,1	2	3,6	9,2	31,1		
Снижение поверхностью земли возле источника As, дБ	Gs = 0 hs = 1м	ф-лы таб.3 [10]	-1,5	-1,5	-1,5	-1,5	-1,5	-1,5	-1,5	-1,5	-1,5		
Снижение поверхностью земли возле приёмника Ar, дБ	Gr = 1 hr = 1.5м	ф-лы таб.3 [10]	-1,5	-1,5	2,4	7	5	0,7	0	0	0		
Снижение поверхностью земли в средней зоне, Am дБ	Gm = 1	ф-лы таб.3 [10]	-2,4	-2,4	0	0	0	0	0	0	0		
Суммарное снижение поверхностью земли на траектории распространения звука Agr, дБ		ф-ла (9) [10]	-5,4	-5,4	0,9	5,5	3,5	-0,8	-1,5	-1,5	-1,5		
Уровни звукового давления от источника ИШ-6-1 в расчётной точке днём, дБ		**ф-ла(3)[10]**	**0**	**38,6**	**33,6**	**30**	**31,7**	**34,7**	**30,4**	**20,6**	**0**	**37,4**	**37,4**
Уровни звукового давления от источника ИШ-6-1 в расчётной точке ночью, дБ		**ф-ла(3)[10]**	**0**	**38,6**	**33,6**	**30**	**31,7**	**34,7**	**30,4**	**20,6**	**0**	**37,4**	**37,4**
Источник шума: ИШ-6-2, координаты источника (x,y,z), м =[835.37,119.30,1.00]													
Уровни звуковой мощности источника днём, Lw, дБ		**исходные данные**	**0**	**96,3**	**97,7**	**99**	**99,3**	**98,9**	**95,6**	**91,4**	**86,9**		
Уровни звуковой мощности источника ночью, Lw, дБ		**исходные данные**	**0**	**96,3**	**97,7**	**99**	**99,3**	**98,9**	**95,6**	**91,4**	**86,9**		
Поправка на телесный угол DΩ, дБ	Ω = 12.57	10Lg(4π/Ω)	**0**	0	0	0	0	0	0	0	0		

1		2	3	4	5	6	7	8	9	10	11	12	13
Показатель направленности источника Di, дБ		исходные данные	**0**	0	0	0	0	0	0	0	0		
Поправка на направленность источника Dc, дБ	Dc	DΩ + Di	**0**	0	0	0	0	0	0	0	0		
Затухание из-за геометрической дивергенции, Adiv, дБ	расстояние = 403.17 м	ф-ла (7) [10]	**63,1**										
Коэффициент затухания звука в атмосфере α, дБ/км	Ta=20,°C Pa=101.33,кПа hотн.=70%	ф-ла (5) [9]	0,02	0,09	0,33	1,12	2,79	4,98	9,04	23,09	77,63		
Учет затухания звука в атмосфере Aatm, дБ		ф-ла (8) [10]	0	0	0,1	0,5	1,1	2	3,6	9,3	31,3		
Снижение поверхностью земли возле источника As, дБ	Gs = 0 hs = 1м	ф-лы таб.3 [10]	-1,5	-1,5	-1,5	-1,5	-1,5	-1,5	-1,5	-1,5	-1,5		
Снижение поверхностью земли возле приёмника Ar, дБ	Gr = 1 hr = 1.5м	ф-лы таб.3 [10]	-1,5	-1,5	2,4	7	5	0,7	0	0	0		
Снижение поверхностью земли в средней зоне, Am дБ	Gm = 1	ф-лы таб.3 [10]	-2,4	-2,4	0	0	0	0	0	0	0		
Суммарное снижение поверхностью земли на траектории распространения звука Agr, дБ		ф-ла (9) [10]	-5,4	-5,4	0,9	5,5	3,5	-0,8	-1,5	-1,5	-1,5		
Уровни звукового давления от источника ИШ-6-2 в расчётной точке днём, дБ		**ф-ла(3)[10]**	**0**	**38,6**	**33,6**	**29,9**	**31,6**	**34,6**	**30,3**	**20,5**	**0**	**37,3**	**37,3**
Уровни звукового давления от источника ИШ-6-2 в расчётной точке ночью, дБ		**ф-ла(3)[10]**	**0**	**38,6**	**33,6**	**29,9**	**31,6**	**34,6**	**30,3**	**20,5**	**0**	**37,3**	**37,3**
Источник шума: ИШ-6-3, координаты источника (x,y,z), м =[834.03,116.36,1.00]													
Уровни звуковой мощности источника днём, Lw, дБ		**исходные данные**	**0**	**96,3**	**97,7**	**99**	**99,3**	**98,9**	**95,6**	**91,4**	**86,9**		
Уровни звуковой мощности источника ночью, Lw, дБ		**исходные данные**	**0**	**96,3**	**97,7**	**99**	**99,3**	**98,9**	**95,6**	**91,4**	**86,9**		
Поправка на телесный угол DΩ, дБ	Ω = 12.57	10Lg(4π/Ω)	**0**	0	0	0	0	0	0	0	0		
Показатель направленности источника Di, дБ		исходные данные	**0**	0	0	0	0	0	0	0	0		

1		2	3	4	5	6	7	8	9	10	11	12	13
Поправка на направленность источника Dc, дБ	Dc	DΩ + Di	**0**	0	0	0	0	0	0	0	0		
Затухание из-за геометрической дивергенции, Adiv, дБ	расстояние = 405.85 м	ф-ла (7) [10]	**63,2**										
Коэффициент затухания звука в атмосфере α, дБ/км	Ta=20,°C Pa=101.33,кПа hотн.=70%	ф-ла (5) [9]	0,02	0,09	0,33	1,12	2,79	4,98	9,04	23,09	77,63		
Учет затухания звука в атмосфере Aatm, дБ		ф-ла (8) [10]	0	0	0,1	0,5	1,1	2	3,7	9,4	31,5		
Снижение поверхностью земли возле источника As, дБ	Gs = 0 hs = 1м	ф-лы таб.3 [10]	-1,5	-1,5	-1,5	-1,5	-1,5	-1,5	-1,5	-1,5	-1,5		
Снижение поверхностью земли возле приёмника Ar, дБ	Gr = 1 hr = 1.5м	ф-лы таб.3 [10]	-1,5	-1,5	2,4	7	5	0,7	0	0	0		
Снижение поверхностью земли в средней зоне, Am дБ	Gm = 1	ф-лы таб.3 [10]	-2,4	-2,4	0	0	0	0	0	0	0		
Суммарное снижение поверхностью земли на траектории распространения звука Agr, дБ		ф-ла (9) [10]	-5,4	-5,4	0,9	5,5	3,5	-0,8	-1,5	-1,5	-1,5		
Уровни звукового давления от источника ИШ-6-3 в расчётной точке днём, дБ		**ф-ла(3)[10]**	**0**	**38,5**	**33,5**	**29,8**	**31,5**	**34,5**	**30,3**	**20,4**	**0**	**37,2**	**37,2**
Уровни звукового давления от источника ИШ-6-3 в расчётной точке ночью, дБ		**ф-ла(3)[10]**	**0**	**38,5**	**33,5**	**29,8**	**31,5**	**34,5**	**30,3**	**20,4**	**0**	**37,2**	**37,2**
Источник шума: ИШ-6-4, координаты источника (x,y,z), м =[833.23,113.30,1.00]													
Уровни звуковой мощности источника днём, Lw, дБ		**исходные данные**	**0**	**96,3**	**97,7**	**99**	**99,3**	**98,9**	**95,6**	**91,4**	**86,9**		
Уровни звуковой мощности источника ночью, Lw, дБ		**исходные данные**	**0**	**96,3**	**97,7**	**99**	**99,3**	**98,9**	**95,6**	**91,4**	**86,9**		
Поправка на телесный угол DΩ, дБ	Ω = 12.57	10Lg(4π/Ω)	**0**	0	0	0	0	0	0	0	0		
Показатель направленности источника Di, дБ		исходные данные	**0**	0	0	0	0	0	0	0	0		
Поправка на направленность источника Dc, дБ	Dc	DΩ + Di	**0**	0	0	0	0	0	0	0	0		

1		2	3	4	5	6	7	8	9	10	11	12	13
Затухание из-за геометрической дивергенции, Adiv, дБ	расстояние = 408.76 м	ф-ла (7) [10]	**63,2**										
Коэффициент затухания звука в атмосфере α, дБ/км	Ta=20,°C Pa=101.33,кПа hотн.=70%	ф-ла (5) [9]	0,02	0,09	0,33	1,12	2,79	4,98	9,04	23,09	77,63		
Учет затухания звука в атмосфере Aatm, дБ		ф-ла (8) [10]	0	0	0,1	0,5	1,1	2	3,7	9,4	31,7		
Снижение поверхностью земли возле источника As, дБ	Gs = 0 hs = 1м	ф-лы таб.3 [10]	-1,5	-1,5	-1,5	-1,5	-1,5	-1,5	-1,5	-1,5	-1,5		
Снижение поверхностью земли возле приёмника Ar, дБ	Gr = 1 hr = 1.5м	ф-лы таб.3 [10]	-1,5	-1,5	2,4	7	5	0,7	0	0	0		
Снижение поверхностью земли в средней зоне, Am дБ	Gm = 1	ф-лы таб.3 [10]	-2,4	-2,4	0	0	0	0	0	0	0		
Суммарное снижение поверхностью земли на траектории распространения звука Agr, дБ		ф-ла (9) [10]	-5,4	-5,4	0,9	5,5	3,5	-0,8	-1,5	-1,5	-1,5		
Уровни звукового давления от источника ИШ-6-4 в расчётной точке днём, дБ		**ф-ла(3)[10]**	**0**	**38,5**	**33,4**	**29,8**	**31,4**	**34,5**	**30,2**	**20,2**	**0**	**37,1**	**37,1**
Уровни звукового давления от источника ИШ-6-4 в расчётной точке ночью, дБ		**ф-ла(3)[10]**	**0**	**38,5**	**33,4**	**29,8**	**31,4**	**34,5**	**30,2**	**20,2**	**0**	**37,1**	**37,1**
Источник шума: ИШ-6-5, координаты источника (x,y,z), м =[832.03,110.36,1.00]													
Уровни звуковой мощности источника днём, Lw, дБ		**исходные данные**	**0**	**96,3**	**97,7**	**99**	**99,3**	**98,9**	**95,6**	**91,4**	**86,9**		
Уровни звуковой мощности источника ночью, Lw, дБ		**исходные данные**	**0**	**96,3**	**97,7**	**99**	**99,3**	**98,9**	**95,6**	**91,4**	**86,9**		
Поправка на телесный угол DΩ, дБ	Ω = 12.57	10Lg(4π/Ω)	**0**	0	0	0	0	0	0	0	0		
Показатель направленности источника Di, дБ		исходные данные	**0**	0	0	0	0	0	0	0	0		
Поправка на направленность источника Dc, дБ	Dc	DΩ + Di	**0**	0	0	0	0	0	0	0	0		
Затухание из-за геометрической дивергенции, Adiv, дБ	расстояние = 411.49 м	ф-ла (7) [10]	**63,3**										

1		2	3	4	5	6	7	8	9	10	11	12	13
Коэффициент затухания звука в атмосфере α, дБ/км	Ta=20,°C Pa=101.33,кПа hотн.=70%	ф-ла (5) [9]	0,02	0,09	0,33	1,12	2,79	4,98	9,04	23,09	77,63		
Учет затухания звука в атмосфере Aatm, дБ		ф-ла (8) [10]	0	0	0,1	0,5	1,1	2	3,7	9,5	31,9		
Снижение поверхностью земли возле источника As, дБ	Gs = 0 hs = 1м	ф-лы таб.3 [10]	-1,5	-1,5	-1,5	-1,5	-1,5	-1,5	-1,5	-1,5	-1,5		
Снижение поверхностью земли возле приёмника Ar, дБ	Gr = 1 hr = 1.5м	ф-лы таб.3 [10]	-1,5	-1,5	2,4	7	5	0,7	0	0	0		
Снижение поверхностью земли в средней зоне, Am дБ	Gm = 1	ф-лы таб.3 [10]	-2,5	-2,5	0	0	0	0	0	0	0		
Суммарное снижение поверхностью земли на траектории распространения звука Agr, дБ		ф-ла (9) [10]	-5,5	-5,5	0,9	5,5	3,5	-0,8	-1,5	-1,5	-1,5		
Уровни звукового давления от источника ИШ-6-5 в расчётной точке днём, дБ		**ф-ла(3)[10]**	**0**	**38,4**	**33,3**	**29,7**	**31,4**	**34,4**	**30,1**	**20,1**	**0**	**37,1**	**37,1**
Уровни звукового давления от источника ИШ-6-5 в расчётной точке ночью, дБ		**ф-ла(3)[10]**	**0**	**38,4**	**33,3**	**29,7**	**31,4**	**34,4**	**30,1**	**20,1**	**0**	**37,1**	**37,1**
Источник шума: ИШ-6-6, координаты источника (x,y,z), м =[830.97,107.42,1.00]													
Уровни звуковой мощности источника днём, Lw, дБ		**исходные данные**	**0**	**96,3**	**97,7**	**99**	**99,3**	**98,9**	**95,6**	**91,4**	**86,9**		
Уровни звуковой мощности источника ночью, Lw, дБ		**исходные данные**	**0**	**96,3**	**97,7**	**99**	**99,3**	**98,9**	**95,6**	**91,4**	**86,9**		
Поправка на телесный угол DΩ, дБ	Ω = 12.57	10Lg(4π/Ω)	**0**	0	0	0	0	0	0	0	0		
Показатель направленности источника Di, дБ		исходные данные	**0**	0	0	0	0	0	0	0	0		
Поправка на направленность источника Dc, дБ	Dc	DΩ + Di	**0**	0	0	0	0	0	0	0	0		
Затухание из-за геометрической дивергенции, Adiv, дБ	расстояние = 414.23 м	ф-ла (7) [10]	**63,3**										
Коэффициент затухания звука в атмосфере α, дБ/км	Ta=20,°C Pa=101.33,кПа hотн.=70%	ф-ла (5) [9]	0,02	0,09	0,33	1,12	2,79	4,98	9,04	23,09	77,63		

1		2	3	4	5	6	7	8	9	10	11	12	13
Учет затухания звука в атмосфере Aatm, дБ		ф-ла (8) [10]	0	0	0,1	0,5	1,2	2,1	3,7	9,6	32,2		
Снижение поверхностью земли возле источника As, дБ	Gs = 0 hs = 1м	ф-лы таб.3 [10]	-1,5	-1,5	-1,5	-1,5	-1,5	-1,5	-1,5	-1,5	-1,5		
Снижение поверхностью земли возле приёмника Ar, дБ	Gr = 1 hr = 1.5м	ф-лы таб.3 [10]	-1,5	-1,5	2,5	7	5	0,7	0	0	0		
Снижение поверхностью земли в средней зоне, Am дБ	Gm = 1	ф-лы таб.3 [10]	-2,5	-2,5	0	0	0	0	0	0	0		
Суммарное снижение поверхностью земли на траектории распространения звука Agr, дБ		ф-ла (9) [10]	-5,5	-5,5	1	5,5	3,5	-0,8	-1,5	-1,5	-1,5		
Уровни звукового давления от источника ИШ-6-6 в расчётной точке днём, дБ		**ф-ла(3)[10]**	**0**	**38,4**	**33,2**	**29,7**	**31,3**	**34,3**	**30**	**20**	**0**	**37**	**37**
Уровни звукового давления от источника ИШ-6-6 в расчётной точке ночью, дБ		**ф-ла(3)[10]**	**0**	**38,4**	**33,2**	**29,7**	**31,3**	**34,3**	**30**	**20**	**0**	**37**	**37**
Источник шума: ИШ-6-7, координаты источника (x,y,z), м =[830.30,104.49,1.00]													
Уровни звуковой мощности источника днём, Lw, дБ		**исходные данные**	**0**	**96,3**	**97,7**	**99**	**99,3**	**98,9**	**95,6**	**91,4**	**86,9**		
Уровни звуковой мощности источника ночью, Lw, дБ		**исходные данные**	**0**	**96,3**	**97,7**	**99**	**99,3**	**98,9**	**95,6**	**91,4**	**86,9**		
Поправка на телесный угол DΩ, дБ	Ω = 12.57	10Lg(4π/Ω)	**0**	0	0	0	0	0	0	0	0		
Показатель направленности источника Di, дБ		исходные данные	**0**	0	0	0	0	0	0	0	0		
Поправка на направленность источника Dc, дБ	Dc	DΩ + Di	**0**	0	0	0	0	0	0	0	0		
Затухание из-за геометрической дивергенции, Adiv, дБ	расстояние = 417.04 м	ф-ла (7) [10]	**63,4**										
Коэффициент затухания звука в атмосфере α, дБ/км	Ta=20,°C Pa=101.33,кПа hотн.=70%	ф-ла (5) [9]	0,02	0,09	0,33	1,12	2,79	4,98	9,04	23,09	77,63		
Учет затухания звука в атмосфере Aatm, дБ		ф-ла (8) [10]	0	0	0,1	0,5	1,2	2,1	3,8	9,6	32,4		

1		2	3	4	5	6	7	8	9	10	11	12	13
Снижение поверхностью земли возле источника As, дБ	Gs = 0 hs = 1м	ф-лы таб.3 [10]	-1,5	-1,5	-1,5	-1,5	-1,5	-1,5	-1,5	-1,5	-1,5		
Снижение поверхностью земли возле приёмника Ar, дБ	Gr = 1 hr = 1.5м	ф-лы таб.3 [10]	-1,5	-1,5	2,5	7	5	0,7	0	0	0		
Снижение поверхностью земли в средней зоне, Am дБ	Gm = 1	ф-лы таб.3 [10]	-2,5	-2,5	0	0	0	0	0	0	0		
Суммарное снижение поверхностью земли на траектории распространения звука Agr, дБ		ф-ла (9) [10]	-5,5	-5,5	1	5,5	3,5	-0,8	-1,5	-1,5	-1,5		
Уровни звукового давления от источника ИШ-6-7 в расчётной точке днём, дБ		**ф-ла(3)[10]**	**0**	**38,3**	**33,2**	**29,6**	**31,3**	**34,3**	**29,9**	**19,9**	**0**	**36,9**	**36,9**
Уровни звукового давления от источника ИШ-6-7 в расчётной точке ночью, дБ		**ф-ла(3)[10]**	**0**	**38,3**	**33,2**	**29,6**	**31,3**	**34,3**	**29,9**	**19,9**	**0**	**36,9**	**36,9**
Источник шума: ИШ-6-8, координаты источника (x,y,z), м =[829.36,101.42,1.00]													
Уровни звуковой мощности источника днём, Lw, дБ		**исходные данные**	**0**	**96,3**	**97,7**	**99**	**99,3**	**98,9**	**95,6**	**91,4**	**86,9**		
Уровни звуковой мощности источника ночью, Lw, дБ		**исходные данные**	**0**	**96,3**	**97,7**	**99**	**99,3**	**98,9**	**95,6**	**91,4**	**86,9**		
Поправка на телесный угол DΩ, дБ	Ω = 12.57	10Lg(4π/Ω)	**0**	0	0	0	0	0	0	0	0		
Показатель направленности источника Di, дБ		исходные данные	**0**	0	0	0	0	0	0	0	0		
Поправка на направленность источника Dc, дБ	Dc	DΩ + Di	**0**	0	0	0	0	0	0	0	0		
Затухание из-за геометрической дивергенции, Adiv, дБ	расстояние = 419.95 м	ф-ла (7) [10]	**63,5**										
Коэффициент затухания звука в атмосфере α, дБ/км	Ta=20,°C Pa=101.33,кПа hотн.=70%	ф-ла (5) [9]	0,02	0,09	0,33	1,12	2,79	4,98	9,04	23,09	77,63		
Учет затухания звука в атмосфере Aatm, дБ		ф-ла (8) [10]	0	0	0,1	0,5	1,2	2,1	3,8	9,7	32,6		
Снижение поверхностью земли возле источника As, дБ	Gs = 0 hs = 1м	ф-лы таб.3 [10]	-1,5	-1,5	-1,5	-1,5	-1,5	-1,5	-1,5	-1,5	-1,5		

1		2	3	4	5	6	7	8	9	10	11	12	13
Снижение поверхностью земли возле приёмника Ar, дБ	Gr = 1 hr = 1.5м	ф-лы таб.3 [10]	-1,5	-1,5	2,5	7	5	0,7	0	0	0		
Снижение поверхностью земли в средней зоне, Am дБ	Gm = 1	ф-лы таб.3 [10]	-2,5	-2,5	0	0	0	0	0	0	0		
Суммарное снижение поверхностью земли на траектории распространения звука Agr, дБ		ф-ла (9) [10]	-5,5	-5,5	1	5,5	3,5	-0,8	-1,5	-1,5	-1,5		
Уровни звукового давления от источника ИШ-6-8 в расчётной точке днём, дБ		**ф-ла(3)[10]**	**0**	**38,3**	**33,1**	**29,5**	**31,2**	**34,2**	**29,8**	**19,7**	**0**	**36,8**	**36,8**
Уровни звукового давления от источника ИШ-6-8 в расчётной точке ночью, дБ		**ф-ла(3)[10]**	**0**	**38,3**	**33,1**	**29,5**	**31,2**	**34,2**	**29,8**	**19,7**	**0**	**36,8**	**36,8**
Источник шума: ИШ-6-9, координаты источника (x,y,z), м =[828.03,98.62,1.00]													
Уровни звуковой мощности источника днём, Lw, дБ		**исходные данные**	**0**	**96,3**	**97,7**	**99**	**99,3**	**98,9**	**95,6**	**91,4**	**86,9**		
Уровни звуковой мощности источника ночью, Lw, дБ		**исходные данные**	**0**	**96,3**	**97,7**	**99**	**99,3**	**98,9**	**95,6**	**91,4**	**86,9**		
Поправка на телесный угол DΩ, дБ	Ω = 12.57	10Lg(4π/Ω)	**0**	0	0	0	0	0	0	0	0		
Показатель направленности источника Di, дБ		исходные данные	**0**	0	0	0	0	0	0	0	0		
Поправка на направленность источника Dc, дБ	Dc	DΩ + Di	**0**	0	0	0	0	0	0	0	0		
Затухание из-за геометрической дивергенции, Adiv, дБ	расстояние = 422.54 м	ф-ла (7) [10]	**63,5**										
Коэффициент затухания звука в атмосфере α, дБ/км	Ta=20,°C Pa=101.33,кПа hотн.=70%	ф-ла (5) [9]	0,02	0,09	0,33	1,12	2,79	4,98	9,04	23,09	77,63		
Учет затухания звука в атмосфере Aatm, дБ		ф-ла (8) [10]	0	0	0,1	0,5	1,2	2,1	3,8	9,8	32,8		
Снижение поверхностью земли возле источника As, дБ	Gs = 0 hs = 1м	ф-лы таб.3 [10]	-1,5	-1,5	-1,5	-1,5	-1,5	-1,5	-1,5	-1,5	-1,5		
Снижение поверхностью земли возле приёмника Ar, дБ	Gr = 1 hr = 1.5м	ф-лы таб.3 [10]	-1,5	-1,5	2,5	7	5	0,7	0	0	0		

1		2	3	4	5	6	7	8	9	10	11	12	13
Снижение поверхностью земли в средней зоне, Am дБ	Gm = 1	ф-лы таб.3 [10]	-2,5	-2,5	0	0	0	0	0	0	0		
Суммарное снижение поверхностью земли на траектории распространения звука Agr, дБ		ф-ла (9) [10]	-5,5	-5,5	1	5,5	3,5	-0,8	-1,5	-1,5	-1,5		
Уровни звукового давления от источника ИШ-6-9 в расчётной точке днём, дБ		**ф-ла(3)[10]**	**0**	**38,2**	**33**	**29,5**	**31,1**	**34,1**	**29,8**	**19,6**	**0**	**36,8**	**36,8**
Уровни звукового давления от источника ИШ-6-9 в расчётной точке ночью, дБ		**ф-ла(3)[10]**	**0**	**38,2**	**33**	**29,5**	**31,1**	**34,1**	**29,8**	**19,6**	**0**	**36,8**	**36,8**
Источник шума: ИШ-6-10, координаты источника (x,y,z), м =[827.23,95.55,1.00]													
Уровни звуковой мощности источника днём, Lw, дБ		**исходные данные**	**0**	**96,3**	**97,7**	**99**	**99,3**	**98,9**	**95,6**	**91,4**	**86,9**		
Уровни звуковой мощности источника ночью, Lw, дБ		**исходные данные**	**0**	**96,3**	**97,7**	**99**	**99,3**	**98,9**	**95,6**	**91,4**	**86,9**		
Поправка на телесный угол DΩ, дБ	Ω = 12.57	10Lg(4π/Ω)	**0**	0	0	0	0	0	0	0	0		
Показатель направленности источника Di, дБ		исходные данные	**0**	0	0	0	0	0	0	0	0		
Поправка на направленность источника Dc, дБ	Dc	DΩ + Di	**0**	0	0	0	0	0	0	0	0		
Затухание из-за геометрической дивергенции, Adiv, дБ	расстояние = 425.48 м	ф-ла (7) [10]	**63,6**										
Коэффициент затухания звука в атмосфере α, дБ/км	Ta=20,°C Pa=101.33,кПа hотн.=70%	ф-ла (5) [9]	0,02	0,09	0,33	1,12	2,79	4,98	9,04	23,09	77,63		
Учет затухания звука в атмосфере Aatm, дБ		ф-ла (8) [10]	0	0	0,1	0,5	1,2	2,1	3,8	9,8	33		
Снижение поверхностью земли возле источника As, дБ	Gs = 0 hs = 1м	ф-лы таб.3 [10]	-1,5	-1,5	-1,5	-1,5	-1,5	-1,5	-1,5	-1,5	-1,5		
Снижение поверхностью земли возле приёмника Ar, дБ	Gr = 1 hr = 1.5м	ф-лы таб.3 [10]	-1,5	-1,5	2,5	7	5	0,7	0	0	0		
Снижение поверхностью земли в средней зоне, Am дБ	Gm = 1	ф-лы таб.3 [10]	-2,5	-2,5	0	0	0	0	0	0	0		

1		2	3	4	5	6	7	8	9	10	11	12	13
Суммарное снижение поверхностью земли на траектории распространения звука Agr, дБ		ф-ла (9) [10]	-5,5	-5,5	1	5,5	3,5	-0,8	-1,5	-1,5	-1,5		
Уровни звукового давления от источника ИШ-6-10 в расчётной точке днём, дБ		**ф-ла(3)[10]**	**0**	**38,1**	**32,9**	**29,4**	**31,1**	**34**	**29,7**	**19,5**	**0**	**36,7**	**36,7**
Уровни звукового давления от источника ИШ-6-10 в расчётной точке ночью, дБ		**ф-ла(3)[10]**	**0**	**38,1**	**32,9**	**29,4**	**31,1**	**34**	**29,7**	**19,5**	**0**	**36,7**	**36,7**
Источник шума: ИШ-6-11, координаты источника (x,y,z), м =[826.30,92.48,1.00]													
Уровни звуковой мощности источника днём, Lw, дБ		**исходные данные**	**0**	**96,3**	**97,7**	**99**	**99,3**	**98,9**	**95,6**	**91,4**	**86,9**		
Уровни звуковой мощности источника ночью, Lw, дБ		**исходные данные**	**0**	**96,3**	**97,7**	**99**	**99,3**	**98,9**	**95,6**	**91,4**	**86,9**		
Поправка на телесный угол DΩ, дБ	Ω = 12.57	10Lg(4π/Ω)	**0**	0	0	0	0	0	0	0	0		
Показатель направленности источника Di, дБ		исходные данные	**0**	0	0	0	0	0	0	0	0		
Поправка на направленность источника Dc, дБ	Dc	DΩ + Di	**0**	0	0	0	0	0	0	0	0		
Затухание из-за геометрической дивергенции, Adiv, дБ	расстояние = 428.40 м	ф-ла (7) [10]	**63,6**										
Коэффициент затухания звука в атмосфере α, дБ/км	Ta=20,°C Pa=101.33,кПа hотн.=70%	ф-ла (5) [9]	0,02	0,09	0,33	1,12	2,79	4,98	9,04	23,09	77,63		
Учет затухания звука в атмосфере Aatm, дБ		ф-ла (8) [10]	0	0	0,1	0,5	1,2	2,1	3,9	9,9	33,3		
Снижение поверхностью земли возле источника As, дБ	Gs = 0 hs = 1м	ф-лы таб.3 [10]	-1,5	-1,5	-1,5	-1,5	-1,5	-1,5	-1,5	-1,5	-1,5		
Снижение поверхностью земли возле приёмника Ar, дБ	Gr = 1 hr = 1.5м	ф-лы таб.3 [10]	-1,5	-1,5	2,6	7	5	0,7	0	0	0		
Снижение поверхностью земли в средней зоне, Am дБ	Gm = 1	ф-лы таб.3 [10]	-2,5	-2,5	0	0	0	0	0	0	0		
Суммарное снижение поверхностью земли на траектории распространения звука Agr, дБ		ф-ла (9) [10]	-5,5	-5,5	1,1	5,5	3,5	-0,8	-1,5	-1,5	-1,5		

1		2	3	4	5	6	7	8	9	10	11	12	13
Уровни звукового давления от источника ИШ-6-11 в расчётной точке днём, дБ		**ф-ла(3)[10]**	**0**	**38,1**	**32,9**	**29,4**	**31**	**34**	**29,6**	**19,4**	**0**	**36,6**	**36,6**
Уровни звукового давления от источника ИШ-6-11 в расчётной точке ночью, дБ		**ф-ла(3)[10]**	**0**	**38,1**	**32,9**	**29,4**	**31**	**34**	**29,6**	**19,4**	**0**	**36,6**	**36,6**
Источник шума: ИШ-6-12, координаты источника (x,y,z), м =[825.09,89.54,1.00]													
Уровни звуковой мощности источника днём, Lw, дБ		**исходные данные**	**0**	**96,3**	**97,7**	**99**	**99,3**	**98,9**	**95,6**	**91,4**	**86,9**		
Уровни звуковой мощности источника ночью, Lw, дБ		**исходные данные**	**0**	**96,3**	**97,7**	**99**	**99,3**	**98,9**	**95,6**	**91,4**	**86,9**		
Поправка на телесный угол DΩ, дБ	Ω = 12.57	10Lg(4π/Ω)	**0**	0	0	0	0	0	0	0	0		
Показатель направленности источника Di, дБ		исходные данные	**0**	0	0	0	0	0	0	0	0		
Поправка на направленность источника Dc, дБ	Dc	DΩ + Di	**0**	0	0	0	0	0	0	0	0		
Затухание из-за геометрической дивергенции, Adiv, дБ	расстояние = 431.16 м	ф-ла (7) [10]	**63,7**										
Коэффициент затухания звука в атмосфере α, дБ/км	Ta=20,°C Pa=101.33,кПа hотн.=70%	ф-ла (5) [9]	0,02	0,09	0,33	1,12	2,79	4,98	9,04	23,09	77,63		
Учет затухания звука в атмосфере Aatm, дБ		ф-ла (8) [10]	0	0	0,1	0,5	1,2	2,1	3,9	10	33,5		
Снижение поверхностью земли возле источника As, дБ	Gs = 0 hs = 1м	ф-лы таб.3 [10]	-1,5	-1,5	-1,5	-1,5	-1,5	-1,5	-1,5	-1,5	-1,5		
Снижение поверхностью земли возле приёмника Ar, дБ	Gr = 1 hr = 1.5м	ф-лы таб.3 [10]	-1,5	-1,5	2,6	7	5	0,7	0	0	0		
Снижение поверхностью земли в средней зоне, Am дБ	Gm = 1	ф-лы таб.3 [10]	-2,5	-2,5	0	0	0	0	0	0	0		
Суммарное снижение поверхностью земли на траектории распространения звука Agr, дБ		ф-ла (9) [10]	-5,5	-5,5	1,1	5,5	3,5	-0,8	-1,5	-1,5	-1,5		
Уровни звукового давления от источника ИШ-6-12 в расчётной точке днём, дБ		**ф-ла(3)[10]**	**0**	**38**	**32,8**	**29,3**	**30,9**	**33,9**	**29,5**	**19,2**	**0**	**36,5**	**36,5**

1		2	3	4	5	6	7	8	9	10	11	12	13
Уровни звукового давления от источника ИШ-6-12 в расчётной точке ночью, дБ		**ф-ла(3)[10]**	**0**	**38**	**32,8**	**29,3**	**30,9**	**33,9**	**29,5**	**19,2**	**0**	**36,5**	**36,5**
Источник шума: ИШ-6-13, координаты источника (x,y,z), м =[767.76,-114.15,1.00]													
Уровни звуковой мощности источника днём, Lw, дБ		**исходные данные**	**0**	**96,3**	**97,7**	**99**	**99,3**	**98,9**	**95,6**	**91,4**	**86,9**		
Уровни звуковой мощности источника ночью, Lw, дБ		**исходные данные**	**0**	**96,3**	**97,7**	**99**	**99,3**	**98,9**	**95,6**	**91,4**	**86,9**		
Поправка на телесный угол DΩ, дБ	Ω = 12.57	10Lg(4π/Ω)	**0**	0	0	0	0	0	0	0	0		
Показатель направленности источника Di, дБ		исходные данные	**0**	0	0	0	0	0	0	0	0		
Поправка на направленность источника Dc, дБ	Dc	DΩ + Di	**0**	0	0	0	0	0	0	0	0		
Затухание из-за геометрической дивергенции, Adiv, дБ	расстояние = 631.46 м	ф-ла (7) [10]	**67**										
Коэффициент затухания звука в атмосфере α, дБ/км	Ta=20,°C Pa=101.33,кПа hотн.=70%	ф-ла (5) [9]	0,02	0,09	0,33	1,12	2,79	4,98	9,04	23,09	77,63		
Учет затухания звука в атмосфере Aatm, дБ		ф-ла (8) [10]	0	0,1	0,2	0,7	1,8	3,1	5,7	14,6	49		
Снижение поверхностью земли возле источника As, дБ	Gs = 0 hs = 1м	ф-лы таб.3 [10]	-1,5	-1,5	-1,5	-1,5	-1,5	-1,5	-1,5	-1,5	-1,5		
Снижение поверхностью земли возле приёмника Ar, дБ	Gr = 1 hr = 1.5м	ф-лы таб.3 [10]	-1,5	-1,5	3,8	7	5	0,7	0	0	0		
Снижение поверхностью земли в средней зоне, Am дБ	Gm = 1	ф-лы таб.3 [10]	-2,6	-2,6	0	0	0	0	0	0	0		
Суммарное снижение поверхностью земли на траектории распространения звука Agr, дБ		ф-ла (9) [10]	-5,6	-5,6	2,3	5,5	3,5	-0,8	-1,5	-1,5	-1,5		
Уровни звукового давления от источника ИШ-6-13 в расчётной точке днём, дБ		**ф-ла(3)[10]**	**0**	**34,9**	**28,2**	**25,8**	**27**	**29,6**	**24,4**	**11,3**	**0**	**32,1**	**32,1**
Уровни звукового давления от источника ИШ-6-13 в расчётной точке ночью, дБ		**ф-ла(3)[10]**	**0**	**34,9**	**28,2**	**25,8**	**27**	**29,6**	**24,4**	**11,3**	**0**	**32,1**	**32,1**

1		2	3	4	5	6	7	8	9	10	11	12	13
Источник шума: ИШ-6-14, координаты источника (x,y,z), м =[766.82,-117.10,1.00]													
Уровни звуковой мощности источника днём, Lw, дБ		**исходные данные**	**0**	**96,3**	**97,7**	**99**	**99,3**	**98,9**	**95,6**	**91,4**	**86,9**		
Уровни звуковой мощности источника ночью, Lw, дБ		**исходные данные**	**0**	**96,3**	**97,7**	**99**	**99,3**	**98,9**	**95,6**	**91,4**	**86,9**		
Поправка на телесный угол DΩ, дБ	Ω = 12.57	10Lg(4π/Ω)	**0**	0	0	0	0	0	0	0	0		
Показатель направленности источника Di, дБ		исходные данные	**0**	0	0	0	0	0	0	0	0		
Поправка на направленность источника Dc, дБ	Dc	DΩ + Di	**0**	0	0	0	0	0	0	0	0		
Затухание из-за геометрической дивергенции, Adiv, дБ	расстояние = 634.42 м	ф-ла (7) [10]	**67**										
Коэффициент затухания звука в атмосфере α, дБ/км	Ta=20,°C Pa=101.33,кПа hотн.=70%	ф-ла (5) [9]	0,02	0,09	0,33	1,12	2,79	4,98	9,04	23,09	77,63		
Учет затухания звука в атмосфере Aatm, дБ		ф-ла (8) [10]	0	0,1	0,2	0,7	1,8	3,2	5,7	14,6	49,3		
Снижение поверхностью земли возле источника As, дБ	Gs = 0 hs = 1м	ф-лы таб.3 [10]	-1,5	-1,5	-1,5	-1,5	-1,5	-1,5	-1,5	-1,5	-1,5		
Снижение поверхностью земли возле приёмника Ar, дБ	Gr = 1 hr = 1.5м	ф-лы таб.3 [10]	-1,5	-1,5	3,8	7	5	0,7	0	0	0		
Снижение поверхностью земли в средней зоне, Am дБ	Gm = 1	ф-лы таб.3 [10]	-2,6	-2,6	0	0	0	0	0	0	0		
Суммарное снижение поверхностью земли на траектории распространения звука Agr, дБ		ф-ла (9) [10]	-5,6	-5,6	2,3	5,5	3,5	-0,8	-1,5	-1,5	-1,5		
Уровни звукового давления от источника ИШ-6-14 в расчётной точке днём, дБ		**ф-ла(3)[10]**	**0**	**34,8**	**28,1**	**25,7**	**27**	**29,5**	**24,3**	**11,2**	**0**	**32**	**32**
Уровни звукового давления от источника ИШ-6-14 в расчётной точке ночью, дБ		**ф-ла(3)[10]**	**0**	**34,8**	**28,1**	**25,7**	**27**	**29,5**	**24,3**	**11,2**	**0**	**32**	**32**
Источник шума: ИШ-6-15, координаты источника (x,y,z), м =[765.71,-120.27,1.00]													

1		2	3	4	5	6	7	8	9	10	11	12	13
Уровни звуковой мощности источника днём, Lw, дБ		**исходные данные**	**0**	**96,3**	**97,7**	**99**	**99,3**	**98,9**	**95,6**	**91,4**	**86,9**		
Уровни звуковой мощности источника ночью, Lw, дБ		**исходные данные**	**0**	**96,3**	**97,7**	**99**	**99,3**	**98,9**	**95,6**	**91,4**	**86,9**		
Поправка на телесный угол DΩ, дБ	Ω = 12.57	10Lg(4π/Ω)	**0**	0	0	0	0	0	0	0	0		
Показатель направленности источника Di, дБ		исходные данные	**0**	0	0	0	0	0	0	0	0		
Поправка на направленность источника Dc, дБ	Dc	DΩ + Di	**0**	0	0	0	0	0	0	0	0		
Затухание из-за геометрической дивергенции, Adiv, дБ	расстояние = 637.59 м	ф-ла (7) [10]	**67,1**										
Коэффициент затухания звука в атмосфере α, дБ/км	Ta=20,°C Pa=101.33,кПа hотн.=70%	ф-ла (5) [9]	0,02	0,09	0,33	1,12	2,79	4,98	9,04	23,09	77,63		
Учет затухания звука в атмосфере Aatm, дБ		ф-ла (8) [10]	0	0,1	0,2	0,7	1,8	3,2	5,8	14,7	49,5		
Снижение поверхностью земли возле источника As, дБ	Gs = 0 hs = 1м	ф-лы таб.3 [10]	-1,5	-1,5	-1,5	-1,5	-1,5	-1,5	-1,5	-1,5	-1,5		
Снижение поверхностью земли возле приёмника Ar, дБ	Gr = 1 hr = 1.5м	ф-лы таб.3 [10]	-1,5	-1,5	3,9	7	5	0,7	0	0	0		
Снижение поверхностью земли в средней зоне, Am дБ	Gm = 1	ф-лы таб.3 [10]	-2,6	-2,6	0	0	0	0	0	0	0		
Суммарное снижение поверхностью земли на траектории распространения звука Agr, дБ		ф-ла (9) [10]	-5,6	-5,6	2,4	5,5	3,5	-0,8	-1,5	-1,5	-1,5		
Уровни звукового давления от источника ИШ-6-15 в расчётной точке днём, дБ		**ф-ла(3)[10]**	**0**	**34,8**	**28**	**25,7**	**26,9**	**29,5**	**24,2**	**11,1**	**0**	**31,9**	**31,9**
Уровни звукового давления от источника ИШ-6-15 в расчётной точке ночью, дБ		**ф-ла(3)[10]**	**0**	**34,8**	**28**	**25,7**	**26,9**	**29,5**	**24,2**	**11,1**	**0**	**31,9**	**31,9**
Источник шума: ИШ-6-16, координаты источника (x,y,z), м =[764.57,-123.22,1.00]													
Уровни звуковой мощности источника днём, Lw, дБ		**исходные данные**	**0**	**96,3**	**97,7**	**99**	**99,3**	**98,9**	**95,6**	**91,4**	**86,9**		

1		2	3	4	5	6	7	8	9	10	11	12	13
Уровни звуковой мощности источника ночью, Lw, дБ		**исходные данные**	**0**	**96,3**	**97,7**	**99**	**99,3**	**98,9**	**95,6**	**91,4**	**86,9**		
Поправка на телесный угол DΩ, дБ	Ω = 12.57	10Lg(4π/Ω)	**0**	0	0	0	0	0	0	0	0		
Показатель направленности источника Di, дБ		исходные данные	**0**	0	0	0	0	0	0	0	0		
Поправка на направленность источника Dc, дБ	Dc	DΩ + Di	**0**	0	0	0	0	0	0	0	0		
Затухание из-за геометрической дивергенции, Adiv, дБ	расстояние = 640.55 м	ф-ла (7) [10]	**67,1**										
Коэффициент затухания звука в атмосфере α, дБ/км	Ta=20,°C Pa=101.33,кПа hотн.=70%	ф-ла (5) [9]	0,02	0,09	0,33	1,12	2,79	4,98	9,04	23,09	77,63		
Учет затухания звука в атмосфере Aatm, дБ		ф-ла (8) [10]	0	0,1	0,2	0,7	1,8	3,2	5,8	14,8	49,7		
Снижение поверхностью земли возле источника As, дБ	Gs = 0 hs = 1м	ф-лы таб.3 [10]	-1,5	-1,5	-1,5	-1,5	-1,5	-1,5	-1,5	-1,5	-1,5		
Снижение поверхностью земли возле приёмника Ar, дБ	Gr = 1 hr = 1.5м	ф-лы таб.3 [10]	-1,5	-1,5	3,9	7	5	0,7	0	0	0		
Снижение поверхностью земли в средней зоне, Am дБ	Gm = 1	ф-лы таб.3 [10]	-2,6	-2,6	0	0	0	0	0	0	0		
Суммарное снижение поверхностью земли на траектории распространения звука Agr, дБ		ф-ла (9) [10]	-5,6	-5,6	2,4	5,5	3,5	-0,8	-1,5	-1,5	-1,5		
Уровни звукового давления от источника ИШ-6-16 в расчётной точке днём, дБ		**ф-ла(3)[10]**	**0**	**34,8**	**28**	**25,6**	**26,9**	**29,4**	**24,2**	**11**	**0**	**31,9**	**31,9**
Уровни звукового давления от источника ИШ-6-16 в расчётной точке ночью, дБ		**ф-ла(3)[10]**	**0**	**34,8**	**28**	**25,6**	**26,9**	**29,4**	**24,2**	**11**	**0**	**31,9**	**31,9**
Источник шума: ИШ-6-17, координаты источника (x,y,z), м =[763.57,-126.18,1.00]													
Уровни звуковой мощности источника днём, Lw, дБ		**исходные данные**	**0**	**96,3**	**97,7**	**99**	**99,3**	**98,9**	**95,6**	**91,4**	**86,9**		
Уровни звуковой мощности источника ночью, Lw, дБ		**исходные данные**	**0**	**96,3**	**97,7**	**99**	**99,3**	**98,9**	**95,6**	**91,4**	**86,9**		

1		2	3	4	5	6	7	8	9	10	11	12	13
Поправка на телесный угол DΩ, дБ	Ω = 12.57	10Lg(4π/Ω)	**0**	0	0	0	0	0	0	0	0		
Показатель направленности источника Di, дБ		исходные данные	**0**	0	0	0	0	0	0	0	0		
Поправка на направленность источника Dc, дБ	Dc	DΩ + Di	**0**	0	0	0	0	0	0	0	0		
Затухание из-за геометрической дивергенции, Adiv, дБ	расстояние = 643.53 м	ф-ла (7) [10]	**67,2**										
Коэффициент затухания звука в атмосфере α, дБ/км	Ta=20,°C Pa=101.33,кПа hотн.=70%	ф-ла (5) [9]	0,02	0,09	0,33	1,12	2,79	4,98	9,04	23,09	77,63		
Учет затухания звука в атмосфере Aatm, дБ		ф-ла (8) [10]	0	0,1	0,2	0,7	1,8	3,2	5,8	14,9	50		
Снижение поверхностью земли возле источника As, дБ	Gs = 0 hs = 1м	ф-лы таб.3 [10]	-1,5	-1,5	-1,5	-1,5	-1,5	-1,5	-1,5	-1,5	-1,5		
Снижение поверхностью земли возле приёмника Ar, дБ	Gr = 1 hr = 1.5м	ф-лы таб.3 [10]	-1,5	-1,5	3,9	7	5	0,7	0	0	0		
Снижение поверхностью земли в средней зоне, Am дБ	Gm = 1	ф-лы таб.3 [10]	-2,7	-2,7	0	0	0	0	0	0	0		
Суммарное снижение поверхностью земли на траектории распространения звука Agr, дБ		ф-ла (9) [10]	-5,7	-5,7	2,4	5,5	3,5	-0,8	-1,5	-1,5	-1,5		
Уровни звукового давления от источника ИШ-6-17 в расчётной точке днём, дБ		**ф-ла(3)[10]**	**0**	**34,7**	**27,9**	**25,6**	**26,9**	**29,4**	**24,1**	**10,9**	**0**	**31,8**	**31,8**
Уровни звукового давления от источника ИШ-6-17 в расчётной точке ночью, дБ		**ф-ла(3)[10]**	**0**	**34,7**	**27,9**	**25,6**	**26,9**	**29,4**	**24,1**	**10,9**	**0**	**31,8**	**31,8**
Источник шума: ИШ-6-18, координаты источника (x,y,z), м =[804.77,-126.28,1.00]													
Уровни звуковой мощности источника днём, Lw, дБ		**исходные данные**	**0**	**96,3**	**97,7**	**99**	**99,3**	**98,9**	**95,6**	**91,4**	**86,9**		
Уровни звуковой мощности источника ночью, Lw, дБ		**исходные данные**	**0**	**96,3**	**97,7**	**99**	**99,3**	**98,9**	**95,6**	**91,4**	**86,9**		
Поправка на телесный угол DΩ, дБ	Ω = 12.57	10Lg(4π/Ω)	**0**	0	0	0	0	0	0	0	0		

1		2	3	4	5	6	7	8	9	10	11	12	13
Показатель направленности источника Di, дБ		исходные данные	**0**	0	0	0	0	0	0	0	0		
Поправка на направленность источника Dc, дБ	Dc	DΩ + Di	**0**	0	0	0	0	0	0	0	0		
Затухание из-за геометрической дивергенции, Adiv, дБ	расстояние = 644.46 м	ф-ла (7) [10]	**67,2**										
Коэффициент затухания звука в атмосфере α, дБ/км	Ta=20,°C Pa=101.33,кПа hотн.=70%	ф-ла (5) [9]	0,02	0,09	0,33	1,12	2,79	4,98	9,04	23,09	77,63		
Учет затухания звука в атмосфере Aatm, дБ		ф-ла (8) [10]	0	0,1	0,2	0,7	1,8	3,2	5,8	14,9	50		
Снижение поверхностью земли возле источника As, дБ	Gs = 0 hs = 1м	ф-лы таб.3 [10]	-1,5	-1,5	-1,5	-1,5	-1,5	-1,5	-1,5	-1,5	-1,5		
Снижение поверхностью земли возле приёмника Ar, дБ	Gr = 1 hr = 1.5м	ф-лы таб.3 [10]	-1,5	-1,5	3,9	7	5	0,7	0	0	0		
Снижение поверхностью земли в средней зоне, Am дБ	Gm = 1	ф-лы таб.3 [10]	-2,7	-2,7	0	0	0	0	0	0	0		
Суммарное снижение поверхностью земли на траектории распространения звука Agr, дБ		ф-ла (9) [10]	-5,7	-5,7	2,4	5,5	3,5	-0,8	-1,5	-1,5	-1,5		
Уровни звукового давления от источника ИШ-6-18 в расчётной точке днём, дБ		**ф-ла(3)[10]**	**0**	**34,7**	**27,9**	**25,6**	**26,8**	**29,3**	**24,1**	**10,8**	**0**	**31,8**	**31,8**
Уровни звукового давления от источника ИШ-6-18 в расчётной точке ночью, дБ		**ф-ла(3)[10]**	**0**	**34,7**	**27,9**	**25,6**	**26,8**	**29,3**	**24,1**	**10,8**	**0**	**31,8**	**31,8**
Источник шума: ИШ-6-19, координаты источника (x,y,z), м =[803.81,-129.30,1.00]													
Уровни звуковой мощности источника днём, Lw, дБ		**исходные данные**	**0**	**96,3**	**97,7**	**99**	**99,3**	**98,9**	**95,6**	**91,4**	**86,9**		
Уровни звуковой мощности источника ночью, Lw, дБ		**исходные данные**	**0**	**96,3**	**97,7**	**99**	**99,3**	**98,9**	**95,6**	**91,4**	**86,9**		
Поправка на телесный угол DΩ, дБ	Ω = 12.57	10Lg(4π/Ω)	**0**	0	0	0	0	0	0	0	0		
Показатель направленности источника Di, дБ		исходные данные	**0**	0	0	0	0	0	0	0	0		

1		2	3	4	5	6	7	8	9	10	11	12	13
Поправка на направленность источника Dc, дБ	Dc	DΩ + Di	**0**	0	0	0	0	0	0	0	0		
Затухание из-за геометрической дивергенции, Adiv, дБ	расстояние = 647.43 м	ф-ла (7) [10]	**67,2**										
Коэффициент затухания звука в атмосфере α, дБ/км	Ta=20,°C Pa=101.33,кПа hотн.=70%	ф-ла (5) [9]	0,02	0,09	0,33	1,12	2,79	4,98	9,04	23,09	77,63		
Учет затухания звука в атмосфере Aatm, дБ		ф-ла (8) [10]	0	0,1	0,2	0,7	1,8	3,2	5,9	14,9	50,3		
Снижение поверхностью земли возле источника As, дБ	Gs = 0 hs = 1м	ф-лы таб.3 [10]	-1,5	-1,5	-1,5	-1,5	-1,5	-1,5	-1,5	-1,5	-1,5		
Снижение поверхностью земли возле приёмника Ar, дБ	Gr = 1 hr = 1.5м	ф-лы таб.3 [10]	-1,5	-1,5	3,9	7	5	0,7	0	0	0		
Снижение поверхностью земли в средней зоне, Am дБ	Gm = 1	ф-лы таб.3 [10]	-2,7	-2,7	0	0	0	0	0	0	0		
Суммарное снижение поверхностью земли на траектории распространения звука Agr, дБ		ф-ла (9) [10]	-5,7	-5,7	2,4	5,5	3,5	-0,8	-1,5	-1,5	-1,5		
Уровни звукового давления от источника ИШ-6-19 в расчётной точке днём, дБ		**ф-ла(3)[10]**	**0**	**34,7**	**27,8**	**25,5**	**26,8**	**29,3**	**24**	**10,7**	**0**	**31,7**	**31,7**
Уровни звукового давления от источника ИШ-6-19 в расчётной точке ночью, дБ		**ф-ла(3)[10]**	**0**	**34,7**	**27,8**	**25,5**	**26,8**	**29,3**	**24**	**10,7**	**0**	**31,7**	**31,7**
Источник шума: ИШ-6-20, координаты источника (x,y,z), м =[802.67,-132.35,1.00]													
Уровни звуковой мощности источника днём, Lw, дБ		**исходные данные**	**0**	**96,3**	**97,7**	**99**	**99,3**	**98,9**	**95,6**	**91,4**	**86,9**		
Уровни звуковой мощности источника ночью, Lw, дБ		**исходные данные**	**0**	**96,3**	**97,7**	**99**	**99,3**	**98,9**	**95,6**	**91,4**	**86,9**		
Поправка на телесный угол DΩ, дБ	Ω = 12.57	10Lg(4π/Ω)	**0**	0	0	0	0	0	0	0	0		
Показатель направленности источника Di, дБ		исходные данные	**0**	0	0	0	0	0	0	0	0		
Поправка на направленность источника Dc, дБ	Dc	DΩ + Di	**0**	0	0	0	0	0	0	0	0		

1		2	3	4	5	6	7	8	9	10	11	12	13
Затухание из-за геометрической дивергенции, Adiv, дБ	расстояние = 650.42 м	ф-ла (7) [10]	**67,3**										
Коэффициент затухания звука в атмосфере α, дБ/км	Ta=20,°C Pa=101.33,кПа hотн.=70%	ф-ла (5) [9]	0,02	0,09	0,33	1,12	2,79	4,98	9,04	23,09	77,63		
Учет затухания звука в атмосфере Aatm, дБ		ф-ла (8) [10]	0	0,1	0,2	0,7	1,8	3,2	5,9	15	50,5		
Снижение поверхностью земли возле источника As, дБ	Gs = 0 hs = 1м	ф-лы таб.3 [10]	-1,5	-1,5	-1,5	-1,5	-1,5	-1,5	-1,5	-1,5	-1,5		
Снижение поверхностью земли возле приёмника Ar, дБ	Gr = 1 hr = 1.5м	ф-лы таб.3 [10]	-1,5	-1,5	3,9	7	5	0,7	0	0	0		
Снижение поверхностью земли в средней зоне, Am дБ	Gm = 1	ф-лы таб.3 [10]	-2,7	-2,7	0	0	0	0	0	0	0		
Суммарное снижение поверхностью земли на траектории распространения звука Agr, дБ		ф-ла (9) [10]	-5,7	-5,7	2,4	5,5	3,5	-0,8	-1,5	-1,5	-1,5		
Уровни звукового давления от источника ИШ-6-20 в расчётной точке днём, дБ		**ф-ла(3)[10]**	**0**	**34,6**	**27,8**	**25,5**	**26,7**	**29,2**	**23,9**	**10,6**	**0**	**31,7**	**31,7**
Уровни звукового давления от источника ИШ-6-20 в расчётной точке ночью, дБ		**ф-ла(3)[10]**	**0**	**34,6**	**27,8**	**25,5**	**26,7**	**29,2**	**23,9**	**10,6**	**0**	**31,7**	**31,7**
Источник шума: ИШ-6-21, координаты источника (x,y,z), м =[801.69,-135.42,1.00]													
Уровни звуковой мощности источника днём, Lw, дБ		**исходные данные**	**0**	**96,3**	**97,7**	**99**	**99,3**	**98,9**	**95,6**	**91,4**	**86,9**		
Уровни звуковой мощности источника ночью, Lw, дБ		**исходные данные**	**0**	**96,3**	**97,7**	**99**	**99,3**	**98,9**	**95,6**	**91,4**	**86,9**		
Поправка на телесный угол DΩ, дБ	Ω = 12.57	10Lg(4π/Ω)	**0**	0	0	0	0	0	0	0	0		
Показатель направленности источника Di, дБ		исходные данные	**0**	0	0	0	0	0	0	0	0		
Поправка на направленность источника Dc, дБ	Dc	DΩ + Di	**0**	0	0	0	0	0	0	0	0		
Затухание из-за геометрической дивергенции, Adiv, дБ	расстояние = 653.44 м	ф-ла (7) [10]	**67,3**										

1		2	3	4	5	6	7	8	9	10	11	12	13
Коэффициент затухания звука в атмосфере α, дБ/км	Ta=20,°C Pa=101.33,кПа hотн.=70%	ф-ла (5) [9]	0,02	0,09	0,33	1,12	2,79	4,98	9,04	23,09	77,63		
Учет затухания звука в атмосфере Aatm, дБ		ф-ла (8) [10]	0	0,1	0,2	0,7	1,8	3,3	5,9	15,1	50,7		
Снижение поверхностью земли возле источника As, дБ	Gs = 0 hs = 1м	ф-лы таб.3 [10]	-1,5	-1,5	-1,5	-1,5	-1,5	-1,5	-1,5	-1,5	-1,5		
Снижение поверхностью земли возле приёмника Ar, дБ	Gr = 1 hr = 1.5м	ф-лы таб.3 [10]	-1,5	-1,5	3,9	7	5	0,7	0	0	0		
Снижение поверхностью земли в средней зоне, Am дБ	Gm = 1	ф-лы таб.3 [10]	-2,7	-2,7	0	0	0	0	0	0	0		
Суммарное снижение поверхностью земли на траектории распространения звука Agr, дБ		ф-ла (9) [10]	-5,7	-5,7	2,4	5,5	3,5	-0,8	-1,5	-1,5	-1,5		
Уровни звукового давления от источника ИШ-6-21 в расчётной точке днём, дБ		**ф-ла(3)[10]**	**0**	**34,6**	**27,7**	**25,4**	**26,7**	**29,2**	**23,9**	**10,5**	**0**	**31,6**	**31,6**
Уровни звукового давления от источника ИШ-6-21 в расчётной точке ночью, дБ		**ф-ла(3)[10]**	**0**	**34,6**	**27,7**	**25,4**	**26,7**	**29,2**	**23,9**	**10,5**	**0**	**31,6**	**31,6**
Источник шума: ИШ-6-22, координаты источника (x,y,z), м =[800.65,-138.47,1.00]													
Уровни звуковой мощности источника днём, Lw, дБ		**исходные данные**	**0**	**96,3**	**97,7**	**99**	**99,3**	**98,9**	**95,6**	**91,4**	**86,9**		
Уровни звуковой мощности источника ночью, Lw, дБ		**исходные данные**	**0**	**96,3**	**97,7**	**99**	**99,3**	**98,9**	**95,6**	**91,4**	**86,9**		
Поправка на телесный угол DΩ, дБ	Ω = 12.57	10Lg(4π/Ω)	**0**	0	0	0	0	0	0	0	0		
Показатель направленности источника Di, дБ		исходные данные	**0**	0	0	0	0	0	0	0	0		
Поправка на направленность источника Dc, дБ	Dc	DΩ + Di	**0**	0	0	0	0	0	0	0	0		
Затухание из-за геометрической дивергенции, Adiv, дБ	расстояние = 656.43 м	ф-ла (7) [10]	**67,3**										
Коэффициент затухания звука в атмосфере α, дБ/км	Ta=20,°C Pa=101.33,кПа hотн.=70%	ф-ла (5) [9]	0,02	0,09	0,33	1,12	2,79	4,98	9,04	23,09	77,63		

1		2	3	4	5	6	7	8	9	10	11	12	13
Учет затухания звука в атмосфере Aatm, дБ		ф-ла (8) [10]	0	0,1	0,2	0,7	1,8	3,3	5,9	15,2	51		
Снижение поверхностью земли возле источника As, дБ	Gs = 0 hs = 1м	ф-лы таб.3 [10]	-1,5	-1,5	-1,5	-1,5	-1,5	-1,5	-1,5	-1,5	-1,5		
Снижение поверхностью земли возле приёмника Ar, дБ	Gr = 1 hr = 1.5м	ф-лы таб.3 [10]	-1,5	-1,5	4	7	5	0,7	0	0	0		
Снижение поверхностью земли в средней зоне, Am дБ	Gm = 1	ф-лы таб.3 [10]	-2,7	-2,7	0	0	0	0	0	0	0		
Суммарное снижение поверхностью земли на траектории распространения звука Agr, дБ		ф-ла (9) [10]	-5,7	-5,7	2,5	5,5	3,5	-0,8	-1,5	-1,5	-1,5		
Уровни звукового давления от источника ИШ-6-22 в расчётной точке днём, дБ		**ф-ла(3)[10]**	**0**	**34,5**	**27,7**	**25,4**	**26,6**	**29,1**	**23,8**	**10,4**	**0**	**31,6**	**31,6**
Уровни звукового давления от источника ИШ-6-22 в расчётной точке ночью, дБ		**ф-ла(3)[10]**	**0**	**34,5**	**27,7**	**25,4**	**26,6**	**29,1**	**23,8**	**10,4**	**0**	**31,6**	**31,6**
Источник шума: ИШ-7-1, координаты источника (x,y,z), м =[821.44,63.31,1.00]													
Уровни звуковой мощности источника днём, Lw, дБ		**исходные данные**	**77**	**75**	**67**	**66**	**63**	**55**	**53**	**48**	**51**		
Уровни звуковой мощности источника ночью, Lw, дБ		**исходные данные**	**77**	**75**	**67**	**66**	**63**	**55**	**53**	**48**	**51**		
Поправка на телесный угол DΩ, дБ	Ω = 12.57	10Lg(4π/Ω)	**0**	0	0	0	0	0	0	0	0		
Показатель направленности источника Di, дБ		исходные данные	**0**	0	0	0	0	0	0	0	0		
Поправка на направленность источника Dc, дБ	Dc	DΩ + Di	**0**	0	0	0	0	0	0	0	0		
Затухание из-за геометрической дивергенции, Adiv, дБ	расстояние = 456.78 м	ф-ла (7) [10]	**64,2**										
Коэффициент затухания звука в атмосфере α, дБ/км	Ta=20,°C Pa=101.33,кПа hотн.=70%	ф-ла (5) [9]	0,02	0,09	0,33	1,12	2,79	4,98	9,04	23,09	77,63		
Учет затухания звука в атмосфере Aatm, дБ		ф-ла (8) [10]	0	0	0,2	0,5	1,3	2,3	4,1	10,5	35,5		

1		2	3	4	5	6	7	8	9	10	11	12	13
Снижение поверхностью земли возле источника As, дБ	Gs = 0 hs = 1м	ф-лы таб.3 [10]	-1,5	-1,5	-1,5	-1,5	-1,5	-1,5	-1,5	-1,5	-1,5		
Снижение поверхностью земли возле приёмника Ar, дБ	Gr = 1 hr = 1.5м	ф-лы таб.3 [10]	-1,5	-1,5	2,7	7	5	0,7	0	0	0		
Снижение поверхностью земли в средней зоне, Am дБ	Gm = 1	ф-лы таб.3 [10]	-2,5	-2,5	0	0	0	0	0	0	0		
Суммарное снижение поверхностью земли на траектории распространения звука Agr, дБ		ф-ла (9) [10]	-5,5	-5,5	1,2	5,5	3,5	-0,8	-1,5	-1,5	-1,5		
Уровни звукового давления от источника ИШ-7-1 в расчётной точке днём, дБ		**ф-ла(3)[10]**	**18,3**	**16,3**	**1,4**	**0**	**0**	**0**	**0**	**0**	**0**	**0**	**0**
Уровни звукового давления от источника ИШ-7-1 в расчётной точке ночью, дБ		**ф-ла(3)[10]**	**18,3**	**16,3**	**1,4**	**0**	**0**	**0**	**0**	**0**	**0**	**0**	**0**
Источник шума: ИШ-7-2, координаты источника (x,y,z), м =[768.90,-86.75,1.00]													
Уровни звуковой мощности источника днём, Lw, дБ		**исходные данные**	**77**	**75**	**67**	**66**	**63**	**55**	**53**	**48**	**51**		
Уровни звуковой мощности источника ночью, Lw, дБ		**исходные данные**	**77**	**75**	**67**	**66**	**63**	**55**	**53**	**48**	**51**		
Поправка на телесный угол DΩ, дБ	Ω = 12.57	10Lg(4π/Ω)	**0**	0	0	0	0	0	0	0	0		
Показатель направленности источника Di, дБ		исходные данные	**0**	0	0	0	0	0	0	0	0		
Поправка на направленность источника Dc, дБ	Dc	DΩ + Di	**0**	0	0	0	0	0	0	0	0		
Затухание из-за геометрической дивергенции, Adiv, дБ	расстояние = 604.06 м	ф-ла (7) [10]	**66,6**										
Коэффициент затухания звука в атмосфере α, дБ/км	Ta=20,°C Pa=101.33,кПа hотн.=70%	ф-ла (5) [9]	0,02	0,09	0,33	1,12	2,79	4,98	9,04	23,09	77,63		
Учет затухания звука в атмосфере Aatm, дБ		ф-ла (8) [10]	0	0,1	0,2	0,7	1,7	3	5,5	13,9	46,9		
Снижение поверхностью земли возле источника As, дБ	Gs = 0 hs = 1м	ф-лы таб.3 [10]	-1,5	-1,5	-1,5	-1,5	-1,5	-1,5	-1,5	-1,5	-1,5		

1		2	3	4	5	6	7	8	9	10	11	12	13
Снижение поверхностью земли возле приёмника Ar, дБ	Gr = 1 hr = 1.5м	ф-лы таб.3 [10]	-1,5	-1,5	3,7	7	5	0,7	0	0	0		
Снижение поверхностью земли в средней зоне, Am дБ	Gm = 1	ф-лы таб.3 [10]	-2,6	-2,6	0	0	0	0	0	0	0		
Суммарное снижение поверхностью земли на траектории распространения звука Agr, дБ		ф-ла (9) [10]	-5,6	-5,6	2,2	5,5	3,5	-0,8	-1,5	-1,5	-1,5		
Уровни звукового давления от источника ИШ-7-2 в расчётной точке днём, дБ		**ф-ла(3)[10]**	**16**	**14**	**0**	**0**	**0**	**0**	**0**	**0**	**0**	**0**	**0**
Уровни звукового давления от источника ИШ-7-2 в расчётной точке ночью, дБ		**ф-ла(3)[10]**	**16**	**14**	**0**	**0**	**0**	**0**	**0**	**0**	**0**	**0**	**0**
Источник шума: ИШ-7-3, координаты источника (x,y,z), м =[766.80,-93.20,1.00]													
Уровни звуковой мощности источника днём, Lw, дБ		**исходные данные**	**77**	**75**	**67**	**66**	**63**	**55**	**53**	**48**	**51**		
Уровни звуковой мощности источника ночью, Lw, дБ		**исходные данные**	**77**	**75**	**67**	**66**	**63**	**55**	**53**	**48**	**51**		
Поправка на телесный угол DΩ, дБ	Ω = 12.57	10Lg(4π/Ω)	**0**	0	0	0	0	0	0	0	0		
Показатель направленности источника Di, дБ		исходные данные	**0**	0	0	0	0	0	0	0	0		
Поправка на направленность источника Dc, дБ	Dc	DΩ + Di	**0**	0	0	0	0	0	0	0	0		
Затухание из-за геометрической дивергенции, Adiv, дБ	расстояние = 610.51 м	ф-ла (7) [10]	**66,7**										
Коэффициент затухания звука в атмосфере α, дБ/км	Ta=20,°C Pa=101.33,кПа hотн.=70%	ф-ла (5) [9]	0,02	0,09	0,33	1,12	2,79	4,98	9,04	23,09	77,63		
Учет затухания звука в атмосфере Aatm, дБ		ф-ла (8) [10]	0	0,1	0,2	0,7	1,7	3	5,5	14,1	47,4		
Снижение поверхностью земли возле источника As, дБ	Gs = 0 hs = 1м	ф-лы таб.3 [10]	-1,5	-1,5	-1,5	-1,5	-1,5	-1,5	-1,5	-1,5	-1,5		
Снижение поверхностью земли возле приёмника Ar, дБ	Gr = 1 hr = 1.5м	ф-лы таб.3 [10]	-1,5	-1,5	3,7	7	5	0,7	0	0	0		

1		2	3	4	5	6	7	8	9	10	11	12	13
Снижение поверхностью земли в средней зоне, Am дБ	Gm = 1	ф-лы таб.3 [10]	-2,6	-2,6	0	0	0	0	0	0	0		
Суммарное снижение поверхностью земли на траектории распространения звука Agr, дБ		ф-ла (9) [10]	-5,6	-5,6	2,2	5,5	3,5	-0,8	-1,5	-1,5	-1,5		
Уровни звукового давления от источника ИШ-7-3 в расчётной точке днём, дБ		**ф-ла(3)[10]**	**15,9**	**13,9**	**0**	**0**	**0**	**0**	**0**	**0**	**0**	**0**	**0**
Уровни звукового давления от источника ИШ-7-3 в расчётной точке ночью, дБ		**ф-ла(3)[10]**	**15,9**	**13,9**	**0**	**0**	**0**	**0**	**0**	**0**	**0**	**0**	**0**
Источник шума: ИШ-7-4, координаты источника (x,y,z), м =[866.76,37.18,1.00]													
Уровни звуковой мощности источника днём, Lw, дБ		**исходные данные**	**77**	**75**	**67**	**66**	**63**	**55**	**53**	**48**	**51**		
Уровни звуковой мощности источника ночью, Lw, дБ		**исходные данные**	**77**	**75**	**67**	**66**	**63**	**55**	**53**	**48**	**51**		
Поправка на телесный угол DΩ, дБ	Ω = 12.57	10Lg(4π/Ω)	**0**	0	0	0	0	0	0	0	0		
Показатель направленности источника Di, дБ		исходные данные	**0**	0	0	0	0	0	0	0	0		
Поправка на направленность источника Dc, дБ	Dc	DΩ + Di	**0**	0	0	0	0	0	0	0	0		
Затухание из-за геометрической дивергенции, Adiv, дБ	расстояние = 489.57 м	ф-ла (7) [10]	**64,8**										
Коэффициент затухания звука в атмосфере α, дБ/км	Ta=20,°C Pa=101.33,кПа hотн.=70%	ф-ла (5) [9]	0,02	0,09	0,33	1,12	2,79	4,98	9,04	23,09	77,63		
Учет затухания звука в атмосфере Aatm, дБ		ф-ла (8) [10]	0	0	0,2	0,6	1,4	2,4	4,4	11,3	38		
Снижение поверхностью земли возле источника As, дБ	Gs = 0 hs = 1м	ф-лы таб.3 [10]	-1,5	-1,5	-1,5	-1,5	-1,5	-1,5	-1,5	-1,5	-1,5		
Снижение поверхностью земли возле приёмника Ar, дБ	Gr = 1 hr = 1.5м	ф-лы таб.3 [10]	-1,5	-1,5	3	7	5	0,7	0	0	0		
Снижение поверхностью земли в средней зоне, Am дБ	Gm = 1	ф-лы таб.3 [10]	-2,5	-2,5	0	0	0	0	0	0	0		

1		2	3	4	5	6	7	8	9	10	11	12	13
Суммарное снижение поверхностью земли на траектории распространения звука Agr, дБ		ф-ла (9) [10]	-5,5	-5,5	1,5	5,5	3,5	-0,8	-1,5	-1,5	-1,5		
Уровни звукового давления от источника ИШ-7-4 в расчётной точке днём, дБ		**ф-ла(3)[10]**	**17,7**	**15,7**	**0,6**	**0**	**0**	**0**	**0**	**0**	**0**	**0**	**0**
Уровни звукового давления от источника ИШ-7-4 в расчётной точке ночью, дБ		**ф-ла(3)[10]**	**17,7**	**15,7**	**0,6**	**0**	**0**	**0**	**0**	**0**	**0**	**0**	**0**
Источник шума: ИШ-7-5, координаты источника (x,y,z), м =[861.80,21.34,1.00]													
Уровни звуковой мощности источника днём, Lw, дБ		**исходные данные**	**77**	**75**	**67**	**66**	**63**	**55**	**53**	**48**	**51**		
Уровни звуковой мощности источника ночью, Lw, дБ		**исходные данные**	**77**	**75**	**67**	**66**	**63**	**55**	**53**	**48**	**51**		
Поправка на телесный угол DΩ, дБ	Ω = 12.57	10Lg(4π/Ω)	**0**	0	0	0	0	0	0	0	0		
Показатель направленности источника Di, дБ		исходные данные	**0**	0	0	0	0	0	0	0	0		
Поправка на направленность источника Dc, дБ	Dc	DΩ + Di	**0**	0	0	0	0	0	0	0	0		
Затухание из-за геометрической дивергенции, Adiv, дБ	расстояние = 504.19 м	ф-ла (7) [10]	**65,1**										
Коэффициент затухания звука в атмосфере α, дБ/км	Ta=20,°C Pa=101.33,кПа hотн.=70%	ф-ла (5) [9]	0,02	0,09	0,33	1,12	2,79	4,98	9,04	23,09	77,63		
Учет затухания звука в атмосфере Aatm, дБ		ф-ла (8) [10]	0	0	0,2	0,6	1,4	2,5	4,6	11,6	39,1		
Снижение поверхностью земли возле источника As, дБ	Gs = 0 hs = 1м	ф-лы таб.3 [10]	-1,5	-1,5	-1,5	-1,5	-1,5	-1,5	-1,5	-1,5	-1,5		
Снижение поверхностью земли возле приёмника Ar, дБ	Gr = 1 hr = 1.5м	ф-лы таб.3 [10]	-1,5	-1,5	3,1	7	5	0,7	0	0	0		
Снижение поверхностью земли в средней зоне, Am дБ	Gm = 1	ф-лы таб.3 [10]	-2,6	-2,6	0	0	0	0	0	0	0		
Суммарное снижение поверхностью земли на траектории распространения звука Agr, дБ		ф-ла (9) [10]	-5,6	-5,6	1,6	5,5	3,5	-0,8	-1,5	-1,5	-1,5		

1		2	3	4	5	6	7	8	9	10	11	12	13
Уровни звукового давления от источника ИШ-7-5 в расчётной точке днём, дБ		**ф-ла(3)[10]**	**17,5**	**15,5**	**0,2**	**0**	**0**	**0**	**0**	**0**	**0**	**0**	**0**
Уровни звукового давления от источника ИШ-7-5 в расчётной точке ночью, дБ		**ф-ла(3)[10]**	**17,5**	**15,5**	**0,2**	**0**	**0**	**0**	**0**	**0**	**0**	**0**	**0**
Источник шума: ИШ-7-6, координаты источника (x,y,z), м =[856.52,5.94,1.00]													
Уровни звуковой мощности источника днём, Lw, дБ		**исходные данные**	**77**	**75**	**67**	**66**	**63**	**55**	**53**	**48**	**51**		
Уровни звуковой мощности источника ночью, Lw, дБ		**исходные данные**	**77**	**75**	**67**	**66**	**63**	**55**	**53**	**48**	**51**		
Поправка на телесный угол DΩ, дБ	Ω = 12.57	10Lg(4π/Ω)	**0**	0	0	0	0	0	0	0	0		
Показатель направленности источника Di, дБ		исходные данные	**0**	0	0	0	0	0	0	0	0		
Поправка на направленность источника Dc, дБ	Dc	DΩ + Di	**0**	0	0	0	0	0	0	0	0		
Затухание из-за геометрической дивергенции, Adiv, дБ	расстояние = 518.46 м	ф-ла (7) [10]	**65,3**										
Коэффициент затухания звука в атмосфере α, дБ/км	Ta=20,°C Pa=101.33,кПа hотн.=70%	ф-ла (5) [9]	0,02	0,09	0,33	1,12	2,79	4,98	9,04	23,09	77,63		
Учет затухания звука в атмосфере Aatm, дБ		ф-ла (8) [10]	0	0	0,2	0,6	1,4	2,6	4,7	12	40,2		
Снижение поверхностью земли возле источника As, дБ	Gs = 0 hs = 1м	ф-лы таб.3 [10]	-1,5	-1,5	-1,5	-1,5	-1,5	-1,5	-1,5	-1,5	-1,5		
Снижение поверхностью земли возле приёмника Ar, дБ	Gr = 1 hr = 1.5м	ф-лы таб.3 [10]	-1,5	-1,5	3,2	7	5	0,7	0	0	0		
Снижение поверхностью земли в средней зоне, Am дБ	Gm = 1	ф-лы таб.3 [10]	-2,6	-2,6	0	0	0	0	0	0	0		
Суммарное снижение поверхностью земли на траектории распространения звука Agr, дБ		ф-ла (9) [10]	-5,6	-5,6	1,7	5,5	3,5	-0,8	-1,5	-1,5	-1,5		
Уровни звукового давления от источника ИШ-7-6 в расчётной точке днём, дБ		**ф-ла(3)[10]**	**17,3**	**15,2**	**0**	**0**	**0**	**0**	**0**	**0**	**0**	**0**	**0**

1		2	3	4	5	6	7	8	9	10	11	12	13
Уровни звукового давления от источника ИШ-7-6 в расчётной точке ночью, дБ		**ф-ла(3)[10]**	**17,3**	**15,2**	**0**	**0**	**0**	**0**	**0**	**0**	**0**	**0**	**0**
Источник шума: ИШ-7-7, координаты источника (x,y,z), м =[851.06,-9.89,1.00]													
Уровни звуковой мощности источника днём, Lw, дБ		**исходные данные**	**77**	**75**	**67**	**66**	**63**	**55**	**53**	**48**	**51**		
Уровни звуковой мощности источника ночью, Lw, дБ		**исходные данные**	**77**	**75**	**67**	**66**	**63**	**55**	**53**	**48**	**51**		
Поправка на телесный угол DΩ, дБ	Ω = 12.57	10Lg(4π/Ω)	**0**	0	0	0	0	0	0	0	0		
Показатель направленности источника Di, дБ		исходные данные	**0**	0	0	0	0	0	0	0	0		
Поправка на направленность источника Dc, дБ	Dc	DΩ + Di	**0**	0	0	0	0	0	0	0	0		
Затухание из-за геометрической дивергенции, Adiv, дБ	расстояние = 533.23 м	ф-ла (7) [10]	**65,5**										
Коэффициент затухания звука в атмосфере α, дБ/км	Ta=20,°C Pa=101.33,кПа hотн.=70%	ф-ла (5) [9]	0,02	0,09	0,33	1,12	2,79	4,98	9,04	23,09	77,63		
Учет затухания звука в атмосфере Aatm, дБ		ф-ла (8) [10]	0	0	0,2	0,6	1,5	2,7	4,8	12,3	41,4		
Снижение поверхностью земли возле источника As, дБ	Gs = 0 hs = 1м	ф-лы таб.3 [10]	-1,5	-1,5	-1,5	-1,5	-1,5	-1,5	-1,5	-1,5	-1,5		
Снижение поверхностью земли возле приёмника Ar, дБ	Gr = 1 hr = 1.5м	ф-лы таб.3 [10]	-1,5	-1,5	3,2	7	5	0,7	0	0	0		
Снижение поверхностью земли в средней зоне, Am дБ	Gm = 1	ф-лы таб.3 [10]	-2,6	-2,6	0	0	0	0	0	0	0		
Суммарное снижение поверхностью земли на траектории распространения звука Agr, дБ		ф-ла (9) [10]	-5,6	-5,6	1,7	5,5	3,5	-0,8	-1,5	-1,5	-1,5		
Уровни звукового давления от источника ИШ-7-7 в расчётной точке днём, дБ		**ф-ла(3)[10]**	**17**	**15**	**0**	**0**	**0**	**0**	**0**	**0**	**0**	**0**	**0**
Уровни звукового давления от источника ИШ-7-7 в расчётной точке ночью, дБ		**ф-ла(3)[10]**	**17**	**15**	**0**	**0**	**0**	**0**	**0**	**0**	**0**	**0**	**0**

1		2	3	4	5	6	7	8	9	10	11	12	13
Источник шума: ИШ-7-8, координаты источника (x,y,z), м =[821.90,-104.30,1.00]													
Уровни звуковой мощности источника днём, Lw, дБ		**исходные данные**	**77**	**75**	**67**	**66**	**63**	**55**	**53**	**48**	**51**		
Уровни звуковой мощности источника ночью, Lw, дБ		**исходные данные**	**77**	**75**	**67**	**66**	**63**	**55**	**53**	**48**	**51**		
Поправка на телесный угол DΩ, дБ	Ω = 12.57	10Lg(4π/Ω)	**0**	0	0	0	0	0	0	0	0		
Показатель направленности источника Di, дБ		исходные данные	**0**	0	0	0	0	0	0	0	0		
Поправка на направленность источника Dc, дБ	Dc	DΩ + Di	**0**	0	0	0	0	0	0	0	0		
Затухание из-за геометрической дивергенции, Adiv, дБ	расстояние = 623.68 м	ф-ла (7) [10]	**66,9**										
Коэффициент затухания звука в атмосфере α, дБ/км	Ta=20,°C Pa=101.33,кПа hотн.=70%	ф-ла (5) [9]	0,02	0,09	0,33	1,12	2,79	4,98	9,04	23,09	77,63		
Учет затухания звука в атмосфере Aatm, дБ		ф-ла (8) [10]	0	0,1	0,2	0,7	1,7	3,1	5,6	14,4	48,4		
Снижение поверхностью земли возле источника As, дБ	Gs = 0 hs = 1м	ф-лы таб.3 [10]	-1,5	-1,5	-1,5	-1,5	-1,5	-1,5	-1,5	-1,5	-1,5		
Снижение поверхностью земли возле приёмника Ar, дБ	Gr = 1 hr = 1.5м	ф-лы таб.3 [10]	-1,5	-1,5	3,8	7	5	0,7	0	0	0		
Снижение поверхностью земли в средней зоне, Am дБ	Gm = 1	ф-лы таб.3 [10]	-2,6	-2,6	0	0	0	0	0	0	0		
Суммарное снижение поверхностью земли на траектории распространения звука Agr, дБ		ф-ла (9) [10]	-5,6	-5,6	2,3	5,5	3,5	-0,8	-1,5	-1,5	-1,5		
Уровни звукового давления от источника ИШ-7-8 в расчётной точке днём, дБ		**ф-ла(3)[10]**	**15,7**	**13,7**	**0**	**0**	**0**	**0**	**0**	**0**	**0**	**0**	**0**
Уровни звукового давления от источника ИШ-7-8 в расчётной точке ночью, дБ		**ф-ла(3)[10]**	**15,7**	**13,7**	**0**	**0**	**0**	**0**	**0**	**0**	**0**	**0**	**0**
Источник шума: ИШ-7-9, координаты источника (x,y,z), м =[819.93,-110.97,1.00]													

1		2	3	4	5	6	7	8	9	10	11	12	13
Уровни звуковой мощности источника днём, Lw, дБ		**исходные данные**	**77**	**75**	**67**	**66**	**63**	**55**	**53**	**48**	**51**		
Уровни звуковой мощности источника ночью, Lw, дБ		**исходные данные**	**77**	**75**	**67**	**66**	**63**	**55**	**53**	**48**	**51**		
Поправка на телесный угол DΩ, дБ	Ω = 12.57	10Lg(4π/Ω)	**0**	0	0	0	0	0	0	0	0		
Показатель направленности источника Di, дБ		исходные данные	**0**	0	0	0	0	0	0	0	0		
Поправка на направленность источника Dc, дБ	Dc	DΩ + Di	**0**	0	0	0	0	0	0	0	0		
Затухание из-за геометрической дивергенции, Adiv, дБ	расстояние = 630.17 м	ф-ла (7) [10]	**67**										
Коэффициент затухания звука в атмосфере α, дБ/км	Ta=20,°C Pa=101.33,кПа hотн.=70%	ф-ла (5) [9]	0,02	0,09	0,33	1,12	2,79	4,98	9,04	23,09	77,63		
Учет затухания звука в атмосфере Aatm, дБ		ф-ла (8) [10]	0	0,1	0,2	0,7	1,8	3,1	5,7	14,5	48,9		
Снижение поверхностью земли возле источника As, дБ	Gs = 0 hs = 1м	ф-лы таб.3 [10]	-1,5	-1,5	-1,5	-1,5	-1,5	-1,5	-1,5	-1,5	-1,5		
Снижение поверхностью земли возле приёмника Ar, дБ	Gr = 1 hr = 1.5м	ф-лы таб.3 [10]	-1,5	-1,5	3,8	7	5	0,7	0	0	0		
Снижение поверхностью земли в средней зоне, Am дБ	Gm = 1	ф-лы таб.3 [10]	-2,6	-2,6	0	0	0	0	0	0	0		
Суммарное снижение поверхностью земли на траектории распространения звука Agr, дБ		ф-ла (9) [10]	-5,6	-5,6	2,3	5,5	3,5	-0,8	-1,5	-1,5	-1,5		
Уровни звукового давления от источника ИШ-7-9 в расчётной точке днём, дБ		**ф-ла(3)[10]**	**15,6**	**13,6**	**0**	**0**	**0**	**0**	**0**	**0**	**0**	**0**	**0**
Уровни звукового давления от источника ИШ-7-9 в расчётной точке ночью, дБ		**ф-ла(3)[10]**	**15,6**	**13,6**	**0**	**0**	**0**	**0**	**0**	**0**	**0**	**0**	**0**
Источник шума: ИШ-7-10, координаты источника (x,y,z), м =[868.68,92.66,1.00]													
Уровни звуковой мощности источника днём, Lw, дБ		**исходные данные**	**77**	**75**	**67**	**66**	**63**	**55**	**53**	**48**	**51**		

1		2	3	4	5	6	7	8	9	10	11	12	13
Уровни звуковой мощности источника ночью, Lw, дБ		**исходные данные**	**77**	**75**	**67**	**66**	**63**	**55**	**53**	**48**	**51**		
Поправка на телесный угол DΩ, дБ	Ω = 12.57	10Lg(4π/Ω)	**0**	0	0	0	0	0	0	0	0		
Показатель направленности источника Di, дБ		исходные данные	**0**	0	0	0	0	0	0	0	0		
Поправка на направленность источника Dc, дБ	Dc	DΩ + Di	**0**	0	0	0	0	0	0	0	0		
Затухание из-за геометрической дивергенции, Adiv, дБ	расстояние = 435.72 м	ф-ла (7) [10]	**63,8**										
Коэффициент затухания звука в атмосфере α, дБ/км	Ta=20,°C Pa=101.33,кПа hотн.=70%	ф-ла (5) [9]	0,02	0,09	0,33	1,12	2,79	4,98	9,04	23,09	77,63		
Учет затухания звука в атмосфере Aatm, дБ		ф-ла (8) [10]	0	0	0,1	0,5	1,2	2,2	3,9	10,1	33,8		
Снижение поверхностью земли возле источника As, дБ	Gs = 0 hs = 1м	ф-лы таб.3 [10]	-1,5	-1,5	-1,5	-1,5	-1,5	-1,5	-1,5	-1,5	-1,5		
Снижение поверхностью земли возле приёмника Ar, дБ	Gr = 1 hr = 1.5м	ф-лы таб.3 [10]	-1,5	-1,5	2,6	7	5	0,7	0	0	0		
Снижение поверхностью земли в средней зоне, Am дБ	Gm = 1	ф-лы таб.3 [10]	-2,5	-2,5	0	0	0	0	0	0	0		
Суммарное снижение поверхностью земли на траектории распространения звука Agr, дБ		ф-ла (9) [10]	-5,5	-5,5	1,1	5,5	3,5	-0,8	-1,5	-1,5	-1,5		
Уровни звукового давления от источника ИШ-7-10 в расчётной точке днём, дБ		**ф-ла(3)[10]**	**18,7**	**16,7**	**2**	**0**	**0**	**0**	**0**	**0**	**0**	**0**	**0**
Уровни звукового давления от источника ИШ-7-10 в расчётной точке ночью, дБ		**ф-ла(3)[10]**	**18,7**	**16,7**	**2**	**0**	**0**	**0**	**0**	**0**	**0**	**0**	**0**
Источник шума: ИШ-7-11, координаты источника (x,y,z), м =[877.95,88.75,1.00]													
Уровни звуковой мощности источника днём, Lw, дБ		**исходные данные**	**77**	**75**	**67**	**66**	**63**	**55**	**53**	**48**	**51**		
Уровни звуковой мощности источника ночью, Lw, дБ		**исходные данные**	**77**	**75**	**67**	**66**	**63**	**55**	**53**	**48**	**51**		

1		2	3	4	5	6	7	8	9	10	11	12	13
Поправка на телесный угол DΩ, дБ	Ω = 12.57	10Lg(4π/Ω)	**0**	0	0	0	0	0	0	0	0		
Показатель направленности источника Di, дБ		исходные данные	**0**	0	0	0	0	0	0	0	0		
Поправка на направленность источника Dc, дБ	Dc	DΩ + Di	**0**	0	0	0	0	0	0	0	0		
Затухание из-за геометрической дивергенции, Adiv, дБ	расстояние = 441.68 м	ф-ла (7) [10]	**63,9**										
Коэффициент затухания звука в атмосфере α, дБ/км	Ta=20,°C Pa=101.33,кПа hотн.=70%	ф-ла (5) [9]	0,02	0,09	0,33	1,12	2,79	4,98	9,04	23,09	77,63		
Учет затухания звука в атмосфере Aatm, дБ		ф-ла (8) [10]	0	0	0,1	0,5	1,2	2,2	4	10,2	34,3		
Снижение поверхностью земли возле источника As, дБ	Gs = 0 hs = 1м	ф-лы таб.3 [10]	-1,5	-1,5	-1,5	-1,5	-1,5	-1,5	-1,5	-1,5	-1,5		
Снижение поверхностью земли возле приёмника Ar, дБ	Gr = 1 hr = 1.5м	ф-лы таб.3 [10]	-1,5	-1,5	2,6	7	5	0,7	0	0	0		
Снижение поверхностью земли в средней зоне, Am дБ	Gm = 1	ф-лы таб.3 [10]	-2,5	-2,5	0	0	0	0	0	0	0		
Суммарное снижение поверхностью земли на траектории распространения звука Agr, дБ		ф-ла (9) [10]	-5,5	-5,5	1,1	5,5	3,5	-0,8	-1,5	-1,5	-1,5		
Уровни звукового давления от источника ИШ-7-11 в расчётной точке днём, дБ		**ф-ла(3)[10]**	**18,6**	**16,5**	**1,8**	**0**	**0**	**0**	**0**	**0**	**0**	**0**	**0**
Уровни звукового давления от источника ИШ-7-11 в расчётной точке ночью, дБ		**ф-ла(3)[10]**	**18,6**	**16,5**	**1,8**	**0**	**0**	**0**	**0**	**0**	**0**	**0**	**0**
Источник шума: ИШ-7-12, координаты источника (x,y,z), м =[887.42,85.45,1.00]													
Уровни звуковой мощности источника днём, Lw, дБ		**исходные данные**	**77**	**75**	**67**	**66**	**63**	**55**	**53**	**48**	**51**		
Уровни звуковой мощности источника ночью, Lw, дБ		**исходные данные**	**77**	**75**	**67**	**66**	**63**	**55**	**53**	**48**	**51**		
Поправка на телесный угол DΩ, дБ	Ω = 12.57	10Lg(4π/Ω)	**0**	0	0	0	0	0	0	0	0		

1		2	3	4	5	6	7	8	9	10	11	12	13
Показатель направленности источника Di, дБ		исходные данные	**0**	0	0	0	0	0	0	0	0		
Поправка на направленность источника Dc, дБ	Dc	DΩ + Di	**0**	0	0	0	0	0	0	0	0		
Затухание из-за геометрической дивергенции, Adiv, дБ	расстояние = 447.26 м	ф-ла (7) [10]	**64**										
Коэффициент затухания звука в атмосфере α, дБ/км	Ta=20,°C Pa=101.33,кПа hотн.=70%	ф-ла (5) [9]	0,02	0,09	0,33	1,12	2,79	4,98	9,04	23,09	77,63		
Учет затухания звука в атмосфере Aatm, дБ		ф-ла (8) [10]	0	0	0,1	0,5	1,2	2,2	4	10,3	34,7		
Снижение поверхностью земли возле источника As, дБ	Gs = 0 hs = 1м	ф-лы таб.3 [10]	-1,5	-1,5	-1,5	-1,5	-1,5	-1,5	-1,5	-1,5	-1,5		
Снижение поверхностью земли возле приёмника Ar, дБ	Gr = 1 hr = 1.5м	ф-лы таб.3 [10]	-1,5	-1,5	2,7	7	5	0,7	0	0	0		
Снижение поверхностью земли в средней зоне, Am дБ	Gm = 1	ф-лы таб.3 [10]	-2,5	-2,5	0	0	0	0	0	0	0		
Суммарное снижение поверхностью земли на траектории распространения звука Agr, дБ		ф-ла (9) [10]	-5,5	-5,5	1,2	5,5	3,5	-0,8	-1,5	-1,5	-1,5		
Уровни звукового давления от источника ИШ-7-12 в расчётной точке днём, дБ		**ф-ла(3)[10]**	**18,5**	**16,4**	**1,7**	**0**	**0**	**0**	**0**	**0**	**0**	**0**	**0**
Уровни звукового давления от источника ИШ-7-12 в расчётной точке ночью, дБ		**ф-ла(3)[10]**	**18,5**	**16,4**	**1,7**	**0**	**0**	**0**	**0**	**0**	**0**	**0**	**0**
Источник шума: ИШ-6-23, координаты источника (x,y,z), м =[756.16,-136.23,3.00]													
Уровни звуковой мощности источника днём, Lw, дБ		**исходные данные**	**91**	**91**	**91**	**91**	**91**	**91**	**91**	**91**	**91**		
Уровни звуковой мощности источника ночью, Lw, дБ		**исходные данные**	**91**	**91**	**91**	**91**	**91**	**91**	**91**	**91**	**91**		
Поправка на телесный угол DΩ, дБ	Ω = 12.57	10Lg(4π/Ω)	**0**	0	0	0	0	0	0	0	0		
Показатель направленности источника Di, дБ		исходные данные	**0**	0	0	0	0	0	0	0	0		

1		2	3	4	5	6	7	8	9	10	11	12	13
Поправка на направленность источника Dc, дБ	Dc	DΩ + Di	**0**	0	0	0	0	0	0	0	0		
Затухание из-за геометрической дивергенции, Adiv, дБ	расстояние = 653.70 м	ф-ла (7) [10]	**67,3**										
Коэффициент затухания звука в атмосфере α, дБ/км	Ta=20,°C Pa=101.33,кПа hотн.=70%	ф-ла (5) [9]	0,02	0,09	0,33	1,12	2,79	4,98	9,04	23,09	77,63		
Учет затухания звука в атмосфере Aatm, дБ		ф-ла (8) [10]	0	0,1	0,2	0,7	1,8	3,3	5,9	15,1	50,7		
Снижение поверхностью земли возле источника As, дБ	Gs = 0 hs = 3м	ф-лы таб.3 [10]	-1,5	-1,5	-1,5	-1,5	-1,5	-1,5	-1,5	-1,5	-1,5		
Снижение поверхностью земли возле приёмника Ar, дБ	Gr = 1 hr = 1.5м	ф-лы таб.3 [10]	-1,5	-1,5	3,9	7	5	0,7	0	0	0		
Снижение поверхностью земли в средней зоне, Am дБ	Gm = 1	ф-лы таб.3 [10]	-2,4	-2,4	0	0	0	0	0	0	0		
Суммарное снижение поверхностью земли на траектории распространения звука Agr, дБ		ф-ла (9) [10]	-5,4	-5,4	2,4	5,5	3,5	-0,8	-1,5	-1,5	-1,5		
Уровни звукового давления от источника ИШ-6-23 в расчётной точке днём, дБ		**ф-ла(3)[10]**	**29,1**	**29**	**21**	**17,4**	**18,4**	**21,3**	**19,3**	**10,1**	**0**	**24,8**	**24,8**
Уровни звукового давления от источника ИШ-6-23 в расчётной точке ночью, дБ		**ф-ла(3)[10]**	**29,1**	**29**	**21**	**17,4**	**18,4**	**21,3**	**19,3**	**10,1**	**0**	**24,8**	**24,8**
Источник шума: ИШ-6-24, координаты источника (x,y,z), м =[800.98,-151.27,3.00]													
Уровни звуковой мощности источника днём, Lw, дБ		**исходные данные**	**91**	**91**	**91**	**91**	**91**	**91**	**91**	**91**	**91**		
Уровни звуковой мощности источника ночью, Lw, дБ		**исходные данные**	**91**	**91**	**91**	**91**	**91**	**91**	**91**	**91**	**91**		
Поправка на телесный угол DΩ, дБ	Ω = 12.57	10Lg(4π/Ω)	**0**	0	0	0	0	0	0	0	0		
Показатель направленности источника Di, дБ		исходные данные	**0**	0	0	0	0	0	0	0	0		
Поправка на направленность источника Dc, дБ	Dc	DΩ + Di	**0**	0	0	0	0	0	0	0	0		

1		2	3	4	5	6	7	8	9	10	11	12	13
Затухание из-за геометрической дивергенции, Adiv, дБ	расстояние = 669.24 м	ф-ла (7) [10]	**67,5**										
Коэффициент затухания звука в атмосфере α, дБ/км	Ta=20,°C Pa=101.33,кПа hотн.=70%	ф-ла (5) [9]	0,02	0,09	0,33	1,12	2,79	4,98	9,04	23,09	77,63		
Учет затухания звука в атмосфере Aatm, дБ		ф-ла (8) [10]	0	0,1	0,2	0,8	1,9	3,3	6	15,5	52		
Снижение поверхностью земли возле источника As, дБ	Gs = 0 hs = 3м	ф-лы таб.3 [10]	-1,5	-1,5	-1,5	-1,5	-1,5	-1,5	-1,5	-1,5	-1,5		
Снижение поверхностью земли возле приёмника Ar, дБ	Gr = 1 hr = 1.5м	ф-лы таб.3 [10]	-1,5	-1,5	4	7	5	0,7	0	0	0		
Снижение поверхностью земли в средней зоне, Am дБ	Gm = 1	ф-лы таб.3 [10]	-2,4	-2,4	0	0	0	0	0	0	0		
Суммарное снижение поверхностью земли на траектории распространения звука Agr, дБ		ф-ла (9) [10]	-5,4	-5,4	2,5	5,5	3,5	-0,8	-1,5	-1,5	-1,5		
Уровни звукового давления от источника ИШ-6-24 в расчётной точке днём, дБ		**ф-ла(3)[10]**	**28,9**	**28,8**	**20,7**	**17,2**	**18,1**	**21**	**18,9**	**9,5**	**0**	**24,5**	**24,5**
Уровни звукового давления от источника ИШ-6-24 в расчётной точке ночью, дБ		**ф-ла(3)[10]**	**28,9**	**28,8**	**20,7**	**17,2**	**18,1**	**21**	**18,9**	**9,5**	**0**	**24,5**	**24,5**
Источник шума: ИШ-8-1, координаты источника (x,y,z), м =[612.60,-227.70,3.00]													
Уровни звуковой мощности источника днём, Lw, дБ		**исходные данные**	**105**	**104**	**104**	**101**	**102**	**106**	**101**	**95**	**87**		
Уровни звуковой мощности источника ночью, Lw, дБ		**исходные данные**	**105**	**104**	**104**	**101**	**102**	**106**	**101**	**95**	**87**		
Поправка на телесный угол DΩ, дБ	Ω = 6.28	10Lg(4π/Ω)	**3**	3	3	3	3	3	3	3	3		
Показатель направленности источника Di, дБ		исходные данные	**0**	0	0	0	0	0	0	0	0		
Поправка на направленность источника Dc, дБ	Dc	DΩ + Di	**3**	3	3	3	3	3	3	3	3		
Затухание из-за геометрической дивергенции, Adiv, дБ	расстояние = 761.66 м	ф-ла (7) [10]	**68,6**										

1		2	3	4	5	6	7	8	9	10	11	12	13
Коэффициент затухания звука в атмосфере α, дБ/км	Ta=20,°C Pa=101.33,кПа hотн.=70%	ф-ла (5) [9]	0,02	0,09	0,33	1,12	2,79	4,98	9,04	23,09	77,63		
Учет затухания звука в атмосфере Aatm, дБ		ф-ла (8) [10]	0	0,1	0,3	0,9	2,1	3,8	6,9	17,6	59,1		
Снижение поверхностью земли возле источника As, дБ	Gs = 0 hs = 3м	ф-лы таб.3 [10]	-1,5	-1,5	-1,5	-1,5	-1,5	-1,5	-1,5	-1,5	-1,5		
Снижение поверхностью земли возле приёмника Ar, дБ	Gr = 1 hr = 1.5м	ф-лы таб.3 [10]	-1,5	-1,5	4,4	7	5	0,7	0	0	0		
Снижение поверхностью земли в средней зоне, Am дБ	Gm = 1	ф-лы таб.3 [10]	-2,5	-2,5	0	0	0	0	0	0	0		
Суммарное снижение поверхностью земли на траектории распространения звука Agr, дБ		ф-ла (9) [10]	-5,5	-5,5	2,9	5,5	3,5	-0,8	-1,5	-1,5	-1,5		
Уровни звукового давления от источника ИШ-8-1 в расчётной точке днём, дБ		**ф-ла(3)[10]**	**44,8**	**43,8**	**35,2**	**29**	**30,8**	**37,4**	**30**	**13,3**	**0**	**38,9**	**38,9**
Уровни звукового давления от источника ИШ-8-1 в расчётной точке ночью, дБ		**ф-ла(3)[10]**	**44,8**	**43,8**	**35,2**	**29**	**30,8**	**37,4**	**30**	**13,3**	**0**	**38,9**	**38,9**
Источник шума: ИШ-8-2, координаты источника (x,y,z), м =[596.60,-275.00,3.00]													
Уровни звуковой мощности источника днём, Lw, дБ		**исходные данные**	**105**	**104**	**104**	**101**	**102**	**106**	**101**	**95**	**87**		
Уровни звуковой мощности источника ночью, Lw, дБ		**исходные данные**	**105**	**104**	**104**	**101**	**102**	**106**	**101**	**95**	**87**		
Поправка на телесный угол DΩ, дБ	Ω = 6.28	10Lg(4π/Ω)	**3**	3	3	3	3	3	3	3	3		
Показатель направленности источника Di, дБ		исходные данные	**0**	0	0	0	0	0	0	0	0		
Поправка на направленность источника Dc, дБ	Dc	DΩ + Di	**3**	3	3	3	3	3	3	3	3		
Затухание из-за геометрической дивергенции, Adiv, дБ	расстояние = 811.28 м	ф-ла (7) [10]	**69,2**										
Коэффициент затухания звука в атмосфере α, дБ/км	Ta=20,°C Pa=101.33,кПа hотн.=70%	ф-ла (5) [9]	0,02	0,09	0,33	1,12	2,79	4,98	9,04	23,09	77,63		

1		2	3	4	5	6	7	8	9	10	11	12	13
Учет затухания звука в атмосфере Aatm, дБ		ф-ла (8) [10]	0	0,1	0,3	0,9	2,3	4	7,3	18,7	63		
Снижение поверхностью земли возле источника As, дБ	Gs = 0 hs = 3м	ф-лы таб.3 [10]	-1,5	-1,5	-1,5	-1,5	-1,5	-1,5	-1,5	-1,5	-1,5		
Снижение поверхностью земли возле приёмника Ar, дБ	Gr = 1 hr = 1.5м	ф-лы таб.3 [10]	-1,5	-1,5	4,6	7	5	0,7	0	0	0		
Снижение поверхностью земли в средней зоне, Am дБ	Gm = 1	ф-лы таб.3 [10]	-2,5	-2,5	0	0	0	0	0	0	0		
Суммарное снижение поверхностью земли на траектории распространения звука Agr, дБ		ф-ла (9) [10]	-5,5	-5,5	3,1	5,5	3,5	-0,8	-1,5	-1,5	-1,5		
Уровни звукового давления от источника ИШ-8-2 в расчётной точке днём, дБ		**ф-ла(3)[10]**	**44,3**	**43,3**	**34,4**	**28,4**	**30,1**	**36,6**	**29**	**11,6**	**0**	**38**	**38**
Уровни звукового давления от источника ИШ-8-2 в расчётной точке ночью, дБ		**ф-ла(3)[10]**	**44,3**	**43,3**	**34,4**	**28,4**	**30,1**	**36,6**	**29**	**11,6**	**0**	**38**	**38**
Источник шума: ИШ-8-3, координаты источника (x,y,z), м =[564.90,-369.90,3.00]													
Уровни звуковой мощности источника днём, Lw, дБ		**исходные данные**	**105**	**104**	**104**	**101**	**102**	**106**	**101**	**95**	**87**		
Уровни звуковой мощности источника ночью, Lw, дБ		**исходные данные**	**105**	**104**	**104**	**101**	**102**	**106**	**101**	**95**	**87**		
Поправка на телесный угол DΩ, дБ	Ω = 6.28	10Lg(4π/Ω)	**3**	3	3	3	3	3	3	3	3		
Показатель направленности источника Di, дБ		исходные данные	**0**	0	0	0	0	0	0	0	0		
Поправка на направленность источника Dc, дБ	Dc	DΩ + Di	**3**	3	3	3	3	3	3	3	3		
Затухание из-за геометрической дивергенции, Adiv, дБ	расстояние = 910.83 м	ф-ла (7) [10]	**70,2**										
Коэффициент затухания звука в атмосфере α, дБ/км	Ta=20,°C Pa=101.33,кПа hотн.=70%	ф-ла (5) [9]	0,02	0,09	0,33	1,12	2,79	4,98	9,04	23,09	77,63		
Учет затухания звука в атмосфере Aatm, дБ		ф-ла (8) [10]	0	0,1	0,3	1	2,5	4,5	8,2	21	70,7		

1		2	3	4	5	6	7	8	9	10	11	12	13
Снижение поверхностью земли возле источника As, дБ	Gs = 0 hs = 3м	ф-лы таб.3 [10]	-1,5	-1,5	-1,5	-1,5	-1,5	-1,5	-1,5	-1,5	-1,5		
Снижение поверхностью земли возле приёмника Ar, дБ	Gr = 1 hr = 1.5м	ф-лы таб.3 [10]	-1,5	-1,5	4,9	7	5	0,7	0	0	0		
Снижение поверхностью земли в средней зоне, Am дБ	Gm = 1	ф-лы таб.3 [10]	-2,6	-2,6	0	0	0	0	0	0	0		
Суммарное снижение поверхностью земли на траектории распространения звука Agr, дБ		ф-ла (9) [10]	-5,6	-5,6	3,4	5,5	3,5	-0,8	-1,5	-1,5	-1,5		
Уровни звукового давления от источника ИШ-8-3 в расчётной точке днём, дБ		**ф-ла(3)[10]**	**43,4**	**42,3**	**33,1**	**27,3**	**28,8**	**35,1**	**27,1**	**8,3**	**0**	**36,5**	**36,5**
Уровни звукового давления от источника ИШ-8-3 в расчётной точке ночью, дБ		**ф-ла(3)[10]**	**43,4**	**42,3**	**33,1**	**27,3**	**28,8**	**35,1**	**27,1**	**8,3**	**0**	**36,5**	**36,5**
Источник шума: ИШ-9-1, координаты источника (x,y,z), м =[642.94,-357.54,1.00]													
Уровни звуковой мощности источника днём, Lw, дБ		**исходные данные**	**0**	**93,3**	**94,7**	**96**	**96,3**	**95,9**	**92,6**	**88,4**	**83,9**		
Уровни звуковой мощности источника ночью, Lw, дБ		**исходные данные**	**0**	**93,3**	**94,7**	**96**	**96,3**	**95,9**	**92,6**	**88,4**	**83,9**		
Поправка на телесный угол DΩ, дБ	Ω = 6.28	10Lg(4π/Ω)	**3**	3	3	3	3	3	3	3	3		
Показатель направленности источника Di, дБ		исходные данные	**0**	0	0	0	0	0	0	0	0		
Поправка на направленность источника Dc, дБ	Dc	DΩ + Di	**3**	3	3	3	3	3	3	3	3		
Затухание из-за геометрической дивергенции, Adiv, дБ	расстояние = 884.17 м	ф-ла (7) [10]	**69,9**										
Коэффициент затухания звука в атмосфере α, дБ/км	Ta=20,°C Pa=101.33,кПа hотн.=70%	ф-ла (5) [9]	0,02	0,09	0,33	1,12	2,79	4,98	9,04	23,09	77,63		
Учет затухания звука в атмосфере Aatm, дБ		ф-ла (8) [10]	0	0,1	0,3	1	2,5	4,4	8	20,4	68,6		
Снижение поверхностью земли возле источника As, дБ	Gs = 0 hs = 1м	ф-лы таб.3 [10]	-1,5	-1,5	-1,5	-1,5	-1,5	-1,5	-1,5	-1,5	-1,5		

1		2	3	4	5	6	7	8	9	10	11	12	13
Снижение поверхностью земли возле приёмника Ar, дБ	Gr = 1 hr = 1.5м	ф-лы таб.3 [10]	-1,5	-1,5	4,8	7	5	0,7	0	0	0		
Снижение поверхностью земли в средней зоне, Am дБ	Gm = 1	ф-лы таб.3 [10]	-2,7	-2,7	0	0	0	0	0	0	0		
Суммарное снижение поверхностью земли на траектории распространения звука Agr, дБ		ф-ла (9) [10]	-5,7	-5,7	3,3	5,5	3,5	-0,8	-1,5	-1,5	-1,5		
Уровни звукового давления прямого звука от источника ИШ-9-1 в расчётной точке днём, дБ		**ф-ла(3)[10]**	**0**	**32**	**24,1**	**22,5**	**23,4**	**25,4**	**19,2**	**2,5**	**0**	**27,8**	**27,8**
Уровни звукового давления прямого звука от источника ИШ-9-1 в расчётной точке ночью, дБ		**ф-ла(3)[10]**	**0**	**32**	**24,1**	**22,5**	**23,4**	**25,4**	**19,2**	**2,5**	**0**	**27,8**	**27,8**
Расчёт отражённого звука													
Уровни звукового давления от мнимого источника ИШ-9-1_мн.(1) в расчётной точке днём, дБ		**ф-ла(3)[10]**	**0**	**0**	**0**	**0**	**0**	**0**	**0**	**0**	**0**	**0**	**0**
Уровни звукового давления от мнимого источника ИШ-9-1_мн.(1) в расчётной точке ночью, дБ		**ф-ла(3)[10]**	**0**	**0**	**0**	**0**	**0**	**0**	**0**	**0**	**0**	**0**	**0**
Уровни звукового давления от источника ИШ-9-1 в расчётной точке днём, дБ		**ф-ла(3)[10]**	**0**	**32**	**24,1**	**22,5**	**23,4**	**25,4**	**19,2**	**2,5**	**0**	**27,8**	**27,8**
Уровни звукового давления от источника ИШ-9-1 в расчётной точке ночью, дБ		**ф-ла(3)[10]**	**0**	**32**	**24,1**	**22,5**	**23,4**	**25,4**	**19,2**	**2,5**	**0**	**27,8**	**27,8**
Источник шума: ИШ-9-2, координаты источника (x,y,z), м =[644.14,-354.83,1.00]													
Уровни звуковой мощности источника днём, Lw, дБ		**исходные данные**	**0**	**93,3**	**94,7**	**96**	**96,3**	**95,9**	**92,6**	**88,4**	**83,9**		
Уровни звуковой мощности источника ночью, Lw, дБ		**исходные данные**	**0**	**93,3**	**94,7**	**96**	**96,3**	**95,9**	**92,6**	**88,4**	**83,9**		
Поправка на телесный угол DΩ, дБ	Ω = 6.28	10Lg(4π/Ω)	**3**	3	3	3	3	3	3	3	3		
Показатель направленности источника Di, дБ		исходные данные	**0**	0	0	0	0	0	0	0	0		
Поправка на направленность источника Dc, дБ	Dc	DΩ + Di	**3**	3	3	3	3	3	3	3	3		
Затухание из-за геометрической дивергенции, Adiv, дБ	расстояние = 881.31 м	ф-ла (7) [10]	**69,9**										

1		2	3	4	5	6	7	8	9	10	11	12	13
Коэффициент затухания звука в атмосфере α, дБ/км	Ta=20,°C Pa=101.33,кПа hотн.=70%	ф-ла (5) [9]	0,02	0,09	0,33	1,12	2,79	4,98	9,04	23,09	77,63		
Учет затухания звука в атмосфере Aatm, дБ		ф-ла (8) [10]	0	0,1	0,3	1	2,5	4,4	8	20,3	68,4		
Снижение поверхностью земли возле источника As, дБ	Gs = 0 hs = 1м	ф-лы таб.3 [10]	-1,5	-1,5	-1,5	-1,5	-1,5	-1,5	-1,5	-1,5	-1,5		
Снижение поверхностью земли возле приёмника Ar, дБ	Gr = 1 hr = 1.5м	ф-лы таб.3 [10]	-1,5	-1,5	4,8	7	5	0,7	0	0	0		
Снижение поверхностью земли в средней зоне, Am дБ	Gm = 1	ф-лы таб.3 [10]	-2,7	-2,7	0	0	0	0	0	0	0		
Суммарное снижение поверхностью земли на траектории распространения звука Agr, дБ		ф-ла (9) [10]	-5,7	-5,7	3,3	5,5	3,5	-0,8	-1,5	-1,5	-1,5		
Уровни звукового давления прямого звука от источника ИШ-9-2 в расчётной точке днём, дБ		**ф-ла(3)[10]**	**0**	**32,1**	**24,2**	**22,6**	**23,5**	**25,4**	**19,2**	**2,6**	**0**	**27,8**	**27,8**
Уровни звукового давления прямого звука от источника ИШ-9-2 в расчётной точке ночью, дБ		**ф-ла(3)[10]**	**0**	**32,1**	**24,2**	**22,6**	**23,5**	**25,4**	**19,2**	**2,6**	**0**	**27,8**	**27,8**
Расчёт отражённого звука													
Уровни звукового давления от мнимого источника ИШ-9-2_мн.(1) в расчётной точке днём, дБ		**ф-ла(3)[10]**	**0**	**0**	**0**	**0**	**0**	**0**	**0**	**0**	**0**	**0**	**0**
Уровни звукового давления от мнимого источника ИШ-9-2_мн.(1) в расчётной точке ночью, дБ		**ф-ла(3)[10]**	**0**	**0**	**0**	**0**	**0**	**0**	**0**	**0**	**0**	**0**	**0**
Уровни звукового давления от источника ИШ-9-2 в расчётной точке днём, дБ		**ф-ла(3)[10]**	**0**	**32,1**	**24,2**	**22,6**	**23,5**	**25,4**	**19,2**	**2,6**	**0**	**27,8**	**27,8**
Уровни звукового давления от источника ИШ-9-2 в расчётной точке ночью, дБ		**ф-ла(3)[10]**	**0**	**32,1**	**24,2**	**22,6**	**23,5**	**25,4**	**19,2**	**2,6**	**0**	**27,8**	**27,8**
Источник шума: ИШ-9-3, координаты источника (x,y,z), м =[644.98,-351.85,1.00]													
Уровни звуковой мощности источника днём, Lw, дБ		**исходные данные**	**0**	**93,3**	**94,7**	**96**	**96,3**	**95,9**	**92,6**	**88,4**	**83,9**		
Уровни звуковой мощности источника ночью, Lw, дБ		**исходные данные**	**0**	**93,3**	**94,7**	**96**	**96,3**	**95,9**	**92,6**	**88,4**	**83,9**		

1		2	3	4	5	6	7	8	9	10	11	12	13
Поправка на телесный угол DΩ, дБ	Ω = 6.28	10Lg(4π/Ω)	**3**	3	3	3	3	3	3	3	3		
Показатель направленности источника Di, дБ		исходные данные	**0**	0	0	0	0	0	0	0	0		
Поправка на направленность источника Dc, дБ	Dc	DΩ + Di	**3**	3	3	3	3	3	3	3	3		
Затухание из-за геометрической дивергенции, Adiv, дБ	расстояние = 878.25 м	ф-ла (7) [10]	**69,9**										
Коэффициент затухания звука в атмосфере α, дБ/км	Ta=20,°C Pa=101.33,кПа hотн.=70%	ф-ла (5) [9]	0,02	0,09	0,33	1,12	2,79	4,98	9,04	23,09	77,63		
Учет затухания звука в атмосфере Aatm, дБ		ф-ла (8) [10]	0	0,1	0,3	1	2,5	4,4	7,9	20,3	68,2		
Снижение поверхностью земли возле источника As, дБ	Gs = 0 hs = 1м	ф-лы таб.3 [10]	-1,5	-1,5	-1,5	-1,5	-1,5	-1,5	-1,5	-1,5	-1,5		
Снижение поверхностью земли возле приёмника Ar, дБ	Gr = 1 hr = 1.5м	ф-лы таб.3 [10]	-1,5	-1,5	4,8	7	5	0,7	0	0	0		
Снижение поверхностью земли в средней зоне, Am дБ	Gm = 1	ф-лы таб.3 [10]	-2,7	-2,7	0	0	0	0	0	0	0		
Суммарное снижение поверхностью земли на траектории распространения звука Agr, дБ		ф-ла (9) [10]	-5,7	-5,7	3,3	5,5	3,5	-0,8	-1,5	-1,5	-1,5		
Уровни звукового давления от источника ИШ-9-3 в расчётной точке днём, дБ		**ф-ла(3)[10]**	**0**	**32,1**	**24,2**	**22,6**	**23,5**	**25,5**	**19,3**	**2,7**	**0**	**27,9**	**27,9**
Уровни звукового давления от источника ИШ-9-3 в расчётной точке ночью, дБ		**ф-ла(3)[10]**	**0**	**32,1**	**24,2**	**22,6**	**23,5**	**25,5**	**19,3**	**2,7**	**0**	**27,9**	**27,9**
Источник шума: ИШ-9-4, координаты источника (x,y,z), м =[646.01,-349.15,1.00]													
Уровни звуковой мощности источника днём, Lw, дБ		**исходные данные**	**0**	**93,3**	**94,7**	**96**	**96,3**	**95,9**	**92,6**	**88,4**	**83,9**		
Уровни звуковой мощности источника ночью, Lw, дБ		**исходные данные**	**0**	**93,3**	**94,7**	**96**	**96,3**	**95,9**	**92,6**	**88,4**	**83,9**		
Поправка на телесный угол DΩ, дБ	Ω = 6.28	10Lg(4π/Ω)	**3**	3	3	3	3	3	3	3	3		

1		2	3	4	5	6	7	8	9	10	11	12	13
Показатель направленности источника Di, дБ		исходные данные	**0**	0	0	0	0	0	0	0	0		
Поправка на направленность источника Dc, дБ	Dc	DΩ + Di	**3**	3	3	3	3	3	3	3	3		
Затухание из-за геометрической дивергенции, Adiv, дБ	расстояние = 875.43 м	ф-ла (7) [10]	**69,8**										
Коэффициент затухания звука в атмосфере α, дБ/км	Ta=20,°C Pa=101.33,кПа hотн.=70%	ф-ла (5) [9]	0,02	0,09	0,33	1,12	2,79	4,98	9,04	23,09	77,63		
Учет затухания звука в атмосфере Aatm, дБ		ф-ла (8) [10]	0	0,1	0,3	1	2,4	4,4	7,9	20,2	68		
Снижение поверхностью земли возле источника As, дБ	Gs = 0 hs = 1м	ф-лы таб.3 [10]	-1,5	-1,5	-1,5	-1,5	-1,5	-1,5	-1,5	-1,5	-1,5		
Снижение поверхностью земли возле приёмника Ar, дБ	Gr = 1 hr = 1.5м	ф-лы таб.3 [10]	-1,5	-1,5	4,8	7	5	0,7	0	0	0		
Снижение поверхностью земли в средней зоне, Am дБ	Gm = 1	ф-лы таб.3 [10]	-2,7	-2,7	0	0	0	0	0	0	0		
Суммарное снижение поверхностью земли на траектории распространения звука Agr, дБ		ф-ла (9) [10]	-5,7	-5,7	3,3	5,5	3,5	-0,8	-1,5	-1,5	-1,5		
Уровни звукового давления от источника ИШ-9-4 в расчётной точке днём, дБ		**ф-ла(3)[10]**	**0**	**32,1**	**24,3**	**22,6**	**23,5**	**25,5**	**19,3**	**2,8**	**0**	**27,9**	**27,9**
Уровни звукового давления от источника ИШ-9-4 в расчётной точке ночью, дБ		**ф-ла(3)[10]**	**0**	**32,1**	**24,3**	**22,6**	**23,5**	**25,5**	**19,3**	**2,8**	**0**	**27,9**	**27,9**
Источник шума: ИШ-9-5, координаты источника (x,y,z), м =[646.84,-346.17,1.00]													
Уровни звуковой мощности источника днём, Lw, дБ		**исходные данные**	**0**	**93,3**	**94,7**	**96**	**96,3**	**95,9**	**92,6**	**88,4**	**83,9**		
Уровни звуковой мощности источника ночью, Lw, дБ		**исходные данные**	**0**	**93,3**	**94,7**	**96**	**96,3**	**95,9**	**92,6**	**88,4**	**83,9**		
Поправка на телесный угол DΩ, дБ	Ω = 6.28	10Lg(4π/Ω)	**3**	3	3	3	3	3	3	3	3		
Показатель направленности источника Di, дБ		исходные данные	**0**	0	0	0	0	0	0	0	0		

1		2	3	4	5	6	7	8	9	10	11	12	13
Поправка на направленность источника Dc, дБ	Dc	DΩ + Di	**3**	3	3	3	3	3	3	3	3		
Затухание из-за геометрической дивергенции, Adiv, дБ	расстояние = 872.36 м	ф-ла (7) [10]	**69,8**										
Коэффициент затухания звука в атмосфере α, дБ/км	Ta=20,°C Pa=101.33,кПа hотн.=70%	ф-ла (5) [9]	0,02	0,09	0,33	1,12	2,79	4,98	9,04	23,09	77,63		
Учет затухания звука в атмосфере Aatm, дБ		ф-ла (8) [10]	0	0,1	0,3	1	2,4	4,3	7,9	20,1	67,7		
Снижение поверхностью земли возле источника As, дБ	Gs = 0 hs = 1м	ф-лы таб.3 [10]	-1,5	-1,5	-1,5	-1,5	-1,5	-1,5	-1,5	-1,5	-1,5		
Снижение поверхностью земли возле приёмника Ar, дБ	Gr = 1 hr = 1.5м	ф-лы таб.3 [10]	-1,5	-1,5	4,8	7	5	0,7	0	0	0		
Снижение поверхностью земли в средней зоне, Am дБ	Gm = 1	ф-лы таб.3 [10]	-2,7	-2,7	0	0	0	0	0	0	0		
Суммарное снижение поверхностью земли на траектории распространения звука Agr, дБ		ф-ла (9) [10]	-5,7	-5,7	3,3	5,5	3,5	-0,8	-1,5	-1,5	-1,5		
Уровни звукового давления от источника ИШ-9-5 в расчётной точке днём, дБ		**ф-ла(3)[10]**	**0**	**32,1**	**24,3**	**22,7**	**23,6**	**25,6**	**19,4**	**2,9**	**0**	**27,9**	**27,9**
Уровни звукового давления от источника ИШ-9-5 в расчётной точке ночью, дБ		**ф-ла(3)[10]**	**0**	**32,1**	**24,3**	**22,7**	**23,6**	**25,6**	**19,4**	**2,9**	**0**	**27,9**	**27,9**
Источник шума: ИШ-9-6, координаты источника (x,y,z), м =[647.87,-343.47,1.00]													
Уровни звуковой мощности источника днём, Lw, дБ		**исходные данные**	**0**	**93,3**	**94,7**	**96**	**96,3**	**95,9**	**92,6**	**88,4**	**83,9**		
Уровни звуковой мощности источника ночью, Lw, дБ		**исходные данные**	**0**	**93,3**	**94,7**	**96**	**96,3**	**95,9**	**92,6**	**88,4**	**83,9**		
Поправка на телесный угол DΩ, дБ	Ω = 6.28	10Lg(4π/Ω)	**3**	3	3	3	3	3	3	3	3		
Показатель направленности источника Di, дБ		исходные данные	**0**	0	0	0	0	0	0	0	0		
Поправка на направленность источника Dc, дБ	Dc	DΩ + Di	**3**	3	3	3	3	3	3	3	3		

1		2	3	4	5	6	7	8	9	10	11	12	13
Затухание из-за геометрической дивергенции, Adiv, дБ	расстояние = 869.54 м	ф-ла (7) [10]	**69,8**										
Коэффициент затухания звука в атмосфере α, дБ/км	Ta=20,°C Pa=101.33,кПа hотн.=70%	ф-ла (5) [9]	0,02	0,09	0,33	1,12	2,79	4,98	9,04	23,09	77,63		
Учет затухания звука в атмосфере Aatm, дБ		ф-ла (8) [10]	0	0,1	0,3	1	2,4	4,3	7,9	20,1	67,5		
Снижение поверхностью земли возле источника As, дБ	Gs = 0 hs = 1м	ф-лы таб.3 [10]	-1,5	-1,5	-1,5	-1,5	-1,5	-1,5	-1,5	-1,5	-1,5		
Снижение поверхностью земли возле приёмника Ar, дБ	Gr = 1 hr = 1.5м	ф-лы таб.3 [10]	-1,5	-1,5	4,8	7	5	0,7	0	0	0		
Снижение поверхностью земли в средней зоне, Am дБ	Gm = 1	ф-лы таб.3 [10]	-2,7	-2,7	0	0	0	0	0	0	0		
Суммарное снижение поверхностью земли на траектории распространения звука Agr, дБ		ф-ла (9) [10]	-5,7	-5,7	3,3	5,5	3,5	-0,8	-1,5	-1,5	-1,5		
Уровни звукового давления от источника ИШ-9-6 в расчётной точке днём, дБ		**ф-ла(3)[10]**	**0**	**32,2**	**24,3**	**22,7**	**23,6**	**25,6**	**19,4**	**3**	**0**	**28**	**28**
Уровни звукового давления от источника ИШ-9-6 в расчётной точке ночью, дБ		**ф-ла(3)[10]**	**0**	**32,2**	**24,3**	**22,7**	**23,6**	**25,6**	**19,4**	**3**	**0**	**28**	**28**
Источник шума: ИШ-9-7, координаты источника (x,y,z), м =[648.71,-340.49,1.00]													
Уровни звуковой мощности источника днём, Lw, дБ		**исходные данные**	**0**	**93,3**	**94,7**	**96**	**96,3**	**95,9**	**92,6**	**88,4**	**83,9**		
Уровни звуковой мощности источника ночью, Lw, дБ		**исходные данные**	**0**	**93,3**	**94,7**	**96**	**96,3**	**95,9**	**92,6**	**88,4**	**83,9**		
Поправка на телесный угол DΩ, дБ	Ω = 6.28	10Lg(4π/Ω)	**3**	3	3	3	3	3	3	3	3		
Показатель направленности источника Di, дБ		исходные данные	**0**	0	0	0	0	0	0	0	0		
Поправка на направленность источника Dc, дБ	Dc	DΩ + Di	**3**	3	3	3	3	3	3	3	3		
Затухание из-за геометрической дивергенции, Adiv, дБ	расстояние = 866.47 м	ф-ла (7) [10]	**69,8**										

1		2	3	4	5	6	7	8	9	10	11	12	13
Коэффициент затухания звука в атмосфере α, дБ/км	Ta=20,°C Pa=101.33,кПа hотн.=70%	ф-ла (5) [9]	0,02	0,09	0,33	1,12	2,79	4,98	9,04	23,09	77,63		
Учет затухания звука в атмосфере Aatm, дБ		ф-ла (8) [10]	0	0,1	0,3	1	2,4	4,3	7,8	20	67,3		
Снижение поверхностью земли возле источника As, дБ	Gs = 0 hs = 1м	ф-лы таб.3 [10]	-1,5	-1,5	-1,5	-1,5	-1,5	-1,5	-1,5	-1,5	-1,5		
Снижение поверхностью земли возле приёмника Ar, дБ	Gr = 1 hr = 1.5м	ф-лы таб.3 [10]	-1,5	-1,5	4,8	7	5	0,7	0	0	0		
Снижение поверхностью земли в средней зоне, Am дБ	Gm = 1	ф-лы таб.3 [10]	-2,7	-2,7	0	0	0	0	0	0	0		
Суммарное снижение поверхностью земли на траектории распространения звука Agr, дБ		ф-ла (9) [10]	-5,7	-5,7	3,3	5,5	3,5	-0,8	-1,5	-1,5	-1,5		
Уровни звукового давления от источника ИШ-9-7 в расчётной точке днём, дБ		**ф-ла(3)[10]**	**0**	**32,2**	**24,4**	**22,7**	**23,6**	**25,7**	**19,5**	**3,1**	**0**	**28**	**28**
Уровни звукового давления от источника ИШ-9-7 в расчётной точке ночью, дБ		**ф-ла(3)[10]**	**0**	**32,2**	**24,4**	**22,7**	**23,6**	**25,7**	**19,5**	**3,1**	**0**	**28**	**28**
Источник шума: ИШ-9-8, координаты источника (x,y,z), м =[649.92,-337.69,1.00]													
Уровни звуковой мощности источника днём, Lw, дБ		**исходные данные**	**0**	**93,3**	**94,7**	**96**	**96,3**	**95,9**	**92,6**	**88,4**	**83,9**		
Уровни звуковой мощности источника ночью, Lw, дБ		**исходные данные**	**0**	**93,3**	**94,7**	**96**	**96,3**	**95,9**	**92,6**	**88,4**	**83,9**		
Поправка на телесный угол DΩ, дБ	Ω = 6.28	10Lg(4π/Ω)	**3**	3	3	3	3	3	3	3	3		
Показатель направленности источника Di, дБ		исходные данные	**0**	0	0	0	0	0	0	0	0		
Поправка на направленность источника Dc, дБ	Dc	DΩ + Di	**3**	3	3	3	3	3	3	3	3		
Затухание из-за геометрической дивергенции, Adiv, дБ	расстояние = 863.53 м	ф-ла (7) [10]	**69,7**										
Коэффициент затухания звука в атмосфере α, дБ/км	Ta=20,°C Pa=101.33,кПа hотн.=70%	ф-ла (5) [9]	0,02	0,09	0,33	1,12	2,79	4,98	9,04	23,09	77,63		

1		2	3	4	5	6	7	8	9	10	11	12	13
Учет затухания звука в атмосфере Aatm, дБ		ф-ла (8) [10]	0	0,1	0,3	1	2,4	4,3	7,8	19,9	67		
Снижение поверхностью земли возле источника As, дБ	Gs = 0 hs = 1м	ф-лы таб.3 [10]	-1,5	-1,5	-1,5	-1,5	-1,5	-1,5	-1,5	-1,5	-1,5		
Снижение поверхностью земли возле приёмника Ar, дБ	Gr = 1 hr = 1.5м	ф-лы таб.3 [10]	-1,5	-1,5	4,8	7	5	0,7	0	0	0		
Снижение поверхностью земли в средней зоне, Am дБ	Gm = 1	ф-лы таб.3 [10]	-2,7	-2,7	0	0	0	0	0	0	0		
Суммарное снижение поверхностью земли на траектории распространения звука Agr, дБ		ф-ла (9) [10]	-5,7	-5,7	3,3	5,5	3,5	-0,8	-1,5	-1,5	-1,5		
Уровни звукового давления от источника ИШ-9-8 в расчётной точке днём, дБ		**ф-ла(3)[10]**	**0**	**32,2**	**24,4**	**22,8**	**23,7**	**25,7**	**19,6**	**3,2**	**0**	**28,1**	**28,1**
Уровни звукового давления от источника ИШ-9-8 в расчётной точке ночью, дБ		**ф-ла(3)[10]**	**0**	**32,2**	**24,4**	**22,8**	**23,7**	**25,7**	**19,6**	**3,2**	**0**	**28,1**	**28,1**
Источник шума: ИШ-9-9, координаты источника (x,y,z), м =[650.66,-334.90,1.00]													
Уровни звуковой мощности источника днём, Lw, дБ		**исходные данные**	**0**	**93,3**	**94,7**	**96**	**96,3**	**95,9**	**92,6**	**88,4**	**83,9**		
Уровни звуковой мощности источника ночью, Lw, дБ		**исходные данные**	**0**	**93,3**	**94,7**	**96**	**96,3**	**95,9**	**92,6**	**88,4**	**83,9**		
Поправка на телесный угол DΩ, дБ	Ω = 6.28	10Lg(4π/Ω)	**3**	3	3	3	3	3	3	3	3		
Показатель направленности источника Di, дБ		исходные данные	**0**	0	0	0	0	0	0	0	0		
Поправка на направленность источника Dc, дБ	Dc	DΩ + Di	**3**	3	3	3	3	3	3	3	3		
Затухание из-за геометрической дивергенции, Adiv, дБ	расстояние = 860.66 м	ф-ла (7) [10]	**69,7**										
Коэффициент затухания звука в атмосфере α, дБ/км	Ta=20,°C Pa=101.33,кПа hотн.=70%	ф-ла (5) [9]	0,02	0,09	0,33	1,12	2,79	4,98	9,04	23,09	77,63		
Учет затухания звука в атмосфере Aatm, дБ		ф-ла (8) [10]	0	0,1	0,3	1	2,4	4,3	7,8	19,9	66,8		

1		2	3	4	5	6	7	8	9	10	11	12	13
Снижение поверхностью земли возле источника As, дБ	Gs = 0 hs = 1м	ф-лы таб.3 [10]	-1,5	-1,5	-1,5	-1,5	-1,5	-1,5	-1,5	-1,5	-1,5		
Снижение поверхностью земли возле приёмника Ar, дБ	Gr = 1 hr = 1.5м	ф-лы таб.3 [10]	-1,5	-1,5	4,8	7	5	0,7	0	0	0		
Снижение поверхностью земли в средней зоне, Am дБ	Gm = 1	ф-лы таб.3 [10]	-2,7	-2,7	0	0	0	0	0	0	0		
Суммарное снижение поверхностью земли на траектории распространения звука Agr, дБ		ф-ла (9) [10]	-5,7	-5,7	3,3	5,5	3,5	-0,8	-1,5	-1,5	-1,5		
Уровни звукового давления от источника ИШ-9-9 в расчётной точке днём, дБ		**ф-ла(3)[10]**	**0**	**32,3**	**24,4**	**22,8**	**23,7**	**25,8**	**19,6**	**3,3**	**0**	**28,1**	**28,1**
Уровни звукового давления от источника ИШ-9-9 в расчётной точке ночью, дБ		**ф-ла(3)[10]**	**0**	**32,3**	**24,4**	**22,8**	**23,7**	**25,8**	**19,6**	**3,3**	**0**	**28,1**	**28,1**
Источник шума: ИШ-9-10, координаты источника (x,y,z), м =[651.59,-332.01,1.00]													
Уровни звуковой мощности источника днём, Lw, дБ		**исходные данные**	**0**	**93,3**	**94,7**	**96**	**96,3**	**95,9**	**92,6**	**88,4**	**83,9**		
Уровни звуковой мощности источника ночью, Lw, дБ		**исходные данные**	**0**	**93,3**	**94,7**	**96**	**96,3**	**95,9**	**92,6**	**88,4**	**83,9**		
Поправка на телесный угол DΩ, дБ	Ω = 6.28	10Lg(4π/Ω)	**3**	3	3	3	3	3	3	3	3		
Показатель направленности источника Di, дБ		исходные данные	**0**	0	0	0	0	0	0	0	0		
Поправка на направленность источника Dc, дБ	Dc	DΩ + Di	**3**	3	3	3	3	3	3	3	3		
Затухание из-за геометрической дивергенции, Adiv, дБ	расстояние = 857.67 м	ф-ла (7) [10]	**69,7**										
Коэффициент затухания звука в атмосфере α, дБ/км	Ta=20,°C Pa=101.33,кПа hотн.=70%	ф-ла (5) [9]	0,02	0,09	0,33	1,12	2,79	4,98	9,04	23,09	77,63		
Учет затухания звука в атмосфере Aatm, дБ		ф-ла (8) [10]	0	0,1	0,3	1	2,4	4,3	7,8	19,8	66,6		
Снижение поверхностью земли возле источника As, дБ	Gs = 0 hs = 1м	ф-лы таб.3 [10]	-1,5	-1,5	-1,5	-1,5	-1,5	-1,5	-1,5	-1,5	-1,5		

1		2	3	4	5	6	7	8	9	10	11	12	13
Снижение поверхностью земли возле приёмника Ar, дБ	Gr = 1 hr = 1.5м	ф-лы таб.3 [10]	-1,5	-1,5	4,8	7	5	0,7	0	0	0		
Снижение поверхностью земли в средней зоне, Am дБ	Gm = 1	ф-лы таб.3 [10]	-2,7	-2,7	0	0	0	0	0	0	0		
Суммарное снижение поверхностью земли на траектории распространения звука Agr, дБ		ф-ла (9) [10]	-5,7	-5,7	3,3	5,5	3,5	-0,8	-1,5	-1,5	-1,5		
Уровни звукового давления от источника ИШ-9-10 в расчётной точке днём, дБ		**ф-ла(3)[10]**	**0**	**32,3**	**24,5**	**22,8**	**23,8**	**25,8**	**19,7**	**3,4**	**0**	**28,2**	**28,2**
Уровни звукового давления от источника ИШ-9-10 в расчётной точке ночью, дБ		**ф-ла(3)[10]**	**0**	**32,3**	**24,5**	**22,8**	**23,8**	**25,8**	**19,7**	**3,4**	**0**	**28,2**	**28,2**
Источник шума: ИШ-9-11, координаты источника (x,y,z), м =[652.71,-329.22,1.00]													
Уровни звуковой мощности источника днём, Lw, дБ		**исходные данные**	**0**	**93,3**	**94,7**	**96**	**96,3**	**95,9**	**92,6**	**88,4**	**83,9**		
Уровни звуковой мощности источника ночью, Lw, дБ		**исходные данные**	**0**	**93,3**	**94,7**	**96**	**96,3**	**95,9**	**92,6**	**88,4**	**83,9**		
Поправка на телесный угол DΩ, дБ	Ω = 6.28	10Lg(4π/Ω)	**3**	3	3	3	3	3	3	3	3		
Показатель направленности источника Di, дБ		исходные данные	**0**	0	0	0	0	0	0	0	0		
Поправка на направленность источника Dc, дБ	Dc	DΩ + Di	**3**	3	3	3	3	3	3	3	3		
Затухание из-за геометрической дивергенции, Adiv, дБ	расстояние = 854.75 м	ф-ла (7) [10]	**69,6**										
Коэффициент затухания звука в атмосфере α, дБ/км	Ta=20,°C Pa=101.33,кПа hотн.=70%	ф-ла (5) [9]	0,02	0,09	0,33	1,12	2,79	4,98	9,04	23,09	77,63		
Учет затухания звука в атмосфере Aatm, дБ		ф-ла (8) [10]	0	0,1	0,3	1	2,4	4,3	7,7	19,7	66,4		
Снижение поверхностью земли возле источника As, дБ	Gs = 0 hs = 1м	ф-лы таб.3 [10]	-1,5	-1,5	-1,5	-1,5	-1,5	-1,5	-1,5	-1,5	-1,5		
Снижение поверхностью земли возле приёмника Ar, дБ	Gr = 1 hr = 1.5м	ф-лы таб.3 [10]	-1,5	-1,5	4,7	7	5	0,7	0	0	0		

1		2	3	4	5	6	7	8	9	10	11	12	13
Снижение поверхностью земли в средней зоне, Am дБ	Gm = 1	ф-лы таб.3 [10]	-2,7	-2,7	0	0	0	0	0	0	0		
Суммарное снижение поверхностью земли на траектории распространения звука Agr, дБ		ф-ла (9) [10]	-5,7	-5,7	3,2	5,5	3,5	-0,8	-1,5	-1,5	-1,5		
Уровни звукового давления от источника ИШ-9-11 в расчётной точке днём, дБ		**ф-ла(3)[10]**	**0**	**32,3**	**24,5**	**22,9**	**23,8**	**25,8**	**19,7**	**3,5**	**0**	**28,2**	**28,2**
Уровни звукового давления от источника ИШ-9-11 в расчётной точке ночью, дБ		**ф-ла(3)[10]**	**0**	**32,3**	**24,5**	**22,9**	**23,8**	**25,8**	**19,7**	**3,5**	**0**	**28,2**	**28,2**
Источник шума: ИШ-9-12, координаты источника (x,y,z), м =[653.46,-326.33,1.00]													
Уровни звуковой мощности источника днём, Lw, дБ		**исходные данные**	**0**	**93,3**	**94,7**	**96**	**96,3**	**95,9**	**92,6**	**88,4**	**83,9**		
Уровни звуковой мощности источника ночью, Lw, дБ		**исходные данные**	**0**	**93,3**	**94,7**	**96**	**96,3**	**95,9**	**92,6**	**88,4**	**83,9**		
Поправка на телесный угол DΩ, дБ	Ω = 6.28	10Lg(4π/Ω)	**3**	3	3	3	3	3	3	3	3		
Показатель направленности источника Di, дБ		исходные данные	**0**	0	0	0	0	0	0	0	0		
Поправка на направленность источника Dc, дБ	Dc	DΩ + Di	**3**	3	3	3	3	3	3	3	3		
Затухание из-за геометрической дивергенции, Adiv, дБ	расстояние = 851.79 м	ф-ла (7) [10]	**69,6**										
Коэффициент затухания звука в атмосфере α, дБ/км	Ta=20,°C Pa=101.33,кПа hотн.=70%	ф-ла (5) [9]	0,02	0,09	0,33	1,12	2,79	4,98	9,04	23,09	77,63		
Учет затухания звука в атмосфере Aatm, дБ		ф-ла (8) [10]	0	0,1	0,3	1	2,4	4,2	7,7	19,7	66,1		
Снижение поверхностью земли возле источника As, дБ	Gs = 0 hs = 1м	ф-лы таб.3 [10]	-1,5	-1,5	-1,5	-1,5	-1,5	-1,5	-1,5	-1,5	-1,5		
Снижение поверхностью земли возле приёмника Ar, дБ	Gr = 1 hr = 1.5м	ф-лы таб.3 [10]	-1,5	-1,5	4,7	7	5	0,7	0	0	0		
Снижение поверхностью земли в средней зоне, Am дБ	Gm = 1	ф-лы таб.3 [10]	-2,7	-2,7	0	0	0	0	0	0	0		

1		2	3	4	5	6	7	8	9	10	11	12	13
Суммарное снижение поверхностью земли на траектории распространения звука Agr, дБ		ф-ла (9) [10]	-5,7	-5,7	3,2	5,5	3,5	-0,8	-1,5	-1,5	-1,5		
Уровни звукового давления от источника ИШ-9-12 в расчётной точке днём, дБ		**ф-ла(3)[10]**	**0**	**32,3**	**24,6**	**22,9**	**23,8**	**25,9**	**19,8**	**3,6**	**0**	**28,3**	**28,3**
Уровни звукового давления от источника ИШ-9-12 в расчётной точке ночью, дБ		**ф-ла(3)[10]**	**0**	**32,3**	**24,6**	**22,9**	**23,8**	**25,9**	**19,8**	**3,6**	**0**	**28,3**	**28,3**
Источник шума: ИШ-9-13, координаты источника (x,y,z), м =[654.48,-323.54,1.00]													
Уровни звуковой мощности источника днём, Lw, дБ		**исходные данные**	**0**	**93,3**	**94,7**	**96**	**96,3**	**95,9**	**92,6**	**88,4**	**83,9**		
Уровни звуковой мощности источника ночью, Lw, дБ		**исходные данные**	**0**	**93,3**	**94,7**	**96**	**96,3**	**95,9**	**92,6**	**88,4**	**83,9**		
Поправка на телесный угол DΩ, дБ	Ω = 6.28	10Lg(4π/Ω)	**3**	3	3	3	3	3	3	3	3		
Показатель направленности источника Di, дБ		исходные данные	**0**	0	0	0	0	0	0	0	0		
Поправка на направленность источника Dc, дБ	Dc	DΩ + Di	**3**	3	3	3	3	3	3	3	3		
Затухание из-за геометрической дивергенции, Adiv, дБ	расстояние = 848.88 м	ф-ла (7) [10]	**69,6**										
Коэффициент затухания звука в атмосфере α, дБ/км	Ta=20,°C Pa=101.33,кПа hотн.=70%	ф-ла (5) [9]	0,02	0,09	0,33	1,12	2,79	4,98	9,04	23,09	77,63		
Учет затухания звука в атмосфере Aatm, дБ		ф-ла (8) [10]	0	0,1	0,3	1	2,4	4,2	7,7	19,6	65,9		
Снижение поверхностью земли возле источника As, дБ	Gs = 0 hs = 1м	ф-лы таб.3 [10]	-1,5	-1,5	-1,5	-1,5	-1,5	-1,5	-1,5	-1,5	-1,5		
Снижение поверхностью земли возле приёмника Ar, дБ	Gr = 1 hr = 1.5м	ф-лы таб.3 [10]	-1,5	-1,5	4,7	7	5	0,7	0	0	0		
Снижение поверхностью земли в средней зоне, Am дБ	Gm = 1	ф-лы таб.3 [10]	-2,7	-2,7	0	0	0	0	0	0	0		
Суммарное снижение поверхностью земли на траектории распространения звука Agr, дБ		ф-ла (9) [10]	-5,7	-5,7	3,2	5,5	3,5	-0,8	-1,5	-1,5	-1,5		

1		2	3	4	5	6	7	8	9	10	11	12	13
Уровни звукового давления от источника ИШ-9-13 в расчётной точке днём, дБ		**ф-ла(3)[10]**	**0**	**32,4**	**24,6**	**22,9**	**23,9**	**25,9**	**19,8**	**3,7**	**0**	**28,3**	**28,3**
Уровни звукового давления от источника ИШ-9-13 в расчётной точке ночью, дБ		**ф-ла(3)[10]**	**0**	**32,4**	**24,6**	**22,9**	**23,9**	**25,9**	**19,8**	**3,7**	**0**	**28,3**	**28,3**
Источник шума: ИШ-9-14, координаты источника (x,y,z), м =[655.60,-320.74,1.00]													
Уровни звуковой мощности источника днём, Lw, дБ		**исходные данные**	**0**	**93,3**	**94,7**	**96**	**96,3**	**95,9**	**92,6**	**88,4**	**83,9**		
Уровни звуковой мощности источника ночью, Lw, дБ		**исходные данные**	**0**	**93,3**	**94,7**	**96**	**96,3**	**95,9**	**92,6**	**88,4**	**83,9**		
Поправка на телесный угол DΩ, дБ	Ω = 6.28	10Lg(4π/Ω)	**3**	3	3	3	3	3	3	3	3		
Показатель направленности источника Di, дБ		исходные данные	**0**	0	0	0	0	0	0	0	0		
Поправка на направленность источника Dc, дБ	Dc	DΩ + Di	**3**	3	3	3	3	3	3	3	3		
Затухание из-за геометрической дивергенции, Adiv, дБ	расстояние = 845.96 м	ф-ла (7) [10]	**69,5**										
Коэффициент затухания звука в атмосфере α, дБ/км	Ta=20,°C Pa=101.33,кПа hотн.=70%	ф-ла (5) [9]	0,02	0,09	0,33	1,12	2,79	4,98	9,04	23,09	77,63		
Учет затухания звука в атмосфере Aatm, дБ		ф-ла (8) [10]	0	0,1	0,3	1	2,4	4,2	7,6	19,5	65,7		
Снижение поверхностью земли возле источника As, дБ	Gs = 0 hs = 1м	ф-лы таб.3 [10]	-1,5	-1,5	-1,5	-1,5	-1,5	-1,5	-1,5	-1,5	-1,5		
Снижение поверхностью земли возле приёмника Ar, дБ	Gr = 1 hr = 1.5м	ф-лы таб.3 [10]	-1,5	-1,5	4,7	7	5	0,7	0	0	0		
Снижение поверхностью земли в средней зоне, Am дБ	Gm = 1	ф-лы таб.3 [10]	-2,7	-2,7	0	0	0	0	0	0	0		
Суммарное снижение поверхностью земли на траектории распространения звука Agr, дБ		ф-ла (9) [10]	-5,7	-5,7	3,2	5,5	3,5	-0,8	-1,5	-1,5	-1,5		
Уровни звукового давления от источника ИШ-9-14 в расчётной точке днём, дБ		**ф-ла(3)[10]**	**0**	**32,4**	**24,6**	**23**	**23,9**	**26**	**19,9**	**3,8**	**0**	**28,4**	**28,4**

1		2	3	4	5	6	7	8	9	10	11	12	13
Уровни звукового давления от источника ИШ-9-14 в расчётной точке ночью, дБ		**ф-ла(3)[10]**	**0**	**32,4**	**24,6**	**23**	**23,9**	**26**	**19,9**	**3,8**	**0**	**28,4**	**28,4**
Источник шума: ИШ-9-15, координаты источника (x,y,z), м =[656.44,-317.86,1.00]													
Уровни звуковой мощности источника днём, Lw, дБ		**исходные данные**	**0**	**93,3**	**94,7**	**96**	**96,3**	**95,9**	**92,6**	**88,4**	**83,9**		
Уровни звуковой мощности источника ночью, Lw, дБ		**исходные данные**	**0**	**93,3**	**94,7**	**96**	**96,3**	**95,9**	**92,6**	**88,4**	**83,9**		
Поправка на телесный угол DΩ, дБ	Ω = 6.28	10Lg(4π/Ω)	**3**	3	3	3	3	3	3	3	3		
Показатель направленности источника Di, дБ		исходные данные	**0**	0	0	0	0	0	0	0	0		
Поправка на направленность источника Dc, дБ	Dc	DΩ + Di	**3**	3	3	3	3	3	3	3	3		
Затухание из-за геометрической дивергенции, Adiv, дБ	расстояние = 842.98 м	ф-ла (7) [10]	**69,5**										
Коэффициент затухания звука в атмосфере α, дБ/км	Ta=20,°C Pa=101.33,кПа hотн.=70%	ф-ла (5) [9]	0,02	0,09	0,33	1,12	2,79	4,98	9,04	23,09	77,63		
Учет затухания звука в атмосфере Aatm, дБ		ф-ла (8) [10]	0	0,1	0,3	0,9	2,4	4,2	7,6	19,5	65,4		
Снижение поверхностью земли возле источника As, дБ	Gs = 0 hs = 1м	ф-лы таб.3 [10]	-1,5	-1,5	-1,5	-1,5	-1,5	-1,5	-1,5	-1,5	-1,5		
Снижение поверхностью земли возле приёмника Ar, дБ	Gr = 1 hr = 1.5м	ф-лы таб.3 [10]	-1,5	-1,5	4,7	7	5	0,7	0	0	0		
Снижение поверхностью земли в средней зоне, Am дБ	Gm = 1	ф-лы таб.3 [10]	-2,7	-2,7	0	0	0	0	0	0	0		
Суммарное снижение поверхностью земли на траектории распространения звука Agr, дБ		ф-ла (9) [10]	-5,7	-5,7	3,2	5,5	3,5	-0,8	-1,5	-1,5	-1,5		
Уровни звукового давления от источника ИШ-9-15 в расчётной точке днём, дБ		**ф-ла(3)[10]**	**0**	**32,4**	**24,7**	**23**	**23,9**	**26**	**20**	**3,9**	**0**	**28,4**	**28,4**
Уровни звукового давления от источника ИШ-9-15 в расчётной точке ночью, дБ		**ф-ла(3)[10]**	**0**	**32,4**	**24,7**	**23**	**23,9**	**26**	**20**	**3,9**	**0**	**28,4**	**28,4**

1		2	3	4	5	6	7	8	9	10	11	12	13
Источник шума: ИШ-9-16, координаты источника (x,y,z), м =[657.46,-314.97,1.00]													
Уровни звуковой мощности источника днём, Lw, дБ		**исходные данные**	**0**	**93,3**	**94,7**	**96**	**96,3**	**95,9**	**92,6**	**88,4**	**83,9**		
Уровни звуковой мощности источника ночью, Lw, дБ		**исходные данные**	**0**	**93,3**	**94,7**	**96**	**96,3**	**95,9**	**92,6**	**88,4**	**83,9**		
Поправка на телесный угол DΩ, дБ	Ω = 6.28	10Lg(4π/Ω)	**3**	3	3	3	3	3	3	3	3		
Показатель направленности источника Di, дБ		исходные данные	**0**	0	0	0	0	0	0	0	0		
Поправка на направленность источника Dc, дБ	Dc	DΩ + Di	**3**	3	3	3	3	3	3	3	3		
Затухание из-за геометрической дивергенции, Adiv, дБ	расстояние = 839.98 м	ф-ла (7) [10]	**69,5**										
Коэффициент затухания звука в атмосфере α, дБ/км	Ta=20,°C Pa=101.33,кПа hотн.=70%	ф-ла (5) [9]	0,02	0,09	0,33	1,12	2,79	4,98	9,04	23,09	77,63		
Учет затухания звука в атмосфере Aatm, дБ		ф-ла (8) [10]	0	0,1	0,3	0,9	2,3	4,2	7,6	19,4	65,2		
Снижение поверхностью земли возле источника As, дБ	Gs = 0 hs = 1м	ф-лы таб.3 [10]	-1,5	-1,5	-1,5	-1,5	-1,5	-1,5	-1,5	-1,5	-1,5		
Снижение поверхностью земли возле приёмника Ar, дБ	Gr = 1 hr = 1.5м	ф-лы таб.3 [10]	-1,5	-1,5	4,7	7	5	0,7	0	0	0		
Снижение поверхностью земли в средней зоне, Am дБ	Gm = 1	ф-лы таб.3 [10]	-2,7	-2,7	0	0	0	0	0	0	0		
Суммарное снижение поверхностью земли на траектории распространения звука Agr, дБ		ф-ла (9) [10]	-5,7	-5,7	3,2	5,5	3,5	-0,8	-1,5	-1,5	-1,5		
Уровни звукового давления от источника ИШ-9-16 в расчётной точке днём, дБ		**ф-ла(3)[10]**	**0**	**32,5**	**24,7**	**23**	**24**	**26,1**	**20**	**4**	**0**	**28,4**	**28,4**
Уровни звукового давления от источника ИШ-9-16 в расчётной точке ночью, дБ		**ф-ла(3)[10]**	**0**	**32,5**	**24,7**	**23**	**24**	**26,1**	**20**	**4**	**0**	**28,4**	**28,4**
Источник шума: ИШ-9-17, координаты источника (x,y,z), м =[658.49,-312.18,1.00]													

1		2	3	4	5	6	7	8	9	10	11	12	13
Уровни звуковой мощности источника днём, Lw, дБ		**исходные данные**	**0**	**93,3**	**94,7**	**96**	**96,3**	**95,9**	**92,6**	**88,4**	**83,9**		
Уровни звуковой мощности источника ночью, Lw, дБ		**исходные данные**	**0**	**93,3**	**94,7**	**96**	**96,3**	**95,9**	**92,6**	**88,4**	**83,9**		
Поправка на телесный угол DΩ, дБ	Ω = 6.28	10Lg(4π/Ω)	**3**	3	3	3	3	3	3	3	3		
Показатель направленности источника Di, дБ		исходные данные	**0**	0	0	0	0	0	0	0	0		
Поправка на направленность источника Dc, дБ	Dc	DΩ + Di	**3**	3	3	3	3	3	3	3	3		
Затухание из-за геометрической дивергенции, Adiv, дБ	расстояние = 837.08 м	ф-ла (7) [10]	**69,5**										
Коэффициент затухания звука в атмосфере α, дБ/км	Ta=20,°C Pa=101.33,кПа hотн.=70%	ф-ла (5) [9]	0,02	0,09	0,33	1,12	2,79	4,98	9,04	23,09	77,63		
Учет затухания звука в атмосфере Aatm, дБ		ф-ла (8) [10]	0	0,1	0,3	0,9	2,3	4,2	7,6	19,3	65		
Снижение поверхностью земли возле источника As, дБ	Gs = 0 hs = 1м	ф-лы таб.3 [10]	-1,5	-1,5	-1,5	-1,5	-1,5	-1,5	-1,5	-1,5	-1,5		
Снижение поверхностью земли возле приёмника Ar, дБ	Gr = 1 hr = 1.5м	ф-лы таб.3 [10]	-1,5	-1,5	4,7	7	5	0,7	0	0	0		
Снижение поверхностью земли в средней зоне, Am дБ	Gm = 1	ф-лы таб.3 [10]	-2,7	-2,7	0	0	0	0	0	0	0		
Суммарное снижение поверхностью земли на траектории распространения звука Agr, дБ		ф-ла (9) [10]	-5,7	-5,7	3,2	5,5	3,5	-0,8	-1,5	-1,5	-1,5		
Уровни звукового давления от источника ИШ-9-17 в расчётной точке днём, дБ		**ф-ла(3)[10]**	**0**	**32,5**	**24,8**	**23,1**	**24**	**26,1**	**20,1**	**4,1**	**0**	**28,5**	**28,5**
Уровни звукового давления от источника ИШ-9-17 в расчётной точке ночью, дБ		**ф-ла(3)[10]**	**0**	**32,5**	**24,8**	**23,1**	**24**	**26,1**	**20,1**	**4,1**	**0**	**28,5**	**28,5**
Источник шума: ИШ-9-18, координаты источника (x,y,z), м =[659.42,-309.20,1.00]													
Уровни звуковой мощности источника днём, Lw, дБ		**исходные данные**	**0**	**93,3**	**94,7**	**96**	**96,3**	**95,9**	**92,6**	**88,4**	**83,9**		

1		2	3	4	5	6	7	8	9	10	11	12	13
Уровни звуковой мощности источника ночью, Lw, дБ		**исходные данные**	**0**	**93,3**	**94,7**	**96**	**96,3**	**95,9**	**92,6**	**88,4**	**83,9**		
Поправка на телесный угол DΩ, дБ	Ω = 6.28	10Lg(4π/Ω)	**3**	3	3	3	3	3	3	3	3		
Показатель направленности источника Di, дБ		исходные данные	**0**	0	0	0	0	0	0	0	0		
Поправка на направленность источника Dc, дБ	Dc	DΩ + Di	**3**	3	3	3	3	3	3	3	3		
Затухание из-за геометрической дивергенции, Adiv, дБ	расстояние = 834.00 м	ф-ла (7) [10]	**69,4**										
Коэффициент затухания звука в атмосфере α, дБ/км	Ta=20,°C Pa=101.33,кПа hотн.=70%	ф-ла (5) [9]	0,02	0,09	0,33	1,12	2,79	4,98	9,04	23,09	77,63		
Учет затухания звука в атмосфере Aatm, дБ		ф-ла (8) [10]	0	0,1	0,3	0,9	2,3	4,2	7,5	19,3	64,7		
Снижение поверхностью земли возле источника As, дБ	Gs = 0 hs = 1м	ф-лы таб.3 [10]	-1,5	-1,5	-1,5	-1,5	-1,5	-1,5	-1,5	-1,5	-1,5		
Снижение поверхностью земли возле приёмника Ar, дБ	Gr = 1 hr = 1.5м	ф-лы таб.3 [10]	-1,5	-1,5	4,7	7	5	0,7	0	0	0		
Снижение поверхностью земли в средней зоне, Am дБ	Gm = 1	ф-лы таб.3 [10]	-2,7	-2,7	0	0	0	0	0	0	0		
Суммарное снижение поверхностью земли на траектории распространения звука Agr, дБ		ф-ла (9) [10]	-5,7	-5,7	3,2	5,5	3,5	-0,8	-1,5	-1,5	-1,5		
Уровни звукового давления от источника ИШ-9-18 в расчётной точке днём, дБ		**ф-ла(3)[10]**	**0**	**32,5**	**24,8**	**23,1**	**24,1**	**26,2**	**20,1**	**4,2**	**0**	**28,5**	**28,5**
Уровни звукового давления от источника ИШ-9-18 в расчётной точке ночью, дБ		**ф-ла(3)[10]**	**0**	**32,5**	**24,8**	**23,1**	**24,1**	**26,2**	**20,1**	**4,2**	**0**	**28,5**	**28,5**
Источник шума: ИШ-9-19, координаты источника (x,y,z), м =[660.44,-306.50,1.00]													
Уровни звуковой мощности источника днём, Lw, дБ		**исходные данные**	**0**	**93,3**	**94,7**	**96**	**96,3**	**95,9**	**92,6**	**88,4**	**83,9**		
Уровни звуковой мощности источника ночью, Lw, дБ		**исходные данные**	**0**	**93,3**	**94,7**	**96**	**96,3**	**95,9**	**92,6**	**88,4**	**83,9**		

1		2	3	4	5	6	7	8	9	10	11	12	13
Поправка на телесный угол DΩ, дБ	Ω = 6.28	10Lg(4π/Ω)	**3**	3	3	3	3	3	3	3	3		
Показатель направленности источника Di, дБ		исходные данные	**0**	0	0	0	0	0	0	0	0		
Поправка на направленность источника Dc, дБ	Dc	DΩ + Di	**3**	3	3	3	3	3	3	3	3		
Затухание из-за геометрической дивергенции, Adiv, дБ	расстояние = 831.19 м	ф-ла (7) [10]	**69,4**										
Коэффициент затухания звука в атмосфере α, дБ/км	Ta=20,°C Pa=101.33,кПа hотн.=70%	ф-ла (5) [9]	0,02	0,09	0,33	1,12	2,79	4,98	9,04	23,09	77,63		
Учет затухания звука в атмосфере Aatm, дБ		ф-ла (8) [10]	0	0,1	0,3	0,9	2,3	4,1	7,5	19,2	64,5		
Снижение поверхностью земли возле источника As, дБ	Gs = 0 hs = 1м	ф-лы таб.3 [10]	-1,5	-1,5	-1,5	-1,5	-1,5	-1,5	-1,5	-1,5	-1,5		
Снижение поверхностью земли возле приёмника Ar, дБ	Gr = 1 hr = 1.5м	ф-лы таб.3 [10]	-1,5	-1,5	4,7	7	5	0,7	0	0	0		
Снижение поверхностью земли в средней зоне, Am дБ	Gm = 1	ф-лы таб.3 [10]	-2,7	-2,7	0	0	0	0	0	0	0		
Суммарное снижение поверхностью земли на траектории распространения звука Agr, дБ		ф-ла (9) [10]	-5,7	-5,7	3,2	5,5	3,5	-0,8	-1,5	-1,5	-1,5		
Уровни звукового давления от источника ИШ-9-19 в расчётной точке днём, дБ		**ф-ла(3)[10]**	**0**	**32,6**	**24,8**	**23,1**	**24,1**	**26,2**	**20,2**	**4,3**	**0**	**28,6**	**28,6**
Уровни звукового давления от источника ИШ-9-19 в расчётной точке ночью, дБ		**ф-ла(3)[10]**	**0**	**32,6**	**24,8**	**23,1**	**24,1**	**26,2**	**20,2**	**4,3**	**0**	**28,6**	**28,6**
Источник шума: ИШ-9-20, координаты источника (x,y,z), м =[661.28,-303.61,1.00]													
Уровни звуковой мощности источника днём, Lw, дБ		**исходные данные**	**0**	**93,3**	**94,7**	**96**	**96,3**	**95,9**	**92,6**	**88,4**	**83,9**		
Уровни звуковой мощности источника ночью, Lw, дБ		**исходные данные**	**0**	**93,3**	**94,7**	**96**	**96,3**	**95,9**	**92,6**	**88,4**	**83,9**		
Поправка на телесный угол DΩ, дБ	Ω = 6.28	10Lg(4π/Ω)	**3**	3	3	3	3	3	3	3	3		

1		2	3	4	5	6	7	8	9	10	11	12	13
Показатель направленности источника Di, дБ		исходные данные	**0**	0	0	0	0	0	0	0	0		
Поправка на направленность источника Dc, дБ	Dc	DΩ + Di	**3**	3	3	3	3	3	3	3	3		
Затухание из-за геометрической дивергенции, Adiv, дБ	расстояние = 828.21 м	ф-ла (7) [10]	**69,4**										
Коэффициент затухания звука в атмосфере α, дБ/км	Ta=20,°C Pa=101.33,кПа hотн.=70%	ф-ла (5) [9]	0,02	0,09	0,33	1,12	2,79	4,98	9,04	23,09	77,63		
Учет затухания звука в атмосфере Aatm, дБ		ф-ла (8) [10]	0	0,1	0,3	0,9	2,3	4,1	7,5	19,1	64,3		
Снижение поверхностью земли возле источника As, дБ	Gs = 0 hs = 1м	ф-лы таб.3 [10]	-1,5	-1,5	-1,5	-1,5	-1,5	-1,5	-1,5	-1,5	-1,5		
Снижение поверхностью земли возле приёмника Ar, дБ	Gr = 1 hr = 1.5м	ф-лы таб.3 [10]	-1,5	-1,5	4,7	7	5	0,7	0	0	0		
Снижение поверхностью земли в средней зоне, Am дБ	Gm = 1	ф-лы таб.3 [10]	-2,7	-2,7	0	0	0	0	0	0	0		
Суммарное снижение поверхностью земли на траектории распространения звука Agr, дБ		ф-ла (9) [10]	-5,7	-5,7	3,2	5,5	3,5	-0,8	-1,5	-1,5	-1,5		
Уровни звукового давления от источника ИШ-9-20 в расчётной точке днём, дБ		**ф-ла(3)[10]**	**0**	**32,6**	**24,9**	**23,2**	**24,1**	**26,2**	**20,2**	**4,4**	**0**	**28,6**	**28,6**
Уровни звукового давления от источника ИШ-9-20 в расчётной точке ночью, дБ		**ф-ла(3)[10]**	**0**	**32,6**	**24,9**	**23,2**	**24,1**	**26,2**	**20,2**	**4,4**	**0**	**28,6**	**28,6**
Источник шума: ИШ-9-21, координаты источника (x,y,z), м =[661.93,-300.72,1.00]													
Уровни звуковой мощности источника днём, Lw, дБ		**исходные данные**	**0**	**93,3**	**94,7**	**96**	**96,3**	**95,9**	**92,6**	**88,4**	**83,9**		
Уровни звуковой мощности источника ночью, Lw, дБ		**исходные данные**	**0**	**93,3**	**94,7**	**96**	**96,3**	**95,9**	**92,6**	**88,4**	**83,9**		
Поправка на телесный угол DΩ, дБ	Ω = 6.28	10Lg(4π/Ω)	**3**	3	3	3	3	3	3	3	3		
Показатель направленности источника Di, дБ		исходные данные	**0**	0	0	0	0	0	0	0	0		

1		2	3	4	5	6	7	8	9	10	11	12	13
Поправка на направленность источника Dc, дБ	Dc	DΩ + Di	**3**	3	3	3	3	3	3	3	3		
Затухание из-за геометрической дивергенции, Adiv, дБ	расстояние = 825.26 м	ф-ла (7) [10]	**69,3**										
Коэффициент затухания звука в атмосфере α, дБ/км	Ta=20,°C Pa=101.33,кПа hотн.=70%	ф-ла (5) [9]	0,02	0,09	0,33	1,12	2,79	4,98	9,04	23,09	77,63		
Учет затухания звука в атмосфере Aatm, дБ		ф-ла (8) [10]	0	0,1	0,3	0,9	2,3	4,1	7,5	19,1	64,1		
Снижение поверхностью земли возле источника As, дБ	Gs = 0 hs = 1м	ф-лы таб.3 [10]	-1,5	-1,5	-1,5	-1,5	-1,5	-1,5	-1,5	-1,5	-1,5		
Снижение поверхностью земли возле приёмника Ar, дБ	Gr = 1 hr = 1.5м	ф-лы таб.3 [10]	-1,5	-1,5	4,7	7	5	0,7	0	0	0		
Снижение поверхностью земли в средней зоне, Am дБ	Gm = 1	ф-лы таб.3 [10]	-2,7	-2,7	0	0	0	0	0	0	0		
Суммарное снижение поверхностью земли на траектории распространения звука Agr, дБ		ф-ла (9) [10]	-5,7	-5,7	3,2	5,5	3,5	-0,8	-1,5	-1,5	-1,5		
Уровни звукового давления от источника ИШ-9-21 в расчётной точке днём, дБ		**ф-ла(3)[10]**	**0**	**32,6**	**24,9**	**23,2**	**24,2**	**26,3**	**20,3**	**4,5**	**0**	**28,7**	**28,7**
Уровни звукового давления от источника ИШ-9-21 в расчётной точке ночью, дБ		**ф-ла(3)[10]**	**0**	**32,6**	**24,9**	**23,2**	**24,2**	**26,3**	**20,3**	**4,5**	**0**	**28,7**	**28,7**
Источник шума: ИШ-9-22, координаты источника (x,y,z), м =[663.14,-297.83,1.00]													
Уровни звуковой мощности источника днём, Lw, дБ		**исходные данные**	**0**	**93,3**	**94,7**	**96**	**96,3**	**95,9**	**92,6**	**88,4**	**83,9**		
Уровни звуковой мощности источника ночью, Lw, дБ		**исходные данные**	**0**	**93,3**	**94,7**	**96**	**96,3**	**95,9**	**92,6**	**88,4**	**83,9**		
Поправка на телесный угол DΩ, дБ	Ω = 6.28	10Lg(4π/Ω)	**3**	3	3	3	3	3	3	3	3		
Показатель направленности источника Di, дБ		исходные данные	**0**	0	0	0	0	0	0	0	0		
Поправка на направленность источника Dc, дБ	Dc	DΩ + Di	**3**	3	3	3	3	3	3	3	3		

1		2	3	4	5	6	7	8	9	10	11	12	13
Затухание из-за геометрической дивергенции, Adiv, дБ	расстояние = 822.24 м	ф-ла (7) [10]	**69,3**										
Коэффициент затухания звука в атмосфере α, дБ/км	Ta=20,°C Pa=101.33,кПа hотн.=70%	ф-ла (5) [9]	0,02	0,09	0,33	1,12	2,79	4,98	9,04	23,09	77,63		
Учет затухания звука в атмосфере Aatm, дБ		ф-ла (8) [10]	0	0,1	0,3	0,9	2,3	4,1	7,4	19	63,8		
Снижение поверхностью земли возле источника As, дБ	Gs = 0 hs = 1м	ф-лы таб.3 [10]	-1,5	-1,5	-1,5	-1,5	-1,5	-1,5	-1,5	-1,5	-1,5		
Снижение поверхностью земли возле приёмника Ar, дБ	Gr = 1 hr = 1.5м	ф-лы таб.3 [10]	-1,5	-1,5	4,6	7	5	0,7	0	0	0		
Снижение поверхностью земли в средней зоне, Am дБ	Gm = 1	ф-лы таб.3 [10]	-2,7	-2,7	0	0	0	0	0	0	0		
Суммарное снижение поверхностью земли на траектории распространения звука Agr, дБ		ф-ла (9) [10]	-5,7	-5,7	3,1	5,5	3,5	-0,8	-1,5	-1,5	-1,5		
Уровни звукового давления от источника ИШ-9-22 в расчётной точке днём, дБ		**ф-ла(3)[10]**	**0**	**32,6**	**25**	**23,2**	**24,2**	**26,3**	**20,4**	**4,6**	**0**	**28,7**	**28,7**
Уровни звукового давления от источника ИШ-9-22 в расчётной точке ночью, дБ		**ф-ла(3)[10]**	**0**	**32,6**	**25**	**23,2**	**24,2**	**26,3**	**20,4**	**4,6**	**0**	**28,7**	**28,7**
Источник шума: ИШ-9-23, координаты источника (x,y,z), м =[664.07,-295.13,1.00]													
Уровни звуковой мощности источника днём, Lw, дБ		**исходные данные**	**0**	**93,3**	**94,7**	**96**	**96,3**	**95,9**	**92,6**	**88,4**	**83,9**		
Уровни звуковой мощности источника ночью, Lw, дБ		**исходные данные**	**0**	**93,3**	**94,7**	**96**	**96,3**	**95,9**	**92,6**	**88,4**	**83,9**		
Поправка на телесный угол DΩ, дБ	Ω = 6.28	10Lg(4π/Ω)	**3**	3	3	3	3	3	3	3	3		
Показатель направленности источника Di, дБ		исходные данные	**0**	0	0	0	0	0	0	0	0		
Поправка на направленность источника Dc, дБ	Dc	DΩ + Di	**3**	3	3	3	3	3	3	3	3		
Затухание из-за геометрической дивергенции, Adiv, дБ	расстояние = 819.44 м	ф-ла (7) [10]	**69,3**										

1		2	3	4	5	6	7	8	9	10	11	12	13
Коэффициент затухания звука в атмосфере α, дБ/км	Ta=20,°C Pa=101.33,кПа hотн.=70%	ф-ла (5) [9]	0,02	0,09	0,33	1,12	2,79	4,98	9,04	23,09	77,63		
Учет затухания звука в атмосфере Aatm, дБ		ф-ла (8) [10]	0	0,1	0,3	0,9	2,3	4,1	7,4	18,9	63,6		
Снижение поверхностью земли возле источника As, дБ	Gs = 0 hs = 1м	ф-лы таб.3 [10]	-1,5	-1,5	-1,5	-1,5	-1,5	-1,5	-1,5	-1,5	-1,5		
Снижение поверхностью земли возле приёмника Ar, дБ	Gr = 1 hr = 1.5м	ф-лы таб.3 [10]	-1,5	-1,5	4,6	7	5	0,7	0	0	0		
Снижение поверхностью земли в средней зоне, Am дБ	Gm = 1	ф-лы таб.3 [10]	-2,7	-2,7	0	0	0	0	0	0	0		
Суммарное снижение поверхностью земли на траектории распространения звука Agr, дБ		ф-ла (9) [10]	-5,7	-5,7	3,1	5,5	3,5	-0,8	-1,5	-1,5	-1,5		
Уровни звукового давления от источника ИШ-9-23 в расчётной точке днём, дБ		**ф-ла(3)[10]**	**0**	**32,7**	**25**	**23,3**	**24,3**	**26,4**	**20,4**	**4,7**	**0**	**28,8**	**28,8**
Уровни звукового давления от источника ИШ-9-23 в расчётной точке ночью, дБ		**ф-ла(3)[10]**	**0**	**32,7**	**25**	**23,3**	**24,3**	**26,4**	**20,4**	**4,7**	**0**	**28,8**	**28,8**
Источник шума: ИШ-9-24, координаты источника (x,y,z), м =[665.19,-292.34,1.00]													
Уровни звуковой мощности источника днём, Lw, дБ		**исходные данные**	**0**	**93,3**	**94,7**	**96**	**96,3**	**95,9**	**92,6**	**88,4**	**83,9**		
Уровни звуковой мощности источника ночью, Lw, дБ		**исходные данные**	**0**	**93,3**	**94,7**	**96**	**96,3**	**95,9**	**92,6**	**88,4**	**83,9**		
Поправка на телесный угол DΩ, дБ	Ω = 6.28	10Lg(4π/Ω)	**3**	3	3	3	3	3	3	3	3		
Показатель направленности источника Di, дБ		исходные данные	**0**	0	0	0	0	0	0	0	0		
Поправка на направленность источника Dc, дБ	Dc	DΩ + Di	**3**	3	3	3	3	3	3	3	3		
Затухание из-за геометрической дивергенции, Adiv, дБ	расстояние = 816.53 м	ф-ла (7) [10]	**69,2**										
Коэффициент затухания звука в атмосфере α, дБ/км	Ta=20,°C Pa=101.33,кПа hотн.=70%	ф-ла (5) [9]	0,02	0,09	0,33	1,12	2,79	4,98	9,04	23,09	77,63		

1		2	3	4	5	6	7	8	9	10	11	12	13
Учет затухания звука в атмосфере Aatm, дБ		ф-ла (8) [10]	0	0,1	0,3	0,9	2,3	4,1	7,4	18,9	63,4		
Снижение поверхностью земли возле источника As, дБ	Gs = 0 hs = 1м	ф-лы таб.3 [10]	-1,5	-1,5	-1,5	-1,5	-1,5	-1,5	-1,5	-1,5	-1,5		
Снижение поверхностью земли возле приёмника Ar, дБ	Gr = 1 hr = 1.5м	ф-лы таб.3 [10]	-1,5	-1,5	4,6	7	5	0,7	0	0	0		
Снижение поверхностью земли в средней зоне, Am дБ	Gm = 1	ф-лы таб.3 [10]	-2,7	-2,7	0	0	0	0	0	0	0		
Суммарное снижение поверхностью земли на траектории распространения звука Agr, дБ		ф-ла (9) [10]	-5,7	-5,7	3,1	5,5	3,5	-0,8	-1,5	-1,5	-1,5		
Уровни звукового давления от источника ИШ-9-24 в расчётной точке днём, дБ		**ф-ла(3)[10]**	**0**	**32,7**	**25,1**	**23,3**	**24,3**	**26,4**	**20,5**	**4,8**	**0**	**28,8**	**28,8**
Уровни звукового давления от источника ИШ-9-24 в расчётной точке ночью, дБ		**ф-ла(3)[10]**	**0**	**32,7**	**25,1**	**23,3**	**24,3**	**26,4**	**20,5**	**4,8**	**0**	**28,8**	**28,8**
Источник шума: ИШ-9-25, координаты источника (x,y,z), м =[683.46,-239.16,1.00]													
Уровни звуковой мощности источника днём, Lw, дБ		**исходные данные**	**77**	**75**	**67**	**66**	**63**	**55**	**53**	**48**	**51**		
Уровни звуковой мощности источника ночью, Lw, дБ		**исходные данные**	**77**	**75**	**67**	**66**	**63**	**55**	**53**	**48**	**51**		
Поправка на телесный угол DΩ, дБ	Ω = 6.28	10Lg(4π/Ω)	**3**	3	3	3	3	3	3	3	3		
Показатель направленности источника Di, дБ		исходные данные	**0**	0	0	0	0	0	0	0	0		
Поправка на направленность источника Dc, дБ	Dc	DΩ + Di	**3**	3	3	3	3	3	3	3	3		
Затухание из-за геометрической дивергенции, Adiv, дБ	расстояние = 761.52 м	ф-ла (7) [10]	**68,6**										
Коэффициент затухания звука в атмосфере α, дБ/км	Ta=20,°C Pa=101.33,кПа hотн.=70%	ф-ла (5) [9]	0,02	0,09	0,33	1,12	2,79	4,98	9,04	23,09	77,63		
Учет затухания звука в атмосфере Aatm, дБ		ф-ла (8) [10]	0	0,1	0,3	0,9	2,1	3,8	6,9	17,6	59,1		

1		2	3	4	5	6	7	8	9	10	11	12	13
Снижение поверхностью земли возле источника As, дБ	Gs = 0 hs = 1м	ф-лы таб.3 [10]	-1,5	-1,5	-1,5	-1,5	-1,5	-1,5	-1,5	-1,5	-1,5		
Снижение поверхностью земли возле приёмника Ar, дБ	Gr = 1 hr = 1.5м	ф-лы таб.3 [10]	-1,5	-1,5	4,4	7	5	0,7	0	0	0		
Снижение поверхностью земли в средней зоне, Am дБ	Gm = 1	ф-лы таб.3 [10]	-2,7	-2,7	0	0	0	0	0	0	0		
Суммарное снижение поверхностью земли на траектории распространения звука Agr, дБ		ф-ла (9) [10]	-5,7	-5,7	2,9	5,5	3,5	-0,8	-1,5	-1,5	-1,5		
Уровни звукового давления от источника ИШ-9-25 в расчётной точке днём, дБ		**ф-ла(3)[10]**	**17,1**	**15**	**0**	**0**	**0**	**0**	**0**	**0**	**0**	**0**	**0**
Уровни звукового давления от источника ИШ-9-25 в расчётной точке ночью, дБ		**ф-ла(3)[10]**	**17,1**	**15**	**0**	**0**	**0**	**0**	**0**	**0**	**0**	**0**	**0**
Источник шума: ИШ-9-26, координаты источника (x,y,z), м =[680.09,-249.52,1.00]													
Уровни звуковой мощности источника днём, Lw, дБ		**исходные данные**	**77**	**75**	**67**	**66**	**63**	**55**	**53**	**48**	**51**		
Уровни звуковой мощности источника ночью, Lw, дБ		**исходные данные**	**77**	**75**	**67**	**66**	**63**	**55**	**53**	**48**	**51**		
Поправка на телесный угол DΩ, дБ	Ω = 6.28	10Lg(4π/Ω)	**3**	3	3	3	3	3	3	3	3		
Показатель направленности источника Di, дБ		исходные данные	**0**	0	0	0	0	0	0	0	0		
Поправка на направленность источника Dc, дБ	Dc	DΩ + Di	**3**	3	3	3	3	3	3	3	3		
Затухание из-за геометрической дивергенции, Adiv, дБ	расстояние = 772.19 м	ф-ла (7) [10]	**68,8**										
Коэффициент затухания звука в атмосфере α, дБ/км	Ta=20,°C Pa=101.33,кПа hотн.=70%	ф-ла (5) [9]	0,02	0,09	0,33	1,12	2,79	4,98	9,04	23,09	77,63		
Учет затухания звука в атмосфере Aatm, дБ		ф-ла (8) [10]	0	0,1	0,3	0,9	2,2	3,8	7	17,8	59,9		
Снижение поверхностью земли возле источника As, дБ	Gs = 0 hs = 1м	ф-лы таб.3 [10]	-1,5	-1,5	-1,5	-1,5	-1,5	-1,5	-1,5	-1,5	-1,5		

1		2	3	4	5	6	7	8	9	10	11	12	13
Снижение поверхностью земли возле приёмника Ar, дБ	Gr = 1 hr = 1.5м	ф-лы таб.3 [10]	-1,5	-1,5	4,5	7	5	0,7	0	0	0		
Снижение поверхностью земли в средней зоне, Am дБ	Gm = 1	ф-лы таб.3 [10]	-2,7	-2,7	0	0	0	0	0	0	0		
Суммарное снижение поверхностью земли на траектории распространения звука Agr, дБ		ф-ла (9) [10]	-5,7	-5,7	3	5,5	3,5	-0,8	-1,5	-1,5	-1,5		
Уровни звукового давления от источника ИШ-9-26 в расчётной точке днём, дБ		**ф-ла(3)[10]**	**16,9**	**14,9**	**0**	**0**	**0**	**0**	**0**	**0**	**0**	**0**	**0**
Уровни звукового давления от источника ИШ-9-26 в расчётной точке ночью, дБ		**ф-ла(3)[10]**	**16,9**	**14,9**	**0**	**0**	**0**	**0**	**0**	**0**	**0**	**0**	**0**
Источник шума: ИШ-9-27, координаты источника (x,y,z), м =[676.46,-260.14,1.00]													
Уровни звуковой мощности источника днём, Lw, дБ		**исходные данные**	**77**	**75**	**67**	**66**	**63**	**55**	**53**	**48**	**51**		
Уровни звуковой мощности источника ночью, Lw, дБ		**исходные данные**	**77**	**75**	**67**	**66**	**63**	**55**	**53**	**48**	**51**		
Поправка на телесный угол DΩ, дБ	Ω = 6.28	10Lg(4π/Ω)	**3**	3	3	3	3	3	3	3	3		
Показатель направленности источника Di, дБ		исходные данные	**0**	0	0	0	0	0	0	0	0		
Поправка на направленность источника Dc, дБ	Dc	DΩ + Di	**3**	3	3	3	3	3	3	3	3		
Затухание из-за геометрической дивергенции, Adiv, дБ	расстояние = 783.17 м	ф-ла (7) [10]	**68,9**										
Коэффициент затухания звука в атмосфере α, дБ/км	Ta=20,°C Pa=101.33,кПа hотн.=70%	ф-ла (5) [9]	0,02	0,09	0,33	1,12	2,79	4,98	9,04	23,09	77,63		
Учет затухания звука в атмосфере Aatm, дБ		ф-ла (8) [10]	0	0,1	0,3	0,9	2,2	3,9	7,1	18,1	60,8		
Снижение поверхностью земли возле источника As, дБ	Gs = 0 hs = 1м	ф-лы таб.3 [10]	-1,5	-1,5	-1,5	-1,5	-1,5	-1,5	-1,5	-1,5	-1,5		
Снижение поверхностью земли возле приёмника Ar, дБ	Gr = 1 hr = 1.5м	ф-лы таб.3 [10]	-1,5	-1,5	4,5	7	5	0,7	0	0	0		

1		2	3	4	5	6	7	8	9	10	11	12	13
Снижение поверхностью земли в средней зоне, Am дБ	Gm = 1	ф-лы таб.3 [10]	-2,7	-2,7	0	0	0	0	0	0	0		
Суммарное снижение поверхностью земли на траектории распространения звука Agr, дБ		ф-ла (9) [10]	-5,7	-5,7	3	5,5	3,5	-0,8	-1,5	-1,5	-1,5		
Уровни звукового давления от источника ИШ-9-27 в расчётной точке днём, дБ		**ф-ла(3)[10]**	**16,8**	**14,8**	**0**	**0**	**0**	**0**	**0**	**0**	**0**	**0**	**0**
Уровни звукового давления от источника ИШ-9-27 в расчётной точке ночью, дБ		**ф-ла(3)[10]**	**16,8**	**14,8**	**0**	**0**	**0**	**0**	**0**	**0**	**0**	**0**	**0**
Источник шума: ИШ-10-1, координаты источника (x,y,z), м =[17.37,413.17,1.00]													
Уровни звуковой мощности источника днём, Lw, дБ		**исходные данные**	**0**	**98,3**	**99,7**	**101**	**101,3**	**100,9**	**97,6**	**93,4**	**88,9**		
Уровни звуковой мощности источника ночью, Lw, дБ		**исходные данные**	**0**	**98,3**	**99,7**	**101**	**101,3**	**100,9**	**97,6**	**93,4**	**88,9**		
Поправка на телесный угол DΩ, дБ	Ω = 6.28	10Lg(4π/Ω)	**3**	3	3	3	3	3	3	3	3		
Показатель направленности источника Di, дБ		исходные данные	**0**	0	0	0	0	0	0	0	0		
Поправка на направленность источника Dc, дБ	Dc	DΩ + Di	**3**	3	3	3	3	3	3	3	3		
Затухание из-за геометрической дивергенции, Adiv, дБ	расстояние = 760.83 м	ф-ла (7) [10]	**68,6**										
Коэффициент затухания звука в атмосфере α, дБ/км	Ta=20,°C Pa=101.33,кПа hотн.=70%	ф-ла (5) [9]	0,02	0,09	0,33	1,12	2,79	4,98	9,04	23,09	77,63		
Учет затухания звука в атмосфере Aatm, дБ		ф-ла (8) [10]	0	0,1	0,3	0,9	2,1	3,8	6,9	17,6	59,1		
Снижение уровня звукового давления из-за влияния застройки между источником шума и расчетной точкой													
Снижение уровня звукового давления на пути над экраном, Dz1, дБ	z = 0.08м (разность путей)	ф-лы (14-18) [10]	4,8	4,8	4,8	4,8	4,8	4,8	4,8	4,8	5		
Снижение уровня звукового давления на пути слева от экрана, Dz2, дБ	z = 6.80м (разность путей)	ф-лы (14-18) [10]	14,5	17,3	20,1	23,1	26,1	29	32	35,1	38,1		

1		2	3	4	5	6	7	8	9	10	11	12	13
Снижение уровня звукового давления на пути справа от экрана, Dz3, дБ	z = 0.00м (разность путей)	ф-лы (14-18) [10]	4,8	4,8	4,8	4,8	4,8	4,8	4,8	4,9	4,9		
Общее снижение уровня звука препятствием Dz, дБ		Эн.сумма(-Dzi)	1,5	1,6	1,7	1,7	1,8	1,8	1,8	1,8	1,9		
Уровни звукового давления от источника ИШ-10-1 в расчётной точке днём, дБ		**ф-ла(3)[10]**	**0**	**31**	**32,1**	**32,8**	**31,8**	**29,7**	**23,3**	**8,4**	**0**	**33,5**	**33,5**
Уровни звукового давления от источника ИШ-10-1 в расчётной точке ночью, дБ		**ф-ла(3)[10]**	**0**	**31**	**32,1**	**32,8**	**31,8**	**29,7**	**23,3**	**8,4**	**0**	**33,5**	**33,5**
Источник шума: ИШ-10-2, координаты источника (x,y,z), м =[27.87,443.46,1.00]													
Уровни звуковой мощности источника днём, Lw, дБ		**исходные данные**	**0**	**98,3**	**99,7**	**101**	**101,3**	**100,9**	**97,6**	**93,4**	**88,9**		
Уровни звуковой мощности источника ночью, Lw, дБ		**исходные данные**	**0**	**98,3**	**99,7**	**101**	**101,3**	**100,9**	**97,6**	**93,4**	**88,9**		
Поправка на телесный угол DΩ, дБ	Ω = 6.28	10Lg(4π/Ω)	**3**	3	3	3	3	3	3	3	3		
Показатель направленности источника Di, дБ		исходные данные	**0**	0	0	0	0	0	0	0	0		
Поправка на направленность источника Dc, дБ	Dc	DΩ + Di	**3**	3	3	3	3	3	3	3	3		
Затухание из-за геометрической дивергенции, Adiv, дБ	расстояние = 746.83 м	ф-ла (7) [10]	**68,5**										
Коэффициент затухания звука в атмосфере α, дБ/км	Ta=20,°C Pa=101.33,кПа hотн.=70%	ф-ла (5) [9]	0,02	0,09	0,33	1,12	2,79	4,98	9,04	23,09	77,63		
Учет затухания звука в атмосфере Aatm, дБ		ф-ла (8) [10]	0	0,1	0,3	0,8	2,1	3,7	6,8	17,2	58		
Снижение поверхностью земли возле источника As, дБ	Gs = 0 hs = 1м	ф-лы таб.3 [10]	-1,5	-1,5	-1,5	-1,5	-1,5	-1,5	-1,5	-1,5	-1,5		
Снижение поверхностью земли возле приёмника Ar, дБ	Gr = 1 hr = 1.5м	ф-лы таб.3 [10]	-1,5	-1,5	4,4	7	5	0,7	0	0	0		
Снижение поверхностью земли в средней зоне, Am дБ	Gm = 1	ф-лы таб.3 [10]	-2,7	-2,7	0	0	0	0	0	0	0		

1		2	3	4	5	6	7	8	9	10	11	12	13
Суммарное снижение поверхностью земли на траектории распространения звука Agr, дБ		ф-ла (9) [10]	-5,7	-5,7	2,9	5,5	3,5	-0,8	-1,5	-1,5	-1,5		
Уровни звукового давления прямого звука от источника ИШ-10-2 в расчётной точке днём, дБ		**ф-ла(3)[10]**	**0**	**38,5**	**31,1**	**29,2**	**30,3**	**32,6**	**26,9**	**12,2**	**0**	**35**	**35**
Уровни звукового давления прямого звука от источника ИШ-10-2 в расчётной точке ночью, дБ		**ф-ла(3)[10]**	**0**	**38,5**	**31,1**	**29,2**	**30,3**	**32,6**	**26,9**	**12,2**	**0**	**35**	**35**
Расчёт отражённого звука													
Уровни звукового давления от мнимого источника ИШ-10-2_мн.(1) в расчётной точке днём, дБ		**ф-ла(3)[10]**	**0**	**0**	**0**	**0**	**0**	**0**	**0**	**0**	**0**	**0**	**0**
Уровни звукового давления от мнимого источника ИШ-10-2_мн.(1) в расчётной точке ночью, дБ		**ф-ла(3)[10]**	**0**	**0**	**0**	**0**	**0**	**0**	**0**	**0**	**0**	**0**	**0**
Уровни звукового давления от источника ИШ-10-2 в расчётной точке днём, дБ		**ф-ла(3)[10]**	**0**	**38,5**	**31,1**	**29,2**	**30,3**	**32,6**	**26,9**	**12,2**	**0**	**35**	**35**
Уровни звукового давления от источника ИШ-10-2 в расчётной точке ночью, дБ		**ф-ла(3)[10]**	**0**	**38,5**	**31,1**	**29,2**	**30,3**	**32,6**	**26,9**	**12,2**	**0**	**35**	**35**
Уровни звукового давления в расчётной точке													
Суммарные уровни звукового давления в расчётной точке от всех источников шума днём, Lрт, дБ		**ф-ла (19) [1]**	**69**	**64,8**	**56,8**	**51,3**	**52,7**	**58,1**	**62,2**	**55,6**	**38,3**	**65,3**	**65,3**
Суммарные уровни звукового давления в расчётной точке от всех источников шума ночью, Lрт, дБ		**ф-ла (19) [1]**	**56,3**	**59,2**	**53,2**	**49,4**	**50,7**	**54,5**	**49,4**	**38,1**	**0**	**56,8**	**56,8**
Допускаемые УЗД днём, Lдоп, дБ	Границы санитарно-защитных зон	Таблица 5.35.[23]	90	75	66	59	54	50	47	45	44	55	70
Допускаемые УЗД ночью, Lдоп, дБ	Границы санитарно-защитных зон	Таблица 5.35.[23]	83	67	57	49	44	40	37	35	33	45	60
Превышение днём, дБ		**Lрт - Lдоп**	**-21**	**-10,2**	**-9,2**	**-7,7**	**-1,3**	**8,1**	**15,2**	**10,6**	**-5,7**	**10,3**	**-4,7**
Превышение ночью, дБ		**Lрт - Lдоп**	**-26,7**	**-7,8**	**-3,8**	**0,4**	**6,7**	**14,5**	**12,4**	**3,1**	**-33**	**11,8**	**-3,2**

Определение уровней звукового давления в точке РТ-10 (координаты точки, м: x = 1351.36, y = 388.07, z = 1.50)

Наименование величин и их описание		Ссылка	Расчётные уровни в октавных полосах, со среднегеометрическими частотами, Гц									La, дБА	Lмакс, дБА
			31,5	63	125	250	500	1000	2000	4000	8000		
1		2	3	4	5	6	7	8	9	10	11	12	13
Источник шума: ИШ-1-1, координаты источника (x,y,z), м =[271.72,229.68,1.00]													
Уровни звуковой мощности источника днём, Lw, дБ		**исходные данные**	**97**	**97**	**104**	**106**	**105**	**105**	**98**	**87**	**81**		
Уровни звуковой мощности источника ночью, Lw, дБ		**исходные данные**	**97**	**97**	**104**	**106**	**105**	**105**	**98**	**87**	**81**		
Поправка на телесный угол DΩ, дБ	Ω = 6.28	10Lg(4π/Ω)	**3**	3	3	3	3	3	3	3	3		
Показатель направленности источника Di, дБ		исходные данные	**0**	0	0	0	0	0	0	0	0		
Поправка на направленность источника Dc, дБ	Dc	DΩ + Di	**3**	3	3	3	3	3	3	3	3		
Затухание из-за геометрической дивергенции, Adiv, дБ	расстояние = 1091.19 м	ф-ла (7) [10]	**71,8**										
Коэффициент затухания звука в атмосфере α, дБ/км	Ta=20,°C Pa=101.33,кПа hотн.=70%	ф-ла (5) [9]	0,02	0,09	0,33	1,12	2,79	4,98	9,04	23,09	77,63		
Учет затухания звука в атмосфере Aatm, дБ		ф-ла (8) [10]	0	0,1	0,4	1,2	3	5,4	9,9	25,2	84,7		
Снижение уровня звукового давления из-за влияния застройки между источником шума и расчетной точкой													
Снижение уровня звукового давления на пути над экраном, Dz1, дБ	z = 0.67м (разность путей)	ф-лы (14-18) [10]	4,9	5	5,5	6,4	7,8	9,7	12	14,6	17,3		
Снижение уровня звукового давления на пути слева от экрана, Dz2, дБ	z = 0.80м (разность путей)	ф-лы (14-18) [10]	7,8	9,5	11,7	14,2	17	19,9	22,8	25,8	28,8		
Снижение уровня звукового давления на пути справа от экрана, Dz3, дБ	z = 143.92м (разность путей)	ф-лы (14-18) [10]	31,8	35	38	41	44	47,1	50,1	53,1	56,1		

1		2	3	4	5	6	7	8	9	10	11	12	13
Общее снижение уровня звука препятствием Dz, дБ		Эн.сумма(-Dzi)	3,1	3,7	4,5	5,8	7,3	9,3	11,6	14,2	17		
Уровни звукового давления от источника ИШ-1-1 в расчётной точке днём, дБ		**ф-ла(3)[10]**	**25,2**	**24,4**	**30,3**	**30,3**	**25,9**	**21,5**	**7,8**	**0**	**0**	**27,1**	**27,1**
Уровни звукового давления от источника ИШ-1-1 в расчётной точке ночью, дБ		**ф-ла(3)[10]**	**25,2**	**24,4**	**30,3**	**30,3**	**25,9**	**21,5**	**7,8**	**0**	**0**	**27,1**	**27,1**
Источник шума: ИШ-1-2, координаты источника (x,y,z), м =[261.74,199.14,1.00]													
Уровни звуковой мощности источника днём, Lw, дБ		**исходные данные**	**97**	**97**	**104**	**106**	**105**	**105**	**98**	**87**	**81**		
Уровни звуковой мощности источника ночью, Lw, дБ		**исходные данные**	**97**	**97**	**104**	**106**	**105**	**105**	**98**	**87**	**81**		
Поправка на телесный угол DΩ, дБ	Ω = 6.28	10Lg(4π/Ω)	**3**	3	3	3	3	3	3	3	3		
Показатель направленности источника Di, дБ		исходные данные	**0**	0	0	0	0	0	0	0	0		
Поправка на направленность источника Dc, дБ	Dc	DΩ + Di	**3**	3	3	3	3	3	3	3	3		
Затухание из-за геометрической дивергенции, Adiv, дБ	расстояние = 1105.88 м	ф-ла (7) [10]	**71,9**										
Коэффициент затухания звука в атмосфере α, дБ/км	Ta=20,°C Pa=101.33,кПа hотн.=70%	ф-ла (5) [9]	0,02	0,09	0,33	1,12	2,79	4,98	9,04	23,09	77,63		
Учет затухания звука в атмосфере Aatm, дБ		ф-ла (8) [10]	0	0,1	0,4	1,2	3,1	5,5	10	25,5	85,9		
Снижение уровня звукового давления из-за влияния застройки между источником шума и расчетной точкой													
Снижение уровня звукового давления на пути над экраном, Dz1, дБ	z = 0.67м (разность путей)	ф-лы (14-18) [10]	4,9	5	5,4	6,3	7,6	9,4	11,7	14,2	17		
Снижение уровня звукового давления на пути слева от экрана, Dz2, дБ	z = 8.37м (разность путей)	ф-лы (14-18) [10]	15,3	18,1	21	24	26,9	29,9	32,9	36	39		
Снижение уровня звукового давления на пути справа от экрана, Dz3, дБ	z = 102.31м (разность путей)	ф-лы (14-18) [10]	30,3	33,5	36,5	39,6	42,6	45,6	48,6	51,6	54,6		

1		2	3	4	5	6	7	8	9	10	11	12	13
Общее снижение уровня звука препятствием Dz, дБ		Эн.сумма(-Dzi)	4,5	4,8	5,3	6,2	7,6	9,4	11,6	14,2	16,9		
Уровни звукового давления прямого звука от источника ИШ-1-2 в расчётной точке днём, дБ		**ф-ла(3)[10]**	**23,6**	**23,2**	**29,5**	**29,7**	**25,5**	**21,2**	**7,5**	**0**	**0**	**26,6**	**26,6**
Уровни звукового давления прямого звука от источника ИШ-1-2 в расчётной точке ночью, дБ		**ф-ла(3)[10]**	**23,6**	**23,2**	**29,5**	**29,7**	**25,5**	**21,2**	**7,5**	**0**	**0**	**26,6**	**26,6**
Расчёт отражённого звука													
Уровни звукового давления от мнимого источника ИШ-1-2_мн.(1) в расчётной точке днём, дБ		**ф-ла(3)[10]**	**0**	**0**	**0**	**0**	**0**	**0**	**0**	**0**	**0**	**0**	**0**
Уровни звукового давления от мнимого источника ИШ-1-2_мн.(1) в расчётной точке ночью, дБ		**ф-ла(3)[10]**	**0**	**0**	**0**	**0**	**0**	**0**	**0**	**0**	**0**	**0**	**0**
Уровни звукового давления от источника ИШ-1-2 в расчётной точке днём, дБ		**ф-ла(3)[10]**	**23,6**	**23,2**	**29,5**	**29,7**	**25,5**	**21,2**	**7,5**	**0**	**0**	**26,6**	**26,6**
Уровни звукового давления от источника ИШ-1-2 в расчётной точке ночью, дБ		**ф-ла(3)[10]**	**23,6**	**23,2**	**29,5**	**29,7**	**25,5**	**21,2**	**7,5**	**0**	**0**	**26,6**	**26,6**
Источник шума: ИШ-1-3, координаты источника (x,y,z), м =[251.75,236.44,1.00]													
Уровни звуковой мощности источника днём, Lw, дБ		**исходные данные**	**0**	**91,3**	**92,7**	**94**	**94,3**	**93,9**	**90,6**	**86,4**	**81,9**		
Уровни звуковой мощности источника ночью, Lw, дБ		**исходные данные**	**0**	**91,3**	**92,7**	**94**	**94,3**	**93,9**	**90,6**	**86,4**	**81,9**		
Поправка на телесный угол DΩ, дБ	Ω = 6.28	10Lg(4π/Ω)	**3**	3	3	3	3	3	3	3	3		
Показатель направленности источника Di, дБ		исходные данные	**0**	0	0	0	0	0	0	0	0		
Поправка на направленность источника Dc, дБ	Dc	DΩ + Di	**3**	3	3	3	3	3	3	3	3		
Затухание из-за геометрической дивергенции, Adiv, дБ	расстояние = 1110.01 м	ф-ла (7) [10]	**71,9**										
Коэффициент затухания звука в атмосфере α, дБ/км	Ta=20,°C Pa=101.33,кПа hотн.=70%	ф-ла (5) [9]	0,02	0,09	0,33	1,12	2,79	4,98	9,04	23,09	77,63		

1		2	3	4	5	6	7	8	9	10	11	12	13
Учет затухания звука в атмосфере Aatm, дБ		ф-ла (8) [10]	0	0,1	0,4	1,2	3,1	5,5	10	25,6	86,2		
Снижение уровня звукового давления из-за влияния застройки между источником шума и расчетной точкой													
Снижение уровня звукового давления на пути над экраном, Dz1, дБ	z = 0.50м (разность путей)	ф-лы (14-18) [10]	4,8	4,8	4,8	4,9	5,2	5,9	7,2	8,9	11,1		
Снижение уровня звукового давления на пути слева от экрана, Dz2, дБ	z = 0.01м (разность путей)	ф-лы (14-18) [10]	4,8	4,9	5	5,2	5,6	6,4	7,5	9,2	11,3		
Снижение уровня звукового давления на пути справа от экрана, Dz3, дБ	z = 136.67м (разность путей)	ф-лы (14-18) [10]	31,6	34,8	37,8	40,8	43,8	46,8	49,8	52,9	55,9		
Общее снижение уровня звука препятствием Dz, дБ		Эн.сумма(-Dzi)	1,8	1,8	1,9	2,1	2,4	3,1	4,3	6	8,2		
Уровни звукового давления прямого звука от источника ИШ-1-3 в расчётной точке днём, дБ		**ф-ла(3)[10]**	**0**	**20,4**	**21,5**	**21,8**	**19,9**	**16,4**	**7,3**	**0**	**0**	**20,8**	**20,8**
Уровни звукового давления прямого звука от источника ИШ-1-3 в расчётной точке ночью, дБ		**ф-ла(3)[10]**	**0**	**20,4**	**21,5**	**21,8**	**19,9**	**16,4**	**7,3**	**0**	**0**	**20,8**	**20,8**
Расчёт отражённого звука													
Уровни звукового давления от мнимого источника ИШ-1-3_мн.(1) в расчётной точке днём, дБ		**ф-ла(3)[10]**	**0**	**0**	**0**	**0**	**0**	**0**	**0**	**0**	**0**	**0**	**0**
Уровни звукового давления от мнимого источника ИШ-1-3_мн.(1) в расчётной точке ночью, дБ		**ф-ла(3)[10]**	**0**	**0**	**0**	**0**	**0**	**0**	**0**	**0**	**0**	**0**	**0**
Уровни звукового давления от источника ИШ-1-3 в расчётной точке днём, дБ		**ф-ла(3)[10]**	**0**	**20,4**	**21,5**	**21,8**	**19,9**	**16,4**	**7,3**	**0**	**0**	**20,8**	**20,8**
Уровни звукового давления от источника ИШ-1-3 в расчётной точке ночью, дБ		**ф-ла(3)[10]**	**0**	**20,4**	**21,5**	**21,8**	**19,9**	**16,4**	**7,3**	**0**	**0**	**20,8**	**20,8**
Источник шума: ИШ-1-4, координаты источника (x,y,z), м =[290.25,223.25,1.00]													
Уровни звуковой мощности источника днём, Lw, дБ		**исходные данные**	**0**	**91,3**	**92,7**	**94**	**94,3**	**93,9**	**90,6**	**86,4**	**81,9**		
Уровни звуковой мощности источника ночью, Lw, дБ		**исходные данные**	**0**	**91,3**	**92,7**	**94**	**94,3**	**93,9**	**90,6**	**86,4**	**81,9**		
Поправка на телесный угол DΩ, дБ	Ω = 6.28	10Lg(4π/Ω)	**3**	3	3	3	3	3	3	3	3		

1		2	3	4	5	6	7	8	9	10	11	12	13
Показатель направленности источника Di, дБ		исходные данные	**0**	0	0	0	0	0	0	0	0		
Поправка на направленность источника Dc, дБ	Dc	DΩ + Di	**3**	3	3	3	3	3	3	3	3		
Затухание из-за геометрической дивергенции, Adiv, дБ	расстояние = 1073.83 м	ф-ла (7) [10]	**71,6**										
Коэффициент затухания звука в атмосфере α, дБ/км	Ta=20,°C Pa=101.33,кПа hотн.=70%	ф-ла (5) [9]	0,02	0,09	0,33	1,12	2,79	4,98	9,04	23,09	77,63		
Учет затухания звука в атмосфере Aatm, дБ		ф-ла (8) [10]	0	0,1	0,4	1,2	3	5,3	9,7	24,8	83,4		
Снижение уровня звукового давления из-за влияния застройки между источником шума и расчетной точкой													
Снижение уровня звукового давления на пути над экраном, Dz1, дБ	z = 1.00м (разность путей)	ф-лы (14-18) [10]	5,3	6	7,5	10	12,6	15,4	18,2	21,2	24,1		
Снижение уровня звукового давления на пути слева от экрана, Dz2, дБ	z = 3.51м (разность путей)	ф-лы (14-18) [10]	12	14,6	17,4	20,3	23,2	26,2	29,2	32,2	35,2		
Снижение уровня звукового давления на пути справа от экрана, Dz3, дБ	z = 152.97м (разность путей)	ф-лы (14-18) [10]	32,1	35,3	38,3	41,3	44,3	47,3	50,3	53,3	56,4		
Общее снижение уровня звука препятствием Dz, дБ		Эн.сумма(-Dzi)	4,4	5,4	7,1	9,6	12,3	15	17,9	20,8	23,8		
Уровни звукового давления прямого звука от источника ИШ-1-4 в расчётной точке днём, дБ		**ф-ла(3)[10]**	**0**	**17,2**	**16,6**	**14,6**	**10,4**	**4,9**	**0**	**0**	**0**	**11,3**	**11,3**
Уровни звукового давления прямого звука от источника ИШ-1-4 в расчётной точке ночью, дБ		**ф-ла(3)[10]**	**0**	**17,2**	**16,6**	**14,6**	**10,4**	**4,9**	**0**	**0**	**0**	**11,3**	**11,3**
Расчёт отражённого звука													
Уровни звукового давления от мнимого источника ИШ-1-4_мн.(1) в расчётной точке днём, дБ		**ф-ла(3)[10]**	**0**	**0**	**0**	**0**	**0**	**0**	**0**	**0**	**0**	**0**	**0**
Уровни звукового давления от мнимого источника ИШ-1-4_мн.(1) в расчётной точке ночью, дБ		**ф-ла(3)[10]**	**0**	**0**	**0**	**0**	**0**	**0**	**0**	**0**	**0**	**0**	**0**
Уровни звукового давления от источника ИШ-1-4 в расчётной точке днём, дБ		**ф-ла(3)[10]**	**0**	**17,2**	**16,6**	**14,6**	**10,4**	**4,9**	**0**	**0**	**0**	**11,3**	**11,3**
Уровни звукового давления от источника ИШ-1-4 в расчётной точке ночью, дБ		**ф-ла(3)[10]**	**0**	**17,2**	**16,6**	**14,6**	**10,4**	**4,9**	**0**	**0**	**0**	**11,3**	**11,3**

1		2	3	4	5	6	7	8	9	10	11	12	13
Источник шума: ИШ-1-5, координаты источника (x,y,z), м =[241.49,205.86,1.00]													
Уровни звуковой мощности источника днём, Lw, дБ		**исходные данные**	**0**	**91,3**	**92,7**	**94**	**94,3**	**93,9**	**90,6**	**86,4**	**81,9**		
Уровни звуковой мощности источника ночью, Lw, дБ		**исходные данные**	**0**	**91,3**	**92,7**	**94**	**94,3**	**93,9**	**90,6**	**86,4**	**81,9**		
Поправка на телесный угол DΩ, дБ	Ω = 6.28	10Lg(4π/Ω)	**3**	3	3	3	3	3	3	3	3		
Показатель направленности источника Di, дБ		исходные данные	**0**	0	0	0	0	0	0	0	0		
Поправка на направленность источника Dc, дБ	Dc	DΩ + Di	**3**	3	3	3	3	3	3	3	3		
Затухание из-за геометрической дивергенции, Adiv, дБ	расстояние = 1124.73 м	ф-ла (7) [10]	**72**										
Коэффициент затухания звука в атмосфере α, дБ/км	Ta=20,°C Pa=101.33,кПа hотн.=70%	ф-ла (5) [9]	0,02	0,09	0,33	1,12	2,79	4,98	9,04	23,09	77,63		
Учет затухания звука в атмосфере Aatm, дБ		ф-ла (8) [10]	0	0,1	0,4	1,3	3,1	5,6	10,2	26	87,3		
Снижение уровня звукового давления из-за влияния застройки между источником шума и расчетной точкой													
Снижение уровня звукового давления на пути над экраном, Dz1, дБ	z = 0.50м (разность путей)	ф-лы (14-18) [10]	4,8	4,8	4,9	5,1	5,5	6,2	7,2	8,8	10,8		
Снижение уровня звукового давления на пути слева от экрана, Dz2, дБ	z = 4.03м (разность путей)	ф-лы (14-18) [10]	12,5	15,2	17,9	20,8	23,8	26,8	29,8	32,8	35,8		
Снижение уровня звукового давления на пути справа от экрана, Dz3, дБ	z = 98.09м (разность путей)	ф-лы (14-18) [10]	30,1	33,3	36,3	39,4	42,4	45,4	48,4	51,4	54,4		
Общее снижение уровня звука препятствием Dz, дБ		Эн.сумма(-Dzi)	4,1	4,4	4,7	5	5,4	6,1	7,2	8,8	10,8		
Уровни звукового давления прямого звука от источника ИШ-1-5 в расчётной точке днём, дБ		**ф-ла(3)[10]**	**0**	**17,7**	**18,6**	**18,7**	**16,7**	**13,2**	**4,2**	**0**	**0**	**17,7**	**17,7**
Уровни звукового давления прямого звука от источника ИШ-1-5 в расчётной точке ночью, дБ		**ф-ла(3)[10]**	**0**	**17,7**	**18,6**	**18,7**	**16,7**	**13,2**	**4,2**	**0**	**0**	**17,7**	**17,7**

1		2	3	4	5	6	7	8	9	10	11	12	13
Расчёт отражённого звука													
Уровни звукового давления от мнимого источника ИШ-1-5_мн.(1) в расчётной точке днём, дБ		**ф-ла(3)[10]**	**0**	**0**	**0**	**0**	**0**	**0**	**4,6**	**0**	**0**	**5,8**	**5,8**
Уровни звукового давления от мнимого источника ИШ-1-5_мн.(1) в расчётной точке ночью, дБ		**ф-ла(3)[10]**	**0**	**0**	**0**	**0**	**0**	**0**	**0**	**0**	**0**	**5,8**	**5,8**
Уровни звукового давления от источника ИШ-1-5 в расчётной точке днём, дБ		**ф-ла(3)[10]**	**0**	**17,7**	**18,6**	**18,7**	**16,7**	**13,2**	**7,4**	**0**	**0**	**18**	**18**
Уровни звукового давления от источника ИШ-1-5 в расчётной точке ночью, дБ		**ф-ла(3)[10]**	**0**	**17,7**	**18,6**	**18,7**	**16,7**	**13,2**	**7,4**	**0**	**0**	**18**	**18**
Источник шума: ИШ-1-6, координаты источника (x,y,z), м =[279.85,192.97,1.00]													
Уровни звуковой мощности источника днём, Lw, дБ		**исходные данные**	**0**	**91,3**	**92,7**	**94**	**94,3**	**93,9**	**90,6**	**86,4**	**81,9**		
Уровни звуковой мощности источника ночью, Lw, дБ		**исходные данные**	**0**	**91,3**	**92,7**	**94**	**94,3**	**93,9**	**90,6**	**86,4**	**81,9**		
Поправка на телесный угол DΩ, дБ	Ω = 6.28	10Lg(4π/Ω)	**3**	3	3	3	3	3	3	3	3		
Показатель направленности источника Di, дБ		исходные данные	**0**	0	0	0	0	0	0	0	0		
Поправка на направленность источника Dc, дБ	Dc	DΩ + Di	**3**	3	3	3	3	3	3	3	3		
Затухание из-за геометрической дивергенции, Adiv, дБ	расстояние = 1089.13 м	ф-ла (7) [10]	**71,7**										
Коэффициент затухания звука в атмосфере α, дБ/км	Ta=20,°C Pa=101.33,кПа hотн.=70%	ф-ла (5) [9]	0,02	0,09	0,33	1,12	2,79	4,98	9,04	23,09	77,63		
Учет затухания звука в атмосфере Aatm, дБ		ф-ла (8) [10]	0	0,1	0,4	1,2	3	5,4	9,8	25,1	84,6		
Снижение уровня звукового давления из-за влияния застройки между источником шума и расчетной точкой													
Снижение уровня звукового давления на пути над экраном, Dz1, дБ	z = 0.98м (разность путей)	ф-лы (14-18) [10]	5,2	5,9	7,3	9,7	12,3	15	17,8	20,7	23,7		

1		2	3	4	5	6	7	8	9	10	11	12	13
Снижение уровня звукового давления на пути слева от экрана, Dz2, дБ	z = 14.86м (разность путей)	ф-лы (14-18) [10]	17,6	20,5	23,5	26,4	29,4	32,4	35,4	38,4	41,5		
Снижение уровня звукового давления на пути справа от экрана, Dz3, дБ	z = 108.42м (разность путей)	ф-лы (14-18) [10]	30,6	33,8	36,8	39,8	42,8	45,8	48,8	51,8	54,9		
Общее снижение уровня звука препятствием Dz, дБ		Эн.сумма(-Dzi)	5	5,7	7,2	9,6	12,2	14,9	17,8	20,7	23,6		
Уровни звукового давления от источника ИШ-1-6 в расчётной точке днём, дБ		**ф-ла(3)[10]**	**0**	**16,7**	**16,3**	**14,4**	**10,3**	**4,8**	**0**	**0**	**0**	**11,2**	**11,2**
Уровни звукового давления от источника ИШ-1-6 в расчётной точке ночью, дБ		**ф-ла(3)[10]**	**0**	**16,7**	**16,3**	**14,4**	**10,3**	**4,8**	**0**	**0**	**0**	**11,2**	**11,2**
Источник шума: ИШ-1-7, координаты источника (x,y,z), м =[451.87,146.66,1.00]													
Уровни звуковой мощности источника днём, Lw, дБ		**исходные данные**	**0**	**93,3**	**94,7**	**96**	**96,3**	**95,9**	**92,6**	**88,4**	**83,9**		
Уровни звуковой мощности источника ночью, Lw, дБ		**исходные данные**	**0**	**93,3**	**94,7**	**96**	**96,3**	**95,9**	**92,6**	**88,4**	**83,9**		
Поправка на телесный угол DΩ, дБ	Ω = 6.28	10Lg(4π/Ω)	**3**	3	3	3	3	3	3	3	3		
Показатель направленности источника Di, дБ		исходные данные	**0**	0	0	0	0	0	0	0	0		
Поправка на направленность источника Dc, дБ	Dc	DΩ + Di	**3**	3	3	3	3	3	3	3	3		
Затухание из-за геометрической дивергенции, Adiv, дБ	расстояние = 931.33 м	ф-ла (7) [10]	**70,4**										
Коэффициент затухания звука в атмосфере α, дБ/км	Ta=20,°C Pa=101.33,кПа hотн.=70%	ф-ла (5) [9]	0,02	0,09	0,33	1,12	2,79	4,98	9,04	23,09	77,63		
Учет затухания звука в атмосфере Aatm, дБ		ф-ла (8) [10]	0	0,1	0,3	1	2,6	4,6	8,4	21,5	72,3		
Снижение уровня звукового давления из-за влияния застройки между источником шума и расчетной точкой													
Снижение уровня звукового давления на пути над экраном, Dz1, дБ	z = 0.85м (разность путей)	ф-лы (14-18) [10]	5,2	5,7	7,1	9,3	11,9	14,6	17,4	20,3	23,3		

1		2	3	4	5	6	7	8	9	10	11	12	13
Снижение уровня звукового давления на пути слева от экрана, Dz2, дБ	z = 3.34м (разность путей)	ф-лы (14-18) [10]	11,9	14,4	17,2	20,1	23	26	29	32	35		
Снижение уровня звукового давления на пути справа от экрана, Dz3, дБ	z = 107.22м (разность путей)	ф-лы (14-18) [10]	29,8	33,5	36,7	39,7	42,8	45,8	48,8	51,8	54,8		
Общее снижение уровня звука препятствием Dz, дБ		Эн.сумма(-Dzi)	4,3	5,2	6,7	9	11,6	14,3	17,1	20,1	23		
Уровни звукового давления прямого звука от источника ИШ-1-7 в расчётной точке днём, дБ		**ф-ла(3)[10]**	**0**	**20,6**	**20,3**	**18,6**	**14,7**	**9,6**	**0**	**0**	**0**	**15,6**	**15,6**
Уровни звукового давления прямого звука от источника ИШ-1-7 в расчётной точке ночью, дБ		**ф-ла(3)[10]**	**0**	**20,6**	**20,3**	**18,6**	**14,7**	**9,6**	**0**	**0**	**0**	**15,6**	**15,6**
Расчёт отражённого звука													
Уровни звукового давления от мнимого источника ИШ-1-7_мн.(1) в расчётной точке днём, дБ		**ф-ла(3)[10]**	**0**	**0**	**0**	**0**	**0**	**0**	**15**	**0**	**0**	**16,2**	**16,2**
Уровни звукового давления от мнимого источника ИШ-1-7_мн.(1) в расчётной точке ночью, дБ		**ф-ла(3)[10]**	**0**	**0**	**0**	**0**	**0**	**0**	**0**	**0**	**0**	**16,2**	**16,2**
Уровни звукового давления от источника ИШ-1-7 в расчётной точке днём, дБ		**ф-ла(3)[10]**	**0**	**20,6**	**20,3**	**18,6**	**14,7**	**9,6**	**15**	**0**	**0**	**18,9**	**18,9**
Уровни звукового давления от источника ИШ-1-7 в расчётной точке ночью, дБ		**ф-ла(3)[10]**	**0**	**20,6**	**20,3**	**18,6**	**14,7**	**9,6**	**15**	**0**	**0**	**18,9**	**18,9**
Источник шума: ИШ-1-8, координаты источника (x,y,z), м =[454.99,145.29,1.00]													
Уровни звуковой мощности источника днём, Lw, дБ		**исходные данные**	**0**	**93,3**	**94,7**	**96**	**96,3**	**95,9**	**92,6**	**88,4**	**83,9**		
Уровни звуковой мощности источника ночью, Lw, дБ		**исходные данные**	**0**	**93,3**	**94,7**	**96**	**96,3**	**95,9**	**92,6**	**88,4**	**83,9**		
Поправка на телесный угол DΩ, дБ	Ω = 6.28	10Lg(4π/Ω)	**3**	3	3	3	3	3	3	3	3		
Показатель направленности источника Di, дБ		исходные данные	**0**	0	0	0	0	0	0	0	0		
Поправка на направленность источника Dc, дБ	Dc	DΩ + Di	**3**	3	3	3	3	3	3	3	3		
Затухание из-за геометрической дивергенции, Adiv, дБ	расстояние = 928.66 м	ф-ла (7) [10]	**70,4**										

1		2	3	4	5	6	7	8	9	10	11	12	13
Коэффициент затухания звука в атмосфере α, дБ/км	Та=20,°С Ра=101.33,кПа hотн.=70%	ф-ла (5) [9]	0,02	0,09	0,33	1,12	2,79	4,98	9,04	23,09	77,63		
Учет затухания звука в атмосфере Aatm, дБ		ф-ла (8) [10]	0	0,1	0,3	1	2,6	4,6	8,4	21,4	72,1		
Снижение уровня звукового давления из-за влияния застройки между источником шума и расчетной точкой													
Снижение уровня звукового давления на пути над экраном, Dz1, дБ	z = 0.92м (разность путей)	ф-лы (14-18) [10]	5,3	6	7,6	10,1	12,9	15,7	18,6	21,5	24,5		
Снижение уровня звукового давления на пути слева от экрана, Dz2, дБ	z = 4.17м (разность путей)	ф-лы (14-18) [10]	12,7	15,3	18,1	21	24	26,9	29,9	32,9	35,9		
Снижение уровня звукового давления на пути справа от экрана, Dz3, дБ	z = 108.11м (разность путей)	ф-лы (14-18) [10]	29,9	33,5	36,7	39,8	42,8	45,8	48,8	51,8	54,8		
Общее снижение уровня звука препятствием Dz, дБ		Эн.сумма(-Dzi)	4,6	5,5	7,2	9,8	12,6	15,4	18,2	21,2	24,1		
Уровни звукового давления прямого звука от источника ИШ-1-8 в расчётной точке днём, дБ		**ф-ла(3)[10]**	**0**	**20,3**	**19,8**	**17,8**	**13,8**	**8,5**	**0**	**0**	**0**	**14,7**	**14,7**
Уровни звукового давления прямого звука от источника ИШ-1-8 в расчётной точке ночью, дБ		**ф-ла(3)[10]**	**0**	**20,3**	**19,8**	**17,8**	**13,8**	**8,5**	**0**	**0**	**0**	**14,7**	**14,7**
Расчёт отражённого звука													
Уровни звукового давления от мнимого источника ИШ-1-8_мн.(1) в расчётной точке днём, дБ		**ф-ла(3)[10]**	**0**	**0**	**0**	**0**	**0**	**0**	**15**	**0**	**0**	**16,2**	**16,2**
Уровни звукового давления от мнимого источника ИШ-1-8_мн.(1) в расчётной точке ночью, дБ		**ф-ла(3)[10]**	**0**	**0**	**0**	**0**	**0**	**0**	**0**	**0**	**0**	**16,2**	**16,2**
Уровни звукового давления от источника ИШ-1-8 в расчётной точке днём, дБ		**ф-ла(3)[10]**	**0**	**20,3**	**19,8**	**17,8**	**13,8**	**8,5**	**15**	**0**	**0**	**18,5**	**18,5**
Уровни звукового давления от источника ИШ-1-8 в расчётной точке ночью, дБ		**ф-ла(3)[10]**	**0**	**20,3**	**19,8**	**17,8**	**13,8**	**8,5**	**15**	**0**	**0**	**18,5**	**18,5**
Источник шума: ИШ-1-9, координаты источника (x,y,z), м =[458.12,144.31,1.00]													
Уровни звуковой мощности источника днём, Lw, дБ		**исходные данные**	**0**	**93,3**	**94,7**	**96**	**96,3**	**95,9**	**92,6**	**88,4**	**83,9**		

1		2	3	4	5	6	7	8	9	10	11	12	13
Уровни звуковой мощности источника ночью, Lw, дБ		**исходные данные**	**0**	**93,3**	**94,7**	**96**	**96,3**	**95,9**	**92,6**	**88,4**	**83,9**		
Поправка на телесный угол DΩ, дБ	Ω = 6.28	10Lg(4π/Ω)	**3**	3	3	3	3	3	3	3	3		
Показатель направленности источника Di, дБ		исходные данные	**0**	0	0	0	0	0	0	0	0		
Поправка на направленность источника Dc, дБ	Dc	DΩ + Di	**3**	3	3	3	3	3	3	3	3		
Затухание из-за геометрической дивергенции, Adiv, дБ	расстояние = 925.90 м	ф-ла (7) [10]	**70,3**										
Коэффициент затухания звука в атмосфере α, дБ/км	Ta=20,°C Pa=101.33,кПа hотн.=70%	ф-ла (5) [9]	0,02	0,09	0,33	1,12	2,79	4,98	9,04	23,09	77,63		
Учет затухания звука в атмосфере Aatm, дБ		ф-ла (8) [10]	0	0,1	0,3	1	2,6	4,6	8,4	21,4	71,9		
Снижение уровня звукового давления из-за влияния застройки между источником шума и расчетной точкой													
Снижение уровня звукового давления на пути над экраном, Dz1, дБ	z = 1.00м (разность путей)	ф-лы (14-18) [10]	5,5	6,3	8,2	11	13,9	16,8	19,7	22,6	25,6		
Снижение уровня звукового давления на пути слева от экрана, Dz2, дБ	z = 5.00м (разность путей)	ф-лы (14-18) [10]	13,3	16	18,8	21,8	24,7	27,7	30,7	33,7	36,7		
Снижение уровня звукового давления на пути справа от экрана, Dz3, дБ	z = 109.59м (разность путей)	ф-лы (14-18) [10]	29,9	33,6	36,8	39,8	42,9	45,9	48,9	51,9	54,9		
Общее снижение уровня звука препятствием Dz, дБ		Эн.сумма(-Dzi)	4,8	5,9	7,8	10,6	13,5	16,4	19,3	22,3	25,3		
Общее снижение уровня звука препятствием с учётом ограничения (25 дБ) для октавных полос Dz, дБ		Раздел 7.4 [10]	4,8	5,9	7,8	10,6	13,5	16,4	19,3	22,3	25		
Уровни звукового давления прямого звука от источника ИШ-1-9 в расчётной точке днём, дБ		**ф-ла(3)[10]**	**0**	**20**	**19,2**	**17**	**12,8**	**7,5**	**0**	**0**	**0**	**13,8**	**13,8**
Уровни звукового давления прямого звука от источника ИШ-1-9 в расчётной точке ночью, дБ		**ф-ла(3)[10]**	**0**	**20**	**19,2**	**17**	**12,8**	**7,5**	**0**	**0**	**0**	**13,8**	**13,8**
Расчёт отражённого звука													
Уровни звукового давления от мнимого источника ИШ-1-9_мн.(1) в расчётной точке днём, дБ		**ф-ла(3)[10]**	**0**	**0**	**0**	**0**	**0**	**0**	**14,9**	**0**	**0**	**16,1**	**16,1**

1		2	3	4	5	6	7	8	9	10	11	12	13
Уровни звукового давления от мнимого источника ИШ-1-9_мн.(1) в расчётной точке ночью, дБ		**ф-ла(3)[10]**	**0**	**0**	**0**	**0**	**0**	**0**	**0**	**0**	**0**	**16,1**	**16,1**
Уровни звукового давления от источника ИШ-1-9 в расчётной точке днём, дБ		**ф-ла(3)[10]**	**0**	**20**	**19,2**	**17**	**12,8**	**7,5**	**14,9**	**0**	**0**	**18,1**	**18,1**
Уровни звукового давления от источника ИШ-1-9 в расчётной точке ночью, дБ		**ф-ла(3)[10]**	**0**	**20**	**19,2**	**17**	**12,8**	**7,5**	**14,9**	**0**	**0**	**18,1**	**18,1**
Источник шума: ИШ-1-10, координаты источника (x,y,z), м =[461.05,143.53,1.00]													
Уровни звуковой мощности источника днём, Lw, дБ		**исходные данные**	**0**	**93,3**	**94,7**	**96**	**96,3**	**95,9**	**92,6**	**88,4**	**83,9**		
Уровни звуковой мощности источника ночью, Lw, дБ		**исходные данные**	**0**	**93,3**	**94,7**	**96**	**96,3**	**95,9**	**92,6**	**88,4**	**83,9**		
Поправка на телесный угол DΩ, дБ	Ω = 6.28	10Lg(4π/Ω)	**3**	3	3	3	3	3	3	3	3		
Показатель направленности источника Di, дБ		исходные данные	**0**	0	0	0	0	0	0	0	0		
Поправка на направленность источника Dc, дБ	Dc	DΩ + Di	**3**	3	3	3	3	3	3	3	3		
Затухание из-за геометрической дивергенции, Adiv, дБ	расстояние = 923.28 м	ф-ла (7) [10]	**70,3**										
Коэффициент затухания звука в атмосфере α, дБ/км	Ta=20,°C Pa=101.33,кПа hотн.=70%	ф-ла (5) [9]	0,02	0,09	0,33	1,12	2,79	4,98	9,04	23,09	77,63		
Учет затухания звука в атмосфере Aatm, дБ		ф-ла (8) [10]	0	0,1	0,3	1	2,6	4,6	8,3	21,3	71,7		
Снижение уровня звукового давления из-за влияния застройки между источником шума и расчетной точкой													
Снижение уровня звукового давления на пути над экраном, Dz1, дБ	z = 1.09м (разность путей)	ф-лы (14-18) [10]	5,6	6,7	8,8	11,9	14,9	17,8	20,7	23,7	26,7		
Снижение уровня звукового давления на пути слева от экрана, Dz2, дБ	z = 5.82м (разность путей)	ф-лы (14-18) [10]	13,9	16,6	19,5	22,4	25,4	28,4	31,4	34,4	37,4		
Снижение уровня звукового давления на пути справа от экрана, Dz3, дБ	z = 111.24м (разность путей)	ф-лы (14-18) [10]	30	33,7	36,8	39,9	42,9	45,9	48,9	52	55		

1		2	3	4	5	6	7	8	9	10	11	12	13
Общее снижение уровня звука препятствием Dz, дБ		Эн.сумма(-Dzi)	5	6,3	8,5	11,5	14,5	17,4	20,4	23,3	26,3		
Общее снижение уровня звука препятствием с учётом ограничения (25 дБ) для октавных полос Dz, дБ		Раздел 7.4 [10]	5	6,3	8,5	11,5	14,5	17,4	20,4	23,3	25		
Уровни звукового давления прямого звука от источника ИШ-1-10 в расчётной точке днём, дБ		**ф-ла(3)[10]**	**0**	**19,7**	**18,6**	**16,2**	**11,9**	**6,6**	**0**	**0**	**0**	**12,9**	**12,9**
Уровни звукового давления прямого звука от источника ИШ-1-10 в расчётной точке ночью, дБ		**ф-ла(3)[10]**	**0**	**19,7**	**18,6**	**16,2**	**11,9**	**6,6**	**0**	**0**	**0**	**12,9**	**12,9**
Расчёт отражённого звука													
Уровни звукового давления от мнимого источника ИШ-1-10_мн.(1) в расчётной точке днём, дБ		**ф-ла(3)[10]**	**0**	**0**	**0**	**0**	**0**	**0**	**14,9**	**0**	**0**	**16,1**	**16,1**
Уровни звукового давления от мнимого источника ИШ-1-10_мн.(1) в расчётной точке ночью, дБ		**ф-ла(3)[10]**	**0**	**0**	**0**	**0**	**0**	**0**	**0**	**0**	**0**	**16,1**	**16,1**
Уровни звукового давления от источника ИШ-1-10 в расчётной точке днём, дБ		**ф-ла(3)[10]**	**0**	**19,7**	**18,6**	**16,2**	**11,9**	**6,6**	**14,9**	**0**	**0**	**17,8**	**17,8**
Уровни звукового давления от источника ИШ-1-10 в расчётной точке ночью, дБ		**ф-ла(3)[10]**	**0**	**19,7**	**18,6**	**16,2**	**11,9**	**6,6**	**14,9**	**0**	**0**	**17,8**	**17,8**
Источник шума: ИШ-1-11, координаты источника (x,y,z), м =[464.18,142.55,1.00]													
Уровни звуковой мощности источника днём, Lw, дБ		**исходные данные**	**0**	**93,3**	**94,7**	**96**	**96,3**	**95,9**	**92,6**	**88,4**	**83,9**		
Уровни звуковой мощности источника ночью, Lw, дБ		**исходные данные**	**0**	**93,3**	**94,7**	**96**	**96,3**	**95,9**	**92,6**	**88,4**	**83,9**		
Поправка на телесный угол DΩ, дБ	Ω = 6.28	10Lg(4π/Ω)	**3**	3	3	3	3	3	3	3	3		
Показатель направленности источника Di, дБ		исходные данные	**0**	0	0	0	0	0	0	0	0		
Поправка на направленность источника Dc, дБ	Dc	DΩ + Di	**3**	3	3	3	3	3	3	3	3		
Затухание из-за геометрической дивергенции, Adiv, дБ	расстояние = 920.52 м	ф-ла (7) [10]	**70,3**										
Коэффициент затухания звука в атмосфере α, дБ/км	Ta=20,°C Pa=101.33,кПа hотн.=70%	ф-ла (5) [9]	0,02	0,09	0,33	1,12	2,79	4,98	9,04	23,09	77,63		

1		2	3	4	5	6	7	8	9	10	11	12	13
Учет затухания звука в атмосфере Aatm, дБ		ф-ла (8) [10]	0	0,1	0,3	1	2,6	4,6	8,3	21,3	71,5		
Снижение уровня звукового давления из-за влияния застройки между источником шума и расчетной точкой													
Снижение уровня звукового давления на пути над экраном, Dz1, дБ	z = 1.21м (разность путей)	ф-лы (14-18) [10]	5,9	7,2	9,6	12,9	16	19	22	24,9	27,9		
Снижение уровня звукового давления на пути слева от экрана, Dz2, дБ	z = 6.87м (разность путей)	ф-лы (14-18) [10]	14,5	17,3	20,2	23,1	26,1	29,1	32,1	35,1	38,1		
Снижение уровня звукового давления на пути справа от экрана, Dz3, дБ	z = 112.92м (разность путей)	ф-лы (14-18) [10]	30	33,7	36,9	40	43	46	49	52	55		
Общее снижение уровня звука препятствием Dz, дБ		Эн.сумма(-Dzi)	5,3	6,7	9,3	12,5	15,6	18,6	21,5	24,5	27,5		
Общее снижение уровня звука препятствием с учётом ограничения (25 дБ) для октавных полос Dz, дБ		Раздел 7.4 [10]	5,3	6,7	9,3	12,5	15,6	18,6	21,5	24,5	25		
Уровни звукового давления прямого звука от источника ИШ-1-11 в расчётной точке днём, дБ		**ф-ла(3)[10]**	**0**	**19,2**	**17,9**	**15,2**	**10,9**	**5,5**	**0**	**0**	**0**	**11,9**	**11,9**
Уровни звукового давления прямого звука от источника ИШ-1-11 в расчётной точке ночью, дБ		**ф-ла(3)[10]**	**0**	**19,2**	**17,9**	**15,2**	**10,9**	**5,5**	**0**	**0**	**0**	**11,9**	**11,9**
Расчёт отражённого звука													
Уровни звукового давления от мнимого источника ИШ-1-11_мн.(1) в расчётной точке днём, дБ		**ф-ла(3)[10]**	**0**	**0**	**0**	**0**	**0**	**0**	**14,8**	**0**	**0**	**16**	**16**
Уровни звукового давления от мнимого источника ИШ-1-11_мн.(1) в расчётной точке ночью, дБ		**ф-ла(3)[10]**	**0**	**0**	**0**	**0**	**0**	**0**	**0**	**0**	**0**	**16**	**16**
Уровни звукового давления от источника ИШ-1-11 в расчётной точке днём, дБ		**ф-ла(3)[10]**	**0**	**19,2**	**17,9**	**15,2**	**10,9**	**5,5**	**14,8**	**0**	**0**	**17,4**	**17,4**
Уровни звукового давления от источника ИШ-1-11 в расчётной точке ночью, дБ		**ф-ла(3)[10]**	**0**	**19,2**	**17,9**	**15,2**	**10,9**	**5,5**	**14,8**	**0**	**0**	**17,4**	**17,4**
Источник шума: ИШ-1-12, координаты источника (x,y,z), м =[435.45,97.79,1.00]													
Уровни звуковой мощности источника днём, Lw, дБ		**исходные данные**	**0**	**93,3**	**94,7**	**96**	**96,3**	**95,9**	**92,6**	**88,4**	**83,9**		
Уровни звуковой мощности источника ночью, Lw, дБ		**исходные данные**	**0**	**93,3**	**94,7**	**96**	**96,3**	**95,9**	**92,6**	**88,4**	**83,9**		

1		2	3	4	5	6	7	8	9	10	11	12	13
Поправка на телесный угол DΩ, дБ	Ω = 6.28	10Lg(4π/Ω)	**3**	3	3	3	3	3	3	3	3		
Показатель направленности источника Di, дБ		исходные данные	**0**	0	0	0	0	0	0	0	0		
Поправка на направленность источника Dc, дБ	Dc	DΩ + Di	**3**	3	3	3	3	3	3	3	3		
Затухание из-за геометрической дивергенции, Adiv, дБ	расстояние = 960.81 м	ф-ла (7) [10]	**70,7**										
Коэффициент затухания звука в атмосфере α, дБ/км	Ta=20,°C Pa=101.33,кПа hотн.=70%	ф-ла (5) [9]	0,02	0,09	0,33	1,12	2,79	4,98	9,04	23,09	77,63		
Учет затухания звука в атмосфере Aatm, дБ		ф-ла (8) [10]	0	0,1	0,3	1,1	2,7	4,8	8,7	22,2	74,6		
Снижение уровня звукового давления из-за влияния застройки между источником шума и расчетной точкой													
Снижение уровня звукового давления на пути над экраном, Dz1, дБ	z = 0.83м (разность путей)	ф-лы (14-18) [10]	5,1	5,6	6,8	8,9	11,3	13,9	16,7	19,6	22,5		
Снижение уровня звукового давления на пути слева от экрана, Dz2, дБ	z = 18.85м (разность путей)	ф-лы (14-18) [10]	18,6	21,5	24,5	27,5	30,5	33,5	36,5	39,5	42,5		
Снижение уровня звукового давления на пути справа от экрана, Dz3, дБ	z = 37.60м (разность путей)	ф-лы (14-18) [10]	25,3	29	32,1	35,2	38,2	41,2	44,2	47,3	50,3		
Общее снижение уровня звука препятствием Dz, дБ		Эн.сумма(-Dzi)	4,9	5,5	6,7	8,8	11,2	13,9	16,6	19,5	22,5		
Уровни звукового давления прямого звука от источника ИШ-1-12 в расчётной точке днём, дБ		**ф-ла(3)[10]**	**0**	**20,1**	**20**	**18,5**	**14,7**	**9,6**	**0**	**0**	**0**	**15,5**	**15,5**
Уровни звукового давления прямого звука от источника ИШ-1-12 в расчётной точке ночью, дБ		**ф-ла(3)[10]**	**0**	**20,1**	**20**	**18,5**	**14,7**	**9,6**	**0**	**0**	**0**	**15,5**	**15,5**
Расчёт отражённого звука													
Уровни звукового давления от мнимого источника ИШ-1-12_мн.(1) в расчётной точке днём, дБ		**ф-ла(3)[10]**	**0**	**0**	**0**	**0**	**0**	**0**	**4,8**	**0**	**0**	**6**	**6**
Уровни звукового давления от мнимого источника ИШ-1-12_мн.(1) в расчётной точке ночью, дБ		**ф-ла(3)[10]**	**0**	**0**	**0**	**0**	**0**	**0**	**0**	**0**	**0**	**6**	**6**
Уровни звукового давления от источника ИШ-1-12 в расчётной точке днём, дБ		**ф-ла(3)[10]**	**0**	**20,1**	**20**	**18,5**	**14,7**	**9,6**	**4,8**	**0**	**0**	**16**	**16**

1		2	3	4	5	6	7	8	9	10	11	12	13
Уровни звукового давления от источника ИШ-1-12 в расчётной точке ночью, дБ		**ф-ла(3)[10]**	**0**	**20,1**	**20**	**18,5**	**14,7**	**9,6**	**4,8**	**0**	**0**	**16**	**16**
Источник шума: ИШ-1-13, координаты источника (x,y,z), м =[438.77,96.82,1.00]													
Уровни звуковой мощности источника днём, Lw, дБ		**исходные данные**	**0**	**93,3**	**94,7**	**96**	**96,3**	**95,9**	**92,6**	**88,4**	**83,9**		
Уровни звуковой мощности источника ночью, Lw, дБ		**исходные данные**	**0**	**93,3**	**94,7**	**96**	**96,3**	**95,9**	**92,6**	**88,4**	**83,9**		
Поправка на телесный угол DΩ, дБ	Ω = 6.28	10Lg(4π/Ω)	**3**	3	3	3	3	3	3	3	3		
Показатель направленности источника Di, дБ		исходные данные	**0**	0	0	0	0	0	0	0	0		
Поправка на направленность источника Dc, дБ	Dc	DΩ + Di	**3**	3	3	3	3	3	3	3	3		
Затухание из-за геометрической дивергенции, Adiv, дБ	расстояние = 957.94 м	ф-ла (7) [10]	**70,6**										
Коэффициент затухания звука в атмосфере α, дБ/км	Ta=20,°C Pa=101.33,кПа hотн.=70%	ф-ла (5) [9]	0,02	0,09	0,33	1,12	2,79	4,98	9,04	23,09	77,63		
Учет затухания звука в атмосфере Aatm, дБ		ф-ла (8) [10]	0	0,1	0,3	1,1	2,7	4,8	8,7	22,1	74,4		
Снижение уровня звукового давления из-за влияния застройки между источником шума и расчетной точкой													
Снижение уровня звукового давления на пути над экраном, Dz1, дБ	z = 0.90м (разность путей)	ф-лы (14-18) [10]	5,2	5,8	7,3	9,6	12,3	15	17,9	20,8	23,7		
Снижение уровня звукового давления на пути слева от экрана, Dz2, дБ	z = 20.36м (разность путей)	ф-лы (14-18) [10]	18,9	21,9	24,8	27,8	30,8	33,8	36,8	39,8	42,8		
Снижение уровня звукового давления на пути справа от экрана, Dz3, дБ	z = 37.77м (разность путей)	ф-лы (14-18) [10]	25,3	29	32,1	35,2	38,2	41,2	44,3	47,3	50,3		
Общее снижение уровня звука препятствием Dz, дБ		Эн.сумма(-Dzi)	5	5,7	7,2	9,6	12,2	15	17,8	20,7	23,7		
Уровни звукового давления прямого звука от источника ИШ-1-13 в расчётной точке днём, дБ		**ф-ла(3)[10]**	**0**	**19,9**	**19,5**	**17,7**	**13,8**	**8,5**	**0**	**0**	**0**	**14,6**	**14,6**

1		2	3	4	5	6	7	8	9	10	11	12	13
Уровни звукового давления прямого звука от источника ИШ-1-13 в расчётной точке ночью, дБ		**ф-ла(3)[10]**	**0**	**19,9**	**19,5**	**17,7**	**13,8**	**8,5**	**0**	**0**	**0**	**14,6**	**14,6**
Расчёт отражённого звука													
Уровни звукового давления от мнимого источника ИШ-1-13_мн.(1) в расчётной точке днём, дБ		**ф-ла(3)[10]**	**0**	**0**	**0**	**0**	**0**	**0**	**4,7**	**0**	**0**	**5,9**	**5,9**
Уровни звукового давления от мнимого источника ИШ-1-13_мн.(1) в расчётной точке ночью, дБ		**ф-ла(3)[10]**	**0**	**0**	**0**	**0**	**0**	**0**	**0**	**0**	**0**	**5,9**	**5,9**
Уровни звукового давления от источника ИШ-1-13 в расчётной точке днём, дБ		**ф-ла(3)[10]**	**0**	**19,9**	**19,5**	**17,7**	**13,8**	**8,5**	**4,7**	**0**	**0**	**15,2**	**15,2**
Уровни звукового давления от источника ИШ-1-13 в расчётной точке ночью, дБ		**ф-ла(3)[10]**	**0**	**19,9**	**19,5**	**17,7**	**13,8**	**8,5**	**4,7**	**0**	**0**	**15,2**	**15,2**
Источник шума: ИШ-1-14, координаты источника (x,y,z), м =[441.70,96.03,1.00]													
Уровни звуковой мощности источника днём, Lw, дБ		**исходные данные**	**0**	**93,3**	**94,7**	**96**	**96,3**	**95,9**	**92,6**	**88,4**	**83,9**		
Уровни звуковой мощности источника ночью, Lw, дБ		**исходные данные**	**0**	**93,3**	**94,7**	**96**	**96,3**	**95,9**	**92,6**	**88,4**	**83,9**		
Поправка на телесный угол DΩ, дБ	Ω = 6.28	10Lg(4π/Ω)	**3**	3	3	3	3	3	3	3	3		
Показатель направленности источника Di, дБ		исходные данные	**0**	0	0	0	0	0	0	0	0		
Поправка на направленность источника Dc, дБ	Dc	DΩ + Di	**3**	3	3	3	3	3	3	3	3		
Затухание из-за геометрической дивергенции, Adiv, дБ	расстояние = 955.38 м	ф-ла (7) [10]	**70,6**										
Коэффициент затухания звука в атмосфере α, дБ/км	Ta=20,°C Pa=101.33,кПа hотн.=70%	ф-ла (5) [9]	0,02	0,09	0,33	1,12	2,79	4,98	9,04	23,09	77,63		
Учет затухания звука в атмосфере Aatm, дБ		ф-ла (8) [10]	0	0,1	0,3	1,1	2,7	4,8	8,6	22,1	74,2		
Снижение уровня звукового давления из-за влияния застройки между источником шума и расчетной точкой													

1		2	3	4	5	6	7	8	9	10	11	12	13
Снижение уровня звукового давления на пути над экраном, Dz1, дБ	z = 0.97м (разность путей)	ф-лы (14-18) [10]	5,4	6,1	7,8	10,4	13,2	16	18,9	21,9	24,8		
Снижение уровня звукового давления на пути слева от экрана, Dz2, дБ	z = 21.72м (разность путей)	ф-лы (14-18) [10]	19,2	22,1	25,1	28,1	31,1	34,1	37,1	40,1	43,1		
Снижение уровня звукового давления на пути справа от экрана, Dz3, дБ	z = 38.10м (разность путей)	ф-лы (14-18) [10]	25,4	29	32,2	35,2	38,3	41,3	44,3	47,3	50,3		
Общее снижение уровня звука препятствием Dz, дБ		Эн.сумма(-Dzi)	5,1	6	7,7	10,3	13,1	16	18,8	21,8	24,8		
Уровни звукового давления прямого звука от источника ИШ-1-14 в расчётной точке днём, дБ		**ф-ла(3)[10]**	**0**	**19,6**	**19**	**17**	**12,9**	**7,6**	**0**	**0**	**0**	**13,8**	**13,8**
Уровни звукового давления прямого звука от источника ИШ-1-14 в расчётной точке ночью, дБ		**ф-ла(3)[10]**	**0**	**19,6**	**19**	**17**	**12,9**	**7,6**	**0**	**0**	**0**	**13,8**	**13,8**
Расчёт отражённого звука													
Уровни звукового давления от мнимого источника ИШ-1-14_мн.(1) в расчётной точке днём, дБ		**ф-ла(3)[10]**	**0**	**0**	**0**	**0**	**0**	**0**	**4,6**	**0**	**0**	**5,8**	**5,8**
Уровни звукового давления от мнимого источника ИШ-1-14_мн.(1) в расчётной точке ночью, дБ		**ф-ла(3)[10]**	**0**	**0**	**0**	**0**	**0**	**0**	**0**	**0**	**0**	**5,8**	**5,8**
Уровни звукового давления от мнимого источника ИШ-1-14_мн.(2) в расчётной точке днём, дБ		**ф-ла(3)[10]**	**0**	**0**	**0**	**0**	**0**	**0**	**0**	**0**	**0**	**0**	**0**
Уровни звукового давления от мнимого источника ИШ-1-14_мн.(2) в расчётной точке ночью, дБ		**ф-ла(3)[10]**	**0**	**0**	**0**	**0**	**0**	**0**	**0**	**0**	**0**	**0**	**0**
Суммарные уровни звукового давления от мнимых источников в расчётной точке днём, дБ		**ф-ла (19) [1]**	**0**	**0**	**0**	**0**	**0**	**0**	**4,6**	**0**	**0**	**0**	**5,8**
Суммарные уровни звукового давления от мнимых источников в расчётной точке ночью, дБ		**ф-ла (19) [1]**	**0**	**0**	**0**	**0**	**0**	**0**	**4,6**	**0**	**0**	**0**	**5,8**
Уровни звукового давления от источника ИШ-1-14 в расчётной точке днём, дБ		**ф-ла(3)[10]**	**0**	**19,6**	**19**	**17**	**12,9**	**7,6**	**4,6**	**0**	**0**	**14,5**	**14,5**
Уровни звукового давления от источника ИШ-1-14 в расчётной точке ночью, дБ		**ф-ла(3)[10]**	**0**	**19,6**	**19**	**17**	**12,9**	**7,6**	**4,6**	**0**	**0**	**14,5**	**14,5**
Источник шума: ИШ-1-15, координаты источника (x,y,z), м =[445.03,95.25,1.00]													
Уровни звуковой мощности источника днём, Lw, дБ		**исходные данные**	**0**	**93,3**	**94,7**	**96**	**96,3**	**95,9**	**92,6**	**88,4**	**83,9**		

1		2	3	4	5	6	7	8	9	10	11	12	13
Уровни звуковой мощности источника ночью, Lw, дБ		**исходные данные**	**0**	**93,3**	**94,7**	**96**	**96,3**	**95,9**	**92,6**	**88,4**	**83,9**		
Поправка на телесный угол DΩ, дБ	Ω = 6.28	10Lg(4π/Ω)	**3**	3	3	3	3	3	3	3	3		
Показатель направленности источника Di, дБ		исходные данные	**0**	0	0	0	0	0	0	0	0		
Поправка на направленность источника Dc, дБ	Dc	DΩ + Di	**3**	3	3	3	3	3	3	3	3		
Затухание из-за геометрической дивергенции, Adiv, дБ	расстояние = 952.46 м	ф-ла (7) [10]	**70,6**										
Коэффициент затухания звука в атмосфере α, дБ/км	Ta=20,°C Pa=101.33,кПа hотн.=70%	ф-ла (5) [9]	0,02	0,09	0,33	1,12	2,79	4,98	9,04	23,09	77,63		
Учет затухания звука в атмосфере Aatm, дБ		ф-ла (8) [10]	0	0,1	0,3	1,1	2,7	4,7	8,6	22	73,9		
Снижение уровня звукового давления из-за влияния застройки между источником шума и расчетной точкой													
Снижение уровня звукового давления на пути над экраном, Dz1, дБ	z = 1.06м (разность путей)	ф-лы (14-18) [10]	5,6	6,5	8,5	11,4	14,4	17,3	20,2	23,1	26,1		
Снижение уровня звукового давления на пути слева от экрана, Dz2, дБ	z = 23.30м (разность путей)	ф-лы (14-18) [10]	19,5	22,4	25,4	28,4	31,4	34,4	37,4	40,4	43,4		
Снижение уровня звукового давления на пути справа от экрана, Dz3, дБ	z = 38.70м (разность путей)	ф-лы (14-18) [10]	25,4	29,1	32,3	35,3	38,3	41,4	44,4	47,4	50,4		
Общее снижение уровня звука препятствием Dz, дБ		Эн.сумма(-Dzi)	5,3	6,4	8,4	11,3	14,3	17,2	20,1	23	26		
Общее снижение уровня звука препятствием с учётом ограничения (25 дБ) для октавных полос Dz, дБ		Раздел 7.4 [10]	5,3	6,4	8,4	11,3	14,3	17,2	20,1	23	25		
Уровни звукового давления прямого звука от источника ИШ-1-15 в расчётной точке днём, дБ		**ф-ла(3)[10]**	**0**	**19,3**	**18,4**	**16**	**11,8**	**6,4**	**0**	**0**	**0**	**12,8**	**12,8**
Уровни звукового давления прямого звука от источника ИШ-1-15 в расчётной точке ночью, дБ		**ф-ла(3)[10]**	**0**	**19,3**	**18,4**	**16**	**11,8**	**6,4**	**0**	**0**	**0**	**12,8**	**12,8**
Расчёт отражённого звука													
Уровни звукового давления от мнимого источника ИШ-1-15_мн.(1) в расчётной точке днём, дБ		**ф-ла(3)[10]**	**0**	**0**	**0**	**0**	**0**	**0**	**0**	**0**	**0**	**0**	**0**

1		2	3	4	5	6	7	8	9	10	11	12	13
Уровни звукового давления от мнимого источника ИШ-1-15_мн.(1) в расчётной точке ночью, дБ		**ф-ла(3)[10]**	**0**	**0**	**0**	**0**	**0**	**0**	**0**	**0**	**0**	**0**	**0**
Уровни звукового давления от мнимого источника ИШ-1-15_мн.(2) в расчётной точке днём, дБ		**ф-ла(3)[10]**	**0**	**0**	**0**	**0**	**0**	**0**	**0**	**0**	**0**	**0**	**0**
Уровни звукового давления от мнимого источника ИШ-1-15_мн.(2) в расчётной точке ночью, дБ		**ф-ла(3)[10]**	**0**	**0**	**0**	**0**	**0**	**0**	**0**	**0**	**0**	**0**	**0**
Суммарные уровни звукового давления от мнимых источников в расчётной точке днём, дБ		**ф-ла (19) [1]**	**0**	**0**	**0**	**0**	**0**	**0**	**0**	**0**	**0**	**0**	**0**
Суммарные уровни звукового давления от мнимых источников в расчётной точке ночью, дБ		**ф-ла (19) [1]**	**0**	**0**	**0**	**0**	**0**	**0**	**0**	**0**	**0**	**0**	**0**
Уровни звукового давления от источника ИШ-1-15 в расчётной точке днём, дБ		**ф-ла(3)[10]**	**0**	**19,3**	**18,4**	**16**	**11,8**	**6,4**	**0**	**0**	**0**	**12,8**	**12,8**
Уровни звукового давления от источника ИШ-1-15 в расчётной точке ночью, дБ		**ф-ла(3)[10]**	**0**	**19,3**	**18,4**	**16**	**11,8**	**6,4**	**0**	**0**	**0**	**12,8**	**12,8**
Источник шума: ИШ-1-16, координаты источника (x,y,z), м =[447.96,94.28,1.00]													
Уровни звуковой мощности источника днём, Lw, дБ		**исходные данные**	**0**	**93,3**	**94,7**	**96**	**96,3**	**95,9**	**92,6**	**88,4**	**83,9**		
Уровни звуковой мощности источника ночью, Lw, дБ		**исходные данные**	**0**	**93,3**	**94,7**	**96**	**96,3**	**95,9**	**92,6**	**88,4**	**83,9**		
Поправка на телесный угол DΩ, дБ	Ω = 6.28	10Lg(4π/Ω)	**3**	3	3	3	3	3	3	3	3		
Показатель направленности источника Di, дБ		исходные данные	**0**	0	0	0	0	0	0	0	0		
Поправка на направленность источника Dc, дБ	Dc	DΩ + Di	**3**	3	3	3	3	3	3	3	3		
Затухание из-за геометрической дивергенции, Adiv, дБ	расстояние = 949.97 м	ф-ла (7) [10]	**70,6**										
Коэффициент затухания звука в атмосфере α, дБ/км	Ta=20,°C Pa=101.33,кПа hотн.=70%	ф-ла (5) [9]	0,02	0,09	0,33	1,12	2,79	4,98	9,04	23,09	77,63		
Учет затухания звука в атмосфере Aatm, дБ		ф-ла (8) [10]	0	0,1	0,3	1,1	2,7	4,7	8,6	21,9	73,7		

1		2	3	4	5	6	7	8	9	10	11	12	13
Снижение уровня звукового давления из-за влияния застройки между источником шума и расчетной точкой													
Снижение уровня звукового давления на пути над экраном, Dz1, дБ	z = 1.17м (разность путей)	ф-лы (14-18) [10]	5,8	6,9	9,3	12,4	15,5	18,4	21,4	24,3	27,3		
Снижение уровня звукового давления на пути слева от экрана, Dz2, дБ	z = 24.91м (разность путей)	ф-лы (14-18) [10]	19,8	22,7	25,7	28,7	31,7	34,7	37,7	40,7	43,7		
Снижение уровня звукового давления на пути справа от экрана, Dz3, дБ	z = 39.01м (разность путей)	ф-лы (14-18) [10]	25,5	29,1	32,3	35,4	38,4	41,4	44,4	47,4	50,4		
Общее снижение уровня звука препятствием Dz, дБ		Эн.сумма(-Dzi)	5,6	6,8	9,2	12,3	15,3	18,3	21,2	24,2	27,2		
Общее снижение уровня звука препятствием с учётом ограничения (25 дБ) для октавных полос Dz, дБ		Раздел 7.4 [10]	5,6	6,8	9,2	12,3	15,3	18,3	21,2	24,2	25		
Уровни звукового давления прямого звука от источника ИШ-1-16 в расчётной точке днём, дБ		**ф-ла(3)[10]**	**0**	**18,9**	**17,7**	**15,1**	**10,8**	**5,3**	**0**	**0**	**0**	**11,8**	**11,8**
Уровни звукового давления прямого звука от источника ИШ-1-16 в расчётной точке ночью, дБ		**ф-ла(3)[10]**	**0**	**18,9**	**17,7**	**15,1**	**10,8**	**5,3**	**0**	**0**	**0**	**11,8**	**11,8**
Расчёт отражённого звука													
Уровни звукового давления от мнимого источника ИШ-1-16_мн.(1) в расчётной точке днём, дБ		**ф-ла(3)[10]**	**0**	**0**	**0**	**0**	**0**	**0**	**0**	**0**	**0**	**0**	**0**
Уровни звукового давления от мнимого источника ИШ-1-16_мн.(1) в расчётной точке ночью, дБ		**ф-ла(3)[10]**	**0**	**0**	**0**	**0**	**0**	**0**	**0**	**0**	**0**	**0**	**0**
Уровни звукового давления от мнимого источника ИШ-1-16_мн.(2) в расчётной точке днём, дБ		**ф-ла(3)[10]**	**0**	**0**	**0**	**0**	**0**	**0**	**0**	**0**	**0**	**0**	**0**
Уровни звукового давления от мнимого источника ИШ-1-16_мн.(2) в расчётной точке ночью, дБ		**ф-ла(3)[10]**	**0**	**0**	**0**	**0**	**0**	**0**	**0**	**0**	**0**	**0**	**0**
Суммарные уровни звукового давления от мнимых источников в расчётной точке днём, дБ		**ф-ла (19) [1]**	**0**	**0**	**0**	**0**	**0**	**0**	**0**	**0**	**0**	**0**	**0**
Суммарные уровни звукового давления от мнимых источников в расчётной точке ночью, дБ		**ф-ла (19) [1]**	**0**	**0**	**0**	**0**	**0**	**0**	**0**	**0**	**0**	**0**	**0**
Уровни звукового давления от источника ИШ-1-16 в расчётной точке днём, дБ		**ф-ла(3)[10]**	**0**	**18,9**	**17,7**	**15,1**	**10,8**	**5,3**	**0**	**0**	**0**	**11,8**	**11,8**
Уровни звукового давления от источника ИШ-1-16 в расчётной точке ночью, дБ		**ф-ла(3)[10]**	**0**	**18,9**	**17,7**	**15,1**	**10,8**	**5,3**	**0**	**0**	**0**	**11,8**	**11,8**

1		2	3	4	5	6	7	8	9	10	11	12	13
Источник шума: ИШ-1-17, координаты источника (x,y,z), м =[540.99,141.77,1.00]													
Уровни звуковой мощности источника днём, Lw, дБ		**исходные данные**	**0**	**93,3**	**94,7**	**96**	**96,3**	**95,9**	**92,6**	**88,4**	**83,9**		
Уровни звуковой мощности источника ночью, Lw, дБ		**исходные данные**	**0**	**93,3**	**94,7**	**96**	**96,3**	**95,9**	**92,6**	**88,4**	**83,9**		
Поправка на телесный угол DΩ, дБ	Ω = 6.28	10Lg(4π/Ω)	**3**	3	3	3	3	3	3	3	3		
Показатель направленности источника Di, дБ		исходные данные	**0**	0	0	0	0	0	0	0	0		
Поправка на направленность источника Dc, дБ	Dc	DΩ + Di	**3**	3	3	3	3	3	3	3	3		
Затухание из-за геометрической дивергенции, Adiv, дБ	расстояние = 846.97 м	ф-ла (7) [10]	**69,6**										
Коэффициент затухания звука в атмосфере α, дБ/км	Ta=20,°C Pa=101.33,кПа hотн.=70%	ф-ла (5) [9]	0,02	0,09	0,33	1,12	2,79	4,98	9,04	23,09	77,63		
Учет затухания звука в атмосфере Aatm, дБ		ф-ла (8) [10]	0	0,1	0,3	1	2,4	4,2	7,7	19,6	65,8		
Снижение поверхностью земли возле источника As, дБ	Gs = 0 hs = 1м	ф-лы таб.3 [10]	-1,5	-1,5	-1,5	-1,5	-1,5	-1,5	-1,5	-1,5	-1,5		
Снижение поверхностью земли возле приёмника Ar, дБ	Gr = 1 hr = 1.5м	ф-лы таб.3 [10]	-1,5	-1,5	4,7	7	5	0,7	0	0	0		
Снижение поверхностью земли в средней зоне, Am дБ	Gm = 1	ф-лы таб.3 [10]	-2,7	-2,7	0	0	0	0	0	0	0		
Суммарное снижение поверхностью земли на траектории распространения звука Agr, дБ		ф-ла (9) [10]	-5,7	-5,7	3,2	5,5	3,5	-0,8	-1,5	-1,5	-1,5		
Уровни звукового давления прямого звука от источника ИШ-1-17 в расчётной точке днём, дБ		**ф-ла(3)[10]**	**0**	**32,4**	**24,6**	**23**	**23,9**	**26**	**19,9**	**3,8**	**0**	**28,3**	**28,3**
Уровни звукового давления прямого звука от источника ИШ-1-17 в расчётной точке ночью, дБ		**ф-ла(3)[10]**	**0**	**32,4**	**24,6**	**23**	**23,9**	**26**	**19,9**	**3,8**	**0**	**28,3**	**28,3**
Расчёт отражённого звука													

1		2	3	4	5	6	7	8	9	10	11	12	13
Уровни звукового давления от мнимого источника ИШ-1-17_мн.(1) в расчётной точке днём, дБ		**ф-ла(3)[10]**	**0**	**0**	**0**	**0**	**0**	**0**	**16,6**	**0**	**0**	**17,8**	**17,8**
Уровни звукового давления от мнимого источника ИШ-1-17_мн.(1) в расчётной точке ночью, дБ		**ф-ла(3)[10]**	**0**	**0**	**0**	**0**	**0**	**0**	**0**	**0**	**0**	**17,8**	**17,8**
Уровни звукового давления от источника ИШ-1-17 в расчётной точке днём, дБ		**ф-ла(3)[10]**	**0**	**32,4**	**24,6**	**23**	**23,9**	**26**	**21,5**	**3,8**	**0**	**28,7**	**28,7**
Уровни звукового давления от источника ИШ-1-17 в расчётной точке ночью, дБ		**ф-ла(3)[10]**	**0**	**32,4**	**24,6**	**23**	**23,9**	**26**	**21,5**	**3,8**	**0**	**28,7**	**28,7**
Источник шума: ИШ-1-18, координаты источника (x,y,z), м =[543.53,140.79,1.00]													
Уровни звуковой мощности источника днём, Lw, дБ		**исходные данные**	**0**	**93,3**	**94,7**	**96**	**96,3**	**95,9**	**92,6**	**88,4**	**83,9**		
Уровни звуковой мощности источника ночью, Lw, дБ		**исходные данные**	**0**	**93,3**	**94,7**	**96**	**96,3**	**95,9**	**92,6**	**88,4**	**83,9**		
Поправка на телесный угол DΩ, дБ	Ω = 6.28	10Lg(4π/Ω)	**3**	3	3	3	3	3	3	3	3		
Показатель направленности источника Di, дБ		исходные данные	**0**	0	0	0	0	0	0	0	0		
Поправка на направленность источника Dc, дБ	Dc	DΩ + Di	**3**	3	3	3	3	3	3	3	3		
Затухание из-за геометрической дивергенции, Adiv, дБ	расстояние = 844.82 м	ф-ла (7) [10]	**69,5**										
Коэффициент затухания звука в атмосфере α, дБ/км	Ta=20,°C Pa=101.33,кПа hотн.=70%	ф-ла (5) [9]	0,02	0,09	0,33	1,12	2,79	4,98	9,04	23,09	77,63		
Учет затухания звука в атмосфере Aatm, дБ		ф-ла (8) [10]	0	0,1	0,3	0,9	2,4	4,2	7,6	19,5	65,6		
Снижение поверхностью земли возле источника As, дБ	Gs = 0 hs = 1м	ф-лы таб.3 [10]	-1,5	-1,5	-1,5	-1,5	-1,5	-1,5	-1,5	-1,5	-1,5		
Снижение поверхностью земли возле приёмника Ar, дБ	Gr = 1 hr = 1.5м	ф-лы таб.3 [10]	-1,5	-1,5	4,7	7	5	0,7	0	0	0		
Снижение поверхностью земли в средней зоне, Am дБ	Gm = 1	ф-лы таб.3 [10]	-2,7	-2,7	0	0	0	0	0	0	0		

1		2	3	4	5	6	7	8	9	10	11	12	13
Суммарное снижение поверхностью земли на траектории распространения звука Agr, дБ		ф-ла (9) [10]	-5,7	-5,7	3,2	5,5	3,5	-0,8	-1,5	-1,5	-1,5		
Уровни звукового давления прямого звука от источника ИШ-1-18 в расчётной точке днём, дБ		**ф-ла(3)[10]**	**0**	**32,4**	**24,7**	**23**	**23,9**	**26**	**19,9**	**3,9**	**0**	**28,4**	**28,4**
Уровни звукового давления прямого звука от источника ИШ-1-18 в расчётной точке ночью, дБ		**ф-ла(3)[10]**	**0**	**32,4**	**24,7**	**23**	**23,9**	**26**	**19,9**	**3,9**	**0**	**28,4**	**28,4**
Расчёт отражённого звука													
Уровни звукового давления от мнимого источника ИШ-1-18_мн.(1) в расчётной точке днём, дБ		**ф-ла(3)[10]**	**0**	**0**	**0**	**0**	**0**	**0**	**16,5**	**0**	**0**	**17,7**	**17,7**
Уровни звукового давления от мнимого источника ИШ-1-18_мн.(1) в расчётной точке ночью, дБ		**ф-ла(3)[10]**	**0**	**0**	**0**	**0**	**0**	**0**	**0**	**0**	**0**	**17,7**	**17,7**
Уровни звукового давления от источника ИШ-1-18 в расчётной точке днём, дБ		**ф-ла(3)[10]**	**0**	**32,4**	**24,7**	**23**	**23,9**	**26**	**21,6**	**3,9**	**0**	**28,7**	**28,7**
Уровни звукового давления от источника ИШ-1-18 в расчётной точке ночью, дБ		**ф-ла(3)[10]**	**0**	**32,4**	**24,7**	**23**	**23,9**	**26**	**21,6**	**3,9**	**0**	**28,7**	**28,7**
Источник шума: ИШ-1-19, координаты источника (x,y,z), м =[547.25,139.62,1.00]													
Уровни звуковой мощности источника днём, Lw, дБ		**исходные данные**	**0**	**93,3**	**94,7**	**96**	**96,3**	**95,9**	**92,6**	**88,4**	**83,9**		
Уровни звуковой мощности источника ночью, Lw, дБ		**исходные данные**	**0**	**93,3**	**94,7**	**96**	**96,3**	**95,9**	**92,6**	**88,4**	**83,9**		
Поправка на телесный угол DΩ, дБ	Ω = 6.28	10Lg(4π/Ω)	**3**	3	3	3	3	3	3	3	3		
Показатель направленности источника Di, дБ		исходные данные	**0**	0	0	0	0	0	0	0	0		
Поправка на направленность источника Dc, дБ	Dc	DΩ + Di	**3**	3	3	3	3	3	3	3	3		
Затухание из-за геометрической дивергенции, Adiv, дБ	расстояние = 841.62 м	ф-ла (7) [10]	**69,5**										
Коэффициент затухания звука в атмосфере α, дБ/км	Ta=20,°C Pa=101.33,кПа hотн.=70%	ф-ла (5) [9]	0,02	0,09	0,33	1,12	2,79	4,98	9,04	23,09	77,63		

1		2	3	4	5	6	7	8	9	10	11	12	13
Учет затухания звука в атмосфере Aatm, дБ		ф-ла (8) [10]	0	0,1	0,3	0,9	2,3	4,2	7,6	19,4	65,3		
Снижение поверхностью земли возле источника As, дБ	Gs = 0 hs = 1м	ф-лы таб.3 [10]	-1,5	-1,5	-1,5	-1,5	-1,5	-1,5	-1,5	-1,5	-1,5		
Снижение поверхностью земли возле приёмника Ar, дБ	Gr = 1 hr = 1.5м	ф-лы таб.3 [10]	-1,5	-1,5	4,7	7	5	0,7	0	0	0		
Снижение поверхностью земли в средней зоне, Am дБ	Gm = 1	ф-лы таб.3 [10]	-2,7	-2,7	0	0	0	0	0	0	0		
Суммарное снижение поверхностью земли на траектории распространения звука Agr, дБ		ф-ла (9) [10]	-5,7	-5,7	3,2	5,5	3,5	-0,8	-1,5	-1,5	-1,5		
Уровни звукового давления прямого звука от источника ИШ-1-19 в расчётной точке днём, дБ		**ф-ла(3)[10]**	**0**	**32,4**	**24,7**	**23**	**24**	**26**	**20**	**4**	**0**	**28,4**	**28,4**
Уровни звукового давления прямого звука от источника ИШ-1-19 в расчётной точке ночью, дБ		**ф-ла(3)[10]**	**0**	**32,4**	**24,7**	**23**	**24**	**26**	**20**	**4**	**0**	**28,4**	**28,4**
Расчёт отражённого звука													
Уровни звукового давления от мнимого источника ИШ-1-19_мн.(1) в расчётной точке днём, дБ		**ф-ла(3)[10]**	**0**	**0**	**0**	**0**	**0**	**0**	**16,5**	**0**	**0**	**17,7**	**17,7**
Уровни звукового давления от мнимого источника ИШ-1-19_мн.(1) в расчётной точке ночью, дБ		**ф-ла(3)[10]**	**0**	**0**	**0**	**0**	**0**	**0**	**0**	**0**	**0**	**17,7**	**17,7**
Уровни звукового давления от источника ИШ-1-19 в расчётной точке днём, дБ		**ф-ла(3)[10]**	**0**	**32,4**	**24,7**	**23**	**24**	**26**	**21,6**	**4**	**0**	**28,8**	**28,8**
Уровни звукового давления от источника ИШ-1-19 в расчётной точке ночью, дБ		**ф-ла(3)[10]**	**0**	**32,4**	**24,7**	**23**	**24**	**26**	**21,6**	**4**	**0**	**28,8**	**28,8**
Источник шума: ИШ-1-20, координаты источника (x,y,z), м =[550.38,138.64,1.00]													
Уровни звуковой мощности источника днём, Lw, дБ		**исходные данные**	**0**	**93,3**	**94,7**	**96**	**96,3**	**95,9**	**92,6**	**88,4**	**83,9**		
Уровни звуковой мощности источника ночью, Lw, дБ		**исходные данные**	**0**	**93,3**	**94,7**	**96**	**96,3**	**95,9**	**92,6**	**88,4**	**83,9**		
Поправка на телесный угол DΩ, дБ	Ω = 6.28	10Lg(4π/Ω)	**3**	3	3	3	3	3	3	3	3		
Показатель направленности источника Di, дБ		исходные данные	**0**	0	0	0	0	0	0	0	0		

1		2	3	4	5	6	7	8	9	10	11	12	13
Поправка на направленность источника Dc, дБ	Dc	DΩ + Di	**3**	3	3	3	3	3	3	3	3		
Затухание из-за геометрической дивергенции, Adiv, дБ	расстояние = 838.92 м	ф-ла (7) [10]	**69,5**										
Коэффициент затухания звука в атмосфере α, дБ/км	Ta=20,°C Pa=101.33,кПа hотн.=70%	ф-ла (5) [9]	0,02	0,09	0,33	1,12	2,79	4,98	9,04	23,09	77,63		
Учет затухания звука в атмосфере Aatm, дБ		ф-ла (8) [10]	0	0,1	0,3	0,9	2,3	4,2	7,6	19,4	65,1		
Снижение поверхностью земли возле источника As, дБ	Gs = 0 hs = 1м	ф-лы таб.3 [10]	-1,5	-1,5	-1,5	-1,5	-1,5	-1,5	-1,5	-1,5	-1,5		
Снижение поверхностью земли возле приёмника Ar, дБ	Gr = 1 hr = 1.5м	ф-лы таб.3 [10]	-1,5	-1,5	4,7	7	5	0,7	0	0	0		
Снижение поверхностью земли в средней зоне, Am дБ	Gm = 1	ф-лы таб.3 [10]	-2,7	-2,7	0	0	0	0	0	0	0		
Суммарное снижение поверхностью земли на траектории распространения звука Agr, дБ		ф-ла (9) [10]	-5,7	-5,7	3,2	5,5	3,5	-0,8	-1,5	-1,5	-1,5		
Уровни звукового давления прямого звука от источника ИШ-1-20 в расчётной точке днём, дБ		**ф-ла(3)[10]**	**0**	**32,5**	**24,7**	**23,1**	**24**	**26,1**	**20**	**4,1**	**0**	**28,5**	**28,5**
Уровни звукового давления прямого звука от источника ИШ-1-20 в расчётной точке ночью, дБ		**ф-ла(3)[10]**	**0**	**32,5**	**24,7**	**23,1**	**24**	**26,1**	**20**	**4,1**	**0**	**28,5**	**28,5**
Расчёт отражённого звука													
Уровни звукового давления от мнимого источника ИШ-1-20_мн.(1) в расчётной точке днём, дБ		**ф-ла(3)[10]**	**0**	**0**	**0**	**0**	**0**	**0**	**16,4**	**0**	**0**	**17,6**	**17,6**
Уровни звукового давления от мнимого источника ИШ-1-20_мн.(1) в расчётной точке ночью, дБ		**ф-ла(3)[10]**	**0**	**0**	**0**	**0**	**0**	**0**	**0**	**0**	**0**	**17,6**	**17,6**
Уровни звукового давления от мнимого источника ИШ-1-20_мн.(2) в расчётной точке днём, дБ		**ф-ла(3)[10]**	**0**	**0**	**0**	**0**	**0**	**0**	**0**	**0**	**0**	**0**	**0**
Уровни звукового давления от мнимого источника ИШ-1-20_мн.(2) в расчётной точке ночью, дБ		**ф-ла(3)[10]**	**0**	**0**	**0**	**0**	**0**	**0**	**0**	**0**	**0**	**0**	**0**
Суммарные уровни звукового давления от мнимых источников в расчётной точке днём, дБ		**ф-ла (19) [1]**	**0**	**0**	**0**	**0**	**0**	**0**	**16,4**	**0**	**0**	**0**	**17,6**
Суммарные уровни звукового давления от мнимых источников в расчётной точке ночью, дБ		**ф-ла (19) [1]**	**0**	**0**	**0**	**0**	**0**	**0**	**16,4**	**0**	**0**	**0**	**17,6**

1		2	3	4	5	6	7	8	9	10	11	12	13
Уровни звукового давления от источника ИШ-1-20 в расчётной точке днём, дБ		**ф-ла(3)[10]**	**0**	**32,5**	**24,7**	**23,1**	**24**	**26,1**	**21,6**	**4,1**	**0**	**28,8**	**28,8**
Уровни звукового давления от источника ИШ-1-20 в расчётной точке ночью, дБ		**ф-ла(3)[10]**	**0**	**32,5**	**24,7**	**23,1**	**24**	**26,1**	**21,6**	**4,1**	**0**	**28,8**	**28,8**
Источник шума: ИШ-1-21, координаты источника (x,y,z), м =[553.31,137.67,1.00]													
Уровни звуковой мощности источника днём, Lw, дБ		**исходные данные**	**0**	**93,3**	**94,7**	**96**	**96,3**	**95,9**	**92,6**	**88,4**	**83,9**		
Уровни звуковой мощности источника ночью, Lw, дБ		**исходные данные**	**0**	**93,3**	**94,7**	**96**	**96,3**	**95,9**	**92,6**	**88,4**	**83,9**		
Поправка на телесный угол DΩ, дБ	Ω = 6.28	10Lg(4π/Ω)	**3**	3	3	3	3	3	3	3	3		
Показатель направленности источника Di, дБ		исходные данные	**0**	0	0	0	0	0	0	0	0		
Поправка на направленность источника Dc, дБ	Dc	DΩ + Di	**3**	3	3	3	3	3	3	3	3		
Затухание из-за геометрической дивергенции, Adiv, дБ	расстояние = 836.41 м	ф-ла (7) [10]	**69,4**										
Коэффициент затухания звука в атмосфере α, дБ/км	Ta=20,°C Pa=101.33,кПа hотн.=70%	ф-ла (5) [9]	0,02	0,09	0,33	1,12	2,79	4,98	9,04	23,09	77,63		
Учет затухания звука в атмосфере Aatm, дБ		ф-ла (8) [10]	0	0,1	0,3	0,9	2,3	4,2	7,6	19,3	64,9		
Снижение поверхностью земли возле источника As, дБ	Gs = 0 hs = 1м	ф-лы таб.3 [10]	-1,5	-1,5	-1,5	-1,5	-1,5	-1,5	-1,5	-1,5	-1,5		
Снижение поверхностью земли возле приёмника Ar, дБ	Gr = 1 hr = 1.5м	ф-лы таб.3 [10]	-1,5	-1,5	4,7	7	5	0,7	0	0	0		
Снижение поверхностью земли в средней зоне, Am дБ	Gm = 1	ф-лы таб.3 [10]	-2,7	-2,7	0	0	0	0	0	0	0		
Суммарное снижение поверхностью земли на траектории распространения звука Agr, дБ		ф-ла (9) [10]	-5,7	-5,7	3,2	5,5	3,5	-0,8	-1,5	-1,5	-1,5		
Уровни звукового давления прямого звука от источника ИШ-1-21 в расчётной точке днём, дБ		**ф-ла(3)[10]**	**0**	**32,5**	**24,8**	**23,1**	**24**	**26,1**	**20,1**	**4,1**	**0**	**28,5**	**28,5**

1		2	3	4	5	6	7	8	9	10	11	12	13
Уровни звукового давления прямого звука от источника ИШ-1-21 в расчётной точке ночью, дБ		**ф-ла(3)[10]**	**0**	**32,5**	**24,8**	**23,1**	**24**	**26,1**	**20,1**	**4,1**	**0**	**28,5**	**28,5**
Расчёт отражённого звука													
Уровни звукового давления от мнимого источника ИШ-1-21_мн.(1) в расчётной точке днём, дБ		**ф-ла(3)[10]**	**0**	**0**	**0**	**0**	**0**	**0**	**16,4**	**0**	**0**	**17,6**	**17,6**
Уровни звукового давления от мнимого источника ИШ-1-21_мн.(1) в расчётной точке ночью, дБ		**ф-ла(3)[10]**	**0**	**0**	**0**	**0**	**0**	**0**	**0**	**0**	**0**	**17,6**	**17,6**
Уровни звукового давления от мнимого источника ИШ-1-21_мн.(2) в расчётной точке днём, дБ		**ф-ла(3)[10]**	**0**	**0**	**0**	**0**	**0**	**0**	**0**	**0**	**0**	**0**	**0**
Уровни звукового давления от мнимого источника ИШ-1-21_мн.(2) в расчётной точке ночью, дБ		**ф-ла(3)[10]**	**0**	**0**	**0**	**0**	**0**	**0**	**0**	**0**	**0**	**0**	**0**
Суммарные уровни звукового давления от мнимых источников в расчётной точке днём, дБ		**ф-ла (19) [1]**	**0**	**0**	**0**	**0**	**0**	**0**	**16,4**	**0**	**0**	**0**	**17,6**
Суммарные уровни звукового давления от мнимых источников в расчётной точке ночью, дБ		**ф-ла (19) [1]**	**0**	**0**	**0**	**0**	**0**	**0**	**16,4**	**0**	**0**	**0**	**17,6**
Уровни звукового давления от источника ИШ-1-21 в расчётной точке днём, дБ		**ф-ла(3)[10]**	**0**	**32,5**	**24,8**	**23,1**	**24**	**26,1**	**21,6**	**4,1**	**0**	**28,8**	**28,8**
Уровни звукового давления от источника ИШ-1-21 в расчётной точке ночью, дБ		**ф-ла(3)[10]**	**0**	**32,5**	**24,8**	**23,1**	**24**	**26,1**	**21,6**	**4,1**	**0**	**28,8**	**28,8**
Источник шума: ИШ-1-22, координаты источника (x,y,z), м =[522.03,85.28,1.00]													
Уровни звуковой мощности источника днём, Lw, дБ		**исходные данные**	**0**	**93,3**	**94,7**	**96**	**96,3**	**95,9**	**92,6**	**88,4**	**83,9**		
Уровни звуковой мощности источника ночью, Lw, дБ		**исходные данные**	**0**	**93,3**	**94,7**	**96**	**96,3**	**95,9**	**92,6**	**88,4**	**83,9**		
Поправка на телесный угол DΩ, дБ	Ω = 6.28	10Lg(4π/Ω)	**3**	3	3	3	3	3	3	3	3		
Показатель направленности источника Di, дБ		исходные данные	**0**	0	0	0	0	0	0	0	0		
Поправка на направленность источника Dc, дБ	Dc	DΩ + Di	**3**	3	3	3	3	3	3	3	3		
Затухание из-за геометрической дивергенции, Adiv, дБ	расстояние = 882.87 м	ф-ла (7) [10]	**69,9**										

1		2	3	4	5	6	7	8	9	10	11	12	13
Коэффициент затухания звука в атмосфере α, дБ/км	Та=20,°С Ра=101.33,кПа hотн.=70%	ф-ла (5) [9]	0,02	0,09	0,33	1,12	2,79	4,98	9,04	23,09	77,63		
Учет затухания звука в атмосфере Aatm, дБ		ф-ла (8) [10]	0	0,1	0,3	1	2,5	4,4	8	20,4	68,5		
Снижение уровня звукового давления из-за влияния застройки между источником шума и расчетной точкой													
Снижение уровня звукового давления на пути над экраном, Dz1, дБ	z = 0.10м (разность путей)	ф-лы (14-18) [10]	4,8	4,8	4,8	4,8	4,8	4,8	4,9	5,1	5,4		
Снижение уровня звукового давления на пути слева от экрана, Dz2, дБ	z = 1.16м (разность путей)	ф-лы (14-18) [10]	9,4	12,8	16,6	20	23,1	26,1	29,1	32,1	35,2		
Снижение уровня звукового давления на пути справа от экрана, Dz3, дБ	z = 4.97м (разность путей)	ф-лы (14-18) [10]	13,3	16	18,8	21,7	24,7	27,7	30,7	33,7	36,7		
Общее снижение уровня звука препятствием Dz, дБ		Эн.сумма(-Dzi)	3,1	3,9	4,3	4,6	4,7	4,8	4,9	5,1	5,4		
Уровни звукового давления прямого звука от источника ИШ-1-22 в расчётной точке днём, дБ		**ф-ла(3)[10]**	**0**	**22,4**	**23,1**	**23,5**	**22,2**	**19,8**	**12,8**	**0**	**0**	**23,7**	**23,7**
Уровни звукового давления прямого звука от источника ИШ-1-22 в расчётной точке ночью, дБ		**ф-ла(3)[10]**	**0**	**22,4**	**23,1**	**23,5**	**22,2**	**19,8**	**12,8**	**0**	**0**	**23,7**	**23,7**
Расчёт отражённого звука													
Уровни звукового давления от мнимого источника ИШ-1-22_мн.(1) в расчётной точке днём, дБ		**ф-ла(3)[10]**	**0**	**0**	**0**	**0**	**0**	**0**	**0**	**0**	**0**	**0**	**0**
Уровни звукового давления от мнимого источника ИШ-1-22_мн.(1) в расчётной точке ночью, дБ		**ф-ла(3)[10]**	**0**	**0**	**0**	**0**	**0**	**0**	**0**	**0**	**0**	**0**	**0**
Уровни звукового давления от источника ИШ-1-22 в расчётной точке днём, дБ		**ф-ла(3)[10]**	**0**	**22,4**	**23,1**	**23,5**	**22,2**	**19,8**	**12,8**	**0**	**0**	**23,7**	**23,7**
Уровни звукового давления от источника ИШ-1-22 в расчётной точке ночью, дБ		**ф-ла(3)[10]**	**0**	**22,4**	**23,1**	**23,5**	**22,2**	**19,8**	**12,8**	**0**	**0**	**23,7**	**23,7**
Источник шума: ИШ-1-23, координаты источника (x,y,z), м =[525.16,84.11,1.00]													
Уровни звуковой мощности источника днём, Lw, дБ		**исходные данные**	**0**	**93,3**	**94,7**	**96**	**96,3**	**95,9**	**92,6**	**88,4**	**83,9**		

1		2	3	4	5	6	7	8	9	10	11	12	13
Уровни звуковой мощности источника ночью, Lw, дБ		**исходные данные**	**0**	**93,3**	**94,7**	**96**	**96,3**	**95,9**	**92,6**	**88,4**	**83,9**		
Поправка на телесный угол DΩ, дБ	Ω = 6.28	10Lg(4π/Ω)	**3**	3	3	3	3	3	3	3	3		
Показатель направленности источника Di, дБ		исходные данные	**0**	0	0	0	0	0	0	0	0		
Поправка на направленность источника Dc, дБ	Dc	DΩ + Di	**3**	3	3	3	3	3	3	3	3		
Затухание из-за геометрической дивергенции, Adiv, дБ	расстояние = 880.34 м	ф-ла (7) [10]	**69,9**										
Коэффициент затухания звука в атмосфере α, дБ/км	Ta=20,°C Pa=101.33,кПа hотн.=70%	ф-ла (5) [9]	0,02	0,09	0,33	1,12	2,79	4,98	9,04	23,09	77,63		
Учет затухания звука в атмосфере Aatm, дБ		ф-ла (8) [10]	0	0,1	0,3	1	2,5	4,4	8	20,3	68,3		
Снижение уровня звукового давления из-за влияния застройки между источником шума и расчетной точкой													
Снижение уровня звукового давления на пути над экраном, Dz1, дБ	z = 0.11м (разность путей)	ф-лы (14-18) [10]	4,8	4,8	4,8	4,8	4,8	4,9	5	5,3	5,8		
Снижение уровня звукового давления на пути слева от экрана, Dz2, дБ	z = 1.48м (разность путей)	ф-лы (14-18) [10]	10,1	13,7	17,6	21	24,2	27,2	30,2	33,2	36,2		
Снижение уровня звукового давления на пути справа от экрана, Dz3, дБ	z = 4.41м (разность путей)	ф-лы (14-18) [10]	12,9	15,5	18,3	21,2	24,2	27,2	30,2	33,2	36,2		
Общее снижение уровня звука препятствием Dz, дБ		Эн.сумма(-Dzi)	3,2	3,9	4,4	4,6	4,7	4,9	5	5,3	5,8		
Уровни звукового давления прямого звука от источника ИШ-1-23 в расчётной точке днём, дБ		**ф-ла(3)[10]**	**0**	**22,4**	**23,1**	**23,5**	**22,2**	**19,8**	**12,7**	**0**	**0**	**23,7**	**23,7**
Уровни звукового давления прямого звука от источника ИШ-1-23 в расчётной точке ночью, дБ		**ф-ла(3)[10]**	**0**	**22,4**	**23,1**	**23,5**	**22,2**	**19,8**	**12,7**	**0**	**0**	**23,7**	**23,7**
Расчёт отражённого звука													
Уровни звукового давления от мнимого источника ИШ-1-23_мн.(1) в расчётной точке днём, дБ		**ф-ла(3)[10]**	**0**	**0**	**0**	**0**	**0**	**0**	**0**	**0**	**0**	**0**	**0**
Уровни звукового давления от мнимого источника ИШ-1-23_мн.(1) в расчётной точке ночью, дБ		**ф-ла(3)[10]**	**0**	**0**	**0**	**0**	**0**	**0**	**0**	**0**	**0**	**0**	**0**

1		2	3	4	5	6	7	8	9	10	11	12	13
Уровни звукового давления от источника ИШ-1-23 в расчётной точке днём, дБ		**ф-ла(3)[10]**	**0**	**22,4**	**23,1**	**23,5**	**22,2**	**19,8**	**12,7**	**0**	**0**	**23,7**	**23,7**
Уровни звукового давления от источника ИШ-1-23 в расчётной точке ночью, дБ		**ф-ла(3)[10]**	**0**	**22,4**	**23,1**	**23,5**	**22,2**	**19,8**	**12,7**	**0**	**0**	**23,7**	**23,7**
Источник шума: ИШ-1-24, координаты источника (x,y,z), м =[528.48,82.94,1.00]													
Уровни звуковой мощности источника днём, Lw, дБ		**исходные данные**	**0**	**93,3**	**94,7**	**96**	**96,3**	**95,9**	**92,6**	**88,4**	**83,9**		
Уровни звуковой мощности источника ночью, Lw, дБ		**исходные данные**	**0**	**93,3**	**94,7**	**96**	**96,3**	**95,9**	**92,6**	**88,4**	**83,9**		
Поправка на телесный угол DΩ, дБ	Ω = 6.28	10Lg(4π/Ω)	**3**	3	3	3	3	3	3	3	3		
Показатель направленности источника Di, дБ		исходные данные	**0**	0	0	0	0	0	0	0	0		
Поправка на направленность источника Dc, дБ	Dc	DΩ + Di	**3**	3	3	3	3	3	3	3	3		
Затухание из-за геометрической дивергенции, Adiv, дБ	расстояние = 877.63 м	ф-ла (7) [10]	**69,9**										
Коэффициент затухания звука в атмосфере α, дБ/км	Ta=20,°C Pa=101.33,кПа hотн.=70%	ф-ла (5) [9]	0,02	0,09	0,33	1,12	2,79	4,98	9,04	23,09	77,63		
Учет затухания звука в атмосфере Aatm, дБ		ф-ла (8) [10]	0	0,1	0,3	1	2,4	4,4	7,9	20,3	68,1		
Снижение уровня звукового давления из-за влияния застройки между источником шума и расчетной точкой													
Снижение уровня звукового давления на пути над экраном, Dz1, дБ	z = 0.12м (разность путей)	ф-лы (14-18) [10]	4,8	4,8	4,8	4,8	4,9	5	5,3	5,7	6,5		
Снижение уровня звукового давления на пути слева от экрана, Dz2, дБ	z = 1.87м (разность путей)	ф-лы (14-18) [10]	10,9	14,6	18,6	22	25,2	28,2	31,2	34,2	37,2		
Снижение уровня звукового давления на пути справа от экрана, Dz3, дБ	z = 3.86м (разность путей)	ф-лы (14-18) [10]	12,4	15	17,8	20,7	23,6	26,6	29,6	32,6	35,6		
Общее снижение уровня звука препятствием Dz, дБ		Эн.сумма(-Dzi)	3,3	4	4,4	4,6	4,8	5	5,2	5,7	6,4		

1		2	3	4	5	6	7	8	9	10	11	12	13
Уровни звукового давления прямого звука от источника ИШ-1-24 в расчётной точке днём, дБ		**ф-ла(3)[10]**	**0**	**22,4**	**23,1**	**23,5**	**22,2**	**19,7**	**12,6**	**0**	**0**	**23,7**	**23,7**
Уровни звукового давления прямого звука от источника ИШ-1-24 в расчётной точке ночью, дБ		**ф-ла(3)[10]**	**0**	**22,4**	**23,1**	**23,5**	**22,2**	**19,7**	**12,6**	**0**	**0**	**23,7**	**23,7**
Расчёт отражённого звука													
Уровни звукового давления от мнимого источника ИШ-1-24_мн.(1) в расчётной точке днём, дБ		**ф-ла(3)[10]**	**0**	**0**	**0**	**0**	**0**	**0**	**0**	**0**	**0**	**0**	**0**
Уровни звукового давления от мнимого источника ИШ-1-24_мн.(1) в расчётной точке ночью, дБ		**ф-ла(3)[10]**	**0**	**0**	**0**	**0**	**0**	**0**	**0**	**0**	**0**	**0**	**0**
Уровни звукового давления от источника ИШ-1-24 в расчётной точке днём, дБ		**ф-ла(3)[10]**	**0**	**22,4**	**23,1**	**23,5**	**22,2**	**19,7**	**12,6**	**0**	**0**	**23,7**	**23,7**
Уровни звукового давления от источника ИШ-1-24 в расчётной точке ночью, дБ		**ф-ла(3)[10]**	**0**	**22,4**	**23,1**	**23,5**	**22,2**	**19,7**	**12,6**	**0**	**0**	**23,7**	**23,7**
Источник шума: ИШ-1-25, координаты источника (x,y,z), м =[531.22,82.16,1.00]													
Уровни звуковой мощности источника днём, Lw, дБ		**исходные данные**	**0**	**93,3**	**94,7**	**96**	**96,3**	**95,9**	**92,6**	**88,4**	**83,9**		
Уровни звуковой мощности источника ночью, Lw, дБ		**исходные данные**	**0**	**93,3**	**94,7**	**96**	**96,3**	**95,9**	**92,6**	**88,4**	**83,9**		
Поправка на телесный угол DΩ, дБ	Ω = 6.28	10Lg(4π/Ω)	**3**	3	3	3	3	3	3	3	3		
Показатель направленности источника Di, дБ		исходные данные	**0**	0	0	0	0	0	0	0	0		
Поправка на направленность источника Dc, дБ	Dc	DΩ + Di	**3**	3	3	3	3	3	3	3	3		
Затухание из-за геометрической дивергенции, Adiv, дБ	расстояние = 875.33 м	ф-ла (7) [10]	**69,8**										
Коэффициент затухания звука в атмосфере α, дБ/км	Ta=20,°C Pa=101.33,кПа hотн.=70%	ф-ла (5) [9]	0,02	0,09	0,33	1,12	2,79	4,98	9,04	23,09	77,63		
Учет затухания звука в атмосфере Aatm, дБ		ф-ла (8) [10]	0	0,1	0,3	1	2,4	4,4	7,9	20,2	68		

1		2	3	4	5	6	7	8	9	10	11	12	13
Снижение уровня звукового давления из-за влияния застройки между источником шума и расчетной точкой													
Снижение уровня звукового давления на пути над экраном, Dz1, дБ	z = 0.13м (разность путей)	ф-лы (14-18) [10]	4,8	4,8	4,8	4,9	5	5,2	5,6	6,2	7,3		
Снижение уровня звукового давления на пути слева от экрана, Dz2, дБ	z = 2.21м (разность путей)	ф-лы (14-18) [10]	11,4	15,3	19,3	22,8	25,9	28,9	31,9	34,9	38		
Снижение уровня звукового давления на пути справа от экрана, Dz3, дБ	z = 3.46м (разность путей)	ф-лы (14-18) [10]	12	14,6	17,3	20,2	23,2	26,1	29,1	32,1	35,1		
Общее снижение уровня звука препятствием Dz, дБ		Эн.сумма(-Dzi)	3,3	4	4,4	4,7	4,9	5,1	5,5	6,2	7,3		
Уровни звукового давления прямого звука от источника ИШ-1-25 в расчётной точке днём, дБ		**ф-ла(3)[10]**	**0**	**22,3**	**23,1**	**23,5**	**22,1**	**19,6**	**12,3**	**0**	**0**	**23,6**	**23,6**
Уровни звукового давления прямого звука от источника ИШ-1-25 в расчётной точке ночью, дБ		**ф-ла(3)[10]**	**0**	**22,3**	**23,1**	**23,5**	**22,1**	**19,6**	**12,3**	**0**	**0**	**23,6**	**23,6**
Расчёт отражённого звука													
Уровни звукового давления от мнимого источника ИШ-1-25_мн.(1) в расчётной точке днём, дБ		**ф-ла(3)[10]**	**0**	**0**	**0**	**0**	**0**	**0**	**0**	**0**	**0**	**0**	**0**
Уровни звукового давления от мнимого источника ИШ-1-25_мн.(1) в расчётной точке ночью, дБ		**ф-ла(3)[10]**	**0**	**0**	**0**	**0**	**0**	**0**	**0**	**0**	**0**	**0**	**0**
Уровни звукового давления от источника ИШ-1-25 в расчётной точке днём, дБ		**ф-ла(3)[10]**	**0**	**22,3**	**23,1**	**23,5**	**22,1**	**19,6**	**12,3**	**0**	**0**	**23,6**	**23,6**
Уровни звукового давления от источника ИШ-1-25 в расчётной точке ночью, дБ		**ф-ла(3)[10]**	**0**	**22,3**	**23,1**	**23,5**	**22,1**	**19,6**	**12,3**	**0**	**0**	**23,6**	**23,6**
Источник шума: ИШ-1-26, координаты источника (x,y,z), м =[534.15,80.79,1.00]													
Уровни звуковой мощности источника днём, Lw, дБ		**исходные данные**	**0**	**93,3**	**94,7**	**96**	**96,3**	**95,9**	**92,6**	**88,4**	**83,9**		
Уровни звуковой мощности источника ночью, Lw, дБ		**исходные данные**	**0**	**93,3**	**94,7**	**96**	**96,3**	**95,9**	**92,6**	**88,4**	**83,9**		
Поправка на телесный угол DΩ, дБ	Ω = 6.28	10Lg(4π/Ω)	**3**	3	3	3	3	3	3	3	3		
Показатель направленности источника Di, дБ		исходные данные	**0**	0	0	0	0	0	0	0	0		

1		2	3	4	5	6	7	8	9	10	11	12	13
Поправка на направленность источника Dc, дБ	Dc	DΩ + Di	**3**	3	3	3	3	3	3	3	3		
Затухание из-за геометрической дивергенции, Adiv, дБ	расстояние = 873.07 м	ф-ла (7) [10]	**69,8**										
Коэффициент затухания звука в атмосфере α, дБ/км	Ta=20,°C Pa=101.33,кПа hотн.=70%	ф-ла (5) [9]	0,02	0,09	0,33	1,12	2,79	4,98	9,04	23,09	77,63		
Учет затухания звука в атмосфере Aatm, дБ		ф-ла (8) [10]	0	0,1	0,3	1	2,4	4,3	7,9	20,2	67,8		
Снижение уровня звукового давления из-за влияния застройки между источником шума и расчетной точкой													
Снижение уровня звукового давления на пути над экраном, Dz1, дБ	z = 0.13м (разность путей)	ф-лы (14-18) [10]	4,8	4,8	4,8	4,9	5	5,3	5,7	6,5	7,8		
Снижение уровня звукового давления на пути слева от экрана, Dz2, дБ	z = 2.61м (разность путей)	ф-лы (14-18) [10]	13,4	17,2	20,5	23,6	26,6	29,6	32,7	35,7	38,7		
Снижение уровня звукового давления на пути справа от экрана, Dz3, дБ	z = 2.91м (разность путей)	ф-лы (14-18) [10]	11,4	13,9	16,6	19,5	22,4	25,4	28,4	31,4	34,4		
Общее снижение уровня звука препятствием Dz, дБ		Эн.сумма(-Dzi)	3,5	4,1	4,4	4,7	4,9	5,2	5,7	6,5	7,8		
Уровни звукового давления прямого звука от источника ИШ-1-26 в расчётной точке днём, дБ		**ф-ла(3)[10]**	**0**	**22,3**	**23,1**	**23,5**	**22,1**	**19,5**	**12,2**	**0**	**0**	**23,5**	**23,5**
Уровни звукового давления прямого звука от источника ИШ-1-26 в расчётной точке ночью, дБ		**ф-ла(3)[10]**	**0**	**22,3**	**23,1**	**23,5**	**22,1**	**19,5**	**12,2**	**0**	**0**	**23,5**	**23,5**
Расчёт отражённого звука													
Уровни звукового давления от мнимого источника ИШ-1-26_мн.(1) в расчётной точке днём, дБ		**ф-ла(3)[10]**	**0**	**0**	**0**	**0**	**0**	**0**	**0**	**0**	**0**	**0**	**0**
Уровни звукового давления от мнимого источника ИШ-1-26_мн.(1) в расчётной точке ночью, дБ		**ф-ла(3)[10]**	**0**	**0**	**0**	**0**	**0**	**0**	**0**	**0**	**0**	**0**	**0**
Уровни звукового давления от мнимого источника ИШ-1-26_мн.(2) в расчётной точке днём, дБ		**ф-ла(3)[10]**	**0**	**0**	**0**	**0**	**0**	**0**	**0**	**0**	**0**	**0**	**0**
Уровни звукового давления от мнимого источника ИШ-1-26_мн.(2) в расчётной точке ночью, дБ		**ф-ла(3)[10]**	**0**	**0**	**0**	**0**	**0**	**0**	**0**	**0**	**0**	**0**	**0**
Суммарные уровни звукового давления от мнимых источников в расчётной точке днём, дБ		**ф-ла (19) [1]**	**0**	**0**	**0**	**0**	**0**	**0**	**0**	**0**	**0**	**0**	**0**

1		2	3	4	5	6	7	8	9	10	11	12	13
Суммарные уровни звукового давления от мнимых источников в расчётной точке ночью, дБ		**ф-ла (19) [1]**	**0**	**0**	**0**	**0**	**0**	**0**	**0**	**0**	**0**	**0**	**0**
Уровни звукового давления от источника ИШ-1-26 в расчётной точке днём, дБ		**ф-ла(3)[10]**	**0**	**22,3**	**23,1**	**23,5**	**22,1**	**19,5**	**12,2**	**0**	**0**	**23,5**	**23,5**
Уровни звукового давления от источника ИШ-1-26 в расчётной точке ночью, дБ		**ф-ла(3)[10]**	**0**	**22,3**	**23,1**	**23,5**	**22,1**	**19,5**	**12,2**	**0**	**0**	**23,5**	**23,5**
Источник шума: ИШ-1-27, координаты источника (x,y,z), м =[469.65,197.67,1.00]													
Уровни звуковой мощности источника днём, Lw, дБ		**исходные данные**	**0**	**93,3**	**94,7**	**96**	**96,3**	**95,9**	**92,6**	**88,4**	**83,9**		
Уровни звуковой мощности источника ночью, Lw, дБ		**исходные данные**	**0**	**93,3**	**94,7**	**96**	**96,3**	**95,9**	**92,6**	**88,4**	**83,9**		
Поправка на телесный угол DΩ, дБ	Ω = 6.28	10Lg(4π/Ω)	**3**	3	3	3	3	3	3	3	3		
Показатель направленности источника Di, дБ		исходные данные	**0**	0	0	0	0	0	0	0	0		
Поправка на направленность источника Dc, дБ	Dc	DΩ + Di	**3**	3	3	3	3	3	3	3	3		
Затухание из-за геометрической дивергенции, Adiv, дБ	расстояние = 902.03 м	ф-ла (7) [10]	**70,1**										
Коэффициент затухания звука в атмосфере α, дБ/км	Ta=20,°C Pa=101.33,кПа hотн.=70%	ф-ла (5) [9]	0,02	0,09	0,33	1,12	2,79	4,98	9,04	23,09	77,63		
Учет затухания звука в атмосфере Aatm, дБ		ф-ла (8) [10]	0	0,1	0,3	1	2,5	4,5	8,2	20,8	70		
Снижение поверхностью земли возле источника As, дБ	Gs = 0 hs = 1м	ф-лы таб.3 [10]	-1,5	-1,5	-1,5	-1,5	-1,5	-1,5	-1,5	-1,5	-1,5		
Снижение поверхностью земли возле приёмника Ar, дБ	Gr = 1 hr = 1.5м	ф-лы таб.3 [10]	-1,5	-1,5	4,9	7	5	0,7	0	0	0		
Снижение поверхностью земли в средней зоне, Am дБ	Gm = 1	ф-лы таб.3 [10]	-2,8	-2,8	0	0	0	0	0	0	0		
Суммарное снижение поверхностью земли на траектории распространения звука Agr, дБ		ф-ла (9) [10]	-5,8	-5,8	3,4	5,5	3,5	-0,8	-1,5	-1,5	-1,5		

1		2	3	4	5	6	7	8	9	10	11	12	13
Уровни звукового давления от источника ИШ-1-27 в расчётной точке днём, дБ		**ф-ла(3)[10]**	**0**	**31,9**	**23,9**	**22,4**	**23,2**	**25,1**	**18,8**	**2**	**0**	**27,5**	**27,5**
Уровни звукового давления от источника ИШ-1-27 в расчётной точке ночью, дБ		**ф-ла(3)[10]**	**0**	**31,9**	**23,9**	**22,4**	**23,2**	**25,1**	**18,8**	**2**	**0**	**27,5**	**27,5**
Источник шума: ИШ-1-28, координаты источника (x,y,z), м =[472.78,196.69,1.00]													
Уровни звуковой мощности источника днём, Lw, дБ		**исходные данные**	**0**	**93,3**	**94,7**	**96**	**96,3**	**95,9**	**92,6**	**88,4**	**83,9**		
Уровни звуковой мощности источника ночью, Lw, дБ		**исходные данные**	**0**	**93,3**	**94,7**	**96**	**96,3**	**95,9**	**92,6**	**88,4**	**83,9**		
Поправка на телесный угол DΩ, дБ	Ω = 6.28	10Lg(4π/Ω)	**3**	3	3	3	3	3	3	3	3		
Показатель направленности источника Di, дБ		исходные данные	**0**	0	0	0	0	0	0	0	0		
Поправка на направленность источника Dc, дБ	Dc	DΩ + Di	**3**	3	3	3	3	3	3	3	3		
Затухание из-за геометрической дивергенции, Adiv, дБ	расстояние = 899.18 м	ф-ла (7) [10]	**70,1**										
Коэффициент затухания звука в атмосфере α, дБ/км	Ta=20,°C Pa=101.33,кПа hотн.=70%	ф-ла (5) [9]	0,02	0,09	0,33	1,12	2,79	4,98	9,04	23,09	77,63		
Учет затухания звука в атмосфере Aatm, дБ		ф-ла (8) [10]	0	0,1	0,3	1	2,5	4,5	8,1	20,8	69,8		
Снижение поверхностью земли возле источника As, дБ	Gs = 0 hs = 1м	ф-лы таб.3 [10]	-1,5	-1,5	-1,5	-1,5	-1,5	-1,5	-1,5	-1,5	-1,5		
Снижение поверхностью земли возле приёмника Ar, дБ	Gr = 1 hr = 1.5м	ф-лы таб.3 [10]	-1,5	-1,5	4,9	7	5	0,7	0	0	0		
Снижение поверхностью земли в средней зоне, Am дБ	Gm = 1	ф-лы таб.3 [10]	-2,7	-2,7	0	0	0	0	0	0	0		
Суммарное снижение поверхностью земли на траектории распространения звука Agr, дБ		ф-ла (9) [10]	-5,7	-5,7	3,4	5,5	3,5	-0,8	-1,5	-1,5	-1,5		
Уровни звукового давления от источника ИШ-1-28 в расчётной точке днём, дБ		**ф-ла(3)[10]**	**0**	**31,9**	**24**	**22,4**	**23,2**	**25,2**	**18,9**	**2,1**	**0**	**27,5**	**27,5**

1		2	3	4	5	6	7	8	9	10	11	12	13
Уровни звукового давления от источника ИШ-1-28 в расчётной точке ночью, дБ		**ф-ла(3)[10]**	**0**	**31,9**	**24**	**22,4**	**23,2**	**25,2**	**18,9**	**2,1**	**0**	**27,5**	**27,5**
Источник шума: ИШ-1-29, координаты источника (x,y,z), м =[475.52,195.72,1.00]													
Уровни звуковой мощности источника днём, Lw, дБ		**исходные данные**	**0**	**93,3**	**94,7**	**96**	**96,3**	**95,9**	**92,6**	**88,4**	**83,9**		
Уровни звуковой мощности источника ночью, Lw, дБ		**исходные данные**	**0**	**93,3**	**94,7**	**96**	**96,3**	**95,9**	**92,6**	**88,4**	**83,9**		
Поправка на телесный угол DΩ, дБ	Ω = 6.28	10Lg(4π/Ω)	**3**	3	3	3	3	3	3	3	3		
Показатель направленности источника Di, дБ		исходные данные	**0**	0	0	0	0	0	0	0	0		
Поправка на направленность источника Dc, дБ	Dc	DΩ + Di	**3**	3	3	3	3	3	3	3	3		
Затухание из-за геометрической дивергенции, Adiv, дБ	расстояние = 896.72 м	ф-ла (7) [10]	**70,1**										
Коэффициент затухания звука в атмосфере α, дБ/км	Ta=20,°C Pa=101.33,кПа hотн.=70%	ф-ла (5) [9]	0,02	0,09	0,33	1,12	2,79	4,98	9,04	23,09	77,63		
Учет затухания звука в атмосфере Aatm, дБ		ф-ла (8) [10]	0	0,1	0,3	1	2,5	4,5	8,1	20,7	69,6		
Снижение поверхностью земли возле источника As, дБ	Gs = 0 hs = 1м	ф-лы таб.3 [10]	-1,5	-1,5	-1,5	-1,5	-1,5	-1,5	-1,5	-1,5	-1,5		
Снижение поверхностью земли возле приёмника Ar, дБ	Gr = 1 hr = 1.5м	ф-лы таб.3 [10]	-1,5	-1,5	4,9	7	5	0,7	0	0	0		
Снижение поверхностью земли в средней зоне, Am дБ	Gm = 1	ф-лы таб.3 [10]	-2,7	-2,7	0	0	0	0	0	0	0		
Суммарное снижение поверхностью земли на траектории распространения звука Agr, дБ		ф-ла (9) [10]	-5,7	-5,7	3,4	5,5	3,5	-0,8	-1,5	-1,5	-1,5		
Уровни звукового давления от источника ИШ-1-29 в расчётной точке днём, дБ		**ф-ла(3)[10]**	**0**	**31,9**	**24**	**22,4**	**23,3**	**25,2**	**18,9**	**2,1**	**0**	**27,6**	**27,6**
Уровни звукового давления от источника ИШ-1-29 в расчётной точке ночью, дБ		**ф-ла(3)[10]**	**0**	**31,9**	**24**	**22,4**	**23,3**	**25,2**	**18,9**	**2,1**	**0**	**27,6**	**27,6**

1		2	3	4	5	6	7	8	9	10	11	12	13
Источник шума: ИШ-1-30, координаты источника (x,y,z), м =[478.45,194.54,1.00]													
Уровни звуковой мощности источника днём, Lw, дБ		**исходные данные**	**0**	**93,3**	**94,7**	**96**	**96,3**	**95,9**	**92,6**	**88,4**	**83,9**		
Уровни звуковой мощности источника ночью, Lw, дБ		**исходные данные**	**0**	**93,3**	**94,7**	**96**	**96,3**	**95,9**	**92,6**	**88,4**	**83,9**		
Поправка на телесный угол DΩ, дБ	Ω = 6.28	10Lg(4π/Ω)	**3**	3	3	3	3	3	3	3	3		
Показатель направленности источника Di, дБ		исходные данные	**0**	0	0	0	0	0	0	0	0		
Поправка на направленность источника Dc, дБ	Dc	DΩ + Di	**3**	3	3	3	3	3	3	3	3		
Затухание из-за геометрической дивергенции, Adiv, дБ	расстояние = 894.11 м	ф-ла (7) [10]	**70**										
Коэффициент затухания звука в атмосфере α, дБ/км	Ta=20,°C Pa=101.33,кПа hотн.=70%	ф-ла (5) [9]	0,02	0,09	0,33	1,12	2,79	4,98	9,04	23,09	77,63		
Учет затухания звука в атмосфере Aatm, дБ		ф-ла (8) [10]	0	0,1	0,3	1	2,5	4,5	8,1	20,6	69,4		
Снижение поверхностью земли возле источника As, дБ	Gs = 0 hs = 1м	ф-лы таб.3 [10]	-1,5	-1,5	-1,5	-1,5	-1,5	-1,5	-1,5	-1,5	-1,5		
Снижение поверхностью земли возле приёмника Ar, дБ	Gr = 1 hr = 1.5м	ф-лы таб.3 [10]	-1,5	-1,5	4,8	7	5	0,7	0	0	0		
Снижение поверхностью земли в средней зоне, Am дБ	Gm = 1	ф-лы таб.3 [10]	-2,7	-2,7	0	0	0	0	0	0	0		
Суммарное снижение поверхностью земли на траектории распространения звука Agr, дБ		ф-ла (9) [10]	-5,7	-5,7	3,3	5,5	3,5	-0,8	-1,5	-1,5	-1,5		
Уровни звукового давления от источника ИШ-1-30 в расчётной точке днём, дБ		**ф-ла(3)[10]**	**0**	**31,9**	**24**	**22,4**	**23,3**	**25,3**	**19**	**2,2**	**0**	**27,6**	**27,6**
Уровни звукового давления от источника ИШ-1-30 в расчётной точке ночью, дБ		**ф-ла(3)[10]**	**0**	**31,9**	**24**	**22,4**	**23,3**	**25,3**	**19**	**2,2**	**0**	**27,6**	**27,6**
Источник шума: ИШ-1-31, координаты источника (x,y,z), м =[481.58,193.96,1.00]													

1		2	3	4	5	6	7	8	9	10	11	12	13
Уровни звуковой мощности источника днём, Lw, дБ		**исходные данные**	**0**	**93,3**	**94,7**	**96**	**96,3**	**95,9**	**92,6**	**88,4**	**83,9**		
Уровни звуковой мощности источника ночью, Lw, дБ		**исходные данные**	**0**	**93,3**	**94,7**	**96**	**96,3**	**95,9**	**92,6**	**88,4**	**83,9**		
Поправка на телесный угол DΩ, дБ	Ω = 6.28	10Lg(4π/Ω)	**3**	3	3	3	3	3	3	3	3		
Показатель направленности источника Di, дБ		исходные данные	**0**	0	0	0	0	0	0	0	0		
Поправка на направленность источника Dc, дБ	Dc	DΩ + Di	**3**	3	3	3	3	3	3	3	3		
Затухание из-за геометрической дивергенции, Adiv, дБ	расстояние = 891.18 м	ф-ла (7) [10]	**70**										
Коэффициент затухания звука в атмосфере α, дБ/км	Ta=20,°C Pa=101.33,кПа hотн.=70%	ф-ла (5) [9]	0,02	0,09	0,33	1,12	2,79	4,98	9,04	23,09	77,63		
Учет затухания звука в атмосфере Aatm, дБ		ф-ла (8) [10]	0	0,1	0,3	1	2,5	4,4	8,1	20,6	69,2		
Снижение поверхностью земли возле источника As, дБ	Gs = 0 hs = 1м	ф-лы таб.3 [10]	-1,5	-1,5	-1,5	-1,5	-1,5	-1,5	-1,5	-1,5	-1,5		
Снижение поверхностью земли возле приёмника Ar, дБ	Gr = 1 hr = 1.5м	ф-лы таб.3 [10]	-1,5	-1,5	4,8	7	5	0,7	0	0	0		
Снижение поверхностью земли в средней зоне, Am дБ	Gm = 1	ф-лы таб.3 [10]	-2,7	-2,7	0	0	0	0	0	0	0		
Суммарное снижение поверхностью земли на траектории распространения звука Agr, дБ		ф-ла (9) [10]	-5,7	-5,7	3,3	5,5	3,5	-0,8	-1,5	-1,5	-1,5		
Уровни звукового давления от источника ИШ-1-31 в расчётной точке днём, дБ		**ф-ла(3)[10]**	**0**	**32**	**24,1**	**22,5**	**23,3**	**25,3**	**19**	**2,3**	**0**	**27,7**	**27,7**
Уровни звукового давления от источника ИШ-1-31 в расчётной точке ночью, дБ		**ф-ла(3)[10]**	**0**	**32**	**24,1**	**22,5**	**23,3**	**25,3**	**19**	**2,3**	**0**	**27,7**	**27,7**
Источник шума: ИШ-1-32, координаты источника (x,y,z), м =[871.21,281.99,50.00]													
Уровни звуковой мощности источника днём, Lw, дБ		**исходные данные**	**125**	**119,6**	**113,4**	**111,4**	**110,8**	**112,7**	**113,8**	**109,2**	**97,4**		

1		2	3	4	5	6	7	8	9	10	11	12	13
Уровни звуковой мощности источника ночью, Lw, дБ		**исходные данные**	**0**	**0**	**0**	**0**	**0**	**0**	**0**	**0**	**0**		
Поправка на телесный угол DΩ, дБ	Ω = 12.57	10Lg(4π/Ω)	**0**	0	0	0	0	0	0	0	0		
Показатель направленности источника Di, дБ		исходные данные	**0**	0	0	0	0	0	0	0	0		
Поправка на направленность источника Dc, дБ	Dc	DΩ + Di	**0**	0	0	0	0	0	0	0	0		
Затухание из-за геометрической дивергенции, Adiv, дБ	расстояние = 494.11 м	ф-ла (7) [10]	**64,9**										
Коэффициент затухания звука в атмосфере α, дБ/км	Ta=20,°C Pa=101.33,кПа hотн.=70%	ф-ла (5) [9]	0,02	0,09	0,33	1,12	2,79	4,98	9,04	23,09	77,63		
Учет затухания звука в атмосфере Aatm, дБ		ф-ла (8) [10]	0	0	0,2	0,6	1,4	2,5	4,5	11,4	38,4		
Снижение поверхностью земли возле источника As, дБ	Gs = 0 hs = 50м	ф-лы таб.3 [10]	-1,5	-1,5	-1,5	-1,5	-1,5	-1,5	-1,5	-1,5	-1,5		
Снижение поверхностью земли возле приёмника Ar, дБ	Gr = 1 hr = 1.5м	ф-лы таб.3 [10]	-1,5	-1,5	3	7	5	0,7	0	0	0		
Снижение поверхностью земли в средней зоне, Am дБ	Gm = 1	ф-лы таб.3 [10]	0	0	0	0	0	0	0	0	0		
Суммарное снижение поверхностью земли на траектории распространения звука Agr, дБ		ф-ла (9) [10]	-3	-3	1,5	5,5	3,5	-0,8	-1,5	-1,5	-1,5		
Уровни звукового давления от источника ИШ-1-32 в расчётной точке днём, дБ		**ф-ла(3)[10]**	**63,1**	**57,7**	**46,9**	**40,5**	**41,1**	**46,2**	**46**	**34,4**	**0**	**50,4**	**50,4**
Уровни звукового давления от источника ИШ-1-32 в расчётной точке ночью, дБ		**ф-ла(3)[10]**	**0**	**0**	**0**	**0**	**0**	**0**	**0**	**0**	**0**	**0**	**0**
Источник шума: ИШ-1-33, координаты источника (x,y,z), м =[743.42,374.85,1.00]													
Уровни звуковой мощности источника днём, Lw, дБ		**исходные данные**	**0**	**88,7**	**90,1**	**93,1**	**96,4**	**103**	**112**	**108**	**99,2**		
Уровни звуковой мощности источника ночью, Lw, дБ		**исходные данные**	**0**	**0**	**0**	**0**	**0**	**0**	**0**	**0**	**0**		

1		2	3	4	5	6	7	8	9	10	11	12	13
Поправка на телесный угол DΩ, дБ	Ω = 6.28	10Lg(4π/Ω)	**3**	3	3	3	3	3	3	3	3		
Показатель направленности источника Di, дБ		исходные данные	**0**	0	0	0	0	0	0	0	0		
Поправка на направленность источника Dc, дБ	Dc	DΩ + Di	**3**	3	3	3	3	3	3	3	3		
Затухание из-за геометрической дивергенции, Adiv, дБ	расстояние = 608.08 м	ф-ла (7) [10]	**66,7**										
Коэффициент затухания звука в атмосфере α, дБ/км	Ta=20,°C Pa=101.33,кПа hотн.=70%	ф-ла (5) [9]	0,02	0,09	0,33	1,12	2,79	4,98	9,04	23,09	77,63		
Учет затухания звука в атмосфере Aatm, дБ		ф-ла (8) [10]	0	0,1	0,2	0,7	1,7	3	5,5	14	47,2		
Снижение поверхностью земли возле источника As, дБ	Gs = 0 hs = 1м	ф-лы таб.3 [10]	-1,5	-1,5	-1,5	-1,5	-1,5	-1,5	-1,5	-1,5	-1,5		
Снижение поверхностью земли возле приёмника Ar, дБ	Gr = 1 hr = 1.5м	ф-лы таб.3 [10]	-1,5	-1,5	3,7	7	5	0,7	0	0	0		
Снижение поверхностью земли в средней зоне, Am дБ	Gm = 1	ф-лы таб.3 [10]	-2,6	-2,6	0	0	0	0	0	0	0		
Суммарное снижение поверхностью земли на траектории распространения звука Agr, дБ		ф-ла (9) [10]	-5,6	-5,6	2,2	5,5	3,5	-0,8	-1,5	-1,5	-1,5		
Уровни звукового давления от источника ИШ-1-33 в расчётной точке днём, дБ		**ф-ла(3)[10]**	**0**	**30,6**	**24**	**23,2**	**27,6**	**37,1**	**44,3**	**31,8**	**0**	**46,4**	**46,4**
Уровни звукового давления от источника ИШ-1-33 в расчётной точке ночью, дБ		**ф-ла(3)[10]**	**0**	**0**	**0**	**0**	**0**	**0**	**0**	**0**	**0**	**0**	**0**
Источник шума: ИШ-1-34, координаты источника (x,y,z), м =[1042.35,199.07,1.00]													
Уровни звуковой мощности источника днём, Lw, дБ		**исходные данные**	**0**	**88,7**	**90,1**	**93,1**	**96,4**	**103**	**112**	**108**	**99,2**		
Уровни звуковой мощности источника ночью, Lw, дБ		**исходные данные**	**0**	**0**	**0**	**0**	**0**	**0**	**0**	**0**	**0**		
Поправка на телесный угол DΩ, дБ	Ω = 6.28	10Lg(4π/Ω)	**3**	3	3	3	3	3	3	3	3		

1		2	3	4	5	6	7	8	9	10	11	12	13
Показатель направленности источника Di, дБ		исходные данные	**0**	0	0	0	0	0	0	0	0		
Поправка на направленность источника Dc, дБ	Dc	DΩ + Di	**3**	3	3	3	3	3	3	3	3		
Затухание из-за геометрической дивергенции, Adiv, дБ	расстояние = 362.23 м	ф-ла (7) [10]	**62,2**										
Коэффициент затухания звука в атмосфере α, дБ/км	Ta=20,°C Pa=101.33,кПа hотн.=70%	ф-ла (5) [9]	0,02	0,09	0,33	1,12	2,79	4,98	9,04	23,09	77,63		
Учет затухания звука в атмосфере Aatm, дБ		ф-ла (8) [10]	0	0	0,1	0,4	1	1,8	3,3	8,4	28,1		
Снижение поверхностью земли возле источника As, дБ	Gs = 0 hs = 1м	ф-лы таб.3 [10]	-1,5	-1,5	-1,5	-1,5	-1,5	-1,5	-1,5	-1,5	-1,5		
Снижение поверхностью земли возле приёмника Ar, дБ	Gr = 1 hr = 1.5м	ф-лы таб.3 [10]	-1,5	-1,5	2,1	7	5	0,7	0	0	0		
Снижение поверхностью земли в средней зоне, Am дБ	Gm = 1	ф-лы таб.3 [10]	-2,4	-2,4	0	0	0	0	0	0	0		
Суммарное снижение поверхностью земли на траектории распространения звука Agr, дБ		ф-ла (9) [10]	-5,4	-5,4	0,6	5,5	3,5	-0,8	-1,5	-1,5	-1,5		
Уровни звукового давления от источника ИШ-1-34 в расчётной точке днём, дБ		**ф-ла(3)[10]**	**0**	**34,9**	**30,2**	**28**	**32,8**	**42,9**	**51,1**	**42**	**13,4**	**53,2**	**53,2**
Уровни звукового давления от источника ИШ-1-34 в расчётной точке ночью, дБ		**ф-ла(3)[10]**	**0**	**0**	**0**	**0**	**0**	**0**	**0**	**0**	**0**	**0**	**0**
Источник шума: ИШ-2-1, координаты источника (x,y,z), м =[696.50,124.40,3.00]													
Уровни звуковой мощности источника днём, Lw, дБ		**исходные данные**	**105**	**104**	**104**	**101**	**102**	**106**	**101**	**95**	**87**		
Уровни звуковой мощности источника ночью, Lw, дБ		**исходные данные**	**105**	**104**	**104**	**101**	**102**	**106**	**101**	**95**	**87**		
Поправка на телесный угол DΩ, дБ	Ω = 6.28	10Lg(4π/Ω)	**3**	3	3	3	3	3	3	3	3		
Показатель направленности источника Di, дБ		исходные данные	**0**	0	0	0	0	0	0	0	0		

1		2	3	4	5	6	7	8	9	10	11	12	13
Поправка на направленность источника Dc, дБ	Dc	DΩ + Di	**3**	3	3	3	3	3	3	3	3		
Затухание из-за геометрической дивергенции, Adiv, дБ	расстояние = 705.95 м	ф-ла (7) [10]	**68**										
Коэффициент затухания звука в атмосфере α, дБ/км	Ta=20,°C Pa=101.33,кПа hотн.=70%	ф-ла (5) [9]	0,02	0,09	0,33	1,12	2,79	4,98	9,04	23,09	77,63		
Учет затухания звука в атмосфере Aatm, дБ		ф-ла (8) [10]	0	0,1	0,2	0,8	2	3,5	6,4	16,3	54,8		
Снижение поверхностью земли возле источника As, дБ	Gs = 0 hs = 3м	ф-лы таб.3 [10]	-1,5	-1,5	-1,5	-1,5	-1,5	-1,5	-1,5	-1,5	-1,5		
Снижение поверхностью земли возле приёмника Ar, дБ	Gr = 1 hr = 1.5м	ф-лы таб.3 [10]	-1,5	-1,5	4,2	7	5	0,7	0	0	0		
Снижение поверхностью земли в средней зоне, Am дБ	Gm = 1	ф-лы таб.3 [10]	-2,4	-2,4	0	0	0	0	0	0	0		
Суммарное снижение поверхностью земли на траектории распространения звука Agr, дБ		ф-ла (9) [10]	-5,4	-5,4	2,7	5,5	3,5	-0,8	-1,5	-1,5	-1,5		
Уровни звукового давления от источника ИШ-2-1 в расчётной точке днём, дБ		**ф-ла(3)[10]**	**45,4**	**44,4**	**36,1**	**29,7**	**31,6**	**38,4**	**31,2**	**15,2**	**0**	**39,8**	**39,8**
Уровни звукового давления от источника ИШ-2-1 в расчётной точке ночью, дБ		**ф-ла(3)[10]**	**45,4**	**44,4**	**36,1**	**29,7**	**31,6**	**38,4**	**31,2**	**15,2**	**0**	**39,8**	**39,8**
Источник шума: ИШ-2-2, координаты источника (x,y,z), м =[682.20,81.60,3.00]													
Уровни звуковой мощности источника днём, Lw, дБ		**исходные данные**	**105**	**104**	**104**	**101**	**102**	**106**	**101**	**95**	**87**		
Уровни звуковой мощности источника ночью, Lw, дБ		**исходные данные**	**105**	**104**	**104**	**101**	**102**	**106**	**101**	**95**	**87**		
Поправка на телесный угол DΩ, дБ	Ω = 6.28	10Lg(4π/Ω)	**3**	3	3	3	3	3	3	3	3		
Показатель направленности источника Di, дБ		исходные данные	**0**	0	0	0	0	0	0	0	0		
Поправка на направленность источника Dc, дБ	Dc	DΩ + Di	**3**	3	3	3	3	3	3	3	3		

1		2	3	4	5	6	7	8	9	10	11	12	13
Затухание из-за геометрической дивергенции, Adiv, дБ	расстояние = 736.00 м	ф-ла (7) [10]	**68,3**										
Коэффициент затухания звука в атмосфере α, дБ/км	Ta=20,°C Pa=101.33,кПа hотн.=70%	ф-ла (5) [9]	0,02	0,09	0,33	1,12	2,79	4,98	9,04	23,09	77,63		
Учет затухания звука в атмосфере Aatm, дБ		ф-ла (8) [10]	0	0,1	0,2	0,8	2,1	3,7	6,7	17	57,1		
Снижение поверхностью земли возле источника As, дБ	Gs = 0 hs = 3м	ф-лы таб.3 [10]	-1,5	-1,5	-1,5	-1,5	-1,5	-1,5	-1,5	-1,5	-1,5		
Снижение поверхностью земли возле приёмника Ar, дБ	Gr = 1 hr = 1.5м	ф-лы таб.3 [10]	-1,5	-1,5	4,3	7	5	0,7	0	0	0		
Снижение поверхностью земли в средней зоне, Am дБ	Gm = 1	ф-лы таб.3 [10]	-2,4	-2,4	0	0	0	0	0	0	0		
Суммарное снижение поверхностью земли на траектории распространения звука Agr, дБ		ф-ла (9) [10]	-5,4	-5,4	2,8	5,5	3,5	-0,8	-1,5	-1,5	-1,5		
Уровни звукового давления прямого звука от источника ИШ-2-2 в расчётной точке днём, дБ		**ф-ла(3)[10]**	**45,1**	**44,1**	**35,6**	**29,3**	**31,1**	**37,9**	**30,5**	**14,2**	**0**	**39,3**	**39,3**
Уровни звукового давления прямого звука от источника ИШ-2-2 в расчётной точке ночью, дБ		**ф-ла(3)[10]**	**45,1**	**44,1**	**35,6**	**29,3**	**31,1**	**37,9**	**30,5**	**14,2**	**0**	**39,3**	**39,3**
Расчёт отражённого звука													
Уровни звукового давления от мнимого источника ИШ-2-2_мн.(1) в расчётной точке днём, дБ		**ф-ла(3)[10]**	**0**	**0**	**0**	**0**	**0**	**0**	**0**	**0**	**0**	**0**	**0**
Уровни звукового давления от мнимого источника ИШ-2-2_мн.(1) в расчётной точке ночью, дБ		**ф-ла(3)[10]**	**0**	**0**	**0**	**0**	**0**	**0**	**0**	**0**	**0**	**0**	**0**
Уровни звукового давления от источника ИШ-2-2 в расчётной точке днём, дБ		**ф-ла(3)[10]**	**45,1**	**44,1**	**35,6**	**29,3**	**31,1**	**37,9**	**30,5**	**14,2**	**0**	**39,3**	**39,3**
Уровни звукового давления от источника ИШ-2-2 в расчётной точке ночью, дБ		**ф-ла(3)[10]**	**45,1**	**44,1**	**35,6**	**29,3**	**31,1**	**37,9**	**30,5**	**14,2**	**0**	**39,3**	**39,3**
Источник шума: ИШ-2-3, координаты источника (x,y,z), м =[667.80,38.90,3.00]													
Уровни звуковой мощности источника днём, Lw, дБ		**исходные данные**	**105**	**104**	**104**	**101**	**102**	**106**	**101**	**95**	**87**		

1		2	3	4	5	6	7	8	9	10	11	12	13
Уровни звуковой мощности источника ночью, Lw, дБ		**исходные данные**	**105**	**104**	**104**	**101**	**102**	**106**	**101**	**95**	**87**		
Поправка на телесный угол DΩ, дБ	Ω = 6.28	10Lg(4π/Ω)	**3**	3	3	3	3	3	3	3	3		
Показатель направленности источника Di, дБ		исходные данные	**0**	0	0	0	0	0	0	0	0		
Поправка на направленность источника Dc, дБ	Dc	DΩ + Di	**3**	3	3	3	3	3	3	3	3		
Затухание из-за геометрической дивергенции, Adiv, дБ	расстояние = 767.58 м	ф-ла (7) [10]	**68,7**										
Коэффициент затухания звука в атмосфере α, дБ/км	Ta=20,°C Pa=101.33,кПа hотн.=70%	ф-ла (5) [9]	0,02	0,09	0,33	1,12	2,79	4,98	9,04	23,09	77,63		
Учет затухания звука в атмосфере Aatm, дБ		ф-ла (8) [10]	0	0,1	0,3	0,9	2,1	3,8	6,9	17,7	59,6		
Снижение поверхностью земли возле источника As, дБ	Gs = 0 hs = 3м	ф-лы таб.3 [10]	-1,5	-1,5	-1,5	-1,5	-1,5	-1,5	-1,5	-1,5	-1,5		
Снижение поверхностью земли возле приёмника Ar, дБ	Gr = 1 hr = 1.5м	ф-лы таб.3 [10]	-1,5	-1,5	4,5	7	5	0,7	0	0	0		
Снижение поверхностью земли в средней зоне, Am дБ	Gm = 1	ф-лы таб.3 [10]	-2,5	-2,5	0	0	0	0	0	0	0		
Суммарное снижение поверхностью земли на траектории распространения звука Agr, дБ		ф-ла (9) [10]	-5,5	-5,5	3	5,5	3,5	-0,8	-1,5	-1,5	-1,5		
Уровни звукового давления прямого звука от источника ИШ-2-3 в расчётной точке днём, дБ		**ф-ла(3)[10]**	**44,8**	**43,7**	**35,1**	**28,9**	**30,7**	**37,3**	**29,9**	**13,1**	**0**	**38,8**	**38,8**
Уровни звукового давления прямого звука от источника ИШ-2-3 в расчётной точке ночью, дБ		**ф-ла(3)[10]**	**44,8**	**43,7**	**35,1**	**28,9**	**30,7**	**37,3**	**29,9**	**13,1**	**0**	**38,8**	**38,8**
Расчёт отражённого звука													
Уровни звукового давления от мнимого источника ИШ-2-3_мн.(1) в расчётной точке днём, дБ		**ф-ла(3)[10]**	**0**	**0**	**0**	**0**	**0**	**0**	**0**	**0**	**0**	**0**	**0**
Уровни звукового давления от мнимого источника ИШ-2-3_мн.(1) в расчётной точке ночью, дБ		**ф-ла(3)[10]**	**0**	**0**	**0**	**0**	**0**	**0**	**0**	**0**	**0**	**0**	**0**
Уровни звукового давления от источника ИШ-2-3 в расчётной точке днём, дБ		**ф-ла(3)[10]**	**44,8**	**43,7**	**35,1**	**28,9**	**30,7**	**37,3**	**29,9**	**13,1**	**0**	**38,8**	**38,8**

1		2	3	4	5	6	7	8	9	10	11	12	13
Уровни звукового давления от источника ИШ-2-3 в расчётной точке ночью, дБ		**ф-ла(3)[10]**	**44,8**	**43,7**	**35,1**	**28,9**	**30,7**	**37,3**	**29,9**	**13,1**	**0**	**38,8**	**38,8**
Источник шума: ИШ-2-6, координаты источника (x,y,z), м =[765.97,112.43,1.00]													
Уровни звуковой мощности источника днём, Lw, дБ		**исходные данные**	**0**	**93,3**	**94,7**	**96**	**96,3**	**95,9**	**92,6**	**88,4**	**83,9**		
Уровни звуковой мощности источника ночью, Lw, дБ		**исходные данные**	**0**	**93,3**	**94,7**	**96**	**96,3**	**95,9**	**92,6**	**88,4**	**83,9**		
Поправка на телесный угол DΩ, дБ	Ω = 6.28	10Lg(4π/Ω)	**3**	3	3	3	3	3	3	3	3		
Показатель направленности источника Di, дБ		исходные данные	**0**	0	0	0	0	0	0	0	0		
Поправка на направленность источника Dc, дБ	Dc	DΩ + Di	**3**	3	3	3	3	3	3	3	3		
Затухание из-за геометрической дивергенции, Adiv, дБ	расстояние = 647.04 м	ф-ла (7) [10]	**67,2**										
Коэффициент затухания звука в атмосфере α, дБ/км	Ta=20,°C Pa=101.33,кПа hотн.=70%	ф-ла (5) [9]	0,02	0,09	0,33	1,12	2,79	4,98	9,04	23,09	77,63		
Учет затухания звука в атмосфере Aatm, дБ		ф-ла (8) [10]	0	0,1	0,2	0,7	1,8	3,2	5,8	14,9	50,2		
Снижение поверхностью земли возле источника As, дБ	Gs = 0 hs = 1м	ф-лы таб.3 [10]	-1,5	-1,5	-1,5	-1,5	-1,5	-1,5	-1,5	-1,5	-1,5		
Снижение поверхностью земли возле приёмника Ar, дБ	Gr = 1 hr = 1.5м	ф-лы таб.3 [10]	-1,5	-1,5	3,9	7	5	0,7	0	0	0		
Снижение поверхностью земли в средней зоне, Am дБ	Gm = 1	ф-лы таб.3 [10]	-2,7	-2,7	0	0	0	0	0	0	0		
Суммарное снижение поверхностью земли на траектории распространения звука Agr, дБ		ф-ла (9) [10]	-5,7	-5,7	2,4	5,5	3,5	-0,8	-1,5	-1,5	-1,5		
Уровни звукового давления от источника ИШ-2-6 в расчётной точке днём, дБ		**ф-ла(3)[10]**	**0**	**34,7**	**27,9**	**25,5**	**26,8**	**29,3**	**24**	**10,7**	**0**	**31,8**	**31,8**
Уровни звукового давления от источника ИШ-2-6 в расчётной точке ночью, дБ		**ф-ла(3)[10]**	**0**	**34,7**	**27,9**	**25,5**	**26,8**	**29,3**	**24**	**10,7**	**0**	**31,8**	**31,8**

1		2	3	4	5	6	7	8	9	10	11	12	13
Источник шума: ИШ-2-7, координаты источника (x,y,z), м =[764.91,109.54,1.00]													
Уровни звуковой мощности источника днём, Lw, дБ		**исходные данные**	**0**	**93,3**	**94,7**	**96**	**96,3**	**95,9**	**92,6**	**88,4**	**83,9**		
Уровни звуковой мощности источника ночью, Lw, дБ		**исходные данные**	**0**	**93,3**	**94,7**	**96**	**96,3**	**95,9**	**92,6**	**88,4**	**83,9**		
Поправка на телесный угол DΩ, дБ	Ω = 6.28	10Lg(4π/Ω)	**3**	3	3	3	3	3	3	3	3		
Показатель направленности источника Di, дБ		исходные данные	**0**	0	0	0	0	0	0	0	0		
Поправка на направленность источника Dc, дБ	Dc	DΩ + Di	**3**	3	3	3	3	3	3	3	3		
Затухание из-за геометрической дивергенции, Adiv, дБ	расстояние = 649.23 м	ф-ла (7) [10]	**67,2**										
Коэффициент затухания звука в атмосфере α, дБ/км	Ta=20,°C Pa=101.33,кПа hотн.=70%	ф-ла (5) [9]	0,02	0,09	0,33	1,12	2,79	4,98	9,04	23,09	77,63		
Учет затухания звука в атмосфере Aatm, дБ		ф-ла (8) [10]	0	0,1	0,2	0,7	1,8	3,2	5,9	15	50,4		
Снижение поверхностью земли возле источника As, дБ	Gs = 0 hs = 1м	ф-лы таб.3 [10]	-1,5	-1,5	-1,5	-1,5	-1,5	-1,5	-1,5	-1,5	-1,5		
Снижение поверхностью земли возле приёмника Ar, дБ	Gr = 1 hr = 1.5м	ф-лы таб.3 [10]	-1,5	-1,5	3,9	7	5	0,7	0	0	0		
Снижение поверхностью земли в средней зоне, Am дБ	Gm = 1	ф-лы таб.3 [10]	-2,7	-2,7	0	0	0	0	0	0	0		
Суммарное снижение поверхностью земли на траектории распространения звука Agr, дБ		ф-ла (9) [10]	-5,7	-5,7	2,4	5,5	3,5	-0,8	-1,5	-1,5	-1,5		
Уровни звукового давления от источника ИШ-2-7 в расчётной точке днём, дБ		**ф-ла(3)[10]**	**0**	**34,6**	**27,8**	**25,5**	**26,8**	**29,3**	**24**	**10,7**	**0**	**31,7**	**31,7**
Уровни звукового давления от источника ИШ-2-7 в расчётной точке ночью, дБ		**ф-ла(3)[10]**	**0**	**34,6**	**27,8**	**25,5**	**26,8**	**29,3**	**24**	**10,7**	**0**	**31,7**	**31,7**
Источник шума: ИШ-2-8, координаты источника (x,y,z), м =[764.03,106.58,1.00]													

1		2	3	4	5	6	7	8	9	10	11	12	13
Уровни звуковой мощности источника днём, Lw, дБ		**исходные данные**	**0**	**93,3**	**94,7**	**96**	**96,3**	**95,9**	**92,6**	**88,4**	**83,9**		
Уровни звуковой мощности источника ночью, Lw, дБ		**исходные данные**	**0**	**93,3**	**94,7**	**96**	**96,3**	**95,9**	**92,6**	**88,4**	**83,9**		
Поправка на телесный угол DΩ, дБ	Ω = 6.28	10Lg(4π/Ω)	**3**	3	3	3	3	3	3	3	3		
Показатель направленности источника Di, дБ		исходные данные	**0**	0	0	0	0	0	0	0	0		
Поправка на направленность источника Dc, дБ	Dc	DΩ + Di	**3**	3	3	3	3	3	3	3	3		
Затухание из-за геометрической дивергенции, Adiv, дБ	расстояние = 651.30 м	ф-ла (7) [10]	**67,3**										
Коэффициент затухания звука в атмосфере α, дБ/км	Ta=20,°C Pa=101.33,кПа hотн.=70%	ф-ла (5) [9]	0,02	0,09	0,33	1,12	2,79	4,98	9,04	23,09	77,63		
Учет затухания звука в атмосфере Aatm, дБ		ф-ла (8) [10]	0	0,1	0,2	0,7	1,8	3,2	5,9	15	50,6		
Снижение поверхностью земли возле источника As, дБ	Gs = 0 hs = 1м	ф-лы таб.3 [10]	-1,5	-1,5	-1,5	-1,5	-1,5	-1,5	-1,5	-1,5	-1,5		
Снижение поверхностью земли возле приёмника Ar, дБ	Gr = 1 hr = 1.5м	ф-лы таб.3 [10]	-1,5	-1,5	3,9	7	5	0,7	0	0	0		
Снижение поверхностью земли в средней зоне, Am дБ	Gm = 1	ф-лы таб.3 [10]	-2,7	-2,7	0	0	0	0	0	0	0		
Суммарное снижение поверхностью земли на траектории распространения звука Agr, дБ		ф-ла (9) [10]	-5,7	-5,7	2,4	5,5	3,5	-0,8	-1,5	-1,5	-1,5		
Уровни звукового давления от источника ИШ-2-8 в расчётной точке днём, дБ		**ф-ла(3)[10]**	**0**	**34,6**	**27,8**	**25,5**	**26,7**	**29,2**	**23,9**	**10,6**	**0**	**31,7**	**31,7**
Уровни звукового давления от источника ИШ-2-8 в расчётной точке ночью, дБ		**ф-ла(3)[10]**	**0**	**34,6**	**27,8**	**25,5**	**26,7**	**29,2**	**23,9**	**10,6**	**0**	**31,7**	**31,7**
Источник шума: ИШ-2-9, координаты источника (x,y,z), м =[763.26,103.71,1.00]													
Уровни звуковой мощности источника днём, Lw, дБ		**исходные данные**	**0**	**93,3**	**94,7**	**96**	**96,3**	**95,9**	**92,6**	**88,4**	**83,9**		

1		2	3	4	5	6	7	8	9	10	11	12	13
Уровни звуковой мощности источника ночью, Lw, дБ		**исходные данные**	**0**	**93,3**	**94,7**	**96**	**96,3**	**95,9**	**92,6**	**88,4**	**83,9**		
Поправка на телесный угол DΩ, дБ	Ω = 6.28	10Lg(4π/Ω)	**3**	3	3	3	3	3	3	3	3		
Показатель направленности источника Di, дБ		исходные данные	**0**	0	0	0	0	0	0	0	0		
Поправка на направленность источника Dc, дБ	Dc	DΩ + Di	**3**	3	3	3	3	3	3	3	3		
Затухание из-за геометрической дивергенции, Adiv, дБ	расстояние = 653.24 м	ф-ла (7) [10]	**67,3**										
Коэффициент затухания звука в атмосфере α, дБ/км	Ta=20,°C Pa=101.33,кПа hотн.=70%	ф-ла (5) [9]	0,02	0,09	0,33	1,12	2,79	4,98	9,04	23,09	77,63		
Учет затухания звука в атмосфере Aatm, дБ		ф-ла (8) [10]	0	0,1	0,2	0,7	1,8	3,3	5,9	15,1	50,7		
Снижение поверхностью земли возле источника As, дБ	Gs = 0 hs = 1м	ф-лы таб.3 [10]	-1,5	-1,5	-1,5	-1,5	-1,5	-1,5	-1,5	-1,5	-1,5		
Снижение поверхностью земли возле приёмника Ar, дБ	Gr = 1 hr = 1.5м	ф-лы таб.3 [10]	-1,5	-1,5	3,9	7	5	0,7	0	0	0		
Снижение поверхностью земли в средней зоне, Am дБ	Gm = 1	ф-лы таб.3 [10]	-2,7	-2,7	0	0	0	0	0	0	0		
Суммарное снижение поверхностью земли на траектории распространения звука Agr, дБ		ф-ла (9) [10]	-5,7	-5,7	2,4	5,5	3,5	-0,8	-1,5	-1,5	-1,5		
Уровни звукового давления прямого звука от источника ИШ-2-9 в расчётной точке днём, дБ		**ф-ла(3)[10]**	**0**	**34,6**	**27,7**	**25,4**	**26,7**	**29,2**	**23,9**	**10,5**	**0**	**31,6**	**31,6**
Уровни звукового давления прямого звука от источника ИШ-2-9 в расчётной точке ночью, дБ		**ф-ла(3)[10]**	**0**	**34,6**	**27,7**	**25,4**	**26,7**	**29,2**	**23,9**	**10,5**	**0**	**31,6**	**31,6**
Расчёт отражённого звука													
Уровни звукового давления от мнимого источника ИШ-2-9_мн.(1) в расчётной точке днём, дБ		**ф-ла(3)[10]**	**0**	**0**	**0**	**0**	**0**	**0**	**0**	**0**	**0**	**0**	**0**
Уровни звукового давления от мнимого источника ИШ-2-9_мн.(1) в расчётной точке ночью, дБ		**ф-ла(3)[10]**	**0**	**0**	**0**	**0**	**0**	**0**	**0**	**0**	**0**	**0**	**0**
Уровни звукового давления от источника ИШ-2-9 в расчётной точке днём, дБ		**ф-ла(3)[10]**	**0**	**34,6**	**27,7**	**25,4**	**26,7**	**29,2**	**23,9**	**10,5**	**0**	**31,6**	**31,6**

1		2	3	4	5	6	7	8	9	10	11	12	13
Уровни звукового давления от источника ИШ-2-9 в расчётной точке ночью, дБ		**ф-ла(3)[10]**	**0**	**34,6**	**27,7**	**25,4**	**26,7**	**29,2**	**23,9**	**10,5**	**0**	**31,6**	**31,6**
Источник шума: ИШ-2-10, координаты источника (x,y,z), м =[762.14,100.75,1.00]													
Уровни звуковой мощности источника днём, Lw, дБ		**исходные данные**	**0**	**93,3**	**94,7**	**96**	**96,3**	**95,9**	**92,6**	**88,4**	**83,9**		
Уровни звуковой мощности источника ночью, Lw, дБ		**исходные данные**	**0**	**93,3**	**94,7**	**96**	**96,3**	**95,9**	**92,6**	**88,4**	**83,9**		
Поправка на телесный угол DΩ, дБ	Ω = 6.28	10Lg(4π/Ω)	**3**	3	3	3	3	3	3	3	3		
Показатель направленности источника Di, дБ		исходные данные	**0**	0	0	0	0	0	0	0	0		
Поправка на направленность источника Dc, дБ	Dc	DΩ + Di	**3**	3	3	3	3	3	3	3	3		
Затухание из-за геометрической дивергенции, Adiv, дБ	расстояние = 655.54 м	ф-ла (7) [10]	**67,3**										
Коэффициент затухания звука в атмосфере α, дБ/км	Ta=20,°C Pa=101.33,кПа hотн.=70%	ф-ла (5) [9]	0,02	0,09	0,33	1,12	2,79	4,98	9,04	23,09	77,63		
Учет затухания звука в атмосфере Aatm, дБ		ф-ла (8) [10]	0	0,1	0,2	0,7	1,8	3,3	5,9	15,1	50,9		
Снижение поверхностью земли возле источника As, дБ	Gs = 0 hs = 1м	ф-лы таб.3 [10]	-1,5	-1,5	-1,5	-1,5	-1,5	-1,5	-1,5	-1,5	-1,5		
Снижение поверхностью земли возле приёмника Ar, дБ	Gr = 1 hr = 1.5м	ф-лы таб.3 [10]	-1,5	-1,5	3,9	7	5	0,7	0	0	0		
Снижение поверхностью земли в средней зоне, Am дБ	Gm = 1	ф-лы таб.3 [10]	-2,7	-2,7	0	0	0	0	0	0	0		
Суммарное снижение поверхностью земли на траектории распространения звука Agr, дБ		ф-ла (9) [10]	-5,7	-5,7	2,4	5,5	3,5	-0,8	-1,5	-1,5	-1,5		
Уровни звукового давления прямого звука от источника ИШ-2-10 в расчётной точке днём, дБ		**ф-ла(3)[10]**	**0**	**34,6**	**27,7**	**25,4**	**26,7**	**29,1**	**23,8**	**10,4**	**0**	**31,6**	**31,6**
Уровни звукового давления прямого звука от источника ИШ-2-10 в расчётной точке ночью, дБ		**ф-ла(3)[10]**	**0**	**34,6**	**27,7**	**25,4**	**26,7**	**29,1**	**23,8**	**10,4**	**0**	**31,6**	**31,6**

1		2	3	4	5	6	7	8	9	10	11	12	13
Расчёт отражённого звука													
Уровни звукового давления от мнимого источника ИШ-2-10_мн.(1) в расчётной точке днём, дБ		**ф-ла(3)[10]**	**0**	**0**	**0**	**0**	**0**	**0**	**0**	**0**	**0**	**0**	**0**
Уровни звукового давления от мнимого источника ИШ-2-10_мн.(1) в расчётной точке ночью, дБ		**ф-ла(3)[10]**	**0**	**0**	**0**	**0**	**0**	**0**	**0**	**0**	**0**	**0**	**0**
Уровни звукового давления от источника ИШ-2-10 в расчётной точке днём, дБ		**ф-ла(3)[10]**	**0**	**34,6**	**27,7**	**25,4**	**26,7**	**29,1**	**23,8**	**10,4**	**0**	**31,6**	**31,6**
Уровни звукового давления от источника ИШ-2-10 в расчётной точке ночью, дБ		**ф-ла(3)[10]**	**0**	**34,6**	**27,7**	**25,4**	**26,7**	**29,1**	**23,8**	**10,4**	**0**	**31,6**	**31,6**
Источник шума: ИШ-2-11, координаты источника (x,y,z), м =[761.13,97.90,1.00]													
Уровни звуковой мощности источника днём, Lw, дБ		**исходные данные**	**0**	**93,3**	**94,7**	**96**	**96,3**	**95,9**	**92,6**	**88,4**	**83,9**		
Уровни звуковой мощности источника ночью, Lw, дБ		**исходные данные**	**0**	**93,3**	**94,7**	**96**	**96,3**	**95,9**	**92,6**	**88,4**	**83,9**		
Поправка на телесный угол DΩ, дБ	Ω = 6.28	10Lg(4π/Ω)	**3**	3	3	3	3	3	3	3	3		
Показатель направленности источника Di, дБ		исходные данные	**0**	0	0	0	0	0	0	0	0		
Поправка на направленность источника Dc, дБ	Dc	DΩ + Di	**3**	3	3	3	3	3	3	3	3		
Затухание из-за геометрической дивергенции, Adiv, дБ	расстояние = 657.70 м	ф-ла (7) [10]	**67,4**										
Коэффициент затухания звука в атмосфере α, дБ/км	Ta=20,°C Pa=101.33,кПа hотн.=70%	ф-ла (5) [9]	0,02	0,09	0,33	1,12	2,79	4,98	9,04	23,09	77,63		
Учет затухания звука в атмосфере Aatm, дБ		ф-ла (8) [10]	0	0,1	0,2	0,7	1,8	3,3	5,9	15,2	51,1		
Снижение поверхностью земли возле источника As, дБ	Gs = 0 hs = 1м	ф-лы таб.3 [10]	-1,5	-1,5	-1,5	-1,5	-1,5	-1,5	-1,5	-1,5	-1,5		
Снижение поверхностью земли возле приёмника Ar, дБ	Gr = 1 hr = 1.5м	ф-лы таб.3 [10]	-1,5	-1,5	4	7	5	0,7	0	0	0		

1		2	3	4	5	6	7	8	9	10	11	12	13
Снижение поверхностью земли в средней зоне, Am дБ	Gm = 1	ф-лы таб.3 [10]	-2,7	-2,7	0	0	0	0	0	0	0		
Суммарное снижение поверхностью земли на траектории распространения звука Agr, дБ		ф-ла (9) [10]	-5,7	-5,7	2,5	5,5	3,5	-0,8	-1,5	-1,5	-1,5		
Уровни звукового давления прямого звука от источника ИШ-2-11 в расчётной точке днём, дБ		**ф-ла(3)[10]**	**0**	**34,5**	**27,7**	**25,4**	**26,6**	**29,1**	**23,8**	**10,3**	**0**	**31,6**	**31,6**
Уровни звукового давления прямого звука от источника ИШ-2-11 в расчётной точке ночью, дБ		**ф-ла(3)[10]**	**0**	**34,5**	**27,7**	**25,4**	**26,6**	**29,1**	**23,8**	**10,3**	**0**	**31,6**	**31,6**
Расчёт отражённого звука													
Уровни звукового давления от мнимого источника ИШ-2-11_мн.(1) в расчётной точке днём, дБ		**ф-ла(3)[10]**	**0**	**0**	**0**	**0**	**0**	**0**	**0**	**0**	**0**	**0**	**0**
Уровни звукового давления от мнимого источника ИШ-2-11_мн.(1) в расчётной точке ночью, дБ		**ф-ла(3)[10]**	**0**	**0**	**0**	**0**	**0**	**0**	**0**	**0**	**0**	**0**	**0**
Уровни звукового давления от источника ИШ-2-11 в расчётной точке днём, дБ		**ф-ла(3)[10]**	**0**	**34,5**	**27,7**	**25,4**	**26,6**	**29,1**	**23,8**	**10,3**	**0**	**31,6**	**31,6**
Уровни звукового давления от источника ИШ-2-11 в расчётной точке ночью, дБ		**ф-ла(3)[10]**	**0**	**34,5**	**27,7**	**25,4**	**26,6**	**29,1**	**23,8**	**10,3**	**0**	**31,6**	**31,6**
Источник шума: ИШ-2-12, координаты источника (x,y,z), м =[760.25,95.02,1.00]													
Уровни звуковой мощности источника днём, Lw, дБ		**исходные данные**	**0**	**93,3**	**94,7**	**96**	**96,3**	**95,9**	**92,6**	**88,4**	**83,9**		
Уровни звуковой мощности источника ночью, Lw, дБ		**исходные данные**	**0**	**93,3**	**94,7**	**96**	**96,3**	**95,9**	**92,6**	**88,4**	**83,9**		
Поправка на телесный угол DΩ, дБ	Ω = 6.28	10Lg(4π/Ω)	**3**	3	3	3	3	3	3	3	3		
Показатель направленности источника Di, дБ		исходные данные	**0**	0	0	0	0	0	0	0	0		
Поправка на направленность источника Dc, дБ	Dc	DΩ + Di	**3**	3	3	3	3	3	3	3	3		
Затухание из-за геометрической дивергенции, Adiv, дБ	расстояние = 659.76 м	ф-ла (7) [10]	**67,4**										
Коэффициент затухания звука в атмосфере α, дБ/км	Ta=20,°C Pa=101.33,кПа hотн.=70%	ф-ла (5) [9]	0,02	0,09	0,33	1,12	2,79	4,98	9,04	23,09	77,63		

1		2	3	4	5	6	7	8	9	10	11	12	13
Учет затухания звука в атмосфере Aatm, дБ		ф-ла (8) [10]	0	0,1	0,2	0,7	1,8	3,3	6	15,2	51,2		
Снижение поверхностью земли возле источника As, дБ	Gs = 0 hs = 1м	ф-лы таб.3 [10]	-1,5	-1,5	-1,5	-1,5	-1,5	-1,5	-1,5	-1,5	-1,5		
Снижение поверхностью земли возле приёмника Ar, дБ	Gr = 1 hr = 1.5м	ф-лы таб.3 [10]	-1,5	-1,5	4	7	5	0,7	0	0	0		
Снижение поверхностью земли в средней зоне, Am дБ	Gm = 1	ф-лы таб.3 [10]	-2,7	-2,7	0	0	0	0	0	0	0		
Суммарное снижение поверхностью земли на траектории распространения звука Agr, дБ		ф-ла (9) [10]	-5,7	-5,7	2,5	5,5	3,5	-0,8	-1,5	-1,5	-1,5		
Уровни звукового давления прямого звука от источника ИШ-2-12 в расчётной точке днём, дБ		**ф-ла(3)[10]**	**0**	**34,5**	**27,6**	**25,3**	**26,6**	**29,1**	**23,7**	**10,3**	**0**	**31,5**	**31,5**
Уровни звукового давления прямого звука от источника ИШ-2-12 в расчётной точке ночью, дБ		**ф-ла(3)[10]**	**0**	**34,5**	**27,6**	**25,3**	**26,6**	**29,1**	**23,7**	**10,3**	**0**	**31,5**	**31,5**
Расчёт отражённого звука													
Уровни звукового давления от мнимого источника ИШ-2-12_мн.(1) в расчётной точке днём, дБ		**ф-ла(3)[10]**	**0**	**0**	**0**	**0**	**0**	**0**	**0**	**0**	**0**	**0**	**0**
Уровни звукового давления от мнимого источника ИШ-2-12_мн.(1) в расчётной точке ночью, дБ		**ф-ла(3)[10]**	**0**	**0**	**0**	**0**	**0**	**0**	**0**	**0**	**0**	**0**	**0**
Уровни звукового давления от источника ИШ-2-12 в расчётной точке днём, дБ		**ф-ла(3)[10]**	**0**	**34,5**	**27,6**	**25,3**	**26,6**	**29,1**	**23,7**	**10,3**	**0**	**31,5**	**31,5**
Уровни звукового давления от источника ИШ-2-12 в расчётной точке ночью, дБ		**ф-ла(3)[10]**	**0**	**34,5**	**27,6**	**25,3**	**26,6**	**29,1**	**23,7**	**10,3**	**0**	**31,5**	**31,5**
Источник шума: ИШ-2-13, координаты источника (x,y,z), м =[759.28,92.25,1.00]													
Уровни звуковой мощности источника днём, Lw, дБ		**исходные данные**	**0**	**93,3**	**94,7**	**96**	**96,3**	**95,9**	**92,6**	**88,4**	**83,9**		
Уровни звуковой мощности источника ночью, Lw, дБ		**исходные данные**	**0**	**93,3**	**94,7**	**96**	**96,3**	**95,9**	**92,6**	**88,4**	**83,9**		
Поправка на телесный угол DΩ, дБ	Ω = 6.28	10Lg(4π/Ω)	**3**	3	3	3	3	3	3	3	3		
Показатель направленности источника Di, дБ		исходные данные	**0**	0	0	0	0	0	0	0	0		

1		2	3	4	5	6	7	8	9	10	11	12	13
Поправка на направленность источника Dc, дБ	Dc	DΩ + Di	**3**	3	3	3	3	3	3	3	3		
Затухание из-за геометрической дивергенции, Adiv, дБ	расстояние = 661.87 м	ф-ла (7) [10]	**67,4**										
Коэффициент затухания звука в атмосфере α, дБ/км	Ta=20,°C Pa=101.33,кПа hотн.=70%	ф-ла (5) [9]	0,02	0,09	0,33	1,12	2,79	4,98	9,04	23,09	77,63		
Учет затухания звука в атмосфере Aatm, дБ		ф-ла (8) [10]	0	0,1	0,2	0,7	1,8	3,3	6	15,3	51,4		
Снижение поверхностью земли возле источника As, дБ	Gs = 0 hs = 1м	ф-лы таб.3 [10]	-1,5	-1,5	-1,5	-1,5	-1,5	-1,5	-1,5	-1,5	-1,5		
Снижение поверхностью земли возле приёмника Ar, дБ	Gr = 1 hr = 1.5м	ф-лы таб.3 [10]	-1,5	-1,5	4	7	5	0,7	0	0	0		
Снижение поверхностью земли в средней зоне, Am дБ	Gm = 1	ф-лы таб.3 [10]	-2,7	-2,7	0	0	0	0	0	0	0		
Суммарное снижение поверхностью земли на траектории распространения звука Agr, дБ		ф-ла (9) [10]	-5,7	-5,7	2,5	5,5	3,5	-0,8	-1,5	-1,5	-1,5		
Уровни звукового давления прямого звука от источника ИШ-2-13 в расчётной точке днём, дБ		**ф-ла(3)[10]**	**0**	**34,5**	**27,6**	**25,3**	**26,6**	**29**	**23,7**	**10,2**	**0**	**31,5**	**31,5**
Уровни звукового давления прямого звука от источника ИШ-2-13 в расчётной точке ночью, дБ		**ф-ла(3)[10]**	**0**	**34,5**	**27,6**	**25,3**	**26,6**	**29**	**23,7**	**10,2**	**0**	**31,5**	**31,5**
Расчёт отражённого звука													
Уровни звукового давления от мнимого источника ИШ-2-13_мн.(1) в расчётной точке днём, дБ		**ф-ла(3)[10]**	**0**	**0**	**0**	**0**	**0**	**0**	**0**	**0**	**0**	**0**	**0**
Уровни звукового давления от мнимого источника ИШ-2-13_мн.(1) в расчётной точке ночью, дБ		**ф-ла(3)[10]**	**0**	**0**	**0**	**0**	**0**	**0**	**0**	**0**	**0**	**0**	**0**
Уровни звукового давления от источника ИШ-2-13 в расчётной точке днём, дБ		**ф-ла(3)[10]**	**0**	**34,5**	**27,6**	**25,3**	**26,6**	**29**	**23,7**	**10,2**	**0**	**31,5**	**31,5**
Уровни звукового давления от источника ИШ-2-13 в расчётной точке ночью, дБ		**ф-ла(3)[10]**	**0**	**34,5**	**27,6**	**25,3**	**26,6**	**29**	**23,7**	**10,2**	**0**	**31,5**	**31,5**
Источник шума: ИШ-2-14, координаты источника (x,y,z), м =[751.62,69.73,1.00]													

1		2	3	4	5	6	7	8	9	10	11	12	13
Уровни звуковой мощности источника днём, Lw, дБ		**исходные данные**	**0**	**93,3**	**94,7**	**96**	**96,3**	**95,9**	**92,6**	**88,4**	**83,9**		
Уровни звуковой мощности источника ночью, Lw, дБ		**исходные данные**	**0**	**93,3**	**94,7**	**96**	**96,3**	**95,9**	**92,6**	**88,4**	**83,9**		
Поправка на телесный угол DΩ, дБ	Ω = 6.28	10Lg(4π/Ω)	**3**	3	3	3	3	3	3	3	3		
Показатель направленности источника Di, дБ		исходные данные	**0**	0	0	0	0	0	0	0	0		
Поправка на направленность источника Dc, дБ	Dc	DΩ + Di	**3**	3	3	3	3	3	3	3	3		
Затухание из-за геометрической дивергенции, Adiv, дБ	расстояние = 678.99 м	ф-ла (7) [10]	**67,6**										
Коэффициент затухания звука в атмосфере α, дБ/км	Ta=20,°C Pa=101.33,кПа hотн.=70%	ф-ла (5) [9]	0,02	0,09	0,33	1,12	2,79	4,98	9,04	23,09	77,63		
Учет затухания звука в атмосфере Aatm, дБ		ф-ла (8) [10]	0	0,1	0,2	0,8	1,9	3,4	6,1	15,7	52,7		
Снижение поверхностью земли возле источника As, дБ	Gs = 0 hs = 1м	ф-лы таб.3 [10]	-1,5	-1,5	-1,5	-1,5	-1,5	-1,5	-1,5	-1,5	-1,5		
Снижение поверхностью земли возле приёмника Ar, дБ	Gr = 1 hr = 1.5м	ф-лы таб.3 [10]	-1,5	-1,5	4,1	7	5	0,7	0	0	0		
Снижение поверхностью земли в средней зоне, Am дБ	Gm = 1	ф-лы таб.3 [10]	-2,7	-2,7	0	0	0	0	0	0	0		
Суммарное снижение поверхностью земли на траектории распространения звука Agr, дБ		ф-ла (9) [10]	-5,7	-5,7	2,6	5,5	3,5	-0,8	-1,5	-1,5	-1,5		
Уровни звукового давления прямого звука от источника ИШ-2-14 в расчётной точке днём, дБ		**ф-ла(3)[10]**	**0**	**34,3**	**27,3**	**25,1**	**26,3**	**28,7**	**23,3**	**9,6**	**0**	**31,2**	**31,2**
Уровни звукового давления прямого звука от источника ИШ-2-14 в расчётной точке ночью, дБ		**ф-ла(3)[10]**	**0**	**34,3**	**27,3**	**25,1**	**26,3**	**28,7**	**23,3**	**9,6**	**0**	**31,2**	**31,2**
Расчёт отражённого звука													
Уровни звукового давления от мнимого источника ИШ-2-14_мн.(1) в расчётной точке днём, дБ		**ф-ла(3)[10]**	**0**	**0**	**0**	**0**	**0**	**0**	**0**	**0**	**0**	**0**	**0**
Уровни звукового давления от мнимого источника ИШ-2-14_мн.(1) в расчётной точке ночью, дБ		**ф-ла(3)[10]**	**0**	**0**	**0**	**0**	**0**	**0**	**0**	**0**	**0**	**0**	**0**

1		2	3	4	5	6	7	8	9	10	11	12	13
Уровни звукового давления от источника ИШ-2-14 в расчётной точке днём, дБ		**ф-ла(3)[10]**	**0**	**34,3**	**27,3**	**25,1**	**26,3**	**28,7**	**23,3**	**9,6**	**0**	**31,2**	**31,2**
Уровни звукового давления от источника ИШ-2-14 в расчётной точке ночью, дБ		**ф-ла(3)[10]**	**0**	**34,3**	**27,3**	**25,1**	**26,3**	**28,7**	**23,3**	**9,6**	**0**	**31,2**	**31,2**
Источник шума: ИШ-2-15, координаты источника (x,y,z), м =[750.74,66.89,1.00]													
Уровни звуковой мощности источника днём, Lw, дБ		**исходные данные**	**0**	**93,3**	**94,7**	**96**	**96,3**	**95,9**	**92,6**	**88,4**	**83,9**		
Уровни звуковой мощности источника ночью, Lw, дБ		**исходные данные**	**0**	**93,3**	**94,7**	**96**	**96,3**	**95,9**	**92,6**	**88,4**	**83,9**		
Поправка на телесный угол DΩ, дБ	Ω = 6.28	10Lg(4π/Ω)	**3**	3	3	3	3	3	3	3	3		
Показатель направленности источника Di, дБ		исходные данные	**0**	0	0	0	0	0	0	0	0		
Поправка на направленность источника Dc, дБ	Dc	DΩ + Di	**3**	3	3	3	3	3	3	3	3		
Затухание из-за геометрической дивергенции, Adiv, дБ	расстояние = 681.10 м	ф-ла (7) [10]	**67,7**										
Коэффициент затухания звука в атмосфере α, дБ/км	Ta=20,°C Pa=101.33,кПа hотн.=70%	ф-ла (5) [9]	0,02	0,09	0,33	1,12	2,79	4,98	9,04	23,09	77,63		
Учет затухания звука в атмосфере Aatm, дБ		ф-ла (8) [10]	0	0,1	0,2	0,8	1,9	3,4	6,2	15,7	52,9		
Снижение поверхностью земли возле источника As, дБ	Gs = 0 hs = 1м	ф-лы таб.3 [10]	-1,5	-1,5	-1,5	-1,5	-1,5	-1,5	-1,5	-1,5	-1,5		
Снижение поверхностью земли возле приёмника Ar, дБ	Gr = 1 hr = 1.5м	ф-лы таб.3 [10]	-1,5	-1,5	4,1	7	5	0,7	0	0	0		
Снижение поверхностью земли в средней зоне, Am дБ	Gm = 1	ф-лы таб.3 [10]	-2,7	-2,7	0	0	0	0	0	0	0		
Суммарное снижение поверхностью земли на траектории распространения звука Agr, дБ		ф-ла (9) [10]	-5,7	-5,7	2,6	5,5	3,5	-0,8	-1,5	-1,5	-1,5		
Уровни звукового давления прямого звука от источника ИШ-2-15 в расчётной точке днём, дБ		**ф-ла(3)[10]**	**0**	**34,2**	**27,2**	**25**	**26,3**	**28,7**	**23,3**	**9,5**	**0**	**31,1**	**31,1**

1		2	3	4	5	6	7	8	9	10	11	12	13
Уровни звукового давления прямого звука от источника ИШ-2-15 в расчётной точке ночью, дБ		**ф-ла(3)[10]**	**0**	**34,2**	**27,2**	**25**	**26,3**	**28,7**	**23,3**	**9,5**	**0**	**31,1**	**31,1**
Расчёт отражённого звука													
Уровни звукового давления от мнимого источника ИШ-2-15_мн.(1) в расчётной точке днём, дБ		**ф-ла(3)[10]**	**0**	**0**	**0**	**0**	**0**	**0**	**0**	**0**	**0**	**0**	**0**
Уровни звукового давления от мнимого источника ИШ-2-15_мн.(1) в расчётной точке ночью, дБ		**ф-ла(3)[10]**	**0**	**0**	**0**	**0**	**0**	**0**	**0**	**0**	**0**	**0**	**0**
Уровни звукового давления от источника ИШ-2-15 в расчётной точке днём, дБ		**ф-ла(3)[10]**	**0**	**34,2**	**27,2**	**25**	**26,3**	**28,7**	**23,3**	**9,5**	**0**	**31,1**	**31,1**
Уровни звукового давления от источника ИШ-2-15 в расчётной точке ночью, дБ		**ф-ла(3)[10]**	**0**	**34,2**	**27,2**	**25**	**26,3**	**28,7**	**23,3**	**9,5**	**0**	**31,1**	**31,1**
Источник шума: ИШ-2-16, координаты источника (x,y,z), м =[749.73,64.02,1.00]													
Уровни звуковой мощности источника днём, Lw, дБ		**исходные данные**	**0**	**93,3**	**94,7**	**96**	**96,3**	**95,9**	**92,6**	**88,4**	**83,9**		
Уровни звуковой мощности источника ночью, Lw, дБ		**исходные данные**	**0**	**93,3**	**94,7**	**96**	**96,3**	**95,9**	**92,6**	**88,4**	**83,9**		
Поправка на телесный угол DΩ, дБ	Ω = 6.28	10Lg(4π/Ω)	**3**	3	3	3	3	3	3	3	3		
Показатель направленности источника Di, дБ		исходные данные	**0**	0	0	0	0	0	0	0	0		
Поправка на направленность источника Dc, дБ	Dc	DΩ + Di	**3**	3	3	3	3	3	3	3	3		
Затухание из-за геометрической дивергенции, Adiv, дБ	расстояние = 683.35 м	ф-ла (7) [10]	**67,7**										
Коэффициент затухания звука в атмосфере α, дБ/км	Ta=20,°C Pa=101.33,кПа hотн.=70%	ф-ла (5) [9]	0,02	0,09	0,33	1,12	2,79	4,98	9,04	23,09	77,63		
Учет затухания звука в атмосфере Aatm, дБ		ф-ла (8) [10]	0	0,1	0,2	0,8	1,9	3,4	6,2	15,8	53,1		
Снижение поверхностью земли возле источника As, дБ	Gs = 0 hs = 1м	ф-лы таб.3 [10]	-1,5	-1,5	-1,5	-1,5	-1,5	-1,5	-1,5	-1,5	-1,5		

1		2	3	4	5	6	7	8	9	10	11	12	13
Снижение поверхностью земли возле приёмника Ar, дБ	Gr = 1 hr = 1.5м	ф-лы таб.3 [10]	-1,5	-1,5	4,1	7	5	0,7	0	0	0		
Снижение поверхностью земли в средней зоне, Am дБ	Gm = 1	ф-лы таб.3 [10]	-2,7	-2,7	0	0	0	0	0	0	0		
Суммарное снижение поверхностью земли на траектории распространения звука Agr, дБ		ф-ла (9) [10]	-5,7	-5,7	2,6	5,5	3,5	-0,8	-1,5	-1,5	-1,5		
Уровни звукового давления прямого звука от источника ИШ-2-16 в расчётной точке днём, дБ		**ф-ла(3)[10]**	**0**	**34,2**	**27,2**	**25**	**26,2**	**28,6**	**23,2**	**9,4**	**0**	**31,1**	**31,1**
Уровни звукового давления прямого звука от источника ИШ-2-16 в расчётной точке ночью, дБ		**ф-ла(3)[10]**	**0**	**34,2**	**27,2**	**25**	**26,2**	**28,6**	**23,2**	**9,4**	**0**	**31,1**	**31,1**
Расчёт отражённого звука													
Уровни звукового давления от мнимого источника ИШ-2-16_мн.(1) в расчётной точке днём, дБ		**ф-ла(3)[10]**	**0**	**0**	**0**	**0**	**0**	**0**	**0**	**0**	**0**	**0**	**0**
Уровни звукового давления от мнимого источника ИШ-2-16_мн.(1) в расчётной точке ночью, дБ		**ф-ла(3)[10]**	**0**	**0**	**0**	**0**	**0**	**0**	**0**	**0**	**0**	**0**	**0**
Уровни звукового давления от источника ИШ-2-16 в расчётной точке днём, дБ		**ф-ла(3)[10]**	**0**	**34,2**	**27,2**	**25**	**26,2**	**28,6**	**23,2**	**9,4**	**0**	**31,1**	**31,1**
Уровни звукового давления от источника ИШ-2-16 в расчётной точке ночью, дБ		**ф-ла(3)[10]**	**0**	**34,2**	**27,2**	**25**	**26,2**	**28,6**	**23,2**	**9,4**	**0**	**31,1**	**31,1**
Источник шума: ИШ-2-17, координаты источника (x,y,z), м =[748.87,61.06,1.00]													
Уровни звуковой мощности источника днём, Lw, дБ		**исходные данные**	**0**	**93,3**	**94,7**	**96**	**96,3**	**95,9**	**92,6**	**88,4**	**83,9**		
Уровни звуковой мощности источника ночью, Lw, дБ		**исходные данные**	**0**	**93,3**	**94,7**	**96**	**96,3**	**95,9**	**92,6**	**88,4**	**83,9**		
Поправка на телесный угол DΩ, дБ	Ω = 6.28	10Lg(4π/Ω)	**3**	3	3	3	3	3	3	3	3		
Показатель направленности источника Di, дБ		исходные данные	**0**	0	0	0	0	0	0	0	0		
Поправка на направленность источника Dc, дБ	Dc	DΩ + Di	**3**	3	3	3	3	3	3	3	3		
Затухание из-за геометрической дивергенции, Adiv, дБ	расстояние = 685.51 м	ф-ла (7) [10]	**67,7**										

1		2	3	4	5	6	7	8	9	10	11	12	13
Коэффициент затухания звука в атмосфере α, дБ/км	Ta=20,°C Pa=101.33,кПа hотн.=70%	ф-ла (5) [9]	0,02	0,09	0,33	1,12	2,79	4,98	9,04	23,09	77,63		
Учет затухания звука в атмосфере Aatm, дБ		ф-ла (8) [10]	0	0,1	0,2	0,8	1,9	3,4	6,2	15,8	53,2		
Снижение поверхностью земли возле источника As, дБ	Gs = 0 hs = 1м	ф-лы таб.3 [10]	-1,5	-1,5	-1,5	-1,5	-1,5	-1,5	-1,5	-1,5	-1,5		
Снижение поверхностью земли возле приёмника Ar, дБ	Gr = 1 hr = 1.5м	ф-лы таб.3 [10]	-1,5	-1,5	4,1	7	5	0,7	0	0	0		
Снижение поверхностью земли в средней зоне, Am дБ	Gm = 1	ф-лы таб.3 [10]	-2,7	-2,7	0	0	0	0	0	0	0		
Суммарное снижение поверхностью земли на траектории распространения звука Agr, дБ		ф-ла (9) [10]	-5,7	-5,7	2,6	5,5	3,5	-0,8	-1,5	-1,5	-1,5		
Уровни звукового давления прямого звука от источника ИШ-2-17 в расчётной точке днём, дБ		**ф-ла(3)[10]**	**0**	**34,2**	**27,1**	**25**	**26,2**	**28,6**	**23,2**	**9,3**	**0**	**31**	**31**
Уровни звукового давления прямого звука от источника ИШ-2-17 в расчётной точке ночью, дБ		**ф-ла(3)[10]**	**0**	**34,2**	**27,1**	**25**	**26,2**	**28,6**	**23,2**	**9,3**	**0**	**31**	**31**
Расчёт отражённого звука													
Уровни звукового давления от мнимого источника ИШ-2-17_мн.(1) в расчётной точке днём, дБ		**ф-ла(3)[10]**	**0**	**0**	**0**	**0**	**0**	**0**	**0**	**0**	**0**	**0**	**0**
Уровни звукового давления от мнимого источника ИШ-2-17_мн.(1) в расчётной точке ночью, дБ		**ф-ла(3)[10]**	**0**	**0**	**0**	**0**	**0**	**0**	**0**	**0**	**0**	**0**	**0**
Уровни звукового давления от мнимого источника ИШ-2-17_мн.(2) в расчётной точке днём, дБ		**ф-ла(3)[10]**	**0**	**0**	**0**	**0**	**0**	**0**	**0**	**0**	**0**	**0**	**0**
Уровни звукового давления от мнимого источника ИШ-2-17_мн.(2) в расчётной точке ночью, дБ		**ф-ла(3)[10]**	**0**	**0**	**0**	**0**	**0**	**0**	**0**	**0**	**0**	**0**	**0**
Суммарные уровни звукового давления от мнимых источников в расчётной точке днём, дБ		**ф-ла (19) [1]**	**0**	**0**	**0**	**0**	**0**	**0**	**0**	**0**	**0**	**0**	**0**
Суммарные уровни звукового давления от мнимых источников в расчётной точке ночью, дБ		**ф-ла (19) [1]**	**0**	**0**	**0**	**0**	**0**	**0**	**0**	**0**	**0**	**0**	**0**
Уровни звукового давления от источника ИШ-2-17 в расчётной точке днём, дБ		**ф-ла(3)[10]**	**0**	**34,2**	**27,1**	**25**	**26,2**	**28,6**	**23,2**	**9,3**	**0**	**31**	**31**
Уровни звукового давления от источника ИШ-2-17 в расчётной точке ночью, дБ		**ф-ла(3)[10]**	**0**	**34,2**	**27,1**	**25**	**26,2**	**28,6**	**23,2**	**9,3**	**0**	**31**	**31**

1		2	3	4	5	6	7	8	9	10	11	12	13
Источник шума: ИШ-2-18, координаты источника (x,y,z), м =[747.72,58.17,1.00]													
Уровни звуковой мощности источника днём, Lw, дБ		**исходные данные**	**0**	**93,3**	**94,7**	**96**	**96,3**	**95,9**	**92,6**	**88,4**	**83,9**		
Уровни звуковой мощности источника ночью, Lw, дБ		**исходные данные**	**0**	**93,3**	**94,7**	**96**	**96,3**	**95,9**	**92,6**	**88,4**	**83,9**		
Поправка на телесный угол DΩ, дБ	Ω = 6.28	10Lg(4π/Ω)	**3**	3	3	3	3	3	3	3	3		
Показатель направленности источника Di, дБ		исходные данные	**0**	0	0	0	0	0	0	0	0		
Поправка на направленность источника Dc, дБ	Dc	DΩ + Di	**3**	3	3	3	3	3	3	3	3		
Затухание из-за геометрической дивергенции, Adiv, дБ	расстояние = 687.91 м	ф-ла (7) [10]	**67,8**										
Коэффициент затухания звука в атмосфере α, дБ/км	Ta=20,°C Pa=101.33,кПа hотн.=70%	ф-ла (5) [9]	0,02	0,09	0,33	1,12	2,79	4,98	9,04	23,09	77,63		
Учет затухания звука в атмосфере Aatm, дБ		ф-ла (8) [10]	0	0,1	0,2	0,8	1,9	3,4	6,2	15,9	53,4		
Снижение поверхностью земли возле источника As, дБ	Gs = 0 hs = 1м	ф-лы таб.3 [10]	-1,5	-1,5	-1,5	-1,5	-1,5	-1,5	-1,5	-1,5	-1,5		
Снижение поверхностью земли возле приёмника Ar, дБ	Gr = 1 hr = 1.5м	ф-лы таб.3 [10]	-1,5	-1,5	4,1	7	5	0,7	0	0	0		
Снижение поверхностью земли в средней зоне, Am дБ	Gm = 1	ф-лы таб.3 [10]	-2,7	-2,7	0	0	0	0	0	0	0		
Суммарное снижение поверхностью земли на траектории распространения звука Agr, дБ		ф-ла (9) [10]	-5,7	-5,7	2,6	5,5	3,5	-0,8	-1,5	-1,5	-1,5		
Уровни звукового давления прямого звука от источника ИШ-2-18 в расчётной точке днём, дБ		**ф-ла(3)[10]**	**0**	**34,2**	**27,1**	**24,9**	**26,1**	**28,6**	**23,1**	**9,3**	**0**	**31**	**31**
Уровни звукового давления прямого звука от источника ИШ-2-18 в расчётной точке ночью, дБ		**ф-ла(3)[10]**	**0**	**34,2**	**27,1**	**24,9**	**26,1**	**28,6**	**23,1**	**9,3**	**0**	**31**	**31**
Расчёт отражённого звука													

1		2	3	4	5	6	7	8	9	10	11	12	13
Уровни звукового давления от мнимого источника ИШ-2-18_мн.(1) в расчётной точке днём, дБ		**ф-ла(3)[10]**	**0**	**0**	**0**	**0**	**0**	**0**	**0**	**0**	**0**	**0**	**0**
Уровни звукового давления от мнимого источника ИШ-2-18_мн.(1) в расчётной точке ночью, дБ		**ф-ла(3)[10]**	**0**	**0**	**0**	**0**	**0**	**0**	**0**	**0**	**0**	**0**	**0**
Уровни звукового давления от источника ИШ-2-18 в расчётной точке днём, дБ		**ф-ла(3)[10]**	**0**	**34,2**	**27,1**	**24,9**	**26,1**	**28,6**	**23,1**	**9,3**	**0**	**31**	**31**
Уровни звукового давления от источника ИШ-2-18 в расчётной точке ночью, дБ		**ф-ла(3)[10]**	**0**	**34,2**	**27,1**	**24,9**	**26,1**	**28,6**	**23,1**	**9,3**	**0**	**31**	**31**
Источник шума: ИШ-2-19, координаты источника (x,y,z), м =[746.80,55.25,1.00]													
Уровни звуковой мощности источника днём, Lw, дБ		**исходные данные**	**0**	**93,3**	**94,7**	**96**	**96,3**	**95,9**	**92,6**	**88,4**	**83,9**		
Уровни звуковой мощности источника ночью, Lw, дБ		**исходные данные**	**0**	**93,3**	**94,7**	**96**	**96,3**	**95,9**	**92,6**	**88,4**	**83,9**		
Поправка на телесный угол DΩ, дБ	Ω = 6.28	10Lg(4π/Ω)	**3**	3	3	3	3	3	3	3	3		
Показатель направленности источника Di, дБ		исходные данные	**0**	0	0	0	0	0	0	0	0		
Поправка на направленность источника Dc, дБ	Dc	DΩ + Di	**3**	3	3	3	3	3	3	3	3		
Затухание из-за геометрической дивергенции, Adiv, дБ	расстояние = 690.11 м	ф-ла (7) [10]	**67,8**										
Коэффициент затухания звука в атмосфере α, дБ/км	Ta=20,°C Pa=101.33,кПа hотн.=70%	ф-ла (5) [9]	0,02	0,09	0,33	1,12	2,79	4,98	9,04	23,09	77,63		
Учет затухания звука в атмосфере Aatm, дБ		ф-ла (8) [10]	0	0,1	0,2	0,8	1,9	3,4	6,2	15,9	53,6		
Снижение поверхностью земли возле источника As, дБ	Gs = 0 hs = 1м	ф-лы таб.3 [10]	-1,5	-1,5	-1,5	-1,5	-1,5	-1,5	-1,5	-1,5	-1,5		
Снижение поверхностью земли возле приёмника Ar, дБ	Gr = 1 hr = 1.5м	ф-лы таб.3 [10]	-1,5	-1,5	4,1	7	5	0,7	0	0	0		
Снижение поверхностью земли в средней зоне, Am дБ	Gm = 1	ф-лы таб.3 [10]	-2,7	-2,7	0	0	0	0	0	0	0		

1		2	3	4	5	6	7	8	9	10	11	12	13
Суммарное снижение поверхностью земли на траектории распространения звука Agr, дБ		ф-ла (9) [10]	-5,7	-5,7	2,6	5,5	3,5	-0,8	-1,5	-1,5	-1,5		
Уровни звукового давления прямого звука от источника ИШ-2-19 в расчётной точке днём, дБ		**ф-ла(3)[10]**	**0**	**34,1**	**27,1**	**24,9**	**26,1**	**28,5**	**23,1**	**9,2**	**0**	**31**	**31**
Уровни звукового давления прямого звука от источника ИШ-2-19 в расчётной точке ночью, дБ		**ф-ла(3)[10]**	**0**	**34,1**	**27,1**	**24,9**	**26,1**	**28,5**	**23,1**	**9,2**	**0**	**31**	**31**
Расчёт отражённого звука													
Уровни звукового давления от мнимого источника ИШ-2-19_мн.(1) в расчётной точке днём, дБ		**ф-ла(3)[10]**	**0**	**0**	**0**	**0**	**0**	**0**	**0**	**0**	**0**	**0**	**0**
Уровни звукового давления от мнимого источника ИШ-2-19_мн.(1) в расчётной точке ночью, дБ		**ф-ла(3)[10]**	**0**	**0**	**0**	**0**	**0**	**0**	**0**	**0**	**0**	**0**	**0**
Уровни звукового давления от источника ИШ-2-19 в расчётной точке днём, дБ		**ф-ла(3)[10]**	**0**	**34,1**	**27,1**	**24,9**	**26,1**	**28,5**	**23,1**	**9,2**	**0**	**31**	**31**
Уровни звукового давления от источника ИШ-2-19 в расчётной точке ночью, дБ		**ф-ла(3)[10]**	**0**	**34,1**	**27,1**	**24,9**	**26,1**	**28,5**	**23,1**	**9,2**	**0**	**31**	**31**
Источник шума: ИШ-2-20, координаты источника (x,y,z), м =[745.71,52.44,1.00]													
Уровни звуковой мощности источника днём, Lw, дБ		**исходные данные**	**0**	**93,3**	**94,7**	**96**	**96,3**	**95,9**	**92,6**	**88,4**	**83,9**		
Уровни звуковой мощности источника ночью, Lw, дБ		**исходные данные**	**0**	**93,3**	**94,7**	**96**	**96,3**	**95,9**	**92,6**	**88,4**	**83,9**		
Поправка на телесный угол DΩ, дБ	Ω = 6.28	10Lg(4π/Ω)	**3**	3	3	3	3	3	3	3	3		
Показатель направленности источника Di, дБ		исходные данные	**0**	0	0	0	0	0	0	0	0		
Поправка на направленность источника Dc, дБ	Dc	DΩ + Di	**3**	3	3	3	3	3	3	3	3		
Затухание из-за геометрической дивергенции, Adiv, дБ	расстояние = 692.43 м	ф-ла (7) [10]	**67,8**										
Коэффициент затухания звука в атмосфере α, дБ/км	Ta=20,°C Pa=101.33,кПа hотн.=70%	ф-ла (5) [9]	0,02	0,09	0,33	1,12	2,79	4,98	9,04	23,09	77,63		

1		2	3	4	5	6	7	8	9	10	11	12	13
Учет затухания звука в атмосфере Aatm, дБ		ф-ла (8) [10]	0	0,1	0,2	0,8	1,9	3,4	6,3	16	53,8		
Снижение поверхностью земли возле источника As, дБ	Gs = 0 hs = 1м	ф-лы таб.3 [10]	-1,5	-1,5	-1,5	-1,5	-1,5	-1,5	-1,5	-1,5	-1,5		
Снижение поверхностью земли возле приёмника Ar, дБ	Gr = 1 hr = 1.5м	ф-лы таб.3 [10]	-1,5	-1,5	4,1	7	5	0,7	0	0	0		
Снижение поверхностью земли в средней зоне, Am дБ	Gm = 1	ф-лы таб.3 [10]	-2,7	-2,7	0	0	0	0	0	0	0		
Суммарное снижение поверхностью земли на траектории распространения звука Agr, дБ		ф-ла (9) [10]	-5,7	-5,7	2,6	5,5	3,5	-0,8	-1,5	-1,5	-1,5		
Уровни звукового давления прямого звука от источника ИШ-2-20 в расчётной точке днём, дБ		**ф-ла(3)[10]**	**0**	**34,1**	**27**	**24,9**	**26,1**	**28,5**	**23**	**9,1**	**0**	**30,9**	**30,9**
Уровни звукового давления прямого звука от источника ИШ-2-20 в расчётной точке ночью, дБ		**ф-ла(3)[10]**	**0**	**34,1**	**27**	**24,9**	**26,1**	**28,5**	**23**	**9,1**	**0**	**30,9**	**30,9**
Расчёт отражённого звука													
Уровни звукового давления от мнимого источника ИШ-2-20_мн.(1) в расчётной точке днём, дБ		**ф-ла(3)[10]**	**0**	**0**	**0**	**0**	**0**	**0**	**0**	**0**	**0**	**0**	**0**
Уровни звукового давления от мнимого источника ИШ-2-20_мн.(1) в расчётной точке ночью, дБ		**ф-ла(3)[10]**	**0**	**0**	**0**	**0**	**0**	**0**	**0**	**0**	**0**	**0**	**0**
Уровни звукового давления от источника ИШ-2-20 в расчётной точке днём, дБ		**ф-ла(3)[10]**	**0**	**34,1**	**27**	**24,9**	**26,1**	**28,5**	**23**	**9,1**	**0**	**30,9**	**30,9**
Уровни звукового давления от источника ИШ-2-20 в расчётной точке ночью, дБ		**ф-ла(3)[10]**	**0**	**34,1**	**27**	**24,9**	**26,1**	**28,5**	**23**	**9,1**	**0**	**30,9**	**30,9**
Источник шума: ИШ-2-21, координаты источника (x,y,z), м =[744.89,49.62,1.00]													
Уровни звуковой мощности источника днём, Lw, дБ		**исходные данные**	**0**	**93,3**	**94,7**	**96**	**96,3**	**95,9**	**92,6**	**88,4**	**83,9**		
Уровни звуковой мощности источника ночью, Lw, дБ		**исходные данные**	**0**	**93,3**	**94,7**	**96**	**96,3**	**95,9**	**92,6**	**88,4**	**83,9**		
Поправка на телесный угол DΩ, дБ	Ω = 6.28	10Lg(4π/Ω)	**3**	3	3	3	3	3	3	3	3		
Показатель направленности источника Di, дБ		исходные данные	**0**	0	0	0	0	0	0	0	0		

1		2	3	4	5	6	7	8	9	10	11	12	13
Поправка на направленность источника Dc, дБ	Dc	DΩ + Di	**3**	3	3	3	3	3	3	3	3		
Затухание из-за геометрической дивергенции, Adiv, дБ	расстояние = 694.51 м	ф-ла (7) [10]	**67,8**										
Коэффициент затухания звука в атмосфере α, дБ/км	Ta=20,°C Pa=101.33,кПа hотн.=70%	ф-ла (5) [9]	0,02	0,09	0,33	1,12	2,79	4,98	9,04	23,09	77,63		
Учет затухания звука в атмосфере Aatm, дБ		ф-ла (8) [10]	0	0,1	0,2	0,8	1,9	3,5	6,3	16	53,9		
Снижение поверхностью земли возле источника As, дБ	Gs = 0 hs = 1м	ф-лы таб.3 [10]	-1,5	-1,5	-1,5	-1,5	-1,5	-1,5	-1,5	-1,5	-1,5		
Снижение поверхностью земли возле приёмника Ar, дБ	Gr = 1 hr = 1.5м	ф-лы таб.3 [10]	-1,5	-1,5	4,1	7	5	0,7	0	0	0		
Снижение поверхностью земли в средней зоне, Am дБ	Gm = 1	ф-лы таб.3 [10]	-2,7	-2,7	0	0	0	0	0	0	0		
Суммарное снижение поверхностью земли на траектории распространения звука Agr, дБ		ф-ла (9) [10]	-5,7	-5,7	2,6	5,5	3,5	-0,8	-1,5	-1,5	-1,5		
Уровни звукового давления прямого звука от источника ИШ-2-21 в расчётной точке днём, дБ		**ф-ла(3)[10]**	**0**	**34,1**	**27**	**24,9**	**26**	**28,4**	**23**	**9**	**0**	**30,9**	**30,9**
Уровни звукового давления прямого звука от источника ИШ-2-21 в расчётной точке ночью, дБ		**ф-ла(3)[10]**	**0**	**34,1**	**27**	**24,9**	**26**	**28,4**	**23**	**9**	**0**	**30,9**	**30,9**
Расчёт отражённого звука													
Уровни звукового давления от мнимого источника ИШ-2-21_мн.(1) в расчётной точке днём, дБ		**ф-ла(3)[10]**	**0**	**0**	**0**	**0**	**0**	**0**	**0**	**0**	**0**	**0**	**0**
Уровни звукового давления от мнимого источника ИШ-2-21_мн.(1) в расчётной точке ночью, дБ		**ф-ла(3)[10]**	**0**	**0**	**0**	**0**	**0**	**0**	**0**	**0**	**0**	**0**	**0**
Уровни звукового давления от источника ИШ-2-21 в расчётной точке днём, дБ		**ф-ла(3)[10]**	**0**	**34,1**	**27**	**24,9**	**26**	**28,4**	**23**	**9**	**0**	**30,9**	**30,9**
Уровни звукового давления от источника ИШ-2-21 в расчётной точке ночью, дБ		**ф-ла(3)[10]**	**0**	**34,1**	**27**	**24,9**	**26**	**28,4**	**23**	**9**	**0**	**30,9**	**30,9**
Источник шума: ИШ-2-22, координаты источника (x,y,z), м =[737.40,27.07,1.00]													

1		2	3	4	5	6	7	8	9	10	11	12	13
Уровни звуковой мощности источника днём, Lw, дБ		**исходные данные**	**0**	**93,3**	**94,7**	**96**	**96,3**	**95,9**	**92,6**	**88,4**	**83,9**		
Уровни звуковой мощности источника ночью, Lw, дБ		**исходные данные**	**0**	**93,3**	**94,7**	**96**	**96,3**	**95,9**	**92,6**	**88,4**	**83,9**		
Поправка на телесный угол DΩ, дБ	Ω = 6.28	10Lg(4π/Ω)	**3**	3	3	3	3	3	3	3	3		
Показатель направленности источника Di, дБ		исходные данные	**0**	0	0	0	0	0	0	0	0		
Поправка на направленность источника Dc, дБ	Dc	DΩ + Di	**3**	3	3	3	3	3	3	3	3		
Затухание из-за геометрической дивергенции, Adiv, дБ	расстояние = 712.23 м	ф-ла (7) [10]	**68,1**										
Коэффициент затухания звука в атмосфере α, дБ/км	Ta=20,°C Pa=101.33,кПа hотн.=70%	ф-ла (5) [9]	0,02	0,09	0,33	1,12	2,79	4,98	9,04	23,09	77,63		
Учет затухания звука в атмосфере Aatm, дБ		ф-ла (8) [10]	0	0,1	0,2	0,8	2	3,5	6,4	16,4	55,3		
Снижение поверхностью земли возле источника As, дБ	Gs = 0 hs = 1м	ф-лы таб.3 [10]	-1,5	-1,5	-1,5	-1,5	-1,5	-1,5	-1,5	-1,5	-1,5		
Снижение поверхностью земли возле приёмника Ar, дБ	Gr = 1 hr = 1.5м	ф-лы таб.3 [10]	-1,5	-1,5	4,2	7	5	0,7	0	0	0		
Снижение поверхностью земли в средней зоне, Am дБ	Gm = 1	ф-лы таб.3 [10]	-2,7	-2,7	0	0	0	0	0	0	0		
Суммарное снижение поверхностью земли на траектории распространения звука Agr, дБ		ф-ла (9) [10]	-5,7	-5,7	2,7	5,5	3,5	-0,8	-1,5	-1,5	-1,5		
Уровни звукового давления от источника ИШ-2-22 в расчётной точке днём, дБ		**ф-ла(3)[10]**	**0**	**33,9**	**26,7**	**24,6**	**25,8**	**28,1**	**22,6**	**8,4**	**0**	**30,6**	**30,6**
Уровни звукового давления от источника ИШ-2-22 в расчётной точке ночью, дБ		**ф-ла(3)[10]**	**0**	**33,9**	**26,7**	**24,6**	**25,8**	**28,1**	**22,6**	**8,4**	**0**	**30,6**	**30,6**
Источник шума: ИШ-2-23, координаты источника (x,y,z), м =[736.46,24.18,1.00]													
Уровни звуковой мощности источника днём, Lw, дБ		**исходные данные**	**0**	**93,3**	**94,7**	**96**	**96,3**	**95,9**	**92,6**	**88,4**	**83,9**		

1		2	3	4	5	6	7	8	9	10	11	12	13
Уровни звуковой мощности источника ночью, Lw, дБ		**исходные данные**	**0**	**93,3**	**94,7**	**96**	**96,3**	**95,9**	**92,6**	**88,4**	**83,9**		
Поправка на телесный угол DΩ, дБ	Ω = 6.28	10Lg(4π/Ω)	**3**	3	3	3	3	3	3	3	3		
Показатель направленности источника Di, дБ		исходные данные	**0**	0	0	0	0	0	0	0	0		
Поправка на направленность источника Dc, дБ	Dc	DΩ + Di	**3**	3	3	3	3	3	3	3	3		
Затухание из-за геометрической дивергенции, Adiv, дБ	расстояние = 714.51 м	ф-ла (7) [10]	**68,1**										
Коэффициент затухания звука в атмосфере α, дБ/км	Ta=20,°C Pa=101.33,кПа hотн.=70%	ф-ла (5) [9]	0,02	0,09	0,33	1,12	2,79	4,98	9,04	23,09	77,63		
Учет затухания звука в атмосфере Aatm, дБ		ф-ла (8) [10]	0	0,1	0,2	0,8	2	3,6	6,5	16,5	55,5		
Снижение поверхностью земли возле источника As, дБ	Gs = 0 hs = 1м	ф-лы таб.3 [10]	-1,5	-1,5	-1,5	-1,5	-1,5	-1,5	-1,5	-1,5	-1,5		
Снижение поверхностью земли возле приёмника Ar, дБ	Gr = 1 hr = 1.5м	ф-лы таб.3 [10]	-1,5	-1,5	4,2	7	5	0,7	0	0	0		
Снижение поверхностью земли в средней зоне, Am дБ	Gm = 1	ф-лы таб.3 [10]	-2,7	-2,7	0	0	0	0	0	0	0		
Суммарное снижение поверхностью земли на траектории распространения звука Agr, дБ		ф-ла (9) [10]	-5,7	-5,7	2,7	5,5	3,5	-0,8	-1,5	-1,5	-1,5		
Уровни звукового давления прямого звука от источника ИШ-2-23 в расчётной точке днём, дБ		**ф-ла(3)[10]**	**0**	**33,8**	**26,6**	**24,6**	**25,7**	**28,1**	**22,6**	**8,3**	**0**	**30,5**	**30,5**
Уровни звукового давления прямого звука от источника ИШ-2-23 в расчётной точке ночью, дБ		**ф-ла(3)[10]**	**0**	**33,8**	**26,6**	**24,6**	**25,7**	**28,1**	**22,6**	**8,3**	**0**	**30,5**	**30,5**
Расчёт отражённого звука													
Уровни звукового давления от мнимого источника ИШ-2-23_мн.(1) в расчётной точке днём, дБ		**ф-ла(3)[10]**	**0**	**0**	**0**	**0**	**0**	**0**	**0**	**0**	**0**	**0**	**0**
Уровни звукового давления от мнимого источника ИШ-2-23_мн.(1) в расчётной точке ночью, дБ		**ф-ла(3)[10]**	**0**	**0**	**0**	**0**	**0**	**0**	**0**	**0**	**0**	**0**	**0**
Уровни звукового давления от источника ИШ-2-23 в расчётной точке днём, дБ		**ф-ла(3)[10]**	**0**	**33,8**	**26,6**	**24,6**	**25,7**	**28,1**	**22,6**	**8,3**	**0**	**30,5**	**30,5**

1		2	3	4	5	6	7	8	9	10	11	12	13
Уровни звукового давления от источника ИШ-2-23 в расчётной точке ночью, дБ		**ф-ла(3)[10]**	**0**	**33,8**	**26,6**	**24,6**	**25,7**	**28,1**	**22,6**	**8,3**	**0**	**30,5**	**30,5**
Источник шума: ИШ-2-24, координаты источника (x,y,z), м =[735.45,21.21,1.00]													
Уровни звуковой мощности источника днём, Lw, дБ		**исходные данные**	**0**	**93,3**	**94,7**	**96**	**96,3**	**95,9**	**92,6**	**88,4**	**83,9**		
Уровни звуковой мощности источника ночью, Lw, дБ		**исходные данные**	**0**	**93,3**	**94,7**	**96**	**96,3**	**95,9**	**92,6**	**88,4**	**83,9**		
Поправка на телесный угол DΩ, дБ	Ω = 6.28	10Lg(4π/Ω)	**3**	3	3	3	3	3	3	3	3		
Показатель направленности источника Di, дБ		исходные данные	**0**	0	0	0	0	0	0	0	0		
Поправка на направленность источника Dc, дБ	Dc	DΩ + Di	**3**	3	3	3	3	3	3	3	3		
Затухание из-за геометрической дивергенции, Adiv, дБ	расстояние = 716.89 м	ф-ла (7) [10]	**68,1**										
Коэффициент затухания звука в атмосфере α, дБ/км	Ta=20,°C Pa=101.33,кПа hотн.=70%	ф-ла (5) [9]	0,02	0,09	0,33	1,12	2,79	4,98	9,04	23,09	77,63		
Учет затухания звука в атмосфере Aatm, дБ		ф-ла (8) [10]	0	0,1	0,2	0,8	2	3,6	6,5	16,5	55,7		
Снижение поверхностью земли возле источника As, дБ	Gs = 0 hs = 1м	ф-лы таб.3 [10]	-1,5	-1,5	-1,5	-1,5	-1,5	-1,5	-1,5	-1,5	-1,5		
Снижение поверхностью земли возле приёмника Ar, дБ	Gr = 1 hr = 1.5м	ф-лы таб.3 [10]	-1,5	-1,5	4,2	7	5	0,7	0	0	0		
Снижение поверхностью земли в средней зоне, Am дБ	Gm = 1	ф-лы таб.3 [10]	-2,7	-2,7	0	0	0	0	0	0	0		
Суммарное снижение поверхностью земли на траектории распространения звука Agr, дБ		ф-ла (9) [10]	-5,7	-5,7	2,7	5,5	3,5	-0,8	-1,5	-1,5	-1,5		
Уровни звукового давления прямого звука от источника ИШ-2-24 в расчётной точке днём, дБ		**ф-ла(3)[10]**	**0**	**33,8**	**26,6**	**24,6**	**25,7**	**28,1**	**22,5**	**8,2**	**0**	**30,5**	**30,5**
Уровни звукового давления прямого звука от источника ИШ-2-24 в расчётной точке ночью, дБ		**ф-ла(3)[10]**	**0**	**33,8**	**26,6**	**24,6**	**25,7**	**28,1**	**22,5**	**8,2**	**0**	**30,5**	**30,5**

1		2	3	4	5	6	7	8	9	10	11	12	13
Расчёт отражённого звука													
Уровни звукового давления от мнимого источника ИШ-2-24_мн.(1) в расчётной точке днём, дБ		**ф-ла(3)[10]**	**0**	**0**	**0**	**0**	**0**	**0**	**0**	**0**	**0**	**0**	**0**
Уровни звукового давления от мнимого источника ИШ-2-24_мн.(1) в расчётной точке ночью, дБ		**ф-ла(3)[10]**	**0**	**0**	**0**	**0**	**0**	**0**	**0**	**0**	**0**	**0**	**0**
Уровни звукового давления от источника ИШ-2-24 в расчётной точке днём, дБ		**ф-ла(3)[10]**	**0**	**33,8**	**26,6**	**24,6**	**25,7**	**28,1**	**22,5**	**8,2**	**0**	**30,5**	**30,5**
Уровни звукового давления от источника ИШ-2-24 в расчётной точке ночью, дБ		**ф-ла(3)[10]**	**0**	**33,8**	**26,6**	**24,6**	**25,7**	**28,1**	**22,5**	**8,2**	**0**	**30,5**	**30,5**
Источник шума: ИШ-2-25, координаты источника (x,y,z), м =[734.58,18.32,1.00]													
Уровни звуковой мощности источника днём, Lw, дБ		**исходные данные**	**0**	**93,3**	**94,7**	**96**	**96,3**	**95,9**	**92,6**	**88,4**	**83,9**		
Уровни звуковой мощности источника ночью, Lw, дБ		**исходные данные**	**0**	**93,3**	**94,7**	**96**	**96,3**	**95,9**	**92,6**	**88,4**	**83,9**		
Поправка на телесный угол DΩ, дБ	Ω = 6.28	10Lg(4π/Ω)	**3**	3	3	3	3	3	3	3	3		
Показатель направленности источника Di, дБ		исходные данные	**0**	0	0	0	0	0	0	0	0		
Поправка на направленность источника Dc, дБ	Dc	DΩ + Di	**3**	3	3	3	3	3	3	3	3		
Затухание из-за геометрической дивергенции, Adiv, дБ	расстояние = 719.12 м	ф-ла (7) [10]	**68,1**										
Коэффициент затухания звука в атмосфере α, дБ/км	Ta=20,°C Pa=101.33,кПа hотн.=70%	ф-ла (5) [9]	0,02	0,09	0,33	1,12	2,79	4,98	9,04	23,09	77,63		
Учет затухания звука в атмосфере Aatm, дБ		ф-ла (8) [10]	0	0,1	0,2	0,8	2	3,6	6,5	16,6	55,8		
Снижение поверхностью земли возле источника As, дБ	Gs = 0 hs = 1м	ф-лы таб.3 [10]	-1,5	-1,5	-1,5	-1,5	-1,5	-1,5	-1,5	-1,5	-1,5		
Снижение поверхностью земли возле приёмника Ar, дБ	Gr = 1 hr = 1.5м	ф-лы таб.3 [10]	-1,5	-1,5	4,3	7	5	0,7	0	0	0		

1		2	3	4	5	6	7	8	9	10	11	12	13
Снижение поверхностью земли в средней зоне, Am дБ	Gm = 1	ф-лы таб.3 [10]	-2,7	-2,7	0	0	0	0	0	0	0		
Суммарное снижение поверхностью земли на траектории распространения звука Agr, дБ		ф-ла (9) [10]	-5,7	-5,7	2,8	5,5	3,5	-0,8	-1,5	-1,5	-1,5		
Уровни звукового давления прямого звука от источника ИШ-2-25 в расчётной точке днём, дБ		**ф-ла(3)[10]**	**0**	**33,8**	**26,6**	**24,5**	**25,7**	**28**	**22,5**	**8,2**	**0**	**30,4**	**30,4**
Уровни звукового давления прямого звука от источника ИШ-2-25 в расчётной точке ночью, дБ		**ф-ла(3)[10]**	**0**	**33,8**	**26,6**	**24,5**	**25,7**	**28**	**22,5**	**8,2**	**0**	**30,4**	**30,4**
Расчёт отражённого звука													
Уровни звукового давления от мнимого источника ИШ-2-25_мн.(1) в расчётной точке днём, дБ		**ф-ла(3)[10]**	**0**	**0**	**0**	**0**	**0**	**0**	**0**	**0**	**0**	**0**	**0**
Уровни звукового давления от мнимого источника ИШ-2-25_мн.(1) в расчётной точке ночью, дБ		**ф-ла(3)[10]**	**0**	**0**	**0**	**0**	**0**	**0**	**0**	**0**	**0**	**0**	**0**
Уровни звукового давления от источника ИШ-2-25 в расчётной точке днём, дБ		**ф-ла(3)[10]**	**0**	**33,8**	**26,6**	**24,5**	**25,7**	**28**	**22,5**	**8,2**	**0**	**30,4**	**30,4**
Уровни звукового давления от источника ИШ-2-25 в расчётной точке ночью, дБ		**ф-ла(3)[10]**	**0**	**33,8**	**26,6**	**24,5**	**25,7**	**28**	**22,5**	**8,2**	**0**	**30,4**	**30,4**
Источник шума: ИШ-2-26, координаты источника (x,y,z), м =[733.57,15.41,1.00]													
Уровни звуковой мощности источника днём, Lw, дБ		**исходные данные**	**0**	**93,3**	**94,7**	**96**	**96,3**	**95,9**	**92,6**	**88,4**	**83,9**		
Уровни звуковой мощности источника ночью, Lw, дБ		**исходные данные**	**0**	**93,3**	**94,7**	**96**	**96,3**	**95,9**	**92,6**	**88,4**	**83,9**		
Поправка на телесный угол DΩ, дБ	Ω = 6.28	10Lg(4π/Ω)	**3**	3	3	3	3	3	3	3	3		
Показатель направленности источника Di, дБ		исходные данные	**0**	0	0	0	0	0	0	0	0		
Поправка на направленность источника Dc, дБ	Dc	DΩ + Di	**3**	3	3	3	3	3	3	3	3		
Затухание из-за геометрической дивергенции, Adiv, дБ	расстояние = 721.49 м	ф-ла (7) [10]	**68,2**										
Коэффициент затухания звука в атмосфере α, дБ/км	Ta=20,°C Pa=101.33,кПа hотн.=70%	ф-ла (5) [9]	0,02	0,09	0,33	1,12	2,79	4,98	9,04	23,09	77,63		

1		2	3	4	5	6	7	8	9	10	11	12	13
Учет затухания звука в атмосфере Aatm, дБ		ф-ла (8) [10]	0	0,1	0,2	0,8	2	3,6	6,5	16,7	56		
Снижение поверхностью земли возле источника As, дБ	Gs = 0 hs = 1м	ф-лы таб.3 [10]	-1,5	-1,5	-1,5	-1,5	-1,5	-1,5	-1,5	-1,5	-1,5		
Снижение поверхностью земли возле приёмника Ar, дБ	Gr = 1 hr = 1.5м	ф-лы таб.3 [10]	-1,5	-1,5	4,3	7	5	0,7	0	0	0		
Снижение поверхностью земли в средней зоне, Am дБ	Gm = 1	ф-лы таб.3 [10]	-2,7	-2,7	0	0	0	0	0	0	0		
Суммарное снижение поверхностью земли на траектории распространения звука Agr, дБ		ф-ла (9) [10]	-5,7	-5,7	2,8	5,5	3,5	-0,8	-1,5	-1,5	-1,5		
Уровни звукового давления прямого звука от источника ИШ-2-26 в расчётной точке днём, дБ		**ф-ла(3)[10]**	**0**	**33,8**	**26,5**	**24,5**	**25,6**	**28**	**22,4**	**8,1**	**0**	**30,4**	**30,4**
Уровни звукового давления прямого звука от источника ИШ-2-26 в расчётной точке ночью, дБ		**ф-ла(3)[10]**	**0**	**33,8**	**26,5**	**24,5**	**25,6**	**28**	**22,4**	**8,1**	**0**	**30,4**	**30,4**
Расчёт отражённого звука													
Уровни звукового давления от мнимого источника ИШ-2-26_мн.(1) в расчётной точке днём, дБ		**ф-ла(3)[10]**	**0**	**0**	**0**	**0**	**0**	**0**	**0**	**0**	**0**	**0**	**0**
Уровни звукового давления от мнимого источника ИШ-2-26_мн.(1) в расчётной точке ночью, дБ		**ф-ла(3)[10]**	**0**	**0**	**0**	**0**	**0**	**0**	**0**	**0**	**0**	**0**	**0**
Уровни звукового давления от источника ИШ-2-26 в расчётной точке днём, дБ		**ф-ла(3)[10]**	**0**	**33,8**	**26,5**	**24,5**	**25,6**	**28**	**22,4**	**8,1**	**0**	**30,4**	**30,4**
Уровни звукового давления от источника ИШ-2-26 в расчётной точке ночью, дБ		**ф-ла(3)[10]**	**0**	**33,8**	**26,5**	**24,5**	**25,6**	**28**	**22,4**	**8,1**	**0**	**30,4**	**30,4**
Источник шума: ИШ-2-27, координаты источника (x,y,z), м =[732.43,12.66,1.00]													
Уровни звуковой мощности источника днём, Lw, дБ		**исходные данные**	**0**	**93,3**	**94,7**	**96**	**96,3**	**95,9**	**92,6**	**88,4**	**83,9**		
Уровни звуковой мощности источника ночью, Lw, дБ		**исходные данные**	**0**	**93,3**	**94,7**	**96**	**96,3**	**95,9**	**92,6**	**88,4**	**83,9**		
Поправка на телесный угол DΩ, дБ	Ω = 6.28	10Lg(4π/Ω)	**3**	3	3	3	3	3	3	3	3		
Показатель направленности источника Di, дБ		исходные данные	**0**	0	0	0	0	0	0	0	0		

1		2	3	4	5	6	7	8	9	10	11	12	13
Поправка на направленность источника Dc, дБ	Dc	DΩ + Di	**3**	3	3	3	3	3	3	3	3		
Затухание из-за геометрической дивергенции, Adiv, дБ	расстояние = 723.89 м	ф-ла (7) [10]	**68,2**										
Коэффициент затухания звука в атмосфере α, дБ/км	Ta=20,°C Pa=101.33,кПа hотн.=70%	ф-ла (5) [9]	0,02	0,09	0,33	1,12	2,79	4,98	9,04	23,09	77,63		
Учет затухания звука в атмосфере Aatm, дБ		ф-ла (8) [10]	0	0,1	0,2	0,8	2	3,6	6,5	16,7	56,2		
Снижение поверхностью земли возле источника As, дБ	Gs = 0 hs = 1м	ф-лы таб.3 [10]	-1,5	-1,5	-1,5	-1,5	-1,5	-1,5	-1,5	-1,5	-1,5		
Снижение поверхностью земли возле приёмника Ar, дБ	Gr = 1 hr = 1.5м	ф-лы таб.3 [10]	-1,5	-1,5	4,3	7	5	0,7	0	0	0		
Снижение поверхностью земли в средней зоне, Am дБ	Gm = 1	ф-лы таб.3 [10]	-2,7	-2,7	0	0	0	0	0	0	0		
Суммарное снижение поверхностью земли на траектории распространения звука Agr, дБ		ф-ла (9) [10]	-5,7	-5,7	2,8	5,5	3,5	-0,8	-1,5	-1,5	-1,5		
Уровни звукового давления прямого звука от источника ИШ-2-27 в расчётной точке днём, дБ		**ф-ла(3)[10]**	**0**	**33,7**	**26,5**	**24,5**	**25,6**	**27,9**	**22,4**	**8**	**0**	**30,4**	**30,4**
Уровни звукового давления прямого звука от источника ИШ-2-27 в расчётной точке ночью, дБ		**ф-ла(3)[10]**	**0**	**33,7**	**26,5**	**24,5**	**25,6**	**27,9**	**22,4**	**8**	**0**	**30,4**	**30,4**
Расчёт отражённого звука													
Уровни звукового давления от мнимого источника ИШ-2-27_мн.(1) в расчётной точке днём, дБ		**ф-ла(3)[10]**	**0**	**0**	**0**	**0**	**0**	**0**	**0**	**0**	**0**	**0**	**0**
Уровни звукового давления от мнимого источника ИШ-2-27_мн.(1) в расчётной точке ночью, дБ		**ф-ла(3)[10]**	**0**	**0**	**0**	**0**	**0**	**0**	**0**	**0**	**0**	**0**	**0**
Уровни звукового давления от источника ИШ-2-27 в расчётной точке днём, дБ		**ф-ла(3)[10]**	**0**	**33,7**	**26,5**	**24,5**	**25,6**	**27,9**	**22,4**	**8**	**0**	**30,4**	**30,4**
Уровни звукового давления от источника ИШ-2-27 в расчётной точке ночью, дБ		**ф-ла(3)[10]**	**0**	**33,7**	**26,5**	**24,5**	**25,6**	**27,9**	**22,4**	**8**	**0**	**30,4**	**30,4**
Источник шума: ИШ-2-28, координаты источника (x,y,z), м =[731.54,9.78,1.00]													

1		2	3	4	5	6	7	8	9	10	11	12	13
Уровни звуковой мощности источника днём, Lw, дБ		**исходные данные**	**0**	**93,3**	**94,7**	**96**	**96,3**	**95,9**	**92,6**	**88,4**	**83,9**		
Уровни звуковой мощности источника ночью, Lw, дБ		**исходные данные**	**0**	**93,3**	**94,7**	**96**	**96,3**	**95,9**	**92,6**	**88,4**	**83,9**		
Поправка на телесный угол DΩ, дБ	Ω = 6.28	10Lg(4π/Ω)	**3**	3	3	3	3	3	3	3	3		
Показатель направленности источника Di, дБ		исходные данные	**0**	0	0	0	0	0	0	0	0		
Поправка на направленность источника Dc, дБ	Dc	DΩ + Di	**3**	3	3	3	3	3	3	3	3		
Затухание из-за геометрической дивергенции, Adiv, дБ	расстояние = 726.15 м	ф-ла (7) [10]	**68,2**										
Коэффициент затухания звука в атмосфере α, дБ/км	Ta=20,°C Pa=101.33,кПа hотн.=70%	ф-ла (5) [9]	0,02	0,09	0,33	1,12	2,79	4,98	9,04	23,09	77,63		
Учет затухания звука в атмосфере Aatm, дБ		ф-ла (8) [10]	0	0,1	0,2	0,8	2	3,6	6,6	16,8	56,4		
Снижение поверхностью земли возле источника As, дБ	Gs = 0 hs = 1м	ф-лы таб.3 [10]	-1,5	-1,5	-1,5	-1,5	-1,5	-1,5	-1,5	-1,5	-1,5		
Снижение поверхностью земли возле приёмника Ar, дБ	Gr = 1 hr = 1.5м	ф-лы таб.3 [10]	-1,5	-1,5	4,3	7	5	0,7	0	0	0		
Снижение поверхностью земли в средней зоне, Am дБ	Gm = 1	ф-лы таб.3 [10]	-2,7	-2,7	0	0	0	0	0	0	0		
Суммарное снижение поверхностью земли на траектории распространения звука Agr, дБ		ф-ла (9) [10]	-5,7	-5,7	2,8	5,5	3,5	-0,8	-1,5	-1,5	-1,5		
Уровни звукового давления прямого звука от источника ИШ-2-28 в расчётной точке днём, дБ		**ф-ла(3)[10]**	**0**	**33,7**	**26,4**	**24,4**	**25,6**	**27,9**	**22,3**	**7,9**	**0**	**30,3**	**30,3**
Уровни звукового давления прямого звука от источника ИШ-2-28 в расчётной точке ночью, дБ		**ф-ла(3)[10]**	**0**	**33,7**	**26,4**	**24,4**	**25,6**	**27,9**	**22,3**	**7,9**	**0**	**30,3**	**30,3**
Расчёт отражённого звука													
Уровни звукового давления от мнимого источника ИШ-2-28_мн.(1) в расчётной точке днём, дБ		**ф-ла(3)[10]**	**0**	**0**	**0**	**0**	**0**	**0**	**0**	**0**	**0**	**0**	**0**
Уровни звукового давления от мнимого источника ИШ-2-28_мн.(1) в расчётной точке ночью, дБ		**ф-ла(3)[10]**	**0**	**0**	**0**	**0**	**0**	**0**	**0**	**0**	**0**	**0**	**0**

1		2	3	4	5	6	7	8	9	10	11	12	13
Уровни звукового давления от источника ИШ-2-28 в расчётной точке днём, дБ		**ф-ла(3)[10]**	**0**	**33,7**	**26,4**	**24,4**	**25,6**	**27,9**	**22,3**	**7,9**	**0**	**30,3**	**30,3**
Уровни звукового давления от источника ИШ-2-28 в расчётной точке ночью, дБ		**ф-ла(3)[10]**	**0**	**33,7**	**26,4**	**24,4**	**25,6**	**27,9**	**22,3**	**7,9**	**0**	**30,3**	**30,3**
Источник шума: ИШ-2-29, координаты источника (x,y,z), м =[730.57,6.88,1.00]													
Уровни звуковой мощности источника днём, Lw, дБ		**исходные данные**	**0**	**93,3**	**94,7**	**96**	**96,3**	**95,9**	**92,6**	**88,4**	**83,9**		
Уровни звуковой мощности источника ночью, Lw, дБ		**исходные данные**	**0**	**93,3**	**94,7**	**96**	**96,3**	**95,9**	**92,6**	**88,4**	**83,9**		
Поправка на телесный угол DΩ, дБ	Ω = 6.28	10Lg(4π/Ω)	**3**	3	3	3	3	3	3	3	3		
Показатель направленности источника Di, дБ		исходные данные	**0**	0	0	0	0	0	0	0	0		
Поправка на направленность источника Dc, дБ	Dc	DΩ + Di	**3**	3	3	3	3	3	3	3	3		
Затухание из-за геометрической дивергенции, Adiv, дБ	расстояние = 728.48 м	ф-ла (7) [10]	**68,2**										
Коэффициент затухания звука в атмосфере α, дБ/км	Ta=20,°C Pa=101.33,кПа hотн.=70%	ф-ла (5) [9]	0,02	0,09	0,33	1,12	2,79	4,98	9,04	23,09	77,63		
Учет затухания звука в атмосфере Aatm, дБ		ф-ла (8) [10]	0	0,1	0,2	0,8	2	3,6	6,6	16,8	56,6		
Снижение поверхностью земли возле источника As, дБ	Gs = 0 hs = 1м	ф-лы таб.3 [10]	-1,5	-1,5	-1,5	-1,5	-1,5	-1,5	-1,5	-1,5	-1,5		
Снижение поверхностью земли возле приёмника Ar, дБ	Gr = 1 hr = 1.5м	ф-лы таб.3 [10]	-1,5	-1,5	4,3	7	5	0,7	0	0	0		
Снижение поверхностью земли в средней зоне, Am дБ	Gm = 1	ф-лы таб.3 [10]	-2,7	-2,7	0	0	0	0	0	0	0		
Суммарное снижение поверхностью земли на траектории распространения звука Agr, дБ		ф-ла (9) [10]	-5,7	-5,7	2,8	5,5	3,5	-0,8	-1,5	-1,5	-1,5		
Уровни звукового давления прямого звука от источника ИШ-2-29 в расчётной точке днём, дБ		**ф-ла(3)[10]**	**0**	**33,7**	**26,4**	**24,4**	**25,5**	**27,9**	**22,3**	**7,8**	**0**	**30,3**	**30,3**

1		2	3	4	5	6	7	8	9	10	11	12	13
Уровни звукового давления прямого звука от источника ИШ-2-29 в расчётной точке ночью, дБ		**ф-ла(3)[10]**	**0**	**33,7**	**26,4**	**24,4**	**25,5**	**27,9**	**22,3**	**7,8**	**0**	**30,3**	**30,3**
Расчёт отражённого звука													
Уровни звукового давления от мнимого источника ИШ-2-29_мн.(1) в расчётной точке днём, дБ		**ф-ла(3)[10]**	**0**	**0**	**0**	**0**	**0**	**0**	**0**	**0**	**0**	**0**	**0**
Уровни звукового давления от мнимого источника ИШ-2-29_мн.(1) в расчётной точке ночью, дБ		**ф-ла(3)[10]**	**0**	**0**	**0**	**0**	**0**	**0**	**0**	**0**	**0**	**0**	**0**
Уровни звукового давления от источника ИШ-2-29 в расчётной точке днём, дБ		**ф-ла(3)[10]**	**0**	**33,7**	**26,4**	**24,4**	**25,5**	**27,9**	**22,3**	**7,8**	**0**	**30,3**	**30,3**
Уровни звукового давления от источника ИШ-2-29 в расчётной точке ночью, дБ		**ф-ла(3)[10]**	**0**	**33,7**	**26,4**	**24,4**	**25,5**	**27,9**	**22,3**	**7,8**	**0**	**30,3**	**30,3**
Источник шума: ИШ-2-4, координаты источника (x,y,z), м =[632.70,-65.30,3.00]													
Уровни звуковой мощности источника днём, Lw, дБ		**исходные данные**	**105**	**104**	**104**	**101**	**102**	**106**	**101**	**95**	**87**		
Уровни звуковой мощности источника ночью, Lw, дБ		**исходные данные**	**105**	**104**	**104**	**101**	**102**	**106**	**101**	**95**	**87**		
Поправка на телесный угол DΩ, дБ	Ω = 6.28	10Lg(4π/Ω)	**3**	3	3	3	3	3	3	3	3		
Показатель направленности источника Di, дБ		исходные данные	**0**	0	0	0	0	0	0	0	0		
Поправка на направленность источника Dc, дБ	Dc	DΩ + Di	**3**	3	3	3	3	3	3	3	3		
Затухание из-за геометрической дивергенции, Adiv, дБ	расстояние = 849.72 м	ф-ла (7) [10]	**69,6**										
Коэффициент затухания звука в атмосфере α, дБ/км	Ta=20,°C Pa=101.33,кПа hотн.=70%	ф-ла (5) [9]	0,02	0,09	0,33	1,12	2,79	4,98	9,04	23,09	77,63		
Учет затухания звука в атмосфере Aatm, дБ		ф-ла (8) [10]	0	0,1	0,3	1	2,4	4,2	7,7	19,6	66		
Снижение поверхностью земли возле источника As, дБ	Gs = 0 hs = 3м	ф-лы таб.3 [10]	-1,5	-1,5	-1,5	-1,5	-1,5	-1,5	-1,5	-1,5	-1,5		

1		2	3	4	5	6	7	8	9	10	11	12	13
Снижение поверхностью земли возле приёмника Ar, дБ	Gr = 1 hr = 1.5м	ф-лы таб.3 [10]	-1,5	-1,5	4,7	7	5	0,7	0	0	0		
Снижение поверхностью земли в средней зоне, Am дБ	Gm = 1	ф-лы таб.3 [10]	-2,5	-2,5	0	0	0	0	0	0	0		
Суммарное снижение поверхностью земли на траектории распространения звука Agr, дБ		ф-ла (9) [10]	-5,5	-5,5	3,2	5,5	3,5	-0,8	-1,5	-1,5	-1,5		
Уровни звукового давления прямого звука от источника ИШ-2-4 в расчётной точке днём, дБ		**ф-ла(3)[10]**	**43,9**	**42,9**	**33,9**	**27,9**	**29,6**	**36**	**28,2**	**10,3**	**0**	**37,4**	**37,4**
Уровни звукового давления прямого звука от источника ИШ-2-4 в расчётной точке ночью, дБ		**ф-ла(3)[10]**	**43,9**	**42,9**	**33,9**	**27,9**	**29,6**	**36**	**28,2**	**10,3**	**0**	**37,4**	**37,4**
Расчёт отражённого звука													
Уровни звукового давления от мнимого источника ИШ-2-4_мн.(1) в расчётной точке днём, дБ		**ф-ла(3)[10]**	**0**	**0**	**0**	**0**	**0**	**0**	**0**	**0**	**0**	**0**	**0**
Уровни звукового давления от мнимого источника ИШ-2-4_мн.(1) в расчётной точке ночью, дБ		**ф-ла(3)[10]**	**0**	**0**	**0**	**0**	**0**	**0**	**0**	**0**	**0**	**0**	**0**
Уровни звукового давления от источника ИШ-2-4 в расчётной точке днём, дБ		**ф-ла(3)[10]**	**43,9**	**42,9**	**33,9**	**27,9**	**29,6**	**36**	**28,2**	**10,3**	**0**	**37,4**	**37,4**
Уровни звукового давления от источника ИШ-2-4 в расчётной точке ночью, дБ		**ф-ла(3)[10]**	**43,9**	**42,9**	**33,9**	**27,9**	**29,6**	**36**	**28,2**	**10,3**	**0**	**37,4**	**37,4**
Источник шума: ИШ-2-30, координаты источника (x,y,z), м =[702.44,-77.23,1.00]													
Уровни звуковой мощности источника днём, Lw, дБ		**исходные данные**	**0**	**93,3**	**94,7**	**96**	**96,3**	**95,9**	**92,6**	**88,4**	**83,9**		
Уровни звуковой мощности источника ночью, Lw, дБ		**исходные данные**	**0**	**93,3**	**94,7**	**96**	**96,3**	**95,9**	**92,6**	**88,4**	**83,9**		
Поправка на телесный угол DΩ, дБ	Ω = 6.28	10Lg(4π/Ω)	**3**	3	3	3	3	3	3	3	3		
Показатель направленности источника Di, дБ		исходные данные	**0**	0	0	0	0	0	0	0	0		
Поправка на направленность источника Dc, дБ	Dc	DΩ + Di	**3**	3	3	3	3	3	3	3	3		
Затухание из-за геометрической дивергенции, Adiv, дБ	расстояние = 798.50 м	ф-ла (7) [10]	**69**										

1		2	3	4	5	6	7	8	9	10	11	12	13
Коэффициент затухания звука в атмосфере α, дБ/км	Ta=20,°C Pa=101.33,кПа hотн.=70%	ф-ла (5) [9]	0,02	0,09	0,33	1,12	2,79	4,98	9,04	23,09	77,63		
Учет затухания звука в атмосфере Aatm, дБ		ф-ла (8) [10]	0	0,1	0,3	0,9	2,2	4	7,2	18,4	62		
Снижение поверхностью земли возле источника As, дБ	Gs = 0 hs = 1м	ф-лы таб.3 [10]	-1,5	-1,5	-1,5	-1,5	-1,5	-1,5	-1,5	-1,5	-1,5		
Снижение поверхностью земли возле приёмника Ar, дБ	Gr = 1 hr = 1.5м	ф-лы таб.3 [10]	-1,5	-1,5	4,6	7	5	0,7	0	0	0		
Снижение поверхностью земли в средней зоне, Am дБ	Gm = 1	ф-лы таб.3 [10]	-2,7	-2,7	0	0	0	0	0	0	0		
Суммарное снижение поверхностью земли на траектории распространения звука Agr, дБ		ф-ла (9) [10]	-5,7	-5,7	3,1	5,5	3,5	-0,8	-1,5	-1,5	-1,5		
Уровни звукового давления прямого звука от источника ИШ-2-30 в расчётной точке днём, дБ		**ф-ла(3)[10]**	**0**	**32,9**	**25,3**	**23,5**	**24,5**	**26,7**	**20,8**	**5,4**	**0**	**29,1**	**29,1**
Уровни звукового давления прямого звука от источника ИШ-2-30 в расчётной точке ночью, дБ		**ф-ла(3)[10]**	**0**	**32,9**	**25,3**	**23,5**	**24,5**	**26,7**	**20,8**	**5,4**	**0**	**29,1**	**29,1**
Расчёт отражённого звука													
Уровни звукового давления от мнимого источника ИШ-2-30_мн.(1) в расчётной точке днём, дБ		**ф-ла(3)[10]**	**0**	**0**	**0**	**0**	**0**	**0**	**0**	**0**	**0**	**0**	**0**
Уровни звукового давления от мнимого источника ИШ-2-30_мн.(1) в расчётной точке ночью, дБ		**ф-ла(3)[10]**	**0**	**0**	**0**	**0**	**0**	**0**	**0**	**0**	**0**	**0**	**0**
Уровни звукового давления от источника ИШ-2-30 в расчётной точке днём, дБ		**ф-ла(3)[10]**	**0**	**32,9**	**25,3**	**23,5**	**24,5**	**26,7**	**20,8**	**5,4**	**0**	**29,1**	**29,1**
Уровни звукового давления от источника ИШ-2-30 в расчётной точке ночью, дБ		**ф-ла(3)[10]**	**0**	**32,9**	**25,3**	**23,5**	**24,5**	**26,7**	**20,8**	**5,4**	**0**	**29,1**	**29,1**
Источник шума: ИШ-2-31, координаты источника (x,y,z), м =[701.42,-80.17,1.00]													
Уровни звуковой мощности источника днём, Lw, дБ		**исходные данные**	**0**	**93,3**	**94,7**	**96**	**96,3**	**95,9**	**92,6**	**88,4**	**83,9**		
Уровни звуковой мощности источника ночью, Lw, дБ		**исходные данные**	**0**	**93,3**	**94,7**	**96**	**96,3**	**95,9**	**92,6**	**88,4**	**83,9**		

1		2	3	4	5	6	7	8	9	10	11	12	13
Поправка на телесный угол DΩ, дБ	Ω = 6.28	10Lg(4π/Ω)	**3**	3	3	3	3	3	3	3	3		
Показатель направленности источника Di, дБ		исходные данные	**0**	0	0	0	0	0	0	0	0		
Поправка на направленность источника Dc, дБ	Dc	DΩ + Di	**3**	3	3	3	3	3	3	3	3		
Затухание из-за геометрической дивергенции, Adiv, дБ	расстояние = 801.04 м	ф-ла (7) [10]	**69,1**										
Коэффициент затухания звука в атмосфере α, дБ/км	Ta=20,°C Pa=101.33,кПа hотн.=70%	ф-ла (5) [9]	0,02	0,09	0,33	1,12	2,79	4,98	9,04	23,09	77,63		
Учет затухания звука в атмосфере Aatm, дБ		ф-ла (8) [10]	0	0,1	0,3	0,9	2,2	4	7,2	18,5	62,2		
Снижение поверхностью земли возле источника As, дБ	Gs = 0 hs = 1м	ф-лы таб.3 [10]	-1,5	-1,5	-1,5	-1,5	-1,5	-1,5	-1,5	-1,5	-1,5		
Снижение поверхностью земли возле приёмника Ar, дБ	Gr = 1 hr = 1.5м	ф-лы таб.3 [10]	-1,5	-1,5	4,6	7	5	0,7	0	0	0		
Снижение поверхностью земли в средней зоне, Am дБ	Gm = 1	ф-лы таб.3 [10]	-2,7	-2,7	0	0	0	0	0	0	0		
Суммарное снижение поверхностью земли на траектории распространения звука Agr, дБ		ф-ла (9) [10]	-5,7	-5,7	3,1	5,5	3,5	-0,8	-1,5	-1,5	-1,5		
Уровни звукового давления прямого звука от источника ИШ-2-31 в расчётной точке днём, дБ		**ф-ла(3)[10]**	**0**	**32,9**	**25,3**	**23,5**	**24,5**	**26,7**	**20,8**	**5,3**	**0**	**29,1**	**29,1**
Уровни звукового давления прямого звука от источника ИШ-2-31 в расчётной точке ночью, дБ		**ф-ла(3)[10]**	**0**	**32,9**	**25,3**	**23,5**	**24,5**	**26,7**	**20,8**	**5,3**	**0**	**29,1**	**29,1**
Расчёт отражённого звука													
Уровни звукового давления от мнимого источника ИШ-2-31_мн.(1) в расчётной точке днём, дБ		**ф-ла(3)[10]**	**0**	**0**	**0**	**0**	**0**	**0**	**0**	**0**	**0**	**0**	**0**
Уровни звукового давления от мнимого источника ИШ-2-31_мн.(1) в расчётной точке ночью, дБ		**ф-ла(3)[10]**	**0**	**0**	**0**	**0**	**0**	**0**	**0**	**0**	**0**	**0**	**0**
Уровни звукового давления от источника ИШ-2-31 в расчётной точке днём, дБ		**ф-ла(3)[10]**	**0**	**32,9**	**25,3**	**23,5**	**24,5**	**26,7**	**20,8**	**5,3**	**0**	**29,1**	**29,1**
Уровни звукового давления от источника ИШ-2-31 в расчётной точке ночью, дБ		**ф-ла(3)[10]**	**0**	**32,9**	**25,3**	**23,5**	**24,5**	**26,7**	**20,8**	**5,3**	**0**	**29,1**	**29,1**

1		2	3	4	5	6	7	8	9	10	11	12	13
Источник шума: ИШ-2-32, координаты источника (x,y,z), м =[700.38,-83.01,1.00]													
Уровни звуковой мощности источника днём, Lw, дБ		**исходные данные**	**0**	**93,3**	**94,7**	**96**	**96,3**	**95,9**	**92,6**	**88,4**	**83,9**		
Уровни звуковой мощности источника ночью, Lw, дБ		**исходные данные**	**0**	**93,3**	**94,7**	**96**	**96,3**	**95,9**	**92,6**	**88,4**	**83,9**		
Поправка на телесный угол DΩ, дБ	Ω = 6.28	10Lg(4π/Ω)	**3**	3	3	3	3	3	3	3	3		
Показатель направленности источника Di, дБ		исходные данные	**0**	0	0	0	0	0	0	0	0		
Поправка на направленность источника Dc, дБ	Dc	DΩ + Di	**3**	3	3	3	3	3	3	3	3		
Затухание из-за геометрической дивергенции, Adiv, дБ	расстояние = 803.55 м	ф-ла (7) [10]	**69,1**										
Коэффициент затухания звука в атмосфере α, дБ/км	Ta=20,°C Pa=101.33,кПа hотн.=70%	ф-ла (5) [9]	0,02	0,09	0,33	1,12	2,79	4,98	9,04	23,09	77,63		
Учет затухания звука в атмосфере Aatm, дБ		ф-ла (8) [10]	0	0,1	0,3	0,9	2,2	4	7,3	18,6	62,4		
Снижение поверхностью земли возле источника As, дБ	Gs = 0 hs = 1м	ф-лы таб.3 [10]	-1,5	-1,5	-1,5	-1,5	-1,5	-1,5	-1,5	-1,5	-1,5		
Снижение поверхностью земли возле приёмника Ar, дБ	Gr = 1 hr = 1.5м	ф-лы таб.3 [10]	-1,5	-1,5	4,6	7	5	0,7	0	0	0		
Снижение поверхностью земли в средней зоне, Am дБ	Gm = 1	ф-лы таб.3 [10]	-2,7	-2,7	0	0	0	0	0	0	0		
Суммарное снижение поверхностью земли на траектории распространения звука Agr, дБ		ф-ла (9) [10]	-5,7	-5,7	3,1	5,5	3,5	-0,8	-1,5	-1,5	-1,5		
Уровни звукового давления прямого звука от источника ИШ-2-32 в расчётной точке днём, дБ		**ф-ла(3)[10]**	**0**	**32,8**	**25,2**	**23,5**	**24,5**	**26,6**	**20,7**	**5,2**	**0**	**29**	**29**
Уровни звукового давления прямого звука от источника ИШ-2-32 в расчётной точке ночью, дБ		**ф-ла(3)[10]**	**0**	**32,8**	**25,2**	**23,5**	**24,5**	**26,6**	**20,7**	**5,2**	**0**	**29**	**29**
Расчёт отражённого звука													

1		2	3	4	5	6	7	8	9	10	11	12	13
Уровни звукового давления от мнимого источника ИШ-2-32_мн.(1) в расчётной точке днём, дБ		**ф-ла(3)[10]**	**0**	**0**	**0**	**0**	**0**	**0**	**0**	**0**	**0**	**0**	**0**
Уровни звукового давления от мнимого источника ИШ-2-32_мн.(1) в расчётной точке ночью, дБ		**ф-ла(3)[10]**	**0**	**0**	**0**	**0**	**0**	**0**	**0**	**0**	**0**	**0**	**0**
Уровни звукового давления от источника ИШ-2-32 в расчётной точке днём, дБ		**ф-ла(3)[10]**	**0**	**32,8**	**25,2**	**23,5**	**24,5**	**26,6**	**20,7**	**5,2**	**0**	**29**	**29**
Уровни звукового давления от источника ИШ-2-32 в расчётной точке ночью, дБ		**ф-ла(3)[10]**	**0**	**32,8**	**25,2**	**23,5**	**24,5**	**26,6**	**20,7**	**5,2**	**0**	**29**	**29**
Источник шума: ИШ-2-33, координаты источника (x,y,z), м =[699.52,-85.98,1.00]													
Уровни звуковой мощности источника днём, Lw, дБ		**исходные данные**	**0**	**93,3**	**94,7**	**96**	**96,3**	**95,9**	**92,6**	**88,4**	**83,9**		
Уровни звуковой мощности источника ночью, Lw, дБ		**исходные данные**	**0**	**93,3**	**94,7**	**96**	**96,3**	**95,9**	**92,6**	**88,4**	**83,9**		
Поправка на телесный угол DΩ, дБ	Ω = 6.28	10Lg(4π/Ω)	**3**	3	3	3	3	3	3	3	3		
Показатель направленности источника Di, дБ		исходные данные	**0**	0	0	0	0	0	0	0	0		
Поправка на направленность источника Dc, дБ	Dc	DΩ + Di	**3**	3	3	3	3	3	3	3	3		
Затухание из-за геометрической дивергенции, Adiv, дБ	расстояние = 805.98 м	ф-ла (7) [10]	**69,1**										
Коэффициент затухания звука в атмосфере α, дБ/км	Ta=20,°C Pa=101.33,кПа hотн.=70%	ф-ла (5) [9]	0,02	0,09	0,33	1,12	2,79	4,98	9,04	23,09	77,63		
Учет затухания звука в атмосфере Aatm, дБ		ф-ла (8) [10]	0	0,1	0,3	0,9	2,2	4	7,3	18,6	62,6		
Снижение поверхностью земли возле источника As, дБ	Gs = 0 hs = 1м	ф-лы таб.3 [10]	-1,5	-1,5	-1,5	-1,5	-1,5	-1,5	-1,5	-1,5	-1,5		
Снижение поверхностью земли возле приёмника Ar, дБ	Gr = 1 hr = 1.5м	ф-лы таб.3 [10]	-1,5	-1,5	4,6	7	5	0,7	0	0	0		
Снижение поверхностью земли в средней зоне, Am дБ	Gm = 1	ф-лы таб.3 [10]	-2,7	-2,7	0	0	0	0	0	0	0		

1		2	3	4	5	6	7	8	9	10	11	12	13
Суммарное снижение поверхностью земли на траектории распространения звука Agr, дБ		ф-ла (9) [10]	-5,7	-5,7	3,1	5,5	3,5	-0,8	-1,5	-1,5	-1,5		
Уровни звукового давления прямого звука от источника ИШ-2-33 в расчётной точке днём, дБ		**ф-ла(3)[10]**	**0**	**32,8**	**25,2**	**23,4**	**24,4**	**26,6**	**20,7**	**5,2**	**0**	**29**	**29**
Уровни звукового давления прямого звука от источника ИШ-2-33 в расчётной точке ночью, дБ		**ф-ла(3)[10]**	**0**	**32,8**	**25,2**	**23,4**	**24,4**	**26,6**	**20,7**	**5,2**	**0**	**29**	**29**
Расчёт отражённого звука													
Уровни звукового давления от мнимого источника ИШ-2-33_мн.(1) в расчётной точке днём, дБ		**ф-ла(3)[10]**	**0**	**0**	**0**	**0**	**0**	**0**	**0**	**0**	**0**	**0**	**0**
Уровни звукового давления от мнимого источника ИШ-2-33_мн.(1) в расчётной точке ночью, дБ		**ф-ла(3)[10]**	**0**	**0**	**0**	**0**	**0**	**0**	**0**	**0**	**0**	**0**	**0**
Уровни звукового давления от мнимого источника ИШ-2-33_мн.(2) в расчётной точке днём, дБ		**ф-ла(3)[10]**	**0**	**0**	**0**	**0**	**0**	**0**	**0**	**0**	**0**	**0**	**0**
Уровни звукового давления от мнимого источника ИШ-2-33_мн.(2) в расчётной точке ночью, дБ		**ф-ла(3)[10]**	**0**	**0**	**0**	**0**	**0**	**0**	**0**	**0**	**0**	**0**	**0**
Суммарные уровни звукового давления от мнимых источников в расчётной точке днём, дБ		**ф-ла (19) [1]**	**0**	**0**	**0**	**0**	**0**	**0**	**0**	**0**	**0**	**0**	**0**
Суммарные уровни звукового давления от мнимых источников в расчётной точке ночью, дБ		**ф-ла (19) [1]**	**0**	**0**	**0**	**0**	**0**	**0**	**0**	**0**	**0**	**0**	**0**
Уровни звукового давления от источника ИШ-2-33 в расчётной точке днём, дБ		**ф-ла(3)[10]**	**0**	**32,8**	**25,2**	**23,4**	**24,4**	**26,6**	**20,7**	**5,2**	**0**	**29**	**29**
Уровни звукового давления от источника ИШ-2-33 в расчётной точке ночью, дБ		**ф-ла(3)[10]**	**0**	**32,8**	**25,2**	**23,4**	**24,4**	**26,6**	**20,7**	**5,2**	**0**	**29**	**29**
Источник шума: ИШ-2-34, координаты источника (x,y,z), м =[698.43,-88.85,1.00]													
Уровни звуковой мощности источника днём, Lw, дБ		**исходные данные**	**0**	**93,3**	**94,7**	**96**	**96,3**	**95,9**	**92,6**	**88,4**	**83,9**		
Уровни звуковой мощности источника ночью, Lw, дБ		**исходные данные**	**0**	**93,3**	**94,7**	**96**	**96,3**	**95,9**	**92,6**	**88,4**	**83,9**		
Поправка на телесный угол DΩ, дБ	Ω = 6.28	10Lg(4π/Ω)	**3**	3	3	3	3	3	3	3	3		
Показатель направленности источника Di, дБ		исходные данные	**0**	0	0	0	0	0	0	0	0		

1		2	3	4	5	6	7	8	9	10	11	12	13
Поправка на направленность источника Dc, дБ	Dc	DΩ + Di	**3**	3	3	3	3	3	3	3	3		
Затухание из-за геометрической дивергенции, Adiv, дБ	расстояние = 808.55 м	ф-ла (7) [10]	**69,2**										
Коэффициент затухания звука в атмосфере α, дБ/км	Ta=20,°C Pa=101.33,кПа hотн.=70%	ф-ла (5) [9]	0,02	0,09	0,33	1,12	2,79	4,98	9,04	23,09	77,63		
Учет затухания звука в атмосфере Aatm, дБ		ф-ла (8) [10]	0	0,1	0,3	0,9	2,3	4	7,3	18,7	62,8		
Снижение поверхностью земли возле источника As, дБ	Gs = 0 hs = 1м	ф-лы таб.3 [10]	-1,5	-1,5	-1,5	-1,5	-1,5	-1,5	-1,5	-1,5	-1,5		
Снижение поверхностью земли возле приёмника Ar, дБ	Gr = 1 hr = 1.5м	ф-лы таб.3 [10]	-1,5	-1,5	4,6	7	5	0,7	0	0	0		
Снижение поверхностью земли в средней зоне, Am дБ	Gm = 1	ф-лы таб.3 [10]	-2,7	-2,7	0	0	0	0	0	0	0		
Суммарное снижение поверхностью земли на траектории распространения звука Agr, дБ		ф-ла (9) [10]	-5,7	-5,7	3,1	5,5	3,5	-0,8	-1,5	-1,5	-1,5		
Уровни звукового давления прямого звука от источника ИШ-2-34 в расчётной точке днём, дБ		**ф-ла(3)[10]**	**0**	**32,8**	**25,2**	**23,4**	**24,4**	**26,6**	**20,6**	**5,1**	**0**	**28,9**	**28,9**
Уровни звукового давления прямого звука от источника ИШ-2-34 в расчётной точке ночью, дБ		**ф-ла(3)[10]**	**0**	**32,8**	**25,2**	**23,4**	**24,4**	**26,6**	**20,6**	**5,1**	**0**	**28,9**	**28,9**
Расчёт отражённого звука													
Уровни звукового давления от мнимого источника ИШ-2-34_мн.(1) в расчётной точке днём, дБ		**ф-ла(3)[10]**	**0**	**0**	**0**	**0**	**0**	**0**	**0**	**0**	**0**	**0**	**0**
Уровни звукового давления от мнимого источника ИШ-2-34_мн.(1) в расчётной точке ночью, дБ		**ф-ла(3)[10]**	**0**	**0**	**0**	**0**	**0**	**0**	**0**	**0**	**0**	**0**	**0**
Уровни звукового давления от мнимого источника ИШ-2-34_мн.(2) в расчётной точке днём, дБ		**ф-ла(3)[10]**	**0**	**0**	**0**	**0**	**0**	**0**	**0**	**0**	**0**	**0**	**0**
Уровни звукового давления от мнимого источника ИШ-2-34_мн.(2) в расчётной точке ночью, дБ		**ф-ла(3)[10]**	**0**	**0**	**0**	**0**	**0**	**0**	**0**	**0**	**0**	**0**	**0**
Суммарные уровни звукового давления от мнимых источников в расчётной точке днём, дБ		**ф-ла (19) [1]**	**0**	**0**	**0**	**0**	**0**	**0**	**0**	**0**	**0**	**0**	**0**
Суммарные уровни звукового давления от мнимых источников в расчётной точке ночью, дБ		**ф-ла (19) [1]**	**0**	**0**	**0**	**0**	**0**	**0**	**0**	**0**	**0**	**0**	**0**

1		2	3	4	5	6	7	8	9	10	11	12	13
Уровни звукового давления от источника ИШ-2-34 в расчётной точке днём, дБ		**ф-ла(3)[10]**	**0**	**32,8**	**25,2**	**23,4**	**24,4**	**26,6**	**20,6**	**5,1**	**0**	**28,9**	**28,9**
Уровни звукового давления от источника ИШ-2-34 в расчётной точке ночью, дБ		**ф-ла(3)[10]**	**0**	**32,8**	**25,2**	**23,4**	**24,4**	**26,6**	**20,6**	**5,1**	**0**	**28,9**	**28,9**
Источник шума: ИШ-2-35, координаты источника (x,y,z), м =[697.52,-91.66,1.00]													
Уровни звуковой мощности источника днём, Lw, дБ		**исходные данные**	**0**	**93,3**	**94,7**	**96**	**96,3**	**95,9**	**92,6**	**88,4**	**83,9**		
Уровни звуковой мощности источника ночью, Lw, дБ		**исходные данные**	**0**	**93,3**	**94,7**	**96**	**96,3**	**95,9**	**92,6**	**88,4**	**83,9**		
Поправка на телесный угол DΩ, дБ	Ω = 6.28	10Lg(4π/Ω)	**3**	3	3	3	3	3	3	3	3		
Показатель направленности источника Di, дБ		исходные данные	**0**	0	0	0	0	0	0	0	0		
Поправка на направленность источника Dc, дБ	Dc	DΩ + Di	**3**	3	3	3	3	3	3	3	3		
Затухание из-за геометрической дивергенции, Adiv, дБ	расстояние = 810.96 м	ф-ла (7) [10]	**69,2**										
Коэффициент затухания звука в атмосфере α, дБ/км	Ta=20,°C Pa=101.33,кПа hотн.=70%	ф-ла (5) [9]	0,02	0,09	0,33	1,12	2,79	4,98	9,04	23,09	77,63		
Учет затухания звука в атмосфере Aatm, дБ		ф-ла (8) [10]	0	0,1	0,3	0,9	2,3	4	7,3	18,7	63		
Снижение поверхностью земли возле источника As, дБ	Gs = 0 hs = 1м	ф-лы таб.3 [10]	-1,5	-1,5	-1,5	-1,5	-1,5	-1,5	-1,5	-1,5	-1,5		
Снижение поверхностью земли возле приёмника Ar, дБ	Gr = 1 hr = 1.5м	ф-лы таб.3 [10]	-1,5	-1,5	4,6	7	5	0,7	0	0	0		
Снижение поверхностью земли в средней зоне, Am дБ	Gm = 1	ф-лы таб.3 [10]	-2,7	-2,7	0	0	0	0	0	0	0		
Суммарное снижение поверхностью земли на траектории распространения звука Agr, дБ		ф-ла (9) [10]	-5,7	-5,7	3,1	5,5	3,5	-0,8	-1,5	-1,5	-1,5		
Уровни звукового давления прямого звука от источника ИШ-2-35 в расчётной точке днём, дБ		**ф-ла(3)[10]**	**0**	**32,8**	**25,1**	**23,4**	**24,4**	**26,5**	**20,6**	**5**	**0**	**28,9**	**28,9**

1		2	3	4	5	6	7	8	9	10	11	12	13
Уровни звукового давления прямого звука от источника ИШ-2-35 в расчётной точке ночью, дБ		**ф-ла(3)[10]**	**0**	**32,8**	**25,1**	**23,4**	**24,4**	**26,5**	**20,6**	**5**	**0**	**28,9**	**28,9**
Расчёт отражённого звука													
Уровни звукового давления от мнимого источника ИШ-2-35_мн.(1) в расчётной точке днём, дБ		**ф-ла(3)[10]**	**0**	**0**	**0**	**0**	**0**	**0**	**0**	**0**	**0**	**0**	**0**
Уровни звукового давления от мнимого источника ИШ-2-35_мн.(1) в расчётной точке ночью, дБ		**ф-ла(3)[10]**	**0**	**0**	**0**	**0**	**0**	**0**	**0**	**0**	**0**	**0**	**0**
Уровни звукового давления от мнимого источника ИШ-2-35_мн.(2) в расчётной точке днём, дБ		**ф-ла(3)[10]**	**0**	**0**	**0**	**0**	**0**	**0**	**0**	**0**	**0**	**0**	**0**
Уровни звукового давления от мнимого источника ИШ-2-35_мн.(2) в расчётной точке ночью, дБ		**ф-ла(3)[10]**	**0**	**0**	**0**	**0**	**0**	**0**	**0**	**0**	**0**	**0**	**0**
Суммарные уровни звукового давления от мнимых источников в расчётной точке днём, дБ		**ф-ла (19) [1]**	**0**	**0**	**0**	**0**	**0**	**0**	**0**	**0**	**0**	**0**	**0**
Суммарные уровни звукового давления от мнимых источников в расчётной точке ночью, дБ		**ф-ла (19) [1]**	**0**	**0**	**0**	**0**	**0**	**0**	**0**	**0**	**0**	**0**	**0**
Уровни звукового давления от источника ИШ-2-35 в расчётной точке днём, дБ		**ф-ла(3)[10]**	**0**	**32,8**	**25,1**	**23,4**	**24,4**	**26,5**	**20,6**	**5**	**0**	**28,9**	**28,9**
Уровни звукового давления от источника ИШ-2-35 в расчётной точке ночью, дБ		**ф-ла(3)[10]**	**0**	**32,8**	**25,1**	**23,4**	**24,4**	**26,5**	**20,6**	**5**	**0**	**28,9**	**28,9**
Источник шума: ИШ-2-36, координаты источника (x,y,z), м =[696.58,-94.55,1.00]													
Уровни звуковой мощности источника днём, Lw, дБ		**исходные данные**	**0**	**93,3**	**94,7**	**96**	**96,3**	**95,9**	**92,6**	**88,4**	**83,9**		
Уровни звуковой мощности источника ночью, Lw, дБ		**исходные данные**	**0**	**93,3**	**94,7**	**96**	**96,3**	**95,9**	**92,6**	**88,4**	**83,9**		
Поправка на телесный угол DΩ, дБ	Ω = 6.28	10Lg(4π/Ω)	**3**	3	3	3	3	3	3	3	3		
Показатель направленности источника Di, дБ		исходные данные	**0**	0	0	0	0	0	0	0	0		
Поправка на направленность источника Dc, дБ	Dc	DΩ + Di	**3**	3	3	3	3	3	3	3	3		
Затухание из-за геометрической дивергенции, Adiv, дБ	расстояние = 813.43 м	ф-ла (7) [10]	**69,2**										

1		2	3	4	5	6	7	8	9	10	11	12	13
Коэффициент затухания звука в атмосфере α, дБ/км	Ta=20,°C Pa=101.33,кПа hотн.=70%	ф-ла (5) [9]	0,02	0,09	0,33	1,12	2,79	4,98	9,04	23,09	77,63		
Учет затухания звука в атмосфере Aatm, дБ		ф-ла (8) [10]	0	0,1	0,3	0,9	2,3	4	7,4	18,8	63,1		
Снижение поверхностью земли возле источника As, дБ	Gs = 0 hs = 1м	ф-лы таб.3 [10]	-1,5	-1,5	-1,5	-1,5	-1,5	-1,5	-1,5	-1,5	-1,5		
Снижение поверхностью земли возле приёмника Ar, дБ	Gr = 1 hr = 1.5м	ф-лы таб.3 [10]	-1,5	-1,5	4,6	7	5	0,7	0	0	0		
Снижение поверхностью земли в средней зоне, Am дБ	Gm = 1	ф-лы таб.3 [10]	-2,7	-2,7	0	0	0	0	0	0	0		
Суммарное снижение поверхностью земли на траектории распространения звука Agr, дБ		ф-ла (9) [10]	-5,7	-5,7	3,1	5,5	3,5	-0,8	-1,5	-1,5	-1,5		
Уровни звукового давления прямого звука от источника ИШ-2-36 в расчётной точке днём, дБ		**ф-ла(3)[10]**	**0**	**32,7**	**25,1**	**23,3**	**24,3**	**26,5**	**20,5**	**4,9**	**0**	**28,9**	**28,9**
Уровни звукового давления прямого звука от источника ИШ-2-36 в расчётной точке ночью, дБ		**ф-ла(3)[10]**	**0**	**32,7**	**25,1**	**23,3**	**24,3**	**26,5**	**20,5**	**4,9**	**0**	**28,9**	**28,9**
Расчёт отражённого звука													
Уровни звукового давления от мнимого источника ИШ-2-36_мн.(1) в расчётной точке днём, дБ		**ф-ла(3)[10]**	**0**	**0**	**0**	**0**	**0**	**0**	**0**	**0**	**0**	**0**	**0**
Уровни звукового давления от мнимого источника ИШ-2-36_мн.(1) в расчётной точке ночью, дБ		**ф-ла(3)[10]**	**0**	**0**	**0**	**0**	**0**	**0**	**0**	**0**	**0**	**0**	**0**
Уровни звукового давления от мнимого источника ИШ-2-36_мн.(2) в расчётной точке днём, дБ		**ф-ла(3)[10]**	**0**	**0**	**0**	**0**	**0**	**0**	**0**	**0**	**0**	**0**	**0**
Уровни звукового давления от мнимого источника ИШ-2-36_мн.(2) в расчётной точке ночью, дБ		**ф-ла(3)[10]**	**0**	**0**	**0**	**0**	**0**	**0**	**0**	**0**	**0**	**0**	**0**
Суммарные уровни звукового давления от мнимых источников в расчётной точке днём, дБ		**ф-ла (19) [1]**	**0**	**0**	**0**	**0**	**0**	**0**	**0**	**0**	**0**	**0**	**0**
Суммарные уровни звукового давления от мнимых источников в расчётной точке ночью, дБ		**ф-ла (19) [1]**	**0**	**0**	**0**	**0**	**0**	**0**	**0**	**0**	**0**	**0**	**0**
Уровни звукового давления от источника ИШ-2-36 в расчётной точке днём, дБ		**ф-ла(3)[10]**	**0**	**32,7**	**25,1**	**23,3**	**24,3**	**26,5**	**20,5**	**4,9**	**0**	**28,9**	**28,9**
Уровни звукового давления от источника ИШ-2-36 в расчётной точке ночью, дБ		**ф-ла(3)[10]**	**0**	**32,7**	**25,1**	**23,3**	**24,3**	**26,5**	**20,5**	**4,9**	**0**	**28,9**	**28,9**

1		2	3	4	5	6	7	8	9	10	11	12	13
Источник шума: ИШ-2-37, координаты источника (x,y,z), м =[695.57,-97.37,1.00]													
Уровни звуковой мощности источника днём, Lw, дБ		**исходные данные**	**0**	**93,3**	**94,7**	**96**	**96,3**	**95,9**	**92,6**	**88,4**	**83,9**		
Уровни звуковой мощности источника ночью, Lw, дБ		**исходные данные**	**0**	**93,3**	**94,7**	**96**	**96,3**	**95,9**	**92,6**	**88,4**	**83,9**		
Поправка на телесный угол DΩ, дБ	Ω = 6.28	10Lg(4π/Ω)	**3**	3	3	3	3	3	3	3	3		
Показатель направленности источника Di, дБ		исходные данные	**0**	0	0	0	0	0	0	0	0		
Поправка на направленность источника Dc, дБ	Dc	DΩ + Di	**3**	3	3	3	3	3	3	3	3		
Затухание из-за геометрической дивергенции, Adiv, дБ	расстояние = 815.91 м	ф-ла (7) [10]	**69,2**										
Коэффициент затухания звука в атмосфере α, дБ/км	Ta=20,°C Pa=101.33,кПа hотн.=70%	ф-ла (5) [9]	0,02	0,09	0,33	1,12	2,79	4,98	9,04	23,09	77,63		
Учет затухания звука в атмосфере Aatm, дБ		ф-ла (8) [10]	0	0,1	0,3	0,9	2,3	4,1	7,4	18,8	63,3		
Снижение поверхностью земли возле источника As, дБ	Gs = 0 hs = 1м	ф-лы таб.3 [10]	-1,5	-1,5	-1,5	-1,5	-1,5	-1,5	-1,5	-1,5	-1,5		
Снижение поверхностью земли возле приёмника Ar, дБ	Gr = 1 hr = 1.5м	ф-лы таб.3 [10]	-1,5	-1,5	4,6	7	5	0,7	0	0	0		
Снижение поверхностью земли в средней зоне, Am дБ	Gm = 1	ф-лы таб.3 [10]	-2,7	-2,7	0	0	0	0	0	0	0		
Суммарное снижение поверхностью земли на траектории распространения звука Agr, дБ		ф-ла (9) [10]	-5,7	-5,7	3,1	5,5	3,5	-0,8	-1,5	-1,5	-1,5		
Уровни звукового давления прямого звука от источника ИШ-2-37 в расчётной точке днём, дБ		**ф-ла(3)[10]**	**0**	**32,7**	**25,1**	**23,3**	**24,3**	**26,4**	**20,5**	**4,8**	**0**	**28,8**	**28,8**
Уровни звукового давления прямого звука от источника ИШ-2-37 в расчётной точке ночью, дБ		**ф-ла(3)[10]**	**0**	**32,7**	**25,1**	**23,3**	**24,3**	**26,4**	**20,5**	**4,8**	**0**	**28,8**	**28,8**
Расчёт отражённого звука													

1		2	3	4	5	6	7	8	9	10	11	12	13
Уровни звукового давления от мнимого источника ИШ-2-37_мн.(1) в расчётной точке днём, дБ		**ф-ла(3)[10]**	**0**	**0**	**0**	**0**	**0**	**0**	**0**	**0**	**0**	**0**	**0**
Уровни звукового давления от мнимого источника ИШ-2-37_мн.(1) в расчётной точке ночью, дБ		**ф-ла(3)[10]**	**0**	**0**	**0**	**0**	**0**	**0**	**0**	**0**	**0**	**0**	**0**
Уровни звукового давления от мнимого источника ИШ-2-37_мн.(2) в расчётной точке днём, дБ		**ф-ла(3)[10]**	**0**	**0**	**0**	**0**	**0**	**0**	**0**	**0**	**0**	**0**	**0**
Уровни звукового давления от мнимого источника ИШ-2-37_мн.(2) в расчётной точке ночью, дБ		**ф-ла(3)[10]**	**0**	**0**	**0**	**0**	**0**	**0**	**0**	**0**	**0**	**0**	**0**
Суммарные уровни звукового давления от мнимых источников в расчётной точке днём, дБ		**ф-ла (19) [1]**	**0**	**0**	**0**	**0**	**0**	**0**	**0**	**0**	**0**	**0**	**0**
Суммарные уровни звукового давления от мнимых источников в расчётной точке ночью, дБ		**ф-ла (19) [1]**	**0**	**0**	**0**	**0**	**0**	**0**	**0**	**0**	**0**	**0**	**0**
Уровни звукового давления от источника ИШ-2-37 в расчётной точке днём, дБ		**ф-ла(3)[10]**	**0**	**32,7**	**25,1**	**23,3**	**24,3**	**26,4**	**20,5**	**4,8**	**0**	**28,8**	**28,8**
Уровни звукового давления от источника ИШ-2-37 в расчётной точке ночью, дБ		**ф-ла(3)[10]**	**0**	**32,7**	**25,1**	**23,3**	**24,3**	**26,4**	**20,5**	**4,8**	**0**	**28,8**	**28,8**
Источник шума: ИШ-2-5, координаты источника (x,y,z), м =[618.60,-108.00,3.00]													
Уровни звуковой мощности источника днём, Lw, дБ		**исходные данные**	**105**	**104**	**104**	**101**	**102**	**106**	**101**	**95**	**87**		
Уровни звуковой мощности источника ночью, Lw, дБ		**исходные данные**	**105**	**104**	**104**	**101**	**102**	**106**	**101**	**95**	**87**		
Поправка на телесный угол DΩ, дБ	Ω = 6.28	10Lg(4π/Ω)	**3**	3	3	3	3	3	3	3	3		
Показатель направленности источника Di, дБ		исходные данные	**0**	0	0	0	0	0	0	0	0		
Поправка на направленность источника Dc, дБ	Dc	DΩ + Di	**3**	3	3	3	3	3	3	3	3		
Затухание из-за геометрической дивергенции, Adiv, дБ	расстояние = 884.89 м	ф-ла (7) [10]	**69,9**										
Коэффициент затухания звука в атмосфере α, дБ/км	Ta=20,°C Pa=101.33,кПа hотн.=70%	ф-ла (5) [9]	0,02	0,09	0,33	1,12	2,79	4,98	9,04	23,09	77,63		

1		2	3	4	5	6	7	8	9	10	11	12	13
Учет затухания звука в атмосфере Aatm, дБ		ф-ла (8) [10]	0	0,1	0,3	1	2,5	4,4	8	20,4	68,7		
Снижение поверхностью земли возле источника As, дБ	Gs = 0 hs = 3м	ф-лы таб.3 [10]	-1,5	-1,5	-1,5	-1,5	-1,5	-1,5	-1,5	-1,5	-1,5		
Снижение поверхностью земли возле приёмника Ar, дБ	Gr = 1 hr = 1.5м	ф-лы таб.3 [10]	-1,5	-1,5	4,8	7	5	0,7	0	0	0		
Снижение поверхностью земли в средней зоне, Am дБ	Gm = 1	ф-лы таб.3 [10]	-2,5	-2,5	0	0	0	0	0	0	0		
Суммарное снижение поверхностью земли на траектории распространения звука Agr, дБ		ф-ла (9) [10]	-5,5	-5,5	3,3	5,5	3,5	-0,8	-1,5	-1,5	-1,5		
Уровни звукового давления прямого звука от источника ИШ-2-5 в расчётной точке днём, дБ		**ф-ла(3)[10]**	**43,6**	**42,5**	**33,5**	**27,6**	**29,1**	**35,5**	**27,6**	**9,1**	**0**	**36,9**	**36,9**
Уровни звукового давления прямого звука от источника ИШ-2-5 в расчётной точке ночью, дБ		**ф-ла(3)[10]**	**43,6**	**42,5**	**33,5**	**27,6**	**29,1**	**35,5**	**27,6**	**9,1**	**0**	**36,9**	**36,9**
Расчёт отражённого звука													
Уровни звукового давления от мнимого источника ИШ-2-5_мн.(1) в расчётной точке днём, дБ		**ф-ла(3)[10]**	**0**	**0**	**0**	**0**	**0**	**0**	**0**	**0**	**0**	**0**	**0**
Уровни звукового давления от мнимого источника ИШ-2-5_мн.(1) в расчётной точке ночью, дБ		**ф-ла(3)[10]**	**0**	**0**	**0**	**0**	**0**	**0**	**0**	**0**	**0**	**0**	**0**
Уровни звукового давления от источника ИШ-2-5 в расчётной точке днём, дБ		**ф-ла(3)[10]**	**43,6**	**42,5**	**33,5**	**27,6**	**29,1**	**35,5**	**27,6**	**9,1**	**0**	**36,9**	**36,9**
Уровни звукового давления от источника ИШ-2-5 в расчётной точке ночью, дБ		**ф-ла(3)[10]**	**43,6**	**42,5**	**33,5**	**27,6**	**29,1**	**35,5**	**27,6**	**9,1**	**0**	**36,9**	**36,9**
Источник шума: ИШ-2-38, координаты источника (x,y,z), м =[688.13,-119.94,1.00]													
Уровни звуковой мощности источника днём, Lw, дБ		**исходные данные**	**0**	**93,3**	**94,7**	**96**	**96,3**	**95,9**	**92,6**	**88,4**	**83,9**		
Уровни звуковой мощности источника ночью, Lw, дБ		**исходные данные**	**0**	**93,3**	**94,7**	**96**	**96,3**	**95,9**	**92,6**	**88,4**	**83,9**		
Поправка на телесный угол DΩ, дБ	Ω = 6.28	10Lg(4π/Ω)	**3**	3	3	3	3	3	3	3	3		
Показатель направленности источника Di, дБ		исходные данные	**0**	0	0	0	0	0	0	0	0		

1		2	3	4	5	6	7	8	9	10	11	12	13
Поправка на направленность источника Dc, дБ	Dc	DΩ + Di	**3**	3	3	3	3	3	3	3	3		
Затухание из-за геометрической дивергенции, Adiv, дБ	расстояние = 835.43 м	ф-ла (7) [10]	**69,4**										
Коэффициент затухания звука в атмосфере α, дБ/км	Ta=20,°C Pa=101.33,кПа hотн.=70%	ф-ла (5) [9]	0,02	0,09	0,33	1,12	2,79	4,98	9,04	23,09	77,63		
Учет затухания звука в атмосфере Aatm, дБ		ф-ла (8) [10]	0	0,1	0,3	0,9	2,3	4,2	7,6	19,3	64,9		
Снижение поверхностью земли возле источника As, дБ	Gs = 0 hs = 1м	ф-лы таб.3 [10]	-1,5	-1,5	-1,5	-1,5	-1,5	-1,5	-1,5	-1,5	-1,5		
Снижение поверхностью земли возле приёмника Ar, дБ	Gr = 1 hr = 1.5м	ф-лы таб.3 [10]	-1,5	-1,5	4,7	7	5	0,7	0	0	0		
Снижение поверхностью земли в средней зоне, Am дБ	Gm = 1	ф-лы таб.3 [10]	-2,7	-2,7	0	0	0	0	0	0	0		
Суммарное снижение поверхностью земли на траектории распространения звука Agr, дБ		ф-ла (9) [10]	-5,7	-5,7	3,2	5,5	3,5	-0,8	-1,5	-1,5	-1,5		
Уровни звукового давления прямого звука от источника ИШ-2-38 в расчётной точке днём, дБ		**ф-ла(3)[10]**	**0**	**32,5**	**24,8**	**23,1**	**24**	**26,1**	**20,1**	**4,2**	**0**	**28,5**	**28,5**
Уровни звукового давления прямого звука от источника ИШ-2-38 в расчётной точке ночью, дБ		**ф-ла(3)[10]**	**0**	**32,5**	**24,8**	**23,1**	**24**	**26,1**	**20,1**	**4,2**	**0**	**28,5**	**28,5**
Расчёт отражённого звука													
Уровни звукового давления от мнимого источника ИШ-2-38_мн.(1) в расчётной точке днём, дБ		**ф-ла(3)[10]**	**0**	**0**	**0**	**0**	**0**	**0**	**0**	**0**	**0**	**0**	**0**
Уровни звукового давления от мнимого источника ИШ-2-38_мн.(1) в расчётной точке ночью, дБ		**ф-ла(3)[10]**	**0**	**0**	**0**	**0**	**0**	**0**	**0**	**0**	**0**	**0**	**0**
Уровни звукового давления от источника ИШ-2-38 в расчётной точке днём, дБ		**ф-ла(3)[10]**	**0**	**32,5**	**24,8**	**23,1**	**24**	**26,1**	**20,1**	**4,2**	**0**	**28,5**	**28,5**
Уровни звукового давления от источника ИШ-2-38 в расчётной точке ночью, дБ		**ф-ла(3)[10]**	**0**	**32,5**	**24,8**	**23,1**	**24**	**26,1**	**20,1**	**4,2**	**0**	**28,5**	**28,5**
Источник шума: ИШ-2-39, координаты источника (x,y,z), м =[687.11,-122.83,1.00]													

1		2	3	4	5	6	7	8	9	10	11	12	13
Уровни звуковой мощности источника днём, Lw, дБ		**исходные данные**	**0**	**93,3**	**94,7**	**96**	**96,3**	**95,9**	**92,6**	**88,4**	**83,9**		
Уровни звуковой мощности источника ночью, Lw, дБ		**исходные данные**	**0**	**93,3**	**94,7**	**96**	**96,3**	**95,9**	**92,6**	**88,4**	**83,9**		
Поправка на телесный угол DΩ, дБ	Ω = 6.28	10Lg(4π/Ω)	**3**	3	3	3	3	3	3	3	3		
Показатель направленности источника Di, дБ		исходные данные	**0**	0	0	0	0	0	0	0	0		
Поправка на направленность источника Dc, дБ	Dc	DΩ + Di	**3**	3	3	3	3	3	3	3	3		
Затухание из-за геометрической дивергенции, Adiv, дБ	расстояние = 838.00 м	ф-ла (7) [10]	**69,5**										
Коэффициент затухания звука в атмосфере α, дБ/км	Ta=20,°C Pa=101.33,кПа hотн.=70%	ф-ла (5) [9]	0,02	0,09	0,33	1,12	2,79	4,98	9,04	23,09	77,63		
Учет затухания звука в атмосфере Aatm, дБ		ф-ла (8) [10]	0	0,1	0,3	0,9	2,3	4,2	7,6	19,3	65,1		
Снижение поверхностью земли возле источника As, дБ	Gs = 0 hs = 1м	ф-лы таб.3 [10]	-1,5	-1,5	-1,5	-1,5	-1,5	-1,5	-1,5	-1,5	-1,5		
Снижение поверхностью земли возле приёмника Ar, дБ	Gr = 1 hr = 1.5м	ф-лы таб.3 [10]	-1,5	-1,5	4,7	7	5	0,7	0	0	0		
Снижение поверхностью земли в средней зоне, Am дБ	Gm = 1	ф-лы таб.3 [10]	-2,7	-2,7	0	0	0	0	0	0	0		
Суммарное снижение поверхностью земли на траектории распространения звука Agr, дБ		ф-ла (9) [10]	-5,7	-5,7	3,2	5,5	3,5	-0,8	-1,5	-1,5	-1,5		
Уровни звукового давления прямого звука от источника ИШ-2-39 в расчётной точке днём, дБ		**ф-ла(3)[10]**	**0**	**32,5**	**24,8**	**23,1**	**24**	**26,1**	**20,1**	**4,1**	**0**	**28,5**	**28,5**
Уровни звукового давления прямого звука от источника ИШ-2-39 в расчётной точке ночью, дБ		**ф-ла(3)[10]**	**0**	**32,5**	**24,8**	**23,1**	**24**	**26,1**	**20,1**	**4,1**	**0**	**28,5**	**28,5**
Расчёт отражённого звука													
Уровни звукового давления от мнимого источника ИШ-2-39_мн.(1) в расчётной точке днём, дБ		**ф-ла(3)[10]**	**0**	**0**	**0**	**0**	**0**	**0**	**0**	**0**	**0**	**0**	**0**
Уровни звукового давления от мнимого источника ИШ-2-39_мн.(1) в расчётной точке ночью, дБ		**ф-ла(3)[10]**	**0**	**0**	**0**	**0**	**0**	**0**	**0**	**0**	**0**	**0**	**0**

1		2	3	4	5	6	7	8	9	10	11	12	13
Уровни звукового давления от источника ИШ-2-39 в расчётной точке днём, дБ		**ф-ла(3)[10]**	**0**	**32,5**	**24,8**	**23,1**	**24**	**26,1**	**20,1**	**4,1**	**0**	**28,5**	**28,5**
Уровни звукового давления от источника ИШ-2-39 в расчётной точке ночью, дБ		**ф-ла(3)[10]**	**0**	**32,5**	**24,8**	**23,1**	**24**	**26,1**	**20,1**	**4,1**	**0**	**28,5**	**28,5**
Источник шума: ИШ-2-40, координаты источника (x,y,z), м =[686.10,-125.67,1.00]													
Уровни звуковой мощности источника днём, Lw, дБ		**исходные данные**	**0**	**93,3**	**94,7**	**96**	**96,3**	**95,9**	**92,6**	**88,4**	**83,9**		
Уровни звуковой мощности источника ночью, Lw, дБ		**исходные данные**	**0**	**93,3**	**94,7**	**96**	**96,3**	**95,9**	**92,6**	**88,4**	**83,9**		
Поправка на телесный угол DΩ, дБ	Ω = 6.28	10Lg(4π/Ω)	**3**	3	3	3	3	3	3	3	3		
Показатель направленности источника Di, дБ		исходные данные	**0**	0	0	0	0	0	0	0	0		
Поправка на направленность источника Dc, дБ	Dc	DΩ + Di	**3**	3	3	3	3	3	3	3	3		
Затухание из-за геометрической дивергенции, Adiv, дБ	расстояние = 840.54 м	ф-ла (7) [10]	**69,5**										
Коэффициент затухания звука в атмосфере α, дБ/км	Ta=20,°C Pa=101.33,кПа hотн.=70%	ф-ла (5) [9]	0,02	0,09	0,33	1,12	2,79	4,98	9,04	23,09	77,63		
Учет затухания звука в атмосфере Aatm, дБ		ф-ла (8) [10]	0	0,1	0,3	0,9	2,3	4,2	7,6	19,4	65,3		
Снижение поверхностью земли возле источника As, дБ	Gs = 0 hs = 1м	ф-лы таб.3 [10]	-1,5	-1,5	-1,5	-1,5	-1,5	-1,5	-1,5	-1,5	-1,5		
Снижение поверхностью земли возле приёмника Ar, дБ	Gr = 1 hr = 1.5м	ф-лы таб.3 [10]	-1,5	-1,5	4,7	7	5	0,7	0	0	0		
Снижение поверхностью земли в средней зоне, Am дБ	Gm = 1	ф-лы таб.3 [10]	-2,7	-2,7	0	0	0	0	0	0	0		
Суммарное снижение поверхностью земли на траектории распространения звука Agr, дБ		ф-ла (9) [10]	-5,7	-5,7	3,2	5,5	3,5	-0,8	-1,5	-1,5	-1,5		
Уровни звукового давления прямого звука от источника ИШ-2-40 в расчётной точке днём, дБ		**ф-ла(3)[10]**	**0**	**32,5**	**24,7**	**23**	**24**	**26,1**	**20**	**4**	**0**	**28,4**	**28,4**

1		2	3	4	5	6	7	8	9	10	11	12	13
Уровни звукового давления прямого звука от источника ИШ-2-40 в расчётной точке ночью, дБ		**ф-ла(3)[10]**	**0**	**32,5**	**24,7**	**23**	**24**	**26,1**	**20**	**4**	**0**	**28,4**	**28,4**
Расчёт отражённого звука													
Уровни звукового давления от мнимого источника ИШ-2-40_мн.(1) в расчётной точке днём, дБ		**ф-ла(3)[10]**	**0**	**0**	**0**	**0**	**0**	**0**	**0**	**0**	**0**	**0**	**0**
Уровни звукового давления от мнимого источника ИШ-2-40_мн.(1) в расчётной точке ночью, дБ		**ф-ла(3)[10]**	**0**	**0**	**0**	**0**	**0**	**0**	**0**	**0**	**0**	**0**	**0**
Уровни звукового давления от источника ИШ-2-40 в расчётной точке днём, дБ		**ф-ла(3)[10]**	**0**	**32,5**	**24,7**	**23**	**24**	**26,1**	**20**	**4**	**0**	**28,4**	**28,4**
Уровни звукового давления от источника ИШ-2-40 в расчётной точке ночью, дБ		**ф-ла(3)[10]**	**0**	**32,5**	**24,7**	**23**	**24**	**26,1**	**20**	**4**	**0**	**28,4**	**28,4**
Источник шума: ИШ-2-41, координаты источника (x,y,z), м =[685.14,-128.64,1.00]													
Уровни звуковой мощности источника днём, Lw, дБ		**исходные данные**	**0**	**93,3**	**94,7**	**96**	**96,3**	**95,9**	**92,6**	**88,4**	**83,9**		
Уровни звуковой мощности источника ночью, Lw, дБ		**исходные данные**	**0**	**93,3**	**94,7**	**96**	**96,3**	**95,9**	**92,6**	**88,4**	**83,9**		
Поправка на телесный угол DΩ, дБ	Ω = 6.28	10Lg(4π/Ω)	**3**	3	3	3	3	3	3	3	3		
Показатель направленности источника Di, дБ		исходные данные	**0**	0	0	0	0	0	0	0	0		
Поправка на направленность источника Dc, дБ	Dc	DΩ + Di	**3**	3	3	3	3	3	3	3	3		
Затухание из-за геометрической дивергенции, Adiv, дБ	расстояние = 843.11 м	ф-ла (7) [10]	**69,5**										
Коэффициент затухания звука в атмосфере α, дБ/км	Ta=20,°C Pa=101.33,кПа hотн.=70%	ф-ла (5) [9]	0,02	0,09	0,33	1,12	2,79	4,98	9,04	23,09	77,63		
Учет затухания звука в атмосфере Aatm, дБ		ф-ла (8) [10]	0	0,1	0,3	0,9	2,4	4,2	7,6	19,5	65,5		
Снижение поверхностью земли возле источника As, дБ	Gs = 0 hs = 1м	ф-лы таб.3 [10]	-1,5	-1,5	-1,5	-1,5	-1,5	-1,5	-1,5	-1,5	-1,5		

1		2	3	4	5	6	7	8	9	10	11	12	13
Снижение поверхностью земли возле приёмника Ar, дБ	Gr = 1 hr = 1.5м	ф-лы таб.3 [10]	-1,5	-1,5	4,7	7	5	0,7	0	0	0		
Снижение поверхностью земли в средней зоне, Am дБ	Gm = 1	ф-лы таб.3 [10]	-2,7	-2,7	0	0	0	0	0	0	0		
Суммарное снижение поверхностью земли на траектории распространения звука Agr, дБ		ф-ла (9) [10]	-5,7	-5,7	3,2	5,5	3,5	-0,8	-1,5	-1,5	-1,5		
Уровни звукового давления прямого звука от источника ИШ-2-41 в расчётной точке днём, дБ		**ф-ла(3)[10]**	**0**	**32,4**	**24,7**	**23**	**23,9**	**26**	**20**	**3,9**	**0**	**28,4**	**28,4**
Уровни звукового давления прямого звука от источника ИШ-2-41 в расчётной точке ночью, дБ		**ф-ла(3)[10]**	**0**	**32,4**	**24,7**	**23**	**23,9**	**26**	**20**	**3,9**	**0**	**28,4**	**28,4**
Расчёт отражённого звука													
Уровни звукового давления от мнимого источника ИШ-2-41_мн.(1) в расчётной точке днём, дБ		**ф-ла(3)[10]**	**0**	**0**	**0**	**0**	**0**	**0**	**0**	**0**	**0**	**0**	**0**
Уровни звукового давления от мнимого источника ИШ-2-41_мн.(1) в расчётной точке ночью, дБ		**ф-ла(3)[10]**	**0**	**0**	**0**	**0**	**0**	**0**	**0**	**0**	**0**	**0**	**0**
Уровни звукового давления от источника ИШ-2-41 в расчётной точке днём, дБ		**ф-ла(3)[10]**	**0**	**32,4**	**24,7**	**23**	**23,9**	**26**	**20**	**3,9**	**0**	**28,4**	**28,4**
Уровни звукового давления от источника ИШ-2-41 в расчётной точке ночью, дБ		**ф-ла(3)[10]**	**0**	**32,4**	**24,7**	**23**	**23,9**	**26**	**20**	**3,9**	**0**	**28,4**	**28,4**
Источник шума: ИШ-2-42, координаты источника (x,y,z), м =[684.20,-131.46,1.00]													
Уровни звуковой мощности источника днём, Lw, дБ		**исходные данные**	**0**	**93,3**	**94,7**	**96**	**96,3**	**95,9**	**92,6**	**88,4**	**83,9**		
Уровни звуковой мощности источника ночью, Lw, дБ		**исходные данные**	**0**	**93,3**	**94,7**	**96**	**96,3**	**95,9**	**92,6**	**88,4**	**83,9**		
Поправка на телесный угол DΩ, дБ	Ω = 6.28	10Lg(4π/Ω)	**3**	3	3	3	3	3	3	3	3		
Показатель направленности источника Di, дБ		исходные данные	**0**	0	0	0	0	0	0	0	0		
Поправка на направленность источника Dc, дБ	Dc	DΩ + Di	**3**	3	3	3	3	3	3	3	3		
Затухание из-за геометрической дивергенции, Adiv, дБ	расстояние = 845.58 м	ф-ла (7) [10]	**69,5**										

1		2	3	4	5	6	7	8	9	10	11	12	13
Коэффициент затухания звука в атмосфере α, дБ/км	Ta=20,°C Pa=101.33,кПа hотн.=70%	ф-ла (5) [9]	0,02	0,09	0,33	1,12	2,79	4,98	9,04	23,09	77,63		
Учет затухания звука в атмосфере Aatm, дБ		ф-ла (8) [10]	0	0,1	0,3	1	2,4	4,2	7,6	19,5	65,6		
Снижение поверхностью земли возле источника As, дБ	Gs = 0 hs = 1м	ф-лы таб.3 [10]	-1,5	-1,5	-1,5	-1,5	-1,5	-1,5	-1,5	-1,5	-1,5		
Снижение поверхностью земли возле приёмника Ar, дБ	Gr = 1 hr = 1.5м	ф-лы таб.3 [10]	-1,5	-1,5	4,7	7	5	0,7	0	0	0		
Снижение поверхностью земли в средней зоне, Am дБ	Gm = 1	ф-лы таб.3 [10]	-2,7	-2,7	0	0	0	0	0	0	0		
Суммарное снижение поверхностью земли на траектории распространения звука Agr, дБ		ф-ла (9) [10]	-5,7	-5,7	3,2	5,5	3,5	-0,8	-1,5	-1,5	-1,5		
Уровни звукового давления прямого звука от источника ИШ-2-42 в расчётной точке днём, дБ		**ф-ла(3)[10]**	**0**	**32,4**	**24,6**	**23**	**23,9**	**26**	**19,9**	**3,8**	**0**	**28,4**	**28,4**
Уровни звукового давления прямого звука от источника ИШ-2-42 в расчётной точке ночью, дБ		**ф-ла(3)[10]**	**0**	**32,4**	**24,6**	**23**	**23,9**	**26**	**19,9**	**3,8**	**0**	**28,4**	**28,4**
Расчёт отражённого звука													
Уровни звукового давления от мнимого источника ИШ-2-42_мн.(1) в расчётной точке днём, дБ		**ф-ла(3)[10]**	**0**	**0**	**0**	**0**	**0**	**0**	**0**	**0**	**0**	**0**	**0**
Уровни звукового давления от мнимого источника ИШ-2-42_мн.(1) в расчётной точке ночью, дБ		**ф-ла(3)[10]**	**0**	**0**	**0**	**0**	**0**	**0**	**0**	**0**	**0**	**0**	**0**
Уровни звукового давления от источника ИШ-2-42 в расчётной точке днём, дБ		**ф-ла(3)[10]**	**0**	**32,4**	**24,6**	**23**	**23,9**	**26**	**19,9**	**3,8**	**0**	**28,4**	**28,4**
Уровни звукового давления от источника ИШ-2-42 в расчётной точке ночью, дБ		**ф-ла(3)[10]**	**0**	**32,4**	**24,6**	**23**	**23,9**	**26**	**19,9**	**3,8**	**0**	**28,4**	**28,4**
Источник шума: ИШ-2-43, координаты источника (x,y,z), м =[683.13,-134.37,1.00]													
Уровни звуковой мощности источника днём, Lw, дБ		**исходные данные**	**0**	**93,3**	**94,7**	**96**	**96,3**	**95,9**	**92,6**	**88,4**	**83,9**		
Уровни звуковой мощности источника ночью, Lw, дБ		**исходные данные**	**0**	**93,3**	**94,7**	**96**	**96,3**	**95,9**	**92,6**	**88,4**	**83,9**		

1		2	3	4	5	6	7	8	9	10	11	12	13
Поправка на телесный угол DΩ, дБ	Ω = 6.28	10Lg(4π/Ω)	**3**	3	3	3	3	3	3	3	3		
Показатель направленности источника Di, дБ		исходные данные	**0**	0	0	0	0	0	0	0	0		
Поправка на направленность источника Dc, дБ	Dc	DΩ + Di	**3**	3	3	3	3	3	3	3	3		
Затухание из-за геометрической дивергенции, Adiv, дБ	расстояние = 848.21 м	ф-ла (7) [10]	**69,6**										
Коэффициент затухания звука в атмосфере α, дБ/км	Ta=20,°C Pa=101.33,кПа hотн.=70%	ф-ла (5) [9]	0,02	0,09	0,33	1,12	2,79	4,98	9,04	23,09	77,63		
Учет затухания звука в атмосфере Aatm, дБ		ф-ла (8) [10]	0	0,1	0,3	1	2,4	4,2	7,7	19,6	65,8		
Снижение поверхностью земли возле источника As, дБ	Gs = 0 hs = 1м	ф-лы таб.3 [10]	-1,5	-1,5	-1,5	-1,5	-1,5	-1,5	-1,5	-1,5	-1,5		
Снижение поверхностью земли возле приёмника Ar, дБ	Gr = 1 hr = 1.5м	ф-лы таб.3 [10]	-1,5	-1,5	4,7	7	5	0,7	0	0	0		
Снижение поверхностью земли в средней зоне, Am дБ	Gm = 1	ф-лы таб.3 [10]	-2,7	-2,7	0	0	0	0	0	0	0		
Суммарное снижение поверхностью земли на траектории распространения звука Agr, дБ		ф-ла (9) [10]	-5,7	-5,7	3,2	5,5	3,5	-0,8	-1,5	-1,5	-1,5		
Уровни звукового давления прямого звука от источника ИШ-2-43 в расчётной точке днём, дБ		**ф-ла(3)[10]**	**0**	**32,4**	**24,6**	**22,9**	**23,9**	**25,9**	**19,9**	**3,7**	**0**	**28,3**	**28,3**
Уровни звукового давления прямого звука от источника ИШ-2-43 в расчётной точке ночью, дБ		**ф-ла(3)[10]**	**0**	**32,4**	**24,6**	**22,9**	**23,9**	**25,9**	**19,9**	**3,7**	**0**	**28,3**	**28,3**
Расчёт отражённого звука													
Уровни звукового давления от мнимого источника ИШ-2-43_мн.(1) в расчётной точке днём, дБ		**ф-ла(3)[10]**	**0**	**0**	**0**	**0**	**0**	**0**	**0**	**0**	**0**	**0**	**0**
Уровни звукового давления от мнимого источника ИШ-2-43_мн.(1) в расчётной точке ночью, дБ		**ф-ла(3)[10]**	**0**	**0**	**0**	**0**	**0**	**0**	**0**	**0**	**0**	**0**	**0**
Уровни звукового давления от источника ИШ-2-43 в расчётной точке днём, дБ		**ф-ла(3)[10]**	**0**	**32,4**	**24,6**	**22,9**	**23,9**	**25,9**	**19,9**	**3,7**	**0**	**28,3**	**28,3**
Уровни звукового давления от источника ИШ-2-43 в расчётной точке ночью, дБ		**ф-ла(3)[10]**	**0**	**32,4**	**24,6**	**22,9**	**23,9**	**25,9**	**19,9**	**3,7**	**0**	**28,3**	**28,3**

1		2	3	4	5	6	7	8	9	10	11	12	13
Источник шума: ИШ-2-44, координаты источника (x,y,z), м =[682.20,-137.16,1.00]													
Уровни звуковой мощности источника днём, Lw, дБ		**исходные данные**	**0**	**93,3**	**94,7**	**96**	**96,3**	**95,9**	**92,6**	**88,4**	**83,9**		
Уровни звуковой мощности источника ночью, Lw, дБ		**исходные данные**	**0**	**93,3**	**94,7**	**96**	**96,3**	**95,9**	**92,6**	**88,4**	**83,9**		
Поправка на телесный угол DΩ, дБ	Ω = 6.28	10Lg(4π/Ω)	**3**	3	3	3	3	3	3	3	3		
Показатель направленности источника Di, дБ		исходные данные	**0**	0	0	0	0	0	0	0	0		
Поправка на направленность источника Dc, дБ	Dc	DΩ + Di	**3**	3	3	3	3	3	3	3	3		
Затухание из-за геометрической дивергенции, Adiv, дБ	расстояние = 850.67 м	ф-ла (7) [10]	**69,6**										
Коэффициент затухания звука в атмосфере α, дБ/км	Ta=20,°C Pa=101.33,кПа hотн.=70%	ф-ла (5) [9]	0,02	0,09	0,33	1,12	2,79	4,98	9,04	23,09	77,63		
Учет затухания звука в атмосфере Aatm, дБ		ф-ла (8) [10]	0	0,1	0,3	1	2,4	4,2	7,7	19,6	66		
Снижение поверхностью земли возле источника As, дБ	Gs = 0 hs = 1м	ф-лы таб.3 [10]	-1,5	-1,5	-1,5	-1,5	-1,5	-1,5	-1,5	-1,5	-1,5		
Снижение поверхностью земли возле приёмника Ar, дБ	Gr = 1 hr = 1.5м	ф-лы таб.3 [10]	-1,5	-1,5	4,7	7	5	0,7	0	0	0		
Снижение поверхностью земли в средней зоне, Am дБ	Gm = 1	ф-лы таб.3 [10]	-2,7	-2,7	0	0	0	0	0	0	0		
Суммарное снижение поверхностью земли на траектории распространения звука Agr, дБ		ф-ла (9) [10]	-5,7	-5,7	3,2	5,5	3,5	-0,8	-1,5	-1,5	-1,5		
Уровни звукового давления прямого звука от источника ИШ-2-44 в расчётной точке днём, дБ		**ф-ла(3)[10]**	**0**	**32,4**	**24,6**	**22,9**	**23,8**	**25,9**	**19,8**	**3,7**	**0**	**28,3**	**28,3**
Уровни звукового давления прямого звука от источника ИШ-2-44 в расчётной точке ночью, дБ		**ф-ла(3)[10]**	**0**	**32,4**	**24,6**	**22,9**	**23,8**	**25,9**	**19,8**	**3,7**	**0**	**28,3**	**28,3**
Расчёт отражённого звука													

1		2	3	4	5	6	7	8	9	10	11	12	13
Уровни звукового давления от мнимого источника ИШ-2-44_мн.(1) в расчётной точке днём, дБ		**ф-ла(3)[10]**	**0**	**0**	**0**	**0**	**0**	**0**	**0**	**0**	**0**	**0**	**0**
Уровни звукового давления от мнимого источника ИШ-2-44_мн.(1) в расчётной точке ночью, дБ		**ф-ла(3)[10]**	**0**	**0**	**0**	**0**	**0**	**0**	**0**	**0**	**0**	**0**	**0**
Уровни звукового давления от источника ИШ-2-44 в расчётной точке днём, дБ		**ф-ла(3)[10]**	**0**	**32,4**	**24,6**	**22,9**	**23,8**	**25,9**	**19,8**	**3,7**	**0**	**28,3**	**28,3**
Уровни звукового давления от источника ИШ-2-44 в расчётной точке ночью, дБ		**ф-ла(3)[10]**	**0**	**32,4**	**24,6**	**22,9**	**23,8**	**25,9**	**19,8**	**3,7**	**0**	**28,3**	**28,3**
Источник шума: ИШ-2-45, координаты источника (x,y,z), м =[681.26,-139.98,1.00]													
Уровни звуковой мощности источника днём, Lw, дБ		**исходные данные**	**0**	**93,3**	**94,7**	**96**	**96,3**	**95,9**	**92,6**	**88,4**	**83,9**		
Уровни звуковой мощности источника ночью, Lw, дБ		**исходные данные**	**0**	**93,3**	**94,7**	**96**	**96,3**	**95,9**	**92,6**	**88,4**	**83,9**		
Поправка на телесный угол DΩ, дБ	Ω = 6.28	10Lg(4π/Ω)	**3**	3	3	3	3	3	3	3	3		
Показатель направленности источника Di, дБ		исходные данные	**0**	0	0	0	0	0	0	0	0		
Поправка на направленность источника Dc, дБ	Dc	DΩ + Di	**3**	3	3	3	3	3	3	3	3		
Затухание из-за геометрической дивергенции, Adiv, дБ	расстояние = 853.15 м	ф-ла (7) [10]	**69,6**										
Коэффициент затухания звука в атмосфере α, дБ/км	Ta=20,°C Pa=101.33,кПа hотн.=70%	ф-ла (5) [9]	0,02	0,09	0,33	1,12	2,79	4,98	9,04	23,09	77,63		
Учет затухания звука в атмосфере Aatm, дБ		ф-ла (8) [10]	0	0,1	0,3	1	2,4	4,2	7,7	19,7	66,2		
Снижение поверхностью земли возле источника As, дБ	Gs = 0 hs = 1м	ф-лы таб.3 [10]	-1,5	-1,5	-1,5	-1,5	-1,5	-1,5	-1,5	-1,5	-1,5		
Снижение поверхностью земли возле приёмника Ar, дБ	Gr = 1 hr = 1.5м	ф-лы таб.3 [10]	-1,5	-1,5	4,7	7	5	0,7	0	0	0		
Снижение поверхностью земли в средней зоне, Am дБ	Gm = 1	ф-лы таб.3 [10]	-2,7	-2,7	0	0	0	0	0	0	0		

1		2	3	4	5	6	7	8	9	10	11	12	13
Суммарное снижение поверхностью земли на траектории распространения звука Agr, дБ		ф-ла (9) [10]	-5,7	-5,7	3,2	5,5	3,5	-0,8	-1,5	-1,5	-1,5		
Уровни звукового давления прямого звука от источника ИШ-2-45 в расчётной точке днём, дБ		**ф-ла(3)[10]**	**0**	**32,3**	**24,5**	**22,9**	**23,8**	**25,9**	**19,8**	**3,6**	**0**	**28,2**	**28,2**
Уровни звукового давления прямого звука от источника ИШ-2-45 в расчётной точке ночью, дБ		**ф-ла(3)[10]**	**0**	**32,3**	**24,5**	**22,9**	**23,8**	**25,9**	**19,8**	**3,6**	**0**	**28,2**	**28,2**
Расчёт отражённого звука													
Уровни звукового давления от мнимого источника ИШ-2-45_мн.(1) в расчётной точке днём, дБ		**ф-ла(3)[10]**	**0**	**0**	**0**	**0**	**0**	**0**	**0**	**0**	**0**	**0**	**0**
Уровни звукового давления от мнимого источника ИШ-2-45_мн.(1) в расчётной точке ночью, дБ		**ф-ла(3)[10]**	**0**	**0**	**0**	**0**	**0**	**0**	**0**	**0**	**0**	**0**	**0**
Уровни звукового давления от источника ИШ-2-45 в расчётной точке днём, дБ		**ф-ла(3)[10]**	**0**	**32,3**	**24,5**	**22,9**	**23,8**	**25,9**	**19,8**	**3,6**	**0**	**28,2**	**28,2**
Уровни звукового давления от источника ИШ-2-45 в расчётной точке ночью, дБ		**ф-ла(3)[10]**	**0**	**32,3**	**24,5**	**22,9**	**23,8**	**25,9**	**19,8**	**3,6**	**0**	**28,2**	**28,2**
Источник шума: ИШ-4-1, координаты источника (x,y,z), м =[141.82,201.03,1.00]													
Уровни звуковой мощности источника днём, Lw, дБ		**исходные данные**	**0**	**90,3**	**91,7**	**93**	**93,3**	**92,9**	**89,6**	**85,4**	**80,9**		
Уровни звуковой мощности источника ночью, Lw, дБ		**исходные данные**	**0**	**90,3**	**91,7**	**93**	**93,3**	**92,9**	**89,6**	**85,4**	**80,9**		
Поправка на телесный угол DΩ, дБ	Ω = 6.28	10Lg(4π/Ω)	**3**	3	3	3	3	3	3	3	3		
Показатель направленности источника Di, дБ		исходные данные	**0**	0	0	0	0	0	0	0	0		
Поправка на направленность источника Dc, дБ	Dc	DΩ + Di	**3**	3	3	3	3	3	3	3	3		
Затухание из-за геометрической дивергенции, Adiv, дБ	расстояние = 1223.91 м	ф-ла (7) [10]	**72,8**										
Коэффициент затухания звука в атмосфере α, дБ/км	Ta=20,°C Pa=101.33,кПа hотн.=70%	ф-ла (5) [9]	0,02	0,09	0,33	1,12	2,79	4,98	9,04	23,09	77,63		

1		2	3	4	5	6	7	8	9	10	11	12	13
Учет затухания звука в атмосфере Aatm, дБ		ф-ла (8) [10]	0	0,1	0,4	1,4	3,4	6,1	11,1	28,3	95		
Снижение уровня звукового давления из-за влияния застройки между источником шума и расчетной точкой													
Снижение уровня звукового давления на пути над экраном, Dz1, дБ	z = 1.06м (разность путей)	ф-лы (14-18) [10]	6,6	8,1	10	12,3	14,9	17,7	20,6	23,6	26,5		
Снижение уровня звукового давления на пути слева от экрана, Dz2, дБ	z = 2.33м (разность путей)	ф-лы (14-18) [10]	14	17,2	20,2	23,2	26,2	29,2	32,2	35,2	38,2		
Снижение уровня звукового давления на пути справа от экрана, Dz3, дБ	z = 68.24м (разность путей)	ф-лы (14-18) [10]	28,6	31,8	34,8	37,8	40,8	43,8	46,8	49,8	52,8		
Общее снижение уровня звука препятствием Dz, дБ		Эн.сумма(-Dzi)	5,8	7,5	9,6	11,9	14,6	17,4	20,3	23,3	26,2		
Общее снижение уровня звука препятствием с учётом ограничения (25 дБ) для октавных полос Dz, дБ		Раздел 7.4 [10]	5,8	7,5	9,6	11,9	14,6	17,4	20,3	23,3	25		
Уровни звукового давления прямого звука от источника ИШ-4-1 в расчётной точке днём, дБ		**ф-ла(3)[10]**	**0**	**12,9**	**12**	**9,9**	**5,5**	**0**	**0**	**0**	**0**	**5,4**	**5,4**
Уровни звукового давления прямого звука от источника ИШ-4-1 в расчётной точке ночью, дБ		**ф-ла(3)[10]**	**0**	**12,9**	**12**	**9,9**	**5,5**	**0**	**0**	**0**	**0**	**5,4**	**5,4**
Расчёт отражённого звука													
Уровни звукового давления от мнимого источника ИШ-4-1_мн.(1) в расчётной точке днём, дБ		**ф-ла(3)[10]**	**0**	**0**	**0**	**0**	**0**	**0**	**0**	**0**	**0**	**0**	**0**
Уровни звукового давления от мнимого источника ИШ-4-1_мн.(1) в расчётной точке ночью, дБ		**ф-ла(3)[10]**	**0**	**0**	**0**	**0**	**0**	**0**	**0**	**0**	**0**	**0**	**0**
Уровни звукового давления от мнимого источника ИШ-4-1_мн.(2) в расчётной точке днём, дБ		**ф-ла(3)[10]**	**0**	**0**	**0**	**0**	**15,5**	**11,9**	**3,1**	**0**	**0**	**15,5**	**15,5**
Уровни звукового давления от мнимого источника ИШ-4-1_мн.(2) в расчётной точке ночью, дБ		**ф-ла(3)[10]**	**0**	**0**	**0**	**0**	**0**	**0**	**0**	**0**	**0**	**15,5**	**15,5**
Суммарные уровни звукового давления от мнимых источников в расчётной точке днём, дБ		**ф-ла (19) [1]**	**0**	**0**	**0**	**0**	**15,5**	**11,9**	**3,1**	**0**	**0**	**0**	**15,5**
Суммарные уровни звукового давления от мнимых источников в расчётной точке ночью, дБ		**ф-ла (19) [1]**	**0**	**0**	**0**	**0**	**15,5**	**11,9**	**3,1**	**0**	**0**	**0**	**15,5**
Уровни звукового давления от источника ИШ-4-1 в расчётной точке днём, дБ		**ф-ла(3)[10]**	**0**	**12,9**	**12**	**9,9**	**15,9**	**11,9**	**3,1**	**0**	**0**	**15,9**	**15,9**

1		2	3	4	5	6	7	8	9	10	11	12	13
Уровни звукового давления от источника ИШ-4-1 в расчётной точке ночью, дБ		**ф-ла(3)[10]**	**0**	**12,9**	**12**	**9,9**	**15,9**	**11,9**	**3,1**	**0**	**0**	**15,9**	**15,9**
Источник шума: ИШ-4-2, координаты источника (x,y,z), м =[133.85,183.21,1.00]													
Уровни звуковой мощности источника днём, Lw, дБ		**исходные данные**	**0**	**90,3**	**91,7**	**93**	**93,3**	**92,9**	**89,6**	**85,4**	**80,9**		
Уровни звуковой мощности источника ночью, Lw, дБ		**исходные данные**	**0**	**90,3**	**91,7**	**93**	**93,3**	**92,9**	**89,6**	**85,4**	**80,9**		
Поправка на телесный угол DΩ, дБ	Ω = 6.28	10Lg(4π/Ω)	**3**	3	3	3	3	3	3	3	3		
Показатель направленности источника Di, дБ		исходные данные	**0**	0	0	0	0	0	0	0	0		
Поправка на направленность источника Dc, дБ	Dc	DΩ + Di	**3**	3	3	3	3	3	3	3	3		
Затухание из-за геометрической дивергенции, Adiv, дБ	расстояние = 1234.62 м	ф-ла (7) [10]	**72,8**										
Коэффициент затухания звука в атмосфере α, дБ/км	Ta=20,°C Pa=101.33,кПа hотн.=70%	ф-ла (5) [9]	0,02	0,09	0,33	1,12	2,79	4,98	9,04	23,09	77,63		
Учет затухания звука в атмосфере Aatm, дБ		ф-ла (8) [10]	0	0,1	0,4	1,4	3,4	6,1	11,2	28,5	95,8		
Снижение уровня звукового давления из-за влияния застройки между источником шума и расчетной точкой													
Снижение уровня звукового давления на пути над экраном, Dz1, дБ	z = 0.24м (разность путей)	ф-лы (14-18) [10]	4,8	4,8	4,8	4,8	4,8	4,8	4,8	4,8	4,8		
Снижение уровня звукового давления на пути слева от экрана, Dz2, дБ	z = 8.73м (разность путей)	ф-лы (14-18) [10]	19,3	22,7	25,8	28,9	31,9	34,9	37,9	40,9	43,9		
Снижение уровня звукового давления на пути справа от экрана, Dz3, дБ	z = 56.71м (разность путей)	ф-лы (14-18) [10]	27,8	31	34	37	40	43	46	49	52		
Общее снижение уровня звука препятствием Dz, дБ		Эн.сумма(-Dzi)	4,6	4,7	4,7	4,8	4,8	4,8	4,8	4,8	4,8		
Уровни звукового давления прямого звука от источника ИШ-4-2 в расчётной точке днём, дБ		**ф-ла(3)[10]**	**0**	**15,7**	**16,7**	**17**	**15,3**	**12,1**	**3,8**	**0**	**0**	**16,4**	**16,4**

1		2	3	4	5	6	7	8	9	10	11	12	13
Уровни звукового давления прямого звука от источника ИШ-4-2 в расчётной точке ночью, дБ		**ф-ла(3)[10]**	**0**	**15,7**	**16,7**	**17**	**15,3**	**12,1**	**3,8**	**0**	**0**	**16,4**	**16,4**
Расчёт отражённого звука													
Уровни звукового давления от мнимого источника ИШ-4-2_мн.(1) в расчётной точке днём, дБ		**ф-ла(3)[10]**	**0**	**0**	**0**	**0**	**10,5**	**5,4**	**0**	**0**	**0**	**9,5**	**9,5**
Уровни звукового давления от мнимого источника ИШ-4-2_мн.(1) в расчётной точке ночью, дБ		**ф-ла(3)[10]**	**0**	**0**	**0**	**0**	**0**	**0**	**0**	**0**	**0**	**9,5**	**9,5**
Уровни звукового давления от мнимого источника ИШ-4-2_мн.(2) в расчётной точке днём, дБ		**ф-ла(3)[10]**	**0**	**0**	**0**	**0**	**0**	**0**	**0**	**0**	**0**	**0**	**0**
Уровни звукового давления от мнимого источника ИШ-4-2_мн.(2) в расчётной точке ночью, дБ		**ф-ла(3)[10]**	**0**	**0**	**0**	**0**	**0**	**0**	**0**	**0**	**0**	**0**	**0**
Суммарные уровни звукового давления от мнимых источников в расчётной точке днём, дБ		**ф-ла (19) [1]**	**0**	**0**	**0**	**0**	**10,5**	**5,4**	**0**	**0**	**0**	**0**	**9,5**
Суммарные уровни звукового давления от мнимых источников в расчётной точке ночью, дБ		**ф-ла (19) [1]**	**0**	**0**	**0**	**0**	**10,5**	**5,4**	**0**	**0**	**0**	**0**	**9,5**
Уровни звукового давления от источника ИШ-4-2 в расчётной точке днём, дБ		**ф-ла(3)[10]**	**0**	**15,7**	**16,7**	**17**	**16,5**	**13**	**3,8**	**0**	**0**	**17,2**	**17,2**
Уровни звукового давления от источника ИШ-4-2 в расчётной точке ночью, дБ		**ф-ла(3)[10]**	**0**	**15,7**	**16,7**	**17**	**16,5**	**13**	**3,8**	**0**	**0**	**17,2**	**17,2**
Источник шума: ИШ-4-3, координаты источника (x,y,z), м =[152.61,172.66,1.00]													
Уровни звуковой мощности источника днём, Lw, дБ		**исходные данные**	**0**	**90,3**	**91,7**	**93**	**93,3**	**92,9**	**89,6**	**85,4**	**80,9**		
Уровни звуковой мощности источника ночью, Lw, дБ		**исходные данные**	**0**	**90,3**	**91,7**	**93**	**93,3**	**92,9**	**89,6**	**85,4**	**80,9**		
Поправка на телесный угол DΩ, дБ	Ω = 6.28	10Lg(4π/Ω)	**3**	3	3	3	3	3	3	3	3		
Показатель направленности источника Di, дБ		исходные данные	**0**	0	0	0	0	0	0	0	0		
Поправка на направленность источника Dc, дБ	Dc	DΩ + Di	**3**	3	3	3	3	3	3	3	3		
Затухание из-за геометрической дивергенции, Adiv, дБ	расстояние = 1217.95 м	ф-ла (7) [10]	**72,7**										

1		2	3	4	5	6	7	8	9	10	11	12	13
Коэффициент затухания звука в атмосфере α, дБ/км	Ta=20,°C Pa=101.33,кПа hотн.=70%	ф-ла (5) [9]	0,02	0,09	0,33	1,12	2,79	4,98	9,04	23,09	77,63		
Учет затухания звука в атмосфере Aatm, дБ		ф-ла (8) [10]	0	0,1	0,4	1,4	3,4	6,1	11	28,1	94,6		
Снижение уровня звукового давления из-за влияния застройки между источником шума и расчетной точкой													
Снижение уровня звукового давления на пути над экраном, Dz1, дБ	z = 0.27м (разность путей)	ф-лы (14-18) [10]	4,8	4,8	4,8	4,8	4,8	4,8	4,8	4,8	4,8		
Снижение уровня звукового давления на пути слева от экрана, Dz2, дБ	z = 5.57м (разность путей)	ф-лы (14-18) [10]	13,7	16,5	19,3	22,2	25,2	28,2	31,2	34,2	37,2		
Снижение уровня звукового давления на пути справа от экрана, Dz3, дБ	z = 52.00м (разность путей)	ф-лы (14-18) [10]	27,4	30,6	33,6	36,6	39,6	42,6	45,6	48,7	51,7		
Общее снижение уровня звука препятствием Dz, дБ		Эн.сумма(-Dzi)	4,2	4,5	4,6	4,7	4,7	4,8	4,8	4,8	4,8		
Уровни звукового давления прямого звука от источника ИШ-4-3 в расчётной точке днём, дБ		**ф-ла(3)[10]**	**0**	**16**	**17**	**17,2**	**15,4**	**12,4**	**4,1**	**0**	**0**	**16,6**	**16,6**
Уровни звукового давления прямого звука от источника ИШ-4-3 в расчётной точке ночью, дБ		**ф-ла(3)[10]**	**0**	**16**	**17**	**17,2**	**15,4**	**12,4**	**4,1**	**0**	**0**	**16,6**	**16,6**
Расчёт отражённого звука													
Уровни звукового давления от мнимого источника ИШ-4-3_мн.(1) в расчётной точке днём, дБ		**ф-ла(3)[10]**	**0**	**0**	**0**	**0**	**0**	**0**	**0**	**0**	**0**	**0**	**0**
Уровни звукового давления от мнимого источника ИШ-4-3_мн.(1) в расчётной точке ночью, дБ		**ф-ла(3)[10]**	**0**	**0**	**0**	**0**	**0**	**0**	**0**	**0**	**0**	**0**	**0**
Уровни звукового давления от мнимого источника ИШ-4-3_мн.(2) в расчётной точке днём, дБ		**ф-ла(3)[10]**	**0**	**0**	**0**	**0**	**0**	**5,2**	**0**	**0**	**0**	**5,2**	**5,2**
Уровни звукового давления от мнимого источника ИШ-4-3_мн.(2) в расчётной точке ночью, дБ		**ф-ла(3)[10]**	**0**	**0**	**0**	**0**	**0**	**0**	**0**	**0**	**0**	**5,2**	**5,2**
Суммарные уровни звукового давления от мнимых источников в расчётной точке днём, дБ		**ф-ла (19) [1]**	**0**	**0**	**0**	**0**	**0**	**5,2**	**0**	**0**	**0**	**0**	**5,2**
Суммарные уровни звукового давления от мнимых источников в расчётной точке ночью, дБ		**ф-ла (19) [1]**	**0**	**0**	**0**	**0**	**0**	**5,2**	**0**	**0**	**0**	**0**	**5,2**
Уровни звукового давления от источника ИШ-4-3 в расчётной точке днём, дБ		**ф-ла(3)[10]**	**0**	**16**	**17**	**17,2**	**15,4**	**13,1**	**4,1**	**0**	**0**	**16,9**	**16,9**

1		2	3	4	5	6	7	8	9	10	11	12	13
Уровни звукового давления от источника ИШ-4-3 в расчётной точке ночью, дБ		**ф-ла(3)[10]**	**0**	**16**	**17**	**17,2**	**15,4**	**13,1**	**4,1**	**0**	**0**	**16,9**	**16,9**
Источник шума: ИШ-4-4, координаты источника (x,y,z), м =[156.83,171.25,1.00]													
Уровни звуковой мощности источника днём, Lw, дБ		**исходные данные**	**0**	**90,3**	**91,7**	**93**	**93,3**	**92,9**	**89,6**	**85,4**	**80,9**		
Уровни звуковой мощности источника ночью, Lw, дБ		**исходные данные**	**0**	**90,3**	**91,7**	**93**	**93,3**	**92,9**	**89,6**	**85,4**	**80,9**		
Поправка на телесный угол DΩ, дБ	Ω = 6.28	10Lg(4π/Ω)	**3**	3	3	3	3	3	3	3	3		
Показатель направленности источника Di, дБ		исходные данные	**0**	0	0	0	0	0	0	0	0		
Поправка на направленность источника Dc, дБ	Dc	DΩ + Di	**3**	3	3	3	3	3	3	3	3		
Затухание из-за геометрической дивергенции, Adiv, дБ	расстояние = 1214.05 м	ф-ла (7) [10]	**72,7**										
Коэффициент затухания звука в атмосфере α, дБ/км	Ta=20,°C Pa=101.33,кПа hотн.=70%	ф-ла (5) [9]	0,02	0,09	0,33	1,12	2,79	4,98	9,04	23,09	77,63		
Учет затухания звука в атмосфере Aatm, дБ		ф-ла (8) [10]	0	0,1	0,4	1,4	3,4	6	11	28	94,3		
Снижение уровня звукового давления из-за влияния застройки между источником шума и расчетной точкой													
Снижение уровня звукового давления на пути над экраном, Dz1, дБ	z = 0.28м (разность путей)	ф-лы (14-18) [10]	4,8	4,8	4,8	4,8	4,8	4,8	4,8	4,8	4,8		
Снижение уровня звукового давления на пути слева от экрана, Dz2, дБ	z = 6.13м (разность путей)	ф-лы (14-18) [10]	14,1	16,9	19,7	22,6	25,6	28,6	31,6	34,6	37,6		
Снижение уровня звукового давления на пути справа от экрана, Dz3, дБ	z = 51.46м (разность путей)	ф-лы (14-18) [10]	27,4	30,5	33,6	36,6	39,6	42,6	45,6	48,6	51,6		
Общее снижение уровня звука препятствием Dz, дБ		Эн.сумма(-Dzi)	4,3	4,5	4,6	4,7	4,7	4,8	4,8	4,8	4,8		
Уровни звукового давления прямого звука от источника ИШ-4-4 в расчётной точке днём, дБ		**ф-ла(3)[10]**	**0**	**16**	**17**	**17,2**	**15,5**	**12,4**	**4,2**	**0**	**0**	**16,7**	**16,7**

1		2	3	4	5	6	7	8	9	10	11	12	13
Уровни звукового давления прямого звука от источника ИШ-4-4 в расчётной точке ночью, дБ		**ф-ла(3)[10]**	**0**	**16**	**17**	**17,2**	**15,5**	**12,4**	**4,2**	**0**	**0**	**16,7**	**16,7**
Расчёт отражённого звука													
Уровни звукового давления от мнимого источника ИШ-4-4_мн.(1) в расчётной точке днём, дБ		**ф-ла(3)[10]**	**0**	**0**	**0**	**0**	**0**	**0**	**0**	**0**	**0**	**0**	**0**
Уровни звукового давления от мнимого источника ИШ-4-4_мн.(1) в расчётной точке ночью, дБ		**ф-ла(3)[10]**	**0**	**0**	**0**	**0**	**0**	**0**	**0**	**0**	**0**	**0**	**0**
Уровни звукового давления от мнимого источника ИШ-4-4_мн.(2) в расчётной точке днём, дБ		**ф-ла(3)[10]**	**0**	**0**	**0**	**0**	**0**	**5,2**	**0**	**0**	**0**	**5,2**	**5,2**
Уровни звукового давления от мнимого источника ИШ-4-4_мн.(2) в расчётной точке ночью, дБ		**ф-ла(3)[10]**	**0**	**0**	**0**	**0**	**0**	**0**	**0**	**0**	**0**	**5,2**	**5,2**
Суммарные уровни звукового давления от мнимых источников в расчётной точке днём, дБ		**ф-ла (19) [1]**	**0**	**0**	**0**	**0**	**0**	**5,2**	**0**	**0**	**0**	**0**	**5,2**
Суммарные уровни звукового давления от мнимых источников в расчётной точке ночью, дБ		**ф-ла (19) [1]**	**0**	**0**	**0**	**0**	**0**	**5,2**	**0**	**0**	**0**	**0**	**5,2**
Уровни звукового давления от источника ИШ-4-4 в расчётной точке днём, дБ		**ф-ла(3)[10]**	**0**	**16**	**17**	**17,2**	**15,5**	**13,2**	**4,2**	**0**	**0**	**17**	**17**
Уровни звукового давления от источника ИШ-4-4 в расчётной точке ночью, дБ		**ф-ла(3)[10]**	**0**	**16**	**17**	**17,2**	**15,5**	**13,2**	**4,2**	**0**	**0**	**17**	**17**
Источник шума: ИШ-4-5, координаты источника (x,y,z), м =[126.48,222.66,11.00]													
Уровни звуковой мощности источника днём, Lw, дБ		**исходные данные**	**0**	**90,3**	**91,7**	**93**	**93,3**	**92,9**	**89,6**	**85,4**	**80,9**		
Уровни звуковой мощности источника ночью, Lw, дБ		**исходные данные**	**0**	**90,3**	**91,7**	**93**	**93,3**	**92,9**	**89,6**	**85,4**	**80,9**		
Поправка на телесный угол DΩ, дБ	Ω = 6.28	10Lg(4π/Ω)	**3**	3	3	3	3	3	3	3	3		
Показатель направленности источника Di, дБ		исходные данные	**0**	0	0	0	0	0	0	0	0		
Поправка на направленность источника Dc, дБ	Dc	DΩ + Di	**3**	3	3	3	3	3	3	3	3		
Затухание из-за геометрической дивергенции, Adiv, дБ	расстояние = 1236.03 м	ф-ла (7) [10]	**72,8**										

1		2	3	4	5	6	7	8	9	10	11	12	13
Коэффициент затухания звука в атмосфере α, дБ/км	Ta=20,°C Pa=101.33,кПа hотн.=70%	ф-ла (5) [9]	0,02	0,09	0,33	1,12	2,79	4,98	9,04	23,09	77,63		
Учет затухания звука в атмосфере Aatm, дБ		ф-ла (8) [10]	0	0,1	0,4	1,4	3,4	6,2	11,2	28,5	96		
Снижение уровня звукового давления из-за влияния застройки между источником шума и расчетной точкой													
Снижение уровня звукового давления препятствием справа от трассы ИШ-РТ, Dz3, дБ	z = -0.01м (разность путей)	ф-лы (14-18) [10]	0	0	0	4,5	4,2	3,5	1,6	NAN	NAN		
* отрицательное значение z означает прохождение траектории вблизи экрана, в этом случае дополнительно производится учёт снижения подстилающей поверхностью (см.ниже)													
Снижение поверхностью земли возле источника As, дБ	Gs = 0 hs = 1м	ф-лы таб.3 [10]	-1,5	-1,5	-1,5	-1,5	-1,5	-1,5	-1,5	-1,5	-1,5		
Снижение поверхностью земли возле приёмника Ar, дБ	Gr = 1 hr = 1.5м	ф-лы таб.3 [10]	-1,5	-1,5	5,3	7	5	0,7	0	0	0		
Снижение поверхностью земли в средней зоне, Am дБ	Gm = 1	ф-лы таб.3 [10]	-2,8	-2,8	0	0	0	0	0	0	0		
Суммарное снижение поверхностью земли на траектории распространения звука Agr, дБ		ф-ла (9) [10]	-5,8	-5,8	3,8	5,5	3,5	-0,8	-1,5	-1,5	-1,5		
Уровни звукового давления прямого звука от источника ИШ-4-5 в расчётной точке днём, дБ		**ф-ла(3)[10]**	**0**	**26,2**	**17,7**	**11,8**	**12,4**	**14,3**	**8,5**	**0**	**0**	**16,9**	**16,9**
Уровни звукового давления прямого звука от источника ИШ-4-5 в расчётной точке ночью, дБ		**ф-ла(3)[10]**	**0**	**26,2**	**17,7**	**11,8**	**12,4**	**14,3**	**8,5**	**0**	**0**	**16,9**	**16,9**
Расчёт отражённого звука													
Уровни звукового давления от мнимого источника ИШ-4-5_мн.(1) в расчётной точке днём, дБ		**ф-ла(3)[10]**	**0**	**0**	**0**	**0**	**0**	**0**	**0**	**0**	**0**	**0**	**0**
Уровни звукового давления от мнимого источника ИШ-4-5_мн.(1) в расчётной точке ночью, дБ		**ф-ла(3)[10]**	**0**	**0**	**0**	**0**	**0**	**0**	**0**	**0**	**0**	**0**	**0**
Уровни звукового давления от источника ИШ-4-5 в расчётной точке днём, дБ		**ф-ла(3)[10]**	**0**	**26,2**	**17,7**	**11,8**	**12,4**	**14,3**	**8,5**	**0**	**0**	**16,9**	**16,9**
Уровни звукового давления от источника ИШ-4-5 в расчётной точке ночью, дБ		**ф-ла(3)[10]**	**0**	**26,2**	**17,7**	**11,8**	**12,4**	**14,3**	**8,5**	**0**	**0**	**16,9**	**16,9**
Источник шума: ИШ-4-6, координаты источника (x,y,z), м =[125.17,218.57,11.00]													

1		2	3	4	5	6	7	8	9	10	11	12	13
Уровни звуковой мощности источника днём, Lw, дБ		**исходные данные**	**0**	**90,3**	**91,7**	**93**	**93,3**	**92,9**	**89,6**	**85,4**	**80,9**		
Уровни звуковой мощности источника ночью, Lw, дБ		**исходные данные**	**0**	**90,3**	**91,7**	**93**	**93,3**	**92,9**	**89,6**	**85,4**	**80,9**		
Поправка на телесный угол DΩ, дБ	Ω = 6.28	10Lg(4π/Ω)	**3**	3	3	3	3	3	3	3	3		
Показатель направленности источника Di, дБ		исходные данные	**0**	0	0	0	0	0	0	0	0		
Поправка на направленность источника Dc, дБ	Dc	DΩ + Di	**3**	3	3	3	3	3	3	3	3		
Затухание из-за геометрической дивергенции, Adiv, дБ	расстояние = 1237.88 м	ф-ла (7) [10]	**72,9**										
Коэффициент затухания звука в атмосфере α, дБ/км	Ta=20,°C Pa=101.33,кПа hотн.=70%	ф-ла (5) [9]	0,02	0,09	0,33	1,12	2,79	4,98	9,04	23,09	77,63		
Учет затухания звука в атмосфере Aatm, дБ		ф-ла (8) [10]	0	0,1	0,4	1,4	3,5	6,2	11,2	28,6	96,1		
Снижение уровня звукового давления из-за влияния застройки между источником шума и расчетной точкой													
Снижение уровня звукового давления на пути над экраном, Dz1, дБ	z = 0.00м (разность путей)	ф-лы (14-18) [10]	4,8	4,8	4,8	4,8	4,8	4,8	4,8	4,8	4,8		
Снижение уровня звукового давления на пути слева от экрана, Dz2, дБ	z = 0.01м (разность путей)	ф-лы (14-18) [10]	4,8	4,9	4,9	5,1	5,4	5,9	6,9	8,3	10,2		
Снижение уровня звукового давления на пути справа от экрана, Dz3, дБ	z = 91.30м (разность путей)	ф-лы (14-18) [10]	29,5	32,9	36	39,1	42,1	45,1	48,1	51,1	54,1		
Общее снижение уровня звука препятствием Dz, дБ		Эн.сумма(-Dzi)	1,8	1,8	1,8	1,9	2,1	2,3	2,7	3,2	3,7		
Уровни звукового давления прямого звука от источника ИШ-4-6 в расчётной точке днём, дБ		**ф-ла(3)[10]**	**0**	**18,5**	**19,6**	**19,8**	**17,9**	**14,6**	**5,9**	**0**	**0**	**19**	**19**
Уровни звукового давления прямого звука от источника ИШ-4-6 в расчётной точке ночью, дБ		**ф-ла(3)[10]**	**0**	**18,5**	**19,6**	**19,8**	**17,9**	**14,6**	**5,9**	**0**	**0**	**19**	**19**
Расчёт отражённого звука													
Уровни звукового давления от мнимого источника ИШ-4-6_мн.(1) в расчётной точке днём, дБ		**ф-ла(3)[10]**	**0**	**0**	**0**	**0**	**0**	**0**	**0**	**0**	**0**	**0**	**0**

1		2	3	4	5	6	7	8	9	10	11	12	13
Уровни звукового давления от мнимого источника ИШ-4-6_мн.(1) в расчётной точке ночью, дБ		**ф-ла(3)[10]**	**0**	**0**	**0**	**0**	**0**	**0**	**0**	**0**	**0**	**0**	**0**
Уровни звукового давления от источника ИШ-4-6 в расчётной точке днём, дБ		**ф-ла(3)[10]**	**0**	**18,5**	**19,6**	**19,8**	**17,9**	**14,6**	**5,9**	**0**	**0**	**19**	**19**
Уровни звукового давления от источника ИШ-4-6 в расчётной точке ночью, дБ		**ф-ла(3)[10]**	**0**	**18,5**	**19,6**	**19,8**	**17,9**	**14,6**	**5,9**	**0**	**0**	**19**	**19**
Источник шума: ИШ-4-7, координаты источника (x,y,z), м =[177.91,257.92,11.00]													
Уровни звуковой мощности источника днём, Lw, дБ		**исходные данные**	**0**	**90,3**	**91,7**	**93**	**93,3**	**92,9**	**89,6**	**85,4**	**80,9**		
Уровни звуковой мощности источника ночью, Lw, дБ		**исходные данные**	**0**	**90,3**	**91,7**	**93**	**93,3**	**92,9**	**89,6**	**85,4**	**80,9**		
Поправка на телесный угол DΩ, дБ	Ω = 6.28	10Lg(4π/Ω)	**3**	3	3	3	3	3	3	3	3		
Показатель направленности источника Di, дБ		исходные данные	**0**	0	0	0	0	0	0	0	0		
Поправка на направленность источника Dc, дБ	Dc	DΩ + Di	**3**	3	3	3	3	3	3	3	3		
Затухание из-за геометрической дивергенции, Adiv, дБ	расстояние = 1180.69 м	ф-ла (7) [10]	**72,4**										
Коэффициент затухания звука в атмосфере α, дБ/км	Ta=20,°C Pa=101.33,кПа hотн.=70%	ф-ла (5) [9]	0,02	0,09	0,33	1,12	2,79	4,98	9,04	23,09	77,63		
Учет затухания звука в атмосфере Aatm, дБ		ф-ла (8) [10]	0	0,1	0,4	1,3	3,3	5,9	10,7	27,3	91,7		
Снижение уровня звукового давления из-за влияния застройки между источником шума и расчетной точкой													
Снижение уровня звукового давления на пути над экраном, Dz1, дБ	z = 0.00м (разность путей)	ф-лы (14-18) [10]	4,8	4,8	4,8	4,8	4,8	4,8	4,8	4,8	4,8		
Снижение уровня звукового давления на пути слева от экрана, Dz2, дБ	z = 13.40м (разность путей)	ф-лы (14-18) [10]	17,2	20,1	23	26	29	32	35	38	41		
Снижение уровня звукового давления на пути справа от экрана, Dz3, дБ	z = 0.15м (разность путей)	ф-лы (14-18) [10]	5,5	6,1	7,2	8,7	10,7	13,2	15,9	18,7	21,6		

1		2	3	4	5	6	7	8	9	10	11	12	13
Общее снижение уровня звука препятствием Dz, дБ		Эн.сумма(-Dzi)	2	2,3	2,8	3,3	3,8	4,2	4,4	4,6	4,7		
Уровни звукового давления прямого звука от источника ИШ-4-7 в расчётной точке днём, дБ		**ф-ла(3)[10]**	**0**	**18,4**	**19,1**	**18,9**	**16,8**	**13,4**	**5**	**0**	**0**	**17,9**	**17,9**
Уровни звукового давления прямого звука от источника ИШ-4-7 в расчётной точке ночью, дБ		**ф-ла(3)[10]**	**0**	**18,4**	**19,1**	**18,9**	**16,8**	**13,4**	**5**	**0**	**0**	**17,9**	**17,9**
Расчёт отражённого звука													
Уровни звукового давления от мнимого источника ИШ-4-7_мн.(1) в расчётной точке днём, дБ		**ф-ла(3)[10]**	**0**	**0**	**0**	**0**	**0**	**0**	**0**	**0**	**0**	**0**	**0**
Уровни звукового давления от мнимого источника ИШ-4-7_мн.(1) в расчётной точке ночью, дБ		**ф-ла(3)[10]**	**0**	**0**	**0**	**0**	**0**	**0**	**0**	**0**	**0**	**0**	**0**
Уровни звукового давления от источника ИШ-4-7 в расчётной точке днём, дБ		**ф-ла(3)[10]**	**0**	**18,4**	**19,1**	**18,9**	**16,8**	**13,4**	**5**	**0**	**0**	**17,9**	**17,9**
Уровни звукового давления от источника ИШ-4-7 в расчётной точке ночью, дБ		**ф-ла(3)[10]**	**0**	**18,4**	**19,1**	**18,9**	**16,8**	**13,4**	**5**	**0**	**0**	**17,9**	**17,9**
Источник шума: ИШ-4-8, координаты источника (x,y,z), м =[178.24,257.77,13.00]													
Уровни звуковой мощности источника днём, Lw, дБ		**исходные данные**	**0**	**90,3**	**91,7**	**93**	**93,3**	**92,9**	**89,6**	**85,4**	**80,9**		
Уровни звуковой мощности источника ночью, Lw, дБ		**исходные данные**	**0**	**90,3**	**91,7**	**93**	**93,3**	**92,9**	**89,6**	**85,4**	**80,9**		
Поправка на телесный угол DΩ, дБ	Ω = 6.28	10Lg(4π/Ω)	**3**	3	3	3	3	3	3	3	3		
Показатель направленности источника Di, дБ		исходные данные	**0**	0	0	0	0	0	0	0	0		
Поправка на направленность источника Dc, дБ	Dc	DΩ + Di	**3**	3	3	3	3	3	3	3	3		
Затухание из-за геометрической дивергенции, Adiv, дБ	расстояние = 1180.38 м	ф-ла (7) [10]	**72,4**										
Коэффициент затухания звука в атмосфере α, дБ/км	Ta=20,°C Pa=101.33,кПа hотн.=70%	ф-ла (5) [9]	0,02	0,09	0,33	1,12	2,79	4,98	9,04	23,09	77,63		

1		2	3	4	5	6	7	8	9	10	11	12	13
Учет затухания звука в атмосфере Aatm, дБ		ф-ла (8) [10]	0	0,1	0,4	1,3	3,3	5,9	10,7	27,3	91,6		
Снижение поверхностью земли возле источника As, дБ	Gs = 0 hs = 5м	ф-лы таб.3 [10]	-1,5	-1,5	-1,5	-1,5	-1,5	-1,5	-1,5	-1,5	-1,5		
Снижение поверхностью земли возле приёмника Ar, дБ	Gr = 1 hr = 1.5м	ф-лы таб.3 [10]	-1,5	-1,5	5,3	7	5	0,7	0	0	0		
Снижение поверхностью земли в средней зоне, Am дБ	Gm = 1	ф-лы таб.3 [10]	-2,5	-2,5	0	0	0	0	0	0	0		
Суммарное снижение поверхностью земли на траектории распространения звука Agr, дБ		ф-ла (9) [10]	-5,5	-5,5	3,8	5,5	3,5	-0,8	-1,5	-1,5	-1,5		
Уровни звукового давления от источника ИШ-4-8 в расчётной точке днём, дБ		**ф-ла(3)[10]**	**0**	**26,3**	**18,1**	**16,7**	**17,1**	**18,4**	**11**	**0**	**0**	**20,8**	**20,8**
Уровни звукового давления от источника ИШ-4-8 в расчётной точке ночью, дБ		**ф-ла(3)[10]**	**0**	**26,3**	**18,1**	**16,7**	**17,1**	**18,4**	**11**	**0**	**0**	**20,8**	**20,8**
Источник шума: ИШ-4-9, координаты источника (x,y,z), м =[178.68,257.63,15.50]													
Уровни звуковой мощности источника днём, Lw, дБ		**исходные данные**	**0**	**90,3**	**91,7**	**93**	**93,3**	**92,9**	**89,6**	**85,4**	**80,9**		
Уровни звуковой мощности источника ночью, Lw, дБ		**исходные данные**	**0**	**90,3**	**91,7**	**93**	**93,3**	**92,9**	**89,6**	**85,4**	**80,9**		
Поправка на телесный угол DΩ, дБ	Ω = 6.28	10Lg(4π/Ω)	**3**	3	3	3	3	3	3	3	3		
Показатель направленности источника Di, дБ		исходные данные	**0**	0	0	0	0	0	0	0	0		
Поправка на направленность источника Dc, дБ	Dc	DΩ + Di	**3**	3	3	3	3	3	3	3	3		
Затухание из-за геометрической дивергенции, Adiv, дБ	расстояние = 1179.99 м	ф-ла (7) [10]	**72,4**										
Коэффициент затухания звука в атмосфере α, дБ/км	Ta=20,°C Pa=101.33,кПа hотн.=70%	ф-ла (5) [9]	0,02	0,09	0,33	1,12	2,79	4,98	9,04	23,09	77,63		
Учет затухания звука в атмосфере Aatm, дБ		ф-ла (8) [10]	0	0,1	0,4	1,3	3,3	5,9	10,7	27,2	91,6		

1		2	3	4	5	6	7	8	9	10	11	12	13
Снижение уровня звукового давления из-за влияния застройки между источником шума и расчетной точкой													
Снижение уровня звукового давления препятствием снизу от трассы ИШ-РТ, Dz4, дБ	z = -0.02м (разность путей)	ф-лы (14-18) [10]	4,7	4,5	4,3	3,7	2,3	0	NAN	NAN	NAN		
* отрицательное значение z означает прохождение траектории вблизи экрана, в этом случае дополнительно производится учёт снижения подстилающей поверхностью (см.ниже)													
Снижение поверхностью земли возле источника As, дБ	Gs = 0 hs = 7.5м	ф-лы таб.3 [10]	-1,5	-1,5	-1,5	-1,5	-1,5	-1,5	-1,5	-1,5	-1,5		
Снижение поверхностью земли возле приёмника Ar, дБ	Gr = 1 hr = 1.5м	ф-лы таб.3 [10]	-1,5	-1,5	5,3	7	5	0,7	0	0	0		
Снижение поверхностью земли в средней зоне, Am дБ	Gm = 1	ф-лы таб.3 [10]	-2,3	-2,3	0	0	0	0	0	0	0		
Суммарное снижение поверхностью земли на траектории распространения звука Agr, дБ		ф-ла (9) [10]	-5,3	-5,3	3,8	5,5	3,5	-0,8	-1,5	-1,5	-1,5		
Уровни звукового давления от источника ИШ-4-9 в расчётной точке днём, дБ		**ф-ла(3)[10]**	**0**	**21,5**	**13,8**	**13**	**14,8**	**18,4**	**11**	**0**	**0**	**20,2**	**20,2**
Уровни звукового давления от источника ИШ-4-9 в расчётной точке ночью, дБ		**ф-ла(3)[10]**	**0**	**21,5**	**13,8**	**13**	**14,8**	**18,4**	**11**	**0**	**0**	**20,2**	**20,2**
Источник шума: ИШ-4-10, координаты источника (x,y,z), м =[185.65,255.31,11.00]													
Уровни звуковой мощности источника днём, Lw, дБ		**исходные данные**	**0**	**90,3**	**91,7**	**93**	**93,3**	**92,9**	**89,6**	**85,4**	**80,9**		
Уровни звуковой мощности источника ночью, Lw, дБ		**исходные данные**	**0**	**90,3**	**91,7**	**93**	**93,3**	**92,9**	**89,6**	**85,4**	**80,9**		
Поправка на телесный угол DΩ, дБ	Ω = 6.28	10Lg(4π/Ω)	**3**	3	3	3	3	3	3	3	3		
Показатель направленности источника Di, дБ		исходные данные	**0**	0	0	0	0	0	0	0	0		
Поправка на направленность источника Dc, дБ	Dc	DΩ + Di	**3**	3	3	3	3	3	3	3	3		
Затухание из-за геометрической дивергенции, Adiv, дБ	расстояние = 1173.28 м	ф-ла (7) [10]	**72,4**										
Коэффициент затухания звука в атмосфере α, дБ/км	Ta=20,°C Pa=101.33,кПа hотн.=70%	ф-ла (5) [9]	0,02	0,09	0,33	1,12	2,79	4,98	9,04	23,09	77,63		

1		2	3	4	5	6	7	8	9	10	11	12	13
Учет затухания звука в атмосфере Aatm, дБ		ф-ла (8) [10]	0	0,1	0,4	1,3	3,3	5,8	10,6	27,1	91,1		
Снижение уровня звукового давления из-за влияния застройки между источником шума и расчетной точкой													
Снижение уровня звукового давления на пути над экраном, Dz1, дБ	z = 0.00м (разность путей)	ф-лы (14-18) [10]	4,8	4,8	4,8	4,8	4,8	4,8	4,8	4,8	4,8		
Снижение уровня звукового давления на пути слева от экрана, Dz2, дБ	z = 13.52м (разность путей)	ф-лы (14-18) [10]	17,3	20,1	23	26	29	32	35	38	41		
Снижение уровня звукового давления на пути справа от экрана, Dz3, дБ	z = 0.06м (разность путей)	ф-лы (14-18) [10]	5,1	5,4	5,9	6,8	8,1	10	12,3	14,9	17,7		
Общее снижение уровня звука препятствием Dz, дБ		Эн.сумма(-Dzi)	1,8	2	2,2	2,6	3,1	3,6	4,1	4,4	4,6		
Уровни звукового давления прямого звука от источника ИШ-4-10 в расчётной точке днём, дБ		**ф-ла(3)[10]**	**0**	**18,8**	**19,7**	**19,7**	**17,5**	**14**	**5,5**	**0**	**0**	**18,6**	**18,6**
Уровни звукового давления прямого звука от источника ИШ-4-10 в расчётной точке ночью, дБ		**ф-ла(3)[10]**	**0**	**18,8**	**19,7**	**19,7**	**17,5**	**14**	**5,5**	**0**	**0**	**18,6**	**18,6**
Расчёт отражённого звука													
Уровни звукового давления от мнимого источника ИШ-4-10_мн.(1) в расчётной точке днём, дБ		**ф-ла(3)[10]**	**0**	**0**	**0**	**0**	**0**	**0**	**0**	**0**	**0**	**0**	**0**
Уровни звукового давления от мнимого источника ИШ-4-10_мн.(1) в расчётной точке ночью, дБ		**ф-ла(3)[10]**	**0**	**0**	**0**	**0**	**0**	**0**	**0**	**0**	**0**	**0**	**0**
Уровни звукового давления от источника ИШ-4-10 в расчётной точке днём, дБ		**ф-ла(3)[10]**	**0**	**18,8**	**19,7**	**19,7**	**17,5**	**14**	**5,5**	**0**	**0**	**18,6**	**18,6**
Уровни звукового давления от источника ИШ-4-10 в расчётной точке ночью, дБ		**ф-ла(3)[10]**	**0**	**18,8**	**19,7**	**19,7**	**17,5**	**14**	**5,5**	**0**	**0**	**18,6**	**18,6**
Источник шума: ИШ-4-11, координаты источника (x,y,z), м =[185.89,255.16,13.00]													
Уровни звуковой мощности источника днём, Lw, дБ		**исходные данные**	**0**	**90,3**	**91,7**	**93**	**93,3**	**92,9**	**89,6**	**85,4**	**80,9**		
Уровни звуковой мощности источника ночью, Lw, дБ		**исходные данные**	**0**	**90,3**	**91,7**	**93**	**93,3**	**92,9**	**89,6**	**85,4**	**80,9**		
Поправка на телесный угол DΩ, дБ	Ω = 6.28	10Lg(4π/Ω)	**3**	3	3	3	3	3	3	3	3		

1		2	3	4	5	6	7	8	9	10	11	12	13
Показатель направленности источника Di, дБ		исходные данные	**0**	0	0	0	0	0	0	0	0		
Поправка на направленность источника Dc, дБ	Dc	DΩ + Di	**3**	3	3	3	3	3	3	3	3		
Затухание из-за геометрической дивергенции, Adiv, дБ	расстояние = 1173.08 м	ф-ла (7) [10]	**72,4**										
Коэффициент затухания звука в атмосфере α, дБ/км	Ta=20,°C Pa=101.33,кПа hотн.=70%	ф-ла (5) [9]	0,02	0,09	0,33	1,12	2,79	4,98	9,04	23,09	77,63		
Учет затухания звука в атмосфере Aatm, дБ		ф-ла (8) [10]	0	0,1	0,4	1,3	3,3	5,8	10,6	27,1	91,1		
Снижение поверхностью земли возле источника As, дБ	Gs = 0 hs = 5м	ф-лы таб.3 [10]	-1,5	-1,5	-1,5	-1,5	-1,5	-1,5	-1,5	-1,5	-1,5		
Снижение поверхностью земли возле приёмника Ar, дБ	Gr = 1 hr = 1.5м	ф-лы таб.3 [10]	-1,5	-1,5	5,2	7	5	0,7	0	0	0		
Снижение поверхностью земли в средней зоне, Am дБ	Gm = 1	ф-лы таб.3 [10]	-2,5	-2,5	0	0	0	0	0	0	0		
Суммарное снижение поверхностью земли на траектории распространения звука Agr, дБ		ф-ла (9) [10]	-5,5	-5,5	3,7	5,5	3,5	-0,8	-1,5	-1,5	-1,5		
Уровни звукового давления от источника ИШ-4-11 в расчётной точке днём, дБ		**ф-ла(3)[10]**	**0**	**26,3**	**18,2**	**16,8**	**17,2**	**18,5**	**11,1**	**0**	**0**	**20,9**	**20,9**
Уровни звукового давления от источника ИШ-4-11 в расчётной точке ночью, дБ		**ф-ла(3)[10]**	**0**	**26,3**	**18,2**	**16,8**	**17,2**	**18,5**	**11,1**	**0**	**0**	**20,9**	**20,9**
Источник шума: ИШ-4-12, координаты источника (x,y,z), м =[186.18,255.02,15.50]													
Уровни звуковой мощности источника днём, Lw, дБ		**исходные данные**	**0**	**90,3**	**91,7**	**93**	**93,3**	**92,9**	**89,6**	**85,4**	**80,9**		
Уровни звуковой мощности источника ночью, Lw, дБ		**исходные данные**	**0**	**90,3**	**91,7**	**93**	**93,3**	**92,9**	**89,6**	**85,4**	**80,9**		
Поправка на телесный угол DΩ, дБ	Ω = 6.28	10Lg(4π/Ω)	**3**	3	3	3	3	3	3	3	3		
Показатель направленности источника Di, дБ		исходные данные	**0**	0	0	0	0	0	0	0	0		

1		2	3	4	5	6	7	8	9	10	11	12	13
Поправка на направленность источника Dc, дБ	Dc	DΩ + Di	**3**	3	3	3	3	3	3	3	3		
Затухание из-за геометрической дивергенции, Adiv, дБ	расстояние = 1172.83 м	ф-ла (7) [10]	**72,4**										
Коэффициент затухания звука в атмосфере α, дБ/км	Ta=20,°C Pa=101.33,кПа hотн.=70%	ф-ла (5) [9]	0,02	0,09	0,33	1,12	2,79	4,98	9,04	23,09	77,63		
Учет затухания звука в атмосфере Aatm, дБ		ф-ла (8) [10]	0	0,1	0,4	1,3	3,3	5,8	10,6	27,1	91,1		
Снижение уровня звукового давления из-за влияния застройки между источником шума и расчетной точкой													
Снижение уровня звукового давления препятствием снизу от трассы ИШ-РТ, Dz4, дБ	z = -0.02м (разность путей)	ф-лы (14-18) [10]	4,6	4,5	4,2	3,6	2	0	NAN	NAN	NAN		
* отрицательное значение z означает прохождение траектории вблизи экрана, в этом случае дополнительно производится учёт снижения подстилающей поверхностью (см.ниже)													
Снижение поверхностью земли возле источника As, дБ	Gs = 0 hs = 7.5м	ф-лы таб.3 [10]	-1,5	-1,5	-1,5	-1,5	-1,5	-1,5	-1,5	-1,5	-1,5		
Снижение поверхностью земли возле приёмника Ar, дБ	Gr = 1 hr = 1.5м	ф-лы таб.3 [10]	-1,5	-1,5	5,2	7	5	0,7	0	0	0		
Снижение поверхностью земли в средней зоне, Am дБ	Gm = 1	ф-лы таб.3 [10]	-2,3	-2,3	0	0	0	0	0	0	0		
Суммарное снижение поверхностью земли на траектории распространения звука Agr, дБ		ф-ла (9) [10]	-5,3	-5,3	3,7	5,5	3,5	-0,8	-1,5	-1,5	-1,5		
Уровни звукового давления от источника ИШ-4-12 в расчётной точке днём, дБ		**ф-ла(3)[10]**	**0**	**21,6**	**13,9**	**13,2**	**15,2**	**18,5**	**11,1**	**0**	**0**	**20,3**	**20,3**
Уровни звукового давления от источника ИШ-4-12 в расчётной точке ночью, дБ		**ф-ла(3)[10]**	**0**	**21,6**	**13,9**	**13,2**	**15,2**	**18,5**	**11,1**	**0**	**0**	**20,3**	**20,3**
Источник шума: ИШ-4-13, координаты источника (x,y,z), м =[94.56,229.10,1.00]													
Уровни звуковой мощности источника днём, Lw, дБ		**исходные данные**	**0**	**81,3**	**82,7**	**84**	**84,3**	**83,9**	**80,6**	**76,4**	**71,9**		
Уровни звуковой мощности источника ночью, Lw, дБ		**исходные данные**	**0**	**81,3**	**82,7**	**84**	**84,3**	**83,9**	**80,6**	**76,4**	**71,9**		
Поправка на телесный угол DΩ, дБ	Ω = 6.28	10Lg(4π/Ω)	**3**	3	3	3	3	3	3	3	3		

1		2	3	4	5	6	7	8	9	10	11	12	13
Показатель направленности источника Di, дБ		исходные данные	**0**	0	0	0	0	0	0	0	0		
Поправка на направленность источника Dc, дБ	Dc	DΩ + Di	**3**	3	3	3	3	3	3	3	3		
Затухание из-за геометрической дивергенции, Adiv, дБ	расстояние = 1266.81 м	ф-ла (7) [10]	**73,1**										
Коэффициент затухания звука в атмосфере α, дБ/км	Ta=20,°C Pa=101.33,кПа hотн.=70%	ф-ла (5) [9]	0,02	0,09	0,33	1,12	2,79	4,98	9,04	23,09	77,63		
Учет затухания звука в атмосфере Aatm, дБ		ф-ла (8) [10]	0	0,1	0,4	1,4	3,5	6,3	11,5	29,2	98,3		
Снижение уровня звукового давления из-за влияния застройки между источником шума и расчетной точкой													
Снижение уровня звукового давления на пути над экраном, Dz1, дБ	z = 4.60м (разность путей)	ф-лы (14-18) [10]	11,3	15,1	19,2	22,9	26,1	29,1	32,1	35,2	38,2		
Снижение уровня звукового давления на пути слева от экрана, Dz2, дБ	z = 33.87м (разность путей)	ф-лы (14-18) [10]	25,1	28,6	31,7	34,7	37,8	40,8	43,8	46,8	49,8		
Снижение уровня звукового давления на пути справа от экрана, Dz3, дБ	z = 100.67м (разность путей)	ф-лы (14-18) [10]	30,4	33,5	36,5	39,5	42,5	45,5	48,5	51,5	54,5		
Общее снижение уровня звука препятствием Dz, дБ		Эн.сумма(-Dzi)	11,1	14,8	18,9	22,5	25,7	28,7	31,8	34,8	37,8		
Общее снижение уровня звука препятствием с учётом ограничения (25 дБ) для октавных полос Dz, дБ		Раздел 7.4 [10]	11,1	14,8	18,9	22,5	25	25	25	25	25		
Уровни звукового давления от источника ИШ-4-13 в расчётной точке днём, дБ		**ф-ла(3)[10]**	**0**	**0**	**0**	**0**	**0**	**0**	**0**	**0**	**0**	**0**	**0**
Уровни звукового давления от источника ИШ-4-13 в расчётной точке ночью, дБ		**ф-ла(3)[10]**	**0**	**0**	**0**	**0**	**0**	**0**	**0**	**0**	**0**	**0**	**0**
Источник шума: ИШ-4-14, координаты источника (x,y,z), м =[91.88,221.30,1.00]													
Уровни звуковой мощности источника днём, Lw, дБ		**исходные данные**	**0**	**81,3**	**82,7**	**84**	**84,3**	**83,9**	**80,6**	**76,4**	**71,9**		
Уровни звуковой мощности источника ночью, Lw, дБ		**исходные данные**	**0**	**81,3**	**82,7**	**84**	**84,3**	**83,9**	**80,6**	**76,4**	**71,9**		

1		2	3	4	5	6	7	8	9	10	11	12	13
Поправка на телесный угол DΩ, дБ	Ω = 6.28	10Lg(4π/Ω)	**3**	3	3	3	3	3	3	3	3		
Показатель направленности источника Di, дБ		исходные данные	**0**	0	0	0	0	0	0	0	0		
Поправка на направленность источника Dc, дБ	Dc	DΩ + Di	**3**	3	3	3	3	3	3	3	3		
Затухание из-за геометрической дивергенции, Adiv, дБ	расстояние = 1270.47 м	ф-ла (7) [10]	**73,1**										
Коэффициент затухания звука в атмосфере α, дБ/км	Ta=20,°C Pa=101.33,кПа hотн.=70%	ф-ла (5) [9]	0,02	0,09	0,33	1,12	2,79	4,98	9,04	23,09	77,63		
Учет затухания звука в атмосфере Aatm, дБ		ф-ла (8) [10]	0	0,1	0,4	1,4	3,5	6,3	11,5	29,3	98,6		
Снижение уровня звукового давления из-за влияния застройки между источником шума и расчетной точкой													
Снижение уровня звукового давления на пути над экраном, Dz1, дБ	z = 4.57м (разность путей)	ф-лы (14-18) [10]	11,3	15	19,1	22,8	26	29,1	32,1	35,1	38,1		
Снижение уровня звукового давления на пути слева от экрана, Dz2, дБ	z = 38.42м (разность путей)	ф-лы (14-18) [10]	25,7	29,1	32,2	35,3	38,3	41,3	44,3	47,3	50,4		
Снижение уровня звукового давления на пути справа от экрана, Dz3, дБ	z = 88.93м (разность путей)	ф-лы (14-18) [10]	29,9	32,9	35,9	38,9	42	45	48	51	54		
Общее снижение уровня звука препятствием Dz, дБ		Эн.сумма(-Dzi)	11,1	14,8	18,9	22,5	25,7	28,7	31,7	34,7	37,7		
Общее снижение уровня звука препятствием с учётом ограничения (25 дБ) для октавных полос Dz, дБ		Раздел 7.4 [10]	11,1	14,8	18,9	22,5	25	25	25	25	25		
Уровни звукового давления от источника ИШ-4-14 в расчётной точке днём, дБ		**ф-ла(3)[10]**	**0**	**0**	**0**	**0**	**0**	**0**	**0**	**0**	**0**	**0**	**0**
Уровни звукового давления от источника ИШ-4-14 в расчётной точке ночью, дБ		**ф-ла(3)[10]**	**0**	**0**	**0**	**0**	**0**	**0**	**0**	**0**	**0**	**0**	**0**
Источник шума: ИШ-5-1, координаты источника (x,y,z), м =[626.70,162.36,1.00]													
Уровни звуковой мощности источника днём, Lw, дБ		**исходные данные**	**0**	**93,3**	**94,7**	**96**	**96,3**	**95,9**	**92,6**	**88,4**	**83,9**		

1		2	3	4	5	6	7	8	9	10	11	12	13
Уровни звуковой мощности источника ночью, Lw, дБ		**исходные данные**	**0**	**93,3**	**94,7**	**96**	**96,3**	**95,9**	**92,6**	**88,4**	**83,9**		
Поправка на телесный угол DΩ, дБ	Ω = 6.28	10Lg(4π/Ω)	**3**	3	3	3	3	3	3	3	3		
Показатель направленности источника Di, дБ		исходные данные	**0**	0	0	0	0	0	0	0	0		
Поправка на направленность источника Dc, дБ	Dc	DΩ + Di	**3**	3	3	3	3	3	3	3	3		
Затухание из-за геометрической дивергенции, Adiv, дБ	расстояние = 759.00 м	ф-ла (7) [10]	**68,6**										
Коэффициент затухания звука в атмосфере α, дБ/км	Ta=20,°C Pa=101.33,кПа hотн.=70%	ф-ла (5) [9]	0,02	0,09	0,33	1,12	2,79	4,98	9,04	23,09	77,63		
Учет затухания звука в атмосфере Aatm, дБ		ф-ла (8) [10]	0	0,1	0,3	0,9	2,1	3,8	6,9	17,5	58,9		
Снижение поверхностью земли возле источника As, дБ	Gs = 0 hs = 1м	ф-лы таб.3 [10]	-1,5	-1,5	-1,5	-1,5	-1,5	-1,5	-1,5	-1,5	-1,5		
Снижение поверхностью земли возле приёмника Ar, дБ	Gr = 1 hr = 1.5м	ф-лы таб.3 [10]	-1,5	-1,5	4,4	7	5	0,7	0	0	0		
Снижение поверхностью земли в средней зоне, Am дБ	Gm = 1	ф-лы таб.3 [10]	-2,7	-2,7	0	0	0	0	0	0	0		
Суммарное снижение поверхностью земли на траектории распространения звука Agr, дБ		ф-ла (9) [10]	-5,7	-5,7	2,9	5,5	3,5	-0,8	-1,5	-1,5	-1,5		
Уровни звукового давления от источника ИШ-5-1 в расчётной точке днём, дБ		**ф-ла(3)[10]**	**0**	**33,3**	**25,9**	**24**	**25,1**	**27,3**	**21,6**	**6,8**	**0**	**29,8**	**29,8**
Уровни звукового давления от источника ИШ-5-1 в расчётной точке ночью, дБ		**ф-ла(3)[10]**	**0**	**33,3**	**25,9**	**24**	**25,1**	**27,3**	**21,6**	**6,8**	**0**	**29,8**	**29,8**
Источник шума: ИШ-5-2, координаты источника (x,y,z), м =[625.81,159.52,1.00]													
Уровни звуковой мощности источника днём, Lw, дБ		**исходные данные**	**0**	**93,3**	**94,7**	**96**	**96,3**	**95,9**	**92,6**	**88,4**	**83,9**		
Уровни звуковой мощности источника ночью, Lw, дБ		**исходные данные**	**0**	**93,3**	**94,7**	**96**	**96,3**	**95,9**	**92,6**	**88,4**	**83,9**		

1		2	3	4	5	6	7	8	9	10	11	12	13
Поправка на телесный угол DΩ, дБ	Ω = 6.28	10Lg(4π/Ω)	**3**	3	3	3	3	3	3	3	3		
Показатель направленности источника Di, дБ		исходные данные	**0**	0	0	0	0	0	0	0	0		
Поправка на направленность источника Dc, дБ	Dc	DΩ + Di	**3**	3	3	3	3	3	3	3	3		
Затухание из-за геометрической дивергенции, Adiv, дБ	расстояние = 760.69 м	ф-ла (7) [10]	**68,6**										
Коэффициент затухания звука в атмосфере α, дБ/км	Ta=20,°C Pa=101.33,кПа hотн.=70%	ф-ла (5) [9]	0,02	0,09	0,33	1,12	2,79	4,98	9,04	23,09	77,63		
Учет затухания звука в атмосфере Aatm, дБ		ф-ла (8) [10]	0	0,1	0,3	0,9	2,1	3,8	6,9	17,6	59,1		
Снижение поверхностью земли возле источника As, дБ	Gs = 0 hs = 1м	ф-лы таб.3 [10]	-1,5	-1,5	-1,5	-1,5	-1,5	-1,5	-1,5	-1,5	-1,5		
Снижение поверхностью земли возле приёмника Ar, дБ	Gr = 1 hr = 1.5м	ф-лы таб.3 [10]	-1,5	-1,5	4,4	7	5	0,7	0	0	0		
Снижение поверхностью земли в средней зоне, Am дБ	Gm = 1	ф-лы таб.3 [10]	-2,7	-2,7	0	0	0	0	0	0	0		
Суммарное снижение поверхностью земли на траектории распространения звука Agr, дБ		ф-ла (9) [10]	-5,7	-5,7	2,9	5,5	3,5	-0,8	-1,5	-1,5	-1,5		
Уровни звукового давления от источника ИШ-5-2 в расчётной точке днём, дБ		**ф-ла(3)[10]**	**0**	**33,3**	**25,9**	**24**	**25,1**	**27,3**	**21,6**	**6,7**	**0**	**29,7**	**29,7**
Уровни звукового давления от источника ИШ-5-2 в расчётной точке ночью, дБ		**ф-ла(3)[10]**	**0**	**33,3**	**25,9**	**24**	**25,1**	**27,3**	**21,6**	**6,7**	**0**	**29,7**	**29,7**
Источник шума: ИШ-5-3, координаты источника (x,y,z), м =[624.84,156.69,1.00]													
Уровни звуковой мощности источника днём, Lw, дБ		**исходные данные**	**0**	**93,3**	**94,7**	**96**	**96,3**	**95,9**	**92,6**	**88,4**	**83,9**		
Уровни звуковой мощности источника ночью, Lw, дБ		**исходные данные**	**0**	**93,3**	**94,7**	**96**	**96,3**	**95,9**	**92,6**	**88,4**	**83,9**		
Поправка на телесный угол DΩ, дБ	Ω = 6.28	10Lg(4π/Ω)	**3**	3	3	3	3	3	3	3	3		

1		2	3	4	5	6	7	8	9	10	11	12	13
Показатель направленности источника Di, дБ		исходные данные	**0**	0	0	0	0	0	0	0	0		
Поправка на направленность источника Dc, дБ	Dc	DΩ + Di	**3**	3	3	3	3	3	3	3	3		
Затухание из-за геометрической дивергенции, Adiv, дБ	расстояние = 762.47 м	ф-ла (7) [10]	**68,6**										
Коэффициент затухания звука в атмосфере α, дБ/км	Ta=20,°C Pa=101.33,кПа hотн.=70%	ф-ла (5) [9]	0,02	0,09	0,33	1,12	2,79	4,98	9,04	23,09	77,63		
Учет затухания звука в атмосфере Aatm, дБ		ф-ла (8) [10]	0	0,1	0,3	0,9	2,1	3,8	6,9	17,6	59,2		
Снижение поверхностью земли возле источника As, дБ	Gs = 0 hs = 1м	ф-лы таб.3 [10]	-1,5	-1,5	-1,5	-1,5	-1,5	-1,5	-1,5	-1,5	-1,5		
Снижение поверхностью земли возле приёмника Ar, дБ	Gr = 1 hr = 1.5м	ф-лы таб.3 [10]	-1,5	-1,5	4,4	7	5	0,7	0	0	0		
Снижение поверхностью земли в средней зоне, Am дБ	Gm = 1	ф-лы таб.3 [10]	-2,7	-2,7	0	0	0	0	0	0	0		
Суммарное снижение поверхностью земли на траектории распространения звука Agr, дБ		ф-ла (9) [10]	-5,7	-5,7	2,9	5,5	3,5	-0,8	-1,5	-1,5	-1,5		
Уровни звукового давления от источника ИШ-5-3 в расчётной точке днём, дБ		**ф-ла(3)[10]**	**0**	**33,3**	**25,9**	**24**	**25**	**27,3**	**21,6**	**6,6**	**0**	**29,7**	**29,7**
Уровни звукового давления от источника ИШ-5-3 в расчётной точке ночью, дБ		**ф-ла(3)[10]**	**0**	**33,3**	**25,9**	**24**	**25**	**27,3**	**21,6**	**6,6**	**0**	**29,7**	**29,7**
Источник шума: ИШ-6-1, координаты источника (x,y,z), м =[836.30,122.24,1.00]													
Уровни звуковой мощности источника днём, Lw, дБ		**исходные данные**	**0**	**96,3**	**97,7**	**99**	**99,3**	**98,9**	**95,6**	**91,4**	**86,9**		
Уровни звуковой мощности источника ночью, Lw, дБ		**исходные данные**	**0**	**96,3**	**97,7**	**99**	**99,3**	**98,9**	**95,6**	**91,4**	**86,9**		
Поправка на телесный угол DΩ, дБ	Ω = 12.57	10Lg(4π/Ω)	**0**	0	0	0	0	0	0	0	0		
Показатель направленности источника Di, дБ		исходные данные	**0**	0	0	0	0	0	0	0	0		

1		2	3	4	5	6	7	8	9	10	11	12	13
Поправка на направленность источника Dc, дБ	Dc	DΩ + Di	**0**	0	0	0	0	0	0	0	0		
Затухание из-за геометрической дивергенции, Adiv, дБ	расстояние = 579.61 м	ф-ла (7) [10]	**66,3**										
Коэффициент затухания звука в атмосфере α, дБ/км	Ta=20,°C Pa=101.33,кПа hотн.=70%	ф-ла (5) [9]	0,02	0,09	0,33	1,12	2,79	4,98	9,04	23,09	77,63		
Учет затухания звука в атмосфере Aatm, дБ		ф-ла (8) [10]	0	0,1	0,2	0,7	1,6	2,9	5,2	13,4	45		
Снижение поверхностью земли возле источника As, дБ	Gs = 0 hs = 1м	ф-лы таб.3 [10]	-1,5	-1,5	-1,5	-1,5	-1,5	-1,5	-1,5	-1,5	-1,5		
Снижение поверхностью земли возле приёмника Ar, дБ	Gr = 1 hr = 1.5м	ф-лы таб.3 [10]	-1,5	-1,5	3,5	7	5	0,7	0	0	0		
Снижение поверхностью земли в средней зоне, Am дБ	Gm = 1	ф-лы таб.3 [10]	-2,6	-2,6	0	0	0	0	0	0	0		
Суммарное снижение поверхностью земли на траектории распространения звука Agr, дБ		ф-ла (9) [10]	-5,6	-5,6	2	5,5	3,5	-0,8	-1,5	-1,5	-1,5		
Уровни звукового давления от источника ИШ-6-1 в расчётной точке днём, дБ		**ф-ла(3)[10]**	**0**	**35,6**	**29,2**	**26,6**	**27,9**	**30,6**	**25,6**	**13,2**	**0**	**33,1**	**33,1**
Уровни звукового давления от источника ИШ-6-1 в расчётной точке ночью, дБ		**ф-ла(3)[10]**	**0**	**35,6**	**29,2**	**26,6**	**27,9**	**30,6**	**25,6**	**13,2**	**0**	**33,1**	**33,1**
Источник шума: ИШ-6-2, координаты источника (x,y,z), м =[835.37,119.30,1.00]													
Уровни звуковой мощности источника днём, Lw, дБ		**исходные данные**	**0**	**96,3**	**97,7**	**99**	**99,3**	**98,9**	**95,6**	**91,4**	**86,9**		
Уровни звуковой мощности источника ночью, Lw, дБ		**исходные данные**	**0**	**96,3**	**97,7**	**99**	**99,3**	**98,9**	**95,6**	**91,4**	**86,9**		
Поправка на телесный угол DΩ, дБ	Ω = 12.57	10Lg(4π/Ω)	**0**	0	0	0	0	0	0	0	0		
Показатель направленности источника Di, дБ		исходные данные	**0**	0	0	0	0	0	0	0	0		
Поправка на направленность источника Dc, дБ	Dc	DΩ + Di	**0**	0	0	0	0	0	0	0	0		

1		2	3	4	5	6	7	8	9	10	11	12	13
Затухание из-за геометрической дивергенции, Adiv, дБ	расстояние = 581.79 м	ф-ла (7) [10]	**66,3**										
Коэффициент затухания звука в атмосфере α, дБ/км	Ta=20,°C Pa=101.33,кПа hотн.=70%	ф-ла (5) [9]	0,02	0,09	0,33	1,12	2,79	4,98	9,04	23,09	77,63		
Учет затухания звука в атмосфере Aatm, дБ		ф-ла (8) [10]	0	0,1	0,2	0,7	1,6	2,9	5,3	13,4	45,2		
Снижение поверхностью земли возле источника As, дБ	Gs = 0 hs = 1м	ф-лы таб.3 [10]	-1,5	-1,5	-1,5	-1,5	-1,5	-1,5	-1,5	-1,5	-1,5		
Снижение поверхностью земли возле приёмника Ar, дБ	Gr = 1 hr = 1.5м	ф-лы таб.3 [10]	-1,5	-1,5	3,5	7	5	0,7	0	0	0		
Снижение поверхностью земли в средней зоне, Am дБ	Gm = 1	ф-лы таб.3 [10]	-2,6	-2,6	0	0	0	0	0	0	0		
Суммарное снижение поверхностью земли на траектории распространения звука Agr, дБ		ф-ла (9) [10]	-5,6	-5,6	2	5,5	3,5	-0,8	-1,5	-1,5	-1,5		
Уровни звукового давления от источника ИШ-6-2 в расчётной точке днём, дБ		**ф-ла(3)[10]**	**0**	**35,6**	**29,2**	**26,5**	**27,9**	**30,5**	**25,5**	**13,2**	**0**	**33**	**33**
Уровни звукового давления от источника ИШ-6-2 в расчётной точке ночью, дБ		**ф-ла(3)[10]**	**0**	**35,6**	**29,2**	**26,5**	**27,9**	**30,5**	**25,5**	**13,2**	**0**	**33**	**33**
Источник шума: ИШ-6-3, координаты источника (x,y,z), м =[834.03,116.36,1.00]													
Уровни звуковой мощности источника днём, Lw, дБ		**исходные данные**	**0**	**96,3**	**97,7**	**99**	**99,3**	**98,9**	**95,6**	**91,4**	**86,9**		
Уровни звуковой мощности источника ночью, Lw, дБ		**исходные данные**	**0**	**96,3**	**97,7**	**99**	**99,3**	**98,9**	**95,6**	**91,4**	**86,9**		
Поправка на телесный угол DΩ, дБ	Ω = 12.57	10Lg(4π/Ω)	**0**	0	0	0	0	0	0	0	0		
Показатель направленности источника Di, дБ		исходные данные	**0**	0	0	0	0	0	0	0	0		
Поправка на направленность источника Dc, дБ	Dc	DΩ + Di	**0**	0	0	0	0	0	0	0	0		
Затухание из-за геометрической дивергенции, Adiv, дБ	расстояние = 584.34 м	ф-ла (7) [10]	**66,3**										

1		2	3	4	5	6	7	8	9	10	11	12	13
Коэффициент затухания звука в атмосфере α, дБ/км	Ta=20,°C Pa=101.33,кПа hотн.=70%	ф-ла (5) [9]	0,02	0,09	0,33	1,12	2,79	4,98	9,04	23,09	77,63		
Учет затухания звука в атмосфере Aatm, дБ		ф-ла (8) [10]	0	0,1	0,2	0,7	1,6	2,9	5,3	13,5	45,4		
Снижение поверхностью земли возле источника As, дБ	Gs = 0 hs = 1м	ф-лы таб.3 [10]	-1,5	-1,5	-1,5	-1,5	-1,5	-1,5	-1,5	-1,5	-1,5		
Снижение поверхностью земли возле приёмника Ar, дБ	Gr = 1 hr = 1.5м	ф-лы таб.3 [10]	-1,5	-1,5	3,6	7	5	0,7	0	0	0		
Снижение поверхностью земли в средней зоне, Am дБ	Gm = 1	ф-лы таб.3 [10]	-2,6	-2,6	0	0	0	0	0	0	0		
Суммарное снижение поверхностью земли на траектории распространения звука Agr, дБ		ф-ла (9) [10]	-5,6	-5,6	2,1	5,5	3,5	-0,8	-1,5	-1,5	-1,5		
Уровни звукового давления от источника ИШ-6-3 в расчётной точке днём, дБ		**ф-ла(3)[10]**	**0**	**35,5**	**29,1**	**26,5**	**27,9**	**30,5**	**25,5**	**13,1**	**0**	**33**	**33**
Уровни звукового давления от источника ИШ-6-3 в расчётной точке ночью, дБ		**ф-ла(3)[10]**	**0**	**35,5**	**29,1**	**26,5**	**27,9**	**30,5**	**25,5**	**13,1**	**0**	**33**	**33**
Источник шума: ИШ-6-4, координаты источника (x,y,z), м =[833.23,113.30,1.00]													
Уровни звуковой мощности источника днём, Lw, дБ		**исходные данные**	**0**	**96,3**	**97,7**	**99**	**99,3**	**98,9**	**95,6**	**91,4**	**86,9**		
Уровни звуковой мощности источника ночью, Lw, дБ		**исходные данные**	**0**	**96,3**	**97,7**	**99**	**99,3**	**98,9**	**95,6**	**91,4**	**86,9**		
Поправка на телесный угол DΩ, дБ	Ω = 12.57	10Lg(4π/Ω)	**0**	0	0	0	0	0	0	0	0		
Показатель направленности источника Di, дБ		исходные данные	**0**	0	0	0	0	0	0	0	0		
Поправка на направленность источника Dc, дБ	Dc	DΩ + Di	**0**	0	0	0	0	0	0	0	0		
Затухание из-за геометрической дивергенции, Adiv, дБ	расстояние = 586.48 м	ф-ла (7) [10]	**66,4**										
Коэффициент затухания звука в атмосфере α, дБ/км	Ta=20,°C Pa=101.33,кПа hотн.=70%	ф-ла (5) [9]	0,02	0,09	0,33	1,12	2,79	4,98	9,04	23,09	77,63		

1		2	3	4	5	6	7	8	9	10	11	12	13
Учет затухания звука в атмосфере Aatm, дБ		ф-ла (8) [10]	0	0,1	0,2	0,7	1,6	2,9	5,3	13,5	45,5		
Снижение поверхностью земли возле источника As, дБ	Gs = 0 hs = 1м	ф-лы таб.3 [10]	-1,5	-1,5	-1,5	-1,5	-1,5	-1,5	-1,5	-1,5	-1,5		
Снижение поверхностью земли возле приёмника Ar, дБ	Gr = 1 hr = 1.5м	ф-лы таб.3 [10]	-1,5	-1,5	3,6	7	5	0,7	0	0	0		
Снижение поверхностью земли в средней зоне, Am дБ	Gm = 1	ф-лы таб.3 [10]	-2,6	-2,6	0	0	0	0	0	0	0		
Суммарное снижение поверхностью земли на траектории распространения звука Agr, дБ		ф-ла (9) [10]	-5,6	-5,6	2,1	5,5	3,5	-0,8	-1,5	-1,5	-1,5		
Уровни звукового давления от источника ИШ-6-4 в расчётной точке днём, дБ		**ф-ла(3)[10]**	**0**	**35,5**	**29,1**	**26,4**	**27,8**	**30,4**	**25,4**	**13**	**0**	**32,9**	**32,9**
Уровни звукового давления от источника ИШ-6-4 в расчётной точке ночью, дБ		**ф-ла(3)[10]**	**0**	**35,5**	**29,1**	**26,4**	**27,8**	**30,4**	**25,4**	**13**	**0**	**32,9**	**32,9**
Источник шума: ИШ-6-5, координаты источника (x,y,z), м =[832.03,110.36,1.00]													
Уровни звуковой мощности источника днём, Lw, дБ		**исходные данные**	**0**	**96,3**	**97,7**	**99**	**99,3**	**98,9**	**95,6**	**91,4**	**86,9**		
Уровни звуковой мощности источника ночью, Lw, дБ		**исходные данные**	**0**	**96,3**	**97,7**	**99**	**99,3**	**98,9**	**95,6**	**91,4**	**86,9**		
Поправка на телесный угол DΩ, дБ	Ω = 12.57	10Lg(4π/Ω)	**0**	0	0	0	0	0	0	0	0		
Показатель направленности источника Di, дБ		исходные данные	**0**	0	0	0	0	0	0	0	0		
Поправка на направленность источника Dc, дБ	Dc	DΩ + Di	**0**	0	0	0	0	0	0	0	0		
Затухание из-за геометрической дивергенции, Adiv, дБ	расстояние = 588.92 м	ф-ла (7) [10]	**66,4**										
Коэффициент затухания звука в атмосфере α, дБ/км	Ta=20,°C Pa=101.33,кПа hотн.=70%	ф-ла (5) [9]	0,02	0,09	0,33	1,12	2,79	4,98	9,04	23,09	77,63		
Учет затухания звука в атмосфере Aatm, дБ		ф-ла (8) [10]	0	0,1	0,2	0,7	1,6	2,9	5,3	13,6	45,7		

1		2	3	4	5	6	7	8	9	10	11	12	13
Снижение поверхностью земли возле источника As, дБ	Gs = 0 hs = 1м	ф-лы таб.3 [10]	-1,5	-1,5	-1,5	-1,5	-1,5	-1,5	-1,5	-1,5	-1,5		
Снижение поверхностью земли возле приёмника Ar, дБ	Gr = 1 hr = 1.5м	ф-лы таб.3 [10]	-1,5	-1,5	3,6	7	5	0,7	0	0	0		
Снижение поверхностью земли в средней зоне, Am дБ	Gm = 1	ф-лы таб.3 [10]	-2,6	-2,6	0	0	0	0	0	0	0		
Суммарное снижение поверхностью земли на траектории распространения звука Agr, дБ		ф-ла (9) [10]	-5,6	-5,6	2,1	5,5	3,5	-0,8	-1,5	-1,5	-1,5		
Уровни звукового давления от источника ИШ-6-5 в расчётной точке днём, дБ		**ф-ла(3)[10]**	**0**	**35,5**	**29**	**26,4**	**27,8**	**30,4**	**25,4**	**12,9**	**0**	**32,9**	**32,9**
Уровни звукового давления от источника ИШ-6-5 в расчётной точке ночью, дБ		**ф-ла(3)[10]**	**0**	**35,5**	**29**	**26,4**	**27,8**	**30,4**	**25,4**	**12,9**	**0**	**32,9**	**32,9**
Источник шума: ИШ-6-6, координаты источника (x,y,z), м =[830.97,107.42,1.00]													
Уровни звуковой мощности источника днём, Lw, дБ		**исходные данные**	**0**	**96,3**	**97,7**	**99**	**99,3**	**98,9**	**95,6**	**91,4**	**86,9**		
Уровни звуковой мощности источника ночью, Lw, дБ		**исходные данные**	**0**	**96,3**	**97,7**	**99**	**99,3**	**98,9**	**95,6**	**91,4**	**86,9**		
Поправка на телесный угол DΩ, дБ	Ω = 12.57	10Lg(4π/Ω)	**0**	0	0	0	0	0	0	0	0		
Показатель направленности источника Di, дБ		исходные данные	**0**	0	0	0	0	0	0	0	0		
Поправка на направленность источника Dc, дБ	Dc	DΩ + Di	**0**	0	0	0	0	0	0	0	0		
Затухание из-за геометрической дивергенции, Adiv, дБ	расстояние = 591.25 м	ф-ла (7) [10]	**66,4**										
Коэффициент затухания звука в атмосфере α, дБ/км	Ta=20,°C Pa=101.33,кПа hотн.=70%	ф-ла (5) [9]	0,02	0,09	0,33	1,12	2,79	4,98	9,04	23,09	77,63		
Учет затухания звука в атмосфере Aatm, дБ		ф-ла (8) [10]	0	0,1	0,2	0,7	1,7	2,9	5,3	13,6	45,9		
Снижение поверхностью земли возле источника As, дБ	Gs = 0 hs = 1м	ф-лы таб.3 [10]	-1,5	-1,5	-1,5	-1,5	-1,5	-1,5	-1,5	-1,5	-1,5		

1		2	3	4	5	6	7	8	9	10	11	12	13
Снижение поверхностью земли возле приёмника Ar, дБ	Gr = 1 hr = 1.5м	ф-лы таб.3 [10]	-1,5	-1,5	3,6	7	5	0,7	0	0	0		
Снижение поверхностью земли в средней зоне, Am дБ	Gm = 1	ф-лы таб.3 [10]	-2,6	-2,6	0	0	0	0	0	0	0		
Суммарное снижение поверхностью земли на траектории распространения звука Agr, дБ		ф-ла (9) [10]	-5,6	-5,6	2,1	5,5	3,5	-0,8	-1,5	-1,5	-1,5		
Уровни звукового давления от источника ИШ-6-6 в расчётной точке днём, дБ		**ф-ла(3)[10]**	**0**	**35,4**	**29**	**26,4**	**27,7**	**30,4**	**25,3**	**12,8**	**0**	**32,9**	**32,9**
Уровни звукового давления от источника ИШ-6-6 в расчётной точке ночью, дБ		**ф-ла(3)[10]**	**0**	**35,4**	**29**	**26,4**	**27,7**	**30,4**	**25,3**	**12,8**	**0**	**32,9**	**32,9**
Источник шума: ИШ-6-7, координаты источника (x,y,z), м =[830.30,104.49,1.00]													
Уровни звуковой мощности источника днём, Lw, дБ		**исходные данные**	**0**	**96,3**	**97,7**	**99**	**99,3**	**98,9**	**95,6**	**91,4**	**86,9**		
Уровни звуковой мощности источника ночью, Lw, дБ		**исходные данные**	**0**	**96,3**	**97,7**	**99**	**99,3**	**98,9**	**95,6**	**91,4**	**86,9**		
Поправка на телесный угол DΩ, дБ	Ω = 12.57	10Lg(4π/Ω)	**0**	0	0	0	0	0	0	0	0		
Показатель направленности источника Di, дБ		исходные данные	**0**	0	0	0	0	0	0	0	0		
Поправка на направленность источника Dc, дБ	Dc	DΩ + Di	**0**	0	0	0	0	0	0	0	0		
Затухание из-за геометрической дивергенции, Adiv, дБ	расстояние = 593.23 м	ф-ла (7) [10]	**66,5**										
Коэффициент затухания звука в атмосфере α, дБ/км	Ta=20,°C Pa=101.33,кПа hотн.=70%	ф-ла (5) [9]	0,02	0,09	0,33	1,12	2,79	4,98	9,04	23,09	77,63		
Учет затухания звука в атмосфере Aatm, дБ		ф-ла (8) [10]	0	0,1	0,2	0,7	1,7	3	5,4	13,7	46,1		
Снижение поверхностью земли возле источника As, дБ	Gs = 0 hs = 1м	ф-лы таб.3 [10]	-1,5	-1,5	-1,5	-1,5	-1,5	-1,5	-1,5	-1,5	-1,5		
Снижение поверхностью земли возле приёмника Ar, дБ	Gr = 1 hr = 1.5м	ф-лы таб.3 [10]	-1,5	-1,5	3,6	7	5	0,7	0	0	0		

1		2	3	4	5	6	7	8	9	10	11	12	13
Снижение поверхностью земли в средней зоне, Am дБ	Gm = 1	ф-лы таб.3 [10]	-2,6	-2,6	0	0	0	0	0	0	0		
Суммарное снижение поверхностью земли на траектории распространения звука Agr, дБ		ф-ла (9) [10]	-5,6	-5,6	2,1	5,5	3,5	-0,8	-1,5	-1,5	-1,5		
Уровни звукового давления от источника ИШ-6-7 в расчётной точке днём, дБ		**ф-ла(3)[10]**	**0**	**35,4**	**28,9**	**26,3**	**27,7**	**30,3**	**25,3**	**12,7**	**0**	**32,8**	**32,8**
Уровни звукового давления от источника ИШ-6-7 в расчётной точке ночью, дБ		**ф-ла(3)[10]**	**0**	**35,4**	**28,9**	**26,3**	**27,7**	**30,3**	**25,3**	**12,7**	**0**	**32,8**	**32,8**
Источник шума: ИШ-6-8, координаты источника (x,y,z), м =[829.36,101.42,1.00]													
Уровни звуковой мощности источника днём, Lw, дБ		**исходные данные**	**0**	**96,3**	**97,7**	**99**	**99,3**	**98,9**	**95,6**	**91,4**	**86,9**		
Уровни звуковой мощности источника ночью, Lw, дБ		**исходные данные**	**0**	**96,3**	**97,7**	**99**	**99,3**	**98,9**	**95,6**	**91,4**	**86,9**		
Поправка на телесный угол DΩ, дБ	Ω = 12.57	10Lg(4π/Ω)	**0**	0	0	0	0	0	0	0	0		
Показатель направленности источника Di, дБ		исходные данные	**0**	0	0	0	0	0	0	0	0		
Поправка на направленность источника Dc, дБ	Dc	DΩ + Di	**0**	0	0	0	0	0	0	0	0		
Затухание из-за геометрической дивергенции, Adiv, дБ	расстояние = 595.52 м	ф-ла (7) [10]	**66,5**										
Коэффициент затухания звука в атмосфере α, дБ/км	Ta=20,°C Pa=101.33,кПа hотн.=70%	ф-ла (5) [9]	0,02	0,09	0,33	1,12	2,79	4,98	9,04	23,09	77,63		
Учет затухания звука в атмосфере Aatm, дБ		ф-ла (8) [10]	0	0,1	0,2	0,7	1,7	3	5,4	13,7	46,2		
Снижение поверхностью земли возле источника As, дБ	Gs = 0 hs = 1м	ф-лы таб.3 [10]	-1,5	-1,5	-1,5	-1,5	-1,5	-1,5	-1,5	-1,5	-1,5		
Снижение поверхностью земли возле приёмника Ar, дБ	Gr = 1 hr = 1.5м	ф-лы таб.3 [10]	-1,5	-1,5	3,6	7	5	0,7	0	0	0		
Снижение поверхностью земли в средней зоне, Am дБ	Gm = 1	ф-лы таб.3 [10]	-2,6	-2,6	0	0	0	0	0	0	0		

1		2	3	4	5	6	7	8	9	10	11	12	13
Суммарное снижение поверхностью земли на траектории распространения звука Agr, дБ		ф-ла (9) [10]	-5,6	-5,6	2,1	5,5	3,5	-0,8	-1,5	-1,5	-1,5		
Уровни звукового давления от источника ИШ-6-8 в расчётной точке днём, дБ		**ф-ла(3)[10]**	**0**	**35,4**	**28,9**	**26,3**	**27,7**	**30,3**	**25,2**	**12,6**	**0**	**32,8**	**32,8**
Уровни звукового давления от источника ИШ-6-8 в расчётной точке ночью, дБ		**ф-ла(3)[10]**	**0**	**35,4**	**28,9**	**26,3**	**27,7**	**30,3**	**25,2**	**12,6**	**0**	**32,8**	**32,8**
Источник шума: ИШ-6-9, координаты источника (x,y,z), м =[828.03,98.62,1.00]													
Уровни звуковой мощности источника днём, Lw, дБ		**исходные данные**	**0**	**96,3**	**97,7**	**99**	**99,3**	**98,9**	**95,6**	**91,4**	**86,9**		
Уровни звуковой мощности источника ночью, Lw, дБ		**исходные данные**	**0**	**96,3**	**97,7**	**99**	**99,3**	**98,9**	**95,6**	**91,4**	**86,9**		
Поправка на телесный угол DΩ, дБ	Ω = 12.57	10Lg(4π/Ω)	**0**	0	0	0	0	0	0	0	0		
Показатель направленности источника Di, дБ		исходные данные	**0**	0	0	0	0	0	0	0	0		
Поправка на направленность источника Dc, дБ	Dc	DΩ + Di	**0**	0	0	0	0	0	0	0	0		
Затухание из-за геометрической дивергенции, Adiv, дБ	расстояние = 598.04 м	ф-ла (7) [10]	**66,5**										
Коэффициент затухания звука в атмосфере α, дБ/км	Ta=20,°C Pa=101.33,кПа hотн.=70%	ф-ла (5) [9]	0,02	0,09	0,33	1,12	2,79	4,98	9,04	23,09	77,63		
Учет затухания звука в атмосфере Aatm, дБ		ф-ла (8) [10]	0	0,1	0,2	0,7	1,7	3	5,4	13,8	46,4		
Снижение поверхностью земли возле источника As, дБ	Gs = 0 hs = 1м	ф-лы таб.3 [10]	-1,5	-1,5	-1,5	-1,5	-1,5	-1,5	-1,5	-1,5	-1,5		
Снижение поверхностью земли возле приёмника Ar, дБ	Gr = 1 hr = 1.5м	ф-лы таб.3 [10]	-1,5	-1,5	3,6	7	5	0,7	0	0	0		
Снижение поверхностью земли в средней зоне, Am дБ	Gm = 1	ф-лы таб.3 [10]	-2,6	-2,6	0	0	0	0	0	0	0		
Суммарное снижение поверхностью земли на траектории распространения звука Agr, дБ		ф-ла (9) [10]	-5,6	-5,6	2,1	5,5	3,5	-0,8	-1,5	-1,5	-1,5		

1		2	3	4	5	6	7	8	9	10	11	12	13
Уровни звукового давления от источника ИШ-6-9 в расчётной точке днём, дБ		**ф-ла(3)[10]**	**0**	**35,3**	**28,8**	**26,3**	**27,6**	**30,2**	**25,2**	**12,6**	**0**	**32,7**	**32,7**
Уровни звукового давления от источника ИШ-6-9 в расчётной точке ночью, дБ		**ф-ла(3)[10]**	**0**	**35,3**	**28,8**	**26,3**	**27,6**	**30,2**	**25,2**	**12,6**	**0**	**32,7**	**32,7**
Источник шума: ИШ-6-10, координаты источника (x,y,z), м =[827.23,95.55,1.00]													
Уровни звуковой мощности источника днём, Lw, дБ		**исходные данные**	**0**	**96,3**	**97,7**	**99**	**99,3**	**98,9**	**95,6**	**91,4**	**86,9**		
Уровни звуковой мощности источника ночью, Lw, дБ		**исходные данные**	**0**	**96,3**	**97,7**	**99**	**99,3**	**98,9**	**95,6**	**91,4**	**86,9**		
Поправка на телесный угол DΩ, дБ	Ω = 12.57	10Lg(4π/Ω)	**0**	0	0	0	0	0	0	0	0		
Показатель направленности источника Di, дБ		исходные данные	**0**	0	0	0	0	0	0	0	0		
Поправка на направленность источника Dc, дБ	Dc	DΩ + Di	**0**	0	0	0	0	0	0	0	0		
Затухание из-за геометрической дивергенции, Adiv, дБ	расстояние = 600.23 м	ф-ла (7) [10]	**66,6**										
Коэффициент затухания звука в атмосфере α, дБ/км	Ta=20,°C Pa=101.33,кПа hотн.=70%	ф-ла (5) [9]	0,02	0,09	0,33	1,12	2,79	4,98	9,04	23,09	77,63		
Учет затухания звука в атмосфере Aatm, дБ		ф-ла (8) [10]	0	0,1	0,2	0,7	1,7	3	5,4	13,9	46,6		
Снижение поверхностью земли возле источника As, дБ	Gs = 0 hs = 1м	ф-лы таб.3 [10]	-1,5	-1,5	-1,5	-1,5	-1,5	-1,5	-1,5	-1,5	-1,5		
Снижение поверхностью земли возле приёмника Ar, дБ	Gr = 1 hr = 1.5м	ф-лы таб.3 [10]	-1,5	-1,5	3,6	7	5	0,7	0	0	0		
Снижение поверхностью земли в средней зоне, Am дБ	Gm = 1	ф-лы таб.3 [10]	-2,6	-2,6	0	0	0	0	0	0	0		
Суммарное снижение поверхностью земли на траектории распространения звука Agr, дБ		ф-ла (9) [10]	-5,6	-5,6	2,1	5,5	3,5	-0,8	-1,5	-1,5	-1,5		
Уровни звукового давления от источника ИШ-6-10 в расчётной точке днём, дБ		**ф-ла(3)[10]**	**0**	**35,3**	**28,8**	**26,2**	**27,6**	**30,2**	**25,1**	**12,5**	**0**	**32,7**	**32,7**

1		2	3	4	5	6	7	8	9	10	11	12	13
Уровни звукового давления от источника ИШ-6-10 в расчётной точке ночью, дБ		**ф-ла(3)[10]**	**0**	**35,3**	**28,8**	**26,2**	**27,6**	**30,2**	**25,1**	**12,5**	**0**	**32,7**	**32,7**
Источник шума: ИШ-6-11, координаты источника (x,y,z), м =[826.30,92.48,1.00]													
Уровни звуковой мощности источника днём, Lw, дБ		**исходные данные**	**0**	**96,3**	**97,7**	**99**	**99,3**	**98,9**	**95,6**	**91,4**	**86,9**		
Уровни звуковой мощности источника ночью, Lw, дБ		**исходные данные**	**0**	**96,3**	**97,7**	**99**	**99,3**	**98,9**	**95,6**	**91,4**	**86,9**		
Поправка на телесный угол DΩ, дБ	Ω = 12.57	10Lg(4π/Ω)	**0**	0	0	0	0	0	0	0	0		
Показатель направленности источника Di, дБ		исходные данные	**0**	0	0	0	0	0	0	0	0		
Поправка на направленность источника Dc, дБ	Dc	DΩ + Di	**0**	0	0	0	0	0	0	0	0		
Затухание из-за геометрической дивергенции, Adiv, дБ	расстояние = 602.55 м	ф-ла (7) [10]	**66,6**										
Коэффициент затухания звука в атмосфере α, дБ/км	Ta=20,°C Pa=101.33,кПа hотн.=70%	ф-ла (5) [9]	0,02	0,09	0,33	1,12	2,79	4,98	9,04	23,09	77,63		
Учет затухания звука в атмосфере Aatm, дБ		ф-ла (8) [10]	0	0,1	0,2	0,7	1,7	3	5,4	13,9	46,8		
Снижение поверхностью земли возле источника As, дБ	Gs = 0 hs = 1м	ф-лы таб.3 [10]	-1,5	-1,5	-1,5	-1,5	-1,5	-1,5	-1,5	-1,5	-1,5		
Снижение поверхностью земли возле приёмника Ar, дБ	Gr = 1 hr = 1.5м	ф-лы таб.3 [10]	-1,5	-1,5	3,7	7	5	0,7	0	0	0		
Снижение поверхностью земли в средней зоне, Am дБ	Gm = 1	ф-лы таб.3 [10]	-2,6	-2,6	0	0	0	0	0	0	0		
Суммарное снижение поверхностью земли на траектории распространения звука Agr, дБ		ф-ла (9) [10]	-5,6	-5,6	2,2	5,5	3,5	-0,8	-1,5	-1,5	-1,5		
Уровни звукового давления от источника ИШ-6-11 в расчётной точке днём, дБ		**ф-ла(3)[10]**	**0**	**35,3**	**28,7**	**26,2**	**27,5**	**30,1**	**25**	**12,4**	**0**	**32,6**	**32,6**
Уровни звукового давления от источника ИШ-6-11 в расчётной точке ночью, дБ		**ф-ла(3)[10]**	**0**	**35,3**	**28,7**	**26,2**	**27,5**	**30,1**	**25**	**12,4**	**0**	**32,6**	**32,6**

1		2	3	4	5	6	7	8	9	10	11	12	13
Источник шума: ИШ-6-12, координаты источника (x,y,z), м =[825.09,89.54,1.00]													
Уровни звуковой мощности источника днём, Lw, дБ		**исходные данные**	**0**	**96,3**	**97,7**	**99**	**99,3**	**98,9**	**95,6**	**91,4**	**86,9**		
Уровни звуковой мощности источника ночью, Lw, дБ		**исходные данные**	**0**	**96,3**	**97,7**	**99**	**99,3**	**98,9**	**95,6**	**91,4**	**86,9**		
Поправка на телесный угол DΩ, дБ	Ω = 12.57	10Lg(4π/Ω)	**0**	0	0	0	0	0	0	0	0		
Показатель направленности источника Di, дБ		исходные данные	**0**	0	0	0	0	0	0	0	0		
Поправка на направленность источника Dc, дБ	Dc	DΩ + Di	**0**	0	0	0	0	0	0	0	0		
Затухание из-за геометрической дивергенции, Adiv, дБ	расстояние = 605.04 м	ф-ла (7) [10]	**66,6**										
Коэффициент затухания звука в атмосфере α, дБ/км	Ta=20,°C Pa=101.33,кПа hотн.=70%	ф-ла (5) [9]	0,02	0,09	0,33	1,12	2,79	4,98	9,04	23,09	77,63		
Учет затухания звука в атмосфере Aatm, дБ		ф-ла (8) [10]	0	0,1	0,2	0,7	1,7	3	5,5	14	47		
Снижение поверхностью земли возле источника As, дБ	Gs = 0 hs = 1м	ф-лы таб.3 [10]	-1,5	-1,5	-1,5	-1,5	-1,5	-1,5	-1,5	-1,5	-1,5		
Снижение поверхностью земли возле приёмника Ar, дБ	Gr = 1 hr = 1.5м	ф-лы таб.3 [10]	-1,5	-1,5	3,7	7	5	0,7	0	0	0		
Снижение поверхностью земли в средней зоне, Am дБ	Gm = 1	ф-лы таб.3 [10]	-2,6	-2,6	0	0	0	0	0	0	0		
Суммарное снижение поверхностью земли на траектории распространения звука Agr, дБ		ф-ла (9) [10]	-5,6	-5,6	2,2	5,5	3,5	-0,8	-1,5	-1,5	-1,5		
Уровни звукового давления от источника ИШ-6-12 в расчётной точке днём, дБ		**ф-ла(3)[10]**	**0**	**35,2**	**28,7**	**26,2**	**27,5**	**30,1**	**25**	**12,3**	**0**	**32,6**	**32,6**
Уровни звукового давления от источника ИШ-6-12 в расчётной точке ночью, дБ		**ф-ла(3)[10]**	**0**	**35,2**	**28,7**	**26,2**	**27,5**	**30,1**	**25**	**12,3**	**0**	**32,6**	**32,6**
Источник шума: ИШ-6-13, координаты источника (x,y,z), м =[767.76,-114.15,1.00]													

1		2	3	4	5	6	7	8	9	10	11	12	13
Уровни звуковой мощности источника днём, Lw, дБ		**исходные данные**	**0**	**96,3**	**97,7**	**99**	**99,3**	**98,9**	**95,6**	**91,4**	**86,9**		
Уровни звуковой мощности источника ночью, Lw, дБ		**исходные данные**	**0**	**96,3**	**97,7**	**99**	**99,3**	**98,9**	**95,6**	**91,4**	**86,9**		
Поправка на телесный угол DΩ, дБ	Ω = 12.57	10Lg(4π/Ω)	**0**	0	0	0	0	0	0	0	0		
Показатель направленности источника Di, дБ		исходные данные	**0**	0	0	0	0	0	0	0	0		
Поправка на направленность источника Dc, дБ	Dc	DΩ + Di	**0**	0	0	0	0	0	0	0	0		
Затухание из-за геометрической дивергенции, Adiv, дБ	расстояние = 769.95 м	ф-ла (7) [10]	**68,7**										
Коэффициент затухания звука в атмосфере α, дБ/км	Ta=20,°C Pa=101.33,кПа hотн.=70%	ф-ла (5) [9]	0,02	0,09	0,33	1,12	2,79	4,98	9,04	23,09	77,63		
Учет затухания звука в атмосфере Aatm, дБ		ф-ла (8) [10]	0	0,1	0,3	0,9	2,1	3,8	7	17,8	59,8		
Снижение поверхностью земли возле источника As, дБ	Gs = 0 hs = 1м	ф-лы таб.3 [10]	-1,5	-1,5	-1,5	-1,5	-1,5	-1,5	-1,5	-1,5	-1,5		
Снижение поверхностью земли возле приёмника Ar, дБ	Gr = 1 hr = 1.5м	ф-лы таб.3 [10]	-1,5	-1,5	4,5	7	5	0,7	0	0	0		
Снижение поверхностью земли в средней зоне, Am дБ	Gm = 1	ф-лы таб.3 [10]	-2,7	-2,7	0	0	0	0	0	0	0		
Суммарное снижение поверхностью земли на траектории распространения звука Agr, дБ		ф-ла (9) [10]	-5,7	-5,7	3	5,5	3,5	-0,8	-1,5	-1,5	-1,5		
Уровни звукового давления прямого звука от источника ИШ-6-13 в расчётной точке днём, дБ		**ф-ла(3)[10]**	**0**	**33,2**	**25,7**	**23,9**	**24,9**	**27,2**	**21,4**	**6,4**	**0**	**29,6**	**29,6**
Уровни звукового давления прямого звука от источника ИШ-6-13 в расчётной точке ночью, дБ		**ф-ла(3)[10]**	**0**	**33,2**	**25,7**	**23,9**	**24,9**	**27,2**	**21,4**	**6,4**	**0**	**29,6**	**29,6**
Расчёт отражённого звука													
Уровни звукового давления от мнимого источника ИШ-6-13_мн.(1) в расчётной точке днём, дБ		**ф-ла(3)[10]**	**0**	**0**	**0**	**0**	**0**	**0**	**0**	**0**	**0**	**0**	**0**
Уровни звукового давления от мнимого источника ИШ-6-13_мн.(1) в расчётной точке ночью, дБ		**ф-ла(3)[10]**	**0**	**0**	**0**	**0**	**0**	**0**	**0**	**0**	**0**	**0**	**0**

1		2	3	4	5	6	7	8	9	10	11	12	13
Уровни звукового давления от мнимого источника ИШ-6-13_мн.(2) в расчётной точке днём, дБ		**ф-ла(3)[10]**	**0**	**0**	**0**	**0**	**0**	**0**	**0**	**0**	**0**	**0**	**0**
Уровни звукового давления от мнимого источника ИШ-6-13_мн.(2) в расчётной точке ночью, дБ		**ф-ла(3)[10]**	**0**	**0**	**0**	**0**	**0**	**0**	**0**	**0**	**0**	**0**	**0**
Суммарные уровни звукового давления от мнимых источников в расчётной точке днём, дБ		**ф-ла (19) [1]**	**0**	**0**	**0**	**0**	**0**	**0**	**0**	**0**	**0**	**0**	**0**
Суммарные уровни звукового давления от мнимых источников в расчётной точке ночью, дБ		**ф-ла (19) [1]**	**0**	**0**	**0**	**0**	**0**	**0**	**0**	**0**	**0**	**0**	**0**
Уровни звукового давления от источника ИШ-6-13 в расчётной точке днём, дБ		**ф-ла(3)[10]**	**0**	**33,2**	**25,7**	**23,9**	**24,9**	**27,2**	**21,4**	**6,4**	**0**	**29,6**	**29,6**
Уровни звукового давления от источника ИШ-6-13 в расчётной точке ночью, дБ		**ф-ла(3)[10]**	**0**	**33,2**	**25,7**	**23,9**	**24,9**	**27,2**	**21,4**	**6,4**	**0**	**29,6**	**29,6**
Источник шума: ИШ-6-14, координаты источника (x,y,z), м =[766.82,-117.10,1.00]													
Уровни звуковой мощности источника днём, Lw, дБ		**исходные данные**	**0**	**96,3**	**97,7**	**99**	**99,3**	**98,9**	**95,6**	**91,4**	**86,9**		
Уровни звуковой мощности источника ночью, Lw, дБ		**исходные данные**	**0**	**96,3**	**97,7**	**99**	**99,3**	**98,9**	**95,6**	**91,4**	**86,9**		
Поправка на телесный угол DΩ, дБ	Ω = 12.57	10Lg(4π/Ω)	**0**	0	0	0	0	0	0	0	0		
Показатель направленности источника Di, дБ		исходные данные	**0**	0	0	0	0	0	0	0	0		
Поправка на направленность источника Dc, дБ	Dc	DΩ + Di	**0**	0	0	0	0	0	0	0	0		
Затухание из-за геометрической дивергенции, Adiv, дБ	расстояние = 772.59 м	ф-ла (7) [10]	**68,8**										
Коэффициент затухания звука в атмосфере α, дБ/км	Ta=20,°C Pa=101.33,кПа hотн.=70%	ф-ла (5) [9]	0,02	0,09	0,33	1,12	2,79	4,98	9,04	23,09	77,63		
Учет затухания звука в атмосфере Aatm, дБ		ф-ла (8) [10]	0	0,1	0,3	0,9	2,2	3,8	7	17,8	60		
Снижение поверхностью земли возле источника As, дБ	Gs = 0 hs = 1м	ф-лы таб.3 [10]	-1,5	-1,5	-1,5	-1,5	-1,5	-1,5	-1,5	-1,5	-1,5		

1		2	3	4	5	6	7	8	9	10	11	12	13
Снижение поверхностью земли возле приёмника Ar, дБ	Gr = 1 hr = 1.5м	ф-лы таб.3 [10]	-1,5	-1,5	4,5	7	5	0,7	0	0	0		
Снижение поверхностью земли в средней зоне, Am дБ	Gm = 1	ф-лы таб.3 [10]	-2,7	-2,7	0	0	0	0	0	0	0		
Суммарное снижение поверхностью земли на траектории распространения звука Agr, дБ		ф-ла (9) [10]	-5,7	-5,7	3	5,5	3,5	-0,8	-1,5	-1,5	-1,5		
Уровни звукового давления прямого звука от источника ИШ-6-14 в расчётной точке днём, дБ		**ф-ла(3)[10]**	**0**	**33,2**	**25,7**	**23,8**	**24,9**	**27,1**	**21,3**	**6,3**	**0**	**29,5**	**29,5**
Уровни звукового давления прямого звука от источника ИШ-6-14 в расчётной точке ночью, дБ		**ф-ла(3)[10]**	**0**	**33,2**	**25,7**	**23,8**	**24,9**	**27,1**	**21,3**	**6,3**	**0**	**29,5**	**29,5**
Расчёт отражённого звука													
Уровни звукового давления от мнимого источника ИШ-6-14_мн.(1) в расчётной точке днём, дБ		**ф-ла(3)[10]**	**0**	**0**	**0**	**0**	**0**	**0**	**0**	**0**	**0**	**0**	**0**
Уровни звукового давления от мнимого источника ИШ-6-14_мн.(1) в расчётной точке ночью, дБ		**ф-ла(3)[10]**	**0**	**0**	**0**	**0**	**0**	**0**	**0**	**0**	**0**	**0**	**0**
Уровни звукового давления от мнимого источника ИШ-6-14_мн.(2) в расчётной точке днём, дБ		**ф-ла(3)[10]**	**0**	**0**	**0**	**0**	**0**	**0**	**0**	**0**	**0**	**0**	**0**
Уровни звукового давления от мнимого источника ИШ-6-14_мн.(2) в расчётной точке ночью, дБ		**ф-ла(3)[10]**	**0**	**0**	**0**	**0**	**0**	**0**	**0**	**0**	**0**	**0**	**0**
Суммарные уровни звукового давления от мнимых источников в расчётной точке днём, дБ		**ф-ла (19) [1]**	**0**	**0**	**0**	**0**	**0**	**0**	**0**	**0**	**0**	**0**	**0**
Суммарные уровни звукового давления от мнимых источников в расчётной точке ночью, дБ		**ф-ла (19) [1]**	**0**	**0**	**0**	**0**	**0**	**0**	**0**	**0**	**0**	**0**	**0**
Уровни звукового давления от источника ИШ-6-14 в расчётной точке днём, дБ		**ф-ла(3)[10]**	**0**	**33,2**	**25,7**	**23,8**	**24,9**	**27,1**	**21,3**	**6,3**	**0**	**29,5**	**29,5**
Уровни звукового давления от источника ИШ-6-14 в расчётной точке ночью, дБ		**ф-ла(3)[10]**	**0**	**33,2**	**25,7**	**23,8**	**24,9**	**27,1**	**21,3**	**6,3**	**0**	**29,5**	**29,5**
Источник шума: ИШ-6-15, координаты источника (x,y,z), м =[765.71,-120.27,1.00]													
Уровни звуковой мощности источника днём, Lw, дБ		**исходные данные**	**0**	**96,3**	**97,7**	**99**	**99,3**	**98,9**	**95,6**	**91,4**	**86,9**		
Уровни звуковой мощности источника ночью, Lw, дБ		**исходные данные**	**0**	**96,3**	**97,7**	**99**	**99,3**	**98,9**	**95,6**	**91,4**	**86,9**		

1		2	3	4	5	6	7	8	9	10	11	12	13
Поправка на телесный угол DΩ, дБ	Ω = 12.57	10Lg(4π/Ω)	**0**	0	0	0	0	0	0	0	0		
Показатель направленности источника Di, дБ		исходные данные	**0**	0	0	0	0	0	0	0	0		
Поправка на направленность источника Dc, дБ	Dc	DΩ + Di	**0**	0	0	0	0	0	0	0	0		
Затухание из-за геометрической дивергенции, Adiv, дБ	расстояние = 775.49 м	ф-ла (7) [10]	**68,8**										
Коэффициент затухания звука в атмосфере α, дБ/км	Ta=20,°C Pa=101.33,кПа hотн.=70%	ф-ла (5) [9]	0,02	0,09	0,33	1,12	2,79	4,98	9,04	23,09	77,63		
Учет затухания звука в атмосфере Aatm, дБ		ф-ла (8) [10]	0	0,1	0,3	0,9	2,2	3,9	7	17,9	60,2		
Снижение поверхностью земли возле источника As, дБ	Gs = 0 hs = 1м	ф-лы таб.3 [10]	-1,5	-1,5	-1,5	-1,5	-1,5	-1,5	-1,5	-1,5	-1,5		
Снижение поверхностью земли возле приёмника Ar, дБ	Gr = 1 hr = 1.5м	ф-лы таб.3 [10]	-1,5	-1,5	4,5	7	5	0,7	0	0	0		
Снижение поверхностью земли в средней зоне, Am дБ	Gm = 1	ф-лы таб.3 [10]	-2,7	-2,7	0	0	0	0	0	0	0		
Суммарное снижение поверхностью земли на траектории распространения звука Agr, дБ		ф-ла (9) [10]	-5,7	-5,7	3	5,5	3,5	-0,8	-1,5	-1,5	-1,5		
Уровни звукового давления прямого звука от источника ИШ-6-15 в расчётной точке днём, дБ		**ф-ла(3)[10]**	**0**	**33,1**	**25,7**	**23,8**	**24,9**	**27,1**	**21,3**	**6,2**	**0**	**29,5**	**29,5**
Уровни звукового давления прямого звука от источника ИШ-6-15 в расчётной точке ночью, дБ		**ф-ла(3)[10]**	**0**	**33,1**	**25,7**	**23,8**	**24,9**	**27,1**	**21,3**	**6,2**	**0**	**29,5**	**29,5**
Расчёт отражённого звука													
Уровни звукового давления от мнимого источника ИШ-6-15_мн.(1) в расчётной точке днём, дБ		**ф-ла(3)[10]**	**0**	**0**	**0**	**0**	**0**	**0**	**0**	**0**	**0**	**0**	**0**
Уровни звукового давления от мнимого источника ИШ-6-15_мн.(1) в расчётной точке ночью, дБ		**ф-ла(3)[10]**	**0**	**0**	**0**	**0**	**0**	**0**	**0**	**0**	**0**	**0**	**0**
Уровни звукового давления от мнимого источника ИШ-6-15_мн.(2) в расчётной точке днём, дБ		**ф-ла(3)[10]**	**0**	**0**	**0**	**0**	**0**	**0**	**0**	**0**	**0**	**0**	**0**
Уровни звукового давления от мнимого источника ИШ-6-15_мн.(2) в расчётной точке ночью, дБ		**ф-ла(3)[10]**	**0**	**0**	**0**	**0**	**0**	**0**	**0**	**0**	**0**	**0**	**0**

1		2	3	4	5	6	7	8	9	10	11	12	13
Суммарные уровни звукового давления от мнимых источников в расчётной точке днём, дБ		**ф-ла (19) [1]**	**0**	**0**	**0**	**0**	**0**	**0**	**0**	**0**	**0**	**0**	**0**
Суммарные уровни звукового давления от мнимых источников в расчётной точке ночью, дБ		**ф-ла (19) [1]**	**0**	**0**	**0**	**0**	**0**	**0**	**0**	**0**	**0**	**0**	**0**
Уровни звукового давления от источника ИШ-6-15 в расчётной точке днём, дБ		**ф-ла(3)[10]**	**0**	**33,1**	**25,7**	**23,8**	**24,9**	**27,1**	**21,3**	**6,2**	**0**	**29,5**	**29,5**
Уровни звукового давления от источника ИШ-6-15 в расчётной точке ночью, дБ		**ф-ла(3)[10]**	**0**	**33,1**	**25,7**	**23,8**	**24,9**	**27,1**	**21,3**	**6,2**	**0**	**29,5**	**29,5**
Источник шума: ИШ-6-16, координаты источника (x,y,z), м =[764.57,-123.22,1.00]													
Уровни звуковой мощности источника днём, Lw, дБ		**исходные данные**	**0**	**96,3**	**97,7**	**99**	**99,3**	**98,9**	**95,6**	**91,4**	**86,9**		
Уровни звуковой мощности источника ночью, Lw, дБ		**исходные данные**	**0**	**96,3**	**97,7**	**99**	**99,3**	**98,9**	**95,6**	**91,4**	**86,9**		
Поправка на телесный угол DΩ, дБ	Ω = 12.57	10Lg(4π/Ω)	**0**	0	0	0	0	0	0	0	0		
Показатель направленности источника Di, дБ		исходные данные	**0**	0	0	0	0	0	0	0	0		
Поправка на направленность источника Dc, дБ	Dc	DΩ + Di	**0**	0	0	0	0	0	0	0	0		
Затухание из-за геометрической дивергенции, Adiv, дБ	расстояние = 778.29 м	ф-ла (7) [10]	**68,8**										
Коэффициент затухания звука в атмосфере α, дБ/км	Ta=20,°C Pa=101.33,кПа hотн.=70%	ф-ла (5) [9]	0,02	0,09	0,33	1,12	2,79	4,98	9,04	23,09	77,63		
Учет затухания звука в атмосфере Aatm, дБ		ф-ла (8) [10]	0	0,1	0,3	0,9	2,2	3,9	7	18	60,4		
Снижение поверхностью земли возле источника As, дБ	Gs = 0 hs = 1м	ф-лы таб.3 [10]	-1,5	-1,5	-1,5	-1,5	-1,5	-1,5	-1,5	-1,5	-1,5		
Снижение поверхностью земли возле приёмника Ar, дБ	Gr = 1 hr = 1.5м	ф-лы таб.3 [10]	-1,5	-1,5	4,5	7	5	0,7	0	0	0		
Снижение поверхностью земли в средней зоне, Am дБ	Gm = 1	ф-лы таб.3 [10]	-2,7	-2,7	0	0	0	0	0	0	0		

1		2	3	4	5	6	7	8	9	10	11	12	13
Суммарное снижение поверхностью земли на траектории распространения звука Agr, дБ		ф-ла (9) [10]	-5,7	-5,7	3	5,5	3,5	-0,8	-1,5	-1,5	-1,5		
Уровни звукового давления прямого звука от источника ИШ-6-16 в расчётной точке днём, дБ		**ф-ла(3)[10]**	**0**	**33,1**	**25,6**	**23,8**	**24,8**	**27**	**21,2**	**6,1**	**0**	**29,4**	**29,4**
Уровни звукового давления прямого звука от источника ИШ-6-16 в расчётной точке ночью, дБ		**ф-ла(3)[10]**	**0**	**33,1**	**25,6**	**23,8**	**24,8**	**27**	**21,2**	**6,1**	**0**	**29,4**	**29,4**
Расчёт отражённого звука													
Уровни звукового давления от мнимого источника ИШ-6-16_мн.(1) в расчётной точке днём, дБ		**ф-ла(3)[10]**	**0**	**0**	**0**	**0**	**0**	**0**	**0**	**0**	**0**	**0**	**0**
Уровни звукового давления от мнимого источника ИШ-6-16_мн.(1) в расчётной точке ночью, дБ		**ф-ла(3)[10]**	**0**	**0**	**0**	**0**	**0**	**0**	**0**	**0**	**0**	**0**	**0**
Уровни звукового давления от источника ИШ-6-16 в расчётной точке днём, дБ		**ф-ла(3)[10]**	**0**	**33,1**	**25,6**	**23,8**	**24,8**	**27**	**21,2**	**6,1**	**0**	**29,4**	**29,4**
Уровни звукового давления от источника ИШ-6-16 в расчётной точке ночью, дБ		**ф-ла(3)[10]**	**0**	**33,1**	**25,6**	**23,8**	**24,8**	**27**	**21,2**	**6,1**	**0**	**29,4**	**29,4**
Источник шума: ИШ-6-17, координаты источника (x,y,z), м =[763.57,-126.18,1.00]													
Уровни звуковой мощности источника днём, Lw, дБ		**исходные данные**	**0**	**96,3**	**97,7**	**99**	**99,3**	**98,9**	**95,6**	**91,4**	**86,9**		
Уровни звуковой мощности источника ночью, Lw, дБ		**исходные данные**	**0**	**96,3**	**97,7**	**99**	**99,3**	**98,9**	**95,6**	**91,4**	**86,9**		
Поправка на телесный угол DΩ, дБ	Ω = 12.57	10Lg(4π/Ω)	**0**	0	0	0	0	0	0	0	0		
Показатель направленности источника Di, дБ		исходные данные	**0**	0	0	0	0	0	0	0	0		
Поправка на направленность источника Dc, дБ	Dc	DΩ + Di	**0**	0	0	0	0	0	0	0	0		
Затухание из-за геометрической дивергенции, Adiv, дБ	расстояние = 781.00 м	ф-ла (7) [10]	**68,9**										
Коэффициент затухания звука в атмосфере α, дБ/км	Ta=20,°C Pa=101.33,кПа hотн.=70%	ф-ла (5) [9]	0,02	0,09	0,33	1,12	2,79	4,98	9,04	23,09	77,63		

1		2	3	4	5	6	7	8	9	10	11	12	13
Учет затухания звука в атмосфере Aatm, дБ		ф-ла (8) [10]	0	0,1	0,3	0,9	2,2	3,9	7,1	18	60,6		
Снижение поверхностью земли возле источника As, дБ	Gs = 0 hs = 1м	ф-лы таб.3 [10]	-1,5	-1,5	-1,5	-1,5	-1,5	-1,5	-1,5	-1,5	-1,5		
Снижение поверхностью земли возле приёмника Ar, дБ	Gr = 1 hr = 1.5м	ф-лы таб.3 [10]	-1,5	-1,5	4,5	7	5	0,7	0	0	0		
Снижение поверхностью земли в средней зоне, Am дБ	Gm = 1	ф-лы таб.3 [10]	-2,7	-2,7	0	0	0	0	0	0	0		
Суммарное снижение поверхностью земли на траектории распространения звука Agr, дБ		ф-ла (9) [10]	-5,7	-5,7	3	5,5	3,5	-0,8	-1,5	-1,5	-1,5		
Уровни звукового давления прямого звука от источника ИШ-6-17 в расчётной точке днём, дБ		**ф-ла(3)[10]**	**0**	**33,1**	**25,6**	**23,7**	**24,8**	**27**	**21,2**	**6**	**0**	**29,4**	**29,4**
Уровни звукового давления прямого звука от источника ИШ-6-17 в расчётной точке ночью, дБ		**ф-ла(3)[10]**	**0**	**33,1**	**25,6**	**23,7**	**24,8**	**27**	**21,2**	**6**	**0**	**29,4**	**29,4**
Расчёт отражённого звука													
Уровни звукового давления от мнимого источника ИШ-6-17_мн.(1) в расчётной точке днём, дБ		**ф-ла(3)[10]**	**0**	**0**	**0**	**0**	**0**	**0**	**0**	**0**	**0**	**0**	**0**
Уровни звукового давления от мнимого источника ИШ-6-17_мн.(1) в расчётной точке ночью, дБ		**ф-ла(3)[10]**	**0**	**0**	**0**	**0**	**0**	**0**	**0**	**0**	**0**	**0**	**0**
Уровни звукового давления от источника ИШ-6-17 в расчётной точке днём, дБ		**ф-ла(3)[10]**	**0**	**33,1**	**25,6**	**23,7**	**24,8**	**27**	**21,2**	**6**	**0**	**29,4**	**29,4**
Уровни звукового давления от источника ИШ-6-17 в расчётной точке ночью, дБ		**ф-ла(3)[10]**	**0**	**33,1**	**25,6**	**23,7**	**24,8**	**27**	**21,2**	**6**	**0**	**29,4**	**29,4**
Источник шума: ИШ-6-18, координаты источника (x,y,z), м =[804.77,-126.28,1.00]													
Уровни звуковой мощности источника днём, Lw, дБ		**исходные данные**	**0**	**96,3**	**97,7**	**99**	**99,3**	**98,9**	**95,6**	**91,4**	**86,9**		
Уровни звуковой мощности источника ночью, Lw, дБ		**исходные данные**	**0**	**96,3**	**97,7**	**99**	**99,3**	**98,9**	**95,6**	**91,4**	**86,9**		
Поправка на телесный угол DΩ, дБ	Ω = 12.57	10Lg(4π/Ω)	**0**	0	0	0	0	0	0	0	0		
Показатель направленности источника Di, дБ		исходные данные	**0**	0	0	0	0	0	0	0	0		

1		2	3	4	5	6	7	8	9	10	11	12	13
Поправка на направленность источника Dc, дБ	Dc	DΩ + Di	**0**	0	0	0	0	0	0	0	0		
Затухание из-за геометрической дивергенции, Adiv, дБ	расстояние = 750.54 м	ф-ла (7) [10]	**68,5**										
Коэффициент затухания звука в атмосфере α, дБ/км	Ta=20,°C Pa=101.33,кПа hотн.=70%	ф-ла (5) [9]	0,02	0,09	0,33	1,12	2,79	4,98	9,04	23,09	77,63		
Учет затухания звука в атмосфере Aatm, дБ		ф-ла (8) [10]	0	0,1	0,3	0,8	2,1	3,7	6,8	17,3	58,3		
Снижение поверхностью земли возле источника As, дБ	Gs = 0 hs = 1м	ф-лы таб.3 [10]	-1,5	-1,5	-1,5	-1,5	-1,5	-1,5	-1,5	-1,5	-1,5		
Снижение поверхностью земли возле приёмника Ar, дБ	Gr = 1 hr = 1.5м	ф-лы таб.3 [10]	-1,5	-1,5	4,4	7	5	0,7	0	0	0		
Снижение поверхностью земли в средней зоне, Am дБ	Gm = 1	ф-лы таб.3 [10]	-2,7	-2,7	0	0	0	0	0	0	0		
Суммарное снижение поверхностью земли на траектории распространения звука Agr, дБ		ф-ла (9) [10]	-5,7	-5,7	2,9	5,5	3,5	-0,8	-1,5	-1,5	-1,5		
Уровни звукового давления прямого звука от источника ИШ-6-18 в расчётной точке днём, дБ		**ф-ла(3)[10]**	**0**	**33,4**	**26**	**24,1**	**25,2**	**27,5**	**21,8**	**7,1**	**0**	**29,9**	**29,9**
Уровни звукового давления прямого звука от источника ИШ-6-18 в расчётной точке ночью, дБ		**ф-ла(3)[10]**	**0**	**33,4**	**26**	**24,1**	**25,2**	**27,5**	**21,8**	**7,1**	**0**	**29,9**	**29,9**
Расчёт отражённого звука													
Уровни звукового давления от мнимого источника ИШ-6-18_мн.(1) в расчётной точке днём, дБ		**ф-ла(3)[10]**	**0**	**0**	**0**	**0**	**0**	**0**	**0**	**0**	**0**	**0**	**0**
Уровни звукового давления от мнимого источника ИШ-6-18_мн.(1) в расчётной точке ночью, дБ		**ф-ла(3)[10]**	**0**	**0**	**0**	**0**	**0**	**0**	**0**	**0**	**0**	**0**	**0**
Уровни звукового давления от источника ИШ-6-18 в расчётной точке днём, дБ		**ф-ла(3)[10]**	**0**	**33,4**	**26**	**24,1**	**25,2**	**27,5**	**21,8**	**7,1**	**0**	**29,9**	**29,9**
Уровни звукового давления от источника ИШ-6-18 в расчётной точке ночью, дБ		**ф-ла(3)[10]**	**0**	**33,4**	**26**	**24,1**	**25,2**	**27,5**	**21,8**	**7,1**	**0**	**29,9**	**29,9**
Источник шума: ИШ-6-19, координаты источника (x,y,z), м =[803.81,-129.30,1.00]													

1		2	3	4	5	6	7	8	9	10	11	12	13
Уровни звуковой мощности источника днём, Lw, дБ		**исходные данные**	**0**	**96,3**	**97,7**	**99**	**99,3**	**98,9**	**95,6**	**91,4**	**86,9**		
Уровни звуковой мощности источника ночью, Lw, дБ		**исходные данные**	**0**	**96,3**	**97,7**	**99**	**99,3**	**98,9**	**95,6**	**91,4**	**86,9**		
Поправка на телесный угол DΩ, дБ	Ω = 12.57	10Lg(4π/Ω)	**0**	0	0	0	0	0	0	0	0		
Показатель направленности источника Di, дБ		исходные данные	**0**	0	0	0	0	0	0	0	0		
Поправка на направленность источника Dc, дБ	Dc	DΩ + Di	**0**	0	0	0	0	0	0	0	0		
Затухание из-за геометрической дивергенции, Adiv, дБ	расстояние = 753.31 м	ф-ла (7) [10]	**68,5**										
Коэффициент затухания звука в атмосфере α, дБ/км	Ta=20,°C Pa=101.33,кПа hотн.=70%	ф-ла (5) [9]	0,02	0,09	0,33	1,12	2,79	4,98	9,04	23,09	77,63		
Учет затухания звука в атмосфере Aatm, дБ		ф-ла (8) [10]	0	0,1	0,3	0,8	2,1	3,7	6,8	17,4	58,5		
Снижение поверхностью земли возле источника As, дБ	Gs = 0 hs = 1м	ф-лы таб.3 [10]	-1,5	-1,5	-1,5	-1,5	-1,5	-1,5	-1,5	-1,5	-1,5		
Снижение поверхностью земли возле приёмника Ar, дБ	Gr = 1 hr = 1.5м	ф-лы таб.3 [10]	-1,5	-1,5	4,4	7	5	0,7	0	0	0		
Снижение поверхностью земли в средней зоне, Am дБ	Gm = 1	ф-лы таб.3 [10]	-2,7	-2,7	0	0	0	0	0	0	0		
Суммарное снижение поверхностью земли на траектории распространения звука Agr, дБ		ф-ла (9) [10]	-5,7	-5,7	2,9	5,5	3,5	-0,8	-1,5	-1,5	-1,5		
Уровни звукового давления от источника ИШ-6-19 в расчётной точке днём, дБ		**ф-ла(3)[10]**	**0**	**33,4**	**26**	**24,1**	**25,2**	**27,4**	**21,7**	**7**	**0**	**29,9**	**29,9**
Уровни звукового давления от источника ИШ-6-19 в расчётной точке ночью, дБ		**ф-ла(3)[10]**	**0**	**33,4**	**26**	**24,1**	**25,2**	**27,4**	**21,7**	**7**	**0**	**29,9**	**29,9**
Источник шума: ИШ-6-20, координаты источника (x,y,z), м =[802.67,-132.35,1.00]													
Уровни звуковой мощности источника днём, Lw, дБ		**исходные данные**	**0**	**96,3**	**97,7**	**99**	**99,3**	**98,9**	**95,6**	**91,4**	**86,9**		

1		2	3	4	5	6	7	8	9	10	11	12	13
Уровни звуковой мощности источника ночью, Lw, дБ		**исходные данные**	**0**	**96,3**	**97,7**	**99**	**99,3**	**98,9**	**95,6**	**91,4**	**86,9**		
Поправка на телесный угол DΩ, дБ	Ω = 12.57	10Lg(4π/Ω)	**0**	0	0	0	0	0	0	0	0		
Показатель направленности источника Di, дБ		исходные данные	**0**	0	0	0	0	0	0	0	0		
Поправка на направленность источника Dc, дБ	Dc	DΩ + Di	**0**	0	0	0	0	0	0	0	0		
Затухание из-за геометрической дивергенции, Adiv, дБ	расстояние = 756.24 м	ф-ла (7) [10]	**68,6**										
Коэффициент затухания звука в атмосфере α, дБ/км	Ta=20,°C Pa=101.33,кПа hотн.=70%	ф-ла (5) [9]	0,02	0,09	0,33	1,12	2,79	4,98	9,04	23,09	77,63		
Учет затухания звука в атмосфере Aatm, дБ		ф-ла (8) [10]	0	0,1	0,3	0,8	2,1	3,8	6,8	17,5	58,7		
Снижение поверхностью земли возле источника As, дБ	Gs = 0 hs = 1м	ф-лы таб.3 [10]	-1,5	-1,5	-1,5	-1,5	-1,5	-1,5	-1,5	-1,5	-1,5		
Снижение поверхностью земли возле приёмника Ar, дБ	Gr = 1 hr = 1.5м	ф-лы таб.3 [10]	-1,5	-1,5	4,4	7	5	0,7	0	0	0		
Снижение поверхностью земли в средней зоне, Am дБ	Gm = 1	ф-лы таб.3 [10]	-2,7	-2,7	0	0	0	0	0	0	0		
Суммарное снижение поверхностью земли на траектории распространения звука Agr, дБ		ф-ла (9) [10]	-5,7	-5,7	2,9	5,5	3,5	-0,8	-1,5	-1,5	-1,5		
Уровни звукового давления от источника ИШ-6-20 в расчётной точке днём, дБ		**ф-ла(3)[10]**	**0**	**33,4**	**26**	**24**	**25,1**	**27,4**	**21,7**	**6,9**	**0**	**29,8**	**29,8**
Уровни звукового давления от источника ИШ-6-20 в расчётной точке ночью, дБ		**ф-ла(3)[10]**	**0**	**33,4**	**26**	**24**	**25,1**	**27,4**	**21,7**	**6,9**	**0**	**29,8**	**29,8**
Источник шума: ИШ-6-21, координаты источника (x,y,z), м =[801.69,-135.42,1.00]													
Уровни звуковой мощности источника днём, Lw, дБ		**исходные данные**	**0**	**96,3**	**97,7**	**99**	**99,3**	**98,9**	**95,6**	**91,4**	**86,9**		
Уровни звуковой мощности источника ночью, Lw, дБ		**исходные данные**	**0**	**96,3**	**97,7**	**99**	**99,3**	**98,9**	**95,6**	**91,4**	**86,9**		

1		2	3	4	5	6	7	8	9	10	11	12	13
Поправка на телесный угол DΩ, дБ	Ω = 12.57	10Lg(4π/Ω)	**0**	0	0	0	0	0	0	0	0		
Показатель направленности источника Di, дБ		исходные данные	**0**	0	0	0	0	0	0	0	0		
Поправка на направленность источника Dc, дБ	Dc	DΩ + Di	**0**	0	0	0	0	0	0	0	0		
Затухание из-за геометрической дивергенции, Adiv, дБ	расстояние = 759.06 м	ф-ла (7) [10]	**68,6**										
Коэффициент затухания звука в атмосфере α, дБ/км	Ta=20,°C Pa=101.33,кПа hотн.=70%	ф-ла (5) [9]	0,02	0,09	0,33	1,12	2,79	4,98	9,04	23,09	77,63		
Учет затухания звука в атмосфере Aatm, дБ		ф-ла (8) [10]	0	0,1	0,3	0,9	2,1	3,8	6,9	17,5	58,9		
Снижение поверхностью земли возле источника As, дБ	Gs = 0 hs = 1м	ф-лы таб.3 [10]	-1,5	-1,5	-1,5	-1,5	-1,5	-1,5	-1,5	-1,5	-1,5		
Снижение поверхностью земли возле приёмника Ar, дБ	Gr = 1 hr = 1.5м	ф-лы таб.3 [10]	-1,5	-1,5	4,4	7	5	0,7	0	0	0		
Снижение поверхностью земли в средней зоне, Am дБ	Gm = 1	ф-лы таб.3 [10]	-2,7	-2,7	0	0	0	0	0	0	0		
Суммарное снижение поверхностью земли на траектории распространения звука Agr, дБ		ф-ла (9) [10]	-5,7	-5,7	2,9	5,5	3,5	-0,8	-1,5	-1,5	-1,5		
Уровни звукового давления от источника ИШ-6-21 в расчётной точке днём, дБ		**ф-ла(3)[10]**	**0**	**33,3**	**25,9**	**24**	**25,1**	**27,3**	**21,6**	**6,8**	**0**	**29,8**	**29,8**
Уровни звукового давления от источника ИШ-6-21 в расчётной точке ночью, дБ		**ф-ла(3)[10]**	**0**	**33,3**	**25,9**	**24**	**25,1**	**27,3**	**21,6**	**6,8**	**0**	**29,8**	**29,8**
Источник шума: ИШ-6-22, координаты источника (x,y,z), м =[800.65,-138.47,1.00]													
Уровни звуковой мощности источника днём, Lw, дБ		**исходные данные**	**0**	**96,3**	**97,7**	**99**	**99,3**	**98,9**	**95,6**	**91,4**	**86,9**		
Уровни звуковой мощности источника ночью, Lw, дБ		**исходные данные**	**0**	**96,3**	**97,7**	**99**	**99,3**	**98,9**	**95,6**	**91,4**	**86,9**		
Поправка на телесный угол DΩ, дБ	Ω = 12.57	10Lg(4π/Ω)	**0**	0	0	0	0	0	0	0	0		

1		2	3	4	5	6	7	8	9	10	11	12	13
Показатель направленности источника Di, дБ		исходные данные	**0**	0	0	0	0	0	0	0	0		
Поправка на направленность источника Dc, дБ	Dc	DΩ + Di	**0**	0	0	0	0	0	0	0	0		
Затухание из-за геометрической дивергенции, Adiv, дБ	расстояние = 761.92 м	ф-ла (7) [10]	**68,6**										
Коэффициент затухания звука в атмосфере α, дБ/км	Ta=20,°C Pa=101.33,кПа hотн.=70%	ф-ла (5) [9]	0,02	0,09	0,33	1,12	2,79	4,98	9,04	23,09	77,63		
Учет затухания звука в атмосфере Aatm, дБ		ф-ла (8) [10]	0	0,1	0,3	0,9	2,1	3,8	6,9	17,6	59,2		
Снижение поверхностью земли возле источника As, дБ	Gs = 0 hs = 1м	ф-лы таб.3 [10]	-1,5	-1,5	-1,5	-1,5	-1,5	-1,5	-1,5	-1,5	-1,5		
Снижение поверхностью земли возле приёмника Ar, дБ	Gr = 1 hr = 1.5м	ф-лы таб.3 [10]	-1,5	-1,5	4,4	7	5	0,7	0	0	0		
Снижение поверхностью земли в средней зоне, Am дБ	Gm = 1	ф-лы таб.3 [10]	-2,7	-2,7	0	0	0	0	0	0	0		
Суммарное снижение поверхностью земли на траектории распространения звука Agr, дБ		ф-ла (9) [10]	-5,7	-5,7	2,9	5,5	3,5	-0,8	-1,5	-1,5	-1,5		
Уровни звукового давления от источника ИШ-6-22 в расчётной точке днём, дБ		**ф-ла(3)[10]**	**0**	**33,3**	**25,9**	**24**	**25,1**	**27,3**	**21,6**	**6,7**	**0**	**29,7**	**29,7**
Уровни звукового давления от источника ИШ-6-22 в расчётной точке ночью, дБ		**ф-ла(3)[10]**	**0**	**33,3**	**25,9**	**24**	**25,1**	**27,3**	**21,6**	**6,7**	**0**	**29,7**	**29,7**
Источник шума: ИШ-7-1, координаты источника (x,y,z), м =[821.44,63.31,1.00]													
Уровни звуковой мощности источника днём, Lw, дБ		**исходные данные**	**77**	**75**	**67**	**66**	**63**	**55**	**53**	**48**	**51**		
Уровни звуковой мощности источника ночью, Lw, дБ		**исходные данные**	**77**	**75**	**67**	**66**	**63**	**55**	**53**	**48**	**51**		
Поправка на телесный угол DΩ, дБ	Ω = 12.57	10Lg(4π/Ω)	**0**	0	0	0	0	0	0	0	0		
Показатель направленности источника Di, дБ		исходные данные	**0**	0	0	0	0	0	0	0	0		

1		2	3	4	5	6	7	8	9	10	11	12	13
Поправка на направленность источника Dc, дБ	Dc	DΩ + Di	**0**	0	0	0	0	0	0	0	0		
Затухание из-за геометрической дивергенции, Adiv, дБ	расстояние = 621.52 м	ф-ла (7) [10]	**66,9**										
Коэффициент затухания звука в атмосфере α, дБ/км	Ta=20,°C Pa=101.33,кПа hотн.=70%	ф-ла (5) [9]	0,02	0,09	0,33	1,12	2,79	4,98	9,04	23,09	77,63		
Учет затухания звука в атмосфере Aatm, дБ		ф-ла (8) [10]	0	0,1	0,2	0,7	1,7	3,1	5,6	14,3	48,3		
Снижение поверхностью земли возле источника As, дБ	Gs = 0 hs = 1м	ф-лы таб.3 [10]	-1,5	-1,5	-1,5	-1,5	-1,5	-1,5	-1,5	-1,5	-1,5		
Снижение поверхностью земли возле приёмника Ar, дБ	Gr = 1 hr = 1.5м	ф-лы таб.3 [10]	-1,5	-1,5	3,8	7	5	0,7	0	0	0		
Снижение поверхностью земли в средней зоне, Am дБ	Gm = 1	ф-лы таб.3 [10]	-2,6	-2,6	0	0	0	0	0	0	0		
Суммарное снижение поверхностью земли на траектории распространения звука Agr, дБ		ф-ла (9) [10]	-5,6	-5,6	2,3	5,5	3,5	-0,8	-1,5	-1,5	-1,5		
Уровни звукового давления от источника ИШ-7-1 в расчётной точке днём, дБ		**ф-ла(3)[10]**	**15,8**	**13,7**	**0**	**0**	**0**	**0**	**0**	**0**	**0**	**0**	**0**
Уровни звукового давления от источника ИШ-7-1 в расчётной точке ночью, дБ		**ф-ла(3)[10]**	**15,8**	**13,7**	**0**	**0**	**0**	**0**	**0**	**0**	**0**	**0**	**0**
Источник шума: ИШ-7-2, координаты источника (x,y,z), м =[768.90,-86.75,1.00]													
Уровни звуковой мощности источника днём, Lw, дБ		**исходные данные**	**77**	**75**	**67**	**66**	**63**	**55**	**53**	**48**	**51**		
Уровни звуковой мощности источника ночью, Lw, дБ		**исходные данные**	**77**	**75**	**67**	**66**	**63**	**55**	**53**	**48**	**51**		
Поправка на телесный угол DΩ, дБ	Ω = 12.57	10Lg(4π/Ω)	**0**	0	0	0	0	0	0	0	0		
Показатель направленности источника Di, дБ		исходные данные	**0**	0	0	0	0	0	0	0	0		
Поправка на направленность источника Dc, дБ	Dc	DΩ + Di	**0**	0	0	0	0	0	0	0	0		

1		2	3	4	5	6	7	8	9	10	11	12	13
Затухание из-за геометрической дивергенции, Adiv, дБ	расстояние = 751.48 м	ф-ла (7) [10]	**68,5**										
Коэффициент затухания звука в атмосфере α, дБ/км	Ta=20,°C Pa=101.33,кПа hотн.=70%	ф-ла (5) [9]	0,02	0,09	0,33	1,12	2,79	4,98	9,04	23,09	77,63		
Учет затухания звука в атмосфере Aatm, дБ		ф-ла (8) [10]	0	0,1	0,3	0,8	2,1	3,7	6,8	17,3	58,3		
Снижение поверхностью земли возле источника As, дБ	Gs = 0 hs = 1м	ф-лы таб.3 [10]	-1,5	-1,5	-1,5	-1,5	-1,5	-1,5	-1,5	-1,5	-1,5		
Снижение поверхностью земли возле приёмника Ar, дБ	Gr = 1 hr = 1.5м	ф-лы таб.3 [10]	-1,5	-1,5	4,4	7	5	0,7	0	0	0		
Снижение поверхностью земли в средней зоне, Am дБ	Gm = 1	ф-лы таб.3 [10]	-2,7	-2,7	0	0	0	0	0	0	0		
Суммарное снижение поверхностью земли на траектории распространения звука Agr, дБ		ф-ла (9) [10]	-5,7	-5,7	2,9	5,5	3,5	-0,8	-1,5	-1,5	-1,5		
Уровни звукового давления от источника ИШ-7-2 в расчётной точке днём, дБ		**ф-ла(3)[10]**	**14,2**	**12,1**	**0**	**0**	**0**	**0**	**0**	**0**	**0**	**0**	**0**
Уровни звукового давления от источника ИШ-7-2 в расчётной точке ночью, дБ		**ф-ла(3)[10]**	**14,2**	**12,1**	**0**	**0**	**0**	**0**	**0**	**0**	**0**	**0**	**0**
Источник шума: ИШ-7-3, координаты источника (x,y,z), м =[766.80,-93.20,1.00]													
Уровни звуковой мощности источника днём, Lw, дБ		**исходные данные**	**77**	**75**	**67**	**66**	**63**	**55**	**53**	**48**	**51**		
Уровни звуковой мощности источника ночью, Lw, дБ		**исходные данные**	**77**	**75**	**67**	**66**	**63**	**55**	**53**	**48**	**51**		
Поправка на телесный угол DΩ, дБ	Ω = 12.57	10Lg(4π/Ω)	**0**	0	0	0	0	0	0	0	0		
Показатель направленности источника Di, дБ		исходные данные	**0**	0	0	0	0	0	0	0	0		
Поправка на направленность источника Dc, дБ	Dc	DΩ + Di	**0**	0	0	0	0	0	0	0	0		
Затухание из-за геометрической дивергенции, Adiv, дБ	расстояние = 757.18 м	ф-ла (7) [10]	**68,6**										

1		2	3	4	5	6	7	8	9	10	11	12	13
Коэффициент затухания звука в атмосфере α, дБ/км	Ta=20,°C Pa=101.33,кПа hотн.=70%	ф-ла (5) [9]	0,02	0,09	0,33	1,12	2,79	4,98	9,04	23,09	77,63		
Учет затухания звука в атмосфере Aatm, дБ		ф-ла (8) [10]	0	0,1	0,3	0,9	2,1	3,8	6,8	17,5	58,8		
Снижение поверхностью земли возле источника As, дБ	Gs = 0 hs = 1м	ф-лы таб.3 [10]	-1,5	-1,5	-1,5	-1,5	-1,5	-1,5	-1,5	-1,5	-1,5		
Снижение поверхностью земли возле приёмника Ar, дБ	Gr = 1 hr = 1.5м	ф-лы таб.3 [10]	-1,5	-1,5	4,4	7	5	0,7	0	0	0		
Снижение поверхностью земли в средней зоне, Am дБ	Gm = 1	ф-лы таб.3 [10]	-2,7	-2,7	0	0	0	0	0	0	0		
Суммарное снижение поверхностью земли на траектории распространения звука Agr, дБ		ф-ла (9) [10]	-5,7	-5,7	2,9	5,5	3,5	-0,8	-1,5	-1,5	-1,5		
Уровни звукового давления от источника ИШ-7-3 в расчётной точке днём, дБ		**ф-ла(3)[10]**	**14,1**	**12**	**0**	**0**	**0**	**0**	**0**	**0**	**0**	**0**	**0**
Уровни звукового давления от источника ИШ-7-3 в расчётной точке ночью, дБ		**ф-ла(3)[10]**	**14,1**	**12**	**0**	**0**	**0**	**0**	**0**	**0**	**0**	**0**	**0**
Источник шума: ИШ-7-4, координаты источника (x,y,z), м =[866.76,37.18,1.00]													
Уровни звуковой мощности источника днём, Lw, дБ		**исходные данные**	**77**	**75**	**67**	**66**	**63**	**55**	**53**	**48**	**51**		
Уровни звуковой мощности источника ночью, Lw, дБ		**исходные данные**	**77**	**75**	**67**	**66**	**63**	**55**	**53**	**48**	**51**		
Поправка на телесный угол DΩ, дБ	Ω = 12.57	10Lg(4π/Ω)	**0**	0	0	0	0	0	0	0	0		
Показатель направленности источника Di, дБ		исходные данные	**0**	0	0	0	0	0	0	0	0		
Поправка на направленность источника Dc, дБ	Dc	DΩ + Di	**0**	0	0	0	0	0	0	0	0		
Затухание из-за геометрической дивергенции, Adiv, дБ	расстояние = 598.29 м	ф-ла (7) [10]	**66,5**										
Коэффициент затухания звука в атмосфере α, дБ/км	Ta=20,°C Pa=101.33,кПа hотн.=70%	ф-ла (5) [9]	0,02	0,09	0,33	1,12	2,79	4,98	9,04	23,09	77,63		

1		2	3	4	5	6	7	8	9	10	11	12	13
Учет затухания звука в атмосфере Aatm, дБ		ф-ла (8) [10]	0	0,1	0,2	0,7	1,7	3	5,4	13,8	46,4		
Снижение поверхностью земли возле источника As, дБ	Gs = 0 hs = 1м	ф-лы таб.3 [10]	-1,5	-1,5	-1,5	-1,5	-1,5	-1,5	-1,5	-1,5	-1,5		
Снижение поверхностью земли возле приёмника Ar, дБ	Gr = 1 hr = 1.5м	ф-лы таб.3 [10]	-1,5	-1,5	3,6	7	5	0,7	0	0	0		
Снижение поверхностью земли в средней зоне, Am дБ	Gm = 1	ф-лы таб.3 [10]	-2,6	-2,6	0	0	0	0	0	0	0		
Суммарное снижение поверхностью земли на траектории распространения звука Agr, дБ		ф-ла (9) [10]	-5,6	-5,6	2,1	5,5	3,5	-0,8	-1,5	-1,5	-1,5		
Уровни звукового давления от источника ИШ-7-4 в расчётной точке днём, дБ		**ф-ла(3)[10]**	**16,1**	**14**	**0**	**0**	**0**	**0**	**0**	**0**	**0**	**0**	**0**
Уровни звукового давления от источника ИШ-7-4 в расчётной точке ночью, дБ		**ф-ла(3)[10]**	**16,1**	**14**	**0**	**0**	**0**	**0**	**0**	**0**	**0**	**0**	**0**
Источник шума: ИШ-7-5, координаты источника (x,y,z), м =[861.80,21.34,1.00]													
Уровни звуковой мощности источника днём, Lw, дБ		**исходные данные**	**77**	**75**	**67**	**66**	**63**	**55**	**53**	**48**	**51**		
Уровни звуковой мощности источника ночью, Lw, дБ		**исходные данные**	**77**	**75**	**67**	**66**	**63**	**55**	**53**	**48**	**51**		
Поправка на телесный угол DΩ, дБ	Ω = 12.57	10Lg(4π/Ω)	**0**	0	0	0	0	0	0	0	0		
Показатель направленности источника Di, дБ		исходные данные	**0**	0	0	0	0	0	0	0	0		
Поправка на направленность источника Dc, дБ	Dc	DΩ + Di	**0**	0	0	0	0	0	0	0	0		
Затухание из-за геометрической дивергенции, Adiv, дБ	расстояние = 611.68 м	ф-ла (7) [10]	**66,7**										
Коэффициент затухания звука в атмосфере α, дБ/км	Ta=20,°C Pa=101.33,кПа hотн.=70%	ф-ла (5) [9]	0,02	0,09	0,33	1,12	2,79	4,98	9,04	23,09	77,63		
Учет затухания звука в атмосфере Aatm, дБ		ф-ла (8) [10]	0	0,1	0,2	0,7	1,7	3	5,5	14,1	47,5		

1		2	3	4	5	6	7	8	9	10	11	12	13
Снижение поверхностью земли возле источника As, дБ	Gs = 0 hs = 1м	ф-лы таб.3 [10]	-1,5	-1,5	-1,5	-1,5	-1,5	-1,5	-1,5	-1,5	-1,5		
Снижение поверхностью земли возле приёмника Ar, дБ	Gr = 1 hr = 1.5м	ф-лы таб.3 [10]	-1,5	-1,5	3,7	7	5	0,7	0	0	0		
Снижение поверхностью земли в средней зоне, Am дБ	Gm = 1	ф-лы таб.3 [10]	-2,6	-2,6	0	0	0	0	0	0	0		
Суммарное снижение поверхностью земли на траектории распространения звука Agr, дБ		ф-ла (9) [10]	-5,6	-5,6	2,2	5,5	3,5	-0,8	-1,5	-1,5	-1,5		
Уровни звукового давления от источника ИШ-7-5 в расчётной точке днём, дБ		**ф-ла(3)[10]**	**15,9**	**13,8**	**0**	**0**	**0**	**0**	**0**	**0**	**0**	**0**	**0**
Уровни звукового давления от источника ИШ-7-5 в расчётной точке ночью, дБ		**ф-ла(3)[10]**	**15,9**	**13,8**	**0**	**0**	**0**	**0**	**0**	**0**	**0**	**0**	**0**
Источник шума: ИШ-7-6, координаты источника (x,y,z), м =[856.52,5.94,1.00]													
Уровни звуковой мощности источника днём, Lw, дБ		**исходные данные**	**77**	**75**	**67**	**66**	**63**	**55**	**53**	**48**	**51**		
Уровни звуковой мощности источника ночью, Lw, дБ		**исходные данные**	**77**	**75**	**67**	**66**	**63**	**55**	**53**	**48**	**51**		
Поправка на телесный угол DΩ, дБ	Ω = 12.57	10Lg(4π/Ω)	**0**	0	0	0	0	0	0	0	0		
Показатель направленности источника Di, дБ		исходные данные	**0**	0	0	0	0	0	0	0	0		
Поправка на направленность источника Dc, дБ	Dc	DΩ + Di	**0**	0	0	0	0	0	0	0	0		
Затухание из-за геометрической дивергенции, Adiv, дБ	расстояние = 625.21 м	ф-ла (7) [10]	**66,9**										
Коэффициент затухания звука в атмосфере α, дБ/км	Ta=20,°C Pa=101.33,кПа hотн.=70%	ф-ла (5) [9]	0,02	0,09	0,33	1,12	2,79	4,98	9,04	23,09	77,63		
Учет затухания звука в атмосфере Aatm, дБ		ф-ла (8) [10]	0	0,1	0,2	0,7	1,7	3,1	5,7	14,4	48,5		
Снижение поверхностью земли возле источника As, дБ	Gs = 0 hs = 1м	ф-лы таб.3 [10]	-1,5	-1,5	-1,5	-1,5	-1,5	-1,5	-1,5	-1,5	-1,5		

1		2	3	4	5	6	7	8	9	10	11	12	13
Снижение поверхностью земли возле приёмника Ar, дБ	Gr = 1 hr = 1.5м	ф-лы таб.3 [10]	-1,5	-1,5	3,8	7	5	0,7	0	0	0		
Снижение поверхностью земли в средней зоне, Am дБ	Gm = 1	ф-лы таб.3 [10]	-2,6	-2,6	0	0	0	0	0	0	0		
Суммарное снижение поверхностью земли на траектории распространения звука Agr, дБ		ф-ла (9) [10]	-5,6	-5,6	2,3	5,5	3,5	-0,8	-1,5	-1,5	-1,5		
Уровни звукового давления от источника ИШ-7-6 в расчётной точке днём, дБ		**ф-ла(3)[10]**	**15,7**	**13,7**	**0**	**0**	**0**	**0**	**0**	**0**	**0**	**0**	**0**
Уровни звукового давления от источника ИШ-7-6 в расчётной точке ночью, дБ		**ф-ла(3)[10]**	**15,7**	**13,7**	**0**	**0**	**0**	**0**	**0**	**0**	**0**	**0**	**0**
Источник шума: ИШ-7-7, координаты источника (x,y,z), м =[851.06,-9.89,1.00]													
Уровни звуковой мощности источника днём, Lw, дБ		**исходные данные**	**77**	**75**	**67**	**66**	**63**	**55**	**53**	**48**	**51**		
Уровни звуковой мощности источника ночью, Lw, дБ		**исходные данные**	**77**	**75**	**67**	**66**	**63**	**55**	**53**	**48**	**51**		
Поправка на телесный угол DΩ, дБ	Ω = 12.57	10Lg(4π/Ω)	**0**	0	0	0	0	0	0	0	0		
Показатель направленности источника Di, дБ		исходные данные	**0**	0	0	0	0	0	0	0	0		
Поправка на направленность источника Dc, дБ	Dc	DΩ + Di	**0**	0	0	0	0	0	0	0	0		
Затухание из-за геометрической дивергенции, Adiv, дБ	расстояние = 639.28 м	ф-ла (7) [10]	**67,1**										
Коэффициент затухания звука в атмосфере α, дБ/км	Ta=20,°C Pa=101.33,кПа hотн.=70%	ф-ла (5) [9]	0,02	0,09	0,33	1,12	2,79	4,98	9,04	23,09	77,63		
Учет затухания звука в атмосфере Aatm, дБ		ф-ла (8) [10]	0	0,1	0,2	0,7	1,8	3,2	5,8	14,8	49,6		
Снижение поверхностью земли возле источника As, дБ	Gs = 0 hs = 1м	ф-лы таб.3 [10]	-1,5	-1,5	-1,5	-1,5	-1,5	-1,5	-1,5	-1,5	-1,5		
Снижение поверхностью земли возле приёмника Ar, дБ	Gr = 1 hr = 1.5м	ф-лы таб.3 [10]	-1,5	-1,5	3,9	7	5	0,7	0	0	0		

1		2	3	4	5	6	7	8	9	10	11	12	13
Снижение поверхностью земли в средней зоне, Am дБ	Gm = 1	ф-лы таб.3 [10]	-2,6	-2,6	0	0	0	0	0	0	0		
Суммарное снижение поверхностью земли на траектории распространения звука Agr, дБ		ф-ла (9) [10]	-5,6	-5,6	2,4	5,5	3,5	-0,8	-1,5	-1,5	-1,5		
Уровни звукового давления от источника ИШ-7-7 в расчётной точке днём, дБ		**ф-ла(3)[10]**	**15,5**	**13,5**	**0**	**0**	**0**	**0**	**0**	**0**	**0**	**0**	**0**
Уровни звукового давления от источника ИШ-7-7 в расчётной точке ночью, дБ		**ф-ла(3)[10]**	**15,5**	**13,5**	**0**	**0**	**0**	**0**	**0**	**0**	**0**	**0**	**0**
Источник шума: ИШ-7-8, координаты источника (x,y,z), м =[821.90,-104.30,1.00]													
Уровни звуковой мощности источника днём, Lw, дБ		**исходные данные**	**77**	**75**	**67**	**66**	**63**	**55**	**53**	**48**	**51**		
Уровни звуковой мощности источника ночью, Lw, дБ		**исходные данные**	**77**	**75**	**67**	**66**	**63**	**55**	**53**	**48**	**51**		
Поправка на телесный угол DΩ, дБ	Ω = 12.57	10Lg(4π/Ω)	**0**	0	0	0	0	0	0	0	0		
Показатель направленности источника Di, дБ		исходные данные	**0**	0	0	0	0	0	0	0	0		
Поправка на направленность источника Dc, дБ	Dc	DΩ + Di	**0**	0	0	0	0	0	0	0	0		
Затухание из-за геометрической дивергенции, Adiv, дБ	расстояние = 723.02 м	ф-ла (7) [10]	**68,2**										
Коэффициент затухания звука в атмосфере α, дБ/км	Ta=20,°C Pa=101.33,кПа hотн.=70%	ф-ла (5) [9]	0,02	0,09	0,33	1,12	2,79	4,98	9,04	23,09	77,63		
Учет затухания звука в атмосфере Aatm, дБ		ф-ла (8) [10]	0	0,1	0,2	0,8	2	3,6	6,5	16,7	56,1		
Снижение поверхностью земли возле источника As, дБ	Gs = 0 hs = 1м	ф-лы таб.3 [10]	-1,5	-1,5	-1,5	-1,5	-1,5	-1,5	-1,5	-1,5	-1,5		
Снижение поверхностью земли возле приёмника Ar, дБ	Gr = 1 hr = 1.5м	ф-лы таб.3 [10]	-1,5	-1,5	4,3	7	5	0,7	0	0	0		
Снижение поверхностью земли в средней зоне, Am дБ	Gm = 1	ф-лы таб.3 [10]	-2,7	-2,7	0	0	0	0	0	0	0		

1		2	3	4	5	6	7	8	9	10	11	12	13
Суммарное снижение поверхностью земли на траектории распространения звука Agr, дБ		ф-ла (9) [10]	-5,7	-5,7	2,8	5,5	3,5	-0,8	-1,5	-1,5	-1,5		
Уровни звукового давления от источника ИШ-7-8 в расчётной точке днём, дБ		**ф-ла(3)[10]**	**14,5**	**12,4**	**0**	**0**	**0**	**0**	**0**	**0**	**0**	**0**	**0**
Уровни звукового давления от источника ИШ-7-8 в расчётной точке ночью, дБ		**ф-ла(3)[10]**	**14,5**	**12,4**	**0**	**0**	**0**	**0**	**0**	**0**	**0**	**0**	**0**
Источник шума: ИШ-7-9, координаты источника (x,y,z), м =[819.93,-110.97,1.00]													
Уровни звуковой мощности источника днём, Lw, дБ		**исходные данные**	**77**	**75**	**67**	**66**	**63**	**55**	**53**	**48**	**51**		
Уровни звуковой мощности источника ночью, Lw, дБ		**исходные данные**	**77**	**75**	**67**	**66**	**63**	**55**	**53**	**48**	**51**		
Поправка на телесный угол DΩ, дБ	Ω = 12.57	10Lg(4π/Ω)	**0**	0	0	0	0	0	0	0	0		
Показатель направленности источника Di, дБ		исходные данные	**0**	0	0	0	0	0	0	0	0		
Поправка на направленность источника Dc, дБ	Dc	DΩ + Di	**0**	0	0	0	0	0	0	0	0		
Затухание из-за геометрической дивергенции, Adiv, дБ	расстояние = 729.01 м	ф-ла (7) [10]	**68,3**										
Коэффициент затухания звука в атмосфере α, дБ/км	Ta=20,°C Pa=101.33,кПа hотн.=70%	ф-ла (5) [9]	0,02	0,09	0,33	1,12	2,79	4,98	9,04	23,09	77,63		
Учет затухания звука в атмосфере Aatm, дБ		ф-ла (8) [10]	0	0,1	0,2	0,8	2	3,6	6,6	16,8	56,6		
Снижение поверхностью земли возле источника As, дБ	Gs = 0 hs = 1м	ф-лы таб.3 [10]	-1,5	-1,5	-1,5	-1,5	-1,5	-1,5	-1,5	-1,5	-1,5		
Снижение поверхностью земли возле приёмника Ar, дБ	Gr = 1 hr = 1.5м	ф-лы таб.3 [10]	-1,5	-1,5	4,3	7	5	0,7	0	0	0		
Снижение поверхностью земли в средней зоне, Am дБ	Gm = 1	ф-лы таб.3 [10]	-2,7	-2,7	0	0	0	0	0	0	0		
Суммарное снижение поверхностью земли на траектории распространения звука Agr, дБ		ф-ла (9) [10]	-5,7	-5,7	2,8	5,5	3,5	-0,8	-1,5	-1,5	-1,5		

1		2	3	4	5	6	7	8	9	10	11	12	13
Уровни звукового давления от источника ИШ-7-9 в расчётной точке днём, дБ		**ф-ла(3)[10]**	**14,4**	**12,4**	**0**	**0**	**0**	**0**	**0**	**0**	**0**	**0**	**0**
Уровни звукового давления от источника ИШ-7-9 в расчётной точке ночью, дБ		**ф-ла(3)[10]**	**14,4**	**12,4**	**0**	**0**	**0**	**0**	**0**	**0**	**0**	**0**	**0**
Источник шума: ИШ-7-10, координаты источника (x,y,z), м =[868.68,92.66,1.00]													
Уровни звуковой мощности источника днём, Lw, дБ		**исходные данные**	**77**	**75**	**67**	**66**	**63**	**55**	**53**	**48**	**51**		
Уровни звуковой мощности источника ночью, Lw, дБ		**исходные данные**	**77**	**75**	**67**	**66**	**63**	**55**	**53**	**48**	**51**		
Поправка на телесный угол DΩ, дБ	Ω = 12.57	10Lg(4π/Ω)	**0**	0	0	0	0	0	0	0	0		
Показатель направленности источника Di, дБ		исходные данные	**0**	0	0	0	0	0	0	0	0		
Поправка на направленность источника Dc, дБ	Dc	DΩ + Di	**0**	0	0	0	0	0	0	0	0		
Затухание из-за геометрической дивергенции, Adiv, дБ	расстояние = 565.91 м	ф-ла (7) [10]	**66,1**										
Коэффициент затухания звука в атмосфере α, дБ/км	Ta=20,°C Pa=101.33,кПа hотн.=70%	ф-ла (5) [9]	0,02	0,09	0,33	1,12	2,79	4,98	9,04	23,09	77,63		
Учет затухания звука в атмосфере Aatm, дБ		ф-ла (8) [10]	0	0,1	0,2	0,6	1,6	2,8	5,1	13,1	43,9		
Снижение поверхностью земли возле источника As, дБ	Gs = 0 hs = 1м	ф-лы таб.3 [10]	-1,5	-1,5	-1,5	-1,5	-1,5	-1,5	-1,5	-1,5	-1,5		
Снижение поверхностью земли возле приёмника Ar, дБ	Gr = 1 hr = 1.5м	ф-лы таб.3 [10]	-1,5	-1,5	3,4	7	5	0,7	0	0	0		
Снижение поверхностью земли в средней зоне, Am дБ	Gm = 1	ф-лы таб.3 [10]	-2,6	-2,6	0	0	0	0	0	0	0		
Суммарное снижение поверхностью земли на траектории распространения звука Agr, дБ		ф-ла (9) [10]	-5,6	-5,6	1,9	5,5	3,5	-0,8	-1,5	-1,5	-1,5		
Уровни звукового давления от источника ИШ-7-10 в расчётной точке днём, дБ		**ф-ла(3)[10]**	**16,5**	**14,5**	**0**	**0**	**0**	**0**	**0**	**0**	**0**	**0**	**0**

1		2	3	4	5	6	7	8	9	10	11	12	13
Уровни звукового давления от источника ИШ-7-10 в расчётной точке ночью, дБ		**ф-ла(3)[10]**	**16,5**	**14,5**	**0**	**0**	**0**	**0**	**0**	**0**	**0**	**0**	**0**
Источник шума: ИШ-7-11, координаты источника (x,y,z), м =[877.95,88.75,1.00]													
Уровни звуковой мощности источника днём, Lw, дБ		**исходные данные**	**77**	**75**	**67**	**66**	**63**	**55**	**53**	**48**	**51**		
Уровни звуковой мощности источника ночью, Lw, дБ		**исходные данные**	**77**	**75**	**67**	**66**	**63**	**55**	**53**	**48**	**51**		
Поправка на телесный угол DΩ, дБ	Ω = 12.57	10Lg(4π/Ω)	**0**	0	0	0	0	0	0	0	0		
Показатель направленности источника Di, дБ		исходные данные	**0**	0	0	0	0	0	0	0	0		
Поправка на направленность источника Dc, дБ	Dc	DΩ + Di	**0**	0	0	0	0	0	0	0	0		
Затухание из-за геометрической дивергенции, Adiv, дБ	расстояние = 560.10 м	ф-ла (7) [10]	**66**										
Коэффициент затухания звука в атмосфере α, дБ/км	Ta=20,°C Pa=101.33,кПа hотн.=70%	ф-ла (5) [9]	0,02	0,09	0,33	1,12	2,79	4,98	9,04	23,09	77,63		
Учет затухания звука в атмосфере Aatm, дБ		ф-ла (8) [10]	0	0,1	0,2	0,6	1,6	2,8	5,1	12,9	43,5		
Снижение поверхностью земли возле источника As, дБ	Gs = 0 hs = 1м	ф-лы таб.3 [10]	-1,5	-1,5	-1,5	-1,5	-1,5	-1,5	-1,5	-1,5	-1,5		
Снижение поверхностью земли возле приёмника Ar, дБ	Gr = 1 hr = 1.5м	ф-лы таб.3 [10]	-1,5	-1,5	3,4	7	5	0,7	0	0	0		
Снижение поверхностью земли в средней зоне, Am дБ	Gm = 1	ф-лы таб.3 [10]	-2,6	-2,6	0	0	0	0	0	0	0		
Суммарное снижение поверхностью земли на траектории распространения звука Agr, дБ		ф-ла (9) [10]	-5,6	-5,6	1,9	5,5	3,5	-0,8	-1,5	-1,5	-1,5		
Уровни звукового давления от источника ИШ-7-11 в расчётной точке днём, дБ		**ф-ла(3)[10]**	**16,6**	**14,6**	**0**	**0**	**0**	**0**	**0**	**0**	**0**	**0**	**0**
Уровни звукового давления от источника ИШ-7-11 в расчётной точке ночью, дБ		**ф-ла(3)[10]**	**16,6**	**14,6**	**0**	**0**	**0**	**0**	**0**	**0**	**0**	**0**	**0**

1		2	3	4	5	6	7	8	9	10	11	12	13
Источник шума: ИШ-7-12, координаты источника (x,y,z), м =[887.42,85.45,1.00]													
Уровни звуковой мощности источника днём, Lw, дБ		**исходные данные**	**77**	**75**	**67**	**66**	**63**	**55**	**53**	**48**	**51**		
Уровни звуковой мощности источника ночью, Lw, дБ		**исходные данные**	**77**	**75**	**67**	**66**	**63**	**55**	**53**	**48**	**51**		
Поправка на телесный угол DΩ, дБ	Ω = 12.57	10Lg(4π/Ω)	**0**	0	0	0	0	0	0	0	0		
Показатель направленности источника Di, дБ		исходные данные	**0**	0	0	0	0	0	0	0	0		
Поправка на направленность источника Dc, дБ	Dc	DΩ + Di	**0**	0	0	0	0	0	0	0	0		
Затухание из-за геометрической дивергенции, Adiv, дБ	расстояние = 553.91 м	ф-ла (7) [10]	**65,9**										
Коэффициент затухания звука в атмосфере α, дБ/км	Ta=20,°C Pa=101.33,кПа hотн.=70%	ф-ла (5) [9]	0,02	0,09	0,33	1,12	2,79	4,98	9,04	23,09	77,63		
Учет затухания звука в атмосфере Aatm, дБ		ф-ла (8) [10]	0	0	0,2	0,6	1,5	2,8	5	12,8	43		
Снижение поверхностью земли возле источника As, дБ	Gs = 0 hs = 1м	ф-лы таб.3 [10]	-1,5	-1,5	-1,5	-1,5	-1,5	-1,5	-1,5	-1,5	-1,5		
Снижение поверхностью земли возле приёмника Ar, дБ	Gr = 1 hr = 1.5м	ф-лы таб.3 [10]	-1,5	-1,5	3,4	7	5	0,7	0	0	0		
Снижение поверхностью земли в средней зоне, Am дБ	Gm = 1	ф-лы таб.3 [10]	-2,6	-2,6	0	0	0	0	0	0	0		
Суммарное снижение поверхностью земли на траектории распространения звука Agr, дБ		ф-ла (9) [10]	-5,6	-5,6	1,9	5,5	3,5	-0,8	-1,5	-1,5	-1,5		
Уровни звукового давления от источника ИШ-7-12 в расчётной точке днём, дБ		**ф-ла(3)[10]**	**16,7**	**14,7**	**0**	**0**	**0**	**0**	**0**	**0**	**0**	**0**	**0**
Уровни звукового давления от источника ИШ-7-12 в расчётной точке ночью, дБ		**ф-ла(3)[10]**	**16,7**	**14,7**	**0**	**0**	**0**	**0**	**0**	**0**	**0**	**0**	**0**
Источник шума: ИШ-6-23, координаты источника (x,y,z), м =[756.16,-136.23,3.00]													

1		2	3	4	5	6	7	8	9	10	11	12	13
Уровни звуковой мощности источника днём, Lw, дБ		**исходные данные**	**91**	**91**	**91**	**91**	**91**	**91**	**91**	**91**	**91**		
Уровни звуковой мощности источника ночью, Lw, дБ		**исходные данные**	**91**	**91**	**91**	**91**	**91**	**91**	**91**	**91**	**91**		
Поправка на телесный угол DΩ, дБ	Ω = 12.57	10Lg(4π/Ω)	**0**	0	0	0	0	0	0	0	0		
Показатель направленности источника Di, дБ		исходные данные	**0**	0	0	0	0	0	0	0	0		
Поправка на направленность источника Dc, дБ	Dc	DΩ + Di	**0**	0	0	0	0	0	0	0	0		
Затухание из-за геометрической дивергенции, Adiv, дБ	расстояние = 793.19 м	ф-ла (7) [10]	**69**										
Коэффициент затухания звука в атмосфере α, дБ/км	Ta=20,°C Pa=101.33,кПа hотн.=70%	ф-ла (5) [9]	0,02	0,09	0,33	1,12	2,79	4,98	9,04	23,09	77,63		
Учет затухания звука в атмосфере Aatm, дБ		ф-ла (8) [10]	0	0,1	0,3	0,9	2,2	3,9	7,2	18,3	61,6		
Снижение поверхностью земли возле источника As, дБ	Gs = 0 hs = 3м	ф-лы таб.3 [10]	-1,5	-1,5	-1,5	-1,5	-1,5	-1,5	-1,5	-1,5	-1,5		
Снижение поверхностью земли возле приёмника Ar, дБ	Gr = 1 hr = 1.5м	ф-лы таб.3 [10]	-1,5	-1,5	4,5	7	5	0,7	0	0	0		
Снижение поверхностью земли в средней зоне, Am дБ	Gm = 1	ф-лы таб.3 [10]	-2,5	-2,5	0	0	0	0	0	0	0		
Суммарное снижение поверхностью земли на траектории распространения звука Agr, дБ		ф-ла (9) [10]	-5,5	-5,5	3	5,5	3,5	-0,8	-1,5	-1,5	-1,5		
Уровни звукового давления от источника ИШ-6-23 в расчётной точке днём, дБ		**ф-ла(3)[10]**	**27,5**	**27,4**	**18,7**	**15,6**	**16,3**	**18,9**	**16,3**	**5,2**	**0**	**22,2**	**22,2**
Уровни звукового давления от источника ИШ-6-23 в расчётной точке ночью, дБ		**ф-ла(3)[10]**	**27,5**	**27,4**	**18,7**	**15,6**	**16,3**	**18,9**	**16,3**	**5,2**	**0**	**22,2**	**22,2**
Источник шума: ИШ-6-24, координаты источника (x,y,z), м =[800.98,-151.27,3.00]													
Уровни звуковой мощности источника днём, Lw, дБ		**исходные данные**	**91**	**91**	**91**	**91**	**91**	**91**	**91**	**91**	**91**		

1		2	3	4	5	6	7	8	9	10	11	12	13
Уровни звуковой мощности источника ночью, Lw, дБ		**исходные данные**	**91**	**91**	**91**	**91**	**91**	**91**	**91**	**91**	**91**		
Поправка на телесный угол DΩ, дБ	Ω = 12.57	10Lg(4π/Ω)	**0**	0	0	0	0	0	0	0	0		
Показатель направленности источника Di, дБ		исходные данные	**0**	0	0	0	0	0	0	0	0		
Поправка на направленность источника Dc, дБ	Dc	DΩ + Di	**0**	0	0	0	0	0	0	0	0		
Затухание из-за геометрической дивергенции, Adiv, дБ	расстояние = 770.59 м	ф-ла (7) [10]	**68,7**										
Коэффициент затухания звука в атмосфере α, дБ/км	Ta=20,°C Pa=101.33,кПа hотн.=70%	ф-ла (5) [9]	0,02	0,09	0,33	1,12	2,79	4,98	9,04	23,09	77,63		
Учет затухания звука в атмосфере Aatm, дБ		ф-ла (8) [10]	0	0,1	0,3	0,9	2,2	3,8	7	17,8	59,8		
Снижение поверхностью земли возле источника As, дБ	Gs = 0 hs = 3м	ф-лы таб.3 [10]	-1,5	-1,5	-1,5	-1,5	-1,5	-1,5	-1,5	-1,5	-1,5		
Снижение поверхностью земли возле приёмника Ar, дБ	Gr = 1 hr = 1.5м	ф-лы таб.3 [10]	-1,5	-1,5	4,5	7	5	0,7	0	0	0		
Снижение поверхностью земли в средней зоне, Am дБ	Gm = 1	ф-лы таб.3 [10]	-2,5	-2,5	0	0	0	0	0	0	0		
Суммарное снижение поверхностью земли на траектории распространения звука Agr, дБ		ф-ла (9) [10]	-5,5	-5,5	3	5,5	3,5	-0,8	-1,5	-1,5	-1,5		
Уровни звукового давления от источника ИШ-6-24 в расчётной точке днём, дБ		**ф-ла(3)[10]**	**27,7**	**27,7**	**19**	**15,9**	**16,6**	**19,3**	**16,8**	**6**	**0**	**22,6**	**22,6**
Уровни звукового давления от источника ИШ-6-24 в расчётной точке ночью, дБ		**ф-ла(3)[10]**	**27,7**	**27,7**	**19**	**15,9**	**16,6**	**19,3**	**16,8**	**6**	**0**	**22,6**	**22,6**
Источник шума: ИШ-8-1, координаты источника (x,y,z), м =[612.60,-227.70,3.00]													
Уровни звуковой мощности источника днём, Lw, дБ		**исходные данные**	**105**	**104**	**104**	**101**	**102**	**106**	**101**	**95**	**87**		
Уровни звуковой мощности источника ночью, Lw, дБ		**исходные данные**	**105**	**104**	**104**	**101**	**102**	**106**	**101**	**95**	**87**		

1		2	3	4	5	6	7	8	9	10	11	12	13
Поправка на телесный угол DΩ, дБ	Ω = 6.28	10Lg(4π/Ω)	**3**	3	3	3	3	3	3	3	3		
Показатель направленности источника Di, дБ		исходные данные	**0**	0	0	0	0	0	0	0	0		
Поправка на направленность источника Dc, дБ	Dc	DΩ + Di	**3**	3	3	3	3	3	3	3	3		
Затухание из-за геометрической дивергенции, Adiv, дБ	расстояние = 961.74 м	ф-ла (7) [10]	**70,7**										
Коэффициент затухания звука в атмосфере α, дБ/км	Ta=20,°C Pa=101.33,кПа hотн.=70%	ф-ла (5) [9]	0,02	0,09	0,33	1,12	2,79	4,98	9,04	23,09	77,63		
Учет затухания звука в атмосфере Aatm, дБ		ф-ла (8) [10]	0	0,1	0,3	1,1	2,7	4,8	8,7	22,2	74,7		
Снижение поверхностью земли возле источника As, дБ	Gs = 0 hs = 3м	ф-лы таб.3 [10]	-1,5	-1,5	-1,5	-1,5	-1,5	-1,5	-1,5	-1,5	-1,5		
Снижение поверхностью земли возле приёмника Ar, дБ	Gr = 1 hr = 1.5м	ф-лы таб.3 [10]	-1,5	-1,5	5	7	5	0,7	0	0	0		
Снижение поверхностью земли в средней зоне, Am дБ	Gm = 1	ф-лы таб.3 [10]	-2,6	-2,6	0	0	0	0	0	0	0		
Суммарное снижение поверхностью земли на траектории распространения звука Agr, дБ		ф-ла (9) [10]	-5,6	-5,6	3,5	5,5	3,5	-0,8	-1,5	-1,5	-1,5		
Уровни звукового давления прямого звука от источника ИШ-8-1 в расчётной точке днём, дБ		**ф-ла(3)[10]**	**42,9**	**41,8**	**32,5**	**26,7**	**28,2**	**34,4**	**26,2**	**6,6**	**0**	**35,8**	**35,8**
Уровни звукового давления прямого звука от источника ИШ-8-1 в расчётной точке ночью, дБ		**ф-ла(3)[10]**	**42,9**	**41,8**	**32,5**	**26,7**	**28,2**	**34,4**	**26,2**	**6,6**	**0**	**35,8**	**35,8**
Расчёт отражённого звука													
Уровни звукового давления от мнимого источника ИШ-8-1_мн.(1) в расчётной точке днём, дБ		**ф-ла(3)[10]**	**0**	**0**	**0**	**0**	**0**	**0**	**0**	**0**	**0**	**0**	**0**
Уровни звукового давления от мнимого источника ИШ-8-1_мн.(1) в расчётной точке ночью, дБ		**ф-ла(3)[10]**	**0**	**0**	**0**	**0**	**0**	**0**	**0**	**0**	**0**	**0**	**0**
Уровни звукового давления от источника ИШ-8-1 в расчётной точке днём, дБ		**ф-ла(3)[10]**	**42,9**	**41,8**	**32,5**	**26,7**	**28,2**	**34,4**	**26,2**	**6,6**	**0**	**35,8**	**35,8**
Уровни звукового давления от источника ИШ-8-1 в расчётной точке ночью, дБ		**ф-ла(3)[10]**	**42,9**	**41,8**	**32,5**	**26,7**	**28,2**	**34,4**	**26,2**	**6,6**	**0**	**35,8**	**35,8**

1		2	3	4	5	6	7	8	9	10	11	12	13
Источник шума: ИШ-8-2, координаты источника (x,y,z), м =[596.60,-275.00,3.00]													
Уровни звуковой мощности источника днём, Lw, дБ		**исходные данные**	**105**	**104**	**104**	**101**	**102**	**106**	**101**	**95**	**87**		
Уровни звуковой мощности источника ночью, Lw, дБ		**исходные данные**	**105**	**104**	**104**	**101**	**102**	**106**	**101**	**95**	**87**		
Поправка на телесный угол DΩ, дБ	Ω = 6.28	10Lg(4π/Ω)	**3**	3	3	3	3	3	3	3	3		
Показатель направленности источника Di, дБ		исходные данные	**0**	0	0	0	0	0	0	0	0		
Поправка на направленность источника Dc, дБ	Dc	DΩ + Di	**3**	3	3	3	3	3	3	3	3		
Затухание из-за геометрической дивергенции, Adiv, дБ	расстояние = 1004.65 м	ф-ла (7) [10]	**71**										
Коэффициент затухания звука в атмосфере α, дБ/км	Ta=20,°C Pa=101.33,кПа hотн.=70%	ф-ла (5) [9]	0,02	0,09	0,33	1,12	2,79	4,98	9,04	23,09	77,63		
Учет затухания звука в атмосфере Aatm, дБ		ф-ла (8) [10]	0	0,1	0,3	1,1	2,8	5	9,1	23,2	78		
Снижение поверхностью земли возле источника As, дБ	Gs = 0 hs = 3м	ф-лы таб.3 [10]	-1,5	-1,5	-1,5	-1,5	-1,5	-1,5	-1,5	-1,5	-1,5		
Снижение поверхностью земли возле приёмника Ar, дБ	Gr = 1 hr = 1.5м	ф-лы таб.3 [10]	-1,5	-1,5	5,1	7	5	0,7	0	0	0		
Снижение поверхностью земли в средней зоне, Am дБ	Gm = 1	ф-лы таб.3 [10]	-2,6	-2,6	0	0	0	0	0	0	0		
Суммарное снижение поверхностью земли на траектории распространения звука Agr, дБ		ф-ла (9) [10]	-5,6	-5,6	3,6	5,5	3,5	-0,8	-1,5	-1,5	-1,5		
Уровни звукового давления прямого звука от источника ИШ-8-2 в расчётной точке днём, дБ		**ф-ла(3)[10]**	**42,5**	**41,5**	**32,1**	**26,3**	**27,7**	**33,8**	**25,4**	**5,3**	**0**	**35,2**	**35,2**
Уровни звукового давления прямого звука от источника ИШ-8-2 в расчётной точке ночью, дБ		**ф-ла(3)[10]**	**42,5**	**41,5**	**32,1**	**26,3**	**27,7**	**33,8**	**25,4**	**5,3**	**0**	**35,2**	**35,2**
Расчёт отражённого звука													

1		2	3	4	5	6	7	8	9	10	11	12	13
Уровни звукового давления от мнимого источника ИШ-8-2_мн.(1) в расчётной точке днём, дБ		**ф-ла(3)[10]**	**0**	**0**	**0**	**0**	**0**	**0**	**0**	**0**	**0**	**0**	**0**
Уровни звукового давления от мнимого источника ИШ-8-2_мн.(1) в расчётной точке ночью, дБ		**ф-ла(3)[10]**	**0**	**0**	**0**	**0**	**0**	**0**	**0**	**0**	**0**	**0**	**0**
Уровни звукового давления от источника ИШ-8-2 в расчётной точке днём, дБ		**ф-ла(3)[10]**	**42,5**	**41,5**	**32,1**	**26,3**	**27,7**	**33,8**	**25,4**	**5,3**	**0**	**35,2**	**35,2**
Уровни звукового давления от источника ИШ-8-2 в расчётной точке ночью, дБ		**ф-ла(3)[10]**	**42,5**	**41,5**	**32,1**	**26,3**	**27,7**	**33,8**	**25,4**	**5,3**	**0**	**35,2**	**35,2**
Источник шума: ИШ-8-3, координаты источника (x,y,z), м =[564.90,-369.90,3.00]													
Уровни звуковой мощности источника днём, Lw, дБ		**исходные данные**	**105**	**104**	**104**	**101**	**102**	**106**	**101**	**95**	**87**		
Уровни звуковой мощности источника ночью, Lw, дБ		**исходные данные**	**105**	**104**	**104**	**101**	**102**	**106**	**101**	**95**	**87**		
Поправка на телесный угол DΩ, дБ	Ω = 6.28	10Lg(4π/Ω)	**3**	3	3	3	3	3	3	3	3		
Показатель направленности источника Di, дБ		исходные данные	**0**	0	0	0	0	0	0	0	0		
Поправка на направленность источника Dc, дБ	Dc	DΩ + Di	**3**	3	3	3	3	3	3	3	3		
Затухание из-за геометрической дивергенции, Adiv, дБ	расстояние = 1092.26 м	ф-ла (7) [10]	**71,8**										
Коэффициент затухания звука в атмосфере α, дБ/км	Ta=20,°C Pa=101.33,кПа hотн.=70%	ф-ла (5) [9]	0,02	0,09	0,33	1,12	2,79	4,98	9,04	23,09	77,63		
Учет затухания звука в атмосфере Aatm, дБ		ф-ла (8) [10]	0	0,1	0,4	1,2	3	5,4	9,9	25,2	84,8		
Снижение поверхностью земли возле источника As, дБ	Gs = 0 hs = 3м	ф-лы таб.3 [10]	-1,5	-1,5	-1,5	-1,5	-1,5	-1,5	-1,5	-1,5	-1,5		
Снижение поверхностью земли возле приёмника Ar, дБ	Gr = 1 hr = 1.5м	ф-лы таб.3 [10]	-1,5	-1,5	5,2	7	5	0,7	0	0	0		
Снижение поверхностью земли в средней зоне, Am дБ	Gm = 1	ф-лы таб.3 [10]	-2,6	-2,6	0	0	0	0	0	0	0		

1		2	3	4	5	6	7	8	9	10	11	12	13
Суммарное снижение поверхностью земли на траектории распространения звука Agr, дБ		ф-ла (9) [10]	-5,6	-5,6	3,7	5,5	3,5	-0,8	-1,5	-1,5	-1,5		
Уровни звукового давления прямого звука от источника ИШ-8-3 в расчётной точке днём, дБ		**ф-ла(3)[10]**	**41,9**	**40,8**	**31,2**	**25,5**	**26,7**	**32,6**	**23,9**	**2,5**	**0**	**34**	**34**
Уровни звукового давления прямого звука от источника ИШ-8-3 в расчётной точке ночью, дБ		**ф-ла(3)[10]**	**41,9**	**40,8**	**31,2**	**25,5**	**26,7**	**32,6**	**23,9**	**2,5**	**0**	**34**	**34**
Расчёт отражённого звука													
Уровни звукового давления от мнимого источника ИШ-8-3_мн.(1) в расчётной точке днём, дБ		**ф-ла(3)[10]**	**0**	**0**	**0**	**0**	**0**	**0**	**0**	**0**	**0**	**0**	**0**
Уровни звукового давления от мнимого источника ИШ-8-3_мн.(1) в расчётной точке ночью, дБ		**ф-ла(3)[10]**	**0**	**0**	**0**	**0**	**0**	**0**	**0**	**0**	**0**	**0**	**0**
Уровни звукового давления от источника ИШ-8-3 в расчётной точке днём, дБ		**ф-ла(3)[10]**	**41,9**	**40,8**	**31,2**	**25,5**	**26,7**	**32,6**	**23,9**	**2,5**	**0**	**34**	**34**
Уровни звукового давления от источника ИШ-8-3 в расчётной точке ночью, дБ		**ф-ла(3)[10]**	**41,9**	**40,8**	**31,2**	**25,5**	**26,7**	**32,6**	**23,9**	**2,5**	**0**	**34**	**34**
Источник шума: ИШ-9-1, координаты источника (x,y,z), м =[642.94,-357.54,1.00]													
Уровни звуковой мощности источника днём, Lw, дБ		**исходные данные**	**0**	**93,3**	**94,7**	**96**	**96,3**	**95,9**	**92,6**	**88,4**	**83,9**		
Уровни звуковой мощности источника ночью, Lw, дБ		**исходные данные**	**0**	**93,3**	**94,7**	**96**	**96,3**	**95,9**	**92,6**	**88,4**	**83,9**		
Поправка на телесный угол DΩ, дБ	Ω = 6.28	10Lg(4π/Ω)	**3**	3	3	3	3	3	3	3	3		
Показатель направленности источника Di, дБ		исходные данные	**0**	0	0	0	0	0	0	0	0		
Поправка на направленность источника Dc, дБ	Dc	DΩ + Di	**3**	3	3	3	3	3	3	3	3		
Затухание из-за геометрической дивергенции, Adiv, дБ	расстояние = 1028.49 м	ф-ла (7) [10]	**71,2**										
Коэффициент затухания звука в атмосфере α, дБ/км	Ta=20,°C Pa=101.33,кПа hотн.=70%	ф-ла (5) [9]	0,02	0,09	0,33	1,12	2,79	4,98	9,04	23,09	77,63		

1		2	3	4	5	6	7	8	9	10	11	12	13
Учет затухания звука в атмосфере Aatm, дБ		ф-ла (8) [10]	0	0,1	0,3	1,2	2,9	5,1	9,3	23,7	79,8		
Снижение уровня звукового давления из-за влияния застройки между источником шума и расчетной точкой													
Снижение уровня звукового давления на пути над экраном, Dz1, дБ	z = 0.01м (разность путей)	ф-лы (14-18) [10]	4,8	4,8	4,8	4,8	4,8	4,8	4,8	4,8	4,8		
Снижение уровня звукового давления на пути слева от экрана, Dz2, дБ	z = 1.53м (разность путей)	ф-лы (14-18) [10]	9,4	11,6	14,1	16,8	19,7	22,6	25,6	28,6	31,6		
Снижение уровня звукового давления на пути справа от экрана, Dz3, дБ	z = 0.40м (разность путей)	ф-лы (14-18) [10]	6,5	7,8	9,5	11,7	14,2	17	19,9	22,8	25,8		
Общее снижение уровня звука препятствием Dz, дБ		Эн.сумма(-Dzi)	1,7	2,4	3,1	3,7	4,2	4,5	4,6	4,7	4,7		
Уровни звукового давления прямого звука от источника ИШ-9-1 в расчётной точке днём, дБ		**ф-ла(3)[10]**	**0**	**22,5**	**23**	**22,8**	**21**	**18,1**	**10,4**	**0**	**0**	**22,3**	**22,3**
Уровни звукового давления прямого звука от источника ИШ-9-1 в расчётной точке ночью, дБ		**ф-ла(3)[10]**	**0**	**22,5**	**23**	**22,8**	**21**	**18,1**	**10,4**	**0**	**0**	**22,3**	**22,3**
Расчёт отражённого звука													
Уровни звукового давления от мнимого источника ИШ-9-1_мн.(1) в расчётной точке днём, дБ		**ф-ла(3)[10]**	**0**	**0**	**0**	**0**	**0**	**0**	**0**	**0**	**0**	**0**	**0**
Уровни звукового давления от мнимого источника ИШ-9-1_мн.(1) в расчётной точке ночью, дБ		**ф-ла(3)[10]**	**0**	**0**	**0**	**0**	**0**	**0**	**0**	**0**	**0**	**0**	**0**
Уровни звукового давления от мнимого источника ИШ-9-1_мн.(2) в расчётной точке днём, дБ		**ф-ла(3)[10]**	**0**	**0**	**0**	**0**	**0**	**0**	**0**	**0**	**0**	**0**	**0**
Уровни звукового давления от мнимого источника ИШ-9-1_мн.(2) в расчётной точке ночью, дБ		**ф-ла(3)[10]**	**0**	**0**	**0**	**0**	**0**	**0**	**0**	**0**	**0**	**0**	**0**
Суммарные уровни звукового давления от мнимых источников в расчётной точке днём, дБ		**ф-ла (19) [1]**	**0**	**0**	**0**	**0**	**0**	**0**	**0**	**0**	**0**	**0**	**0**
Суммарные уровни звукового давления от мнимых источников в расчётной точке ночью, дБ		**ф-ла (19) [1]**	**0**	**0**	**0**	**0**	**0**	**0**	**0**	**0**	**0**	**0**	**0**
Уровни звукового давления от источника ИШ-9-1 в расчётной точке днём, дБ		**ф-ла(3)[10]**	**0**	**22,5**	**23**	**22,8**	**21**	**18,1**	**10,4**	**0**	**0**	**22,3**	**22,3**
Уровни звукового давления от источника ИШ-9-1 в расчётной точке ночью, дБ		**ф-ла(3)[10]**	**0**	**22,5**	**23**	**22,8**	**21**	**18,1**	**10,4**	**0**	**0**	**22,3**	**22,3**

1		2	3	4	5	6	7	8	9	10	11	12	13
Источник шума: ИШ-9-2, координаты источника (x,y,z), м =[644.14,-354.83,1.00]													
Уровни звуковой мощности источника днём, Lw, дБ		**исходные данные**	**0**	**93,3**	**94,7**	**96**	**96,3**	**95,9**	**92,6**	**88,4**	**83,9**		
Уровни звуковой мощности источника ночью, Lw, дБ		**исходные данные**	**0**	**93,3**	**94,7**	**96**	**96,3**	**95,9**	**92,6**	**88,4**	**83,9**		
Поправка на телесный угол DΩ, дБ	Ω = 6.28	10Lg(4π/Ω)	**3**	3	3	3	3	3	3	3	3		
Показатель направленности источника Di, дБ		исходные данные	**0**	0	0	0	0	0	0	0	0		
Поправка на направленность источника Dc, дБ	Dc	DΩ + Di	**3**	3	3	3	3	3	3	3	3		
Затухание из-за геометрической дивергенции, Adiv, дБ	расстояние = 1025.70 м	ф-ла (7) [10]	**71,2**										
Коэффициент затухания звука в атмосфере α, дБ/км	Ta=20,°C Pa=101.33,кПа hотн.=70%	ф-ла (5) [9]	0,02	0,09	0,33	1,12	2,79	4,98	9,04	23,09	77,63		
Учет затухания звука в атмосфере Aatm, дБ		ф-ла (8) [10]	0	0,1	0,3	1,2	2,9	5,1	9,3	23,7	79,6		
Снижение уровня звукового давления из-за влияния застройки между источником шума и расчетной точкой													
Снижение уровня звукового давления на пути над экраном, Dz1, дБ	z = 0.01м (разность путей)	ф-лы (14-18) [10]	4,8	4,8	4,8	4,8	4,8	4,8	4,8	4,8	4,8		
Снижение уровня звукового давления на пути слева от экрана, Dz2, дБ	z = 1.45м (разность путей)	ф-лы (14-18) [10]	9,2	11,4	13,9	16,6	19,5	22,4	25,4	28,4	31,4		
Снижение уровня звукового давления на пути справа от экрана, Dz3, дБ	z = 0.47м (разность путей)	ф-лы (14-18) [10]	6,7	8,1	9,9	12,2	14,8	17,6	20,5	23,5	26,4		
Общее снижение уровня звука препятствием Dz, дБ		Эн.сумма(-Dzi)	1,8	2,5	3,2	3,8	4,2	4,5	4,6	4,7	4,7		
Уровни звукового давления прямого звука от источника ИШ-9-2 в расчётной точке днём, дБ		**ф-ла(3)[10]**	**0**	**22,5**	**22,9**	**22,8**	**21**	**18,1**	**10,5**	**0**	**0**	**22,3**	**22,3**
Уровни звукового давления прямого звука от источника ИШ-9-2 в расчётной точке ночью, дБ		**ф-ла(3)[10]**	**0**	**22,5**	**22,9**	**22,8**	**21**	**18,1**	**10,5**	**0**	**0**	**22,3**	**22,3**

1		2	3	4	5	6	7	8	9	10	11	12	13
Расчёт отражённого звука													
Уровни звукового давления от мнимого источника ИШ-9-2_мн.(1) в расчётной точке днём, дБ		**ф-ла(3)[10]**	**0**	**0**	**0**	**0**	**0**	**0**	**0**	**0**	**0**	**0**	**0**
Уровни звукового давления от мнимого источника ИШ-9-2_мн.(1) в расчётной точке ночью, дБ		**ф-ла(3)[10]**	**0**	**0**	**0**	**0**	**0**	**0**	**0**	**0**	**0**	**0**	**0**
Уровни звукового давления от мнимого источника ИШ-9-2_мн.(2) в расчётной точке днём, дБ		**ф-ла(3)[10]**	**0**	**0**	**0**	**0**	**0**	**0**	**0**	**0**	**0**	**0**	**0**
Уровни звукового давления от мнимого источника ИШ-9-2_мн.(2) в расчётной точке ночью, дБ		**ф-ла(3)[10]**	**0**	**0**	**0**	**0**	**0**	**0**	**0**	**0**	**0**	**0**	**0**
Суммарные уровни звукового давления от мнимых источников в расчётной точке днём, дБ		**ф-ла (19) [1]**	**0**	**0**	**0**	**0**	**0**	**0**	**0**	**0**	**0**	**0**	**0**
Суммарные уровни звукового давления от мнимых источников в расчётной точке ночью, дБ		**ф-ла (19) [1]**	**0**	**0**	**0**	**0**	**0**	**0**	**0**	**0**	**0**	**0**	**0**
Уровни звукового давления от источника ИШ-9-2 в расчётной точке днём, дБ		**ф-ла(3)[10]**	**0**	**22,5**	**22,9**	**22,8**	**21**	**18,1**	**10,5**	**0**	**0**	**22,3**	**22,3**
Уровни звукового давления от источника ИШ-9-2 в расчётной точке ночью, дБ		**ф-ла(3)[10]**	**0**	**22,5**	**22,9**	**22,8**	**21**	**18,1**	**10,5**	**0**	**0**	**22,3**	**22,3**
Источник шума: ИШ-9-3, координаты источника (x,y,z), м =[644.98,-351.85,1.00]													
Уровни звуковой мощности источника днём, Lw, дБ		**исходные данные**	**0**	**93,3**	**94,7**	**96**	**96,3**	**95,9**	**92,6**	**88,4**	**83,9**		
Уровни звуковой мощности источника ночью, Lw, дБ		**исходные данные**	**0**	**93,3**	**94,7**	**96**	**96,3**	**95,9**	**92,6**	**88,4**	**83,9**		
Поправка на телесный угол DΩ, дБ	Ω = 6.28	10Lg(4π/Ω)	**3**	3	3	3	3	3	3	3	3		
Показатель направленности источника Di, дБ		исходные данные	**0**	0	0	0	0	0	0	0	0		
Поправка на направленность источника Dc, дБ	Dc	DΩ + Di	**3**	3	3	3	3	3	3	3	3		
Затухание из-за геометрической дивергенции, Adiv, дБ	расстояние = 1022.96 м	ф-ла (7) [10]	**71,2**										
Коэффициент затухания звука в атмосфере α, дБ/км	Ta=20,°C Pa=101.33,кПа hотн.=70%	ф-ла (5) [9]	0,02	0,09	0,33	1,12	2,79	4,98	9,04	23,09	77,63		

1		2	3	4	5	6	7	8	9	10	11	12	13
Учет затухания звука в атмосфере Aatm, дБ		ф-ла (8) [10]	0	0,1	0,3	1,1	2,9	5,1	9,2	23,6	79,4		
Снижение уровня звукового давления из-за влияния застройки между источником шума и расчетной точкой													
Снижение уровня звукового давления на пути над экраном, Dz1, дБ	z = 0.01м (разность путей)	ф-лы (14-18) [10]	4,8	4,8	4,8	4,8	4,8	4,8	4,8	4,8	4,8		
Снижение уровня звукового давления на пути слева от экрана, Dz2, дБ	z = 1.32м (разность путей)	ф-лы (14-18) [10]	9	11,1	13,5	16,2	19,1	22	25	27,9	30,9		
Снижение уровня звукового давления на пути справа от экрана, Dz3, дБ	z = 0.57м (разность путей)	ф-лы (14-18) [10]	7,1	8,6	10,5	12,9	15,6	18,4	21,3	24,3	27,3		
Общее снижение уровня звука препятствием Dz, дБ		Эн.сумма(-Dzi)	1,8	2,6	3,3	3,9	4,3	4,5	4,6	4,7	4,7		
Уровни звукового давления прямого звука от источника ИШ-9-3 в расчётной точке днём, дБ		**ф-ла(3)[10]**	**0**	**22,4**	**22,8**	**22,8**	**21**	**18,1**	**10,5**	**0**	**0**	**22,3**	**22,3**
Уровни звукового давления прямого звука от источника ИШ-9-3 в расчётной точке ночью, дБ		**ф-ла(3)[10]**	**0**	**22,4**	**22,8**	**22,8**	**21**	**18,1**	**10,5**	**0**	**0**	**22,3**	**22,3**
Расчёт отражённого звука													
Уровни звукового давления от мнимого источника ИШ-9-3_мн.(1) в расчётной точке днём, дБ		**ф-ла(3)[10]**	**0**	**0**	**0**	**0**	**0**	**0**	**0**	**0**	**0**	**0**	**0**
Уровни звукового давления от мнимого источника ИШ-9-3_мн.(1) в расчётной точке ночью, дБ		**ф-ла(3)[10]**	**0**	**0**	**0**	**0**	**0**	**0**	**0**	**0**	**0**	**0**	**0**
Уровни звукового давления от мнимого источника ИШ-9-3_мн.(2) в расчётной точке днём, дБ		**ф-ла(3)[10]**	**0**	**0**	**0**	**0**	**0**	**0**	**0**	**0**	**0**	**0**	**0**
Уровни звукового давления от мнимого источника ИШ-9-3_мн.(2) в расчётной точке ночью, дБ		**ф-ла(3)[10]**	**0**	**0**	**0**	**0**	**0**	**0**	**0**	**0**	**0**	**0**	**0**
Суммарные уровни звукового давления от мнимых источников в расчётной точке днём, дБ		**ф-ла (19) [1]**	**0**	**0**	**0**	**0**	**0**	**0**	**0**	**0**	**0**	**0**	**0**
Суммарные уровни звукового давления от мнимых источников в расчётной точке ночью, дБ		**ф-ла (19) [1]**	**0**	**0**	**0**	**0**	**0**	**0**	**0**	**0**	**0**	**0**	**0**
Уровни звукового давления от источника ИШ-9-3 в расчётной точке днём, дБ		**ф-ла(3)[10]**	**0**	**22,4**	**22,8**	**22,8**	**21**	**18,1**	**10,5**	**0**	**0**	**22,3**	**22,3**
Уровни звукового давления от источника ИШ-9-3 в расчётной точке ночью, дБ		**ф-ла(3)[10]**	**0**	**22,4**	**22,8**	**22,8**	**21**	**18,1**	**10,5**	**0**	**0**	**22,3**	**22,3**

1		2	3	4	5	6	7	8	9	10	11	12	13
Источник шума: ИШ-9-4, координаты источника (x,y,z), м =[646.01,-349.15,1.00]													
Уровни звуковой мощности источника днём, Lw, дБ		**исходные данные**	**0**	**93,3**	**94,7**	**96**	**96,3**	**95,9**	**92,6**	**88,4**	**83,9**		
Уровни звуковой мощности источника ночью, Lw, дБ		**исходные данные**	**0**	**93,3**	**94,7**	**96**	**96,3**	**95,9**	**92,6**	**88,4**	**83,9**		
Поправка на телесный угол DΩ, дБ	Ω = 6.28	10Lg(4π/Ω)	**3**	3	3	3	3	3	3	3	3		
Показатель направленности источника Di, дБ		исходные данные	**0**	0	0	0	0	0	0	0	0		
Поправка на направленность источника Dc, дБ	Dc	DΩ + Di	**3**	3	3	3	3	3	3	3	3		
Затухание из-за геометрической дивергенции, Adiv, дБ	расстояние = 1020.30 м	ф-ла (7) [10]	**71,2**										
Коэффициент затухания звука в атмосфере α, дБ/км	Ta=20,°C Pa=101.33,кПа hотн.=70%	ф-ла (5) [9]	0,02	0,09	0,33	1,12	2,79	4,98	9,04	23,09	77,63		
Учет затухания звука в атмосфере Aatm, дБ		ф-ла (8) [10]	0	0,1	0,3	1,1	2,8	5,1	9,2	23,6	79,2		
Снижение уровня звукового давления из-за влияния застройки между источником шума и расчетной точкой													
Снижение уровня звукового давления на пути над экраном, Dz1, дБ	z = 0.01м (разность путей)	ф-лы (14-18) [10]	4,8	4,8	4,8	4,8	4,8	4,8	4,8	4,8	4,8		
Снижение уровня звукового давления на пути слева от экрана, Dz2, дБ	z = 1.22м (разность путей)	ф-лы (14-18) [10]	8,8	10,8	13,2	15,9	18,7	21,7	24,6	27,6	30,6		
Снижение уровня звукового давления на пути справа от экрана, Dz3, дБ	z = 0.65м (разность путей)	ф-лы (14-18) [10]	7,3	9	11	13,5	16,2	19	22	24,9	27,9		
Общее снижение уровня звука препятствием Dz, дБ		Эн.сумма(-Dzi)	1,9	2,6	3,4	3,9	4,3	4,5	4,6	4,7	4,7		
Уровни звукового давления прямого звука от источника ИШ-9-4 в расчётной точке днём, дБ		**ф-ла(3)[10]**	**0**	**22,4**	**22,8**	**22,7**	**21**	**18,1**	**10,5**	**0**	**0**	**22,3**	**22,3**
Уровни звукового давления прямого звука от источника ИШ-9-4 в расчётной точке ночью, дБ		**ф-ла(3)[10]**	**0**	**22,4**	**22,8**	**22,7**	**21**	**18,1**	**10,5**	**0**	**0**	**22,3**	**22,3**

1		2	3	4	5	6	7	8	9	10	11	12	13
Расчёт отражённого звука													
Уровни звукового давления от мнимого источника ИШ-9-4_мн.(1) в расчётной точке днём, дБ		**ф-ла(3)[10]**	**0**	**0**	**0**	**0**	**0**	**0**	**0**	**0**	**0**	**0**	**0**
Уровни звукового давления от мнимого источника ИШ-9-4_мн.(1) в расчётной точке ночью, дБ		**ф-ла(3)[10]**	**0**	**0**	**0**	**0**	**0**	**0**	**0**	**0**	**0**	**0**	**0**
Уровни звукового давления от мнимого источника ИШ-9-4_мн.(2) в расчётной точке днём, дБ		**ф-ла(3)[10]**	**0**	**0**	**0**	**0**	**0**	**0**	**0**	**0**	**0**	**0**	**0**
Уровни звукового давления от мнимого источника ИШ-9-4_мн.(2) в расчётной точке ночью, дБ		**ф-ла(3)[10]**	**0**	**0**	**0**	**0**	**0**	**0**	**0**	**0**	**0**	**0**	**0**
Суммарные уровни звукового давления от мнимых источников в расчётной точке днём, дБ		**ф-ла (19) [1]**	**0**	**0**	**0**	**0**	**0**	**0**	**0**	**0**	**0**	**0**	**0**
Суммарные уровни звукового давления от мнимых источников в расчётной точке ночью, дБ		**ф-ла (19) [1]**	**0**	**0**	**0**	**0**	**0**	**0**	**0**	**0**	**0**	**0**	**0**
Уровни звукового давления от источника ИШ-9-4 в расчётной точке днём, дБ		**ф-ла(3)[10]**	**0**	**22,4**	**22,8**	**22,7**	**21**	**18,1**	**10,5**	**0**	**0**	**22,3**	**22,3**
Уровни звукового давления от источника ИШ-9-4 в расчётной точке ночью, дБ		**ф-ла(3)[10]**	**0**	**22,4**	**22,8**	**22,7**	**21**	**18,1**	**10,5**	**0**	**0**	**22,3**	**22,3**
Источник шума: ИШ-9-5, координаты источника (x,y,z), м =[646.84,-346.17,1.00]													
Уровни звуковой мощности источника днём, Lw, дБ		**исходные данные**	**0**	**93,3**	**94,7**	**96**	**96,3**	**95,9**	**92,6**	**88,4**	**83,9**		
Уровни звуковой мощности источника ночью, Lw, дБ		**исходные данные**	**0**	**93,3**	**94,7**	**96**	**96,3**	**95,9**	**92,6**	**88,4**	**83,9**		
Поправка на телесный угол DΩ, дБ	Ω = 6.28	10Lg(4π/Ω)	**3**	3	3	3	3	3	3	3	3		
Показатель направленности источника Di, дБ		исходные данные	**0**	0	0	0	0	0	0	0	0		
Поправка на направленность источника Dc, дБ	Dc	DΩ + Di	**3**	3	3	3	3	3	3	3	3		
Затухание из-за геометрической дивергенции, Adiv, дБ	расстояние = 1017.57 м	ф-ла (7) [10]	**71,2**										
Коэффициент затухания звука в атмосфере α, дБ/км	Ta=20,°C Pa=101.33,кПа hотн.=70%	ф-ла (5) [9]	0,02	0,09	0,33	1,12	2,79	4,98	9,04	23,09	77,63		

1		2	3	4	5	6	7	8	9	10	11	12	13
Учет затухания звука в атмосфере Aatm, дБ		ф-ла (8) [10]	0	0,1	0,3	1,1	2,8	5,1	9,2	23,5	79		
Снижение уровня звукового давления из-за влияния застройки между источником шума и расчетной точкой													
Снижение уровня звукового давления на пути над экраном, Dz1, дБ	z = 0.01м (разность путей)	ф-лы (14-18) [10]	4,8	4,8	4,8	4,8	4,8	4,8	4,8	4,8	4,8		
Снижение уровня звукового давления на пути слева от экрана, Dz2, дБ	z = 1.10м (разность путей)	ф-лы (14-18) [10]	8,5	10,5	12,8	15,5	18,3	21,2	24,2	27,2	30,2		
Снижение уровня звукового давления на пути справа от экрана, Dz3, дБ	z = 0.78м (разность путей)	ф-лы (14-18) [10]	7,7	9,4	11,6	14,1	16,9	19,8	22,7	25,7	28,7		
Общее снижение уровня звука препятствием Dz, дБ		Эн.сумма(-Dzi)	1,9	2,7	3,4	4	4,3	4,5	4,7	4,7	4,7		
Уровни звукового давления прямого звука от источника ИШ-9-5 в расчётной точке днём, дБ		**ф-ла(3)[10]**	**0**	**22,3**	**22,8**	**22,7**	**21**	**18,1**	**10,6**	**0**	**0**	**22,3**	**22,3**
Уровни звукового давления прямого звука от источника ИШ-9-5 в расчётной точке ночью, дБ		**ф-ла(3)[10]**	**0**	**22,3**	**22,8**	**22,7**	**21**	**18,1**	**10,6**	**0**	**0**	**22,3**	**22,3**
Расчёт отражённого звука													
Уровни звукового давления от мнимого источника ИШ-9-5_мн.(1) в расчётной точке днём, дБ		**ф-ла(3)[10]**	**0**	**0**	**0**	**0**	**0**	**0**	**0**	**0**	**0**	**0**	**0**
Уровни звукового давления от мнимого источника ИШ-9-5_мн.(1) в расчётной точке ночью, дБ		**ф-ла(3)[10]**	**0**	**0**	**0**	**0**	**0**	**0**	**0**	**0**	**0**	**0**	**0**
Уровни звукового давления от мнимого источника ИШ-9-5_мн.(2) в расчётной точке днём, дБ		**ф-ла(3)[10]**	**0**	**0**	**0**	**0**	**0**	**0**	**0**	**0**	**0**	**0**	**0**
Уровни звукового давления от мнимого источника ИШ-9-5_мн.(2) в расчётной точке ночью, дБ		**ф-ла(3)[10]**	**0**	**0**	**0**	**0**	**0**	**0**	**0**	**0**	**0**	**0**	**0**
Суммарные уровни звукового давления от мнимых источников в расчётной точке днём, дБ		**ф-ла (19) [1]**	**0**	**0**	**0**	**0**	**0**	**0**	**0**	**0**	**0**	**0**	**0**
Суммарные уровни звукового давления от мнимых источников в расчётной точке ночью, дБ		**ф-ла (19) [1]**	**0**	**0**	**0**	**0**	**0**	**0**	**0**	**0**	**0**	**0**	**0**
Уровни звукового давления от источника ИШ-9-5 в расчётной точке днём, дБ		**ф-ла(3)[10]**	**0**	**22,3**	**22,8**	**22,7**	**21**	**18,1**	**10,6**	**0**	**0**	**22,3**	**22,3**
Уровни звукового давления от источника ИШ-9-5 в расчётной точке ночью, дБ		**ф-ла(3)[10]**	**0**	**22,3**	**22,8**	**22,7**	**21**	**18,1**	**10,6**	**0**	**0**	**22,3**	**22,3**

1		2	3	4	5	6	7	8	9	10	11	12	13
Источник шума: ИШ-9-6, координаты источника (x,y,z), м =[647.87,-343.47,1.00]													
Уровни звуковой мощности источника днём, Lw, дБ		**исходные данные**	**0**	**93,3**	**94,7**	**96**	**96,3**	**95,9**	**92,6**	**88,4**	**83,9**		
Уровни звуковой мощности источника ночью, Lw, дБ		**исходные данные**	**0**	**93,3**	**94,7**	**96**	**96,3**	**95,9**	**92,6**	**88,4**	**83,9**		
Поправка на телесный угол DΩ, дБ	Ω = 6.28	10Lg(4π/Ω)	**3**	3	3	3	3	3	3	3	3		
Показатель направленности источника Di, дБ		исходные данные	**0**	0	0	0	0	0	0	0	0		
Поправка на направленность источника Dc, дБ	Dc	DΩ + Di	**3**	3	3	3	3	3	3	3	3		
Затухание из-за геометрической дивергенции, Adiv, дБ	расстояние = 1014.91 м	ф-ла (7) [10]	**71,1**										
Коэффициент затухания звука в атмосфере α, дБ/км	Ta=20,°C Pa=101.33,кПа hотн.=70%	ф-ла (5) [9]	0,02	0,09	0,33	1,12	2,79	4,98	9,04	23,09	77,63		
Учет затухания звука в атмосфере Aatm, дБ		ф-ла (8) [10]	0	0,1	0,3	1,1	2,8	5,1	9,2	23,4	78,8		
Снижение уровня звукового давления из-за влияния застройки между источником шума и расчетной точкой													
Снижение уровня звукового давления на пути над экраном, Dz1, дБ	z = 0.01м (разность путей)	ф-лы (14-18) [10]	4,8	4,8	4,8	4,8	4,8	4,8	4,8	4,8	4,8		
Снижение уровня звукового давления на пути слева от экрана, Dz2, дБ	z = 1.01м (разность путей)	ф-лы (14-18) [10]	8,3	10,2	12,5	15,2	18	20,9	23,8	26,8	29,8		
Снижение уровня звукового давления на пути справа от экрана, Dz3, дБ	z = 0.88м (разность путей)	ф-лы (14-18) [10]	8	9,8	12	14,6	17,4	20,3	23,2	26,2	29,2		
Общее снижение уровня звука препятствием Dz, дБ		Эн.сумма(-Dzi)	1,9	2,7	3,5	4	4,3	4,5	4,7	4,7	4,7		
Уровни звукового давления прямого звука от источника ИШ-9-6 в расчётной точке днём, дБ		**ф-ла(3)[10]**	**0**	**22,3**	**22,8**	**22,7**	**21**	**18,2**	**10,6**	**0**	**0**	**22,3**	**22,3**
Уровни звукового давления прямого звука от источника ИШ-9-6 в расчётной точке ночью, дБ		**ф-ла(3)[10]**	**0**	**22,3**	**22,8**	**22,7**	**21**	**18,2**	**10,6**	**0**	**0**	**22,3**	**22,3**

1		2	3	4	5	6	7	8	9	10	11	12	13
Расчёт отражённого звука													
Уровни звукового давления от мнимого источника ИШ-9-6_мн.(1) в расчётной точке днём, дБ		**ф-ла(3)[10]**	**0**	**0**	**0**	**0**	**0**	**0**	**0**	**0**	**0**	**0**	**0**
Уровни звукового давления от мнимого источника ИШ-9-6_мн.(1) в расчётной точке ночью, дБ		**ф-ла(3)[10]**	**0**	**0**	**0**	**0**	**0**	**0**	**0**	**0**	**0**	**0**	**0**
Уровни звукового давления от мнимого источника ИШ-9-6_мн.(2) в расчётной точке днём, дБ		**ф-ла(3)[10]**	**0**	**0**	**0**	**0**	**0**	**0**	**0**	**0**	**0**	**0**	**0**
Уровни звукового давления от мнимого источника ИШ-9-6_мн.(2) в расчётной точке ночью, дБ		**ф-ла(3)[10]**	**0**	**0**	**0**	**0**	**0**	**0**	**0**	**0**	**0**	**0**	**0**
Суммарные уровни звукового давления от мнимых источников в расчётной точке днём, дБ		**ф-ла (19) [1]**	**0**	**0**	**0**	**0**	**0**	**0**	**0**	**0**	**0**	**0**	**0**
Суммарные уровни звукового давления от мнимых источников в расчётной точке ночью, дБ		**ф-ла (19) [1]**	**0**	**0**	**0**	**0**	**0**	**0**	**0**	**0**	**0**	**0**	**0**
Уровни звукового давления от источника ИШ-9-6 в расчётной точке днём, дБ		**ф-ла(3)[10]**	**0**	**22,3**	**22,8**	**22,7**	**21**	**18,2**	**10,6**	**0**	**0**	**22,3**	**22,3**
Уровни звукового давления от источника ИШ-9-6 в расчётной точке ночью, дБ		**ф-ла(3)[10]**	**0**	**22,3**	**22,8**	**22,7**	**21**	**18,2**	**10,6**	**0**	**0**	**22,3**	**22,3**
Источник шума: ИШ-9-7, координаты источника (x,y,z), м =[648.71,-340.49,1.00]													
Уровни звуковой мощности источника днём, Lw, дБ		**исходные данные**	**0**	**93,3**	**94,7**	**96**	**96,3**	**95,9**	**92,6**	**88,4**	**83,9**		
Уровни звуковой мощности источника ночью, Lw, дБ		**исходные данные**	**0**	**93,3**	**94,7**	**96**	**96,3**	**95,9**	**92,6**	**88,4**	**83,9**		
Поправка на телесный угол DΩ, дБ	Ω = 6.28	10Lg(4π/Ω)	**3**	3	3	3	3	3	3	3	3		
Показатель направленности источника Di, дБ		исходные данные	**0**	0	0	0	0	0	0	0	0		
Поправка на направленность источника Dc, дБ	Dc	DΩ + Di	**3**	3	3	3	3	3	3	3	3		
Затухание из-за геометрической дивергенции, Adiv, дБ	расстояние = 1012.18 м	ф-ла (7) [10]	**71,1**										
Коэффициент затухания звука в атмосфере α, дБ/км	Ta=20,°C Pa=101.33,кПа hотн.=70%	ф-ла (5) [9]	0,02	0,09	0,33	1,12	2,79	4,98	9,04	23,09	77,63		

1		2	3	4	5	6	7	8	9	10	11	12	13
Учет затухания звука в атмосфере Aatm, дБ		ф-ла (8) [10]	0	0,1	0,3	1,1	2,8	5	9,1	23,4	78,6		
Снижение уровня звукового давления из-за влияния застройки между источником шума и расчетной точкой													
Снижение уровня звукового давления на пути над экраном, Dz1, дБ	z = 0.01м (разность путей)	ф-лы (14-18) [10]	4,8	4,8	4,8	4,8	4,8	4,8	4,8	4,8	4,8		
Снижение уровня звукового давления на пути слева от экрана, Dz2, дБ	z = 0.90м (разность путей)	ф-лы (14-18) [10]	8	9,9	12,1	14,7	17,5	20,4	23,3	26,3	29,3		
Снижение уровня звукового давления на пути справа от экрана, Dz3, дБ	z = 1.03м (разность путей)	ф-лы (14-18) [10]	8,3	10,3	12,6	15,2	18	20,9	23,9	26,9	29,9		
Общее снижение уровня звука препятствием Dz, дБ		Эн.сумма(-Dzi)	2	2,8	3,5	4	4,4	4,6	4,7	4,7	4,7		
Уровни звукового давления прямого звука от источника ИШ-9-7 в расчётной точке днём, дБ		**ф-ла(3)[10]**	**0**	**22,3**	**22,8**	**22,7**	**21**	**18,2**	**10,7**	**0**	**0**	**22,4**	**22,4**
Уровни звукового давления прямого звука от источника ИШ-9-7 в расчётной точке ночью, дБ		**ф-ла(3)[10]**	**0**	**22,3**	**22,8**	**22,7**	**21**	**18,2**	**10,7**	**0**	**0**	**22,4**	**22,4**
Расчёт отражённого звука													
Уровни звукового давления от мнимого источника ИШ-9-7_мн.(1) в расчётной точке днём, дБ		**ф-ла(3)[10]**	**0**	**0**	**0**	**0**	**0**	**0**	**0**	**0**	**0**	**0**	**0**
Уровни звукового давления от мнимого источника ИШ-9-7_мн.(1) в расчётной точке ночью, дБ		**ф-ла(3)[10]**	**0**	**0**	**0**	**0**	**0**	**0**	**0**	**0**	**0**	**0**	**0**
Уровни звукового давления от источника ИШ-9-7 в расчётной точке днём, дБ		**ф-ла(3)[10]**	**0**	**22,3**	**22,8**	**22,7**	**21**	**18,2**	**10,7**	**0**	**0**	**22,4**	**22,4**
Уровни звукового давления от источника ИШ-9-7 в расчётной точке ночью, дБ		**ф-ла(3)[10]**	**0**	**22,3**	**22,8**	**22,7**	**21**	**18,2**	**10,7**	**0**	**0**	**22,4**	**22,4**
Источник шума: ИШ-9-8, координаты источника (x,y,z), м =[649.92,-337.69,1.00]													
Уровни звуковой мощности источника днём, Lw, дБ		**исходные данные**	**0**	**93,3**	**94,7**	**96**	**96,3**	**95,9**	**92,6**	**88,4**	**83,9**		
Уровни звуковой мощности источника ночью, Lw, дБ		**исходные данные**	**0**	**93,3**	**94,7**	**96**	**96,3**	**95,9**	**92,6**	**88,4**	**83,9**		
Поправка на телесный угол DΩ, дБ	Ω = 6.28	10Lg(4π/Ω)	**3**	3	3	3	3	3	3	3	3		

1		2	3	4	5	6	7	8	9	10	11	12	13
Показатель направленности источника Di, дБ		исходные данные	**0**	0	0	0	0	0	0	0	0		
Поправка на направленность источника Dc, дБ	Dc	DΩ + Di	**3**	3	3	3	3	3	3	3	3		
Затухание из-за геометрической дивергенции, Adiv, дБ	расстояние = 1009.33 м	ф-ла (7) [10]	**71,1**										
Коэффициент затухания звука в атмосфере α, дБ/км	Ta=20,°C Pa=101.33,кПа hотн.=70%	ф-ла (5) [9]	0,02	0,09	0,33	1,12	2,79	4,98	9,04	23,09	77,63		
Учет затухания звука в атмосфере Aatm, дБ		ф-ла (8) [10]	0	0,1	0,3	1,1	2,8	5	9,1	23,3	78,4		
Снижение уровня звукового давления из-за влияния застройки между источником шума и расчетной точкой													
Снижение уровня звукового давления на пути над экраном, Dz1, дБ	z = 0.01м (разность путей)	ф-лы (14-18) [10]	4,8	4,8	4,8	4,8	4,8	4,8	4,8	4,8	4,8		
Снижение уровня звукового давления на пути слева от экрана, Dz2, дБ	z = 0.82м (разность путей)	ф-лы (14-18) [10]	7,8	9,6	11,8	14,3	17,1	20	22,9	25,9	28,9		
Снижение уровня звукового давления на пути справа от экрана, Dz3, дБ	z = 1.15м (разность путей)	ф-лы (14-18) [10]	8,6	10,6	13	15,7	18,5	21,4	24,4	27,4	30,4		
Общее снижение уровня звука препятствием Dz, дБ		Эн.сумма(-Dzi)	2	2,8	3,5	4	4,4	4,6	4,7	4,7	4,7		
Уровни звукового давления прямого звука от источника ИШ-9-8 в расчётной точке днём, дБ		**ф-ла(3)[10]**	**0**	**22,4**	**22,8**	**22,8**	**21**	**18,2**	**10,7**	**0**	**0**	**22,4**	**22,4**
Уровни звукового давления прямого звука от источника ИШ-9-8 в расчётной точке ночью, дБ		**ф-ла(3)[10]**	**0**	**22,4**	**22,8**	**22,8**	**21**	**18,2**	**10,7**	**0**	**0**	**22,4**	**22,4**
Расчёт отражённого звука													
Уровни звукового давления от мнимого источника ИШ-9-8_мн.(1) в расчётной точке днём, дБ		**ф-ла(3)[10]**	**0**	**0**	**0**	**0**	**0**	**0**	**0**	**0**	**0**	**0**	**0**
Уровни звукового давления от мнимого источника ИШ-9-8_мн.(1) в расчётной точке ночью, дБ		**ф-ла(3)[10]**	**0**	**0**	**0**	**0**	**0**	**0**	**0**	**0**	**0**	**0**	**0**
Уровни звукового давления от источника ИШ-9-8 в расчётной точке днём, дБ		**ф-ла(3)[10]**	**0**	**22,4**	**22,8**	**22,8**	**21**	**18,2**	**10,7**	**0**	**0**	**22,4**	**22,4**
Уровни звукового давления от источника ИШ-9-8 в расчётной точке ночью, дБ		**ф-ла(3)[10]**	**0**	**22,4**	**22,8**	**22,8**	**21**	**18,2**	**10,7**	**0**	**0**	**22,4**	**22,4**

1		2	3	4	5	6	7	8	9	10	11	12	13
Источник шума: ИШ-9-9, координаты источника (x,y,z), м =[650.66,-334.90,1.00]													
Уровни звуковой мощности источника днём, Lw, дБ		**исходные данные**	**0**	**93,3**	**94,7**	**96**	**96,3**	**95,9**	**92,6**	**88,4**	**83,9**		
Уровни звуковой мощности источника ночью, Lw, дБ		**исходные данные**	**0**	**93,3**	**94,7**	**96**	**96,3**	**95,9**	**92,6**	**88,4**	**83,9**		
Поправка на телесный угол DΩ, дБ	Ω = 6.28	10Lg(4π/Ω)	**3**	3	3	3	3	3	3	3	3		
Показатель направленности источника Di, дБ		исходные данные	**0**	0	0	0	0	0	0	0	0		
Поправка на направленность источника Dc, дБ	Dc	DΩ + Di	**3**	3	3	3	3	3	3	3	3		
Затухание из-за геометрической дивергенции, Adiv, дБ	расстояние = 1006.81 м	ф-ла (7) [10]	**71,1**										
Коэффициент затухания звука в атмосфере α, дБ/км	Ta=20,°C Pa=101.33,кПа hотн.=70%	ф-ла (5) [9]	0,02	0,09	0,33	1,12	2,79	4,98	9,04	23,09	77,63		
Учет затухания звука в атмосфере Aatm, дБ		ф-ла (8) [10]	0	0,1	0,3	1,1	2,8	5	9,1	23,2	78,2		
Снижение уровня звукового давления из-за влияния застройки между источником шума и расчетной точкой													
Снижение уровня звукового давления на пути над экраном, Dz1, дБ	z = 0.01м (разность путей)	ф-лы (14-18) [10]	4,8	4,8	4,8	4,8	4,8	4,8	4,8	4,8	4,8		
Снижение уровня звукового давления на пути слева от экрана, Dz2, дБ	z = 0.72м (разность путей)	ф-лы (14-18) [10]	7,5	9,2	11,3	13,8	16,6	19,4	22,4	25,3	28,3		
Снижение уровня звукового давления на пути справа от экрана, Dz3, дБ	z = 1.32м (разность путей)	ф-лы (14-18) [10]	9	11,1	13,5	16,2	19,1	22	25	27,9	30,9		
Общее снижение уровня звука препятствием Dz, дБ		Эн.сумма(-Dzi)	2	2,7	3,5	4	4,3	4,5	4,7	4,7	4,7		
Уровни звукового давления прямого звука от источника ИШ-9-9 в расчётной точке днём, дБ		**ф-ла(3)[10]**	**0**	**22,4**	**22,8**	**22,8**	**21,1**	**18,3**	**10,8**	**0**	**0**	**22,5**	**22,5**
Уровни звукового давления прямого звука от источника ИШ-9-9 в расчётной точке ночью, дБ		**ф-ла(3)[10]**	**0**	**22,4**	**22,8**	**22,8**	**21,1**	**18,3**	**10,8**	**0**	**0**	**22,5**	**22,5**

1		2	3	4	5	6	7	8	9	10	11	12	13
Расчёт отражённого звука													
Уровни звукового давления от мнимого источника ИШ-9-9_мн.(1) в расчётной точке днём, дБ		**ф-ла(3)[10]**	**0**	**0**	**0**	**0**	**0**	**0**	**0**	**0**	**0**	**0**	**0**
Уровни звукового давления от мнимого источника ИШ-9-9_мн.(1) в расчётной точке ночью, дБ		**ф-ла(3)[10]**	**0**	**0**	**0**	**0**	**0**	**0**	**0**	**0**	**0**	**0**	**0**
Уровни звукового давления от источника ИШ-9-9 в расчётной точке днём, дБ		**ф-ла(3)[10]**	**0**	**22,4**	**22,8**	**22,8**	**21,1**	**18,3**	**10,8**	**0**	**0**	**22,5**	**22,5**
Уровни звукового давления от источника ИШ-9-9 в расчётной точке ночью, дБ		**ф-ла(3)[10]**	**0**	**22,4**	**22,8**	**22,8**	**21,1**	**18,3**	**10,8**	**0**	**0**	**22,5**	**22,5**
Источник шума: ИШ-9-10, координаты источника (x,y,z), м =[651.59,-332.01,1.00]													
Уровни звуковой мощности источника днём, Lw, дБ		**исходные данные**	**0**	**93,3**	**94,7**	**96**	**96,3**	**95,9**	**92,6**	**88,4**	**83,9**		
Уровни звуковой мощности источника ночью, Lw, дБ		**исходные данные**	**0**	**93,3**	**94,7**	**96**	**96,3**	**95,9**	**92,6**	**88,4**	**83,9**		
Поправка на телесный угол DΩ, дБ	Ω = 6.28	10Lg(4π/Ω)	**3**	3	3	3	3	3	3	3	3		
Показатель направленности источника Di, дБ		исходные данные	**0**	0	0	0	0	0	0	0	0		
Поправка на направленность источника Dc, дБ	Dc	DΩ + Di	**3**	3	3	3	3	3	3	3	3		
Затухание из-за геометрической дивергенции, Adiv, дБ	расстояние = 1004.09 м	ф-ла (7) [10]	**71**										
Коэффициент затухания звука в атмосфере α, дБ/км	Ta=20,°C Pa=101.33,кПа hотн.=70%	ф-ла (5) [9]	0,02	0,09	0,33	1,12	2,79	4,98	9,04	23,09	77,63		
Учет затухания звука в атмосфере Aatm, дБ		ф-ла (8) [10]	0	0,1	0,3	1,1	2,8	5	9,1	23,2	78		
Снижение уровня звукового давления из-за влияния застройки между источником шума и расчетной точкой													
Снижение уровня звукового давления на пути над экраном, Dz1, дБ	z = 0.01м (разность путей)	ф-лы (14-18) [10]	4,8	4,8	4,8	4,8	4,8	4,8	4,8	4,8	4,8		

1		2	3	4	5	6	7	8	9	10	11	12	13
Снижение уровня звукового давления на пути слева от экрана, Dz2, дБ	z = 0.63м (разность путей)	ф-лы (14-18) [10]	7,3	8,9	10,9	13,3	16	18,9	21,8	24,8	27,8		
Снижение уровня звукового давления на пути справа от экрана, Dz3, дБ	z = 1.49м (разность путей)	ф-лы (14-18) [10]	9,3	11,5	14	16,7	19,6	22,5	25,5	28,5	31,5		
Общее снижение уровня звука препятствием Dz, дБ		Эн.сумма(-Dzi)	2	2,7	3,4	4	4,3	4,5	4,7	4,7	4,7		
Уровни звукового давления прямого звука от источника ИШ-9-10 в расчётной точке днём, дБ		**ф-ла(3)[10]**	**0**	**22,4**	**22,9**	**22,9**	**21,1**	**18,3**	**10,8**	**0**	**0**	**22,5**	**22,5**
Уровни звукового давления прямого звука от источника ИШ-9-10 в расчётной точке ночью, дБ		**ф-ла(3)[10]**	**0**	**22,4**	**22,9**	**22,9**	**21,1**	**18,3**	**10,8**	**0**	**0**	**22,5**	**22,5**
Расчёт отражённого звука													
Уровни звукового давления от мнимого источника ИШ-9-10_мн.(1) в расчётной точке днём, дБ		**ф-ла(3)[10]**	**0**	**0**	**0**	**0**	**0**	**0**	**0**	**0**	**0**	**0**	**0**
Уровни звукового давления от мнимого источника ИШ-9-10_мн.(1) в расчётной точке ночью, дБ		**ф-ла(3)[10]**	**0**	**0**	**0**	**0**	**0**	**0**	**0**	**0**	**0**	**0**	**0**
Уровни звукового давления от источника ИШ-9-10 в расчётной точке днём, дБ		**ф-ла(3)[10]**	**0**	**22,4**	**22,9**	**22,9**	**21,1**	**18,3**	**10,8**	**0**	**0**	**22,5**	**22,5**
Уровни звукового давления от источника ИШ-9-10 в расчётной точке ночью, дБ		**ф-ла(3)[10]**	**0**	**22,4**	**22,9**	**22,9**	**21,1**	**18,3**	**10,8**	**0**	**0**	**22,5**	**22,5**
Источник шума: ИШ-9-11, координаты источника (x,y,z), м =[652.71,-329.22,1.00]													
Уровни звуковой мощности источника днём, Lw, дБ		**исходные данные**	**0**	**93,3**	**94,7**	**96**	**96,3**	**95,9**	**92,6**	**88,4**	**83,9**		
Уровни звуковой мощности источника ночью, Lw, дБ		**исходные данные**	**0**	**93,3**	**94,7**	**96**	**96,3**	**95,9**	**92,6**	**88,4**	**83,9**		
Поправка на телесный угол DΩ, дБ	Ω = 6.28	10Lg(4π/Ω)	**3**	3	3	3	3	3	3	3	3		
Показатель направленности источника Di, дБ		исходные данные	**0**	0	0	0	0	0	0	0	0		
Поправка на направленность источника Dc, дБ	Dc	DΩ + Di	**3**	3	3	3	3	3	3	3	3		
Затухание из-за геометрической дивергенции, Adiv, дБ	расстояние = 1001.30 м	ф-ла (7) [10]	**71**										

1		2	3	4	5	6	7	8	9	10	11	12	13
Коэффициент затухания звука в атмосфере α, дБ/км	Ta=20,°C Pa=101.33,кПа hотн.=70%	ф-ла (5) [9]	0,02	0,09	0,33	1,12	2,79	4,98	9,04	23,09	77,63		
Учет затухания звука в атмосфере Aatm, дБ		ф-ла (8) [10]	0	0,1	0,3	1,1	2,8	5	9,1	23,1	77,7		
Снижение уровня звукового давления из-за влияния застройки между источником шума и расчетной точкой													
Снижение уровня звукового давления на пути над экраном, Dz1, дБ	z = 0.01м (разность путей)	ф-лы (14-18) [10]	4,8	4,8	4,8	4,8	4,8	4,8	4,8	4,8	4,8		
Снижение уровня звукового давления на пути слева от экрана, Dz2, дБ	z = 0.56м (разность путей)	ф-лы (14-18) [10]	7	8,5	10,5	12,9	15,5	18,4	21,3	24,2	27,2		
Снижение уровня звукового давления на пути справа от экрана, Dz3, дБ	z = 1.65м (разность путей)	ф-лы (14-18) [10]	9,6	11,8	14,4	17,1	20	23	25,9	28,9	31,9		
Общее снижение уровня звука препятствием Dz, дБ		Эн.сумма(-Dzi)	1,9	2,7	3,4	3,9	4,3	4,5	4,6	4,7	4,7		
Уровни звукового давления прямого звука от источника ИШ-9-11 в расчётной точке днём, дБ		**ф-ла(3)[10]**	**0**	**22,5**	**23**	**22,9**	**21,2**	**18,4**	**10,9**	**0**	**0**	**22,6**	**22,6**
Уровни звукового давления прямого звука от источника ИШ-9-11 в расчётной точке ночью, дБ		**ф-ла(3)[10]**	**0**	**22,5**	**23**	**22,9**	**21,2**	**18,4**	**10,9**	**0**	**0**	**22,6**	**22,6**
Расчёт отражённого звука													
Уровни звукового давления от мнимого источника ИШ-9-11_мн.(1) в расчётной точке днём, дБ		**ф-ла(3)[10]**	**0**	**0**	**0**	**0**	**0**	**0**	**0**	**0**	**0**	**0**	**0**
Уровни звукового давления от мнимого источника ИШ-9-11_мн.(1) в расчётной точке ночью, дБ		**ф-ла(3)[10]**	**0**	**0**	**0**	**0**	**0**	**0**	**0**	**0**	**0**	**0**	**0**
Уровни звукового давления от источника ИШ-9-11 в расчётной точке днём, дБ		**ф-ла(3)[10]**	**0**	**22,5**	**23**	**22,9**	**21,2**	**18,4**	**10,9**	**0**	**0**	**22,6**	**22,6**
Уровни звукового давления от источника ИШ-9-11 в расчётной точке ночью, дБ		**ф-ла(3)[10]**	**0**	**22,5**	**23**	**22,9**	**21,2**	**18,4**	**10,9**	**0**	**0**	**22,6**	**22,6**
Источник шума: ИШ-9-12, координаты источника (x,y,z), м =[653.46,-326.33,1.00]													
Уровни звуковой мощности источника днём, Lw, дБ		**исходные данные**	**0**	**93,3**	**94,7**	**96**	**96,3**	**95,9**	**92,6**	**88,4**	**83,9**		

1		2	3	4	5	6	7	8	9	10	11	12	13
Уровни звуковой мощности источника ночью, Lw, дБ		**исходные данные**	**0**	**93,3**	**94,7**	**96**	**96,3**	**95,9**	**92,6**	**88,4**	**83,9**		
Поправка на телесный угол DΩ, дБ	Ω = 6.28	10Lg(4π/Ω)	**3**	3	3	3	3	3	3	3	3		
Показатель направленности источника Di, дБ		исходные данные	**0**	0	0	0	0	0	0	0	0		
Поправка на направленность источника Dc, дБ	Dc	DΩ + Di	**3**	3	3	3	3	3	3	3	3		
Затухание из-за геометрической дивергенции, Adiv, дБ	расстояние = 998.72 м	ф-ла (7) [10]	**71**										
Коэффициент затухания звука в атмосфере α, дБ/км	Ta=20,°C Pa=101.33,кПа hотн.=70%	ф-ла (5) [9]	0,02	0,09	0,33	1,12	2,79	4,98	9,04	23,09	77,63		
Учет затухания звука в атмосфере Aatm, дБ		ф-ла (8) [10]	0	0,1	0,3	1,1	2,8	5	9	23,1	77,5		
Снижение уровня звукового давления из-за влияния застройки между источником шума и расчетной точкой													
Снижение уровня звукового давления на пути над экраном, Dz1, дБ	z = 0.01м (разность путей)	ф-лы (14-18) [10]	4,8	4,8	4,8	4,8	4,8	4,8	4,8	4,8	4,8		
Снижение уровня звукового давления на пути слева от экрана, Dz2, дБ	z = 0.47м (разность путей)	ф-лы (14-18) [10]	6,8	8,1	10	12,2	14,9	17,6	20,5	23,5	26,5		
Снижение уровня звукового давления на пути справа от экрана, Dz3, дБ	z = 1.87м (разность путей)	ф-лы (14-18) [10]	10	12,3	14,8	17,6	20,5	23,5	26,5	29,5	32,5		
Общее снижение уровня звука препятствием Dz, дБ		Эн.сумма(-Dzi)	1,9	2,6	3,3	3,9	4,3	4,5	4,6	4,7	4,7		
Уровни звукового давления от источника ИШ-9-12 в расчётной точке днём, дБ		**ф-ла(3)[10]**	**0**	**22,6**	**23,1**	**23**	**21,3**	**18,4**	**10,9**	**0**	**0**	**22,6**	**22,6**
Уровни звукового давления от источника ИШ-9-12 в расчётной точке ночью, дБ		**ф-ла(3)[10]**	**0**	**22,6**	**23,1**	**23**	**21,3**	**18,4**	**10,9**	**0**	**0**	**22,6**	**22,6**
Источник шума: ИШ-9-13, координаты источника (x,y,z), м =[654.48,-323.54,1.00]													
Уровни звуковой мощности источника днём, Lw, дБ		**исходные данные**	**0**	**93,3**	**94,7**	**96**	**96,3**	**95,9**	**92,6**	**88,4**	**83,9**		

1		2	3	4	5	6	7	8	9	10	11	12	13
Уровни звуковой мощности источника ночью, Lw, дБ		**исходные данные**	**0**	**93,3**	**94,7**	**96**	**96,3**	**95,9**	**92,6**	**88,4**	**83,9**		
Поправка на телесный угол DΩ, дБ	Ω = 6.28	10Lg(4π/Ω)	**3**	3	3	3	3	3	3	3	3		
Показатель направленности источника Di, дБ		исходные данные	**0**	0	0	0	0	0	0	0	0		
Поправка на направленность источника Dc, дБ	Dc	DΩ + Di	**3**	3	3	3	3	3	3	3	3		
Затухание из-за геометрической дивергенции, Adiv, дБ	расстояние = 996.00 м	ф-ла (7) [10]	**71**										
Коэффициент затухания звука в атмосфере α, дБ/км	Ta=20,°C Pa=101.33,кПа hотн.=70%	ф-ла (5) [9]	0,02	0,09	0,33	1,12	2,79	4,98	9,04	23,09	77,63		
Учет затухания звука в атмосфере Aatm, дБ		ф-ла (8) [10]	0	0,1	0,3	1,1	2,8	5	9	23	77,3		
Снижение уровня звукового давления из-за влияния застройки между источником шума и расчетной точкой													
Снижение уровня звукового давления на пути над экраном, Dz1, дБ	z = 0.01м (разность путей)	ф-лы (14-18) [10]	4,8	4,8	4,8	4,8	4,8	4,8	4,8	4,8	4,8		
Снижение уровня звукового давления на пути слева от экрана, Dz2, дБ	z = 0.40м (разность путей)	ф-лы (14-18) [10]	6,5	7,8	9,5	11,7	14,2	17	19,9	22,8	25,8		
Снижение уровня звукового давления на пути справа от экрана, Dz3, дБ	z = 2.07м (разность путей)	ф-лы (14-18) [10]	10,3	12,6	15,2	18	21	23,9	26,9	29,9	32,9		
Общее снижение уровня звука препятствием Dz, дБ		Эн.сумма(-Dzi)	1,9	2,6	3,2	3,8	4,2	4,5	4,6	4,7	4,7		
Уровни звукового давления от источника ИШ-9-13 в расчётной точке днём, дБ		**ф-ла(3)[10]**	**0**	**22,7**	**23,2**	**23,1**	**21,3**	**18,5**	**11**	**0**	**0**	**22,7**	**22,7**
Уровни звукового давления от источника ИШ-9-13 в расчётной точке ночью, дБ		**ф-ла(3)[10]**	**0**	**22,7**	**23,2**	**23,1**	**21,3**	**18,5**	**11**	**0**	**0**	**22,7**	**22,7**
Источник шума: ИШ-9-14, координаты источника (x,y,z), м =[655.60,-320.74,1.00]													
Уровни звуковой мощности источника днём, Lw, дБ		**исходные данные**	**0**	**93,3**	**94,7**	**96**	**96,3**	**95,9**	**92,6**	**88,4**	**83,9**		

1		2	3	4	5	6	7	8	9	10	11	12	13
Уровни звуковой мощности источника ночью, Lw, дБ		**исходные данные**	**0**	**93,3**	**94,7**	**96**	**96,3**	**95,9**	**92,6**	**88,4**	**83,9**		
Поправка на телесный угол DΩ, дБ	Ω = 6.28	10Lg(4π/Ω)	**3**	3	3	3	3	3	3	3	3		
Показатель направленности источника Di, дБ		исходные данные	**0**	0	0	0	0	0	0	0	0		
Поправка на направленность источника Dc, дБ	Dc	DΩ + Di	**3**	3	3	3	3	3	3	3	3		
Затухание из-за геометрической дивергенции, Adiv, дБ	расстояние = 993.23 м	ф-ла (7) [10]	**70,9**										
Коэффициент затухания звука в атмосфере α, дБ/км	Ta=20,°C Pa=101.33,кПа hотн.=70%	ф-ла (5) [9]	0,02	0,09	0,33	1,12	2,79	4,98	9,04	23,09	77,63		
Учет затухания звука в атмосфере Aatm, дБ		ф-ла (8) [10]	0	0,1	0,3	1,1	2,8	4,9	9	22,9	77,1		
Снижение уровня звукового давления из-за влияния застройки между источником шума и расчетной точкой													
Снижение уровня звукового давления на пути над экраном, Dz1, дБ	z = 0.01м (разность путей)	ф-лы (14-18) [10]	4,8	4,8	4,8	4,8	4,8	4,8	4,8	4,8	4,8		
Снижение уровня звукового давления на пути слева от экрана, Dz2, дБ	z = 0.34м (разность путей)	ф-лы (14-18) [10]	6,3	7,4	9	11,1	13,6	16,3	19,2	22,1	25,1		
Снижение уровня звукового давления на пути справа от экрана, Dz3, дБ	z = 2.27м (разность путей)	ф-лы (14-18) [10]	10,6	13	15,6	18,4	21,3	24,3	27,3	30,3	33,3		
Общее снижение уровня звука препятствием Dz, дБ		Эн.сумма(-Dzi)	1,8	2,5	3,1	3,7	4,2	4,4	4,6	4,7	4,7		
Уровни звукового давления от источника ИШ-9-14 в расчётной точке днём, дБ		**ф-ла(3)[10]**	**0**	**22,8**	**23,3**	**23,2**	**21,4**	**18,6**	**11,1**	**0**	**0**	**22,8**	**22,8**
Уровни звукового давления от источника ИШ-9-14 в расчётной точке ночью, дБ		**ф-ла(3)[10]**	**0**	**22,8**	**23,3**	**23,2**	**21,4**	**18,6**	**11,1**	**0**	**0**	**22,8**	**22,8**
Источник шума: ИШ-9-15, координаты источника (x,y,z), м =[656.44,-317.86,1.00]													
Уровни звуковой мощности источника днём, Lw, дБ		**исходные данные**	**0**	**93,3**	**94,7**	**96**	**96,3**	**95,9**	**92,6**	**88,4**	**83,9**		

1		2	3	4	5	6	7	8	9	10	11	12	13
Уровни звуковой мощности источника ночью, Lw, дБ		**исходные данные**	**0**	**93,3**	**94,7**	**96**	**96,3**	**95,9**	**92,6**	**88,4**	**83,9**		
Поправка на телесный угол DΩ, дБ	Ω = 6.28	10Lg(4π/Ω)	**3**	3	3	3	3	3	3	3	3		
Показатель направленности источника Di, дБ		исходные данные	**0**	0	0	0	0	0	0	0	0		
Поправка на направленность источника Dc, дБ	Dc	DΩ + Di	**3**	3	3	3	3	3	3	3	3		
Затухание из-за геометрической дивергенции, Adiv, дБ	расстояние = 990.58 м	ф-ла (7) [10]	**70,9**										
Коэффициент затухания звука в атмосфере α, дБ/км	Ta=20,°C Pa=101.33,кПа hотн.=70%	ф-ла (5) [9]	0,02	0,09	0,33	1,12	2,79	4,98	9,04	23,09	77,63		
Учет затухания звука в атмосфере Aatm, дБ		ф-ла (8) [10]	0	0,1	0,3	1,1	2,8	4,9	9	22,9	76,9		
Снижение уровня звукового давления из-за влияния застройки между источником шума и расчетной точкой													
Снижение уровня звукового давления на пути над экраном, Dz1, дБ	z = 0.01м (разность путей)	ф-лы (14-18) [10]	4,8	4,8	4,8	4,8	4,8	4,8	4,8	4,8	4,8		
Снижение уровня звукового давления на пути слева от экрана, Dz2, дБ	z = 0.27м (разность путей)	ф-лы (14-18) [10]	6	7	8,4	10,4	12,8	15,4	18,2	21,2	24,1		
Снижение уровня звукового давления на пути справа от экрана, Dz3, дБ	z = 2.52м (разность путей)	ф-лы (14-18) [10]	10,9	13,4	16	18,9	21,8	24,8	27,8	30,8	33,8		
Общее снижение уровня звука препятствием Dz, дБ		Эн.сумма(-Dzi)	1,8	2,4	3	3,6	4,1	4,4	4,6	4,7	4,7		
Уровни звукового давления от источника ИШ-9-15 в расчётной точке днём, дБ		**ф-ла(3)[10]**	**0**	**22,9**	**23,4**	**23,4**	**21,6**	**18,7**	**11,2**	**0**	**0**	**22,9**	**22,9**
Уровни звукового давления от источника ИШ-9-15 в расчётной точке ночью, дБ		**ф-ла(3)[10]**	**0**	**22,9**	**23,4**	**23,4**	**21,6**	**18,7**	**11,2**	**0**	**0**	**22,9**	**22,9**
Источник шума: ИШ-9-16, координаты источника (x,y,z), м =[657.46,-314.97,1.00]													
Уровни звуковой мощности источника днём, Lw, дБ		**исходные данные**	**0**	**93,3**	**94,7**	**96**	**96,3**	**95,9**	**92,6**	**88,4**	**83,9**		

1		2	3	4	5	6	7	8	9	10	11	12	13
Уровни звуковой мощности источника ночью, Lw, дБ		**исходные данные**	**0**	**93,3**	**94,7**	**96**	**96,3**	**95,9**	**92,6**	**88,4**	**83,9**		
Поправка на телесный угол DΩ, дБ	Ω = 6.28	10Lg(4π/Ω)	**3**	3	3	3	3	3	3	3	3		
Показатель направленности источника Di, дБ		исходные данные	**0**	0	0	0	0	0	0	0	0		
Поправка на направленность источника Dc, дБ	Dc	DΩ + Di	**3**	3	3	3	3	3	3	3	3		
Затухание из-за геометрической дивергенции, Adiv, дБ	расстояние = 987.81 м	ф-ла (7) [10]	**70,9**										
Коэффициент затухания звука в атмосфере α, дБ/км	Ta=20,°C Pa=101.33,кПа hотн.=70%	ф-ла (5) [9]	0,02	0,09	0,33	1,12	2,79	4,98	9,04	23,09	77,63		
Учет затухания звука в атмосфере Aatm, дБ		ф-ла (8) [10]	0	0,1	0,3	1,1	2,8	4,9	8,9	22,8	76,7		
Снижение уровня звукового давления из-за влияния застройки между источником шума и расчетной точкой													
Снижение уровня звукового давления на пути над экраном, Dz1, дБ	z = 0.01м (разность путей)	ф-лы (14-18) [10]	4,8	4,8	4,8	4,8	4,8	4,8	4,8	4,8	4,8		
Снижение уровня звукового давления на пути слева от экрана, Dz2, дБ	z = 0.21м (разность путей)	ф-лы (14-18) [10]	5,8	6,6	7,9	9,7	11,9	14,5	17,3	20,2	23,1		
Снижение уровня звукового давления на пути справа от экрана, Dz3, дБ	z = 2.78м (разность путей)	ф-лы (14-18) [10]	11,2	13,7	16,4	19,3	22,2	25,2	28,2	31,2	34,2		
Общее снижение уровня звука препятствием Dz, дБ		Эн.сумма(-Dzi)	1,7	2,3	2,9	3,4	3,9	4,3	4,5	4,6	4,7		
Уровни звукового давления от источника ИШ-9-16 в расчётной точке днём, дБ		**ф-ла(3)[10]**	**0**	**23**	**23,6**	**23,5**	**21,7**	**18,8**	**11,3**	**0**	**0**	**23**	**23**
Уровни звукового давления от источника ИШ-9-16 в расчётной точке ночью, дБ		**ф-ла(3)[10]**	**0**	**23**	**23,6**	**23,5**	**21,7**	**18,8**	**11,3**	**0**	**0**	**23**	**23**
Источник шума: ИШ-9-17, координаты источника (x,y,z), м =[658.49,-312.18,1.00]													
Уровни звуковой мощности источника днём, Lw, дБ		**исходные данные**	**0**	**93,3**	**94,7**	**96**	**96,3**	**95,9**	**92,6**	**88,4**	**83,9**		

1		2	3	4	5	6	7	8	9	10	11	12	13
Уровни звуковой мощности источника ночью, Lw, дБ		**исходные данные**	**0**	**93,3**	**94,7**	**96**	**96,3**	**95,9**	**92,6**	**88,4**	**83,9**		
Поправка на телесный угол DΩ, дБ	Ω = 6.28	10Lg(4π/Ω)	**3**	3	3	3	3	3	3	3	3		
Показатель направленности источника Di, дБ		исходные данные	**0**	0	0	0	0	0	0	0	0		
Поправка на направленность источника Dc, дБ	Dc	DΩ + Di	**3**	3	3	3	3	3	3	3	3		
Затухание из-за геометрической дивергенции, Adiv, дБ	расстояние = 985.10 м	ф-ла (7) [10]	**70,9**										
Коэффициент затухания звука в атмосфере α, дБ/км	Ta=20,°C Pa=101.33,кПа hотн.=70%	ф-ла (5) [9]	0,02	0,09	0,33	1,12	2,79	4,98	9,04	23,09	77,63		
Учет затухания звука в атмосфере Aatm, дБ		ф-ла (8) [10]	0	0,1	0,3	1,1	2,7	4,9	8,9	22,7	76,5		
Снижение уровня звукового давления из-за влияния застройки между источником шума и расчетной точкой													
Снижение уровня звукового давления на пути над экраном, Dz1, дБ	z = 0.01м (разность путей)	ф-лы (14-18) [10]	4,8	4,8	4,8	4,8	4,8	4,8	4,8	4,8	4,8		
Снижение уровня звукового давления на пути слева от экрана, Dz2, дБ	z = 0.17м (разность путей)	ф-лы (14-18) [10]	5,6	6,3	7,4	9	11,1	13,5	16,2	19,1	22		
Снижение уровня звукового давления на пути справа от экрана, Dz3, дБ	z = 3.04м (разность путей)	ф-лы (14-18) [10]	11,5	14,1	16,8	19,7	22,6	25,6	28,6	31,6	34,6		
Общее снижение уровня звука препятствием Dz, дБ		Эн.сумма(-Dzi)	1,7	2,2	2,7	3,3	3,8	4,2	4,5	4,6	4,7		
Уровни звукового давления от источника ИШ-9-17 в расчётной точке днём, дБ		**ф-ла(3)[10]**	**0**	**23,2**	**23,8**	**23,7**	**21,9**	**18,9**	**11,4**	**0**	**0**	**23,2**	**23,2**
Уровни звукового давления от источника ИШ-9-17 в расчётной точке ночью, дБ		**ф-ла(3)[10]**	**0**	**23,2**	**23,8**	**23,7**	**21,9**	**18,9**	**11,4**	**0**	**0**	**23,2**	**23,2**
Источник шума: ИШ-9-18, координаты источника (x,y,z), м =[659.42,-309.20,1.00]													
Уровни звуковой мощности источника днём, Lw, дБ		**исходные данные**	**0**	**93,3**	**94,7**	**96**	**96,3**	**95,9**	**92,6**	**88,4**	**83,9**		

1		2	3	4	5	6	7	8	9	10	11	12	13
Уровни звуковой мощности источника ночью, Lw, дБ		**исходные данные**	**0**	**93,3**	**94,7**	**96**	**96,3**	**95,9**	**92,6**	**88,4**	**83,9**		
Поправка на телесный угол DΩ, дБ	Ω = 6.28	10Lg(4π/Ω)	**3**	3	3	3	3	3	3	3	3		
Показатель направленности источника Di, дБ		исходные данные	**0**	0	0	0	0	0	0	0	0		
Поправка на направленность источника Dc, дБ	Dc	DΩ + Di	**3**	3	3	3	3	3	3	3	3		
Затухание из-за геометрической дивергенции, Adiv, дБ	расстояние = 982.33 м	ф-ла (7) [10]	**70,8**										
Коэффициент затухания звука в атмосфере α, дБ/км	Ta=20,°C Pa=101.33,кПа hотн.=70%	ф-ла (5) [9]	0,02	0,09	0,33	1,12	2,79	4,98	9,04	23,09	77,63		
Учет затухания звука в атмосфере Aatm, дБ		ф-ла (8) [10]	0	0,1	0,3	1,1	2,7	4,9	8,9	22,7	76,3		
Снижение уровня звукового давления из-за влияния застройки между источником шума и расчетной точкой													
Снижение уровня звукового давления на пути над экраном, Dz1, дБ	z = 0.01м (разность путей)	ф-лы (14-18) [10]	4,8	4,8	4,8	4,8	4,8	4,8	4,8	4,8	4,8		
Снижение уровня звукового давления на пути слева от экрана, Dz2, дБ	z = 0.12м (разность путей)	ф-лы (14-18) [10]	5,4	5,9	6,7	8,1	10	12,2	14,9	17,6	20,5		
Снижение уровня звукового давления на пути справа от экрана, Dz3, дБ	z = 3.35м (разность путей)	ф-лы (14-18) [10]	11,9	14,4	17,2	20,1	23	26	29	32	35		
Общее снижение уровня звука препятствием Dz, дБ		Эн.сумма(-Dzi)	1,6	2	2,5	3	3,6	4	4,3	4,5	4,7		
Уровни звукового давления прямого звука от источника ИШ-9-18 в расчётной точке днём, дБ		**ф-ла(3)[10]**	**0**	**23,3**	**24**	**24**	**22,1**	**19,1**	**11,5**	**0**	**0**	**23,4**	**23,4**
Уровни звукового давления прямого звука от источника ИШ-9-18 в расчётной точке ночью, дБ		**ф-ла(3)[10]**	**0**	**23,3**	**24**	**24**	**22,1**	**19,1**	**11,5**	**0**	**0**	**23,4**	**23,4**
Расчёт отражённого звука													
Уровни звукового давления от мнимого источника ИШ-9-18_мн.(1) в расчётной точке днём, дБ		**ф-ла(3)[10]**	**0**	**0**	**0**	**0**	**0**	**0**	**0**	**0**	**0**	**0**	**0**
Уровни звукового давления от мнимого источника ИШ-9-18_мн.(1) в расчётной точке ночью, дБ		**ф-ла(3)[10]**	**0**	**0**	**0**	**0**	**0**	**0**	**0**	**0**	**0**	**0**	**0**

1		2	3	4	5	6	7	8	9	10	11	12	13
Уровни звукового давления от источника ИШ-9-18 в расчётной точке днём, дБ		**ф-ла(3)[10]**	**0**	**23,3**	**24**	**24**	**22,1**	**19,1**	**11,5**	**0**	**0**	**23,4**	**23,4**
Уровни звукового давления от источника ИШ-9-18 в расчётной точке ночью, дБ		**ф-ла(3)[10]**	**0**	**23,3**	**24**	**24**	**22,1**	**19,1**	**11,5**	**0**	**0**	**23,4**	**23,4**
Источник шума: ИШ-9-19, координаты источника (x,y,z), м =[660.44,-306.50,1.00]													
Уровни звуковой мощности источника днём, Lw, дБ		**исходные данные**	**0**	**93,3**	**94,7**	**96**	**96,3**	**95,9**	**92,6**	**88,4**	**83,9**		
Уровни звуковой мощности источника ночью, Lw, дБ		**исходные данные**	**0**	**93,3**	**94,7**	**96**	**96,3**	**95,9**	**92,6**	**88,4**	**83,9**		
Поправка на телесный угол DΩ, дБ	Ω = 6.28	10Lg(4π/Ω)	**3**	3	3	3	3	3	3	3	3		
Показатель направленности источника Di, дБ		исходные данные	**0**	0	0	0	0	0	0	0	0		
Поправка на направленность источника Dc, дБ	Dc	DΩ + Di	**3**	3	3	3	3	3	3	3	3		
Затухание из-за геометрической дивергенции, Adiv, дБ	расстояние = 979.69 м	ф-ла (7) [10]	**70,8**										
Коэффициент затухания звука в атмосфере α, дБ/км	Ta=20,°C Pa=101.33,кПа hотн.=70%	ф-ла (5) [9]	0,02	0,09	0,33	1,12	2,79	4,98	9,04	23,09	77,63		
Учет затухания звука в атмосфере Aatm, дБ		ф-ла (8) [10]	0	0,1	0,3	1,1	2,7	4,9	8,9	22,6	76,1		
Снижение уровня звукового давления из-за влияния застройки между источником шума и расчетной точкой													
Снижение уровня звукового давления на пути над экраном, Dz1, дБ	z = 0.01м (разность путей)	ф-лы (14-18) [10]	4,8	4,8	4,8	4,8	4,8	4,8	4,8	4,8	4,8		
Снижение уровня звукового давления на пути слева от экрана, Dz2, дБ	z = 0.08м (разность путей)	ф-лы (14-18) [10]	5,2	5,6	6,3	7,4	9	11,1	13,5	16,2	19,1		
Снижение уровня звукового давления на пути справа от экрана, Dz3, дБ	z = 3.64м (разность путей)	ф-лы (14-18) [10]	12,2	14,8	17,5	20,4	23,4	26,3	29,3	32,3	35,3		
Общее снижение уровня звука препятствием Dz, дБ		Эн.сумма(-Dzi)	1,6	1,9	2,3	2,8	3,3	3,8	4,2	4,5	4,6		

1		2	3	4	5	6	7	8	9	10	11	12	13
Уровни звукового давления прямого звука от источника ИШ-9-19 в расчётной точке днём, дБ		**ф-ла(3)[10]**	**0**	**23,5**	**24,2**	**24,3**	**22,4**	**19,4**	**11,7**	**0**	**0**	**23,7**	**23,7**
Уровни звукового давления прямого звука от источника ИШ-9-19 в расчётной точке ночью, дБ		**ф-ла(3)[10]**	**0**	**23,5**	**24,2**	**24,3**	**22,4**	**19,4**	**11,7**	**0**	**0**	**23,7**	**23,7**
Расчёт отражённого звука													
Уровни звукового давления от мнимого источника ИШ-9-19_мн.(1) в расчётной точке днём, дБ		**ф-ла(3)[10]**	**0**	**0**	**0**	**0**	**0**	**0**	**0**	**0**	**0**	**0**	**0**
Уровни звукового давления от мнимого источника ИШ-9-19_мн.(1) в расчётной точке ночью, дБ		**ф-ла(3)[10]**	**0**	**0**	**0**	**0**	**0**	**0**	**0**	**0**	**0**	**0**	**0**
Уровни звукового давления от источника ИШ-9-19 в расчётной точке днём, дБ		**ф-ла(3)[10]**	**0**	**23,5**	**24,2**	**24,3**	**22,4**	**19,4**	**11,7**	**0**	**0**	**23,7**	**23,7**
Уровни звукового давления от источника ИШ-9-19 в расчётной точке ночью, дБ		**ф-ла(3)[10]**	**0**	**23,5**	**24,2**	**24,3**	**22,4**	**19,4**	**11,7**	**0**	**0**	**23,7**	**23,7**
Источник шума: ИШ-9-20, координаты источника (x,y,z), м =[661.28,-303.61,1.00]													
Уровни звуковой мощности источника днём, Lw, дБ		**исходные данные**	**0**	**93,3**	**94,7**	**96**	**96,3**	**95,9**	**92,6**	**88,4**	**83,9**		
Уровни звуковой мощности источника ночью, Lw, дБ		**исходные данные**	**0**	**93,3**	**94,7**	**96**	**96,3**	**95,9**	**92,6**	**88,4**	**83,9**		
Поправка на телесный угол DΩ, дБ	Ω = 6.28	10Lg(4π/Ω)	**3**	3	3	3	3	3	3	3	3		
Показатель направленности источника Di, дБ		исходные данные	**0**	0	0	0	0	0	0	0	0		
Поправка на направленность источника Dc, дБ	Dc	DΩ + Di	**3**	3	3	3	3	3	3	3	3		
Затухание из-за геометрической дивергенции, Adiv, дБ	расстояние = 977.05 м	ф-ла (7) [10]	**70,8**										
Коэффициент затухания звука в атмосфере α, дБ/км	Та=20,°С Ра=101.33,кПа hотн.=70%	ф-ла (5) [9]	0,02	0,09	0,33	1,12	2,79	4,98	9,04	23,09	77,63		
Учет затухания звука в атмосфере Aatm, дБ		ф-ла (8) [10]	0	0,1	0,3	1,1	2,7	4,9	8,8	22,6	75,9		

1		2	3	4	5	6	7	8	9	10	11	12	13
Снижение уровня звукового давления из-за влияния застройки между источником шума и расчетной точкой													
Снижение уровня звукового давления на пути над экраном, Dz1, дБ	z = 0.01м (разность путей)	ф-лы (14-18) [10]	4,8	4,8	4,8	4,8	4,8	4,8	4,8	4,8	4,8		
Снижение уровня звукового давления на пути слева от экрана, Dz2, дБ	z = 0.05м (разность путей)	ф-лы (14-18) [10]	5	5,3	5,7	6,5	7,7	9,4	11,6	14,1	16,9		
Снижение уровня звукового давления на пути справа от экрана, Dz3, дБ	z = 3.99м (разность путей)	ф-лы (14-18) [10]	12,5	15,1	17,9	20,8	23,8	26,7	29,7	32,7	35,8		
Общее снижение уровня звука препятствием Dz, дБ		Эн.сумма(-Dzi)	1,5	1,8	2,1	2,5	2,9	3,5	3,9	4,3	4,5		
Уровни звукового давления прямого звука от источника ИШ-9-20 в расчётной точке днём, дБ		**ф-ла(3)[10]**	**0**	**23,6**	**24,5**	**24,6**	**22,8**	**19,8**	**12**	**0**	**0**	**24,1**	**24,1**
Уровни звукового давления прямого звука от источника ИШ-9-20 в расчётной точке ночью, дБ		**ф-ла(3)[10]**	**0**	**23,6**	**24,5**	**24,6**	**22,8**	**19,8**	**12**	**0**	**0**	**24,1**	**24,1**
Расчёт отражённого звука													
Уровни звукового давления от мнимого источника ИШ-9-20_мн.(1) в расчётной точке днём, дБ		**ф-ла(3)[10]**	**0**	**0**	**0**	**0**	**0**	**0**	**0**	**0**	**0**	**0**	**0**
Уровни звукового давления от мнимого источника ИШ-9-20_мн.(1) в расчётной точке ночью, дБ		**ф-ла(3)[10]**	**0**	**0**	**0**	**0**	**0**	**0**	**0**	**0**	**0**	**0**	**0**
Уровни звукового давления от источника ИШ-9-20 в расчётной точке днём, дБ		**ф-ла(3)[10]**	**0**	**23,6**	**24,5**	**24,6**	**22,8**	**19,8**	**12**	**0**	**0**	**24,1**	**24,1**
Уровни звукового давления от источника ИШ-9-20 в расчётной точке ночью, дБ		**ф-ла(3)[10]**	**0**	**23,6**	**24,5**	**24,6**	**22,8**	**19,8**	**12**	**0**	**0**	**24,1**	**24,1**
Источник шума: ИШ-9-21, координаты источника (x,y,z), м =[661.93,-300.72,1.00]													
Уровни звуковой мощности источника днём, Lw, дБ		**исходные данные**	**0**	**93,3**	**94,7**	**96**	**96,3**	**95,9**	**92,6**	**88,4**	**83,9**		
Уровни звуковой мощности источника ночью, Lw, дБ		**исходные данные**	**0**	**93,3**	**94,7**	**96**	**96,3**	**95,9**	**92,6**	**88,4**	**83,9**		
Поправка на телесный угол DΩ, дБ	Ω = 6.28	10Lg(4π/Ω)	**3**	3	3	3	3	3	3	3	3		
Показатель направленности источника Di, дБ		исходные данные	**0**	0	0	0	0	0	0	0	0		

1		2	3	4	5	6	7	8	9	10	11	12	13
Поправка на направленность источника Dc, дБ	Dc	DΩ + Di	**3**	3	3	3	3	3	3	3	3		
Затухание из-за геометрической дивергенции, Adiv, дБ	расстояние = 974.55 м	ф-ла (7) [10]	**70,8**										
Коэффициент затухания звука в атмосфере α, дБ/км	Ta=20,°C Pa=101.33,кПа hотн.=70%	ф-ла (5) [9]	0,02	0,09	0,33	1,12	2,79	4,98	9,04	23,09	77,63		
Учет затухания звука в атмосфере Aatm, дБ		ф-ла (8) [10]	0	0,1	0,3	1,1	2,7	4,9	8,8	22,5	75,7		
Снижение уровня звукового давления из-за влияния застройки между источником шума и расчетной точкой													
Снижение уровня звукового давления на пути над экраном, Dz1, дБ	z = 0.01м (разность путей)	ф-лы (14-18) [10]	4,8	4,8	4,8	4,8	4,8	4,8	4,8	4,8	4,8		
Снижение уровня звукового давления на пути слева от экрана, Dz2, дБ	z = 0.02м (разность путей)	ф-лы (14-18) [10]	4,9	5	5,2	5,6	6,3	7,4	9	11,1	13,5		
Снижение уровня звукового давления на пути справа от экрана, Dz3, дБ	z = 4.40м (разность путей)	ф-лы (14-18) [10]	12,9	15,5	18,3	21,2	24,2	27,2	30,2	33,2	36,2		
Общее снижение уровня звука препятствием Dz, дБ		Эн.сумма(-Dzi)	1,5	1,7	1,9	2,1	2,4	2,8	3,4	3,8	4,2		
Уровни звукового давления прямого звука от источника ИШ-9-21 в расчётной точке днём, дБ		**ф-ла(3)[10]**	**0**	**23,7**	**24,7**	**25**	**23,4**	**20,4**	**12,6**	**0**	**0**	**24,6**	**24,6**
Уровни звукового давления прямого звука от источника ИШ-9-21 в расчётной точке ночью, дБ		**ф-ла(3)[10]**	**0**	**23,7**	**24,7**	**25**	**23,4**	**20,4**	**12,6**	**0**	**0**	**24,6**	**24,6**
Расчёт отражённого звука													
Уровни звукового давления от мнимого источника ИШ-9-21_мн.(1) в расчётной точке днём, дБ		**ф-ла(3)[10]**	**0**	**0**	**0**	**0**	**0**	**0**	**0**	**0**	**0**	**0**	**0**
Уровни звукового давления от мнимого источника ИШ-9-21_мн.(1) в расчётной точке ночью, дБ		**ф-ла(3)[10]**	**0**	**0**	**0**	**0**	**0**	**0**	**0**	**0**	**0**	**0**	**0**
Уровни звукового давления от источника ИШ-9-21 в расчётной точке днём, дБ		**ф-ла(3)[10]**	**0**	**23,7**	**24,7**	**25**	**23,4**	**20,4**	**12,6**	**0**	**0**	**24,6**	**24,6**
Уровни звукового давления от источника ИШ-9-21 в расчётной точке ночью, дБ		**ф-ла(3)[10]**	**0**	**23,7**	**24,7**	**25**	**23,4**	**20,4**	**12,6**	**0**	**0**	**24,6**	**24,6**

1		2	3	4	5	6	7	8	9	10	11	12	13
Источник шума: ИШ-9-22, координаты источника (x,y,z), м =[663.14,-297.83,1.00]													
Уровни звуковой мощности источника днём, Lw, дБ		**исходные данные**	**0**	**93,3**	**94,7**	**96**	**96,3**	**95,9**	**92,6**	**88,4**	**83,9**		
Уровни звуковой мощности источника ночью, Lw, дБ		**исходные данные**	**0**	**93,3**	**94,7**	**96**	**96,3**	**95,9**	**92,6**	**88,4**	**83,9**		
Поправка на телесный угол DΩ, дБ	Ω = 6.28	10Lg(4π/Ω)	**3**	3	3	3	3	3	3	3	3		
Показатель направленности источника Di, дБ		исходные данные	**0**	0	0	0	0	0	0	0	0		
Поправка на направленность источника Dc, дБ	Dc	DΩ + Di	**3**	3	3	3	3	3	3	3	3		
Затухание из-за геометрической дивергенции, Adiv, дБ	расстояние = 971.65 м	ф-ла (7) [10]	**70,8**										
Коэффициент затухания звука в атмосфере α, дБ/км	Ta=20,°C Pa=101.33,кПа hотн.=70%	ф-ла (5) [9]	0,02	0,09	0,33	1,12	2,79	4,98	9,04	23,09	77,63		
Учет затухания звука в атмосфере Aatm, дБ		ф-ла (8) [10]	0	0,1	0,3	1,1	2,7	4,8	8,8	22,4	75,4		
Снижение уровня звукового давления из-за влияния застройки между источником шума и расчетной точкой													
Снижение уровня звукового давления на пути над экраном, Dz1, дБ	z = 0.01м (разность путей)	ф-лы (14-18) [10]	4,8	4,8	4,8	4,8	4,8	4,8	4,8	4,8	4,8		
Снижение уровня звукового давления на пути слева от экрана, Dz2, дБ	z = 0.01м (разность путей)	ф-лы (14-18) [10]	4,8	4,9	4,9	5,1	5,4	5,9	6,8	8,1	10		
Снижение уровня звукового давления на пути справа от экрана, Dz3, дБ	z = 4.75м (разность путей)	ф-лы (14-18) [10]	13,1	15,8	18,6	21,5	24,5	27,5	30,5	33,5	36,5		
Общее снижение уровня звука препятствием Dz, дБ		Эн.сумма(-Dzi)	1,5	1,6	1,7	1,9	2	2,3	2,6	3,1	3,6		
Уровни звукового давления прямого звука от источника ИШ-9-22 в расчётной точке днём, дБ		**ф-ла(3)[10]**	**0**	**23,8**	**24,9**	**25,3**	**23,8**	**21**	**13,4**	**0**	**0**	**25,1**	**25,1**
Уровни звукового давления прямого звука от источника ИШ-9-22 в расчётной точке ночью, дБ		**ф-ла(3)[10]**	**0**	**23,8**	**24,9**	**25,3**	**23,8**	**21**	**13,4**	**0**	**0**	**25,1**	**25,1**

1		2	3	4	5	6	7	8	9	10	11	12	13
Расчёт отражённого звука													
Уровни звукового давления от мнимого источника ИШ-9-22_мн.(1) в расчётной точке днём, дБ		**ф-ла(3)[10]**	**0**	**0**	**0**	**0**	**0**	**0**	**0**	**0**	**0**	**0**	**0**
Уровни звукового давления от мнимого источника ИШ-9-22_мн.(1) в расчётной точке ночью, дБ		**ф-ла(3)[10]**	**0**	**0**	**0**	**0**	**0**	**0**	**0**	**0**	**0**	**0**	**0**
Уровни звукового давления от источника ИШ-9-22 в расчётной точке днём, дБ		**ф-ла(3)[10]**	**0**	**23,8**	**24,9**	**25,3**	**23,8**	**21**	**13,4**	**0**	**0**	**25,1**	**25,1**
Уровни звукового давления от источника ИШ-9-22 в расчётной точке ночью, дБ		**ф-ла(3)[10]**	**0**	**23,8**	**24,9**	**25,3**	**23,8**	**21**	**13,4**	**0**	**0**	**25,1**	**25,1**
Источник шума: ИШ-9-23, координаты источника (x,y,z), м =[664.07,-295.13,1.00]													
Уровни звуковой мощности источника днём, Lw, дБ		**исходные данные**	**0**	**93,3**	**94,7**	**96**	**96,3**	**95,9**	**92,6**	**88,4**	**83,9**		
Уровни звуковой мощности источника ночью, Lw, дБ		**исходные данные**	**0**	**93,3**	**94,7**	**96**	**96,3**	**95,9**	**92,6**	**88,4**	**83,9**		
Поправка на телесный угол DΩ, дБ	Ω = 6.28	10Lg(4π/Ω)	**3**	3	3	3	3	3	3	3	3		
Показатель направленности источника Di, дБ		исходные данные	**0**	0	0	0	0	0	0	0	0		
Поправка на направленность источника Dc, дБ	Dc	DΩ + Di	**3**	3	3	3	3	3	3	3	3		
Затухание из-за геометрической дивергенции, Adiv, дБ	расстояние = 969.09 м	ф-ла (7) [10]	**70,7**										
Коэффициент затухания звука в атмосфере α, дБ/км	Ta=20,°C Pa=101.33,кПа hотн.=70%	ф-ла (5) [9]	0,02	0,09	0,33	1,12	2,79	4,98	9,04	23,09	77,63		
Учет затухания звука в атмосфере Aatm, дБ		ф-ла (8) [10]	0	0,1	0,3	1,1	2,7	4,8	8,8	22,4	75,2		
Снижение уровня звукового давления из-за влияния застройки между источником шума и расчетной точкой													
Снижение уровня звукового давления на пути над экраном, Dz1, дБ	z = 0.01м (разность путей)	ф-лы (14-18) [10]	4,8	4,8	4,8	4,8	4,8	4,8	4,8	4,8	4,8		

1		2	3	4	5	6	7	8	9	10	11	12	13
Снижение уровня звукового давления на пути слева от экрана, Dz2, дБ	z = 0.00м (разность путей)	ф-лы (14-18) [10]	4,8	4,8	4,8	4,8	4,8	4,9	5	5,2	5,5		
Снижение уровня звукового давления на пути справа от экрана, Dz3, дБ	z = 5.12м (разность путей)	ф-лы (14-18) [10]	13,4	16,1	18,9	21,9	24,8	27,8	30,8	33,8	36,8		
Общее снижение уровня звука препятствием Dz, дБ		Эн.сумма(-Dzi)	1,5	1,6	1,7	1,7	1,8	1,8	1,9	1,9	2,1		
Уровни звукового давления прямого звука от источника ИШ-9-23 в расчётной точке днём, дБ		**ф-ла(3)[10]**	**0**	**23,9**	**25**	**25,4**	**24,1**	**21,5**	**14,3**	**0**	**0**	**25,5**	**25,5**
Уровни звукового давления прямого звука от источника ИШ-9-23 в расчётной точке ночью, дБ		**ф-ла(3)[10]**	**0**	**23,9**	**25**	**25,4**	**24,1**	**21,5**	**14,3**	**0**	**0**	**25,5**	**25,5**
Расчёт отражённого звука													
Уровни звукового давления от мнимого источника ИШ-9-23_мн.(1) в расчётной точке днём, дБ		**ф-ла(3)[10]**	**0**	**0**	**0**	**0**	**0**	**0**	**0**	**0**	**0**	**0**	**0**
Уровни звукового давления от мнимого источника ИШ-9-23_мн.(1) в расчётной точке ночью, дБ		**ф-ла(3)[10]**	**0**	**0**	**0**	**0**	**0**	**0**	**0**	**0**	**0**	**0**	**0**
Уровни звукового давления от источника ИШ-9-23 в расчётной точке днём, дБ		**ф-ла(3)[10]**	**0**	**23,9**	**25**	**25,4**	**24,1**	**21,5**	**14,3**	**0**	**0**	**25,5**	**25,5**
Уровни звукового давления от источника ИШ-9-23 в расчётной точке ночью, дБ		**ф-ла(3)[10]**	**0**	**23,9**	**25**	**25,4**	**24,1**	**21,5**	**14,3**	**0**	**0**	**25,5**	**25,5**
Источник шума: ИШ-9-24, координаты источника (x,y,z), м =[665.19,-292.34,1.00]													
Уровни звуковой мощности источника днём, Lw, дБ		**исходные данные**	**0**	**93,3**	**94,7**	**96**	**96,3**	**95,9**	**92,6**	**88,4**	**83,9**		
Уровни звуковой мощности источника ночью, Lw, дБ		**исходные данные**	**0**	**93,3**	**94,7**	**96**	**96,3**	**95,9**	**92,6**	**88,4**	**83,9**		
Поправка на телесный угол DΩ, дБ	Ω = 6.28	10Lg(4π/Ω)	**3**	3	3	3	3	3	3	3	3		
Показатель направленности источника Di, дБ		исходные данные	**0**	0	0	0	0	0	0	0	0		
Поправка на направленность источника Dc, дБ	Dc	DΩ + Di	**3**	3	3	3	3	3	3	3	3		
Затухание из-за геометрической дивергенции, Adiv, дБ	расстояние = 966.32 м	ф-ла (7) [10]	**70,7**										

1		2	3	4	5	6	7	8	9	10	11	12	13
Коэффициент затухания звука в атмосфере α, дБ/км	Ta=20,°C Pa=101.33,кПа hотн.=70%	ф-ла (5) [9]	0,02	0,09	0,33	1,12	2,79	4,98	9,04	23,09	77,63		
Учет затухания звука в атмосфере Aatm, дБ		ф-ла (8) [10]	0	0,1	0,3	1,1	2,7	4,8	8,7	22,3	75		
Снижение уровня звукового давления из-за влияния застройки между источником шума и расчетной точкой													
Снижение уровня звукового давления препятствием справа от трассы ИШ-РТ, Dz3, дБ	z = 0.00м (разность путей)	ф-лы (14-18) [10]	0	0	0	0	0	4,6	4,3	3,8	2,6		
* отрицательное значение z означает прохождение траектории вблизи экрана, в этом случае дополнительно производится учёт снижения подстилающей поверхностью (см.ниже)													
Снижение поверхностью земли возле источника As, дБ	Gs = 0 hs = 1м	ф-лы таб.3 [10]	-1,5	-1,5	-1,5	-1,5	-1,5	-1,5	-1,5	-1,5	-1,5		
Снижение поверхностью земли возле приёмника Ar, дБ	Gr = 1 hr = 1.5м	ф-лы таб.3 [10]	-1,5	-1,5	5	7	5	0,7	0	0	0		
Снижение поверхностью земли в средней зоне, Am дБ	Gm = 1	ф-лы таб.3 [10]	-2,8	-2,8	0	0	0	0	0	0	0		
Суммарное снижение поверхностью земли на траектории распространения звука Agr, дБ		ф-ла (9) [10]	-5,8	-5,8	3,5	5,5	3,5	-0,8	-1,5	-1,5	-1,5		
Уровни звукового давления прямого звука от источника ИШ-9-24 в расчётной точке днём, дБ		**ф-ла(3)[10]**	**0**	**31,3**	**23,2**	**21,7**	**22,4**	**19,7**	**13,3**	**0**	**0**	**23,7**	**23,7**
Уровни звукового давления прямого звука от источника ИШ-9-24 в расчётной точке ночью, дБ		**ф-ла(3)[10]**	**0**	**31,3**	**23,2**	**21,7**	**22,4**	**19,7**	**13,3**	**0**	**0**	**23,7**	**23,7**
Расчёт отражённого звука													
Уровни звукового давления от мнимого источника ИШ-9-24_мн.(1) в расчётной точке днём, дБ		**ф-ла(3)[10]**	**0**	**0**	**0**	**0**	**0**	**0**	**0**	**0**	**0**	**0**	**0**
Уровни звукового давления от мнимого источника ИШ-9-24_мн.(1) в расчётной точке ночью, дБ		**ф-ла(3)[10]**	**0**	**0**	**0**	**0**	**0**	**0**	**0**	**0**	**0**	**0**	**0**
Уровни звукового давления от источника ИШ-9-24 в расчётной точке днём, дБ		**ф-ла(3)[10]**	**0**	**31,3**	**23,2**	**21,7**	**22,4**	**19,7**	**13,3**	**0**	**0**	**23,7**	**23,7**
Уровни звукового давления от источника ИШ-9-24 в расчётной точке ночью, дБ		**ф-ла(3)[10]**	**0**	**31,3**	**23,2**	**21,7**	**22,4**	**19,7**	**13,3**	**0**	**0**	**23,7**	**23,7**
Источник шума: ИШ-9-25, координаты источника (x,y,z), м =[683.46,-239.16,1.00]													

1		2	3	4	5	6	7	8	9	10	11	12	13
Уровни звуковой мощности источника днём, Lw, дБ		**исходные данные**	**77**	**75**	**67**	**66**	**63**	**55**	**53**	**48**	**51**		
Уровни звуковой мощности источника ночью, Lw, дБ		**исходные данные**	**77**	**75**	**67**	**66**	**63**	**55**	**53**	**48**	**51**		
Поправка на телесный угол DΩ, дБ	Ω = 6.28	10Lg(4π/Ω)	**3**	3	3	3	3	3	3	3	3		
Показатель направленности источника Di, дБ		исходные данные	**0**	0	0	0	0	0	0	0	0		
Поправка на направленность источника Dc, дБ	Dc	DΩ + Di	**3**	3	3	3	3	3	3	3	3		
Затухание из-за геометрической дивергенции, Adiv, дБ	расстояние = 916.25 м	ф-ла (7) [10]	**70,2**										
Коэффициент затухания звука в атмосфере α, дБ/км	Ta=20,°C Pa=101.33,кПа hотн.=70%	ф-ла (5) [9]	0,02	0,09	0,33	1,12	2,79	4,98	9,04	23,09	77,63		
Учет затухания звука в атмосфере Aatm, дБ		ф-ла (8) [10]	0	0,1	0,3	1	2,6	4,6	8,3	21,2	71,1		
Снижение поверхностью земли возле источника As, дБ	Gs = 0 hs = 1м	ф-лы таб.3 [10]	-1,5	-1,5	-1,5	-1,5	-1,5	-1,5	-1,5	-1,5	-1,5		
Снижение поверхностью земли возле приёмника Ar, дБ	Gr = 1 hr = 1.5м	ф-лы таб.3 [10]	-1,5	-1,5	4,9	7	5	0,7	0	0	0		
Снижение поверхностью земли в средней зоне, Am дБ	Gm = 1	ф-лы таб.3 [10]	-2,8	-2,8	0	0	0	0	0	0	0		
Суммарное снижение поверхностью земли на траектории распространения звука Agr, дБ		ф-ла (9) [10]	-5,8	-5,8	3,4	5,5	3,5	-0,8	-1,5	-1,5	-1,5		
Уровни звукового давления от источника ИШ-9-25 в расчётной точке днём, дБ		**ф-ла(3)[10]**	**15,5**	**13,4**	**0**	**0**	**0**	**0**	**0**	**0**	**0**	**0**	**0**
Уровни звукового давления от источника ИШ-9-25 в расчётной точке ночью, дБ		**ф-ла(3)[10]**	**15,5**	**13,4**	**0**	**0**	**0**	**0**	**0**	**0**	**0**	**0**	**0**
Источник шума: ИШ-9-26, координаты источника (x,y,z), м =[680.09,-249.52,1.00]													
Уровни звуковой мощности источника днём, Lw, дБ		**исходные данные**	**77**	**75**	**67**	**66**	**63**	**55**	**53**	**48**	**51**		

1		2	3	4	5	6	7	8	9	10	11	12	13
Уровни звуковой мощности источника ночью, Lw, дБ		**исходные данные**	**77**	**75**	**67**	**66**	**63**	**55**	**53**	**48**	**51**		
Поправка на телесный угол DΩ, дБ	Ω = 6.28	10Lg(4π/Ω)	**3**	3	3	3	3	3	3	3	3		
Показатель направленности источника Di, дБ		исходные данные	**0**	0	0	0	0	0	0	0	0		
Поправка на направленность источника Dc, дБ	Dc	DΩ + Di	**3**	3	3	3	3	3	3	3	3		
Затухание из-за геометрической дивергенции, Adiv, дБ	расстояние = 925.81 м	ф-ла (7) [10]	**70,3**										
Коэффициент затухания звука в атмосфере α, дБ/км	Ta=20,°C Pa=101.33,кПа hотн.=70%	ф-ла (5) [9]	0,02	0,09	0,33	1,12	2,79	4,98	9,04	23,09	77,63		
Учет затухания звука в атмосфере Aatm, дБ		ф-ла (8) [10]	0	0,1	0,3	1	2,6	4,6	8,4	21,4	71,9		
Снижение поверхностью земли возле источника As, дБ	Gs = 0 hs = 1м	ф-лы таб.3 [10]	-1,5	-1,5	-1,5	-1,5	-1,5	-1,5	-1,5	-1,5	-1,5		
Снижение поверхностью земли возле приёмника Ar, дБ	Gr = 1 hr = 1.5м	ф-лы таб.3 [10]	-1,5	-1,5	4,9	7	5	0,7	0	0	0		
Снижение поверхностью земли в средней зоне, Am дБ	Gm = 1	ф-лы таб.3 [10]	-2,8	-2,8	0	0	0	0	0	0	0		
Суммарное снижение поверхностью земли на траектории распространения звука Agr, дБ		ф-ла (9) [10]	-5,8	-5,8	3,4	5,5	3,5	-0,8	-1,5	-1,5	-1,5		
Уровни звукового давления от источника ИШ-9-26 в расчётной точке днём, дБ		**ф-ла(3)[10]**	**15,4**	**13,4**	**0**	**0**	**0**	**0**	**0**	**0**	**0**	**0**	**0**
Уровни звукового давления от источника ИШ-9-26 в расчётной точке ночью, дБ		**ф-ла(3)[10]**	**15,4**	**13,4**	**0**	**0**	**0**	**0**	**0**	**0**	**0**	**0**	**0**
Источник шума: ИШ-9-27, координаты источника (x,y,z), м =[676.46,-260.14,1.00]													
Уровни звуковой мощности источника днём, Lw, дБ		**исходные данные**	**77**	**75**	**67**	**66**	**63**	**55**	**53**	**48**	**51**		
Уровни звуковой мощности источника ночью, Lw, дБ		**исходные данные**	**77**	**75**	**67**	**66**	**63**	**55**	**53**	**48**	**51**		

1		2	3	4	5	6	7	8	9	10	11	12	13
Поправка на телесный угол DΩ, дБ	Ω = 6.28	10Lg(4π/Ω)	**3**	3	3	3	3	3	3	3	3		
Показатель направленности источника Di, дБ		исходные данные	**0**	0	0	0	0	0	0	0	0		
Поправка на направленность источника Dc, дБ	Dc	DΩ + Di	**3**	3	3	3	3	3	3	3	3		
Затухание из-за геометрической дивергенции, Adiv, дБ	расстояние = 935.77 м	ф-ла (7) [10]	**70,4**										
Коэффициент затухания звука в атмосфере α, дБ/км	Ta=20,°C Pa=101.33,кПа hотн.=70%	ф-ла (5) [9]	0,02	0,09	0,33	1,12	2,79	4,98	9,04	23,09	77,63		
Учет затухания звука в атмосфере Aatm, дБ		ф-ла (8) [10]	0	0,1	0,3	1,1	2,6	4,7	8,5	21,6	72,6		
Снижение поверхностью земли возле источника As, дБ	Gs = 0 hs = 1м	ф-лы таб.3 [10]	-1,5	-1,5	-1,5	-1,5	-1,5	-1,5	-1,5	-1,5	-1,5		
Снижение поверхностью земли возле приёмника Ar, дБ	Gr = 1 hr = 1.5м	ф-лы таб.3 [10]	-1,5	-1,5	4,9	7	5	0,7	0	0	0		
Снижение поверхностью земли в средней зоне, Am дБ	Gm = 1	ф-лы таб.3 [10]	-2,8	-2,8	0	0	0	0	0	0	0		
Суммарное снижение поверхностью земли на траектории распространения звука Agr, дБ		ф-ла (9) [10]	-5,8	-5,8	3,4	5,5	3,5	-0,8	-1,5	-1,5	-1,5		
Уровни звукового давления от источника ИШ-9-27 в расчётной точке днём, дБ		**ф-ла(3)[10]**	**15,3**	**13,3**	**0**	**0**	**0**	**0**	**0**	**0**	**0**	**0**	**0**
Уровни звукового давления от источника ИШ-9-27 в расчётной точке ночью, дБ		**ф-ла(3)[10]**	**15,3**	**13,3**	**0**	**0**	**0**	**0**	**0**	**0**	**0**	**0**	**0**
Источник шума: ИШ-10-1, координаты источника (x,y,z), м =[17.37,413.17,1.00]													
Уровни звуковой мощности источника днём, Lw, дБ		**исходные данные**	**0**	**98,3**	**99,7**	**101**	**101,3**	**100,9**	**97,6**	**93,4**	**88,9**		
Уровни звуковой мощности источника ночью, Lw, дБ		**исходные данные**	**0**	**98,3**	**99,7**	**101**	**101,3**	**100,9**	**97,6**	**93,4**	**88,9**		
Поправка на телесный угол DΩ, дБ	Ω = 6.28	10Lg(4π/Ω)	**3**	3	3	3	3	3	3	3	3		

1		2	3	4	5	6	7	8	9	10	11	12	13
Показатель направленности источника Di, дБ		исходные данные	**0**	0	0	0	0	0	0	0	0		
Поправка на направленность источника Dc, дБ	Dc	DΩ + Di	**3**	3	3	3	3	3	3	3	3		
Затухание из-за геометрической дивергенции, Adiv, дБ	расстояние = 1334.23 м	ф-ла (7) [10]	**73,5**										
Коэффициент затухания звука в атмосфере α, дБ/км	Ta=20,°C Pa=101.33,кПа hотн.=70%	ф-ла (5) [9]	0,02	0,09	0,33	1,12	2,79	4,98	9,04	23,09	77,63		
Учет затухания звука в атмосфере Aatm, дБ		ф-ла (8) [10]	0	0,1	0,4	1,5	3,7	6,6	12,1	30,8	103,6		
Снижение поверхностью земли возле источника As, дБ	Gs = 0 hs = 1м	ф-лы таб.3 [10]	-1,5	-1,5	-1,5	-1,5	-1,5	-1,5	-1,5	-1,5	-1,5		
Снижение поверхностью земли возле приёмника Ar, дБ	Gr = 1 hr = 1.5м	ф-лы таб.3 [10]	-1,5	-1,5	5,3	7	5	0,7	0	0	0		
Снижение поверхностью земли в средней зоне, Am дБ	Gm = 1	ф-лы таб.3 [10]	-2,8	-2,8	0	0	0	0	0	0	0		
Суммарное снижение поверхностью земли на траектории распространения звука Agr, дБ		ф-ла (9) [10]	-5,8	-5,8	3,8	5,5	3,5	-0,8	-1,5	-1,5	-1,5		
Уровни звукового давления от источника ИШ-10-1 в расчётной точке днём, дБ		**ф-ла(3)[10]**	**0**	**33,5**	**24,9**	**23,5**	**23,6**	**24,6**	**16,5**	**0**	**0**	**27**	**27**
Уровни звукового давления от источника ИШ-10-1 в расчётной точке ночью, дБ		**ф-ла(3)[10]**	**0**	**33,5**	**24,9**	**23,5**	**23,6**	**24,6**	**16,5**	**0**	**0**	**27**	**27**
Источник шума: ИШ-10-2, координаты источника (x,y,z), м =[27.87,443.46,1.00]													
Уровни звуковой мощности источника днём, Lw, дБ		**исходные данные**	**0**	**98,3**	**99,7**	**101**	**101,3**	**100,9**	**97,6**	**93,4**	**88,9**		
Уровни звуковой мощности источника ночью, Lw, дБ		**исходные данные**	**0**	**98,3**	**99,7**	**101**	**101,3**	**100,9**	**97,6**	**93,4**	**88,9**		
Поправка на телесный угол DΩ, дБ	Ω = 6.28	10Lg(4π/Ω)	**3**	3	3	3	3	3	3	3	3		
Показатель направленности источника Di, дБ		исходные данные	**0**	0	0	0	0	0	0	0	0		

1		2	3	4	5	6	7	8	9	10	11	12	13
Поправка на направленность источника Dc, дБ	Dc	DΩ + Di	**3**	3	3	3	3	3	3	3	3		
Затухание из-за геометрической дивергенции, Adiv, дБ	расстояние = 1324.65 м	ф-ла (7) [10]	**73,4**										
Коэффициент затухания звука в атмосфере α, дБ/км	Ta=20,°C Pa=101.33,кПа hотн.=70%	ф-ла (5) [9]	0,02	0,09	0,33	1,12	2,79	4,98	9,04	23,09	77,63		
Учет затухания звука в атмосфере Aatm, дБ		ф-ла (8) [10]	0	0,1	0,4	1,5	3,7	6,6	12	30,6	102,8		
Снижение уровня звукового давления из-за влияния застройки между источником шума и расчетной точкой													
Снижение уровня звукового давления препятствием справа от трассы ИШ-РТ, Dz3, дБ	z = -0.02м (разность путей)	ф-лы (14-18) [10]	0	0	0	0	2,6	0	NAN	NAN	NAN		
* отрицательное значение z означает прохождение траектории вблизи экрана, в этом случае дополнительно производится учёт снижения подстилающей поверхностью (см.ниже)													
Снижение поверхностью земли возле источника As, дБ	Gs = 0 hs = 1м	ф-лы таб.3 [10]	-1,5	-1,5	-1,5	-1,5	-1,5	-1,5	-1,5	-1,5	-1,5		
Снижение поверхностью земли возле приёмника Ar, дБ	Gr = 1 hr = 1.5м	ф-лы таб.3 [10]	-1,5	-1,5	5,3	7	5	0,7	0	0	0		
Снижение поверхностью земли в средней зоне, Am дБ	Gm = 1	ф-лы таб.3 [10]	-2,8	-2,8	0	0	0	0	0	0	0		
Суммарное снижение поверхностью земли на траектории распространения звука Agr, дБ		ф-ла (9) [10]	-5,8	-5,8	3,8	5,5	3,5	-0,8	-1,5	-1,5	-1,5		
Уровни звукового давления прямого звука от источника ИШ-10-2 в расчётной точке днём, дБ		**ф-ла(3)[10]**	**0**	**33,6**	**25**	**23,6**	**21,1**	**24,7**	**16,7**	**0**	**0**	**26,7**	**26,7**
Уровни звукового давления прямого звука от источника ИШ-10-2 в расчётной точке ночью, дБ		**ф-ла(3)[10]**	**0**	**33,6**	**25**	**23,6**	**21,1**	**24,7**	**16,7**	**0**	**0**	**26,7**	**26,7**
Расчёт отражённого звука													
Уровни звукового давления от мнимого источника ИШ-10-2_мн.(1) в расчётной точке днём, дБ		**ф-ла(3)[10]**	**0**	**0**	**0**	**0**	**0**	**0**	**0**	**0**	**0**	**0**	**0**
Уровни звукового давления от мнимого источника ИШ-10-2_мн.(1) в расчётной точке ночью, дБ		**ф-ла(3)[10]**	**0**	**0**	**0**	**0**	**0**	**0**	**0**	**0**	**0**	**0**	**0**
Уровни звукового давления от источника ИШ-10-2 в расчётной точке днём, дБ		**ф-ла(3)[10]**	**0**	**33,6**	**25**	**23,6**	**21,1**	**24,7**	**16,7**	**0**	**0**	**26,7**	**26,7**
Уровни звукового давления от источника ИШ-10-2 в расчётной точке ночью, дБ		**ф-ла(3)[10]**	**0**	**33,6**	**25**	**23,6**	**21,1**	**24,7**	**16,7**	**0**	**0**	**26,7**	**26,7**

1		2	3	4	5	6	7	8	9	10	11	12	13
Уровни звукового давления в расчётной точке													
Суммарные уровни звукового давления в расчётной точке от всех источников шума днём, Lрт, дБ		**ф-ла (19) [1]**	**63,5**	**59,8**	**50,7**	**46,9**	**47,6**	**51,8**	**53,3**	**43,2**	**13,4**	**57**	**57**
Суммарные уровни звукового давления в расчётной точке от всех источников шума ночью, Lрт, дБ		**ф-ла (19) [1]**	**53**	**55,4**	**48,2**	**45,6**	**46,2**	**49,3**	**43,1**	**28,3**	**0**	**51,5**	**51,5**
Допускаемые УЗД днём, Lдоп, дБ	Границы санитарно-защитных зон	Таблица 5.35.[23]	90	75	66	59	54	50	47	45	44	55	70
Допускаемые УЗД ночью, Lдоп, дБ	Границы санитарно-защитных зон	Таблица 5.35.[23]	83	67	57	49	44	40	37	35	33	45	60
Превышение днём, дБ		**Lрт - Lдоп**	**-26,5**	**-15,2**	**-15,3**	**-12,1**	**-6,4**	**1,8**	**6,3**	**-1,8**	**-30,6**	**2**	**-13**
Превышение ночью, дБ		**Lрт - Lдоп**	**-30**	**-11,6**	**-8,8**	**-3,4**	**2,2**	**9,3**	**6,1**	**-6,7**	**-33**	**6,5**	**-8,5**

Определение уровней звукового давления в точке РТ-11 (координаты точки, м: x = 1357.24, y = -239.81, z = 1.50)													
Наименование величин и их описание		**Ссылка**	**Расчётные уровни в октавных полосах, со среднегеометрическими частотами, Гц**									**La, дБА**	**Lмакс, дБА**
			31,5	**63**	**125**	**250**	**500**	**1000**	**2000**	**4000**	**8000**		
1		**2**	**3**	**4**	**5**	**6**	**7**	**8**	**9**	**10**	**11**	**12**	**13**
Источник шума: ИШ-1-1, координаты источника (x,y,z), м =[271.72,229.68,1.00]													
Уровни звуковой мощности источника днём, Lw, дБ		**исходные данные**	**97**	**97**	**104**	**106**	**105**	**105**	**98**	**87**	**81**		
Уровни звуковой мощности источника ночью, Lw, дБ		**исходные данные**	**97**	**97**	**104**	**106**	**105**	**105**	**98**	**87**	**81**		
Поправка на телесный угол DΩ, дБ	Ω = 6.28	10Lg(4π/Ω)	**3**	3	3	3	3	3	3	3	3		
Показатель направленности источника Di, дБ		исходные данные	**0**	0	0	0	0	0	0	0	0		
Поправка на направленность источника Dc, дБ	Dc	DΩ + Di	**3**	3	3	3	3	3	3	3	3		
Затухание из-за геометрической дивергенции, Adiv, дБ	расстояние = 1182.69 м	ф-ла (7) [10]	**72,5**										
Коэффициент затухания звука в атмосфере α, дБ/км	Ta=20,°C Pa=101.33,кПа hотн.=70%	ф-ла (5) [9]	0,02	0,09	0,33	1,12	2,79	4,98	9,04	23,09	77,63		
Учет затухания звука в атмосфере Aatm, дБ		ф-ла (8) [10]	0	0,1	0,4	1,3	3,3	5,9	10,7	27,3	91,8		
Снижение уровня звукового давления из-за влияния застройки между источником шума и расчетной точкой													
Снижение уровня звукового давления на пути над экраном, Dz1, дБ	z = 0.75м (разность путей)	ф-лы (14-18) [10]	5,2	5,6	6,3	7,5	9,1	11,3	13,7	16,5	19,3		
Снижение уровня звукового давления на пути слева от экрана, Dz2, дБ	z = 17.89м (разность путей)	ф-лы (14-18) [10]	22,5	25,9	29	32	35	38	41	44	47		
Снижение уровня звукового давления на пути справа от экрана, Dz3, дБ	z = 56.09м (разность путей)	ф-лы (14-18) [10]	27,4	30,8	33,9	36,9	40	43	46	49	52		

1		2	3	4	5	6	7	8	9	10	11	12	13
Общее снижение уровня звука препятствием Dz, дБ		Эн.сумма(-Dzi)	5,1	5,5	6,3	7,4	9,1	11,2	13,7	16,5	19,3		
Уровни звукового давления прямого звука от источника ИШ-1-1 в расчётной точке днём, дБ		**ф-ла(3)[10]**	**22,5**	**21,9**	**27,9**	**27,8**	**23,1**	**18,4**	**4,1**	**0**	**0**	**24,3**	**24,3**
Уровни звукового давления прямого звука от источника ИШ-1-1 в расчётной точке ночью, дБ		**ф-ла(3)[10]**	**22,5**	**21,9**	**27,9**	**27,8**	**23,1**	**18,4**	**4,1**	**0**	**0**	**24,3**	**24,3**
Расчёт отражённого звука													
Уровни звукового давления от мнимого источника ИШ-1-1_мн.(1) в расчётной точке днём, дБ		**ф-ла(3)[10]**	**0**	**0**	**0**	**0**	**0**	**21,9**	**9,3**	**0**	**0**	**22,2**	**22,2**
Уровни звукового давления от мнимого источника ИШ-1-1_мн.(1) в расчётной точке ночью, дБ		**ф-ла(3)[10]**	**0**	**0**	**0**	**0**	**0**	**0**	**0**	**0**	**0**	**22,2**	**22,2**
Уровни звукового давления от источника ИШ-1-1 в расчётной точке днём, дБ		**ф-ла(3)[10]**	**22,5**	**21,9**	**27,9**	**27,8**	**23,1**	**23,5**	**10,5**	**0**	**0**	**26,4**	**26,4**
Уровни звукового давления от источника ИШ-1-1 в расчётной точке ночью, дБ		**ф-ла(3)[10]**	**22,5**	**21,9**	**27,9**	**27,8**	**23,1**	**23,5**	**10,5**	**0**	**0**	**26,4**	**26,4**
Источник шума: ИШ-1-2, координаты источника (x,y,z), м =[261.74,199.14,1.00]													
Уровни звуковой мощности источника днём, Lw, дБ		**исходные данные**	**97**	**97**	**104**	**106**	**105**	**105**	**98**	**87**	**81**		
Уровни звуковой мощности источника ночью, Lw, дБ		**исходные данные**	**97**	**97**	**104**	**106**	**105**	**105**	**98**	**87**	**81**		
Поправка на телесный угол DΩ, дБ	Ω = 6.28	10Lg(4π/Ω)	**3**	3	3	3	3	3	3	3	3		
Показатель направленности источника Di, дБ		исходные данные	**0**	0	0	0	0	0	0	0	0		
Поправка на направленность источника Dc, дБ	Dc	DΩ + Di	**3**	3	3	3	3	3	3	3	3		
Затухание из-за геометрической дивергенции, Adiv, дБ	расстояние = 1180.17 м	ф-ла (7) [10]	**72,4**										
Коэффициент затухания звука в атмосфере α, дБ/км	Ta=20,°C Pa=101.33,кПа hотн.=70%	ф-ла (5) [9]	0,02	0,09	0,33	1,12	2,79	4,98	9,04	23,09	77,63		

1		2	3	4	5	6	7	8	9	10	11	12	13
Учет затухания звука в атмосфере Aatm, дБ		ф-ла (8) [10]	0	0,1	0,4	1,3	3,3	5,9	10,7	27,2	91,6		
Снижение уровня звукового давления из-за влияния застройки между источником шума и расчетной точкой													
Снижение уровня звукового давления на пути над экраном, Dz1, дБ	z = 0.75м (разность путей)	ф-лы (14-18) [10]	5,2	5,6	6,4	7,5	9,2	11,4	13,9	16,6	19,5		
Снижение уровня звукового давления на пути слева от экрана, Dz2, дБ	z = 42.67м (разность путей)	ф-лы (14-18) [10]	26,2	29,6	32,7	35,8	38,8	41,8	44,8	47,8	50,8		
Снижение уровня звукового давления на пути справа от экрана, Dz3, дБ	z = 31.69м (разность путей)	ф-лы (14-18) [10]	25	28,3	31,4	34,5	37,5	40,5	43,5	46,5	49,5		
Общее снижение уровня звука препятствием Dz, дБ		Эн.сумма(-Dzi)	5,1	5,6	6,3	7,5	9,2	11,4	13,9	16,6	19,5		
Уровни звукового давления прямого звука от источника ИШ-1-2 в расчётной точке днём, дБ		**ф-ла(3)[10]**	**22,4**	**21,9**	**27,8**	**27,7**	**23,1**	**18,3**	**4**	**0**	**0**	**24,2**	**24,2**
Уровни звукового давления прямого звука от источника ИШ-1-2 в расчётной точке ночью, дБ		**ф-ла(3)[10]**	**22,4**	**21,9**	**27,8**	**27,7**	**23,1**	**18,3**	**4**	**0**	**0**	**24,2**	**24,2**
Расчёт отражённого звука													
Уровни звукового давления от мнимого источника ИШ-1-2_мн.(1) в расчётной точке днём, дБ		**ф-ла(3)[10]**	**0**	**0**	**0**	**0**	**0**	**20,9**	**8**	**0**	**0**	**21,2**	**21,2**
Уровни звукового давления от мнимого источника ИШ-1-2_мн.(1) в расчётной точке ночью, дБ		**ф-ла(3)[10]**	**0**	**0**	**0**	**0**	**0**	**0**	**0**	**0**	**0**	**21,2**	**21,2**
Уровни звукового давления от источника ИШ-1-2 в расчётной точке днём, дБ		**ф-ла(3)[10]**	**22,4**	**21,9**	**27,8**	**27,7**	**23,1**	**22,8**	**9,5**	**0**	**0**	**26**	**26**
Уровни звукового давления от источника ИШ-1-2 в расчётной точке ночью, дБ		**ф-ла(3)[10]**	**22,4**	**21,9**	**27,8**	**27,7**	**23,1**	**22,8**	**9,5**	**0**	**0**	**26**	**26**
Источник шума: ИШ-1-3, координаты источника (x,y,z), м =[251.75,236.44,1.00]													
Уровни звуковой мощности источника днём, Lw, дБ		**исходные данные**	**0**	**91,3**	**92,7**	**94**	**94,3**	**93,9**	**90,6**	**86,4**	**81,9**		
Уровни звуковой мощности источника ночью, Lw, дБ		**исходные данные**	**0**	**91,3**	**92,7**	**94**	**94,3**	**93,9**	**90,6**	**86,4**	**81,9**		
Поправка на телесный угол DΩ, дБ	Ω = 6.28	10Lg(4π/Ω)	**3**	3	3	3	3	3	3	3	3		

1		2	3	4	5	6	7	8	9	10	11	12	13
Показатель направленности источника Di, дБ		исходные данные	**0**	0	0	0	0	0	0	0	0		
Поправка на направленность источника Dc, дБ	Dc	DΩ + Di	**3**	3	3	3	3	3	3	3	3		
Затухание из-за геометрической дивергенции, Adiv, дБ	расстояние = 1203.70 м	ф-ла (7) [10]	**72,6**										
Коэффициент затухания звука в атмосфере α, дБ/км	Ta=20,°C Pa=101.33,кПа hотн.=70%	ф-ла (5) [9]	0,02	0,09	0,33	1,12	2,79	4,98	9,04	23,09	77,63		
Учет затухания звука в атмосфере Aatm, дБ		ф-ла (8) [10]	0	0,1	0,4	1,4	3,4	6	10,9	27,8	93,4		
Снижение уровня звукового давления из-за влияния застройки между источником шума и расчетной точкой													
Снижение уровня звукового давления на пути над экраном, Dz1, дБ	z = 0.56м (разность путей)	ф-лы (14-18) [10]	4,9	5	5,2	5,5	6,2	7,3	8,9	10,9	13,4		
Снижение уровня звукового давления на пути слева от экрана, Dz2, дБ	z = 14.91м (разность путей)	ф-лы (14-18) [10]	21,7	25,1	28,2	31,2	34,2	37,2	40,2	43,2	46,2		
Снижение уровня звукового давления на пути справа от экрана, Dz3, дБ	z = 46.65м (разность путей)	ф-лы (14-18) [10]	26,6	30	33,1	36,1	39,2	42,2	45,2	48,2	51,2		
Общее снижение уровня звука препятствием Dz, дБ		Эн.сумма(-Dzi)	4,7	4,9	5,1	5,5	6,2	7,3	8,9	10,9	13,4		
Уровни звукового давления прямого звука от источника ИШ-1-3 в расчётной точке днём, дБ		**ф-ла(3)[10]**	**0**	**16,7**	**17,5**	**17,5**	**15,1**	**11**	**1,2**	**0**	**0**	**15,9**	**15,9**
Уровни звукового давления прямого звука от источника ИШ-1-3 в расчётной точке ночью, дБ		**ф-ла(3)[10]**	**0**	**16,7**	**17,5**	**17,5**	**15,1**	**11**	**1,2**	**0**	**0**	**15,9**	**15,9**
Расчёт отражённого звука													
Уровни звукового давления от мнимого источника ИШ-1-3_мн.(1) в расчётной точке днём, дБ		**ф-ла(3)[10]**	**0**	**0**	**0**	**0**	**0**	**11**	**2,2**	**0**	**0**	**11,7**	**11,7**
Уровни звукового давления от мнимого источника ИШ-1-3_мн.(1) в расчётной точке ночью, дБ		**ф-ла(3)[10]**	**0**	**0**	**0**	**0**	**0**	**0**	**0**	**0**	**0**	**11,7**	**11,7**
Уровни звукового давления от источника ИШ-1-3 в расчётной точке днём, дБ		**ф-ла(3)[10]**	**0**	**16,7**	**17,5**	**17,5**	**15,1**	**14**	**4,8**	**0**	**0**	**17,3**	**17,3**
Уровни звукового давления от источника ИШ-1-3 в расчётной точке ночью, дБ		**ф-ла(3)[10]**	**0**	**16,7**	**17,5**	**17,5**	**15,1**	**14**	**4,8**	**0**	**0**	**17,3**	**17,3**

1		2	3	4	5	6	7	8	9	10	11	12	13
Источник шума: ИШ-1-4, координаты источника (x,y,z), м =[290.25,223.25,1.00]													
Уровни звуковой мощности источника днём, Lw, дБ		**исходные данные**	**0**	**91,3**	**92,7**	**94**	**94,3**	**93,9**	**90,6**	**86,4**	**81,9**		
Уровни звуковой мощности источника ночью, Lw, дБ		**исходные данные**	**0**	**91,3**	**92,7**	**94**	**94,3**	**93,9**	**90,6**	**86,4**	**81,9**		
Поправка на телесный угол DΩ, дБ	Ω = 6.28	10Lg(4π/Ω)	**3**	3	3	3	3	3	3	3	3		
Показатель направленности источника Di, дБ		исходные данные	**0**	0	0	0	0	0	0	0	0		
Поправка на направленность источника Dc, дБ	Dc	DΩ + Di	**3**	3	3	3	3	3	3	3	3		
Затухание из-за геометрической дивергенции, Adiv, дБ	расстояние = 1163.13 м	ф-ла (7) [10]	**72,3**										
Коэффициент затухания звука в атмосфере α, дБ/км	Ta=20,°C Pa=101.33,кПа hотн.=70%	ф-ла (5) [9]	0,02	0,09	0,33	1,12	2,79	4,98	9,04	23,09	77,63		
Учет затухания звука в атмосфере Aatm, дБ		ф-ла (8) [10]	0	0,1	0,4	1,3	3,2	5,8	10,5	26,9	90,3		
Снижение уровня звукового давления из-за влияния застройки между источником шума и расчетной точкой													
Снижение уровня звукового давления на пути над экраном, Dz1, дБ	z = 1.12м (разность путей)	ф-лы (14-18) [10]	6,3	7,6	9,4	11,6	14,2	16,9	19,8	22,7	25,7		
Снижение уровня звукового давления на пути слева от экрана, Dz2, дБ	z = 22.80м (разность путей)	ф-лы (14-18) [10]	23,5	26,9	30	33	36	39,1	42,1	45,1	48,1		
Снижение уровня звукового давления на пути справа от экрана, Dz3, дБ	z = 67.33м (разность путей)	ф-лы (14-18) [10]	28,2	31,6	34,7	37,7	40,7	43,8	46,8	49,8	52,8		
Общее снижение уровня звука препятствием Dz, дБ		Эн.сумма(-Dzi)	6,2	7,6	9,4	11,6	14,1	16,9	19,8	22,7	25,7		
Общее снижение уровня звука препятствием с учётом ограничения (25 дБ) для октавных полос Dz, дБ		Раздел 7.4 [10]	6,2	7,6	9,4	11,6	14,1	16,9	19,8	22,7	25		
Уровни звукового давления прямого звука от источника ИШ-1-4 в расчётной точке днём, дБ		**ф-ла(3)[10]**	**0**	**14,3**	**13,6**	**11,8**	**7,6**	**1,9**	**0**	**0**	**0**	**8,5**	**8,5**

1		2	3	4	5	6	7	8	9	10	11	12	13
Уровни звукового давления прямого звука от источника ИШ-1-4 в расчётной точке ночью, дБ		**ф-ла(3)[10]**	**0**	**14,3**	**13,6**	**11,8**	**7,6**	**1,9**	**0**	**0**	**0**	**8,5**	**8,5**
Расчёт отражённого звука													
Уровни звукового давления от мнимого источника ИШ-1-4_мн.(1) в расчётной точке днём, дБ		**ф-ла(3)[10]**	**0**	**0**	**0**	**0**	**0**	**0**	**1,6**	**0**	**0**	**2,8**	**2,8**
Уровни звукового давления от мнимого источника ИШ-1-4_мн.(1) в расчётной точке ночью, дБ		**ф-ла(3)[10]**	**0**	**0**	**0**	**0**	**0**	**0**	**0**	**0**	**0**	**2,8**	**2,8**
Уровни звукового давления от источника ИШ-1-4 в расчётной точке днём, дБ		**ф-ла(3)[10]**	**0**	**14,3**	**13,6**	**11,8**	**7,6**	**1,9**	**1,6**	**0**	**0**	**9,5**	**9,5**
Уровни звукового давления от источника ИШ-1-4 в расчётной точке ночью, дБ		**ф-ла(3)[10]**	**0**	**14,3**	**13,6**	**11,8**	**7,6**	**1,9**	**1,6**	**0**	**0**	**9,5**	**9,5**
Источник шума: ИШ-1-5, координаты источника (x,y,z), м =[241.49,205.86,1.00]													
Уровни звуковой мощности источника днём, Lw, дБ		**исходные данные**	**0**	**91,3**	**92,7**	**94**	**94,3**	**93,9**	**90,6**	**86,4**	**81,9**		
Уровни звуковой мощности источника ночью, Lw, дБ		**исходные данные**	**0**	**91,3**	**92,7**	**94**	**94,3**	**93,9**	**90,6**	**86,4**	**81,9**		
Поправка на телесный угол DΩ, дБ	Ω = 6.28	10Lg(4π/Ω)	**3**	3	3	3	3	3	3	3	3		
Показатель направленности источника Di, дБ		исходные данные	**0**	0	0	0	0	0	0	0	0		
Поправка на направленность источника Dc, дБ	Dc	DΩ + Di	**3**	3	3	3	3	3	3	3	3		
Затухание из-за геометрической дивергенции, Adiv, дБ	расстояние = 1201.46 м	ф-ла (7) [10]	**72,6**										
Коэффициент затухания звука в атмосфере α, дБ/км	Ta=20,°C Pa=101.33,кПа hотн.=70%	ф-ла (5) [9]	0,02	0,09	0,33	1,12	2,79	4,98	9,04	23,09	77,63		
Учет затухания звука в атмосфере Aatm, дБ		ф-ла (8) [10]	0	0,1	0,4	1,4	3,4	6	10,9	27,7	93,3		
Снижение уровня звукового давления из-за влияния застройки между источником шума и расчетной точкой													

1		2	3	4	5	6	7	8	9	10	11	12	13
Снижение уровня звукового давления на пути над экраном, Dz1, дБ	z = 0.56м (разность путей)	ф-лы (14-18) [10]	4,9	5	5,2	5,6	6,2	7,3	8,9	11	13,5		
Снижение уровня звукового давления на пути слева от экрана, Dz2, дБ	z = 35.89м (разность путей)	ф-лы (14-18) [10]	25,5	28,9	32	35	38	41	44	47	50,1		
Снижение уровня звукового давления на пути справа от экрана, Dz3, дБ	z = 25.03м (разность путей)	ф-лы (14-18) [10]	23,9	27,3	30,4	33,4	36,5	39,5	42,5	45,5	48,5		
Общее снижение уровня звука препятствием Dz, дБ		Эн.сумма(-Dzi)	4,8	4,9	5,2	5,5	6,2	7,3	8,9	11	13,5		
Уровни звукового давления прямого звука от источника ИШ-1-5 в расчётной точке днём, дБ		**ф-ла(3)[10]**	**0**	**16,7**	**17,5**	**17,5**	**15,1**	**11**	**1,2**	**0**	**0**	**15,9**	**15,9**
Уровни звукового давления прямого звука от источника ИШ-1-5 в расчётной точке ночью, дБ		**ф-ла(3)[10]**	**0**	**16,7**	**17,5**	**17,5**	**15,1**	**11**	**1,2**	**0**	**0**	**15,9**	**15,9**
Расчёт отражённого звука													
Уровни звукового давления от мнимого источника ИШ-1-5_мн.(1) в расчётной точке днём, дБ		**ф-ла(3)[10]**	**0**	**0**	**0**	**0**	**0**	**10**	**0,9**	**0**	**0**	**10,7**	**10,7**
Уровни звукового давления от мнимого источника ИШ-1-5_мн.(1) в расчётной точке ночью, дБ		**ф-ла(3)[10]**	**0**	**0**	**0**	**0**	**0**	**0**	**0**	**0**	**0**	**10,7**	**10,7**
Уровни звукового давления от источника ИШ-1-5 в расчётной точке днём, дБ		**ф-ла(3)[10]**	**0**	**16,7**	**17,5**	**17,5**	**15,1**	**13,6**	**4,1**	**0**	**0**	**17,1**	**17,1**
Уровни звукового давления от источника ИШ-1-5 в расчётной точке ночью, дБ		**ф-ла(3)[10]**	**0**	**16,7**	**17,5**	**17,5**	**15,1**	**13,6**	**4,1**	**0**	**0**	**17,1**	**17,1**
Источник шума: ИШ-1-6, координаты источника (x,y,z), м =[279.85,192.97,1.00]													
Уровни звуковой мощности источника днём, Lw, дБ		**исходные данные**	**0**	**91,3**	**92,7**	**94**	**94,3**	**93,9**	**90,6**	**86,4**	**81,9**		
Уровни звуковой мощности источника ночью, Lw, дБ		**исходные данные**	**0**	**91,3**	**92,7**	**94**	**94,3**	**93,9**	**90,6**	**86,4**	**81,9**		
Поправка на телесный угол DΩ, дБ	Ω = 6.28	10Lg(4π/Ω)	**3**	3	3	3	3	3	3	3	3		
Показатель направленности источника Di, дБ		исходные данные	**0**	0	0	0	0	0	0	0	0		
Поправка на направленность источника Dc, дБ	Dc	DΩ + Di	**3**	3	3	3	3	3	3	3	3		

1		2	3	4	5	6	7	8	9	10	11	12	13
Затухание из-за геометрической дивергенции, Adiv, дБ	расстояние = 1161.06 м	ф-ла (7) [10]	**72,3**										
Коэффициент затухания звука в атмосфере α, дБ/км	Ta=20,°C Pa=101.33,кПа hотн.=70%	ф-ла (5) [9]	0,02	0,09	0,33	1,12	2,79	4,98	9,04	23,09	77,63		
Учет затухания звука в атмосфере Aatm, дБ		ф-ла (8) [10]	0	0,1	0,4	1,3	3,2	5,8	10,5	26,8	90,1		
Снижение уровня звукового давления из-за влияния застройки между источником шума и расчетной точкой													
Снижение уровня звукового давления на пути над экраном, Dz1, дБ	z = 1.11м (разность путей)	ф-лы (14-18) [10]	6,3	7,6	9,4	11,6	14,1	16,9	19,8	22,7	25,7		
Снижение уровня звукового давления на пути слева от экрана, Dz2, дБ	z = 51.52м (разность путей)	ф-лы (14-18) [10]	27,1	30,4	33,5	36,6	39,6	42,6	45,6	48,6	51,6		
Снижение уровня звукового давления на пути справа от экрана, Dz3, дБ	z = 40.15м (разность путей)	ф-лы (14-18) [10]	26	29,4	32,5	35,5	38,5	41,5	44,5	47,5	50,5		
Общее снижение уровня звука препятствием Dz, дБ		Эн.сумма(-Dzi)	6,2	7,6	9,3	11,6	14,1	16,9	19,7	22,7	25,7		
Общее снижение уровня звука препятствием с учётом ограничения (25 дБ) для октавных полос Dz, дБ		Раздел 7.4 [10]	6,2	7,6	9,3	11,6	14,1	16,9	19,7	22,7	25		
Уровни звукового давления прямого звука от источника ИШ-1-6 в расчётной точке днём, дБ		**ф-ла(3)[10]**	**0**	**14,3**	**13,7**	**11,8**	**7,6**	**2**	**0**	**0**	**0**	**8,5**	**8,5**
Уровни звукового давления прямого звука от источника ИШ-1-6 в расчётной точке ночью, дБ		**ф-ла(3)[10]**	**0**	**14,3**	**13,7**	**11,8**	**7,6**	**2**	**0**	**0**	**0**	**8,5**	**8,5**
Расчёт отражённого звука													
Уровни звукового давления от мнимого источника ИШ-1-6_мн.(1) в расчётной точке днём, дБ		**ф-ла(3)[10]**	**0**	**0**	**0**	**0**	**0**	**9,6**	**0,3**	**0**	**0**	**10,2**	**10,2**
Уровни звукового давления от мнимого источника ИШ-1-6_мн.(1) в расчётной точке ночью, дБ		**ф-ла(3)[10]**	**0**	**0**	**0**	**0**	**0**	**0**	**0**	**0**	**0**	**10,2**	**10,2**
Уровни звукового давления от источника ИШ-1-6 в расчётной точке днём, дБ		**ф-ла(3)[10]**	**0**	**14,3**	**13,7**	**11,8**	**7,6**	**10,3**	**0,3**	**0**	**0**	**12,5**	**12,5**
Уровни звукового давления от источника ИШ-1-6 в расчётной точке ночью, дБ		**ф-ла(3)[10]**	**0**	**14,3**	**13,7**	**11,8**	**7,6**	**10,3**	**0,3**	**0**	**0**	**12,5**	**12,5**

1		2	3	4	5	6	7	8	9	10	11	12	13
Источник шума: ИШ-1-7, координаты источника (x,y,z), м =[451.87,146.66,1.00]													
Уровни звуковой мощности источника днём, Lw, дБ		**исходные данные**	**0**	**93,3**	**94,7**	**96**	**96,3**	**95,9**	**92,6**	**88,4**	**83,9**		
Уровни звуковой мощности источника ночью, Lw, дБ		**исходные данные**	**0**	**93,3**	**94,7**	**96**	**96,3**	**95,9**	**92,6**	**88,4**	**83,9**		
Поправка на телесный угол DΩ, дБ	Ω = 6.28	10Lg(4π/Ω)	**3**	3	3	3	3	3	3	3	3		
Показатель направленности источника Di, дБ		исходные данные	**0**	0	0	0	0	0	0	0	0		
Поправка на направленность источника Dc, дБ	Dc	DΩ + Di	**3**	3	3	3	3	3	3	3	3		
Затухание из-за геометрической дивергенции, Adiv, дБ	расстояние = 984.40 м	ф-ла (7) [10]	**70,9**										
Коэффициент затухания звука в атмосфере α, дБ/км	Ta=20,°C Pa=101.33,кПа hотн.=70%	ф-ла (5) [9]	0,02	0,09	0,33	1,12	2,79	4,98	9,04	23,09	77,63		
Учет затухания звука в атмосфере Aatm, дБ		ф-ла (8) [10]	0	0,1	0,3	1,1	2,7	4,9	8,9	22,7	76,4		
Снижение уровня звукового давления из-за влияния застройки между источником шума и расчетной точкой													
Снижение уровня звукового давления на пути над экраном, Dz1, дБ	z = 1.00м (разность путей)	ф-лы (14-18) [10]	5,4	6,1	7,7	10,4	13,3	16,2	19,1	22,1	25,1		
Снижение уровня звукового давления на пути слева от экрана, Dz2, дБ	z = 30.64м (разность путей)	ф-лы (14-18) [10]	21	24,6	29	33,4	37	40,3	43,3	46,4	49,4		
Снижение уровня звукового давления на пути справа от экрана, Dz3, дБ	z = 46.37м (разность путей)	ф-лы (14-18) [10]	22,7	26,4	30,7	35,2	38,8	42,1	45,1	48,2	51,2		
Общее снижение уровня звука препятствием Dz, дБ		Эн.сумма(-Dzi)	5,2	6	7,6	10,4	13,3	16,2	19,1	22,1	25		
Общее снижение уровня звука препятствием с учётом ограничения (25 дБ) для октавных полос Dz, дБ		Раздел 7.4 [10]	5,2	6	7,6	10,4	13,3	16,2	19,1	22,1	25		
Уровни звукового давления прямого звука от источника ИШ-1-7 в расчётной точке днём, дБ		**ф-ла(3)[10]**	**0**	**19,4**	**18,9**	**16,7**	**12,4**	**6,9**	**0**	**0**	**0**	**13,4**	**13,4**

1		2	3	4	5	6	7	8	9	10	11	12	13
Уровни звукового давления прямого звука от источника ИШ-1-7 в расчётной точке ночью, дБ		**ф-ла(3)[10]**	**0**	**19,4**	**18,9**	**16,7**	**12,4**	**6,9**	**0**	**0**	**0**	**13,4**	**13,4**
Расчёт отражённого звука													
Уровни звукового давления от мнимого источника ИШ-1-7_мн.(1) в расчётной точке днём, дБ		**ф-ла(3)[10]**	**0**	**0**	**0**	**19,3**	**16,4**	**11,8**	**2**	**0**	**0**	**17**	**17**
Уровни звукового давления от мнимого источника ИШ-1-7_мн.(1) в расчётной точке ночью, дБ		**ф-ла(3)[10]**	**0**	**0**	**0**	**0**	**0**	**0**	**0**	**0**	**0**	**17**	**17**
Уровни звукового давления от источника ИШ-1-7 в расчётной точке днём, дБ		**ф-ла(3)[10]**	**0**	**19,4**	**18,9**	**21,2**	**17,8**	**13,1**	**2**	**0**	**0**	**18,5**	**18,5**
Уровни звукового давления от источника ИШ-1-7 в расчётной точке ночью, дБ		**ф-ла(3)[10]**	**0**	**19,4**	**18,9**	**21,2**	**17,8**	**13,1**	**2**	**0**	**0**	**18,5**	**18,5**
Источник шума: ИШ-1-8, координаты источника (x,y,z), м =[454.99,145.29,1.00]													
Уровни звуковой мощности источника днём, Lw, дБ		**исходные данные**	**0**	**93,3**	**94,7**	**96**	**96,3**	**95,9**	**92,6**	**88,4**	**83,9**		
Уровни звуковой мощности источника ночью, Lw, дБ		**исходные данные**	**0**	**93,3**	**94,7**	**96**	**96,3**	**95,9**	**92,6**	**88,4**	**83,9**		
Поправка на телесный угол DΩ, дБ	Ω = 6.28	10Lg(4π/Ω)	**3**	3	3	3	3	3	3	3	3		
Показатель направленности источника Di, дБ		исходные данные	**0**	0	0	0	0	0	0	0	0		
Поправка на направленность источника Dc, дБ	Dc	DΩ + Di	**3**	3	3	3	3	3	3	3	3		
Затухание из-за геометрической дивергенции, Adiv, дБ	расстояние = 980.99 м	ф-ла (7) [10]	**70,8**										
Коэффициент затухания звука в атмосфере α, дБ/км	Ta=20,°C Pa=101.33,кПа hотн.=70%	ф-ла (5) [9]	0,02	0,09	0,33	1,12	2,79	4,98	9,04	23,09	77,63		
Учет затухания звука в атмосфере Aatm, дБ		ф-ла (8) [10]	0	0,1	0,3	1,1	2,7	4,9	8,9	22,6	76,2		
Снижение уровня звукового давления из-за влияния застройки между источником шума и расчетной точкой													

1		2	3	4	5	6	7	8	9	10	11	12	13
Снижение уровня звукового давления на пути над экраном, Dz1, дБ	z = 1.09м (разность путей)	ф-лы (14-18) [10]	5,5	6,4	8,3	11,2	14,3	17,3	20,2	23,2	26,1		
Снижение уровня звукового давления на пути слева от экрана, Dz2, дБ	z = 32.22м (разность путей)	ф-лы (14-18) [10]	21,2	24,8	29,2	33,6	37,3	40,5	43,5	46,6	49,6		
Снижение уровня звукового давления на пути справа от экрана, Dz3, дБ	z = 48.01м (разность путей)	ф-лы (14-18) [10]	22,9	26,5	30,9	35,3	39	42,2	45,3	48,3	51,3		
Общее снижение уровня звука препятствием Dz, дБ		Эн.сумма(-Dzi)	5,3	6,3	8,2	11,2	14,3	17,2	20,2	23,1	26,1		
Общее снижение уровня звука препятствием с учётом ограничения (25 дБ) для октавных полос Dz, дБ		Раздел 7.4 [10]	5,3	6,3	8,2	11,2	14,3	17,2	20,2	23,1	25		
Уровни звукового давления прямого звука от источника ИШ-1-8 в расчётной точке днём, дБ		**ф-ла(3)[10]**	**0**	**19,1**	**18,3**	**15,9**	**11,5**	**5,9**	**0**	**0**	**0**	**12,5**	**12,5**
Уровни звукового давления прямого звука от источника ИШ-1-8 в расчётной точке ночью, дБ		**ф-ла(3)[10]**	**0**	**19,1**	**18,3**	**15,9**	**11,5**	**5,9**	**0**	**0**	**0**	**12,5**	**12,5**
Расчёт отражённого звука													
Уровни звукового давления от мнимого источника ИШ-1-8_мн.(1) в расчётной точке днём, дБ		**ф-ла(3)[10]**	**0**	**0**	**0**	**19,2**	**16,4**	**11,8**	**2**	**0**	**0**	**16,9**	**16,9**
Уровни звукового давления от мнимого источника ИШ-1-8_мн.(1) в расчётной точке ночью, дБ		**ф-ла(3)[10]**	**0**	**0**	**0**	**0**	**0**	**0**	**0**	**0**	**0**	**16,9**	**16,9**
Уровни звукового давления от источника ИШ-1-8 в расчётной точке днём, дБ		**ф-ла(3)[10]**	**0**	**19,1**	**18,3**	**20,9**	**17,6**	**12,8**	**2**	**0**	**0**	**18,3**	**18,3**
Уровни звукового давления от источника ИШ-1-8 в расчётной точке ночью, дБ		**ф-ла(3)[10]**	**0**	**19,1**	**18,3**	**20,9**	**17,6**	**12,8**	**2**	**0**	**0**	**18,3**	**18,3**
Источник шума: ИШ-1-9, координаты источника (x,y,z), м =[458.12,144.31,1.00]													
Уровни звуковой мощности источника днём, Lw, дБ		**исходные данные**	**0**	**93,3**	**94,7**	**96**	**96,3**	**95,9**	**92,6**	**88,4**	**83,9**		
Уровни звуковой мощности источника ночью, Lw, дБ		**исходные данные**	**0**	**93,3**	**94,7**	**96**	**96,3**	**95,9**	**92,6**	**88,4**	**83,9**		
Поправка на телесный угол DΩ, дБ	Ω = 6.28	10Lg(4π/Ω)	**3**	3	3	3	3	3	3	3	3		
Показатель направленности источника Di, дБ		исходные данные	**0**	0	0	0	0	0	0	0	0		

1		2	3	4	5	6	7	8	9	10	11	12	13
Поправка на направленность источника Dc, дБ	Dc	DΩ + Di	**3**	3	3	3	3	3	3	3	3		
Затухание из-за геометрической дивергенции, Adiv, дБ	расстояние = 977.73 м	ф-ла (7) [10]	**70,8**										
Коэффициент затухания звука в атмосфере α, дБ/км	Ta=20,°C Pa=101.33,кПа hотн.=70%	ф-ла (5) [9]	0,02	0,09	0,33	1,12	2,79	4,98	9,04	23,09	77,63		
Учет затухания звука в атмосфере Aatm, дБ		ф-ла (8) [10]	0	0,1	0,3	1,1	2,7	4,9	8,8	22,6	75,9		
Снижение уровня звукового давления из-за влияния застройки между источником шума и расчетной точкой													
Снижение уровня звукового давления на пути над экраном, Dz1, дБ	z = 1.19м (разность путей)	ф-лы (14-18) [10]	5,7	6,8	8,9	12,1	15,3	18,3	21,3	24,2	27,2		
Снижение уровня звукового давления на пути слева от экрана, Dz2, дБ	z = 33.54м (разность путей)	ф-лы (14-18) [10]	21,3	25	29,3	33,7	37,4	40,7	43,7	46,7	49,8		
Снижение уровня звукового давления на пути справа от экрана, Dz3, дБ	z = 49.99м (разность путей)	ф-лы (14-18) [10]	23	26,7	31,1	35,5	39,2	42,4	45,5	48,5	51,5		
Общее снижение уровня звука препятствием Dz, дБ		Эн.сумма(-Dzi)	5,5	6,7	8,8	12	15,2	18,3	21,2	24,2	27,2		
Общее снижение уровня звука препятствием с учётом ограничения (25 дБ) для октавных полос Dz, дБ		Раздел 7.4 [10]	5,5	6,7	8,8	12	15,2	18,3	21,2	24,2	25		
Уровни звукового давления прямого звука от источника ИШ-1-9 в расчётной точке днём, дБ		**ф-ла(3)[10]**	**0**	**18,7**	**17,7**	**15**	**10,5**	**5**	**0**	**0**	**0**	**11,6**	**11,6**
Уровни звукового давления прямого звука от источника ИШ-1-9 в расчётной точке ночью, дБ		**ф-ла(3)[10]**	**0**	**18,7**	**17,7**	**15**	**10,5**	**5**	**0**	**0**	**0**	**11,6**	**11,6**
Расчёт отражённого звука													
Уровни звукового давления от мнимого источника ИШ-1-9_мн.(1) в расчётной точке днём, дБ		**ф-ла(3)[10]**	**0**	**0**	**0**	**19,2**	**16,3**	**11,8**	**1,9**	**0**	**0**	**16,9**	**16,9**
Уровни звукового давления от мнимого источника ИШ-1-9_мн.(1) в расчётной точке ночью, дБ		**ф-ла(3)[10]**	**0**	**0**	**0**	**0**	**0**	**0**	**0**	**0**	**0**	**16,9**	**16,9**
Уровни звукового давления от источника ИШ-1-9 в расчётной точке днём, дБ		**ф-ла(3)[10]**	**0**	**18,7**	**17,7**	**20,6**	**17,3**	**12,6**	**1,9**	**0**	**0**	**18**	**18**
Уровни звукового давления от источника ИШ-1-9 в расчётной точке ночью, дБ		**ф-ла(3)[10]**	**0**	**18,7**	**17,7**	**20,6**	**17,3**	**12,6**	**1,9**	**0**	**0**	**18**	**18**

1		2	3	4	5	6	7	8	9	10	11	12	13
Источник шума: ИШ-1-10, координаты источника (x,y,z), м =[461.05,143.53,1.00]													
Уровни звуковой мощности источника днём, Lw, дБ		**исходные данные**	**0**	**93,3**	**94,7**	**96**	**96,3**	**95,9**	**92,6**	**88,4**	**83,9**		
Уровни звуковой мощности источника ночью, Lw, дБ		**исходные данные**	**0**	**93,3**	**94,7**	**96**	**96,3**	**95,9**	**92,6**	**88,4**	**83,9**		
Поправка на телесный угол DΩ, дБ	Ω = 6.28	10Lg(4π/Ω)	**3**	3	3	3	3	3	3	3	3		
Показатель направленности источника Di, дБ		исходные данные	**0**	0	0	0	0	0	0	0	0		
Поправка на направленность источника Dc, дБ	Dc	DΩ + Di	**3**	3	3	3	3	3	3	3	3		
Затухание из-за геометрической дивергенции, Adiv, дБ	расстояние = 974.73 м	ф-ла (7) [10]	**70,8**										
Коэффициент затухания звука в атмосфере α, дБ/км	Ta=20,°C Pa=101.33,кПа hотн.=70%	ф-ла (5) [9]	0,02	0,09	0,33	1,12	2,79	4,98	9,04	23,09	77,63		
Учет затухания звука в атмосфере Aatm, дБ		ф-ла (8) [10]	0	0,1	0,3	1,1	2,7	4,9	8,8	22,5	75,7		
Снижение уровня звукового давления из-за влияния застройки между источником шума и расчетной точкой													
Снижение уровня звукового давления на пути над экраном, Dz1, дБ	z = 1.29м (разность путей)	ф-лы (14-18) [10]	6	7,2	9,6	13	16,2	19,3	22,3	25,3	28,3		
Снижение уровня звукового давления на пути слева от экрана, Dz2, дБ	z = 34.75м (разность путей)	ф-лы (14-18) [10]	21,5	25,1	29,5	33,9	37,6	40,8	43,9	46,9	49,9		
Снижение уровня звукового давления на пути справа от экрана, Dz3, дБ	z = 52.02м (разность путей)	ф-лы (14-18) [10]	23,2	26,9	31,2	35,7	39,3	42,6	45,6	48,7	51,7		
Общее снижение уровня звука препятствием Dz, дБ		Эн.сумма(-Dzi)	5,8	7,1	9,5	12,9	16,2	19,3	22,2	25,2	28,2		
Общее снижение уровня звука препятствием с учётом ограничения (25 дБ) для октавных полос Dz, дБ		Раздел 7.4 [10]	5,8	7,1	9,5	12,9	16,2	19,3	22,2	25	25		
Уровни звукового давления прямого звука от источника ИШ-1-10 в расчётной точке днём, дБ		**ф-ла(3)[10]**	**0**	**18,4**	**17,1**	**14,2**	**9,6**	**4**	**0**	**0**	**0**	**10,8**	**10,8**

1		2	3	4	5	6	7	8	9	10	11	12	13
Уровни звукового давления прямого звука от источника ИШ-1-10 в расчётной точке ночью, дБ		**ф-ла(3)[10]**	**0**	**18,4**	**17,1**	**14,2**	**9,6**	**4**	**0**	**0**	**0**	**10,8**	**10,8**
Расчёт отражённого звука													
Уровни звукового давления от мнимого источника ИШ-1-10_мн.(1) в расчётной точке днём, дБ		**ф-ла(3)[10]**	**0**	**0**	**0**	**19,2**	**16,3**	**11,7**	**1,9**	**0**	**0**	**16,9**	**16,9**
Уровни звукового давления от мнимого источника ИШ-1-10_мн.(1) в расчётной точке ночью, дБ		**ф-ла(3)[10]**	**0**	**0**	**0**	**0**	**0**	**0**	**0**	**0**	**0**	**16,9**	**16,9**
Уровни звукового давления от источника ИШ-1-10 в расчётной точке днём, дБ		**ф-ла(3)[10]**	**0**	**18,4**	**17,1**	**20,4**	**17,1**	**12,4**	**1,9**	**0**	**0**	**17,8**	**17,8**
Уровни звукового давления от источника ИШ-1-10 в расчётной точке ночью, дБ		**ф-ла(3)[10]**	**0**	**18,4**	**17,1**	**20,4**	**17,1**	**12,4**	**1,9**	**0**	**0**	**17,8**	**17,8**
Источник шума: ИШ-1-11, координаты источника (x,y,z), м =[464.18,142.55,1.00]													
Уровни звуковой мощности источника днём, Lw, дБ		**исходные данные**	**0**	**93,3**	**94,7**	**96**	**96,3**	**95,9**	**92,6**	**88,4**	**83,9**		
Уровни звуковой мощности источника ночью, Lw, дБ		**исходные данные**	**0**	**93,3**	**94,7**	**96**	**96,3**	**95,9**	**92,6**	**88,4**	**83,9**		
Поправка на телесный угол DΩ, дБ	Ω = 6.28	10Lg(4π/Ω)	**3**	3	3	3	3	3	3	3	3		
Показатель направленности источника Di, дБ		исходные данные	**0**	0	0	0	0	0	0	0	0		
Поправка на направленность источника Dc, дБ	Dc	DΩ + Di	**3**	3	3	3	3	3	3	3	3		
Затухание из-за геометрической дивергенции, Adiv, дБ	расстояние = 971.47 м	ф-ла (7) [10]	**70,7**										
Коэффициент затухания звука в атмосфере α, дБ/км	Ta=20,°C Pa=101.33,кПа hотн.=70%	ф-ла (5) [9]	0,02	0,09	0,33	1,12	2,79	4,98	9,04	23,09	77,63		
Учет затухания звука в атмосфере Aatm, дБ		ф-ла (8) [10]	0	0,1	0,3	1,1	2,7	4,8	8,8	22,4	75,4		
Снижение уровня звукового давления из-за влияния застройки между источником шума и расчетной точкой													

1		2	3	4	5	6	7	8	9	10	11	12	13
Снижение уровня звукового давления на пути над экраном, Dz1, дБ	z = 1.43м (разность путей)	ф-лы (14-18) [10]	6,3	7,7	10,4	14	17,3	20,4	23,4	26,4	29,4		
Снижение уровня звукового давления на пути слева от экрана, Dz2, дБ	z = 36.30м (разность путей)	ф-лы (14-18) [10]	21,7	25,3	29,7	34,1	37,8	41	44,1	47,1	50,1		
Снижение уровня звукового давления на пути справа от экрана, Dz3, дБ	z = 54.20м (разность путей)	ф-лы (14-18) [10]	23,4	27,1	31,4	35,8	39,5	42,7	45,8	48,8	51,8		
Общее снижение уровня звука препятствием Dz, дБ		Эн.сумма(-Dzi)	6,1	7,6	10,3	13,9	17,3	20,4	23,4	26,4	29,4		
Общее снижение уровня звука препятствием с учётом ограничения (25 дБ) для октавных полос Dz, дБ		Раздел 7.4 [10]	6,1	7,6	10,3	13,9	17,3	20,4	23,4	25	25		
Уровни звукового давления прямого звука от источника ИШ-1-11 в расчётной точке днём, дБ		**ф-ла(3)[10]**	**0**	**17,9**	**16,3**	**13,3**	**8,6**	**2,9**	**0**	**0**	**0**	**9,8**	**9,8**
Уровни звукового давления прямого звука от источника ИШ-1-11 в расчётной точке ночью, дБ		**ф-ла(3)[10]**	**0**	**17,9**	**16,3**	**13,3**	**8,6**	**2,9**	**0**	**0**	**0**	**9,8**	**9,8**
Расчёт отражённого звука													
Уровни звукового давления от мнимого источника ИШ-1-11_мн.(1) в расчётной точке днём, дБ		**ф-ла(3)[10]**	**0**	**0**	**0**	**0**	**16,3**	**11,7**	**1,8**	**0**	**0**	**15,7**	**15,7**
Уровни звукового давления от мнимого источника ИШ-1-11_мн.(1) в расчётной точке ночью, дБ		**ф-ла(3)[10]**	**0**	**0**	**0**	**0**	**0**	**0**	**0**	**0**	**0**	**15,7**	**15,7**
Уровни звукового давления от источника ИШ-1-11 в расчётной точке днём, дБ		**ф-ла(3)[10]**	**0**	**17,9**	**16,3**	**13,3**	**16,9**	**12,2**	**1,8**	**0**	**0**	**16,7**	**16,7**
Уровни звукового давления от источника ИШ-1-11 в расчётной точке ночью, дБ		**ф-ла(3)[10]**	**0**	**17,9**	**16,3**	**13,3**	**16,9**	**12,2**	**1,8**	**0**	**0**	**16,7**	**16,7**
Источник шума: ИШ-1-12, координаты источника (x,y,z), м =[435.45,97.79,1.00]													
Уровни звуковой мощности источника днём, Lw, дБ		**исходные данные**	**0**	**93,3**	**94,7**	**96**	**96,3**	**95,9**	**92,6**	**88,4**	**83,9**		
Уровни звуковой мощности источника ночью, Lw, дБ		**исходные данные**	**0**	**93,3**	**94,7**	**96**	**96,3**	**95,9**	**92,6**	**88,4**	**83,9**		
Поправка на телесный угол DΩ, дБ	Ω = 6.28	10Lg(4π/Ω)	**3**	3	3	3	3	3	3	3	3		
Показатель направленности источника Di, дБ		исходные данные	**0**	0	0	0	0	0	0	0	0		

1		2	3	4	5	6	7	8	9	10	11	12	13
Поправка на направленность источника Dc, дБ	Dc	DΩ + Di	**3**	3	3	3	3	3	3	3	3		
Затухание из-за геометрической дивергенции, Adiv, дБ	расстояние = 981.67 м	ф-ла (7) [10]	**70,8**										
Коэффициент затухания звука в атмосфере α, дБ/км	Ta=20,°C Pa=101.33,кПа hотн.=70%	ф-ла (5) [9]	0,02	0,09	0,33	1,12	2,79	4,98	9,04	23,09	77,63		
Учет затухания звука в атмосфере Aatm, дБ		ф-ла (8) [10]	0	0,1	0,3	1,1	2,7	4,9	8,9	22,7	76,2		
Снижение уровня звукового давления из-за влияния застройки между источником шума и расчетной точкой													
Снижение уровня звукового давления на пути над экраном, Dz1, дБ	z = 1.01м (разность путей)	ф-лы (14-18) [10]	5,4	6,1	7,7	10,4	13,4	16,3	19,2	22,1	25,1		
Снижение уровня звукового давления на пути слева от экрана, Dz2, дБ	z = 78.37м (разность путей)	ф-лы (14-18) [10]	25	28,7	33	37,4	41,1	44,3	47,4	50,4	53,4		
Снижение уровня звукового давления на пути справа от экрана, Dz3, дБ	z = 8.97м (разность путей)	ф-лы (14-18) [10]	15,9	19,4	23,7	28	31,7	34,9	38	41	44		
Общее снижение уровня звука препятствием Dz, дБ		Эн.сумма(-Dzi)	5	5,9	7,6	10,3	13,3	16,2	19,1	22,1	25		
Общее снижение уровня звука препятствием с учётом ограничения (25 дБ) для октавных полос Dz, дБ		Раздел 7.4 [10]	5	5,9	7,6	10,3	13,3	16,2	19,1	22,1	25		
Уровни звукового давления прямого звука от источника ИШ-1-12 в расчётной точке днём, дБ		**ф-ла(3)[10]**	**0**	**19,5**	**18,9**	**16,7**	**12,4**	**7**	**0**	**0**	**0**	**13,4**	**13,4**
Уровни звукового давления прямого звука от источника ИШ-1-12 в расчётной точке ночью, дБ		**ф-ла(3)[10]**	**0**	**19,5**	**18,9**	**16,7**	**12,4**	**7**	**0**	**0**	**0**	**13,4**	**13,4**
Расчёт отражённого звука													
Уровни звукового давления от мнимого источника ИШ-1-12_мн.(1) в расчётной точке днём, дБ		**ф-ла(3)[10]**	**0**	**0**	**0**	**19,3**	**16,4**	**11,8**	**2**	**0**	**0**	**17**	**17**
Уровни звукового давления от мнимого источника ИШ-1-12_мн.(1) в расчётной точке ночью, дБ		**ф-ла(3)[10]**	**0**	**0**	**0**	**0**	**0**	**0**	**0**	**0**	**0**	**17**	**17**
Уровни звукового давления от источника ИШ-1-12 в расчётной точке днём, дБ		**ф-ла(3)[10]**	**0**	**19,5**	**18,9**	**21,2**	**17,9**	**13**	**2**	**0**	**0**	**18,6**	**18,6**
Уровни звукового давления от источника ИШ-1-12 в расчётной точке ночью, дБ		**ф-ла(3)[10]**	**0**	**19,5**	**18,9**	**21,2**	**17,9**	**13**	**2**	**0**	**0**	**18,6**	**18,6**

1		2	3	4	5	6	7	8	9	10	11	12	13
Источник шума: ИШ-1-13, координаты источника (x,y,z), м =[438.77,96.82,1.00]													
Уровни звуковой мощности источника днём, Lw, дБ		**исходные данные**	**0**	**93,3**	**94,7**	**96**	**96,3**	**95,9**	**92,6**	**88,4**	**83,9**		
Уровни звуковой мощности источника ночью, Lw, дБ		**исходные данные**	**0**	**93,3**	**94,7**	**96**	**96,3**	**95,9**	**92,6**	**88,4**	**83,9**		
Поправка на телесный угол DΩ, дБ	Ω = 6.28	10Lg(4π/Ω)	**3**	3	3	3	3	3	3	3	3		
Показатель направленности источника Di, дБ		исходные данные	**0**	0	0	0	0	0	0	0	0		
Поправка на направленность источника Dc, дБ	Dc	DΩ + Di	**3**	3	3	3	3	3	3	3	3		
Затухание из-за геометрической дивергенции, Adiv, дБ	расстояние = 978.21 м	ф-ла (7) [10]	**70,8**										
Коэффициент затухания звука в атмосфере α, дБ/км	Ta=20,°C Pa=101.33,кПа hотн.=70%	ф-ла (5) [9]	0,02	0,09	0,33	1,12	2,79	4,98	9,04	23,09	77,63		
Учет затухания звука в атмосфере Aatm, дБ		ф-ла (8) [10]	0	0,1	0,3	1,1	2,7	4,9	8,8	22,6	75,9		
Снижение уровня звукового давления из-за влияния застройки между источником шума и расчетной точкой													
Снижение уровня звукового давления на пути над экраном, Dz1, дБ	z = 1.09м (разность путей)	ф-лы (14-18) [10]	5,5	6,4	8,3	11,3	14,4	17,3	20,3	23,2	26,2		
Снижение уровня звукового давления на пути слева от экрана, Dz2, дБ	z = 80.46м (разность путей)	ф-лы (14-18) [10]	25,1	28,8	33,1	37,5	41,2	44,5	47,5	50,5	53,6		
Снижение уровня звукового давления на пути справа от экрана, Dz3, дБ	z = 9.73м (разность путей)	ф-лы (14-18) [10]	16,2	19,7	24	28,4	32,1	35,3	38,3	41,4	44,4		
Общее снижение уровня звука препятствием Dz, дБ		Эн.сумма(-Dzi)	5,1	6,2	8,2	11,2	14,3	17,3	20,2	23,2	26,1		
Общее снижение уровня звука препятствием с учётом ограничения (25 дБ) для октавных полос Dz, дБ		Раздел 7.4 [10]	5,1	6,2	8,2	11,2	14,3	17,3	20,2	23,2	25		
Уровни звукового давления прямого звука от источника ИШ-1-13 в расчётной точке днём, дБ		**ф-ла(3)[10]**	**0**	**19,2**	**18,4**	**15,9**	**11,5**	**6**	**0**	**0**	**0**	**12,5**	**12,5**

1		2	3	4	5	6	7	8	9	10	11	12	13
Уровни звукового давления прямого звука от источника ИШ-1-13 в расчётной точке ночью, дБ		**ф-ла(3)[10]**	**0**	**19,2**	**18,4**	**15,9**	**11,5**	**6**	**0**	**0**	**0**	**12,5**	**12,5**
Расчёт отражённого звука													
Уровни звукового давления от мнимого источника ИШ-1-13_мн.(1) в расчётной точке днём, дБ		**ф-ла(3)[10]**	**0**	**0**	**0**	**19,3**	**16,4**	**11,8**	**2**	**0**	**0**	**16,9**	**16,9**
Уровни звукового давления от мнимого источника ИШ-1-13_мн.(1) в расчётной точке ночью, дБ		**ф-ла(3)[10]**	**0**	**0**	**0**	**0**	**0**	**0**	**0**	**0**	**0**	**16,9**	**16,9**
Уровни звукового давления от источника ИШ-1-13 в расчётной точке днём, дБ		**ф-ла(3)[10]**	**0**	**19,2**	**18,4**	**20,9**	**17,6**	**12,8**	**2**	**0**	**0**	**18,3**	**18,3**
Уровни звукового давления от источника ИШ-1-13 в расчётной точке ночью, дБ		**ф-ла(3)[10]**	**0**	**19,2**	**18,4**	**20,9**	**17,6**	**12,8**	**2**	**0**	**0**	**18,3**	**18,3**
Источник шума: ИШ-1-14, координаты источника (x,y,z), м =[441.70,96.03,1.00]													
Уровни звуковой мощности источника днём, Lw, дБ		**исходные данные**	**0**	**93,3**	**94,7**	**96**	**96,3**	**95,9**	**92,6**	**88,4**	**83,9**		
Уровни звуковой мощности источника ночью, Lw, дБ		**исходные данные**	**0**	**93,3**	**94,7**	**96**	**96,3**	**95,9**	**92,6**	**88,4**	**83,9**		
Поправка на телесный угол DΩ, дБ	Ω = 6.28	10Lg(4π/Ω)	**3**	3	3	3	3	3	3	3	3		
Показатель направленности источника Di, дБ		исходные данные	**0**	0	0	0	0	0	0	0	0		
Поправка на направленность источника Dc, дБ	Dc	DΩ + Di	**3**	3	3	3	3	3	3	3	3		
Затухание из-за геометрической дивергенции, Adiv, дБ	расстояние = 975.19 м	ф-ла (7) [10]	**70,8**										
Коэффициент затухания звука в атмосфере α, дБ/км	Ta=20,°C Pa=101.33,кПа hотн.=70%	ф-ла (5) [9]	0,02	0,09	0,33	1,12	2,79	4,98	9,04	23,09	77,63		
Учет затухания звука в атмосфере Aatm, дБ		ф-ла (8) [10]	0	0,1	0,3	1,1	2,7	4,9	8,8	22,5	75,7		
Снижение уровня звукового давления из-за влияния застройки между источником шума и расчетной точкой													

1		2	3	4	5	6	7	8	9	10	11	12	13
Снижение уровня звукового давления на пути над экраном, Dz1, дБ	z = 1.18м (разность путей)	ф-лы (14-18) [10]	5,7	6,8	8,9	12,1	15,3	18,3	21,3	24,2	27,2		
Снижение уровня звукового давления на пути слева от экрана, Dz2, дБ	z = 82.29м (разность путей)	ф-лы (14-18) [10]	25,2	28,9	33,2	37,6	41,3	44,6	47,6	50,6	53,7		
Снижение уровня звукового давления на пути справа от экрана, Dz3, дБ	z = 10.52м (разность путей)	ф-лы (14-18) [10]	16,5	20	24,3	28,7	32,4	35,6	38,7	41,7	44,7		
Общее снижение уровня звука препятствием Dz, дБ		Эн.сумма(-Dzi)	5,3	6,5	8,8	12	15,2	18,2	21,2	24,1	27,1		
Общее снижение уровня звука препятствием с учётом ограничения (25 дБ) для октавных полос Dz, дБ		Раздел 7.4 [10]	5,3	6,5	8,8	12	15,2	18,2	21,2	24,1	25		
Уровни звукового давления прямого звука от источника ИШ-1-14 в расчётной точке днём, дБ		**ф-ла(3)[10]**	**0**	**18,9**	**17,8**	**15,1**	**10,6**	**5,1**	**0**	**0**	**0**	**11,7**	**11,7**
Уровни звукового давления прямого звука от источника ИШ-1-14 в расчётной точке ночью, дБ		**ф-ла(3)[10]**	**0**	**18,9**	**17,8**	**15,1**	**10,6**	**5,1**	**0**	**0**	**0**	**11,7**	**11,7**
Расчёт отражённого звука													
Уровни звукового давления от мнимого источника ИШ-1-14_мн.(1) в расчётной точке днём, дБ		**ф-ла(3)[10]**	**0**	**0**	**0**	**19,2**	**16,3**	**11,7**	**1,9**	**0**	**0**	**16,9**	**16,9**
Уровни звукового давления от мнимого источника ИШ-1-14_мн.(1) в расчётной точке ночью, дБ		**ф-ла(3)[10]**	**0**	**0**	**0**	**0**	**0**	**0**	**0**	**0**	**0**	**16,9**	**16,9**
Уровни звукового давления от источника ИШ-1-14 в расчётной точке днём, дБ		**ф-ла(3)[10]**	**0**	**18,9**	**17,8**	**20,7**	**17,4**	**12,6**	**1,9**	**0**	**0**	**18,1**	**18,1**
Уровни звукового давления от источника ИШ-1-14 в расчётной точке ночью, дБ		**ф-ла(3)[10]**	**0**	**18,9**	**17,8**	**20,7**	**17,4**	**12,6**	**1,9**	**0**	**0**	**18,1**	**18,1**
Источник шума: ИШ-1-15, координаты источника (x,y,z), м =[445.03,95.25,1.00]													
Уровни звуковой мощности источника днём, Lw, дБ		**исходные данные**	**0**	**93,3**	**94,7**	**96**	**96,3**	**95,9**	**92,6**	**88,4**	**83,9**		
Уровни звуковой мощности источника ночью, Lw, дБ		**исходные данные**	**0**	**93,3**	**94,7**	**96**	**96,3**	**95,9**	**92,6**	**88,4**	**83,9**		
Поправка на телесный угол DΩ, дБ	Ω = 6.28	10Lg(4π/Ω)	**3**	3	3	3	3	3	3	3	3		
Показатель направленности источника Di, дБ		исходные данные	**0**	0	0	0	0	0	0	0	0		

1		2	3	4	5	6	7	8	9	10	11	12	13
Поправка на направленность источника Dc, дБ	Dc	DΩ + Di	**3**	3	3	3	3	3	3	3	3		
Затухание из-за геометрической дивергенции, Adiv, дБ	расстояние = 971.80 м	ф-ла (7) [10]	**70,8**										
Коэффициент затухания звука в атмосфере α, дБ/км	Ta=20,°C Pa=101.33,кПа hотн.=70%	ф-ла (5) [9]	0,02	0,09	0,33	1,12	2,79	4,98	9,04	23,09	77,63		
Учет затухания звука в атмосфере Aatm, дБ		ф-ла (8) [10]	0	0,1	0,3	1,1	2,7	4,8	8,8	22,4	75,4		
Снижение уровня звукового давления из-за влияния застройки между источником шума и расчетной точкой													
Снижение уровня звукового давления на пути над экраном, Dz1, дБ	z = 1.30м (разность путей)	ф-лы (14-18) [10]	6	7,2	9,6	13	16,3	19,4	22,4	25,4	28,4		
Снижение уровня звукового давления на пути слева от экрана, Dz2, дБ	z = 84.34м (разность путей)	ф-лы (14-18) [10]	25,3	29	33,3	37,8	41,4	44,7	47,7	50,8	53,8		
Снижение уровня звукового давления на пути справа от экрана, Dz3, дБ	z = 11.59м (разность путей)	ф-лы (14-18) [10]	16,9	20,5	24,8	29,1	32,8	36	39,1	42,1	45,1		
Общее снижение уровня звука препятствием Dz, дБ		Эн.сумма(-Dzi)	5,6	7	9,5	12,9	16,2	19,3	22,3	25,3	28,3		
Общее снижение уровня звука препятствием с учётом ограничения (25 дБ) для октавных полос Dz, дБ		Раздел 7.4 [10]	5,6	7	9,5	12,9	16,2	19,3	22,3	25	25		
Уровни звукового давления прямого звука от источника ИШ-1-15 в расчётной точке днём, дБ		**ф-ла(3)[10]**	**0**	**18,5**	**17,1**	**14,2**	**9,6**	**4**	**0**	**0**	**0**	**10,8**	**10,8**
Уровни звукового давления прямого звука от источника ИШ-1-15 в расчётной точке ночью, дБ		**ф-ла(3)[10]**	**0**	**18,5**	**17,1**	**14,2**	**9,6**	**4**	**0**	**0**	**0**	**10,8**	**10,8**
Расчёт отражённого звука													
Уровни звукового давления от мнимого источника ИШ-1-15_мн.(1) в расчётной точке днём, дБ		**ф-ла(3)[10]**	**0**	**0**	**0**	**19,2**	**16,3**	**11,7**	**1,9**	**0**	**0**	**16,9**	**16,9**
Уровни звукового давления от мнимого источника ИШ-1-15_мн.(1) в расчётной точке ночью, дБ		**ф-ла(3)[10]**	**0**	**0**	**0**	**0**	**0**	**0**	**0**	**0**	**0**	**16,9**	**16,9**
Уровни звукового давления от источника ИШ-1-15 в расчётной точке днём, дБ		**ф-ла(3)[10]**	**0**	**18,5**	**17,1**	**20,4**	**17,1**	**12,4**	**1,9**	**0**	**0**	**17,8**	**17,8**
Уровни звукового давления от источника ИШ-1-15 в расчётной точке ночью, дБ		**ф-ла(3)[10]**	**0**	**18,5**	**17,1**	**20,4**	**17,1**	**12,4**	**1,9**	**0**	**0**	**17,8**	**17,8**

1		2	3	4	5	6	7	8	9	10	11	12	13
Источник шума: ИШ-1-16, координаты источника (x,y,z), м =[447.96,94.28,1.00]													
Уровни звуковой мощности источника днём, Lw, дБ		**исходные данные**	**0**	**93,3**	**94,7**	**96**	**96,3**	**95,9**	**92,6**	**88,4**	**83,9**		
Уровни звуковой мощности источника ночью, Lw, дБ		**исходные данные**	**0**	**93,3**	**94,7**	**96**	**96,3**	**95,9**	**92,6**	**88,4**	**83,9**		
Поправка на телесный угол DΩ, дБ	Ω = 6.28	10Lg(4π/Ω)	**3**	3	3	3	3	3	3	3	3		
Показатель направленности источника Di, дБ		исходные данные	**0**	0	0	0	0	0	0	0	0		
Поправка на направленность источника Dc, дБ	Dc	DΩ + Di	**3**	3	3	3	3	3	3	3	3		
Затухание из-за геометрической дивергенции, Adiv, дБ	расстояние = 968.71 м	ф-ла (7) [10]	**70,7**										
Коэффициент затухания звука в атмосфере α, дБ/км	Ta=20,°C Pa=101.33,кПа hотн.=70%	ф-ла (5) [9]	0,02	0,09	0,33	1,12	2,79	4,98	9,04	23,09	77,63		
Учет затухания звука в атмосфере Aatm, дБ		ф-ла (8) [10]	0	0,1	0,3	1,1	2,7	4,8	8,8	22,4	75,2		
Снижение уровня звукового давления из-за влияния застройки между источником шума и расчетной точкой													
Снижение уровня звукового давления на пути над экраном, Dz1, дБ	z = 1.43м (разность путей)	ф-лы (14-18) [10]	6,3	7,7	10,4	14	17,4	20,5	23,5	26,5	29,5		
Снижение уровня звукового давления на пути слева от экрана, Dz2, дБ	z = 86.55м (разность путей)	ф-лы (14-18) [10]	25,4	29,1	33,5	37,9	41,6	44,8	47,8	50,9	53,9		
Снижение уровня звукового давления на пути справа от экрана, Dz3, дБ	z = 12.50м (разность путей)	ф-лы (14-18) [10]	17,2	20,8	25,1	29,5	33,2	36,4	39,4	42,5	45,5		
Общее снижение уровня звука препятствием Dz, дБ		Эн.сумма(-Dzi)	5,9	7,5	10,2	13,9	17,2	20,3	23,4	26,3	29,3		
Общее снижение уровня звука препятствием с учётом ограничения (25 дБ) для октавных полос Dz, дБ		Раздел 7.4 [10]	5,9	7,5	10,2	13,9	17,2	20,3	23,4	25	25		
Уровни звукового давления прямого звука от источника ИШ-1-16 в расчётной точке днём, дБ		**ф-ла(3)[10]**	**0**	**18**	**16,4**	**13,3**	**8,6**	**3**	**0**	**0**	**0**	**9,9**	**9,9**

1		2	3	4	5	6	7	8	9	10	11	12	13
Уровни звукового давления прямого звука от источника ИШ-1-16 в расчётной точке ночью, дБ		**ф-ла(3)[10]**	**0**	**18**	**16,4**	**13,3**	**8,6**	**3**	**0**	**0**	**0**	**9,9**	**9,9**
Расчёт отражённого звука													
Уровни звукового давления от мнимого источника ИШ-1-16_мн.(1) в расчётной точке днём, дБ		**ф-ла(3)[10]**	**0**	**0**	**0**	**0**	**16,3**	**11,7**	**1,8**	**0**	**0**	**15,7**	**15,7**
Уровни звукового давления от мнимого источника ИШ-1-16_мн.(1) в расчётной точке ночью, дБ		**ф-ла(3)[10]**	**0**	**0**	**0**	**0**	**0**	**0**	**0**	**0**	**0**	**15,7**	**15,7**
Уровни звукового давления от источника ИШ-1-16 в расчётной точке днём, дБ		**ф-ла(3)[10]**	**0**	**18**	**16,4**	**13,3**	**17**	**12,2**	**1,8**	**0**	**0**	**16,7**	**16,7**
Уровни звукового давления от источника ИШ-1-16 в расчётной точке ночью, дБ		**ф-ла(3)[10]**	**0**	**18**	**16,4**	**13,3**	**17**	**12,2**	**1,8**	**0**	**0**	**16,7**	**16,7**
Источник шума: ИШ-1-17, координаты источника (x,y,z), м =[540.99,141.77,1.00]													
Уровни звуковой мощности источника днём, Lw, дБ		**исходные данные**	**0**	**93,3**	**94,7**	**96**	**96,3**	**95,9**	**92,6**	**88,4**	**83,9**		
Уровни звуковой мощности источника ночью, Lw, дБ		**исходные данные**	**0**	**93,3**	**94,7**	**96**	**96,3**	**95,9**	**92,6**	**88,4**	**83,9**		
Поправка на телесный угол DΩ, дБ	Ω = 6.28	10Lg(4π/Ω)	**3**	3	3	3	3	3	3	3	3		
Показатель направленности источника Di, дБ		исходные данные	**0**	0	0	0	0	0	0	0	0		
Поправка на направленность источника Dc, дБ	Dc	DΩ + Di	**3**	3	3	3	3	3	3	3	3		
Затухание из-за геометрической дивергенции, Adiv, дБ	расстояние = 901.03 м	ф-ла (7) [10]	**70,1**										
Коэффициент затухания звука в атмосфере α, дБ/км	Ta=20,°C Pa=101.33,кПа hотн.=70%	ф-ла (5) [9]	0,02	0,09	0,33	1,12	2,79	4,98	9,04	23,09	77,63		
Учет затухания звука в атмосфере Aatm, дБ		ф-ла (8) [10]	0	0,1	0,3	1	2,5	4,5	8,1	20,8	69,9		
Снижение поверхностью земли возле источника As, дБ	Gs = 0 hs = 1м	ф-лы таб.3 [10]	-1,5	-1,5	-1,5	-1,5	-1,5	-1,5	-1,5	-1,5	-1,5		

1		2	3	4	5	6	7	8	9	10	11	12	13
Снижение поверхностью земли возле приёмника Ar, дБ	Gr = 1 hr = 1.5м	ф-лы таб.3 [10]	-1,5	-1,5	4,9	7	5	0,7	0	0	0		
Снижение поверхностью земли в средней зоне, Am дБ	Gm = 1	ф-лы таб.3 [10]	-2,8	-2,8	0	0	0	0	0	0	0		
Суммарное снижение поверхностью земли на траектории распространения звука Agr, дБ		ф-ла (9) [10]	-5,8	-5,8	3,4	5,5	3,5	-0,8	-1,5	-1,5	-1,5		
Уровни звукового давления прямого звука от источника ИШ-1-17 в расчётной точке днём, дБ		**ф-ла(3)[10]**	**0**	**31,9**	**23,9**	**22,4**	**23,2**	**25,2**	**18,9**	**2**	**0**	**27,5**	**27,5**
Уровни звукового давления прямого звука от источника ИШ-1-17 в расчётной точке ночью, дБ		**ф-ла(3)[10]**	**0**	**31,9**	**23,9**	**22,4**	**23,2**	**25,2**	**18,9**	**2**	**0**	**27,5**	**27,5**
Расчёт отражённого звука													
Уровни звукового давления от мнимого источника ИШ-1-17_мн.(1) в расчётной точке днём, дБ		**ф-ла(3)[10]**	**0**	**0**	**0**	**11,5**	**11,3**	**19,9**	**15,4**	**0**	**0**	**21,8**	**21,8**
Уровни звукового давления от мнимого источника ИШ-1-17_мн.(1) в расчётной точке ночью, дБ		**ф-ла(3)[10]**	**0**	**0**	**0**	**0**	**0**	**0**	**0**	**0**	**0**	**21,8**	**21,8**
Уровни звукового давления от источника ИШ-1-17 в расчётной точке днём, дБ		**ф-ла(3)[10]**	**0**	**31,9**	**23,9**	**22,7**	**23,5**	**26,3**	**20,5**	**2**	**0**	**28,5**	**28,5**
Уровни звукового давления от источника ИШ-1-17 в расчётной точке ночью, дБ		**ф-ла(3)[10]**	**0**	**31,9**	**23,9**	**22,7**	**23,5**	**26,3**	**20,5**	**2**	**0**	**28,5**	**28,5**
Источник шума: ИШ-1-18, координаты источника (x,y,z), м =[543.53,140.79,1.00]													
Уровни звуковой мощности источника днём, Lw, дБ		**исходные данные**	**0**	**93,3**	**94,7**	**96**	**96,3**	**95,9**	**92,6**	**88,4**	**83,9**		
Уровни звуковой мощности источника ночью, Lw, дБ		**исходные данные**	**0**	**93,3**	**94,7**	**96**	**96,3**	**95,9**	**92,6**	**88,4**	**83,9**		
Поправка на телесный угол DΩ, дБ	Ω = 6.28	10Lg(4π/Ω)	**3**	3	3	3	3	3	3	3	3		
Показатель направленности источника Di, дБ		исходные данные	**0**	0	0	0	0	0	0	0	0		
Поправка на направленность источника Dc, дБ	Dc	DΩ + Di	**3**	3	3	3	3	3	3	3	3		
Затухание из-за геометрической дивергенции, Adiv, дБ	расстояние = 898.31 м	ф-ла (7) [10]	**70,1**										

1		2	3	4	5	6	7	8	9	10	11	12	13
Коэффициент затухания звука в атмосфере α, дБ/км	Ta=20,°C Pa=101.33,кПа hотн.=70%	ф-ла (5) [9]	0,02	0,09	0,33	1,12	2,79	4,98	9,04	23,09	77,63		
Учет затухания звука в атмосфере Aatm, дБ		ф-ла (8) [10]	0	0,1	0,3	1	2,5	4,5	8,1	20,7	69,7		
Снижение поверхностью земли возле источника As, дБ	Gs = 0 hs = 1м	ф-лы таб.3 [10]	-1,5	-1,5	-1,5	-1,5	-1,5	-1,5	-1,5	-1,5	-1,5		
Снижение поверхностью земли возле приёмника Ar, дБ	Gr = 1 hr = 1.5м	ф-лы таб.3 [10]	-1,5	-1,5	4,9	7	5	0,7	0	0	0		
Снижение поверхностью земли в средней зоне, Am дБ	Gm = 1	ф-лы таб.3 [10]	-2,7	-2,7	0	0	0	0	0	0	0		
Суммарное снижение поверхностью земли на траектории распространения звука Agr, дБ		ф-ла (9) [10]	-5,7	-5,7	3,4	5,5	3,5	-0,8	-1,5	-1,5	-1,5		
Уровни звукового давления прямого звука от источника ИШ-1-18 в расчётной точке днём, дБ		**ф-ла(3)[10]**	**0**	**31,9**	**24**	**22,4**	**23,2**	**25,2**	**18,9**	**2,1**	**0**	**27,6**	**27,6**
Уровни звукового давления прямого звука от источника ИШ-1-18 в расчётной точке ночью, дБ		**ф-ла(3)[10]**	**0**	**31,9**	**24**	**22,4**	**23,2**	**25,2**	**18,9**	**2,1**	**0**	**27,6**	**27,6**
Расчёт отражённого звука													
Уровни звукового давления от мнимого источника ИШ-1-18_мн.(1) в расчётной точке днём, дБ		**ф-ла(3)[10]**	**0**	**0**	**0**	**11,4**	**11,2**	**19,9**	**15,4**	**0**	**0**	**21,8**	**21,8**
Уровни звукового давления от мнимого источника ИШ-1-18_мн.(1) в расчётной точке ночью, дБ		**ф-ла(3)[10]**	**0**	**0**	**0**	**0**	**0**	**0**	**0**	**0**	**0**	**21,8**	**21,8**
Уровни звукового давления от источника ИШ-1-18 в расчётной точке днём, дБ		**ф-ла(3)[10]**	**0**	**31,9**	**24**	**22,7**	**23,5**	**26,3**	**20,5**	**2,1**	**0**	**28,6**	**28,6**
Уровни звукового давления от источника ИШ-1-18 в расчётной точке ночью, дБ		**ф-ла(3)[10]**	**0**	**31,9**	**24**	**22,7**	**23,5**	**26,3**	**20,5**	**2,1**	**0**	**28,6**	**28,6**
Источник шума: ИШ-1-19, координаты источника (x,y,z), м =[547.25,139.62,1.00]													
Уровни звуковой мощности источника днём, Lw, дБ		**исходные данные**	**0**	**93,3**	**94,7**	**96**	**96,3**	**95,9**	**92,6**	**88,4**	**83,9**		
Уровни звуковой мощности источника ночью, Lw, дБ		**исходные данные**	**0**	**93,3**	**94,7**	**96**	**96,3**	**95,9**	**92,6**	**88,4**	**83,9**		

1		2	3	4	5	6	7	8	9	10	11	12	13
Поправка на телесный угол DΩ, дБ	Ω = 6.28	10Lg(4π/Ω)	**3**	3	3	3	3	3	3	3	3		
Показатель направленности источника Di, дБ		исходные данные	**0**	0	0	0	0	0	0	0	0		
Поправка на направленность источника Dc, дБ	Dc	DΩ + Di	**3**	3	3	3	3	3	3	3	3		
Затухание из-за геометрической дивергенции, Adiv, дБ	расстояние = 894.45 м	ф-ла (7) [10]	**70**										
Коэффициент затухания звука в атмосфере α, дБ/км	Ta=20,°C Pa=101.33,кПа hотн.=70%	ф-ла (5) [9]	0,02	0,09	0,33	1,12	2,79	4,98	9,04	23,09	77,63		
Учет затухания звука в атмосфере Aatm, дБ		ф-ла (8) [10]	0	0,1	0,3	1	2,5	4,5	8,1	20,6	69,4		
Снижение поверхностью земли возле источника As, дБ	Gs = 0 hs = 1м	ф-лы таб.3 [10]	-1,5	-1,5	-1,5	-1,5	-1,5	-1,5	-1,5	-1,5	-1,5		
Снижение поверхностью земли возле приёмника Ar, дБ	Gr = 1 hr = 1.5м	ф-лы таб.3 [10]	-1,5	-1,5	4,8	7	5	0,7	0	0	0		
Снижение поверхностью земли в средней зоне, Am дБ	Gm = 1	ф-лы таб.3 [10]	-2,7	-2,7	0	0	0	0	0	0	0		
Суммарное снижение поверхностью земли на траектории распространения звука Agr, дБ		ф-ла (9) [10]	-5,7	-5,7	3,3	5,5	3,5	-0,8	-1,5	-1,5	-1,5		
Уровни звукового давления прямого звука от источника ИШ-1-19 в расчётной точке днём, дБ		**ф-ла(3)[10]**	**0**	**31,9**	**24**	**22,4**	**23,3**	**25,2**	**19**	**2,2**	**0**	**27,6**	**27,6**
Уровни звукового давления прямого звука от источника ИШ-1-19 в расчётной точке ночью, дБ		**ф-ла(3)[10]**	**0**	**31,9**	**24**	**22,4**	**23,3**	**25,2**	**19**	**2,2**	**0**	**27,6**	**27,6**
Расчёт отражённого звука													
Уровни звукового давления от мнимого источника ИШ-1-19_мн.(1) в расчётной точке днём, дБ		**ф-ла(3)[10]**	**0**	**0**	**0**	**11,4**	**11,2**	**19,8**	**15,3**	**0**	**0**	**21,7**	**21,7**
Уровни звукового давления от мнимого источника ИШ-1-19_мн.(1) в расчётной точке ночью, дБ		**ф-ла(3)[10]**	**0**	**0**	**0**	**0**	**0**	**0**	**0**	**0**	**0**	**21,7**	**21,7**
Уровни звукового давления от источника ИШ-1-19 в расчётной точке днём, дБ		**ф-ла(3)[10]**	**0**	**31,9**	**24**	**22,8**	**23,6**	**26,3**	**20,5**	**2,2**	**0**	**28,6**	**28,6**
Уровни звукового давления от источника ИШ-1-19 в расчётной точке ночью, дБ		**ф-ла(3)[10]**	**0**	**31,9**	**24**	**22,8**	**23,6**	**26,3**	**20,5**	**2,2**	**0**	**28,6**	**28,6**

1		2	3	4	5	6	7	8	9	10	11	12	13
Источник шума: ИШ-1-20, координаты источника (x,y,z), м =[550.38,138.64,1.00]													
Уровни звуковой мощности источника днём, Lw, дБ		**исходные данные**	**0**	**93,3**	**94,7**	**96**	**96,3**	**95,9**	**92,6**	**88,4**	**83,9**		
Уровни звуковой мощности источника ночью, Lw, дБ		**исходные данные**	**0**	**93,3**	**94,7**	**96**	**96,3**	**95,9**	**92,6**	**88,4**	**83,9**		
Поправка на телесный угол DΩ, дБ	Ω = 6.28	10Lg(4π/Ω)	**3**	3	3	3	3	3	3	3	3		
Показатель направленности источника Di, дБ		исходные данные	**0**	0	0	0	0	0	0	0	0		
Поправка на направленность источника Dc, дБ	Dc	DΩ + Di	**3**	3	3	3	3	3	3	3	3		
Затухание из-за геометрической дивергенции, Adiv, дБ	расстояние = 891.21 м	ф-ла (7) [10]	**70**										
Коэффициент затухания звука в атмосфере α, дБ/км	Ta=20,°C Pa=101.33,кПа hотн.=70%	ф-ла (5) [9]	0,02	0,09	0,33	1,12	2,79	4,98	9,04	23,09	77,63		
Учет затухания звука в атмосфере Aatm, дБ		ф-ла (8) [10]	0	0,1	0,3	1	2,5	4,4	8,1	20,6	69,2		
Снижение уровня звукового давления из-за влияния застройки между источником шума и расчетной точкой													
Снижение уровня звукового давления препятствием слева от трассы ИШ-РТ, Dz2, дБ	z = -0.40м (разность путей)	ф-лы (14-18) [10]	1,8	0	NAN	NAN	NAN	NAN	NAN	NAN	NAN		
* отрицательное значение z означает прохождение траектории вблизи экрана, в этом случае дополнительно производится учёт снижения подстилающей поверхностью (см.ниже)													
Снижение поверхностью земли возле источника As, дБ	Gs = 0 hs = 1м	ф-лы таб.3 [10]	-1,5	-1,5	-1,5	-1,5	-1,5	-1,5	-1,5	-1,5	-1,5		
Снижение поверхностью земли возле приёмника Ar, дБ	Gr = 1 hr = 1.5м	ф-лы таб.3 [10]	-1,5	-1,5	4,8	7	5	0,7	0	0	0		
Снижение поверхностью земли в средней зоне, Am дБ	Gm = 1	ф-лы таб.3 [10]	-2,7	-2,7	0	0	0	0	0	0	0		
Суммарное снижение поверхностью земли на траектории распространения звука Agr, дБ		ф-ла (9) [10]	-5,7	-5,7	3,3	5,5	3,5	-0,8	-1,5	-1,5	-1,5		
Уровни звукового давления прямого звука от источника ИШ-1-20 в расчётной точке днём, дБ		**ф-ла(3)[10]**	**0**	**32**	**24,1**	**22,5**	**23,3**	**25,3**	**19**	**2,3**	**0**	**27,7**	**27,7**

1		2	3	4	5	6	7	8	9	10	11	12	13
Уровни звукового давления прямого звука от источника ИШ-1-20 в расчётной точке ночью, дБ		**ф-ла(3)[10]**	**0**	**32**	**24,1**	**22,5**	**23,3**	**25,3**	**19**	**2,3**	**0**	**27,7**	**27,7**
Расчёт отражённого звука													
Уровни звукового давления от мнимого источника ИШ-1-20_мн.(1) в расчётной точке днём, дБ		**ф-ла(3)[10]**	**0**	**0**	**0**	**0**	**11,1**	**19,8**	**15,2**	**0**	**0**	**21,6**	**21,6**
Уровни звукового давления от мнимого источника ИШ-1-20_мн.(1) в расчётной точке ночью, дБ		**ф-ла(3)[10]**	**0**	**0**	**0**	**0**	**0**	**0**	**0**	**0**	**0**	**21,6**	**21,6**
Уровни звукового давления от источника ИШ-1-20 в расчётной точке днём, дБ		**ф-ла(3)[10]**	**0**	**32**	**24,1**	**22,5**	**23,6**	**26,4**	**20,5**	**2,3**	**0**	**28,6**	**28,6**
Уровни звукового давления от источника ИШ-1-20 в расчётной точке ночью, дБ		**ф-ла(3)[10]**	**0**	**32**	**24,1**	**22,5**	**23,6**	**26,4**	**20,5**	**2,3**	**0**	**28,6**	**28,6**
Источник шума: ИШ-1-21, координаты источника (x,y,z), м =[553.31,137.67,1.00]													
Уровни звуковой мощности источника днём, Lw, дБ		**исходные данные**	**0**	**93,3**	**94,7**	**96**	**96,3**	**95,9**	**92,6**	**88,4**	**83,9**		
Уровни звуковой мощности источника ночью, Lw, дБ		**исходные данные**	**0**	**93,3**	**94,7**	**96**	**96,3**	**95,9**	**92,6**	**88,4**	**83,9**		
Поправка на телесный угол DΩ, дБ	Ω = 6.28	10Lg(4π/Ω)	**3**	3	3	3	3	3	3	3	3		
Показатель направленности источника Di, дБ		исходные данные	**0**	0	0	0	0	0	0	0	0		
Поправка на направленность источника Dc, дБ	Dc	DΩ + Di	**3**	3	3	3	3	3	3	3	3		
Затухание из-за геометрической дивергенции, Adiv, дБ	расстояние = 888.14 м	ф-ла (7) [10]	**70**										
Коэффициент затухания звука в атмосфере α, дБ/км	Ta=20,°C Pa=101.33,кПа hотн.=70%	ф-ла (5) [9]	0,02	0,09	0,33	1,12	2,79	4,98	9,04	23,09	77,63		
Учет затухания звука в атмосфере Aatm, дБ		ф-ла (8) [10]	0	0,1	0,3	1	2,5	4,4	8	20,5	68,9		
Снижение уровня звукового давления из-за влияния застройки между источником шума и расчетной точкой													

1		2	3	4	5	6	7	8	9	10	11	12	13
Снижение уровня звукового давления препятствием слева от трассы ИШ-РТ, Dz2, дБ	z = -0.38м (разность путей)	ф-лы (14-18) [10]	2	0	NAN	NAN	NAN	NAN	NAN	NAN	NAN		
* отрицательное значение z означает прохождение траектории вблизи экрана, в этом случае дополнительно производится учёт снижения подстилающей поверхностью (см.ниже)													
Снижение поверхностью земли возле источника As, дБ	Gs = 0 hs = 1м	ф-лы таб.3 [10]	-1,5	-1,5	-1,5	-1,5	-1,5	-1,5	-1,5	-1,5	-1,5		
Снижение поверхностью земли возле приёмника Ar, дБ	Gr = 1 hr = 1.5м	ф-лы таб.3 [10]	-1,5	-1,5	4,8	7	5	0,7	0	0	0		
Снижение поверхностью земли в средней зоне, Am дБ	Gm = 1	ф-лы таб.3 [10]	-2,7	-2,7	0	0	0	0	0	0	0		
Суммарное снижение поверхностью земли на траектории распространения звука Agr, дБ		ф-ла (9) [10]	-5,7	-5,7	3,3	5,5	3,5	-0,8	-1,5	-1,5	-1,5		
Уровни звукового давления прямого звука от источника ИШ-1-21 в расчётной точке днём, дБ		**ф-ла(3)[10]**	**0**	**32**	**24,1**	**22,5**	**23,4**	**25,3**	**19,1**	**2,4**	**0**	**27,7**	**27,7**
Уровни звукового давления прямого звука от источника ИШ-1-21 в расчётной точке ночью, дБ		**ф-ла(3)[10]**	**0**	**32**	**24,1**	**22,5**	**23,4**	**25,3**	**19,1**	**2,4**	**0**	**27,7**	**27,7**
Расчёт отражённого звука													
Уровни звукового давления от мнимого источника ИШ-1-21_мн.(1) в расчётной точке днём, дБ		**ф-ла(3)[10]**	**0**	**0**	**0**	**0**	**11,1**	**19,7**	**15,2**	**0**	**0**	**21,6**	**21,6**
Уровни звукового давления от мнимого источника ИШ-1-21_мн.(1) в расчётной точке ночью, дБ		**ф-ла(3)[10]**	**0**	**0**	**0**	**0**	**0**	**0**	**0**	**0**	**0**	**21,6**	**21,6**
Уровни звукового давления от источника ИШ-1-21 в расчётной точке днём, дБ		**ф-ла(3)[10]**	**0**	**32**	**24,1**	**22,5**	**23,6**	**26,4**	**20,6**	**2,4**	**0**	**28,7**	**28,7**
Уровни звукового давления от источника ИШ-1-21 в расчётной точке ночью, дБ		**ф-ла(3)[10]**	**0**	**32**	**24,1**	**22,5**	**23,6**	**26,4**	**20,6**	**2,4**	**0**	**28,7**	**28,7**
Источник шума: ИШ-1-22, координаты источника (x,y,z), м =[522.03,85.28,1.00]													
Уровни звуковой мощности источника днём, Lw, дБ		**исходные данные**	**0**	**93,3**	**94,7**	**96**	**96,3**	**95,9**	**92,6**	**88,4**	**83,9**		
Уровни звуковой мощности источника ночью, Lw, дБ		**исходные данные**	**0**	**93,3**	**94,7**	**96**	**96,3**	**95,9**	**92,6**	**88,4**	**83,9**		
Поправка на телесный угол DΩ, дБ	Ω = 6.28	10Lg(4π/Ω)	**3**	3	3	3	3	3	3	3	3		
Показатель направленности источника Di, дБ		исходные данные	**0**	0	0	0	0	0	0	0	0		

1		2	3	4	5	6	7	8	9	10	11	12	13
Поправка на направленность источника Dc, дБ	Dc	DΩ + Di	**3**	3	3	3	3	3	3	3	3		
Затухание из-за геометрической дивергенции, Adiv, дБ	расстояние = 896.24 м	ф-ла (7) [10]	**70**										
Коэффициент затухания звука в атмосфере α, дБ/км	Ta=20,°C Pa=101.33,кПа hотн.=70%	ф-ла (5) [9]	0,02	0,09	0,33	1,12	2,79	4,98	9,04	23,09	77,63		
Учет затухания звука в атмосфере Aatm, дБ		ф-ла (8) [10]	0	0,1	0,3	1	2,5	4,5	8,1	20,7	69,6		
Снижение поверхностью земли возле источника As, дБ	Gs = 0 hs = 1м	ф-лы таб.3 [10]	-1,5	-1,5	-1,5	-1,5	-1,5	-1,5	-1,5	-1,5	-1,5		
Снижение поверхностью земли возле приёмника Ar, дБ	Gr = 1 hr = 1.5м	ф-лы таб.3 [10]	-1,5	-1,5	4,9	7	5	0,7	0	0	0		
Снижение поверхностью земли в средней зоне, Am дБ	Gm = 1	ф-лы таб.3 [10]	-2,7	-2,7	0	0	0	0	0	0	0		
Суммарное снижение поверхностью земли на траектории распространения звука Agr, дБ		ф-ла (9) [10]	-5,7	-5,7	3,4	5,5	3,5	-0,8	-1,5	-1,5	-1,5		
Уровни звукового давления прямого звука от источника ИШ-1-22 в расчётной точке днём, дБ		**ф-ла(3)[10]**	**0**	**31,9**	**24**	**22,4**	**23,3**	**25,2**	**18,9**	**2,2**	**0**	**27,6**	**27,6**
Уровни звукового давления прямого звука от источника ИШ-1-22 в расчётной точке ночью, дБ		**ф-ла(3)[10]**	**0**	**31,9**	**24**	**22,4**	**23,3**	**25,2**	**18,9**	**2,2**	**0**	**27,6**	**27,6**
Расчёт отражённого звука													
Уровни звукового давления от мнимого источника ИШ-1-22_мн.(1) в расчётной точке днём, дБ		**ф-ла(3)[10]**	**0**	**0**	**0**	**11,5**	**11,3**	**20**	**15,5**	**0**	**0**	**21,9**	**21,9**
Уровни звукового давления от мнимого источника ИШ-1-22_мн.(1) в расчётной точке ночью, дБ		**ф-ла(3)[10]**	**0**	**0**	**0**	**0**	**0**	**0**	**0**	**0**	**0**	**21,9**	**21,9**
Уровни звукового давления от источника ИШ-1-22 в расчётной точке днём, дБ		**ф-ла(3)[10]**	**0**	**31,9**	**24**	**22,8**	**23,5**	**26,4**	**20,6**	**2,2**	**0**	**28,6**	**28,6**
Уровни звукового давления от источника ИШ-1-22 в расчётной точке ночью, дБ		**ф-ла(3)[10]**	**0**	**31,9**	**24**	**22,8**	**23,5**	**26,4**	**20,6**	**2,2**	**0**	**28,6**	**28,6**
Источник шума: ИШ-1-23, координаты источника (x,y,z), м =[525.16,84.11,1.00]													

1		2	3	4	5	6	7	8	9	10	11	12	13
Уровни звуковой мощности источника днём, Lw, дБ		**исходные данные**	**0**	**93,3**	**94,7**	**96**	**96,3**	**95,9**	**92,6**	**88,4**	**83,9**		
Уровни звуковой мощности источника ночью, Lw, дБ		**исходные данные**	**0**	**93,3**	**94,7**	**96**	**96,3**	**95,9**	**92,6**	**88,4**	**83,9**		
Поправка на телесный угол DΩ, дБ	Ω = 6.28	10Lg(4π/Ω)	**3**	3	3	3	3	3	3	3	3		
Показатель направленности источника Di, дБ		исходные данные	**0**	0	0	0	0	0	0	0	0		
Поправка на направленность источника Dc, дБ	Dc	DΩ + Di	**3**	3	3	3	3	3	3	3	3		
Затухание из-за геометрической дивергенции, Adiv, дБ	расстояние = 892.90 м	ф-ла (7) [10]	**70**										
Коэффициент затухания звука в атмосфере α, дБ/км	Ta=20,°C Pa=101.33,кПа hотн.=70%	ф-ла (5) [9]	0,02	0,09	0,33	1,12	2,79	4,98	9,04	23,09	77,63		
Учет затухания звука в атмосфере Aatm, дБ		ф-ла (8) [10]	0	0,1	0,3	1	2,5	4,4	8,1	20,6	69,3		
Снижение поверхностью земли возле источника As, дБ	Gs = 0 hs = 1м	ф-лы таб.3 [10]	-1,5	-1,5	-1,5	-1,5	-1,5	-1,5	-1,5	-1,5	-1,5		
Снижение поверхностью земли возле приёмника Ar, дБ	Gr = 1 hr = 1.5м	ф-лы таб.3 [10]	-1,5	-1,5	4,8	7	5	0,7	0	0	0		
Снижение поверхностью земли в средней зоне, Am дБ	Gm = 1	ф-лы таб.3 [10]	-2,7	-2,7	0	0	0	0	0	0	0		
Суммарное снижение поверхностью земли на траектории распространения звука Agr, дБ		ф-ла (9) [10]	-5,7	-5,7	3,3	5,5	3,5	-0,8	-1,5	-1,5	-1,5		
Уровни звукового давления прямого звука от источника ИШ-1-23 в расчётной точке днём, дБ		**ф-ла(3)[10]**	**0**	**31,9**	**24**	**22,4**	**23,3**	**25,3**	**19**	**2,3**	**0**	**27,6**	**27,6**
Уровни звукового давления прямого звука от источника ИШ-1-23 в расчётной точке ночью, дБ		**ф-ла(3)[10]**	**0**	**31,9**	**24**	**22,4**	**23,3**	**25,3**	**19**	**2,3**	**0**	**27,6**	**27,6**
Расчёт отражённого звука													
Уровни звукового давления от мнимого источника ИШ-1-23_мн.(1) в расчётной точке днём, дБ		**ф-ла(3)[10]**	**0**	**0**	**0**	**11,5**	**11,3**	**19,9**	**15,4**	**0**	**0**	**21,8**	**21,8**
Уровни звукового давления от мнимого источника ИШ-1-23_мн.(1) в расчётной точке ночью, дБ		**ф-ла(3)[10]**	**0**	**0**	**0**	**0**	**0**	**0**	**0**	**0**	**0**	**21,8**	**21,8**

1		2	3	4	5	6	7	8	9	10	11	12	13
Уровни звукового давления от источника ИШ-1-23 в расчётной точке днём, дБ		**ф-ла(3)[10]**	**0**	**31,9**	**24**	**22,8**	**23,6**	**26,4**	**20,6**	**2,3**	**0**	**28,6**	**28,6**
Уровни звукового давления от источника ИШ-1-23 в расчётной точке ночью, дБ		**ф-ла(3)[10]**	**0**	**31,9**	**24**	**22,8**	**23,6**	**26,4**	**20,6**	**2,3**	**0**	**28,6**	**28,6**
Источник шума: ИШ-1-24, координаты источника (x,y,z), м =[528.48,82.94,1.00]													
Уровни звуковой мощности источника днём, Lw, дБ		**исходные данные**	**0**	**93,3**	**94,7**	**96**	**96,3**	**95,9**	**92,6**	**88,4**	**83,9**		
Уровни звуковой мощности источника ночью, Lw, дБ		**исходные данные**	**0**	**93,3**	**94,7**	**96**	**96,3**	**95,9**	**92,6**	**88,4**	**83,9**		
Поправка на телесный угол DΩ, дБ	Ω = 6.28	10Lg(4π/Ω)	**3**	3	3	3	3	3	3	3	3		
Показатель направленности источника Di, дБ		исходные данные	**0**	0	0	0	0	0	0	0	0		
Поправка на направленность источника Dc, дБ	Dc	DΩ + Di	**3**	3	3	3	3	3	3	3	3		
Затухание из-за геометрической дивергенции, Adiv, дБ	расстояние = 889.38 м	ф-ла (7) [10]	**70**										
Коэффициент затухания звука в атмосфере α, дБ/км	Ta=20,°C Pa=101.33,кПа hотн.=70%	ф-ла (5) [9]	0,02	0,09	0,33	1,12	2,79	4,98	9,04	23,09	77,63		
Учет затухания звука в атмосфере Aatm, дБ		ф-ла (8) [10]	0	0,1	0,3	1	2,5	4,4	8	20,5	69		
Снижение поверхностью земли возле источника As, дБ	Gs = 0 hs = 1м	ф-лы таб.3 [10]	-1,5	-1,5	-1,5	-1,5	-1,5	-1,5	-1,5	-1,5	-1,5		
Снижение поверхностью земли возле приёмника Ar, дБ	Gr = 1 hr = 1.5м	ф-лы таб.3 [10]	-1,5	-1,5	4,8	7	5	0,7	0	0	0		
Снижение поверхностью земли в средней зоне, Am дБ	Gm = 1	ф-лы таб.3 [10]	-2,7	-2,7	0	0	0	0	0	0	0		
Суммарное снижение поверхностью земли на траектории распространения звука Agr, дБ		ф-ла (9) [10]	-5,7	-5,7	3,3	5,5	3,5	-0,8	-1,5	-1,5	-1,5		
Уровни звукового давления прямого звука от источника ИШ-1-24 в расчётной точке днём, дБ		**ф-ла(3)[10]**	**0**	**32**	**24,1**	**22,5**	**23,4**	**25,3**	**19,1**	**2,4**	**0**	**27,7**	**27,7**

1		2	3	4	5	6	7	8	9	10	11	12	13
Уровни звукового давления прямого звука от источника ИШ-1-24 в расчётной точке ночью, дБ		**ф-ла(3)[10]**	**0**	**32**	**24,1**	**22,5**	**23,4**	**25,3**	**19,1**	**2,4**	**0**	**27,7**	**27,7**
Расчёт отражённого звука													
Уровни звукового давления от мнимого источника ИШ-1-24_мн.(1) в расчётной точке днём, дБ		**ф-ла(3)[10]**	**0**	**0**	**0**	**11,5**	**11,2**	**19,9**	**15,4**	**0**	**0**	**21,8**	**21,8**
Уровни звукового давления от мнимого источника ИШ-1-24_мн.(1) в расчётной точке ночью, дБ		**ф-ла(3)[10]**	**0**	**0**	**0**	**0**	**0**	**0**	**0**	**0**	**0**	**21,8**	**21,8**
Уровни звукового давления от источника ИШ-1-24 в расчётной точке днём, дБ		**ф-ла(3)[10]**	**0**	**32**	**24,1**	**22,8**	**23,6**	**26,4**	**20,6**	**2,4**	**0**	**28,7**	**28,7**
Уровни звукового давления от источника ИШ-1-24 в расчётной точке ночью, дБ		**ф-ла(3)[10]**	**0**	**32**	**24,1**	**22,8**	**23,6**	**26,4**	**20,6**	**2,4**	**0**	**28,7**	**28,7**
Источник шума: ИШ-1-25, координаты источника (x,y,z), м =[531.22,82.16,1.00]													
Уровни звуковой мощности источника днём, Lw, дБ		**исходные данные**	**0**	**93,3**	**94,7**	**96**	**96,3**	**95,9**	**92,6**	**88,4**	**83,9**		
Уровни звуковой мощности источника ночью, Lw, дБ		**исходные данные**	**0**	**93,3**	**94,7**	**96**	**96,3**	**95,9**	**92,6**	**88,4**	**83,9**		
Поправка на телесный угол DΩ, дБ	Ω = 6.28	10Lg(4π/Ω)	**3**	3	3	3	3	3	3	3	3		
Показатель направленности источника Di, дБ		исходные данные	**0**	0	0	0	0	0	0	0	0		
Поправка на направленность источника Dc, дБ	Dc	DΩ + Di	**3**	3	3	3	3	3	3	3	3		
Затухание из-за геометрической дивергенции, Adiv, дБ	расстояние = 886.55 м	ф-ла (7) [10]	**70**										
Коэффициент затухания звука в атмосфере α, дБ/км	Ta=20,°C Pa=101.33,кПа hотн.=70%	ф-ла (5) [9]	0,02	0,09	0,33	1,12	2,79	4,98	9,04	23,09	77,63		
Учет затухания звука в атмосфере Aatm, дБ		ф-ла (8) [10]	0	0,1	0,3	1	2,5	4,4	8	20,5	68,8		
Снижение поверхностью земли возле источника As, дБ	Gs = 0 hs = 1м	ф-лы таб.3 [10]	-1,5	-1,5	-1,5	-1,5	-1,5	-1,5	-1,5	-1,5	-1,5		

1		2	3	4	5	6	7	8	9	10	11	12	13
Снижение поверхностью земли возле приёмника Ar, дБ	Gr = 1 hr = 1.5м	ф-лы таб.3 [10]	-1,5	-1,5	4,8	7	5	0,7	0	0	0		
Снижение поверхностью земли в средней зоне, Am дБ	Gm = 1	ф-лы таб.3 [10]	-2,7	-2,7	0	0	0	0	0	0	0		
Суммарное снижение поверхностью земли на траектории распространения звука Agr, дБ		ф-ла (9) [10]	-5,7	-5,7	3,3	5,5	3,5	-0,8	-1,5	-1,5	-1,5		
Уровни звукового давления прямого звука от источника ИШ-1-25 в расчётной точке днём, дБ		**ф-ла(3)[10]**	**0**	**32**	**24,1**	**22,5**	**23,4**	**25,4**	**19,1**	**2,5**	**0**	**27,7**	**27,7**
Уровни звукового давления прямого звука от источника ИШ-1-25 в расчётной точке ночью, дБ		**ф-ла(3)[10]**	**0**	**32**	**24,1**	**22,5**	**23,4**	**25,4**	**19,1**	**2,5**	**0**	**27,7**	**27,7**
Расчёт отражённого звука													
Уровни звукового давления от мнимого источника ИШ-1-25_мн.(1) в расчётной точке днём, дБ		**ф-ла(3)[10]**	**0**	**0**	**0**	**11,4**	**11,2**	**19,8**	**15,3**	**0**	**0**	**21,7**	**21,7**
Уровни звукового давления от мнимого источника ИШ-1-25_мн.(1) в расчётной точке ночью, дБ		**ф-ла(3)[10]**	**0**	**0**	**0**	**0**	**0**	**0**	**0**	**0**	**0**	**21,7**	**21,7**
Уровни звукового давления от источника ИШ-1-25 в расчётной точке днём, дБ		**ф-ла(3)[10]**	**0**	**32**	**24,1**	**22,8**	**23,6**	**26,4**	**20,6**	**2,5**	**0**	**28,7**	**28,7**
Уровни звукового давления от источника ИШ-1-25 в расчётной точке ночью, дБ		**ф-ла(3)[10]**	**0**	**32**	**24,1**	**22,8**	**23,6**	**26,4**	**20,6**	**2,5**	**0**	**28,7**	**28,7**
Источник шума: ИШ-1-26, координаты источника (x,y,z), м =[534.15,80.79,1.00]													
Уровни звуковой мощности источника днём, Lw, дБ		**исходные данные**	**0**	**93,3**	**94,7**	**96**	**96,3**	**95,9**	**92,6**	**88,4**	**83,9**		
Уровни звуковой мощности источника ночью, Lw, дБ		**исходные данные**	**0**	**93,3**	**94,7**	**96**	**96,3**	**95,9**	**92,6**	**88,4**	**83,9**		
Поправка на телесный угол DΩ, дБ	Ω = 6.28	10Lg(4π/Ω)	**3**	3	3	3	3	3	3	3	3		
Показатель направленности источника Di, дБ		исходные данные	**0**	0	0	0	0	0	0	0	0		
Поправка на направленность источника Dc, дБ	Dc	DΩ + Di	**3**	3	3	3	3	3	3	3	3		
Затухание из-за геометрической дивергенции, Adiv, дБ	расстояние = 883.32 м	ф-ла (7) [10]	**69,9**										

1		2	3	4	5	6	7	8	9	10	11	12	13
Коэффициент затухания звука в атмосфере α, дБ/км	Та=20,°С Ра=101.33,кПа hотн.=70%	ф-ла (5) [9]	0,02	0,09	0,33	1,12	2,79	4,98	9,04	23,09	77,63		
Учет затухания звука в атмосфере Aatm, дБ		ф-ла (8) [10]	0	0,1	0,3	1	2,5	4,4	8	20,4	68,6		
Снижение поверхностью земли возле источника As, дБ	Gs = 0 hs = 1м	ф-лы таб.3 [10]	-1,5	-1,5	-1,5	-1,5	-1,5	-1,5	-1,5	-1,5	-1,5		
Снижение поверхностью земли возле приёмника Ar, дБ	Gr = 1 hr = 1.5м	ф-лы таб.3 [10]	-1,5	-1,5	4,8	7	5	0,7	0	0	0		
Снижение поверхностью земли в средней зоне, Am дБ	Gm = 1	ф-лы таб.3 [10]	-2,7	-2,7	0	0	0	0	0	0	0		
Суммарное снижение поверхностью земли на траектории распространения звука Agr, дБ		ф-ла (9) [10]	-5,7	-5,7	3,3	5,5	3,5	-0,8	-1,5	-1,5	-1,5		
Уровни звукового давления прямого звука от источника ИШ-1-26 в расчётной точке днём, дБ		**ф-ла(3)[10]**	**0**	**32**	**24,2**	**22,6**	**23,4**	**25,4**	**19,2**	**2,6**	**0**	**27,8**	**27,8**
Уровни звукового давления прямого звука от источника ИШ-1-26 в расчётной точке ночью, дБ		**ф-ла(3)[10]**	**0**	**32**	**24,2**	**22,6**	**23,4**	**25,4**	**19,2**	**2,6**	**0**	**27,8**	**27,8**
Расчёт отражённого звука													
Уровни звукового давления от мнимого источника ИШ-1-26_мн.(1) в расчётной точке днём, дБ		**ф-ла(3)[10]**	**0**	**0**	**0**	**0**	**11,2**	**19,8**	**15,3**	**0**	**0**	**21,6**	**21,6**
Уровни звукового давления от мнимого источника ИШ-1-26_мн.(1) в расчётной точке ночью, дБ		**ф-ла(3)[10]**	**0**	**0**	**0**	**0**	**0**	**0**	**0**	**0**	**0**	**21,6**	**21,6**
Уровни звукового давления от источника ИШ-1-26 в расчётной точке днём, дБ		**ф-ла(3)[10]**	**0**	**32**	**24,2**	**22,6**	**23,7**	**26,5**	**20,7**	**2,6**	**0**	**28,7**	**28,7**
Уровни звукового давления от источника ИШ-1-26 в расчётной точке ночью, дБ		**ф-ла(3)[10]**	**0**	**32**	**24,2**	**22,6**	**23,7**	**26,5**	**20,7**	**2,6**	**0**	**28,7**	**28,7**
Источник шума: ИШ-1-27, координаты источника (x,y,z), м =[469.65,197.67,1.00]													
Уровни звуковой мощности источника днём, Lw, дБ		**исходные данные**	**0**	**93,3**	**94,7**	**96**	**96,3**	**95,9**	**92,6**	**88,4**	**83,9**		
Уровни звуковой мощности источника ночью, Lw, дБ		**исходные данные**	**0**	**93,3**	**94,7**	**96**	**96,3**	**95,9**	**92,6**	**88,4**	**83,9**		

1		2	3	4	5	6	7	8	9	10	11	12	13
Поправка на телесный угол DΩ, дБ	Ω = 6.28	10Lg(4π/Ω)	**3**	3	3	3	3	3	3	3	3		
Показатель направленности источника Di, дБ		исходные данные	**0**	0	0	0	0	0	0	0	0		
Поправка на направленность источника Dc, дБ	Dc	DΩ + Di	**3**	3	3	3	3	3	3	3	3		
Затухание из-за геометрической дивергенции, Adiv, дБ	расстояние = 989.54 м	ф-ла (7) [10]	**70,9**										
Коэффициент затухания звука в атмосфере α, дБ/км	Ta=20,°C Pa=101.33,кПа hотн.=70%	ф-ла (5) [9]	0,02	0,09	0,33	1,12	2,79	4,98	9,04	23,09	77,63		
Учет затухания звука в атмосфере Aatm, дБ		ф-ла (8) [10]	0	0,1	0,3	1,1	2,8	4,9	8,9	22,8	76,8		
Снижение уровня звукового давления из-за влияния застройки между источником шума и расчетной точкой													
Снижение уровня звукового давления на пути над экраном, Dz1, дБ	z = 1.01м (разность путей)	ф-лы (14-18) [10]	5,4	6,1	7,7	10,4	13,4	16,3	19,2	22,1	25,1		
Снижение уровня звукового давления на пути слева от экрана, Dz2, дБ	z = 0.25м (разность путей)	ф-лы (14-18) [10]	6	6,9	8,3	10,2	12,5	15,2	18	20,9	23,9		
Снижение уровня звукового давления на пути справа от экрана, Dz3, дБ	z = 91.31м (разность путей)	ф-лы (14-18) [10]	25,6	29,3	33,7	38,1	41,8	45	48,1	51,1	54,1		
Общее снижение уровня звука препятствием Dz, дБ		Эн.сумма(-Dzi)	2,6	3,5	5	7,3	9,9	12,7	15,5	18,5	21,4		
Уровни звукового давления прямого звука от источника ИШ-1-27 в расчётной точке днём, дБ		**ф-ла(3)[10]**	**0**	**21,8**	**21,5**	**19,7**	**15,7**	**10,4**	**0,2**	**0**	**0**	**16,7**	**16,7**
Уровни звукового давления прямого звука от источника ИШ-1-27 в расчётной точке ночью, дБ		**ф-ла(3)[10]**	**0**	**21,8**	**21,5**	**19,7**	**15,7**	**10,4**	**0,2**	**0**	**0**	**16,7**	**16,7**
Расчёт отражённого звука													
Уровни звукового давления от мнимого источника ИШ-1-27_мн.(1) в расчётной точке днём, дБ		**ф-ла(3)[10]**	**0**	**0**	**0**	**19,5**	**16,6**	**12**	**2,2**	**0**	**0**	**17,2**	**17,2**
Уровни звукового давления от мнимого источника ИШ-1-27_мн.(1) в расчётной точке ночью, дБ		**ф-ла(3)[10]**	**0**	**0**	**0**	**0**	**0**	**0**	**0**	**0**	**0**	**17,2**	**17,2**
Уровни звукового давления от источника ИШ-1-27 в расчётной точке днём, дБ		**ф-ла(3)[10]**	**0**	**21,8**	**21,5**	**22,6**	**19,2**	**14,3**	**4,3**	**0**	**0**	**19,9**	**19,9**

1		2	3	4	5	6	7	8	9	10	11	12	13
Уровни звукового давления от источника ИШ-1-27 в расчётной точке ночью, дБ		**ф-ла(3)[10]**	**0**	**21,8**	**21,5**	**22,6**	**19,2**	**14,3**	**4,3**	**0**	**0**	**19,9**	**19,9**
Источник шума: ИШ-1-28, координаты источника (x,y,z), м =[472.78,196.69,1.00]													
Уровни звуковой мощности источника днём, Lw, дБ		**исходные данные**	**0**	**93,3**	**94,7**	**96**	**96,3**	**95,9**	**92,6**	**88,4**	**83,9**		
Уровни звуковой мощности источника ночью, Lw, дБ		**исходные данные**	**0**	**93,3**	**94,7**	**96**	**96,3**	**95,9**	**92,6**	**88,4**	**83,9**		
Поправка на телесный угол DΩ, дБ	Ω = 6.28	10Lg(4π/Ω)	**3**	3	3	3	3	3	3	3	3		
Показатель направленности источника Di, дБ		исходные данные	**0**	0	0	0	0	0	0	0	0		
Поправка на направленность источника Dc, дБ	Dc	DΩ + Di	**3**	3	3	3	3	3	3	3	3		
Затухание из-за геометрической дивергенции, Adiv, дБ	расстояние = 986.30 м	ф-ла (7) [10]	**70,9**										
Коэффициент затухания звука в атмосфере α, дБ/км	Ta=20,°C Pa=101.33,кПа hотн.=70%	ф-ла (5) [9]	0,02	0,09	0,33	1,12	2,79	4,98	9,04	23,09	77,63		
Учет затухания звука в атмосфере Aatm, дБ		ф-ла (8) [10]	0	0,1	0,3	1,1	2,8	4,9	8,9	22,8	76,6		
Снижение уровня звукового давления из-за влияния застройки между источником шума и расчетной точкой													
Снижение уровня звукового давления на пути над экраном, Dz1, дБ	z = 1.10м (разность путей)	ф-лы (14-18) [10]	5,5	6,4	8,3	11,3	14,3	17,3	20,2	23,2	26,2		
Снижение уровня звукового давления на пути слева от экрана, Dz2, дБ	z = 0.22м (разность путей)	ф-лы (14-18) [10]	5,8	6,7	8	9,8	12,1	14,7	17,4	20,3	23,3		
Снижение уровня звукового давления на пути справа от экрана, Dz3, дБ	z = 93.70м (разность путей)	ф-лы (14-18) [10]	25,7	29,4	33,8	38,2	41,9	45,1	48,2	51,2	54,2		
Общее снижение уровня звука препятствием Dz, дБ		Эн.сумма(-Dzi)	2,6	3,5	5,1	7,5	10	12,8	15,6	18,5	21,5		
Уровни звукового давления прямого звука от источника ИШ-1-28 в расчётной точке днём, дБ		**ф-ла(3)[10]**	**0**	**21,8**	**21,4**	**19,6**	**15,6**	**10,3**	**0,2**	**0**	**0**	**16,6**	**16,6**

1		2	3	4	5	6	7	8	9	10	11	12	13
Уровни звукового давления прямого звука от источника ИШ-1-28 в расчётной точке ночью, дБ		**ф-ла(3)[10]**	**0**	**21,8**	**21,4**	**19,6**	**15,6**	**10,3**	**0,2**	**0**	**0**	**16,6**	**16,6**
Расчёт отражённого звука													
Уровни звукового давления от мнимого источника ИШ-1-28_мн.(1) в расчётной точке днём, дБ		**ф-ла(3)[10]**	**0**	**0**	**0**	**19,5**	**16,5**	**11,9**	**2,1**	**0**	**0**	**17,1**	**17,1**
Уровни звукового давления от мнимого источника ИШ-1-28_мн.(1) в расчётной точке ночью, дБ		**ф-ла(3)[10]**	**0**	**0**	**0**	**0**	**0**	**0**	**0**	**0**	**0**	**17,1**	**17,1**
Уровни звукового давления от источника ИШ-1-28 в расчётной точке днём, дБ		**ф-ла(3)[10]**	**0**	**21,8**	**21,4**	**22,5**	**19,1**	**14,2**	**4,3**	**0**	**0**	**19,9**	**19,9**
Уровни звукового давления от источника ИШ-1-28 в расчётной точке ночью, дБ		**ф-ла(3)[10]**	**0**	**21,8**	**21,4**	**22,5**	**19,1**	**14,2**	**4,3**	**0**	**0**	**19,9**	**19,9**
Источник шума: ИШ-1-29, координаты источника (x,y,z), м =[475.52,195.72,1.00]													
Уровни звуковой мощности источника днём, Lw, дБ		**исходные данные**	**0**	**93,3**	**94,7**	**96**	**96,3**	**95,9**	**92,6**	**88,4**	**83,9**		
Уровни звуковой мощности источника ночью, Lw, дБ		**исходные данные**	**0**	**93,3**	**94,7**	**96**	**96,3**	**95,9**	**92,6**	**88,4**	**83,9**		
Поправка на телесный угол DΩ, дБ	Ω = 6.28	10Lg(4π/Ω)	**3**	3	3	3	3	3	3	3	3		
Показатель направленности источника Di, дБ		исходные данные	**0**	0	0	0	0	0	0	0	0		
Поправка на направленность источника Dc, дБ	Dc	DΩ + Di	**3**	3	3	3	3	3	3	3	3		
Затухание из-за геометрической дивергенции, Adiv, дБ	расстояние = 983.42 м	ф-ла (7) [10]	**70,9**										
Коэффициент затухания звука в атмосфере α, дБ/км	Ta=20,°C Pa=101.33,кПа hотн.=70%	ф-ла (5) [9]	0,02	0,09	0,33	1,12	2,79	4,98	9,04	23,09	77,63		
Учет затухания звука в атмосфере Aatm, дБ		ф-ла (8) [10]	0	0,1	0,3	1,1	2,7	4,9	8,9	22,7	76,3		
Снижение уровня звукового давления из-за влияния застройки между источником шума и расчетной точкой													

1		2	3	4	5	6	7	8	9	10	11	12	13
Снижение уровня звукового давления на пути над экраном, Dz1, дБ	z = 1.18м (разность путей)	ф-лы (14-18) [10]	5,7	6,7	8,9	12	15,2	18,2	21,2	24,2	27,2		
Снижение уровня звукового давления на пути слева от экрана, Dz2, дБ	z = 0.20м (разность путей)	ф-лы (14-18) [10]	5,7	6,5	7,8	9,5	11,8	14,3	17,1	20	22,9		
Снижение уровня звукового давления на пути справа от экрана, Dz3, дБ	z = 95.79м (разность путей)	ф-лы (14-18) [10]	25,8	29,5	33,9	38,3	42	45,2	48,3	51,3	54,3		
Общее снижение уровня звука препятствием Dz, дБ		Эн.сумма(-Dzi)	2,7	3,6	5,3	7,6	10,1	12,8	15,7	18,6	21,5		
Уровни звукового давления прямого звука от источника ИШ-1-29 в расчётной точке днём, дБ		**ф-ла(3)[10]**	**0**	**21,7**	**21,2**	**19,4**	**15,5**	**10,3**	**0,2**	**0**	**0**	**16,5**	**16,5**
Уровни звукового давления прямого звука от источника ИШ-1-29 в расчётной точке ночью, дБ		**ф-ла(3)[10]**	**0**	**21,7**	**21,2**	**19,4**	**15,5**	**10,3**	**0,2**	**0**	**0**	**16,5**	**16,5**
Расчёт отражённого звука													
Уровни звукового давления от мнимого источника ИШ-1-29_мн.(1) в расчётной точке днём, дБ		**ф-ла(3)[10]**	**0**	**0**	**0**	**19,4**	**16,5**	**11,9**	**2,1**	**0**	**0**	**17,1**	**17,1**
Уровни звукового давления от мнимого источника ИШ-1-29_мн.(1) в расчётной точке ночью, дБ		**ф-ла(3)[10]**	**0**	**0**	**0**	**0**	**0**	**0**	**0**	**0**	**0**	**17,1**	**17,1**
Уровни звукового давления от источника ИШ-1-29 в расчётной точке днём, дБ		**ф-ла(3)[10]**	**0**	**21,7**	**21,2**	**22,4**	**19,1**	**14,2**	**4,2**	**0**	**0**	**19,8**	**19,8**
Уровни звукового давления от источника ИШ-1-29 в расчётной точке ночью, дБ		**ф-ла(3)[10]**	**0**	**21,7**	**21,2**	**22,4**	**19,1**	**14,2**	**4,2**	**0**	**0**	**19,8**	**19,8**
Источник шума: ИШ-1-30, координаты источника (x,y,z), м =[478.45,194.54,1.00]													
Уровни звуковой мощности источника днём, Lw, дБ		**исходные данные**	**0**	**93,3**	**94,7**	**96**	**96,3**	**95,9**	**92,6**	**88,4**	**83,9**		
Уровни звуковой мощности источника ночью, Lw, дБ		**исходные данные**	**0**	**93,3**	**94,7**	**96**	**96,3**	**95,9**	**92,6**	**88,4**	**83,9**		
Поправка на телесный угол DΩ, дБ	Ω = 6.28	10Lg(4π/Ω)	**3**	3	3	3	3	3	3	3	3		
Показатель направленности источника Di, дБ		исходные данные	**0**	0	0	0	0	0	0	0	0		
Поправка на направленность источника Dc, дБ	Dc	DΩ + Di	**3**	3	3	3	3	3	3	3	3		

1		2	3	4	5	6	7	8	9	10	11	12	13
Затухание из-за геометрической дивергенции, Adiv, дБ	расстояние = 980.27 м	ф-ла (7) [10]	**70,8**										
Коэффициент затухания звука в атмосфере α, дБ/км	Та=20,°С Ра=101.33,кПа hотн.=70%	ф-ла (5) [9]	0,02	0,09	0,33	1,12	2,79	4,98	9,04	23,09	77,63		
Учет затухания звука в атмосфере Aatm, дБ		ф-ла (8) [10]	0	0,1	0,3	1,1	2,7	4,9	8,9	22,6	76,1		
Снижение уровня звукового давления из-за влияния застройки между источником шума и расчетной точкой													
Снижение уровня звукового давления на пути над экраном, Dz1, дБ	z = 1.29м (разность путей)	ф-лы (14-18) [10]	6	7,2	9,6	12,9	16,2	19,3	22,3	25,3	28,2		
Снижение уровня звукового давления на пути слева от экрана, Dz2, дБ	z = 0.19м (разность путей)	ф-лы (14-18) [10]	5,7	6,5	7,7	9,4	11,6	14,1	16,9	19,8	22,7		
Снижение уровня звукового давления на пути справа от экрана, Dz3, дБ	z = 98.01м (разность путей)	ф-лы (14-18) [10]	25,9	29,6	34	38,4	42,1	45,3	48,4	51,4	54,4		
Общее снижение уровня звука препятствием Dz, дБ		Эн.сумма(-Dzi)	2,8	3,8	5,5	7,8	10,3	13	15,8	18,7	21,6		
Уровни звукового давления прямого звука от источника ИШ-1-30 в расчётной точке днём, дБ		**ф-ла(3)[10]**	**0**	**21,6**	**21**	**19,3**	**15,4**	**10,2**	**0,1**	**0**	**0**	**16,4**	**16,4**
Уровни звукового давления прямого звука от источника ИШ-1-30 в расчётной точке ночью, дБ		**ф-ла(3)[10]**	**0**	**21,6**	**21**	**19,3**	**15,4**	**10,2**	**0,1**	**0**	**0**	**16,4**	**16,4**
Расчёт отражённого звука													
Уровни звукового давления от мнимого источника ИШ-1-30_мн.(1) в расчётной точке днём, дБ		**ф-ла(3)[10]**	**0**	**0**	**0**	**0**	**16,4**	**11,9**	**2**	**0**	**0**	**15,9**	**15,9**
Уровни звукового давления от мнимого источника ИШ-1-30_мн.(1) в расчётной точке ночью, дБ		**ф-ла(3)[10]**	**0**	**0**	**0**	**0**	**0**	**0**	**0**	**0**	**0**	**15,9**	**15,9**
Уровни звукового давления от источника ИШ-1-30 в расчётной точке днём, дБ		**ф-ла(3)[10]**	**0**	**21,6**	**21**	**19,3**	**19**	**14,1**	**4,2**	**0**	**0**	**19,1**	**19,1**
Уровни звукового давления от источника ИШ-1-30 в расчётной точке ночью, дБ		**ф-ла(3)[10]**	**0**	**21,6**	**21**	**19,3**	**19**	**14,1**	**4,2**	**0**	**0**	**19,1**	**19,1**
Источник шума: ИШ-1-31, координаты источника (x,y,z), м =[481.58,193.96,1.00]													

1		2	3	4	5	6	7	8	9	10	11	12	13
Уровни звуковой мощности источника днём, Lw, дБ		**исходные данные**	**0**	**93,3**	**94,7**	**96**	**96,3**	**95,9**	**92,6**	**88,4**	**83,9**		
Уровни звуковой мощности источника ночью, Lw, дБ		**исходные данные**	**0**	**93,3**	**94,7**	**96**	**96,3**	**95,9**	**92,6**	**88,4**	**83,9**		
Поправка на телесный угол DΩ, дБ	Ω = 6.28	10Lg(4π/Ω)	**3**	3	3	3	3	3	3	3	3		
Показатель направленности источника Di, дБ		исходные данные	**0**	0	0	0	0	0	0	0	0		
Поправка на направленность источника Dc, дБ	Dc	DΩ + Di	**3**	3	3	3	3	3	3	3	3		
Затухание из-за геометрической дивергенции, Adiv, дБ	расстояние = 977.21 м	ф-ла (7) [10]	**70,8**										
Коэффициент затухания звука в атмосфере α, дБ/км	Ta=20,°C Pa=101.33,кПа hотн.=70%	ф-ла (5) [9]	0,02	0,09	0,33	1,12	2,79	4,98	9,04	23,09	77,63		
Учет затухания звука в атмосфере Aatm, дБ		ф-ла (8) [10]	0	0,1	0,3	1,1	2,7	4,9	8,8	22,6	75,9		
Снижение уровня звукового давления из-за влияния застройки между источником шума и расчетной точкой													
Снижение уровня звукового давления на пути над экраном, Dz1, дБ	z = 1.43м (разность путей)	ф-лы (14-18) [10]	6,2	7,7	10,4	13,9	17,3	20,4	23,4	26,4	29,4		
Снижение уровня звукового давления на пути слева от экрана, Dz2, дБ	z = 0.14м (разность путей)	ф-лы (14-18) [10]	5,4	6	7	8,4	10,4	12,8	15,4	18,2	21,2		
Снижение уровня звукового давления на пути справа от экрана, Dz3, дБ	z = 100.82м (разность путей)	ф-лы (14-18) [10]	26,1	29,7	34,1	38,5	42,2	45,4	48,5	51,5	54,5		
Общее снижение уровня звука препятствием Dz, дБ		Эн.сумма(-Dzi)	2,8	3,8	5,3	7,4	9,6	12,1	14,8	17,6	20,5		
Уровни звукового давления прямого звука от источника ИШ-1-31 в расчётной точке днём, дБ		**ф-ла(3)[10]**	**0**	**21,7**	**21,2**	**19,7**	**16,2**	**11,2**	**1,2**	**0**	**0**	**17,1**	**17,1**
Уровни звукового давления прямого звука от источника ИШ-1-31 в расчётной точке ночью, дБ		**ф-ла(3)[10]**	**0**	**21,7**	**21,2**	**19,7**	**16,2**	**11,2**	**1,2**	**0**	**0**	**17,1**	**17,1**
Расчёт отражённого звука													
Уровни звукового давления от мнимого источника ИШ-1-31_мн.(1) в расчётной точке днём, дБ		**ф-ла(3)[10]**	**0**	**0**	**0**	**0**	**16,4**	**11,8**	**2**	**0**	**0**	**15,8**	**15,8**

1		2	3	4	5	6	7	8	9	10	11	12	13
Уровни звукового давления от мнимого источника ИШ-1-31_мн.(1) в расчётной точке ночью, дБ		**ф-ла(3)[10]**	**0**	**0**	**0**	**0**	**0**	**0**	**0**	**0**	**0**	**15,8**	**15,8**
Уровни звукового давления от источника ИШ-1-31 в расчётной точке днём, дБ		**ф-ла(3)[10]**	**0**	**21,7**	**21,2**	**19,7**	**19,3**	**14,5**	**4,6**	**0**	**0**	**19,5**	**19,5**
Уровни звукового давления от источника ИШ-1-31 в расчётной точке ночью, дБ		**ф-ла(3)[10]**	**0**	**21,7**	**21,2**	**19,7**	**19,3**	**14,5**	**4,6**	**0**	**0**	**19,5**	**19,5**
Источник шума: ИШ-1-32, координаты источника (x,y,z), м =[871.21,281.99,50.00]													
Уровни звуковой мощности источника днём, Lw, дБ		**исходные данные**	**125**	**119,6**	**113,4**	**111,4**	**110,8**	**112,7**	**113,8**	**109,2**	**97,4**		
Уровни звуковой мощности источника ночью, Lw, дБ		**исходные данные**	**0**	**0**	**0**	**0**	**0**	**0**	**0**	**0**	**0**		
Поправка на телесный угол DΩ, дБ	Ω = 12.57	10Lg(4π/Ω)	**0**	0	0	0	0	0	0	0	0		
Показатель направленности источника Di, дБ		исходные данные	**0**	0	0	0	0	0	0	0	0		
Поправка на направленность источника Dc, дБ	Dc	DΩ + Di	**0**	0	0	0	0	0	0	0	0		
Затухание из-за геометрической дивергенции, Adiv, дБ	расстояние = 714.73 м	ф-ла (7) [10]	**68,1**										
Коэффициент затухания звука в атмосфере α, дБ/км	Ta=20,°C Pa=101.33,кПа hотн.=70%	ф-ла (5) [9]	0,02	0,09	0,33	1,12	2,79	4,98	9,04	23,09	77,63		
Учет затухания звука в атмосфере Aatm, дБ		ф-ла (8) [10]	0	0,1	0,2	0,8	2	3,6	6,5	16,5	55,5		
Снижение поверхностью земли возле источника As, дБ	Gs = 0 hs = 50м	ф-лы таб.3 [10]	-1,5	-1,5	-1,5	-1,5	-1,5	-1,5	-1,5	-1,5	-1,5		
Снижение поверхностью земли возле приёмника Ar, дБ	Gr = 1 hr = 1.5м	ф-лы таб.3 [10]	-1,5	-1,5	4,2	7	5	0,7	0	0	0		
Снижение поверхностью земли в средней зоне, Am дБ	Gm = 1	ф-лы таб.3 [10]	0	0	0	0	0	0	0	0	0		
Суммарное снижение поверхностью земли на траектории распространения звука Agr, дБ		ф-ла (9) [10]	-3	-3	2,7	5,5	3,5	-0,8	-1,5	-1,5	-1,5		

1		2	3	4	5	6	7	8	9	10	11	12	13
Уровни звукового давления от источника ИШ-1-32 в расчётной точке днём, дБ		**ф-ла(3)[10]**	**59,9**	**54,5**	**42,4**	**37**	**37,3**	**41,9**	**40,8**	**26,2**	**0**	**45,6**	**45,6**
Уровни звукового давления от источника ИШ-1-32 в расчётной точке ночью, дБ		**ф-ла(3)[10]**	**0**	**0**	**0**	**0**	**0**	**0**	**0**	**0**	**0**	**0**	**0**
Источник шума: ИШ-1-33, координаты источника (x,y,z), м =[743.42,374.85,1.00]													
Уровни звуковой мощности источника днём, Lw, дБ		**исходные данные**	**0**	**88,7**	**90,1**	**93,1**	**96,4**	**103**	**112**	**108**	**99,2**		
Уровни звуковой мощности источника ночью, Lw, дБ		**исходные данные**	**0**	**0**	**0**	**0**	**0**	**0**	**0**	**0**	**0**		
Поправка на телесный угол DΩ, дБ	Ω = 6.28	10Lg(4π/Ω)	**3**	3	3	3	3	3	3	3	3		
Показатель направленности источника Di, дБ		исходные данные	**0**	0	0	0	0	0	0	0	0		
Поправка на направленность источника Dc, дБ	Dc	DΩ + Di	**3**	3	3	3	3	3	3	3	3		
Затухание из-за геометрической дивергенции, Adiv, дБ	расстояние = 868.66 м	ф-ла (7) [10]	**69,8**										
Коэффициент затухания звука в атмосфере α, дБ/км	Ta=20,°C Pa=101.33,кПа hотн.=70%	ф-ла (5) [9]	0,02	0,09	0,33	1,12	2,79	4,98	9,04	23,09	77,63		
Учет затухания звука в атмосфере Aatm, дБ		ф-ла (8) [10]	0	0,1	0,3	1	2,4	4,3	7,9	20,1	67,4		
Снижение поверхностью земли возле источника As, дБ	Gs = 0 hs = 1м	ф-лы таб.3 [10]	-1,5	-1,5	-1,5	-1,5	-1,5	-1,5	-1,5	-1,5	-1,5		
Снижение поверхностью земли возле приёмника Ar, дБ	Gr = 1 hr = 1.5м	ф-лы таб.3 [10]	-1,5	-1,5	4,8	7	5	0,7	0	0	0		
Снижение поверхностью земли в средней зоне, Am дБ	Gm = 1	ф-лы таб.3 [10]	-2,7	-2,7	0	0	0	0	0	0	0		
Суммарное снижение поверхностью земли на траектории распространения звука Agr, дБ		ф-ла (9) [10]	-5,7	-5,7	3,3	5,5	3,5	-0,8	-1,5	-1,5	-1,5		
Уровни звукового давления от источника ИШ-1-33 в расчётной точке днём, дБ		**ф-ла(3)[10]**	**0**	**27,6**	**19,8**	**19,8**	**23,7**	**32,8**	**38,9**	**22,7**	**0**	**40,9**	**40,9**

1		2	3	4	5	6	7	8	9	10	11	12	13
Уровни звукового давления от источника ИШ-1-33 в расчётной точке ночью, дБ		**ф-ла(3)[10]**	**0**	**0**	**0**	**0**	**0**	**0**	**0**	**0**	**0**	**0**	**0**
Источник шума: ИШ-1-34, координаты источника (x,y,z), м =[1042.35,199.07,1.00]													
Уровни звуковой мощности источника днём, Lw, дБ		**исходные данные**	**0**	**88,7**	**90,1**	**93,1**	**96,4**	**103**	**112**	**108**	**99,2**		
Уровни звуковой мощности источника ночью, Lw, дБ		**исходные данные**	**0**	**0**	**0**	**0**	**0**	**0**	**0**	**0**	**0**		
Поправка на телесный угол DΩ, дБ	Ω = 6.28	10Lg(4π/Ω)	**3**	3	3	3	3	3	3	3	3		
Показатель направленности источника Di, дБ		исходные данные	**0**	0	0	0	0	0	0	0	0		
Поправка на направленность источника Dc, дБ	Dc	DΩ + Di	**3**	3	3	3	3	3	3	3	3		
Затухание из-за геометрической дивергенции, Adiv, дБ	расстояние = 540.15 м	ф-ла (7) [10]	**65,7**										
Коэффициент затухания звука в атмосфере α, дБ/км	Ta=20,°C Pa=101.33,кПа hотн.=70%	ф-ла (5) [9]	0,02	0,09	0,33	1,12	2,79	4,98	9,04	23,09	77,63		
Учет затухания звука в атмосфере Aatm, дБ		ф-ла (8) [10]	0	0	0,2	0,6	1,5	2,7	4,9	12,5	41,9		
Снижение поверхностью земли возле источника As, дБ	Gs = 0 hs = 1м	ф-лы таб.3 [10]	-1,5	-1,5	-1,5	-1,5	-1,5	-1,5	-1,5	-1,5	-1,5		
Снижение поверхностью земли возле приёмника Ar, дБ	Gr = 1 hr = 1.5м	ф-лы таб.3 [10]	-1,5	-1,5	3,3	7	5	0,7	0	0	0		
Снижение поверхностью земли в средней зоне, Am дБ	Gm = 1	ф-лы таб.3 [10]	-2,6	-2,6	0	0	0	0	0	0	0		
Суммарное снижение поверхностью земли на траектории распространения звука Agr, дБ		ф-ла (9) [10]	-5,6	-5,6	1,8	5,5	3,5	-0,8	-1,5	-1,5	-1,5		
Уровни звукового давления прямого звука от источника ИШ-1-34 в расчётной точке днём, дБ		**ф-ла(3)[10]**	**0**	**31,6**	**25,5**	**24,3**	**28,8**	**38,5**	**46**	**34,4**	**0**	**48**	**48**
Уровни звукового давления прямого звука от источника ИШ-1-34 в расчётной точке ночью, дБ		**ф-ла(3)[10]**	**0**	**0**	**0**	**0**	**0**	**0**	**0**	**0**	**0**	**0**	**0**

1		2	3	4	5	6	7	8	9	10	11	12	13
Расчёт отражённого звука													
Уровни звукового давления от мнимого источника ИШ-1-34_мн.(1) в расчётной точке днём, дБ		**ф-ла(3)[10]**	**0**	**0**	**0**	**0**	**0**	**0**	**0**	**0**	**0**	**0**	**0**
Уровни звукового давления от мнимого источника ИШ-1-34_мн.(1) в расчётной точке ночью, дБ		**ф-ла(3)[10]**	**0**	**0**	**0**	**0**	**0**	**0**	**0**	**0**	**0**	**0**	**0**
Уровни звукового давления от мнимого источника ИШ-1-34_мн.(2) в расчётной точке днём, дБ		**ф-ла(3)[10]**	**0**	**0**	**0**	**0**	**0**	**0**	**0**	**0**	**0**	**0**	**0**
Уровни звукового давления от мнимого источника ИШ-1-34_мн.(2) в расчётной точке ночью, дБ		**ф-ла(3)[10]**	**0**	**0**	**0**	**0**	**0**	**0**	**0**	**0**	**0**	**0**	**0**
Суммарные уровни звукового давления от мнимых источников в расчётной точке днём, дБ		**ф-ла (19) [1]**	**0**	**0**	**0**	**0**	**0**	**0**	**0**	**0**	**0**	**0**	**0**
Суммарные уровни звукового давления от мнимых источников в расчётной точке ночью, дБ		**ф-ла (19) [1]**	**0**	**0**	**0**	**0**	**0**	**0**	**0**	**0**	**0**	**0**	**0**
Уровни звукового давления от источника ИШ-1-34 в расчётной точке днём, дБ		**ф-ла(3)[10]**	**0**	**31,6**	**25,5**	**24,3**	**28,8**	**38,5**	**46**	**34,4**	**0**	**48**	**48**
Уровни звукового давления от источника ИШ-1-34 в расчётной точке ночью, дБ		**ф-ла(3)[10]**	**0**	**0**	**0**	**0**	**0**	**0**	**0**	**0**	**0**	**0**	**0**
Источник шума: ИШ-2-1, координаты источника (x,y,z), м =[696.50,124.40,3.00]													
Уровни звуковой мощности источника днём, Lw, дБ		**исходные данные**	**105**	**104**	**104**	**101**	**102**	**106**	**101**	**95**	**87**		
Уровни звуковой мощности источника ночью, Lw, дБ		**исходные данные**	**105**	**104**	**104**	**101**	**102**	**106**	**101**	**95**	**87**		
Поправка на телесный угол DΩ, дБ	Ω = 6.28	10Lg(4π/Ω)	**3**	3	3	3	3	3	3	3	3		
Показатель направленности источника Di, дБ		исходные данные	**0**	0	0	0	0	0	0	0	0		
Поправка на направленность источника Dc, дБ	Dc	DΩ + Di	**3**	3	3	3	3	3	3	3	3		
Затухание из-за геометрической дивергенции, Adiv, дБ	расстояние = 754.47 м	ф-ла (7) [10]	**68,6**										
Коэффициент затухания звука в атмосфере α, дБ/км	Ta=20,°C Pa=101.33,кПа hотн.=70%	ф-ла (5) [9]	0,02	0,09	0,33	1,12	2,79	4,98	9,04	23,09	77,63		

1		2	3	4	5	6	7	8	9	10	11	12	13
Учет затухания звука в атмосфере Aatm, дБ		ф-ла (8) [10]	0	0,1	0,3	0,8	2,1	3,8	6,8	17,4	58,6		
Снижение поверхностью земли возле источника As, дБ	Gs = 0 hs = 3м	ф-лы таб.3 [10]	-1,5	-1,5	-1,5	-1,5	-1,5	-1,5	-1,5	-1,5	-1,5		
Снижение поверхностью земли возле приёмника Ar, дБ	Gr = 1 hr = 1.5м	ф-лы таб.3 [10]	-1,5	-1,5	4,4	7	5	0,7	0	0	0		
Снижение поверхностью земли в средней зоне, Am дБ	Gm = 1	ф-лы таб.3 [10]	-2,5	-2,5	0	0	0	0	0	0	0		
Суммарное снижение поверхностью земли на траектории распространения звука Agr, дБ		ф-ла (9) [10]	-5,5	-5,5	2,9	5,5	3,5	-0,8	-1,5	-1,5	-1,5		
Уровни звукового давления прямого звука от источника ИШ-2-1 в расчётной точке днём, дБ		**ф-ла(3)[10]**	**44,9**	**43,9**	**35,3**	**29,1**	**30,9**	**37,5**	**30,1**	**13,5**	**0**	**39**	**39**
Уровни звукового давления прямого звука от источника ИШ-2-1 в расчётной точке ночью, дБ		**ф-ла(3)[10]**	**44,9**	**43,9**	**35,3**	**29,1**	**30,9**	**37,5**	**30,1**	**13,5**	**0**	**39**	**39**
Расчёт отражённого звука													
Уровни звукового давления от мнимого источника ИШ-2-1_мн.(1) в расчётной точке днём, дБ		**ф-ла(3)[10]**	**0**	**0**	**0**	**0**	**0**	**0**	**25,9**	**8**	**0**	**27,1**	**27,1**
Уровни звукового давления от мнимого источника ИШ-2-1_мн.(1) в расчётной точке ночью, дБ		**ф-ла(3)[10]**	**0**	**0**	**0**	**0**	**0**	**0**	**0**	**0**	**0**	**27,1**	**27,1**
Уровни звукового давления от источника ИШ-2-1 в расчётной точке днём, дБ		**ф-ла(3)[10]**	**44,9**	**43,9**	**35,3**	**29,1**	**30,9**	**37,5**	**31,5**	**14,6**	**0**	**39,3**	**39,3**
Уровни звукового давления от источника ИШ-2-1 в расчётной точке ночью, дБ		**ф-ла(3)[10]**	**44,9**	**43,9**	**35,3**	**29,1**	**30,9**	**37,5**	**31,5**	**14,6**	**0**	**39,3**	**39,3**
Источник шума: ИШ-2-2, координаты источника (x,y,z), м =[682.20,81.60,3.00]													
Уровни звуковой мощности источника днём, Lw, дБ		**исходные данные**	**105**	**104**	**104**	**101**	**102**	**106**	**101**	**95**	**87**		
Уровни звуковой мощности источника ночью, Lw, дБ		**исходные данные**	**105**	**104**	**104**	**101**	**102**	**106**	**101**	**95**	**87**		
Поправка на телесный угол DΩ, дБ	Ω = 6.28	10Lg(4π/Ω)	**3**	3	3	3	3	3	3	3	3		
Показатель направленности источника Di, дБ		исходные данные	**0**	0	0	0	0	0	0	0	0		

1		2	3	4	5	6	7	8	9	10	11	12	13
Поправка на направленность источника Dc, дБ	Dc	DΩ + Di	**3**	3	3	3	3	3	3	3	3		
Затухание из-за геометрической дивергенции, Adiv, дБ	расстояние = 747.65 м	ф-ла (7) [10]	**68,5**										
Коэффициент затухания звука в атмосфере α, дБ/км	Ta=20,°C Pa=101.33,кПа hотн.=70%	ф-ла (5) [9]	0,02	0,09	0,33	1,12	2,79	4,98	9,04	23,09	77,63		
Учет затухания звука в атмосфере Aatm, дБ		ф-ла (8) [10]	0	0,1	0,3	0,8	2,1	3,7	6,8	17,3	58		
Снижение поверхностью земли возле источника As, дБ	Gs = 0 hs = 3м	ф-лы таб.3 [10]	-1,5	-1,5	-1,5	-1,5	-1,5	-1,5	-1,5	-1,5	-1,5		
Снижение поверхностью земли возле приёмника Ar, дБ	Gr = 1 hr = 1.5м	ф-лы таб.3 [10]	-1,5	-1,5	4,4	7	5	0,7	0	0	0		
Снижение поверхностью земли в средней зоне, Am дБ	Gm = 1	ф-лы таб.3 [10]	-2,5	-2,5	0	0	0	0	0	0	0		
Суммарное снижение поверхностью земли на траектории распространения звука Agr, дБ		ф-ла (9) [10]	-5,5	-5,5	2,9	5,5	3,5	-0,8	-1,5	-1,5	-1,5		
Уровни звукового давления от источника ИШ-2-2 в расчётной точке днём, дБ		**ф-ла(3)[10]**	**45**	**43,9**	**35,4**	**29,2**	**31**	**37,7**	**30,3**	**13,8**	**0**	**39,1**	**39,1**
Уровни звукового давления от источника ИШ-2-2 в расчётной точке ночью, дБ		**ф-ла(3)[10]**	**45**	**43,9**	**35,4**	**29,2**	**31**	**37,7**	**30,3**	**13,8**	**0**	**39,1**	**39,1**
Источник шума: ИШ-2-3, координаты источника (x,y,z), м =[667.80,38.90,3.00]													
Уровни звуковой мощности источника днём, Lw, дБ		**исходные данные**	**105**	**104**	**104**	**101**	**102**	**106**	**101**	**95**	**87**		
Уровни звуковой мощности источника ночью, Lw, дБ		**исходные данные**	**105**	**104**	**104**	**101**	**102**	**106**	**101**	**95**	**87**		
Поправка на телесный угол DΩ, дБ	Ω = 6.28	10Lg(4π/Ω)	**3**	3	3	3	3	3	3	3	3		
Показатель направленности источника Di, дБ		исходные данные	**0**	0	0	0	0	0	0	0	0		
Поправка на направленность источника Dc, дБ	Dc	DΩ + Di	**3**	3	3	3	3	3	3	3	3		

1		2	3	4	5	6	7	8	9	10	11	12	13
Затухание из-за геометрической дивергенции, Adiv, дБ	расстояние = 743.64 м	ф-ла (7) [10]	**68,4**										
Коэффициент затухания звука в атмосфере α, дБ/км	Ta=20,°C Pa=101.33,кПа hотн.=70%	ф-ла (5) [9]	0,02	0,09	0,33	1,12	2,79	4,98	9,04	23,09	77,63		
Учет затухания звука в атмосфере Aatm, дБ		ф-ла (8) [10]	0	0,1	0,2	0,8	2,1	3,7	6,7	17,2	57,7		
Снижение поверхностью земли возле источника As, дБ	Gs = 0 hs = 3м	ф-лы таб.3 [10]	-1,5	-1,5	-1,5	-1,5	-1,5	-1,5	-1,5	-1,5	-1,5		
Снижение поверхностью земли возле приёмника Ar, дБ	Gr = 1 hr = 1.5м	ф-лы таб.3 [10]	-1,5	-1,5	4,4	7	5	0,7	0	0	0		
Снижение поверхностью земли в средней зоне, Am дБ	Gm = 1	ф-лы таб.3 [10]	-2,5	-2,5	0	0	0	0	0	0	0		
Суммарное снижение поверхностью земли на траектории распространения звука Agr, дБ		ф-ла (9) [10]	-5,5	-5,5	2,9	5,5	3,5	-0,8	-1,5	-1,5	-1,5		
Уровни звукового давления прямого звука от источника ИШ-2-3 в расчётной точке днём, дБ		**ф-ла(3)[10]**	**45**	**44**	**35,5**	**29,2**	**31**	**37,7**	**30,4**	**13,9**	**0**	**39,2**	**39,2**
Уровни звукового давления прямого звука от источника ИШ-2-3 в расчётной точке ночью, дБ		**ф-ла(3)[10]**	**45**	**44**	**35,5**	**29,2**	**31**	**37,7**	**30,4**	**13,9**	**0**	**39,2**	**39,2**
Расчёт отражённого звука													
Уровни звукового давления от мнимого источника ИШ-2-3_мн.(1) в расчётной точке днём, дБ		**ф-ла(3)[10]**	**0**	**0**	**0**	**0**	**0**	**0**	**21,2**	**0**	**0**	**22,4**	**22,4**
Уровни звукового давления от мнимого источника ИШ-2-3_мн.(1) в расчётной точке ночью, дБ		**ф-ла(3)[10]**	**0**	**0**	**0**	**0**	**0**	**0**	**0**	**0**	**0**	**22,4**	**22,4**
Уровни звукового давления от источника ИШ-2-3 в расчётной точке днём, дБ		**ф-ла(3)[10]**	**45**	**44**	**35,5**	**29,2**	**31**	**37,7**	**30,9**	**13,9**	**0**	**39,3**	**39,3**
Уровни звукового давления от источника ИШ-2-3 в расчётной точке ночью, дБ		**ф-ла(3)[10]**	**45**	**44**	**35,5**	**29,2**	**31**	**37,7**	**30,9**	**13,9**	**0**	**39,3**	**39,3**
Источник шума: ИШ-2-6, координаты источника (x,y,z), м =[765.97,112.43,1.00]													
Уровни звуковой мощности источника днём, Lw, дБ		**исходные данные**	**0**	**93,3**	**94,7**	**96**	**96,3**	**95,9**	**92,6**	**88,4**	**83,9**		

1		2	3	4	5	6	7	8	9	10	11	12	13
Уровни звуковой мощности источника ночью, Lw, дБ		**исходные данные**	**0**	**93,3**	**94,7**	**96**	**96,3**	**95,9**	**92,6**	**88,4**	**83,9**		
Поправка на телесный угол DΩ, дБ	Ω = 6.28	10Lg(4π/Ω)	**3**	3	3	3	3	3	3	3	3		
Показатель направленности источника Di, дБ		исходные данные	**0**	0	0	0	0	0	0	0	0		
Поправка на направленность источника Dc, дБ	Dc	DΩ + Di	**3**	3	3	3	3	3	3	3	3		
Затухание из-за геометрической дивергенции, Adiv, дБ	расстояние = 688.24 м	ф-ла (7) [10]	**67,8**										
Коэффициент затухания звука в атмосфере α, дБ/км	Ta=20,°C Pa=101.33,кПа hотн.=70%	ф-ла (5) [9]	0,02	0,09	0,33	1,12	2,79	4,98	9,04	23,09	77,63		
Учет затухания звука в атмосфере Aatm, дБ		ф-ла (8) [10]	0	0,1	0,2	0,8	1,9	3,4	6,2	15,9	53,4		
Снижение поверхностью земли возле источника As, дБ	Gs = 0 hs = 1м	ф-лы таб.3 [10]	-1,5	-1,5	-1,5	-1,5	-1,5	-1,5	-1,5	-1,5	-1,5		
Снижение поверхностью земли возле приёмника Ar, дБ	Gr = 1 hr = 1.5м	ф-лы таб.3 [10]	-1,5	-1,5	4,1	7	5	0,7	0	0	0		
Снижение поверхностью земли в средней зоне, Am дБ	Gm = 1	ф-лы таб.3 [10]	-2,7	-2,7	0	0	0	0	0	0	0		
Суммарное снижение поверхностью земли на траектории распространения звука Agr, дБ		ф-ла (9) [10]	-5,7	-5,7	2,6	5,5	3,5	-0,8	-1,5	-1,5	-1,5		
Уровни звукового давления прямого звука от источника ИШ-2-6 в расчётной точке днём, дБ		**ф-ла(3)[10]**	**0**	**34,1**	**27,1**	**24,9**	**26,1**	**28,6**	**23,1**	**9,2**	**0**	**31**	**31**
Уровни звукового давления прямого звука от источника ИШ-2-6 в расчётной точке ночью, дБ		**ф-ла(3)[10]**	**0**	**34,1**	**27,1**	**24,9**	**26,1**	**28,6**	**23,1**	**9,2**	**0**	**31**	**31**
Расчёт отражённого звука													
Уровни звукового давления от мнимого источника ИШ-2-6_мн.(1) в расчётной точке днём, дБ		**ф-ла(3)[10]**	**0**	**0**	**0**	**0**	**0**	**0**	**0**	**0**	**0**	**0**	**0**
Уровни звукового давления от мнимого источника ИШ-2-6_мн.(1) в расчётной точке ночью, дБ		**ф-ла(3)[10]**	**0**	**0**	**0**	**0**	**0**	**0**	**0**	**0**	**0**	**0**	**0**
Уровни звукового давления от источника ИШ-2-6 в расчётной точке днём, дБ		**ф-ла(3)[10]**	**0**	**34,1**	**27,1**	**24,9**	**26,1**	**28,6**	**23,1**	**9,2**	**0**	**31**	**31**

1		2	3	4	5	6	7	8	9	10	11	12	13
Уровни звукового давления от источника ИШ-2-6 в расчётной точке ночью, дБ		**ф-ла(3)[10]**	**0**	**34,1**	**27,1**	**24,9**	**26,1**	**28,6**	**23,1**	**9,2**	**0**	**31**	**31**
Источник шума: ИШ-2-7, координаты источника (x,y,z), м =[764.91,109.54,1.00]													
Уровни звуковой мощности источника днём, Lw, дБ		**исходные данные**	**0**	**93,3**	**94,7**	**96**	**96,3**	**95,9**	**92,6**	**88,4**	**83,9**		
Уровни звуковой мощности источника ночью, Lw, дБ		**исходные данные**	**0**	**93,3**	**94,7**	**96**	**96,3**	**95,9**	**92,6**	**88,4**	**83,9**		
Поправка на телесный угол DΩ, дБ	Ω = 6.28	10Lg(4π/Ω)	**3**	3	3	3	3	3	3	3	3		
Показатель направленности источника Di, дБ		исходные данные	**0**	0	0	0	0	0	0	0	0		
Поправка на направленность источника Dc, дБ	Dc	DΩ + Di	**3**	3	3	3	3	3	3	3	3		
Затухание из-за геометрической дивергенции, Adiv, дБ	расстояние = 687.68 м	ф-ла (7) [10]	**67,7**										
Коэффициент затухания звука в атмосфере α, дБ/км	Ta=20,°C Pa=101.33,кПа hотн.=70%	ф-ла (5) [9]	0,02	0,09	0,33	1,12	2,79	4,98	9,04	23,09	77,63		
Учет затухания звука в атмосфере Aatm, дБ		ф-ла (8) [10]	0	0,1	0,2	0,8	1,9	3,4	6,2	15,9	53,4		
Снижение поверхностью земли возле источника As, дБ	Gs = 0 hs = 1м	ф-лы таб.3 [10]	-1,5	-1,5	-1,5	-1,5	-1,5	-1,5	-1,5	-1,5	-1,5		
Снижение поверхностью земли возле приёмника Ar, дБ	Gr = 1 hr = 1.5м	ф-лы таб.3 [10]	-1,5	-1,5	4,1	7	5	0,7	0	0	0		
Снижение поверхностью земли в средней зоне, Am дБ	Gm = 1	ф-лы таб.3 [10]	-2,7	-2,7	0	0	0	0	0	0	0		
Суммарное снижение поверхностью земли на траектории распространения звука Agr, дБ		ф-ла (9) [10]	-5,7	-5,7	2,6	5,5	3,5	-0,8	-1,5	-1,5	-1,5		
Уровни звукового давления прямого звука от источника ИШ-2-7 в расчётной точке днём, дБ		**ф-ла(3)[10]**	**0**	**34,2**	**27,1**	**24,9**	**26,2**	**28,6**	**23,1**	**9,3**	**0**	**31**	**31**
Уровни звукового давления прямого звука от источника ИШ-2-7 в расчётной точке ночью, дБ		**ф-ла(3)[10]**	**0**	**34,2**	**27,1**	**24,9**	**26,2**	**28,6**	**23,1**	**9,3**	**0**	**31**	**31**

1		2	3	4	5	6	7	8	9	10	11	12	13
Расчёт отражённого звука													
Уровни звукового давления от мнимого источника ИШ-2-7_мн.(1) в расчётной точке днём, дБ		**ф-ла(3)[10]**	**0**	**0**	**0**	**0**	**0**	**0**	**0**	**0**	**0**	**0**	**0**
Уровни звукового давления от мнимого источника ИШ-2-7_мн.(1) в расчётной точке ночью, дБ		**ф-ла(3)[10]**	**0**	**0**	**0**	**0**	**0**	**0**	**0**	**0**	**0**	**0**	**0**
Уровни звукового давления от источника ИШ-2-7 в расчётной точке днём, дБ		**ф-ла(3)[10]**	**0**	**34,2**	**27,1**	**24,9**	**26,2**	**28,6**	**23,1**	**9,3**	**0**	**31**	**31**
Уровни звукового давления от источника ИШ-2-7 в расчётной точке ночью, дБ		**ф-ла(3)[10]**	**0**	**34,2**	**27,1**	**24,9**	**26,2**	**28,6**	**23,1**	**9,3**	**0**	**31**	**31**
Источник шума: ИШ-2-8, координаты источника (x,y,z), м =[764.03,106.58,1.00]													
Уровни звуковой мощности источника днём, Lw, дБ		**исходные данные**	**0**	**93,3**	**94,7**	**96**	**96,3**	**95,9**	**92,6**	**88,4**	**83,9**		
Уровни звуковой мощности источника ночью, Lw, дБ		**исходные данные**	**0**	**93,3**	**94,7**	**96**	**96,3**	**95,9**	**92,6**	**88,4**	**83,9**		
Поправка на телесный угол DΩ, дБ	Ω = 6.28	10Lg(4π/Ω)	**3**	3	3	3	3	3	3	3	3		
Показатель направленности источника Di, дБ		исходные данные	**0**	0	0	0	0	0	0	0	0		
Поправка на направленность источника Dc, дБ	Dc	DΩ + Di	**3**	3	3	3	3	3	3	3	3		
Затухание из-за геометрической дивергенции, Adiv, дБ	расстояние = 686.93 м	ф-ла (7) [10]	**67,7**										
Коэффициент затухания звука в атмосфере α, дБ/км	Ta=20,°C Pa=101.33,кПа hотн.=70%	ф-ла (5) [9]	0,02	0,09	0,33	1,12	2,79	4,98	9,04	23,09	77,63		
Учет затухания звука в атмосфере Aatm, дБ		ф-ла (8) [10]	0	0,1	0,2	0,8	1,9	3,4	6,2	15,9	53,3		
Снижение поверхностью земли возле источника As, дБ	Gs = 0 hs = 1м	ф-лы таб.3 [10]	-1,5	-1,5	-1,5	-1,5	-1,5	-1,5	-1,5	-1,5	-1,5		
Снижение поверхностью земли возле приёмника Ar, дБ	Gr = 1 hr = 1.5м	ф-лы таб.3 [10]	-1,5	-1,5	4,1	7	5	0,7	0	0	0		

1		2	3	4	5	6	7	8	9	10	11	12	13
Снижение поверхностью земли в средней зоне, Am дБ	Gm = 1	ф-лы таб.3 [10]	-2,7	-2,7	0	0	0	0	0	0	0		
Суммарное снижение поверхностью земли на траектории распространения звука Agr, дБ		ф-ла (9) [10]	-5,7	-5,7	2,6	5,5	3,5	-0,8	-1,5	-1,5	-1,5		
Уровни звукового давления прямого звука от источника ИШ-2-8 в расчётной точке днём, дБ		**ф-ла(3)[10]**	**0**	**34,2**	**27,1**	**25**	**26,2**	**28,6**	**23,1**	**9,3**	**0**	**31**	**31**
Уровни звукового давления прямого звука от источника ИШ-2-8 в расчётной точке ночью, дБ		**ф-ла(3)[10]**	**0**	**34,2**	**27,1**	**25**	**26,2**	**28,6**	**23,1**	**9,3**	**0**	**31**	**31**
Расчёт отражённого звука													
Уровни звукового давления от мнимого источника ИШ-2-8_мн.(1) в расчётной точке днём, дБ		**ф-ла(3)[10]**	**0**	**0**	**0**	**0**	**0**	**0**	**0**	**0**	**0**	**0**	**0**
Уровни звукового давления от мнимого источника ИШ-2-8_мн.(1) в расчётной точке ночью, дБ		**ф-ла(3)[10]**	**0**	**0**	**0**	**0**	**0**	**0**	**0**	**0**	**0**	**0**	**0**
Уровни звукового давления от источника ИШ-2-8 в расчётной точке днём, дБ		**ф-ла(3)[10]**	**0**	**34,2**	**27,1**	**25**	**26,2**	**28,6**	**23,1**	**9,3**	**0**	**31**	**31**
Уровни звукового давления от источника ИШ-2-8 в расчётной точке ночью, дБ		**ф-ла(3)[10]**	**0**	**34,2**	**27,1**	**25**	**26,2**	**28,6**	**23,1**	**9,3**	**0**	**31**	**31**
Источник шума: ИШ-2-9, координаты источника (x,y,z), м =[763.26,103.71,1.00]													
Уровни звуковой мощности источника днём, Lw, дБ		**исходные данные**	**0**	**93,3**	**94,7**	**96**	**96,3**	**95,9**	**92,6**	**88,4**	**83,9**		
Уровни звуковой мощности источника ночью, Lw, дБ		**исходные данные**	**0**	**93,3**	**94,7**	**96**	**96,3**	**95,9**	**92,6**	**88,4**	**83,9**		
Поправка на телесный угол DΩ, дБ	Ω = 6.28	10Lg(4π/Ω)	**3**	3	3	3	3	3	3	3	3		
Показатель направленности источника Di, дБ		исходные данные	**0**	0	0	0	0	0	0	0	0		
Поправка на направленность источника Dc, дБ	Dc	DΩ + Di	**3**	3	3	3	3	3	3	3	3		
Затухание из-за геометрической дивергенции, Adiv, дБ	расстояние = 686.16 м	ф-ла (7) [10]	**67,7**										
Коэффициент затухания звука в атмосфере α, дБ/км	Ta=20,°C Pa=101.33,кПа hотн.=70%	ф-ла (5) [9]	0,02	0,09	0,33	1,12	2,79	4,98	9,04	23,09	77,63		

1		2	3	4	5	6	7	8	9	10	11	12	13
Учет затухания звука в атмосфере Aatm, дБ		ф-ла (8) [10]	0	0,1	0,2	0,8	1,9	3,4	6,2	15,8	53,3		
Снижение поверхностью земли возле источника As, дБ	Gs = 0 hs = 1м	ф-лы таб.3 [10]	-1,5	-1,5	-1,5	-1,5	-1,5	-1,5	-1,5	-1,5	-1,5		
Снижение поверхностью земли возле приёмника Ar, дБ	Gr = 1 hr = 1.5м	ф-лы таб.3 [10]	-1,5	-1,5	4,1	7	5	0,7	0	0	0		
Снижение поверхностью земли в средней зоне, Am дБ	Gm = 1	ф-лы таб.3 [10]	-2,7	-2,7	0	0	0	0	0	0	0		
Суммарное снижение поверхностью земли на траектории распространения звука Agr, дБ		ф-ла (9) [10]	-5,7	-5,7	2,6	5,5	3,5	-0,8	-1,5	-1,5	-1,5		
Уровни звукового давления прямого звука от источника ИШ-2-9 в расчётной точке днём, дБ		**ф-ла(3)[10]**	**0**	**34,2**	**27,1**	**25**	**26,2**	**28,6**	**23,2**	**9,3**	**0**	**31**	**31**
Уровни звукового давления прямого звука от источника ИШ-2-9 в расчётной точке ночью, дБ		**ф-ла(3)[10]**	**0**	**34,2**	**27,1**	**25**	**26,2**	**28,6**	**23,2**	**9,3**	**0**	**31**	**31**
Расчёт отражённого звука													
Уровни звукового давления от мнимого источника ИШ-2-9_мн.(1) в расчётной точке днём, дБ		**ф-ла(3)[10]**	**0**	**0**	**0**	**0**	**0**	**0**	**0**	**0**	**0**	**0**	**0**
Уровни звукового давления от мнимого источника ИШ-2-9_мн.(1) в расчётной точке ночью, дБ		**ф-ла(3)[10]**	**0**	**0**	**0**	**0**	**0**	**0**	**0**	**0**	**0**	**0**	**0**
Уровни звукового давления от источника ИШ-2-9 в расчётной точке днём, дБ		**ф-ла(3)[10]**	**0**	**34,2**	**27,1**	**25**	**26,2**	**28,6**	**23,2**	**9,3**	**0**	**31**	**31**
Уровни звукового давления от источника ИШ-2-9 в расчётной точке ночью, дБ		**ф-ла(3)[10]**	**0**	**34,2**	**27,1**	**25**	**26,2**	**28,6**	**23,2**	**9,3**	**0**	**31**	**31**
Источник шума: ИШ-2-10, координаты источника (x,y,z), м =[762.14,100.75,1.00]													
Уровни звуковой мощности источника днём, Lw, дБ		**исходные данные**	**0**	**93,3**	**94,7**	**96**	**96,3**	**95,9**	**92,6**	**88,4**	**83,9**		
Уровни звуковой мощности источника ночью, Lw, дБ		**исходные данные**	**0**	**93,3**	**94,7**	**96**	**96,3**	**95,9**	**92,6**	**88,4**	**83,9**		
Поправка на телесный угол DΩ, дБ	Ω = 6.28	10Lg(4π/Ω)	**3**	3	3	3	3	3	3	3	3		
Показатель направленности источника Di, дБ		исходные данные	**0**	0	0	0	0	0	0	0	0		

1		2	3	4	5	6	7	8	9	10	11	12	13
Поправка на направленность источника Dc, дБ	Dc	DΩ + Di	**3**	3	3	3	3	3	3	3	3		
Затухание из-за геометрической дивергенции, Adiv, дБ	расстояние = 685.65 м	ф-ла (7) [10]	**67,7**										
Коэффициент затухания звука в атмосфере α, дБ/км	Ta=20,°C Pa=101.33,кПа hотн.=70%	ф-ла (5) [9]	0,02	0,09	0,33	1,12	2,79	4,98	9,04	23,09	77,63		
Учет затухания звука в атмосфере Aatm, дБ		ф-ла (8) [10]	0	0,1	0,2	0,8	1,9	3,4	6,2	15,8	53,2		
Снижение поверхностью земли возле источника As, дБ	Gs = 0 hs = 1м	ф-лы таб.3 [10]	-1,5	-1,5	-1,5	-1,5	-1,5	-1,5	-1,5	-1,5	-1,5		
Снижение поверхностью земли возле приёмника Ar, дБ	Gr = 1 hr = 1.5м	ф-лы таб.3 [10]	-1,5	-1,5	4,1	7	5	0,7	0	0	0		
Снижение поверхностью земли в средней зоне, Am дБ	Gm = 1	ф-лы таб.3 [10]	-2,7	-2,7	0	0	0	0	0	0	0		
Суммарное снижение поверхностью земли на траектории распространения звука Agr, дБ		ф-ла (9) [10]	-5,7	-5,7	2,6	5,5	3,5	-0,8	-1,5	-1,5	-1,5		
Уровни звукового давления от источника ИШ-2-10 в расчётной точке днём, дБ		**ф-ла(3)[10]**	**0**	**34,2**	**27,1**	**25**	**26,2**	**28,6**	**23,2**	**9,3**	**0**	**31**	**31**
Уровни звукового давления от источника ИШ-2-10 в расчётной точке ночью, дБ		**ф-ла(3)[10]**	**0**	**34,2**	**27,1**	**25**	**26,2**	**28,6**	**23,2**	**9,3**	**0**	**31**	**31**
Источник шума: ИШ-2-11, координаты источника (x,y,z), м =[761.13,97.90,1.00]													
Уровни звуковой мощности источника днём, Lw, дБ		**исходные данные**	**0**	**93,3**	**94,7**	**96**	**96,3**	**95,9**	**92,6**	**88,4**	**83,9**		
Уровни звуковой мощности источника ночью, Lw, дБ		**исходные данные**	**0**	**93,3**	**94,7**	**96**	**96,3**	**95,9**	**92,6**	**88,4**	**83,9**		
Поправка на телесный угол DΩ, дБ	Ω = 6.28	10Lg(4π/Ω)	**3**	3	3	3	3	3	3	3	3		
Показатель направленности источника Di, дБ		исходные данные	**0**	0	0	0	0	0	0	0	0		
Поправка на направленность источника Dc, дБ	Dc	DΩ + Di	**3**	3	3	3	3	3	3	3	3		

1		2	3	4	5	6	7	8	9	10	11	12	13
Затухание из-за геометрической дивергенции, Adiv, дБ	расстояние = 685.12 м	ф-ла (7) [10]	**67,7**										
Коэффициент затухания звука в атмосфере α, дБ/км	Ta=20,°C Pa=101.33,кПа hотн.=70%	ф-ла (5) [9]	0,02	0,09	0,33	1,12	2,79	4,98	9,04	23,09	77,63		
Учет затухания звука в атмосфере Aatm, дБ		ф-ла (8) [10]	0	0,1	0,2	0,8	1,9	3,4	6,2	15,8	53,2		
Снижение поверхностью земли возле источника As, дБ	Gs = 0 hs = 1м	ф-лы таб.3 [10]	-1,5	-1,5	-1,5	-1,5	-1,5	-1,5	-1,5	-1,5	-1,5		
Снижение поверхностью земли возле приёмника Ar, дБ	Gr = 1 hr = 1.5м	ф-лы таб.3 [10]	-1,5	-1,5	4,1	7	5	0,7	0	0	0		
Снижение поверхностью земли в средней зоне, Am дБ	Gm = 1	ф-лы таб.3 [10]	-2,7	-2,7	0	0	0	0	0	0	0		
Суммарное снижение поверхностью земли на траектории распространения звука Agr, дБ		ф-ла (9) [10]	-5,7	-5,7	2,6	5,5	3,5	-0,8	-1,5	-1,5	-1,5		
Уровни звукового давления прямого звука от источника ИШ-2-11 в расчётной точке днём, дБ		**ф-ла(3)[10]**	**0**	**34,2**	**27,2**	**25**	**26,2**	**28,6**	**23,2**	**9,4**	**0**	**31**	**31**
Уровни звукового давления прямого звука от источника ИШ-2-11 в расчётной точке ночью, дБ		**ф-ла(3)[10]**	**0**	**34,2**	**27,2**	**25**	**26,2**	**28,6**	**23,2**	**9,4**	**0**	**31**	**31**
Расчёт отражённого звука													
Уровни звукового давления от мнимого источника ИШ-2-11_мн.(1) в расчётной точке днём, дБ		**ф-ла(3)[10]**	**0**	**0**	**0**	**0**	**0**	**0**	**0**	**0**	**0**	**0**	**0**
Уровни звукового давления от мнимого источника ИШ-2-11_мн.(1) в расчётной точке ночью, дБ		**ф-ла(3)[10]**	**0**	**0**	**0**	**0**	**0**	**0**	**0**	**0**	**0**	**0**	**0**
Уровни звукового давления от источника ИШ-2-11 в расчётной точке днём, дБ		**ф-ла(3)[10]**	**0**	**34,2**	**27,2**	**25**	**26,2**	**28,6**	**23,2**	**9,4**	**0**	**31**	**31**
Уровни звукового давления от источника ИШ-2-11 в расчётной точке ночью, дБ		**ф-ла(3)[10]**	**0**	**34,2**	**27,2**	**25**	**26,2**	**28,6**	**23,2**	**9,4**	**0**	**31**	**31**
Источник шума: ИШ-2-12, координаты источника (x,y,z), м =[760.25,95.02,1.00]													
Уровни звуковой мощности источника днём, Lw, дБ		**исходные данные**	**0**	**93,3**	**94,7**	**96**	**96,3**	**95,9**	**92,6**	**88,4**	**83,9**		

1		2	3	4	5	6	7	8	9	10	11	12	13
Уровни звуковой мощности источника ночью, Lw, дБ		**исходные данные**	**0**	**93,3**	**94,7**	**96**	**96,3**	**95,9**	**92,6**	**88,4**	**83,9**		
Поправка на телесный угол DΩ, дБ	Ω = 6.28	10Lg(4π/Ω)	**3**	3	3	3	3	3	3	3	3		
Показатель направленности источника Di, дБ		исходные данные	**0**	0	0	0	0	0	0	0	0		
Поправка на направленность источника Dc, дБ	Dc	DΩ + Di	**3**	3	3	3	3	3	3	3	3		
Затухание из-за геометрической дивергенции, Adiv, дБ	расстояние = 684.47 м	ф-ла (7) [10]	**67,7**										
Коэффициент затухания звука в атмосфере α, дБ/км	Ta=20,°C Pa=101.33,кПа hотн.=70%	ф-ла (5) [9]	0,02	0,09	0,33	1,12	2,79	4,98	9,04	23,09	77,63		
Учет затухания звука в атмосфере Aatm, дБ		ф-ла (8) [10]	0	0,1	0,2	0,8	1,9	3,4	6,2	15,8	53,1		
Снижение поверхностью земли возле источника As, дБ	Gs = 0 hs = 1м	ф-лы таб.3 [10]	-1,5	-1,5	-1,5	-1,5	-1,5	-1,5	-1,5	-1,5	-1,5		
Снижение поверхностью земли возле приёмника Ar, дБ	Gr = 1 hr = 1.5м	ф-лы таб.3 [10]	-1,5	-1,5	4,1	7	5	0,7	0	0	0		
Снижение поверхностью земли в средней зоне, Am дБ	Gm = 1	ф-лы таб.3 [10]	-2,7	-2,7	0	0	0	0	0	0	0		
Суммарное снижение поверхностью земли на траектории распространения звука Agr, дБ		ф-ла (9) [10]	-5,7	-5,7	2,6	5,5	3,5	-0,8	-1,5	-1,5	-1,5		
Уровни звукового давления прямого звука от источника ИШ-2-12 в расчётной точке днём, дБ		**ф-ла(3)[10]**	**0**	**34,2**	**27,2**	**25**	**26,2**	**28,6**	**23,2**	**9,4**	**0**	**31,1**	**31,1**
Уровни звукового давления прямого звука от источника ИШ-2-12 в расчётной точке ночью, дБ		**ф-ла(3)[10]**	**0**	**34,2**	**27,2**	**25**	**26,2**	**28,6**	**23,2**	**9,4**	**0**	**31,1**	**31,1**
Расчёт отражённого звука													
Уровни звукового давления от мнимого источника ИШ-2-12_мн.(1) в расчётной точке днём, дБ		**ф-ла(3)[10]**	**0**	**0**	**0**	**0**	**0**	**0**	**0**	**0**	**0**	**0**	**0**
Уровни звукового давления от мнимого источника ИШ-2-12_мн.(1) в расчётной точке ночью, дБ		**ф-ла(3)[10]**	**0**	**0**	**0**	**0**	**0**	**0**	**0**	**0**	**0**	**0**	**0**
Уровни звукового давления от источника ИШ-2-12 в расчётной точке днём, дБ		**ф-ла(3)[10]**	**0**	**34,2**	**27,2**	**25**	**26,2**	**28,6**	**23,2**	**9,4**	**0**	**31,1**	**31,1**

1		2	3	4	5	6	7	8	9	10	11	12	13
Уровни звукового давления от источника ИШ-2-12 в расчётной точке ночью, дБ		**ф-ла(3)[10]**	**0**	**34,2**	**27,2**	**25**	**26,2**	**28,6**	**23,2**	**9,4**	**0**	**31,1**	**31,1**
Источник шума: ИШ-2-13, координаты источника (x,y,z), м =[759.28,92.25,1.00]													
Уровни звуковой мощности источника днём, Lw, дБ		**исходные данные**	**0**	**93,3**	**94,7**	**96**	**96,3**	**95,9**	**92,6**	**88,4**	**83,9**		
Уровни звуковой мощности источника ночью, Lw, дБ		**исходные данные**	**0**	**93,3**	**94,7**	**96**	**96,3**	**95,9**	**92,6**	**88,4**	**83,9**		
Поправка на телесный угол DΩ, дБ	Ω = 6.28	10Lg(4π/Ω)	**3**	3	3	3	3	3	3	3	3		
Показатель направленности источника Di, дБ		исходные данные	**0**	0	0	0	0	0	0	0	0		
Поправка на направленность источника Dc, дБ	Dc	DΩ + Di	**3**	3	3	3	3	3	3	3	3		
Затухание из-за геометрической дивергенции, Adiv, дБ	расстояние = 683.97 м	ф-ла (7) [10]	**67,7**										
Коэффициент затухания звука в атмосфере α, дБ/км	Ta=20,°C Pa=101.33,кПа hотн.=70%	ф-ла (5) [9]	0,02	0,09	0,33	1,12	2,79	4,98	9,04	23,09	77,63		
Учет затухания звука в атмосфере Aatm, дБ		ф-ла (8) [10]	0	0,1	0,2	0,8	1,9	3,4	6,2	15,8	53,1		
Снижение поверхностью земли возле источника As, дБ	Gs = 0 hs = 1м	ф-лы таб.3 [10]	-1,5	-1,5	-1,5	-1,5	-1,5	-1,5	-1,5	-1,5	-1,5		
Снижение поверхностью земли возле приёмника Ar, дБ	Gr = 1 hr = 1.5м	ф-лы таб.3 [10]	-1,5	-1,5	4,1	7	5	0,7	0	0	0		
Снижение поверхностью земли в средней зоне, Am дБ	Gm = 1	ф-лы таб.3 [10]	-2,7	-2,7	0	0	0	0	0	0	0		
Суммарное снижение поверхностью земли на траектории распространения звука Agr, дБ		ф-ла (9) [10]	-5,7	-5,7	2,6	5,5	3,5	-0,8	-1,5	-1,5	-1,5		
Уровни звукового давления прямого звука от источника ИШ-2-13 в расчётной точке днём, дБ		**ф-ла(3)[10]**	**0**	**34,2**	**27,2**	**25**	**26,2**	**28,6**	**23,2**	**9,4**	**0**	**31,1**	**31,1**
Уровни звукового давления прямого звука от источника ИШ-2-13 в расчётной точке ночью, дБ		**ф-ла(3)[10]**	**0**	**34,2**	**27,2**	**25**	**26,2**	**28,6**	**23,2**	**9,4**	**0**	**31,1**	**31,1**

1		2	3	4	5	6	7	8	9	10	11	12	13
Расчёт отражённого звука													
Уровни звукового давления от мнимого источника ИШ-2-13_мн.(1) в расчётной точке днём, дБ		**ф-ла(3)[10]**	**0**	**0**	**0**	**0**	**0**	**0**	**0**	**0**	**0**	**0**	**0**
Уровни звукового давления от мнимого источника ИШ-2-13_мн.(1) в расчётной точке ночью, дБ		**ф-ла(3)[10]**	**0**	**0**	**0**	**0**	**0**	**0**	**0**	**0**	**0**	**0**	**0**
Уровни звукового давления от источника ИШ-2-13 в расчётной точке днём, дБ		**ф-ла(3)[10]**	**0**	**34,2**	**27,2**	**25**	**26,2**	**28,6**	**23,2**	**9,4**	**0**	**31,1**	**31,1**
Уровни звукового давления от источника ИШ-2-13 в расчётной точке ночью, дБ		**ф-ла(3)[10]**	**0**	**34,2**	**27,2**	**25**	**26,2**	**28,6**	**23,2**	**9,4**	**0**	**31,1**	**31,1**
Источник шума: ИШ-2-14, координаты источника (x,y,z), м =[751.62,69.73,1.00]													
Уровни звуковой мощности источника днём, Lw, дБ		**исходные данные**	**0**	**93,3**	**94,7**	**96**	**96,3**	**95,9**	**92,6**	**88,4**	**83,9**		
Уровни звуковой мощности источника ночью, Lw, дБ		**исходные данные**	**0**	**93,3**	**94,7**	**96**	**96,3**	**95,9**	**92,6**	**88,4**	**83,9**		
Поправка на телесный угол DΩ, дБ	Ω = 6.28	10Lg(4π/Ω)	**3**	3	3	3	3	3	3	3	3		
Показатель направленности источника Di, дБ		исходные данные	**0**	0	0	0	0	0	0	0	0		
Поправка на направленность источника Dc, дБ	Dc	DΩ + Di	**3**	3	3	3	3	3	3	3	3		
Затухание из-за геометрической дивергенции, Adiv, дБ	расстояние = 680.14 м	ф-ла (7) [10]	**67,7**										
Коэффициент затухания звука в атмосфере α, дБ/км	Ta=20,°C Pa=101.33,кПа hотн.=70%	ф-ла (5) [9]	0,02	0,09	0,33	1,12	2,79	4,98	9,04	23,09	77,63		
Учет затухания звука в атмосфере Aatm, дБ		ф-ла (8) [10]	0	0,1	0,2	0,8	1,9	3,4	6,1	15,7	52,8		
Снижение поверхностью земли возле источника As, дБ	Gs = 0 hs = 1м	ф-лы таб.3 [10]	-1,5	-1,5	-1,5	-1,5	-1,5	-1,5	-1,5	-1,5	-1,5		
Снижение поверхностью земли возле приёмника Ar, дБ	Gr = 1 hr = 1.5м	ф-лы таб.3 [10]	-1,5	-1,5	4,1	7	5	0,7	0	0	0		

1		2	3	4	5	6	7	8	9	10	11	12	13
Снижение поверхностью земли в средней зоне, Am дБ	Gm = 1	ф-лы таб.3 [10]	-2,7	-2,7	0	0	0	0	0	0	0		
Суммарное снижение поверхностью земли на траектории распространения звука Agr, дБ		ф-ла (9) [10]	-5,7	-5,7	2,6	5,5	3,5	-0,8	-1,5	-1,5	-1,5		
Уровни звукового давления прямого звука от источника ИШ-2-14 в расчётной точке днём, дБ		**ф-ла(3)[10]**	**0**	**34,2**	**27,2**	**25,1**	**26,3**	**28,7**	**23,3**	**9,5**	**0**	**31,1**	**31,1**
Уровни звукового давления прямого звука от источника ИШ-2-14 в расчётной точке ночью, дБ		**ф-ла(3)[10]**	**0**	**34,2**	**27,2**	**25,1**	**26,3**	**28,7**	**23,3**	**9,5**	**0**	**31,1**	**31,1**
Расчёт отражённого звука													
Уровни звукового давления от мнимого источника ИШ-2-14_мн.(1) в расчётной точке днём, дБ		**ф-ла(3)[10]**	**0**	**0**	**0**	**0**	**0**	**0**	**7**	**0**	**0**	**8,2**	**8,2**
Уровни звукового давления от мнимого источника ИШ-2-14_мн.(1) в расчётной точке ночью, дБ		**ф-ла(3)[10]**	**0**	**0**	**0**	**0**	**0**	**0**	**0**	**0**	**0**	**8,2**	**8,2**
Уровни звукового давления от источника ИШ-2-14 в расчётной точке днём, дБ		**ф-ла(3)[10]**	**0**	**34,2**	**27,2**	**25,1**	**26,3**	**28,7**	**23,4**	**9,5**	**0**	**31,2**	**31,2**
Уровни звукового давления от источника ИШ-2-14 в расчётной точке ночью, дБ		**ф-ла(3)[10]**	**0**	**34,2**	**27,2**	**25,1**	**26,3**	**28,7**	**23,4**	**9,5**	**0**	**31,2**	**31,2**
Источник шума: ИШ-2-15, координаты источника (x,y,z), м =[750.74,66.89,1.00]													
Уровни звуковой мощности источника днём, Lw, дБ		**исходные данные**	**0**	**93,3**	**94,7**	**96**	**96,3**	**95,9**	**92,6**	**88,4**	**83,9**		
Уровни звуковой мощности источника ночью, Lw, дБ		**исходные данные**	**0**	**93,3**	**94,7**	**96**	**96,3**	**95,9**	**92,6**	**88,4**	**83,9**		
Поправка на телесный угол DΩ, дБ	Ω = 6.28	10Lg(4π/Ω)	**3**	3	3	3	3	3	3	3	3		
Показатель направленности источника Di, дБ		исходные данные	**0**	0	0	0	0	0	0	0	0		
Поправка на направленность источника Dc, дБ	Dc	DΩ + Di	**3**	3	3	3	3	3	3	3	3		
Затухание из-за геометрической дивергенции, Adiv, дБ	расстояние = 679.63 м	ф-ла (7) [10]	**67,6**										
Коэффициент затухания звука в атмосфере α, дБ/км	Ta=20,°C Pa=101.33,кПа hотн.=70%	ф-ла (5) [9]	0,02	0,09	0,33	1,12	2,79	4,98	9,04	23,09	77,63		

1		2	3	4	5	6	7	8	9	10	11	12	13
Учет затухания звука в атмосфере Aatm, дБ		ф-ла (8) [10]	0	0,1	0,2	0,8	1,9	3,4	6,1	15,7	52,8		
Снижение поверхностью земли возле источника As, дБ	Gs = 0 hs = 1м	ф-лы таб.3 [10]	-1,5	-1,5	-1,5	-1,5	-1,5	-1,5	-1,5	-1,5	-1,5		
Снижение поверхностью земли возле приёмника Ar, дБ	Gr = 1 hr = 1.5м	ф-лы таб.3 [10]	-1,5	-1,5	4,1	7	5	0,7	0	0	0		
Снижение поверхностью земли в средней зоне, Am дБ	Gm = 1	ф-лы таб.3 [10]	-2,7	-2,7	0	0	0	0	0	0	0		
Суммарное снижение поверхностью земли на траектории распространения звука Agr, дБ		ф-ла (9) [10]	-5,7	-5,7	2,6	5,5	3,5	-0,8	-1,5	-1,5	-1,5		
Уровни звукового давления прямого звука от источника ИШ-2-15 в расчётной точке днём, дБ		**ф-ла(3)[10]**	**0**	**34,3**	**27,3**	**25,1**	**26,3**	**28,7**	**23,3**	**9,6**	**0**	**31,1**	**31,1**
Уровни звукового давления прямого звука от источника ИШ-2-15 в расчётной точке ночью, дБ		**ф-ла(3)[10]**	**0**	**34,3**	**27,3**	**25,1**	**26,3**	**28,7**	**23,3**	**9,6**	**0**	**31,1**	**31,1**
Расчёт отражённого звука													
Уровни звукового давления от мнимого источника ИШ-2-15_мн.(1) в расчётной точке днём, дБ		**ф-ла(3)[10]**	**0**	**0**	**0**	**0**	**0**	**0**	**7,1**	**0**	**0**	**8,3**	**8,3**
Уровни звукового давления от мнимого источника ИШ-2-15_мн.(1) в расчётной точке ночью, дБ		**ф-ла(3)[10]**	**0**	**0**	**0**	**0**	**0**	**0**	**0**	**0**	**0**	**8,3**	**8,3**
Уровни звукового давления от источника ИШ-2-15 в расчётной точке днём, дБ		**ф-ла(3)[10]**	**0**	**34,3**	**27,3**	**25,1**	**26,3**	**28,7**	**23,4**	**9,6**	**0**	**31,2**	**31,2**
Уровни звукового давления от источника ИШ-2-15 в расчётной точке ночью, дБ		**ф-ла(3)[10]**	**0**	**34,3**	**27,3**	**25,1**	**26,3**	**28,7**	**23,4**	**9,6**	**0**	**31,2**	**31,2**
Источник шума: ИШ-2-16, координаты источника (x,y,z), м =[749.73,64.02,1.00]													
Уровни звуковой мощности источника днём, Lw, дБ		**исходные данные**	**0**	**93,3**	**94,7**	**96**	**96,3**	**95,9**	**92,6**	**88,4**	**83,9**		
Уровни звуковой мощности источника ночью, Lw, дБ		**исходные данные**	**0**	**93,3**	**94,7**	**96**	**96,3**	**95,9**	**92,6**	**88,4**	**83,9**		
Поправка на телесный угол DΩ, дБ	Ω = 6.28	10Lg(4π/Ω)	**3**	3	3	3	3	3	3	3	3		
Показатель направленности источника Di, дБ		исходные данные	**0**	0	0	0	0	0	0	0	0		

1		2	3	4	5	6	7	8	9	10	11	12	13
Поправка на направленность источника Dc, дБ	Dc	DΩ + Di	**3**	3	3	3	3	3	3	3	3		
Затухание из-за геометрической дивергенции, Adiv, дБ	расстояние = 679.25 м	ф-ла (7) [10]	**67,6**										
Коэффициент затухания звука в атмосфере α, дБ/км	Ta=20,°C Pa=101.33,кПа hотн.=70%	ф-ла (5) [9]	0,02	0,09	0,33	1,12	2,79	4,98	9,04	23,09	77,63		
Учет затухания звука в атмосфере Aatm, дБ		ф-ла (8) [10]	0	0,1	0,2	0,8	1,9	3,4	6,1	15,7	52,7		
Снижение поверхностью земли возле источника As, дБ	Gs = 0 hs = 1м	ф-лы таб.3 [10]	-1,5	-1,5	-1,5	-1,5	-1,5	-1,5	-1,5	-1,5	-1,5		
Снижение поверхностью земли возле приёмника Ar, дБ	Gr = 1 hr = 1.5м	ф-лы таб.3 [10]	-1,5	-1,5	4,1	7	5	0,7	0	0	0		
Снижение поверхностью земли в средней зоне, Am дБ	Gm = 1	ф-лы таб.3 [10]	-2,7	-2,7	0	0	0	0	0	0	0		
Суммарное снижение поверхностью земли на траектории распространения звука Agr, дБ		ф-ла (9) [10]	-5,7	-5,7	2,6	5,5	3,5	-0,8	-1,5	-1,5	-1,5		
Уровни звукового давления прямого звука от источника ИШ-2-16 в расчётной точке днём, дБ		**ф-ла(3)[10]**	**0**	**34,3**	**27,3**	**25,1**	**26,3**	**28,7**	**23,3**	**9,6**	**0**	**31,2**	**31,2**
Уровни звукового давления прямого звука от источника ИШ-2-16 в расчётной точке ночью, дБ		**ф-ла(3)[10]**	**0**	**34,3**	**27,3**	**25,1**	**26,3**	**28,7**	**23,3**	**9,6**	**0**	**31,2**	**31,2**
Расчёт отражённого звука													
Уровни звукового давления от мнимого источника ИШ-2-16_мн.(1) в расчётной точке днём, дБ		**ф-ла(3)[10]**	**0**	**0**	**0**	**0**	**0**	**0**	**0**	**0**	**0**	**0**	**0**
Уровни звукового давления от мнимого источника ИШ-2-16_мн.(1) в расчётной точке ночью, дБ		**ф-ла(3)[10]**	**0**	**0**	**0**	**0**	**0**	**0**	**0**	**0**	**0**	**0**	**0**
Уровни звукового давления от источника ИШ-2-16 в расчётной точке днём, дБ		**ф-ла(3)[10]**	**0**	**34,3**	**27,3**	**25,1**	**26,3**	**28,7**	**23,3**	**9,6**	**0**	**31,2**	**31,2**
Уровни звукового давления от источника ИШ-2-16 в расчётной точке ночью, дБ		**ф-ла(3)[10]**	**0**	**34,3**	**27,3**	**25,1**	**26,3**	**28,7**	**23,3**	**9,6**	**0**	**31,2**	**31,2**
Источник шума: ИШ-2-17, координаты источника (x,y,z), м =[748.87,61.06,1.00]													

1		2	3	4	5	6	7	8	9	10	11	12	13
Уровни звуковой мощности источника днём, Lw, дБ		**исходные данные**	**0**	**93,3**	**94,7**	**96**	**96,3**	**95,9**	**92,6**	**88,4**	**83,9**		
Уровни звуковой мощности источника ночью, Lw, дБ		**исходные данные**	**0**	**93,3**	**94,7**	**96**	**96,3**	**95,9**	**92,6**	**88,4**	**83,9**		
Поправка на телесный угол DΩ, дБ	Ω = 6.28	10Lg(4π/Ω)	**3**	3	3	3	3	3	3	3	3		
Показатель направленности источника Di, дБ		исходные данные	**0**	0	0	0	0	0	0	0	0		
Поправка на направленность источника Dc, дБ	Dc	DΩ + Di	**3**	3	3	3	3	3	3	3	3		
Затухание из-за геометрической дивергенции, Adiv, дБ	расстояние = 678.70 м	ф-ла (7) [10]	**67,6**										
Коэффициент затухания звука в атмосфере α, дБ/км	Ta=20,°C Pa=101.33,кПа hотн.=70%	ф-ла (5) [9]	0,02	0,09	0,33	1,12	2,79	4,98	9,04	23,09	77,63		
Учет затухания звука в атмосфере Aatm, дБ		ф-ла (8) [10]	0	0,1	0,2	0,8	1,9	3,4	6,1	15,7	52,7		
Снижение поверхностью земли возле источника As, дБ	Gs = 0 hs = 1м	ф-лы таб.3 [10]	-1,5	-1,5	-1,5	-1,5	-1,5	-1,5	-1,5	-1,5	-1,5		
Снижение поверхностью земли возле приёмника Ar, дБ	Gr = 1 hr = 1.5м	ф-лы таб.3 [10]	-1,5	-1,5	4,1	7	5	0,7	0	0	0		
Снижение поверхностью земли в средней зоне, Am дБ	Gm = 1	ф-лы таб.3 [10]	-2,7	-2,7	0	0	0	0	0	0	0		
Суммарное снижение поверхностью земли на траектории распространения звука Agr, дБ		ф-ла (9) [10]	-5,7	-5,7	2,6	5,5	3,5	-0,8	-1,5	-1,5	-1,5		
Уровни звукового давления прямого звука от источника ИШ-2-17 в расчётной точке днём, дБ		**ф-ла(3)[10]**	**0**	**34,3**	**27,3**	**25,1**	**26,3**	**28,7**	**23,3**	**9,6**	**0**	**31,2**	**31,2**
Уровни звукового давления прямого звука от источника ИШ-2-17 в расчётной точке ночью, дБ		**ф-ла(3)[10]**	**0**	**34,3**	**27,3**	**25,1**	**26,3**	**28,7**	**23,3**	**9,6**	**0**	**31,2**	**31,2**
Расчёт отражённого звука													
Уровни звукового давления от мнимого источника ИШ-2-17_мн.(1) в расчётной точке днём, дБ		**ф-ла(3)[10]**	**0**	**0**	**0**	**0**	**0**	**0**	**0**	**0**	**0**	**0**	**0**
Уровни звукового давления от мнимого источника ИШ-2-17_мн.(1) в расчётной точке ночью, дБ		**ф-ла(3)[10]**	**0**	**0**	**0**	**0**	**0**	**0**	**0**	**0**	**0**	**0**	**0**

1		2	3	4	5	6	7	8	9	10	11	12	13
Уровни звукового давления от источника ИШ-2-17 в расчётной точке днём, дБ		**ф-ла(3)[10]**	**0**	**34,3**	**27,3**	**25,1**	**26,3**	**28,7**	**23,3**	**9,6**	**0**	**31,2**	**31,2**
Уровни звукового давления от источника ИШ-2-17 в расчётной точке ночью, дБ		**ф-ла(3)[10]**	**0**	**34,3**	**27,3**	**25,1**	**26,3**	**28,7**	**23,3**	**9,6**	**0**	**31,2**	**31,2**
Источник шума: ИШ-2-18, координаты источника (x,y,z), м =[747.72,58.17,1.00]													
Уровни звуковой мощности источника днём, Lw, дБ		**исходные данные**	**0**	**93,3**	**94,7**	**96**	**96,3**	**95,9**	**92,6**	**88,4**	**83,9**		
Уровни звуковой мощности источника ночью, Lw, дБ		**исходные данные**	**0**	**93,3**	**94,7**	**96**	**96,3**	**95,9**	**92,6**	**88,4**	**83,9**		
Поправка на телесный угол DΩ, дБ	Ω = 6.28	10Lg(4π/Ω)	**3**	3	3	3	3	3	3	3	3		
Показатель направленности источника Di, дБ		исходные данные	**0**	0	0	0	0	0	0	0	0		
Поправка на направленность источника Dc, дБ	Dc	DΩ + Di	**3**	3	3	3	3	3	3	3	3		
Затухание из-за геометрической дивергенции, Adiv, дБ	расстояние = 678.46 м	ф-ла (7) [10]	**67,6**										
Коэффициент затухания звука в атмосфере α, дБ/км	Ta=20,°C Pa=101.33,кПа hотн.=70%	ф-ла (5) [9]	0,02	0,09	0,33	1,12	2,79	4,98	9,04	23,09	77,63		
Учет затухания звука в атмосфере Aatm, дБ		ф-ла (8) [10]	0	0,1	0,2	0,8	1,9	3,4	6,1	15,7	52,7		
Снижение поверхностью земли возле источника As, дБ	Gs = 0 hs = 1м	ф-лы таб.3 [10]	-1,5	-1,5	-1,5	-1,5	-1,5	-1,5	-1,5	-1,5	-1,5		
Снижение поверхностью земли возле приёмника Ar, дБ	Gr = 1 hr = 1.5м	ф-лы таб.3 [10]	-1,5	-1,5	4,1	7	5	0,7	0	0	0		
Снижение поверхностью земли в средней зоне, Am дБ	Gm = 1	ф-лы таб.3 [10]	-2,7	-2,7	0	0	0	0	0	0	0		
Суммарное снижение поверхностью земли на траектории распространения звука Agr, дБ		ф-ла (9) [10]	-5,7	-5,7	2,6	5,5	3,5	-0,8	-1,5	-1,5	-1,5		
Уровни звукового давления прямого звука от источника ИШ-2-18 в расчётной точке днём, дБ		**ф-ла(3)[10]**	**0**	**34,3**	**27,3**	**25,1**	**26,3**	**28,7**	**23,3**	**9,6**	**0**	**31,2**	**31,2**

1		2	3	4	5	6	7	8	9	10	11	12	13
Уровни звукового давления прямого звука от источника ИШ-2-18 в расчётной точке ночью, дБ		**ф-ла(3)[10]**	**0**	**34,3**	**27,3**	**25,1**	**26,3**	**28,7**	**23,3**	**9,6**	**0**	**31,2**	**31,2**
Расчёт отражённого звука													
Уровни звукового давления от мнимого источника ИШ-2-18_мн.(1) в расчётной точке днём, дБ		**ф-ла(3)[10]**	**0**	**0**	**0**	**0**	**0**	**0**	**0**	**0**	**0**	**0**	**0**
Уровни звукового давления от мнимого источника ИШ-2-18_мн.(1) в расчётной точке ночью, дБ		**ф-ла(3)[10]**	**0**	**0**	**0**	**0**	**0**	**0**	**0**	**0**	**0**	**0**	**0**
Уровни звукового давления от источника ИШ-2-18 в расчётной точке днём, дБ		**ф-ла(3)[10]**	**0**	**34,3**	**27,3**	**25,1**	**26,3**	**28,7**	**23,3**	**9,6**	**0**	**31,2**	**31,2**
Уровни звукового давления от источника ИШ-2-18 в расчётной точке ночью, дБ		**ф-ла(3)[10]**	**0**	**34,3**	**27,3**	**25,1**	**26,3**	**28,7**	**23,3**	**9,6**	**0**	**31,2**	**31,2**
Источник шума: ИШ-2-19, координаты источника (x,y,z), м =[746.80,55.25,1.00]													
Уровни звуковой мощности источника днём, Lw, дБ		**исходные данные**	**0**	**93,3**	**94,7**	**96**	**96,3**	**95,9**	**92,6**	**88,4**	**83,9**		
Уровни звуковой мощности источника ночью, Lw, дБ		**исходные данные**	**0**	**93,3**	**94,7**	**96**	**96,3**	**95,9**	**92,6**	**88,4**	**83,9**		
Поправка на телесный угол DΩ, дБ	Ω = 6.28	10Lg(4π/Ω)	**3**	3	3	3	3	3	3	3	3		
Показатель направленности источника Di, дБ		исходные данные	**0**	0	0	0	0	0	0	0	0		
Поправка на направленность источника Dc, дБ	Dc	DΩ + Di	**3**	3	3	3	3	3	3	3	3		
Затухание из-за геометрической дивергенции, Adiv, дБ	расстояние = 678.00 м	ф-ла (7) [10]	**67,6**										
Коэффициент затухания звука в атмосфере α, дБ/км	Ta=20,°C Pa=101.33,кПа hотн.=70%	ф-ла (5) [9]	0,02	0,09	0,33	1,12	2,79	4,98	9,04	23,09	77,63		
Учет затухания звука в атмосфере Aatm, дБ		ф-ла (8) [10]	0	0,1	0,2	0,8	1,9	3,4	6,1	15,7	52,6		
Снижение поверхностью земли возле источника As, дБ	Gs = 0 hs = 1м	ф-лы таб.3 [10]	-1,5	-1,5	-1,5	-1,5	-1,5	-1,5	-1,5	-1,5	-1,5		

1		2	3	4	5	6	7	8	9	10	11	12	13
Снижение поверхностью земли возле приёмника Ar, дБ	Gr = 1 hr = 1.5м	ф-лы таб.3 [10]	-1,5	-1,5	4,1	7	5	0,7	0	0	0		
Снижение поверхностью земли в средней зоне, Am дБ	Gm = 1	ф-лы таб.3 [10]	-2,7	-2,7	0	0	0	0	0	0	0		
Суммарное снижение поверхностью земли на траектории распространения звука Agr, дБ		ф-ла (9) [10]	-5,7	-5,7	2,6	5,5	3,5	-0,8	-1,5	-1,5	-1,5		
Уровни звукового давления прямого звука от источника ИШ-2-19 в расчётной точке днём, дБ		**ф-ла(3)[10]**	**0**	**34,3**	**27,3**	**25,1**	**26,3**	**28,7**	**23,3**	**9,6**	**0**	**31,2**	**31,2**
Уровни звукового давления прямого звука от источника ИШ-2-19 в расчётной точке ночью, дБ		**ф-ла(3)[10]**	**0**	**34,3**	**27,3**	**25,1**	**26,3**	**28,7**	**23,3**	**9,6**	**0**	**31,2**	**31,2**
Расчёт отражённого звука													
Уровни звукового давления от мнимого источника ИШ-2-19_мн.(1) в расчётной точке днём, дБ		**ф-ла(3)[10]**	**0**	**0**	**0**	**0**	**0**	**0**	**0**	**0**	**0**	**0**	**0**
Уровни звукового давления от мнимого источника ИШ-2-19_мн.(1) в расчётной точке ночью, дБ		**ф-ла(3)[10]**	**0**	**0**	**0**	**0**	**0**	**0**	**0**	**0**	**0**	**0**	**0**
Уровни звукового давления от источника ИШ-2-19 в расчётной точке днём, дБ		**ф-ла(3)[10]**	**0**	**34,3**	**27,3**	**25,1**	**26,3**	**28,7**	**23,3**	**9,6**	**0**	**31,2**	**31,2**
Уровни звукового давления от источника ИШ-2-19 в расчётной точке ночью, дБ		**ф-ла(3)[10]**	**0**	**34,3**	**27,3**	**25,1**	**26,3**	**28,7**	**23,3**	**9,6**	**0**	**31,2**	**31,2**
Источник шума: ИШ-2-20, координаты источника (x,y,z), м =[745.71,52.44,1.00]													
Уровни звуковой мощности источника днём, Lw, дБ		**исходные данные**	**0**	**93,3**	**94,7**	**96**	**96,3**	**95,9**	**92,6**	**88,4**	**83,9**		
Уровни звуковой мощности источника ночью, Lw, дБ		**исходные данные**	**0**	**93,3**	**94,7**	**96**	**96,3**	**95,9**	**92,6**	**88,4**	**83,9**		
Поправка на телесный угол DΩ, дБ	Ω = 6.28	10Lg(4π/Ω)	**3**	3	3	3	3	3	3	3	3		
Показатель направленности источника Di, дБ		исходные данные	**0**	0	0	0	0	0	0	0	0		
Поправка на направленность источника Dc, дБ	Dc	DΩ + Di	**3**	3	3	3	3	3	3	3	3		
Затухание из-за геометрической дивергенции, Adiv, дБ	расстояние = 677.77 м	ф-ла (7) [10]	**67,6**										

1		2	3	4	5	6	7	8	9	10	11	12	13
Коэффициент затухания звука в атмосфере α, дБ/км	Ta=20,°C Pa=101.33,кПа hотн.=70%	ф-ла (5) [9]	0,02	0,09	0,33	1,12	2,79	4,98	9,04	23,09	77,63		
Учет затухания звука в атмосфере Aatm, дБ		ф-ла (8) [10]	0	0,1	0,2	0,8	1,9	3,4	6,1	15,6	52,6		
Снижение поверхностью земли возле источника As, дБ	Gs = 0 hs = 1м	ф-лы таб.3 [10]	-1,5	-1,5	-1,5	-1,5	-1,5	-1,5	-1,5	-1,5	-1,5		
Снижение поверхностью земли возле приёмника Ar, дБ	Gr = 1 hr = 1.5м	ф-лы таб.3 [10]	-1,5	-1,5	4,1	7	5	0,7	0	0	0		
Снижение поверхностью земли в средней зоне, Am дБ	Gm = 1	ф-лы таб.3 [10]	-2,7	-2,7	0	0	0	0	0	0	0		
Суммарное снижение поверхностью земли на траектории распространения звука Agr, дБ		ф-ла (9) [10]	-5,7	-5,7	2,6	5,5	3,5	-0,8	-1,5	-1,5	-1,5		
Уровни звукового давления прямого звука от источника ИШ-2-20 в расчётной точке днём, дБ		**ф-ла(3)[10]**	**0**	**34,3**	**27,3**	**25,1**	**26,3**	**28,7**	**23,3**	**9,6**	**0**	**31,2**	**31,2**
Уровни звукового давления прямого звука от источника ИШ-2-20 в расчётной точке ночью, дБ		**ф-ла(3)[10]**	**0**	**34,3**	**27,3**	**25,1**	**26,3**	**28,7**	**23,3**	**9,6**	**0**	**31,2**	**31,2**
Расчёт отражённого звука													
Уровни звукового давления от мнимого источника ИШ-2-20_мн.(1) в расчётной точке днём, дБ		**ф-ла(3)[10]**	**0**	**0**	**0**	**0**	**0**	**0**	**0**	**0**	**0**	**0**	**0**
Уровни звукового давления от мнимого источника ИШ-2-20_мн.(1) в расчётной точке ночью, дБ		**ф-ла(3)[10]**	**0**	**0**	**0**	**0**	**0**	**0**	**0**	**0**	**0**	**0**	**0**
Уровни звукового давления от мнимого источника ИШ-2-20_мн.(2) в расчётной точке днём, дБ		**ф-ла(3)[10]**	**0**	**0**	**0**	**0**	**0**	**0**	**0**	**0**	**0**	**0**	**0**
Уровни звукового давления от мнимого источника ИШ-2-20_мн.(2) в расчётной точке ночью, дБ		**ф-ла(3)[10]**	**0**	**0**	**0**	**0**	**0**	**0**	**0**	**0**	**0**	**0**	**0**
Суммарные уровни звукового давления от мнимых источников в расчётной точке днём, дБ		**ф-ла (19) [1]**	**0**	**0**	**0**	**0**	**0**	**0**	**0**	**0**	**0**	**0**	**0**
Суммарные уровни звукового давления от мнимых источников в расчётной точке ночью, дБ		**ф-ла (19) [1]**	**0**	**0**	**0**	**0**	**0**	**0**	**0**	**0**	**0**	**0**	**0**
Уровни звукового давления от источника ИШ-2-20 в расчётной точке днём, дБ		**ф-ла(3)[10]**	**0**	**34,3**	**27,3**	**25,1**	**26,3**	**28,7**	**23,3**	**9,6**	**0**	**31,2**	**31,2**
Уровни звукового давления от источника ИШ-2-20 в расчётной точке ночью, дБ		**ф-ла(3)[10]**	**0**	**34,3**	**27,3**	**25,1**	**26,3**	**28,7**	**23,3**	**9,6**	**0**	**31,2**	**31,2**

1		2	3	4	5	6	7	8	9	10	11	12	13
Источник шума: ИШ-2-21, координаты источника (x,y,z), м =[744.89,49.62,1.00]													
Уровни звуковой мощности источника днём, Lw, дБ		**исходные данные**	**0**	**93,3**	**94,7**	**96**	**96,3**	**95,9**	**92,6**	**88,4**	**83,9**		
Уровни звуковой мощности источника ночью, Lw, дБ		**исходные данные**	**0**	**93,3**	**94,7**	**96**	**96,3**	**95,9**	**92,6**	**88,4**	**83,9**		
Поправка на телесный угол DΩ, дБ	Ω = 6.28	10Lg(4π/Ω)	**3**	3	3	3	3	3	3	3	3		
Показатель направленности источника Di, дБ		исходные данные	**0**	0	0	0	0	0	0	0	0		
Поправка на направленность источника Dc, дБ	Dc	DΩ + Di	**3**	3	3	3	3	3	3	3	3		
Затухание из-за геометрической дивергенции, Adiv, дБ	расстояние = 677.30 м	ф-ла (7) [10]	**67,6**										
Коэффициент затухания звука в атмосфере α, дБ/км	Ta=20,°C Pa=101.33,кПа hотн.=70%	ф-ла (5) [9]	0,02	0,09	0,33	1,12	2,79	4,98	9,04	23,09	77,63		
Учет затухания звука в атмосфере Aatm, дБ		ф-ла (8) [10]	0	0,1	0,2	0,8	1,9	3,4	6,1	15,6	52,6		
Снижение поверхностью земли возле источника As, дБ	Gs = 0 hs = 1м	ф-лы таб.3 [10]	-1,5	-1,5	-1,5	-1,5	-1,5	-1,5	-1,5	-1,5	-1,5		
Снижение поверхностью земли возле приёмника Ar, дБ	Gr = 1 hr = 1.5м	ф-лы таб.3 [10]	-1,5	-1,5	4,1	7	5	0,7	0	0	0		
Снижение поверхностью земли в средней зоне, Am дБ	Gm = 1	ф-лы таб.3 [10]	-2,7	-2,7	0	0	0	0	0	0	0		
Суммарное снижение поверхностью земли на траектории распространения звука Agr, дБ		ф-ла (9) [10]	-5,7	-5,7	2,6	5,5	3,5	-0,8	-1,5	-1,5	-1,5		
Уровни звукового давления прямого звука от источника ИШ-2-21 в расчётной точке днём, дБ		**ф-ла(3)[10]**	**0**	**34,3**	**27,3**	**25,1**	**26,3**	**28,7**	**23,4**	**9,6**	**0**	**31,2**	**31,2**
Уровни звукового давления прямого звука от источника ИШ-2-21 в расчётной точке ночью, дБ		**ф-ла(3)[10]**	**0**	**34,3**	**27,3**	**25,1**	**26,3**	**28,7**	**23,4**	**9,6**	**0**	**31,2**	**31,2**
Расчёт отражённого звука													

1		2	3	4	5	6	7	8	9	10	11	12	13
Уровни звукового давления от мнимого источника ИШ-2-21_мн.(1) в расчётной точке днём, дБ		**ф-ла(3)[10]**	**0**	**0**	**0**	**0**	**0**	**0**	**0**	**0**	**0**	**0**	**0**
Уровни звукового давления от мнимого источника ИШ-2-21_мн.(1) в расчётной точке ночью, дБ		**ф-ла(3)[10]**	**0**	**0**	**0**	**0**	**0**	**0**	**0**	**0**	**0**	**0**	**0**
Уровни звукового давления от источника ИШ-2-21 в расчётной точке днём, дБ		**ф-ла(3)[10]**	**0**	**34,3**	**27,3**	**25,1**	**26,3**	**28,7**	**23,4**	**9,6**	**0**	**31,2**	**31,2**
Уровни звукового давления от источника ИШ-2-21 в расчётной точке ночью, дБ		**ф-ла(3)[10]**	**0**	**34,3**	**27,3**	**25,1**	**26,3**	**28,7**	**23,4**	**9,6**	**0**	**31,2**	**31,2**
Источник шума: ИШ-2-22, координаты источника (x,y,z), м =[737.40,27.07,1.00]													
Уровни звуковой мощности источника днём, Lw, дБ		**исходные данные**	**0**	**93,3**	**94,7**	**96**	**96,3**	**95,9**	**92,6**	**88,4**	**83,9**		
Уровни звуковой мощности источника ночью, Lw, дБ		**исходные данные**	**0**	**93,3**	**94,7**	**96**	**96,3**	**95,9**	**92,6**	**88,4**	**83,9**		
Поправка на телесный угол DΩ, дБ	Ω = 6.28	10Lg(4π/Ω)	**3**	3	3	3	3	3	3	3	3		
Показатель направленности источника Di, дБ		исходные данные	**0**	0	0	0	0	0	0	0	0		
Поправка на направленность источника Dc, дБ	Dc	DΩ + Di	**3**	3	3	3	3	3	3	3	3		
Затухание из-за геометрической дивергенции, Adiv, дБ	расстояние = 674.85 м	ф-ла (7) [10]	**67,6**										
Коэффициент затухания звука в атмосфере α, дБ/км	Ta=20,°C Pa=101.33,кПа hотн.=70%	ф-ла (5) [9]	0,02	0,09	0,33	1,12	2,79	4,98	9,04	23,09	77,63		
Учет затухания звука в атмосфере Aatm, дБ		ф-ла (8) [10]	0	0,1	0,2	0,8	1,9	3,4	6,1	15,6	52,4		
Снижение поверхностью земли возле источника As, дБ	Gs = 0 hs = 1м	ф-лы таб.3 [10]	-1,5	-1,5	-1,5	-1,5	-1,5	-1,5	-1,5	-1,5	-1,5		
Снижение поверхностью земли возле приёмника Ar, дБ	Gr = 1 hr = 1.5м	ф-лы таб.3 [10]	-1,5	-1,5	4	7	5	0,7	0	0	0		
Снижение поверхностью земли в средней зоне, Am дБ	Gm = 1	ф-лы таб.3 [10]	-2,7	-2,7	0	0	0	0	0	0	0		

1		2	3	4	5	6	7	8	9	10	11	12	13
Суммарное снижение поверхностью земли на траектории распространения звука Agr, дБ		ф-ла (9) [10]	-5,7	-5,7	2,5	5,5	3,5	-0,8	-1,5	-1,5	-1,5		
Уровни звукового давления прямого звука от источника ИШ-2-22 в расчётной точке днём, дБ		**ф-ла(3)[10]**	**0**	**34,3**	**27,3**	**25,1**	**26,4**	**28,8**	**23,4**	**9,7**	**0**	**31,2**	**31,2**
Уровни звукового давления прямого звука от источника ИШ-2-22 в расчётной точке ночью, дБ		**ф-ла(3)[10]**	**0**	**34,3**	**27,3**	**25,1**	**26,4**	**28,8**	**23,4**	**9,7**	**0**	**31,2**	**31,2**
Расчёт отражённого звука													
Уровни звукового давления от мнимого источника ИШ-2-22_мн.(1) в расчётной точке днём, дБ		**ф-ла(3)[10]**	**0**	**0**	**0**	**0**	**0**	**0**	**11,6**	**0**	**0**	**12,8**	**12,8**
Уровни звукового давления от мнимого источника ИШ-2-22_мн.(1) в расчётной точке ночью, дБ		**ф-ла(3)[10]**	**0**	**0**	**0**	**0**	**0**	**0**	**0**	**0**	**0**	**12,8**	**12,8**
Уровни звукового давления от источника ИШ-2-22 в расчётной точке днём, дБ		**ф-ла(3)[10]**	**0**	**34,3**	**27,3**	**25,1**	**26,4**	**28,8**	**23,7**	**9,7**	**0**	**31,3**	**31,3**
Уровни звукового давления от источника ИШ-2-22 в расчётной точке ночью, дБ		**ф-ла(3)[10]**	**0**	**34,3**	**27,3**	**25,1**	**26,4**	**28,8**	**23,7**	**9,7**	**0**	**31,3**	**31,3**
Источник шума: ИШ-2-23, координаты источника (x,y,z), м =[736.46,24.18,1.00]													
Уровни звуковой мощности источника днём, Lw, дБ		**исходные данные**	**0**	**93,3**	**94,7**	**96**	**96,3**	**95,9**	**92,6**	**88,4**	**83,9**		
Уровни звуковой мощности источника ночью, Lw, дБ		**исходные данные**	**0**	**93,3**	**94,7**	**96**	**96,3**	**95,9**	**92,6**	**88,4**	**83,9**		
Поправка на телесный угол DΩ, дБ	Ω = 6.28	10Lg(4π/Ω)	**3**	3	3	3	3	3	3	3	3		
Показатель направленности источника Di, дБ		исходные данные	**0**	0	0	0	0	0	0	0	0		
Поправка на направленность источника Dc, дБ	Dc	DΩ + Di	**3**	3	3	3	3	3	3	3	3		
Затухание из-за геометрической дивергенции, Adiv, дБ	расстояние = 674.58 м	ф-ла (7) [10]	**67,6**										
Коэффициент затухания звука в атмосфере α, дБ/км	Ta=20,°C Pa=101.33,кПа hотн.=70%	ф-ла (5) [9]	0,02	0,09	0,33	1,12	2,79	4,98	9,04	23,09	77,63		

1		2	3	4	5	6	7	8	9	10	11	12	13
Учет затухания звука в атмосфере Aatm, дБ		ф-ла (8) [10]	0	0,1	0,2	0,8	1,9	3,4	6,1	15,6	52,4		
Снижение поверхностью земли возле источника As, дБ	Gs = 0 hs = 1м	ф-лы таб.3 [10]	-1,5	-1,5	-1,5	-1,5	-1,5	-1,5	-1,5	-1,5	-1,5		
Снижение поверхностью земли возле приёмника Ar, дБ	Gr = 1 hr = 1.5м	ф-лы таб.3 [10]	-1,5	-1,5	4	7	5	0,7	0	0	0		
Снижение поверхностью земли в средней зоне, Am дБ	Gm = 1	ф-лы таб.3 [10]	-2,7	-2,7	0	0	0	0	0	0	0		
Суммарное снижение поверхностью земли на траектории распространения звука Agr, дБ		ф-ла (9) [10]	-5,7	-5,7	2,5	5,5	3,5	-0,8	-1,5	-1,5	-1,5		
Уровни звукового давления прямого звука от источника ИШ-2-23 в расчётной точке днём, дБ		**ф-ла(3)[10]**	**0**	**34,3**	**27,3**	**25,1**	**26,4**	**28,8**	**23,4**	**9,7**	**0**	**31,2**	**31,2**
Уровни звукового давления прямого звука от источника ИШ-2-23 в расчётной точке ночью, дБ		**ф-ла(3)[10]**	**0**	**34,3**	**27,3**	**25,1**	**26,4**	**28,8**	**23,4**	**9,7**	**0**	**31,2**	**31,2**
Расчёт отражённого звука													
Уровни звукового давления от мнимого источника ИШ-2-23_мн.(1) в расчётной точке днём, дБ		**ф-ла(3)[10]**	**0**	**0**	**0**	**0**	**0**	**0**	**11,6**	**0**	**0**	**12,8**	**12,8**
Уровни звукового давления от мнимого источника ИШ-2-23_мн.(1) в расчётной точке ночью, дБ		**ф-ла(3)[10]**	**0**	**0**	**0**	**0**	**0**	**0**	**0**	**0**	**0**	**12,8**	**12,8**
Уровни звукового давления от источника ИШ-2-23 в расчётной точке днём, дБ		**ф-ла(3)[10]**	**0**	**34,3**	**27,3**	**25,1**	**26,4**	**28,8**	**23,7**	**9,7**	**0**	**31,3**	**31,3**
Уровни звукового давления от источника ИШ-2-23 в расчётной точке ночью, дБ		**ф-ла(3)[10]**	**0**	**34,3**	**27,3**	**25,1**	**26,4**	**28,8**	**23,7**	**9,7**	**0**	**31,3**	**31,3**
Источник шума: ИШ-2-24, координаты источника (x,y,z), м =[735.45,21.21,1.00]													
Уровни звуковой мощности источника днём, Lw, дБ		**исходные данные**	**0**	**93,3**	**94,7**	**96**	**96,3**	**95,9**	**92,6**	**88,4**	**83,9**		
Уровни звуковой мощности источника ночью, Lw, дБ		**исходные данные**	**0**	**93,3**	**94,7**	**96**	**96,3**	**95,9**	**92,6**	**88,4**	**83,9**		
Поправка на телесный угол DΩ, дБ	Ω = 6.28	10Lg(4π/Ω)	**3**	3	3	3	3	3	3	3	3		
Показатель направленности источника Di, дБ		исходные данные	**0**	0	0	0	0	0	0	0	0		

1		2	3	4	5	6	7	8	9	10	11	12	13
Поправка на направленность источника Dc, дБ	Dc	DΩ + Di	**3**	3	3	3	3	3	3	3	3		
Затухание из-за геометрической дивергенции, Adiv, дБ	расстояние = 674.36 м	ф-ла (7) [10]	**67,6**										
Коэффициент затухания звука в атмосфере α, дБ/км	Ta=20,°C Pa=101.33,кПа hотн.=70%	ф-ла (5) [9]	0,02	0,09	0,33	1,12	2,79	4,98	9,04	23,09	77,63		
Учет затухания звука в атмосфере Aatm, дБ		ф-ла (8) [10]	0	0,1	0,2	0,8	1,9	3,4	6,1	15,6	52,4		
Снижение поверхностью земли возле источника As, дБ	Gs = 0 hs = 1м	ф-лы таб.3 [10]	-1,5	-1,5	-1,5	-1,5	-1,5	-1,5	-1,5	-1,5	-1,5		
Снижение поверхностью земли возле приёмника Ar, дБ	Gr = 1 hr = 1.5м	ф-лы таб.3 [10]	-1,5	-1,5	4	7	5	0,7	0	0	0		
Снижение поверхностью земли в средней зоне, Am дБ	Gm = 1	ф-лы таб.3 [10]	-2,7	-2,7	0	0	0	0	0	0	0		
Суммарное снижение поверхностью земли на траектории распространения звука Agr, дБ		ф-ла (9) [10]	-5,7	-5,7	2,5	5,5	3,5	-0,8	-1,5	-1,5	-1,5		
Уровни звукового давления прямого звука от источника ИШ-2-24 в расчётной точке днём, дБ		**ф-ла(3)[10]**	**0**	**34,3**	**27,3**	**25,1**	**26,4**	**28,8**	**23,4**	**9,7**	**0**	**31,2**	**31,2**
Уровни звукового давления прямого звука от источника ИШ-2-24 в расчётной точке ночью, дБ		**ф-ла(3)[10]**	**0**	**34,3**	**27,3**	**25,1**	**26,4**	**28,8**	**23,4**	**9,7**	**0**	**31,2**	**31,2**
Расчёт отражённого звука													
Уровни звукового давления от мнимого источника ИШ-2-24_мн.(1) в расчётной точке днём, дБ		**ф-ла(3)[10]**	**0**	**0**	**0**	**0**	**0**	**0**	**11,6**	**0**	**0**	**12,8**	**12,8**
Уровни звукового давления от мнимого источника ИШ-2-24_мн.(1) в расчётной точке ночью, дБ		**ф-ла(3)[10]**	**0**	**0**	**0**	**0**	**0**	**0**	**0**	**0**	**0**	**12,8**	**12,8**
Уровни звукового давления от источника ИШ-2-24 в расчётной точке днём, дБ		**ф-ла(3)[10]**	**0**	**34,3**	**27,3**	**25,1**	**26,4**	**28,8**	**23,7**	**9,7**	**0**	**31,3**	**31,3**
Уровни звукового давления от источника ИШ-2-24 в расчётной точке ночью, дБ		**ф-ла(3)[10]**	**0**	**34,3**	**27,3**	**25,1**	**26,4**	**28,8**	**23,7**	**9,7**	**0**	**31,3**	**31,3**
Источник шума: ИШ-2-25, координаты источника (x,y,z), м =[734.58,18.32,1.00]													

1		2	3	4	5	6	7	8	9	10	11	12	13
Уровни звуковой мощности источника днём, Lw, дБ		**исходные данные**	**0**	**93,3**	**94,7**	**96**	**96,3**	**95,9**	**92,6**	**88,4**	**83,9**		
Уровни звуковой мощности источника ночью, Lw, дБ		**исходные данные**	**0**	**93,3**	**94,7**	**96**	**96,3**	**95,9**	**92,6**	**88,4**	**83,9**		
Поправка на телесный угол DΩ, дБ	Ω = 6.28	10Lg(4π/Ω)	**3**	3	3	3	3	3	3	3	3		
Показатель направленности источника Di, дБ		исходные данные	**0**	0	0	0	0	0	0	0	0		
Поправка на направленность источника Dc, дБ	Dc	DΩ + Di	**3**	3	3	3	3	3	3	3	3		
Затухание из-за геометрической дивергенции, Adiv, дБ	расстояние = 674.04 м	ф-ла (7) [10]	**67,6**										
Коэффициент затухания звука в атмосфере α, дБ/км	Ta=20,°C Pa=101.33,кПа hотн.=70%	ф-ла (5) [9]	0,02	0,09	0,33	1,12	2,79	4,98	9,04	23,09	77,63		
Учет затухания звука в атмосфере Aatm, дБ		ф-ла (8) [10]	0	0,1	0,2	0,8	1,9	3,4	6,1	15,6	52,3		
Снижение поверхностью земли возле источника As, дБ	Gs = 0 hs = 1м	ф-лы таб.3 [10]	-1,5	-1,5	-1,5	-1,5	-1,5	-1,5	-1,5	-1,5	-1,5		
Снижение поверхностью земли возле приёмника Ar, дБ	Gr = 1 hr = 1.5м	ф-лы таб.3 [10]	-1,5	-1,5	4	7	5	0,7	0	0	0		
Снижение поверхностью земли в средней зоне, Am дБ	Gm = 1	ф-лы таб.3 [10]	-2,7	-2,7	0	0	0	0	0	0	0		
Суммарное снижение поверхностью земли на траектории распространения звука Agr, дБ		ф-ла (9) [10]	-5,7	-5,7	2,5	5,5	3,5	-0,8	-1,5	-1,5	-1,5		
Уровни звукового давления прямого звука от источника ИШ-2-25 в расчётной точке днём, дБ		**ф-ла(3)[10]**	**0**	**34,3**	**27,4**	**25,1**	**26,4**	**28,8**	**23,4**	**9,8**	**0**	**31,2**	**31,2**
Уровни звукового давления прямого звука от источника ИШ-2-25 в расчётной точке ночью, дБ		**ф-ла(3)[10]**	**0**	**34,3**	**27,4**	**25,1**	**26,4**	**28,8**	**23,4**	**9,8**	**0**	**31,2**	**31,2**
Расчёт отражённого звука													
Уровни звукового давления от мнимого источника ИШ-2-25_мн.(1) в расчётной точке днём, дБ		**ф-ла(3)[10]**	**0**	**0**	**0**	**0**	**0**	**0**	**11,6**	**0**	**0**	**12,8**	**12,8**
Уровни звукового давления от мнимого источника ИШ-2-25_мн.(1) в расчётной точке ночью, дБ		**ф-ла(3)[10]**	**0**	**0**	**0**	**0**	**0**	**0**	**0**	**0**	**0**	**12,8**	**12,8**

1		2	3	4	5	6	7	8	9	10	11	12	13
Уровни звукового давления от источника ИШ-2-25 в расчётной точке днём, дБ		**ф-ла(3)[10]**	**0**	**34,3**	**27,4**	**25,1**	**26,4**	**28,8**	**23,7**	**9,8**	**0**	**31,3**	**31,3**
Уровни звукового давления от источника ИШ-2-25 в расчётной точке ночью, дБ		**ф-ла(3)[10]**	**0**	**34,3**	**27,4**	**25,1**	**26,4**	**28,8**	**23,7**	**9,8**	**0**	**31,3**	**31,3**
Источник шума: ИШ-2-26, координаты источника (x,y,z), м =[733.57,15.41,1.00]													
Уровни звуковой мощности источника днём, Lw, дБ		**исходные данные**	**0**	**93,3**	**94,7**	**96**	**96,3**	**95,9**	**92,6**	**88,4**	**83,9**		
Уровни звуковой мощности источника ночью, Lw, дБ		**исходные данные**	**0**	**93,3**	**94,7**	**96**	**96,3**	**95,9**	**92,6**	**88,4**	**83,9**		
Поправка на телесный угол DΩ, дБ	Ω = 6.28	10Lg(4π/Ω)	**3**	3	3	3	3	3	3	3	3		
Показатель направленности источника Di, дБ		исходные данные	**0**	0	0	0	0	0	0	0	0		
Поправка на направленность источника Dc, дБ	Dc	DΩ + Di	**3**	3	3	3	3	3	3	3	3		
Затухание из-за геометрической дивергенции, Adiv, дБ	расстояние = 673.87 м	ф-ла (7) [10]	**67,6**										
Коэффициент затухания звука в атмосфере α, дБ/км	Ta=20,°C Pa=101.33,кПа hотн.=70%	ф-ла (5) [9]	0,02	0,09	0,33	1,12	2,79	4,98	9,04	23,09	77,63		
Учет затухания звука в атмосфере Aatm, дБ		ф-ла (8) [10]	0	0,1	0,2	0,8	1,9	3,4	6,1	15,6	52,3		
Снижение поверхностью земли возле источника As, дБ	Gs = 0 hs = 1м	ф-лы таб.3 [10]	-1,5	-1,5	-1,5	-1,5	-1,5	-1,5	-1,5	-1,5	-1,5		
Снижение поверхностью земли возле приёмника Ar, дБ	Gr = 1 hr = 1.5м	ф-лы таб.3 [10]	-1,5	-1,5	4	7	5	0,7	0	0	0		
Снижение поверхностью земли в средней зоне, Am дБ	Gm = 1	ф-лы таб.3 [10]	-2,7	-2,7	0	0	0	0	0	0	0		
Суммарное снижение поверхностью земли на траектории распространения звука Agr, дБ		ф-ла (9) [10]	-5,7	-5,7	2,5	5,5	3,5	-0,8	-1,5	-1,5	-1,5		
Уровни звукового давления прямого звука от источника ИШ-2-26 в расчётной точке днём, дБ		**ф-ла(3)[10]**	**0**	**34,3**	**27,4**	**25,1**	**26,4**	**28,8**	**23,4**	**9,8**	**0**	**31,3**	**31,3**

1		2	3	4	5	6	7	8	9	10	11	12	13
Уровни звукового давления прямого звука от источника ИШ-2-26 в расчётной точке ночью, дБ		**ф-ла(3)[10]**	**0**	**34,3**	**27,4**	**25,1**	**26,4**	**28,8**	**23,4**	**9,8**	**0**	**31,3**	**31,3**
Расчёт отражённого звука													
Уровни звукового давления от мнимого источника ИШ-2-26_мн.(1) в расчётной точке днём, дБ		**ф-ла(3)[10]**	**0**	**0**	**0**	**0**	**0**	**0**	**11,6**	**0**	**0**	**12,8**	**12,8**
Уровни звукового давления от мнимого источника ИШ-2-26_мн.(1) в расчётной точке ночью, дБ		**ф-ла(3)[10]**	**0**	**0**	**0**	**0**	**0**	**0**	**0**	**0**	**0**	**12,8**	**12,8**
Уровни звукового давления от источника ИШ-2-26 в расчётной точке днём, дБ		**ф-ла(3)[10]**	**0**	**34,3**	**27,4**	**25,1**	**26,4**	**28,8**	**23,7**	**9,8**	**0**	**31,3**	**31,3**
Уровни звукового давления от источника ИШ-2-26 в расчётной точке ночью, дБ		**ф-ла(3)[10]**	**0**	**34,3**	**27,4**	**25,1**	**26,4**	**28,8**	**23,7**	**9,8**	**0**	**31,3**	**31,3**
Источник шума: ИШ-2-27, координаты источника (x,y,z), м =[732.43,12.66,1.00]													
Уровни звуковой мощности источника днём, Lw, дБ		**исходные данные**	**0**	**93,3**	**94,7**	**96**	**96,3**	**95,9**	**92,6**	**88,4**	**83,9**		
Уровни звуковой мощности источника ночью, Lw, дБ		**исходные данные**	**0**	**93,3**	**94,7**	**96**	**96,3**	**95,9**	**92,6**	**88,4**	**83,9**		
Поправка на телесный угол DΩ, дБ	Ω = 6.28	10Lg(4π/Ω)	**3**	3	3	3	3	3	3	3	3		
Показатель направленности источника Di, дБ		исходные данные	**0**	0	0	0	0	0	0	0	0		
Поправка на направленность источника Dc, дБ	Dc	DΩ + Di	**3**	3	3	3	3	3	3	3	3		
Затухание из-за геометрической дивергенции, Adiv, дБ	расстояние = 673.89 м	ф-ла (7) [10]	**67,6**										
Коэффициент затухания звука в атмосфере α, дБ/км	Ta=20,°C Pa=101.33,кПа hотн.=70%	ф-ла (5) [9]	0,02	0,09	0,33	1,12	2,79	4,98	9,04	23,09	77,63		
Учет затухания звука в атмосфере Aatm, дБ		ф-ла (8) [10]	0	0,1	0,2	0,8	1,9	3,4	6,1	15,6	52,3		
Снижение поверхностью земли возле источника As, дБ	Gs = 0 hs = 1м	ф-лы таб.3 [10]	-1,5	-1,5	-1,5	-1,5	-1,5	-1,5	-1,5	-1,5	-1,5		

1		2	3	4	5	6	7	8	9	10	11	12	13
Снижение поверхностью земли возле приёмника Ar, дБ	Gr = 1 hr = 1.5м	ф-лы таб.3 [10]	-1,5	-1,5	4	7	5	0,7	0	0	0		
Снижение поверхностью земли в средней зоне, Am дБ	Gm = 1	ф-лы таб.3 [10]	-2,7	-2,7	0	0	0	0	0	0	0		
Суммарное снижение поверхностью земли на траектории распространения звука Agr, дБ		ф-ла (9) [10]	-5,7	-5,7	2,5	5,5	3,5	-0,8	-1,5	-1,5	-1,5		
Уровни звукового давления прямого звука от источника ИШ-2-27 в расчётной точке днём, дБ		**ф-ла(3)[10]**	**0**	**34,3**	**27,4**	**25,1**	**26,4**	**28,8**	**23,4**	**9,8**	**0**	**31,3**	**31,3**
Уровни звукового давления прямого звука от источника ИШ-2-27 в расчётной точке ночью, дБ		**ф-ла(3)[10]**	**0**	**34,3**	**27,4**	**25,1**	**26,4**	**28,8**	**23,4**	**9,8**	**0**	**31,3**	**31,3**
Расчёт отражённого звука													
Уровни звукового давления от мнимого источника ИШ-2-27_мн.(1) в расчётной точке днём, дБ		**ф-ла(3)[10]**	**0**	**0**	**0**	**0**	**0**	**0**	**11,7**	**0**	**0**	**12,9**	**12,9**
Уровни звукового давления от мнимого источника ИШ-2-27_мн.(1) в расчётной точке ночью, дБ		**ф-ла(3)[10]**	**0**	**0**	**0**	**0**	**0**	**0**	**0**	**0**	**0**	**12,9**	**12,9**
Уровни звукового давления от источника ИШ-2-27 в расчётной точке днём, дБ		**ф-ла(3)[10]**	**0**	**34,3**	**27,4**	**25,1**	**26,4**	**28,8**	**23,7**	**9,8**	**0**	**31,3**	**31,3**
Уровни звукового давления от источника ИШ-2-27 в расчётной точке ночью, дБ		**ф-ла(3)[10]**	**0**	**34,3**	**27,4**	**25,1**	**26,4**	**28,8**	**23,7**	**9,8**	**0**	**31,3**	**31,3**
Источник шума: ИШ-2-28, координаты источника (x,y,z), м =[731.54,9.78,1.00]													
Уровни звуковой мощности источника днём, Lw, дБ		**исходные данные**	**0**	**93,3**	**94,7**	**96**	**96,3**	**95,9**	**92,6**	**88,4**	**83,9**		
Уровни звуковой мощности источника ночью, Lw, дБ		**исходные данные**	**0**	**93,3**	**94,7**	**96**	**96,3**	**95,9**	**92,6**	**88,4**	**83,9**		
Поправка на телесный угол DΩ, дБ	Ω = 6.28	10Lg(4π/Ω)	**3**	3	3	3	3	3	3	3	3		
Показатель направленности источника Di, дБ		исходные данные	**0**	0	0	0	0	0	0	0	0		
Поправка на направленность источника Dc, дБ	Dc	DΩ + Di	**3**	3	3	3	3	3	3	3	3		
Затухание из-за геометрической дивергенции, Adiv, дБ	расстояние = 673.64 м	ф-ла (7) [10]	**67,6**										

1		2	3	4	5	6	7	8	9	10	11	12	13
Коэффициент затухания звука в атмосфере α, дБ/км	Ta=20,°C Pa=101.33,кПа hотн.=70%	ф-ла (5) [9]	0,02	0,09	0,33	1,12	2,79	4,98	9,04	23,09	77,63		
Учет затухания звука в атмосфере Aatm, дБ		ф-ла (8) [10]	0	0,1	0,2	0,8	1,9	3,4	6,1	15,6	52,3		
Снижение поверхностью земли возле источника As, дБ	Gs = 0 hs = 1м	ф-лы таб.3 [10]	-1,5	-1,5	-1,5	-1,5	-1,5	-1,5	-1,5	-1,5	-1,5		
Снижение поверхностью земли возле приёмника Ar, дБ	Gr = 1 hr = 1.5м	ф-лы таб.3 [10]	-1,5	-1,5	4	7	5	0,7	0	0	0		
Снижение поверхностью земли в средней зоне, Am дБ	Gm = 1	ф-лы таб.3 [10]	-2,7	-2,7	0	0	0	0	0	0	0		
Суммарное снижение поверхностью земли на траектории распространения звука Agr, дБ		ф-ла (9) [10]	-5,7	-5,7	2,5	5,5	3,5	-0,8	-1,5	-1,5	-1,5		
Уровни звукового давления прямого звука от источника ИШ-2-28 в расчётной точке днём, дБ		**ф-ла(3)[10]**	**0**	**34,3**	**27,4**	**25,1**	**26,4**	**28,8**	**23,4**	**9,8**	**0**	**31,3**	**31,3**
Уровни звукового давления прямого звука от источника ИШ-2-28 в расчётной точке ночью, дБ		**ф-ла(3)[10]**	**0**	**34,3**	**27,4**	**25,1**	**26,4**	**28,8**	**23,4**	**9,8**	**0**	**31,3**	**31,3**
Расчёт отражённого звука													
Уровни звукового давления от мнимого источника ИШ-2-28_мн.(1) в расчётной точке днём, дБ		**ф-ла(3)[10]**	**0**	**0**	**0**	**0**	**0**	**0**	**11,7**	**0**	**0**	**12,9**	**12,9**
Уровни звукового давления от мнимого источника ИШ-2-28_мн.(1) в расчётной точке ночью, дБ		**ф-ла(3)[10]**	**0**	**0**	**0**	**0**	**0**	**0**	**0**	**0**	**0**	**12,9**	**12,9**
Уровни звукового давления от источника ИШ-2-28 в расчётной точке днём, дБ		**ф-ла(3)[10]**	**0**	**34,3**	**27,4**	**25,1**	**26,4**	**28,8**	**23,7**	**9,8**	**0**	**31,3**	**31,3**
Уровни звукового давления от источника ИШ-2-28 в расчётной точке ночью, дБ		**ф-ла(3)[10]**	**0**	**34,3**	**27,4**	**25,1**	**26,4**	**28,8**	**23,7**	**9,8**	**0**	**31,3**	**31,3**
Источник шума: ИШ-2-29, координаты источника (x,y,z), м =[730.57,6.88,1.00]													
Уровни звуковой мощности источника днём, Lw, дБ		**исходные данные**	**0**	**93,3**	**94,7**	**96**	**96,3**	**95,9**	**92,6**	**88,4**	**83,9**		
Уровни звуковой мощности источника ночью, Lw, дБ		**исходные данные**	**0**	**93,3**	**94,7**	**96**	**96,3**	**95,9**	**92,6**	**88,4**	**83,9**		

1		2	3	4	5	6	7	8	9	10	11	12	13
Поправка на телесный угол DΩ, дБ	Ω = 6.28	10Lg(4π/Ω)	**3**	3	3	3	3	3	3	3	3		
Показатель направленности источника Di, дБ		исходные данные	**0**	0	0	0	0	0	0	0	0		
Поправка на направленность источника Dc, дБ	Dc	DΩ + Di	**3**	3	3	3	3	3	3	3	3		
Затухание из-за геометрической дивергенции, Adiv, дБ	расстояние = 673.47 м	ф-ла (7) [10]	**67,6**										
Коэффициент затухания звука в атмосфере α, дБ/км	Ta=20,°C Pa=101.33,кПа hотн.=70%	ф-ла (5) [9]	0,02	0,09	0,33	1,12	2,79	4,98	9,04	23,09	77,63		
Учет затухания звука в атмосфере Aatm, дБ		ф-ла (8) [10]	0	0,1	0,2	0,8	1,9	3,4	6,1	15,5	52,3		
Снижение поверхностью земли возле источника As, дБ	Gs = 0 hs = 1м	ф-лы таб.3 [10]	-1,5	-1,5	-1,5	-1,5	-1,5	-1,5	-1,5	-1,5	-1,5		
Снижение поверхностью земли возле приёмника Ar, дБ	Gr = 1 hr = 1.5м	ф-лы таб.3 [10]	-1,5	-1,5	4	7	5	0,7	0	0	0		
Снижение поверхностью земли в средней зоне, Am дБ	Gm = 1	ф-лы таб.3 [10]	-2,7	-2,7	0	0	0	0	0	0	0		
Суммарное снижение поверхностью земли на траектории распространения звука Agr, дБ		ф-ла (9) [10]	-5,7	-5,7	2,5	5,5	3,5	-0,8	-1,5	-1,5	-1,5		
Уровни звукового давления прямого звука от источника ИШ-2-29 в расчётной точке днём, дБ		**ф-ла(3)[10]**	**0**	**34,3**	**27,4**	**25,1**	**26,4**	**28,8**	**23,4**	**9,8**	**0**	**31,3**	**31,3**
Уровни звукового давления прямого звука от источника ИШ-2-29 в расчётной точке ночью, дБ		**ф-ла(3)[10]**	**0**	**34,3**	**27,4**	**25,1**	**26,4**	**28,8**	**23,4**	**9,8**	**0**	**31,3**	**31,3**
Расчёт отражённого звука													
Уровни звукового давления от мнимого источника ИШ-2-29_мн.(1) в расчётной точке днём, дБ		**ф-ла(3)[10]**	**0**	**0**	**0**	**0**	**0**	**0**	**11,7**	**0**	**0**	**12,9**	**12,9**
Уровни звукового давления от мнимого источника ИШ-2-29_мн.(1) в расчётной точке ночью, дБ		**ф-ла(3)[10]**	**0**	**0**	**0**	**0**	**0**	**0**	**0**	**0**	**0**	**12,9**	**12,9**
Уровни звукового давления от источника ИШ-2-29 в расчётной точке днём, дБ		**ф-ла(3)[10]**	**0**	**34,3**	**27,4**	**25,1**	**26,4**	**28,8**	**23,7**	**9,8**	**0**	**31,3**	**31,3**
Уровни звукового давления от источника ИШ-2-29 в расчётной точке ночью, дБ		**ф-ла(3)[10]**	**0**	**34,3**	**27,4**	**25,1**	**26,4**	**28,8**	**23,7**	**9,8**	**0**	**31,3**	**31,3**

1		2	3	4	5	6	7	8	9	10	11	12	13
Источник шума: ИШ-2-4, координаты источника (x,y,z), м =[632.70,-65.30,3.00]													
Уровни звуковой мощности источника днём, Lw, дБ		**исходные данные**	**105**	**104**	**104**	**101**	**102**	**106**	**101**	**95**	**87**		
Уровни звуковой мощности источника ночью, Lw, дБ		**исходные данные**	**105**	**104**	**104**	**101**	**102**	**106**	**101**	**95**	**87**		
Поправка на телесный угол DΩ, дБ	Ω = 6.28	10Lg(4π/Ω)	**3**	3	3	3	3	3	3	3	3		
Показатель направленности источника Di, дБ		исходные данные	**0**	0	0	0	0	0	0	0	0		
Поправка на направленность источника Dc, дБ	Dc	DΩ + Di	**3**	3	3	3	3	3	3	3	3		
Затухание из-за геометрической дивергенции, Adiv, дБ	расстояние = 745.26 м	ф-ла (7) [10]	**68,4**										
Коэффициент затухания звука в атмосфере α, дБ/км	Ta=20,°C Pa=101.33,кПа hотн.=70%	ф-ла (5) [9]	0,02	0,09	0,33	1,12	2,79	4,98	9,04	23,09	77,63		
Учет затухания звука в атмосфере Aatm, дБ		ф-ла (8) [10]	0	0,1	0,2	0,8	2,1	3,7	6,7	17,2	57,9		
Снижение поверхностью земли возле источника As, дБ	Gs = 0 hs = 3м	ф-лы таб.3 [10]	-1,5	-1,5	-1,5	-1,5	-1,5	-1,5	-1,5	-1,5	-1,5		
Снижение поверхностью земли возле приёмника Ar, дБ	Gr = 1 hr = 1.5м	ф-лы таб.3 [10]	-1,5	-1,5	4,4	7	5	0,7	0	0	0		
Снижение поверхностью земли в средней зоне, Am дБ	Gm = 1	ф-лы таб.3 [10]	-2,5	-2,5	0	0	0	0	0	0	0		
Суммарное снижение поверхностью земли на траектории распространения звука Agr, дБ		ф-ла (9) [10]	-5,5	-5,5	2,9	5,5	3,5	-0,8	-1,5	-1,5	-1,5		
Уровни звукового давления прямого звука от источника ИШ-2-4 в расчётной точке днём, дБ		**ф-ла(3)[10]**	**45**	**44**	**35,5**	**29,2**	**31**	**37,7**	**30,3**	**13,9**	**0**	**39,1**	**39,1**
Уровни звукового давления прямого звука от источника ИШ-2-4 в расчётной точке ночью, дБ		**ф-ла(3)[10]**	**45**	**44**	**35,5**	**29,2**	**31**	**37,7**	**30,3**	**13,9**	**0**	**39,1**	**39,1**
Расчёт отражённого звука													

1		2	3	4	5	6	7	8	9	10	11	12	13
Уровни звукового давления от мнимого источника ИШ-2-4_мн.(1) в расчётной точке днём, дБ		**ф-ла(3)[10]**	**0**	**0**	**0**	**0**	**0**	**33,7**	**25,9**	**8,1**	**0**	**34,5**	**34,5**
Уровни звукового давления от мнимого источника ИШ-2-4_мн.(1) в расчётной точке ночью, дБ		**ф-ла(3)[10]**	**0**	**0**	**0**	**0**	**0**	**0**	**0**	**0**	**0**	**34,5**	**34,5**
Уровни звукового давления от источника ИШ-2-4 в расчётной точке днём, дБ		**ф-ла(3)[10]**	**45**	**44**	**35,5**	**29,2**	**31**	**39,1**	**31,7**	**14,9**	**0**	**40,4**	**40,4**
Уровни звукового давления от источника ИШ-2-4 в расчётной точке ночью, дБ		**ф-ла(3)[10]**	**45**	**44**	**35,5**	**29,2**	**31**	**39,1**	**31,7**	**14,9**	**0**	**40,4**	**40,4**
Источник шума: ИШ-2-30, координаты источника (x,y,z), м =[702.44,-77.23,1.00]													
Уровни звуковой мощности источника днём, Lw, дБ		**исходные данные**	**0**	**93,3**	**94,7**	**96**	**96,3**	**95,9**	**92,6**	**88,4**	**83,9**		
Уровни звуковой мощности источника ночью, Lw, дБ		**исходные данные**	**0**	**93,3**	**94,7**	**96**	**96,3**	**95,9**	**92,6**	**88,4**	**83,9**		
Поправка на телесный угол DΩ, дБ	Ω = 6.28	10Lg(4π/Ω)	**3**	3	3	3	3	3	3	3	3		
Показатель направленности источника Di, дБ		исходные данные	**0**	0	0	0	0	0	0	0	0		
Поправка на направленность источника Dc, дБ	Dc	DΩ + Di	**3**	3	3	3	3	3	3	3	3		
Затухание из-за геометрической дивергенции, Adiv, дБ	расстояние = 674.68 м	ф-ла (7) [10]	**67,6**										
Коэффициент затухания звука в атмосфере α, дБ/км	Ta=20,°C Pa=101.33,кПа hотн.=70%	ф-ла (5) [9]	0,02	0,09	0,33	1,12	2,79	4,98	9,04	23,09	77,63		
Учет затухания звука в атмосфере Aatm, дБ		ф-ла (8) [10]	0	0,1	0,2	0,8	1,9	3,4	6,1	15,6	52,4		
Снижение поверхностью земли возле источника As, дБ	Gs = 0 hs = 1м	ф-лы таб.3 [10]	-1,5	-1,5	-1,5	-1,5	-1,5	-1,5	-1,5	-1,5	-1,5		
Снижение поверхностью земли возле приёмника Ar, дБ	Gr = 1 hr = 1.5м	ф-лы таб.3 [10]	-1,5	-1,5	4	7	5	0,7	0	0	0		
Снижение поверхностью земли в средней зоне, Am дБ	Gm = 1	ф-лы таб.3 [10]	-2,7	-2,7	0	0	0	0	0	0	0		

1		2	3	4	5	6	7	8	9	10	11	12	13
Суммарное снижение поверхностью земли на траектории распространения звука Agr, дБ		ф-ла (9) [10]	-5,7	-5,7	2,5	5,5	3,5	-0,8	-1,5	-1,5	-1,5		
Уровни звукового давления прямого звука от источника ИШ-2-30 в расчётной точке днём, дБ		**ф-ла(3)[10]**	**0**	**34,3**	**27,3**	**25,1**	**26,4**	**28,8**	**23,4**	**9,7**	**0**	**31,2**	**31,2**
Уровни звукового давления прямого звука от источника ИШ-2-30 в расчётной точке ночью, дБ		**ф-ла(3)[10]**	**0**	**34,3**	**27,3**	**25,1**	**26,4**	**28,8**	**23,4**	**9,7**	**0**	**31,2**	**31,2**
Расчёт отражённого звука													
Уровни звукового давления от мнимого источника ИШ-2-30_мн.(1) в расчётной точке днём, дБ		**ф-ла(3)[10]**	**0**	**0**	**0**	**0**	**0**	**0**	**16,2**	**0**	**0**	**17,4**	**17,4**
Уровни звукового давления от мнимого источника ИШ-2-30_мн.(1) в расчётной точке ночью, дБ		**ф-ла(3)[10]**	**0**	**0**	**0**	**0**	**0**	**0**	**0**	**0**	**0**	**17,4**	**17,4**
Уровни звукового давления от источника ИШ-2-30 в расчётной точке днём, дБ		**ф-ла(3)[10]**	**0**	**34,3**	**27,3**	**25,1**	**26,4**	**28,8**	**24,2**	**9,7**	**0**	**31,4**	**31,4**
Уровни звукового давления от источника ИШ-2-30 в расчётной точке ночью, дБ		**ф-ла(3)[10]**	**0**	**34,3**	**27,3**	**25,1**	**26,4**	**28,8**	**24,2**	**9,7**	**0**	**31,4**	**31,4**
Источник шума: ИШ-2-31, координаты источника (x,y,z), м =[701.42,-80.17,1.00]													
Уровни звуковой мощности источника днём, Lw, дБ		**исходные данные**	**0**	**93,3**	**94,7**	**96**	**96,3**	**95,9**	**92,6**	**88,4**	**83,9**		
Уровни звуковой мощности источника ночью, Lw, дБ		**исходные данные**	**0**	**93,3**	**94,7**	**96**	**96,3**	**95,9**	**92,6**	**88,4**	**83,9**		
Поправка на телесный угол DΩ, дБ	Ω = 6.28	10Lg(4π/Ω)	**3**	3	3	3	3	3	3	3	3		
Показатель направленности источника Di, дБ		исходные данные	**0**	0	0	0	0	0	0	0	0		
Поправка на направленность источника Dc, дБ	Dc	DΩ + Di	**3**	3	3	3	3	3	3	3	3		
Затухание из-за геометрической дивергенции, Adiv, дБ	расстояние = 674.96 м	ф-ла (7) [10]	**67,6**										
Коэффициент затухания звука в атмосфере α, дБ/км	Ta=20,°C Pa=101.33,кПа hотн.=70%	ф-ла (5) [9]	0,02	0,09	0,33	1,12	2,79	4,98	9,04	23,09	77,63		

1		2	3	4	5	6	7	8	9	10	11	12	13
Учет затухания звука в атмосфере Aatm, дБ		ф-ла (8) [10]	0	0,1	0,2	0,8	1,9	3,4	6,1	15,6	52,4		
Снижение поверхностью земли возле источника As, дБ	Gs = 0 hs = 1м	ф-лы таб.3 [10]	-1,5	-1,5	-1,5	-1,5	-1,5	-1,5	-1,5	-1,5	-1,5		
Снижение поверхностью земли возле приёмника Ar, дБ	Gr = 1 hr = 1.5м	ф-лы таб.3 [10]	-1,5	-1,5	4	7	5	0,7	0	0	0		
Снижение поверхностью земли в средней зоне, Am дБ	Gm = 1	ф-лы таб.3 [10]	-2,7	-2,7	0	0	0	0	0	0	0		
Суммарное снижение поверхностью земли на траектории распространения звука Agr, дБ		ф-ла (9) [10]	-5,7	-5,7	2,5	5,5	3,5	-0,8	-1,5	-1,5	-1,5		
Уровни звукового давления прямого звука от источника ИШ-2-31 в расчётной точке днём, дБ		**ф-ла(3)[10]**	**0**	**34,3**	**27,3**	**25,1**	**26,3**	**28,8**	**23,4**	**9,7**	**0**	**31,2**	**31,2**
Уровни звукового давления прямого звука от источника ИШ-2-31 в расчётной точке ночью, дБ		**ф-ла(3)[10]**	**0**	**34,3**	**27,3**	**25,1**	**26,3**	**28,8**	**23,4**	**9,7**	**0**	**31,2**	**31,2**
Расчёт отражённого звука													
Уровни звукового давления от мнимого источника ИШ-2-31_мн.(1) в расчётной точке днём, дБ		**ф-ла(3)[10]**	**0**	**0**	**0**	**0**	**0**	**0**	**16,2**	**0**	**0**	**17,4**	**17,4**
Уровни звукового давления от мнимого источника ИШ-2-31_мн.(1) в расчётной точке ночью, дБ		**ф-ла(3)[10]**	**0**	**0**	**0**	**0**	**0**	**0**	**0**	**0**	**0**	**17,4**	**17,4**
Уровни звукового давления от источника ИШ-2-31 в расчётной точке днём, дБ		**ф-ла(3)[10]**	**0**	**34,3**	**27,3**	**25,1**	**26,3**	**28,8**	**24,2**	**9,7**	**0**	**31,4**	**31,4**
Уровни звукового давления от источника ИШ-2-31 в расчётной точке ночью, дБ		**ф-ла(3)[10]**	**0**	**34,3**	**27,3**	**25,1**	**26,3**	**28,8**	**24,2**	**9,7**	**0**	**31,4**	**31,4**
Источник шума: ИШ-2-32, координаты источника (x,y,z), м =[700.38,-83.01,1.00]													
Уровни звуковой мощности источника днём, Lw, дБ		**исходные данные**	**0**	**93,3**	**94,7**	**96**	**96,3**	**95,9**	**92,6**	**88,4**	**83,9**		
Уровни звуковой мощности источника ночью, Lw, дБ		**исходные данные**	**0**	**93,3**	**94,7**	**96**	**96,3**	**95,9**	**92,6**	**88,4**	**83,9**		
Поправка на телесный угол DΩ, дБ	Ω = 6.28	10Lg(4π/Ω)	**3**	3	3	3	3	3	3	3	3		
Показатель направленности источника Di, дБ		исходные данные	**0**	0	0	0	0	0	0	0	0		

1		2	3	4	5	6	7	8	9	10	11	12	13
Поправка на направленность источника Dc, дБ	Dc	DΩ + Di	**3**	3	3	3	3	3	3	3	3		
Затухание из-за геометрической дивергенции, Adiv, дБ	расстояние = 675.31 м	ф-ла (7) [10]	**67,6**										
Коэффициент затухания звука в атмосфере α, дБ/км	Ta=20,°C Pa=101.33,кПа hотн.=70%	ф-ла (5) [9]	0,02	0,09	0,33	1,12	2,79	4,98	9,04	23,09	77,63		
Учет затухания звука в атмосфере Aatm, дБ		ф-ла (8) [10]	0	0,1	0,2	0,8	1,9	3,4	6,1	15,6	52,4		
Снижение поверхностью земли возле источника As, дБ	Gs = 0 hs = 1м	ф-лы таб.3 [10]	-1,5	-1,5	-1,5	-1,5	-1,5	-1,5	-1,5	-1,5	-1,5		
Снижение поверхностью земли возле приёмника Ar, дБ	Gr = 1 hr = 1.5м	ф-лы таб.3 [10]	-1,5	-1,5	4	7	5	0,7	0	0	0		
Снижение поверхностью земли в средней зоне, Am дБ	Gm = 1	ф-лы таб.3 [10]	-2,7	-2,7	0	0	0	0	0	0	0		
Суммарное снижение поверхностью земли на траектории распространения звука Agr, дБ		ф-ла (9) [10]	-5,7	-5,7	2,5	5,5	3,5	-0,8	-1,5	-1,5	-1,5		
Уровни звукового давления прямого звука от источника ИШ-2-32 в расчётной точке днём, дБ		**ф-ла(3)[10]**	**0**	**34,3**	**27,3**	**25,1**	**26,3**	**28,8**	**23,4**	**9,7**	**0**	**31,2**	**31,2**
Уровни звукового давления прямого звука от источника ИШ-2-32 в расчётной точке ночью, дБ		**ф-ла(3)[10]**	**0**	**34,3**	**27,3**	**25,1**	**26,3**	**28,8**	**23,4**	**9,7**	**0**	**31,2**	**31,2**
Расчёт отражённого звука													
Уровни звукового давления от мнимого источника ИШ-2-32_мн.(1) в расчётной точке днём, дБ		**ф-ла(3)[10]**	**0**	**0**	**0**	**0**	**0**	**0**	**16,2**	**0**	**0**	**17,4**	**17,4**
Уровни звукового давления от мнимого источника ИШ-2-32_мн.(1) в расчётной точке ночью, дБ		**ф-ла(3)[10]**	**0**	**0**	**0**	**0**	**0**	**0**	**0**	**0**	**0**	**17,4**	**17,4**
Уровни звукового давления от источника ИШ-2-32 в расчётной точке днём, дБ		**ф-ла(3)[10]**	**0**	**34,3**	**27,3**	**25,1**	**26,3**	**28,8**	**24,2**	**9,7**	**0**	**31,4**	**31,4**
Уровни звукового давления от источника ИШ-2-32 в расчётной точке ночью, дБ		**ф-ла(3)[10]**	**0**	**34,3**	**27,3**	**25,1**	**26,3**	**28,8**	**24,2**	**9,7**	**0**	**31,4**	**31,4**
Источник шума: ИШ-2-33, координаты источника (x,y,z), м =[699.52,-85.98,1.00]													

1		2	3	4	5	6	7	8	9	10	11	12	13
Уровни звуковой мощности источника днём, Lw, дБ		**исходные данные**	**0**	**93,3**	**94,7**	**96**	**96,3**	**95,9**	**92,6**	**88,4**	**83,9**		
Уровни звуковой мощности источника ночью, Lw, дБ		**исходные данные**	**0**	**93,3**	**94,7**	**96**	**96,3**	**95,9**	**92,6**	**88,4**	**83,9**		
Поправка на телесный угол DΩ, дБ	Ω = 6.28	10Lg(4π/Ω)	**3**	3	3	3	3	3	3	3	3		
Показатель направленности источника Di, дБ		исходные данные	**0**	0	0	0	0	0	0	0	0		
Поправка на направленность источника Dc, дБ	Dc	DΩ + Di	**3**	3	3	3	3	3	3	3	3		
Затухание из-за геометрической дивергенции, Adiv, дБ	расстояние = 675.46 м	ф-ла (7) [10]	**67,6**										
Коэффициент затухания звука в атмосфере α, дБ/км	Ta=20,°C Pa=101.33,кПа hотн.=70%	ф-ла (5) [9]	0,02	0,09	0,33	1,12	2,79	4,98	9,04	23,09	77,63		
Учет затухания звука в атмосфере Aatm, дБ		ф-ла (8) [10]	0	0,1	0,2	0,8	1,9	3,4	6,1	15,6	52,4		
Снижение поверхностью земли возле источника As, дБ	Gs = 0 hs = 1м	ф-лы таб.3 [10]	-1,5	-1,5	-1,5	-1,5	-1,5	-1,5	-1,5	-1,5	-1,5		
Снижение поверхностью земли возле приёмника Ar, дБ	Gr = 1 hr = 1.5м	ф-лы таб.3 [10]	-1,5	-1,5	4	7	5	0,7	0	0	0		
Снижение поверхностью земли в средней зоне, Am дБ	Gm = 1	ф-лы таб.3 [10]	-2,7	-2,7	0	0	0	0	0	0	0		
Суммарное снижение поверхностью земли на траектории распространения звука Agr, дБ		ф-ла (9) [10]	-5,7	-5,7	2,5	5,5	3,5	-0,8	-1,5	-1,5	-1,5		
Уровни звукового давления прямого звука от источника ИШ-2-33 в расчётной точке днём, дБ		**ф-ла(3)[10]**	**0**	**34,3**	**27,3**	**25,1**	**26,3**	**28,8**	**23,4**	**9,7**	**0**	**31,2**	**31,2**
Уровни звукового давления прямого звука от источника ИШ-2-33 в расчётной точке ночью, дБ		**ф-ла(3)[10]**	**0**	**34,3**	**27,3**	**25,1**	**26,3**	**28,8**	**23,4**	**9,7**	**0**	**31,2**	**31,2**
Расчёт отражённого звука													
Уровни звукового давления от мнимого источника ИШ-2-33_мн.(1) в расчётной точке днём, дБ		**ф-ла(3)[10]**	**0**	**0**	**0**	**0**	**0**	**0**	**16,2**	**0**	**0**	**17,4**	**17,4**
Уровни звукового давления от мнимого источника ИШ-2-33_мн.(1) в расчётной точке ночью, дБ		**ф-ла(3)[10]**	**0**	**0**	**0**	**0**	**0**	**0**	**0**	**0**	**0**	**17,4**	**17,4**

1		2	3	4	5	6	7	8	9	10	11	12	13
Уровни звукового давления от источника ИШ-2-33 в расчётной точке днём, дБ		**ф-ла(3)[10]**	**0**	**34,3**	**27,3**	**25,1**	**26,3**	**28,8**	**24,1**	**9,7**	**0**	**31,4**	**31,4**
Уровни звукового давления от источника ИШ-2-33 в расчётной точке ночью, дБ		**ф-ла(3)[10]**	**0**	**34,3**	**27,3**	**25,1**	**26,3**	**28,8**	**24,1**	**9,7**	**0**	**31,4**	**31,4**
Источник шума: ИШ-2-34, координаты источника (x,y,z), м =[698.43,-88.85,1.00]													
Уровни звуковой мощности источника днём, Lw, дБ		**исходные данные**	**0**	**93,3**	**94,7**	**96**	**96,3**	**95,9**	**92,6**	**88,4**	**83,9**		
Уровни звуковой мощности источника ночью, Lw, дБ		**исходные данные**	**0**	**93,3**	**94,7**	**96**	**96,3**	**95,9**	**92,6**	**88,4**	**83,9**		
Поправка на телесный угол DΩ, дБ	Ω = 6.28	10Lg(4π/Ω)	**3**	3	3	3	3	3	3	3	3		
Показатель направленности источника Di, дБ		исходные данные	**0**	0	0	0	0	0	0	0	0		
Поправка на направленность источника Dc, дБ	Dc	DΩ + Di	**3**	3	3	3	3	3	3	3	3		
Затухание из-за геометрической дивергенции, Adiv, дБ	расстояние = 675.88 м	ф-ла (7) [10]	**67,6**										
Коэффициент затухания звука в атмосфере α, дБ/км	Ta=20,°C Pa=101.33,кПа hотн.=70%	ф-ла (5) [9]	0,02	0,09	0,33	1,12	2,79	4,98	9,04	23,09	77,63		
Учет затухания звука в атмосфере Aatm, дБ		ф-ла (8) [10]	0	0,1	0,2	0,8	1,9	3,4	6,1	15,6	52,5		
Снижение поверхностью земли возле источника As, дБ	Gs = 0 hs = 1м	ф-лы таб.3 [10]	-1,5	-1,5	-1,5	-1,5	-1,5	-1,5	-1,5	-1,5	-1,5		
Снижение поверхностью земли возле приёмника Ar, дБ	Gr = 1 hr = 1.5м	ф-лы таб.3 [10]	-1,5	-1,5	4	7	5	0,7	0	0	0		
Снижение поверхностью земли в средней зоне, Am дБ	Gm = 1	ф-лы таб.3 [10]	-2,7	-2,7	0	0	0	0	0	0	0		
Суммарное снижение поверхностью земли на траектории распространения звука Agr, дБ		ф-ла (9) [10]	-5,7	-5,7	2,5	5,5	3,5	-0,8	-1,5	-1,5	-1,5		
Уровни звукового давления прямого звука от источника ИШ-2-34 в расчётной точке днём, дБ		**ф-ла(3)[10]**	**0**	**34,3**	**27,3**	**25,1**	**26,3**	**28,8**	**23,4**	**9,7**	**0**	**31,2**	**31,2**

1		2	3	4	5	6	7	8	9	10	11	12	13
Уровни звукового давления прямого звука от источника ИШ-2-34 в расчётной точке ночью, дБ		**ф-ла(3)[10]**	**0**	**34,3**	**27,3**	**25,1**	**26,3**	**28,8**	**23,4**	**9,7**	**0**	**31,2**	**31,2**
Расчёт отражённого звука													
Уровни звукового давления от мнимого источника ИШ-2-34_мн.(1) в расчётной точке днём, дБ		**ф-ла(3)[10]**	**0**	**0**	**0**	**0**	**0**	**0**	**16,2**	**0**	**0**	**17,4**	**17,4**
Уровни звукового давления от мнимого источника ИШ-2-34_мн.(1) в расчётной точке ночью, дБ		**ф-ла(3)[10]**	**0**	**0**	**0**	**0**	**0**	**0**	**0**	**0**	**0**	**17,4**	**17,4**
Уровни звукового давления от источника ИШ-2-34 в расчётной точке днём, дБ		**ф-ла(3)[10]**	**0**	**34,3**	**27,3**	**25,1**	**26,3**	**28,8**	**24,1**	**9,7**	**0**	**31,4**	**31,4**
Уровни звукового давления от источника ИШ-2-34 в расчётной точке ночью, дБ		**ф-ла(3)[10]**	**0**	**34,3**	**27,3**	**25,1**	**26,3**	**28,8**	**24,1**	**9,7**	**0**	**31,4**	**31,4**
Источник шума: ИШ-2-35, координаты источника (x,y,z), м =[697.52,-91.66,1.00]													
Уровни звуковой мощности источника днём, Lw, дБ		**исходные данные**	**0**	**93,3**	**94,7**	**96**	**96,3**	**95,9**	**92,6**	**88,4**	**83,9**		
Уровни звуковой мощности источника ночью, Lw, дБ		**исходные данные**	**0**	**93,3**	**94,7**	**96**	**96,3**	**95,9**	**92,6**	**88,4**	**83,9**		
Поправка на телесный угол DΩ, дБ	Ω = 6.28	10Lg(4π/Ω)	**3**	3	3	3	3	3	3	3	3		
Показатель направленности источника Di, дБ		исходные данные	**0**	0	0	0	0	0	0	0	0		
Поправка на направленность источника Dc, дБ	Dc	DΩ + Di	**3**	3	3	3	3	3	3	3	3		
Затухание из-за геометрической дивергенции, Adiv, дБ	расстояние = 676.15 м	ф-ла (7) [10]	**67,6**										
Коэффициент затухания звука в атмосфере α, дБ/км	Ta=20,°C Pa=101.33,кПа hотн.=70%	ф-ла (5) [9]	0,02	0,09	0,33	1,12	2,79	4,98	9,04	23,09	77,63		
Учет затухания звука в атмосфере Aatm, дБ		ф-ла (8) [10]	0	0,1	0,2	0,8	1,9	3,4	6,1	15,6	52,5		
Снижение поверхностью земли возле источника As, дБ	Gs = 0 hs = 1м	ф-лы таб.3 [10]	-1,5	-1,5	-1,5	-1,5	-1,5	-1,5	-1,5	-1,5	-1,5		

1		2	3	4	5	6	7	8	9	10	11	12	13
Снижение поверхностью земли возле приёмника Ar, дБ	Gr = 1 hr = 1.5м	ф-лы таб.3 [10]	-1,5	-1,5	4,1	7	5	0,7	0	0	0		
Снижение поверхностью земли в средней зоне, Am дБ	Gm = 1	ф-лы таб.3 [10]	-2,7	-2,7	0	0	0	0	0	0	0		
Суммарное снижение поверхностью земли на траектории распространения звука Agr, дБ		ф-ла (9) [10]	-5,7	-5,7	2,6	5,5	3,5	-0,8	-1,5	-1,5	-1,5		
Уровни звукового давления прямого звука от источника ИШ-2-35 в расчётной точке днём, дБ		**ф-ла(3)[10]**	**0**	**34,3**	**27,3**	**25,1**	**26,3**	**28,8**	**23,4**	**9,7**	**0**	**31,2**	**31,2**
Уровни звукового давления прямого звука от источника ИШ-2-35 в расчётной точке ночью, дБ		**ф-ла(3)[10]**	**0**	**34,3**	**27,3**	**25,1**	**26,3**	**28,8**	**23,4**	**9,7**	**0**	**31,2**	**31,2**
Расчёт отражённого звука													
Уровни звукового давления от мнимого источника ИШ-2-35_мн.(1) в расчётной точке днём, дБ		**ф-ла(3)[10]**	**0**	**0**	**0**	**0**	**0**	**0**	**16,2**	**0**	**0**	**17,4**	**17,4**
Уровни звукового давления от мнимого источника ИШ-2-35_мн.(1) в расчётной точке ночью, дБ		**ф-ла(3)[10]**	**0**	**0**	**0**	**0**	**0**	**0**	**0**	**0**	**0**	**17,4**	**17,4**
Уровни звукового давления от источника ИШ-2-35 в расчётной точке днём, дБ		**ф-ла(3)[10]**	**0**	**34,3**	**27,3**	**25,1**	**26,3**	**28,8**	**24,1**	**9,7**	**0**	**31,4**	**31,4**
Уровни звукового давления от источника ИШ-2-35 в расчётной точке ночью, дБ		**ф-ла(3)[10]**	**0**	**34,3**	**27,3**	**25,1**	**26,3**	**28,8**	**24,1**	**9,7**	**0**	**31,4**	**31,4**
Источник шума: ИШ-2-36, координаты источника (x,y,z), м =[696.58,-94.55,1.00]													
Уровни звуковой мощности источника днём, Lw, дБ		**исходные данные**	**0**	**93,3**	**94,7**	**96**	**96,3**	**95,9**	**92,6**	**88,4**	**83,9**		
Уровни звуковой мощности источника ночью, Lw, дБ		**исходные данные**	**0**	**93,3**	**94,7**	**96**	**96,3**	**95,9**	**92,6**	**88,4**	**83,9**		
Поправка на телесный угол DΩ, дБ	Ω = 6.28	10Lg(4π/Ω)	**3**	3	3	3	3	3	3	3	3		
Показатель направленности источника Di, дБ		исходные данные	**0**	0	0	0	0	0	0	0	0		
Поправка на направленность источника Dc, дБ	Dc	DΩ + Di	**3**	3	3	3	3	3	3	3	3		
Затухание из-за геометрической дивергенции, Adiv, дБ	расстояние = 676.44 м	ф-ла (7) [10]	**67,6**										

1		2	3	4	5	6	7	8	9	10	11	12	13
Коэффициент затухания звука в атмосфере α, дБ/км	Ta=20,°C Pa=101.33,кПа hотн.=70%	ф-ла (5) [9]	0,02	0,09	0,33	1,12	2,79	4,98	9,04	23,09	77,63		
Учет затухания звука в атмосфере Aatm, дБ		ф-ла (8) [10]	0	0,1	0,2	0,8	1,9	3,4	6,1	15,6	52,5		
Снижение поверхностью земли возле источника As, дБ	Gs = 0 hs = 1м	ф-лы таб.3 [10]	-1,5	-1,5	-1,5	-1,5	-1,5	-1,5	-1,5	-1,5	-1,5		
Снижение поверхностью земли возле приёмника Ar, дБ	Gr = 1 hr = 1.5м	ф-лы таб.3 [10]	-1,5	-1,5	4,1	7	5	0,7	0	0	0		
Снижение поверхностью земли в средней зоне, Am дБ	Gm = 1	ф-лы таб.3 [10]	-2,7	-2,7	0	0	0	0	0	0	0		
Суммарное снижение поверхностью земли на траектории распространения звука Agr, дБ		ф-ла (9) [10]	-5,7	-5,7	2,6	5,5	3,5	-0,8	-1,5	-1,5	-1,5		
Уровни звукового давления прямого звука от источника ИШ-2-36 в расчётной точке днём, дБ		**ф-ла(3)[10]**	**0**	**34,3**	**27,3**	**25,1**	**26,3**	**28,8**	**23,4**	**9,7**	**0**	**31,2**	**31,2**
Уровни звукового давления прямого звука от источника ИШ-2-36 в расчётной точке ночью, дБ		**ф-ла(3)[10]**	**0**	**34,3**	**27,3**	**25,1**	**26,3**	**28,8**	**23,4**	**9,7**	**0**	**31,2**	**31,2**
Расчёт отражённого звука													
Уровни звукового давления от мнимого источника ИШ-2-36_мн.(1) в расчётной точке днём, дБ		**ф-ла(3)[10]**	**0**	**0**	**0**	**0**	**0**	**0**	**16,1**	**0**	**0**	**17,3**	**17,3**
Уровни звукового давления от мнимого источника ИШ-2-36_мн.(1) в расчётной точке ночью, дБ		**ф-ла(3)[10]**	**0**	**0**	**0**	**0**	**0**	**0**	**0**	**0**	**0**	**17,3**	**17,3**
Уровни звукового давления от источника ИШ-2-36 в расчётной точке днём, дБ		**ф-ла(3)[10]**	**0**	**34,3**	**27,3**	**25,1**	**26,3**	**28,8**	**24,1**	**9,7**	**0**	**31,4**	**31,4**
Уровни звукового давления от источника ИШ-2-36 в расчётной точке ночью, дБ		**ф-ла(3)[10]**	**0**	**34,3**	**27,3**	**25,1**	**26,3**	**28,8**	**24,1**	**9,7**	**0**	**31,4**	**31,4**
Источник шума: ИШ-2-37, координаты источника (x,y,z), м =[695.57,-97.37,1.00]													
Уровни звуковой мощности источника днём, Lw, дБ		**исходные данные**	**0**	**93,3**	**94,7**	**96**	**96,3**	**95,9**	**92,6**	**88,4**	**83,9**		
Уровни звуковой мощности источника ночью, Lw, дБ		**исходные данные**	**0**	**93,3**	**94,7**	**96**	**96,3**	**95,9**	**92,6**	**88,4**	**83,9**		

1		2	3	4	5	6	7	8	9	10	11	12	13
Поправка на телесный угол DΩ, дБ	Ω = 6.28	10Lg(4π/Ω)	**3**	3	3	3	3	3	3	3	3		
Показатель направленности источника Di, дБ		исходные данные	**0**	0	0	0	0	0	0	0	0		
Поправка на направленность источника Dc, дБ	Dc	DΩ + Di	**3**	3	3	3	3	3	3	3	3		
Затухание из-за геометрической дивергенции, Adiv, дБ	расстояние = 676.83 м	ф-ла (7) [10]	**67,6**										
Коэффициент затухания звука в атмосфере α, дБ/км	Ta=20,°C Pa=101.33,кПа hотн.=70%	ф-ла (5) [9]	0,02	0,09	0,33	1,12	2,79	4,98	9,04	23,09	77,63		
Учет затухания звука в атмосфере Aatm, дБ		ф-ла (8) [10]	0	0,1	0,2	0,8	1,9	3,4	6,1	15,6	52,5		
Снижение поверхностью земли возле источника As, дБ	Gs = 0 hs = 1м	ф-лы таб.3 [10]	-1,5	-1,5	-1,5	-1,5	-1,5	-1,5	-1,5	-1,5	-1,5		
Снижение поверхностью земли возле приёмника Ar, дБ	Gr = 1 hr = 1.5м	ф-лы таб.3 [10]	-1,5	-1,5	4,1	7	5	0,7	0	0	0		
Снижение поверхностью земли в средней зоне, Am дБ	Gm = 1	ф-лы таб.3 [10]	-2,7	-2,7	0	0	0	0	0	0	0		
Суммарное снижение поверхностью земли на траектории распространения звука Agr, дБ		ф-ла (9) [10]	-5,7	-5,7	2,6	5,5	3,5	-0,8	-1,5	-1,5	-1,5		
Уровни звукового давления прямого звука от источника ИШ-2-37 в расчётной точке днём, дБ		**ф-ла(3)[10]**	**0**	**34,3**	**27,3**	**25,1**	**26,3**	**28,8**	**23,4**	**9,7**	**0**	**31,2**	**31,2**
Уровни звукового давления прямого звука от источника ИШ-2-37 в расчётной точке ночью, дБ		**ф-ла(3)[10]**	**0**	**34,3**	**27,3**	**25,1**	**26,3**	**28,8**	**23,4**	**9,7**	**0**	**31,2**	**31,2**
Расчёт отражённого звука													
Уровни звукового давления от мнимого источника ИШ-2-37_мн.(1) в расчётной точке днём, дБ		**ф-ла(3)[10]**	**0**	**0**	**0**	**0**	**0**	**0**	**16,1**	**0**	**0**	**17,3**	**17,3**
Уровни звукового давления от мнимого источника ИШ-2-37_мн.(1) в расчётной точке ночью, дБ		**ф-ла(3)[10]**	**0**	**0**	**0**	**0**	**0**	**0**	**0**	**0**	**0**	**17,3**	**17,3**
Уровни звукового давления от источника ИШ-2-37 в расчётной точке днём, дБ		**ф-ла(3)[10]**	**0**	**34,3**	**27,3**	**25,1**	**26,3**	**28,8**	**24,1**	**9,7**	**0**	**31,4**	**31,4**
Уровни звукового давления от источника ИШ-2-37 в расчётной точке ночью, дБ		**ф-ла(3)[10]**	**0**	**34,3**	**27,3**	**25,1**	**26,3**	**28,8**	**24,1**	**9,7**	**0**	**31,4**	**31,4**

1		2	3	4	5	6	7	8	9	10	11	12	13
Источник шума: ИШ-2-5, координаты источника (x,y,z), м =[618.60,-108.00,3.00]													
Уровни звуковой мощности источника днём, Lw, дБ		**исходные данные**	**105**	**104**	**104**	**101**	**102**	**106**	**101**	**95**	**87**		
Уровни звуковой мощности источника ночью, Lw, дБ		**исходные данные**	**105**	**104**	**104**	**101**	**102**	**106**	**101**	**95**	**87**		
Поправка на телесный угол DΩ, дБ	Ω = 6.28	10Lg(4π/Ω)	**3**	3	3	3	3	3	3	3	3		
Показатель направленности источника Di, дБ		исходные данные	**0**	0	0	0	0	0	0	0	0		
Поправка на направленность источника Dc, дБ	Dc	DΩ + Di	**3**	3	3	3	3	3	3	3	3		
Затухание из-за геометрической дивергенции, Adiv, дБ	расстояние = 750.31 м	ф-ла (7) [10]	**68,5**										
Коэффициент затухания звука в атмосфере α, дБ/км	Ta=20,°C Pa=101.33,кПа hотн.=70%	ф-ла (5) [9]	0,02	0,09	0,33	1,12	2,79	4,98	9,04	23,09	77,63		
Учет затухания звука в атмосфере Aatm, дБ		ф-ла (8) [10]	0	0,1	0,3	0,8	2,1	3,7	6,8	17,3	58,2		
Снижение поверхностью земли возле источника As, дБ	Gs = 0 hs = 3м	ф-лы таб.3 [10]	-1,5	-1,5	-1,5	-1,5	-1,5	-1,5	-1,5	-1,5	-1,5		
Снижение поверхностью земли возле приёмника Ar, дБ	Gr = 1 hr = 1.5м	ф-лы таб.3 [10]	-1,5	-1,5	4,4	7	5	0,7	0	0	0		
Снижение поверхностью земли в средней зоне, Am дБ	Gm = 1	ф-лы таб.3 [10]	-2,5	-2,5	0	0	0	0	0	0	0		
Суммарное снижение поверхностью земли на траектории распространения звука Agr, дБ		ф-ла (9) [10]	-5,5	-5,5	2,9	5,5	3,5	-0,8	-1,5	-1,5	-1,5		
Уровни звукового давления прямого звука от источника ИШ-2-5 в расчётной точке днём, дБ		**ф-ла(3)[10]**	**45**	**43,9**	**35,4**	**29,1**	**30,9**	**37,6**	**30,2**	**13,7**	**0**	**39,1**	**39,1**
Уровни звукового давления прямого звука от источника ИШ-2-5 в расчётной точке ночью, дБ		**ф-ла(3)[10]**	**45**	**43,9**	**35,4**	**29,1**	**30,9**	**37,6**	**30,2**	**13,7**	**0**	**39,1**	**39,1**
Расчёт отражённого звука													

1		2	3	4	5	6	7	8	9	10	11	12	13
Уровни звукового давления от мнимого источника ИШ-2-5_мн.(1) в расчётной точке днём, дБ		**ф-ла(3)[10]**	**0**	**0**	**0**	**0**	**0**	**0**	**12,2**	**0**	**0**	**13,4**	**13,4**
Уровни звукового давления от мнимого источника ИШ-2-5_мн.(1) в расчётной точке ночью, дБ		**ф-ла(3)[10]**	**0**	**0**	**0**	**0**	**0**	**0**	**0**	**0**	**0**	**13,4**	**13,4**
Уровни звукового давления от источника ИШ-2-5 в расчётной точке днём, дБ		**ф-ла(3)[10]**	**45**	**43,9**	**35,4**	**29,1**	**30,9**	**37,6**	**30,3**	**13,7**	**0**	**39,1**	**39,1**
Уровни звукового давления от источника ИШ-2-5 в расчётной точке ночью, дБ		**ф-ла(3)[10]**	**45**	**43,9**	**35,4**	**29,1**	**30,9**	**37,6**	**30,3**	**13,7**	**0**	**39,1**	**39,1**
Источник шума: ИШ-2-38, координаты источника (x,y,z), м =[688.13,-119.94,1.00]													
Уровни звуковой мощности источника днём, Lw, дБ		**исходные данные**	**0**	**93,3**	**94,7**	**96**	**96,3**	**95,9**	**92,6**	**88,4**	**83,9**		
Уровни звуковой мощности источника ночью, Lw, дБ		**исходные данные**	**0**	**93,3**	**94,7**	**96**	**96,3**	**95,9**	**92,6**	**88,4**	**83,9**		
Поправка на телесный угол DΩ, дБ	Ω = 6.28	10Lg(4π/Ω)	**3**	3	3	3	3	3	3	3	3		
Показатель направленности источника Di, дБ		исходные данные	**0**	0	0	0	0	0	0	0	0		
Поправка на направленность источника Dc, дБ	Dc	DΩ + Di	**3**	3	3	3	3	3	3	3	3		
Затухание из-за геометрической дивергенции, Adiv, дБ	расстояние = 679.76 м	ф-ла (7) [10]	**67,6**										
Коэффициент затухания звука в атмосфере α, дБ/км	Ta=20,°C Pa=101.33,кПа hотн.=70%	ф-ла (5) [9]	0,02	0,09	0,33	1,12	2,79	4,98	9,04	23,09	77,63		
Учет затухания звука в атмосфере Aatm, дБ		ф-ла (8) [10]	0	0,1	0,2	0,8	1,9	3,4	6,1	15,7	52,8		
Снижение поверхностью земли возле источника As, дБ	Gs = 0 hs = 1м	ф-лы таб.3 [10]	-1,5	-1,5	-1,5	-1,5	-1,5	-1,5	-1,5	-1,5	-1,5		
Снижение поверхностью земли возле приёмника Ar, дБ	Gr = 1 hr = 1.5м	ф-лы таб.3 [10]	-1,5	-1,5	4,1	7	5	0,7	0	0	0		
Снижение поверхностью земли в средней зоне, Am дБ	Gm = 1	ф-лы таб.3 [10]	-2,7	-2,7	0	0	0	0	0	0	0		

1	2	3	4	5	6	7	8	9	10	11	12	13
Суммарное снижение поверхностью земли на траектории распространения звука Agr, дБ	ф-ла (9) [10]	-5,7	-5,7	2,6	5,5	3,5	-0,8	-1,5	-1,5	-1,5		
Уровни звукового давления прямого звука от источника ИШ-2-38 в расчётной точке днём, дБ	**ф-ла(3)[10]**	**0**	**34,3**	**27,2**	**25,1**	**26,3**	**28,7**	**23,3**	**9,6**	**0**	**31,1**	**31,1**
Уровни звукового давления прямого звука от источника ИШ-2-38 в расчётной точке ночью, дБ	**ф-ла(3)[10]**	**0**	**34,3**	**27,2**	**25,1**	**26,3**	**28,7**	**23,3**	**9,6**	**0**	**31,1**	**31,1**
Расчёт отражённого звука												
Уровни звукового давления от мнимого источника ИШ-2-38_мн.(1) в расчётной точке днём, дБ	**ф-ла(3)[10]**	**0**	**0**	**0**	**0**	**0**	**0**	**2,7**	**0**	**0**	**3,9**	**3,9**
Уровни звукового давления от мнимого источника ИШ-2-38_мн.(1) в расчётной точке ночью, дБ	**ф-ла(3)[10]**	**0**	**0**	**0**	**0**	**0**	**0**	**0**	**0**	**0**	**3,9**	**3,9**
Уровни звукового давления от мнимого источника ИШ-2-38_мн.(2) в расчётной точке днём, дБ	**ф-ла(3)[10]**	**0**	**0**	**0**	**0**	**0**	**0**	**16,1**	**0**	**0**	**17,3**	**17,3**
Уровни звукового давления от мнимого источника ИШ-2-38_мн.(2) в расчётной точке ночью, дБ	**ф-ла(3)[10]**	**0**	**0**	**0**	**0**	**0**	**0**	**0**	**0**	**0**	**17,3**	**17,3**
Уровни звукового давления от мнимого источника ИШ-2-38_мн.(3) в расчётной точке днём, дБ	**ф-ла(3)[10]**	**0**	**0**	**0**	**0**	**0**	**0**	**0**	**0**	**0**	**0**	**0**
Уровни звукового давления от мнимого источника ИШ-2-38_мн.(3) в расчётной точке ночью, дБ	**ф-ла(3)[10]**	**0**	**0**	**0**	**0**	**0**	**0**	**0**	**0**	**0**	**0**	**0**
Суммарные уровни звукового давления от мнимых источников в расчётной точке днём, дБ	**ф-ла (19) [1]**	**0**	**0**	**0**	**0**	**0**	**0**	**16,3**	**0**	**0**	**0**	**17,5**
Суммарные уровни звукового давления от мнимых источников в расчётной точке ночью, дБ	**ф-ла (19) [1]**	**0**	**0**	**0**	**0**	**0**	**0**	**16,3**	**0**	**0**	**0**	**17,5**
Уровни звукового давления от источника ИШ-2-38 в расчётной точке днём, дБ	**ф-ла(3)[10]**	**0**	**34,3**	**27,2**	**25,1**	**26,3**	**28,7**	**24,1**	**9,6**	**0**	**31,3**	**31,3**
Уровни звукового давления от источника ИШ-2-38 в расчётной точке ночью, дБ	**ф-ла(3)[10]**	**0**	**34,3**	**27,2**	**25,1**	**26,3**	**28,7**	**24,1**	**9,6**	**0**	**31,3**	**31,3**
Источник шума: ИШ-2-39, координаты источника (x,y,z), м =[687.11,-122.83,1.00]												
Уровни звуковой мощности источника днём, Lw, дБ	**исходные данные**	**0**	**93,3**	**94,7**	**96**	**96,3**	**95,9**	**92,6**	**88,4**	**83,9**		
Уровни звуковой мощности источника ночью, Lw, дБ	**исходные данные**	**0**	**93,3**	**94,7**	**96**	**96,3**	**95,9**	**92,6**	**88,4**	**83,9**		

1		2	3	4	5	6	7	8	9	10	11	12	13
Поправка на телесный угол DΩ, дБ	Ω = 6.28	10Lg(4π/Ω)	**3**	3	3	3	3	3	3	3	3		
Показатель направленности источника Di, дБ		исходные данные	**0**	0	0	0	0	0	0	0	0		
Поправка на направленность источника Dc, дБ	Dc	DΩ + Di	**3**	3	3	3	3	3	3	3	3		
Затухание из-за геометрической дивергенции, Adiv, дБ	расстояние = 680.26 м	ф-ла (7) [10]	**67,7**										
Коэффициент затухания звука в атмосфере α, дБ/км	Ta=20,°C Pa=101.33,кПа hотн.=70%	ф-ла (5) [9]	0,02	0,09	0,33	1,12	2,79	4,98	9,04	23,09	77,63		
Учет затухания звука в атмосфере Aatm, дБ		ф-ла (8) [10]	0	0,1	0,2	0,8	1,9	3,4	6,1	15,7	52,8		
Снижение поверхностью земли возле источника As, дБ	Gs = 0 hs = 1м	ф-лы таб.3 [10]	-1,5	-1,5	-1,5	-1,5	-1,5	-1,5	-1,5	-1,5	-1,5		
Снижение поверхностью земли возле приёмника Ar, дБ	Gr = 1 hr = 1.5м	ф-лы таб.3 [10]	-1,5	-1,5	4,1	7	5	0,7	0	0	0		
Снижение поверхностью земли в средней зоне, Am дБ	Gm = 1	ф-лы таб.3 [10]	-2,7	-2,7	0	0	0	0	0	0	0		
Суммарное снижение поверхностью земли на траектории распространения звука Agr, дБ		ф-ла (9) [10]	-5,7	-5,7	2,6	5,5	3,5	-0,8	-1,5	-1,5	-1,5		
Уровни звукового давления прямого звука от источника ИШ-2-39 в расчётной точке днём, дБ		**ф-ла(3)[10]**	**0**	**34,2**	**27,2**	**25,1**	**26,3**	**28,7**	**23,3**	**9,5**	**0**	**31,1**	**31,1**
Уровни звукового давления прямого звука от источника ИШ-2-39 в расчётной точке ночью, дБ		**ф-ла(3)[10]**	**0**	**34,2**	**27,2**	**25,1**	**26,3**	**28,7**	**23,3**	**9,5**	**0**	**31,1**	**31,1**
Расчёт отражённого звука													
Уровни звукового давления от мнимого источника ИШ-2-39_мн.(1) в расчётной точке днём, дБ		**ф-ла(3)[10]**	**0**	**0**	**0**	**0**	**0**	**0**	**2,7**	**0**	**0**	**3,9**	**3,9**
Уровни звукового давления от мнимого источника ИШ-2-39_мн.(1) в расчётной точке ночью, дБ		**ф-ла(3)[10]**	**0**	**0**	**0**	**0**	**0**	**0**	**0**	**0**	**0**	**3,9**	**3,9**
Уровни звукового давления от источника ИШ-2-39 в расчётной точке днём, дБ		**ф-ла(3)[10]**	**0**	**34,2**	**27,2**	**25,1**	**26,3**	**28,7**	**23,3**	**9,5**	**0**	**31,1**	**31,1**
Уровни звукового давления от источника ИШ-2-39 в расчётной точке ночью, дБ		**ф-ла(3)[10]**	**0**	**34,2**	**27,2**	**25,1**	**26,3**	**28,7**	**23,3**	**9,5**	**0**	**31,1**	**31,1**

1		2	3	4	5	6	7	8	9	10	11	12	13
Источник шума: ИШ-2-40, координаты источника (x,y,z), м =[686.10,-125.67,1.00]													
Уровни звуковой мощности источника днём, Lw, дБ		**исходные данные**	**0**	**93,3**	**94,7**	**96**	**96,3**	**95,9**	**92,6**	**88,4**	**83,9**		
Уровни звуковой мощности источника ночью, Lw, дБ		**исходные данные**	**0**	**93,3**	**94,7**	**96**	**96,3**	**95,9**	**92,6**	**88,4**	**83,9**		
Поправка на телесный угол DΩ, дБ	Ω = 6.28	10Lg(4π/Ω)	**3**	3	3	3	3	3	3	3	3		
Показатель направленности источника Di, дБ		исходные данные	**0**	0	0	0	0	0	0	0	0		
Поправка на направленность источника Dc, дБ	Dc	DΩ + Di	**3**	3	3	3	3	3	3	3	3		
Затухание из-за геометрической дивергенции, Adiv, дБ	расстояние = 680.77 м	ф-ла (7) [10]	**67,7**										
Коэффициент затухания звука в атмосфере α, дБ/км	Ta=20,°C Pa=101.33,кПа hотн.=70%	ф-ла (5) [9]	0,02	0,09	0,33	1,12	2,79	4,98	9,04	23,09	77,63		
Учет затухания звука в атмосфере Aatm, дБ		ф-ла (8) [10]	0	0,1	0,2	0,8	1,9	3,4	6,2	15,7	52,9		
Снижение поверхностью земли возле источника As, дБ	Gs = 0 hs = 1м	ф-лы таб.3 [10]	-1,5	-1,5	-1,5	-1,5	-1,5	-1,5	-1,5	-1,5	-1,5		
Снижение поверхностью земли возле приёмника Ar, дБ	Gr = 1 hr = 1.5м	ф-лы таб.3 [10]	-1,5	-1,5	4,1	7	5	0,7	0	0	0		
Снижение поверхностью земли в средней зоне, Am дБ	Gm = 1	ф-лы таб.3 [10]	-2,7	-2,7	0	0	0	0	0	0	0		
Суммарное снижение поверхностью земли на траектории распространения звука Agr, дБ		ф-ла (9) [10]	-5,7	-5,7	2,6	5,5	3,5	-0,8	-1,5	-1,5	-1,5		
Уровни звукового давления прямого звука от источника ИШ-2-40 в расчётной точке днём, дБ		**ф-ла(3)[10]**	**0**	**34,2**	**27,2**	**25**	**26,3**	**28,7**	**23,3**	**9,5**	**0**	**31,1**	**31,1**
Уровни звукового давления прямого звука от источника ИШ-2-40 в расчётной точке ночью, дБ		**ф-ла(3)[10]**	**0**	**34,2**	**27,2**	**25**	**26,3**	**28,7**	**23,3**	**9,5**	**0**	**31,1**	**31,1**
Расчёт отражённого звука													

1		2	3	4	5	6	7	8	9	10	11	12	13
Уровни звукового давления от мнимого источника ИШ-2-40_мн.(1) в расчётной точке днём, дБ		**ф-ла(3)[10]**	**0**	**0**	**0**	**0**	**0**	**0**	**2,7**	**0**	**0**	**3,9**	**3,9**
Уровни звукового давления от мнимого источника ИШ-2-40_мн.(1) в расчётной точке ночью, дБ		**ф-ла(3)[10]**	**0**	**0**	**0**	**0**	**0**	**0**	**0**	**0**	**0**	**3,9**	**3,9**
Уровни звукового давления от источника ИШ-2-40 в расчётной точке днём, дБ		**ф-ла(3)[10]**	**0**	**34,2**	**27,2**	**25**	**26,3**	**28,7**	**23,3**	**9,5**	**0**	**31,1**	**31,1**
Уровни звукового давления от источника ИШ-2-40 в расчётной точке ночью, дБ		**ф-ла(3)[10]**	**0**	**34,2**	**27,2**	**25**	**26,3**	**28,7**	**23,3**	**9,5**	**0**	**31,1**	**31,1**
Источник шума: ИШ-2-41, координаты источника (x,y,z), м =[685.14,-128.64,1.00]													
Уровни звуковой мощности источника днём, Lw, дБ		**исходные данные**	**0**	**93,3**	**94,7**	**96**	**96,3**	**95,9**	**92,6**	**88,4**	**83,9**		
Уровни звуковой мощности источника ночью, Lw, дБ		**исходные данные**	**0**	**93,3**	**94,7**	**96**	**96,3**	**95,9**	**92,6**	**88,4**	**83,9**		
Поправка на телесный угол DΩ, дБ	Ω = 6.28	10Lg(4π/Ω)	**3**	3	3	3	3	3	3	3	3		
Показатель направленности источника Di, дБ		исходные данные	**0**	0	0	0	0	0	0	0	0		
Поправка на направленность источника Dc, дБ	Dc	DΩ + Di	**3**	3	3	3	3	3	3	3	3		
Затухание из-за геометрической дивергенции, Adiv, дБ	расстояние = 681.23 м	ф-ла (7) [10]	**67,7**										
Коэффициент затухания звука в атмосфере α, дБ/км	Ta=20,°C Pa=101.33,кПа hотн.=70%	ф-ла (5) [9]	0,02	0,09	0,33	1,12	2,79	4,98	9,04	23,09	77,63		
Учет затухания звука в атмосфере Aatm, дБ		ф-ла (8) [10]	0	0,1	0,2	0,8	1,9	3,4	6,2	15,7	52,9		
Снижение поверхностью земли возле источника As, дБ	Gs = 0 hs = 1м	ф-лы таб.3 [10]	-1,5	-1,5	-1,5	-1,5	-1,5	-1,5	-1,5	-1,5	-1,5		
Снижение поверхностью земли возле приёмника Ar, дБ	Gr = 1 hr = 1.5м	ф-лы таб.3 [10]	-1,5	-1,5	4,1	7	5	0,7	0	0	0		
Снижение поверхностью земли в средней зоне, Am дБ	Gm = 1	ф-лы таб.3 [10]	-2,7	-2,7	0	0	0	0	0	0	0		

1		2	3	4	5	6	7	8	9	10	11	12	13
Суммарное снижение поверхностью земли на траектории распространения звука Agr, дБ		ф-ла (9) [10]	-5,7	-5,7	2,6	5,5	3,5	-0,8	-1,5	-1,5	-1,5		
Уровни звукового давления прямого звука от источника ИШ-2-41 в расчётной точке днём, дБ		**ф-ла(3)[10]**	**0**	**34,2**	**27,2**	**25**	**26,3**	**28,7**	**23,3**	**9,5**	**0**	**31,1**	**31,1**
Уровни звукового давления прямого звука от источника ИШ-2-41 в расчётной точке ночью, дБ		**ф-ла(3)[10]**	**0**	**34,2**	**27,2**	**25**	**26,3**	**28,7**	**23,3**	**9,5**	**0**	**31,1**	**31,1**
Расчёт отражённого звука													
Уровни звукового давления от мнимого источника ИШ-2-41_мн.(1) в расчётной точке днём, дБ		**ф-ла(3)[10]**	**0**	**0**	**0**	**0**	**0**	**0**	**2,7**	**0**	**0**	**3,9**	**3,9**
Уровни звукового давления от мнимого источника ИШ-2-41_мн.(1) в расчётной точке ночью, дБ		**ф-ла(3)[10]**	**0**	**0**	**0**	**0**	**0**	**0**	**0**	**0**	**0**	**3,9**	**3,9**
Уровни звукового давления от источника ИШ-2-41 в расчётной точке днём, дБ		**ф-ла(3)[10]**	**0**	**34,2**	**27,2**	**25**	**26,3**	**28,7**	**23,3**	**9,5**	**0**	**31,1**	**31,1**
Уровни звукового давления от источника ИШ-2-41 в расчётной точке ночью, дБ		**ф-ла(3)[10]**	**0**	**34,2**	**27,2**	**25**	**26,3**	**28,7**	**23,3**	**9,5**	**0**	**31,1**	**31,1**
Источник шума: ИШ-2-42, координаты источника (x,y,z), м =[684.20,-131.46,1.00]													
Уровни звуковой мощности источника днём, Lw, дБ		**исходные данные**	**0**	**93,3**	**94,7**	**96**	**96,3**	**95,9**	**92,6**	**88,4**	**83,9**		
Уровни звуковой мощности источника ночью, Lw, дБ		**исходные данные**	**0**	**93,3**	**94,7**	**96**	**96,3**	**95,9**	**92,6**	**88,4**	**83,9**		
Поправка на телесный угол DΩ, дБ	Ω = 6.28	10Lg(4π/Ω)	**3**	3	3	3	3	3	3	3	3		
Показатель направленности источника Di, дБ		исходные данные	**0**	0	0	0	0	0	0	0	0		
Поправка на направленность источника Dc, дБ	Dc	DΩ + Di	**3**	3	3	3	3	3	3	3	3		
Затухание из-за геометрической дивергенции, Adiv, дБ	расстояние = 681.70 м	ф-ла (7) [10]	**67,7**										
Коэффициент затухания звука в атмосфере α, дБ/км	Ta=20,°C Pa=101.33,кПа hотн.=70%	ф-ла (5) [9]	0,02	0,09	0,33	1,12	2,79	4,98	9,04	23,09	77,63		

1		2	3	4	5	6	7	8	9	10	11	12	13
Учет затухания звука в атмосфере Aatm, дБ		ф-ла (8) [10]	0	0,1	0,2	0,8	1,9	3,4	6,2	15,7	52,9		
Снижение поверхностью земли возле источника As, дБ	Gs = 0 hs = 1м	ф-лы таб.3 [10]	-1,5	-1,5	-1,5	-1,5	-1,5	-1,5	-1,5	-1,5	-1,5		
Снижение поверхностью земли возле приёмника Ar, дБ	Gr = 1 hr = 1.5м	ф-лы таб.3 [10]	-1,5	-1,5	4,1	7	5	0,7	0	0	0		
Снижение поверхностью земли в средней зоне, Am дБ	Gm = 1	ф-лы таб.3 [10]	-2,7	-2,7	0	0	0	0	0	0	0		
Суммарное снижение поверхностью земли на траектории распространения звука Agr, дБ		ф-ла (9) [10]	-5,7	-5,7	2,6	5,5	3,5	-0,8	-1,5	-1,5	-1,5		
Уровни звукового давления прямого звука от источника ИШ-2-42 в расчётной точке днём, дБ		**ф-ла(3)[10]**	**0**	**34,2**	**27,2**	**25**	**26,2**	**28,7**	**23,3**	**9,5**	**0**	**31,1**	**31,1**
Уровни звукового давления прямого звука от источника ИШ-2-42 в расчётной точке ночью, дБ		**ф-ла(3)[10]**	**0**	**34,2**	**27,2**	**25**	**26,2**	**28,7**	**23,3**	**9,5**	**0**	**31,1**	**31,1**
Расчёт отражённого звука													
Уровни звукового давления от мнимого источника ИШ-2-42_мн.(1) в расчётной точке днём, дБ		**ф-ла(3)[10]**	**0**	**0**	**0**	**0**	**0**	**0**	**2,7**	**0**	**0**	**3,9**	**3,9**
Уровни звукового давления от мнимого источника ИШ-2-42_мн.(1) в расчётной точке ночью, дБ		**ф-ла(3)[10]**	**0**	**0**	**0**	**0**	**0**	**0**	**0**	**0**	**0**	**3,9**	**3,9**
Уровни звукового давления от источника ИШ-2-42 в расчётной точке днём, дБ		**ф-ла(3)[10]**	**0**	**34,2**	**27,2**	**25**	**26,2**	**28,7**	**23,3**	**9,5**	**0**	**31,1**	**31,1**
Уровни звукового давления от источника ИШ-2-42 в расчётной точке ночью, дБ		**ф-ла(3)[10]**	**0**	**34,2**	**27,2**	**25**	**26,2**	**28,7**	**23,3**	**9,5**	**0**	**31,1**	**31,1**
Источник шума: ИШ-2-43, координаты источника (x,y,z), м =[683.13,-134.37,1.00]													
Уровни звуковой мощности источника днём, Lw, дБ		**исходные данные**	**0**	**93,3**	**94,7**	**96**	**96,3**	**95,9**	**92,6**	**88,4**	**83,9**		
Уровни звуковой мощности источника ночью, Lw, дБ		**исходные данные**	**0**	**93,3**	**94,7**	**96**	**96,3**	**95,9**	**92,6**	**88,4**	**83,9**		
Поправка на телесный угол DΩ, дБ	Ω = 6.28	10Lg(4π/Ω)	**3**	3	3	3	3	3	3	3	3		
Показатель направленности источника Di, дБ		исходные данные	**0**	0	0	0	0	0	0	0	0		

1		2	3	4	5	6	7	8	9	10	11	12	13
Поправка на направленность источника Dc, дБ	Dc	DΩ + Di	**3**	3	3	3	3	3	3	3	3		
Затухание из-за геометрической дивергенции, Adiv, дБ	расстояние = 682.30 м	ф-ла (7) [10]	**67,7**										
Коэффициент затухания звука в атмосфере α, дБ/км	Ta=20,°C Pa=101.33,кПа hотн.=70%	ф-ла (5) [9]	0,02	0,09	0,33	1,12	2,79	4,98	9,04	23,09	77,63		
Учет затухания звука в атмосфере Aatm, дБ		ф-ла (8) [10]	0	0,1	0,2	0,8	1,9	3,4	6,2	15,8	53		
Снижение поверхностью земли возле источника As, дБ	Gs = 0 hs = 1м	ф-лы таб.3 [10]	-1,5	-1,5	-1,5	-1,5	-1,5	-1,5	-1,5	-1,5	-1,5		
Снижение поверхностью земли возле приёмника Ar, дБ	Gr = 1 hr = 1.5м	ф-лы таб.3 [10]	-1,5	-1,5	4,1	7	5	0,7	0	0	0		
Снижение поверхностью земли в средней зоне, Am дБ	Gm = 1	ф-лы таб.3 [10]	-2,7	-2,7	0	0	0	0	0	0	0		
Суммарное снижение поверхностью земли на траектории распространения звука Agr, дБ		ф-ла (9) [10]	-5,7	-5,7	2,6	5,5	3,5	-0,8	-1,5	-1,5	-1,5		
Уровни звукового давления прямого звука от источника ИШ-2-43 в расчётной точке днём, дБ		**ф-ла(3)[10]**	**0**	**34,2**	**27,2**	**25**	**26,2**	**28,7**	**23,2**	**9,5**	**0**	**31,1**	**31,1**
Уровни звукового давления прямого звука от источника ИШ-2-43 в расчётной точке ночью, дБ		**ф-ла(3)[10]**	**0**	**34,2**	**27,2**	**25**	**26,2**	**28,7**	**23,2**	**9,5**	**0**	**31,1**	**31,1**
Расчёт отражённого звука													
Уровни звукового давления от мнимого источника ИШ-2-43_мн.(1) в расчётной точке днём, дБ		**ф-ла(3)[10]**	**0**	**0**	**0**	**0**	**0**	**0**	**2,7**	**0**	**0**	**3,9**	**3,9**
Уровни звукового давления от мнимого источника ИШ-2-43_мн.(1) в расчётной точке ночью, дБ		**ф-ла(3)[10]**	**0**	**0**	**0**	**0**	**0**	**0**	**0**	**0**	**0**	**3,9**	**3,9**
Уровни звукового давления от источника ИШ-2-43 в расчётной точке днём, дБ		**ф-ла(3)[10]**	**0**	**34,2**	**27,2**	**25**	**26,2**	**28,7**	**23,3**	**9,5**	**0**	**31,1**	**31,1**
Уровни звукового давления от источника ИШ-2-43 в расчётной точке ночью, дБ		**ф-ла(3)[10]**	**0**	**34,2**	**27,2**	**25**	**26,2**	**28,7**	**23,3**	**9,5**	**0**	**31,1**	**31,1**
Источник шума: ИШ-2-44, координаты источника (x,y,z), м =[682.20,-137.16,1.00]													

1		2	3	4	5	6	7	8	9	10	11	12	13
Уровни звуковой мощности источника днём, Lw, дБ		**исходные данные**	**0**	**93,3**	**94,7**	**96**	**96,3**	**95,9**	**92,6**	**88,4**	**83,9**		
Уровни звуковой мощности источника ночью, Lw, дБ		**исходные данные**	**0**	**93,3**	**94,7**	**96**	**96,3**	**95,9**	**92,6**	**88,4**	**83,9**		
Поправка на телесный угол DΩ, дБ	Ω = 6.28	10Lg(4π/Ω)	**3**	3	3	3	3	3	3	3	3		
Показатель направленности источника Di, дБ		исходные данные	**0**	0	0	0	0	0	0	0	0		
Поправка на направленность источника Dc, дБ	Dc	DΩ + Di	**3**	3	3	3	3	3	3	3	3		
Затухание из-за геометрической дивергенции, Adiv, дБ	расстояние = 682.80 м	ф-ла (7) [10]	**67,7**										
Коэффициент затухания звука в атмосфере α, дБ/км	Ta=20,°C Pa=101.33,кПа hотн.=70%	ф-ла (5) [9]	0,02	0,09	0,33	1,12	2,79	4,98	9,04	23,09	77,63		
Учет затухания звука в атмосфере Aatm, дБ		ф-ла (8) [10]	0	0,1	0,2	0,8	1,9	3,4	6,2	15,8	53		
Снижение поверхностью земли возле источника As, дБ	Gs = 0 hs = 1м	ф-лы таб.3 [10]	-1,5	-1,5	-1,5	-1,5	-1,5	-1,5	-1,5	-1,5	-1,5		
Снижение поверхностью земли возле приёмника Ar, дБ	Gr = 1 hr = 1.5м	ф-лы таб.3 [10]	-1,5	-1,5	4,1	7	5	0,7	0	0	0		
Снижение поверхностью земли в средней зоне, Am дБ	Gm = 1	ф-лы таб.3 [10]	-2,7	-2,7	0	0	0	0	0	0	0		
Суммарное снижение поверхностью земли на траектории распространения звука Agr, дБ		ф-ла (9) [10]	-5,7	-5,7	2,6	5,5	3,5	-0,8	-1,5	-1,5	-1,5		
Уровни звукового давления прямого звука от источника ИШ-2-44 в расчётной точке днём, дБ		**ф-ла(3)[10]**	**0**	**34,2**	**27,2**	**25**	**26,2**	**28,6**	**23,2**	**9,4**	**0**	**31,1**	**31,1**
Уровни звукового давления прямого звука от источника ИШ-2-44 в расчётной точке ночью, дБ		**ф-ла(3)[10]**	**0**	**34,2**	**27,2**	**25**	**26,2**	**28,6**	**23,2**	**9,4**	**0**	**31,1**	**31,1**
Расчёт отражённого звука													
Уровни звукового давления от мнимого источника ИШ-2-44_мн.(1) в расчётной точке днём, дБ		**ф-ла(3)[10]**	**0**	**0**	**0**	**0**	**0**	**0**	**2,7**	**0**	**0**	**3,9**	**3,9**
Уровни звукового давления от мнимого источника ИШ-2-44_мн.(1) в расчётной точке ночью, дБ		**ф-ла(3)[10]**	**0**	**0**	**0**	**0**	**0**	**0**	**0**	**0**	**0**	**3,9**	**3,9**

1		2	3	4	5	6	7	8	9	10	11	12	13
Уровни звукового давления от источника ИШ-2-44 в расчётной точке днём, дБ		**ф-ла(3)[10]**	**0**	**34,2**	**27,2**	**25**	**26,2**	**28,6**	**23,3**	**9,4**	**0**	**31,1**	**31,1**
Уровни звукового давления от источника ИШ-2-44 в расчётной точке ночью, дБ		**ф-ла(3)[10]**	**0**	**34,2**	**27,2**	**25**	**26,2**	**28,6**	**23,3**	**9,4**	**0**	**31,1**	**31,1**
Источник шума: ИШ-2-45, координаты источника (x,y,z), м =[681.26,-139.98,1.00]													
Уровни звуковой мощности источника днём, Lw, дБ		**исходные данные**	**0**	**93,3**	**94,7**	**96**	**96,3**	**95,9**	**92,6**	**88,4**	**83,9**		
Уровни звуковой мощности источника ночью, Lw, дБ		**исходные данные**	**0**	**93,3**	**94,7**	**96**	**96,3**	**95,9**	**92,6**	**88,4**	**83,9**		
Поправка на телесный угол DΩ, дБ	Ω = 6.28	10Lg(4π/Ω)	**3**	3	3	3	3	3	3	3	3		
Показатель направленности источника Di, дБ		исходные данные	**0**	0	0	0	0	0	0	0	0		
Поправка на направленность источника Dc, дБ	Dc	DΩ + Di	**3**	3	3	3	3	3	3	3	3		
Затухание из-за геометрической дивергенции, Adiv, дБ	расстояние = 683.31 м	ф-ла (7) [10]	**67,7**										
Коэффициент затухания звука в атмосфере α, дБ/км	Ta=20,°C Pa=101.33,кПа hотн.=70%	ф-ла (5) [9]	0,02	0,09	0,33	1,12	2,79	4,98	9,04	23,09	77,63		
Учет затухания звука в атмосфере Aatm, дБ		ф-ла (8) [10]	0	0,1	0,2	0,8	1,9	3,4	6,2	15,8	53		
Снижение поверхностью земли возле источника As, дБ	Gs = 0 hs = 1м	ф-лы таб.3 [10]	-1,5	-1,5	-1,5	-1,5	-1,5	-1,5	-1,5	-1,5	-1,5		
Снижение поверхностью земли возле приёмника Ar, дБ	Gr = 1 hr = 1.5м	ф-лы таб.3 [10]	-1,5	-1,5	4,1	7	5	0,7	0	0	0		
Снижение поверхностью земли в средней зоне, Am дБ	Gm = 1	ф-лы таб.3 [10]	-2,7	-2,7	0	0	0	0	0	0	0		
Суммарное снижение поверхностью земли на траектории распространения звука Agr, дБ		ф-ла (9) [10]	-5,7	-5,7	2,6	5,5	3,5	-0,8	-1,5	-1,5	-1,5		
Уровни звукового давления прямого звука от источника ИШ-2-45 в расчётной точке днём, дБ		**ф-ла(3)[10]**	**0**	**34,2**	**27,2**	**25**	**26,2**	**28,6**	**23,2**	**9,4**	**0**	**31,1**	**31,1**

1		2	3	4	5	6	7	8	9	10	11	12	13
Уровни звукового давления прямого звука от источника ИШ-2-45 в расчётной точке ночью, дБ		**ф-ла(3)[10]**	**0**	**34,2**	**27,2**	**25**	**26,2**	**28,6**	**23,2**	**9,4**	**0**	**31,1**	**31,1**
Расчёт отражённого звука													
Уровни звукового давления от мнимого источника ИШ-2-45_мн.(1) в расчётной точке днём, дБ		**ф-ла(3)[10]**	**0**	**0**	**0**	**0**	**0**	**0**	**2,7**	**0**	**0**	**3,9**	**3,9**
Уровни звукового давления от мнимого источника ИШ-2-45_мн.(1) в расчётной точке ночью, дБ		**ф-ла(3)[10]**	**0**	**0**	**0**	**0**	**0**	**0**	**0**	**0**	**0**	**3,9**	**3,9**
Уровни звукового давления от источника ИШ-2-45 в расчётной точке днём, дБ		**ф-ла(3)[10]**	**0**	**34,2**	**27,2**	**25**	**26,2**	**28,6**	**23,3**	**9,4**	**0**	**31,1**	**31,1**
Уровни звукового давления от источника ИШ-2-45 в расчётной точке ночью, дБ		**ф-ла(3)[10]**	**0**	**34,2**	**27,2**	**25**	**26,2**	**28,6**	**23,3**	**9,4**	**0**	**31,1**	**31,1**
Источник шума: ИШ-4-1, координаты источника (x,y,z), м =[141.82,201.03,1.00]													
Уровни звуковой мощности источника днём, Lw, дБ		**исходные данные**	**0**	**90,3**	**91,7**	**93**	**93,3**	**92,9**	**89,6**	**85,4**	**80,9**		
Уровни звуковой мощности источника ночью, Lw, дБ		**исходные данные**	**0**	**90,3**	**91,7**	**93**	**93,3**	**92,9**	**89,6**	**85,4**	**80,9**		
Поправка на телесный угол DΩ, дБ	Ω = 6.28	10Lg(4π/Ω)	**3**	3	3	3	3	3	3	3	3		
Показатель направленности источника Di, дБ		исходные данные	**0**	0	0	0	0	0	0	0	0		
Поправка на направленность источника Dc, дБ	Dc	DΩ + Di	**3**	3	3	3	3	3	3	3	3		
Затухание из-за геометрической дивергенции, Adiv, дБ	расстояние = 1292.89 м	ф-ла (7) [10]	**73,2**										
Коэффициент затухания звука в атмосфере α, дБ/км	Ta=20,°C Pa=101.33,кПа hотн.=70%	ф-ла (5) [9]	0,02	0,09	0,33	1,12	2,79	4,98	9,04	23,09	77,63		
Учет затухания звука в атмосфере Aatm, дБ		ф-ла (8) [10]	0	0,1	0,4	1,5	3,6	6,4	11,7	29,8	100,4		
Снижение уровня звукового давления из-за влияния застройки между источником шума и расчетной точкой													

1		2	3	4	5	6	7	8	9	10	11	12	13
Снижение уровня звукового давления на пути над экраном, Dz1, дБ	z = 0.28м (разность путей)	ф-лы (14-18) [10]	4,8	4,8	4,8	4,8	4,8	4,8	4,8	4,8	4,8		
Снижение уровня звукового давления на пути слева от экрана, Dz2, дБ	z = 27.12м (разность путей)	ф-лы (14-18) [10]	24,6	27,8	30,8	33,8	36,8	39,8	42,8	45,8	48,8		
Снижение уровня звукового давления на пути справа от экрана, Dz3, дБ	z = 2.93м (разность путей)	ф-лы (14-18) [10]	15	18,2	21,2	24,2	27,2	30,2	33,2	36,2	39,2		
Общее снижение уровня звука препятствием Dz, дБ		Эн.сумма(-Dzi)	4,3	4,6	4,7	4,7	4,7	4,8	4,8	4,8	4,8		
Уровни звукового давления прямого звука от источника ИШ-4-1 в расчётной точке днём, дБ		**ф-ла(3)[10]**	**0**	**15,4**	**16,4**	**16,6**	**14,7**	**11,5**	**2,9**	**0**	**0**	**15,8**	**15,8**
Уровни звукового давления прямого звука от источника ИШ-4-1 в расчётной точке ночью, дБ		**ф-ла(3)[10]**	**0**	**15,4**	**16,4**	**16,6**	**14,7**	**11,5**	**2,9**	**0**	**0**	**15,8**	**15,8**
Расчёт отражённого звука													
Уровни звукового давления от мнимого источника ИШ-4-1_мн.(1) в расчётной точке днём, дБ		**ф-ла(3)[10]**	**0**	**0**	**15,2**	**15,4**	**13,4**	**10,1**	**1,4**	**0**	**0**	**14,5**	**14,5**
Уровни звукового давления от мнимого источника ИШ-4-1_мн.(1) в расчётной точке ночью, дБ		**ф-ла(3)[10]**	**0**	**0**	**0**	**0**	**0**	**0**	**0**	**0**	**0**	**14,5**	**14,5**
Уровни звукового давления от источника ИШ-4-1 в расчётной точке днём, дБ		**ф-ла(3)[10]**	**0**	**15,4**	**18,8**	**19**	**17,1**	**13,8**	**5,2**	**0**	**0**	**18,2**	**18,2**
Уровни звукового давления от источника ИШ-4-1 в расчётной точке ночью, дБ		**ф-ла(3)[10]**	**0**	**15,4**	**18,8**	**19**	**17,1**	**13,8**	**5,2**	**0**	**0**	**18,2**	**18,2**
Источник шума: ИШ-4-2, координаты источника (x,y,z), м =[133.85,183.21,1.00]													
Уровни звуковой мощности источника днём, Lw, дБ		**исходные данные**	**0**	**90,3**	**91,7**	**93**	**93,3**	**92,9**	**89,6**	**85,4**	**80,9**		
Уровни звуковой мощности источника ночью, Lw, дБ		**исходные данные**	**0**	**90,3**	**91,7**	**93**	**93,3**	**92,9**	**89,6**	**85,4**	**80,9**		
Поправка на телесный угол DΩ, дБ	Ω = 6.28	10Lg(4π/Ω)	**3**	3	3	3	3	3	3	3	3		
Показатель направленности источника Di, дБ		исходные данные	**0**	0	0	0	0	0	0	0	0		
Поправка на направленность источника Dc, дБ	Dc	DΩ + Di	**3**	3	3	3	3	3	3	3	3		

1		2	3	4	5	6	7	8	9	10	11	12	13
Затухание из-за геометрической дивергенции, Adiv, дБ	расстояние = 1294.45 м	ф-ла (7) [10]	**73,2**										
Коэффициент затухания звука в атмосфере α, дБ/км	Та=20,°С Ра=101.33,кПа hотн.=70%	ф-ла (5) [9]	0,02	0,09	0,33	1,12	2,79	4,98	9,04	23,09	77,63		
Учет затухания звука в атмосфере Aatm, дБ		ф-ла (8) [10]	0	0,1	0,4	1,5	3,6	6,4	11,7	29,9	100,5		
Снижение уровня звукового давления из-за влияния застройки между источником шума и расчетной точкой													
Снижение уровня звукового давления на пути над экраном, Dz1, дБ	z = 0.27м (разность путей)	ф-лы (14-18) [10]	4,8	4,8	4,8	4,8	4,8	4,8	4,8	4,8	4,8		
Снижение уровня звукового давления на пути слева от экрана, Dz2, дБ	z = 42.67м (разность путей)	ф-лы (14-18) [10]	26,6	29,7	32,7	35,8	38,8	41,8	44,8	47,8	50,8		
Снижение уровня звукового давления на пути справа от экрана, Dz3, дБ	z = 0.54м (разность путей)	ф-лы (14-18) [10]	9,2	11,7	14,3	17,1	19,9	22,9	25,9	28,9	31,9		
Общее снижение уровня звука препятствием Dz, дБ		Эн.сумма(-Dzi)	3,4	4	4,3	4,5	4,6	4,7	4,8	4,8	4,8		
Уровни звукового давления прямого звука от источника ИШ-4-2 в расчётной точке днём, дБ		**ф-ла(3)[10]**	**0**	**16**	**16,7**	**16,8**	**14,8**	**11,5**	**2,9**	**0**	**0**	**15,9**	**15,9**
Уровни звукового давления прямого звука от источника ИШ-4-2 в расчётной точке ночью, дБ		**ф-ла(3)[10]**	**0**	**16**	**16,7**	**16,8**	**14,8**	**11,5**	**2,9**	**0**	**0**	**15,9**	**15,9**
Расчёт отражённого звука													
Уровни звукового давления от мнимого источника ИШ-4-2_мн.(1) в расчётной точке днём, дБ		**ф-ла(3)[10]**	**0**	**0**	**15,6**	**15,6**	**13,6**	**10,2**	**1,5**	**0**	**0**	**14,6**	**14,6**
Уровни звукового давления от мнимого источника ИШ-4-2_мн.(1) в расчётной точке ночью, дБ		**ф-ла(3)[10]**	**0**	**0**	**0**	**0**	**0**	**0**	**0**	**0**	**0**	**14,6**	**14,6**
Уровни звукового давления от источника ИШ-4-2 в расчётной точке днём, дБ		**ф-ла(3)[10]**	**0**	**16**	**19,2**	**19,2**	**17,2**	**13,9**	**5,2**	**0**	**0**	**18,3**	**18,3**
Уровни звукового давления от источника ИШ-4-2 в расчётной точке ночью, дБ		**ф-ла(3)[10]**	**0**	**16**	**19,2**	**19,2**	**17,2**	**13,9**	**5,2**	**0**	**0**	**18,3**	**18,3**
Источник шума: ИШ-4-3, координаты источника (x,y,z), м =[152.61,172.66,1.00]													

1		2	3	4	5	6	7	8	9	10	11	12	13
Уровни звуковой мощности источника днём, Lw, дБ		**исходные данные**	**0**	**90,3**	**91,7**	**93**	**93,3**	**92,9**	**89,6**	**85,4**	**80,9**		
Уровни звуковой мощности источника ночью, Lw, дБ		**исходные данные**	**0**	**90,3**	**91,7**	**93**	**93,3**	**92,9**	**89,6**	**85,4**	**80,9**		
Поправка на телесный угол DΩ, дБ	Ω = 6.28	10Lg(4π/Ω)	**3**	3	3	3	3	3	3	3	3		
Показатель направленности источника Di, дБ		исходные данные	**0**	0	0	0	0	0	0	0	0		
Поправка на направленность источника Dc, дБ	Dc	DΩ + Di	**3**	3	3	3	3	3	3	3	3		
Затухание из-за геометрической дивергенции, Adiv, дБ	расстояние = 1273.28 м	ф-ла (7) [10]	**73,1**										
Коэффициент затухания звука в атмосфере α, дБ/км	Та=20,°С Ра=101.33,кПа hотн.=70%	ф-ла (5) [9]	0,02	0,09	0,33	1,12	2,79	4,98	9,04	23,09	77,63		
Учет затухания звука в атмосфере Aatm, дБ		ф-ла (8) [10]	0	0,1	0,4	1,4	3,6	6,3	11,5	29,4	98,8		
Снижение уровня звукового давления из-за влияния застройки между источником шума и расчетной точкой													
Снижение уровня звукового давления на пути над экраном, Dz1, дБ	z = 0.31м (разность путей)	ф-лы (14-18) [10]	4,8	4,8	4,8	4,8	4,8	4,8	4,8	4,9	5		
Снижение уровня звукового давления на пути слева от экрана, Dz2, дБ	z = 58.83м (разность путей)	ф-лы (14-18) [10]	27,6	31	34,1	37,1	40,2	43,2	46,2	49,2	52,2		
Снижение уровня звукового давления на пути справа от экрана, Dz3, дБ	z = 0.33м (разность путей)	ф-лы (14-18) [10]	7,9	10	12,4	15	17,8	20,7	23,7	26,7	29,7		
Общее снижение уровня звука препятствием Dz, дБ		Эн.сумма(-Dzi)	3	3,6	4,1	4,4	4,6	4,7	4,8	4,9	5		
Уровни звукового давления от источника ИШ-4-3 в расчётной точке днём, дБ		**ф-ла(3)[10]**	**0**	**16,5**	**17,1**	**17,1**	**15,1**	**11,8**	**3,2**	**0**	**0**	**16,2**	**16,2**
Уровни звукового давления от источника ИШ-4-3 в расчётной точке ночью, дБ		**ф-ла(3)[10]**	**0**	**16,5**	**17,1**	**17,1**	**15,1**	**11,8**	**3,2**	**0**	**0**	**16,2**	**16,2**
Источник шума: ИШ-4-4, координаты источника (x,y,z), м =[156.83,171.25,1.00]													

1		2	3	4	5	6	7	8	9	10	11	12	13
Уровни звуковой мощности источника днём, Lw, дБ		**исходные данные**	**0**	**90,3**	**91,7**	**93**	**93,3**	**92,9**	**89,6**	**85,4**	**80,9**		
Уровни звуковой мощности источника ночью, Lw, дБ		**исходные данные**	**0**	**90,3**	**91,7**	**93**	**93,3**	**92,9**	**89,6**	**85,4**	**80,9**		
Поправка на телесный угол DΩ, дБ	Ω = 6.28	10Lg(4π/Ω)	**3**	3	3	3	3	3	3	3	3		
Показатель направленности источника Di, дБ		исходные данные	**0**	0	0	0	0	0	0	0	0		
Поправка на направленность источника Dc, дБ	Dc	DΩ + Di	**3**	3	3	3	3	3	3	3	3		
Затухание из-за геометрической дивергенции, Adiv, дБ	расстояние = 1268.84 м	ф-ла (7) [10]	**73,1**										
Коэффициент затухания звука в атмосфере α, дБ/км	Ta=20,°C Pa=101.33,кПа hотн.=70%	ф-ла (5) [9]	0,02	0,09	0,33	1,12	2,79	4,98	9,04	23,09	77,63		
Учет затухания звука в атмосфере Aatm, дБ		ф-ла (8) [10]	0	0,1	0,4	1,4	3,5	6,3	11,5	29,3	98,5		
Снижение уровня звукового давления из-за влияния застройки между источником шума и расчетной точкой													
Снижение уровня звукового давления на пути над экраном, Dz1, дБ	z = 0.31м (разность путей)	ф-лы (14-18) [10]	4,8	4,8	4,8	4,8	4,8	4,8	4,9	4,9	5,1		
Снижение уровня звукового давления на пути слева от экрана, Dz2, дБ	z = 59.94м (разность путей)	ф-лы (14-18) [10]	27,7	31,1	34,2	37,2	40,2	43,3	46,3	49,3	52,3		
Снижение уровня звукового давления на пути справа от экрана, Dz3, дБ	z = 0.34м (разность путей)	ф-лы (14-18) [10]	8	10,1	12,5	15,2	18	20,9	23,8	26,8	29,8		
Общее снижение уровня звука препятствием Dz, дБ		Эн.сумма(-Dzi)	3,1	3,7	4,1	4,4	4,6	4,7	4,8	4,9	5,1		
Уровни звукового давления от источника ИШ-4-4 в расчётной точке днём, дБ		**ф-ла(3)[10]**	**0**	**16,5**	**17,1**	**17,1**	**15,1**	**11,8**	**3,3**	**0**	**0**	**16,2**	**16,2**
Уровни звукового давления от источника ИШ-4-4 в расчётной точке ночью, дБ		**ф-ла(3)[10]**	**0**	**16,5**	**17,1**	**17,1**	**15,1**	**11,8**	**3,3**	**0**	**0**	**16,2**	**16,2**

Источник шума: ИШ-4-5, координаты источника (x,y,z), м =[126.48,222.66,11.00]

1		2	3	4	5	6	7	8	9	10	11	12	13
Уровни звуковой мощности источника днём, Lw, дБ		**исходные данные**	**0**	**90,3**	**91,7**	**93**	**93,3**	**92,9**	**89,6**	**85,4**	**80,9**		
Уровни звуковой мощности источника ночью, Lw, дБ		**исходные данные**	**0**	**90,3**	**91,7**	**93**	**93,3**	**92,9**	**89,6**	**85,4**	**80,9**		
Поправка на телесный угол DΩ, дБ	Ω = 6.28	10Lg(4π/Ω)	**3**	3	3	3	3	3	3	3	3		
Показатель направленности источника Di, дБ		исходные данные	**0**	0	0	0	0	0	0	0	0		
Поправка на направленность источника Dc, дБ	Dc	DΩ + Di	**3**	3	3	3	3	3	3	3	3		
Затухание из-за геометрической дивергенции, Adiv, дБ	расстояние = 1314.81 м	ф-ла (7) [10]	**73,4**										
Коэффициент затухания звука в атмосфере α, дБ/км	Ta=20,°C Pa=101.33,кПа hотн.=70%	ф-ла (5) [9]	0,02	0,09	0,33	1,12	2,79	4,98	9,04	23,09	77,63		
Учет затухания звука в атмосфере Aatm, дБ		ф-ла (8) [10]	0	0,1	0,4	1,5	3,7	6,5	11,9	30,4	102,1		
Снижение уровня звукового давления из-за влияния застройки между источником шума и расчетной точкой													
Снижение уровня звукового давления на пути над экраном, Dz1, дБ	z = 0.01м (разность путей)	ф-лы (14-18) [10]	4,8	4,8	4,8	4,8	4,8	4,8	4,8	4,8	4,8		
Снижение уровня звукового давления на пути слева от экрана, Dz2, дБ	z = 29.82м (разность путей)	ф-лы (14-18) [10]	24,7	28,1	31,2	34,2	37,2	40,2	43,2	46,2	49,3		
Снижение уровня звукового давления на пути справа от экрана, Dz3, дБ	z = 5.41м (разность путей)	ф-лы (14-18) [10]	17,5	20,8	23,8	26,8	29,8	32,8	35,8	38,8	41,8		
Общее снижение уровня звука препятствием Dz, дБ		Эн.сумма(-Dzi)	4,5	4,6	4,7	4,7	4,8	4,8	4,8	4,8	4,8		
Уровни звукового давления от источника ИШ-4-5 в расчётной точке днём, дБ		**ф-ла(3)[10]**	**0**	**15,2**	**16,2**	**16,4**	**14,5**	**11,2**	**2,6**	**0**	**0**	**15,6**	**15,6**
Уровни звукового давления от источника ИШ-4-5 в расчётной точке ночью, дБ		**ф-ла(3)[10]**	**0**	**15,2**	**16,2**	**16,4**	**14,5**	**11,2**	**2,6**	**0**	**0**	**15,6**	**15,6**

Источник шума: ИШ-4-6, координаты источника (x,y,z), м =[125.17,218.57,11.00]

1		2	3	4	5	6	7	8	9	10	11	12	13
Уровни звуковой мощности источника днём, Lw, дБ		**исходные данные**	**0**	**90,3**	**91,7**	**93**	**93,3**	**92,9**	**89,6**	**85,4**	**80,9**		
Уровни звуковой мощности источника ночью, Lw, дБ		**исходные данные**	**0**	**90,3**	**91,7**	**93**	**93,3**	**92,9**	**89,6**	**85,4**	**80,9**		
Поправка на телесный угол DΩ, дБ	Ω = 6.28	10Lg(4π/Ω)	**3**	3	3	3	3	3	3	3	3		
Показатель направленности источника Di, дБ		исходные данные	**0**	0	0	0	0	0	0	0	0		
Поправка на направленность источника Dc, дБ	Dc	DΩ + Di	**3**	3	3	3	3	3	3	3	3		
Затухание из-за геометрической дивергенции, Adiv, дБ	расстояние = 1314.60 м	ф-ла (7) [10]	**73,4**										
Коэффициент затухания звука в атмосфере α, дБ/км	Та=20,°С Ра=101.33,кПа hотн.=70%	ф-ла (5) [9]	0,02	0,09	0,33	1,12	2,79	4,98	9,04	23,09	77,63		
Учет затухания звука в атмосфере Aatm, дБ		ф-ла (8) [10]	0	0,1	0,4	1,5	3,7	6,5	11,9	30,3	102,1		
Снижение уровня звукового давления из-за влияния застройки между источником шума и расчетной точкой													
Снижение уровня звукового давления на пути над экраном, Dz1, дБ	z = 0.01м (разность путей)	ф-лы (14-18) [10]	4,8	4,8	4,8	4,8	4,8	4,8	4,8	4,8	4,8		
Снижение уровня звукового давления на пути слева от экрана, Dz2, дБ	z = 31.88м (разность путей)	ф-лы (14-18) [10]	25	28,4	31,5	34,5	37,5	40,5	43,5	46,5	49,5		
Снижение уровня звукового давления на пути справа от экрана, Dz3, дБ	z = 4.53м (разность путей)	ф-лы (14-18) [10]	16,8	20	23	26	29	32	35,1	38,1	41,1		
Общее снижение уровня звука препятствием Dz, дБ		Эн.сумма(-Dzi)	4,5	4,6	4,7	4,7	4,8	4,8	4,8	4,8	4,8		
Уровни звукового давления от источника ИШ-4-6 в расчётной точке днём, дБ		**ф-ла(3)[10]**	**0**	**15,2**	**16,2**	**16,4**	**14,5**	**11,2**	**2,6**	**0**	**0**	**15,6**	**15,6**
Уровни звукового давления от источника ИШ-4-6 в расчётной точке ночью, дБ		**ф-ла(3)[10]**	**0**	**15,2**	**16,2**	**16,4**	**14,5**	**11,2**	**2,6**	**0**	**0**	**15,6**	**15,6**
Источник шума: ИШ-4-7, координаты источника (x,y,z), м =[177.91,257.92,11.00]													

1		2	3	4	5	6	7	8	9	10	11	12	13
Уровни звуковой мощности источника днём, Lw, дБ		**исходные данные**	**0**	**90,3**	**91,7**	**93**	**93,3**	**92,9**	**89,6**	**85,4**	**80,9**		
Уровни звуковой мощности источника ночью, Lw, дБ		**исходные данные**	**0**	**90,3**	**91,7**	**93**	**93,3**	**92,9**	**89,6**	**85,4**	**80,9**		
Поправка на телесный угол DΩ, дБ	Ω = 6.28	10Lg(4π/Ω)	**3**	3	3	3	3	3	3	3	3		
Показатель направленности источника Di, дБ		исходные данные	**0**	0	0	0	0	0	0	0	0		
Поправка на направленность источника Dc, дБ	Dc	DΩ + Di	**3**	3	3	3	3	3	3	3	3		
Затухание из-за геометрической дивергенции, Adiv, дБ	расстояние = 1280.10 м	ф-ла (7) [10]	**73,1**										
Коэффициент затухания звука в атмосфере α, дБ/км	Ta=20,°C Pa=101.33,кПа hотн.=70%	ф-ла (5) [9]	0,02	0,09	0,33	1,12	2,79	4,98	9,04	23,09	77,63		
Учет затухания звука в атмосфере Aatm, дБ		ф-ла (8) [10]	0	0,1	0,4	1,4	3,6	6,4	11,6	29,6	99,4		
Снижение уровня звукового давления из-за влияния застройки между источником шума и расчетной точкой													
Снижение уровня звукового давления на пути над экраном, Dz1, дБ	z = 0.01м (разность путей)	ф-лы (14-18) [10]	4,8	4,8	4,8	4,8	4,8	4,8	4,8	4,8	4,8		
Снижение уровня звукового давления на пути слева от экрана, Dz2, дБ	z = 11.60м (разность путей)	ф-лы (14-18) [10]	20,7	24	27,1	30,1	33,1	36,1	39,1	42,1	45,2		
Снижение уровня звукового давления на пути справа от экрана, Dz3, дБ	z = 25.44м (разность путей)	ф-лы (14-18) [10]	24	27,4	30,5	33,5	36,5	39,5	42,5	45,6	48,6		
Общее снижение уровня звука препятствием Dz, дБ		Эн.сумма(-Dzi)	4,6	4,7	4,7	4,8	4,8	4,8	4,8	4,8	4,8		
Уровни звукового давления от источника ИШ-4-7 в расчётной точке днём, дБ		**ф-ла(3)[10]**	**0**	**15,3**	**16,4**	**16,7**	**14,8**	**11,6**	**3,1**	**0**	**0**	**15,9**	**15,9**
Уровни звукового давления от источника ИШ-4-7 в расчётной точке ночью, дБ		**ф-ла(3)[10]**	**0**	**15,3**	**16,4**	**16,7**	**14,8**	**11,6**	**3,1**	**0**	**0**	**15,9**	**15,9**
Источник шума: ИШ-4-8, координаты источника (x,y,z), м =[178.24,257.77,13.00]													

1		2	3	4	5	6	7	8	9	10	11	12	13
Уровни звуковой мощности источника днём, Lw, дБ		**исходные данные**	**0**	**90,3**	**91,7**	**93**	**93,3**	**92,9**	**89,6**	**85,4**	**80,9**		
Уровни звуковой мощности источника ночью, Lw, дБ		**исходные данные**	**0**	**90,3**	**91,7**	**93**	**93,3**	**92,9**	**89,6**	**85,4**	**80,9**		
Поправка на телесный угол DΩ, дБ	Ω = 6.28	10Lg(4π/Ω)	**3**	3	3	3	3	3	3	3	3		
Показатель направленности источника Di, дБ		исходные данные	**0**	0	0	0	0	0	0	0	0		
Поправка на направленность источника Dc, дБ	Dc	DΩ + Di	**3**	3	3	3	3	3	3	3	3		
Затухание из-за геометрической дивергенции, Adiv, дБ	расстояние = 1279.74 м	ф-ла (7) [10]	**73,1**										
Коэффициент затухания звука в атмосфере α, дБ/км	Ta=20,°C Pa=101.33,кПа hотн.=70%	ф-ла (5) [9]	0,02	0,09	0,33	1,12	2,79	4,98	9,04	23,09	77,63		
Учет затухания звука в атмосфере Aatm, дБ		ф-ла (8) [10]	0	0,1	0,4	1,4	3,6	6,4	11,6	29,5	99,4		
Снижение уровня звукового давления из-за влияния застройки между источником шума и расчетной точкой													
Снижение уровня звукового давления на пути над экраном, Dz1, дБ	z = 0.00м (разность путей)	ф-лы (14-18) [10]	4,8	4,8	4,8	4,8	4,8	4,8	4,8	4,8	4,8		
Снижение уровня звукового давления на пути слева от экрана, Dz2, дБ	z = 7.06м (разность путей)	ф-лы (14-18) [10]	14,9	18,3	22,5	26,9	30,6	33,9	37	40	43		
Снижение уровня звукового давления на пути справа от экрана, Dz3, дБ	z = 10.67м (разность путей)	ф-лы (14-18) [10]	16,6	20,1	24,4	28,8	32,5	35,7	38,8	41,8	44,8		
Общее снижение уровня звука препятствием Dz, дБ		Эн.сумма(-Dzi)	4,1	4,5	4,7	4,7	4,8	4,8	4,8	4,8	4,8		
Уровни звукового давления от источника ИШ-4-8 в расчётной точке днём, дБ		**ф-ла(3)[10]**	**0**	**15,6**	**16,5**	**16,7**	**14,8**	**11,6**	**3,1**	**0**	**0**	**16**	**16**
Уровни звукового давления от источника ИШ-4-8 в расчётной точке ночью, дБ		**ф-ла(3)[10]**	**0**	**15,6**	**16,5**	**16,7**	**14,8**	**11,6**	**3,1**	**0**	**0**	**16**	**16**

Источник шума: ИШ-4-9, координаты источника (x,y,z), м =[178.68,257.63,15.50]

1		2	3	4	5	6	7	8	9	10	11	12	13
Уровни звуковой мощности источника днём, Lw, дБ		**исходные данные**	**0**	**90,3**	**91,7**	**93**	**93,3**	**92,9**	**89,6**	**85,4**	**80,9**		
Уровни звуковой мощности источника ночью, Lw, дБ		**исходные данные**	**0**	**90,3**	**91,7**	**93**	**93,3**	**92,9**	**89,6**	**85,4**	**80,9**		
Поправка на телесный угол DΩ, дБ	Ω = 6.28	10Lg(4π/Ω)	**3**	3	3	3	3	3	3	3	3		
Показатель направленности источника Di, дБ		исходные данные	**0**	0	0	0	0	0	0	0	0		
Поправка на направленность источника Dc, дБ	Dc	DΩ + Di	**3**	3	3	3	3	3	3	3	3		
Затухание из-за геометрической дивергенции, Adiv, дБ	расстояние = 1279.31 м	ф-ла (7) [10]	**73,1**										
Коэффициент затухания звука в атмосфере α, дБ/км	Ta=20,°C Pa=101.33,кПа hотн.=70%	ф-ла (5) [9]	0,02	0,09	0,33	1,12	2,79	4,98	9,04	23,09	77,63		
Учет затухания звука в атмосфере Aatm, дБ		ф-ла (8) [10]	0	0,1	0,4	1,4	3,6	6,4	11,6	29,5	99,3		
Снижение уровня звукового давления из-за влияния застройки между источником шума и расчетной точкой													
Снижение уровня звукового давления препятствием снизу от трассы ИШ-РТ, Dz4, дБ	z = -0.01м (разность путей)	ф-лы (14-18) [10]	4,7	4,7	4,7	4,5	4,3	3,8	2,5	0	NAN		
* отрицательное значение z означает прохождение траектории вблизи экрана, в этом случае дополнительно производится учёт снижения подстилающей поверхностью (см.ниже)													
Снижение поверхностью земли возле источника As, дБ	Gs = 0 hs = 7.5м	ф-лы таб.3 [10]	-1,5	-1,5	-1,5	-1,5	-1,5	-1,5	-1,5	-1,5	-1,5		
Снижение поверхностью земли возле приёмника Ar, дБ	Gr = 1 hr = 1.5м	ф-лы таб.3 [10]	-1,5	-1,5	5,3	7	5	0,7	0	0	0		
Снижение поверхностью земли в средней зоне, Am дБ	Gm = 1	ф-лы таб.3 [10]	-2,4	-2,4	0	0	0	0	0	0	0		
Суммарное снижение поверхностью земли на траектории распространения звука Agr, дБ		ф-ла (9) [10]	-5,4	-5,4	3,8	5,5	3,5	-0,8	-1,5	-1,5	-1,5		
Уровни звукового давления от источника ИШ-4-9 в расчётной точке днём, дБ		**ф-ла(3)[10]**	**0**	**20,7**	**12,7**	**11,3**	**11,8**	**13,4**	**6,8**	**0**	**0**	**15,8**	**15,8**
Уровни звукового давления от источника ИШ-4-9 в расчётной точке ночью, дБ		**ф-ла(3)[10]**	**0**	**20,7**	**12,7**	**11,3**	**11,8**	**13,4**	**6,8**	**0**	**0**	**15,8**	**15,8**

1		2	3	4	5	6	7	8	9	10	11	12	13
Источник шума: ИШ-4-10, координаты источника (x,y,z), м =[185.65,255.31,11.00]													
Уровни звуковой мощности источника днём, Lw, дБ		**исходные данные**	**0**	**90,3**	**91,7**	**93**	**93,3**	**92,9**	**89,6**	**85,4**	**80,9**		
Уровни звуковой мощности источника ночью, Lw, дБ		**исходные данные**	**0**	**90,3**	**91,7**	**93**	**93,3**	**92,9**	**89,6**	**85,4**	**80,9**		
Поправка на телесный угол DΩ, дБ	Ω = 6.28	10Lg(4π/Ω)	**3**	3	3	3	3	3	3	3	3		
Показатель направленности источника Di, дБ		исходные данные	**0**	0	0	0	0	0	0	0	0		
Поправка на направленность источника Dc, дБ	Dc	DΩ + Di	**3**	3	3	3	3	3	3	3	3		
Затухание из-за геометрической дивергенции, Adiv, дБ	расстояние = 1271.95 м	ф-ла (7) [10]	**73,1**										
Коэффициент затухания звука в атмосфере α, дБ/км	Ta=20,°C Pa=101.33,кПа hотн.=70%	ф-ла (5) [9]	0,02	0,09	0,33	1,12	2,79	4,98	9,04	23,09	77,63		
Учет затухания звука в атмосфере Aatm, дБ		ф-ла (8) [10]	0	0,1	0,4	1,4	3,6	6,3	11,5	29,4	98,7		
Снижение уровня звукового давления из-за влияния застройки между источником шума и расчетной точкой													
Снижение уровня звукового давления на пути над экраном, Dz1, дБ	z = 0.01м (разность путей)	ф-лы (14-18) [10]	4,8	4,8	4,8	4,8	4,8	4,8	4,8	4,8	4,8		
Снижение уровня звукового давления на пути слева от экрана, Dz2, дБ	z = 11.90м (разность путей)	ф-лы (14-18) [10]	20,8	24,1	27,2	30,2	33,2	36,2	39,2	42,3	45,3		
Снижение уровня звукового давления на пути справа от экрана, Dz3, дБ	z = 26.76м (разность путей)	ф-лы (14-18) [10]	24,2	27,6	30,7	33,7	36,7	39,8	42,8	45,8	48,8		
Общее снижение уровня звука препятствием Dz, дБ		Эн.сумма(-Dzi)	4,6	4,7	4,7	4,8	4,8	4,8	4,8	4,8	4,8		
Уровни звукового давления от источника ИШ-4-10 в расчётной точке днём, дБ		**ф-ла(3)[10]**	**0**	**15,4**	**16,4**	**16,7**	**14,9**	**11,7**	**3,2**	**0**	**0**	**16**	**16**
Уровни звукового давления от источника ИШ-4-10 в расчётной точке ночью, дБ		**ф-ла(3)[10]**	**0**	**15,4**	**16,4**	**16,7**	**14,9**	**11,7**	**3,2**	**0**	**0**	**16**	**16**

1		2	3	4	5	6	7	8	9	10	11	12	13
Источник шума: ИШ-4-11, координаты источника (x,y,z), м =[185.89,255.16,13.00]													
Уровни звуковой мощности источника днём, Lw, дБ		**исходные данные**	**0**	**90,3**	**91,7**	**93**	**93,3**	**92,9**	**89,6**	**85,4**	**80,9**		
Уровни звуковой мощности источника ночью, Lw, дБ		**исходные данные**	**0**	**90,3**	**91,7**	**93**	**93,3**	**92,9**	**89,6**	**85,4**	**80,9**		
Поправка на телесный угол DΩ, дБ	Ω = 6.28	10Lg(4π/Ω)	**3**	3	3	3	3	3	3	3	3		
Показатель направленности источника Di, дБ		исходные данные	**0**	0	0	0	0	0	0	0	0		
Поправка на направленность источника Dc, дБ	Dc	DΩ + Di	**3**	3	3	3	3	3	3	3	3		
Затухание из-за геометрической дивергенции, Adiv, дБ	расстояние = 1271.68 м	ф-ла (7) [10]	**73,1**										
Коэффициент затухания звука в атмосфере α, дБ/км	Ta=20,°C Pa=101.33,кПа hотн.=70%	ф-ла (5) [9]	0,02	0,09	0,33	1,12	2,79	4,98	9,04	23,09	77,63		
Учет затухания звука в атмосфере Aatm, дБ		ф-ла (8) [10]	0	0,1	0,4	1,4	3,5	6,3	11,5	29,4	98,7		
Снижение уровня звукового давления из-за влияния застройки между источником шума и расчетной точкой													
Снижение уровня звукового давления на пути над экраном, Dz1, дБ	z = 0.00м (разность путей)	ф-лы (14-18) [10]	4,8	4,8	4,8	4,8	4,8	4,8	4,8	4,8	4,8		
Снижение уровня звукового давления на пути слева от экрана, Dz2, дБ	z = 7.06м (разность путей)	ф-лы (14-18) [10]	14,7	17,8	21,5	26	30,2	33,8	36,9	40	43		
Снижение уровня звукового давления на пути справа от экрана, Dz3, дБ	z = 10.97м (разность путей)	ф-лы (14-18) [10]	16,7	20,2	24,5	28,9	32,6	35,8	38,9	41,9	44,9		
Общее снижение уровня звука препятствием Dz, дБ		Эн.сумма(-Dzi)	4,1	4,4	4,6	4,7	4,8	4,8	4,8	4,8	4,8		
Уровни звукового давления от источника ИШ-4-11 в расчётной точке днём, дБ		**ф-ла(3)[10]**	**0**	**15,6**	**16,5**	**16,8**	**14,9**	**11,7**	**3,2**	**0**	**0**	**16**	**16**
Уровни звукового давления от источника ИШ-4-11 в расчётной точке ночью, дБ		**ф-ла(3)[10]**	**0**	**15,6**	**16,5**	**16,8**	**14,9**	**11,7**	**3,2**	**0**	**0**	**16**	**16**

1		2	3	4	5	6	7	8	9	10	11	12	13
Источник шума: ИШ-4-12, координаты источника (x,y,z), м =[186.18,255.02,15.50]													
Уровни звуковой мощности источника днём, Lw, дБ		**исходные данные**	**0**	**90,3**	**91,7**	**93**	**93,3**	**92,9**	**89,6**	**85,4**	**80,9**		
Уровни звуковой мощности источника ночью, Lw, дБ		**исходные данные**	**0**	**90,3**	**91,7**	**93**	**93,3**	**92,9**	**89,6**	**85,4**	**80,9**		
Поправка на телесный угол DΩ, дБ	Ω = 6.28	10Lg(4π/Ω)	**3**	3	3	3	3	3	3	3	3		
Показатель направленности источника Di, дБ		исходные данные	**0**	0	0	0	0	0	0	0	0		
Поправка на направленность источника Dc, дБ	Dc	DΩ + Di	**3**	3	3	3	3	3	3	3	3		
Затухание из-за геометрической дивергенции, Adiv, дБ	расстояние = 1271.38 м	ф-ла (7) [10]	**73,1**										
Коэффициент затухания звука в атмосфере α, дБ/км	Ta=20,°C Pa=101.33,кПа hотн.=70%	ф-ла (5) [9]	0,02	0,09	0,33	1,12	2,79	4,98	9,04	23,09	77,63		
Учет затухания звука в атмосфере Aatm, дБ		ф-ла (8) [10]	0	0,1	0,4	1,4	3,5	6,3	11,5	29,4	98,7		
Снижение уровня звукового давления из-за влияния застройки между источником шума и расчетной точкой													
Снижение уровня звукового давления препятствием снизу от трассы ИШ-РТ, Dz4, дБ	z = -0.01м (разность путей)	ф-лы (14-18) [10]	4,7	4,7	4,7	4,5	4,3	3,7	2,3	0	NAN		
* отрицательное значение z означает прохождение траектории вблизи экрана, в этом случае дополнительно производится учёт снижения подстилающей поверхностью (см.ниже)													
Снижение поверхностью земли возле источника As, дБ	Gs = 0 hs = 7.5м	ф-лы таб.3 [10]	-1,5	-1,5	-1,5	-1,5	-1,5	-1,5	-1,5	-1,5	-1,5		
Снижение поверхностью земли возле приёмника Ar, дБ	Gr = 1 hr = 1.5м	ф-лы таб.3 [10]	-1,5	-1,5	5,3	7	5	0,7	0	0	0		
Снижение поверхностью земли в средней зоне, Am дБ	Gm = 1	ф-лы таб.3 [10]	-2,4	-2,4	0	0	0	0	0	0	0		
Суммарное снижение поверхностью земли на траектории распространения звука Agr, дБ		ф-ла (9) [10]	-5,4	-5,4	3,8	5,5	3,5	-0,8	-1,5	-1,5	-1,5		
Уровни звукового давления от источника ИШ-4-12 в расчётной точке днём, дБ		**ф-ла(3)[10]**	**0**	**20,7**	**12,7**	**11,4**	**11,9**	**13,6**	**7,3**	**0**	**0**	**16**	**16**

1		2	3	4	5	6	7	8	9	10	11	12	13
Уровни звукового давления от источника ИШ-4-12 в расчётной точке ночью, дБ		**ф-ла(3)[10]**	**0**	**20,7**	**12,7**	**11,4**	**11,9**	**13,6**	**7,3**	**0**	**0**	**16**	**16**
Источник шума: ИШ-4-13, координаты источника (x,y,z), м =[94.56,229.10,1.00]													
Уровни звуковой мощности источника днём, Lw, дБ		**исходные данные**	**0**	**81,3**	**82,7**	**84**	**84,3**	**83,9**	**80,6**	**76,4**	**71,9**		
Уровни звуковой мощности источника ночью, Lw, дБ		**исходные данные**	**0**	**81,3**	**82,7**	**84**	**84,3**	**83,9**	**80,6**	**76,4**	**71,9**		
Поправка на телесный угол DΩ, дБ	Ω = 6.28	10Lg(4π/Ω)	**3**	3	3	3	3	3	3	3	3		
Показатель направленности источника Di, дБ		исходные данные	**0**	0	0	0	0	0	0	0	0		
Поправка на направленность источника Dc, дБ	Dc	DΩ + Di	**3**	3	3	3	3	3	3	3	3		
Затухание из-за геометрической дивергенции, Adiv, дБ	расстояние = 1346.93 м	ф-ла (7) [10]	**73,6**										
Коэффициент затухания звука в атмосфере α, дБ/км	Ta=20,°C Pa=101.33,кПа hотн.=70%	ф-ла (5) [9]	0,02	0,09	0,33	1,12	2,79	4,98	9,04	23,09	77,63		
Учет затухания звука в атмосфере Aatm, дБ		ф-ла (8) [10]	0	0,1	0,5	1,5	3,8	6,7	12,2	31,1	104,6		
Снижение уровня звукового давления из-за влияния застройки между источником шума и расчетной точкой													
Снижение уровня звукового давления на пути над экраном, Dz1, дБ	z = 4.89м (разность путей)	ф-лы (14-18) [10]	15,1	18	20,9	23,9	26,8	29,8	32,8	35,9	38,9		
Снижение уровня звукового давления на пути слева от экрана, Dz2, дБ	z = 65.67м (разность путей)	ф-лы (14-18) [10]	28,5	31,6	34,6	37,6	40,6	43,7	46,7	49,7	52,7		
Снижение уровня звукового давления на пути справа от экрана, Dz3, дБ	z = 29.22м (разность путей)	ф-лы (14-18) [10]	25	28,1	31,1	34,1	37,1	40,1	43,1	46,2	49,2		
Общее снижение уровня звука препятствием Dz, дБ		Эн.сумма(-Dzi)	14,5	17,4	20,3	23,3	26,3	29,3	32,3	35,3	38,3		
Общее снижение уровня звука препятствием с учётом ограничения (25 дБ) для октавных полос Dz, дБ		Раздел 7.4 [10]	14,5	17,4	20,3	23,3	25	25	25	25	25		

1		2	3	4	5	6	7	8	9	10	11	12	13
Уровни звукового давления от источника ИШ-4-13 в расчётной точке днём, дБ		**ф-ла(3)[10]**	**0**	**0**	**0**	**0**	**0**	**0**	**0**	**0**	**0**	**0**	**0**
Уровни звукового давления от источника ИШ-4-13 в расчётной точке ночью, дБ		**ф-ла(3)[10]**	**0**	**0**	**0**	**0**	**0**	**0**	**0**	**0**	**0**	**0**	**0**
Источник шума: ИШ-4-14, координаты источника (x,y,z), м =[91.88,221.30,1.00]													
Уровни звуковой мощности источника днём, Lw, дБ		**исходные данные**	**0**	**81,3**	**82,7**	**84**	**84,3**	**83,9**	**80,6**	**76,4**	**71,9**		
Уровни звуковой мощности источника ночью, Lw, дБ		**исходные данные**	**0**	**81,3**	**82,7**	**84**	**84,3**	**83,9**	**80,6**	**76,4**	**71,9**		
Поправка на телесный угол DΩ, дБ	Ω = 6.28	10Lg(4π/Ω)	**3**	3	3	3	3	3	3	3	3		
Показатель направленности источника Di, дБ		исходные данные	**0**	0	0	0	0	0	0	0	0		
Поправка на направленность источника Dc, дБ	Dc	DΩ + Di	**3**	3	3	3	3	3	3	3	3		
Затухание из-за геометрической дивергенции, Adiv, дБ	расстояние = 1346.75 м	ф-ла (7) [10]	**73,6**										
Коэффициент затухания звука в атмосфере α, дБ/км	Ta=20,°C Pa=101.33,кПа hотн.=70%	ф-ла (5) [9]	0,02	0,09	0,33	1,12	2,79	4,98	9,04	23,09	77,63		
Учет затухания звука в атмосфере Aatm, дБ		ф-ла (8) [10]	0	0,1	0,5	1,5	3,8	6,7	12,2	31,1	104,6		
Снижение уровня звукового давления из-за влияния застройки между источником шума и расчетной точкой													
Снижение уровня звукового давления на пути над экраном, Dz1, дБ	z = 4.87м (разность путей)	ф-лы (14-18) [10]	15,1	18	20,9	23,8	26,8	29,8	32,8	35,8	38,8		
Снижение уровня звукового давления на пути слева от экрана, Dz2, дБ	z = 74.06м (разность путей)	ф-лы (14-18) [10]	29	32,1	35,1	38,2	41,2	44,2	47,2	50,2	53,2		
Снижение уровня звукового давления на пути справа от экрана, Dz3, дБ	z = 21.31м (разность путей)	ф-лы (14-18) [10]	23,7	26,7	29,7	32,7	35,8	38,8	41,8	44,8	47,8		
Общее снижение уровня звука препятствием Dz, дБ		Эн.сумма(-Dzi)	14,4	17,3	20,2	23,2	26,2	29,2	32,2	35,2	38,2		

1		2	3	4	5	6	7	8	9	10	11	12	13
Общее снижение уровня звука препятствием с учётом ограничения (25 дБ) для октавных полос Dz, дБ		Раздел 7.4 [10]	14,4	17,3	20,2	23,2	25	25	25	25	25		
Уровни звукового давления от источника ИШ-4-14 в расчётной точке днём, дБ		**ф-ла(3)[10]**	**0**	**0**	**0**	**0**	**0**	**0**	**0**	**0**	**0**	**0**	**0**
Уровни звукового давления от источника ИШ-4-14 в расчётной точке ночью, дБ		**ф-ла(3)[10]**	**0**	**0**	**0**	**0**	**0**	**0**	**0**	**0**	**0**	**0**	**0**
Источник шума: ИШ-5-1, координаты источника (x,y,z), м =[626.70,162.36,1.00]													
Уровни звуковой мощности источника днём, Lw, дБ		**исходные данные**	**0**	**93,3**	**94,7**	**96**	**96,3**	**95,9**	**92,6**	**88,4**	**83,9**		
Уровни звуковой мощности источника ночью, Lw, дБ		**исходные данные**	**0**	**93,3**	**94,7**	**96**	**96,3**	**95,9**	**92,6**	**88,4**	**83,9**		
Поправка на телесный угол DΩ, дБ	Ω = 6.28	10Lg(4π/Ω)	**3**	3	3	3	3	3	3	3	3		
Показатель направленности источника Di, дБ		исходные данные	**0**	0	0	0	0	0	0	0	0		
Поправка на направленность источника Dc, дБ	Dc	DΩ + Di	**3**	3	3	3	3	3	3	3	3		
Затухание из-за геометрической дивергенции, Adiv, дБ	расстояние = 833.92 м	ф-ла (7) [10]	**69,4**										
Коэффициент затухания звука в атмосфере α, дБ/км	Ta=20,°C Pa=101.33,кПа hотн.=70%	ф-ла (5) [9]	0,02	0,09	0,33	1,12	2,79	4,98	9,04	23,09	77,63		
Учет затухания звука в атмосфере Aatm, дБ		ф-ла (8) [10]	0	0,1	0,3	0,9	2,3	4,2	7,5	19,3	64,7		
Снижение уровня звукового давления из-за влияния застройки между источником шума и расчетной точкой													
Снижение уровня звукового давления препятствием справа от трассы ИШ-РТ, Dz3, дБ	z = 0.00м (разность путей)	ф-лы (14-18) [10]	0	0	0	0	0	0	0	0	4,7		
* отрицательное значение z означает прохождение траектории вблизи экрана, в этом случае дополнительно производится учёт снижения подстилающей поверхностью (см.ниже)													
Снижение поверхностью земли возле источника As, дБ	Gs = 0 hs = 1м	ф-лы таб.3 [10]	-1,5	-1,5	-1,5	-1,5	-1,5	-1,5	-1,5	-1,5	-1,5		
Снижение поверхностью земли возле приёмника Ar, дБ	Gr = 1 hr = 1.5м	ф-лы таб.3 [10]	-1,5	-1,5	4,7	7	5	0,7	0	0	0		

1		2	3	4	5	6	7	8	9	10	11	12	13
Снижение поверхностью земли в средней зоне, Am дБ	Gm = 1	ф-лы таб.3 [10]	-2,7	-2,7	0	0	0	0	0	0	0		
Суммарное снижение поверхностью земли на траектории распространения звука Agr, дБ		ф-ла (9) [10]	-5,7	-5,7	3,2	5,5	3,5	-0,8	-1,5	-1,5	-1,5		
Уровни звукового давления прямого звука от источника ИШ-5-1 в расчётной точке днём, дБ		**ф-ла(3)[10]**	**0**	**32,5**	**24,8**	**23,1**	**24,1**	**26,2**	**20,1**	**4,2**	**0**	**28,5**	**28,5**
Уровни звукового давления прямого звука от источника ИШ-5-1 в расчётной точке ночью, дБ		**ф-ла(3)[10]**	**0**	**32,5**	**24,8**	**23,1**	**24,1**	**26,2**	**20,1**	**4,2**	**0**	**28,5**	**28,5**
Расчёт отражённого звука													
Уровни звукового давления от мнимого источника ИШ-5-1_мн.(1) в расчётной точке днём, дБ		**ф-ла(3)[10]**	**0**	**0**	**0**	**0**	**0**	**0**	**0**	**0**	**0**	**0**	**0**
Уровни звукового давления от мнимого источника ИШ-5-1_мн.(1) в расчётной точке ночью, дБ		**ф-ла(3)[10]**	**0**	**0**	**0**	**0**	**0**	**0**	**0**	**0**	**0**	**0**	**0**
Уровни звукового давления от источника ИШ-5-1 в расчётной точке днём, дБ		**ф-ла(3)[10]**	**0**	**32,5**	**24,8**	**23,1**	**24,1**	**26,2**	**20,1**	**4,2**	**0**	**28,5**	**28,5**
Уровни звукового давления от источника ИШ-5-1 в расчётной точке ночью, дБ		**ф-ла(3)[10]**	**0**	**32,5**	**24,8**	**23,1**	**24,1**	**26,2**	**20,1**	**4,2**	**0**	**28,5**	**28,5**
Источник шума: ИШ-5-2, координаты источника (x,y,z), м =[625.81,159.52,1.00]													
Уровни звуковой мощности источника днём, Lw, дБ		**исходные данные**	**0**	**93,3**	**94,7**	**96**	**96,3**	**95,9**	**92,6**	**88,4**	**83,9**		
Уровни звуковой мощности источника ночью, Lw, дБ		**исходные данные**	**0**	**93,3**	**94,7**	**96**	**96,3**	**95,9**	**92,6**	**88,4**	**83,9**		
Поправка на телесный угол DΩ, дБ	Ω = 6.28	10Lg(4π/Ω)	**3**	3	3	3	3	3	3	3	3		
Показатель направленности источника Di, дБ		исходные данные	**0**	0	0	0	0	0	0	0	0		
Поправка на направленность источника Dc, дБ	Dc	DΩ + Di	**3**	3	3	3	3	3	3	3	3		
Затухание из-за геометрической дивергенции, Adiv, дБ	расстояние = 833.33 м	ф-ла (7) [10]	**69,4**										
Коэффициент затухания звука в атмосфере α, дБ/км	Ta=20,°C Pa=101.33,кПа hотн.=70%	ф-ла (5) [9]	0,02	0,09	0,33	1,12	2,79	4,98	9,04	23,09	77,63		

1		2	3	4	5	6	7	8	9	10	11	12	13
Учет затухания звука в атмосфере Aatm, дБ		ф-ла (8) [10]	0	0,1	0,3	0,9	2,3	4,1	7,5	19,2	64,7		
Снижение уровня звукового давления из-за влияния застройки между источником шума и расчетной точкой													
Снижение уровня звукового давления на пути над экраном, Dz1, дБ	z = 0.33м (разность путей)	ф-лы (14-18) [10]	4,9	5,1	5,4	6,3	8,1	10,6	13,2	15,9	18,8		
Снижение уровня звукового давления на пути слева от экрана, Dz2, дБ	z = 0.12м (разность путей)	ф-лы (14-18) [10]	5,4	5,9	6,8	8,2	10,1	12,4	15	17,8	20,7		
Снижение уровня звукового давления на пути справа от экрана, Dz3, дБ	z = 8.50м (разность путей)	ф-лы (14-18) [10]	15,4	18,2	21,1	24	27	30	33	36	39		
Общее снижение уровня звука препятствием Dz, дБ		Эн.сумма(-Dzi)	1,9	2,3	3	4,1	5,9	8,3	11	13,7	16,6		
Уровни звукового давления прямого звука от источника ИШ-5-2 в расчётной точке днём, дБ		**ф-ла(3)[10]**	**0**	**24,5**	**25**	**24,6**	**21,6**	**17**	**7,7**	**0**	**0**	**22,4**	**22,4**
Уровни звукового давления прямого звука от источника ИШ-5-2 в расчётной точке ночью, дБ		**ф-ла(3)[10]**	**0**	**24,5**	**25**	**24,6**	**21,6**	**17**	**7,7**	**0**	**0**	**22,4**	**22,4**
Расчёт отражённого звука													
Уровни звукового давления от мнимого источника ИШ-5-2_мн.(1) в расчётной точке днём, дБ		**ф-ла(3)[10]**	**0**	**0**	**0**	**0**	**0**	**0**	**0**	**0**	**0**	**0**	**0**
Уровни звукового давления от мнимого источника ИШ-5-2_мн.(1) в расчётной точке ночью, дБ		**ф-ла(3)[10]**	**0**	**0**	**0**	**0**	**0**	**0**	**0**	**0**	**0**	**0**	**0**
Уровни звукового давления от источника ИШ-5-2 в расчётной точке днём, дБ		**ф-ла(3)[10]**	**0**	**24,5**	**25**	**24,6**	**21,6**	**17**	**7,7**	**0**	**0**	**22,4**	**22,4**
Уровни звукового давления от источника ИШ-5-2 в расчётной точке ночью, дБ		**ф-ла(3)[10]**	**0**	**24,5**	**25**	**24,6**	**21,6**	**17**	**7,7**	**0**	**0**	**22,4**	**22,4**
Источник шума: ИШ-5-3, координаты источника (x,y,z), м =[624.84,156.69,1.00]													
Уровни звуковой мощности источника днём, Lw, дБ		**исходные данные**	**0**	**93,3**	**94,7**	**96**	**96,3**	**95,9**	**92,6**	**88,4**	**83,9**		
Уровни звуковой мощности источника ночью, Lw, дБ		**исходные данные**	**0**	**93,3**	**94,7**	**96**	**96,3**	**95,9**	**92,6**	**88,4**	**83,9**		
Поправка на телесный угол DΩ, дБ	Ω = 6.28	10Lg(4π/Ω)	**3**	3	3	3	3	3	3	3	3		

1		2	3	4	5	6	7	8	9	10	11	12	13
Показатель направленности источника Di, дБ		исходные данные	**0**	0	0	0	0	0	0	0	0		
Поправка на направленность источника Dc, дБ	Dc	DΩ + Di	**3**	3	3	3	3	3	3	3	3		
Затухание из-за геометрической дивергенции, Adiv, дБ	расстояние = 832.84 м	ф-ла (7) [10]	**69,4**										
Коэффициент затухания звука в атмосфере α, дБ/км	Ta=20,°C Pa=101.33,кПа hотн.=70%	ф-ла (5) [9]	0,02	0,09	0,33	1,12	2,79	4,98	9,04	23,09	77,63		
Учет затухания звука в атмосфере Aatm, дБ		ф-ла (8) [10]	0	0,1	0,3	0,9	2,3	4,1	7,5	19,2	64,7		
Снижение уровня звукового давления из-за влияния застройки между источником шума и расчетной точкой													
Снижение уровня звукового давления на пути над экраном, Dz1, дБ	z = 0.33м (разность путей)	ф-лы (14-18) [10]	4,9	5,1	5,4	6,3	8,1	10,6	13,2	15,9	18,8		
Снижение уровня звукового давления на пути слева от экрана, Dz2, дБ	z = 0.50м (разность путей)	ф-лы (14-18) [10]	6,9	8,4	10,8	14,3	18,5	22,2	25,4	28,5	31,5		
Снижение уровня звукового давления на пути справа от экрана, Dz3, дБ	z = 6.82м (разность путей)	ф-лы (14-18) [10]	14,5	17,3	20,1	23,1	26,1	29,1	32,1	35,1	38,1		
Общее снижение уровня звука препятствием Dz, дБ		Эн.сумма(-Dzi)	2,5	3,2	4,2	5,6	7,7	10,2	12,9	15,7	18,5		
Уровни звукового давления прямого звука от источника ИШ-5-3 в расчётной точке днём, дБ		**ф-ла(3)[10]**	**0**	**23,6**	**23,8**	**23,1**	**19,9**	**15,1**	**5,8**	**0**	**0**	**20,7**	**20,7**
Уровни звукового давления прямого звука от источника ИШ-5-3 в расчётной точке ночью, дБ		**ф-ла(3)[10]**	**0**	**23,6**	**23,8**	**23,1**	**19,9**	**15,1**	**5,8**	**0**	**0**	**20,7**	**20,7**
Расчёт отражённого звука													
Уровни звукового давления от мнимого источника ИШ-5-3_мн.(1) в расчётной точке днём, дБ		**ф-ла(3)[10]**	**0**	**0**	**0**	**0**	**0**	**19,8**	**12,2**	**0**	**0**	**20,7**	**20,7**
Уровни звукового давления от мнимого источника ИШ-5-3_мн.(1) в расчётной точке ночью, дБ		**ф-ла(3)[10]**	**0**	**0**	**0**	**0**	**0**	**0**	**0**	**0**	**0**	**20,7**	**20,7**
Уровни звукового давления от источника ИШ-5-3 в расчётной точке днём, дБ		**ф-ла(3)[10]**	**0**	**23,6**	**23,8**	**23,1**	**19,9**	**21**	**13,1**	**0**	**0**	**23,7**	**23,7**
Уровни звукового давления от источника ИШ-5-3 в расчётной точке ночью, дБ		**ф-ла(3)[10]**	**0**	**23,6**	**23,8**	**23,1**	**19,9**	**21**	**13,1**	**0**	**0**	**23,7**	**23,7**

1		2	3	4	5	6	7	8	9	10	11	12	13
Источник шума: ИШ-6-1, координаты источника (x,y,z), м =[836.30,122.24,1.00]													
Уровни звуковой мощности источника днём, Lw, дБ		**исходные данные**	**0**	**96,3**	**97,7**	**99**	**99,3**	**98,9**	**95,6**	**91,4**	**86,9**		
Уровни звуковой мощности источника ночью, Lw, дБ		**исходные данные**	**0**	**96,3**	**97,7**	**99**	**99,3**	**98,9**	**95,6**	**91,4**	**86,9**		
Поправка на телесный угол DΩ, дБ	Ω = 12.57	10Lg(4π/Ω)	**0**	0	0	0	0	0	0	0	0		
Показатель направленности источника Di, дБ		исходные данные	**0**	0	0	0	0	0	0	0	0		
Поправка на направленность источника Dc, дБ	Dc	DΩ + Di	**0**	0	0	0	0	0	0	0	0		
Затухание из-за геометрической дивергенции, Adiv, дБ	расстояние = 634.39 м	ф-ла (7) [10]	**67**										
Коэффициент затухания звука в атмосфере α, дБ/км	Ta=20,°C Pa=101.33,кПа hотн.=70%	ф-ла (5) [9]	0,02	0,09	0,33	1,12	2,79	4,98	9,04	23,09	77,63		
Учет затухания звука в атмосфере Aatm, дБ		ф-ла (8) [10]	0	0,1	0,2	0,7	1,8	3,2	5,7	14,6	49,2		
Снижение поверхностью земли возле источника As, дБ	Gs = 0 hs = 1м	ф-лы таб.3 [10]	-1,5	-1,5	-1,5	-1,5	-1,5	-1,5	-1,5	-1,5	-1,5		
Снижение поверхностью земли возле приёмника Ar, дБ	Gr = 1 hr = 1.5м	ф-лы таб.3 [10]	-1,5	-1,5	3,8	7	5	0,7	0	0	0		
Снижение поверхностью земли в средней зоне, Am дБ	Gm = 1	ф-лы таб.3 [10]	-2,6	-2,6	0	0	0	0	0	0	0		
Суммарное снижение поверхностью земли на траектории распространения звука Agr, дБ		ф-ла (9) [10]	-5,6	-5,6	2,3	5,5	3,5	-0,8	-1,5	-1,5	-1,5		
Уровни звукового давления прямого звука от источника ИШ-6-1 в расчётной точке днём, дБ		**ф-ла(3)[10]**	**0**	**34,8**	**28,1**	**25,7**	**27**	**29,5**	**24,3**	**11,2**	**0**	**32**	**32**
Уровни звукового давления прямого звука от источника ИШ-6-1 в расчётной точке ночью, дБ		**ф-ла(3)[10]**	**0**	**34,8**	**28,1**	**25,7**	**27**	**29,5**	**24,3**	**11,2**	**0**	**32**	**32**
Расчёт отражённого звука													

1		2	3	4	5	6	7	8	9	10	11	12	13
Уровни звукового давления от мнимого источника ИШ-6-1_мн.(1) в расчётной точке днём, дБ		**ф-ла(3)[10]**	**0**	**0**	**0**	**0**	**0**	**0**	**0**	**0**	**0**	**0**	**0**
Уровни звукового давления от мнимого источника ИШ-6-1_мн.(1) в расчётной точке ночью, дБ		**ф-ла(3)[10]**	**0**	**0**	**0**	**0**	**0**	**0**	**0**	**0**	**0**	**0**	**0**
Уровни звукового давления от мнимого источника ИШ-6-1_мн.(2) в расчётной точке днём, дБ		**ф-ла(3)[10]**	**0**	**0**	**0**	**0**	**0**	**0**	**0**	**0**	**0**	**0**	**0**
Уровни звукового давления от мнимого источника ИШ-6-1_мн.(2) в расчётной точке ночью, дБ		**ф-ла(3)[10]**	**0**	**0**	**0**	**0**	**0**	**0**	**0**	**0**	**0**	**0**	**0**
Суммарные уровни звукового давления от мнимых источников в расчётной точке днём, дБ		**ф-ла (19) [1]**	**0**	**0**	**0**	**0**	**0**	**0**	**0**	**0**	**0**	**0**	**0**
Суммарные уровни звукового давления от мнимых источников в расчётной точке ночью, дБ		**ф-ла (19) [1]**	**0**	**0**	**0**	**0**	**0**	**0**	**0**	**0**	**0**	**0**	**0**
Уровни звукового давления от источника ИШ-6-1 в расчётной точке днём, дБ		**ф-ла(3)[10]**	**0**	**34,8**	**28,1**	**25,7**	**27**	**29,5**	**24,3**	**11,2**	**0**	**32**	**32**
Уровни звукового давления от источника ИШ-6-1 в расчётной точке ночью, дБ		**ф-ла(3)[10]**	**0**	**34,8**	**28,1**	**25,7**	**27**	**29,5**	**24,3**	**11,2**	**0**	**32**	**32**
Источник шума: ИШ-6-2, координаты источника (x,y,z), м =[835.37,119.30,1.00]													
Уровни звуковой мощности источника днём, Lw, дБ		**исходные данные**	**0**	**96,3**	**97,7**	**99**	**99,3**	**98,9**	**95,6**	**91,4**	**86,9**		
Уровни звуковой мощности источника ночью, Lw, дБ		**исходные данные**	**0**	**96,3**	**97,7**	**99**	**99,3**	**98,9**	**95,6**	**91,4**	**86,9**		
Поправка на телесный угол DΩ, дБ	Ω = 12.57	10Lg(4π/Ω)	**0**	0	0	0	0	0	0	0	0		
Показатель направленности источника Di, дБ		исходные данные	**0**	0	0	0	0	0	0	0	0		
Поправка на направленность источника Dc, дБ	Dc	DΩ + Di	**0**	0	0	0	0	0	0	0	0		
Затухание из-за геометрической дивергенции, Adiv, дБ	расстояние = 633.49 м	ф-ла (7) [10]	**67**										
Коэффициент затухания звука в атмосфере α, дБ/км	Ta=20,°C Pa=101.33,кПа hотн.=70%	ф-ла (5) [9]	0,02	0,09	0,33	1,12	2,79	4,98	9,04	23,09	77,63		

1		2	3	4	5	6	7	8	9	10	11	12	13
Учет затухания звука в атмосфере Aatm, дБ		ф-ла (8) [10]	0	0,1	0,2	0,7	1,8	3,2	5,7	14,6	49,2		
Снижение поверхностью земли возле источника As, дБ	Gs = 0 hs = 1м	ф-лы таб.3 [10]	-1,5	-1,5	-1,5	-1,5	-1,5	-1,5	-1,5	-1,5	-1,5		
Снижение поверхностью земли возле приёмника Ar, дБ	Gr = 1 hr = 1.5м	ф-лы таб.3 [10]	-1,5	-1,5	3,8	7	5	0,7	0	0	0		
Снижение поверхностью земли в средней зоне, Am дБ	Gm = 1	ф-лы таб.3 [10]	-2,6	-2,6	0	0	0	0	0	0	0		
Суммарное снижение поверхностью земли на траектории распространения звука Agr, дБ		ф-ла (9) [10]	-5,6	-5,6	2,3	5,5	3,5	-0,8	-1,5	-1,5	-1,5		
Уровни звукового давления прямого звука от источника ИШ-6-2 в расчётной точке днём, дБ		**ф-ла(3)[10]**	**0**	**34,8**	**28,1**	**25,7**	**27**	**29,5**	**24,3**	**11,2**	**0**	**32**	**32**
Уровни звукового давления прямого звука от источника ИШ-6-2 в расчётной точке ночью, дБ		**ф-ла(3)[10]**	**0**	**34,8**	**28,1**	**25,7**	**27**	**29,5**	**24,3**	**11,2**	**0**	**32**	**32**
Расчёт отражённого звука													
Уровни звукового давления от мнимого источника ИШ-6-2_мн.(1) в расчётной точке днём, дБ		**ф-ла(3)[10]**	**0**	**0**	**0**	**0**	**0**	**0**	**0**	**0**	**0**	**0**	**0**
Уровни звукового давления от мнимого источника ИШ-6-2_мн.(1) в расчётной точке ночью, дБ		**ф-ла(3)[10]**	**0**	**0**	**0**	**0**	**0**	**0**	**0**	**0**	**0**	**0**	**0**
Уровни звукового давления от мнимого источника ИШ-6-2_мн.(2) в расчётной точке днём, дБ		**ф-ла(3)[10]**	**0**	**0**	**0**	**0**	**0**	**0**	**0**	**0**	**0**	**0**	**0**
Уровни звукового давления от мнимого источника ИШ-6-2_мн.(2) в расчётной точке ночью, дБ		**ф-ла(3)[10]**	**0**	**0**	**0**	**0**	**0**	**0**	**0**	**0**	**0**	**0**	**0**
Суммарные уровни звукового давления от мнимых источников в расчётной точке днём, дБ		**ф-ла (19) [1]**	**0**	**0**	**0**	**0**	**0**	**0**	**0**	**0**	**0**	**0**	**0**
Суммарные уровни звукового давления от мнимых источников в расчётной точке ночью, дБ		**ф-ла (19) [1]**	**0**	**0**	**0**	**0**	**0**	**0**	**0**	**0**	**0**	**0**	**0**
Уровни звукового давления от источника ИШ-6-2 в расчётной точке днём, дБ		**ф-ла(3)[10]**	**0**	**34,8**	**28,1**	**25,7**	**27**	**29,5**	**24,3**	**11,2**	**0**	**32**	**32**
Уровни звукового давления от источника ИШ-6-2 в расчётной точке ночью, дБ		**ф-ла(3)[10]**	**0**	**34,8**	**28,1**	**25,7**	**27**	**29,5**	**24,3**	**11,2**	**0**	**32**	**32**
Источник шума: ИШ-6-3, координаты источника (x,y,z), м =[834.03,116.36,1.00]													

1		2	3	4	5	6	7	8	9	10	11	12	13
Уровни звуковой мощности источника днём, Lw, дБ		**исходные данные**	**0**	**96,3**	**97,7**	**99**	**99,3**	**98,9**	**95,6**	**91,4**	**86,9**		
Уровни звуковой мощности источника ночью, Lw, дБ		**исходные данные**	**0**	**96,3**	**97,7**	**99**	**99,3**	**98,9**	**95,6**	**91,4**	**86,9**		
Поправка на телесный угол DΩ, дБ	Ω = 12.57	10Lg(4π/Ω)	**0**	0	0	0	0	0	0	0	0		
Показатель направленности источника Di, дБ		исходные данные	**0**	0	0	0	0	0	0	0	0		
Поправка на направленность источника Dc, дБ	Dc	DΩ + Di	**0**	0	0	0	0	0	0	0	0		
Затухание из-за геометрической дивергенции, Adiv, дБ	расстояние = 632.93 м	ф-ла (7) [10]	**67**										
Коэффициент затухания звука в атмосфере α, дБ/км	Ta=20,°C Pa=101.33,кПа hотн.=70%	ф-ла (5) [9]	0,02	0,09	0,33	1,12	2,79	4,98	9,04	23,09	77,63		
Учет затухания звука в атмосфере Aatm, дБ		ф-ла (8) [10]	0	0,1	0,2	0,7	1,8	3,2	5,7	14,6	49,1		
Снижение поверхностью земли возле источника As, дБ	Gs = 0 hs = 1м	ф-лы таб.3 [10]	-1,5	-1,5	-1,5	-1,5	-1,5	-1,5	-1,5	-1,5	-1,5		
Снижение поверхностью земли возле приёмника Ar, дБ	Gr = 1 hr = 1.5м	ф-лы таб.3 [10]	-1,5	-1,5	3,8	7	5	0,7	0	0	0		
Снижение поверхностью земли в средней зоне, Am дБ	Gm = 1	ф-лы таб.3 [10]	-2,6	-2,6	0	0	0	0	0	0	0		
Суммарное снижение поверхностью земли на траектории распространения звука Agr, дБ		ф-ла (9) [10]	-5,6	-5,6	2,3	5,5	3,5	-0,8	-1,5	-1,5	-1,5		
Уровни звукового давления прямого звука от источника ИШ-6-3 в расчётной точке днём, дБ		**ф-ла(3)[10]**	**0**	**34,9**	**28,1**	**25,7**	**27**	**29,6**	**24,3**	**11,3**	**0**	**32**	**32**
Уровни звукового давления прямого звука от источника ИШ-6-3 в расчётной точке ночью, дБ		**ф-ла(3)[10]**	**0**	**34,9**	**28,1**	**25,7**	**27**	**29,6**	**24,3**	**11,3**	**0**	**32**	**32**
Расчёт отражённого звука													
Уровни звукового давления от мнимого источника ИШ-6-3_мн.(1) в расчётной точке днём, дБ		**ф-ла(3)[10]**	**0**	**0**	**0**	**0**	**0**	**0**	**8,1**	**0**	**0**	**9,3**	**9,3**
Уровни звукового давления от мнимого источника ИШ-6-3_мн.(1) в расчётной точке ночью, дБ		**ф-ла(3)[10]**	**0**	**0**	**0**	**0**	**0**	**0**	**0**	**0**	**0**	**9,3**	**9,3**

1		2	3	4	5	6	7	8	9	10	11	12	13
Уровни звукового давления от мнимого источника ИШ-6-3_мн.(2) в расчётной точке днём, дБ		**ф-ла(3)[10]**	**0**	**0**	**0**	**0**	**0**	**0**	**0**	**0**	**0**	**0**	**0**
Уровни звукового давления от мнимого источника ИШ-6-3_мн.(2) в расчётной точке ночью, дБ		**ф-ла(3)[10]**	**0**	**0**	**0**	**0**	**0**	**0**	**0**	**0**	**0**	**0**	**0**
Уровни звукового давления от мнимого источника ИШ-6-3_мн.(3) в расчётной точке днём, дБ		**ф-ла(3)[10]**	**0**	**0**	**0**	**0**	**0**	**0**	**0**	**0**	**0**	**0**	**0**
Уровни звукового давления от мнимого источника ИШ-6-3_мн.(3) в расчётной точке ночью, дБ		**ф-ла(3)[10]**	**0**	**0**	**0**	**0**	**0**	**0**	**0**	**0**	**0**	**0**	**0**
Суммарные уровни звукового давления от мнимых источников в расчётной точке днём, дБ		**ф-ла (19) [1]**	**0**	**0**	**0**	**0**	**0**	**0**	**8,1**	**0**	**0**	**0**	**9,3**
Суммарные уровни звукового давления от мнимых источников в расчётной точке ночью, дБ		**ф-ла (19) [1]**	**0**	**0**	**0**	**0**	**0**	**0**	**8,1**	**0**	**0**	**0**	**9,3**
Уровни звукового давления от источника ИШ-6-3 в расчётной точке днём, дБ		**ф-ла(3)[10]**	**0**	**34,9**	**28,1**	**25,7**	**27**	**29,6**	**24,4**	**11,3**	**0**	**32**	**32**
Уровни звукового давления от источника ИШ-6-3 в расчётной точке ночью, дБ		**ф-ла(3)[10]**	**0**	**34,9**	**28,1**	**25,7**	**27**	**29,6**	**24,4**	**11,3**	**0**	**32**	**32**
Источник шума: ИШ-6-4, координаты источника (x,y,z), м =[833.23,113.30,1.00]													
Уровни звуковой мощности источника днём, Lw, дБ		**исходные данные**	**0**	**96,3**	**97,7**	**99**	**99,3**	**98,9**	**95,6**	**91,4**	**86,9**		
Уровни звуковой мощности источника ночью, Lw, дБ		**исходные данные**	**0**	**96,3**	**97,7**	**99**	**99,3**	**98,9**	**95,6**	**91,4**	**86,9**		
Поправка на телесный угол DΩ, дБ	Ω = 12.57	10Lg(4π/Ω)	**0**	0	0	0	0	0	0	0	0		
Показатель направленности источника Di, дБ		исходные данные	**0**	0	0	0	0	0	0	0	0		
Поправка на направленность источника Dc, дБ	Dc	DΩ + Di	**0**	0	0	0	0	0	0	0	0		
Затухание из-за геометрической дивергенции, Adiv, дБ	расстояние = 631.87 м	ф-ла (7) [10]	**67**										
Коэффициент затухания звука в атмосфере α, дБ/км	Ta=20,°C Pa=101.33,кПа hотн.=70%	ф-ла (5) [9]	0,02	0,09	0,33	1,12	2,79	4,98	9,04	23,09	77,63		

1		2	3	4	5	6	7	8	9	10	11	12	13
Учет затухания звука в атмосфере Aatm, дБ		ф-ла (8) [10]	0	0,1	0,2	0,7	1,8	3,1	5,7	14,6	49,1		
Снижение поверхностью земли возле источника As, дБ	Gs = 0 hs = 1м	ф-лы таб.3 [10]	-1,5	-1,5	-1,5	-1,5	-1,5	-1,5	-1,5	-1,5	-1,5		
Снижение поверхностью земли возле приёмника Ar, дБ	Gr = 1 hr = 1.5м	ф-лы таб.3 [10]	-1,5	-1,5	3,8	7	5	0,7	0	0	0		
Снижение поверхностью земли в средней зоне, Am дБ	Gm = 1	ф-лы таб.3 [10]	-2,6	-2,6	0	0	0	0	0	0	0		
Суммарное снижение поверхностью земли на траектории распространения звука Agr, дБ		ф-ла (9) [10]	-5,6	-5,6	2,3	5,5	3,5	-0,8	-1,5	-1,5	-1,5		
Уровни звукового давления прямого звука от источника ИШ-6-4 в расчётной точке днём, дБ		**ф-ла(3)[10]**	**0**	**34,9**	**28,1**	**25,7**	**27**	**29,6**	**24,4**	**11,3**	**0**	**32**	**32**
Уровни звукового давления прямого звука от источника ИШ-6-4 в расчётной точке ночью, дБ		**ф-ла(3)[10]**	**0**	**34,9**	**28,1**	**25,7**	**27**	**29,6**	**24,4**	**11,3**	**0**	**32**	**32**
Расчёт отражённого звука													
Уровни звукового давления от мнимого источника ИШ-6-4_мн.(1) в расчётной точке днём, дБ		**ф-ла(3)[10]**	**0**	**0**	**0**	**0**	**0**	**0**	**0**	**0**	**0**	**0**	**0**
Уровни звукового давления от мнимого источника ИШ-6-4_мн.(1) в расчётной точке ночью, дБ		**ф-ла(3)[10]**	**0**	**0**	**0**	**0**	**0**	**0**	**0**	**0**	**0**	**0**	**0**
Уровни звукового давления от источника ИШ-6-4 в расчётной точке днём, дБ		**ф-ла(3)[10]**	**0**	**34,9**	**28,1**	**25,7**	**27**	**29,6**	**24,4**	**11,3**	**0**	**32**	**32**
Уровни звукового давления от источника ИШ-6-4 в расчётной точке ночью, дБ		**ф-ла(3)[10]**	**0**	**34,9**	**28,1**	**25,7**	**27**	**29,6**	**24,4**	**11,3**	**0**	**32**	**32**
Источник шума: ИШ-6-5, координаты источника (x,y,z), м =[832.03,110.36,1.00]													
Уровни звуковой мощности источника днём, Lw, дБ		**исходные данные**	**0**	**96,3**	**97,7**	**99**	**99,3**	**98,9**	**95,6**	**91,4**	**86,9**		
Уровни звуковой мощности источника ночью, Lw, дБ		**исходные данные**	**0**	**96,3**	**97,7**	**99**	**99,3**	**98,9**	**95,6**	**91,4**	**86,9**		
Поправка на телесный угол DΩ, дБ	Ω = 12.57	10Lg(4π/Ω)	**0**	0	0	0	0	0	0	0	0		
Показатель направленности источника Di, дБ		исходные данные	**0**	0	0	0	0	0	0	0	0		

1		2	3	4	5	6	7	8	9	10	11	12	13
Поправка на направленность источника Dc, дБ	Dc	DΩ + Di	**0**	0	0	0	0	0	0	0	0		
Затухание из-за геометрической дивергенции, Adiv, дБ	расстояние = 631.23 м	ф-ла (7) [10]	**67**										
Коэффициент затухания звука в атмосфере α, дБ/км	Ta=20,°C Pa=101.33,кПа hотн.=70%	ф-ла (5) [9]	0,02	0,09	0,33	1,12	2,79	4,98	9,04	23,09	77,63		
Учет затухания звука в атмосфере Aatm, дБ		ф-ла (8) [10]	0	0,1	0,2	0,7	1,8	3,1	5,7	14,6	49		
Снижение поверхностью земли возле источника As, дБ	Gs = 0 hs = 1м	ф-лы таб.3 [10]	-1,5	-1,5	-1,5	-1,5	-1,5	-1,5	-1,5	-1,5	-1,5		
Снижение поверхностью земли возле приёмника Ar, дБ	Gr = 1 hr = 1.5м	ф-лы таб.3 [10]	-1,5	-1,5	3,8	7	5	0,7	0	0	0		
Снижение поверхностью земли в средней зоне, Am дБ	Gm = 1	ф-лы таб.3 [10]	-2,6	-2,6	0	0	0	0	0	0	0		
Суммарное снижение поверхностью земли на траектории распространения звука Agr, дБ		ф-ла (9) [10]	-5,6	-5,6	2,3	5,5	3,5	-0,8	-1,5	-1,5	-1,5		
Уровни звукового давления прямого звука от источника ИШ-6-5 в расчётной точке днём, дБ		**ф-ла(3)[10]**	**0**	**34,9**	**28,2**	**25,8**	**27,1**	**29,6**	**24,4**	**11,3**	**0**	**32,1**	**32,1**
Уровни звукового давления прямого звука от источника ИШ-6-5 в расчётной точке ночью, дБ		**ф-ла(3)[10]**	**0**	**34,9**	**28,2**	**25,8**	**27,1**	**29,6**	**24,4**	**11,3**	**0**	**32,1**	**32,1**
Расчёт отражённого звука													
Уровни звукового давления от мнимого источника ИШ-6-5_мн.(1) в расчётной точке днём, дБ		**ф-ла(3)[10]**	**0**	**0**	**0**	**0**	**0**	**0**	**0**	**0**	**0**	**0**	**0**
Уровни звукового давления от мнимого источника ИШ-6-5_мн.(1) в расчётной точке ночью, дБ		**ф-ла(3)[10]**	**0**	**0**	**0**	**0**	**0**	**0**	**0**	**0**	**0**	**0**	**0**
Уровни звукового давления от источника ИШ-6-5 в расчётной точке днём, дБ		**ф-ла(3)[10]**	**0**	**34,9**	**28,2**	**25,8**	**27,1**	**29,6**	**24,4**	**11,3**	**0**	**32,1**	**32,1**
Уровни звукового давления от источника ИШ-6-5 в расчётной точке ночью, дБ		**ф-ла(3)[10]**	**0**	**34,9**	**28,2**	**25,8**	**27,1**	**29,6**	**24,4**	**11,3**	**0**	**32,1**	**32,1**
Источник шума: ИШ-6-6, координаты источника (x,y,z), м =[830.97,107.42,1.00]													

1		2	3	4	5	6	7	8	9	10	11	12	13
Уровни звуковой мощности источника днём, Lw, дБ		**исходные данные**	**0**	**96,3**	**97,7**	**99**	**99,3**	**98,9**	**95,6**	**91,4**	**86,9**		
Уровни звуковой мощности источника ночью, Lw, дБ		**исходные данные**	**0**	**96,3**	**97,7**	**99**	**99,3**	**98,9**	**95,6**	**91,4**	**86,9**		
Поправка на телесный угол DΩ, дБ	Ω = 12.57	10Lg(4π/Ω)	**0**	0	0	0	0	0	0	0	0		
Показатель направленности источника Di, дБ		исходные данные	**0**	0	0	0	0	0	0	0	0		
Поправка на направленность источника Dc, дБ	Dc	DΩ + Di	**0**	0	0	0	0	0	0	0	0		
Затухание из-за геометрической дивергенции, Adiv, дБ	расстояние = 630.50 м	ф-ла (7) [10]	**67**										
Коэффициент затухания звука в атмосфере α, дБ/км	Ta=20,°C Pa=101.33,кПа hотн.=70%	ф-ла (5) [9]	0,02	0,09	0,33	1,12	2,79	4,98	9,04	23,09	77,63		
Учет затухания звука в атмосфере Aatm, дБ		ф-ла (8) [10]	0	0,1	0,2	0,7	1,8	3,1	5,7	14,6	48,9		
Снижение поверхностью земли возле источника As, дБ	Gs = 0 hs = 1м	ф-лы таб.3 [10]	-1,5	-1,5	-1,5	-1,5	-1,5	-1,5	-1,5	-1,5	-1,5		
Снижение поверхностью земли возле приёмника Ar, дБ	Gr = 1 hr = 1.5м	ф-лы таб.3 [10]	-1,5	-1,5	3,8	7	5	0,7	0	0	0		
Снижение поверхностью земли в средней зоне, Am дБ	Gm = 1	ф-лы таб.3 [10]	-2,6	-2,6	0	0	0	0	0	0	0		
Суммарное снижение поверхностью земли на траектории распространения звука Agr, дБ		ф-ла (9) [10]	-5,6	-5,6	2,3	5,5	3,5	-0,8	-1,5	-1,5	-1,5		
Уровни звукового давления прямого звука от источника ИШ-6-6 в расчётной точке днём, дБ		**ф-ла(3)[10]**	**0**	**34,9**	**28,2**	**25,8**	**27,1**	**29,6**	**24,4**	**11,3**	**0**	**32,1**	**32,1**
Уровни звукового давления прямого звука от источника ИШ-6-6 в расчётной точке ночью, дБ		**ф-ла(3)[10]**	**0**	**34,9**	**28,2**	**25,8**	**27,1**	**29,6**	**24,4**	**11,3**	**0**	**32,1**	**32,1**
Расчёт отражённого звука													
Уровни звукового давления от мнимого источника ИШ-6-6_мн.(1) в расчётной точке днём, дБ		**ф-ла(3)[10]**	**0**	**0**	**0**	**0**	**0**	**0**	**0**	**0**	**0**	**0**	**0**
Уровни звукового давления от мнимого источника ИШ-6-6_мн.(1) в расчётной точке ночью, дБ		**ф-ла(3)[10]**	**0**	**0**	**0**	**0**	**0**	**0**	**0**	**0**	**0**	**0**	**0**

1		2	3	4	5	6	7	8	9	10	11	12	13
Уровни звукового давления от источника ИШ-6-6 в расчётной точке днём, дБ		**ф-ла(3)[10]**	**0**	**34,9**	**28,2**	**25,8**	**27,1**	**29,6**	**24,4**	**11,3**	**0**	**32,1**	**32,1**
Уровни звукового давления от источника ИШ-6-6 в расчётной точке ночью, дБ		**ф-ла(3)[10]**	**0**	**34,9**	**28,2**	**25,8**	**27,1**	**29,6**	**24,4**	**11,3**	**0**	**32,1**	**32,1**
Источник шума: ИШ-6-7, координаты источника (x,y,z), м =[830.30,104.49,1.00]													
Уровни звуковой мощности источника днём, Lw, дБ		**исходные данные**	**0**	**96,3**	**97,7**	**99**	**99,3**	**98,9**	**95,6**	**91,4**	**86,9**		
Уровни звуковой мощности источника ночью, Lw, дБ		**исходные данные**	**0**	**96,3**	**97,7**	**99**	**99,3**	**98,9**	**95,6**	**91,4**	**86,9**		
Поправка на телесный угол DΩ, дБ	Ω = 12.57	10Lg(4π/Ω)	**0**	0	0	0	0	0	0	0	0		
Показатель направленности источника Di, дБ		исходные данные	**0**	0	0	0	0	0	0	0	0		
Поправка на направленность источника Dc, дБ	Dc	DΩ + Di	**0**	0	0	0	0	0	0	0	0		
Затухание из-за геометрической дивергенции, Adiv, дБ	расстояние = 629.45 м	ф-ла (7) [10]	**67**										
Коэффициент затухания звука в атмосфере α, дБ/км	Ta=20,°C Pa=101.33,кПа hотн.=70%	ф-ла (5) [9]	0,02	0,09	0,33	1,12	2,79	4,98	9,04	23,09	77,63		
Учет затухания звука в атмосфере Aatm, дБ		ф-ла (8) [10]	0	0,1	0,2	0,7	1,8	3,1	5,7	14,5	48,9		
Снижение поверхностью земли возле источника As, дБ	Gs = 0 hs = 1м	ф-лы таб.3 [10]	-1,5	-1,5	-1,5	-1,5	-1,5	-1,5	-1,5	-1,5	-1,5		
Снижение поверхностью земли возле приёмника Ar, дБ	Gr = 1 hr = 1.5м	ф-лы таб.3 [10]	-1,5	-1,5	3,8	7	5	0,7	0	0	0		
Снижение поверхностью земли в средней зоне, Am дБ	Gm = 1	ф-лы таб.3 [10]	-2,6	-2,6	0	0	0	0	0	0	0		
Суммарное снижение поверхностью земли на траектории распространения звука Agr, дБ		ф-ла (9) [10]	-5,6	-5,6	2,3	5,5	3,5	-0,8	-1,5	-1,5	-1,5		
Уровни звукового давления прямого звука от источника ИШ-6-7 в расчётной точке днём, дБ		**ф-ла(3)[10]**	**0**	**34,9**	**28,2**	**25,8**	**27,1**	**29,6**	**24,4**	**11,4**	**0**	**32,1**	**32,1**

1		2	3	4	5	6	7	8	9	10	11	12	13
Уровни звукового давления прямого звука от источника ИШ-6-7 в расчётной точке ночью, дБ		**ф-ла(3)[10]**	**0**	**34,9**	**28,2**	**25,8**	**27,1**	**29,6**	**24,4**	**11,4**	**0**	**32,1**	**32,1**
Расчёт отражённого звука													
Уровни звукового давления от мнимого источника ИШ-6-7_мн.(1) в расчётной точке днём, дБ		**ф-ла(3)[10]**	**0**	**0**	**0**	**0**	**0**	**0**	**0**	**0**	**0**	**0**	**0**
Уровни звукового давления от мнимого источника ИШ-6-7_мн.(1) в расчётной точке ночью, дБ		**ф-ла(3)[10]**	**0**	**0**	**0**	**0**	**0**	**0**	**0**	**0**	**0**	**0**	**0**
Уровни звукового давления от источника ИШ-6-7 в расчётной точке днём, дБ		**ф-ла(3)[10]**	**0**	**34,9**	**28,2**	**25,8**	**27,1**	**29,6**	**24,4**	**11,4**	**0**	**32,1**	**32,1**
Уровни звукового давления от источника ИШ-6-7 в расчётной точке ночью, дБ		**ф-ла(3)[10]**	**0**	**34,9**	**28,2**	**25,8**	**27,1**	**29,6**	**24,4**	**11,4**	**0**	**32,1**	**32,1**
Источник шума: ИШ-6-8, координаты источника (x,y,z), м =[829.36,101.42,1.00]													
Уровни звуковой мощности источника днём, Lw, дБ		**исходные данные**	**0**	**96,3**	**97,7**	**99**	**99,3**	**98,9**	**95,6**	**91,4**	**86,9**		
Уровни звуковой мощности источника ночью, Lw, дБ		**исходные данные**	**0**	**96,3**	**97,7**	**99**	**99,3**	**98,9**	**95,6**	**91,4**	**86,9**		
Поправка на телесный угол DΩ, дБ	Ω = 12.57	10Lg(4π/Ω)	**0**	0	0	0	0	0	0	0	0		
Показатель направленности источника Di, дБ		исходные данные	**0**	0	0	0	0	0	0	0	0		
Поправка на направленность источника Dc, дБ	Dc	DΩ + Di	**0**	0	0	0	0	0	0	0	0		
Затухание из-за геометрической дивергенции, Adiv, дБ	расстояние = 628.56 м	ф-ла (7) [10]	**67**										
Коэффициент затухания звука в атмосфере α, дБ/км	Ta=20,°C Pa=101.33,кПа hотн.=70%	ф-ла (5) [9]	0,02	0,09	0,33	1,12	2,79	4,98	9,04	23,09	77,63		
Учет затухания звука в атмосфере Aatm, дБ		ф-ла (8) [10]	0	0,1	0,2	0,7	1,8	3,1	5,7	14,5	48,8		
Снижение поверхностью земли возле источника As, дБ	Gs = 0 hs = 1м	ф-лы таб.3 [10]	-1,5	-1,5	-1,5	-1,5	-1,5	-1,5	-1,5	-1,5	-1,5		

1		2	3	4	5	6	7	8	9	10	11	12	13
Снижение поверхностью земли возле приёмника Ar, дБ	Gr = 1 hr = 1.5м	ф-лы таб.3 [10]	-1,5	-1,5	3,8	7	5	0,7	0	0	0		
Снижение поверхностью земли в средней зоне, Am дБ	Gm = 1	ф-лы таб.3 [10]	-2,6	-2,6	0	0	0	0	0	0	0		
Суммарное снижение поверхностью земли на траектории распространения звука Agr, дБ		ф-ла (9) [10]	-5,6	-5,6	2,3	5,5	3,5	-0,8	-1,5	-1,5	-1,5		
Уровни звукового давления прямого звука от источника ИШ-6-8 в расчётной точке днём, дБ		**ф-ла(3)[10]**	**0**	**34,9**	**28,2**	**25,8**	**27,1**	**29,6**	**24,4**	**11,4**	**0**	**32,1**	**32,1**
Уровни звукового давления прямого звука от источника ИШ-6-8 в расчётной точке ночью, дБ		**ф-ла(3)[10]**	**0**	**34,9**	**28,2**	**25,8**	**27,1**	**29,6**	**24,4**	**11,4**	**0**	**32,1**	**32,1**
Расчёт отражённого звука													
Уровни звукового давления от мнимого источника ИШ-6-8_мн.(1) в расчётной точке днём, дБ		**ф-ла(3)[10]**	**0**	**0**	**0**	**0**	**0**	**0**	**0**	**0**	**0**	**0**	**0**
Уровни звукового давления от мнимого источника ИШ-6-8_мн.(1) в расчётной точке ночью, дБ		**ф-ла(3)[10]**	**0**	**0**	**0**	**0**	**0**	**0**	**0**	**0**	**0**	**0**	**0**
Уровни звукового давления от источника ИШ-6-8 в расчётной точке днём, дБ		**ф-ла(3)[10]**	**0**	**34,9**	**28,2**	**25,8**	**27,1**	**29,6**	**24,4**	**11,4**	**0**	**32,1**	**32,1**
Уровни звукового давления от источника ИШ-6-8 в расчётной точке ночью, дБ		**ф-ла(3)[10]**	**0**	**34,9**	**28,2**	**25,8**	**27,1**	**29,6**	**24,4**	**11,4**	**0**	**32,1**	**32,1**
Источник шума: ИШ-6-9, координаты источника (x,y,z), м =[828.03,98.62,1.00]													
Уровни звуковой мощности источника днём, Lw, дБ		**исходные данные**	**0**	**96,3**	**97,7**	**99**	**99,3**	**98,9**	**95,6**	**91,4**	**86,9**		
Уровни звуковой мощности источника ночью, Lw, дБ		**исходные данные**	**0**	**96,3**	**97,7**	**99**	**99,3**	**98,9**	**95,6**	**91,4**	**86,9**		
Поправка на телесный угол DΩ, дБ	Ω = 12.57	10Lg(4π/Ω)	**0**	0	0	0	0	0	0	0	0		
Показатель направленности источника Di, дБ		исходные данные	**0**	0	0	0	0	0	0	0	0		
Поправка на направленность источника Dc, дБ	Dc	DΩ + Di	**0**	0	0	0	0	0	0	0	0		
Затухание из-за геометрической дивергенции, Adiv, дБ	расстояние = 628.17 м	ф-ла (7) [10]	**67**										

1		2	3	4	5	6	7	8	9	10	11	12	13
Коэффициент затухания звука в атмосфере α, дБ/км	Ta=20,°C Pa=101.33,кПа hотн.=70%	ф-ла (5) [9]	0,02	0,09	0,33	1,12	2,79	4,98	9,04	23,09	77,63		
Учет затухания звука в атмосфере Aatm, дБ		ф-ла (8) [10]	0	0,1	0,2	0,7	1,8	3,1	5,7	14,5	48,8		
Снижение поверхностью земли возле источника As, дБ	Gs = 0 hs = 1м	ф-лы таб.3 [10]	-1,5	-1,5	-1,5	-1,5	-1,5	-1,5	-1,5	-1,5	-1,5		
Снижение поверхностью земли возле приёмника Ar, дБ	Gr = 1 hr = 1.5м	ф-лы таб.3 [10]	-1,5	-1,5	3,8	7	5	0,7	0	0	0		
Снижение поверхностью земли в средней зоне, Am дБ	Gm = 1	ф-лы таб.3 [10]	-2,6	-2,6	0	0	0	0	0	0	0		
Суммарное снижение поверхностью земли на траектории распространения звука Agr, дБ		ф-ла (9) [10]	-5,6	-5,6	2,3	5,5	3,5	-0,8	-1,5	-1,5	-1,5		
Уровни звукового давления прямого звука от источника ИШ-6-9 в расчётной точке днём, дБ		**ф-ла(3)[10]**	**0**	**34,9**	**28,2**	**25,8**	**27,1**	**29,6**	**24,5**	**11,4**	**0**	**32,1**	**32,1**
Уровни звукового давления прямого звука от источника ИШ-6-9 в расчётной точке ночью, дБ		**ф-ла(3)[10]**	**0**	**34,9**	**28,2**	**25,8**	**27,1**	**29,6**	**24,5**	**11,4**	**0**	**32,1**	**32,1**
Расчёт отражённого звука													
Уровни звукового давления от мнимого источника ИШ-6-9_мн.(1) в расчётной точке днём, дБ		**ф-ла(3)[10]**	**0**	**0**	**0**	**0**	**0**	**0**	**0**	**0**	**0**	**0**	**0**
Уровни звукового давления от мнимого источника ИШ-6-9_мн.(1) в расчётной точке ночью, дБ		**ф-ла(3)[10]**	**0**	**0**	**0**	**0**	**0**	**0**	**0**	**0**	**0**	**0**	**0**
Уровни звукового давления от источника ИШ-6-9 в расчётной точке днём, дБ		**ф-ла(3)[10]**	**0**	**34,9**	**28,2**	**25,8**	**27,1**	**29,6**	**24,5**	**11,4**	**0**	**32,1**	**32,1**
Уровни звукового давления от источника ИШ-6-9 в расчётной точке ночью, дБ		**ф-ла(3)[10]**	**0**	**34,9**	**28,2**	**25,8**	**27,1**	**29,6**	**24,5**	**11,4**	**0**	**32,1**	**32,1**
Источник шума: ИШ-6-10, координаты источника (x,y,z), м =[827.23,95.55,1.00]													
Уровни звуковой мощности источника днём, Lw, дБ		**исходные данные**	**0**	**96,3**	**97,7**	**99**	**99,3**	**98,9**	**95,6**	**91,4**	**86,9**		
Уровни звуковой мощности источника ночью, Lw, дБ		**исходные данные**	**0**	**96,3**	**97,7**	**99**	**99,3**	**98,9**	**95,6**	**91,4**	**86,9**		

1		2	3	4	5	6	7	8	9	10	11	12	13
Поправка на телесный угол DΩ, дБ	Ω = 12.57	10Lg(4π/Ω)	**0**	0	0	0	0	0	0	0	0		
Показатель направленности источника Di, дБ		исходные данные	**0**	0	0	0	0	0	0	0	0		
Поправка на направленность источника Dc, дБ	Dc	DΩ + Di	**0**	0	0	0	0	0	0	0	0		
Затухание из-за геометрической дивергенции, Adiv, дБ	расстояние = 627.19 м	ф-ла (7) [10]	**66,9**										
Коэффициент затухания звука в атмосфере α, дБ/км	Ta=20,°C Pa=101.33,кПа hотн.=70%	ф-ла (5) [9]	0,02	0,09	0,33	1,12	2,79	4,98	9,04	23,09	77,63		
Учет затухания звука в атмосфере Aatm, дБ		ф-ла (8) [10]	0	0,1	0,2	0,7	1,8	3,1	5,7	14,5	48,7		
Снижение поверхностью земли возле источника As, дБ	Gs = 0 hs = 1м	ф-лы таб.3 [10]	-1,5	-1,5	-1,5	-1,5	-1,5	-1,5	-1,5	-1,5	-1,5		
Снижение поверхностью земли возле приёмника Ar, дБ	Gr = 1 hr = 1.5м	ф-лы таб.3 [10]	-1,5	-1,5	3,8	7	5	0,7	0	0	0		
Снижение поверхностью земли в средней зоне, Am дБ	Gm = 1	ф-лы таб.3 [10]	-2,6	-2,6	0	0	0	0	0	0	0		
Суммарное снижение поверхностью земли на траектории распространения звука Agr, дБ		ф-ла (9) [10]	-5,6	-5,6	2,3	5,5	3,5	-0,8	-1,5	-1,5	-1,5		
Уровни звукового давления прямого звука от источника ИШ-6-10 в расчётной точке днём, дБ		**ф-ла(3)[10]**	**0**	**34,9**	**28,2**	**25,8**	**27,1**	**29,7**	**24,5**	**11,5**	**0**	**32,1**	**32,1**
Уровни звукового давления прямого звука от источника ИШ-6-10 в расчётной точке ночью, дБ		**ф-ла(3)[10]**	**0**	**34,9**	**28,2**	**25,8**	**27,1**	**29,7**	**24,5**	**11,5**	**0**	**32,1**	**32,1**
Расчёт отражённого звука													
Уровни звукового давления от мнимого источника ИШ-6-10_мн.(1) в расчётной точке днём, дБ		**ф-ла(3)[10]**	**0**	**0**	**0**	**0**	**0**	**0**	**0**	**0**	**0**	**0**	**0**
Уровни звукового давления от мнимого источника ИШ-6-10_мн.(1) в расчётной точке ночью, дБ		**ф-ла(3)[10]**	**0**	**0**	**0**	**0**	**0**	**0**	**0**	**0**	**0**	**0**	**0**
Уровни звукового давления от источника ИШ-6-10 в расчётной точке днём, дБ		**ф-ла(3)[10]**	**0**	**34,9**	**28,2**	**25,8**	**27,1**	**29,7**	**24,5**	**11,5**	**0**	**32,1**	**32,1**
Уровни звукового давления от источника ИШ-6-10 в расчётной точке ночью, дБ		**ф-ла(3)[10]**	**0**	**34,9**	**28,2**	**25,8**	**27,1**	**29,7**	**24,5**	**11,5**	**0**	**32,1**	**32,1**

1		2	3	4	5	6	7	8	9	10	11	12	13
Источник шума: ИШ-6-11, координаты источника (x,y,z), м =[826.30,92.48,1.00]													
Уровни звуковой мощности источника днём, Lw, дБ		**исходные данные**	**0**	**96,3**	**97,7**	**99**	**99,3**	**98,9**	**95,6**	**91,4**	**86,9**		
Уровни звуковой мощности источника ночью, Lw, дБ		**исходные данные**	**0**	**96,3**	**97,7**	**99**	**99,3**	**98,9**	**95,6**	**91,4**	**86,9**		
Поправка на телесный угол DΩ, дБ	Ω = 12.57	10Lg(4π/Ω)	**0**	0	0	0	0	0	0	0	0		
Показатель направленности источника Di, дБ		исходные данные	**0**	0	0	0	0	0	0	0	0		
Поправка на направленность источника Dc, дБ	Dc	DΩ + Di	**0**	0	0	0	0	0	0	0	0		
Затухание из-за геометрической дивергенции, Adiv, дБ	расстояние = 626.35 м	ф-ла (7) [10]	**66,9**										
Коэффициент затухания звука в атмосфере α, дБ/км	Ta=20,°C Pa=101.33,кПа hотн.=70%	ф-ла (5) [9]	0,02	0,09	0,33	1,12	2,79	4,98	9,04	23,09	77,63		
Учет затухания звука в атмосфере Aatm, дБ		ф-ла (8) [10]	0	0,1	0,2	0,7	1,7	3,1	5,7	14,5	48,6		
Снижение поверхностью земли возле источника As, дБ	Gs = 0 hs = 1м	ф-лы таб.3 [10]	-1,5	-1,5	-1,5	-1,5	-1,5	-1,5	-1,5	-1,5	-1,5		
Снижение поверхностью земли возле приёмника Ar, дБ	Gr = 1 hr = 1.5м	ф-лы таб.3 [10]	-1,5	-1,5	3,8	7	5	0,7	0	0	0		
Снижение поверхностью земли в средней зоне, Am дБ	Gm = 1	ф-лы таб.3 [10]	-2,6	-2,6	0	0	0	0	0	0	0		
Суммарное снижение поверхностью земли на траектории распространения звука Agr, дБ		ф-ла (9) [10]	-5,6	-5,6	2,3	5,5	3,5	-0,8	-1,5	-1,5	-1,5		
Уровни звукового давления прямого звука от источника ИШ-6-11 в расчётной точке днём, дБ		**ф-ла(3)[10]**	**0**	**34,9**	**28,3**	**25,8**	**27,1**	**29,7**	**24,5**	**11,5**	**0**	**32,2**	**32,2**
Уровни звукового давления прямого звука от источника ИШ-6-11 в расчётной точке ночью, дБ		**ф-ла(3)[10]**	**0**	**34,9**	**28,3**	**25,8**	**27,1**	**29,7**	**24,5**	**11,5**	**0**	**32,2**	**32,2**
Расчёт отражённого звука													

1		2	3	4	5	6	7	8	9	10	11	12	13
Уровни звукового давления от мнимого источника ИШ-6-11_мн.(1) в расчётной точке днём, дБ		**ф-ла(3)[10]**	**0**	**0**	**0**	**0**	**0**	**0**	**0**	**0**	**0**	**0**	**0**
Уровни звукового давления от мнимого источника ИШ-6-11_мн.(1) в расчётной точке ночью, дБ		**ф-ла(3)[10]**	**0**	**0**	**0**	**0**	**0**	**0**	**0**	**0**	**0**	**0**	**0**
Уровни звукового давления от источника ИШ-6-11 в расчётной точке днём, дБ		**ф-ла(3)[10]**	**0**	**34,9**	**28,3**	**25,8**	**27,1**	**29,7**	**24,5**	**11,5**	**0**	**32,2**	**32,2**
Уровни звукового давления от источника ИШ-6-11 в расчётной точке ночью, дБ		**ф-ла(3)[10]**	**0**	**34,9**	**28,3**	**25,8**	**27,1**	**29,7**	**24,5**	**11,5**	**0**	**32,2**	**32,2**
Источник шума: ИШ-6-12, координаты источника (x,y,z), м =[825.09,89.54,1.00]													
Уровни звуковой мощности источника днём, Lw, дБ		**исходные данные**	**0**	**96,3**	**97,7**	**99**	**99,3**	**98,9**	**95,6**	**91,4**	**86,9**		
Уровни звуковой мощности источника ночью, Lw, дБ		**исходные данные**	**0**	**96,3**	**97,7**	**99**	**99,3**	**98,9**	**95,6**	**91,4**	**86,9**		
Поправка на телесный угол DΩ, дБ	Ω = 12.57	10Lg(4π/Ω)	**0**	0	0	0	0	0	0	0	0		
Показатель направленности источника Di, дБ		исходные данные	**0**	0	0	0	0	0	0	0	0		
Поправка на направленность источника Dc, дБ	Dc	DΩ + Di	**0**	0	0	0	0	0	0	0	0		
Затухание из-за геометрической дивергенции, Adiv, дБ	расстояние = 625.82 м	ф-ла (7) [10]	**66,9**										
Коэффициент затухания звука в атмосфере α, дБ/км	Ta=20,°C Pa=101.33,кПа hотн.=70%	ф-ла (5) [9]	0,02	0,09	0,33	1,12	2,79	4,98	9,04	23,09	77,63		
Учет затухания звука в атмосфере Aatm, дБ		ф-ла (8) [10]	0	0,1	0,2	0,7	1,7	3,1	5,7	14,4	48,6		
Снижение поверхностью земли возле источника As, дБ	Gs = 0 hs = 1м	ф-лы таб.3 [10]	-1,5	-1,5	-1,5	-1,5	-1,5	-1,5	-1,5	-1,5	-1,5		
Снижение поверхностью земли возле приёмника Ar, дБ	Gr = 1 hr = 1.5м	ф-лы таб.3 [10]	-1,5	-1,5	3,8	7	5	0,7	0	0	0		
Снижение поверхностью земли в средней зоне, Am дБ	Gm = 1	ф-лы таб.3 [10]	-2,6	-2,6	0	0	0	0	0	0	0		

1		2	3	4	5	6	7	8	9	10	11	12	13
Суммарное снижение поверхностью земли на траектории распространения звука Agr, дБ		ф-ла (9) [10]	-5,6	-5,6	2,3	5,5	3,5	-0,8	-1,5	-1,5	-1,5		
Уровни звукового давления от источника ИШ-6-12 в расчётной точке днём, дБ		**ф-ла(3)[10]**	**0**	**34,9**	**28,3**	**25,8**	**27,1**	**29,7**	**24,5**	**11,5**	**0**	**32,2**	**32,2**
Уровни звукового давления от источника ИШ-6-12 в расчётной точке ночью, дБ		**ф-ла(3)[10]**	**0**	**34,9**	**28,3**	**25,8**	**27,1**	**29,7**	**24,5**	**11,5**	**0**	**32,2**	**32,2**
Источник шума: ИШ-6-13, координаты источника (x,y,z), м =[767.76,-114.15,1.00]													
Уровни звуковой мощности источника днём, Lw, дБ		**исходные данные**	**0**	**96,3**	**97,7**	**99**	**99,3**	**98,9**	**95,6**	**91,4**	**86,9**		
Уровни звуковой мощности источника ночью, Lw, дБ		**исходные данные**	**0**	**96,3**	**97,7**	**99**	**99,3**	**98,9**	**95,6**	**91,4**	**86,9**		
Поправка на телесный угол DΩ, дБ	Ω = 12.57	10Lg(4π/Ω)	**0**	0	0	0	0	0	0	0	0		
Показатель направленности источника Di, дБ		исходные данные	**0**	0	0	0	0	0	0	0	0		
Поправка на направленность источника Dc, дБ	Dc	DΩ + Di	**0**	0	0	0	0	0	0	0	0		
Затухание из-за геометрической дивергенции, Adiv, дБ	расстояние = 602.72 м	ф-ла (7) [10]	**66,6**										
Коэффициент затухания звука в атмосфере α, дБ/км	Ta=20,°C Pa=101.33,кПа hотн.=70%	ф-ла (5) [9]	0,02	0,09	0,33	1,12	2,79	4,98	9,04	23,09	77,63		
Учет затухания звука в атмосфере Aatm, дБ		ф-ла (8) [10]	0	0,1	0,2	0,7	1,7	3	5,4	13,9	46,8		
Снижение поверхностью земли возле источника As, дБ	Gs = 0 hs = 1м	ф-лы таб.3 [10]	-1,5	-1,5	-1,5	-1,5	-1,5	-1,5	-1,5	-1,5	-1,5		
Снижение поверхностью земли возле приёмника Ar, дБ	Gr = 1 hr = 1.5м	ф-лы таб.3 [10]	-1,5	-1,5	3,7	7	5	0,7	0	0	0		
Снижение поверхностью земли в средней зоне, Am дБ	Gm = 1	ф-лы таб.3 [10]	-2,6	-2,6	0	0	0	0	0	0	0		
Суммарное снижение поверхностью земли на траектории распространения звука Agr, дБ		ф-ла (9) [10]	-5,6	-5,6	2,2	5,5	3,5	-0,8	-1,5	-1,5	-1,5		

1		2	3	4	5	6	7	8	9	10	11	12	13
Уровни звукового давления прямого звука от источника ИШ-6-13 в расчётной точке днём, дБ		**ф-ла(3)[10]**	**0**	**35,3**	**28,7**	**26,2**	**27,5**	**30,1**	**25**	**12,4**	**0**	**32,6**	**32,6**
Уровни звукового давления прямого звука от источника ИШ-6-13 в расчётной точке ночью, дБ		**ф-ла(3)[10]**	**0**	**35,3**	**28,7**	**26,2**	**27,5**	**30,1**	**25**	**12,4**	**0**	**32,6**	**32,6**
Расчёт отражённого звука													
Уровни звукового давления от мнимого источника ИШ-6-13_мн.(1) в расчётной точке днём, дБ		**ф-ла(3)[10]**	**0**	**0**	**0**	**0**	**0**	**0**	**14,8**	**0**	**0**	**16**	**16**
Уровни звукового давления от мнимого источника ИШ-6-13_мн.(1) в расчётной точке ночью, дБ		**ф-ла(3)[10]**	**0**	**0**	**0**	**0**	**0**	**0**	**0**	**0**	**0**	**16**	**16**
Уровни звукового давления от источника ИШ-6-13 в расчётной точке днём, дБ		**ф-ла(3)[10]**	**0**	**35,3**	**28,7**	**26,2**	**27,5**	**30,1**	**25,4**	**12,4**	**0**	**32,7**	**32,7**
Уровни звукового давления от источника ИШ-6-13 в расчётной точке ночью, дБ		**ф-ла(3)[10]**	**0**	**35,3**	**28,7**	**26,2**	**27,5**	**30,1**	**25,4**	**12,4**	**0**	**32,7**	**32,7**
Источник шума: ИШ-6-14, координаты источника (x,y,z), м =[766.82,-117.10,1.00]													
Уровни звуковой мощности источника днём, Lw, дБ		**исходные данные**	**0**	**96,3**	**97,7**	**99**	**99,3**	**98,9**	**95,6**	**91,4**	**86,9**		
Уровни звуковой мощности источника ночью, Lw, дБ		**исходные данные**	**0**	**96,3**	**97,7**	**99**	**99,3**	**98,9**	**95,6**	**91,4**	**86,9**		
Поправка на телесный угол DΩ, дБ	Ω = 12.57	10Lg(4π/Ω)	**0**	0	0	0	0	0	0	0	0		
Показатель направленности источника Di, дБ		исходные данные	**0**	0	0	0	0	0	0	0	0		
Поправка на направленность источника Dc, дБ	Dc	DΩ + Di	**0**	0	0	0	0	0	0	0	0		
Затухание из-за геометрической дивергенции, Adiv, дБ	расстояние = 603.04 м	ф-ла (7) [10]	**66,6**										
Коэффициент затухания звука в атмосфере α, дБ/км	Та=20,°С Ра=101.33,кПа hотн.=70%	ф-ла (5) [9]	0,02	0,09	0,33	1,12	2,79	4,98	9,04	23,09	77,63		
Учет затухания звука в атмосфере Aatm, дБ		ф-ла (8) [10]	0	0,1	0,2	0,7	1,7	3	5,5	13,9	46,8		

1		2	3	4	5	6	7	8	9	10	11	12	13
Снижение поверхностью земли возле источника As, дБ	Gs = 0 hs = 1м	ф-лы таб.3 [10]	-1,5	-1,5	-1,5	-1,5	-1,5	-1,5	-1,5	-1,5	-1,5		
Снижение поверхностью земли возле приёмника Ar, дБ	Gr = 1 hr = 1.5м	ф-лы таб.3 [10]	-1,5	-1,5	3,7	7	5	0,7	0	0	0		
Снижение поверхностью земли в средней зоне, Am дБ	Gm = 1	ф-лы таб.3 [10]	-2,6	-2,6	0	0	0	0	0	0	0		
Суммарное снижение поверхностью земли на траектории распространения звука Agr, дБ		ф-ла (9) [10]	-5,6	-5,6	2,2	5,5	3,5	-0,8	-1,5	-1,5	-1,5		
Уровни звукового давления прямого звука от источника ИШ-6-14 в расчётной точке днём, дБ		**ф-ла(3)[10]**	**0**	**35,3**	**28,7**	**26,2**	**27,5**	**30,1**	**25**	**12,4**	**0**	**32,6**	**32,6**
Уровни звукового давления прямого звука от источника ИШ-6-14 в расчётной точке ночью, дБ		**ф-ла(3)[10]**	**0**	**35,3**	**28,7**	**26,2**	**27,5**	**30,1**	**25**	**12,4**	**0**	**32,6**	**32,6**
Расчёт отражённого звука													
Уровни звукового давления от мнимого источника ИШ-6-14_мн.(1) в расчётной точке днём, дБ		**ф-ла(3)[10]**	**0**	**0**	**0**	**0**	**0**	**0**	**14,8**	**0**	**0**	**16**	**16**
Уровни звукового давления от мнимого источника ИШ-6-14_мн.(1) в расчётной точке ночью, дБ		**ф-ла(3)[10]**	**0**	**0**	**0**	**0**	**0**	**0**	**0**	**0**	**0**	**16**	**16**
Уровни звукового давления от источника ИШ-6-14 в расчётной точке днём, дБ		**ф-ла(3)[10]**	**0**	**35,3**	**28,7**	**26,2**	**27,5**	**30,1**	**25,4**	**12,4**	**0**	**32,7**	**32,7**
Уровни звукового давления от источника ИШ-6-14 в расчётной точке ночью, дБ		**ф-ла(3)[10]**	**0**	**35,3**	**28,7**	**26,2**	**27,5**	**30,1**	**25,4**	**12,4**	**0**	**32,7**	**32,7**
Источник шума: ИШ-6-15, координаты источника (x,y,z), м =[765.71,-120.27,1.00]													
Уровни звуковой мощности источника днём, Lw, дБ		**исходные данные**	**0**	**96,3**	**97,7**	**99**	**99,3**	**98,9**	**95,6**	**91,4**	**86,9**		
Уровни звуковой мощности источника ночью, Lw, дБ		**исходные данные**	**0**	**96,3**	**97,7**	**99**	**99,3**	**98,9**	**95,6**	**91,4**	**86,9**		
Поправка на телесный угол DΩ, дБ	Ω = 12.57	10Lg(4π/Ω)	**0**	0	0	0	0	0	0	0	0		
Показатель направленности источника Di, дБ		исходные данные	**0**	0	0	0	0	0	0	0	0		
Поправка на направленность источника Dc, дБ	Dc	DΩ + Di	**0**	0	0	0	0	0	0	0	0		

1		2	3	4	5	6	7	8	9	10	11	12	13
Затухание из-за геометрической дивергенции, Adiv, дБ	расстояние = 603.48 м	ф-ла (7) [10]	**66,6**										
Коэффициент затухания звука в атмосфере α, дБ/км	Ta=20,°C Pa=101.33,кПа hотн.=70%	ф-ла (5) [9]	0,02	0,09	0,33	1,12	2,79	4,98	9,04	23,09	77,63		
Учет затухания звука в атмосфере Aatm, дБ		ф-ла (8) [10]	0	0,1	0,2	0,7	1,7	3	5,5	13,9	46,9		
Снижение поверхностью земли возле источника As, дБ	Gs = 0 hs = 1м	ф-лы таб.3 [10]	-1,5	-1,5	-1,5	-1,5	-1,5	-1,5	-1,5	-1,5	-1,5		
Снижение поверхностью земли возле приёмника Ar, дБ	Gr = 1 hr = 1.5м	ф-лы таб.3 [10]	-1,5	-1,5	3,7	7	5	0,7	0	0	0		
Снижение поверхностью земли в средней зоне, Am дБ	Gm = 1	ф-лы таб.3 [10]	-2,6	-2,6	0	0	0	0	0	0	0		
Суммарное снижение поверхностью земли на траектории распространения звука Agr, дБ		ф-ла (9) [10]	-5,6	-5,6	2,2	5,5	3,5	-0,8	-1,5	-1,5	-1,5		
Уровни звукового давления прямого звука от источника ИШ-6-15 в расчётной точке днём, дБ		**ф-ла(3)[10]**	**0**	**35,3**	**28,7**	**26,2**	**27,5**	**30,1**	**25**	**12,3**	**0**	**32,6**	**32,6**
Уровни звукового давления прямого звука от источника ИШ-6-15 в расчётной точке ночью, дБ		**ф-ла(3)[10]**	**0**	**35,3**	**28,7**	**26,2**	**27,5**	**30,1**	**25**	**12,3**	**0**	**32,6**	**32,6**
Расчёт отражённого звука													
Уровни звукового давления от мнимого источника ИШ-6-15_мн.(1) в расчётной точке днём, дБ		**ф-ла(3)[10]**	**0**	**0**	**0**	**0**	**0**	**0**	**14,8**	**0**	**0**	**16**	**16**
Уровни звукового давления от мнимого источника ИШ-6-15_мн.(1) в расчётной точке ночью, дБ		**ф-ла(3)[10]**	**0**	**0**	**0**	**0**	**0**	**0**	**0**	**0**	**0**	**16**	**16**
Уровни звукового давления от источника ИШ-6-15 в расчётной точке днём, дБ		**ф-ла(3)[10]**	**0**	**35,3**	**28,7**	**26,2**	**27,5**	**30,1**	**25,4**	**12,3**	**0**	**32,7**	**32,7**
Уровни звукового давления от источника ИШ-6-15 в расчётной точке ночью, дБ		**ф-ла(3)[10]**	**0**	**35,3**	**28,7**	**26,2**	**27,5**	**30,1**	**25,4**	**12,3**	**0**	**32,7**	**32,7**
Источник шума: ИШ-6-16, координаты источника (x,y,z), м =[764.57,-123.22,1.00]													
Уровни звуковой мощности источника днём, Lw, дБ		**исходные данные**	**0**	**96,3**	**97,7**	**99**	**99,3**	**98,9**	**95,6**	**91,4**	**86,9**		

1		2	3	4	5	6	7	8	9	10	11	12	13
Уровни звуковой мощности источника ночью, Lw, дБ		**исходные данные**	**0**	**96,3**	**97,7**	**99**	**99,3**	**98,9**	**95,6**	**91,4**	**86,9**		
Поправка на телесный угол DΩ, дБ	Ω = 12.57	10Lg(4π/Ω)	**0**	0	0	0	0	0	0	0	0		
Показатель направленности источника Di, дБ		исходные данные	**0**	0	0	0	0	0	0	0	0		
Поправка на направленность источника Dc, дБ	Dc	DΩ + Di	**0**	0	0	0	0	0	0	0	0		
Затухание из-за геометрической дивергенции, Adiv, дБ	расстояние = 604.03 м	ф-ла (7) [10]	**66,6**										
Коэффициент затухания звука в атмосфере α, дБ/км	Ta=20,°C Pa=101.33,кПа hотн.=70%	ф-ла (5) [9]	0,02	0,09	0,33	1,12	2,79	4,98	9,04	23,09	77,63		
Учет затухания звука в атмосфере Aatm, дБ		ф-ла (8) [10]	0	0,1	0,2	0,7	1,7	3	5,5	13,9	46,9		
Снижение поверхностью земли возле источника As, дБ	Gs = 0 hs = 1м	ф-лы таб.3 [10]	-1,5	-1,5	-1,5	-1,5	-1,5	-1,5	-1,5	-1,5	-1,5		
Снижение поверхностью земли возле приёмника Ar, дБ	Gr = 1 hr = 1.5м	ф-лы таб.3 [10]	-1,5	-1,5	3,7	7	5	0,7	0	0	0		
Снижение поверхностью земли в средней зоне, Am дБ	Gm = 1	ф-лы таб.3 [10]	-2,6	-2,6	0	0	0	0	0	0	0		
Суммарное снижение поверхностью земли на траектории распространения звука Agr, дБ		ф-ла (9) [10]	-5,6	-5,6	2,2	5,5	3,5	-0,8	-1,5	-1,5	-1,5		
Уровни звукового давления прямого звука от источника ИШ-6-16 в расчётной точке днём, дБ		**ф-ла(3)[10]**	**0**	**35,2**	**28,7**	**26,2**	**27,5**	**30,1**	**25**	**12,3**	**0**	**32,6**	**32,6**
Уровни звукового давления прямого звука от источника ИШ-6-16 в расчётной точке ночью, дБ		**ф-ла(3)[10]**	**0**	**35,2**	**28,7**	**26,2**	**27,5**	**30,1**	**25**	**12,3**	**0**	**32,6**	**32,6**
Расчёт отражённого звука													
Уровни звукового давления от мнимого источника ИШ-6-16_мн.(1) в расчётной точке днём, дБ		**ф-ла(3)[10]**	**0**	**0**	**0**	**0**	**0**	**0**	**14,8**	**0**	**0**	**16**	**16**
Уровни звукового давления от мнимого источника ИШ-6-16_мн.(1) в расчётной точке ночью, дБ		**ф-ла(3)[10]**	**0**	**0**	**0**	**0**	**0**	**0**	**0**	**0**	**0**	**16**	**16**
Уровни звукового давления от источника ИШ-6-16 в расчётной точке днём, дБ		**ф-ла(3)[10]**	**0**	**35,2**	**28,7**	**26,2**	**27,5**	**30,1**	**25,4**	**12,3**	**0**	**32,7**	**32,7**

1		2	3	4	5	6	7	8	9	10	11	12	13
Уровни звукового давления от источника ИШ-6-16 в расчётной точке ночью, дБ		**ф-ла(3)[10]**	**0**	**35,2**	**28,7**	**26,2**	**27,5**	**30,1**	**25,4**	**12,3**	**0**	**32,7**	**32,7**
Источник шума: ИШ-6-17, координаты источника (x,y,z), м =[763.57,-126.18,1.00]													
Уровни звуковой мощности источника днём, Lw, дБ		**исходные данные**	**0**	**96,3**	**97,7**	**99**	**99,3**	**98,9**	**95,6**	**91,4**	**86,9**		
Уровни звуковой мощности источника ночью, Lw, дБ		**исходные данные**	**0**	**96,3**	**97,7**	**99**	**99,3**	**98,9**	**95,6**	**91,4**	**86,9**		
Поправка на телесный угол DΩ, дБ	Ω = 12.57	10Lg(4π/Ω)	**0**	0	0	0	0	0	0	0	0		
Показатель направленности источника Di, дБ		исходные данные	**0**	0	0	0	0	0	0	0	0		
Поправка на направленность источника Dc, дБ	Dc	DΩ + Di	**0**	0	0	0	0	0	0	0	0		
Затухание из-за геометрической дивергенции, Adiv, дБ	расстояние = 604.44 м	ф-ла (7) [10]	**66,6**										
Коэффициент затухания звука в атмосфере α, дБ/км	Ta=20,°C Pa=101.33,кПа hотн.=70%	ф-ла (5) [9]	0,02	0,09	0,33	1,12	2,79	4,98	9,04	23,09	77,63		
Учет затухания звука в атмосфере Aatm, дБ		ф-ла (8) [10]	0	0,1	0,2	0,7	1,7	3	5,5	14	46,9		
Снижение поверхностью земли возле источника As, дБ	Gs = 0 hs = 1м	ф-лы таб.3 [10]	-1,5	-1,5	-1,5	-1,5	-1,5	-1,5	-1,5	-1,5	-1,5		
Снижение поверхностью земли возле приёмника Ar, дБ	Gr = 1 hr = 1.5м	ф-лы таб.3 [10]	-1,5	-1,5	3,7	7	5	0,7	0	0	0		
Снижение поверхностью земли в средней зоне, Am дБ	Gm = 1	ф-лы таб.3 [10]	-2,6	-2,6	0	0	0	0	0	0	0		
Суммарное снижение поверхностью земли на траектории распространения звука Agr, дБ		ф-ла (9) [10]	-5,6	-5,6	2,2	5,5	3,5	-0,8	-1,5	-1,5	-1,5		
Уровни звукового давления прямого звука от источника ИШ-6-17 в расчётной точке днём, дБ		**ф-ла(3)[10]**	**0**	**35,2**	**28,7**	**26,2**	**27,5**	**30,1**	**25**	**12,3**	**0**	**32,6**	**32,6**
Уровни звукового давления прямого звука от источника ИШ-6-17 в расчётной точке ночью, дБ		**ф-ла(3)[10]**	**0**	**35,2**	**28,7**	**26,2**	**27,5**	**30,1**	**25**	**12,3**	**0**	**32,6**	**32,6**

1		2	3	4	5	6	7	8	9	10	11	12	13
Расчёт отражённого звука													
Уровни звукового давления от мнимого источника ИШ-6-17_мн.(1) в расчётной точке днём, дБ		**ф-ла(3)[10]**	**0**	**0**	**0**	**0**	**0**	**0**	**14,8**	**0**	**0**	**16**	**16**
Уровни звукового давления от мнимого источника ИШ-6-17_мн.(1) в расчётной точке ночью, дБ		**ф-ла(3)[10]**	**0**	**0**	**0**	**0**	**0**	**0**	**0**	**0**	**0**	**16**	**16**
Уровни звукового давления от источника ИШ-6-17 в расчётной точке днём, дБ		**ф-ла(3)[10]**	**0**	**35,2**	**28,7**	**26,2**	**27,5**	**30,1**	**25,4**	**12,3**	**0**	**32,7**	**32,7**
Уровни звукового давления от источника ИШ-6-17 в расчётной точке ночью, дБ		**ф-ла(3)[10]**	**0**	**35,2**	**28,7**	**26,2**	**27,5**	**30,1**	**25,4**	**12,3**	**0**	**32,7**	**32,7**
Источник шума: ИШ-6-18, координаты источника (x,y,z), м =[804.77,-126.28,1.00]													
Уровни звуковой мощности источника днём, Lw, дБ		**исходные данные**	**0**	**96,3**	**97,7**	**99**	**99,3**	**98,9**	**95,6**	**91,4**	**86,9**		
Уровни звуковой мощности источника ночью, Lw, дБ		**исходные данные**	**0**	**96,3**	**97,7**	**99**	**99,3**	**98,9**	**95,6**	**91,4**	**86,9**		
Поправка на телесный угол DΩ, дБ	Ω = 12.57	10Lg(4π/Ω)	**0**	0	0	0	0	0	0	0	0		
Показатель направленности источника Di, дБ		исходные данные	**0**	0	0	0	0	0	0	0	0		
Поправка на направленность источника Dc, дБ	Dc	DΩ + Di	**0**	0	0	0	0	0	0	0	0		
Затухание из-за геометрической дивергенции, Adiv, дБ	расстояние = 564.01 м	ф-ла (7) [10]	**66**										
Коэффициент затухания звука в атмосфере α, дБ/км	Ta=20,°C Pa=101.33,кПа hотн.=70%	ф-ла (5) [9]	0,02	0,09	0,33	1,12	2,79	4,98	9,04	23,09	77,63		
Учет затухания звука в атмосфере Aatm, дБ		ф-ла (8) [10]	0	0,1	0,2	0,6	1,6	2,8	5,1	13	43,8		
Снижение поверхностью земли возле источника As, дБ	Gs = 0 hs = 1м	ф-лы таб.3 [10]	-1,5	-1,5	-1,5	-1,5	-1,5	-1,5	-1,5	-1,5	-1,5		
Снижение поверхностью земли возле приёмника Ar, дБ	Gr = 1 hr = 1.5м	ф-лы таб.3 [10]	-1,5	-1,5	3,4	7	5	0,7	0	0	0		

1		2	3	4	5	6	7	8	9	10	11	12	13
Снижение поверхностью земли в средней зоне, Am дБ	Gm = 1	ф-лы таб.3 [10]	-2,6	-2,6	0	0	0	0	0	0	0		
Суммарное снижение поверхностью земли на траектории распространения звука Agr, дБ		ф-ла (9) [10]	-5,6	-5,6	1,9	5,5	3,5	-0,8	-1,5	-1,5	-1,5		
Уровни звукового давления прямого звука от источника ИШ-6-18 в расчётной точке днём, дБ		**ф-ла(3)[10]**	**0**	**35,8**	**29,5**	**26,8**	**28,2**	**30,9**	**26**	**13,8**	**0**	**33,4**	**33,4**
Уровни звукового давления прямого звука от источника ИШ-6-18 в расчётной точке ночью, дБ		**ф-ла(3)[10]**	**0**	**35,8**	**29,5**	**26,8**	**28,2**	**30,9**	**26**	**13,8**	**0**	**33,4**	**33,4**
Расчёт отражённого звука													
Уровни звукового давления от мнимого источника ИШ-6-18_мн.(1) в расчётной точке днём, дБ		**ф-ла(3)[10]**	**0**	**0**	**0**	**0**	**0**	**0**	**14,1**	**0**	**0**	**15,3**	**15,3**
Уровни звукового давления от мнимого источника ИШ-6-18_мн.(1) в расчётной точке ночью, дБ		**ф-ла(3)[10]**	**0**	**0**	**0**	**0**	**0**	**0**	**0**	**0**	**0**	**15,3**	**15,3**
Уровни звукового давления от источника ИШ-6-18 в расчётной точке днём, дБ		**ф-ла(3)[10]**	**0**	**35,8**	**29,5**	**26,8**	**28,2**	**30,9**	**26,2**	**13,8**	**0**	**33,5**	**33,5**
Уровни звукового давления от источника ИШ-6-18 в расчётной точке ночью, дБ		**ф-ла(3)[10]**	**0**	**35,8**	**29,5**	**26,8**	**28,2**	**30,9**	**26,2**	**13,8**	**0**	**33,5**	**33,5**
Источник шума: ИШ-6-19, координаты источника (x,y,z), м =[803.81,-129.30,1.00]													
Уровни звуковой мощности источника днём, Lw, дБ		**исходные данные**	**0**	**96,3**	**97,7**	**99**	**99,3**	**98,9**	**95,6**	**91,4**	**86,9**		
Уровни звуковой мощности источника ночью, Lw, дБ		**исходные данные**	**0**	**96,3**	**97,7**	**99**	**99,3**	**98,9**	**95,6**	**91,4**	**86,9**		
Поправка на телесный угол DΩ, дБ	Ω = 12.57	10Lg(4π/Ω)	**0**	0	0	0	0	0	0	0	0		
Показатель направленности источника Di, дБ		исходные данные	**0**	0	0	0	0	0	0	0	0		
Поправка на направленность источника Dc, дБ	Dc	DΩ + Di	**0**	0	0	0	0	0	0	0	0		
Затухание из-за геометрической дивергенции, Adiv, дБ	расстояние = 564.35 м	ф-ла (7) [10]	**66**										
Коэффициент затухания звука в атмосфере α, дБ/км	Ta=20,°C Pa=101.33,кПа hотн.=70%	ф-ла (5) [9]	0,02	0,09	0,33	1,12	2,79	4,98	9,04	23,09	77,63		

1		2	3	4	5	6	7	8	9	10	11	12	13
Учет затухания звука в атмосфере Aatm, дБ		ф-ла (8) [10]	0	0,1	0,2	0,6	1,6	2,8	5,1	13	43,8		
Снижение поверхностью земли возле источника As, дБ	Gs = 0 hs = 1м	ф-лы таб.3 [10]	-1,5	-1,5	-1,5	-1,5	-1,5	-1,5	-1,5	-1,5	-1,5		
Снижение поверхностью земли возле приёмника Ar, дБ	Gr = 1 hr = 1.5м	ф-лы таб.3 [10]	-1,5	-1,5	3,4	7	5	0,7	0	0	0		
Снижение поверхностью земли в средней зоне, Am дБ	Gm = 1	ф-лы таб.3 [10]	-2,6	-2,6	0	0	0	0	0	0	0		
Суммарное снижение поверхностью земли на траектории распространения звука Agr, дБ		ф-ла (9) [10]	-5,6	-5,6	1,9	5,5	3,5	-0,8	-1,5	-1,5	-1,5		
Уровни звукового давления прямого звука от источника ИШ-6-19 в расчётной точке днём, дБ		**ф-ла(3)[10]**	**0**	**35,8**	**29,5**	**26,8**	**28,2**	**30,9**	**26**	**13,8**	**0**	**33,4**	**33,4**
Уровни звукового давления прямого звука от источника ИШ-6-19 в расчётной точке ночью, дБ		**ф-ла(3)[10]**	**0**	**35,8**	**29,5**	**26,8**	**28,2**	**30,9**	**26**	**13,8**	**0**	**33,4**	**33,4**
Расчёт отражённого звука													
Уровни звукового давления от мнимого источника ИШ-6-19_мн.(1) в расчётной точке днём, дБ		**ф-ла(3)[10]**	**0**	**0**	**0**	**0**	**0**	**0**	**14,1**	**0**	**0**	**15,3**	**15,3**
Уровни звукового давления от мнимого источника ИШ-6-19_мн.(1) в расчётной точке ночью, дБ		**ф-ла(3)[10]**	**0**	**0**	**0**	**0**	**0**	**0**	**0**	**0**	**0**	**15,3**	**15,3**
Уровни звукового давления от источника ИШ-6-19 в расчётной точке днём, дБ		**ф-ла(3)[10]**	**0**	**35,8**	**29,5**	**26,8**	**28,2**	**30,9**	**26,2**	**13,8**	**0**	**33,5**	**33,5**
Уровни звукового давления от источника ИШ-6-19 в расчётной точке ночью, дБ		**ф-ла(3)[10]**	**0**	**35,8**	**29,5**	**26,8**	**28,2**	**30,9**	**26,2**	**13,8**	**0**	**33,5**	**33,5**
Источник шума: ИШ-6-20, координаты источника (x,y,z), м =[802.67,-132.35,1.00]													
Уровни звуковой мощности источника днём, Lw, дБ		**исходные данные**	**0**	**96,3**	**97,7**	**99**	**99,3**	**98,9**	**95,6**	**91,4**	**86,9**		
Уровни звуковой мощности источника ночью, Lw, дБ		**исходные данные**	**0**	**96,3**	**97,7**	**99**	**99,3**	**98,9**	**95,6**	**91,4**	**86,9**		
Поправка на телесный угол DΩ, дБ	Ω = 12.57	10Lg(4π/Ω)	**0**	0	0	0	0	0	0	0	0		
Показатель направленности источника Di, дБ		исходные данные	**0**	0	0	0	0	0	0	0	0		

1		2	3	4	5	6	7	8	9	10	11	12	13
Поправка на направленность источника Dc, дБ	Dc	DΩ + Di	**0**	0	0	0	0	0	0	0	0		
Затухание из-за геометрической дивергенции, Adiv, дБ	расстояние = 564.88 м	ф-ла (7) [10]	**66**										
Коэффициент затухания звука в атмосфере α, дБ/км	Ta=20,°C Pa=101.33,кПа hотн.=70%	ф-ла (5) [9]	0,02	0,09	0,33	1,12	2,79	4,98	9,04	23,09	77,63		
Учет затухания звука в атмосфере Aatm, дБ		ф-ла (8) [10]	0	0,1	0,2	0,6	1,6	2,8	5,1	13	43,9		
Снижение поверхностью земли возле источника As, дБ	Gs = 0 hs = 1м	ф-лы таб.3 [10]	-1,5	-1,5	-1,5	-1,5	-1,5	-1,5	-1,5	-1,5	-1,5		
Снижение поверхностью земли возле приёмника Ar, дБ	Gr = 1 hr = 1.5м	ф-лы таб.3 [10]	-1,5	-1,5	3,4	7	5	0,7	0	0	0		
Снижение поверхностью земли в средней зоне, Am дБ	Gm = 1	ф-лы таб.3 [10]	-2,6	-2,6	0	0	0	0	0	0	0		
Суммарное снижение поверхностью земли на траектории распространения звука Agr, дБ		ф-ла (9) [10]	-5,6	-5,6	1,9	5,5	3,5	-0,8	-1,5	-1,5	-1,5		
Уровни звукового давления прямого звука от источника ИШ-6-20 в расчётной точке днём, дБ		**ф-ла(3)[10]**	**0**	**35,8**	**29,5**	**26,8**	**28,2**	**30,9**	**25,9**	**13,8**	**0**	**33,4**	**33,4**
Уровни звукового давления прямого звука от источника ИШ-6-20 в расчётной точке ночью, дБ		**ф-ла(3)[10]**	**0**	**35,8**	**29,5**	**26,8**	**28,2**	**30,9**	**25,9**	**13,8**	**0**	**33,4**	**33,4**
Расчёт отражённого звука													
Уровни звукового давления от мнимого источника ИШ-6-20_мн.(1) в расчётной точке днём, дБ		**ф-ла(3)[10]**	**0**	**0**	**0**	**0**	**0**	**0**	**14,1**	**0**	**0**	**15,3**	**15,3**
Уровни звукового давления от мнимого источника ИШ-6-20_мн.(1) в расчётной точке ночью, дБ		**ф-ла(3)[10]**	**0**	**0**	**0**	**0**	**0**	**0**	**0**	**0**	**0**	**15,3**	**15,3**
Уровни звукового давления от источника ИШ-6-20 в расчётной точке днём, дБ		**ф-ла(3)[10]**	**0**	**35,8**	**29,5**	**26,8**	**28,2**	**30,9**	**26,2**	**13,8**	**0**	**33,5**	**33,5**
Уровни звукового давления от источника ИШ-6-20 в расчётной точке ночью, дБ		**ф-ла(3)[10]**	**0**	**35,8**	**29,5**	**26,8**	**28,2**	**30,9**	**26,2**	**13,8**	**0**	**33,5**	**33,5**
Источник шума: ИШ-6-21, координаты источника (x,y,z), м =[801.69,-135.42,1.00]													

1		2	3	4	5	6	7	8	9	10	11	12	13
Уровни звуковой мощности источника днём, Lw, дБ		**исходные данные**	**0**	**96,3**	**97,7**	**99**	**99,3**	**98,9**	**95,6**	**91,4**	**86,9**		
Уровни звуковой мощности источника ночью, Lw, дБ		**исходные данные**	**0**	**96,3**	**97,7**	**99**	**99,3**	**98,9**	**95,6**	**91,4**	**86,9**		
Поправка на телесный угол DΩ, дБ	Ω = 12.57	10Lg(4π/Ω)	**0**	0	0	0	0	0	0	0	0		
Показатель направленности источника Di, дБ		исходные данные	**0**	0	0	0	0	0	0	0	0		
Поправка на направленность источника Dc, дБ	Dc	DΩ + Di	**0**	0	0	0	0	0	0	0	0		
Затухание из-за геометрической дивергенции, Adiv, дБ	расстояние = 565.27 м	ф-ла (7) [10]	**66**										
Коэффициент затухания звука в атмосфере α, дБ/км	Ta=20,°C Pa=101.33,кПа hотн.=70%	ф-ла (5) [9]	0,02	0,09	0,33	1,12	2,79	4,98	9,04	23,09	77,63		
Учет затухания звука в атмосфере Aatm, дБ		ф-ла (8) [10]	0	0,1	0,2	0,6	1,6	2,8	5,1	13	43,9		
Снижение поверхностью земли возле источника As, дБ	Gs = 0 hs = 1м	ф-лы таб.3 [10]	-1,5	-1,5	-1,5	-1,5	-1,5	-1,5	-1,5	-1,5	-1,5		
Снижение поверхностью земли возле приёмника Ar, дБ	Gr = 1 hr = 1.5м	ф-лы таб.3 [10]	-1,5	-1,5	3,4	7	5	0,7	0	0	0		
Снижение поверхностью земли в средней зоне, Am дБ	Gm = 1	ф-лы таб.3 [10]	-2,6	-2,6	0	0	0	0	0	0	0		
Суммарное снижение поверхностью земли на траектории распространения звука Agr, дБ		ф-ла (9) [10]	-5,6	-5,6	1,9	5,5	3,5	-0,8	-1,5	-1,5	-1,5		
Уровни звукового давления прямого звука от источника ИШ-6-21 в расчётной точке днём, дБ		**ф-ла(3)[10]**	**0**	**35,8**	**29,5**	**26,8**	**28,2**	**30,9**	**25,9**	**13,8**	**0**	**33,4**	**33,4**
Уровни звукового давления прямого звука от источника ИШ-6-21 в расчётной точке ночью, дБ		**ф-ла(3)[10]**	**0**	**35,8**	**29,5**	**26,8**	**28,2**	**30,9**	**25,9**	**13,8**	**0**	**33,4**	**33,4**
Расчёт отражённого звука													
Уровни звукового давления от мнимого источника ИШ-6-21_мн.(1) в расчётной точке днём, дБ		**ф-ла(3)[10]**	**0**	**0**	**0**	**0**	**0**	**0**	**14,1**	**0**	**0**	**15,3**	**15,3**
Уровни звукового давления от мнимого источника ИШ-6-21_мн.(1) в расчётной точке ночью, дБ		**ф-ла(3)[10]**	**0**	**0**	**0**	**0**	**0**	**0**	**0**	**0**	**0**	**15,3**	**15,3**

1		2	3	4	5	6	7	8	9	10	11	12	13
Уровни звукового давления от источника ИШ-6-21 в расчётной точке днём, дБ		**ф-ла(3)[10]**	**0**	**35,8**	**29,5**	**26,8**	**28,2**	**30,9**	**26,2**	**13,8**	**0**	**33,5**	**33,5**
Уровни звукового давления от источника ИШ-6-21 в расчётной точке ночью, дБ		**ф-ла(3)[10]**	**0**	**35,8**	**29,5**	**26,8**	**28,2**	**30,9**	**26,2**	**13,8**	**0**	**33,5**	**33,5**
Источник шума: ИШ-6-22, координаты источника (x,y,z), м =[800.65,-138.47,1.00]													
Уровни звуковой мощности источника днём, Lw, дБ		**исходные данные**	**0**	**96,3**	**97,7**	**99**	**99,3**	**98,9**	**95,6**	**91,4**	**86,9**		
Уровни звуковой мощности источника ночью, Lw, дБ		**исходные данные**	**0**	**96,3**	**97,7**	**99**	**99,3**	**98,9**	**95,6**	**91,4**	**86,9**		
Поправка на телесный угол DΩ, дБ	Ω = 12.57	10Lg(4π/Ω)	**0**	0	0	0	0	0	0	0	0		
Показатель направленности источника Di, дБ		исходные данные	**0**	0	0	0	0	0	0	0	0		
Поправка на направленность источника Dc, дБ	Dc	DΩ + Di	**0**	0	0	0	0	0	0	0	0		
Затухание из-за геометрической дивергенции, Adiv, дБ	расстояние = 565.74 м	ф-ла (7) [10]	**66,1**										
Коэффициент затухания звука в атмосфере α, дБ/км	Ta=20,°C Pa=101.33,кПа hотн.=70%	ф-ла (5) [9]	0,02	0,09	0,33	1,12	2,79	4,98	9,04	23,09	77,63		
Учет затухания звука в атмосфере Aatm, дБ		ф-ла (8) [10]	0	0,1	0,2	0,6	1,6	2,8	5,1	13,1	43,9		
Снижение поверхностью земли возле источника As, дБ	Gs = 0 hs = 1м	ф-лы таб.3 [10]	-1,5	-1,5	-1,5	-1,5	-1,5	-1,5	-1,5	-1,5	-1,5		
Снижение поверхностью земли возле приёмника Ar, дБ	Gr = 1 hr = 1.5м	ф-лы таб.3 [10]	-1,5	-1,5	3,4	7	5	0,7	0	0	0		
Снижение поверхностью земли в средней зоне, Am дБ	Gm = 1	ф-лы таб.3 [10]	-2,6	-2,6	0	0	0	0	0	0	0		
Суммарное снижение поверхностью земли на траектории распространения звука Agr, дБ		ф-ла (9) [10]	-5,6	-5,6	1,9	5,5	3,5	-0,8	-1,5	-1,5	-1,5		
Уровни звукового давления прямого звука от источника ИШ-6-22 в расчётной точке днём, дБ		**ф-ла(3)[10]**	**0**	**35,8**	**29,5**	**26,8**	**28,2**	**30,9**	**25,9**	**13,8**	**0**	**33,4**	**33,4**

1		2	3	4	5	6	7	8	9	10	11	12	13
Уровни звукового давления прямого звука от источника ИШ-6-22 в расчётной точке ночью, дБ		**ф-ла(3)[10]**	**0**	**35,8**	**29,5**	**26,8**	**28,2**	**30,9**	**25,9**	**13,8**	**0**	**33,4**	**33,4**
Расчёт отражённого звука													
Уровни звукового давления от мнимого источника ИШ-6-22_мн.(1) в расчётной точке днём, дБ		**ф-ла(3)[10]**	**0**	**0**	**0**	**0**	**0**	**0**	**14,1**	**0**	**0**	**15,3**	**15,3**
Уровни звукового давления от мнимого источника ИШ-6-22_мн.(1) в расчётной точке ночью, дБ		**ф-ла(3)[10]**	**0**	**0**	**0**	**0**	**0**	**0**	**0**	**0**	**0**	**15,3**	**15,3**
Уровни звукового давления от источника ИШ-6-22 в расчётной точке днём, дБ		**ф-ла(3)[10]**	**0**	**35,8**	**29,5**	**26,8**	**28,2**	**30,9**	**26,2**	**13,8**	**0**	**33,4**	**33,4**
Уровни звукового давления от источника ИШ-6-22 в расчётной точке ночью, дБ		**ф-ла(3)[10]**	**0**	**35,8**	**29,5**	**26,8**	**28,2**	**30,9**	**26,2**	**13,8**	**0**	**33,4**	**33,4**
Источник шума: ИШ-7-1, координаты источника (x,y,z), м =[821.44,63.31,1.00]													
Уровни звуковой мощности источника днём, Lw, дБ		**исходные данные**	**77**	**75**	**67**	**66**	**63**	**55**	**53**	**48**	**51**		
Уровни звуковой мощности источника ночью, Lw, дБ		**исходные данные**	**77**	**75**	**67**	**66**	**63**	**55**	**53**	**48**	**51**		
Поправка на телесный угол DΩ, дБ	Ω = 12.57	10Lg(4π/Ω)	**0**	0	0	0	0	0	0	0	0		
Показатель направленности источника Di, дБ		исходные данные	**0**	0	0	0	0	0	0	0	0		
Поправка на направленность источника Dc, дБ	Dc	DΩ + Di	**0**	0	0	0	0	0	0	0	0		
Затухание из-за геометрической дивергенции, Adiv, дБ	расстояние = 615.59 м	ф-ла (7) [10]	**66,8**										
Коэффициент затухания звука в атмосфере α, дБ/км	Ta=20,°C Pa=101.33,кПа hотн.=70%	ф-ла (5) [9]	0,02	0,09	0,33	1,12	2,79	4,98	9,04	23,09	77,63		
Учет затухания звука в атмосфере Aatm, дБ		ф-ла (8) [10]	0	0,1	0,2	0,7	1,7	3,1	5,6	14,2	47,8		
Снижение поверхностью земли возле источника As, дБ	Gs = 0 hs = 1м	ф-лы таб.3 [10]	-1,5	-1,5	-1,5	-1,5	-1,5	-1,5	-1,5	-1,5	-1,5		

1		2	3	4	5	6	7	8	9	10	11	12	13
Снижение поверхностью земли возле приёмника Ar, дБ	Gr = 1 hr = 1.5м	ф-лы таб.3 [10]	-1,5	-1,5	3,7	7	5	0,7	0	0	0		
Снижение поверхностью земли в средней зоне, Am дБ	Gm = 1	ф-лы таб.3 [10]	-2,6	-2,6	0	0	0	0	0	0	0		
Суммарное снижение поверхностью земли на траектории распространения звука Agr, дБ		ф-ла (9) [10]	-5,6	-5,6	2,2	5,5	3,5	-0,8	-1,5	-1,5	-1,5		
Уровни звукового давления от источника ИШ-7-1 в расчётной точке днём, дБ		**ф-ла(3)[10]**	**15,8**	**13,8**	**0**	**0**	**0**	**0**	**0**	**0**	**0**	**0**	**0**
Уровни звукового давления от источника ИШ-7-1 в расчётной точке ночью, дБ		**ф-ла(3)[10]**	**15,8**	**13,8**	**0**	**0**	**0**	**0**	**0**	**0**	**0**	**0**	**0**
Источник шума: ИШ-7-2, координаты источника (x,y,z), м =[768.90,-86.75,1.00]													
Уровни звуковой мощности источника днём, Lw, дБ		**исходные данные**	**77**	**75**	**67**	**66**	**63**	**55**	**53**	**48**	**51**		
Уровни звуковой мощности источника ночью, Lw, дБ		**исходные данные**	**77**	**75**	**67**	**66**	**63**	**55**	**53**	**48**	**51**		
Поправка на телесный угол DΩ, дБ	Ω = 12.57	10Lg(4π/Ω)	**0**	0	0	0	0	0	0	0	0		
Показатель направленности источника Di, дБ		исходные данные	**0**	0	0	0	0	0	0	0	0		
Поправка на направленность источника Dc, дБ	Dc	DΩ + Di	**0**	0	0	0	0	0	0	0	0		
Затухание из-за геометрической дивергенции, Adiv, дБ	расстояние = 607.92 м	ф-ла (7) [10]	**66,7**										
Коэффициент затухания звука в атмосфере α, дБ/км	Ta=20,°C Pa=101.33,кПа hотн.=70%	ф-ла (5) [9]	0,02	0,09	0,33	1,12	2,79	4,98	9,04	23,09	77,63		
Учет затухания звука в атмосфере Aatm, дБ		ф-ла (8) [10]	0	0,1	0,2	0,7	1,7	3	5,5	14	47,2		
Снижение поверхностью земли возле источника As, дБ	Gs = 0 hs = 1м	ф-лы таб.3 [10]	-1,5	-1,5	-1,5	-1,5	-1,5	-1,5	-1,5	-1,5	-1,5		
Снижение поверхностью земли возле приёмника Ar, дБ	Gr = 1 hr = 1.5м	ф-лы таб.3 [10]	-1,5	-1,5	3,7	7	5	0,7	0	0	0		

1		2	3	4	5	6	7	8	9	10	11	12	13
Снижение поверхностью земли в средней зоне, Am дБ	Gm = 1	ф-лы таб.3 [10]	-2,6	-2,6	0	0	0	0	0	0	0		
Суммарное снижение поверхностью земли на траектории распространения звука Agr, дБ		ф-ла (9) [10]	-5,6	-5,6	2,2	5,5	3,5	-0,8	-1,5	-1,5	-1,5		
Уровни звукового давления от источника ИШ-7-2 в расчётной точке днём, дБ		**ф-ла(3)[10]**	**15,9**	**13,9**	**0**	**0**	**0**	**0**	**0**	**0**	**0**	**0**	**0**
Уровни звукового давления от источника ИШ-7-2 в расчётной точке ночью, дБ		**ф-ла(3)[10]**	**15,9**	**13,9**	**0**	**0**	**0**	**0**	**0**	**0**	**0**	**0**	**0**
Источник шума: ИШ-7-3, координаты источника (x,y,z), м =[766.80,-93.20,1.00]													
Уровни звуковой мощности источника днём, Lw, дБ		**исходные данные**	**77**	**75**	**67**	**66**	**63**	**55**	**53**	**48**	**51**		
Уровни звуковой мощности источника ночью, Lw, дБ		**исходные данные**	**77**	**75**	**67**	**66**	**63**	**55**	**53**	**48**	**51**		
Поправка на телесный угол DΩ, дБ	Ω = 12.57	10Lg(4π/Ω)	**0**	0	0	0	0	0	0	0	0		
Показатель направленности источника Di, дБ		исходные данные	**0**	0	0	0	0	0	0	0	0		
Поправка на направленность источника Dc, дБ	Dc	DΩ + Di	**0**	0	0	0	0	0	0	0	0		
Затухание из-за геометрической дивергенции, Adiv, дБ	расстояние = 608.36 м	ф-ла (7) [10]	**66,7**										
Коэффициент затухания звука в атмосфере α, дБ/км	Ta=20,°C Pa=101.33,кПа hотн.=70%	ф-ла (5) [9]	0,02	0,09	0,33	1,12	2,79	4,98	9,04	23,09	77,63		
Учет затухания звука в атмосфере Aatm, дБ		ф-ла (8) [10]	0	0,1	0,2	0,7	1,7	3	5,5	14	47,2		
Снижение поверхностью земли возле источника As, дБ	Gs = 0 hs = 1м	ф-лы таб.3 [10]	-1,5	-1,5	-1,5	-1,5	-1,5	-1,5	-1,5	-1,5	-1,5		
Снижение поверхностью земли возле приёмника Ar, дБ	Gr = 1 hr = 1.5м	ф-лы таб.3 [10]	-1,5	-1,5	3,7	7	5	0,7	0	0	0		
Снижение поверхностью земли в средней зоне, Am дБ	Gm = 1	ф-лы таб.3 [10]	-2,6	-2,6	0	0	0	0	0	0	0		

1		2	3	4	5	6	7	8	9	10	11	12	13
Суммарное снижение поверхностью земли на траектории распространения звука Agr, дБ		ф-ла (9) [10]	-5,6	-5,6	2,2	5,5	3,5	-0,8	-1,5	-1,5	-1,5		
Уровни звукового давления от источника ИШ-7-3 в расчётной точке днём, дБ		**ф-ла(3)[10]**	**15,9**	**13,9**	**0**	**0**	**0**	**0**	**0**	**0**	**0**	**0**	**0**
Уровни звукового давления от источника ИШ-7-3 в расчётной точке ночью, дБ		**ф-ла(3)[10]**	**15,9**	**13,9**	**0**	**0**	**0**	**0**	**0**	**0**	**0**	**0**	**0**
Источник шума: ИШ-7-4, координаты источника (x,y,z), м =[866.76,37.18,1.00]													
Уровни звуковой мощности источника днём, Lw, дБ		**исходные данные**	**77**	**75**	**67**	**66**	**63**	**55**	**53**	**48**	**51**		
Уровни звуковой мощности источника ночью, Lw, дБ		**исходные данные**	**77**	**75**	**67**	**66**	**63**	**55**	**53**	**48**	**51**		
Поправка на телесный угол DΩ, дБ	Ω = 12.57	10Lg(4π/Ω)	**0**	0	0	0	0	0	0	0	0		
Показатель направленности источника Di, дБ		исходные данные	**0**	0	0	0	0	0	0	0	0		
Поправка на направленность источника Dc, дБ	Dc	DΩ + Di	**0**	0	0	0	0	0	0	0	0		
Затухание из-за геометрической дивергенции, Adiv, дБ	расстояние = 563.28 м	ф-ла (7) [10]	**66**										
Коэффициент затухания звука в атмосфере α, дБ/км	Ta=20,°C Pa=101.33,кПа hотн.=70%	ф-ла (5) [9]	0,02	0,09	0,33	1,12	2,79	4,98	9,04	23,09	77,63		
Учет затухания звука в атмосфере Aatm, дБ		ф-ла (8) [10]	0	0,1	0,2	0,6	1,6	2,8	5,1	13	43,7		
Снижение поверхностью земли возле источника As, дБ	Gs = 0 hs = 1м	ф-лы таб.3 [10]	-1,5	-1,5	-1,5	-1,5	-1,5	-1,5	-1,5	-1,5	-1,5		
Снижение поверхностью земли возле приёмника Ar, дБ	Gr = 1 hr = 1.5м	ф-лы таб.3 [10]	-1,5	-1,5	3,4	7	5	0,7	0	0	0		
Снижение поверхностью земли в средней зоне, Am дБ	Gm = 1	ф-лы таб.3 [10]	-2,6	-2,6	0	0	0	0	0	0	0		
Суммарное снижение поверхностью земли на траектории распространения звука Agr, дБ		ф-ла (9) [10]	-5,6	-5,6	1,9	5,5	3,5	-0,8	-1,5	-1,5	-1,5		

1		2	3	4	5	6	7	8	9	10	11	12	13
Уровни звукового давления от источника ИШ-7-4 в расчётной точке днём, дБ		**ф-ла(3)[10]**	**16,6**	**14,5**	**0**	**0**	**0**	**0**	**0**	**0**	**0**	**0**	**0**
Уровни звукового давления от источника ИШ-7-4 в расчётной точке ночью, дБ		**ф-ла(3)[10]**	**16,6**	**14,5**	**0**	**0**	**0**	**0**	**0**	**0**	**0**	**0**	**0**
Источник шума: ИШ-7-5, координаты источника (x,y,z), м =[861.80,21.34,1.00]													
Уровни звуковой мощности источника днём, Lw, дБ		**исходные данные**	**77**	**75**	**67**	**66**	**63**	**55**	**53**	**48**	**51**		
Уровни звуковой мощности источника ночью, Lw, дБ		**исходные данные**	**77**	**75**	**67**	**66**	**63**	**55**	**53**	**48**	**51**		
Поправка на телесный угол DΩ, дБ	Ω = 12.57	10Lg(4π/Ω)	**0**	0	0	0	0	0	0	0	0		
Показатель направленности источника Di, дБ		исходные данные	**0**	0	0	0	0	0	0	0	0		
Поправка на направленность источника Dc, дБ	Dc	DΩ + Di	**0**	0	0	0	0	0	0	0	0		
Затухание из-за геометрической дивергенции, Adiv, дБ	расстояние = 560.05 м	ф-ла (7) [10]	**66**										
Коэффициент затухания звука в атмосфере α, дБ/км	Ta=20,°C Pa=101.33,кПа hотн.=70%	ф-ла (5) [9]	0,02	0,09	0,33	1,12	2,79	4,98	9,04	23,09	77,63		
Учет затухания звука в атмосфере Aatm, дБ		ф-ла (8) [10]	0	0,1	0,2	0,6	1,6	2,8	5,1	12,9	43,5		
Снижение поверхностью земли возле источника As, дБ	Gs = 0 hs = 1м	ф-лы таб.3 [10]	-1,5	-1,5	-1,5	-1,5	-1,5	-1,5	-1,5	-1,5	-1,5		
Снижение поверхностью земли возле приёмника Ar, дБ	Gr = 1 hr = 1.5м	ф-лы таб.3 [10]	-1,5	-1,5	3,4	7	5	0,7	0	0	0		
Снижение поверхностью земли в средней зоне, Am дБ	Gm = 1	ф-лы таб.3 [10]	-2,6	-2,6	0	0	0	0	0	0	0		
Суммарное снижение поверхностью земли на траектории распространения звука Agr, дБ		ф-ла (9) [10]	-5,6	-5,6	1,9	5,5	3,5	-0,8	-1,5	-1,5	-1,5		
Уровни звукового давления от источника ИШ-7-5 в расчётной точке днём, дБ		**ф-ла(3)[10]**	**16,6**	**14,6**	**0**	**0**	**0**	**0**	**0**	**0**	**0**	**0**	**0**

1		2	3	4	5	6	7	8	9	10	11	12	13
Уровни звукового давления от источника ИШ-7-5 в расчётной точке ночью, дБ		**ф-ла(3)[10]**	**16,6**	**14,6**	**0**	**0**	**0**	**0**	**0**	**0**	**0**	**0**	**0**
Источник шума: ИШ-7-6, координаты источника (x,y,z), м =[856.52,5.94,1.00]													
Уровни звуковой мощности источника днём, Lw, дБ		**исходные данные**	**77**	**75**	**67**	**66**	**63**	**55**	**53**	**48**	**51**		
Уровни звуковой мощности источника ночью, Lw, дБ		**исходные данные**	**77**	**75**	**67**	**66**	**63**	**55**	**53**	**48**	**51**		
Поправка на телесный угол DΩ, дБ	Ω = 12.57	10Lg(4π/Ω)	**0**	0	0	0	0	0	0	0	0		
Показатель направленности источника Di, дБ		исходные данные	**0**	0	0	0	0	0	0	0	0		
Поправка на направленность источника Dc, дБ	Dc	DΩ + Di	**0**	0	0	0	0	0	0	0	0		
Затухание из-за геометрической дивергенции, Adiv, дБ	расстояние = 557.77 м	ф-ла (7) [10]	**65,9**										
Коэффициент затухания звука в атмосфере α, дБ/км	Ta=20,°C Pa=101.33,кПа hотн.=70%	ф-ла (5) [9]	0,02	0,09	0,33	1,12	2,79	4,98	9,04	23,09	77,63		
Учет затухания звука в атмосфере Aatm, дБ		ф-ла (8) [10]	0	0	0,2	0,6	1,6	2,8	5	12,9	43,3		
Снижение поверхностью земли возле источника As, дБ	Gs = 0 hs = 1м	ф-лы таб.3 [10]	-1,5	-1,5	-1,5	-1,5	-1,5	-1,5	-1,5	-1,5	-1,5		
Снижение поверхностью земли возле приёмника Ar, дБ	Gr = 1 hr = 1.5м	ф-лы таб.3 [10]	-1,5	-1,5	3,4	7	5	0,7	0	0	0		
Снижение поверхностью земли в средней зоне, Am дБ	Gm = 1	ф-лы таб.3 [10]	-2,6	-2,6	0	0	0	0	0	0	0		
Суммарное снижение поверхностью земли на траектории распространения звука Agr, дБ		ф-ла (9) [10]	-5,6	-5,6	1,9	5,5	3,5	-0,8	-1,5	-1,5	-1,5		
Уровни звукового давления от источника ИШ-7-6 в расчётной точке днём, дБ		**ф-ла(3)[10]**	**16,7**	**14,6**	**0**	**0**	**0**	**0**	**0**	**0**	**0**	**0**	**0**
Уровни звукового давления от источника ИШ-7-6 в расчётной точке ночью, дБ		**ф-ла(3)[10]**	**16,7**	**14,6**	**0**	**0**	**0**	**0**	**0**	**0**	**0**	**0**	**0**

1		2	3	4	5	6	7	8	9	10	11	12	13
Источник шума: ИШ-7-7, координаты источника (x,y,z), м =[851.06,-9.89,1.00]													
Уровни звуковой мощности источника днём, Lw, дБ		**исходные данные**	**77**	**75**	**67**	**66**	**63**	**55**	**53**	**48**	**51**		
Уровни звуковой мощности источника ночью, Lw, дБ		**исходные данные**	**77**	**75**	**67**	**66**	**63**	**55**	**53**	**48**	**51**		
Поправка на телесный угол DΩ, дБ	Ω = 12.57	10Lg(4π/Ω)	**0**	0	0	0	0	0	0	0	0		
Показатель направленности источника Di, дБ		исходные данные	**0**	0	0	0	0	0	0	0	0		
Поправка на направленность источника Dc, дБ	Dc	DΩ + Di	**0**	0	0	0	0	0	0	0	0		
Затухание из-за геометрической дивергенции, Adiv, дБ	расстояние = 555.95 м	ф-ла (7) [10]	**65,9**										
Коэффициент затухания звука в атмосфере α, дБ/км	Ta=20,°C Pa=101.33,кПа hотн.=70%	ф-ла (5) [9]	0,02	0,09	0,33	1,12	2,79	4,98	9,04	23,09	77,63		
Учет затухания звука в атмосфере Aatm, дБ		ф-ла (8) [10]	0	0	0,2	0,6	1,6	2,8	5	12,8	43,2		
Снижение поверхностью земли возле источника As, дБ	Gs = 0 hs = 1м	ф-лы таб.3 [10]	-1,5	-1,5	-1,5	-1,5	-1,5	-1,5	-1,5	-1,5	-1,5		
Снижение поверхностью земли возле приёмника Ar, дБ	Gr = 1 hr = 1.5м	ф-лы таб.3 [10]	-1,5	-1,5	3,4	7	5	0,7	0	0	0		
Снижение поверхностью земли в средней зоне, Am дБ	Gm = 1	ф-лы таб.3 [10]	-2,6	-2,6	0	0	0	0	0	0	0		
Суммарное снижение поверхностью земли на траектории распространения звука Agr, дБ		ф-ла (9) [10]	-5,6	-5,6	1,9	5,5	3,5	-0,8	-1,5	-1,5	-1,5		
Уровни звукового давления от источника ИШ-7-7 в расчётной точке днём, дБ		**ф-ла(3)[10]**	**16,7**	**14,6**	**0**	**0**	**0**	**0**	**0**	**0**	**0**	**0**	**0**
Уровни звукового давления от источника ИШ-7-7 в расчётной точке ночью, дБ		**ф-ла(3)[10]**	**16,7**	**14,6**	**0**	**0**	**0**	**0**	**0**	**0**	**0**	**0**	**0**
Источник шума: ИШ-7-8, координаты источника (x,y,z), м =[821.90,-104.30,1.00]													

1		2	3	4	5	6	7	8	9	10	11	12	13
Уровни звуковой мощности источника днём, Lw, дБ		**исходные данные**	**77**	**75**	**67**	**66**	**63**	**55**	**53**	**48**	**51**		
Уровни звуковой мощности источника ночью, Lw, дБ		**исходные данные**	**77**	**75**	**67**	**66**	**63**	**55**	**53**	**48**	**51**		
Поправка на телесный угол DΩ, дБ	Ω = 12.57	10Lg(4π/Ω)	**0**	0	0	0	0	0	0	0	0		
Показатель направленности источника Di, дБ		исходные данные	**0**	0	0	0	0	0	0	0	0		
Поправка на направленность источника Dc, дБ	Dc	DΩ + Di	**0**	0	0	0	0	0	0	0	0		
Затухание из-за геометрической дивергенции, Adiv, дБ	расстояние = 552.22 м	ф-ла (7) [10]	**65,8**										
Коэффициент затухания звука в атмосфере α, дБ/км	Ta=20,°C Pa=101.33,кПа hотн.=70%	ф-ла (5) [9]	0,02	0,09	0,33	1,12	2,79	4,98	9,04	23,09	77,63		
Учет затухания звука в атмосфере Aatm, дБ		ф-ла (8) [10]	0	0	0,2	0,6	1,5	2,7	5	12,7	42,9		
Снижение поверхностью земли возле источника As, дБ	Gs = 0 hs = 1м	ф-лы таб.3 [10]	-1,5	-1,5	-1,5	-1,5	-1,5	-1,5	-1,5	-1,5	-1,5		
Снижение поверхностью земли возле приёмника Ar, дБ	Gr = 1 hr = 1.5м	ф-лы таб.3 [10]	-1,5	-1,5	3,4	7	5	0,7	0	0	0		
Снижение поверхностью земли в средней зоне, Am дБ	Gm = 1	ф-лы таб.3 [10]	-2,6	-2,6	0	0	0	0	0	0	0		
Суммарное снижение поверхностью земли на траектории распространения звука Agr, дБ		ф-ла (9) [10]	-5,6	-5,6	1,9	5,5	3,5	-0,8	-1,5	-1,5	-1,5		
Уровни звукового давления от источника ИШ-7-8 в расчётной точке днём, дБ		**ф-ла(3)[10]**	**16,7**	**14,7**	**0**	**0**	**0**	**0**	**0**	**0**	**0**	**0**	**0**
Уровни звукового давления от источника ИШ-7-8 в расчётной точке ночью, дБ		**ф-ла(3)[10]**	**16,7**	**14,7**	**0**	**0**	**0**	**0**	**0**	**0**	**0**	**0**	**0**
Источник шума: ИШ-7-9, координаты источника (x,y,z), м =[819.93,-110.97,1.00]													
Уровни звуковой мощности источника днём, Lw, дБ		**исходные данные**	**77**	**75**	**67**	**66**	**63**	**55**	**53**	**48**	**51**		

1		2	3	4	5	6	7	8	9	10	11	12	13
Уровни звуковой мощности источника ночью, Lw, дБ		**исходные данные**	**77**	**75**	**67**	**66**	**63**	**55**	**53**	**48**	**51**		
Поправка на телесный угол DΩ, дБ	Ω = 12.57	10Lg(4π/Ω)	**0**	0	0	0	0	0	0	0	0		
Показатель направленности источника Di, дБ		исходные данные	**0**	0	0	0	0	0	0	0	0		
Поправка на направленность источника Dc, дБ	Dc	DΩ + Di	**0**	0	0	0	0	0	0	0	0		
Затухание из-за геометрической дивергенции, Adiv, дБ	расстояние = 552.54 м	ф-ла (7) [10]	**65,8**										
Коэффициент затухания звука в атмосфере α, дБ/км	Ta=20,°C Pa=101.33,кПа hотн.=70%	ф-ла (5) [9]	0,02	0,09	0,33	1,12	2,79	4,98	9,04	23,09	77,63		
Учет затухания звука в атмосфере Aatm, дБ		ф-ла (8) [10]	0	0	0,2	0,6	1,5	2,8	5	12,8	42,9		
Снижение поверхностью земли возле источника As, дБ	Gs = 0 hs = 1м	ф-лы таб.3 [10]	-1,5	-1,5	-1,5	-1,5	-1,5	-1,5	-1,5	-1,5	-1,5		
Снижение поверхностью земли возле приёмника Ar, дБ	Gr = 1 hr = 1.5м	ф-лы таб.3 [10]	-1,5	-1,5	3,4	7	5	0,7	0	0	0		
Снижение поверхностью земли в средней зоне, Am дБ	Gm = 1	ф-лы таб.3 [10]	-2,6	-2,6	0	0	0	0	0	0	0		
Суммарное снижение поверхностью земли на траектории распространения звука Agr, дБ		ф-ла (9) [10]	-5,6	-5,6	1,9	5,5	3,5	-0,8	-1,5	-1,5	-1,5		
Уровни звукового давления от источника ИШ-7-9 в расчётной точке днём, дБ		**ф-ла(3)[10]**	**16,7**	**14,7**	**0**	**0**	**0**	**0**	**0**	**0**	**0**	**0**	**0**
Уровни звукового давления от источника ИШ-7-9 в расчётной точке ночью, дБ		**ф-ла(3)[10]**	**16,7**	**14,7**	**0**	**0**	**0**	**0**	**0**	**0**	**0**	**0**	**0**
Источник шума: ИШ-7-10, координаты источника (x,y,z), м =[868.68,92.66,1.00]													
Уровни звуковой мощности источника днём, Lw, дБ		**исходные данные**	**77**	**75**	**67**	**66**	**63**	**55**	**53**	**48**	**51**		
Уровни звуковой мощности источника ночью, Lw, дБ		**исходные данные**	**77**	**75**	**67**	**66**	**63**	**55**	**53**	**48**	**51**		

1		2	3	4	5	6	7	8	9	10	11	12	13
Поправка на телесный угол DΩ, дБ	Ω = 12.57	10Lg(4π/Ω)	**0**	0	0	0	0	0	0	0	0		
Показатель направленности источника Di, дБ		исходные данные	**0**	0	0	0	0	0	0	0	0		
Поправка на направленность источника Dc, дБ	Dc	DΩ + Di	**0**	0	0	0	0	0	0	0	0		
Затухание из-за геометрической дивергенции, Adiv, дБ	расстояние = 590.95 м	ф-ла (7) [10]	**66,4**										
Коэффициент затухания звука в атмосфере α, дБ/км	Ta=20,°C Pa=101.33,кПа hотн.=70%	ф-ла (5) [9]	0,02	0,09	0,33	1,12	2,79	4,98	9,04	23,09	77,63		
Учет затухания звука в атмосфере Aatm, дБ		ф-ла (8) [10]	0	0,1	0,2	0,7	1,6	2,9	5,3	13,6	45,9		
Снижение поверхностью земли возле источника As, дБ	Gs = 0 hs = 1м	ф-лы таб.3 [10]	-1,5	-1,5	-1,5	-1,5	-1,5	-1,5	-1,5	-1,5	-1,5		
Снижение поверхностью земли возле приёмника Ar, дБ	Gr = 1 hr = 1.5м	ф-лы таб.3 [10]	-1,5	-1,5	3,6	7	5	0,7	0	0	0		
Снижение поверхностью земли в средней зоне, Am дБ	Gm = 1	ф-лы таб.3 [10]	-2,6	-2,6	0	0	0	0	0	0	0		
Суммарное снижение поверхностью земли на траектории распространения звука Agr, дБ		ф-ла (9) [10]	-5,6	-5,6	2,1	5,5	3,5	-0,8	-1,5	-1,5	-1,5		
Уровни звукового давления от источника ИШ-7-10 в расчётной точке днём, дБ		**ф-ла(3)[10]**	**16,2**	**14,1**	**0**	**0**	**0**	**0**	**0**	**0**	**0**	**0**	**0**
Уровни звукового давления от источника ИШ-7-10 в расчётной точке ночью, дБ		**ф-ла(3)[10]**	**16,2**	**14,1**	**0**	**0**	**0**	**0**	**0**	**0**	**0**	**0**	**0**
Источник шума: ИШ-7-11, координаты источника (x,y,z), м =[877.95,88.75,1.00]													
Уровни звуковой мощности источника днём, Lw, дБ		**исходные данные**	**77**	**75**	**67**	**66**	**63**	**55**	**53**	**48**	**51**		
Уровни звуковой мощности источника ночью, Lw, дБ		**исходные данные**	**77**	**75**	**67**	**66**	**63**	**55**	**53**	**48**	**51**		
Поправка на телесный угол DΩ, дБ	Ω = 12.57	10Lg(4π/Ω)	**0**	0	0	0	0	0	0	0	0		

1		2	3	4	5	6	7	8	9	10	11	12	13
Показатель направленности источника Di, дБ		исходные данные	**0**	0	0	0	0	0	0	0	0		
Поправка на направленность источника Dc, дБ	Dc	DΩ + Di	**0**	0	0	0	0	0	0	0	0		
Затухание из-за геометрической дивергенции, Adiv, дБ	расстояние = 581.09 м	ф-ла (7) [10]	**66,3**										
Коэффициент затухания звука в атмосфере α, дБ/км	Ta=20,°C Pa=101.33,кПа hотн.=70%	ф-ла (5) [9]	0,02	0,09	0,33	1,12	2,79	4,98	9,04	23,09	77,63		
Учет затухания звука в атмосфере Aatm, дБ		ф-ла (8) [10]	0	0,1	0,2	0,7	1,6	2,9	5,3	13,4	45,1		
Снижение поверхностью земли возле источника As, дБ	Gs = 0 hs = 1м	ф-лы таб.3 [10]	-1,5	-1,5	-1,5	-1,5	-1,5	-1,5	-1,5	-1,5	-1,5		
Снижение поверхностью земли возле приёмника Ar, дБ	Gr = 1 hr = 1.5м	ф-лы таб.3 [10]	-1,5	-1,5	3,5	7	5	0,7	0	0	0		
Снижение поверхностью земли в средней зоне, Am дБ	Gm = 1	ф-лы таб.3 [10]	-2,6	-2,6	0	0	0	0	0	0	0		
Суммарное снижение поверхностью земли на траектории распространения звука Agr, дБ		ф-ла (9) [10]	-5,6	-5,6	2	5,5	3,5	-0,8	-1,5	-1,5	-1,5		
Уровни звукового давления от источника ИШ-7-11 в расчётной точке днём, дБ		**ф-ла(3)[10]**	**16,3**	**14,3**	**0**	**0**	**0**	**0**	**0**	**0**	**0**	**0**	**0**
Уровни звукового давления от источника ИШ-7-11 в расчётной точке ночью, дБ		**ф-ла(3)[10]**	**16,3**	**14,3**	**0**	**0**	**0**	**0**	**0**	**0**	**0**	**0**	**0**
Источник шума: ИШ-7-12, координаты источника (x,y,z), м =[887.42,85.45,1.00]													
Уровни звуковой мощности источника днём, Lw, дБ		**исходные данные**	**77**	**75**	**67**	**66**	**63**	**55**	**53**	**48**	**51**		
Уровни звуковой мощности источника ночью, Lw, дБ		**исходные данные**	**77**	**75**	**67**	**66**	**63**	**55**	**53**	**48**	**51**		
Поправка на телесный угол DΩ, дБ	Ω = 12.57	10Lg(4π/Ω)	**0**	0	0	0	0	0	0	0	0		
Показатель направленности источника Di, дБ		исходные данные	**0**	0	0	0	0	0	0	0	0		

1		2	3	4	5	6	7	8	9	10	11	12	13
Поправка на направленность источника Dc, дБ	Dc	DΩ + Di	**0**	0	0	0	0	0	0	0	0		
Затухание из-за геометрической дивергенции, Adiv, дБ	расстояние = 571.42 м	ф-ла (7) [10]	**66,1**										
Коэффициент затухания звука в атмосфере α, дБ/км	Ta=20,°C Pa=101.33,кПа hотн.=70%	ф-ла (5) [9]	0,02	0,09	0,33	1,12	2,79	4,98	9,04	23,09	77,63		
Учет затухания звука в атмосфере Aatm, дБ		ф-ла (8) [10]	0	0,1	0,2	0,6	1,6	2,8	5,2	13,2	44,4		
Снижение поверхностью земли возле источника As, дБ	Gs = 0 hs = 1м	ф-лы таб.3 [10]	-1,5	-1,5	-1,5	-1,5	-1,5	-1,5	-1,5	-1,5	-1,5		
Снижение поверхностью земли возле приёмника Ar, дБ	Gr = 1 hr = 1.5м	ф-лы таб.3 [10]	-1,5	-1,5	3,5	7	5	0,7	0	0	0		
Снижение поверхностью земли в средней зоне, Am дБ	Gm = 1	ф-лы таб.3 [10]	-2,6	-2,6	0	0	0	0	0	0	0		
Суммарное снижение поверхностью земли на траектории распространения звука Agr, дБ		ф-ла (9) [10]	-5,6	-5,6	2	5,5	3,5	-0,8	-1,5	-1,5	-1,5		
Уровни звукового давления от источника ИШ-7-12 в расчётной точке днём, дБ		**ф-ла(3)[10]**	**16,5**	**14,4**	**0**	**0**	**0**	**0**	**0**	**0**	**0**	**0**	**0**
Уровни звукового давления от источника ИШ-7-12 в расчётной точке ночью, дБ		**ф-ла(3)[10]**	**16,5**	**14,4**	**0**	**0**	**0**	**0**	**0**	**0**	**0**	**0**	**0**
Источник шума: ИШ-6-23, координаты источника (x,y,z), м =[756.16,-136.23,3.00]													
Уровни звуковой мощности источника днём, Lw, дБ		**исходные данные**	**91**	**91**	**91**	**91**	**91**	**91**	**91**	**91**	**91**		
Уровни звуковой мощности источника ночью, Lw, дБ		**исходные данные**	**91**	**91**	**91**	**91**	**91**	**91**	**91**	**91**	**91**		
Поправка на телесный угол DΩ, дБ	Ω = 12.57	10Lg(4π/Ω)	**0**	0	0	0	0	0	0	0	0		
Показатель направленности источника Di, дБ		исходные данные	**0**	0	0	0	0	0	0	0	0		
Поправка на направленность источника Dc, дБ	Dc	DΩ + Di	**0**	0	0	0	0	0	0	0	0		

1		2	3	4	5	6	7	8	9	10	11	12	13
Затухание из-за геометрической дивергенции, Adiv, дБ	расстояние = 609.94 м	ф-ла (7) [10]	**66,7**										
Коэффициент затухания звука в атмосфере α, дБ/км	Ta=20,°C Pa=101.33,кПа hотн.=70%	ф-ла (5) [9]	0,02	0,09	0,33	1,12	2,79	4,98	9,04	23,09	77,63		
Учет затухания звука в атмосфере Aatm, дБ		ф-ла (8) [10]	0	0,1	0,2	0,7	1,7	3	5,5	14,1	47,4		
Снижение поверхностью земли возле источника As, дБ	Gs = 0 hs = 3м	ф-лы таб.3 [10]	-1,5	-1,5	-1,5	-1,5	-1,5	-1,5	-1,5	-1,5	-1,5		
Снижение поверхностью земли возле приёмника Ar, дБ	Gr = 1 hr = 1.5м	ф-лы таб.3 [10]	-1,5	-1,5	3,7	7	5	0,7	0	0	0		
Снижение поверхностью земли в средней зоне, Am дБ	Gm = 1	ф-лы таб.3 [10]	-2,3	-2,3	0	0	0	0	0	0	0		
Суммарное снижение поверхностью земли на траектории распространения звука Agr, дБ		ф-ла (9) [10]	-5,3	-5,3	2,2	5,5	3,5	-0,8	-1,5	-1,5	-1,5		
Уровни звукового давления прямого звука от источника ИШ-6-23 в расчётной точке днём, дБ		**ф-ла(3)[10]**	**29,6**	**29,6**	**21,9**	**18,1**	**19,1**	**22,1**	**20,3**	**11,7**	**0**	**25,7**	**25,7**
Уровни звукового давления прямого звука от источника ИШ-6-23 в расчётной точке ночью, дБ		**ф-ла(3)[10]**	**29,6**	**29,6**	**21,9**	**18,1**	**19,1**	**22,1**	**20,3**	**11,7**	**0**	**25,7**	**25,7**
Расчёт отражённого звука													
Уровни звукового давления от мнимого источника ИШ-6-23_мн.(1) в расчётной точке днём, дБ		**ф-ла(3)[10]**	**0**	**0**	**0**	**0**	**0**	**0**	**10,3**	**0**	**0**	**11,5**	**11,5**
Уровни звукового давления от мнимого источника ИШ-6-23_мн.(1) в расчётной точке ночью, дБ		**ф-ла(3)[10]**	**0**	**0**	**0**	**0**	**0**	**0**	**0**	**0**	**0**	**11,5**	**11,5**
Уровни звукового давления от источника ИШ-6-23 в расчётной точке днём, дБ		**ф-ла(3)[10]**	**29,6**	**29,6**	**21,9**	**18,1**	**19,1**	**22,1**	**20,7**	**11,7**	**0**	**25,9**	**25,9**
Уровни звукового давления от источника ИШ-6-23 в расчётной точке ночью, дБ		**ф-ла(3)[10]**	**29,6**	**29,6**	**21,9**	**18,1**	**19,1**	**22,1**	**20,7**	**11,7**	**0**	**25,9**	**25,9**
Источник шума: ИШ-6-24, координаты источника (x,y,z), м =[800.98,-151.27,3.00]													
Уровни звуковой мощности источника днём, Lw, дБ		**исходные данные**	**91**	**91**	**91**	**91**	**91**	**91**	**91**	**91**	**91**		

1		2	3	4	5	6	7	8	9	10	11	12	13
Уровни звуковой мощности источника ночью, Lw, дБ		**исходные данные**	**91**	**91**	**91**	**91**	**91**	**91**	**91**	**91**	**91**		
Поправка на телесный угол DΩ, дБ	Ω = 12.57	10Lg(4π/Ω)	**0**	0	0	0	0	0	0	0	0		
Показатель направленности источника Di, дБ		исходные данные	**0**	0	0	0	0	0	0	0	0		
Поправка на направленность источника Dc, дБ	Dc	DΩ + Di	**0**	0	0	0	0	0	0	0	0		
Затухание из-за геометрической дивергенции, Adiv, дБ	расстояние = 563.26 м	ф-ла (7) [10]	**66**										
Коэффициент затухания звука в атмосфере α, дБ/км	Ta=20,°C Pa=101.33,кПа hотн.=70%	ф-ла (5) [9]	0,02	0,09	0,33	1,12	2,79	4,98	9,04	23,09	77,63		
Учет затухания звука в атмосфере Aatm, дБ		ф-ла (8) [10]	0	0,1	0,2	0,6	1,6	2,8	5,1	13	43,7		
Снижение поверхностью земли возле источника As, дБ	Gs = 0 hs = 3м	ф-лы таб.3 [10]	-1,5	-1,5	-1,5	-1,5	-1,5	-1,5	-1,5	-1,5	-1,5		
Снижение поверхностью земли возле приёмника Ar, дБ	Gr = 1 hr = 1.5м	ф-лы таб.3 [10]	-1,5	-1,5	3,4	7	5	0,7	0	0	0		
Снижение поверхностью земли в средней зоне, Am дБ	Gm = 1	ф-лы таб.3 [10]	-2,3	-2,3	0	0	0	0	0	0	0		
Суммарное снижение поверхностью земли на траектории распространения звука Agr, дБ		ф-ла (9) [10]	-5,3	-5,3	1,9	5,5	3,5	-0,8	-1,5	-1,5	-1,5		
Уровни звукового давления прямого звука от источника ИШ-6-24 в расчётной точке днём, дБ		**ф-ла(3)[10]**	**30,2**	**30,2**	**22,9**	**18,8**	**19,9**	**23**	**21,4**	**13,5**	**0**	**26,8**	**26,8**
Уровни звукового давления прямого звука от источника ИШ-6-24 в расчётной точке ночью, дБ		**ф-ла(3)[10]**	**30,2**	**30,2**	**22,9**	**18,8**	**19,9**	**23**	**21,4**	**13,5**	**0**	**26,8**	**26,8**
Расчёт отражённого звука													
Уровни звукового давления от мнимого источника ИШ-6-24_мн.(1) в расчётной точке днём, дБ		**ф-ла(3)[10]**	**0**	**0**	**0**	**0**	**0**	**0**	**0**	**0**	**0**	**0**	**0**
Уровни звукового давления от мнимого источника ИШ-6-24_мн.(1) в расчётной точке ночью, дБ		**ф-ла(3)[10]**	**0**	**0**	**0**	**0**	**0**	**0**	**0**	**0**	**0**	**0**	**0**
Уровни звукового давления от источника ИШ-6-24 в расчётной точке днём, дБ		**ф-ла(3)[10]**	**30,2**	**30,2**	**22,9**	**18,8**	**19,9**	**23**	**21,4**	**13,5**	**0**	**26,8**	**26,8**

1		2	3	4	5	6	7	8	9	10	11	12	13
Уровни звукового давления от источника ИШ-6-24 в расчётной точке ночью, дБ		**ф-ла(3)[10]**	**30,2**	**30,2**	**22,9**	**18,8**	**19,9**	**23**	**21,4**	**13,5**	**0**	**26,8**	**26,8**
Источник шума: ИШ-8-1, координаты источника (x,y,z), м =[612.60,-227.70,3.00]													
Уровни звуковой мощности источника днём, Lw, дБ		**исходные данные**	**105**	**104**	**104**	**101**	**102**	**106**	**101**	**95**	**87**		
Уровни звуковой мощности источника ночью, Lw, дБ		**исходные данные**	**105**	**104**	**104**	**101**	**102**	**106**	**101**	**95**	**87**		
Поправка на телесный угол DΩ, дБ	Ω = 6.28	10Lg(4π/Ω)	**3**	3	3	3	3	3	3	3	3		
Показатель направленности источника Di, дБ		исходные данные	**0**	0	0	0	0	0	0	0	0		
Поправка на направленность источника Dc, дБ	Dc	DΩ + Di	**3**	3	3	3	3	3	3	3	3		
Затухание из-за геометрической дивергенции, Adiv, дБ	расстояние = 744.74 м	ф-ла (7) [10]	**68,4**										
Коэффициент затухания звука в атмосфере α, дБ/км	Ta=20,°C Pa=101.33,кПа hотн.=70%	ф-ла (5) [9]	0,02	0,09	0,33	1,12	2,79	4,98	9,04	23,09	77,63		
Учет затухания звука в атмосфере Aatm, дБ		ф-ла (8) [10]	0	0,1	0,2	0,8	2,1	3,7	6,7	17,2	57,8		
Снижение уровня звукового давления из-за влияния застройки между источником шума и расчетной точкой													
Снижение уровня звукового давления препятствием слева от трассы ИШ-РТ, Dz2, дБ	z = -0.22м (разность путей)	ф-лы (14-18) [10]	3,4	1,4	NAN	NAN	NAN	NAN	NAN	NAN	NAN		
* отрицательное значение z означает прохождение траектории вблизи экрана, в этом случае дополнительно производится учёт снижения подстилающей поверхностью (см.ниже)													
Снижение поверхностью земли возле источника As, дБ	Gs = 0 hs = 3м	ф-лы таб.3 [10]	-1,5	-1,5	-1,5	-1,5	-1,5	-1,5	-1,5	-1,5	-1,5		
Снижение поверхностью земли возле приёмника Ar, дБ	Gr = 1 hr = 1.5м	ф-лы таб.3 [10]	-1,5	-1,5	4,4	7	5	0,7	0	0	0		
Снижение поверхностью земли в средней зоне, Am дБ	Gm = 1	ф-лы таб.3 [10]	-2,5	-2,5	0	0	0	0	0	0	0		
Суммарное снижение поверхностью земли на траектории распространения звука Agr, дБ		ф-ла (9) [10]	-5,5	-5,5	2,9	5,5	3,5	-0,8	-1,5	-1,5	-1,5		

1		2	3	4	5	6	7	8	9	10	11	12	13
Уровни звукового давления прямого звука от источника ИШ-8-1 в расчётной точке днём, дБ		**ф-ла(3)[10]**	**41,6**	**42,6**	**35,5**	**29,2**	**31**	**37,7**	**30,3**	**13,9**	**0**	**39,1**	**39,1**
Уровни звукового давления прямого звука от источника ИШ-8-1 в расчётной точке ночью, дБ		**ф-ла(3)[10]**	**41,6**	**42,6**	**35,5**	**29,2**	**31**	**37,7**	**30,3**	**13,9**	**0**	**39,1**	**39,1**
Расчёт отражённого звука													
Уровни звукового давления от мнимого источника ИШ-8-1_мн.(1) в расчётной точке днём, дБ		**ф-ла(3)[10]**	**0**	**0**	**0**	**0**	**0**	**0**	**17,6**	**0**	**0**	**18,8**	**18,8**
Уровни звукового давления от мнимого источника ИШ-8-1_мн.(1) в расчётной точке ночью, дБ		**ф-ла(3)[10]**	**0**	**0**	**0**	**0**	**0**	**0**	**0**	**0**	**0**	**18,8**	**18,8**
Уровни звукового давления от источника ИШ-8-1 в расчётной точке днём, дБ		**ф-ла(3)[10]**	**41,6**	**42,6**	**35,5**	**29,2**	**31**	**37,7**	**30,6**	**13,9**	**0**	**39,2**	**39,2**
Уровни звукового давления от источника ИШ-8-1 в расчётной точке ночью, дБ		**ф-ла(3)[10]**	**41,6**	**42,6**	**35,5**	**29,2**	**31**	**37,7**	**30,6**	**13,9**	**0**	**39,2**	**39,2**
Источник шума: ИШ-8-2, координаты источника (x,y,z), м =[596.60,-275.00,3.00]													
Уровни звуковой мощности источника днём, Lw, дБ		**исходные данные**	**105**	**104**	**104**	**101**	**102**	**106**	**101**	**95**	**87**		
Уровни звуковой мощности источника ночью, Lw, дБ		**исходные данные**	**105**	**104**	**104**	**101**	**102**	**106**	**101**	**95**	**87**		
Поправка на телесный угол DΩ, дБ	Ω = 6.28	10Lg(4π/Ω)	**3**	3	3	3	3	3	3	3	3		
Показатель направленности источника Di, дБ		исходные данные	**0**	0	0	0	0	0	0	0	0		
Поправка на направленность источника Dc, дБ	Dc	DΩ + Di	**3**	3	3	3	3	3	3	3	3		
Затухание из-за геометрической дивергенции, Adiv, дБ	расстояние = 761.45 м	ф-ла (7) [10]	**68,6**										
Коэффициент затухания звука в атмосфере α, дБ/км	Ta=20,°C Pa=101.33,кПа hотн.=70%	ф-ла (5) [9]	0,02	0,09	0,33	1,12	2,79	4,98	9,04	23,09	77,63		
Учет затухания звука в атмосфере Aatm, дБ		ф-ла (8) [10]	0	0,1	0,3	0,9	2,1	3,8	6,9	17,6	59,1		

1		2	3	4	5	6	7	8	9	10	11	12	13
Снижение поверхностью земли возле источника As, дБ	Gs = 0 hs = 3м	ф-лы таб.3 [10]	-1,5	-1,5	-1,5	-1,5	-1,5	-1,5	-1,5	-1,5	-1,5		
Снижение поверхностью земли возле приёмника Ar, дБ	Gr = 1 hr = 1.5м	ф-лы таб.3 [10]	-1,5	-1,5	4,4	7	5	0,7	0	0	0		
Снижение поверхностью земли в средней зоне, Am дБ	Gm = 1	ф-лы таб.3 [10]	-2,5	-2,5	0	0	0	0	0	0	0		
Суммарное снижение поверхностью земли на траектории распространения звука Agr, дБ		ф-ла (9) [10]	-5,5	-5,5	2,9	5,5	3,5	-0,8	-1,5	-1,5	-1,5		
Уровни звукового давления от источника ИШ-8-2 в расчётной точке днём, дБ		**ф-ла(3)[10]**	**44,8**	**43,8**	**35,2**	**29**	**30,8**	**37,4**	**30**	**13,3**	**0**	**38,9**	**38,9**
Уровни звукового давления от источника ИШ-8-2 в расчётной точке ночью, дБ		**ф-ла(3)[10]**	**44,8**	**43,8**	**35,2**	**29**	**30,8**	**37,4**	**30**	**13,3**	**0**	**38,9**	**38,9**
Источник шума: ИШ-8-3, координаты источника (x,y,z), м =[564.90,-369.90,3.00]													
Уровни звуковой мощности источника днём, Lw, дБ		**исходные данные**	**105**	**104**	**104**	**101**	**102**	**106**	**101**	**95**	**87**		
Уровни звуковой мощности источника ночью, Lw, дБ		**исходные данные**	**105**	**104**	**104**	**101**	**102**	**106**	**101**	**95**	**87**		
Поправка на телесный угол DΩ, дБ	Ω = 6.28	10Lg(4π/Ω)	**3**	3	3	3	3	3	3	3	3		
Показатель направленности источника Di, дБ		исходные данные	**0**	0	0	0	0	0	0	0	0		
Поправка на направленность источника Dc, дБ	Dc	DΩ + Di	**3**	3	3	3	3	3	3	3	3		
Затухание из-за геометрической дивергенции, Adiv, дБ	расстояние = 802.95 м	ф-ла (7) [10]	**69,1**										
Коэффициент затухания звука в атмосфере α, дБ/км	Ta=20,°C Pa=101.33,кПа hотн.=70%	ф-ла (5) [9]	0,02	0,09	0,33	1,12	2,79	4,98	9,04	23,09	77,63		
Учет затухания звука в атмосфере Aatm, дБ		ф-ла (8) [10]	0	0,1	0,3	0,9	2,2	4	7,3	18,5	62,3		
Снижение поверхностью земли возле источника As, дБ	Gs = 0 hs = 3м	ф-лы таб.3 [10]	-1,5	-1,5	-1,5	-1,5	-1,5	-1,5	-1,5	-1,5	-1,5		

1		2	3	4	5	6	7	8	9	10	11	12	13
Снижение поверхностью земли возле приёмника Ar, дБ	Gr = 1 hr = 1.5м	ф-лы таб.3 [10]	-1,5	-1,5	4,6	7	5	0,7	0	0	0		
Снижение поверхностью земли в средней зоне, Am дБ	Gm = 1	ф-лы таб.3 [10]	-2,5	-2,5	0	0	0	0	0	0	0		
Суммарное снижение поверхностью земли на траектории распространения звука Agr, дБ		ф-ла (9) [10]	-5,5	-5,5	3,1	5,5	3,5	-0,8	-1,5	-1,5	-1,5		
Уровни звукового давления от источника ИШ-8-3 в расчётной точке днём, дБ		**ф-ла(3)[10]**	**44,4**	**43,3**	**34,6**	**28,5**	**30,2**	**36,8**	**29,2**	**11,9**	**0**	**38,2**	**38,2**
Уровни звукового давления от источника ИШ-8-3 в расчётной точке ночью, дБ		**ф-ла(3)[10]**	**44,4**	**43,3**	**34,6**	**28,5**	**30,2**	**36,8**	**29,2**	**11,9**	**0**	**38,2**	**38,2**
Источник шума: ИШ-9-1, координаты источника (x,y,z), м =[642.94,-357.54,1.00]													
Уровни звуковой мощности источника днём, Lw, дБ		**исходные данные**	**0**	**93,3**	**94,7**	**96**	**96,3**	**95,9**	**92,6**	**88,4**	**83,9**		
Уровни звуковой мощности источника ночью, Lw, дБ		**исходные данные**	**0**	**93,3**	**94,7**	**96**	**96,3**	**95,9**	**92,6**	**88,4**	**83,9**		
Поправка на телесный угол DΩ, дБ	Ω = 6.28	10Lg(4π/Ω)	**3**	3	3	3	3	3	3	3	3		
Показатель направленности источника Di, дБ		исходные данные	**0**	0	0	0	0	0	0	0	0		
Поправка на направленность источника Dc, дБ	Dc	DΩ + Di	**3**	3	3	3	3	3	3	3	3		
Затухание из-за геометрической дивергенции, Adiv, дБ	расстояние = 723.93 м	ф-ла (7) [10]	**68,2**										
Коэффициент затухания звука в атмосфере α, дБ/км	Ta=20,°C Pa=101.33,кПа hотн.=70%	ф-ла (5) [9]	0,02	0,09	0,33	1,12	2,79	4,98	9,04	23,09	77,63		
Учет затухания звука в атмосфере Aatm, дБ		ф-ла (8) [10]	0	0,1	0,2	0,8	2	3,6	6,5	16,7	56,2		
Снижение поверхностью земли возле источника As, дБ	Gs = 0 hs = 1м	ф-лы таб.3 [10]	-1,5	-1,5	-1,5	-1,5	-1,5	-1,5	-1,5	-1,5	-1,5		
Снижение поверхностью земли возле приёмника Ar, дБ	Gr = 1 hr = 1.5м	ф-лы таб.3 [10]	-1,5	-1,5	4,3	7	5	0,7	0	0	0		

1		2	3	4	5	6	7	8	9	10	11	12	13
Снижение поверхностью земли в средней зоне, Am дБ	Gm = 1	ф-лы таб.3 [10]	-2,7	-2,7	0	0	0	0	0	0	0		
Суммарное снижение поверхностью земли на траектории распространения звука Agr, дБ		ф-ла (9) [10]	-5,7	-5,7	2,8	5,5	3,5	-0,8	-1,5	-1,5	-1,5		
Уровни звукового давления от источника ИШ-9-1 в расчётной точке днём, дБ		**ф-ла(3)[10]**	**0**	**33,7**	**26,5**	**24,5**	**25,6**	**27,9**	**22,4**	**8**	**0**	**30,4**	**30,4**
Уровни звукового давления от источника ИШ-9-1 в расчётной точке ночью, дБ		**ф-ла(3)[10]**	**0**	**33,7**	**26,5**	**24,5**	**25,6**	**27,9**	**22,4**	**8**	**0**	**30,4**	**30,4**
Источник шума: ИШ-9-2, координаты источника (x,y,z), м =[644.14,-354.83,1.00]													
Уровни звуковой мощности источника днём, Lw, дБ		**исходные данные**	**0**	**93,3**	**94,7**	**96**	**96,3**	**95,9**	**92,6**	**88,4**	**83,9**		
Уровни звуковой мощности источника ночью, Lw, дБ		**исходные данные**	**0**	**93,3**	**94,7**	**96**	**96,3**	**95,9**	**92,6**	**88,4**	**83,9**		
Поправка на телесный угол DΩ, дБ	Ω = 6.28	10Lg(4π/Ω)	**3**	3	3	3	3	3	3	3	3		
Показатель направленности источника Di, дБ		исходные данные	**0**	0	0	0	0	0	0	0	0		
Поправка на направленность источника Dc, дБ	Dc	DΩ + Di	**3**	3	3	3	3	3	3	3	3		
Затухание из-за геометрической дивергенции, Adiv, дБ	расстояние = 722.31 м	ф-ла (7) [10]	**68,2**										
Коэффициент затухания звука в атмосфере α, дБ/км	Ta=20,°C Pa=101.33,кПа hотн.=70%	ф-ла (5) [9]	0,02	0,09	0,33	1,12	2,79	4,98	9,04	23,09	77,63		
Учет затухания звука в атмосфере Aatm, дБ		ф-ла (8) [10]	0	0,1	0,2	0,8	2	3,6	6,5	16,7	56,1		
Снижение поверхностью земли возле источника As, дБ	Gs = 0 hs = 1м	ф-лы таб.3 [10]	-1,5	-1,5	-1,5	-1,5	-1,5	-1,5	-1,5	-1,5	-1,5		
Снижение поверхностью земли возле приёмника Ar, дБ	Gr = 1 hr = 1.5м	ф-лы таб.3 [10]	-1,5	-1,5	4,3	7	5	0,7	0	0	0		
Снижение поверхностью земли в средней зоне, Am дБ	Gm = 1	ф-лы таб.3 [10]	-2,7	-2,7	0	0	0	0	0	0	0		

1		2	3	4	5	6	7	8	9	10	11	12	13
Суммарное снижение поверхностью земли на траектории распространения звука Agr, дБ		ф-ла (9) [10]	-5,7	-5,7	2,8	5,5	3,5	-0,8	-1,5	-1,5	-1,5		
Уровни звукового давления от источника ИШ-9-2 в расчётной точке днём, дБ		**ф-ла(3)[10]**	**0**	**33,7**	**26,5**	**24,5**	**25,6**	**28**	**22,4**	**8**	**0**	**30,4**	**30,4**
Уровни звукового давления от источника ИШ-9-2 в расчётной точке ночью, дБ		**ф-ла(3)[10]**	**0**	**33,7**	**26,5**	**24,5**	**25,6**	**28**	**22,4**	**8**	**0**	**30,4**	**30,4**
Источник шума: ИШ-9-3, координаты источника (x,y,z), м =[644.98,-351.85,1.00]													
Уровни звуковой мощности источника днём, Lw, дБ		**исходные данные**	**0**	**93,3**	**94,7**	**96**	**96,3**	**95,9**	**92,6**	**88,4**	**83,9**		
Уровни звуковой мощности источника ночью, Lw, дБ		**исходные данные**	**0**	**93,3**	**94,7**	**96**	**96,3**	**95,9**	**92,6**	**88,4**	**83,9**		
Поправка на телесный угол DΩ, дБ	Ω = 6.28	10Lg(4π/Ω)	**3**	3	3	3	3	3	3	3	3		
Показатель направленности источника Di, дБ		исходные данные	**0**	0	0	0	0	0	0	0	0		
Поправка на направленность источника Dc, дБ	Dc	DΩ + Di	**3**	3	3	3	3	3	3	3	3		
Затухание из-за геометрической дивергенции, Adiv, дБ	расстояние = 721.01 м	ф-ла (7) [10]	**68,2**										
Коэффициент затухания звука в атмосфере α, дБ/км	Ta=20,°C Pa=101.33,кПа hотн.=70%	ф-ла (5) [9]	0,02	0,09	0,33	1,12	2,79	4,98	9,04	23,09	77,63		
Учет затухания звука в атмосфере Aatm, дБ		ф-ла (8) [10]	0	0,1	0,2	0,8	2	3,6	6,5	16,6	56		
Снижение поверхностью земли возле источника As, дБ	Gs = 0 hs = 1м	ф-лы таб.3 [10]	-1,5	-1,5	-1,5	-1,5	-1,5	-1,5	-1,5	-1,5	-1,5		
Снижение поверхностью земли возле приёмника Ar, дБ	Gr = 1 hr = 1.5м	ф-лы таб.3 [10]	-1,5	-1,5	4,3	7	5	0,7	0	0	0		
Снижение поверхностью земли в средней зоне, Am дБ	Gm = 1	ф-лы таб.3 [10]	-2,7	-2,7	0	0	0	0	0	0	0		
Суммарное снижение поверхностью земли на траектории распространения звука Agr, дБ		ф-ла (9) [10]	-5,7	-5,7	2,8	5,5	3,5	-0,8	-1,5	-1,5	-1,5		

1		2	3	4	5	6	7	8	9	10	11	12	13
Уровни звукового давления от источника ИШ-9-3 в расчётной точке днём, дБ		**ф-ла(3)[10]**	**0**	**33,8**	**26,5**	**24,5**	**25,6**	**28**	**22,4**	**8,1**	**0**	**30,4**	**30,4**
Уровни звукового давления от источника ИШ-9-3 в расчётной точке ночью, дБ		**ф-ла(3)[10]**	**0**	**33,8**	**26,5**	**24,5**	**25,6**	**28**	**22,4**	**8,1**	**0**	**30,4**	**30,4**
Источник шума: ИШ-9-4, координаты источника (x,y,z), м =[646.01,-349.15,1.00]													
Уровни звуковой мощности источника днём, Lw, дБ		**исходные данные**	**0**	**93,3**	**94,7**	**96**	**96,3**	**95,9**	**92,6**	**88,4**	**83,9**		
Уровни звуковой мощности источника ночью, Lw, дБ		**исходные данные**	**0**	**93,3**	**94,7**	**96**	**96,3**	**95,9**	**92,6**	**88,4**	**83,9**		
Поправка на телесный угол DΩ, дБ	Ω = 6.28	10Lg(4π/Ω)	**3**	3	3	3	3	3	3	3	3		
Показатель направленности источника Di, дБ		исходные данные	**0**	0	0	0	0	0	0	0	0		
Поправка на направленность источника Dc, дБ	Dc	DΩ + Di	**3**	3	3	3	3	3	3	3	3		
Затухание из-за геометрической дивергенции, Adiv, дБ	расстояние = 719.59 м	ф-ла (7) [10]	**68,1**										
Коэффициент затухания звука в атмосфере α, дБ/км	Ta=20,°C Pa=101.33,кПа hотн.=70%	ф-ла (5) [9]	0,02	0,09	0,33	1,12	2,79	4,98	9,04	23,09	77,63		
Учет затухания звука в атмосфере Aatm, дБ		ф-ла (8) [10]	0	0,1	0,2	0,8	2	3,6	6,5	16,6	55,9		
Снижение поверхностью земли возле источника As, дБ	Gs = 0 hs = 1м	ф-лы таб.3 [10]	-1,5	-1,5	-1,5	-1,5	-1,5	-1,5	-1,5	-1,5	-1,5		
Снижение поверхностью земли возле приёмника Ar, дБ	Gr = 1 hr = 1.5м	ф-лы таб.3 [10]	-1,5	-1,5	4,3	7	5	0,7	0	0	0		
Снижение поверхностью земли в средней зоне, Am дБ	Gm = 1	ф-лы таб.3 [10]	-2,7	-2,7	0	0	0	0	0	0	0		
Суммарное снижение поверхностью земли на траектории распространения звука Agr, дБ		ф-ла (9) [10]	-5,7	-5,7	2,8	5,5	3,5	-0,8	-1,5	-1,5	-1,5		
Уровни звукового давления от источника ИШ-9-4 в расчётной точке днём, дБ		**ф-ла(3)[10]**	**0**	**33,8**	**26,6**	**24,5**	**25,7**	**28**	**22,4**	**8,1**	**0**	**30,4**	**30,4**

1		2	3	4	5	6	7	8	9	10	11	12	13
Уровни звукового давления от источника ИШ-9-4 в расчётной точке ночью, дБ		**ф-ла(3)[10]**	**0**	**33,8**	**26,6**	**24,5**	**25,7**	**28**	**22,4**	**8,1**	**0**	**30,4**	**30,4**
Источник шума: ИШ-9-5, координаты источника (x,y,z), м =[646.84,-346.17,1.00]													
Уровни звуковой мощности источника днём, Lw, дБ		**исходные данные**	**0**	**93,3**	**94,7**	**96**	**96,3**	**95,9**	**92,6**	**88,4**	**83,9**		
Уровни звуковой мощности источника ночью, Lw, дБ		**исходные данные**	**0**	**93,3**	**94,7**	**96**	**96,3**	**95,9**	**92,6**	**88,4**	**83,9**		
Поправка на телесный угол DΩ, дБ	Ω = 6.28	10Lg(4π/Ω)	**3**	3	3	3	3	3	3	3	3		
Показатель направленности источника Di, дБ		исходные данные	**0**	0	0	0	0	0	0	0	0		
Поправка на направленность источника Dc, дБ	Dc	DΩ + Di	**3**	3	3	3	3	3	3	3	3		
Затухание из-за геометрической дивергенции, Adiv, дБ	расстояние = 718.31 м	ф-ла (7) [10]	**68,1**										
Коэффициент затухания звука в атмосфере α, дБ/км	Ta=20,°C Pa=101.33,кПа hотн.=70%	ф-ла (5) [9]	0,02	0,09	0,33	1,12	2,79	4,98	9,04	23,09	77,63		
Учет затухания звука в атмосфере Aatm, дБ		ф-ла (8) [10]	0	0,1	0,2	0,8	2	3,6	6,5	16,6	55,8		
Снижение поверхностью земли возле источника As, дБ	Gs = 0 hs = 1м	ф-лы таб.3 [10]	-1,5	-1,5	-1,5	-1,5	-1,5	-1,5	-1,5	-1,5	-1,5		
Снижение поверхностью земли возле приёмника Ar, дБ	Gr = 1 hr = 1.5м	ф-лы таб.3 [10]	-1,5	-1,5	4,2	7	5	0,7	0	0	0		
Снижение поверхностью земли в средней зоне, Am дБ	Gm = 1	ф-лы таб.3 [10]	-2,7	-2,7	0	0	0	0	0	0	0		
Суммарное снижение поверхностью земли на траектории распространения звука Agr, дБ		ф-ла (9) [10]	-5,7	-5,7	2,7	5,5	3,5	-0,8	-1,5	-1,5	-1,5		
Уровни звукового давления от источника ИШ-9-5 в расчётной точке днём, дБ		**ф-ла(3)[10]**	**0**	**33,8**	**26,6**	**24,5**	**25,7**	**28**	**22,5**	**8,2**	**0**	**30,5**	**30,5**
Уровни звукового давления от источника ИШ-9-5 в расчётной точке ночью, дБ		**ф-ла(3)[10]**	**0**	**33,8**	**26,6**	**24,5**	**25,7**	**28**	**22,5**	**8,2**	**0**	**30,5**	**30,5**

1		2	3	4	5	6	7	8	9	10	11	12	13
Источник шума: ИШ-9-6, координаты источника (x,y,z), м =[647.87,-343.47,1.00]													
Уровни звуковой мощности источника днём, Lw, дБ		**исходные данные**	**0**	**93,3**	**94,7**	**96**	**96,3**	**95,9**	**92,6**	**88,4**	**83,9**		
Уровни звуковой мощности источника ночью, Lw, дБ		**исходные данные**	**0**	**93,3**	**94,7**	**96**	**96,3**	**95,9**	**92,6**	**88,4**	**83,9**		
Поправка на телесный угол DΩ, дБ	Ω = 6.28	10Lg(4π/Ω)	**3**	3	3	3	3	3	3	3	3		
Показатель направленности источника Di, дБ		исходные данные	**0**	0	0	0	0	0	0	0	0		
Поправка на направленность источника Dc, дБ	Dc	DΩ + Di	**3**	3	3	3	3	3	3	3	3		
Затухание из-за геометрической дивергенции, Adiv, дБ	расстояние = 716.90 м	ф-ла (7) [10]	**68,1**										
Коэффициент затухания звука в атмосфере α, дБ/км	Ta=20,°C Pa=101.33,кПа hотн.=70%	ф-ла (5) [9]	0,02	0,09	0,33	1,12	2,79	4,98	9,04	23,09	77,63		
Учет затухания звука в атмосфере Aatm, дБ		ф-ла (8) [10]	0	0,1	0,2	0,8	2	3,6	6,5	16,6	55,7		
Снижение поверхностью земли возле источника As, дБ	Gs = 0 hs = 1м	ф-лы таб.3 [10]	-1,5	-1,5	-1,5	-1,5	-1,5	-1,5	-1,5	-1,5	-1,5		
Снижение поверхностью земли возле приёмника Ar, дБ	Gr = 1 hr = 1.5м	ф-лы таб.3 [10]	-1,5	-1,5	4,2	7	5	0,7	0	0	0		
Снижение поверхностью земли в средней зоне, Am дБ	Gm = 1	ф-лы таб.3 [10]	-2,7	-2,7	0	0	0	0	0	0	0		
Суммарное снижение поверхностью земли на траектории распространения звука Agr, дБ		ф-ла (9) [10]	-5,7	-5,7	2,7	5,5	3,5	-0,8	-1,5	-1,5	-1,5		
Уровни звукового давления от источника ИШ-9-6 в расчётной точке днём, дБ		**ф-ла(3)[10]**	**0**	**33,8**	**26,6**	**24,6**	**25,7**	**28,1**	**22,5**	**8,2**	**0**	**30,5**	**30,5**
Уровни звукового давления от источника ИШ-9-6 в расчётной точке ночью, дБ		**ф-ла(3)[10]**	**0**	**33,8**	**26,6**	**24,6**	**25,7**	**28,1**	**22,5**	**8,2**	**0**	**30,5**	**30,5**
Источник шума: ИШ-9-7, координаты источника (x,y,z), м =[648.71,-340.49,1.00]													

1		2	3	4	5	6	7	8	9	10	11	12	13
Уровни звуковой мощности источника днём, Lw, дБ		**исходные данные**	**0**	**93,3**	**94,7**	**96**	**96,3**	**95,9**	**92,6**	**88,4**	**83,9**		
Уровни звуковой мощности источника ночью, Lw, дБ		**исходные данные**	**0**	**93,3**	**94,7**	**96**	**96,3**	**95,9**	**92,6**	**88,4**	**83,9**		
Поправка на телесный угол DΩ, дБ	Ω = 6.28	10Lg(4π/Ω)	**3**	3	3	3	3	3	3	3	3		
Показатель направленности источника Di, дБ		исходные данные	**0**	0	0	0	0	0	0	0	0		
Поправка на направленность источника Dc, дБ	Dc	DΩ + Di	**3**	3	3	3	3	3	3	3	3		
Затухание из-за геометрической дивергенции, Adiv, дБ	расстояние = 715.65 м	ф-ла (7) [10]	**68,1**										
Коэффициент затухания звука в атмосфере α, дБ/км	Ta=20,°C Pa=101.33,кПа hотн.=70%	ф-ла (5) [9]	0,02	0,09	0,33	1,12	2,79	4,98	9,04	23,09	77,63		
Учет затухания звука в атмосфере Aatm, дБ		ф-ла (8) [10]	0	0,1	0,2	0,8	2	3,6	6,5	16,5	55,6		
Снижение поверхностью земли возле источника As, дБ	Gs = 0 hs = 1м	ф-лы таб.3 [10]	-1,5	-1,5	-1,5	-1,5	-1,5	-1,5	-1,5	-1,5	-1,5		
Снижение поверхностью земли возле приёмника Ar, дБ	Gr = 1 hr = 1.5м	ф-лы таб.3 [10]	-1,5	-1,5	4,2	7	5	0,7	0	0	0		
Снижение поверхностью земли в средней зоне, Am дБ	Gm = 1	ф-лы таб.3 [10]	-2,7	-2,7	0	0	0	0	0	0	0		
Суммарное снижение поверхностью земли на траектории распространения звука Agr, дБ		ф-ла (9) [10]	-5,7	-5,7	2,7	5,5	3,5	-0,8	-1,5	-1,5	-1,5		
Уровни звукового давления от источника ИШ-9-7 в расчётной точке днём, дБ		**ф-ла(3)[10]**	**0**	**33,8**	**26,6**	**24,6**	**25,7**	**28,1**	**22,5**	**8,3**	**0**	**30,5**	**30,5**
Уровни звукового давления от источника ИШ-9-7 в расчётной точке ночью, дБ		**ф-ла(3)[10]**	**0**	**33,8**	**26,6**	**24,6**	**25,7**	**28,1**	**22,5**	**8,3**	**0**	**30,5**	**30,5**
Источник шума: ИШ-9-8, координаты источника (x,y,z), м =[649.92,-337.69,1.00]													
Уровни звуковой мощности источника днём, Lw, дБ		**исходные данные**	**0**	**93,3**	**94,7**	**96**	**96,3**	**95,9**	**92,6**	**88,4**	**83,9**		

1		2	3	4	5	6	7	8	9	10	11	12	13
Уровни звуковой мощности источника ночью, Lw, дБ		**исходные данные**	**0**	**93,3**	**94,7**	**96**	**96,3**	**95,9**	**92,6**	**88,4**	**83,9**		
Поправка на телесный угол DΩ, дБ	Ω = 6.28	10Lg(4π/Ω)	**3**	3	3	3	3	3	3	3	3		
Показатель направленности источника Di, дБ		исходные данные	**0**	0	0	0	0	0	0	0	0		
Поправка на направленность источника Dc, дБ	Dc	DΩ + Di	**3**	3	3	3	3	3	3	3	3		
Затухание из-за геометрической дивергенции, Adiv, дБ	расстояние = 714.06 м	ф-ла (7) [10]	**68,1**										
Коэффициент затухания звука в атмосфере α, дБ/км	Ta=20,°C Pa=101.33,кПа hотн.=70%	ф-ла (5) [9]	0,02	0,09	0,33	1,12	2,79	4,98	9,04	23,09	77,63		
Учет затухания звука в атмосфере Aatm, дБ		ф-ла (8) [10]	0	0,1	0,2	0,8	2	3,6	6,5	16,5	55,4		
Снижение поверхностью земли возле источника As, дБ	Gs = 0 hs = 1м	ф-лы таб.3 [10]	-1,5	-1,5	-1,5	-1,5	-1,5	-1,5	-1,5	-1,5	-1,5		
Снижение поверхностью земли возле приёмника Ar, дБ	Gr = 1 hr = 1.5м	ф-лы таб.3 [10]	-1,5	-1,5	4,2	7	5	0,7	0	0	0		
Снижение поверхностью земли в средней зоне, Am дБ	Gm = 1	ф-лы таб.3 [10]	-2,7	-2,7	0	0	0	0	0	0	0		
Суммарное снижение поверхностью земли на траектории распространения звука Agr, дБ		ф-ла (9) [10]	-5,7	-5,7	2,7	5,5	3,5	-0,8	-1,5	-1,5	-1,5		
Уровни звукового давления от источника ИШ-9-8 в расчётной точке днём, дБ		**ф-ла(3)[10]**	**0**	**33,8**	**26,6**	**24,6**	**25,8**	**28,1**	**22,6**	**8,3**	**0**	**30,5**	**30,5**
Уровни звукового давления от источника ИШ-9-8 в расчётной точке ночью, дБ		**ф-ла(3)[10]**	**0**	**33,8**	**26,6**	**24,6**	**25,8**	**28,1**	**22,6**	**8,3**	**0**	**30,5**	**30,5**
Источник шума: ИШ-9-9, координаты источника (x,y,z), м =[650.66,-334.90,1.00]													
Уровни звуковой мощности источника днём, Lw, дБ		**исходные данные**	**0**	**93,3**	**94,7**	**96**	**96,3**	**95,9**	**92,6**	**88,4**	**83,9**		
Уровни звуковой мощности источника ночью, Lw, дБ		**исходные данные**	**0**	**93,3**	**94,7**	**96**	**96,3**	**95,9**	**92,6**	**88,4**	**83,9**		

1		2	3	4	5	6	7	8	9	10	11	12	13
Поправка на телесный угол DΩ, дБ	Ω = 6.28	10Lg(4π/Ω)	**3**	3	3	3	3	3	3	3	3		
Показатель направленности источника Di, дБ		исходные данные	**0**	0	0	0	0	0	0	0	0		
Поправка на направленность источника Dc, дБ	Dc	DΩ + Di	**3**	3	3	3	3	3	3	3	3		
Затухание из-за геометрической дивергенции, Adiv, дБ	расстояние = 712.94 м	ф-ла (7) [10]	**68,1**										
Коэффициент затухания звука в атмосфере α, дБ/км	Ta=20,°C Pa=101.33,кПа hотн.=70%	ф-ла (5) [9]	0,02	0,09	0,33	1,12	2,79	4,98	9,04	23,09	77,63		
Учет затухания звука в атмосфере Aatm, дБ		ф-ла (8) [10]	0	0,1	0,2	0,8	2	3,5	6,4	16,5	55,3		
Снижение поверхностью земли возле источника As, дБ	Gs = 0 hs = 1м	ф-лы таб.3 [10]	-1,5	-1,5	-1,5	-1,5	-1,5	-1,5	-1,5	-1,5	-1,5		
Снижение поверхностью земли возле приёмника Ar, дБ	Gr = 1 hr = 1.5м	ф-лы таб.3 [10]	-1,5	-1,5	4,2	7	5	0,7	0	0	0		
Снижение поверхностью земли в средней зоне, Am дБ	Gm = 1	ф-лы таб.3 [10]	-2,7	-2,7	0	0	0	0	0	0	0		
Суммарное снижение поверхностью земли на траектории распространения звука Agr, дБ		ф-ла (9) [10]	-5,7	-5,7	2,7	5,5	3,5	-0,8	-1,5	-1,5	-1,5		
Уровни звукового давления от источника ИШ-9-9 в расчётной точке днём, дБ		**ф-ла(3)[10]**	**0**	**33,9**	**26,7**	**24,6**	**25,8**	**28,1**	**22,6**	**8,4**	**0**	**30,5**	**30,5**
Уровни звукового давления от источника ИШ-9-9 в расчётной точке ночью, дБ		**ф-ла(3)[10]**	**0**	**33,9**	**26,7**	**24,6**	**25,8**	**28,1**	**22,6**	**8,4**	**0**	**30,5**	**30,5**
Источник шума: ИШ-9-10, координаты источника (x,y,z), м =[651.59,-332.01,1.00]													
Уровни звуковой мощности источника днём, Lw, дБ		**исходные данные**	**0**	**93,3**	**94,7**	**96**	**96,3**	**95,9**	**92,6**	**88,4**	**83,9**		
Уровни звуковой мощности источника ночью, Lw, дБ		**исходные данные**	**0**	**93,3**	**94,7**	**96**	**96,3**	**95,9**	**92,6**	**88,4**	**83,9**		
Поправка на телесный угол DΩ, дБ	Ω = 6.28	10Lg(4π/Ω)	**3**	3	3	3	3	3	3	3	3		

1		2	3	4	5	6	7	8	9	10	11	12	13
Показатель направленности источника Di, дБ		исходные данные	**0**	0	0	0	0	0	0	0	0		
Поправка на направленность источника Dc, дБ	Dc	DΩ + Di	**3**	3	3	3	3	3	3	3	3		
Затухание из-за геометрической дивергенции, Adiv, дБ	расстояние = 711.64 м	ф-ла (7) [10]	**68**										
Коэффициент затухания звука в атмосфере α, дБ/км	Ta=20,°C Pa=101.33,кПа hотн.=70%	ф-ла (5) [9]	0,02	0,09	0,33	1,12	2,79	4,98	9,04	23,09	77,63		
Учет затухания звука в атмосфере Aatm, дБ		ф-ла (8) [10]	0	0,1	0,2	0,8	2	3,5	6,4	16,4	55,2		
Снижение поверхностью земли возле источника As, дБ	Gs = 0 hs = 1м	ф-лы таб.3 [10]	-1,5	-1,5	-1,5	-1,5	-1,5	-1,5	-1,5	-1,5	-1,5		
Снижение поверхностью земли возле приёмника Ar, дБ	Gr = 1 hr = 1.5м	ф-лы таб.3 [10]	-1,5	-1,5	4,2	7	5	0,7	0	0	0		
Снижение поверхностью земли в средней зоне, Am дБ	Gm = 1	ф-лы таб.3 [10]	-2,7	-2,7	0	0	0	0	0	0	0		
Суммарное снижение поверхностью земли на траектории распространения звука Agr, дБ		ф-ла (9) [10]	-5,7	-5,7	2,7	5,5	3,5	-0,8	-1,5	-1,5	-1,5		
Уровни звукового давления от источника ИШ-9-10 в расчётной точке днём, дБ		**ф-ла(3)[10]**	**0**	**33,9**	**26,7**	**24,6**	**25,8**	**28,1**	**22,6**	**8,4**	**0**	**30,6**	**30,6**
Уровни звукового давления от источника ИШ-9-10 в расчётной точке ночью, дБ		**ф-ла(3)[10]**	**0**	**33,9**	**26,7**	**24,6**	**25,8**	**28,1**	**22,6**	**8,4**	**0**	**30,6**	**30,6**
Источник шума: ИШ-9-11, координаты источника (x,y,z), м =[652.71,-329.22,1.00]													
Уровни звуковой мощности источника днём, Lw, дБ		**исходные данные**	**0**	**93,3**	**94,7**	**96**	**96,3**	**95,9**	**92,6**	**88,4**	**83,9**		
Уровни звуковой мощности источника ночью, Lw, дБ		**исходные данные**	**0**	**93,3**	**94,7**	**96**	**96,3**	**95,9**	**92,6**	**88,4**	**83,9**		
Поправка на телесный угол DΩ, дБ	Ω = 6.28	10Lg(4π/Ω)	**3**	3	3	3	3	3	3	3	3		
Показатель направленности источника Di, дБ		исходные данные	**0**	0	0	0	0	0	0	0	0		

1		2	3	4	5	6	7	8	9	10	11	12	13
Поправка на направленность источника Dc, дБ	Dc	DΩ + Di	**3**	3	3	3	3	3	3	3	3		
Затухание из-за геометрической дивергенции, Adiv, дБ	расстояние = 710.17 м	ф-ла (7) [10]	**68**										
Коэффициент затухания звука в атмосфере α, дБ/км	Ta=20,°C Pa=101.33,кПа hотн.=70%	ф-ла (5) [9]	0,02	0,09	0,33	1,12	2,79	4,98	9,04	23,09	77,63		
Учет затухания звука в атмосфере Aatm, дБ		ф-ла (8) [10]	0	0,1	0,2	0,8	2	3,5	6,4	16,4	55,1		
Снижение поверхностью земли возле источника As, дБ	Gs = 0 hs = 1м	ф-лы таб.3 [10]	-1,5	-1,5	-1,5	-1,5	-1,5	-1,5	-1,5	-1,5	-1,5		
Снижение поверхностью земли возле приёмника Ar, дБ	Gr = 1 hr = 1.5м	ф-лы таб.3 [10]	-1,5	-1,5	4,2	7	5	0,7	0	0	0		
Снижение поверхностью земли в средней зоне, Am дБ	Gm = 1	ф-лы таб.3 [10]	-2,7	-2,7	0	0	0	0	0	0	0		
Суммарное снижение поверхностью земли на траектории распространения звука Agr, дБ		ф-ла (9) [10]	-5,7	-5,7	2,7	5,5	3,5	-0,8	-1,5	-1,5	-1,5		
Уровни звукового давления от источника ИШ-9-11 в расчётной точке днём, дБ		**ф-ла(3)[10]**	**0**	**33,9**	**26,7**	**24,6**	**25,8**	**28,2**	**22,6**	**8,5**	**0**	**30,6**	**30,6**
Уровни звукового давления от источника ИШ-9-11 в расчётной точке ночью, дБ		**ф-ла(3)[10]**	**0**	**33,9**	**26,7**	**24,6**	**25,8**	**28,2**	**22,6**	**8,5**	**0**	**30,6**	**30,6**
Источник шума: ИШ-9-12, координаты источника (x,y,z), м =[653.46,-326.33,1.00]													
Уровни звуковой мощности источника днём, Lw, дБ		**исходные данные**	**0**	**93,3**	**94,7**	**96**	**96,3**	**95,9**	**92,6**	**88,4**	**83,9**		
Уровни звуковой мощности источника ночью, Lw, дБ		**исходные данные**	**0**	**93,3**	**94,7**	**96**	**96,3**	**95,9**	**92,6**	**88,4**	**83,9**		
Поправка на телесный угол DΩ, дБ	Ω = 6.28	10Lg(4π/Ω)	**3**	3	3	3	3	3	3	3	3		
Показатель направленности источника Di, дБ		исходные данные	**0**	0	0	0	0	0	0	0	0		
Поправка на направленность источника Dc, дБ	Dc	DΩ + Di	**3**	3	3	3	3	3	3	3	3		

1		2	3	4	5	6	7	8	9	10	11	12	13
Затухание из-за геометрической дивергенции, Adiv, дБ	расстояние = 709.08 м	ф-ла (7) [10]	**68**										
Коэффициент затухания звука в атмосфере α, дБ/км	Ta=20,°C Pa=101.33,кПа hотн.=70%	ф-ла (5) [9]	0,02	0,09	0,33	1,12	2,79	4,98	9,04	23,09	77,63		
Учет затухания звука в атмосфере Aatm, дБ		ф-ла (8) [10]	0	0,1	0,2	0,8	2	3,5	6,4	16,4	55		
Снижение поверхностью земли возле источника As, дБ	Gs = 0 hs = 1м	ф-лы таб.3 [10]	-1,5	-1,5	-1,5	-1,5	-1,5	-1,5	-1,5	-1,5	-1,5		
Снижение поверхностью земли возле приёмника Ar, дБ	Gr = 1 hr = 1.5м	ф-лы таб.3 [10]	-1,5	-1,5	4,2	7	5	0,7	0	0	0		
Снижение поверхностью земли в средней зоне, Am дБ	Gm = 1	ф-лы таб.3 [10]	-2,7	-2,7	0	0	0	0	0	0	0		
Суммарное снижение поверхностью земли на траектории распространения звука Agr, дБ		ф-ла (9) [10]	-5,7	-5,7	2,7	5,5	3,5	-0,8	-1,5	-1,5	-1,5		
Уровни звукового давления от источника ИШ-9-12 в расчётной точке днём, дБ		**ф-ла(3)[10]**	**0**	**33,9**	**26,7**	**24,7**	**25,8**	**28,2**	**22,7**	**8,5**	**0**	**30,6**	**30,6**
Уровни звукового давления от источника ИШ-9-12 в расчётной точке ночью, дБ		**ф-ла(3)[10]**	**0**	**33,9**	**26,7**	**24,7**	**25,8**	**28,2**	**22,7**	**8,5**	**0**	**30,6**	**30,6**
Источник шума: ИШ-9-13, координаты источника (x,y,z), м =[654.48,-323.54,1.00]													
Уровни звуковой мощности источника днём, Lw, дБ		**исходные данные**	**0**	**93,3**	**94,7**	**96**	**96,3**	**95,9**	**92,6**	**88,4**	**83,9**		
Уровни звуковой мощности источника ночью, Lw, дБ		**исходные данные**	**0**	**93,3**	**94,7**	**96**	**96,3**	**95,9**	**92,6**	**88,4**	**83,9**		
Поправка на телесный угол DΩ, дБ	Ω = 6.28	10Lg(4π/Ω)	**3**	3	3	3	3	3	3	3	3		
Показатель направленности источника Di, дБ		исходные данные	**0**	0	0	0	0	0	0	0	0		
Поправка на направленность источника Dc, дБ	Dc	DΩ + Di	**3**	3	3	3	3	3	3	3	3		
Затухание из-за геометрической дивергенции, Adiv, дБ	расстояние = 707.73 м	ф-ла (7) [10]	**68**										

1		2	3	4	5	6	7	8	9	10	11	12	13
Коэффициент затухания звука в атмосфере α, дБ/км	Ta=20,°C Pa=101.33,кПа hотн.=70%	ф-ла (5) [9]	0,02	0,09	0,33	1,12	2,79	4,98	9,04	23,09	77,63		
Учет затухания звука в атмосфере Aatm, дБ		ф-ла (8) [10]	0	0,1	0,2	0,8	2	3,5	6,4	16,3	54,9		
Снижение поверхностью земли возле источника As, дБ	Gs = 0 hs = 1м	ф-лы таб.3 [10]	-1,5	-1,5	-1,5	-1,5	-1,5	-1,5	-1,5	-1,5	-1,5		
Снижение поверхностью земли возле приёмника Ar, дБ	Gr = 1 hr = 1.5м	ф-лы таб.3 [10]	-1,5	-1,5	4,2	7	5	0,7	0	0	0		
Снижение поверхностью земли в средней зоне, Am дБ	Gm = 1	ф-лы таб.3 [10]	-2,7	-2,7	0	0	0	0	0	0	0		
Суммарное снижение поверхностью земли на траектории распространения звука Agr, дБ		ф-ла (9) [10]	-5,7	-5,7	2,7	5,5	3,5	-0,8	-1,5	-1,5	-1,5		
Уровни звукового давления от источника ИШ-9-13 в расчётной точке днём, дБ		**ф-ла(3)[10]**	**0**	**33,9**	**26,8**	**24,7**	**25,8**	**28,2**	**22,7**	**8,6**	**0**	**30,6**	**30,6**
Уровни звукового давления от источника ИШ-9-13 в расчётной точке ночью, дБ		**ф-ла(3)[10]**	**0**	**33,9**	**26,8**	**24,7**	**25,8**	**28,2**	**22,7**	**8,6**	**0**	**30,6**	**30,6**
Источник шума: ИШ-9-14, координаты источника (x,y,z), м =[655.60,-320.74,1.00]													
Уровни звуковой мощности источника днём, Lw, дБ		**исходные данные**	**0**	**93,3**	**94,7**	**96**	**96,3**	**95,9**	**92,6**	**88,4**	**83,9**		
Уровни звуковой мощности источника ночью, Lw, дБ		**исходные данные**	**0**	**93,3**	**94,7**	**96**	**96,3**	**95,9**	**92,6**	**88,4**	**83,9**		
Поправка на телесный угол DΩ, дБ	Ω = 6.28	10Lg(4π/Ω)	**3**	3	3	3	3	3	3	3	3		
Показатель направленности источника Di, дБ		исходные данные	**0**	0	0	0	0	0	0	0	0		
Поправка на направленность источника Dc, дБ	Dc	DΩ + Di	**3**	3	3	3	3	3	3	3	3		
Затухание из-за геометрической дивергенции, Adiv, дБ	расстояние = 706.29 м	ф-ла (7) [10]	**68**										
Коэффициент затухания звука в атмосфере α, дБ/км	Ta=20,°C Pa=101.33,кПа hотн.=70%	ф-ла (5) [9]	0,02	0,09	0,33	1,12	2,79	4,98	9,04	23,09	77,63		

1		2	3	4	5	6	7	8	9	10	11	12	13
Учет затухания звука в атмосфере Aatm, дБ		ф-ла (8) [10]	0	0,1	0,2	0,8	2	3,5	6,4	16,3	54,8		
Снижение поверхностью земли возле источника As, дБ	Gs = 0 hs = 1м	ф-лы таб.3 [10]	-1,5	-1,5	-1,5	-1,5	-1,5	-1,5	-1,5	-1,5	-1,5		
Снижение поверхностью земли возле приёмника Ar, дБ	Gr = 1 hr = 1.5м	ф-лы таб.3 [10]	-1,5	-1,5	4,2	7	5	0,7	0	0	0		
Снижение поверхностью земли в средней зоне, Am дБ	Gm = 1	ф-лы таб.3 [10]	-2,7	-2,7	0	0	0	0	0	0	0		
Суммарное снижение поверхностью земли на траектории распространения звука Agr, дБ		ф-ла (9) [10]	-5,7	-5,7	2,7	5,5	3,5	-0,8	-1,5	-1,5	-1,5		
Уровни звукового давления от источника ИШ-9-14 в расчётной точке днём, дБ		**ф-ла(3)[10]**	**0**	**33,9**	**26,8**	**24,7**	**25,9**	**28,2**	**22,7**	**8,6**	**0**	**30,7**	**30,7**
Уровни звукового давления от источника ИШ-9-14 в расчётной точке ночью, дБ		**ф-ла(3)[10]**	**0**	**33,9**	**26,8**	**24,7**	**25,9**	**28,2**	**22,7**	**8,6**	**0**	**30,7**	**30,7**
Источник шума: ИШ-9-15, координаты источника (x,y,z), м =[656.44,-317.86,1.00]													
Уровни звуковой мощности источника днём, Lw, дБ		**исходные данные**	**0**	**93,3**	**94,7**	**96**	**96,3**	**95,9**	**92,6**	**88,4**	**83,9**		
Уровни звуковой мощности источника ночью, Lw, дБ		**исходные данные**	**0**	**93,3**	**94,7**	**96**	**96,3**	**95,9**	**92,6**	**88,4**	**83,9**		
Поправка на телесный угол DΩ, дБ	Ω = 6.28	10Lg(4π/Ω)	**3**	3	3	3	3	3	3	3	3		
Показатель направленности источника Di, дБ		исходные данные	**0**	0	0	0	0	0	0	0	0		
Поправка на направленность источника Dc, дБ	Dc	DΩ + Di	**3**	3	3	3	3	3	3	3	3		
Затухание из-за геометрической дивергенции, Adiv, дБ	расстояние = 705.13 м	ф-ла (7) [10]	**68**										
Коэффициент затухания звука в атмосфере α, дБ/км	Ta=20,°C Pa=101.33,кПа hотн.=70%	ф-ла (5) [9]	0,02	0,09	0,33	1,12	2,79	4,98	9,04	23,09	77,63		
Учет затухания звука в атмосфере Aatm, дБ		ф-ла (8) [10]	0	0,1	0,2	0,8	2	3,5	6,4	16,3	54,7		

1		2	3	4	5	6	7	8	9	10	11	12	13
Снижение поверхностью земли возле источника As, дБ	Gs = 0 hs = 1м	ф-лы таб.3 [10]	-1,5	-1,5	-1,5	-1,5	-1,5	-1,5	-1,5	-1,5	-1,5		
Снижение поверхностью земли возле приёмника Ar, дБ	Gr = 1 hr = 1.5м	ф-лы таб.3 [10]	-1,5	-1,5	4,2	7	5	0,7	0	0	0		
Снижение поверхностью земли в средней зоне, Am дБ	Gm = 1	ф-лы таб.3 [10]	-2,7	-2,7	0	0	0	0	0	0	0		
Суммарное снижение поверхностью земли на траектории распространения звука Agr, дБ		ф-ла (9) [10]	-5,7	-5,7	2,7	5,5	3,5	-0,8	-1,5	-1,5	-1,5		
Уровни звукового давления от источника ИШ-9-15 в расчётной точке днём, дБ		**ф-ла(3)[10]**	**0**	**33,9**	**26,8**	**24,7**	**25,9**	**28,3**	**22,8**	**8,6**	**0**	**30,7**	**30,7**
Уровни звукового давления от источника ИШ-9-15 в расчётной точке ночью, дБ		**ф-ла(3)[10]**	**0**	**33,9**	**26,8**	**24,7**	**25,9**	**28,3**	**22,8**	**8,6**	**0**	**30,7**	**30,7**
Источник шума: ИШ-9-16, координаты источника (x,y,z), м =[657.46,-314.97,1.00]													
Уровни звуковой мощности источника днём, Lw, дБ		**исходные данные**	**0**	**93,3**	**94,7**	**96**	**96,3**	**95,9**	**92,6**	**88,4**	**83,9**		
Уровни звуковой мощности источника ночью, Lw, дБ		**исходные данные**	**0**	**93,3**	**94,7**	**96**	**96,3**	**95,9**	**92,6**	**88,4**	**83,9**		
Поправка на телесный угол DΩ, дБ	Ω = 6.28	10Lg(4π/Ω)	**3**	3	3	3	3	3	3	3	3		
Показатель направленности источника Di, дБ		исходные данные	**0**	0	0	0	0	0	0	0	0		
Поправка на направленность источника Dc, дБ	Dc	DΩ + Di	**3**	3	3	3	3	3	3	3	3		
Затухание из-за геометрической дивергенции, Adiv, дБ	расстояние = 703.80 м	ф-ла (7) [10]	**67,9**										
Коэффициент затухания звука в атмосфере α, дБ/км	Ta=20,°C Pa=101.33,кПа hотн.=70%	ф-ла (5) [9]	0,02	0,09	0,33	1,12	2,79	4,98	9,04	23,09	77,63		
Учет затухания звука в атмосфере Aatm, дБ		ф-ла (8) [10]	0	0,1	0,2	0,8	2	3,5	6,4	16,2	54,6		
Снижение поверхностью земли возле источника As, дБ	Gs = 0 hs = 1м	ф-лы таб.3 [10]	-1,5	-1,5	-1,5	-1,5	-1,5	-1,5	-1,5	-1,5	-1,5		

1		2	3	4	5	6	7	8	9	10	11	12	13
Снижение поверхностью земли возле приёмника Ar, дБ	Gr = 1 hr = 1.5м	ф-лы таб.3 [10]	-1,5	-1,5	4,2	7	5	0,7	0	0	0		
Снижение поверхностью земли в средней зоне, Am дБ	Gm = 1	ф-лы таб.3 [10]	-2,7	-2,7	0	0	0	0	0	0	0		
Суммарное снижение поверхностью земли на траектории распространения звука Agr, дБ		ф-ла (9) [10]	-5,7	-5,7	2,7	5,5	3,5	-0,8	-1,5	-1,5	-1,5		
Уровни звукового давления от источника ИШ-9-16 в расчётной точке днём, дБ		**ф-ла(3)[10]**	**0**	**34**	**26,8**	**24,7**	**25,9**	**28,3**	**22,8**	**8,7**	**0**	**30,7**	**30,7**
Уровни звукового давления от источника ИШ-9-16 в расчётной точке ночью, дБ		**ф-ла(3)[10]**	**0**	**34**	**26,8**	**24,7**	**25,9**	**28,3**	**22,8**	**8,7**	**0**	**30,7**	**30,7**
Источник шума: ИШ-9-17, координаты источника (x,y,z), м =[658.49,-312.18,1.00]													
Уровни звуковой мощности источника днём, Lw, дБ		**исходные данные**	**0**	**93,3**	**94,7**	**96**	**96,3**	**95,9**	**92,6**	**88,4**	**83,9**		
Уровни звуковой мощности источника ночью, Lw, дБ		**исходные данные**	**0**	**93,3**	**94,7**	**96**	**96,3**	**95,9**	**92,6**	**88,4**	**83,9**		
Поправка на телесный угол DΩ, дБ	Ω = 6.28	10Lg(4π/Ω)	**3**	3	3	3	3	3	3	3	3		
Показатель направленности источника Di, дБ		исходные данные	**0**	0	0	0	0	0	0	0	0		
Поправка на направленность источника Dc, дБ	Dc	DΩ + Di	**3**	3	3	3	3	3	3	3	3		
Затухание из-за геометрической дивергенции, Adiv, дБ	расстояние = 702.49 м	ф-ла (7) [10]	**67,9**										
Коэффициент затухания звука в атмосфере α, дБ/км	Ta=20,°C Pa=101.33,кПа hотн.=70%	ф-ла (5) [9]	0,02	0,09	0,33	1,12	2,79	4,98	9,04	23,09	77,63		
Учет затухания звука в атмосфере Aatm, дБ		ф-ла (8) [10]	0	0,1	0,2	0,8	2	3,5	6,4	16,2	54,5		
Снижение поверхностью земли возле источника As, дБ	Gs = 0 hs = 1м	ф-лы таб.3 [10]	-1,5	-1,5	-1,5	-1,5	-1,5	-1,5	-1,5	-1,5	-1,5		
Снижение поверхностью земли возле приёмника Ar, дБ	Gr = 1 hr = 1.5м	ф-лы таб.3 [10]	-1,5	-1,5	4,2	7	5	0,7	0	0	0		

1		2	3	4	5	6	7	8	9	10	11	12	13
Снижение поверхностью земли в средней зоне, Am дБ	Gm = 1	ф-лы таб.3 [10]	-2,7	-2,7	0	0	0	0	0	0	0		
Суммарное снижение поверхностью земли на траектории распространения звука Agr, дБ		ф-ла (9) [10]	-5,7	-5,7	2,7	5,5	3,5	-0,8	-1,5	-1,5	-1,5		
Уровни звукового давления от источника ИШ-9-17 в расчётной точке днём, дБ		**ф-ла(3)[10]**	**0**	**34**	**26,8**	**24,7**	**25,9**	**28,3**	**22,8**	**8,7**	**0**	**30,7**	**30,7**
Уровни звукового давления от источника ИШ-9-17 в расчётной точке ночью, дБ		**ф-ла(3)[10]**	**0**	**34**	**26,8**	**24,7**	**25,9**	**28,3**	**22,8**	**8,7**	**0**	**30,7**	**30,7**
Источник шума: ИШ-9-18, координаты источника (x,y,z), м =[659.42,-309.20,1.00]													
Уровни звуковой мощности источника днём, Lw, дБ		**исходные данные**	**0**	**93,3**	**94,7**	**96**	**96,3**	**95,9**	**92,6**	**88,4**	**83,9**		
Уровни звуковой мощности источника ночью, Lw, дБ		**исходные данные**	**0**	**93,3**	**94,7**	**96**	**96,3**	**95,9**	**92,6**	**88,4**	**83,9**		
Поправка на телесный угол DΩ, дБ	Ω = 6.28	10Lg(4π/Ω)	**3**	3	3	3	3	3	3	3	3		
Показатель направленности источника Di, дБ		исходные данные	**0**	0	0	0	0	0	0	0	0		
Поправка на направленность источника Dc, дБ	Dc	DΩ + Di	**3**	3	3	3	3	3	3	3	3		
Затухание из-за геометрической дивергенции, Adiv, дБ	расстояние = 701.26 м	ф-ла (7) [10]	**67,9**										
Коэффициент затухания звука в атмосфере α, дБ/км	Ta=20,°C Pa=101.33,кПа hотн.=70%	ф-ла (5) [9]	0,02	0,09	0,33	1,12	2,79	4,98	9,04	23,09	77,63		
Учет затухания звука в атмосфере Aatm, дБ		ф-ла (8) [10]	0	0,1	0,2	0,8	2	3,5	6,3	16,2	54,4		
Снижение поверхностью земли возле источника As, дБ	Gs = 0 hs = 1м	ф-лы таб.3 [10]	-1,5	-1,5	-1,5	-1,5	-1,5	-1,5	-1,5	-1,5	-1,5		
Снижение поверхностью земли возле приёмника Ar, дБ	Gr = 1 hr = 1.5м	ф-лы таб.3 [10]	-1,5	-1,5	4,2	7	5	0,7	0	0	0		
Снижение поверхностью земли в средней зоне, Am дБ	Gm = 1	ф-лы таб.3 [10]	-2,7	-2,7	0	0	0	0	0	0	0		

1		2	3	4	5	6	7	8	9	10	11	12	13
Суммарное снижение поверхностью земли на траектории распространения звука Agr, дБ		ф-ла (9) [10]	-5,7	-5,7	2,7	5,5	3,5	-0,8	-1,5	-1,5	-1,5		
Уровни звукового давления от источника ИШ-9-18 в расчётной точке днём, дБ		**ф-ла(3)[10]**	**0**	**34**	**26,9**	**24,8**	**25,9**	**28,3**	**22,8**	**8,8**	**0**	**30,8**	**30,8**
Уровни звукового давления от источника ИШ-9-18 в расчётной точке ночью, дБ		**ф-ла(3)[10]**	**0**	**34**	**26,9**	**24,8**	**25,9**	**28,3**	**22,8**	**8,8**	**0**	**30,8**	**30,8**
Источник шума: ИШ-9-19, координаты источника (x,y,z), м =[660.44,-306.50,1.00]													
Уровни звуковой мощности источника днём, Lw, дБ		**исходные данные**	**0**	**93,3**	**94,7**	**96**	**96,3**	**95,9**	**92,6**	**88,4**	**83,9**		
Уровни звуковой мощности источника ночью, Lw, дБ		**исходные данные**	**0**	**93,3**	**94,7**	**96**	**96,3**	**95,9**	**92,6**	**88,4**	**83,9**		
Поправка на телесный угол DΩ, дБ	Ω = 6.28	10Lg(4π/Ω)	**3**	3	3	3	3	3	3	3	3		
Показатель направленности источника Di, дБ		исходные данные	**0**	0	0	0	0	0	0	0	0		
Поправка на направленность источника Dc, дБ	Dc	DΩ + Di	**3**	3	3	3	3	3	3	3	3		
Затухание из-за геометрической дивергенции, Adiv, дБ	расстояние = 699.98 м	ф-ла (7) [10]	**67,9**										
Коэффициент затухания звука в атмосфере α, дБ/км	Ta=20,°C Pa=101.33,кПа hотн.=70%	ф-ла (5) [9]	0,02	0,09	0,33	1,12	2,79	4,98	9,04	23,09	77,63		
Учет затухания звука в атмосфере Aatm, дБ		ф-ла (8) [10]	0	0,1	0,2	0,8	2	3,5	6,3	16,2	54,3		
Снижение поверхностью земли возле источника As, дБ	Gs = 0 hs = 1м	ф-лы таб.3 [10]	-1,5	-1,5	-1,5	-1,5	-1,5	-1,5	-1,5	-1,5	-1,5		
Снижение поверхностью земли возле приёмника Ar, дБ	Gr = 1 hr = 1.5м	ф-лы таб.3 [10]	-1,5	-1,5	4,2	7	5	0,7	0	0	0		
Снижение поверхностью земли в средней зоне, Am дБ	Gm = 1	ф-лы таб.3 [10]	-2,7	-2,7	0	0	0	0	0	0	0		
Суммарное снижение поверхностью земли на траектории распространения звука Agr, дБ		ф-ла (9) [10]	-5,7	-5,7	2,7	5,5	3,5	-0,8	-1,5	-1,5	-1,5		

1		2	3	4	5	6	7	8	9	10	11	12	13
Уровни звукового давления от источника ИШ-9-19 в расчётной точке днём, дБ		**ф-ла(3)[10]**	**0**	**34**	**26,9**	**24,8**	**26**	**28,3**	**22,9**	**8,8**	**0**	**30,8**	**30,8**
Уровни звукового давления от источника ИШ-9-19 в расчётной точке ночью, дБ		**ф-ла(3)[10]**	**0**	**34**	**26,9**	**24,8**	**26**	**28,3**	**22,9**	**8,8**	**0**	**30,8**	**30,8**
Источник шума: ИШ-9-20, координаты источника (x,y,z), м =[661.28,-303.61,1.00]													
Уровни звуковой мощности источника днём, Lw, дБ		**исходные данные**	**0**	**93,3**	**94,7**	**96**	**96,3**	**95,9**	**92,6**	**88,4**	**83,9**		
Уровни звуковой мощности источника ночью, Lw, дБ		**исходные данные**	**0**	**93,3**	**94,7**	**96**	**96,3**	**95,9**	**92,6**	**88,4**	**83,9**		
Поправка на телесный угол DΩ, дБ	Ω = 6.28	10Lg(4π/Ω)	**3**	3	3	3	3	3	3	3	3		
Показатель направленности источника Di, дБ		исходные данные	**0**	0	0	0	0	0	0	0	0		
Поправка на направленность источника Dc, дБ	Dc	DΩ + Di	**3**	3	3	3	3	3	3	3	3		
Затухание из-за геометрической дивергенции, Adiv, дБ	расстояние = 698.87 м	ф-ла (7) [10]	**67,9**										
Коэффициент затухания звука в атмосфере α, дБ/км	Ta=20,°C Pa=101.33,кПа hотн.=70%	ф-ла (5) [9]	0,02	0,09	0,33	1,12	2,79	4,98	9,04	23,09	77,63		
Учет затухания звука в атмосфере Aatm, дБ		ф-ла (8) [10]	0	0,1	0,2	0,8	2	3,5	6,3	16,1	54,3		
Снижение поверхностью земли возле источника As, дБ	Gs = 0 hs = 1м	ф-лы таб.3 [10]	-1,5	-1,5	-1,5	-1,5	-1,5	-1,5	-1,5	-1,5	-1,5		
Снижение поверхностью земли возле приёмника Ar, дБ	Gr = 1 hr = 1.5м	ф-лы таб.3 [10]	-1,5	-1,5	4,2	7	5	0,7	0	0	0		
Снижение поверхностью земли в средней зоне, Am дБ	Gm = 1	ф-лы таб.3 [10]	-2,7	-2,7	0	0	0	0	0	0	0		
Суммарное снижение поверхностью земли на траектории распространения звука Agr, дБ		ф-ла (9) [10]	-5,7	-5,7	2,7	5,5	3,5	-0,8	-1,5	-1,5	-1,5		
Уровни звукового давления прямого звука от источника ИШ-9-20 в расчётной точке днём, дБ		**ф-ла(3)[10]**	**0**	**34**	**26,9**	**24,8**	**26**	**28,4**	**22,9**	**8,9**	**0**	**30,8**	**30,8**

1		2	3	4	5	6	7	8	9	10	11	12	13
Уровни звукового давления прямого звука от источника ИШ-9-20 в расчётной точке ночью, дБ		**ф-ла(3)[10]**	**0**	**34**	**26,9**	**24,8**	**26**	**28,4**	**22,9**	**8,9**	**0**	**30,8**	**30,8**
Расчёт отражённого звука													
Уровни звукового давления от мнимого источника ИШ-9-20_мн.(1) в расчётной точке днём, дБ		**ф-ла(3)[10]**	**0**	**0**	**0**	**0**	**0**	**0**	**0**	**0**	**0**	**0**	**0**
Уровни звукового давления от мнимого источника ИШ-9-20_мн.(1) в расчётной точке ночью, дБ		**ф-ла(3)[10]**	**0**	**0**	**0**	**0**	**0**	**0**	**0**	**0**	**0**	**0**	**0**
Уровни звукового давления от источника ИШ-9-20 в расчётной точке днём, дБ		**ф-ла(3)[10]**	**0**	**34**	**26,9**	**24,8**	**26**	**28,4**	**22,9**	**8,9**	**0**	**30,8**	**30,8**
Уровни звукового давления от источника ИШ-9-20 в расчётной точке ночью, дБ		**ф-ла(3)[10]**	**0**	**34**	**26,9**	**24,8**	**26**	**28,4**	**22,9**	**8,9**	**0**	**30,8**	**30,8**
Источник шума: ИШ-9-21, координаты источника (x,y,z), м =[661.93,-300.72,1.00]													
Уровни звуковой мощности источника днём, Lw, дБ		**исходные данные**	**0**	**93,3**	**94,7**	**96**	**96,3**	**95,9**	**92,6**	**88,4**	**83,9**		
Уровни звуковой мощности источника ночью, Lw, дБ		**исходные данные**	**0**	**93,3**	**94,7**	**96**	**96,3**	**95,9**	**92,6**	**88,4**	**83,9**		
Поправка на телесный угол DΩ, дБ	Ω = 6.28	10Lg(4π/Ω)	**3**	3	3	3	3	3	3	3	3		
Показатель направленности источника Di, дБ		исходные данные	**0**	0	0	0	0	0	0	0	0		
Поправка на направленность источника Dc, дБ	Dc	DΩ + Di	**3**	3	3	3	3	3	3	3	3		
Затухание из-за геометрической дивергенции, Adiv, дБ	расстояние = 697.97 м	ф-ла (7) [10]	**67,9**										
Коэффициент затухания звука в атмосфере α, дБ/км	Ta=20,°C Pa=101.33,кПа hотн.=70%	ф-ла (5) [9]	0,02	0,09	0,33	1,12	2,79	4,98	9,04	23,09	77,63		
Учет затухания звука в атмосфере Aatm, дБ		ф-ла (8) [10]	0	0,1	0,2	0,8	1,9	3,5	6,3	16,1	54,2		
Снижение поверхностью земли возле источника As, дБ	Gs = 0 hs = 1м	ф-лы таб.3 [10]	-1,5	-1,5	-1,5	-1,5	-1,5	-1,5	-1,5	-1,5	-1,5		

1		2	3	4	5	6	7	8	9	10	11	12	13
Снижение поверхностью земли возле приёмника Ar, дБ	Gr = 1 hr = 1.5м	ф-лы таб.3 [10]	-1,5	-1,5	4,2	7	5	0,7	0	0	0		
Снижение поверхностью земли в средней зоне, Am дБ	Gm = 1	ф-лы таб.3 [10]	-2,7	-2,7	0	0	0	0	0	0	0		
Суммарное снижение поверхностью земли на траектории распространения звука Agr, дБ		ф-ла (9) [10]	-5,7	-5,7	2,7	5,5	3,5	-0,8	-1,5	-1,5	-1,5		
Уровни звукового давления прямого звука от источника ИШ-9-21 в расчётной точке днём, дБ		**ф-ла(3)[10]**	**0**	**34**	**26,9**	**24,8**	**26**	**28,4**	**22,9**	**8,9**	**0**	**30,8**	**30,8**
Уровни звукового давления прямого звука от источника ИШ-9-21 в расчётной точке ночью, дБ		**ф-ла(3)[10]**	**0**	**34**	**26,9**	**24,8**	**26**	**28,4**	**22,9**	**8,9**	**0**	**30,8**	**30,8**
Расчёт отражённого звука													
Уровни звукового давления от мнимого источника ИШ-9-21_мн.(1) в расчётной точке днём, дБ		**ф-ла(3)[10]**	**0**	**0**	**0**	**0**	**0**	**0**	**0**	**0**	**0**	**0**	**0**
Уровни звукового давления от мнимого источника ИШ-9-21_мн.(1) в расчётной точке ночью, дБ		**ф-ла(3)[10]**	**0**	**0**	**0**	**0**	**0**	**0**	**0**	**0**	**0**	**0**	**0**
Уровни звукового давления от источника ИШ-9-21 в расчётной точке днём, дБ		**ф-ла(3)[10]**	**0**	**34**	**26,9**	**24,8**	**26**	**28,4**	**22,9**	**8,9**	**0**	**30,8**	**30,8**
Уровни звукового давления от источника ИШ-9-21 в расчётной точке ночью, дБ		**ф-ла(3)[10]**	**0**	**34**	**26,9**	**24,8**	**26**	**28,4**	**22,9**	**8,9**	**0**	**30,8**	**30,8**
Источник шума: ИШ-9-22, координаты источника (x,y,z), м =[663.14,-297.83,1.00]													
Уровни звуковой мощности источника днём, Lw, дБ		**исходные данные**	**0**	**93,3**	**94,7**	**96**	**96,3**	**95,9**	**92,6**	**88,4**	**83,9**		
Уровни звуковой мощности источника ночью, Lw, дБ		**исходные данные**	**0**	**93,3**	**94,7**	**96**	**96,3**	**95,9**	**92,6**	**88,4**	**83,9**		
Поправка на телесный угол DΩ, дБ	Ω = 6.28	10Lg(4π/Ω)	**3**	3	3	3	3	3	3	3	3		
Показатель направленности источника Di, дБ		исходные данные	**0**	0	0	0	0	0	0	0	0		
Поправка на направленность источника Dc, дБ	Dc	DΩ + Di	**3**	3	3	3	3	3	3	3	3		
Затухание из-за геометрической дивергенции, Adiv, дБ	расстояние = 696.51 м	ф-ла (7) [10]	**67,9**										

1		2	3	4	5	6	7	8	9	10	11	12	13
Коэффициент затухания звука в атмосфере α, дБ/км	Ta=20,°C Pa=101.33,кПа hотн.=70%	ф-ла (5) [9]	0,02	0,09	0,33	1,12	2,79	4,98	9,04	23,09	77,63		
Учет затухания звука в атмосфере Aatm, дБ		ф-ла (8) [10]	0	0,1	0,2	0,8	1,9	3,5	6,3	16,1	54,1		
Снижение поверхностью земли возле источника As, дБ	Gs = 0 hs = 1м	ф-лы таб.3 [10]	-1,5	-1,5	-1,5	-1,5	-1,5	-1,5	-1,5	-1,5	-1,5		
Снижение поверхностью земли возле приёмника Ar, дБ	Gr = 1 hr = 1.5м	ф-лы таб.3 [10]	-1,5	-1,5	4,1	7	5	0,7	0	0	0		
Снижение поверхностью земли в средней зоне, Am дБ	Gm = 1	ф-лы таб.3 [10]	-2,7	-2,7	0	0	0	0	0	0	0		
Суммарное снижение поверхностью земли на траектории распространения звука Agr, дБ		ф-ла (9) [10]	-5,7	-5,7	2,6	5,5	3,5	-0,8	-1,5	-1,5	-1,5		
Уровни звукового давления прямого звука от источника ИШ-9-22 в расчётной точке днём, дБ		**ф-ла(3)[10]**	**0**	**34**	**27**	**24,8**	**26**	**28,4**	**22,9**	**9**	**0**	**30,8**	**30,8**
Уровни звукового давления прямого звука от источника ИШ-9-22 в расчётной точке ночью, дБ		**ф-ла(3)[10]**	**0**	**34**	**27**	**24,8**	**26**	**28,4**	**22,9**	**9**	**0**	**30,8**	**30,8**
Расчёт отражённого звука													
Уровни звукового давления от мнимого источника ИШ-9-22_мн.(1) в расчётной точке днём, дБ		**ф-ла(3)[10]**	**0**	**0**	**0**	**0**	**0**	**0**	**0**	**0**	**0**	**0**	**0**
Уровни звукового давления от мнимого источника ИШ-9-22_мн.(1) в расчётной точке ночью, дБ		**ф-ла(3)[10]**	**0**	**0**	**0**	**0**	**0**	**0**	**0**	**0**	**0**	**0**	**0**
Уровни звукового давления от источника ИШ-9-22 в расчётной точке днём, дБ		**ф-ла(3)[10]**	**0**	**34**	**27**	**24,8**	**26**	**28,4**	**22,9**	**9**	**0**	**30,8**	**30,8**
Уровни звукового давления от источника ИШ-9-22 в расчётной точке ночью, дБ		**ф-ла(3)[10]**	**0**	**34**	**27**	**24,8**	**26**	**28,4**	**22,9**	**9**	**0**	**30,8**	**30,8**
Источник шума: ИШ-9-23, координаты источника (x,y,z), м =[664.07,-295.13,1.00]													
Уровни звуковой мощности источника днём, Lw, дБ		**исходные данные**	**0**	**93,3**	**94,7**	**96**	**96,3**	**95,9**	**92,6**	**88,4**	**83,9**		
Уровни звуковой мощности источника ночью, Lw, дБ		**исходные данные**	**0**	**93,3**	**94,7**	**96**	**96,3**	**95,9**	**92,6**	**88,4**	**83,9**		

1		2	3	4	5	6	7	8	9	10	11	12	13
Поправка на телесный угол DΩ, дБ	Ω = 6.28	10Lg(4π/Ω)	**3**	3	3	3	3	3	3	3	3		
Показатель направленности источника Di, дБ		исходные данные	**0**	0	0	0	0	0	0	0	0		
Поправка на направленность источника Dc, дБ	Dc	DΩ + Di	**3**	3	3	3	3	3	3	3	3		
Затухание из-за геометрической дивергенции, Adiv, дБ	расстояние = 695.37 м	ф-ла (7) [10]	**67,8**										
Коэффициент затухания звука в атмосфере α, дБ/км	Ta=20,°C Pa=101.33,кПа hотн.=70%	ф-ла (5) [9]	0,02	0,09	0,33	1,12	2,79	4,98	9,04	23,09	77,63		
Учет затухания звука в атмосфере Aatm, дБ		ф-ла (8) [10]	0	0,1	0,2	0,8	1,9	3,5	6,3	16,1	54		
Снижение поверхностью земли возле источника As, дБ	Gs = 0 hs = 1м	ф-лы таб.3 [10]	-1,5	-1,5	-1,5	-1,5	-1,5	-1,5	-1,5	-1,5	-1,5		
Снижение поверхностью земли возле приёмника Ar, дБ	Gr = 1 hr = 1.5м	ф-лы таб.3 [10]	-1,5	-1,5	4,1	7	5	0,7	0	0	0		
Снижение поверхностью земли в средней зоне, Am дБ	Gm = 1	ф-лы таб.3 [10]	-2,7	-2,7	0	0	0	0	0	0	0		
Суммарное снижение поверхностью земли на траектории распространения звука Agr, дБ		ф-ла (9) [10]	-5,7	-5,7	2,6	5,5	3,5	-0,8	-1,5	-1,5	-1,5		
Уровни звукового давления прямого звука от источника ИШ-9-23 в расчётной точке днём, дБ		**ф-ла(3)[10]**	**0**	**34,1**	**27**	**24,8**	**26**	**28,4**	**23**	**9**	**0**	**30,9**	**30,9**
Уровни звукового давления прямого звука от источника ИШ-9-23 в расчётной точке ночью, дБ		**ф-ла(3)[10]**	**0**	**34,1**	**27**	**24,8**	**26**	**28,4**	**23**	**9**	**0**	**30,9**	**30,9**
Расчёт отражённого звука													
Уровни звукового давления от мнимого источника ИШ-9-23_мн.(1) в расчётной точке днём, дБ		**ф-ла(3)[10]**	**0**	**0**	**0**	**0**	**0**	**0**	**0**	**0**	**0**	**0**	**0**
Уровни звукового давления от мнимого источника ИШ-9-23_мн.(1) в расчётной точке ночью, дБ		**ф-ла(3)[10]**	**0**	**0**	**0**	**0**	**0**	**0**	**0**	**0**	**0**	**0**	**0**
Уровни звукового давления от источника ИШ-9-23 в расчётной точке днём, дБ		**ф-ла(3)[10]**	**0**	**34,1**	**27**	**24,8**	**26**	**28,4**	**23**	**9**	**0**	**30,9**	**30,9**
Уровни звукового давления от источника ИШ-9-23 в расчётной точке ночью, дБ		**ф-ла(3)[10]**	**0**	**34,1**	**27**	**24,8**	**26**	**28,4**	**23**	**9**	**0**	**30,9**	**30,9**

1		2	3	4	5	6	7	8	9	10	11	12	13
Источник шума: ИШ-9-24, координаты источника (x,y,z), м =[665.19,-292.34,1.00]													
Уровни звуковой мощности источника днём, Lw, дБ		**исходные данные**	**0**	**93,3**	**94,7**	**96**	**96,3**	**95,9**	**92,6**	**88,4**	**83,9**		
Уровни звуковой мощности источника ночью, Lw, дБ		**исходные данные**	**0**	**93,3**	**94,7**	**96**	**96,3**	**95,9**	**92,6**	**88,4**	**83,9**		
Поправка на телесный угол DΩ, дБ	Ω = 6.28	10Lg(4π/Ω)	**3**	3	3	3	3	3	3	3	3		
Показатель направленности источника Di, дБ		исходные данные	**0**	0	0	0	0	0	0	0	0		
Поправка на направленность источника Dc, дБ	Dc	DΩ + Di	**3**	3	3	3	3	3	3	3	3		
Затухание из-за геометрической дивергенции, Adiv, дБ	расстояние = 694.03 м	ф-ла (7) [10]	**67,8**										
Коэффициент затухания звука в атмосфере α, дБ/км	Ta=20,°C Pa=101.33,кПа hотн.=70%	ф-ла (5) [9]	0,02	0,09	0,33	1,12	2,79	4,98	9,04	23,09	77,63		
Учет затухания звука в атмосфере Aatm, дБ		ф-ла (8) [10]	0	0,1	0,2	0,8	1,9	3,5	6,3	16	53,9		
Снижение поверхностью земли возле источника As, дБ	Gs = 0 hs = 1м	ф-лы таб.3 [10]	-1,5	-1,5	-1,5	-1,5	-1,5	-1,5	-1,5	-1,5	-1,5		
Снижение поверхностью земли возле приёмника Ar, дБ	Gr = 1 hr = 1.5м	ф-лы таб.3 [10]	-1,5	-1,5	4,1	7	5	0,7	0	0	0		
Снижение поверхностью земли в средней зоне, Am дБ	Gm = 1	ф-лы таб.3 [10]	-2,7	-2,7	0	0	0	0	0	0	0		
Суммарное снижение поверхностью земли на траектории распространения звука Agr, дБ		ф-ла (9) [10]	-5,7	-5,7	2,6	5,5	3,5	-0,8	-1,5	-1,5	-1,5		
Уровни звукового давления прямого звука от источника ИШ-9-24 в расчётной точке днём, дБ		**ф-ла(3)[10]**	**0**	**34,1**	**27**	**24,9**	**26,1**	**28,4**	**23**	**9**	**0**	**30,9**	**30,9**
Уровни звукового давления прямого звука от источника ИШ-9-24 в расчётной точке ночью, дБ		**ф-ла(3)[10]**	**0**	**34,1**	**27**	**24,9**	**26,1**	**28,4**	**23**	**9**	**0**	**30,9**	**30,9**
Расчёт отражённого звука													

1		2	3	4	5	6	7	8	9	10	11	12	13
Уровни звукового давления от мнимого источника ИШ-9-24_мн.(1) в расчётной точке днём, дБ		**ф-ла(3)[10]**	**0**	**0**	**0**	**0**	**0**	**0**	**0**	**0**	**0**	**0**	**0**
Уровни звукового давления от мнимого источника ИШ-9-24_мн.(1) в расчётной точке ночью, дБ		**ф-ла(3)[10]**	**0**	**0**	**0**	**0**	**0**	**0**	**0**	**0**	**0**	**0**	**0**
Уровни звукового давления от источника ИШ-9-24 в расчётной точке днём, дБ		**ф-ла(3)[10]**	**0**	**34,1**	**27**	**24,9**	**26,1**	**28,4**	**23**	**9**	**0**	**30,9**	**30,9**
Уровни звукового давления от источника ИШ-9-24 в расчётной точке ночью, дБ		**ф-ла(3)[10]**	**0**	**34,1**	**27**	**24,9**	**26,1**	**28,4**	**23**	**9**	**0**	**30,9**	**30,9**
Источник шума: ИШ-9-25, координаты источника (x,y,z), м =[683.46,-239.16,1.00]													
Уровни звуковой мощности источника днём, Lw, дБ		**исходные данные**	**77**	**75**	**67**	**66**	**63**	**55**	**53**	**48**	**51**		
Уровни звуковой мощности источника ночью, Lw, дБ		**исходные данные**	**77**	**75**	**67**	**66**	**63**	**55**	**53**	**48**	**51**		
Поправка на телесный угол DΩ, дБ	Ω = 6.28	10Lg(4π/Ω)	**3**	3	3	3	3	3	3	3	3		
Показатель направленности источника Di, дБ		исходные данные	**0**	0	0	0	0	0	0	0	0		
Поправка на направленность источника Dc, дБ	Dc	DΩ + Di	**3**	3	3	3	3	3	3	3	3		
Затухание из-за геометрической дивергенции, Adiv, дБ	расстояние = 673.78 м	ф-ла (7) [10]	**67,6**										
Коэффициент затухания звука в атмосфере α, дБ/км	Ta=20,°C Pa=101.33,кПа hотн.=70%	ф-ла (5) [9]	0,02	0,09	0,33	1,12	2,79	4,98	9,04	23,09	77,63		
Учет затухания звука в атмосфере Aatm, дБ		ф-ла (8) [10]	0	0,1	0,2	0,8	1,9	3,4	6,1	15,6	52,3		
Снижение поверхностью земли возле источника As, дБ	Gs = 0 hs = 1м	ф-лы таб.3 [10]	-1,5	-1,5	-1,5	-1,5	-1,5	-1,5	-1,5	-1,5	-1,5		
Снижение поверхностью земли возле приёмника Ar, дБ	Gr = 1 hr = 1.5м	ф-лы таб.3 [10]	-1,5	-1,5	4	7	5	0,7	0	0	0		
Снижение поверхностью земли в средней зоне, Am дБ	Gm = 1	ф-лы таб.3 [10]	-2,7	-2,7	0	0	0	0	0	0	0		

1		2	3	4	5	6	7	8	9	10	11	12	13
Суммарное снижение поверхностью земли на траектории распространения звука Agr, дБ		ф-ла (9) [10]	-5,7	-5,7	2,5	5,5	3,5	-0,8	-1,5	-1,5	-1,5		
Уровни звукового давления от источника ИШ-9-25 в расчётной точке днём, дБ		**ф-ла(3)[10]**	**18,1**	**16**	**0**	**0**	**0**	**0**	**0**	**0**	**0**	**0**	**0**
Уровни звукового давления от источника ИШ-9-25 в расчётной точке ночью, дБ		**ф-ла(3)[10]**	**18,1**	**16**	**0**	**0**	**0**	**0**	**0**	**0**	**0**	**0**	**0**
Источник шума: ИШ-9-26, координаты источника (x,y,z), м =[680.09,-249.52,1.00]													
Уровни звуковой мощности источника днём, Lw, дБ		**исходные данные**	**77**	**75**	**67**	**66**	**63**	**55**	**53**	**48**	**51**		
Уровни звуковой мощности источника ночью, Lw, дБ		**исходные данные**	**77**	**75**	**67**	**66**	**63**	**55**	**53**	**48**	**51**		
Поправка на телесный угол DΩ, дБ	Ω = 6.28	10Lg(4π/Ω)	**3**	3	3	3	3	3	3	3	3		
Показатель направленности источника Di, дБ		исходные данные	**0**	0	0	0	0	0	0	0	0		
Поправка на направленность источника Dc, дБ	Dc	DΩ + Di	**3**	3	3	3	3	3	3	3	3		
Затухание из-за геометрической дивергенции, Adiv, дБ	расстояние = 677.21 м	ф-ла (7) [10]	**67,6**										
Коэффициент затухания звука в атмосфере α, дБ/км	Ta=20,°C Pa=101.33,кПа hотн.=70%	ф-ла (5) [9]	0,02	0,09	0,33	1,12	2,79	4,98	9,04	23,09	77,63		
Учет затухания звука в атмосфере Aatm, дБ		ф-ла (8) [10]	0	0,1	0,2	0,8	1,9	3,4	6,1	15,6	52,6		
Снижение поверхностью земли возле источника As, дБ	Gs = 0 hs = 1м	ф-лы таб.3 [10]	-1,5	-1,5	-1,5	-1,5	-1,5	-1,5	-1,5	-1,5	-1,5		
Снижение поверхностью земли возле приёмника Ar, дБ	Gr = 1 hr = 1.5м	ф-лы таб.3 [10]	-1,5	-1,5	4,1	7	5	0,7	0	0	0		
Снижение поверхностью земли в средней зоне, Am дБ	Gm = 1	ф-лы таб.3 [10]	-2,7	-2,7	0	0	0	0	0	0	0		
Суммарное снижение поверхностью земли на траектории распространения звука Agr, дБ		ф-ла (9) [10]	-5,7	-5,7	2,6	5,5	3,5	-0,8	-1,5	-1,5	-1,5		

1		2	3	4	5	6	7	8	9	10	11	12	13
Уровни звукового давления от источника ИШ-9-26 в расчётной точке днём, дБ		**ф-ла(3)[10]**	**18,1**	**16**	**0**	**0**	**0**	**0**	**0**	**0**	**0**	**0**	**0**
Уровни звукового давления от источника ИШ-9-26 в расчётной точке ночью, дБ		**ф-ла(3)[10]**	**18,1**	**16**	**0**	**0**	**0**	**0**	**0**	**0**	**0**	**0**	**0**
Источник шума: ИШ-9-27, координаты источника (x,y,z), м =[676.46,-260.14,1.00]													
Уровни звуковой мощности источника днём, Lw, дБ		**исходные данные**	**77**	**75**	**67**	**66**	**63**	**55**	**53**	**48**	**51**		
Уровни звуковой мощности источника ночью, Lw, дБ		**исходные данные**	**77**	**75**	**67**	**66**	**63**	**55**	**53**	**48**	**51**		
Поправка на телесный угол DΩ, дБ	Ω = 6.28	10Lg(4π/Ω)	**3**	3	3	3	3	3	3	3	3		
Показатель направленности источника Di, дБ		исходные данные	**0**	0	0	0	0	0	0	0	0		
Поправка на направленность источника Dc, дБ	Dc	DΩ + Di	**3**	3	3	3	3	3	3	3	3		
Затухание из-за геометрической дивергенции, Adiv, дБ	расстояние = 681.08 м	ф-ла (7) [10]	**67,7**										
Коэффициент затухания звука в атмосфере α, дБ/км	Ta=20,°C Pa=101.33,кПа hотн.=70%	ф-ла (5) [9]	0,02	0,09	0,33	1,12	2,79	4,98	9,04	23,09	77,63		
Учет затухания звука в атмосфере Aatm, дБ		ф-ла (8) [10]	0	0,1	0,2	0,8	1,9	3,4	6,2	15,7	52,9		
Снижение поверхностью земли возле источника As, дБ	Gs = 0 hs = 1м	ф-лы таб.3 [10]	-1,5	-1,5	-1,5	-1,5	-1,5	-1,5	-1,5	-1,5	-1,5		
Снижение поверхностью земли возле приёмника Ar, дБ	Gr = 1 hr = 1.5м	ф-лы таб.3 [10]	-1,5	-1,5	4,1	7	5	0,7	0	0	0		
Снижение поверхностью земли в средней зоне, Am дБ	Gm = 1	ф-лы таб.3 [10]	-2,7	-2,7	0	0	0	0	0	0	0		
Суммарное снижение поверхностью земли на траектории распространения звука Agr, дБ		ф-ла (9) [10]	-5,7	-5,7	2,6	5,5	3,5	-0,8	-1,5	-1,5	-1,5		
Уровни звукового давления от источника ИШ-9-27 в расчётной точке днём, дБ		**ф-ла(3)[10]**	**18**	**16**	**0**	**0**	**0**	**0**	**0**	**0**	**0**	**0**	**0**

1		2	3	4	5	6	7	8	9	10	11	12	13
Уровни звукового давления от источника ИШ-9-27 в расчётной точке ночью, дБ		**ф-ла(3)[10]**	**18**	**16**	**0**	**0**	**0**	**0**	**0**	**0**	**0**	**0**	**0**
Источник шума: ИШ-10-1, координаты источника (x,y,z), м =[17.37,413.17,1.00]													
Уровни звуковой мощности источника днём, Lw, дБ		**исходные данные**	**0**	**98,3**	**99,7**	**101**	**101,3**	**100,9**	**97,6**	**93,4**	**88,9**		
Уровни звуковой мощности источника ночью, Lw, дБ		**исходные данные**	**0**	**98,3**	**99,7**	**101**	**101,3**	**100,9**	**97,6**	**93,4**	**88,9**		
Поправка на телесный угол DΩ, дБ	Ω = 6.28	10Lg(4π/Ω)	**3**	3	3	3	3	3	3	3	3		
Показатель направленности источника Di, дБ		исходные данные	**0**	0	0	0	0	0	0	0	0		
Поправка на направленность источника Dc, дБ	Dc	DΩ + Di	**3**	3	3	3	3	3	3	3	3		
Затухание из-за геометрической дивергенции, Adiv, дБ	расстояние = 1490.51 м	ф-ла (7) [10]	**74,5**										
Коэффициент затухания звука в атмосфере α, дБ/км	Ta=20,°C Pa=101.33,кПа hотн.=70%	ф-ла (5) [9]	0,02	0,09	0,33	1,12	2,79	4,98	9,04	23,09	77,63		
Учет затухания звука в атмосфере Aatm, дБ		ф-ла (8) [10]	0	0,1	0,5	1,7	4,2	7,4	13,5	34,4	115,7		
Снижение уровня звукового давления из-за влияния застройки между источником шума и расчетной точкой													
Снижение уровня звукового давления на пути над экраном, Dz1, дБ	z = 0.26м (разность путей)	ф-лы (14-18) [10]	4,8	4,9	5	5,3	5,8	6,6	7,8	9,6	11,8		
Снижение уровня звукового давления на пути слева от экрана, Dz2, дБ	z = 1.67м (разность путей)	ф-лы (14-18) [10]	13,3	16	18,9	21,8	24,7	27,7	30,7	33,7	36,7		
Снижение уровня звукового давления на пути справа от экрана, Dz3, дБ	z = 80.66м (разность путей)	ф-лы (14-18) [10]	29,4	32,5	35,5	38,5	41,5	44,5	47,6	50,6	53,6		
Общее снижение уровня звука препятствием Dz, дБ		Эн.сумма(-Dzi)	4,2	4,6	4,9	5,2	5,7	6,5	7,8	9,6	11,8		
Уровни звукового давления от источника ИШ-10-1 в расчётной точке днём, дБ		**ф-ла(3)[10]**	**0**	**22,1**	**22,9**	**22,7**	**20**	**15,5**	**4,9**	**0**	**0**	**20,7**	**20,7**

1		2	3	4	5	6	7	8	9	10	11	12	13
Уровни звукового давления от источника ИШ-10-1 в расчётной точке ночью, дБ		**ф-ла(3)[10]**	**0**	**22,1**	**22,9**	**22,7**	**20**	**15,5**	**4,9**	**0**	**0**	**20,7**	**20,7**
Источник шума: ИШ-10-2, координаты источника (x,y,z), м =[27.87,443.46,1.00]													
Уровни звуковой мощности источника днём, Lw, дБ		**исходные данные**	**0**	**98,3**	**99,7**	**101**	**101,3**	**100,9**	**97,6**	**93,4**	**88,9**		
Уровни звуковой мощности источника ночью, Lw, дБ		**исходные данные**	**0**	**98,3**	**99,7**	**101**	**101,3**	**100,9**	**97,6**	**93,4**	**88,9**		
Поправка на телесный угол DΩ, дБ	Ω = 6.28	10Lg(4π/Ω)	**3**	3	3	3	3	3	3	3	3		
Показатель направленности источника Di, дБ		исходные данные	**0**	0	0	0	0	0	0	0	0		
Поправка на направленность источника Dc, дБ	Dc	DΩ + Di	**3**	3	3	3	3	3	3	3	3		
Затухание из-за геометрической дивергенции, Adiv, дБ	расстояние = 1494.68 м	ф-ла (7) [10]	**74,5**										
Коэффициент затухания звука в атмосфере α, дБ/км	Ta=20,°C Pa=101.33,кПа hотн.=70%	ф-ла (5) [9]	0,02	0,09	0,33	1,12	2,79	4,98	9,04	23,09	77,63		
Учет затухания звука в атмосфере Aatm, дБ		ф-ла (8) [10]	0	0,1	0,5	1,7	4,2	7,4	13,5	34,5	116		
Снижение уровня звукового давления из-за влияния застройки между источником шума и расчетной точкой													
Снижение уровня звукового давления на пути над экраном, Dz1, дБ	z = 0.19м (разность путей)	ф-лы (14-18) [10]	4,8	4,9	4,9	5,1	5,4	5,9	6,8	8,2	10,1		
Снижение уровня звукового давления на пути слева от экрана, Dz2, дБ	z = 3.40м (разность путей)	ф-лы (14-18) [10]	16	18,9	21,8	24,8	27,8	30,8	33,8	36,8	39,8		
Снижение уровня звукового давления на пути справа от экрана, Dz3, дБ	z = 0.13м (разность путей)	ф-лы (14-18) [10]	6,4	7,6	9,3	11,5	14	16,8	19,6	22,6	25,5		
Общее снижение уровня звука препятствием Dz, дБ		Эн.сумма(-Dzi)	2,3	2,9	3,5	4,2	4,8	5,5	6,6	8	9,9		
Уровни звукового давления прямого звука от источника ИШ-10-2 в расчётной точке днём, дБ		**ф-ла(3)[10]**	**0**	**23,8**	**24,2**	**23,7**	**20,9**	**16,4**	**6**	**0**	**0**	**21,7**	**21,7**

1		2	3	4	5	6	7	8	9	10	11	12	13
Уровни звукового давления прямого звука от источника ИШ-10-2 в расчётной точке ночью, дБ		**ф-ла(3)[10]**	**0**	**23,8**	**24,2**	**23,7**	**20,9**	**16,4**	**6**	**0**	**0**	**21,7**	**21,7**
Расчёт отражённого звука													
Уровни звукового давления от мнимого источника ИШ-10-2_мн.(1) в расчётной точке днём, дБ		**ф-ла(3)[10]**	**0**	**0**	**0**	**0**	**0**	**0**	**0**	**0**	**0**	**0**	**0**
Уровни звукового давления от мнимого источника ИШ-10-2_мн.(1) в расчётной точке ночью, дБ		**ф-ла(3)[10]**	**0**	**0**	**0**	**0**	**0**	**0**	**0**	**0**	**0**	**0**	**0**
Уровни звукового давления от источника ИШ-10-2 в расчётной точке днём, дБ		**ф-ла(3)[10]**	**0**	**23,8**	**24,2**	**23,7**	**20,9**	**16,4**	**6**	**0**	**0**	**21,7**	**21,7**
Уровни звукового давления от источника ИШ-10-2 в расчётной точке ночью, дБ		**ф-ла(3)[10]**	**0**	**23,8**	**24,2**	**23,7**	**20,9**	**16,4**	**6**	**0**	**0**	**21,7**	**21,7**
Уровни звукового давления в расчётной точке													
Суммарные уровни звукового давления в расчётной точке от всех источников шума днём, Lрт, дБ		**ф-ла (19) [1]**	**60,9**	**58,6**	**50**	**46,8**	**47,7**	**51,7**	**49,6**	**36,5**	**0**	**54,9**	**54,9**
Суммарные уровни звукового давления в расчётной точке от всех источников шума ночью, Lрт, дБ		**ф-ла (19) [1]**	**53,7**	**56,5**	**49,2**	**46,2**	**47,3**	**50,9**	**45**	**30,6**	**0**	**53**	**53**
Допускаемые УЗД днём, Lдоп, дБ	Границы санитарно-защитных зон	Таблица 5.35.[23]	90	75	66	59	54	50	47	45	44	55	70
Допускаемые УЗД ночью, Lдоп, дБ	Границы санитарно-защитных зон	Таблица 5.35.[23]	83	67	57	49	44	40	37	35	33	45	60
Превышение днём, дБ		**Lрт - Lдоп**	**-29,1**	**-16,4**	**-16**	**-12,2**	**-6,3**	**1,7**	**2,6**	**-8,5**	**-44**	**-0,1**	**-15,1**
Превышение ночью, дБ		**Lрт - Lдоп**	**-29,3**	**-10,5**	**-7,8**	**-2,8**	**3,3**	**10,9**	**8**	**-4,4**	**-33**	**8**	**-7**

Определение уровней звукового давления в точке РТ-12 (координаты точки, м: x = 718.89, y = -587.48, z = 1.50)													
Наименование величин и их описание		**Ссылка**	**Расчётные уровни в октавных полосах, со среднегеометрическими частотами, Гц**									**La, дБА**	**Lмакс, дБА**
			31,5	**63**	**125**	**250**	**500**	**1000**	**2000**	**4000**	**8000**		
1		**2**	**3**	**4**	**5**	**6**	**7**	**8**	**9**	**10**	**11**	**12**	**13**
Источник шума: ИШ-1-1, координаты источника (x,y,z), м =[271.72,229.68,1.00]													
Уровни звуковой мощности источника днём, Lw, дБ		**исходные данные**	**97**	**97**	**104**	**106**	**105**	**105**	**98**	**87**	**81**		
Уровни звуковой мощности источника ночью, Lw, дБ		**исходные данные**	**97**	**97**	**104**	**106**	**105**	**105**	**98**	**87**	**81**		
Поправка на телесный угол DΩ, дБ	Ω = 6.28	10Lg(4π/Ω)	**3**	3	3	3	3	3	3	3	3		
Показатель направленности источника Di, дБ		исходные данные	**0**	0	0	0	0	0	0	0	0		
Поправка на направленность источника Dc, дБ	Dc	DΩ + Di	**3**	3	3	3	3	3	3	3	3		
Затухание из-за геометрической дивергенции, Adiv, дБ	расстояние = 931.51 м	ф-ла (7) [10]	**70,4**										
Коэффициент затухания звука в атмосфере α, дБ/км	Ta=20,°C Pa=101.33,кПа hотн.=70%	ф-ла (5) [9]	0,02	0,09	0,33	1,12	2,79	4,98	9,04	23,09	77,63		
Учет затухания звука в атмосфере Aatm, дБ		ф-ла (8) [10]	0	0,1	0,3	1	2,6	4,6	8,4	21,5	72,3		
Снижение уровня звукового давления из-за влияния застройки между источником шума и расчетной точкой													
Снижение уровня звукового давления на пути над экраном, Dz1, дБ	z = 0.59м (разность путей)	ф-лы (14-18) [10]	5,3	5,8	6,6	7,9	9,7	12	14,5	17,3	20,2		
Снижение уровня звукового давления на пути слева от экрана, Dz2, дБ	z = 88.02м (разность путей)	ф-лы (14-18) [10]	29,7	32,9	35,9	38,9	41,9	44,9	47,9	50,9	54		
Снижение уровня звукового давления на пути справа от экрана, Dz3, дБ	z = 26.50м (разность путей)	ф-лы (14-18) [10]	22,8	27	30,5	33,6	36,7	39,7	42,7	45,7	48,7		

1		2	3	4	5	6	7	8	9	10	11	12	13
Общее снижение уровня звука препятствием Dz, дБ		Эн.сумма(-Dzi)	5,2	5,7	6,6	7,9	9,7	12	14,5	17,3	20,2		
Уровни звукового давления прямого звука от источника ИШ-1-1 в расчётной точке днём, дБ		**ф-ла(3)[10]**	**24,4**	**23,8**	**29,7**	**29,7**	**25,3**	**21**	**7,7**	**0**	**0**	**26,5**	**26,5**
Уровни звукового давления прямого звука от источника ИШ-1-1 в расчётной точке ночью, дБ		**ф-ла(3)[10]**	**24,4**	**23,8**	**29,7**	**29,7**	**25,3**	**21**	**7,7**	**0**	**0**	**26,5**	**26,5**
Расчёт отражённого звука													
Уровни звукового давления от мнимого источника ИШ-1-1_мн.(1) в расчётной точке днём, дБ		**ф-ла(3)[10]**	**0**	**0**	**0**	**0**	**0**	**0**	**0**	**0**	**0**	**0**	**0**
Уровни звукового давления от мнимого источника ИШ-1-1_мн.(1) в расчётной точке ночью, дБ		**ф-ла(3)[10]**	**0**	**0**	**0**	**0**	**0**	**0**	**0**	**0**	**0**	**0**	**0**
Уровни звукового давления от мнимого источника ИШ-1-1_мн.(2) в расчётной точке днём, дБ		**ф-ла(3)[10]**	**0**	**0**	**0**	**0**	**0**	**0**	**0**	**0**	**0**	**0**	**0**
Уровни звукового давления от мнимого источника ИШ-1-1_мн.(2) в расчётной точке ночью, дБ		**ф-ла(3)[10]**	**0**	**0**	**0**	**0**	**0**	**0**	**0**	**0**	**0**	**0**	**0**
Суммарные уровни звукового давления от мнимых источников в расчётной точке днём, дБ		**ф-ла (19) [1]**	**0**	**0**	**0**	**0**	**0**	**0**	**0**	**0**	**0**	**0**	**0**
Суммарные уровни звукового давления от мнимых источников в расчётной точке ночью, дБ		**ф-ла (19) [1]**	**0**	**0**	**0**	**0**	**0**	**0**	**0**	**0**	**0**	**0**	**0**
Уровни звукового давления от источника ИШ-1-1 в расчётной точке днём, дБ		**ф-ла(3)[10]**	**24,4**	**23,8**	**29,7**	**29,7**	**25,3**	**21**	**7,7**	**0**	**0**	**26,5**	**26,5**
Уровни звукового давления от источника ИШ-1-1 в расчётной точке ночью, дБ		**ф-ла(3)[10]**	**24,4**	**23,8**	**29,7**	**29,7**	**25,3**	**21**	**7,7**	**0**	**0**	**26,5**	**26,5**
Источник шума: ИШ-1-2, координаты источника (x,y,z), м =[261.74,199.14,1.00]													
Уровни звуковой мощности источника днём, Lw, дБ		**исходные данные**	**97**	**97**	**104**	**106**	**105**	**105**	**98**	**87**	**81**		
Уровни звуковой мощности источника ночью, Lw, дБ		**исходные данные**	**97**	**97**	**104**	**106**	**105**	**105**	**98**	**87**	**81**		
Поправка на телесный угол DΩ, дБ	Ω = 6.28	10Lg(4π/Ω)	**3**	3	3	3	3	3	3	3	3		
Показатель направленности источника Di, дБ		исходные данные	**0**	0	0	0	0	0	0	0	0		

1		2	3	4	5	6	7	8	9	10	11	12	13
Поправка на направленность источника Dc, дБ	Dc	DΩ + Di	**3**	3	3	3	3	3	3	3	3		
Затухание из-за геометрической дивергенции, Adiv, дБ	расстояние = 909.82 м	ф-ла (7) [10]	**70,2**										
Коэффициент затухания звука в атмосфере α, дБ/км	Ta=20,°C Pa=101.33,кПа hотн.=70%	ф-ла (5) [9]	0,02	0,09	0,33	1,12	2,79	4,98	9,04	23,09	77,63		
Учет затухания звука в атмосфере Aatm, дБ		ф-ла (8) [10]	0	0,1	0,3	1	2,5	4,5	8,2	21	70,6		
Снижение уровня звукового давления из-за влияния застройки между источником шума и расчетной точкой													
Снижение уровня звукового давления на пути над экраном, Dz1, дБ	z = 0.61м (разность путей)	ф-лы (14-18) [10]	5,3	5,9	6,8	8,1	10	12,3	14,9	17,7	20,6		
Снижение уровня звукового давления на пути слева от экрана, Dz2, дБ	z = 131.97м (разность путей)	ф-лы (14-18) [10]	31,5	34,6	37,6	40,7	43,7	46,7	49,7	52,7	55,7		
Снижение уровня звукового давления на пути справа от экрана, Dz3, дБ	z = 19.43м (разность путей)	ф-лы (14-18) [10]	21,5	25,7	29,1	32,3	35,3	38,4	41,4	44,4	47,4		
Общее снижение уровня звука препятствием Dz, дБ		Эн.сумма(-Dzi)	5,2	5,8	6,7	8,1	10	12,3	14,9	17,7	20,6		
Уровни звукового давления от источника ИШ-1-2 в расчётной точке днём, дБ		**ф-ла(3)[10]**	**24,6**	**23,9**	**29,8**	**29,7**	**25,3**	**21**	**7,7**	**0**	**0**	**26,5**	**26,5**
Уровни звукового давления от источника ИШ-1-2 в расчётной точке ночью, дБ		**ф-ла(3)[10]**	**24,6**	**23,9**	**29,8**	**29,7**	**25,3**	**21**	**7,7**	**0**	**0**	**26,5**	**26,5**
Источник шума: ИШ-1-3, координаты источника (x,y,z), м =[251.75,236.44,1.00]													
Уровни звуковой мощности источника днём, Lw, дБ		**исходные данные**	**0**	**91,3**	**92,7**	**94**	**94,3**	**93,9**	**90,6**	**86,4**	**81,9**		
Уровни звуковой мощности источника ночью, Lw, дБ		**исходные данные**	**0**	**91,3**	**92,7**	**94**	**94,3**	**93,9**	**90,6**	**86,4**	**81,9**		
Поправка на телесный угол DΩ, дБ	Ω = 6.28	10Lg(4π/Ω)	**3**	3	3	3	3	3	3	3	3		
Показатель направленности источника Di, дБ		исходные данные	**0**	0	0	0	0	0	0	0	0		

1		2	3	4	5	6	7	8	9	10	11	12	13
Поправка на направленность источника Dc, дБ	Dc	DΩ + Di	**3**	3	3	3	3	3	3	3	3		
Затухание из-за геометрической дивергенции, Adiv, дБ	расстояние = 947.13 м	ф-ла (7) [10]	**70,5**										
Коэффициент затухания звука в атмосфере α, дБ/км	Ta=20,°C Pa=101.33,кПа hотн.=70%	ф-ла (5) [9]	0,02	0,09	0,33	1,12	2,79	4,98	9,04	23,09	77,63		
Учет затухания звука в атмосфере Aatm, дБ		ф-ла (8) [10]	0	0,1	0,3	1,1	2,6	4,7	8,6	21,9	73,5		
Снижение уровня звукового давления из-за влияния застройки между источником шума и расчетной точкой													
Снижение уровня звукового давления на пути над экраном, Dz1, дБ	z = 0.46м (разность путей)	ф-лы (14-18) [10]	4,9	5,1	5,4	6	6,9	8,3	10,2	12,6	15,2		
Снижение уровня звукового давления на пути слева от экрана, Dz2, дБ	z = 90.43м (разность путей)	ф-лы (14-18) [10]	29,9	33	36	39	42	45	48,1	51,1	54,1		
Снижение уровня звукового давления на пути справа от экрана, Dz3, дБ	z = 20.62м (разность путей)	ф-лы (14-18) [10]	21,7	25,9	29,4	32,6	35,6	38,6	41,6	44,6	47,7		
Общее снижение уровня звука препятствием Dz, дБ		Эн.сумма(-Dzi)	4,8	5,1	5,4	6	6,9	8,3	10,2	12,6	15,2		
Уровни звукового давления прямого звука от источника ИШ-1-3 в расчётной точке днём, дБ		**ф-ла(3)[10]**	**0**	**18,6**	**19,5**	**19,4**	**17,2**	**13,3**	**4,3**	**0**	**0**	**18,1**	**18,1**
Уровни звукового давления прямого звука от источника ИШ-1-3 в расчётной точке ночью, дБ		**ф-ла(3)[10]**	**0**	**18,6**	**19,5**	**19,4**	**17,2**	**13,3**	**4,3**	**0**	**0**	**18,1**	**18,1**
Расчёт отражённого звука													
Уровни звукового давления от мнимого источника ИШ-1-3_мн.(1) в расчётной точке днём, дБ		**ф-ла(3)[10]**	**0**	**0**	**0**	**0**	**0**	**0**	**0**	**0**	**0**	**0**	**0**
Уровни звукового давления от мнимого источника ИШ-1-3_мн.(1) в расчётной точке ночью, дБ		**ф-ла(3)[10]**	**0**	**0**	**0**	**0**	**0**	**0**	**0**	**0**	**0**	**0**	**0**
Уровни звукового давления от мнимого источника ИШ-1-3_мн.(2) в расчётной точке днём, дБ		**ф-ла(3)[10]**	**0**	**0**	**0**	**0**	**0**	**0**	**0**	**0**	**0**	**0**	**0**
Уровни звукового давления от мнимого источника ИШ-1-3_мн.(2) в расчётной точке ночью, дБ		**ф-ла(3)[10]**	**0**	**0**	**0**	**0**	**0**	**0**	**0**	**0**	**0**	**0**	**0**
Суммарные уровни звукового давления от мнимых источников в расчётной точке днём, дБ		**ф-ла (19) [1]**	**0**	**0**	**0**	**0**	**0**	**0**	**0**	**0**	**0**	**0**	**0**

1		2	3	4	5	6	7	8	9	10	11	12	13
Суммарные уровни звукового давления от мнимых источников в расчётной точке ночью, дБ		**ф-ла (19) [1]**	**0**	**0**	**0**	**0**	**0**	**0**	**0**	**0**	**0**	**0**	**0**
Уровни звукового давления от источника ИШ-1-3 в расчётной точке днём, дБ		**ф-ла(3)[10]**	**0**	**18,6**	**19,5**	**19,4**	**17,2**	**13,3**	**4,3**	**0**	**0**	**18,1**	**18,1**
Уровни звукового давления от источника ИШ-1-3 в расчётной точке ночью, дБ		**ф-ла(3)[10]**	**0**	**18,6**	**19,5**	**19,4**	**17,2**	**13,3**	**4,3**	**0**	**0**	**18,1**	**18,1**
Источник шума: ИШ-1-4, координаты источника (x,y,z), м =[290.25,223.25,1.00]													
Уровни звуковой мощности источника днём, Lw, дБ		**исходные данные**	**0**	**91,3**	**92,7**	**94**	**94,3**	**93,9**	**90,6**	**86,4**	**81,9**		
Уровни звуковой мощности источника ночью, Lw, дБ		**исходные данные**	**0**	**91,3**	**92,7**	**94**	**94,3**	**93,9**	**90,6**	**86,4**	**81,9**		
Поправка на телесный угол DΩ, дБ	Ω = 6.28	10Lg(4π/Ω)	**3**	3	3	3	3	3	3	3	3		
Показатель направленности источника Di, дБ		исходные данные	**0**	0	0	0	0	0	0	0	0		
Поправка на направленность источника Dc, дБ	Dc	DΩ + Di	**3**	3	3	3	3	3	3	3	3		
Затухание из-за геометрической дивергенции, Adiv, дБ	расстояние = 917.07 м	ф-ла (7) [10]	**70,2**										
Коэффициент затухания звука в атмосфере α, дБ/км	Ta=20,°C Pa=101.33,кПа hотн.=70%	ф-ла (5) [9]	0,02	0,09	0,33	1,12	2,79	4,98	9,04	23,09	77,63		
Учет затухания звука в атмосфере Aatm, дБ		ф-ла (8) [10]	0	0,1	0,3	1	2,6	4,6	8,3	21,2	71,2		
Снижение уровня звукового давления из-за влияния застройки между источником шума и расчетной точкой													
Снижение уровня звукового давления на пути над экраном, Dz1, дБ	z = 0.84м (разность путей)	ф-лы (14-18) [10]	5,9	7	8,5	10,5	12,9	15,6	18,4	21,3	24,3		
Снижение уровня звукового давления на пути слева от экрана, Dz2, дБ	z = 87.80м (разность путей)	ф-лы (14-18) [10]	29,7	32,9	35,9	38,9	41,9	44,9	47,9	50,9	53,9		
Снижение уровня звукового давления на пути справа от экрана, Dz3, дБ	z = 30.98м (разность путей)	ф-лы (14-18) [10]	24,9	28,3	31,3	34,4	37,4	40,4	43,4	46,4	49,4		

1		2	3	4	5	6	7	8	9	10	11	12	13
Общее снижение уровня звука препятствием Dz, дБ		Эн.сумма(-Dzi)	5,8	6,9	8,5	10,5	12,9	15,6	18,4	21,3	24,3		
Уровни звукового давления прямого звука от источника ИШ-1-4 в расчётной точке днём, дБ		**ф-ла(3)[10]**	**0**	**17**	**16,7**	**15,2**	**11,6**	**6,5**	**0**	**0**	**0**	**12,4**	**12,4**
Уровни звукового давления прямого звука от источника ИШ-1-4 в расчётной точке ночью, дБ		**ф-ла(3)[10]**	**0**	**17**	**16,7**	**15,2**	**11,6**	**6,5**	**0**	**0**	**0**	**12,4**	**12,4**
Расчёт отражённого звука													
Уровни звукового давления от мнимого источника ИШ-1-4_мн.(1) в расчётной точке днём, дБ		**ф-ла(3)[10]**	**0**	**0**	**0**	**0**	**0**	**0**	**0**	**0**	**0**	**0**	**0**
Уровни звукового давления от мнимого источника ИШ-1-4_мн.(1) в расчётной точке ночью, дБ		**ф-ла(3)[10]**	**0**	**0**	**0**	**0**	**0**	**0**	**0**	**0**	**0**	**0**	**0**
Уровни звукового давления от источника ИШ-1-4 в расчётной точке днём, дБ		**ф-ла(3)[10]**	**0**	**17**	**16,7**	**15,2**	**11,6**	**6,5**	**0**	**0**	**0**	**12,4**	**12,4**
Уровни звукового давления от источника ИШ-1-4 в расчётной точке ночью, дБ		**ф-ла(3)[10]**	**0**	**17**	**16,7**	**15,2**	**11,6**	**6,5**	**0**	**0**	**0**	**12,4**	**12,4**
Источник шума: ИШ-1-5, координаты источника (x,y,z), м =[241.49,205.86,1.00]													
Уровни звуковой мощности источника днём, Lw, дБ		**исходные данные**	**0**	**91,3**	**92,7**	**94**	**94,3**	**93,9**	**90,6**	**86,4**	**81,9**		
Уровни звуковой мощности источника ночью, Lw, дБ		**исходные данные**	**0**	**91,3**	**92,7**	**94**	**94,3**	**93,9**	**90,6**	**86,4**	**81,9**		
Поправка на телесный угол DΩ, дБ	Ω = 6.28	10Lg(4π/Ω)	**3**	3	3	3	3	3	3	3	3		
Показатель направленности источника Di, дБ		исходные данные	**0**	0	0	0	0	0	0	0	0		
Поправка на направленность источника Dc, дБ	Dc	DΩ + Di	**3**	3	3	3	3	3	3	3	3		
Затухание из-за геометрической дивергенции, Adiv, дБ	расстояние = 925.90 м	ф-ла (7) [10]	**70,3**										
Коэффициент затухания звука в атмосфере α, дБ/км	Ta=20,°C Pa=101.33,кПа hотн.=70%	ф-ла (5) [9]	0,02	0,09	0,33	1,12	2,79	4,98	9,04	23,09	77,63		

1		2	3	4	5	6	7	8	9	10	11	12	13
Учет затухания звука в атмосфере Aatm, дБ		ф-ла (8) [10]	0	0,1	0,3	1	2,6	4,6	8,4	21,4	71,9		
Снижение уровня звукового давления из-за влияния застройки между источником шума и расчетной точкой													
Снижение уровня звукового давления на пути над экраном, Dz1, дБ	z = 0.45м (разность путей)	ф-лы (14-18) [10]	4,8	4,9	5,1	5,4	6	6,9	8,3	10,2	12,6		
Снижение уровня звукового давления на пути слева от экрана, Dz2, дБ	z = 130.39м (разность путей)	ф-лы (14-18) [10]	31,5	34,6	37,6	40,6	43,6	46,6	49,6	52,7	55,7		
Снижение уровня звукового давления на пути справа от экрана, Dz3, дБ	z = 14.37м (разность путей)	ф-лы (14-18) [10]	20,2	24,4	27,8	31	34	37,1	40,1	43,1	46,1		
Общее снижение уровня звука препятствием Dz, дБ		Эн.сумма(-Dzi)	4,7	4,9	5,1	5,4	6	6,9	8,3	10,2	12,6		
Уровни звукового давления прямого звука от источника ИШ-1-5 в расчётной точке днём, дБ		**ф-ла(3)[10]**	**0**	**19**	**20**	**20,2**	**18,4**	**15,1**	**6,6**	**0**	**0**	**19,5**	**19,5**
Уровни звукового давления прямого звука от источника ИШ-1-5 в расчётной точке ночью, дБ		**ф-ла(3)[10]**	**0**	**19**	**20**	**20,2**	**18,4**	**15,1**	**6,6**	**0**	**0**	**19,5**	**19,5**
Расчёт отражённого звука													
Уровни звукового давления от мнимого источника ИШ-1-5_мн.(1) в расчётной точке днём, дБ		**ф-ла(3)[10]**	**0**	**0**	**0**	**0**	**0**	**0**	**0**	**0**	**0**	**0**	**0**
Уровни звукового давления от мнимого источника ИШ-1-5_мн.(1) в расчётной точке ночью, дБ		**ф-ла(3)[10]**	**0**	**0**	**0**	**0**	**0**	**0**	**0**	**0**	**0**	**0**	**0**
Уровни звукового давления от источника ИШ-1-5 в расчётной точке днём, дБ		**ф-ла(3)[10]**	**0**	**19**	**20**	**20,2**	**18,4**	**15,1**	**6,6**	**0**	**0**	**19,5**	**19,5**
Уровни звукового давления от источника ИШ-1-5 в расчётной точке ночью, дБ		**ф-ла(3)[10]**	**0**	**19**	**20**	**20,2**	**18,4**	**15,1**	**6,6**	**0**	**0**	**19,5**	**19,5**
Источник шума: ИШ-1-6, координаты источника (x,y,z), м =[279.85,192.97,1.00]													
Уровни звуковой мощности источника днём, Lw, дБ		**исходные данные**	**0**	**91,3**	**92,7**	**94**	**94,3**	**93,9**	**90,6**	**86,4**	**81,9**		
Уровни звуковой мощности источника ночью, Lw, дБ		**исходные данные**	**0**	**91,3**	**92,7**	**94**	**94,3**	**93,9**	**90,6**	**86,4**	**81,9**		
Поправка на телесный угол DΩ, дБ	Ω = 6.28	10Lg(4π/Ω)	**3**	3	3	3	3	3	3	3	3		

1		2	3	4	5	6	7	8	9	10	11	12	13
Показатель направленности источника Di, дБ		исходные данные	**0**	0	0	0	0	0	0	0	0		
Поправка на направленность источника Dc, дБ	Dc	DΩ + Di	**3**	3	3	3	3	3	3	3	3		
Затухание из-за геометрической дивергенции, Adiv, дБ	расстояние = 895.46 м	ф-ла (7) [10]	**70**										
Коэффициент затухания звука в атмосфере α, дБ/км	Ta=20,°C Pa=101.33,кПа hотн.=70%	ф-ла (5) [9]	0,02	0,09	0,33	1,12	2,79	4,98	9,04	23,09	77,63		
Учет затухания звука в атмосфере Aatm, дБ		ф-ла (8) [10]	0	0,1	0,3	1	2,5	4,5	8,1	20,7	69,5		
Снижение уровня звукового давления из-за влияния застройки между источником шума и расчетной точкой													
Снижение уровня звукового давления на пути над экраном, Dz1, дБ	z = 0.87м (разность путей)	ф-лы (14-18) [10]	6,5	7,8	9,6	11,8	14,4	17,2	20	23	26		
Снижение уровня звукового давления на пути слева от экрана, Dz2, дБ	z = 136.06м (разность путей)	ф-лы (14-18) [10]	31,6	34,8	37,8	40,8	43,8	46,8	49,8	52,8	55,8		
Снижение уровня звукового давления на пути справа от экрана, Dz3, дБ	z = 25.19м (разность путей)	ф-лы (14-18) [10]	22,6	26,8	30,3	33,4	36,5	39,5	42,5	45,5	48,5		
Общее снижение уровня звука препятствием Dz, дБ		Эн.сумма(-Dzi)	6,4	7,8	9,6	11,8	14,4	17,1	20	23	25,9		
Общее снижение уровня звука препятствием с учётом ограничения (25 дБ) для октавных полос Dz, дБ		Раздел 7.4 [10]	6,4	7,8	9,6	11,8	14,4	17,1	20	23	25		
Уровни звукового давления от источника ИШ-1-6 в расчётной точке днём, дБ		**ф-ла(3)[10]**	**0**	**16,4**	**15,8**	**14,1**	**10,4**	**5,3**	**0**	**0**	**0**	**11,2**	**11,2**
Уровни звукового давления от источника ИШ-1-6 в расчётной точке ночью, дБ		**ф-ла(3)[10]**	**0**	**16,4**	**15,8**	**14,1**	**10,4**	**5,3**	**0**	**0**	**0**	**11,2**	**11,2**
Источник шума: ИШ-1-7, координаты источника (x,y,z), м =[451.87,146.66,1.00]													
Уровни звуковой мощности источника днём, Lw, дБ		**исходные данные**	**0**	**93,3**	**94,7**	**96**	**96,3**	**95,9**	**92,6**	**88,4**	**83,9**		
Уровни звуковой мощности источника ночью, Lw, дБ		**исходные данные**	**0**	**93,3**	**94,7**	**96**	**96,3**	**95,9**	**92,6**	**88,4**	**83,9**		

1		2	3	4	5	6	7	8	9	10	11	12	13
Поправка на телесный угол DΩ, дБ	Ω = 6.28	10Lg(4π/Ω)	**3**	3	3	3	3	3	3	3	3		
Показатель направленности источника Di, дБ		исходные данные	**0**	0	0	0	0	0	0	0	0		
Поправка на направленность источника Dc, дБ	Dc	DΩ + Di	**3**	3	3	3	3	3	3	3	3		
Затухание из-за геометрической дивергенции, Adiv, дБ	расстояние = 781.19 м	ф-ла (7) [10]	**68,9**										
Коэффициент затухания звука в атмосфере α, дБ/км	Ta=20,°C Pa=101.33,кПа hотн.=70%	ф-ла (5) [9]	0,02	0,09	0,33	1,12	2,79	4,98	9,04	23,09	77,63		
Учет затухания звука в атмосфере Aatm, дБ		ф-ла (8) [10]	0	0,1	0,3	0,9	2,2	3,9	7,1	18	60,6		
Снижение уровня звукового давления из-за влияния застройки между источником шума и расчетной точкой													
Снижение уровня звукового давления на пути над экраном, Dz1, дБ	z = 0.66м (разность путей)	ф-лы (14-18) [10]	5,1	5,5	6,6	8,4	10,6	13	15,7	18,6	21,5		
Снижение уровня звукового давления на пути слева от экрана, Dz2, дБ	z = 85.26м (разность путей)	ф-лы (14-18) [10]	29,3	32,7	35,7	38,8	41,8	44,8	47,8	50,8	53,8		
Снижение уровня звукового давления на пути справа от экрана, Dz3, дБ	z = 2.05м (разность путей)	ф-лы (14-18) [10]	10,3	12,6	15,2	18	20,9	23,9	26,9	29,9	32,9		
Общее снижение уровня звука препятствием Dz, дБ		Эн.сумма(-Dzi)	3,9	4,7	6	7,9	10,2	12,7	15,4	18,3	21,2		
Уровни звукового давления прямого звука от источника ИШ-1-7 в расчётной точке днём, дБ		**ф-ла(3)[10]**	**0**	**22,6**	**22,5**	**21,3**	**18,1**	**13,5**	**4,3**	**0**	**0**	**19**	**19**
Уровни звукового давления прямого звука от источника ИШ-1-7 в расчётной точке ночью, дБ		**ф-ла(3)[10]**	**0**	**22,6**	**22,5**	**21,3**	**18,1**	**13,5**	**4,3**	**0**	**0**	**19**	**19**
Расчёт отражённого звука													
Уровни звукового давления от мнимого источника ИШ-1-7_мн.(1) в расчётной точке днём, дБ		**ф-ла(3)[10]**	**0**	**0**	**0**	**0**	**0**	**0**	**0**	**0**	**0**	**0**	**0**
Уровни звукового давления от мнимого источника ИШ-1-7_мн.(1) в расчётной точке ночью, дБ		**ф-ла(3)[10]**	**0**	**0**	**0**	**0**	**0**	**0**	**0**	**0**	**0**	**0**	**0**
Уровни звукового давления от источника ИШ-1-7 в расчётной точке днём, дБ		**ф-ла(3)[10]**	**0**	**22,6**	**22,5**	**21,3**	**18,1**	**13,5**	**4,3**	**0**	**0**	**19**	**19**

1		2	3	4	5	6	7	8	9	10	11	12	13
Уровни звукового давления от источника ИШ-1-7 в расчётной точке ночью, дБ		**ф-ла(3)[10]**	**0**	**22,6**	**22,5**	**21,3**	**18,1**	**13,5**	**4,3**	**0**	**0**	**19**	**19**
Источник шума: ИШ-1-8, координаты источника (x,y,z), м =[454.99,145.29,1.00]													
Уровни звуковой мощности источника днём, Lw, дБ		**исходные данные**	**0**	**93,3**	**94,7**	**96**	**96,3**	**95,9**	**92,6**	**88,4**	**83,9**		
Уровни звуковой мощности источника ночью, Lw, дБ		**исходные данные**	**0**	**93,3**	**94,7**	**96**	**96,3**	**95,9**	**92,6**	**88,4**	**83,9**		
Поправка на телесный угол DΩ, дБ	Ω = 6.28	10Lg(4π/Ω)	**3**	3	3	3	3	3	3	3	3		
Показатель направленности источника Di, дБ		исходные данные	**0**	0	0	0	0	0	0	0	0		
Поправка на направленность источника Dc, дБ	Dc	DΩ + Di	**3**	3	3	3	3	3	3	3	3		
Затухание из-за геометрической дивергенции, Adiv, дБ	расстояние = 778.84 м	ф-ла (7) [10]	**68,8**										
Коэффициент затухания звука в атмосфере α, дБ/км	Ta=20,°C Pa=101.33,кПа hотн.=70%	ф-ла (5) [9]	0,02	0,09	0,33	1,12	2,79	4,98	9,04	23,09	77,63		
Учет затухания звука в атмосфере Aatm, дБ		ф-ла (8) [10]	0	0,1	0,3	0,9	2,2	3,9	7	18	60,5		
Снижение уровня звукового давления из-за влияния застройки между источником шума и расчетной точкой													
Снижение уровня звукового давления на пути над экраном, Dz1, дБ	z = 0.71м (разность путей)	ф-лы (14-18) [10]	5,2	5,7	7	9,1	11,4	14	16,8	19,7	22,6		
Снижение уровня звукового давления на пути слева от экрана, Dz2, дБ	z = 85.78м (разность путей)	ф-лы (14-18) [10]	29,4	32,7	35,8	38,8	41,8	44,8	47,8	50,8	53,8		
Снижение уровня звукового давления на пути справа от экрана, Dz3, дБ	z = 2.63м (разность путей)	ф-лы (14-18) [10]	11,1	13,5	16,2	19,1	22	25	27,9	30,9	33,9		
Общее снижение уровня звука препятствием Dz, дБ		Эн.сумма(-Dzi)	4,1	5	6,5	8,7	11,1	13,7	16,5	19,4	22,3		
Уровни звукового давления прямого звука от источника ИШ-1-8 в расчётной точке днём, дБ		**ф-ла(3)[10]**	**0**	**22,3**	**22,1**	**20,6**	**17,2**	**12,5**	**3,2**	**0**	**0**	**18,2**	**18,2**

1		2	3	4	5	6	7	8	9	10	11	12	13
Уровни звукового давления прямого звука от источника ИШ-1-8 в расчётной точке ночью, дБ		**ф-ла(3)[10]**	**0**	**22,3**	**22,1**	**20,6**	**17,2**	**12,5**	**3,2**	**0**	**0**	**18,2**	**18,2**
Расчёт отражённого звука													
Уровни звукового давления от мнимого источника ИШ-1-8_мн.(1) в расчётной точке днём, дБ		**ф-ла(3)[10]**	**0**	**0**	**0**	**0**	**0**	**0**	**0**	**0**	**0**	**0**	**0**
Уровни звукового давления от мнимого источника ИШ-1-8_мн.(1) в расчётной точке ночью, дБ		**ф-ла(3)[10]**	**0**	**0**	**0**	**0**	**0**	**0**	**0**	**0**	**0**	**0**	**0**
Уровни звукового давления от источника ИШ-1-8 в расчётной точке днём, дБ		**ф-ла(3)[10]**	**0**	**22,3**	**22,1**	**20,6**	**17,2**	**12,5**	**3,2**	**0**	**0**	**18,2**	**18,2**
Уровни звукового давления от источника ИШ-1-8 в расчётной точке ночью, дБ		**ф-ла(3)[10]**	**0**	**22,3**	**22,1**	**20,6**	**17,2**	**12,5**	**3,2**	**0**	**0**	**18,2**	**18,2**
Источник шума: ИШ-1-9, координаты источника (x,y,z), м =[458.12,144.31,1.00]													
Уровни звуковой мощности источника днём, Lw, дБ		**исходные данные**	**0**	**93,3**	**94,7**	**96**	**96,3**	**95,9**	**92,6**	**88,4**	**83,9**		
Уровни звуковой мощности источника ночью, Lw, дБ		**исходные данные**	**0**	**93,3**	**94,7**	**96**	**96,3**	**95,9**	**92,6**	**88,4**	**83,9**		
Поправка на телесный угол DΩ, дБ	Ω = 6.28	10Lg(4π/Ω)	**3**	3	3	3	3	3	3	3	3		
Показатель направленности источника Di, дБ		исходные данные	**0**	0	0	0	0	0	0	0	0		
Поправка на направленность источника Dc, дБ	Dc	DΩ + Di	**3**	3	3	3	3	3	3	3	3		
Затухание из-за геометрической дивергенции, Adiv, дБ	расстояние = 776.87 м	ф-ла (7) [10]	**68,8**										
Коэффициент затухания звука в атмосфере α, дБ/км	Ta=20,°C Pa=101.33,кПа hотн.=70%	ф-ла (5) [9]	0,02	0,09	0,33	1,12	2,79	4,98	9,04	23,09	77,63		
Учет затухания звука в атмосфере Aatm, дБ		ф-ла (8) [10]	0	0,1	0,3	0,9	2,2	3,9	7	17,9	60,3		
Снижение уровня звукового давления из-за влияния застройки между источником шума и расчетной точкой													

1		2	3	4	5	6	7	8	9	10	11	12	13
Снижение уровня звукового давления на пути над экраном, Dz1, дБ	z = 0.77м (разность путей)	ф-лы (14-18) [10]	5,3	6	7,6	9,8	12,4	15,1	17,9	20,8	23,8		
Снижение уровня звукового давления на пути слева от экрана, Dz2, дБ	z = 85.82м (разность путей)	ф-лы (14-18) [10]	29,4	32,7	35,8	38,8	41,8	44,8	47,8	50,8	53,8		
Снижение уровня звукового давления на пути справа от экрана, Dz3, дБ	z = 3.33м (разность путей)	ф-лы (14-18) [10]	11,9	14,4	17,2	20	23	26	29	32	35		
Общее снижение уровня звука препятствием Dz, дБ		Эн.сумма(-Dzi)	4,4	5,4	7,1	9,4	12	14,7	17,6	20,5	23,4		
Уровни звукового давления прямого звука от источника ИШ-1-9 в расчётной точке днём, дБ		**ф-ла(3)[10]**	**0**	**22**	**21,5**	**19,9**	**16,3**	**11,5**	**2,2**	**0**	**0**	**17,3**	**17,3**
Уровни звукового давления прямого звука от источника ИШ-1-9 в расчётной точке ночью, дБ		**ф-ла(3)[10]**	**0**	**22**	**21,5**	**19,9**	**16,3**	**11,5**	**2,2**	**0**	**0**	**17,3**	**17,3**
Расчёт отражённого звука													
Уровни звукового давления от мнимого источника ИШ-1-9_мн.(1) в расчётной точке днём, дБ		**ф-ла(3)[10]**	**0**	**0**	**0**	**0**	**0**	**0**	**0**	**0**	**0**	**0**	**0**
Уровни звукового давления от мнимого источника ИШ-1-9_мн.(1) в расчётной точке ночью, дБ		**ф-ла(3)[10]**	**0**	**0**	**0**	**0**	**0**	**0**	**0**	**0**	**0**	**0**	**0**
Уровни звукового давления от источника ИШ-1-9 в расчётной точке днём, дБ		**ф-ла(3)[10]**	**0**	**22**	**21,5**	**19,9**	**16,3**	**11,5**	**2,2**	**0**	**0**	**17,3**	**17,3**
Уровни звукового давления от источника ИШ-1-9 в расчётной точке ночью, дБ		**ф-ла(3)[10]**	**0**	**22**	**21,5**	**19,9**	**16,3**	**11,5**	**2,2**	**0**	**0**	**17,3**	**17,3**
Источник шума: ИШ-1-10, координаты источника (x,y,z), м =[461.05,143.53,1.00]													
Уровни звуковой мощности источника днём, Lw, дБ		**исходные данные**	**0**	**93,3**	**94,7**	**96**	**96,3**	**95,9**	**92,6**	**88,4**	**83,9**		
Уровни звуковой мощности источника ночью, Lw, дБ		**исходные данные**	**0**	**93,3**	**94,7**	**96**	**96,3**	**95,9**	**92,6**	**88,4**	**83,9**		
Поправка на телесный угол DΩ, дБ	Ω = 6.28	10Lg(4π/Ω)	**3**	3	3	3	3	3	3	3	3		
Показатель направленности источника Di, дБ		исходные данные	**0**	0	0	0	0	0	0	0	0		
Поправка на направленность источника Dc, дБ	Dc	DΩ + Di	**3**	3	3	3	3	3	3	3	3		

1		2	3	4	5	6	7	8	9	10	11	12	13
Затухание из-за геометрической дивергенции, Adiv, дБ	расстояние = 775.15 м	ф-ла (7) [10]	**68,8**										
Коэффициент затухания звука в атмосфере α, дБ/км	Та=20,°С Ра=101.33,кПа hотн.=70%	ф-ла (5) [9]	0,02	0,09	0,33	1,12	2,79	4,98	9,04	23,09	77,63		
Учет затухания звука в атмосфере Aatm, дБ		ф-ла (8) [10]	0	0,1	0,3	0,9	2,2	3,9	7	17,9	60,2		
Снижение уровня звукового давления из-за влияния застройки между источником шума и расчетной точкой													
Снижение уровня звукового давления на пути над экраном, Dz1, дБ	z = 0.83м (разность путей)	ф-лы (14-18) [10]	5,4	6,3	8,1	10,6	13,3	16,1	19	21,9	24,9		
Снижение уровня звукового давления на пути слева от экрана, Dz2, дБ	z = 85.74м (разность путей)	ф-лы (14-18) [10]	29,4	32,7	35,8	38,8	41,8	44,8	47,8	50,8	53,8		
Снижение уровня звукового давления на пути справа от экрана, Dz3, дБ	z = 4.07м (разность путей)	ф-лы (14-18) [10]	12,6	15,2	18	20,9	23,8	26,8	29,8	32,8	35,8		
Общее снижение уровня звука препятствием Dz, дБ		Эн.сумма(-Dzi)	4,6	5,7	7,7	10,2	12,9	15,7	18,6	21,5	24,5		
Уровни звукового давления прямого звука от источника ИШ-1-10 в расчётной точке днём, дБ		**ф-ла(3)[10]**	**0**	**21,7**	**21**	**19,1**	**15,4**	**10,5**	**1,2**	**0**	**0**	**16,5**	**16,5**
Уровни звукового давления прямого звука от источника ИШ-1-10 в расчётной точке ночью, дБ		**ф-ла(3)[10]**	**0**	**21,7**	**21**	**19,1**	**15,4**	**10,5**	**1,2**	**0**	**0**	**16,5**	**16,5**
Расчёт отражённого звука													
Уровни звукового давления от мнимого источника ИШ-1-10_мн.(1) в расчётной точке днём, дБ		**ф-ла(3)[10]**	**0**	**0**	**0**	**0**	**0**	**0**	**0**	**0**	**0**	**0**	**0**
Уровни звукового давления от мнимого источника ИШ-1-10_мн.(1) в расчётной точке ночью, дБ		**ф-ла(3)[10]**	**0**	**0**	**0**	**0**	**0**	**0**	**0**	**0**	**0**	**0**	**0**
Уровни звукового давления от источника ИШ-1-10 в расчётной точке днём, дБ		**ф-ла(3)[10]**	**0**	**21,7**	**21**	**19,1**	**15,4**	**10,5**	**1,2**	**0**	**0**	**16,5**	**16,5**
Уровни звукового давления от источника ИШ-1-10 в расчётной точке ночью, дБ		**ф-ла(3)[10]**	**0**	**21,7**	**21**	**19,1**	**15,4**	**10,5**	**1,2**	**0**	**0**	**16,5**	**16,5**
Источник шума: ИШ-1-11, координаты источника (x,y,z), м =[464.18,142.55,1.00]													

1		2	3	4	5	6	7	8	9	10	11	12	13
Уровни звуковой мощности источника днём, Lw, дБ		**исходные данные**	**0**	**93,3**	**94,7**	**96**	**96,3**	**95,9**	**92,6**	**88,4**	**83,9**		
Уровни звуковой мощности источника ночью, Lw, дБ		**исходные данные**	**0**	**93,3**	**94,7**	**96**	**96,3**	**95,9**	**92,6**	**88,4**	**83,9**		
Поправка на телесный угол DΩ, дБ	Ω = 6.28	10Lg(4π/Ω)	**3**	3	3	3	3	3	3	3	3		
Показатель направленности источника Di, дБ		исходные данные	**0**	0	0	0	0	0	0	0	0		
Поправка на направленность источника Dc, дБ	Dc	DΩ + Di	**3**	3	3	3	3	3	3	3	3		
Затухание из-за геометрической дивергенции, Adiv, дБ	расстояние = 773.19 м	ф-ла (7) [10]	**68,8**										
Коэффициент затухания звука в атмосфере α, дБ/км	Ta=20,°C Pa=101.33,кПа hотн.=70%	ф-ла (5) [9]	0,02	0,09	0,33	1,12	2,79	4,98	9,04	23,09	77,63		
Учет затухания звука в атмосфере Aatm, дБ		ф-ла (8) [10]	0	0,1	0,3	0,9	2,2	3,8	7	17,8	60		
Снижение уровня звукового давления из-за влияния застройки между источником шума и расчетной точкой													
Снижение уровня звукового давления на пути над экраном, Dz1, дБ	z = 0.92м (разность путей)	ф-лы (14-18) [10]	5,6	6,7	8,8	11,6	14,4	17,3	20,2	23,1	26,1		
Снижение уровня звукового давления на пути слева от экрана, Dz2, дБ	z = 85.99м (разность путей)	ф-лы (14-18) [10]	29,4	32,7	35,8	38,8	41,8	44,8	47,8	50,8	53,9		
Снижение уровня звукового давления на пути справа от экрана, Dz3, дБ	z = 4.95м (разность путей)	ф-лы (14-18) [10]	13,3	16	18,8	21,7	24,7	27,7	30,7	33,7	36,7		
Общее снижение уровня звука препятствием Dz, дБ		Эн.сумма(-Dzi)	4,9	6,2	8,4	11,2	14	16,9	19,8	22,7	25,7		
Общее снижение уровня звука препятствием с учётом ограничения (25 дБ) для октавных полос Dz, дБ		Раздел 7.4 [10]	4,9	6,2	8,4	11,2	14	16,9	19,8	22,7	25		
Уровни звукового давления прямого звука от источника ИШ-1-11 в расчётной точке днём, дБ		**ф-ла(3)[10]**	**0**	**21,3**	**20,2**	**18,2**	**14,4**	**9,4**	**0**	**0**	**0**	**15,4**	**15,4**
Уровни звукового давления прямого звука от источника ИШ-1-11 в расчётной точке ночью, дБ		**ф-ла(3)[10]**	**0**	**21,3**	**20,2**	**18,2**	**14,4**	**9,4**	**0**	**0**	**0**	**15,4**	**15,4**
Расчёт отражённого звука													

1		2	3	4	5	6	7	8	9	10	11	12	13
Уровни звукового давления от мнимого источника ИШ-1-11_мн.(1) в расчётной точке днём, дБ		**ф-ла(3)[10]**	**0**	**0**	**0**	**0**	**0**	**0**	**0**	**0**	**0**	**0**	**0**
Уровни звукового давления от мнимого источника ИШ-1-11_мн.(1) в расчётной точке ночью, дБ		**ф-ла(3)[10]**	**0**	**0**	**0**	**0**	**0**	**0**	**0**	**0**	**0**	**0**	**0**
Уровни звукового давления от источника ИШ-1-11 в расчётной точке днём, дБ		**ф-ла(3)[10]**	**0**	**21,3**	**20,2**	**18,2**	**14,4**	**9,4**	**0**	**0**	**0**	**15,4**	**15,4**
Уровни звукового давления от источника ИШ-1-11 в расчётной точке ночью, дБ		**ф-ла(3)[10]**	**0**	**21,3**	**20,2**	**18,2**	**14,4**	**9,4**	**0**	**0**	**0**	**15,4**	**15,4**
Источник шума: ИШ-1-12, координаты источника (x,y,z), м =[435.45,97.79,1.00]													
Уровни звуковой мощности источника днём, Lw, дБ		**исходные данные**	**0**	**93,3**	**94,7**	**96**	**96,3**	**95,9**	**92,6**	**88,4**	**83,9**		
Уровни звуковой мощности источника ночью, Lw, дБ		**исходные данные**	**0**	**93,3**	**94,7**	**96**	**96,3**	**95,9**	**92,6**	**88,4**	**83,9**		
Поправка на телесный угол DΩ, дБ	Ω = 6.28	10Lg(4π/Ω)	**3**	3	3	3	3	3	3	3	3		
Показатель направленности источника Di, дБ		исходные данные	**0**	0	0	0	0	0	0	0	0		
Поправка на направленность источника Dc, дБ	Dc	DΩ + Di	**3**	3	3	3	3	3	3	3	3		
Затухание из-за геометрической дивергенции, Adiv, дБ	расстояние = 741.58 м	ф-ла (7) [10]	**68,4**										
Коэффициент затухания звука в атмосфере α, дБ/км	Ta=20,°C Pa=101.33,кПа hотн.=70%	ф-ла (5) [9]	0,02	0,09	0,33	1,12	2,79	4,98	9,04	23,09	77,63		
Учет затухания звука в атмосфере Aatm, дБ		ф-ла (8) [10]	0	0,1	0,2	0,8	2,1	3,7	6,7	17,1	57,6		
Снижение поверхностью земли возле источника As, дБ	Gs = 0 hs = 1м	ф-лы таб.3 [10]	-1,5	-1,5	-1,5	-1,5	-1,5	-1,5	-1,5	-1,5	-1,5		
Снижение поверхностью земли возле приёмника Ar, дБ	Gr = 1 hr = 1.5м	ф-лы таб.3 [10]	-1,5	-1,5	4,3	7	5	0,7	0	0	0		
Снижение поверхностью земли в средней зоне, Am дБ	Gm = 1	ф-лы таб.3 [10]	-2,7	-2,7	0	0	0	0	0	0	0		

1		2	3	4	5	6	7	8	9	10	11	12	13
Суммарное снижение поверхностью земли на траектории распространения звука Agr, дБ		ф-ла (9) [10]	-5,7	-5,7	2,8	5,5	3,5	-0,8	-1,5	-1,5	-1,5		
Уровни звукового давления прямого звука от источника ИШ-1-12 в расчётной точке днём, дБ		**ф-ла(3)[10]**	**0**	**33,5**	**26,2**	**24,2**	**25,3**	**27,6**	**22**	**7,4**	**0**	**30,1**	**30,1**
Уровни звукового давления прямого звука от источника ИШ-1-12 в расчётной точке ночью, дБ		**ф-ла(3)[10]**	**0**	**33,5**	**26,2**	**24,2**	**25,3**	**27,6**	**22**	**7,4**	**0**	**30,1**	**30,1**
Расчёт отражённого звука													
Уровни звукового давления от мнимого источника ИШ-1-12_мн.(1) в расчётной точке днём, дБ		**ф-ла(3)[10]**	**0**	**0**	**0**	**0**	**0**	**0**	**0**	**0**	**0**	**0**	**0**
Уровни звукового давления от мнимого источника ИШ-1-12_мн.(1) в расчётной точке ночью, дБ		**ф-ла(3)[10]**	**0**	**0**	**0**	**0**	**0**	**0**	**0**	**0**	**0**	**0**	**0**
Уровни звукового давления от источника ИШ-1-12 в расчётной точке днём, дБ		**ф-ла(3)[10]**	**0**	**33,5**	**26,2**	**24,2**	**25,3**	**27,6**	**22**	**7,4**	**0**	**30,1**	**30,1**
Уровни звукового давления от источника ИШ-1-12 в расчётной точке ночью, дБ		**ф-ла(3)[10]**	**0**	**33,5**	**26,2**	**24,2**	**25,3**	**27,6**	**22**	**7,4**	**0**	**30,1**	**30,1**
Источник шума: ИШ-1-13, координаты источника (x,y,z), м =[438.77,96.82,1.00]													
Уровни звуковой мощности источника днём, Lw, дБ		**исходные данные**	**0**	**93,3**	**94,7**	**96**	**96,3**	**95,9**	**92,6**	**88,4**	**83,9**		
Уровни звуковой мощности источника ночью, Lw, дБ		**исходные данные**	**0**	**93,3**	**94,7**	**96**	**96,3**	**95,9**	**92,6**	**88,4**	**83,9**		
Поправка на телесный угол DΩ, дБ	Ω = 6.28	10Lg(4π/Ω)	**3**	3	3	3	3	3	3	3	3		
Показатель направленности источника Di, дБ		исходные данные	**0**	0	0	0	0	0	0	0	0		
Поправка на направленность источника Dc, дБ	Dc	DΩ + Di	**3**	3	3	3	3	3	3	3	3		
Затухание из-за геометрической дивергенции, Adiv, дБ	расстояние = 739.41 м	ф-ла (7) [10]	**68,4**										
Коэффициент затухания звука в атмосфере α, дБ/км	Ta=20,°C Pa=101.33,кПа hотн.=70%	ф-ла (5) [9]	0,02	0,09	0,33	1,12	2,79	4,98	9,04	23,09	77,63		

1		2	3	4	5	6	7	8	9	10	11	12	13
Учет затухания звука в атмосфере Aatm, дБ		ф-ла (8) [10]	0	0,1	0,2	0,8	2,1	3,7	6,7	17,1	57,4		
Снижение поверхностью земли возле источника As, дБ	Gs = 0 hs = 1м	ф-лы таб.3 [10]	-1,5	-1,5	-1,5	-1,5	-1,5	-1,5	-1,5	-1,5	-1,5		
Снижение поверхностью земли возле приёмника Ar, дБ	Gr = 1 hr = 1.5м	ф-лы таб.3 [10]	-1,5	-1,5	4,3	7	5	0,7	0	0	0		
Снижение поверхностью земли в средней зоне, Am дБ	Gm = 1	ф-лы таб.3 [10]	-2,7	-2,7	0	0	0	0	0	0	0		
Суммарное снижение поверхностью земли на траектории распространения звука Agr, дБ		ф-ла (9) [10]	-5,7	-5,7	2,8	5,5	3,5	-0,8	-1,5	-1,5	-1,5		
Уровни звукового давления от источника ИШ-1-13 в расчётной точке днём, дБ		**ф-ла(3)[10]**	**0**	**33,5**	**26,2**	**24,3**	**25,4**	**27,7**	**22**	**7,4**	**0**	**30,1**	**30,1**
Уровни звукового давления от источника ИШ-1-13 в расчётной точке ночью, дБ		**ф-ла(3)[10]**	**0**	**33,5**	**26,2**	**24,3**	**25,4**	**27,7**	**22**	**7,4**	**0**	**30,1**	**30,1**
Источник шума: ИШ-1-14, координаты источника (x,y,z), м =[441.70,96.03,1.00]													
Уровни звуковой мощности источника днём, Lw, дБ		**исходные данные**	**0**	**93,3**	**94,7**	**96**	**96,3**	**95,9**	**92,6**	**88,4**	**83,9**		
Уровни звуковой мощности источника ночью, Lw, дБ		**исходные данные**	**0**	**93,3**	**94,7**	**96**	**96,3**	**95,9**	**92,6**	**88,4**	**83,9**		
Поправка на телесный угол DΩ, дБ	Ω = 6.28	10Lg(4π/Ω)	**3**	3	3	3	3	3	3	3	3		
Показатель направленности источника Di, дБ		исходные данные	**0**	0	0	0	0	0	0	0	0		
Поправка на направленность источника Dc, дБ	Dc	DΩ + Di	**3**	3	3	3	3	3	3	3	3		
Затухание из-за геометрической дивергенции, Adiv, дБ	расстояние = 737.58 м	ф-ла (7) [10]	**68,4**										
Коэффициент затухания звука в атмосфере α, дБ/км	Ta=20,°C Pa=101.33,кПа hотн.=70%	ф-ла (5) [9]	0,02	0,09	0,33	1,12	2,79	4,98	9,04	23,09	77,63		
Учет затухания звука в атмосфере Aatm, дБ		ф-ла (8) [10]	0	0,1	0,2	0,8	2,1	3,7	6,7	17	57,3		

1		2	3	4	5	6	7	8	9	10	11	12	13
Снижение поверхностью земли возле источника As, дБ	Gs = 0 hs = 1м	ф-лы таб.3 [10]	-1,5	-1,5	-1,5	-1,5	-1,5	-1,5	-1,5	-1,5	-1,5		
Снижение поверхностью земли возле приёмника Ar, дБ	Gr = 1 hr = 1.5м	ф-лы таб.3 [10]	-1,5	-1,5	4,3	7	5	0,7	0	0	0		
Снижение поверхностью земли в средней зоне, Am дБ	Gm = 1	ф-лы таб.3 [10]	-2,7	-2,7	0	0	0	0	0	0	0		
Суммарное снижение поверхностью земли на траектории распространения звука Agr, дБ		ф-ла (9) [10]	-5,7	-5,7	2,8	5,5	3,5	-0,8	-1,5	-1,5	-1,5		
Уровни звукового давления от источника ИШ-1-14 в расчётной точке днём, дБ		**ф-ла(3)[10]**	**0**	**33,6**	**26,3**	**24,3**	**25,4**	**27,7**	**22,1**	**7,5**	**0**	**30,1**	**30,1**
Уровни звукового давления от источника ИШ-1-14 в расчётной точке ночью, дБ		**ф-ла(3)[10]**	**0**	**33,6**	**26,3**	**24,3**	**25,4**	**27,7**	**22,1**	**7,5**	**0**	**30,1**	**30,1**
Источник шума: ИШ-1-15, координаты источника (x,y,z), м =[445.03,95.25,1.00]													
Уровни звуковой мощности источника днём, Lw, дБ		**исходные данные**	**0**	**93,3**	**94,7**	**96**	**96,3**	**95,9**	**92,6**	**88,4**	**83,9**		
Уровни звуковой мощности источника ночью, Lw, дБ		**исходные данные**	**0**	**93,3**	**94,7**	**96**	**96,3**	**95,9**	**92,6**	**88,4**	**83,9**		
Поправка на телесный угол DΩ, дБ	Ω = 6.28	10Lg(4π/Ω)	**3**	3	3	3	3	3	3	3	3		
Показатель направленности источника Di, дБ		исходные данные	**0**	0	0	0	0	0	0	0	0		
Поправка на направленность источника Dc, дБ	Dc	DΩ + Di	**3**	3	3	3	3	3	3	3	3		
Затухание из-за геометрической дивергенции, Adiv, дБ	расстояние = 735.61 м	ф-ла (7) [10]	**68,3**										
Коэффициент затухания звука в атмосфере α, дБ/км	Ta=20,°C Pa=101.33,кПа hотн.=70%	ф-ла (5) [9]	0,02	0,09	0,33	1,12	2,79	4,98	9,04	23,09	77,63		
Учет затухания звука в атмосфере Aatm, дБ		ф-ла (8) [10]	0	0,1	0,2	0,8	2,1	3,7	6,6	17	57,1		
Снижение уровня звукового давления из-за влияния застройки между источником шума и расчетной точкой													

1		2	3	4	5	6	7	8	9	10	11	12	13
Снижение уровня звукового давления препятствием слева от трассы ИШ-РТ, Dz2, дБ	z = -0.25м (разность путей)	ф-лы (14-18) [10]	3,2	0,5	NAN	NAN	NAN	NAN	NAN	NAN	NAN		
* отрицательное значение z означает прохождение траектории вблизи экрана, в этом случае дополнительно производится учёт снижения подстилающей поверхностью (см.ниже)													
Снижение поверхностью земли возле источника As, дБ	Gs = 0 hs = 1м	ф-лы таб.3 [10]	-1,5	-1,5	-1,5	-1,5	-1,5	-1,5	-1,5	-1,5	-1,5		
Снижение поверхностью земли возле приёмника Ar, дБ	Gr = 1 hr = 1.5м	ф-лы таб.3 [10]	-1,5	-1,5	4,3	7	5	0,7	0	0	0		
Снижение поверхностью земли в средней зоне, Am дБ	Gm = 1	ф-лы таб.3 [10]	-2,7	-2,7	0	0	0	0	0	0	0		
Суммарное снижение поверхностью земли на траектории распространения звука Agr, дБ		ф-ла (9) [10]	-5,7	-5,7	2,8	5,5	3,5	-0,8	-1,5	-1,5	-1,5		
Уровни звукового давления от источника ИШ-1-15 в расчётной точке днём, дБ		**ф-ла(3)[10]**	**0**	**33**	**26,3**	**24,3**	**25,4**	**27,7**	**22,1**	**7,6**	**0**	**30,1**	**30,1**
Уровни звукового давления от источника ИШ-1-15 в расчётной точке ночью, дБ		**ф-ла(3)[10]**	**0**	**33**	**26,3**	**24,3**	**25,4**	**27,7**	**22,1**	**7,6**	**0**	**30,1**	**30,1**
Источник шума: ИШ-1-16, координаты источника (x,y,z), м =[447.96,94.28,1.00]													
Уровни звуковой мощности источника днём, Lw, дБ		**исходные данные**	**0**	**93,3**	**94,7**	**96**	**96,3**	**95,9**	**92,6**	**88,4**	**83,9**		
Уровни звуковой мощности источника ночью, Lw, дБ		**исходные данные**	**0**	**93,3**	**94,7**	**96**	**96,3**	**95,9**	**92,6**	**88,4**	**83,9**		
Поправка на телесный угол DΩ, дБ	Ω = 6.28	10Lg(4π/Ω)	**3**	3	3	3	3	3	3	3	3		
Показатель направленности источника Di, дБ		исходные данные	**0**	0	0	0	0	0	0	0	0		
Поправка на направленность источника Dc, дБ	Dc	DΩ + Di	**3**	3	3	3	3	3	3	3	3		
Затухание из-за геометрической дивергенции, Adiv, дБ	расстояние = 733.62 м	ф-ла (7) [10]	**68,3**										
Коэффициент затухания звука в атмосфере α, дБ/км	Ta=20,°C Pa=101.33,кПа hотн.=70%	ф-ла (5) [9]	0,02	0,09	0,33	1,12	2,79	4,98	9,04	23,09	77,63		
Учет затухания звука в атмосфере Aatm, дБ		ф-ла (8) [10]	0	0,1	0,2	0,8	2	3,7	6,6	16,9	57		

1		2	3	4	5	6	7	8	9	10	11	12	13
Снижение уровня звукового давления из-за влияния застройки между источником шума и расчетной точкой													
Снижение уровня звукового давления препятствием слева от трассы ИШ-РТ, Dz2, дБ	z = -0.07м (разность путей)	ф-лы (14-18) [10]	4,4	4	3	0	NAN	NAN	NAN	NAN	NAN		
* отрицательное значение z означает прохождение траектории вблизи экрана, в этом случае дополнительно производится учёт снижения подстилающей поверхностью (см.ниже)													
Снижение поверхностью земли возле источника As, дБ	Gs = 0 hs = 1м	ф-лы таб.3 [10]	-1,5	-1,5	-1,5	-1,5	-1,5	-1,5	-1,5	-1,5	-1,5		
Снижение поверхностью земли возле приёмника Ar, дБ	Gr = 1 hr = 1.5м	ф-лы таб.3 [10]	-1,5	-1,5	4,3	7	5	0,7	0	0	0		
Снижение поверхностью земли в средней зоне, Am дБ	Gm = 1	ф-лы таб.3 [10]	-2,7	-2,7	0	0	0	0	0	0	0		
Суммарное снижение поверхностью земли на траектории распространения звука Agr, дБ		ф-ла (9) [10]	-5,7	-5,7	2,8	5,5	3,5	-0,8	-1,5	-1,5	-1,5		
Уровни звукового давления от источника ИШ-1-16 в расчётной точке днём, дБ		**ф-ла(3)[10]**	**0**	**29,6**	**23,3**	**24,3**	**25,5**	**27,8**	**22,2**	**7,6**	**0**	**30,2**	**30,2**
Уровни звукового давления от источника ИШ-1-16 в расчётной точке ночью, дБ		**ф-ла(3)[10]**	**0**	**29,6**	**23,3**	**24,3**	**25,5**	**27,8**	**22,2**	**7,6**	**0**	**30,2**	**30,2**
Источник шума: ИШ-1-17, координаты источника (x,y,z), м =[540.99,141.77,1.00]													
Уровни звуковой мощности источника днём, Lw, дБ		**исходные данные**	**0**	**93,3**	**94,7**	**96**	**96,3**	**95,9**	**92,6**	**88,4**	**83,9**		
Уровни звуковой мощности источника ночью, Lw, дБ		**исходные данные**	**0**	**93,3**	**94,7**	**96**	**96,3**	**95,9**	**92,6**	**88,4**	**83,9**		
Поправка на телесный угол DΩ, дБ	Ω = 6.28	10Lg(4π/Ω)	**3**	3	3	3	3	3	3	3	3		
Показатель направленности источника Di, дБ		исходные данные	**0**	0	0	0	0	0	0	0	0		
Поправка на направленность источника Dc, дБ	Dc	DΩ + Di	**3**	3	3	3	3	3	3	3	3		
Затухание из-за геометрической дивергенции, Adiv, дБ	расстояние = 750.64 м	ф-ла (7) [10]	**68,5**										
Коэффициент затухания звука в атмосфере α, дБ/км	Ta=20,°C Pa=101.33,кПа hотн.=70%	ф-ла (5) [9]	0,02	0,09	0,33	1,12	2,79	4,98	9,04	23,09	77,63		

1		2	3	4	5	6	7	8	9	10	11	12	13
Учет затухания звука в атмосфере Aatm, дБ		ф-ла (8) [10]	0	0,1	0,3	0,8	2,1	3,7	6,8	17,3	58,3		
Снижение уровня звукового давления из-за влияния застройки между источником шума и расчетной точкой													
Снижение уровня звукового давления на пути над экраном, Dz1, дБ	z = 0.18м (разность путей)	ф-лы (14-18) [10]	4,8	4,8	4,8	4,8	4,8	4,8	4,9	5,1	5,4		
Снижение уровня звукового давления на пути слева от экрана, Dz2, дБ	z = 0.37м (разность путей)	ф-лы (14-18) [10]	6,4	7,6	9,3	11,5	14	16,7	19,6	22,5	25,5		
Снижение уровня звукового давления на пути справа от экрана, Dz3, дБ	z = 1.89м (разность путей)	ф-лы (14-18) [10]	10	12,3	14,9	17,7	20,6	23,5	26,5	29,5	32,5		
Общее снижение уровня звука препятствием Dz, дБ		Эн.сумма(-Dzi)	1,8	2,5	3,2	3,8	4,2	4,5	4,8	5	5,3		
Уровни звукового давления прямого звука от источника ИШ-1-17 в расчётной точке днём, дБ		**ф-ла(3)[10]**	**0**	**25,2**	**25,8**	**25,9**	**24,5**	**22,1**	**15,5**	**0,6**	**0**	**26,1**	**26,1**
Уровни звукового давления прямого звука от источника ИШ-1-17 в расчётной точке ночью, дБ		**ф-ла(3)[10]**	**0**	**25,2**	**25,8**	**25,9**	**24,5**	**22,1**	**15,5**	**0,6**	**0**	**26,1**	**26,1**
Расчёт отражённого звука													
Уровни звукового давления от мнимого источника ИШ-1-17_мн.(1) в расчётной точке днём, дБ		**ф-ла(3)[10]**	**0**	**0**	**0**	**0**	**0**	**0**	**0**	**0**	**0**	**0**	**0**
Уровни звукового давления от мнимого источника ИШ-1-17_мн.(1) в расчётной точке ночью, дБ		**ф-ла(3)[10]**	**0**	**0**	**0**	**0**	**0**	**0**	**0**	**0**	**0**	**0**	**0**
Уровни звукового давления от источника ИШ-1-17 в расчётной точке днём, дБ		**ф-ла(3)[10]**	**0**	**25,2**	**25,8**	**25,9**	**24,5**	**22,1**	**15,5**	**0,6**	**0**	**26,1**	**26,1**
Уровни звукового давления от источника ИШ-1-17 в расчётной точке ночью, дБ		**ф-ла(3)[10]**	**0**	**25,2**	**25,8**	**25,9**	**24,5**	**22,1**	**15,5**	**0,6**	**0**	**26,1**	**26,1**
Источник шума: ИШ-1-18, координаты источника (x,y,z), м =[543.53,140.79,1.00]													
Уровни звуковой мощности источника днём, Lw, дБ		**исходные данные**	**0**	**93,3**	**94,7**	**96**	**96,3**	**95,9**	**92,6**	**88,4**	**83,9**		
Уровни звуковой мощности источника ночью, Lw, дБ		**исходные данные**	**0**	**93,3**	**94,7**	**96**	**96,3**	**95,9**	**92,6**	**88,4**	**83,9**		
Поправка на телесный угол DΩ, дБ	Ω = 6.28	10Lg(4π/Ω)	**3**	3	3	3	3	3	3	3	3		

1		2	3	4	5	6	7	8	9	10	11	12	13
Показатель направленности источника Di, дБ		исходные данные	**0**	0	0	0	0	0	0	0	0		
Поправка на направленность источника Dc, дБ	Dc	DΩ + Di	**3**	3	3	3	3	3	3	3	3		
Затухание из-за геометрической дивергенции, Adiv, дБ	расстояние = 749.09 м	ф-ла (7) [10]	**68,5**										
Коэффициент затухания звука в атмосфере α, дБ/км	Ta=20,°C Pa=101.33,кПа hотн.=70%	ф-ла (5) [9]	0,02	0,09	0,33	1,12	2,79	4,98	9,04	23,09	77,63		
Учет затухания звука в атмосфере Aatm, дБ		ф-ла (8) [10]	0	0,1	0,3	0,8	2,1	3,7	6,8	17,3	58,2		
Снижение уровня звукового давления из-за влияния застройки между источником шума и расчетной точкой													
Снижение уровня звукового давления на пути над экраном, Dz1, дБ	z = 0.18м (разность путей)	ф-лы (14-18) [10]	4,8	4,8	4,8	4,8	4,8	4,8	4,9	5,1	5,4		
Снижение уровня звукового давления на пути слева от экрана, Dz2, дБ	z = 0.26м (разность путей)	ф-лы (14-18) [10]	6	6,9	8,3	10,3	12,6	15,2	18,1	21	23,9		
Снижение уровня звукового давления на пути справа от экрана, Dz3, дБ	z = 2.17м (разность путей)	ф-лы (14-18) [10]	10,4	12,8	15,4	18,2	21,2	24,1	27,1	30,1	33,1		
Общее снижение уровня звука препятствием Dz, дБ		Эн.сумма(-Dzi)	1,7	2,3	2,9	3,6	4,1	4,4	4,7	5	5,3		
Уровни звукового давления прямого звука от источника ИШ-1-18 в расчётной точке днём, дБ		**ф-ла(3)[10]**	**0**	**25,4**	**26**	**26,1**	**24,7**	**22,2**	**15,6**	**0,7**	**0**	**26,3**	**26,3**
Уровни звукового давления прямого звука от источника ИШ-1-18 в расчётной точке ночью, дБ		**ф-ла(3)[10]**	**0**	**25,4**	**26**	**26,1**	**24,7**	**22,2**	**15,6**	**0,7**	**0**	**26,3**	**26,3**
Расчёт отражённого звука													
Уровни звукового давления от мнимого источника ИШ-1-18_мн.(1) в расчётной точке днём, дБ		**ф-ла(3)[10]**	**0**	**0**	**0**	**0**	**0**	**0**	**0**	**0**	**0**	**0**	**0**
Уровни звукового давления от мнимого источника ИШ-1-18_мн.(1) в расчётной точке ночью, дБ		**ф-ла(3)[10]**	**0**	**0**	**0**	**0**	**0**	**0**	**0**	**0**	**0**	**0**	**0**
Уровни звукового давления от источника ИШ-1-18 в расчётной точке днём, дБ		**ф-ла(3)[10]**	**0**	**25,4**	**26**	**26,1**	**24,7**	**22,2**	**15,6**	**0,7**	**0**	**26,3**	**26,3**
Уровни звукового давления от источника ИШ-1-18 в расчётной точке ночью, дБ		**ф-ла(3)[10]**	**0**	**25,4**	**26**	**26,1**	**24,7**	**22,2**	**15,6**	**0,7**	**0**	**26,3**	**26,3**

1		2	3	4	5	6	7	8	9	10	11	12	13
Источник шума: ИШ-1-19, координаты источника (x,y,z), м =[547.25,139.62,1.00]													
Уровни звуковой мощности источника днём, Lw, дБ		**исходные данные**	**0**	**93,3**	**94,7**	**96**	**96,3**	**95,9**	**92,6**	**88,4**	**83,9**		
Уровни звуковой мощности источника ночью, Lw, дБ		**исходные данные**	**0**	**93,3**	**94,7**	**96**	**96,3**	**95,9**	**92,6**	**88,4**	**83,9**		
Поправка на телесный угол DΩ, дБ	Ω = 6.28	10Lg(4π/Ω)	**3**	3	3	3	3	3	3	3	3		
Показатель направленности источника Di, дБ		исходные данные	**0**	0	0	0	0	0	0	0	0		
Поправка на направленность источника Dc, дБ	Dc	DΩ + Di	**3**	3	3	3	3	3	3	3	3		
Затухание из-за геометрической дивергенции, Adiv, дБ	расстояние = 747.08 м	ф-ла (7) [10]	**68,5**										
Коэффициент затухания звука в атмосфере α, дБ/км	Ta=20,°C Pa=101.33,кПа hотн.=70%	ф-ла (5) [9]	0,02	0,09	0,33	1,12	2,79	4,98	9,04	23,09	77,63		
Учет затухания звука в атмосфере Aatm, дБ		ф-ла (8) [10]	0	0,1	0,3	0,8	2,1	3,7	6,8	17,2	58		
Снижение уровня звукового давления из-за влияния застройки между источником шума и расчетной точкой													
Снижение уровня звукового давления на пути над экраном, Dz1, дБ	z = 0.18м (разность путей)	ф-лы (14-18) [10]	4,8	4,8	4,8	4,8	4,8	4,8	4,9	5,1	5,4		
Снижение уровня звукового давления на пути слева от экрана, Dz2, дБ	z = 0.13м (разность путей)	ф-лы (14-18) [10]	5,4	5,9	6,9	8,3	10,2	12,5	15,1	17,9	20,8		
Снижение уровня звукового давления на пути справа от экрана, Dz3, дБ	z = 2.61м (разность путей)	ф-лы (14-18) [10]	11	13,5	16,2	19	22	24,9	27,9	30,9	33,9		
Общее снижение уровня звука препятствием Dz, дБ		Эн.сумма(-Dzi)	1,5	2	2,5	3,1	3,6	4,1	4,5	4,8	5,2		
Уровни звукового давления прямого звука от источника ИШ-1-19 в расчётной точке днём, дБ		**ф-ла(3)[10]**	**0**	**25,8**	**26,5**	**26,6**	**25,1**	**22,6**	**15,9**	**0,8**	**0**	**26,7**	**26,7**
Уровни звукового давления прямого звука от источника ИШ-1-19 в расчётной точке ночью, дБ		**ф-ла(3)[10]**	**0**	**25,8**	**26,5**	**26,6**	**25,1**	**22,6**	**15,9**	**0,8**	**0**	**26,7**	**26,7**

1		2	3	4	5	6	7	8	9	10	11	12	13
Расчёт отражённого звука													
Уровни звукового давления от мнимого источника ИШ-1-19_мн.(1) в расчётной точке днём, дБ		**ф-ла(3)[10]**	**0**	**0**	**0**	**0**	**0**	**0**	**0**	**0**	**0**	**0**	**0**
Уровни звукового давления от мнимого источника ИШ-1-19_мн.(1) в расчётной точке ночью, дБ		**ф-ла(3)[10]**	**0**	**0**	**0**	**0**	**0**	**0**	**0**	**0**	**0**	**0**	**0**
Уровни звукового давления от источника ИШ-1-19 в расчётной точке днём, дБ		**ф-ла(3)[10]**	**0**	**25,8**	**26,5**	**26,6**	**25,1**	**22,6**	**15,9**	**0,8**	**0**	**26,7**	**26,7**
Уровни звукового давления от источника ИШ-1-19 в расчётной точке ночью, дБ		**ф-ла(3)[10]**	**0**	**25,8**	**26,5**	**26,6**	**25,1**	**22,6**	**15,9**	**0,8**	**0**	**26,7**	**26,7**
Источник шума: ИШ-1-20, координаты источника (x,y,z), м =[550.38,138.64,1.00]													
Уровни звуковой мощности источника днём, Lw, дБ		**исходные данные**	**0**	**93,3**	**94,7**	**96**	**96,3**	**95,9**	**92,6**	**88,4**	**83,9**		
Уровни звуковой мощности источника ночью, Lw, дБ		**исходные данные**	**0**	**93,3**	**94,7**	**96**	**96,3**	**95,9**	**92,6**	**88,4**	**83,9**		
Поправка на телесный угол DΩ, дБ	Ω = 6.28	10Lg(4π/Ω)	**3**	3	3	3	3	3	3	3	3		
Показатель направленности источника Di, дБ		исходные данные	**0**	0	0	0	0	0	0	0	0		
Поправка на направленность источника Dc, дБ	Dc	DΩ + Di	**3**	3	3	3	3	3	3	3	3		
Затухание из-за геометрической дивергенции, Adiv, дБ	расстояние = 745.42 м	ф-ла (7) [10]	**68,4**										
Коэффициент затухания звука в атмосфере α, дБ/км	Ta=20,°C Pa=101.33,кПа hотн.=70%	ф-ла (5) [9]	0,02	0,09	0,33	1,12	2,79	4,98	9,04	23,09	77,63		
Учет затухания звука в атмосфере Aatm, дБ		ф-ла (8) [10]	0	0,1	0,2	0,8	2,1	3,7	6,7	17,2	57,9		
Снижение уровня звукового давления из-за влияния застройки между источником шума и расчетной точкой													
Снижение уровня звукового давления на пути над экраном, Dz1, дБ	z = 0.18м (разность путей)	ф-лы (14-18) [10]	4,8	4,8	4,8	4,8	4,8	4,8	4,9	5,1	5,4		

1		2	3	4	5	6	7	8	9	10	11	12	13
Снижение уровня звукового давления на пути слева от экрана, Dz2, дБ	z = 0.05м (разность путей)	ф-лы (14-18) [10]	5	5,3	5,7	6,5	7,7	9,5	11,7	14,2	17		
Снижение уровня звукового давления на пути справа от экрана, Dz3, дБ	z = 3.02м (разность путей)	ф-лы (14-18) [10]	11,5	14,1	16,8	19,6	22,6	25,5	28,5	31,5	34,5		
Общее снижение уровня звука препятствием Dz, дБ		Эн.сумма(-Dzi)	1,4	1,7	2,1	2,5	3	3,5	4,1	4,6	5,1		
Уровни звукового давления прямого звука от источника ИШ-1-20 в расчётной точке днём, дБ		**ф-ла(3)[10]**	**0**	**26**	**26,9**	**27,2**	**25,8**	**23,2**	**16,3**	**1,2**	**0**	**27,3**	**27,3**
Уровни звукового давления прямого звука от источника ИШ-1-20 в расчётной точке ночью, дБ		**ф-ла(3)[10]**	**0**	**26**	**26,9**	**27,2**	**25,8**	**23,2**	**16,3**	**1,2**	**0**	**27,3**	**27,3**
Расчёт отражённого звука													
Уровни звукового давления от мнимого источника ИШ-1-20_мн.(1) в расчётной точке днём, дБ		**ф-ла(3)[10]**	**0**	**0**	**0**	**0**	**0**	**0**	**0**	**0**	**0**	**0**	**0**
Уровни звукового давления от мнимого источника ИШ-1-20_мн.(1) в расчётной точке ночью, дБ		**ф-ла(3)[10]**	**0**	**0**	**0**	**0**	**0**	**0**	**0**	**0**	**0**	**0**	**0**
Уровни звукового давления от источника ИШ-1-20 в расчётной точке днём, дБ		**ф-ла(3)[10]**	**0**	**26**	**26,9**	**27,2**	**25,8**	**23,2**	**16,3**	**1,2**	**0**	**27,3**	**27,3**
Уровни звукового давления от источника ИШ-1-20 в расчётной точке ночью, дБ		**ф-ла(3)[10]**	**0**	**26**	**26,9**	**27,2**	**25,8**	**23,2**	**16,3**	**1,2**	**0**	**27,3**	**27,3**
Источник шума: ИШ-1-21, координаты источника (x,y,z), м =[553.31,137.67,1.00]													
Уровни звуковой мощности источника днём, Lw, дБ		**исходные данные**	**0**	**93,3**	**94,7**	**96**	**96,3**	**95,9**	**92,6**	**88,4**	**83,9**		
Уровни звуковой мощности источника ночью, Lw, дБ		**исходные данные**	**0**	**93,3**	**94,7**	**96**	**96,3**	**95,9**	**92,6**	**88,4**	**83,9**		
Поправка на телесный угол DΩ, дБ	Ω = 6.28	10Lg(4π/Ω)	**3**	3	3	3	3	3	3	3	3		
Показатель направленности источника Di, дБ		исходные данные	**0**	0	0	0	0	0	0	0	0		
Поправка на направленность источника Dc, дБ	Dc	DΩ + Di	**3**	3	3	3	3	3	3	3	3		
Затухание из-за геометрической дивергенции, Adiv, дБ	расстояние = 743.81 м	ф-ла (7) [10]	**68,4**										

1		2	3	4	5	6	7	8	9	10	11	12	13
Коэффициент затухания звука в атмосфере α, дБ/км	Ta=20,°C Pa=101.33,кПа hотн.=70%	ф-ла (5) [9]	0,02	0,09	0,33	1,12	2,79	4,98	9,04	23,09	77,63		
Учет затухания звука в атмосфере Aatm, дБ		ф-ла (8) [10]	0	0,1	0,2	0,8	2,1	3,7	6,7	17,2	57,7		
Снижение уровня звукового давления из-за влияния застройки между источником шума и расчетной точкой													
Снижение уровня звукового давления на пути над экраном, Dz1, дБ	z = 0.18м (разность путей)	ф-лы (14-18) [10]	4,8	4,8	4,8	4,8	4,8	4,8	4,9	5,1	5,4		
Снижение уровня звукового давления на пути слева от экрана, Dz2, дБ	z = 0.01м (разность путей)	ф-лы (14-18) [10]	4,8	4,9	5	5,2	5,5	6,2	7,2	8,8	10,9		
Снижение уровня звукового давления на пути справа от экрана, Dz3, дБ	z = 3.44м (разность путей)	ф-лы (14-18) [10]	12	14,5	17,3	20,2	23,1	26,1	29,1	32,1	35,1		
Общее снижение уровня звука препятствием Dz, дБ		Эн.сумма(-Dzi)	1,4	1,6	1,7	1,9	2,1	2,4	2,9	3,5	4,3		
Уровни звукового давления прямого звука от источника ИШ-1-21 в расчётной точке днём, дБ		**ф-ла(3)[10]**	**0**	**26,2**	**27,3**	**27,8**	**26,7**	**24,3**	**17,5**	**2,3**	**0**	**28,3**	**28,3**
Уровни звукового давления прямого звука от источника ИШ-1-21 в расчётной точке ночью, дБ		**ф-ла(3)[10]**	**0**	**26,2**	**27,3**	**27,8**	**26,7**	**24,3**	**17,5**	**2,3**	**0**	**28,3**	**28,3**
Расчёт отражённого звука													
Уровни звукового давления от мнимого источника ИШ-1-21_мн.(1) в расчётной точке днём, дБ		**ф-ла(3)[10]**	**0**	**0**	**0**	**0**	**0**	**0**	**0**	**0**	**0**	**0**	**0**
Уровни звукового давления от мнимого источника ИШ-1-21_мн.(1) в расчётной точке ночью, дБ		**ф-ла(3)[10]**	**0**	**0**	**0**	**0**	**0**	**0**	**0**	**0**	**0**	**0**	**0**
Уровни звукового давления от источника ИШ-1-21 в расчётной точке днём, дБ		**ф-ла(3)[10]**	**0**	**26,2**	**27,3**	**27,8**	**26,7**	**24,3**	**17,5**	**2,3**	**0**	**28,3**	**28,3**
Уровни звукового давления от источника ИШ-1-21 в расчётной точке ночью, дБ		**ф-ла(3)[10]**	**0**	**26,2**	**27,3**	**27,8**	**26,7**	**24,3**	**17,5**	**2,3**	**0**	**28,3**	**28,3**
Источник шума: ИШ-1-22, координаты источника (x,y,z), м =[522.03,85.28,1.00]													
Уровни звуковой мощности источника днём, Lw, дБ		**исходные данные**	**0**	**93,3**	**94,7**	**96**	**96,3**	**95,9**	**92,6**	**88,4**	**83,9**		

1		2	3	4	5	6	7	8	9	10	11	12	13
Уровни звуковой мощности источника ночью, Lw, дБ		**исходные данные**	**0**	**93,3**	**94,7**	**96**	**96,3**	**95,9**	**92,6**	**88,4**	**83,9**		
Поправка на телесный угол DΩ, дБ	Ω = 6.28	10Lg(4π/Ω)	**3**	3	3	3	3	3	3	3	3		
Показатель направленности источника Di, дБ		исходные данные	**0**	0	0	0	0	0	0	0	0		
Поправка на направленность источника Dc, дБ	Dc	DΩ + Di	**3**	3	3	3	3	3	3	3	3		
Затухание из-за геометрической дивергенции, Adiv, дБ	расстояние = 700.97 м	ф-ла (7) [10]	**67,9**										
Коэффициент затухания звука в атмосфере α, дБ/км	Ta=20,°C Pa=101.33,кПа hотн.=70%	ф-ла (5) [9]	0,02	0,09	0,33	1,12	2,79	4,98	9,04	23,09	77,63		
Учет затухания звука в атмосфере Aatm, дБ		ф-ла (8) [10]	0	0,1	0,2	0,8	2	3,5	6,3	16,2	54,4		
Снижение уровня звукового давления из-за влияния застройки между источником шума и расчетной точкой													
Снижение уровня звукового давления на пути над экраном, Dz1, дБ	z = 0.20м (разность путей)	ф-лы (14-18) [10]	4,8	4,8	4,8	4,9	5	5,3	5,8	6,6	7,9		
Снижение уровня звукового давления на пути слева от экрана, Dz2, дБ	z = 6.06м (разность путей)	ф-лы (14-18) [10]	14,1	16,8	19,6	22,6	25,6	28,5	31,6	34,6	37,6		
Снижение уровня звукового давления на пути справа от экрана, Dz3, дБ	z = 3.06м (разность путей)	ф-лы (14-18) [10]	14,7	18,2	21,3	24,3	27,3	30,4	33,4	36,4	39,4		
Общее снижение уровня звука препятствием Dz, дБ		Эн.сумма(-Dzi)	3,9	4,3	4,6	4,8	5	5,3	5,8	6,6	7,9		
Уровни звукового давления прямого звука от источника ИШ-1-22 в расчётной точке днём, дБ		**ф-ла(3)[10]**	**0**	**24**	**25**	**25,5**	**24,5**	**22,2**	**15,6**	**0,7**	**0**	**26,1**	**26,1**
Уровни звукового давления прямого звука от источника ИШ-1-22 в расчётной точке ночью, дБ		**ф-ла(3)[10]**	**0**	**24**	**25**	**25,5**	**24,5**	**22,2**	**15,6**	**0,7**	**0**	**26,1**	**26,1**
Расчёт отражённого звука													
Уровни звукового давления от мнимого источника ИШ-1-22_мн.(1) в расчётной точке днём, дБ		**ф-ла(3)[10]**	**0**	**0**	**0**	**0**	**0**	**0**	**0**	**0**	**0**	**0**	**0**
Уровни звукового давления от мнимого источника ИШ-1-22_мн.(1) в расчётной точке ночью, дБ		**ф-ла(3)[10]**	**0**	**0**	**0**	**0**	**0**	**0**	**0**	**0**	**0**	**0**	**0**

1		2	3	4	5	6	7	8	9	10	11	12	13
Уровни звукового давления от источника ИШ-1-22 в расчётной точке днём, дБ		**ф-ла(3)[10]**	**0**	**24**	**25**	**25,5**	**24,5**	**22,2**	**15,6**	**0,7**	**0**	**26,1**	**26,1**
Уровни звукового давления от источника ИШ-1-22 в расчётной точке ночью, дБ		**ф-ла(3)[10]**	**0**	**24**	**25**	**25,5**	**24,5**	**22,2**	**15,6**	**0,7**	**0**	**26,1**	**26,1**
Источник шума: ИШ-1-23, координаты источника (x,y,z), м =[525.16,84.11,1.00]													
Уровни звуковой мощности источника днём, Lw, дБ		**исходные данные**	**0**	**93,3**	**94,7**	**96**	**96,3**	**95,9**	**92,6**	**88,4**	**83,9**		
Уровни звуковой мощности источника ночью, Lw, дБ		**исходные данные**	**0**	**93,3**	**94,7**	**96**	**96,3**	**95,9**	**92,6**	**88,4**	**83,9**		
Поправка на телесный угол DΩ, дБ	Ω = 6.28	10Lg(4π/Ω)	**3**	3	3	3	3	3	3	3	3		
Показатель направленности источника Di, дБ		исходные данные	**0**	0	0	0	0	0	0	0	0		
Поправка на направленность источника Dc, дБ	Dc	DΩ + Di	**3**	3	3	3	3	3	3	3	3		
Затухание из-за геометрической дивергенции, Adiv, дБ	расстояние = 698.98 м	ф-ла (7) [10]	**67,9**										
Коэффициент затухания звука в атмосфере α, дБ/км	Ta=20,°C Pa=101.33,кПа hотн.=70%	ф-ла (5) [9]	0,02	0,09	0,33	1,12	2,79	4,98	9,04	23,09	77,63		
Учет затухания звука в атмосфере Aatm, дБ		ф-ла (8) [10]	0	0,1	0,2	0,8	2	3,5	6,3	16,1	54,3		
Снижение уровня звукового давления из-за влияния застройки между источником шума и расчетной точкой													
Снижение уровня звукового давления на пути над экраном, Dz1, дБ	z = 0.22м (разность путей)	ф-лы (14-18) [10]	4,8	4,8	4,9	5	5,2	5,7	6,4	7,6	9,3		
Снижение уровня звукового давления на пути слева от экрана, Dz2, дБ	z = 5.43м (разность путей)	ф-лы (14-18) [10]	13,6	16,4	19,2	22,1	25,1	28,1	31,1	34,1	37,1		
Снижение уровня звукового давления на пути справа от экрана, Dz3, дБ	z = 3.62м (разность путей)	ф-лы (14-18) [10]	15,4	18,9	22	25,1	28,1	31,1	34,1	37,1	40,1		
Общее снижение уровня звука препятствием Dz, дБ		Эн.сумма(-Dzi)	3,9	4,4	4,6	4,9	5,2	5,6	6,4	7,6	9,3		

1		2	3	4	5	6	7	8	9	10	11	12	13
Уровни звукового давления прямого звука от источника ИШ-1-23 в расчётной точке днём, дБ		**ф-ла(3)[10]**	**0**	**24**	**24,9**	**25,4**	**24,3**	**21,9**	**15**	**0**	**0**	**25,8**	**25,8**
Уровни звукового давления прямого звука от источника ИШ-1-23 в расчётной точке ночью, дБ		**ф-ла(3)[10]**	**0**	**24**	**24,9**	**25,4**	**24,3**	**21,9**	**15**	**0**	**0**	**25,8**	**25,8**
Расчёт отражённого звука													
Уровни звукового давления от мнимого источника ИШ-1-23_мн.(1) в расчётной точке днём, дБ		**ф-ла(3)[10]**	**0**	**0**	**0**	**0**	**0**	**0**	**0**	**0**	**0**	**0**	**0**
Уровни звукового давления от мнимого источника ИШ-1-23_мн.(1) в расчётной точке ночью, дБ		**ф-ла(3)[10]**	**0**	**0**	**0**	**0**	**0**	**0**	**0**	**0**	**0**	**0**	**0**
Уровни звукового давления от источника ИШ-1-23 в расчётной точке днём, дБ		**ф-ла(3)[10]**	**0**	**24**	**24,9**	**25,4**	**24,3**	**21,9**	**15**	**0**	**0**	**25,8**	**25,8**
Уровни звукового давления от источника ИШ-1-23 в расчётной точке ночью, дБ		**ф-ла(3)[10]**	**0**	**24**	**24,9**	**25,4**	**24,3**	**21,9**	**15**	**0**	**0**	**25,8**	**25,8**
Источник шума: ИШ-1-24, координаты источника (x,y,z), м =[528.48,82.94,1.00]													
Уровни звуковой мощности источника днём, Lw, дБ		**исходные данные**	**0**	**93,3**	**94,7**	**96**	**96,3**	**95,9**	**92,6**	**88,4**	**83,9**		
Уровни звуковой мощности источника ночью, Lw, дБ		**исходные данные**	**0**	**93,3**	**94,7**	**96**	**96,3**	**95,9**	**92,6**	**88,4**	**83,9**		
Поправка на телесный угол DΩ, дБ	Ω = 6.28	10Lg(4π/Ω)	**3**	3	3	3	3	3	3	3	3		
Показатель направленности источника Di, дБ		исходные данные	**0**	0	0	0	0	0	0	0	0		
Поправка на направленность источника Dc, дБ	Dc	DΩ + Di	**3**	3	3	3	3	3	3	3	3		
Затухание из-за геометрической дивергенции, Adiv, дБ	расстояние = 696.93 м	ф-ла (7) [10]	**67,9**										
Коэффициент затухания звука в атмосфере α, дБ/км	Ta=20,°C Pa=101.33,кПа hотн.=70%	ф-ла (5) [9]	0,02	0,09	0,33	1,12	2,79	4,98	9,04	23,09	77,63		
Учет затухания звука в атмосфере Aatm, дБ		ф-ла (8) [10]	0	0,1	0,2	0,8	1,9	3,5	6,3	16,1	54,1		

1		2	3	4	5	6	7	8	9	10	11	12	13
Снижение уровня звукового давления из-за влияния застройки между источником шума и расчетной точкой													
Снижение уровня звукового давления на пути над экраном, Dz1, дБ	z = 0.22м (разность путей)	ф-лы (14-18) [10]	4,8	4,8	4,9	5	5,3	5,7	6,5	7,7	9,4		
Снижение уровня звукового давления на пути слева от экрана, Dz2, дБ	z = 4.77м (разность путей)	ф-лы (14-18) [10]	13,2	15,8	18,6	21,6	24,5	27,5	30,5	33,5	36,5		
Снижение уровня звукового давления на пути справа от экрана, Dz3, дБ	z = 4.28м (разность путей)	ф-лы (14-18) [10]	16	19,6	22,7	25,8	28,8	31,8	34,8	37,8	40,8		
Общее снижение уровня звука препятствием Dz, дБ		Эн.сумма(-Dzi)	3,9	4,4	4,6	4,9	5,2	5,7	6,5	7,7	9,4		
Уровни звукового давления прямого звука от источника ИШ-1-24 в расчётной точке днём, дБ		**ф-ла(3)[10]**	**0**	**24**	**25**	**25,5**	**24,3**	**21,9**	**15**	**0**	**0**	**25,8**	**25,8**
Уровни звукового давления прямого звука от источника ИШ-1-24 в расчётной точке ночью, дБ		**ф-ла(3)[10]**	**0**	**24**	**25**	**25,5**	**24,3**	**21,9**	**15**	**0**	**0**	**25,8**	**25,8**
Расчёт отражённого звука													
Уровни звукового давления от мнимого источника ИШ-1-24_мн.(1) в расчётной точке днём, дБ		**ф-ла(3)[10]**	**0**	**0**	**0**	**0**	**0**	**0**	**0**	**0**	**0**	**0**	**0**
Уровни звукового давления от мнимого источника ИШ-1-24_мн.(1) в расчётной точке ночью, дБ		**ф-ла(3)[10]**	**0**	**0**	**0**	**0**	**0**	**0**	**0**	**0**	**0**	**0**	**0**
Уровни звукового давления от источника ИШ-1-24 в расчётной точке днём, дБ		**ф-ла(3)[10]**	**0**	**24**	**25**	**25,5**	**24,3**	**21,9**	**15**	**0**	**0**	**25,8**	**25,8**
Уровни звукового давления от источника ИШ-1-24 в расчётной точке ночью, дБ		**ф-ла(3)[10]**	**0**	**24**	**25**	**25,5**	**24,3**	**21,9**	**15**	**0**	**0**	**25,8**	**25,8**
Источник шума: ИШ-1-25, координаты источника (x,y,z), м =[531.22,82.16,1.00]													
Уровни звуковой мощности источника днём, Lw, дБ		**исходные данные**	**0**	**93,3**	**94,7**	**96**	**96,3**	**95,9**	**92,6**	**88,4**	**83,9**		
Уровни звуковой мощности источника ночью, Lw, дБ		**исходные данные**	**0**	**93,3**	**94,7**	**96**	**96,3**	**95,9**	**92,6**	**88,4**	**83,9**		
Поправка на телесный угол DΩ, дБ	Ω = 6.28	10Lg(4π/Ω)	**3**	3	3	3	3	3	3	3	3		
Показатель направленности источника Di, дБ		исходные данные	**0**	0	0	0	0	0	0	0	0		

1		2	3	4	5	6	7	8	9	10	11	12	13
Поправка на направленность источника Dc, дБ	Dc	DΩ + Di	**3**	3	3	3	3	3	3	3	3		
Затухание из-за геометрической дивергенции, Adiv, дБ	расстояние = 695.44 м	ф-ла (7) [10]	**67,8**										
Коэффициент затухания звука в атмосфере α, дБ/км	Ta=20,°C Pa=101.33,кПа hотн.=70%	ф-ла (5) [9]	0,02	0,09	0,33	1,12	2,79	4,98	9,04	23,09	77,63		
Учет затухания звука в атмосфере Aatm, дБ		ф-ла (8) [10]	0	0,1	0,2	0,8	1,9	3,5	6,3	16,1	54		
Снижение уровня звукового давления из-за влияния застройки между источником шума и расчетной точкой													
Снижение уровня звукового давления на пути над экраном, Dz1, дБ	z = 0.22м (разность путей)	ф-лы (14-18) [10]	4,8	4,8	4,9	5	5,3	5,7	6,5	7,7	9,5		
Снижение уровня звукового давления на пути слева от экрана, Dz2, дБ	z = 4.24м (разность путей)	ф-лы (14-18) [10]	12,7	15,4	18,2	21,1	24	27	30	33	36		
Снижение уровня звукового давления на пути справа от экрана, Dz3, дБ	z = 4.88м (разность путей)	ф-лы (14-18) [10]	16,5	20,1	23,3	26,3	29,4	32,4	35,4	38,4	41,4		
Общее снижение уровня звука препятствием Dz, дБ		Эн.сумма(-Dzi)	3,9	4,3	4,6	4,9	5,2	5,7	6,5	7,7	9,5		
Уровни звукового давления от источника ИШ-1-25 в расчётной точке днём, дБ		**ф-ла(3)[10]**	**0**	**24**	**25**	**25,5**	**24,3**	**21,9**	**15**	**0**	**0**	**25,8**	**25,8**
Уровни звукового давления от источника ИШ-1-25 в расчётной точке ночью, дБ		**ф-ла(3)[10]**	**0**	**24**	**25**	**25,5**	**24,3**	**21,9**	**15**	**0**	**0**	**25,8**	**25,8**
Источник шума: ИШ-1-26, координаты источника (x,y,z), м =[534.15,80.79,1.00]													
Уровни звуковой мощности источника днём, Lw, дБ		**исходные данные**	**0**	**93,3**	**94,7**	**96**	**96,3**	**95,9**	**92,6**	**88,4**	**83,9**		
Уровни звуковой мощности источника ночью, Lw, дБ		**исходные данные**	**0**	**93,3**	**94,7**	**96**	**96,3**	**95,9**	**92,6**	**88,4**	**83,9**		
Поправка на телесный угол DΩ, дБ	Ω = 6.28	10Lg(4π/Ω)	**3**	3	3	3	3	3	3	3	3		
Показатель направленности источника Di, дБ		исходные данные	**0**	0	0	0	0	0	0	0	0		

1		2	3	4	5	6	7	8	9	10	11	12	13
Поправка на направленность источника Dc, дБ	Dc	DΩ + Di	**3**	3	3	3	3	3	3	3	3		
Затухание из-за геометрической дивергенции, Adiv, дБ	расстояние = 693.33 м	ф-ла (7) [10]	**67,8**										
Коэффициент затухания звука в атмосфере α, дБ/км	Ta=20,°C Pa=101.33,кПа hотн.=70%	ф-ла (5) [9]	0,02	0,09	0,33	1,12	2,79	4,98	9,04	23,09	77,63		
Учет затухания звука в атмосфере Aatm, дБ		ф-ла (8) [10]	0	0,1	0,2	0,8	1,9	3,5	6,3	16	53,8		
Снижение уровня звукового давления из-за влияния застройки между источником шума и расчетной точкой													
Снижение уровня звукового давления на пути над экраном, Dz1, дБ	z = 0.21м (разность путей)	ф-лы (14-18) [10]	4,8	4,8	4,8	4,9	5	5,2	5,5	6,2	7,3		
Снижение уровня звукового давления на пути слева от экрана, Dz2, дБ	z = 3.74м (разность путей)	ф-лы (14-18) [10]	12,3	14,9	17,6	20,5	23,5	26,5	29,5	32,5	35,5		
Снижение уровня звукового давления на пути справа от экрана, Dz3, дБ	z = 5.55м (разность путей)	ф-лы (14-18) [10]	17,1	20,7	23,9	26,9	29,9	32,9	35,9	38,9	41,9		
Общее снижение уровня звука препятствием Dz, дБ		Эн.сумма(-Dzi)	3,9	4,3	4,5	4,7	4,9	5,1	5,5	6,2	7,3		
Уровни звукового давления от источника ИШ-1-26 в расчётной точке днём, дБ		**ф-ла(3)[10]**	**0**	**24,1**	**25,1**	**25,7**	**24,6**	**22,5**	**16**	**1,4**	**0**	**26,3**	**26,3**
Уровни звукового давления от источника ИШ-1-26 в расчётной точке ночью, дБ		**ф-ла(3)[10]**	**0**	**24,1**	**25,1**	**25,7**	**24,6**	**22,5**	**16**	**1,4**	**0**	**26,3**	**26,3**
Источник шума: ИШ-1-27, координаты источника (x,y,z), м =[469.65,197.67,1.00]													
Уровни звуковой мощности источника днём, Lw, дБ		**исходные данные**	**0**	**93,3**	**94,7**	**96**	**96,3**	**95,9**	**92,6**	**88,4**	**83,9**		
Уровни звуковой мощности источника ночью, Lw, дБ		**исходные данные**	**0**	**93,3**	**94,7**	**96**	**96,3**	**95,9**	**92,6**	**88,4**	**83,9**		
Поправка на телесный угол DΩ, дБ	Ω = 6.28	10Lg(4π/Ω)	**3**	3	3	3	3	3	3	3	3		
Показатель направленности источника Di, дБ		исходные данные	**0**	0	0	0	0	0	0	0	0		

1		2	3	4	5	6	7	8	9	10	11	12	13
Поправка на направленность источника Dc, дБ	Dc	DΩ + Di	**3**	3	3	3	3	3	3	3	3		
Затухание из-за геометрической дивергенции, Adiv, дБ	расстояние = 823.76 м	ф-ла (7) [10]	**69,3**										
Коэффициент затухания звука в атмосфере α, дБ/км	Ta=20,°C Pa=101.33,кПа hотн.=70%	ф-ла (5) [9]	0,02	0,09	0,33	1,12	2,79	4,98	9,04	23,09	77,63		
Учет затухания звука в атмосфере Aatm, дБ		ф-ла (8) [10]	0	0,1	0,3	0,9	2,3	4,1	7,4	19	64		
Снижение уровня звукового давления из-за влияния застройки между источником шума и расчетной точкой													
Снижение уровня звукового давления на пути над экраном, Dz1, дБ	z = 0.63м (разность путей)	ф-лы (14-18) [10]	5	5,4	6,2	7,7	9,7	12	14,6	17,4	20,2		
Снижение уровня звукового давления на пути слева от экрана, Dz2, дБ	z = 24.16м (разность путей)	ф-лы (14-18) [10]	23,9	27,2	30,3	33,3	36,3	39,3	42,3	45,3	48,3		
Снижение уровня звукового давления на пути справа от экрана, Dz3, дБ	z = 9.56м (разность путей)	ф-лы (14-18) [10]	15,8	18,7	21,6	24,5	27,5	30,5	33,5	36,5	39,5		
Общее снижение уровня звука препятствием Dz, дБ		Эн.сумма(-Dzi)	4,6	5,1	6,1	7,6	9,6	11,9	14,5	17,3	20,2		
Уровни звукового давления прямого звука от источника ИШ-1-27 в расчётной точке днём, дБ		**ф-ла(3)[10]**	**0**	**21,8**	**22**	**21,1**	**18,1**	**13,6**	**4,3**	**0**	**0**	**19**	**19**
Уровни звукового давления прямого звука от источника ИШ-1-27 в расчётной точке ночью, дБ		**ф-ла(3)[10]**	**0**	**21,8**	**22**	**21,1**	**18,1**	**13,6**	**4,3**	**0**	**0**	**19**	**19**
Расчёт отражённого звука													
Уровни звукового давления от мнимого источника ИШ-1-27_мн.(1) в расчётной точке днём, дБ		**ф-ла(3)[10]**	**0**	**0**	**0**	**0**	**0**	**0**	**0**	**0**	**0**	**0**	**0**
Уровни звукового давления от мнимого источника ИШ-1-27_мн.(1) в расчётной точке ночью, дБ		**ф-ла(3)[10]**	**0**	**0**	**0**	**0**	**0**	**0**	**0**	**0**	**0**	**0**	**0**
Уровни звукового давления от источника ИШ-1-27 в расчётной точке днём, дБ		**ф-ла(3)[10]**	**0**	**21,8**	**22**	**21,1**	**18,1**	**13,6**	**4,3**	**0**	**0**	**19**	**19**
Уровни звукового давления от источника ИШ-1-27 в расчётной точке ночью, дБ		**ф-ла(3)[10]**	**0**	**21,8**	**22**	**21,1**	**18,1**	**13,6**	**4,3**	**0**	**0**	**19**	**19**

1		2	3	4	5	6	7	8	9	10	11	12	13
Источник шума: ИШ-1-28, координаты источника (x,y,z), м =[472.78,196.69,1.00]													
Уровни звуковой мощности источника днём, Lw, дБ		**исходные данные**	**0**	**93,3**	**94,7**	**96**	**96,3**	**95,9**	**92,6**	**88,4**	**83,9**		
Уровни звуковой мощности источника ночью, Lw, дБ		**исходные данные**	**0**	**93,3**	**94,7**	**96**	**96,3**	**95,9**	**92,6**	**88,4**	**83,9**		
Поправка на телесный угол DΩ, дБ	Ω = 6.28	10Lg(4π/Ω)	**3**	3	3	3	3	3	3	3	3		
Показатель направленности источника Di, дБ		исходные данные	**0**	0	0	0	0	0	0	0	0		
Поправка на направленность источника Dc, дБ	Dc	DΩ + Di	**3**	3	3	3	3	3	3	3	3		
Затухание из-за геометрической дивергенции, Adiv, дБ	расстояние = 821.89 м	ф-ла (7) [10]	**69,3**										
Коэффициент затухания звука в атмосфере α, дБ/км	Ta=20,°C Pa=101.33,кПа hотн.=70%	ф-ла (5) [9]	0,02	0,09	0,33	1,12	2,79	4,98	9,04	23,09	77,63		
Учет затухания звука в атмосфере Aatm, дБ		ф-ла (8) [10]	0	0,1	0,3	0,9	2,3	4,1	7,4	19	63,8		
Снижение уровня звукового давления из-за влияния застройки между источником шума и расчетной точкой													
Снижение уровня звукового давления на пути над экраном, Dz1, дБ	z = 0.68м (разность путей)	ф-лы (14-18) [10]	5,1	5,5	6,6	8,4	10,5	13	15,7	18,5	21,4		
Снижение уровня звукового давления на пути слева от экрана, Dz2, дБ	z = 22.77м (разность путей)	ф-лы (14-18) [10]	23,6	26,9	30	33	36	39,1	42,1	45,1	48,1		
Снижение уровня звукового давления на пути справа от экрана, Dz3, дБ	z = 10.59м (разность путей)	ф-лы (14-18) [10]	16,3	19,1	22	25	28	31	34	37	40		
Общее снижение уровня звука препятствием Dz, дБ		Эн.сумма(-Dzi)	4,7	5,3	6,5	8,3	10,4	12,9	15,6	18,4	21,3		
Уровни звукового давления прямого звука от источника ИШ-1-28 в расчётной точке днём, дБ		**ф-ла(3)[10]**	**0**	**21,6**	**21,6**	**20,5**	**17,3**	**12,6**	**3,3**	**0**	**0**	**18,2**	**18,2**
Уровни звукового давления прямого звука от источника ИШ-1-28 в расчётной точке ночью, дБ		**ф-ла(3)[10]**	**0**	**21,6**	**21,6**	**20,5**	**17,3**	**12,6**	**3,3**	**0**	**0**	**18,2**	**18,2**

1		2	3	4	5	6	7	8	9	10	11	12	13
Расчёт отражённого звука													
Уровни звукового давления от мнимого источника ИШ-1-28_мн.(1) в расчётной точке днём, дБ		**ф-ла(3)[10]**	**0**	**0**	**0**	**0**	**0**	**0**	**0**	**0**	**0**	**0**	**0**
Уровни звукового давления от мнимого источника ИШ-1-28_мн.(1) в расчётной точке ночью, дБ		**ф-ла(3)[10]**	**0**	**0**	**0**	**0**	**0**	**0**	**0**	**0**	**0**	**0**	**0**
Уровни звукового давления от источника ИШ-1-28 в расчётной точке днём, дБ		**ф-ла(3)[10]**	**0**	**21,6**	**21,6**	**20,5**	**17,3**	**12,6**	**3,3**	**0**	**0**	**18,2**	**18,2**
Уровни звукового давления от источника ИШ-1-28 в расчётной точке ночью, дБ		**ф-ла(3)[10]**	**0**	**21,6**	**21,6**	**20,5**	**17,3**	**12,6**	**3,3**	**0**	**0**	**18,2**	**18,2**
Источник шума: ИШ-1-29, координаты источника (x,y,z), м =[475.52,195.72,1.00]													
Уровни звуковой мощности источника днём, Lw, дБ		**исходные данные**	**0**	**93,3**	**94,7**	**96**	**96,3**	**95,9**	**92,6**	**88,4**	**83,9**		
Уровни звуковой мощности источника ночью, Lw, дБ		**исходные данные**	**0**	**93,3**	**94,7**	**96**	**96,3**	**95,9**	**92,6**	**88,4**	**83,9**		
Поправка на телесный угол DΩ, дБ	Ω = 6.28	10Lg(4π/Ω)	**3**	3	3	3	3	3	3	3	3		
Показатель направленности источника Di, дБ		исходные данные	**0**	0	0	0	0	0	0	0	0		
Поправка на направленность источника Dc, дБ	Dc	DΩ + Di	**3**	3	3	3	3	3	3	3	3		
Затухание из-за геометрической дивергенции, Adiv, дБ	расстояние = 820.14 м	ф-ла (7) [10]	**69,3**										
Коэффициент затухания звука в атмосфере α, дБ/км	Ta=20,°C Pa=101.33,кПа hотн.=70%	ф-ла (5) [9]	0,02	0,09	0,33	1,12	2,79	4,98	9,04	23,09	77,63		
Учет затухания звука в атмосфере Aatm, дБ		ф-ла (8) [10]	0	0,1	0,3	0,9	2,3	4,1	7,4	18,9	63,7		
Снижение уровня звукового давления из-за влияния застройки между источником шума и расчетной точкой													
Снижение уровня звукового давления на пути над экраном, Dz1, дБ	z = 0.73м (разность путей)	ф-лы (14-18) [10]	5,2	5,7	7	9	11,4	13,9	16,7	19,6	22,5		

1		2	3	4	5	6	7	8	9	10	11	12	13
Снижение уровня звукового давления на пути слева от экрана, Dz2, дБ	z = 21.61м (разность путей)	ф-лы (14-18) [10]	23,4	26,7	29,8	32,8	35,8	38,8	41,8	44,8	47,9		
Снижение уровня звукового давления на пути справа от экрана, Dz3, дБ	z = 11.54м (разность путей)	ф-лы (14-18) [10]	16,6	19,5	22,4	25,3	28,3	31,3	34,3	37,4	40,4		
Общее снижение уровня звука препятствием Dz, дБ		Эн.сумма(-Dzi)	4,8	5,5	6,9	8,9	11,3	13,8	16,6	19,5	22,4		
Уровни звукового давления прямого звука от источника ИШ-1-29 в расчётной точке днём, дБ		**ф-ла(3)[10]**	**0**	**21,4**	**21,2**	**19,9**	**16,5**	**11,7**	**2,3**	**0**	**0**	**17,4**	**17,4**
Уровни звукового давления прямого звука от источника ИШ-1-29 в расчётной точке ночью, дБ		**ф-ла(3)[10]**	**0**	**21,4**	**21,2**	**19,9**	**16,5**	**11,7**	**2,3**	**0**	**0**	**17,4**	**17,4**
Расчёт отражённого звука													
Уровни звукового давления от мнимого источника ИШ-1-29_мн.(1) в расчётной точке днём, дБ		**ф-ла(3)[10]**	**0**	**0**	**0**	**0**	**0**	**0**	**0**	**0**	**0**	**0**	**0**
Уровни звукового давления от мнимого источника ИШ-1-29_мн.(1) в расчётной точке ночью, дБ		**ф-ла(3)[10]**	**0**	**0**	**0**	**0**	**0**	**0**	**0**	**0**	**0**	**0**	**0**
Уровни звукового давления от источника ИШ-1-29 в расчётной точке днём, дБ		**ф-ла(3)[10]**	**0**	**21,4**	**21,2**	**19,9**	**16,5**	**11,7**	**2,3**	**0**	**0**	**17,4**	**17,4**
Уровни звукового давления от источника ИШ-1-29 в расчётной точке ночью, дБ		**ф-ла(3)[10]**	**0**	**21,4**	**21,2**	**19,9**	**16,5**	**11,7**	**2,3**	**0**	**0**	**17,4**	**17,4**
Источник шума: ИШ-1-30, координаты источника (x,y,z), м =[478.45,194.54,1.00]													
Уровни звуковой мощности источника днём, Lw, дБ		**исходные данные**	**0**	**93,3**	**94,7**	**96**	**96,3**	**95,9**	**92,6**	**88,4**	**83,9**		
Уровни звуковой мощности источника ночью, Lw, дБ		**исходные данные**	**0**	**93,3**	**94,7**	**96**	**96,3**	**95,9**	**92,6**	**88,4**	**83,9**		
Поправка на телесный угол DΩ, дБ	Ω = 6.28	10Lg(4π/Ω)	**3**	3	3	3	3	3	3	3	3		
Показатель направленности источника Di, дБ		исходные данные	**0**	0	0	0	0	0	0	0	0		
Поправка на направленность источника Dc, дБ	Dc	DΩ + Di	**3**	3	3	3	3	3	3	3	3		
Затухание из-за геометрической дивергенции, Adiv, дБ	расстояние = 818.15 м	ф-ла (7) [10]	**69,3**										

1		2	3	4	5	6	7	8	9	10	11	12	13
Коэффициент затухания звука в атмосфере α, дБ/км	Ta=20,°C Pa=101.33,кПа hотн.=70%	ф-ла (5) [9]	0,02	0,09	0,33	1,12	2,79	4,98	9,04	23,09	77,63		
Учет затухания звука в атмосфере Aatm, дБ		ф-ла (8) [10]	0	0,1	0,3	0,9	2,3	4,1	7,4	18,9	63,5		
Снижение уровня звукового давления из-за влияния застройки между источником шума и расчетной точкой													
Снижение уровня звукового давления на пути над экраном, Dz1, дБ	z = 0.80м (разность путей)	ф-лы (14-18) [10]	5,3	6	7,6	9,9	12,4	15	17,9	20,8	23,7		
Снижение уровня звукового давления на пути слева от экрана, Dz2, дБ	z = 20.44м (разность путей)	ф-лы (14-18) [10]	23,1	26,5	29,5	32,6	35,6	38,6	41,6	44,6	47,6		
Снижение уровня звукового давления на пути справа от экрана, Dz3, дБ	z = 12.60м (разность путей)	ф-лы (14-18) [10]	17	19,8	22,7	25,7	28,7	31,7	34,7	37,7	40,7		
Общее снижение уровня звука препятствием Dz, дБ		Эн.сумма(-Dzi)	4,9	5,8	7,4	9,7	12,2	14,9	17,8	20,7	23,6		
Уровни звукового давления прямого звука от источника ИШ-1-30 в расчётной точке днём, дБ		**ф-ла(3)[10]**	**0**	**21,2**	**20,7**	**19,1**	**15,5**	**10,6**	**1,2**	**0**	**0**	**16,5**	**16,5**
Уровни звукового давления прямого звука от источника ИШ-1-30 в расчётной точке ночью, дБ		**ф-ла(3)[10]**	**0**	**21,2**	**20,7**	**19,1**	**15,5**	**10,6**	**1,2**	**0**	**0**	**16,5**	**16,5**
Расчёт отражённого звука													
Уровни звукового давления от мнимого источника ИШ-1-30_мн.(1) в расчётной точке днём, дБ		**ф-ла(3)[10]**	**0**	**0**	**0**	**0**	**0**	**0**	**0**	**0**	**0**	**0**	**0**
Уровни звукового давления от мнимого источника ИШ-1-30_мн.(1) в расчётной точке ночью, дБ		**ф-ла(3)[10]**	**0**	**0**	**0**	**0**	**0**	**0**	**0**	**0**	**0**	**0**	**0**
Уровни звукового давления от источника ИШ-1-30 в расчётной точке днём, дБ		**ф-ла(3)[10]**	**0**	**21,2**	**20,7**	**19,1**	**15,5**	**10,6**	**1,2**	**0**	**0**	**16,5**	**16,5**
Уровни звукового давления от источника ИШ-1-30 в расчётной точке ночью, дБ		**ф-ла(3)[10]**	**0**	**21,2**	**20,7**	**19,1**	**15,5**	**10,6**	**1,2**	**0**	**0**	**16,5**	**16,5**
Источник шума: ИШ-1-31, координаты источника (x,y,z), м =[481.58,193.96,1.00]													
Уровни звуковой мощности источника днём, Lw, дБ		**исходные данные**	**0**	**93,3**	**94,7**	**96**	**96,3**	**95,9**	**92,6**	**88,4**	**83,9**		

1		2	3	4	5	6	7	8	9	10	11	12	13
Уровни звуковой мощности источника ночью, Lw, дБ		**исходные данные**	**0**	**93,3**	**94,7**	**96**	**96,3**	**95,9**	**92,6**	**88,4**	**83,9**		
Поправка на телесный угол DΩ, дБ	Ω = 6.28	10Lg(4π/Ω)	**3**	3	3	3	3	3	3	3	3		
Показатель направленности источника Di, дБ		исходные данные	**0**	0	0	0	0	0	0	0	0		
Поправка на направленность источника Dc, дБ	Dc	DΩ + Di	**3**	3	3	3	3	3	3	3	3		
Затухание из-за геометрической дивергенции, Adiv, дБ	расстояние = 816.68 м	ф-ла (7) [10]	**69,2**										
Коэффициент затухания звука в атмосфере α, дБ/км	Ta=20,°C Pa=101.33,кПа hотн.=70%	ф-ла (5) [9]	0,02	0,09	0,33	1,12	2,79	4,98	9,04	23,09	77,63		
Учет затухания звука в атмосфере Aatm, дБ		ф-ла (8) [10]	0	0,1	0,3	0,9	2,3	4,1	7,4	18,9	63,4		
Снижение уровня звукового давления из-за влияния застройки между источником шума и расчетной точкой													
Снижение уровня звукового давления на пути над экраном, Dz1, дБ	z = 0.87м (разность путей)	ф-лы (14-18) [10]	5,4	6,4	8,3	10,8	13,5	16,2	19,1	22	25		
Снижение уровня звукового давления на пути слева от экрана, Dz2, дБ	z = 18.79м (разность путей)	ф-лы (14-18) [10]	22,8	26,1	29,2	32,2	35,2	38,2	41,2	44,2	47,2		
Снижение уровня звукового давления на пути справа от экрана, Dz3, дБ	z = 13.83м (разность путей)	ф-лы (14-18) [10]	17,3	20,2	23,1	26,1	29,1	32,1	35,1	38,1	41,1		
Общее снижение уровня звука препятствием Dz, дБ		Эн.сумма(-Dzi)	5,1	6,1	8,1	10,6	13,3	16,1	19	21,9	24,9		
Уровни звукового давления прямого звука от источника ИШ-1-31 в расчётной точке днём, дБ		**ф-ла(3)[10]**	**0**	**20,8**	**20,1**	**18,2**	**14,5**	**9,5**	**0**	**0**	**0**	**15,3**	**15,3**
Уровни звукового давления прямого звука от источника ИШ-1-31 в расчётной точке ночью, дБ		**ф-ла(3)[10]**	**0**	**20,8**	**20,1**	**18,2**	**14,5**	**9,5**	**0**	**0**	**0**	**15,3**	**15,3**
Расчёт отражённого звука													
Уровни звукового давления от мнимого источника ИШ-1-31_мн.(1) в расчётной точке днём, дБ		**ф-ла(3)[10]**	**0**	**0**	**0**	**0**	**0**	**0**	**0**	**0**	**0**	**0**	**0**
Уровни звукового давления от мнимого источника ИШ-1-31_мн.(1) в расчётной точке ночью, дБ		**ф-ла(3)[10]**	**0**	**0**	**0**	**0**	**0**	**0**	**0**	**0**	**0**	**0**	**0**

1		2	3	4	5	6	7	8	9	10	11	12	13
Уровни звукового давления от источника ИШ-1-31 в расчётной точке днём, дБ		**ф-ла(3)[10]**	**0**	**20,8**	**20,1**	**18,2**	**14,5**	**9,5**	**0**	**0**	**0**	**15,3**	**15,3**
Уровни звукового давления от источника ИШ-1-31 в расчётной точке ночью, дБ		**ф-ла(3)[10]**	**0**	**20,8**	**20,1**	**18,2**	**14,5**	**9,5**	**0**	**0**	**0**	**15,3**	**15,3**
Источник шума: ИШ-1-32, координаты источника (x,y,z), м =[871.21,281.99,50.00]													
Уровни звуковой мощности источника днём, Lw, дБ		**исходные данные**	**125**	**119,6**	**113,4**	**111,4**	**110,8**	**112,7**	**113,8**	**109,2**	**97,4**		
Уровни звуковой мощности источника ночью, Lw, дБ		**исходные данные**	**0**	**0**	**0**	**0**	**0**	**0**	**0**	**0**	**0**		
Поправка на телесный угол DΩ, дБ	Ω = 12.57	10Lg(4π/Ω)	**0**	0	0	0	0	0	0	0	0		
Показатель направленности источника Di, дБ		исходные данные	**0**	0	0	0	0	0	0	0	0		
Поправка на направленность источника Dc, дБ	Dc	DΩ + Di	**0**	0	0	0	0	0	0	0	0		
Затухание из-за геометрической дивергенции, Adiv, дБ	расстояние = 884.04 м	ф-ла (7) [10]	**69,9**										
Коэффициент затухания звука в атмосфере α, дБ/км	Ta=20,°C Pa=101.33,кПа hотн.=70%	ф-ла (5) [9]	0,02	0,09	0,33	1,12	2,79	4,98	9,04	23,09	77,63		
Учет затухания звука в атмосфере Aatm, дБ		ф-ла (8) [10]	0	0,1	0,3	1	2,5	4,4	8	20,4	68,6		
Снижение поверхностью земли возле источника As, дБ	Gs = 0 hs = 50м	ф-лы таб.3 [10]	-1,5	-1,5	-1,5	-1,5	-1,5	-1,5	-1,5	-1,5	-1,5		
Снижение поверхностью земли возле приёмника Ar, дБ	Gr = 1 hr = 1.5м	ф-лы таб.3 [10]	-1,5	-1,5	4,8	7	5	0,7	0	0	0		
Снижение поверхностью земли в средней зоне, Am дБ	Gm = 1	ф-лы таб.3 [10]	0	0	0	0	0	0	0	0	0		
Суммарное снижение поверхностью земли на траектории распространения звука Agr, дБ		ф-ла (9) [10]	-3	-3	3,3	5,5	3,5	-0,8	-1,5	-1,5	-1,5		
Уровни звукового давления от источника ИШ-1-32 в расчётной точке днём, дБ		**ф-ла(3)[10]**	**58,1**	**52,6**	**39,9**	**35**	**35**	**39,2**	**37,4**	**20,4**	**0**	**42,7**	**42,7**

1		2	3	4	5	6	7	8	9	10	11	12	13
Уровни звукового давления от источника ИШ-1-32 в расчётной точке ночью, дБ		**ф-ла(3)[10]**	**0**	**0**	**0**	**0**	**0**	**0**	**0**	**0**	**0**	**0**	**0**
Источник шума: ИШ-1-33, координаты источника (x,y,z), м =[743.42,374.85,1.00]													
Уровни звуковой мощности источника днём, Lw, дБ		**исходные данные**	**0**	**88,7**	**90,1**	**93,1**	**96,4**	**103**	**112**	**108**	**99,2**		
Уровни звуковой мощности источника ночью, Lw, дБ		**исходные данные**	**0**	**0**	**0**	**0**	**0**	**0**	**0**	**0**	**0**		
Поправка на телесный угол DΩ, дБ	Ω = 6.28	10Lg(4π/Ω)	**3**	3	3	3	3	3	3	3	3		
Показатель направленности источника Di, дБ		исходные данные	**0**	0	0	0	0	0	0	0	0		
Поправка на направленность источника Dc, дБ	Dc	DΩ + Di	**3**	3	3	3	3	3	3	3	3		
Затухание из-за геометрической дивергенции, Adiv, дБ	расстояние = 962.64 м	ф-ла (7) [10]	**70,7**										
Коэффициент затухания звука в атмосфере α, дБ/км	Ta=20,°C Pa=101.33,кПа hотн.=70%	ф-ла (5) [9]	0,02	0,09	0,33	1,12	2,79	4,98	9,04	23,09	77,63		
Учет затухания звука в атмосфере Aatm, дБ		ф-ла (8) [10]	0	0,1	0,3	1,1	2,7	4,8	8,7	22,2	74,7		
Снижение поверхностью земли возле источника As, дБ	Gs = 0 hs = 1м	ф-лы таб.3 [10]	-1,5	-1,5	-1,5	-1,5	-1,5	-1,5	-1,5	-1,5	-1,5		
Снижение поверхностью земли возле приёмника Ar, дБ	Gr = 1 hr = 1.5м	ф-лы таб.3 [10]	-1,5	-1,5	5	7	5	0,7	0	0	0		
Снижение поверхностью земли в средней зоне, Am дБ	Gm = 1	ф-лы таб.3 [10]	-2,8	-2,8	0	0	0	0	0	0	0		
Суммарное снижение поверхностью земли на траектории распространения звука Agr, дБ		ф-ла (9) [10]	-5,8	-5,8	3,5	5,5	3,5	-0,8	-1,5	-1,5	-1,5		
Уровни звукового давления прямого звука от источника ИШ-1-33 в расчётной точке днём, дБ		**ф-ла(3)[10]**	**0**	**26,7**	**18,6**	**18,8**	**22,6**	**31,4**	**37,1**	**19,6**	**0**	**39,3**	**39,3**
Уровни звукового давления прямого звука от источника ИШ-1-33 в расчётной точке ночью, дБ		**ф-ла(3)[10]**	**0**	**0**	**0**	**0**	**0**	**0**	**0**	**0**	**0**	**0**	**0**

1		2	3	4	5	6	7	8	9	10	11	12	13
Расчёт отражённого звука													
Уровни звукового давления от мнимого источника ИШ-1-33_мн.(1) в расчётной точке днём, дБ		**ф-ла(3)[10]**	**0**	**0**	**0**	**0**	**0**	**0**	**0**	**0**	**0**	**0**	**0**
Уровни звукового давления от мнимого источника ИШ-1-33_мн.(1) в расчётной точке ночью, дБ		**ф-ла(3)[10]**	**0**	**0**	**0**	**0**	**0**	**0**	**0**	**0**	**0**	**0**	**0**
Уровни звукового давления от мнимого источника ИШ-1-33_мн.(2) в расчётной точке днём, дБ		**ф-ла(3)[10]**	**0**	**0**	**0**	**0**	**0**	**0**	**0**	**0**	**0**	**0**	**0**
Уровни звукового давления от мнимого источника ИШ-1-33_мн.(2) в расчётной точке ночью, дБ		**ф-ла(3)[10]**	**0**	**0**	**0**	**0**	**0**	**0**	**0**	**0**	**0**	**0**	**0**
Суммарные уровни звукового давления от мнимых источников в расчётной точке днём, дБ		**ф-ла (19) [1]**	**0**	**0**	**0**	**0**	**0**	**0**	**0**	**0**	**0**	**0**	**0**
Суммарные уровни звукового давления от мнимых источников в расчётной точке ночью, дБ		**ф-ла (19) [1]**	**0**	**0**	**0**	**0**	**0**	**0**	**0**	**0**	**0**	**0**	**0**
Уровни звукового давления от источника ИШ-1-33 в расчётной точке днём, дБ		**ф-ла(3)[10]**	**0**	**26,7**	**18,6**	**18,8**	**22,6**	**31,4**	**37,1**	**19,6**	**0**	**39,3**	**39,3**
Уровни звукового давления от источника ИШ-1-33 в расчётной точке ночью, дБ		**ф-ла(3)[10]**	**0**	**0**	**0**	**0**	**0**	**0**	**0**	**0**	**0**	**0**	**0**
Источник шума: ИШ-1-34, координаты источника (x,y,z), м =[1042.35,199.07,1.00]													
Уровни звуковой мощности источника днём, Lw, дБ		**исходные данные**	**0**	**88,7**	**90,1**	**93,1**	**96,4**	**103**	**112**	**108**	**99,2**		
Уровни звуковой мощности источника ночью, Lw, дБ		**исходные данные**	**0**	**0**	**0**	**0**	**0**	**0**	**0**	**0**	**0**		
Поправка на телесный угол DΩ, дБ	Ω = 6.28	10Lg(4π/Ω)	**3**	3	3	3	3	3	3	3	3		
Показатель направленности источника Di, дБ		исходные данные	**0**	0	0	0	0	0	0	0	0		
Поправка на направленность источника Dc, дБ	Dc	DΩ + Di	**3**	3	3	3	3	3	3	3	3		
Затухание из-за геометрической дивергенции, Adiv, дБ	расстояние = 850.46 м	ф-ла (7) [10]	**69,6**										
Коэффициент затухания звука в атмосфере α, дБ/км	Ta=20,°C Pa=101.33,кПа hотн.=70%	ф-ла (5) [9]	0,02	0,09	0,33	1,12	2,79	4,98	9,04	23,09	77,63		

1		2	3	4	5	6	7	8	9	10	11	12	13
Учет затухания звука в атмосфере Aatm, дБ		ф-ла (8) [10]	0	0,1	0,3	1	2,4	4,2	7,7	19,6	66		
Снижение поверхностью земли возле источника As, дБ	Gs = 0 hs = 1м	ф-лы таб.3 [10]	-1,5	-1,5	-1,5	-1,5	-1,5	-1,5	-1,5	-1,5	-1,5		
Снижение поверхностью земли возле приёмника Ar, дБ	Gr = 1 hr = 1.5м	ф-лы таб.3 [10]	-1,5	-1,5	4,7	7	5	0,7	0	0	0		
Снижение поверхностью земли в средней зоне, Am дБ	Gm = 1	ф-лы таб.3 [10]	-2,7	-2,7	0	0	0	0	0	0	0		
Суммарное снижение поверхностью земли на траектории распространения звука Agr, дБ		ф-ла (9) [10]	-5,7	-5,7	3,2	5,5	3,5	-0,8	-1,5	-1,5	-1,5		
Уровни звукового давления прямого звука от источника ИШ-1-34 в расчётной точке днём, дБ		**ф-ла(3)[10]**	**0**	**27,8**	**20**	**20**	**24**	**33**	**39,2**	**23,3**	**0**	**41,3**	**41,3**
Уровни звукового давления прямого звука от источника ИШ-1-34 в расчётной точке ночью, дБ		**ф-ла(3)[10]**	**0**	**0**	**0**	**0**	**0**	**0**	**0**	**0**	**0**	**0**	**0**
Расчёт отражённого звука													
Уровни звукового давления от мнимого источника ИШ-1-34_мн.(1) в расчётной точке днём, дБ		**ф-ла(3)[10]**	**0**	**0**	**0**	**0**	**0**	**0**	**0**	**0**	**0**	**0**	**0**
Уровни звукового давления от мнимого источника ИШ-1-34_мн.(1) в расчётной точке ночью, дБ		**ф-ла(3)[10]**	**0**	**0**	**0**	**0**	**0**	**0**	**0**	**0**	**0**	**0**	**0**
Уровни звукового давления от источника ИШ-1-34 в расчётной точке днём, дБ		**ф-ла(3)[10]**	**0**	**27,8**	**20**	**20**	**24**	**33**	**39,2**	**23,3**	**0**	**41,3**	**41,3**
Уровни звукового давления от источника ИШ-1-34 в расчётной точке ночью, дБ		**ф-ла(3)[10]**	**0**	**0**	**0**	**0**	**0**	**0**	**0**	**0**	**0**	**0**	**0**
Источник шума: ИШ-2-1, координаты источника (x,y,z), м =[696.50,124.40,3.00]													
Уровни звуковой мощности источника днём, Lw, дБ		**исходные данные**	**105**	**104**	**104**	**101**	**102**	**106**	**101**	**95**	**87**		
Уровни звуковой мощности источника ночью, Lw, дБ		**исходные данные**	**105**	**104**	**104**	**101**	**102**	**106**	**101**	**95**	**87**		
Поправка на телесный угол DΩ, дБ	Ω = 6.28	10Lg(4π/Ω)	**3**	3	3	3	3	3	3	3	3		
Показатель направленности источника Di, дБ		исходные данные	**0**	0	0	0	0	0	0	0	0		

1		2	3	4	5	6	7	8	9	10	11	12	13
Поправка на направленность источника Dc, дБ	Dc	DΩ + Di	**3**	3	3	3	3	3	3	3	3		
Затухание из-за геометрической дивергенции, Adiv, дБ	расстояние = 712.23 м	ф-ла (7) [10]	**68,1**										
Коэффициент затухания звука в атмосфере α, дБ/км	Ta=20,°C Pa=101.33,кПа hотн.=70%	ф-ла (5) [9]	0,02	0,09	0,33	1,12	2,79	4,98	9,04	23,09	77,63		
Учет затухания звука в атмосфере Aatm, дБ		ф-ла (8) [10]	0	0,1	0,2	0,8	2	3,5	6,4	16,4	55,3		
Снижение поверхностью земли возле источника As, дБ	Gs = 0 hs = 3м	ф-лы таб.3 [10]	-1,5	-1,5	-1,5	-1,5	-1,5	-1,5	-1,5	-1,5	-1,5		
Снижение поверхностью земли возле приёмника Ar, дБ	Gr = 1 hr = 1.5м	ф-лы таб.3 [10]	-1,5	-1,5	4,2	7	5	0,7	0	0	0		
Снижение поверхностью земли в средней зоне, Am дБ	Gm = 1	ф-лы таб.3 [10]	-2,4	-2,4	0	0	0	0	0	0	0		
Суммарное снижение поверхностью земли на траектории распространения звука Agr, дБ		ф-ла (9) [10]	-5,4	-5,4	2,7	5,5	3,5	-0,8	-1,5	-1,5	-1,5		
Уровни звукового давления от источника ИШ-2-1 в расчётной точке днём, дБ		**ф-ла(3)[10]**	**45,4**	**44,3**	**36**	**29,6**	**31,5**	**38,3**	**31**	**15**	**0**	**39,7**	**39,7**
Уровни звукового давления от источника ИШ-2-1 в расчётной точке ночью, дБ		**ф-ла(3)[10]**	**45,4**	**44,3**	**36**	**29,6**	**31,5**	**38,3**	**31**	**15**	**0**	**39,7**	**39,7**
Источник шума: ИШ-2-2, координаты источника (x,y,z), м =[682.20,81.60,3.00]													
Уровни звуковой мощности источника днём, Lw, дБ		**исходные данные**	**105**	**104**	**104**	**101**	**102**	**106**	**101**	**95**	**87**		
Уровни звуковой мощности источника ночью, Lw, дБ		**исходные данные**	**105**	**104**	**104**	**101**	**102**	**106**	**101**	**95**	**87**		
Поправка на телесный угол DΩ, дБ	Ω = 6.28	10Lg(4π/Ω)	**3**	3	3	3	3	3	3	3	3		
Показатель направленности источника Di, дБ		исходные данные	**0**	0	0	0	0	0	0	0	0		
Поправка на направленность источника Dc, дБ	Dc	DΩ + Di	**3**	3	3	3	3	3	3	3	3		

1		2	3	4	5	6	7	8	9	10	11	12	13
Затухание из-за геометрической дивергенции, Adiv, дБ	расстояние = 670.09 м	ф-ла (7) [10]	**67,5**										
Коэффициент затухания звука в атмосфере α, дБ/км	Ta=20,°C Pa=101.33,кПа hотн.=70%	ф-ла (5) [9]	0,02	0,09	0,33	1,12	2,79	4,98	9,04	23,09	77,63		
Учет затухания звука в атмосфере Aatm, дБ		ф-ла (8) [10]	0	0,1	0,2	0,8	1,9	3,3	6,1	15,5	52		
Снижение поверхностью земли возле источника As, дБ	Gs = 0 hs = 3м	ф-лы таб.3 [10]	-1,5	-1,5	-1,5	-1,5	-1,5	-1,5	-1,5	-1,5	-1,5		
Снижение поверхностью земли возле приёмника Ar, дБ	Gr = 1 hr = 1.5м	ф-лы таб.3 [10]	-1,5	-1,5	4	7	5	0,7	0	0	0		
Снижение поверхностью земли в средней зоне, Am дБ	Gm = 1	ф-лы таб.3 [10]	-2,4	-2,4	0	0	0	0	0	0	0		
Суммарное снижение поверхностью земли на траектории распространения звука Agr, дБ		ф-ла (9) [10]	-5,4	-5,4	2,5	5,5	3,5	-0,8	-1,5	-1,5	-1,5		
Уровни звукового давления от источника ИШ-2-2 в расчётной точке днём, дБ		**ф-ла(3)[10]**	**45,9**	**44,8**	**36,7**	**30,2**	**32,1**	**39**	**31,9**	**16,5**	**0**	**40,5**	**40,5**
Уровни звукового давления от источника ИШ-2-2 в расчётной точке ночью, дБ		**ф-ла(3)[10]**	**45,9**	**44,8**	**36,7**	**30,2**	**32,1**	**39**	**31,9**	**16,5**	**0**	**40,5**	**40,5**
Источник шума: ИШ-2-3, координаты источника (x,y,z), м =[667.80,38.90,3.00]													
Уровни звуковой мощности источника днём, Lw, дБ		**исходные данные**	**105**	**104**	**104**	**101**	**102**	**106**	**101**	**95**	**87**		
Уровни звуковой мощности источника ночью, Lw, дБ		**исходные данные**	**105**	**104**	**104**	**101**	**102**	**106**	**101**	**95**	**87**		
Поправка на телесный угол DΩ, дБ	Ω = 6.28	10Lg(4π/Ω)	**3**	3	3	3	3	3	3	3	3		
Показатель направленности источника Di, дБ		исходные данные	**0**	0	0	0	0	0	0	0	0		
Поправка на направленность источника Dc, дБ	Dc	DΩ + Di	**3**	3	3	3	3	3	3	3	3		
Затухание из-за геометрической дивергенции, Adiv, дБ	расстояние = 628.46 м	ф-ла (7) [10]	**67**										

1		2	3	4	5	6	7	8	9	10	11	12	13
Коэффициент затухания звука в атмосфере α, дБ/км	Ta=20,°C Pa=101.33,кПа hотн.=70%	ф-ла (5) [9]	0,02	0,09	0,33	1,12	2,79	4,98	9,04	23,09	77,63		
Учет затухания звука в атмосфере Aatm, дБ		ф-ла (8) [10]	0	0,1	0,2	0,7	1,8	3,1	5,7	14,5	48,8		
Снижение поверхностью земли возле источника As, дБ	Gs = 0 hs = 3м	ф-лы таб.3 [10]	-1,5	-1,5	-1,5	-1,5	-1,5	-1,5	-1,5	-1,5	-1,5		
Снижение поверхностью земли возле приёмника Ar, дБ	Gr = 1 hr = 1.5м	ф-лы таб.3 [10]	-1,5	-1,5	3,8	7	5	0,7	0	0	0		
Снижение поверхностью земли в средней зоне, Am дБ	Gm = 1	ф-лы таб.3 [10]	-2,4	-2,4	0	0	0	0	0	0	0		
Суммарное снижение поверхностью земли на траектории распространения звука Agr, дБ		ф-ла (9) [10]	-5,4	-5,4	2,3	5,5	3,5	-0,8	-1,5	-1,5	-1,5		
Уровни звукового давления прямого звука от источника ИШ-2-3 в расчётной точке днём, дБ		**ф-ла(3)[10]**	**46,4**	**45,3**	**37,5**	**30,8**	**32,8**	**39,8**	**32,9**	**18**	**0**	**41,3**	**41,3**
Уровни звукового давления прямого звука от источника ИШ-2-3 в расчётной точке ночью, дБ		**ф-ла(3)[10]**	**46,4**	**45,3**	**37,5**	**30,8**	**32,8**	**39,8**	**32,9**	**18**	**0**	**41,3**	**41,3**
Расчёт отражённого звука													
Уровни звукового давления от мнимого источника ИШ-2-3_мн.(1) в расчётной точке днём, дБ		**ф-ла(3)[10]**	**0**	**0**	**0**	**0**	**0**	**0**	**0**	**0**	**0**	**0**	**0**
Уровни звукового давления от мнимого источника ИШ-2-3_мн.(1) в расчётной точке ночью, дБ		**ф-ла(3)[10]**	**0**	**0**	**0**	**0**	**0**	**0**	**0**	**0**	**0**	**0**	**0**
Уровни звукового давления от мнимого источника ИШ-2-3_мн.(2) в расчётной точке днём, дБ		**ф-ла(3)[10]**	**0**	**0**	**0**	**0**	**0**	**0**	**0**	**0**	**0**	**0**	**0**
Уровни звукового давления от мнимого источника ИШ-2-3_мн.(2) в расчётной точке ночью, дБ		**ф-ла(3)[10]**	**0**	**0**	**0**	**0**	**0**	**0**	**0**	**0**	**0**	**0**	**0**
Суммарные уровни звукового давления от мнимых источников в расчётной точке днём, дБ		**ф-ла (19) [1]**	**0**	**0**	**0**	**0**	**0**	**0**	**0**	**0**	**0**	**0**	**0**
Суммарные уровни звукового давления от мнимых источников в расчётной точке ночью, дБ		**ф-ла (19) [1]**	**0**	**0**	**0**	**0**	**0**	**0**	**0**	**0**	**0**	**0**	**0**
Уровни звукового давления от источника ИШ-2-3 в расчётной точке днём, дБ		**ф-ла(3)[10]**	**46,4**	**45,3**	**37,5**	**30,8**	**32,8**	**39,8**	**32,9**	**18**	**0**	**41,3**	**41,3**
Уровни звукового давления от источника ИШ-2-3 в расчётной точке ночью, дБ		**ф-ла(3)[10]**	**46,4**	**45,3**	**37,5**	**30,8**	**32,8**	**39,8**	**32,9**	**18**	**0**	**41,3**	**41,3**

1		2	3	4	5	6	7	8	9	10	11	12	13
Источник шума: ИШ-2-6, координаты источника (x,y,z), м =[765.97,112.43,1.00]													
Уровни звуковой мощности источника днём, Lw, дБ		**исходные данные**	**0**	**93,3**	**94,7**	**96**	**96,3**	**95,9**	**92,6**	**88,4**	**83,9**		
Уровни звуковой мощности источника ночью, Lw, дБ		**исходные данные**	**0**	**93,3**	**94,7**	**96**	**96,3**	**95,9**	**92,6**	**88,4**	**83,9**		
Поправка на телесный угол DΩ, дБ	Ω = 6.28	10Lg(4π/Ω)	**3**	3	3	3	3	3	3	3	3		
Показатель направленности источника Di, дБ		исходные данные	**0**	0	0	0	0	0	0	0	0		
Поправка на направленность источника Dc, дБ	Dc	DΩ + Di	**3**	3	3	3	3	3	3	3	3		
Затухание из-за геометрической дивергенции, Adiv, дБ	расстояние = 701.49 м	ф-ла (7) [10]	**67,9**										
Коэффициент затухания звука в атмосфере α, дБ/км	Ta=20,°C Pa=101.33,кПа hотн.=70%	ф-ла (5) [9]	0,02	0,09	0,33	1,12	2,79	4,98	9,04	23,09	77,63		
Учет затухания звука в атмосфере Aatm, дБ		ф-ла (8) [10]	0	0,1	0,2	0,8	2	3,5	6,3	16,2	54,5		
Снижение поверхностью земли возле источника As, дБ	Gs = 0 hs = 1м	ф-лы таб.3 [10]	-1,5	-1,5	-1,5	-1,5	-1,5	-1,5	-1,5	-1,5	-1,5		
Снижение поверхностью земли возле приёмника Ar, дБ	Gr = 1 hr = 1.5м	ф-лы таб.3 [10]	-1,5	-1,5	4,2	7	5	0,7	0	0	0		
Снижение поверхностью земли в средней зоне, Am дБ	Gm = 1	ф-лы таб.3 [10]	-2,7	-2,7	0	0	0	0	0	0	0		
Суммарное снижение поверхностью земли на траектории распространения звука Agr, дБ		ф-ла (9) [10]	-5,7	-5,7	2,7	5,5	3,5	-0,8	-1,5	-1,5	-1,5		
Уровни звукового давления прямого звука от источника ИШ-2-6 в расчётной точке днём, дБ		**ф-ла(3)[10]**	**0**	**34**	**26,9**	**24,8**	**25,9**	**28,3**	**22,8**	**8,8**	**0**	**30,8**	**30,8**
Уровни звукового давления прямого звука от источника ИШ-2-6 в расчётной точке ночью, дБ		**ф-ла(3)[10]**	**0**	**34**	**26,9**	**24,8**	**25,9**	**28,3**	**22,8**	**8,8**	**0**	**30,8**	**30,8**
Расчёт отражённого звука													

1		2	3	4	5	6	7	8	9	10	11	12	13
Уровни звукового давления от мнимого источника ИШ-2-6_мн.(1) в расчётной точке днём, дБ		**ф-ла(3)[10]**	**0**	**0**	**0**	**0**	**0**	**0**	**0**	**0**	**0**	**0**	**0**
Уровни звукового давления от мнимого источника ИШ-2-6_мн.(1) в расчётной точке ночью, дБ		**ф-ла(3)[10]**	**0**	**0**	**0**	**0**	**0**	**0**	**0**	**0**	**0**	**0**	**0**
Уровни звукового давления от мнимого источника ИШ-2-6_мн.(2) в расчётной точке днём, дБ		**ф-ла(3)[10]**	**0**	**0**	**0**	**0**	**0**	**0**	**0**	**0**	**0**	**0**	**0**
Уровни звукового давления от мнимого источника ИШ-2-6_мн.(2) в расчётной точке ночью, дБ		**ф-ла(3)[10]**	**0**	**0**	**0**	**0**	**0**	**0**	**0**	**0**	**0**	**0**	**0**
Суммарные уровни звукового давления от мнимых источников в расчётной точке днём, дБ		**ф-ла (19) [1]**	**0**	**0**	**0**	**0**	**0**	**0**	**0**	**0**	**0**	**0**	**0**
Суммарные уровни звукового давления от мнимых источников в расчётной точке ночью, дБ		**ф-ла (19) [1]**	**0**	**0**	**0**	**0**	**0**	**0**	**0**	**0**	**0**	**0**	**0**
Уровни звукового давления от источника ИШ-2-6 в расчётной точке днём, дБ		**ф-ла(3)[10]**	**0**	**34**	**26,9**	**24,8**	**25,9**	**28,3**	**22,8**	**8,8**	**0**	**30,8**	**30,8**
Уровни звукового давления от источника ИШ-2-6 в расчётной точке ночью, дБ		**ф-ла(3)[10]**	**0**	**34**	**26,9**	**24,8**	**25,9**	**28,3**	**22,8**	**8,8**	**0**	**30,8**	**30,8**
Источник шума: ИШ-2-7, координаты источника (x,y,z), м =[764.91,109.54,1.00]													
Уровни звуковой мощности источника днём, Lw, дБ		**исходные данные**	**0**	**93,3**	**94,7**	**96**	**96,3**	**95,9**	**92,6**	**88,4**	**83,9**		
Уровни звуковой мощности источника ночью, Lw, дБ		**исходные данные**	**0**	**93,3**	**94,7**	**96**	**96,3**	**95,9**	**92,6**	**88,4**	**83,9**		
Поправка на телесный угол DΩ, дБ	Ω = 6.28	10Lg(4π/Ω)	**3**	3	3	3	3	3	3	3	3		
Показатель направленности источника Di, дБ		исходные данные	**0**	0	0	0	0	0	0	0	0		
Поправка на направленность источника Dc, дБ	Dc	DΩ + Di	**3**	3	3	3	3	3	3	3	3		
Затухание из-за геометрической дивергенции, Adiv, дБ	расстояние = 698.54 м	ф-ла (7) [10]	**67,9**										
Коэффициент затухания звука в атмосфере α, дБ/км	Ta=20,°C Pa=101.33,кПа hотн.=70%	ф-ла (5) [9]	0,02	0,09	0,33	1,12	2,79	4,98	9,04	23,09	77,63		

1		2	3	4	5	6	7	8	9	10	11	12	13
Учет затухания звука в атмосфере Aatm, дБ		ф-ла (8) [10]	0	0,1	0,2	0,8	1,9	3,5	6,3	16,1	54,2		
Снижение поверхностью земли возле источника As, дБ	Gs = 0 hs = 1м	ф-лы таб.3 [10]	-1,5	-1,5	-1,5	-1,5	-1,5	-1,5	-1,5	-1,5	-1,5		
Снижение поверхностью земли возле приёмника Ar, дБ	Gr = 1 hr = 1.5м	ф-лы таб.3 [10]	-1,5	-1,5	4,2	7	5	0,7	0	0	0		
Снижение поверхностью земли в средней зоне, Am дБ	Gm = 1	ф-лы таб.3 [10]	-2,7	-2,7	0	0	0	0	0	0	0		
Суммарное снижение поверхностью земли на траектории распространения звука Agr, дБ		ф-ла (9) [10]	-5,7	-5,7	2,7	5,5	3,5	-0,8	-1,5	-1,5	-1,5		
Уровни звукового давления прямого звука от источника ИШ-2-7 в расчётной точке днём, дБ		**ф-ла(3)[10]**	**0**	**34**	**26,9**	**24,8**	**26**	**28,4**	**22,9**	**8,9**	**0**	**30,8**	**30,8**
Уровни звукового давления прямого звука от источника ИШ-2-7 в расчётной точке ночью, дБ		**ф-ла(3)[10]**	**0**	**34**	**26,9**	**24,8**	**26**	**28,4**	**22,9**	**8,9**	**0**	**30,8**	**30,8**
Расчёт отражённого звука													
Уровни звукового давления от мнимого источника ИШ-2-7_мн.(1) в расчётной точке днём, дБ		**ф-ла(3)[10]**	**0**	**0**	**0**	**0**	**0**	**0**	**0**	**0**	**0**	**0**	**0**
Уровни звукового давления от мнимого источника ИШ-2-7_мн.(1) в расчётной точке ночью, дБ		**ф-ла(3)[10]**	**0**	**0**	**0**	**0**	**0**	**0**	**0**	**0**	**0**	**0**	**0**
Уровни звукового давления от мнимого источника ИШ-2-7_мн.(2) в расчётной точке днём, дБ		**ф-ла(3)[10]**	**0**	**0**	**0**	**0**	**0**	**0**	**0**	**0**	**0**	**0**	**0**
Уровни звукового давления от мнимого источника ИШ-2-7_мн.(2) в расчётной точке ночью, дБ		**ф-ла(3)[10]**	**0**	**0**	**0**	**0**	**0**	**0**	**0**	**0**	**0**	**0**	**0**
Суммарные уровни звукового давления от мнимых источников в расчётной точке днём, дБ		**ф-ла (19) [1]**	**0**	**0**	**0**	**0**	**0**	**0**	**0**	**0**	**0**	**0**	**0**
Суммарные уровни звукового давления от мнимых источников в расчётной точке ночью, дБ		**ф-ла (19) [1]**	**0**	**0**	**0**	**0**	**0**	**0**	**0**	**0**	**0**	**0**	**0**
Уровни звукового давления от источника ИШ-2-7 в расчётной точке днём, дБ		**ф-ла(3)[10]**	**0**	**34**	**26,9**	**24,8**	**26**	**28,4**	**22,9**	**8,9**	**0**	**30,8**	**30,8**
Уровни звукового давления от источника ИШ-2-7 в расчётной точке ночью, дБ		**ф-ла(3)[10]**	**0**	**34**	**26,9**	**24,8**	**26**	**28,4**	**22,9**	**8,9**	**0**	**30,8**	**30,8**
Источник шума: ИШ-2-8, координаты источника (x,y,z), м =[764.03,106.58,1.00]													

1		2	3	4	5	6	7	8	9	10	11	12	13
Уровни звуковой мощности источника днём, Lw, дБ		**исходные данные**	**0**	**93,3**	**94,7**	**96**	**96,3**	**95,9**	**92,6**	**88,4**	**83,9**		
Уровни звуковой мощности источника ночью, Lw, дБ		**исходные данные**	**0**	**93,3**	**94,7**	**96**	**96,3**	**95,9**	**92,6**	**88,4**	**83,9**		
Поправка на телесный угол DΩ, дБ	Ω = 6.28	10Lg(4π/Ω)	**3**	3	3	3	3	3	3	3	3		
Показатель направленности источника Di, дБ		исходные данные	**0**	0	0	0	0	0	0	0	0		
Поправка на направленность источника Dc, дБ	Dc	DΩ + Di	**3**	3	3	3	3	3	3	3	3		
Затухание из-за геометрической дивергенции, Adiv, дБ	расстояние = 695.52 м	ф-ла (7) [10]	**67,8**										
Коэффициент затухания звука в атмосфере α, дБ/км	Ta=20,°C Pa=101.33,кПа hотн.=70%	ф-ла (5) [9]	0,02	0,09	0,33	1,12	2,79	4,98	9,04	23,09	77,63		
Учет затухания звука в атмосфере Aatm, дБ		ф-ла (8) [10]	0	0,1	0,2	0,8	1,9	3,5	6,3	16,1	54		
Снижение поверхностью земли возле источника As, дБ	Gs = 0 hs = 1м	ф-лы таб.3 [10]	-1,5	-1,5	-1,5	-1,5	-1,5	-1,5	-1,5	-1,5	-1,5		
Снижение поверхностью земли возле приёмника Ar, дБ	Gr = 1 hr = 1.5м	ф-лы таб.3 [10]	-1,5	-1,5	4,1	7	5	0,7	0	0	0		
Снижение поверхностью земли в средней зоне, Am дБ	Gm = 1	ф-лы таб.3 [10]	-2,7	-2,7	0	0	0	0	0	0	0		
Суммарное снижение поверхностью земли на траектории распространения звука Agr, дБ		ф-ла (9) [10]	-5,7	-5,7	2,6	5,5	3,5	-0,8	-1,5	-1,5	-1,5		
Уровни звукового давления прямого звука от источника ИШ-2-8 в расчётной точке днём, дБ		**ф-ла(3)[10]**	**0**	**34,1**	**27**	**24,8**	**26**	**28,4**	**23**	**9**	**0**	**30,9**	**30,9**
Уровни звукового давления прямого звука от источника ИШ-2-8 в расчётной точке ночью, дБ		**ф-ла(3)[10]**	**0**	**34,1**	**27**	**24,8**	**26**	**28,4**	**23**	**9**	**0**	**30,9**	**30,9**
Расчёт отражённого звука													
Уровни звукового давления от мнимого источника ИШ-2-8_мн.(1) в расчётной точке днём, дБ		**ф-ла(3)[10]**	**0**	**0**	**0**	**0**	**0**	**0**	**0**	**0**	**0**	**0**	**0**
Уровни звукового давления от мнимого источника ИШ-2-8_мн.(1) в расчётной точке ночью, дБ		**ф-ла(3)[10]**	**0**	**0**	**0**	**0**	**0**	**0**	**0**	**0**	**0**	**0**	**0**

1		2	3	4	5	6	7	8	9	10	11	12	13
Уровни звукового давления от мнимого источника ИШ-2-8_мн.(2) в расчётной точке днём, дБ		**ф-ла(3)[10]**	**0**	**0**	**0**	**0**	**0**	**0**	**0**	**0**	**0**	**0**	**0**
Уровни звукового давления от мнимого источника ИШ-2-8_мн.(2) в расчётной точке ночью, дБ		**ф-ла(3)[10]**	**0**	**0**	**0**	**0**	**0**	**0**	**0**	**0**	**0**	**0**	**0**
Уровни звукового давления от мнимого источника ИШ-2-8_мн.(3) в расчётной точке днём, дБ		**ф-ла(3)[10]**	**0**	**0**	**0**	**0**	**0**	**0**	**0**	**0**	**0**	**0**	**0**
Уровни звукового давления от мнимого источника ИШ-2-8_мн.(3) в расчётной точке ночью, дБ		**ф-ла(3)[10]**	**0**	**0**	**0**	**0**	**0**	**0**	**0**	**0**	**0**	**0**	**0**
Суммарные уровни звукового давления от мнимых источников в расчётной точке днём, дБ		**ф-ла (19) [1]**	**0**	**0**	**0**	**0**	**0**	**0**	**0**	**0**	**0**	**0**	**0**
Суммарные уровни звукового давления от мнимых источников в расчётной точке ночью, дБ		**ф-ла (19) [1]**	**0**	**0**	**0**	**0**	**0**	**0**	**0**	**0**	**0**	**0**	**0**
Уровни звукового давления от источника ИШ-2-8 в расчётной точке днём, дБ		**ф-ла(3)[10]**	**0**	**34,1**	**27**	**24,8**	**26**	**28,4**	**23**	**9**	**0**	**30,9**	**30,9**
Уровни звукового давления от источника ИШ-2-8 в расчётной точке ночью, дБ		**ф-ла(3)[10]**	**0**	**34,1**	**27**	**24,8**	**26**	**28,4**	**23**	**9**	**0**	**30,9**	**30,9**
Источник шума: ИШ-2-9, координаты источника (x,y,z), м =[763.26,103.71,1.00]													
Уровни звуковой мощности источника днём, Lw, дБ		**исходные данные**	**0**	**93,3**	**94,7**	**96**	**96,3**	**95,9**	**92,6**	**88,4**	**83,9**		
Уровни звуковой мощности источника ночью, Lw, дБ		**исходные данные**	**0**	**93,3**	**94,7**	**96**	**96,3**	**95,9**	**92,6**	**88,4**	**83,9**		
Поправка на телесный угол DΩ, дБ	Ω = 6.28	10Lg(4π/Ω)	**3**	3	3	3	3	3	3	3	3		
Показатель направленности источника Di, дБ		исходные данные	**0**	0	0	0	0	0	0	0	0		
Поправка на направленность источника Dc, дБ	Dc	DΩ + Di	**3**	3	3	3	3	3	3	3	3		
Затухание из-за геометрической дивергенции, Adiv, дБ	расстояние = 692.61 м	ф-ла (7) [10]	**67,8**										
Коэффициент затухания звука в атмосфере α, дБ/км	Ta=20,°C Pa=101.33,кПа hотн.=70%	ф-ла (5) [9]	0,02	0,09	0,33	1,12	2,79	4,98	9,04	23,09	77,63		

1		2	3	4	5	6	7	8	9	10	11	12	13
Учет затухания звука в атмосфере Aatm, дБ		ф-ла (8) [10]	0	0,1	0,2	0,8	1,9	3,4	6,3	16	53,8		
Снижение поверхностью земли возле источника As, дБ	Gs = 0 hs = 1м	ф-лы таб.3 [10]	-1,5	-1,5	-1,5	-1,5	-1,5	-1,5	-1,5	-1,5	-1,5		
Снижение поверхностью земли возле приёмника Ar, дБ	Gr = 1 hr = 1.5м	ф-лы таб.3 [10]	-1,5	-1,5	4,1	7	5	0,7	0	0	0		
Снижение поверхностью земли в средней зоне, Am дБ	Gm = 1	ф-лы таб.3 [10]	-2,7	-2,7	0	0	0	0	0	0	0		
Суммарное снижение поверхностью земли на траектории распространения звука Agr, дБ		ф-ла (9) [10]	-5,7	-5,7	2,6	5,5	3,5	-0,8	-1,5	-1,5	-1,5		
Уровни звукового давления прямого звука от источника ИШ-2-9 в расчётной точке днём, дБ		**ф-ла(3)[10]**	**0**	**34,1**	**27**	**24,9**	**26,1**	**28,5**	**23**	**9,1**	**0**	**30,9**	**30,9**
Уровни звукового давления прямого звука от источника ИШ-2-9 в расчётной точке ночью, дБ		**ф-ла(3)[10]**	**0**	**34,1**	**27**	**24,9**	**26,1**	**28,5**	**23**	**9,1**	**0**	**30,9**	**30,9**
Расчёт отражённого звука													
Уровни звукового давления от мнимого источника ИШ-2-9_мн.(1) в расчётной точке днём, дБ		**ф-ла(3)[10]**	**0**	**0**	**0**	**0**	**0**	**0**	**0**	**0**	**0**	**0**	**0**
Уровни звукового давления от мнимого источника ИШ-2-9_мн.(1) в расчётной точке ночью, дБ		**ф-ла(3)[10]**	**0**	**0**	**0**	**0**	**0**	**0**	**0**	**0**	**0**	**0**	**0**
Уровни звукового давления от мнимого источника ИШ-2-9_мн.(2) в расчётной точке днём, дБ		**ф-ла(3)[10]**	**0**	**0**	**0**	**0**	**0**	**0**	**0**	**0**	**0**	**0**	**0**
Уровни звукового давления от мнимого источника ИШ-2-9_мн.(2) в расчётной точке ночью, дБ		**ф-ла(3)[10]**	**0**	**0**	**0**	**0**	**0**	**0**	**0**	**0**	**0**	**0**	**0**
Суммарные уровни звукового давления от мнимых источников в расчётной точке днём, дБ		**ф-ла (19) [1]**	**0**	**0**	**0**	**0**	**0**	**0**	**0**	**0**	**0**	**0**	**0**
Суммарные уровни звукового давления от мнимых источников в расчётной точке ночью, дБ		**ф-ла (19) [1]**	**0**	**0**	**0**	**0**	**0**	**0**	**0**	**0**	**0**	**0**	**0**
Уровни звукового давления от источника ИШ-2-9 в расчётной точке днём, дБ		**ф-ла(3)[10]**	**0**	**34,1**	**27**	**24,9**	**26,1**	**28,5**	**23**	**9,1**	**0**	**30,9**	**30,9**
Уровни звукового давления от источника ИШ-2-9 в расчётной точке ночью, дБ		**ф-ла(3)[10]**	**0**	**34,1**	**27**	**24,9**	**26,1**	**28,5**	**23**	**9,1**	**0**	**30,9**	**30,9**
Источник шума: ИШ-2-10, координаты источника (x,y,z), м =[762.14,100.75,1.00]													

1		2	3	4	5	6	7	8	9	10	11	12	13
Уровни звуковой мощности источника днём, Lw, дБ		**исходные данные**	**0**	**93,3**	**94,7**	**96**	**96,3**	**95,9**	**92,6**	**88,4**	**83,9**		
Уровни звуковой мощности источника ночью, Lw, дБ		**исходные данные**	**0**	**93,3**	**94,7**	**96**	**96,3**	**95,9**	**92,6**	**88,4**	**83,9**		
Поправка на телесный угол DΩ, дБ	Ω = 6.28	10Lg(4π/Ω)	**3**	3	3	3	3	3	3	3	3		
Показатель направленности источника Di, дБ		исходные данные	**0**	0	0	0	0	0	0	0	0		
Поправка на направленность источника Dc, дБ	Dc	DΩ + Di	**3**	3	3	3	3	3	3	3	3		
Затухание из-за геометрической дивергенции, Adiv, дБ	расстояние = 689.58 м	ф-ла (7) [10]	**67,8**										
Коэффициент затухания звука в атмосфере α, дБ/км	Ta=20,°C Pa=101.33,кПа hотн.=70%	ф-ла (5) [9]	0,02	0,09	0,33	1,12	2,79	4,98	9,04	23,09	77,63		
Учет затухания звука в атмосфере Aatm, дБ		ф-ла (8) [10]	0	0,1	0,2	0,8	1,9	3,4	6,2	15,9	53,5		
Снижение поверхностью земли возле источника As, дБ	Gs = 0 hs = 1м	ф-лы таб.3 [10]	-1,5	-1,5	-1,5	-1,5	-1,5	-1,5	-1,5	-1,5	-1,5		
Снижение поверхностью земли возле приёмника Ar, дБ	Gr = 1 hr = 1.5м	ф-лы таб.3 [10]	-1,5	-1,5	4,1	7	5	0,7	0	0	0		
Снижение поверхностью земли в средней зоне, Am дБ	Gm = 1	ф-лы таб.3 [10]	-2,7	-2,7	0	0	0	0	0	0	0		
Суммарное снижение поверхностью земли на траектории распространения звука Agr, дБ		ф-ла (9) [10]	-5,7	-5,7	2,6	5,5	3,5	-0,8	-1,5	-1,5	-1,5		
Уровни звукового давления прямого звука от источника ИШ-2-10 в расчётной точке днём, дБ		**ф-ла(3)[10]**	**0**	**34,1**	**27,1**	**24,9**	**26,1**	**28,5**	**23,1**	**9,2**	**0**	**31**	**31**
Уровни звукового давления прямого звука от источника ИШ-2-10 в расчётной точке ночью, дБ		**ф-ла(3)[10]**	**0**	**34,1**	**27,1**	**24,9**	**26,1**	**28,5**	**23,1**	**9,2**	**0**	**31**	**31**
Расчёт отражённого звука													
Уровни звукового давления от мнимого источника ИШ-2-10_мн.(1) в расчётной точке днём, дБ		**ф-ла(3)[10]**	**0**	**0**	**0**	**0**	**0**	**0**	**0**	**0**	**0**	**0**	**0**
Уровни звукового давления от мнимого источника ИШ-2-10_мн.(1) в расчётной точке ночью, дБ		**ф-ла(3)[10]**	**0**	**0**	**0**	**0**	**0**	**0**	**0**	**0**	**0**	**0**	**0**

1		2	3	4	5	6	7	8	9	10	11	12	13
Уровни звукового давления от мнимого источника ИШ-2-10_мн.(2) в расчётной точке днём, дБ		**ф-ла(3)[10]**	**0**	**0**	**0**	**0**	**0**	**0**	**0**	**0**	**0**	**0**	**0**
Уровни звукового давления от мнимого источника ИШ-2-10_мн.(2) в расчётной точке ночью, дБ		**ф-ла(3)[10]**	**0**	**0**	**0**	**0**	**0**	**0**	**0**	**0**	**0**	**0**	**0**
Суммарные уровни звукового давления от мнимых источников в расчётной точке днём, дБ		**ф-ла (19) [1]**	**0**	**0**	**0**	**0**	**0**	**0**	**0**	**0**	**0**	**0**	**0**
Суммарные уровни звукового давления от мнимых источников в расчётной точке ночью, дБ		**ф-ла (19) [1]**	**0**	**0**	**0**	**0**	**0**	**0**	**0**	**0**	**0**	**0**	**0**
Уровни звукового давления от источника ИШ-2-10 в расчётной точке днём, дБ		**ф-ла(3)[10]**	**0**	**34,1**	**27,1**	**24,9**	**26,1**	**28,5**	**23,1**	**9,2**	**0**	**31**	**31**
Уровни звукового давления от источника ИШ-2-10 в расчётной точке ночью, дБ		**ф-ла(3)[10]**	**0**	**34,1**	**27,1**	**24,9**	**26,1**	**28,5**	**23,1**	**9,2**	**0**	**31**	**31**
Источник шума: ИШ-2-11, координаты источника (x,y,z), м =[761.13,97.90,1.00]													
Уровни звуковой мощности источника днём, Lw, дБ		**исходные данные**	**0**	**93,3**	**94,7**	**96**	**96,3**	**95,9**	**92,6**	**88,4**	**83,9**		
Уровни звуковой мощности источника ночью, Lw, дБ		**исходные данные**	**0**	**93,3**	**94,7**	**96**	**96,3**	**95,9**	**92,6**	**88,4**	**83,9**		
Поправка на телесный угол DΩ, дБ	Ω = 6.28	10Lg(4π/Ω)	**3**	3	3	3	3	3	3	3	3		
Показатель направленности источника Di, дБ		исходные данные	**0**	0	0	0	0	0	0	0	0		
Поправка на направленность источника Dc, дБ	Dc	DΩ + Di	**3**	3	3	3	3	3	3	3	3		
Затухание из-за геометрической дивергенции, Adiv, дБ	расстояние = 686.68 м	ф-ла (7) [10]	**67,7**										
Коэффициент затухания звука в атмосфере α, дБ/км	Ta=20,°C Pa=101.33,кПа hотн.=70%	ф-ла (5) [9]	0,02	0,09	0,33	1,12	2,79	4,98	9,04	23,09	77,63		
Учет затухания звука в атмосфере Aatm, дБ		ф-ла (8) [10]	0	0,1	0,2	0,8	1,9	3,4	6,2	15,9	53,3		
Снижение поверхностью земли возле источника As, дБ	Gs = 0 hs = 1м	ф-лы таб.3 [10]	-1,5	-1,5	-1,5	-1,5	-1,5	-1,5	-1,5	-1,5	-1,5		

1		2	3	4	5	6	7	8	9	10	11	12	13
Снижение поверхностью земли возле приёмника Ar, дБ	Gr = 1 hr = 1.5м	ф-лы таб.3 [10]	-1,5	-1,5	4,1	7	5	0,7	0	0	0		
Снижение поверхностью земли в средней зоне, Am дБ	Gm = 1	ф-лы таб.3 [10]	-2,7	-2,7	0	0	0	0	0	0	0		
Суммарное снижение поверхностью земли на траектории распространения звука Agr, дБ		ф-ла (9) [10]	-5,7	-5,7	2,6	5,5	3,5	-0,8	-1,5	-1,5	-1,5		
Уровни звукового давления прямого звука от источника ИШ-2-11 в расчётной точке днём, дБ		**ф-ла(3)[10]**	**0**	**34,2**	**27,1**	**25**	**26,2**	**28,6**	**23,1**	**9,3**	**0**	**31**	**31**
Уровни звукового давления прямого звука от источника ИШ-2-11 в расчётной точке ночью, дБ		**ф-ла(3)[10]**	**0**	**34,2**	**27,1**	**25**	**26,2**	**28,6**	**23,1**	**9,3**	**0**	**31**	**31**
Расчёт отражённого звука													
Уровни звукового давления от мнимого источника ИШ-2-11_мн.(1) в расчётной точке днём, дБ		**ф-ла(3)[10]**	**0**	**0**	**0**	**0**	**0**	**0**	**0**	**0**	**0**	**0**	**0**
Уровни звукового давления от мнимого источника ИШ-2-11_мн.(1) в расчётной точке ночью, дБ		**ф-ла(3)[10]**	**0**	**0**	**0**	**0**	**0**	**0**	**0**	**0**	**0**	**0**	**0**
Уровни звукового давления от мнимого источника ИШ-2-11_мн.(2) в расчётной точке днём, дБ		**ф-ла(3)[10]**	**0**	**0**	**0**	**0**	**0**	**0**	**0**	**0**	**0**	**0**	**0**
Уровни звукового давления от мнимого источника ИШ-2-11_мн.(2) в расчётной точке ночью, дБ		**ф-ла(3)[10]**	**0**	**0**	**0**	**0**	**0**	**0**	**0**	**0**	**0**	**0**	**0**
Суммарные уровни звукового давления от мнимых источников в расчётной точке днём, дБ		**ф-ла (19) [1]**	**0**	**0**	**0**	**0**	**0**	**0**	**0**	**0**	**0**	**0**	**0**
Суммарные уровни звукового давления от мнимых источников в расчётной точке ночью, дБ		**ф-ла (19) [1]**	**0**	**0**	**0**	**0**	**0**	**0**	**0**	**0**	**0**	**0**	**0**
Уровни звукового давления от источника ИШ-2-11 в расчётной точке днём, дБ		**ф-ла(3)[10]**	**0**	**34,2**	**27,1**	**25**	**26,2**	**28,6**	**23,1**	**9,3**	**0**	**31**	**31**
Уровни звукового давления от источника ИШ-2-11 в расчётной точке ночью, дБ		**ф-ла(3)[10]**	**0**	**34,2**	**27,1**	**25**	**26,2**	**28,6**	**23,1**	**9,3**	**0**	**31**	**31**
Источник шума: ИШ-2-12, координаты источника (x,y,z), м =[760.25,95.02,1.00]													
Уровни звуковой мощности источника днём, Lw, дБ		**исходные данные**	**0**	**93,3**	**94,7**	**96**	**96,3**	**95,9**	**92,6**	**88,4**	**83,9**		
Уровни звуковой мощности источника ночью, Lw, дБ		**исходные данные**	**0**	**93,3**	**94,7**	**96**	**96,3**	**95,9**	**92,6**	**88,4**	**83,9**		

1		2	3	4	5	6	7	8	9	10	11	12	13
Поправка на телесный угол DΩ, дБ	Ω = 6.28	10Lg(4π/Ω)	**3**	3	3	3	3	3	3	3	3		
Показатель направленности источника Di, дБ		исходные данные	**0**	0	0	0	0	0	0	0	0		
Поправка на направленность источника Dc, дБ	Dc	DΩ + Di	**3**	3	3	3	3	3	3	3	3		
Затухание из-за геометрической дивергенции, Adiv, дБ	расстояние = 683.75 м	ф-ла (7) [10]	**67,7**										
Коэффициент затухания звука в атмосфере α, дБ/км	Ta=20,°C Pa=101.33,кПа hотн.=70%	ф-ла (5) [9]	0,02	0,09	0,33	1,12	2,79	4,98	9,04	23,09	77,63		
Учет затухания звука в атмосфере Aatm, дБ		ф-ла (8) [10]	0	0,1	0,2	0,8	1,9	3,4	6,2	15,8	53,1		
Снижение поверхностью земли возле источника As, дБ	Gs = 0 hs = 1м	ф-лы таб.3 [10]	-1,5	-1,5	-1,5	-1,5	-1,5	-1,5	-1,5	-1,5	-1,5		
Снижение поверхностью земли возле приёмника Ar, дБ	Gr = 1 hr = 1.5м	ф-лы таб.3 [10]	-1,5	-1,5	4,1	7	5	0,7	0	0	0		
Снижение поверхностью земли в средней зоне, Am дБ	Gm = 1	ф-лы таб.3 [10]	-2,7	-2,7	0	0	0	0	0	0	0		
Суммарное снижение поверхностью земли на траектории распространения звука Agr, дБ		ф-ла (9) [10]	-5,7	-5,7	2,6	5,5	3,5	-0,8	-1,5	-1,5	-1,5		
Уровни звукового давления прямого звука от источника ИШ-2-12 в расчётной точке днём, дБ		**ф-ла(3)[10]**	**0**	**34,2**	**27,2**	**25**	**26,2**	**28,6**	**23,2**	**9,4**	**0**	**31,1**	**31,1**
Уровни звукового давления прямого звука от источника ИШ-2-12 в расчётной точке ночью, дБ		**ф-ла(3)[10]**	**0**	**34,2**	**27,2**	**25**	**26,2**	**28,6**	**23,2**	**9,4**	**0**	**31,1**	**31,1**
Расчёт отражённого звука													
Уровни звукового давления от мнимого источника ИШ-2-12_мн.(1) в расчётной точке днём, дБ		**ф-ла(3)[10]**	**0**	**0**	**0**	**0**	**0**	**0**	**0**	**0**	**0**	**0**	**0**
Уровни звукового давления от мнимого источника ИШ-2-12_мн.(1) в расчётной точке ночью, дБ		**ф-ла(3)[10]**	**0**	**0**	**0**	**0**	**0**	**0**	**0**	**0**	**0**	**0**	**0**
Уровни звукового давления от мнимого источника ИШ-2-12_мн.(2) в расчётной точке днём, дБ		**ф-ла(3)[10]**	**0**	**0**	**0**	**0**	**0**	**0**	**0**	**0**	**0**	**0**	**0**
Уровни звукового давления от мнимого источника ИШ-2-12_мн.(2) в расчётной точке ночью, дБ		**ф-ла(3)[10]**	**0**	**0**	**0**	**0**	**0**	**0**	**0**	**0**	**0**	**0**	**0**

1		2	3	4	5	6	7	8	9	10	11	12	13
Суммарные уровни звукового давления от мнимых источников в расчётной точке днём, дБ		**ф-ла (19) [1]**	**0**	**0**	**0**	**0**	**0**	**0**	**0**	**0**	**0**	**0**	**0**
Суммарные уровни звукового давления от мнимых источников в расчётной точке ночью, дБ		**ф-ла (19) [1]**	**0**	**0**	**0**	**0**	**0**	**0**	**0**	**0**	**0**	**0**	**0**
Уровни звукового давления от источника ИШ-2-12 в расчётной точке днём, дБ		**ф-ла(3)[10]**	**0**	**34,2**	**27,2**	**25**	**26,2**	**28,6**	**23,2**	**9,4**	**0**	**31,1**	**31,1**
Уровни звукового давления от источника ИШ-2-12 в расчётной точке ночью, дБ		**ф-ла(3)[10]**	**0**	**34,2**	**27,2**	**25**	**26,2**	**28,6**	**23,2**	**9,4**	**0**	**31,1**	**31,1**
Источник шума: ИШ-2-13, координаты источника (x,y,z), м =[759.28,92.25,1.00]													
Уровни звуковой мощности источника днём, Lw, дБ		**исходные данные**	**0**	**93,3**	**94,7**	**96**	**96,3**	**95,9**	**92,6**	**88,4**	**83,9**		
Уровни звуковой мощности источника ночью, Lw, дБ		**исходные данные**	**0**	**93,3**	**94,7**	**96**	**96,3**	**95,9**	**92,6**	**88,4**	**83,9**		
Поправка на телесный угол DΩ, дБ	Ω = 6.28	10Lg(4π/Ω)	**3**	3	3	3	3	3	3	3	3		
Показатель направленности источника Di, дБ		исходные данные	**0**	0	0	0	0	0	0	0	0		
Поправка на направленность источника Dc, дБ	Dc	DΩ + Di	**3**	3	3	3	3	3	3	3	3		
Затухание из-за геометрической дивергенции, Adiv, дБ	расстояние = 680.93 м	ф-ла (7) [10]	**67,7**										
Коэффициент затухания звука в атмосфере α, дБ/км	Ta=20,°C Pa=101.33,кПа hотн.=70%	ф-ла (5) [9]	0,02	0,09	0,33	1,12	2,79	4,98	9,04	23,09	77,63		
Учет затухания звука в атмосфере Aatm, дБ		ф-ла (8) [10]	0	0,1	0,2	0,8	1,9	3,4	6,2	15,7	52,9		
Снижение поверхностью земли возле источника As, дБ	Gs = 0 hs = 1м	ф-лы таб.3 [10]	-1,5	-1,5	-1,5	-1,5	-1,5	-1,5	-1,5	-1,5	-1,5		
Снижение поверхностью земли возле приёмника Ar, дБ	Gr = 1 hr = 1.5м	ф-лы таб.3 [10]	-1,5	-1,5	4,1	7	5	0,7	0	0	0		
Снижение поверхностью земли в средней зоне, Am дБ	Gm = 1	ф-лы таб.3 [10]	-2,7	-2,7	0	0	0	0	0	0	0		

1		2	3	4	5	6	7	8	9	10	11	12	13
Суммарное снижение поверхностью земли на траектории распространения звука Agr, дБ		ф-ла (9) [10]	-5,7	-5,7	2,6	5,5	3,5	-0,8	-1,5	-1,5	-1,5		
Уровни звукового давления прямого звука от источника ИШ-2-13 в расчётной точке днём, дБ		**ф-ла(3)[10]**	**0**	**34,2**	**27,2**	**25**	**26,3**	**28,7**	**23,3**	**9,5**	**0**	**31,1**	**31,1**
Уровни звукового давления прямого звука от источника ИШ-2-13 в расчётной точке ночью, дБ		**ф-ла(3)[10]**	**0**	**34,2**	**27,2**	**25**	**26,3**	**28,7**	**23,3**	**9,5**	**0**	**31,1**	**31,1**
Расчёт отражённого звука													
Уровни звукового давления от мнимого источника ИШ-2-13_мн.(1) в расчётной точке днём, дБ		**ф-ла(3)[10]**	**0**	**0**	**0**	**0**	**0**	**0**	**0**	**0**	**0**	**0**	**0**
Уровни звукового давления от мнимого источника ИШ-2-13_мн.(1) в расчётной точке ночью, дБ		**ф-ла(3)[10]**	**0**	**0**	**0**	**0**	**0**	**0**	**0**	**0**	**0**	**0**	**0**
Уровни звукового давления от мнимого источника ИШ-2-13_мн.(2) в расчётной точке днём, дБ		**ф-ла(3)[10]**	**0**	**0**	**0**	**0**	**0**	**0**	**0**	**0**	**0**	**0**	**0**
Уровни звукового давления от мнимого источника ИШ-2-13_мн.(2) в расчётной точке ночью, дБ		**ф-ла(3)[10]**	**0**	**0**	**0**	**0**	**0**	**0**	**0**	**0**	**0**	**0**	**0**
Суммарные уровни звукового давления от мнимых источников в расчётной точке днём, дБ		**ф-ла (19) [1]**	**0**	**0**	**0**	**0**	**0**	**0**	**0**	**0**	**0**	**0**	**0**
Суммарные уровни звукового давления от мнимых источников в расчётной точке ночью, дБ		**ф-ла (19) [1]**	**0**	**0**	**0**	**0**	**0**	**0**	**0**	**0**	**0**	**0**	**0**
Уровни звукового давления от источника ИШ-2-13 в расчётной точке днём, дБ		**ф-ла(3)[10]**	**0**	**34,2**	**27,2**	**25**	**26,3**	**28,7**	**23,3**	**9,5**	**0**	**31,1**	**31,1**
Уровни звукового давления от источника ИШ-2-13 в расчётной точке ночью, дБ		**ф-ла(3)[10]**	**0**	**34,2**	**27,2**	**25**	**26,3**	**28,7**	**23,3**	**9,5**	**0**	**31,1**	**31,1**
Источник шума: ИШ-2-14, координаты источника (x,y,z), м =[751.62,69.73,1.00]													
Уровни звуковой мощности источника днём, Lw, дБ		**исходные данные**	**0**	**93,3**	**94,7**	**96**	**96,3**	**95,9**	**92,6**	**88,4**	**83,9**		
Уровни звуковой мощности источника ночью, Lw, дБ		**исходные данные**	**0**	**93,3**	**94,7**	**96**	**96,3**	**95,9**	**92,6**	**88,4**	**83,9**		
Поправка на телесный угол DΩ, дБ	Ω = 6.28	10Lg(4π/Ω)	**3**	3	3	3	3	3	3	3	3		
Показатель направленности источника Di, дБ		исходные данные	**0**	0	0	0	0	0	0	0	0		

1		2	3	4	5	6	7	8	9	10	11	12	13
Поправка на направленность источника Dc, дБ	Dc	DΩ + Di	**3**	3	3	3	3	3	3	3	3		
Затухание из-за геометрической дивергенции, Adiv, дБ	расстояние = 658.03 м	ф-ла (7) [10]	**67,4**										
Коэффициент затухания звука в атмосфере α, дБ/км	Ta=20,°C Pa=101.33,кПа hотн.=70%	ф-ла (5) [9]	0,02	0,09	0,33	1,12	2,79	4,98	9,04	23,09	77,63		
Учет затухания звука в атмосфере Aatm, дБ		ф-ла (8) [10]	0	0,1	0,2	0,7	1,8	3,3	5,9	15,2	51,1		
Снижение поверхностью земли возле источника As, дБ	Gs = 0 hs = 1м	ф-лы таб.3 [10]	-1,5	-1,5	-1,5	-1,5	-1,5	-1,5	-1,5	-1,5	-1,5		
Снижение поверхностью земли возле приёмника Ar, дБ	Gr = 1 hr = 1.5м	ф-лы таб.3 [10]	-1,5	-1,5	4	7	5	0,7	0	0	0		
Снижение поверхностью земли в средней зоне, Am дБ	Gm = 1	ф-лы таб.3 [10]	-2,7	-2,7	0	0	0	0	0	0	0		
Суммарное снижение поверхностью земли на траектории распространения звука Agr, дБ		ф-ла (9) [10]	-5,7	-5,7	2,5	5,5	3,5	-0,8	-1,5	-1,5	-1,5		
Уровни звукового давления прямого звука от источника ИШ-2-14 в расчётной точке днём, дБ		**ф-ла(3)[10]**	**0**	**34,5**	**27,6**	**25,4**	**26,6**	**29,1**	**23,8**	**10,3**	**0**	**31,5**	**31,5**
Уровни звукового давления прямого звука от источника ИШ-2-14 в расчётной точке ночью, дБ		**ф-ла(3)[10]**	**0**	**34,5**	**27,6**	**25,4**	**26,6**	**29,1**	**23,8**	**10,3**	**0**	**31,5**	**31,5**
Расчёт отражённого звука													
Уровни звукового давления от мнимого источника ИШ-2-14_мн.(1) в расчётной точке днём, дБ		**ф-ла(3)[10]**	**0**	**0**	**0**	**0**	**0**	**0**	**0**	**0**	**0**	**0**	**0**
Уровни звукового давления от мнимого источника ИШ-2-14_мн.(1) в расчётной точке ночью, дБ		**ф-ла(3)[10]**	**0**	**0**	**0**	**0**	**0**	**0**	**0**	**0**	**0**	**0**	**0**
Уровни звукового давления от мнимого источника ИШ-2-14_мн.(2) в расчётной точке днём, дБ		**ф-ла(3)[10]**	**0**	**0**	**0**	**0**	**0**	**0**	**0**	**0**	**0**	**0**	**0**
Уровни звукового давления от мнимого источника ИШ-2-14_мн.(2) в расчётной точке ночью, дБ		**ф-ла(3)[10]**	**0**	**0**	**0**	**0**	**0**	**0**	**0**	**0**	**0**	**0**	**0**
Суммарные уровни звукового давления от мнимых источников в расчётной точке днём, дБ		**ф-ла (19) [1]**	**0**	**0**	**0**	**0**	**0**	**0**	**0**	**0**	**0**	**0**	**0**
Суммарные уровни звукового давления от мнимых источников в расчётной точке ночью, дБ		**ф-ла (19) [1]**	**0**	**0**	**0**	**0**	**0**	**0**	**0**	**0**	**0**	**0**	**0**

1		2	3	4	5	6	7	8	9	10	11	12	13
Уровни звукового давления от источника ИШ-2-14 в расчётной точке днём, дБ		**ф-ла(3)[10]**	**0**	**34,5**	**27,6**	**25,4**	**26,6**	**29,1**	**23,8**	**10,3**	**0**	**31,5**	**31,5**
Уровни звукового давления от источника ИШ-2-14 в расчётной точке ночью, дБ		**ф-ла(3)[10]**	**0**	**34,5**	**27,6**	**25,4**	**26,6**	**29,1**	**23,8**	**10,3**	**0**	**31,5**	**31,5**
Источник шума: ИШ-2-15, координаты источника (x,y,z), м =[750.74,66.89,1.00]													
Уровни звуковой мощности источника днём, Lw, дБ		**исходные данные**	**0**	**93,3**	**94,7**	**96**	**96,3**	**95,9**	**92,6**	**88,4**	**83,9**		
Уровни звуковой мощности источника ночью, Lw, дБ		**исходные данные**	**0**	**93,3**	**94,7**	**96**	**96,3**	**95,9**	**92,6**	**88,4**	**83,9**		
Поправка на телесный угол DΩ, дБ	Ω = 6.28	10Lg(4π/Ω)	**3**	3	3	3	3	3	3	3	3		
Показатель направленности источника Di, дБ		исходные данные	**0**	0	0	0	0	0	0	0	0		
Поправка на направленность источника Dc, дБ	Dc	DΩ + Di	**3**	3	3	3	3	3	3	3	3		
Затухание из-за геометрической дивергенции, Adiv, дБ	расстояние = 655.14 м	ф-ла (7) [10]	**67,3**										
Коэффициент затухания звука в атмосфере α, дБ/км	Ta=20,°C Pa=101.33,кПа hотн.=70%	ф-ла (5) [9]	0,02	0,09	0,33	1,12	2,79	4,98	9,04	23,09	77,63		
Учет затухания звука в атмосфере Aatm, дБ		ф-ла (8) [10]	0	0,1	0,2	0,7	1,8	3,3	5,9	15,1	50,9		
Снижение поверхностью земли возле источника As, дБ	Gs = 0 hs = 1м	ф-лы таб.3 [10]	-1,5	-1,5	-1,5	-1,5	-1,5	-1,5	-1,5	-1,5	-1,5		
Снижение поверхностью земли возле приёмника Ar, дБ	Gr = 1 hr = 1.5м	ф-лы таб.3 [10]	-1,5	-1,5	3,9	7	5	0,7	0	0	0		
Снижение поверхностью земли в средней зоне, Am дБ	Gm = 1	ф-лы таб.3 [10]	-2,7	-2,7	0	0	0	0	0	0	0		
Суммарное снижение поверхностью земли на траектории распространения звука Agr, дБ		ф-ла (9) [10]	-5,7	-5,7	2,4	5,5	3,5	-0,8	-1,5	-1,5	-1,5		
Уровни звукового давления прямого звука от источника ИШ-2-15 в расчётной точке днём, дБ		**ф-ла(3)[10]**	**0**	**34,6**	**27,7**	**25,4**	**26,7**	**29,1**	**23,8**	**10,4**	**0**	**31,6**	**31,6**

1		2	3	4	5	6	7	8	9	10	11	12	13
Уровни звукового давления прямого звука от источника ИШ-2-15 в расчётной точке ночью, дБ		**ф-ла(3)[10]**	**0**	**34,6**	**27,7**	**25,4**	**26,7**	**29,1**	**23,8**	**10,4**	**0**	**31,6**	**31,6**
Расчёт отражённого звука													
Уровни звукового давления от мнимого источника ИШ-2-15_мн.(1) в расчётной точке днём, дБ		**ф-ла(3)[10]**	**0**	**0**	**0**	**0**	**0**	**0**	**0**	**0**	**0**	**0**	**0**
Уровни звукового давления от мнимого источника ИШ-2-15_мн.(1) в расчётной точке ночью, дБ		**ф-ла(3)[10]**	**0**	**0**	**0**	**0**	**0**	**0**	**0**	**0**	**0**	**0**	**0**
Уровни звукового давления от мнимого источника ИШ-2-15_мн.(2) в расчётной точке днём, дБ		**ф-ла(3)[10]**	**0**	**0**	**0**	**0**	**0**	**0**	**0**	**0**	**0**	**0**	**0**
Уровни звукового давления от мнимого источника ИШ-2-15_мн.(2) в расчётной точке ночью, дБ		**ф-ла(3)[10]**	**0**	**0**	**0**	**0**	**0**	**0**	**0**	**0**	**0**	**0**	**0**
Суммарные уровни звукового давления от мнимых источников в расчётной точке днём, дБ		**ф-ла (19) [1]**	**0**	**0**	**0**	**0**	**0**	**0**	**0**	**0**	**0**	**0**	**0**
Суммарные уровни звукового давления от мнимых источников в расчётной точке ночью, дБ		**ф-ла (19) [1]**	**0**	**0**	**0**	**0**	**0**	**0**	**0**	**0**	**0**	**0**	**0**
Уровни звукового давления от источника ИШ-2-15 в расчётной точке днём, дБ		**ф-ла(3)[10]**	**0**	**34,6**	**27,7**	**25,4**	**26,7**	**29,1**	**23,8**	**10,4**	**0**	**31,6**	**31,6**
Уровни звукового давления от источника ИШ-2-15 в расчётной точке ночью, дБ		**ф-ла(3)[10]**	**0**	**34,6**	**27,7**	**25,4**	**26,7**	**29,1**	**23,8**	**10,4**	**0**	**31,6**	**31,6**
Источник шума: ИШ-2-16, координаты источника (x,y,z), м =[749.73,64.02,1.00]													
Уровни звуковой мощности источника днём, Lw, дБ		**исходные данные**	**0**	**93,3**	**94,7**	**96**	**96,3**	**95,9**	**92,6**	**88,4**	**83,9**		
Уровни звуковой мощности источника ночью, Lw, дБ		**исходные данные**	**0**	**93,3**	**94,7**	**96**	**96,3**	**95,9**	**92,6**	**88,4**	**83,9**		
Поправка на телесный угол DΩ, дБ	Ω = 6.28	10Lg(4π/Ω)	**3**	3	3	3	3	3	3	3	3		
Показатель направленности источника Di, дБ		исходные данные	**0**	0	0	0	0	0	0	0	0		
Поправка на направленность источника Dc, дБ	Dc	DΩ + Di	**3**	3	3	3	3	3	3	3	3		
Затухание из-за геометрической дивергенции, Adiv, дБ	расстояние = 652.23 м	ф-ла (7) [10]	**67,3**										

1		2	3	4	5	6	7	8	9	10	11	12	13
Коэффициент затухания звука в атмосфере α, дБ/км	Ta=20,°C Pa=101.33,кПа hотн.=70%	ф-ла (5) [9]	0,02	0,09	0,33	1,12	2,79	4,98	9,04	23,09	77,63		
Учет затухания звука в атмосфере Aatm, дБ		ф-ла (8) [10]	0	0,1	0,2	0,7	1,8	3,2	5,9	15,1	50,6		
Снижение поверхностью земли возле источника As, дБ	Gs = 0 hs = 1м	ф-лы таб.3 [10]	-1,5	-1,5	-1,5	-1,5	-1,5	-1,5	-1,5	-1,5	-1,5		
Снижение поверхностью земли возле приёмника Ar, дБ	Gr = 1 hr = 1.5м	ф-лы таб.3 [10]	-1,5	-1,5	3,9	7	5	0,7	0	0	0		
Снижение поверхностью земли в средней зоне, Am дБ	Gm = 1	ф-лы таб.3 [10]	-2,7	-2,7	0	0	0	0	0	0	0		
Суммарное снижение поверхностью земли на траектории распространения звука Agr, дБ		ф-ла (9) [10]	-5,7	-5,7	2,4	5,5	3,5	-0,8	-1,5	-1,5	-1,5		
Уровни звукового давления прямого звука от источника ИШ-2-16 в расчётной точке днём, дБ		**ф-ла(3)[10]**	**0**	**34,6**	**27,8**	**25,4**	**26,7**	**29,2**	**23,9**	**10,5**	**0**	**31,7**	**31,7**
Уровни звукового давления прямого звука от источника ИШ-2-16 в расчётной точке ночью, дБ		**ф-ла(3)[10]**	**0**	**34,6**	**27,8**	**25,4**	**26,7**	**29,2**	**23,9**	**10,5**	**0**	**31,7**	**31,7**
Расчёт отражённого звука													
Уровни звукового давления от мнимого источника ИШ-2-16_мн.(1) в расчётной точке днём, дБ		**ф-ла(3)[10]**	**0**	**0**	**0**	**0**	**0**	**0**	**0**	**0**	**0**	**0**	**0**
Уровни звукового давления от мнимого источника ИШ-2-16_мн.(1) в расчётной точке ночью, дБ		**ф-ла(3)[10]**	**0**	**0**	**0**	**0**	**0**	**0**	**0**	**0**	**0**	**0**	**0**
Уровни звукового давления от мнимого источника ИШ-2-16_мн.(2) в расчётной точке днём, дБ		**ф-ла(3)[10]**	**0**	**0**	**0**	**0**	**0**	**0**	**0**	**0**	**0**	**0**	**0**
Уровни звукового давления от мнимого источника ИШ-2-16_мн.(2) в расчётной точке ночью, дБ		**ф-ла(3)[10]**	**0**	**0**	**0**	**0**	**0**	**0**	**0**	**0**	**0**	**0**	**0**
Суммарные уровни звукового давления от мнимых источников в расчётной точке днём, дБ		**ф-ла (19) [1]**	**0**	**0**	**0**	**0**	**0**	**0**	**0**	**0**	**0**	**0**	**0**
Суммарные уровни звукового давления от мнимых источников в расчётной точке ночью, дБ		**ф-ла (19) [1]**	**0**	**0**	**0**	**0**	**0**	**0**	**0**	**0**	**0**	**0**	**0**
Уровни звукового давления от источника ИШ-2-16 в расчётной точке днём, дБ		**ф-ла(3)[10]**	**0**	**34,6**	**27,8**	**25,4**	**26,7**	**29,2**	**23,9**	**10,5**	**0**	**31,7**	**31,7**
Уровни звукового давления от источника ИШ-2-16 в расчётной точке ночью, дБ		**ф-ла(3)[10]**	**0**	**34,6**	**27,8**	**25,4**	**26,7**	**29,2**	**23,9**	**10,5**	**0**	**31,7**	**31,7**

1		2	3	4	5	6	7	8	9	10	11	12	13
Источник шума: ИШ-2-17, координаты источника (x,y,z), м =[748.87,61.06,1.00]													
Уровни звуковой мощности источника днём, Lw, дБ		**исходные данные**	**0**	**93,3**	**94,7**	**96**	**96,3**	**95,9**	**92,6**	**88,4**	**83,9**		
Уровни звуковой мощности источника ночью, Lw, дБ		**исходные данные**	**0**	**93,3**	**94,7**	**96**	**96,3**	**95,9**	**92,6**	**88,4**	**83,9**		
Поправка на телесный угол DΩ, дБ	Ω = 6.28	10Lg(4π/Ω)	**3**	3	3	3	3	3	3	3	3		
Показатель направленности источника Di, дБ		исходные данные	**0**	0	0	0	0	0	0	0	0		
Поправка на направленность источника Dc, дБ	Dc	DΩ + Di	**3**	3	3	3	3	3	3	3	3		
Затухание из-за геометрической дивергенции, Adiv, дБ	расстояние = 649.23 м	ф-ла (7) [10]	**67,2**										
Коэффициент затухания звука в атмосфере α, дБ/км	Ta=20,°C Pa=101.33,кПа hотн.=70%	ф-ла (5) [9]	0,02	0,09	0,33	1,12	2,79	4,98	9,04	23,09	77,63		
Учет затухания звука в атмосфере Aatm, дБ		ф-ла (8) [10]	0	0,1	0,2	0,7	1,8	3,2	5,9	15	50,4		
Снижение поверхностью земли возле источника As, дБ	Gs = 0 hs = 1м	ф-лы таб.3 [10]	-1,5	-1,5	-1,5	-1,5	-1,5	-1,5	-1,5	-1,5	-1,5		
Снижение поверхностью земли возле приёмника Ar, дБ	Gr = 1 hr = 1.5м	ф-лы таб.3 [10]	-1,5	-1,5	3,9	7	5	0,7	0	0	0		
Снижение поверхностью земли в средней зоне, Am дБ	Gm = 1	ф-лы таб.3 [10]	-2,7	-2,7	0	0	0	0	0	0	0		
Суммарное снижение поверхностью земли на траектории распространения звука Agr, дБ		ф-ла (9) [10]	-5,7	-5,7	2,4	5,5	3,5	-0,8	-1,5	-1,5	-1,5		
Уровни звукового давления прямого звука от источника ИШ-2-17 в расчётной точке днём, дБ		**ф-ла(3)[10]**	**0**	**34,6**	**27,8**	**25,5**	**26,8**	**29,3**	**24**	**10,7**	**0**	**31,7**	**31,7**
Уровни звукового давления прямого звука от источника ИШ-2-17 в расчётной точке ночью, дБ		**ф-ла(3)[10]**	**0**	**34,6**	**27,8**	**25,5**	**26,8**	**29,3**	**24**	**10,7**	**0**	**31,7**	**31,7**
Расчёт отражённого звука													

1		2	3	4	5	6	7	8	9	10	11	12	13
Уровни звукового давления от мнимого источника ИШ-2-17_мн.(1) в расчётной точке днём, дБ		**ф-ла(3)[10]**	**0**	**0**	**0**	**0**	**0**	**0**	**0**	**0**	**0**	**0**	**0**
Уровни звукового давления от мнимого источника ИШ-2-17_мн.(1) в расчётной точке ночью, дБ		**ф-ла(3)[10]**	**0**	**0**	**0**	**0**	**0**	**0**	**0**	**0**	**0**	**0**	**0**
Уровни звукового давления от мнимого источника ИШ-2-17_мн.(2) в расчётной точке днём, дБ		**ф-ла(3)[10]**	**0**	**0**	**0**	**0**	**0**	**0**	**0**	**0**	**0**	**0**	**0**
Уровни звукового давления от мнимого источника ИШ-2-17_мн.(2) в расчётной точке ночью, дБ		**ф-ла(3)[10]**	**0**	**0**	**0**	**0**	**0**	**0**	**0**	**0**	**0**	**0**	**0**
Суммарные уровни звукового давления от мнимых источников в расчётной точке днём, дБ		**ф-ла (19) [1]**	**0**	**0**	**0**	**0**	**0**	**0**	**0**	**0**	**0**	**0**	**0**
Суммарные уровни звукового давления от мнимых источников в расчётной точке ночью, дБ		**ф-ла (19) [1]**	**0**	**0**	**0**	**0**	**0**	**0**	**0**	**0**	**0**	**0**	**0**
Уровни звукового давления от источника ИШ-2-17 в расчётной точке днём, дБ		**ф-ла(3)[10]**	**0**	**34,6**	**27,8**	**25,5**	**26,8**	**29,3**	**24**	**10,7**	**0**	**31,7**	**31,7**
Уровни звукового давления от источника ИШ-2-17 в расчётной точке ночью, дБ		**ф-ла(3)[10]**	**0**	**34,6**	**27,8**	**25,5**	**26,8**	**29,3**	**24**	**10,7**	**0**	**31,7**	**31,7**
Источник шума: ИШ-2-18, координаты источника (x,y,z), м =[747.72,58.17,1.00]													
Уровни звуковой мощности источника днём, Lw, дБ		**исходные данные**	**0**	**93,3**	**94,7**	**96**	**96,3**	**95,9**	**92,6**	**88,4**	**83,9**		
Уровни звуковой мощности источника ночью, Lw, дБ		**исходные данные**	**0**	**93,3**	**94,7**	**96**	**96,3**	**95,9**	**92,6**	**88,4**	**83,9**		
Поправка на телесный угол DΩ, дБ	Ω = 6.28	10Lg(4π/Ω)	**3**	3	3	3	3	3	3	3	3		
Показатель направленности источника Di, дБ		исходные данные	**0**	0	0	0	0	0	0	0	0		
Поправка на направленность источника Dc, дБ	Dc	DΩ + Di	**3**	3	3	3	3	3	3	3	3		
Затухание из-за геометрической дивергенции, Adiv, дБ	расстояние = 646.30 м	ф-ла (7) [10]	**67,2**										
Коэффициент затухания звука в атмосфере α, дБ/км	Ta=20,°C Pa=101.33,кПа hотн.=70%	ф-ла (5) [9]	0,02	0,09	0,33	1,12	2,79	4,98	9,04	23,09	77,63		

1		2	3	4	5	6	7	8	9	10	11	12	13
Учет затухания звука в атмосфере Aatm, дБ		ф-ла (8) [10]	0	0,1	0,2	0,7	1,8	3,2	5,8	14,9	50,2		
Снижение поверхностью земли возле источника As, дБ	Gs = 0 hs = 1м	ф-лы таб.3 [10]	-1,5	-1,5	-1,5	-1,5	-1,5	-1,5	-1,5	-1,5	-1,5		
Снижение поверхностью земли возле приёмника Ar, дБ	Gr = 1 hr = 1.5м	ф-лы таб.3 [10]	-1,5	-1,5	3,9	7	5	0,7	0	0	0		
Снижение поверхностью земли в средней зоне, Am дБ	Gm = 1	ф-лы таб.3 [10]	-2,7	-2,7	0	0	0	0	0	0	0		
Суммарное снижение поверхностью земли на траектории распространения звука Agr, дБ		ф-ла (9) [10]	-5,7	-5,7	2,4	5,5	3,5	-0,8	-1,5	-1,5	-1,5		
Уровни звукового давления прямого звука от источника ИШ-2-18 в расчётной точке днём, дБ		**ф-ла(3)[10]**	**0**	**34,7**	**27,9**	**25,5**	**26,8**	**29,3**	**24**	**10,8**	**0**	**31,8**	**31,8**
Уровни звукового давления прямого звука от источника ИШ-2-18 в расчётной точке ночью, дБ		**ф-ла(3)[10]**	**0**	**34,7**	**27,9**	**25,5**	**26,8**	**29,3**	**24**	**10,8**	**0**	**31,8**	**31,8**
Расчёт отражённого звука													
Уровни звукового давления от мнимого источника ИШ-2-18_мн.(1) в расчётной точке днём, дБ		**ф-ла(3)[10]**	**0**	**0**	**0**	**0**	**0**	**0**	**0**	**0**	**0**	**0**	**0**
Уровни звукового давления от мнимого источника ИШ-2-18_мн.(1) в расчётной точке ночью, дБ		**ф-ла(3)[10]**	**0**	**0**	**0**	**0**	**0**	**0**	**0**	**0**	**0**	**0**	**0**
Уровни звукового давления от источника ИШ-2-18 в расчётной точке днём, дБ		**ф-ла(3)[10]**	**0**	**34,7**	**27,9**	**25,5**	**26,8**	**29,3**	**24**	**10,8**	**0**	**31,8**	**31,8**
Уровни звукового давления от источника ИШ-2-18 в расчётной точке ночью, дБ		**ф-ла(3)[10]**	**0**	**34,7**	**27,9**	**25,5**	**26,8**	**29,3**	**24**	**10,8**	**0**	**31,8**	**31,8**
Источник шума: ИШ-2-19, координаты источника (x,y,z), м =[746.80,55.25,1.00]													
Уровни звуковой мощности источника днём, Lw, дБ		**исходные данные**	**0**	**93,3**	**94,7**	**96**	**96,3**	**95,9**	**92,6**	**88,4**	**83,9**		
Уровни звуковой мощности источника ночью, Lw, дБ		**исходные данные**	**0**	**93,3**	**94,7**	**96**	**96,3**	**95,9**	**92,6**	**88,4**	**83,9**		
Поправка на телесный угол DΩ, дБ	Ω = 6.28	10Lg(4π/Ω)	**3**	3	3	3	3	3	3	3	3		
Показатель направленности источника Di, дБ		исходные данные	**0**	0	0	0	0	0	0	0	0		

1		2	3	4	5	6	7	8	9	10	11	12	13
Поправка на направленность источника Dc, дБ	Dc	DΩ + Di	**3**	3	3	3	3	3	3	3	3		
Затухание из-за геометрической дивергенции, Adiv, дБ	расстояние = 643.34 м	ф-ла (7) [10]	**67,2**										
Коэффициент затухания звука в атмосфере α, дБ/км	Ta=20,°C Pa=101.33,кПа hотн.=70%	ф-ла (5) [9]	0,02	0,09	0,33	1,12	2,79	4,98	9,04	23,09	77,63		
Учет затухания звука в атмосфере Aatm, дБ		ф-ла (8) [10]	0	0,1	0,2	0,7	1,8	3,2	5,8	14,9	49,9		
Снижение поверхностью земли возле источника As, дБ	Gs = 0 hs = 1м	ф-лы таб.3 [10]	-1,5	-1,5	-1,5	-1,5	-1,5	-1,5	-1,5	-1,5	-1,5		
Снижение поверхностью земли возле приёмника Ar, дБ	Gr = 1 hr = 1.5м	ф-лы таб.3 [10]	-1,5	-1,5	3,9	7	5	0,7	0	0	0		
Снижение поверхностью земли в средней зоне, Am дБ	Gm = 1	ф-лы таб.3 [10]	-2,7	-2,7	0	0	0	0	0	0	0		
Суммарное снижение поверхностью земли на траектории распространения звука Agr, дБ		ф-ла (9) [10]	-5,7	-5,7	2,4	5,5	3,5	-0,8	-1,5	-1,5	-1,5		
Уровни звукового давления прямого звука от источника ИШ-2-19 в расчётной точке днём, дБ		**ф-ла(3)[10]**	**0**	**34,7**	**27,9**	**25,6**	**26,9**	**29,4**	**24,1**	**10,9**	**0**	**31,8**	**31,8**
Уровни звукового давления прямого звука от источника ИШ-2-19 в расчётной точке ночью, дБ		**ф-ла(3)[10]**	**0**	**34,7**	**27,9**	**25,6**	**26,9**	**29,4**	**24,1**	**10,9**	**0**	**31,8**	**31,8**
Расчёт отражённого звука													
Уровни звукового давления от мнимого источника ИШ-2-19_мн.(1) в расчётной точке днём, дБ		**ф-ла(3)[10]**	**0**	**0**	**0**	**0**	**0**	**0**	**0**	**0**	**0**	**0**	**0**
Уровни звукового давления от мнимого источника ИШ-2-19_мн.(1) в расчётной точке ночью, дБ		**ф-ла(3)[10]**	**0**	**0**	**0**	**0**	**0**	**0**	**0**	**0**	**0**	**0**	**0**
Уровни звукового давления от источника ИШ-2-19 в расчётной точке днём, дБ		**ф-ла(3)[10]**	**0**	**34,7**	**27,9**	**25,6**	**26,9**	**29,4**	**24,1**	**10,9**	**0**	**31,8**	**31,8**
Уровни звукового давления от источника ИШ-2-19 в расчётной точке ночью, дБ		**ф-ла(3)[10]**	**0**	**34,7**	**27,9**	**25,6**	**26,9**	**29,4**	**24,1**	**10,9**	**0**	**31,8**	**31,8**
Источник шума: ИШ-2-20, координаты источника (x,y,z), м =[745.71,52.44,1.00]													

1		2	3	4	5	6	7	8	9	10	11	12	13
Уровни звуковой мощности источника днём, Lw, дБ		**исходные данные**	**0**	**93,3**	**94,7**	**96**	**96,3**	**95,9**	**92,6**	**88,4**	**83,9**		
Уровни звуковой мощности источника ночью, Lw, дБ		**исходные данные**	**0**	**93,3**	**94,7**	**96**	**96,3**	**95,9**	**92,6**	**88,4**	**83,9**		
Поправка на телесный угол DΩ, дБ	Ω = 6.28	10Lg(4π/Ω)	**3**	3	3	3	3	3	3	3	3		
Показатель направленности источника Di, дБ		исходные данные	**0**	0	0	0	0	0	0	0	0		
Поправка на направленность источника Dc, дБ	Dc	DΩ + Di	**3**	3	3	3	3	3	3	3	3		
Затухание из-за геометрической дивергенции, Adiv, дБ	расстояние = 640.48 м	ф-ла (7) [10]	**67,1**										
Коэффициент затухания звука в атмосфере α, дБ/км	Ta=20,°C Pa=101.33,кПа hотн.=70%	ф-ла (5) [9]	0,02	0,09	0,33	1,12	2,79	4,98	9,04	23,09	77,63		
Учет затухания звука в атмосфере Aatm, дБ		ф-ла (8) [10]	0	0,1	0,2	0,7	1,8	3,2	5,8	14,8	49,7		
Снижение поверхностью земли возле источника As, дБ	Gs = 0 hs = 1м	ф-лы таб.3 [10]	-1,5	-1,5	-1,5	-1,5	-1,5	-1,5	-1,5	-1,5	-1,5		
Снижение поверхностью земли возле приёмника Ar, дБ	Gr = 1 hr = 1.5м	ф-лы таб.3 [10]	-1,5	-1,5	3,9	7	5	0,7	0	0	0		
Снижение поверхностью земли в средней зоне, Am дБ	Gm = 1	ф-лы таб.3 [10]	-2,6	-2,6	0	0	0	0	0	0	0		
Суммарное снижение поверхностью земли на траектории распространения звука Agr, дБ		ф-ла (9) [10]	-5,6	-5,6	2,4	5,5	3,5	-0,8	-1,5	-1,5	-1,5		
Уровни звукового давления прямого звука от источника ИШ-2-20 в расчётной точке днём, дБ		**ф-ла(3)[10]**	**0**	**34,8**	**28**	**25,6**	**26,9**	**29,4**	**24,2**	**11**	**0**	**31,9**	**31,9**
Уровни звукового давления прямого звука от источника ИШ-2-20 в расчётной точке ночью, дБ		**ф-ла(3)[10]**	**0**	**34,8**	**28**	**25,6**	**26,9**	**29,4**	**24,2**	**11**	**0**	**31,9**	**31,9**
Расчёт отражённого звука													
Уровни звукового давления от мнимого источника ИШ-2-20_мн.(1) в расчётной точке днём, дБ		**ф-ла(3)[10]**	**0**	**0**	**0**	**0**	**0**	**0**	**0**	**0**	**0**	**0**	**0**
Уровни звукового давления от мнимого источника ИШ-2-20_мн.(1) в расчётной точке ночью, дБ		**ф-ла(3)[10]**	**0**	**0**	**0**	**0**	**0**	**0**	**0**	**0**	**0**	**0**	**0**

1		2	3	4	5	6	7	8	9	10	11	12	13
Уровни звукового давления от источника ИШ-2-20 в расчётной точке днём, дБ		**ф-ла(3)[10]**	**0**	**34,8**	**28**	**25,6**	**26,9**	**29,4**	**24,2**	**11**	**0**	**31,9**	**31,9**
Уровни звукового давления от источника ИШ-2-20 в расчётной точке ночью, дБ		**ф-ла(3)[10]**	**0**	**34,8**	**28**	**25,6**	**26,9**	**29,4**	**24,2**	**11**	**0**	**31,9**	**31,9**
Источник шума: ИШ-2-21, координаты источника (x,y,z), м =[744.89,49.62,1.00]													
Уровни звуковой мощности источника днём, Lw, дБ		**исходные данные**	**0**	**93,3**	**94,7**	**96**	**96,3**	**95,9**	**92,6**	**88,4**	**83,9**		
Уровни звуковой мощности источника ночью, Lw, дБ		**исходные данные**	**0**	**93,3**	**94,7**	**96**	**96,3**	**95,9**	**92,6**	**88,4**	**83,9**		
Поправка на телесный угол DΩ, дБ	Ω = 6.28	10Lg(4π/Ω)	**3**	3	3	3	3	3	3	3	3		
Показатель направленности источника Di, дБ		исходные данные	**0**	0	0	0	0	0	0	0	0		
Поправка на направленность источника Dc, дБ	Dc	DΩ + Di	**3**	3	3	3	3	3	3	3	3		
Затухание из-за геометрической дивергенции, Adiv, дБ	расстояние = 637.63 м	ф-ла (7) [10]	**67,1**										
Коэффициент затухания звука в атмосфере α, дБ/км	Ta=20,°C Pa=101.33,кПа hотн.=70%	ф-ла (5) [9]	0,02	0,09	0,33	1,12	2,79	4,98	9,04	23,09	77,63		
Учет затухания звука в атмосфере Aatm, дБ		ф-ла (8) [10]	0	0,1	0,2	0,7	1,8	3,2	5,8	14,7	49,5		
Снижение поверхностью земли возле источника As, дБ	Gs = 0 hs = 1м	ф-лы таб.3 [10]	-1,5	-1,5	-1,5	-1,5	-1,5	-1,5	-1,5	-1,5	-1,5		
Снижение поверхностью земли возле приёмника Ar, дБ	Gr = 1 hr = 1.5м	ф-лы таб.3 [10]	-1,5	-1,5	3,9	7	5	0,7	0	0	0		
Снижение поверхностью земли в средней зоне, Am дБ	Gm = 1	ф-лы таб.3 [10]	-2,6	-2,6	0	0	0	0	0	0	0		
Суммарное снижение поверхностью земли на траектории распространения звука Agr, дБ		ф-ла (9) [10]	-5,6	-5,6	2,4	5,5	3,5	-0,8	-1,5	-1,5	-1,5		
Уровни звукового давления прямого звука от источника ИШ-2-21 в расчётной точке днём, дБ		**ф-ла(3)[10]**	**0**	**34,8**	**28**	**25,7**	**26,9**	**29,5**	**24,2**	**11,1**	**0**	**31,9**	**31,9**

1		2	3	4	5	6	7	8	9	10	11	12	13
Уровни звукового давления прямого звука от источника ИШ-2-21 в расчётной точке ночью, дБ		**ф-ла(3)[10]**	**0**	**34,8**	**28**	**25,7**	**26,9**	**29,5**	**24,2**	**11,1**	**0**	**31,9**	**31,9**
Расчёт отражённого звука													
Уровни звукового давления от мнимого источника ИШ-2-21_мн.(1) в расчётной точке днём, дБ		**ф-ла(3)[10]**	**0**	**0**	**0**	**0**	**0**	**0**	**0**	**0**	**0**	**0**	**0**
Уровни звукового давления от мнимого источника ИШ-2-21_мн.(1) в расчётной точке ночью, дБ		**ф-ла(3)[10]**	**0**	**0**	**0**	**0**	**0**	**0**	**0**	**0**	**0**	**0**	**0**
Уровни звукового давления от источника ИШ-2-21 в расчётной точке днём, дБ		**ф-ла(3)[10]**	**0**	**34,8**	**28**	**25,7**	**26,9**	**29,5**	**24,2**	**11,1**	**0**	**31,9**	**31,9**
Уровни звукового давления от источника ИШ-2-21 в расчётной точке ночью, дБ		**ф-ла(3)[10]**	**0**	**34,8**	**28**	**25,7**	**26,9**	**29,5**	**24,2**	**11,1**	**0**	**31,9**	**31,9**
Источник шума: ИШ-2-22, координаты источника (x,y,z), м =[737.40,27.07,1.00]													
Уровни звуковой мощности источника днём, Lw, дБ		**исходные данные**	**0**	**93,3**	**94,7**	**96**	**96,3**	**95,9**	**92,6**	**88,4**	**83,9**		
Уровни звуковой мощности источника ночью, Lw, дБ		**исходные данные**	**0**	**93,3**	**94,7**	**96**	**96,3**	**95,9**	**92,6**	**88,4**	**83,9**		
Поправка на телесный угол DΩ, дБ	Ω = 6.28	10Lg(4π/Ω)	**3**	3	3	3	3	3	3	3	3		
Показатель направленности источника Di, дБ		исходные данные	**0**	0	0	0	0	0	0	0	0		
Поправка на направленность источника Dc, дБ	Dc	DΩ + Di	**3**	3	3	3	3	3	3	3	3		
Затухание из-за геометрической дивергенции, Adiv, дБ	расстояние = 614.83 м	ф-ла (7) [10]	**66,8**										
Коэффициент затухания звука в атмосфере α, дБ/км	Ta=20,°C Pa=101.33,кПа hотн.=70%	ф-ла (5) [9]	0,02	0,09	0,33	1,12	2,79	4,98	9,04	23,09	77,63		
Учет затухания звука в атмосфере Aatm, дБ		ф-ла (8) [10]	0	0,1	0,2	0,7	1,7	3,1	5,6	14,2	47,7		
Снижение поверхностью земли возле источника As, дБ	Gs = 0 hs = 1м	ф-лы таб.3 [10]	-1,5	-1,5	-1,5	-1,5	-1,5	-1,5	-1,5	-1,5	-1,5		

1		2	3	4	5	6	7	8	9	10	11	12	13
Снижение поверхностью земли возле приёмника Ar, дБ	Gr = 1 hr = 1.5м	ф-лы таб.3 [10]	-1,5	-1,5	3,7	7	5	0,7	0	0	0		
Снижение поверхностью земли в средней зоне, Am дБ	Gm = 1	ф-лы таб.3 [10]	-2,6	-2,6	0	0	0	0	0	0	0		
Суммарное снижение поверхностью земли на траектории распространения звука Agr, дБ		ф-ла (9) [10]	-5,6	-5,6	2,2	5,5	3,5	-0,8	-1,5	-1,5	-1,5		
Уровни звукового давления от источника ИШ-2-22 в расчётной точке днём, дБ		**ф-ла(3)[10]**	**0**	**35,1**	**28,5**	**26**	**27,3**	**29,9**	**24,8**	**11,9**	**0**	**32,4**	**32,4**
Уровни звукового давления от источника ИШ-2-22 в расчётной точке ночью, дБ		**ф-ла(3)[10]**	**0**	**35,1**	**28,5**	**26**	**27,3**	**29,9**	**24,8**	**11,9**	**0**	**32,4**	**32,4**
Источник шума: ИШ-2-23, координаты источника (x,y,z), м =[736.46,24.18,1.00]													
Уровни звуковой мощности источника днём, Lw, дБ		**исходные данные**	**0**	**93,3**	**94,7**	**96**	**96,3**	**95,9**	**92,6**	**88,4**	**83,9**		
Уровни звуковой мощности источника ночью, Lw, дБ		**исходные данные**	**0**	**93,3**	**94,7**	**96**	**96,3**	**95,9**	**92,6**	**88,4**	**83,9**		
Поправка на телесный угол DΩ, дБ	Ω = 6.28	10Lg(4π/Ω)	**3**	3	3	3	3	3	3	3	3		
Показатель направленности источника Di, дБ		исходные данные	**0**	0	0	0	0	0	0	0	0		
Поправка на направленность источника Dc, дБ	Dc	DΩ + Di	**3**	3	3	3	3	3	3	3	3		
Затухание из-за геометрической дивергенции, Adiv, дБ	расстояние = 611.91 м	ф-ла (7) [10]	**66,7**										
Коэффициент затухания звука в атмосфере α, дБ/км	Ta=20,°C Pa=101.33,кПа hотн.=70%	ф-ла (5) [9]	0,02	0,09	0,33	1,12	2,79	4,98	9,04	23,09	77,63		
Учет затухания звука в атмосфере Aatm, дБ		ф-ла (8) [10]	0	0,1	0,2	0,7	1,7	3	5,5	14,1	47,5		
Снижение поверхностью земли возле источника As, дБ	Gs = 0 hs = 1м	ф-лы таб.3 [10]	-1,5	-1,5	-1,5	-1,5	-1,5	-1,5	-1,5	-1,5	-1,5		
Снижение поверхностью земли возле приёмника Ar, дБ	Gr = 1 hr = 1.5м	ф-лы таб.3 [10]	-1,5	-1,5	3,7	7	5	0,7	0	0	0		

1		2	3	4	5	6	7	8	9	10	11	12	13
Снижение поверхностью земли в средней зоне, Am дБ	Gm = 1	ф-лы таб.3 [10]	-2,6	-2,6	0	0	0	0	0	0	0		
Суммарное снижение поверхностью земли на траектории распространения звука Agr, дБ		ф-ла (9) [10]	-5,6	-5,6	2,2	5,5	3,5	-0,8	-1,5	-1,5	-1,5		
Уровни звукового давления от источника ИШ-2-23 в расчётной точке днём, дБ		**ф-ла(3)[10]**	**0**	**35,1**	**28,5**	**26**	**27,4**	**30**	**24,8**	**12**	**0**	**32,4**	**32,4**
Уровни звукового давления от источника ИШ-2-23 в расчётной точке ночью, дБ		**ф-ла(3)[10]**	**0**	**35,1**	**28,5**	**26**	**27,4**	**30**	**24,8**	**12**	**0**	**32,4**	**32,4**
Источник шума: ИШ-2-24, координаты источника (x,y,z), м =[735.45,21.21,1.00]													
Уровни звуковой мощности источника днём, Lw, дБ		**исходные данные**	**0**	**93,3**	**94,7**	**96**	**96,3**	**95,9**	**92,6**	**88,4**	**83,9**		
Уровни звуковой мощности источника ночью, Lw, дБ		**исходные данные**	**0**	**93,3**	**94,7**	**96**	**96,3**	**95,9**	**92,6**	**88,4**	**83,9**		
Поправка на телесный угол DΩ, дБ	Ω = 6.28	10Lg(4π/Ω)	**3**	3	3	3	3	3	3	3	3		
Показатель направленности источника Di, дБ		исходные данные	**0**	0	0	0	0	0	0	0	0		
Поправка на направленность источника Dc, дБ	Dc	DΩ + Di	**3**	3	3	3	3	3	3	3	3		
Затухание из-за геометрической дивергенции, Adiv, дБ	расстояние = 608.92 м	ф-ла (7) [10]	**66,7**										
Коэффициент затухания звука в атмосфере α, дБ/км	Ta=20,°C Pa=101.33,кПа hотн.=70%	ф-ла (5) [9]	0,02	0,09	0,33	1,12	2,79	4,98	9,04	23,09	77,63		
Учет затухания звука в атмосфере Aatm, дБ		ф-ла (8) [10]	0	0,1	0,2	0,7	1,7	3	5,5	14,1	47,3		
Снижение поверхностью земли возле источника As, дБ	Gs = 0 hs = 1м	ф-лы таб.3 [10]	-1,5	-1,5	-1,5	-1,5	-1,5	-1,5	-1,5	-1,5	-1,5		
Снижение поверхностью земли возле приёмника Ar, дБ	Gr = 1 hr = 1.5м	ф-лы таб.3 [10]	-1,5	-1,5	3,7	7	5	0,7	0	0	0		
Снижение поверхностью земли в средней зоне, Am дБ	Gm = 1	ф-лы таб.3 [10]	-2,6	-2,6	0	0	0	0	0	0	0		

1		2	3	4	5	6	7	8	9	10	11	12	13
Суммарное снижение поверхностью земли на траектории распространения звука Agr, дБ		ф-ла (9) [10]	-5,6	-5,6	2,2	5,5	3,5	-0,8	-1,5	-1,5	-1,5		
Уровни звукового давления от источника ИШ-2-24 в расчётной точке днём, дБ		**ф-ла(3)[10]**	**0**	**35,2**	**28,6**	**26,1**	**27,4**	**30**	**24,9**	**12,1**	**0**	**32,5**	**32,5**
Уровни звукового давления от источника ИШ-2-24 в расчётной точке ночью, дБ		**ф-ла(3)[10]**	**0**	**35,2**	**28,6**	**26,1**	**27,4**	**30**	**24,9**	**12,1**	**0**	**32,5**	**32,5**
Источник шума: ИШ-2-25, координаты источника (x,y,z), м =[734.58,18.32,1.00]													
Уровни звуковой мощности источника днём, Lw, дБ		**исходные данные**	**0**	**93,3**	**94,7**	**96**	**96,3**	**95,9**	**92,6**	**88,4**	**83,9**		
Уровни звуковой мощности источника ночью, Lw, дБ		**исходные данные**	**0**	**93,3**	**94,7**	**96**	**96,3**	**95,9**	**92,6**	**88,4**	**83,9**		
Поправка на телесный угол DΩ, дБ	Ω = 6.28	10Lg(4π/Ω)	**3**	3	3	3	3	3	3	3	3		
Показатель направленности источника Di, дБ		исходные данные	**0**	0	0	0	0	0	0	0	0		
Поправка на направленность источника Dc, дБ	Dc	DΩ + Di	**3**	3	3	3	3	3	3	3	3		
Затухание из-за геометрической дивергенции, Adiv, дБ	расстояние = 606.00 м	ф-ла (7) [10]	**66,6**										
Коэффициент затухания звука в атмосфере α, дБ/км	Ta=20,°C Pa=101.33,кПа hотн.=70%	ф-ла (5) [9]	0,02	0,09	0,33	1,12	2,79	4,98	9,04	23,09	77,63		
Учет затухания звука в атмосфере Aatm, дБ		ф-ла (8) [10]	0	0,1	0,2	0,7	1,7	3	5,5	14	47		
Снижение поверхностью земли возле источника As, дБ	Gs = 0 hs = 1м	ф-лы таб.3 [10]	-1,5	-1,5	-1,5	-1,5	-1,5	-1,5	-1,5	-1,5	-1,5		
Снижение поверхностью земли возле приёмника Ar, дБ	Gr = 1 hr = 1.5м	ф-лы таб.3 [10]	-1,5	-1,5	3,7	7	5	0,7	0	0	0		
Снижение поверхностью земли в средней зоне, Am дБ	Gm = 1	ф-лы таб.3 [10]	-2,6	-2,6	0	0	0	0	0	0	0		
Суммарное снижение поверхностью земли на траектории распространения звука Agr, дБ		ф-ла (9) [10]	-5,6	-5,6	2,2	5,5	3,5	-0,8	-1,5	-1,5	-1,5		

1		2	3	4	5	6	7	8	9	10	11	12	13
Уровни звукового давления от источника ИШ-2-25 в расчётной точке днём, дБ		**ф-ла(3)[10]**	**0**	**35,2**	**28,7**	**26,1**	**27,5**	**30,1**	**25**	**12,3**	**0**	**32,6**	**32,6**
Уровни звукового давления от источника ИШ-2-25 в расчётной точке ночью, дБ		**ф-ла(3)[10]**	**0**	**35,2**	**28,7**	**26,1**	**27,5**	**30,1**	**25**	**12,3**	**0**	**32,6**	**32,6**
Источник шума: ИШ-2-26, координаты источника (x,y,z), м =[733.57,15.41,1.00]													
Уровни звуковой мощности источника днём, Lw, дБ		**исходные данные**	**0**	**93,3**	**94,7**	**96**	**96,3**	**95,9**	**92,6**	**88,4**	**83,9**		
Уровни звуковой мощности источника ночью, Lw, дБ		**исходные данные**	**0**	**93,3**	**94,7**	**96**	**96,3**	**95,9**	**92,6**	**88,4**	**83,9**		
Поправка на телесный угол DΩ, дБ	Ω = 6.28	10Lg(4π/Ω)	**3**	3	3	3	3	3	3	3	3		
Показатель направленности источника Di, дБ		исходные данные	**0**	0	0	0	0	0	0	0	0		
Поправка на направленность источника Dc, дБ	Dc	DΩ + Di	**3**	3	3	3	3	3	3	3	3		
Затухание из-за геометрической дивергенции, Adiv, дБ	расстояние = 603.06 м	ф-ла (7) [10]	**66,6**										
Коэффициент затухания звука в атмосфере α, дБ/км	Ta=20,°C Pa=101.33,кПа hотн.=70%	ф-ла (5) [9]	0,02	0,09	0,33	1,12	2,79	4,98	9,04	23,09	77,63		
Учет затухания звука в атмосфере Aatm, дБ		ф-ла (8) [10]	0	0,1	0,2	0,7	1,7	3	5,5	13,9	46,8		
Снижение поверхностью земли возле источника As, дБ	Gs = 0 hs = 1м	ф-лы таб.3 [10]	-1,5	-1,5	-1,5	-1,5	-1,5	-1,5	-1,5	-1,5	-1,5		
Снижение поверхностью земли возле приёмника Ar, дБ	Gr = 1 hr = 1.5м	ф-лы таб.3 [10]	-1,5	-1,5	3,7	7	5	0,7	0	0	0		
Снижение поверхностью земли в средней зоне, Am дБ	Gm = 1	ф-лы таб.3 [10]	-2,6	-2,6	0	0	0	0	0	0	0		
Суммарное снижение поверхностью земли на траектории распространения звука Agr, дБ		ф-ла (9) [10]	-5,6	-5,6	2,2	5,5	3,5	-0,8	-1,5	-1,5	-1,5		
Уровни звукового давления от источника ИШ-2-26 в расчётной точке днём, дБ		**ф-ла(3)[10]**	**0**	**35,3**	**28,7**	**26,2**	**27,5**	**30,1**	**25**	**12,4**	**0**	**32,6**	**32,6**

1		2	3	4	5	6	7	8	9	10	11	12	13
Уровни звукового давления от источника ИШ-2-26 в расчётной точке ночью, дБ		**ф-ла(3)[10]**	**0**	**35,3**	**28,7**	**26,2**	**27,5**	**30,1**	**25**	**12,4**	**0**	**32,6**	**32,6**
Источник шума: ИШ-2-27, координаты источника (x,y,z), м =[732.43,12.66,1.00]													
Уровни звуковой мощности источника днём, Lw, дБ		**исходные данные**	**0**	**93,3**	**94,7**	**96**	**96,3**	**95,9**	**92,6**	**88,4**	**83,9**		
Уровни звуковой мощности источника ночью, Lw, дБ		**исходные данные**	**0**	**93,3**	**94,7**	**96**	**96,3**	**95,9**	**92,6**	**88,4**	**83,9**		
Поправка на телесный угол DΩ, дБ	Ω = 6.28	10Lg(4π/Ω)	**3**	3	3	3	3	3	3	3	3		
Показатель направленности источника Di, дБ		исходные данные	**0**	0	0	0	0	0	0	0	0		
Поправка на направленность источника Dc, дБ	Dc	DΩ + Di	**3**	3	3	3	3	3	3	3	3		
Затухание из-за геометрической дивергенции, Adiv, дБ	расстояние = 600.29 м	ф-ла (7) [10]	**66,6**										
Коэффициент затухания звука в атмосфере α, дБ/км	Ta=20,°C Pa=101.33,кПа hотн.=70%	ф-ла (5) [9]	0,02	0,09	0,33	1,12	2,79	4,98	9,04	23,09	77,63		
Учет затухания звука в атмосфере Aatm, дБ		ф-ла (8) [10]	0	0,1	0,2	0,7	1,7	3	5,4	13,9	46,6		
Снижение поверхностью земли возле источника As, дБ	Gs = 0 hs = 1м	ф-лы таб.3 [10]	-1,5	-1,5	-1,5	-1,5	-1,5	-1,5	-1,5	-1,5	-1,5		
Снижение поверхностью земли возле приёмника Ar, дБ	Gr = 1 hr = 1.5м	ф-лы таб.3 [10]	-1,5	-1,5	3,6	7	5	0,7	0	0	0		
Снижение поверхностью земли в средней зоне, Am дБ	Gm = 1	ф-лы таб.3 [10]	-2,6	-2,6	0	0	0	0	0	0	0		
Суммарное снижение поверхностью земли на траектории распространения звука Agr, дБ		ф-ла (9) [10]	-5,6	-5,6	2,1	5,5	3,5	-0,8	-1,5	-1,5	-1,5		
Уровни звукового давления от источника ИШ-2-27 в расчётной точке днём, дБ		**ф-ла(3)[10]**	**0**	**35,3**	**28,8**	**26,2**	**27,6**	**30,2**	**25,1**	**12,5**	**0**	**32,7**	**32,7**
Уровни звукового давления от источника ИШ-2-27 в расчётной точке ночью, дБ		**ф-ла(3)[10]**	**0**	**35,3**	**28,8**	**26,2**	**27,6**	**30,2**	**25,1**	**12,5**	**0**	**32,7**	**32,7**

1		2	3	4	5	6	7	8	9	10	11	12	13
Источник шума: ИШ-2-28, координаты источника (x,y,z), м =[731.54,9.78,1.00]													
Уровни звуковой мощности источника днём, Lw, дБ		**исходные данные**	**0**	**93,3**	**94,7**	**96**	**96,3**	**95,9**	**92,6**	**88,4**	**83,9**		
Уровни звуковой мощности источника ночью, Lw, дБ		**исходные данные**	**0**	**93,3**	**94,7**	**96**	**96,3**	**95,9**	**92,6**	**88,4**	**83,9**		
Поправка на телесный угол DΩ, дБ	Ω = 6.28	10Lg(4π/Ω)	**3**	3	3	3	3	3	3	3	3		
Показатель направленности источника Di, дБ		исходные данные	**0**	0	0	0	0	0	0	0	0		
Поправка на направленность источника Dc, дБ	Dc	DΩ + Di	**3**	3	3	3	3	3	3	3	3		
Затухание из-за геометрической дивергенции, Adiv, дБ	расстояние = 597.39 м	ф-ла (7) [10]	**66,5**										
Коэффициент затухания звука в атмосфере α, дБ/км	Ta=20,°C Pa=101.33,кПа hотн.=70%	ф-ла (5) [9]	0,02	0,09	0,33	1,12	2,79	4,98	9,04	23,09	77,63		
Учет затухания звука в атмосфере Aatm, дБ		ф-ла (8) [10]	0	0,1	0,2	0,7	1,7	3	5,4	13,8	46,4		
Снижение поверхностью земли возле источника As, дБ	Gs = 0 hs = 1м	ф-лы таб.3 [10]	-1,5	-1,5	-1,5	-1,5	-1,5	-1,5	-1,5	-1,5	-1,5		
Снижение поверхностью земли возле приёмника Ar, дБ	Gr = 1 hr = 1.5м	ф-лы таб.3 [10]	-1,5	-1,5	3,6	7	5	0,7	0	0	0		
Снижение поверхностью земли в средней зоне, Am дБ	Gm = 1	ф-лы таб.3 [10]	-2,6	-2,6	0	0	0	0	0	0	0		
Суммарное снижение поверхностью земли на траектории распространения звука Agr, дБ		ф-ла (9) [10]	-5,6	-5,6	2,1	5,5	3,5	-0,8	-1,5	-1,5	-1,5		
Уровни звукового давления от источника ИШ-2-28 в расчётной точке днём, дБ		**ф-ла(3)[10]**	**0**	**35,3**	**28,8**	**26,3**	**27,6**	**30,2**	**25,2**	**12,6**	**0**	**32,7**	**32,7**
Уровни звукового давления от источника ИШ-2-28 в расчётной точке ночью, дБ		**ф-ла(3)[10]**	**0**	**35,3**	**28,8**	**26,3**	**27,6**	**30,2**	**25,2**	**12,6**	**0**	**32,7**	**32,7**
Источник шума: ИШ-2-29, координаты источника (x,y,z), м =[730.57,6.88,1.00]													

1		2	3	4	5	6	7	8	9	10	11	12	13
Уровни звуковой мощности источника днём, Lw, дБ		**исходные данные**	**0**	**93,3**	**94,7**	**96**	**96,3**	**95,9**	**92,6**	**88,4**	**83,9**		
Уровни звуковой мощности источника ночью, Lw, дБ		**исходные данные**	**0**	**93,3**	**94,7**	**96**	**96,3**	**95,9**	**92,6**	**88,4**	**83,9**		
Поправка на телесный угол DΩ, дБ	Ω = 6.28	10Lg(4π/Ω)	**3**	3	3	3	3	3	3	3	3		
Показатель направленности источника Di, дБ		исходные данные	**0**	0	0	0	0	0	0	0	0		
Поправка на направленность источника Dc, дБ	Dc	DΩ + Di	**3**	3	3	3	3	3	3	3	3		
Затухание из-за геометрической дивергенции, Adiv, дБ	расстояние = 594.48 м	ф-ла (7) [10]	**66,5**										
Коэффициент затухания звука в атмосфере α, дБ/км	Ta=20,°C Pa=101.33,кПа hотн.=70%	ф-ла (5) [9]	0,02	0,09	0,33	1,12	2,79	4,98	9,04	23,09	77,63		
Учет затухания звука в атмосфере Aatm, дБ		ф-ла (8) [10]	0	0,1	0,2	0,7	1,7	3	5,4	13,7	46,2		
Снижение поверхностью земли возле источника As, дБ	Gs = 0 hs = 1м	ф-лы таб.3 [10]	-1,5	-1,5	-1,5	-1,5	-1,5	-1,5	-1,5	-1,5	-1,5		
Снижение поверхностью земли возле приёмника Ar, дБ	Gr = 1 hr = 1.5м	ф-лы таб.3 [10]	-1,5	-1,5	3,6	7	5	0,7	0	0	0		
Снижение поверхностью земли в средней зоне, Am дБ	Gm = 1	ф-лы таб.3 [10]	-2,6	-2,6	0	0	0	0	0	0	0		
Суммарное снижение поверхностью земли на траектории распространения звука Agr, дБ		ф-ла (9) [10]	-5,6	-5,6	2,1	5,5	3,5	-0,8	-1,5	-1,5	-1,5		
Уровни звукового давления от источника ИШ-2-29 в расчётной точке днём, дБ		**ф-ла(3)[10]**	**0**	**35,4**	**28,9**	**26,3**	**27,7**	**30,3**	**25,2**	**12,7**	**0**	**32,8**	**32,8**
Уровни звукового давления от источника ИШ-2-29 в расчётной точке ночью, дБ		**ф-ла(3)[10]**	**0**	**35,4**	**28,9**	**26,3**	**27,7**	**30,3**	**25,2**	**12,7**	**0**	**32,8**	**32,8**
Источник шума: ИШ-2-4, координаты источника (x,y,z), м =[632.70,-65.30,3.00]													
Уровни звуковой мощности источника днём, Lw, дБ		**исходные данные**	**105**	**104**	**104**	**101**	**102**	**106**	**101**	**95**	**87**		

1		2	3	4	5	6	7	8	9	10	11	12	13
Уровни звуковой мощности источника ночью, Lw, дБ		**исходные данные**	**105**	**104**	**104**	**101**	**102**	**106**	**101**	**95**	**87**		
Поправка на телесный угол DΩ, дБ	Ω = 6.28	10Lg(4π/Ω)	**3**	3	3	3	3	3	3	3	3		
Показатель направленности источника Di, дБ		исходные данные	**0**	0	0	0	0	0	0	0	0		
Поправка на направленность источника Dc, дБ	Dc	DΩ + Di	**3**	3	3	3	3	3	3	3	3		
Затухание из-за геометрической дивергенции, Adiv, дБ	расстояние = 529.25 м	ф-ла (7) [10]	**65,5**										
Коэффициент затухания звука в атмосфере α, дБ/км	Ta=20,°C Pa=101.33,кПа hотн.=70%	ф-ла (5) [9]	0,02	0,09	0,33	1,12	2,79	4,98	9,04	23,09	77,63		
Учет затухания звука в атмосфере Aatm, дБ		ф-ла (8) [10]	0	0	0,2	0,6	1,5	2,6	4,8	12,2	41,1		
Снижение поверхностью земли возле источника As, дБ	Gs = 0 hs = 3м	ф-лы таб.3 [10]	-1,5	-1,5	-1,5	-1,5	-1,5	-1,5	-1,5	-1,5	-1,5		
Снижение поверхностью земли возле приёмника Ar, дБ	Gr = 1 hr = 1.5м	ф-лы таб.3 [10]	-1,5	-1,5	3,2	7	5	0,7	0	0	0		
Снижение поверхностью земли в средней зоне, Am дБ	Gm = 1	ф-лы таб.3 [10]	-2,2	-2,2	0	0	0	0	0	0	0		
Суммарное снижение поверхностью земли на траектории распространения звука Agr, дБ		ф-ла (9) [10]	-5,2	-5,2	1,7	5,5	3,5	-0,8	-1,5	-1,5	-1,5		
Уровни звукового давления прямого звука от источника ИШ-2-4 в расчётной точке днём, дБ		**ф-ла(3)[10]**	**47,8**	**46,7**	**39,6**	**32,4**	**34,6**	**41,7**	**35,3**	**21,8**	**0**	**43,3**	**43,3**
Уровни звукового давления прямого звука от источника ИШ-2-4 в расчётной точке ночью, дБ		**ф-ла(3)[10]**	**47,8**	**46,7**	**39,6**	**32,4**	**34,6**	**41,7**	**35,3**	**21,8**	**0**	**43,3**	**43,3**
Расчёт отражённого звука													
Уровни звукового давления от мнимого источника ИШ-2-4_мн.(1) в расчётной точке днём, дБ		**ф-ла(3)[10]**	**0**	**0**	**0**	**0**	**0**	**0**	**0**	**0**	**0**	**0**	**0**
Уровни звукового давления от мнимого источника ИШ-2-4_мн.(1) в расчётной точке ночью, дБ		**ф-ла(3)[10]**	**0**	**0**	**0**	**0**	**0**	**0**	**0**	**0**	**0**	**0**	**0**
Уровни звукового давления от источника ИШ-2-4 в расчётной точке днём, дБ		**ф-ла(3)[10]**	**47,8**	**46,7**	**39,6**	**32,4**	**34,6**	**41,7**	**35,3**	**21,8**	**0**	**43,3**	**43,3**

1		2	3	4	5	6	7	8	9	10	11	12	13
Уровни звукового давления от источника ИШ-2-4 в расчётной точке ночью, дБ		**ф-ла(3)[10]**	**47,8**	**46,7**	**39,6**	**32,4**	**34,6**	**41,7**	**35,3**	**21,8**	**0**	**43,3**	**43,3**
Источник шума: ИШ-2-30, координаты источника (x,y,z), м =[702.44,-77.23,1.00]													
Уровни звуковой мощности источника днём, Lw, дБ		**исходные данные**	**0**	**93,3**	**94,7**	**96**	**96,3**	**95,9**	**92,6**	**88,4**	**83,9**		
Уровни звуковой мощности источника ночью, Lw, дБ		**исходные данные**	**0**	**93,3**	**94,7**	**96**	**96,3**	**95,9**	**92,6**	**88,4**	**83,9**		
Поправка на телесный угол DΩ, дБ	Ω = 6.28	10Lg(4π/Ω)	**3**	3	3	3	3	3	3	3	3		
Показатель направленности источника Di, дБ		исходные данные	**0**	0	0	0	0	0	0	0	0		
Поправка на направленность источника Dc, дБ	Dc	DΩ + Di	**3**	3	3	3	3	3	3	3	3		
Затухание из-за геометрической дивергенции, Adiv, дБ	расстояние = 510.52 м	ф-ла (7) [10]	**65,2**										
Коэффициент затухания звука в атмосфере α, дБ/км	Ta=20,°C Pa=101.33,кПа hотн.=70%	ф-ла (5) [9]	0,02	0,09	0,33	1,12	2,79	4,98	9,04	23,09	77,63		
Учет затухания звука в атмосфере Aatm, дБ		ф-ла (8) [10]	0	0	0,2	0,6	1,4	2,5	4,6	11,8	39,6		
Снижение поверхностью земли возле источника As, дБ	Gs = 0 hs = 1м	ф-лы таб.3 [10]	-1,5	-1,5	-1,5	-1,5	-1,5	-1,5	-1,5	-1,5	-1,5		
Снижение поверхностью земли возле приёмника Ar, дБ	Gr = 1 hr = 1.5м	ф-лы таб.3 [10]	-1,5	-1,5	3,1	7	5	0,7	0	0	0		
Снижение поверхностью земли в средней зоне, Am дБ	Gm = 1	ф-лы таб.3 [10]	-2,6	-2,6	0	0	0	0	0	0	0		
Суммарное снижение поверхностью земли на траектории распространения звука Agr, дБ		ф-ла (9) [10]	-5,6	-5,6	1,6	5,5	3,5	-0,8	-1,5	-1,5	-1,5		
Уровни звукового давления прямого звука от источника ИШ-2-30 в расчётной точке днём, дБ		**ф-ла(3)[10]**	**0**	**36,6**	**30,8**	**27,7**	**29,2**	**32**	**27,3**	**15,9**	**0**	**34,6**	**34,6**
Уровни звукового давления прямого звука от источника ИШ-2-30 в расчётной точке ночью, дБ		**ф-ла(3)[10]**	**0**	**36,6**	**30,8**	**27,7**	**29,2**	**32**	**27,3**	**15,9**	**0**	**34,6**	**34,6**

1		2	3	4	5	6	7	8	9	10	11	12	13
Расчёт отражённого звука													
Уровни звукового давления от мнимого источника ИШ-2-30_мн.(1) в расчётной точке днём, дБ		**ф-ла(3)[10]**	**0**	**0**	**0**	**0**	**0**	**0**	**0**	**0**	**0**	**0**	**0**
Уровни звукового давления от мнимого источника ИШ-2-30_мн.(1) в расчётной точке ночью, дБ		**ф-ла(3)[10]**	**0**	**0**	**0**	**0**	**0**	**0**	**0**	**0**	**0**	**0**	**0**
Уровни звукового давления от источника ИШ-2-30 в расчётной точке днём, дБ		**ф-ла(3)[10]**	**0**	**36,6**	**30,8**	**27,7**	**29,2**	**32**	**27,3**	**15,9**	**0**	**34,6**	**34,6**
Уровни звукового давления от источника ИШ-2-30 в расчётной точке ночью, дБ		**ф-ла(3)[10]**	**0**	**36,6**	**30,8**	**27,7**	**29,2**	**32**	**27,3**	**15,9**	**0**	**34,6**	**34,6**
Источник шума: ИШ-2-31, координаты источника (x,y,z), м =[701.42,-80.17,1.00]													
Уровни звуковой мощности источника днём, Lw, дБ		**исходные данные**	**0**	**93,3**	**94,7**	**96**	**96,3**	**95,9**	**92,6**	**88,4**	**83,9**		
Уровни звуковой мощности источника ночью, Lw, дБ		**исходные данные**	**0**	**93,3**	**94,7**	**96**	**96,3**	**95,9**	**92,6**	**88,4**	**83,9**		
Поправка на телесный угол DΩ, дБ	Ω = 6.28	10Lg(4π/Ω)	**3**	3	3	3	3	3	3	3	3		
Показатель направленности источника Di, дБ		исходные данные	**0**	0	0	0	0	0	0	0	0		
Поправка на направленность источника Dc, дБ	Dc	DΩ + Di	**3**	3	3	3	3	3	3	3	3		
Затухание из-за геометрической дивергенции, Adiv, дБ	расстояние = 507.61 м	ф-ла (7) [10]	**65,1**										
Коэффициент затухания звука в атмосфере α, дБ/км	Ta=20,°C Pa=101.33,кПа hотн.=70%	ф-ла (5) [9]	0,02	0,09	0,33	1,12	2,79	4,98	9,04	23,09	77,63		
Учет затухания звука в атмосфере Aatm, дБ		ф-ла (8) [10]	0	0	0,2	0,6	1,4	2,5	4,6	11,7	39,4		
Снижение поверхностью земли возле источника As, дБ	Gs = 0 hs = 1м	ф-лы таб.3 [10]	-1,5	-1,5	-1,5	-1,5	-1,5	-1,5	-1,5	-1,5	-1,5		
Снижение поверхностью земли возле приёмника Ar, дБ	Gr = 1 hr = 1.5м	ф-лы таб.3 [10]	-1,5	-1,5	3,1	7	5	0,7	0	0	0		

1		2	3	4	5	6	7	8	9	10	11	12	13
Снижение поверхностью земли в средней зоне, Am дБ	Gm = 1	ф-лы таб.3 [10]	-2,6	-2,6	0	0	0	0	0	0	0		
Суммарное снижение поверхностью земли на траектории распространения звука Agr, дБ		ф-ла (9) [10]	-5,6	-5,6	1,6	5,5	3,5	-0,8	-1,5	-1,5	-1,5		
Уровни звукового давления прямого звука от источника ИШ-2-31 в расчётной точке днём, дБ		**ф-ла(3)[10]**	**0**	**36,7**	**30,8**	**27,8**	**29,3**	**32,1**	**27,4**	**16,1**	**0**	**34,7**	**34,7**
Уровни звукового давления прямого звука от источника ИШ-2-31 в расчётной точке ночью, дБ		**ф-ла(3)[10]**	**0**	**36,7**	**30,8**	**27,8**	**29,3**	**32,1**	**27,4**	**16,1**	**0**	**34,7**	**34,7**
Расчёт отражённого звука													
Уровни звукового давления от мнимого источника ИШ-2-31_мн.(1) в расчётной точке днём, дБ		**ф-ла(3)[10]**	**0**	**0**	**0**	**0**	**0**	**0**	**0**	**0**	**0**	**0**	**0**
Уровни звукового давления от мнимого источника ИШ-2-31_мн.(1) в расчётной точке ночью, дБ		**ф-ла(3)[10]**	**0**	**0**	**0**	**0**	**0**	**0**	**0**	**0**	**0**	**0**	**0**
Уровни звукового давления от источника ИШ-2-31 в расчётной точке днём, дБ		**ф-ла(3)[10]**	**0**	**36,7**	**30,8**	**27,8**	**29,3**	**32,1**	**27,4**	**16,1**	**0**	**34,7**	**34,7**
Уровни звукового давления от источника ИШ-2-31 в расчётной точке ночью, дБ		**ф-ла(3)[10]**	**0**	**36,7**	**30,8**	**27,8**	**29,3**	**32,1**	**27,4**	**16,1**	**0**	**34,7**	**34,7**
Источник шума: ИШ-2-32, координаты источника (x,y,z), м =[700.38,-83.01,1.00]													
Уровни звуковой мощности источника днём, Lw, дБ		**исходные данные**	**0**	**93,3**	**94,7**	**96**	**96,3**	**95,9**	**92,6**	**88,4**	**83,9**		
Уровни звуковой мощности источника ночью, Lw, дБ		**исходные данные**	**0**	**93,3**	**94,7**	**96**	**96,3**	**95,9**	**92,6**	**88,4**	**83,9**		
Поправка на телесный угол DΩ, дБ	Ω = 6.28	10Lg(4π/Ω)	**3**	3	3	3	3	3	3	3	3		
Показатель направленности источника Di, дБ		исходные данные	**0**	0	0	0	0	0	0	0	0		
Поправка на направленность источника Dc, дБ	Dc	DΩ + Di	**3**	3	3	3	3	3	3	3	3		
Затухание из-за геометрической дивергенции, Adiv, дБ	расстояние = 504.81 м	ф-ла (7) [10]	**65,1**										
Коэффициент затухания звука в атмосфере α, дБ/км	Ta=20,°C Pa=101.33,кПа hотн.=70%	ф-ла (5) [9]	0,02	0,09	0,33	1,12	2,79	4,98	9,04	23,09	77,63		

1		2	3	4	5	6	7	8	9	10	11	12	13
Учет затухания звука в атмосфере Aatm, дБ		ф-ла (8) [10]	0	0	0,2	0,6	1,4	2,5	4,6	11,7	39,2		
Снижение поверхностью земли возле источника As, дБ	Gs = 0 hs = 1м	ф-лы таб.3 [10]	-1,5	-1,5	-1,5	-1,5	-1,5	-1,5	-1,5	-1,5	-1,5		
Снижение поверхностью земли возле приёмника Ar, дБ	Gr = 1 hr = 1.5м	ф-лы таб.3 [10]	-1,5	-1,5	3,1	7	5	0,7	0	0	0		
Снижение поверхностью земли в средней зоне, Am дБ	Gm = 1	ф-лы таб.3 [10]	-2,6	-2,6	0	0	0	0	0	0	0		
Суммарное снижение поверхностью земли на траектории распространения звука Agr, дБ		ф-ла (9) [10]	-5,6	-5,6	1,6	5,5	3,5	-0,8	-1,5	-1,5	-1,5		
Уровни звукового давления прямого звука от источника ИШ-2-32 в расчётной точке днём, дБ		**ф-ла(3)[10]**	**0**	**36,7**	**30,9**	**27,8**	**29,3**	**32,2**	**27,5**	**16,2**	**0**	**34,7**	**34,7**
Уровни звукового давления прямого звука от источника ИШ-2-32 в расчётной точке ночью, дБ		**ф-ла(3)[10]**	**0**	**36,7**	**30,9**	**27,8**	**29,3**	**32,2**	**27,5**	**16,2**	**0**	**34,7**	**34,7**
Расчёт отражённого звука													
Уровни звукового давления от мнимого источника ИШ-2-32_мн.(1) в расчётной точке днём, дБ		**ф-ла(3)[10]**	**0**	**0**	**0**	**0**	**0**	**0**	**0**	**0**	**0**	**0**	**0**
Уровни звукового давления от мнимого источника ИШ-2-32_мн.(1) в расчётной точке ночью, дБ		**ф-ла(3)[10]**	**0**	**0**	**0**	**0**	**0**	**0**	**0**	**0**	**0**	**0**	**0**
Уровни звукового давления от источника ИШ-2-32 в расчётной точке днём, дБ		**ф-ла(3)[10]**	**0**	**36,7**	**30,9**	**27,8**	**29,3**	**32,2**	**27,5**	**16,2**	**0**	**34,7**	**34,7**
Уровни звукового давления от источника ИШ-2-32 в расчётной точке ночью, дБ		**ф-ла(3)[10]**	**0**	**36,7**	**30,9**	**27,8**	**29,3**	**32,2**	**27,5**	**16,2**	**0**	**34,7**	**34,7**
Источник шума: ИШ-2-33, координаты источника (x,y,z), м =[699.52,-85.98,1.00]													
Уровни звуковой мощности источника днём, Lw, дБ		**исходные данные**	**0**	**93,3**	**94,7**	**96**	**96,3**	**95,9**	**92,6**	**88,4**	**83,9**		
Уровни звуковой мощности источника ночью, Lw, дБ		**исходные данные**	**0**	**93,3**	**94,7**	**96**	**96,3**	**95,9**	**92,6**	**88,4**	**83,9**		
Поправка на телесный угол DΩ, дБ	Ω = 6.28	10Lg(4π/Ω)	**3**	3	3	3	3	3	3	3	3		
Показатель направленности источника Di, дБ		исходные данные	**0**	0	0	0	0	0	0	0	0		

1		2	3	4	5	6	7	8	9	10	11	12	13
Поправка на направленность источника Dc, дБ	Dc	DΩ + Di	**3**	3	3	3	3	3	3	3	3		
Затухание из-за геометрической дивергенции, Adiv, дБ	расстояние = 501.88 м	ф-ла (7) [10]	**65**										
Коэффициент затухания звука в атмосфере α, дБ/км	Ta=20,°C Pa=101.33,кПа hотн.=70%	ф-ла (5) [9]	0,02	0,09	0,33	1,12	2,79	4,98	9,04	23,09	77,63		
Учет затухания звука в атмосфере Aatm, дБ		ф-ла (8) [10]	0	0	0,2	0,6	1,4	2,5	4,5	11,6	39		
Снижение поверхностью земли возле источника As, дБ	Gs = 0 hs = 1м	ф-лы таб.3 [10]	-1,5	-1,5	-1,5	-1,5	-1,5	-1,5	-1,5	-1,5	-1,5		
Снижение поверхностью земли возле приёмника Ar, дБ	Gr = 1 hr = 1.5м	ф-лы таб.3 [10]	-1,5	-1,5	3	7	5	0,7	0	0	0		
Снижение поверхностью земли в средней зоне, Am дБ	Gm = 1	ф-лы таб.3 [10]	-2,6	-2,6	0	0	0	0	0	0	0		
Суммарное снижение поверхностью земли на траектории распространения звука Agr, дБ		ф-ла (9) [10]	-5,6	-5,6	1,5	5,5	3,5	-0,8	-1,5	-1,5	-1,5		
Уровни звукового давления прямого звука от источника ИШ-2-33 в расчётной точке днём, дБ		**ф-ла(3)[10]**	**0**	**36,8**	**31**	**27,9**	**29,4**	**32,2**	**27,5**	**16,3**	**0**	**34,8**	**34,8**
Уровни звукового давления прямого звука от источника ИШ-2-33 в расчётной точке ночью, дБ		**ф-ла(3)[10]**	**0**	**36,8**	**31**	**27,9**	**29,4**	**32,2**	**27,5**	**16,3**	**0**	**34,8**	**34,8**
Расчёт отражённого звука													
Уровни звукового давления от мнимого источника ИШ-2-33_мн.(1) в расчётной точке днём, дБ		**ф-ла(3)[10]**	**0**	**0**	**0**	**0**	**0**	**0**	**0**	**0**	**0**	**0**	**0**
Уровни звукового давления от мнимого источника ИШ-2-33_мн.(1) в расчётной точке ночью, дБ		**ф-ла(3)[10]**	**0**	**0**	**0**	**0**	**0**	**0**	**0**	**0**	**0**	**0**	**0**
Уровни звукового давления от источника ИШ-2-33 в расчётной точке днём, дБ		**ф-ла(3)[10]**	**0**	**36,8**	**31**	**27,9**	**29,4**	**32,2**	**27,5**	**16,3**	**0**	**34,8**	**34,8**
Уровни звукового давления от источника ИШ-2-33 в расчётной точке ночью, дБ		**ф-ла(3)[10]**	**0**	**36,8**	**31**	**27,9**	**29,4**	**32,2**	**27,5**	**16,3**	**0**	**34,8**	**34,8**
Источник шума: ИШ-2-34, координаты источника (x,y,z), м =[698.43,-88.85,1.00]													

1		2	3	4	5	6	7	8	9	10	11	12	13
Уровни звуковой мощности источника днём, Lw, дБ		**исходные данные**	**0**	**93,3**	**94,7**	**96**	**96,3**	**95,9**	**92,6**	**88,4**	**83,9**		
Уровни звуковой мощности источника ночью, Lw, дБ		**исходные данные**	**0**	**93,3**	**94,7**	**96**	**96,3**	**95,9**	**92,6**	**88,4**	**83,9**		
Поправка на телесный угол DΩ, дБ	Ω = 6.28	10Lg(4π/Ω)	**3**	3	3	3	3	3	3	3	3		
Показатель направленности источника Di, дБ		исходные данные	**0**	0	0	0	0	0	0	0	0		
Поправка на направленность источника Dc, дБ	Dc	DΩ + Di	**3**	3	3	3	3	3	3	3	3		
Затухание из-за геометрической дивергенции, Adiv, дБ	расстояние = 499.05 м	ф-ла (7) [10]	**65**										
Коэффициент затухания звука в атмосфере α, дБ/км	Ta=20,°C Pa=101.33,кПа hотн.=70%	ф-ла (5) [9]	0,02	0,09	0,33	1,12	2,79	4,98	9,04	23,09	77,63		
Учет затухания звука в атмосфере Aatm, дБ		ф-ла (8) [10]	0	0	0,2	0,6	1,4	2,5	4,5	11,5	38,7		
Снижение поверхностью земли возле источника As, дБ	Gs = 0 hs = 1м	ф-лы таб.3 [10]	-1,5	-1,5	-1,5	-1,5	-1,5	-1,5	-1,5	-1,5	-1,5		
Снижение поверхностью земли возле приёмника Ar, дБ	Gr = 1 hr = 1.5м	ф-лы таб.3 [10]	-1,5	-1,5	3	7	5	0,7	0	0	0		
Снижение поверхностью земли в средней зоне, Am дБ	Gm = 1	ф-лы таб.3 [10]	-2,5	-2,5	0	0	0	0	0	0	0		
Суммарное снижение поверхностью земли на траектории распространения звука Agr, дБ		ф-ла (9) [10]	-5,5	-5,5	1,5	5,5	3,5	-0,8	-1,5	-1,5	-1,5		
Уровни звукового давления прямого звука от источника ИШ-2-34 в расчётной точке днём, дБ		**ф-ла(3)[10]**	**0**	**36,8**	**31**	**27,9**	**29,5**	**32,3**	**27,6**	**16,4**	**0**	**34,9**	**34,9**
Уровни звукового давления прямого звука от источника ИШ-2-34 в расчётной точке ночью, дБ		**ф-ла(3)[10]**	**0**	**36,8**	**31**	**27,9**	**29,5**	**32,3**	**27,6**	**16,4**	**0**	**34,9**	**34,9**
Расчёт отражённого звука													
Уровни звукового давления от мнимого источника ИШ-2-34_мн.(1) в расчётной точке днём, дБ		**ф-ла(3)[10]**	**0**	**0**	**0**	**0**	**0**	**0**	**0**	**0**	**0**	**0**	**0**
Уровни звукового давления от мнимого источника ИШ-2-34_мн.(1) в расчётной точке ночью, дБ		**ф-ла(3)[10]**	**0**	**0**	**0**	**0**	**0**	**0**	**0**	**0**	**0**	**0**	**0**

1		2	3	4	5	6	7	8	9	10	11	12	13
Уровни звукового давления от источника ИШ-2-34 в расчётной точке днём, дБ		**ф-ла(3)[10]**	**0**	**36,8**	**31**	**27,9**	**29,5**	**32,3**	**27,6**	**16,4**	**0**	**34,9**	**34,9**
Уровни звукового давления от источника ИШ-2-34 в расчётной точке ночью, дБ		**ф-ла(3)[10]**	**0**	**36,8**	**31**	**27,9**	**29,5**	**32,3**	**27,6**	**16,4**	**0**	**34,9**	**34,9**
Источник шума: ИШ-2-35, координаты источника (x,y,z), м =[697.52,-91.66,1.00]													
Уровни звуковой мощности источника днём, Lw, дБ		**исходные данные**	**0**	**93,3**	**94,7**	**96**	**96,3**	**95,9**	**92,6**	**88,4**	**83,9**		
Уровни звуковой мощности источника ночью, Lw, дБ		**исходные данные**	**0**	**93,3**	**94,7**	**96**	**96,3**	**95,9**	**92,6**	**88,4**	**83,9**		
Поправка на телесный угол DΩ, дБ	Ω = 6.28	10Lg(4π/Ω)	**3**	3	3	3	3	3	3	3	3		
Показатель направленности источника Di, дБ		исходные данные	**0**	0	0	0	0	0	0	0	0		
Поправка на направленность источника Dc, дБ	Dc	DΩ + Di	**3**	3	3	3	3	3	3	3	3		
Затухание из-за геометрической дивергенции, Adiv, дБ	расстояние = 496.28 м	ф-ла (7) [10]	**64,9**										
Коэффициент затухания звука в атмосфере α, дБ/км	Ta=20,°C Pa=101.33,кПа hотн.=70%	ф-ла (5) [9]	0,02	0,09	0,33	1,12	2,79	4,98	9,04	23,09	77,63		
Учет затухания звука в атмосфере Aatm, дБ		ф-ла (8) [10]	0	0	0,2	0,6	1,4	2,5	4,5	11,5	38,5		
Снижение поверхностью земли возле источника As, дБ	Gs = 0 hs = 1м	ф-лы таб.3 [10]	-1,5	-1,5	-1,5	-1,5	-1,5	-1,5	-1,5	-1,5	-1,5		
Снижение поверхностью земли возле приёмника Ar, дБ	Gr = 1 hr = 1.5м	ф-лы таб.3 [10]	-1,5	-1,5	3	7	5	0,7	0	0	0		
Снижение поверхностью земли в средней зоне, Am дБ	Gm = 1	ф-лы таб.3 [10]	-2,5	-2,5	0	0	0	0	0	0	0		
Суммарное снижение поверхностью земли на траектории распространения звука Agr, дБ		ф-ла (9) [10]	-5,5	-5,5	1,5	5,5	3,5	-0,8	-1,5	-1,5	-1,5		
Уровни звукового давления прямого звука от источника ИШ-2-35 в расчётной точке днём, дБ		**ф-ла(3)[10]**	**0**	**36,9**	**31,1**	**28**	**29,5**	**32,3**	**27,7**	**16,5**	**0**	**34,9**	**34,9**

1		2	3	4	5	6	7	8	9	10	11	12	13
Уровни звукового давления прямого звука от источника ИШ-2-35 в расчётной точке ночью, дБ		**ф-ла(3)[10]**	**0**	**36,9**	**31,1**	**28**	**29,5**	**32,3**	**27,7**	**16,5**	**0**	**34,9**	**34,9**
Расчёт отражённого звука													
Уровни звукового давления от мнимого источника ИШ-2-35_мн.(1) в расчётной точке днём, дБ		**ф-ла(3)[10]**	**0**	**0**	**0**	**0**	**0**	**0**	**0**	**0**	**0**	**0**	**0**
Уровни звукового давления от мнимого источника ИШ-2-35_мн.(1) в расчётной точке ночью, дБ		**ф-ла(3)[10]**	**0**	**0**	**0**	**0**	**0**	**0**	**0**	**0**	**0**	**0**	**0**
Уровни звукового давления от источника ИШ-2-35 в расчётной точке днём, дБ		**ф-ла(3)[10]**	**0**	**36,9**	**31,1**	**28**	**29,5**	**32,3**	**27,7**	**16,5**	**0**	**34,9**	**34,9**
Уровни звукового давления от источника ИШ-2-35 в расчётной точке ночью, дБ		**ф-ла(3)[10]**	**0**	**36,9**	**31,1**	**28**	**29,5**	**32,3**	**27,7**	**16,5**	**0**	**34,9**	**34,9**
Источник шума: ИШ-2-36, координаты источника (x,y,z), м =[696.58,-94.55,1.00]													
Уровни звуковой мощности источника днём, Lw, дБ		**исходные данные**	**0**	**93,3**	**94,7**	**96**	**96,3**	**95,9**	**92,6**	**88,4**	**83,9**		
Уровни звуковой мощности источника ночью, Lw, дБ		**исходные данные**	**0**	**93,3**	**94,7**	**96**	**96,3**	**95,9**	**92,6**	**88,4**	**83,9**		
Поправка на телесный угол DΩ, дБ	Ω = 6.28	10Lg(4π/Ω)	**3**	3	3	3	3	3	3	3	3		
Показатель направленности источника Di, дБ		исходные данные	**0**	0	0	0	0	0	0	0	0		
Поправка на направленность источника Dc, дБ	Dc	DΩ + Di	**3**	3	3	3	3	3	3	3	3		
Затухание из-за геометрической дивергенции, Adiv, дБ	расстояние = 493.43 м	ф-ла (7) [10]	**64,9**										
Коэффициент затухания звука в атмосфере α, дБ/км	Ta=20,°C Pa=101.33,кПа hотн.=70%	ф-ла (5) [9]	0,02	0,09	0,33	1,12	2,79	4,98	9,04	23,09	77,63		
Учет затухания звука в атмосфере Aatm, дБ		ф-ла (8) [10]	0	0	0,2	0,6	1,4	2,5	4,5	11,4	38,3		
Снижение поверхностью земли возле источника As, дБ	Gs = 0 hs = 1м	ф-лы таб.3 [10]	-1,5	-1,5	-1,5	-1,5	-1,5	-1,5	-1,5	-1,5	-1,5		

1		2	3	4	5	6	7	8	9	10	11	12	13
Снижение поверхностью земли возле приёмника Ar, дБ	Gr = 1 hr = 1.5м	ф-лы таб.3 [10]	-1,5	-1,5	3	7	5	0,7	0	0	0		
Снижение поверхностью земли в средней зоне, Am дБ	Gm = 1	ф-лы таб.3 [10]	-2,5	-2,5	0	0	0	0	0	0	0		
Суммарное снижение поверхностью земли на траектории распространения звука Agr, дБ		ф-ла (9) [10]	-5,5	-5,5	1,5	5,5	3,5	-0,8	-1,5	-1,5	-1,5		
Уровни звукового давления прямого звука от источника ИШ-2-36 в расчётной точке днём, дБ		**ф-ла(3)[10]**	**0**	**36,9**	**31,2**	**28**	**29,6**	**32,4**	**27,8**	**16,6**	**0**	**35**	**35**
Уровни звукового давления прямого звука от источника ИШ-2-36 в расчётной точке ночью, дБ		**ф-ла(3)[10]**	**0**	**36,9**	**31,2**	**28**	**29,6**	**32,4**	**27,8**	**16,6**	**0**	**35**	**35**
Расчёт отражённого звука													
Уровни звукового давления от мнимого источника ИШ-2-36_мн.(1) в расчётной точке днём, дБ		**ф-ла(3)[10]**	**0**	**0**	**0**	**0**	**0**	**0**	**0**	**0**	**0**	**0**	**0**
Уровни звукового давления от мнимого источника ИШ-2-36_мн.(1) в расчётной точке ночью, дБ		**ф-ла(3)[10]**	**0**	**0**	**0**	**0**	**0**	**0**	**0**	**0**	**0**	**0**	**0**
Уровни звукового давления от источника ИШ-2-36 в расчётной точке днём, дБ		**ф-ла(3)[10]**	**0**	**36,9**	**31,2**	**28**	**29,6**	**32,4**	**27,8**	**16,6**	**0**	**35**	**35**
Уровни звукового давления от источника ИШ-2-36 в расчётной точке ночью, дБ		**ф-ла(3)[10]**	**0**	**36,9**	**31,2**	**28**	**29,6**	**32,4**	**27,8**	**16,6**	**0**	**35**	**35**
Источник шума: ИШ-2-37, координаты источника (x,y,z), м =[695.57,-97.37,1.00]													
Уровни звуковой мощности источника днём, Lw, дБ		**исходные данные**	**0**	**93,3**	**94,7**	**96**	**96,3**	**95,9**	**92,6**	**88,4**	**83,9**		
Уровни звуковой мощности источника ночью, Lw, дБ		**исходные данные**	**0**	**93,3**	**94,7**	**96**	**96,3**	**95,9**	**92,6**	**88,4**	**83,9**		
Поправка на телесный угол DΩ, дБ	Ω = 6.28	10Lg(4π/Ω)	**3**	3	3	3	3	3	3	3	3		
Показатель направленности источника Di, дБ		исходные данные	**0**	0	0	0	0	0	0	0	0		
Поправка на направленность источника Dc, дБ	Dc	DΩ + Di	**3**	3	3	3	3	3	3	3	3		
Затухание из-за геометрической дивергенции, Adiv, дБ	расстояние = 490.67 м	ф-ла (7) [10]	**64,8**										

1		2	3	4	5	6	7	8	9	10	11	12	13
Коэффициент затухания звука в атмосфере α, дБ/км	Ta=20,°C Pa=101.33,кПа hотн.=70%	ф-ла (5) [9]	0,02	0,09	0,33	1,12	2,79	4,98	9,04	23,09	77,63		
Учет затухания звука в атмосфере Aatm, дБ		ф-ла (8) [10]	0	0	0,2	0,6	1,4	2,4	4,4	11,3	38,1		
Снижение поверхностью земли возле источника As, дБ	Gs = 0 hs = 1м	ф-лы таб.3 [10]	-1,5	-1,5	-1,5	-1,5	-1,5	-1,5	-1,5	-1,5	-1,5		
Снижение поверхностью земли возле приёмника Ar, дБ	Gr = 1 hr = 1.5м	ф-лы таб.3 [10]	-1,5	-1,5	3	7	5	0,7	0	0	0		
Снижение поверхностью земли в средней зоне, Am дБ	Gm = 1	ф-лы таб.3 [10]	-2,5	-2,5	0	0	0	0	0	0	0		
Суммарное снижение поверхностью земли на траектории распространения звука Agr, дБ		ф-ла (9) [10]	-5,5	-5,5	1,5	5,5	3,5	-0,8	-1,5	-1,5	-1,5		
Уровни звукового давления прямого звука от источника ИШ-2-37 в расчётной точке днём, дБ		**ф-ла(3)[10]**	**0**	**37**	**31,2**	**28,1**	**29,6**	**32,5**	**27,8**	**16,7**	**0**	**35,1**	**35,1**
Уровни звукового давления прямого звука от источника ИШ-2-37 в расчётной точке ночью, дБ		**ф-ла(3)[10]**	**0**	**37**	**31,2**	**28,1**	**29,6**	**32,5**	**27,8**	**16,7**	**0**	**35,1**	**35,1**
Расчёт отражённого звука													
Уровни звукового давления от мнимого источника ИШ-2-37_мн.(1) в расчётной точке днём, дБ		**ф-ла(3)[10]**	**0**	**0**	**0**	**0**	**0**	**0**	**0**	**0**	**0**	**0**	**0**
Уровни звукового давления от мнимого источника ИШ-2-37_мн.(1) в расчётной точке ночью, дБ		**ф-ла(3)[10]**	**0**	**0**	**0**	**0**	**0**	**0**	**0**	**0**	**0**	**0**	**0**
Уровни звукового давления от источника ИШ-2-37 в расчётной точке днём, дБ		**ф-ла(3)[10]**	**0**	**37**	**31,2**	**28,1**	**29,6**	**32,5**	**27,8**	**16,7**	**0**	**35,1**	**35,1**
Уровни звукового давления от источника ИШ-2-37 в расчётной точке ночью, дБ		**ф-ла(3)[10]**	**0**	**37**	**31,2**	**28,1**	**29,6**	**32,5**	**27,8**	**16,7**	**0**	**35,1**	**35,1**
Источник шума: ИШ-2-5, координаты источника (x,y,z), м =[618.60,-108.00,3.00]													
Уровни звуковой мощности источника днём, Lw, дБ		**исходные данные**	**105**	**104**	**104**	**101**	**102**	**106**	**101**	**95**	**87**		
Уровни звуковой мощности источника ночью, Lw, дБ		**исходные данные**	**105**	**104**	**104**	**101**	**102**	**106**	**101**	**95**	**87**		

1		2	3	4	5	6	7	8	9	10	11	12	13
Поправка на телесный угол DΩ, дБ	Ω = 6.28	10Lg(4π/Ω)	**3**	3	3	3	3	3	3	3	3		
Показатель направленности источника Di, дБ		исходные данные	**0**	0	0	0	0	0	0	0	0		
Поправка на направленность источника Dc, дБ	Dc	DΩ + Di	**3**	3	3	3	3	3	3	3	3		
Затухание из-за геометрической дивергенции, Adiv, дБ	расстояние = 489.86 м	ф-ла (7) [10]	**64,8**										
Коэффициент затухания звука в атмосфере α, дБ/км	Ta=20,°C Pa=101.33,кПа hотн.=70%	ф-ла (5) [9]	0,02	0,09	0,33	1,12	2,79	4,98	9,04	23,09	77,63		
Учет затухания звука в атмосфере Aatm, дБ		ф-ла (8) [10]	0	0	0,2	0,6	1,4	2,4	4,4	11,3	38		
Снижение поверхностью земли возле источника As, дБ	Gs = 0 hs = 3м	ф-лы таб.3 [10]	-1,5	-1,5	-1,5	-1,5	-1,5	-1,5	-1,5	-1,5	-1,5		
Снижение поверхностью земли возле приёмника Ar, дБ	Gr = 1 hr = 1.5м	ф-лы таб.3 [10]	-1,5	-1,5	3	7	5	0,7	0	0	0		
Снижение поверхностью земли в средней зоне, Am дБ	Gm = 1	ф-лы таб.3 [10]	-2,2	-2,2	0	0	0	0	0	0	0		
Суммарное снижение поверхностью земли на траектории распространения звука Agr, дБ		ф-ла (9) [10]	-5,2	-5,2	1,5	5,5	3,5	-0,8	-1,5	-1,5	-1,5		
Уровни звукового давления от источника ИШ-2-5 в расчётной точке днём, дБ		**ф-ла(3)[10]**	**48,4**	**47,3**	**40,6**	**33,1**	**35,4**	**42,6**	**36,3**	**23,4**	**0**	**44,2**	**44,2**
Уровни звукового давления от источника ИШ-2-5 в расчётной точке ночью, дБ		**ф-ла(3)[10]**	**48,4**	**47,3**	**40,6**	**33,1**	**35,4**	**42,6**	**36,3**	**23,4**	**0**	**44,2**	**44,2**
Источник шума: ИШ-2-38, координаты источника (x,y,z), м =[688.13,-119.94,1.00]													
Уровни звуковой мощности источника днём, Lw, дБ		**исходные данные**	**0**	**93,3**	**94,7**	**96**	**96,3**	**95,9**	**92,6**	**88,4**	**83,9**		
Уровни звуковой мощности источника ночью, Lw, дБ		**исходные данные**	**0**	**93,3**	**94,7**	**96**	**96,3**	**95,9**	**92,6**	**88,4**	**83,9**		
Поправка на телесный угол DΩ, дБ	Ω = 6.28	10Lg(4π/Ω)	**3**	3	3	3	3	3	3	3	3		

1		2	3	4	5	6	7	8	9	10	11	12	13
Показатель направленности источника Di, дБ		исходные данные	**0**	0	0	0	0	0	0	0	0		
Поправка на направленность источника Dc, дБ	Dc	DΩ + Di	**3**	3	3	3	3	3	3	3	3		
Затухание из-за геометрической дивергенции, Adiv, дБ	расстояние = 468.55 м	ф-ла (7) [10]	**64,4**										
Коэффициент затухания звука в атмосфере α, дБ/км	Ta=20,°C Pa=101.33,кПа hотн.=70%	ф-ла (5) [9]	0,02	0,09	0,33	1,12	2,79	4,98	9,04	23,09	77,63		
Учет затухания звука в атмосфере Aatm, дБ		ф-ла (8) [10]	0	0	0,2	0,5	1,3	2,3	4,2	10,8	36,4		
Снижение поверхностью земли возле источника As, дБ	Gs = 0 hs = 1м	ф-лы таб.3 [10]	-1,5	-1,5	-1,5	-1,5	-1,5	-1,5	-1,5	-1,5	-1,5		
Снижение поверхностью земли возле приёмника Ar, дБ	Gr = 1 hr = 1.5м	ф-лы таб.3 [10]	-1,5	-1,5	2,8	7	5	0,7	0	0	0		
Снижение поверхностью земли в средней зоне, Am дБ	Gm = 1	ф-лы таб.3 [10]	-2,5	-2,5	0	0	0	0	0	0	0		
Суммарное снижение поверхностью земли на траектории распространения звука Agr, дБ		ф-ла (9) [10]	-5,5	-5,5	1,3	5,5	3,5	-0,8	-1,5	-1,5	-1,5		
Уровни звукового давления от источника ИШ-2-38 в расчётной точке днём, дБ		**ф-ла(3)[10]**	**0**	**37,4**	**31,8**	**28,5**	**30,1**	**33**	**28,4**	**17,7**	**0**	**35,6**	**35,6**
Уровни звукового давления от источника ИШ-2-38 в расчётной точке ночью, дБ		**ф-ла(3)[10]**	**0**	**37,4**	**31,8**	**28,5**	**30,1**	**33**	**28,4**	**17,7**	**0**	**35,6**	**35,6**
Источник шума: ИШ-2-39, координаты источника (x,y,z), м =[687.11,-122.83,1.00]													
Уровни звуковой мощности источника днём, Lw, дБ		**исходные данные**	**0**	**93,3**	**94,7**	**96**	**96,3**	**95,9**	**92,6**	**88,4**	**83,9**		
Уровни звуковой мощности источника ночью, Lw, дБ		**исходные данные**	**0**	**93,3**	**94,7**	**96**	**96,3**	**95,9**	**92,6**	**88,4**	**83,9**		
Поправка на телесный угол DΩ, дБ	Ω = 6.28	10Lg(4π/Ω)	**3**	3	3	3	3	3	3	3	3		
Показатель направленности источника Di, дБ		исходные данные	**0**	0	0	0	0	0	0	0	0		

1		2	3	4	5	6	7	8	9	10	11	12	13
Поправка на направленность источника Dc, дБ	Dc	DΩ + Di	**3**	3	3	3	3	3	3	3	3		
Затухание из-за геометрической дивергенции, Adiv, дБ	расстояние = 465.74 м	ф-ла (7) [10]	**64,4**										
Коэффициент затухания звука в атмосфере α, дБ/км	Ta=20,°C Pa=101.33,кПа hотн.=70%	ф-ла (5) [9]	0,02	0,09	0,33	1,12	2,79	4,98	9,04	23,09	77,63		
Учет затухания звука в атмосфере Aatm, дБ		ф-ла (8) [10]	0	0	0,2	0,5	1,3	2,3	4,2	10,8	36,2		
Снижение поверхностью земли возле источника As, дБ	Gs = 0 hs = 1м	ф-лы таб.3 [10]	-1,5	-1,5	-1,5	-1,5	-1,5	-1,5	-1,5	-1,5	-1,5		
Снижение поверхностью земли возле приёмника Ar, дБ	Gr = 1 hr = 1.5м	ф-лы таб.3 [10]	-1,5	-1,5	2,8	7	5	0,7	0	0	0		
Снижение поверхностью земли в средней зоне, Am дБ	Gm = 1	ф-лы таб.3 [10]	-2,5	-2,5	0	0	0	0	0	0	0		
Суммарное снижение поверхностью земли на траектории распространения звука Agr, дБ		ф-ла (9) [10]	-5,5	-5,5	1,3	5,5	3,5	-0,8	-1,5	-1,5	-1,5		
Уровни звукового давления от источника ИШ-2-39 в расчётной точке днём, дБ		**ф-ла(3)[10]**	**0**	**37,4**	**31,9**	**28,6**	**30,2**	**33,1**	**28,5**	**17,8**	**0**	**35,7**	**35,7**
Уровни звукового давления от источника ИШ-2-39 в расчётной точке ночью, дБ		**ф-ла(3)[10]**	**0**	**37,4**	**31,9**	**28,6**	**30,2**	**33,1**	**28,5**	**17,8**	**0**	**35,7**	**35,7**
Источник шума: ИШ-2-40, координаты источника (x,y,z), м =[686.10,-125.67,1.00]													
Уровни звуковой мощности источника днём, Lw, дБ		**исходные данные**	**0**	**93,3**	**94,7**	**96**	**96,3**	**95,9**	**92,6**	**88,4**	**83,9**		
Уровни звуковой мощности источника ночью, Lw, дБ		**исходные данные**	**0**	**93,3**	**94,7**	**96**	**96,3**	**95,9**	**92,6**	**88,4**	**83,9**		
Поправка на телесный угол DΩ, дБ	Ω = 6.28	10Lg(4π/Ω)	**3**	3	3	3	3	3	3	3	3		
Показатель направленности источника Di, дБ		исходные данные	**0**	0	0	0	0	0	0	0	0		
Поправка на направленность источника Dc, дБ	Dc	DΩ + Di	**3**	3	3	3	3	3	3	3	3		

1		2	3	4	5	6	7	8	9	10	11	12	13
Затухание из-за геометрической дивергенции, Adiv, дБ	расстояние = 462.97 м	ф-ла (7) [10]	**64,3**										
Коэффициент затухания звука в атмосфере α, дБ/км	Ta=20,°C Pa=101.33,кПа hотн.=70%	ф-ла (5) [9]	0,02	0,09	0,33	1,12	2,79	4,98	9,04	23,09	77,63		
Учет затухания звука в атмосфере Aatm, дБ		ф-ла (8) [10]	0	0	0,2	0,5	1,3	2,3	4,2	10,7	35,9		
Снижение поверхностью земли возле источника As, дБ	Gs = 0 hs = 1м	ф-лы таб.3 [10]	-1,5	-1,5	-1,5	-1,5	-1,5	-1,5	-1,5	-1,5	-1,5		
Снижение поверхностью земли возле приёмника Ar, дБ	Gr = 1 hr = 1.5м	ф-лы таб.3 [10]	-1,5	-1,5	2,8	7	5	0,7	0	0	0		
Снижение поверхностью земли в средней зоне, Am дБ	Gm = 1	ф-лы таб.3 [10]	-2,5	-2,5	0	0	0	0	0	0	0		
Суммарное снижение поверхностью земли на траектории распространения звука Agr, дБ		ф-ла (9) [10]	-5,5	-5,5	1,3	5,5	3,5	-0,8	-1,5	-1,5	-1,5		
Уровни звукового давления от источника ИШ-2-40 в расчётной точке днём, дБ		**ф-ла(3)[10]**	**0**	**37,5**	**31,9**	**28,6**	**30,2**	**33,1**	**28,6**	**17,9**	**0**	**35,7**	**35,7**
Уровни звукового давления от источника ИШ-2-40 в расчётной точке ночью, дБ		**ф-ла(3)[10]**	**0**	**37,5**	**31,9**	**28,6**	**30,2**	**33,1**	**28,6**	**17,9**	**0**	**35,7**	**35,7**
Источник шума: ИШ-2-41, координаты источника (x,y,z), м =[685.14,-128.64,1.00]													
Уровни звуковой мощности источника днём, Lw, дБ		**исходные данные**	**0**	**93,3**	**94,7**	**96**	**96,3**	**95,9**	**92,6**	**88,4**	**83,9**		
Уровни звуковой мощности источника ночью, Lw, дБ		**исходные данные**	**0**	**93,3**	**94,7**	**96**	**96,3**	**95,9**	**92,6**	**88,4**	**83,9**		
Поправка на телесный угол DΩ, дБ	Ω = 6.28	10Lg(4π/Ω)	**3**	3	3	3	3	3	3	3	3		
Показатель направленности источника Di, дБ		исходные данные	**0**	0	0	0	0	0	0	0	0		
Поправка на направленность источника Dc, дБ	Dc	DΩ + Di	**3**	3	3	3	3	3	3	3	3		
Затухание из-за геометрической дивергенции, Adiv, дБ	расстояние = 460.08 м	ф-ла (7) [10]	**64,3**										

1		2	3	4	5	6	7	8	9	10	11	12	13
Коэффициент затухания звука в атмосфере α, дБ/км	Ta=20,°C Pa=101.33,кПа hотн.=70%	ф-ла (5) [9]	0,02	0,09	0,33	1,12	2,79	4,98	9,04	23,09	77,63		
Учет затухания звука в атмосфере Aatm, дБ		ф-ла (8) [10]	0	0	0,2	0,5	1,3	2,3	4,2	10,6	35,7		
Снижение поверхностью земли возле источника As, дБ	Gs = 0 hs = 1м	ф-лы таб.3 [10]	-1,5	-1,5	-1,5	-1,5	-1,5	-1,5	-1,5	-1,5	-1,5		
Снижение поверхностью земли возле приёмника Ar, дБ	Gr = 1 hr = 1.5м	ф-лы таб.3 [10]	-1,5	-1,5	2,8	7	5	0,7	0	0	0		
Снижение поверхностью земли в средней зоне, Am дБ	Gm = 1	ф-лы таб.3 [10]	-2,5	-2,5	0	0	0	0	0	0	0		
Суммарное снижение поверхностью земли на траектории распространения звука Agr, дБ		ф-ла (9) [10]	-5,5	-5,5	1,3	5,5	3,5	-0,8	-1,5	-1,5	-1,5		
Уровни звукового давления от источника ИШ-2-41 в расчётной точке днём, дБ		**ф-ла(3)[10]**	**0**	**37,5**	**32**	**28,7**	**30,3**	**33,2**	**28,7**	**18**	**0**	**35,8**	**35,8**
Уровни звукового давления от источника ИШ-2-41 в расчётной точке ночью, дБ		**ф-ла(3)[10]**	**0**	**37,5**	**32**	**28,7**	**30,3**	**33,2**	**28,7**	**18**	**0**	**35,8**	**35,8**
Источник шума: ИШ-2-42, координаты источника (x,y,z), м =[684.20,-131.46,1.00]													
Уровни звуковой мощности источника днём, Lw, дБ		**исходные данные**	**0**	**93,3**	**94,7**	**96**	**96,3**	**95,9**	**92,6**	**88,4**	**83,9**		
Уровни звуковой мощности источника ночью, Lw, дБ		**исходные данные**	**0**	**93,3**	**94,7**	**96**	**96,3**	**95,9**	**92,6**	**88,4**	**83,9**		
Поправка на телесный угол DΩ, дБ	Ω = 6.28	10Lg(4π/Ω)	**3**	3	3	3	3	3	3	3	3		
Показатель направленности источника Di, дБ		исходные данные	**0**	0	0	0	0	0	0	0	0		
Поправка на направленность источника Dc, дБ	Dc	DΩ + Di	**3**	3	3	3	3	3	3	3	3		
Затухание из-за геометрической дивергенции, Adiv, дБ	расстояние = 457.34 м	ф-ла (7) [10]	**64,2**										
Коэффициент затухания звука в атмосфере α, дБ/км	Ta=20,°C Pa=101.33,кПа hотн.=70%	ф-ла (5) [9]	0,02	0,09	0,33	1,12	2,79	4,98	9,04	23,09	77,63		

1		2	3	4	5	6	7	8	9	10	11	12	13
Учет затухания звука в атмосфере Aatm, дБ		ф-ла (8) [10]	0	0	0,2	0,5	1,3	2,3	4,1	10,6	35,5		
Снижение поверхностью земли возле источника As, дБ	Gs = 0 hs = 1м	ф-лы таб.3 [10]	-1,5	-1,5	-1,5	-1,5	-1,5	-1,5	-1,5	-1,5	-1,5		
Снижение поверхностью земли возле приёмника Ar, дБ	Gr = 1 hr = 1.5м	ф-лы таб.3 [10]	-1,5	-1,5	2,8	7	5	0,7	0	0	0		
Снижение поверхностью земли в средней зоне, Am дБ	Gm = 1	ф-лы таб.3 [10]	-2,5	-2,5	0	0	0	0	0	0	0		
Суммарное снижение поверхностью земли на траектории распространения звука Agr, дБ		ф-ла (9) [10]	-5,5	-5,5	1,3	5,5	3,5	-0,8	-1,5	-1,5	-1,5		
Уровни звукового давления от источника ИШ-2-42 в расчётной точке днём, дБ		**ф-ла(3)[10]**	**0**	**37,6**	**32,1**	**28,8**	**30,3**	**33,3**	**28,8**	**18,1**	**0**	**35,9**	**35,9**
Уровни звукового давления от источника ИШ-2-42 в расчётной точке ночью, дБ		**ф-ла(3)[10]**	**0**	**37,6**	**32,1**	**28,8**	**30,3**	**33,3**	**28,8**	**18,1**	**0**	**35,9**	**35,9**
Источник шума: ИШ-2-43, координаты источника (x,y,z), м =[683.13,-134.37,1.00]													
Уровни звуковой мощности источника днём, Lw, дБ		**исходные данные**	**0**	**93,3**	**94,7**	**96**	**96,3**	**95,9**	**92,6**	**88,4**	**83,9**		
Уровни звуковой мощности источника ночью, Lw, дБ		**исходные данные**	**0**	**93,3**	**94,7**	**96**	**96,3**	**95,9**	**92,6**	**88,4**	**83,9**		
Поправка на телесный угол DΩ, дБ	Ω = 6.28	10Lg(4π/Ω)	**3**	3	3	3	3	3	3	3	3		
Показатель направленности источника Di, дБ		исходные данные	**0**	0	0	0	0	0	0	0	0		
Поправка на направленность источника Dc, дБ	Dc	DΩ + Di	**3**	3	3	3	3	3	3	3	3		
Затухание из-за геометрической дивергенции, Adiv, дБ	расстояние = 454.52 м	ф-ла (7) [10]	**64,2**										
Коэффициент затухания звука в атмосфере α, дБ/км	Ta=20,°C Pa=101.33,кПа hотн.=70%	ф-ла (5) [9]	0,02	0,09	0,33	1,12	2,79	4,98	9,04	23,09	77,63		
Учет затухания звука в атмосфере Aatm, дБ		ф-ла (8) [10]	0	0	0,2	0,5	1,3	2,3	4,1	10,5	35,3		

1		2	3	4	5	6	7	8	9	10	11	12	13
Снижение поверхностью земли возле источника As, дБ	Gs = 0 hs = 1м	ф-лы таб.3 [10]	-1,5	-1,5	-1,5	-1,5	-1,5	-1,5	-1,5	-1,5	-1,5		
Снижение поверхностью земли возле приёмника Ar, дБ	Gr = 1 hr = 1.5м	ф-лы таб.3 [10]	-1,5	-1,5	2,7	7	5	0,7	0	0	0		
Снижение поверхностью земли в средней зоне, Am дБ	Gm = 1	ф-лы таб.3 [10]	-2,5	-2,5	0	0	0	0	0	0	0		
Суммарное снижение поверхностью земли на траектории распространения звука Agr, дБ		ф-ла (9) [10]	-5,5	-5,5	1,2	5,5	3,5	-0,8	-1,5	-1,5	-1,5		
Уровни звукового давления от источника ИШ-2-43 в расчётной точке днём, дБ		**ф-ла(3)[10]**	**0**	**37,6**	**32,2**	**28,8**	**30,4**	**33,3**	**28,8**	**18,2**	**0**	**35,9**	**35,9**
Уровни звукового давления от источника ИШ-2-43 в расчётной точке ночью, дБ		**ф-ла(3)[10]**	**0**	**37,6**	**32,2**	**28,8**	**30,4**	**33,3**	**28,8**	**18,2**	**0**	**35,9**	**35,9**
Источник шума: ИШ-2-44, координаты источника (x,y,z), м =[682.20,-137.16,1.00]													
Уровни звуковой мощности источника днём, Lw, дБ		**исходные данные**	**0**	**93,3**	**94,7**	**96**	**96,3**	**95,9**	**92,6**	**88,4**	**83,9**		
Уровни звуковой мощности источника ночью, Lw, дБ		**исходные данные**	**0**	**93,3**	**94,7**	**96**	**96,3**	**95,9**	**92,6**	**88,4**	**83,9**		
Поправка на телесный угол DΩ, дБ	Ω = 6.28	10Lg(4π/Ω)	**3**	3	3	3	3	3	3	3	3		
Показатель направленности источника Di, дБ		исходные данные	**0**	0	0	0	0	0	0	0	0		
Поправка на направленность источника Dc, дБ	Dc	DΩ + Di	**3**	3	3	3	3	3	3	3	3		
Затухание из-за геометрической дивергенции, Adiv, дБ	расстояние = 451.81 м	ф-ла (7) [10]	**64,1**										
Коэффициент затухания звука в атмосфере α, дБ/км	Ta=20,°C Pa=101.33,кПа hотн.=70%	ф-ла (5) [9]	0,02	0,09	0,33	1,12	2,79	4,98	9,04	23,09	77,63		
Учет затухания звука в атмосфере Aatm, дБ		ф-ла (8) [10]	0	0	0,2	0,5	1,3	2,2	4,1	10,4	35,1		
Снижение поверхностью земли возле источника As, дБ	Gs = 0 hs = 1м	ф-лы таб.3 [10]	-1,5	-1,5	-1,5	-1,5	-1,5	-1,5	-1,5	-1,5	-1,5		

1		2	3	4	5	6	7	8	9	10	11	12	13
Снижение поверхностью земли возле приёмника Ar, дБ	Gr = 1 hr = 1.5м	ф-лы таб.3 [10]	-1,5	-1,5	2,7	7	5	0,7	0	0	0		
Снижение поверхностью земли в средней зоне, Am дБ	Gm = 1	ф-лы таб.3 [10]	-2,5	-2,5	0	0	0	0	0	0	0		
Суммарное снижение поверхностью земли на траектории распространения звука Agr, дБ		ф-ла (9) [10]	-5,5	-5,5	1,2	5,5	3,5	-0,8	-1,5	-1,5	-1,5		
Уровни звукового давления от источника ИШ-2-44 в расчётной точке днём, дБ		**ф-ла(3)[10]**	**0**	**37,7**	**32,2**	**28,9**	**30,5**	**33,4**	**28,9**	**18,4**	**0**	**36**	**36**
Уровни звукового давления от источника ИШ-2-44 в расчётной точке ночью, дБ		**ф-ла(3)[10]**	**0**	**37,7**	**32,2**	**28,9**	**30,5**	**33,4**	**28,9**	**18,4**	**0**	**36**	**36**
Источник шума: ИШ-2-45, координаты источника (x,y,z), м =[681.26,-139.98,1.00]													
Уровни звуковой мощности источника днём, Lw, дБ		**исходные данные**	**0**	**93,3**	**94,7**	**96**	**96,3**	**95,9**	**92,6**	**88,4**	**83,9**		
Уровни звуковой мощности источника ночью, Lw, дБ		**исходные данные**	**0**	**93,3**	**94,7**	**96**	**96,3**	**95,9**	**92,6**	**88,4**	**83,9**		
Поправка на телесный угол DΩ, дБ	Ω = 6.28	10Lg(4π/Ω)	**3**	3	3	3	3	3	3	3	3		
Показатель направленности источника Di, дБ		исходные данные	**0**	0	0	0	0	0	0	0	0		
Поправка на направленность источника Dc, дБ	Dc	DΩ + Di	**3**	3	3	3	3	3	3	3	3		
Затухание из-за геометрической дивергенции, Adiv, дБ	расстояние = 449.08 м	ф-ла (7) [10]	**64**										
Коэффициент затухания звука в атмосфере α, дБ/км	Ta=20,°C Pa=101.33,кПа hотн.=70%	ф-ла (5) [9]	0,02	0,09	0,33	1,12	2,79	4,98	9,04	23,09	77,63		
Учет затухания звука в атмосфере Aatm, дБ		ф-ла (8) [10]	0	0	0,2	0,5	1,3	2,2	4,1	10,4	34,9		
Снижение поверхностью земли возле источника As, дБ	Gs = 0 hs = 1м	ф-лы таб.3 [10]	-1,5	-1,5	-1,5	-1,5	-1,5	-1,5	-1,5	-1,5	-1,5		
Снижение поверхностью земли возле приёмника Ar, дБ	Gr = 1 hr = 1.5м	ф-лы таб.3 [10]	-1,5	-1,5	2,7	7	5	0,7	0	0	0		

1		2	3	4	5	6	7	8	9	10	11	12	13
Снижение поверхностью земли в средней зоне, Am дБ	Gm = 1	ф-лы таб.3 [10]	-2,5	-2,5	0	0	0	0	0	0	0		
Суммарное снижение поверхностью земли на траектории распространения звука Agr, дБ		ф-ла (9) [10]	-5,5	-5,5	1,2	5,5	3,5	-0,8	-1,5	-1,5	-1,5		
Уровни звукового давления от источника ИШ-2-45 в расчётной точке днём, дБ		**ф-ла(3)[10]**	**0**	**37,7**	**32,3**	**28,9**	**30,5**	**33,5**	**29**	**18,5**	**0**	**36,1**	**36,1**
Уровни звукового давления от источника ИШ-2-45 в расчётной точке ночью, дБ		**ф-ла(3)[10]**	**0**	**37,7**	**32,3**	**28,9**	**30,5**	**33,5**	**29**	**18,5**	**0**	**36,1**	**36,1**
Источник шума: ИШ-4-1, координаты источника (x,y,z), м =[141.82,201.03,1.00]													
Уровни звуковой мощности источника днём, Lw, дБ		**исходные данные**	**0**	**90,3**	**91,7**	**93**	**93,3**	**92,9**	**89,6**	**85,4**	**80,9**		
Уровни звуковой мощности источника ночью, Lw, дБ		**исходные данные**	**0**	**90,3**	**91,7**	**93**	**93,3**	**92,9**	**89,6**	**85,4**	**80,9**		
Поправка на телесный угол DΩ, дБ	Ω = 6.28	10Lg(4π/Ω)	**3**	3	3	3	3	3	3	3	3		
Показатель направленности источника Di, дБ		исходные данные	**0**	0	0	0	0	0	0	0	0		
Поправка на направленность источника Dc, дБ	Dc	DΩ + Di	**3**	3	3	3	3	3	3	3	3		
Затухание из-за геометрической дивергенции, Adiv, дБ	расстояние = 977.11 м	ф-ла (7) [10]	**70,8**										
Коэффициент затухания звука в атмосфере α, дБ/км	Ta=20,°C Pa=101.33,кПа hотн.=70%	ф-ла (5) [9]	0,02	0,09	0,33	1,12	2,79	4,98	9,04	23,09	77,63		
Учет затухания звука в атмосфере Aatm, дБ		ф-ла (8) [10]	0	0,1	0,3	1,1	2,7	4,9	8,8	22,6	75,9		
Снижение уровня звукового давления из-за влияния застройки между источником шума и расчетной точкой													
Снижение уровня звукового давления на пути над экраном, Dz1, дБ	z = 0.18м (разность путей)	ф-лы (14-18) [10]	4,8	4,8	4,8	4,8	4,8	4,8	4,8	4,8	4,8		
Снижение уровня звукового давления на пути слева от экрана, Dz2, дБ	z = 12.88м (разность путей)	ф-лы (14-18) [10]	17,1	19,9	22,8	25,8	28,8	31,8	34,8	37,8	40,8		

1		2	3	4	5	6	7	8	9	10	11	12	13
Снижение уровня звукового давления на пути справа от экрана, Dz3, дБ	z = 0.77м (разность путей)	ф-лы (14-18) [10]	7,7	9,4	11,6	14,1	16,8	19,7	22,7	25,6	28,6		
Общее снижение уровня звука препятствием Dz, дБ		Эн.сумма(-Dzi)	2,8	3,4	3,9	4,3	4,5	4,6	4,7	4,7	4,8		
Уровни звукового давления прямого звука от источника ИШ-4-1 в расчётной точке днём, дБ		**ф-ла(3)[10]**	**0**	**19**	**19,7**	**19,8**	**18,3**	**15,6**	**8,3**	**0**	**0**	**19,7**	**19,7**
Уровни звукового давления прямого звука от источника ИШ-4-1 в расчётной точке ночью, дБ		**ф-ла(3)[10]**	**0**	**19**	**19,7**	**19,8**	**18,3**	**15,6**	**8,3**	**0**	**0**	**19,7**	**19,7**
Расчёт отражённого звука													
Уровни звукового давления от мнимого источника ИШ-4-1_мн.(1) в расчётной точке днём, дБ		**ф-ла(3)[10]**	**0**	**0**	**0**	**0**	**0**	**0**	**7,3**	**0**	**0**	**8,5**	**8,5**
Уровни звукового давления от мнимого источника ИШ-4-1_мн.(1) в расчётной точке ночью, дБ		**ф-ла(3)[10]**	**0**	**0**	**0**	**0**	**0**	**0**	**0**	**0**	**0**	**8,5**	**8,5**
Уровни звукового давления от источника ИШ-4-1 в расчётной точке днём, дБ		**ф-ла(3)[10]**	**0**	**19**	**19,7**	**19,8**	**18,3**	**15,6**	**10,8**	**0**	**0**	**20**	**20**
Уровни звукового давления от источника ИШ-4-1 в расчётной точке ночью, дБ		**ф-ла(3)[10]**	**0**	**19**	**19,7**	**19,8**	**18,3**	**15,6**	**10,8**	**0**	**0**	**20**	**20**
Источник шума: ИШ-4-2, координаты источника (x,y,z), м =[133.85,183.21,1.00]													
Уровни звуковой мощности источника днём, Lw, дБ		**исходные данные**	**0**	**90,3**	**91,7**	**93**	**93,3**	**92,9**	**89,6**	**85,4**	**80,9**		
Уровни звуковой мощности источника ночью, Lw, дБ		**исходные данные**	**0**	**90,3**	**91,7**	**93**	**93,3**	**92,9**	**89,6**	**85,4**	**80,9**		
Поправка на телесный угол DΩ, дБ	Ω = 6.28	10Lg(4π/Ω)	**3**	3	3	3	3	3	3	3	3		
Показатель направленности источника Di, дБ		исходные данные	**0**	0	0	0	0	0	0	0	0		
Поправка на направленность источника Dc, дБ	Dc	DΩ + Di	**3**	3	3	3	3	3	3	3	3		
Затухание из-за геометрической дивергенции, Adiv, дБ	расстояние = 967.59 м	ф-ла (7) [10]	**70,7**										
Коэффициент затухания звука в атмосфере α, дБ/км	Ta=20,°C Pa=101.33,кПа hотн.=70%	ф-ла (5) [9]	0,02	0,09	0,33	1,12	2,79	4,98	9,04	23,09	77,63		

1		2	3	4	5	6	7	8	9	10	11	12	13
Учет затухания звука в атмосфере Aatm, дБ		ф-ла (8) [10]	0	0,1	0,3	1,1	2,7	4,8	8,7	22,3	75,1		
Снижение уровня звукового давления из-за влияния застройки между источником шума и расчетной точкой													
Снижение уровня звукового давления на пути над экраном, Dz1, дБ	z = 0.18м (разность путей)	ф-лы (14-18) [10]	4,8	4,8	4,8	4,8	4,8	4,8	4,8	4,8	4,8		
Снижение уровня звукового давления на пути слева от экрана, Dz2, дБ	z = 18.46м (разность путей)	ф-лы (14-18) [10]	18,5	21,5	24,4	27,4	30,4	33,4	36,4	39,4	42,4		
Снижение уровня звукового давления на пути справа от экрана, Dz3, дБ	z = 0.12м (разность путей)	ф-лы (14-18) [10]	5,4	5,9	6,8	8,2	10,1	12,4	15	17,8	20,7		
Общее снижение уровня звука препятствием Dz, дБ		Эн.сумма(-Dzi)	2	2,2	2,6	3,1	3,6	4,1	4,4	4,6	4,7		
Уровни звукового давления прямого звука от источника ИШ-4-2 в расчётной точке днём, дБ		**ф-ла(3)[10]**	**0**	**20,2**	**21**	**21,1**	**19,2**	**16,3**	**8,8**	**0**	**0**	**20,6**	**20,6**
Уровни звукового давления прямого звука от источника ИШ-4-2 в расчётной точке ночью, дБ		**ф-ла(3)[10]**	**0**	**20,2**	**21**	**21,1**	**19,2**	**16,3**	**8,8**	**0**	**0**	**20,6**	**20,6**
Расчёт отражённого звука													
Уровни звукового давления от мнимого источника ИШ-4-2_мн.(1) в расчётной точке днём, дБ		**ф-ла(3)[10]**	**0**	**0**	**0**	**0**	**0**	**0**	**0**	**0**	**0**	**0**	**0**
Уровни звукового давления от мнимого источника ИШ-4-2_мн.(1) в расчётной точке ночью, дБ		**ф-ла(3)[10]**	**0**	**0**	**0**	**0**	**0**	**0**	**0**	**0**	**0**	**0**	**0**
Уровни звукового давления от источника ИШ-4-2 в расчётной точке днём, дБ		**ф-ла(3)[10]**	**0**	**20,2**	**21**	**21,1**	**19,2**	**16,3**	**8,8**	**0**	**0**	**20,6**	**20,6**
Уровни звукового давления от источника ИШ-4-2 в расчётной точке ночью, дБ		**ф-ла(3)[10]**	**0**	**20,2**	**21**	**21,1**	**19,2**	**16,3**	**8,8**	**0**	**0**	**20,6**	**20,6**
Источник шума: ИШ-4-3, координаты источника (x,y,z), м =[152.61,172.66,1.00]													
Уровни звуковой мощности источника днём, Lw, дБ		**исходные данные**	**0**	**90,3**	**91,7**	**93**	**93,3**	**92,9**	**89,6**	**85,4**	**80,9**		
Уровни звуковой мощности источника ночью, Lw, дБ		**исходные данные**	**0**	**90,3**	**91,7**	**93**	**93,3**	**92,9**	**89,6**	**85,4**	**80,9**		
Поправка на телесный угол DΩ, дБ	Ω = 6.28	10Lg(4π/Ω)	**3**	3	3	3	3	3	3	3	3		

1		2	3	4	5	6	7	8	9	10	11	12	13
Показатель направленности источника Di, дБ		исходные данные	**0**	0	0	0	0	0	0	0	0		
Поправка на направленность источника Dc, дБ	Dc	DΩ + Di	**3**	3	3	3	3	3	3	3	3		
Затухание из-за геометрической дивергенции, Adiv, дБ	расстояние = 947.88 м	ф-ла (7) [10]	**70,5**										
Коэффициент затухания звука в атмосфере α, дБ/км	Ta=20,°C Pa=101.33,кПа hотн.=70%	ф-ла (5) [9]	0,02	0,09	0,33	1,12	2,79	4,98	9,04	23,09	77,63		
Учет затухания звука в атмосфере Aatm, дБ		ф-ла (8) [10]	0	0,1	0,3	1,1	2,6	4,7	8,6	21,9	73,6		
Снижение уровня звукового давления из-за влияния застройки между источником шума и расчетной точкой													
Снижение уровня звукового давления на пути над экраном, Dz1, дБ	z = 0.19м (разность путей)	ф-лы (14-18) [10]	4,8	4,8	4,8	4,8	4,8	4,8	4,8	4,8	4,8		
Снижение уровня звукового давления на пути слева от экрана, Dz2, дБ	z = 16.71м (разность путей)	ф-лы (14-18) [10]	18,1	21	24	26,9	29,9	32,9	35,9	39	42		
Снижение уровня звукового давления на пути справа от экрана, Dz3, дБ	z = 0.41м (разность путей)	ф-лы (14-18) [10]	6,5	7,8	9,5	11,8	14,3	17,1	20	22,9	25,9		
Общее снижение уровня звука препятствием Dz, дБ		Эн.сумма(-Dzi)	2,4	2,9	3,5	4	4,3	4,5	4,6	4,7	4,8		
Уровни звукового давления прямого звука от источника ИШ-4-3 в расчётной точке днём, дБ		**ф-ла(3)[10]**	**0**	**19,7**	**20,4**	**20,4**	**18,8**	**16,1**	**8,8**	**0**	**0**	**20,2**	**20,2**
Уровни звукового давления прямого звука от источника ИШ-4-3 в расчётной точке ночью, дБ		**ф-ла(3)[10]**	**0**	**19,7**	**20,4**	**20,4**	**18,8**	**16,1**	**8,8**	**0**	**0**	**20,2**	**20,2**
Расчёт отражённого звука													
Уровни звукового давления от мнимого источника ИШ-4-3_мн.(1) в расчётной точке днём, дБ		**ф-ла(3)[10]**	**0**	**0**	**0**	**0**	**0**	**0**	**0**	**0**	**0**	**0**	**0**
Уровни звукового давления от мнимого источника ИШ-4-3_мн.(1) в расчётной точке ночью, дБ		**ф-ла(3)[10]**	**0**	**0**	**0**	**0**	**0**	**0**	**0**	**0**	**0**	**0**	**0**
Уровни звукового давления от источника ИШ-4-3 в расчётной точке днём, дБ		**ф-ла(3)[10]**	**0**	**19,7**	**20,4**	**20,4**	**18,8**	**16,1**	**8,8**	**0**	**0**	**20,2**	**20,2**
Уровни звукового давления от источника ИШ-4-3 в расчётной точке ночью, дБ		**ф-ла(3)[10]**	**0**	**19,7**	**20,4**	**20,4**	**18,8**	**16,1**	**8,8**	**0**	**0**	**20,2**	**20,2**

1		2	3	4	5	6	7	8	9	10	11	12	13
Источник шума: ИШ-4-4, координаты источника (x,y,z), м =[156.83,171.25,1.00]													
Уровни звуковой мощности источника днём, Lw, дБ		**исходные данные**	**0**	**90,3**	**91,7**	**93**	**93,3**	**92,9**	**89,6**	**85,4**	**80,9**		
Уровни звуковой мощности источника ночью, Lw, дБ		**исходные данные**	**0**	**90,3**	**91,7**	**93**	**93,3**	**92,9**	**89,6**	**85,4**	**80,9**		
Поправка на телесный угол DΩ, дБ	Ω = 6.28	10Lg(4π/Ω)	**3**	3	3	3	3	3	3	3	3		
Показатель направленности источника Di, дБ		исходные данные	**0**	0	0	0	0	0	0	0	0		
Поправка на направленность источника Dc, дБ	Dc	DΩ + Di	**3**	3	3	3	3	3	3	3	3		
Затухание из-за геометрической дивергенции, Adiv, дБ	расстояние = 944.24 м	ф-ла (7) [10]	**70,5**										
Коэффициент затухания звука в атмосфере α, дБ/км	Ta=20,°C Pa=101.33,кПа hотн.=70%	ф-ла (5) [9]	0,02	0,09	0,33	1,12	2,79	4,98	9,04	23,09	77,63		
Учет затухания звука в атмосфере Aatm, дБ		ф-ла (8) [10]	0	0,1	0,3	1,1	2,6	4,7	8,5	21,8	73,3		
Снижение уровня звукового давления из-за влияния застройки между источником шума и расчетной точкой													
Снижение уровня звукового давления на пути над экраном, Dz1, дБ	z = 0.19м (разность путей)	ф-лы (14-18) [10]	4,8	4,8	4,8	4,8	4,8	4,8	4,8	4,8	4,8		
Снижение уровня звукового давления на пути слева от экрана, Dz2, дБ	z = 16.07м (разность путей)	ф-лы (14-18) [10]	18	20,9	23,8	26,8	29,8	32,8	35,8	38,8	41,8		
Снижение уровня звукового давления на пути справа от экрана, Dz3, дБ	z = 0.53м (разность путей)	ф-лы (14-18) [10]	7	8,4	10,3	12,7	15,3	18,1	21	24	27		
Общее снижение уровня звука препятствием Dz, дБ		Эн.сумма(-Dzi)	2,6	3,1	3,7	4,1	4,4	4,6	4,7	4,7	4,8		
Уровни звукового давления прямого звука от источника ИШ-4-4 в расчётной точке днём, дБ		**ф-ла(3)[10]**	**0**	**19,6**	**20,2**	**20,3**	**18,8**	**16,1**	**8,9**	**0**	**0**	**20,2**	**20,2**
Уровни звукового давления прямого звука от источника ИШ-4-4 в расчётной точке ночью, дБ		**ф-ла(3)[10]**	**0**	**19,6**	**20,2**	**20,3**	**18,8**	**16,1**	**8,9**	**0**	**0**	**20,2**	**20,2**

1		2	3	4	5	6	7	8	9	10	11	12	13
Расчёт отражённого звука													
Уровни звукового давления от мнимого источника ИШ-4-4_мн.(1) в расчётной точке днём, дБ		**ф-ла(3)[10]**	**0**	**0**	**0**	**0**	**0**	**0**	**0**	**0**	**0**	**0**	**0**
Уровни звукового давления от мнимого источника ИШ-4-4_мн.(1) в расчётной точке ночью, дБ		**ф-ла(3)[10]**	**0**	**0**	**0**	**0**	**0**	**0**	**0**	**0**	**0**	**0**	**0**
Уровни звукового давления от источника ИШ-4-4 в расчётной точке днём, дБ		**ф-ла(3)[10]**	**0**	**19,6**	**20,2**	**20,3**	**18,8**	**16,1**	**8,9**	**0**	**0**	**20,2**	**20,2**
Уровни звукового давления от источника ИШ-4-4 в расчётной точке ночью, дБ		**ф-ла(3)[10]**	**0**	**19,6**	**20,2**	**20,3**	**18,8**	**16,1**	**8,9**	**0**	**0**	**20,2**	**20,2**
Источник шума: ИШ-4-5, координаты источника (x,y,z), м =[126.48,222.66,11.00]													
Уровни звуковой мощности источника днём, Lw, дБ		**исходные данные**	**0**	**90,3**	**91,7**	**93**	**93,3**	**92,9**	**89,6**	**85,4**	**80,9**		
Уровни звуковой мощности источника ночью, Lw, дБ		**исходные данные**	**0**	**90,3**	**91,7**	**93**	**93,3**	**92,9**	**89,6**	**85,4**	**80,9**		
Поправка на телесный угол DΩ, дБ	Ω = 6.28	10Lg(4π/Ω)	**3**	3	3	3	3	3	3	3	3		
Показатель направленности источника Di, дБ		исходные данные	**0**	0	0	0	0	0	0	0	0		
Поправка на направленность источника Dc, дБ	Dc	DΩ + Di	**3**	3	3	3	3	3	3	3	3		
Затухание из-за геометрической дивергенции, Adiv, дБ	расстояние = 1003.68 м	ф-ла (7) [10]	**71**										
Коэффициент затухания звука в атмосфере α, дБ/км	Ta=20,°C Pa=101.33,кПа hотн.=70%	ф-ла (5) [9]	0,02	0,09	0,33	1,12	2,79	4,98	9,04	23,09	77,63		
Учет затухания звука в атмосфере Aatm, дБ		ф-ла (8) [10]	0	0,1	0,3	1,1	2,8	5	9,1	23,2	77,9		
Снижение уровня звукового давления из-за влияния застройки между источником шума и расчетной точкой													
Снижение уровня звукового давления на пути над экраном, Dz1, дБ	z = 0.01м (разность путей)	ф-лы (14-18) [10]	4,8	4,8	4,8	4,8	4,8	4,8	4,8	4,8	4,8		

1		2	3	4	5	6	7	8	9	10	11	12	13
Снижение уровня звукового давления на пути слева от экрана, Dz2, дБ	z = 11.86м (разность путей)	ф-лы (14-18) [10]	16,7	19,6	22,5	25,5	28,5	31,5	34,5	37,5	40,5		
Снижение уровня звукового давления на пути справа от экрана, Dz3, дБ	z = 0.75м (разность путей)	ф-лы (14-18) [10]	7,6	9,3	11,5	14	16,8	19,6	22,6	25,5	28,5		
Общее снижение уровня звука препятствием Dz, дБ		Эн.сумма(-Dzi)	2,8	3,4	3,9	4,2	4,5	4,6	4,7	4,7	4,8		
Уровни звукового давления прямого звука от источника ИШ-4-5 в расчётной точке днём, дБ		**ф-ла(3)[10]**	**0**	**18,8**	**19,5**	**19,6**	**18**	**15,2**	**7,8**	**0**	**0**	**19,4**	**19,4**
Уровни звукового давления прямого звука от источника ИШ-4-5 в расчётной точке ночью, дБ		**ф-ла(3)[10]**	**0**	**18,8**	**19,5**	**19,6**	**18**	**15,2**	**7,8**	**0**	**0**	**19,4**	**19,4**
Расчёт отражённого звука													
Уровни звукового давления от мнимого источника ИШ-4-5_мн.(1) в расчётной точке днём, дБ		**ф-ла(3)[10]**	**0**	**0**	**0**	**0**	**0**	**0**	**0**	**0**	**0**	**0**	**0**
Уровни звукового давления от мнимого источника ИШ-4-5_мн.(1) в расчётной точке ночью, дБ		**ф-ла(3)[10]**	**0**	**0**	**0**	**0**	**0**	**0**	**0**	**0**	**0**	**0**	**0**
Уровни звукового давления от источника ИШ-4-5 в расчётной точке днём, дБ		**ф-ла(3)[10]**	**0**	**18,8**	**19,5**	**19,6**	**18**	**15,2**	**7,8**	**0**	**0**	**19,4**	**19,4**
Уровни звукового давления от источника ИШ-4-5 в расчётной точке ночью, дБ		**ф-ла(3)[10]**	**0**	**18,8**	**19,5**	**19,6**	**18**	**15,2**	**7,8**	**0**	**0**	**19,4**	**19,4**
Источник шума: ИШ-4-6, координаты источника (x,y,z), м =[125.17,218.57,11.00]													
Уровни звуковой мощности источника днём, Lw, дБ		**исходные данные**	**0**	**90,3**	**91,7**	**93**	**93,3**	**92,9**	**89,6**	**85,4**	**80,9**		
Уровни звуковой мощности источника ночью, Lw, дБ		**исходные данные**	**0**	**90,3**	**91,7**	**93**	**93,3**	**92,9**	**89,6**	**85,4**	**80,9**		
Поправка на телесный угол DΩ, дБ	Ω = 6.28	10Lg(4π/Ω)	**3**	3	3	3	3	3	3	3	3		
Показатель направленности источника Di, дБ		исходные данные	**0**	0	0	0	0	0	0	0	0		
Поправка на направленность источника Dc, дБ	Dc	DΩ + Di	**3**	3	3	3	3	3	3	3	3		
Затухание из-за геометрической дивергенции, Adiv, дБ	расстояние = 1001.15 м	ф-ла (7) [10]	**71**										

1		2	3	4	5	6	7	8	9	10	11	12	13
Коэффициент затухания звука в атмосфере α, дБ/км	Та=20,°С Ра=101.33,кПа hотн.=70%	ф-ла (5) [9]	0,02	0,09	0,33	1,12	2,79	4,98	9,04	23,09	77,63		
Учет затухания звука в атмосфере Aatm, дБ		ф-ла (8) [10]	0	0,1	0,3	1,1	2,8	5	9	23,1	77,7		
Снижение уровня звукового давления из-за влияния застройки между источником шума и расчетной точкой													
Снижение уровня звукового давления на пути над экраном, Dz1, дБ	z = 0.01м (разность путей)	ф-лы (14-18) [10]	4,8	4,8	4,8	4,8	4,8	4,8	4,8	4,8	4,8		
Снижение уровня звукового давления на пути слева от экрана, Dz2, дБ	z = 12.82м (разность путей)	ф-лы (14-18) [10]	17	19,9	22,8	25,8	28,8	31,8	34,8	37,8	40,8		
Снижение уровня звукового давления на пути справа от экрана, Dz3, дБ	z = 0.59м (разность путей)	ф-лы (14-18) [10]	7,1	8,7	10,7	13,1	15,8	18,6	21,5	24,5	27,5		
Общее снижение уровня звука препятствием Dz, дБ		Эн.сумма(-Dzi)	2,6	3,2	3,7	4,1	4,4	4,6	4,7	4,7	4,7		
Уровни звукового давления прямого звука от источника ИШ-4-6 в расчётной точке днём, дБ		**ф-ла(3)[10]**	**0**	**19**	**19,6**	**19,7**	**18,1**	**15,3**	**7,9**	**0**	**0**	**19,4**	**19,4**
Уровни звукового давления прямого звука от источника ИШ-4-6 в расчётной точке ночью, дБ		**ф-ла(3)[10]**	**0**	**19**	**19,6**	**19,7**	**18,1**	**15,3**	**7,9**	**0**	**0**	**19,4**	**19,4**
Расчёт отражённого звука													
Уровни звукового давления от мнимого источника ИШ-4-6_мн.(1) в расчётной точке днём, дБ		**ф-ла(3)[10]**	**0**	**0**	**0**	**0**	**0**	**0**	**0**	**0**	**0**	**0**	**0**
Уровни звукового давления от мнимого источника ИШ-4-6_мн.(1) в расчётной точке ночью, дБ		**ф-ла(3)[10]**	**0**	**0**	**0**	**0**	**0**	**0**	**0**	**0**	**0**	**0**	**0**
Уровни звукового давления от источника ИШ-4-6 в расчётной точке днём, дБ		**ф-ла(3)[10]**	**0**	**19**	**19,6**	**19,7**	**18,1**	**15,3**	**7,9**	**0**	**0**	**19,4**	**19,4**
Уровни звукового давления от источника ИШ-4-6 в расчётной точке ночью, дБ		**ф-ла(3)[10]**	**0**	**19**	**19,6**	**19,7**	**18,1**	**15,3**	**7,9**	**0**	**0**	**19,4**	**19,4**
Источник шума: ИШ-4-7, координаты источника (x,y,z), м =[177.91,257.92,11.00]													
Уровни звуковой мощности источника днём, Lw, дБ		**исходные данные**	**0**	**90,3**	**91,7**	**93**	**93,3**	**92,9**	**89,6**	**85,4**	**80,9**		

1		2	3	4	5	6	7	8	9	10	11	12	13
Уровни звуковой мощности источника ночью, Lw, дБ		**исходные данные**	**0**	**90,3**	**91,7**	**93**	**93,3**	**92,9**	**89,6**	**85,4**	**80,9**		
Поправка на телесный угол DΩ, дБ	Ω = 6.28	10Lg(4π/Ω)	**3**	3	3	3	3	3	3	3	3		
Показатель направленности источника Di, дБ		исходные данные	**0**	0	0	0	0	0	0	0	0		
Поправка на направленность источника Dc, дБ	Dc	DΩ + Di	**3**	3	3	3	3	3	3	3	3		
Затухание из-за геометрической дивергенции, Adiv, дБ	расстояние = 1003.72 м	ф-ла (7) [10]	**71**										
Коэффициент затухания звука в атмосфере α, дБ/км	Ta=20,°C Pa=101.33,кПа hотн.=70%	ф-ла (5) [9]	0,02	0,09	0,33	1,12	2,79	4,98	9,04	23,09	77,63		
Учет затухания звука в атмосфере Aatm, дБ		ф-ла (8) [10]	0	0,1	0,3	1,1	2,8	5	9,1	23,2	77,9		
Снижение уровня звукового давления из-за влияния застройки между источником шума и расчетной точкой													
Снижение уровня звукового давления на пути над экраном, Dz1, дБ	z = 0.01м (разность путей)	ф-лы (14-18) [10]	4,8	4,8	4,8	4,8	4,8	4,8	4,8	4,8	4,8		
Снижение уровня звукового давления на пути слева от экрана, Dz2, дБ	z = 1.35м (разность путей)	ф-лы (14-18) [10]	9	11,2	13,6	16,3	19,2	22,1	25,1	28,1	31,1		
Снижение уровня звукового давления на пути справа от экрана, Dz3, дБ	z = 7.26м (разность путей)	ф-лы (14-18) [10]	14,8	17,5	20,4	23,4	26,3	29,3	32,3	35,3	38,3		
Общее снижение уровня звука препятствием Dz, дБ		Эн.сумма(-Dzi)	3,1	3,7	4,1	4,4	4,6	4,7	4,7	4,7	4,8		
Уровни звукового давления от источника ИШ-4-7 в расчётной точке днём, дБ		**ф-ла(3)[10]**	**0**	**18,5**	**19,2**	**19,4**	**17,9**	**15,2**	**7,8**	**0**	**0**	**19,3**	**19,3**
Уровни звукового давления от источника ИШ-4-7 в расчётной точке ночью, дБ		**ф-ла(3)[10]**	**0**	**18,5**	**19,2**	**19,4**	**17,9**	**15,2**	**7,8**	**0**	**0**	**19,3**	**19,3**
Источник шума: ИШ-4-8, координаты источника (x,y,z), м =[178.24,257.77,13.00]													
Уровни звуковой мощности источника днём, Lw, дБ		**исходные данные**	**0**	**90,3**	**91,7**	**93**	**93,3**	**92,9**	**89,6**	**85,4**	**80,9**		

1		2	3	4	5	6	7	8	9	10	11	12	13
Уровни звуковой мощности источника ночью, Lw, дБ		**исходные данные**	**0**	**90,3**	**91,7**	**93**	**93,3**	**92,9**	**89,6**	**85,4**	**80,9**		
Поправка на телесный угол DΩ, дБ	Ω = 6.28	10Lg(4π/Ω)	**3**	3	3	3	3	3	3	3	3		
Показатель направленности источника Di, дБ		исходные данные	**0**	0	0	0	0	0	0	0	0		
Поправка на направленность источника Dc, дБ	Dc	DΩ + Di	**3**	3	3	3	3	3	3	3	3		
Затухание из-за геометрической дивергенции, Adiv, дБ	расстояние = 1003.44 м	ф-ла (7) [10]	**71**										
Коэффициент затухания звука в атмосфере α, дБ/км	Ta=20,°C Pa=101.33,кПа hотн.=70%	ф-ла (5) [9]	0,02	0,09	0,33	1,12	2,79	4,98	9,04	23,09	77,63		
Учет затухания звука в атмосфере Aatm, дБ		ф-ла (8) [10]	0	0,1	0,3	1,1	2,8	5	9,1	23,2	77,9		
Снижение уровня звукового давления из-за влияния застройки между источником шума и расчетной точкой													
Снижение уровня звукового давления на пути над экраном, Dz1, дБ	z = 0.00м (разность путей)	ф-лы (14-18) [10]	4,8	4,8	4,8	4,8	4,8	4,8	4,8	4,8	4,8		
Снижение уровня звукового давления на пути слева от экрана, Dz2, дБ	z = 1.34м (разность путей)	ф-лы (14-18) [10]	9	11,1	13,6	16,3	19,1	22,1	25	28	31		
Снижение уровня звукового давления на пути справа от экрана, Dz3, дБ	z = 7.29м (разность путей)	ф-лы (14-18) [10]	14,8	17,6	20,4	23,4	26,4	29,4	32,4	35,4	38,4		
Общее снижение уровня звука препятствием Dz, дБ		Эн.сумма(-Dzi)	3,1	3,7	4,1	4,4	4,6	4,7	4,7	4,7	4,8		
Уровни звукового давления от источника ИШ-4-8 в расчётной точке днём, дБ		**ф-ла(3)[10]**	**0**	**18,5**	**19,2**	**19,4**	**17,9**	**15,2**	**7,8**	**0**	**0**	**19,3**	**19,3**
Уровни звукового давления от источника ИШ-4-8 в расчётной точке ночью, дБ		**ф-ла(3)[10]**	**0**	**18,5**	**19,2**	**19,4**	**17,9**	**15,2**	**7,8**	**0**	**0**	**19,3**	**19,3**
Источник шума: ИШ-4-9, координаты источника (x,y,z), м =[178.68,257.63,15.50]													
Уровни звуковой мощности источника днём, Lw, дБ		**исходные данные**	**0**	**90,3**	**91,7**	**93**	**93,3**	**92,9**	**89,6**	**85,4**	**80,9**		

1		2	3	4	5	6	7	8	9	10	11	12	13
Уровни звуковой мощности источника ночью, Lw, дБ		**исходные данные**	**0**	**90,3**	**91,7**	**93**	**93,3**	**92,9**	**89,6**	**85,4**	**80,9**		
Поправка на телесный угол DΩ, дБ	Ω = 6.28	10Lg(4π/Ω)	**3**	3	3	3	3	3	3	3	3		
Показатель направленности источника Di, дБ		исходные данные	**0**	0	0	0	0	0	0	0	0		
Поправка на направленность источника Dc, дБ	Dc	DΩ + Di	**3**	3	3	3	3	3	3	3	3		
Затухание из-за геометрической дивергенции, Adiv, дБ	расстояние = 1003.11 м	ф-ла (7) [10]	**71**										
Коэффициент затухания звука в атмосфере α, дБ/км	Ta=20,°C Pa=101.33,кПа hотн.=70%	ф-ла (5) [9]	0,02	0,09	0,33	1,12	2,79	4,98	9,04	23,09	77,63		
Учет затухания звука в атмосфере Aatm, дБ		ф-ла (8) [10]	0	0,1	0,3	1,1	2,8	5	9,1	23,2	77,9		
Снижение уровня звукового давления из-за влияния застройки между источником шума и расчетной точкой													
Снижение уровня звукового давления препятствием снизу от трассы ИШ-РТ, Dz4, дБ	z = -0.01м (разность путей)	ф-лы (14-18) [10]	4,7	4,7	4,6	4,5	4,2	3,7	2,1	0	NAN		
* отрицательное значение z означает прохождение траектории вблизи экрана, в этом случае дополнительно производится учёт снижения подстилающей поверхностью (см.ниже)													
Снижение поверхностью земли возле источника As, дБ	Gs = 0 hs = 7.5м	ф-лы таб.3 [10]	-1,5	-1,5	-1,5	-1,5	-1,5	-1,5	-1,5	-1,5	-1,5		
Снижение поверхностью земли возле приёмника Ar, дБ	Gr = 1 hr = 1.5м	ф-лы таб.3 [10]	-1,5	-1,5	5,1	7	5	0,7	0	0	0		
Снижение поверхностью земли в средней зоне, Am дБ	Gm = 1	ф-лы таб.3 [10]	-2,2	-2,2	0	0	0	0	0	0	0		
Суммарное снижение поверхностью земли на траектории распространения звука Agr, дБ		ф-ла (9) [10]	-5,2	-5,2	3,6	5,5	3,5	-0,8	-1,5	-1,5	-1,5		
Уровни звукового давления от источника ИШ-4-9 в расчётной точке днём, дБ		**ф-ла(3)[10]**	**0**	**22,7**	**15,1**	**13,8**	**14,7**	**17,1**	**11,9**	**0**	**0**	**19,5**	**19,5**
Уровни звукового давления от источника ИШ-4-9 в расчётной точке ночью, дБ		**ф-ла(3)[10]**	**0**	**22,7**	**15,1**	**13,8**	**14,7**	**17,1**	**11,9**	**0**	**0**	**19,5**	**19,5**

Источник шума: ИШ-4-10, координаты источника (x,y,z), м =[185.65,255.31,11.00]

1		2	3	4	5	6	7	8	9	10	11	12	13
Уровни звуковой мощности источника днём, Lw, дБ		**исходные данные**	**0**	**90,3**	**91,7**	**93**	**93,3**	**92,9**	**89,6**	**85,4**	**80,9**		
Уровни звуковой мощности источника ночью, Lw, дБ		**исходные данные**	**0**	**90,3**	**91,7**	**93**	**93,3**	**92,9**	**89,6**	**85,4**	**80,9**		
Поправка на телесный угол DΩ, дБ	Ω = 6.28	10Lg(4π/Ω)	**3**	3	3	3	3	3	3	3	3		
Показатель направленности источника Di, дБ		исходные данные	**0**	0	0	0	0	0	0	0	0		
Поправка на направленность источника Dc, дБ	Dc	DΩ + Di	**3**	3	3	3	3	3	3	3	3		
Затухание из-за геометрической дивергенции, Adiv, дБ	расстояние = 997.36 м	ф-ла (7) [10]	**71**										
Коэффициент затухания звука в атмосфере α, дБ/км	Ta=20,°C Pa=101.33,кПа hотн.=70%	ф-ла (5) [9]	0,02	0,09	0,33	1,12	2,79	4,98	9,04	23,09	77,63		
Учет затухания звука в атмосфере Aatm, дБ		ф-ла (8) [10]	0	0,1	0,3	1,1	2,8	5	9	23	77,4		
Снижение уровня звукового давления из-за влияния застройки между источником шума и расчетной точкой													
Снижение уровня звукового давления на пути над экраном, Dz1, дБ	z = 0.01м (разность путей)	ф-лы (14-18) [10]	4,8	4,8	4,8	4,8	4,8	4,8	4,8	4,8	4,8		
Снижение уровня звукового давления на пути слева от экрана, Dz2, дБ	z = 0.96м (разность путей)	ф-лы (14-18) [10]	8,2	10,1	12,3	15	17,8	20,7	23,6	26,6	29,6		
Снижение уровня звукового давления на пути справа от экрана, Dz3, дБ	z = 8.17м (разность путей)	ф-лы (14-18) [10]	15,2	18	20,9	23,9	26,8	29,8	32,8	35,9	38,9		
Общее снижение уровня звука препятствием Dz, дБ		Эн.сумма(-Dzi)	2,9	3,5	4	4,3	4,5	4,6	4,7	4,7	4,8		
Уровни звукового давления прямого звука от источника ИШ-4-10 в расчётной точке днём, дБ		**ф-ла(3)[10]**	**0**	**18,7**	**19,4**	**19,6**	**18**	**15,3**	**7,9**	**0**	**0**	**19,4**	**19,4**
Уровни звукового давления прямого звука от источника ИШ-4-10 в расчётной точке ночью, дБ		**ф-ла(3)[10]**	**0**	**18,7**	**19,4**	**19,6**	**18**	**15,3**	**7,9**	**0**	**0**	**19,4**	**19,4**
Расчёт отражённого звука													
Уровни звукового давления от мнимого источника ИШ-4-10_мн.(1) в расчётной точке днём, дБ		**ф-ла(3)[10]**	**0**	**0**	**0**	**0**	**0**	**0**	**0**	**0**	**0**	**0**	**0**

1		2	3	4	5	6	7	8	9	10	11	12	13
Уровни звукового давления от мнимого источника ИШ-4-10_мн.(1) в расчётной точке ночью, дБ		**ф-ла(3)[10]**	**0**	**0**	**0**	**0**	**0**	**0**	**0**	**0**	**0**	**0**	**0**
Уровни звукового давления от источника ИШ-4-10 в расчётной точке днём, дБ		**ф-ла(3)[10]**	**0**	**18,7**	**19,4**	**19,6**	**18**	**15,3**	**7,9**	**0**	**0**	**19,4**	**19,4**
Уровни звукового давления от источника ИШ-4-10 в расчётной точке ночью, дБ		**ф-ла(3)[10]**	**0**	**18,7**	**19,4**	**19,6**	**18**	**15,3**	**7,9**	**0**	**0**	**19,4**	**19,4**
Источник шума: ИШ-4-11, координаты источника (x,y,z), м =[185.89,255.16,13.00]													
Уровни звуковой мощности источника днём, Lw, дБ		**исходные данные**	**0**	**90,3**	**91,7**	**93**	**93,3**	**92,9**	**89,6**	**85,4**	**80,9**		
Уровни звуковой мощности источника ночью, Lw, дБ		**исходные данные**	**0**	**90,3**	**91,7**	**93**	**93,3**	**92,9**	**89,6**	**85,4**	**80,9**		
Поправка на телесный угол DΩ, дБ	Ω = 6.28	10Lg(4π/Ω)	**3**	3	3	3	3	3	3	3	3		
Показатель направленности источника Di, дБ		исходные данные	**0**	0	0	0	0	0	0	0	0		
Поправка на направленность источника Dc, дБ	Dc	DΩ + Di	**3**	3	3	3	3	3	3	3	3		
Затухание из-за геометрической дивергенции, Adiv, дБ	расстояние = 997.13 м	ф-ла (7) [10]	**71**										
Коэффициент затухания звука в атмосфере α, дБ/км	Ta=20,°C Pa=101.33,кПа hотн.=70%	ф-ла (5) [9]	0,02	0,09	0,33	1,12	2,79	4,98	9,04	23,09	77,63		
Учет затухания звука в атмосфере Aatm, дБ		ф-ла (8) [10]	0	0,1	0,3	1,1	2,8	5	9	23	77,4		
Снижение уровня звукового давления из-за влияния застройки между источником шума и расчетной точкой													
Снижение уровня звукового давления на пути над экраном, Dz1, дБ	z = 0.00м (разность путей)	ф-лы (14-18) [10]	4,8	4,8	4,8	4,8	4,8	4,8	4,8	4,8	4,8		
Снижение уровня звукового давления на пути слева от экрана, Dz2, дБ	z = 0.90м (разность путей)	ф-лы (14-18) [10]	8	9,8	12,1	14,7	17,5	20,4	23,3	26,3	29,3		
Снижение уровня звукового давления на пути справа от экрана, Dz3, дБ	z = 8.20м (разность путей)	ф-лы (14-18) [10]	15,2	18	20,9	23,9	26,9	29,9	32,9	35,9	38,9		

1		2	3	4	5	6	7	8	9	10	11	12	13
Общее снижение уровня звука препятствием Dz, дБ		Эн.сумма(-Dzi)	2,8	3,4	3,9	4,3	4,5	4,6	4,7	4,7	4,8		
Уровни звукового давления от источника ИШ-4-11 в расчётной точке днём, дБ		**ф-ла(3)[10]**	**0**	**18,8**	**19,4**	**19,6**	**18**	**15,3**	**7,9**	**0**	**0**	**19,4**	**19,4**
Уровни звукового давления от источника ИШ-4-11 в расчётной точке ночью, дБ		**ф-ла(3)[10]**	**0**	**18,8**	**19,4**	**19,6**	**18**	**15,3**	**7,9**	**0**	**0**	**19,4**	**19,4**
Источник шума: ИШ-4-12, координаты источника (x,y,z), м =[186.18,255.02,15.50]													
Уровни звуковой мощности источника днём, Lw, дБ		**исходные данные**	**0**	**90,3**	**91,7**	**93**	**93,3**	**92,9**	**89,6**	**85,4**	**80,9**		
Уровни звуковой мощности источника ночью, Lw, дБ		**исходные данные**	**0**	**90,3**	**91,7**	**93**	**93,3**	**92,9**	**89,6**	**85,4**	**80,9**		
Поправка на телесный угол DΩ, дБ	Ω = 6.28	10Lg(4π/Ω)	**3**	3	3	3	3	3	3	3	3		
Показатель направленности источника Di, дБ		исходные данные	**0**	0	0	0	0	0	0	0	0		
Поправка на направленность источника Dc, дБ	Dc	DΩ + Di	**3**	3	3	3	3	3	3	3	3		
Затухание из-за геометрической дивергенции, Adiv, дБ	расстояние = 996.88 м	ф-ла (7) [10]	**71**										
Коэффициент затухания звука в атмосфере α, дБ/км	Ta=20,°C Pa=101.33,кПа hотн.=70%	ф-ла (5) [9]	0,02	0,09	0,33	1,12	2,79	4,98	9,04	23,09	77,63		
Учет затухания звука в атмосфере Aatm, дБ		ф-ла (8) [10]	0	0,1	0,3	1,1	2,8	5	9	23	77,4		
Снижение уровня звукового давления из-за влияния застройки между источником шума и расчетной точкой													
Снижение уровня звукового давления препятствием снизу от трассы ИШ-РТ, Dz4, дБ	z = -0.01м (разность путей)	ф-лы (14-18) [10]	4,7	4,7	4,6	4,5	4,2	3,4	1,5	NAN	NAN		
* отрицательное значение z означает прохождение траектории вблизи экрана, в этом случае дополнительно производится учёт снижения подстилающей поверхностью (см.ниже)													
Снижение поверхностью земли возле источника As, дБ	Gs = 0 hs = 7.5м	ф-лы таб.3 [10]	-1,5	-1,5	-1,5	-1,5	-1,5	-1,5	-1,5	-1,5	-1,5		
Снижение поверхностью земли возле приёмника Ar, дБ	Gr = 1 hr = 1.5м	ф-лы таб.3 [10]	-1,5	-1,5	5,1	7	5	0,7	0	0	0		

1		2	3	4	5	6	7	8	9	10	11	12	13
Снижение поверхностью земли в средней зоне, Am дБ	Gm = 1	ф-лы таб.3 [10]	-2,2	-2,2	0	0	0	0	0	0	0		
Суммарное снижение поверхностью земли на траектории распространения звука Agr, дБ		ф-ла (9) [10]	-5,2	-5,2	3,6	5,5	3,5	-0,8	-1,5	-1,5	-1,5		
Уровни звукового давления от источника ИШ-4-12 в расчётной точке днём, дБ		**ф-ла(3)[10]**	**0**	**22,7**	**15,2**	**13,9**	**14,9**	**17,4**	**12,6**	**0**	**0**	**19,9**	**19,9**
Уровни звукового давления от источника ИШ-4-12 в расчётной точке ночью, дБ		**ф-ла(3)[10]**	**0**	**22,7**	**15,2**	**13,9**	**14,9**	**17,4**	**12,6**	**0**	**0**	**19,9**	**19,9**
Источник шума: ИШ-4-13, координаты источника (x,y,z), м =[94.56,229.10,1.00]													
Уровни звуковой мощности источника днём, Lw, дБ		**исходные данные**	**0**	**81,3**	**82,7**	**84**	**84,3**	**83,9**	**80,6**	**76,4**	**71,9**		
Уровни звуковой мощности источника ночью, Lw, дБ		**исходные данные**	**0**	**81,3**	**82,7**	**84**	**84,3**	**83,9**	**80,6**	**76,4**	**71,9**		
Поправка на телесный угол DΩ, дБ	Ω = 6.28	10Lg(4π/Ω)	**3**	3	3	3	3	3	3	3	3		
Показатель направленности источника Di, дБ		исходные данные	**0**	0	0	0	0	0	0	0	0		
Поправка на направленность источника Dc, дБ	Dc	DΩ + Di	**3**	3	3	3	3	3	3	3	3		
Затухание из-за геометрической дивергенции, Adiv, дБ	расстояние = 1027.90 м	ф-ла (7) [10]	**71,2**										
Коэффициент затухания звука в атмосфере α, дБ/км	Ta=20,°C Pa=101.33,кПа hотн.=70%	ф-ла (5) [9]	0,02	0,09	0,33	1,12	2,79	4,98	9,04	23,09	77,63		
Учет затухания звука в атмосфере Aatm, дБ		ф-ла (8) [10]	0	0,1	0,3	1,2	2,9	5,1	9,3	23,7	79,8		
Снижение уровня звукового давления из-за влияния застройки между источником шума и расчетной точкой													
Снижение уровня звукового давления на пути над экраном, Dz1, дБ	z = 4.41м (разность путей)	ф-лы (14-18) [10]	15,2	18,1	21	23,9	26,9	29,9	32,9	35,9	39		
Снижение уровня звукового давления на пути слева от экрана, Dz2, дБ	z = 98.55м (разность путей)	ф-лы (14-18) [10]	30,2	33,4	36,4	39,4	42,4	45,4	48,4	51,4	54,4		

1		2	3	4	5	6	7	8	9	10	11	12	13
Снижение уровня звукового давления на пути справа от экрана, Dz3, дБ	z = 12.19м (разность путей)	ф-лы (14-18) [10]	21,2	24,3	27,3	30,3	33,3	36,3	39,3	42,4	45,4		
Общее снижение уровня звука препятствием Dz, дБ		Эн.сумма(-Dzi)	14,1	17,1	20	22,9	25,9	28,9	31,9	35	38		
Общее снижение уровня звука препятствием с учётом ограничения (25 дБ) для октавных полос Dz, дБ		Раздел 7.4 [10]	14,1	17,1	20	22,9	25	25	25	25	25		
Уровни звукового давления от источника ИШ-4-13 в расчётной точке днём, дБ		**ф-ла(3)[10]**	**0**	**0**	**0**	**0**	**0**	**0**	**0**	**0**	**0**	**0**	**0**
Уровни звукового давления от источника ИШ-4-13 в расчётной точке ночью, дБ		**ф-ла(3)[10]**	**0**	**0**	**0**	**0**	**0**	**0**	**0**	**0**	**0**	**0**	**0**
Источник шума: ИШ-4-14, координаты источника (x,y,z), м =[91.88,221.30,1.00]													
Уровни звуковой мощности источника днём, Lw, дБ		**исходные данные**	**0**	**81,3**	**82,7**	**84**	**84,3**	**83,9**	**80,6**	**76,4**	**71,9**		
Уровни звуковой мощности источника ночью, Lw, дБ		**исходные данные**	**0**	**81,3**	**82,7**	**84**	**84,3**	**83,9**	**80,6**	**76,4**	**71,9**		
Поправка на телесный угол DΩ, дБ	Ω = 6.28	10Lg(4π/Ω)	**3**	3	3	3	3	3	3	3	3		
Показатель направленности источника Di, дБ		исходные данные	**0**	0	0	0	0	0	0	0	0		
Поправка на направленность источника Dc, дБ	Dc	DΩ + Di	**3**	3	3	3	3	3	3	3	3		
Затухание из-за геометрической дивергенции, Adiv, дБ	расстояние = 1023.36 м	ф-ла (7) [10]	**71,2**										
Коэффициент затухания звука в атмосфере α, дБ/км	Ta=20,°C Pa=101.33,кПа hотн.=70%	ф-ла (5) [9]	0,02	0,09	0,33	1,12	2,79	4,98	9,04	23,09	77,63		
Учет затухания звука в атмосфере Aatm, дБ		ф-ла (8) [10]	0	0,1	0,3	1,2	2,9	5,1	9,3	23,6	79,4		
Снижение уровня звукового давления из-за влияния застройки между источником шума и расчетной точкой													
Снижение уровня звукового давления на пути над экраном, Dz1, дБ	z = 4.39м (разность путей)	ф-лы (14-18) [10]	15,1	18,1	21	23,9	26,9	29,9	32,9	35,9	38,9		

1		2	3	4	5	6	7	8	9	10	11	12	13
Снижение уровня звукового давления на пути слева от экрана, Dz2, дБ	z = 111.30м (разность путей)	ф-лы (14-18) [10]	30,7	33,9	36,9	39,9	42,9	45,9	49	52	55		
Снижение уровня звукового давления на пути справа от экрана, Dz3, дБ	z = 8.65м (разность путей)	ф-лы (14-18) [10]	19,7	22,8	25,8	28,8	31,8	34,8	37,9	40,9	43,9		
Общее снижение уровня звука препятствием Dz, дБ		Эн.сумма(-Dzi)	13,7	16,7	19,7	22,6	25,6	28,6	31,6	34,6	37,6		
Общее снижение уровня звука препятствием с учётом ограничения (25 дБ) для октавных полос Dz, дБ		Раздел 7.4 [10]	13,7	16,7	19,7	22,6	25	25	25	25	25		
Уровни звукового давления от источника ИШ-4-14 в расчётной точке днём, дБ		**ф-ла(3)[10]**	**0**	**0**	**0**	**0**	**0**	**0**	**0**	**0**	**0**	**0**	**0**
Уровни звукового давления от источника ИШ-4-14 в расчётной точке ночью, дБ		**ф-ла(3)[10]**	**0**	**0**	**0**	**0**	**0**	**0**	**0**	**0**	**0**	**0**	**0**
Источник шума: ИШ-5-1, координаты источника (x,y,z), м =[626.70,162.36,1.00]													
Уровни звуковой мощности источника днём, Lw, дБ		**исходные данные**	**0**	**93,3**	**94,7**	**96**	**96,3**	**95,9**	**92,6**	**88,4**	**83,9**		
Уровни звуковой мощности источника ночью, Lw, дБ		**исходные данные**	**0**	**93,3**	**94,7**	**96**	**96,3**	**95,9**	**92,6**	**88,4**	**83,9**		
Поправка на телесный угол DΩ, дБ	Ω = 6.28	10Lg(4π/Ω)	**3**	3	3	3	3	3	3	3	3		
Показатель направленности источника Di, дБ		исходные данные	**0**	0	0	0	0	0	0	0	0		
Поправка на направленность источника Dc, дБ	Dc	DΩ + Di	**3**	3	3	3	3	3	3	3	3		
Затухание из-за геометрической дивергенции, Adiv, дБ	расстояние = 755.49 м	ф-ла (7) [10]	**68,6**										
Коэффициент затухания звука в атмосфере α, дБ/км	Ta=20,°C Pa=101.33,кПа hотн.=70%	ф-ла (5) [9]	0,02	0,09	0,33	1,12	2,79	4,98	9,04	23,09	77,63		
Учет затухания звука в атмосфере Aatm, дБ		ф-ла (8) [10]	0	0,1	0,3	0,8	2,1	3,8	6,8	17,4	58,7		
Снижение поверхностью земли возле источника As, дБ	Gs = 0 hs = 1м	ф-лы таб.3 [10]	-1,5	-1,5	-1,5	-1,5	-1,5	-1,5	-1,5	-1,5	-1,5		

1		2	3	4	5	6	7	8	9	10	11	12	13
Снижение поверхностью земли возле приёмника Ar, дБ	Gr = 1 hr = 1.5м	ф-лы таб.3 [10]	-1,5	-1,5	4,4	7	5	0,7	0	0	0		
Снижение поверхностью земли в средней зоне, Am дБ	Gm = 1	ф-лы таб.3 [10]	-2,7	-2,7	0	0	0	0	0	0	0		
Суммарное снижение поверхностью земли на траектории распространения звука Agr, дБ		ф-ла (9) [10]	-5,7	-5,7	2,9	5,5	3,5	-0,8	-1,5	-1,5	-1,5		
Уровни звукового давления прямого звука от источника ИШ-5-1 в расчётной точке днём, дБ		**ф-ла(3)[10]**	**0**	**33,4**	**26**	**24,1**	**25,1**	**27,4**	**21,7**	**6,9**	**0**	**29,8**	**29,8**
Уровни звукового давления прямого звука от источника ИШ-5-1 в расчётной точке ночью, дБ		**ф-ла(3)[10]**	**0**	**33,4**	**26**	**24,1**	**25,1**	**27,4**	**21,7**	**6,9**	**0**	**29,8**	**29,8**
Расчёт отражённого звука													
Уровни звукового давления от мнимого источника ИШ-5-1_мн.(1) в расчётной точке днём, дБ		**ф-ла(3)[10]**	**0**	**0**	**0**	**0**	**0**	**0**	**0**	**0**	**0**	**0**	**0**
Уровни звукового давления от мнимого источника ИШ-5-1_мн.(1) в расчётной точке ночью, дБ		**ф-ла(3)[10]**	**0**	**0**	**0**	**0**	**0**	**0**	**0**	**0**	**0**	**0**	**0**
Уровни звукового давления от источника ИШ-5-1 в расчётной точке днём, дБ		**ф-ла(3)[10]**	**0**	**33,4**	**26**	**24,1**	**25,1**	**27,4**	**21,7**	**6,9**	**0**	**29,8**	**29,8**
Уровни звукового давления от источника ИШ-5-1 в расчётной точке ночью, дБ		**ф-ла(3)[10]**	**0**	**33,4**	**26**	**24,1**	**25,1**	**27,4**	**21,7**	**6,9**	**0**	**29,8**	**29,8**
Источник шума: ИШ-5-2, координаты источника (x,y,z), м =[625.81,159.52,1.00]													
Уровни звуковой мощности источника днём, Lw, дБ		**исходные данные**	**0**	**93,3**	**94,7**	**96**	**96,3**	**95,9**	**92,6**	**88,4**	**83,9**		
Уровни звуковой мощности источника ночью, Lw, дБ		**исходные данные**	**0**	**93,3**	**94,7**	**96**	**96,3**	**95,9**	**92,6**	**88,4**	**83,9**		
Поправка на телесный угол DΩ, дБ	Ω = 6.28	10Lg(4π/Ω)	**3**	3	3	3	3	3	3	3	3		
Показатель направленности источника Di, дБ		исходные данные	**0**	0	0	0	0	0	0	0	0		
Поправка на направленность источника Dc, дБ	Dc	DΩ + Di	**3**	3	3	3	3	3	3	3	3		
Затухание из-за геометрической дивергенции, Adiv, дБ	расстояние = 752.78 м	ф-ла (7) [10]	**68,5**										

1		2	3	4	5	6	7	8	9	10	11	12	13
Коэффициент затухания звука в атмосфере α, дБ/км	Ta=20,°C Pa=101.33,кПа hотн.=70%	ф-ла (5) [9]	0,02	0,09	0,33	1,12	2,79	4,98	9,04	23,09	77,63		
Учет затухания звука в атмосфере Aatm, дБ		ф-ла (8) [10]	0	0,1	0,3	0,8	2,1	3,7	6,8	17,4	58,4		
Снижение поверхностью земли возле источника As, дБ	Gs = 0 hs = 1м	ф-лы таб.3 [10]	-1,5	-1,5	-1,5	-1,5	-1,5	-1,5	-1,5	-1,5	-1,5		
Снижение поверхностью земли возле приёмника Ar, дБ	Gr = 1 hr = 1.5м	ф-лы таб.3 [10]	-1,5	-1,5	4,4	7	5	0,7	0	0	0		
Снижение поверхностью земли в средней зоне, Am дБ	Gm = 1	ф-лы таб.3 [10]	-2,7	-2,7	0	0	0	0	0	0	0		
Суммарное снижение поверхностью земли на траектории распространения звука Agr, дБ		ф-ла (9) [10]	-5,7	-5,7	2,9	5,5	3,5	-0,8	-1,5	-1,5	-1,5		
Уровни звукового давления прямого звука от источника ИШ-5-2 в расчётной точке днём, дБ		**ф-ла(3)[10]**	**0**	**33,4**	**26**	**24,1**	**25,2**	**27,5**	**21,8**	**7**	**0**	**29,9**	**29,9**
Уровни звукового давления прямого звука от источника ИШ-5-2 в расчётной точке ночью, дБ		**ф-ла(3)[10]**	**0**	**33,4**	**26**	**24,1**	**25,2**	**27,5**	**21,8**	**7**	**0**	**29,9**	**29,9**
Расчёт отражённого звука													
Уровни звукового давления от мнимого источника ИШ-5-2_мн.(1) в расчётной точке днём, дБ		**ф-ла(3)[10]**	**0**	**0**	**0**	**0**	**0**	**0**	**0**	**0**	**0**	**0**	**0**
Уровни звукового давления от мнимого источника ИШ-5-2_мн.(1) в расчётной точке ночью, дБ		**ф-ла(3)[10]**	**0**	**0**	**0**	**0**	**0**	**0**	**0**	**0**	**0**	**0**	**0**
Уровни звукового давления от источника ИШ-5-2 в расчётной точке днём, дБ		**ф-ла(3)[10]**	**0**	**33,4**	**26**	**24,1**	**25,2**	**27,5**	**21,8**	**7**	**0**	**29,9**	**29,9**
Уровни звукового давления от источника ИШ-5-2 в расчётной точке ночью, дБ		**ф-ла(3)[10]**	**0**	**33,4**	**26**	**24,1**	**25,2**	**27,5**	**21,8**	**7**	**0**	**29,9**	**29,9**
Источник шума: ИШ-5-3, координаты источника (x,y,z), м =[624.84,156.69,1.00]													
Уровни звуковой мощности источника днём, Lw, дБ		**исходные данные**	**0**	**93,3**	**94,7**	**96**	**96,3**	**95,9**	**92,6**	**88,4**	**83,9**		
Уровни звуковой мощности источника ночью, Lw, дБ		**исходные данные**	**0**	**93,3**	**94,7**	**96**	**96,3**	**95,9**	**92,6**	**88,4**	**83,9**		

1		2	3	4	5	6	7	8	9	10	11	12	13
Поправка на телесный угол DΩ, дБ	Ω = 6.28	10Lg(4π/Ω)	**3**	3	3	3	3	3	3	3	3		
Показатель направленности источника Di, дБ		исходные данные	**0**	0	0	0	0	0	0	0	0		
Поправка на направленность источника Dc, дБ	Dc	DΩ + Di	**3**	3	3	3	3	3	3	3	3		
Затухание из-за геометрической дивергенции, Adiv, дБ	расстояние = 750.09 м	ф-ла (7) [10]	**68,5**										
Коэффициент затухания звука в атмосфере α, дБ/км	Ta=20,°C Pa=101.33,кПа hотн.=70%	ф-ла (5) [9]	0,02	0,09	0,33	1,12	2,79	4,98	9,04	23,09	77,63		
Учет затухания звука в атмосфере Aatm, дБ		ф-ла (8) [10]	0	0,1	0,3	0,8	2,1	3,7	6,8	17,3	58,2		
Снижение поверхностью земли возле источника As, дБ	Gs = 0 hs = 1м	ф-лы таб.3 [10]	-1,5	-1,5	-1,5	-1,5	-1,5	-1,5	-1,5	-1,5	-1,5		
Снижение поверхностью земли возле приёмника Ar, дБ	Gr = 1 hr = 1.5м	ф-лы таб.3 [10]	-1,5	-1,5	4,4	7	5	0,7	0	0	0		
Снижение поверхностью земли в средней зоне, Am дБ	Gm = 1	ф-лы таб.3 [10]	-2,7	-2,7	0	0	0	0	0	0	0		
Суммарное снижение поверхностью земли на траектории распространения звука Agr, дБ		ф-ла (9) [10]	-5,7	-5,7	2,9	5,5	3,5	-0,8	-1,5	-1,5	-1,5		
Уровни звукового давления прямого звука от источника ИШ-5-3 в расчётной точке днём, дБ		**ф-ла(3)[10]**	**0**	**33,4**	**26,1**	**24,1**	**25,2**	**27,5**	**21,8**	**7,1**	**0**	**29,9**	**29,9**
Уровни звукового давления прямого звука от источника ИШ-5-3 в расчётной точке ночью, дБ		**ф-ла(3)[10]**	**0**	**33,4**	**26,1**	**24,1**	**25,2**	**27,5**	**21,8**	**7,1**	**0**	**29,9**	**29,9**
Расчёт отражённого звука													
Уровни звукового давления от мнимого источника ИШ-5-3_мн.(1) в расчётной точке днём, дБ		**ф-ла(3)[10]**	**0**	**0**	**0**	**0**	**0**	**0**	**0**	**0**	**0**	**0**	**0**
Уровни звукового давления от мнимого источника ИШ-5-3_мн.(1) в расчётной точке ночью, дБ		**ф-ла(3)[10]**	**0**	**0**	**0**	**0**	**0**	**0**	**0**	**0**	**0**	**0**	**0**
Уровни звукового давления от источника ИШ-5-3 в расчётной точке днём, дБ		**ф-ла(3)[10]**	**0**	**33,4**	**26,1**	**24,1**	**25,2**	**27,5**	**21,8**	**7,1**	**0**	**29,9**	**29,9**
Уровни звукового давления от источника ИШ-5-3 в расчётной точке ночью, дБ		**ф-ла(3)[10]**	**0**	**33,4**	**26,1**	**24,1**	**25,2**	**27,5**	**21,8**	**7,1**	**0**	**29,9**	**29,9**

1		2	3	4	5	6	7	8	9	10	11	12	13
Источник шума: ИШ-6-1, координаты источника (x,y,z), м =[836.30,122.24,1.00]													
Уровни звуковой мощности источника днём, Lw, дБ		**исходные данные**	**0**	**96,3**	**97,7**	**99**	**99,3**	**98,9**	**95,6**	**91,4**	**86,9**		
Уровни звуковой мощности источника ночью, Lw, дБ		**исходные данные**	**0**	**96,3**	**97,7**	**99**	**99,3**	**98,9**	**95,6**	**91,4**	**86,9**		
Поправка на телесный угол DΩ, дБ	Ω = 12.57	10Lg(4π/Ω)	**0**	0	0	0	0	0	0	0	0		
Показатель направленности источника Di, дБ		исходные данные	**0**	0	0	0	0	0	0	0	0		
Поправка на направленность источника Dc, дБ	Dc	DΩ + Di	**0**	0	0	0	0	0	0	0	0		
Затухание из-за геометрической дивергенции, Adiv, дБ	расстояние = 719.36 м	ф-ла (7) [10]	**68,1**										
Коэффициент затухания звука в атмосфере α, дБ/км	Ta=20,°C Pa=101.33,кПа hотн.=70%	ф-ла (5) [9]	0,02	0,09	0,33	1,12	2,79	4,98	9,04	23,09	77,63		
Учет затухания звука в атмосфере Aatm, дБ		ф-ла (8) [10]	0	0,1	0,2	0,8	2	3,6	6,5	16,6	55,8		
Снижение уровня звукового давления из-за влияния застройки между источником шума и расчетной точкой													
Снижение уровня звукового давления на пути над экраном, Dz1, дБ	z = 0.01м (разность путей)	ф-лы (14-18) [10]	4,8	4,8	4,8	4,8	4,8	4,8	4,8	4,8	4,8		
Снижение уровня звукового давления на пути слева от экрана, Dz2, дБ	z = 0.48м (разность путей)	ф-лы (14-18) [10]	6,8	8,2	10	12,4	15	17,8	20,7	23,6	26,6		
Снижение уровня звукового давления на пути справа от экрана, Dz3, дБ	z = 0.51м (разность путей)	ф-лы (14-18) [10]	6,9	8,3	10,2	12,6	15,2	18	20,9	23,9	26,9		
Общее снижение уровня звука препятствием Dz, дБ		Эн.сумма(-Dzi)	1,3	2	2,8	3,5	4	4,4	4,6	4,7	4,7		
Уровни звукового давления прямого звука от источника ИШ-6-1 в расчётной точке днём, дБ		**ф-ла(3)[10]**	**0**	**26,1**	**26,5**	**26,5**	**25,1**	**22,8**	**16,4**	**2**	**0**	**26,8**	**26,8**
Уровни звукового давления прямого звука от источника ИШ-6-1 в расчётной точке ночью, дБ		**ф-ла(3)[10]**	**0**	**26,1**	**26,5**	**26,5**	**25,1**	**22,8**	**16,4**	**2**	**0**	**26,8**	**26,8**

1		2	3	4	5	6	7	8	9	10	11	12	13
Расчёт отражённого звука													
Уровни звукового давления от мнимого источника ИШ-6-1_мн.(1) в расчётной точке днём, дБ		**ф-ла(3)[10]**	**0**	**0**	**0**	**0**	**0**	**0**	**0**	**0**	**0**	**0**	**0**
Уровни звукового давления от мнимого источника ИШ-6-1_мн.(1) в расчётной точке ночью, дБ		**ф-ла(3)[10]**	**0**	**0**	**0**	**0**	**0**	**0**	**0**	**0**	**0**	**0**	**0**
Уровни звукового давления от источника ИШ-6-1 в расчётной точке днём, дБ		**ф-ла(3)[10]**	**0**	**26,1**	**26,5**	**26,5**	**25,1**	**22,8**	**16,4**	**2**	**0**	**26,8**	**26,8**
Уровни звукового давления от источника ИШ-6-1 в расчётной точке ночью, дБ		**ф-ла(3)[10]**	**0**	**26,1**	**26,5**	**26,5**	**25,1**	**22,8**	**16,4**	**2**	**0**	**26,8**	**26,8**
Источник шума: ИШ-6-2, координаты источника (x,y,z), м =[835.37,119.30,1.00]													
Уровни звуковой мощности источника днём, Lw, дБ		**исходные данные**	**0**	**96,3**	**97,7**	**99**	**99,3**	**98,9**	**95,6**	**91,4**	**86,9**		
Уровни звуковой мощности источника ночью, Lw, дБ		**исходные данные**	**0**	**96,3**	**97,7**	**99**	**99,3**	**98,9**	**95,6**	**91,4**	**86,9**		
Поправка на телесный угол DΩ, дБ	Ω = 12.57	10Lg(4π/Ω)	**0**	0	0	0	0	0	0	0	0		
Показатель направленности источника Di, дБ		исходные данные	**0**	0	0	0	0	0	0	0	0		
Поправка на направленность источника Dc, дБ	Dc	DΩ + Di	**0**	0	0	0	0	0	0	0	0		
Затухание из-за геометрической дивергенции, Adiv, дБ	расстояние = 716.31 м	ф-ла (7) [10]	**68,1**										
Коэффициент затухания звука в атмосфере α, дБ/км	Ta=20,°C Pa=101.33,кПа hотн.=70%	ф-ла (5) [9]	0,02	0,09	0,33	1,12	2,79	4,98	9,04	23,09	77,63		
Учет затухания звука в атмосфере Aatm, дБ		ф-ла (8) [10]	0	0,1	0,2	0,8	2	3,6	6,5	16,5	55,6		
Снижение уровня звукового давления из-за влияния застройки между источником шума и расчетной точкой													
Снижение уровня звукового давления на пути над экраном, Dz1, дБ	z = 0.01м (разность путей)	ф-лы (14-18) [10]	4,8	4,8	4,8	4,8	4,8	4,8	4,8	4,8	4,8		

1		2	3	4	5	6	7	8	9	10	11	12	13
Снижение уровня звукового давления на пути слева от экрана, Dz2, дБ	z = 0.50м (разность путей)	ф-лы (14-18) [10]	6,9	8,3	10,2	12,5	15,1	18	20,9	23,8	26,8		
Снижение уровня звукового давления на пути справа от экрана, Dz3, дБ	z = 0.50м (разность путей)	ф-лы (14-18) [10]	6,9	8,3	10,1	12,5	15,1	17,9	20,8	23,8	26,7		
Общее снижение уровня звука препятствием Dz, дБ		Эн.сумма(-Dzi)	1,3	2	2,8	3,5	4	4,4	4,6	4,7	4,7		
Уровни звукового давления прямого звука от источника ИШ-6-2 в расчётной точке днём, дБ		**ф-ла(3)[10]**	**0**	**26,1**	**26,6**	**26,6**	**25,2**	**22,9**	**16,5**	**2,1**	**0**	**26,9**	**26,9**
Уровни звукового давления прямого звука от источника ИШ-6-2 в расчётной точке ночью, дБ		**ф-ла(3)[10]**	**0**	**26,1**	**26,6**	**26,6**	**25,2**	**22,9**	**16,5**	**2,1**	**0**	**26,9**	**26,9**
Расчёт отражённого звука													
Уровни звукового давления от мнимого источника ИШ-6-2_мн.(1) в расчётной точке днём, дБ		**ф-ла(3)[10]**	**0**	**0**	**0**	**0**	**0**	**0**	**0**	**0**	**0**	**0**	**0**
Уровни звукового давления от мнимого источника ИШ-6-2_мн.(1) в расчётной точке ночью, дБ		**ф-ла(3)[10]**	**0**	**0**	**0**	**0**	**0**	**0**	**0**	**0**	**0**	**0**	**0**
Уровни звукового давления от источника ИШ-6-2 в расчётной точке днём, дБ		**ф-ла(3)[10]**	**0**	**26,1**	**26,6**	**26,6**	**25,2**	**22,9**	**16,5**	**2,1**	**0**	**26,9**	**26,9**
Уровни звукового давления от источника ИШ-6-2 в расчётной точке ночью, дБ		**ф-ла(3)[10]**	**0**	**26,1**	**26,6**	**26,6**	**25,2**	**22,9**	**16,5**	**2,1**	**0**	**26,9**	**26,9**
Источник шума: ИШ-6-3, координаты источника (x,y,z), м =[834.03,116.36,1.00]													
Уровни звуковой мощности источника днём, Lw, дБ		**исходные данные**	**0**	**96,3**	**97,7**	**99**	**99,3**	**98,9**	**95,6**	**91,4**	**86,9**		
Уровни звуковой мощности источника ночью, Lw, дБ		**исходные данные**	**0**	**96,3**	**97,7**	**99**	**99,3**	**98,9**	**95,6**	**91,4**	**86,9**		
Поправка на телесный угол DΩ, дБ	Ω = 12.57	10Lg(4π/Ω)	**0**	0	0	0	0	0	0	0	0		
Показатель направленности источника Di, дБ		исходные данные	**0**	0	0	0	0	0	0	0	0		
Поправка на направленность источника Dc, дБ	Dc	DΩ + Di	**0**	0	0	0	0	0	0	0	0		
Затухание из-за геометрической дивергенции, Adiv, дБ	расстояние = 713.20 м	ф-ла (7) [10]	**68,1**										

1		2	3	4	5	6	7	8	9	10	11	12	13
Коэффициент затухания звука в атмосфере α, дБ/км	Та=20,°С Ра=101.33,кПа hотн.=70%	ф-ла (5) [9]	0,02	0,09	0,33	1,12	2,79	4,98	9,04	23,09	77,63		
Учет затухания звука в атмосфере Aatm, дБ		ф-ла (8) [10]	0	0,1	0,2	0,8	2	3,6	6,4	16,5	55,4		
Снижение уровня звукового давления из-за влияния застройки между источником шума и расчетной точкой													
Снижение уровня звукового давления на пути над экраном, Dz1, дБ	z = 0.01м (разность путей)	ф-лы (14-18) [10]	4,8	4,8	4,8	4,8	4,8	4,8	4,8	4,8	4,8		
Снижение уровня звукового давления на пути слева от экрана, Dz2, дБ	z = 0.55м (разность путей)	ф-лы (14-18) [10]	7	8,5	10,4	12,8	15,5	18,3	21,2	24,1	27,1		
Снижение уровня звукового давления на пути справа от экрана, Dz3, дБ	z = 0.47м (разность путей)	ф-лы (14-18) [10]	6,8	8,1	10	12,3	14,9	17,6	20,5	23,5	26,5		
Общее снижение уровня звука препятствием Dz, дБ		Эн.сумма(-Dzi)	1,3	2	2,8	3,5	4	4,4	4,6	4,7	4,7		
Уровни звукового давления прямого звука от источника ИШ-6-3 в расчётной точке днём, дБ		**ф-ла(3)[10]**	**0**	**26,2**	**26,6**	**26,6**	**25,2**	**22,9**	**16,5**	**2,2**	**0**	**26,9**	**26,9**
Уровни звукового давления прямого звука от источника ИШ-6-3 в расчётной точке ночью, дБ		**ф-ла(3)[10]**	**0**	**26,2**	**26,6**	**26,6**	**25,2**	**22,9**	**16,5**	**2,2**	**0**	**26,9**	**26,9**
Расчёт отражённого звука													
Уровни звукового давления от мнимого источника ИШ-6-3_мн.(1) в расчётной точке днём, дБ		**ф-ла(3)[10]**	**0**	**0**	**0**	**0**	**0**	**0**	**0**	**0**	**0**	**0**	**0**
Уровни звукового давления от мнимого источника ИШ-6-3_мн.(1) в расчётной точке ночью, дБ		**ф-ла(3)[10]**	**0**	**0**	**0**	**0**	**0**	**0**	**0**	**0**	**0**	**0**	**0**
Уровни звукового давления от источника ИШ-6-3 в расчётной точке днём, дБ		**ф-ла(3)[10]**	**0**	**26,2**	**26,6**	**26,6**	**25,2**	**22,9**	**16,5**	**2,2**	**0**	**26,9**	**26,9**
Уровни звукового давления от источника ИШ-6-3 в расчётной точке ночью, дБ		**ф-ла(3)[10]**	**0**	**26,2**	**26,6**	**26,6**	**25,2**	**22,9**	**16,5**	**2,2**	**0**	**26,9**	**26,9**
Источник шума: ИШ-6-4, координаты источника (x,y,z), м =[833.23,113.30,1.00]													
Уровни звуковой мощности источника днём, Lw, дБ		**исходные данные**	**0**	**96,3**	**97,7**	**99**	**99,3**	**98,9**	**95,6**	**91,4**	**86,9**		

1		2	3	4	5	6	7	8	9	10	11	12	13
Уровни звуковой мощности источника ночью, Lw, дБ		**исходные данные**	**0**	**96,3**	**97,7**	**99**	**99,3**	**98,9**	**95,6**	**91,4**	**86,9**		
Поправка на телесный угол DΩ, дБ	Ω = 12.57	10Lg(4π/Ω)	**0**	0	0	0	0	0	0	0	0		
Показатель направленности источника Di, дБ		исходные данные	**0**	0	0	0	0	0	0	0	0		
Поправка на направленность источника Dc, дБ	Dc	DΩ + Di	**0**	0	0	0	0	0	0	0	0		
Затухание из-за геометрической дивергенции, Adiv, дБ	расстояние = 710.04 м	ф-ла (7) [10]	**68**										
Коэффициент затухания звука в атмосфере α, дБ/км	Ta=20,°C Pa=101.33,кПа hотн.=70%	ф-ла (5) [9]	0,02	0,09	0,33	1,12	2,79	4,98	9,04	23,09	77,63		
Учет затухания звука в атмосфере Aatm, дБ		ф-ла (8) [10]	0	0,1	0,2	0,8	2	3,5	6,4	16,4	55,1		
Снижение уровня звукового давления из-за влияния застройки между источником шума и расчетной точкой													
Снижение уровня звукового давления на пути над экраном, Dz1, дБ	z = 0.01м (разность путей)	ф-лы (14-18) [10]	4,8	4,8	4,8	4,8	4,8	4,8	4,8	4,8	4,8		
Снижение уровня звукового давления на пути слева от экрана, Dz2, дБ	z = 0.56м (разность путей)	ф-лы (14-18) [10]	7,1	8,6	10,5	12,9	15,6	18,4	21,3	24,3	27,3		
Снижение уровня звукового давления на пути справа от экрана, Dz3, дБ	z = 0.46м (разность путей)	ф-лы (14-18) [10]	6,7	8,1	9,9	12,2	14,8	17,6	20,5	23,4	26,4		
Общее снижение уровня звука препятствием Dz, дБ		Эн.сумма(-Dzi)	1,3	2	2,8	3,5	4	4,4	4,6	4,7	4,7		
Уровни звукового давления прямого звука от источника ИШ-6-4 в расчётной точке днём, дБ		**ф-ла(3)[10]**	**0**	**26,2**	**26,6**	**26,7**	**25,2**	**23**	**16,6**	**2,3**	**0**	**27**	**27**
Уровни звукового давления прямого звука от источника ИШ-6-4 в расчётной точке ночью, дБ		**ф-ла(3)[10]**	**0**	**26,2**	**26,6**	**26,7**	**25,2**	**23**	**16,6**	**2,3**	**0**	**27**	**27**
Расчёт отражённого звука													
Уровни звукового давления от мнимого источника ИШ-6-4_мн.(1) в расчётной точке днём, дБ		**ф-ла(3)[10]**	**0**	**0**	**0**	**0**	**0**	**0**	**0**	**0**	**0**	**0**	**0**
Уровни звукового давления от мнимого источника ИШ-6-4_мн.(1) в расчётной точке ночью, дБ		**ф-ла(3)[10]**	**0**	**0**	**0**	**0**	**0**	**0**	**0**	**0**	**0**	**0**	**0**

1		2	3	4	5	6	7	8	9	10	11	12	13
Уровни звукового давления от источника ИШ-6-4 в расчётной точке днём, дБ		**ф-ла(3)[10]**	**0**	**26,2**	**26,6**	**26,7**	**25,2**	**23**	**16,6**	**2,3**	**0**	**27**	**27**
Уровни звукового давления от источника ИШ-6-4 в расчётной точке ночью, дБ		**ф-ла(3)[10]**	**0**	**26,2**	**26,6**	**26,7**	**25,2**	**23**	**16,6**	**2,3**	**0**	**27**	**27**
Источник шума: ИШ-6-5, координаты источника (x,y,z), м =[832.03,110.36,1.00]													
Уровни звуковой мощности источника днём, Lw, дБ		**исходные данные**	**0**	**96,3**	**97,7**	**99**	**99,3**	**98,9**	**95,6**	**91,4**	**86,9**		
Уровни звуковой мощности источника ночью, Lw, дБ		**исходные данные**	**0**	**96,3**	**97,7**	**99**	**99,3**	**98,9**	**95,6**	**91,4**	**86,9**		
Поправка на телесный угол DΩ, дБ	Ω = 12.57	10Lg(4π/Ω)	**0**	0	0	0	0	0	0	0	0		
Показатель направленности источника Di, дБ		исходные данные	**0**	0	0	0	0	0	0	0	0		
Поправка на направленность источника Dc, дБ	Dc	DΩ + Di	**0**	0	0	0	0	0	0	0	0		
Затухание из-за геометрической дивергенции, Adiv, дБ	расстояние = 706.95 м	ф-ла (7) [10]	**68**										
Коэффициент затухания звука в атмосфере α, дБ/км	Ta=20,°C Pa=101.33,кПа hотн.=70%	ф-ла (5) [9]	0,02	0,09	0,33	1,12	2,79	4,98	9,04	23,09	77,63		
Учет затухания звука в атмосфере Aatm, дБ		ф-ла (8) [10]	0	0,1	0,2	0,8	2	3,5	6,4	16,3	54,9		
Снижение уровня звукового давления из-за влияния застройки между источником шума и расчетной точкой													
Снижение уровня звукового давления на пути над экраном, Dz1, дБ	z = 0.01м (разность путей)	ф-лы (14-18) [10]	4,8	4,8	4,8	4,8	4,8	4,8	4,8	4,8	4,8		
Снижение уровня звукового давления на пути слева от экрана, Dz2, дБ	z = 0.60м (разность путей)	ф-лы (14-18) [10]	7,2	8,7	10,7	13,2	15,8	18,7	21,6	24,6	27,5		
Снижение уровня звукового давления на пути справа от экрана, Dz3, дБ	z = 0.44м (разность путей)	ф-лы (14-18) [10]	6,6	7,9	9,7	12	14,6	17,3	20,2	23,2	26,2		
Общее снижение уровня звука препятствием Dz, дБ		Эн.сумма(-Dzi)	1,3	2	2,8	3,5	4	4,4	4,6	4,7	4,7		

1		2	3	4	5	6	7	8	9	10	11	12	13
Уровни звукового давления прямого звука от источника ИШ-6-5 в расчётной точке днём, дБ		**ф-ла(3)[10]**	**0**	**26,2**	**26,7**	**26,7**	**25,3**	**23**	**16,7**	**2,4**	**0**	**27**	**27**
Уровни звукового давления прямого звука от источника ИШ-6-5 в расчётной точке ночью, дБ		**ф-ла(3)[10]**	**0**	**26,2**	**26,7**	**26,7**	**25,3**	**23**	**16,7**	**2,4**	**0**	**27**	**27**
Расчёт отражённого звука													
Уровни звукового давления от мнимого источника ИШ-6-5_мн.(1) в расчётной точке днём, дБ		**ф-ла(3)[10]**	**0**	**0**	**0**	**0**	**0**	**0**	**0**	**0**	**0**	**0**	**0**
Уровни звукового давления от мнимого источника ИШ-6-5_мн.(1) в расчётной точке ночью, дБ		**ф-ла(3)[10]**	**0**	**0**	**0**	**0**	**0**	**0**	**0**	**0**	**0**	**0**	**0**
Уровни звукового давления от источника ИШ-6-5 в расчётной точке днём, дБ		**ф-ла(3)[10]**	**0**	**26,2**	**26,7**	**26,7**	**25,3**	**23**	**16,7**	**2,4**	**0**	**27**	**27**
Уровни звукового давления от источника ИШ-6-5 в расчётной точке ночью, дБ		**ф-ла(3)[10]**	**0**	**26,2**	**26,7**	**26,7**	**25,3**	**23**	**16,7**	**2,4**	**0**	**27**	**27**
Источник шума: ИШ-6-6, координаты источника (x,y,z), м =[830.97,107.42,1.00]													
Уровни звуковой мощности источника днём, Lw, дБ		**исходные данные**	**0**	**96,3**	**97,7**	**99**	**99,3**	**98,9**	**95,6**	**91,4**	**86,9**		
Уровни звуковой мощности источника ночью, Lw, дБ		**исходные данные**	**0**	**96,3**	**97,7**	**99**	**99,3**	**98,9**	**95,6**	**91,4**	**86,9**		
Поправка на телесный угол DΩ, дБ	Ω = 12.57	10Lg(4π/Ω)	**0**	0	0	0	0	0	0	0	0		
Показатель направленности источника Di, дБ		исходные данные	**0**	0	0	0	0	0	0	0	0		
Поправка на направленность источника Dc, дБ	Dc	DΩ + Di	**0**	0	0	0	0	0	0	0	0		
Затухание из-за геометрической дивергенции, Adiv, дБ	расстояние = 703.88 м	ф-ла (7) [10]	**68**										
Коэффициент затухания звука в атмосфере α, дБ/км	Та=20,°С Ра=101.33,кПа hотн.=70%	ф-ла (5) [9]	0,02	0,09	0,33	1,12	2,79	4,98	9,04	23,09	77,63		
Учет затухания звука в атмосфере Aatm, дБ		ф-ла (8) [10]	0	0,1	0,2	0,8	2	3,5	6,4	16,2	54,6		

1		2	3	4	5	6	7	8	9	10	11	12	13
Снижение уровня звукового давления из-за влияния застройки между источником шума и расчетной точкой													
Снижение уровня звукового давления на пути над экраном, Dz1, дБ	z = 0.01м (разность путей)	ф-лы (14-18) [10]	4,8	4,8	4,8	4,8	4,8	4,8	4,8	4,8	4,8		
Снижение уровня звукового давления на пути слева от экрана, Dz2, дБ	z = 0.63м (разность путей)	ф-лы (14-18) [10]	7,3	8,9	10,9	13,3	16	18,9	21,8	24,8	27,8		
Снижение уровня звукового давления на пути справа от экрана, Dz3, дБ	z = 0.42м (разность путей)	ф-лы (14-18) [10]	6,6	7,8	9,6	11,8	14,4	17,2	20	23	26		
Общее снижение уровня звука препятствием Dz, дБ		Эн.сумма(-Dzi)	1,3	2	2,8	3,5	4	4,4	4,6	4,7	4,7		
Уровни звукового давления прямого звука от источника ИШ-6-6 в расчётной точке днём, дБ		**ф-ла(3)[10]**	**0**	**26,3**	**26,7**	**26,7**	**25,3**	**23,1**	**16,7**	**2,5**	**0**	**27,1**	**27,1**
Уровни звукового давления прямого звука от источника ИШ-6-6 в расчётной точке ночью, дБ		**ф-ла(3)[10]**	**0**	**26,3**	**26,7**	**26,7**	**25,3**	**23,1**	**16,7**	**2,5**	**0**	**27,1**	**27,1**
Расчёт отражённого звука													
Уровни звукового давления от мнимого источника ИШ-6-6_мн.(1) в расчётной точке днём, дБ		**ф-ла(3)[10]**	**0**	**0**	**0**	**0**	**0**	**0**	**0**	**0**	**0**	**0**	**0**
Уровни звукового давления от мнимого источника ИШ-6-6_мн.(1) в расчётной точке ночью, дБ		**ф-ла(3)[10]**	**0**	**0**	**0**	**0**	**0**	**0**	**0**	**0**	**0**	**0**	**0**
Уровни звукового давления от источника ИШ-6-6 в расчётной точке днём, дБ		**ф-ла(3)[10]**	**0**	**26,3**	**26,7**	**26,7**	**25,3**	**23,1**	**16,7**	**2,5**	**0**	**27,1**	**27,1**
Уровни звукового давления от источника ИШ-6-6 в расчётной точке ночью, дБ		**ф-ла(3)[10]**	**0**	**26,3**	**26,7**	**26,7**	**25,3**	**23,1**	**16,7**	**2,5**	**0**	**27,1**	**27,1**
Источник шума: ИШ-6-7, координаты источника (x,y,z), м =[830.30,104.49,1.00]													
Уровни звуковой мощности источника днём, Lw, дБ		**исходные данные**	**0**	**96,3**	**97,7**	**99**	**99,3**	**98,9**	**95,6**	**91,4**	**86,9**		
Уровни звуковой мощности источника ночью, Lw, дБ		**исходные данные**	**0**	**96,3**	**97,7**	**99**	**99,3**	**98,9**	**95,6**	**91,4**	**86,9**		
Поправка на телесный угол DΩ, дБ	Ω = 12.57	10Lg(4π/Ω)	**0**	0	0	0	0	0	0	0	0		
Показатель направленности источника Di, дБ		исходные данные	**0**	0	0	0	0	0	0	0	0		

1		2	3	4	5	6	7	8	9	10	11	12	13
Поправка на направленность источника Dc, дБ	Dc	DΩ + Di	**0**	0	0	0	0	0	0	0	0		
Затухание из-за геометрической дивергенции, Adiv, дБ	расстояние = 700.88 м	ф-ла (7) [10]	**67,9**										
Коэффициент затухания звука в атмосфере α, дБ/км	Ta=20,°C Pa=101.33,кПа hотн.=70%	ф-ла (5) [9]	0,02	0,09	0,33	1,12	2,79	4,98	9,04	23,09	77,63		
Учет затухания звука в атмосфере Aatm, дБ		ф-ла (8) [10]	0	0,1	0,2	0,8	2	3,5	6,3	16,2	54,4		
Снижение уровня звукового давления из-за влияния застройки между источником шума и расчетной точкой													
Снижение уровня звукового давления на пути над экраном, Dz1, дБ	z = 0.01м (разность путей)	ф-лы (14-18) [10]	4,8	4,8	4,8	4,8	4,8	4,8	4,8	4,8	4,8		
Снижение уровня звукового давления на пути слева от экрана, Dz2, дБ	z = 0.65м (разность путей)	ф-лы (14-18) [10]	7,3	8,9	11	13,4	16,1	19	21,9	24,9	27,9		
Снижение уровня звукового давления на пути справа от экрана, Dz3, дБ	z = 0.41м (разность путей)	ф-лы (14-18) [10]	6,6	7,8	9,6	11,8	14,3	17,1	20	22,9	25,9		
Общее снижение уровня звука препятствием Dz, дБ		Эн.сумма(-Dzi)	1,3	2	2,8	3,5	4	4,4	4,6	4,7	4,7		
Уровни звукового давления прямого звука от источника ИШ-6-7 в расчётной точке днём, дБ		**ф-ла(3)[10]**	**0**	**26,3**	**26,7**	**26,8**	**25,4**	**23,1**	**16,8**	**2,6**	**0**	**27,1**	**27,1**
Уровни звукового давления прямого звука от источника ИШ-6-7 в расчётной точке ночью, дБ		**ф-ла(3)[10]**	**0**	**26,3**	**26,7**	**26,8**	**25,4**	**23,1**	**16,8**	**2,6**	**0**	**27,1**	**27,1**
Расчёт отражённого звука													
Уровни звукового давления от мнимого источника ИШ-6-7_мн.(1) в расчётной точке днём, дБ		**ф-ла(3)[10]**	**0**	**0**	**0**	**0**	**0**	**0**	**0**	**0**	**0**	**0**	**0**
Уровни звукового давления от мнимого источника ИШ-6-7_мн.(1) в расчётной точке ночью, дБ		**ф-ла(3)[10]**	**0**	**0**	**0**	**0**	**0**	**0**	**0**	**0**	**0**	**0**	**0**
Уровни звукового давления от источника ИШ-6-7 в расчётной точке днём, дБ		**ф-ла(3)[10]**	**0**	**26,3**	**26,7**	**26,8**	**25,4**	**23,1**	**16,8**	**2,6**	**0**	**27,1**	**27,1**
Уровни звукового давления от источника ИШ-6-7 в расчётной точке ночью, дБ		**ф-ла(3)[10]**	**0**	**26,3**	**26,7**	**26,8**	**25,4**	**23,1**	**16,8**	**2,6**	**0**	**27,1**	**27,1**

1		2	3	4	5	6	7	8	9	10	11	12	13
Источник шума: ИШ-6-8, координаты источника (x,y,z), м =[829.36,101.42,1.00]													
Уровни звуковой мощности источника днём, Lw, дБ		**исходные данные**	**0**	**96,3**	**97,7**	**99**	**99,3**	**98,9**	**95,6**	**91,4**	**86,9**		
Уровни звуковой мощности источника ночью, Lw, дБ		**исходные данные**	**0**	**96,3**	**97,7**	**99**	**99,3**	**98,9**	**95,6**	**91,4**	**86,9**		
Поправка на телесный угол DΩ, дБ	Ω = 12.57	10Lg(4π/Ω)	**0**	0	0	0	0	0	0	0	0		
Показатель направленности источника Di, дБ		исходные данные	**0**	0	0	0	0	0	0	0	0		
Поправка на направленность источника Dc, дБ	Dc	DΩ + Di	**0**	0	0	0	0	0	0	0	0		
Затухание из-за геометрической дивергенции, Adiv, дБ	расстояние = 697.70 м	ф-ла (7) [10]	**67,9**										
Коэффициент затухания звука в атмосфере α, дБ/км	Ta=20,°C Pa=101.33,кПа hотн.=70%	ф-ла (5) [9]	0,02	0,09	0,33	1,12	2,79	4,98	9,04	23,09	77,63		
Учет затухания звука в атмосфере Aatm, дБ		ф-ла (8) [10]	0	0,1	0,2	0,8	1,9	3,5	6,3	16,1	54,2		
Снижение уровня звукового давления из-за влияния застройки между источником шума и расчетной точкой													
Снижение уровня звукового давления на пути над экраном, Dz1, дБ	z = 0.01м (разность путей)	ф-лы (14-18) [10]	4,8	4,8	4,8	4,8	4,8	4,8	4,8	4,8	4,8		
Снижение уровня звукового давления на пути слева от экрана, Dz2, дБ	z = 0.67м (разность путей)	ф-лы (14-18) [10]	7,4	9	11,1	13,6	16,3	19,2	22,1	25,1	28		
Снижение уровня звукового давления на пути справа от экрана, Dz3, дБ	z = 0.40м (разность путей)	ф-лы (14-18) [10]	6,5	7,7	9,5	11,7	14,2	17	19,8	22,8	25,8		
Общее снижение уровня звука препятствием Dz, дБ		Эн.сумма(-Dzi)	1,3	2	2,8	3,5	4	4,4	4,6	4,7	4,7		
Уровни звукового давления прямого звука от источника ИШ-6-8 в расчётной точке днём, дБ		**ф-ла(3)[10]**	**0**	**26,3**	**26,8**	**26,8**	**25,4**	**23,2**	**16,9**	**2,7**	**0**	**27,2**	**27,2**
Уровни звукового давления прямого звука от источника ИШ-6-8 в расчётной точке ночью, дБ		**ф-ла(3)[10]**	**0**	**26,3**	**26,8**	**26,8**	**25,4**	**23,2**	**16,9**	**2,7**	**0**	**27,2**	**27,2**

1		2	3	4	5	6	7	8	9	10	11	12	13
Расчёт отражённого звука													
Уровни звукового давления от мнимого источника ИШ-6-8_мн.(1) в расчётной точке днём, дБ		**ф-ла(3)[10]**	**0**	**0**	**0**	**0**	**0**	**0**	**0**	**0**	**0**	**0**	**0**
Уровни звукового давления от мнимого источника ИШ-6-8_мн.(1) в расчётной точке ночью, дБ		**ф-ла(3)[10]**	**0**	**0**	**0**	**0**	**0**	**0**	**0**	**0**	**0**	**0**	**0**
Уровни звукового давления от источника ИШ-6-8 в расчётной точке днём, дБ		**ф-ла(3)[10]**	**0**	**26,3**	**26,8**	**26,8**	**25,4**	**23,2**	**16,9**	**2,7**	**0**	**27,2**	**27,2**
Уровни звукового давления от источника ИШ-6-8 в расчётной точке ночью, дБ		**ф-ла(3)[10]**	**0**	**26,3**	**26,8**	**26,8**	**25,4**	**23,2**	**16,9**	**2,7**	**0**	**27,2**	**27,2**
Источник шума: ИШ-6-9, координаты источника (x,y,z), м =[828.03,98.62,1.00]													
Уровни звуковой мощности источника днём, Lw, дБ		**исходные данные**	**0**	**96,3**	**97,7**	**99**	**99,3**	**98,9**	**95,6**	**91,4**	**86,9**		
Уровни звуковой мощности источника ночью, Lw, дБ		**исходные данные**	**0**	**96,3**	**97,7**	**99**	**99,3**	**98,9**	**95,6**	**91,4**	**86,9**		
Поправка на телесный угол DΩ, дБ	Ω = 12.57	10Lg(4π/Ω)	**0**	0	0	0	0	0	0	0	0		
Показатель направленности источника Di, дБ		исходные данные	**0**	0	0	0	0	0	0	0	0		
Поправка на направленность источника Dc, дБ	Dc	DΩ + Di	**0**	0	0	0	0	0	0	0	0		
Затухание из-за геометрической дивергенции, Adiv, дБ	расстояние = 694.72 м	ф-ла (7) [10]	**67,8**										
Коэффициент затухания звука в атмосфере α, дБ/км	Ta=20,°C Pa=101.33,кПа hотн.=70%	ф-ла (5) [9]	0,02	0,09	0,33	1,12	2,79	4,98	9,04	23,09	77,63		
Учет затухания звука в атмосфере Aatm, дБ		ф-ла (8) [10]	0	0,1	0,2	0,8	1,9	3,5	6,3	16	53,9		
Снижение уровня звукового давления из-за влияния застройки между источником шума и расчетной точкой													
Снижение уровня звукового давления на пути над экраном, Dz1, дБ	z = 0.01м (разность путей)	ф-лы (14-18) [10]	4,8	4,8	4,8	4,8	4,8	4,8	4,8	4,8	4,8		

1		2	3	4	5	6	7	8	9	10	11	12	13
Снижение уровня звукового давления на пути слева от экрана, Dz2, дБ	z = 0.73м (разность путей)	ф-лы (14-18) [10]	7,5	9,2	11,4	13,9	16,6	19,5	22,4	25,4	28,4		
Снижение уровня звукового давления на пути справа от экрана, Dz3, дБ	z = 0.37м (разность путей)	ф-лы (14-18) [10]	6,4	7,6	9,2	11,4	13,9	16,7	19,5	22,5	25,4		
Общее снижение уровня звука препятствием Dz, дБ		Эн.сумма(-Dzi)	1,3	2	2,8	3,5	4	4,4	4,6	4,7	4,7		
Уровни звукового давления прямого звука от источника ИШ-6-9 в расчётной точке днём, дБ		**ф-ла(3)[10]**	**0**	**26,4**	**26,8**	**26,9**	**25,5**	**23,2**	**16,9**	**2,9**	**0**	**27,2**	**27,2**
Уровни звукового давления прямого звука от источника ИШ-6-9 в расчётной точке ночью, дБ		**ф-ла(3)[10]**	**0**	**26,4**	**26,8**	**26,9**	**25,5**	**23,2**	**16,9**	**2,9**	**0**	**27,2**	**27,2**
Расчёт отражённого звука													
Уровни звукового давления от мнимого источника ИШ-6-9_мн.(1) в расчётной точке днём, дБ		**ф-ла(3)[10]**	**0**	**0**	**0**	**0**	**0**	**0**	**0**	**0**	**0**	**0**	**0**
Уровни звукового давления от мнимого источника ИШ-6-9_мн.(1) в расчётной точке ночью, дБ		**ф-ла(3)[10]**	**0**	**0**	**0**	**0**	**0**	**0**	**0**	**0**	**0**	**0**	**0**
Уровни звукового давления от источника ИШ-6-9 в расчётной точке днём, дБ		**ф-ла(3)[10]**	**0**	**26,4**	**26,8**	**26,9**	**25,5**	**23,2**	**16,9**	**2,9**	**0**	**27,2**	**27,2**
Уровни звукового давления от источника ИШ-6-9 в расчётной точке ночью, дБ		**ф-ла(3)[10]**	**0**	**26,4**	**26,8**	**26,9**	**25,5**	**23,2**	**16,9**	**2,9**	**0**	**27,2**	**27,2**
Источник шума: ИШ-6-10, координаты источника (x,y,z), м =[827.23,95.55,1.00]													
Уровни звуковой мощности источника днём, Lw, дБ		**исходные данные**	**0**	**96,3**	**97,7**	**99**	**99,3**	**98,9**	**95,6**	**91,4**	**86,9**		
Уровни звуковой мощности источника ночью, Lw, дБ		**исходные данные**	**0**	**96,3**	**97,7**	**99**	**99,3**	**98,9**	**95,6**	**91,4**	**86,9**		
Поправка на телесный угол DΩ, дБ	Ω = 12.57	10Lg(4π/Ω)	**0**	0	0	0	0	0	0	0	0		
Показатель направленности источника Di, дБ		исходные данные	**0**	0	0	0	0	0	0	0	0		
Поправка на направленность источника Dc, дБ	Dc	DΩ + Di	**0**	0	0	0	0	0	0	0	0		
Затухание из-за геометрической дивергенции, Adiv, дБ	расстояние = 691.57 м	ф-ла (7) [10]	**67,8**										

1		2	3	4	5	6	7	8	9	10	11	12	13
Коэффициент затухания звука в атмосфере α, дБ/км	Та=20,°С Ра=101.33,кПа hотн.=70%	ф-ла (5) [9]	0,02	0,09	0,33	1,12	2,79	4,98	9,04	23,09	77,63		
Учет затухания звука в атмосфере Aatm, дБ		ф-ла (8) [10]	0	0,1	0,2	0,8	1,9	3,4	6,3	16	53,7		
Снижение уровня звукового давления из-за влияния застройки между источником шума и расчетной точкой													
Снижение уровня звукового давления на пути над экраном, Dz1, дБ	z = 0.01м (разность путей)	ф-лы (14-18) [10]	4,8	4,8	4,8	4,8	4,8	4,8	4,8	4,8	4,8		
Снижение уровня звукового давления на пути слева от экрана, Dz2, дБ	z = 0.75м (разность путей)	ф-лы (14-18) [10]	7,6	9,3	11,5	14	16,7	19,6	22,5	25,5	28,5		
Снижение уровня звукового давления на пути справа от экрана, Dz3, дБ	z = 0.36м (разность путей)	ф-лы (14-18) [10]	6,4	7,5	9,2	11,3	13,8	16,6	19,4	22,4	25,3		
Общее снижение уровня звука препятствием Dz, дБ		Эн.сумма(-Dzi)	1,3	2	2,8	3,5	4	4,4	4,6	4,7	4,7		
Уровни звукового давления прямого звука от источника ИШ-6-10 в расчётной точке днём, дБ		**ф-ла(3)[10]**	**0**	**26,4**	**26,9**	**26,9**	**25,5**	**23,3**	**17**	**3**	**0**	**27,3**	**27,3**
Уровни звукового давления прямого звука от источника ИШ-6-10 в расчётной точке ночью, дБ		**ф-ла(3)[10]**	**0**	**26,4**	**26,9**	**26,9**	**25,5**	**23,3**	**17**	**3**	**0**	**27,3**	**27,3**
Расчёт отражённого звука													
Уровни звукового давления от мнимого источника ИШ-6-10_мн.(1) в расчётной точке днём, дБ		**ф-ла(3)[10]**	**0**	**0**	**0**	**0**	**0**	**0**	**0**	**0**	**0**	**0**	**0**
Уровни звукового давления от мнимого источника ИШ-6-10_мн.(1) в расчётной точке ночью, дБ		**ф-ла(3)[10]**	**0**	**0**	**0**	**0**	**0**	**0**	**0**	**0**	**0**	**0**	**0**
Уровни звукового давления от источника ИШ-6-10 в расчётной точке днём, дБ		**ф-ла(3)[10]**	**0**	**26,4**	**26,9**	**26,9**	**25,5**	**23,3**	**17**	**3**	**0**	**27,3**	**27,3**
Уровни звукового давления от источника ИШ-6-10 в расчётной точке ночью, дБ		**ф-ла(3)[10]**	**0**	**26,4**	**26,9**	**26,9**	**25,5**	**23,3**	**17**	**3**	**0**	**27,3**	**27,3**
Источник шума: ИШ-6-11, координаты источника (x,y,z), м =[826.30,92.48,1.00]													
Уровни звуковой мощности источника днём, Lw, дБ		**исходные данные**	**0**	**96,3**	**97,7**	**99**	**99,3**	**98,9**	**95,6**	**91,4**	**86,9**		

1		2	3	4	5	6	7	8	9	10	11	12	13
Уровни звуковой мощности источника ночью, Lw, дБ		**исходные данные**	**0**	**96,3**	**97,7**	**99**	**99,3**	**98,9**	**95,6**	**91,4**	**86,9**		
Поправка на телесный угол DΩ, дБ	Ω = 12.57	10Lg(4π/Ω)	**0**	0	0	0	0	0	0	0	0		
Показатель направленности источника Di, дБ		исходные данные	**0**	0	0	0	0	0	0	0	0		
Поправка на направленность источника Dc, дБ	Dc	DΩ + Di	**0**	0	0	0	0	0	0	0	0		
Затухание из-за геометрической дивергенции, Adiv, дБ	расстояние = 688.39 м	ф-ла (7) [10]	**67,8**										
Коэффициент затухания звука в атмосфере α, дБ/км	Ta=20,°C Pa=101.33,кПа hотн.=70%	ф-ла (5) [9]	0,02	0,09	0,33	1,12	2,79	4,98	9,04	23,09	77,63		
Учет затухания звука в атмосфере Aatm, дБ		ф-ла (8) [10]	0	0,1	0,2	0,8	1,9	3,4	6,2	15,9	53,4		
Снижение уровня звукового давления из-за влияния застройки между источником шума и расчетной точкой													
Снижение уровня звукового давления на пути над экраном, Dz1, дБ	z = 0.01м (разность путей)	ф-лы (14-18) [10]	4,8	4,8	4,8	4,8	4,8	4,8	4,8	4,8	4,8		
Снижение уровня звукового давления на пути слева от экрана, Dz2, дБ	z = 0.78м (разность путей)	ф-лы (14-18) [10]	7,7	9,4	11,6	14,1	16,9	19,8	22,7	25,7	28,7		
Снижение уровня звукового давления на пути справа от экрана, Dz3, дБ	z = 0.35м (разность путей)	ф-лы (14-18) [10]	6,3	7,5	9,1	11,2	13,7	16,4	19,3	22,2	25,2		
Общее снижение уровня звука препятствием Dz, дБ		Эн.сумма(-Dzi)	1,3	2	2,8	3,5	4	4,4	4,6	4,7	4,7		
Уровни звукового давления прямого звука от источника ИШ-6-11 в расчётной точке днём, дБ		**ф-ла(3)[10]**	**0**	**26,4**	**26,9**	**27**	**25,6**	**23,4**	**17,1**	**3,1**	**0**	**27,3**	**27,3**
Уровни звукового давления прямого звука от источника ИШ-6-11 в расчётной точке ночью, дБ		**ф-ла(3)[10]**	**0**	**26,4**	**26,9**	**27**	**25,6**	**23,4**	**17,1**	**3,1**	**0**	**27,3**	**27,3**
Расчёт отражённого звука													
Уровни звукового давления от мнимого источника ИШ-6-11_мн.(1) в расчётной точке днём, дБ		**ф-ла(3)[10]**	**0**	**0**	**0**	**0**	**0**	**0**	**0**	**0**	**0**	**0**	**0**
Уровни звукового давления от мнимого источника ИШ-6-11_мн.(1) в расчётной точке ночью, дБ		**ф-ла(3)[10]**	**0**	**0**	**0**	**0**	**0**	**0**	**0**	**0**	**0**	**0**	**0**

1		2	3	4	5	6	7	8	9	10	11	12	13
Уровни звукового давления от источника ИШ-6-11 в расчётной точке днём, дБ		**ф-ла(3)[10]**	**0**	**26,4**	**26,9**	**27**	**25,6**	**23,4**	**17,1**	**3,1**	**0**	**27,3**	**27,3**
Уровни звукового давления от источника ИШ-6-11 в расчётной точке ночью, дБ		**ф-ла(3)[10]**	**0**	**26,4**	**26,9**	**27**	**25,6**	**23,4**	**17,1**	**3,1**	**0**	**27,3**	**27,3**
Источник шума: ИШ-6-12, координаты источника (x,y,z), м =[825.09,89.54,1.00]													
Уровни звуковой мощности источника днём, Lw, дБ		**исходные данные**	**0**	**96,3**	**97,7**	**99**	**99,3**	**98,9**	**95,6**	**91,4**	**86,9**		
Уровни звуковой мощности источника ночью, Lw, дБ		**исходные данные**	**0**	**96,3**	**97,7**	**99**	**99,3**	**98,9**	**95,6**	**91,4**	**86,9**		
Поправка на телесный угол DΩ, дБ	Ω = 12.57	10Lg(4π/Ω)	**0**	0	0	0	0	0	0	0	0		
Показатель направленности источника Di, дБ		исходные данные	**0**	0	0	0	0	0	0	0	0		
Поправка на направленность источника Dc, дБ	Dc	DΩ + Di	**0**	0	0	0	0	0	0	0	0		
Затухание из-за геометрической дивергенции, Adiv, дБ	расстояние = 685.30 м	ф-ла (7) [10]	**67,7**										
Коэффициент затухания звука в атмосфере α, дБ/км	Ta=20,°C Pa=101.33,кПа hотн.=70%	ф-ла (5) [9]	0,02	0,09	0,33	1,12	2,79	4,98	9,04	23,09	77,63		
Учет затухания звука в атмосфере Aatm, дБ		ф-ла (8) [10]	0	0,1	0,2	0,8	1,9	3,4	6,2	15,8	53,2		
Снижение уровня звукового давления из-за влияния застройки между источником шума и расчетной точкой													
Снижение уровня звукового давления на пути над экраном, Dz1, дБ	z = 0.01м (разность путей)	ф-лы (14-18) [10]	4,8	4,8	4,8	4,8	4,8	4,8	4,8	4,8	4,8		
Снижение уровня звукового давления на пути слева от экрана, Dz2, дБ	z = 0.83м (разность путей)	ф-лы (14-18) [10]	7,8	9,6	11,8	14,4	17,1	20	23	25,9	28,9		
Снижение уровня звукового давления на пути справа от экрана, Dz3, дБ	z = 0.32м (разность путей)	ф-лы (14-18) [10]	6,2	7,3	8,9	11	13,4	16,1	19	21,9	24,9		
Общее снижение уровня звука препятствием Dz, дБ		Эн.сумма(-Dzi)	1,3	2	2,8	3,5	4	4,3	4,5	4,7	4,7		

1		2	3	4	5	6	7	8	9	10	11	12	13
Уровни звукового давления прямого звука от источника ИШ-6-12 в расчётной точке днём, дБ		**ф-ла(3)[10]**	**0**	**26,5**	**27**	**27**	**25,7**	**23,4**	**17,1**	**3,2**	**0**	**27,4**	**27,4**
Уровни звукового давления прямого звука от источника ИШ-6-12 в расчётной точке ночью, дБ		**ф-ла(3)[10]**	**0**	**26,5**	**27**	**27**	**25,7**	**23,4**	**17,1**	**3,2**	**0**	**27,4**	**27,4**
Расчёт отражённого звука													
Уровни звукового давления от мнимого источника ИШ-6-12_мн.(1) в расчётной точке днём, дБ		**ф-ла(3)[10]**	**0**	**0**	**0**	**0**	**0**	**0**	**0**	**0**	**0**	**0**	**0**
Уровни звукового давления от мнимого источника ИШ-6-12_мн.(1) в расчётной точке ночью, дБ		**ф-ла(3)[10]**	**0**	**0**	**0**	**0**	**0**	**0**	**0**	**0**	**0**	**0**	**0**
Уровни звукового давления от источника ИШ-6-12 в расчётной точке днём, дБ		**ф-ла(3)[10]**	**0**	**26,5**	**27**	**27**	**25,7**	**23,4**	**17,1**	**3,2**	**0**	**27,4**	**27,4**
Уровни звукового давления от источника ИШ-6-12 в расчётной точке ночью, дБ		**ф-ла(3)[10]**	**0**	**26,5**	**27**	**27**	**25,7**	**23,4**	**17,1**	**3,2**	**0**	**27,4**	**27,4**
Источник шума: ИШ-6-13, координаты источника (x,y,z), м =[767.76,-114.15,1.00]													
Уровни звуковой мощности источника днём, Lw, дБ		**исходные данные**	**0**	**96,3**	**97,7**	**99**	**99,3**	**98,9**	**95,6**	**91,4**	**86,9**		
Уровни звуковой мощности источника ночью, Lw, дБ		**исходные данные**	**0**	**96,3**	**97,7**	**99**	**99,3**	**98,9**	**95,6**	**91,4**	**86,9**		
Поправка на телесный угол DΩ, дБ	Ω = 12.57	10Lg(4π/Ω)	**0**	0	0	0	0	0	0	0	0		
Показатель направленности источника Di, дБ		исходные данные	**0**	0	0	0	0	0	0	0	0		
Поправка на направленность источника Dc, дБ	Dc	DΩ + Di	**0**	0	0	0	0	0	0	0	0		
Затухание из-за геометрической дивергенции, Adiv, дБ	расстояние = 475.84 м	ф-ла (7) [10]	**64,5**										
Коэффициент затухания звука в атмосфере α, дБ/км	Ta=20,°C Pa=101.33,кПа hотн.=70%	ф-ла (5) [9]	0,02	0,09	0,33	1,12	2,79	4,98	9,04	23,09	77,63		
Учет затухания звука в атмосфере Aatm, дБ		ф-ла (8) [10]	0	0	0,2	0,5	1,3	2,4	4,3	11	36,9		

1		2	3	4	5	6	7	8	9	10	11	12	13
Снижение уровня звукового давления из-за влияния застройки между источником шума и расчетной точкой													
Снижение уровня звукового давления препятствием слева от трассы ИШ-РТ, Dz2, дБ	z = -0.54м (разность путей)	ф-лы (14-18) [10]	0,1	NAN	NAN	NAN	NAN	NAN	NAN	NAN	NAN		
* отрицательное значение z означает прохождение траектории вблизи экрана, в этом случае дополнительно производится учёт снижения подстилающей поверхностью (см.ниже)													
Снижение поверхностью земли возле источника As, дБ	Gs = 0 hs = 1м	ф-лы таб.3 [10]	-1,5	-1,5	-1,5	-1,5	-1,5	-1,5	-1,5	-1,5	-1,5		
Снижение поверхностью земли возле приёмника Ar, дБ	Gr = 1 hr = 1.5м	ф-лы таб.3 [10]	-1,5	-1,5	2,9	7	5	0,7	0	0	0		
Снижение поверхностью земли в средней зоне, Am дБ	Gm = 1	ф-лы таб.3 [10]	-2,5	-2,5	0	0	0	0	0	0	0		
Суммарное снижение поверхностью земли на траектории распространения звука Agr, дБ		ф-ла (9) [10]	-5,5	-5,5	1,4	5,5	3,5	-0,8	-1,5	-1,5	-1,5		
Уровни звукового давления от источника ИШ-6-13 в расчётной точке днём, дБ		**ф-ла(3)[10]**	**0**	**37,2**	**31,6**	**28,4**	**29,9**	**32,8**	**28,2**	**17,4**	**0**	**35,4**	**35,4**
Уровни звукового давления от источника ИШ-6-13 в расчётной точке ночью, дБ		**ф-ла(3)[10]**	**0**	**37,2**	**31,6**	**28,4**	**29,9**	**32,8**	**28,2**	**17,4**	**0**	**35,4**	**35,4**
Источник шума: ИШ-6-14, координаты источника (x,y,z), м =[766.82,-117.10,1.00]													
Уровни звуковой мощности источника днём, Lw, дБ		**исходные данные**	**0**	**96,3**	**97,7**	**99**	**99,3**	**98,9**	**95,6**	**91,4**	**86,9**		
Уровни звуковой мощности источника ночью, Lw, дБ		**исходные данные**	**0**	**96,3**	**97,7**	**99**	**99,3**	**98,9**	**95,6**	**91,4**	**86,9**		
Поправка на телесный угол DΩ, дБ	Ω = 12.57	10Lg(4π/Ω)	**0**	0	0	0	0	0	0	0	0		
Показатель направленности источника Di, дБ		исходные данные	**0**	0	0	0	0	0	0	0	0		
Поправка на направленность источника Dc, дБ	Dc	DΩ + Di	**0**	0	0	0	0	0	0	0	0		
Затухание из-за геометрической дивергенции, Adiv, дБ	расстояние = 472.81 м	ф-ла (7) [10]	**64,5**										
Коэффициент затухания звука в атмосфере α, дБ/км	Ta=20,°C Pa=101.33,кПа hотн.=70%	ф-ла (5) [9]	0,02	0,09	0,33	1,12	2,79	4,98	9,04	23,09	77,63		

1		2	3	4	5	6	7	8	9	10	11	12	13
Учет затухания звука в атмосфере Aatm, дБ		ф-ла (8) [10]	0	0	0,2	0,5	1,3	2,4	4,3	10,9	36,7		
Снижение поверхностью земли возле источника As, дБ	Gs = 0 hs = 1м	ф-лы таб.3 [10]	-1,5	-1,5	-1,5	-1,5	-1,5	-1,5	-1,5	-1,5	-1,5		
Снижение поверхностью земли возле приёмника Ar, дБ	Gr = 1 hr = 1.5м	ф-лы таб.3 [10]	-1,5	-1,5	2,9	7	5	0,7	0	0	0		
Снижение поверхностью земли в средней зоне, Am дБ	Gm = 1	ф-лы таб.3 [10]	-2,5	-2,5	0	0	0	0	0	0	0		
Суммарное снижение поверхностью земли на траектории распространения звука Agr, дБ		ф-ла (9) [10]	-5,5	-5,5	1,4	5,5	3,5	-0,8	-1,5	-1,5	-1,5		
Уровни звукового давления от источника ИШ-6-14 в расчётной точке днём, дБ		**ф-ла(3)[10]**	**0**	**37,3**	**31,7**	**28,4**	**30**	**32,9**	**28,3**	**17,5**	**0**	**35,5**	**35,5**
Уровни звукового давления от источника ИШ-6-14 в расчётной точке ночью, дБ		**ф-ла(3)[10]**	**0**	**37,3**	**31,7**	**28,4**	**30**	**32,9**	**28,3**	**17,5**	**0**	**35,5**	**35,5**
Источник шума: ИШ-6-15, координаты источника (x,y,z), м =[765.71,-120.27,1.00]													
Уровни звуковой мощности источника днём, Lw, дБ		**исходные данные**	**0**	**96,3**	**97,7**	**99**	**99,3**	**98,9**	**95,6**	**91,4**	**86,9**		
Уровни звуковой мощности источника ночью, Lw, дБ		**исходные данные**	**0**	**96,3**	**97,7**	**99**	**99,3**	**98,9**	**95,6**	**91,4**	**86,9**		
Поправка на телесный угол DΩ, дБ	Ω = 12.57	10Lg(4π/Ω)	**0**	0	0	0	0	0	0	0	0		
Показатель направленности источника Di, дБ		исходные данные	**0**	0	0	0	0	0	0	0	0		
Поправка на направленность источника Dc, дБ	Dc	DΩ + Di	**0**	0	0	0	0	0	0	0	0		
Затухание из-за геометрической дивергенции, Adiv, дБ	расстояние = 469.55 м	ф-ла (7) [10]	**64,4**										
Коэффициент затухания звука в атмосфере α, дБ/км	Ta=20,°C Pa=101.33,кПа hотн.=70%	ф-ла (5) [9]	0,02	0,09	0,33	1,12	2,79	4,98	9,04	23,09	77,63		
Учет затухания звука в атмосфере Aatm, дБ		ф-ла (8) [10]	0	0	0,2	0,5	1,3	2,3	4,2	10,8	36,5		

1		2	3	4	5	6	7	8	9	10	11	12	13
Снижение поверхностью земли возле источника As, дБ	Gs = 0 hs = 1м	ф-лы таб.3 [10]	-1,5	-1,5	-1,5	-1,5	-1,5	-1,5	-1,5	-1,5	-1,5		
Снижение поверхностью земли возле приёмника Ar, дБ	Gr = 1 hr = 1.5м	ф-лы таб.3 [10]	-1,5	-1,5	2,8	7	5	0,7	0	0	0		
Снижение поверхностью земли в средней зоне, Am дБ	Gm = 1	ф-лы таб.3 [10]	-2,5	-2,5	0	0	0	0	0	0	0		
Суммарное снижение поверхностью земли на траектории распространения звука Agr, дБ		ф-ла (9) [10]	-5,5	-5,5	1,3	5,5	3,5	-0,8	-1,5	-1,5	-1,5		
Уровни звукового давления от источника ИШ-6-15 в расчётной точке днём, дБ		**ф-ла(3)[10]**	**0**	**37,3**	**31,8**	**28,5**	**30,1**	**33**	**28,4**	**17,6**	**0**	**35,6**	**35,6**
Уровни звукового давления от источника ИШ-6-15 в расчётной точке ночью, дБ		**ф-ла(3)[10]**	**0**	**37,3**	**31,8**	**28,5**	**30,1**	**33**	**28,4**	**17,6**	**0**	**35,6**	**35,6**
Источник шума: ИШ-6-16, координаты источника (x,y,z), м =[764.57,-123.22,1.00]													
Уровни звуковой мощности источника днём, Lw, дБ		**исходные данные**	**0**	**96,3**	**97,7**	**99**	**99,3**	**98,9**	**95,6**	**91,4**	**86,9**		
Уровни звуковой мощности источника ночью, Lw, дБ		**исходные данные**	**0**	**96,3**	**97,7**	**99**	**99,3**	**98,9**	**95,6**	**91,4**	**86,9**		
Поправка на телесный угол DΩ, дБ	Ω = 12.57	10Lg(4π/Ω)	**0**	0	0	0	0	0	0	0	0		
Показатель направленности источника Di, дБ		исходные данные	**0**	0	0	0	0	0	0	0	0		
Поправка на направленность источника Dc, дБ	Dc	DΩ + Di	**0**	0	0	0	0	0	0	0	0		
Затухание из-за геометрической дивергенции, Adiv, дБ	расстояние = 466.51 м	ф-ла (7) [10]	**64,4**										
Коэффициент затухания звука в атмосфере α, дБ/км	Ta=20,°C Pa=101.33,кПа hотн.=70%	ф-ла (5) [9]	0,02	0,09	0,33	1,12	2,79	4,98	9,04	23,09	77,63		
Учет затухания звука в атмосфере Aatm, дБ		ф-ла (8) [10]	0	0	0,2	0,5	1,3	2,3	4,2	10,8	36,2		
Снижение поверхностью земли возле источника As, дБ	Gs = 0 hs = 1м	ф-лы таб.3 [10]	-1,5	-1,5	-1,5	-1,5	-1,5	-1,5	-1,5	-1,5	-1,5		

1		2	3	4	5	6	7	8	9	10	11	12	13
Снижение поверхностью земли возле приёмника Ar, дБ	Gr = 1 hr = 1.5м	ф-лы таб.3 [10]	-1,5	-1,5	2,8	7	5	0,7	0	0	0		
Снижение поверхностью земли в средней зоне, Am дБ	Gm = 1	ф-лы таб.3 [10]	-2,5	-2,5	0	0	0	0	0	0	0		
Суммарное снижение поверхностью земли на траектории распространения звука Agr, дБ		ф-ла (9) [10]	-5,5	-5,5	1,3	5,5	3,5	-0,8	-1,5	-1,5	-1,5		
Уровни звукового давления от источника ИШ-6-16 в расчётной точке днём, дБ		**ф-ла(3)[10]**	**0**	**37,4**	**31,8**	**28,6**	**30,1**	**33**	**28,5**	**17,7**	**0**	**35,6**	**35,6**
Уровни звукового давления от источника ИШ-6-16 в расчётной точке ночью, дБ		**ф-ла(3)[10]**	**0**	**37,4**	**31,8**	**28,6**	**30,1**	**33**	**28,5**	**17,7**	**0**	**35,6**	**35,6**
Источник шума: ИШ-6-17, координаты источника (x,y,z), м =[763.57,-126.18,1.00]													
Уровни звуковой мощности источника днём, Lw, дБ		**исходные данные**	**0**	**96,3**	**97,7**	**99**	**99,3**	**98,9**	**95,6**	**91,4**	**86,9**		
Уровни звуковой мощности источника ночью, Lw, дБ		**исходные данные**	**0**	**96,3**	**97,7**	**99**	**99,3**	**98,9**	**95,6**	**91,4**	**86,9**		
Поправка на телесный угол DΩ, дБ	Ω = 12.57	10Lg(4π/Ω)	**0**	0	0	0	0	0	0	0	0		
Показатель направленности источника Di, дБ		исходные данные	**0**	0	0	0	0	0	0	0	0		
Поправка на направленность источника Dc, дБ	Dc	DΩ + Di	**0**	0	0	0	0	0	0	0	0		
Затухание из-за геометрической дивергенции, Adiv, дБ	расстояние = 463.46 м	ф-ла (7) [10]	**64,3**										
Коэффициент затухания звука в атмосфере α, дБ/км	Ta=20,°C Pa=101.33,кПа hотн.=70%	ф-ла (5) [9]	0,02	0,09	0,33	1,12	2,79	4,98	9,04	23,09	77,63		
Учет затухания звука в атмосфере Aatm, дБ		ф-ла (8) [10]	0	0	0,2	0,5	1,3	2,3	4,2	10,7	36		
Снижение поверхностью земли возле источника As, дБ	Gs = 0 hs = 1м	ф-лы таб.3 [10]	-1,5	-1,5	-1,5	-1,5	-1,5	-1,5	-1,5	-1,5	-1,5		
Снижение поверхностью земли возле приёмника Ar, дБ	Gr = 1 hr = 1.5м	ф-лы таб.3 [10]	-1,5	-1,5	2,8	7	5	0,7	0	0	0		

1		2	3	4	5	6	7	8	9	10	11	12	13
Снижение поверхностью земли в средней зоне, Am дБ	Gm = 1	ф-лы таб.3 [10]	-2,5	-2,5	0	0	0	0	0	0	0		
Суммарное снижение поверхностью земли на траектории распространения звука Agr, дБ		ф-ла (9) [10]	-5,5	-5,5	1,3	5,5	3,5	-0,8	-1,5	-1,5	-1,5		
Уровни звукового давления от источника ИШ-6-17 в расчётной точке днём, дБ		**ф-ла(3)[10]**	**0**	**37,4**	**31,9**	**28,6**	**30,2**	**33,1**	**28,6**	**17,9**	**0**	**35,7**	**35,7**
Уровни звукового давления от источника ИШ-6-17 в расчётной точке ночью, дБ		**ф-ла(3)[10]**	**0**	**37,4**	**31,9**	**28,6**	**30,2**	**33,1**	**28,6**	**17,9**	**0**	**35,7**	**35,7**
Источник шума: ИШ-6-18, координаты источника (x,y,z), м =[804.77,-126.28,1.00]													
Уровни звуковой мощности источника днём, Lw, дБ		**исходные данные**	**0**	**96,3**	**97,7**	**99**	**99,3**	**98,9**	**95,6**	**91,4**	**86,9**		
Уровни звуковой мощности источника ночью, Lw, дБ		**исходные данные**	**0**	**96,3**	**97,7**	**99**	**99,3**	**98,9**	**95,6**	**91,4**	**86,9**		
Поправка на телесный угол DΩ, дБ	Ω = 12.57	10Lg(4π/Ω)	**0**	0	0	0	0	0	0	0	0		
Показатель направленности источника Di, дБ		исходные данные	**0**	0	0	0	0	0	0	0	0		
Поправка на направленность источника Dc, дБ	Dc	DΩ + Di	**0**	0	0	0	0	0	0	0	0		
Затухание из-за геометрической дивергенции, Adiv, дБ	расстояние = 469.13 м	ф-ла (7) [10]	**64,4**										
Коэффициент затухания звука в атмосфере α, дБ/км	Ta=20,°C Pa=101.33,кПа hотн.=70%	ф-ла (5) [9]	0,02	0,09	0,33	1,12	2,79	4,98	9,04	23,09	77,63		
Учет затухания звука в атмосфере Aatm, дБ		ф-ла (8) [10]	0	0	0,2	0,5	1,3	2,3	4,2	10,8	36,4		
Снижение уровня звукового давления из-за влияния застройки между источником шума и расчетной точкой													
Снижение уровня звукового давления на пути над экраном, Dz1, дБ	z = 0.04м (разность путей)	ф-лы (14-18) [10]	4,8	4,8	4,8	4,8	4,8	4,8	4,9	5	5,3		
Снижение уровня звукового давления на пути слева от экрана, Dz2, дБ	z = 0.22м (разность путей)	ф-лы (14-18) [10]	5,8	6,7	8	9,8	12,1	14,7	17,5	20,4	23,3		

1		2	3	4	5	6	7	8	9	10	11	12	13
Снижение уровня звукового давления на пути справа от экрана, Dz3, дБ	z = 2.92м (разность путей)	ф-лы (14-18) [10]	12,4	16,4	20,5	24	27,1	30,1	33,1	36,2	39,2		
Общее снижение уровня звука препятствием Dz, дБ		Эн.сумма(-Dzi)	1,9	2,4	3	3,6	4	4,4	4,7	4,9	5,2		
Уровни звукового давления от источника ИШ-6-18 в расчётной точке днём, дБ		**ф-ла(3)[10]**	**0**	**29,4**	**30,1**	**30,5**	**29,5**	**27,7**	**22,3**	**11,2**	**0**	**31,6**	**31,6**
Уровни звукового давления от источника ИШ-6-18 в расчётной точке ночью, дБ		**ф-ла(3)[10]**	**0**	**29,4**	**30,1**	**30,5**	**29,5**	**27,7**	**22,3**	**11,2**	**0**	**31,6**	**31,6**
Источник шума: ИШ-6-19, координаты источника (x,y,z), м =[803.81,-129.30,1.00]													
Уровни звуковой мощности источника днём, Lw, дБ		**исходные данные**	**0**	**96,3**	**97,7**	**99**	**99,3**	**98,9**	**95,6**	**91,4**	**86,9**		
Уровни звуковой мощности источника ночью, Lw, дБ		**исходные данные**	**0**	**96,3**	**97,7**	**99**	**99,3**	**98,9**	**95,6**	**91,4**	**86,9**		
Поправка на телесный угол DΩ, дБ	Ω = 12.57	10Lg(4π/Ω)	**0**	0	0	0	0	0	0	0	0		
Показатель направленности источника Di, дБ		исходные данные	**0**	0	0	0	0	0	0	0	0		
Поправка на направленность источника Dc, дБ	Dc	DΩ + Di	**0**	0	0	0	0	0	0	0	0		
Затухание из-за геометрической дивергенции, Adiv, дБ	расстояние = 465.98 м	ф-ла (7) [10]	**64,4**										
Коэффициент затухания звука в атмосфере α, дБ/км	Ta=20,°C Pa=101.33,кПа hотн.=70%	ф-ла (5) [9]	0,02	0,09	0,33	1,12	2,79	4,98	9,04	23,09	77,63		
Учет затухания звука в атмосфере Aatm, дБ		ф-ла (8) [10]	0	0	0,2	0,5	1,3	2,3	4,2	10,8	36,2		
Снижение уровня звукового давления из-за влияния застройки между источником шума и расчетной точкой													
Снижение уровня звукового давления на пути над экраном, Dz1, дБ	z = 0.04м (разность путей)	ф-лы (14-18) [10]	4,8	4,8	4,8	4,8	4,8	4,9	5	5,2	5,5		
Снижение уровня звукового давления на пути слева от экрана, Dz2, дБ	z = 0.27м (разность путей)	ф-лы (14-18) [10]	6	7	8,4	10,4	12,8	15,4	18,3	21,2	24,1		

1		2	3	4	5	6	7	8	9	10	11	12	13
Снижение уровня звукового давления на пути справа от экрана, Dz3, дБ	z = 2.92м (разность путей)	ф-лы (14-18) [10]	12,4	16,4	20,5	23,9	27,1	30,1	33,1	36,2	39,2		
Общее снижение уровня звука препятствием Dz, дБ		Эн.сумма(-Dzi)	1,9	2,6	3,1	3,7	4,2	4,5	4,8	5,1	5,5		
Уровни звукового давления от источника ИШ-6-19 в расчётной точке днём, дБ		**ф-ла(3)[10]**	**0**	**29,3**	**30**	**30,4**	**29,5**	**27,7**	**22,2**	**11,2**	**0**	**31,6**	**31,6**
Уровни звукового давления от источника ИШ-6-19 в расчётной точке ночью, дБ		**ф-ла(3)[10]**	**0**	**29,3**	**30**	**30,4**	**29,5**	**27,7**	**22,2**	**11,2**	**0**	**31,6**	**31,6**
Источник шума: ИШ-6-20, координаты источника (x,y,z), м =[802.67,-132.35,1.00]													
Уровни звуковой мощности источника днём, Lw, дБ		**исходные данные**	**0**	**96,3**	**97,7**	**99**	**99,3**	**98,9**	**95,6**	**91,4**	**86,9**		
Уровни звуковой мощности источника ночью, Lw, дБ		**исходные данные**	**0**	**96,3**	**97,7**	**99**	**99,3**	**98,9**	**95,6**	**91,4**	**86,9**		
Поправка на телесный угол DΩ, дБ	Ω = 12.57	10Lg(4π/Ω)	**0**	0	0	0	0	0	0	0	0		
Показатель направленности источника Di, дБ		исходные данные	**0**	0	0	0	0	0	0	0	0		
Поправка на направленность источника Dc, дБ	Dc	DΩ + Di	**0**	0	0	0	0	0	0	0	0		
Затухание из-за геометрической дивергенции, Adiv, дБ	расстояние = 462.78 м	ф-ла (7) [10]	**64,3**										
Коэффициент затухания звука в атмосфере α, дБ/км	Ta=20,°C Pa=101.33,кПа hотн.=70%	ф-ла (5) [9]	0,02	0,09	0,33	1,12	2,79	4,98	9,04	23,09	77,63		
Учет затухания звука в атмосфере Aatm, дБ		ф-ла (8) [10]	0	0	0,2	0,5	1,3	2,3	4,2	10,7	35,9		
Снижение уровня звукового давления из-за влияния застройки между источником шума и расчетной точкой													
Снижение уровня звукового давления на пути над экраном, Dz1, дБ	z = 0.04м (разность путей)	ф-лы (14-18) [10]	4,8	4,8	4,8	4,8	4,8	4,9	5,1	5,3	5,9		
Снижение уровня звукового давления на пути слева от экрана, Dz2, дБ	z = 0.35м (разность путей)	ф-лы (14-18) [10]	6,3	7,5	9,1	11,2	13,7	16,4	19,3	22,2	25,2		

1		2	3	4	5	6	7	8	9	10	11	12	13
Снижение уровня звукового давления на пути справа от экрана, Dz3, дБ	z = 2.88м (разность путей)	ф-лы (14-18) [10]	12,4	16,4	20,4	23,9	27	30,1	33,1	36,1	39,1		
Общее снижение уровня звука препятствием Dz, дБ		Эн.сумма(-Dzi)	2	2,7	3,3	3,9	4,3	4,6	4,9	5,3	5,8		
Уровни звукового давления от источника ИШ-6-20 в расчётной точке днём, дБ		**ф-ла(3)[10]**	**0**	**29,2**	**29,9**	**30,3**	**29,4**	**27,7**	**22,2**	**11,1**	**0**	**31,5**	**31,5**
Уровни звукового давления от источника ИШ-6-20 в расчётной точке ночью, дБ		**ф-ла(3)[10]**	**0**	**29,2**	**29,9**	**30,3**	**29,4**	**27,7**	**22,2**	**11,1**	**0**	**31,5**	**31,5**
Источник шума: ИШ-6-21, координаты источника (x,y,z), м =[801.69,-135.42,1.00]													
Уровни звуковой мощности источника днём, Lw, дБ		**исходные данные**	**0**	**96,3**	**97,7**	**99**	**99,3**	**98,9**	**95,6**	**91,4**	**86,9**		
Уровни звуковой мощности источника ночью, Lw, дБ		**исходные данные**	**0**	**96,3**	**97,7**	**99**	**99,3**	**98,9**	**95,6**	**91,4**	**86,9**		
Поправка на телесный угол DΩ, дБ	Ω = 12.57	10Lg(4π/Ω)	**0**	0	0	0	0	0	0	0	0		
Показатель направленности источника Di, дБ		исходные данные	**0**	0	0	0	0	0	0	0	0		
Поправка на направленность источника Dc, дБ	Dc	DΩ + Di	**0**	0	0	0	0	0	0	0	0		
Затухание из-за геометрической дивергенции, Adiv, дБ	расстояние = 459.58 м	ф-ла (7) [10]	**64,2**										
Коэффициент затухания звука в атмосфере α, дБ/км	Ta=20,°C Pa=101.33,кПа hотн.=70%	ф-ла (5) [9]	0,02	0,09	0,33	1,12	2,79	4,98	9,04	23,09	77,63		
Учет затухания звука в атмосфере Aatm, дБ		ф-ла (8) [10]	0	0	0,2	0,5	1,3	2,3	4,2	10,6	35,7		
Снижение уровня звукового давления из-за влияния застройки между источником шума и расчетной точкой													
Снижение уровня звукового давления на пути над экраном, Dz1, дБ	z = 0.05м (разность путей)	ф-лы (14-18) [10]	4,8	4,8	4,8	4,8	4,9	5	5,2	5,6	6,3		
Снижение уровня звукового давления на пути слева от экрана, Dz2, дБ	z = 0.42м (разность путей)	ф-лы (14-18) [10]	6,6	7,8	9,6	11,8	14,4	17,2	20,1	23	26		

1		2	3	4	5	6	7	8	9	10	11	12	13
Снижение уровня звукового давления на пути справа от экрана, Dz3, дБ	z = 2.88м (разность путей)	ф-лы (14-18) [10]	12,4	16,4	20,4	23,9	27	30,1	33,1	36,1	39,1		
Общее снижение уровня звука препятствием Dz, дБ		Эн.сумма(-Dzi)	2,1	2,8	3,5	4	4,4	4,7	5,1	5,5	6,3		
Уровни звукового давления от источника ИШ-6-21 в расчётной точке днём, дБ		**ф-ла(3)[10]**	**0**	**29,2**	**29,8**	**30,2**	**29,4**	**27,6**	**22,1**	**11**	**0**	**31,4**	**31,4**
Уровни звукового давления от источника ИШ-6-21 в расчётной точке ночью, дБ		**ф-ла(3)[10]**	**0**	**29,2**	**29,8**	**30,2**	**29,4**	**27,6**	**22,1**	**11**	**0**	**31,4**	**31,4**
Источник шума: ИШ-6-22, координаты источника (x,y,z), м =[800.65,-138.47,1.00]													
Уровни звуковой мощности источника днём, Lw, дБ		**исходные данные**	**0**	**96,3**	**97,7**	**99**	**99,3**	**98,9**	**95,6**	**91,4**	**86,9**		
Уровни звуковой мощности источника ночью, Lw, дБ		**исходные данные**	**0**	**96,3**	**97,7**	**99**	**99,3**	**98,9**	**95,6**	**91,4**	**86,9**		
Поправка на телесный угол DΩ, дБ	Ω = 12.57	10Lg(4π/Ω)	**0**	0	0	0	0	0	0	0	0		
Показатель направленности источника Di, дБ		исходные данные	**0**	0	0	0	0	0	0	0	0		
Поправка на направленность источника Dc, дБ	Dc	DΩ + Di	**0**	0	0	0	0	0	0	0	0		
Затухание из-за геометрической дивергенции, Adiv, дБ	расстояние = 456.40 м	ф-ла (7) [10]	**64,2**										
Коэффициент затухания звука в атмосфере α, дБ/км	Ta=20,°C Pa=101.33,кПа hотн.=70%	ф-ла (5) [9]	0,02	0,09	0,33	1,12	2,79	4,98	9,04	23,09	77,63		
Учет затухания звука в атмосфере Aatm, дБ		ф-ла (8) [10]	0	0	0,2	0,5	1,3	2,3	4,1	10,5	35,4		
Снижение уровня звукового давления из-за влияния застройки между источником шума и расчетной точкой													
Снижение уровня звукового давления на пути над экраном, Dz1, дБ	z = 0.05м (разность путей)	ф-лы (14-18) [10]	4,8	4,8	4,8	4,9	4,9	5,1	5,4	6	6,9		
Снижение уровня звукового давления на пути слева от экрана, Dz2, дБ	z = 0.51м (разность путей)	ф-лы (14-18) [10]	6,9	8,3	10,2	12,6	15,2	18	20,9	23,9	26,8		

1		2	3	4	5	6	7	8	9	10	11	12	13
Снижение уровня звукового давления на пути справа от экрана, Dz3, дБ	z = 2.86м (разность путей)	ф-лы (14-18) [10]	12,3	16,4	20,4	23,9	27	30	33,1	36,1	39,1		
Общее снижение уровня звука препятствием Dz, дБ		Эн.сумма(-Dzi)	2,2	3	3,6	4,1	4,5	4,9	5,3	5,9	6,8		
Уровни звукового давления от источника ИШ-6-22 в расчётной точке днём, дБ		**ф-ла(3)[10]**	**0**	**29,1**	**29,7**	**30,2**	**29,3**	**27,6**	**22**	**10,8**	**0**	**31,4**	**31,4**
Уровни звукового давления от источника ИШ-6-22 в расчётной точке ночью, дБ		**ф-ла(3)[10]**	**0**	**29,1**	**29,7**	**30,2**	**29,3**	**27,6**	**22**	**10,8**	**0**	**31,4**	**31,4**
Источник шума: ИШ-7-1, координаты источника (x,y,z), м =[821.44,63.31,1.00]													
Уровни звуковой мощности источника днём, Lw, дБ		**исходные данные**	**77**	**75**	**67**	**66**	**63**	**55**	**53**	**48**	**51**		
Уровни звуковой мощности источника ночью, Lw, дБ		**исходные данные**	**77**	**75**	**67**	**66**	**63**	**55**	**53**	**48**	**51**		
Поправка на телесный угол DΩ, дБ	Ω = 12.57	10Lg(4π/Ω)	**0**	0	0	0	0	0	0	0	0		
Показатель направленности источника Di, дБ		исходные данные	**0**	0	0	0	0	0	0	0	0		
Поправка на направленность источника Dc, дБ	Dc	DΩ + Di	**0**	0	0	0	0	0	0	0	0		
Затухание из-за геометрической дивергенции, Adiv, дБ	расстояние = 658.82 м	ф-ла (7) [10]	**67,4**										
Коэффициент затухания звука в атмосфере α, дБ/км	Ta=20,°C Pa=101.33,кПа hотн.=70%	ф-ла (5) [9]	0,02	0,09	0,33	1,12	2,79	4,98	9,04	23,09	77,63		
Учет затухания звука в атмосфере Aatm, дБ		ф-ла (8) [10]	0	0,1	0,2	0,7	1,8	3,3	6	15,2	51,1		
Снижение уровня звукового давления из-за влияния застройки между источником шума и расчетной точкой													
Снижение уровня звукового давления на пути над экраном, Dz1, дБ	z = 0.01м (разность путей)	ф-лы (14-18) [10]	4,8	4,8	4,8	4,8	4,8	4,8	4,8	4,8	4,8		
Уровни звукового давления от источника ИШ-7-1 в расчётной точке днём, дБ		**ф-ла(3)[10]**	**4,8**	**2,8**	**0**	**0**	**0**	**0**	**0**	**0**	**0**	**0**	**0**

1		2	3	4	5	6	7	8	9	10	11	12	13
Уровни звукового давления от источника ИШ-7-1 в расчётной точке ночью, дБ		**ф-ла(3)[10]**	**4,8**	**2,8**	**0**	**0**	**0**	**0**	**0**	**0**	**0**	**0**	**0**
Источник шума: ИШ-7-2, координаты источника (x,y,z), м =[768.90,-86.75,1.00]													
Уровни звуковой мощности источника днём, Lw, дБ		**исходные данные**	**77**	**75**	**67**	**66**	**63**	**55**	**53**	**48**	**51**		
Уровни звуковой мощности источника ночью, Lw, дБ		**исходные данные**	**77**	**75**	**67**	**66**	**63**	**55**	**53**	**48**	**51**		
Поправка на телесный угол DΩ, дБ	Ω = 12.57	10Lg(4π/Ω)	**0**	0	0	0	0	0	0	0	0		
Показатель направленности источника Di, дБ		исходные данные	**0**	0	0	0	0	0	0	0	0		
Поправка на направленность источника Dc, дБ	Dc	DΩ + Di	**0**	0	0	0	0	0	0	0	0		
Затухание из-за геометрической дивергенции, Adiv, дБ	расстояние = 503.22 м	ф-ла (7) [10]	**65**										
Коэффициент затухания звука в атмосфере α, дБ/км	Ta=20,°C Pa=101.33,кПа hотн.=70%	ф-ла (5) [9]	0,02	0,09	0,33	1,12	2,79	4,98	9,04	23,09	77,63		
Учет затухания звука в атмосфере Aatm, дБ		ф-ла (8) [10]	0	0	0,2	0,6	1,4	2,5	4,5	11,6	39,1		
Снижение поверхностью земли возле источника As, дБ	Gs = 0 hs = 1м	ф-лы таб.3 [10]	-1,5	-1,5	-1,5	-1,5	-1,5	-1,5	-1,5	-1,5	-1,5		
Снижение поверхностью земли возле приёмника Ar, дБ	Gr = 1 hr = 1.5м	ф-лы таб.3 [10]	-1,5	-1,5	3,1	7	5	0,7	0	0	0		
Снижение поверхностью земли в средней зоне, Am дБ	Gm = 1	ф-лы таб.3 [10]	-2,6	-2,6	0	0	0	0	0	0	0		
Суммарное снижение поверхностью земли на траектории распространения звука Agr, дБ		ф-ла (9) [10]	-5,6	-5,6	1,6	5,5	3,5	-0,8	-1,5	-1,5	-1,5		
Уровни звукового давления от источника ИШ-7-2 в расчётной точке днём, дБ		**ф-ла(3)[10]**	**17,5**	**15,5**	**0,2**	**0**	**0**	**0**	**0**	**0**	**0**	**0**	**0**
Уровни звукового давления от источника ИШ-7-2 в расчётной точке ночью, дБ		**ф-ла(3)[10]**	**17,5**	**15,5**	**0,2**	**0**	**0**	**0**	**0**	**0**	**0**	**0**	**0**

1		2	3	4	5	6	7	8	9	10	11	12	13
Источник шума: ИШ-7-3, координаты источника (x,y,z), м =[766.80,-93.20,1.00]													
Уровни звуковой мощности источника днём, Lw, дБ		**исходные данные**	**77**	**75**	**67**	**66**	**63**	**55**	**53**	**48**	**51**		
Уровни звуковой мощности источника ночью, Lw, дБ		**исходные данные**	**77**	**75**	**67**	**66**	**63**	**55**	**53**	**48**	**51**		
Поправка на телесный угол DΩ, дБ	Ω = 12.57	10Lg(4π/Ω)	**0**	0	0	0	0	0	0	0	0		
Показатель направленности источника Di, дБ		исходные данные	**0**	0	0	0	0	0	0	0	0		
Поправка на направленность источника Dc, дБ	Dc	DΩ + Di	**0**	0	0	0	0	0	0	0	0		
Затухание из-за геометрической дивергенции, Adiv, дБ	расстояние = 496.60 м	ф-ла (7) [10]	**64,9**										
Коэффициент затухания звука в атмосфере α, дБ/км	Ta=20,°C Pa=101.33,кПа hотн.=70%	ф-ла (5) [9]	0,02	0,09	0,33	1,12	2,79	4,98	9,04	23,09	77,63		
Учет затухания звука в атмосфере Aatm, дБ		ф-ла (8) [10]	0	0	0,2	0,6	1,4	2,5	4,5	11,5	38,6		
Снижение поверхностью земли возле источника As, дБ	Gs = 0 hs = 1м	ф-лы таб.3 [10]	-1,5	-1,5	-1,5	-1,5	-1,5	-1,5	-1,5	-1,5	-1,5		
Снижение поверхностью земли возле приёмника Ar, дБ	Gr = 1 hr = 1.5м	ф-лы таб.3 [10]	-1,5	-1,5	3	7	5	0,7	0	0	0		
Снижение поверхностью земли в средней зоне, Am дБ	Gm = 1	ф-лы таб.3 [10]	-2,5	-2,5	0	0	0	0	0	0	0		
Суммарное снижение поверхностью земли на траектории распространения звука Agr, дБ		ф-ла (9) [10]	-5,5	-5,5	1,5	5,5	3,5	-0,8	-1,5	-1,5	-1,5		
Уровни звукового давления от источника ИШ-7-3 в расчётной точке днём, дБ		**ф-ла(3)[10]**	**17,6**	**15,6**	**0,4**	**0**	**0**	**0**	**0**	**0**	**0**	**0**	**0**
Уровни звукового давления от источника ИШ-7-3 в расчётной точке ночью, дБ		**ф-ла(3)[10]**	**17,6**	**15,6**	**0,4**	**0**	**0**	**0**	**0**	**0**	**0**	**0**	**0**
Источник шума: ИШ-7-4, координаты источника (x,y,z), м =[866.76,37.18,1.00]													

1		2	3	4	5	6	7	8	9	10	11	12	13
Уровни звуковой мощности источника днём, Lw, дБ		**исходные данные**	**77**	**75**	**67**	**66**	**63**	**55**	**53**	**48**	**51**		
Уровни звуковой мощности источника ночью, Lw, дБ		**исходные данные**	**77**	**75**	**67**	**66**	**63**	**55**	**53**	**48**	**51**		
Поправка на телесный угол DΩ, дБ	Ω = 12.57	10Lg(4π/Ω)	**0**	0	0	0	0	0	0	0	0		
Показатель направленности источника Di, дБ		исходные данные	**0**	0	0	0	0	0	0	0	0		
Поправка на направленность источника Dc, дБ	Dc	DΩ + Di	**0**	0	0	0	0	0	0	0	0		
Затухание из-за геометрической дивергенции, Adiv, дБ	расстояние = 641.93 м	ф-ла (7) [10]	**67,1**										
Коэффициент затухания звука в атмосфере α, дБ/км	Ta=20,°C Pa=101.33,кПа hотн.=70%	ф-ла (5) [9]	0,02	0,09	0,33	1,12	2,79	4,98	9,04	23,09	77,63		
Учет затухания звука в атмосфере Aatm, дБ		ф-ла (8) [10]	0	0,1	0,2	0,7	1,8	3,2	5,8	14,8	49,8		
Снижение поверхностью земли возле источника As, дБ	Gs = 0 hs = 1м	ф-лы таб.3 [10]	-1,5	-1,5	-1,5	-1,5	-1,5	-1,5	-1,5	-1,5	-1,5		
Снижение поверхностью земли возле приёмника Ar, дБ	Gr = 1 hr = 1.5м	ф-лы таб.3 [10]	-1,5	-1,5	3,9	7	5	0,7	0	0	0		
Снижение поверхностью земли в средней зоне, Am дБ	Gm = 1	ф-лы таб.3 [10]	-2,6	-2,6	0	0	0	0	0	0	0		
Суммарное снижение поверхностью земли на траектории распространения звука Agr, дБ		ф-ла (9) [10]	-5,6	-5,6	2,4	5,5	3,5	-0,8	-1,5	-1,5	-1,5		
Уровни звукового давления от источника ИШ-7-4 в расчётной точке днём, дБ		**ф-ла(3)[10]**	**15,5**	**13,4**	**0**	**0**	**0**	**0**	**0**	**0**	**0**	**0**	**0**
Уровни звукового давления от источника ИШ-7-4 в расчётной точке ночью, дБ		**ф-ла(3)[10]**	**15,5**	**13,4**	**0**	**0**	**0**	**0**	**0**	**0**	**0**	**0**	**0**
Источник шума: ИШ-7-5, координаты источника (x,y,z), м =[861.80,21.34,1.00]													
Уровни звуковой мощности источника днём, Lw, дБ		**исходные данные**	**77**	**75**	**67**	**66**	**63**	**55**	**53**	**48**	**51**		

1		2	3	4	5	6	7	8	9	10	11	12	13
Уровни звуковой мощности источника ночью, Lw, дБ		**исходные данные**	**77**	**75**	**67**	**66**	**63**	**55**	**53**	**48**	**51**		
Поправка на телесный угол DΩ, дБ	Ω = 12.57	10Lg(4π/Ω)	**0**	0	0	0	0	0	0	0	0		
Показатель направленности источника Di, дБ		исходные данные	**0**	0	0	0	0	0	0	0	0		
Поправка на направленность источника Dc, дБ	Dc	DΩ + Di	**0**	0	0	0	0	0	0	0	0		
Затухание из-за геометрической дивергенции, Adiv, дБ	расстояние = 625.37 м	ф-ла (7) [10]	**66,9**										
Коэффициент затухания звука в атмосфере α, дБ/км	Ta=20,°C Pa=101.33,кПа hотн.=70%	ф-ла (5) [9]	0,02	0,09	0,33	1,12	2,79	4,98	9,04	23,09	77,63		
Учет затухания звука в атмосфере Aatm, дБ		ф-ла (8) [10]	0	0,1	0,2	0,7	1,7	3,1	5,7	14,4	48,5		
Снижение поверхностью земли возле источника As, дБ	Gs = 0 hs = 1м	ф-лы таб.3 [10]	-1,5	-1,5	-1,5	-1,5	-1,5	-1,5	-1,5	-1,5	-1,5		
Снижение поверхностью земли возле приёмника Ar, дБ	Gr = 1 hr = 1.5м	ф-лы таб.3 [10]	-1,5	-1,5	3,8	7	5	0,7	0	0	0		
Снижение поверхностью земли в средней зоне, Am дБ	Gm = 1	ф-лы таб.3 [10]	-2,6	-2,6	0	0	0	0	0	0	0		
Суммарное снижение поверхностью земли на траектории распространения звука Agr, дБ		ф-ла (9) [10]	-5,6	-5,6	2,3	5,5	3,5	-0,8	-1,5	-1,5	-1,5		
Уровни звукового давления от источника ИШ-7-5 в расчётной точке днём, дБ		**ф-ла(3)[10]**	**15,7**	**13,7**	**0**	**0**	**0**	**0**	**0**	**0**	**0**	**0**	**0**
Уровни звукового давления от источника ИШ-7-5 в расчётной точке ночью, дБ		**ф-ла(3)[10]**	**15,7**	**13,7**	**0**	**0**	**0**	**0**	**0**	**0**	**0**	**0**	**0**
Источник шума: ИШ-7-6, координаты источника (x,y,z), м =[856.52,5.94,1.00]													
Уровни звуковой мощности источника днём, Lw, дБ		**исходные данные**	**77**	**75**	**67**	**66**	**63**	**55**	**53**	**48**	**51**		
Уровни звуковой мощности источника ночью, Lw, дБ		**исходные данные**	**77**	**75**	**67**	**66**	**63**	**55**	**53**	**48**	**51**		

1		2	3	4	5	6	7	8	9	10	11	12	13
Поправка на телесный угол DΩ, дБ	Ω = 12.57	10Lg(4π/Ω)	**0**	0	0	0	0	0	0	0	0		
Показатель направленности источника Di, дБ		исходные данные	**0**	0	0	0	0	0	0	0	0		
Поправка на направленность источника Dc, дБ	Dc	DΩ + Di	**0**	0	0	0	0	0	0	0	0		
Затухание из-за геометрической дивергенции, Adiv, дБ	расстояние = 609.17 м	ф-ла (7) [10]	**66,7**										
Коэффициент затухания звука в атмосфере α, дБ/км	Ta=20,°C Pa=101.33,кПа hотн.=70%	ф-ла (5) [9]	0,02	0,09	0,33	1,12	2,79	4,98	9,04	23,09	77,63		
Учет затухания звука в атмосфере Aatm, дБ		ф-ла (8) [10]	0	0,1	0,2	0,7	1,7	3	5,5	14,1	47,3		
Снижение поверхностью земли возле источника As, дБ	Gs = 0 hs = 1м	ф-лы таб.3 [10]	-1,5	-1,5	-1,5	-1,5	-1,5	-1,5	-1,5	-1,5	-1,5		
Снижение поверхностью земли возле приёмника Ar, дБ	Gr = 1 hr = 1.5м	ф-лы таб.3 [10]	-1,5	-1,5	3,7	7	5	0,7	0	0	0		
Снижение поверхностью земли в средней зоне, Am дБ	Gm = 1	ф-лы таб.3 [10]	-2,6	-2,6	0	0	0	0	0	0	0		
Суммарное снижение поверхностью земли на траектории распространения звука Agr, дБ		ф-ла (9) [10]	-5,6	-5,6	2,2	5,5	3,5	-0,8	-1,5	-1,5	-1,5		
Уровни звукового давления от источника ИШ-7-6 в расчётной точке днём, дБ		**ф-ла(3)[10]**	**15,9**	**13,9**	**0**	**0**	**0**	**0**	**0**	**0**	**0**	**0**	**0**
Уровни звукового давления от источника ИШ-7-6 в расчётной точке ночью, дБ		**ф-ла(3)[10]**	**15,9**	**13,9**	**0**	**0**	**0**	**0**	**0**	**0**	**0**	**0**	**0**
Источник шума: ИШ-7-7, координаты источника (x,y,z), м =[851.06,-9.89,1.00]													
Уровни звуковой мощности источника днём, Lw, дБ		**исходные данные**	**77**	**75**	**67**	**66**	**63**	**55**	**53**	**48**	**51**		
Уровни звуковой мощности источника ночью, Lw, дБ		**исходные данные**	**77**	**75**	**67**	**66**	**63**	**55**	**53**	**48**	**51**		
Поправка на телесный угол DΩ, дБ	Ω = 12.57	10Lg(4π/Ω)	**0**	0	0	0	0	0	0	0	0		

1		2	3	4	5	6	7	8	9	10	11	12	13
Показатель направленности источника Di, дБ		исходные данные	**0**	0	0	0	0	0	0	0	0		
Поправка на направленность источника Dc, дБ	Dc	DΩ + Di	**0**	0	0	0	0	0	0	0	0		
Затухание из-за геометрической дивергенции, Adiv, дБ	расстояние = 592.51 м	ф-ла (7) [10]	**66,5**										
Коэффициент затухания звука в атмосфере α, дБ/км	Ta=20,°C Pa=101.33,кПа hотн.=70%	ф-ла (5) [9]	0,02	0,09	0,33	1,12	2,79	4,98	9,04	23,09	77,63		
Учет затухания звука в атмосфере Aatm, дБ		ф-ла (8) [10]	0	0,1	0,2	0,7	1,7	2,9	5,4	13,7	46		
Снижение поверхностью земли возле источника As, дБ	Gs = 0 hs = 1м	ф-лы таб.3 [10]	-1,5	-1,5	-1,5	-1,5	-1,5	-1,5	-1,5	-1,5	-1,5		
Снижение поверхностью земли возле приёмника Ar, дБ	Gr = 1 hr = 1.5м	ф-лы таб.3 [10]	-1,5	-1,5	3,6	7	5	0,7	0	0	0		
Снижение поверхностью земли в средней зоне, Am дБ	Gm = 1	ф-лы таб.3 [10]	-2,6	-2,6	0	0	0	0	0	0	0		
Суммарное снижение поверхностью земли на траектории распространения звука Agr, дБ		ф-ла (9) [10]	-5,6	-5,6	2,1	5,5	3,5	-0,8	-1,5	-1,5	-1,5		
Уровни звукового давления от источника ИШ-7-7 в расчётной точке днём, дБ		**ф-ла(3)[10]**	**16,2**	**14,1**	**0**	**0**	**0**	**0**	**0**	**0**	**0**	**0**	**0**
Уровни звукового давления от источника ИШ-7-7 в расчётной точке ночью, дБ		**ф-ла(3)[10]**	**16,2**	**14,1**	**0**	**0**	**0**	**0**	**0**	**0**	**0**	**0**	**0**
Источник шума: ИШ-7-8, координаты источника (x,y,z), м =[821.90,-104.30,1.00]													
Уровни звуковой мощности источника днём, Lw, дБ		**исходные данные**	**77**	**75**	**67**	**66**	**63**	**55**	**53**	**48**	**51**		
Уровни звуковой мощности источника ночью, Lw, дБ		**исходные данные**	**77**	**75**	**67**	**66**	**63**	**55**	**53**	**48**	**51**		
Поправка на телесный угол DΩ, дБ	Ω = 12.57	10Lg(4π/Ω)	**0**	0	0	0	0	0	0	0	0		
Показатель направленности источника Di, дБ		исходные данные	**0**	0	0	0	0	0	0	0	0		

1		2	3	4	5	6	7	8	9	10	11	12	13
Поправка на направленность источника Dc, дБ	Dc	DΩ + Di	**0**	0	0	0	0	0	0	0	0		
Затухание из-за геометрической дивергенции, Adiv, дБ	расстояние = 494.04 м	ф-ла (7) [10]	**64,9**										
Коэффициент затухания звука в атмосфере α, дБ/км	Ta=20,°C Pa=101.33,кПа hотн.=70%	ф-ла (5) [9]	0,02	0,09	0,33	1,12	2,79	4,98	9,04	23,09	77,63		
Учет затухания звука в атмосфере Aatm, дБ		ф-ла (8) [10]	0	0	0,2	0,6	1,4	2,5	4,5	11,4	38,4		
Снижение уровня звукового давления из-за влияния застройки между источником шума и расчетной точкой													
Снижение уровня звукового давления препятствием справа от трассы ИШ-РТ, Dz3, дБ	z = -0.26м (разность путей)	ф-лы (14-18) [10]	0	0,3	NAN	NAN	NAN	NAN	NAN	NAN	NAN		
* отрицательное значение z означает прохождение траектории вблизи экрана, в этом случае дополнительно производится учёт снижения подстилающей поверхностью (см.ниже)													
Снижение поверхностью земли возле источника As, дБ	Gs = 0 hs = 1м	ф-лы таб.3 [10]	-1,5	-1,5	-1,5	-1,5	-1,5	-1,5	-1,5	-1,5	-1,5		
Снижение поверхностью земли возле приёмника Ar, дБ	Gr = 1 hr = 1.5м	ф-лы таб.3 [10]	-1,5	-1,5	3	7	5	0,7	0	0	0		
Снижение поверхностью земли в средней зоне, Am дБ	Gm = 1	ф-лы таб.3 [10]	-2,5	-2,5	0	0	0	0	0	0	0		
Суммарное снижение поверхностью земли на траектории распространения звука Agr, дБ		ф-ла (9) [10]	-5,5	-5,5	1,5	5,5	3,5	-0,8	-1,5	-1,5	-1,5		
Уровни звукового давления от источника ИШ-7-8 в расчётной точке днём, дБ		**ф-ла(3)[10]**	**17,7**	**15,4**	**0,5**	**0**	**0**	**0**	**0**	**0**	**0**	**0**	**0**
Уровни звукового давления от источника ИШ-7-8 в расчётной точке ночью, дБ		**ф-ла(3)[10]**	**17,7**	**15,4**	**0,5**	**0**	**0**	**0**	**0**	**0**	**0**	**0**	**0**
Источник шума: ИШ-7-9, координаты источника (x,y,z), м =[819.93,-110.97,1.00]													
Уровни звуковой мощности источника днём, Lw, дБ		**исходные данные**	**77**	**75**	**67**	**66**	**63**	**55**	**53**	**48**	**51**		
Уровни звуковой мощности источника ночью, Lw, дБ		**исходные данные**	**77**	**75**	**67**	**66**	**63**	**55**	**53**	**48**	**51**		
Поправка на телесный угол DΩ, дБ	Ω = 12.57	10Lg(4π/Ω)	**0**	0	0	0	0	0	0	0	0		

1		2	3	4	5	6	7	8	9	10	11	12	13
Показатель направленности источника Di, дБ		исходные данные	**0**	0	0	0	0	0	0	0	0		
Поправка на направленность источника Dc, дБ	Dc	DΩ + Di	**0**	0	0	0	0	0	0	0	0		
Затухание из-за геометрической дивергенции, Adiv, дБ	расстояние = 487.10 м	ф-ла (7) [10]	**64,8**										
Коэффициент затухания звука в атмосфере α, дБ/км	Ta=20,°C Pa=101.33,кПа hотн.=70%	ф-ла (5) [9]	0,02	0,09	0,33	1,12	2,79	4,98	9,04	23,09	77,63		
Учет затухания звука в атмосфере Aatm, дБ		ф-ла (8) [10]	0	0	0,2	0,5	1,4	2,4	4,4	11,2	37,8		
Снижение уровня звукового давления из-за влияния застройки между источником шума и расчетной точкой													
Снижение уровня звукового давления препятствием справа от трассы ИШ-РТ, Dz3, дБ	z = -0.24м (разность путей)	ф-лы (14-18) [10]	0	0,9	NAN	NAN	NAN	NAN	NAN	NAN	NAN		
* отрицательное значение z означает прохождение траектории вблизи экрана, в этом случае дополнительно производится учёт снижения подстилающей поверхностью (см.ниже)													
Снижение поверхностью земли возле источника As, дБ	Gs = 0 hs = 1м	ф-лы таб.3 [10]	-1,5	-1,5	-1,5	-1,5	-1,5	-1,5	-1,5	-1,5	-1,5		
Снижение поверхностью земли возле приёмника Ar, дБ	Gr = 1 hr = 1.5м	ф-лы таб.3 [10]	-1,5	-1,5	2,9	7	5	0,7	0	0	0		
Снижение поверхностью земли в средней зоне, Am дБ	Gm = 1	ф-лы таб.3 [10]	-2,5	-2,5	0	0	0	0	0	0	0		
Суммарное снижение поверхностью земли на траектории распространения звука Agr, дБ		ф-ла (9) [10]	-5,5	-5,5	1,4	5,5	3,5	-0,8	-1,5	-1,5	-1,5		
Уровни звукового давления от источника ИШ-7-9 в расчётной точке днём, дБ		**ф-ла(3)[10]**	**17,8**	**14,9**	**0,6**	**0**	**0**	**0**	**0**	**0**	**0**	**0**	**0**
Уровни звукового давления от источника ИШ-7-9 в расчётной точке ночью, дБ		**ф-ла(3)[10]**	**17,8**	**14,9**	**0,6**	**0**	**0**	**0**	**0**	**0**	**0**	**0**	**0**
Источник шума: ИШ-7-10, координаты источника (x,y,z), м =[868.68,92.66,1.00]													
Уровни звуковой мощности источника днём, Lw, дБ		**исходные данные**	**77**	**75**	**67**	**66**	**63**	**55**	**53**	**48**	**51**		
Уровни звуковой мощности источника ночью, Lw, дБ		**исходные данные**	**77**	**75**	**67**	**66**	**63**	**55**	**53**	**48**	**51**		

1		2	3	4	5	6	7	8	9	10	11	12	13
Поправка на телесный угол DΩ, дБ	Ω = 12.57	10Lg(4π/Ω)	**0**	0	0	0	0	0	0	0	0		
Показатель направленности источника Di, дБ		исходные данные	**0**	0	0	0	0	0	0	0	0		
Поправка на направленность источника Dc, дБ	Dc	DΩ + Di	**0**	0	0	0	0	0	0	0	0		
Затухание из-за геометрической дивергенции, Adiv, дБ	расстояние = 696.44 м	ф-ла (7) [10]	**67,9**										
Коэффициент затухания звука в атмосфере α, дБ/км	Ta=20,°C Pa=101.33,кПа hотн.=70%	ф-ла (5) [9]	0,02	0,09	0,33	1,12	2,79	4,98	9,04	23,09	77,63		
Учет затухания звука в атмосфере Aatm, дБ		ф-ла (8) [10]	0	0,1	0,2	0,8	1,9	3,5	6,3	16,1	54,1		
Снижение уровня звукового давления из-за влияния застройки между источником шума и расчетной точкой													
Снижение уровня звукового давления препятствием справа от трассы ИШ-РТ, Dz3, дБ	z = -0.23м (разность путей)	ф-лы (14-18) [10]	0	1,2	NAN	NAN	NAN	NAN	NAN	NAN	NAN		
* отрицательное значение z означает прохождение траектории вблизи экрана, в этом случае дополнительно производится учёт снижения подстилающей поверхностью (см.ниже)													
Снижение поверхностью земли возле источника As, дБ	Gs = 0 hs = 1м	ф-лы таб.3 [10]	-1,5	-1,5	-1,5	-1,5	-1,5	-1,5	-1,5	-1,5	-1,5		
Снижение поверхностью земли возле приёмника Ar, дБ	Gr = 1 hr = 1.5м	ф-лы таб.3 [10]	-1,5	-1,5	4,1	7	5	0,7	0	0	0		
Снижение поверхностью земли в средней зоне, Am дБ	Gm = 1	ф-лы таб.3 [10]	-2,7	-2,7	0	0	0	0	0	0	0		
Суммарное снижение поверхностью земли на траектории распространения звука Agr, дБ		ф-ла (9) [10]	-5,7	-5,7	2,6	5,5	3,5	-0,8	-1,5	-1,5	-1,5		
Уровни звукового давления от источника ИШ-7-10 в расчётной точке днём, дБ		**ф-ла(3)[10]**	**14,8**	**11,6**	**0**	**0**	**0**	**0**	**0**	**0**	**0**	**0**	**0**
Уровни звукового давления от источника ИШ-7-10 в расчётной точке ночью, дБ		**ф-ла(3)[10]**	**14,8**	**11,6**	**0**	**0**	**0**	**0**	**0**	**0**	**0**	**0**	**0**
Источник шума: ИШ-7-11, координаты источника (x,y,z), м =[877.95,88.75,1.00]													
Уровни звуковой мощности источника днём, Lw, дБ		**исходные данные**	**77**	**75**	**67**	**66**	**63**	**55**	**53**	**48**	**51**		

1		2	3	4	5	6	7	8	9	10	11	12	13
Уровни звуковой мощности источника ночью, Lw, дБ		**исходные данные**	**77**	**75**	**67**	**66**	**63**	**55**	**53**	**48**	**51**		
Поправка на телесный угол DΩ, дБ	Ω = 12.57	10Lg(4π/Ω)	**0**	0	0	0	0	0	0	0	0		
Показатель направленности источника Di, дБ		исходные данные	**0**	0	0	0	0	0	0	0	0		
Поправка на направленность источника Dc, дБ	Dc	DΩ + Di	**0**	0	0	0	0	0	0	0	0		
Затухание из-за геометрической дивергенции, Adiv, дБ	расстояние = 694.69 м	ф-ла (7) [10]	**67,8**										
Коэффициент затухания звука в атмосфере α, дБ/км	Ta=20,°C Pa=101.33,кПа hотн.=70%	ф-ла (5) [9]	0,02	0,09	0,33	1,12	2,79	4,98	9,04	23,09	77,63		
Учет затухания звука в атмосфере Aatm, дБ		ф-ла (8) [10]	0	0,1	0,2	0,8	1,9	3,5	6,3	16	53,9		
Снижение поверхностью земли возле источника As, дБ	Gs = 0 hs = 1м	ф-лы таб.3 [10]	-1,5	-1,5	-1,5	-1,5	-1,5	-1,5	-1,5	-1,5	-1,5		
Снижение поверхностью земли возле приёмника Ar, дБ	Gr = 1 hr = 1.5м	ф-лы таб.3 [10]	-1,5	-1,5	4,1	7	5	0,7	0	0	0		
Снижение поверхностью земли в средней зоне, Am дБ	Gm = 1	ф-лы таб.3 [10]	-2,7	-2,7	0	0	0	0	0	0	0		
Суммарное снижение поверхностью земли на траектории распространения звука Agr, дБ		ф-ла (9) [10]	-5,7	-5,7	2,6	5,5	3,5	-0,8	-1,5	-1,5	-1,5		
Уровни звукового давления от источника ИШ-7-11 в расчётной точке днём, дБ		**ф-ла(3)[10]**	**14,8**	**12,8**	**0**	**0**	**0**	**0**	**0**	**0**	**0**	**0**	**0**
Уровни звукового давления от источника ИШ-7-11 в расчётной точке ночью, дБ		**ф-ла(3)[10]**	**14,8**	**12,8**	**0**	**0**	**0**	**0**	**0**	**0**	**0**	**0**	**0**
Источник шума: ИШ-7-12, координаты источника (x,y,z), м =[887.42,85.45,1.00]													
Уровни звуковой мощности источника днём, Lw, дБ		**исходные данные**	**77**	**75**	**67**	**66**	**63**	**55**	**53**	**48**	**51**		
Уровни звуковой мощности источника ночью, Lw, дБ		**исходные данные**	**77**	**75**	**67**	**66**	**63**	**55**	**53**	**48**	**51**		

1		2	3	4	5	6	7	8	9	10	11	12	13
Поправка на телесный угол DΩ, дБ	Ω = 12.57	10Lg(4π/Ω)	**0**	0	0	0	0	0	0	0	0		
Показатель направленности источника Di, дБ		исходные данные	**0**	0	0	0	0	0	0	0	0		
Поправка на направленность источника Dc, дБ	Dc	DΩ + Di	**0**	0	0	0	0	0	0	0	0		
Затухание из-за геометрической дивергенции, Adiv, дБ	расстояние = 693.71 м	ф-ла (7) [10]	**67,8**										
Коэффициент затухания звука в атмосфере α, дБ/км	Ta=20,°C Pa=101.33,кПа hотн.=70%	ф-ла (5) [9]	0,02	0,09	0,33	1,12	2,79	4,98	9,04	23,09	77,63		
Учет затухания звука в атмосфере Aatm, дБ		ф-ла (8) [10]	0	0,1	0,2	0,8	1,9	3,5	6,3	16	53,9		
Снижение поверхностью земли возле источника As, дБ	Gs = 0 hs = 1м	ф-лы таб.3 [10]	-1,5	-1,5	-1,5	-1,5	-1,5	-1,5	-1,5	-1,5	-1,5		
Снижение поверхностью земли возле приёмника Ar, дБ	Gr = 1 hr = 1.5м	ф-лы таб.3 [10]	-1,5	-1,5	4,1	7	5	0,7	0	0	0		
Снижение поверхностью земли в средней зоне, Am дБ	Gm = 1	ф-лы таб.3 [10]	-2,7	-2,7	0	0	0	0	0	0	0		
Суммарное снижение поверхностью земли на траектории распространения звука Agr, дБ		ф-ла (9) [10]	-5,7	-5,7	2,6	5,5	3,5	-0,8	-1,5	-1,5	-1,5		
Уровни звукового давления от источника ИШ-7-12 в расчётной точке днём, дБ		**ф-ла(3)[10]**	**14,8**	**12,8**	**0**	**0**	**0**	**0**	**0**	**0**	**0**	**0**	**0**
Уровни звукового давления от источника ИШ-7-12 в расчётной точке ночью, дБ		**ф-ла(3)[10]**	**14,8**	**12,8**	**0**	**0**	**0**	**0**	**0**	**0**	**0**	**0**	**0**
Источник шума: ИШ-6-23, координаты источника (x,y,z), м =[756.16,-136.23,3.00]													
Уровни звуковой мощности источника днём, Lw, дБ		**исходные данные**	**91**	**91**	**91**	**91**	**91**	**91**	**91**	**91**	**91**		
Уровни звуковой мощности источника ночью, Lw, дБ		**исходные данные**	**91**	**91**	**91**	**91**	**91**	**91**	**91**	**91**	**91**		
Поправка на телесный угол DΩ, дБ	Ω = 12.57	10Lg(4π/Ω)	**0**	0	0	0	0	0	0	0	0		

1		2	3	4	5	6	7	8	9	10	11	12	13
Показатель направленности источника Di, дБ		исходные данные	**0**	0	0	0	0	0	0	0	0		
Поправка на направленность источника Dc, дБ	Dc	DΩ + Di	**0**	0	0	0	0	0	0	0	0		
Затухание из-за геометрической дивергенции, Adiv, дБ	расстояние = 452.79 м	ф-ла (7) [10]	**64,1**										
Коэффициент затухания звука в атмосфере α, дБ/км	Ta=20,°C Pa=101.33,кПа hотн.=70%	ф-ла (5) [9]	0,02	0,09	0,33	1,12	2,79	4,98	9,04	23,09	77,63		
Учет затухания звука в атмосфере Aatm, дБ		ф-ла (8) [10]	0	0	0,2	0,5	1,3	2,3	4,1	10,5	35,2		
Снижение поверхностью земли возле источника As, дБ	Gs = 0 hs = 3м	ф-лы таб.3 [10]	-1,5	-1,5	-1,5	-1,5	-1,5	-1,5	-1,5	-1,5	-1,5		
Снижение поверхностью земли возле приёмника Ar, дБ	Gr = 1 hr = 1.5м	ф-лы таб.3 [10]	-1,5	-1,5	2,7	7	5	0,7	0	0	0		
Снижение поверхностью земли в средней зоне, Am дБ	Gm = 1	ф-лы таб.3 [10]	-2,1	-2,1	0	0	0	0	0	0	0		
Суммарное снижение поверхностью земли на траектории распространения звука Agr, дБ		ф-ла (9) [10]	-5,1	-5,1	1,2	5,5	3,5	-0,8	-1,5	-1,5	-1,5		
Уровни звукового давления от источника ИШ-6-23 в расчётной точке днём, дБ		**ф-ла(3)[10]**	**32**	**31,9**	**25,5**	**20,8**	**22,1**	**25,5**	**24,3**	**17,9**	**0**	**29,5**	**29,5**
Уровни звукового давления от источника ИШ-6-23 в расчётной точке ночью, дБ		**ф-ла(3)[10]**	**32**	**31,9**	**25,5**	**20,8**	**22,1**	**25,5**	**24,3**	**17,9**	**0**	**29,5**	**29,5**
Источник шума: ИШ-6-24, координаты источника (x,y,z), м =[800.98,-151.27,3.00]													
Уровни звуковой мощности источника днём, Lw, дБ		**исходные данные**	**91**	**91**	**91**	**91**	**91**	**91**	**91**	**91**	**91**		
Уровни звуковой мощности источника ночью, Lw, дБ		**исходные данные**	**91**	**91**	**91**	**91**	**91**	**91**	**91**	**91**	**91**		
Поправка на телесный угол DΩ, дБ	Ω = 12.57	10Lg(4π/Ω)	**0**	0	0	0	0	0	0	0	0		
Показатель направленности источника Di, дБ		исходные данные	**0**	0	0	0	0	0	0	0	0		

1		2	3	4	5	6	7	8	9	10	11	12	13
Поправка на направленность источника Dc, дБ	Dc	DΩ + Di	**0**	0	0	0	0	0	0	0	0		
Затухание из-за геометрической дивергенции, Adiv, дБ	расстояние = 443.87 м	ф-ла (7) [10]	**63,9**										
Коэффициент затухания звука в атмосфере α, дБ/км	Ta=20,°C Pa=101.33,кПа hотн.=70%	ф-ла (5) [9]	0,02	0,09	0,33	1,12	2,79	4,98	9,04	23,09	77,63		
Учет затухания звука в атмосфере Aatm, дБ		ф-ла (8) [10]	0	0	0,1	0,5	1,2	2,2	4	10,2	34,5		
Снижение уровня звукового давления из-за влияния застройки между источником шума и расчетной точкой													
Снижение уровня звукового давления на пути над экраном, Dz1, дБ	z = 0.00м (разность путей)	ф-лы (14-18) [10]	4,8	4,8	4,8	4,8	4,8	4,8	4,8	4,8	4,8		
Снижение уровня звукового давления на пути слева от экрана, Dz2, дБ	z = 0.27м (разность путей)	ф-лы (14-18) [10]	6	7	8,4	10,3	12,7	15,3	18,2	21,1	24		
Снижение уровня звукового давления на пути справа от экрана, Dz3, дБ	z = 4.51м (разность путей)	ф-лы (14-18) [10]	14	18,2	22,3	25,8	29	32	35	38	41,1		
Общее снижение уровня звука препятствием Dz, дБ		Эн.сумма(-Dzi)	2,1	2,6	3,2	3,7	4,1	4,4	4,6	4,7	4,7		
Уровни звукового давления от источника ИШ-6-24 в расчётной точке днём, дБ		**ф-ла(3)[10]**	**25**	**24,4**	**23,7**	**22,9**	**21,7**	**20,4**	**18,5**	**12,1**	**0**	**25,2**	**25,2**
Уровни звукового давления от источника ИШ-6-24 в расчётной точке ночью, дБ		**ф-ла(3)[10]**	**25**	**24,4**	**23,7**	**22,9**	**21,7**	**20,4**	**18,5**	**12,1**	**0**	**25,2**	**25,2**
Источник шума: ИШ-8-1, координаты источника (x,y,z), м =[612.60,-227.70,3.00]													
Уровни звуковой мощности источника днём, Lw, дБ		**исходные данные**	**105**	**104**	**104**	**101**	**102**	**106**	**101**	**95**	**87**		
Уровни звуковой мощности источника ночью, Lw, дБ		**исходные данные**	**105**	**104**	**104**	**101**	**102**	**106**	**101**	**95**	**87**		
Поправка на телесный угол DΩ, дБ	Ω = 6.28	10Lg(4π/Ω)	**3**	3	3	3	3	3	3	3	3		
Показатель направленности источника Di, дБ		исходные данные	**0**	0	0	0	0	0	0	0	0		

1		2	3	4	5	6	7	8	9	10	11	12	13
Поправка на направленность источника Dc, дБ	Dc	DΩ + Di	**3**	3	3	3	3	3	3	3	3		
Затухание из-за геометрической дивергенции, Adiv, дБ	расстояние = 375.16 м	ф-ла (7) [10]	**62,5**										
Коэффициент затухания звука в атмосфере α, дБ/км	Ta=20,°C Pa=101.33,кПа hотн.=70%	ф-ла (5) [9]	0,02	0,09	0,33	1,12	2,79	4,98	9,04	23,09	77,63		
Учет затухания звука в атмосфере Aatm, дБ		ф-ла (8) [10]	0	0	0,1	0,4	1	1,9	3,4	8,7	29,1		
Снижение поверхностью земли возле источника As, дБ	Gs = 0 hs = 3м	ф-лы таб.3 [10]	-1,5	-1,5	-1,5	-1,5	-1,5	-1,5	-1,5	-1,5	-1,5		
Снижение поверхностью земли возле приёмника Ar, дБ	Gr = 1 hr = 1.5м	ф-лы таб.3 [10]	-1,5	-1,5	2,2	7	5	0,7	0	0	0		
Снижение поверхностью земли в средней зоне, Am дБ	Gm = 1	ф-лы таб.3 [10]	-1,9	-1,9	0	0	0	0	0	0	0		
Суммарное снижение поверхностью земли на траектории распространения звука Agr, дБ		ф-ла (9) [10]	-4,9	-4,9	0,7	5,5	3,5	-0,8	-1,5	-1,5	-1,5		
Уровни звукового давления от источника ИШ-8-1 в расчётной точке днём, дБ		**ф-ла(3)[10]**	**50,4**	**49,4**	**43,7**	**35,6**	**38**	**45,5**	**39,6**	**28,4**	**0**	**47,2**	**47,2**
Уровни звукового давления от источника ИШ-8-1 в расчётной точке ночью, дБ		**ф-ла(3)[10]**	**50,4**	**49,4**	**43,7**	**35,6**	**38**	**45,5**	**39,6**	**28,4**	**0**	**47,2**	**47,2**
Источник шума: ИШ-8-2, координаты источника (x,y,z), м =[596.60,-275.00,3.00]													
Уровни звуковой мощности источника днём, Lw, дБ		**исходные данные**	**105**	**104**	**104**	**101**	**102**	**106**	**101**	**95**	**87**		
Уровни звуковой мощности источника ночью, Lw, дБ		**исходные данные**	**105**	**104**	**104**	**101**	**102**	**106**	**101**	**95**	**87**		
Поправка на телесный угол DΩ, дБ	Ω = 6.28	10Lg(4π/Ω)	**3**	3	3	3	3	3	3	3	3		
Показатель направленности источника Di, дБ		исходные данные	**0**	0	0	0	0	0	0	0	0		
Поправка на направленность источника Dc, дБ	Dc	DΩ + Di	**3**	3	3	3	3	3	3	3	3		

1		2	3	4	5	6	7	8	9	10	11	12	13
Затухание из-за геометрической дивергенции, Adiv, дБ	расстояние = 335.56 м	ф-ла (7) [10]	**61,5**										
Коэффициент затухания звука в атмосфере α, дБ/км	Ta=20,°C Pa=101.33,кПа hотн.=70%	ф-ла (5) [9]	0,02	0,09	0,33	1,12	2,79	4,98	9,04	23,09	77,63		
Учет затухания звука в атмосфере Aatm, дБ		ф-ла (8) [10]	0	0	0,1	0,4	0,9	1,7	3	7,7	26,1		
Снижение поверхностью земли возле источника As, дБ	Gs = 0 hs = 3м	ф-лы таб.3 [10]	-1,5	-1,5	-1,5	-1,5	-1,5	-1,5	-1,5	-1,5	-1,5		
Снижение поверхностью земли возле приёмника Ar, дБ	Gr = 1 hr = 1.5м	ф-лы таб.3 [10]	-1,5	-1,5	1,9	7	5	0,7	0	0	0		
Снижение поверхностью земли в средней зоне, Am дБ	Gm = 1	ф-лы таб.3 [10]	-1,8	-1,8	0	0	0	0	0	0	0		
Суммарное снижение поверхностью земли на траектории распространения звука Agr, дБ		ф-ла (9) [10]	-4,8	-4,8	0,4	5,5	3,5	-0,8	-1,5	-1,5	-1,5		
Уровни звукового давления от источника ИШ-8-2 в расчётной точке днём, дБ		**ф-ла(3)[10]**	**51,3**	**50,3**	**44,9**	**36,6**	**39,1**	**46,7**	**41**	**30,3**	**3,9**	**48,4**	**48,4**
Уровни звукового давления от источника ИШ-8-2 в расчётной точке ночью, дБ		**ф-ла(3)[10]**	**51,3**	**50,3**	**44,9**	**36,6**	**39,1**	**46,7**	**41**	**30,3**	**3,9**	**48,4**	**48,4**
Источник шума: ИШ-8-3, координаты источника (x,y,z), м =[564.90,-369.90,3.00]													
Уровни звуковой мощности источника днём, Lw, дБ		**исходные данные**	**105**	**104**	**104**	**101**	**102**	**106**	**101**	**95**	**87**		
Уровни звуковой мощности источника ночью, Lw, дБ		**исходные данные**	**105**	**104**	**104**	**101**	**102**	**106**	**101**	**95**	**87**		
Поправка на телесный угол DΩ, дБ	Ω = 6.28	10Lg(4π/Ω)	**3**	3	3	3	3	3	3	3	3		
Показатель направленности источника Di, дБ		исходные данные	**0**	0	0	0	0	0	0	0	0		
Поправка на направленность источника Dc, дБ	Dc	DΩ + Di	**3**	3	3	3	3	3	3	3	3		
Затухание из-за геометрической дивергенции, Adiv, дБ	расстояние = 266.56 м	ф-ла (7) [10]	**59,5**										

1		2	3	4	5	6	7	8	9	10	11	12	13
Коэффициент затухания звука в атмосфере α, дБ/км	Ta=20,°C Pa=101.33,кПа hотн.=70%	ф-ла (5) [9]	0,02	0,09	0,33	1,12	2,79	4,98	9,04	23,09	77,63		
Учет затухания звука в атмосфере Aatm, дБ		ф-ла (8) [10]	0	0	0,1	0,3	0,7	1,3	2,4	6,2	20,7		
Снижение поверхностью земли возле источника As, дБ	Gs = 0 hs = 3м	ф-лы таб.3 [10]	-1,5	-1,5	-1,5	-1,5	-1,5	-1,5	-1,5	-1,5	-1,5		
Снижение поверхностью земли возле приёмника Ar, дБ	Gr = 1 hr = 1.5м	ф-лы таб.3 [10]	-1,5	-1,5	1,5	7	4,9	0,7	0	0	0		
Снижение поверхностью земли в средней зоне, Am дБ	Gm = 1	ф-лы таб.3 [10]	-1,5	-1,5	0	0	0	0	0	0	0		
Суммарное снижение поверхностью земли на траектории распространения звука Agr, дБ		ф-ла (9) [10]	-4,5	-4,5	0	5,5	3,4	-0,8	-1,5	-1,5	-1,5		
Уровни звукового давления от источника ИШ-8-3 в расчётной точке днём, дБ		**ф-ла(3)[10]**	**53**	**52**	**47,4**	**38,7**	**41,3**	**49**	**43,6**	**33,8**	**11,3**	**50,9**	**50,9**
Уровни звукового давления от источника ИШ-8-3 в расчётной точке ночью, дБ		**ф-ла(3)[10]**	**53**	**52**	**47,4**	**38,7**	**41,3**	**49**	**43,6**	**33,8**	**11,3**	**50,9**	**50,9**
Источник шума: ИШ-9-1, координаты источника (x,y,z), м =[642.94,-357.54,1.00]													
Уровни звуковой мощности источника днём, Lw, дБ		**исходные данные**	**0**	**93,3**	**94,7**	**96**	**96,3**	**95,9**	**92,6**	**88,4**	**83,9**		
Уровни звуковой мощности источника ночью, Lw, дБ		**исходные данные**	**0**	**93,3**	**94,7**	**96**	**96,3**	**95,9**	**92,6**	**88,4**	**83,9**		
Поправка на телесный угол DΩ, дБ	Ω = 6.28	10Lg(4π/Ω)	**3**	3	3	3	3	3	3	3	3		
Показатель направленности источника Di, дБ		исходные данные	**0**	0	0	0	0	0	0	0	0		
Поправка на направленность источника Dc, дБ	Dc	DΩ + Di	**3**	3	3	3	3	3	3	3	3		
Затухание из-за геометрической дивергенции, Adiv, дБ	расстояние = 242.16 м	ф-ла (7) [10]	**58,7**										
Коэффициент затухания звука в атмосфере α, дБ/км	Ta=20,°C Pa=101.33,кПа hотн.=70%	ф-ла (5) [9]	0,02	0,09	0,33	1,12	2,79	4,98	9,04	23,09	77,63		

1		2	3	4	5	6	7	8	9	10	11	12	13
Учет затухания звука в атмосфере Aatm, дБ		ф-ла (8) [10]	0	0	0,1	0,3	0,7	1,2	2,2	5,6	18,8		
Снижение поверхностью земли возле источника As, дБ	Gs = 0 hs = 1м	ф-лы таб.3 [10]	-1,5	-1,5	-1,5	-1,5	-1,5	-1,5	-1,5	-1,5	-1,5		
Снижение поверхностью земли возле приёмника Ar, дБ	Gr = 1 hr = 1.5м	ф-лы таб.3 [10]	-1,5	-1,5	1,4	7	4,9	0,7	0	0	0		
Снижение поверхностью земли в средней зоне, Am дБ	Gm = 1	ф-лы таб.3 [10]	-2,1	-2,1	0	0	0	0	0	0	0		
Суммарное снижение поверхностью земли на траектории распространения звука Agr, дБ		ф-ла (9) [10]	-5,1	-5,1	-0,1	5,5	3,4	-0,8	-1,5	-1,5	-1,5		
Уровни звукового давления от источника ИШ-9-1 в расчётной точке днём, дБ		**ф-ла(3)[10]**	**0**	**42,7**	**39**	**34,6**	**36,5**	**39,8**	**36,2**	**28,6**	**10,9**	**42,8**	**42,8**
Уровни звукового давления от источника ИШ-9-1 в расчётной точке ночью, дБ		**ф-ла(3)[10]**	**0**	**42,7**	**39**	**34,6**	**36,5**	**39,8**	**36,2**	**28,6**	**10,9**	**42,8**	**42,8**
Источник шума: ИШ-9-2, координаты источника (x,y,z), м =[644.14,-354.83,1.00]													
Уровни звуковой мощности источника днём, Lw, дБ		**исходные данные**	**0**	**93,3**	**94,7**	**96**	**96,3**	**95,9**	**92,6**	**88,4**	**83,9**		
Уровни звуковой мощности источника ночью, Lw, дБ		**исходные данные**	**0**	**93,3**	**94,7**	**96**	**96,3**	**95,9**	**92,6**	**88,4**	**83,9**		
Поправка на телесный угол DΩ, дБ	Ω = 6.28	10Lg(4π/Ω)	**3**	3	3	3	3	3	3	3	3		
Показатель направленности источника Di, дБ		исходные данные	**0**	0	0	0	0	0	0	0	0		
Поправка на направленность источника Dc, дБ	Dc	DΩ + Di	**3**	3	3	3	3	3	3	3	3		
Затухание из-за геометрической дивергенции, Adiv, дБ	расстояние = 244.36 м	ф-ла (7) [10]	**58,8**										
Коэффициент затухания звука в атмосфере α, дБ/км	Ta=20,°C Pa=101.33,кПа hотн.=70%	ф-ла (5) [9]	0,02	0,09	0,33	1,12	2,79	4,98	9,04	23,09	77,63		
Учет затухания звука в атмосфере Aatm, дБ		ф-ла (8) [10]	0	0	0,1	0,3	0,7	1,2	2,2	5,6	19		

1		2	3	4	5	6	7	8	9	10	11	12	13
Снижение поверхностью земли возле источника As, дБ	Gs = 0 hs = 1м	ф-лы таб.3 [10]	-1,5	-1,5	-1,5	-1,5	-1,5	-1,5	-1,5	-1,5	-1,5		
Снижение поверхностью земли возле приёмника Ar, дБ	Gr = 1 hr = 1.5м	ф-лы таб.3 [10]	-1,5	-1,5	1,4	7	4,9	0,7	0	0	0		
Снижение поверхностью земли в средней зоне, Am дБ	Gm = 1	ф-лы таб.3 [10]	-2,1	-2,1	0	0	0	0	0	0	0		
Суммарное снижение поверхностью земли на траектории распространения звука Agr, дБ		ф-ла (9) [10]	-5,1	-5,1	-0,1	5,5	3,4	-0,8	-1,5	-1,5	-1,5		
Уровни звукового давления от источника ИШ-9-2 в расчётной точке днём, дБ		**ф-ла(3)[10]**	**0**	**42,6**	**38,9**	**34,5**	**36,4**	**39,8**	**36,1**	**28,5**	**10,7**	**42,7**	**42,7**
Уровни звукового давления от источника ИШ-9-2 в расчётной точке ночью, дБ		**ф-ла(3)[10]**	**0**	**42,6**	**38,9**	**34,5**	**36,4**	**39,8**	**36,1**	**28,5**	**10,7**	**42,7**	**42,7**
Источник шума: ИШ-9-3, координаты источника (x,y,z), м =[644.98,-351.85,1.00]													
Уровни звуковой мощности источника днём, Lw, дБ		**исходные данные**	**0**	**93,3**	**94,7**	**96**	**96,3**	**95,9**	**92,6**	**88,4**	**83,9**		
Уровни звуковой мощности источника ночью, Lw, дБ		**исходные данные**	**0**	**93,3**	**94,7**	**96**	**96,3**	**95,9**	**92,6**	**88,4**	**83,9**		
Поправка на телесный угол DΩ, дБ	Ω = 6.28	10Lg(4π/Ω)	**3**	3	3	3	3	3	3	3	3		
Показатель направленности источника Di, дБ		исходные данные	**0**	0	0	0	0	0	0	0	0		
Поправка на направленность источника Dc, дБ	Dc	DΩ + Di	**3**	3	3	3	3	3	3	3	3		
Затухание из-за геометрической дивергенции, Adiv, дБ	расстояние = 246.95 м	ф-ла (7) [10]	**58,9**										
Коэффициент затухания звука в атмосфере α, дБ/км	Ta=20,°C Pa=101.33,кПа hотн.=70%	ф-ла (5) [9]	0,02	0,09	0,33	1,12	2,79	4,98	9,04	23,09	77,63		
Учет затухания звука в атмосфере Aatm, дБ		ф-ла (8) [10]	0	0	0,1	0,3	0,7	1,2	2,2	5,7	19,2		
Снижение поверхностью земли возле источника As, дБ	Gs = 0 hs = 1м	ф-лы таб.3 [10]	-1,5	-1,5	-1,5	-1,5	-1,5	-1,5	-1,5	-1,5	-1,5		

1		2	3	4	5	6	7	8	9	10	11	12	13
Снижение поверхностью земли возле приёмника Ar, дБ	Gr = 1 hr = 1.5м	ф-лы таб.3 [10]	-1,5	-1,5	1,4	7	4,9	0,7	0	0	0		
Снижение поверхностью земли в средней зоне, Am дБ	Gm = 1	ф-лы таб.3 [10]	-2,1	-2,1	0	0	0	0	0	0	0		
Суммарное снижение поверхностью земли на траектории распространения звука Agr, дБ		ф-ла (9) [10]	-5,1	-5,1	-0,1	5,5	3,4	-0,8	-1,5	-1,5	-1,5		
Уровни звукового давления от источника ИШ-9-3 в расчётной точке днём, дБ		**ф-ла(3)[10]**	**0**	**42,5**	**38,8**	**34,4**	**36,3**	**39,7**	**36**	**28,3**	**10,4**	**42,6**	**42,6**
Уровни звукового давления от источника ИШ-9-3 в расчётной точке ночью, дБ		**ф-ла(3)[10]**	**0**	**42,5**	**38,8**	**34,4**	**36,3**	**39,7**	**36**	**28,3**	**10,4**	**42,6**	**42,6**
Источник шума: ИШ-9-4, координаты источника (x,y,z), м =[646.01,-349.15,1.00]													
Уровни звуковой мощности источника днём, Lw, дБ		**исходные данные**	**0**	**93,3**	**94,7**	**96**	**96,3**	**95,9**	**92,6**	**88,4**	**83,9**		
Уровни звуковой мощности источника ночью, Lw, дБ		**исходные данные**	**0**	**93,3**	**94,7**	**96**	**96,3**	**95,9**	**92,6**	**88,4**	**83,9**		
Поправка на телесный угол DΩ, дБ	Ω = 6.28	10Lg(4π/Ω)	**3**	3	3	3	3	3	3	3	3		
Показатель направленности источника Di, дБ		исходные данные	**0**	0	0	0	0	0	0	0	0		
Поправка на направленность источника Dc, дБ	Dc	DΩ + Di	**3**	3	3	3	3	3	3	3	3		
Затухание из-за геометрической дивергенции, Adiv, дБ	расстояние = 249.23 м	ф-ла (7) [10]	**58,9**										
Коэффициент затухания звука в атмосфере α, дБ/км	Ta=20,°C Pa=101.33,кПа hотн.=70%	ф-ла (5) [9]	0,02	0,09	0,33	1,12	2,79	4,98	9,04	23,09	77,63		
Учет затухания звука в атмосфере Aatm, дБ		ф-ла (8) [10]	0	0	0,1	0,3	0,7	1,2	2,3	5,8	19,3		
Снижение поверхностью земли возле источника As, дБ	Gs = 0 hs = 1м	ф-лы таб.3 [10]	-1,5	-1,5	-1,5	-1,5	-1,5	-1,5	-1,5	-1,5	-1,5		
Снижение поверхностью земли возле приёмника Ar, дБ	Gr = 1 hr = 1.5м	ф-лы таб.3 [10]	-1,5	-1,5	1,4	7	4,9	0,7	0	0	0		

1		2	3	4	5	6	7	8	9	10	11	12	13
Снижение поверхностью земли в средней зоне, Am дБ	Gm = 1	ф-лы таб.3 [10]	-2,1	-2,1	0	0	0	0	0	0	0		
Суммарное снижение поверхностью земли на траектории распространения звука Agr, дБ		ф-ла (9) [10]	-5,1	-5,1	-0,1	5,5	3,4	-0,8	-1,5	-1,5	-1,5		
Уровни звукового давления от источника ИШ-9-4 в расчётной точке днём, дБ		**ф-ла(3)[10]**	**0**	**42,4**	**38,7**	**34,3**	**36,2**	**39,6**	**35,9**	**28,2**	**10,1**	**42,5**	**42,5**
Уровни звукового давления от источника ИШ-9-4 в расчётной точке ночью, дБ		**ф-ла(3)[10]**	**0**	**42,4**	**38,7**	**34,3**	**36,2**	**39,6**	**35,9**	**28,2**	**10,1**	**42,5**	**42,5**
Источник шума: ИШ-9-5, координаты источника (x,y,z), м =[646.84,-346.17,1.00]													
Уровни звуковой мощности источника днём, Lw, дБ		**исходные данные**	**0**	**93,3**	**94,7**	**96**	**96,3**	**95,9**	**92,6**	**88,4**	**83,9**		
Уровни звуковой мощности источника ночью, Lw, дБ		**исходные данные**	**0**	**93,3**	**94,7**	**96**	**96,3**	**95,9**	**92,6**	**88,4**	**83,9**		
Поправка на телесный угол DΩ, дБ	Ω = 6.28	10Lg(4π/Ω)	**3**	3	3	3	3	3	3	3	3		
Показатель направленности источника Di, дБ		исходные данные	**0**	0	0	0	0	0	0	0	0		
Поправка на направленность источника Dc, дБ	Dc	DΩ + Di	**3**	3	3	3	3	3	3	3	3		
Затухание из-за геометрической дивергенции, Adiv, дБ	расстояние = 251.84 м	ф-ла (7) [10]	**59**										
Коэффициент затухания звука в атмосфере α, дБ/км	Ta=20,°C Pa=101.33,кПа hотн.=70%	ф-ла (5) [9]	0,02	0,09	0,33	1,12	2,79	4,98	9,04	23,09	77,63		
Учет затухания звука в атмосфере Aatm, дБ		ф-ла (8) [10]	0	0	0,1	0,3	0,7	1,3	2,3	5,8	19,6		
Снижение поверхностью земли возле источника As, дБ	Gs = 0 hs = 1м	ф-лы таб.3 [10]	-1,5	-1,5	-1,5	-1,5	-1,5	-1,5	-1,5	-1,5	-1,5		
Снижение поверхностью земли возле приёмника Ar, дБ	Gr = 1 hr = 1.5м	ф-лы таб.3 [10]	-1,5	-1,5	1,4	7	4,9	0,7	0	0	0		
Снижение поверхностью земли в средней зоне, Am дБ	Gm = 1	ф-лы таб.3 [10]	-2,1	-2,1	0	0	0	0	0	0	0		

1		2	3	4	5	6	7	8	9	10	11	12	13
Суммарное снижение поверхностью земли на траектории распространения звука Agr, дБ		ф-ла (9) [10]	-5,1	-5,1	-0,1	5,5	3,4	-0,8	-1,5	-1,5	-1,5		
Уровни звукового давления от источника ИШ-9-5 в расчётной точке днём, дБ		**ф-ла(3)[10]**	**0**	**42,4**	**38,6**	**34,2**	**36,1**	**39,5**	**35,8**	**28,1**	**9,8**	**42,4**	**42,4**
Уровни звукового давления от источника ИШ-9-5 в расчётной точке ночью, дБ		**ф-ла(3)[10]**	**0**	**42,4**	**38,6**	**34,2**	**36,1**	**39,5**	**35,8**	**28,1**	**9,8**	**42,4**	**42,4**
Источник шума: ИШ-9-6, координаты источника (x,y,z), м =[647.87,-343.47,1.00]													
Уровни звуковой мощности источника днём, Lw, дБ		**исходные данные**	**0**	**93,3**	**94,7**	**96**	**96,3**	**95,9**	**92,6**	**88,4**	**83,9**		
Уровни звуковой мощности источника ночью, Lw, дБ		**исходные данные**	**0**	**93,3**	**94,7**	**96**	**96,3**	**95,9**	**92,6**	**88,4**	**83,9**		
Поправка на телесный угол DΩ, дБ	Ω = 6.28	10Lg(4π/Ω)	**3**	3	3	3	3	3	3	3	3		
Показатель направленности источника Di, дБ		исходные данные	**0**	0	0	0	0	0	0	0	0		
Поправка на направленность источника Dc, дБ	Dc	DΩ + Di	**3**	3	3	3	3	3	3	3	3		
Затухание из-за геометрической дивергенции, Adiv, дБ	расстояние = 254.14 м	ф-ла (7) [10]	**59,1**										
Коэффициент затухания звука в атмосфере α, дБ/км	Ta=20,°C Pa=101.33,кПа hотн.=70%	ф-ла (5) [9]	0,02	0,09	0,33	1,12	2,79	4,98	9,04	23,09	77,63		
Учет затухания звука в атмосфере Aatm, дБ		ф-ла (8) [10]	0	0	0,1	0,3	0,7	1,3	2,3	5,9	19,7		
Снижение поверхностью земли возле источника As, дБ	Gs = 0 hs = 1м	ф-лы таб.3 [10]	-1,5	-1,5	-1,5	-1,5	-1,5	-1,5	-1,5	-1,5	-1,5		
Снижение поверхностью земли возле приёмника Ar, дБ	Gr = 1 hr = 1.5м	ф-лы таб.3 [10]	-1,5	-1,5	1,5	7	4,9	0,7	0	0	0		
Снижение поверхностью земли в средней зоне, Am дБ	Gm = 1	ф-лы таб.3 [10]	-2,1	-2,1	0	0	0	0	0	0	0		
Суммарное снижение поверхностью земли на траектории распространения звука Agr, дБ		ф-ла (9) [10]	-5,1	-5,1	0	5,5	3,4	-0,8	-1,5	-1,5	-1,5		

1		2	3	4	5	6	7	8	9	10	11	12	13
Уровни звукового давления от источника ИШ-9-6 в расчётной точке днём, дБ		**ф-ла(3)[10]**	**0**	**42,3**	**38,6**	**34,1**	**36**	**39,4**	**35,7**	**27,9**	**9,6**	**42,3**	**42,3**
Уровни звукового давления от источника ИШ-9-6 в расчётной точке ночью, дБ		**ф-ла(3)[10]**	**0**	**42,3**	**38,6**	**34,1**	**36**	**39,4**	**35,7**	**27,9**	**9,6**	**42,3**	**42,3**
Источник шума: ИШ-9-7, координаты источника (x,y,z), м =[648.71,-340.49,1.00]													
Уровни звуковой мощности источника днём, Lw, дБ		**исходные данные**	**0**	**93,3**	**94,7**	**96**	**96,3**	**95,9**	**92,6**	**88,4**	**83,9**		
Уровни звуковой мощности источника ночью, Lw, дБ		**исходные данные**	**0**	**93,3**	**94,7**	**96**	**96,3**	**95,9**	**92,6**	**88,4**	**83,9**		
Поправка на телесный угол DΩ, дБ	Ω = 6.28	10Lg(4π/Ω)	**3**	3	3	3	3	3	3	3	3		
Показатель направленности источника Di, дБ		исходные данные	**0**	0	0	0	0	0	0	0	0		
Поправка на направленность источника Dc, дБ	Dc	DΩ + Di	**3**	3	3	3	3	3	3	3	3		
Затухание из-за геометрической дивергенции, Adiv, дБ	расстояние = 256.77 м	ф-ла (7) [10]	**59,2**										
Коэффициент затухания звука в атмосфере α, дБ/км	Ta=20,°C Pa=101.33,кПа hотн.=70%	ф-ла (5) [9]	0,02	0,09	0,33	1,12	2,79	4,98	9,04	23,09	77,63		
Учет затухания звука в атмосфере Aatm, дБ		ф-ла (8) [10]	0	0	0,1	0,3	0,7	1,3	2,3	5,9	19,9		
Снижение поверхностью земли возле источника As, дБ	Gs = 0 hs = 1м	ф-лы таб.3 [10]	-1,5	-1,5	-1,5	-1,5	-1,5	-1,5	-1,5	-1,5	-1,5		
Снижение поверхностью земли возле приёмника Ar, дБ	Gr = 1 hr = 1.5м	ф-лы таб.3 [10]	-1,5	-1,5	1,5	7	4,9	0,7	0	0	0		
Снижение поверхностью земли в средней зоне, Am дБ	Gm = 1	ф-лы таб.3 [10]	-2,1	-2,1	0	0	0	0	0	0	0		
Суммарное снижение поверхностью земли на траектории распространения звука Agr, дБ		ф-ла (9) [10]	-5,1	-5,1	0	5,5	3,4	-0,8	-1,5	-1,5	-1,5		
Уровни звукового давления от источника ИШ-9-7 в расчётной точке днём, дБ		**ф-ла(3)[10]**	**0**	**42,2**	**38,4**	**34**	**35,9**	**39,3**	**35,6**	**27,8**	**9,3**	**42,2**	**42,2**

1		2	3	4	5	6	7	8	9	10	11	12	13
Уровни звукового давления от источника ИШ-9-7 в расчётной точке ночью, дБ		**ф-ла(3)[10]**	**0**	**42,2**	**38,4**	**34**	**35,9**	**39,3**	**35,6**	**27,8**	**9,3**	**42,2**	**42,2**
Источник шума: ИШ-9-8, координаты источника (x,y,z), м =[649.92,-337.69,1.00]													
Уровни звуковой мощности источника днём, Lw, дБ		**исходные данные**	**0**	**93,3**	**94,7**	**96**	**96,3**	**95,9**	**92,6**	**88,4**	**83,9**		
Уровни звуковой мощности источника ночью, Lw, дБ		**исходные данные**	**0**	**93,3**	**94,7**	**96**	**96,3**	**95,9**	**92,6**	**88,4**	**83,9**		
Поправка на телесный угол DΩ, дБ	Ω = 6.28	10Lg(4π/Ω)	**3**	3	3	3	3	3	3	3	3		
Показатель направленности источника Di, дБ		исходные данные	**0**	0	0	0	0	0	0	0	0		
Поправка на направленность источника Dc, дБ	Dc	DΩ + Di	**3**	3	3	3	3	3	3	3	3		
Затухание из-за геометрической дивергенции, Adiv, дБ	расстояние = 259.13 м	ф-ла (7) [10]	**59,3**										
Коэффициент затухания звука в атмосфере α, дБ/км	Ta=20,°C Pa=101.33,кПа hотн.=70%	ф-ла (5) [9]	0,02	0,09	0,33	1,12	2,79	4,98	9,04	23,09	77,63		
Учет затухания звука в атмосфере Aatm, дБ		ф-ла (8) [10]	0	0	0,1	0,3	0,7	1,3	2,3	6	20,1		
Снижение поверхностью земли возле источника As, дБ	Gs = 0 hs = 1м	ф-лы таб.3 [10]	-1,5	-1,5	-1,5	-1,5	-1,5	-1,5	-1,5	-1,5	-1,5		
Снижение поверхностью земли возле приёмника Ar, дБ	Gr = 1 hr = 1.5м	ф-лы таб.3 [10]	-1,5	-1,5	1,5	7	4,9	0,7	0	0	0		
Снижение поверхностью земли в средней зоне, Am дБ	Gm = 1	ф-лы таб.3 [10]	-2,1	-2,1	0	0	0	0	0	0	0		
Суммарное снижение поверхностью земли на траектории распространения звука Agr, дБ		ф-ла (9) [10]	-5,1	-5,1	0	5,5	3,4	-0,8	-1,5	-1,5	-1,5		
Уровни звукового давления от источника ИШ-9-8 в расчётной точке днём, дБ		**ф-ла(3)[10]**	**0**	**42,1**	**38,4**	**33,9**	**35,9**	**39,2**	**35,5**	**27,6**	**9**	**42,1**	**42,1**
Уровни звукового давления от источника ИШ-9-8 в расчётной точке ночью, дБ		**ф-ла(3)[10]**	**0**	**42,1**	**38,4**	**33,9**	**35,9**	**39,2**	**35,5**	**27,6**	**9**	**42,1**	**42,1**

1		2	3	4	5	6	7	8	9	10	11	12	13
Источник шума: ИШ-9-9, координаты источника (x,y,z), м =[650.66,-334.90,1.00]													
Уровни звуковой мощности источника днём, Lw, дБ		**исходные данные**	**0**	**93,3**	**94,7**	**96**	**96,3**	**95,9**	**92,6**	**88,4**	**83,9**		
Уровни звуковой мощности источника ночью, Lw, дБ		**исходные данные**	**0**	**93,3**	**94,7**	**96**	**96,3**	**95,9**	**92,6**	**88,4**	**83,9**		
Поправка на телесный угол DΩ, дБ	Ω = 6.28	10Lg(4π/Ω)	**3**	3	3	3	3	3	3	3	3		
Показатель направленности источника Di, дБ		исходные данные	**0**	0	0	0	0	0	0	0	0		
Поправка на направленность источника Dc, дБ	Dc	DΩ + Di	**3**	3	3	3	3	3	3	3	3		
Затухание из-за геометрической дивергенции, Adiv, дБ	расстояние = 261.63 м	ф-ла (7) [10]	**59,4**										
Коэффициент затухания звука в атмосфере α, дБ/км	Ta=20,°C Pa=101.33,кПа hотн.=70%	ф-ла (5) [9]	0,02	0,09	0,33	1,12	2,79	4,98	9,04	23,09	77,63		
Учет затухания звука в атмосфере Aatm, дБ		ф-ла (8) [10]	0	0	0,1	0,3	0,7	1,3	2,4	6	20,3		
Снижение поверхностью земли возле источника As, дБ	Gs = 0 hs = 1м	ф-лы таб.3 [10]	-1,5	-1,5	-1,5	-1,5	-1,5	-1,5	-1,5	-1,5	-1,5		
Снижение поверхностью земли возле приёмника Ar, дБ	Gr = 1 hr = 1.5м	ф-лы таб.3 [10]	-1,5	-1,5	1,5	7	4,9	0,7	0	0	0		
Снижение поверхностью земли в средней зоне, Am дБ	Gm = 1	ф-лы таб.3 [10]	-2,1	-2,1	0	0	0	0	0	0	0		
Суммарное снижение поверхностью земли на траектории распространения звука Agr, дБ		ф-ла (9) [10]	-5,1	-5,1	0	5,5	3,4	-0,8	-1,5	-1,5	-1,5		
Уровни звукового давления от источника ИШ-9-9 в расчётной точке днём, дБ		**ф-ла(3)[10]**	**0**	**42,1**	**38,3**	**33,9**	**35,8**	**39,1**	**35,4**	**27,5**	**8,7**	**42**	**42**
Уровни звукового давления от источника ИШ-9-9 в расчётной точке ночью, дБ		**ф-ла(3)[10]**	**0**	**42,1**	**38,3**	**33,9**	**35,8**	**39,1**	**35,4**	**27,5**	**8,7**	**42**	**42**
Источник шума: ИШ-9-10, координаты источника (x,y,z), м =[651.59,-332.01,1.00]													

1		2	3	4	5	6	7	8	9	10	11	12	13
Уровни звуковой мощности источника днём, Lw, дБ		**исходные данные**	**0**	**93,3**	**94,7**	**96**	**96,3**	**95,9**	**92,6**	**88,4**	**83,9**		
Уровни звуковой мощности источника ночью, Lw, дБ		**исходные данные**	**0**	**93,3**	**94,7**	**96**	**96,3**	**95,9**	**92,6**	**88,4**	**83,9**		
Поправка на телесный угол DΩ, дБ	Ω = 6.28	10Lg(4π/Ω)	**3**	3	3	3	3	3	3	3	3		
Показатель направленности источника Di, дБ		исходные данные	**0**	0	0	0	0	0	0	0	0		
Поправка на направленность источника Dc, дБ	Dc	DΩ + Di	**3**	3	3	3	3	3	3	3	3		
Затухание из-за геометрической дивергенции, Adiv, дБ	расстояние = 264.18 м	ф-ла (7) [10]	**59,4**										
Коэффициент затухания звука в атмосфере α, дБ/км	Ta=20,°C Pa=101.33,кПа hотн.=70%	ф-ла (5) [9]	0,02	0,09	0,33	1,12	2,79	4,98	9,04	23,09	77,63		
Учет затухания звука в атмосфере Aatm, дБ		ф-ла (8) [10]	0	0	0,1	0,3	0,7	1,3	2,4	6,1	20,5		
Снижение поверхностью земли возле источника As, дБ	Gs = 0 hs = 1м	ф-лы таб.3 [10]	-1,5	-1,5	-1,5	-1,5	-1,5	-1,5	-1,5	-1,5	-1,5		
Снижение поверхностью земли возле приёмника Ar, дБ	Gr = 1 hr = 1.5м	ф-лы таб.3 [10]	-1,5	-1,5	1,5	7	4,9	0,7	0	0	0		
Снижение поверхностью земли в средней зоне, Am дБ	Gm = 1	ф-лы таб.3 [10]	-2,1	-2,1	0	0	0	0	0	0	0		
Суммарное снижение поверхностью земли на траектории распространения звука Agr, дБ		ф-ла (9) [10]	-5,1	-5,1	0	5,5	3,4	-0,8	-1,5	-1,5	-1,5		
Уровни звукового давления от источника ИШ-9-10 в расчётной точке днём, дБ		**ф-ла(3)[10]**	**0**	**42**	**38,2**	**33,8**	**35,7**	**39**	**35,3**	**27,4**	**8,4**	**41,9**	**41,9**
Уровни звукового давления от источника ИШ-9-10 в расчётной точке ночью, дБ		**ф-ла(3)[10]**	**0**	**42**	**38,2**	**33,8**	**35,7**	**39**	**35,3**	**27,4**	**8,4**	**41,9**	**41,9**
Источник шума: ИШ-9-11, координаты источника (x,y,z), м =[652.71,-329.22,1.00]													
Уровни звуковой мощности источника днём, Lw, дБ		**исходные данные**	**0**	**93,3**	**94,7**	**96**	**96,3**	**95,9**	**92,6**	**88,4**	**83,9**		

1		2	3	4	5	6	7	8	9	10	11	12	13
Уровни звуковой мощности источника ночью, Lw, дБ		**исходные данные**	**0**	**93,3**	**94,7**	**96**	**96,3**	**95,9**	**92,6**	**88,4**	**83,9**		
Поправка на телесный угол DΩ, дБ	Ω = 6.28	10Lg(4π/Ω)	**3**	3	3	3	3	3	3	3	3		
Показатель направленности источника Di, дБ		исходные данные	**0**	0	0	0	0	0	0	0	0		
Поправка на направленность источника Dc, дБ	Dc	DΩ + Di	**3**	3	3	3	3	3	3	3	3		
Затухание из-за геометрической дивергенции, Adiv, дБ	расстояние = 266.61 м	ф-ла (7) [10]	**59,5**										
Коэффициент затухания звука в атмосфере α, дБ/км	Ta=20,°C Pa=101.33,кПа hотн.=70%	ф-ла (5) [9]	0,02	0,09	0,33	1,12	2,79	4,98	9,04	23,09	77,63		
Учет затухания звука в атмосфере Aatm, дБ		ф-ла (8) [10]	0	0	0,1	0,3	0,7	1,3	2,4	6,2	20,7		
Снижение поверхностью земли возле источника As, дБ	Gs = 0 hs = 1м	ф-лы таб.3 [10]	-1,5	-1,5	-1,5	-1,5	-1,5	-1,5	-1,5	-1,5	-1,5		
Снижение поверхностью земли возле приёмника Ar, дБ	Gr = 1 hr = 1.5м	ф-лы таб.3 [10]	-1,5	-1,5	1,5	7	4,9	0,7	0	0	0		
Снижение поверхностью земли в средней зоне, Am дБ	Gm = 1	ф-лы таб.3 [10]	-2,2	-2,2	0	0	0	0	0	0	0		
Суммарное снижение поверхностью земли на траектории распространения звука Agr, дБ		ф-ла (9) [10]	-5,2	-5,2	0	5,5	3,4	-0,8	-1,5	-1,5	-1,5		
Уровни звукового давления от источника ИШ-9-11 в расчётной точке днём, дБ		**ф-ла(3)[10]**	**0**	**41,9**	**38,1**	**33,7**	**35,6**	**38,9**	**35,2**	**27,2**	**8,2**	**41,8**	**41,8**
Уровни звукового давления от источника ИШ-9-11 в расчётной точке ночью, дБ		**ф-ла(3)[10]**	**0**	**41,9**	**38,1**	**33,7**	**35,6**	**38,9**	**35,2**	**27,2**	**8,2**	**41,8**	**41,8**
Источник шума: ИШ-9-12, координаты источника (x,y,z), м =[653.46,-326.33,1.00]													
Уровни звуковой мощности источника днём, Lw, дБ		**исходные данные**	**0**	**93,3**	**94,7**	**96**	**96,3**	**95,9**	**92,6**	**88,4**	**83,9**		
Уровни звуковой мощности источника ночью, Lw, дБ		**исходные данные**	**0**	**93,3**	**94,7**	**96**	**96,3**	**95,9**	**92,6**	**88,4**	**83,9**		

1		2	3	4	5	6	7	8	9	10	11	12	13
Поправка на телесный угол DΩ, дБ	Ω = 6.28	10Lg(4π/Ω)	**3**	3	3	3	3	3	3	3	3		
Показатель направленности источника Di, дБ		исходные данные	**0**	0	0	0	0	0	0	0	0		
Поправка на направленность источника Dc, дБ	Dc	DΩ + Di	**3**	3	3	3	3	3	3	3	3		
Затухание из-за геометрической дивергенции, Adiv, дБ	расстояние = 269.22 м	ф-ла (7) [10]	**59,6**										
Коэффициент затухания звука в атмосфере α, дБ/км	Ta=20,°C Pa=101.33,кПа hотн.=70%	ф-ла (5) [9]	0,02	0,09	0,33	1,12	2,79	4,98	9,04	23,09	77,63		
Учет затухания звука в атмосфере Aatm, дБ		ф-ла (8) [10]	0	0	0,1	0,3	0,8	1,3	2,4	6,2	20,9		
Снижение поверхностью земли возле источника As, дБ	Gs = 0 hs = 1м	ф-лы таб.3 [10]	-1,5	-1,5	-1,5	-1,5	-1,5	-1,5	-1,5	-1,5	-1,5		
Снижение поверхностью земли возле приёмника Ar, дБ	Gr = 1 hr = 1.5м	ф-лы таб.3 [10]	-1,5	-1,5	1,5	7	5	0,7	0	0	0		
Снижение поверхностью земли в средней зоне, Am дБ	Gm = 1	ф-лы таб.3 [10]	-2,2	-2,2	0	0	0	0	0	0	0		
Суммарное снижение поверхностью земли на траектории распространения звука Agr, дБ		ф-ла (9) [10]	-5,2	-5,2	0	5,5	3,5	-0,8	-1,5	-1,5	-1,5		
Уровни звукового давления от источника ИШ-9-12 в расчётной точке днём, дБ		**ф-ла(3)[10]**	**0**	**41,8**	**38**	**33,6**	**35,5**	**38,8**	**35,1**	**27,1**	**7,9**	**41,7**	**41,7**
Уровни звукового давления от источника ИШ-9-12 в расчётной точке ночью, дБ		**ф-ла(3)[10]**	**0**	**41,8**	**38**	**33,6**	**35,5**	**38,8**	**35,1**	**27,1**	**7,9**	**41,7**	**41,7**
Источник шума: ИШ-9-13, координаты источника (x,y,z), м =[654.48,-323.54,1.00]													
Уровни звуковой мощности источника днём, Lw, дБ		**исходные данные**	**0**	**93,3**	**94,7**	**96**	**96,3**	**95,9**	**92,6**	**88,4**	**83,9**		
Уровни звуковой мощности источника ночью, Lw, дБ		**исходные данные**	**0**	**93,3**	**94,7**	**96**	**96,3**	**95,9**	**92,6**	**88,4**	**83,9**		
Поправка на телесный угол DΩ, дБ	Ω = 6.28	10Lg(4π/Ω)	**3**	3	3	3	3	3	3	3	3		

1		2	3	4	5	6	7	8	9	10	11	12	13
Показатель направленности источника Di, дБ		исходные данные	**0**	0	0	0	0	0	0	0	0		
Поправка на направленность источника Dc, дБ	Dc	DΩ + Di	**3**	3	3	3	3	3	3	3	3		
Затухание из-за геометрической дивергенции, Adiv, дБ	расстояние = 271.69 м	ф-ла (7) [10]	**59,7**										
Коэффициент затухания звука в атмосфере α, дБ/км	Ta=20,°C Pa=101.33,кПа hотн.=70%	ф-ла (5) [9]	0,02	0,09	0,33	1,12	2,79	4,98	9,04	23,09	77,63		
Учет затухания звука в атмосфере Aatm, дБ		ф-ла (8) [10]	0	0	0,1	0,3	0,8	1,4	2,5	6,3	21,1		
Снижение поверхностью земли возле источника As, дБ	Gs = 0 hs = 1м	ф-лы таб.3 [10]	-1,5	-1,5	-1,5	-1,5	-1,5	-1,5	-1,5	-1,5	-1,5		
Снижение поверхностью земли возле приёмника Ar, дБ	Gr = 1 hr = 1.5м	ф-лы таб.3 [10]	-1,5	-1,5	1,6	7	5	0,7	0	0	0		
Снижение поверхностью земли в средней зоне, Am дБ	Gm = 1	ф-лы таб.3 [10]	-2,2	-2,2	0	0	0	0	0	0	0		
Суммарное снижение поверхностью земли на траектории распространения звука Agr, дБ		ф-ла (9) [10]	-5,2	-5,2	0,1	5,5	3,5	-0,8	-1,5	-1,5	-1,5		
Уровни звукового давления от источника ИШ-9-13 в расчётной точке днём, дБ		**ф-ла(3)[10]**	**0**	**41,8**	**37,9**	**33,5**	**35,4**	**38,7**	**35**	**26,9**	**7,6**	**41,6**	**41,6**
Уровни звукового давления от источника ИШ-9-13 в расчётной точке ночью, дБ		**ф-ла(3)[10]**	**0**	**41,8**	**37,9**	**33,5**	**35,4**	**38,7**	**35**	**26,9**	**7,6**	**41,6**	**41,6**
Источник шума: ИШ-9-14, координаты источника (x,y,z), м =[655.60,-320.74,1.00]													
Уровни звуковой мощности источника днём, Lw, дБ		**исходные данные**	**0**	**93,3**	**94,7**	**96**	**96,3**	**95,9**	**92,6**	**88,4**	**83,9**		
Уровни звуковой мощности источника ночью, Lw, дБ		**исходные данные**	**0**	**93,3**	**94,7**	**96**	**96,3**	**95,9**	**92,6**	**88,4**	**83,9**		
Поправка на телесный угол DΩ, дБ	Ω = 6.28	10Lg(4π/Ω)	**3**	3	3	3	3	3	3	3	3		
Показатель направленности источника Di, дБ		исходные данные	**0**	0	0	0	0	0	0	0	0		

1		2	3	4	5	6	7	8	9	10	11	12	13
Поправка на направленность источника Dc, дБ	Dc	DΩ + Di	**3**	3	3	3	3	3	3	3	3		
Затухание из-за геометрической дивергенции, Adiv, дБ	расстояние = 274.14 м	ф-ла (7) [10]	**59,8**										
Коэффициент затухания звука в атмосфере α, дБ/км	Ta=20,°C Pa=101.33,кПа hотн.=70%	ф-ла (5) [9]	0,02	0,09	0,33	1,12	2,79	4,98	9,04	23,09	77,63		
Учет затухания звука в атмосфере Aatm, дБ		ф-ла (8) [10]	0	0	0,1	0,3	0,8	1,4	2,5	6,3	21,3		
Снижение поверхностью земли возле источника As, дБ	Gs = 0 hs = 1м	ф-лы таб.3 [10]	-1,5	-1,5	-1,5	-1,5	-1,5	-1,5	-1,5	-1,5	-1,5		
Снижение поверхностью земли возле приёмника Ar, дБ	Gr = 1 hr = 1.5м	ф-лы таб.3 [10]	-1,5	-1,5	1,6	7	5	0,7	0	0	0		
Снижение поверхностью земли в средней зоне, Am дБ	Gm = 1	ф-лы таб.3 [10]	-2,2	-2,2	0	0	0	0	0	0	0		
Суммарное снижение поверхностью земли на траектории распространения звука Agr, дБ		ф-ла (9) [10]	-5,2	-5,2	0,1	5,5	3,5	-0,8	-1,5	-1,5	-1,5		
Уровни звукового давления от источника ИШ-9-14 в расчётной точке днём, дБ		**ф-ла(3)[10]**	**0**	**41,7**	**37,8**	**33,4**	**35,3**	**38,6**	**34,9**	**26,8**	**7,4**	**41,5**	**41,5**
Уровни звукового давления от источника ИШ-9-14 в расчётной точке ночью, дБ		**ф-ла(3)[10]**	**0**	**41,7**	**37,8**	**33,4**	**35,3**	**38,6**	**34,9**	**26,8**	**7,4**	**41,5**	**41,5**
Источник шума: ИШ-9-15, координаты источника (x,y,z), м =[656.44,-317.86,1.00]													
Уровни звуковой мощности источника днём, Lw, дБ		**исходные данные**	**0**	**93,3**	**94,7**	**96**	**96,3**	**95,9**	**92,6**	**88,4**	**83,9**		
Уровни звуковой мощности источника ночью, Lw, дБ		**исходные данные**	**0**	**93,3**	**94,7**	**96**	**96,3**	**95,9**	**92,6**	**88,4**	**83,9**		
Поправка на телесный угол DΩ, дБ	Ω = 6.28	10Lg(4π/Ω)	**3**	3	3	3	3	3	3	3	3		
Показатель направленности источника Di, дБ		исходные данные	**0**	0	0	0	0	0	0	0	0		
Поправка на направленность источника Dc, дБ	Dc	DΩ + Di	**3**	3	3	3	3	3	3	3	3		

1		2	3	4	5	6	7	8	9	10	11	12	13
Затухание из-за геометрической дивергенции, Adiv, дБ	расстояние = 276.76 м	ф-ла (7) [10]	**59,8**										
Коэффициент затухания звука в атмосфере α, дБ/км	Ta=20,°C Pa=101.33,кПа hотн.=70%	ф-ла (5) [9]	0,02	0,09	0,33	1,12	2,79	4,98	9,04	23,09	77,63		
Учет затухания звука в атмосфере Aatm, дБ		ф-ла (8) [10]	0	0	0,1	0,3	0,8	1,4	2,5	6,4	21,5		
Снижение поверхностью земли возле источника As, дБ	Gs = 0 hs = 1м	ф-лы таб.3 [10]	-1,5	-1,5	-1,5	-1,5	-1,5	-1,5	-1,5	-1,5	-1,5		
Снижение поверхностью земли возле приёмника Ar, дБ	Gr = 1 hr = 1.5м	ф-лы таб.3 [10]	-1,5	-1,5	1,6	7	5	0,7	0	0	0		
Снижение поверхностью земли в средней зоне, Am дБ	Gm = 1	ф-лы таб.3 [10]	-2,2	-2,2	0	0	0	0	0	0	0		
Суммарное снижение поверхностью земли на траектории распространения звука Agr, дБ		ф-ла (9) [10]	-5,2	-5,2	0,1	5,5	3,5	-0,8	-1,5	-1,5	-1,5		
Уровни звукового давления от источника ИШ-9-15 в расчётной точке днём, дБ		**ф-ла(3)[10]**	**0**	**41,6**	**37,7**	**33,3**	**35,2**	**38,5**	**34,7**	**26,7**	**7,1**	**41,4**	**41,4**
Уровни звукового давления от источника ИШ-9-15 в расчётной точке ночью, дБ		**ф-ла(3)[10]**	**0**	**41,6**	**37,7**	**33,3**	**35,2**	**38,5**	**34,7**	**26,7**	**7,1**	**41,4**	**41,4**
Источник шума: ИШ-9-16, координаты источника (x,y,z), м =[657.46,-314.97,1.00]													
Уровни звуковой мощности источника днём, Lw, дБ		**исходные данные**	**0**	**93,3**	**94,7**	**96**	**96,3**	**95,9**	**92,6**	**88,4**	**83,9**		
Уровни звуковой мощности источника ночью, Lw, дБ		**исходные данные**	**0**	**93,3**	**94,7**	**96**	**96,3**	**95,9**	**92,6**	**88,4**	**83,9**		
Поправка на телесный угол DΩ, дБ	Ω = 6.28	10Lg(4π/Ω)	**3**	3	3	3	3	3	3	3	3		
Показатель направленности источника Di, дБ		исходные данные	**0**	0	0	0	0	0	0	0	0		
Поправка на направленность источника Dc, дБ	Dc	DΩ + Di	**3**	3	3	3	3	3	3	3	3		
Затухание из-за геометрической дивергенции, Adiv, дБ	расстояние = 279.35 м	ф-ла (7) [10]	**59,9**										

1		2	3	4	5	6	7	8	9	10	11	12	13
Коэффициент затухания звука в атмосфере α, дБ/км	Ta=20,°C Pa=101.33,кПа hотн.=70%	ф-ла (5) [9]	0,02	0,09	0,33	1,12	2,79	4,98	9,04	23,09	77,63		
Учет затухания звука в атмосфере Aatm, дБ		ф-ла (8) [10]	0	0	0,1	0,3	0,8	1,4	2,5	6,4	21,7		
Снижение поверхностью земли возле источника As, дБ	Gs = 0 hs = 1м	ф-лы таб.3 [10]	-1,5	-1,5	-1,5	-1,5	-1,5	-1,5	-1,5	-1,5	-1,5		
Снижение поверхностью земли возле приёмника Ar, дБ	Gr = 1 hr = 1.5м	ф-лы таб.3 [10]	-1,5	-1,5	1,6	7	5	0,7	0	0	0		
Снижение поверхностью земли в средней зоне, Am дБ	Gm = 1	ф-лы таб.3 [10]	-2,2	-2,2	0	0	0	0	0	0	0		
Суммарное снижение поверхностью земли на траектории распространения звука Agr, дБ		ф-ла (9) [10]	-5,2	-5,2	0,1	5,5	3,5	-0,8	-1,5	-1,5	-1,5		
Уровни звукового давления от источника ИШ-9-16 в расчётной точке днём, дБ		**ф-ла(3)[10]**	**0**	**41,5**	**37,6**	**33,3**	**35,1**	**38,4**	**34,6**	**26,5**	**6,8**	**41,3**	**41,3**
Уровни звукового давления от источника ИШ-9-16 в расчётной точке ночью, дБ		**ф-ла(3)[10]**	**0**	**41,5**	**37,6**	**33,3**	**35,1**	**38,4**	**34,6**	**26,5**	**6,8**	**41,3**	**41,3**
Источник шума: ИШ-9-17, координаты источника (x,y,z), м =[658.49,-312.18,1.00]													
Уровни звуковой мощности источника днём, Lw, дБ		**исходные данные**	**0**	**93,3**	**94,7**	**96**	**96,3**	**95,9**	**92,6**	**88,4**	**83,9**		
Уровни звуковой мощности источника ночью, Lw, дБ		**исходные данные**	**0**	**93,3**	**94,7**	**96**	**96,3**	**95,9**	**92,6**	**88,4**	**83,9**		
Поправка на телесный угол DΩ, дБ	Ω = 6.28	10Lg(4π/Ω)	**3**	3	3	3	3	3	3	3	3		
Показатель направленности источника Di, дБ		исходные данные	**0**	0	0	0	0	0	0	0	0		
Поправка на направленность источника Dc, дБ	Dc	DΩ + Di	**3**	3	3	3	3	3	3	3	3		
Затухание из-за геометрической дивергенции, Adiv, дБ	расстояние = 281.85 м	ф-ла (7) [10]	**60**										
Коэффициент затухания звука в атмосфере α, дБ/км	Ta=20,°C Pa=101.33,кПа hотн.=70%	ф-ла (5) [9]	0,02	0,09	0,33	1,12	2,79	4,98	9,04	23,09	77,63		

1		2	3	4	5	6	7	8	9	10	11	12	13
Учет затухания звука в атмосфере Aatm, дБ		ф-ла (8) [10]	0	0	0,1	0,3	0,8	1,4	2,5	6,5	21,9		
Снижение поверхностью земли возле источника As, дБ	Gs = 0 hs = 1м	ф-лы таб.3 [10]	-1,5	-1,5	-1,5	-1,5	-1,5	-1,5	-1,5	-1,5	-1,5		
Снижение поверхностью земли возле приёмника Ar, дБ	Gr = 1 hr = 1.5м	ф-лы таб.3 [10]	-1,5	-1,5	1,6	7	5	0,7	0	0	0		
Снижение поверхностью земли в средней зоне, Am дБ	Gm = 1	ф-лы таб.3 [10]	-2,2	-2,2	0	0	0	0	0	0	0		
Суммарное снижение поверхностью земли на траектории распространения звука Agr, дБ		ф-ла (9) [10]	-5,2	-5,2	0,1	5,5	3,5	-0,8	-1,5	-1,5	-1,5		
Уровни звукового давления от источника ИШ-9-17 в расчётной точке днём, дБ		**ф-ла(3)[10]**	**0**	**41,5**	**37,5**	**33,2**	**35**	**38,3**	**34,5**	**26,4**	**6,5**	**41,2**	**41,2**
Уровни звукового давления от источника ИШ-9-17 в расчётной точке ночью, дБ		**ф-ла(3)[10]**	**0**	**41,5**	**37,5**	**33,2**	**35**	**38,3**	**34,5**	**26,4**	**6,5**	**41,2**	**41,2**
Источник шума: ИШ-9-18, координаты источника (x,y,z), м =[659.42,-309.20,1.00]													
Уровни звуковой мощности источника днём, Lw, дБ		**исходные данные**	**0**	**93,3**	**94,7**	**96**	**96,3**	**95,9**	**92,6**	**88,4**	**83,9**		
Уровни звуковой мощности источника ночью, Lw, дБ		**исходные данные**	**0**	**93,3**	**94,7**	**96**	**96,3**	**95,9**	**92,6**	**88,4**	**83,9**		
Поправка на телесный угол DΩ, дБ	Ω = 6.28	10Lg(4π/Ω)	**3**	3	3	3	3	3	3	3	3		
Показатель направленности источника Di, дБ		исходные данные	**0**	0	0	0	0	0	0	0	0		
Поправка на направленность источника Dc, дБ	Dc	DΩ + Di	**3**	3	3	3	3	3	3	3	3		
Затухание из-за геометрической дивергенции, Adiv, дБ	расстояние = 284.57 м	ф-ла (7) [10]	**60,1**										
Коэффициент затухания звука в атмосфере α, дБ/км	Ta=20,°C Pa=101.33,кПа hотн.=70%	ф-ла (5) [9]	0,02	0,09	0,33	1,12	2,79	4,98	9,04	23,09	77,63		
Учет затухания звука в атмосфере Aatm, дБ		ф-ла (8) [10]	0	0	0,1	0,3	0,8	1,4	2,6	6,6	22,1		

1		2	3	4	5	6	7	8	9	10	11	12	13
Снижение поверхностью земли возле источника As, дБ	Gs = 0 hs = 1м	ф-лы таб.3 [10]	-1,5	-1,5	-1,5	-1,5	-1,5	-1,5	-1,5	-1,5	-1,5		
Снижение поверхностью земли возле приёмника Ar, дБ	Gr = 1 hr = 1.5м	ф-лы таб.3 [10]	-1,5	-1,5	1,6	7	5	0,7	0	0	0		
Снижение поверхностью земли в средней зоне, Am дБ	Gm = 1	ф-лы таб.3 [10]	-2,2	-2,2	0	0	0	0	0	0	0		
Суммарное снижение поверхностью земли на траектории распространения звука Agr, дБ		ф-ла (9) [10]	-5,2	-5,2	0,1	5,5	3,5	-0,8	-1,5	-1,5	-1,5		
Уровни звукового давления от источника ИШ-9-18 в расчётной точке днём, дБ		**ф-ла(3)[10]**	**0**	**41,4**	**37,4**	**33,1**	**35**	**38,2**	**34,4**	**26,2**	**6,2**	**41,1**	**41,1**
Уровни звукового давления от источника ИШ-9-18 в расчётной точке ночью, дБ		**ф-ла(3)[10]**	**0**	**41,4**	**37,4**	**33,1**	**35**	**38,2**	**34,4**	**26,2**	**6,2**	**41,1**	**41,1**
Источник шума: ИШ-9-19, координаты источника (x,y,z), м =[660.44,-306.50,1.00]													
Уровни звуковой мощности источника днём, Lw, дБ		**исходные данные**	**0**	**93,3**	**94,7**	**96**	**96,3**	**95,9**	**92,6**	**88,4**	**83,9**		
Уровни звуковой мощности источника ночью, Lw, дБ		**исходные данные**	**0**	**93,3**	**94,7**	**96**	**96,3**	**95,9**	**92,6**	**88,4**	**83,9**		
Поправка на телесный угол DΩ, дБ	Ω = 6.28	10Lg(4π/Ω)	**3**	3	3	3	3	3	3	3	3		
Показатель направленности источника Di, дБ		исходные данные	**0**	0	0	0	0	0	0	0	0		
Поправка на направленность источника Dc, дБ	Dc	DΩ + Di	**3**	3	3	3	3	3	3	3	3		
Затухание из-за геометрической дивергенции, Adiv, дБ	расстояние = 287.00 м	ф-ла (7) [10]	**60,2**										
Коэффициент затухания звука в атмосфере α, дБ/км	Ta=20,°C Pa=101.33,кПа hотн.=70%	ф-ла (5) [9]	0,02	0,09	0,33	1,12	2,79	4,98	9,04	23,09	77,63		
Учет затухания звука в атмосфере Aatm, дБ		ф-ла (8) [10]	0	0	0,1	0,3	0,8	1,4	2,6	6,6	22,3		
Снижение поверхностью земли возле источника As, дБ	Gs = 0 hs = 1м	ф-лы таб.3 [10]	-1,5	-1,5	-1,5	-1,5	-1,5	-1,5	-1,5	-1,5	-1,5		

1		2	3	4	5	6	7	8	9	10	11	12	13
Снижение поверхностью земли возле приёмника Ar, дБ	Gr = 1 hr = 1.5м	ф-лы таб.3 [10]	-1,5	-1,5	1,6	7	5	0,7	0	0	0		
Снижение поверхностью земли в средней зоне, Am дБ	Gm = 1	ф-лы таб.3 [10]	-2,2	-2,2	0	0	0	0	0	0	0		
Суммарное снижение поверхностью земли на траектории распространения звука Agr, дБ		ф-ла (9) [10]	-5,2	-5,2	0,1	5,5	3,5	-0,8	-1,5	-1,5	-1,5		
Уровни звукового давления от источника ИШ-9-19 в расчётной точке днём, дБ		**ф-ла(3)[10]**	**0**	**41,3**	**37,3**	**33**	**34,9**	**38,1**	**34,3**	**26,1**	**6**	**41**	**41**
Уровни звукового давления от источника ИШ-9-19 в расчётной точке ночью, дБ		**ф-ла(3)[10]**	**0**	**41,3**	**37,3**	**33**	**34,9**	**38,1**	**34,3**	**26,1**	**6**	**41**	**41**
Источник шума: ИШ-9-20, координаты источника (x,y,z), м =[661.28,-303.61,1.00]													
Уровни звуковой мощности источника днём, Lw, дБ		**исходные данные**	**0**	**93,3**	**94,7**	**96**	**96,3**	**95,9**	**92,6**	**88,4**	**83,9**		
Уровни звуковой мощности источника ночью, Lw, дБ		**исходные данные**	**0**	**93,3**	**94,7**	**96**	**96,3**	**95,9**	**92,6**	**88,4**	**83,9**		
Поправка на телесный угол DΩ, дБ	Ω = 6.28	10Lg(4π/Ω)	**3**	3	3	3	3	3	3	3	3		
Показатель направленности источника Di, дБ		исходные данные	**0**	0	0	0	0	0	0	0	0		
Поправка на направленность источника Dc, дБ	Dc	DΩ + Di	**3**	3	3	3	3	3	3	3	3		
Затухание из-за геометрической дивергенции, Adiv, дБ	расстояние = 289.66 м	ф-ла (7) [10]	**60,2**										
Коэффициент затухания звука в атмосфере α, дБ/км	Ta=20,°C Pa=101.33,кПа hотн.=70%	ф-ла (5) [9]	0,02	0,09	0,33	1,12	2,79	4,98	9,04	23,09	77,63		
Учет затухания звука в атмосфере Aatm, дБ		ф-ла (8) [10]	0	0	0,1	0,3	0,8	1,4	2,6	6,7	22,5		
Снижение поверхностью земли возле источника As, дБ	Gs = 0 hs = 1м	ф-лы таб.3 [10]	-1,5	-1,5	-1,5	-1,5	-1,5	-1,5	-1,5	-1,5	-1,5		
Снижение поверхностью земли возле приёмника Ar, дБ	Gr = 1 hr = 1.5м	ф-лы таб.3 [10]	-1,5	-1,5	1,7	7	5	0,7	0	0	0		

1		2	3	4	5	6	7	8	9	10	11	12	13
Снижение поверхностью земли в средней зоне, Am дБ	Gm = 1	ф-лы таб.3 [10]	-2,2	-2,2	0	0	0	0	0	0	0		
Суммарное снижение поверхностью земли на траектории распространения звука Agr, дБ		ф-ла (9) [10]	-5,2	-5,2	0,2	5,5	3,5	-0,8	-1,5	-1,5	-1,5		
Уровни звукового давления от источника ИШ-9-20 в расчётной точке днём, дБ		**ф-ла(3)[10]**	**0**	**41,3**	**37,2**	**32,9**	**34,8**	**38,1**	**34,2**	**26**	**5,7**	**40,9**	**40,9**
Уровни звукового давления от источника ИШ-9-20 в расчётной точке ночью, дБ		**ф-ла(3)[10]**	**0**	**41,3**	**37,2**	**32,9**	**34,8**	**38,1**	**34,2**	**26**	**5,7**	**40,9**	**40,9**
Источник шума: ИШ-9-21, координаты источника (x,y,z), м =[661.93,-300.72,1.00]													
Уровни звуковой мощности источника днём, Lw, дБ		**исходные данные**	**0**	**93,3**	**94,7**	**96**	**96,3**	**95,9**	**92,6**	**88,4**	**83,9**		
Уровни звуковой мощности источника ночью, Lw, дБ		**исходные данные**	**0**	**93,3**	**94,7**	**96**	**96,3**	**95,9**	**92,6**	**88,4**	**83,9**		
Поправка на телесный угол DΩ, дБ	Ω = 6.28	10Lg(4π/Ω)	**3**	3	3	3	3	3	3	3	3		
Показатель направленности источника Di, дБ		исходные данные	**0**	0	0	0	0	0	0	0	0		
Поправка на направленность источника Dc, дБ	Dc	DΩ + Di	**3**	3	3	3	3	3	3	3	3		
Затухание из-за геометрической дивергенции, Adiv, дБ	расстояние = 292.36 м	ф-ла (7) [10]	**60,3**										
Коэффициент затухания звука в атмосфере α, дБ/км	Ta=20,°C Pa=101.33,кПа hотн.=70%	ф-ла (5) [9]	0,02	0,09	0,33	1,12	2,79	4,98	9,04	23,09	77,63		
Учет затухания звука в атмосфере Aatm, дБ		ф-ла (8) [10]	0	0	0,1	0,3	0,8	1,5	2,6	6,7	22,7		
Снижение поверхностью земли возле источника As, дБ	Gs = 0 hs = 1м	ф-лы таб.3 [10]	-1,5	-1,5	-1,5	-1,5	-1,5	-1,5	-1,5	-1,5	-1,5		
Снижение поверхностью земли возле приёмника Ar, дБ	Gr = 1 hr = 1.5м	ф-лы таб.3 [10]	-1,5	-1,5	1,7	7	5	0,7	0	0	0		
Снижение поверхностью земли в средней зоне, Am дБ	Gm = 1	ф-лы таб.3 [10]	-2,2	-2,2	0	0	0	0	0	0	0		

1		2	3	4	5	6	7	8	9	10	11	12	13
Суммарное снижение поверхностью земли на траектории распространения звука Agr, дБ		ф-ла (9) [10]	-5,2	-5,2	0,2	5,5	3,5	-0,8	-1,5	-1,5	-1,5		
Уровни звукового давления от источника ИШ-9-21 в расчётной точке днём, дБ		**ф-ла(3)[10]**	**0**	**41,2**	**37,1**	**32,8**	**34,7**	**38**	**34,1**	**25,8**	**5,4**	**40,8**	**40,8**
Уровни звукового давления от источника ИШ-9-21 в расчётной точке ночью, дБ		**ф-ла(3)[10]**	**0**	**41,2**	**37,1**	**32,8**	**34,7**	**38**	**34,1**	**25,8**	**5,4**	**40,8**	**40,8**
Источник шума: ИШ-9-22, координаты источника (x,y,z), м =[663.14,-297.83,1.00]													
Уровни звуковой мощности источника днём, Lw, дБ		**исходные данные**	**0**	**93,3**	**94,7**	**96**	**96,3**	**95,9**	**92,6**	**88,4**	**83,9**		
Уровни звуковой мощности источника ночью, Lw, дБ		**исходные данные**	**0**	**93,3**	**94,7**	**96**	**96,3**	**95,9**	**92,6**	**88,4**	**83,9**		
Поправка на телесный угол DΩ, дБ	Ω = 6.28	10Lg(4π/Ω)	**3**	3	3	3	3	3	3	3	3		
Показатель направленности источника Di, дБ		исходные данные	**0**	0	0	0	0	0	0	0	0		
Поправка на направленность источника Dc, дБ	Dc	DΩ + Di	**3**	3	3	3	3	3	3	3	3		
Затухание из-за геометрической дивергенции, Adiv, дБ	расстояние = 294.96 м	ф-ла (7) [10]	**60,4**										
Коэффициент затухания звука в атмосфере α, дБ/км	Ta=20,°C Pa=101.33,кПа hотн.=70%	ф-ла (5) [9]	0,02	0,09	0,33	1,12	2,79	4,98	9,04	23,09	77,63		
Учет затухания звука в атмосфере Aatm, дБ		ф-ла (8) [10]	0	0	0,1	0,3	0,8	1,5	2,7	6,8	22,9		
Снижение поверхностью земли возле источника As, дБ	Gs = 0 hs = 1м	ф-лы таб.3 [10]	-1,5	-1,5	-1,5	-1,5	-1,5	-1,5	-1,5	-1,5	-1,5		
Снижение поверхностью земли возле приёмника Ar, дБ	Gr = 1 hr = 1.5м	ф-лы таб.3 [10]	-1,5	-1,5	1,7	7	5	0,7	0	0	0		
Снижение поверхностью земли в средней зоне, Am дБ	Gm = 1	ф-лы таб.3 [10]	-2,2	-2,2	0	0	0	0	0	0	0		
Суммарное снижение поверхностью земли на траектории распространения звука Agr, дБ		ф-ла (9) [10]	-5,2	-5,2	0,2	5,5	3,5	-0,8	-1,5	-1,5	-1,5		

1		2	3	4	5	6	7	8	9	10	11	12	13
Уровни звукового давления от источника ИШ-9-22 в расчётной точке днём, дБ		**ф-ла(3)[10]**	**0**	**41,1**	**37**	**32,8**	**34,6**	**37,9**	**34**	**25,7**	**5,1**	**40,7**	**40,7**
Уровни звукового давления от источника ИШ-9-22 в расчётной точке ночью, дБ		**ф-ла(3)[10]**	**0**	**41,1**	**37**	**32,8**	**34,6**	**37,9**	**34**	**25,7**	**5,1**	**40,7**	**40,7**
Источник шума: ИШ-9-23, координаты источника (x,y,z), м =[664.07,-295.13,1.00]													
Уровни звуковой мощности источника днём, Lw, дБ		**исходные данные**	**0**	**93,3**	**94,7**	**96**	**96,3**	**95,9**	**92,6**	**88,4**	**83,9**		
Уровни звуковой мощности источника ночью, Lw, дБ		**исходные данные**	**0**	**93,3**	**94,7**	**96**	**96,3**	**95,9**	**92,6**	**88,4**	**83,9**		
Поправка на телесный угол DΩ, дБ	Ω = 6.28	10Lg(4π/Ω)	**3**	3	3	3	3	3	3	3	3		
Показатель направленности источника Di, дБ		исходные данные	**0**	0	0	0	0	0	0	0	0		
Поправка на направленность источника Dc, дБ	Dc	DΩ + Di	**3**	3	3	3	3	3	3	3	3		
Затухание из-за геометрической дивергенции, Adiv, дБ	расстояние = 297.44 м	ф-ла (7) [10]	**60,5**										
Коэффициент затухания звука в атмосфере α, дБ/км	Ta=20,°C Pa=101.33,кПа hотн.=70%	ф-ла (5) [9]	0,02	0,09	0,33	1,12	2,79	4,98	9,04	23,09	77,63		
Учет затухания звука в атмосфере Aatm, дБ		ф-ла (8) [10]	0	0	0,1	0,3	0,8	1,5	2,7	6,9	23,1		
Снижение поверхностью земли возле источника As, дБ	Gs = 0 hs = 1м	ф-лы таб.3 [10]	-1,5	-1,5	-1,5	-1,5	-1,5	-1,5	-1,5	-1,5	-1,5		
Снижение поверхностью земли возле приёмника Ar, дБ	Gr = 1 hr = 1.5м	ф-лы таб.3 [10]	-1,5	-1,5	1,7	7	5	0,7	0	0	0		
Снижение поверхностью земли в средней зоне, Am дБ	Gm = 1	ф-лы таб.3 [10]	-2,2	-2,2	0	0	0	0	0	0	0		
Суммарное снижение поверхностью земли на траектории распространения звука Agr, дБ		ф-ла (9) [10]	-5,2	-5,2	0,2	5,5	3,5	-0,8	-1,5	-1,5	-1,5		
Уровни звукового давления от источника ИШ-9-23 в расчётной точке днём, дБ		**ф-ла(3)[10]**	**0**	**41**	**36,9**	**32,7**	**34,5**	**37,8**	**33,9**	**25,6**	**4,8**	**40,6**	**40,6**

1		2	3	4	5	6	7	8	9	10	11	12	13
Уровни звукового давления от источника ИШ-9-23 в расчётной точке ночью, дБ		**ф-ла(3)[10]**	**0**	**41**	**36,9**	**32,7**	**34,5**	**37,8**	**33,9**	**25,6**	**4,8**	**40,6**	**40,6**
Источник шума: ИШ-9-24, координаты источника (x,y,z), м =[665.19,-292.34,1.00]													
Уровни звуковой мощности источника днём, Lw, дБ		**исходные данные**	**0**	**93,3**	**94,7**	**96**	**96,3**	**95,9**	**92,6**	**88,4**	**83,9**		
Уровни звуковой мощности источника ночью, Lw, дБ		**исходные данные**	**0**	**93,3**	**94,7**	**96**	**96,3**	**95,9**	**92,6**	**88,4**	**83,9**		
Поправка на телесный угол DΩ, дБ	Ω = 6.28	10Lg(4π/Ω)	**3**	3	3	3	3	3	3	3	3		
Показатель направленности источника Di, дБ		исходные данные	**0**	0	0	0	0	0	0	0	0		
Поправка на направленность источника Dc, дБ	Dc	DΩ + Di	**3**	3	3	3	3	3	3	3	3		
Затухание из-за геометрической дивергенции, Adiv, дБ	расстояние = 299.99 м	ф-ла (7) [10]	**60,5**										
Коэффициент затухания звука в атмосфере α, дБ/км	Ta=20,°C Pa=101.33,кПа hотн.=70%	ф-ла (5) [9]	0,02	0,09	0,33	1,12	2,79	4,98	9,04	23,09	77,63		
Учет затухания звука в атмосфере Aatm, дБ		ф-ла (8) [10]	0	0	0,1	0,3	0,8	1,5	2,7	6,9	23,3		
Снижение поверхностью земли возле источника As, дБ	Gs = 0 hs = 1м	ф-лы таб.3 [10]	-1,5	-1,5	-1,5	-1,5	-1,5	-1,5	-1,5	-1,5	-1,5		
Снижение поверхностью земли возле приёмника Ar, дБ	Gr = 1 hr = 1.5м	ф-лы таб.3 [10]	-1,5	-1,5	1,7	7	5	0,7	0	0	0		
Снижение поверхностью земли в средней зоне, Am дБ	Gm = 1	ф-лы таб.3 [10]	-2,2	-2,2	0	0	0	0	0	0	0		
Суммарное снижение поверхностью земли на траектории распространения звука Agr, дБ		ф-ла (9) [10]	-5,2	-5,2	0,2	5,5	3,5	-0,8	-1,5	-1,5	-1,5		
Уровни звукового давления от источника ИШ-9-24 в расчётной точке днём, дБ		**ф-ла(3)[10]**	**0**	**41**	**36,8**	**32,6**	**34,5**	**37,7**	**33,8**	**25,4**	**4,6**	**40,5**	**40,5**
Уровни звукового давления от источника ИШ-9-24 в расчётной точке ночью, дБ		**ф-ла(3)[10]**	**0**	**41**	**36,8**	**32,6**	**34,5**	**37,7**	**33,8**	**25,4**	**4,6**	**40,5**	**40,5**

1		2	3	4	5	6	7	8	9	10	11	12	13
Источник шума: ИШ-9-25, координаты источника (x,y,z), м =[683.46,-239.16,1.00]													
Уровни звуковой мощности источника днём, Lw, дБ		**исходные данные**	**77**	**75**	**67**	**66**	**63**	**55**	**53**	**48**	**51**		
Уровни звуковой мощности источника ночью, Lw, дБ		**исходные данные**	**77**	**75**	**67**	**66**	**63**	**55**	**53**	**48**	**51**		
Поправка на телесный угол DΩ, дБ	Ω = 6.28	10Lg(4π/Ω)	**3**	3	3	3	3	3	3	3	3		
Показатель направленности источника Di, дБ		исходные данные	**0**	0	0	0	0	0	0	0	0		
Поправка на направленность источника Dc, дБ	Dc	DΩ + Di	**3**	3	3	3	3	3	3	3	3		
Затухание из-за геометрической дивергенции, Adiv, дБ	расстояние = 350.12 м	ф-ла (7) [10]	**61,9**										
Коэффициент затухания звука в атмосфере α, дБ/км	Ta=20,°C Pa=101.33,кПа hотн.=70%	ф-ла (5) [9]	0,02	0,09	0,33	1,12	2,79	4,98	9,04	23,09	77,63		
Учет затухания звука в атмосфере Aatm, дБ		ф-ла (8) [10]	0	0	0,1	0,4	1	1,7	3,2	8,1	27,2		
Снижение поверхностью земли возле источника As, дБ	Gs = 0 hs = 1м	ф-лы таб.3 [10]	-1,5	-1,5	-1,5	-1,5	-1,5	-1,5	-1,5	-1,5	-1,5		
Снижение поверхностью земли возле приёмника Ar, дБ	Gr = 1 hr = 1.5м	ф-лы таб.3 [10]	-1,5	-1,5	2	7	5	0,7	0	0	0		
Снижение поверхностью земли в средней зоне, Am дБ	Gm = 1	ф-лы таб.3 [10]	-2,4	-2,4	0	0	0	0	0	0	0		
Суммарное снижение поверхностью земли на траектории распространения звука Agr, дБ		ф-ла (9) [10]	-5,4	-5,4	0,5	5,5	3,5	-0,8	-1,5	-1,5	-1,5		
Уровни звукового давления от источника ИШ-9-25 в расчётной точке днём, дБ		**ф-ла(3)[10]**	**23,5**	**21,5**	**7,5**	**1,2**	**0**	**0**	**0**	**0**	**0**	**0**	**0**
Уровни звукового давления от источника ИШ-9-25 в расчётной точке ночью, дБ		**ф-ла(3)[10]**	**23,5**	**21,5**	**7,5**	**1,2**	**0**	**0**	**0**	**0**	**0**	**0**	**0**
Источник шума: ИШ-9-26, координаты источника (x,y,z), м =[680.09,-249.52,1.00]													

1		2	3	4	5	6	7	8	9	10	11	12	13
Уровни звуковой мощности источника днём, Lw, дБ		**исходные данные**	**77**	**75**	**67**	**66**	**63**	**55**	**53**	**48**	**51**		
Уровни звуковой мощности источника ночью, Lw, дБ		**исходные данные**	**77**	**75**	**67**	**66**	**63**	**55**	**53**	**48**	**51**		
Поправка на телесный угол DΩ, дБ	Ω = 6.28	10Lg(4π/Ω)	**3**	3	3	3	3	3	3	3	3		
Показатель направленности источника Di, дБ		исходные данные	**0**	0	0	0	0	0	0	0	0		
Поправка на направленность источника Dc, дБ	Dc	DΩ + Di	**3**	3	3	3	3	3	3	3	3		
Затухание из-за геометрической дивергенции, Adiv, дБ	расстояние = 340.18 м	ф-ла (7) [10]	**61,6**										
Коэффициент затухания звука в атмосфере α, дБ/км	Ta=20,°C Pa=101.33,кПа hотн.=70%	ф-ла (5) [9]	0,02	0,09	0,33	1,12	2,79	4,98	9,04	23,09	77,63		
Учет затухания звука в атмосфере Aatm, дБ		ф-ла (8) [10]	0	0	0,1	0,4	0,9	1,7	3,1	7,9	26,4		
Снижение поверхностью земли возле источника As, дБ	Gs = 0 hs = 1м	ф-лы таб.3 [10]	-1,5	-1,5	-1,5	-1,5	-1,5	-1,5	-1,5	-1,5	-1,5		
Снижение поверхностью земли возле приёмника Ar, дБ	Gr = 1 hr = 1.5м	ф-лы таб.3 [10]	-1,5	-1,5	2	7	5	0,7	0	0	0		
Снижение поверхностью земли в средней зоне, Am дБ	Gm = 1	ф-лы таб.3 [10]	-2,3	-2,3	0	0	0	0	0	0	0		
Суммарное снижение поверхностью земли на траектории распространения звука Agr, дБ		ф-ла (9) [10]	-5,3	-5,3	0,5	5,5	3,5	-0,8	-1,5	-1,5	-1,5		
Уровни звукового давления от источника ИШ-9-26 в расчётной точке днём, дБ		**ф-ла(3)[10]**	**23,7**	**21,7**	**7,8**	**1,5**	**0**	**0**	**0**	**0**	**0**	**0**	**0**
Уровни звукового давления от источника ИШ-9-26 в расчётной точке ночью, дБ		**ф-ла(3)[10]**	**23,7**	**21,7**	**7,8**	**1,5**	**0**	**0**	**0**	**0**	**0**	**0**	**0**
Источник шума: ИШ-9-27, координаты источника (x,y,z), м =[676.46,-260.14,1.00]													
Уровни звуковой мощности источника днём, Lw, дБ		**исходные данные**	**77**	**75**	**67**	**66**	**63**	**55**	**53**	**48**	**51**		

1		2	3	4	5	6	7	8	9	10	11	12	13
Уровни звуковой мощности источника ночью, Lw, дБ		**исходные данные**	**77**	**75**	**67**	**66**	**63**	**55**	**53**	**48**	**51**		
Поправка на телесный угол DΩ, дБ	Ω = 6.28	10Lg(4π/Ω)	**3**	3	3	3	3	3	3	3	3		
Показатель направленности источника Di, дБ		исходные данные	**0**	0	0	0	0	0	0	0	0		
Поправка на направленность источника Dc, дБ	Dc	DΩ + Di	**3**	3	3	3	3	3	3	3	3		
Затухание из-за геометрической дивергенции, Adiv, дБ	расстояние = 330.08 м	ф-ла (7) [10]	**61,4**										
Коэффициент затухания звука в атмосфере α, дБ/км	Ta=20,°C Pa=101.33,кПа hотн.=70%	ф-ла (5) [9]	0,02	0,09	0,33	1,12	2,79	4,98	9,04	23,09	77,63		
Учет затухания звука в атмосфере Aatm, дБ		ф-ла (8) [10]	0	0	0,1	0,4	0,9	1,6	3	7,6	25,6		
Снижение поверхностью земли возле источника As, дБ	Gs = 0 hs = 1м	ф-лы таб.3 [10]	-1,5	-1,5	-1,5	-1,5	-1,5	-1,5	-1,5	-1,5	-1,5		
Снижение поверхностью земли возле приёмника Ar, дБ	Gr = 1 hr = 1.5м	ф-лы таб.3 [10]	-1,5	-1,5	1,9	7	5	0,7	0	0	0		
Снижение поверхностью земли в средней зоне, Am дБ	Gm = 1	ф-лы таб.3 [10]	-2,3	-2,3	0	0	0	0	0	0	0		
Суммарное снижение поверхностью земли на траектории распространения звука Agr, дБ		ф-ла (9) [10]	-5,3	-5,3	0,4	5,5	3,5	-0,8	-1,5	-1,5	-1,5		
Уровни звукового давления прямого звука от источника ИШ-9-27 в расчётной точке днём, дБ		**ф-ла(3)[10]**	**24**	**21,9**	**8,1**	**1,8**	**0,3**	**0**	**0**	**0**	**0**	**1,1**	**1,1**
Уровни звукового давления прямого звука от источника ИШ-9-27 в расчётной точке ночью, дБ		**ф-ла(3)[10]**	**24**	**21,9**	**8,1**	**1,8**	**0,3**	**0**	**0**	**0**	**0**	**1,1**	**1,1**
Расчёт отражённого звука													
Уровни звукового давления от мнимого источника ИШ-9-27_мн.(1) в расчётной точке днём, дБ		**ф-ла(3)[10]**	**0**	**0**	**0**	**0**	**0**	**0**	**0**	**0**	**0**	**0**	**0**
Уровни звукового давления от мнимого источника ИШ-9-27_мн.(1) в расчётной точке ночью, дБ		**ф-ла(3)[10]**	**0**	**0**	**0**	**0**	**0**	**0**	**0**	**0**	**0**	**0**	**0**
Уровни звукового давления от источника ИШ-9-27 в расчётной точке днём, дБ		**ф-ла(3)[10]**	**24**	**21,9**	**8,1**	**1,8**	**0,3**	**0**	**0**	**0**	**0**	**1,1**	**1,1**

1		2	3	4	5	6	7	8	9	10	11	12	13
Уровни звукового давления от источника ИШ-9-27 в расчётной точке ночью, дБ		**ф-ла(3)[10]**	**24**	**21,9**	**8,1**	**1,8**	**0,3**	**0**	**0**	**0**	**0**	**1,1**	**1,1**
Источник шума: ИШ-10-1, координаты источника (x,y,z), м =[17.37,413.17,1.00]													
Уровни звуковой мощности источника днём, Lw, дБ		**исходные данные**	**0**	**98,3**	**99,7**	**101**	**101,3**	**100,9**	**97,6**	**93,4**	**88,9**		
Уровни звуковой мощности источника ночью, Lw, дБ		**исходные данные**	**0**	**98,3**	**99,7**	**101**	**101,3**	**100,9**	**97,6**	**93,4**	**88,9**		
Поправка на телесный угол DΩ, дБ	Ω = 6.28	10Lg(4π/Ω)	**3**	3	3	3	3	3	3	3	3		
Показатель направленности источника Di, дБ		исходные данные	**0**	0	0	0	0	0	0	0	0		
Поправка на направленность источника Dc, дБ	Dc	DΩ + Di	**3**	3	3	3	3	3	3	3	3		
Затухание из-за геометрической дивергенции, Adiv, дБ	расстояние = 1222.06 м	ф-ла (7) [10]	**72,7**										
Коэффициент затухания звука в атмосфере α, дБ/км	Ta=20,°C Pa=101.33,кПа hотн.=70%	ф-ла (5) [9]	0,02	0,09	0,33	1,12	2,79	4,98	9,04	23,09	77,63		
Учет затухания звука в атмосфере Aatm, дБ		ф-ла (8) [10]	0	0,1	0,4	1,4	3,4	6,1	11	28,2	94,9		
Снижение уровня звукового давления из-за влияния застройки между источником шума и расчетной точкой													
Снижение уровня звукового давления на пути над экраном, Dz1, дБ	z = 0.29м (разность путей)	ф-лы (14-18) [10]	4,8	4,8	4,8	4,8	4,8	4,8	4,9	5,1	5,4		
Снижение уровня звукового давления на пути слева от экрана, Dz2, дБ	z = 5.29м (разность путей)	ф-лы (14-18) [10]	17,7	20,7	23,7	26,7	29,7	32,7	35,7	38,7	41,7		
Снижение уровня звукового давления на пути справа от экрана, Dz3, дБ	z = 13.05м (разность путей)	ф-лы (14-18) [10]	21,5	24,6	27,6	30,6	33,6	36,6	39,6	42,7	45,7		
Общее снижение уровня звука препятствием Dz, дБ		Эн.сумма(-Dzi)	4,5	4,6	4,7	4,8	4,8	4,8	4,9	5,1	5,4		
Уровни звукового давления прямого звука от источника ИШ-10-1 в расчётной точке днём, дБ		**ф-ла(3)[10]**	**0**	**23,8**	**24,9**	**25,1**	**23,4**	**20,2**	**11,9**	**0**	**0**	**24,5**	**24,5**

1		2	3	4	5	6	7	8	9	10	11	12	13
Уровни звукового давления прямого звука от источника ИШ-10-1 в расчётной точке ночью, дБ		**ф-ла(3)[10]**	**0**	**23,8**	**24,9**	**25,1**	**23,4**	**20,2**	**11,9**	**0**	**0**	**24,5**	**24,5**
Расчёт отражённого звука													
Уровни звукового давления от мнимого источника ИШ-10-1_мн.(1) в расчётной точке днём, дБ		**ф-ла(3)[10]**	**0**	**0**	**0**	**0**	**0**	**0**	**0**	**0**	**0**	**0**	**0**
Уровни звукового давления от мнимого источника ИШ-10-1_мн.(1) в расчётной точке ночью, дБ		**ф-ла(3)[10]**	**0**	**0**	**0**	**0**	**0**	**0**	**0**	**0**	**0**	**0**	**0**
Уровни звукового давления от источника ИШ-10-1 в расчётной точке днём, дБ		**ф-ла(3)[10]**	**0**	**23,8**	**24,9**	**25,1**	**23,4**	**20,2**	**11,9**	**0**	**0**	**24,5**	**24,5**
Уровни звукового давления от источника ИШ-10-1 в расчётной точке ночью, дБ		**ф-ла(3)[10]**	**0**	**23,8**	**24,9**	**25,1**	**23,4**	**20,2**	**11,9**	**0**	**0**	**24,5**	**24,5**
Источник шума: ИШ-10-2, координаты источника (x,y,z), м =[27.87,443.46,1.00]													
Уровни звуковой мощности источника днём, Lw, дБ		**исходные данные**	**0**	**98,3**	**99,7**	**101**	**101,3**	**100,9**	**97,6**	**93,4**	**88,9**		
Уровни звуковой мощности источника ночью, Lw, дБ		**исходные данные**	**0**	**98,3**	**99,7**	**101**	**101,3**	**100,9**	**97,6**	**93,4**	**88,9**		
Поправка на телесный угол DΩ, дБ	Ω = 6.28	10Lg(4π/Ω)	**3**	3	3	3	3	3	3	3	3		
Показатель направленности источника Di, дБ		исходные данные	**0**	0	0	0	0	0	0	0	0		
Поправка на направленность источника Dc, дБ	Dc	DΩ + Di	**3**	3	3	3	3	3	3	3	3		
Затухание из-за геометрической дивергенции, Adiv, дБ	расстояние = 1241.11 м	ф-ла (7) [10]	**72,9**										
Коэффициент затухания звука в атмосфере α, дБ/км	Ta=20,°C Pa=101.33,кПа hотн.=70%	ф-ла (5) [9]	0,02	0,09	0,33	1,12	2,79	4,98	9,04	23,09	77,63		
Учет затухания звука в атмосфере Aatm, дБ		ф-ла (8) [10]	0	0,1	0,4	1,4	3,5	6,2	11,2	28,7	96,4		
Снижение уровня звукового давления из-за влияния застройки между источником шума и расчетной точкой													

1		2	3	4	5	6	7	8	9	10	11	12	13
Снижение уровня звукового давления на пути над экраном, Dz1, дБ	z = 0.19м (разность путей)	ф-лы (14-18) [10]	4,8	4,8	4,9	5	5,2	5,5	6,2	7,3	8,9		
Снижение уровня звукового давления на пути слева от экрана, Dz2, дБ	z = 72.70м (разность путей)	ф-лы (14-18) [10]	29	32,1	35,1	38,1	41,1	44,1	47,1	50,1	53,1		
Снижение уровня звукового давления на пути справа от экрана, Dz3, дБ	z = 11.13м (разность путей)	ф-лы (14-18) [10]	20,9	24	26,9	29,9	32,9	35,9	39	42	45		
Общее снижение уровня звука препятствием Dz, дБ		Эн.сумма(-Dzi)	4,7	4,8	4,8	5	5,2	5,5	6,2	7,3	8,9		
Уровни звукового давления прямого звука от источника ИШ-10-2 в расчётной точке днём, дБ		**ф-ла(3)[10]**	**0**	**23,6**	**24,6**	**24,8**	**22,8**	**19,3**	**10,3**	**0**	**0**	**23,8**	**23,8**
Уровни звукового давления прямого звука от источника ИШ-10-2 в расчётной точке ночью, дБ		**ф-ла(3)[10]**	**0**	**23,6**	**24,6**	**24,8**	**22,8**	**19,3**	**10,3**	**0**	**0**	**23,8**	**23,8**
Расчёт отражённого звука													
Уровни звукового давления от мнимого источника ИШ-10-2_мн.(1) в расчётной точке днём, дБ		**ф-ла(3)[10]**	**0**	**0**	**0**	**0**	**0**	**0**	**0**	**0**	**0**	**0**	**0**
Уровни звукового давления от мнимого источника ИШ-10-2_мн.(1) в расчётной точке ночью, дБ		**ф-ла(3)[10]**	**0**	**0**	**0**	**0**	**0**	**0**	**0**	**0**	**0**	**0**	**0**
Уровни звукового давления от источника ИШ-10-2 в расчётной точке днём, дБ		**ф-ла(3)[10]**	**0**	**23,6**	**24,6**	**24,8**	**22,8**	**19,3**	**10,3**	**0**	**0**	**23,8**	**23,8**
Уровни звукового давления от источника ИШ-10-2 в расчётной точке ночью, дБ		**ф-ла(3)[10]**	**0**	**23,6**	**24,6**	**24,8**	**22,8**	**19,3**	**10,3**	**0**	**0**	**23,8**	**23,8**
Уровни звукового давления в расчётной точке													
Суммарные уровни звукового давления в расчётной точке от всех источников шума днём, Lрт, дБ		**ф-ла (19) [1]**	**61,3**	**61,2**	**55,7**	**51**	**52,5**	**56,9**	**52,5**	**42,8**	**22,4**	**59,3**	**59,3**
Суммарные уровни звукового давления в расчётной точке от всех источников шума ночью, Lрт, дБ		**ф-ла (19) [1]**	**58,4**	**60,5**	**55,6**	**50,9**	**52,4**	**56,8**	**52**	**42,7**	**22,4**	**59,1**	**59,1**
Допускаемые УЗД днём, Lдоп, дБ	Границы санитарно-защитных зон	Таблица 5.35.[23]	90	75	66	59	54	50	47	45	44	55	70
Допускаемые УЗД ночью, Lдоп, дБ	Границы санитарно-защитных зон	Таблица 5.35.[23]	83	67	57	49	44	40	37	35	33	45	60

1	2	3	4	5	6	7	8	9	10	11	12	13
Превышение днём, дБ	**Lрт - Lдоп**	**-28,7**	**-13,8**	**-10,3**	**-8**	**-1,5**	**6,9**	**5,5**	**-2,2**	**-21,6**	**4,3**	**-10,7**
Превышение ночью, дБ	**Lрт - Lдоп**	**-24,6**	**-6,5**	**-1,4**	**1,9**	**8,4**	**16,8**	**15**	**7,7**	**-10,6**	**14,1**	**-0,9**

Определение уровней звукового давления в точке РТ-13 (координаты точки, м: x = 1.55, y = -257.75, z = 1.50)

Наименование величин и их описание		Ссылка	Расчётные уровни в октавных полосах, со среднегеометрическими частотами, Гц									La, дБА	Lмакс, дБА
			31,5	63	125	250	500	1000	2000	4000	8000		
1		2	3	4	5	6	7	8	9	10	11	12	13
Источник шума: ИШ-1-1, координаты источника (x,y,z), м =[271.72,229.68,1.00]													
Уровни звуковой мощности источника днём, Lw, дБ		**исходные данные**	**97**	**97**	**104**	**106**	**105**	**105**	**98**	**87**	**81**		
Уровни звуковой мощности источника ночью, Lw, дБ		**исходные данные**	**97**	**97**	**104**	**106**	**105**	**105**	**98**	**87**	**81**		
Поправка на телесный угол DΩ, дБ	Ω = 6.28	10Lg(4π/Ω)	**3**	3	3	3	3	3	3	3	3		
Показатель направленности источника Di, дБ		исходные данные	**0**	0	0	0	0	0	0	0	0		
Поправка на направленность источника Dc, дБ	Dc	DΩ + Di	**3**	3	3	3	3	3	3	3	3		
Затухание из-за геометрической дивергенции, Adiv, дБ	расстояние = 557.30 м	ф-ла (7) [10]	**65,9**										
Коэффициент затухания звука в атмосфере α, дБ/км	Ta=20,°C Pa=101.33,кПа hотн.=70%	ф-ла (5) [9]	0,02	0,09	0,33	1,12	2,79	4,98	9,04	23,09	77,63		
Учет затухания звука в атмосфере Aatm, дБ		ф-ла (8) [10]	0	0	0,2	0,6	1,6	2,8	5	12,9	43,3		
Снижение поверхностью земли возле источника As, дБ	Gs = 0 hs = 1м	ф-лы таб.3 [10]	-1,5	-1,5	-1,5	-1,5	-1,5	-1,5	-1,5	-1,5	-1,5		
Снижение поверхностью земли возле приёмника Ar, дБ	Gr = 1 hr = 1.5м	ф-лы таб.3 [10]	-1,5	-1,5	3,4	7	5	0,7	0	0	0		
Снижение поверхностью земли в средней зоне, Am дБ	Gm = 1	ф-лы таб.3 [10]	-2,6	-2,6	0	0	0	0	0	0	0		
Суммарное снижение поверхностью земли на траектории распространения звука Agr, дБ		ф-ла (9) [10]	-5,6	-5,6	1,9	5,5	3,5	-0,8	-1,5	-1,5	-1,5		

1		2	3	4	5	6	7	8	9	10	11	12	13
Уровни звукового давления прямого звука от источника ИШ-1-1 в расчётной точке днём, дБ		**ф-ла(3)[10]**	**39,7**	**39,6**	**39**	**36,9**	**37,1**	**40,2**	**31,6**	**12,7**	**0**	**41,9**	**41,9**
Уровни звукового давления прямого звука от источника ИШ-1-1 в расчётной точке ночью, дБ		**ф-ла(3)[10]**	**39,7**	**39,6**	**39**	**36,9**	**37,1**	**40,2**	**31,6**	**12,7**	**0**	**41,9**	**41,9**
Расчёт отражённого звука													
Уровни звукового давления от мнимого источника ИШ-1-1_мн.(1) в расчётной точке днём, дБ		**ф-ла(3)[10]**	**0**	**0**	**0**	**0**	**0**	**0**	**0**	**7,7**	**0**	**8,7**	**8,7**
Уровни звукового давления от мнимого источника ИШ-1-1_мн.(1) в расчётной точке ночью, дБ		**ф-ла(3)[10]**	**0**	**0**	**0**	**0**	**0**	**0**	**0**	**0**	**0**	**8,7**	**8,7**
Уровни звукового давления от мнимого источника ИШ-1-1_мн.(2) в расчётной точке днём, дБ		**ф-ла(3)[10]**	**0**	**0**	**0**	**0**	**0**	**32,6**	**25,3**	**4,2**	**0**	**33,5**	**33,5**
Уровни звукового давления от мнимого источника ИШ-1-1_мн.(2) в расчётной точке ночью, дБ		**ф-ла(3)[10]**	**0**	**0**	**0**	**0**	**0**	**0**	**0**	**0**	**0**	**33,5**	**33,5**
Суммарные уровни звукового давления от мнимых источников в расчётной точке днём, дБ		**ф-ла (19) [1]**	**0**	**0**	**0**	**0**	**0**	**32,6**	**25,3**	**9,3**	**0**	**0**	**33,6**
Суммарные уровни звукового давления от мнимых источников в расчётной точке ночью, дБ		**ф-ла (19) [1]**	**0**	**0**	**0**	**0**	**0**	**32,6**	**25,3**	**9,3**	**0**	**0**	**33,6**
Уровни звукового давления от источника ИШ-1-1 в расчётной точке днём, дБ		**ф-ла(3)[10]**	**39,7**	**39,6**	**39**	**36,9**	**37,1**	**40,9**	**32,5**	**14,4**	**0**	**42,5**	**42,5**
Уровни звукового давления от источника ИШ-1-1 в расчётной точке ночью, дБ		**ф-ла(3)[10]**	**39,7**	**39,6**	**39**	**36,9**	**37,1**	**40,9**	**32,5**	**14,4**	**0**	**42,5**	**42,5**
Источник шума: ИШ-1-2, координаты источника (x,y,z), м =[261.74,199.14,1.00]													
Уровни звуковой мощности источника днём, Lw, дБ		**исходные данные**	**97**	**97**	**104**	**106**	**105**	**105**	**98**	**87**	**81**		
Уровни звуковой мощности источника ночью, Lw, дБ		**исходные данные**	**97**	**97**	**104**	**106**	**105**	**105**	**98**	**87**	**81**		
Поправка на телесный угол DΩ, дБ	Ω = 6.28	10Lg(4π/Ω)	**3**	3	3	3	3	3	3	3	3		
Показатель направленности источника Di, дБ		исходные данные	**0**	0	0	0	0	0	0	0	0		
Поправка на направленность источника Dc, дБ	Dc	DΩ + Di	**3**	3	3	3	3	3	3	3	3		

1		2	3	4	5	6	7	8	9	10	11	12	13
Затухание из-за геометрической дивергенции, Adiv, дБ	расстояние = 525.78 м	ф-ла (7) [10]	**65,4**										
Коэффициент затухания звука в атмосфере α, дБ/км	Ta=20,°C Pa=101.33,кПа hотн.=70%	ф-ла (5) [9]	0,02	0,09	0,33	1,12	2,79	4,98	9,04	23,09	77,63		
Учет затухания звука в атмосфере Aatm, дБ		ф-ла (8) [10]	0	0	0,2	0,6	1,5	2,6	4,8	12,1	40,8		
Снижение поверхностью земли возле источника As, дБ	Gs = 0 hs = 1м	ф-лы таб.3 [10]	-1,5	-1,5	-1,5	-1,5	-1,5	-1,5	-1,5	-1,5	-1,5		
Снижение поверхностью земли возле приёмника Ar, дБ	Gr = 1 hr = 1.5м	ф-лы таб.3 [10]	-1,5	-1,5	3,2	7	5	0,7	0	0	0		
Снижение поверхностью земли в средней зоне, Am дБ	Gm = 1	ф-лы таб.3 [10]	-2,6	-2,6	0	0	0	0	0	0	0		
Суммарное снижение поверхностью земли на траектории распространения звука Agr, дБ		ф-ла (9) [10]	-5,6	-5,6	1,7	5,5	3,5	-0,8	-1,5	-1,5	-1,5		
Уровни звукового давления прямого звука от источника ИШ-1-2 в расчётной точке днём, дБ		**ф-ла(3)[10]**	**40,2**	**40,1**	**39,7**	**37,5**	**37,7**	**40,8**	**32,3**	**14**	**0**	**42,6**	**42,6**
Уровни звукового давления прямого звука от источника ИШ-1-2 в расчётной точке ночью, дБ		**ф-ла(3)[10]**	**40,2**	**40,1**	**39,7**	**37,5**	**37,7**	**40,8**	**32,3**	**14**	**0**	**42,6**	**42,6**
Расчёт отражённого звука													
Уровни звукового давления от мнимого источника ИШ-1-2_мн.(1) в расчётной точке днём, дБ		**ф-ла(3)[10]**	**0**	**0**	**0**	**0**	**0**	**0**	**0**	**8,8**	**0**	**9,8**	**9,8**
Уровни звукового давления от мнимого источника ИШ-1-2_мн.(1) в расчётной точке ночью, дБ		**ф-ла(3)[10]**	**0**	**0**	**0**	**0**	**0**	**0**	**0**	**0**	**0**	**9,8**	**9,8**
Уровни звукового давления от источника ИШ-1-2 в расчётной точке днём, дБ		**ф-ла(3)[10]**	**40,2**	**40,1**	**39,7**	**37,5**	**37,7**	**40,8**	**32,3**	**15,1**	**0**	**42,6**	**42,6**
Уровни звукового давления от источника ИШ-1-2 в расчётной точке ночью, дБ		**ф-ла(3)[10]**	**40,2**	**40,1**	**39,7**	**37,5**	**37,7**	**40,8**	**32,3**	**15,1**	**0**	**42,6**	**42,6**
Источник шума: ИШ-1-3, координаты источника (x,y,z), м =[251.75,236.44,1.00]													
Уровни звуковой мощности источника днём, Lw, дБ		**исходные данные**	**0**	**91,3**	**92,7**	**94**	**94,3**	**93,9**	**90,6**	**86,4**	**81,9**		

1		2	3	4	5	6	7	8	9	10	11	12	13
Уровни звуковой мощности источника ночью, Lw, дБ		**исходные данные**	**0**	**91,3**	**92,7**	**94**	**94,3**	**93,9**	**90,6**	**86,4**	**81,9**		
Поправка на телесный угол DΩ, дБ	Ω = 6.28	10Lg(4π/Ω)	**3**	3	3	3	3	3	3	3	3		
Показатель направленности источника Di, дБ		исходные данные	**0**	0	0	0	0	0	0	0	0		
Поправка на направленность источника Dc, дБ	Dc	DΩ + Di	**3**	3	3	3	3	3	3	3	3		
Затухание из-за геометрической дивергенции, Adiv, дБ	расстояние = 553.91 м	ф-ла (7) [10]	**65,9**										
Коэффициент затухания звука в атмосфере α, дБ/км	Ta=20,°C Pa=101.33,кПа hотн.=70%	ф-ла (5) [9]	0,02	0,09	0,33	1,12	2,79	4,98	9,04	23,09	77,63		
Учет затухания звука в атмосфере Aatm, дБ		ф-ла (8) [10]	0	0	0,2	0,6	1,5	2,8	5	12,8	43		
Снижение поверхностью земли возле источника As, дБ	Gs = 0 hs = 1м	ф-лы таб.3 [10]	-1,5	-1,5	-1,5	-1,5	-1,5	-1,5	-1,5	-1,5	-1,5		
Снижение поверхностью земли возле приёмника Ar, дБ	Gr = 1 hr = 1.5м	ф-лы таб.3 [10]	-1,5	-1,5	3,4	7	5	0,7	0	0	0		
Снижение поверхностью земли в средней зоне, Am дБ	Gm = 1	ф-лы таб.3 [10]	-2,6	-2,6	0	0	0	0	0	0	0		
Суммарное снижение поверхностью земли на траектории распространения звука Agr, дБ		ф-ла (9) [10]	-5,6	-5,6	1,9	5,5	3,5	-0,8	-1,5	-1,5	-1,5		
Уровни звукового давления прямого звука от источника ИШ-1-3 в расчётной точке днём, дБ		**ф-ла(3)[10]**	**0**	**34**	**27,8**	**25**	**26,4**	**29,1**	**24,2**	**12,2**	**0**	**31,6**	**31,6**
Уровни звукового давления прямого звука от источника ИШ-1-3 в расчётной точке ночью, дБ		**ф-ла(3)[10]**	**0**	**34**	**27,8**	**25**	**26,4**	**29,1**	**24,2**	**12,2**	**0**	**31,6**	**31,6**
Расчёт отражённого звука													
Уровни звукового давления от мнимого источника ИШ-1-3_мн.(1) в расчётной точке днём, дБ		**ф-ла(3)[10]**	**0**	**0**	**0**	**0**	**0**	**0**	**0**	**0**	**0**	**0**	**0**
Уровни звукового давления от мнимого источника ИШ-1-3_мн.(1) в расчётной точке ночью, дБ		**ф-ла(3)[10]**	**0**	**0**	**0**	**0**	**0**	**0**	**0**	**0**	**0**	**0**	**0**
Уровни звукового давления от источника ИШ-1-3 в расчётной точке днём, дБ		**ф-ла(3)[10]**	**0**	**34**	**27,8**	**25**	**26,4**	**29,1**	**24,2**	**12,2**	**0**	**31,6**	**31,6**

1		2	3	4	5	6	7	8	9	10	11	12	13
Уровни звукового давления от источника ИШ-1-3 в расчётной точке ночью, дБ		**ф-ла(3)[10]**	**0**	**34**	**27,8**	**25**	**26,4**	**29,1**	**24,2**	**12,2**	**0**	**31,6**	**31,6**
Источник шума: ИШ-1-4, координаты источника (x,y,z), м =[290.25,223.25,1.00]													
Уровни звуковой мощности источника днём, Lw, дБ		**исходные данные**	**0**	**91,3**	**92,7**	**94**	**94,3**	**93,9**	**90,6**	**86,4**	**81,9**		
Уровни звуковой мощности источника ночью, Lw, дБ		**исходные данные**	**0**	**91,3**	**92,7**	**94**	**94,3**	**93,9**	**90,6**	**86,4**	**81,9**		
Поправка на телесный угол DΩ, дБ	Ω = 6.28	10Lg(4π/Ω)	**3**	3	3	3	3	3	3	3	3		
Показатель направленности источника Di, дБ		исходные данные	**0**	0	0	0	0	0	0	0	0		
Поправка на направленность источника Dc, дБ	Dc	DΩ + Di	**3**	3	3	3	3	3	3	3	3		
Затухание из-за геометрической дивергенции, Adiv, дБ	расстояние = 560.99 м	ф-ла (7) [10]	**66**										
Коэффициент затухания звука в атмосфере α, дБ/км	Ta=20,°C Pa=101.33,кПа hотн.=70%	ф-ла (5) [9]	0,02	0,09	0,33	1,12	2,79	4,98	9,04	23,09	77,63		
Учет затухания звука в атмосфере Aatm, дБ		ф-ла (8) [10]	0	0,1	0,2	0,6	1,6	2,8	5,1	13	43,6		
Снижение поверхностью земли возле источника As, дБ	Gs = 0 hs = 1м	ф-лы таб.3 [10]	-1,5	-1,5	-1,5	-1,5	-1,5	-1,5	-1,5	-1,5	-1,5		
Снижение поверхностью земли возле приёмника Ar, дБ	Gr = 1 hr = 1.5м	ф-лы таб.3 [10]	-1,5	-1,5	3,4	7	5	0,7	0	0	0		
Снижение поверхностью земли в средней зоне, Am дБ	Gm = 1	ф-лы таб.3 [10]	-2,6	-2,6	0	0	0	0	0	0	0		
Суммарное снижение поверхностью земли на траектории распространения звука Agr, дБ		ф-ла (9) [10]	-5,6	-5,6	1,9	5,5	3,5	-0,8	-1,5	-1,5	-1,5		
Уровни звукового давления прямого звука от источника ИШ-1-4 в расчётной точке днём, дБ		**ф-ла(3)[10]**	**0**	**33,9**	**27,6**	**24,9**	**26,3**	**29**	**24**	**12**	**0**	**31,5**	**31,5**
Уровни звукового давления прямого звука от источника ИШ-1-4 в расчётной точке ночью, дБ		**ф-ла(3)[10]**	**0**	**33,9**	**27,6**	**24,9**	**26,3**	**29**	**24**	**12**	**0**	**31,5**	**31,5**

1		2	3	4	5	6	7	8	9	10	11	12	13
Расчёт отражённого звука													
Уровни звукового давления от мнимого источника ИШ-1-4_мн.(1) в расчётной точке днём, дБ		**ф-ла(3)[10]**	**0**	**0**	**0**	**0**	**0**	**21,4**	**17,8**	**3,5**	**0**	**23,4**	**23,4**
Уровни звукового давления от мнимого источника ИШ-1-4_мн.(1) в расчётной точке ночью, дБ		**ф-ла(3)[10]**	**0**	**0**	**0**	**0**	**0**	**0**	**0**	**0**	**0**	**23,4**	**23,4**
Уровни звукового давления от источника ИШ-1-4 в расчётной точке днём, дБ		**ф-ла(3)[10]**	**0**	**33,9**	**27,6**	**24,9**	**26,3**	**29,7**	**25**	**12,5**	**0**	**32,1**	**32,1**
Уровни звукового давления от источника ИШ-1-4 в расчётной точке ночью, дБ		**ф-ла(3)[10]**	**0**	**33,9**	**27,6**	**24,9**	**26,3**	**29,7**	**25**	**12,5**	**0**	**32,1**	**32,1**
Источник шума: ИШ-1-5, координаты источника (x,y,z), м =[241.49,205.86,1.00]													
Уровни звуковой мощности источника днём, Lw, дБ		**исходные данные**	**0**	**91,3**	**92,7**	**94**	**94,3**	**93,9**	**90,6**	**86,4**	**81,9**		
Уровни звуковой мощности источника ночью, Lw, дБ		**исходные данные**	**0**	**91,3**	**92,7**	**94**	**94,3**	**93,9**	**90,6**	**86,4**	**81,9**		
Поправка на телесный угол DΩ, дБ	Ω = 6.28	10Lg(4π/Ω)	**3**	3	3	3	3	3	3	3	3		
Показатель направленности источника Di, дБ		исходные данные	**0**	0	0	0	0	0	0	0	0		
Поправка на направленность источника Dc, дБ	Dc	DΩ + Di	**3**	3	3	3	3	3	3	3	3		
Затухание из-за геометрической дивергенции, Adiv, дБ	расстояние = 522.02 м	ф-ла (7) [10]	**65,4**										
Коэффициент затухания звука в атмосфере α, дБ/км	Ta=20,°C Pa=101.33,кПа hотн.=70%	ф-ла (5) [9]	0,02	0,09	0,33	1,12	2,79	4,98	9,04	23,09	77,63		
Учет затухания звука в атмосфере Aatm, дБ		ф-ла (8) [10]	0	0	0,2	0,6	1,5	2,6	4,7	12,1	40,5		
Снижение поверхностью земли возле источника As, дБ	Gs = 0 hs = 1м	ф-лы таб.3 [10]	-1,5	-1,5	-1,5	-1,5	-1,5	-1,5	-1,5	-1,5	-1,5		
Снижение поверхностью земли возле приёмника Ar, дБ	Gr = 1 hr = 1.5м	ф-лы таб.3 [10]	-1,5	-1,5	3,2	7	5	0,7	0	0	0		

1		2	3	4	5	6	7	8	9	10	11	12	13
Снижение поверхностью земли в средней зоне, Am дБ	Gm = 1	ф-лы таб.3 [10]	-2,6	-2,6	0	0	0	0	0	0	0		
Суммарное снижение поверхностью земли на траектории распространения звука Agr, дБ		ф-ла (9) [10]	-5,6	-5,6	1,7	5,5	3,5	-0,8	-1,5	-1,5	-1,5		
Уровни звукового давления от источника ИШ-1-5 в расчётной точке днём, дБ		**ф-ла(3)[10]**	**0**	**34,5**	**28,5**	**25,5**	**27**	**29,8**	**25**	**13,5**	**0**	**32,3**	**32,3**
Уровни звукового давления от источника ИШ-1-5 в расчётной точке ночью, дБ		**ф-ла(3)[10]**	**0**	**34,5**	**28,5**	**25,5**	**27**	**29,8**	**25**	**13,5**	**0**	**32,3**	**32,3**
Источник шума: ИШ-1-6, координаты источника (x,y,z), м =[279.85,192.97,1.00]													
Уровни звуковой мощности источника днём, Lw, дБ		**исходные данные**	**0**	**91,3**	**92,7**	**94**	**94,3**	**93,9**	**90,6**	**86,4**	**81,9**		
Уровни звуковой мощности источника ночью, Lw, дБ		**исходные данные**	**0**	**91,3**	**92,7**	**94**	**94,3**	**93,9**	**90,6**	**86,4**	**81,9**		
Поправка на телесный угол DΩ, дБ	Ω = 6.28	10Lg(4π/Ω)	**3**	3	3	3	3	3	3	3	3		
Показатель направленности источника Di, дБ		исходные данные	**0**	0	0	0	0	0	0	0	0		
Поправка на направленность источника Dc, дБ	Dc	DΩ + Di	**3**	3	3	3	3	3	3	3	3		
Затухание из-за геометрической дивергенции, Adiv, дБ	расстояние = 529.71 м	ф-ла (7) [10]	**65,5**										
Коэффициент затухания звука в атмосфере α, дБ/км	Ta=20,°C Pa=101.33,кПа hотн.=70%	ф-ла (5) [9]	0,02	0,09	0,33	1,12	2,79	4,98	9,04	23,09	77,63		
Учет затухания звука в атмосфере Aatm, дБ		ф-ла (8) [10]	0	0	0,2	0,6	1,5	2,6	4,8	12,2	41,1		
Снижение поверхностью земли возле источника As, дБ	Gs = 0 hs = 1м	ф-лы таб.3 [10]	-1,5	-1,5	-1,5	-1,5	-1,5	-1,5	-1,5	-1,5	-1,5		
Снижение поверхностью земли возле приёмника Ar, дБ	Gr = 1 hr = 1.5м	ф-лы таб.3 [10]	-1,5	-1,5	3,2	7	5	0,7	0	0	0		
Снижение поверхностью земли в средней зоне, Am дБ	Gm = 1	ф-лы таб.3 [10]	-2,6	-2,6	0	0	0	0	0	0	0		

1		2	3	4	5	6	7	8	9	10	11	12	13
Суммарное снижение поверхностью земли на траектории распространения звука Agr, дБ		ф-ла (9) [10]	-5,6	-5,6	1,7	5,5	3,5	-0,8	-1,5	-1,5	-1,5		
Уровни звукового давления прямого звука от источника ИШ-1-6 в расчётной точке днём, дБ		**ф-ла(3)[10]**	**0**	**34,3**	**28,3**	**25,4**	**26,9**	**29,6**	**24,8**	**13,2**	**0**	**32,2**	**32,2**
Уровни звукового давления прямого звука от источника ИШ-1-6 в расчётной точке ночью, дБ		**ф-ла(3)[10]**	**0**	**34,3**	**28,3**	**25,4**	**26,9**	**29,6**	**24,8**	**13,2**	**0**	**32,2**	**32,2**
Расчёт отражённого звука													
Уровни звукового давления от мнимого источника ИШ-1-6_мн.(1) в расчётной точке днём, дБ		**ф-ла(3)[10]**	**0**	**0**	**0**	**0**	**0**	**20,9**	**17,2**	**2,4**	**0**	**22,9**	**22,9**
Уровни звукового давления от мнимого источника ИШ-1-6_мн.(1) в расчётной точке ночью, дБ		**ф-ла(3)[10]**	**0**	**0**	**0**	**0**	**0**	**0**	**0**	**0**	**0**	**22,9**	**22,9**
Уровни звукового давления от источника ИШ-1-6 в расчётной точке днём, дБ		**ф-ла(3)[10]**	**0**	**34,3**	**28,3**	**25,4**	**26,9**	**30,2**	**25,5**	**13,5**	**0**	**32,6**	**32,6**
Уровни звукового давления от источника ИШ-1-6 в расчётной точке ночью, дБ		**ф-ла(3)[10]**	**0**	**34,3**	**28,3**	**25,4**	**26,9**	**30,2**	**25,5**	**13,5**	**0**	**32,6**	**32,6**
Источник шума: ИШ-1-7, координаты источника (x,y,z), м =[451.87,146.66,1.00]													
Уровни звуковой мощности источника днём, Lw, дБ		**исходные данные**	**0**	**93,3**	**94,7**	**96**	**96,3**	**95,9**	**92,6**	**88,4**	**83,9**		
Уровни звуковой мощности источника ночью, Lw, дБ		**исходные данные**	**0**	**93,3**	**94,7**	**96**	**96,3**	**95,9**	**92,6**	**88,4**	**83,9**		
Поправка на телесный угол DΩ, дБ	Ω = 6.28	10Lg(4π/Ω)	**3**	3	3	3	3	3	3	3	3		
Показатель направленности источника Di, дБ		исходные данные	**0**	0	0	0	0	0	0	0	0		
Поправка на направленность источника Dc, дБ	Dc	DΩ + Di	**3**	3	3	3	3	3	3	3	3		
Затухание из-за геометрической дивергенции, Adiv, дБ	расстояние = 605.25 м	ф-ла (7) [10]	**66,6**										
Коэффициент затухания звука в атмосфере α, дБ/км	Ta=20,°C Pa=101.33,кПа hотн.=70%	ф-ла (5) [9]	0,02	0,09	0,33	1,12	2,79	4,98	9,04	23,09	77,63		

1		2	3	4	5	6	7	8	9	10	11	12	13
Учет затухания звука в атмосфере Aatm, дБ		ф-ла (8) [10]	0	0,1	0,2	0,7	1,7	3	5,5	14	47		
Снижение уровня звукового давления из-за влияния застройки между источником шума и расчетной точкой													
Снижение уровня звукового давления на пути над экраном, Dz1, дБ	z = 0.83м (разность путей)	ф-лы (14-18) [10]	6,8	8,5	10,7	13,1	15,8	18,7	21,6	24,5	27,5		
Снижение уровня звукового давления на пути слева от экрана, Dz2, дБ	z = 87.43м (разность путей)	ф-лы (14-18) [10]	29,6	32,8	35,8	38,9	41,9	44,9	47,9	50,9	53,9		
Снижение уровня звукового давления на пути справа от экрана, Dz3, дБ	z = 102.00м (разность путей)	ф-лы (14-18) [10]	26,1	29,8	34,2	38,6	42,3	45,5	48,6	51,6	54,6		
Общее снижение уровня звука препятствием Dz, дБ		Эн.сумма(-Dzi)	6,7	8,5	10,6	13,1	15,8	18,6	21,6	24,5	27,5		
Общее снижение уровня звука препятствием с учётом ограничения (25 дБ) для октавных полос Dz, дБ		Раздел 7.4 [10]	6,7	8,5	10,6	13,1	15,8	18,6	21,6	24,5	25		
Уровни звукового давления прямого звука от источника ИШ-1-7 в расчётной точке днём, дБ		**ф-ла(3)[10]**	**0**	**21,1**	**20,2**	**18,6**	**15,2**	**10,6**	**1,9**	**0**	**0**	**16,2**	**16,2**
Уровни звукового давления прямого звука от источника ИШ-1-7 в расчётной точке ночью, дБ		**ф-ла(3)[10]**	**0**	**21,1**	**20,2**	**18,6**	**15,2**	**10,6**	**1,9**	**0**	**0**	**16,2**	**16,2**
Расчёт отражённого звука													
Уровни звукового давления от мнимого источника ИШ-1-7_мн.(1) в расчётной точке днём, дБ		**ф-ла(3)[10]**	**0**	**0**	**0**	**0**	**0**	**0**	**0**	**0**	**0**	**0**	**0**
Уровни звукового давления от мнимого источника ИШ-1-7_мн.(1) в расчётной точке ночью, дБ		**ф-ла(3)[10]**	**0**	**0**	**0**	**0**	**0**	**0**	**0**	**0**	**0**	**0**	**0**
Уровни звукового давления от источника ИШ-1-7 в расчётной точке днём, дБ		**ф-ла(3)[10]**	**0**	**21,1**	**20,2**	**18,6**	**15,2**	**10,6**	**1,9**	**0**	**0**	**16,2**	**16,2**
Уровни звукового давления от источника ИШ-1-7 в расчётной точке ночью, дБ		**ф-ла(3)[10]**	**0**	**21,1**	**20,2**	**18,6**	**15,2**	**10,6**	**1,9**	**0**	**0**	**16,2**	**16,2**
Источник шума: ИШ-1-8, координаты источника (x,y,z), м =[454.99,145.29,1.00]													
Уровни звуковой мощности источника днём, Lw, дБ		**исходные данные**	**0**	**93,3**	**94,7**	**96**	**96,3**	**95,9**	**92,6**	**88,4**	**83,9**		
Уровни звуковой мощности источника ночью, Lw, дБ		**исходные данные**	**0**	**93,3**	**94,7**	**96**	**96,3**	**95,9**	**92,6**	**88,4**	**83,9**		

1		2	3	4	5	6	7	8	9	10	11	12	13
Поправка на телесный угол DΩ, дБ	Ω = 6.28	10Lg(4π/Ω)	**3**	3	3	3	3	3	3	3	3		
Показатель направленности источника Di, дБ		исходные данные	**0**	0	0	0	0	0	0	0	0		
Поправка на направленность источника Dc, дБ	Dc	DΩ + Di	**3**	3	3	3	3	3	3	3	3		
Затухание из-за геометрической дивергенции, Adiv, дБ	расстояние = 606.67 м	ф-ла (7) [10]	**66,7**										
Коэффициент затухания звука в атмосфере α, дБ/км	Ta=20,°C Pa=101.33,кПа hотн.=70%	ф-ла (5) [9]	0,02	0,09	0,33	1,12	2,79	4,98	9,04	23,09	77,63		
Учет затухания звука в атмосфере Aatm, дБ		ф-ла (8) [10]	0	0,1	0,2	0,7	1,7	3	5,5	14	47,1		
Снижение уровня звукового давления из-за влияния застройки между источником шума и расчетной точкой													
Снижение уровня звукового давления на пути над экраном, Dz1, дБ	z = 0.75м (разность путей)	ф-лы (14-18) [10]	6,4	8	9,9	12,2	14,8	17,6	20,5	23,5	26,5		
Снижение уровня звукового давления на пути слева от экрана, Dz2, дБ	z = 85.31м (разность путей)	ф-лы (14-18) [10]	29,5	32,7	35,7	38,8	41,8	44,8	47,8	50,8	53,8		
Снижение уровня звукового давления на пути справа от экрана, Dz3, дБ	z = 102.49м (разность путей)	ф-лы (14-18) [10]	26,1	29,8	34,2	38,6	42,3	45,5	48,6	51,6	54,6		
Общее снижение уровня звука препятствием Dz, дБ		Эн.сумма(-Dzi)	6,4	7,9	9,9	12,2	14,8	17,6	20,5	23,5	26,5		
Общее снижение уровня звука препятствием с учётом ограничения (25 дБ) для октавных полос Dz, дБ		Раздел 7.4 [10]	6,4	7,9	9,9	12,2	14,8	17,6	20,5	23,5	25		
Уровни звукового давления прямого звука от источника ИШ-1-8 в расчётной точке днём, дБ		**ф-ла(3)[10]**	**0**	**21,7**	**21**	**19,4**	**16,1**	**11,6**	**2,9**	**0**	**0**	**17,2**	**17,2**
Уровни звукового давления прямого звука от источника ИШ-1-8 в расчётной точке ночью, дБ		**ф-ла(3)[10]**	**0**	**21,7**	**21**	**19,4**	**16,1**	**11,6**	**2,9**	**0**	**0**	**17,2**	**17,2**
Расчёт отражённого звука													
Уровни звукового давления от мнимого источника ИШ-1-8_мн.(1) в расчётной точке днём, дБ		**ф-ла(3)[10]**	**0**	**0**	**0**	**0**	**0**	**0**	**0**	**0**	**0**	**0**	**0**
Уровни звукового давления от мнимого источника ИШ-1-8_мн.(1) в расчётной точке ночью, дБ		**ф-ла(3)[10]**	**0**	**0**	**0**	**0**	**0**	**0**	**0**	**0**	**0**	**0**	**0**

1		2	3	4	5	6	7	8	9	10	11	12	13
Уровни звукового давления от источника ИШ-1-8 в расчётной точке днём, дБ		**ф-ла(3)[10]**	**0**	**21,7**	**21**	**19,4**	**16,1**	**11,6**	**2,9**	**0**	**0**	**17,2**	**17,2**
Уровни звукового давления от источника ИШ-1-8 в расчётной точке ночью, дБ		**ф-ла(3)[10]**	**0**	**21,7**	**21**	**19,4**	**16,1**	**11,6**	**2,9**	**0**	**0**	**17,2**	**17,2**
Источник шума: ИШ-1-9, координаты источника (x,y,z), м =[458.12,144.31,1.00]													
Уровни звуковой мощности источника днём, Lw, дБ		**исходные данные**	**0**	**93,3**	**94,7**	**96**	**96,3**	**95,9**	**92,6**	**88,4**	**83,9**		
Уровни звуковой мощности источника ночью, Lw, дБ		**исходные данные**	**0**	**93,3**	**94,7**	**96**	**96,3**	**95,9**	**92,6**	**88,4**	**83,9**		
Поправка на телесный угол DΩ, дБ	Ω = 6.28	10Lg(4π/Ω)	**3**	3	3	3	3	3	3	3	3		
Показатель направленности источника Di, дБ		исходные данные	**0**	0	0	0	0	0	0	0	0		
Поправка на направленность источника Dc, дБ	Dc	DΩ + Di	**3**	3	3	3	3	3	3	3	3		
Затухание из-за геометрической дивергенции, Adiv, дБ	расстояние = 608.37 м	ф-ла (7) [10]	**66,7**										
Коэффициент затухания звука в атмосфере α, дБ/км	Ta=20,°C Pa=101.33,кПа hотн.=70%	ф-ла (5) [9]	0,02	0,09	0,33	1,12	2,79	4,98	9,04	23,09	77,63		
Учет затухания звука в атмосфере Aatm, дБ		ф-ла (8) [10]	0	0,1	0,2	0,7	1,7	3	5,5	14	47,2		
Снижение уровня звукового давления из-за влияния застройки между источником шума и расчетной точкой													
Снижение уровня звукового давления на пути над экраном, Dz1, дБ	z = 0.70м (разность путей)	ф-лы (14-18) [10]	6,1	7,5	9,3	11,5	14	16,7	19,6	22,5	25,5		
Снижение уровня звукового давления на пути слева от экрана, Dz2, дБ	z = 83.39м (разность путей)	ф-лы (14-18) [10]	29,4	32,6	35,6	38,7	41,7	44,7	47,7	50,7	53,7		
Снижение уровня звукового давления на пути справа от экрана, Dz3, дБ	z = 102.45м (разность путей)	ф-лы (14-18) [10]	26,1	29,8	34,2	38,6	42,3	45,5	48,6	51,6	54,6		
Общее снижение уровня звука препятствием Dz, дБ		Эн.сумма(-Dzi)	6,1	7,4	9,2	11,4	14	16,7	19,6	22,5	25,5		

1		2	3	4	5	6	7	8	9	10	11	12	13
Общее снижение уровня звука препятствием с учётом ограничения (25 дБ) для октавных полос Dz, дБ		Раздел 7.4 [10]	6,1	7,4	9,2	11,4	14	16,7	19,6	22,5	25		
Уровни звукового давления прямого звука от источника ИШ-1-9 в расчётной точке днём, дБ		**ф-ла(3)[10]**	**0**	**22,1**	**21,6**	**20,2**	**16,9**	**12,5**	**3,8**	**0**	**0**	**18**	**18**
Уровни звукового давления прямого звука от источника ИШ-1-9 в расчётной точке ночью, дБ		**ф-ла(3)[10]**	**0**	**22,1**	**21,6**	**20,2**	**16,9**	**12,5**	**3,8**	**0**	**0**	**18**	**18**
Расчёт отражённого звука													
Уровни звукового давления от мнимого источника ИШ-1-9_мн.(1) в расчётной точке днём, дБ		**ф-ла(3)[10]**	**0**	**0**	**0**	**0**	**0**	**0**	**0**	**0**	**0**	**0**	**0**
Уровни звукового давления от мнимого источника ИШ-1-9_мн.(1) в расчётной точке ночью, дБ		**ф-ла(3)[10]**	**0**	**0**	**0**	**0**	**0**	**0**	**0**	**0**	**0**	**0**	**0**
Уровни звукового давления от источника ИШ-1-9 в расчётной точке днём, дБ		**ф-ла(3)[10]**	**0**	**22,1**	**21,6**	**20,2**	**16,9**	**12,5**	**3,8**	**0**	**0**	**18**	**18**
Уровни звукового давления от источника ИШ-1-9 в расчётной точке ночью, дБ		**ф-ла(3)[10]**	**0**	**22,1**	**21,6**	**20,2**	**16,9**	**12,5**	**3,8**	**0**	**0**	**18**	**18**
Источник шума: ИШ-1-10, координаты источника (x,y,z), м =[461.05,143.53,1.00]													
Уровни звуковой мощности источника днём, Lw, дБ		**исходные данные**	**0**	**93,3**	**94,7**	**96**	**96,3**	**95,9**	**92,6**	**88,4**	**83,9**		
Уровни звуковой мощности источника ночью, Lw, дБ		**исходные данные**	**0**	**93,3**	**94,7**	**96**	**96,3**	**95,9**	**92,6**	**88,4**	**83,9**		
Поправка на телесный угол DΩ, дБ	Ω = 6.28	10Lg(4π/Ω)	**3**	3	3	3	3	3	3	3	3		
Показатель направленности источника Di, дБ		исходные данные	**0**	0	0	0	0	0	0	0	0		
Поправка на направленность источника Dc, дБ	Dc	DΩ + Di	**3**	3	3	3	3	3	3	3	3		
Затухание из-за геометрической дивергенции, Adiv, дБ	расстояние = 610.06 м	ф-ла (7) [10]	**66,7**										
Коэффициент затухания звука в атмосфере α, дБ/км	Ta=20,°C Pa=101.33,кПа hотн.=70%	ф-ла (5) [9]	0,02	0,09	0,33	1,12	2,79	4,98	9,04	23,09	77,63		

1		2	3	4	5	6	7	8	9	10	11	12	13
Учет затухания звука в атмосфере Aatm, дБ		ф-ла (8) [10]	0	0,1	0,2	0,7	1,7	3	5,5	14,1	47,4		
Снижение уровня звукового давления из-за влияния застройки между источником шума и расчетной точкой													
Снижение уровня звукового давления на пути над экраном, Dz1, дБ	z = 0.65м (разность путей)	ф-лы (14-18) [10]	5,9	7,1	8,7	10,8	13,3	16	18,8	21,7	24,7		
Снижение уровня звукового давления на пути слева от экрана, Dz2, дБ	z = 81.70м (разность путей)	ф-лы (14-18) [10]	29,3	32,5	35,6	38,6	41,6	44,6	47,6	50,6	53,6		
Снижение уровня звукового давления на пути справа от экрана, Dz3, дБ	z = 102.29м (разность путей)	ф-лы (14-18) [10]	26,1	29,8	34,2	38,6	42,3	45,5	48,6	51,6	54,6		
Общее снижение уровня звука препятствием Dz, дБ		Эн.сумма(-Dzi)	5,9	7,1	8,7	10,8	13,3	15,9	18,8	21,7	24,7		
Уровни звукового давления прямого звука от источника ИШ-1-10 в расчётной точке днём, дБ		**ф-ла(3)[10]**	**0**	**22,5**	**22,1**	**20,8**	**17,6**	**13,2**	**4,6**	**0**	**0**	**18,7**	**18,7**
Уровни звукового давления прямого звука от источника ИШ-1-10 в расчётной точке ночью, дБ		**ф-ла(3)[10]**	**0**	**22,5**	**22,1**	**20,8**	**17,6**	**13,2**	**4,6**	**0**	**0**	**18,7**	**18,7**
Расчёт отражённого звука													
Уровни звукового давления от мнимого источника ИШ-1-10_мн.(1) в расчётной точке днём, дБ		**ф-ла(3)[10]**	**0**	**0**	**0**	**0**	**0**	**0**	**0**	**0**	**0**	**0**	**0**
Уровни звукового давления от мнимого источника ИШ-1-10_мн.(1) в расчётной точке ночью, дБ		**ф-ла(3)[10]**	**0**	**0**	**0**	**0**	**0**	**0**	**0**	**0**	**0**	**0**	**0**
Уровни звукового давления от источника ИШ-1-10 в расчётной точке днём, дБ		**ф-ла(3)[10]**	**0**	**22,5**	**22,1**	**20,8**	**17,6**	**13,2**	**4,6**	**0**	**0**	**18,7**	**18,7**
Уровни звукового давления от источника ИШ-1-10 в расчётной точке ночью, дБ		**ф-ла(3)[10]**	**0**	**22,5**	**22,1**	**20,8**	**17,6**	**13,2**	**4,6**	**0**	**0**	**18,7**	**18,7**
Источник шума: ИШ-1-11, координаты источника (x,y,z), м =[464.18,142.55,1.00]													
Уровни звуковой мощности источника днём, Lw, дБ		**исходные данные**	**0**	**93,3**	**94,7**	**96**	**96,3**	**95,9**	**92,6**	**88,4**	**83,9**		
Уровни звуковой мощности источника ночью, Lw, дБ		**исходные данные**	**0**	**93,3**	**94,7**	**96**	**96,3**	**95,9**	**92,6**	**88,4**	**83,9**		
Поправка на телесный угол DΩ, дБ	Ω = 6.28	10Lg(4π/Ω)	**3**	3	3	3	3	3	3	3	3		

1		2	3	4	5	6	7	8	9	10	11	12	13
Показатель направленности источника Di, дБ		исходные данные	**0**	0	0	0	0	0	0	0	0		
Поправка на направленность источника Dc, дБ	Dc	DΩ + Di	**3**	3	3	3	3	3	3	3	3		
Затухание из-за геометрической дивергенции, Adiv, дБ	расстояние = 611.77 м	ф-ла (7) [10]	**66,7**										
Коэффициент затухания звука в атмосфере α, дБ/км	Ta=20,°C Pa=101.33,кПа hотн.=70%	ф-ла (5) [9]	0,02	0,09	0,33	1,12	2,79	4,98	9,04	23,09	77,63		
Учет затухания звука в атмосфере Aatm, дБ		ф-ла (8) [10]	0	0,1	0,2	0,7	1,7	3	5,5	14,1	47,5		
Снижение уровня звукового давления из-за влияния застройки между источником шума и расчетной точкой													
Снижение уровня звукового давления на пути над экраном, Dz1, дБ	z = 0.61м (разность путей)	ф-лы (14-18) [10]	5,7	6,8	8,2	10,2	12,5	15,2	18	20,9	23,8		
Снижение уровня звукового давления на пути слева от экрана, Dz2, дБ	z = 79.93м (разность путей)	ф-лы (14-18) [10]	29,2	32,4	35,5	38,5	41,5	44,5	47,5	50,5	53,5		
Снижение уровня звукового давления на пути справа от экрана, Dz3, дБ	z = 102.46м (разность путей)	ф-лы (14-18) [10]	26,1	29,8	34,2	38,6	42,3	45,5	48,6	51,6	54,6		
Общее снижение уровня звука препятствием Dz, дБ		Эн.сумма(-Dzi)	5,7	6,7	8,2	10,2	12,5	15,2	18	20,9	23,8		
Уровни звукового давления прямого звука от источника ИШ-1-11 в расчётной точке днём, дБ		**ф-ла(3)[10]**	**0**	**22,8**	**22,5**	**21,4**	**18,3**	**13,9**	**5,4**	**0**	**0**	**19,3**	**19,3**
Уровни звукового давления прямого звука от источника ИШ-1-11 в расчётной точке ночью, дБ		**ф-ла(3)[10]**	**0**	**22,8**	**22,5**	**21,4**	**18,3**	**13,9**	**5,4**	**0**	**0**	**19,3**	**19,3**
Расчёт отражённого звука													
Уровни звукового давления от мнимого источника ИШ-1-11_мн.(1) в расчётной точке днём, дБ		**ф-ла(3)[10]**	**0**	**0**	**0**	**0**	**0**	**0**	**0**	**0**	**0**	**0**	**0**
Уровни звукового давления от мнимого источника ИШ-1-11_мн.(1) в расчётной точке ночью, дБ		**ф-ла(3)[10]**	**0**	**0**	**0**	**0**	**0**	**0**	**0**	**0**	**0**	**0**	**0**
Уровни звукового давления от источника ИШ-1-11 в расчётной точке днём, дБ		**ф-ла(3)[10]**	**0**	**22,8**	**22,5**	**21,4**	**18,3**	**13,9**	**5,4**	**0**	**0**	**19,3**	**19,3**
Уровни звукового давления от источника ИШ-1-11 в расчётной точке ночью, дБ		**ф-ла(3)[10]**	**0**	**22,8**	**22,5**	**21,4**	**18,3**	**13,9**	**5,4**	**0**	**0**	**19,3**	**19,3**

1		2	3	4	5	6	7	8	9	10	11	12	13
Источник шума: ИШ-1-12, координаты источника (x,y,z), м =[435.45,97.79,1.00]													
Уровни звуковой мощности источника днём, Lw, дБ		**исходные данные**	**0**	**93,3**	**94,7**	**96**	**96,3**	**95,9**	**92,6**	**88,4**	**83,9**		
Уровни звуковой мощности источника ночью, Lw, дБ		**исходные данные**	**0**	**93,3**	**94,7**	**96**	**96,3**	**95,9**	**92,6**	**88,4**	**83,9**		
Поправка на телесный угол DΩ, дБ	Ω = 6.28	10Lg(4π/Ω)	**3**	3	3	3	3	3	3	3	3		
Показатель направленности источника Di, дБ		исходные данные	**0**	0	0	0	0	0	0	0	0		
Поправка на направленность источника Dc, дБ	Dc	DΩ + Di	**3**	3	3	3	3	3	3	3	3		
Затухание из-за геометрической дивергенции, Adiv, дБ	расстояние = 560.96 м	ф-ла (7) [10]	**66**										
Коэффициент затухания звука в атмосфере α, дБ/км	Ta=20,°C Pa=101.33,кПа hотн.=70%	ф-ла (5) [9]	0,02	0,09	0,33	1,12	2,79	4,98	9,04	23,09	77,63		
Учет затухания звука в атмосфере Aatm, дБ		ф-ла (8) [10]	0	0,1	0,2	0,6	1,6	2,8	5,1	13	43,5		
Снижение уровня звукового давления из-за влияния застройки между источником шума и расчетной точкой													
Снижение уровня звукового давления на пути над экраном, Dz1, дБ	z = 0.62м (разность путей)	ф-лы (14-18) [10]	5,7	6,9	8,6	10,7	13,1	15,8	18,6	21,5	24,5		
Снижение уровня звукового давления на пути слева от экрана, Dz2, дБ	z = 81.00м (разность путей)	ф-лы (14-18) [10]	29,3	32,5	35,5	38,5	41,6	44,6	47,6	50,6	53,6		
Снижение уровня звукового давления на пути справа от экрана, Dz3, дБ	z = 194.73м (разность путей)	ф-лы (14-18) [10]	28,9	32,6	37	41,4	45,1	48,3	51,4	54,4	57,4		
Общее снижение уровня звука препятствием Dz, дБ		Эн.сумма(-Dzi)	5,7	6,9	8,5	10,6	13,1	15,8	18,6	21,5	24,5		
Уровни звукового давления от источника ИШ-1-12 в расчётной точке днём, дБ		**ф-ла(3)[10]**	**0**	**23,4**	**23**	**21,7**	**18,7**	**14,3**	**5,9**	**0**	**0**	**19,7**	**19,7**
Уровни звукового давления от источника ИШ-1-12 в расчётной точке ночью, дБ		**ф-ла(3)[10]**	**0**	**23,4**	**23**	**21,7**	**18,7**	**14,3**	**5,9**	**0**	**0**	**19,7**	**19,7**

1		2	3	4	5	6	7	8	9	10	11	12	13
Источник шума: ИШ-1-13, координаты источника (x,y,z), м =[438.77,96.82,1.00]													
Уровни звуковой мощности источника днём, Lw, дБ		**исходные данные**	**0**	**93,3**	**94,7**	**96**	**96,3**	**95,9**	**92,6**	**88,4**	**83,9**		
Уровни звуковой мощности источника ночью, Lw, дБ		**исходные данные**	**0**	**93,3**	**94,7**	**96**	**96,3**	**95,9**	**92,6**	**88,4**	**83,9**		
Поправка на телесный угол DΩ, дБ	Ω = 6.28	10Lg(4π/Ω)	**3**	3	3	3	3	3	3	3	3		
Показатель направленности источника Di, дБ		исходные данные	**0**	0	0	0	0	0	0	0	0		
Поправка на направленность источника Dc, дБ	Dc	DΩ + Di	**3**	3	3	3	3	3	3	3	3		
Затухание из-за геометрической дивергенции, Adiv, дБ	расстояние = 562.92 м	ф-ла (7) [10]	**66**										
Коэффициент затухания звука в атмосфере α, дБ/км	Ta=20,°C Pa=101.33,кПа hотн.=70%	ф-ла (5) [9]	0,02	0,09	0,33	1,12	2,79	4,98	9,04	23,09	77,63		
Учет затухания звука в атмосфере Aatm, дБ		ф-ла (8) [10]	0	0,1	0,2	0,6	1,6	2,8	5,1	13	43,7		
Снижение уровня звукового давления из-за влияния застройки между источником шума и расчетной точкой													
Снижение уровня звукового давления на пути над экраном, Dz1, дБ	z = 0.62м (разность путей)	ф-лы (14-18) [10]	5,7	6,9	8,5	10,6	13	15,7	18,5	21,5	24,4		
Снижение уровня звукового давления на пути слева от экрана, Dz2, дБ	z = 78.44м (разность путей)	ф-лы (14-18) [10]	29,2	32,4	35,4	38,4	41,4	44,4	47,4	50,4	53,5		
Снижение уровня звукового давления на пути справа от экрана, Dz3, дБ	z = 193.57м (разность путей)	ф-лы (14-18) [10]	28,9	32,6	36,9	41,4	45	48,3	51,3	54,4	57,4		
Общее снижение уровня звука препятствием Dz, дБ		Эн.сумма(-Dzi)	5,6	6,8	8,5	10,6	13	15,7	18,5	21,5	24,4		
Уровни звукового давления от источника ИШ-1-13 в расчётной точке днём, дБ		**ф-ла(3)[10]**	**0**	**23,4**	**23**	**21,8**	**18,7**	**14,4**	**6**	**0**	**0**	**19,7**	**19,7**
Уровни звукового давления от источника ИШ-1-13 в расчётной точке ночью, дБ		**ф-ла(3)[10]**	**0**	**23,4**	**23**	**21,8**	**18,7**	**14,4**	**6**	**0**	**0**	**19,7**	**19,7**

1		2	3	4	5	6	7	8	9	10	11	12	13
Источник шума: ИШ-1-14, координаты источника (x,y,z), м =[441.70,96.03,1.00]													
Уровни звуковой мощности источника днём, Lw, дБ		**исходные данные**	**0**	**93,3**	**94,7**	**96**	**96,3**	**95,9**	**92,6**	**88,4**	**83,9**		
Уровни звуковой мощности источника ночью, Lw, дБ		**исходные данные**	**0**	**93,3**	**94,7**	**96**	**96,3**	**95,9**	**92,6**	**88,4**	**83,9**		
Поправка на телесный угол DΩ, дБ	Ω = 6.28	10Lg(4π/Ω)	**3**	3	3	3	3	3	3	3	3		
Показатель направленности источника Di, дБ		исходные данные	**0**	0	0	0	0	0	0	0	0		
Поправка на направленность источника Dc, дБ	Dc	DΩ + Di	**3**	3	3	3	3	3	3	3	3		
Затухание из-за геометрической дивергенции, Adiv, дБ	расстояние = 564.71 м	ф-ла (7) [10]	**66**										
Коэффициент затухания звука в атмосфере α, дБ/км	Ta=20,°C Pa=101.33,кПа hотн.=70%	ф-ла (5) [9]	0,02	0,09	0,33	1,12	2,79	4,98	9,04	23,09	77,63		
Учет затухания звука в атмосфере Aatm, дБ		ф-ла (8) [10]	0	0,1	0,2	0,6	1,6	2,8	5,1	13	43,8		
Снижение уровня звукового давления из-за влияния застройки между источником шума и расчетной точкой													
Снижение уровня звукового давления на пути над экраном, Dz1, дБ	z = 0.62м (разность путей)	ф-лы (14-18) [10]	5,7	6,8	8,5	10,5	13	15,6	18,5	21,4	24,3		
Снижение уровня звукового давления на пути слева от экрана, Dz2, дБ	z = 76.35м (разность путей)	ф-лы (14-18) [10]	29	32,2	35,3	38,3	41,3	44,3	47,3	50,3	53,3		
Снижение уровня звукового давления на пути справа от экрана, Dz3, дБ	z = 192.49м (разность путей)	ф-лы (14-18) [10]	28,8	32,5	36,9	41,3	45	48,2	51,3	54,3	57,4		
Общее снижение уровня звука препятствием Dz, дБ		Эн.сумма(-Dzi)	5,6	6,8	8,4	10,5	12,9	15,6	18,4	21,4	24,3		
Уровни звукового давления от источника ИШ-1-14 в расчётной точке днём, дБ		**ф-ла(3)[10]**	**0**	**23,4**	**23**	**21,8**	**18,7**	**14,4**	**6**	**0**	**0**	**19,8**	**19,8**
Уровни звукового давления от источника ИШ-1-14 в расчётной точке ночью, дБ		**ф-ла(3)[10]**	**0**	**23,4**	**23**	**21,8**	**18,7**	**14,4**	**6**	**0**	**0**	**19,8**	**19,8**

1		2	3	4	5	6	7	8	9	10	11	12	13
Источник шума: ИШ-1-15, координаты источника (x,y,z), м =[445.03,95.25,1.00]													
Уровни звуковой мощности источника днём, Lw, дБ		**исходные данные**	**0**	**93,3**	**94,7**	**96**	**96,3**	**95,9**	**92,6**	**88,4**	**83,9**		
Уровни звуковой мощности источника ночью, Lw, дБ		**исходные данные**	**0**	**93,3**	**94,7**	**96**	**96,3**	**95,9**	**92,6**	**88,4**	**83,9**		
Поправка на телесный угол DΩ, дБ	Ω = 6.28	10Lg(4π/Ω)	**3**	3	3	3	3	3	3	3	3		
Показатель направленности источника Di, дБ		исходные данные	**0**	0	0	0	0	0	0	0	0		
Поправка на направленность источника Dc, дБ	Dc	DΩ + Di	**3**	3	3	3	3	3	3	3	3		
Затухание из-за геометрической дивергенции, Adiv, дБ	расстояние = 566.82 м	ф-ла (7) [10]	**66,1**										
Коэффициент затухания звука в атмосфере α, дБ/км	Ta=20,°C Pa=101.33,кПа hотн.=70%	ф-ла (5) [9]	0,02	0,09	0,33	1,12	2,79	4,98	9,04	23,09	77,63		
Учет затухания звука в атмосфере Aatm, дБ		ф-ла (8) [10]	0	0,1	0,2	0,6	1,6	2,8	5,1	13,1	44		
Снижение уровня звукового давления из-за влияния застройки между источником шума и расчетной точкой													
Снижение уровня звукового давления на пути над экраном, Dz1, дБ	z = 0.61м (разность путей)	ф-лы (14-18) [10]	5,6	6,8	8,4	10,4	12,8	15,5	18,3	21,3	24,2		
Снижение уровня звукового давления на пути слева от экрана, Dz2, дБ	z = 74.17м (разность путей)	ф-лы (14-18) [10]	28,9	32,1	35,1	38,2	41,2	44,2	47,2	50,2	53,2		
Снижение уровня звукового давления на пути справа от экрана, Dz3, дБ	z = 191.17м (разность путей)	ф-лы (14-18) [10]	28,8	32,5	36,9	41,3	45	48,2	51,3	54,3	57,3		
Общее снижение уровня звука препятствием Dz, дБ		Эн.сумма(-Dzi)	5,6	6,8	8,4	10,4	12,8	15,5	18,3	21,2	24,2		
Уровни звукового давления от источника ИШ-1-15 в расчётной точке днём, дБ		**ф-ла(3)[10]**	**0**	**23,4**	**23,1**	**21,9**	**18,8**	**14,5**	**6,1**	**0**	**0**	**19,8**	**19,8**
Уровни звукового давления от источника ИШ-1-15 в расчётной точке ночью, дБ		**ф-ла(3)[10]**	**0**	**23,4**	**23,1**	**21,9**	**18,8**	**14,5**	**6,1**	**0**	**0**	**19,8**	**19,8**

1		2	3	4	5	6	7	8	9	10	11	12	13
Источник шума: ИШ-1-16, координаты источника (x,y,z), м =[447.96,94.28,1.00]													
Уровни звуковой мощности источника днём, Lw, дБ		**исходные данные**	**0**	**93,3**	**94,7**	**96**	**96,3**	**95,9**	**92,6**	**88,4**	**83,9**		
Уровни звуковой мощности источника ночью, Lw, дБ		**исходные данные**	**0**	**93,3**	**94,7**	**96**	**96,3**	**95,9**	**92,6**	**88,4**	**83,9**		
Поправка на телесный угол DΩ, дБ	Ω = 6.28	10Lg(4π/Ω)	**3**	3	3	3	3	3	3	3	3		
Показатель направленности источника Di, дБ		исходные данные	**0**	0	0	0	0	0	0	0	0		
Поправка на направленность источника Dc, дБ	Dc	DΩ + Di	**3**	3	3	3	3	3	3	3	3		
Затухание из-за геометрической дивергенции, Adiv, дБ	расстояние = 568.51 м	ф-ла (7) [10]	**66,1**										
Коэффициент затухания звука в атмосфере α, дБ/км	Ta=20,°C Pa=101.33,кПа hотн.=70%	ф-ла (5) [9]	0,02	0,09	0,33	1,12	2,79	4,98	9,04	23,09	77,63		
Учет затухания звука в атмосфере Aatm, дБ		ф-ла (8) [10]	0	0,1	0,2	0,6	1,6	2,8	5,1	13,1	44,1		
Снижение уровня звукового давления из-за влияния застройки между источником шума и расчетной точкой													
Снижение уровня звукового давления на пути над экраном, Dz1, дБ	z = 0.61м (разность путей)	ф-лы (14-18) [10]	5,6	6,8	8,4	10,4	12,8	15,5	18,3	21,2	24,2		
Снижение уровня звукового давления на пути слева от экрана, Dz2, дБ	z = 72.29м (разность путей)	ф-лы (14-18) [10]	28,8	32	35	38	41,1	44,1	47,1	50,1	53,1		
Снижение уровня звукового давления на пути справа от экрана, Dz3, дБ	z = 190.55м (разность путей)	ф-лы (14-18) [10]	28,8	32,5	36,9	41,3	45	48,2	51,3	54,3	57,3		
Общее снижение уровня звука препятствием Dz, дБ		Эн.сумма(-Dzi)	5,6	6,7	8,3	10,4	12,8	15,4	18,3	21,2	24,1		
Уровни звукового давления от источника ИШ-1-16 в расчётной точке днём, дБ		**ф-ла(3)[10]**	**0**	**23,4**	**23,1**	**21,9**	**18,8**	**14,5**	**6,1**	**0**	**0**	**19,9**	**19,9**
Уровни звукового давления от источника ИШ-1-16 в расчётной точке ночью, дБ		**ф-ла(3)[10]**	**0**	**23,4**	**23,1**	**21,9**	**18,8**	**14,5**	**6,1**	**0**	**0**	**19,9**	**19,9**

1		2	3	4	5	6	7	8	9	10	11	12	13
Источник шума: ИШ-1-17, координаты источника (x,y,z), м =[540.99,141.77,1.00]													
Уровни звуковой мощности источника днём, Lw, дБ		**исходные данные**	**0**	**93,3**	**94,7**	**96**	**96,3**	**95,9**	**92,6**	**88,4**	**83,9**		
Уровни звуковой мощности источника ночью, Lw, дБ		**исходные данные**	**0**	**93,3**	**94,7**	**96**	**96,3**	**95,9**	**92,6**	**88,4**	**83,9**		
Поправка на телесный угол DΩ, дБ	Ω = 6.28	10Lg(4π/Ω)	**3**	3	3	3	3	3	3	3	3		
Показатель направленности источника Di, дБ		исходные данные	**0**	0	0	0	0	0	0	0	0		
Поправка на направленность источника Dc, дБ	Dc	DΩ + Di	**3**	3	3	3	3	3	3	3	3		
Затухание из-за геометрической дивергенции, Adiv, дБ	расстояние = 671.28 м	ф-ла (7) [10]	**67,5**										
Коэффициент затухания звука в атмосфере α, дБ/км	Ta=20,°C Pa=101.33,кПа hотн.=70%	ф-ла (5) [9]	0,02	0,09	0,33	1,12	2,79	4,98	9,04	23,09	77,63		
Учет затухания звука в атмосфере Aatm, дБ		ф-ла (8) [10]	0	0,1	0,2	0,8	1,9	3,3	6,1	15,5	52,1		
Снижение уровня звукового давления из-за влияния застройки между источником шума и расчетной точкой													
Снижение уровня звукового давления на пути над экраном, Dz1, дБ	z = 0.94м (разность путей)	ф-лы (14-18) [10]	7	8,9	11,1	13,6	16,3	19,2	22,1	25,1	28,1		
Снижение уровня звукового давления на пути слева от экрана, Dz2, дБ	z = 58.09м (разность путей)	ф-лы (14-18) [10]	27,9	31,1	34,1	37,1	40,1	43,1	46,1	49,1	52,1		
Снижение уровня звукового давления на пути справа от экрана, Dz3, дБ	z = 102.52м (разность путей)	ф-лы (14-18) [10]	29	33,1	36,4	39,5	42,6	45,6	48,6	51,6	54,6		
Общее снижение уровня звука препятствием Dz, дБ		Эн.сумма(-Dzi)	7	8,9	11,1	13,6	16,3	19,2	22,1	25,1	28,1		
Общее снижение уровня звука препятствием с учётом ограничения (25 дБ) для октавных полос Dz, дБ		Раздел 7.4 [10]	7	8,9	11,1	13,6	16,3	19,2	22,1	25	25		
Уровни звукового давления от источника ИШ-1-17 в расчётной точке днём, дБ		**ф-ла(3)[10]**	**0**	**19,8**	**18,9**	**17,1**	**13,6**	**8,9**	**0**	**0**	**0**	**14,4**	**14,4**

1		2	3	4	5	6	7	8	9	10	11	12	13
Уровни звукового давления от источника ИШ-1-17 в расчётной точке ночью, дБ		**ф-ла(3)[10]**	**0**	**19,8**	**18,9**	**17,1**	**13,6**	**8,9**	**0**	**0**	**0**	**14,4**	**14,4**
Источник шума: ИШ-1-18, координаты источника (x,y,z), м =[543.53,140.79,1.00]													
Уровни звуковой мощности источника днём, Lw, дБ		**исходные данные**	**0**	**93,3**	**94,7**	**96**	**96,3**	**95,9**	**92,6**	**88,4**	**83,9**		
Уровни звуковой мощности источника ночью, Lw, дБ		**исходные данные**	**0**	**93,3**	**94,7**	**96**	**96,3**	**95,9**	**92,6**	**88,4**	**83,9**		
Поправка на телесный угол DΩ, дБ	Ω = 6.28	10Lg(4π/Ω)	**3**	3	3	3	3	3	3	3	3		
Показатель направленности источника Di, дБ		исходные данные	**0**	0	0	0	0	0	0	0	0		
Поправка на направленность источника Dc, дБ	Dc	DΩ + Di	**3**	3	3	3	3	3	3	3	3		
Затухание из-за геометрической дивергенции, Adiv, дБ	расстояние = 672.74 м	ф-ла (7) [10]	**67,6**										
Коэффициент затухания звука в атмосфере α, дБ/км	Ta=20,°C Pa=101.33,кПа hотн.=70%	ф-ла (5) [9]	0,02	0,09	0,33	1,12	2,79	4,98	9,04	23,09	77,63		
Учет затухания звука в атмосфере Aatm, дБ		ф-ла (8) [10]	0	0,1	0,2	0,8	1,9	3,3	6,1	15,5	52,2		
Снижение уровня звукового давления из-за влияния застройки между источником шума и расчетной точкой													
Снижение уровня звукового давления на пути над экраном, Dz1, дБ	z = 0.89м (разность путей)	ф-лы (14-18) [10]	7,4	9,2	11,3	13,9	16,6	19,5	22,4	25,4	28,4		
Снижение уровня звукового давления на пути слева от экрана, Dz2, дБ	z = 57.21м (разность путей)	ф-лы (14-18) [10]	27,9	31	34	37	40	43,1	46,1	49,1	52,1		
Снижение уровня звукового давления на пути справа от экрана, Dz3, дБ	z = 103.08м (разность путей)	ф-лы (14-18) [10]	29,1	33,1	36,4	39,6	42,6	45,6	48,6	51,6	54,6		
Общее снижение уровня звука препятствием Dz, дБ		Эн.сумма(-Dzi)	7,3	9,1	11,3	13,8	16,6	19,4	22,4	25,4	28,3		
Общее снижение уровня звука препятствием с учётом ограничения (25 дБ) для октавных полос Dz, дБ		Раздел 7.4 [10]	7,3	9,1	11,3	13,8	16,6	19,4	22,4	25	25		

1		2	3	4	5	6	7	8	9	10	11	12	13
Уровни звукового давления от источника ИШ-1-18 в расчётной точке днём, дБ		**ф-ла(3)[10]**	**0**	**19,5**	**18,6**	**16,8**	**13,3**	**8,5**	**0**	**0**	**0**	**14,2**	**14,2**
Уровни звукового давления от источника ИШ-1-18 в расчётной точке ночью, дБ		**ф-ла(3)[10]**	**0**	**19,5**	**18,6**	**16,8**	**13,3**	**8,5**	**0**	**0**	**0**	**14,2**	**14,2**
Источник шума: ИШ-1-19, координаты источника (x,y,z), м =[547.25,139.62,1.00]													
Уровни звуковой мощности источника днём, Lw, дБ		**исходные данные**	**0**	**93,3**	**94,7**	**96**	**96,3**	**95,9**	**92,6**	**88,4**	**83,9**		
Уровни звуковой мощности источника ночью, Lw, дБ		**исходные данные**	**0**	**93,3**	**94,7**	**96**	**96,3**	**95,9**	**92,6**	**88,4**	**83,9**		
Поправка на телесный угол DΩ, дБ	Ω = 6.28	10Lg(4π/Ω)	**3**	3	3	3	3	3	3	3	3		
Показатель направленности источника Di, дБ		исходные данные	**0**	0	0	0	0	0	0	0	0		
Поправка на направленность источника Dc, дБ	Dc	DΩ + Di	**3**	3	3	3	3	3	3	3	3		
Затухание из-за геометрической дивергенции, Adiv, дБ	расстояние = 675.05 м	ф-ла (7) [10]	**67,6**										
Коэффициент затухания звука в атмосфере α, дБ/км	Ta=20,°C Pa=101.33,кПа hотн.=70%	ф-ла (5) [9]	0,02	0,09	0,33	1,12	2,79	4,98	9,04	23,09	77,63		
Учет затухания звука в атмосфере Aatm, дБ		ф-ла (8) [10]	0	0,1	0,2	0,8	1,9	3,4	6,1	15,6	52,4		
Снижение уровня звукового давления из-за влияния застройки между источником шума и расчетной точкой													
Снижение уровня звукового давления на пути над экраном, Dz1, дБ	z = 0.80м (разность путей)	ф-лы (14-18) [10]	7	8,5	10,5	12,9	15,6	18,4	21,4	24,3	27,3		
Снижение уровня звукового давления на пути слева от экрана, Dz2, дБ	z = 56.10м (разность путей)	ф-лы (14-18) [10]	27,8	30,9	33,9	36,9	40	43	46	49	52		
Снижение уровня звукового давления на пути справа от экрана, Dz3, дБ	z = 103.64м (разность путей)	ф-лы (14-18) [10]	29,1	33,1	36,5	39,6	42,6	45,6	48,6	51,7	54,7		
Общее снижение уровня звука препятствием Dz, дБ		Эн.сумма(-Dzi)	6,9	8,5	10,5	12,9	15,6	18,4	21,3	24,3	27,3		

1		2	3	4	5	6	7	8	9	10	11	12	13
Общее снижение уровня звука препятствием с учётом ограничения (25 дБ) для октавных полос Dz, дБ		Раздел 7.4 [10]	6,9	8,5	10,5	12,9	15,6	18,4	21,3	24,3	25		
Уровни звукового давления от источника ИШ-1-19 в расчётной точке днём, дБ		**ф-ла(3)[10]**	**0**	**20,2**	**19,4**	**17,7**	**14,2**	**9,5**	**0,6**	**0**	**0**	**15,3**	**15,3**
Уровни звукового давления от источника ИШ-1-19 в расчётной точке ночью, дБ		**ф-ла(3)[10]**	**0**	**20,2**	**19,4**	**17,7**	**14,2**	**9,5**	**0,6**	**0**	**0**	**15,3**	**15,3**
Источник шума: ИШ-1-20, координаты источника (x,y,z), м =[550.38,138.64,1.00]													
Уровни звуковой мощности источника днём, Lw, дБ		**исходные данные**	**0**	**93,3**	**94,7**	**96**	**96,3**	**95,9**	**92,6**	**88,4**	**83,9**		
Уровни звуковой мощности источника ночью, Lw, дБ		**исходные данные**	**0**	**93,3**	**94,7**	**96**	**96,3**	**95,9**	**92,6**	**88,4**	**83,9**		
Поправка на телесный угол DΩ, дБ	Ω = 6.28	10Lg(4π/Ω)	**3**	3	3	3	3	3	3	3	3		
Показатель направленности источника Di, дБ		исходные данные	**0**	0	0	0	0	0	0	0	0		
Поправка на направленность источника Dc, дБ	Dc	DΩ + Di	**3**	3	3	3	3	3	3	3	3		
Затухание из-за геометрической дивергенции, Adiv, дБ	расстояние = 677.01 м	ф-ла (7) [10]	**67,6**										
Коэффициент затухания звука в атмосфере α, дБ/км	Ta=20,°C Pa=101.33,кПа hотн.=70%	ф-ла (5) [9]	0,02	0,09	0,33	1,12	2,79	4,98	9,04	23,09	77,63		
Учет затухания звука в атмосфере Aatm, дБ		ф-ла (8) [10]	0	0,1	0,2	0,8	1,9	3,4	6,1	15,6	52,6		
Снижение уровня звукового давления из-за влияния застройки между источником шума и расчетной точкой													
Снижение уровня звукового давления на пути над экраном, Dz1, дБ	z = 0.75м (разность путей)	ф-лы (14-18) [10]	6,6	8,1	9,9	12,2	14,9	17,6	20,5	23,5	26,5		
Снижение уровня звукового давления на пути слева от экрана, Dz2, дБ	z = 55.24м (разность путей)	ф-лы (14-18) [10]	23,2	26,2	29,1	32,1	35,1	38,1	41,1	44,1	47,2		
Снижение уровня звукового давления на пути справа от экрана, Dz3, дБ	z = 104.20м (разность путей)	ф-лы (14-18) [10]	29,1	33,1	36,5	39,6	42,6	45,7	48,7	51,7	54,7		

1		2	3	4	5	6	7	8	9	10	11	12	13
Общее снижение уровня звука препятствием Dz, дБ		Эн.сумма(-Dzi)	6,5	8	9,9	12,2	14,8	17,6	20,5	23,4	26,4		
Общее снижение уровня звука препятствием с учётом ограничения (25 дБ) для октавных полос Dz, дБ		Раздел 7.4 [10]	6,5	8	9,9	12,2	14,8	17,6	20,5	23,4	25		
Уровни звукового давления от источника ИШ-1-20 в расчётной точке днём, дБ		**ф-ла(3)[10]**	**0**	**20,6**	**20**	**18,4**	**15**	**10,3**	**1,4**	**0**	**0**	**16**	**16**
Уровни звукового давления от источника ИШ-1-20 в расчётной точке ночью, дБ		**ф-ла(3)[10]**	**0**	**20,6**	**20**	**18,4**	**15**	**10,3**	**1,4**	**0**	**0**	**16**	**16**
Источник шума: ИШ-1-21, координаты источника (x,y,z), м =[553.31,137.67,1.00]													
Уровни звуковой мощности источника днём, Lw, дБ		**исходные данные**	**0**	**93,3**	**94,7**	**96**	**96,3**	**95,9**	**92,6**	**88,4**	**83,9**		
Уровни звуковой мощности источника ночью, Lw, дБ		**исходные данные**	**0**	**93,3**	**94,7**	**96**	**96,3**	**95,9**	**92,6**	**88,4**	**83,9**		
Поправка на телесный угол DΩ, дБ	Ω = 6.28	10Lg(4π/Ω)	**3**	3	3	3	3	3	3	3	3		
Показатель направленности источника Di, дБ		исходные данные	**0**	0	0	0	0	0	0	0	0		
Поправка на направленность источника Dc, дБ	Dc	DΩ + Di	**3**	3	3	3	3	3	3	3	3		
Затухание из-за геометрической дивергенции, Adiv, дБ	расстояние = 678.81 м	ф-ла (7) [10]	**67,6**										
Коэффициент затухания звука в атмосфере α, дБ/км	Ta=20,°C Pa=101.33,кПа hотн.=70%	ф-ла (5) [9]	0,02	0,09	0,33	1,12	2,79	4,98	9,04	23,09	77,63		
Учет затухания звука в атмосфере Aatm, дБ		ф-ла (8) [10]	0	0,1	0,2	0,8	1,9	3,4	6,1	15,7	52,7		
Снижение уровня звукового давления из-за влияния застройки между источником шума и расчетной точкой													
Снижение уровня звукового давления на пути над экраном, Dz1, дБ	z = 0.70м (разность путей)	ф-лы (14-18) [10]	6,4	7,7	9,4	11,6	14,2	16,9	19,8	22,8	25,7		
Снижение уровня звукового давления на пути слева от экрана, Dz2, дБ	z = 54.44м (разность путей)	ф-лы (14-18) [10]	23,1	26,1	29,1	32,1	35,1	38,1	41,1	44,1	47,1		

1		2	3	4	5	6	7	8	9	10	11	12	13
Снижение уровня звукового давления на пути справа от экрана, Dz3, дБ	z = 104.89м (разность путей)	ф-лы (14-18) [10]	29,1	33,2	36,5	39,6	42,7	45,7	48,7	51,7	54,7		
Общее снижение уровня звука препятствием Dz, дБ		Эн.сумма(-Dzi)	6,3	7,6	9,4	11,6	14,1	16,9	19,8	22,7	25,7		
Общее снижение уровня звука препятствием с учётом ограничения (25 дБ) для октавных полос Dz, дБ		Раздел 7.4 [10]	6,3	7,6	9,4	11,6	14,1	16,9	19,8	22,7	25		
Уровни звукового давления прямого звука от источника ИШ-1-21 в расчётной точке днём, дБ		**ф-ла(3)[10]**	**0**	**21**	**20,5**	**19**	**15,6**	**11**	**2**	**0**	**0**	**16,6**	**16,6**
Уровни звукового давления прямого звука от источника ИШ-1-21 в расчётной точке ночью, дБ		**ф-ла(3)[10]**	**0**	**21**	**20,5**	**19**	**15,6**	**11**	**2**	**0**	**0**	**16,6**	**16,6**
Расчёт отражённого звука													
Уровни звукового давления от мнимого источника ИШ-1-21_мн.(1) в расчётной точке днём, дБ		**ф-ла(3)[10]**	**0**	**0**	**0**	**0**	**0**	**0**	**0**	**0**	**0**	**0**	**0**
Уровни звукового давления от мнимого источника ИШ-1-21_мн.(1) в расчётной точке ночью, дБ		**ф-ла(3)[10]**	**0**	**0**	**0**	**0**	**0**	**0**	**0**	**0**	**0**	**0**	**0**
Уровни звукового давления от источника ИШ-1-21 в расчётной точке днём, дБ		**ф-ла(3)[10]**	**0**	**21**	**20,5**	**19**	**15,6**	**11**	**2**	**0**	**0**	**16,6**	**16,6**
Уровни звукового давления от источника ИШ-1-21 в расчётной точке ночью, дБ		**ф-ла(3)[10]**	**0**	**21**	**20,5**	**19**	**15,6**	**11**	**2**	**0**	**0**	**16,6**	**16,6**
Источник шума: ИШ-1-22, координаты источника (x,y,z), м =[522.03,85.28,1.00]													
Уровни звуковой мощности источника днём, Lw, дБ		**исходные данные**	**0**	**93,3**	**94,7**	**96**	**96,3**	**95,9**	**92,6**	**88,4**	**83,9**		
Уровни звуковой мощности источника ночью, Lw, дБ		**исходные данные**	**0**	**93,3**	**94,7**	**96**	**96,3**	**95,9**	**92,6**	**88,4**	**83,9**		
Поправка на телесный угол DΩ, дБ	Ω = 6.28	10Lg(4π/Ω)	**3**	3	3	3	3	3	3	3	3		
Показатель направленности источника Di, дБ		исходные данные	**0**	0	0	0	0	0	0	0	0		
Поправка на направленность источника Dc, дБ	Dc	DΩ + Di	**3**	3	3	3	3	3	3	3	3		
Затухание из-за геометрической дивергенции, Adiv, дБ	расстояние = 623.36 м	ф-ла (7) [10]	**66,9**										

1		2	3	4	5	6	7	8	9	10	11	12	13
Коэффициент затухания звука в атмосфере α, дБ/км	Та=20,°С Ра=101.33,кПа hотн.=70%	ф-ла (5) [9]	0,02	0,09	0,33	1,12	2,79	4,98	9,04	23,09	77,63		
Учет затухания звука в атмосфере Aatm, дБ		ф-ла (8) [10]	0	0,1	0,2	0,7	1,7	3,1	5,6	14,4	48,4		
Снижение уровня звукового давления из-за влияния застройки между источником шума и расчетной точкой													
Снижение уровня звукового давления на пути над экраном, Dz1, дБ	z = 1.03м (разность путей)	ф-лы (14-18) [10]	8,2	10,3	12,7	15,3	18,1	21,1	24	27	30		
Снижение уровня звукового давления на пути слева от экрана, Dz2, дБ	z = 49.39м (разность путей)	ф-лы (14-18) [10]	22,7	25,7	28,6	31,6	34,6	37,6	40,7	43,7	46,7		
Снижение уровня звукового давления на пути справа от экрана, Dz3, дБ	z = 203.24м (разность путей)	ф-лы (14-18) [10]	32	36	39,4	42,5	45,5	48,6	51,6	54,6	57,6		
Общее снижение уровня звука препятствием Dz, дБ		Эн.сумма(-Dzi)	8	10,1	12,5	15,2	18	21	23,9	26,9	29,9		
Общее снижение уровня звука препятствием с учётом ограничения (25 дБ) для октавных полос Dz, дБ		Раздел 7.4 [10]	8	10,1	12,5	15,2	18	21	23,9	25	25		
Уровни звукового давления от источника ИШ-1-22 в расчётной точке днём, дБ		**ф-ла(3)[10]**	**0**	**19,2**	**18**	**16,2**	**12,6**	**7,9**	**0**	**0**	**0**	**13,5**	**13,5**
Уровни звукового давления от источника ИШ-1-22 в расчётной точке ночью, дБ		**ф-ла(3)[10]**	**0**	**19,2**	**18**	**16,2**	**12,6**	**7,9**	**0**	**0**	**0**	**13,5**	**13,5**
Источник шума: ИШ-1-23, координаты источника (x,y,z), м =[525.16,84.11,1.00]													
Уровни звуковой мощности источника днём, Lw, дБ		**исходные данные**	**0**	**93,3**	**94,7**	**96**	**96,3**	**95,9**	**92,6**	**88,4**	**83,9**		
Уровни звуковой мощности источника ночью, Lw, дБ		**исходные данные**	**0**	**93,3**	**94,7**	**96**	**96,3**	**95,9**	**92,6**	**88,4**	**83,9**		
Поправка на телесный угол DΩ, дБ	Ω = 6.28	10Lg($4\pi/\Omega$)	**3**	3	3	3	3	3	3	3	3		
Показатель направленности источника Di, дБ		исходные данные	**0**	0	0	0	0	0	0	0	0		
Поправка на направленность источника Dc, дБ	Dc	DΩ + Di	**3**	3	3	3	3	3	3	3	3		

1		2	3	4	5	6	7	8	9	10	11	12	13
Затухание из-за геометрической дивергенции, Adiv, дБ	расстояние = 625.33 м	ф-ла (7) [10]	**66,9**										
Коэффициент затухания звука в атмосфере α, дБ/км	Ta=20,°C Pa=101.33,кПа hотн.=70%	ф-ла (5) [9]	0,02	0,09	0,33	1,12	2,79	4,98	9,04	23,09	77,63		
Учет затухания звука в атмосфере Aatm, дБ		ф-ла (8) [10]	0	0,1	0,2	0,7	1,7	3,1	5,7	14,4	48,5		
Снижение уровня звукового давления из-за влияния застройки между источником шума и расчетной точкой													
Снижение уровня звукового давления на пути над экраном, Dz1, дБ	z = 0.93м (разность путей)	ф-лы (14-18) [10]	7,7	9,6	11,9	14,5	17,2	20,1	23,1	26,1	29		
Снижение уровня звукового давления на пути слева от экрана, Dz2, дБ	z = 48.47м (разность путей)	ф-лы (14-18) [10]	22,6	25,6	28,5	31,5	34,6	37,6	40,6	43,6	46,6		
Снижение уровня звукового давления на пути справа от экрана, Dz3, дБ	z = 202.41м (разность путей)	ф-лы (14-18) [10]	32	36	39,4	42,5	45,5	48,5	51,5	54,6	57,6		
Общее снижение уровня звука препятствием Dz, дБ		Эн.сумма(-Dzi)	7,5	9,5	11,8	14,4	17,2	20	23	26	29		
Общее снижение уровня звука препятствием с учётом ограничения (25 дБ) для октавных полос Dz, дБ		Раздел 7.4 [10]	7,5	9,5	11,8	14,4	17,2	20	23	25	25		
Уровни звукового давления от источника ИШ-1-23 в расчётной точке днём, дБ		**ф-ла(3)[10]**	**0**	**19,8**	**18,8**	**17**	**13,5**	**8,8**	**0**	**0**	**0**	**14,6**	**14,6**
Уровни звукового давления от источника ИШ-1-23 в расчётной точке ночью, дБ		**ф-ла(3)[10]**	**0**	**19,8**	**18,8**	**17**	**13,5**	**8,8**	**0**	**0**	**0**	**14,6**	**14,6**
Источник шума: ИШ-1-24, координаты источника (x,y,z), м =[528.48,82.94,1.00]													
Уровни звуковой мощности источника днём, Lw, дБ		**исходные данные**	**0**	**93,3**	**94,7**	**96**	**96,3**	**95,9**	**92,6**	**88,4**	**83,9**		
Уровни звуковой мощности источника ночью, Lw, дБ		**исходные данные**	**0**	**93,3**	**94,7**	**96**	**96,3**	**95,9**	**92,6**	**88,4**	**83,9**		
Поправка на телесный угол DΩ, дБ	Ω = 6.28	10Lg(4π/Ω)	**3**	3	3	3	3	3	3	3	3		
Показатель направленности источника Di, дБ		исходные данные	**0**	0	0	0	0	0	0	0	0		

1		2	3	4	5	6	7	8	9	10	11	12	13
Поправка на направленность источника Dc, дБ	Dc	DΩ + Di	**3**	3	3	3	3	3	3	3	3		
Затухание из-за геометрической дивергенции, Adiv, дБ	расстояние = 627.48 м	ф-ла (7) [10]	**67**										
Коэффициент затухания звука в атмосфере α, дБ/км	Ta=20,°C Pa=101.33,кПа hотн.=70%	ф-ла (5) [9]	0,02	0,09	0,33	1,12	2,79	4,98	9,04	23,09	77,63		
Учет затухания звука в атмосфере Aatm, дБ		ф-ла (8) [10]	0	0,1	0,2	0,7	1,8	3,1	5,7	14,5	48,7		
Снижение уровня звукового давления из-за влияния застройки между источником шума и расчетной точкой													
Снижение уровня звукового давления на пути над экраном, Dz1, дБ	z = 0.85м (разность путей)	ф-лы (14-18) [10]	7,2	9	11,1	13,6	16,4	19,2	22,1	25,1	28,1		
Снижение уровня звукового давления на пути слева от экрана, Dz2, дБ	z = 47.53м (разность путей)	ф-лы (14-18) [10]	22,5	25,5	28,5	31,5	34,5	37,5	40,5	43,5	46,5		
Снижение уровня звукового давления на пути справа от экрана, Dz3, дБ	z = 201.52м (разность путей)	ф-лы (14-18) [10]	32	36	39,3	42,5	45,5	48,5	51,5	54,5	57,6		
Общее снижение уровня звука препятствием Dz, дБ		Эн.сумма(-Dzi)	7,1	8,9	11,1	13,6	16,3	19,1	22,1	25,1	28		
Общее снижение уровня звука препятствием с учётом ограничения (25 дБ) для октавных полос Dz, дБ		Раздел 7.4 [10]	7,1	8,9	11,1	13,6	16,3	19,1	22,1	25	25		
Уровни звукового давления от источника ИШ-1-24 в расчётной точке днём, дБ		**ф-ла(3)[10]**	**0**	**20,4**	**19,5**	**17,8**	**14,3**	**9,7**	**0,9**	**0**	**0**	**15,4**	**15,4**
Уровни звукового давления от источника ИШ-1-24 в расчётной точке ночью, дБ		**ф-ла(3)[10]**	**0**	**20,4**	**19,5**	**17,8**	**14,3**	**9,7**	**0,9**	**0**	**0**	**15,4**	**15,4**
Источник шума: ИШ-1-25, координаты источника (x,y,z), м =[531.22,82.16,1.00]													
Уровни звуковой мощности источника днём, Lw, дБ		**исходные данные**	**0**	**93,3**	**94,7**	**96**	**96,3**	**95,9**	**92,6**	**88,4**	**83,9**		
Уровни звуковой мощности источника ночью, Lw, дБ		**исходные данные**	**0**	**93,3**	**94,7**	**96**	**96,3**	**95,9**	**92,6**	**88,4**	**83,9**		
Поправка на телесный угол DΩ, дБ	Ω = 6.28	10Lg(4π/Ω)	**3**	3	3	3	3	3	3	3	3		

1		2	3	4	5	6	7	8	9	10	11	12	13
Показатель направленности источника Di, дБ		исходные данные	**0**	0	0	0	0	0	0	0	0		
Поправка на направленность источника Dc, дБ	Dc	DΩ + Di	**3**	3	3	3	3	3	3	3	3		
Затухание из-за геометрической дивергенции, Adiv, дБ	расстояние = 629.35 м	ф-ла (7) [10]	**67**										
Коэффициент затухания звука в атмосфере α, дБ/км	Ta=20,°C Pa=101.33,кПа hотн.=70%	ф-ла (5) [9]	0,02	0,09	0,33	1,12	2,79	4,98	9,04	23,09	77,63		
Учет затухания звука в атмосфере Aatm, дБ		ф-ла (8) [10]	0	0,1	0,2	0,7	1,8	3,1	5,7	14,5	48,9		
Снижение уровня звукового давления из-за влияния застройки между источником шума и расчетной точкой													
Снижение уровня звукового давления на пути над экраном, Dz1, дБ	z = 0.42м (разность путей)	ф-лы (14-18) [10]	5,1	5,4	6	7,1	8,5	10,5	12,9	15,6	18,4		
Снижение уровня звукового давления на пути слева от экрана, Dz2, дБ	z = 46.80м (разность путей)	ф-лы (14-18) [10]	22,5	25,4	28,4	31,4	34,4	37,4	40,4	43,4	46,4		
Снижение уровня звукового давления на пути справа от экрана, Dz3, дБ	z = 200.58м (разность путей)	ф-лы (14-18) [10]	32	36	39,3	42,4	45,5	48,5	51,5	54,5	57,5		
Общее снижение уровня звука препятствием Dz, дБ		Эн.сумма(-Dzi)	5	5,4	6	7	8,5	10,5	12,9	15,6	18,4		
Уровни звукового давления от источника ИШ-1-25 в расчётной точке днём, дБ		**ф-ла(3)[10]**	**0**	**23,9**	**24,5**	**24,3**	**22**	**18,3**	**10**	**0**	**0**	**23**	**23**
Уровни звукового давления от источника ИШ-1-25 в расчётной точке ночью, дБ		**ф-ла(3)[10]**	**0**	**23,9**	**24,5**	**24,3**	**22**	**18,3**	**10**	**0**	**0**	**23**	**23**
Источник шума: ИШ-1-26, координаты источника (x,y,z), м =[534.15,80.79,1.00]													
Уровни звуковой мощности источника днём, Lw, дБ		**исходные данные**	**0**	**93,3**	**94,7**	**96**	**96,3**	**95,9**	**92,6**	**88,4**	**83,9**		
Уровни звуковой мощности источника ночью, Lw, дБ		**исходные данные**	**0**	**93,3**	**94,7**	**96**	**96,3**	**95,9**	**92,6**	**88,4**	**83,9**		
Поправка на телесный угол DΩ, дБ	Ω = 6.28	10Lg(4π/Ω)	**3**	3	3	3	3	3	3	3	3		

1		2	3	4	5	6	7	8	9	10	11	12	13
Показатель направленности источника Di, дБ		исходные данные	**0**	0	0	0	0	0	0	0	0		
Поправка на направленность источника Dc, дБ	Dc	DΩ + Di	**3**	3	3	3	3	3	3	3	3		
Затухание из-за геометрической дивергенции, Adiv, дБ	расстояние = 631.09 м	ф-ла (7) [10]	**67**										
Коэффициент затухания звука в атмосфере α, дБ/км	Ta=20,°C Pa=101.33,кПа hотн.=70%	ф-ла (5) [9]	0,02	0,09	0,33	1,12	2,79	4,98	9,04	23,09	77,63		
Учет затухания звука в атмосфере Aatm, дБ		ф-ла (8) [10]	0	0,1	0,2	0,7	1,8	3,1	5,7	14,6	49		
Снижение уровня звукового давления из-за влияния застройки между источником шума и расчетной точкой													
Снижение уровня звукового давления на пути над экраном, Dz1, дБ	z = 0.41м (разность путей)	ф-лы (14-18) [10]	5	5,4	5,9	6,8	8,2	10,2	12,5	15,1	17,9		
Снижение уровня звукового давления на пути слева от экрана, Dz2, дБ	z = 45.91м (разность путей)	ф-лы (14-18) [10]	22,4	25,4	28,3	31,3	34,3	37,3	40,3	43,3	46,4		
Снижение уровня звукового давления на пути справа от экрана, Dz3, дБ	z = 200.46м (разность путей)	ф-лы (14-18) [10]	32	36	39,3	42,4	45,5	48,5	51,5	54,5	57,5		
Общее снижение уровня звука препятствием Dz, дБ		Эн.сумма(-Dzi)	4,9	5,3	5,9	6,8	8,2	10,1	12,5	15,1	17,9		
Уровни звукового давления от источника ИШ-1-26 в расчётной точке днём, дБ		**ф-ла(3)[10]**	**0**	**23,9**	**24,6**	**24,5**	**22,3**	**18,6**	**10,4**	**0**	**0**	**23,3**	**23,3**
Уровни звукового давления от источника ИШ-1-26 в расчётной точке ночью, дБ		**ф-ла(3)[10]**	**0**	**23,9**	**24,6**	**24,5**	**22,3**	**18,6**	**10,4**	**0**	**0**	**23,3**	**23,3**
Источник шума: ИШ-1-27, координаты источника (x,y,z), м =[469.65,197.67,1.00]													
Уровни звуковой мощности источника днём, Lw, дБ		**исходные данные**	**0**	**93,3**	**94,7**	**96**	**96,3**	**95,9**	**92,6**	**88,4**	**83,9**		
Уровни звуковой мощности источника ночью, Lw, дБ		**исходные данные**	**0**	**93,3**	**94,7**	**96**	**96,3**	**95,9**	**92,6**	**88,4**	**83,9**		
Поправка на телесный угол DΩ, дБ	Ω = 6.28	10Lg(4π/Ω)	**3**	3	3	3	3	3	3	3	3		

1		2	3	4	5	6	7	8	9	10	11	12	13
Показатель направленности источника Di, дБ		исходные данные	**0**	0	0	0	0	0	0	0	0		
Поправка на направленность источника Dc, дБ	Dc	DΩ + Di	**3**	3	3	3	3	3	3	3	3		
Затухание из-за геометрической дивергенции, Adiv, дБ	расстояние = 653.09 м	ф-ла (7) [10]	**67,3**										
Коэффициент затухания звука в атмосфере α, дБ/км	Ta=20,°C Pa=101.33,кПа hотн.=70%	ф-ла (5) [9]	0,02	0,09	0,33	1,12	2,79	4,98	9,04	23,09	77,63		
Учет затухания звука в атмосфере Aatm, дБ		ф-ла (8) [10]	0	0,1	0,2	0,7	1,8	3,3	5,9	15,1	50,7		
Снижение уровня звукового давления из-за влияния застройки между источником шума и расчетной точкой													
Снижение уровня звукового давления на пути над экраном, Dz1, дБ	z = 0.76м (разность путей)	ф-лы (14-18) [10]	6,3	7,7	9,6	11,8	14,4	17,2	20,1	23	26		
Снижение уровня звукового давления на пути слева от экрана, Dz2, дБ	z = 93.23м (разность путей)	ф-лы (14-18) [10]	29,9	33,1	36,1	39,1	42,2	45,2	48,2	51,2	54,2		
Снижение уровня звукового давления на пути справа от экрана, Dz3, дБ	z = 23.58м (разность путей)	ф-лы (14-18) [10]	19,6	22,5	25,4	28,4	31,4	34,4	37,4	40,5	43,5		
Общее снижение уровня звука препятствием Dz, дБ		Эн.сумма(-Dzi)	6,1	7,6	9,5	11,7	14,3	17,1	20	22,9	25,9		
Общее снижение уровня звука препятствием с учётом ограничения (25 дБ) для октавных полос Dz, дБ		Раздел 7.4 [10]	6,1	7,6	9,5	11,7	14,3	17,1	20	22,9	25		
Уровни звукового давления прямого звука от источника ИШ-1-27 в расчётной точке днём, дБ		**ф-ла(3)[10]**	**0**	**21,4**	**20,7**	**19,2**	**15,8**	**11,2**	**2,4**	**0**	**0**	**16,9**	**16,9**
Уровни звукового давления прямого звука от источника ИШ-1-27 в расчётной точке ночью, дБ		**ф-ла(3)[10]**	**0**	**21,4**	**20,7**	**19,2**	**15,8**	**11,2**	**2,4**	**0**	**0**	**16,9**	**16,9**
Расчёт отражённого звука													
Уровни звукового давления от мнимого источника ИШ-1-27_мн.(1) в расчётной точке днём, дБ		**ф-ла(3)[10]**	**0**	**0**	**0**	**0**	**0**	**0**	**0**	**0**	**0**	**0**	**0**
Уровни звукового давления от мнимого источника ИШ-1-27_мн.(1) в расчётной точке ночью, дБ		**ф-ла(3)[10]**	**0**	**0**	**0**	**0**	**0**	**0**	**0**	**0**	**0**	**0**	**0**
Уровни звукового давления от источника ИШ-1-27 в расчётной точке днём, дБ		**ф-ла(3)[10]**	**0**	**21,4**	**20,7**	**19,2**	**15,8**	**11,2**	**2,4**	**0**	**0**	**16,9**	**16,9**

1		2	3	4	5	6	7	8	9	10	11	12	13
Уровни звукового давления от источника ИШ-1-27 в расчётной точке ночью, дБ		**ф-ла(3)[10]**	**0**	**21,4**	**20,7**	**19,2**	**15,8**	**11,2**	**2,4**	**0**	**0**	**16,9**	**16,9**
Источник шума: ИШ-1-28, координаты источника (x,y,z), м =[472.78,196.69,1.00]													
Уровни звуковой мощности источника днём, Lw, дБ		**исходные данные**	**0**	**93,3**	**94,7**	**96**	**96,3**	**95,9**	**92,6**	**88,4**	**83,9**		
Уровни звуковой мощности источника ночью, Lw, дБ		**исходные данные**	**0**	**93,3**	**94,7**	**96**	**96,3**	**95,9**	**92,6**	**88,4**	**83,9**		
Поправка на телесный угол DΩ, дБ	Ω = 6.28	10Lg(4π/Ω)	**3**	3	3	3	3	3	3	3	3		
Показатель направленности источника Di, дБ		исходные данные	**0**	0	0	0	0	0	0	0	0		
Поправка на направленность источника Dc, дБ	Dc	DΩ + Di	**3**	3	3	3	3	3	3	3	3		
Затухание из-за геометрической дивергенции, Adiv, дБ	расстояние = 654.66 м	ф-ла (7) [10]	**67,3**										
Коэффициент затухания звука в атмосфере α, дБ/км	Ta=20,°C Pa=101.33,кПа hотн.=70%	ф-ла (5) [9]	0,02	0,09	0,33	1,12	2,79	4,98	9,04	23,09	77,63		
Учет затухания звука в атмосфере Aatm, дБ		ф-ла (8) [10]	0	0,1	0,2	0,7	1,8	3,3	5,9	15,1	50,8		
Снижение уровня звукового давления из-за влияния застройки между источником шума и расчетной точкой													
Снижение уровня звукового давления на пути над экраном, Dz1, дБ	z = 0.69м (разность путей)	ф-лы (14-18) [10]	6	7,2	8,9	11	13,4	16,1	19	21,9	24,9		
Снижение уровня звукового давления на пути слева от экрана, Dz2, дБ	z = 91.48м (разность путей)	ф-лы (14-18) [10]	29,8	33	36	39,1	42,1	45,1	48,1	51,1	54,1		
Снижение уровня звукового давления на пути справа от экрана, Dz3, дБ	z = 25.29м (разность путей)	ф-лы (14-18) [10]	19,9	22,8	25,7	28,7	31,7	34,7	37,7	40,8	43,8		
Общее снижение уровня звука препятствием Dz, дБ		Эн.сумма(-Dzi)	5,8	7,1	8,8	10,9	13,4	16,1	18,9	21,9	24,8		
Уровни звукового давления прямого звука от источника ИШ-1-28 в расчётной точке днём, дБ		**ф-ла(3)[10]**	**0**	**21,8**	**21,4**	**20**	**16,8**	**12,2**	**3,4**	**0**	**0**	**17,8**	**17,8**

1		2	3	4	5	6	7	8	9	10	11	12	13
Уровни звукового давления прямого звука от источника ИШ-1-28 в расчётной точке ночью, дБ		**ф-ла(3)[10]**	**0**	**21,8**	**21,4**	**20**	**16,8**	**12,2**	**3,4**	**0**	**0**	**17,8**	**17,8**
Расчёт отражённого звука													
Уровни звукового давления от мнимого источника ИШ-1-28_мн.(1) в расчётной точке днём, дБ		**ф-ла(3)[10]**	**0**	**0**	**0**	**0**	**0**	**0**	**0**	**0**	**0**	**0**	**0**
Уровни звукового давления от мнимого источника ИШ-1-28_мн.(1) в расчётной точке ночью, дБ		**ф-ла(3)[10]**	**0**	**0**	**0**	**0**	**0**	**0**	**0**	**0**	**0**	**0**	**0**
Уровни звукового давления от источника ИШ-1-28 в расчётной точке днём, дБ		**ф-ла(3)[10]**	**0**	**21,8**	**21,4**	**20**	**16,8**	**12,2**	**3,4**	**0**	**0**	**17,8**	**17,8**
Уровни звукового давления от источника ИШ-1-28 в расчётной точке ночью, дБ		**ф-ла(3)[10]**	**0**	**21,8**	**21,4**	**20**	**16,8**	**12,2**	**3,4**	**0**	**0**	**17,8**	**17,8**
Источник шума: ИШ-1-29, координаты источника (x,y,z), м =[475.52,195.72,1.00]													
Уровни звуковой мощности источника днём, Lw, дБ		**исходные данные**	**0**	**93,3**	**94,7**	**96**	**96,3**	**95,9**	**92,6**	**88,4**	**83,9**		
Уровни звуковой мощности источника ночью, Lw, дБ		**исходные данные**	**0**	**93,3**	**94,7**	**96**	**96,3**	**95,9**	**92,6**	**88,4**	**83,9**		
Поправка на телесный угол DΩ, дБ	Ω = 6.28	10Lg(4π/Ω)	**3**	3	3	3	3	3	3	3	3		
Показатель направленности источника Di, дБ		исходные данные	**0**	0	0	0	0	0	0	0	0		
Поправка на направленность источника Dc, дБ	Dc	DΩ + Di	**3**	3	3	3	3	3	3	3	3		
Затухание из-за геометрической дивергенции, Adiv, дБ	расстояние = 655.95 м	ф-ла (7) [10]	**67,3**										
Коэффициент затухания звука в атмосфере α, дБ/км	Ta=20,°C Pa=101.33,кПа hотн.=70%	ф-ла (5) [9]	0,02	0,09	0,33	1,12	2,79	4,98	9,04	23,09	77,63		
Учет затухания звука в атмосфере Aatm, дБ		ф-ла (8) [10]	0	0,1	0,2	0,7	1,8	3,3	5,9	15,1	50,9		
Снижение уровня звукового давления из-за влияния застройки между источником шума и расчетной точкой													

1		2	3	4	5	6	7	8	9	10	11	12	13
Снижение уровня звукового давления на пути над экраном, Dz1, дБ	z = 0.64м (разность путей)	ф-лы (14-18) [10]	5,8	6,8	8,3	10,3	12,6	15,3	18,1	21	24		
Снижение уровня звукового давления на пути слева от экрана, Dz2, дБ	z = 89.95м (разность путей)	ф-лы (14-18) [10]	29,8	33	36	39	42	45	48	51	54		
Снижение уровня звукового давления на пути справа от экрана, Dz3, дБ	z = 26.89м (разность путей)	ф-лы (14-18) [10]	20,1	23,1	26	29	32	35	38	41	44		
Общее снижение уровня звука препятствием Dz, дБ		Эн.сумма(-Dzi)	5,6	6,7	8,2	10,2	12,6	15,2	18,1	21	23,9		
Уровни звукового давления прямого звука от источника ИШ-1-29 в расчётной точке днём, дБ		**ф-ла(3)[10]**	**0**	**22,2**	**21,9**	**20,7**	**17,5**	**13**	**4,3**	**0**	**0**	**18,5**	**18,5**
Уровни звукового давления прямого звука от источника ИШ-1-29 в расчётной точке ночью, дБ		**ф-ла(3)[10]**	**0**	**22,2**	**21,9**	**20,7**	**17,5**	**13**	**4,3**	**0**	**0**	**18,5**	**18,5**
Расчёт отражённого звука													
Уровни звукового давления от мнимого источника ИШ-1-29_мн.(1) в расчётной точке днём, дБ		**ф-ла(3)[10]**	**0**	**0**	**0**	**0**	**0**	**0**	**0**	**0**	**0**	**0**	**0**
Уровни звукового давления от мнимого источника ИШ-1-29_мн.(1) в расчётной точке ночью, дБ		**ф-ла(3)[10]**	**0**	**0**	**0**	**0**	**0**	**0**	**0**	**0**	**0**	**0**	**0**
Уровни звукового давления от источника ИШ-1-29 в расчётной точке днём, дБ		**ф-ла(3)[10]**	**0**	**22,2**	**21,9**	**20,7**	**17,5**	**13**	**4,3**	**0**	**0**	**18,5**	**18,5**
Уровни звукового давления от источника ИШ-1-29 в расчётной точке ночью, дБ		**ф-ла(3)[10]**	**0**	**22,2**	**21,9**	**20,7**	**17,5**	**13**	**4,3**	**0**	**0**	**18,5**	**18,5**
Источник шума: ИШ-1-30, координаты источника (x,y,z), м =[478.45,194.54,1.00]													
Уровни звуковой мощности источника днём, Lw, дБ		**исходные данные**	**0**	**93,3**	**94,7**	**96**	**96,3**	**95,9**	**92,6**	**88,4**	**83,9**		
Уровни звуковой мощности источника ночью, Lw, дБ		**исходные данные**	**0**	**93,3**	**94,7**	**96**	**96,3**	**95,9**	**92,6**	**88,4**	**83,9**		
Поправка на телесный угол DΩ, дБ	Ω = 6.28	10Lg(4π/Ω)	**3**	3	3	3	3	3	3	3	3		
Показатель направленности источника Di, дБ		исходные данные	**0**	0	0	0	0	0	0	0	0		
Поправка на направленность источника Dc, дБ	Dc	DΩ + Di	**3**	3	3	3	3	3	3	3	3		

1		2	3	4	5	6	7	8	9	10	11	12	13
Затухание из-за геометрической дивергенции, Adiv, дБ	расстояние = 657.27 м	ф-ла (7) [10]	**67,4**										
Коэффициент затухания звука в атмосфере α, дБ/км	Та=20,°С Ра=101.33,кПа hотн.=70%	ф-ла (5) [9]	0,02	0,09	0,33	1,12	2,79	4,98	9,04	23,09	77,63		
Учет затухания звука в атмосфере Aatm, дБ		ф-ла (8) [10]	0	0,1	0,2	0,7	1,8	3,3	5,9	15,2	51		
Снижение уровня звукового давления из-за влияния застройки между источником шума и расчетной точкой													
Снижение уровня звукового давления на пути над экраном, Dz1, дБ	z = 0.60м (разность путей)	ф-лы (14-18) [10]	5,6	6,5	7,8	9,6	11,9	14,4	17,2	20,1	23		
Снижение уровня звукового давления на пути слева от экрана, Dz2, дБ	z = 88.33м (разность путей)	ф-лы (14-18) [10]	29,7	32,9	35,9	38,9	41,9	44,9	47,9	51	54		
Снижение уровня звукового давления на пути справа от экрана, Dz3, дБ	z = 28.72м (разность путей)	ф-лы (14-18) [10]	20,4	23,3	26,3	29,3	32,3	35,3	38,3	41,3	44,3		
Общее снижение уровня звука препятствием Dz, дБ		Эн.сумма(-Dzi)	5,4	6,4	7,8	9,6	11,8	14,4	17,2	20,1	23		
Уровни звукового давления прямого звука от источника ИШ-1-30 в расчётной точке днём, дБ		**ф-ла(3)[10]**	**0**	**22,5**	**22,4**	**21,3**	**18,3**	**13,9**	**5,1**	**0**	**0**	**19,3**	**19,3**
Уровни звукового давления прямого звука от источника ИШ-1-30 в расчётной точке ночью, дБ		**ф-ла(3)[10]**	**0**	**22,5**	**22,4**	**21,3**	**18,3**	**13,9**	**5,1**	**0**	**0**	**19,3**	**19,3**
Расчёт отражённого звука													
Уровни звукового давления от мнимого источника ИШ-1-30_мн.(1) в расчётной точке днём, дБ		**ф-ла(3)[10]**	**0**	**0**	**0**	**0**	**0**	**0**	**0**	**0**	**0**	**0**	**0**
Уровни звукового давления от мнимого источника ИШ-1-30_мн.(1) в расчётной точке ночью, дБ		**ф-ла(3)[10]**	**0**	**0**	**0**	**0**	**0**	**0**	**0**	**0**	**0**	**0**	**0**
Уровни звукового давления от источника ИШ-1-30 в расчётной точке днём, дБ		**ф-ла(3)[10]**	**0**	**22,5**	**22,4**	**21,3**	**18,3**	**13,9**	**5,1**	**0**	**0**	**19,3**	**19,3**
Уровни звукового давления от источника ИШ-1-30 в расчётной точке ночью, дБ		**ф-ла(3)[10]**	**0**	**22,5**	**22,4**	**21,3**	**18,3**	**13,9**	**5,1**	**0**	**0**	**19,3**	**19,3**
Источник шума: ИШ-1-31, координаты источника (x,y,z), м =[481.58,193.96,1.00]													

1		2	3	4	5	6	7	8	9	10	11	12	13
Уровни звуковой мощности источника днём, Lw, дБ		**исходные данные**	**0**	**93,3**	**94,7**	**96**	**96,3**	**95,9**	**92,6**	**88,4**	**83,9**		
Уровни звуковой мощности источника ночью, Lw, дБ		**исходные данные**	**0**	**93,3**	**94,7**	**96**	**96,3**	**95,9**	**92,6**	**88,4**	**83,9**		
Поправка на телесный угол DΩ, дБ	Ω = 6.28	10Lg(4π/Ω)	**3**	3	3	3	3	3	3	3	3		
Показатель направленности источника Di, дБ		исходные данные	**0**	0	0	0	0	0	0	0	0		
Поправка на направленность источника Dc, дБ	Dc	DΩ + Di	**3**	3	3	3	3	3	3	3	3		
Затухание из-за геометрической дивергенции, Adiv, дБ	расстояние = 659.14 м	ф-ла (7) [10]	**67,4**										
Коэффициент затухания звука в атмосфере α, дБ/км	Ta=20,°C Pa=101.33,кПа hотн.=70%	ф-ла (5) [9]	0,02	0,09	0,33	1,12	2,79	4,98	9,04	23,09	77,63		
Учет затухания звука в атмосфере Aatm, дБ		ф-ла (8) [10]	0	0,1	0,2	0,7	1,8	3,3	6	15,2	51,2		
Снижение уровня звукового давления из-за влияния застройки между источником шума и расчетной точкой													
Снижение уровня звукового давления на пути над экраном, Dz1, дБ	z = 0.56м (разность путей)	ф-лы (14-18) [10]	5,5	6,2	7,4	9	11,2	13,6	16,4	19,2	22,1		
Снижение уровня звукового давления на пути слева от экрана, Dz2, дБ	z = 86.82м (разность путей)	ф-лы (14-18) [10]	29,6	32,8	35,8	38,8	41,9	44,9	47,9	50,9	53,9		
Снижение уровня звукового давления на пути справа от экрана, Dz3, дБ	z = 30.02м (разность путей)	ф-лы (14-18) [10]	20,6	23,5	26,5	29,5	32,5	35,5	38,5	41,5	44,5		
Общее снижение уровня звука препятствием Dz, дБ		Эн.сумма(-Dzi)	5,3	6,1	7,3	9	11,1	13,6	16,3	19,2	22,1		
Уровни звукового давления прямого звука от источника ИШ-1-31 в расчётной точке днём, дБ		**ф-ла(3)[10]**	**0**	**22,7**	**22,8**	**21,9**	**19**	**14,6**	**5,9**	**0**	**0**	**19,9**	**19,9**
Уровни звукового давления прямого звука от источника ИШ-1-31 в расчётной точке ночью, дБ		**ф-ла(3)[10]**	**0**	**22,7**	**22,8**	**21,9**	**19**	**14,6**	**5,9**	**0**	**0**	**19,9**	**19,9**
Расчёт отражённого звука													
Уровни звукового давления от мнимого источника ИШ-1-31_мн.(1) в расчётной точке днём, дБ		**ф-ла(3)[10]**	**0**	**0**	**0**	**0**	**0**	**0**	**10,7**	**0**	**0**	**11,9**	**11,9**

1		2	3	4	5	6	7	8	9	10	11	12	13
Уровни звукового давления от мнимого источника ИШ-1-31_мн.(1) в расчётной точке ночью, дБ		**ф-ла(3)[10]**	**0**	**0**	**0**	**0**	**0**	**0**	**0**	**0**	**0**	**11,9**	**11,9**
Уровни звукового давления от источника ИШ-1-31 в расчётной точке днём, дБ		**ф-ла(3)[10]**	**0**	**22,7**	**22,8**	**21,9**	**19**	**14,6**	**11,9**	**0**	**0**	**20,6**	**20,6**
Уровни звукового давления от источника ИШ-1-31 в расчётной точке ночью, дБ		**ф-ла(3)[10]**	**0**	**22,7**	**22,8**	**21,9**	**19**	**14,6**	**11,9**	**0**	**0**	**20,6**	**20,6**
Источник шума: ИШ-1-32, координаты источника (x,y,z), м =[871.21,281.99,50.00]													
Уровни звуковой мощности источника днём, Lw, дБ		**исходные данные**	**125**	**119,6**	**113,4**	**111,4**	**110,8**	**112,7**	**113,8**	**109,2**	**97,4**		
Уровни звуковой мощности источника ночью, Lw, дБ		**исходные данные**	**0**	**0**	**0**	**0**	**0**	**0**	**0**	**0**	**0**		
Поправка на телесный угол DΩ, дБ	Ω = 12.57	10Lg(4π/Ω)	**0**	0	0	0	0	0	0	0	0		
Показатель направленности источника Di, дБ		исходные данные	**0**	0	0	0	0	0	0	0	0		
Поправка на направленность источника Dc, дБ	Dc	DΩ + Di	**0**	0	0	0	0	0	0	0	0		
Затухание из-за геометрической дивергенции, Adiv, дБ	расстояние = 1024.68 м	ф-ла (7) [10]	**71,2**										
Коэффициент затухания звука в атмосфере α, дБ/км	Ta=20,°C Pa=101.33,кПа hотн.=70%	ф-ла (5) [9]	0,02	0,09	0,33	1,12	2,79	4,98	9,04	23,09	77,63		
Учет затухания звука в атмосфере Aatm, дБ		ф-ла (8) [10]	0	0,1	0,3	1,2	2,9	5,1	9,3	23,7	79,5		
Снижение уровня звукового давления из-за влияния застройки между источником шума и расчетной точкой													
Снижение уровня звукового давления препятствием снизу от трассы ИШ-РТ, Dz4, дБ	z = -0.14м (разность путей)	ф-лы (14-18) [10]	3,9	2,9	0	NAN	NAN	NAN	NAN	NAN	NAN		
* отрицательное значение z означает прохождение траектории вблизи экрана, в этом случае дополнительно производится учёт снижения подстилающей поверхностью (см.ниже)													
Снижение поверхностью земли возле источника As, дБ	Gs = 0 hs = 50м	ф-лы таб.3 [10]	-1,5	-1,5	-1,5	-1,5	-1,5	-1,5	-1,5	-1,5	-1,5		
Снижение поверхностью земли возле приёмника Ar, дБ	Gr = 1 hr = 1.5м	ф-лы таб.3 [10]	-1,5	-1,5	5,1	7	5	0,7	0	0	0		

1		2	3	4	5	6	7	8	9	10	11	12	13
Снижение поверхностью земли в средней зоне, Am дБ	Gm = 1	ф-лы таб.3 [10]	0	0	0	0	0	0	0	0	0		
Суммарное снижение поверхностью земли на траектории распространения звука Agr, дБ		ф-ла (9) [10]	-3	-3	3,6	5,5	3,5	-0,8	-1,5	-1,5	-1,5		
Уровни звукового давления от источника ИШ-1-32 в расчётной точке днём, дБ		**ф-ла(3)[10]**	**52,9**	**48,4**	**38,3**	**33,5**	**33,3**	**37,3**	**34,9**	**15,9**	**0**	**40,5**	**40,5**
Уровни звукового давления от источника ИШ-1-32 в расчётной точке ночью, дБ		**ф-ла(3)[10]**	**0**	**0**	**0**	**0**	**0**	**0**	**0**	**0**	**0**	**0**	**0**
Источник шума: ИШ-1-33, координаты источника (x,y,z), м =[743.42,374.85,1.00]													
Уровни звуковой мощности источника днём, Lw, дБ		**исходные данные**	**0**	**88,7**	**90,1**	**93,1**	**96,4**	**103**	**112**	**108**	**99,2**		
Уровни звуковой мощности источника ночью, Lw, дБ		**исходные данные**	**0**	**0**	**0**	**0**	**0**	**0**	**0**	**0**	**0**		
Поправка на телесный угол DΩ, дБ	Ω = 6.28	10Lg(4π/Ω)	**3**	3	3	3	3	3	3	3	3		
Показатель направленности источника Di, дБ		исходные данные	**0**	0	0	0	0	0	0	0	0		
Поправка на направленность источника Dc, дБ	Dc	DΩ + Di	**3**	3	3	3	3	3	3	3	3		
Затухание из-за геометрической дивергенции, Adiv, дБ	расстояние = 974.96 м	ф-ла (7) [10]	**70,8**										
Коэффициент затухания звука в атмосфере α, дБ/км	Ta=20,°C Pa=101.33,кПа hотн.=70%	ф-ла (5) [9]	0,02	0,09	0,33	1,12	2,79	4,98	9,04	23,09	77,63		
Учет затухания звука в атмосфере Aatm, дБ		ф-ла (8) [10]	0	0,1	0,3	1,1	2,7	4,9	8,8	22,5	75,7		
Снижение уровня звукового давления из-за влияния застройки между источником шума и расчетной точкой													
Снижение уровня звукового давления на пути над экраном, Dz1, дБ	z = 0.23м (разность путей)	ф-лы (14-18) [10]	4,8	4,8	4,8	4,8	4,8	4,8	4,9	4,9	5,1		
Снижение уровня звукового давления на пути слева от экрана, Dz2, дБ	z = 62.23м (разность путей)	ф-лы (14-18) [10]	23,7	26,7	29,6	32,6	35,6	38,6	41,7	44,7	47,7		

1		2	3	4	5	6	7	8	9	10	11	12	13
Снижение уровня звукового давления на пути справа от экрана, Dz3, дБ	z = 14.27м (разность путей)	ф-лы (14-18) [10]	17,5	20,4	23,3	26,3	29,3	32,3	35,3	38,3	41,3		
Общее снижение уровня звука препятствием Dz, дБ		Эн.сумма(-Dzi)	4,5	4,6	4,7	4,7	4,8	4,8	4,8	4,9	5,1		
Уровни звукового давления от источника ИШ-1-33 в расчётной точке днём, дБ		**ф-ла(3)[10]**	**0**	**16,2**	**17,3**	**19,5**	**21,1**	**25,6**	**30,6**	**12,8**	**0**	**32,9**	**32,9**
Уровни звукового давления от источника ИШ-1-33 в расчётной точке ночью, дБ		**ф-ла(3)[10]**	**0**	**0**	**0**	**0**	**0**	**0**	**0**	**0**	**0**	**0**	**0**
Источник шума: ИШ-1-34, координаты источника (x,y,z), м =[1042.35,199.07,1.00]													
Уровни звуковой мощности источника днём, Lw, дБ		**исходные данные**	**0**	**88,7**	**90,1**	**93,1**	**96,4**	**103**	**112**	**108**	**99,2**		
Уровни звуковой мощности источника ночью, Lw, дБ		**исходные данные**	**0**	**0**	**0**	**0**	**0**	**0**	**0**	**0**	**0**		
Поправка на телесный угол DΩ, дБ	Ω = 6.28	10Lg(4π/Ω)	**3**	3	3	3	3	3	3	3	3		
Показатель направленности источника Di, дБ		исходные данные	**0**	0	0	0	0	0	0	0	0		
Поправка на направленность источника Dc, дБ	Dc	DΩ + Di	**3**	3	3	3	3	3	3	3	3		
Затухание из-за геометрической дивергенции, Adiv, дБ	расстояние = 1136.64 м	ф-ла (7) [10]	**72,1**										
Коэффициент затухания звука в атмосфере α, дБ/км	Ta=20,°C Pa=101.33,кПа hотн.=70%	ф-ла (5) [9]	0,02	0,09	0,33	1,12	2,79	4,98	9,04	23,09	77,63		
Учет затухания звука в атмосфере Aatm, дБ		ф-ла (8) [10]	0	0,1	0,4	1,3	3,2	5,7	10,3	26,2	88,2		
Снижение уровня звукового давления из-за влияния застройки между источником шума и расчетной точкой													
Снижение уровня звукового давления на пути над экраном, Dz1, дБ	z = 0.24м (разность путей)	ф-лы (14-18) [10]	4,8	4,8	4,8	4,8	4,8	4,8	4,8	4,8	4,9		
Снижение уровня звукового давления на пути слева от экрана, Dz2, дБ	z = 24.93м (разность путей)	ф-лы (14-18) [10]	19,8	22,7	25,7	28,7	31,7	34,7	37,7	40,7	43,7		

1		2	3	4	5	6	7	8	9	10	11	12	13
Снижение уровня звукового давления на пути справа от экрана, Dz3, дБ	z = 12.00м (разность путей)	ф-лы (14-18) [10]	16,8	19,6	22,5	25,5	28,5	31,5	34,5	37,5	40,5		
Общее снижение уровня звука препятствием Dz, дБ		Эн.сумма(-Dzi)	4,4	4,6	4,7	4,7	4,8	4,8	4,8	4,8	4,9		
Уровни звукового давления от источника ИШ-1-34 в расчётной точке днём, дБ		**ф-ла(3)[10]**	**0**	**14,9**	**16**	**18**	**19,4**	**23,5**	**27,8**	**7,8**	**0**	**30,3**	**30,3**
Уровни звукового давления от источника ИШ-1-34 в расчётной точке ночью, дБ		**ф-ла(3)[10]**	**0**	**0**	**0**	**0**	**0**	**0**	**0**	**0**	**0**	**0**	**0**
Источник шума: ИШ-2-1, координаты источника (x,y,z), м =[696.50,124.40,3.00]													
Уровни звуковой мощности источника днём, Lw, дБ		**исходные данные**	**105**	**104**	**104**	**101**	**102**	**106**	**101**	**95**	**87**		
Уровни звуковой мощности источника ночью, Lw, дБ		**исходные данные**	**105**	**104**	**104**	**101**	**102**	**106**	**101**	**95**	**87**		
Поправка на телесный угол DΩ, дБ	Ω = 6.28	10Lg(4π/Ω)	**3**	3	3	3	3	3	3	3	3		
Показатель направленности источника Di, дБ		исходные данные	**0**	0	0	0	0	0	0	0	0		
Поправка на направленность источника Dc, дБ	Dc	DΩ + Di	**3**	3	3	3	3	3	3	3	3		
Затухание из-за геометрической дивергенции, Adiv, дБ	расстояние = 793.09 м	ф-ла (7) [10]	**69**										
Коэффициент затухания звука в атмосфере α, дБ/км	Ta=20,°C Pa=101.33,кПа hотн.=70%	ф-ла (5) [9]	0,02	0,09	0,33	1,12	2,79	4,98	9,04	23,09	77,63		
Учет затухания звука в атмосфере Aatm, дБ		ф-ла (8) [10]	0	0,1	0,3	0,9	2,2	3,9	7,2	18,3	61,6		
Снижение уровня звукового давления из-за влияния застройки между источником шума и расчетной точкой													
Снижение уровня звукового давления на пути над экраном, Dz1, дБ	z = 0.16м (разность путей)	ф-лы (14-18) [10]	4,8	4,8	4,8	4,8	4,8	4,8	4,8	4,8	4,8		
Снижение уровня звукового давления на пути слева от экрана, Dz2, дБ	z = 44.80м (разность путей)	ф-лы (14-18) [10]	22,3	25,3	28,2	31,2	34,2	37,2	40,2	43,2	46,2		

1		2	3	4	5	6	7	8	9	10	11	12	13
Снижение уровня звукового давления на пути справа от экрана, Dz3, дБ	z = 5.30м (разность путей)	ф-лы (14-18) [10]	13,6	16,3	19,1	22	25	28	31	34	37		
Общее снижение уровня звука препятствием Dz, дБ		Эн.сумма(-Dzi)	4,2	4,4	4,6	4,7	4,7	4,8	4,8	4,8	4,8		
Уровни звукового давления от источника ИШ-2-1 в расчётной точке днём, дБ		**ф-ла(3)[10]**	**34,8**	**33,5**	**33,2**	**29,5**	**29,1**	**31,3**	**23,1**	**5,9**	**0**	**33,4**	**33,4**
Уровни звукового давления от источника ИШ-2-1 в расчётной точке ночью, дБ		**ф-ла(3)[10]**	**34,8**	**33,5**	**33,2**	**29,5**	**29,1**	**31,3**	**23,1**	**5,9**	**0**	**33,4**	**33,4**
Источник шума: ИШ-2-2, координаты источника (x,y,z), м =[682.20,81.60,3.00]													
Уровни звуковой мощности источника днём, Lw, дБ		**исходные данные**	**105**	**104**	**104**	**101**	**102**	**106**	**101**	**95**	**87**		
Уровни звуковой мощности источника ночью, Lw, дБ		**исходные данные**	**105**	**104**	**104**	**101**	**102**	**106**	**101**	**95**	**87**		
Поправка на телесный угол DΩ, дБ	Ω = 6.28	10Lg(4π/Ω)	**3**	3	3	3	3	3	3	3	3		
Показатель направленности источника Di, дБ		исходные данные	**0**	0	0	0	0	0	0	0	0		
Поправка на направленность источника Dc, дБ	Dc	DΩ + Di	**3**	3	3	3	3	3	3	3	3		
Затухание из-за геометрической дивергенции, Adiv, дБ	расстояние = 760.56 м	ф-ла (7) [10]	**68,6**										
Коэффициент затухания звука в атмосфере α, дБ/км	Ta=20,°C Pa=101.33,кПа hотн.=70%	ф-ла (5) [9]	0,02	0,09	0,33	1,12	2,79	4,98	9,04	23,09	77,63		
Учет затухания звука в атмосфере Aatm, дБ		ф-ла (8) [10]	0	0,1	0,3	0,9	2,1	3,8	6,9	17,6	59		
Снижение уровня звукового давления из-за влияния застройки между источником шума и расчетной точкой													
Снижение уровня звукового давления на пути над экраном, Dz1, дБ	z = 0.16м (разность путей)	ф-лы (14-18) [10]	4,8	4,8	4,8	4,8	4,8	4,8	4,8	4,8	4,8		
Снижение уровня звукового давления на пути слева от экрана, Dz2, дБ	z = 39.78м (разность путей)	ф-лы (14-18) [10]	26,2	29,4	32,4	35,5	38,5	41,5	44,5	47,5	50,5		

1		2	3	4	5	6	7	8	9	10	11	12	13
Снижение уровня звукового давления на пути справа от экрана, Dz3, дБ	z = 9.26м (разность путей)	ф-лы (14-18) [10]	15,7	18,6	21,4	24,4	27,4	30,4	33,4	36,4	39,4		
Общее снижение уровня звука препятствием Dz, дБ		Эн.сумма(-Dzi)	4,4	4,6	4,7	4,7	4,7	4,8	4,8	4,8	4,8		
Уровни звукового давления от источника ИШ-2-2 в расчётной точке днём, дБ		**ф-ла(3)[10]**	**35**	**33,7**	**33,5**	**29,8**	**29,5**	**31,8**	**23,7**	**7**	**0**	**33,9**	**33,9**
Уровни звукового давления от источника ИШ-2-2 в расчётной точке ночью, дБ		**ф-ла(3)[10]**	**35**	**33,7**	**33,5**	**29,8**	**29,5**	**31,8**	**23,7**	**7**	**0**	**33,9**	**33,9**
Источник шума: ИШ-2-3, координаты источника (x,y,z), м =[667.80,38.90,3.00]													
Уровни звуковой мощности источника днём, Lw, дБ		**исходные данные**	**105**	**104**	**104**	**101**	**102**	**106**	**101**	**95**	**87**		
Уровни звуковой мощности источника ночью, Lw, дБ		**исходные данные**	**105**	**104**	**104**	**101**	**102**	**106**	**101**	**95**	**87**		
Поправка на телесный угол DΩ, дБ	Ω = 6.28	10Lg(4π/Ω)	**3**	3	3	3	3	3	3	3	3		
Показатель направленности источника Di, дБ		исходные данные	**0**	0	0	0	0	0	0	0	0		
Поправка на направленность источника Dc, дБ	Dc	DΩ + Di	**3**	3	3	3	3	3	3	3	3		
Затухание из-за геометрической дивергенции, Adiv, дБ	расстояние = 729.31 м	ф-ла (7) [10]	**68,3**										
Коэффициент затухания звука в атмосфере α, дБ/км	Ta=20,°C Pa=101.33,кПа hотн.=70%	ф-ла (5) [9]	0,02	0,09	0,33	1,12	2,79	4,98	9,04	23,09	77,63		
Учет затухания звука в атмосфере Aatm, дБ		ф-ла (8) [10]	0	0,1	0,2	0,8	2	3,6	6,6	16,8	56,6		
Снижение уровня звукового давления из-за влияния застройки между источником шума и расчетной точкой													
Снижение уровня звукового давления на пути над экраном, Dz1, дБ	z = 0.26м (разность путей)	ф-лы (14-18) [10]	4,8	4,8	4,9	5	5,2	5,6	6,3	7,4	9		
Снижение уровня звукового давления на пути слева от экрана, Dz2, дБ	z = 37.24м (разность путей)	ф-лы (14-18) [10]	26	29,1	32,1	35,2	38,2	41,2	44,2	47,2	50,2		

1		2	3	4	5	6	7	8	9	10	11	12	13
Снижение уровня звукового давления на пути справа от экрана, Dz3, дБ	z = 0.63м (разность путей)	ф-лы (14-18) [10]	7,3	8,8	10,9	13,3	16	18,8	21,8	24,7	27,7		
Общее снижение уровня звука препятствием Dz, дБ		Эн.сумма(-Dzi)	2,8	3,4	3,9	4,4	4,8	5,4	6,1	7,3	8,9		
Уровни звукового давления от источника ИШ-2-3 в расчётной точке днём, дБ		**ф-ла(3)[10]**	**36,9**	**35,3**	**34,6**	**30,5**	**29,9**	**31,7**	**23**	**5,6**	**0**	**33,9**	**33,9**
Уровни звукового давления от источника ИШ-2-3 в расчётной точке ночью, дБ		**ф-ла(3)[10]**	**36,9**	**35,3**	**34,6**	**30,5**	**29,9**	**31,7**	**23**	**5,6**	**0**	**33,9**	**33,9**
Источник шума: ИШ-2-6, координаты источника (x,y,z), м =[765.97,112.43,1.00]													
Уровни звуковой мощности источника днём, Lw, дБ		**исходные данные**	**0**	**93,3**	**94,7**	**96**	**96,3**	**95,9**	**92,6**	**88,4**	**83,9**		
Уровни звуковой мощности источника ночью, Lw, дБ		**исходные данные**	**0**	**93,3**	**94,7**	**96**	**96,3**	**95,9**	**92,6**	**88,4**	**83,9**		
Поправка на телесный угол DΩ, дБ	Ω = 6.28	10Lg(4π/Ω)	**3**	3	3	3	3	3	3	3	3		
Показатель направленности источника Di, дБ		исходные данные	**0**	0	0	0	0	0	0	0	0		
Поправка на направленность источника Dc, дБ	Dc	DΩ + Di	**3**	3	3	3	3	3	3	3	3		
Затухание из-за геометрической дивергенции, Adiv, дБ	расстояние = 849.34 м	ф-ла (7) [10]	**69,6**										
Коэффициент затухания звука в атмосфере α, дБ/км	Ta=20,°C Pa=101.33,кПа hотн.=70%	ф-ла (5) [9]	0,02	0,09	0,33	1,12	2,79	4,98	9,04	23,09	77,63		
Учет затухания звука в атмосфере Aatm, дБ		ф-ла (8) [10]	0	0,1	0,3	1	2,4	4,2	7,7	19,6	65,9		
Снижение уровня звукового давления из-за влияния застройки между источником шума и расчетной точкой													
Снижение уровня звукового давления на пути над экраном, Dz1, дБ	z = 0.18м (разность путей)	ф-лы (14-18) [10]	4,8	4,8	4,8	4,8	4,8	4,8	4,8	4,8	4,8		
Снижение уровня звукового давления на пути слева от экрана, Dz2, дБ	z = 37.87м (разность путей)	ф-лы (14-18) [10]	26	29,2	32,2	35,2	38,3	41,3	44,3	47,3	50,3		

1		2	3	4	5	6	7	8	9	10	11	12	13
Снижение уровня звукового давления на пути справа от экрана, Dz3, дБ	z = 9.71м (разность путей)	ф-лы (14-18) [10]	15,9	18,7	21,6	24,6	27,6	30,6	33,6	36,6	39,6		
Общее снижение уровня звука препятствием Dz, дБ		Эн.сумма(-Dzi)	4,4	4,6	4,7	4,7	4,7	4,8	4,8	4,8	4,8		
Уровни звукового давления от источника ИШ-2-6 в расчётной точке днём, дБ		**ф-ла(3)[10]**	**0**	**22**	**23,2**	**23,7**	**22,6**	**20,3**	**13,6**	**0**	**0**	**24,2**	**24,2**
Уровни звукового давления от источника ИШ-2-6 в расчётной точке ночью, дБ		**ф-ла(3)[10]**	**0**	**22**	**23,2**	**23,7**	**22,6**	**20,3**	**13,6**	**0**	**0**	**24,2**	**24,2**
Источник шума: ИШ-2-7, координаты источника (x,y,z), м =[764.91,109.54,1.00]													
Уровни звуковой мощности источника днём, Lw, дБ		**исходные данные**	**0**	**93,3**	**94,7**	**96**	**96,3**	**95,9**	**92,6**	**88,4**	**83,9**		
Уровни звуковой мощности источника ночью, Lw, дБ		**исходные данные**	**0**	**93,3**	**94,7**	**96**	**96,3**	**95,9**	**92,6**	**88,4**	**83,9**		
Поправка на телесный угол DΩ, дБ	Ω = 6.28	10Lg(4π/Ω)	**3**	3	3	3	3	3	3	3	3		
Показатель направленности источника Di, дБ		исходные данные	**0**	0	0	0	0	0	0	0	0		
Поправка на направленность источника Dc, дБ	Dc	DΩ + Di	**3**	3	3	3	3	3	3	3	3		
Затухание из-за геометрической дивергенции, Adiv, дБ	расстояние = 847.12 м	ф-ла (7) [10]	**69,6**										
Коэффициент затухания звука в атмосфере α, дБ/км	Ta=20,°C Pa=101.33,кПа hотн.=70%	ф-ла (5) [9]	0,02	0,09	0,33	1,12	2,79	4,98	9,04	23,09	77,63		
Учет затухания звука в атмосфере Aatm, дБ		ф-ла (8) [10]	0	0,1	0,3	1	2,4	4,2	7,7	19,6	65,8		
Снижение уровня звукового давления из-за влияния застройки между источником шума и расчетной точкой													
Снижение уровня звукового давления на пути над экраном, Dz1, дБ	z = 0.19м (разность путей)	ф-лы (14-18) [10]	4,8	4,8	4,8	4,8	4,8	4,8	4,8	4,8	4,8		
Снижение уровня звукового давления на пути слева от экрана, Dz2, дБ	z = 37.30м (разность путей)	ф-лы (14-18) [10]	26	29,1	32,2	35,2	38,2	41,2	44,2	47,2	50,2		

1		2	3	4	5	6	7	8	9	10	11	12	13
Снижение уровня звукового давления на пути справа от экрана, Dz3, дБ	z = 9.99м (разность путей)	ф-лы (14-18) [10]	16	18,9	21,8	24,7	27,7	30,7	33,7	36,7	39,7		
Общее снижение уровня звука препятствием Dz, дБ		Эн.сумма(-Dzi)	4,4	4,6	4,7	4,7	4,7	4,8	4,8	4,8	4,8		
Уровни звукового давления от источника ИШ-2-7 в расчётной точке днём, дБ		**ф-ла(3)[10]**	**0**	**22,1**	**23,2**	**23,8**	**22,6**	**20,4**	**13,6**	**0**	**0**	**24,2**	**24,2**
Уровни звукового давления от источника ИШ-2-7 в расчётной точке ночью, дБ		**ф-ла(3)[10]**	**0**	**22,1**	**23,2**	**23,8**	**22,6**	**20,4**	**13,6**	**0**	**0**	**24,2**	**24,2**
Источник шума: ИШ-2-8, координаты источника (x,y,z), м =[764.03,106.58,1.00]													
Уровни звуковой мощности источника днём, Lw, дБ		**исходные данные**	**0**	**93,3**	**94,7**	**96**	**96,3**	**95,9**	**92,6**	**88,4**	**83,9**		
Уровни звуковой мощности источника ночью, Lw, дБ		**исходные данные**	**0**	**93,3**	**94,7**	**96**	**96,3**	**95,9**	**92,6**	**88,4**	**83,9**		
Поправка на телесный угол DΩ, дБ	Ω = 6.28	10Lg(4π/Ω)	**3**	3	3	3	3	3	3	3	3		
Показатель направленности источника Di, дБ		исходные данные	**0**	0	0	0	0	0	0	0	0		
Поправка на направленность источника Dc, дБ	Dc	DΩ + Di	**3**	3	3	3	3	3	3	3	3		
Затухание из-за геометрической дивергенции, Adiv, дБ	расстояние = 845.05 м	ф-ла (7) [10]	**69,5**										
Коэффициент затухания звука в атмосфере α, дБ/км	Ta=20,°C Pa=101.33,кПа hотн.=70%	ф-ла (5) [9]	0,02	0,09	0,33	1,12	2,79	4,98	9,04	23,09	77,63		
Учет затухания звука в атмосфере Aatm, дБ		ф-ла (8) [10]	0	0,1	0,3	0,9	2,4	4,2	7,6	19,5	65,6		
Снижение уровня звукового давления из-за влияния застройки между источником шума и расчетной точкой													
Снижение уровня звукового давления на пути над экраном, Dz1, дБ	z = 0.19м (разность путей)	ф-лы (14-18) [10]	4,8	4,8	4,8	4,8	4,8	4,8	4,8	4,8	4,8		
Снижение уровня звукового давления на пути слева от экрана, Dz2, дБ	z = 36.68м (разность путей)	ф-лы (14-18) [10]	25,9	29,1	32,1	35,1	38,1	41,1	44,1	47,1	50,2		

1		2	3	4	5	6	7	8	9	10	11	12	13
Снижение уровня звукового давления на пути справа от экрана, Dz3, дБ	z = 10.30м (разность путей)	ф-лы (14-18) [10]	16,1	19	21,9	24,9	27,8	30,8	33,8	36,9	39,9		
Общее снижение уровня звука препятствием Dz, дБ		Эн.сумма(-Dzi)	4,4	4,6	4,7	4,7	4,8	4,8	4,8	4,8	4,8		
Уровни звукового давления от источника ИШ-2-8 в расчётной точке днём, дБ		**ф-ла(3)[10]**	**0**	**22,1**	**23,2**	**23,8**	**22,6**	**20,4**	**13,6**	**0**	**0**	**24,3**	**24,3**
Уровни звукового давления от источника ИШ-2-8 в расчётной точке ночью, дБ		**ф-ла(3)[10]**	**0**	**22,1**	**23,2**	**23,8**	**22,6**	**20,4**	**13,6**	**0**	**0**	**24,3**	**24,3**
Источник шума: ИШ-2-9, координаты источника (x,y,z), м =[763.26,103.71,1.00]													
Уровни звуковой мощности источника днём, Lw, дБ		**исходные данные**	**0**	**93,3**	**94,7**	**96**	**96,3**	**95,9**	**92,6**	**88,4**	**83,9**		
Уровни звуковой мощности источника ночью, Lw, дБ		**исходные данные**	**0**	**93,3**	**94,7**	**96**	**96,3**	**95,9**	**92,6**	**88,4**	**83,9**		
Поправка на телесный угол DΩ, дБ	Ω = 6.28	10Lg(4π/Ω)	**3**	3	3	3	3	3	3	3	3		
Показатель направленности источника Di, дБ		исходные данные	**0**	0	0	0	0	0	0	0	0		
Поправка на направленность источника Dc, дБ	Dc	DΩ + Di	**3**	3	3	3	3	3	3	3	3		
Затухание из-за геометрической дивергенции, Adiv, дБ	расстояние = 843.12 м	ф-ла (7) [10]	**69,5**										
Коэффициент затухания звука в атмосфере α, дБ/км	Ta=20,°C Pa=101.33,кПа hотн.=70%	ф-ла (5) [9]	0,02	0,09	0,33	1,12	2,79	4,98	9,04	23,09	77,63		
Учет затухания звука в атмосфере Aatm, дБ		ф-ла (8) [10]	0	0,1	0,3	0,9	2,4	4,2	7,6	19,5	65,5		
Снижение уровня звукового давления из-за влияния застройки между источником шума и расчетной точкой													
Снижение уровня звукового давления на пути над экраном, Dz1, дБ	z = 0.19м (разность путей)	ф-лы (14-18) [10]	4,8	4,8	4,8	4,8	4,8	4,8	4,8	4,8	4,8		
Снижение уровня звукового давления на пути слева от экрана, Dz2, дБ	z = 36.08м (разность путей)	ф-лы (14-18) [10]	25,8	29	32	35	38	41,1	44,1	47,1	50,1		

1		2	3	4	5	6	7	8	9	10	11	12	13
Снижение уровня звукового давления на пути справа от экрана, Dz3, дБ	z = 10.60м (разность путей)	ф-лы (14-18) [10]	18,5	22,8	26,4	29,6	32,7	35,7	38,7	41,8	44,8		
Общее снижение уровня звука препятствием Dz, дБ		Эн.сумма(-Dzi)	4,6	4,7	4,7	4,8	4,8	4,8	4,8	4,8	4,8		
Уровни звукового давления от источника ИШ-2-9 в расчётной точке днём, дБ		**ф-ла(3)[10]**	**0**	**22**	**23,2**	**23,8**	**22,7**	**20,4**	**13,7**	**0**	**0**	**24,3**	**24,3**
Уровни звукового давления от источника ИШ-2-9 в расчётной точке ночью, дБ		**ф-ла(3)[10]**	**0**	**22**	**23,2**	**23,8**	**22,7**	**20,4**	**13,7**	**0**	**0**	**24,3**	**24,3**
Источник шума: ИШ-2-10, координаты источника (x,y,z), м =[762.14,100.75,1.00]													
Уровни звуковой мощности источника днём, Lw, дБ		**исходные данные**	**0**	**93,3**	**94,7**	**96**	**96,3**	**95,9**	**92,6**	**88,4**	**83,9**		
Уровни звуковой мощности источника ночью, Lw, дБ		**исходные данные**	**0**	**93,3**	**94,7**	**96**	**96,3**	**95,9**	**92,6**	**88,4**	**83,9**		
Поправка на телесный угол DΩ, дБ	Ω = 6.28	10Lg(4π/Ω)	**3**	3	3	3	3	3	3	3	3		
Показатель направленности источника Di, дБ		исходные данные	**0**	0	0	0	0	0	0	0	0		
Поправка на направленность источника Dc, дБ	Dc	DΩ + Di	**3**	3	3	3	3	3	3	3	3		
Затухание из-за геометрической дивергенции, Adiv, дБ	расстояние = 840.84 м	ф-ла (7) [10]	**69,5**										
Коэффициент затухания звука в атмосфере α, дБ/км	Ta=20,°C Pa=101.33,кПа hотн.=70%	ф-ла (5) [9]	0,02	0,09	0,33	1,12	2,79	4,98	9,04	23,09	77,63		
Учет затухания звука в атмосфере Aatm, дБ		ф-ла (8) [10]	0	0,1	0,3	0,9	2,3	4,2	7,6	19,4	65,3		
Снижение уровня звукового давления из-за влияния застройки между источником шума и расчетной точкой													
Снижение уровня звукового давления на пути над экраном, Dz1, дБ	z = 0.19м (разность путей)	ф-лы (14-18) [10]	4,8	4,8	4,8	4,8	4,8	4,8	4,8	4,8	4,8		
Снижение уровня звукового давления на пути слева от экрана, Dz2, дБ	z = 35.51м (разность путей)	ф-лы (14-18) [10]	25,8	28,9	31,9	35	38	41	44	47	50		

1		2	3	4	5	6	7	8	9	10	11	12	13
Снижение уровня звукового давления на пути справа от экрана, Dz3, дБ	z = 10.91м (разность путей)	ф-лы (14-18) [10]	18,6	22,9	26,5	29,8	32,8	35,9	38,9	41,9	44,9		
Общее снижение уровня звука препятствием Dz, дБ		Эн.сумма(-Dzi)	4,6	4,7	4,7	4,8	4,8	4,8	4,8	4,8	4,8		
Уровни звукового давления от источника ИШ-2-10 в расчётной точке днём, дБ		**ф-ла(3)[10]**	**0**	**22**	**23,2**	**23,8**	**22,7**	**20,4**	**13,7**	**0**	**0**	**24,3**	**24,3**
Уровни звукового давления от источника ИШ-2-10 в расчётной точке ночью, дБ		**ф-ла(3)[10]**	**0**	**22**	**23,2**	**23,8**	**22,7**	**20,4**	**13,7**	**0**	**0**	**24,3**	**24,3**
Источник шума: ИШ-2-11, координаты источника (x,y,z), м =[761.13,97.90,1.00]													
Уровни звуковой мощности источника днём, Lw, дБ		**исходные данные**	**0**	**93,3**	**94,7**	**96**	**96,3**	**95,9**	**92,6**	**88,4**	**83,9**		
Уровни звуковой мощности источника ночью, Lw, дБ		**исходные данные**	**0**	**93,3**	**94,7**	**96**	**96,3**	**95,9**	**92,6**	**88,4**	**83,9**		
Поправка на телесный угол DΩ, дБ	Ω = 6.28	10Lg(4π/Ω)	**3**	3	3	3	3	3	3	3	3		
Показатель направленности источника Di, дБ		исходные данные	**0**	0	0	0	0	0	0	0	0		
Поправка на направленность источника Dc, дБ	Dc	DΩ + Di	**3**	3	3	3	3	3	3	3	3		
Затухание из-за геометрической дивергенции, Adiv, дБ	расстояние = 838.71 м	ф-ла (7) [10]	**69,5**										
Коэффициент затухания звука в атмосфере α, дБ/км	Ta=20,°C Pa=101.33,кПа hотн.=70%	ф-ла (5) [9]	0,02	0,09	0,33	1,12	2,79	4,98	9,04	23,09	77,63		
Учет затухания звука в атмосфере Aatm, дБ		ф-ла (8) [10]	0	0,1	0,3	0,9	2,3	4,2	7,6	19,4	65,1		
Снижение уровня звукового давления из-за влияния застройки между источником шума и расчетной точкой													
Снижение уровня звукового давления на пути над экраном, Dz1, дБ	z = 0.19м (разность путей)	ф-лы (14-18) [10]	4,8	4,8	4,8	4,8	4,8	4,8	4,8	4,8	4,8		
Снижение уровня звукового давления на пути слева от экрана, Dz2, дБ	z = 34.96м (разность путей)	ф-лы (14-18) [10]	25,7	28,9	31,9	34,9	37,9	40,9	43,9	46,9	49,9		

1		2	3	4	5	6	7	8	9	10	11	12	13
Снижение уровня звукового давления на пути справа от экрана, Dz3, дБ	z = 11.22м (разность путей)	ф-лы (14-18) [10]	18,7	23	26,7	29,9	33	36	39	42	45		
Общее снижение уровня звука препятствием Dz, дБ		Эн.сумма(-Dzi)	4,6	4,7	4,7	4,8	4,8	4,8	4,8	4,8	4,8		
Уровни звукового давления от источника ИШ-2-11 в расчётной точке днём, дБ		**ф-ла(3)[10]**	**0**	**22,1**	**23,2**	**23,8**	**22,7**	**20,5**	**13,8**	**0**	**0**	**24,3**	**24,3**
Уровни звукового давления от источника ИШ-2-11 в расчётной точке ночью, дБ		**ф-ла(3)[10]**	**0**	**22,1**	**23,2**	**23,8**	**22,7**	**20,5**	**13,8**	**0**	**0**	**24,3**	**24,3**
Источник шума: ИШ-2-12, координаты источника (x,y,z), м =[760.25,95.02,1.00]													
Уровни звуковой мощности источника днём, Lw, дБ		**исходные данные**	**0**	**93,3**	**94,7**	**96**	**96,3**	**95,9**	**92,6**	**88,4**	**83,9**		
Уровни звуковой мощности источника ночью, Lw, дБ		**исходные данные**	**0**	**93,3**	**94,7**	**96**	**96,3**	**95,9**	**92,6**	**88,4**	**83,9**		
Поправка на телесный угол DΩ, дБ	Ω = 6.28	10Lg(4π/Ω)	**3**	3	3	3	3	3	3	3	3		
Показатель направленности источника Di, дБ		исходные данные	**0**	0	0	0	0	0	0	0	0		
Поправка на направленность источника Dc, дБ	Dc	DΩ + Di	**3**	3	3	3	3	3	3	3	3		
Затухание из-за геометрической дивергенции, Adiv, дБ	расстояние = 836.70 м	ф-ла (7) [10]	**69,5**										
Коэффициент затухания звука в атмосфере α, дБ/км	Ta=20,°C Pa=101.33,кПа hотн.=70%	ф-ла (5) [9]	0,02	0,09	0,33	1,12	2,79	4,98	9,04	23,09	77,63		
Учет затухания звука в атмосфере Aatm, дБ		ф-ла (8) [10]	0	0,1	0,3	0,9	2,3	4,2	7,6	19,3	65		
Снижение уровня звукового давления из-за влияния застройки между источником шума и расчетной точкой													
Снижение уровня звукового давления на пути над экраном, Dz1, дБ	z = 0.19м (разность путей)	ф-лы (14-18) [10]	4,8	4,8	4,8	4,8	4,8	4,8	4,8	4,8	4,8		
Снижение уровня звукового давления на пути слева от экрана, Dz2, дБ	z = 34.37м (разность путей)	ф-лы (14-18) [10]	25,6	28,8	31,8	34,8	37,8	40,8	43,8	46,9	49,9		

1		2	3	4	5	6	7	8	9	10	11	12	13
Снижение уровня звукового давления на пути справа от экрана, Dz3, дБ	z = 11.54м (разность путей)	ф-лы (14-18) [10]	18,8	23,1	26,8	30	33,1	36,1	39,1	42,1	45,1		
Общее снижение уровня звука препятствием Dz, дБ		Эн.сумма(-Dzi)	4,6	4,7	4,7	4,8	4,8	4,8	4,8	4,8	4,8		
Уровни звукового давления от источника ИШ-2-12 в расчётной точке днём, дБ		**ф-ла(3)[10]**	**0**	**22,1**	**23,2**	**23,8**	**22,7**	**20,5**	**13,8**	**0**	**0**	**24,4**	**24,4**
Уровни звукового давления от источника ИШ-2-12 в расчётной точке ночью, дБ		**ф-ла(3)[10]**	**0**	**22,1**	**23,2**	**23,8**	**22,7**	**20,5**	**13,8**	**0**	**0**	**24,4**	**24,4**
Источник шума: ИШ-2-13, координаты источника (x,y,z), м =[759.28,92.25,1.00]													
Уровни звуковой мощности источника днём, Lw, дБ		**исходные данные**	**0**	**93,3**	**94,7**	**96**	**96,3**	**95,9**	**92,6**	**88,4**	**83,9**		
Уровни звуковой мощности источника ночью, Lw, дБ		**исходные данные**	**0**	**93,3**	**94,7**	**96**	**96,3**	**95,9**	**92,6**	**88,4**	**83,9**		
Поправка на телесный угол DΩ, дБ	Ω = 6.28	10Lg(4π/Ω)	**3**	3	3	3	3	3	3	3	3		
Показатель направленности источника Di, дБ		исходные данные	**0**	0	0	0	0	0	0	0	0		
Поправка на направленность источника Dc, дБ	Dc	DΩ + Di	**3**	3	3	3	3	3	3	3	3		
Затухание из-за геометрической дивергенции, Adiv, дБ	расстояние = 834.66 м	ф-ла (7) [10]	**69,4**										
Коэффициент затухания звука в атмосфере α, дБ/км	Ta=20,°C Pa=101.33,кПа hотн.=70%	ф-ла (5) [9]	0,02	0,09	0,33	1,12	2,79	4,98	9,04	23,09	77,63		
Учет затухания звука в атмосфере Aatm, дБ		ф-ла (8) [10]	0	0,1	0,3	0,9	2,3	4,2	7,5	19,3	64,8		
Снижение уровня звукового давления из-за влияния застройки между источником шума и расчетной точкой													
Снижение уровня звукового давления на пути над экраном, Dz1, дБ	z = 0.19м (разность путей)	ф-лы (14-18) [10]	4,8	4,8	4,8	4,8	4,8	4,8	4,8	4,8	4,8		
Снижение уровня звукового давления на пути слева от экрана, Dz2, дБ	z = 33.84м (разность путей)	ф-лы (14-18) [10]	25,6	28,7	31,7	34,8	37,8	40,8	43,8	46,8	49,8		

1		2	3	4	5	6	7	8	9	10	11	12	13
Снижение уровня звукового давления на пути справа от экрана, Dz3, дБ	z = 11.86м (разность путей)	ф-лы (14-18) [10]	18,9	23,3	26,9	30,1	33,2	36,2	39,2	42,2	45,2		
Общее снижение уровня звука препятствием Dz, дБ		Эн.сумма(-Dzi)	4,6	4,7	4,7	4,8	4,8	4,8	4,8	4,8	4,8		
Уровни звукового давления от источника ИШ-2-13 в расчётной точке днём, дБ		**ф-ла(3)[10]**	**0**	**22,1**	**23,2**	**23,9**	**22,8**	**20,5**	**13,8**	**0**	**0**	**24,4**	**24,4**
Уровни звукового давления от источника ИШ-2-13 в расчётной точке ночью, дБ		**ф-ла(3)[10]**	**0**	**22,1**	**23,2**	**23,9**	**22,8**	**20,5**	**13,8**	**0**	**0**	**24,4**	**24,4**
Источник шума: ИШ-2-14, координаты источника (x,y,z), м =[751.62,69.73,1.00]													
Уровни звуковой мощности источника днём, Lw, дБ		**исходные данные**	**0**	**93,3**	**94,7**	**96**	**96,3**	**95,9**	**92,6**	**88,4**	**83,9**		
Уровни звуковой мощности источника ночью, Lw, дБ		**исходные данные**	**0**	**93,3**	**94,7**	**96**	**96,3**	**95,9**	**92,6**	**88,4**	**83,9**		
Поправка на телесный угол DΩ, дБ	Ω = 6.28	10Lg(4π/Ω)	**3**	3	3	3	3	3	3	3	3		
Показатель направленности источника Di, дБ		исходные данные	**0**	0	0	0	0	0	0	0	0		
Поправка на направленность источника Dc, дБ	Dc	DΩ + Di	**3**	3	3	3	3	3	3	3	3		
Затухание из-за геометрической дивергенции, Adiv, дБ	расстояние = 818.44 м	ф-ла (7) [10]	**69,3**										
Коэффициент затухания звука в атмосфере α, дБ/км	Ta=20,°C Pa=101.33,кПа hотн.=70%	ф-ла (5) [9]	0,02	0,09	0,33	1,12	2,79	4,98	9,04	23,09	77,63		
Учет затухания звука в атмосфере Aatm, дБ		ф-ла (8) [10]	0	0,1	0,3	0,9	2,3	4,1	7,4	18,9	63,5		
Снижение уровня звукового давления из-за влияния застройки между источником шума и расчетной точкой													
Снижение уровня звукового давления на пути над экраном, Dz1, дБ	z = 0.29м (разность путей)	ф-лы (14-18) [10]	4,9	5	5,2	5,5	6,2	7,2	8,8	10,8	13,3		
Снижение уровня звукового давления на пути слева от экрана, Dz2, дБ	z = 29.56м (разность путей)	ф-лы (14-18) [10]	25	28,1	31,1	34,2	37,2	40,2	43,2	46,2	49,2		

1		2	3	4	5	6	7	8	9	10	11	12	13
Снижение уровня звукового давления на пути справа от экрана, Dz3, дБ	z = 0.78м (разность путей)	ф-лы (14-18) [10]	7,7	9,4	11,6	14,1	16,9	19,7	22,7	25,7	28,7		
Общее снижение уровня звука препятствием Dz, дБ		Эн.сумма(-Dzi)	3	3,6	4,3	5	5,8	7	8,6	10,7	13,1		
Уровни звукового давления от источника ИШ-2-14 в расчётной точке днём, дБ		**ф-ла(3)[10]**	**0**	**23,3**	**23,9**	**23,9**	**21,9**	**18,6**	**10,3**	**0**	**0**	**23**	**23**
Уровни звукового давления от источника ИШ-2-14 в расчётной точке ночью, дБ		**ф-ла(3)[10]**	**0**	**23,3**	**23,9**	**23,9**	**21,9**	**18,6**	**10,3**	**0**	**0**	**23**	**23**
Источник шума: ИШ-2-15, координаты источника (x,y,z), м =[750.74,66.89,1.00]													
Уровни звуковой мощности источника днём, Lw, дБ		**исходные данные**	**0**	**93,3**	**94,7**	**96**	**96,3**	**95,9**	**92,6**	**88,4**	**83,9**		
Уровни звуковой мощности источника ночью, Lw, дБ		**исходные данные**	**0**	**93,3**	**94,7**	**96**	**96,3**	**95,9**	**92,6**	**88,4**	**83,9**		
Поправка на телесный угол DΩ, дБ	Ω = 6.28	10Lg(4π/Ω)	**3**	3	3	3	3	3	3	3	3		
Показатель направленности источника Di, дБ		исходные данные	**0**	0	0	0	0	0	0	0	0		
Поправка на направленность источника Dc, дБ	Dc	DΩ + Di	**3**	3	3	3	3	3	3	3	3		
Затухание из-за геометрической дивергенции, Adiv, дБ	расстояние = 816.50 м	ф-ла (7) [10]	**69,2**										
Коэффициент затухания звука в атмосфере α, дБ/км	Ta=20,°C Pa=101.33,кПа hотн.=70%	ф-ла (5) [9]	0,02	0,09	0,33	1,12	2,79	4,98	9,04	23,09	77,63		
Учет затухания звука в атмосфере Aatm, дБ		ф-ла (8) [10]	0	0,1	0,3	0,9	2,3	4,1	7,4	18,8	63,4		
Снижение уровня звукового давления из-за влияния застройки между источником шума и расчетной точкой													
Снижение уровня звукового давления на пути над экраном, Dz1, дБ	z = 0.29м (разность путей)	ф-лы (14-18) [10]	4,9	5	5,2	5,6	6,2	7,3	8,9	11	13,5		
Снижение уровня звукового давления на пути слева от экрана, Dz2, дБ	z = 29.03м (разность путей)	ф-лы (14-18) [10]	24,9	28,1	31,1	34,1	37,1	40,1	43,1	46,1	49,1		

1		2	3	4	5	6	7	8	9	10	11	12	13
Снижение уровня звукового давления на пути справа от экрана, Dz3, дБ	z = 0.87м (разность путей)	ф-лы (14-18) [10]	7,9	9,7	12	14,5	17,3	20,2	23,2	26,1	29,1		
Общее снижение уровня звука препятствием Dz, дБ		Эн.сумма(-Dzi)	3,1	3,7	4,4	5	5,9	7,1	8,8	10,9	13,4		
Уровни звукового давления от источника ИШ-2-15 в расчётной точке днём, дБ		**ф-ла(3)[10]**	**0**	**23,3**	**23,8**	**23,8**	**21,9**	**18,5**	**10,2**	**0**	**0**	**22,9**	**22,9**
Уровни звукового давления от источника ИШ-2-15 в расчётной точке ночью, дБ		**ф-ла(3)[10]**	**0**	**23,3**	**23,8**	**23,8**	**21,9**	**18,5**	**10,2**	**0**	**0**	**22,9**	**22,9**
Источник шума: ИШ-2-16, координаты источника (x,y,z), м =[749.73,64.02,1.00]													
Уровни звуковой мощности источника днём, Lw, дБ		**исходные данные**	**0**	**93,3**	**94,7**	**96**	**96,3**	**95,9**	**92,6**	**88,4**	**83,9**		
Уровни звуковой мощности источника ночью, Lw, дБ		**исходные данные**	**0**	**93,3**	**94,7**	**96**	**96,3**	**95,9**	**92,6**	**88,4**	**83,9**		
Поправка на телесный угол DΩ, дБ	Ω = 6.28	10Lg(4π/Ω)	**3**	3	3	3	3	3	3	3	3		
Показатель направленности источника Di, дБ		исходные данные	**0**	0	0	0	0	0	0	0	0		
Поправка на направленность источника Dc, дБ	Dc	DΩ + Di	**3**	3	3	3	3	3	3	3	3		
Затухание из-за геометрической дивергенции, Adiv, дБ	расстояние = 814.44 м	ф-ла (7) [10]	**69,2**										
Коэффициент затухания звука в атмосфере α, дБ/км	Ta=20,°C Pa=101.33,кПа hотн.=70%	ф-ла (5) [9]	0,02	0,09	0,33	1,12	2,79	4,98	9,04	23,09	77,63		
Учет затухания звука в атмосфере Aatm, дБ		ф-ла (8) [10]	0	0,1	0,3	0,9	2,3	4,1	7,4	18,8	63,2		
Снижение уровня звукового давления из-за влияния застройки между источником шума и расчетной точкой													
Снижение уровня звукового давления на пути над экраном, Dz1, дБ	z = 0.29м (разность путей)	ф-лы (14-18) [10]	4,9	5	5,2	5,6	6,3	7,5	9,1	11,2	13,7		
Снижение уровня звукового давления на пути слева от экрана, Dz2, дБ	z = 28.52м (разность путей)	ф-лы (14-18) [10]	24,8	28	31	34	37	40	43	46	49,1		

1		2	3	4	5	6	7	8	9	10	11	12	13
Снижение уровня звукового давления на пути справа от экрана, Dz3, дБ	z = 0.96м (разность путей)	ф-лы (14-18) [10]	8,2	10,1	12,3	15	17,8	20,7	23,6	26,6	29,6		
Общее снижение уровня звука препятствием Dz, дБ		Эн.сумма(-Dzi)	3,2	3,8	4,4	5,1	6	7,3	9	11,1	13,6		
Уровни звукового давления от источника ИШ-2-16 в расчётной точке днём, дБ		**ф-ла(3)[10]**	**0**	**23,2**	**23,8**	**23,7**	**21,8**	**18,4**	**10,1**	**0**	**0**	**22,9**	**22,9**
Уровни звукового давления от источника ИШ-2-16 в расчётной точке ночью, дБ		**ф-ла(3)[10]**	**0**	**23,2**	**23,8**	**23,7**	**21,8**	**18,4**	**10,1**	**0**	**0**	**22,9**	**22,9**
Источник шума: ИШ-2-17, координаты источника (x,y,z), м =[748.87,61.06,1.00]													
Уровни звуковой мощности источника днём, Lw, дБ		**исходные данные**	**0**	**93,3**	**94,7**	**96**	**96,3**	**95,9**	**92,6**	**88,4**	**83,9**		
Уровни звуковой мощности источника ночью, Lw, дБ		**исходные данные**	**0**	**93,3**	**94,7**	**96**	**96,3**	**95,9**	**92,6**	**88,4**	**83,9**		
Поправка на телесный угол DΩ, дБ	Ω = 6.28	10Lg(4π/Ω)	**3**	3	3	3	3	3	3	3	3		
Показатель направленности источника Di, дБ		исходные данные	**0**	0	0	0	0	0	0	0	0		
Поправка на направленность источника Dc, дБ	Dc	DΩ + Di	**3**	3	3	3	3	3	3	3	3		
Затухание из-за геометрической дивергенции, Adiv, дБ	расстояние = 812.48 м	ф-ла (7) [10]	**69,2**										
Коэффициент затухания звука в атмосфере α, дБ/км	Ta=20,°C Pa=101.33,кПа hотн.=70%	ф-ла (5) [9]	0,02	0,09	0,33	1,12	2,79	4,98	9,04	23,09	77,63		
Учет затухания звука в атмосфере Aatm, дБ		ф-ла (8) [10]	0	0,1	0,3	0,9	2,3	4	7,3	18,8	63,1		
Снижение уровня звукового давления из-за влияния застройки между источником шума и расчетной точкой													
Снижение уровня звукового давления на пути над экраном, Dz1, дБ	z = 0.29м (разность путей)	ф-лы (14-18) [10]	4,9	5	5,2	5,6	6,4	7,5	9,2	11,3	13,8		
Снижение уровня звукового давления на пути слева от экрана, Dz2, дБ	z = 27.97м (разность путей)	ф-лы (14-18) [10]	24,7	27,9	30,9	33,9	36,9	39,9	43	46	49		

1		2	3	4	5	6	7	8	9	10	11	12	13
Снижение уровня звукового давления на пути справа от экрана, Dz3, дБ	z = 1.07м (разность путей)	ф-лы (14-18) [10]	8,4	10,4	12,7	15,4	18,2	21,1	24,1	27	30		
Общее снижение уровня звука препятствием Dz, дБ		Эн.сумма(-Dzi)	3,3	3,9	4,5	5,2	6,1	7,3	9,1	11,2	13,7		
Уровни звукового давления от источника ИШ-2-17 в расчётной точке днём, дБ		**ф-ла(3)[10]**	**0**	**23,1**	**23,7**	**23,7**	**21,7**	**18,3**	**10**	**0**	**0**	**22,8**	**22,8**
Уровни звукового давления от источника ИШ-2-17 в расчётной точке ночью, дБ		**ф-ла(3)[10]**	**0**	**23,1**	**23,7**	**23,7**	**21,7**	**18,3**	**10**	**0**	**0**	**22,8**	**22,8**
Источник шума: ИШ-2-18, координаты источника (x,y,z), м =[747.72,58.17,1.00]													
Уровни звуковой мощности источника днём, Lw, дБ		**исходные данные**	**0**	**93,3**	**94,7**	**96**	**96,3**	**95,9**	**92,6**	**88,4**	**83,9**		
Уровни звуковой мощности источника ночью, Lw, дБ		**исходные данные**	**0**	**93,3**	**94,7**	**96**	**96,3**	**95,9**	**92,6**	**88,4**	**83,9**		
Поправка на телесный угол DΩ, дБ	Ω = 6.28	10Lg(4π/Ω)	**3**	3	3	3	3	3	3	3	3		
Показатель направленности источника Di, дБ		исходные данные	**0**	0	0	0	0	0	0	0	0		
Поправка на направленность источника Dc, дБ	Dc	DΩ + Di	**3**	3	3	3	3	3	3	3	3		
Затухание из-за геометрической дивергенции, Adiv, дБ	расстояние = 810.29 м	ф-ла (7) [10]	**69,2**										
Коэффициент затухания звука в атмосфере α, дБ/км	Ta=20,°C Pa=101.33,кПа hотн.=70%	ф-ла (5) [9]	0,02	0,09	0,33	1,12	2,79	4,98	9,04	23,09	77,63		
Учет затухания звука в атмосфере Aatm, дБ		ф-ла (8) [10]	0	0,1	0,3	0,9	2,3	4	7,3	18,7	62,9		
Снижение уровня звукового давления из-за влияния застройки между источником шума и расчетной точкой													
Снижение уровня звукового давления на пути над экраном, Dz1, дБ	z = 0.29м (разность путей)	ф-лы (14-18) [10]	4,9	5	5,2	5,7	6,4	7,6	9,3	11,4	13,9		
Снижение уровня звукового давления на пути слева от экрана, Dz2, дБ	z = 27.49м (разность путей)	ф-лы (14-18) [10]	24,7	27,8	30,8	33,8	36,9	39,9	42,9	45,9	48,9		

1		2	3	4	5	6	7	8	9	10	11	12	13
Снижение уровня звукового давления на пути справа от экрана, Dz3, дБ	z = 1.18м (разность путей)	ф-лы (14-18) [10]	11,8	14,6	17,4	20,3	23,2	26,2	29,2	32,2	35,2		
Общее снижение уровня звука препятствием Dz, дБ		Эн.сумма(-Dzi)	4	4,5	5	5,5	6,3	7,5	9,2	11,4	13,9		
Уровни звукового давления от источника ИШ-2-18 в расчётной точке днём, дБ		**ф-ла(3)[10]**	**0**	**22,5**	**23,3**	**23,4**	**21,6**	**18,2**	**9,9**	**0**	**0**	**22,6**	**22,6**
Уровни звукового давления от источника ИШ-2-18 в расчётной точке ночью, дБ		**ф-ла(3)[10]**	**0**	**22,5**	**23,3**	**23,4**	**21,6**	**18,2**	**9,9**	**0**	**0**	**22,6**	**22,6**
Источник шума: ИШ-2-19, координаты источника (x,y,z), м =[746.80,55.25,1.00]													
Уровни звуковой мощности источника днём, Lw, дБ		**исходные данные**	**0**	**93,3**	**94,7**	**96**	**96,3**	**95,9**	**92,6**	**88,4**	**83,9**		
Уровни звуковой мощности источника ночью, Lw, дБ		**исходные данные**	**0**	**93,3**	**94,7**	**96**	**96,3**	**95,9**	**92,6**	**88,4**	**83,9**		
Поправка на телесный угол DΩ, дБ	Ω = 6.28	10Lg(4π/Ω)	**3**	3	3	3	3	3	3	3	3		
Показатель направленности источника Di, дБ		исходные данные	**0**	0	0	0	0	0	0	0	0		
Поправка на направленность источника Dc, дБ	Dc	DΩ + Di	**3**	3	3	3	3	3	3	3	3		
Затухание из-за геометрической дивергенции, Adiv, дБ	расстояние = 808.31 м	ф-ла (7) [10]	**69,2**										
Коэффициент затухания звука в атмосфере α, дБ/км	Ta=20,°C Pa=101.33,кПа hотн.=70%	ф-ла (5) [9]	0,02	0,09	0,33	1,12	2,79	4,98	9,04	23,09	77,63		
Учет затухания звука в атмосфере Aatm, дБ		ф-ла (8) [10]	0	0,1	0,3	0,9	2,3	4	7,3	18,7	62,8		
Снижение уровня звукового давления из-за влияния застройки между источником шума и расчетной точкой													
Снижение уровня звукового давления на пути над экраном, Dz1, дБ	z = 0.29м (разность путей)	ф-лы (14-18) [10]	4,9	5	5,2	5,7	6,4	7,6	9,3	11,5	14		
Снижение уровня звукового давления на пути слева от экрана, Dz2, дБ	z = 26.97м (разность путей)	ф-лы (14-18) [10]	24,6	27,7	30,8	33,8	36,8	39,8	42,8	45,8	48,8		

1		2	3	4	5	6	7	8	9	10	11	12	13
Снижение уровня звукового давления на пути справа от экрана, Dz3, дБ	z = 1.31м (разность путей)	ф-лы (14-18) [10]	12,1	15	17,8	20,7	23,7	26,7	29,7	32,7	35,7		
Общее снижение уровня звука препятствием Dz, дБ		Эн.сумма(-Dzi)	4,1	4,6	5	5,5	6,3	7,6	9,3	11,5	14		
Уровни звукового давления от источника ИШ-2-19 в расчётной точке днём, дБ		**ф-ла(3)[10]**	**0**	**22,5**	**23,3**	**23,4**	**21,5**	**18,2**	**9,9**	**0**	**0**	**22,6**	**22,6**
Уровни звукового давления от источника ИШ-2-19 в расчётной точке ночью, дБ		**ф-ла(3)[10]**	**0**	**22,5**	**23,3**	**23,4**	**21,5**	**18,2**	**9,9**	**0**	**0**	**22,6**	**22,6**
Источник шума: ИШ-2-20, координаты источника (x,y,z), м =[745.71,52.44,1.00]													
Уровни звуковой мощности источника днём, Lw, дБ		**исходные данные**	**0**	**93,3**	**94,7**	**96**	**96,3**	**95,9**	**92,6**	**88,4**	**83,9**		
Уровни звуковой мощности источника ночью, Lw, дБ		**исходные данные**	**0**	**93,3**	**94,7**	**96**	**96,3**	**95,9**	**92,6**	**88,4**	**83,9**		
Поправка на телесный угол DΩ, дБ	Ω = 6.28	10Lg(4π/Ω)	**3**	3	3	3	3	3	3	3	3		
Показатель направленности источника Di, дБ		исходные данные	**0**	0	0	0	0	0	0	0	0		
Поправка на направленность источника Dc, дБ	Dc	DΩ + Di	**3**	3	3	3	3	3	3	3	3		
Затухание из-за геометрической дивергенции, Adiv, дБ	расстояние = 806.22 м	ф-ла (7) [10]	**69,1**										
Коэффициент затухания звука в атмосфере α, дБ/км	Ta=20,°C Pa=101.33,кПа hотн.=70%	ф-ла (5) [9]	0,02	0,09	0,33	1,12	2,79	4,98	9,04	23,09	77,63		
Учет затухания звука в атмосфере Aatm, дБ		ф-ла (8) [10]	0	0,1	0,3	0,9	2,3	4	7,3	18,6	62,6		
Снижение уровня звукового давления из-за влияния застройки между источником шума и расчетной точкой													
Снижение уровня звукового давления на пути над экраном, Dz1, дБ	z = 0.29м (разность путей)	ф-лы (14-18) [10]	4,9	5	5,3	5,7	6,5	7,7	9,4	11,6	14,1		
Снижение уровня звукового давления на пути слева от экрана, Dz2, дБ	z = 26.51м (разность путей)	ф-лы (14-18) [10]	24,5	27,7	30,7	33,7	36,7	39,7	42,7	45,7	48,7		

1		2	3	4	5	6	7	8	9	10	11	12	13
Снижение уровня звукового давления на пути справа от экрана, Dz3, дБ	z = 1.46м (разность путей)	ф-лы (14-18) [10]	12,5	15,4	18,3	21,2	24,2	27,1	30,1	33,1	36,1		
Общее снижение уровня звука препятствием Dz, дБ		Эн.сумма(-Dzi)	4,2	4,6	5	5,6	6,4	7,6	9,3	11,5	14,1		
Уровни звукового давления от источника ИШ-2-20 в расчётной точке днём, дБ		**ф-ла(3)[10]**	**0**	**22,5**	**23,3**	**23,4**	**21,5**	**18,1**	**9,8**	**0**	**0**	**22,6**	**22,6**
Уровни звукового давления от источника ИШ-2-20 в расчётной точке ночью, дБ		**ф-ла(3)[10]**	**0**	**22,5**	**23,3**	**23,4**	**21,5**	**18,1**	**9,8**	**0**	**0**	**22,6**	**22,6**
Источник шума: ИШ-2-21, координаты источника (x,y,z), м =[744.89,49.62,1.00]													
Уровни звуковой мощности источника днём, Lw, дБ		**исходные данные**	**0**	**93,3**	**94,7**	**96**	**96,3**	**95,9**	**92,6**	**88,4**	**83,9**		
Уровни звуковой мощности источника ночью, Lw, дБ		**исходные данные**	**0**	**93,3**	**94,7**	**96**	**96,3**	**95,9**	**92,6**	**88,4**	**83,9**		
Поправка на телесный угол DΩ, дБ	Ω = 6.28	10Lg(4π/Ω)	**3**	3	3	3	3	3	3	3	3		
Показатель направленности источника Di, дБ		исходные данные	**0**	0	0	0	0	0	0	0	0		
Поправка на направленность источника Dc, дБ	Dc	DΩ + Di	**3**	3	3	3	3	3	3	3	3		
Затухание из-за геометрической дивергенции, Adiv, дБ	расстояние = 804.39 м	ф-ла (7) [10]	**69,1**										
Коэффициент затухания звука в атмосфере α, дБ/км	Ta=20,°C Pa=101.33,кПа hотн.=70%	ф-ла (5) [9]	0,02	0,09	0,33	1,12	2,79	4,98	9,04	23,09	77,63		
Учет затухания звука в атмосфере Aatm, дБ		ф-ла (8) [10]	0	0,1	0,3	0,9	2,2	4	7,3	18,6	62,4		
Снижение уровня звукового давления из-за влияния застройки между источником шума и расчетной точкой													
Снижение уровня звукового давления на пути над экраном, Dz1, дБ	z = 0.29м (разность путей)	ф-лы (14-18) [10]	4,9	5	5,3	5,7	6,5	7,7	9,4	11,6	14,2		
Снижение уровня звукового давления на пути слева от экрана, Dz2, дБ	z = 26.02м (разность путей)	ф-лы (14-18) [10]	24,4	27,6	30,6	33,6	36,6	39,6	42,6	45,7	48,7		

1		2	3	4	5	6	7	8	9	10	11	12	13
Снижение уровня звукового давления на пути справа от экрана, Dz3, дБ	z = 1.63м (разность путей)	ф-лы (14-18) [10]	12,9	15,8	18,7	21,7	24,6	27,6	30,6	33,6	36,6		
Общее снижение уровня звука препятствием Dz, дБ		Эн.сумма(-Dzi)	4,2	4,7	5,1	5,6	6,4	7,7	9,4	11,6	14,1		
Уровни звукового давления от источника ИШ-2-21 в расчётной точке днём, дБ		**ф-ла(3)[10]**	**0**	**22,5**	**23,3**	**23,4**	**21,5**	**18,1**	**9,8**	**0**	**0**	**22,6**	**22,6**
Уровни звукового давления от источника ИШ-2-21 в расчётной точке ночью, дБ		**ф-ла(3)[10]**	**0**	**22,5**	**23,3**	**23,4**	**21,5**	**18,1**	**9,8**	**0**	**0**	**22,6**	**22,6**
Источник шума: ИШ-2-22, координаты источника (x,y,z), м =[737.40,27.07,1.00]													
Уровни звуковой мощности источника днём, Lw, дБ		**исходные данные**	**0**	**93,3**	**94,7**	**96**	**96,3**	**95,9**	**92,6**	**88,4**	**83,9**		
Уровни звуковой мощности источника ночью, Lw, дБ		**исходные данные**	**0**	**93,3**	**94,7**	**96**	**96,3**	**95,9**	**92,6**	**88,4**	**83,9**		
Поправка на телесный угол DΩ, дБ	Ω = 6.28	10Lg(4π/Ω)	**3**	3	3	3	3	3	3	3	3		
Показатель направленности источника Di, дБ		исходные данные	**0**	0	0	0	0	0	0	0	0		
Поправка на направленность источника Dc, дБ	Dc	DΩ + Di	**3**	3	3	3	3	3	3	3	3		
Затухание из-за геометрической дивергенции, Adiv, дБ	расстояние = 789.04 м	ф-ла (7) [10]	**68,9**										
Коэффициент затухания звука в атмосфере α, дБ/км	Ta=20,°C Pa=101.33,кПа hотн.=70%	ф-ла (5) [9]	0,02	0,09	0,33	1,12	2,79	4,98	9,04	23,09	77,63		
Учет затухания звука в атмосфере Aatm, дБ		ф-ла (8) [10]	0	0,1	0,3	0,9	2,2	3,9	7,1	18,2	61,3		
Снижение уровня звукового давления из-за влияния застройки между источником шума и расчетной точкой													
Снижение уровня звукового давления на пути над экраном, Dz1, дБ	z = 0.36м (разность путей)	ф-лы (14-18) [10]	5,1	5,4	6	7	8,4	10,4	12,8	15,4	18,3		
Снижение уровня звукового давления на пути слева от экрана, Dz2, дБ	z = 22.55м (разность путей)	ф-лы (14-18) [10]	23,8	27	30	33	36	39	42	45	48		

1		2	3	4	5	6	7	8	9	10	11	12	13
Снижение уровня звукового давления на пути справа от экрана, Dz3, дБ	z = 3.82м (разность путей)	ф-лы (14-18) [10]	16,2	19,3	22,3	25,3	28,3	31,3	34,3	37,3	40,3		
Общее снижение уровня звука препятствием Dz, дБ		Эн.сумма(-Dzi)	4,7	5,2	5,9	6,9	8,4	10,4	12,7	15,4	18,2		
Уровни звукового давления от источника ИШ-2-22 в расчётной точке днём, дБ		**ф-ла(3)[10]**	**0**	**22**	**22,6**	**22,3**	**19,8**	**15,7**	**6,8**	**0**	**0**	**20,7**	**20,7**
Уровни звукового давления от источника ИШ-2-22 в расчётной точке ночью, дБ		**ф-ла(3)[10]**	**0**	**22**	**22,6**	**22,3**	**19,8**	**15,7**	**6,8**	**0**	**0**	**20,7**	**20,7**
Источник шума: ИШ-2-23, координаты источника (x,y,z), м =[736.46,24.18,1.00]													
Уровни звуковой мощности источника днём, Lw, дБ		**исходные данные**	**0**	**93,3**	**94,7**	**96**	**96,3**	**95,9**	**92,6**	**88,4**	**83,9**		
Уровни звуковой мощности источника ночью, Lw, дБ		**исходные данные**	**0**	**93,3**	**94,7**	**96**	**96,3**	**95,9**	**92,6**	**88,4**	**83,9**		
Поправка на телесный угол DΩ, дБ	Ω = 6.28	10Lg(4π/Ω)	**3**	3	3	3	3	3	3	3	3		
Показатель направленности источника Di, дБ		исходные данные	**0**	0	0	0	0	0	0	0	0		
Поправка на направленность источника Dc, дБ	Dc	DΩ + Di	**3**	3	3	3	3	3	3	3	3		
Затухание из-за геометрической дивергенции, Adiv, дБ	расстояние = 787.13 м	ф-ла (7) [10]	**68,9**										
Коэффициент затухания звука в атмосфере α, дБ/км	Ta=20,°C Pa=101.33,кПа hотн.=70%	ф-ла (5) [9]	0,02	0,09	0,33	1,12	2,79	4,98	9,04	23,09	77,63		
Учет затухания звука в атмосфере Aatm, дБ		ф-ла (8) [10]	0	0,1	0,3	0,9	2,2	3,9	7,1	18,2	61,1		
Снижение уровня звукового давления из-за влияния застройки между источником шума и расчетной точкой													
Снижение уровня звукового давления на пути над экраном, Dz1, дБ	z = 0.36м (разность путей)	ф-лы (14-18) [10]	5,1	5,5	6	7	8,5	10,5	12,8	15,5	18,3		
Снижение уровня звукового давления на пути слева от экрана, Dz2, дБ	z = 22.16м (разность путей)	ф-лы (14-18) [10]	19,3	22,2	25,2	28,2	31,2	34,2	37,2	40,2	43,2		

1		2	3	4	5	6	7	8	9	10	11	12	13
Снижение уровня звукового давления на пути справа от экрана, Dz3, дБ	z = 4.22м (разность путей)	ф-лы (14-18) [10]	16,6	19,8	22,7	25,7	28,7	31,7	34,7	37,8	40,8		
Общее снижение уровня звука препятствием Dz, дБ		Эн.сумма(-Dzi)	4,7	5,2	5,9	6,9	8,4	10,4	12,8	15,5	18,3		
Уровни звукового давления от источника ИШ-2-23 в расчётной точке днём, дБ		**ф-ла(3)[10]**	**0**	**22,1**	**22,6**	**22,3**	**19,8**	**15,6**	**6,8**	**0**	**0**	**20,7**	**20,7**
Уровни звукового давления от источника ИШ-2-23 в расчётной точке ночью, дБ		**ф-ла(3)[10]**	**0**	**22,1**	**22,6**	**22,3**	**19,8**	**15,6**	**6,8**	**0**	**0**	**20,7**	**20,7**
Источник шума: ИШ-2-24, координаты источника (x,y,z), м =[735.45,21.21,1.00]													
Уровни звуковой мощности источника днём, Lw, дБ		**исходные данные**	**0**	**93,3**	**94,7**	**96**	**96,3**	**95,9**	**92,6**	**88,4**	**83,9**		
Уровни звуковой мощности источника ночью, Lw, дБ		**исходные данные**	**0**	**93,3**	**94,7**	**96**	**96,3**	**95,9**	**92,6**	**88,4**	**83,9**		
Поправка на телесный угол DΩ, дБ	Ω = 6.28	10Lg(4π/Ω)	**3**	3	3	3	3	3	3	3	3		
Показатель направленности источника Di, дБ		исходные данные	**0**	0	0	0	0	0	0	0	0		
Поправка на направленность источника Dc, дБ	Dc	DΩ + Di	**3**	3	3	3	3	3	3	3	3		
Затухание из-за геометрической дивергенции, Adiv, дБ	расстояние = 785.13 м	ф-ла (7) [10]	**68,9**										
Коэффициент затухания звука в атмосфере α, дБ/км	Ta=20,°C Pa=101.33,кПа hотн.=70%	ф-ла (5) [9]	0,02	0,09	0,33	1,12	2,79	4,98	9,04	23,09	77,63		
Учет затухания звука в атмосфере Aatm, дБ		ф-ла (8) [10]	0	0,1	0,3	0,9	2,2	3,9	7,1	18,1	61		
Снижение уровня звукового давления из-за влияния застройки между источником шума и расчетной точкой													
Снижение уровня звукового давления на пути над экраном, Dz1, дБ	z = 0.36м (разность путей)	ф-лы (14-18) [10]	5,1	5,5	6,1	7	8,5	10,5	12,9	15,6	18,4		
Снижение уровня звукового давления на пути слева от экрана, Dz2, дБ	z = 21.76м (разность путей)	ф-лы (14-18) [10]	19,2	22,2	25,1	28,1	31,1	34,1	37,1	40,1	43,1		

1		2	3	4	5	6	7	8	9	10	11	12	13
Снижение уровня звукового давления на пути справа от экрана, Dz3, дБ	z = 4.66м (разность путей)	ф-лы (14-18) [10]	17	20,2	23,2	26,2	29,2	32,2	35,2	38,2	41,2		
Общее снижение уровня звука препятствием Dz, дБ		Эн.сумма(-Dzi)	4,7	5,2	5,9	7	8,5	10,5	12,9	15,5	18,4		
Уровни звукового давления от источника ИШ-2-24 в расчётной точке днём, дБ		**ф-ла(3)[10]**	**0**	**22,1**	**22,6**	**22,3**	**19,7**	**15,6**	**6,7**	**0**	**0**	**20,6**	**20,6**
Уровни звукового давления от источника ИШ-2-24 в расчётной точке ночью, дБ		**ф-ла(3)[10]**	**0**	**22,1**	**22,6**	**22,3**	**19,7**	**15,6**	**6,7**	**0**	**0**	**20,6**	**20,6**
Источник шума: ИШ-2-25, координаты источника (x,y,z), м =[734.58,18.32,1.00]													
Уровни звуковой мощности источника днём, Lw, дБ		**исходные данные**	**0**	**93,3**	**94,7**	**96**	**96,3**	**95,9**	**92,6**	**88,4**	**83,9**		
Уровни звуковой мощности источника ночью, Lw, дБ		**исходные данные**	**0**	**93,3**	**94,7**	**96**	**96,3**	**95,9**	**92,6**	**88,4**	**83,9**		
Поправка на телесный угол DΩ, дБ	Ω = 6.28	10Lg(4π/Ω)	**3**	3	3	3	3	3	3	3	3		
Показатель направленности источника Di, дБ		исходные данные	**0**	0	0	0	0	0	0	0	0		
Поправка на направленность источника Dc, дБ	Dc	DΩ + Di	**3**	3	3	3	3	3	3	3	3		
Затухание из-за геометрической дивергенции, Adiv, дБ	расстояние = 783.29 м	ф-ла (7) [10]	**68,9**										
Коэффициент затухания звука в атмосфере α, дБ/км	Ta=20,°C Pa=101.33,кПа hотн.=70%	ф-ла (5) [9]	0,02	0,09	0,33	1,12	2,79	4,98	9,04	23,09	77,63		
Учет затухания звука в атмосфере Aatm, дБ		ф-ла (8) [10]	0	0,1	0,3	0,9	2,2	3,9	7,1	18,1	60,8		
Снижение уровня звукового давления из-за влияния застройки между источником шума и расчетной точкой													
Снижение уровня звукового давления на пути над экраном, Dz1, дБ	z = 0.36м (разность путей)	ф-лы (14-18) [10]	5,1	5,5	6,1	7,1	8,6	10,6	13	15,6	18,4		
Снижение уровня звукового давления на пути слева от экрана, Dz2, дБ	z = 21.36м (разность путей)	ф-лы (14-18) [10]	19,1	22,1	25	28	31	34	37	40	43		

1		2	3	4	5	6	7	8	9	10	11	12	13
Снижение уровня звукового давления на пути справа от экрана, Dz3, дБ	z = 5.12м (разность путей)	ф-лы (14-18) [10]	17,4	20,6	23,6	26,6	29,6	32,6	35,6	38,6	41,6		
Общее снижение уровня звука препятствием Dz, дБ		Эн.сумма(-Dzi)	4,7	5,2	5,9	7	8,5	10,5	12,9	15,6	18,4		
Уровни звукового давления от источника ИШ-2-25 в расчётной точке днём, дБ		**ф-ла(3)[10]**	**0**	**22,1**	**22,6**	**22,2**	**19,7**	**15,6**	**6,7**	**0**	**0**	**20,6**	**20,6**
Уровни звукового давления от источника ИШ-2-25 в расчётной точке ночью, дБ		**ф-ла(3)[10]**	**0**	**22,1**	**22,6**	**22,2**	**19,7**	**15,6**	**6,7**	**0**	**0**	**20,6**	**20,6**
Источник шума: ИШ-2-26, координаты источника (x,y,z), м =[733.57,15.41,1.00]													
Уровни звуковой мощности источника днём, Lw, дБ		**исходные данные**	**0**	**93,3**	**94,7**	**96**	**96,3**	**95,9**	**92,6**	**88,4**	**83,9**		
Уровни звуковой мощности источника ночью, Lw, дБ		**исходные данные**	**0**	**93,3**	**94,7**	**96**	**96,3**	**95,9**	**92,6**	**88,4**	**83,9**		
Поправка на телесный угол DΩ, дБ	Ω = 6.28	10Lg(4π/Ω)	**3**	3	3	3	3	3	3	3	3		
Показатель направленности источника Di, дБ		исходные данные	**0**	0	0	0	0	0	0	0	0		
Поправка на направленность источника Dc, дБ	Dc	DΩ + Di	**3**	3	3	3	3	3	3	3	3		
Затухание из-за геометрической дивергенции, Adiv, дБ	расстояние = 781.32 м	ф-ла (7) [10]	**68,9**										
Коэффициент затухания звука в атмосфере α, дБ/км	Ta=20,°C Pa=101.33,кПа hотн.=70%	ф-ла (5) [9]	0,02	0,09	0,33	1,12	2,79	4,98	9,04	23,09	77,63		
Учет затухания звука в атмосфере Aatm, дБ		ф-ла (8) [10]	0	0,1	0,3	0,9	2,2	3,9	7,1	18	60,7		
Снижение уровня звукового давления из-за влияния застройки между источником шума и расчетной точкой													
Снижение уровня звукового давления на пути над экраном, Dz1, дБ	z = 0.36м (разность путей)	ф-лы (14-18) [10]	5,1	5,5	6,1	7,1	8,6	10,6	13	15,7	18,5		
Снижение уровня звукового давления на пути слева от экрана, Dz2, дБ	z = 20.97м (разность путей)	ф-лы (14-18) [10]	19,1	22	24,9	27,9	30,9	33,9	36,9	39,9	43		

1		2	3	4	5	6	7	8	9	10	11	12	13
Снижение уровня звукового давления на пути справа от экрана, Dz3, дБ	z = 5.62м (разность путей)	ф-лы (14-18) [10]	17,8	21	24	27	30	33	36	39	42		
Общее снижение уровня звука препятствием Dz, дБ		Эн.сумма(-Dzi)	4,7	5,3	6	7	8,5	10,6	13	15,6	18,5		
Уровни звукового давления от источника ИШ-2-26 в расчётной точке днём, дБ		**ф-ла(3)[10]**	**0**	**22,1**	**22,6**	**22,2**	**19,7**	**15,6**	**6,7**	**0**	**0**	**20,6**	**20,6**
Уровни звукового давления от источника ИШ-2-26 в расчётной точке ночью, дБ		**ф-ла(3)[10]**	**0**	**22,1**	**22,6**	**22,2**	**19,7**	**15,6**	**6,7**	**0**	**0**	**20,6**	**20,6**
Источник шума: ИШ-2-27, координаты источника (x,y,z), м =[732.43,12.66,1.00]													
Уровни звуковой мощности источника днём, Lw, дБ		**исходные данные**	**0**	**93,3**	**94,7**	**96**	**96,3**	**95,9**	**92,6**	**88,4**	**83,9**		
Уровни звуковой мощности источника ночью, Lw, дБ		**исходные данные**	**0**	**93,3**	**94,7**	**96**	**96,3**	**95,9**	**92,6**	**88,4**	**83,9**		
Поправка на телесный угол DΩ, дБ	Ω = 6.28	10Lg(4π/Ω)	**3**	3	3	3	3	3	3	3	3		
Показатель направленности источника Di, дБ		исходные данные	**0**	0	0	0	0	0	0	0	0		
Поправка на направленность источника Dc, дБ	Dc	DΩ + Di	**3**	3	3	3	3	3	3	3	3		
Затухание из-за геометрической дивергенции, Adiv, дБ	расстояние = 779.30 м	ф-ла (7) [10]	**68,8**										
Коэффициент затухания звука в атмосфере α, дБ/км	Ta=20,°C Pa=101.33,кПа hотн.=70%	ф-ла (5) [9]	0,02	0,09	0,33	1,12	2,79	4,98	9,04	23,09	77,63		
Учет затухания звука в атмосфере Aatm, дБ		ф-ла (8) [10]	0	0,1	0,3	0,9	2,2	3,9	7	18	60,5		
Снижение уровня звукового давления из-за влияния застройки между источником шума и расчетной точкой													
Снижение уровня звукового давления на пути над экраном, Dz1, дБ	z = 0.36м (разность путей)	ф-лы (14-18) [10]	5,1	5,5	6,1	7,1	8,6	10,6	13	15,7	18,5		
Снижение уровня звукового давления на пути слева от экрана, Dz2, дБ	z = 20.62м (разность путей)	ф-лы (14-18) [10]	19	21,9	24,9	27,9	30,8	33,9	36,9	39,9	42,9		

1		2	3	4	5	6	7	8	9	10	11	12	13
Снижение уровня звукового давления на пути справа от экрана, Dz3, дБ	z = 6.10м (разность путей)	ф-лы (14-18) [10]	18,1	21,3	24,3	27,3	30,3	33,3	36,3	39,4	42,4		
Общее снижение уровня звука препятствием Dz, дБ		Эн.сумма(-Dzi)	4,8	5,3	6	7	8,5	10,6	13	15,6	18,5		
Уровни звукового давления от источника ИШ-2-27 в расчётной точке днём, дБ		**ф-ла(3)[10]**	**0**	**22,1**	**22,6**	**22,3**	**19,7**	**15,6**	**6,7**	**0**	**0**	**20,6**	**20,6**
Уровни звукового давления от источника ИШ-2-27 в расчётной точке ночью, дБ		**ф-ла(3)[10]**	**0**	**22,1**	**22,6**	**22,3**	**19,7**	**15,6**	**6,7**	**0**	**0**	**20,6**	**20,6**
Источник шума: ИШ-2-28, координаты источника (x,y,z), м =[731.54,9.78,1.00]													
Уровни звуковой мощности источника днём, Lw, дБ		**исходные данные**	**0**	**93,3**	**94,7**	**96**	**96,3**	**95,9**	**92,6**	**88,4**	**83,9**		
Уровни звуковой мощности источника ночью, Lw, дБ		**исходные данные**	**0**	**93,3**	**94,7**	**96**	**96,3**	**95,9**	**92,6**	**88,4**	**83,9**		
Поправка на телесный угол DΩ, дБ	Ω = 6.28	10Lg(4π/Ω)	**3**	3	3	3	3	3	3	3	3		
Показатель направленности источника Di, дБ		исходные данные	**0**	0	0	0	0	0	0	0	0		
Поправка на направленность источника Dc, дБ	Dc	DΩ + Di	**3**	3	3	3	3	3	3	3	3		
Затухание из-за геометрической дивергенции, Adiv, дБ	расстояние = 777.46 м	ф-ла (7) [10]	**68,8**										
Коэффициент затухания звука в атмосфере α, дБ/км	Ta=20,°C Pa=101.33,кПа hотн.=70%	ф-ла (5) [9]	0,02	0,09	0,33	1,12	2,79	4,98	9,04	23,09	77,63		
Учет затухания звука в атмосфере Aatm, дБ		ф-ла (8) [10]	0	0,1	0,3	0,9	2,2	3,9	7	17,9	60,4		
Снижение уровня звукового давления из-за влияния застройки между источником шума и расчетной точкой													
Снижение уровня звукового давления на пути над экраном, Dz1, дБ	z = 0.36м (разность путей)	ф-лы (14-18) [10]	5,1	5,5	6,1	7,1	8,6	10,6	13	15,7	18,5		
Снижение уровня звукового давления на пути слева от экрана, Dz2, дБ	z = 20.23м (разность путей)	ф-лы (14-18) [10]	18,9	21,8	24,8	27,8	30,8	33,8	36,8	39,8	42,8		

1		2	3	4	5	6	7	8	9	10	11	12	13
Снижение уровня звукового давления на пути справа от экрана, Dz3, дБ	z = 6.66м (разность путей)	ф-лы (14-18) [10]	18,5	21,7	24,7	27,7	30,7	33,7	36,7	39,7	42,7		
Общее снижение уровня звука препятствием Dz, дБ		Эн.сумма(-Dzi)	4,8	5,3	6	7	8,5	10,6	13	15,6	18,5		
Уровни звукового давления от источника ИШ-2-28 в расчётной точке днём, дБ		**ф-ла(3)[10]**	**0**	**22,1**	**22,7**	**22,3**	**19,8**	**15,6**	**6,8**	**0**	**0**	**20,7**	**20,7**
Уровни звукового давления от источника ИШ-2-28 в расчётной точке ночью, дБ		**ф-ла(3)[10]**	**0**	**22,1**	**22,7**	**22,3**	**19,8**	**15,6**	**6,8**	**0**	**0**	**20,7**	**20,7**
Источник шума: ИШ-2-29, координаты источника (x,y,z), м =[730.57,6.88,1.00]													
Уровни звуковой мощности источника днём, Lw, дБ		**исходные данные**	**0**	**93,3**	**94,7**	**96**	**96,3**	**95,9**	**92,6**	**88,4**	**83,9**		
Уровни звуковой мощности источника ночью, Lw, дБ		**исходные данные**	**0**	**93,3**	**94,7**	**96**	**96,3**	**95,9**	**92,6**	**88,4**	**83,9**		
Поправка на телесный угол DΩ, дБ	Ω = 6.28	10Lg(4π/Ω)	**3**	3	3	3	3	3	3	3	3		
Показатель направленности источника Di, дБ		исходные данные	**0**	0	0	0	0	0	0	0	0		
Поправка на направленность источника Dc, дБ	Dc	DΩ + Di	**3**	3	3	3	3	3	3	3	3		
Затухание из-за геометрической дивергенции, Adiv, дБ	расстояние = 775.57 м	ф-ла (7) [10]	**68,8**										
Коэффициент затухания звука в атмосфере α, дБ/км	Ta=20,°C Pa=101.33,кПа hотн.=70%	ф-ла (5) [9]	0,02	0,09	0,33	1,12	2,79	4,98	9,04	23,09	77,63		
Учет затухания звука в атмосфере Aatm, дБ		ф-ла (8) [10]	0	0,1	0,3	0,9	2,2	3,9	7	17,9	60,2		
Снижение уровня звукового давления из-за влияния застройки между источником шума и расчетной точкой													
Снижение уровня звукового давления на пути над экраном, Dz1, дБ	z = 0.36м (разность путей)	ф-лы (14-18) [10]	5,1	5,5	6,1	7,1	8,6	10,6	13	15,7	18,5		
Снижение уровня звукового давления на пути слева от экрана, Dz2, дБ	z = 19.84м (разность путей)	ф-лы (14-18) [10]	18,8	21,8	24,7	27,7	30,7	33,7	36,7	39,7	42,7		

1		2	3	4	5	6	7	8	9	10	11	12	13
Снижение уровня звукового давления на пути справа от экрана, Dz3, дБ	z = 7.24м (разность путей)	ф-лы (14-18) [10]	18,8	22	25,1	28,1	31,1	34,1	37,1	40,1	43,1		
Общее снижение уровня звука препятствием Dz, дБ		Эн.сумма(-Dzi)	4,8	5,3	6	7	8,5	10,6	13	15,6	18,5		
Уровни звукового давления от источника ИШ-2-29 в расчётной точке днём, дБ		**ф-ла(3)[10]**	**0**	**22,1**	**22,7**	**22,3**	**19,8**	**15,7**	**6,8**	**0**	**0**	**20,7**	**20,7**
Уровни звукового давления от источника ИШ-2-29 в расчётной точке ночью, дБ		**ф-ла(3)[10]**	**0**	**22,1**	**22,7**	**22,3**	**19,8**	**15,7**	**6,8**	**0**	**0**	**20,7**	**20,7**
Источник шума: ИШ-2-4, координаты источника (x,y,z), м =[632.70,-65.30,3.00]													
Уровни звуковой мощности источника днём, Lw, дБ		**исходные данные**	**105**	**104**	**104**	**101**	**102**	**106**	**101**	**95**	**87**		
Уровни звуковой мощности источника ночью, Lw, дБ		**исходные данные**	**105**	**104**	**104**	**101**	**102**	**106**	**101**	**95**	**87**		
Поправка на телесный угол DΩ, дБ	Ω = 6.28	10Lg(4π/Ω)	**3**	3	3	3	3	3	3	3	3		
Показатель направленности источника Di, дБ		исходные данные	**0**	0	0	0	0	0	0	0	0		
Поправка на направленность источника Dc, дБ	Dc	DΩ + Di	**3**	3	3	3	3	3	3	3	3		
Затухание из-за геометрической дивергенции, Adiv, дБ	расстояние = 659.84 м	ф-ла (7) [10]	**67,4**										
Коэффициент затухания звука в атмосфере α, дБ/км	Ta=20,°C Pa=101.33,кПа hотн.=70%	ф-ла (5) [9]	0,02	0,09	0,33	1,12	2,79	4,98	9,04	23,09	77,63		
Учет затухания звука в атмосфере Aatm, дБ		ф-ла (8) [10]	0	0,1	0,2	0,7	1,8	3,3	6	15,2	51,2		
Снижение уровня звукового давления из-за влияния застройки между источником шума и расчетной точкой													
Снижение уровня звукового давления на пути над экраном, Dz1, дБ	z = 0.31м (разность путей)	ф-лы (14-18) [10]	5	5,2	5,6	6,3	7,4	9	11,2	13,6	16,4		
Снижение уровня звукового давления на пути слева от экрана, Dz2, дБ	z = 14.99м (разность путей)	ф-лы (14-18) [10]	17,7	20,6	23,5	26,5	29,5	32,5	35,5	38,5	41,5		

1		2	3	4	5	6	7	8	9	10	11	12	13
Снижение уровня звукового давления на пути справа от экрана, Dz3, дБ	z = 2.36м (разность путей)	ф-лы (14-18) [10]	10,7	13,1	15,8	18,6	21,5	24,5	27,5	30,5	33,5		
Общее снижение уровня звука препятствием Dz, дБ		Эн.сумма(-Dzi)	3,8	4,4	5,1	6	7,2	8,9	11	13,5	16,3		
Уровни звукового давления прямого звука от источника ИШ-2-4 в расчётной точке днём, дБ		**ф-ла(3)[10]**	**36,8**	**35,1**	**34,3**	**29,9**	**28,6**	**29,4**	**19,6**	**1,9**	**0**	**31,9**	**31,9**
Уровни звукового давления прямого звука от источника ИШ-2-4 в расчётной точке ночью, дБ		**ф-ла(3)[10]**	**36,8**	**35,1**	**34,3**	**29,9**	**28,6**	**29,4**	**19,6**	**1,9**	**0**	**31,9**	**31,9**
Расчёт отражённого звука													
Уровни звукового давления от мнимого источника ИШ-2-4_мн.(1) в расчётной точке днём, дБ		**ф-ла(3)[10]**	**0**	**0**	**0**	**0**	**0**	**0**	**0**	**0**	**0**	**0**	**0**
Уровни звукового давления от мнимого источника ИШ-2-4_мн.(1) в расчётной точке ночью, дБ		**ф-ла(3)[10]**	**0**	**0**	**0**	**0**	**0**	**0**	**0**	**0**	**0**	**0**	**0**
Уровни звукового давления от источника ИШ-2-4 в расчётной точке днём, дБ		**ф-ла(3)[10]**	**36,8**	**35,1**	**34,3**	**29,9**	**28,6**	**29,4**	**19,6**	**1,9**	**0**	**31,9**	**31,9**
Уровни звукового давления от источника ИШ-2-4 в расчётной точке ночью, дБ		**ф-ла(3)[10]**	**36,8**	**35,1**	**34,3**	**29,9**	**28,6**	**29,4**	**19,6**	**1,9**	**0**	**31,9**	**31,9**
Источник шума: ИШ-2-30, координаты источника (x,y,z), м =[702.44,-77.23,1.00]													
Уровни звуковой мощности источника днём, Lw, дБ		**исходные данные**	**0**	**93,3**	**94,7**	**96**	**96,3**	**95,9**	**92,6**	**88,4**	**83,9**		
Уровни звуковой мощности источника ночью, Lw, дБ		**исходные данные**	**0**	**93,3**	**94,7**	**96**	**96,3**	**95,9**	**92,6**	**88,4**	**83,9**		
Поправка на телесный угол DΩ, дБ	Ω = 6.28	10Lg(4π/Ω)	**3**	3	3	3	3	3	3	3	3		
Показатель направленности источника Di, дБ		исходные данные	**0**	0	0	0	0	0	0	0	0		
Поправка на направленность источника Dc, дБ	Dc	DΩ + Di	**3**	3	3	3	3	3	3	3	3		
Затухание из-за геометрической дивергенции, Adiv, дБ	расстояние = 723.76 м	ф-ла (7) [10]	**68,2**										
Коэффициент затухания звука в атмосфере α, дБ/км	Ta=20,°C Pa=101.33,кПа hотн.=70%	ф-ла (5) [9]	0,02	0,09	0,33	1,12	2,79	4,98	9,04	23,09	77,63		

1		2	3	4	5	6	7	8	9	10	11	12	13
Учет затухания звука в атмосфере Aatm, дБ		ф-ла (8) [10]	0	0,1	0,2	0,8	2	3,6	6,5	16,7	56,2		
Снижение уровня звукового давления из-за влияния застройки между источником шума и расчетной точкой													
Снижение уровня звукового давления на пути над экраном, Dz1, дБ	z = 0.34м (разность путей)	ф-лы (14-18) [10]	4,9	5	5,3	5,8	6,6	7,9	9,7	12	14,5		
Снижение уровня звукового давления на пути слева от экрана, Dz2, дБ	z = 9.32м (разность путей)	ф-лы (14-18) [10]	15,7	18,6	21,5	24,4	27,4	30,4	33,4	36,4	39,4		
Снижение уровня звукового давления на пути справа от экрана, Dz3, дБ	z = 4.19м (разность путей)	ф-лы (14-18) [10]	16,7	19,8	22,7	25,7	28,7	31,7	34,7	37,7	40,7		
Общее снижение уровня звука препятствием Dz, дБ		Эн.сумма(-Dzi)	4,3	4,7	5,1	5,7	6,5	7,9	9,7	11,9	14,5		
Уровни звукового давления от источника ИШ-2-30 в расчётной точке днём, дБ		**ф-ла(3)[10]**	**0**	**23,3**	**24,1**	**24,3**	**22,5**	**19,2**	**11,2**	**0**	**0**	**23,6**	**23,6**
Уровни звукового давления от источника ИШ-2-30 в расчётной точке ночью, дБ		**ф-ла(3)[10]**	**0**	**23,3**	**24,1**	**24,3**	**22,5**	**19,2**	**11,2**	**0**	**0**	**23,6**	**23,6**
Источник шума: ИШ-2-31, координаты источника (x,y,z), м =[701.42,-80.17,1.00]													
Уровни звуковой мощности источника днём, Lw, дБ		**исходные данные**	**0**	**93,3**	**94,7**	**96**	**96,3**	**95,9**	**92,6**	**88,4**	**83,9**		
Уровни звуковой мощности источника ночью, Lw, дБ		**исходные данные**	**0**	**93,3**	**94,7**	**96**	**96,3**	**95,9**	**92,6**	**88,4**	**83,9**		
Поправка на телесный угол DΩ, дБ	Ω = 6.28	10Lg(4π/Ω)	**3**	3	3	3	3	3	3	3	3		
Показатель направленности источника Di, дБ		исходные данные	**0**	0	0	0	0	0	0	0	0		
Поправка на направленность источника Dc, дБ	Dc	DΩ + Di	**3**	3	3	3	3	3	3	3	3		
Затухание из-за геометрической дивергенции, Adiv, дБ	расстояние = 722.05 м	ф-ла (7) [10]	**68,2**										
Коэффициент затухания звука в атмосфере α, дБ/км	Ta=20,°C Pa=101.33,кПа hотн.=70%	ф-ла (5) [9]	0,02	0,09	0,33	1,12	2,79	4,98	9,04	23,09	77,63		

1		2	3	4	5	6	7	8	9	10	11	12	13
Учет затухания звука в атмосфере Aatm, дБ		ф-ла (8) [10]	0	0,1	0,2	0,8	2	3,6	6,5	16,7	56,1		
Снижение уровня звукового давления из-за влияния застройки между источником шума и расчетной точкой													
Снижение уровня звукового давления на пути над экраном, Dz1, дБ	z = 0.26м (разность путей)	ф-лы (14-18) [10]	4,8	4,8	4,8	4,8	4,9	5,1	5,4	6	6,9		
Снижение уровня звукового давления на пути слева от экрана, Dz2, дБ	z = 9.00м (разность путей)	ф-лы (14-18) [10]	15,6	18,4	21,3	24,3	27,3	30,3	33,3	36,3	39,3		
Снижение уровня звукового давления на пути справа от экрана, Dz3, дБ	z = 4.44м (разность путей)	ф-лы (14-18) [10]	16,9	20	23	26	29	32	35	38	41		
Общее снижение уровня звука препятствием Dz, дБ		Эн.сумма(-Dzi)	4,2	4,5	4,6	4,8	4,9	5,1	5,4	6	6,9		
Уровни звукового давления от источника ИШ-2-31 в расчётной точке днём, дБ		**ф-ла(3)[10]**	**0**	**23,6**	**24,6**	**25,2**	**24,2**	**22**	**15,5**	**0,6**	**0**	**25,9**	**25,9**
Уровни звукового давления от источника ИШ-2-31 в расчётной точке ночью, дБ		**ф-ла(3)[10]**	**0**	**23,6**	**24,6**	**25,2**	**24,2**	**22**	**15,5**	**0,6**	**0**	**25,9**	**25,9**
Источник шума: ИШ-2-32, координаты источника (x,y,z), м =[700.38,-83.01,1.00]													
Уровни звуковой мощности источника днём, Lw, дБ		**исходные данные**	**0**	**93,3**	**94,7**	**96**	**96,3**	**95,9**	**92,6**	**88,4**	**83,9**		
Уровни звуковой мощности источника ночью, Lw, дБ		**исходные данные**	**0**	**93,3**	**94,7**	**96**	**96,3**	**95,9**	**92,6**	**88,4**	**83,9**		
Поправка на телесный угол DΩ, дБ	Ω = 6.28	10Lg(4π/Ω)	**3**	3	3	3	3	3	3	3	3		
Показатель направленности источника Di, дБ		исходные данные	**0**	0	0	0	0	0	0	0	0		
Поправка на направленность источника Dc, дБ	Dc	DΩ + Di	**3**	3	3	3	3	3	3	3	3		
Затухание из-за геометрической дивергенции, Adiv, дБ	расстояние = 720.35 м	ф-ла (7) [10]	**68,2**										
Коэффициент затухания звука в атмосфере α, дБ/км	Ta=20,°C Pa=101.33,кПа hотн.=70%	ф-ла (5) [9]	0,02	0,09	0,33	1,12	2,79	4,98	9,04	23,09	77,63		

1		2	3	4	5	6	7	8	9	10	11	12	13
Учет затухания звука в атмосфере Aatm, дБ		ф-ла (8) [10]	0	0,1	0,2	0,8	2	3,6	6,5	16,6	55,9		
Снижение уровня звукового давления из-за влияния застройки между источником шума и расчетной точкой													
Снижение уровня звукового давления на пути над экраном, Dz1, дБ	z = 0.26м (разность путей)	ф-лы (14-18) [10]	4,8	4,8	4,8	4,8	4,9	5,1	5,4	6	6,9		
Снижение уровня звукового давления на пути слева от экрана, Dz2, дБ	z = 8.68м (разность путей)	ф-лы (14-18) [10]	15,5	18,3	21,2	24,1	27,1	30,1	33,1	36,1	39,1		
Снижение уровня звукового давления на пути справа от экрана, Dz3, дБ	z = 4.70м (разность путей)	ф-лы (14-18) [10]	17,1	20,2	23,2	26,2	29,2	32,2	35,2	38,2	41,2		
Общее снижение уровня звука препятствием Dz, дБ		Эн.сумма(-Dzi)	4,2	4,5	4,6	4,8	4,9	5,1	5,4	6	6,9		
Уровни звукового давления от источника ИШ-2-32 в расчётной точке днём, дБ		**ф-ла(3)[10]**	**0**	**23,6**	**24,7**	**25,3**	**24,2**	**22,1**	**15,5**	**0,7**	**0**	**25,9**	**25,9**
Уровни звукового давления от источника ИШ-2-32 в расчётной точке ночью, дБ		**ф-ла(3)[10]**	**0**	**23,6**	**24,7**	**25,3**	**24,2**	**22,1**	**15,5**	**0,7**	**0**	**25,9**	**25,9**
Источник шума: ИШ-2-33, координаты источника (x,y,z), м =[699.52,-85.98,1.00]													
Уровни звуковой мощности источника днём, Lw, дБ		**исходные данные**	**0**	**93,3**	**94,7**	**96**	**96,3**	**95,9**	**92,6**	**88,4**	**83,9**		
Уровни звуковой мощности источника ночью, Lw, дБ		**исходные данные**	**0**	**93,3**	**94,7**	**96**	**96,3**	**95,9**	**92,6**	**88,4**	**83,9**		
Поправка на телесный угол DΩ, дБ	Ω = 6.28	10Lg(4π/Ω)	**3**	3	3	3	3	3	3	3	3		
Показатель направленности источника Di, дБ		исходные данные	**0**	0	0	0	0	0	0	0	0		
Поправка на направленность источника Dc, дБ	Dc	DΩ + Di	**3**	3	3	3	3	3	3	3	3		
Затухание из-за геометрической дивергенции, Adiv, дБ	расстояние = 718.80 м	ф-ла (7) [10]	**68,1**										
Коэффициент затухания звука в атмосфере α, дБ/км	Ta=20,°C Pa=101.33,кПа hотн.=70%	ф-ла (5) [9]	0,02	0,09	0,33	1,12	2,79	4,98	9,04	23,09	77,63		

1		2	3	4	5	6	7	8	9	10	11	12	13
Учет затухания звука в атмосфере Aatm, дБ		ф-ла (8) [10]	0	0,1	0,2	0,8	2	3,6	6,5	16,6	55,8		
Снижение уровня звукового давления из-за влияния застройки между источником шума и расчетной точкой													
Снижение уровня звукового давления на пути над экраном, Dz1, дБ	z = 0.26м (разность путей)	ф-лы (14-18) [10]	4,8	4,8	4,8	4,9	4,9	5,1	5,4	6	6,9		
Снижение уровня звукового давления на пути слева от экрана, Dz2, дБ	z = 8.35м (разность путей)	ф-лы (14-18) [10]	15,3	18,1	21	24	26,9	29,9	32,9	35,9	39		
Снижение уровня звукового давления на пути справа от экрана, Dz3, дБ	z = 4.99м (разность путей)	ф-лы (14-18) [10]	17,4	20,5	23,5	26,5	29,5	32,5	35,5	38,5	41,5		
Общее снижение уровня звука препятствием Dz, дБ		Эн.сумма(-Dzi)	4,2	4,5	4,6	4,8	4,9	5,1	5,4	6	6,9		
Уровни звукового давления от источника ИШ-2-33 в расчётной точке днём, дБ		**ф-ла(3)[10]**	**0**	**23,6**	**24,7**	**25,3**	**24,3**	**22,1**	**15,6**	**0,7**	**0**	**25,9**	**25,9**
Уровни звукового давления от источника ИШ-2-33 в расчётной точке ночью, дБ		**ф-ла(3)[10]**	**0**	**23,6**	**24,7**	**25,3**	**24,3**	**22,1**	**15,6**	**0,7**	**0**	**25,9**	**25,9**
Источник шума: ИШ-2-34, координаты источника (x,y,z), м =[698.43,-88.85,1.00]													
Уровни звуковой мощности источника днём, Lw, дБ		**исходные данные**	**0**	**93,3**	**94,7**	**96**	**96,3**	**95,9**	**92,6**	**88,4**	**83,9**		
Уровни звуковой мощности источника ночью, Lw, дБ		**исходные данные**	**0**	**93,3**	**94,7**	**96**	**96,3**	**95,9**	**92,6**	**88,4**	**83,9**		
Поправка на телесный угол DΩ, дБ	Ω = 6.28	10Lg(4π/Ω)	**3**	3	3	3	3	3	3	3	3		
Показатель направленности источника Di, дБ		исходные данные	**0**	0	0	0	0	0	0	0	0		
Поправка на направленность источника Dc, дБ	Dc	DΩ + Di	**3**	3	3	3	3	3	3	3	3		
Затухание из-за геометрической дивергенции, Adiv, дБ	расстояние = 717.06 м	ф-ла (7) [10]	**68,1**										
Коэффициент затухания звука в атмосфере α, дБ/км	Ta=20,°C Pa=101.33,кПа hотн.=70%	ф-ла (5) [9]	0,02	0,09	0,33	1,12	2,79	4,98	9,04	23,09	77,63		

1		2	3	4	5	6	7	8	9	10	11	12	13
Учет затухания звука в атмосфере Aatm, дБ		ф-ла (8) [10]	0	0,1	0,2	0,8	2	3,6	6,5	16,6	55,7		
Снижение уровня звукового давления из-за влияния застройки между источником шума и расчетной точкой													
Снижение уровня звукового давления на пути над экраном, Dz1, дБ	z = 0.26м (разность путей)	ф-лы (14-18) [10]	4,8	4,8	4,8	4,9	4,9	5,1	5,4	6	6,9		
Снижение уровня звукового давления на пути слева от экрана, Dz2, дБ	z = 8.05м (разность путей)	ф-лы (14-18) [10]	15,2	18	20,8	23,8	26,8	29,8	32,8	35,8	38,8		
Снижение уровня звукового давления на пути справа от экрана, Dz3, дБ	z = 5.29м (разность путей)	ф-лы (14-18) [10]	17,6	20,7	23,7	26,7	29,7	32,7	35,7	38,7	41,7		
Общее снижение уровня звука препятствием Dz, дБ		Эн.сумма(-Dzi)	4,2	4,5	4,6	4,8	4,9	5,1	5,4	6	6,9		
Уровни звукового давления от источника ИШ-2-34 в расчётной точке днём, дБ		**ф-ла(3)[10]**	**0**	**23,6**	**24,7**	**25,3**	**24,3**	**22,1**	**15,6**	**0,8**	**0**	**26**	**26**
Уровни звукового давления от источника ИШ-2-34 в расчётной точке ночью, дБ		**ф-ла(3)[10]**	**0**	**23,6**	**24,7**	**25,3**	**24,3**	**22,1**	**15,6**	**0,8**	**0**	**26**	**26**
Источник шума: ИШ-2-35, координаты источника (x,y,z), м =[697.52,-91.66,1.00]													
Уровни звуковой мощности источника днём, Lw, дБ		**исходные данные**	**0**	**93,3**	**94,7**	**96**	**96,3**	**95,9**	**92,6**	**88,4**	**83,9**		
Уровни звуковой мощности источника ночью, Lw, дБ		**исходные данные**	**0**	**93,3**	**94,7**	**96**	**96,3**	**95,9**	**92,6**	**88,4**	**83,9**		
Поправка на телесный угол DΩ, дБ	Ω = 6.28	10Lg(4π/Ω)	**3**	3	3	3	3	3	3	3	3		
Показатель направленности источника Di, дБ		исходные данные	**0**	0	0	0	0	0	0	0	0		
Поправка на направленность источника Dc, дБ	Dc	DΩ + Di	**3**	3	3	3	3	3	3	3	3		
Затухание из-за геометрической дивергенции, Adiv, дБ	расстояние = 715.51 м	ф-ла (7) [10]	**68,1**										
Коэффициент затухания звука в атмосфере α, дБ/км	Ta=20,°C Pa=101.33,кПа hотн.=70%	ф-ла (5) [9]	0,02	0,09	0,33	1,12	2,79	4,98	9,04	23,09	77,63		

1		2	3	4	5	6	7	8	9	10	11	12	13
Учет затухания звука в атмосфере Aatm, дБ		ф-ла (8) [10]	0	0,1	0,2	0,8	2	3,6	6,5	16,5	55,5		
Снижение уровня звукового давления из-за влияния застройки между источником шума и расчетной точкой													
Снижение уровня звукового давления на пути над экраном, Dz1, дБ	z = 0.26м (разность путей)	ф-лы (14-18) [10]	4,8	4,8	4,8	4,9	4,9	5,1	5,4	6	6,9		
Снижение уровня звукового давления на пути слева от экрана, Dz2, дБ	z = 7.75м (разность путей)	ф-лы (14-18) [10]	15	17,8	20,7	23,6	26,6	29,6	32,6	35,6	38,6		
Снижение уровня звукового давления на пути справа от экрана, Dz3, дБ	z = 5.61м (разность путей)	ф-лы (14-18) [10]	17,9	21	24	27	30	33	36	39	42		
Общее снижение уровня звука препятствием Dz, дБ		Эн.сумма(-Dzi)	4,2	4,5	4,6	4,8	4,9	5,1	5,4	6	6,9		
Уровни звукового давления прямого звука от источника ИШ-2-35 в расчётной точке днём, дБ		**ф-ла(3)[10]**	**0**	**23,7**	**24,7**	**25,3**	**24,3**	**22,2**	**15,6**	**0,8**	**0**	**26**	**26**
Уровни звукового давления прямого звука от источника ИШ-2-35 в расчётной точке ночью, дБ		**ф-ла(3)[10]**	**0**	**23,7**	**24,7**	**25,3**	**24,3**	**22,2**	**15,6**	**0,8**	**0**	**26**	**26**
Расчёт отражённого звука													
Уровни звукового давления от мнимого источника ИШ-2-35_мн.(1) в расчётной точке днём, дБ		**ф-ла(3)[10]**	**0**	**0**	**0**	**0**	**0**	**0**	**0**	**0**	**0**	**0**	**0**
Уровни звукового давления от мнимого источника ИШ-2-35_мн.(1) в расчётной точке ночью, дБ		**ф-ла(3)[10]**	**0**	**0**	**0**	**0**	**0**	**0**	**0**	**0**	**0**	**0**	**0**
Уровни звукового давления от источника ИШ-2-35 в расчётной точке днём, дБ		**ф-ла(3)[10]**	**0**	**23,7**	**24,7**	**25,3**	**24,3**	**22,2**	**15,6**	**0,8**	**0**	**26**	**26**
Уровни звукового давления от источника ИШ-2-35 в расчётной точке ночью, дБ		**ф-ла(3)[10]**	**0**	**23,7**	**24,7**	**25,3**	**24,3**	**22,2**	**15,6**	**0,8**	**0**	**26**	**26**
Источник шума: ИШ-2-36, координаты источника (x,y,z), м =[696.58,-94.55,1.00]													
Уровни звуковой мощности источника днём, Lw, дБ		**исходные данные**	**0**	**93,3**	**94,7**	**96**	**96,3**	**95,9**	**92,6**	**88,4**	**83,9**		
Уровни звуковой мощности источника ночью, Lw, дБ		**исходные данные**	**0**	**93,3**	**94,7**	**96**	**96,3**	**95,9**	**92,6**	**88,4**	**83,9**		
Поправка на телесный угол DΩ, дБ	Ω = 6.28	10Lg(4π/Ω)	**3**	3	3	3	3	3	3	3	3		

1		2	3	4	5	6	7	8	9	10	11	12	13
Показатель направленности источника Di, дБ		исходные данные	**0**	0	0	0	0	0	0	0	0		
Поправка на направленность источника Dc, дБ	Dc	DΩ + Di	**3**	3	3	3	3	3	3	3	3		
Затухание из-за геометрической дивергенции, Adiv, дБ	расстояние = 713.93 м	ф-ла (7) [10]	**68,1**										
Коэффициент затухания звука в атмосфере α, дБ/км	Ta=20,°C Pa=101.33,кПа hотн.=70%	ф-ла (5) [9]	0,02	0,09	0,33	1,12	2,79	4,98	9,04	23,09	77,63		
Учет затухания звука в атмосфере Aatm, дБ		ф-ла (8) [10]	0	0,1	0,2	0,8	2	3,6	6,5	16,5	55,4		
Снижение уровня звукового давления из-за влияния застройки между источником шума и расчетной точкой													
Снижение уровня звукового давления на пути над экраном, Dz1, дБ	z = 0.25м (разность путей)	ф-лы (14-18) [10]	4,8	4,8	4,8	4,9	4,9	5,1	5,4	6	6,9		
Снижение уровня звукового давления на пути слева от экрана, Dz2, дБ	z = 7.44м (разность путей)	ф-лы (14-18) [10]	14,9	17,6	20,5	23,5	26,4	29,4	32,4	35,4	38,5		
Снижение уровня звукового давления на пути справа от экрана, Dz3, дБ	z = 5.96м (разность путей)	ф-лы (14-18) [10]	18,1	21,2	24,2	27,2	30,2	33,2	36,2	39,2	42,3		
Общее снижение уровня звука препятствием Dz, дБ		Эн.сумма(-Dzi)	4,2	4,5	4,6	4,8	4,9	5,1	5,4	6	6,9		
Уровни звукового давления прямого звука от источника ИШ-2-36 в расчётной точке днём, дБ		**ф-ла(3)[10]**	**0**	**23,7**	**24,7**	**25,3**	**24,3**	**22,2**	**15,7**	**0,9**	**0**	**26**	**26**
Уровни звукового давления прямого звука от источника ИШ-2-36 в расчётной точке ночью, дБ		**ф-ла(3)[10]**	**0**	**23,7**	**24,7**	**25,3**	**24,3**	**22,2**	**15,7**	**0,9**	**0**	**26**	**26**
Расчёт отражённого звука													
Уровни звукового давления от мнимого источника ИШ-2-36_мн.(1) в расчётной точке днём, дБ		**ф-ла(3)[10]**	**0**	**0**	**0**	**0**	**0**	**0**	**0**	**0**	**0**	**0**	**0**
Уровни звукового давления от мнимого источника ИШ-2-36_мн.(1) в расчётной точке ночью, дБ		**ф-ла(3)[10]**	**0**	**0**	**0**	**0**	**0**	**0**	**0**	**0**	**0**	**0**	**0**
Уровни звукового давления от источника ИШ-2-36 в расчётной точке днём, дБ		**ф-ла(3)[10]**	**0**	**23,7**	**24,7**	**25,3**	**24,3**	**22,2**	**15,7**	**0,9**	**0**	**26**	**26**
Уровни звукового давления от источника ИШ-2-36 в расчётной точке ночью, дБ		**ф-ла(3)[10]**	**0**	**23,7**	**24,7**	**25,3**	**24,3**	**22,2**	**15,7**	**0,9**	**0**	**26**	**26**

1		2	3	4	5	6	7	8	9	10	11	12	13
Источник шума: ИШ-2-37, координаты источника (x,y,z), м =[695.57,-97.37,1.00]													
Уровни звуковой мощности источника днём, Lw, дБ		**исходные данные**	**0**	**93,3**	**94,7**	**96**	**96,3**	**95,9**	**92,6**	**88,4**	**83,9**		
Уровни звуковой мощности источника ночью, Lw, дБ		**исходные данные**	**0**	**93,3**	**94,7**	**96**	**96,3**	**95,9**	**92,6**	**88,4**	**83,9**		
Поправка на телесный угол DΩ, дБ	Ω = 6.28	10Lg(4π/Ω)	**3**	3	3	3	3	3	3	3	3		
Показатель направленности источника Di, дБ		исходные данные	**0**	0	0	0	0	0	0	0	0		
Поправка на направленность источника Dc, дБ	Dc	DΩ + Di	**3**	3	3	3	3	3	3	3	3		
Затухание из-за геометрической дивергенции, Adiv, дБ	расстояние = 712.31 м	ф-ла (7) [10]	**68,1**										
Коэффициент затухания звука в атмосфере α, дБ/км	Ta=20,°C Pa=101.33,кПа hотн.=70%	ф-ла (5) [9]	0,02	0,09	0,33	1,12	2,79	4,98	9,04	23,09	77,63		
Учет затухания звука в атмосфере Aatm, дБ		ф-ла (8) [10]	0	0,1	0,2	0,8	2	3,5	6,4	16,4	55,3		
Снижение уровня звукового давления из-за влияния застройки между источником шума и расчетной точкой													
Снижение уровня звукового давления на пути над экраном, Dz1, дБ	z = 0.25м (разность путей)	ф-лы (14-18) [10]	4,8	4,8	4,8	4,9	4,9	5,1	5,4	6	6,9		
Снижение уровня звукового давления на пути слева от экрана, Dz2, дБ	z = 7.15м (разность путей)	ф-лы (14-18) [10]	14,7	17,5	20,3	23,3	26,3	29,3	32,3	35,3	38,3		
Снижение уровня звукового давления на пути справа от экрана, Dz3, дБ	z = 6.31м (разность путей)	ф-лы (14-18) [10]	18,4	21,5	24,5	27,5	30,5	33,5	36,5	39,5	42,5		
Общее снижение уровня звука препятствием Dz, дБ		Эн.сумма(-Dzi)	4,2	4,5	4,6	4,8	4,9	5,1	5,4	6	6,9		
Уровни звукового давления прямого звука от источника ИШ-2-37 в расчётной точке днём, дБ		**ф-ла(3)[10]**	**0**	**23,7**	**24,8**	**25,4**	**24,4**	**22,2**	**15,7**	**0,9**	**0**	**26,1**	**26,1**
Уровни звукового давления прямого звука от источника ИШ-2-37 в расчётной точке ночью, дБ		**ф-ла(3)[10]**	**0**	**23,7**	**24,8**	**25,4**	**24,4**	**22,2**	**15,7**	**0,9**	**0**	**26,1**	**26,1**

1		2	3	4	5	6	7	8	9	10	11	12	13
Расчёт отражённого звука													
Уровни звукового давления от мнимого источника ИШ-2-37_мн.(1) в расчётной точке днём, дБ		**ф-ла(3)[10]**	**0**	**0**	**0**	**0**	**0**	**0**	**0**	**0**	**0**	**0**	**0**
Уровни звукового давления от мнимого источника ИШ-2-37_мн.(1) в расчётной точке ночью, дБ		**ф-ла(3)[10]**	**0**	**0**	**0**	**0**	**0**	**0**	**0**	**0**	**0**	**0**	**0**
Уровни звукового давления от мнимого источника ИШ-2-37_мн.(2) в расчётной точке днём, дБ		**ф-ла(3)[10]**	**0**	**0**	**0**	**0**	**0**	**0**	**0**	**0**	**0**	**0**	**0**
Уровни звукового давления от мнимого источника ИШ-2-37_мн.(2) в расчётной точке ночью, дБ		**ф-ла(3)[10]**	**0**	**0**	**0**	**0**	**0**	**0**	**0**	**0**	**0**	**0**	**0**
Суммарные уровни звукового давления от мнимых источников в расчётной точке днём, дБ		**ф-ла (19) [1]**	**0**	**0**	**0**	**0**	**0**	**0**	**0**	**0**	**0**	**0**	**0**
Суммарные уровни звукового давления от мнимых источников в расчётной точке ночью, дБ		**ф-ла (19) [1]**	**0**	**0**	**0**	**0**	**0**	**0**	**0**	**0**	**0**	**0**	**0**
Уровни звукового давления от источника ИШ-2-37 в расчётной точке днём, дБ		**ф-ла(3)[10]**	**0**	**23,7**	**24,8**	**25,4**	**24,4**	**22,2**	**15,7**	**0,9**	**0**	**26,1**	**26,1**
Уровни звукового давления от источника ИШ-2-37 в расчётной точке ночью, дБ		**ф-ла(3)[10]**	**0**	**23,7**	**24,8**	**25,4**	**24,4**	**22,2**	**15,7**	**0,9**	**0**	**26,1**	**26,1**
Источник шума: ИШ-2-5, координаты источника (x,y,z), м =[618.60,-108.00,3.00]													
Уровни звуковой мощности источника днём, Lw, дБ		**исходные данные**	**105**	**104**	**104**	**101**	**102**	**106**	**101**	**95**	**87**		
Уровни звуковой мощности источника ночью, Lw, дБ		**исходные данные**	**105**	**104**	**104**	**101**	**102**	**106**	**101**	**95**	**87**		
Поправка на телесный угол DΩ, дБ	Ω = 6.28	10Lg(4π/Ω)	**3**	3	3	3	3	3	3	3	3		
Показатель направленности источника Di, дБ		исходные данные	**0**	0	0	0	0	0	0	0	0		
Поправка на направленность источника Dc, дБ	Dc	DΩ + Di	**3**	3	3	3	3	3	3	3	3		
Затухание из-за геометрической дивергенции, Adiv, дБ	расстояние = 634.96 м	ф-ла (7) [10]	**67,1**										
Коэффициент затухания звука в атмосфере α, дБ/км	Ta=20,°C Pa=101.33,кПа hотн.=70%	ф-ла (5) [9]	0,02	0,09	0,33	1,12	2,79	4,98	9,04	23,09	77,63		

1		2	3	4	5	6	7	8	9	10	11	12	13
Учет затухания звука в атмосфере Aatm, дБ		ф-ла (8) [10]	0	0,1	0,2	0,7	1,8	3,2	5,7	14,7	49,3		
Снижение уровня звукового давления из-за влияния застройки между источником шума и расчетной точкой													
Снижение уровня звукового давления на пути над экраном, Dz1, дБ	z = 0.23м (разность путей)	ф-лы (14-18) [10]	4,8	4,8	4,8	4,9	5	5,3	5,8	6,6	7,9		
Снижение уровня звукового давления на пути слева от экрана, Dz2, дБ	z = 8.88м (разность путей)	ф-лы (14-18) [10]	15,6	18,4	21,3	24,2	27,2	30,2	33,2	36,2	39,2		
Снижение уровня звукового давления на пути справа от экрана, Dz3, дБ	z = 6.10м (разность путей)	ф-лы (14-18) [10]	18,2	21,3	24,3	27,3	30,3	33,3	36,3	39,4	42,4		
Общее снижение уровня звука препятствием Dz, дБ		Эн.сумма(-Dzi)	4,3	4,5	4,7	4,8	5	5,3	5,8	6,6	7,9		
Уровни звукового давления от источника ИШ-2-5 в расчётной точке днём, дБ		**ф-ла(3)[10]**	**36,7**	**35,4**	**35,1**	**31,4**	**31,2**	**33,5**	**25,4**	**9,7**	**0**	**35,6**	**35,6**
Уровни звукового давления от источника ИШ-2-5 в расчётной точке ночью, дБ		**ф-ла(3)[10]**	**36,7**	**35,4**	**35,1**	**31,4**	**31,2**	**33,5**	**25,4**	**9,7**	**0**	**35,6**	**35,6**
Источник шума: ИШ-2-38, координаты источника (x,y,z), м =[688.13,-119.94,1.00]													
Уровни звуковой мощности источника днём, Lw, дБ		**исходные данные**	**0**	**93,3**	**94,7**	**96**	**96,3**	**95,9**	**92,6**	**88,4**	**83,9**		
Уровни звуковой мощности источника ночью, Lw, дБ		**исходные данные**	**0**	**93,3**	**94,7**	**96**	**96,3**	**95,9**	**92,6**	**88,4**	**83,9**		
Поправка на телесный угол DΩ, дБ	Ω = 6.28	10Lg(4π/Ω)	**3**	3	3	3	3	3	3	3	3		
Показатель направленности источника Di, дБ		исходные данные	**0**	0	0	0	0	0	0	0	0		
Поправка на направленность источника Dc, дБ	Dc	DΩ + Di	**3**	3	3	3	3	3	3	3	3		
Затухание из-за геометрической дивергенции, Adiv, дБ	расстояние = 700.27 м	ф-ла (7) [10]	**67,9**										
Коэффициент затухания звука в атмосфере α, дБ/км	Ta=20,°C Pa=101.33,кПа hотн.=70%	ф-ла (5) [9]	0,02	0,09	0,33	1,12	2,79	4,98	9,04	23,09	77,63		

1		2	3	4	5	6	7	8	9	10	11	12	13
Учет затухания звука в атмосфере Aatm, дБ		ф-ла (8) [10]	0	0,1	0,2	0,8	2	3,5	6,3	16,2	54,4		
Снижение уровня звукового давления из-за влияния застройки между источником шума и расчетной точкой													
Снижение уровня звукового давления на пути над экраном, Dz1, дБ	z = 0.25м (разность путей)	ф-лы (14-18) [10]	4,8	4,8	4,8	4,9	4,9	5,1	5,4	6	7		
Снижение уровня звукового давления на пути слева от экрана, Dz2, дБ	z = 4.94м (разность путей)	ф-лы (14-18) [10]	13,3	16	18,8	21,7	24,7	27,7	30,7	33,7	36,7		
Снижение уровня звукового давления на пути справа от экрана, Dz3, дБ	z = 6.91м (разность путей)	ф-лы (14-18) [10]	14,6	17,3	20,2	23,1	26,1	29,1	32,1	35,1	38,1		
Общее снижение уровня звука препятствием Dz, дБ		Эн.сумма(-Dzi)	3,8	4,2	4,5	4,7	4,9	5,1	5,4	6	6,9		
Уровни звукового давления прямого звука от источника ИШ-2-38 в расчётной точке днём, дБ		**ф-ла(3)[10]**	**0**	**24,1**	**25**	**25,6**	**24,6**	**22,4**	**16**	**1,3**	**0**	**26,3**	**26,3**
Уровни звукового давления прямого звука от источника ИШ-2-38 в расчётной точке ночью, дБ		**ф-ла(3)[10]**	**0**	**24,1**	**25**	**25,6**	**24,6**	**22,4**	**16**	**1,3**	**0**	**26,3**	**26,3**
Расчёт отражённого звука													
Уровни звукового давления от мнимого источника ИШ-2-38_мн.(1) в расчётной точке днём, дБ		**ф-ла(3)[10]**	**0**	**0**	**0**	**0**	**0**	**0**	**0**	**0**	**0**	**0**	**0**
Уровни звукового давления от мнимого источника ИШ-2-38_мн.(1) в расчётной точке ночью, дБ		**ф-ла(3)[10]**	**0**	**0**	**0**	**0**	**0**	**0**	**0**	**0**	**0**	**0**	**0**
Уровни звукового давления от источника ИШ-2-38 в расчётной точке днём, дБ		**ф-ла(3)[10]**	**0**	**24,1**	**25**	**25,6**	**24,6**	**22,4**	**16**	**1,3**	**0**	**26,3**	**26,3**
Уровни звукового давления от источника ИШ-2-38 в расчётной точке ночью, дБ		**ф-ла(3)[10]**	**0**	**24,1**	**25**	**25,6**	**24,6**	**22,4**	**16**	**1,3**	**0**	**26,3**	**26,3**
Источник шума: ИШ-2-39, координаты источника (x,y,z), м =[687.11,-122.83,1.00]													
Уровни звуковой мощности источника днём, Lw, дБ		**исходные данные**	**0**	**93,3**	**94,7**	**96**	**96,3**	**95,9**	**92,6**	**88,4**	**83,9**		
Уровни звуковой мощности источника ночью, Lw, дБ		**исходные данные**	**0**	**93,3**	**94,7**	**96**	**96,3**	**95,9**	**92,6**	**88,4**	**83,9**		
Поправка на телесный угол DΩ, дБ	Ω = 6.28	10Lg(4π/Ω)	**3**	3	3	3	3	3	3	3	3		

1		2	3	4	5	6	7	8	9	10	11	12	13
Показатель направленности источника Di, дБ		исходные данные	**0**	0	0	0	0	0	0	0	0		
Поправка на направленность источника Dc, дБ	Dc	DΩ + Di	**3**	3	3	3	3	3	3	3	3		
Затухание из-за геометрической дивергенции, Adiv, дБ	расстояние = 698.71 м	ф-ла (7) [10]	**67,9**										
Коэффициент затухания звука в атмосфере α, дБ/км	Ta=20,°C Pa=101.33,кПа hотн.=70%	ф-ла (5) [9]	0,02	0,09	0,33	1,12	2,79	4,98	9,04	23,09	77,63		
Учет затухания звука в атмосфере Aatm, дБ		ф-ла (8) [10]	0	0,1	0,2	0,8	2	3,5	6,3	16,1	54,2		
Снижение уровня звукового давления из-за влияния застройки между источником шума и расчетной точкой													
Снижение уровня звукового давления на пути над экраном, Dz1, дБ	z = 0.25м (разность путей)	ф-лы (14-18) [10]	4,8	4,8	4,8	4,9	4,9	5,1	5,4	6	7		
Снижение уровня звукового давления на пути слева от экрана, Dz2, дБ	z = 4.69м (разность путей)	ф-лы (14-18) [10]	13,1	15,8	18,6	21,5	24,5	27,4	30,4	33,4	36,4		
Снижение уровня звукового давления на пути справа от экрана, Dz3, дБ	z = 7.14м (разность путей)	ф-лы (14-18) [10]	14,7	17,5	20,3	23,3	26,3	29,3	32,3	35,3	38,3		
Общее снижение уровня звука препятствием Dz, дБ		Эн.сумма(-Dzi)	3,8	4,2	4,5	4,7	4,9	5,1	5,4	6	7		
Уровни звукового давления прямого звука от источника ИШ-2-39 в расчётной точке днём, дБ		**ф-ла(3)[10]**	**0**	**24,1**	**25,1**	**25,6**	**24,6**	**22,5**	**16**	**1,4**	**0**	**26,3**	**26,3**
Уровни звукового давления прямого звука от источника ИШ-2-39 в расчётной точке ночью, дБ		**ф-ла(3)[10]**	**0**	**24,1**	**25,1**	**25,6**	**24,6**	**22,5**	**16**	**1,4**	**0**	**26,3**	**26,3**
Расчёт отражённого звука													
Уровни звукового давления от мнимого источника ИШ-2-39_мн.(1) в расчётной точке днём, дБ		**ф-ла(3)[10]**	**0**	**0**	**0**	**0**	**0**	**0**	**0**	**0**	**0**	**0**	**0**
Уровни звукового давления от мнимого источника ИШ-2-39_мн.(1) в расчётной точке ночью, дБ		**ф-ла(3)[10]**	**0**	**0**	**0**	**0**	**0**	**0**	**0**	**0**	**0**	**0**	**0**
Уровни звукового давления от источника ИШ-2-39 в расчётной точке днём, дБ		**ф-ла(3)[10]**	**0**	**24,1**	**25,1**	**25,6**	**24,6**	**22,5**	**16**	**1,4**	**0**	**26,3**	**26,3**
Уровни звукового давления от источника ИШ-2-39 в расчётной точке ночью, дБ		**ф-ла(3)[10]**	**0**	**24,1**	**25,1**	**25,6**	**24,6**	**22,5**	**16**	**1,4**	**0**	**26,3**	**26,3**

1		2	3	4	5	6	7	8	9	10	11	12	13
Источник шума: ИШ-2-40, координаты источника (x,y,z), м =[686.10,-125.67,1.00]													
Уровни звуковой мощности источника днём, Lw, дБ		**исходные данные**	**0**	**93,3**	**94,7**	**96**	**96,3**	**95,9**	**92,6**	**88,4**	**83,9**		
Уровни звуковой мощности источника ночью, Lw, дБ		**исходные данные**	**0**	**93,3**	**94,7**	**96**	**96,3**	**95,9**	**92,6**	**88,4**	**83,9**		
Поправка на телесный угол DΩ, дБ	Ω = 6.28	10Lg(4π/Ω)	**3**	3	3	3	3	3	3	3	3		
Показатель направленности источника Di, дБ		исходные данные	**0**	0	0	0	0	0	0	0	0		
Поправка на направленность источника Dc, дБ	Dc	DΩ + Di	**3**	3	3	3	3	3	3	3	3		
Затухание из-за геометрической дивергенции, Adiv, дБ	расстояние = 697.18 м	ф-ла (7) [10]	**67,9**										
Коэффициент затухания звука в атмосфере α, дБ/км	Ta=20,°C Pa=101.33,кПа hотн.=70%	ф-ла (5) [9]	0,02	0,09	0,33	1,12	2,79	4,98	9,04	23,09	77,63		
Учет затухания звука в атмосфере Aatm, дБ		ф-ла (8) [10]	0	0,1	0,2	0,8	1,9	3,5	6,3	16,1	54,1		
Снижение уровня звукового давления из-за влияния застройки между источником шума и расчетной точкой													
Снижение уровня звукового давления на пути над экраном, Dz1, дБ	z = 0.25м (разность путей)	ф-лы (14-18) [10]	4,8	4,8	4,8	4,9	4,9	5,1	5,4	6	7		
Снижение уровня звукового давления на пути слева от экрана, Dz2, дБ	z = 8.17м (разность путей)	ф-лы (14-18) [10]	19,4	22,6	25,6	28,6	31,6	34,6	37,6	40,6	43,6		
Снижение уровня звукового давления на пути справа от экрана, Dz3, дБ	z = 7.37м (разность путей)	ф-лы (14-18) [10]	14,8	17,6	20,5	23,4	26,4	29,4	32,4	35,4	38,4		
Общее снижение уровня звука препятствием Dz, дБ		Эн.сумма(-Dzi)	4,2	4,5	4,7	4,8	4,9	5,1	5,4	6	7		
Уровни звукового давления прямого звука от источника ИШ-2-40 в расчётной точке днём, дБ		**ф-ла(3)[10]**	**0**	**23,9**	**24,9**	**25,6**	**24,6**	**22,5**	**16**	**1,4**	**0**	**26,3**	**26,3**
Уровни звукового давления прямого звука от источника ИШ-2-40 в расчётной точке ночью, дБ		**ф-ла(3)[10]**	**0**	**23,9**	**24,9**	**25,6**	**24,6**	**22,5**	**16**	**1,4**	**0**	**26,3**	**26,3**

1		2	3	4	5	6	7	8	9	10	11	12	13
Расчёт отражённого звука													
Уровни звукового давления от мнимого источника ИШ-2-40_мн.(1) в расчётной точке днём, дБ		**ф-ла(3)[10]**	**0**	**0**	**0**	**0**	**0**	**0**	**0**	**0**	**0**	**0**	**0**
Уровни звукового давления от мнимого источника ИШ-2-40_мн.(1) в расчётной точке ночью, дБ		**ф-ла(3)[10]**	**0**	**0**	**0**	**0**	**0**	**0**	**0**	**0**	**0**	**0**	**0**
Уровни звукового давления от источника ИШ-2-40 в расчётной точке днём, дБ		**ф-ла(3)[10]**	**0**	**23,9**	**24,9**	**25,6**	**24,6**	**22,5**	**16**	**1,4**	**0**	**26,3**	**26,3**
Уровни звукового давления от источника ИШ-2-40 в расчётной точке ночью, дБ		**ф-ла(3)[10]**	**0**	**23,9**	**24,9**	**25,6**	**24,6**	**22,5**	**16**	**1,4**	**0**	**26,3**	**26,3**
Источник шума: ИШ-2-41, координаты источника (x,y,z), м =[685.14,-128.64,1.00]													
Уровни звуковой мощности источника днём, Lw, дБ		**исходные данные**	**0**	**93,3**	**94,7**	**96**	**96,3**	**95,9**	**92,6**	**88,4**	**83,9**		
Уровни звуковой мощности источника ночью, Lw, дБ		**исходные данные**	**0**	**93,3**	**94,7**	**96**	**96,3**	**95,9**	**92,6**	**88,4**	**83,9**		
Поправка на телесный угол DΩ, дБ	Ω = 6.28	10Lg(4π/Ω)	**3**	3	3	3	3	3	3	3	3		
Показатель направленности источника Di, дБ		исходные данные	**0**	0	0	0	0	0	0	0	0		
Поправка на направленность источника Dc, дБ	Dc	DΩ + Di	**3**	3	3	3	3	3	3	3	3		
Затухание из-за геометрической дивергенции, Adiv, дБ	расстояние = 695.68 м	ф-ла (7) [10]	**67,8**										
Коэффициент затухания звука в атмосфере α, дБ/км	Ta=20,°C Pa=101.33,кПа hотн.=70%	ф-ла (5) [9]	0,02	0,09	0,33	1,12	2,79	4,98	9,04	23,09	77,63		
Учет затухания звука в атмосфере Aatm, дБ		ф-ла (8) [10]	0	0,1	0,2	0,8	1,9	3,5	6,3	16,1	54		
Снижение уровня звукового давления из-за влияния застройки между источником шума и расчетной точкой													
Снижение уровня звукового давления на пути над экраном, Dz1, дБ	z = 0.25м (разность путей)	ф-лы (14-18) [10]	4,8	4,8	4,8	4,9	4,9	5,1	5,4	6	7		

1		2	3	4	5	6	7	8	9	10	11	12	13
Снижение уровня звукового давления на пути слева от экрана, Dz2, дБ	z = 7.42м (разность путей)	ф-лы (14-18) [10]	19	22,2	25,2	28,2	31,2	34,2	37,2	40,2	43,2		
Снижение уровня звукового давления на пути справа от экрана, Dz3, дБ	z = 7.62м (разность путей)	ф-лы (14-18) [10]	14,9	17,7	20,6	23,6	26,5	29,5	32,5	35,6	38,6		
Общее снижение уровня звука препятствием Dz, дБ		Эн.сумма(-Dzi)	4,2	4,5	4,7	4,8	4,9	5,1	5,4	6	7		
Уровни звукового давления от источника ИШ-2-41 в расчётной точке днём, дБ		**ф-ла(3)[10]**	**0**	**23,9**	**25**	**25,6**	**24,6**	**22,5**	**16**	**1,5**	**0**	**26,3**	**26,3**
Уровни звукового давления от источника ИШ-2-41 в расчётной точке ночью, дБ		**ф-ла(3)[10]**	**0**	**23,9**	**25**	**25,6**	**24,6**	**22,5**	**16**	**1,5**	**0**	**26,3**	**26,3**
Источник шума: ИШ-2-42, координаты источника (x,y,z), м =[684.20,-131.46,1.00]													
Уровни звуковой мощности источника днём, Lw, дБ		**исходные данные**	**0**	**93,3**	**94,7**	**96**	**96,3**	**95,9**	**92,6**	**88,4**	**83,9**		
Уровни звуковой мощности источника ночью, Lw, дБ		**исходные данные**	**0**	**93,3**	**94,7**	**96**	**96,3**	**95,9**	**92,6**	**88,4**	**83,9**		
Поправка на телесный угол DΩ, дБ	Ω = 6.28	10Lg(4π/Ω)	**3**	3	3	3	3	3	3	3	3		
Показатель направленности источника Di, дБ		исходные данные	**0**	0	0	0	0	0	0	0	0		
Поправка на направленность источника Dc, дБ	Dc	DΩ + Di	**3**	3	3	3	3	3	3	3	3		
Затухание из-за геометрической дивергенции, Adiv, дБ	расстояние = 694.23 м	ф-ла (7) [10]	**67,8**										
Коэффициент затухания звука в атмосфере α, дБ/км	Ta=20,°C Pa=101.33,кПа hотн.=70%	ф-ла (5) [9]	0,02	0,09	0,33	1,12	2,79	4,98	9,04	23,09	77,63		
Учет затухания звука в атмосфере Aatm, дБ		ф-ла (8) [10]	0	0,1	0,2	0,8	1,9	3,5	6,3	16	53,9		
Снижение уровня звукового давления из-за влияния застройки между источником шума и расчетной точкой													
Снижение уровня звукового давления на пути над экраном, Dz1, дБ	z = 0.25м (разность путей)	ф-лы (14-18) [10]	4,8	4,8	4,8	4,9	4,9	5,1	5,4	6	7		

1		2	3	4	5	6	7	8	9	10	11	12	13
Снижение уровня звукового давления на пути слева от экрана, Dz2, дБ	z = 6.74м (разность путей)	ф-лы (14-18) [10]	18,6	21,8	24,8	27,8	30,8	33,8	36,8	39,8	42,8		
Снижение уровня звукового давления на пути справа от экрана, Dz3, дБ	z = 7.86м (разность путей)	ф-лы (14-18) [10]	15,1	17,9	20,7	23,7	26,7	29,7	32,7	35,7	38,7		
Общее снижение уровня звука препятствием Dz, дБ		Эн.сумма(-Dzi)	4,2	4,5	4,7	4,8	4,9	5,1	5,4	6	7		
Уровни звукового давления от источника ИШ-2-42 в расчётной точке днём, дБ		**ф-ла(3)[10]**	**0**	**23,9**	**25**	**25,6**	**24,6**	**22,5**	**16,1**	**1,5**	**0**	**26,3**	**26,3**
Уровни звукового давления от источника ИШ-2-42 в расчётной точке ночью, дБ		**ф-ла(3)[10]**	**0**	**23,9**	**25**	**25,6**	**24,6**	**22,5**	**16,1**	**1,5**	**0**	**26,3**	**26,3**
Источник шума: ИШ-2-43, координаты источника (x,y,z), м =[683.13,-134.37,1.00]													
Уровни звуковой мощности источника днём, Lw, дБ		**исходные данные**	**0**	**93,3**	**94,7**	**96**	**96,3**	**95,9**	**92,6**	**88,4**	**83,9**		
Уровни звуковой мощности источника ночью, Lw, дБ		**исходные данные**	**0**	**93,3**	**94,7**	**96**	**96,3**	**95,9**	**92,6**	**88,4**	**83,9**		
Поправка на телесный угол DΩ, дБ	Ω = 6.28	10Lg(4π/Ω)	**3**	3	3	3	3	3	3	3	3		
Показатель направленности источника Di, дБ		исходные данные	**0**	0	0	0	0	0	0	0	0		
Поправка на направленность источника Dc, дБ	Dc	DΩ + Di	**3**	3	3	3	3	3	3	3	3		
Затухание из-за геометрической дивергенции, Adiv, дБ	расстояние = 692.66 м	ф-ла (7) [10]	**67,8**										
Коэффициент затухания звука в атмосфере α, дБ/км	Ta=20,°C Pa=101.33,кПа hотн.=70%	ф-ла (5) [9]	0,02	0,09	0,33	1,12	2,79	4,98	9,04	23,09	77,63		
Учет затухания звука в атмосфере Aatm, дБ		ф-ла (8) [10]	0	0,1	0,2	0,8	1,9	3,4	6,3	16	53,8		
Снижение уровня звукового давления из-за влияния застройки между источником шума и расчетной точкой													
Снижение уровня звукового давления на пути над экраном, Dz1, дБ	z = 0.25м (разность путей)	ф-лы (14-18) [10]	4,8	4,8	4,8	4,9	4,9	5,1	5,4	6	7		

1		2	3	4	5	6	7	8	9	10	11	12	13
Снижение уровня звукового давления на пути слева от экрана, Dz2, дБ	z = 6.08м (разность путей)	ф-лы (14-18) [10]	18,2	21,3	24,3	27,3	30,3	33,3	36,3	39,3	42,3		
Снижение уровня звукового давления на пути справа от экрана, Dz3, дБ	z = 8.11м (разность путей)	ф-лы (14-18) [10]	15,2	18	20,9	23,8	26,8	29,8	32,8	35,8	38,8		
Общее снижение уровня звука препятствием Dz, дБ		Эн.сумма(-Dzi)	4,2	4,5	4,7	4,8	4,9	5,1	5,4	6	7		
Уровни звукового давления прямого звука от источника ИШ-2-43 в расчётной точке днём, дБ		**ф-ла(3)[10]**	**0**	**23,9**	**25**	**25,6**	**24,6**	**22,5**	**16,1**	**1,6**	**0**	**26,4**	**26,4**
Уровни звукового давления прямого звука от источника ИШ-2-43 в расчётной точке ночью, дБ		**ф-ла(3)[10]**	**0**	**23,9**	**25**	**25,6**	**24,6**	**22,5**	**16,1**	**1,6**	**0**	**26,4**	**26,4**
Расчёт отражённого звука													
Уровни звукового давления от мнимого источника ИШ-2-43_мн.(1) в расчётной точке днём, дБ		**ф-ла(3)[10]**	**0**	**0**	**0**	**0**	**0**	**0**	**0**	**0**	**0**	**0**	**0**
Уровни звукового давления от мнимого источника ИШ-2-43_мн.(1) в расчётной точке ночью, дБ		**ф-ла(3)[10]**	**0**	**0**	**0**	**0**	**0**	**0**	**0**	**0**	**0**	**0**	**0**
Уровни звукового давления от источника ИШ-2-43 в расчётной точке днём, дБ		**ф-ла(3)[10]**	**0**	**23,9**	**25**	**25,6**	**24,6**	**22,5**	**16,1**	**1,6**	**0**	**26,4**	**26,4**
Уровни звукового давления от источника ИШ-2-43 в расчётной точке ночью, дБ		**ф-ла(3)[10]**	**0**	**23,9**	**25**	**25,6**	**24,6**	**22,5**	**16,1**	**1,6**	**0**	**26,4**	**26,4**
Источник шума: ИШ-2-44, координаты источника (x,y,z), м =[682.20,-137.16,1.00]													
Уровни звуковой мощности источника днём, Lw, дБ		**исходные данные**	**0**	**93,3**	**94,7**	**96**	**96,3**	**95,9**	**92,6**	**88,4**	**83,9**		
Уровни звуковой мощности источника ночью, Lw, дБ		**исходные данные**	**0**	**93,3**	**94,7**	**96**	**96,3**	**95,9**	**92,6**	**88,4**	**83,9**		
Поправка на телесный угол DΩ, дБ	Ω = 6.28	10Lg(4π/Ω)	**3**	3	3	3	3	3	3	3	3		
Показатель направленности источника Di, дБ		исходные данные	**0**	0	0	0	0	0	0	0	0		
Поправка на направленность источника Dc, дБ	Dc	DΩ + Di	**3**	3	3	3	3	3	3	3	3		
Затухание из-за геометрической дивергенции, Adiv, дБ	расстояние = 691.25 м	ф-ла (7) [10]	**67,8**										

1		2	3	4	5	6	7	8	9	10	11	12	13
Коэффициент затухания звука в атмосфере α, дБ/км	Ta=20,°C Pa=101.33,кПа hотн.=70%	ф-ла (5) [9]	0,02	0,09	0,33	1,12	2,79	4,98	9,04	23,09	77,63		
Учет затухания звука в атмосфере Aatm, дБ		ф-ла (8) [10]	0	0,1	0,2	0,8	1,9	3,4	6,2	16	53,7		
Снижение уровня звукового давления из-за влияния застройки между источником шума и расчетной точкой													
Снижение уровня звукового давления на пути над экраном, Dz1, дБ	z = 0.25м (разность путей)	ф-лы (14-18) [10]	4,8	4,8	4,8	4,9	4,9	5,1	5,4	6	7		
Снижение уровня звукового давления на пути слева от экрана, Dz2, дБ	z = 5.46м (разность путей)	ф-лы (14-18) [10]	17,8	20,9	23,9	26,9	29,9	32,9	35,9	38,9	41,9		
Снижение уровня звукового давления на пути справа от экрана, Dz3, дБ	z = 8.36м (разность путей)	ф-лы (14-18) [10]	15,3	18,1	21	24	26,9	29,9	32,9	36	39		
Общее снижение уровня звука препятствием Dz, дБ		Эн.сумма(-Dzi)	4,2	4,5	4,7	4,8	4,9	5,1	5,4	6	7		
Уровни звукового давления прямого звука от источника ИШ-2-44 в расчётной точке днём, дБ		**ф-ла(3)[10]**	**0**	**24**	**25**	**25,6**	**24,7**	**22,6**	**16,1**	**1,6**	**0**	**26,4**	**26,4**
Уровни звукового давления прямого звука от источника ИШ-2-44 в расчётной точке ночью, дБ		**ф-ла(3)[10]**	**0**	**24**	**25**	**25,6**	**24,7**	**22,6**	**16,1**	**1,6**	**0**	**26,4**	**26,4**
Расчёт отражённого звука													
Уровни звукового давления от мнимого источника ИШ-2-44_мн.(1) в расчётной точке днём, дБ		**ф-ла(3)[10]**	**0**	**0**	**0**	**0**	**0**	**0**	**0**	**0**	**0**	**0**	**0**
Уровни звукового давления от мнимого источника ИШ-2-44_мн.(1) в расчётной точке ночью, дБ		**ф-ла(3)[10]**	**0**	**0**	**0**	**0**	**0**	**0**	**0**	**0**	**0**	**0**	**0**
Уровни звукового давления от источника ИШ-2-44 в расчётной точке днём, дБ		**ф-ла(3)[10]**	**0**	**24**	**25**	**25,6**	**24,7**	**22,6**	**16,1**	**1,6**	**0**	**26,4**	**26,4**
Уровни звукового давления от источника ИШ-2-44 в расчётной точке ночью, дБ		**ф-ла(3)[10]**	**0**	**24**	**25**	**25,6**	**24,7**	**22,6**	**16,1**	**1,6**	**0**	**26,4**	**26,4**
Источник шума: ИШ-2-45, координаты источника (x,y,z), м =[681.26,-139.98,1.00]													
Уровни звуковой мощности источника днём, Lw, дБ		**исходные данные**	**0**	**93,3**	**94,7**	**96**	**96,3**	**95,9**	**92,6**	**88,4**	**83,9**		

1		2	3	4	5	6	7	8	9	10	11	12	13
Уровни звуковой мощности источника ночью, Lw, дБ		**исходные данные**	**0**	**93,3**	**94,7**	**96**	**96,3**	**95,9**	**92,6**	**88,4**	**83,9**		
Поправка на телесный угол DΩ, дБ	Ω = 6.28	10Lg(4π/Ω)	**3**	3	3	3	3	3	3	3	3		
Показатель направленности источника Di, дБ		исходные данные	**0**	0	0	0	0	0	0	0	0		
Поправка на направленность источника Dc, дБ	Dc	DΩ + Di	**3**	3	3	3	3	3	3	3	3		
Затухание из-за геометрической дивергенции, Adiv, дБ	расстояние = 689.84 м	ф-ла (7) [10]	**67,8**										
Коэффициент затухания звука в атмосфере α, дБ/км	Ta=20,°C Pa=101.33,кПа hотн.=70%	ф-ла (5) [9]	0,02	0,09	0,33	1,12	2,79	4,98	9,04	23,09	77,63		
Учет затухания звука в атмосфере Aatm, дБ		ф-ла (8) [10]	0	0,1	0,2	0,8	1,9	3,4	6,2	15,9	53,6		
Снижение уровня звукового давления из-за влияния застройки между источником шума и расчетной точкой													
Снижение уровня звукового давления на пути над экраном, Dz1, дБ	z = 0.25м (разность путей)	ф-лы (14-18) [10]	5	5,2	5,6	6,3	7,5	9,1	11,3	13,8	16,5		
Снижение уровня звукового давления на пути слева от экрана, Dz2, дБ	z = 4.88м (разность путей)	ф-лы (14-18) [10]	17,3	20,4	23,4	26,4	29,4	32,4	35,4	38,4	41,4		
Снижение уровня звукового давления на пути справа от экрана, Dz3, дБ	z = 8.62м (разность путей)	ф-лы (14-18) [10]	15,4	18,3	21,1	24,1	27,1	30,1	33,1	36,1	39,1		
Общее снижение уровня звука препятствием Dz, дБ		Эн.сумма(-Dzi)	4,4	4,9	5,4	6,2	7,4	9,1	11,2	13,7	16,4		
Уровни звукового давления прямого звука от источника ИШ-2-45 в расчётной точке днём, дБ		**ф-ла(3)[10]**	**0**	**23,6**	**24,3**	**24,2**	**22,2**	**18,6**	**10,4**	**0**	**0**	**23,2**	**23,2**
Уровни звукового давления прямого звука от источника ИШ-2-45 в расчётной точке ночью, дБ		**ф-ла(3)[10]**	**0**	**23,6**	**24,3**	**24,2**	**22,2**	**18,6**	**10,4**	**0**	**0**	**23,2**	**23,2**
Расчёт отражённого звука													
Уровни звукового давления от мнимого источника ИШ-2-45_мн.(1) в расчётной точке днём, дБ		**ф-ла(3)[10]**	**0**	**0**	**0**	**0**	**0**	**0**	**0**	**0**	**0**	**0**	**0**
Уровни звукового давления от мнимого источника ИШ-2-45_мн.(1) в расчётной точке ночью, дБ		**ф-ла(3)[10]**	**0**	**0**	**0**	**0**	**0**	**0**	**0**	**0**	**0**	**0**	**0**

1		2	3	4	5	6	7	8	9	10	11	12	13
Уровни звукового давления от источника ИШ-2-45 в расчётной точке днём, дБ		**ф-ла(3)[10]**	**0**	**23,6**	**24,3**	**24,2**	**22,2**	**18,6**	**10,4**	**0**	**0**	**23,2**	**23,2**
Уровни звукового давления от источника ИШ-2-45 в расчётной точке ночью, дБ		**ф-ла(3)[10]**	**0**	**23,6**	**24,3**	**24,2**	**22,2**	**18,6**	**10,4**	**0**	**0**	**23,2**	**23,2**
Источник шума: ИШ-4-1, координаты источника (x,y,z), м =[141.82,201.03,1.00]													
Уровни звуковой мощности источника днём, Lw, дБ		**исходные данные**	**0**	**90,3**	**91,7**	**93**	**93,3**	**92,9**	**89,6**	**85,4**	**80,9**		
Уровни звуковой мощности источника ночью, Lw, дБ		**исходные данные**	**0**	**90,3**	**91,7**	**93**	**93,3**	**92,9**	**89,6**	**85,4**	**80,9**		
Поправка на телесный угол DΩ, дБ	Ω = 6.28	10Lg(4π/Ω)	**3**	3	3	3	3	3	3	3	3		
Показатель направленности источника Di, дБ		исходные данные	**0**	0	0	0	0	0	0	0	0		
Поправка на направленность источника Dc, дБ	Dc	DΩ + Di	**3**	3	3	3	3	3	3	3	3		
Затухание из-за геометрической дивергенции, Adiv, дБ	расстояние = 479.75 м	ф-ла (7) [10]	**64,6**										
Коэффициент затухания звука в атмосфере α, дБ/км	Ta=20,°C Pa=101.33,кПа hотн.=70%	ф-ла (5) [9]	0,02	0,09	0,33	1,12	2,79	4,98	9,04	23,09	77,63		
Учет затухания звука в атмосфере Aatm, дБ		ф-ла (8) [10]	0	0	0,2	0,5	1,3	2,4	4,3	11,1	37,2		
Снижение поверхностью земли возле источника As, дБ	Gs = 0 hs = 1м	ф-лы таб.3 [10]	-1,5	-1,5	-1,5	-1,5	-1,5	-1,5	-1,5	-1,5	-1,5		
Снижение поверхностью земли возле приёмника Ar, дБ	Gr = 1 hr = 1.5м	ф-лы таб.3 [10]	-1,5	-1,5	2,9	7	5	0,7	0	0	0		
Снижение поверхностью земли в средней зоне, Am дБ	Gm = 1	ф-лы таб.3 [10]	-2,5	-2,5	0	0	0	0	0	0	0		
Суммарное снижение поверхностью земли на траектории распространения звука Agr, дБ		ф-ла (9) [10]	-5,5	-5,5	1,4	5,5	3,5	-0,8	-1,5	-1,5	-1,5		
Уровни звукового давления от источника ИШ-4-1 в расчётной точке днём, дБ		**ф-ла(3)[10]**	**0**	**34,2**	**28,5**	**25,3**	**26,9**	**29,7**	**25,1**	**14,2**	**0**	**32,3**	**32,3**

1		2	3	4	5	6	7	8	9	10	11	12	13
Уровни звукового давления от источника ИШ-4-1 в расчётной точке ночью, дБ		**ф-ла(3)[10]**	**0**	**34,2**	**28,5**	**25,3**	**26,9**	**29,7**	**25,1**	**14,2**	**0**	**32,3**	**32,3**
Источник шума: ИШ-4-2, координаты источника (x,y,z), м =[133.85,183.21,1.00]													
Уровни звуковой мощности источника днём, Lw, дБ		**исходные данные**	**0**	**90,3**	**91,7**	**93**	**93,3**	**92,9**	**89,6**	**85,4**	**80,9**		
Уровни звуковой мощности источника ночью, Lw, дБ		**исходные данные**	**0**	**90,3**	**91,7**	**93**	**93,3**	**92,9**	**89,6**	**85,4**	**80,9**		
Поправка на телесный угол DΩ, дБ	Ω = 6.28	10Lg(4π/Ω)	**3**	3	3	3	3	3	3	3	3		
Показатель направленности источника Di, дБ		исходные данные	**0**	0	0	0	0	0	0	0	0		
Поправка на направленность источника Dc, дБ	Dc	DΩ + Di	**3**	3	3	3	3	3	3	3	3		
Затухание из-за геометрической дивергенции, Adiv, дБ	расстояние = 460.38 м	ф-ла (7) [10]	**64,3**										
Коэффициент затухания звука в атмосфере α, дБ/км	Ta=20,°C Pa=101.33,кПа hотн.=70%	ф-ла (5) [9]	0,02	0,09	0,33	1,12	2,79	4,98	9,04	23,09	77,63		
Учет затухания звука в атмосфере Aatm, дБ		ф-ла (8) [10]	0	0	0,2	0,5	1,3	2,3	4,2	10,6	35,7		
Снижение поверхностью земли возле источника As, дБ	Gs = 0 hs = 1м	ф-лы таб.3 [10]	-1,5	-1,5	-1,5	-1,5	-1,5	-1,5	-1,5	-1,5	-1,5		
Снижение поверхностью земли возле приёмника Ar, дБ	Gr = 1 hr = 1.5м	ф-лы таб.3 [10]	-1,5	-1,5	2,8	7	5	0,7	0	0	0		
Снижение поверхностью земли в средней зоне, Am дБ	Gm = 1	ф-лы таб.3 [10]	-2,5	-2,5	0	0	0	0	0	0	0		
Суммарное снижение поверхностью земли на траектории распространения звука Agr, дБ		ф-ла (9) [10]	-5,5	-5,5	1,3	5,5	3,5	-0,8	-1,5	-1,5	-1,5		
Уровни звукового давления от источника ИШ-4-2 в расчётной точке днём, дБ		**ф-ла(3)[10]**	**0**	**34,5**	**29**	**25,7**	**27,3**	**30,2**	**25,7**	**15**	**0**	**32,8**	**32,8**
Уровни звукового давления от источника ИШ-4-2 в расчётной точке ночью, дБ		**ф-ла(3)[10]**	**0**	**34,5**	**29**	**25,7**	**27,3**	**30,2**	**25,7**	**15**	**0**	**32,8**	**32,8**

1		2	3	4	5	6	7	8	9	10	11	12	13
Источник шума: ИШ-4-3, координаты источника (x,y,z), м =[152.61,172.66,1.00]													
Уровни звуковой мощности источника днём, Lw, дБ		**исходные данные**	**0**	**90,3**	**91,7**	**93**	**93,3**	**92,9**	**89,6**	**85,4**	**80,9**		
Уровни звуковой мощности источника ночью, Lw, дБ		**исходные данные**	**0**	**90,3**	**91,7**	**93**	**93,3**	**92,9**	**89,6**	**85,4**	**80,9**		
Поправка на телесный угол DΩ, дБ	Ω = 6.28	10Lg(4π/Ω)	**3**	3	3	3	3	3	3	3	3		
Показатель направленности источника Di, дБ		исходные данные	**0**	0	0	0	0	0	0	0	0		
Поправка на направленность источника Dc, дБ	Dc	DΩ + Di	**3**	3	3	3	3	3	3	3	3		
Затухание из-за геометрической дивергенции, Adiv, дБ	расстояние = 456.15 м	ф-ла (7) [10]	**64,2**										
Коэффициент затухания звука в атмосфере α, дБ/км	Ta=20,°C Pa=101.33,кПа hотн.=70%	ф-ла (5) [9]	0,02	0,09	0,33	1,12	2,79	4,98	9,04	23,09	77,63		
Учет затухания звука в атмосфере Aatm, дБ		ф-ла (8) [10]	0	0	0,2	0,5	1,3	2,3	4,1	10,5	35,4		
Снижение поверхностью земли возле источника As, дБ	Gs = 0 hs = 1м	ф-лы таб.3 [10]	-1,5	-1,5	-1,5	-1,5	-1,5	-1,5	-1,5	-1,5	-1,5		
Снижение поверхностью земли возле приёмника Ar, дБ	Gr = 1 hr = 1.5м	ф-лы таб.3 [10]	-1,5	-1,5	2,7	7	5	0,7	0	0	0		
Снижение поверхностью земли в средней зоне, Am дБ	Gm = 1	ф-лы таб.3 [10]	-2,5	-2,5	0	0	0	0	0	0	0		
Суммарное снижение поверхностью земли на траектории распространения звука Agr, дБ		ф-ла (9) [10]	-5,5	-5,5	1,2	5,5	3,5	-0,8	-1,5	-1,5	-1,5		
Уровни звукового давления прямого звука от источника ИШ-4-3 в расчётной точке днём, дБ		**ф-ла(3)[10]**	**0**	**34,6**	**29,1**	**25,8**	**27,4**	**30,3**	**25,8**	**15,2**	**0**	**32,9**	**32,9**
Уровни звукового давления прямого звука от источника ИШ-4-3 в расчётной точке ночью, дБ		**ф-ла(3)[10]**	**0**	**34,6**	**29,1**	**25,8**	**27,4**	**30,3**	**25,8**	**15,2**	**0**	**32,9**	**32,9**
Расчёт отражённого звука													

1		2	3	4	5	6	7	8	9	10	11	12	13
Уровни звукового давления от мнимого источника ИШ-4-3_мн.(1) в расчётной точке днём, дБ		**ф-ла(3)[10]**	**0**	**0**	**0**	**0**	**0**	**22,4**	**19,3**	**6,5**	**0**	**24,6**	**24,6**
Уровни звукового давления от мнимого источника ИШ-4-3_мн.(1) в расчётной точке ночью, дБ		**ф-ла(3)[10]**	**0**	**0**	**0**	**0**	**0**	**0**	**0**	**0**	**0**	**24,6**	**24,6**
Уровни звукового давления от источника ИШ-4-3 в расчётной точке днём, дБ		**ф-ла(3)[10]**	**0**	**34,6**	**29,1**	**25,8**	**27,4**	**30,9**	**26,7**	**15,7**	**0**	**33,5**	**33,5**
Уровни звукового давления от источника ИШ-4-3 в расчётной точке ночью, дБ		**ф-ла(3)[10]**	**0**	**34,6**	**29,1**	**25,8**	**27,4**	**30,9**	**26,7**	**15,7**	**0**	**33,5**	**33,5**
Источник шума: ИШ-4-4, координаты источника (x,y,z), м =[156.83,171.25,1.00]													
Уровни звуковой мощности источника днём, Lw, дБ		**исходные данные**	**0**	**90,3**	**91,7**	**93**	**93,3**	**92,9**	**89,6**	**85,4**	**80,9**		
Уровни звуковой мощности источника ночью, Lw, дБ		**исходные данные**	**0**	**90,3**	**91,7**	**93**	**93,3**	**92,9**	**89,6**	**85,4**	**80,9**		
Поправка на телесный угол DΩ, дБ	Ω = 6.28	10Lg(4π/Ω)	**3**	3	3	3	3	3	3	3	3		
Показатель направленности источника Di, дБ		исходные данные	**0**	0	0	0	0	0	0	0	0		
Поправка на направленность источника Dc, дБ	Dc	DΩ + Di	**3**	3	3	3	3	3	3	3	3		
Затухание из-за геометрической дивергенции, Adiv, дБ	расстояние = 456.24 м	ф-ла (7) [10]	**64,2**										
Коэффициент затухания звука в атмосфере α, дБ/км	Ta=20,°C Pa=101.33,кПа hотн.=70%	ф-ла (5) [9]	0,02	0,09	0,33	1,12	2,79	4,98	9,04	23,09	77,63		
Учет затухания звука в атмосфере Aatm, дБ		ф-ла (8) [10]	0	0	0,2	0,5	1,3	2,3	4,1	10,5	35,4		
Снижение поверхностью земли возле источника As, дБ	Gs = 0 hs = 1м	ф-лы таб.3 [10]	-1,5	-1,5	-1,5	-1,5	-1,5	-1,5	-1,5	-1,5	-1,5		
Снижение поверхностью земли возле приёмника Ar, дБ	Gr = 1 hr = 1.5м	ф-лы таб.3 [10]	-1,5	-1,5	2,7	7	5	0,7	0	0	0		
Снижение поверхностью земли в средней зоне, Am дБ	Gm = 1	ф-лы таб.3 [10]	-2,5	-2,5	0	0	0	0	0	0	0		

1		2	3	4	5	6	7	8	9	10	11	12	13
Суммарное снижение поверхностью земли на траектории распространения звука Agr, дБ		ф-ла (9) [10]	-5,5	-5,5	1,2	5,5	3,5	-0,8	-1,5	-1,5	-1,5		
Уровни звукового давления прямого звука от источника ИШ-4-4 в расчётной точке днём, дБ		**ф-ла(3)[10]**	**0**	**34,6**	**29,1**	**25,8**	**27,4**	**30,3**	**25,8**	**15,2**	**0**	**32,9**	**32,9**
Уровни звукового давления прямого звука от источника ИШ-4-4 в расчётной точке ночью, дБ		**ф-ла(3)[10]**	**0**	**34,6**	**29,1**	**25,8**	**27,4**	**30,3**	**25,8**	**15,2**	**0**	**32,9**	**32,9**
Расчёт отражённого звука													
Уровни звукового давления от мнимого источника ИШ-4-4_мн.(1) в расчётной точке днём, дБ		**ф-ла(3)[10]**	**0**	**0**	**0**	**0**	**0**	**25,8**	**23,3**	**12,7**	**0**	**28,3**	**28,3**
Уровни звукового давления от мнимого источника ИШ-4-4_мн.(1) в расчётной точке ночью, дБ		**ф-ла(3)[10]**	**0**	**0**	**0**	**0**	**0**	**0**	**0**	**0**	**0**	**28,3**	**28,3**
Уровни звукового давления от мнимого источника ИШ-4-4_мн.(2) в расчётной точке днём, дБ		**ф-ла(3)[10]**	**0**	**0**	**0**	**0**	**14,8**	**24,4**	**21,7**	**10,3**	**0**	**27**	**27**
Уровни звукового давления от мнимого источника ИШ-4-4_мн.(2) в расчётной точке ночью, дБ		**ф-ла(3)[10]**	**0**	**0**	**0**	**0**	**0**	**0**	**0**	**0**	**0**	**27**	**27**
Суммарные уровни звукового давления от мнимых источников в расчётной точке днём, дБ		**ф-ла (19) [1]**	**0**	**0**	**0**	**0**	**14,8**	**28,1**	**25,6**	**14,6**	**0**	**0**	**30,7**
Суммарные уровни звукового давления от мнимых источников в расчётной точке ночью, дБ		**ф-ла (19) [1]**	**0**	**0**	**0**	**0**	**14,8**	**28,1**	**25,6**	**14,6**	**0**	**0**	**30,7**
Уровни звукового давления от источника ИШ-4-4 в расчётной точке днём, дБ		**ф-ла(3)[10]**	**0**	**34,6**	**29,1**	**25,8**	**27,6**	**32,4**	**28,7**	**17,9**	**0**	**35**	**35**
Уровни звукового давления от источника ИШ-4-4 в расчётной точке ночью, дБ		**ф-ла(3)[10]**	**0**	**34,6**	**29,1**	**25,8**	**27,6**	**32,4**	**28,7**	**17,9**	**0**	**35**	**35**
Источник шума: ИШ-4-5, координаты источника (x,y,z), м =[126.48,222.66,11.00]													
Уровни звуковой мощности источника днём, Lw, дБ		**исходные данные**	**0**	**90,3**	**91,7**	**93**	**93,3**	**92,9**	**89,6**	**85,4**	**80,9**		
Уровни звуковой мощности источника ночью, Lw, дБ		**исходные данные**	**0**	**90,3**	**91,7**	**93**	**93,3**	**92,9**	**89,6**	**85,4**	**80,9**		
Поправка на телесный угол DΩ, дБ	Ω = 6.28	10Lg(4π/Ω)	**3**	3	3	3	3	3	3	3	3		
Показатель направленности источника Di, дБ		исходные данные	**0**	0	0	0	0	0	0	0	0		

1		2	3	4	5	6	7	8	9	10	11	12	13
Поправка на направленность источника Dc, дБ	Dc	DΩ + Di	**3**	3	3	3	3	3	3	3	3		
Затухание из-за геометрической дивергенции, Adiv, дБ	расстояние = 496.48 м	ф-ла (7) [10]	**64,9**										
Коэффициент затухания звука в атмосфере α, дБ/км	Ta=20,°C Pa=101.33,кПа hотн.=70%	ф-ла (5) [9]	0,02	0,09	0,33	1,12	2,79	4,98	9,04	23,09	77,63		
Учет затухания звука в атмосфере Aatm, дБ		ф-ла (8) [10]	0	0	0,2	0,6	1,4	2,5	4,5	11,5	38,5		
Снижение поверхностью земли возле источника As, дБ	Gs = 0 hs = 1м	ф-лы таб.3 [10]	-1,5	-1,5	-1,5	-1,5	-1,5	-1,5	-1,5	-1,5	-1,5		
Снижение поверхностью земли возле приёмника Ar, дБ	Gr = 1 hr = 1.5м	ф-лы таб.3 [10]	-1,5	-1,5	3	7	5	0,7	0	0	0		
Снижение поверхностью земли в средней зоне, Am дБ	Gm = 1	ф-лы таб.3 [10]	-2,5	-2,5	0	0	0	0	0	0	0		
Суммарное снижение поверхностью земли на траектории распространения звука Agr, дБ		ф-ла (9) [10]	-5,5	-5,5	1,5	5,5	3,5	-0,8	-1,5	-1,5	-1,5		
Уровни звукового давления от источника ИШ-4-5 в расчётной точке днём, дБ		**ф-ла(3)[10]**	**0**	**33,9**	**28,1**	**25**	**26,5**	**29,3**	**24,7**	**13,5**	**0**	**31,9**	**31,9**
Уровни звукового давления от источника ИШ-4-5 в расчётной точке ночью, дБ		**ф-ла(3)[10]**	**0**	**33,9**	**28,1**	**25**	**26,5**	**29,3**	**24,7**	**13,5**	**0**	**31,9**	**31,9**
Источник шума: ИШ-4-6, координаты источника (x,y,z), м =[125.17,218.57,11.00]													
Уровни звуковой мощности источника днём, Lw, дБ		**исходные данные**	**0**	**90,3**	**91,7**	**93**	**93,3**	**92,9**	**89,6**	**85,4**	**80,9**		
Уровни звуковой мощности источника ночью, Lw, дБ		**исходные данные**	**0**	**90,3**	**91,7**	**93**	**93,3**	**92,9**	**89,6**	**85,4**	**80,9**		
Поправка на телесный угол DΩ, дБ	Ω = 6.28	10Lg(4π/Ω)	**3**	3	3	3	3	3	3	3	3		
Показатель направленности источника Di, дБ		исходные данные	**0**	0	0	0	0	0	0	0	0		
Поправка на направленность источника Dc, дБ	Dc	DΩ + Di	**3**	3	3	3	3	3	3	3	3		

1		2	3	4	5	6	7	8	9	10	11	12	13
Затухание из-за геометрической дивергенции, Adiv, дБ	расстояние = 492.19 м	ф-ла (7) [10]	**64,8**										
Коэффициент затухания звука в атмосфере α, дБ/км	Ta=20,°C Pa=101.33,кПа hотн.=70%	ф-ла (5) [9]	0,02	0,09	0,33	1,12	2,79	4,98	9,04	23,09	77,63		
Учет затухания звука в атмосфере Aatm, дБ		ф-ла (8) [10]	0	0	0,2	0,6	1,4	2,5	4,4	11,4	38,2		
Снижение поверхностью земли возле источника As, дБ	Gs = 0 hs = 1м	ф-лы таб.3 [10]	-1,5	-1,5	-1,5	-1,5	-1,5	-1,5	-1,5	-1,5	-1,5		
Снижение поверхностью земли возле приёмника Ar, дБ	Gr = 1 hr = 1.5м	ф-лы таб.3 [10]	-1,5	-1,5	3	7	5	0,7	0	0	0		
Снижение поверхностью земли в средней зоне, Am дБ	Gm = 1	ф-лы таб.3 [10]	-2,5	-2,5	0	0	0	0	0	0	0		
Суммарное снижение поверхностью земли на траектории распространения звука Agr, дБ		ф-ла (9) [10]	-5,5	-5,5	1,5	5,5	3,5	-0,8	-1,5	-1,5	-1,5		
Уровни звукового давления от источника ИШ-4-6 в расчётной точке днём, дБ		**ф-ла(3)[10]**	**0**	**33,9**	**28,2**	**25,1**	**26,6**	**29,4**	**24,8**	**13,7**	**0**	**32**	**32**
Уровни звукового давления от источника ИШ-4-6 в расчётной точке ночью, дБ		**ф-ла(3)[10]**	**0**	**33,9**	**28,2**	**25,1**	**26,6**	**29,4**	**24,8**	**13,7**	**0**	**32**	**32**
Источник шума: ИШ-4-7, координаты источника (x,y,z), м =[177.91,257.92,11.00]													
Уровни звуковой мощности источника днём, Lw, дБ		**исходные данные**	**0**	**90,3**	**91,7**	**93**	**93,3**	**92,9**	**89,6**	**85,4**	**80,9**		
Уровни звуковой мощности источника ночью, Lw, дБ		**исходные данные**	**0**	**90,3**	**91,7**	**93**	**93,3**	**92,9**	**89,6**	**85,4**	**80,9**		
Поправка на телесный угол DΩ, дБ	Ω = 6.28	10Lg(4π/Ω)	**3**	3	3	3	3	3	3	3	3		
Показатель направленности источника Di, дБ		исходные данные	**0**	0	0	0	0	0	0	0	0		
Поправка на направленность источника Dc, дБ	Dc	DΩ + Di	**3**	3	3	3	3	3	3	3	3		
Затухание из-за геометрической дивергенции, Adiv, дБ	расстояние = 545.07 м	ф-ла (7) [10]	**65,7**										

1		2	3	4	5	6	7	8	9	10	11	12	13
Коэффициент затухания звука в атмосфере α, дБ/км	Ta=20,°C Pa=101.33,кПа hотн.=70%	ф-ла (5) [9]	0,02	0,09	0,33	1,12	2,79	4,98	9,04	23,09	77,63		
Учет затухания звука в атмосфере Aatm, дБ		ф-ла (8) [10]	0	0	0,2	0,6	1,5	2,7	4,9	12,6	42,3		
Снижение поверхностью земли возле источника As, дБ	Gs = 0 hs = 3м	ф-лы таб.3 [10]	-1,5	-1,5	-1,5	-1,5	-1,5	-1,5	-1,5	-1,5	-1,5		
Снижение поверхностью земли возле приёмника Ar, дБ	Gr = 1 hr = 1.5м	ф-лы таб.3 [10]	-1,5	-1,5	3,3	7	5	0,7	0	0	0		
Снижение поверхностью земли в средней зоне, Am дБ	Gm = 1	ф-лы таб.3 [10]	-2,3	-2,3	0	0	0	0	0	0	0		
Суммарное снижение поверхностью земли на траектории распространения звука Agr, дБ		ф-ла (9) [10]	-5,3	-5,3	1,8	5,5	3,5	-0,8	-1,5	-1,5	-1,5		
Уровни звукового давления прямого звука от источника ИШ-4-7 в расчётной точке днём, дБ		**ф-ла(3)[10]**	**0**	**32,8**	**27**	**24,1**	**25,6**	**28,3**	**23,4**	**11,6**	**0**	**30,8**	**30,8**
Уровни звукового давления прямого звука от источника ИШ-4-7 в расчётной точке ночью, дБ		**ф-ла(3)[10]**	**0**	**32,8**	**27**	**24,1**	**25,6**	**28,3**	**23,4**	**11,6**	**0**	**30,8**	**30,8**
Расчёт отражённого звука													
Уровни звукового давления от мнимого источника ИШ-4-7_мн.(1) в расчётной точке днём, дБ		**ф-ла(3)[10]**	**0**	**0**	**0**	**0**	**0**	**0**	**0**	**0**	**0**	**0**	**0**
Уровни звукового давления от мнимого источника ИШ-4-7_мн.(1) в расчётной точке ночью, дБ		**ф-ла(3)[10]**	**0**	**0**	**0**	**0**	**0**	**0**	**0**	**0**	**0**	**0**	**0**
Уровни звукового давления от мнимого источника ИШ-4-7_мн.(2) в расчётной точке днём, дБ		**ф-ла(3)[10]**	**0**	**0**	**0**	**0**	**0**	**0**	**0**	**0**	**0**	**0**	**0**
Уровни звукового давления от мнимого источника ИШ-4-7_мн.(2) в расчётной точке ночью, дБ		**ф-ла(3)[10]**	**0**	**0**	**0**	**0**	**0**	**0**	**0**	**0**	**0**	**0**	**0**
Суммарные уровни звукового давления от мнимых источников в расчётной точке днём, дБ		**ф-ла (19) [1]**	**0**	**0**	**0**	**0**	**0**	**0**	**0**	**0**	**0**	**0**	**0**
Суммарные уровни звукового давления от мнимых источников в расчётной точке ночью, дБ		**ф-ла (19) [1]**	**0**	**0**	**0**	**0**	**0**	**0**	**0**	**0**	**0**	**0**	**0**
Уровни звукового давления от источника ИШ-4-7 в расчётной точке днём, дБ		**ф-ла(3)[10]**	**0**	**32,8**	**27**	**24,1**	**25,6**	**28,3**	**23,4**	**11,6**	**0**	**30,8**	**30,8**
Уровни звукового давления от источника ИШ-4-7 в расчётной точке ночью, дБ		**ф-ла(3)[10]**	**0**	**32,8**	**27**	**24,1**	**25,6**	**28,3**	**23,4**	**11,6**	**0**	**30,8**	**30,8**

1		2	3	4	5	6	7	8	9	10	11	12	13
Источник шума: ИШ-4-8, координаты источника (x,y,z), м =[178.24,257.77,13.00]													
Уровни звуковой мощности источника днём, Lw, дБ		**исходные данные**	**0**	**90,3**	**91,7**	**93**	**93,3**	**92,9**	**89,6**	**85,4**	**80,9**		
Уровни звуковой мощности источника ночью, Lw, дБ		**исходные данные**	**0**	**90,3**	**91,7**	**93**	**93,3**	**92,9**	**89,6**	**85,4**	**80,9**		
Поправка на телесный угол DΩ, дБ	Ω = 6.28	10Lg(4π/Ω)	**3**	3	3	3	3	3	3	3	3		
Показатель направленности источника Di, дБ		исходные данные	**0**	0	0	0	0	0	0	0	0		
Поправка на направленность источника Dc, дБ	Dc	DΩ + Di	**3**	3	3	3	3	3	3	3	3		
Затухание из-за геометрической дивергенции, Adiv, дБ	расстояние = 545.09 м	ф-ла (7) [10]	**65,7**										
Коэффициент затухания звука в атмосфере α, дБ/км	Ta=20,°C Pa=101.33,кПа hотн.=70%	ф-ла (5) [9]	0,02	0,09	0,33	1,12	2,79	4,98	9,04	23,09	77,63		
Учет затухания звука в атмосфере Aatm, дБ		ф-ла (8) [10]	0	0	0,2	0,6	1,5	2,7	4,9	12,6	42,3		
Снижение поверхностью земли возле источника As, дБ	Gs = 0 hs = 5м	ф-лы таб.3 [10]	-1,5	-1,5	-1,5	-1,5	-1,5	-1,5	-1,5	-1,5	-1,5		
Снижение поверхностью земли возле приёмника Ar, дБ	Gr = 1 hr = 1.5м	ф-лы таб.3 [10]	-1,5	-1,5	3,3	7	5	0,7	0	0	0		
Снижение поверхностью земли в средней зоне, Am дБ	Gm = 1	ф-лы таб.3 [10]	-1,9	-1,9	0	0	0	0	0	0	0		
Суммарное снижение поверхностью земли на траектории распространения звука Agr, дБ		ф-ла (9) [10]	-4,9	-4,9	1,8	5,5	3,5	-0,8	-1,5	-1,5	-1,5		
Уровни звукового давления прямого звука от источника ИШ-4-8 в расчётной точке днём, дБ		**ф-ла(3)[10]**	**0**	**32,4**	**27**	**24,1**	**25,6**	**28,3**	**23,4**	**11,6**	**0**	**30,8**	**30,8**
Уровни звукового давления прямого звука от источника ИШ-4-8 в расчётной точке ночью, дБ		**ф-ла(3)[10]**	**0**	**32,4**	**27**	**24,1**	**25,6**	**28,3**	**23,4**	**11,6**	**0**	**30,8**	**30,8**
Расчёт отражённого звука													

1		2	3	4	5	6	7	8	9	10	11	12	13
Уровни звукового давления от мнимого источника ИШ-4-8_мн.(1) в расчётной точке днём, дБ		**ф-ла(3)[10]**	**0**	**0**	**0**	**0**	**0**	**0**	**0**	**0**	**0**	**0**	**0**
Уровни звукового давления от мнимого источника ИШ-4-8_мн.(1) в расчётной точке ночью, дБ		**ф-ла(3)[10]**	**0**	**0**	**0**	**0**	**0**	**0**	**0**	**0**	**0**	**0**	**0**
Уровни звукового давления от мнимого источника ИШ-4-8_мн.(2) в расчётной точке днём, дБ		**ф-ла(3)[10]**	**0**	**0**	**0**	**0**	**0**	**0**	**0**	**0**	**0**	**0**	**0**
Уровни звукового давления от мнимого источника ИШ-4-8_мн.(2) в расчётной точке ночью, дБ		**ф-ла(3)[10]**	**0**	**0**	**0**	**0**	**0**	**0**	**0**	**0**	**0**	**0**	**0**
Суммарные уровни звукового давления от мнимых источников в расчётной точке днём, дБ		**ф-ла (19) [1]**	**0**	**0**	**0**	**0**	**0**	**0**	**0**	**0**	**0**	**0**	**0**
Суммарные уровни звукового давления от мнимых источников в расчётной точке ночью, дБ		**ф-ла (19) [1]**	**0**	**0**	**0**	**0**	**0**	**0**	**0**	**0**	**0**	**0**	**0**
Уровни звукового давления от источника ИШ-4-8 в расчётной точке днём, дБ		**ф-ла(3)[10]**	**0**	**32,4**	**27**	**24,1**	**25,6**	**28,3**	**23,4**	**11,6**	**0**	**30,8**	**30,8**
Уровни звукового давления от источника ИШ-4-8 в расчётной точке ночью, дБ		**ф-ла(3)[10]**	**0**	**32,4**	**27**	**24,1**	**25,6**	**28,3**	**23,4**	**11,6**	**0**	**30,8**	**30,8**
Источник шума: ИШ-4-9, координаты источника (x,y,z), м =[178.68,257.63,15.50]													
Уровни звуковой мощности источника днём, Lw, дБ		**исходные данные**	**0**	**90,3**	**91,7**	**93**	**93,3**	**92,9**	**89,6**	**85,4**	**80,9**		
Уровни звуковой мощности источника ночью, Lw, дБ		**исходные данные**	**0**	**90,3**	**91,7**	**93**	**93,3**	**92,9**	**89,6**	**85,4**	**80,9**		
Поправка на телесный угол DΩ, дБ	Ω = 6.28	10Lg(4π/Ω)	**3**	3	3	3	3	3	3	3	3		
Показатель направленности источника Di, дБ		исходные данные	**0**	0	0	0	0	0	0	0	0		
Поправка на направленность источника Dc, дБ	Dc	DΩ + Di	**3**	3	3	3	3	3	3	3	3		
Затухание из-за геометрической дивергенции, Adiv, дБ	расстояние = 545.15 м	ф-ла (7) [10]	**65,7**										
Коэффициент затухания звука в атмосфере α, дБ/км	Ta=20,°C Pa=101.33,кПа hотн.=70%	ф-ла (5) [9]	0,02	0,09	0,33	1,12	2,79	4,98	9,04	23,09	77,63		

1		2	3	4	5	6	7	8	9	10	11	12	13
Учет затухания звука в атмосфере Aatm, дБ		ф-ла (8) [10]	0	0	0,2	0,6	1,5	2,7	4,9	12,6	42,3		
Снижение поверхностью земли возле источника As, дБ	Gs = 0 hs = 7.5м	ф-лы таб.3 [10]	-1,5	-1,5	-1,5	-1,5	-1,5	-1,5	-1,5	-1,5	-1,5		
Снижение поверхностью земли возле приёмника Ar, дБ	Gr = 1 hr = 1.5м	ф-лы таб.3 [10]	-1,5	-1,5	3,3	7	5	0,7	0	0	0		
Снижение поверхностью земли в средней зоне, Am дБ	Gm = 1	ф-лы таб.3 [10]	-1,5	-1,5	0	0	0	0	0	0	0		
Суммарное снижение поверхностью земли на траектории распространения звука Agr, дБ		ф-ла (9) [10]	-4,5	-4,5	1,8	5,5	3,5	-0,8	-1,5	-1,5	-1,5		
Уровни звукового давления прямого звука от источника ИШ-4-9 в расчётной точке днём, дБ		**ф-ла(3)[10]**	**0**	**32**	**27**	**24,1**	**25,6**	**28,3**	**23,4**	**11,6**	**0**	**30,8**	**30,8**
Уровни звукового давления прямого звука от источника ИШ-4-9 в расчётной точке ночью, дБ		**ф-ла(3)[10]**	**0**	**32**	**27**	**24,1**	**25,6**	**28,3**	**23,4**	**11,6**	**0**	**30,8**	**30,8**
Расчёт отражённого звука													
Уровни звукового давления от мнимого источника ИШ-4-9_мн.(1) в расчётной точке днём, дБ		**ф-ла(3)[10]**	**0**	**0**	**0**	**0**	**0**	**0**	**0**	**0**	**0**	**0**	**0**
Уровни звукового давления от мнимого источника ИШ-4-9_мн.(1) в расчётной точке ночью, дБ		**ф-ла(3)[10]**	**0**	**0**	**0**	**0**	**0**	**0**	**0**	**0**	**0**	**0**	**0**
Уровни звукового давления от мнимого источника ИШ-4-9_мн.(2) в расчётной точке днём, дБ		**ф-ла(3)[10]**	**0**	**0**	**0**	**0**	**0**	**0**	**0**	**0**	**0**	**0**	**0**
Уровни звукового давления от мнимого источника ИШ-4-9_мн.(2) в расчётной точке ночью, дБ		**ф-ла(3)[10]**	**0**	**0**	**0**	**0**	**0**	**0**	**0**	**0**	**0**	**0**	**0**
Уровни звукового давления от мнимого источника ИШ-4-9_мн.(3) в расчётной точке днём, дБ		**ф-ла(3)[10]**	**0**	**0**	**0**	**0**	**0**	**0**	**0**	**0**	**0**	**0**	**0**
Уровни звукового давления от мнимого источника ИШ-4-9_мн.(3) в расчётной точке ночью, дБ		**ф-ла(3)[10]**	**0**	**0**	**0**	**0**	**0**	**0**	**0**	**0**	**0**	**0**	**0**
Суммарные уровни звукового давления от мнимых источников в расчётной точке днём, дБ		**ф-ла (19) [1]**	**0**	**0**	**0**	**0**	**0**	**0**	**0**	**0**	**0**	**0**	**0**
Суммарные уровни звукового давления от мнимых источников в расчётной точке ночью, дБ		**ф-ла (19) [1]**	**0**	**0**	**0**	**0**	**0**	**0**	**0**	**0**	**0**	**0**	**0**
Уровни звукового давления от источника ИШ-4-9 в расчётной точке днём, дБ		**ф-ла(3)[10]**	**0**	**32**	**27**	**24,1**	**25,6**	**28,3**	**23,4**	**11,6**	**0**	**30,8**	**30,8**

1		2	3	4	5	6	7	8	9	10	11	12	13
Уровни звукового давления от источника ИШ-4-9 в расчётной точке ночью, дБ		**ф-ла(3)[10]**	**0**	**32**	**27**	**24,1**	**25,6**	**28,3**	**23,4**	**11,6**	**0**	**30,8**	**30,8**
Источник шума: ИШ-4-10, координаты источника (x,y,z), м =[185.65,255.31,11.00]													
Уровни звуковой мощности источника днём, Lw, дБ		**исходные данные**	**0**	**90,3**	**91,7**	**93**	**93,3**	**92,9**	**89,6**	**85,4**	**80,9**		
Уровни звуковой мощности источника ночью, Lw, дБ		**исходные данные**	**0**	**90,3**	**91,7**	**93**	**93,3**	**92,9**	**89,6**	**85,4**	**80,9**		
Поправка на телесный угол DΩ, дБ	Ω = 6.28	10Lg(4π/Ω)	**3**	3	3	3	3	3	3	3	3		
Показатель направленности источника Di, дБ		исходные данные	**0**	0	0	0	0	0	0	0	0		
Поправка на направленность источника Dc, дБ	Dc	DΩ + Di	**3**	3	3	3	3	3	3	3	3		
Затухание из-за геометрической дивергенции, Adiv, дБ	расстояние = 545.17 м	ф-ла (7) [10]	**65,7**										
Коэффициент затухания звука в атмосфере α, дБ/км	Ta=20,°C Pa=101.33,кПа hотн.=70%	ф-ла (5) [9]	0,02	0,09	0,33	1,12	2,79	4,98	9,04	23,09	77,63		
Учет затухания звука в атмосфере Aatm, дБ		ф-ла (8) [10]	0	0	0,2	0,6	1,5	2,7	4,9	12,6	42,3		
Снижение поверхностью земли возле источника As, дБ	Gs = 0 hs = 3м	ф-лы таб.3 [10]	-1,5	-1,5	-1,5	-1,5	-1,5	-1,5	-1,5	-1,5	-1,5		
Снижение поверхностью земли возле приёмника Ar, дБ	Gr = 1 hr = 1.5м	ф-лы таб.3 [10]	-1,5	-1,5	3,3	7	5	0,7	0	0	0		
Снижение поверхностью земли в средней зоне, Am дБ	Gm = 1	ф-лы таб.3 [10]	-2,3	-2,3	0	0	0	0	0	0	0		
Суммарное снижение поверхностью земли на траектории распространения звука Agr, дБ		ф-ла (9) [10]	-5,3	-5,3	1,8	5,5	3,5	-0,8	-1,5	-1,5	-1,5		
Уровни звукового давления прямого звука от источника ИШ-4-10 в расчётной точке днём, дБ		**ф-ла(3)[10]**	**0**	**32,8**	**27**	**24,1**	**25,6**	**28,3**	**23,4**	**11,6**	**0**	**30,8**	**30,8**
Уровни звукового давления прямого звука от источника ИШ-4-10 в расчётной точке ночью, дБ		**ф-ла(3)[10]**	**0**	**32,8**	**27**	**24,1**	**25,6**	**28,3**	**23,4**	**11,6**	**0**	**30,8**	**30,8**

1		2	3	4	5	6	7	8	9	10	11	12	13
Расчёт отражённого звука													
Уровни звукового давления от мнимого источника ИШ-4-10_мн.(1) в расчётной точке днём, дБ		**ф-ла(3)[10]**	**0**	**0**	**0**	**0**	**0**	**0**	**0**	**0**	**0**	**0**	**0**
Уровни звукового давления от мнимого источника ИШ-4-10_мн.(1) в расчётной точке ночью, дБ		**ф-ла(3)[10]**	**0**	**0**	**0**	**0**	**0**	**0**	**0**	**0**	**0**	**0**	**0**
Уровни звукового давления от источника ИШ-4-10 в расчётной точке днём, дБ		**ф-ла(3)[10]**	**0**	**32,8**	**27**	**24,1**	**25,6**	**28,3**	**23,4**	**11,6**	**0**	**30,8**	**30,8**
Уровни звукового давления от источника ИШ-4-10 в расчётной точке ночью, дБ		**ф-ла(3)[10]**	**0**	**32,8**	**27**	**24,1**	**25,6**	**28,3**	**23,4**	**11,6**	**0**	**30,8**	**30,8**
Источник шума: ИШ-4-11, координаты источника (x,y,z), м =[185.89,255.16,13.00]													
Уровни звуковой мощности источника днём, Lw, дБ		**исходные данные**	**0**	**90,3**	**91,7**	**93**	**93,3**	**92,9**	**89,6**	**85,4**	**80,9**		
Уровни звуковой мощности источника ночью, Lw, дБ		**исходные данные**	**0**	**90,3**	**91,7**	**93**	**93,3**	**92,9**	**89,6**	**85,4**	**80,9**		
Поправка на телесный угол DΩ, дБ	Ω = 6.28	10Lg(4π/Ω)	**3**	3	3	3	3	3	3	3	3		
Показатель направленности источника Di, дБ		исходные данные	**0**	0	0	0	0	0	0	0	0		
Поправка на направленность источника Dc, дБ	Dc	DΩ + Di	**3**	3	3	3	3	3	3	3	3		
Затухание из-за геометрической дивергенции, Adiv, дБ	расстояние = 545.15 м	ф-ла (7) [10]	**65,7**										
Коэффициент затухания звука в атмосфере α, дБ/км	Ta=20,°C Pa=101.33,кПа hотн.=70%	ф-ла (5) [9]	0,02	0,09	0,33	1,12	2,79	4,98	9,04	23,09	77,63		
Учет затухания звука в атмосфере Aatm, дБ		ф-ла (8) [10]	0	0	0,2	0,6	1,5	2,7	4,9	12,6	42,3		
Снижение уровня звукового давления из-за влияния застройки между источником шума и расчетной точкой													
Снижение уровня звукового давления препятствием снизу от трассы ИШ-РТ, Dz4, дБ	z = -0.13м (разность путей)	ф-лы (14-18) [10]	4	3	0,2	NAN	NAN	NAN	NAN	NAN	NAN		

* отрицательное значение z означает прохождение траектории вблизи экрана, в этом случае дополнительно производится учёт снижения подстилающей поверхностью (см.ниже)

1		2	3	4	5	6	7	8	9	10	11	12	13
Снижение поверхностью земли возле источника As, дБ	Gs = 0 hs = 5м	ф-лы таб.3 [10]	-1,5	-1,5	-1,5	-1,5	-1,5	-1,5	-1,5	-1,5	-1,5		
Снижение поверхностью земли возле приёмника Ar, дБ	Gr = 1 hr = 1.5м	ф-лы таб.3 [10]	-1,5	-1,5	3,3	7	5	0,7	0	0	0		
Снижение поверхностью земли в средней зоне, Am дБ	Gm = 1	ф-лы таб.3 [10]	-1,9	-1,9	0	0	0	0	0	0	0		
Суммарное снижение поверхностью земли на траектории распространения звука Agr, дБ		ф-ла (9) [10]	-4,9	-4,9	1,8	5,5	3,5	-0,8	-1,5	-1,5	-1,5		
Уровни звукового давления прямого звука от источника ИШ-4-11 в расчётной точке днём, дБ		**ф-ла(3)[10]**	**0**	**29,4**	**26,8**	**24,1**	**25,6**	**28,3**	**23,4**	**11,6**	**0**	**30,8**	**30,8**
Уровни звукового давления прямого звука от источника ИШ-4-11 в расчётной точке ночью, дБ		**ф-ла(3)[10]**	**0**	**29,4**	**26,8**	**24,1**	**25,6**	**28,3**	**23,4**	**11,6**	**0**	**30,8**	**30,8**
Расчёт отражённого звука													
Уровни звукового давления от мнимого источника ИШ-4-11_мн.(1) в расчётной точке днём, дБ		**ф-ла(3)[10]**	**0**	**0**	**0**	**0**	**0**	**0**	**0**	**0**	**0**	**0**	**0**
Уровни звукового давления от мнимого источника ИШ-4-11_мн.(1) в расчётной точке ночью, дБ		**ф-ла(3)[10]**	**0**	**0**	**0**	**0**	**0**	**0**	**0**	**0**	**0**	**0**	**0**
Уровни звукового давления от источника ИШ-4-11 в расчётной точке днём, дБ		**ф-ла(3)[10]**	**0**	**29,4**	**26,8**	**24,1**	**25,6**	**28,3**	**23,4**	**11,6**	**0**	**30,8**	**30,8**
Уровни звукового давления от источника ИШ-4-11 в расчётной точке ночью, дБ		**ф-ла(3)[10]**	**0**	**29,4**	**26,8**	**24,1**	**25,6**	**28,3**	**23,4**	**11,6**	**0**	**30,8**	**30,8**
Источник шума: ИШ-4-12, координаты источника (x,y,z), м =[186.18,255.02,15.50]													
Уровни звуковой мощности источника днём, Lw, дБ		**исходные данные**	**0**	**90,3**	**91,7**	**93**	**93,3**	**92,9**	**89,6**	**85,4**	**80,9**		
Уровни звуковой мощности источника ночью, Lw, дБ		**исходные данные**	**0**	**90,3**	**91,7**	**93**	**93,3**	**92,9**	**89,6**	**85,4**	**80,9**		
Поправка на телесный угол DΩ, дБ	Ω = 6.28	10Lg(4π/Ω)	**3**	3	3	3	3	3	3	3	3		
Показатель направленности источника Di, дБ		исходные данные	**0**	0	0	0	0	0	0	0	0		
Поправка на направленность источника Dc, дБ	Dc	DΩ + Di	**3**	3	3	3	3	3	3	3	3		

1		2	3	4	5	6	7	8	9	10	11	12	13
Затухание из-за геометрической дивергенции, Adiv, дБ	расстояние = 545.17 м	ф-ла (7) [10]	**65,7**										
Коэффициент затухания звука в атмосфере α, дБ/км	Ta=20,°C Pa=101.33,кПа hотн.=70%	ф-ла (5) [9]	0,02	0,09	0,33	1,12	2,79	4,98	9,04	23,09	77,63		
Учет затухания звука в атмосфере Aatm, дБ		ф-ла (8) [10]	0	0	0,2	0,6	1,5	2,7	4,9	12,6	42,3		
Снижение уровня звукового давления из-за влияния застройки между источником шума и расчетной точкой													
Снижение уровня звукового давления препятствием снизу от трассы ИШ-РТ, Dz4, дБ	z = -0.34м (разность путей)	ф-лы (14-18) [10]	2,4	0	NAN	NAN	NAN	NAN	NAN	NAN	NAN		
* отрицательное значение z означает прохождение траектории вблизи экрана, в этом случае дополнительно производится учёт снижения подстилающей поверхностью (см.ниже)													
Снижение поверхностью земли возле источника As, дБ	Gs = 0 hs = 7.5м	ф-лы таб.3 [10]	-1,5	-1,5	-1,5	-1,5	-1,5	-1,5	-1,5	-1,5	-1,5		
Снижение поверхностью земли возле приёмника Ar, дБ	Gr = 1 hr = 1.5м	ф-лы таб.3 [10]	-1,5	-1,5	3,3	7	5	0,7	0	0	0		
Снижение поверхностью земли в средней зоне, Am дБ	Gm = 1	ф-лы таб.3 [10]	-1,5	-1,5	0	0	0	0	0	0	0		
Суммарное снижение поверхностью земли на траектории распространения звука Agr, дБ		ф-ла (9) [10]	-4,5	-4,5	1,8	5,5	3,5	-0,8	-1,5	-1,5	-1,5		
Уровни звукового давления прямого звука от источника ИШ-4-12 в расчётной точке днём, дБ		**ф-ла(3)[10]**	**0**	**32**	**27**	**24,1**	**25,6**	**28,3**	**23,4**	**11,6**	**0**	**30,8**	**30,8**
Уровни звукового давления прямого звука от источника ИШ-4-12 в расчётной точке ночью, дБ		**ф-ла(3)[10]**	**0**	**32**	**27**	**24,1**	**25,6**	**28,3**	**23,4**	**11,6**	**0**	**30,8**	**30,8**
Расчёт отражённого звука													
Уровни звукового давления от мнимого источника ИШ-4-12_мн.(1) в расчётной точке днём, дБ		**ф-ла(3)[10]**	**0**	**0**	**0**	**0**	**0**	**0**	**0**	**0**	**0**	**0**	**0**
Уровни звукового давления от мнимого источника ИШ-4-12_мн.(1) в расчётной точке ночью, дБ		**ф-ла(3)[10]**	**0**	**0**	**0**	**0**	**0**	**0**	**0**	**0**	**0**	**0**	**0**
Уровни звукового давления от мнимого источника ИШ-4-12_мн.(2) в расчётной точке днём, дБ		**ф-ла(3)[10]**	**0**	**0**	**0**	**0**	**0**	**0**	**0**	**0**	**0**	**0**	**0**
Уровни звукового давления от мнимого источника ИШ-4-12_мн.(2) в расчётной точке ночью, дБ		**ф-ла(3)[10]**	**0**	**0**	**0**	**0**	**0**	**0**	**0**	**0**	**0**	**0**	**0**
Суммарные уровни звукового давления от мнимых источников в расчётной точке днём, дБ		**ф-ла (19) [1]**	**0**	**0**	**0**	**0**	**0**	**0**	**0**	**0**	**0**	**0**	**0**

1		2	3	4	5	6	7	8	9	10	11	12	13
Суммарные уровни звукового давления от мнимых источников в расчётной точке ночью, дБ		**ф-ла (19) [1]**	**0**	**0**	**0**	**0**	**0**	**0**	**0**	**0**	**0**	**0**	**0**
Уровни звукового давления от источника ИШ-4-12 в расчётной точке днём, дБ		**ф-ла(3)[10]**	**0**	**32**	**27**	**24,1**	**25,6**	**28,3**	**23,4**	**11,6**	**0**	**30,8**	**30,8**
Уровни звукового давления от источника ИШ-4-12 в расчётной точке ночью, дБ		**ф-ла(3)[10]**	**0**	**32**	**27**	**24,1**	**25,6**	**28,3**	**23,4**	**11,6**	**0**	**30,8**	**30,8**
Источник шума: ИШ-4-13, координаты источника (x,y,z), м =[94.56,229.10,1.00]													
Уровни звуковой мощности источника днём, Lw, дБ		**исходные данные**	**0**	**81,3**	**82,7**	**84**	**84,3**	**83,9**	**80,6**	**76,4**	**71,9**		
Уровни звуковой мощности источника ночью, Lw, дБ		**исходные данные**	**0**	**81,3**	**82,7**	**84**	**84,3**	**83,9**	**80,6**	**76,4**	**71,9**		
Поправка на телесный угол DΩ, дБ	Ω = 6.28	10Lg(4π/Ω)	**3**	3	3	3	3	3	3	3	3		
Показатель направленности источника Di, дБ		исходные данные	**0**	0	0	0	0	0	0	0	0		
Поправка на направленность источника Dc, дБ	Dc	DΩ + Di	**3**	3	3	3	3	3	3	3	3		
Затухание из-за геометрической дивергенции, Adiv, дБ	расстояние = 495.65 м	ф-ла (7) [10]	**64,9**										
Коэффициент затухания звука в атмосфере α, дБ/км	Ta=20,°C Pa=101.33,кПа hотн.=70%	ф-ла (5) [9]	0,02	0,09	0,33	1,12	2,79	4,98	9,04	23,09	77,63		
Учет затухания звука в атмосфере Aatm, дБ		ф-ла (8) [10]	0	0	0,2	0,6	1,4	2,5	4,5	11,4	38,5		
Снижение уровня звукового давления из-за влияния застройки между источником шума и расчетной точкой													
Снижение уровня звукового давления на пути над экраном, Dz1, дБ	z = 0.39м (разность путей)	ф-лы (14-18) [10]	4,9	5,2	5,8	6,9	8,6	10,6	13,1	15,7	18,6		
Снижение уровня звукового давления на пути слева от экрана, Dz2, дБ	z = 151.58м (разность путей)	ф-лы (14-18) [10]	28,3	32,6	37	40,9	44,2	47,3	50,3	53,3	56,3		
Снижение уровня звукового давления на пути справа от экрана, Dz3, дБ	z = 0.88м (разность путей)	ф-лы (14-18) [10]	8	9,8	12	14,6	17,4	20,3	23,2	26,2	29,2		

1		2	3	4	5	6	7	8	9	10	11	12	13
Общее снижение уровня звука препятствием Dz, дБ		Эн.сумма(-Dzi)	3,2	3,9	4,8	6,2	8	10,2	12,7	15,4	18,2		
Уровни звукового давления от источника ИШ-4-13 в расчётной точке днём, дБ		**ф-ла(3)[10]**	**0**	**15,5**	**15,8**	**15,3**	**13**	**9,3**	**1,6**	**0**	**0**	**14,1**	**14,1**
Уровни звукового давления от источника ИШ-4-13 в расчётной точке ночью, дБ		**ф-ла(3)[10]**	**0**	**15,5**	**15,8**	**15,3**	**13**	**9,3**	**1,6**	**0**	**0**	**14,1**	**14,1**
Источник шума: ИШ-4-14, координаты источника (x,y,z), м =[91.88,221.30,1.00]													
Уровни звуковой мощности источника днём, Lw, дБ		**исходные данные**	**0**	**81,3**	**82,7**	**84**	**84,3**	**83,9**	**80,6**	**76,4**	**71,9**		
Уровни звуковой мощности источника ночью, Lw, дБ		**исходные данные**	**0**	**81,3**	**82,7**	**84**	**84,3**	**83,9**	**80,6**	**76,4**	**71,9**		
Поправка на телесный угол DΩ, дБ	Ω = 6.28	10Lg(4π/Ω)	**3**	3	3	3	3	3	3	3	3		
Показатель направленности источника Di, дБ		исходные данные	**0**	0	0	0	0	0	0	0	0		
Поправка на направленность источника Dc, дБ	Dc	DΩ + Di	**3**	3	3	3	3	3	3	3	3		
Затухание из-за геометрической дивергенции, Adiv, дБ	расстояние = 487.49 м	ф-ла (7) [10]	**64,8**										
Коэффициент затухания звука в атмосфере α, дБ/км	Ta=20,°C Pa=101.33,кПа hотн.=70%	ф-ла (5) [9]	0,02	0,09	0,33	1,12	2,79	4,98	9,04	23,09	77,63		
Учет затухания звука в атмосфере Aatm, дБ		ф-ла (8) [10]	0	0	0,2	0,5	1,4	2,4	4,4	11,3	37,8		
Снижение уровня звукового давления из-за влияния застройки между источником шума и расчетной точкой													
Снижение уровня звукового давления на пути над экраном, Dz1, дБ	z = 0.40м (разность путей)	ф-лы (14-18) [10]	5	5,3	6,1	7,4	9,2	11,4	13,9	16,7	19,5		
Снижение уровня звукового давления на пути слева от экрана, Dz2, дБ	z = 167.96м (разность путей)	ф-лы (14-18) [10]	28,7	33	37,5	41,3	44,6	47,7	50,7	53,7	56,8		
Снижение уровня звукового давления на пути справа от экрана, Dz3, дБ	z = 0.82м (разность путей)	ф-лы (14-18) [10]	7,8	9,6	11,8	14,3	17,1	20	22,9	25,9	28,9		

1		2	3	4	5	6	7	8	9	10	11	12	13
Общее снижение уровня звука препятствием Dz, дБ		Эн.сумма(-Dzi)	3,1	3,9	5	6,6	8,5	10,8	13,4	16,2	19		
Уровни звукового давления от источника ИШ-4-14 в расчётной точке днём, дБ		**ф-ла(3)[10]**	**0**	**15,6**	**15,7**	**15,1**	**12,6**	**8,9**	**1**	**0**	**0**	**13,7**	**13,7**
Уровни звукового давления от источника ИШ-4-14 в расчётной точке ночью, дБ		**ф-ла(3)[10]**	**0**	**15,6**	**15,7**	**15,1**	**12,6**	**8,9**	**1**	**0**	**0**	**13,7**	**13,7**
Источник шума: ИШ-5-1, координаты источника (x,y,z), м =[626.70,162.36,1.00]													
Уровни звуковой мощности источника днём, Lw, дБ		**исходные данные**	**0**	**93,3**	**94,7**	**96**	**96,3**	**95,9**	**92,6**	**88,4**	**83,9**		
Уровни звуковой мощности источника ночью, Lw, дБ		**исходные данные**	**0**	**93,3**	**94,7**	**96**	**96,3**	**95,9**	**92,6**	**88,4**	**83,9**		
Поправка на телесный угол DΩ, дБ	Ω = 6.28	10Lg(4π/Ω)	**3**	3	3	3	3	3	3	3	3		
Показатель направленности источника Di, дБ		исходные данные	**0**	0	0	0	0	0	0	0	0		
Поправка на направленность источника Dc, дБ	Dc	DΩ + Di	**3**	3	3	3	3	3	3	3	3		
Затухание из-за геометрической дивергенции, Adiv, дБ	расстояние = 753.20 м	ф-ла (7) [10]	**68,5**										
Коэффициент затухания звука в атмосфере α, дБ/км	Ta=20,°C Pa=101.33,кПа hотн.=70%	ф-ла (5) [9]	0,02	0,09	0,33	1,12	2,79	4,98	9,04	23,09	77,63		
Учет затухания звука в атмосфере Aatm, дБ		ф-ла (8) [10]	0	0,1	0,3	0,8	2,1	3,7	6,8	17,4	58,5		
Снижение уровня звукового давления из-за влияния застройки между источником шума и расчетной точкой													
Снижение уровня звукового давления на пути над экраном, Dz1, дБ	z = 0.35м (разность путей)	ф-лы (14-18) [10]	4,9	5	5,2	5,6	6,3	7,4	9	11,1	13,6		
Снижение уровня звукового давления на пути слева от экрана, Dz2, дБ	z = 65.06м (разность путей)	ф-лы (14-18) [10]	28,5	31,6	34,6	37,6	40,6	43,6	46,6	49,6	52,6		
Снижение уровня звукового давления на пути справа от экрана, Dz3, дБ	z = 84.41м (разность путей)	ф-лы (14-18) [10]	25	28	30,9	34	37	40	43	46	49		

1		2	3	4	5	6	7	8	9	10	11	12	13
Общее снижение уровня звука препятствием Dz, дБ		Эн.сумма(-Dzi)	4,8	5	5,2	5,6	6,3	7,4	9	11,1	13,6		
Уровни звукового давления прямого звука от источника ИШ-5-1 в расчётной точке днём, дБ		**ф-ла(3)[10]**	**0**	**22,7**	**23,7**	**24**	**22,4**	**19,2**	**11,2**	**0**	**0**	**23,5**	**23,5**
Уровни звукового давления прямого звука от источника ИШ-5-1 в расчётной точке ночью, дБ		**ф-ла(3)[10]**	**0**	**22,7**	**23,7**	**24**	**22,4**	**19,2**	**11,2**	**0**	**0**	**23,5**	**23,5**
Расчёт отражённого звука													
Уровни звукового давления от мнимого источника ИШ-5-1_мн.(1) в расчётной точке днём, дБ		**ф-ла(3)[10]**	**0**	**0**	**0**	**0**	**0**	**0**	**0**	**0**	**0**	**0**	**0**
Уровни звукового давления от мнимого источника ИШ-5-1_мн.(1) в расчётной точке ночью, дБ		**ф-ла(3)[10]**	**0**	**0**	**0**	**0**	**0**	**0**	**0**	**0**	**0**	**0**	**0**
Уровни звукового давления от источника ИШ-5-1 в расчётной точке днём, дБ		**ф-ла(3)[10]**	**0**	**22,7**	**23,7**	**24**	**22,4**	**19,2**	**11,2**	**0**	**0**	**23,5**	**23,5**
Уровни звукового давления от источника ИШ-5-1 в расчётной точке ночью, дБ		**ф-ла(3)[10]**	**0**	**22,7**	**23,7**	**24**	**22,4**	**19,2**	**11,2**	**0**	**0**	**23,5**	**23,5**
Источник шума: ИШ-5-2, координаты источника (x,y,z), м =[625.81,159.52,1.00]													
Уровни звуковой мощности источника днём, Lw, дБ		**исходные данные**	**0**	**93,3**	**94,7**	**96**	**96,3**	**95,9**	**92,6**	**88,4**	**83,9**		
Уровни звуковой мощности источника ночью, Lw, дБ		**исходные данные**	**0**	**93,3**	**94,7**	**96**	**96,3**	**95,9**	**92,6**	**88,4**	**83,9**		
Поправка на телесный угол DΩ, дБ	Ω = 6.28	10Lg(4π/Ω)	**3**	3	3	3	3	3	3	3	3		
Показатель направленности источника Di, дБ		исходные данные	**0**	0	0	0	0	0	0	0	0		
Поправка на направленность источника Dc, дБ	Dc	DΩ + Di	**3**	3	3	3	3	3	3	3	3		
Затухание из-за геометрической дивергенции, Adiv, дБ	расстояние = 750.88 м	ф-ла (7) [10]	**68,5**										
Коэффициент затухания звука в атмосфере α, дБ/км	Ta=20,°C Pa=101.33,кПа hотн.=70%	ф-ла (5) [9]	0,02	0,09	0,33	1,12	2,79	4,98	9,04	23,09	77,63		

1		2	3	4	5	6	7	8	9	10	11	12	13
Учет затухания звука в атмосфере Aatm, дБ		ф-ла (8) [10]	0	0,1	0,3	0,8	2,1	3,7	6,8	17,3	58,3		
Снижение уровня звукового давления из-за влияния застройки между источником шума и расчетной точкой													
Снижение уровня звукового давления на пути над экраном, Dz1, дБ	z = 0.35м (разность путей)	ф-лы (14-18) [10]	4,9	5	5,2	5,6	6,3	7,4	9	11,2	13,6		
Снижение уровня звукового давления на пути слева от экрана, Dz2, дБ	z = 64.54м (разность путей)	ф-лы (14-18) [10]	28,4	31,5	34,5	37,6	40,6	43,6	46,6	49,6	52,6		
Снижение уровня звукового давления на пути справа от экрана, Dz3, дБ	z = 86.53м (разность путей)	ф-лы (14-18) [10]	25,1	28,1	31,1	34,1	37,1	40,1	43,1	46,1	49,1		
Общее снижение уровня звука препятствием Dz, дБ		Эн.сумма(-Dzi)	4,8	5	5,2	5,6	6,3	7,4	9	11,2	13,6		
Уровни звукового давления от источника ИШ-5-2 в расчётной точке днём, дБ		**ф-ла(3)[10]**	**0**	**22,8**	**23,7**	**24**	**22,4**	**19,2**	**11,3**	**0**	**0**	**23,5**	**23,5**
Уровни звукового давления от источника ИШ-5-2 в расчётной точке ночью, дБ		**ф-ла(3)[10]**	**0**	**22,8**	**23,7**	**24**	**22,4**	**19,2**	**11,3**	**0**	**0**	**23,5**	**23,5**
Источник шума: ИШ-5-3, координаты источника (x,y,z), м =[624.84,156.69,1.00]													
Уровни звуковой мощности источника днём, Lw, дБ		**исходные данные**	**0**	**93,3**	**94,7**	**96**	**96,3**	**95,9**	**92,6**	**88,4**	**83,9**		
Уровни звуковой мощности источника ночью, Lw, дБ		**исходные данные**	**0**	**93,3**	**94,7**	**96**	**96,3**	**95,9**	**92,6**	**88,4**	**83,9**		
Поправка на телесный угол DΩ, дБ	Ω = 6.28	10Lg(4π/Ω)	**3**	3	3	3	3	3	3	3	3		
Показатель направленности источника Di, дБ		исходные данные	**0**	0	0	0	0	0	0	0	0		
Поправка на направленность источника Dc, дБ	Dc	DΩ + Di	**3**	3	3	3	3	3	3	3	3		
Затухание из-за геометрической дивергенции, Adiv, дБ	расстояние = 748.50 м	ф-ла (7) [10]	**68,5**										
Коэффициент затухания звука в атмосфере α, дБ/км	Ta=20,°C Pa=101.33,кПа hотн.=70%	ф-ла (5) [9]	0,02	0,09	0,33	1,12	2,79	4,98	9,04	23,09	77,63		

1		2	3	4	5	6	7	8	9	10	11	12	13
Учет затухания звука в атмосфере Aatm, дБ		ф-ла (8) [10]	0	0,1	0,3	0,8	2,1	3,7	6,8	17,3	58,1		
Снижение уровня звукового давления из-за влияния застройки между источником шума и расчетной точкой													
Снижение уровня звукового давления на пути над экраном, Dz1, дБ	z = 0.35м (разность путей)	ф-лы (14-18) [10]	4,9	5	5,2	5,6	6,3	7,4	9,1	11,2	13,7		
Снижение уровня звукового давления на пути слева от экрана, Dz2, дБ	z = 64.05м (разность путей)	ф-лы (14-18) [10]	28,4	31,5	34,5	37,5	40,5	43,5	46,6	49,6	52,6		
Снижение уровня звукового давления на пути справа от экрана, Dz3, дБ	z = 88.68м (разность путей)	ф-лы (14-18) [10]	25,2	28,2	31,2	34,2	37,2	40,2	43,2	46,2	49,2		
Общее снижение уровня звука препятствием Dz, дБ		Эн.сумма(-Dzi)	4,8	5	5,2	5,6	6,3	7,4	9,1	11,2	13,7		
Уровни звукового давления от источника ИШ-5-3 в расчётной точке днём, дБ		**ф-ла(3)[10]**	**0**	**22,8**	**23,8**	**24,1**	**22,4**	**19,2**	**11,3**	**0**	**0**	**23,6**	**23,6**
Уровни звукового давления от источника ИШ-5-3 в расчётной точке ночью, дБ		**ф-ла(3)[10]**	**0**	**22,8**	**23,8**	**24,1**	**22,4**	**19,2**	**11,3**	**0**	**0**	**23,6**	**23,6**
Источник шума: ИШ-6-1, координаты источника (x,y,z), м =[836.30,122.24,1.00]													
Уровни звуковой мощности источника днём, Lw, дБ		**исходные данные**	**0**	**96,3**	**97,7**	**99**	**99,3**	**98,9**	**95,6**	**91,4**	**86,9**		
Уровни звуковой мощности источника ночью, Lw, дБ		**исходные данные**	**0**	**96,3**	**97,7**	**99**	**99,3**	**98,9**	**95,6**	**91,4**	**86,9**		
Поправка на телесный угол DΩ, дБ	Ω = 12.57	10Lg(4π/Ω)	**0**	0	0	0	0	0	0	0	0		
Показатель направленности источника Di, дБ		исходные данные	**0**	0	0	0	0	0	0	0	0		
Поправка на направленность источника Dc, дБ	Dc	DΩ + Di	**0**	0	0	0	0	0	0	0	0		
Затухание из-за геометрической дивергенции, Adiv, дБ	расстояние = 917.17 м	ф-ла (7) [10]	**70,2**										
Коэффициент затухания звука в атмосфере α, дБ/км	Ta=20,°C Pa=101.33,кПа hотн.=70%	ф-ла (5) [9]	0,02	0,09	0,33	1,12	2,79	4,98	9,04	23,09	77,63		

1		2	3	4	5	6	7	8	9	10	11	12	13
Учет затухания звука в атмосфере Aatm, дБ		ф-ла (8) [10]	0	0,1	0,3	1	2,6	4,6	8,3	21,2	71,2		
Снижение уровня звукового давления из-за влияния застройки между источником шума и расчетной точкой													
Снижение уровня звукового давления на пути над экраном, Dz1, дБ	z = 0.26м (разность путей)	ф-лы (14-18) [10]	4,8	4,8	4,8	4,8	4,8	4,9	5,1	5,3	5,8		
Снижение уровня звукового давления на пути слева от экрана, Dz2, дБ	z = 29.91м (разность путей)	ф-лы (14-18) [10]	25	28,2	31,2	34,2	37,2	40,2	43,2	46,3	49,3		
Снижение уровня звукового давления на пути справа от экрана, Dz3, дБ	z = 11.78м (разность путей)	ф-лы (14-18) [10]	18,9	23,2	26,9	30,1	33,2	36,2	39,2	42,2	45,2		
Общее снижение уровня звука препятствием Dz, дБ		Эн.сумма(-Dzi)	4,6	4,7	4,8	4,8	4,8	4,9	5,1	5,3	5,8		
Уровни звукового давления от источника ИШ-6-1 в расчётной точке днём, дБ		**ф-ла(3)[10]**	**0**	**21,3**	**22,4**	**22,9**	**21,6**	**19,2**	**12**	**0**	**0**	**23,1**	**23,1**
Уровни звукового давления от источника ИШ-6-1 в расчётной точке ночью, дБ		**ф-ла(3)[10]**	**0**	**21,3**	**22,4**	**22,9**	**21,6**	**19,2**	**12**	**0**	**0**	**23,1**	**23,1**
Источник шума: ИШ-6-2, координаты источника (x,y,z), м =[835.37,119.30,1.00]													
Уровни звуковой мощности источника днём, Lw, дБ		**исходные данные**	**0**	**96,3**	**97,7**	**99**	**99,3**	**98,9**	**95,6**	**91,4**	**86,9**		
Уровни звуковой мощности источника ночью, Lw, дБ		**исходные данные**	**0**	**96,3**	**97,7**	**99**	**99,3**	**98,9**	**95,6**	**91,4**	**86,9**		
Поправка на телесный угол DΩ, дБ	Ω = 12.57	10Lg(4π/Ω)	**0**	0	0	0	0	0	0	0	0		
Показатель направленности источника Di, дБ		исходные данные	**0**	0	0	0	0	0	0	0	0		
Поправка на направленность источника Dc, дБ	Dc	DΩ + Di	**0**	0	0	0	0	0	0	0	0		
Затухание из-за геометрической дивергенции, Adiv, дБ	расстояние = 915.11 м	ф-ла (7) [10]	**70,2**										
Коэффициент затухания звука в атмосфере α, дБ/км	Ta=20,°C Pa=101.33,кПа hотн.=70%	ф-ла (5) [9]	0,02	0,09	0,33	1,12	2,79	4,98	9,04	23,09	77,63		

1		2	3	4	5	6	7	8	9	10	11	12	13
Учет затухания звука в атмосфере Aatm, дБ		ф-ла (8) [10]	0	0,1	0,3	1	2,6	4,6	8,3	21,1	71		
Снижение уровня звукового давления из-за влияния застройки между источником шума и расчетной точкой													
Снижение уровня звукового давления на пути над экраном, Dz1, дБ	z = 0.26м (разность путей)	ф-лы (14-18) [10]	4,8	4,8	4,8	4,8	4,8	4,9	5,1	5,3	5,9		
Снижение уровня звукового давления на пути слева от экрана, Dz2, дБ	z = 29.46м (разность путей)	ф-лы (14-18) [10]	25	28,1	31,1	34,2	37,2	40,2	43,2	46,2	49,2		
Снижение уровня звукового давления на пути справа от экрана, Dz3, дБ	z = 12.08м (разность путей)	ф-лы (14-18) [10]	19	23,3	27	30,2	33,3	36,3	39,3	42,3	45,3		
Общее снижение уровня звука препятствием Dz, дБ		Эн.сумма(-Dzi)	4,6	4,7	4,8	4,8	4,8	4,9	5,1	5,3	5,9		
Уровни звукового давления от источника ИШ-6-2 в расчётной точке днём, дБ		**ф-ла(3)[10]**	**0**	**21,3**	**22,4**	**22,9**	**21,7**	**19,2**	**12**	**0**	**0**	**23,1**	**23,1**
Уровни звукового давления от источника ИШ-6-2 в расчётной точке ночью, дБ		**ф-ла(3)[10]**	**0**	**21,3**	**22,4**	**22,9**	**21,7**	**19,2**	**12**	**0**	**0**	**23,1**	**23,1**
Источник шума: ИШ-6-3, координаты источника (x,y,z), м =[834.03,116.36,1.00]													
Уровни звуковой мощности источника днём, Lw, дБ		**исходные данные**	**0**	**96,3**	**97,7**	**99**	**99,3**	**98,9**	**95,6**	**91,4**	**86,9**		
Уровни звуковой мощности источника ночью, Lw, дБ		**исходные данные**	**0**	**96,3**	**97,7**	**99**	**99,3**	**98,9**	**95,6**	**91,4**	**86,9**		
Поправка на телесный угол DΩ, дБ	Ω = 12.57	10Lg(4π/Ω)	**0**	0	0	0	0	0	0	0	0		
Показатель направленности источника Di, дБ		исходные данные	**0**	0	0	0	0	0	0	0	0		
Поправка на направленность источника Dc, дБ	Dc	DΩ + Di	**0**	0	0	0	0	0	0	0	0		
Затухание из-за геометрической дивергенции, Adiv, дБ	расстояние = 912.68 м	ф-ла (7) [10]	**70,2**										
Коэффициент затухания звука в атмосфере α, дБ/км	Ta=20,°C Pa=101.33,кПа hотн.=70%	ф-ла (5) [9]	0,02	0,09	0,33	1,12	2,79	4,98	9,04	23,09	77,63		

1		2	3	4	5	6	7	8	9	10	11	12	13
Учет затухания звука в атмосфере Aatm, дБ		ф-ла (8) [10]	0	0,1	0,3	1	2,5	4,5	8,3	21,1	70,9		
Снижение уровня звукового давления из-за влияния застройки между источником шума и расчетной точкой													
Снижение уровня звукового давления на пути над экраном, Dz1, дБ	z = 0.26м (разность путей)	ф-лы (14-18) [10]	4,8	4,8	4,8	4,8	4,9	4,9	5,1	5,4	5,9		
Снижение уровня звукового давления на пути слева от экрана, Dz2, дБ	z = 29.07м (разность путей)	ф-лы (14-18) [10]	24,9	28,1	31,1	34,1	37,1	40,1	43,1	46,1	49,1		
Снижение уровня звукового давления на пути справа от экрана, Dz3, дБ	z = 12.37м (разность путей)	ф-лы (14-18) [10]	19,1	23,4	27,1	30,3	33,4	36,4	39,4	42,4	45,4		
Общее снижение уровня звука препятствием Dz, дБ		Эн.сумма(-Dzi)	4,6	4,7	4,8	4,8	4,8	4,9	5,1	5,4	5,9		
Уровни звукового давления от источника ИШ-6-3 в расчётной точке днём, дБ		**ф-ла(3)[10]**	**0**	**21,3**	**22,4**	**23**	**21,7**	**19,2**	**12,1**	**0**	**0**	**23,2**	**23,2**
Уровни звукового давления от источника ИШ-6-3 в расчётной точке ночью, дБ		**ф-ла(3)[10]**	**0**	**21,3**	**22,4**	**23**	**21,7**	**19,2**	**12,1**	**0**	**0**	**23,2**	**23,2**
Источник шума: ИШ-6-4, координаты источника (x,y,z), м =[833.23,113.30,1.00]													
Уровни звуковой мощности источника днём, Lw, дБ		**исходные данные**	**0**	**96,3**	**97,7**	**99**	**99,3**	**98,9**	**95,6**	**91,4**	**86,9**		
Уровни звуковой мощности источника ночью, Lw, дБ		**исходные данные**	**0**	**96,3**	**97,7**	**99**	**99,3**	**98,9**	**95,6**	**91,4**	**86,9**		
Поправка на телесный угол DΩ, дБ	Ω = 12.57	10Lg(4π/Ω)	**0**	0	0	0	0	0	0	0	0		
Показатель направленности источника Di, дБ		исходные данные	**0**	0	0	0	0	0	0	0	0		
Поправка на направленность источника Dc, дБ	Dc	DΩ + Di	**0**	0	0	0	0	0	0	0	0		
Затухание из-за геометрической дивергенции, Adiv, дБ	расстояние = 910.70 м	ф-ла (7) [10]	**70,2**										
Коэффициент затухания звука в атмосфере α, дБ/км	Ta=20,°C Pa=101.33,кПа hотн.=70%	ф-ла (5) [9]	0,02	0,09	0,33	1,12	2,79	4,98	9,04	23,09	77,63		

1		2	3	4	5	6	7	8	9	10	11	12	13
Учет затухания звука в атмосфере Aatm, дБ		ф-ла (8) [10]	0	0,1	0,3	1	2,5	4,5	8,2	21	70,7		
Снижение уровня звукового давления из-за влияния застройки между источником шума и расчетной точкой													
Снижение уровня звукового давления на пути над экраном, Dz1, дБ	z = 0.26м (разность путей)	ф-лы (14-18) [10]	4,8	4,8	4,8	4,8	4,9	4,9	5,1	5,4	5,9		
Снижение уровня звукового давления на пути слева от экрана, Dz2, дБ	z = 28.60м (разность путей)	ф-лы (14-18) [10]	24,8	28	31	34	37	40	43,1	46,1	49,1		
Снижение уровня звукового давления на пути справа от экрана, Dz3, дБ	z = 12.70м (разность путей)	ф-лы (14-18) [10]	19,2	23,5	27,2	30,4	33,5	36,5	39,5	42,5	45,5		
Общее снижение уровня звука препятствием Dz, дБ		Эн.сумма(-Dzi)	4,6	4,7	4,8	4,8	4,8	4,9	5,1	5,4	5,9		
Уровни звукового давления от источника ИШ-6-4 в расчётной точке днём, дБ		**ф-ла(3)[10]**	**0**	**21,3**	**22,4**	**23**	**21,7**	**19,2**	**12,1**	**0**	**0**	**23,2**	**23,2**
Уровни звукового давления от источника ИШ-6-4 в расчётной точке ночью, дБ		**ф-ла(3)[10]**	**0**	**21,3**	**22,4**	**23**	**21,7**	**19,2**	**12,1**	**0**	**0**	**23,2**	**23,2**
Источник шума: ИШ-6-5, координаты источника (x,y,z), м =[832.03,110.36,1.00]													
Уровни звуковой мощности источника днём, Lw, дБ		**исходные данные**	**0**	**96,3**	**97,7**	**99**	**99,3**	**98,9**	**95,6**	**91,4**	**86,9**		
Уровни звуковой мощности источника ночью, Lw, дБ		**исходные данные**	**0**	**96,3**	**97,7**	**99**	**99,3**	**98,9**	**95,6**	**91,4**	**86,9**		
Поправка на телесный угол DΩ, дБ	Ω = 12.57	10Lg(4π/Ω)	**0**	0	0	0	0	0	0	0	0		
Показатель направленности источника Di, дБ		исходные данные	**0**	0	0	0	0	0	0	0	0		
Поправка на направленность источника Dc, дБ	Dc	DΩ + Di	**0**	0	0	0	0	0	0	0	0		
Затухание из-за геометрической дивергенции, Adiv, дБ	расстояние = 908.41 м	ф-ла (7) [10]	**70,2**										
Коэффициент затухания звука в атмосфере α, дБ/км	Ta=20,°C Pa=101.33,кПа hотн.=70%	ф-ла (5) [9]	0,02	0,09	0,33	1,12	2,79	4,98	9,04	23,09	77,63		

1		2	3	4	5	6	7	8	9	10	11	12	13
Учет затухания звука в атмосфере Aatm, дБ		ф-ла (8) [10]	0	0,1	0,3	1	2,5	4,5	8,2	21	70,5		
Снижение уровня звукового давления из-за влияния застройки между источником шума и расчетной точкой													
Снижение уровня звукового давления на пути над экраном, Dz1, дБ	z = 0.26м (разность путей)	ф-лы (14-18) [10]	4,8	4,8	4,9	5	5,2	5,6	6,2	7,3	8,9		
Снижение уровня звукового давления на пути слева от экрана, Dz2, дБ	z = 28.20м (разность путей)	ф-лы (14-18) [10]	24,8	27,9	30,9	34	37	40	43	46	49		
Снижение уровня звукового давления на пути справа от экрана, Dz3, дБ	z = 13.01м (разность путей)	ф-лы (14-18) [10]	19,3	23,7	27,3	30,5	33,6	36,6	39,6	42,6	45,7		
Общее снижение уровня звука препятствием Dz, дБ		Эн.сумма(-Dzi)	4,6	4,7	4,8	5	5,2	5,5	6,2	7,3	8,9		
Уровни звукового давления от источника ИШ-6-5 в расчётной точке днём, дБ		**ф-ла(3)[10]**	**0**	**21,3**	**22,4**	**22,8**	**21,4**	**18,7**	**11**	**0**	**0**	**22,7**	**22,7**
Уровни звукового давления от источника ИШ-6-5 в расчётной точке ночью, дБ		**ф-ла(3)[10]**	**0**	**21,3**	**22,4**	**22,8**	**21,4**	**18,7**	**11**	**0**	**0**	**22,7**	**22,7**
Источник шума: ИШ-6-6, координаты источника (x,y,z), м =[830.97,107.42,1.00]													
Уровни звуковой мощности источника днём, Lw, дБ		**исходные данные**	**0**	**96,3**	**97,7**	**99**	**99,3**	**98,9**	**95,6**	**91,4**	**86,9**		
Уровни звуковой мощности источника ночью, Lw, дБ		**исходные данные**	**0**	**96,3**	**97,7**	**99**	**99,3**	**98,9**	**95,6**	**91,4**	**86,9**		
Поправка на телесный угол DΩ, дБ	Ω = 12.57	10Lg(4π/Ω)	**0**	0	0	0	0	0	0	0	0		
Показатель направленности источника Di, дБ		исходные данные	**0**	0	0	0	0	0	0	0	0		
Поправка на направленность источника Dc, дБ	Dc	DΩ + Di	**0**	0	0	0	0	0	0	0	0		
Затухание из-за геометрической дивергенции, Adiv, дБ	расстояние = 906.25 м	ф-ла (7) [10]	**70,1**										
Коэффициент затухания звука в атмосфере α, дБ/км	Ta=20,°C Pa=101.33,кПа hотн.=70%	ф-ла (5) [9]	0,02	0,09	0,33	1,12	2,79	4,98	9,04	23,09	77,63		

1		2	3	4	5	6	7	8	9	10	11	12	13
Учет затухания звука в атмосфере Aatm, дБ		ф-ла (8) [10]	0	0,1	0,3	1	2,5	4,5	8,2	20,9	70,4		
Снижение уровня звукового давления из-за влияния застройки между источником шума и расчетной точкой													
Снижение уровня звукового давления на пути над экраном, Dz1, дБ	z = 0.26м (разность путей)	ф-лы (14-18) [10]	4,8	4,8	4,9	5	5,2	5,6	6,3	7,4	9		
Снижение уровня звукового давления на пути слева от экрана, Dz2, дБ	z = 27.79м (разность путей)	ф-лы (14-18) [10]	24,7	27,9	30,9	33,9	36,9	39,9	42,9	45,9	48,9		
Снижение уровня звукового давления на пути справа от экрана, Dz3, дБ	z = 13.33м (разность путей)	ф-лы (14-18) [10]	19,4	23,8	27,4	30,6	33,7	36,7	39,7	42,7	45,8		
Общее снижение уровня звука препятствием Dz, дБ		Эн.сумма(-Dzi)	4,6	4,8	4,8	5	5,2	5,6	6,3	7,4	9		
Уровни звукового давления от источника ИШ-6-6 в расчётной точке днём, дБ		**ф-ла(3)[10]**	**0**	**21,3**	**22,4**	**22,9**	**21,4**	**18,6**	**11**	**0**	**0**	**22,7**	**22,7**
Уровни звукового давления от источника ИШ-6-6 в расчётной точке ночью, дБ		**ф-ла(3)[10]**	**0**	**21,3**	**22,4**	**22,9**	**21,4**	**18,6**	**11**	**0**	**0**	**22,7**	**22,7**
Источник шума: ИШ-6-7, координаты источника (x,y,z), м =[830.30,104.49,1.00]													
Уровни звуковой мощности источника днём, Lw, дБ		**исходные данные**	**0**	**96,3**	**97,7**	**99**	**99,3**	**98,9**	**95,6**	**91,4**	**86,9**		
Уровни звуковой мощности источника ночью, Lw, дБ		**исходные данные**	**0**	**96,3**	**97,7**	**99**	**99,3**	**98,9**	**95,6**	**91,4**	**86,9**		
Поправка на телесный угол DΩ, дБ	Ω = 12.57	10Lg(4π/Ω)	**0**	0	0	0	0	0	0	0	0		
Показатель направленности источника Di, дБ		исходные данные	**0**	0	0	0	0	0	0	0	0		
Поправка на направленность источника Dc, дБ	Dc	DΩ + Di	**0**	0	0	0	0	0	0	0	0		
Затухание из-за геометрической дивергенции, Adiv, дБ	расстояние = 904.46 м	ф-ла (7) [10]	**70,1**										
Коэффициент затухания звука в атмосфере α, дБ/км	Ta=20,°C Pa=101.33,кПа hотн.=70%	ф-ла (5) [9]	0,02	0,09	0,33	1,12	2,79	4,98	9,04	23,09	77,63		

1		2	3	4	5	6	7	8	9	10	11	12	13
Учет затухания звука в атмосфере Aatm, дБ		ф-ла (8) [10]	0	0,1	0,3	1	2,5	4,5	8,2	20,9	70,2		
Снижение уровня звукового давления из-за влияния застройки между источником шума и расчетной точкой													
Снижение уровня звукового давления на пути над экраном, Dz1, дБ	z = 0.26м (разность путей)	ф-лы (14-18) [10]	4,8	4,8	4,9	5	5,2	5,6	6,4	7,5	9,2		
Снижение уровня звукового давления на пути слева от экрана, Dz2, дБ	z = 27.35м (разность путей)	ф-лы (14-18) [10]	24,6	27,8	30,8	33,8	36,8	39,8	42,9	45,9	48,9		
Снижение уровня звукового давления на пути справа от экрана, Dz3, дБ	z = 0.71м (разность путей)	ф-лы (14-18) [10]	7,5	9,2	11,3	13,8	16,5	19,4	22,3	25,3	28,3		
Общее снижение уровня звука препятствием Dz, дБ		Эн.сумма(-Dzi)	2,9	3,5	4	4,5	4,9	5,5	6,3	7,5	9,1		
Уровни звукового давления от источника ИШ-6-7 в расчётной точке днём, дБ		**ф-ла(3)[10]**	**0**	**22,6**	**23,3**	**23,4**	**21,7**	**18,8**	**11**	**0**	**0**	**23**	**23**
Уровни звукового давления от источника ИШ-6-7 в расчётной точке ночью, дБ		**ф-ла(3)[10]**	**0**	**22,6**	**23,3**	**23,4**	**21,7**	**18,8**	**11**	**0**	**0**	**23**	**23**
Источник шума: ИШ-6-8, координаты источника (x,y,z), м =[829.36,101.42,1.00]													
Уровни звуковой мощности источника днём, Lw, дБ		**исходные данные**	**0**	**96,3**	**97,7**	**99**	**99,3**	**98,9**	**95,6**	**91,4**	**86,9**		
Уровни звуковой мощности источника ночью, Lw, дБ		**исходные данные**	**0**	**96,3**	**97,7**	**99**	**99,3**	**98,9**	**95,6**	**91,4**	**86,9**		
Поправка на телесный угол DΩ, дБ	Ω = 12.57	10Lg(4π/Ω)	**0**	0	0	0	0	0	0	0	0		
Показатель направленности источника Di, дБ		исходные данные	**0**	0	0	0	0	0	0	0	0		
Поправка на направленность источника Dc, дБ	Dc	DΩ + Di	**0**	0	0	0	0	0	0	0	0		
Затухание из-за геометрической дивергенции, Adiv, дБ	расстояние = 902.37 м	ф-ла (7) [10]	**70,1**										
Коэффициент затухания звука в атмосфере α, дБ/км	Ta=20,°C Pa=101.33,кПа hотн.=70%	ф-ла (5) [9]	0,02	0,09	0,33	1,12	2,79	4,98	9,04	23,09	77,63		

1		2	3	4	5	6	7	8	9	10	11	12	13
Учет затухания звука в атмосфере Aatm, дБ		ф-ла (8) [10]	0	0,1	0,3	1	2,5	4,5	8,2	20,8	70,1		
Снижение уровня звукового давления из-за влияния застройки между источником шума и расчетной точкой													
Снижение уровня звукового давления на пути над экраном, Dz1, дБ	z = 0.26м (разность путей)	ф-лы (14-18) [10]	4,8	4,8	4,9	5	5,3	5,7	6,4	7,6	9,4		
Снижение уровня звукового давления на пути слева от экрана, Dz2, дБ	z = 26.91м (разность путей)	ф-лы (14-18) [10]	24,6	27,7	30,7	33,8	36,8	39,8	42,8	45,8	48,8		
Снижение уровня звукового давления на пути справа от экрана, Dz3, дБ	z = 0.79м (разность путей)	ф-лы (14-18) [10]	7,7	9,5	11,7	14,2	17	19,8	22,8	25,8	28,7		
Общее снижение уровня звука препятствием Dz, дБ		Эн.сумма(-Dzi)	3	3,5	4,1	4,5	5	5,5	6,3	7,6	9,3		
Уровни звукового давления от источника ИШ-6-8 в расчётной точке днём, дБ		**ф-ла(3)[10]**	**0**	**22,6**	**23,2**	**23,4**	**21,7**	**18,8**	**11**	**0**	**0**	**23**	**23**
Уровни звукового давления от источника ИШ-6-8 в расчётной точке ночью, дБ		**ф-ла(3)[10]**	**0**	**22,6**	**23,2**	**23,4**	**21,7**	**18,8**	**11**	**0**	**0**	**23**	**23**
Источник шума: ИШ-6-9, координаты источника (x,y,z), м =[828.03,98.62,1.00]													
Уровни звуковой мощности источника днём, Lw, дБ		**исходные данные**	**0**	**96,3**	**97,7**	**99**	**99,3**	**98,9**	**95,6**	**91,4**	**86,9**		
Уровни звуковой мощности источника ночью, Lw, дБ		**исходные данные**	**0**	**96,3**	**97,7**	**99**	**99,3**	**98,9**	**95,6**	**91,4**	**86,9**		
Поправка на телесный угол DΩ, дБ	Ω = 12.57	10Lg(4π/Ω)	**0**	0	0	0	0	0	0	0	0		
Показатель направленности источника Di, дБ		исходные данные	**0**	0	0	0	0	0	0	0	0		
Поправка на направленность источника Dc, дБ	Dc	DΩ + Di	**0**	0	0	0	0	0	0	0	0		
Затухание из-за геометрической дивергенции, Adiv, дБ	расстояние = 900.04 м	ф-ла (7) [10]	**70,1**										
Коэффициент затухания звука в атмосфере α, дБ/км	Ta=20,°C Pa=101.33,кПа hотн.=70%	ф-ла (5) [9]	0,02	0,09	0,33	1,12	2,79	4,98	9,04	23,09	77,63		

1		2	3	4	5	6	7	8	9	10	11	12	13
Учет затухания звука в атмосфере Aatm, дБ		ф-ла (8) [10]	0	0,1	0,3	1	2,5	4,5	8,1	20,8	69,9		
Снижение уровня звукового давления из-за влияния застройки между источником шума и расчетной точкой													
Снижение уровня звукового давления на пути над экраном, Dz1, дБ	z = 0.26м (разность путей)	ф-лы (14-18) [10]	4,8	4,8	4,9	5	5,3	5,7	6,5	7,8	9,5		
Снижение уровня звукового давления на пути слева от экрана, Dz2, дБ	z = 26.57м (разность путей)	ф-лы (14-18) [10]	24,5	27,7	30,7	33,7	36,7	39,7	42,7	45,7	48,8		
Снижение уровня звукового давления на пути справа от экрана, Dz3, дБ	z = 0.87м (разность путей)	ф-лы (14-18) [10]	7,9	9,7	12	14,5	17,3	20,2	23,2	26,1	29,1		
Общее снижение уровня звука препятствием Dz, дБ		Эн.сумма(-Dzi)	3	3,6	4,1	4,6	5	5,6	6,4	7,7	9,5		
Уровни звукового давления от источника ИШ-6-9 в расчётной точке днём, дБ		**ф-ла(3)[10]**	**0**	**22,5**	**23,2**	**23,3**	**21,7**	**18,7**	**10,9**	**0**	**0**	**22,9**	**22,9**
Уровни звукового давления от источника ИШ-6-9 в расчётной точке ночью, дБ		**ф-ла(3)[10]**	**0**	**22,5**	**23,2**	**23,3**	**21,7**	**18,7**	**10,9**	**0**	**0**	**22,9**	**22,9**
Источник шума: ИШ-6-10, координаты источника (x,y,z), м =[827.23,95.55,1.00]													
Уровни звуковой мощности источника днём, Lw, дБ		**исходные данные**	**0**	**96,3**	**97,7**	**99**	**99,3**	**98,9**	**95,6**	**91,4**	**86,9**		
Уровни звуковой мощности источника ночью, Lw, дБ		**исходные данные**	**0**	**96,3**	**97,7**	**99**	**99,3**	**98,9**	**95,6**	**91,4**	**86,9**		
Поправка на телесный угол DΩ, дБ	Ω = 12.57	10Lg(4π/Ω)	**0**	0	0	0	0	0	0	0	0		
Показатель направленности источника Di, дБ		исходные данные	**0**	0	0	0	0	0	0	0	0		
Поправка на направленность источника Dc, дБ	Dc	DΩ + Di	**0**	0	0	0	0	0	0	0	0		
Затухание из-за геометрической дивергенции, Adiv, дБ	расстояние = 898.09 м	ф-ла (7) [10]	**70,1**										
Коэффициент затухания звука в атмосфере α, дБ/км	Ta=20,°C Pa=101.33,кПа hотн.=70%	ф-ла (5) [9]	0,02	0,09	0,33	1,12	2,79	4,98	9,04	23,09	77,63		

1		2	3	4	5	6	7	8	9	10	11	12	13
Учет затухания звука в атмосфере Aatm, дБ		ф-ла (8) [10]	0	0,1	0,3	1	2,5	4,5	8,1	20,7	69,7		
Снижение уровня звукового давления из-за влияния застройки между источником шума и расчетной точкой													
Снижение уровня звукового давления на пути над экраном, Dz1, дБ	z = 0.27м (разность путей)	ф-лы (14-18) [10]	4,8	4,8	4,9	5	5,3	5,8	6,6	7,9	9,7		
Снижение уровня звукового давления на пути слева от экрана, Dz2, дБ	z = 26.13м (разность путей)	ф-лы (14-18) [10]	24,4	27,6	30,6	33,6	36,6	39,6	42,7	45,7	48,7		
Снижение уровня звукового давления на пути справа от экрана, Dz3, дБ	z = 0.96м (разность путей)	ф-лы (14-18) [10]	8,2	10	12,3	14,9	17,7	20,6	23,6	26,6	29,6		
Общее снижение уровня звука препятствием Dz, дБ		Эн.сумма(-Dzi)	3,1	3,7	4,2	4,6	5,1	5,6	6,5	7,8	9,6		
Уровни звукового давления от источника ИШ-6-10 в расчётной точке днём, дБ		**ф-ла(3)[10]**	**0**	**22,5**	**23,1**	**23,3**	**21,7**	**18,7**	**10,9**	**0**	**0**	**22,9**	**22,9**
Уровни звукового давления от источника ИШ-6-10 в расчётной точке ночью, дБ		**ф-ла(3)[10]**	**0**	**22,5**	**23,1**	**23,3**	**21,7**	**18,7**	**10,9**	**0**	**0**	**22,9**	**22,9**
Источник шума: ИШ-6-11, координаты источника (x,y,z), м =[826.30,92.48,1.00]													
Уровни звуковой мощности источника днём, Lw, дБ		**исходные данные**	**0**	**96,3**	**97,7**	**99**	**99,3**	**98,9**	**95,6**	**91,4**	**86,9**		
Уровни звуковой мощности источника ночью, Lw, дБ		**исходные данные**	**0**	**96,3**	**97,7**	**99**	**99,3**	**98,9**	**95,6**	**91,4**	**86,9**		
Поправка на телесный угол DΩ, дБ	Ω = 12.57	10Lg(4π/Ω)	**0**	0	0	0	0	0	0	0	0		
Показатель направленности источника Di, дБ		исходные данные	**0**	0	0	0	0	0	0	0	0		
Поправка на направленность источника Dc, дБ	Dc	DΩ + Di	**0**	0	0	0	0	0	0	0	0		
Затухание из-за геометрической дивергенции, Adiv, дБ	расстояние = 896.03 м	ф-ла (7) [10]	**70**										
Коэффициент затухания звука в атмосфере α, дБ/км	Ta=20,°C Pa=101.33,кПа hотн.=70%	ф-ла (5) [9]	0,02	0,09	0,33	1,12	2,79	4,98	9,04	23,09	77,63		

1		2	3	4	5	6	7	8	9	10	11	12	13
Учет затухания звука в атмосфере Aatm, дБ		ф-ла (8) [10]	0	0,1	0,3	1	2,5	4,5	8,1	20,7	69,6		
Снижение уровня звукового давления из-за влияния застройки между источником шума и расчетной точкой													
Снижение уровня звукового давления на пути над экраном, Dz1, дБ	z = 0.27м (разность путей)	ф-лы (14-18) [10]	4,8	4,8	4,9	5,1	5,3	5,8	6,6	7,9	9,7		
Снижение уровня звукового давления на пути слева от экрана, Dz2, дБ	z = 25.72м (разность путей)	ф-лы (14-18) [10]	24,4	27,5	30,5	33,6	36,6	39,6	42,6	45,6	48,6		
Снижение уровня звукового давления на пути справа от экрана, Dz3, дБ	z = 1.05м (разность путей)	ф-лы (14-18) [10]	8,4	10,3	12,7	15,3	18,1	21	24	27	30		
Общее снижение уровня звука препятствием Dz, дБ		Эн.сумма(-Dzi)	3,2	3,7	4,2	4,7	5,1	5,7	6,5	7,9	9,7		
Уровни звукового давления от источника ИШ-6-11 в расчётной точке днём, дБ		**ф-ла(3)[10]**	**0**	**22,4**	**23,1**	**23,3**	**21,7**	**18,7**	**10,9**	**0**	**0**	**22,9**	**22,9**
Уровни звукового давления от источника ИШ-6-11 в расчётной точке ночью, дБ		**ф-ла(3)[10]**	**0**	**22,4**	**23,1**	**23,3**	**21,7**	**18,7**	**10,9**	**0**	**0**	**22,9**	**22,9**
Источник шума: ИШ-6-12, координаты источника (x,y,z), м =[825.09,89.54,1.00]													
Уровни звуковой мощности источника днём, Lw, дБ		**исходные данные**	**0**	**96,3**	**97,7**	**99**	**99,3**	**98,9**	**95,6**	**91,4**	**86,9**		
Уровни звуковой мощности источника ночью, Lw, дБ		**исходные данные**	**0**	**96,3**	**97,7**	**99**	**99,3**	**98,9**	**95,6**	**91,4**	**86,9**		
Поправка на телесный угол DΩ, дБ	Ω = 12.57	10Lg(4π/Ω)	**0**	0	0	0	0	0	0	0	0		
Показатель направленности источника Di, дБ		исходные данные	**0**	0	0	0	0	0	0	0	0		
Поправка на направленность источника Dc, дБ	Dc	DΩ + Di	**0**	0	0	0	0	0	0	0	0		
Затухание из-за геометрической дивергенции, Adiv, дБ	расстояние = 893.78 м	ф-ла (7) [10]	**70**										
Коэффициент затухания звука в атмосфере α, дБ/км	Ta=20,°C Pa=101.33,кПа hотн.=70%	ф-ла (5) [9]	0,02	0,09	0,33	1,12	2,79	4,98	9,04	23,09	77,63		

1		2	3	4	5	6	7	8	9	10	11	12	13
Учет затухания звука в атмосфере Aatm, дБ		ф-ла (8) [10]	0	0,1	0,3	1	2,5	4,4	8,1	20,6	69,4		
Снижение уровня звукового давления из-за влияния застройки между источником шума и расчетной точкой													
Снижение уровня звукового давления на пути над экраном, Dz1, дБ	z = 0.27м (разность путей)	ф-лы (14-18) [10]	4,8	4,8	4,9	5,1	5,3	5,8	6,7	8	9,8		
Снижение уровня звукового давления на пути слева от экрана, Dz2, дБ	z = 25.35м (разность путей)	ф-лы (14-18) [10]	24,3	27,5	30,5	33,5	36,5	39,5	42,5	45,5	48,5		
Снижение уровня звукового давления на пути справа от экрана, Dz3, дБ	z = 1.15м (разность путей)	ф-лы (14-18) [10]	8,6	10,6	13	15,6	18,5	21,4	24,4	27,3	30,3		
Общее снижение уровня звука препятствием Dz, дБ		Эн.сумма(-Dzi)	3,3	3,8	4,3	4,7	5,1	5,7	6,6	7,9	9,8		
Уровни звукового давления от источника ИШ-6-12 в расчётной точке днём, дБ		**ф-ла(3)[10]**	**0**	**22,4**	**23,1**	**23,3**	**21,7**	**18,7**	**10,9**	**0**	**0**	**22,9**	**22,9**
Уровни звукового давления от источника ИШ-6-12 в расчётной точке ночью, дБ		**ф-ла(3)[10]**	**0**	**22,4**	**23,1**	**23,3**	**21,7**	**18,7**	**10,9**	**0**	**0**	**22,9**	**22,9**
Источник шума: ИШ-6-13, координаты источника (x,y,z), м =[767.76,-114.15,1.00]													
Уровни звуковой мощности источника днём, Lw, дБ		**исходные данные**	**0**	**96,3**	**97,7**	**99**	**99,3**	**98,9**	**95,6**	**91,4**	**86,9**		
Уровни звуковой мощности источника ночью, Lw, дБ		**исходные данные**	**0**	**96,3**	**97,7**	**99**	**99,3**	**98,9**	**95,6**	**91,4**	**86,9**		
Поправка на телесный угол DΩ, дБ	Ω = 12.57	10Lg(4π/Ω)	**0**	0	0	0	0	0	0	0	0		
Показатель направленности источника Di, дБ		исходные данные	**0**	0	0	0	0	0	0	0	0		
Поправка на направленность источника Dc, дБ	Dc	DΩ + Di	**0**	0	0	0	0	0	0	0	0		
Затухание из-за геометрической дивергенции, Adiv, дБ	расстояние = 779.55 м	ф-ла (7) [10]	**68,8**										
Коэффициент затухания звука в атмосфере α, дБ/км	Ta=20,°C Pa=101.33,кПа hотн.=70%	ф-ла (5) [9]	0,02	0,09	0,33	1,12	2,79	4,98	9,04	23,09	77,63		

1		2	3	4	5	6	7	8	9	10	11	12	13
Учет затухания звука в атмосфере Aatm, дБ		ф-ла (8) [10]	0	0,1	0,3	0,9	2,2	3,9	7	18	60,5		
Снижение уровня звукового давления из-за влияния застройки между источником шума и расчетной точкой													
Снижение уровня звукового давления на пути над экраном, Dz1, дБ	z = 0.23м (разность путей)	ф-лы (14-18) [10]	4,8	4,8	4,8	4,8	4,8	4,9	5	5,2	5,5		
Снижение уровня звукового давления на пути слева от экрана, Dz2, дБ	z = 5.11м (разность путей)	ф-лы (14-18) [10]	17,5	20,6	23,6	26,6	29,6	32,6	35,6	38,6	41,6		
Снижение уровня звукового давления на пути справа от экрана, Dz3, дБ	z = 7.42м (разность путей)	ф-лы (14-18) [10]	14,8	17,6	20,5	23,4	26,4	29,4	32,4	35,4	38,4		
Общее снижение уровня звука препятствием Dz, дБ		Эн.сумма(-Dzi)	4,2	4,4	4,6	4,7	4,8	4,9	5	5,2	5,5		
Уровни звукового давления от источника ИШ-6-13 в расчётной точке днём, дБ		**ф-ла(3)[10]**	**0**	**22,9**	**24**	**24,6**	**23,5**	**21,3**	**14,7**	**0**	**0**	**25,2**	**25,2**
Уровни звукового давления от источника ИШ-6-13 в расчётной точке ночью, дБ		**ф-ла(3)[10]**	**0**	**22,9**	**24**	**24,6**	**23,5**	**21,3**	**14,7**	**0**	**0**	**25,2**	**25,2**
Источник шума: ИШ-6-14, координаты источника (x,y,z), м =[766.82,-117.10,1.00]													
Уровни звуковой мощности источника днём, Lw, дБ		**исходные данные**	**0**	**96,3**	**97,7**	**99**	**99,3**	**98,9**	**95,6**	**91,4**	**86,9**		
Уровни звуковой мощности источника ночью, Lw, дБ		**исходные данные**	**0**	**96,3**	**97,7**	**99**	**99,3**	**98,9**	**95,6**	**91,4**	**86,9**		
Поправка на телесный угол DΩ, дБ	Ω = 12.57	10Lg(4π/Ω)	**0**	0	0	0	0	0	0	0	0		
Показатель направленности источника Di, дБ		исходные данные	**0**	0	0	0	0	0	0	0	0		
Поправка на направленность источника Dc, дБ	Dc	DΩ + Di	**0**	0	0	0	0	0	0	0	0		
Затухание из-за геометрической дивергенции, Adiv, дБ	расстояние = 778.08 м	ф-ла (7) [10]	**68,8**										
Коэффициент затухания звука в атмосфере α, дБ/км	Ta=20,°C Pa=101.33,кПа hотн.=70%	ф-ла (5) [9]	0,02	0,09	0,33	1,12	2,79	4,98	9,04	23,09	77,63		

1		2	3	4	5	6	7	8	9	10	11	12	13
Учет затухания звука в атмосфере Aatm, дБ		ф-ла (8) [10]	0	0,1	0,3	0,9	2,2	3,9	7	18	60,4		
Снижение уровня звукового давления из-за влияния застройки между источником шума и расчетной точкой													
Снижение уровня звукового давления на пути над экраном, Dz1, дБ	z = 0.23м (разность путей)	ф-лы (14-18) [10]	4,8	4,8	4,8	4,8	4,8	4,9	5	5,2	5,5		
Снижение уровня звукового давления на пути слева от экрана, Dz2, дБ	z = 4.69м (разность путей)	ф-лы (14-18) [10]	17,1	20,2	23,2	26,2	29,2	32,2	35,2	38,2	41,2		
Снижение уровня звукового давления на пути справа от экрана, Dz3, дБ	z = 7.64м (разность путей)	ф-лы (14-18) [10]	15	17,8	20,6	23,6	26,6	29,5	32,6	35,6	38,6		
Общее снижение уровня звука препятствием Dz, дБ		Эн.сумма(-Dzi)	4,2	4,4	4,6	4,7	4,8	4,9	5	5,2	5,5		
Уровни звукового давления от источника ИШ-6-14 в расчётной точке днём, дБ		**ф-ла(3)[10]**	**0**	**23**	**24**	**24,6**	**23,5**	**21,3**	**14,8**	**0**	**0**	**25,2**	**25,2**
Уровни звукового давления от источника ИШ-6-14 в расчётной точке ночью, дБ		**ф-ла(3)[10]**	**0**	**23**	**24**	**24,6**	**23,5**	**21,3**	**14,8**	**0**	**0**	**25,2**	**25,2**
Источник шума: ИШ-6-15, координаты источника (x,y,z), м =[765.71,-120.27,1.00]													
Уровни звуковой мощности источника днём, Lw, дБ		**исходные данные**	**0**	**96,3**	**97,7**	**99**	**99,3**	**98,9**	**95,6**	**91,4**	**86,9**		
Уровни звуковой мощности источника ночью, Lw, дБ		**исходные данные**	**0**	**96,3**	**97,7**	**99**	**99,3**	**98,9**	**95,6**	**91,4**	**86,9**		
Поправка на телесный угол DΩ, дБ	Ω = 12.57	10Lg(4π/Ω)	**0**	0	0	0	0	0	0	0	0		
Показатель направленности источника Di, дБ		исходные данные	**0**	0	0	0	0	0	0	0	0		
Поправка на направленность источника Dc, дБ	Dc	DΩ + Di	**0**	0	0	0	0	0	0	0	0		
Затухание из-за геометрической дивергенции, Adiv, дБ	расстояние = 776.43 м	ф-ла (7) [10]	**68,8**										
Коэффициент затухания звука в атмосфере α, дБ/км	Ta=20,°C Pa=101.33,кПа hотн.=70%	ф-ла (5) [9]	0,02	0,09	0,33	1,12	2,79	4,98	9,04	23,09	77,63		

1		2	3	4	5	6	7	8	9	10	11	12	13
Учет затухания звука в атмосфере Aatm, дБ		ф-ла (8) [10]	0	0,1	0,3	0,9	2,2	3,9	7	17,9	60,3		
Снижение уровня звукового давления из-за влияния застройки между источником шума и расчетной точкой													
Снижение уровня звукового давления на пути над экраном, Dz1, дБ	z = 0.23м (разность путей)	ф-лы (14-18) [10]	4,8	4,8	4,8	4,8	4,8	4,9	5	5,2	5,5		
Снижение уровня звукового давления на пути слева от экрана, Dz2, дБ	z = 4.26м (разность путей)	ф-лы (14-18) [10]	16,8	19,8	22,8	25,8	28,8	31,8	34,8	37,8	40,8		
Снижение уровня звукового давления на пути справа от экрана, Dz3, дБ	z = 7.87м (разность путей)	ф-лы (14-18) [10]	15,1	17,9	20,7	23,7	26,7	29,7	32,7	35,7	38,7		
Общее снижение уровня звука препятствием Dz, дБ		Эн.сумма(-Dzi)	4,1	4,4	4,6	4,7	4,8	4,9	5	5,2	5,5		
Уровни звукового давления от источника ИШ-6-15 в расчётной точке днём, дБ		**ф-ла(3)[10]**	**0**	**23**	**24**	**24,6**	**23,5**	**21,4**	**14,8**	**0**	**0**	**25,2**	**25,2**
Уровни звукового давления от источника ИШ-6-15 в расчётной точке ночью, дБ		**ф-ла(3)[10]**	**0**	**23**	**24**	**24,6**	**23,5**	**21,4**	**14,8**	**0**	**0**	**25,2**	**25,2**
Источник шума: ИШ-6-16, координаты источника (x,y,z), м =[764.57,-123.22,1.00]													
Уровни звуковой мощности источника днём, Lw, дБ		**исходные данные**	**0**	**96,3**	**97,7**	**99**	**99,3**	**98,9**	**95,6**	**91,4**	**86,9**		
Уровни звуковой мощности источника ночью, Lw, дБ		**исходные данные**	**0**	**96,3**	**97,7**	**99**	**99,3**	**98,9**	**95,6**	**91,4**	**86,9**		
Поправка на телесный угол DΩ, дБ	Ω = 12.57	10Lg(4π/Ω)	**0**	0	0	0	0	0	0	0	0		
Показатель направленности источника Di, дБ		исходные данные	**0**	0	0	0	0	0	0	0	0		
Поправка на направленность источника Dc, дБ	Dc	DΩ + Di	**0**	0	0	0	0	0	0	0	0		
Затухание из-за геометрической дивергенции, Adiv, дБ	расстояние = 774.79 м	ф-ла (7) [10]	**68,8**										
Коэффициент затухания звука в атмосфере α, дБ/км	Ta=20,°C Pa=101.33,кПа hотн.=70%	ф-ла (5) [9]	0,02	0,09	0,33	1,12	2,79	4,98	9,04	23,09	77,63		

1		2	3	4	5	6	7	8	9	10	11	12	13
Учет затухания звука в атмосфере Aatm, дБ		ф-ла (8) [10]	0	0,1	0,3	0,9	2,2	3,9	7	17,9	60,1		
Снижение уровня звукового давления из-за влияния застройки между источником шума и расчетной точкой													
Снижение уровня звукового давления на пути над экраном, Dz1, дБ	z = 0.23м (разность путей)	ф-лы (14-18) [10]	4,8	4,8	4,8	4,8	4,8	4,9	5	5,2	5,5		
Снижение уровня звукового давления на пути слева от экрана, Dz2, дБ	z = 3.89м (разность путей)	ф-лы (14-18) [10]	16,4	19,4	22,4	25,4	28,4	31,4	34,4	37,4	40,4		
Снижение уровня звукового давления на пути справа от экрана, Dz3, дБ	z = 8.09м (разность путей)	ф-лы (14-18) [10]	15,2	18	20,9	23,8	26,8	29,8	32,8	35,8	38,8		
Общее снижение уровня звука препятствием Dz, дБ		Эн.сумма(-Dzi)	4,1	4,4	4,6	4,7	4,8	4,9	5	5,2	5,5		
Уровни звукового давления от источника ИШ-6-16 в расчётной точке днём, дБ		**ф-ла(3)[10]**	**0**	**23**	**24**	**24,6**	**23,6**	**21,4**	**14,8**	**0**	**0**	**25,2**	**25,2**
Уровни звукового давления от источника ИШ-6-16 в расчётной точке ночью, дБ		**ф-ла(3)[10]**	**0**	**23**	**24**	**24,6**	**23,6**	**21,4**	**14,8**	**0**	**0**	**25,2**	**25,2**
Источник шума: ИШ-6-17, координаты источника (x,y,z), м =[763.57,-126.18,1.00]													
Уровни звуковой мощности источника днём, Lw, дБ		**исходные данные**	**0**	**96,3**	**97,7**	**99**	**99,3**	**98,9**	**95,6**	**91,4**	**86,9**		
Уровни звуковой мощности источника ночью, Lw, дБ		**исходные данные**	**0**	**96,3**	**97,7**	**99**	**99,3**	**98,9**	**95,6**	**91,4**	**86,9**		
Поправка на телесный угол DΩ, дБ	Ω = 12.57	10Lg(4π/Ω)	**0**	0	0	0	0	0	0	0	0		
Показатель направленности источника Di, дБ		исходные данные	**0**	0	0	0	0	0	0	0	0		
Поправка на направленность источника Dc, дБ	Dc	DΩ + Di	**0**	0	0	0	0	0	0	0	0		
Затухание из-за геометрической дивергенции, Adiv, дБ	расстояние = 773.29 м	ф-ла (7) [10]	**68,8**										
Коэффициент затухания звука в атмосфере α, дБ/км	Ta=20,°C Pa=101.33,кПа hотн.=70%	ф-ла (5) [9]	0,02	0,09	0,33	1,12	2,79	4,98	9,04	23,09	77,63		

1		2	3	4	5	6	7	8	9	10	11	12	13
Учет затухания звука в атмосфере Aatm, дБ		ф-ла (8) [10]	0	0,1	0,3	0,9	2,2	3,8	7	17,9	60		
Снижение уровня звукового давления из-за влияния застройки между источником шума и расчетной точкой													
Снижение уровня звукового давления на пути над экраном, Dz1, дБ	z = 0.23м (разность путей)	ф-лы (14-18) [10]	4,8	4,8	4,8	4,8	4,8	4,9	5	5,2	5,5		
Снижение уровня звукового давления на пути слева от экрана, Dz2, дБ	z = 3.53м (разность путей)	ф-лы (14-18) [10]	16	19	22	25	28	31	34	37	40		
Снижение уровня звукового давления на пути справа от экрана, Dz3, дБ	z = 8.32м (разность путей)	ф-лы (14-18) [10]	15,3	18,1	21	23,9	26,9	29,9	32,9	35,9	38,9		
Общее снижение уровня звука препятствием Dz, дБ		Эн.сумма(-Dzi)	4,1	4,4	4,6	4,7	4,8	4,9	5	5,2	5,5		
Уровни звукового давления от источника ИШ-6-17 в расчётной точке днём, дБ		**ф-ла(3)[10]**	**0**	**23**	**24,1**	**24,7**	**23,6**	**21,4**	**14,9**	**0**	**0**	**25,3**	**25,3**
Уровни звукового давления от источника ИШ-6-17 в расчётной точке ночью, дБ		**ф-ла(3)[10]**	**0**	**23**	**24,1**	**24,7**	**23,6**	**21,4**	**14,9**	**0**	**0**	**25,3**	**25,3**
Источник шума: ИШ-6-18, координаты источника (x,y,z), м =[804.77,-126.28,1.00]													
Уровни звуковой мощности источника днём, Lw, дБ		**исходные данные**	**0**	**96,3**	**97,7**	**99**	**99,3**	**98,9**	**95,6**	**91,4**	**86,9**		
Уровни звуковой мощности источника ночью, Lw, дБ		**исходные данные**	**0**	**96,3**	**97,7**	**99**	**99,3**	**98,9**	**95,6**	**91,4**	**86,9**		
Поправка на телесный угол DΩ, дБ	Ω = 12.57	10Lg(4π/Ω)	**0**	0	0	0	0	0	0	0	0		
Показатель направленности источника Di, дБ		исходные данные	**0**	0	0	0	0	0	0	0	0		
Поправка на направленность источника Dc, дБ	Dc	DΩ + Di	**0**	0	0	0	0	0	0	0	0		
Затухание из-за геометрической дивергенции, Adiv, дБ	расстояние = 813.91 м	ф-ла (7) [10]	**69,2**										
Коэффициент затухания звука в атмосфере α, дБ/км	Ta=20,°C Pa=101.33,кПа hотн.=70%	ф-ла (5) [9]	0,02	0,09	0,33	1,12	2,79	4,98	9,04	23,09	77,63		

1		2	3	4	5	6	7	8	9	10	11	12	13
Учет затухания звука в атмосфере Aatm, дБ		ф-ла (8) [10]	0	0,1	0,3	0,9	2,3	4,1	7,4	18,8	63,2		
Снижение уровня звукового давления из-за влияния застройки между источником шума и расчетной точкой													
Снижение уровня звукового давления на пути над экраном, Dz1, дБ	z = 0.22м (разность путей)	ф-лы (14-18) [10]	4,8	4,8	4,8	4,8	4,8	4,8	4,9	5	5,2		
Снижение уровня звукового давления на пути слева от экрана, Dz2, дБ	z = 2.58м (разность путей)	ф-лы (14-18) [10]	14,7	17,7	20,7	23,6	26,6	29,6	32,6	35,6	38,6		
Снижение уровня звукового давления на пути справа от экрана, Dz3, дБ	z = 8.75м (разность путей)	ф-лы (14-18) [10]	15,5	18,3	21,2	24,2	27,1	30,1	33,1	36,2	39,2		
Общее снижение уровня звука препятствием Dz, дБ		Эн.сумма(-Dzi)	4	4,4	4,6	4,7	4,7	4,8	4,9	5	5,2		
Уровни звукового давления от источника ИШ-6-18 в расчётной точке днём, дБ		**ф-ла(3)[10]**	**0**	**22,6**	**23,6**	**24,2**	**23,1**	**20,8**	**14,2**	**0**	**0**	**24,7**	**24,7**
Уровни звукового давления от источника ИШ-6-18 в расчётной точке ночью, дБ		**ф-ла(3)[10]**	**0**	**22,6**	**23,6**	**24,2**	**23,1**	**20,8**	**14,2**	**0**	**0**	**24,7**	**24,7**
Источник шума: ИШ-6-19, координаты источника (x,y,z), м =[803.81,-129.30,1.00]													
Уровни звуковой мощности источника днём, Lw, дБ		**исходные данные**	**0**	**96,3**	**97,7**	**99**	**99,3**	**98,9**	**95,6**	**91,4**	**86,9**		
Уровни звуковой мощности источника ночью, Lw, дБ		**исходные данные**	**0**	**96,3**	**97,7**	**99**	**99,3**	**98,9**	**95,6**	**91,4**	**86,9**		
Поправка на телесный угол DΩ, дБ	Ω = 12.57	10Lg(4π/Ω)	**0**	0	0	0	0	0	0	0	0		
Показатель направленности источника Di, дБ		исходные данные	**0**	0	0	0	0	0	0	0	0		
Поправка на направленность источника Dc, дБ	Dc	DΩ + Di	**0**	0	0	0	0	0	0	0	0		
Затухание из-за геометрической дивергенции, Adiv, дБ	расстояние = 812.48 м	ф-ла (7) [10]	**69,2**										
Коэффициент затухания звука в атмосфере α, дБ/км	Ta=20,°C Pa=101.33,кПа hотн.=70%	ф-ла (5) [9]	0,02	0,09	0,33	1,12	2,79	4,98	9,04	23,09	77,63		

1		2	3	4	5	6	7	8	9	10	11	12	13
Учет затухания звука в атмосфере Aatm, дБ		ф-ла (8) [10]	0	0,1	0,3	0,9	2,3	4	7,3	18,8	63,1		
Снижение уровня звукового давления из-за влияния застройки между источником шума и расчетной точкой													
Снижение уровня звукового давления на пути над экраном, Dz1, дБ	z = 0.22м (разность путей)	ф-лы (14-18) [10]	4,8	4,8	4,8	4,8	4,8	4,8	4,9	5	5,2		
Снижение уровня звукового давления на пути слева от экрана, Dz2, дБ	z = 2.35м (разность путей)	ф-лы (14-18) [10]	14,4	17,4	20,3	23,2	26,2	29,2	32,2	35,2	38,2		
Снижение уровня звукового давления на пути справа от экрана, Dz3, дБ	z = 8.98м (разность путей)	ф-лы (14-18) [10]	15,6	18,4	21,3	24,3	27,3	30,3	33,3	36,3	39,3		
Общее снижение уровня звука препятствием Dz, дБ		Эн.сумма(-Dzi)	4	4,4	4,6	4,7	4,7	4,8	4,9	5	5,2		
Уровни звукового давления от источника ИШ-6-19 в расчётной точке днём, дБ		**ф-ла(3)[10]**	**0**	**22,7**	**23,7**	**24,2**	**23,1**	**20,9**	**14,2**	**0**	**0**	**24,7**	**24,7**
Уровни звукового давления от источника ИШ-6-19 в расчётной точке ночью, дБ		**ф-ла(3)[10]**	**0**	**22,7**	**23,7**	**24,2**	**23,1**	**20,9**	**14,2**	**0**	**0**	**24,7**	**24,7**
Источник шума: ИШ-6-20, координаты источника (x,y,z), м =[802.67,-132.35,1.00]													
Уровни звуковой мощности источника днём, Lw, дБ		**исходные данные**	**0**	**96,3**	**97,7**	**99**	**99,3**	**98,9**	**95,6**	**91,4**	**86,9**		
Уровни звуковой мощности источника ночью, Lw, дБ		**исходные данные**	**0**	**96,3**	**97,7**	**99**	**99,3**	**98,9**	**95,6**	**91,4**	**86,9**		
Поправка на телесный угол DΩ, дБ	Ω = 12.57	10Lg(4π/Ω)	**0**	0	0	0	0	0	0	0	0		
Показатель направленности источника Di, дБ		исходные данные	**0**	0	0	0	0	0	0	0	0		
Поправка на направленность источника Dc, дБ	Dc	DΩ + Di	**0**	0	0	0	0	0	0	0	0		
Затухание из-за геометрической дивергенции, Adiv, дБ	расстояние = 810.87 м	ф-ла (7) [10]	**69,2**										
Коэффициент затухания звука в атмосфере α, дБ/км	Ta=20,°C Pa=101.33,кПа hотн.=70%	ф-ла (5) [9]	0,02	0,09	0,33	1,12	2,79	4,98	9,04	23,09	77,63		

1		2	3	4	5	6	7	8	9	10	11	12	13
Учет затухания звука в атмосфере Aatm, дБ		ф-ла (8) [10]	0	0,1	0,3	0,9	2,3	4	7,3	18,7	63		
Снижение уровня звукового давления из-за влияния застройки между источником шума и расчетной точкой													
Снижение уровня звукового давления на пути над экраном, Dz1, дБ	z = 0.22м (разность путей)	ф-лы (14-18) [10]	4,8	4,8	4,8	4,8	4,8	4,8	4,9	5	5,2		
Снижение уровня звукового давления на пути слева от экрана, Dz2, дБ	z = 2.15м (разность путей)	ф-лы (14-18) [10]	14,1	17	19,9	22,9	25,8	28,8	31,8	34,8	37,8		
Снижение уровня звукового давления на пути справа от экрана, Dz3, дБ	z = 9.22м (разность путей)	ф-лы (14-18) [10]	15,7	18,5	21,4	24,4	27,4	30,4	33,4	36,4	39,4		
Общее снижение уровня звука препятствием Dz, дБ		Эн.сумма(-Dzi)	4	4,4	4,6	4,7	4,7	4,8	4,9	5	5,2		
Уровни звукового давления от источника ИШ-6-20 в расчётной точке днём, дБ		**ф-ла(3)[10]**	**0**	**22,7**	**23,7**	**24,2**	**23,1**	**20,9**	**14,2**	**0**	**0**	**24,7**	**24,7**
Уровни звукового давления от источника ИШ-6-20 в расчётной точке ночью, дБ		**ф-ла(3)[10]**	**0**	**22,7**	**23,7**	**24,2**	**23,1**	**20,9**	**14,2**	**0**	**0**	**24,7**	**24,7**
Источник шума: ИШ-6-21, координаты источника (x,y,z), м =[801.69,-135.42,1.00]													
Уровни звуковой мощности источника днём, Lw, дБ		**исходные данные**	**0**	**96,3**	**97,7**	**99**	**99,3**	**98,9**	**95,6**	**91,4**	**86,9**		
Уровни звуковой мощности источника ночью, Lw, дБ		**исходные данные**	**0**	**96,3**	**97,7**	**99**	**99,3**	**98,9**	**95,6**	**91,4**	**86,9**		
Поправка на телесный угол DΩ, дБ	Ω = 12.57	10Lg(4π/Ω)	**0**	0	0	0	0	0	0	0	0		
Показатель направленности источника Di, дБ		исходные данные	**0**	0	0	0	0	0	0	0	0		
Поправка на направленность источника Dc, дБ	Dc	DΩ + Di	**0**	0	0	0	0	0	0	0	0		
Затухание из-за геометрической дивергенции, Adiv, дБ	расстояние = 809.43 м	ф-ла (7) [10]	**69,2**										
Коэффициент затухания звука в атмосфере α, дБ/км	Ta=20,°C Pa=101.33,кПа hотн.=70%	ф-ла (5) [9]	0,02	0,09	0,33	1,12	2,79	4,98	9,04	23,09	77,63		

1		2	3	4	5	6	7	8	9	10	11	12	13
Учет затухания звука в атмосфере Aatm, дБ		ф-ла (8) [10]	0	0,1	0,3	0,9	2,3	4	7,3	18,7	62,8		
Снижение уровня звукового давления из-за влияния застройки между источником шума и расчетной точкой													
Снижение уровня звукового давления на пути над экраном, Dz1, дБ	z = 0.22м (разность путей)	ф-лы (14-18) [10]	4,8	4,8	4,8	4,8	4,8	4,8	4,9	5	5,1		
Снижение уровня звукового давления на пути слева от экрана, Dz2, дБ	z = 1.98м (разность путей)	ф-лы (14-18) [10]	13,7	16,6	19,5	22,5	25,5	28,5	31,5	34,5	37,5		
Снижение уровня звукового давления на пути справа от экрана, Dz3, дБ	z = 9.46м (разность путей)	ф-лы (14-18) [10]	15,8	18,6	21,5	24,5	27,5	30,5	33,5	36,5	39,5		
Общее снижение уровня звука препятствием Dz, дБ		Эн.сумма(-Dzi)	4	4,3	4,5	4,7	4,7	4,8	4,9	5	5,1		
Уровни звукового давления от источника ИШ-6-21 в расчётной точке днём, дБ		**ф-ла(3)[10]**	**0**	**22,7**	**23,7**	**24,3**	**23,1**	**20,9**	**14,3**	**0**	**0**	**24,8**	**24,8**
Уровни звукового давления от источника ИШ-6-21 в расчётной точке ночью, дБ		**ф-ла(3)[10]**	**0**	**22,7**	**23,7**	**24,3**	**23,1**	**20,9**	**14,3**	**0**	**0**	**24,8**	**24,8**
Источник шума: ИШ-6-22, координаты источника (x,y,z), м =[800.65,-138.47,1.00]													
Уровни звуковой мощности источника днём, Lw, дБ		**исходные данные**	**0**	**96,3**	**97,7**	**99**	**99,3**	**98,9**	**95,6**	**91,4**	**86,9**		
Уровни звуковой мощности источника ночью, Lw, дБ		**исходные данные**	**0**	**96,3**	**97,7**	**99**	**99,3**	**98,9**	**95,6**	**91,4**	**86,9**		
Поправка на телесный угол DΩ, дБ	Ω = 12.57	10Lg(4π/Ω)	**0**	0	0	0	0	0	0	0	0		
Показатель направленности источника Di, дБ		исходные данные	**0**	0	0	0	0	0	0	0	0		
Поправка на направленность источника Dc, дБ	Dc	DΩ + Di	**0**	0	0	0	0	0	0	0	0		
Затухание из-за геометрической дивергенции, Adiv, дБ	расстояние = 807.95 м	ф-ла (7) [10]	**69,1**										
Коэффициент затухания звука в атмосфере α, дБ/км	Ta=20,°C Pa=101.33,кПа hотн.=70%	ф-ла (5) [9]	0,02	0,09	0,33	1,12	2,79	4,98	9,04	23,09	77,63		

1		2	3	4	5	6	7	8	9	10	11	12	13
Учет затухания звука в атмосфере Aatm, дБ		ф-ла (8) [10]	0	0,1	0,3	0,9	2,3	4	7,3	18,7	62,7		
Снижение уровня звукового давления из-за влияния застройки между источником шума и расчетной точкой													
Снижение уровня звукового давления на пути над экраном, Dz1, дБ	z = 0.22м (разность путей)	ф-лы (14-18) [10]	4,8	4,8	4,8	4,8	4,8	4,8	4,9	5	5,1		
Снижение уровня звукового давления на пути слева от экрана, Dz2, дБ	z = 1.82м (разность путей)	ф-лы (14-18) [10]	9,9	12,2	14,7	17,5	20,4	23,4	26,4	29,3	32,4		
Снижение уровня звукового давления на пути справа от экрана, Dz3, дБ	z = 9.71м (разность путей)	ф-лы (14-18) [10]	15,9	18,7	21,6	24,6	27,6	30,6	33,6	36,6	39,6		
Общее снижение уровня звука препятствием Dz, дБ		Эн.сумма(-Dzi)	3,4	3,9	4,3	4,5	4,7	4,7	4,8	4,9	5,1		
Уровни звукового давления от источника ИШ-6-22 в расчётной точке днём, дБ		**ф-ла(3)[10]**	**0**	**23,2**	**24**	**24,4**	**23,2**	**21**	**14,3**	**0**	**0**	**24,9**	**24,9**
Уровни звукового давления от источника ИШ-6-22 в расчётной точке ночью, дБ		**ф-ла(3)[10]**	**0**	**23,2**	**24**	**24,4**	**23,2**	**21**	**14,3**	**0**	**0**	**24,9**	**24,9**
Источник шума: ИШ-7-1, координаты источника (x,y,z), м =[821.44,63.31,1.00]													
Уровни звуковой мощности источника днём, Lw, дБ		**исходные данные**	**77**	**75**	**67**	**66**	**63**	**55**	**53**	**48**	**51**		
Уровни звуковой мощности источника ночью, Lw, дБ		**исходные данные**	**77**	**75**	**67**	**66**	**63**	**55**	**53**	**48**	**51**		
Поправка на телесный угол DΩ, дБ	Ω = 12.57	10Lg(4π/Ω)	**0**	0	0	0	0	0	0	0	0		
Показатель направленности источника Di, дБ		исходные данные	**0**	0	0	0	0	0	0	0	0		
Поправка на направленность источника Dc, дБ	Dc	DΩ + Di	**0**	0	0	0	0	0	0	0	0		
Затухание из-за геометрической дивергенции, Adiv, дБ	расстояние = 880.51 м	ф-ла (7) [10]	**69,9**										
Коэффициент затухания звука в атмосфере α, дБ/км	Ta=20,°C Pa=101.33,кПа hотн.=70%	ф-ла (5) [9]	0,02	0,09	0,33	1,12	2,79	4,98	9,04	23,09	77,63		

1		2	3	4	5	6	7	8	9	10	11	12	13
Учет затухания звука в атмосфере Aatm, дБ		ф-ла (8) [10]	0	0,1	0,3	1	2,5	4,4	8	20,3	68,4		
Снижение уровня звукового давления из-за влияния застройки между источником шума и расчетной точкой													
Снижение уровня звукового давления на пути над экраном, Dz1, дБ	z = 0.30м (разность путей)	ф-лы (14-18) [10]	4,9	4,9	5,1	5,4	5,9	6,8	8,2	10,1	12,4		
Уровни звукового давления от источника ИШ-7-1 в расчётной точке днём, дБ		**ф-ла(3)[10]**	**2,2**	**0,1**	**0**	**0**	**0**	**0**	**0**	**0**	**0**	**0**	**0**
Уровни звукового давления от источника ИШ-7-1 в расчётной точке ночью, дБ		**ф-ла(3)[10]**	**2,2**	**0,1**	**0**	**0**	**0**	**0**	**0**	**0**	**0**	**0**	**0**
Источник шума: ИШ-7-2, координаты источника (x,y,z), м =[768.90,-86.75,1.00]													
Уровни звуковой мощности источника днём, Lw, дБ		**исходные данные**	**77**	**75**	**67**	**66**	**63**	**55**	**53**	**48**	**51**		
Уровни звуковой мощности источника ночью, Lw, дБ		**исходные данные**	**77**	**75**	**67**	**66**	**63**	**55**	**53**	**48**	**51**		
Поправка на телесный угол DΩ, дБ	Ω = 12.57	10Lg(4π/Ω)	**0**	0	0	0	0	0	0	0	0		
Показатель направленности источника Di, дБ		исходные данные	**0**	0	0	0	0	0	0	0	0		
Поправка на направленность источника Dc, дБ	Dc	DΩ + Di	**0**	0	0	0	0	0	0	0	0		
Затухание из-за геометрической дивергенции, Adiv, дБ	расстояние = 786.17 м	ф-ла (7) [10]	**68,9**										
Коэффициент затухания звука в атмосфере α, дБ/км	Ta=20,°C Pa=101.33,кПа hотн.=70%	ф-ла (5) [9]	0,02	0,09	0,33	1,12	2,79	4,98	9,04	23,09	77,63		
Учет затухания звука в атмосфере Aatm, дБ		ф-ла (8) [10]	0	0,1	0,3	0,9	2,2	3,9	7,1	18,1	61		
Снижение уровня звукового давления из-за влияния застройки между источником шума и расчетной точкой													
Снижение уровня звукового давления на пути над экраном, Dz1, дБ	z = 0.24м (разность путей)	ф-лы (14-18) [10]	4,8	4,8	4,8	4,8	4,8	4,9	5	5,2	5,7		

1		2	3	4	5	6	7	8	9	10	11	12	13
Уровни звукового давления от источника ИШ-7-2 в расчётной точке днём, дБ		**ф-ла(3)[10]**	**3,3**	**1,2**	**0**	**0**	**0**	**0**	**0**	**0**	**0**	**0**	**0**
Уровни звукового давления от источника ИШ-7-2 в расчётной точке ночью, дБ		**ф-ла(3)[10]**	**3,3**	**1,2**	**0**	**0**	**0**	**0**	**0**	**0**	**0**	**0**	**0**
Источник шума: ИШ-7-3, координаты источника (x,y,z), м =[766.80,-93.20,1.00]													
Уровни звуковой мощности источника днём, Lw, дБ		**исходные данные**	**77**	**75**	**67**	**66**	**63**	**55**	**53**	**48**	**51**		
Уровни звуковой мощности источника ночью, Lw, дБ		**исходные данные**	**77**	**75**	**67**	**66**	**63**	**55**	**53**	**48**	**51**		
Поправка на телесный угол DΩ, дБ	Ω = 12.57	10Lg(4π/Ω)	**0**	0	0	0	0	0	0	0	0		
Показатель направленности источника Di, дБ		исходные данные	**0**	0	0	0	0	0	0	0	0		
Поправка на направленность источника Dc, дБ	Dc	DΩ + Di	**0**	0	0	0	0	0	0	0	0		
Затухание из-за геометрической дивергенции, Adiv, дБ	расстояние = 782.75 м	ф-ла (7) [10]	**68,9**										
Коэффициент затухания звука в атмосфере α, дБ/км	Ta=20,°C Pa=101.33,кПа hотн.=70%	ф-ла (5) [9]	0,02	0,09	0,33	1,12	2,79	4,98	9,04	23,09	77,63		
Учет затухания звука в атмосфере Aatm, дБ		ф-ла (8) [10]	0	0,1	0,3	0,9	2,2	3,9	7,1	18,1	60,8		
Снижение уровня звукового давления из-за влияния застройки между источником шума и расчетной точкой													
Снижение уровня звукового давления на пути над экраном, Dz1, дБ	z = 0.24м (разность путей)	ф-лы (14-18) [10]	4,8	4,8	4,8	4,8	4,8	4,9	5	5,2	5,7		
Уровни звукового давления от источника ИШ-7-3 в расчётной точке днём, дБ		**ф-ла(3)[10]**	**3,3**	**1,3**	**0**	**0**	**0**	**0**	**0**	**0**	**0**	**0**	**0**
Уровни звукового давления от источника ИШ-7-3 в расчётной точке ночью, дБ		**ф-ла(3)[10]**	**3,3**	**1,3**	**0**	**0**	**0**	**0**	**0**	**0**	**0**	**0**	**0**
Источник шума: ИШ-7-4, координаты источника (x,y,z), м =[866.76,37.18,1.00]													

1		2	3	4	5	6	7	8	9	10	11	12	13
Уровни звуковой мощности источника днём, Lw, дБ		**исходные данные**	**77**	**75**	**67**	**66**	**63**	**55**	**53**	**48**	**51**		
Уровни звуковой мощности источника ночью, Lw, дБ		**исходные данные**	**77**	**75**	**67**	**66**	**63**	**55**	**53**	**48**	**51**		
Поправка на телесный угол DΩ, дБ	Ω = 12.57	10Lg(4π/Ω)	**0**	0	0	0	0	0	0	0	0		
Показатель направленности источника Di, дБ		исходные данные	**0**	0	0	0	0	0	0	0	0		
Поправка на направленность источника Dc, дБ	Dc	DΩ + Di	**0**	0	0	0	0	0	0	0	0		
Затухание из-за геометрической дивергенции, Adiv, дБ	расстояние = 914.10 м	ф-ла (7) [10]	**70,2**										
Коэффициент затухания звука в атмосфере α, дБ/км	Ta=20,°C Pa=101.33,кПа hотн.=70%	ф-ла (5) [9]	0,02	0,09	0,33	1,12	2,79	4,98	9,04	23,09	77,63		
Учет затухания звука в атмосфере Aatm, дБ		ф-ла (8) [10]	0	0,1	0,3	1	2,6	4,6	8,3	21,1	71		
Снижение уровня звукового давления из-за влияния застройки между источником шума и расчетной точкой													
Снижение уровня звукового давления на пути над экраном, Dz1, дБ	z = 0.28м (разность путей)	ф-лы (14-18) [10]	4,8	4,8	4,9	5,1	5,3	5,8	6,7	8	9,8		
Уровни звукового давления от источника ИШ-7-4 в расчётной точке днём, дБ		**ф-ла(3)[10]**	**2**	**0**	**0**	**0**	**0**	**0**	**0**	**0**	**0**	**0**	**0**
Уровни звукового давления от источника ИШ-7-4 в расчётной точке ночью, дБ		**ф-ла(3)[10]**	**2**	**0**	**0**	**0**	**0**	**0**	**0**	**0**	**0**	**0**	**0**
Источник шума: ИШ-7-5, координаты источника (x,y,z), м =[861.80,21.34,1.00]													
Уровни звуковой мощности источника днём, Lw, дБ		**исходные данные**	**77**	**75**	**67**	**66**	**63**	**55**	**53**	**48**	**51**		
Уровни звуковой мощности источника ночью, Lw, дБ		**исходные данные**	**77**	**75**	**67**	**66**	**63**	**55**	**53**	**48**	**51**		
Поправка на телесный угол DΩ, дБ	Ω = 12.57	10Lg(4π/Ω)	**0**	0	0	0	0	0	0	0	0		

1		2	3	4	5	6	7	8	9	10	11	12	13
Показатель направленности источника Di, дБ		исходные данные	**0**	0	0	0	0	0	0	0	0		
Поправка на направленность источника Dc, дБ	Dc	DΩ + Di	**0**	0	0	0	0	0	0	0	0		
Затухание из-за геометрической дивергенции, Adiv, дБ	расстояние = 904.39 м	ф-ла (7) [10]	**70,1**										
Коэффициент затухания звука в атмосфере α, дБ/км	Ta=20,°C Pa=101.33,кПа hотн.=70%	ф-ла (5) [9]	0,02	0,09	0,33	1,12	2,79	4,98	9,04	23,09	77,63		
Учет затухания звука в атмосфере Aatm, дБ		ф-ла (8) [10]	0	0,1	0,3	1	2,5	4,5	8,2	20,9	70,2		
Снижение уровня звукового давления из-за влияния застройки между источником шума и расчетной точкой													
Снижение уровня звукового давления на пути над экраном, Dz1, дБ	z = 0.28м (разность путей)	ф-лы (14-18) [10]	4,8	4,8	4,9	5,1	5,3	5,8	6,6	7,9	9,7		
Уровни звукового давления от источника ИШ-7-5 в расчётной точке днём, дБ		**ф-ла(3)[10]**	**2**	**0**	**0**	**0**	**0**	**0**	**0**	**0**	**0**	**0**	**0**
Уровни звукового давления от источника ИШ-7-5 в расчётной точке ночью, дБ		**ф-ла(3)[10]**	**2**	**0**	**0**	**0**	**0**	**0**	**0**	**0**	**0**	**0**	**0**
Источник шума: ИШ-7-6, координаты источника (x,y,z), м =[856.52,5.94,1.00]													
Уровни звуковой мощности источника днём, Lw, дБ		**исходные данные**	**77**	**75**	**67**	**66**	**63**	**55**	**53**	**48**	**51**		
Уровни звуковой мощности источника ночью, Lw, дБ		**исходные данные**	**77**	**75**	**67**	**66**	**63**	**55**	**53**	**48**	**51**		
Поправка на телесный угол DΩ, дБ	Ω = 12.57	10Lg(4π/Ω)	**0**	0	0	0	0	0	0	0	0		
Показатель направленности источника Di, дБ		исходные данные	**0**	0	0	0	0	0	0	0	0		
Поправка на направленность источника Dc, дБ	Dc	DΩ + Di	**0**	0	0	0	0	0	0	0	0		
Затухание из-за геометрической дивергенции, Adiv, дБ	расстояние = 894.71 м	ф-ла (7) [10]	**70**										

1		2	3	4	5	6	7	8	9	10	11	12	13
Коэффициент затухания звука в атмосфере α, дБ/км	Ta=20,°C Pa=101.33,кПа hотн.=70%	ф-ла (5) [9]	0,02	0,09	0,33	1,12	2,79	4,98	9,04	23,09	77,63		
Учет затухания звука в атмосфере Aatm, дБ		ф-ла (8) [10]	0	0,1	0,3	1	2,5	4,5	8,1	20,7	69,5		
Снижение уровня звукового давления из-за влияния застройки между источником шума и расчетной точкой													
Снижение уровня звукового давления на пути над экраном, Dz1, дБ	z = 0.28м (разность путей)	ф-лы (14-18) [10]	4,8	4,8	4,8	4,9	5	5,2	5,6	6,3	7,5		
Уровни звукового давления от источника ИШ-7-6 в расчётной точке днём, дБ		**ф-ла(3)[10]**	**2,2**	**0,1**	**0**	**0**	**0**	**0**	**0**	**0**	**0**	**0**	**0**
Уровни звукового давления от источника ИШ-7-6 в расчётной точке ночью, дБ		**ф-ла(3)[10]**	**2,2**	**0,1**	**0**	**0**	**0**	**0**	**0**	**0**	**0**	**0**	**0**
Источник шума: ИШ-7-7, координаты источника (x,y,z), м =[851.06,-9.89,1.00]													
Уровни звуковой мощности источника днём, Lw, дБ		**исходные данные**	**77**	**75**	**67**	**66**	**63**	**55**	**53**	**48**	**51**		
Уровни звуковой мощности источника ночью, Lw, дБ		**исходные данные**	**77**	**75**	**67**	**66**	**63**	**55**	**53**	**48**	**51**		
Поправка на телесный угол DΩ, дБ	Ω = 12.57	10Lg(4π/Ω)	**0**	0	0	0	0	0	0	0	0		
Показатель направленности источника Di, дБ		исходные данные	**0**	0	0	0	0	0	0	0	0		
Поправка на направленность источника Dc, дБ	Dc	DΩ + Di	**0**	0	0	0	0	0	0	0	0		
Затухание из-за геометрической дивергенции, Adiv, дБ	расстояние = 884.93 м	ф-ла (7) [10]	**69,9**										
Коэффициент затухания звука в атмосфере α, дБ/км	Ta=20,°C Pa=101.33,кПа hотн.=70%	ф-ла (5) [9]	0,02	0,09	0,33	1,12	2,79	4,98	9,04	23,09	77,63		
Учет затухания звука в атмосфере Aatm, дБ		ф-ла (8) [10]	0	0,1	0,3	1	2,5	4,4	8	20,4	68,7		
Снижение уровня звукового давления из-за влияния застройки между источником шума и расчетной точкой													

1		2	3	4	5	6	7	8	9	10	11	12	13
Снижение уровня звукового давления на пути над экраном, Dz1, дБ	z = 0.28м (разность путей)	ф-лы (14-18) [10]	4,8	4,8	4,8	4,9	5	5,3	5,7	6,5	7,7		
Уровни звукового давления от источника ИШ-7-7 в расчётной точке днём, дБ		**ф-ла(3)[10]**	**2,3**	**0,2**	**0**	**0**	**0**	**0**	**0**	**0**	**0**	**0**	**0**
Уровни звукового давления от источника ИШ-7-7 в расчётной точке ночью, дБ		**ф-ла(3)[10]**	**2,3**	**0,2**	**0**	**0**	**0**	**0**	**0**	**0**	**0**	**0**	**0**
Источник шума: ИШ-7-8, координаты источника (x,y,z), м =[821.90,-104.30,1.00]													
Уровни звуковой мощности источника днём, Lw, дБ		**исходные данные**	**77**	**75**	**67**	**66**	**63**	**55**	**53**	**48**	**51**		
Уровни звуковой мощности источника ночью, Lw, дБ		**исходные данные**	**77**	**75**	**67**	**66**	**63**	**55**	**53**	**48**	**51**		
Поправка на телесный угол DΩ, дБ	Ω = 12.57	10Lg(4π/Ω)	**0**	0	0	0	0	0	0	0	0		
Показатель направленности источника Di, дБ		исходные данные	**0**	0	0	0	0	0	0	0	0		
Поправка на направленность источника Dc, дБ	Dc	DΩ + Di	**0**	0	0	0	0	0	0	0	0		
Затухание из-за геометрической дивергенции, Adiv, дБ	расстояние = 834.57 м	ф-ла (7) [10]	**69,4**										
Коэффициент затухания звука в атмосфере α, дБ/км	Ta=20,°C Pa=101.33,кПа hотн.=70%	ф-ла (5) [9]	0,02	0,09	0,33	1,12	2,79	4,98	9,04	23,09	77,63		
Учет затухания звука в атмосфере Aatm, дБ		ф-ла (8) [10]	0	0,1	0,3	0,9	2,3	4,2	7,5	19,3	64,8		
Снижение уровня звукового давления из-за влияния застройки между источником шума и расчетной точкой													
Снижение уровня звукового давления на пути над экраном, Dz1, дБ	z = 0.23м (разность путей)	ф-лы (14-18) [10]	4,8	4,8	4,8	4,8	4,8	4,8	4,9	5	5,1		
Уровни звукового давления от источника ИШ-7-8 в расчётной точке днём, дБ		**ф-ла(3)[10]**	**2,8**	**0,7**	**0**	**0**	**0**	**0**	**0**	**0**	**0**	**0**	**0**
Уровни звукового давления от источника ИШ-7-8 в расчётной точке ночью, дБ		**ф-ла(3)[10]**	**2,8**	**0,7**	**0**	**0**	**0**	**0**	**0**	**0**	**0**	**0**	**0**

1		2	3	4	5	6	7	8	9	10	11	12	13
Источник шума: ИШ-7-9, координаты источника (x,y,z), м =[819.93,-110.97,1.00]													
Уровни звуковой мощности источника днём, Lw, дБ		**исходные данные**	**77**	**75**	**67**	**66**	**63**	**55**	**53**	**48**	**51**		
Уровни звуковой мощности источника ночью, Lw, дБ		**исходные данные**	**77**	**75**	**67**	**66**	**63**	**55**	**53**	**48**	**51**		
Поправка на телесный угол DΩ, дБ	Ω = 12.57	10Lg(4π/Ω)	**0**	0	0	0	0	0	0	0	0		
Показатель направленности источника Di, дБ		исходные данные	**0**	0	0	0	0	0	0	0	0		
Поправка на направленность источника Dc, дБ	Dc	DΩ + Di	**0**	0	0	0	0	0	0	0	0		
Затухание из-за геометрической дивергенции, Adiv, дБ	расстояние = 831.44 м	ф-ла (7) [10]	**69,4**										
Коэффициент затухания звука в атмосфере α, дБ/км	Ta=20,°C Pa=101.33,кПа hотн.=70%	ф-ла (5) [9]	0,02	0,09	0,33	1,12	2,79	4,98	9,04	23,09	77,63		
Учет затухания звука в атмосфере Aatm, дБ		ф-ла (8) [10]	0	0,1	0,3	0,9	2,3	4,1	7,5	19,2	64,5		
Снижение уровня звукового давления из-за влияния застройки между источником шума и расчетной точкой													
Снижение уровня звукового давления на пути над экраном, Dz1, дБ	z = 0.23м (разность путей)	ф-лы (14-18) [10]	4,8	4,8	4,8	4,8	4,8	4,8	4,9	5	5,1		
Уровни звукового давления от источника ИШ-7-9 в расчётной точке днём, дБ		**ф-ла(3)[10]**	**2,8**	**0,8**	**0**	**0**	**0**	**0**	**0**	**0**	**0**	**0**	**0**
Уровни звукового давления от источника ИШ-7-9 в расчётной точке ночью, дБ		**ф-ла(3)[10]**	**2,8**	**0,8**	**0**	**0**	**0**	**0**	**0**	**0**	**0**	**0**	**0**
Источник шума: ИШ-7-10, координаты источника (x,y,z), м =[868.68,92.66,1.00]													
Уровни звуковой мощности источника днём, Lw, дБ		**исходные данные**	**77**	**75**	**67**	**66**	**63**	**55**	**53**	**48**	**51**		
Уровни звуковой мощности источника ночью, Lw, дБ		**исходные данные**	**77**	**75**	**67**	**66**	**63**	**55**	**53**	**48**	**51**		

1		2	3	4	5	6	7	8	9	10	11	12	13
Поправка на телесный угол DΩ, дБ	Ω = 12.57	10Lg(4π/Ω)	**0**	0	0	0	0	0	0	0	0		
Показатель направленности источника Di, дБ		исходные данные	**0**	0	0	0	0	0	0	0	0		
Поправка на направленность источника Dc, дБ	Dc	DΩ + Di	**0**	0	0	0	0	0	0	0	0		
Затухание из-за геометрической дивергенции, Adiv, дБ	расстояние = 935.25 м	ф-ла (7) [10]	**70,4**										
Коэффициент затухания звука в атмосфере α, дБ/км	Ta=20,°C Pa=101.33,кПа hотн.=70%	ф-ла (5) [9]	0,02	0,09	0,33	1,12	2,79	4,98	9,04	23,09	77,63		
Учет затухания звука в атмосфере Aatm, дБ		ф-ла (8) [10]	0	0,1	0,3	1,1	2,6	4,7	8,5	21,6	72,6		
Снижение уровня звукового давления из-за влияния застройки между источником шума и расчетной точкой													
Снижение уровня звукового давления на пути над экраном, Dz1, дБ	z = 0.26м (разность путей)	ф-лы (14-18) [10]	4,8	4,8	4,9	4,9	5,1	5,4	6	6,9	8,3		
Уровни звукового давления от источника ИШ-7-10 в расчётной точке днём, дБ		**ф-ла(3)[10]**	**1,8**	**0**	**0**	**0**	**0**	**0**	**0**	**0**	**0**	**0**	**0**
Уровни звукового давления от источника ИШ-7-10 в расчётной точке ночью, дБ		**ф-ла(3)[10]**	**1,8**	**0**	**0**	**0**	**0**	**0**	**0**	**0**	**0**	**0**	**0**
Источник шума: ИШ-7-11, координаты источника (x,y,z), м =[877.95,88.75,1.00]													
Уровни звуковой мощности источника днём, Lw, дБ		**исходные данные**	**77**	**75**	**67**	**66**	**63**	**55**	**53**	**48**	**51**		
Уровни звуковой мощности источника ночью, Lw, дБ		**исходные данные**	**77**	**75**	**67**	**66**	**63**	**55**	**53**	**48**	**51**		
Поправка на телесный угол DΩ, дБ	Ω = 12.57	10Lg(4π/Ω)	**0**	0	0	0	0	0	0	0	0		
Показатель направленности источника Di, дБ		исходные данные	**0**	0	0	0	0	0	0	0	0		
Поправка на направленность источника Dc, дБ	Dc	DΩ + Di	**0**	0	0	0	0	0	0	0	0		

1		2	3	4	5	6	7	8	9	10	11	12	13
Затухание из-за геометрической дивергенции, Adiv, дБ	расстояние = 942.41 м	ф-ла (7) [10]	**70,5**										
Коэффициент затухания звука в атмосфере α, дБ/км	Ta=20,°C Pa=101.33,кПа hотн.=70%	ф-ла (5) [9]	0,02	0,09	0,33	1,12	2,79	4,98	9,04	23,09	77,63		
Учет затухания звука в атмосфере Aatm, дБ		ф-ла (8) [10]	0	0,1	0,3	1,1	2,6	4,7	8,5	21,8	73,2		
Снижение уровня звукового давления из-за влияния застройки между источником шума и расчетной точкой													
Снижение уровня звукового давления на пути над экраном, Dz1, дБ	z = 0.28м (разность путей)	ф-лы (14-18) [10]	4,8	4,8	4,9	5	5,3	5,7	6,5	7,7	9,5		
Уровни звукового давления от источника ИШ-7-11 в расчётной точке днём, дБ		**ф-ла(3)[10]**	**1,7**	**0**	**0**	**0**	**0**	**0**	**0**	**0**	**0**	**0**	**0**
Уровни звукового давления от источника ИШ-7-11 в расчётной точке ночью, дБ		**ф-ла(3)[10]**	**1,7**	**0**	**0**	**0**	**0**	**0**	**0**	**0**	**0**	**0**	**0**
Источник шума: ИШ-7-12, координаты источника (x,y,z), м =[887.42,85.45,1.00]													
Уровни звуковой мощности источника днём, Lw, дБ		**исходные данные**	**77**	**75**	**67**	**66**	**63**	**55**	**53**	**48**	**51**		
Уровни звуковой мощности источника ночью, Lw, дБ		**исходные данные**	**77**	**75**	**67**	**66**	**63**	**55**	**53**	**48**	**51**		
Поправка на телесный угол DΩ, дБ	Ω = 12.57	10Lg(4π/Ω)	**0**	0	0	0	0	0	0	0	0		
Показатель направленности источника Di, дБ		исходные данные	**0**	0	0	0	0	0	0	0	0		
Поправка на направленность источника Dc, дБ	Dc	DΩ + Di	**0**	0	0	0	0	0	0	0	0		
Затухание из-за геометрической дивергенции, Adiv, дБ	расстояние = 950.03 м	ф-ла (7) [10]	**70,6**										
Коэффициент затухания звука в атмосфере α, дБ/км	Ta=20,°C Pa=101.33,кПа hотн.=70%	ф-ла (5) [9]	0,02	0,09	0,33	1,12	2,79	4,98	9,04	23,09	77,63		
Учет затухания звука в атмосфере Aatm, дБ		ф-ла (8) [10]	0	0,1	0,3	1,1	2,7	4,7	8,6	21,9	73,8		

1		2	3	4	5	6	7	8	9	10	11	12	13
Снижение уровня звукового давления из-за влияния застройки между источником шума и расчетной точкой													
Снижение уровня звукового давления на пути над экраном, Dz1, дБ	z = 0.28м (разность путей)	ф-лы (14-18) [10]	4,8	4,8	4,9	5	5,3	5,7	6,5	7,7	9,4		
Уровни звукового давления от источника ИШ-7-12 в расчётной точке днём, дБ		**ф-ла(3)[10]**	**1,6**	**0**	**0**	**0**	**0**	**0**	**0**	**0**	**0**	**0**	**0**
Уровни звукового давления от источника ИШ-7-12 в расчётной точке ночью, дБ		**ф-ла(3)[10]**	**1,6**	**0**	**0**	**0**	**0**	**0**	**0**	**0**	**0**	**0**	**0**
Источник шума: ИШ-6-23, координаты источника (x,y,z), м =[756.16,-136.23,3.00]													
Уровни звуковой мощности источника днём, Lw, дБ		**исходные данные**	**91**	**91**	**91**	**91**	**91**	**91**	**91**	**91**	**91**		
Уровни звуковой мощности источника ночью, Lw, дБ		**исходные данные**	**91**	**91**	**91**	**91**	**91**	**91**	**91**	**91**	**91**		
Поправка на телесный угол DΩ, дБ	Ω = 12.57	10Lg(4π/Ω)	**0**	0	0	0	0	0	0	0	0		
Показатель направленности источника Di, дБ		исходные данные	**0**	0	0	0	0	0	0	0	0		
Поправка на направленность источника Dc, дБ	Dc	DΩ + Di	**0**	0	0	0	0	0	0	0	0		
Затухание из-за геометрической дивергенции, Adiv, дБ	расстояние = 764.33 м	ф-ла (7) [10]	**68,7**										
Коэффициент затухания звука в атмосфере α, дБ/км	Ta=20,°C Pa=101.33,кПа hотн.=70%	ф-ла (5) [9]	0,02	0,09	0,33	1,12	2,79	4,98	9,04	23,09	77,63		
Учет затухания звука в атмосфере Aatm, дБ		ф-ла (8) [10]	0	0,1	0,3	0,9	2,1	3,8	6,9	17,6	59,3		
Снижение уровня звукового давления из-за влияния застройки между источником шума и расчетной точкой													
Снижение уровня звукового давления на пути над экраном, Dz1, дБ	z = 0.20м (разность путей)	ф-лы (14-18) [10]	4,8	4,8	4,8	4,8	4,8	4,8	4,9	5	5,2		
Снижение уровня звукового давления на пути слева от экрана, Dz2, дБ	z = 2.60м (разность путей)	ф-лы (14-18) [10]	14,8	17,8	20,7	23,7	26,6	29,6	32,6	35,6	38,7		

1		2	3	4	5	6	7	8	9	10	11	12	13
Снижение уровня звукового давления на пути справа от экрана, Dz3, дБ	z = 9.09м (разность путей)	ф-лы (14-18) [10]	15,6	18,5	21,4	24,3	27,3	30,3	33,3	36,3	39,3		
Общее снижение уровня звука препятствием Dz, дБ		Эн.сумма(-Dzi)	4	4,4	4,6	4,7	4,7	4,8	4,9	5	5,2		
Уровни звукового давления от источника ИШ-6-23 в расчётной точке днём, дБ		**ф-ла(3)[10]**	**18,3**	**17,9**	**17,5**	**16,8**	**15,4**	**13,7**	**10,6**	**0**	**0**	**18**	**18**
Уровни звукового давления от источника ИШ-6-23 в расчётной точке ночью, дБ		**ф-ла(3)[10]**	**18,3**	**17,9**	**17,5**	**16,8**	**15,4**	**13,7**	**10,6**	**0**	**0**	**18**	**18**
Источник шума: ИШ-6-24, координаты источника (x,y,z), м =[800.98,-151.27,3.00]													
Уровни звуковой мощности источника днём, Lw, дБ		**исходные данные**	**91**	**91**	**91**	**91**	**91**	**91**	**91**	**91**	**91**		
Уровни звуковой мощности источника ночью, Lw, дБ		**исходные данные**	**91**	**91**	**91**	**91**	**91**	**91**	**91**	**91**	**91**		
Поправка на телесный угол DΩ, дБ	Ω = 12.57	10Lg(4π/Ω)	**0**	0	0	0	0	0	0	0	0		
Показатель направленности источника Di, дБ		исходные данные	**0**	0	0	0	0	0	0	0	0		
Поправка на направленность источника Dc, дБ	Dc	DΩ + Di	**0**	0	0	0	0	0	0	0	0		
Затухание из-за геометрической дивергенции, Adiv, дБ	расстояние = 806.49 м	ф-ла (7) [10]	**69,1**										
Коэффициент затухания звука в атмосфере α, дБ/км	Ta=20,°C Pa=101.33,кПа hотн.=70%	ф-ла (5) [9]	0,02	0,09	0,33	1,12	2,79	4,98	9,04	23,09	77,63		
Учет затухания звука в атмосфере Aatm, дБ		ф-ла (8) [10]	0	0,1	0,3	0,9	2,3	4	7,3	18,6	62,6		
Снижение уровня звукового давления из-за влияния застройки между источником шума и расчетной точкой													
Снижение уровня звукового давления на пути над экраном, Dz1, дБ	z = 0.19м (разность путей)	ф-лы (14-18) [10]	4,8	4,8	4,8	4,8	4,8	4,8	4,8	4,8	4,9		
Снижение уровня звукового давления на пути слева от экрана, Dz2, дБ	z = 1.22м (разность путей)	ф-лы (14-18) [10]	8,8	10,8	13,2	15,9	18,8	21,7	24,6	27,6	30,6		

1		2	3	4	5	6	7	8	9	10	11	12	13
Снижение уровня звукового давления на пути справа от экрана, Dz3, дБ	z = 10.90м (разность путей)	ф-лы (14-18) [10]	20,8	23,9	26,8	29,8	32,8	35,9	38,9	41,9	44,9		
Общее снижение уровня звука препятствием Dz, дБ		Эн.сумма(-Dzi)	3,2	3,8	4,2	4,4	4,6	4,7	4,8	4,8	4,9		
Уровни звукового давления от источника ИШ-6-24 в расчётной точке днём, дБ		**ф-ла(3)[10]**	**18,6**	**18**	**17,4**	**16,5**	**15**	**13,1**	**9,8**	**0**	**0**	**17,5**	**17,5**
Уровни звукового давления от источника ИШ-6-24 в расчётной точке ночью, дБ		**ф-ла(3)[10]**	**18,6**	**18**	**17,4**	**16,5**	**15**	**13,1**	**9,8**	**0**	**0**	**17,5**	**17,5**
Источник шума: ИШ-8-1, координаты источника (x,y,z), м =[612.60,-227.70,3.00]													
Уровни звуковой мощности источника днём, Lw, дБ		**исходные данные**	**105**	**104**	**104**	**101**	**102**	**106**	**101**	**95**	**87**		
Уровни звуковой мощности источника ночью, Lw, дБ		**исходные данные**	**105**	**104**	**104**	**101**	**102**	**106**	**101**	**95**	**87**		
Поправка на телесный угол DΩ, дБ	Ω = 6.28	10Lg(4π/Ω)	**3**	3	3	3	3	3	3	3	3		
Показатель направленности источника Di, дБ		исходные данные	**0**	0	0	0	0	0	0	0	0		
Поправка на направленность источника Dc, дБ	Dc	DΩ + Di	**3**	3	3	3	3	3	3	3	3		
Затухание из-за геометрической дивергенции, Adiv, дБ	расстояние = 611.79 м	ф-ла (7) [10]	**66,7**										
Коэффициент затухания звука в атмосфере α, дБ/км	Ta=20,°C Pa=101.33,кПа hотн.=70%	ф-ла (5) [9]	0,02	0,09	0,33	1,12	2,79	4,98	9,04	23,09	77,63		
Учет затухания звука в атмосфере Aatm, дБ		ф-ла (8) [10]	0	0,1	0,2	0,7	1,7	3	5,5	14,1	47,5		
Снижение уровня звукового давления из-за влияния застройки между источником шума и расчетной точкой													
Снижение уровня звукового давления препятствием справа от трассы ИШ-РТ, Dz3, дБ	z = -0.04м (разность путей)	ф-лы (14-18) [10]	0	0	3,7	2,4	0	NAN	NAN	NAN	NAN		
* отрицательное значение z означает прохождение траектории вблизи экрана, в этом случае дополнительно производится учёт снижения подстилающей поверхностью (см.ниже)													
Снижение поверхностью земли возле источника As, дБ	Gs = 0 hs = 3м	ф-лы таб.3 [10]	-1,5	-1,5	-1,5	-1,5	-1,5	-1,5	-1,5	-1,5	-1,5		

1		2	3	4	5	6	7	8	9	10	11	12	13
Снижение поверхностью земли возле приёмника Ar, дБ	Gr = 1 hr = 1.5м	ф-лы таб.3 [10]	-1,5	-1,5	3,7	7	5	0,7	0	0	0		
Снижение поверхностью земли в средней зоне, Am дБ	Gm = 1	ф-лы таб.3 [10]	-2,3	-2,3	0	0	0	0	0	0	0		
Суммарное снижение поверхностью земли на траектории распространения звука Agr, дБ		ф-ла (9) [10]	-5,3	-5,3	2,2	5,5	3,5	-0,8	-1,5	-1,5	-1,5		
Уровни звукового давления от источника ИШ-8-1 в расчётной точке днём, дБ		**ф-ла(3)[10]**	**46,6**	**45,6**	**34,1**	**28,7**	**33,1**	**40,1**	**33,3**	**18,7**	**0**	**41,5**	**41,5**
Уровни звукового давления от источника ИШ-8-1 в расчётной точке ночью, дБ		**ф-ла(3)[10]**	**46,6**	**45,6**	**34,1**	**28,7**	**33,1**	**40,1**	**33,3**	**18,7**	**0**	**41,5**	**41,5**
Источник шума: ИШ-8-2, координаты источника (x,y,z), м =[596.60,-275.00,3.00]													
Уровни звуковой мощности источника днём, Lw, дБ		**исходные данные**	**105**	**104**	**104**	**101**	**102**	**106**	**101**	**95**	**87**		
Уровни звуковой мощности источника ночью, Lw, дБ		**исходные данные**	**105**	**104**	**104**	**101**	**102**	**106**	**101**	**95**	**87**		
Поправка на телесный угол DΩ, дБ	Ω = 6.28	10Lg(4π/Ω)	**3**	3	3	3	3	3	3	3	3		
Показатель направленности источника Di, дБ		исходные данные	**0**	0	0	0	0	0	0	0	0		
Поправка на направленность источника Dc, дБ	Dc	DΩ + Di	**3**	3	3	3	3	3	3	3	3		
Затухание из-за геометрической дивергенции, Adiv, дБ	расстояние = 595.30 м	ф-ла (7) [10]	**66,5**										
Коэффициент затухания звука в атмосфере α, дБ/км	Ta=20,°C Pa=101.33,кПа hотн.=70%	ф-ла (5) [9]	0,02	0,09	0,33	1,12	2,79	4,98	9,04	23,09	77,63		
Учет затухания звука в атмосфере Aatm, дБ		ф-ла (8) [10]	0	0,1	0,2	0,7	1,7	3	5,4	13,7	46,2		
Снижение поверхностью земли возле источника As, дБ	Gs = 0 hs = 3м	ф-лы таб.3 [10]	-1,5	-1,5	-1,5	-1,5	-1,5	-1,5	-1,5	-1,5	-1,5		
Снижение поверхностью земли возле приёмника Ar, дБ	Gr = 1 hr = 1.5м	ф-лы таб.3 [10]	-1,5	-1,5	3,6	7	5	0,7	0	0	0		

1		2	3	4	5	6	7	8	9	10	11	12	13
Снижение поверхностью земли в средней зоне, Am дБ	Gm = 1	ф-лы таб.3 [10]	-2,3	-2,3	0	0	0	0	0	0	0		
Суммарное снижение поверхностью земли на траектории распространения звука Agr, дБ		ф-ла (9) [10]	-5,3	-5,3	2,1	5,5	3,5	-0,8	-1,5	-1,5	-1,5		
Уровни звукового давления прямого звука от источника ИШ-8-2 в расчётной точке днём, дБ		**ф-ла(3)[10]**	**46,8**	**45,8**	**38,2**	**31,3**	**33,4**	**40,4**	**33,6**	**19,3**	**0**	**41,9**	**41,9**
Уровни звукового давления прямого звука от источника ИШ-8-2 в расчётной точке ночью, дБ		**ф-ла(3)[10]**	**46,8**	**45,8**	**38,2**	**31,3**	**33,4**	**40,4**	**33,6**	**19,3**	**0**	**41,9**	**41,9**
Расчёт отражённого звука													
Уровни звукового давления от мнимого источника ИШ-8-2_мн.(1) в расчётной точке днём, дБ		**ф-ла(3)[10]**	**0**	**0**	**0**	**0**	**0**	**0**	**0**	**0**	**0**	**0**	**0**
Уровни звукового давления от мнимого источника ИШ-8-2_мн.(1) в расчётной точке ночью, дБ		**ф-ла(3)[10]**	**0**	**0**	**0**	**0**	**0**	**0**	**0**	**0**	**0**	**0**	**0**
Уровни звукового давления от источника ИШ-8-2 в расчётной точке днём, дБ		**ф-ла(3)[10]**	**46,8**	**45,8**	**38,2**	**31,3**	**33,4**	**40,4**	**33,6**	**19,3**	**0**	**41,9**	**41,9**
Уровни звукового давления от источника ИШ-8-2 в расчётной точке ночью, дБ		**ф-ла(3)[10]**	**46,8**	**45,8**	**38,2**	**31,3**	**33,4**	**40,4**	**33,6**	**19,3**	**0**	**41,9**	**41,9**
Источник шума: ИШ-8-3, координаты источника (x,y,z), м =[564.90,-369.90,3.00]													
Уровни звуковой мощности источника днём, Lw, дБ		**исходные данные**	**105**	**104**	**104**	**101**	**102**	**106**	**101**	**95**	**87**		
Уровни звуковой мощности источника ночью, Lw, дБ		**исходные данные**	**105**	**104**	**104**	**101**	**102**	**106**	**101**	**95**	**87**		
Поправка на телесный угол DΩ, дБ	Ω = 6.28	10Lg(4π/Ω)	**3**	3	3	3	3	3	3	3	3		
Показатель направленности источника Di, дБ		исходные данные	**0**	0	0	0	0	0	0	0	0		
Поправка на направленность источника Dc, дБ	Dc	DΩ + Di	**3**	3	3	3	3	3	3	3	3		
Затухание из-за геометрической дивергенции, Adiv, дБ	расстояние = 574.41 м	ф-ла (7) [10]	**66,2**										
Коэффициент затухания звука в атмосфере α, дБ/км	Ta=20,°C Pa=101.33,кПа hотн.=70%	ф-ла (5) [9]	0,02	0,09	0,33	1,12	2,79	4,98	9,04	23,09	77,63		

1		2	3	4	5	6	7	8	9	10	11	12	13
Учет затухания звука в атмосфере Aatm, дБ		ф-ла (8) [10]	0	0,1	0,2	0,6	1,6	2,9	5,2	13,3	44,6		
Снижение поверхностью земли возле источника As, дБ	Gs = 0 hs = 3м	ф-лы таб.3 [10]	-1,5	-1,5	-1,5	-1,5	-1,5	-1,5	-1,5	-1,5	-1,5		
Снижение поверхностью земли возле приёмника Ar, дБ	Gr = 1 hr = 1.5м	ф-лы таб.3 [10]	-1,5	-1,5	3,5	7	5	0,7	0	0	0		
Снижение поверхностью земли в средней зоне, Am дБ	Gm = 1	ф-лы таб.3 [10]	-2,3	-2,3	0	0	0	0	0	0	0		
Суммарное снижение поверхностью земли на траектории распространения звука Agr, дБ		ф-ла (9) [10]	-5,3	-5,3	2	5,5	3,5	-0,8	-1,5	-1,5	-1,5		
Уровни звукового давления от источника ИШ-8-3 в расчётной точке днём, дБ		**ф-ла(3)[10]**	**47,1**	**46,1**	**38,6**	**31,7**	**33,8**	**40,8**	**34,1**	**20,1**	**0**	**42,4**	**42,4**
Уровни звукового давления от источника ИШ-8-3 в расчётной точке ночью, дБ		**ф-ла(3)[10]**	**47,1**	**46,1**	**38,6**	**31,7**	**33,8**	**40,8**	**34,1**	**20,1**	**0**	**42,4**	**42,4**
Источник шума: ИШ-9-1, координаты источника (x,y,z), м =[642.94,-357.54,1.00]													
Уровни звуковой мощности источника днём, Lw, дБ		**исходные данные**	**0**	**93,3**	**94,7**	**96**	**96,3**	**95,9**	**92,6**	**88,4**	**83,9**		
Уровни звуковой мощности источника ночью, Lw, дБ		**исходные данные**	**0**	**93,3**	**94,7**	**96**	**96,3**	**95,9**	**92,6**	**88,4**	**83,9**		
Поправка на телесный угол DΩ, дБ	Ω = 6.28	10Lg(4π/Ω)	**3**	3	3	3	3	3	3	3	3		
Показатель направленности источника Di, дБ		исходные данные	**0**	0	0	0	0	0	0	0	0		
Поправка на направленность источника Dc, дБ	Dc	DΩ + Di	**3**	3	3	3	3	3	3	3	3		
Затухание из-за геометрической дивергенции, Adiv, дБ	расстояние = 649.11 м	ф-ла (7) [10]	**67,2**										
Коэффициент затухания звука в атмосфере α, дБ/км	Ta=20,°C Pa=101.33,кПа hотн.=70%	ф-ла (5) [9]	0,02	0,09	0,33	1,12	2,79	4,98	9,04	23,09	77,63		
Учет затухания звука в атмосфере Aatm, дБ		ф-ла (8) [10]	0	0,1	0,2	0,7	1,8	3,2	5,9	15	50,4		

1		2	3	4	5	6	7	8	9	10	11	12	13
Снижение поверхностью земли возле источника As, дБ	Gs = 0 hs = 1м	ф-лы таб.3 [10]	-1,5	-1,5	-1,5	-1,5	-1,5	-1,5	-1,5	-1,5	-1,5		
Снижение поверхностью земли возле приёмника Ar, дБ	Gr = 1 hr = 1.5м	ф-лы таб.3 [10]	-1,5	-1,5	3,9	7	5	0,7	0	0	0		
Снижение поверхностью земли в средней зоне, Am дБ	Gm = 1	ф-лы таб.3 [10]	-2,7	-2,7	0	0	0	0	0	0	0		
Суммарное снижение поверхностью земли на траектории распространения звука Agr, дБ		ф-ла (9) [10]	-5,7	-5,7	2,4	5,5	3,5	-0,8	-1,5	-1,5	-1,5		
Уровни звукового давления прямого звука от источника ИШ-9-1 в расчётной точке днём, дБ		**ф-ла(3)[10]**	**0**	**34,6**	**27,8**	**25,5**	**26,8**	**29,3**	**24**	**10,7**	**0**	**31,7**	**31,7**
Уровни звукового давления прямого звука от источника ИШ-9-1 в расчётной точке ночью, дБ		**ф-ла(3)[10]**	**0**	**34,6**	**27,8**	**25,5**	**26,8**	**29,3**	**24**	**10,7**	**0**	**31,7**	**31,7**
Расчёт отражённого звука													
Уровни звукового давления от мнимого источника ИШ-9-1_мн.(1) в расчётной точке днём, дБ		**ф-ла(3)[10]**	**0**	**0**	**0**	**0**	**0**	**0**	**0**	**0**	**0**	**0**	**0**
Уровни звукового давления от мнимого источника ИШ-9-1_мн.(1) в расчётной точке ночью, дБ		**ф-ла(3)[10]**	**0**	**0**	**0**	**0**	**0**	**0**	**0**	**0**	**0**	**0**	**0**
Уровни звукового давления от источника ИШ-9-1 в расчётной точке днём, дБ		**ф-ла(3)[10]**	**0**	**34,6**	**27,8**	**25,5**	**26,8**	**29,3**	**24**	**10,7**	**0**	**31,7**	**31,7**
Уровни звукового давления от источника ИШ-9-1 в расчётной точке ночью, дБ		**ф-ла(3)[10]**	**0**	**34,6**	**27,8**	**25,5**	**26,8**	**29,3**	**24**	**10,7**	**0**	**31,7**	**31,7**
Источник шума: ИШ-9-2, координаты источника (x,y,z), м =[644.14,-354.83,1.00]													
Уровни звуковой мощности источника днём, Lw, дБ		**исходные данные**	**0**	**93,3**	**94,7**	**96**	**96,3**	**95,9**	**92,6**	**88,4**	**83,9**		
Уровни звуковой мощности источника ночью, Lw, дБ		**исходные данные**	**0**	**93,3**	**94,7**	**96**	**96,3**	**95,9**	**92,6**	**88,4**	**83,9**		
Поправка на телесный угол DΩ, дБ	Ω = 6.28	10Lg(4π/Ω)	**3**	3	3	3	3	3	3	3	3		
Показатель направленности источника Di, дБ		исходные данные	**0**	0	0	0	0	0	0	0	0		
Поправка на направленность источника Dc, дБ	Dc	DΩ + Di	**3**	3	3	3	3	3	3	3	3		

1		2	3	4	5	6	7	8	9	10	11	12	13
Затухание из-за геометрической дивергенции, Adiv, дБ	расстояние = 649.89 м	ф-ла (7) [10]	**67,3**										
Коэффициент затухания звука в атмосфере α, дБ/км	Ta=20,°C Pa=101.33,кПа hотн.=70%	ф-ла (5) [9]	0,02	0,09	0,33	1,12	2,79	4,98	9,04	23,09	77,63		
Учет затухания звука в атмосфере Aatm, дБ		ф-ла (8) [10]	0	0,1	0,2	0,7	1,8	3,2	5,9	15	50,5		
Снижение уровня звукового давления из-за влияния застройки между источником шума и расчетной точкой													
Снижение уровня звукового давления препятствием справа от трассы ИШ-РТ, Dz3, дБ	z = -0.21м (разность путей)	ф-лы (14-18) [10]	0	1,6	NAN	NAN	NAN	NAN	NAN	NAN	NAN		
* отрицательное значение z означает прохождение траектории вблизи экрана, в этом случае дополнительно производится учёт снижения подстилающей поверхностью (см.ниже)													
Снижение поверхностью земли возле источника As, дБ	Gs = 0 hs = 1м	ф-лы таб.3 [10]	-1,5	-1,5	-1,5	-1,5	-1,5	-1,5	-1,5	-1,5	-1,5		
Снижение поверхностью земли возле приёмника Ar, дБ	Gr = 1 hr = 1.5м	ф-лы таб.3 [10]	-1,5	-1,5	3,9	7	5	0,7	0	0	0		
Снижение поверхностью земли в средней зоне, Am дБ	Gm = 1	ф-лы таб.3 [10]	-2,7	-2,7	0	0	0	0	0	0	0		
Суммарное снижение поверхностью земли на траектории распространения звука Agr, дБ		ф-ла (9) [10]	-5,7	-5,7	2,4	5,5	3,5	-0,8	-1,5	-1,5	-1,5		
Уровни звукового давления от источника ИШ-9-2 в расчётной точке днём, дБ		**ф-ла(3)[10]**	**0**	**33**	**27,8**	**25,5**	**26,7**	**29,2**	**24**	**10,6**	**0**	**31,7**	**31,7**
Уровни звукового давления от источника ИШ-9-2 в расчётной точке ночью, дБ		**ф-ла(3)[10]**	**0**	**33**	**27,8**	**25,5**	**26,7**	**29,2**	**24**	**10,6**	**0**	**31,7**	**31,7**
Источник шума: ИШ-9-3, координаты источника (x,y,z), м =[644.98,-351.85,1.00]													
Уровни звуковой мощности источника днём, Lw, дБ		**исходные данные**	**0**	**93,3**	**94,7**	**96**	**96,3**	**95,9**	**92,6**	**88,4**	**83,9**		
Уровни звуковой мощности источника ночью, Lw, дБ		**исходные данные**	**0**	**93,3**	**94,7**	**96**	**96,3**	**95,9**	**92,6**	**88,4**	**83,9**		
Поправка на телесный угол DΩ, дБ	Ω = 6.28	10Lg(4π/Ω)	**3**	3	3	3	3	3	3	3	3		
Показатель направленности источника Di, дБ		исходные данные	**0**	0	0	0	0	0	0	0	0		

1		2	3	4	5	6	7	8	9	10	11	12	13
Поправка на направленность источника Dc, дБ	Dc	DΩ + Di	**3**	3	3	3	3	3	3	3	3		
Затухание из-за геометрической дивергенции, Adiv, дБ	расстояние = 650.28 м	ф-ла (7) [10]	**67,3**										
Коэффициент затухания звука в атмосфере α, дБ/км	Ta=20,°C Pa=101.33,кПа hотн.=70%	ф-ла (5) [9]	0,02	0,09	0,33	1,12	2,79	4,98	9,04	23,09	77,63		
Учет затухания звука в атмосфере Aatm, дБ		ф-ла (8) [10]	0	0,1	0,2	0,7	1,8	3,2	5,9	15	50,5		
Снижение уровня звукового давления из-за влияния застройки между источником шума и расчетной точкой													
Снижение уровня звукового давления препятствием справа от трассы ИШ-РТ, Dz3, дБ	z = -0.08м (разность путей)	ф-лы (14-18) [10]	0	0	2,8	0	NAN	NAN	NAN	NAN	NAN		
* отрицательное значение z означает прохождение траектории вблизи экрана, в этом случае дополнительно производится учёт снижения подстилающей поверхностью (см.ниже)													
Снижение поверхностью земли возле источника As, дБ	Gs = 0 hs = 1м	ф-лы таб.3 [10]	-1,5	-1,5	-1,5	-1,5	-1,5	-1,5	-1,5	-1,5	-1,5		
Снижение поверхностью земли возле приёмника Ar, дБ	Gr = 1 hr = 1.5м	ф-лы таб.3 [10]	-1,5	-1,5	3,9	7	5	0,7	0	0	0		
Снижение поверхностью земли в средней зоне, Am дБ	Gm = 1	ф-лы таб.3 [10]	-2,7	-2,7	0	0	0	0	0	0	0		
Суммарное снижение поверхностью земли на траектории распространения звука Agr, дБ		ф-ла (9) [10]	-5,7	-5,7	2,4	5,5	3,5	-0,8	-1,5	-1,5	-1,5		
Уровни звукового давления от источника ИШ-9-3 в расчётной точке днём, дБ		**ф-ла(3)[10]**	**0**	**34,6**	**25**	**25,5**	**26,7**	**29,2**	**24**	**10,6**	**0**	**31,7**	**31,7**
Уровни звукового давления от источника ИШ-9-3 в расчётной точке ночью, дБ		**ф-ла(3)[10]**	**0**	**34,6**	**25**	**25,5**	**26,7**	**29,2**	**24**	**10,6**	**0**	**31,7**	**31,7**
Источник шума: ИШ-9-4, координаты источника (x,y,z), м =[646.01,-349.15,1.00]													
Уровни звуковой мощности источника днём, Lw, дБ		**исходные данные**	**0**	**93,3**	**94,7**	**96**	**96,3**	**95,9**	**92,6**	**88,4**	**83,9**		
Уровни звуковой мощности источника ночью, Lw, дБ		**исходные данные**	**0**	**93,3**	**94,7**	**96**	**96,3**	**95,9**	**92,6**	**88,4**	**83,9**		
Поправка на телесный угол DΩ, дБ	Ω = 6.28	10Lg(4π/Ω)	**3**	3	3	3	3	3	3	3	3		

1		2	3	4	5	6	7	8	9	10	11	12	13
Показатель направленности источника Di, дБ		исходные данные	**0**	0	0	0	0	0	0	0	0		
Поправка на направленность источника Dc, дБ	Dc	DΩ + Di	**3**	3	3	3	3	3	3	3	3		
Затухание из-за геометрической дивергенции, Adiv, дБ	расстояние = 650.90 м	ф-ла (7) [10]	**67,3**										
Коэффициент затухания звука в атмосфере α, дБ/км	Ta=20,°C Pa=101.33,кПа hотн.=70%	ф-ла (5) [9]	0,02	0,09	0,33	1,12	2,79	4,98	9,04	23,09	77,63		
Учет затухания звука в атмосфере Aatm, дБ		ф-ла (8) [10]	0	0,1	0,2	0,7	1,8	3,2	5,9	15	50,5		
Снижение уровня звукового давления из-за влияния застройки между источником шума и расчетной точкой													
Снижение уровня звукового давления препятствием справа от трассы ИШ-РТ, Dz3, дБ	z = -0.01м (разность путей)	ф-лы (14-18) [10]	0	0	0	4,3	3,7	2,2	0	NAN	NAN		
* отрицательное значение z означает прохождение траектории вблизи экрана, в этом случае дополнительно производится учёт снижения подстилающей поверхностью (см.ниже)													
Снижение поверхностью земли возле источника As, дБ	Gs = 0 hs = 1м	ф-лы таб.3 [10]	-1,5	-1,5	-1,5	-1,5	-1,5	-1,5	-1,5	-1,5	-1,5		
Снижение поверхностью земли возле приёмника Ar, дБ	Gr = 1 hr = 1.5м	ф-лы таб.3 [10]	-1,5	-1,5	3,9	7	5	0,7	0	0	0		
Снижение поверхностью земли в средней зоне, Am дБ	Gm = 1	ф-лы таб.3 [10]	-2,7	-2,7	0	0	0	0	0	0	0		
Суммарное снижение поверхностью земли на траектории распространения звука Agr, дБ		ф-ла (9) [10]	-5,7	-5,7	2,4	5,5	3,5	-0,8	-1,5	-1,5	-1,5		
Уровни звукового давления от источника ИШ-9-4 в расчётной точке днём, дБ		**ф-ла(3)[10]**	**0**	**34,6**	**27,8**	**21,2**	**23,1**	**27**	**23,9**	**10,6**	**0**	**29,9**	**29,9**
Уровни звукового давления от источника ИШ-9-4 в расчётной точке ночью, дБ		**ф-ла(3)[10]**	**0**	**34,6**	**27,8**	**21,2**	**23,1**	**27**	**23,9**	**10,6**	**0**	**29,9**	**29,9**
Источник шума: ИШ-9-5, координаты источника (x,y,z), м =[646.84,-346.17,1.00]													
Уровни звуковой мощности источника днём, Lw, дБ		**исходные данные**	**0**	**93,3**	**94,7**	**96**	**96,3**	**95,9**	**92,6**	**88,4**	**83,9**		
Уровни звуковой мощности источника ночью, Lw, дБ		**исходные данные**	**0**	**93,3**	**94,7**	**96**	**96,3**	**95,9**	**92,6**	**88,4**	**83,9**		

1		2	3	4	5	6	7	8	9	10	11	12	13
Поправка на телесный угол DΩ, дБ	Ω = 6.28	10Lg(4π/Ω)	**3**	3	3	3	3	3	3	3	3		
Показатель направленности источника Di, дБ		исходные данные	**0**	0	0	0	0	0	0	0	0		
Поправка на направленность источника Dc, дБ	Dc	DΩ + Di	**3**	3	3	3	3	3	3	3	3		
Затухание из-за геометрической дивергенции, Adiv, дБ	расстояние = 651.32 м	ф-ла (7) [10]	**67,3**										
Коэффициент затухания звука в атмосфере α, дБ/км	Ta=20,°C Pa=101.33,кПа hотн.=70%	ф-ла (5) [9]	0,02	0,09	0,33	1,12	2,79	4,98	9,04	23,09	77,63		
Учет затухания звука в атмосфере Aatm, дБ		ф-ла (8) [10]	0	0,1	0,2	0,7	1,8	3,2	5,9	15	50,6		
Снижение уровня звукового давления из-за влияния застройки между источником шума и расчетной точкой													
Снижение уровня звукового давления на пути над экраном, Dz1, дБ	z = 0.04м (разность путей)	ф-лы (14-18) [10]	4,8	4,8	4,8	4,8	4,8	4,8	4,8	4,8	4,8		
Снижение уровня звукового давления на пути слева от экрана, Dz2, дБ	z = 0.01м (разность путей)	ф-лы (14-18) [10]	4,8	4,8	4,9	5	5,2	5,6	6,4	7,5	9,2		
Снижение уровня звукового давления на пути справа от экрана, Dz3, дБ	z = 2.93м (разность путей)	ф-лы (14-18) [10]	11,5	14,2	17,5	21,7	26,1	29,8	33,1	36,1	39,2		
Общее снижение уровня звука препятствием Dz, дБ		Эн.сумма(-Dzi)	1,3	1,5	1,7	1,8	2	2,2	2,5	2,9	3,4		
Уровни звукового давления от источника ИШ-9-5 в расчётной точке днём, дБ		**ф-ла(3)[10]**	**0**	**27,4**	**28,5**	**29,2**	**28,2**	**26,2**	**19,9**	**6,2**	**0**	**30**	**30**
Уровни звукового давления от источника ИШ-9-5 в расчётной точке ночью, дБ		**ф-ла(3)[10]**	**0**	**27,4**	**28,5**	**29,2**	**28,2**	**26,2**	**19,9**	**6,2**	**0**	**30**	**30**
Источник шума: ИШ-9-6, координаты источника (x,y,z), м =[647.87,-343.47,1.00]													
Уровни звуковой мощности источника днём, Lw, дБ		**исходные данные**	**0**	**93,3**	**94,7**	**96**	**96,3**	**95,9**	**92,6**	**88,4**	**83,9**		
Уровни звуковой мощности источника ночью, Lw, дБ		**исходные данные**	**0**	**93,3**	**94,7**	**96**	**96,3**	**95,9**	**92,6**	**88,4**	**83,9**		

1		2	3	4	5	6	7	8	9	10	11	12	13
Поправка на телесный угол DΩ, дБ	Ω = 6.28	10Lg(4π/Ω)	**3**	3	3	3	3	3	3	3	3		
Показатель направленности источника Di, дБ		исходные данные	**0**	0	0	0	0	0	0	0	0		
Поправка на направленность источника Dc, дБ	Dc	DΩ + Di	**3**	3	3	3	3	3	3	3	3		
Затухание из-за геометрической дивергенции, Adiv, дБ	расстояние = 651.98 м	ф-ла (7) [10]	**67,3**										
Коэффициент затухания звука в атмосфере α, дБ/км	Ta=20,°C Pa=101.33,кПа hотн.=70%	ф-ла (5) [9]	0,02	0,09	0,33	1,12	2,79	4,98	9,04	23,09	77,63		
Учет затухания звука в атмосфере Aatm, дБ		ф-ла (8) [10]	0	0,1	0,2	0,7	1,8	3,2	5,9	15,1	50,6		
Снижение уровня звукового давления из-за влияния застройки между источником шума и расчетной точкой													
Снижение уровня звукового давления на пути над экраном, Dz1, дБ	z = 0.04м (разность путей)	ф-лы (14-18) [10]	4,8	4,8	4,8	4,8	4,8	4,8	4,8	4,8	4,8		
Снижение уровня звукового давления на пути слева от экрана, Dz2, дБ	z = 0.06м (разность путей)	ф-лы (14-18) [10]	5,1	5,4	5,9	6,7	8,1	9,9	12,2	14,8	17,6		
Снижение уровня звукового давления на пути справа от экрана, Dz3, дБ	z = 2.39м (разность путей)	ф-лы (14-18) [10]	10,7	13,2	15,8	18,7	21,6	24,5	27,5	30,5	33,5		
Общее снижение уровня звука препятствием Dz, дБ		Эн.сумма(-Dzi)	1,4	1,7	2,1	2,5	3	3,6	4	4,4	4,5		
Уровни звукового давления от источника ИШ-9-6 в расчётной точке днём, дБ		**ф-ла(3)[10]**	**0**	**27,2**	**28,1**	**28,5**	**27,1**	**24,8**	**18,4**	**4,7**	**0**	**28,8**	**28,8**
Уровни звукового давления от источника ИШ-9-6 в расчётной точке ночью, дБ		**ф-ла(3)[10]**	**0**	**27,2**	**28,1**	**28,5**	**27,1**	**24,8**	**18,4**	**4,7**	**0**	**28,8**	**28,8**
Источник шума: ИШ-9-7, координаты источника (x,y,z), м =[648.71,-340.49,1.00]													
Уровни звуковой мощности источника днём, Lw, дБ		**исходные данные**	**0**	**93,3**	**94,7**	**96**	**96,3**	**95,9**	**92,6**	**88,4**	**83,9**		
Уровни звуковой мощности источника ночью, Lw, дБ		**исходные данные**	**0**	**93,3**	**94,7**	**96**	**96,3**	**95,9**	**92,6**	**88,4**	**83,9**		

1		2	3	4	5	6	7	8	9	10	11	12	13
Поправка на телесный угол DΩ, дБ	Ω = 6.28	10Lg(4π/Ω)	**3**	3	3	3	3	3	3	3	3		
Показатель направленности источника Di, дБ		исходные данные	**0**	0	0	0	0	0	0	0	0		
Поправка на направленность источника Dc, дБ	Dc	DΩ + Di	**3**	3	3	3	3	3	3	3	3		
Затухание из-за геометрической дивергенции, Adiv, дБ	расстояние = 652.42 м	ф-ла (7) [10]	**67,3**										
Коэффициент затухания звука в атмосфере α, дБ/км	Ta=20,°C Pa=101.33,кПа hотн.=70%	ф-ла (5) [9]	0,02	0,09	0,33	1,12	2,79	4,98	9,04	23,09	77,63		
Учет затухания звука в атмосфере Aatm, дБ		ф-ла (8) [10]	0	0,1	0,2	0,7	1,8	3,2	5,9	15,1	50,6		
Снижение уровня звукового давления из-за влияния застройки между источником шума и расчетной точкой													
Снижение уровня звукового давления на пути над экраном, Dz1, дБ	z = 0.04м (разность путей)	ф-лы (14-18) [10]	4,8	4,8	4,8	4,8	4,8	4,8	4,8	4,8	4,8		
Снижение уровня звукового давления на пути слева от экрана, Dz2, дБ	z = 0.18м (разность путей)	ф-лы (14-18) [10]	5,6	6,3	7,5	9,1	11,3	13,8	16,5	19,4	22,3		
Снижение уровня звукового давления на пути справа от экрана, Dz3, дБ	z = 1.88м (разность путей)	ф-лы (14-18) [10]	10	12,3	14,9	17,6	20,5	23,5	26,5	29,5	32,5		
Общее снижение уровня звука препятствием Dz, дБ		Эн.сумма(-Dzi)	1,5	2	2,6	3,3	3,8	4,2	4,5	4,6	4,7		
Уровни звукового давления от источника ИШ-9-7 в расчётной точке днём, дБ		**ф-ла(3)[10]**	**0**	**26,9**	**27,5**	**27,7**	**26,4**	**24,1**	**17,9**	**4,4**	**0**	**28,1**	**28,1**
Уровни звукового давления от источника ИШ-9-7 в расчётной точке ночью, дБ		**ф-ла(3)[10]**	**0**	**26,9**	**27,5**	**27,7**	**26,4**	**24,1**	**17,9**	**4,4**	**0**	**28,1**	**28,1**
Источник шума: ИШ-9-8, координаты источника (x,y,z), м =[649.92,-337.69,1.00]													
Уровни звуковой мощности источника днём, Lw, дБ		**исходные данные**	**0**	**93,3**	**94,7**	**96**	**96,3**	**95,9**	**92,6**	**88,4**	**83,9**		
Уровни звуковой мощности источника ночью, Lw, дБ		**исходные данные**	**0**	**93,3**	**94,7**	**96**	**96,3**	**95,9**	**92,6**	**88,4**	**83,9**		

1		2	3	4	5	6	7	8	9	10	11	12	13
Поправка на телесный угол DΩ, дБ	Ω = 6.28	10Lg(4π/Ω)	**3**	3	3	3	3	3	3	3	3		
Показатель направленности источника Di, дБ		исходные данные	**0**	0	0	0	0	0	0	0	0		
Поправка на направленность источника Dc, дБ	Dc	DΩ + Di	**3**	3	3	3	3	3	3	3	3		
Затухание из-за геометрической дивергенции, Adiv, дБ	расстояние = 653.28 м	ф-ла (7) [10]	**67,3**										
Коэффициент затухания звука в атмосфере α, дБ/км	Ta=20,°C Pa=101.33,кПа hотн.=70%	ф-ла (5) [9]	0,02	0,09	0,33	1,12	2,79	4,98	9,04	23,09	77,63		
Учет затухания звука в атмосфере Aatm, дБ		ф-ла (8) [10]	0	0,1	0,2	0,7	1,8	3,3	5,9	15,1	50,7		
Снижение уровня звукового давления из-за влияния застройки между источником шума и расчетной точкой													
Снижение уровня звукового давления на пути над экраном, Dz1, дБ	z = 0.04м (разность путей)	ф-лы (14-18) [10]	4,8	4,8	4,8	4,8	4,8	4,8	4,8	4,8	4,8		
Снижение уровня звукового давления на пути слева от экрана, Dz2, дБ	z = 0.35м (разность путей)	ф-лы (14-18) [10]	6,3	7,5	9,1	11,2	13,7	16,4	19,3	22,2	25,2		
Снижение уровня звукового давления на пути справа от экрана, Dz3, дБ	z = 1.44м (разность путей)	ф-лы (14-18) [10]	9,2	11,4	13,8	16,6	19,4	22,4	25,3	28,3	31,3		
Общее снижение уровня звука препятствием Dz, дБ		Эн.сумма(-Dzi)	1,6	2,3	3	3,7	4,1	4,4	4,6	4,7	4,7		
Уровни звукового давления от источника ИШ-9-8 в расчётной точке днём, дБ		**ф-ла(3)[10]**	**0**	**26,6**	**27,1**	**27,3**	**26**	**23,9**	**17,8**	**4,3**	**0**	**27,9**	**27,9**
Уровни звукового давления от источника ИШ-9-8 в расчётной точке ночью, дБ		**ф-ла(3)[10]**	**0**	**26,6**	**27,1**	**27,3**	**26**	**23,9**	**17,8**	**4,3**	**0**	**27,9**	**27,9**
Источник шума: ИШ-9-9, координаты источника (x,y,z), м =[650.66,-334.90,1.00]													
Уровни звуковой мощности источника днём, Lw, дБ		**исходные данные**	**0**	**93,3**	**94,7**	**96**	**96,3**	**95,9**	**92,6**	**88,4**	**83,9**		
Уровни звуковой мощности источника ночью, Lw, дБ		**исходные данные**	**0**	**93,3**	**94,7**	**96**	**96,3**	**95,9**	**92,6**	**88,4**	**83,9**		

1		2	3	4	5	6	7	8	9	10	11	12	13
Поправка на телесный угол DΩ, дБ	Ω = 6.28	10Lg(4π/Ω)	**3**	3	3	3	3	3	3	3	3		
Показатель направленности источника Di, дБ		исходные данные	**0**	0	0	0	0	0	0	0	0		
Поправка на направленность источника Dc, дБ	Dc	DΩ + Di	**3**	3	3	3	3	3	3	3	3		
Затухание из-за геометрической дивергенции, Adiv, дБ	расстояние = 653.68 м	ф-ла (7) [10]	**67,3**										
Коэффициент затухания звука в атмосфере α, дБ/км	Ta=20,°C Pa=101.33,кПа hотн.=70%	ф-ла (5) [9]	0,02	0,09	0,33	1,12	2,79	4,98	9,04	23,09	77,63		
Учет затухания звука в атмосфере Aatm, дБ		ф-ла (8) [10]	0	0,1	0,2	0,7	1,8	3,3	5,9	15,1	50,7		
Снижение уровня звукового давления из-за влияния застройки между источником шума и расчетной точкой													
Снижение уровня звукового давления на пути над экраном, Dz1, дБ	z = 0.04м (разность путей)	ф-лы (14-18) [10]	4,8	4,8	4,8	4,8	4,8	4,8	4,8	4,8	4,8		
Снижение уровня звукового давления на пути слева от экрана, Dz2, дБ	z = 0.57м (разность путей)	ф-лы (14-18) [10]	7,1	8,6	10,6	13	15,6	18,5	21,4	24,4	27,3		
Снижение уровня звукового давления на пути справа от экрана, Dz3, дБ	z = 1.07м (разность путей)	ф-лы (14-18) [10]	8,4	10,4	12,7	15,4	18,2	21,1	24,1	27	30		
Общее снижение уровня звука препятствием Dz, дБ		Эн.сумма(-Dzi)	1,7	2,5	3,2	3,8	4,3	4,5	4,6	4,7	4,7		
Уровни звукового давления от источника ИШ-9-9 в расчётной точке днём, дБ		**ф-ла(3)[10]**	**0**	**26,4**	**26,9**	**27,1**	**25,9**	**23,8**	**17,7**	**4,3**	**0**	**27,7**	**27,7**
Уровни звукового давления от источника ИШ-9-9 в расчётной точке ночью, дБ		**ф-ла(3)[10]**	**0**	**26,4**	**26,9**	**27,1**	**25,9**	**23,8**	**17,7**	**4,3**	**0**	**27,7**	**27,7**
Источник шума: ИШ-9-10, координаты источника (x,y,z), м =[651.59,-332.01,1.00]													
Уровни звуковой мощности источника днём, Lw, дБ		**исходные данные**	**0**	**93,3**	**94,7**	**96**	**96,3**	**95,9**	**92,6**	**88,4**	**83,9**		
Уровни звуковой мощности источника ночью, Lw, дБ		**исходные данные**	**0**	**93,3**	**94,7**	**96**	**96,3**	**95,9**	**92,6**	**88,4**	**83,9**		

1		2	3	4	5	6	7	8	9	10	11	12	13
Поправка на телесный угол DΩ, дБ	Ω = 6.28	10Lg(4π/Ω)	**3**	3	3	3	3	3	3	3	3		
Показатель направленности источника Di, дБ		исходные данные	**0**	0	0	0	0	0	0	0	0		
Поправка на направленность источника Dc, дБ	Dc	DΩ + Di	**3**	3	3	3	3	3	3	3	3		
Затухание из-за геометрической дивергенции, Adiv, дБ	расстояние = 654.27 м	ф-ла (7) [10]	**67,3**										
Коэффициент затухания звука в атмосфере α, дБ/км	Ta=20,°C Pa=101.33,кПа hотн.=70%	ф-ла (5) [9]	0,02	0,09	0,33	1,12	2,79	4,98	9,04	23,09	77,63		
Учет затухания звука в атмосфере Aatm, дБ		ф-ла (8) [10]	0	0,1	0,2	0,7	1,8	3,3	5,9	15,1	50,8		
Снижение уровня звукового давления из-за влияния застройки между источником шума и расчетной точкой													
Снижение уровня звукового давления на пути над экраном, Dz1, дБ	z = 0.04м (разность путей)	ф-лы (14-18) [10]	4,8	4,8	4,8	4,8	4,8	4,8	4,8	4,8	4,8		
Снижение уровня звукового давления на пути слева от экрана, Dz2, дБ	z = 0.86м (разность путей)	ф-лы (14-18) [10]	7,9	9,7	12	14,5	17,3	20,2	23,1	26,1	29,1		
Снижение уровня звукового давления на пути справа от экрана, Dz3, дБ	z = 0.74м (разность путей)	ф-лы (14-18) [10]	7,6	9,3	11,4	14	16,7	19,6	22,5	25,5	28,5		
Общее снижение уровня звука препятствием Dz, дБ		Эн.сумма(-Dzi)	1,7	2,5	3,3	3,9	4,3	4,5	4,6	4,7	4,7		
Уровни звукового давления от источника ИШ-9-10 в расчётной точке днём, дБ		**ф-ла(3)[10]**	**0**	**26,4**	**26,9**	**27,1**	**25,9**	**23,8**	**17,7**	**4,3**	**0**	**27,7**	**27,7**
Уровни звукового давления от источника ИШ-9-10 в расчётной точке ночью, дБ		**ф-ла(3)[10]**	**0**	**26,4**	**26,9**	**27,1**	**25,9**	**23,8**	**17,7**	**4,3**	**0**	**27,7**	**27,7**
Источник шума: ИШ-9-11, координаты источника (x,y,z), м =[652.71,-329.22,1.00]													
Уровни звуковой мощности источника днём, Lw, дБ		**исходные данные**	**0**	**93,3**	**94,7**	**96**	**96,3**	**95,9**	**92,6**	**88,4**	**83,9**		
Уровни звуковой мощности источника ночью, Lw, дБ		**исходные данные**	**0**	**93,3**	**94,7**	**96**	**96,3**	**95,9**	**92,6**	**88,4**	**83,9**		

1		2	3	4	5	6	7	8	9	10	11	12	13
Поправка на телесный угол DΩ, дБ	Ω = 6.28	10Lg(4π/Ω)	**3**	3	3	3	3	3	3	3	3		
Показатель направленности источника Di, дБ		исходные данные	**0**	0	0	0	0	0	0	0	0		
Поправка на направленность источника Dc, дБ	Dc	DΩ + Di	**3**	3	3	3	3	3	3	3	3		
Затухание из-за геометрической дивергенции, Adiv, дБ	расстояние = 655.07 м	ф-ла (7) [10]	**67,3**										
Коэффициент затухания звука в атмосфере α, дБ/км	Ta=20,°C Pa=101.33,кПа hотн.=70%	ф-ла (5) [9]	0,02	0,09	0,33	1,12	2,79	4,98	9,04	23,09	77,63		
Учет затухания звука в атмосфере Aatm, дБ		ф-ла (8) [10]	0	0,1	0,2	0,7	1,8	3,3	5,9	15,1	50,9		
Снижение уровня звукового давления из-за влияния застройки между источником шума и расчетной точкой													
Снижение уровня звукового давления на пути над экраном, Dz1, дБ	z = 0.04м (разность путей)	ф-лы (14-18) [10]	4,8	4,8	4,8	4,8	4,8	4,8	4,8	4,8	4,8		
Снижение уровня звукового давления на пути слева от экрана, Dz2, дБ	z = 1.20м (разность путей)	ф-лы (14-18) [10]	8,7	10,7	13,1	15,8	18,7	21,6	24,5	27,5	30,5		
Снижение уровня звукового давления на пути справа от экрана, Dz3, дБ	z = 0.48м (разность путей)	ф-лы (14-18) [10]	6,8	8,2	10	12,4	15	17,8	20,7	23,6	26,6		
Общее снижение уровня звука препятствием Dz, дБ		Эн.сумма(-Dzi)	1,7	2,4	3,2	3,8	4,2	4,5	4,6	4,7	4,7		
Уровни звукового давления от источника ИШ-9-11 в расчётной точке днём, дБ		**ф-ла(3)[10]**	**0**	**26,5**	**27**	**27,1**	**25,9**	**23,8**	**17,7**	**4,2**	**0**	**27,7**	**27,7**
Уровни звукового давления от источника ИШ-9-11 в расчётной точке ночью, дБ		**ф-ла(3)[10]**	**0**	**26,5**	**27**	**27,1**	**25,9**	**23,8**	**17,7**	**4,2**	**0**	**27,7**	**27,7**
Источник шума: ИШ-9-12, координаты источника (x,y,z), м =[653.46,-326.33,1.00]													
Уровни звуковой мощности источника днём, Lw, дБ		**исходные данные**	**0**	**93,3**	**94,7**	**96**	**96,3**	**95,9**	**92,6**	**88,4**	**83,9**		
Уровни звуковой мощности источника ночью, Lw, дБ		**исходные данные**	**0**	**93,3**	**94,7**	**96**	**96,3**	**95,9**	**92,6**	**88,4**	**83,9**		

1		2	3	4	5	6	7	8	9	10	11	12	13
Поправка на телесный угол DΩ, дБ	Ω = 6.28	10Lg(4π/Ω)	**3**	3	3	3	3	3	3	3	3		
Показатель направленности источника Di, дБ		исходные данные	**0**	0	0	0	0	0	0	0	0		
Поправка на направленность источника Dc, дБ	Dc	DΩ + Di	**3**	3	3	3	3	3	3	3	3		
Затухание из-за геометрической дивергенции, Adiv, дБ	расстояние = 655.50 м	ф-ла (7) [10]	**67,3**										
Коэффициент затухания звука в атмосфере α, дБ/км	Ta=20,°C Pa=101.33,кПа hотн.=70%	ф-ла (5) [9]	0,02	0,09	0,33	1,12	2,79	4,98	9,04	23,09	77,63		
Учет затухания звука в атмосфере Aatm, дБ		ф-ла (8) [10]	0	0,1	0,2	0,7	1,8	3,3	5,9	15,1	50,9		
Снижение уровня звукового давления из-за влияния застройки между источником шума и расчетной точкой													
Снижение уровня звукового давления на пути над экраном, Dz1, дБ	z = 0.04м (разность путей)	ф-лы (14-18) [10]	4,8	4,8	4,8	4,8	4,8	4,8	4,8	4,8	4,8		
Снижение уровня звукового давления на пути слева от экрана, Dz2, дБ	z = 1.59м (разность путей)	ф-лы (14-18) [10]	9,5	11,7	14,2	17	19,8	22,8	25,8	28,8	31,8		
Снижение уровня звукового давления на пути справа от экрана, Dz3, дБ	z = 0.28м (разность путей)	ф-лы (14-18) [10]	6	7	8,5	10,5	12,9	15,5	18,3	21,2	24,2		
Общее снижение уровня звука препятствием Dz, дБ		Эн.сумма(-Dzi)	1,6	2,2	2,9	3,5	4	4,4	4,6	4,7	4,7		
Уровни звукового давления от источника ИШ-9-12 в расчётной точке днём, дБ		**ф-ла(3)[10]**	**0**	**26,7**	**27,2**	**27,4**	**26,1**	**23,9**	**17,8**	**4,3**	**0**	**27,9**	**27,9**
Уровни звукового давления от источника ИШ-9-12 в расчётной точке ночью, дБ		**ф-ла(3)[10]**	**0**	**26,7**	**27,2**	**27,4**	**26,1**	**23,9**	**17,8**	**4,3**	**0**	**27,9**	**27,9**
Источник шума: ИШ-9-13, координаты источника (x,y,z), м =[654.48,-323.54,1.00]													
Уровни звуковой мощности источника днём, Lw, дБ		**исходные данные**	**0**	**93,3**	**94,7**	**96**	**96,3**	**95,9**	**92,6**	**88,4**	**83,9**		
Уровни звуковой мощности источника ночью, Lw, дБ		**исходные данные**	**0**	**93,3**	**94,7**	**96**	**96,3**	**95,9**	**92,6**	**88,4**	**83,9**		

1		2	3	4	5	6	7	8	9	10	11	12	13
Поправка на телесный угол DΩ, дБ	Ω = 6.28	10Lg(4π/Ω)	**3**	3	3	3	3	3	3	3	3		
Показатель направленности источника Di, дБ		исходные данные	**0**	0	0	0	0	0	0	0	0		
Поправка на направленность источника Dc, дБ	Dc	DΩ + Di	**3**	3	3	3	3	3	3	3	3		
Затухание из-за геометрической дивергенции, Adiv, дБ	расстояние = 656.24 м	ф-ла (7) [10]	**67,3**										
Коэффициент затухания звука в атмосфере α, дБ/км	Ta=20,°C Pa=101.33,кПа hотн.=70%	ф-ла (5) [9]	0,02	0,09	0,33	1,12	2,79	4,98	9,04	23,09	77,63		
Учет затухания звука в атмосфере Aatm, дБ		ф-ла (8) [10]	0	0,1	0,2	0,7	1,8	3,3	5,9	15,1	50,9		
Снижение уровня звукового давления из-за влияния застройки между источником шума и расчетной точкой													
Снижение уровня звукового давления на пути над экраном, Dz1, дБ	z = 0.04м (разность путей)	ф-лы (14-18) [10]	4,8	4,8	4,8	4,8	4,8	4,8	4,8	4,8	4,8		
Снижение уровня звукового давления на пути слева от экрана, Dz2, дБ	z = 2.02м (разность путей)	ф-лы (14-18) [10]	10,2	12,6	15,2	18	20,9	23,8	26,8	29,8	32,8		
Снижение уровня звукового давления на пути справа от экрана, Dz3, дБ	z = 0.13м (разность путей)	ф-лы (14-18) [10]	5,4	6	6,9	8,3	10,3	12,6	15,3	18,1	21		
Общее снижение уровня звука препятствием Dz, дБ		Эн.сумма(-Dzi)	1,5	1,9	2,5	3	3,6	4,1	4,4	4,6	4,7		
Уровни звукового давления от источника ИШ-9-13 в расчётной точке днём, дБ		**ф-ла(3)[10]**	**0**	**27**	**27,7**	**27,9**	**26,5**	**24,2**	**17,9**	**4,3**	**0**	**28,2**	**28,2**
Уровни звукового давления от источника ИШ-9-13 в расчётной точке ночью, дБ		**ф-ла(3)[10]**	**0**	**27**	**27,7**	**27,9**	**26,5**	**24,2**	**17,9**	**4,3**	**0**	**28,2**	**28,2**
Источник шума: ИШ-9-14, координаты источника (x,y,z), м =[655.60,-320.74,1.00]													
Уровни звуковой мощности источника днём, Lw, дБ		**исходные данные**	**0**	**93,3**	**94,7**	**96**	**96,3**	**95,9**	**92,6**	**88,4**	**83,9**		
Уровни звуковой мощности источника ночью, Lw, дБ		**исходные данные**	**0**	**93,3**	**94,7**	**96**	**96,3**	**95,9**	**92,6**	**88,4**	**83,9**		

1		2	3	4	5	6	7	8	9	10	11	12	13
Поправка на телесный угол DΩ, дБ	Ω = 6.28	10Lg(4π/Ω)	**3**	3	3	3	3	3	3	3	3		
Показатель направленности источника Di, дБ		исходные данные	**0**	0	0	0	0	0	0	0	0		
Поправка на направленность источника Dc, дБ	Dc	DΩ + Di	**3**	3	3	3	3	3	3	3	3		
Затухание из-за геометрической дивергенции, Adiv, дБ	расстояние = 657.07 м	ф-ла (7) [10]	**67,4**										
Коэффициент затухания звука в атмосфере α, дБ/км	Ta=20,°C Pa=101.33,кПа hотн.=70%	ф-ла (5) [9]	0,02	0,09	0,33	1,12	2,79	4,98	9,04	23,09	77,63		
Учет затухания звука в атмосфере Aatm, дБ		ф-ла (8) [10]	0	0,1	0,2	0,7	1,8	3,3	5,9	15,2	51		
Снижение уровня звукового давления из-за влияния застройки между источником шума и расчетной точкой													
Снижение уровня звукового давления на пути над экраном, Dz1, дБ	z = 0.04м (разность путей)	ф-лы (14-18) [10]	4,8	4,8	4,8	4,8	4,8	4,8	4,8	4,8	4,8		
Снижение уровня звукового давления на пути слева от экрана, Dz2, дБ	z = 2.51м (разность путей)	ф-лы (14-18) [10]	10,9	13,3	16	18,8	21,8	24,7	27,7	30,7	33,7		
Снижение уровня звукового давления на пути справа от экрана, Dz3, дБ	z = 0.04м (разность путей)	ф-лы (14-18) [10]	5	5,2	5,5	6,2	7,2	8,8	10,8	13,3	16		
Общее снижение уровня звука препятствием Dz, дБ		Эн.сумма(-Dzi)	1,3	1,6	1,9	2,3	2,8	3,3	3,8	4,2	4,5		
Уровни звукового давления от источника ИШ-9-14 в расчётной точке днём, дБ		**ф-ла(3)[10]**	**0**	**27,2**	**28,2**	**28,6**	**27,3**	**25**	**18,5**	**4,7**	**0**	**29**	**29**
Уровни звукового давления от источника ИШ-9-14 в расчётной точке ночью, дБ		**ф-ла(3)[10]**	**0**	**27,2**	**28,2**	**28,6**	**27,3**	**25**	**18,5**	**4,7**	**0**	**29**	**29**
Источник шума: ИШ-9-15, координаты источника (x,y,z), м =[656.44,-317.86,1.00]													
Уровни звуковой мощности источника днём, Lw, дБ		**исходные данные**	**0**	**93,3**	**94,7**	**96**	**96,3**	**95,9**	**92,6**	**88,4**	**83,9**		
Уровни звуковой мощности источника ночью, Lw, дБ		**исходные данные**	**0**	**93,3**	**94,7**	**96**	**96,3**	**95,9**	**92,6**	**88,4**	**83,9**		

1		2	3	4	5	6	7	8	9	10	11	12	13
Поправка на телесный угол DΩ, дБ	Ω = 6.28	10Lg(4π/Ω)	**3**	3	3	3	3	3	3	3	3		
Показатель направленности источника Di, дБ		исходные данные	**0**	0	0	0	0	0	0	0	0		
Поправка на направленность источника Dc, дБ	Dc	DΩ + Di	**3**	3	3	3	3	3	3	3	3		
Затухание из-за геометрической дивергенции, Adiv, дБ	расстояние = 657.64 м	ф-ла (7) [10]	**67,4**										
Коэффициент затухания звука в атмосфере α, дБ/км	Ta=20,°C Pa=101.33,кПа hотн.=70%	ф-ла (5) [9]	0,02	0,09	0,33	1,12	2,79	4,98	9,04	23,09	77,63		
Учет затухания звука в атмосфере Aatm, дБ		ф-ла (8) [10]	0	0,1	0,2	0,7	1,8	3,3	5,9	15,2	51,1		
Снижение уровня звукового давления из-за влияния застройки между источником шума и расчетной точкой													
Снижение уровня звукового давления на пути над экраном, Dz1, дБ	z = 0.04м (разность путей)	ф-лы (14-18) [10]	4,8	4,8	4,8	4,8	4,8	4,8	4,8	4,8	4,8		
Снижение уровня звукового давления на пути слева от экрана, Dz2, дБ	z = 3.05м (разность путей)	ф-лы (14-18) [10]	11,6	14,1	16,8	19,7	22,6	25,6	28,6	31,6	34,6		
Снижение уровня звукового давления на пути справа от экрана, Dz3, дБ	z = 0.00м (разность путей)	ф-лы (14-18) [10]	4,8	4,8	4,8	4,8	4,8	4,9	5,1	5,3	5,8		
Общее снижение уровня звука препятствием Dz, дБ		Эн.сумма(-Dzi)	1,3	1,5	1,6	1,7	1,8	1,8	1,9	2	2,3		
Уровни звукового давления от источника ИШ-9-15 в расчётной точке днём, дБ		**ф-ла(3)[10]**	**0**	**27,4**	**28,5**	**29,2**	**28,3**	**26,4**	**20,4**	**6,8**	**0**	**30,2**	**30,2**
Уровни звукового давления от источника ИШ-9-15 в расчётной точке ночью, дБ		**ф-ла(3)[10]**	**0**	**27,4**	**28,5**	**29,2**	**28,3**	**26,4**	**20,4**	**6,8**	**0**	**30,2**	**30,2**
Источник шума: ИШ-9-16, координаты источника (x,y,z), м =[657.46,-314.97,1.00]													
Уровни звуковой мощности источника днём, Lw, дБ		**исходные данные**	**0**	**93,3**	**94,7**	**96**	**96,3**	**95,9**	**92,6**	**88,4**	**83,9**		
Уровни звуковой мощности источника ночью, Lw, дБ		**исходные данные**	**0**	**93,3**	**94,7**	**96**	**96,3**	**95,9**	**92,6**	**88,4**	**83,9**		

1		2	3	4	5	6	7	8	9	10	11	12	13
Поправка на телесный угол DΩ, дБ	Ω = 6.28	10Lg(4π/Ω)	**3**	3	3	3	3	3	3	3	3		
Показатель направленности источника Di, дБ		исходные данные	**0**	0	0	0	0	0	0	0	0		
Поправка на направленность источника Dc, дБ	Dc	DΩ + Di	**3**	3	3	3	3	3	3	3	3		
Затухание из-за геометрической дивергенции, Adiv, дБ	расстояние = 658.40 м	ф-ла (7) [10]	**67,4**										
Коэффициент затухания звука в атмосфере α, дБ/км	Ta=20,°C Pa=101.33,кПа hотн.=70%	ф-ла (5) [9]	0,02	0,09	0,33	1,12	2,79	4,98	9,04	23,09	77,63		
Учет затухания звука в атмосфере Aatm, дБ		ф-ла (8) [10]	0	0,1	0,2	0,7	1,8	3,3	6	15,2	51,1		
Снижение уровня звукового давления из-за влияния застройки между источником шума и расчетной точкой													
Снижение уровня звукового давления препятствием слева от трассы ИШ-РТ, Dz2, дБ	z = -0.02м (разность путей)	ф-лы (14-18) [10]	4,7	4,6	4,3	3,9	2,8	0	NAN	NAN	NAN		
* отрицательное значение z означает прохождение траектории вблизи экрана, в этом случае дополнительно производится учёт снижения подстилающей поверхностью (см.ниже)													
Снижение поверхностью земли возле источника As, дБ	Gs = 0 hs = 1м	ф-лы таб.3 [10]	-1,5	-1,5	-1,5	-1,5	-1,5	-1,5	-1,5	-1,5	-1,5		
Снижение поверхностью земли возле приёмника Ar, дБ	Gr = 1 hr = 1.5м	ф-лы таб.3 [10]	-1,5	-1,5	4	7	5	0,7	0	0	0		
Снижение поверхностью земли в средней зоне, Am дБ	Gm = 1	ф-лы таб.3 [10]	-2,7	-2,7	0	0	0	0	0	0	0		
Суммарное снижение поверхностью земли на траектории распространения звука Agr, дБ		ф-ла (9) [10]	-5,7	-5,7	2,5	5,5	3,5	-0,8	-1,5	-1,5	-1,5		
Уровни звукового давления от источника ИШ-9-16 в расчётной точке днём, дБ		**ф-ла(3)[10]**	**0**	**30**	**23,3**	**21,5**	**23,8**	**29,1**	**23,8**	**10,3**	**0**	**31,1**	**31,1**
Уровни звукового давления от источника ИШ-9-16 в расчётной точке ночью, дБ		**ф-ла(3)[10]**	**0**	**30**	**23,3**	**21,5**	**23,8**	**29,1**	**23,8**	**10,3**	**0**	**31,1**	**31,1**
Источник шума: ИШ-9-17, координаты источника (x,y,z), м =[658.49,-312.18,1.00]													
Уровни звуковой мощности источника днём, Lw, дБ		**исходные данные**	**0**	**93,3**	**94,7**	**96**	**96,3**	**95,9**	**92,6**	**88,4**	**83,9**		

1		2	3	4	5	6	7	8	9	10	11	12	13
Уровни звуковой мощности источника ночью, Lw, дБ		**исходные данные**	**0**	**93,3**	**94,7**	**96**	**96,3**	**95,9**	**92,6**	**88,4**	**83,9**		
Поправка на телесный угол DΩ, дБ	Ω = 6.28	10Lg(4π/Ω)	**3**	3	3	3	3	3	3	3	3		
Показатель направленности источника Di, дБ		исходные данные	**0**	0	0	0	0	0	0	0	0		
Поправка на направленность источника Dc, дБ	Dc	DΩ + Di	**3**	3	3	3	3	3	3	3	3		
Затухание из-за геометрической дивергенции, Adiv, дБ	расстояние = 659.19 м	ф-ла (7) [10]	**67,4**										
Коэффициент затухания звука в атмосфере α, дБ/км	Ta=20,°C Pa=101.33,кПа hотн.=70%	ф-ла (5) [9]	0,02	0,09	0,33	1,12	2,79	4,98	9,04	23,09	77,63		
Учет затухания звука в атмосфере Aatm, дБ		ф-ла (8) [10]	0	0,1	0,2	0,7	1,8	3,3	6	15,2	51,2		
Снижение уровня звукового давления из-за влияния застройки между источником шума и расчетной точкой													
Снижение уровня звукового давления препятствием слева от трассы ИШ-РТ, Dz2, дБ	z = -0.09м (разность путей)	ф-лы (14-18) [10]	4,3	3,7	2,3	0	NAN	NAN	NAN	NAN	NAN		
* отрицательное значение z означает прохождение траектории вблизи экрана, в этом случае дополнительно производится учёт снижения подстилающей поверхностью (см.ниже)													
Снижение поверхностью земли возле источника As, дБ	Gs = 0 hs = 1м	ф-лы таб.3 [10]	-1,5	-1,5	-1,5	-1,5	-1,5	-1,5	-1,5	-1,5	-1,5		
Снижение поверхностью земли возле приёмника Ar, дБ	Gr = 1 hr = 1.5м	ф-лы таб.3 [10]	-1,5	-1,5	4	7	5	0,7	0	0	0		
Снижение поверхностью земли в средней зоне, Am дБ	Gm = 1	ф-лы таб.3 [10]	-2,7	-2,7	0	0	0	0	0	0	0		
Суммарное снижение поверхностью земли на траектории распространения звука Agr, дБ		ф-ла (9) [10]	-5,7	-5,7	2,5	5,5	3,5	-0,8	-1,5	-1,5	-1,5		
Уровни звукового давления от источника ИШ-9-17 в расчётной точке днём, дБ		**ф-ла(3)[10]**	**0**	**30,8**	**25,3**	**25,3**	**26,6**	**29,1**	**23,8**	**10,3**	**0**	**31,5**	**31,5**
Уровни звукового давления от источника ИШ-9-17 в расчётной точке ночью, дБ		**ф-ла(3)[10]**	**0**	**30,8**	**25,3**	**25,3**	**26,6**	**29,1**	**23,8**	**10,3**	**0**	**31,5**	**31,5**

Источник шума: ИШ-9-18, координаты источника (x,y,z), м =[659.42,-309.20,1.00]

1		2	3	4	5	6	7	8	9	10	11	12	13
Уровни звуковой мощности источника днём, Lw, дБ		**исходные данные**	**0**	**93,3**	**94,7**	**96**	**96,3**	**95,9**	**92,6**	**88,4**	**83,9**		
Уровни звуковой мощности источника ночью, Lw, дБ		**исходные данные**	**0**	**93,3**	**94,7**	**96**	**96,3**	**95,9**	**92,6**	**88,4**	**83,9**		
Поправка на телесный угол DΩ, дБ	Ω = 6.28	10Lg(4π/Ω)	**3**	3	3	3	3	3	3	3	3		
Показатель направленности источника Di, дБ		исходные данные	**0**	0	0	0	0	0	0	0	0		
Поправка на направленность источника Dc, дБ	Dc	DΩ + Di	**3**	3	3	3	3	3	3	3	3		
Затухание из-за геометрической дивергенции, Adiv, дБ	расстояние = 659.87 м	ф-ла (7) [10]	**67,4**										
Коэффициент затухания звука в атмосфере α, дБ/км	Ta=20,°C Pa=101.33,кПа hотн.=70%	ф-ла (5) [9]	0,02	0,09	0,33	1,12	2,79	4,98	9,04	23,09	77,63		
Учет затухания звука в атмосфере Aatm, дБ		ф-ла (8) [10]	0	0,1	0,2	0,7	1,8	3,3	6	15,2	51,2		
Снижение уровня звукового давления из-за влияния застройки между источником шума и расчетной точкой													
Снижение уровня звукового давления препятствием слева от трассы ИШ-РТ, Dz2, дБ	z = -0.22м (разность путей)	ф-лы (14-18) [10]	3,4	1,4	NAN	NAN	NAN	NAN	NAN	NAN	NAN		
* отрицательное значение z означает прохождение траектории вблизи экрана, в этом случае дополнительно производится учёт снижения подстилающей поверхностью (см.ниже)													
Снижение поверхностью земли возле источника As, дБ	Gs = 0 hs = 1м	ф-лы таб.3 [10]	-1,5	-1,5	-1,5	-1,5	-1,5	-1,5	-1,5	-1,5	-1,5		
Снижение поверхностью земли возле приёмника Ar, дБ	Gr = 1 hr = 1.5м	ф-лы таб.3 [10]	-1,5	-1,5	4	7	5	0,7	0	0	0		
Снижение поверхностью земли в средней зоне, Am дБ	Gm = 1	ф-лы таб.3 [10]	-2,7	-2,7	0	0	0	0	0	0	0		
Суммарное снижение поверхностью земли на траектории распространения звука Agr, дБ		ф-ла (9) [10]	-5,7	-5,7	2,5	5,5	3,5	-0,8	-1,5	-1,5	-1,5		
Уровни звукового давления от источника ИШ-9-18 в расчётной точке днём, дБ		**ф-ла(3)[10]**	**0**	**33,1**	**27,6**	**25,3**	**26,6**	**29,1**	**23,7**	**10,3**	**0**	**31,5**	**31,5**
Уровни звукового давления от источника ИШ-9-18 в расчётной точке ночью, дБ		**ф-ла(3)[10]**	**0**	**33,1**	**27,6**	**25,3**	**26,6**	**29,1**	**23,7**	**10,3**	**0**	**31,5**	**31,5**

1		2	3	4	5	6	7	8	9	10	11	12	13
Источник шума: ИШ-9-19, координаты источника (x,y,z), м =[660.44,-306.50,1.00]													
Уровни звуковой мощности источника днём, Lw, дБ		**исходные данные**	**0**	**93,3**	**94,7**	**96**	**96,3**	**95,9**	**92,6**	**88,4**	**83,9**		
Уровни звуковой мощности источника ночью, Lw, дБ		**исходные данные**	**0**	**93,3**	**94,7**	**96**	**96,3**	**95,9**	**92,6**	**88,4**	**83,9**		
Поправка на телесный угол DΩ, дБ	Ω = 6.28	10Lg(4π/Ω)	**3**	3	3	3	3	3	3	3	3		
Показатель направленности источника Di, дБ		исходные данные	**0**	0	0	0	0	0	0	0	0		
Поправка на направленность источника Dc, дБ	Dc	DΩ + Di	**3**	3	3	3	3	3	3	3	3		
Затухание из-за геометрической дивергенции, Adiv, дБ	расстояние = 660.69 м	ф-ла (7) [10]	**67,4**										
Коэффициент затухания звука в атмосфере α, дБ/км	Ta=20,°C Pa=101.33,кПа hотн.=70%	ф-ла (5) [9]	0,02	0,09	0,33	1,12	2,79	4,98	9,04	23,09	77,63		
Учет затухания звука в атмосфере Aatm, дБ		ф-ла (8) [10]	0	0,1	0,2	0,7	1,8	3,3	6	15,3	51,3		
Снижение уровня звукового давления из-за влияния застройки между источником шума и расчетной точкой													
Снижение уровня звукового давления препятствием слева от трассы ИШ-РТ, Dz2, дБ	z = -0.38м (разность путей)	ф-лы (14-18) [10]	2	0	NAN	NAN	NAN	NAN	NAN	NAN	NAN		
* отрицательное значение z означает прохождение траектории вблизи экрана, в этом случае дополнительно производится учёт снижения подстилающей поверхностью (см.ниже)													
Снижение поверхностью земли возле источника As, дБ	Gs = 0 hs = 1м	ф-лы таб.3 [10]	-1,5	-1,5	-1,5	-1,5	-1,5	-1,5	-1,5	-1,5	-1,5		
Снижение поверхностью земли возле приёмника Ar, дБ	Gr = 1 hr = 1.5м	ф-лы таб.3 [10]	-1,5	-1,5	4	7	5	0,7	0	0	0		
Снижение поверхностью земли в средней зоне, Am дБ	Gm = 1	ф-лы таб.3 [10]	-2,7	-2,7	0	0	0	0	0	0	0		
Суммарное снижение поверхностью земли на траектории распространения звука Agr, дБ		ф-ла (9) [10]	-5,7	-5,7	2,5	5,5	3,5	-0,8	-1,5	-1,5	-1,5		
Уровни звукового давления от источника ИШ-9-19 в расчётной точке днём, дБ		**ф-ла(3)[10]**	**0**	**34,5**	**27,6**	**25,3**	**26,6**	**29**	**23,7**	**10,2**	**0**	**31,5**	**31,5**

1		2	3	4	5	6	7	8	9	10	11	12	13
Уровни звукового давления от источника ИШ-9-19 в расчётной точке ночью, дБ		**ф-ла(3)[10]**	**0**	**34,5**	**27,6**	**25,3**	**26,6**	**29**	**23,7**	**10,2**	**0**	**31,5**	**31,5**
Источник шума: ИШ-9-20, координаты источника (x,y,z), м =[661.28,-303.61,1.00]													
Уровни звуковой мощности источника днём, Lw, дБ		**исходные данные**	**0**	**93,3**	**94,7**	**96**	**96,3**	**95,9**	**92,6**	**88,4**	**83,9**		
Уровни звуковой мощности источника ночью, Lw, дБ		**исходные данные**	**0**	**93,3**	**94,7**	**96**	**96,3**	**95,9**	**92,6**	**88,4**	**83,9**		
Поправка на телесный угол DΩ, дБ	Ω = 6.28	10Lg(4π/Ω)	**3**	3	3	3	3	3	3	3	3		
Показатель направленности источника Di, дБ		исходные данные	**0**	0	0	0	0	0	0	0	0		
Поправка на направленность источника Dc, дБ	Dc	DΩ + Di	**3**	3	3	3	3	3	3	3	3		
Затухание из-за геометрической дивергенции, Adiv, дБ	расстояние = 661.32 м	ф-ла (7) [10]	**67,4**										
Коэффициент затухания звука в атмосфере α, дБ/км	Ta=20,°C Pa=101.33,кПа hотн.=70%	ф-ла (5) [9]	0,02	0,09	0,33	1,12	2,79	4,98	9,04	23,09	77,63		
Учет затухания звука в атмосфере Aatm, дБ		ф-ла (8) [10]	0	0,1	0,2	0,7	1,8	3,3	6	15,3	51,3		
Снижение поверхностью земли возле источника As, дБ	Gs = 0 hs = 1м	ф-лы таб.3 [10]	-1,5	-1,5	-1,5	-1,5	-1,5	-1,5	-1,5	-1,5	-1,5		
Снижение поверхностью земли возле приёмника Ar, дБ	Gr = 1 hr = 1.5м	ф-лы таб.3 [10]	-1,5	-1,5	4	7	5	0,7	0	0	0		
Снижение поверхностью земли в средней зоне, Am дБ	Gm = 1	ф-лы таб.3 [10]	-2,7	-2,7	0	0	0	0	0	0	0		
Суммарное снижение поверхностью земли на траектории распространения звука Agr, дБ		ф-ла (9) [10]	-5,7	-5,7	2,5	5,5	3,5	-0,8	-1,5	-1,5	-1,5		
Уровни звукового давления от источника ИШ-9-20 в расчётной точке днём, дБ		**ф-ла(3)[10]**	**0**	**34,5**	**27,6**	**25,3**	**26,6**	**29**	**23,7**	**10,2**	**0**	**31,5**	**31,5**
Уровни звукового давления от источника ИШ-9-20 в расчётной точке ночью, дБ		**ф-ла(3)[10]**	**0**	**34,5**	**27,6**	**25,3**	**26,6**	**29**	**23,7**	**10,2**	**0**	**31,5**	**31,5**

1		2	3	4	5	6	7	8	9	10	11	12	13
Источник шума: ИШ-9-21, координаты источника (x,y,z), м =[661.93,-300.72,1.00]													
Уровни звуковой мощности источника днём, Lw, дБ		**исходные данные**	**0**	**93,3**	**94,7**	**96**	**96,3**	**95,9**	**92,6**	**88,4**	**83,9**		
Уровни звуковой мощности источника ночью, Lw, дБ		**исходные данные**	**0**	**93,3**	**94,7**	**96**	**96,3**	**95,9**	**92,6**	**88,4**	**83,9**		
Поправка на телесный угол DΩ, дБ	Ω = 6.28	10Lg(4π/Ω)	**3**	3	3	3	3	3	3	3	3		
Показатель направленности источника Di, дБ		исходные данные	**0**	0	0	0	0	0	0	0	0		
Поправка на направленность источника Dc, дБ	Dc	DΩ + Di	**3**	3	3	3	3	3	3	3	3		
Затухание из-за геометрической дивергенции, Adiv, дБ	расстояние = 661.78 м	ф-ла (7) [10]	**67,4**										
Коэффициент затухания звука в атмосфере α, дБ/км	Ta=20,°C Pa=101.33,кПа hотн.=70%	ф-ла (5) [9]	0,02	0,09	0,33	1,12	2,79	4,98	9,04	23,09	77,63		
Учет затухания звука в атмосфере Aatm, дБ		ф-ла (8) [10]	0	0,1	0,2	0,7	1,8	3,3	6	15,3	51,4		
Снижение поверхностью земли возле источника As, дБ	Gs = 0 hs = 1м	ф-лы таб.3 [10]	-1,5	-1,5	-1,5	-1,5	-1,5	-1,5	-1,5	-1,5	-1,5		
Снижение поверхностью земли возле приёмника Ar, дБ	Gr = 1 hr = 1.5м	ф-лы таб.3 [10]	-1,5	-1,5	4	7	5	0,7	0	0	0		
Снижение поверхностью земли в средней зоне, Am дБ	Gm = 1	ф-лы таб.3 [10]	-2,7	-2,7	0	0	0	0	0	0	0		
Суммарное снижение поверхностью земли на траектории распространения звука Agr, дБ		ф-ла (9) [10]	-5,7	-5,7	2,5	5,5	3,5	-0,8	-1,5	-1,5	-1,5		
Уровни звукового давления от источника ИШ-9-21 в расчётной точке днём, дБ		**ф-ла(3)[10]**	**0**	**34,5**	**27,6**	**25,3**	**26,6**	**29**	**23,7**	**10,2**	**0**	**31,5**	**31,5**
Уровни звукового давления от источника ИШ-9-21 в расчётной точке ночью, дБ		**ф-ла(3)[10]**	**0**	**34,5**	**27,6**	**25,3**	**26,6**	**29**	**23,7**	**10,2**	**0**	**31,5**	**31,5**
Источник шума: ИШ-9-22, координаты источника (x,y,z), м =[663.14,-297.83,1.00]													

1		2	3	4	5	6	7	8	9	10	11	12	13
Уровни звуковой мощности источника днём, Lw, дБ		**исходные данные**	**0**	**93,3**	**94,7**	**96**	**96,3**	**95,9**	**92,6**	**88,4**	**83,9**		
Уровни звуковой мощности источника ночью, Lw, дБ		**исходные данные**	**0**	**93,3**	**94,7**	**96**	**96,3**	**95,9**	**92,6**	**88,4**	**83,9**		
Поправка на телесный угол DΩ, дБ	Ω = 6.28	10Lg(4π/Ω)	**3**	3	3	3	3	3	3	3	3		
Показатель направленности источника Di, дБ		исходные данные	**0**	0	0	0	0	0	0	0	0		
Поправка на направленность источника Dc, дБ	Dc	DΩ + Di	**3**	3	3	3	3	3	3	3	3		
Затухание из-за геометрической дивергенции, Adiv, дБ	расстояние = 662.81 м	ф-ла (7) [10]	**67,4**										
Коэффициент затухания звука в атмосфере α, дБ/км	Ta=20,°C Pa=101.33,кПа hотн.=70%	ф-ла (5) [9]	0,02	0,09	0,33	1,12	2,79	4,98	9,04	23,09	77,63		
Учет затухания звука в атмосфере Aatm, дБ		ф-ла (8) [10]	0	0,1	0,2	0,7	1,8	3,3	6	15,3	51,5		
Снижение поверхностью земли возле источника As, дБ	Gs = 0 hs = 1м	ф-лы таб.3 [10]	-1,5	-1,5	-1,5	-1,5	-1,5	-1,5	-1,5	-1,5	-1,5		
Снижение поверхностью земли возле приёмника Ar, дБ	Gr = 1 hr = 1.5м	ф-лы таб.3 [10]	-1,5	-1,5	4	7	5	0,7	0	0	0		
Снижение поверхностью земли в средней зоне, Am дБ	Gm = 1	ф-лы таб.3 [10]	-2,7	-2,7	0	0	0	0	0	0	0		
Суммарное снижение поверхностью земли на траектории распространения звука Agr, дБ		ф-ла (9) [10]	-5,7	-5,7	2,5	5,5	3,5	-0,8	-1,5	-1,5	-1,5		
Уровни звукового давления от источника ИШ-9-22 в расчётной точке днём, дБ		**ф-ла(3)[10]**	**0**	**34,5**	**27,6**	**25,3**	**26,5**	**29**	**23,7**	**10,2**	**0**	**31,5**	**31,5**
Уровни звукового давления от источника ИШ-9-22 в расчётной точке ночью, дБ		**ф-ла(3)[10]**	**0**	**34,5**	**27,6**	**25,3**	**26,5**	**29**	**23,7**	**10,2**	**0**	**31,5**	**31,5**
Источник шума: ИШ-9-23, координаты источника (x,y,z), м =[664.07,-295.13,1.00]													
Уровни звуковой мощности источника днём, Lw, дБ		**исходные данные**	**0**	**93,3**	**94,7**	**96**	**96,3**	**95,9**	**92,6**	**88,4**	**83,9**		

1		2	3	4	5	6	7	8	9	10	11	12	13
Уровни звуковой мощности источника ночью, Lw, дБ		**исходные данные**	**0**	**93,3**	**94,7**	**96**	**96,3**	**95,9**	**92,6**	**88,4**	**83,9**		
Поправка на телесный угол DΩ, дБ	Ω = 6.28	10Lg(4π/Ω)	**3**	3	3	3	3	3	3	3	3		
Показатель направленности источника Di, дБ		исходные данные	**0**	0	0	0	0	0	0	0	0		
Поправка на направленность источника Dc, дБ	Dc	DΩ + Di	**3**	3	3	3	3	3	3	3	3		
Затухание из-за геометрической дивергенции, Adiv, дБ	расстояние = 663.58 м	ф-ла (7) [10]	**67,4**										
Коэффициент затухания звука в атмосфере α, дБ/км	Ta=20,°C Pa=101.33,кПа hотн.=70%	ф-ла (5) [9]	0,02	0,09	0,33	1,12	2,79	4,98	9,04	23,09	77,63		
Учет затухания звука в атмосфере Aatm, дБ		ф-ла (8) [10]	0	0,1	0,2	0,7	1,9	3,3	6	15,3	51,5		
Снижение поверхностью земли возле источника As, дБ	Gs = 0 hs = 1м	ф-лы таб.3 [10]	-1,5	-1,5	-1,5	-1,5	-1,5	-1,5	-1,5	-1,5	-1,5		
Снижение поверхностью земли возле приёмника Ar, дБ	Gr = 1 hr = 1.5м	ф-лы таб.3 [10]	-1,5	-1,5	4	7	5	0,7	0	0	0		
Снижение поверхностью земли в средней зоне, Am дБ	Gm = 1	ф-лы таб.3 [10]	-2,7	-2,7	0	0	0	0	0	0	0		
Суммарное снижение поверхностью земли на траектории распространения звука Agr, дБ		ф-ла (9) [10]	-5,7	-5,7	2,5	5,5	3,5	-0,8	-1,5	-1,5	-1,5		
Уровни звукового давления от источника ИШ-9-23 в расчётной точке днём, дБ		**ф-ла(3)[10]**	**0**	**34,5**	**27,5**	**25,3**	**26,5**	**29**	**23,7**	**10,1**	**0**	**31,4**	**31,4**
Уровни звукового давления от источника ИШ-9-23 в расчётной точке ночью, дБ		**ф-ла(3)[10]**	**0**	**34,5**	**27,5**	**25,3**	**26,5**	**29**	**23,7**	**10,1**	**0**	**31,4**	**31,4**
Источник шума: ИШ-9-24, координаты источника (x,y,z), м =[665.19,-292.34,1.00]													
Уровни звуковой мощности источника днём, Lw, дБ		**исходные данные**	**0**	**93,3**	**94,7**	**96**	**96,3**	**95,9**	**92,6**	**88,4**	**83,9**		
Уровни звуковой мощности источника ночью, Lw, дБ		**исходные данные**	**0**	**93,3**	**94,7**	**96**	**96,3**	**95,9**	**92,6**	**88,4**	**83,9**		

1		2	3	4	5	6	7	8	9	10	11	12	13
Поправка на телесный угол DΩ, дБ	Ω = 6.28	10Lg(4π/Ω)	**3**	3	3	3	3	3	3	3	3		
Показатель направленности источника Di, дБ		исходные данные	**0**	0	0	0	0	0	0	0	0		
Поправка на направленность источника Dc, дБ	Dc	DΩ + Di	**3**	3	3	3	3	3	3	3	3		
Затухание из-за геометрической дивергенции, Adiv, дБ	расстояние = 664.54 м	ф-ла (7) [10]	**67,5**										
Коэффициент затухания звука в атмосфере α, дБ/км	Ta=20,°C Pa=101.33,кПа hотн.=70%	ф-ла (5) [9]	0,02	0,09	0,33	1,12	2,79	4,98	9,04	23,09	77,63		
Учет затухания звука в атмосфере Aatm, дБ		ф-ла (8) [10]	0	0,1	0,2	0,7	1,9	3,3	6	15,3	51,6		
Снижение поверхностью земли возле источника As, дБ	Gs = 0 hs = 1м	ф-лы таб.3 [10]	-1,5	-1,5	-1,5	-1,5	-1,5	-1,5	-1,5	-1,5	-1,5		
Снижение поверхностью земли возле приёмника Ar, дБ	Gr = 1 hr = 1.5м	ф-лы таб.3 [10]	-1,5	-1,5	4	7	5	0,7	0	0	0		
Снижение поверхностью земли в средней зоне, Am дБ	Gm = 1	ф-лы таб.3 [10]	-2,7	-2,7	0	0	0	0	0	0	0		
Суммарное снижение поверхностью земли на траектории распространения звука Agr, дБ		ф-ла (9) [10]	-5,7	-5,7	2,5	5,5	3,5	-0,8	-1,5	-1,5	-1,5		
Уровни звукового давления от источника ИШ-9-24 в расчётной точке днём, дБ		**ф-ла(3)[10]**	**0**	**34,4**	**27,5**	**25,3**	**26,5**	**29**	**23,6**	**10,1**	**0**	**31,4**	**31,4**
Уровни звукового давления от источника ИШ-9-24 в расчётной точке ночью, дБ		**ф-ла(3)[10]**	**0**	**34,4**	**27,5**	**25,3**	**26,5**	**29**	**23,6**	**10,1**	**0**	**31,4**	**31,4**
Источник шума: ИШ-9-25, координаты источника (x,y,z), м =[683.46,-239.16,1.00]													
Уровни звуковой мощности источника днём, Lw, дБ		**исходные данные**	**77**	**75**	**67**	**66**	**63**	**55**	**53**	**48**	**51**		
Уровни звуковой мощности источника ночью, Lw, дБ		**исходные данные**	**77**	**75**	**67**	**66**	**63**	**55**	**53**	**48**	**51**		
Поправка на телесный угол DΩ, дБ	Ω = 6.28	10Lg(4π/Ω)	**3**	3	3	3	3	3	3	3	3		

1		2	3	4	5	6	7	8	9	10	11	12	13
Показатель направленности источника Di, дБ		исходные данные	**0**	0	0	0	0	0	0	0	0		
Поправка на направленность источника Dc, дБ	Dc	DΩ + Di	**3**	3	3	3	3	3	3	3	3		
Затухание из-за геометрической дивергенции, Adiv, дБ	расстояние = 682.16 м	ф-ла (7) [10]	**67,7**										
Коэффициент затухания звука в атмосфере α, дБ/км	Ta=20,°C Pa=101.33,кПа hотн.=70%	ф-ла (5) [9]	0,02	0,09	0,33	1,12	2,79	4,98	9,04	23,09	77,63		
Учет затухания звука в атмосфере Aatm, дБ		ф-ла (8) [10]	0	0,1	0,2	0,8	1,9	3,4	6,2	15,7	53		
Снижение поверхностью земли возле источника As, дБ	Gs = 0 hs = 1м	ф-лы таб.3 [10]	-1,5	-1,5	-1,5	-1,5	-1,5	-1,5	-1,5	-1,5	-1,5		
Снижение поверхностью земли возле приёмника Ar, дБ	Gr = 1 hr = 1.5м	ф-лы таб.3 [10]	-1,5	-1,5	4,1	7	5	0,7	0	0	0		
Снижение поверхностью земли в средней зоне, Am дБ	Gm = 1	ф-лы таб.3 [10]	-2,7	-2,7	0	0	0	0	0	0	0		
Суммарное снижение поверхностью земли на траектории распространения звука Agr, дБ		ф-ла (9) [10]	-5,7	-5,7	2,6	5,5	3,5	-0,8	-1,5	-1,5	-1,5		
Уровни звукового давления от источника ИШ-9-25 в расчётной точке днём, дБ		**ф-ла(3)[10]**	**18**	**15,9**	**0**	**0**	**0**	**0**	**0**	**0**	**0**	**0**	**0**
Уровни звукового давления от источника ИШ-9-25 в расчётной точке ночью, дБ		**ф-ла(3)[10]**	**18**	**15,9**	**0**	**0**	**0**	**0**	**0**	**0**	**0**	**0**	**0**
Источник шума: ИШ-9-26, координаты источника (x,y,z), м =[680.09,-249.52,1.00]													
Уровни звуковой мощности источника днём, Lw, дБ		**исходные данные**	**77**	**75**	**67**	**66**	**63**	**55**	**53**	**48**	**51**		
Уровни звуковой мощности источника ночью, Lw, дБ		**исходные данные**	**77**	**75**	**67**	**66**	**63**	**55**	**53**	**48**	**51**		
Поправка на телесный угол DΩ, дБ	Ω = 6.28	10Lg(4π/Ω)	**3**	3	3	3	3	3	3	3	3		
Показатель направленности источника Di, дБ		исходные данные	**0**	0	0	0	0	0	0	0	0		

1		2	3	4	5	6	7	8	9	10	11	12	13
Поправка на направленность источника Dc, дБ	Dc	DΩ + Di	**3**	3	3	3	3	3	3	3	3		
Затухание из-за геометрической дивергенции, Adiv, дБ	расстояние = 678.59 м	ф-ла (7) [10]	**67,6**										
Коэффициент затухания звука в атмосфере α, дБ/км	Ta=20,°C Pa=101.33,кПа hотн.=70%	ф-ла (5) [9]	0,02	0,09	0,33	1,12	2,79	4,98	9,04	23,09	77,63		
Учет затухания звука в атмосфере Aatm, дБ		ф-ла (8) [10]	0	0,1	0,2	0,8	1,9	3,4	6,1	15,7	52,7		
Снижение поверхностью земли возле источника As, дБ	Gs = 0 hs = 1м	ф-лы таб.3 [10]	-1,5	-1,5	-1,5	-1,5	-1,5	-1,5	-1,5	-1,5	-1,5		
Снижение поверхностью земли возле приёмника Ar, дБ	Gr = 1 hr = 1.5м	ф-лы таб.3 [10]	-1,5	-1,5	4,1	7	5	0,7	0	0	0		
Снижение поверхностью земли в средней зоне, Am дБ	Gm = 1	ф-лы таб.3 [10]	-2,7	-2,7	0	0	0	0	0	0	0		
Суммарное снижение поверхностью земли на траектории распространения звука Agr, дБ		ф-ла (9) [10]	-5,7	-5,7	2,6	5,5	3,5	-0,8	-1,5	-1,5	-1,5		
Уровни звукового давления от источника ИШ-9-26 в расчётной точке днём, дБ		**ф-ла(3)[10]**	**18**	**16**	**0**	**0**	**0**	**0**	**0**	**0**	**0**	**0**	**0**
Уровни звукового давления от источника ИШ-9-26 в расчётной точке ночью, дБ		**ф-ла(3)[10]**	**18**	**16**	**0**	**0**	**0**	**0**	**0**	**0**	**0**	**0**	**0**
Источник шума: ИШ-9-27, координаты источника (x,y,z), м =[676.46,-260.14,1.00]													
Уровни звуковой мощности источника днём, Lw, дБ		**исходные данные**	**77**	**75**	**67**	**66**	**63**	**55**	**53**	**48**	**51**		
Уровни звуковой мощности источника ночью, Lw, дБ		**исходные данные**	**77**	**75**	**67**	**66**	**63**	**55**	**53**	**48**	**51**		
Поправка на телесный угол DΩ, дБ	Ω = 6.28	10Lg(4π/Ω)	**3**	3	3	3	3	3	3	3	3		
Показатель направленности источника Di, дБ		исходные данные	**0**	0	0	0	0	0	0	0	0		
Поправка на направленность источника Dc, дБ	Dc	DΩ + Di	**3**	3	3	3	3	3	3	3	3		

1		2	3	4	5	6	7	8	9	10	11	12	13
Затухание из-за геометрической дивергенции, Adiv, дБ	расстояние = 674.92 м	ф-ла (7) [10]	**67,6**										
Коэффициент затухания звука в атмосфере α, дБ/км	Ta=20,°C Pa=101.33,кПа hотн.=70%	ф-ла (5) [9]	0,02	0,09	0,33	1,12	2,79	4,98	9,04	23,09	77,63		
Учет затухания звука в атмосфере Aatm, дБ		ф-ла (8) [10]	0	0,1	0,2	0,8	1,9	3,4	6,1	15,6	52,4		
Снижение поверхностью земли возле источника As, дБ	Gs = 0 hs = 1м	ф-лы таб.3 [10]	-1,5	-1,5	-1,5	-1,5	-1,5	-1,5	-1,5	-1,5	-1,5		
Снижение поверхностью земли возле приёмника Ar, дБ	Gr = 1 hr = 1.5м	ф-лы таб.3 [10]	-1,5	-1,5	4	7	5	0,7	0	0	0		
Снижение поверхностью земли в средней зоне, Am дБ	Gm = 1	ф-лы таб.3 [10]	-2,7	-2,7	0	0	0	0	0	0	0		
Суммарное снижение поверхностью земли на траектории распространения звука Agr, дБ		ф-ла (9) [10]	-5,7	-5,7	2,5	5,5	3,5	-0,8	-1,5	-1,5	-1,5		
Уровни звукового давления от источника ИШ-9-27 в расчётной точке днём, дБ		**ф-ла(3)[10]**	**18,1**	**16**	**0**	**0**	**0**	**0**	**0**	**0**	**0**	**0**	**0**
Уровни звукового давления от источника ИШ-9-27 в расчётной точке ночью, дБ		**ф-ла(3)[10]**	**18,1**	**16**	**0**	**0**	**0**	**0**	**0**	**0**	**0**	**0**	**0**
Источник шума: ИШ-10-1, координаты источника (x,y,z), м =[17.37,413.17,1.00]													
Уровни звуковой мощности источника днём, Lw, дБ		**исходные данные**	**0**	**98,3**	**99,7**	**101**	**101,3**	**100,9**	**97,6**	**93,4**	**88,9**		
Уровни звуковой мощности источника ночью, Lw, дБ		**исходные данные**	**0**	**98,3**	**99,7**	**101**	**101,3**	**100,9**	**97,6**	**93,4**	**88,9**		
Поправка на телесный угол DΩ, дБ	Ω = 6.28	10Lg(4π/Ω)	**3**	3	3	3	3	3	3	3	3		
Показатель направленности источника Di, дБ		исходные данные	**0**	0	0	0	0	0	0	0	0		
Поправка на направленность источника Dc, дБ	Dc	DΩ + Di	**3**	3	3	3	3	3	3	3	3		
Затухание из-за геометрической дивергенции, Adiv, дБ	расстояние = 671.11 м	ф-ла (7) [10]	**67,5**										

1		2	3	4	5	6	7	8	9	10	11	12	13
Коэффициент затухания звука в атмосфере α, дБ/км	Ta=20,°C Pa=101.33,кПа hотн.=70%	ф-ла (5) [9]	0,02	0,09	0,33	1,12	2,79	4,98	9,04	23,09	77,63		
Учет затухания звука в атмосфере Aatm, дБ		ф-ла (8) [10]	0	0,1	0,2	0,8	1,9	3,3	6,1	15,5	52,1		
Снижение поверхностью земли возле источника As, дБ	Gs = 0 hs = 1м	ф-лы таб.3 [10]	-1,5	-1,5	-1,5	-1,5	-1,5	-1,5	-1,5	-1,5	-1,5		
Снижение поверхностью земли возле приёмника Ar, дБ	Gr = 1 hr = 1.5м	ф-лы таб.3 [10]	-1,5	-1,5	4	7	5	0,7	0	0	0		
Снижение поверхностью земли в средней зоне, Am дБ	Gm = 1	ф-лы таб.3 [10]	-2,7	-2,7	0	0	0	0	0	0	0		
Суммарное снижение поверхностью земли на траектории распространения звука Agr, дБ		ф-ла (9) [10]	-5,7	-5,7	2,5	5,5	3,5	-0,8	-1,5	-1,5	-1,5		
Уровни звукового давления от источника ИШ-10-1 в расчётной точке днём, дБ		**ф-ла(3)[10]**	**0**	**39,4**	**32,4**	**30,2**	**31,4**	**33,9**	**28,5**	**14,9**	**0**	**36,3**	**36,3**
Уровни звукового давления от источника ИШ-10-1 в расчётной точке ночью, дБ		**ф-ла(3)[10]**	**0**	**39,4**	**32,4**	**30,2**	**31,4**	**33,9**	**28,5**	**14,9**	**0**	**36,3**	**36,3**
Источник шума: ИШ-10-2, координаты источника (x,y,z), м =[27.87,443.46,1.00]													
Уровни звуковой мощности источника днём, Lw, дБ		**исходные данные**	**0**	**98,3**	**99,7**	**101**	**101,3**	**100,9**	**97,6**	**93,4**	**88,9**		
Уровни звуковой мощности источника ночью, Lw, дБ		**исходные данные**	**0**	**98,3**	**99,7**	**101**	**101,3**	**100,9**	**97,6**	**93,4**	**88,9**		
Поправка на телесный угол DΩ, дБ	Ω = 6.28	10Lg(4π/Ω)	**3**	3	3	3	3	3	3	3	3		
Показатель направленности источника Di, дБ		исходные данные	**0**	0	0	0	0	0	0	0	0		
Поправка на направленность источника Dc, дБ	Dc	DΩ + Di	**3**	3	3	3	3	3	3	3	3		
Затухание из-за геометрической дивергенции, Adiv, дБ	расстояние = 701.70 м	ф-ла (7) [10]	**67,9**										
Коэффициент затухания звука в атмосфере α, дБ/км	Ta=20,°C Pa=101.33,кПа hотн.=70%	ф-ла (5) [9]	0,02	0,09	0,33	1,12	2,79	4,98	9,04	23,09	77,63		

1		2	3	4	5	6	7	8	9	10	11	12	13
Учет затухания звука в атмосфере Aatm, дБ		ф-ла (8) [10]	0	0,1	0,2	0,8	2	3,5	6,3	16,2	54,5		
Снижение поверхностью земли возле источника As, дБ	Gs = 0 hs = 1м	ф-лы таб.3 [10]	-1,5	-1,5	-1,5	-1,5	-1,5	-1,5	-1,5	-1,5	-1,5		
Снижение поверхностью земли возле приёмника Ar, дБ	Gr = 1 hr = 1.5м	ф-лы таб.3 [10]	-1,5	-1,5	4,2	7	5	0,7	0	0	0		
Снижение поверхностью земли в средней зоне, Am дБ	Gm = 1	ф-лы таб.3 [10]	-2,7	-2,7	0	0	0	0	0	0	0		
Суммарное снижение поверхностью земли на траектории распространения звука Agr, дБ		ф-ла (9) [10]	-5,7	-5,7	2,7	5,5	3,5	-0,8	-1,5	-1,5	-1,5		
Уровни звукового давления от источника ИШ-10-2 в расчётной точке днём, дБ		**ф-ла(3)[10]**	**0**	**39**	**31,9**	**29,8**	**31**	**33,3**	**27,8**	**13,8**	**0**	**35,8**	**35,8**
Уровни звукового давления от источника ИШ-10-2 в расчётной точке ночью, дБ		**ф-ла(3)[10]**	**0**	**39**	**31,9**	**29,8**	**31**	**33,3**	**27,8**	**13,8**	**0**	**35,8**	**35,8**
Уровни звукового давления в расчётной точке													
Суммарные уровни звукового давления в расчётной точке от всех источников шума днём, Lрт, дБ		**ф-ла (19) [1]**	**55,8**	**55,1**	**50**	**47,7**	**47,7**	**50,4**	**44,5**	**30,1**	**0**	**52,8**	**52,8**
Суммарные уровни звукового давления в расчётной точке от всех источников шума ночью, Lрт, дБ		**ф-ла (19) [1]**	**52,7**	**54,1**	**49,7**	**47,6**	**47,5**	**50,2**	**43,7**	**29,8**	**0**	**52,4**	**52,4**
Допускаемые УЗД днём, Lдоп, дБ	Границы санитарно-защитных зон	Таблица 5.35.[23]	90	75	66	59	54	50	47	45	44	55	70
Допускаемые УЗД ночью, Lдоп, дБ	Границы санитарно-защитных зон	Таблица 5.35.[23]	83	67	57	49	44	40	37	35	33	45	60
Превышение днём, дБ		**Lрт - Lдоп**	**-34,2**	**-19,9**	**-16**	**-11,3**	**-6,3**	**0,4**	**-2,5**	**-14,9**	**-44**	**-2,2**	**-17,2**
Превышение ночью, дБ		**Lрт - Lдоп**	**-30,3**	**-12,9**	**-7,3**	**-1,4**	**3,5**	**10,2**	**6,7**	**-5,2**	**-33**	**7,4**	**-7,6**

Определение уровней звукового давления в точке РТ-14 (координаты точки, м: x = -121.90, y = -56.95, z = 1.50)													
Наименование величин и их описание		**Ссылка**	**Расчётные уровни в октавных полосах, со среднегеометрическими частотами, Гц**									**La, дБА**	**Lмакс, дБА**
			31,5	**63**	**125**	**250**	**500**	**1000**	**2000**	**4000**	**8000**		
1		**2**	**3**	**4**	**5**	**6**	**7**	**8**	**9**	**10**	**11**	**12**	**13**
Источник шума: ИШ-1-1, координаты источника (x,y,z), м =[271.72,229.68,1.00]													
Уровни звуковой мощности источника днём, Lw, дБ		**исходные данные**	**97**	**97**	**104**	**106**	**105**	**105**	**98**	**87**	**81**		
Уровни звуковой мощности источника ночью, Lw, дБ		**исходные данные**	**97**	**97**	**104**	**106**	**105**	**105**	**98**	**87**	**81**		
Поправка на телесный угол DΩ, дБ	Ω = 6.28	10Lg(4π/Ω)	**3**	3	3	3	3	3	3	3	3		
Показатель направленности источника Di, дБ		исходные данные	**0**	0	0	0	0	0	0	0	0		
Поправка на направленность источника Dc, дБ	Dc	DΩ + Di	**3**	3	3	3	3	3	3	3	3		
Затухание из-за геометрической дивергенции, Adiv, дБ	расстояние = 486.92 м	ф-ла (7) [10]	**64,7**										
Коэффициент затухания звука в атмосфере α, дБ/км	Ta=20,°C Pa=101.33,кПа hотн.=70%	ф-ла (5) [9]	0,02	0,09	0,33	1,12	2,79	4,98	9,04	23,09	77,63		
Учет затухания звука в атмосфере Aatm, дБ		ф-ла (8) [10]	0	0	0,2	0,5	1,4	2,4	4,4	11,2	37,8		
Снижение уровня звукового давления из-за влияния застройки между источником шума и расчетной точкой													
Снижение уровня звукового давления на пути над экраном, Dz1, дБ	z = 0.33м (разность путей)	ф-лы (14-18) [10]	4,9	5	5,3	6,1	7,3	9	11,1	13,6	16,3		
Снижение уровня звукового давления на пути слева от экрана, Dz2, дБ	z = 2.31м (разность путей)	ф-лы (14-18) [10]	10,6	13	15,7	18,5	21,4	24,4	27,4	30,4	33,4		
Снижение уровня звукового давления на пути справа от экрана, Dz3, дБ	z = 0.41м (разность путей)	ф-лы (14-18) [10]	6,6	7,8	9,6	11,8	14,3	17,1	20	22,9	25,9		

1		2	3	4	5	6	7	8	9	10	11	12	13
Общее снижение уровня звука препятствием Dz, дБ		Эн.сумма(-Dzi)	2	2,7	3,6	4,8	6,4	8,2	10,5	13	15,7		
Уровни звукового давления прямого звука от источника ИШ-1-1 в расчётной точке днём, дБ		**ф-ла(3)[10]**	**33,3**	**32,5**	**38,5**	**38,9**	**35,5**	**32,6**	**21,4**	**1**	**0**	**37**	**37**
Уровни звукового давления прямого звука от источника ИШ-1-1 в расчётной точке ночью, дБ		**ф-ла(3)[10]**	**33,3**	**32,5**	**38,5**	**38,9**	**35,5**	**32,6**	**21,4**	**1**	**0**	**37**	**37**
Расчёт отражённого звука													
Уровни звукового давления от мнимого источника ИШ-1-1_мн.(1) в расчётной точке днём, дБ		**ф-ла(3)[10]**	**0**	**0**	**0**	**0**	**0**	**0**	**0**	**0**	**0**	**0**	**0**
Уровни звукового давления от мнимого источника ИШ-1-1_мн.(1) в расчётной точке ночью, дБ		**ф-ла(3)[10]**	**0**	**0**	**0**	**0**	**0**	**0**	**0**	**0**	**0**	**0**	**0**
Уровни звукового давления от источника ИШ-1-1 в расчётной точке днём, дБ		**ф-ла(3)[10]**	**33,3**	**32,5**	**38,5**	**38,9**	**35,5**	**32,6**	**21,4**	**1**	**0**	**37**	**37**
Уровни звукового давления от источника ИШ-1-1 в расчётной точке ночью, дБ		**ф-ла(3)[10]**	**33,3**	**32,5**	**38,5**	**38,9**	**35,5**	**32,6**	**21,4**	**1**	**0**	**37**	**37**
Источник шума: ИШ-1-2, координаты источника (x,y,z), м =[261.74,199.14,1.00]													
Уровни звуковой мощности источника днём, Lw, дБ		**исходные данные**	**97**	**97**	**104**	**106**	**105**	**105**	**98**	**87**	**81**		
Уровни звуковой мощности источника ночью, Lw, дБ		**исходные данные**	**97**	**97**	**104**	**106**	**105**	**105**	**98**	**87**	**81**		
Поправка на телесный угол DΩ, дБ	Ω = 6.28	10Lg(4π/Ω)	**3**	3	3	3	3	3	3	3	3		
Показатель направленности источника Di, дБ		исходные данные	**0**	0	0	0	0	0	0	0	0		
Поправка на направленность источника Dc, дБ	Dc	DΩ + Di	**3**	3	3	3	3	3	3	3	3		
Затухание из-за геометрической дивергенции, Adiv, дБ	расстояние = 461.26 м	ф-ла (7) [10]	**64,3**										
Коэффициент затухания звука в атмосфере α, дБ/км	Ta=20,°C Pa=101.33,кПа hотн.=70%	ф-ла (5) [9]	0,02	0,09	0,33	1,12	2,79	4,98	9,04	23,09	77,63		

1		2	3	4	5	6	7	8	9	10	11	12	13
Учет затухания звука в атмосфере Aatm, дБ		ф-ла (8) [10]	0	0	0,2	0,5	1,3	2,3	4,2	10,6	35,8		
Снижение уровня звукового давления из-за влияния застройки между источником шума и расчетной точкой													
Снижение уровня звукового давления на пути над экраном, Dz1, дБ	z = 0.35м (разность путей)	ф-лы (14-18) [10]	4,9	5,1	5,5	6,6	8,1	10,1	12,4	15	17,9		
Снижение уровня звукового давления на пути слева от экрана, Dz2, дБ	z = 0.99м (разность путей)	ф-лы (14-18) [10]	8,2	10,2	12,5	15,1	17,9	20,8	23,7	26,7	29,7		
Снижение уровня звукового давления на пути справа от экрана, Dz3, дБ	z = 1.62м (разность путей)	ф-лы (14-18) [10]	9,5	11,8	14,3	17,1	19,9	22,9	25,9	28,8	31,8		
Общее снижение уровня звука препятствием Dz, дБ		Эн.сумма(-Dzi)	2,3	3,2	4,3	5,7	7,4	9,5	11,9	14,6	17,4		
Уровни звукового давления прямого звука от источника ИШ-1-2 в расчётной точке днём, дБ		**ф-ла(3)[10]**	**33,4**	**32,5**	**38,3**	**38,6**	**35**	**31,9**	**20,6**	**0,5**	**0**	**36,4**	**36,4**
Уровни звукового давления прямого звука от источника ИШ-1-2 в расчётной точке ночью, дБ		**ф-ла(3)[10]**	**33,4**	**32,5**	**38,3**	**38,6**	**35**	**31,9**	**20,6**	**0,5**	**0**	**36,4**	**36,4**
Расчёт отражённого звука													
Уровни звукового давления от мнимого источника ИШ-1-2_мн.(1) в расчётной точке днём, дБ		**ф-ла(3)[10]**	**0**	**0**	**0**	**0**	**0**	**0**	**0**	**0**	**0**	**0**	**0**
Уровни звукового давления от мнимого источника ИШ-1-2_мн.(1) в расчётной точке ночью, дБ		**ф-ла(3)[10]**	**0**	**0**	**0**	**0**	**0**	**0**	**0**	**0**	**0**	**0**	**0**
Уровни звукового давления от источника ИШ-1-2 в расчётной точке днём, дБ		**ф-ла(3)[10]**	**33,4**	**32,5**	**38,3**	**38,6**	**35**	**31,9**	**20,6**	**0,5**	**0**	**36,4**	**36,4**
Уровни звукового давления от источника ИШ-1-2 в расчётной точке ночью, дБ		**ф-ла(3)[10]**	**33,4**	**32,5**	**38,3**	**38,6**	**35**	**31,9**	**20,6**	**0,5**	**0**	**36,4**	**36,4**
Источник шума: ИШ-1-3, координаты источника (x,y,z), м =[251.75,236.44,1.00]													
Уровни звуковой мощности источника днём, Lw, дБ		**исходные данные**	**0**	**91,3**	**92,7**	**94**	**94,3**	**93,9**	**90,6**	**86,4**	**81,9**		
Уровни звуковой мощности источника ночью, Lw, дБ		**исходные данные**	**0**	**91,3**	**92,7**	**94**	**94,3**	**93,9**	**90,6**	**86,4**	**81,9**		
Поправка на телесный угол DΩ, дБ	Ω = 6.28	10Lg(4π/Ω)	**3**	3	3	3	3	3	3	3	3		

1		2	3	4	5	6	7	8	9	10	11	12	13
Показатель направленности источника Di, дБ		исходные данные	**0**	0	0	0	0	0	0	0	0		
Поправка на направленность источника Dc, дБ	Dc	DΩ + Di	**3**	3	3	3	3	3	3	3	3		
Затухание из-за геометрической дивергенции, Adiv, дБ	расстояние = 475.07 м	ф-ла (7) [10]	**64,5**										
Коэффициент затухания звука в атмосфере α, дБ/км	Ta=20,°C Pa=101.33,кПа hотн.=70%	ф-ла (5) [9]	0,02	0,09	0,33	1,12	2,79	4,98	9,04	23,09	77,63		
Учет затухания звука в атмосфере Aatm, дБ		ф-ла (8) [10]	0	0	0,2	0,5	1,3	2,4	4,3	11	36,9		
Снижение уровня звукового давления из-за влияния застройки между источником шума и расчетной точкой													
Снижение уровня звукового давления на пути над экраном, Dz1, дБ	z = 0.32м (разность путей)	ф-лы (14-18) [10]	4,8	4,9	5,1	5,4	6,2	8,1	10,6	13,3	16,1		
Снижение уровня звукового давления на пути слева от экрана, Dz2, дБ	z = 4.07м (разность путей)	ф-лы (14-18) [10]	12,6	15,2	18	20,9	23,8	26,8	29,8	32,8	35,8		
Снижение уровня звукового давления на пути справа от экрана, Dz3, дБ	z = 0.01м (разность путей)	ф-лы (14-18) [10]	4,8	4,9	5	5,2	5,7	6,4	7,6	9,2	11,4		
Общее снижение уровня звука препятствием Dz, дБ		Эн.сумма(-Dzi)	1,5	1,7	1,9	2,2	2,9	4,1	5,8	7,8	10,1		
Уровни звукового давления прямого звука от источника ИШ-1-3 в расчётной точке днём, дБ		**ф-ла(3)[10]**	**0**	**28**	**29,1**	**29,7**	**28,5**	**25,9**	**19**	**6,1**	**0**	**29,9**	**29,9**
Уровни звукового давления прямого звука от источника ИШ-1-3 в расчётной точке ночью, дБ		**ф-ла(3)[10]**	**0**	**28**	**29,1**	**29,7**	**28,5**	**25,9**	**19**	**6,1**	**0**	**29,9**	**29,9**
Расчёт отражённого звука													
Уровни звукового давления от мнимого источника ИШ-1-3_мн.(1) в расчётной точке днём, дБ		**ф-ла(3)[10]**	**0**	**0**	**0**	**0**	**0**	**0**	**0**	**0**	**0**	**0**	**0**
Уровни звукового давления от мнимого источника ИШ-1-3_мн.(1) в расчётной точке ночью, дБ		**ф-ла(3)[10]**	**0**	**0**	**0**	**0**	**0**	**0**	**0**	**0**	**0**	**0**	**0**
Уровни звукового давления от источника ИШ-1-3 в расчётной точке днём, дБ		**ф-ла(3)[10]**	**0**	**28**	**29,1**	**29,7**	**28,5**	**25,9**	**19**	**6,1**	**0**	**29,9**	**29,9**
Уровни звукового давления от источника ИШ-1-3 в расчётной точке ночью, дБ		**ф-ла(3)[10]**	**0**	**28**	**29,1**	**29,7**	**28,5**	**25,9**	**19**	**6,1**	**0**	**29,9**	**29,9**

1		2	3	4	5	6	7	8	9	10	11	12	13
Источник шума: ИШ-1-4, координаты источника (x,y,z), м =[290.25,223.25,1.00]													
Уровни звуковой мощности источника днём, Lw, дБ		**исходные данные**	**0**	**91,3**	**92,7**	**94**	**94,3**	**93,9**	**90,6**	**86,4**	**81,9**		
Уровни звуковой мощности источника ночью, Lw, дБ		**исходные данные**	**0**	**91,3**	**92,7**	**94**	**94,3**	**93,9**	**90,6**	**86,4**	**81,9**		
Поправка на телесный угол DΩ, дБ	Ω = 6.28	10Lg(4π/Ω)	**3**	3	3	3	3	3	3	3	3		
Показатель направленности источника Di, дБ		исходные данные	**0**	0	0	0	0	0	0	0	0		
Поправка на направленность источника Dc, дБ	Dc	DΩ + Di	**3**	3	3	3	3	3	3	3	3		
Затухание из-за геометрической дивергенции, Adiv, дБ	расстояние = 498.38 м	ф-ла (7) [10]	**65**										
Коэффициент затухания звука в атмосфере α, дБ/км	Ta=20,°C Pa=101.33,кПа hотн.=70%	ф-ла (5) [9]	0,02	0,09	0,33	1,12	2,79	4,98	9,04	23,09	77,63		
Учет затухания звука в атмосфере Aatm, дБ		ф-ла (8) [10]	0	0	0,2	0,6	1,4	2,5	4,5	11,5	38,7		
Снижение уровня звукового давления из-за влияния застройки между источником шума и расчетной точкой													
Снижение уровня звукового давления на пути над экраном, Dz1, дБ	z = 0.32м (разность путей)	ф-лы (14-18) [10]	4,8	4,9	5,2	5,9	7	8,6	10,6	13	15,7		
Снижение уровня звукового давления на пути слева от экрана, Dz2, дБ	z = 1.17м (разность путей)	ф-лы (14-18) [10]	8,6	10,7	13	15,7	18,6	21,5	24,4	27,4	30,4		
Снижение уровня звукового давления на пути справа от экрана, Dz3, дБ	z = 1.22м (разность путей)	ф-лы (14-18) [10]	8,8	10,8	13,2	15,9	18,8	21,7	24,6	27,6	30,6		
Общее снижение уровня звука препятствием Dz, дБ		Эн.сумма(-Dzi)	2,2	3,1	4	5,1	6,5	8,2	10,3	12,7	15,4		
Уровни звукового давления прямого звука от источника ИШ-1-4 в расчётной точке днём, дБ		**ф-ла(3)[10]**	**0**	**26,2**	**26,6**	**26,4**	**24,5**	**21,3**	**13,8**	**0,2**	**0**	**25,7**	**25,7**
Уровни звукового давления прямого звука от источника ИШ-1-4 в расчётной точке ночью, дБ		**ф-ла(3)[10]**	**0**	**26,2**	**26,6**	**26,4**	**24,5**	**21,3**	**13,8**	**0,2**	**0**	**25,7**	**25,7**

1		2	3	4	5	6	7	8	9	10	11	12	13
Расчёт отражённого звука													
Уровни звукового давления от мнимого источника ИШ-1-4_мн.(1) в расчётной точке днём, дБ		**ф-ла(3)[10]**	**0**	**0**	**0**	**0**	**0**	**0**	**0**	**0**	**0**	**0**	**0**
Уровни звукового давления от мнимого источника ИШ-1-4_мн.(1) в расчётной точке ночью, дБ		**ф-ла(3)[10]**	**0**	**0**	**0**	**0**	**0**	**0**	**0**	**0**	**0**	**0**	**0**
Уровни звукового давления от источника ИШ-1-4 в расчётной точке днём, дБ		**ф-ла(3)[10]**	**0**	**26,2**	**26,6**	**26,4**	**24,5**	**21,3**	**13,8**	**0,2**	**0**	**25,7**	**25,7**
Уровни звукового давления от источника ИШ-1-4 в расчётной точке ночью, дБ		**ф-ла(3)[10]**	**0**	**26,2**	**26,6**	**26,4**	**24,5**	**21,3**	**13,8**	**0,2**	**0**	**25,7**	**25,7**
Источник шума: ИШ-1-5, координаты источника (x,y,z), м =[241.49,205.86,1.00]													
Уровни звуковой мощности источника днём, Lw, дБ		**исходные данные**	**0**	**91,3**	**92,7**	**94**	**94,3**	**93,9**	**90,6**	**86,4**	**81,9**		
Уровни звуковой мощности источника ночью, Lw, дБ		**исходные данные**	**0**	**91,3**	**92,7**	**94**	**94,3**	**93,9**	**90,6**	**86,4**	**81,9**		
Поправка на телесный угол DΩ, дБ	Ω = 6.28	10Lg(4π/Ω)	**3**	3	3	3	3	3	3	3	3		
Показатель направленности источника Di, дБ		исходные данные	**0**	0	0	0	0	0	0	0	0		
Поправка на направленность источника Dc, дБ	Dc	DΩ + Di	**3**	3	3	3	3	3	3	3	3		
Затухание из-за геометрической дивергенции, Adiv, дБ	расстояние = 448.46 м	ф-ла (7) [10]	**64**										
Коэффициент затухания звука в атмосфере α, дБ/км	Ta=20,°C Pa=101.33,кПа hотн.=70%	ф-ла (5) [9]	0,02	0,09	0,33	1,12	2,79	4,98	9,04	23,09	77,63		
Учет затухания звука в атмосфере Aatm, дБ		ф-ла (8) [10]	0	0	0,2	0,5	1,3	2,2	4,1	10,4	34,8		
Снижение уровня звукового давления из-за влияния застройки между источником шума и расчетной точкой													
Снижение уровня звукового давления на пути над экраном, Dz1, дБ	z = 0.36м (разность путей)	ф-лы (14-18) [10]	4,9	5,1	5,7	6,9	8,6	10,7	13,1	15,8	18,7		

1		2	3	4	5	6	7	8	9	10	11	12	13
Снижение уровня звукового давления на пути слева от экрана, Dz2, дБ	z = 2.32м (разность путей)	ф-лы (14-18) [10]	10,6	13,1	15,7	18,5	21,5	24,4	27,4	30,4	33,4		
Снижение уровня звукового давления на пути справа от экрана, Dz3, дБ	z = 0.51м (разность путей)	ф-лы (14-18) [10]	6,9	8,3	10,2	12,6	15,2	18	20,9	23,9	26,9		
Общее снижение уровня звука препятствием Dz, дБ		Эн.сумма(-Dzi)	2,1	3	4,1	5,6	7,5	9,8	12,3	15,1	17,9		
Уровни звукового давления прямого звука от источника ИШ-1-5 в расчётной точке днём, дБ		**ф-ла(3)[10]**	**0**	**27,2**	**27,4**	**26,8**	**24,5**	**20,8**	**13,2**	**0**	**0**	**25,6**	**25,6**
Уровни звукового давления прямого звука от источника ИШ-1-5 в расчётной точке ночью, дБ		**ф-ла(3)[10]**	**0**	**27,2**	**27,4**	**26,8**	**24,5**	**20,8**	**13,2**	**0**	**0**	**25,6**	**25,6**
Расчёт отражённого звука													
Уровни звукового давления от мнимого источника ИШ-1-5_мн.(1) в расчётной точке днём, дБ		**ф-ла(3)[10]**	**0**	**0**	**0**	**0**	**0**	**0**	**0**	**0**	**0**	**0**	**0**
Уровни звукового давления от мнимого источника ИШ-1-5_мн.(1) в расчётной точке ночью, дБ		**ф-ла(3)[10]**	**0**	**0**	**0**	**0**	**0**	**0**	**0**	**0**	**0**	**0**	**0**
Уровни звукового давления от источника ИШ-1-5 в расчётной точке днём, дБ		**ф-ла(3)[10]**	**0**	**27,2**	**27,4**	**26,8**	**24,5**	**20,8**	**13,2**	**0**	**0**	**25,6**	**25,6**
Уровни звукового давления от источника ИШ-1-5 в расчётной точке ночью, дБ		**ф-ла(3)[10]**	**0**	**27,2**	**27,4**	**26,8**	**24,5**	**20,8**	**13,2**	**0**	**0**	**25,6**	**25,6**
Источник шума: ИШ-1-6, координаты источника (x,y,z), м =[279.85,192.97,1.00]													
Уровни звуковой мощности источника днём, Lw, дБ		**исходные данные**	**0**	**91,3**	**92,7**	**94**	**94,3**	**93,9**	**90,6**	**86,4**	**81,9**		
Уровни звуковой мощности источника ночью, Lw, дБ		**исходные данные**	**0**	**91,3**	**92,7**	**94**	**94,3**	**93,9**	**90,6**	**86,4**	**81,9**		
Поправка на телесный угол DΩ, дБ	Ω = 6.28	10Lg(4π/Ω)	**3**	3	3	3	3	3	3	3	3		
Показатель направленности источника Di, дБ		исходные данные	**0**	0	0	0	0	0	0	0	0		
Поправка на направленность источника Dc, дБ	Dc	DΩ + Di	**3**	3	3	3	3	3	3	3	3		
Затухание из-за геометрической дивергенции, Adiv, дБ	расстояние = 473.14 м	ф-ла (7) [10]	**64,5**										

1		2	3	4	5	6	7	8	9	10	11	12	13
Коэффициент затухания звука в атмосфере α, дБ/км	Та=20,°С Ра=101.33,кПа hотн.=70%	ф-ла (5) [9]	0,02	0,09	0,33	1,12	2,79	4,98	9,04	23,09	77,63		
Учет затухания звука в атмосфере Aatm, дБ		ф-ла (8) [10]	0	0	0,2	0,5	1,3	2,4	4,3	10,9	36,7		
Снижение уровня звукового давления из-за влияния застройки между источником шума и расчетной точкой													
Снижение уровня звукового давления на пути над экраном, Dz1, дБ	z = 0.34м (разность путей)	ф-лы (14-18) [10]	4,9	5	5,3	6,2	7,6	9,5	11,7	14,3	17,1		
Снижение уровня звукового давления на пути слева от экрана, Dz2, дБ	z = 0.31м (разность путей)	ф-лы (14-18) [10]	6,2	7,2	8,8	10,8	13,2	15,9	18,8	21,7	24,6		
Снижение уровня звукового давления на пути справа от экрана, Dz3, дБ	z = 3.01м (разность путей)	ф-лы (14-18) [10]	11,5	14	16,7	19,6	22,6	25,5	28,5	31,5	34,5		
Общее снижение уровня звука препятствием Dz, дБ		Эн.сумма(-Dzi)	1,9	2,6	3,5	4,8	6,5	8,5	10,9	13,5	16,3		
Уровни звукового давления прямого звука от источника ИШ-1-6 в расчётной точке днём, дБ		**ф-ла(3)[10]**	**0**	**27,1**	**27,5**	**27,2**	**25**	**21,5**	**13,9**	**0,5**	**0**	**26,2**	**26,2**
Уровни звукового давления прямого звука от источника ИШ-1-6 в расчётной точке ночью, дБ		**ф-ла(3)[10]**	**0**	**27,1**	**27,5**	**27,2**	**25**	**21,5**	**13,9**	**0,5**	**0**	**26,2**	**26,2**
Расчёт отражённого звука													
Уровни звукового давления от мнимого источника ИШ-1-6_мн.(1) в расчётной точке днём, дБ		**ф-ла(3)[10]**	**0**	**0**	**0**	**0**	**0**	**0**	**0**	**0**	**0**	**0**	**0**
Уровни звукового давления от мнимого источника ИШ-1-6_мн.(1) в расчётной точке ночью, дБ		**ф-ла(3)[10]**	**0**	**0**	**0**	**0**	**0**	**0**	**0**	**0**	**0**	**0**	**0**
Уровни звукового давления от источника ИШ-1-6 в расчётной точке днём, дБ		**ф-ла(3)[10]**	**0**	**27,1**	**27,5**	**27,2**	**25**	**21,5**	**13,9**	**0,5**	**0**	**26,2**	**26,2**
Уровни звукового давления от источника ИШ-1-6 в расчётной точке ночью, дБ		**ф-ла(3)[10]**	**0**	**27,1**	**27,5**	**27,2**	**25**	**21,5**	**13,9**	**0,5**	**0**	**26,2**	**26,2**
Источник шума: ИШ-1-7, координаты источника (x,y,z), м =[451.87,146.66,1.00]													
Уровни звуковой мощности источника днём, Lw, дБ		**исходные данные**	**0**	**93,3**	**94,7**	**96**	**96,3**	**95,9**	**92,6**	**88,4**	**83,9**		

1		2	3	4	5	6	7	8	9	10	11	12	13
Уровни звуковой мощности источника ночью, Lw, дБ		**исходные данные**	**0**	**93,3**	**94,7**	**96**	**96,3**	**95,9**	**92,6**	**88,4**	**83,9**		
Поправка на телесный угол DΩ, дБ	Ω = 6.28	10Lg(4π/Ω)	**3**	3	3	3	3	3	3	3	3		
Показатель направленности источника Di, дБ		исходные данные	**0**	0	0	0	0	0	0	0	0		
Поправка на направленность источника Dc, дБ	Dc	DΩ + Di	**3**	3	3	3	3	3	3	3	3		
Затухание из-за геометрической дивергенции, Adiv, дБ	расстояние = 608.82 м	ф-ла (7) [10]	**66,7**										
Коэффициент затухания звука в атмосфере α, дБ/км	Ta=20,°C Pa=101.33,кПа hотн.=70%	ф-ла (5) [9]	0,02	0,09	0,33	1,12	2,79	4,98	9,04	23,09	77,63		
Учет затухания звука в атмосфере Aatm, дБ		ф-ла (8) [10]	0	0,1	0,2	0,7	1,7	3	5,5	14,1	47,3		
Снижение уровня звукового давления из-за влияния застройки между источником шума и расчетной точкой													
Снижение уровня звукового давления на пути над экраном, Dz1, дБ	z = 1.31м (разность путей)	ф-лы (14-18) [10]	9,9	12,3	14,9	17,7	20,6	23,6	26,6	29,6	32,6		
Снижение уровня звукового давления на пути слева от экрана, Dz2, дБ	z = 70.27м (разность путей)	ф-лы (14-18) [10]	27,6	31,5	34,8	37,9	40,9	43,9	47	50	53		
Снижение уровня звукового давления на пути справа от экрана, Dz3, дБ	z = 81.68м (разность путей)	ф-лы (14-18) [10]	29,4	32,6	35,6	38,6	41,6	44,6	47,6	50,6	53,6		
Общее снижение уровня звука препятствием Dz, дБ		Эн.сумма(-Dzi)	9,8	12,2	14,8	17,7	20,6	23,5	26,5	29,5	32,5		
Общее снижение уровня звука препятствием с учётом ограничения (25 дБ) для октавных полос Dz, дБ		Раздел 7.4 [10]	9,8	12,2	14,8	17,7	20,6	23,5	25	25	25		
Уровни звукового давления прямого звука от источника ИШ-1-7 в расчётной точке днём, дБ		**ф-ла(3)[10]**	**0**	**17,3**	**16**	**14**	**10,3**	**5,7**	**0**	**0**	**0**	**11,3**	**11,3**
Уровни звукового давления прямого звука от источника ИШ-1-7 в расчётной точке ночью, дБ		**ф-ла(3)[10]**	**0**	**17,3**	**16**	**14**	**10,3**	**5,7**	**0**	**0**	**0**	**11,3**	**11,3**
Расчёт отражённого звука													
Уровни звукового давления от мнимого источника ИШ-1-7_мн.(1) в расчётной точке днём, дБ		**ф-ла(3)[10]**	**0**	**0**	**0**	**0**	**0**	**0**	**0**	**0**	**0**	**0**	**0**

1		2	3	4	5	6	7	8	9	10	11	12	13
Уровни звукового давления от мнимого источника ИШ-1-7_мн.(1) в расчётной точке ночью, дБ		**ф-ла(3)[10]**	**0**	**0**	**0**	**0**	**0**	**0**	**0**	**0**	**0**	**0**	**0**
Уровни звукового давления от источника ИШ-1-7 в расчётной точке днём, дБ		**ф-ла(3)[10]**	**0**	**17,3**	**16**	**14**	**10,3**	**5,7**	**0**	**0**	**0**	**11,3**	**11,3**
Уровни звукового давления от источника ИШ-1-7 в расчётной точке ночью, дБ		**ф-ла(3)[10]**	**0**	**17,3**	**16**	**14**	**10,3**	**5,7**	**0**	**0**	**0**	**11,3**	**11,3**
Источник шума: ИШ-1-8, координаты источника (x,y,z), м =[454.99,145.29,1.00]													
Уровни звуковой мощности источника днём, Lw, дБ		**исходные данные**	**0**	**93,3**	**94,7**	**96**	**96,3**	**95,9**	**92,6**	**88,4**	**83,9**		
Уровни звуковой мощности источника ночью, Lw, дБ		**исходные данные**	**0**	**93,3**	**94,7**	**96**	**96,3**	**95,9**	**92,6**	**88,4**	**83,9**		
Поправка на телесный угол DΩ, дБ	Ω = 6.28	10Lg(4π/Ω)	**3**	3	3	3	3	3	3	3	3		
Показатель направленности источника Di, дБ		исходные данные	**0**	0	0	0	0	0	0	0	0		
Поправка на направленность источника Dc, дБ	Dc	DΩ + Di	**3**	3	3	3	3	3	3	3	3		
Затухание из-за геометрической дивергенции, Adiv, дБ	расстояние = 611.32 м	ф-ла (7) [10]	**66,7**										
Коэффициент затухания звука в атмосфере α, дБ/км	Ta=20,°C Pa=101.33,кПа hотн.=70%	ф-ла (5) [9]	0,02	0,09	0,33	1,12	2,79	4,98	9,04	23,09	77,63		
Учет затухания звука в атмосфере Aatm, дБ		ф-ла (8) [10]	0	0,1	0,2	0,7	1,7	3	5,5	14,1	47,5		
Снижение уровня звукового давления из-за влияния застройки между источником шума и расчетной точкой													
Снижение уровня звукового давления на пути над экраном, Dz1, дБ	z = 1.19м (разность путей)	ф-лы (14-18) [10]	9,3	11,7	14,2	17	19,9	22,8	25,8	28,8	31,8		
Снижение уровня звукового давления на пути слева от экрана, Dz2, дБ	z = 67.08м (разность путей)	ф-лы (14-18) [10]	27,4	31,3	34,6	37,7	40,7	43,7	46,8	49,8	52,8		
Снижение уровня звукового давления на пути справа от экрана, Dz3, дБ	z = 81.08м (разность путей)	ф-лы (14-18) [10]	29,4	32,5	35,5	38,5	41,6	44,6	47,6	50,6	53,6		

1		2	3	4	5	6	7	8	9	10	11	12	13
Общее снижение уровня звука препятствием Dz, дБ		Эн.сумма(-Dzi)	9,2	11,6	14,1	16,9	19,8	22,7	25,7	28,7	31,7		
Общее снижение уровня звука препятствием с учётом ограничения (25 дБ) для октавных полос Dz, дБ		Раздел 7.4 [10]	9,2	11,6	14,1	16,9	19,8	22,7	25	25	25		
Уровни звукового давления прямого звука от источника ИШ-1-8 в расчётной точке днём, дБ		**ф-ла(3)[10]**	**0**	**17,9**	**16,6**	**14,7**	**11,1**	**6,4**	**0**	**0**	**0**	**12**	**12**
Уровни звукового давления прямого звука от источника ИШ-1-8 в расчётной точке ночью, дБ		**ф-ла(3)[10]**	**0**	**17,9**	**16,6**	**14,7**	**11,1**	**6,4**	**0**	**0**	**0**	**12**	**12**
Расчёт отражённого звука													
Уровни звукового давления от мнимого источника ИШ-1-8_мн.(1) в расчётной точке днём, дБ		**ф-ла(3)[10]**	**0**	**0**	**0**	**0**	**0**	**0**	**0**	**0**	**0**	**0**	**0**
Уровни звукового давления от мнимого источника ИШ-1-8_мн.(1) в расчётной точке ночью, дБ		**ф-ла(3)[10]**	**0**	**0**	**0**	**0**	**0**	**0**	**0**	**0**	**0**	**0**	**0**
Уровни звукового давления от источника ИШ-1-8 в расчётной точке днём, дБ		**ф-ла(3)[10]**	**0**	**17,9**	**16,6**	**14,7**	**11,1**	**6,4**	**0**	**0**	**0**	**12**	**12**
Уровни звукового давления от источника ИШ-1-8 в расчётной точке ночью, дБ		**ф-ла(3)[10]**	**0**	**17,9**	**16,6**	**14,7**	**11,1**	**6,4**	**0**	**0**	**0**	**12**	**12**
Источник шума: ИШ-1-9, координаты источника (x,y,z), м =[458.12,144.31,1.00]													
Уровни звуковой мощности источника днём, Lw, дБ		**исходные данные**	**0**	**93,3**	**94,7**	**96**	**96,3**	**95,9**	**92,6**	**88,4**	**83,9**		
Уровни звуковой мощности источника ночью, Lw, дБ		**исходные данные**	**0**	**93,3**	**94,7**	**96**	**96,3**	**95,9**	**92,6**	**88,4**	**83,9**		
Поправка на телесный угол DΩ, дБ	Ω = 6.28	10Lg(4π/Ω)	**3**	3	3	3	3	3	3	3	3		
Показатель направленности источника Di, дБ		исходные данные	**0**	0	0	0	0	0	0	0	0		
Поправка на направленность источника Dc, дБ	Dc	DΩ + Di	**3**	3	3	3	3	3	3	3	3		
Затухание из-за геометрической дивергенции, Adiv, дБ	расстояние = 613.95 м	ф-ла (7) [10]	**66,8**										
Коэффициент затухания звука в атмосфере α, дБ/км	Ta=20,°C Pa=101.33,кПа hотн.=70%	ф-ла (5) [9]	0,02	0,09	0,33	1,12	2,79	4,98	9,04	23,09	77,63		

1		2	3	4	5	6	7	8	9	10	11	12	13
Учет затухания звука в атмосфере Aatm, дБ		ф-ла (8) [10]	0	0,1	0,2	0,7	1,7	3,1	5,5	14,2	47,7		
Снижение уровня звукового давления из-за влияния застройки между источником шума и расчетной точкой													
Снижение уровня звукового давления на пути над экраном, Dz1, дБ	z = 1.09м (разность путей)	ф-лы (14-18) [10]	8,9	11,1	13,6	16,3	19,2	22,1	25,1	28,1	31,1		
Снижение уровня звукового давления на пути слева от экрана, Dz2, дБ	z = 64.22м (разность путей)	ф-лы (14-18) [10]	27,2	31,1	34,4	37,5	40,5	43,6	46,6	49,6	52,6		
Снижение уровня звукового давления на пути справа от экрана, Dz3, дБ	z = 80.11м (разность путей)	ф-лы (14-18) [10]	29,4	32,5	35,5	38,5	41,5	44,5	47,5	50,5	53,5		
Общее снижение уровня звука препятствием Dz, дБ		Эн.сумма(-Dzi)	8,8	11	13,5	16,3	19,1	22,1	25	28	31		
Общее снижение уровня звука препятствием с учётом ограничения (25 дБ) для октавных полос Dz, дБ		Раздел 7.4 [10]	8,8	11	13,5	16,3	19,1	22,1	25	25	25		
Уровни звукового давления прямого звука от источника ИШ-1-9 в расчётной точке днём, дБ		**ф-ла(3)[10]**	**0**	**18,4**	**17,2**	**15,3**	**11,7**	**7**	**0**	**0**	**0**	**12,6**	**12,6**
Уровни звукового давления прямого звука от источника ИШ-1-9 в расчётной точке ночью, дБ		**ф-ла(3)[10]**	**0**	**18,4**	**17,2**	**15,3**	**11,7**	**7**	**0**	**0**	**0**	**12,6**	**12,6**
Расчёт отражённого звука													
Уровни звукового давления от мнимого источника ИШ-1-9_мн.(1) в расчётной точке днём, дБ		**ф-ла(3)[10]**	**0**	**0**	**0**	**0**	**0**	**0**	**5,5**	**0**	**0**	**6,7**	**6,7**
Уровни звукового давления от мнимого источника ИШ-1-9_мн.(1) в расчётной точке ночью, дБ		**ф-ла(3)[10]**	**0**	**0**	**0**	**0**	**0**	**0**	**0**	**0**	**0**	**6,7**	**6,7**
Уровни звукового давления от источника ИШ-1-9 в расчётной точке днём, дБ		**ф-ла(3)[10]**	**0**	**18,4**	**17,2**	**15,3**	**11,7**	**7**	**5,5**	**0**	**0**	**13,6**	**13,6**
Уровни звукового давления от источника ИШ-1-9 в расчётной точке ночью, дБ		**ф-ла(3)[10]**	**0**	**18,4**	**17,2**	**15,3**	**11,7**	**7**	**5,5**	**0**	**0**	**13,6**	**13,6**
Источник шума: ИШ-1-10, координаты источника (x,y,z), м =[461.05,143.53,1.00]													
Уровни звуковой мощности источника днём, Lw, дБ		**исходные данные**	**0**	**93,3**	**94,7**	**96**	**96,3**	**95,9**	**92,6**	**88,4**	**83,9**		
Уровни звуковой мощности источника ночью, Lw, дБ		**исходные данные**	**0**	**93,3**	**94,7**	**96**	**96,3**	**95,9**	**92,6**	**88,4**	**83,9**		

1		2	3	4	5	6	7	8	9	10	11	12	13
Поправка на телесный угол DΩ, дБ	Ω = 6.28	10Lg(4π/Ω)	**3**	3	3	3	3	3	3	3	3		
Показатель направленности источника Di, дБ		исходные данные	**0**	0	0	0	0	0	0	0	0		
Поправка на направленность источника Dc, дБ	Dc	DΩ + Di	**3**	3	3	3	3	3	3	3	3		
Затухание из-за геометрической дивергенции, Adiv, дБ	расстояние = 616.46 м	ф-ла (7) [10]	**66,8**										
Коэффициент затухания звука в атмосфере α, дБ/км	Ta=20,°C Pa=101.33,кПа hотн.=70%	ф-ла (5) [9]	0,02	0,09	0,33	1,12	2,79	4,98	9,04	23,09	77,63		
Учет затухания звука в атмосфере Aatm, дБ		ф-ла (8) [10]	0	0,1	0,2	0,7	1,7	3,1	5,6	14,2	47,9		
Снижение уровня звукового давления из-за влияния застройки между источником шума и расчетной точкой													
Снижение уровня звукового давления на пути над экраном, Dz1, дБ	z = 1.02м (разность путей)	ф-лы (14-18) [10]	8,5	10,6	13,1	15,8	18,6	21,5	24,5	27,5	30,5		
Снижение уровня звукового давления на пути слева от экрана, Dz2, дБ	z = 61.70м (разность путей)	ф-лы (14-18) [10]	27,1	31	34,2	37,3	40,4	43,4	46,4	49,4	52,4		
Снижение уровня звукового давления на пути справа от экрана, Dz3, дБ	z = 79.13м (разность путей)	ф-лы (14-18) [10]	29,3	32,4	35,4	38,4	41,5	44,5	47,5	50,5	53,5		
Общее снижение уровня звука препятствием Dz, дБ		Эн.сумма(-Dzi)	8,4	10,6	13	15,7	18,5	21,5	24,4	27,4	30,4		
Общее снижение уровня звука препятствием с учётом ограничения (25 дБ) для октавных полос Dz, дБ		Раздел 7.4 [10]	8,4	10,6	13	15,7	18,5	21,5	24,4	25	25		
Уровни звукового давления прямого звука от источника ИШ-1-10 в расчётной точке днём, дБ		**ф-ла(3)[10]**	**0**	**18,9**	**17,7**	**15,8**	**12,2**	**7,6**	**0**	**0**	**0**	**13,1**	**13,1**
Уровни звукового давления прямого звука от источника ИШ-1-10 в расчётной точке ночью, дБ		**ф-ла(3)[10]**	**0**	**18,9**	**17,7**	**15,8**	**12,2**	**7,6**	**0**	**0**	**0**	**13,1**	**13,1**
Расчёт отражённого звука													
Уровни звукового давления от мнимого источника ИШ-1-10_мн.(1) в расчётной точке днём, дБ		**ф-ла(3)[10]**	**0**	**0**	**0**	**0**	**0**	**0**	**5,5**	**0**	**0**	**6,7**	**6,7**
Уровни звукового давления от мнимого источника ИШ-1-10_мн.(1) в расчётной точке ночью, дБ		**ф-ла(3)[10]**	**0**	**0**	**0**	**0**	**0**	**0**	**0**	**0**	**0**	**6,7**	**6,7**

1		2	3	4	5	6	7	8	9	10	11	12	13
Уровни звукового давления от источника ИШ-1-10 в расчётной точке днём, дБ		**ф-ла(3)[10]**	**0**	**18,9**	**17,7**	**15,8**	**12,2**	**7,6**	**5,5**	**0**	**0**	**14**	**14**
Уровни звукового давления от источника ИШ-1-10 в расчётной точке ночью, дБ		**ф-ла(3)[10]**	**0**	**18,9**	**17,7**	**15,8**	**12,2**	**7,6**	**5,5**	**0**	**0**	**14**	**14**
Источник шума: ИШ-1-11, координаты источника (x,y,z), м =[464.18,142.55,1.00]													
Уровни звуковой мощности источника днём, Lw, дБ		**исходные данные**	**0**	**93,3**	**94,7**	**96**	**96,3**	**95,9**	**92,6**	**88,4**	**83,9**		
Уровни звуковой мощности источника ночью, Lw, дБ		**исходные данные**	**0**	**93,3**	**94,7**	**96**	**96,3**	**95,9**	**92,6**	**88,4**	**83,9**		
Поправка на телесный угол DΩ, дБ	Ω = 6.28	10Lg(4π/Ω)	**3**	3	3	3	3	3	3	3	3		
Показатель направленности источника Di, дБ		исходные данные	**0**	0	0	0	0	0	0	0	0		
Поправка на направленность источника Dc, дБ	Dc	DΩ + Di	**3**	3	3	3	3	3	3	3	3		
Затухание из-за геометрической дивергенции, Adiv, дБ	расстояние = 619.10 м	ф-ла (7) [10]	**66,8**										
Коэффициент затухания звука в атмосфере α, дБ/км	Ta=20,°C Pa=101.33,кПа hотн.=70%	ф-ла (5) [9]	0,02	0,09	0,33	1,12	2,79	4,98	9,04	23,09	77,63		
Учет затухания звука в атмосфере Aatm, дБ		ф-ла (8) [10]	0	0,1	0,2	0,7	1,7	3,1	5,6	14,3	48,1		
Снижение уровня звукового давления из-за влияния застройки между источником шума и расчетной точкой													
Снижение уровня звукового давления на пути над экраном, Dz1, дБ	z = 0.95м (разность путей)	ф-лы (14-18) [10]	8,2	10,2	12,5	15,2	18	20,9	23,8	26,8	29,8		
Снижение уровня звукового давления на пути слева от экрана, Dz2, дБ	z = 59.01м (разность путей)	ф-лы (14-18) [10]	26,9	30,8	34	37,1	40,2	43,2	46,2	49,2	52,2		
Снижение уровня звукового давления на пути справа от экрана, Dz3, дБ	z = 78.38м (разность путей)	ф-лы (14-18) [10]	29,3	32,4	35,4	38,4	41,4	44,4	47,4	50,4	53,4		
Общее снижение уровня звука препятствием Dz, дБ		Эн.сумма(-Dzi)	8,1	10,1	12,5	15,1	17,9	20,8	23,8	26,8	29,8		

1		2	3	4	5	6	7	8	9	10	11	12	13
Общее снижение уровня звука препятствием с учётом ограничения (25 дБ) для октавных полос Dz, дБ		Раздел 7.4 [10]	8,1	10,1	12,5	15,1	17,9	20,8	23,8	25	25		
Уровни звукового давления прямого звука от источника ИШ-1-11 в расчётной точке днём, дБ		**ф-ла(3)[10]**	**0**	**19,3**	**18,2**	**16,3**	**12,8**	**8,1**	**0**	**0**	**0**	**13,7**	**13,7**
Уровни звукового давления прямого звука от источника ИШ-1-11 в расчётной точке ночью, дБ		**ф-ла(3)[10]**	**0**	**19,3**	**18,2**	**16,3**	**12,8**	**8,1**	**0**	**0**	**0**	**13,7**	**13,7**
Расчёт отражённого звука													
Уровни звукового давления от мнимого источника ИШ-1-11_мн.(1) в расчётной точке днём, дБ		**ф-ла(3)[10]**	**0**	**0**	**0**	**0**	**0**	**0**	**5,6**	**0**	**0**	**6,8**	**6,8**
Уровни звукового давления от мнимого источника ИШ-1-11_мн.(1) в расчётной точке ночью, дБ		**ф-ла(3)[10]**	**0**	**0**	**0**	**0**	**0**	**0**	**0**	**0**	**0**	**6,8**	**6,8**
Уровни звукового давления от источника ИШ-1-11 в расчётной точке днём, дБ		**ф-ла(3)[10]**	**0**	**19,3**	**18,2**	**16,3**	**12,8**	**8,1**	**5,6**	**0**	**0**	**14,5**	**14,5**
Уровни звукового давления от источника ИШ-1-11 в расчётной точке ночью, дБ		**ф-ла(3)[10]**	**0**	**19,3**	**18,2**	**16,3**	**12,8**	**8,1**	**5,6**	**0**	**0**	**14,5**	**14,5**
Источник шума: ИШ-1-12, координаты источника (x,y,z), м =[435.45,97.79,1.00]													
Уровни звуковой мощности источника днём, Lw, дБ		**исходные данные**	**0**	**93,3**	**94,7**	**96**	**96,3**	**95,9**	**92,6**	**88,4**	**83,9**		
Уровни звуковой мощности источника ночью, Lw, дБ		**исходные данные**	**0**	**93,3**	**94,7**	**96**	**96,3**	**95,9**	**92,6**	**88,4**	**83,9**		
Поправка на телесный угол DΩ, дБ	Ω = 6.28	10Lg(4π/Ω)	**3**	3	3	3	3	3	3	3	3		
Показатель направленности источника Di, дБ		исходные данные	**0**	0	0	0	0	0	0	0	0		
Поправка на направленность источника Dc, дБ	Dc	DΩ + Di	**3**	3	3	3	3	3	3	3	3		
Затухание из-за геометрической дивергенции, Adiv, дБ	расстояние = 578.43 м	ф-ла (7) [10]	**66,2**										
Коэффициент затухания звука в атмосфере α, дБ/км	Ta=20,°C Pa=101.33,кПа hотн.=70%	ф-ла (5) [9]	0,02	0,09	0,33	1,12	2,79	4,98	9,04	23,09	77,63		

1		2	3	4	5	6	7	8	9	10	11	12	13
Учет затухания звука в атмосфере Aatm, дБ		ф-ла (8) [10]	0	0,1	0,2	0,7	1,6	2,9	5,2	13,4	44,9		
Снижение уровня звукового давления из-за влияния застройки между источником шума и расчетной точкой													
Снижение уровня звукового давления на пути над экраном, Dz1, дБ	z = 1.30м (разность путей)	ф-лы (14-18) [10]	7	8,9	12,1	15,9	19,2	22,3	25,4	28,4	31,4		
Снижение уровня звукового давления на пути слева от экрана, Dz2, дБ	z = 49.94м (разность путей)	ф-лы (14-18) [10]	26,2	30	33,3	36,4	39,4	42,5	45,5	48,5	51,5		
Снижение уровня звукового давления на пути справа от экрана, Dz3, дБ	z = 160.50м (разность путей)	ф-лы (14-18) [10]	32,4	35,5	38,5	41,5	44,5	47,5	50,5	53,6	56,6		
Общее снижение уровня звука препятствием Dz, дБ		Эн.сумма(-Dzi)	6,9	8,8	12	15,8	19,2	22,3	25,3	28,3	31,3		
Общее снижение уровня звука препятствием с учётом ограничения (25 дБ) для октавных полос Dz, дБ		Раздел 7.4 [10]	6,9	8,8	12	15,8	19,2	22,3	25	25	25		
Уровни звукового давления прямого звука от источника ИШ-1-12 в расчётной точке днём, дБ		**ф-ла(3)[10]**	**0**	**21,2**	**19,2**	**16,3**	**12,2**	**7,5**	**0**	**0**	**0**	**13,4**	**13,4**
Уровни звукового давления прямого звука от источника ИШ-1-12 в расчётной точке ночью, дБ		**ф-ла(3)[10]**	**0**	**21,2**	**19,2**	**16,3**	**12,2**	**7,5**	**0**	**0**	**0**	**13,4**	**13,4**
Расчёт отражённого звука													
Уровни звукового давления от мнимого источника ИШ-1-12_мн.(1) в расчётной точке днём, дБ		**ф-ла(3)[10]**	**0**	**0**	**0**	**0**	**0**	**0**	**4,6**	**0**	**0**	**5,8**	**5,8**
Уровни звукового давления от мнимого источника ИШ-1-12_мн.(1) в расчётной точке ночью, дБ		**ф-ла(3)[10]**	**0**	**0**	**0**	**0**	**0**	**0**	**0**	**0**	**0**	**5,8**	**5,8**
Уровни звукового давления от источника ИШ-1-12 в расчётной точке днём, дБ		**ф-ла(3)[10]**	**0**	**21,2**	**19,2**	**16,3**	**12,2**	**7,5**	**4,6**	**0**	**0**	**14,1**	**14,1**
Уровни звукового давления от источника ИШ-1-12 в расчётной точке ночью, дБ		**ф-ла(3)[10]**	**0**	**21,2**	**19,2**	**16,3**	**12,2**	**7,5**	**4,6**	**0**	**0**	**14,1**	**14,1**
Источник шума: ИШ-1-13, координаты источника (x,y,z), м =[438.77,96.82,1.00]													
Уровни звуковой мощности источника днём, Lw, дБ		**исходные данные**	**0**	**93,3**	**94,7**	**96**	**96,3**	**95,9**	**92,6**	**88,4**	**83,9**		
Уровни звуковой мощности источника ночью, Lw, дБ		**исходные данные**	**0**	**93,3**	**94,7**	**96**	**96,3**	**95,9**	**92,6**	**88,4**	**83,9**		

1		2	3	4	5	6	7	8	9	10	11	12	13
Поправка на телесный угол DΩ, дБ	Ω = 6.28	10Lg(4π/Ω)	**3**	3	3	3	3	3	3	3	3		
Показатель направленности источника Di, дБ		исходные данные	**0**	0	0	0	0	0	0	0	0		
Поправка на направленность источника Dc, дБ	Dc	DΩ + Di	**3**	3	3	3	3	3	3	3	3		
Затухание из-за геометрической дивергенции, Adiv, дБ	расстояние = 581.37 м	ф-ла (7) [10]	**66,3**										
Коэффициент затухания звука в атмосфере α, дБ/км	Ta=20,°C Pa=101.33,кПа hотн.=70%	ф-ла (5) [9]	0,02	0,09	0,33	1,12	2,79	4,98	9,04	23,09	77,63		
Учет затухания звука в атмосфере Aatm, дБ		ф-ла (8) [10]	0	0,1	0,2	0,7	1,6	2,9	5,3	13,4	45,1		
Снижение уровня звукового давления из-за влияния застройки между источником шума и расчетной точкой													
Снижение уровня звукового давления на пути над экраном, Dz1, дБ	z = 1.17м (разность путей)	ф-лы (14-18) [10]	6,5	8,1	10,9	14,7	18,2	21,3	24,4	27,4	30,4		
Снижение уровня звукового давления на пути слева от экрана, Dz2, дБ	z = 46.39м (разность путей)	ф-лы (14-18) [10]	25,8	29,7	33	36,1	39,1	42,1	45,2	48,2	51,2		
Снижение уровня звукового давления на пути справа от экрана, Dz3, дБ	z = 158.36м (разность путей)	ф-лы (14-18) [10]	32,3	35,4	38,4	41,5	44,5	47,5	50,5	53,5	56,5		
Общее снижение уровня звука препятствием Dz, дБ		Эн.сумма(-Dzi)	6,5	8,1	10,9	14,6	18,1	21,3	24,3	27,3	30,3		
Общее снижение уровня звука препятствием с учётом ограничения (25 дБ) для октавных полос Dz, дБ		Раздел 7.4 [10]	6,5	8,1	10,9	14,6	18,1	21,3	24,3	25	25		
Уровни звукового давления прямого звука от источника ИШ-1-13 в расчётной точке днём, дБ		**ф-ла(3)[10]**	**0**	**21,9**	**20,3**	**17,4**	**13,2**	**8,4**	**0**	**0**	**0**	**14,4**	**14,4**
Уровни звукового давления прямого звука от источника ИШ-1-13 в расчётной точке ночью, дБ		**ф-ла(3)[10]**	**0**	**21,9**	**20,3**	**17,4**	**13,2**	**8,4**	**0**	**0**	**0**	**14,4**	**14,4**
Расчёт отражённого звука													
Уровни звукового давления от мнимого источника ИШ-1-13_мн.(1) в расчётной точке днём, дБ		**ф-ла(3)[10]**	**0**	**0**	**0**	**0**	**0**	**0**	**5,2**	**0**	**0**	**6,4**	**6,4**
Уровни звукового давления от мнимого источника ИШ-1-13_мн.(1) в расчётной точке ночью, дБ		**ф-ла(3)[10]**	**0**	**0**	**0**	**0**	**0**	**0**	**0**	**0**	**0**	**6,4**	**6,4**

1		2	3	4	5	6	7	8	9	10	11	12	13
Уровни звукового давления от источника ИШ-1-13 в расчётной точке днём, дБ		**ф-ла(3)[10]**	**0**	**21,9**	**20,3**	**17,4**	**13,2**	**8,4**	**5,2**	**0**	**0**	**15,1**	**15,1**
Уровни звукового давления от источника ИШ-1-13 в расчётной точке ночью, дБ		**ф-ла(3)[10]**	**0**	**21,9**	**20,3**	**17,4**	**13,2**	**8,4**	**5,2**	**0**	**0**	**15,1**	**15,1**
Источник шума: ИШ-1-14, координаты источника (x,y,z), м =[441.70,96.03,1.00]													
Уровни звуковой мощности источника днём, Lw, дБ		**исходные данные**	**0**	**93,3**	**94,7**	**96**	**96,3**	**95,9**	**92,6**	**88,4**	**83,9**		
Уровни звуковой мощности источника ночью, Lw, дБ		**исходные данные**	**0**	**93,3**	**94,7**	**96**	**96,3**	**95,9**	**92,6**	**88,4**	**83,9**		
Поправка на телесный угол DΩ, дБ	Ω = 6.28	10Lg(4π/Ω)	**3**	3	3	3	3	3	3	3	3		
Показатель направленности источника Di, дБ		исходные данные	**0**	0	0	0	0	0	0	0	0		
Поправка на направленность источника Dc, дБ	Dc	DΩ + Di	**3**	3	3	3	3	3	3	3	3		
Затухание из-за геометрической дивергенции, Adiv, дБ	расстояние = 584.00 м	ф-ла (7) [10]	**66,3**										
Коэффициент затухания звука в атмосфере α, дБ/км	Ta=20,°C Pa=101.33,кПа hотн.=70%	ф-ла (5) [9]	0,02	0,09	0,33	1,12	2,79	4,98	9,04	23,09	77,63		
Учет затухания звука в атмосфере Aatm, дБ		ф-ла (8) [10]	0	0,1	0,2	0,7	1,6	2,9	5,3	13,5	45,3		
Снижение уровня звукового давления из-за влияния застройки между источником шума и расчетной точкой													
Снижение уровня звукового давления на пути над экраном, Dz1, дБ	z = 1.07м (разность путей)	ф-лы (14-18) [10]	6,3	7,6	10	13,6	17,2	20,5	23,5	26,5	29,5		
Снижение уровня звукового давления на пути слева от экрана, Dz2, дБ	z = 43.47м (разность путей)	ф-лы (14-18) [10]	25,6	29,4	32,7	35,8	38,8	41,9	44,9	47,9	50,9		
Снижение уровня звукового давления на пути справа от экрана, Dz3, дБ	z = 156.44м (разность путей)	ф-лы (14-18) [10]	32,3	35,4	38,4	41,4	44,4	47,4	50,4	53,4	56,5		
Общее снижение уровня звука препятствием Dz, дБ		Эн.сумма(-Dzi)	6,2	7,5	10	13,6	17,2	20,4	23,5	26,5	29,5		

1		2	3	4	5	6	7	8	9	10	11	12	13
Общее снижение уровня звука препятствием с учётом ограничения (25 дБ) для октавных полос Dz, дБ		Раздел 7.4 [10]	6,2	7,5	10	13,6	17,2	20,4	23,5	25	25		
Уровни звукового давления прямого звука от источника ИШ-1-14 в расчётной точке днём, дБ		**ф-ла(3)[10]**	**0**	**22,4**	**21,2**	**18,4**	**14,1**	**9,2**	**0,5**	**0**	**0**	**15,5**	**15,5**
Уровни звукового давления прямого звука от источника ИШ-1-14 в расчётной точке ночью, дБ		**ф-ла(3)[10]**	**0**	**22,4**	**21,2**	**18,4**	**14,1**	**9,2**	**0,5**	**0**	**0**	**15,5**	**15,5**
Расчёт отражённого звука													
Уровни звукового давления от мнимого источника ИШ-1-14_мн.(1) в расчётной точке днём, дБ		**ф-ла(3)[10]**	**0**	**0**	**0**	**0**	**0**	**0**	**5,7**	**0**	**0**	**6,9**	**6,9**
Уровни звукового давления от мнимого источника ИШ-1-14_мн.(1) в расчётной точке ночью, дБ		**ф-ла(3)[10]**	**0**	**0**	**0**	**0**	**0**	**0**	**0**	**0**	**0**	**6,9**	**6,9**
Уровни звукового давления от источника ИШ-1-14 в расчётной точке днём, дБ		**ф-ла(3)[10]**	**0**	**22,4**	**21,2**	**18,4**	**14,1**	**9,2**	**6,9**	**0**	**0**	**16,1**	**16,1**
Уровни звукового давления от источника ИШ-1-14 в расчётной точке ночью, дБ		**ф-ла(3)[10]**	**0**	**22,4**	**21,2**	**18,4**	**14,1**	**9,2**	**6,9**	**0**	**0**	**16,1**	**16,1**
Источник шума: ИШ-1-15, координаты источника (x,y,z), м =[445.03,95.25,1.00]													
Уровни звуковой мощности источника днём, Lw, дБ		**исходные данные**	**0**	**93,3**	**94,7**	**96**	**96,3**	**95,9**	**92,6**	**88,4**	**83,9**		
Уровни звуковой мощности источника ночью, Lw, дБ		**исходные данные**	**0**	**93,3**	**94,7**	**96**	**96,3**	**95,9**	**92,6**	**88,4**	**83,9**		
Поправка на телесный угол DΩ, дБ	Ω = 6.28	10Lg(4π/Ω)	**3**	3	3	3	3	3	3	3	3		
Показатель направленности источника Di, дБ		исходные данные	**0**	0	0	0	0	0	0	0	0		
Поправка на направленность источника Dc, дБ	Dc	DΩ + Di	**3**	3	3	3	3	3	3	3	3		
Затухание из-за геометрической дивергенции, Adiv, дБ	расстояние = 587.00 м	ф-ла (7) [10]	**66,4**										
Коэффициент затухания звука в атмосфере α, дБ/км	Ta=20,°C Pa=101.33,кПа hотн.=70%	ф-ла (5) [9]	0,02	0,09	0,33	1,12	2,79	4,98	9,04	23,09	77,63		

1		2	3	4	5	6	7	8	9	10	11	12	13
Учет затухания звука в атмосфере Aatm, дБ		ф-ла (8) [10]	0	0,1	0,2	0,7	1,6	2,9	5,3	13,6	45,6		
Снижение уровня звукового давления из-за влияния застройки между источником шума и расчетной точкой													
Снижение уровня звукового давления на пути над экраном, Dz1, дБ	z = 0.98м (разность путей)	ф-лы (14-18) [10]	6	7,1	9	12,3	16,1	19,5	22,6	25,6	28,6		
Снижение уровня звукового давления на пути слева от экрана, Dz2, дБ	z = 40.39м (разность путей)	ф-лы (14-18) [10]	25,2	29,1	32,4	35,5	38,5	41,5	44,6	47,6	50,6		
Снижение уровня звукового давления на пути справа от экрана, Dz3, дБ	z = 154.23м (разность путей)	ф-лы (14-18) [10]	32,2	35,3	38,3	41,3	44,3	47,4	50,4	53,4	56,4		
Общее снижение уровня звука препятствием Dz, дБ		Эн.сумма(-Dzi)	5,9	7	9	12,3	16,1	19,5	22,6	25,6	28,6		
Общее снижение уровня звука препятствием с учётом ограничения (25 дБ) для октавных полос Dz, дБ		Раздел 7.4 [10]	5,9	7	9	12,3	16,1	19,5	22,6	25	25		
Уровни звукового давления прямого звука от источника ИШ-1-15 в расчётной точке днём, дБ		**ф-ла(3)[10]**	**0**	**22,8**	**22,1**	**19,7**	**15,2**	**10,1**	**1,3**	**0**	**0**	**16,5**	**16,5**
Уровни звукового давления прямого звука от источника ИШ-1-15 в расчётной точке ночью, дБ		**ф-ла(3)[10]**	**0**	**22,8**	**22,1**	**19,7**	**15,2**	**10,1**	**1,3**	**0**	**0**	**16,5**	**16,5**
Расчёт отражённого звука													
Уровни звукового давления от мнимого источника ИШ-1-15_мн.(1) в расчётной точке днём, дБ		**ф-ла(3)[10]**	**0**	**0**	**0**	**0**	**0**	**14,9**	**6,3**	**0**	**0**	**15,7**	**15,7**
Уровни звукового давления от мнимого источника ИШ-1-15_мн.(1) в расчётной точке ночью, дБ		**ф-ла(3)[10]**	**0**	**0**	**0**	**0**	**0**	**0**	**0**	**0**	**0**	**15,7**	**15,7**
Уровни звукового давления от источника ИШ-1-15 в расчётной точке днём, дБ		**ф-ла(3)[10]**	**0**	**22,8**	**22,1**	**19,7**	**15,2**	**16,2**	**7,5**	**0**	**0**	**19,1**	**19,1**
Уровни звукового давления от источника ИШ-1-15 в расчётной точке ночью, дБ		**ф-ла(3)[10]**	**0**	**22,8**	**22,1**	**19,7**	**15,2**	**16,2**	**7,5**	**0**	**0**	**19,1**	**19,1**
Источник шума: ИШ-1-16, координаты источника (x,y,z), м =[447.96,94.28,1.00]													
Уровни звуковой мощности источника днём, Lw, дБ		**исходные данные**	**0**	**93,3**	**94,7**	**96**	**96,3**	**95,9**	**92,6**	**88,4**	**83,9**		
Уровни звуковой мощности источника ночью, Lw, дБ		**исходные данные**	**0**	**93,3**	**94,7**	**96**	**96,3**	**95,9**	**92,6**	**88,4**	**83,9**		

1		2	3	4	5	6	7	8	9	10	11	12	13
Поправка на телесный угол DΩ, дБ	Ω = 6.28	10Lg(4π/Ω)	**3**	3	3	3	3	3	3	3	3		
Показатель направленности источника Di, дБ		исходные данные	**0**	0	0	0	0	0	0	0	0		
Поправка на направленность источника Dc, дБ	Dc	DΩ + Di	**3**	3	3	3	3	3	3	3	3		
Затухание из-за геометрической дивергенции, Adiv, дБ	расстояние = 589.58 м	ф-ла (7) [10]	**66,4**										
Коэффициент затухания звука в атмосфере α, дБ/км	Ta=20,°C Pa=101.33,кПа hотн.=70%	ф-ла (5) [9]	0,02	0,09	0,33	1,12	2,79	4,98	9,04	23,09	77,63		
Учет затухания звука в атмосфере Aatm, дБ		ф-ла (8) [10]	0	0,1	0,2	0,7	1,6	2,9	5,3	13,6	45,8		
Снижение уровня звукового давления из-за влияния застройки между источником шума и расчетной точкой													
Снижение уровня звукового давления на пути над экраном, Dz1, дБ	z = 0.91м (разность путей)	ф-лы (14-18) [10]	5,8	6,7	8,2	11	14,8	18,5	21,8	24,8	27,8		
Снижение уровня звукового давления на пути слева от экрана, Dz2, дБ	z = 37.62м (разность путей)	ф-лы (14-18) [10]	24,9	28,8	32,1	35,2	38,2	41,2	44,2	47,3	50,3		
Снижение уровня звукового давления на пути справа от экрана, Dz3, дБ	z = 152.72м (разность путей)	ф-лы (14-18) [10]	32,2	35,3	38,3	41,3	44,3	47,3	50,3	53,3	56,3		
Общее снижение уровня звука препятствием Dz, дБ		Эн.сумма(-Dzi)	5,7	6,7	8,2	11	14,8	18,5	21,7	24,8	27,8		
Общее снижение уровня звука препятствием с учётом ограничения (25 дБ) для октавных полос Dz, дБ		Раздел 7.4 [10]	5,7	6,7	8,2	11	14,8	18,5	21,7	24,8	25		
Уровни звукового давления прямого звука от источника ИШ-1-16 в расчётной точке днём, дБ		**ф-ла(3)[10]**	**0**	**23,2**	**22,9**	**21**	**16,5**	**11,1**	**2,1**	**0**	**0**	**17,7**	**17,7**
Уровни звукового давления прямого звука от источника ИШ-1-16 в расчётной точке ночью, дБ		**ф-ла(3)[10]**	**0**	**23,2**	**22,9**	**21**	**16,5**	**11,1**	**2,1**	**0**	**0**	**17,7**	**17,7**
Расчёт отражённого звука													
Уровни звукового давления от мнимого источника ИШ-1-16_мн.(1) в расчётной точке днём, дБ		**ф-ла(3)[10]**	**0**	**0**	**0**	**0**	**0**	**15,4**	**6,8**	**0**	**0**	**16,1**	**16,1**
Уровни звукового давления от мнимого источника ИШ-1-16_мн.(1) в расчётной точке ночью, дБ		**ф-ла(3)[10]**	**0**	**0**	**0**	**0**	**0**	**0**	**0**	**0**	**0**	**16,1**	**16,1**

1		2	3	4	5	6	7	8	9	10	11	12	13
Уровни звукового давления от источника ИШ-1-16 в расчётной точке днём, дБ		**ф-ла(3)[10]**	**0**	**23,2**	**22,9**	**21**	**16,5**	**16,7**	**8,1**	**0**	**0**	**20**	**20**
Уровни звукового давления от источника ИШ-1-16 в расчётной точке ночью, дБ		**ф-ла(3)[10]**	**0**	**23,2**	**22,9**	**21**	**16,5**	**16,7**	**8,1**	**0**	**0**	**20**	**20**
Источник шума: ИШ-1-17, координаты источника (x,y,z), м =[540.99,141.77,1.00]													
Уровни звуковой мощности источника днём, Lw, дБ		**исходные данные**	**0**	**93,3**	**94,7**	**96**	**96,3**	**95,9**	**92,6**	**88,4**	**83,9**		
Уровни звуковой мощности источника ночью, Lw, дБ		**исходные данные**	**0**	**93,3**	**94,7**	**96**	**96,3**	**95,9**	**92,6**	**88,4**	**83,9**		
Поправка на телесный угол DΩ, дБ	Ω = 6.28	10Lg(4π/Ω)	**3**	3	3	3	3	3	3	3	3		
Показатель направленности источника Di, дБ		исходные данные	**0**	0	0	0	0	0	0	0	0		
Поправка на направленность источника Dc, дБ	Dc	DΩ + Di	**3**	3	3	3	3	3	3	3	3		
Затухание из-за геометрической дивергенции, Adiv, дБ	расстояние = 692.04 м	ф-ла (7) [10]	**67,8**										
Коэффициент затухания звука в атмосфере α, дБ/км	Ta=20,°C Pa=101.33,кПа hотн.=70%	ф-ла (5) [9]	0,02	0,09	0,33	1,12	2,79	4,98	9,04	23,09	77,63		
Учет затухания звука в атмосфере Aatm, дБ		ф-ла (8) [10]	0	0,1	0,2	0,8	1,9	3,4	6,3	16	53,7		
Снижение уровня звукового давления из-за влияния застройки между источником шума и расчетной точкой													
Снижение уровня звукового давления на пути над экраном, Dz1, дБ	z = 1.28м (разность путей)	ф-лы (14-18) [10]	8,2	10,7	13,3	16,1	18,9	21,8	24,8	27,8	30,8		
Снижение уровня звукового давления на пути слева от экрана, Dz2, дБ	z = 34.22м (разность путей)	ф-лы (14-18) [10]	25,1	28,6	31,7	34,8	37,8	40,8	43,8	46,8	49,9		
Снижение уровня звукового давления на пути справа от экрана, Dz3, дБ	z = 51.64м (разность путей)	ф-лы (14-18) [10]	27,5	30,6	33,6	36,6	39,6	42,6	45,6	48,6	51,6		
Общее снижение уровня звука препятствием Dz, дБ		Эн.сумма(-Dzi)	8,1	10,6	13,2	16	18,8	21,8	24,7	27,7	30,7		

1		2	3	4	5	6	7	8	9	10	11	12	13
Общее снижение уровня звука препятствием с учётом ограничения (25 дБ) для октавных полос Dz, дБ		Раздел 7.4 [10]	8,1	10,6	13,2	16	18,8	21,8	24,7	25	25		
Уровни звукового давления прямого звука от источника ИШ-1-17 в расчётной точке днём, дБ		**ф-ла(3)[10]**	**0**	**17,9**	**16,5**	**14,5**	**10,7**	**5,9**	**0**	**0**	**0**	**11,7**	**11,7**
Уровни звукового давления прямого звука от источника ИШ-1-17 в расчётной точке ночью, дБ		**ф-ла(3)[10]**	**0**	**17,9**	**16,5**	**14,5**	**10,7**	**5,9**	**0**	**0**	**0**	**11,7**	**11,7**
Расчёт отражённого звука													
Уровни звукового давления от мнимого источника ИШ-1-17_мн.(1) в расчётной точке днём, дБ		**ф-ла(3)[10]**	**0**	**0**	**0**	**0**	**0**	**0**	**0**	**0**	**0**	**0**	**0**
Уровни звукового давления от мнимого источника ИШ-1-17_мн.(1) в расчётной точке ночью, дБ		**ф-ла(3)[10]**	**0**	**0**	**0**	**0**	**0**	**0**	**0**	**0**	**0**	**0**	**0**
Уровни звукового давления от источника ИШ-1-17 в расчётной точке днём, дБ		**ф-ла(3)[10]**	**0**	**17,9**	**16,5**	**14,5**	**10,7**	**5,9**	**0**	**0**	**0**	**11,7**	**11,7**
Уровни звукового давления от источника ИШ-1-17 в расчётной точке ночью, дБ		**ф-ла(3)[10]**	**0**	**17,9**	**16,5**	**14,5**	**10,7**	**5,9**	**0**	**0**	**0**	**11,7**	**11,7**
Источник шума: ИШ-1-18, координаты источника (x,y,z), м =[543.53,140.79,1.00]													
Уровни звуковой мощности источника днём, Lw, дБ		**исходные данные**	**0**	**93,3**	**94,7**	**96**	**96,3**	**95,9**	**92,6**	**88,4**	**83,9**		
Уровни звуковой мощности источника ночью, Lw, дБ		**исходные данные**	**0**	**93,3**	**94,7**	**96**	**96,3**	**95,9**	**92,6**	**88,4**	**83,9**		
Поправка на телесный угол DΩ, дБ	Ω = 6.28	10Lg(4π/Ω)	**3**	3	3	3	3	3	3	3	3		
Показатель направленности источника Di, дБ		исходные данные	**0**	0	0	0	0	0	0	0	0		
Поправка на направленность источника Dc, дБ	Dc	DΩ + Di	**3**	3	3	3	3	3	3	3	3		
Затухание из-за геометрической дивергенции, Adiv, дБ	расстояние = 694.19 м	ф-ла (7) [10]	**67,8**										
Коэффициент затухания звука в атмосфере α, дБ/км	Ta=20,°C Pa=101.33,кПа hотн.=70%	ф-ла (5) [9]	0,02	0,09	0,33	1,12	2,79	4,98	9,04	23,09	77,63		

1		2	3	4	5	6	7	8	9	10	11	12	13
Учет затухания звука в атмосфере Aatm, дБ		ф-ла (8) [10]	0	0,1	0,2	0,8	1,9	3,5	6,3	16	53,9		
Снижение уровня звукового давления из-за влияния застройки между источником шума и расчетной точкой													
Снижение уровня звукового давления на пути над экраном, Dz1, дБ	z = 1.18м (разность путей)	ф-лы (14-18) [10]	7,8	10,1	12,6	15,3	18,1	21	24	27	30		
Снижение уровня звукового давления на пути слева от экрана, Dz2, дБ	z = 32.66м (разность путей)	ф-лы (14-18) [10]	24,9	28,4	31,5	34,6	37,6	40,6	43,6	46,6	49,6		
Снижение уровня звукового давления на пути справа от экрана, Dz3, дБ	z = 51.50м (разность путей)	ф-лы (14-18) [10]	27,5	30,6	33,6	36,6	39,6	42,6	45,6	48,6	51,6		
Общее снижение уровня звука препятствием Dz, дБ		Эн.сумма(-Dzi)	7,7	10	12,5	15,2	18,1	21	23,9	26,9	29,9		
Общее снижение уровня звука препятствием с учётом ограничения (25 дБ) для октавных полос Dz, дБ		Раздел 7.4 [10]	7,7	10	12,5	15,2	18,1	21	23,9	25	25		
Уровни звукового давления от источника ИШ-1-18 в расчётной точке днём, дБ		**ф-ла(3)[10]**	**0**	**18,4**	**17,1**	**15,2**	**11,5**	**6,6**	**0**	**0**	**0**	**12,4**	**12,4**
Уровни звукового давления от источника ИШ-1-18 в расчётной точке ночью, дБ		**ф-ла(3)[10]**	**0**	**18,4**	**17,1**	**15,2**	**11,5**	**6,6**	**0**	**0**	**0**	**12,4**	**12,4**
Источник шума: ИШ-1-19, координаты источника (x,y,z), м =[547.25,139.62,1.00]													
Уровни звуковой мощности источника днём, Lw, дБ		**исходные данные**	**0**	**93,3**	**94,7**	**96**	**96,3**	**95,9**	**92,6**	**88,4**	**83,9**		
Уровни звуковой мощности источника ночью, Lw, дБ		**исходные данные**	**0**	**93,3**	**94,7**	**96**	**96,3**	**95,9**	**92,6**	**88,4**	**83,9**		
Поправка на телесный угол DΩ, дБ	Ω = 6.28	10Lg(4π/Ω)	**3**	3	3	3	3	3	3	3	3		
Показатель направленности источника Di, дБ		исходные данные	**0**	0	0	0	0	0	0	0	0		
Поправка на направленность источника Dc, дБ	Dc	DΩ + Di	**3**	3	3	3	3	3	3	3	3		
Затухание из-за геометрической дивергенции, Adiv, дБ	расстояние = 697.42 м	ф-ла (7) [10]	**67,9**										

1		2	3	4	5	6	7	8	9	10	11	12	13
Коэффициент затухания звука в атмосфере α, дБ/км	Та=20,°С Ра=101.33,кПа hотн.=70%	ф-ла (5) [9]	0,02	0,09	0,33	1,12	2,79	4,98	9,04	23,09	77,63		
Учет затухания звука в атмосфере Aatm, дБ		ф-ла (8) [10]	0	0,1	0,2	0,8	1,9	3,5	6,3	16,1	54,1		
Снижение уровня звукового давления из-за влияния застройки между источником шума и расчетной точкой													
Снижение уровня звукового давления на пути над экраном, Dz1, дБ	z = 1.05м (разность путей)	ф-лы (14-18) [10]	7,3	9,3	11,7	14,3	17,1	20	22,9	25,9	28,9		
Снижение уровня звукового давления на пути слева от экрана, Dz2, дБ	z = 30.62м (разность путей)	ф-лы (14-18) [10]	24,7	28,1	31,3	34,3	37,3	40,3	43,3	46,4	49,4		
Снижение уровня звукового давления на пути справа от экрана, Dz3, дБ	z = 51.14м (разность путей)	ф-лы (14-18) [10]	27,5	30,5	33,5	36,5	39,6	42,6	45,6	48,6	51,6		
Общее снижение уровня звука препятствием Dz, дБ		Эн.сумма(-Dzi)	7,1	9,2	11,6	14,2	17	19,9	22,8	25,8	28,8		
Общее снижение уровня звука препятствием с учётом ограничения (25 дБ) для октавных полос Dz, дБ		Раздел 7.4 [10]	7,1	9,2	11,6	14,2	17	19,9	22,8	25	25		
Уровни звукового давления от источника ИШ-1-19 в расчётной точке днём, дБ		**ф-ла(3)[10]**	**0**	**19,1**	**18**	**16,1**	**12,5**	**7,7**	**0**	**0**	**0**	**13,4**	**13,4**
Уровни звукового давления от источника ИШ-1-19 в расчётной точке ночью, дБ		**ф-ла(3)[10]**	**0**	**19,1**	**18**	**16,1**	**12,5**	**7,7**	**0**	**0**	**0**	**13,4**	**13,4**
Источник шума: ИШ-1-20, координаты источника (x,y,z), м =[550.38,138.64,1.00]													
Уровни звуковой мощности источника днём, Lw, дБ		**исходные данные**	**0**	**93,3**	**94,7**	**96**	**96,3**	**95,9**	**92,6**	**88,4**	**83,9**		
Уровни звуковой мощности источника ночью, Lw, дБ		**исходные данные**	**0**	**93,3**	**94,7**	**96**	**96,3**	**95,9**	**92,6**	**88,4**	**83,9**		
Поправка на телесный угол DΩ, дБ	Ω = 6.28	10Lg($4\pi/\Omega$)	**3**	3	3	3	3	3	3	3	3		
Показатель направленности источника Di, дБ		исходные данные	**0**	0	0	0	0	0	0	0	0		
Поправка на направленность источника Dc, дБ	Dc	DΩ + Di	**3**	3	3	3	3	3	3	3	3		

1		2	3	4	5	6	7	8	9	10	11	12	13
Затухание из-за геометрической дивергенции, Adiv, дБ	расстояние = 700.15 м	ф-ла (7) [10]	**67,9**										
Коэффициент затухания звука в атмосфере α, дБ/км	Ta=20,°C Pa=101.33,кПа hотн.=70%	ф-ла (5) [9]	0,02	0,09	0,33	1,12	2,79	4,98	9,04	23,09	77,63		
Учет затухания звука в атмосфере Aatm, дБ		ф-ла (8) [10]	0	0,1	0,2	0,8	2	3,5	6,3	16,2	54,4		
Снижение уровня звукового давления из-за влияния застройки между источником шума и расчетной точкой													
Снижение уровня звукового давления на пути над экраном, Dz1, дБ	z = 0.97м (разность путей)	ф-лы (14-18) [10]	6,9	8,8	11	13,5	16,2	19,1	22	25	28		
Снижение уровня звукового давления на пути слева от экрана, Dz2, дБ	z = 28.99м (разность путей)	ф-лы (14-18) [10]	24,4	27,9	31	34,1	37,1	40,1	43,1	46,1	49,1		
Снижение уровня звукового давления на пути справа от экрана, Dz3, дБ	z = 50.93м (разность путей)	ф-лы (14-18) [10]	27,4	30,5	33,5	36,5	39,5	42,5	45,6	48,6	51,6		
Общее снижение уровня звука препятствием Dz, дБ		Эн.сумма(-Dzi)	6,8	8,7	10,9	13,4	16,2	19	22	24,9	27,9		
Общее снижение уровня звука препятствием с учётом ограничения (25 дБ) для октавных полос Dz, дБ		Раздел 7.4 [10]	6,8	8,7	10,9	13,4	16,2	19	22	24,9	25		
Уровни звукового давления от источника ИШ-1-20 в расчётной точке днём, дБ		**ф-ла(3)[10]**	**0**	**19,6**	**18,6**	**16,9**	**13,3**	**8,5**	**0**	**0**	**0**	**14,1**	**14,1**
Уровни звукового давления от источника ИШ-1-20 в расчётной точке ночью, дБ		**ф-ла(3)[10]**	**0**	**19,6**	**18,6**	**16,9**	**13,3**	**8,5**	**0**	**0**	**0**	**14,1**	**14,1**
Источник шума: ИШ-1-21, координаты источника (x,y,z), м =[553.31,137.67,1.00]													
Уровни звуковой мощности источника днём, Lw, дБ		**исходные данные**	**0**	**93,3**	**94,7**	**96**	**96,3**	**95,9**	**92,6**	**88,4**	**83,9**		
Уровни звуковой мощности источника ночью, Lw, дБ		**исходные данные**	**0**	**93,3**	**94,7**	**96**	**96,3**	**95,9**	**92,6**	**88,4**	**83,9**		
Поправка на телесный угол DΩ, дБ	Ω = 6.28	10Lg(4π/Ω)	**3**	3	3	3	3	3	3	3	3		
Показатель направленности источника Di, дБ		исходные данные	**0**	0	0	0	0	0	0	0	0		

1		2	3	4	5	6	7	8	9	10	11	12	13
Поправка на направленность источника Dc, дБ	Dc	DΩ + Di	**3**	3	3	3	3	3	3	3	3		
Затухание из-за геометрической дивергенции, Adiv, дБ	расстояние = 702.69 м	ф-ла (7) [10]	**67,9**										
Коэффициент затухания звука в атмосфере α, дБ/км	Ta=20,°C Pa=101.33,кПа hотн.=70%	ф-ла (5) [9]	0,02	0,09	0,33	1,12	2,79	4,98	9,04	23,09	77,63		
Учет затухания звука в атмосфере Aatm, дБ		ф-ла (8) [10]	0	0,1	0,2	0,8	2	3,5	6,4	16,2	54,6		
Снижение уровня звукового давления из-за влияния застройки между источником шума и расчетной точкой													
Снижение уровня звукового давления на пути над экраном, Dz1, дБ	z = 0.90м (разность путей)	ф-лы (14-18) [10]	6,6	8,3	10,4	12,8	15,5	18,3	21,2	24,2	27,2		
Снижение уровня звукового давления на пути слева от экрана, Dz2, дБ	z = 27.51м (разность путей)	ф-лы (14-18) [10]	24,2	27,7	30,8	33,8	36,9	39,9	42,9	45,9	48,9		
Снижение уровня звукового давления на пути справа от экрана, Dz3, дБ	z = 50.88м (разность путей)	ф-лы (14-18) [10]	27,4	30,5	33,5	36,5	39,5	42,5	45,6	48,6	51,6		
Общее снижение уровня звука препятствием Dz, дБ		Эн.сумма(-Dzi)	6,5	8,2	10,3	12,8	15,4	18,3	21,2	24,1	27,1		
Общее снижение уровня звука препятствием с учётом ограничения (25 дБ) для октавных полос Dz, дБ		Раздел 7.4 [10]	6,5	8,2	10,3	12,8	15,4	18,3	21,2	24,1	25		
Уровни звукового давления от источника ИШ-1-21 в расчётной точке днём, дБ		**ф-ла(3)[10]**	**0**	**20,1**	**19,2**	**17,5**	**14**	**9,2**	**0,1**	**0**	**0**	**15**	**15**
Уровни звукового давления от источника ИШ-1-21 в расчётной точке ночью, дБ		**ф-ла(3)[10]**	**0**	**20,1**	**19,2**	**17,5**	**14**	**9,2**	**0,1**	**0**	**0**	**15**	**15**
Источник шума: ИШ-1-22, координаты источника (x,y,z), м =[522.03,85.28,1.00]													
Уровни звуковой мощности источника днём, Lw, дБ		**исходные данные**	**0**	**93,3**	**94,7**	**96**	**96,3**	**95,9**	**92,6**	**88,4**	**83,9**		
Уровни звуковой мощности источника ночью, Lw, дБ		**исходные данные**	**0**	**93,3**	**94,7**	**96**	**96,3**	**95,9**	**92,6**	**88,4**	**83,9**		
Поправка на телесный угол DΩ, дБ	Ω = 6.28	10Lg(4π/Ω)	**3**	3	3	3	3	3	3	3	3		

1		2	3	4	5	6	7	8	9	10	11	12	13
Показатель направленности источника Di, дБ		исходные данные	**0**	0	0	0	0	0	0	0	0		
Поправка на направленность источника Dc, дБ	Dc	DΩ + Di	**3**	3	3	3	3	3	3	3	3		
Затухание из-за геометрической дивергенции, Adiv, дБ	расстояние = 659.46 м	ф-ла (7) [10]	**67,4**										
Коэффициент затухания звука в атмосфере α, дБ/км	Ta=20,°C Pa=101.33,кПа hотн.=70%	ф-ла (5) [9]	0,02	0,09	0,33	1,12	2,79	4,98	9,04	23,09	77,63		
Учет затухания звука в атмосфере Aatm, дБ		ф-ла (8) [10]	0	0,1	0,2	0,7	1,8	3,3	6	15,2	51,2		
Снижение уровня звукового давления из-за влияния застройки между источником шума и расчетной точкой													
Снижение уровня звукового давления на пути над экраном, Dz1, дБ	z = 1.35м (разность путей)	ф-лы (14-18) [10]	9,1	11,6	14,2	17	19,8	22,8	25,8	28,8	31,8		
Снижение уровня звукового давления на пути слева от экрана, Dz2, дБ	z = 11.20м (разность путей)	ф-лы (14-18) [10]	20,4	23,8	26,9	29,9	33	36	39	42	45		
Снижение уровня звукового давления на пути справа от экрана, Dz3, дБ	z = 137.02м (разность путей)	ф-лы (14-18) [10]	31,7	34,8	37,8	40,8	43,8	46,8	49,9	52,9	55,9		
Общее снижение уровня звука препятствием Dz, дБ		Эн.сумма(-Dzi)	8,7	11,3	13,9	16,7	19,6	22,6	25,5	28,5	31,5		
Общее снижение уровня звука препятствием с учётом ограничения (25 дБ) для октавных полос Dz, дБ		Раздел 7.4 [10]	8,7	11,3	13,9	16,7	19,6	22,6	25	25	25		
Уровни звукового давления от источника ИШ-1-22 в расчётной точке днём, дБ		**ф-ла(3)[10]**	**0**	**17,6**	**16,2**	**14,1**	**10,5**	**5,7**	**0**	**0**	**0**	**11,4**	**11,4**
Уровни звукового давления от источника ИШ-1-22 в расчётной точке ночью, дБ		**ф-ла(3)[10]**	**0**	**17,6**	**16,2**	**14,1**	**10,5**	**5,7**	**0**	**0**	**0**	**11,4**	**11,4**
Источник шума: ИШ-1-23, координаты источника (x,y,z), м =[525.16,84.11,1.00]													
Уровни звуковой мощности источника днём, Lw, дБ		**исходные данные**	**0**	**93,3**	**94,7**	**96**	**96,3**	**95,9**	**92,6**	**88,4**	**83,9**		
Уровни звуковой мощности источника ночью, Lw, дБ		**исходные данные**	**0**	**93,3**	**94,7**	**96**	**96,3**	**95,9**	**92,6**	**88,4**	**83,9**		

1		2	3	4	5	6	7	8	9	10	11	12	13
Поправка на телесный угол DΩ, дБ	Ω = 6.28	10Lg(4π/Ω)	**3**	3	3	3	3	3	3	3	3		
Показатель направленности источника Di, дБ		исходные данные	**0**	0	0	0	0	0	0	0	0		
Поправка на направленность источника Dc, дБ	Dc	DΩ + Di	**3**	3	3	3	3	3	3	3	3		
Затухание из-за геометрической дивергенции, Adiv, дБ	расстояние = 662.26 м	ф-ла (7) [10]	**67,4**										
Коэффициент затухания звука в атмосфере α, дБ/км	Ta=20,°C Pa=101.33,кПа hотн.=70%	ф-ла (5) [9]	0,02	0,09	0,33	1,12	2,79	4,98	9,04	23,09	77,63		
Учет затухания звука в атмосфере Aatm, дБ		ф-ла (8) [10]	0	0,1	0,2	0,7	1,8	3,3	6	15,3	51,4		
Снижение уровня звукового давления из-за влияния застройки между источником шума и расчетной точкой													
Снижение уровня звукового давления на пути над экраном, Dz1, дБ	z = 1.22м (разность путей)	ф-лы (14-18) [10]	8,5	10,8	13,4	16,1	19	21,9	24,8	27,8	30,8		
Снижение уровня звукового давления на пути слева от экрана, Dz2, дБ	z = 10.08м (разность путей)	ф-лы (14-18) [10]	19,9	23,4	26,5	29,5	32,5	35,5	38,5	41,5	44,5		
Снижение уровня звукового давления на пути справа от экрана, Dz3, дБ	z = 135.35м (разность путей)	ф-лы (14-18) [10]	31,7	34,8	37,8	40,8	43,8	46,8	49,8	52,8	55,8		
Общее снижение уровня звука препятствием Dz, дБ		Эн.сумма(-Dzi)	8,2	10,6	13,1	15,9	18,8	21,7	24,7	27,6	30,6		
Общее снижение уровня звука препятствием с учётом ограничения (25 дБ) для октавных полос Dz, дБ		Раздел 7.4 [10]	8,2	10,6	13,1	15,9	18,8	21,7	24,7	25	25		
Уровни звукового давления от источника ИШ-1-23 в расчётной точке днём, дБ		**ф-ла(3)[10]**	**0**	**18,2**	**16,9**	**14,9**	**11,3**	**6,5**	**0**	**0**	**0**	**12,2**	**12,2**
Уровни звукового давления от источника ИШ-1-23 в расчётной точке ночью, дБ		**ф-ла(3)[10]**	**0**	**18,2**	**16,9**	**14,9**	**11,3**	**6,5**	**0**	**0**	**0**	**12,2**	**12,2**
Источник шума: ИШ-1-24, координаты источника (x,y,z), м =[528.48,82.94,1.00]													
Уровни звуковой мощности источника днём, Lw, дБ		**исходные данные**	**0**	**93,3**	**94,7**	**96**	**96,3**	**95,9**	**92,6**	**88,4**	**83,9**		

1		2	3	4	5	6	7	8	9	10	11	12	13
Уровни звуковой мощности источника ночью, Lw, дБ		**исходные данные**	**0**	**93,3**	**94,7**	**96**	**96,3**	**95,9**	**92,6**	**88,4**	**83,9**		
Поправка на телесный угол DΩ, дБ	Ω = 6.28	10Lg(4π/Ω)	**3**	3	3	3	3	3	3	3	3		
Показатель направленности источника Di, дБ		исходные данные	**0**	0	0	0	0	0	0	0	0		
Поправка на направленность источника Dc, дБ	Dc	DΩ + Di	**3**	3	3	3	3	3	3	3	3		
Затухание из-за геометрической дивергенции, Adiv, дБ	расстояние = 665.26 м	ф-ла (7) [10]	**67,5**										
Коэффициент затухания звука в атмосфере α, дБ/км	Ta=20,°C Pa=101.33,кПа hотн.=70%	ф-ла (5) [9]	0,02	0,09	0,33	1,12	2,79	4,98	9,04	23,09	77,63		
Учет затухания звука в атмосфере Aatm, дБ		ф-ла (8) [10]	0	0,1	0,2	0,7	1,9	3,3	6	15,4	51,6		
Снижение уровня звукового давления из-за влияния застройки между источником шума и расчетной точкой													
Снижение уровня звукового давления на пути над экраном, Dz1, дБ	z = 1.10м (разность путей)	ф-лы (14-18) [10]	8	10,2	12,6	15,3	18,1	21	23,9	26,9	29,9		
Снижение уровня звукового давления на пути слева от экрана, Dz2, дБ	z = 12.69м (разность путей)	ф-лы (14-18) [10]	20,1	24	27,4	30,5	33,5	36,5	39,5	42,5	45,5		
Снижение уровня звукового давления на пути справа от экрана, Dz3, дБ	z = 133.61м (разность путей)	ф-лы (14-18) [10]	31,6	34,7	37,7	40,7	43,7	46,7	49,7	52,8	55,8		
Общее снижение уровня звука препятствием Dz, дБ		Эн.сумма(-Dzi)	7,7	10	12,4	15,1	17,9	20,9	23,8	26,8	29,8		
Общее снижение уровня звука препятствием с учётом ограничения (25 дБ) для октавных полос Dz, дБ		Раздел 7.4 [10]	7,7	10	12,4	15,1	17,9	20,9	23,8	25	25		
Уровни звукового давления от источника ИШ-1-24 в расчётной точке днём, дБ		**ф-ла(3)[10]**	**0**	**18,8**	**17,6**	**15,7**	**12**	**7,3**	**0**	**0**	**0**	**12,9**	**12,9**
Уровни звукового давления от источника ИШ-1-24 в расчётной точке ночью, дБ		**ф-ла(3)[10]**	**0**	**18,8**	**17,6**	**15,7**	**12**	**7,3**	**0**	**0**	**0**	**12,9**	**12,9**

Источник шума: ИШ-1-25, координаты источника (x,y,z), м =[531.22,82.16,1.00]

1		2	3	4	5	6	7	8	9	10	11	12	13
Уровни звуковой мощности источника днём, Lw, дБ		**исходные данные**	**0**	**93,3**	**94,7**	**96**	**96,3**	**95,9**	**92,6**	**88,4**	**83,9**		
Уровни звуковой мощности источника ночью, Lw, дБ		**исходные данные**	**0**	**93,3**	**94,7**	**96**	**96,3**	**95,9**	**92,6**	**88,4**	**83,9**		
Поправка на телесный угол DΩ, дБ	Ω = 6.28	10Lg(4π/Ω)	**3**	3	3	3	3	3	3	3	3		
Показатель направленности источника Di, дБ		исходные данные	**0**	0	0	0	0	0	0	0	0		
Поправка на направленность источника Dc, дБ	Dc	DΩ + Di	**3**	3	3	3	3	3	3	3	3		
Затухание из-за геометрической дивергенции, Adiv, дБ	расстояние = 667.77 м	ф-ла (7) [10]	**67,5**										
Коэффициент затухания звука в атмосфере α, дБ/км	Ta=20,°C Pa=101.33,кПа hотн.=70%	ф-ла (5) [9]	0,02	0,09	0,33	1,12	2,79	4,98	9,04	23,09	77,63		
Учет затухания звука в атмосфере Aatm, дБ		ф-ла (8) [10]	0	0,1	0,2	0,8	1,9	3,3	6	15,4	51,8		
Снижение уровня звукового давления из-за влияния застройки между источником шума и расчетной точкой													
Снижение уровня звукового давления на пути над экраном, Dz1, дБ	z = 1.03м (разность путей)	ф-лы (14-18) [10]	7,7	9,7	12	14,6	17,4	20,3	23,2	26,2	29,2		
Снижение уровня звукового давления на пути слева от экрана, Dz2, дБ	z = 11.99м (разность путей)	ф-лы (14-18) [10]	19,8	23,8	27,1	30,2	33,3	36,3	39,3	42,3	45,3		
Снижение уровня звукового давления на пути справа от экрана, Dz3, дБ	z = 132.04м (разность путей)	ф-лы (14-18) [10]	31,6	34,7	37,6	40,7	43,7	46,7	49,7	52,7	55,7		
Общее снижение уровня звука препятствием Dz, дБ		Эн.сумма(-Dzi)	7,4	9,5	11,9	14,5	17,3	20,2	23,1	26,1	29,1		
Общее снижение уровня звука препятствием с учётом ограничения (25 дБ) для октавных полос Dz, дБ		Раздел 7.4 [10]	7,4	9,5	11,9	14,5	17,3	20,2	23,1	25	25		
Уровни звукового давления от источника ИШ-1-25 в расчётной точке днём, дБ		**ф-ла(3)[10]**	**0**	**19,2**	**18,1**	**16,3**	**12,7**	**7,9**	**0**	**0**	**0**	**13,5**	**13,5**
Уровни звукового давления от источника ИШ-1-25 в расчётной точке ночью, дБ		**ф-ла(3)[10]**	**0**	**19,2**	**18,1**	**16,3**	**12,7**	**7,9**	**0**	**0**	**0**	**13,5**	**13,5**

1		2	3	4	5	6	7	8	9	10	11	12	13
Источник шума: ИШ-1-26, координаты источника (x,y,z), м =[534.15,80.79,1.00]													
Уровни звуковой мощности источника днём, Lw, дБ		**исходные данные**	**0**	**93,3**	**94,7**	**96**	**96,3**	**95,9**	**92,6**	**88,4**	**83,9**		
Уровни звуковой мощности источника ночью, Lw, дБ		**исходные данные**	**0**	**93,3**	**94,7**	**96**	**96,3**	**95,9**	**92,6**	**88,4**	**83,9**		
Поправка на телесный угол DΩ, дБ	Ω = 6.28	10Lg(4π/Ω)	**3**	3	3	3	3	3	3	3	3		
Показатель направленности источника Di, дБ		исходные данные	**0**	0	0	0	0	0	0	0	0		
Поправка на направленность источника Dc, дБ	Dc	DΩ + Di	**3**	3	3	3	3	3	3	3	3		
Затухание из-за геометрической дивергенции, Adiv, дБ	расстояние = 670.36 м	ф-ла (7) [10]	**67,5**										
Коэффициент затухания звука в атмосфере α, дБ/км	Ta=20,°C Pa=101.33,кПа hотн.=70%	ф-ла (5) [9]	0,02	0,09	0,33	1,12	2,79	4,98	9,04	23,09	77,63		
Учет затухания звука в атмосфере Aatm, дБ		ф-ла (8) [10]	0	0,1	0,2	0,8	1,9	3,3	6,1	15,5	52		
Снижение уровня звукового давления из-за влияния застройки между источником шума и расчетной точкой													
Снижение уровня звукового давления на пути над экраном, Dz1, дБ	z = 0.95м (разность путей)	ф-лы (14-18) [10]	7,3	9,2	11,4	13,9	16,7	19,6	22,5	25,5	28,5		
Снижение уровня звукового давления на пути слева от экрана, Dz2, дБ	z = 11.11м (разность путей)	ф-лы (14-18) [10]	19,5	23,5	26,8	29,9	32,9	35,9	38,9	42	45		
Снижение уровня звукового давления на пути справа от экрана, Dz3, дБ	z = 131.07м (разность путей)	ф-лы (14-18) [10]	31,5	34,6	37,6	40,6	43,6	46,7	49,7	52,7	55,7		
Общее снижение уровня звука препятствием Dz, дБ		Эн.сумма(-Dzi)	7	9	11,3	13,8	16,6	19,4	22,4	25,4	28,4		
Общее снижение уровня звука препятствием с учётом ограничения (25 дБ) для октавных полос Dz, дБ		Раздел 7.4 [10]	7	9	11,3	13,8	16,6	19,4	22,4	25	25		
Уровни звукового давления от источника ИШ-1-26 в расчётной точке днём, дБ		**ф-ла(3)[10]**	**0**	**19,7**	**18,7**	**16,9**	**13,3**	**8,6**	**0**	**0**	**0**	**14,2**	**14,2**

1		2	3	4	5	6	7	8	9	10	11	12	13
Уровни звукового давления от источника ИШ-1-26 в расчётной точке ночью, дБ		**ф-ла(3)[10]**	**0**	**19,7**	**18,7**	**16,9**	**13,3**	**8,6**	**0**	**0**	**0**	**14,2**	**14,2**
Источник шума: ИШ-1-27, координаты источника (x,y,z), м =[469.65,197.67,1.00]													
Уровни звуковой мощности источника днём, Lw, дБ		**исходные данные**	**0**	**93,3**	**94,7**	**96**	**96,3**	**95,9**	**92,6**	**88,4**	**83,9**		
Уровни звуковой мощности источника ночью, Lw, дБ		**исходные данные**	**0**	**93,3**	**94,7**	**96**	**96,3**	**95,9**	**92,6**	**88,4**	**83,9**		
Поправка на телесный угол DΩ, дБ	Ω = 6.28	10Lg(4π/Ω)	**3**	3	3	3	3	3	3	3	3		
Показатель направленности источника Di, дБ		исходные данные	**0**	0	0	0	0	0	0	0	0		
Поправка на направленность источника Dc, дБ	Dc	DΩ + Di	**3**	3	3	3	3	3	3	3	3		
Затухание из-за геометрической дивергенции, Adiv, дБ	расстояние = 644.02 м	ф-ла (7) [10]	**67,2**										
Коэффициент затухания звука в атмосфере α, дБ/км	Ta=20,°C Pa=101.33,кПа hотн.=70%	ф-ла (5) [9]	0,02	0,09	0,33	1,12	2,79	4,98	9,04	23,09	77,63		
Учет затухания звука в атмосфере Aatm, дБ		ф-ла (8) [10]	0	0,1	0,2	0,7	1,8	3,2	5,8	14,9	50		
Снижение уровня звукового давления из-за влияния застройки между источником шума и расчетной точкой													
Снижение уровня звукового давления на пути над экраном, Dz1, дБ	z = 1.22м (разность путей)	ф-лы (14-18) [10]	9,4	11,7	14,3	17	19,9	22,8	25,8	28,8	31,8		
Снижение уровня звукового давления на пути слева от экрана, Dz2, дБ	z = 88.71м (разность путей)	ф-лы (14-18) [10]	28,6	32,5	35,8	38,9	41,9	45	48	51	54		
Снижение уровня звукового давления на пути справа от экрана, Dz3, дБ	z = 44.94м (разность путей)	ф-лы (14-18) [10]	26,8	30	33	36	39	42	45	48	51		
Общее снижение уровня звука препятствием Dz, дБ		Эн.сумма(-Dzi)	9,3	11,6	14,2	16,9	19,8	22,8	25,7	28,7	31,7		
Общее снижение уровня звука препятствием с учётом ограничения (25 дБ) для октавных полос Dz, дБ		Раздел 7.4 [10]	9,3	11,6	14,2	16,9	19,8	22,8	25	25	25		

1		2	3	4	5	6	7	8	9	10	11	12	13
Уровни звукового давления прямого звука от источника ИШ-1-27 в расчётной точке днём, дБ		**ф-ла(3)[10]**	**0**	**17,5**	**16,1**	**14,2**	**10,5**	**5,7**	**0**	**0**	**0**	**11,4**	**11,4**
Уровни звукового давления прямого звука от источника ИШ-1-27 в расчётной точке ночью, дБ		**ф-ла(3)[10]**	**0**	**17,5**	**16,1**	**14,2**	**10,5**	**5,7**	**0**	**0**	**0**	**11,4**	**11,4**
Расчёт отражённого звука													
Уровни звукового давления от мнимого источника ИШ-1-27_мн.(1) в расчётной точке днём, дБ		**ф-ла(3)[10]**	**0**	**0**	**0**	**0**	**0**	**0**	**0**	**0**	**0**	**0**	**0**
Уровни звукового давления от мнимого источника ИШ-1-27_мн.(1) в расчётной точке ночью, дБ		**ф-ла(3)[10]**	**0**	**0**	**0**	**0**	**0**	**0**	**0**	**0**	**0**	**0**	**0**
Уровни звукового давления от источника ИШ-1-27 в расчётной точке днём, дБ		**ф-ла(3)[10]**	**0**	**17,5**	**16,1**	**14,2**	**10,5**	**5,7**	**0**	**0**	**0**	**11,4**	**11,4**
Уровни звукового давления от источника ИШ-1-27 в расчётной точке ночью, дБ		**ф-ла(3)[10]**	**0**	**17,5**	**16,1**	**14,2**	**10,5**	**5,7**	**0**	**0**	**0**	**11,4**	**11,4**
Источник шума: ИШ-1-28, координаты источника (x,y,z), м =[472.78,196.69,1.00]													
Уровни звуковой мощности источника днём, Lw, дБ		**исходные данные**	**0**	**93,3**	**94,7**	**96**	**96,3**	**95,9**	**92,6**	**88,4**	**83,9**		
Уровни звуковой мощности источника ночью, Lw, дБ		**исходные данные**	**0**	**93,3**	**94,7**	**96**	**96,3**	**95,9**	**92,6**	**88,4**	**83,9**		
Поправка на телесный угол DΩ, дБ	Ω = 6.28	10Lg(4π/Ω)	**3**	3	3	3	3	3	3	3	3		
Показатель направленности источника Di, дБ		исходные данные	**0**	0	0	0	0	0	0	0	0		
Поправка на направленность источника Dc, дБ	Dc	DΩ + Di	**3**	3	3	3	3	3	3	3	3		
Затухание из-за геометрической дивергенции, Adiv, дБ	расстояние = 646.51 м	ф-ла (7) [10]	**67,2**										
Коэффициент затухания звука в атмосфере α, дБ/км	Ta=20,°C Pa=101.33,кПа hотн.=70%	ф-ла (5) [9]	0,02	0,09	0,33	1,12	2,79	4,98	9,04	23,09	77,63		
Учет затухания звука в атмосфере Aatm, дБ		ф-ла (8) [10]	0	0,1	0,2	0,7	1,8	3,2	5,8	14,9	50,2		

1		2	3	4	5	6	7	8	9	10	11	12	13
Снижение уровня звукового давления из-за влияния застройки между источником шума и расчетной точкой													
Снижение уровня звукового давления на пути над экраном, Dz1, дБ	z = 1.11м (разность путей)	ф-лы (14-18) [10]	8,9	11,1	13,6	16,3	19,1	22,1	25	28	31		
Снижение уровня звукового давления на пути слева от экрана, Dz2, дБ	z = 86.03м (разность путей)	ф-лы (14-18) [10]	28,5	32,4	35,7	38,8	41,8	44,8	47,8	50,8	53,9		
Снижение уровня звукового давления на пути справа от экрана, Dz3, дБ	z = 45.71м (разность путей)	ф-лы (14-18) [10]	26,9	30	33	36,1	39,1	42,1	45,1	48,1	51,1		
Общее снижение уровня звука препятствием Dz, дБ		Эн.сумма(-Dzi)	8,8	11	13,5	16,2	19,1	22	25	28	31		
Общее снижение уровня звука препятствием с учётом ограничения (25 дБ) для октавных полос Dz, дБ		Раздел 7.4 [10]	8,8	11	13,5	16,2	19,1	22	25	25	25		
Уровни звукового давления прямого звука от источника ИШ-1-28 в расчётной точке днём, дБ		**ф-ла(3)[10]**	**0**	**18**	**16,8**	**14,8**	**11,2**	**6,5**	**0**	**0**	**0**	**12,1**	**12,1**
Уровни звукового давления прямого звука от источника ИШ-1-28 в расчётной точке ночью, дБ		**ф-ла(3)[10]**	**0**	**18**	**16,8**	**14,8**	**11,2**	**6,5**	**0**	**0**	**0**	**12,1**	**12,1**
Расчёт отражённого звука													
Уровни звукового давления от мнимого источника ИШ-1-28_мн.(1) в расчётной точке днём, дБ		**ф-ла(3)[10]**	**0**	**0**	**0**	**0**	**0**	**0**	**0**	**0**	**0**	**0**	**0**
Уровни звукового давления от мнимого источника ИШ-1-28_мн.(1) в расчётной точке ночью, дБ		**ф-ла(3)[10]**	**0**	**0**	**0**	**0**	**0**	**0**	**0**	**0**	**0**	**0**	**0**
Уровни звукового давления от источника ИШ-1-28 в расчётной точке днём, дБ		**ф-ла(3)[10]**	**0**	**18**	**16,8**	**14,8**	**11,2**	**6,5**	**0**	**0**	**0**	**12,1**	**12,1**
Уровни звукового давления от источника ИШ-1-28 в расчётной точке ночью, дБ		**ф-ла(3)[10]**	**0**	**18**	**16,8**	**14,8**	**11,2**	**6,5**	**0**	**0**	**0**	**12,1**	**12,1**
Источник шума: ИШ-1-29, координаты источника (x,y,z), м =[475.52,195.72,1.00]													
Уровни звуковой мощности источника днём, Lw, дБ		**исходные данные**	**0**	**93,3**	**94,7**	**96**	**96,3**	**95,9**	**92,6**	**88,4**	**83,9**		
Уровни звуковой мощности источника ночью, Lw, дБ		**исходные данные**	**0**	**93,3**	**94,7**	**96**	**96,3**	**95,9**	**92,6**	**88,4**	**83,9**		
Поправка на телесный угол DΩ, дБ	Ω = 6.28	10Lg(4π/Ω)	**3**	3	3	3	3	3	3	3	3		

1		2	3	4	5	6	7	8	9	10	11	12	13
Показатель направленности источника Di, дБ		исходные данные	**0**	0	0	0	0	0	0	0	0		
Поправка на направленность источника Dc, дБ	Dc	DΩ + Di	**3**	3	3	3	3	3	3	3	3		
Затухание из-за геометрической дивергенции, Adiv, дБ	расстояние = 648.65 м	ф-ла (7) [10]	**67,2**										
Коэффициент затухания звука в атмосфере α, дБ/км	Ta=20,°C Pa=101.33,кПа hотн.=70%	ф-ла (5) [9]	0,02	0,09	0,33	1,12	2,79	4,98	9,04	23,09	77,63		
Учет затухания звука в атмосфере Aatm, дБ		ф-ла (8) [10]	0	0,1	0,2	0,7	1,8	3,2	5,9	15	50,4		
Снижение уровня звукового давления из-за влияния застройки между источником шума и расчетной точкой													
Снижение уровня звукового давления на пути над экраном, Dz1, дБ	z = 1.03м (разность путей)	ф-лы (14-18) [10]	8,5	10,6	13	15,7	18,5	21,4	24,4	27,4	30,4		
Снижение уровня звукового давления на пути слева от экрана, Dz2, дБ	z = 83.67м (разность путей)	ф-лы (14-18) [10]	28,4	32,3	35,6	38,7	41,7	44,7	47,7	50,7	53,7		
Снижение уровня звукового давления на пути справа от экрана, Dz3, дБ	z = 46.48м (разность путей)	ф-лы (14-18) [10]	26,9	30,1	33,1	36,1	39,1	42,2	45,2	48,2	51,2		
Общее снижение уровня звука препятствием Dz, дБ		Эн.сумма(-Dzi)	8,4	10,5	12,9	15,6	18,5	21,4	24,3	27,3	30,3		
Общее снижение уровня звука препятствием с учётом ограничения (25 дБ) для октавных полос Dz, дБ		Раздел 7.4 [10]	8,4	10,5	12,9	15,6	18,5	21,4	24,3	25	25		
Уровни звукового давления прямого звука от источника ИШ-1-29 в расчётной точке днём, дБ		**ф-ла(3)[10]**	**0**	**18,5**	**17,3**	**15,4**	**11,8**	**7**	**0**	**0**	**0**	**12,7**	**12,7**
Уровни звукового давления прямого звука от источника ИШ-1-29 в расчётной точке ночью, дБ		**ф-ла(3)[10]**	**0**	**18,5**	**17,3**	**15,4**	**11,8**	**7**	**0**	**0**	**0**	**12,7**	**12,7**
Расчёт отражённого звука													
Уровни звукового давления от мнимого источника ИШ-1-29_мн.(1) в расчётной точке днём, дБ		**ф-ла(3)[10]**	**0**	**0**	**0**	**0**	**0**	**0**	**0**	**0**	**0**	**0**	**0**
Уровни звукового давления от мнимого источника ИШ-1-29_мн.(1) в расчётной точке ночью, дБ		**ф-ла(3)[10]**	**0**	**0**	**0**	**0**	**0**	**0**	**0**	**0**	**0**	**0**	**0**
Уровни звукового давления от источника ИШ-1-29 в расчётной точке днём, дБ		**ф-ла(3)[10]**	**0**	**18,5**	**17,3**	**15,4**	**11,8**	**7**	**0**	**0**	**0**	**12,7**	**12,7**

1		2	3	4	5	6	7	8	9	10	11	12	13
Уровни звукового давления от источника ИШ-1-29 в расчётной точке ночью, дБ		**ф-ла(3)[10]**	**0**	**18,5**	**17,3**	**15,4**	**11,8**	**7**	**0**	**0**	**0**	**12,7**	**12,7**
Источник шума: ИШ-1-30, координаты источника (x,y,z), м =[478.45,194.54,1.00]													
Уровни звуковой мощности источника днём, Lw, дБ		**исходные данные**	**0**	**93,3**	**94,7**	**96**	**96,3**	**95,9**	**92,6**	**88,4**	**83,9**		
Уровни звуковой мощности источника ночью, Lw, дБ		**исходные данные**	**0**	**93,3**	**94,7**	**96**	**96,3**	**95,9**	**92,6**	**88,4**	**83,9**		
Поправка на телесный угол DΩ, дБ	Ω = 6.28	10Lg(4π/Ω)	**3**	3	3	3	3	3	3	3	3		
Показатель направленности источника Di, дБ		исходные данные	**0**	0	0	0	0	0	0	0	0		
Поправка на направленность источника Dc, дБ	Dc	DΩ + Di	**3**	3	3	3	3	3	3	3	3		
Затухание из-за геометрической дивергенции, Adiv, дБ	расстояние = 650.90 м	ф-ла (7) [10]	**67,3**										
Коэффициент затухания звука в атмосфере α, дБ/км	Ta=20,°C Pa=101.33,кПа hотн.=70%	ф-ла (5) [9]	0,02	0,09	0,33	1,12	2,79	4,98	9,04	23,09	77,63		
Учет затухания звука в атмосфере Aatm, дБ		ф-ла (8) [10]	0	0,1	0,2	0,7	1,8	3,2	5,9	15	50,5		
Снижение уровня звукового давления из-за влияния застройки между источником шума и расчетной точкой													
Снижение уровня звукового давления на пути над экраном, Dz1, дБ	z = 0.96м (разность путей)	ф-лы (14-18) [10]	8,1	10,1	12,4	15,1	17,9	20,8	23,7	26,7	29,7		
Снижение уровня звукового давления на пути слева от экрана, Dz2, дБ	z = 81.11м (разность путей)	ф-лы (14-18) [10]	28,3	32,1	35,4	38,5	41,6	44,6	47,6	50,6	53,6		
Снижение уровня звукового давления на пути справа от экрана, Dz3, дБ	z = 47.39м (разность путей)	ф-лы (14-18) [10]	27	30,2	33,2	36,2	39,2	42,2	45,2	48,3	51,3		
Общее снижение уровня звука препятствием Dz, дБ		Эн.сумма(-Dzi)	8	10	12,4	15	17,8	20,7	23,7	26,7	29,7		
Общее снижение уровня звука препятствием с учётом ограничения (25 дБ) для октавных полос Dz, дБ		Раздел 7.4 [10]	8	10	12,4	15	17,8	20,7	23,7	25	25		

1		2	3	4	5	6	7	8	9	10	11	12	13
Уровни звукового давления прямого звука от источника ИШ-1-30 в расчётной точке днём, дБ		**ф-ла(3)[10]**	**0**	**18,9**	**17,8**	**16**	**12,4**	**7,7**	**0**	**0**	**0**	**13,3**	**13,3**
Уровни звукового давления прямого звука от источника ИШ-1-30 в расчётной точке ночью, дБ		**ф-ла(3)[10]**	**0**	**18,9**	**17,8**	**16**	**12,4**	**7,7**	**0**	**0**	**0**	**13,3**	**13,3**
Расчёт отражённого звука													
Уровни звукового давления от мнимого источника ИШ-1-30_мн.(1) в расчётной точке днём, дБ		**ф-ла(3)[10]**	**0**	**0**	**0**	**0**	**0**	**0**	**0**	**0**	**0**	**0**	**0**
Уровни звукового давления от мнимого источника ИШ-1-30_мн.(1) в расчётной точке ночью, дБ		**ф-ла(3)[10]**	**0**	**0**	**0**	**0**	**0**	**0**	**0**	**0**	**0**	**0**	**0**
Уровни звукового давления от источника ИШ-1-30 в расчётной точке днём, дБ		**ф-ла(3)[10]**	**0**	**18,9**	**17,8**	**16**	**12,4**	**7,7**	**0**	**0**	**0**	**13,3**	**13,3**
Уровни звукового давления от источника ИШ-1-30 в расчётной точке ночью, дБ		**ф-ла(3)[10]**	**0**	**18,9**	**17,8**	**16**	**12,4**	**7,7**	**0**	**0**	**0**	**13,3**	**13,3**
Источник шума: ИШ-1-31, координаты источника (x,y,z), м =[481.58,193.96,1.00]													
Уровни звуковой мощности источника днём, Lw, дБ		**исходные данные**	**0**	**93,3**	**94,7**	**96**	**96,3**	**95,9**	**92,6**	**88,4**	**83,9**		
Уровни звуковой мощности источника ночью, Lw, дБ		**исходные данные**	**0**	**93,3**	**94,7**	**96**	**96,3**	**95,9**	**92,6**	**88,4**	**83,9**		
Поправка на телесный угол DΩ, дБ	Ω = 6.28	10Lg(4π/Ω)	**3**	3	3	3	3	3	3	3	3		
Показатель направленности источника Di, дБ		исходные данные	**0**	0	0	0	0	0	0	0	0		
Поправка на направленность источника Dc, дБ	Dc	DΩ + Di	**3**	3	3	3	3	3	3	3	3		
Затухание из-за геометрической дивергенции, Adiv, дБ	расстояние = 653.56 м	ф-ла (7) [10]	**67,3**										
Коэффициент затухания звука в атмосфере α, дБ/км	Ta=20,°C Pa=101.33,кПа hотн.=70%	ф-ла (5) [9]	0,02	0,09	0,33	1,12	2,79	4,98	9,04	23,09	77,63		
Учет затухания звука в атмосфере Aatm, дБ		ф-ла (8) [10]	0	0,1	0,2	0,7	1,8	3,3	5,9	15,1	50,7		

1		2	3	4	5	6	7	8	9	10	11	12	13
Снижение уровня звукового давления из-за влияния застройки между источником шума и расчетной точкой													
Снижение уровня звукового давления на пути над экраном, Dz1, дБ	z = 0.90м (разность путей)	ф-лы (14-18) [10]	7,8	9,7	11,9	14,5	17,3	20,2	23,1	26,1	29,1		
Снижение уровня звукового давления на пути слева от экрана, Dz2, дБ	z = 78.81м (разность путей)	ф-лы (14-18) [10]	28,1	32	35,3	38,4	41,4	44,4	47,5	50,5	53,5		
Снижение уровня звукового давления на пути справа от экрана, Dz3, дБ	z = 47.85м (разность путей)	ф-лы (14-18) [10]	27,1	30,2	33,2	36,3	39,3	42,3	45,3	48,3	51,3		
Общее снижение уровня звука препятствием Dz, дБ		Эн.сумма(-Dzi)	7,7	9,6	11,9	14,4	17,2	20,1	23,1	26	29		
Общее снижение уровня звука препятствием с учётом ограничения (25 дБ) для октавных полос Dz, дБ		Раздел 7.4 [10]	7,7	9,6	11,9	14,4	17,2	20,1	23,1	25	25		
Уровни звукового давления прямого звука от источника ИШ-1-31 в расчётной точке днём, дБ		**ф-ла(3)[10]**	**0**	**19,3**	**18,3**	**16,5**	**12,9**	**8,2**	**0**	**0**	**0**	**13,8**	**13,8**
Уровни звукового давления прямого звука от источника ИШ-1-31 в расчётной точке ночью, дБ		**ф-ла(3)[10]**	**0**	**19,3**	**18,3**	**16,5**	**12,9**	**8,2**	**0**	**0**	**0**	**13,8**	**13,8**
Расчёт отражённого звука													
Уровни звукового давления от мнимого источника ИШ-1-31_мн.(1) в расчётной точке днём, дБ		**ф-ла(3)[10]**	**0**	**0**	**0**	**0**	**0**	**0**	**0**	**0**	**0**	**0**	**0**
Уровни звукового давления от мнимого источника ИШ-1-31_мн.(1) в расчётной точке ночью, дБ		**ф-ла(3)[10]**	**0**	**0**	**0**	**0**	**0**	**0**	**0**	**0**	**0**	**0**	**0**
Уровни звукового давления от источника ИШ-1-31 в расчётной точке днём, дБ		**ф-ла(3)[10]**	**0**	**19,3**	**18,3**	**16,5**	**12,9**	**8,2**	**0**	**0**	**0**	**13,8**	**13,8**
Уровни звукового давления от источника ИШ-1-31 в расчётной точке ночью, дБ		**ф-ла(3)[10]**	**0**	**19,3**	**18,3**	**16,5**	**12,9**	**8,2**	**0**	**0**	**0**	**13,8**	**13,8**
Источник шума: ИШ-1-32, координаты источника (x,y,z), м =[871.21,281.99,50.00]													
Уровни звуковой мощности источника днём, Lw, дБ		**исходные данные**	**125**	**119,6**	**113,4**	**111,4**	**110,8**	**112,7**	**113,8**	**109,2**	**97,4**		
Уровни звуковой мощности источника ночью, Lw, дБ		**исходные данные**	**0**	**0**	**0**	**0**	**0**	**0**	**0**	**0**	**0**		
Поправка на телесный угол DΩ, дБ	Ω = 12.57	10Lg(4π/Ω)	**0**	0	0	0	0	0	0	0	0		

1		2	3	4	5	6	7	8	9	10	11	12	13
Показатель направленности источника Di, дБ		исходные данные	**0**	0	0	0	0	0	0	0	0		
Поправка на направленность источника Dc, дБ	Dc	DΩ + Di	**0**	0	0	0	0	0	0	0	0		
Затухание из-за геометрической дивергенции, Adiv, дБ	расстояние = 1050.48 м	ф-ла (7) [10]	**71,4**										
Коэффициент затухания звука в атмосфере α, дБ/км	Ta=20,°C Pa=101.33,кПа hотн.=70%	ф-ла (5) [9]	0,02	0,09	0,33	1,12	2,79	4,98	9,04	23,09	77,63		
Учет затухания звука в атмосфере Aatm, дБ		ф-ла (8) [10]	0	0,1	0,4	1,2	2,9	5,2	9,5	24,3	81,6		
Снижение уровня звукового давления из-за влияния застройки между источником шума и расчетной точкой													
Снижение уровня звукового давления препятствием снизу от трассы ИШ-РТ, Dz4, дБ	z = -0.03м (разность путей)	ф-лы (14-18) [10]	4,6	4,5	4,1	3,4	1,4	NAN	NAN	NAN	NAN		
* отрицательное значение z означает прохождение траектории вблизи экрана, в этом случае дополнительно производится учёт снижения подстилающей поверхностью (см.ниже)													
Снижение поверхностью земли возле источника As, дБ	Gs = 0 hs = 50м	ф-лы таб.3 [10]	-1,5	-1,5	-1,5	-1,5	-1,5	-1,5	-1,5	-1,5	-1,5		
Снижение поверхностью земли возле приёмника Ar, дБ	Gr = 1 hr = 1.5м	ф-лы таб.3 [10]	-1,5	-1,5	5,1	7	5	0,7	0	0	0		
Снижение поверхностью земли в средней зоне, Am дБ	Gm = 1	ф-лы таб.3 [10]	0	0	0	0	0	0	0	0	0		
Суммарное снижение поверхностью земли на траектории распространения звука Agr, дБ		ф-ла (9) [10]	-3	-3	3,6	5,5	3,5	-0,8	-1,5	-1,5	-1,5		
Уровни звукового давления от источника ИШ-1-32 в расчётной точке днём, дБ		**ф-ла(3)[10]**	**52**	**46,6**	**33,9**	**29,9**	**31,6**	**36,9**	**34,4**	**15,1**	**0**	**39,8**	**39,8**
Уровни звукового давления от источника ИШ-1-32 в расчётной точке ночью, дБ		**ф-ла(3)[10]**	**0**	**0**	**0**	**0**	**0**	**0**	**0**	**0**	**0**	**0**	**0**
Источник шума: ИШ-1-33, координаты источника (x,y,z), м =[743.42,374.85,1.00]													
Уровни звуковой мощности источника днём, Lw, дБ		**исходные данные**	**0**	**88,7**	**90,1**	**93,1**	**96,4**	**103**	**112**	**108**	**99,2**		
Уровни звуковой мощности источника ночью, Lw, дБ		**исходные данные**	**0**	**0**	**0**	**0**	**0**	**0**	**0**	**0**	**0**		

1		2	3	4	5	6	7	8	9	10	11	12	13
Поправка на телесный угол DΩ, дБ	Ω = 6.28	10Lg(4π/Ω)	**3**	3	3	3	3	3	3	3	3		
Показатель направленности источника Di, дБ		исходные данные	**0**	0	0	0	0	0	0	0	0		
Поправка на направленность источника Dc, дБ	Dc	DΩ + Di	**3**	3	3	3	3	3	3	3	3		
Затухание из-за геометрической дивергенции, Adiv, дБ	расстояние = 967.07 м	ф-ла (7) [10]	**70,7**										
Коэффициент затухания звука в атмосфере α, дБ/км	Ta=20,°C Pa=101.33,кПа hотн.=70%	ф-ла (5) [9]	0,02	0,09	0,33	1,12	2,79	4,98	9,04	23,09	77,63		
Учет затухания звука в атмосфере Aatm, дБ		ф-ла (8) [10]	0	0,1	0,3	1,1	2,7	4,8	8,7	22,3	75,1		
Снижение уровня звукового давления из-за влияния застройки между источником шума и расчетной точкой													
Снижение уровня звукового давления на пути над экраном, Dz1, дБ	z = 0.21м (разность путей)	ф-лы (14-18) [10]	4,8	4,8	4,8	4,8	4,8	4,8	4,8	4,9	4,9		
Снижение уровня звукового давления на пути слева от экрана, Dz2, дБ	z = 67.10м (разность путей)	ф-лы (14-18) [10]	28	31,5	34,7	37,7	40,7	43,7	46,8	49,8	52,8		
Снижение уровня звукового давления на пути справа от экрана, Dz3, дБ	z = 11.39м (разность путей)	ф-лы (14-18) [10]	20,9	24	27	30	33	36	39,1	42,1	45,1		
Общее снижение уровня звука препятствием Dz, дБ		Эн.сумма(-Dzi)	4,6	4,7	4,7	4,8	4,8	4,8	4,8	4,9	4,9		
Уровни звукового давления от источника ИШ-1-33 в расчётной точке днём, дБ		**ф-ла(3)[10]**	**0**	**16,2**	**17,3**	**19,6**	**21,2**	**25,7**	**30,8**	**13,1**	**0**	**33,1**	**33,1**
Уровни звукового давления от источника ИШ-1-33 в расчётной точке ночью, дБ		**ф-ла(3)[10]**	**0**	**0**	**0**	**0**	**0**	**0**	**0**	**0**	**0**	**0**	**0**
Источник шума: ИШ-1-34, координаты источника (x,y,z), м =[1042.35,199.07,1.00]													
Уровни звуковой мощности источника днём, Lw, дБ		**исходные данные**	**0**	**88,7**	**90,1**	**93,1**	**96,4**	**103**	**112**	**108**	**99,2**		
Уровни звуковой мощности источника ночью, Lw, дБ		**исходные данные**	**0**	**0**	**0**	**0**	**0**	**0**	**0**	**0**	**0**		

1		2	3	4	5	6	7	8	9	10	11	12	13
Поправка на телесный угол DΩ, дБ	Ω = 6.28	10Lg(4π/Ω)	**3**	3	3	3	3	3	3	3	3		
Показатель направленности источника Di, дБ		исходные данные	**0**	0	0	0	0	0	0	0	0		
Поправка на направленность источника Dc, дБ	Dc	DΩ + Di	**3**	3	3	3	3	3	3	3	3		
Затухание из-за геометрической дивергенции, Adiv, дБ	расстояние = 1192.07 м	ф-ла (7) [10]	**72,5**										
Коэффициент затухания звука в атмосфере α, дБ/км	Ta=20,°C Pa=101.33,кПа hотн.=70%	ф-ла (5) [9]	0,02	0,09	0,33	1,12	2,79	4,98	9,04	23,09	77,63		
Учет затухания звука в атмосфере Aatm, дБ		ф-ла (8) [10]	0	0,1	0,4	1,3	3,3	5,9	10,8	27,5	92,5		
Снижение уровня звукового давления из-за влияния застройки между источником шума и расчетной точкой													
Снижение уровня звукового давления на пути над экраном, Dz1, дБ	z = 0.15м (разность путей)	ф-лы (14-18) [10]	4,8	4,8	4,8	4,8	4,8	4,8	4,8	4,8	4,8		
Снижение уровня звукового давления на пути слева от экрана, Dz2, дБ	z = 5.03м (разность путей)	ф-лы (14-18) [10]	16,2	20,1	23,4	26,5	29,5	32,5	35,5	38,5	41,5		
Снижение уровня звукового давления на пути справа от экрана, Dz3, дБ	z = 68.26м (разность путей)	ф-лы (14-18) [10]	28,6	31,8	34,8	37,8	40,8	43,8	46,8	49,8	52,8		
Общее снижение уровня звука препятствием Dz, дБ		Эн.сумма(-Dzi)	4,5	4,6	4,7	4,7	4,8	4,8	4,8	4,8	4,8		
Уровни звукового давления от источника ИШ-1-34 в расчётной точке днём, дБ		**ф-ла(3)[10]**	**0**	**14,4**	**15,5**	**17,5**	**18,8**	**22,8**	**26,9**	**6,2**	**0**	**29,5**	**29,5**
Уровни звукового давления от источника ИШ-1-34 в расчётной точке ночью, дБ		**ф-ла(3)[10]**	**0**	**0**	**0**	**0**	**0**	**0**	**0**	**0**	**0**	**0**	**0**
Источник шума: ИШ-2-1, координаты источника (x,y,z), м =[696.50,124.40,3.00]													
Уровни звуковой мощности источника днём, Lw, дБ		**исходные данные**	**105**	**104**	**104**	**101**	**102**	**106**	**101**	**95**	**87**		
Уровни звуковой мощности источника ночью, Lw, дБ		**исходные данные**	**105**	**104**	**104**	**101**	**102**	**106**	**101**	**95**	**87**		

1		2	3	4	5	6	7	8	9	10	11	12	13
Поправка на телесный угол DΩ, дБ	Ω = 6.28	10Lg(4π/Ω)	**3**	3	3	3	3	3	3	3	3		
Показатель направленности источника Di, дБ		исходные данные	**0**	0	0	0	0	0	0	0	0		
Поправка на направленность источника Dc, дБ	Dc	DΩ + Di	**3**	3	3	3	3	3	3	3	3		
Затухание из-за геометрической дивергенции, Adiv, дБ	расстояние = 838.25 м	ф-ла (7) [10]	**69,5**										
Коэффициент затухания звука в атмосфере α, дБ/км	Ta=20,°C Pa=101.33,кПа hотн.=70%	ф-ла (5) [9]	0,02	0,09	0,33	1,12	2,79	4,98	9,04	23,09	77,63		
Учет затухания звука в атмосфере Aatm, дБ		ф-ла (8) [10]	0	0,1	0,3	0,9	2,3	4,2	7,6	19,4	65,1		
Снижение уровня звукового давления из-за влияния застройки между источником шума и расчетной точкой													
Снижение уровня звукового давления на пути над экраном, Dz1, дБ	z = 0.20м (разность путей)	ф-лы (14-18) [10]	4,8	4,8	4,8	4,8	4,8	4,9	4,9	5,1	5,4		
Снижение уровня звукового давления на пути слева от экрана, Dz2, дБ	z = 7.81м (разность путей)	ф-лы (14-18) [10]	18	22	25,3	28,4	31,4	34,4	37,4	40,4	43,4		
Снижение уровня звукового давления на пути справа от экрана, Dz3, дБ	z = 38.84м (разность путей)	ф-лы (14-18) [10]	26,3	29,4	32,3	35,4	38,4	41,4	44,4	47,4	50,4		
Общее снижение уровня звука препятствием Dz, дБ		Эн.сумма(-Dzi)	4,5	4,7	4,7	4,8	4,8	4,9	4,9	5,1	5,4		
Уровни звукового давления от источника ИШ-2-1 в расчётной точке днём, дБ		**ф-ла(3)[10]**	**34**	**32,8**	**32,5**	**28,8**	**28,4**	**30,5**	**22**	**4,1**	**0**	**32,6**	**32,6**
Уровни звукового давления от источника ИШ-2-1 в расчётной точке ночью, дБ		**ф-ла(3)[10]**	**34**	**32,8**	**32,5**	**28,8**	**28,4**	**30,5**	**22**	**4,1**	**0**	**32,6**	**32,6**
Источник шума: ИШ-2-2, координаты источника (x,y,z), м =[682.20,81.60,3.00]													
Уровни звуковой мощности источника днём, Lw, дБ		**исходные данные**	**105**	**104**	**104**	**101**	**102**	**106**	**101**	**95**	**87**		
Уровни звуковой мощности источника ночью, Lw, дБ		**исходные данные**	**105**	**104**	**104**	**101**	**102**	**106**	**101**	**95**	**87**		

1		2	3	4	5	6	7	8	9	10	11	12	13
Поправка на телесный угол DΩ, дБ	Ω = 6.28	10Lg(4π/Ω)	**3**	3	3	3	3	3	3	3	3		
Показатель направленности источника Di, дБ		исходные данные	**0**	0	0	0	0	0	0	0	0		
Поправка на направленность источника Dc, дБ	Dc	DΩ + Di	**3**	3	3	3	3	3	3	3	3		
Затухание из-за геометрической дивергенции, Adiv, дБ	расстояние = 815.95 м	ф-ла (7) [10]	**69,2**										
Коэффициент затухания звука в атмосфере α, дБ/км	Ta=20,°C Pa=101.33,кПа hотн.=70%	ф-ла (5) [9]	0,02	0,09	0,33	1,12	2,79	4,98	9,04	23,09	77,63		
Учет затухания звука в атмосфере Aatm, дБ		ф-ла (8) [10]	0	0,1	0,3	0,9	2,3	4,1	7,4	18,8	63,3		
Снижение уровня звукового давления из-за влияния застройки между источником шума и расчетной точкой													
Снижение уровня звукового давления на пути над экраном, Dz1, дБ	z = 0.17м (разность путей)	ф-лы (14-18) [10]	4,8	4,8	4,8	4,8	4,8	4,8	4,8	4,9	4,9		
Снижение уровня звукового давления на пути слева от экрана, Dz2, дБ	z = 2.47м (разность путей)	ф-лы (14-18) [10]	13,5	17,1	20,4	23,4	26,4	29,4	32,4	35,4	38,4		
Снижение уровня звукового давления на пути справа от экрана, Dz3, дБ	z = 55.07м (разность путей)	ф-лы (14-18) [10]	27,8	30,9	33,9	36,9	39,9	42,9	45,9	48,9	51,9		
Общее снижение уровня звука препятствием Dz, дБ		Эн.сумма(-Dzi)	4,2	4,5	4,7	4,7	4,8	4,8	4,8	4,9	4,9		
Уровни звукового давления от источника ИШ-2-2 в расчётной точке днём, дБ		**ф-ла(3)[10]**	**34,6**	**33,2**	**32,9**	**29,1**	**28,8**	**30,9**	**22,6**	**5,1**	**0**	**33**	**33**
Уровни звукового давления от источника ИШ-2-2 в расчётной точке ночью, дБ		**ф-ла(3)[10]**	**34,6**	**33,2**	**32,9**	**29,1**	**28,8**	**30,9**	**22,6**	**5,1**	**0**	**33**	**33**
Источник шума: ИШ-2-3, координаты источника (x,y,z), м =[667.80,38.90,3.00]													
Уровни звуковой мощности источника днём, Lw, дБ		**исходные данные**	**105**	**104**	**104**	**101**	**102**	**106**	**101**	**95**	**87**		
Уровни звуковой мощности источника ночью, Lw, дБ		**исходные данные**	**105**	**104**	**104**	**101**	**102**	**106**	**101**	**95**	**87**		

1		2	3	4	5	6	7	8	9	10	11	12	13
Поправка на телесный угол DΩ, дБ	Ω = 6.28	10Lg(4π/Ω)	**3**	3	3	3	3	3	3	3	3		
Показатель направленности источника Di, дБ		исходные данные	**0**	0	0	0	0	0	0	0	0		
Поправка на направленность источника Dc, дБ	Dc	DΩ + Di	**3**	3	3	3	3	3	3	3	3		
Затухание из-за геометрической дивергенции, Adiv, дБ	расстояние = 795.50 м	ф-ла (7) [10]	**69**										
Коэффициент затухания звука в атмосфере α, дБ/км	Ta=20,°C Pa=101.33,кПа hотн.=70%	ф-ла (5) [9]	0,02	0,09	0,33	1,12	2,79	4,98	9,04	23,09	77,63		
Учет затухания звука в атмосфере Aatm, дБ		ф-ла (8) [10]	0	0,1	0,3	0,9	2,2	4	7,2	18,4	61,8		
Снижение уровня звукового давления из-за влияния застройки между источником шума и расчетной точкой													
Снижение уровня звукового давления на пути над экраном, Dz1, дБ	z = 0.18м (разность путей)	ф-лы (14-18) [10]	4,8	4,8	4,8	4,8	4,8	4,8	4,9	4,9	5,1		
Снижение уровня звукового давления на пути слева от экрана, Dz2, дБ	z = 0.17м (разность путей)	ф-лы (14-18) [10]	5,6	6,3	7,4	9	11,1	13,6	16,3	19,2	22,1		
Снижение уровня звукового давления на пути справа от экрана, Dz3, дБ	z = 8.30м (разность путей)	ф-лы (14-18) [10]	18,3	22,2	25,5	28,6	31,7	34,7	37,7	40,7	43,7		
Общее снижение уровня звука препятствием Dz, дБ		Эн.сумма(-Dzi)	2,1	2,4	2,9	3,4	3,9	4,3	4,6	4,8	5		
Уровни звукового давления от источника ИШ-2-3 в расчётной точке днём, дБ		**ф-ла(3)[10]**	**36,9**	**35,5**	**34,9**	**30,7**	**29,9**	**31,8**	**23,2**	**5,8**	**0**	**34**	**34**
Уровни звукового давления от источника ИШ-2-3 в расчётной точке ночью, дБ		**ф-ла(3)[10]**	**36,9**	**35,5**	**34,9**	**30,7**	**29,9**	**31,8**	**23,2**	**5,8**	**0**	**34**	**34**
Источник шума: ИШ-2-6, координаты источника (x,y,z), м =[765.97,112.43,1.00]													
Уровни звуковой мощности источника днём, Lw, дБ		**исходные данные**	**0**	**93,3**	**94,7**	**96**	**96,3**	**95,9**	**92,6**	**88,4**	**83,9**		
Уровни звуковой мощности источника ночью, Lw, дБ		**исходные данные**	**0**	**93,3**	**94,7**	**96**	**96,3**	**95,9**	**92,6**	**88,4**	**83,9**		

1		2	3	4	5	6	7	8	9	10	11	12	13
Поправка на телесный угол DΩ, дБ	Ω = 6.28	10Lg(4π/Ω)	**3**	3	3	3	3	3	3	3	3		
Показатель направленности источника Di, дБ		исходные данные	**0**	0	0	0	0	0	0	0	0		
Поправка на направленность источника Dc, дБ	Dc	DΩ + Di	**3**	3	3	3	3	3	3	3	3		
Затухание из-за геометрической дивергенции, Adiv, дБ	расстояние = 903.88 м	ф-ла (7) [10]	**70,1**										
Коэффициент затухания звука в атмосфере α, дБ/км	Ta=20,°C Pa=101.33,кПа hотн.=70%	ф-ла (5) [9]	0,02	0,09	0,33	1,12	2,79	4,98	9,04	23,09	77,63		
Учет затухания звука в атмосфере Aatm, дБ		ф-ла (8) [10]	0	0,1	0,3	1	2,5	4,5	8,2	20,9	70,2		
Снижение уровня звукового давления из-за влияния застройки между источником шума и расчетной точкой													
Снижение уровня звукового давления на пути над экраном, Dz1, дБ	z = 0.22м (разность путей)	ф-лы (14-18) [10]	4,8	4,8	4,8	4,8	4,8	4,8	4,9	4,9	5,1		
Снижение уровня звукового давления на пути слева от экрана, Dz2, дБ	z = 3.59м (разность путей)	ф-лы (14-18) [10]	14,9	18,7	21,9	25	28	31	34	37	40,1		
Снижение уровня звукового давления на пути справа от экрана, Dz3, дБ	z = 99.72м (разность путей)	ф-лы (14-18) [10]	30,2	33,4	36,4	39,4	42,5	45,5	48,5	51,5	54,5		
Общее снижение уровня звука препятствием Dz, дБ		Эн.сумма(-Dzi)	4,4	4,6	4,7	4,7	4,8	4,8	4,8	4,9	5,1		
Уровни звукового давления от источника ИШ-2-6 в расчётной точке днём, дБ		**ф-ла(3)[10]**	**0**	**21,5**	**22,6**	**23,1**	**21,9**	**19,5**	**12,5**	**0**	**0**	**23,4**	**23,4**
Уровни звукового давления от источника ИШ-2-6 в расчётной точке ночью, дБ		**ф-ла(3)[10]**	**0**	**21,5**	**22,6**	**23,1**	**21,9**	**19,5**	**12,5**	**0**	**0**	**23,4**	**23,4**
Источник шума: ИШ-2-7, координаты источника (x,y,z), м =[764.91,109.54,1.00]													
Уровни звуковой мощности источника днём, Lw, дБ		**исходные данные**	**0**	**93,3**	**94,7**	**96**	**96,3**	**95,9**	**92,6**	**88,4**	**83,9**		
Уровни звуковой мощности источника ночью, Lw, дБ		**исходные данные**	**0**	**93,3**	**94,7**	**96**	**96,3**	**95,9**	**92,6**	**88,4**	**83,9**		

1		2	3	4	5	6	7	8	9	10	11	12	13
Поправка на телесный угол DΩ, дБ	Ω = 6.28	10Lg(4π/Ω)	**3**	3	3	3	3	3	3	3	3		
Показатель направленности источника Di, дБ		исходные данные	**0**	0	0	0	0	0	0	0	0		
Поправка на направленность источника Dc, дБ	Dc	DΩ + Di	**3**	3	3	3	3	3	3	3	3		
Затухание из-за геометрической дивергенции, Adiv, дБ	расстояние = 902.30 м	ф-ла (7) [10]	**70,1**										
Коэффициент затухания звука в атмосфере α, дБ/км	Ta=20,°C Pa=101.33,кПа hотн.=70%	ф-ла (5) [9]	0,02	0,09	0,33	1,12	2,79	4,98	9,04	23,09	77,63		
Учет затухания звука в атмосфере Aatm, дБ		ф-ла (8) [10]	0	0,1	0,3	1	2,5	4,5	8,2	20,8	70		
Снижение уровня звукового давления из-за влияния застройки между источником шума и расчетной точкой													
Снижение уровня звукового давления на пути над экраном, Dz1, дБ	z = 0.22м (разность путей)	ф-лы (14-18) [10]	4,8	4,8	4,8	4,8	4,8	4,8	4,9	4,9	5,1		
Снижение уровня звукового давления на пути слева от экрана, Dz2, дБ	z = 3.33м (разность путей)	ф-лы (14-18) [10]	14,6	18,4	21,6	24,7	27,7	30,7	33,7	36,7	39,7		
Снижение уровня звукового давления на пути справа от экрана, Dz3, дБ	z = 43.71м (разность путей)	ф-лы (14-18) [10]	26,8	29,9	32,9	35,9	38,9	41,9	44,9	47,9	50,9		
Общее снижение уровня звука препятствием Dz, дБ		Эн.сумма(-Dzi)	4,3	4,6	4,7	4,7	4,8	4,8	4,8	4,9	5,1		
Уровни звукового давления от источника ИШ-2-7 в расчётной точке днём, дБ		**ф-ла(3)[10]**	**0**	**21,5**	**22,6**	**23,1**	**21,9**	**19,5**	**12,5**	**0**	**0**	**23,4**	**23,4**
Уровни звукового давления от источника ИШ-2-7 в расчётной точке ночью, дБ		**ф-ла(3)[10]**	**0**	**21,5**	**22,6**	**23,1**	**21,9**	**19,5**	**12,5**	**0**	**0**	**23,4**	**23,4**
Источник шума: ИШ-2-8, координаты источника (x,y,z), м =[764.03,106.58,1.00]													
Уровни звуковой мощности источника днём, Lw, дБ		**исходные данные**	**0**	**93,3**	**94,7**	**96**	**96,3**	**95,9**	**92,6**	**88,4**	**83,9**		
Уровни звуковой мощности источника ночью, Lw, дБ		**исходные данные**	**0**	**93,3**	**94,7**	**96**	**96,3**	**95,9**	**92,6**	**88,4**	**83,9**		

1		2	3	4	5	6	7	8	9	10	11	12	13
Поправка на телесный угол DΩ, дБ	Ω = 6.28	10Lg(4π/Ω)	**3**	3	3	3	3	3	3	3	3		
Показатель направленности источника Di, дБ		исходные данные	**0**	0	0	0	0	0	0	0	0		
Поправка на направленность источника Dc, дБ	Dc	DΩ + Di	**3**	3	3	3	3	3	3	3	3		
Затухание из-за геометрической дивергенции, Adiv, дБ	расстояние = 900.90 м	ф-ла (7) [10]	**70,1**										
Коэффициент затухания звука в атмосфере α, дБ/км	Ta=20,°C Pa=101.33,кПа hотн.=70%	ф-ла (5) [9]	0,02	0,09	0,33	1,12	2,79	4,98	9,04	23,09	77,63		
Учет затухания звука в атмосфере Aatm, дБ		ф-ла (8) [10]	0	0,1	0,3	1	2,5	4,5	8,1	20,8	69,9		
Снижение уровня звукового давления из-за влияния застройки между источником шума и расчетной точкой													
Снижение уровня звукового давления на пути над экраном, Dz1, дБ	z = 0.22м (разность путей)	ф-лы (14-18) [10]	4,8	4,8	4,8	4,8	4,8	4,8	4,9	4,9	5,1		
Снижение уровня звукового давления на пути слева от экрана, Dz2, дБ	z = 3.06м (разность путей)	ф-лы (14-18) [10]	14,3	18	21,3	24,3	27,3	30,3	33,4	36,4	39,4		
Снижение уровня звукового давления на пути справа от экрана, Dz3, дБ	z = 45.27м (разность путей)	ф-лы (14-18) [10]	27	30	33	36	39	42	45	48,1	51,1		
Общее снижение уровня звука препятствием Dz, дБ		Эн.сумма(-Dzi)	4,3	4,6	4,7	4,7	4,8	4,8	4,8	4,9	5,1		
Уровни звукового давления от источника ИШ-2-8 в расчётной точке днём, дБ		**ф-ла(3)[10]**	**0**	**21,6**	**22,6**	**23,2**	**21,9**	**19,5**	**12,5**	**0**	**0**	**23,4**	**23,4**
Уровни звукового давления от источника ИШ-2-8 в расчётной точке ночью, дБ		**ф-ла(3)[10]**	**0**	**21,6**	**22,6**	**23,2**	**21,9**	**19,5**	**12,5**	**0**	**0**	**23,4**	**23,4**
Источник шума: ИШ-2-9, координаты источника (x,y,z), м =[763.26,103.71,1.00]													
Уровни звуковой мощности источника днём, Lw, дБ		**исходные данные**	**0**	**93,3**	**94,7**	**96**	**96,3**	**95,9**	**92,6**	**88,4**	**83,9**		
Уровни звуковой мощности источника ночью, Lw, дБ		**исходные данные**	**0**	**93,3**	**94,7**	**96**	**96,3**	**95,9**	**92,6**	**88,4**	**83,9**		

1		2	3	4	5	6	7	8	9	10	11	12	13
Поправка на телесный угол DΩ, дБ	Ω = 6.28	10Lg(4π/Ω)	**3**	3	3	3	3	3	3	3	3		
Показатель направленности источника Di, дБ		исходные данные	**0**	0	0	0	0	0	0	0	0		
Поправка на направленность источника Dc, дБ	Dc	DΩ + Di	**3**	3	3	3	3	3	3	3	3		
Затухание из-за геометрической дивергенции, Adiv, дБ	расстояние = 899.62 м	ф-ла (7) [10]	**70,1**										
Коэффициент затухания звука в атмосфере α, дБ/км	Ta=20,°C Pa=101.33,кПа hотн.=70%	ф-ла (5) [9]	0,02	0,09	0,33	1,12	2,79	4,98	9,04	23,09	77,63		
Учет затухания звука в атмосфере Aatm, дБ		ф-ла (8) [10]	0	0,1	0,3	1	2,5	4,5	8,1	20,8	69,8		
Снижение уровня звукового давления из-за влияния застройки между источником шума и расчетной точкой													
Снижение уровня звукового давления на пути над экраном, Dz1, дБ	z = 0.22м (разность путей)	ф-лы (14-18) [10]	4,8	4,8	4,8	4,8	4,8	4,8	4,9	4,9	5,1		
Снижение уровня звукового давления на пути слева от экрана, Dz2, дБ	z = 2.82м (разность путей)	ф-лы (14-18) [10]	14	17,7	20,9	24	27	30	33	36	39		
Снижение уровня звукового давления на пути справа от экрана, Dz3, дБ	z = 46.85м (разность путей)	ф-лы (14-18) [10]	27,1	30,2	33,2	36,2	39,2	42,2	45,2	48,2	51,2		
Общее снижение уровня звука препятствием Dz, дБ		Эн.сумма(-Dzi)	4,3	4,5	4,7	4,7	4,8	4,8	4,9	4,9	5,1		
Уровни звукового давления от источника ИШ-2-9 в расчётной точке днём, дБ		**ф-ла(3)[10]**	**0**	**21,6**	**22,6**	**23,2**	**21,9**	**19,5**	**12,5**	**0**	**0**	**23,5**	**23,5**
Уровни звукового давления от источника ИШ-2-9 в расчётной точке ночью, дБ		**ф-ла(3)[10]**	**0**	**21,6**	**22,6**	**23,2**	**21,9**	**19,5**	**12,5**	**0**	**0**	**23,5**	**23,5**
Источник шума: ИШ-2-10, координаты источника (x,y,z), м =[762.14,100.75,1.00]													
Уровни звуковой мощности источника днём, Lw, дБ		**исходные данные**	**0**	**93,3**	**94,7**	**96**	**96,3**	**95,9**	**92,6**	**88,4**	**83,9**		
Уровни звуковой мощности источника ночью, Lw, дБ		**исходные данные**	**0**	**93,3**	**94,7**	**96**	**96,3**	**95,9**	**92,6**	**88,4**	**83,9**		

1		2	3	4	5	6	7	8	9	10	11	12	13
Поправка на телесный угол DΩ, дБ	Ω = 6.28	10Lg(4π/Ω)	**3**	3	3	3	3	3	3	3	3		
Показатель направленности источника Di, дБ		исходные данные	**0**	0	0	0	0	0	0	0	0		
Поправка на направленность источника Dc, дБ	Dc	DΩ + Di	**3**	3	3	3	3	3	3	3	3		
Затухание из-за геометрической дивергенции, Adiv, дБ	расстояние = 898.00 м	ф-ла (7) [10]	**70,1**										
Коэффициент затухания звука в атмосфере α, дБ/км	Ta=20,°C Pa=101.33,кПа hотн.=70%	ф-ла (5) [9]	0,02	0,09	0,33	1,12	2,79	4,98	9,04	23,09	77,63		
Учет затухания звука в атмосфере Aatm, дБ		ф-ла (8) [10]	0	0,1	0,3	1	2,5	4,5	8,1	20,7	69,7		
Снижение уровня звукового давления из-за влияния застройки между источником шума и расчетной точкой													
Снижение уровня звукового давления на пути над экраном, Dz1, дБ	z = 0.20м (разность путей)	ф-лы (14-18) [10]	4,8	4,8	4,8	4,8	4,8	4,8	4,8	4,8	4,8		
Снижение уровня звукового давления на пути слева от экрана, Dz2, дБ	z = 2.58м (разность путей)	ф-лы (14-18) [10]	13,6	17,3	20,5	23,6	26,6	29,6	32,6	35,6	38,6		
Снижение уровня звукового давления на пути справа от экрана, Dz3, дБ	z = 48.57м (разность путей)	ф-лы (14-18) [10]	27,3	30,3	33,3	36,3	39,3	42,3	45,4	48,4	51,4		
Общее снижение уровня звука препятствием Dz, дБ		Эн.сумма(-Dzi)	4,2	4,5	4,7	4,7	4,7	4,8	4,8	4,8	4,8		
Уровни звукового давления от источника ИШ-2-10 в расчётной точке днём, дБ		**ф-ла(3)[10]**	**0**	**21,6**	**22,7**	**23,2**	**22**	**19,6**	**12,6**	**0**	**0**	**23,5**	**23,5**
Уровни звукового давления от источника ИШ-2-10 в расчётной точке ночью, дБ		**ф-ла(3)[10]**	**0**	**21,6**	**22,7**	**23,2**	**22**	**19,6**	**12,6**	**0**	**0**	**23,5**	**23,5**
Источник шума: ИШ-2-11, координаты источника (x,y,z), м =[761.13,97.90,1.00]													
Уровни звуковой мощности источника днём, Lw, дБ		**исходные данные**	**0**	**93,3**	**94,7**	**96**	**96,3**	**95,9**	**92,6**	**88,4**	**83,9**		
Уровни звуковой мощности источника ночью, Lw, дБ		**исходные данные**	**0**	**93,3**	**94,7**	**96**	**96,3**	**95,9**	**92,6**	**88,4**	**83,9**		

1		2	3	4	5	6	7	8	9	10	11	12	13
Поправка на телесный угол DΩ, дБ	Ω = 6.28	10Lg(4π/Ω)	**3**	3	3	3	3	3	3	3	3		
Показатель направленности источника Di, дБ		исходные данные	**0**	0	0	0	0	0	0	0	0		
Поправка на направленность источника Dc, дБ	Dc	DΩ + Di	**3**	3	3	3	3	3	3	3	3		
Затухание из-за геометрической дивергенции, Adiv, дБ	расстояние = 896.50 м	ф-ла (7) [10]	**70,1**										
Коэффициент затухания звука в атмосфере α, дБ/км	Ta=20,°C Pa=101.33,кПа hотн.=70%	ф-ла (5) [9]	0,02	0,09	0,33	1,12	2,79	4,98	9,04	23,09	77,63		
Учет затухания звука в атмосфере Aatm, дБ		ф-ла (8) [10]	0	0,1	0,3	1	2,5	4,5	8,1	20,7	69,6		
Снижение уровня звукового давления из-за влияния застройки между источником шума и расчетной точкой													
Снижение уровня звукового давления на пути над экраном, Dz1, дБ	z = 0.20м (разность путей)	ф-лы (14-18) [10]	4,8	4,8	4,8	4,8	4,8	4,8	4,8	4,8	4,8		
Снижение уровня звукового давления на пути слева от экрана, Dz2, дБ	z = 2.37м (разность путей)	ф-лы (14-18) [10]	13,3	17	20,2	23,2	26,2	29,2	32,2	35,2	38,3		
Снижение уровня звукового давления на пути справа от экрана, Dz3, дБ	z = 50.29м (разность путей)	ф-лы (14-18) [10]	27,4	30,5	33,5	36,5	39,5	42,5	45,5	48,5	51,5		
Общее снижение уровня звука препятствием Dz, дБ		Эн.сумма(-Dzi)	4,2	4,5	4,6	4,7	4,7	4,8	4,8	4,8	4,8		
Уровни звукового давления от источника ИШ-2-11 в расчётной точке днём, дБ		**ф-ла(3)[10]**	**0**	**21,7**	**22,7**	**23,2**	**22**	**19,6**	**12,7**	**0**	**0**	**23,5**	**23,5**
Уровни звукового давления от источника ИШ-2-11 в расчётной точке ночью, дБ		**ф-ла(3)[10]**	**0**	**21,7**	**22,7**	**23,2**	**22**	**19,6**	**12,7**	**0**	**0**	**23,5**	**23,5**
Источник шума: ИШ-2-12, координаты источника (x,y,z), м =[760.25,95.02,1.00]													
Уровни звуковой мощности источника днём, Lw, дБ		**исходные данные**	**0**	**93,3**	**94,7**	**96**	**96,3**	**95,9**	**92,6**	**88,4**	**83,9**		
Уровни звуковой мощности источника ночью, Lw, дБ		**исходные данные**	**0**	**93,3**	**94,7**	**96**	**96,3**	**95,9**	**92,6**	**88,4**	**83,9**		

1		2	3	4	5	6	7	8	9	10	11	12	13
Поправка на телесный угол DΩ, дБ	Ω = 6.28	10Lg(4π/Ω)	**3**	3	3	3	3	3	3	3	3		
Показатель направленности источника Di, дБ		исходные данные	**0**	0	0	0	0	0	0	0	0		
Поправка на направленность источника Dc, дБ	Dc	DΩ + Di	**3**	3	3	3	3	3	3	3	3		
Затухание из-за геометрической дивергенции, Adiv, дБ	расстояние = 895.15 м	ф-ла (7) [10]	**70**										
Коэффициент затухания звука в атмосфере α, дБ/км	Ta=20,°C Pa=101.33,кПа hотн.=70%	ф-ла (5) [9]	0,02	0,09	0,33	1,12	2,79	4,98	9,04	23,09	77,63		
Учет затухания звука в атмосфере Aatm, дБ		ф-ла (8) [10]	0	0,1	0,3	1	2,5	4,5	8,1	20,7	69,5		
Снижение уровня звукового давления из-за влияния застройки между источником шума и расчетной точкой													
Снижение уровня звукового давления на пути над экраном, Dz1, дБ	z = 0.20м (разность путей)	ф-лы (14-18) [10]	4,8	4,8	4,8	4,8	4,8	4,8	4,8	4,8	4,9		
Снижение уровня звукового давления на пути слева от экрана, Dz2, дБ	z = 2.15м (разность путей)	ф-лы (14-18) [10]	12,9	16,6	19,8	22,8	25,8	28,8	31,8	34,8	37,8		
Снижение уровня звукового давления на пути справа от экрана, Dz3, дБ	z = 52.09м (разность путей)	ф-лы (14-18) [10]	27,6	30,6	33,6	36,6	39,6	42,6	45,7	48,7	51,7		
Общее снижение уровня звука препятствием Dz, дБ		Эн.сумма(-Dzi)	4,1	4,5	4,6	4,7	4,7	4,8	4,8	4,8	4,9		
Уровни звукового давления от источника ИШ-2-12 в расчётной точке днём, дБ		**ф-ла(3)[10]**	**0**	**21,7**	**22,7**	**23,2**	**22**	**19,6**	**12,7**	**0**	**0**	**23,6**	**23,6**
Уровни звукового давления от источника ИШ-2-12 в расчётной точке ночью, дБ		**ф-ла(3)[10]**	**0**	**21,7**	**22,7**	**23,2**	**22**	**19,6**	**12,7**	**0**	**0**	**23,6**	**23,6**
Источник шума: ИШ-2-13, координаты источника (x,y,z), м =[759.28,92.25,1.00]													
Уровни звуковой мощности источника днём, Lw, дБ		**исходные данные**	**0**	**93,3**	**94,7**	**96**	**96,3**	**95,9**	**92,6**	**88,4**	**83,9**		
Уровни звуковой мощности источника ночью, Lw, дБ		**исходные данные**	**0**	**93,3**	**94,7**	**96**	**96,3**	**95,9**	**92,6**	**88,4**	**83,9**		

1		2	3	4	5	6	7	8	9	10	11	12	13
Поправка на телесный угол DΩ, дБ	Ω = 6.28	10Lg(4π/Ω)	**3**	3	3	3	3	3	3	3	3		
Показатель направленности источника Di, дБ		исходные данные	**0**	0	0	0	0	0	0	0	0		
Поправка на направленность источника Dc, дБ	Dc	DΩ + Di	**3**	3	3	3	3	3	3	3	3		
Затухание из-за геометрической дивергенции, Adiv, дБ	расстояние = 893.72 м	ф-ла (7) [10]	**70**										
Коэффициент затухания звука в атмосфере α, дБ/км	Ta=20,°C Pa=101.33,кПа hотн.=70%	ф-ла (5) [9]	0,02	0,09	0,33	1,12	2,79	4,98	9,04	23,09	77,63		
Учет затухания звука в атмосфере Aatm, дБ		ф-ла (8) [10]	0	0,1	0,3	1	2,5	4,4	8,1	20,6	69,4		
Снижение уровня звукового давления из-за влияния застройки между источником шума и расчетной точкой													
Снижение уровня звукового давления на пути над экраном, Dz1, дБ	z = 0.20м (разность путей)	ф-лы (14-18) [10]	4,8	4,8	4,8	4,8	4,8	4,8	4,8	4,8	4,9		
Снижение уровня звукового давления на пути слева от экрана, Dz2, дБ	z = 1.96м (разность путей)	ф-лы (14-18) [10]	12,6	16,2	19,4	22,4	25,4	28,4	31,4	34,4	37,4		
Снижение уровня звукового давления на пути справа от экрана, Dz3, дБ	z = 53.90м (разность путей)	ф-лы (14-18) [10]	27,7	30,8	33,8	36,8	39,8	42,8	45,8	48,8	51,8		
Общее снижение уровня звука препятствием Dz, дБ		Эн.сумма(-Dzi)	4,1	4,5	4,6	4,7	4,7	4,8	4,8	4,8	4,9		
Уровни звукового давления от источника ИШ-2-13 в расчётной точке днём, дБ		**ф-ла(3)[10]**	**0**	**21,7**	**22,7**	**23,3**	**22**	**19,7**	**12,7**	**0**	**0**	**23,6**	**23,6**
Уровни звукового давления от источника ИШ-2-13 в расчётной точке ночью, дБ		**ф-ла(3)[10]**	**0**	**21,7**	**22,7**	**23,3**	**22**	**19,7**	**12,7**	**0**	**0**	**23,6**	**23,6**
Источник шума: ИШ-2-14, координаты источника (x,y,z), м =[751.62,69.73,1.00]													
Уровни звуковой мощности источника днём, Lw, дБ		**исходные данные**	**0**	**93,3**	**94,7**	**96**	**96,3**	**95,9**	**92,6**	**88,4**	**83,9**		
Уровни звуковой мощности источника ночью, Lw, дБ		**исходные данные**	**0**	**93,3**	**94,7**	**96**	**96,3**	**95,9**	**92,6**	**88,4**	**83,9**		

1		2	3	4	5	6	7	8	9	10	11	12	13
Поправка на телесный угол DΩ, дБ	Ω = 6.28	10Lg(4π/Ω)	**3**	3	3	3	3	3	3	3	3		
Показатель направленности источника Di, дБ		исходные данные	**0**	0	0	0	0	0	0	0	0		
Поправка на направленность источника Dc, дБ	Dc	DΩ + Di	**3**	3	3	3	3	3	3	3	3		
Затухание из-за геометрической дивергенции, Adiv, дБ	расстояние = 882.66 м	ф-ла (7) [10]	**69,9**										
Коэффициент затухания звука в атмосфере α, дБ/км	Ta=20,°C Pa=101.33,кПа hотн.=70%	ф-ла (5) [9]	0,02	0,09	0,33	1,12	2,79	4,98	9,04	23,09	77,63		
Учет затухания звука в атмосфере Aatm, дБ		ф-ла (8) [10]	0	0,1	0,3	1	2,5	4,4	8	20,4	68,5		
Снижение уровня звукового давления из-за влияния застройки между источником шума и расчетной точкой													
Снижение уровня звукового давления на пути над экраном, Dz1, дБ	z = 0.21м (разность путей)	ф-лы (14-18) [10]	4,8	4,8	4,8	4,8	4,8	4,8	4,8	4,8	4,9		
Снижение уровня звукового давления на пути слева от экрана, Dz2, дБ	z = 0.78м (разность путей)	ф-лы (14-18) [10]	7,7	9,4	11,6	14,1	16,9	19,7	22,7	25,7	28,7		
Снижение уровня звукового давления на пути справа от экрана, Dz3, дБ	z = 73.52м (разность путей)	ф-лы (14-18) [10]	29	32,1	35,1	38,1	41,1	44,1	47,2	50,2	53,2		
Общее снижение уровня звука препятствием Dz, дБ		Эн.сумма(-Dzi)	3	3,5	3,9	4,3	4,5	4,7	4,7	4,8	4,9		
Уровни звукового давления от источника ИШ-2-14 в расчётной точке днём, дБ		**ф-ла(3)[10]**	**0**	**22,8**	**23,5**	**23,8**	**22,4**	**19,9**	**13**	**0**	**0**	**23,9**	**23,9**
Уровни звукового давления от источника ИШ-2-14 в расчётной точке ночью, дБ		**ф-ла(3)[10]**	**0**	**22,8**	**23,5**	**23,8**	**22,4**	**19,9**	**13**	**0**	**0**	**23,9**	**23,9**
Источник шума: ИШ-2-15, координаты источника (x,y,z), м =[750.74,66.89,1.00]													
Уровни звуковой мощности источника днём, Lw, дБ		**исходные данные**	**0**	**93,3**	**94,7**	**96**	**96,3**	**95,9**	**92,6**	**88,4**	**83,9**		
Уровни звуковой мощности источника ночью, Lw, дБ		**исходные данные**	**0**	**93,3**	**94,7**	**96**	**96,3**	**95,9**	**92,6**	**88,4**	**83,9**		

1		2	3	4	5	6	7	8	9	10	11	12	13
Поправка на телесный угол DΩ, дБ	Ω = 6.28	10Lg(4π/Ω)	**3**	3	3	3	3	3	3	3	3		
Показатель направленности источника Di, дБ		исходные данные	**0**	0	0	0	0	0	0	0	0		
Поправка на направленность источника Dc, дБ	Dc	DΩ + Di	**3**	3	3	3	3	3	3	3	3		
Затухание из-за геометрической дивергенции, Adiv, дБ	расстояние = 881.38 м	ф-ла (7) [10]	**69,9**										
Коэффициент затухания звука в атмосфере α, дБ/км	Ta=20,°C Pa=101.33,кПа hотн.=70%	ф-ла (5) [9]	0,02	0,09	0,33	1,12	2,79	4,98	9,04	23,09	77,63		
Учет затухания звука в атмосфере Aatm, дБ		ф-ла (8) [10]	0	0,1	0,3	1	2,5	4,4	8	20,3	68,4		
Снижение уровня звукового давления из-за влияния застройки между источником шума и расчетной точкой													
Снижение уровня звукового давления на пути над экраном, Dz1, дБ	z = 0.21м (разность путей)	ф-лы (14-18) [10]	4,8	4,8	4,8	4,8	4,8	4,8	4,8	4,8	4,9		
Снижение уровня звукового давления на пути слева от экрана, Dz2, дБ	z = 0.67м (разность путей)	ф-лы (14-18) [10]	7,4	9	11,1	13,5	16,3	19,1	22	25	28		
Снижение уровня звукового давления на пути справа от экрана, Dz3, дБ	z = 75.23м (разность путей)	ф-лы (14-18) [10]	29,1	32,2	35,2	38,2	41,2	44,2	47,3	50,3	53,3		
Общее снижение уровня звука препятствием Dz, дБ		Эн.сумма(-Dzi)	2,9	3,4	3,9	4,2	4,5	4,6	4,7	4,8	4,9		
Уровни звукового давления от источника ИШ-2-15 в расчётной точке днём, дБ		**ф-ла(3)[10]**	**0**	**22,9**	**23,6**	**23,9**	**22,4**	**20**	**13**	**0**	**0**	**24**	**24**
Уровни звукового давления от источника ИШ-2-15 в расчётной точке ночью, дБ		**ф-ла(3)[10]**	**0**	**22,9**	**23,6**	**23,9**	**22,4**	**20**	**13**	**0**	**0**	**24**	**24**
Источник шума: ИШ-2-16, координаты источника (x,y,z), м =[749.73,64.02,1.00]													
Уровни звуковой мощности источника днём, Lw, дБ		**исходные данные**	**0**	**93,3**	**94,7**	**96**	**96,3**	**95,9**	**92,6**	**88,4**	**83,9**		
Уровни звуковой мощности источника ночью, Lw, дБ		**исходные данные**	**0**	**93,3**	**94,7**	**96**	**96,3**	**95,9**	**92,6**	**88,4**	**83,9**		

1		2	3	4	5	6	7	8	9	10	11	12	13
Поправка на телесный угол DΩ, дБ	Ω = 6.28	10Lg(4π/Ω)	**3**	3	3	3	3	3	3	3	3		
Показатель направленности источника Di, дБ		исходные данные	**0**	0	0	0	0	0	0	0	0		
Поправка на направленность источника Dc, дБ	Dc	DΩ + Di	**3**	3	3	3	3	3	3	3	3		
Затухание из-за геометрической дивергенции, Adiv, дБ	расстояние = 879.98 м	ф-ла (7) [10]	**69,9**										
Коэффициент затухания звука в атмосфере α, дБ/км	Ta=20,°C Pa=101.33,кПа hотн.=70%	ф-ла (5) [9]	0,02	0,09	0,33	1,12	2,79	4,98	9,04	23,09	77,63		
Учет затухания звука в атмосфере Aatm, дБ		ф-ла (8) [10]	0	0,1	0,3	1	2,5	4,4	8	20,3	68,3		
Снижение уровня звукового давления из-за влияния застройки между источником шума и расчетной точкой													
Снижение уровня звукового давления на пути над экраном, Dz1, дБ	z = 0.21м (разность путей)	ф-лы (14-18) [10]	4,8	4,8	4,8	4,8	4,8	4,8	4,8	4,8	4,9		
Снижение уровня звукового давления на пути слева от экрана, Dz2, дБ	z = 0.57м (разность путей)	ф-лы (14-18) [10]	7,1	8,6	10,5	12,9	15,6	18,4	21,3	24,3	27,3		
Снижение уровня звукового давления на пути справа от экрана, Dz3, дБ	z = 76.98м (разность путей)	ф-лы (14-18) [10]	29,2	32,3	35,3	38,3	41,3	44,3	47,4	50,4	53,4		
Общее снижение уровня звука препятствием Dz, дБ		Эн.сумма(-Dzi)	2,8	3,3	3,7	4,2	4,4	4,6	4,7	4,8	4,9		
Уровни звукового давления от источника ИШ-2-16 в расчётной точке днём, дБ		**ф-ла(3)[10]**	**0**	**23,1**	**23,8**	**24**	**22,5**	**20**	**13**	**0**	**0**	**24**	**24**
Уровни звукового давления от источника ИШ-2-16 в расчётной точке ночью, дБ		**ф-ла(3)[10]**	**0**	**23,1**	**23,8**	**24**	**22,5**	**20**	**13**	**0**	**0**	**24**	**24**
Источник шума: ИШ-2-17, координаты источника (x,y,z), м =[748.87,61.06,1.00]													
Уровни звуковой мощности источника днём, Lw, дБ		**исходные данные**	**0**	**93,3**	**94,7**	**96**	**96,3**	**95,9**	**92,6**	**88,4**	**83,9**		
Уровни звуковой мощности источника ночью, Lw, дБ		**исходные данные**	**0**	**93,3**	**94,7**	**96**	**96,3**	**95,9**	**92,6**	**88,4**	**83,9**		

1		2	3	4	5	6	7	8	9	10	11	12	13
Поправка на телесный угол DΩ, дБ	Ω = 6.28	10Lg(4π/Ω)	**3**	3	3	3	3	3	3	3	3		
Показатель направленности источника Di, дБ		исходные данные	**0**	0	0	0	0	0	0	0	0		
Поправка на направленность источника Dc, дБ	Dc	DΩ + Di	**3**	3	3	3	3	3	3	3	3		
Затухание из-за геометрической дивергенции, Adiv, дБ	расстояние = 878.73 м	ф-ла (7) [10]	**69,9**										
Коэффициент затухания звука в атмосфере α, дБ/км	Ta=20,°C Pa=101.33,кПа hотн.=70%	ф-ла (5) [9]	0,02	0,09	0,33	1,12	2,79	4,98	9,04	23,09	77,63		
Учет затухания звука в атмосфере Aatm, дБ		ф-ла (8) [10]	0	0,1	0,3	1	2,5	4,4	7,9	20,3	68,2		
Снижение уровня звукового давления из-за влияния застройки между источником шума и расчетной точкой													
Снижение уровня звукового давления на пути над экраном, Dz1, дБ	z = 0.21м (разность путей)	ф-лы (14-18) [10]	4,8	4,8	4,8	4,8	4,8	4,8	4,8	4,9	4,9		
Снижение уровня звукового давления на пути слева от экрана, Dz2, дБ	z = 0.47м (разность путей)	ф-лы (14-18) [10]	6,8	8,1	10	12,2	14,9	17,6	20,5	23,5	26,5		
Снижение уровня звукового давления на пути справа от экрана, Dz3, дБ	z = 59.88м (разность путей)	ф-лы (14-18) [10]	28,2	31,2	34,2	37,2	40,2	43,3	46,3	49,3	52,3		
Общее снижение уровня звука препятствием Dz, дБ		Эн.сумма(-Dzi)	2,6	3,1	3,6	4,1	4,4	4,6	4,7	4,8	4,9		
Уровни звукового давления от источника ИШ-2-17 в расчётной точке днём, дБ		**ф-ла(3)[10]**	**0**	**23,2**	**23,9**	**24,1**	**22,6**	**20,1**	**13,1**	**0**	**0**	**24,1**	**24,1**
Уровни звукового давления от источника ИШ-2-17 в расчётной точке ночью, дБ		**ф-ла(3)[10]**	**0**	**23,2**	**23,9**	**24,1**	**22,6**	**20,1**	**13,1**	**0**	**0**	**24,1**	**24,1**
Источник шума: ИШ-2-18, координаты источника (x,y,z), м =[747.72,58.17,1.00]													
Уровни звуковой мощности источника днём, Lw, дБ		**исходные данные**	**0**	**93,3**	**94,7**	**96**	**96,3**	**95,9**	**92,6**	**88,4**	**83,9**		
Уровни звуковой мощности источника ночью, Lw, дБ		**исходные данные**	**0**	**93,3**	**94,7**	**96**	**96,3**	**95,9**	**92,6**	**88,4**	**83,9**		

1		2	3	4	5	6	7	8	9	10	11	12	13
Поправка на телесный угол DΩ, дБ	Ω = 6.28	10Lg(4π/Ω)	**3**	3	3	3	3	3	3	3	3		
Показатель направленности источника Di, дБ		исходные данные	**0**	0	0	0	0	0	0	0	0		
Поправка на направленность источника Dc, дБ	Dc	DΩ + Di	**3**	3	3	3	3	3	3	3	3		
Затухание из-за геометрической дивергенции, Adiv, дБ	расстояние = 877.20 м	ф-ла (7) [10]	**69,9**										
Коэффициент затухания звука в атмосфере α, дБ/км	Ta=20,°C Pa=101.33,кПа hотн.=70%	ф-ла (5) [9]	0,02	0,09	0,33	1,12	2,79	4,98	9,04	23,09	77,63		
Учет затухания звука в атмосфере Aatm, дБ		ф-ла (8) [10]	0	0,1	0,3	1	2,4	4,4	7,9	20,3	68,1		
Снижение уровня звукового давления из-за влияния застройки между источником шума и расчетной точкой													
Снижение уровня звукового давления на пути над экраном, Dz1, дБ	z = 0.21м (разность путей)	ф-лы (14-18) [10]	4,8	4,8	4,8	4,8	4,8	4,8	4,8	4,9	4,9		
Снижение уровня звукового давления на пути слева от экрана, Dz2, дБ	z = 0.38м (разность путей)	ф-лы (14-18) [10]	6,5	7,7	9,4	11,6	14,1	16,8	19,7	22,6	25,6		
Снижение уровня звукового давления на пути справа от экрана, Dz3, дБ	z = 61.75м (разность путей)	ф-лы (14-18) [10]	28,3	31,4	34,4	37,4	40,4	43,4	46,4	49,4	52,4		
Общее снижение уровня звука препятствием Dz, дБ		Эн.сумма(-Dzi)	2,5	3	3,5	3,9	4,3	4,5	4,7	4,8	4,9		
Уровни звукового давления от источника ИШ-2-18 в расчётной точке днём, дБ		**ф-ла(3)[10]**	**0**	**23,4**	**24,1**	**24,2**	**22,7**	**20,1**	**13,1**	**0**	**0**	**24,2**	**24,2**
Уровни звукового давления от источника ИШ-2-18 в расчётной точке ночью, дБ		**ф-ла(3)[10]**	**0**	**23,4**	**24,1**	**24,2**	**22,7**	**20,1**	**13,1**	**0**	**0**	**24,2**	**24,2**
Источник шума: ИШ-2-19, координаты источника (x,y,z), м =[746.80,55.25,1.00]													
Уровни звуковой мощности источника днём, Lw, дБ		**исходные данные**	**0**	**93,3**	**94,7**	**96**	**96,3**	**95,9**	**92,6**	**88,4**	**83,9**		
Уровни звуковой мощности источника ночью, Lw, дБ		**исходные данные**	**0**	**93,3**	**94,7**	**96**	**96,3**	**95,9**	**92,6**	**88,4**	**83,9**		

1		2	3	4	5	6	7	8	9	10	11	12	13
Поправка на телесный угол DΩ, дБ	Ω = 6.28	10Lg(4π/Ω)	**3**	3	3	3	3	3	3	3	3		
Показатель направленности источника Di, дБ		исходные данные	**0**	0	0	0	0	0	0	0	0		
Поправка на направленность источника Dc, дБ	Dc	DΩ + Di	**3**	3	3	3	3	3	3	3	3		
Затухание из-за геометрической дивергенции, Adiv, дБ	расстояние = 875.92 м	ф-ла (7) [10]	**69,8**										
Коэффициент затухания звука в атмосфере α, дБ/км	Ta=20,°C Pa=101.33,кПа hотн.=70%	ф-ла (5) [9]	0,02	0,09	0,33	1,12	2,79	4,98	9,04	23,09	77,63		
Учет затухания звука в атмосфере Aatm, дБ		ф-ла (8) [10]	0	0,1	0,3	1	2,4	4,4	7,9	20,2	68		
Снижение уровня звукового давления из-за влияния застройки между источником шума и расчетной точкой													
Снижение уровня звукового давления на пути над экраном, Dz1, дБ	z = 0.21м (разность путей)	ф-лы (14-18) [10]	4,8	4,8	4,8	4,8	4,8	4,8	4,8	4,9	4,9		
Снижение уровня звукового давления на пути слева от экрана, Dz2, дБ	z = 0.31м (разность путей)	ф-лы (14-18) [10]	6,2	7,2	8,7	10,8	13,2	15,9	18,7	21,7	24,6		
Снижение уровня звукового давления на пути справа от экрана, Dz3, дБ	z = 63.67м (разность путей)	ф-лы (14-18) [10]	28,4	31,5	34,5	37,5	40,5	43,5	46,5	49,5	52,5		
Общее снижение уровня звука препятствием Dz, дБ		Эн.сумма(-Dzi)	2,4	2,8	3,3	3,8	4,2	4,5	4,6	4,8	4,9		
Уровни звукового давления от источника ИШ-2-19 в расчётной точке днём, дБ		**ф-ла(3)[10]**	**0**	**23,6**	**24,2**	**24,4**	**22,8**	**20,2**	**13,2**	**0**	**0**	**24,3**	**24,3**
Уровни звукового давления от источника ИШ-2-19 в расчётной точке ночью, дБ		**ф-ла(3)[10]**	**0**	**23,6**	**24,2**	**24,4**	**22,8**	**20,2**	**13,2**	**0**	**0**	**24,3**	**24,3**
Источник шума: ИШ-2-20, координаты источника (x,y,z), м =[745.71,52.44,1.00]													
Уровни звуковой мощности источника днём, Lw, дБ		**исходные данные**	**0**	**93,3**	**94,7**	**96**	**96,3**	**95,9**	**92,6**	**88,4**	**83,9**		
Уровни звуковой мощности источника ночью, Lw, дБ		**исходные данные**	**0**	**93,3**	**94,7**	**96**	**96,3**	**95,9**	**92,6**	**88,4**	**83,9**		

1		2	3	4	5	6	7	8	9	10	11	12	13
Поправка на телесный угол DΩ, дБ	Ω = 6.28	10Lg(4π/Ω)	**3**	3	3	3	3	3	3	3	3		
Показатель направленности источника Di, дБ		исходные данные	**0**	0	0	0	0	0	0	0	0		
Поправка на направленность источника Dc, дБ	Dc	DΩ + Di	**3**	3	3	3	3	3	3	3	3		
Затухание из-за геометрической дивергенции, Adiv, дБ	расстояние = 874.48 м	ф-ла (7) [10]	**69,8**										
Коэффициент затухания звука в атмосфере α, дБ/км	Ta=20,°C Pa=101.33,кПа hотн.=70%	ф-ла (5) [9]	0,02	0,09	0,33	1,12	2,79	4,98	9,04	23,09	77,63		
Учет затухания звука в атмосфере Aatm, дБ		ф-ла (8) [10]	0	0,1	0,3	1	2,4	4,4	7,9	20,2	67,9		
Снижение уровня звукового давления из-за влияния застройки между источником шума и расчетной точкой													
Снижение уровня звукового давления на пути над экраном, Dz1, дБ	z = 0.21м (разность путей)	ф-лы (14-18) [10]	4,8	4,8	4,8	4,8	4,8	4,8	4,8	4,9	4,9		
Снижение уровня звукового давления на пути слева от экрана, Dz2, дБ	z = 0.24м (разность путей)	ф-лы (14-18) [10]	5,9	6,8	8,1	10	12,3	14,9	17,7	20,6	23,6		
Снижение уровня звукового давления на пути справа от экрана, Dz3, дБ	z = 65.59м (разность путей)	ф-лы (14-18) [10]	28,6	31,6	34,6	37,6	40,6	43,6	46,7	49,7	52,7		
Общее снижение уровня звука препятствием Dz, дБ		Эн.сумма(-Dzi)	2,3	2,6	3,1	3,6	4,1	4,4	4,6	4,7	4,9		
Уровни звукового давления от источника ИШ-2-20 в расчётной точке днём, дБ		**ф-ла(3)[10]**	**0**	**23,7**	**24,4**	**24,5**	**22,9**	**20,3**	**13,3**	**0**	**0**	**24,4**	**24,4**
Уровни звукового давления от источника ИШ-2-20 в расчётной точке ночью, дБ		**ф-ла(3)[10]**	**0**	**23,7**	**24,4**	**24,5**	**22,9**	**20,3**	**13,3**	**0**	**0**	**24,4**	**24,4**
Источник шума: ИШ-2-21, координаты источника (x,y,z), м =[744.89,49.62,1.00]													
Уровни звуковой мощности источника днём, Lw, дБ		**исходные данные**	**0**	**93,3**	**94,7**	**96**	**96,3**	**95,9**	**92,6**	**88,4**	**83,9**		
Уровни звуковой мощности источника ночью, Lw, дБ		**исходные данные**	**0**	**93,3**	**94,7**	**96**	**96,3**	**95,9**	**92,6**	**88,4**	**83,9**		

1		2	3	4	5	6	7	8	9	10	11	12	13
Поправка на телесный угол DΩ, дБ	Ω = 6.28	10Lg(4π/Ω)	**3**	3	3	3	3	3	3	3	3		
Показатель направленности источника Di, дБ		исходные данные	**0**	0	0	0	0	0	0	0	0		
Поправка на направленность источника Dc, дБ	Dc	DΩ + Di	**3**	3	3	3	3	3	3	3	3		
Затухание из-за геометрической дивергенции, Adiv, дБ	расстояние = 873.32 м	ф-ла (7) [10]	**69,8**										
Коэффициент затухания звука в атмосфере α, дБ/км	Ta=20,°C Pa=101.33,кПа hотн.=70%	ф-ла (5) [9]	0,02	0,09	0,33	1,12	2,79	4,98	9,04	23,09	77,63		
Учет затухания звука в атмосфере Aatm, дБ		ф-ла (8) [10]	0	0,1	0,3	1	2,4	4,3	7,9	20,2	67,8		
Снижение уровня звукового давления из-за влияния застройки между источником шума и расчетной точкой													
Снижение уровня звукового давления на пути над экраном, Dz1, дБ	z = 0.21м (разность путей)	ф-лы (14-18) [10]	4,8	4,8	4,8	4,8	4,8	4,8	4,8	4,9	4,9		
Снижение уровня звукового давления на пути слева от экрана, Dz2, дБ	z = 0.18м (разность путей)	ф-лы (14-18) [10]	5,6	6,4	7,5	9,2	11,3	13,8	16,5	19,4	22,3		
Снижение уровня звукового давления на пути справа от экрана, Dz3, дБ	z = 67.53м (разность путей)	ф-лы (14-18) [10]	28,7	31,8	34,7	37,8	40,8	43,8	46,8	49,8	52,8		
Общее снижение уровня звука препятствием Dz, дБ		Эн.сумма(-Dzi)	2,2	2,5	2,9	3,4	3,9	4,3	4,5	4,7	4,9		
Уровни звукового давления от источника ИШ-2-21 в расчётной точке днём, дБ		**ф-ла(3)[10]**	**0**	**23,9**	**24,7**	**24,8**	**23,1**	**20,4**	**13,3**	**0**	**0**	**24,6**	**24,6**
Уровни звукового давления от источника ИШ-2-21 в расчётной точке ночью, дБ		**ф-ла(3)[10]**	**0**	**23,9**	**24,7**	**24,8**	**23,1**	**20,4**	**13,3**	**0**	**0**	**24,6**	**24,6**
Источник шума: ИШ-2-22, координаты источника (x,y,z), м =[737.40,27.07,1.00]													
Уровни звуковой мощности источника днём, Lw, дБ		**исходные данные**	**0**	**93,3**	**94,7**	**96**	**96,3**	**95,9**	**92,6**	**88,4**	**83,9**		
Уровни звуковой мощности источника ночью, Lw, дБ		**исходные данные**	**0**	**93,3**	**94,7**	**96**	**96,3**	**95,9**	**92,6**	**88,4**	**83,9**		

1		2	3	4	5	6	7	8	9	10	11	12	13
Поправка на телесный угол DΩ, дБ	Ω = 6.28	10Lg(4π/Ω)	**3**	3	3	3	3	3	3	3	3		
Показатель направленности источника Di, дБ		исходные данные	**0**	0	0	0	0	0	0	0	0		
Поправка на направленность источника Dc, дБ	Dc	DΩ + Di	**3**	3	3	3	3	3	3	3	3		
Затухание из-за геометрической дивергенции, Adiv, дБ	расстояние = 863.39 м	ф-ла (7) [10]	**69,7**										
Коэффициент затухания звука в атмосфере α, дБ/км	Ta=20,°C Pa=101.33,кПа hотн.=70%	ф-ла (5) [9]	0,02	0,09	0,33	1,12	2,79	4,98	9,04	23,09	77,63		
Учет затухания звука в атмосфере Aatm, дБ		ф-ла (8) [10]	0	0,1	0,3	1	2,4	4,3	7,8	19,9	67		
Снижение уровня звукового давления из-за влияния застройки между источником шума и расчетной точкой													
Снижение уровня звукового давления препятствием справа от трассы ИШ-РТ, Dz3, дБ	z = -0.01м (разность путей)	ф-лы (14-18) [10]	0	0	0	4,2	3,6	2,1	0	NAN	NAN		
* отрицательное значение z означает прохождение траектории вблизи экрана, в этом случае дополнительно производится учёт снижения подстилающей поверхностью (см.ниже)													
Снижение поверхностью земли возле источника As, дБ	Gs = 0 hs = 1м	ф-лы таб.3 [10]	-1,5	-1,5	-1,5	-1,5	-1,5	-1,5	-1,5	-1,5	-1,5		
Снижение поверхностью земли возле приёмника Ar, дБ	Gr = 1 hr = 1.5м	ф-лы таб.3 [10]	-1,5	-1,5	4,8	7	5	0,7	0	0	0		
Снижение поверхностью земли в средней зоне, Am дБ	Gm = 1	ф-лы таб.3 [10]	-2,7	-2,7	0	0	0	0	0	0	0		
Суммарное снижение поверхностью земли на траектории распространения звука Agr, дБ		ф-ла (9) [10]	-5,7	-5,7	3,3	5,5	3,5	-0,8	-1,5	-1,5	-1,5		
Уровни звукового давления от источника ИШ-2-22 в расчётной точке днём, дБ		**ф-ла(3)[10]**	**0**	**32,2**	**24,4**	**18,5**	**20**	**23,6**	**19,6**	**3,2**	**0**	**26,2**	**26,2**
Уровни звукового давления от источника ИШ-2-22 в расчётной точке ночью, дБ		**ф-ла(3)[10]**	**0**	**32,2**	**24,4**	**18,5**	**20**	**23,6**	**19,6**	**3,2**	**0**	**26,2**	**26,2**
Источник шума: ИШ-2-23, координаты источника (x,y,z), м =[736.46,24.18,1.00]													
Уровни звуковой мощности источника днём, Lw, дБ		**исходные данные**	**0**	**93,3**	**94,7**	**96**	**96,3**	**95,9**	**92,6**	**88,4**	**83,9**		

1		2	3	4	5	6	7	8	9	10	11	12	13
Уровни звуковой мощности источника ночью, Lw, дБ		**исходные данные**	**0**	**93,3**	**94,7**	**96**	**96,3**	**95,9**	**92,6**	**88,4**	**83,9**		
Поправка на телесный угол DΩ, дБ	Ω = 6.28	10Lg(4π/Ω)	**3**	3	3	3	3	3	3	3	3		
Показатель направленности источника Di, дБ		исходные данные	**0**	0	0	0	0	0	0	0	0		
Поправка на направленность источника Dc, дБ	Dc	DΩ + Di	**3**	3	3	3	3	3	3	3	3		
Затухание из-за геометрической дивергенции, Adiv, дБ	расстояние = 862.18 м	ф-ла (7) [10]	**69,7**										
Коэффициент затухания звука в атмосфере α, дБ/км	Ta=20,°C Pa=101.33,кПа hотн.=70%	ф-ла (5) [9]	0,02	0,09	0,33	1,12	2,79	4,98	9,04	23,09	77,63		
Учет затухания звука в атмосфере Aatm, дБ		ф-ла (8) [10]	0	0,1	0,3	1	2,4	4,3	7,8	19,9	66,9		
Снижение уровня звукового давления из-за влияния застройки между источником шума и расчетной точкой													
Снижение уровня звукового давления препятствием справа от трассы ИШ-РТ, Dz3, дБ	z = -0.03м (разность путей)	ф-лы (14-18) [10]	0	0	4	3,2	0,6	NAN	NAN	NAN	NAN		
* отрицательное значение z означает прохождение траектории вблизи экрана, в этом случае дополнительно производится учёт снижения подстилающей поверхностью (см.ниже)													
Снижение поверхностью земли возле источника As, дБ	Gs = 0 hs = 1м	ф-лы таб.3 [10]	-1,5	-1,5	-1,5	-1,5	-1,5	-1,5	-1,5	-1,5	-1,5		
Снижение поверхностью земли возле приёмника Ar, дБ	Gr = 1 hr = 1.5м	ф-лы таб.3 [10]	-1,5	-1,5	4,8	7	5	0,7	0	0	0		
Снижение поверхностью земли в средней зоне, Am дБ	Gm = 1	ф-лы таб.3 [10]	-2,7	-2,7	0	0	0	0	0	0	0		
Суммарное снижение поверхностью земли на траектории распространения звука Agr, дБ		ф-ла (9) [10]	-5,7	-5,7	3,3	5,5	3,5	-0,8	-1,5	-1,5	-1,5		
Уровни звукового давления от источника ИШ-2-23 в расчётной точке днём, дБ		**ф-ла(3)[10]**	**0**	**32,2**	**20,4**	**19,6**	**23,1**	**25,7**	**19,6**	**3,3**	**0**	**27,9**	**27,9**
Уровни звукового давления от источника ИШ-2-23 в расчётной точке ночью, дБ		**ф-ла(3)[10]**	**0**	**32,2**	**20,4**	**19,6**	**23,1**	**25,7**	**19,6**	**3,3**	**0**	**27,9**	**27,9**

Источник шума: ИШ-2-24, координаты источника (x,y,z), м =[735.45,21.21,1.00]

1		2	3	4	5	6	7	8	9	10	11	12	13
Уровни звуковой мощности источника днём, Lw, дБ		**исходные данные**	**0**	**93,3**	**94,7**	**96**	**96,3**	**95,9**	**92,6**	**88,4**	**83,9**		
Уровни звуковой мощности источника ночью, Lw, дБ		**исходные данные**	**0**	**93,3**	**94,7**	**96**	**96,3**	**95,9**	**92,6**	**88,4**	**83,9**		
Поправка на телесный угол DΩ, дБ	Ω = 6.28	10Lg(4π/Ω)	**3**	3	3	3	3	3	3	3	3		
Показатель направленности источника Di, дБ		исходные данные	**0**	0	0	0	0	0	0	0	0		
Поправка на направленность источника Dc, дБ	Dc	DΩ + Di	**3**	3	3	3	3	3	3	3	3		
Затухание из-за геометрической дивергенции, Adiv, дБ	расстояние = 860.90 м	ф-ла (7) [10]	**69,7**										
Коэффициент затухания звука в атмосфере α, дБ/км	Ta=20,°C Pa=101.33,кПа hотн.=70%	ф-ла (5) [9]	0,02	0,09	0,33	1,12	2,79	4,98	9,04	23,09	77,63		
Учет затухания звука в атмосфере Aatm, дБ		ф-ла (8) [10]	0	0,1	0,3	1	2,4	4,3	7,8	19,9	66,8		
Снижение уровня звукового давления из-за влияния застройки между источником шума и расчетной точкой													
Снижение уровня звукового давления препятствием справа от трассы ИШ-РТ, Dz3, дБ	z = -0.06м (разность путей)	ф-лы (14-18) [10]	0	0	3,2	0,7	NAN	NAN	NAN	NAN	NAN		
* отрицательное значение z означает прохождение траектории вблизи экрана, в этом случае дополнительно производится учёт снижения подстилающей поверхностью (см.ниже)													
Снижение поверхностью земли возле источника As, дБ	Gs = 0 hs = 1м	ф-лы таб.3 [10]	-1,5	-1,5	-1,5	-1,5	-1,5	-1,5	-1,5	-1,5	-1,5		
Снижение поверхностью земли возле приёмника Ar, дБ	Gr = 1 hr = 1.5м	ф-лы таб.3 [10]	-1,5	-1,5	4,8	7	5	0,7	0	0	0		
Снижение поверхностью земли в средней зоне, Am дБ	Gm = 1	ф-лы таб.3 [10]	-2,7	-2,7	0	0	0	0	0	0	0		
Суммарное снижение поверхностью земли на траектории распространения звука Agr, дБ		ф-ла (9) [10]	-5,7	-5,7	3,3	5,5	3,5	-0,8	-1,5	-1,5	-1,5		
Уровни звукового давления от источника ИШ-2-24 в расчётной точке днём, дБ		**ф-ла(3)[10]**	**0**	**32,3**	**21,3**	**22,1**	**23,7**	**25,7**	**19,6**	**3,3**	**0**	**28,1**	**28,1**
Уровни звукового давления от источника ИШ-2-24 в расчётной точке ночью, дБ		**ф-ла(3)[10]**	**0**	**32,3**	**21,3**	**22,1**	**23,7**	**25,7**	**19,6**	**3,3**	**0**	**28,1**	**28,1**

1		2	3	4	5	6	7	8	9	10	11	12	13
Источник шума: ИШ-2-25, координаты источника (x,y,z), м =[734.58,18.32,1.00]													
Уровни звуковой мощности источника днём, Lw, дБ		**исходные данные**	**0**	**93,3**	**94,7**	**96**	**96,3**	**95,9**	**92,6**	**88,4**	**83,9**		
Уровни звуковой мощности источника ночью, Lw, дБ		**исходные данные**	**0**	**93,3**	**94,7**	**96**	**96,3**	**95,9**	**92,6**	**88,4**	**83,9**		
Поправка на телесный угол DΩ, дБ	Ω = 6.28	10Lg(4π/Ω)	**3**	3	3	3	3	3	3	3	3		
Показатель направленности источника Di, дБ		исходные данные	**0**	0	0	0	0	0	0	0	0		
Поправка на направленность источника Dc, дБ	Dc	DΩ + Di	**3**	3	3	3	3	3	3	3	3		
Затухание из-за геометрической дивергенции, Adiv, дБ	расстояние = 859.78 м	ф-ла (7) [10]	**69,7**										
Коэффициент затухания звука в атмосфере α, дБ/км	Ta=20,°C Pa=101.33,кПа hотн.=70%	ф-ла (5) [9]	0,02	0,09	0,33	1,12	2,79	4,98	9,04	23,09	77,63		
Учет затухания звука в атмосфере Aatm, дБ		ф-ла (8) [10]	0	0,1	0,3	1	2,4	4,3	7,8	19,8	66,7		
Снижение уровня звукового давления из-за влияния застройки между источником шума и расчетной точкой													
Снижение уровня звукового давления препятствием справа от трассы ИШ-РТ, Dz3, дБ	z = -0.10м (разность путей)	ф-лы (14-18) [10]	0	3,5	1,8	NAN	NAN	NAN	NAN	NAN	NAN		
* отрицательное значение z означает прохождение траектории вблизи экрана, в этом случае дополнительно производится учёт снижения подстилающей поверхностью (см.ниже)													
Снижение поверхностью земли возле источника As, дБ	Gs = 0 hs = 1м	ф-лы таб.3 [10]	-1,5	-1,5	-1,5	-1,5	-1,5	-1,5	-1,5	-1,5	-1,5		
Снижение поверхностью земли возле приёмника Ar, дБ	Gr = 1 hr = 1.5м	ф-лы таб.3 [10]	-1,5	-1,5	4,8	7	5	0,7	0	0	0		
Снижение поверхностью земли в средней зоне, Am дБ	Gm = 1	ф-лы таб.3 [10]	-2,7	-2,7	0	0	0	0	0	0	0		
Суммарное снижение поверхностью земли на траектории распространения звука Agr, дБ		ф-ла (9) [10]	-5,7	-5,7	3,3	5,5	3,5	-0,8	-1,5	-1,5	-1,5		
Уровни звукового давления от источника ИШ-2-25 в расчётной точке днём, дБ		**ф-ла(3)[10]**	**0**	**28,8**	**22,7**	**22,8**	**23,7**	**25,8**	**19,6**	**3,4**	**0**	**28,1**	**28,1**

1		2	3	4	5	6	7	8	9	10	11	12	13
Уровни звукового давления от источника ИШ-2-25 в расчётной точке ночью, дБ		**ф-ла(3)[10]**	**0**	**28,8**	**22,7**	**22,8**	**23,7**	**25,8**	**19,6**	**3,4**	**0**	**28,1**	**28,1**
Источник шума: ИШ-2-26, координаты источника (x,y,z), м =[733.57,15.41,1.00]													
Уровни звуковой мощности источника днём, Lw, дБ		**исходные данные**	**0**	**93,3**	**94,7**	**96**	**96,3**	**95,9**	**92,6**	**88,4**	**83,9**		
Уровни звуковой мощности источника ночью, Lw, дБ		**исходные данные**	**0**	**93,3**	**94,7**	**96**	**96,3**	**95,9**	**92,6**	**88,4**	**83,9**		
Поправка на телесный угол DΩ, дБ	Ω = 6.28	10Lg(4π/Ω)	**3**	3	3	3	3	3	3	3	3		
Показатель направленности источника Di, дБ		исходные данные	**0**	0	0	0	0	0	0	0	0		
Поправка на направленность источника Dc, дБ	Dc	DΩ + Di	**3**	3	3	3	3	3	3	3	3		
Затухание из-за геометрической дивергенции, Adiv, дБ	расстояние = 858.52 м	ф-ла (7) [10]	**69,7**										
Коэффициент затухания звука в атмосфере α, дБ/км	Ta=20,°C Pa=101.33,кПа hотн.=70%	ф-ла (5) [9]	0,02	0,09	0,33	1,12	2,79	4,98	9,04	23,09	77,63		
Учет затухания звука в атмосфере Aatm, дБ		ф-ла (8) [10]	0	0,1	0,3	1	2,4	4,3	7,8	19,8	66,6		
Снижение уровня звукового давления из-за влияния застройки между источником шума и расчетной точкой													
Снижение уровня звукового давления препятствием справа от трассы ИШ-РТ, Dz3, дБ	z = -0.15м (разность путей)	ф-лы (14-18) [10]	0	2,7	0	NAN	NAN	NAN	NAN	NAN	NAN		
* отрицательное значение z означает прохождение траектории вблизи экрана, в этом случае дополнительно производится учёт снижения подстилающей поверхностью (см.ниже)													
Снижение поверхностью земли возле источника As, дБ	Gs = 0 hs = 1м	ф-лы таб.3 [10]	-1,5	-1,5	-1,5	-1,5	-1,5	-1,5	-1,5	-1,5	-1,5		
Снижение поверхностью земли возле приёмника Ar, дБ	Gr = 1 hr = 1.5м	ф-лы таб.3 [10]	-1,5	-1,5	4,8	7	5	0,7	0	0	0		
Снижение поверхностью земли в средней зоне, Am дБ	Gm = 1	ф-лы таб.3 [10]	-2,7	-2,7	0	0	0	0	0	0	0		
Суммарное снижение поверхностью земли на траектории распространения звука Agr, дБ		ф-ла (9) [10]	-5,7	-5,7	3,3	5,5	3,5	-0,8	-1,5	-1,5	-1,5		

1		2	3	4	5	6	7	8	9	10	11	12	13
Уровни звукового давления прямого звука от источника ИШ-2-26 в расчётной точке днём, дБ		**ф-ла(3)[10]**	**0**	**29,6**	**24,5**	**22,8**	**23,7**	**25,8**	**19,7**	**3,4**	**0**	**28,1**	**28,1**
Уровни звукового давления прямого звука от источника ИШ-2-26 в расчётной точке ночью, дБ		**ф-ла(3)[10]**	**0**	**29,6**	**24,5**	**22,8**	**23,7**	**25,8**	**19,7**	**3,4**	**0**	**28,1**	**28,1**
Расчёт отражённого звука													
Уровни звукового давления от мнимого источника ИШ-2-26_мн.(1) в расчётной точке днём, дБ		**ф-ла(3)[10]**	**0**	**0**	**0**	**0**	**0**	**0**	**0**	**0**	**0**	**0**	**0**
Уровни звукового давления от мнимого источника ИШ-2-26_мн.(1) в расчётной точке ночью, дБ		**ф-ла(3)[10]**	**0**	**0**	**0**	**0**	**0**	**0**	**0**	**0**	**0**	**0**	**0**
Уровни звукового давления от источника ИШ-2-26 в расчётной точке днём, дБ		**ф-ла(3)[10]**	**0**	**29,6**	**24,5**	**22,8**	**23,7**	**25,8**	**19,7**	**3,4**	**0**	**28,1**	**28,1**
Уровни звукового давления от источника ИШ-2-26 в расчётной точке ночью, дБ		**ф-ла(3)[10]**	**0**	**29,6**	**24,5**	**22,8**	**23,7**	**25,8**	**19,7**	**3,4**	**0**	**28,1**	**28,1**
Источник шума: ИШ-2-27, координаты источника (x,y,z), м =[732.43,12.66,1.00]													
Уровни звуковой мощности источника днём, Lw, дБ		**исходные данные**	**0**	**93,3**	**94,7**	**96**	**96,3**	**95,9**	**92,6**	**88,4**	**83,9**		
Уровни звуковой мощности источника ночью, Lw, дБ		**исходные данные**	**0**	**93,3**	**94,7**	**96**	**96,3**	**95,9**	**92,6**	**88,4**	**83,9**		
Поправка на телесный угол DΩ, дБ	Ω = 6.28	10Lg(4π/Ω)	**3**	3	3	3	3	3	3	3	3		
Показатель направленности источника Di, дБ		исходные данные	**0**	0	0	0	0	0	0	0	0		
Поправка на направленность источника Dc, дБ	Dc	DΩ + Di	**3**	3	3	3	3	3	3	3	3		
Затухание из-за геометрической дивергенции, Adiv, дБ	расстояние = 857.16 м	ф-ла (7) [10]	**69,7**										
Коэффициент затухания звука в атмосфере α, дБ/км	Ta=20,°C Pa=101.33,кПа hотн.=70%	ф-ла (5) [9]	0,02	0,09	0,33	1,12	2,79	4,98	9,04	23,09	77,63		
Учет затухания звука в атмосфере Aatm, дБ		ф-ла (8) [10]	0	0,1	0,3	1	2,4	4,3	7,7	19,8	66,5		

1		2	3	4	5	6	7	8	9	10	11	12	13
Снижение уровня звукового давления из-за влияния застройки между источником шума и расчетной точкой													
Снижение уровня звукового давления препятствием справа от трассы ИШ-РТ, Dz3, дБ	z = -0.21м (разность путей)	ф-лы (14-18) [10]	0	1,6	NAN	NAN	NAN	NAN	NAN	NAN	NAN		
* отрицательное значение z означает прохождение траектории вблизи экрана, в этом случае дополнительно производится учёт снижения подстилающей поверхностью (см.ниже)													
Снижение поверхностью земли возле источника As, дБ	Gs = 0 hs = 1м	ф-лы таб.3 [10]	-1,5	-1,5	-1,5	-1,5	-1,5	-1,5	-1,5	-1,5	-1,5		
Снижение поверхностью земли возле приёмника Ar, дБ	Gr = 1 hr = 1.5м	ф-лы таб.3 [10]	-1,5	-1,5	4,7	7	5	0,7	0	0	0		
Снижение поверхностью земли в средней зоне, Am дБ	Gm = 1	ф-лы таб.3 [10]	-2,7	-2,7	0	0	0	0	0	0	0		
Суммарное снижение поверхностью земли на траектории распространения звука Agr, дБ		ф-ла (9) [10]	-5,7	-5,7	3,2	5,5	3,5	-0,8	-1,5	-1,5	-1,5		
Уровни звукового давления от источника ИШ-2-27 в расчётной точке днём, дБ		**ф-ла(3)[10]**	**0**	**30,7**	**24,5**	**22,8**	**23,8**	**25,8**	**19,7**	**3,4**	**0**	**28,2**	**28,2**
Уровни звукового давления от источника ИШ-2-27 в расчётной точке ночью, дБ		**ф-ла(3)[10]**	**0**	**30,7**	**24,5**	**22,8**	**23,8**	**25,8**	**19,7**	**3,4**	**0**	**28,2**	**28,2**
Источник шума: ИШ-2-28, координаты источника (x,y,z), м =[731.54,9.78,1.00]													
Уровни звуковой мощности источника днём, Lw, дБ		**исходные данные**	**0**	**93,3**	**94,7**	**96**	**96,3**	**95,9**	**92,6**	**88,4**	**83,9**		
Уровни звуковой мощности источника ночью, Lw, дБ		**исходные данные**	**0**	**93,3**	**94,7**	**96**	**96,3**	**95,9**	**92,6**	**88,4**	**83,9**		
Поправка на телесный угол DΩ, дБ	Ω = 6.28	10Lg(4π/Ω)	**3**	3	3	3	3	3	3	3	3		
Показатель направленности источника Di, дБ		исходные данные	**0**	0	0	0	0	0	0	0	0		
Поправка на направленность источника Dc, дБ	Dc	DΩ + Di	**3**	3	3	3	3	3	3	3	3		
Затухание из-за геометрической дивергенции, Adiv, дБ	расстояние = 856.04 м	ф-ла (7) [10]	**69,6**										
Коэффициент затухания звука в атмосфере α, дБ/км	Ta=20,°C Pa=101.33,кПа hотн.=70%	ф-ла (5) [9]	0,02	0,09	0,33	1,12	2,79	4,98	9,04	23,09	77,63		

1		2	3	4	5	6	7	8	9	10	11	12	13
Учет затухания звука в атмосфере Aatm, дБ		ф-ла (8) [10]	0	0,1	0,3	1	2,4	4,3	7,7	19,8	66,5		
Снижение поверхностью земли возле источника As, дБ	Gs = 0 hs = 1м	ф-лы таб.3 [10]	-1,5	-1,5	-1,5	-1,5	-1,5	-1,5	-1,5	-1,5	-1,5		
Снижение поверхностью земли возле приёмника Ar, дБ	Gr = 1 hr = 1.5м	ф-лы таб.3 [10]	-1,5	-1,5	4,7	7	5	0,7	0	0	0		
Снижение поверхностью земли в средней зоне, Am дБ	Gm = 1	ф-лы таб.3 [10]	-2,7	-2,7	0	0	0	0	0	0	0		
Суммарное снижение поверхностью земли на траектории распространения звука Agr, дБ		ф-ла (9) [10]	-5,7	-5,7	3,2	5,5	3,5	-0,8	-1,5	-1,5	-1,5		
Уровни звукового давления от источника ИШ-2-28 в расчётной точке днём, дБ		**ф-ла(3)[10]**	**0**	**32,3**	**24,5**	**22,9**	**23,8**	**25,8**	**19,7**	**3,5**	**0**	**28,2**	**28,2**
Уровни звукового давления от источника ИШ-2-28 в расчётной точке ночью, дБ		**ф-ла(3)[10]**	**0**	**32,3**	**24,5**	**22,9**	**23,8**	**25,8**	**19,7**	**3,5**	**0**	**28,2**	**28,2**
Источник шума: ИШ-2-29, координаты источника (x,y,z), м =[730.57,6.88,1.00]													
Уровни звуковой мощности источника днём, Lw, дБ		**исходные данные**	**0**	**93,3**	**94,7**	**96**	**96,3**	**95,9**	**92,6**	**88,4**	**83,9**		
Уровни звуковой мощности источника ночью, Lw, дБ		**исходные данные**	**0**	**93,3**	**94,7**	**96**	**96,3**	**95,9**	**92,6**	**88,4**	**83,9**		
Поправка на телесный угол DΩ, дБ	Ω = 6.28	10Lg(4π/Ω)	**3**	3	3	3	3	3	3	3	3		
Показатель направленности источника Di, дБ		исходные данные	**0**	0	0	0	0	0	0	0	0		
Поправка на направленность источника Dc, дБ	Dc	DΩ + Di	**3**	3	3	3	3	3	3	3	3		
Затухание из-за геометрической дивергенции, Adiv, дБ	расстояние = 854.86 м	ф-ла (7) [10]	**69,6**										
Коэффициент затухания звука в атмосфере α, дБ/км	Ta=20,°C Pa=101.33,кПа hотн.=70%	ф-ла (5) [9]	0,02	0,09	0,33	1,12	2,79	4,98	9,04	23,09	77,63		
Учет затухания звука в атмосфере Aatm, дБ		ф-ла (8) [10]	0	0,1	0,3	1	2,4	4,3	7,7	19,7	66,4		

1		2	3	4	5	6	7	8	9	10	11	12	13
Снижение уровня звукового давления из-за влияния застройки между источником шума и расчетной точкой													
Снижение уровня звукового давления препятствием слева от трассы ИШ-РТ, Dz2, дБ	z = -0.19м (разность путей)	ф-лы (14-18) [10]	3,6	2,1	0	NAN	NAN	NAN	NAN	NAN	NAN		
* отрицательное значение z означает прохождение траектории вблизи экрана, в этом случае дополнительно производится учёт снижения подстилающей поверхностью (см.ниже)													
Снижение поверхностью земли возле источника As, дБ	Gs = 0 hs = 1м	ф-лы таб.3 [10]	-1,5	-1,5	-1,5	-1,5	-1,5	-1,5	-1,5	-1,5	-1,5		
Снижение поверхностью земли возле приёмника Ar, дБ	Gr = 1 hr = 1.5м	ф-лы таб.3 [10]	-1,5	-1,5	4,7	7	5	0,7	0	0	0		
Снижение поверхностью земли в средней зоне, Am дБ	Gm = 1	ф-лы таб.3 [10]	-2,7	-2,7	0	0	0	0	0	0	0		
Суммарное снижение поверхностью земли на траектории распространения звука Agr, дБ		ф-ла (9) [10]	-5,7	-5,7	3,2	5,5	3,5	-0,8	-1,5	-1,5	-1,5		
Уровни звукового давления от источника ИШ-2-29 в расчётной точке днём, дБ		**ф-ла(3)[10]**	**0**	**30,2**	**24,5**	**22,9**	**23,8**	**25,8**	**19,7**	**3,5**	**0**	**28,2**	**28,2**
Уровни звукового давления от источника ИШ-2-29 в расчётной точке ночью, дБ		**ф-ла(3)[10]**	**0**	**30,2**	**24,5**	**22,9**	**23,8**	**25,8**	**19,7**	**3,5**	**0**	**28,2**	**28,2**
Источник шума: ИШ-2-4, координаты источника (x,y,z), м =[632.70,-65.30,3.00]													
Уровни звуковой мощности источника днём, Lw, дБ		**исходные данные**	**105**	**104**	**104**	**101**	**102**	**106**	**101**	**95**	**87**		
Уровни звуковой мощности источника ночью, Lw, дБ		**исходные данные**	**105**	**104**	**104**	**101**	**102**	**106**	**101**	**95**	**87**		
Поправка на телесный угол DΩ, дБ	Ω = 6.28	10Lg(4π/Ω)	**3**	3	3	3	3	3	3	3	3		
Показатель направленности источника Di, дБ		исходные данные	**0**	0	0	0	0	0	0	0	0		
Поправка на направленность источника Dc, дБ	Dc	DΩ + Di	**3**	3	3	3	3	3	3	3	3		
Затухание из-за геометрической дивергенции, Adiv, дБ	расстояние = 754.65 м	ф-ла (7) [10]	**68,6**										
Коэффициент затухания звука в атмосфере α, дБ/км	Ta=20,°C Pa=101.33,кПа hотн.=70%	ф-ла (5) [9]	0,02	0,09	0,33	1,12	2,79	4,98	9,04	23,09	77,63		

1		2	3	4	5	6	7	8	9	10	11	12	13
Учет затухания звука в атмосфере Aatm, дБ		ф-ла (8) [10]	0	0,1	0,3	0,8	2,1	3,8	6,8	17,4	58,6		
Снижение уровня звукового давления из-за влияния застройки между источником шума и расчетной точкой													
Снижение уровня звукового давления на пути над экраном, Dz1, дБ	z = 0.34м (разность путей)	ф-лы (14-18) [10]	5,2	5,6	6,4	7,5	9,2	11,3	13,9	16,6	19,5		
Снижение уровня звукового давления на пути слева от экрана, Dz2, дБ	z = 2.11м (разность путей)	ф-лы (14-18) [10]	13,9	16,9	19,8	22,8	25,7	28,7	31,7	34,7	37,8		
Снижение уровня звукового давления на пути справа от экрана, Dz3, дБ	z = 17.98м (разность путей)	ф-лы (14-18) [10]	19,8	24,3	28,4	31,8	35	38	41	44	47,1		
Общее снижение уровня звука препятствием Dz, дБ		Эн.сумма(-Dzi)	4,5	5,3	6,1	7,4	9,1	11,3	13,8	16,5	19,4		
Уровни звукового давления от источника ИШ-2-4 в расчётной точке днём, дБ		**ф-ла(3)[10]**	**34,9**	**33,1**	**32,1**	**27,2**	**25,3**	**25,4**	**14,9**	**0**	**0**	**28,3**	**28,3**
Уровни звукового давления от источника ИШ-2-4 в расчётной точке ночью, дБ		**ф-ла(3)[10]**	**34,9**	**33,1**	**32,1**	**27,2**	**25,3**	**25,4**	**14,9**	**0**	**0**	**28,3**	**28,3**
Источник шума: ИШ-2-30, координаты источника (x,y,z), м =[702.44,-77.23,1.00]													
Уровни звуковой мощности источника днём, Lw, дБ		**исходные данные**	**0**	**93,3**	**94,7**	**96**	**96,3**	**95,9**	**92,6**	**88,4**	**83,9**		
Уровни звуковой мощности источника ночью, Lw, дБ		**исходные данные**	**0**	**93,3**	**94,7**	**96**	**96,3**	**95,9**	**92,6**	**88,4**	**83,9**		
Поправка на телесный угол DΩ, дБ	Ω = 6.28	10Lg(4π/Ω)	**3**	3	3	3	3	3	3	3	3		
Показатель направленности источника Di, дБ		исходные данные	**0**	0	0	0	0	0	0	0	0		
Поправка на направленность источника Dc, дБ	Dc	DΩ + Di	**3**	3	3	3	3	3	3	3	3		
Затухание из-за геометрической дивергенции, Adiv, дБ	расстояние = 824.59 м	ф-ла (7) [10]	**69,3**										
Коэффициент затухания звука в атмосфере α, дБ/км	Ta=20,°C Pa=101.33,кПа hотн.=70%	ф-ла (5) [9]	0,02	0,09	0,33	1,12	2,79	4,98	9,04	23,09	77,63		

1		2	3	4	5	6	7	8	9	10	11	12	13
Учет затухания звука в атмосфере Aatm, дБ		ф-ла (8) [10]	0	0,1	0,3	0,9	2,3	4,1	7,5	19	64		
Снижение уровня звукового давления из-за влияния застройки между источником шума и расчетной точкой													
Снижение уровня звукового давления на пути над экраном, Dz1, дБ	z = 0.21м (разность путей)	ф-лы (14-18) [10]	4,8	4,8	4,8	4,8	4,8	4,8	4,8	4,9	5		
Снижение уровня звукового давления на пути слева от экрана, Dz2, дБ	z = 1.09м (разность путей)	ф-лы (14-18) [10]	8,5	10,4	12,8	15,4	18,3	21,2	24,1	27,1	30,1		
Снижение уровня звукового давления на пути справа от экрана, Dz3, дБ	z = 13.78м (разность путей)	ф-лы (14-18) [10]	18,7	23,1	27,2	30,7	33,8	36,9	39,9	42,9	45,9		
Общее снижение уровня звука препятствием Dz, дБ		Эн.сумма(-Dzi)	3,1	3,7	4,1	4,4	4,6	4,7	4,8	4,8	4,9		
Уровни звукового давления от источника ИШ-2-30 в расчётной точке днём, дБ		**ф-ла(3)[10]**	**0**	**23,2**	**24**	**24,3**	**23,1**	**20,8**	**14**	**0**	**0**	**24,7**	**24,7**
Уровни звукового давления от источника ИШ-2-30 в расчётной точке ночью, дБ		**ф-ла(3)[10]**	**0**	**23,2**	**24**	**24,3**	**23,1**	**20,8**	**14**	**0**	**0**	**24,7**	**24,7**
Источник шума: ИШ-2-31, координаты источника (x,y,z), м =[701.42,-80.17,1.00]													
Уровни звуковой мощности источника днём, Lw, дБ		**исходные данные**	**0**	**93,3**	**94,7**	**96**	**96,3**	**95,9**	**92,6**	**88,4**	**83,9**		
Уровни звуковой мощности источника ночью, Lw, дБ		**исходные данные**	**0**	**93,3**	**94,7**	**96**	**96,3**	**95,9**	**92,6**	**88,4**	**83,9**		
Поправка на телесный угол DΩ, дБ	Ω = 6.28	10Lg(4π/Ω)	**3**	3	3	3	3	3	3	3	3		
Показатель направленности источника Di, дБ		исходные данные	**0**	0	0	0	0	0	0	0	0		
Поправка на направленность источника Dc, дБ	Dc	DΩ + Di	**3**	3	3	3	3	3	3	3	3		
Затухание из-за геометрической дивергенции, Adiv, дБ	расстояние = 823.65 м	ф-ла (7) [10]	**69,3**										
Коэффициент затухания звука в атмосфере α, дБ/км	Ta=20,°C Pa=101.33,кПа hотн.=70%	ф-ла (5) [9]	0,02	0,09	0,33	1,12	2,79	4,98	9,04	23,09	77,63		

1		2	3	4	5	6	7	8	9	10	11	12	13
Учет затухания звука в атмосфере Aatm, дБ		ф-ла (8) [10]	0	0,1	0,3	0,9	2,3	4,1	7,4	19	63,9		
Снижение уровня звукового давления из-за влияния застройки между источником шума и расчетной точкой													
Снижение уровня звукового давления на пути над экраном, Dz1, дБ	z = 0.20м (разность путей)	ф-лы (14-18) [10]	4,8	4,8	4,8	4,8	4,8	4,8	4,8	4,9	4,9		
Снижение уровня звукового давления на пути слева от экрана, Dz2, дБ	z = 0.92м (разность путей)	ф-лы (14-18) [10]	8,1	9,9	12,2	14,8	17,6	20,5	23,4	26,4	29,4		
Снижение уровня звукового давления на пути справа от экрана, Dz3, дБ	z = 15.02м (разность путей)	ф-лы (14-18) [10]	19,1	23,5	27,6	31,1	34,2	37,2	40,3	43,3	46,3		
Общее снижение уровня звука препятствием Dz, дБ		Эн.сумма(-Dzi)	3	3,6	4	4,4	4,6	4,7	4,8	4,8	4,9		
Уровни звукового давления от источника ИШ-2-31 в расчётной точке днём, дБ		**ф-ла(3)[10]**	**0**	**23,3**	**24,1**	**24,4**	**23,1**	**20,8**	**14,1**	**0**	**0**	**24,7**	**24,7**
Уровни звукового давления от источника ИШ-2-31 в расчётной точке ночью, дБ		**ф-ла(3)[10]**	**0**	**23,3**	**24,1**	**24,4**	**23,1**	**20,8**	**14,1**	**0**	**0**	**24,7**	**24,7**
Источник шума: ИШ-2-32, координаты источника (x,y,z), м =[700.38,-83.01,1.00]													
Уровни звуковой мощности источника днём, Lw, дБ		**исходные данные**	**0**	**93,3**	**94,7**	**96**	**96,3**	**95,9**	**92,6**	**88,4**	**83,9**		
Уровни звуковой мощности источника ночью, Lw, дБ		**исходные данные**	**0**	**93,3**	**94,7**	**96**	**96,3**	**95,9**	**92,6**	**88,4**	**83,9**		
Поправка на телесный угол DΩ, дБ	Ω = 6.28	10Lg(4π/Ω)	**3**	3	3	3	3	3	3	3	3		
Показатель направленности источника Di, дБ		исходные данные	**0**	0	0	0	0	0	0	0	0		
Поправка на направленность источника Dc, дБ	Dc	DΩ + Di	**3**	3	3	3	3	3	3	3	3		
Затухание из-за геометрической дивергенции, Adiv, дБ	расстояние = 822.70 м	ф-ла (7) [10]	**69,3**										
Коэффициент затухания звука в атмосфере α, дБ/км	Ta=20,°C Pa=101.33,кПа hотн.=70%	ф-ла (5) [9]	0,02	0,09	0,33	1,12	2,79	4,98	9,04	23,09	77,63		

1		2	3	4	5	6	7	8	9	10	11	12	13
Учет затухания звука в атмосфере Aatm, дБ		ф-ла (8) [10]	0	0,1	0,3	0,9	2,3	4,1	7,4	19	63,9		
Снижение уровня звукового давления из-за влияния застройки между источником шума и расчетной точкой													
Снижение уровня звукового давления на пути над экраном, Dz1, дБ	z = 0.20м (разность путей)	ф-лы (14-18) [10]	4,8	4,8	4,8	4,8	4,8	4,8	4,8	4,9	4,9		
Снижение уровня звукового давления на пути слева от экрана, Dz2, дБ	z = 0.77м (разность путей)	ф-лы (14-18) [10]	7,7	9,4	11,6	14,1	16,9	19,7	22,7	25,7	28,6		
Снижение уровня звукового давления на пути справа от экрана, Dz3, дБ	z = 16.29м (разность путей)	ф-лы (14-18) [10]	19,4	23,9	27,9	31,4	34,5	37,6	40,6	43,6	46,6		
Общее снижение уровня звука препятствием Dz, дБ		Эн.сумма(-Dzi)	2,9	3,5	3,9	4,3	4,5	4,7	4,7	4,8	4,9		
Уровни звукового давления от источника ИШ-2-32 в расчётной точке днём, дБ		**ф-ла(3)[10]**	**0**	**23,5**	**24,2**	**24,5**	**23,2**	**20,8**	**14,1**	**0**	**0**	**24,8**	**24,8**
Уровни звукового давления от источника ИШ-2-32 в расчётной точке ночью, дБ		**ф-ла(3)[10]**	**0**	**23,5**	**24,2**	**24,5**	**23,2**	**20,8**	**14,1**	**0**	**0**	**24,8**	**24,8**
Источник шума: ИШ-2-33, координаты источника (x,y,z), м =[699.52,-85.98,1.00]													
Уровни звуковой мощности источника днём, Lw, дБ		**исходные данные**	**0**	**93,3**	**94,7**	**96**	**96,3**	**95,9**	**92,6**	**88,4**	**83,9**		
Уровни звуковой мощности источника ночью, Lw, дБ		**исходные данные**	**0**	**93,3**	**94,7**	**96**	**96,3**	**95,9**	**92,6**	**88,4**	**83,9**		
Поправка на телесный угол DΩ, дБ	Ω = 6.28	10Lg(4π/Ω)	**3**	3	3	3	3	3	3	3	3		
Показатель направленности источника Di, дБ		исходные данные	**0**	0	0	0	0	0	0	0	0		
Поправка на направленность источника Dc, дБ	Dc	DΩ + Di	**3**	3	3	3	3	3	3	3	3		
Затухание из-за геометрической дивергенции, Adiv, дБ	расстояние = 821.93 м	ф-ла (7) [10]	**69,3**										
Коэффициент затухания звука в атмосфере α, дБ/км	Ta=20,°C Pa=101.33,кПа hотн.=70%	ф-ла (5) [9]	0,02	0,09	0,33	1,12	2,79	4,98	9,04	23,09	77,63		

1		2	3	4	5	6	7	8	9	10	11	12	13
Учет затухания звука в атмосфере Aatm, дБ		ф-ла (8) [10]	0	0,1	0,3	0,9	2,3	4,1	7,4	19	63,8		
Снижение уровня звукового давления из-за влияния застройки между источником шума и расчетной точкой													
Снижение уровня звукового давления на пути над экраном, Dz1, дБ	z = 0.20м (разность путей)	ф-лы (14-18) [10]	4,8	4,8	4,8	4,8	4,8	4,8	4,8	4,8	4,9		
Снижение уровня звукового давления на пути слева от экрана, Dz2, дБ	z = 0.63м (разность путей)	ф-лы (14-18) [10]	7,3	8,9	10,9	13,4	16,1	18,9	21,8	24,8	27,8		
Снижение уровня звукового давления на пути справа от экрана, Dz3, дБ	z = 17.65м (разность путей)	ф-лы (14-18) [10]	19,7	24,2	28,3	31,8	34,9	37,9	41	44	47		
Общее снижение уровня звука препятствием Dz, дБ		Эн.сумма(-Dzi)	2,7	3,3	3,8	4,2	4,5	4,6	4,7	4,8	4,9		
Уровни звукового давления от источника ИШ-2-33 в расчётной точке днём, дБ		**ф-ла(3)[10]**	**0**	**23,6**	**24,3**	**24,6**	**23,2**	**20,9**	**14,1**	**0**	**0**	**24,8**	**24,8**
Уровни звукового давления от источника ИШ-2-33 в расчётной точке ночью, дБ		**ф-ла(3)[10]**	**0**	**23,6**	**24,3**	**24,6**	**23,2**	**20,9**	**14,1**	**0**	**0**	**24,8**	**24,8**
Источник шума: ИШ-2-34, координаты источника (x,y,z), м =[698.43,-88.85,1.00]													
Уровни звуковой мощности источника днём, Lw, дБ		**исходные данные**	**0**	**93,3**	**94,7**	**96**	**96,3**	**95,9**	**92,6**	**88,4**	**83,9**		
Уровни звуковой мощности источника ночью, Lw, дБ		**исходные данные**	**0**	**93,3**	**94,7**	**96**	**96,3**	**95,9**	**92,6**	**88,4**	**83,9**		
Поправка на телесный угол DΩ, дБ	Ω = 6.28	10Lg(4π/Ω)	**3**	3	3	3	3	3	3	3	3		
Показатель направленности источника Di, дБ		исходные данные	**0**	0	0	0	0	0	0	0	0		
Поправка на направленность источника Dc, дБ	Dc	DΩ + Di	**3**	3	3	3	3	3	3	3	3		
Затухание из-за геометрической дивергенции, Adiv, дБ	расстояние = 820.95 м	ф-ла (7) [10]	**69,3**										
Коэффициент затухания звука в атмосфере α, дБ/км	Ta=20,°C Pa=101.33,кПа hотн.=70%	ф-ла (5) [9]	0,02	0,09	0,33	1,12	2,79	4,98	9,04	23,09	77,63		

1		2	3	4	5	6	7	8	9	10	11	12	13
Учет затухания звука в атмосфере Aatm, дБ		ф-ла (8) [10]	0	0,1	0,3	0,9	2,3	4,1	7,4	19	63,7		
Снижение уровня звукового давления из-за влияния застройки между источником шума и расчетной точкой													
Снижение уровня звукового давления на пути над экраном, Dz1, дБ	z = 0.20м (разность путей)	ф-лы (14-18) [10]	4,8	4,8	4,8	4,8	4,8	4,8	4,8	4,8	4,9		
Снижение уровня звукового давления на пути слева от экрана, Dz2, дБ	z = 0.51м (разность путей)	ф-лы (14-18) [10]	6,9	8,3	10,2	12,6	15,2	18	20,9	23,9	26,8		
Снижение уровня звукового давления на пути справа от экрана, Dz3, дБ	z = 19.07м (разность путей)	ф-лы (14-18) [10]	20,1	24,5	28,6	32,1	35,2	38,3	41,3	44,3	47,3		
Общее снижение уровня звука препятствием Dz, дБ		Эн.сумма(-Dzi)	2,6	3,1	3,7	4,1	4,4	4,6	4,7	4,8	4,9		
Уровни звукового давления от источника ИШ-2-34 в расчётной точке днём, дБ		**ф-ла(3)[10]**	**0**	**23,8**	**24,5**	**24,7**	**23,3**	**20,9**	**14,2**	**0**	**0**	**24,9**	**24,9**
Уровни звукового давления от источника ИШ-2-34 в расчётной точке ночью, дБ		**ф-ла(3)[10]**	**0**	**23,8**	**24,5**	**24,7**	**23,3**	**20,9**	**14,2**	**0**	**0**	**24,9**	**24,9**
Источник шума: ИШ-2-35, координаты источника (x,y,z), м =[697.52,-91.66,1.00]													
Уровни звуковой мощности источника днём, Lw, дБ		**исходные данные**	**0**	**93,3**	**94,7**	**96**	**96,3**	**95,9**	**92,6**	**88,4**	**83,9**		
Уровни звуковой мощности источника ночью, Lw, дБ		**исходные данные**	**0**	**93,3**	**94,7**	**96**	**96,3**	**95,9**	**92,6**	**88,4**	**83,9**		
Поправка на телесный угол DΩ, дБ	Ω = 6.28	10Lg(4π/Ω)	**3**	3	3	3	3	3	3	3	3		
Показатель направленности источника Di, дБ		исходные данные	**0**	0	0	0	0	0	0	0	0		
Поправка на направленность источника Dc, дБ	Dc	DΩ + Di	**3**	3	3	3	3	3	3	3	3		
Затухание из-за геометрической дивергенции, Adiv, дБ	расстояние = 820.15 м	ф-ла (7) [10]	**69,3**										
Коэффициент затухания звука в атмосфере α, дБ/км	Ta=20,°C Pa=101.33,кПа hотн.=70%	ф-ла (5) [9]	0,02	0,09	0,33	1,12	2,79	4,98	9,04	23,09	77,63		

1		2	3	4	5	6	7	8	9	10	11	12	13
Учет затухания звука в атмосфере Aatm, дБ		ф-ла (8) [10]	0	0,1	0,3	0,9	2,3	4,1	7,4	18,9	63,7		
Снижение уровня звукового давления из-за влияния застройки между источником шума и расчетной точкой													
Снижение уровня звукового давления на пути над экраном, Dz1, дБ	z = 0.20м (разность путей)	ф-лы (14-18) [10]	4,8	4,8	4,8	4,8	4,8	4,8	4,8	4,8	4,9		
Снижение уровня звукового давления на пути слева от экрана, Dz2, дБ	z = 0.40м (разность путей)	ф-лы (14-18) [10]	6,5	7,8	9,5	11,7	14,3	17	19,9	22,8	25,8		
Снижение уровня звукового давления на пути справа от экрана, Dz3, дБ	z = 4.95м (разность путей)	ф-лы (14-18) [10]	13,3	16	18,8	21,7	24,7	27,7	30,7	33,7	36,7		
Общее снижение уровня звука препятствием Dz, дБ		Эн.сумма(-Dzi)	2,2	2,8	3,4	3,9	4,3	4,5	4,7	4,7	4,8		
Уровни звукового давления от источника ИШ-2-35 в расчётной точке днём, дБ		**ф-ла(3)[10]**	**0**	**24,1**	**24,8**	**24,9**	**23,5**	**21**	**14,3**	**0**	**0**	**25**	**25**
Уровни звукового давления от источника ИШ-2-35 в расчётной точке ночью, дБ		**ф-ла(3)[10]**	**0**	**24,1**	**24,8**	**24,9**	**23,5**	**21**	**14,3**	**0**	**0**	**25**	**25**
Источник шума: ИШ-2-36, координаты источника (x,y,z), м =[696.58,-94.55,1.00]													
Уровни звуковой мощности источника днём, Lw, дБ		**исходные данные**	**0**	**93,3**	**94,7**	**96**	**96,3**	**95,9**	**92,6**	**88,4**	**83,9**		
Уровни звуковой мощности источника ночью, Lw, дБ		**исходные данные**	**0**	**93,3**	**94,7**	**96**	**96,3**	**95,9**	**92,6**	**88,4**	**83,9**		
Поправка на телесный угол DΩ, дБ	Ω = 6.28	10Lg(4π/Ω)	**3**	3	3	3	3	3	3	3	3		
Показатель направленности источника Di, дБ		исходные данные	**0**	0	0	0	0	0	0	0	0		
Поправка на направленность источника Dc, дБ	Dc	DΩ + Di	**3**	3	3	3	3	3	3	3	3		
Затухание из-за геометрической дивергенции, Adiv, дБ	расстояние = 819.34 м	ф-ла (7) [10]	**69,3**										
Коэффициент затухания звука в атмосфере α, дБ/км	Ta=20,°C Pa=101.33,кПа hотн.=70%	ф-ла (5) [9]	0,02	0,09	0,33	1,12	2,79	4,98	9,04	23,09	77,63		

1		2	3	4	5	6	7	8	9	10	11	12	13
Учет затухания звука в атмосфере Aatm, дБ		ф-ла (8) [10]	0	0,1	0,3	0,9	2,3	4,1	7,4	18,9	63,6		
Снижение уровня звукового давления из-за влияния застройки между источником шума и расчетной точкой													
Снижение уровня звукового давления на пути над экраном, Dz1, дБ	z = 0.20м (разность путей)	ф-лы (14-18) [10]	4,8	4,8	4,8	4,8	4,8	4,8	4,8	4,8	4,9		
Снижение уровня звукового давления на пути слева от экрана, Dz2, дБ	z = 0.30м (разность путей)	ф-лы (14-18) [10]	6,2	7,2	8,7	10,8	13,2	15,9	18,7	21,6	24,6		
Снижение уровня звукового давления на пути справа от экрана, Dz3, дБ	z = 5.33м (разность путей)	ф-лы (14-18) [10]	13,6	16,3	19,1	22	25	28	31	34	37		
Общее снижение уровня звука препятствием Dz, дБ		Эн.сумма(-Dzi)	2,1	2,6	3,2	3,7	4,2	4,4	4,6	4,7	4,8		
Уровни звукового давления от источника ИШ-2-36 в расчётной точке днём, дБ		**ф-ла(3)[10]**	**0**	**24,3**	**25**	**25,1**	**23,6**	**21,1**	**14,3**	**0**	**0**	**25,1**	**25,1**
Уровни звукового давления от источника ИШ-2-36 в расчётной точке ночью, дБ		**ф-ла(3)[10]**	**0**	**24,3**	**25**	**25,1**	**23,6**	**21,1**	**14,3**	**0**	**0**	**25,1**	**25,1**
Источник шума: ИШ-2-37, координаты источника (x,y,z), м =[695.57,-97.37,1.00]													
Уровни звуковой мощности источника днём, Lw, дБ		**исходные данные**	**0**	**93,3**	**94,7**	**96**	**96,3**	**95,9**	**92,6**	**88,4**	**83,9**		
Уровни звуковой мощности источника ночью, Lw, дБ		**исходные данные**	**0**	**93,3**	**94,7**	**96**	**96,3**	**95,9**	**92,6**	**88,4**	**83,9**		
Поправка на телесный угол DΩ, дБ	Ω = 6.28	10Lg(4π/Ω)	**3**	3	3	3	3	3	3	3	3		
Показатель направленности источника Di, дБ		исходные данные	**0**	0	0	0	0	0	0	0	0		
Поправка на направленность источника Dc, дБ	Dc	DΩ + Di	**3**	3	3	3	3	3	3	3	3		
Затухание из-за геометрической дивергенции, Adiv, дБ	расстояние = 818.46 м	ф-ла (7) [10]	**69,3**										
Коэффициент затухания звука в атмосфере α, дБ/км	Ta=20,°C Pa=101.33,кПа hотн.=70%	ф-ла (5) [9]	0,02	0,09	0,33	1,12	2,79	4,98	9,04	23,09	77,63		

1		2	3	4	5	6	7	8	9	10	11	12	13
Учет затухания звука в атмосфере Aatm, дБ		ф-ла (8) [10]	0	0,1	0,3	0,9	2,3	4,1	7,4	18,9	63,5		
Снижение уровня звукового давления из-за влияния застройки между источником шума и расчетной точкой													
Снижение уровня звукового давления на пути над экраном, Dz1, дБ	z = 0.20м (разность путей)	ф-лы (14-18) [10]	4,8	4,8	4,8	4,8	4,8	4,8	4,8	4,8	4,9		
Снижение уровня звукового давления на пути слева от экрана, Dz2, дБ	z = 0.22м (разность путей)	ф-лы (14-18) [10]	5,8	6,7	8	9,8	12	14,6	17,4	20,3	23,2		
Снижение уровня звукового давления на пути справа от экрана, Dz3, дБ	z = 5.72м (разность путей)	ф-лы (14-18) [10]	13,8	16,6	19,4	22,3	25,3	28,3	31,3	34,3	37,3		
Общее снижение уровня звука препятствием Dz, дБ		Эн.сумма(-Dzi)	2	2,4	3	3,5	4	4,3	4,6	4,7	4,8		
Уровни звукового давления от источника ИШ-2-37 в расчётной точке днём, дБ		**ф-ла(3)[10]**	**0**	**24,5**	**25,2**	**25,3**	**23,8**	**21,2**	**14,4**	**0**	**0**	**25,3**	**25,3**
Уровни звукового давления от источника ИШ-2-37 в расчётной точке ночью, дБ		**ф-ла(3)[10]**	**0**	**24,5**	**25,2**	**25,3**	**23,8**	**21,2**	**14,4**	**0**	**0**	**25,3**	**25,3**
Источник шума: ИШ-2-5, координаты источника (x,y,z), м =[618.60,-108.00,3.00]													
Уровни звуковой мощности источника днём, Lw, дБ		**исходные данные**	**105**	**104**	**104**	**101**	**102**	**106**	**101**	**95**	**87**		
Уровни звуковой мощности источника ночью, Lw, дБ		**исходные данные**	**105**	**104**	**104**	**101**	**102**	**106**	**101**	**95**	**87**		
Поправка на телесный угол DΩ, дБ	Ω = 6.28	10Lg(4π/Ω)	**3**	3	3	3	3	3	3	3	3		
Показатель направленности источника Di, дБ		исходные данные	**0**	0	0	0	0	0	0	0	0		
Поправка на направленность источника Dc, дБ	Dc	DΩ + Di	**3**	3	3	3	3	3	3	3	3		
Затухание из-за геометрической дивергенции, Adiv, дБ	расстояние = 742.26 м	ф-ла (7) [10]	**68,4**										
Коэффициент затухания звука в атмосфере α, дБ/км	Ta=20,°C Pa=101.33,кПа hотн.=70%	ф-ла (5) [9]	0,02	0,09	0,33	1,12	2,79	4,98	9,04	23,09	77,63		

1		2	3	4	5	6	7	8	9	10	11	12	13
Учет затухания звука в атмосфере Aatm, дБ		ф-ла (8) [10]	0	0,1	0,2	0,8	2,1	3,7	6,7	17,1	57,6		
Снижение уровня звукового давления из-за влияния застройки между источником шума и расчетной точкой													
Снижение уровня звукового давления на пути над экраном, Dz1, дБ	z = 0.17м (разность путей)	ф-лы (14-18) [10]	4,8	4,8	4,8	4,8	4,8	4,8	4,8	4,8	4,9		
Снижение уровня звукового давления на пути слева от экрана, Dz2, дБ	z = 0.00м (разность путей)	ф-лы (14-18) [10]	4,8	4,8	4,8	4,8	4,8	4,8	4,9	5	5,2		
Снижение уровня звукового давления на пути справа от экрана, Dz3, дБ	z = 9.28м (разность путей)	ф-лы (14-18) [10]	15,7	18,6	21,4	24,4	27,4	30,4	33,4	36,4	39,4		
Общее снижение уровня звука препятствием Dz, дБ		Эн.сумма(-Dzi)	1,6	1,7	1,7	1,7	1,8	1,8	1,8	1,9	2		
Уровни звукового давления от источника ИШ-2-5 в расчётной точке днём, дБ		**ф-ла(3)[10]**	**38**	**36,9**	**36,6**	**33**	**32,8**	**35,1**	**27,1**	**10,6**	**0**	**37,2**	**37,2**
Уровни звукового давления от источника ИШ-2-5 в расчётной точке ночью, дБ		**ф-ла(3)[10]**	**38**	**36,9**	**36,6**	**33**	**32,8**	**35,1**	**27,1**	**10,6**	**0**	**37,2**	**37,2**
Источник шума: ИШ-2-38, координаты источника (x,y,z), м =[688.13,-119.94,1.00]													
Уровни звуковой мощности источника днём, Lw, дБ		**исходные данные**	**0**	**93,3**	**94,7**	**96**	**96,3**	**95,9**	**92,6**	**88,4**	**83,9**		
Уровни звуковой мощности источника ночью, Lw, дБ		**исходные данные**	**0**	**93,3**	**94,7**	**96**	**96,3**	**95,9**	**92,6**	**88,4**	**83,9**		
Поправка на телесный угол DΩ, дБ	Ω = 6.28	10Lg(4π/Ω)	**3**	3	3	3	3	3	3	3	3		
Показатель направленности источника Di, дБ		исходные данные	**0**	0	0	0	0	0	0	0	0		
Поправка на направленность источника Dc, дБ	Dc	DΩ + Di	**3**	3	3	3	3	3	3	3	3		
Затухание из-за геометрической дивергенции, Adiv, дБ	расстояние = 812.47 м	ф-ла (7) [10]	**69,2**										
Коэффициент затухания звука в атмосфере α, дБ/км	Ta=20,°C Pa=101.33,кПа hотн.=70%	ф-ла (5) [9]	0,02	0,09	0,33	1,12	2,79	4,98	9,04	23,09	77,63		

1		2	3	4	5	6	7	8	9	10	11	12	13
Учет затухания звука в атмосфере Aatm, дБ		ф-ла (8) [10]	0	0,1	0,3	0,9	2,3	4	7,3	18,8	63,1		
Снижение поверхностью земли возле источника As, дБ	Gs = 0 hs = 1м	ф-лы таб.3 [10]	-1,5	-1,5	-1,5	-1,5	-1,5	-1,5	-1,5	-1,5	-1,5		
Снижение поверхностью земли возле приёмника Ar, дБ	Gr = 1 hr = 1.5м	ф-лы таб.3 [10]	-1,5	-1,5	4,6	7	5	0,7	0	0	0		
Снижение поверхностью земли в средней зоне, Am дБ	Gm = 1	ф-лы таб.3 [10]	-2,7	-2,7	0	0	0	0	0	0	0		
Суммарное снижение поверхностью земли на траектории распространения звука Agr, дБ		ф-ла (9) [10]	-5,7	-5,7	3,1	5,5	3,5	-0,8	-1,5	-1,5	-1,5		
Уровни звукового давления от источника ИШ-2-38 в расчётной точке днём, дБ		**ф-ла(3)[10]**	**0**	**32,7**	**25,9**	**23,4**	**24,4**	**26,5**	**20,6**	**4,9**	**0**	**28,9**	**28,9**
Уровни звукового давления от источника ИШ-2-38 в расчётной точке ночью, дБ		**ф-ла(3)[10]**	**0**	**32,7**	**25,9**	**23,4**	**24,4**	**26,5**	**20,6**	**4,9**	**0**	**28,9**	**28,9**
Источник шума: ИШ-2-39, координаты источника (x,y,z), м =[687.11,-122.83,1.00]													
Уровни звуковой мощности источника днём, Lw, дБ		**исходные данные**	**0**	**93,3**	**94,7**	**96**	**96,3**	**95,9**	**92,6**	**88,4**	**83,9**		
Уровни звуковой мощности источника ночью, Lw, дБ		**исходные данные**	**0**	**93,3**	**94,7**	**96**	**96,3**	**95,9**	**92,6**	**88,4**	**83,9**		
Поправка на телесный угол DΩ, дБ	Ω = 6.28	10Lg(4π/Ω)	**3**	3	3	3	3	3	3	3	3		
Показатель направленности источника Di, дБ		исходные данные	**0**	0	0	0	0	0	0	0	0		
Поправка на направленность источника Dc, дБ	Dc	DΩ + Di	**3**	3	3	3	3	3	3	3	3		
Затухание из-за геометрической дивергенции, Adiv, дБ	расстояние = 811.69 м	ф-ла (7) [10]	**69,2**										
Коэффициент затухания звука в атмосфере α, дБ/км	Ta=20,°C Pa=101.33,кПа hотн.=70%	ф-ла (5) [9]	0,02	0,09	0,33	1,12	2,79	4,98	9,04	23,09	77,63		
Учет затухания звука в атмосфере Aatm, дБ		ф-ла (8) [10]	0	0,1	0,3	0,9	2,3	4	7,3	18,7	63		

1		2	3	4	5	6	7	8	9	10	11	12	13
Снижение поверхностью земли возле источника As, дБ	Gs = 0 hs = 1м	ф-лы таб.3 [10]	-1,5	-1,5	-1,5	-1,5	-1,5	-1,5	-1,5	-1,5	-1,5		
Снижение поверхностью земли возле приёмника Ar, дБ	Gr = 1 hr = 1.5м	ф-лы таб.3 [10]	-1,5	-1,5	4,6	7	5	0,7	0	0	0		
Снижение поверхностью земли в средней зоне, Am дБ	Gm = 1	ф-лы таб.3 [10]	-2,7	-2,7	0	0	0	0	0	0	0		
Суммарное снижение поверхностью земли на траектории распространения звука Agr, дБ		ф-ла (9) [10]	-5,7	-5,7	3,1	5,5	3,5	-0,8	-1,5	-1,5	-1,5		
Уровни звукового давления от источника ИШ-2-39 в расчётной точке днём, дБ		**ф-ла(3)[10]**	**0**	**32,8**	**25,3**	**23,4**	**24,4**	**26,5**	**20,6**	**5**	**0**	**28,9**	**28,9**
Уровни звукового давления от источника ИШ-2-39 в расчётной точке ночью, дБ		**ф-ла(3)[10]**	**0**	**32,8**	**25,3**	**23,4**	**24,4**	**26,5**	**20,6**	**5**	**0**	**28,9**	**28,9**
Источник шума: ИШ-2-40, координаты источника (x,y,z), м =[686.10,-125.67,1.00]													
Уровни звуковой мощности источника днём, Lw, дБ		**исходные данные**	**0**	**93,3**	**94,7**	**96**	**96,3**	**95,9**	**92,6**	**88,4**	**83,9**		
Уровни звуковой мощности источника ночью, Lw, дБ		**исходные данные**	**0**	**93,3**	**94,7**	**96**	**96,3**	**95,9**	**92,6**	**88,4**	**83,9**		
Поправка на телесный угол DΩ, дБ	Ω = 6.28	10Lg(4π/Ω)	**3**	3	3	3	3	3	3	3	3		
Показатель направленности источника Di, дБ		исходные данные	**0**	0	0	0	0	0	0	0	0		
Поправка на направленность источника Dc, дБ	Dc	DΩ + Di	**3**	3	3	3	3	3	3	3	3		
Затухание из-за геометрической дивергенции, Adiv, дБ	расстояние = 810.92 м	ф-ла (7) [10]	**69,2**										
Коэффициент затухания звука в атмосфере α, дБ/км	Ta=20,°C Pa=101.33,кПа hотн.=70%	ф-ла (5) [9]	0,02	0,09	0,33	1,12	2,79	4,98	9,04	23,09	77,63		
Учет затухания звука в атмосфере Aatm, дБ		ф-ла (8) [10]	0	0,1	0,3	0,9	2,3	4	7,3	18,7	63		
Снижение поверхностью земли возле источника As, дБ	Gs = 0 hs = 1м	ф-лы таб.3 [10]	-1,5	-1,5	-1,5	-1,5	-1,5	-1,5	-1,5	-1,5	-1,5		

1		2	3	4	5	6	7	8	9	10	11	12	13
Снижение поверхностью земли возле приёмника Ar, дБ	Gr = 1 hr = 1.5м	ф-лы таб.3 [10]	-1,5	-1,5	4,6	7	5	0,7	0	0	0		
Снижение поверхностью земли в средней зоне, Am дБ	Gm = 1	ф-лы таб.3 [10]	-2,7	-2,7	0	0	0	0	0	0	0		
Суммарное снижение поверхностью земли на траектории распространения звука Agr, дБ		ф-ла (9) [10]	-5,7	-5,7	3,1	5,5	3,5	-0,8	-1,5	-1,5	-1,5		
Уровни звукового давления прямого звука от источника ИШ-2-40 в расчётной точке днём, дБ		**ф-ла(3)[10]**	**0**	**32,8**	**26,3**	**23,4**	**24,4**	**26,5**	**20,6**	**5**	**0**	**28,9**	**28,9**
Уровни звукового давления прямого звука от источника ИШ-2-40 в расчётной точке ночью, дБ		**ф-ла(3)[10]**	**0**	**32,8**	**26,3**	**23,4**	**24,4**	**26,5**	**20,6**	**5**	**0**	**28,9**	**28,9**
Расчёт отражённого звука													
Уровни звукового давления от мнимого источника ИШ-2-40_мн.(1) в расчётной точке днём, дБ		**ф-ла(3)[10]**	**0**	**0**	**0**	**0**	**0**	**0**	**0**	**0**	**0**	**0**	**0**
Уровни звукового давления от мнимого источника ИШ-2-40_мн.(1) в расчётной точке ночью, дБ		**ф-ла(3)[10]**	**0**	**0**	**0**	**0**	**0**	**0**	**0**	**0**	**0**	**0**	**0**
Уровни звукового давления от источника ИШ-2-40 в расчётной точке днём, дБ		**ф-ла(3)[10]**	**0**	**32,8**	**26,3**	**23,4**	**24,4**	**26,5**	**20,6**	**5**	**0**	**28,9**	**28,9**
Уровни звукового давления от источника ИШ-2-40 в расчётной точке ночью, дБ		**ф-ла(3)[10]**	**0**	**32,8**	**26,3**	**23,4**	**24,4**	**26,5**	**20,6**	**5**	**0**	**28,9**	**28,9**
Источник шума: ИШ-2-41, координаты источника (x,y,z), м =[685.14,-128.64,1.00]													
Уровни звуковой мощности источника днём, Lw, дБ		**исходные данные**	**0**	**93,3**	**94,7**	**96**	**96,3**	**95,9**	**92,6**	**88,4**	**83,9**		
Уровни звуковой мощности источника ночью, Lw, дБ		**исходные данные**	**0**	**93,3**	**94,7**	**96**	**96,3**	**95,9**	**92,6**	**88,4**	**83,9**		
Поправка на телесный угол DΩ, дБ	Ω = 6.28	10Lg(4π/Ω)	**3**	3	3	3	3	3	3	3	3		
Показатель направленности источника Di, дБ		исходные данные	**0**	0	0	0	0	0	0	0	0		
Поправка на направленность источника Dc, дБ	Dc	DΩ + Di	**3**	3	3	3	3	3	3	3	3		
Затухание из-за геометрической дивергенции, Adiv, дБ	расстояние = 810.22 м	ф-ла (7) [10]	**69,2**										

1		2	3	4	5	6	7	8	9	10	11	12	13
Коэффициент затухания звука в атмосфере α, дБ/км	Ta=20,°C Pa=101.33,кПа hотн.=70%	ф-ла (5) [9]	0,02	0,09	0,33	1,12	2,79	4,98	9,04	23,09	77,63		
Учет затухания звука в атмосфере Aatm, дБ		ф-ла (8) [10]	0	0,1	0,3	0,9	2,3	4	7,3	18,7	62,9		
Снижение поверхностью земли возле источника As, дБ	Gs = 0 hs = 1м	ф-лы таб.3 [10]	-1,5	-1,5	-1,5	-1,5	-1,5	-1,5	-1,5	-1,5	-1,5		
Снижение поверхностью земли возле приёмника Ar, дБ	Gr = 1 hr = 1.5м	ф-лы таб.3 [10]	-1,5	-1,5	4,6	7	5	0,7	0	0	0		
Снижение поверхностью земли в средней зоне, Am дБ	Gm = 1	ф-лы таб.3 [10]	-2,7	-2,7	0	0	0	0	0	0	0		
Суммарное снижение поверхностью земли на траектории распространения звука Agr, дБ		ф-ла (9) [10]	-5,7	-5,7	3,1	5,5	3,5	-0,8	-1,5	-1,5	-1,5		
Уровни звукового давления прямого звука от источника ИШ-2-41 в расчётной точке днём, дБ		**ф-ла(3)[10]**	**0**	**32,8**	**25,1**	**23,4**	**24,4**	**26,5**	**20,6**	**5**	**0**	**28,9**	**28,9**
Уровни звукового давления прямого звука от источника ИШ-2-41 в расчётной точке ночью, дБ		**ф-ла(3)[10]**	**0**	**32,8**	**25,1**	**23,4**	**24,4**	**26,5**	**20,6**	**5**	**0**	**28,9**	**28,9**
Расчёт отражённого звука													
Уровни звукового давления от мнимого источника ИШ-2-41_мн.(1) в расчётной точке днём, дБ		**ф-ла(3)[10]**	**0**	**0**	**0**	**0**	**0**	**0**	**0**	**0**	**0**	**0**	**0**
Уровни звукового давления от мнимого источника ИШ-2-41_мн.(1) в расчётной точке ночью, дБ		**ф-ла(3)[10]**	**0**	**0**	**0**	**0**	**0**	**0**	**0**	**0**	**0**	**0**	**0**
Уровни звукового давления от источника ИШ-2-41 в расчётной точке днём, дБ		**ф-ла(3)[10]**	**0**	**32,8**	**25,1**	**23,4**	**24,4**	**26,5**	**20,6**	**5**	**0**	**28,9**	**28,9**
Уровни звукового давления от источника ИШ-2-41 в расчётной точке ночью, дБ		**ф-ла(3)[10]**	**0**	**32,8**	**25,1**	**23,4**	**24,4**	**26,5**	**20,6**	**5**	**0**	**28,9**	**28,9**
Источник шума: ИШ-2-42, координаты источника (x,y,z), м =[684.20,-131.46,1.00]													
Уровни звуковой мощности источника днём, Lw, дБ		**исходные данные**	**0**	**93,3**	**94,7**	**96**	**96,3**	**95,9**	**92,6**	**88,4**	**83,9**		
Уровни звуковой мощности источника ночью, Lw, дБ		**исходные данные**	**0**	**93,3**	**94,7**	**96**	**96,3**	**95,9**	**92,6**	**88,4**	**83,9**		

1		2	3	4	5	6	7	8	9	10	11	12	13
Поправка на телесный угол DΩ, дБ	Ω = 6.28	10Lg(4π/Ω)	**3**	3	3	3	3	3	3	3	3		
Показатель направленности источника Di, дБ		исходные данные	**0**	0	0	0	0	0	0	0	0		
Поправка на направленность источника Dc, дБ	Dc	DΩ + Di	**3**	3	3	3	3	3	3	3	3		
Затухание из-за геометрической дивергенции, Adiv, дБ	расстояние = 809.54 м	ф-ла (7) [10]	**69,2**										
Коэффициент затухания звука в атмосфере α, дБ/км	Ta=20,°C Pa=101.33,кПа hотн.=70%	ф-ла (5) [9]	0,02	0,09	0,33	1,12	2,79	4,98	9,04	23,09	77,63		
Учет затухания звука в атмосфере Aatm, дБ		ф-ла (8) [10]	0	0,1	0,3	0,9	2,3	4	7,3	18,7	62,8		
Снижение поверхностью земли возле источника As, дБ	Gs = 0 hs = 1м	ф-лы таб.3 [10]	-1,5	-1,5	-1,5	-1,5	-1,5	-1,5	-1,5	-1,5	-1,5		
Снижение поверхностью земли возле приёмника Ar, дБ	Gr = 1 hr = 1.5м	ф-лы таб.3 [10]	-1,5	-1,5	4,6	7	5	0,7	0	0	0		
Снижение поверхностью земли в средней зоне, Am дБ	Gm = 1	ф-лы таб.3 [10]	-2,7	-2,7	0	0	0	0	0	0	0		
Суммарное снижение поверхностью земли на траектории распространения звука Agr, дБ		ф-ла (9) [10]	-5,7	-5,7	3,1	5,5	3,5	-0,8	-1,5	-1,5	-1,5		
Уровни звукового давления прямого звука от источника ИШ-2-42 в расчётной точке днём, дБ		**ф-ла(3)[10]**	**0**	**32,8**	**25,2**	**23,4**	**24,4**	**26,5**	**20,6**	**5**	**0**	**28,9**	**28,9**
Уровни звукового давления прямого звука от источника ИШ-2-42 в расчётной точке ночью, дБ		**ф-ла(3)[10]**	**0**	**32,8**	**25,2**	**23,4**	**24,4**	**26,5**	**20,6**	**5**	**0**	**28,9**	**28,9**
Расчёт отражённого звука													
Уровни звукового давления от мнимого источника ИШ-2-42_мн.(1) в расчётной точке днём, дБ		**ф-ла(3)[10]**	**0**	**0**	**0**	**0**	**0**	**0**	**0**	**0**	**0**	**0**	**0**
Уровни звукового давления от мнимого источника ИШ-2-42_мн.(1) в расчётной точке ночью, дБ		**ф-ла(3)[10]**	**0**	**0**	**0**	**0**	**0**	**0**	**0**	**0**	**0**	**0**	**0**
Уровни звукового давления от источника ИШ-2-42 в расчётной точке днём, дБ		**ф-ла(3)[10]**	**0**	**32,8**	**25,2**	**23,4**	**24,4**	**26,5**	**20,6**	**5**	**0**	**28,9**	**28,9**
Уровни звукового давления от источника ИШ-2-42 в расчётной точке ночью, дБ		**ф-ла(3)[10]**	**0**	**32,8**	**25,2**	**23,4**	**24,4**	**26,5**	**20,6**	**5**	**0**	**28,9**	**28,9**

1		2	3	4	5	6	7	8	9	10	11	12	13
Источник шума: ИШ-2-43, координаты источника (x,y,z), м =[683.13,-134.37,1.00]													
Уровни звуковой мощности источника днём, Lw, дБ		**исходные данные**	**0**	**93,3**	**94,7**	**96**	**96,3**	**95,9**	**92,6**	**88,4**	**83,9**		
Уровни звуковой мощности источника ночью, Lw, дБ		**исходные данные**	**0**	**93,3**	**94,7**	**96**	**96,3**	**95,9**	**92,6**	**88,4**	**83,9**		
Поправка на телесный угол DΩ, дБ	Ω = 6.28	10Lg(4π/Ω)	**3**	3	3	3	3	3	3	3	3		
Показатель направленности источника Di, дБ		исходные данные	**0**	0	0	0	0	0	0	0	0		
Поправка на направленность источника Dc, дБ	Dc	DΩ + Di	**3**	3	3	3	3	3	3	3	3		
Затухание из-за геометрической дивергенции, Adiv, дБ	расстояние = 808.75 м	ф-ла (7) [10]	**69,2**										
Коэффициент затухания звука в атмосфере α, дБ/км	Ta=20,°C Pa=101.33,кПа hотн.=70%	ф-ла (5) [9]	0,02	0,09	0,33	1,12	2,79	4,98	9,04	23,09	77,63		
Учет затухания звука в атмосфере Aatm, дБ		ф-ла (8) [10]	0	0,1	0,3	0,9	2,3	4	7,3	18,7	62,8		
Снижение уровня звукового давления из-за влияния застройки между источником шума и расчетной точкой													
Снижение уровня звукового давления на пути над экраном, Dz1, дБ	z = 0.19м (разность путей)	ф-лы (14-18) [10]	4,8	4,8	4,8	4,8	4,8	4,8	4,8	4,8	4,9		
Снижение уровня звукового давления на пути слева от экрана, Dz2, дБ	z = 1.81м (разность путей)	ф-лы (14-18) [10]	9,9	12,2	14,7	17,5	20,4	23,3	26,3	29,3	32,3		
Снижение уровня звукового давления на пути справа от экрана, Dz3, дБ	z = 0.00м (разность путей)	ф-лы (14-18) [10]	4,8	4,8	4,8	4,9	5,1	5,4	5,9	6,7	8,1		
Общее снижение уровня звука препятствием Dz, дБ		Эн.сумма(-Dzi)	1,1	1,4	1,6	1,7	1,8	2	2,3	2,6	3,2		
Уровни звукового давления прямого звука от источника ИШ-2-43 в расчётной точке днём, дБ		**ф-ла(3)[10]**	**0**	**25,7**	**26,7**	**27,2**	**26**	**23,7**	**16,9**	**0,9**	**0**	**27,6**	**27,6**
Уровни звукового давления прямого звука от источника ИШ-2-43 в расчётной точке ночью, дБ		**ф-ла(3)[10]**	**0**	**25,7**	**26,7**	**27,2**	**26**	**23,7**	**16,9**	**0,9**	**0**	**27,6**	**27,6**

1		2	3	4	5	6	7	8	9	10	11	12	13
Расчёт отражённого звука													
Уровни звукового давления от мнимого источника ИШ-2-43_мн.(1) в расчётной точке днём, дБ		**ф-ла(3)[10]**	**0**	**0**	**0**	**0**	**0**	**0**	**0**	**0**	**0**	**0**	**0**
Уровни звукового давления от мнимого источника ИШ-2-43_мн.(1) в расчётной точке ночью, дБ		**ф-ла(3)[10]**	**0**	**0**	**0**	**0**	**0**	**0**	**0**	**0**	**0**	**0**	**0**
Уровни звукового давления от источника ИШ-2-43 в расчётной точке днём, дБ		**ф-ла(3)[10]**	**0**	**25,7**	**26,7**	**27,2**	**26**	**23,7**	**16,9**	**0,9**	**0**	**27,6**	**27,6**
Уровни звукового давления от источника ИШ-2-43 в расчётной точке ночью, дБ		**ф-ла(3)[10]**	**0**	**25,7**	**26,7**	**27,2**	**26**	**23,7**	**16,9**	**0,9**	**0**	**27,6**	**27,6**
Источник шума: ИШ-2-44, координаты источника (x,y,z), м =[682.20,-137.16,1.00]													
Уровни звуковой мощности источника днём, Lw, дБ		**исходные данные**	**0**	**93,3**	**94,7**	**96**	**96,3**	**95,9**	**92,6**	**88,4**	**83,9**		
Уровни звуковой мощности источника ночью, Lw, дБ		**исходные данные**	**0**	**93,3**	**94,7**	**96**	**96,3**	**95,9**	**92,6**	**88,4**	**83,9**		
Поправка на телесный угол DΩ, дБ	Ω = 6.28	10Lg(4π/Ω)	**3**	3	3	3	3	3	3	3	3		
Показатель направленности источника Di, дБ		исходные данные	**0**	0	0	0	0	0	0	0	0		
Поправка на направленность источника Dc, дБ	Dc	DΩ + Di	**3**	3	3	3	3	3	3	3	3		
Затухание из-за геометрической дивергенции, Adiv, дБ	расстояние = 808.09 м	ф-ла (7) [10]	**69,1**										
Коэффициент затухания звука в атмосфере α, дБ/км	Ta=20,°C Pa=101.33,кПа hотн.=70%	ф-ла (5) [9]	0,02	0,09	0,33	1,12	2,79	4,98	9,04	23,09	77,63		
Учет затухания звука в атмосфере Aatm, дБ		ф-ла (8) [10]	0	0,1	0,3	0,9	2,3	4	7,3	18,7	62,7		
Снижение уровня звукового давления из-за влияния застройки между источником шума и расчетной точкой													
Снижение уровня звукового давления на пути над экраном, Dz1, дБ	z = 0.20м (разность путей)	ф-лы (14-18) [10]	4,8	4,8	4,8	4,8	4,8	4,8	4,8	4,8	4,9		

1		2	3	4	5	6	7	8	9	10	11	12	13
Снижение уровня звукового давления на пути слева от экрана, Dz2, дБ	z = 1.51м (разность путей)	ф-лы (14-18) [10]	9,3	11,5	14	16,8	19,6	22,6	25,5	28,5	31,5		
Снижение уровня звукового давления на пути справа от экрана, Dz3, дБ	z = 0.02м (разность путей)	ф-лы (14-18) [10]	4,9	5	5,2	5,5	6,2	7,2	8,8	10,9	13,3		
Общее снижение уровня звука препятствием Dz, дБ		Эн.сумма(-Dzi)	1,1	1,4	1,7	2	2,3	2,8	3,3	3,8	4,3		
Уровни звукового давления прямого звука от источника ИШ-2-44 в расчётной точке днём, дБ		**ф-ла(3)[10]**	**0**	**25,7**	**26,6**	**27**	**25,6**	**22,9**	**15,8**	**0**	**0**	**27**	**27**
Уровни звукового давления прямого звука от источника ИШ-2-44 в расчётной точке ночью, дБ		**ф-ла(3)[10]**	**0**	**25,7**	**26,6**	**27**	**25,6**	**22,9**	**15,8**	**0**	**0**	**27**	**27**
Расчёт отражённого звука													
Уровни звукового давления от мнимого источника ИШ-2-44_мн.(1) в расчётной точке днём, дБ		**ф-ла(3)[10]**	**0**	**0**	**0**	**0**	**0**	**0**	**0**	**0**	**0**	**0**	**0**
Уровни звукового давления от мнимого источника ИШ-2-44_мн.(1) в расчётной точке ночью, дБ		**ф-ла(3)[10]**	**0**	**0**	**0**	**0**	**0**	**0**	**0**	**0**	**0**	**0**	**0**
Уровни звукового давления от источника ИШ-2-44 в расчётной точке днём, дБ		**ф-ла(3)[10]**	**0**	**25,7**	**26,6**	**27**	**25,6**	**22,9**	**15,8**	**0**	**0**	**27**	**27**
Уровни звукового давления от источника ИШ-2-44 в расчётной точке ночью, дБ		**ф-ла(3)[10]**	**0**	**25,7**	**26,6**	**27**	**25,6**	**22,9**	**15,8**	**0**	**0**	**27**	**27**
Источник шума: ИШ-2-45, координаты источника (x,y,z), м =[681.26,-139.98,1.00]													
Уровни звуковой мощности источника днём, Lw, дБ		**исходные данные**	**0**	**93,3**	**94,7**	**96**	**96,3**	**95,9**	**92,6**	**88,4**	**83,9**		
Уровни звуковой мощности источника ночью, Lw, дБ		**исходные данные**	**0**	**93,3**	**94,7**	**96**	**96,3**	**95,9**	**92,6**	**88,4**	**83,9**		
Поправка на телесный угол DΩ, дБ	Ω = 6.28	10Lg(4π/Ω)	**3**	3	3	3	3	3	3	3	3		
Показатель направленности источника Di, дБ		исходные данные	**0**	0	0	0	0	0	0	0	0		
Поправка на направленность источника Dc, дБ	Dc	DΩ + Di	**3**	3	3	3	3	3	3	3	3		
Затухание из-за геометрической дивергенции, Adiv, дБ	расстояние = 807.44 м	ф-ла (7) [10]	**69,1**										

1		2	3	4	5	6	7	8	9	10	11	12	13
Коэффициент затухания звука в атмосфере α, дБ/км	Та=20,°С Ра=101.33,кПа hотн.=70%	ф-ла (5) [9]	0,02	0,09	0,33	1,12	2,79	4,98	9,04	23,09	77,63		
Учет затухания звука в атмосфере Aatm, дБ		ф-ла (8) [10]	0	0,1	0,3	0,9	2,3	4	7,3	18,6	62,7		
Снижение уровня звукового давления из-за влияния застройки между источником шума и расчетной точкой													
Снижение уровня звукового давления на пути над экраном, Dz1, дБ	z = 0.20м (разность путей)	ф-лы (14-18) [10]	4,8	4,8	4,8	4,8	4,8	4,8	4,8	4,8	4,9		
Снижение уровня звукового давления на пути слева от экрана, Dz2, дБ	z = 1.23м (разность путей)	ф-лы (14-18) [10]	8,8	10,8	13,2	15,9	18,8	21,7	24,7	27,6	30,6		
Снижение уровня звукового давления на пути справа от экрана, Dz3, дБ	z = 0.05м (разность путей)	ф-лы (14-18) [10]	5	5,3	5,7	6,5	7,7	9,4	11,6	14,1	16,8		
Общее снижение уровня звука препятствием Dz, дБ		Эн.сумма(-Dzi)	1,1	1,5	1,9	2,3	2,9	3,4	3,9	4,3	4,6		
Уровни звукового давления от источника ИШ-2-45 в расчётной точке днём, дБ		**ф-ла(3)[10]**	**0**	**25,6**	**26,4**	**26,6**	**25**	**22,3**	**15,2**	**0**	**0**	**26,4**	**26,4**
Уровни звукового давления от источника ИШ-2-45 в расчётной точке ночью, дБ		**ф-ла(3)[10]**	**0**	**25,6**	**26,4**	**26,6**	**25**	**22,3**	**15,2**	**0**	**0**	**26,4**	**26,4**
Источник шума: ИШ-4-1, координаты источника (x,y,z), м =[141.82,201.03,1.00]													
Уровни звуковой мощности источника днём, Lw, дБ		**исходные данные**	**0**	**90,3**	**91,7**	**93**	**93,3**	**92,9**	**89,6**	**85,4**	**80,9**		
Уровни звуковой мощности источника ночью, Lw, дБ		**исходные данные**	**0**	**90,3**	**91,7**	**93**	**93,3**	**92,9**	**89,6**	**85,4**	**80,9**		
Поправка на телесный угол DΩ, дБ	Ω = 6.28	10Lg(4π/Ω)	**3**	3	3	3	3	3	3	3	3		
Показатель направленности источника Di, дБ		исходные данные	**0**	0	0	0	0	0	0	0	0		
Поправка на направленность источника Dc, дБ	Dc	DΩ + Di	**3**	3	3	3	3	3	3	3	3		
Затухание из-за геометрической дивергенции, Adiv, дБ	расстояние = 368.92 м	ф-ла (7) [10]	**62,3**										

1		2	3	4	5	6	7	8	9	10	11	12	13
Коэффициент затухания звука в атмосфере α, дБ/км	Ta=20,°C Pa=101.33,кПа hотн.=70%	ф-ла (5) [9]	0,02	0,09	0,33	1,12	2,79	4,98	9,04	23,09	77,63		
Учет затухания звука в атмосфере Aatm, дБ		ф-ла (8) [10]	0	0	0,1	0,4	1	1,8	3,3	8,5	28,6		
Снижение поверхностью земли возле источника As, дБ	Gs = 0 hs = 1м	ф-лы таб.3 [10]	-1,5	-1,5	-1,5	-1,5	-1,5	-1,5	-1,5	-1,5	-1,5		
Снижение поверхностью земли возле приёмника Ar, дБ	Gr = 1 hr = 1.5м	ф-лы таб.3 [10]	-1,5	-1,5	2,2	7	5	0,7	0	0	0		
Снижение поверхностью земли в средней зоне, Am дБ	Gm = 1	ф-лы таб.3 [10]	-2,4	-2,4	0	0	0	0	0	0	0		
Суммарное снижение поверхностью земли на траектории распространения звука Agr, дБ		ф-ла (9) [10]	-5,4	-5,4	0,7	5,5	3,5	-0,8	-1,5	-1,5	-1,5		
Уровни звукового давления прямого звука от источника ИШ-4-1 в расчётной точке днём, дБ		**ф-ла(3)[10]**	**0**	**36,3**	**31,6**	**27,7**	**29,5**	**32,6**	**28,4**	**19**	**0**	**35,3**	**35,3**
Уровни звукового давления прямого звука от источника ИШ-4-1 в расчётной точке ночью, дБ		**ф-ла(3)[10]**	**0**	**36,3**	**31,6**	**27,7**	**29,5**	**32,6**	**28,4**	**19**	**0**	**35,3**	**35,3**
Расчёт отражённого звука													
Уровни звукового давления от мнимого источника ИШ-4-1_мн.(1) в расчётной точке днём, дБ		**ф-ла(3)[10]**	**0**	**0**	**0**	**0**	**0**	**0**	**0**	**4,1**	**0**	**5,1**	**5,1**
Уровни звукового давления от мнимого источника ИШ-4-1_мн.(1) в расчётной точке ночью, дБ		**ф-ла(3)[10]**	**0**	**0**	**0**	**0**	**0**	**0**	**0**	**0**	**0**	**5,1**	**5,1**
Уровни звукового давления от источника ИШ-4-1 в расчётной точке днём, дБ		**ф-ла(3)[10]**	**0**	**36,3**	**31,6**	**27,7**	**29,5**	**32,6**	**28,4**	**19,2**	**0**	**35,3**	**35,3**
Уровни звукового давления от источника ИШ-4-1 в расчётной точке ночью, дБ		**ф-ла(3)[10]**	**0**	**36,3**	**31,6**	**27,7**	**29,5**	**32,6**	**28,4**	**19,2**	**0**	**35,3**	**35,3**
Источник шума: ИШ-4-2, координаты источника (x,y,z), м =[133.85,183.21,1.00]													
Уровни звуковой мощности источника днём, Lw, дБ		**исходные данные**	**0**	**90,3**	**91,7**	**93**	**93,3**	**92,9**	**89,6**	**85,4**	**80,9**		
Уровни звуковой мощности источника ночью, Lw, дБ		**исходные данные**	**0**	**90,3**	**91,7**	**93**	**93,3**	**92,9**	**89,6**	**85,4**	**80,9**		

1		2	3	4	5	6	7	8	9	10	11	12	13
Поправка на телесный угол DΩ, дБ	Ω = 6.28	10Lg(4π/Ω)	**3**	3	3	3	3	3	3	3	3		
Показатель направленности источника Di, дБ		исходные данные	**0**	0	0	0	0	0	0	0	0		
Поправка на направленность источника Dc, дБ	Dc	DΩ + Di	**3**	3	3	3	3	3	3	3	3		
Затухание из-за геометрической дивергенции, Adiv, дБ	расстояние = 350.84 м	ф-ла (7) [10]	**61,9**										
Коэффициент затухания звука в атмосфере α, дБ/км	Ta=20,°C Pa=101.33,кПа hотн.=70%	ф-ла (5) [9]	0,02	0,09	0,33	1,12	2,79	4,98	9,04	23,09	77,63		
Учет затухания звука в атмосфере Aatm, дБ		ф-ла (8) [10]	0	0	0,1	0,4	1	1,7	3,2	8,1	27,2		
Снижение уровня звукового давления из-за влияния застройки между источником шума и расчетной точкой													
Снижение уровня звукового давления на пути над экраном, Dz1, дБ	z = 0.13м (разность путей)	ф-лы (14-18) [10]	4,8	4,9	5,1	5,6	6,6	8,1	10,1	12,5	15,1		
Снижение уровня звукового давления на пути слева от экрана, Dz2, дБ	z = 0.42м (разность путей)	ф-лы (14-18) [10]	6,6	7,8	9,6	11,8	14,4	17,2	20	23	26		
Снижение уровня звукового давления на пути справа от экрана, Dz3, дБ	z = 0.18м (разность путей)	ф-лы (14-18) [10]	5,6	6,4	7,5	9,2	11,3	13,8	16,5	19,4	22,3		
Общее снижение уровня звука препятствием Dz, дБ		Эн.сумма(-Dzi)	0,8	1,4	2,2	3,3	4,8	6,7	8,9	11,3	14		
Уровни звукового давления прямого звука от источника ИШ-4-2 в расчётной точке днём, дБ		**ф-ла(3)[10]**	**0**	**29,9**	**30,5**	**30,4**	**28,6**	**25,6**	**18,7**	**7**	**0**	**30**	**30**
Уровни звукового давления прямого звука от источника ИШ-4-2 в расчётной точке ночью, дБ		**ф-ла(3)[10]**	**0**	**29,9**	**30,5**	**30,4**	**28,6**	**25,6**	**18,7**	**7**	**0**	**30**	**30**
Расчёт отражённого звука													
Уровни звукового давления от мнимого источника ИШ-4-2_мн.(1) в расчётной точке днём, дБ		**ф-ла(3)[10]**	**0**	**0**	**0**	**0**	**0**	**0**	**0**	**4,4**	**0**	**5,4**	**5,4**
Уровни звукового давления от мнимого источника ИШ-4-2_мн.(1) в расчётной точке ночью, дБ		**ф-ла(3)[10]**	**0**	**0**	**0**	**0**	**0**	**0**	**0**	**0**	**0**	**5,4**	**5,4**
Уровни звукового давления от источника ИШ-4-2 в расчётной точке днём, дБ		**ф-ла(3)[10]**	**0**	**29,9**	**30,5**	**30,4**	**28,6**	**25,6**	**18,7**	**8,9**	**0**	**30**	**30**

1		2	3	4	5	6	7	8	9	10	11	12	13
Уровни звукового давления от источника ИШ-4-2 в расчётной точке ночью, дБ		**ф-ла(3)[10]**	**0**	**29,9**	**30,5**	**30,4**	**28,6**	**25,6**	**18,7**	**8,9**	**0**	**30**	**30**
Источник шума: ИШ-4-3, координаты источника (x,y,z), м =[152.61,172.66,1.00]													
Уровни звуковой мощности источника днём, Lw, дБ		**исходные данные**	**0**	**90,3**	**91,7**	**93**	**93,3**	**92,9**	**89,6**	**85,4**	**80,9**		
Уровни звуковой мощности источника ночью, Lw, дБ		**исходные данные**	**0**	**90,3**	**91,7**	**93**	**93,3**	**92,9**	**89,6**	**85,4**	**80,9**		
Поправка на телесный угол DΩ, дБ	Ω = 6.28	10Lg(4π/Ω)	**3**	3	3	3	3	3	3	3	3		
Показатель направленности источника Di, дБ		исходные данные	**0**	0	0	0	0	0	0	0	0		
Поправка на направленность источника Dc, дБ	Dc	DΩ + Di	**3**	3	3	3	3	3	3	3	3		
Затухание из-за геометрической дивергенции, Adiv, дБ	расстояние = 357.88 м	ф-ла (7) [10]	**62,1**										
Коэффициент затухания звука в атмосфере α, дБ/км	Ta=20,°C Pa=101.33,кПа hотн.=70%	ф-ла (5) [9]	0,02	0,09	0,33	1,12	2,79	4,98	9,04	23,09	77,63		
Учет затухания звука в атмосфере Aatm, дБ		ф-ла (8) [10]	0	0	0,1	0,4	1	1,8	3,2	8,3	27,8		
Снижение поверхностью земли возле источника As, дБ	Gs = 0 hs = 1м	ф-лы таб.3 [10]	-1,5	-1,5	-1,5	-1,5	-1,5	-1,5	-1,5	-1,5	-1,5		
Снижение поверхностью земли возле приёмника Ar, дБ	Gr = 1 hr = 1.5м	ф-лы таб.3 [10]	-1,5	-1,5	2,1	7	5	0,7	0	0	0		
Снижение поверхностью земли в средней зоне, Am дБ	Gm = 1	ф-лы таб.3 [10]	-2,4	-2,4	0	0	0	0	0	0	0		
Суммарное снижение поверхностью земли на траектории распространения звука Agr, дБ		ф-ла (9) [10]	-5,4	-5,4	0,6	5,5	3,5	-0,8	-1,5	-1,5	-1,5		
Уровни звукового давления прямого звука от источника ИШ-4-3 в расчётной точке днём, дБ		**ф-ла(3)[10]**	**0**	**36,6**	**31,9**	**28**	**29,7**	**32,9**	**28,8**	**19,6**	**0**	**35,6**	**35,6**
Уровни звукового давления прямого звука от источника ИШ-4-3 в расчётной точке ночью, дБ		**ф-ла(3)[10]**	**0**	**36,6**	**31,9**	**28**	**29,7**	**32,9**	**28,8**	**19,6**	**0**	**35,6**	**35,6**

1		2	3	4	5	6	7	8	9	10	11	12	13
Расчёт отражённого звука													
Уровни звукового давления от мнимого источника ИШ-4-3_мн.(1) в расчётной точке днём, дБ		**ф-ла(3)[10]**	**0**	**0**	**0**	**0**	**0**	**0**	**0**	**5,1**	**0**	**6,1**	**6,1**
Уровни звукового давления от мнимого источника ИШ-4-3_мн.(1) в расчётной точке ночью, дБ		**ф-ла(3)[10]**	**0**	**0**	**0**	**0**	**0**	**0**	**0**	**0**	**0**	**6,1**	**6,1**
Уровни звукового давления от источника ИШ-4-3 в расчётной точке днём, дБ		**ф-ла(3)[10]**	**0**	**36,6**	**31,9**	**28**	**29,7**	**32,9**	**28,8**	**19,7**	**0**	**35,6**	**35,6**
Уровни звукового давления от источника ИШ-4-3 в расчётной точке ночью, дБ		**ф-ла(3)[10]**	**0**	**36,6**	**31,9**	**28**	**29,7**	**32,9**	**28,8**	**19,7**	**0**	**35,6**	**35,6**
Источник шума: ИШ-4-4, координаты источника (x,y,z), м =[156.83,171.25,1.00]													
Уровни звуковой мощности источника днём, Lw, дБ		**исходные данные**	**0**	**90,3**	**91,7**	**93**	**93,3**	**92,9**	**89,6**	**85,4**	**80,9**		
Уровни звуковой мощности источника ночью, Lw, дБ		**исходные данные**	**0**	**90,3**	**91,7**	**93**	**93,3**	**92,9**	**89,6**	**85,4**	**80,9**		
Поправка на телесный угол DΩ, дБ	Ω = 6.28	10Lg(4π/Ω)	**3**	3	3	3	3	3	3	3	3		
Показатель направленности источника Di, дБ		исходные данные	**0**	0	0	0	0	0	0	0	0		
Поправка на направленность источника Dc, дБ	Dc	DΩ + Di	**3**	3	3	3	3	3	3	3	3		
Затухание из-за геометрической дивергенции, Adiv, дБ	расстояние = 360.23 м	ф-ла (7) [10]	**62,1**										
Коэффициент затухания звука в атмосфере α, дБ/км	Ta=20,°C Pa=101.33,кПа hотн.=70%	ф-ла (5) [9]	0,02	0,09	0,33	1,12	2,79	4,98	9,04	23,09	77,63		
Учет затухания звука в атмосфере Aatm, дБ		ф-ла (8) [10]	0	0	0,1	0,4	1	1,8	3,3	8,3	28		
Снижение уровня звукового давления из-за влияния застройки между источником шума и расчетной точкой													
Снижение уровня звукового давления препятствием слева от трассы ИШ-РТ, Dz2, дБ	z = -0.06м (разность путей)	ф-лы (14-18) [10]	4,5	4,1	3,4	1,3	NAN	NAN	NAN	NAN	NAN		
* отрицательное значение z означает прохождение траектории вблизи экрана, в этом случае дополнительно производится учёт снижения подстилающей поверхностью (см.ниже)													

1		2	3	4	5	6	7	8	9	10	11	12	13
Снижение поверхностью земли возле источника As, дБ	Gs = 0 hs = 1м	ф-лы таб.3 [10]	-1,5	-1,5	-1,5	-1,5	-1,5	-1,5	-1,5	-1,5	-1,5		
Снижение поверхностью земли возле приёмника Ar, дБ	Gr = 1 hr = 1.5м	ф-лы таб.3 [10]	-1,5	-1,5	2,1	7	5	0,7	0	0	0		
Снижение поверхностью земли в средней зоне, Am дБ	Gm = 1	ф-лы таб.3 [10]	-2,4	-2,4	0	0	0	0	0	0	0		
Суммарное снижение поверхностью земли на траектории распространения звука Agr, дБ		ф-ла (9) [10]	-5,4	-5,4	0,6	5,5	3,5	-0,8	-1,5	-1,5	-1,5		
Уровни звукового давления прямого звука от источника ИШ-4-4 в расчётной точке днём, дБ		**ф-ла(3)[10]**	**0**	**32,4**	**28,5**	**26,6**	**29,7**	**32,8**	**28,7**	**19,4**	**0**	**35,5**	**35,5**
Уровни звукового давления прямого звука от источника ИШ-4-4 в расчётной точке ночью, дБ		**ф-ла(3)[10]**	**0**	**32,4**	**28,5**	**26,6**	**29,7**	**32,8**	**28,7**	**19,4**	**0**	**35,5**	**35,5**
Расчёт отражённого звука													
Уровни звукового давления от мнимого источника ИШ-4-4_мн.(1) в расчётной точке днём, дБ		**ф-ла(3)[10]**	**0**	**0**	**0**	**0**	**0**	**0**	**0**	**5,2**	**0**	**6,2**	**6,2**
Уровни звукового давления от мнимого источника ИШ-4-4_мн.(1) в расчётной точке ночью, дБ		**ф-ла(3)[10]**	**0**	**0**	**0**	**0**	**0**	**0**	**0**	**0**	**0**	**6,2**	**6,2**
Уровни звукового давления от источника ИШ-4-4 в расчётной точке днём, дБ		**ф-ла(3)[10]**	**0**	**32,4**	**28,5**	**26,6**	**29,7**	**32,8**	**28,7**	**19,6**	**0**	**35,5**	**35,5**
Уровни звукового давления от источника ИШ-4-4 в расчётной точке ночью, дБ		**ф-ла(3)[10]**	**0**	**32,4**	**28,5**	**26,6**	**29,7**	**32,8**	**28,7**	**19,6**	**0**	**35,5**	**35,5**
Источник шума: ИШ-4-5, координаты источника (x,y,z), м =[126.48,222.66,11.00]													
Уровни звуковой мощности источника днём, Lw, дБ		**исходные данные**	**0**	**90,3**	**91,7**	**93**	**93,3**	**92,9**	**89,6**	**85,4**	**80,9**		
Уровни звуковой мощности источника ночью, Lw, дБ		**исходные данные**	**0**	**90,3**	**91,7**	**93**	**93,3**	**92,9**	**89,6**	**85,4**	**80,9**		
Поправка на телесный угол DΩ, дБ	Ω = 6.28	10Lg(4π/Ω)	**3**	3	3	3	3	3	3	3	3		
Показатель направленности источника Di, дБ		исходные данные	**0**	0	0	0	0	0	0	0	0		
Поправка на направленность источника Dc, дБ	Dc	DΩ + Di	**3**	3	3	3	3	3	3	3	3		

1		2	3	4	5	6	7	8	9	10	11	12	13
Затухание из-за геометрической дивергенции, Adiv, дБ	расстояние = 374.12 м	ф-ла (7) [10]	**62,5**										
Коэффициент затухания звука в атмосфере α, дБ/км	Та=20,°С Ра=101.33,кПа hотн.=70%	ф-ла (5) [9]	0,02	0,09	0,33	1,12	2,79	4,98	9,04	23,09	77,63		
Учет затухания звука в атмосфере Aatm, дБ		ф-ла (8) [10]	0	0	0,1	0,4	1	1,9	3,4	8,6	29		
Снижение уровня звукового давления из-за влияния застройки между источником шума и расчетной точкой													
Снижение уровня звукового давления на пути над экраном, Dz1, дБ	z = 0.00м (разность путей)	ф-лы (14-18) [10]	4,8	4,8	4,8	4,8	4,8	4,8	4,8	4,8	4,8		
Снижение уровня звукового давления на пути слева от экрана, Dz2, дБ	z = 0.84м (разность путей)	ф-лы (14-18) [10]	7,9	9,6	11,9	14,4	17,2	20,1	23	26	29		
Снижение уровня звукового давления на пути справа от экрана, Dz3, дБ	z = 1.98м (разность путей)	ф-лы (14-18) [10]	10,1	12,5	15,1	17,9	20,8	23,7	26,7	29,7	32,7		
Общее снижение уровня звука препятствием Dz, дБ		Эн.сумма(-Dzi)	2,3	3	3,7	4,1	4,4	4,6	4,7	4,7	4,7		
Уровни звукового давления прямого звука от источника ИШ-4-5 в расчётной точке днём, дБ		**ф-ла(3)[10]**	**0**	**27,8**	**28,4**	**29**	**28,4**	**27**	**22,1**	**12,6**	**0**	**30,8**	**30,8**
Уровни звукового давления прямого звука от источника ИШ-4-5 в расчётной точке ночью, дБ		**ф-ла(3)[10]**	**0**	**27,8**	**28,4**	**29**	**28,4**	**27**	**22,1**	**12,6**	**0**	**30,8**	**30,8**
Расчёт отражённого звука													
Уровни звукового давления от мнимого источника ИШ-4-5_мн.(1) в расчётной точке днём, дБ		**ф-ла(3)[10]**	**0**	**0**	**0**	**0**	**0**	**0**	**0**	**0**	**0**	**0**	**0**
Уровни звукового давления от мнимого источника ИШ-4-5_мн.(1) в расчётной точке ночью, дБ		**ф-ла(3)[10]**	**0**	**0**	**0**	**0**	**0**	**0**	**0**	**0**	**0**	**0**	**0**
Уровни звукового давления от источника ИШ-4-5 в расчётной точке днём, дБ		**ф-ла(3)[10]**	**0**	**27,8**	**28,4**	**29**	**28,4**	**27**	**22,1**	**12,6**	**0**	**30,8**	**30,8**
Уровни звукового давления от источника ИШ-4-5 в расчётной точке ночью, дБ		**ф-ла(3)[10]**	**0**	**27,8**	**28,4**	**29**	**28,4**	**27**	**22,1**	**12,6**	**0**	**30,8**	**30,8**
Источник шума: ИШ-4-6, координаты источника (x,y,z), м =[125.17,218.57,11.00]													

1		2	3	4	5	6	7	8	9	10	11	12	13
Уровни звуковой мощности источника днём, Lw, дБ		**исходные данные**	**0**	**90,3**	**91,7**	**93**	**93,3**	**92,9**	**89,6**	**85,4**	**80,9**		
Уровни звуковой мощности источника ночью, Lw, дБ		**исходные данные**	**0**	**90,3**	**91,7**	**93**	**93,3**	**92,9**	**89,6**	**85,4**	**80,9**		
Поправка на телесный угол DΩ, дБ	Ω = 6.28	10Lg(4π/Ω)	**3**	3	3	3	3	3	3	3	3		
Показатель направленности источника Di, дБ		исходные данные	**0**	0	0	0	0	0	0	0	0		
Поправка на направленность источника Dc, дБ	Dc	DΩ + Di	**3**	3	3	3	3	3	3	3	3		
Затухание из-за геометрической дивергенции, Adiv, дБ	расстояние = 370.20 м	ф-ла (7) [10]	**62,4**										
Коэффициент затухания звука в атмосфере α, дБ/км	Ta=20,°C Pa=101.33,кПа hотн.=70%	ф-ла (5) [9]	0,02	0,09	0,33	1,12	2,79	4,98	9,04	23,09	77,63		
Учет затухания звука в атмосфере Aatm, дБ		ф-ла (8) [10]	0	0	0,1	0,4	1	1,8	3,3	8,5	28,7		
Снижение уровня звукового давления из-за влияния застройки между источником шума и расчетной точкой													
Снижение уровня звукового давления препятствием справа от трассы ИШ-РТ, Dz3, дБ	z = -0.06м (разность путей)	ф-лы (14-18) [10]	0	0	0	0,8	NAN	NAN	NAN	NAN	NAN		
* отрицательное значение z означает прохождение траектории вблизи экрана, в этом случае дополнительно производится учёт снижения подстилающей поверхностью (см.ниже)													
Снижение поверхностью земли возле источника As, дБ	Gs = 0 hs = 1м	ф-лы таб.3 [10]	-1,5	-1,5	-1,5	-1,5	-1,5	-1,5	-1,5	-1,5	-1,5		
Снижение поверхностью земли возле приёмника Ar, дБ	Gr = 1 hr = 1.5м	ф-лы таб.3 [10]	-1,5	-1,5	2,2	7	5	0,7	0	0	0		
Снижение поверхностью земли в средней зоне, Am дБ	Gm = 1	ф-лы таб.3 [10]	-2,4	-2,4	0	0	0	0	0	0	0		
Суммарное снижение поверхностью земли на траектории распространения звука Agr, дБ		ф-ла (9) [10]	-5,4	-5,4	0,7	5,5	3,5	-0,8	-1,5	-1,5	-1,5		
Уровни звукового давления прямого звука от источника ИШ-4-6 в расчётной точке днём, дБ		**ф-ла(3)[10]**	**0**	**36,3**	**31,5**	**26,9**	**29,4**	**32,5**	**28,4**	**19**	**0**	**35,2**	**35,2**
Уровни звукового давления прямого звука от источника ИШ-4-6 в расчётной точке ночью, дБ		**ф-ла(3)[10]**	**0**	**36,3**	**31,5**	**26,9**	**29,4**	**32,5**	**28,4**	**19**	**0**	**35,2**	**35,2**
Расчёт отражённого звука													

1		2	3	4	5	6	7	8	9	10	11	12	13
Уровни звукового давления от мнимого источника ИШ-4-6_мн.(1) в расчётной точке днём, дБ		**ф-ла(3)[10]**	**0**	**0**	**0**	**0**	**0**	**0**	**0**	**3,2**	**0**	**4,2**	**4,2**
Уровни звукового давления от мнимого источника ИШ-4-6_мн.(1) в расчётной точке ночью, дБ		**ф-ла(3)[10]**	**0**	**0**	**0**	**0**	**0**	**0**	**0**	**0**	**0**	**4,2**	**4,2**
Уровни звукового давления от источника ИШ-4-6 в расчётной точке днём, дБ		**ф-ла(3)[10]**	**0**	**36,3**	**31,5**	**26,9**	**29,4**	**32,5**	**28,4**	**19,1**	**0**	**35,2**	**35,2**
Уровни звукового давления от источника ИШ-4-6 в расчётной точке ночью, дБ		**ф-ла(3)[10]**	**0**	**36,3**	**31,5**	**26,9**	**29,4**	**32,5**	**28,4**	**19,1**	**0**	**35,2**	**35,2**
Источник шума: ИШ-4-7, координаты источника (x,y,z), м =[177.91,257.92,11.00]													
Уровни звуковой мощности источника днём, Lw, дБ		**исходные данные**	**0**	**90,3**	**91,7**	**93**	**93,3**	**92,9**	**89,6**	**85,4**	**80,9**		
Уровни звуковой мощности источника ночью, Lw, дБ		**исходные данные**	**0**	**90,3**	**91,7**	**93**	**93,3**	**92,9**	**89,6**	**85,4**	**80,9**		
Поправка на телесный угол DΩ, дБ	Ω = 6.28	10Lg(4π/Ω)	**3**	3	3	3	3	3	3	3	3		
Показатель направленности источника Di, дБ		исходные данные	**0**	0	0	0	0	0	0	0	0		
Поправка на направленность источника Dc, дБ	Dc	DΩ + Di	**3**	3	3	3	3	3	3	3	3		
Затухание из-за геометрической дивергенции, Adiv, дБ	расстояние = 434.87 м	ф-ла (7) [10]	**63,8**										
Коэффициент затухания звука в атмосфере α, дБ/км	Ta=20,°C Pa=101.33,кПа hотн.=70%	ф-ла (5) [9]	0,02	0,09	0,33	1,12	2,79	4,98	9,04	23,09	77,63		
Учет затухания звука в атмосфере Aatm, дБ		ф-ла (8) [10]	0	0	0,1	0,5	1,2	2,2	3,9	10	33,8		
Снижение уровня звукового давления из-за влияния застройки между источником шума и расчетной точкой													
Снижение уровня звукового давления на пути над экраном, Dz1, дБ	z = 0.01м (разность путей)	ф-лы (14-18) [10]	4,8	4,8	4,8	4,8	4,8	4,8	4,8	4,8	4,8		
Снижение уровня звукового давления на пути слева от экрана, Dz2, дБ	z = 0.38м (разность путей)	ф-лы (14-18) [10]	6,5	7,7	9,4	11,6	14,1	16,8	19,7	22,6	25,6		

1		2	3	4	5	6	7	8	9	10	11	12	13
Снижение уровня звукового давления на пути справа от экрана, Dz3, дБ	z = 24.50м (разность путей)	ф-лы (14-18) [10]	19,7	22,7	25,6	28,6	31,6	34,6	37,6	40,6	43,6		
Общее снижение уровня звука препятствием Dz, дБ		Эн.сумма(-Dzi)	2,4	2,9	3,5	3,9	4,3	4,5	4,6	4,7	4,7		
Уровни звукового давления от источника ИШ-4-7 в расчётной точке днём, дБ		**ф-ла(3)[10]**	**0**	**26,6**	**27,3**	**27,8**	**27**	**25,5**	**20,3**	**9,9**	**0**	**29,3**	**29,3**
Уровни звукового давления от источника ИШ-4-7 в расчётной точке ночью, дБ		**ф-ла(3)[10]**	**0**	**26,6**	**27,3**	**27,8**	**27**	**25,5**	**20,3**	**9,9**	**0**	**29,3**	**29,3**
Источник шума: ИШ-4-8, координаты источника (x,y,z), м =[178.24,257.77,13.00]													
Уровни звуковой мощности источника днём, Lw, дБ		**исходные данные**	**0**	**90,3**	**91,7**	**93**	**93,3**	**92,9**	**89,6**	**85,4**	**80,9**		
Уровни звуковой мощности источника ночью, Lw, дБ		**исходные данные**	**0**	**90,3**	**91,7**	**93**	**93,3**	**92,9**	**89,6**	**85,4**	**80,9**		
Поправка на телесный угол DΩ, дБ	Ω = 6.28	10Lg(4π/Ω)	**3**	3	3	3	3	3	3	3	3		
Показатель направленности источника Di, дБ		исходные данные	**0**	0	0	0	0	0	0	0	0		
Поправка на направленность источника Dc, дБ	Dc	DΩ + Di	**3**	3	3	3	3	3	3	3	3		
Затухание из-за геометрической дивергенции, Adiv, дБ	расстояние = 435.05 м	ф-ла (7) [10]	**63,8**										
Коэффициент затухания звука в атмосфере α, дБ/км	Ta=20,°C Pa=101.33,кПа hотн.=70%	ф-ла (5) [9]	0,02	0,09	0,33	1,12	2,79	4,98	9,04	23,09	77,63		
Учет затухания звука в атмосфере Aatm, дБ		ф-ла (8) [10]	0	0	0,1	0,5	1,2	2,2	3,9	10	33,8		
Снижение поверхностью земли возле источника As, дБ	Gs = 0 hs = 5м	ф-лы таб.3 [10]	-1,5	-1,5	-1,5	-1,5	-1,5	-1,5	-1,5	-1,5	-1,5		
Снижение поверхностью земли возле приёмника Ar, дБ	Gr = 1 hr = 1.5м	ф-лы таб.3 [10]	-1,5	-1,5	2,6	7	5	0,7	0	0	0		
Снижение поверхностью земли в средней зоне, Am дБ	Gm = 1	ф-лы таб.3 [10]	-1,7	-1,7	0	0	0	0	0	0	0		

1		2	3	4	5	6	7	8	9	10	11	12	13
Суммарное снижение поверхностью земли на траектории распространения звука Agr, дБ		ф-ла (9) [10]	-4,7	-4,7	1,1	5,5	3,5	-0,8	-1,5	-1,5	-1,5		
Уровни звукового давления прямого звука от источника ИШ-4-8 в расчётной точке днём, дБ		**ф-ла(3)[10]**	**0**	**34,1**	**29,7**	**26,2**	**27,8**	**30,8**	**26,4**	**16,1**	**0**	**33,4**	**33,4**
Уровни звукового давления прямого звука от источника ИШ-4-8 в расчётной точке ночью, дБ		**ф-ла(3)[10]**	**0**	**34,1**	**29,7**	**26,2**	**27,8**	**30,8**	**26,4**	**16,1**	**0**	**33,4**	**33,4**
Расчёт отражённого звука													
Уровни звукового давления от мнимого источника ИШ-4-8_мн.(1) в расчётной точке днём, дБ		**ф-ла(3)[10]**	**0**	**0**	**0**	**0**	**0**	**0**	**0**	**0**	**0**	**0**	**0**
Уровни звукового давления от мнимого источника ИШ-4-8_мн.(1) в расчётной точке ночью, дБ		**ф-ла(3)[10]**	**0**	**0**	**0**	**0**	**0**	**0**	**0**	**0**	**0**	**0**	**0**
Уровни звукового давления от источника ИШ-4-8 в расчётной точке днём, дБ		**ф-ла(3)[10]**	**0**	**34,1**	**29,7**	**26,2**	**27,8**	**30,8**	**26,4**	**16,1**	**0**	**33,4**	**33,4**
Уровни звукового давления от источника ИШ-4-8 в расчётной точке ночью, дБ		**ф-ла(3)[10]**	**0**	**34,1**	**29,7**	**26,2**	**27,8**	**30,8**	**26,4**	**16,1**	**0**	**33,4**	**33,4**
Источник шума: ИШ-4-9, координаты источника (x,y,z), м =[178.68,257.63,15.50]													
Уровни звуковой мощности источника днём, Lw, дБ		**исходные данные**	**0**	**90,3**	**91,7**	**93**	**93,3**	**92,9**	**89,6**	**85,4**	**80,9**		
Уровни звуковой мощности источника ночью, Lw, дБ		**исходные данные**	**0**	**90,3**	**91,7**	**93**	**93,3**	**92,9**	**89,6**	**85,4**	**80,9**		
Поправка на телесный угол DΩ, дБ	Ω = 6.28	10Lg(4π/Ω)	**3**	3	3	3	3	3	3	3	3		
Показатель направленности источника Di, дБ		исходные данные	**0**	0	0	0	0	0	0	0	0		
Поправка на направленность источника Dc, дБ	Dc	DΩ + Di	**3**	3	3	3	3	3	3	3	3		
Затухание из-за геометрической дивергенции, Adiv, дБ	расстояние = 435.32 м	ф-ла (7) [10]	**63,8**										
Коэффициент затухания звука в атмосфере α, дБ/км	Ta=20,°C Pa=101.33,кПа hотн.=70%	ф-ла (5) [9]	0,02	0,09	0,33	1,12	2,79	4,98	9,04	23,09	77,63		

1		2	3	4	5	6	7	8	9	10	11	12	13
Учет затухания звука в атмосфере Aatm, дБ		ф-ла (8) [10]	0	0	0,1	0,5	1,2	2,2	3,9	10	33,8		
Снижение уровня звукового давления из-за влияния застройки между источником шума и расчетной точкой													
Снижение уровня звукового давления препятствием снизу от трассы ИШ-РТ, Dz4, дБ	z = -0.04м (разность путей)	ф-лы (14-18) [10]	4,6	4,4	3,9	2,9	0	NAN	NAN	NAN	NAN		
* отрицательное значение z означает прохождение траектории вблизи экрана, в этом случае дополнительно производится учёт снижения подстилающей поверхностью (см.ниже)													
Снижение поверхностью земли возле источника As, дБ	Gs = 0 hs = 7.5м	ф-лы таб.3 [10]	-1,5	-1,5	-1,5	-1,5	-1,5	-1,5	-1,5	-1,5	-1,5		
Снижение поверхностью земли возле приёмника Ar, дБ	Gr = 1 hr = 1.5м	ф-лы таб.3 [10]	-1,5	-1,5	2,6	7	5	0,7	0	0	0		
Снижение поверхностью земли в средней зоне, Am дБ	Gm = 1	ф-лы таб.3 [10]	-1,1	-1,1	0	0	0	0	0	0	0		
Суммарное снижение поверхностью земли на траектории распространения звука Agr, дБ		ф-ла (9) [10]	-4,1	-4,1	1,1	5,5	3,5	-0,8	-1,5	-1,5	-1,5		
Уровни звукового давления от источника ИШ-4-9 в расчётной точке днём, дБ		**ф-ла(3)[10]**	**0**	**29,2**	**25,7**	**23,3**	**27,8**	**30,8**	**26,4**	**16,1**	**0**	**33,3**	**33,3**
Уровни звукового давления от источника ИШ-4-9 в расчётной точке ночью, дБ		**ф-ла(3)[10]**	**0**	**29,2**	**25,7**	**23,3**	**27,8**	**30,8**	**26,4**	**16,1**	**0**	**33,3**	**33,3**
Источник шума: ИШ-4-10, координаты источника (x,y,z), м =[185.65,255.31,11.00]													
Уровни звуковой мощности источника днём, Lw, дБ		**исходные данные**	**0**	**90,3**	**91,7**	**93**	**93,3**	**92,9**	**89,6**	**85,4**	**80,9**		
Уровни звуковой мощности источника ночью, Lw, дБ		**исходные данные**	**0**	**90,3**	**91,7**	**93**	**93,3**	**92,9**	**89,6**	**85,4**	**80,9**		
Поправка на телесный угол DΩ, дБ	Ω = 6.28	10Lg(4π/Ω)	**3**	3	3	3	3	3	3	3	3		
Показатель направленности источника Di, дБ		исходные данные	**0**	0	0	0	0	0	0	0	0		
Поправка на направленность источника Dc, дБ	Dc	DΩ + Di	**3**	3	3	3	3	3	3	3	3		
Затухание из-за геометрической дивергенции, Adiv, дБ	расстояние = 438.38 м	ф-ла (7) [10]	**63,8**										

1		2	3	4	5	6	7	8	9	10	11	12	13
Коэффициент затухания звука в атмосфере α, дБ/км	Та=20,°С Ра=101.33,кПа hотн.=70%	ф-ла (5) [9]	0,02	0,09	0,33	1,12	2,79	4,98	9,04	23,09	77,63		
Учет затухания звука в атмосфере Aatm, дБ		ф-ла (8) [10]	0	0	0,1	0,5	1,2	2,2	4	10,1	34		
Снижение уровня звукового давления из-за влияния застройки между источником шума и расчетной точкой													
Снижение уровня звукового давления на пути над экраном, Dz1, дБ	z = 0.01м (разность путей)	ф-лы (14-18) [10]	4,8	4,8	4,8	4,8	4,8	4,8	4,8	4,8	4,8		
Снижение уровня звукового давления на пути слева от экрана, Dz2, дБ	z = 0.02м (разность путей)	ф-лы (14-18) [10]	4,9	5	5,2	5,6	6,3	7,4	9	11,1	13,6		
Снижение уровня звукового давления на пути справа от экрана, Dz3, дБ	z = 31.96м (разность путей)	ф-лы (14-18) [10]	20,8	23,8	26,7	29,7	32,7	35,8	38,8	41,8	44,8		
Общее снижение уровня звука препятствием Dz, дБ		Эн.сумма(-Dzi)	1,8	1,8	2	2,1	2,4	2,9	3,4	3,9	4,2		
Уровни звукового давления от источника ИШ-4-10 в расчётной точке днём, дБ		**ф-ла(3)[10]**	**0**	**27,6**	**28,8**	**29,5**	**28,8**	**27**	**21,4**	**10,6**	**0**	**30,8**	**30,8**
Уровни звукового давления от источника ИШ-4-10 в расчётной точке ночью, дБ		**ф-ла(3)[10]**	**0**	**27,6**	**28,8**	**29,5**	**28,8**	**27**	**21,4**	**10,6**	**0**	**30,8**	**30,8**
Источник шума: ИШ-4-11, координаты источника (x,y,z), м =[185.89,255.16,13.00]													
Уровни звуковой мощности источника днём, Lw, дБ		**исходные данные**	**0**	**90,3**	**91,7**	**93**	**93,3**	**92,9**	**89,6**	**85,4**	**80,9**		
Уровни звуковой мощности источника ночью, Lw, дБ		**исходные данные**	**0**	**90,3**	**91,7**	**93**	**93,3**	**92,9**	**89,6**	**85,4**	**80,9**		
Поправка на телесный угол DΩ, дБ	Ω = 6.28	10Lg(4π/Ω)	**3**	3	3	3	3	3	3	3	3		
Показатель направленности источника Di, дБ		исходные данные	**0**	0	0	0	0	0	0	0	0		
Поправка на направленность источника Dc, дБ	Dc	DΩ + Di	**3**	3	3	3	3	3	3	3	3		
Затухание из-за геометрической дивергенции, Adiv, дБ	расстояние = 438.50 м	ф-ла (7) [10]	**63,8**										

1		2	3	4	5	6	7	8	9	10	11	12	13
Коэффициент затухания звука в атмосфере α, дБ/км	Ta=20,°C Pa=101.33,кПа hотн.=70%	ф-ла (5) [9]	0,02	0,09	0,33	1,12	2,79	4,98	9,04	23,09	77,63		
Учет затухания звука в атмосфере Aatm, дБ		ф-ла (8) [10]	0	0	0,1	0,5	1,2	2,2	4	10,1	34		
Снижение поверхностью земли возле источника As, дБ	Gs = 0 hs = 5м	ф-лы таб.3 [10]	-1,5	-1,5	-1,5	-1,5	-1,5	-1,5	-1,5	-1,5	-1,5		
Снижение поверхностью земли возле приёмника Ar, дБ	Gr = 1 hr = 1.5м	ф-лы таб.3 [10]	-1,5	-1,5	2,6	7	5	0,7	0	0	0		
Снижение поверхностью земли в средней зоне, Am дБ	Gm = 1	ф-лы таб.3 [10]	-1,7	-1,7	0	0	0	0	0	0	0		
Суммарное снижение поверхностью земли на траектории распространения звука Agr, дБ		ф-ла (9) [10]	-4,7	-4,7	1,1	5,5	3,5	-0,8	-1,5	-1,5	-1,5		
Уровни звукового давления прямого звука от источника ИШ-4-11 в расчётной точке днём, дБ		**ф-ла(3)[10]**	**0**	**34,1**	**29,6**	**26,1**	**27,8**	**30,7**	**26,3**	**15,9**	**0**	**33,3**	**33,3**
Уровни звукового давления прямого звука от источника ИШ-4-11 в расчётной точке ночью, дБ		**ф-ла(3)[10]**	**0**	**34,1**	**29,6**	**26,1**	**27,8**	**30,7**	**26,3**	**15,9**	**0**	**33,3**	**33,3**
Расчёт отражённого звука													
Уровни звукового давления от мнимого источника ИШ-4-11_мн.(1) в расчётной точке днём, дБ		**ф-ла(3)[10]**	**0**	**0**	**0**	**0**	**0**	**0**	**0**	**0**	**0**	**0**	**0**
Уровни звукового давления от мнимого источника ИШ-4-11_мн.(1) в расчётной точке ночью, дБ		**ф-ла(3)[10]**	**0**	**0**	**0**	**0**	**0**	**0**	**0**	**0**	**0**	**0**	**0**
Уровни звукового давления от источника ИШ-4-11 в расчётной точке днём, дБ		**ф-ла(3)[10]**	**0**	**34,1**	**29,6**	**26,1**	**27,8**	**30,7**	**26,3**	**15,9**	**0**	**33,3**	**33,3**
Уровни звукового давления от источника ИШ-4-11 в расчётной точке ночью, дБ		**ф-ла(3)[10]**	**0**	**34,1**	**29,6**	**26,1**	**27,8**	**30,7**	**26,3**	**15,9**	**0**	**33,3**	**33,3**
Источник шума: ИШ-4-12, координаты источника (x,y,z), м =[186.18,255.02,15.50]													
Уровни звуковой мощности источника днём, Lw, дБ		**исходные данные**	**0**	**90,3**	**91,7**	**93**	**93,3**	**92,9**	**89,6**	**85,4**	**80,9**		
Уровни звуковой мощности источника ночью, Lw, дБ		**исходные данные**	**0**	**90,3**	**91,7**	**93**	**93,3**	**92,9**	**89,6**	**85,4**	**80,9**		

1		2	3	4	5	6	7	8	9	10	11	12	13
Поправка на телесный угол DΩ, дБ	Ω = 6.28	10Lg(4π/Ω)	**3**	3	3	3	3	3	3	3	3		
Показатель направленности источника Di, дБ		исходные данные	**0**	0	0	0	0	0	0	0	0		
Поправка на направленность источника Dc, дБ	Dc	DΩ + Di	**3**	3	3	3	3	3	3	3	3		
Затухание из-за геометрической дивергенции, Adiv, дБ	расстояние = 438.67 м	ф-ла (7) [10]	**63,8**										
Коэффициент затухания звука в атмосфере α, дБ/км	Ta=20,°C Pa=101.33,кПа hотн.=70%	ф-ла (5) [9]	0,02	0,09	0,33	1,12	2,79	4,98	9,04	23,09	77,63		
Учет затухания звука в атмосфере Aatm, дБ		ф-ла (8) [10]	0	0	0,1	0,5	1,2	2,2	4	10,1	34,1		
Снижение уровня звукового давления из-за влияния застройки между источником шума и расчетной точкой													
Снижение уровня звукового давления препятствием снизу от трассы ИШ-РТ, Dz4, дБ	z = -0.04м (разность путей)	ф-лы (14-18) [10]	4,6	4,4	3,9	2,9	0	NAN	NAN	NAN	NAN		
* отрицательное значение z означает прохождение траектории вблизи экрана, в этом случае дополнительно производится учёт снижения подстилающей поверхностью (см.ниже)													
Снижение поверхностью земли возле источника As, дБ	Gs = 0 hs = 7.5м	ф-лы таб.3 [10]	-1,5	-1,5	-1,5	-1,5	-1,5	-1,5	-1,5	-1,5	-1,5		
Снижение поверхностью земли возле приёмника Ar, дБ	Gr = 1 hr = 1.5м	ф-лы таб.3 [10]	-1,5	-1,5	2,6	7	5	0,7	0	0	0		
Снижение поверхностью земли в средней зоне, Am дБ	Gm = 1	ф-лы таб.3 [10]	-1,2	-1,2	0	0	0	0	0	0	0		
Суммарное снижение поверхностью земли на траектории распространения звука Agr, дБ		ф-ла (9) [10]	-4,2	-4,2	1,1	5,5	3,5	-0,8	-1,5	-1,5	-1,5		
Уровни звукового давления от источника ИШ-4-12 в расчётной точке днём, дБ		**ф-ла(3)[10]**	**0**	**29,2**	**25,6**	**23,2**	**27,8**	**30,7**	**26,3**	**15,9**	**0**	**33,2**	**33,2**
Уровни звукового давления от источника ИШ-4-12 в расчётной точке ночью, дБ		**ф-ла(3)[10]**	**0**	**29,2**	**25,6**	**23,2**	**27,8**	**30,7**	**26,3**	**15,9**	**0**	**33,2**	**33,2**
Источник шума: ИШ-4-13, координаты источника (x,y,z), м =[94.56,229.10,1.00]													
Уровни звуковой мощности источника днём, Lw, дБ		**исходные данные**	**0**	**81,3**	**82,7**	**84**	**84,3**	**83,9**	**80,6**	**76,4**	**71,9**		

1		2	3	4	5	6	7	8	9	10	11	12	13
Уровни звуковой мощности источника ночью, Lw, дБ		**исходные данные**	**0**	**81,3**	**82,7**	**84**	**84,3**	**83,9**	**80,6**	**76,4**	**71,9**		
Поправка на телесный угол DΩ, дБ	Ω = 6.28	10Lg(4π/Ω)	**3**	3	3	3	3	3	3	3	3		
Показатель направленности источника Di, дБ		исходные данные	**0**	0	0	0	0	0	0	0	0		
Поправка на направленность источника Dc, дБ	Dc	DΩ + Di	**3**	3	3	3	3	3	3	3	3		
Затухание из-за геометрической дивергенции, Adiv, дБ	расстояние = 358.72 м	ф-ла (7) [10]	**62,1**										
Коэффициент затухания звука в атмосфере α, дБ/км	Ta=20,°C Pa=101.33,кПа hотн.=70%	ф-ла (5) [9]	0,02	0,09	0,33	1,12	2,79	4,98	9,04	23,09	77,63		
Учет затухания звука в атмосфере Aatm, дБ		ф-ла (8) [10]	0	0	0,1	0,4	1	1,8	3,2	8,3	27,8		
Снижение поверхностью земли возле источника As, дБ	Gs = 0 hs = 1м	ф-лы таб.3 [10]	-1,5	-1,5	-1,5	-1,5	-1,5	-1,5	-1,5	-1,5	-1,5		
Снижение поверхностью земли возле приёмника Ar, дБ	Gr = 1 hr = 1.5м	ф-лы таб.3 [10]	-1,5	-1,5	2,1	7	5	0,7	0	0	0		
Снижение поверхностью земли в средней зоне, Am дБ	Gm = 1	ф-лы таб.3 [10]	-2,4	-2,4	0	0	0	0	0	0	0		
Суммарное снижение поверхностью земли на траектории распространения звука Agr, дБ		ф-ла (9) [10]	-5,4	-5,4	0,6	5,5	3,5	-0,8	-1,5	-1,5	-1,5		
Уровни звукового давления прямого звука от источника ИШ-4-13 в расчётной точке днём, дБ		**ф-ла(3)[10]**	**0**	**27,5**	**22,9**	**19**	**20,7**	**23,9**	**19,8**	**10,5**	**0**	**26,6**	**26,6**
Уровни звукового давления прямого звука от источника ИШ-4-13 в расчётной точке ночью, дБ		**ф-ла(3)[10]**	**0**	**27,5**	**22,9**	**19**	**20,7**	**23,9**	**19,8**	**10,5**	**0**	**26,6**	**26,6**
Расчёт отражённого звука													
Уровни звукового давления от мнимого источника ИШ-4-13_мн.(1) в расчётной точке днём, дБ		**ф-ла(3)[10]**	**0**	**0**	**0**	**8,6**	**9,3**	**19,2**	**17,2**	**7,9**	**0**	**22,2**	**22,2**
Уровни звукового давления от мнимого источника ИШ-4-13_мн.(1) в расчётной точке ночью, дБ		**ф-ла(3)[10]**	**0**	**0**	**0**	**0**	**0**	**0**	**0**	**0**	**0**	**22,2**	**22,2**
Уровни звукового давления от источника ИШ-4-13 в расчётной точке днём, дБ		**ф-ла(3)[10]**	**0**	**27,5**	**22,9**	**19,4**	**21**	**25,1**	**21,7**	**12,4**	**0**	**27,9**	**27,9**

1		2	3	4	5	6	7	8	9	10	11	12	13
Уровни звукового давления от источника ИШ-4-13 в расчётной точке ночью, дБ		**ф-ла(3)[10]**	**0**	**27,5**	**22,9**	**19,4**	**21**	**25,1**	**21,7**	**12,4**	**0**	**27,9**	**27,9**
Источник шума: ИШ-4-14, координаты источника (x,y,z), м =[91.88,221.30,1.00]													
Уровни звуковой мощности источника днём, Lw, дБ		**исходные данные**	**0**	**81,3**	**82,7**	**84**	**84,3**	**83,9**	**80,6**	**76,4**	**71,9**		
Уровни звуковой мощности источника ночью, Lw, дБ		**исходные данные**	**0**	**81,3**	**82,7**	**84**	**84,3**	**83,9**	**80,6**	**76,4**	**71,9**		
Поправка на телесный угол DΩ, дБ	Ω = 6.28	10Lg(4π/Ω)	**3**	3	3	3	3	3	3	3	3		
Показатель направленности источника Di, дБ		исходные данные	**0**	0	0	0	0	0	0	0	0		
Поправка на направленность источника Dc, дБ	Dc	DΩ + Di	**3**	3	3	3	3	3	3	3	3		
Затухание из-за геометрической дивергенции, Adiv, дБ	расстояние = 350.90 м	ф-ла (7) [10]	**61,9**										
Коэффициент затухания звука в атмосфере α, дБ/км	Ta=20,°C Pa=101.33,кПа hотн.=70%	ф-ла (5) [9]	0,02	0,09	0,33	1,12	2,79	4,98	9,04	23,09	77,63		
Учет затухания звука в атмосфере Aatm, дБ		ф-ла (8) [10]	0	0	0,1	0,4	1	1,7	3,2	8,1	27,2		
Снижение поверхностью земли возле источника As, дБ	Gs = 0 hs = 1м	ф-лы таб.3 [10]	-1,5	-1,5	-1,5	-1,5	-1,5	-1,5	-1,5	-1,5	-1,5		
Снижение поверхностью земли возле приёмника Ar, дБ	Gr = 1 hr = 1.5м	ф-лы таб.3 [10]	-1,5	-1,5	2	7	5	0,7	0	0	0		
Снижение поверхностью земли в средней зоне, Am дБ	Gm = 1	ф-лы таб.3 [10]	-2,4	-2,4	0	0	0	0	0	0	0		
Суммарное снижение поверхностью земли на траектории распространения звука Agr, дБ		ф-ла (9) [10]	-5,4	-5,4	0,5	5,5	3,5	-0,8	-1,5	-1,5	-1,5		
Уровни звукового давления прямого звука от источника ИШ-4-14 в расчётной точке днём, дБ		**ф-ла(3)[10]**	**0**	**27,7**	**23,1**	**19,2**	**20,9**	**24,1**	**20**	**10,9**	**0**	**26,8**	**26,8**
Уровни звукового давления прямого звука от источника ИШ-4-14 в расчётной точке ночью, дБ		**ф-ла(3)[10]**	**0**	**27,7**	**23,1**	**19,2**	**20,9**	**24,1**	**20**	**10,9**	**0**	**26,8**	**26,8**

1		2	3	4	5	6	7	8	9	10	11	12	13
Расчёт отражённого звука													
Уровни звукового давления от мнимого источника ИШ-4-14_мн.(1) в расчётной точке днём, дБ		**ф-ла(3)[10]**	**0**	**0**	**0**	**8,8**	**9,5**	**19,5**	**17,4**	**8,2**	**0**	**22,4**	**22,4**
Уровни звукового давления от мнимого источника ИШ-4-14_мн.(1) в расчётной точке ночью, дБ		**ф-ла(3)[10]**	**0**	**0**	**0**	**0**	**0**	**0**	**0**	**0**	**0**	**22,4**	**22,4**
Уровни звукового давления от мнимого источника ИШ-4-14_мн.(2) в расчётной точке днём, дБ		**ф-ла(3)[10]**	**0**	**0**	**0**	**0**	**0**	**0**	**16,6**	**7**	**0**	**18,2**	**18,2**
Уровни звукового давления от мнимого источника ИШ-4-14_мн.(2) в расчётной точке ночью, дБ		**ф-ла(3)[10]**	**0**	**0**	**0**	**0**	**0**	**0**	**0**	**0**	**0**	**18,2**	**18,2**
Суммарные уровни звукового давления от мнимых источников в расчётной точке днём, дБ		**ф-ла (19) [1]**	**0**	**0**	**0**	**8,8**	**9,5**	**19,5**	**20**	**10,7**	**0**	**0**	**23,8**
Суммарные уровни звукового давления от мнимых источников в расчётной точке ночью, дБ		**ф-ла (19) [1]**	**0**	**0**	**0**	**8,8**	**9,5**	**19,5**	**20**	**10,7**	**0**	**0**	**23,8**
Уровни звукового давления от источника ИШ-4-14 в расчётной точке днём, дБ		**ф-ла(3)[10]**	**0**	**27,7**	**23,1**	**19,6**	**21,2**	**25,4**	**23**	**13,8**	**0**	**28,6**	**28,6**
Уровни звукового давления от источника ИШ-4-14 в расчётной точке ночью, дБ		**ф-ла(3)[10]**	**0**	**27,7**	**23,1**	**19,6**	**21,2**	**25,4**	**23**	**13,8**	**0**	**28,6**	**28,6**
Источник шума: ИШ-5-1, координаты источника (x,y,z), м =[626.70,162.36,1.00]													
Уровни звуковой мощности источника днём, Lw, дБ		**исходные данные**	**0**	**93,3**	**94,7**	**96**	**96,3**	**95,9**	**92,6**	**88,4**	**83,9**		
Уровни звуковой мощности источника ночью, Lw, дБ		**исходные данные**	**0**	**93,3**	**94,7**	**96**	**96,3**	**95,9**	**92,6**	**88,4**	**83,9**		
Поправка на телесный угол DΩ, дБ	Ω = 6.28	10Lg(4π/Ω)	**3**	3	3	3	3	3	3	3	3		
Показатель направленности источника Di, дБ		исходные данные	**0**	0	0	0	0	0	0	0	0		
Поправка на направленность источника Dc, дБ	Dc	DΩ + Di	**3**	3	3	3	3	3	3	3	3		
Затухание из-за геометрической дивергенции, Adiv, дБ	расстояние = 780.06 м	ф-ла (7) [10]	**68,8**										
Коэффициент затухания звука в атмосфере α, дБ/км	Ta=20,°C Pa=101.33,кПа hотн.=70%	ф-ла (5) [9]	0,02	0,09	0,33	1,12	2,79	4,98	9,04	23,09	77,63		

1		2	3	4	5	6	7	8	9	10	11	12	13
Учет затухания звука в атмосфере Aatm, дБ		ф-ла (8) [10]	0	0,1	0,3	0,9	2,2	3,9	7,1	18	60,6		
Снижение уровня звукового давления из-за влияния застройки между источником шума и расчетной точкой													
Снижение уровня звукового давления на пути над экраном, Dz1, дБ	z = 0.40м (разность путей)	ф-лы (14-18) [10]	4,9	5	5,2	5,6	6,3	7,4	9	11,1	13,6		
Снижение уровня звукового давления на пути слева от экрана, Dz2, дБ	z = 20.47м (разность путей)	ф-лы (14-18) [10]	22,9	26,4	29,5	32,6	35,6	38,6	41,6	44,6	47,6		
Снижение уровня звукового давления на пути справа от экрана, Dz3, дБ	z = 75.72м (разность путей)	ф-лы (14-18) [10]	29	32,2	35,2	38,2	41,3	44,3	47,3	50,3	53,3		
Общее снижение уровня звука препятствием Dz, дБ		Эн.сумма(-Dzi)	4,8	4,9	5,2	5,6	6,3	7,4	9	11,1	13,6		
Уровни звукового давления прямого звука от источника ИШ-5-1 в расчётной точке днём, дБ		**ф-ла(3)[10]**	**0**	**22,4**	**23,4**	**23,7**	**22**	**18,8**	**10,7**	**0**	**0**	**23,1**	**23,1**
Уровни звукового давления прямого звука от источника ИШ-5-1 в расчётной точке ночью, дБ		**ф-ла(3)[10]**	**0**	**22,4**	**23,4**	**23,7**	**22**	**18,8**	**10,7**	**0**	**0**	**23,1**	**23,1**
Расчёт отражённого звука													
Уровни звукового давления от мнимого источника ИШ-5-1_мн.(1) в расчётной точке днём, дБ		**ф-ла(3)[10]**	**0**	**0**	**0**	**0**	**0**	**0**	**0**	**0**	**0**	**0**	**0**
Уровни звукового давления от мнимого источника ИШ-5-1_мн.(1) в расчётной точке ночью, дБ		**ф-ла(3)[10]**	**0**	**0**	**0**	**0**	**0**	**0**	**0**	**0**	**0**	**0**	**0**
Уровни звукового давления от источника ИШ-5-1 в расчётной точке днём, дБ		**ф-ла(3)[10]**	**0**	**22,4**	**23,4**	**23,7**	**22**	**18,8**	**10,7**	**0**	**0**	**23,1**	**23,1**
Уровни звукового давления от источника ИШ-5-1 в расчётной точке ночью, дБ		**ф-ла(3)[10]**	**0**	**22,4**	**23,4**	**23,7**	**22**	**18,8**	**10,7**	**0**	**0**	**23,1**	**23,1**
Источник шума: ИШ-5-2, координаты источника (x,y,z), м =[625.81,159.52,1.00]													
Уровни звуковой мощности источника днём, Lw, дБ		**исходные данные**	**0**	**93,3**	**94,7**	**96**	**96,3**	**95,9**	**92,6**	**88,4**	**83,9**		
Уровни звуковой мощности источника ночью, Lw, дБ		**исходные данные**	**0**	**93,3**	**94,7**	**96**	**96,3**	**95,9**	**92,6**	**88,4**	**83,9**		
Поправка на телесный угол DΩ, дБ	Ω = 6.28	10Lg(4π/Ω)	**3**	3	3	3	3	3	3	3	3		

1		2	3	4	5	6	7	8	9	10	11	12	13
Показатель направленности источника Di, дБ		исходные данные	**0**	0	0	0	0	0	0	0	0		
Поправка на направленность источника Dc, дБ	Dc	DΩ + Di	**3**	3	3	3	3	3	3	3	3		
Затухание из-за геометрической дивергенции, Adiv, дБ	расстояние = 778.41 м	ф-ла (7) [10]	**68,8**										
Коэффициент затухания звука в атмосфере α, дБ/км	Ta=20,°C Pa=101.33,кПа hотн.=70%	ф-ла (5) [9]	0,02	0,09	0,33	1,12	2,79	4,98	9,04	23,09	77,63		
Учет затухания звука в атмосфере Aatm, дБ		ф-ла (8) [10]	0	0,1	0,3	0,9	2,2	3,9	7	18	60,4		
Снижение уровня звукового давления из-за влияния застройки между источником шума и расчетной точкой													
Снижение уровня звукового давления на пути над экраном, Dz1, дБ	z = 0.40м (разность путей)	ф-лы (14-18) [10]	4,9	5	5,2	5,6	6,3	7,4	9,1	11,2	13,7		
Снижение уровня звукового давления на пути слева от экрана, Dz2, дБ	z = 19.69м (разность путей)	ф-лы (14-18) [10]	22,8	26,2	29,3	32,4	35,4	38,4	41,4	44,4	47,5		
Снижение уровня звукового давления на пути справа от экрана, Dz3, дБ	z = 77.35м (разность путей)	ф-лы (14-18) [10]	29,1	32,3	35,3	38,3	41,4	44,4	47,4	50,4	53,4		
Общее снижение уровня звука препятствием Dz, дБ		Эн.сумма(-Dzi)	4,8	4,9	5,2	5,6	6,3	7,4	9,1	11,2	13,7		
Уровни звукового давления прямого звука от источника ИШ-5-2 в расчётной точке днём, дБ		**ф-ла(3)[10]**	**0**	**22,5**	**23,4**	**23,7**	**22**	**18,8**	**10,7**	**0**	**0**	**23,1**	**23,1**
Уровни звукового давления прямого звука от источника ИШ-5-2 в расчётной точке ночью, дБ		**ф-ла(3)[10]**	**0**	**22,5**	**23,4**	**23,7**	**22**	**18,8**	**10,7**	**0**	**0**	**23,1**	**23,1**
Расчёт отражённого звука													
Уровни звукового давления от мнимого источника ИШ-5-2_мн.(1) в расчётной точке днём, дБ		**ф-ла(3)[10]**	**0**	**0**	**0**	**0**	**0**	**0**	**0**	**0**	**0**	**0**	**0**
Уровни звукового давления от мнимого источника ИШ-5-2_мн.(1) в расчётной точке ночью, дБ		**ф-ла(3)[10]**	**0**	**0**	**0**	**0**	**0**	**0**	**0**	**0**	**0**	**0**	**0**
Уровни звукового давления от источника ИШ-5-2 в расчётной точке днём, дБ		**ф-ла(3)[10]**	**0**	**22,5**	**23,4**	**23,7**	**22**	**18,8**	**10,7**	**0**	**0**	**23,1**	**23,1**
Уровни звукового давления от источника ИШ-5-2 в расчётной точке ночью, дБ		**ф-ла(3)[10]**	**0**	**22,5**	**23,4**	**23,7**	**22**	**18,8**	**10,7**	**0**	**0**	**23,1**	**23,1**

1		2	3	4	5	6	7	8	9	10	11	12	13
Источник шума: ИШ-5-3, координаты источника (x,y,z), м =[624.84,156.69,1.00]													
Уровни звуковой мощности источника днём, Lw, дБ		**исходные данные**	**0**	**93,3**	**94,7**	**96**	**96,3**	**95,9**	**92,6**	**88,4**	**83,9**		
Уровни звуковой мощности источника ночью, Lw, дБ		**исходные данные**	**0**	**93,3**	**94,7**	**96**	**96,3**	**95,9**	**92,6**	**88,4**	**83,9**		
Поправка на телесный угол DΩ, дБ	Ω = 6.28	10Lg(4π/Ω)	**3**	3	3	3	3	3	3	3	3		
Показатель направленности источника Di, дБ		исходные данные	**0**	0	0	0	0	0	0	0	0		
Поправка на направленность источника Dc, дБ	Dc	DΩ + Di	**3**	3	3	3	3	3	3	3	3		
Затухание из-за геометрической дивергенции, Adiv, дБ	расстояние = 776.70 м	ф-ла (7) [10]	**68,8**										
Коэффициент затухания звука в атмосфере α, дБ/км	Ta=20,°C Pa=101.33,кПа hотн.=70%	ф-ла (5) [9]	0,02	0,09	0,33	1,12	2,79	4,98	9,04	23,09	77,63		
Учет затухания звука в атмосфере Aatm, дБ		ф-ла (8) [10]	0	0,1	0,3	0,9	2,2	3,9	7	17,9	60,3		
Снижение уровня звукового давления из-за влияния застройки между источником шума и расчетной точкой													
Снижение уровня звукового давления на пути над экраном, Dz1, дБ	z = 0.40м (разность путей)	ф-лы (14-18) [10]	4,9	5	5,2	5,6	6,3	7,5	9,1	11,3	13,7		
Снижение уровня звукового давления на пути слева от экрана, Dz2, дБ	z = 18.93м (разность путей)	ф-лы (14-18) [10]	22,6	26,1	29,2	32,2	35,2	38,2	41,3	44,3	47,3		
Снижение уровня звукового давления на пути справа от экрана, Dz3, дБ	z = 79.00м (разность путей)	ф-лы (14-18) [10]	29,2	32,4	35,4	38,4	41,4	44,5	47,5	50,5	53,5		
Общее снижение уровня звука препятствием Dz, дБ		Эн.сумма(-Dzi)	4,8	4,9	5,2	5,6	6,3	7,5	9,1	11,2	13,7		
Уровни звукового давления прямого звука от источника ИШ-5-3 в расчётной точке днём, дБ		**ф-ла(3)[10]**	**0**	**22,5**	**23,4**	**23,7**	**22**	**18,8**	**10,6**	**0**	**0**	**23,1**	**23,1**
Уровни звукового давления прямого звука от источника ИШ-5-3 в расчётной точке ночью, дБ		**ф-ла(3)[10]**	**0**	**22,5**	**23,4**	**23,7**	**22**	**18,8**	**10,6**	**0**	**0**	**23,1**	**23,1**

1		2	3	4	5	6	7	8	9	10	11	12	13
Расчёт отражённого звука													
Уровни звукового давления от мнимого источника ИШ-5-3_мн.(1) в расчётной точке днём, дБ		**ф-ла(3)[10]**	**0**	**0**	**0**	**0**	**0**	**0**	**0**	**0**	**0**	**0**	**0**
Уровни звукового давления от мнимого источника ИШ-5-3_мн.(1) в расчётной точке ночью, дБ		**ф-ла(3)[10]**	**0**	**0**	**0**	**0**	**0**	**0**	**0**	**0**	**0**	**0**	**0**
Уровни звукового давления от источника ИШ-5-3 в расчётной точке днём, дБ		**ф-ла(3)[10]**	**0**	**22,5**	**23,4**	**23,7**	**22**	**18,8**	**10,6**	**0**	**0**	**23,1**	**23,1**
Уровни звукового давления от источника ИШ-5-3 в расчётной точке ночью, дБ		**ф-ла(3)[10]**	**0**	**22,5**	**23,4**	**23,7**	**22**	**18,8**	**10,6**	**0**	**0**	**23,1**	**23,1**
Источник шума: ИШ-6-1, координаты источника (x,y,z), м =[836.30,122.24,1.00]													
Уровни звуковой мощности источника днём, Lw, дБ		**исходные данные**	**0**	**96,3**	**97,7**	**99**	**99,3**	**98,9**	**95,6**	**91,4**	**86,9**		
Уровни звуковой мощности источника ночью, Lw, дБ		**исходные данные**	**0**	**96,3**	**97,7**	**99**	**99,3**	**98,9**	**95,6**	**91,4**	**86,9**		
Поправка на телесный угол DΩ, дБ	Ω = 12.57	10Lg(4π/Ω)	**0**	0	0	0	0	0	0	0	0		
Показатель направленности источника Di, дБ		исходные данные	**0**	0	0	0	0	0	0	0	0		
Поправка на направленность источника Dc, дБ	Dc	DΩ + Di	**0**	0	0	0	0	0	0	0	0		
Затухание из-за геометрической дивергенции, Adiv, дБ	расстояние = 974.81 м	ф-ла (7) [10]	**70,8**										
Коэффициент затухания звука в атмосфере α, дБ/км	Ta=20,°C Pa=101.33,кПа hотн.=70%	ф-ла (5) [9]	0,02	0,09	0,33	1,12	2,79	4,98	9,04	23,09	77,63		
Учет затухания звука в атмосфере Aatm, дБ		ф-ла (8) [10]	0	0,1	0,3	1,1	2,7	4,9	8,8	22,5	75,7		
Снижение уровня звукового давления из-за влияния застройки между источником шума и расчетной точкой													
Снижение уровня звукового давления на пути над экраном, Dz1, дБ	z = 0.20м (разность путей)	ф-лы (14-18) [10]	4,8	4,8	4,8	4,8	4,8	4,8	4,8	4,8	4,8		

1		2	3	4	5	6	7	8	9	10	11	12	13
Снижение уровня звукового давления на пути слева от экрана, Dz2, дБ	z = 2.97м (разность путей)	ф-лы (14-18) [10]	14,2	17,9	21,1	24,2	27,2	30,2	33,2	36,2	39,2		
Снижение уровня звукового давления на пути справа от экрана, Dz3, дБ	z = 93.69м (разность путей)	ф-лы (14-18) [10]	30	33,1	36,2	39,2	42,2	45,2	48,2	51,2	54,2		
Общее снижение уровня звука препятствием Dz, дБ		Эн.сумма(-Dzi)	4,3	4,6	4,7	4,7	4,7	4,8	4,8	4,8	4,8		
Уровни звукового давления от источника ИШ-6-1 в расчётной точке днём, дБ		**ф-ла(3)[10]**	**0**	**20,9**	**21,9**	**22,4**	**21**	**18,5**	**11,2**	**0**	**0**	**22,5**	**22,5**
Уровни звукового давления от источника ИШ-6-1 в расчётной точке ночью, дБ		**ф-ла(3)[10]**	**0**	**20,9**	**21,9**	**22,4**	**21**	**18,5**	**11,2**	**0**	**0**	**22,5**	**22,5**
Источник шума: ИШ-6-2, координаты источника (x,y,z), м =[835.37,119.30,1.00]													
Уровни звуковой мощности источника днём, Lw, дБ		**исходные данные**	**0**	**96,3**	**97,7**	**99**	**99,3**	**98,9**	**95,6**	**91,4**	**86,9**		
Уровни звуковой мощности источника ночью, Lw, дБ		**исходные данные**	**0**	**96,3**	**97,7**	**99**	**99,3**	**98,9**	**95,6**	**91,4**	**86,9**		
Поправка на телесный угол DΩ, дБ	Ω = 12.57	10Lg(4π/Ω)	**0**	0	0	0	0	0	0	0	0		
Показатель направленности источника Di, дБ		исходные данные	**0**	0	0	0	0	0	0	0	0		
Поправка на направленность источника Dc, дБ	Dc	DΩ + Di	**0**	0	0	0	0	0	0	0	0		
Затухание из-за геометрической дивергенции, Adiv, дБ	расстояние = 973.36 м	ф-ла (7) [10]	**70,8**										
Коэффициент затухания звука в атмосфере α, дБ/км	Ta=20,°C Pa=101.33,кПа hотн.=70%	ф-ла (5) [9]	0,02	0,09	0,33	1,12	2,79	4,98	9,04	23,09	77,63		
Учет затухания звука в атмосфере Aatm, дБ		ф-ла (8) [10]	0	0,1	0,3	1,1	2,7	4,8	8,8	22,5	75,6		
Снижение уровня звукового давления из-за влияния застройки между источником шума и расчетной точкой													
Снижение уровня звукового давления на пути над экраном, Dz1, дБ	z = 0.20м (разность путей)	ф-лы (14-18) [10]	4,8	4,8	4,8	4,8	4,8	4,8	4,8	4,8	4,8		

1		2	3	4	5	6	7	8	9	10	11	12	13
Снижение уровня звукового давления на пути слева от экрана, Dz2, дБ	z = 2.75м (разность путей)	ф-лы (14-18) [10]	13,9	17,6	20,8	23,9	26,9	29,9	32,9	35,9	38,9		
Снижение уровня звукового давления на пути справа от экрана, Dz3, дБ	z = 94.98м (разность путей)	ф-лы (14-18) [10]	30	33,2	36,2	39,2	42,2	45,3	48,3	51,3	54,3		
Общее снижение уровня звука препятствием Dz, дБ		Эн.сумма(-Dzi)	4,3	4,5	4,7	4,7	4,7	4,8	4,8	4,8	4,8		
Уровни звукового давления от источника ИШ-6-2 в расчётной точке днём, дБ		**ф-ла(3)[10]**	**0**	**20,9**	**21,9**	**22,4**	**21,1**	**18,5**	**11,3**	**0**	**0**	**22,5**	**22,5**
Уровни звукового давления от источника ИШ-6-2 в расчётной точке ночью, дБ		**ф-ла(3)[10]**	**0**	**20,9**	**21,9**	**22,4**	**21,1**	**18,5**	**11,3**	**0**	**0**	**22,5**	**22,5**
Источник шума: ИШ-6-3, координаты источника (x,y,z), м =[834.03,116.36,1.00]													
Уровни звуковой мощности источника днём, Lw, дБ		**исходные данные**	**0**	**96,3**	**97,7**	**99**	**99,3**	**98,9**	**95,6**	**91,4**	**86,9**		
Уровни звуковой мощности источника ночью, Lw, дБ		**исходные данные**	**0**	**96,3**	**97,7**	**99**	**99,3**	**98,9**	**95,6**	**91,4**	**86,9**		
Поправка на телесный угол DΩ, дБ	Ω = 12.57	10Lg(4π/Ω)	**0**	0	0	0	0	0	0	0	0		
Показатель направленности источника Di, дБ		исходные данные	**0**	0	0	0	0	0	0	0	0		
Поправка на направленность источника Dc, дБ	Dc	DΩ + Di	**0**	0	0	0	0	0	0	0	0		
Затухание из-за геометрической дивергенции, Adiv, дБ	расстояние = 971.52 м	ф-ла (7) [10]	**70,7**										
Коэффициент затухания звука в атмосфере α, дБ/км	Ta=20,°C Pa=101.33,кПа hотн.=70%	ф-ла (5) [9]	0,02	0,09	0,33	1,12	2,79	4,98	9,04	23,09	77,63		
Учет затухания звука в атмосфере Aatm, дБ		ф-ла (8) [10]	0	0,1	0,3	1,1	2,7	4,8	8,8	22,4	75,4		
Снижение уровня звукового давления из-за влияния застройки между источником шума и расчетной точкой													
Снижение уровня звукового давления на пути над экраном, Dz1, дБ	z = 0.20м (разность путей)	ф-лы (14-18) [10]	4,8	4,8	4,8	4,8	4,8	4,8	4,8	4,8	4,8		

1		2	3	4	5	6	7	8	9	10	11	12	13
Снижение уровня звукового давления на пути слева от экрана, Dz2, дБ	z = 2.56м (разность путей)	ф-лы (14-18) [10]	13,6	17,3	20,5	23,6	26,6	29,6	32,6	35,6	38,6		
Снижение уровня звукового давления на пути справа от экрана, Dz3, дБ	z = 96.28м (разность путей)	ф-лы (14-18) [10]	30,1	33,3	36,3	39,3	42,3	45,3	48,3	51,3	54,3		
Общее снижение уровня звука препятствием Dz, дБ		Эн.сумма(-Dzi)	4,2	4,5	4,7	4,7	4,7	4,8	4,8	4,8	4,8		
Уровни звукового давления от источника ИШ-6-3 в расчётной точке днём, дБ		**ф-ла(3)[10]**	**0**	**20,9**	**22**	**22,4**	**21,1**	**18,5**	**11,3**	**0**	**0**	**22,5**	**22,5**
Уровни звукового давления от источника ИШ-6-3 в расчётной точке ночью, дБ		**ф-ла(3)[10]**	**0**	**20,9**	**22**	**22,4**	**21,1**	**18,5**	**11,3**	**0**	**0**	**22,5**	**22,5**
Источник шума: ИШ-6-4, координаты источника (x,y,z), м =[833.23,113.30,1.00]													
Уровни звуковой мощности источника днём, Lw, дБ		**исходные данные**	**0**	**96,3**	**97,7**	**99**	**99,3**	**98,9**	**95,6**	**91,4**	**86,9**		
Уровни звуковой мощности источника ночью, Lw, дБ		**исходные данные**	**0**	**96,3**	**97,7**	**99**	**99,3**	**98,9**	**95,6**	**91,4**	**86,9**		
Поправка на телесный угол DΩ, дБ	Ω = 12.57	10Lg(4π/Ω)	**0**	0	0	0	0	0	0	0	0		
Показатель направленности источника Di, дБ		исходные данные	**0**	0	0	0	0	0	0	0	0		
Поправка на направленность источника Dc, дБ	Dc	DΩ + Di	**0**	0	0	0	0	0	0	0	0		
Затухание из-за геометрической дивергенции, Adiv, дБ	расстояние = 970.19 м	ф-ла (7) [10]	**70,7**										
Коэффициент затухания звука в атмосфере α, дБ/км	Ta=20,°C Pa=101.33,кПа hотн.=70%	ф-ла (5) [9]	0,02	0,09	0,33	1,12	2,79	4,98	9,04	23,09	77,63		
Учет затухания звука в атмосфере Aatm, дБ		ф-ла (8) [10]	0	0,1	0,3	1,1	2,7	4,8	8,8	22,4	75,3		
Снижение уровня звукового давления из-за влияния застройки между источником шума и расчетной точкой													
Снижение уровня звукового давления на пути над экраном, Dz1, дБ	z = 0.18м (разность путей)	ф-лы (14-18) [10]	4,8	4,8	4,8	4,8	4,8	4,8	4,8	4,8	4,8		

1		2	3	4	5	6	7	8	9	10	11	12	13
Снижение уровня звукового давления на пути слева от экрана, Dz2, дБ	z = 2.35м (разность путей)	ф-лы (14-18) [10]	13,3	16,9	20,1	23,2	26,2	29,2	32,2	35,2	38,2		
Снижение уровня звукового давления на пути справа от экрана, Dz3, дБ	z = 97.65м (разность путей)	ф-лы (14-18) [10]	30,1	33,3	36,3	39,4	42,4	45,4	48,4	51,4	54,4		
Общее снижение уровня звука препятствием Dz, дБ		Эн.сумма(-Dzi)	4,2	4,5	4,6	4,7	4,7	4,8	4,8	4,8	4,8		
Уровни звукового давления от источника ИШ-6-4 в расчётной точке днём, дБ		**ф-ла(3)[10]**	**0**	**21**	**22**	**22,5**	**21,1**	**18,6**	**11,3**	**0**	**0**	**22,6**	**22,6**
Уровни звукового давления от источника ИШ-6-4 в расчётной точке ночью, дБ		**ф-ла(3)[10]**	**0**	**21**	**22**	**22,5**	**21,1**	**18,6**	**11,3**	**0**	**0**	**22,6**	**22,6**
Источник шума: ИШ-6-5, координаты источника (x,y,z), м =[832.03,110.36,1.00]													
Уровни звуковой мощности источника днём, Lw, дБ		**исходные данные**	**0**	**96,3**	**97,7**	**99**	**99,3**	**98,9**	**95,6**	**91,4**	**86,9**		
Уровни звуковой мощности источника ночью, Lw, дБ		**исходные данные**	**0**	**96,3**	**97,7**	**99**	**99,3**	**98,9**	**95,6**	**91,4**	**86,9**		
Поправка на телесный угол DΩ, дБ	Ω = 12.57	10Lg(4π/Ω)	**0**	0	0	0	0	0	0	0	0		
Показатель направленности источника Di, дБ		исходные данные	**0**	0	0	0	0	0	0	0	0		
Поправка на направленность источника Dc, дБ	Dc	DΩ + Di	**0**	0	0	0	0	0	0	0	0		
Затухание из-за геометрической дивергенции, Adiv, дБ	расстояние = 968.49 м	ф-ла (7) [10]	**70,7**										
Коэффициент затухания звука в атмосфере α, дБ/км	Ta=20,°C Pa=101.33,кПа hотн.=70%	ф-ла (5) [9]	0,02	0,09	0,33	1,12	2,79	4,98	9,04	23,09	77,63		
Учет затухания звука в атмосфере Aatm, дБ		ф-ла (8) [10]	0	0,1	0,3	1,1	2,7	4,8	8,8	22,4	75,2		
Снижение уровня звукового давления из-за влияния застройки между источником шума и расчетной точкой													
Снижение уровня звукового давления на пути над экраном, Dz1, дБ	z = 0.18м (разность путей)	ф-лы (14-18) [10]	4,8	4,8	4,8	4,8	4,8	4,8	4,8	4,8	4,8		

1		2	3	4	5	6	7	8	9	10	11	12	13
Снижение уровня звукового давления на пути слева от экрана, Dz2, дБ	z = 2.16м (разность путей)	ф-лы (14-18) [10]	13	16,6	19,8	22,8	25,8	28,8	31,8	34,9	37,9		
Снижение уровня звукового давления на пути справа от экрана, Dz3, дБ	z = 98.97м (разность путей)	ф-лы (14-18) [10]	30,2	33,4	36,4	39,4	42,4	45,4	48,4	51,5	54,5		
Общее снижение уровня звука препятствием Dz, дБ		Эн.сумма(-Dzi)	4,1	4,5	4,6	4,7	4,7	4,8	4,8	4,8	4,8		
Уровни звукового давления от источника ИШ-6-5 в расчётной точке днём, дБ		**ф-ла(3)[10]**	**0**	**21**	**22**	**22,5**	**21,1**	**18,6**	**11,4**	**0**	**0**	**22,6**	**22,6**
Уровни звукового давления от источника ИШ-6-5 в расчётной точке ночью, дБ		**ф-ла(3)[10]**	**0**	**21**	**22**	**22,5**	**21,1**	**18,6**	**11,4**	**0**	**0**	**22,6**	**22,6**
Источник шума: ИШ-6-6, координаты источника (x,y,z), м =[830.97,107.42,1.00]													
Уровни звуковой мощности источника днём, Lw, дБ		**исходные данные**	**0**	**96,3**	**97,7**	**99**	**99,3**	**98,9**	**95,6**	**91,4**	**86,9**		
Уровни звуковой мощности источника ночью, Lw, дБ		**исходные данные**	**0**	**96,3**	**97,7**	**99**	**99,3**	**98,9**	**95,6**	**91,4**	**86,9**		
Поправка на телесный угол DΩ, дБ	Ω = 12.57	10Lg(4π/Ω)	**0**	0	0	0	0	0	0	0	0		
Показатель направленности источника Di, дБ		исходные данные	**0**	0	0	0	0	0	0	0	0		
Поправка на направленность источника Dc, дБ	Dc	DΩ + Di	**0**	0	0	0	0	0	0	0	0		
Затухание из-за геометрической дивергенции, Adiv, дБ	расстояние = 966.94 м	ф-ла (7) [10]	**70,7**										
Коэффициент затухания звука в атмосфере α, дБ/км	Ta=20,°C Pa=101.33,кПа hотн.=70%	ф-ла (5) [9]	0,02	0,09	0,33	1,12	2,79	4,98	9,04	23,09	77,63		
Учет затухания звука в атмосфере Aatm, дБ		ф-ла (8) [10]	0	0,1	0,3	1,1	2,7	4,8	8,7	22,3	75,1		
Снижение уровня звукового давления из-за влияния застройки между источником шума и расчетной точкой													
Снижение уровня звукового давления на пути над экраном, Dz1, дБ	z = 0.18м (разность путей)	ф-лы (14-18) [10]	4,8	4,8	4,8	4,8	4,8	4,8	4,8	4,8	4,8		

1		2	3	4	5	6	7	8	9	10	11	12	13
Снижение уровня звукового давления на пути слева от экрана, Dz2, дБ	z = 1.98м (разность путей)	ф-лы (14-18) [10]	12,6	16,2	19,4	22,5	25,5	28,5	31,5	34,5	37,5		
Снижение уровня звукового давления на пути справа от экрана, Dz3, дБ	z = 100.31м (разность путей)	ф-лы (14-18) [10]	30,3	33,4	36,4	39,5	42,5	45,5	48,5	51,5	54,5		
Общее снижение уровня звука препятствием Dz, дБ		Эн.сумма(-Dzi)	4,1	4,5	4,6	4,7	4,7	4,8	4,8	4,8	4,8		
Уровни звукового давления от источника ИШ-6-6 в расчётной точке днём, дБ		**ф-ла(3)[10]**	**0**	**21**	**22**	**22,5**	**21,2**	**18,6**	**11,4**	**0**	**0**	**22,6**	**22,6**
Уровни звукового давления от источника ИШ-6-6 в расчётной точке ночью, дБ		**ф-ла(3)[10]**	**0**	**21**	**22**	**22,5**	**21,2**	**18,6**	**11,4**	**0**	**0**	**22,6**	**22,6**
Источник шума: ИШ-6-7, координаты источника (x,y,z), м =[830.30,104.49,1.00]													
Уровни звуковой мощности источника днём, Lw, дБ		**исходные данные**	**0**	**96,3**	**97,7**	**99**	**99,3**	**98,9**	**95,6**	**91,4**	**86,9**		
Уровни звуковой мощности источника ночью, Lw, дБ		**исходные данные**	**0**	**96,3**	**97,7**	**99**	**99,3**	**98,9**	**95,6**	**91,4**	**86,9**		
Поправка на телесный угол DΩ, дБ	Ω = 12.57	10Lg(4π/Ω)	**0**	0	0	0	0	0	0	0	0		
Показатель направленности источника Di, дБ		исходные данные	**0**	0	0	0	0	0	0	0	0		
Поправка на направленность источника Dc, дБ	Dc	DΩ + Di	**0**	0	0	0	0	0	0	0	0		
Затухание из-за геометрической дивергенции, Adiv, дБ	расстояние = 965.79 м	ф-ла (7) [10]	**70,7**										
Коэффициент затухания звука в атмосфере α, дБ/км	Ta=20,°C Pa=101.33,кПа hотн.=70%	ф-ла (5) [9]	0,02	0,09	0,33	1,12	2,79	4,98	9,04	23,09	77,63		
Учет затухания звука в атмосфере Aatm, дБ		ф-ла (8) [10]	0	0,1	0,3	1,1	2,7	4,8	8,7	22,3	75		
Снижение уровня звукового давления из-за влияния застройки между источником шума и расчетной точкой													
Снижение уровня звукового давления на пути над экраном, Dz1, дБ	z = 0.18м (разность путей)	ф-лы (14-18) [10]	4,8	4,8	4,8	4,8	4,8	4,8	4,8	4,8	4,8		

1		2	3	4	5	6	7	8	9	10	11	12	13
Снижение уровня звукового давления на пути слева от экрана, Dz2, дБ	z = 1.81м (разность путей)	ф-лы (14-18) [10]	12,3	15,9	19	22,1	25,1	28,1	31,1	34,1	37,1		
Снижение уровня звукового давления на пути справа от экрана, Dz3, дБ	z = 101.64м (разность путей)	ф-лы (14-18) [10]	30,3	33,5	36,5	39,5	42,5	45,5	48,6	51,6	54,6		
Общее снижение уровня звука препятствием Dz, дБ		Эн.сумма(-Dzi)	4,1	4,4	4,6	4,7	4,7	4,8	4,8	4,8	4,8		
Уровни звукового давления от источника ИШ-6-7 в расчётной точке днём, дБ		**ф-ла(3)[10]**	**0**	**21,1**	**22,1**	**22,5**	**21,2**	**18,6**	**11,4**	**0**	**0**	**22,6**	**22,6**
Уровни звукового давления от источника ИШ-6-7 в расчётной точке ночью, дБ		**ф-ла(3)[10]**	**0**	**21,1**	**22,1**	**22,5**	**21,2**	**18,6**	**11,4**	**0**	**0**	**22,6**	**22,6**
Источник шума: ИШ-6-8, координаты источника (x,y,z), м =[829.36,101.42,1.00]													
Уровни звуковой мощности источника днём, Lw, дБ		**исходные данные**	**0**	**96,3**	**97,7**	**99**	**99,3**	**98,9**	**95,6**	**91,4**	**86,9**		
Уровни звуковой мощности источника ночью, Lw, дБ		**исходные данные**	**0**	**96,3**	**97,7**	**99**	**99,3**	**98,9**	**95,6**	**91,4**	**86,9**		
Поправка на телесный угол DΩ, дБ	Ω = 12.57	10Lg(4π/Ω)	**0**	0	0	0	0	0	0	0	0		
Показатель направленности источника Di, дБ		исходные данные	**0**	0	0	0	0	0	0	0	0		
Поправка на направленность источника Dc, дБ	Dc	DΩ + Di	**0**	0	0	0	0	0	0	0	0		
Затухание из-за геометрической дивергенции, Adiv, дБ	расстояние = 964.36 м	ф-ла (7) [10]	**70,7**										
Коэффициент затухания звука в атмосфере α, дБ/км	Ta=20,°C Pa=101.33,кПа hотн.=70%	ф-ла (5) [9]	0,02	0,09	0,33	1,12	2,79	4,98	9,04	23,09	77,63		
Учет затухания звука в атмосфере Aatm, дБ		ф-ла (8) [10]	0	0,1	0,3	1,1	2,7	4,8	8,7	22,3	74,9		
Снижение уровня звукового давления из-за влияния застройки между источником шума и расчетной точкой													
Снижение уровня звукового давления на пути над экраном, Dz1, дБ	z = 0.18м (разность путей)	ф-лы (14-18) [10]	4,8	4,8	4,8	4,8	4,8	4,8	4,8	4,8	4,8		

1		2	3	4	5	6	7	8	9	10	11	12	13
Снижение уровня звукового давления на пути слева от экрана, Dz2, дБ	z = 1.64м (разность путей)	ф-лы (14-18) [10]	12	15,5	18,6	21,7	24,6	27,6	30,6	33,6	36,7		
Снижение уровня звукового давления на пути справа от экрана, Dz3, дБ	z = 103.05м (разность путей)	ф-лы (14-18) [10]	30,4	33,5	36,6	39,6	42,6	45,6	48,6	51,6	54,6		
Общее снижение уровня звука препятствием Dz, дБ		Эн.сумма(-Dzi)	4	4,4	4,6	4,7	4,7	4,8	4,8	4,8	4,8		
Уровни звукового давления от источника ИШ-6-8 в расчётной точке днём, дБ		**ф-ла(3)[10]**	**0**	**21,1**	**22,1**	**22,5**	**21,2**	**18,7**	**11,4**	**0**	**0**	**22,6**	**22,6**
Уровни звукового давления от источника ИШ-6-8 в расчётной точке ночью, дБ		**ф-ла(3)[10]**	**0**	**21,1**	**22,1**	**22,5**	**21,2**	**18,7**	**11,4**	**0**	**0**	**22,6**	**22,6**
Источник шума: ИШ-6-9, координаты источника (x,y,z), м =[828.03,98.62,1.00]													
Уровни звуковой мощности источника днём, Lw, дБ		**исходные данные**	**0**	**96,3**	**97,7**	**99**	**99,3**	**98,9**	**95,6**	**91,4**	**86,9**		
Уровни звуковой мощности источника ночью, Lw, дБ		**исходные данные**	**0**	**96,3**	**97,7**	**99**	**99,3**	**98,9**	**95,6**	**91,4**	**86,9**		
Поправка на телесный угол DΩ, дБ	Ω = 12.57	10Lg(4π/Ω)	**0**	0	0	0	0	0	0	0	0		
Показатель направленности источника Di, дБ		исходные данные	**0**	0	0	0	0	0	0	0	0		
Поправка на направленность источника Dc, дБ	Dc	DΩ + Di	**0**	0	0	0	0	0	0	0	0		
Затухание из-за геометрической дивергенции, Adiv, дБ	расстояние = 962.58 м	ф-ла (7) [10]	**70,7**										
Коэффициент затухания звука в атмосфере α, дБ/км	Ta=20,°C Pa=101.33,кПа hотн.=70%	ф-ла (5) [9]	0,02	0,09	0,33	1,12	2,79	4,98	9,04	23,09	77,63		
Учет затухания звука в атмосфере Aatm, дБ		ф-ла (8) [10]	0	0,1	0,3	1,1	2,7	4,8	8,7	22,2	74,7		
Снижение уровня звукового давления из-за влияния застройки между источником шума и расчетной точкой													
Снижение уровня звукового давления на пути над экраном, Dz1, дБ	z = 0.18м (разность путей)	ф-лы (14-18) [10]	4,8	4,8	4,8	4,8	4,8	4,8	4,8	4,8	4,8		

1		2	3	4	5	6	7	8	9	10	11	12	13
Снижение уровня звукового давления на пути слева от экрана, Dz2, дБ	z = 1.50м (разность путей)	ф-лы (14-18) [10]	11,6	15,1	18,3	21,3	24,3	27,3	30,3	33,3	36,3		
Снижение уровня звукового давления на пути справа от экрана, Dz3, дБ	z = 104.37м (разность путей)	ф-лы (14-18) [10]	30,4	33,6	36,6	39,6	42,7	45,7	48,7	51,7	54,7		
Общее снижение уровня звука препятствием Dz, дБ		Эн.сумма(-Dzi)	3,9	4,4	4,6	4,7	4,7	4,7	4,8	4,8	4,8		
Уровни звукового давления от источника ИШ-6-9 в расчётной точке днём, дБ		**ф-ла(3)[10]**	**0**	**21,2**	**22,1**	**22,6**	**21,2**	**18,7**	**11,5**	**0**	**0**	**22,7**	**22,7**
Уровни звукового давления от источника ИШ-6-9 в расчётной точке ночью, дБ		**ф-ла(3)[10]**	**0**	**21,2**	**22,1**	**22,6**	**21,2**	**18,7**	**11,5**	**0**	**0**	**22,7**	**22,7**
Источник шума: ИШ-6-10, координаты источника (x,y,z), м =[827.23,95.55,1.00]													
Уровни звуковой мощности источника днём, Lw, дБ		**исходные данные**	**0**	**96,3**	**97,7**	**99**	**99,3**	**98,9**	**95,6**	**91,4**	**86,9**		
Уровни звуковой мощности источника ночью, Lw, дБ		**исходные данные**	**0**	**96,3**	**97,7**	**99**	**99,3**	**98,9**	**95,6**	**91,4**	**86,9**		
Поправка на телесный угол DΩ, дБ	Ω = 12.57	10Lg(4π/Ω)	**0**	0	0	0	0	0	0	0	0		
Показатель направленности источника Di, дБ		исходные данные	**0**	0	0	0	0	0	0	0	0		
Поправка на направленность источника Dc, дБ	Dc	DΩ + Di	**0**	0	0	0	0	0	0	0	0		
Затухание из-за геометрической дивергенции, Adiv, дБ	расстояние = 961.30 м	ф-ла (7) [10]	**70,7**										
Коэффициент затухания звука в атмосфере α, дБ/км	Ta=20,°C Pa=101.33,кПа hотн.=70%	ф-ла (5) [9]	0,02	0,09	0,33	1,12	2,79	4,98	9,04	23,09	77,63		
Учет затухания звука в атмосфере Aatm, дБ		ф-ла (8) [10]	0	0,1	0,3	1,1	2,7	4,8	8,7	22,2	74,6		
Снижение уровня звукового давления из-за влияния застройки между источником шума и расчетной точкой													
Снижение уровня звукового давления на пути над экраном, Dz1, дБ	z = 0.18м (разность путей)	ф-лы (14-18) [10]	4,8	4,8	4,8	4,8	4,8	4,8	4,8	4,8	4,8		

1		2	3	4	5	6	7	8	9	10	11	12	13
Снижение уровня звукового давления на пути слева от экрана, Dz2, дБ	z = 1.34м (разность путей)	ф-лы (14-18) [10]	11,3	14,7	17,8	20,8	23,8	26,8	29,8	32,8	35,8		
Снижение уровня звукового давления на пути справа от экрана, Dz3, дБ	z = 105.80м (разность путей)	ф-лы (14-18) [10]	30,5	33,7	36,7	39,7	42,7	45,7	48,7	51,7	54,8		
Общее снижение уровня звука препятствием Dz, дБ		Эн.сумма(-Dzi)	3,9	4,3	4,6	4,7	4,7	4,7	4,8	4,8	4,8		
Уровни звукового давления от источника ИШ-6-10 в расчётной точке днём, дБ		**ф-ла(3)[10]**	**0**	**21,2**	**22,2**	**22,6**	**21,2**	**18,7**	**11,5**	**0**	**0**	**22,7**	**22,7**
Уровни звукового давления от источника ИШ-6-10 в расчётной точке ночью, дБ		**ф-ла(3)[10]**	**0**	**21,2**	**22,2**	**22,6**	**21,2**	**18,7**	**11,5**	**0**	**0**	**22,7**	**22,7**
Источник шума: ИШ-6-11, координаты источника (x,y,z), м =[826.30,92.48,1.00]													
Уровни звуковой мощности источника днём, Lw, дБ		**исходные данные**	**0**	**96,3**	**97,7**	**99**	**99,3**	**98,9**	**95,6**	**91,4**	**86,9**		
Уровни звуковой мощности источника ночью, Lw, дБ		**исходные данные**	**0**	**96,3**	**97,7**	**99**	**99,3**	**98,9**	**95,6**	**91,4**	**86,9**		
Поправка на телесный угол DΩ, дБ	Ω = 12.57	10Lg(4π/Ω)	**0**	0	0	0	0	0	0	0	0		
Показатель направленности источника Di, дБ		исходные данные	**0**	0	0	0	0	0	0	0	0		
Поправка на направленность источника Dc, дБ	Dc	DΩ + Di	**0**	0	0	0	0	0	0	0	0		
Затухание из-за геометрической дивергенции, Adiv, дБ	расстояние = 959.90 м	ф-ла (7) [10]	**70,6**										
Коэффициент затухания звука в атмосфере α, дБ/км	Ta=20,°C Pa=101.33,кПа hотн.=70%	ф-ла (5) [9]	0,02	0,09	0,33	1,12	2,79	4,98	9,04	23,09	77,63		
Учет затухания звука в атмосфере Aatm, дБ		ф-ла (8) [10]	0	0,1	0,3	1,1	2,7	4,8	8,7	22,2	74,5		
Снижение уровня звукового давления из-за влияния застройки между источником шума и расчетной точкой													
Снижение уровня звукового давления на пути над экраном, Dz1, дБ	z = 0.18м (разность путей)	ф-лы (14-18) [10]	4,8	4,8	4,8	4,8	4,8	4,8	4,8	4,8	4,8		

1		2	3	4	5	6	7	8	9	10	11	12	13
Снижение уровня звукового давления на пути слева от экрана, Dz2, дБ	z = 1.20м (разность путей)	ф-лы (14-18) [10]	10,9	14,3	17,4	20,3	23,3	26,3	29,3	32,3	35,3		
Снижение уровня звукового давления на пути справа от экрана, Dz3, дБ	z = 107.24м (разность путей)	ф-лы (14-18) [10]	30,5	33,7	36,7	39,8	42,8	45,8	48,8	51,8	54,8		
Общее снижение уровня звука препятствием Dz, дБ		Эн.сумма(-Dzi)	3,8	4,3	4,5	4,7	4,7	4,7	4,8	4,8	4,8		
Уровни звукового давления от источника ИШ-6-11 в расчётной точке днём, дБ		**ф-ла(3)[10]**	**0**	**21,3**	**22,2**	**22,6**	**21,3**	**18,7**	**11,5**	**0**	**0**	**22,7**	**22,7**
Уровни звукового давления от источника ИШ-6-11 в расчётной точке ночью, дБ		**ф-ла(3)[10]**	**0**	**21,3**	**22,2**	**22,6**	**21,3**	**18,7**	**11,5**	**0**	**0**	**22,7**	**22,7**
Источник шума: ИШ-6-12, координаты источника (x,y,z), м =[825.09,89.54,1.00]													
Уровни звуковой мощности источника днём, Lw, дБ		**исходные данные**	**0**	**96,3**	**97,7**	**99**	**99,3**	**98,9**	**95,6**	**91,4**	**86,9**		
Уровни звуковой мощности источника ночью, Lw, дБ		**исходные данные**	**0**	**96,3**	**97,7**	**99**	**99,3**	**98,9**	**95,6**	**91,4**	**86,9**		
Поправка на телесный угол DΩ, дБ	Ω = 12.57	10Lg(4π/Ω)	**0**	0	0	0	0	0	0	0	0		
Показатель направленности источника Di, дБ		исходные данные	**0**	0	0	0	0	0	0	0	0		
Поправка на направленность источника Dc, дБ	Dc	DΩ + Di	**0**	0	0	0	0	0	0	0	0		
Затухание из-за геометрической дивергенции, Adiv, дБ	расстояние = 958.26 м	ф-ла (7) [10]	**70,6**										
Коэффициент затухания звука в атмосфере α, дБ/км	Ta=20,°C Pa=101.33,кПа hотн.=70%	ф-ла (5) [9]	0,02	0,09	0,33	1,12	2,79	4,98	9,04	23,09	77,63		
Учет затухания звука в атмосфере Aatm, дБ		ф-ла (8) [10]	0	0,1	0,3	1,1	2,7	4,8	8,7	22,1	74,4		
Снижение уровня звукового давления из-за влияния застройки между источником шума и расчетной точкой													
Снижение уровня звукового давления на пути над экраном, Dz1, дБ	z = 0.18м (разность путей)	ф-лы (14-18) [10]	4,8	4,8	4,8	4,8	4,8	4,8	4,8	4,8	4,8		

1		2	3	4	5	6	7	8	9	10	11	12	13
Снижение уровня звукового давления на пути слева от экрана, Dz2, дБ	z = 1.08м (разность путей)	ф-лы (14-18) [10]	8,5	10,4	12,8	15,4	18,2	21,1	24,1	27,1	30,1		
Снижение уровня звукового давления на пути справа от экрана, Dz3, дБ	z = 51.89м (разность путей)	ф-лы (14-18) [10]	27,6	30,6	33,6	36,6	39,6	42,6	45,6	48,6	51,7		
Общее снижение уровня звука препятствием Dz, дБ		Эн.сумма(-Dzi)	3,2	3,7	4,1	4,4	4,6	4,7	4,7	4,8	4,8		
Уровни звукового давления от источника ИШ-6-12 в расчётной точке днём, дБ		**ф-ла(3)[10]**	**0**	**21,9**	**22,6**	**22,9**	**21,4**	**18,8**	**11,6**	**0**	**0**	**22,9**	**22,9**
Уровни звукового давления от источника ИШ-6-12 в расчётной точке ночью, дБ		**ф-ла(3)[10]**	**0**	**21,9**	**22,6**	**22,9**	**21,4**	**18,8**	**11,6**	**0**	**0**	**22,9**	**22,9**
Источник шума: ИШ-6-13, координаты источника (x,y,z), м =[767.76,-114.15,1.00]													
Уровни звуковой мощности источника днём, Lw, дБ		**исходные данные**	**0**	**96,3**	**97,7**	**99**	**99,3**	**98,9**	**95,6**	**91,4**	**86,9**		
Уровни звуковой мощности источника ночью, Lw, дБ		**исходные данные**	**0**	**96,3**	**97,7**	**99**	**99,3**	**98,9**	**95,6**	**91,4**	**86,9**		
Поправка на телесный угол DΩ, дБ	Ω = 12.57	10Lg(4π/Ω)	**0**	0	0	0	0	0	0	0	0		
Показатель направленности источника Di, дБ		исходные данные	**0**	0	0	0	0	0	0	0	0		
Поправка на направленность источника Dc, дБ	Dc	DΩ + Di	**0**	0	0	0	0	0	0	0	0		
Затухание из-за геометрической дивергенции, Adiv, дБ	расстояние = 891.50 м	ф-ла (7) [10]	**70**										
Коэффициент затухания звука в атмосфере α, дБ/км	Ta=20,°C Pa=101.33,кПа hотн.=70%	ф-ла (5) [9]	0,02	0,09	0,33	1,12	2,79	4,98	9,04	23,09	77,63		
Учет затухания звука в атмосфере Aatm, дБ		ф-ла (8) [10]	0	0,1	0,3	1	2,5	4,4	8,1	20,6	69,2		
Снижение уровня звукового давления из-за влияния застройки между источником шума и расчетной точкой													
Снижение уровня звукового давления на пути над экраном, Dz1, дБ	z = 0.17м (разность путей)	ф-лы (14-18) [10]	4,8	4,8	4,8	4,8	4,8	4,8	4,8	4,8	4,8		

1		2	3	4	5	6	7	8	9	10	11	12	13
Снижение уровня звукового давления на пути слева от экрана, Dz2, дБ	z = 0.01м (разность путей)	ф-лы (14-18) [10]	4,8	4,9	5,1	5,3	5,8	6,7	8	9,8	12		
Снижение уровня звукового давления на пути справа от экрана, Dz3, дБ	z = 6.75м (разность путей)	ф-лы (14-18) [10]	14,5	17,2	20,1	23	26	29	32	35	38		
Общее снижение уровня звука препятствием Dz, дБ		Эн.сумма(-Dzi)	1,6	1,7	1,8	2	2,2	2,6	3,1	3,6	4		
Уровни звукового давления от источника ИШ-6-13 в расчётной точке днём, дБ		**ф-ла(3)[10]**	**0**	**24,5**	**25,6**	**26**	**24,6**	**21,9**	**14,5**	**0**	**0**	**25,9**	**25,9**
Уровни звукового давления от источника ИШ-6-13 в расчётной точке ночью, дБ		**ф-ла(3)[10]**	**0**	**24,5**	**25,6**	**26**	**24,6**	**21,9**	**14,5**	**0**	**0**	**25,9**	**25,9**
Источник шума: ИШ-6-14, координаты источника (x,y,z), м =[766.82,-117.10,1.00]													
Уровни звуковой мощности источника днём, Lw, дБ		**исходные данные**	**0**	**96,3**	**97,7**	**99**	**99,3**	**98,9**	**95,6**	**91,4**	**86,9**		
Уровни звуковой мощности источника ночью, Lw, дБ		**исходные данные**	**0**	**96,3**	**97,7**	**99**	**99,3**	**98,9**	**95,6**	**91,4**	**86,9**		
Поправка на телесный угол DΩ, дБ	Ω = 12.57	10Lg(4π/Ω)	**0**	0	0	0	0	0	0	0	0		
Показатель направленности источника Di, дБ		исходные данные	**0**	0	0	0	0	0	0	0	0		
Поправка на направленность источника Dc, дБ	Dc	DΩ + Di	**0**	0	0	0	0	0	0	0	0		
Затухание из-за геометрической дивергенции, Adiv, дБ	расстояние = 890.75 м	ф-ла (7) [10]	**70**										
Коэффициент затухания звука в атмосфере α, дБ/км	Ta=20,°C Pa=101.33,кПа hотн.=70%	ф-ла (5) [9]	0,02	0,09	0,33	1,12	2,79	4,98	9,04	23,09	77,63		
Учет затухания звука в атмосфере Aatm, дБ		ф-ла (8) [10]	0	0,1	0,3	1	2,5	4,4	8,1	20,6	69,2		
Снижение уровня звукового давления из-за влияния застройки между источником шума и расчетной точкой													
Снижение уровня звукового давления на пути над экраном, Dz1, дБ	z = 0.17м (разность путей)	ф-лы (14-18) [10]	4,8	4,8	4,8	4,8	4,8	4,8	4,8	4,8	4,8		

1		2	3	4	5	6	7	8	9	10	11	12	13
Снижение уровня звукового давления на пути слева от экрана, Dz2, дБ	z = 0.00м (разность путей)	ф-лы (14-18) [10]	4,8	4,8	4,8	4,8	4,9	5,1	5,4	5,9	6,7		
Снижение уровня звукового давления на пути справа от экрана, Dz3, дБ	z = 7.14м (разность путей)	ф-лы (14-18) [10]	14,7	17,5	20,3	23,3	26,3	29,3	32,3	35,3	38,3		
Общее снижение уровня звука препятствием Dz, дБ		Эн.сумма(-Dzi)	1,5	1,7	1,7	1,8	1,8	1,9	2	2,3	2,6		
Уровни звукового давления от источника ИШ-6-14 в расчётной точке днём, дБ		**ф-ла(3)[10]**	**0**	**24,6**	**25,7**	**26,2**	**25**	**22,6**	**15,5**	**0**	**0**	**26,5**	**26,5**
Уровни звукового давления от источника ИШ-6-14 в расчётной точке ночью, дБ		**ф-ла(3)[10]**	**0**	**24,6**	**25,7**	**26,2**	**25**	**22,6**	**15,5**	**0**	**0**	**26,5**	**26,5**
Источник шума: ИШ-6-15, координаты источника (x,y,z), м =[765.71,-120.27,1.00]													
Уровни звуковой мощности источника днём, Lw, дБ		**исходные данные**	**0**	**96,3**	**97,7**	**99**	**99,3**	**98,9**	**95,6**	**91,4**	**86,9**		
Уровни звуковой мощности источника ночью, Lw, дБ		**исходные данные**	**0**	**96,3**	**97,7**	**99**	**99,3**	**98,9**	**95,6**	**91,4**	**86,9**		
Поправка на телесный угол DΩ, дБ	Ω = 12.57	10Lg(4π/Ω)	**0**	0	0	0	0	0	0	0	0		
Показатель направленности источника Di, дБ		исходные данные	**0**	0	0	0	0	0	0	0	0		
Поправка на направленность источника Dc, дБ	Dc	DΩ + Di	**0**	0	0	0	0	0	0	0	0		
Затухание из-за геометрической дивергенции, Adiv, дБ	расстояние = 889.87 м	ф-ла (7) [10]	**70**										
Коэффициент затухания звука в атмосфере α, дБ/км	Ta=20,°C Pa=101.33,кПа hотн.=70%	ф-ла (5) [9]	0,02	0,09	0,33	1,12	2,79	4,98	9,04	23,09	77,63		
Учет затухания звука в атмосфере Aatm, дБ		ф-ла (8) [10]	0	0,1	0,3	1	2,5	4,4	8	20,5	69,1		
Снижение поверхностью земли возле источника As, дБ	Gs = 0 hs = 1м	ф-лы таб.3 [10]	-1,5	-1,5	-1,5	-1,5	-1,5	-1,5	-1,5	-1,5	-1,5		
Снижение поверхностью земли возле приёмника Ar, дБ	Gr = 1 hr = 1.5м	ф-лы таб.3 [10]	-1,5	-1,5	4,8	7	5	0,7	0	0	0		

1		2	3	4	5	6	7	8	9	10	11	12	13
Снижение поверхностью земли в средней зоне, Am дБ	Gm = 1	ф-лы таб.3 [10]	-2,7	-2,7	0	0	0	0	0	0	0		
Суммарное снижение поверхностью земли на траектории распространения звука Agr, дБ		ф-ла (9) [10]	-5,7	-5,7	3,3	5,5	3,5	-0,8	-1,5	-1,5	-1,5		
Уровни звукового давления от источника ИШ-6-15 в расчётной точке днём, дБ		**ф-ла(3)[10]**	**0**	**32**	**24,1**	**22,5**	**23,3**	**25,3**	**19,1**	**2,4**	**0**	**27,7**	**27,7**
Уровни звукового давления от источника ИШ-6-15 в расчётной точке ночью, дБ		**ф-ла(3)[10]**	**0**	**32**	**24,1**	**22,5**	**23,3**	**25,3**	**19,1**	**2,4**	**0**	**27,7**	**27,7**
Источник шума: ИШ-6-16, координаты источника (x,y,z), м =[764.57,-123.22,1.00]													
Уровни звуковой мощности источника днём, Lw, дБ		**исходные данные**	**0**	**96,3**	**97,7**	**99**	**99,3**	**98,9**	**95,6**	**91,4**	**86,9**		
Уровни звуковой мощности источника ночью, Lw, дБ		**исходные данные**	**0**	**96,3**	**97,7**	**99**	**99,3**	**98,9**	**95,6**	**91,4**	**86,9**		
Поправка на телесный угол DΩ, дБ	Ω = 12.57	10Lg(4π/Ω)	**0**	0	0	0	0	0	0	0	0		
Показатель направленности источника Di, дБ		исходные данные	**0**	0	0	0	0	0	0	0	0		
Поправка на направленность источника Dc, дБ	Dc	DΩ + Di	**0**	0	0	0	0	0	0	0	0		
Затухание из-за геометрической дивергенции, Adiv, дБ	расстояние = 888.94 м	ф-ла (7) [10]	**70**										
Коэффициент затухания звука в атмосфере α, дБ/км	Ta=20,°C Pa=101.33,кПа hотн.=70%	ф-ла (5) [9]	0,02	0,09	0,33	1,12	2,79	4,98	9,04	23,09	77,63		
Учет затухания звука в атмосфере Aatm, дБ		ф-ла (8) [10]	0	0,1	0,3	1	2,5	4,4	8	20,5	69		
Снижение поверхностью земли возле источника As, дБ	Gs = 0 hs = 1м	ф-лы таб.3 [10]	-1,5	-1,5	-1,5	-1,5	-1,5	-1,5	-1,5	-1,5	-1,5		
Снижение поверхностью земли возле приёмника Ar, дБ	Gr = 1 hr = 1.5м	ф-лы таб.3 [10]	-1,5	-1,5	4,8	7	5	0,7	0	0	0		
Снижение поверхностью земли в средней зоне, Am дБ	Gm = 1	ф-лы таб.3 [10]	-2,7	-2,7	0	0	0	0	0	0	0		

1		2	3	4	5	6	7	8	9	10	11	12	13
Суммарное снижение поверхностью земли на траектории распространения звука Agr, дБ		ф-ла (9) [10]	-5,7	-5,7	3,3	5,5	3,5	-0,8	-1,5	-1,5	-1,5		
Уровни звукового давления от источника ИШ-6-16 в расчётной точке днём, дБ		**ф-ла(3)[10]**	**0**	**32**	**24,1**	**22,5**	**23,4**	**25,3**	**19,1**	**2,4**	**0**	**27,7**	**27,7**
Уровни звукового давления от источника ИШ-6-16 в расчётной точке ночью, дБ		**ф-ла(3)[10]**	**0**	**32**	**24,1**	**22,5**	**23,4**	**25,3**	**19,1**	**2,4**	**0**	**27,7**	**27,7**
Источник шума: ИШ-6-17, координаты источника (x,y,z), м =[763.57,-126.18,1.00]													
Уровни звуковой мощности источника днём, Lw, дБ		**исходные данные**	**0**	**96,3**	**97,7**	**99**	**99,3**	**98,9**	**95,6**	**91,4**	**86,9**		
Уровни звуковой мощности источника ночью, Lw, дБ		**исходные данные**	**0**	**96,3**	**97,7**	**99**	**99,3**	**98,9**	**95,6**	**91,4**	**86,9**		
Поправка на телесный угол DΩ, дБ	Ω = 12.57	10Lg(4π/Ω)	**0**	0	0	0	0	0	0	0	0		
Показатель направленности источника Di, дБ		исходные данные	**0**	0	0	0	0	0	0	0	0		
Поправка на направленность источника Dc, дБ	Dc	DΩ + Di	**0**	0	0	0	0	0	0	0	0		
Затухание из-за геометрической дивергенции, Adiv, дБ	расстояние = 888.17 м	ф-ла (7) [10]	**70**										
Коэффициент затухания звука в атмосфере α, дБ/км	Ta=20,°C Pa=101.33,кПа hотн.=70%	ф-ла (5) [9]	0,02	0,09	0,33	1,12	2,79	4,98	9,04	23,09	77,63		
Учет затухания звука в атмосфере Aatm, дБ		ф-ла (8) [10]	0	0,1	0,3	1	2,5	4,4	8	20,5	69		
Снижение поверхностью земли возле источника As, дБ	Gs = 0 hs = 1м	ф-лы таб.3 [10]	-1,5	-1,5	-1,5	-1,5	-1,5	-1,5	-1,5	-1,5	-1,5		
Снижение поверхностью земли возле приёмника Ar, дБ	Gr = 1 hr = 1.5м	ф-лы таб.3 [10]	-1,5	-1,5	4,8	7	5	0,7	0	0	0		
Снижение поверхностью земли в средней зоне, Am дБ	Gm = 1	ф-лы таб.3 [10]	-2,7	-2,7	0	0	0	0	0	0	0		
Суммарное снижение поверхностью земли на траектории распространения звука Agr, дБ		ф-ла (9) [10]	-5,7	-5,7	3,3	5,5	3,5	-0,8	-1,5	-1,5	-1,5		

1		2	3	4	5	6	7	8	9	10	11	12	13
Уровни звукового давления прямого звука от источника ИШ-6-17 в расчётной точке днём, дБ		**ф-ла(3)[10]**	**0**	**32**	**24,4**	**22,5**	**23,4**	**25,3**	**19,1**	**2,4**	**0**	**27,7**	**27,7**
Уровни звукового давления прямого звука от источника ИШ-6-17 в расчётной точке ночью, дБ		**ф-ла(3)[10]**	**0**	**32**	**24,4**	**22,5**	**23,4**	**25,3**	**19,1**	**2,4**	**0**	**27,7**	**27,7**
Расчёт отражённого звука													
Уровни звукового давления от мнимого источника ИШ-6-17_мн.(1) в расчётной точке днём, дБ		**ф-ла(3)[10]**	**0**	**0**	**0**	**0**	**0**	**0**	**0**	**0**	**0**	**0**	**0**
Уровни звукового давления от мнимого источника ИШ-6-17_мн.(1) в расчётной точке ночью, дБ		**ф-ла(3)[10]**	**0**	**0**	**0**	**0**	**0**	**0**	**0**	**0**	**0**	**0**	**0**
Уровни звукового давления от источника ИШ-6-17 в расчётной точке днём, дБ		**ф-ла(3)[10]**	**0**	**32**	**24,4**	**22,5**	**23,4**	**25,3**	**19,1**	**2,4**	**0**	**27,7**	**27,7**
Уровни звукового давления от источника ИШ-6-17 в расчётной точке ночью, дБ		**ф-ла(3)[10]**	**0**	**32**	**24,4**	**22,5**	**23,4**	**25,3**	**19,1**	**2,4**	**0**	**27,7**	**27,7**
Источник шума: ИШ-6-18, координаты источника (x,y,z), м =[804.77,-126.28,1.00]													
Уровни звуковой мощности источника днём, Lw, дБ		**исходные данные**	**0**	**96,3**	**97,7**	**99**	**99,3**	**98,9**	**95,6**	**91,4**	**86,9**		
Уровни звуковой мощности источника ночью, Lw, дБ		**исходные данные**	**0**	**96,3**	**97,7**	**99**	**99,3**	**98,9**	**95,6**	**91,4**	**86,9**		
Поправка на телесный угол DΩ, дБ	Ω = 12.57	10Lg(4π/Ω)	**0**	0	0	0	0	0	0	0	0		
Показатель направленности источника Di, дБ		исходные данные	**0**	0	0	0	0	0	0	0	0		
Поправка на направленность источника Dc, дБ	Dc	DΩ + Di	**0**	0	0	0	0	0	0	0	0		
Затухание из-за геометрической дивергенции, Adiv, дБ	расстояние = 929.26 м	ф-ла (7) [10]	**70,4**										
Коэффициент затухания звука в атмосфере α, дБ/км	Ta=20,°C Pa=101.33,кПа hотн.=70%	ф-ла (5) [9]	0,02	0,09	0,33	1,12	2,79	4,98	9,04	23,09	77,63		
Учет затухания звука в атмосфере Aatm, дБ		ф-ла (8) [10]	0	0,1	0,3	1	2,6	4,6	8,4	21,5	72,1		

1		2	3	4	5	6	7	8	9	10	11	12	13
Снижение поверхностью земли возле источника As, дБ	Gs = 0 hs = 1м	ф-лы таб.3 [10]	-1,5	-1,5	-1,5	-1,5	-1,5	-1,5	-1,5	-1,5	-1,5		
Снижение поверхностью земли возле приёмника Ar, дБ	Gr = 1 hr = 1.5м	ф-лы таб.3 [10]	-1,5	-1,5	4,9	7	5	0,7	0	0	0		
Снижение поверхностью земли в средней зоне, Am дБ	Gm = 1	ф-лы таб.3 [10]	-2,8	-2,8	0	0	0	0	0	0	0		
Суммарное снижение поверхностью земли на траектории распространения звука Agr, дБ		ф-ла (9) [10]	-5,8	-5,8	3,4	5,5	3,5	-0,8	-1,5	-1,5	-1,5		
Уровни звукового давления от источника ИШ-6-18 в расчётной точке днём, дБ		**ф-ла(3)[10]**	**0**	**31,6**	**23,6**	**22,1**	**22,9**	**24,7**	**18,3**	**0**	**0**	**27,1**	**27,1**
Уровни звукового давления от источника ИШ-6-18 в расчётной точке ночью, дБ		**ф-ла(3)[10]**	**0**	**31,6**	**23,6**	**22,1**	**22,9**	**24,7**	**18,3**	**0**	**0**	**27,1**	**27,1**
Источник шума: ИШ-6-19, координаты источника (x,y,z), м =[803.81,-129.30,1.00]													
Уровни звуковой мощности источника днём, Lw, дБ		**исходные данные**	**0**	**96,3**	**97,7**	**99**	**99,3**	**98,9**	**95,6**	**91,4**	**86,9**		
Уровни звуковой мощности источника ночью, Lw, дБ		**исходные данные**	**0**	**96,3**	**97,7**	**99**	**99,3**	**98,9**	**95,6**	**91,4**	**86,9**		
Поправка на телесный угол DΩ, дБ	Ω = 12.57	10Lg(4π/Ω)	**0**	0	0	0	0	0	0	0	0		
Показатель направленности источника Di, дБ		исходные данные	**0**	0	0	0	0	0	0	0	0		
Поправка на направленность источника Dc, дБ	Dc	DΩ + Di	**0**	0	0	0	0	0	0	0	0		
Затухание из-за геометрической дивергенции, Adiv, дБ	расстояние = 928.54 м	ф-ла (7) [10]	**70,4**										
Коэффициент затухания звука в атмосфере α, дБ/км	Ta=20,°C Pa=101.33,кПа hотн.=70%	ф-ла (5) [9]	0,02	0,09	0,33	1,12	2,79	4,98	9,04	23,09	77,63		
Учет затухания звука в атмосфере Aatm, дБ		ф-ла (8) [10]	0	0,1	0,3	1	2,6	4,6	8,4	21,4	72,1		
Снижение поверхностью земли возле источника As, дБ	Gs = 0 hs = 1м	ф-лы таб.3 [10]	-1,5	-1,5	-1,5	-1,5	-1,5	-1,5	-1,5	-1,5	-1,5		

1		2	3	4	5	6	7	8	9	10	11	12	13
Снижение поверхностью земли возле приёмника Ar, дБ	Gr = 1 hr = 1.5м	ф-лы таб.3 [10]	-1,5	-1,5	4,9	7	5	0,7	0	0	0		
Снижение поверхностью земли в средней зоне, Am дБ	Gm = 1	ф-лы таб.3 [10]	-2,8	-2,8	0	0	0	0	0	0	0		
Суммарное снижение поверхностью земли на траектории распространения звука Agr, дБ		ф-ла (9) [10]	-5,8	-5,8	3,4	5,5	3,5	-0,8	-1,5	-1,5	-1,5		
Уровни звукового давления от источника ИШ-6-19 в расчётной точке днём, дБ		**ф-ла(3)[10]**	**0**	**31,6**	**23,8**	**22,1**	**22,9**	**24,8**	**18,3**	**0**	**0**	**27,1**	**27,1**
Уровни звукового давления от источника ИШ-6-19 в расчётной точке ночью, дБ		**ф-ла(3)[10]**	**0**	**31,6**	**23,8**	**22,1**	**22,9**	**24,8**	**18,3**	**0**	**0**	**27,1**	**27,1**
Источник шума: ИШ-6-20, координаты источника (x,y,z), м =[802.67,-132.35,1.00]													
Уровни звуковой мощности источника днём, Lw, дБ		**исходные данные**	**0**	**96,3**	**97,7**	**99**	**99,3**	**98,9**	**95,6**	**91,4**	**86,9**		
Уровни звуковой мощности источника ночью, Lw, дБ		**исходные данные**	**0**	**96,3**	**97,7**	**99**	**99,3**	**98,9**	**95,6**	**91,4**	**86,9**		
Поправка на телесный угол DΩ, дБ	Ω = 12.57	10Lg(4π/Ω)	**0**	0	0	0	0	0	0	0	0		
Показатель направленности источника Di, дБ		исходные данные	**0**	0	0	0	0	0	0	0	0		
Поправка на направленность источника Dc, дБ	Dc	DΩ + Di	**0**	0	0	0	0	0	0	0	0		
Затухание из-за геометрической дивергенции, Adiv, дБ	расстояние = 927.64 м	ф-ла (7) [10]	**70,3**										
Коэффициент затухания звука в атмосфере α, дБ/км	Ta=20,°C Pa=101.33,кПа hотн.=70%	ф-ла (5) [9]	0,02	0,09	0,33	1,12	2,79	4,98	9,04	23,09	77,63		
Учет затухания звука в атмосфере Aatm, дБ		ф-ла (8) [10]	0	0,1	0,3	1	2,6	4,6	8,4	21,4	72		
Снижение уровня звукового давления из-за влияния застройки между источником шума и расчетной точкой													
Снижение уровня звукового давления препятствием слева от трассы ИШ-РТ, Dz2, дБ	z = -0.06м (разность путей)	ф-лы (14-18) [10]	0	0	3,3	0,9	NAN	NAN	NAN	NAN	NAN		

1		2	3	4	5	6	7	8	9	10	11	12	13
Снижение уровня звукового давления препятствием справа от трассы ИШ-РТ, Dz3, дБ	z = -0.07м (разность путей)	ф-лы (14-18) [10]	0	0	3,1	0,2	NAN	NAN	NAN	NAN	NAN		
Общее снижение уровня звука препятствием Dz, дБ		Эн.сумма(-Dzi)	0	0	0,2	-2,5	0	0	0	0	0		
* отрицательное значение z означает прохождение траектории вблизи экрана, в этом случае дополнительно производится учёт снижения подстилающей поверхностью (см.ниже)													
Снижение поверхностью земли возле источника As, дБ	Gs = 0 hs = 1м	ф-лы таб.3 [10]	-1,5	-1,5	-1,5	-1,5	-1,5	-1,5	-1,5	-1,5	-1,5		
Снижение поверхностью земли возле приёмника Ar, дБ	Gr = 1 hr = 1.5м	ф-лы таб.3 [10]	-1,5	-1,5	4,9	7	5	0,7	0	0	0		
Снижение поверхностью земли в средней зоне, Am дБ	Gm = 1	ф-лы таб.3 [10]	-2,8	-2,8	0	0	0	0	0	0	0		
Суммарное снижение поверхностью земли на траектории распространения звука Agr, дБ		ф-ла (9) [10]	-5,8	-5,8	3,4	5,5	3,5	-0,8	-1,5	-1,5	-1,5		
Уровни звукового давления от источника ИШ-6-20 в расчётной точке днём, дБ		**ф-ла(3)[10]**	**0**	**31,6**	**23,5**	**24,5**	**22,9**	**24,8**	**18,4**	**0**	**0**	**27,3**	**27,3**
Уровни звукового давления от источника ИШ-6-20 в расчётной точке ночью, дБ		**ф-ла(3)[10]**	**0**	**31,6**	**23,5**	**24,5**	**22,9**	**24,8**	**18,4**	**0**	**0**	**27,3**	**27,3**
Источник шума: ИШ-6-21, координаты источника (x,y,z), м =[801.69,-135.42,1.00]													
Уровни звуковой мощности источника днём, Lw, дБ		**исходные данные**	**0**	**96,3**	**97,7**	**99**	**99,3**	**98,9**	**95,6**	**91,4**	**86,9**		
Уровни звуковой мощности источника ночью, Lw, дБ		**исходные данные**	**0**	**96,3**	**97,7**	**99**	**99,3**	**98,9**	**95,6**	**91,4**	**86,9**		
Поправка на телесный угол DΩ, дБ	Ω = 12.57	10Lg(4π/Ω)	**0**	0	0	0	0	0	0	0	0		
Показатель направленности источника Di, дБ		исходные данные	**0**	0	0	0	0	0	0	0	0		
Поправка на направленность источника Dc, дБ	Dc	DΩ + Di	**0**	0	0	0	0	0	0	0	0		
Затухание из-за геометрической дивергенции, Adiv, дБ	расстояние = 926.91 м	ф-ла (7) [10]	**70,3**										
Коэффициент затухания звука в атмосфере α, дБ/км	Ta=20,°C Pa=101.33,кПа hотн.=70%	ф-ла (5) [9]	0,02	0,09	0,33	1,12	2,79	4,98	9,04	23,09	77,63		

1		2	3	4	5	6	7	8	9	10	11	12	13
Учет затухания звука в атмосфере Aatm, дБ		ф-ла (8) [10]	0	0,1	0,3	1	2,6	4,6	8,4	21,4	72		
Снижение поверхностью земли возле источника As, дБ	Gs = 0 hs = 1м	ф-лы таб.3 [10]	-1,5	-1,5	-1,5	-1,5	-1,5	-1,5	-1,5	-1,5	-1,5		
Снижение поверхностью земли возле приёмника Ar, дБ	Gr = 1 hr = 1.5м	ф-лы таб.3 [10]	-1,5	-1,5	4,9	7	5	0,7	0	0	0		
Снижение поверхностью земли в средней зоне, Am дБ	Gm = 1	ф-лы таб.3 [10]	-2,8	-2,8	0	0	0	0	0	0	0		
Суммарное снижение поверхностью земли на траектории распространения звука Agr, дБ		ф-ла (9) [10]	-5,8	-5,8	3,4	5,5	3,5	-0,8	-1,5	-1,5	-1,5		
Уровни звукового давления прямого звука от источника ИШ-6-21 в расчётной точке днём, дБ		**ф-ла(3)[10]**	**0**	**31,6**	**24,1**	**22,1**	**22,9**	**24,8**	**18,4**	**0**	**0**	**27,1**	**27,1**
Уровни звукового давления прямого звука от источника ИШ-6-21 в расчётной точке ночью, дБ		**ф-ла(3)[10]**	**0**	**31,6**	**24,1**	**22,1**	**22,9**	**24,8**	**18,4**	**0**	**0**	**27,1**	**27,1**
Расчёт отражённого звука													
Уровни звукового давления от мнимого источника ИШ-6-21_мн.(1) в расчётной точке днём, дБ		**ф-ла(3)[10]**	**0**	**0**	**0**	**0**	**0**	**0**	**0**	**0**	**0**	**0**	**0**
Уровни звукового давления от мнимого источника ИШ-6-21_мн.(1) в расчётной точке ночью, дБ		**ф-ла(3)[10]**	**0**	**0**	**0**	**0**	**0**	**0**	**0**	**0**	**0**	**0**	**0**
Уровни звукового давления от источника ИШ-6-21 в расчётной точке днём, дБ		**ф-ла(3)[10]**	**0**	**31,6**	**24,1**	**22,1**	**22,9**	**24,8**	**18,4**	**0**	**0**	**27,1**	**27,1**
Уровни звукового давления от источника ИШ-6-21 в расчётной точке ночью, дБ		**ф-ла(3)[10]**	**0**	**31,6**	**24,1**	**22,1**	**22,9**	**24,8**	**18,4**	**0**	**0**	**27,1**	**27,1**
Источник шума: ИШ-6-22, координаты источника (x,y,z), м =[800.65,-138.47,1.00]													
Уровни звуковой мощности источника днём, Lw, дБ		**исходные данные**	**0**	**96,3**	**97,7**	**99**	**99,3**	**98,9**	**95,6**	**91,4**	**86,9**		
Уровни звуковой мощности источника ночью, Lw, дБ		**исходные данные**	**0**	**96,3**	**97,7**	**99**	**99,3**	**98,9**	**95,6**	**91,4**	**86,9**		
Поправка на телесный угол DΩ, дБ	Ω = 12.57	10Lg(4π/Ω)	**0**	0	0	0	0	0	0	0	0		
Показатель направленности источника Di, дБ		исходные данные	**0**	0	0	0	0	0	0	0	0		

1		2	3	4	5	6	7	8	9	10	11	12	13
Поправка на направленность источника Dc, дБ	Dc	DΩ + Di	**0**	0	0	0	0	0	0	0	0		
Затухание из-за геометрической дивергенции, Adiv, дБ	расстояние = 926.14 м	ф-ла (7) [10]	**70,3**										
Коэффициент затухания звука в атмосфере α, дБ/км	Ta=20,°C Pa=101.33,кПа hотн.=70%	ф-ла (5) [9]	0,02	0,09	0,33	1,12	2,79	4,98	9,04	23,09	77,63		
Учет затухания звука в атмосфере Aatm, дБ		ф-ла (8) [10]	0	0,1	0,3	1	2,6	4,6	8,4	21,4	71,9		
Снижение поверхностью земли возле источника As, дБ	Gs = 0 hs = 1м	ф-лы таб.3 [10]	-1,5	-1,5	-1,5	-1,5	-1,5	-1,5	-1,5	-1,5	-1,5		
Снижение поверхностью земли возле приёмника Ar, дБ	Gr = 1 hr = 1.5м	ф-лы таб.3 [10]	-1,5	-1,5	4,9	7	5	0,7	0	0	0		
Снижение поверхностью земли в средней зоне, Am дБ	Gm = 1	ф-лы таб.3 [10]	-2,8	-2,8	0	0	0	0	0	0	0		
Суммарное снижение поверхностью земли на траектории распространения звука Agr, дБ		ф-ла (9) [10]	-5,8	-5,8	3,4	5,5	3,5	-0,8	-1,5	-1,5	-1,5		
Уровни звукового давления прямого звука от источника ИШ-6-22 в расчётной точке днём, дБ		**ф-ла(3)[10]**	**0**	**31,6**	**23,6**	**22,1**	**22,9**	**24,8**	**18,4**	**0**	**0**	**27,1**	**27,1**
Уровни звукового давления прямого звука от источника ИШ-6-22 в расчётной точке ночью, дБ		**ф-ла(3)[10]**	**0**	**31,6**	**23,6**	**22,1**	**22,9**	**24,8**	**18,4**	**0**	**0**	**27,1**	**27,1**
Расчёт отражённого звука													
Уровни звукового давления от мнимого источника ИШ-6-22_мн.(1) в расчётной точке днём, дБ		**ф-ла(3)[10]**	**0**	**0**	**0**	**0**	**0**	**0**	**0**	**0**	**0**	**0**	**0**
Уровни звукового давления от мнимого источника ИШ-6-22_мн.(1) в расчётной точке ночью, дБ		**ф-ла(3)[10]**	**0**	**0**	**0**	**0**	**0**	**0**	**0**	**0**	**0**	**0**	**0**
Уровни звукового давления от источника ИШ-6-22 в расчётной точке днём, дБ		**ф-ла(3)[10]**	**0**	**31,6**	**23,6**	**22,1**	**22,9**	**24,8**	**18,4**	**0**	**0**	**27,1**	**27,1**
Уровни звукового давления от источника ИШ-6-22 в расчётной точке ночью, дБ		**ф-ла(3)[10]**	**0**	**31,6**	**23,6**	**22,1**	**22,9**	**24,8**	**18,4**	**0**	**0**	**27,1**	**27,1**
Источник шума: ИШ-7-1, координаты источника (x,y,z), м =[821.44,63.31,1.00]													

1		2	3	4	5	6	7	8	9	10	11	12	13
Уровни звуковой мощности источника днём, Lw, дБ		**исходные данные**	**77**	**75**	**67**	**66**	**63**	**55**	**53**	**48**	**51**		
Уровни звуковой мощности источника ночью, Lw, дБ		**исходные данные**	**77**	**75**	**67**	**66**	**63**	**55**	**53**	**48**	**51**		
Поправка на телесный угол DΩ, дБ	Ω = 12.57	10Lg(4π/Ω)	**0**	0	0	0	0	0	0	0	0		
Показатель направленности источника Di, дБ		исходные данные	**0**	0	0	0	0	0	0	0	0		
Поправка на направленность источника Dc, дБ	Dc	DΩ + Di	**0**	0	0	0	0	0	0	0	0		
Затухание из-за геометрической дивергенции, Adiv, дБ	расстояние = 950.98 м	ф-ла (7) [10]	**70,6**										
Коэффициент затухания звука в атмосфере α, дБ/км	Ta=20,°C Pa=101.33,кПа hотн.=70%	ф-ла (5) [9]	0,02	0,09	0,33	1,12	2,79	4,98	9,04	23,09	77,63		
Учет затухания звука в атмосфере Aatm, дБ		ф-ла (8) [10]	0	0,1	0,3	1,1	2,7	4,7	8,6	22	73,8		
Снижение уровня звукового давления из-за влияния застройки между источником шума и расчетной точкой													
Снижение уровня звукового давления на пути над экраном, Dz1, дБ	z = 0.19м (разность путей)	ф-лы (14-18) [10]	4,8	4,8	4,8	4,8	4,8	4,8	4,8	4,8	4,8		
Уровни звукового давления от источника ИШ-7-1 в расчётной точке днём, дБ		**ф-ла(3)[10]**	**1,6**	**0**	**0**	**0**	**0**	**0**	**0**	**0**	**0**	**0**	**0**
Уровни звукового давления от источника ИШ-7-1 в расчётной точке ночью, дБ		**ф-ла(3)[10]**	**1,6**	**0**	**0**	**0**	**0**	**0**	**0**	**0**	**0**	**0**	**0**
Источник шума: ИШ-7-2, координаты источника (x,y,z), м =[768.90,-86.75,1.00]													
Уровни звуковой мощности источника днём, Lw, дБ		**исходные данные**	**77**	**75**	**67**	**66**	**63**	**55**	**53**	**48**	**51**		
Уровни звуковой мощности источника ночью, Lw, дБ		**исходные данные**	**77**	**75**	**67**	**66**	**63**	**55**	**53**	**48**	**51**		
Поправка на телесный угол DΩ, дБ	Ω = 12.57	10Lg(4π/Ω)	**0**	0	0	0	0	0	0	0	0		

1		2	3	4	5	6	7	8	9	10	11	12	13
Показатель направленности источника Di, дБ		исходные данные	**0**	0	0	0	0	0	0	0	0		
Поправка на направленность источника Dc, дБ	Dc	DΩ + Di	**0**	0	0	0	0	0	0	0	0		
Затухание из-за геометрической дивергенции, Adiv, дБ	расстояние = 891.29 м	ф-ла (7) [10]	**70**										
Коэффициент затухания звука в атмосфере α, дБ/км	Ta=20,°C Pa=101.33,кПа hотн.=70%	ф-ла (5) [9]	0,02	0,09	0,33	1,12	2,79	4,98	9,04	23,09	77,63		
Учет затухания звука в атмосфере Aatm, дБ		ф-ла (8) [10]	0	0,1	0,3	1	2,5	4,4	8,1	20,6	69,2		
Снижение уровня звукового давления из-за влияния застройки между источником шума и расчетной точкой													
Снижение уровня звукового давления на пути над экраном, Dz1, дБ	z = 0.18м (разность путей)	ф-лы (14-18) [10]	4,8	4,8	4,8	4,8	4,8	4,8	4,8	4,8	4,8		
Уровни звукового давления от источника ИШ-7-2 в расчётной точке днём, дБ		**ф-ла(3)[10]**	**2,2**	**0,1**	**0**	**0**	**0**	**0**	**0**	**0**	**0**	**0**	**0**
Уровни звукового давления от источника ИШ-7-2 в расчётной точке ночью, дБ		**ф-ла(3)[10]**	**2,2**	**0,1**	**0**	**0**	**0**	**0**	**0**	**0**	**0**	**0**	**0**
Источник шума: ИШ-7-3, координаты источника (x,y,z), м =[766.80,-93.20,1.00]													
Уровни звуковой мощности источника днём, Lw, дБ		**исходные данные**	**77**	**75**	**67**	**66**	**63**	**55**	**53**	**48**	**51**		
Уровни звуковой мощности источника ночью, Lw, дБ		**исходные данные**	**77**	**75**	**67**	**66**	**63**	**55**	**53**	**48**	**51**		
Поправка на телесный угол DΩ, дБ	Ω = 12.57	10Lg(4π/Ω)	**0**	0	0	0	0	0	0	0	0		
Показатель направленности источника Di, дБ		исходные данные	**0**	0	0	0	0	0	0	0	0		
Поправка на направленность источника Dc, дБ	Dc	DΩ + Di	**0**	0	0	0	0	0	0	0	0		
Затухание из-за геометрической дивергенции, Adiv, дБ	расстояние = 889.44 м	ф-ла (7) [10]	**70**										

1		2	3	4	5	6	7	8	9	10	11	12	13
Коэффициент затухания звука в атмосфере α, дБ/км	Ta=20,°C Pa=101.33,кПа hотн.=70%	ф-ла (5) [9]	0,02	0,09	0,33	1,12	2,79	4,98	9,04	23,09	77,63		
Учет затухания звука в атмосфере Aatm, дБ		ф-ла (8) [10]	0	0,1	0,3	1	2,5	4,4	8	20,5	69,1		
Снижение уровня звукового давления из-за влияния застройки между источником шума и расчетной точкой													
Снижение уровня звукового давления на пути над экраном, Dz1, дБ	z = 0.18м (разность путей)	ф-лы (14-18) [10]	4,8	4,8	4,8	4,8	4,8	4,8	4,8	4,8	4,8		
Уровни звукового давления от источника ИШ-7-3 в расчётной точке днём, дБ		**ф-ла(3)[10]**	**2,2**	**0,2**	**0**	**0**	**0**	**0**	**0**	**0**	**0**	**0**	**0**
Уровни звукового давления от источника ИШ-7-3 в расчётной точке ночью, дБ		**ф-ла(3)[10]**	**2,2**	**0,2**	**0**	**0**	**0**	**0**	**0**	**0**	**0**	**0**	**0**
Источник шума: ИШ-7-4, координаты источника (x,y,z), м =[866.76,37.18,1.00]													
Уровни звуковой мощности источника днём, Lw, дБ		**исходные данные**	**77**	**75**	**67**	**66**	**63**	**55**	**53**	**48**	**51**		
Уровни звуковой мощности источника ночью, Lw, дБ		**исходные данные**	**77**	**75**	**67**	**66**	**63**	**55**	**53**	**48**	**51**		
Поправка на телесный угол DΩ, дБ	Ω = 12.57	10Lg(4π/Ω)	**0**	0	0	0	0	0	0	0	0		
Показатель направленности источника Di, дБ		исходные данные	**0**	0	0	0	0	0	0	0	0		
Поправка на направленность источника Dc, дБ	Dc	DΩ + Di	**0**	0	0	0	0	0	0	0	0		
Затухание из-за геометрической дивергенции, Adiv, дБ	расстояние = 993.13 м	ф-ла (7) [10]	**70,9**										
Коэффициент затухания звука в атмосфере α, дБ/км	Ta=20,°C Pa=101.33,кПа hотн.=70%	ф-ла (5) [9]	0,02	0,09	0,33	1,12	2,79	4,98	9,04	23,09	77,63		
Учет затухания звука в атмосфере Aatm, дБ		ф-ла (8) [10]	0	0,1	0,3	1,1	2,8	4,9	9	22,9	77,1		
Снижение уровня звукового давления из-за влияния застройки между источником шума и расчетной точкой													

1		2	3	4	5	6	7	8	9	10	11	12	13
Снижение уровня звукового давления препятствием справа от трассы ИШ-РТ, Dz3, дБ	z = -0.02м (разность путей)	ф-лы (14-18) [10]	0	0	4,2	3,6	2,1	0	NAN	NAN	NAN		
* отрицательное значение z означает прохождение траектории вблизи экрана, в этом случае дополнительно производится учёт снижения подстилающей поверхностью (см.ниже)													
Снижение поверхностью земли возле источника As, дБ	Gs = 0 hs = 1м	ф-лы таб.3 [10]	-1,5	-1,5	-1,5	-1,5	-1,5	-1,5	-1,5	-1,5	-1,5		
Снижение поверхностью земли возле приёмника Ar, дБ	Gr = 1 hr = 1.5м	ф-лы таб.3 [10]	-1,5	-1,5	5,1	7	5	0,7	0	0	0		
Снижение поверхностью земли в средней зоне, Am дБ	Gm = 1	ф-лы таб.3 [10]	-2,8	-2,8	0	0	0	0	0	0	0		
Суммарное снижение поверхностью земли на траектории распространения звука Agr, дБ		ф-ла (9) [10]	-5,8	-5,8	3,6	5,5	3,5	-0,8	-1,5	-1,5	-1,5		
Уровни звукового давления от источника ИШ-7-4 в расчётной точке днём, дБ		**ф-ла(3)[10]**	**11,8**	**9,7**	**0**	**0**	**0**	**0**	**0**	**0**	**0**	**0**	**0**
Уровни звукового давления от источника ИШ-7-4 в расчётной точке ночью, дБ		**ф-ла(3)[10]**	**11,8**	**9,7**	**0**	**0**	**0**	**0**	**0**	**0**	**0**	**0**	**0**
Источник шума: ИШ-7-5, координаты источника (x,y,z), м =[861.80,21.34,1.00]													
Уровни звуковой мощности источника днём, Lw, дБ		**исходные данные**	**77**	**75**	**67**	**66**	**63**	**55**	**53**	**48**	**51**		
Уровни звуковой мощности источника ночью, Lw, дБ		**исходные данные**	**77**	**75**	**67**	**66**	**63**	**55**	**53**	**48**	**51**		
Поправка на телесный угол DΩ, дБ	Ω = 12.57	10Lg(4π/Ω)	**0**	0	0	0	0	0	0	0	0		
Показатель направленности источника Di, дБ		исходные данные	**0**	0	0	0	0	0	0	0	0		
Поправка на направленность источника Dc, дБ	Dc	DΩ + Di	**0**	0	0	0	0	0	0	0	0		
Затухание из-за геометрической дивергенции, Adiv, дБ	расстояние = 986.81 м	ф-ла (7) [10]	**70,9**										
Коэффициент затухания звука в атмосфере α, дБ/км	Ta=20,°C Pa=101.33,кПа hотн.=70%	ф-ла (5) [9]	0,02	0,09	0,33	1,12	2,79	4,98	9,04	23,09	77,63		
Учет затухания звука в атмосфере Aatm, дБ		ф-ла (8) [10]	0	0,1	0,3	1,1	2,8	4,9	8,9	22,8	76,6		

1		2	3	4	5	6	7	8	9	10	11	12	13
Снижение поверхностью земли возле источника As, дБ	Gs = 0 hs = 1м	ф-лы таб.3 [10]	-1,5	-1,5	-1,5	-1,5	-1,5	-1,5	-1,5	-1,5	-1,5		
Снижение поверхностью земли возле приёмника Ar, дБ	Gr = 1 hr = 1.5м	ф-лы таб.3 [10]	-1,5	-1,5	5	7	5	0,7	0	0	0		
Снижение поверхностью земли в средней зоне, Am дБ	Gm = 1	ф-лы таб.3 [10]	-2,8	-2,8	0	0	0	0	0	0	0		
Суммарное снижение поверхностью земли на траектории распространения звука Agr, дБ		ф-ла (9) [10]	-5,8	-5,8	3,5	5,5	3,5	-0,8	-1,5	-1,5	-1,5		
Уровни звукового давления от источника ИШ-7-5 в расчётной точке днём, дБ		**ф-ла(3)[10]**	**11,9**	**11,9**	**0**	**0**	**0**	**0**	**0**	**0**	**0**	**0**	**0**
Уровни звукового давления от источника ИШ-7-5 в расчётной точке ночью, дБ		**ф-ла(3)[10]**	**11,9**	**11,9**	**0**	**0**	**0**	**0**	**0**	**0**	**0**	**0**	**0**
Источник шума: ИШ-7-6, координаты источника (x,y,z), м =[856.52,5.94,1.00]													
Уровни звуковой мощности источника днём, Lw, дБ		**исходные данные**	**77**	**75**	**67**	**66**	**63**	**55**	**53**	**48**	**51**		
Уровни звуковой мощности источника ночью, Lw, дБ		**исходные данные**	**77**	**75**	**67**	**66**	**63**	**55**	**53**	**48**	**51**		
Поправка на телесный угол DΩ, дБ	Ω = 12.57	10Lg(4π/Ω)	**0**	0	0	0	0	0	0	0	0		
Показатель направленности источника Di, дБ		исходные данные	**0**	0	0	0	0	0	0	0	0		
Поправка на направленность источника Dc, дБ	Dc	DΩ + Di	**0**	0	0	0	0	0	0	0	0		
Затухание из-за геометрической дивергенции, Adiv, дБ	расстояние = 980.44 м	ф-ла (7) [10]	**70,8**										
Коэффициент затухания звука в атмосфере α, дБ/км	Ta=20,°C Pa=101.33,кПа hотн.=70%	ф-ла (5) [9]	0,02	0,09	0,33	1,12	2,79	4,98	9,04	23,09	77,63		
Учет затухания звука в атмосфере Aatm, дБ		ф-ла (8) [10]	0	0,1	0,3	1,1	2,7	4,9	8,9	22,6	76,1		
Снижение уровня звукового давления из-за влияния застройки между источником шума и расчетной точкой													

1		2	3	4	5	6	7	8	9	10	11	12	13
Снижение уровня звукового давления препятствием слева от трассы ИШ-РТ, Dz2, дБ	z = 0.00м (разность путей)	ф-лы (14-18) [10]	4,8	4,8	4,8	4,8	4,8	4,8	4,7	4,7	4,6		
* отрицательное значение z означает прохождение траектории вблизи экрана, в этом случае дополнительно производится учёт снижения подстилающей поверхностью (см.ниже)													
Снижение поверхностью земли возле источника As, дБ	Gs = 0 hs = 1м	ф-лы таб.3 [10]	-1,5	-1,5	-1,5	-1,5	-1,5	-1,5	-1,5	-1,5	-1,5		
Снижение поверхностью земли возле приёмника Ar, дБ	Gr = 1 hr = 1.5м	ф-лы таб.3 [10]	-1,5	-1,5	5	7	5	0,7	0	0	0		
Снижение поверхностью земли в средней зоне, Am дБ	Gm = 1	ф-лы таб.3 [10]	-2,8	-2,8	0	0	0	0	0	0	0		
Суммарное снижение поверхностью земли на траектории распространения звука Agr, дБ		ф-ла (9) [10]	-5,8	-5,8	3,5	5,5	3,5	-0,8	-1,5	-1,5	-1,5		
Уровни звукового давления от источника ИШ-7-6 в расчётной точке днём, дБ		**ф-ла(3)[10]**	**7,1**	**0**	**0**	**0**	**0**	**0**	**0**	**0**	**0**	**0**	**0**
Уровни звукового давления от источника ИШ-7-6 в расчётной точке ночью, дБ		**ф-ла(3)[10]**	**7,1**	**0**	**0**	**0**	**0**	**0**	**0**	**0**	**0**	**0**	**0**
Источник шума: ИШ-7-7, координаты источника (x,y,z), м =[851.06,-9.89,1.00]													
Уровни звуковой мощности источника днём, Lw, дБ		**исходные данные**	**77**	**75**	**67**	**66**	**63**	**55**	**53**	**48**	**51**		
Уровни звуковой мощности источника ночью, Lw, дБ		**исходные данные**	**77**	**75**	**67**	**66**	**63**	**55**	**53**	**48**	**51**		
Поправка на телесный угол DΩ, дБ	Ω = 12.57	10Lg(4π/Ω)	**0**	0	0	0	0	0	0	0	0		
Показатель направленности источника Di, дБ		исходные данные	**0**	0	0	0	0	0	0	0	0		
Поправка на направленность источника Dc, дБ	Dc	DΩ + Di	**0**	0	0	0	0	0	0	0	0		
Затухание из-за геометрической дивергенции, Adiv, дБ	расстояние = 974.09 м	ф-ла (7) [10]	**70,8**										
Коэффициент затухания звука в атмосфере α, дБ/км	Ta=20,°C Pa=101.33,кПа hотн.=70%	ф-ла (5) [9]	0,02	0,09	0,33	1,12	2,79	4,98	9,04	23,09	77,63		
Учет затухания звука в атмосфере Aatm, дБ		ф-ла (8) [10]	0	0,1	0,3	1,1	2,7	4,8	8,8	22,5	75,6		

1		2	3	4	5	6	7	8	9	10	11	12	13
Снижение уровня звукового давления из-за влияния застройки между источником шума и расчетной точкой													
Снижение уровня звукового давления на пути над экраном, Dz1, дБ	z = 0.16м (разность путей)	ф-лы (14-18) [10]	4,8	4,8	4,8	4,8	4,8	4,8	4,8	4,8	4,8		
Уровни звукового давления от источника ИШ-7-7 в расчётной точке днём, дБ		**ф-ла(3)[10]**	**1,4**	**0**	**0**	**0**	**0**	**0**	**0**	**0**	**0**	**0**	**0**
Уровни звукового давления от источника ИШ-7-7 в расчётной точке ночью, дБ		**ф-ла(3)[10]**	**1,4**	**0**	**0**	**0**	**0**	**0**	**0**	**0**	**0**	**0**	**0**
Источник шума: ИШ-7-8, координаты источника (x,y,z), м =[821.90,-104.30,1.00]													
Уровни звуковой мощности источника днём, Lw, дБ		**исходные данные**	**77**	**75**	**67**	**66**	**63**	**55**	**53**	**48**	**51**		
Уровни звуковой мощности источника ночью, Lw, дБ		**исходные данные**	**77**	**75**	**67**	**66**	**63**	**55**	**53**	**48**	**51**		
Поправка на телесный угол DΩ, дБ	Ω = 12.57	10Lg(4π/Ω)	**0**	0	0	0	0	0	0	0	0		
Показатель направленности источника Di, дБ		исходные данные	**0**	0	0	0	0	0	0	0	0		
Поправка на направленность источника Dc, дБ	Dc	DΩ + Di	**0**	0	0	0	0	0	0	0	0		
Затухание из-за геометрической дивергенции, Adiv, дБ	расстояние = 944.98 м	ф-ла (7) [10]	**70,5**										
Коэффициент затухания звука в атмосфере α, дБ/км	Ta=20,°C Pa=101.33,кПа hотн.=70%	ф-ла (5) [9]	0,02	0,09	0,33	1,12	2,79	4,98	9,04	23,09	77,63		
Учет затухания звука в атмосфере Aatm, дБ		ф-ла (8) [10]	0	0,1	0,3	1,1	2,6	4,7	8,5	21,8	73,4		
Снижение уровня звукового давления из-за влияния застройки между источником шума и расчетной точкой													
Снижение уровня звукового давления на пути над экраном, Dz1, дБ	z = 0.17м (разность путей)	ф-лы (14-18) [10]	4,8	4,8	4,8	4,8	4,8	4,8	4,8	4,8	4,8		
Уровни звукового давления от источника ИШ-7-8 в расчётной точке днём, дБ		**ф-ла(3)[10]**	**1,7**	**0**	**0**	**0**	**0**	**0**	**0**	**0**	**0**	**0**	**0**

1		2	3	4	5	6	7	8	9	10	11	12	13
Уровни звукового давления от источника ИШ-7-8 в расчётной точке ночью, дБ		**ф-ла(3)[10]**	**1,7**	**0**	**0**	**0**	**0**	**0**	**0**	**0**	**0**	**0**	**0**
Источник шума: ИШ-7-9, координаты источника (x,y,z), м =[819.93,-110.97,1.00]													
Уровни звуковой мощности источника днём, Lw, дБ		**исходные данные**	**77**	**75**	**67**	**66**	**63**	**55**	**53**	**48**	**51**		
Уровни звуковой мощности источника ночью, Lw, дБ		**исходные данные**	**77**	**75**	**67**	**66**	**63**	**55**	**53**	**48**	**51**		
Поправка на телесный угол DΩ, дБ	Ω = 12.57	10Lg(4π/Ω)	**0**	0	0	0	0	0	0	0	0		
Показатель направленности источника Di, дБ		исходные данные	**0**	0	0	0	0	0	0	0	0		
Поправка на направленность источника Dc, дБ	Dc	DΩ + Di	**0**	0	0	0	0	0	0	0	0		
Затухание из-за геометрической дивергенции, Adiv, дБ	расстояние = 943.37 м	ф-ла (7) [10]	**70,5**										
Коэффициент затухания звука в атмосфере α, дБ/км	Ta=20,°C Pa=101.33,кПа hотн.=70%	ф-ла (5) [9]	0,02	0,09	0,33	1,12	2,79	4,98	9,04	23,09	77,63		
Учет затухания звука в атмосфере Aatm, дБ		ф-ла (8) [10]	0	0,1	0,3	1,1	2,6	4,7	8,5	21,8	73,2		
Снижение уровня звукового давления из-за влияния застройки между источником шума и расчетной точкой													
Снижение уровня звукового давления на пути над экраном, Dz1, дБ	z = 0.17м (разность путей)	ф-лы (14-18) [10]	4,8	4,8	4,8	4,8	4,8	4,8	4,8	4,8	4,8		
Уровни звукового давления от источника ИШ-7-9 в расчётной точке днём, дБ		**ф-ла(3)[10]**	**1,7**	**0**	**0**	**0**	**0**	**0**	**0**	**0**	**0**	**0**	**0**
Уровни звукового давления от источника ИШ-7-9 в расчётной точке ночью, дБ		**ф-ла(3)[10]**	**1,7**	**0**	**0**	**0**	**0**	**0**	**0**	**0**	**0**	**0**	**0**
Источник шума: ИШ-7-10, координаты источника (x,y,z), м =[868.68,92.66,1.00]													
Уровни звуковой мощности источника днём, Lw, дБ		**исходные данные**	**77**	**75**	**67**	**66**	**63**	**55**	**53**	**48**	**51**		

1		2	3	4	5	6	7	8	9	10	11	12	13
Уровни звуковой мощности источника ночью, Lw, дБ		**исходные данные**	**77**	**75**	**67**	**66**	**63**	**55**	**53**	**48**	**51**		
Поправка на телесный угол DΩ, дБ	Ω = 12.57	10Lg(4π/Ω)	**0**	0	0	0	0	0	0	0	0		
Показатель направленности источника Di, дБ		исходные данные	**0**	0	0	0	0	0	0	0	0		
Поправка на направленность источника Dc, дБ	Dc	DΩ + Di	**0**	0	0	0	0	0	0	0	0		
Затухание из-за геометрической дивергенции, Adiv, дБ	расстояние = 1001.81 м	ф-ла (7) [10]	**71**										
Коэффициент затухания звука в атмосфере α, дБ/км	Ta=20,°C Pa=101.33,кПа hотн.=70%	ф-ла (5) [9]	0,02	0,09	0,33	1,12	2,79	4,98	9,04	23,09	77,63		
Учет затухания звука в атмосфере Aatm, дБ		ф-ла (8) [10]	0	0,1	0,3	1,1	2,8	5	9,1	23,1	77,8		
Снижение уровня звукового давления из-за влияния застройки между источником шума и расчетной точкой													
Снижение уровня звукового давления на пути над экраном, Dz1, дБ	z = 0.17м (разность путей)	ф-лы (14-18) [10]	4,8	4,8	4,8	4,8	4,8	4,8	4,8	4,8	4,8		
Уровни звукового давления от источника ИШ-7-10 в расчётной точке днём, дБ		**ф-ла(3)[10]**	**1,2**	**0**	**0**	**0**	**0**	**0**	**0**	**0**	**0**	**0**	**0**
Уровни звукового давления от источника ИШ-7-10 в расчётной точке ночью, дБ		**ф-ла(3)[10]**	**1,2**	**0**	**0**	**0**	**0**	**0**	**0**	**0**	**0**	**0**	**0**
Источник шума: ИШ-7-11, координаты источника (x,y,z), м =[877.95,88.75,1.00]													
Уровни звуковой мощности источника днём, Lw, дБ		**исходные данные**	**77**	**75**	**67**	**66**	**63**	**55**	**53**	**48**	**51**		
Уровни звуковой мощности источника ночью, Lw, дБ		**исходные данные**	**77**	**75**	**67**	**66**	**63**	**55**	**53**	**48**	**51**		
Поправка на телесный угол DΩ, дБ	Ω = 12.57	10Lg(4π/Ω)	**0**	0	0	0	0	0	0	0	0		
Показатель направленности источника Di, дБ		исходные данные	**0**	0	0	0	0	0	0	0	0		

1		2	3	4	5	6	7	8	9	10	11	12	13
Поправка на направленность источника Dc, дБ	Dc	DΩ + Di	**0**	0	0	0	0	0	0	0	0		
Затухание из-за геометрической дивергенции, Adiv, дБ	расстояние = 1010.41 м	ф-ла (7) [10]	**71,1**										
Коэффициент затухания звука в атмосфере α, дБ/км	Ta=20,°C Pa=101.33,кПа hотн.=70%	ф-ла (5) [9]	0,02	0,09	0,33	1,12	2,79	4,98	9,04	23,09	77,63		
Учет затухания звука в атмосфере Aatm, дБ		ф-ла (8) [10]	0	0,1	0,3	1,1	2,8	5	9,1	23,3	78,4		
Снижение уровня звукового давления из-за влияния застройки между источником шума и расчетной точкой													
Снижение уровня звукового давления на пути над экраном, Dz1, дБ	z = 0.17м (разность путей)	ф-лы (14-18) [10]	4,8	4,8	4,8	4,8	4,8	4,8	4,8	4,8	4,8		
Уровни звукового давления от источника ИШ-7-11 в расчётной точке днём, дБ		**ф-ла(3)[10]**	**1,1**	**0**	**0**	**0**	**0**	**0**	**0**	**0**	**0**	**0**	**0**
Уровни звукового давления от источника ИШ-7-11 в расчётной точке ночью, дБ		**ф-ла(3)[10]**	**1,1**	**0**	**0**	**0**	**0**	**0**	**0**	**0**	**0**	**0**	**0**
Источник шума: ИШ-7-12, координаты источника (x,y,z), м =[887.42,85.45,1.00]													
Уровни звуковой мощности источника днём, Lw, дБ		**исходные данные**	**77**	**75**	**67**	**66**	**63**	**55**	**53**	**48**	**51**		
Уровни звуковой мощности источника ночью, Lw, дБ		**исходные данные**	**77**	**75**	**67**	**66**	**63**	**55**	**53**	**48**	**51**		
Поправка на телесный угол DΩ, дБ	Ω = 12.57	10Lg(4π/Ω)	**0**	0	0	0	0	0	0	0	0		
Показатель направленности источника Di, дБ		исходные данные	**0**	0	0	0	0	0	0	0	0		
Поправка на направленность источника Dc, дБ	Dc	DΩ + Di	**0**	0	0	0	0	0	0	0	0		
Затухание из-за геометрической дивергенции, Adiv, дБ	расстояние = 1019.32 м	ф-ла (7) [10]	**71,2**										
Коэффициент затухания звука в атмосфере α, дБ/км	Ta=20,°C Pa=101.33,кПа hотн.=70%	ф-ла (5) [9]	0,02	0,09	0,33	1,12	2,79	4,98	9,04	23,09	77,63		

1		2	3	4	5	6	7	8	9	10	11	12	13
Учет затухания звука в атмосфере Aatm, дБ		ф-ла (8) [10]	0	0,1	0,3	1,1	2,8	5,1	9,2	23,5	79,1		
Снижение уровня звукового давления из-за влияния застройки между источником шума и расчетной точкой													
Снижение уровня звукового давления на пути над экраном, Dz1, дБ	z = 0.17м (разность путей)	ф-лы (14-18) [10]	4,8	4,8	4,8	4,8	4,8	4,8	4,8	4,8	4,8		
Уровни звукового давления от источника ИШ-7-12 в расчётной точке днём, дБ		**ф-ла(3)[10]**	**1**	**0**	**0**	**0**	**0**	**0**	**0**	**0**	**0**	**0**	**0**
Уровни звукового давления от источника ИШ-7-12 в расчётной точке ночью, дБ		**ф-ла(3)[10]**	**1**	**0**	**0**	**0**	**0**	**0**	**0**	**0**	**0**	**0**	**0**
Источник шума: ИШ-6-23, координаты источника (x,y,z), м =[756.16,-136.23,3.00]													
Уровни звуковой мощности источника днём, Lw, дБ		**исходные данные**	**91**	**91**	**91**	**91**	**91**	**91**	**91**	**91**	**91**		
Уровни звуковой мощности источника ночью, Lw, дБ		**исходные данные**	**91**	**91**	**91**	**91**	**91**	**91**	**91**	**91**	**91**		
Поправка на телесный угол DΩ, дБ	Ω = 12.57	10Lg(4π/Ω)	**0**	0	0	0	0	0	0	0	0		
Показатель направленности источника Di, дБ		исходные данные	**0**	0	0	0	0	0	0	0	0		
Поправка на направленность источника Dc, дБ	Dc	DΩ + Di	**0**	0	0	0	0	0	0	0	0		
Затухание из-за геометрической дивергенции, Adiv, дБ	расстояние = 881.63 м	ф-ла (7) [10]	**69,9**										
Коэффициент затухания звука в атмосфере α, дБ/км	Ta=20,°C Pa=101.33,кПа hотн.=70%	ф-ла (5) [9]	0,02	0,09	0,33	1,12	2,79	4,98	9,04	23,09	77,63		
Учет затухания звука в атмосфере Aatm, дБ		ф-ла (8) [10]	0	0,1	0,3	1	2,5	4,4	8	20,4	68,4		
Снижение поверхностью земли возле источника As, дБ	Gs = 0 hs = 3м	ф-лы таб.3 [10]	-1,5	-1,5	-1,5	-1,5	-1,5	-1,5	-1,5	-1,5	-1,5		
Снижение поверхностью земли возле приёмника Ar, дБ	Gr = 1 hr = 1.5м	ф-лы таб.3 [10]	-1,5	-1,5	4,8	7	5	0,7	0	0	0		

1		2	3	4	5	6	7	8	9	10	11	12	13
Снижение поверхностью земли в средней зоне, Am дБ	Gm = 1	ф-лы таб.3 [10]	-2,5	-2,5	0	0	0	0	0	0	0		
Суммарное снижение поверхностью земли на траектории распространения звука Agr, дБ		ф-ла (9) [10]	-5,5	-5,5	3,3	5,5	3,5	-0,8	-1,5	-1,5	-1,5		
Уровни звукового давления от источника ИШ-6-23 в расчётной точке днём, дБ		**ф-ла(3)[10]**	**26,6**	**26,5**	**17,5**	**14,6**	**15,2**	**17,5**	**14,6**	**2,2**	**0**	**20,8**	**20,8**
Уровни звукового давления от источника ИШ-6-23 в расчётной точке ночью, дБ		**ф-ла(3)[10]**	**26,6**	**26,5**	**17,5**	**14,6**	**15,2**	**17,5**	**14,6**	**2,2**	**0**	**20,8**	**20,8**
Источник шума: ИШ-6-24, координаты источника (x,y,z), м =[800.98,-151.27,3.00]													
Уровни звуковой мощности источника днём, Lw, дБ		**исходные данные**	**91**	**91**	**91**	**91**	**91**	**91**	**91**	**91**	**91**		
Уровни звуковой мощности источника ночью, Lw, дБ		**исходные данные**	**91**	**91**	**91**	**91**	**91**	**91**	**91**	**91**	**91**		
Поправка на телесный угол DΩ, дБ	Ω = 12.57	10Lg(4π/Ω)	**0**	0	0	0	0	0	0	0	0		
Показатель направленности источника Di, дБ		исходные данные	**0**	0	0	0	0	0	0	0	0		
Поправка на направленность источника Dc, дБ	Dc	DΩ + Di	**0**	0	0	0	0	0	0	0	0		
Затухание из-за геометрической дивергенции, Adiv, дБ	расстояние = 927.69 м	ф-ла (7) [10]	**70,3**										
Коэффициент затухания звука в атмосфере α, дБ/км	Ta=20,°C Pa=101.33,кПа hотн.=70%	ф-ла (5) [9]	0,02	0,09	0,33	1,12	2,79	4,98	9,04	23,09	77,63		
Учет затухания звука в атмосфере Aatm, дБ		ф-ла (8) [10]	0	0,1	0,3	1	2,6	4,6	8,4	21,4	72		
Снижение уровня звукового давления из-за влияния застройки между источником шума и расчетной точкой													
Снижение уровня звукового давления на пути над экраном, Dz1, дБ	z = 0.13м (разность путей)	ф-лы (14-18) [10]	4,8	4,8	4,8	4,8	4,8	4,8	4,8	4,8	4,8		
Снижение уровня звукового давления на пути слева от экрана, Dz2, дБ	z = 0.97м (разность путей)	ф-лы (14-18) [10]	8,2	10,1	12,4	15	17,8	20,7	23,6	26,6	29,6		

1		2	3	4	5	6	7	8	9	10	11	12	13
Снижение уровня звукового давления на пути справа от экрана, Dz3, дБ	z = 0.03м (разность путей)	ф-лы (14-18) [10]	4,9	5,1	5,4	6	6,9	8,3	10,3	12,6	15,2		
Общее снижение уровня звука препятствием Dz, дБ		Эн.сумма(-Dzi)	0,9	1,3	1,7	2,1	2,6	3,1	3,6	4,1	4,4		
Уровни звукового давления от источника ИШ-6-24 в расчётной точке днём, дБ		**ф-ла(3)[10]**	**19,7**	**19,3**	**18,7**	**17,5**	**15,5**	**12,9**	**8,6**	**0**	**0**	**17,5**	**17,5**
Уровни звукового давления от источника ИШ-6-24 в расчётной точке ночью, дБ		**ф-ла(3)[10]**	**19,7**	**19,3**	**18,7**	**17,5**	**15,5**	**12,9**	**8,6**	**0**	**0**	**17,5**	**17,5**
Источник шума: ИШ-8-1, координаты источника (x,y,z), м =[612.60,-227.70,3.00]													
Уровни звуковой мощности источника днём, Lw, дБ		**исходные данные**	**105**	**104**	**104**	**101**	**102**	**106**	**101**	**95**	**87**		
Уровни звуковой мощности источника ночью, Lw, дБ		**исходные данные**	**105**	**104**	**104**	**101**	**102**	**106**	**101**	**95**	**87**		
Поправка на телесный угол DΩ, дБ	Ω = 6.28	10Lg(4π/Ω)	**3**	3	3	3	3	3	3	3	3		
Показатель направленности источника Di, дБ		исходные данные	**0**	0	0	0	0	0	0	0	0		
Поправка на направленность источника Dc, дБ	Dc	DΩ + Di	**3**	3	3	3	3	3	3	3	3		
Затухание из-за геометрической дивергенции, Adiv, дБ	расстояние = 754.09 м	ф-ла (7) [10]	**68,5**										
Коэффициент затухания звука в атмосфере α, дБ/км	Ta=20,°C Pa=101.33,кПа hотн.=70%	ф-ла (5) [9]	0,02	0,09	0,33	1,12	2,79	4,98	9,04	23,09	77,63		
Учет затухания звука в атмосфере Aatm, дБ		ф-ла (8) [10]	0	0,1	0,3	0,8	2,1	3,8	6,8	17,4	58,5		
Снижение поверхностью земли возле источника As, дБ	Gs = 0 hs = 3м	ф-лы таб.3 [10]	-1,5	-1,5	-1,5	-1,5	-1,5	-1,5	-1,5	-1,5	-1,5		
Снижение поверхностью земли возле приёмника Ar, дБ	Gr = 1 hr = 1.5м	ф-лы таб.3 [10]	-1,5	-1,5	4,4	7	5	0,7	0	0	0		
Снижение поверхностью земли в средней зоне, Am дБ	Gm = 1	ф-лы таб.3 [10]	-2,5	-2,5	0	0	0	0	0	0	0		

1		2	3	4	5	6	7	8	9	10	11	12	13
Суммарное снижение поверхностью земли на траектории распространения звука Agr, дБ		ф-ла (9) [10]	-5,5	-5,5	2,9	5,5	3,5	-0,8	-1,5	-1,5	-1,5		
Уровни звукового давления прямого звука от источника ИШ-8-1 в расчётной точке днём, дБ		**ф-ла(3)[10]**	**44,9**	**43,9**	**35,3**	**29,1**	**30,9**	**37,6**	**30,1**	**13,6**	**0**	**39**	**39**
Уровни звукового давления прямого звука от источника ИШ-8-1 в расчётной точке ночью, дБ		**ф-ла(3)[10]**	**44,9**	**43,9**	**35,3**	**29,1**	**30,9**	**37,6**	**30,1**	**13,6**	**0**	**39**	**39**
Расчёт отражённого звука													
Уровни звукового давления от мнимого источника ИШ-8-1_мн.(1) в расчётной точке днём, дБ		**ф-ла(3)[10]**	**0**	**0**	**0**	**0**	**0**	**0**	**0**	**0**	**0**	**0**	**0**
Уровни звукового давления от мнимого источника ИШ-8-1_мн.(1) в расчётной точке ночью, дБ		**ф-ла(3)[10]**	**0**	**0**	**0**	**0**	**0**	**0**	**0**	**0**	**0**	**0**	**0**
Уровни звукового давления от источника ИШ-8-1 в расчётной точке днём, дБ		**ф-ла(3)[10]**	**44,9**	**43,9**	**35,3**	**29,1**	**30,9**	**37,6**	**30,1**	**13,6**	**0**	**39**	**39**
Уровни звукового давления от источника ИШ-8-1 в расчётной точке ночью, дБ		**ф-ла(3)[10]**	**44,9**	**43,9**	**35,3**	**29,1**	**30,9**	**37,6**	**30,1**	**13,6**	**0**	**39**	**39**
Источник шума: ИШ-8-2, координаты источника (x,y,z), м =[596.60,-275.00,3.00]													
Уровни звуковой мощности источника днём, Lw, дБ		**исходные данные**	**105**	**104**	**104**	**101**	**102**	**106**	**101**	**95**	**87**		
Уровни звуковой мощности источника ночью, Lw, дБ		**исходные данные**	**105**	**104**	**104**	**101**	**102**	**106**	**101**	**95**	**87**		
Поправка на телесный угол DΩ, дБ	Ω = 6.28	10Lg(4π/Ω)	**3**	3	3	3	3	3	3	3	3		
Показатель направленности источника Di, дБ		исходные данные	**0**	0	0	0	0	0	0	0	0		
Поправка на направленность источника Dc, дБ	Dc	DΩ + Di	**3**	3	3	3	3	3	3	3	3		
Затухание из-за геометрической дивергенции, Adiv, дБ	расстояние = 750.86 м	ф-ла (7) [10]	**68,5**										
Коэффициент затухания звука в атмосфере α, дБ/км	Ta=20,°C Pa=101.33,кПа hотн.=70%	ф-ла (5) [9]	0,02	0,09	0,33	1,12	2,79	4,98	9,04	23,09	77,63		

1		2	3	4	5	6	7	8	9	10	11	12	13
Учет затухания звука в атмосфере Aatm, дБ		ф-ла (8) [10]	0	0,1	0,3	0,8	2,1	3,7	6,8	17,3	58,3		
Снижение поверхностью земли возле источника As, дБ	Gs = 0 hs = 3м	ф-лы таб.3 [10]	-1,5	-1,5	-1,5	-1,5	-1,5	-1,5	-1,5	-1,5	-1,5		
Снижение поверхностью земли возле приёмника Ar, дБ	Gr = 1 hr = 1.5м	ф-лы таб.3 [10]	-1,5	-1,5	4,4	7	5	0,7	0	0	0		
Снижение поверхностью земли в средней зоне, Am дБ	Gm = 1	ф-лы таб.3 [10]	-2,5	-2,5	0	0	0	0	0	0	0		
Суммарное снижение поверхностью земли на траектории распространения звука Agr, дБ		ф-ла (9) [10]	-5,5	-5,5	2,9	5,5	3,5	-0,8	-1,5	-1,5	-1,5		
Уровни звукового давления от источника ИШ-8-2 в расчётной точке днём, дБ		**ф-ла(3)[10]**	**44,9**	**43,9**	**35,4**	**29,1**	**30,9**	**37,6**	**30,2**	**13,7**	**0**	**39**	**39**
Уровни звукового давления от источника ИШ-8-2 в расчётной точке ночью, дБ		**ф-ла(3)[10]**	**44,9**	**43,9**	**35,4**	**29,1**	**30,9**	**37,6**	**30,2**	**13,7**	**0**	**39**	**39**
Источник шума: ИШ-8-3, координаты источника (x,y,z), м =[564.90,-369.90,3.00]													
Уровни звуковой мощности источника днём, Lw, дБ		**исходные данные**	**105**	**104**	**104**	**101**	**102**	**106**	**101**	**95**	**87**		
Уровни звуковой мощности источника ночью, Lw, дБ		**исходные данные**	**105**	**104**	**104**	**101**	**102**	**106**	**101**	**95**	**87**		
Поправка на телесный угол DΩ, дБ	Ω = 6.28	10Lg(4π/Ω)	**3**	3	3	3	3	3	3	3	3		
Показатель направленности источника Di, дБ		исходные данные	**0**	0	0	0	0	0	0	0	0		
Поправка на направленность источника Dc, дБ	Dc	DΩ + Di	**3**	3	3	3	3	3	3	3	3		
Затухание из-за геометрической дивергенции, Adiv, дБ	расстояние = 754.74 м	ф-ла (7) [10]	**68,6**										
Коэффициент затухания звука в атмосфере α, дБ/км	Ta=20,°C Pa=101.33,кПа hотн.=70%	ф-ла (5) [9]	0,02	0,09	0,33	1,12	2,79	4,98	9,04	23,09	77,63		
Учет затухания звука в атмосфере Aatm, дБ		ф-ла (8) [10]	0	0,1	0,3	0,8	2,1	3,8	6,8	17,4	58,6		

1		2	3	4	5	6	7	8	9	10	11	12	13
Снижение уровня звукового давления из-за влияния застройки между источником шума и расчетной точкой													
Снижение уровня звукового давления на пути над экраном, Dz1, дБ	z = 0.17м (разность путей)	ф-лы (14-18) [10]	4,8	4,8	4,8	4,8	4,8	4,8	4,8	4,9	5		
Снижение уровня звукового давления на пути слева от экрана, Dz2, дБ	z = 0.06м (разность путей)	ф-лы (14-18) [10]	5,1	5,3	5,8	6,7	8	9,8	12,1	14,7	17,5		
Снижение уровня звукового давления на пути справа от экрана, Dz3, дБ	z = 5.65м (разность путей)	ф-лы (14-18) [10]	13,8	16,5	19,3	22,3	25,3	28,2	31,2	34,2	37,3		
Общее снижение уровня звука препятствием Dz, дБ		Эн.сумма(-Dzi)	1,6	1,9	2,2	2,6	3,1	3,6	4,1	4,4	4,7		
Уровни звукового давления от источника ИШ-8-3 в расчётной точке днём, дБ		**ф-ла(3)[10]**	**37,8**	**36,5**	**36**	**32**	**31,3**	**33,1**	**24,6**	**7,6**	**0**	**35,3**	**35,3**
Уровни звукового давления от источника ИШ-8-3 в расчётной точке ночью, дБ		**ф-ла(3)[10]**	**37,8**	**36,5**	**36**	**32**	**31,3**	**33,1**	**24,6**	**7,6**	**0**	**35,3**	**35,3**
Источник шума: ИШ-9-1, координаты источника (x,y,z), м =[642.94,-357.54,1.00]													
Уровни звуковой мощности источника днём, Lw, дБ		**исходные данные**	**0**	**93,3**	**94,7**	**96**	**96,3**	**95,9**	**92,6**	**88,4**	**83,9**		
Уровни звуковой мощности источника ночью, Lw, дБ		**исходные данные**	**0**	**93,3**	**94,7**	**96**	**96,3**	**95,9**	**92,6**	**88,4**	**83,9**		
Поправка на телесный угол DΩ, дБ	Ω = 6.28	10Lg(4π/Ω)	**3**	3	3	3	3	3	3	3	3		
Показатель направленности источника Di, дБ		исходные данные	**0**	0	0	0	0	0	0	0	0		
Поправка на направленность источника Dc, дБ	Dc	DΩ + Di	**3**	3	3	3	3	3	3	3	3		
Затухание из-за геометрической дивергенции, Adiv, дБ	расстояние = 821.79 м	ф-ла (7) [10]	**69,3**										
Коэффициент затухания звука в атмосфере α, дБ/км	Ta=20,°C Pa=101.33,кПа hотн.=70%	ф-ла (5) [9]	0,02	0,09	0,33	1,12	2,79	4,98	9,04	23,09	77,63		
Учет затухания звука в атмосфере Aatm, дБ		ф-ла (8) [10]	0	0,1	0,3	0,9	2,3	4,1	7,4	19	63,8		

1		2	3	4	5	6	7	8	9	10	11	12	13
Снижение уровня звукового давления из-за влияния застройки между источником шума и расчетной точкой													
Снижение уровня звукового давления на пути над экраном, Dz1, дБ	z = 0.19м (разность путей)	ф-лы (14-18) [10]	4,8	4,8	4,8	4,9	5,1	5,3	5,9	6,7	8,1		
Снижение уровня звукового давления на пути слева от экрана, Dz2, дБ	z = 1.97м (разность путей)	ф-лы (14-18) [10]	13,8	16,7	19,5	22,5	25,4	28,4	31,4	34,4	37,5		
Снижение уровня звукового давления на пути справа от экрана, Dz3, дБ	z = 1.07м (разность путей)	ф-лы (14-18) [10]	11,4	14,2	17	19,9	22,8	25,8	28,8	31,8	34,8		
Общее снижение уровня звука препятствием Dz, дБ		Эн.сумма(-Dzi)	3,5	4,1	4,5	4,7	5	5,3	5,8	6,7	8		
Уровни звукового давления от источника ИШ-9-1 в расчётной точке днём, дБ		**ф-ла(3)[10]**	**0**	**22,8**	**23,7**	**24,1**	**22,7**	**20,2**	**13**	**0**	**0**	**24,2**	**24,2**
Уровни звукового давления от источника ИШ-9-1 в расчётной точке ночью, дБ		**ф-ла(3)[10]**	**0**	**22,8**	**23,7**	**24,1**	**22,7**	**20,2**	**13**	**0**	**0**	**24,2**	**24,2**
Источник шума: ИШ-9-2, координаты источника (x,y,z), м =[644.14,-354.83,1.00]													
Уровни звуковой мощности источника днём, Lw, дБ		**исходные данные**	**0**	**93,3**	**94,7**	**96**	**96,3**	**95,9**	**92,6**	**88,4**	**83,9**		
Уровни звуковой мощности источника ночью, Lw, дБ		**исходные данные**	**0**	**93,3**	**94,7**	**96**	**96,3**	**95,9**	**92,6**	**88,4**	**83,9**		
Поправка на телесный угол DΩ, дБ	Ω = 6.28	10Lg(4π/Ω)	**3**	3	3	3	3	3	3	3	3		
Показатель направленности источника Di, дБ		исходные данные	**0**	0	0	0	0	0	0	0	0		
Поправка на направленность источника Dc, дБ	Dc	DΩ + Di	**3**	3	3	3	3	3	3	3	3		
Затухание из-за геометрической дивергенции, Adiv, дБ	расстояние = 821.92 м	ф-ла (7) [10]	**69,3**										
Коэффициент затухания звука в атмосфере α, дБ/км	Ta=20,°C Pa=101.33,кПа hотн.=70%	ф-ла (5) [9]	0,02	0,09	0,33	1,12	2,79	4,98	9,04	23,09	77,63		
Учет затухания звука в атмосфере Aatm, дБ		ф-ла (8) [10]	0	0,1	0,3	0,9	2,3	4,1	7,4	19	63,8		

1		2	3	4	5	6	7	8	9	10	11	12	13
Снижение уровня звукового давления из-за влияния застройки между источником шума и расчетной точкой													
Снижение уровня звукового давления на пути над экраном, Dz1, дБ	z = 0.05м (разность путей)	ф-лы (14-18) [10]	4,8	4,8	4,8	4,8	4,8	4,8	4,8	4,8	4,8		
Снижение уровня звукового давления на пути слева от экрана, Dz2, дБ	z = 2.43м (разность путей)	ф-лы (14-18) [10]	14,6	17,5	20,4	23,4	26,3	29,3	32,3	35,4	38,4		
Снижение уровня звукового давления на пути справа от экрана, Dz3, дБ	z = 0.90м (разность путей)	ф-лы (14-18) [10]	8	9,9	12,1	14,7	17,5	20,4	23,3	26,3	29,3		
Общее снижение уровня звука препятствием Dz, дБ		Эн.сумма(-Dzi)	2,8	3,4	3,9	4,3	4,5	4,6	4,7	4,7	4,8		
Уровни звукового давления от источника ИШ-9-2 в расчётной точке днём, дБ		**ф-ла(3)[10]**	**0**	**23,5**	**24,2**	**24,5**	**23,2**	**20,9**	**14,2**	**0**	**0**	**24,8**	**24,8**
Уровни звукового давления от источника ИШ-9-2 в расчётной точке ночью, дБ		**ф-ла(3)[10]**	**0**	**23,5**	**24,2**	**24,5**	**23,2**	**20,9**	**14,2**	**0**	**0**	**24,8**	**24,8**
Источник шума: ИШ-9-3, координаты источника (x,y,z), м =[644.98,-351.85,1.00]													
Уровни звуковой мощности источника днём, Lw, дБ		**исходные данные**	**0**	**93,3**	**94,7**	**96**	**96,3**	**95,9**	**92,6**	**88,4**	**83,9**		
Уровни звуковой мощности источника ночью, Lw, дБ		**исходные данные**	**0**	**93,3**	**94,7**	**96**	**96,3**	**95,9**	**92,6**	**88,4**	**83,9**		
Поправка на телесный угол DΩ, дБ	Ω = 6.28	10Lg(4π/Ω)	**3**	3	3	3	3	3	3	3	3		
Показатель направленности источника Di, дБ		исходные данные	**0**	0	0	0	0	0	0	0	0		
Поправка на направленность источника Dc, дБ	Dc	DΩ + Di	**3**	3	3	3	3	3	3	3	3		
Затухание из-за геометрической дивергенции, Adiv, дБ	расстояние = 821.63 м	ф-ла (7) [10]	**69,3**										
Коэффициент затухания звука в атмосфере α, дБ/км	Ta=20,°C Pa=101.33,кПа hотн.=70%	ф-ла (5) [9]	0,02	0,09	0,33	1,12	2,79	4,98	9,04	23,09	77,63		
Учет затухания звука в атмосфере Aatm, дБ		ф-ла (8) [10]	0	0,1	0,3	0,9	2,3	4,1	7,4	19	63,8		

1		2	3	4	5	6	7	8	9	10	11	12	13
Снижение уровня звукового давления из-за влияния застройки между источником шума и расчетной точкой													
Снижение уровня звукового давления на пути над экраном, Dz1, дБ	z = 0.05м (разность путей)	ф-лы (14-18) [10]	4,8	4,8	4,8	4,8	4,8	4,8	4,8	4,8	4,8		
Снижение уровня звукового давления на пути слева от экрана, Dz2, дБ	z = 2.98м (разность путей)	ф-лы (14-18) [10]	15,4	18,4	21,3	24,2	27,2	30,2	33,2	36,2	39,2		
Снижение уровня звукового давления на пути справа от экрана, Dz3, дБ	z = 0.75м (разность путей)	ф-лы (14-18) [10]	7,6	9,3	11,4	14	16,7	19,6	22,5	25,5	28,5		
Общее снижение уровня звука препятствием Dz, дБ		Эн.сумма(-Dzi)	2,7	3,3	3,8	4,2	4,5	4,6	4,7	4,7	4,8		
Уровни звукового давления от источника ИШ-9-3 в расчётной точке днём, дБ		**ф-ла(3)[10]**	**0**	**23,6**	**24,3**	**24,5**	**23,2**	**20,9**	**14,2**	**0**	**0**	**24,8**	**24,8**
Уровни звукового давления от источника ИШ-9-3 в расчётной точке ночью, дБ		**ф-ла(3)[10]**	**0**	**23,6**	**24,3**	**24,5**	**23,2**	**20,9**	**14,2**	**0**	**0**	**24,8**	**24,8**
Источник шума: ИШ-9-4, координаты источника (x,y,z), м =[646.01,-349.15,1.00]													
Уровни звуковой мощности источника днём, Lw, дБ		**исходные данные**	**0**	**93,3**	**94,7**	**96**	**96,3**	**95,9**	**92,6**	**88,4**	**83,9**		
Уровни звуковой мощности источника ночью, Lw, дБ		**исходные данные**	**0**	**93,3**	**94,7**	**96**	**96,3**	**95,9**	**92,6**	**88,4**	**83,9**		
Поправка на телесный угол DΩ, дБ	Ω = 6.28	10Lg(4π/Ω)	**3**	3	3	3	3	3	3	3	3		
Показатель направленности источника Di, дБ		исходные данные	**0**	0	0	0	0	0	0	0	0		
Поправка на направленность источника Dc, дБ	Dc	DΩ + Di	**3**	3	3	3	3	3	3	3	3		
Затухание из-за геометрической дивергенции, Adiv, дБ	расстояние = 821.62 м	ф-ла (7) [10]	**69,3**										
Коэффициент затухания звука в атмосфере α, дБ/км	Та=20,°С Ра=101.33,кПа hотн.=70%	ф-ла (5) [9]	0,02	0,09	0,33	1,12	2,79	4,98	9,04	23,09	77,63		
Учет затухания звука в атмосфере Aatm, дБ		ф-ла (8) [10]	0	0,1	0,3	0,9	2,3	4,1	7,4	19	63,8		

1		2	3	4	5	6	7	8	9	10	11	12	13
Снижение уровня звукового давления из-за влияния застройки между источником шума и расчетной точкой													
Снижение уровня звукового давления на пути над экраном, Dz1, дБ	z = 0.02м (разность путей)	ф-лы (14-18) [10]	4,8	4,8	4,8	4,8	4,8	4,8	4,8	4,8	4,8		
Снижение уровня звукового давления на пути слева от экрана, Dz2, дБ	z = 3.55м (разность путей)	ф-лы (14-18) [10]	16,1	19,1	22	25	28	31	34	37	40		
Снижение уровня звукового давления на пути справа от экрана, Dz3, дБ	z = 0.61м (разность путей)	ф-лы (14-18) [10]	7,2	8,8	10,8	13,2	15,9	18,8	21,7	24,6	27,6		
Общее снижение уровня звука препятствием Dz, дБ		Эн.сумма(-Dzi)	2,6	3,2	3,7	4,2	4,4	4,6	4,7	4,7	4,7		
Уровни звукового давления от источника ИШ-9-4 в расчётной точке днём, дБ		**ф-ла(3)[10]**	**0**	**23,7**	**24,4**	**24,6**	**23,3**	**20,9**	**14,2**	**0**	**0**	**24,9**	**24,9**
Уровни звукового давления от источника ИШ-9-4 в расчётной точке ночью, дБ		**ф-ла(3)[10]**	**0**	**23,7**	**24,4**	**24,6**	**23,3**	**20,9**	**14,2**	**0**	**0**	**24,9**	**24,9**
Источник шума: ИШ-9-5, координаты источника (x,y,z), м =[646.84,-346.17,1.00]													
Уровни звуковой мощности источника днём, Lw, дБ		**исходные данные**	**0**	**93,3**	**94,7**	**96**	**96,3**	**95,9**	**92,6**	**88,4**	**83,9**		
Уровни звуковой мощности источника ночью, Lw, дБ		**исходные данные**	**0**	**93,3**	**94,7**	**96**	**96,3**	**95,9**	**92,6**	**88,4**	**83,9**		
Поправка на телесный угол DΩ, дБ	Ω = 6.28	10Lg(4π/Ω)	**3**	3	3	3	3	3	3	3	3		
Показатель направленности источника Di, дБ		исходные данные	**0**	0	0	0	0	0	0	0	0		
Поправка на направленность источника Dc, дБ	Dc	DΩ + Di	**3**	3	3	3	3	3	3	3	3		
Затухание из-за геометрической дивергенции, Adiv, дБ	расстояние = 821.35 м	ф-ла (7) [10]	**69,3**										
Коэффициент затухания звука в атмосфере α, дБ/км	Ta=20,°C Pa=101.33,кПа hотн.=70%	ф-ла (5) [9]	0,02	0,09	0,33	1,12	2,79	4,98	9,04	23,09	77,63		
Учет затухания звука в атмосфере Aatm, дБ		ф-ла (8) [10]	0	0,1	0,3	0,9	2,3	4,1	7,4	19	63,8		

1		2	3	4	5	6	7	8	9	10	11	12	13
Снижение уровня звукового давления из-за влияния застройки между источником шума и расчетной точкой													
Снижение уровня звукового давления на пути над экраном, Dz1, дБ	z = 0.02м (разность путей)	ф-лы (14-18) [10]	4,8	4,8	4,8	4,8	4,8	4,8	4,8	4,8	4,8		
Снижение уровня звукового давления на пути слева от экрана, Dz2, дБ	z = 4.23м (разность путей)	ф-лы (14-18) [10]	16,8	19,8	22,8	25,8	28,8	31,8	34,8	37,8	40,8		
Снижение уровня звукового давления на пути справа от экрана, Dz3, дБ	z = 0.49м (разность путей)	ф-лы (14-18) [10]	6,8	8,2	10,1	12,4	15	17,8	20,7	23,6	26,6		
Общее снижение уровня звука препятствием Dz, дБ		Эн.сумма(-Dzi)	2,5	3,1	3,6	4	4,4	4,6	4,7	4,7	4,7		
Уровни звукового давления от источника ИШ-9-5 в расчётной точке днём, дБ		**ф-ла(3)[10]**	**0**	**23,9**	**24,5**	**24,7**	**23,3**	**21**	**14,2**	**0**	**0**	**24,9**	**24,9**
Уровни звукового давления от источника ИШ-9-5 в расчётной точке ночью, дБ		**ф-ла(3)[10]**	**0**	**23,9**	**24,5**	**24,7**	**23,3**	**21**	**14,2**	**0**	**0**	**24,9**	**24,9**
Источник шума: ИШ-9-6, координаты источника (x,y,z), м =[647.87,-343.47,1.00]													
Уровни звуковой мощности источника днём, Lw, дБ		**исходные данные**	**0**	**93,3**	**94,7**	**96**	**96,3**	**95,9**	**92,6**	**88,4**	**83,9**		
Уровни звуковой мощности источника ночью, Lw, дБ		**исходные данные**	**0**	**93,3**	**94,7**	**96**	**96,3**	**95,9**	**92,6**	**88,4**	**83,9**		
Поправка на телесный угол DΩ, дБ	Ω = 6.28	10Lg(4π/Ω)	**3**	3	3	3	3	3	3	3	3		
Показатель направленности источника Di, дБ		исходные данные	**0**	0	0	0	0	0	0	0	0		
Поправка на направленность источника Dc, дБ	Dc	DΩ + Di	**3**	3	3	3	3	3	3	3	3		
Затухание из-за геометрической дивергенции, Adiv, дБ	расстояние = 821.36 м	ф-ла (7) [10]	**69,3**										
Коэффициент затухания звука в атмосфере α, дБ/км	Ta=20,°C Pa=101.33,кПа hотн.=70%	ф-ла (5) [9]	0,02	0,09	0,33	1,12	2,79	4,98	9,04	23,09	77,63		
Учет затухания звука в атмосфере Aatm, дБ		ф-ла (8) [10]	0	0,1	0,3	0,9	2,3	4,1	7,4	19	63,8		

1		2	3	4	5	6	7	8	9	10	11	12	13
Снижение уровня звукового давления из-за влияния застройки между источником шума и расчетной точкой													
Снижение уровня звукового давления на пути над экраном, Dz1, дБ	z = 0.02м (разность путей)	ф-лы (14-18) [10]	4,8	4,8	4,8	4,8	4,8	4,8	4,8	4,8	4,8		
Снижение уровня звукового давления на пути слева от экрана, Dz2, дБ	z = 4.93м (разность путей)	ф-лы (14-18) [10]	17,5	20,5	23,4	26,4	29,4	32,4	35,4	38,4	41,4		
Снижение уровня звукового давления на пути справа от экрана, Dz3, дБ	z = 0.38м (разность путей)	ф-лы (14-18) [10]	6,4	7,6	9,3	11,5	14	16,8	19,7	22,6	25,6		
Общее снижение уровня звука препятствием Dz, дБ		Эн.сумма(-Dzi)	2,4	2,9	3,4	3,9	4,3	4,5	4,6	4,7	4,7		
Уровни звукового давления от источника ИШ-9-6 в расчётной точке днём, дБ		**ф-ла(3)[10]**	**0**	**24**	**24,7**	**24,9**	**23,4**	**21**	**14,2**	**0**	**0**	**25**	**25**
Уровни звукового давления от источника ИШ-9-6 в расчётной точке ночью, дБ		**ф-ла(3)[10]**	**0**	**24**	**24,7**	**24,9**	**23,4**	**21**	**14,2**	**0**	**0**	**25**	**25**
Источник шума: ИШ-9-7, координаты источника (x,y,z), м =[648.71,-340.49,1.00]													
Уровни звуковой мощности источника днём, Lw, дБ		**исходные данные**	**0**	**93,3**	**94,7**	**96**	**96,3**	**95,9**	**92,6**	**88,4**	**83,9**		
Уровни звуковой мощности источника ночью, Lw, дБ		**исходные данные**	**0**	**93,3**	**94,7**	**96**	**96,3**	**95,9**	**92,6**	**88,4**	**83,9**		
Поправка на телесный угол DΩ, дБ	Ω = 6.28	10Lg(4π/Ω)	**3**	3	3	3	3	3	3	3	3		
Показатель направленности источника Di, дБ		исходные данные	**0**	0	0	0	0	0	0	0	0		
Поправка на направленность источника Dc, дБ	Dc	DΩ + Di	**3**	3	3	3	3	3	3	3	3		
Затухание из-за геометрической дивергенции, Adiv, дБ	расстояние = 821.11 м	ф-ла (7) [10]	**69,3**										
Коэффициент затухания звука в атмосфере α, дБ/км	Ta=20,°C Pa=101.33,кПа hотн.=70%	ф-ла (5) [9]	0,02	0,09	0,33	1,12	2,79	4,98	9,04	23,09	77,63		
Учет затухания звука в атмосфере Aatm, дБ		ф-ла (8) [10]	0	0,1	0,3	0,9	2,3	4,1	7,4	19	63,7		

1		2	3	4	5	6	7	8	9	10	11	12	13
Снижение уровня звукового давления из-за влияния застройки между источником шума и расчетной точкой													
Снижение уровня звукового давления на пути над экраном, Dz1, дБ	z = 0.02м (разность путей)	ф-лы (14-18) [10]	4,8	4,8	4,8	4,8	4,8	4,8	4,8	4,8	4,8		
Снижение уровня звукового давления на пути слева от экрана, Dz2, дБ	z = 2.17м (разность путей)	ф-лы (14-18) [10]	13,5	16,8	19,9	22,9	25,9	28,9	31,9	34,9	37,9		
Снижение уровня звукового давления на пути справа от экрана, Dz3, дБ	z = 0.28м (разность путей)	ф-лы (14-18) [10]	6,1	7,1	8,5	10,5	12,9	15,6	18,4	21,3	24,3		
Общее снижение уровня звука препятствием Dz, дБ		Эн.сумма(-Dzi)	2	2,6	3,2	3,7	4,1	4,4	4,6	4,7	4,7		
Уровни звукового давления прямого звука от источника ИШ-9-7 в расчётной точке днём, дБ		**ф-ла(3)[10]**	**0**	**24,3**	**25**	**25,1**	**23,6**	**21,1**	**14,3**	**0**	**0**	**25,1**	**25,1**
Уровни звукового давления прямого звука от источника ИШ-9-7 в расчётной точке ночью, дБ		**ф-ла(3)[10]**	**0**	**24,3**	**25**	**25,1**	**23,6**	**21,1**	**14,3**	**0**	**0**	**25,1**	**25,1**
Расчёт отражённого звука													
Уровни звукового давления от мнимого источника ИШ-9-7_мн.(1) в расчётной точке днём, дБ		**ф-ла(3)[10]**	**0**	**0**	**0**	**0**	**0**	**0**	**0**	**0**	**0**	**0**	**0**
Уровни звукового давления от мнимого источника ИШ-9-7_мн.(1) в расчётной точке ночью, дБ		**ф-ла(3)[10]**	**0**	**0**	**0**	**0**	**0**	**0**	**0**	**0**	**0**	**0**	**0**
Уровни звукового давления от источника ИШ-9-7 в расчётной точке днём, дБ		**ф-ла(3)[10]**	**0**	**24,3**	**25**	**25,1**	**23,6**	**21,1**	**14,3**	**0**	**0**	**25,1**	**25,1**
Уровни звукового давления от источника ИШ-9-7 в расчётной точке ночью, дБ		**ф-ла(3)[10]**	**0**	**24,3**	**25**	**25,1**	**23,6**	**21,1**	**14,3**	**0**	**0**	**25,1**	**25,1**
Источник шума: ИШ-9-8, координаты источника (x,y,z), м =[649.92,-337.69,1.00]													
Уровни звуковой мощности источника днём, Lw, дБ		**исходные данные**	**0**	**93,3**	**94,7**	**96**	**96,3**	**95,9**	**92,6**	**88,4**	**83,9**		
Уровни звуковой мощности источника ночью, Lw, дБ		**исходные данные**	**0**	**93,3**	**94,7**	**96**	**96,3**	**95,9**	**92,6**	**88,4**	**83,9**		
Поправка на телесный угол DΩ, дБ	Ω = 6.28	10Lg(4π/Ω)	**3**	3	3	3	3	3	3	3	3		
Показатель направленности источника Di, дБ		исходные данные	**0**	0	0	0	0	0	0	0	0		

1		2	3	4	5	6	7	8	9	10	11	12	13
Поправка на направленность источника Dc, дБ	Dc	DΩ + Di	**3**	3	3	3	3	3	3	3	3		
Затухание из-за геометрической дивергенции, Adiv, дБ	расстояние = 821.29 м	ф-ла (7) [10]	**69,3**										
Коэффициент затухания звука в атмосфере α, дБ/км	Ta=20,°C Pa=101.33,кПа hотн.=70%	ф-ла (5) [9]	0,02	0,09	0,33	1,12	2,79	4,98	9,04	23,09	77,63		
Учет затухания звука в атмосфере Aatm, дБ		ф-ла (8) [10]	0	0,1	0,3	0,9	2,3	4,1	7,4	19	63,8		
Снижение уровня звукового давления из-за влияния застройки между источником шума и расчетной точкой													
Снижение уровня звукового давления на пути над экраном, Dz1, дБ	z = 0.02м (разность путей)	ф-лы (14-18) [10]	4,8	4,8	4,8	4,8	4,8	4,8	4,8	4,8	4,8		
Снижение уровня звукового давления на пути слева от экрана, Dz2, дБ	z = 2.38м (разность путей)	ф-лы (14-18) [10]	13,8	17,2	20,3	23,3	26,3	29,3	32,3	35,3	38,3		
Снижение уровня звукового давления на пути справа от экрана, Dz3, дБ	z = 0.20м (разность путей)	ф-лы (14-18) [10]	5,7	6,5	7,7	9,5	11,7	14,2	17	19,8	22,8		
Общее снижение уровня звука препятствием Dz, дБ		Эн.сумма(-Dzi)	1,9	2,4	2,9	3,5	3,9	4,3	4,5	4,6	4,7		
Уровни звукового давления от источника ИШ-9-8 в расчётной точке днём, дБ		**ф-ла(3)[10]**	**0**	**24,5**	**25,2**	**25,3**	**23,8**	**21,2**	**14,4**	**0**	**0**	**25,3**	**25,3**
Уровни звукового давления от источника ИШ-9-8 в расчётной точке ночью, дБ		**ф-ла(3)[10]**	**0**	**24,5**	**25,2**	**25,3**	**23,8**	**21,2**	**14,4**	**0**	**0**	**25,3**	**25,3**
Источник шума: ИШ-9-9, координаты источника (x,y,z), м =[650.66,-334.90,1.00]													
Уровни звуковой мощности источника днём, Lw, дБ		**исходные данные**	**0**	**93,3**	**94,7**	**96**	**96,3**	**95,9**	**92,6**	**88,4**	**83,9**		
Уровни звуковой мощности источника ночью, Lw, дБ		**исходные данные**	**0**	**93,3**	**94,7**	**96**	**96,3**	**95,9**	**92,6**	**88,4**	**83,9**		
Поправка на телесный угол DΩ, дБ	Ω = 6.28	10Lg(4π/Ω)	**3**	3	3	3	3	3	3	3	3		
Показатель направленности источника Di, дБ		исходные данные	**0**	0	0	0	0	0	0	0	0		

1		2	3	4	5	6	7	8	9	10	11	12	13
Поправка на направленность источника Dc, дБ	Dc	DΩ + Di	**3**	3	3	3	3	3	3	3	3		
Затухание из-за геометрической дивергенции, Adiv, дБ	расстояние = 821.04 м	ф-ла (7) [10]	**69,3**										
Коэффициент затухания звука в атмосфере α, дБ/км	Ta=20,°C Pa=101.33,кПа hотн.=70%	ф-ла (5) [9]	0,02	0,09	0,33	1,12	2,79	4,98	9,04	23,09	77,63		
Учет затухания звука в атмосфере Aatm, дБ		ф-ла (8) [10]	0	0,1	0,3	0,9	2,3	4,1	7,4	19	63,7		
Снижение уровня звукового давления из-за влияния застройки между источником шума и расчетной точкой													
Снижение уровня звукового давления на пути над экраном, Dz1, дБ	z = 0.02м (разность путей)	ф-лы (14-18) [10]	4,8	4,8	4,8	4,8	4,8	4,8	4,8	4,8	4,8		
Снижение уровня звукового давления на пути слева от экрана, Dz2, дБ	z = 2.60м (разность путей)	ф-лы (14-18) [10]	14,1	17,6	20,6	23,6	26,6	29,6	32,6	35,6	38,7		
Снижение уровня звукового давления на пути справа от экрана, Dz3, дБ	z = 0.13м (разность путей)	ф-лы (14-18) [10]	5,4	6	7	8,4	10,4	12,7	15,4	18,2	21,1		
Общее снижение уровня звука препятствием Dz, дБ		Эн.сумма(-Dzi)	1,8	2,2	2,6	3,2	3,7	4,1	4,4	4,6	4,7		
Уровни звукового давления от источника ИШ-9-9 в расчётной точке днём, дБ		**ф-ла(3)[10]**	**0**	**24,7**	**25,5**	**25,6**	**24**	**21,4**	**14,5**	**0**	**0**	**25,5**	**25,5**
Уровни звукового давления от источника ИШ-9-9 в расчётной точке ночью, дБ		**ф-ла(3)[10]**	**0**	**24,7**	**25,5**	**25,6**	**24**	**21,4**	**14,5**	**0**	**0**	**25,5**	**25,5**
Источник шума: ИШ-9-10, координаты источника (x,y,z), м =[651.59,-332.01,1.00]													
Уровни звуковой мощности источника днём, Lw, дБ		**исходные данные**	**0**	**93,3**	**94,7**	**96**	**96,3**	**95,9**	**92,6**	**88,4**	**83,9**		
Уровни звуковой мощности источника ночью, Lw, дБ		**исходные данные**	**0**	**93,3**	**94,7**	**96**	**96,3**	**95,9**	**92,6**	**88,4**	**83,9**		
Поправка на телесный угол DΩ, дБ	Ω = 6.28	10Lg(4π/Ω)	**3**	3	3	3	3	3	3	3	3		
Показатель направленности источника Di, дБ		исходные данные	**0**	0	0	0	0	0	0	0	0		

1		2	3	4	5	6	7	8	9	10	11	12	13
Поправка на направленность источника Dc, дБ	Dc	DΩ + Di	**3**	3	3	3	3	3	3	3	3		
Затухание из-за геометрической дивергенции, Adiv, дБ	расстояние = 820.95 м	ф-ла (7) [10]	**69,3**										
Коэффициент затухания звука в атмосфере α, дБ/км	Ta=20,°C Pa=101.33,кПа hотн.=70%	ф-ла (5) [9]	0,02	0,09	0,33	1,12	2,79	4,98	9,04	23,09	77,63		
Учет затухания звука в атмосфере Aatm, дБ		ф-ла (8) [10]	0	0,1	0,3	0,9	2,3	4,1	7,4	19	63,7		
Снижение уровня звукового давления из-за влияния застройки между источником шума и расчетной точкой													
Снижение уровня звукового давления на пути над экраном, Dz1, дБ	z = 0.02м (разность путей)	ф-лы (14-18) [10]	4,8	4,8	4,8	4,8	4,8	4,8	4,8	4,8	4,8		
Снижение уровня звукового давления на пути слева от экрана, Dz2, дБ	z = 2.84м (разность путей)	ф-лы (14-18) [10]	14,5	17,9	21	24	27	30	33	36	39		
Снижение уровня звукового давления на пути справа от экрана, Dz3, дБ	z = 0.08м (разность путей)	ф-лы (14-18) [10]	5,2	5,5	6,2	7,3	8,8	10,9	13,3	16	18,9		
Общее снижение уровня звука препятствием Dz, дБ		Эн.сумма(-Dzi)	1,7	2	2,4	2,8	3,3	3,8	4,2	4,5	4,6		
Уровни звукового давления от источника ИШ-9-10 в расчётной точке днём, дБ		**ф-ла(3)[10]**	**0**	**24,9**	**25,8**	**26**	**24,4**	**21,7**	**14,7**	**0**	**0**	**25,8**	**25,8**
Уровни звукового давления от источника ИШ-9-10 в расчётной точке ночью, дБ		**ф-ла(3)[10]**	**0**	**24,9**	**25,8**	**26**	**24,4**	**21,7**	**14,7**	**0**	**0**	**25,8**	**25,8**
Источник шума: ИШ-9-11, координаты источника (x,y,z), м =[652.71,-329.22,1.00]													
Уровни звуковой мощности источника днём, Lw, дБ		**исходные данные**	**0**	**93,3**	**94,7**	**96**	**96,3**	**95,9**	**92,6**	**88,4**	**83,9**		
Уровни звуковой мощности источника ночью, Lw, дБ		**исходные данные**	**0**	**93,3**	**94,7**	**96**	**96,3**	**95,9**	**92,6**	**88,4**	**83,9**		
Поправка на телесный угол DΩ, дБ	Ω = 6.28	10Lg(4π/Ω)	**3**	3	3	3	3	3	3	3	3		
Показатель направленности источника Di, дБ		исходные данные	**0**	0	0	0	0	0	0	0	0		

1		2	3	4	5	6	7	8	9	10	11	12	13
Поправка на направленность источника Dc, дБ	Dc	DΩ + Di	**3**	3	3	3	3	3	3	3	3		
Затухание из-за геометрической дивергенции, Adiv, дБ	расстояние = 821.07 м	ф-ла (7) [10]	**69,3**										
Коэффициент затухания звука в атмосфере α, дБ/км	Ta=20,°C Pa=101.33,кПа hотн.=70%	ф-ла (5) [9]	0,02	0,09	0,33	1,12	2,79	4,98	9,04	23,09	77,63		
Учет затухания звука в атмосфере Aatm, дБ		ф-ла (8) [10]	0	0,1	0,3	0,9	2,3	4,1	7,4	19	63,7		
Снижение уровня звукового давления из-за влияния застройки между источником шума и расчетной точкой													
Снижение уровня звукового давления на пути над экраном, Dz1, дБ	z = 0.02м (разность путей)	ф-лы (14-18) [10]	4,8	4,8	4,8	4,8	4,8	4,8	4,8	4,8	4,8		
Снижение уровня звукового давления на пути слева от экрана, Dz2, дБ	z = 3.09м (разность путей)	ф-лы (14-18) [10]	14,8	18,3	21,4	24,4	27,4	30,4	33,4	36,4	39,4		
Снижение уровня звукового давления на пути справа от экрана, Dz3, дБ	z = 0.04м (разность путей)	ф-лы (14-18) [10]	5	5,2	5,5	6,2	7,2	8,8	10,8	13,3	15,9		
Общее снижение уровня звука препятствием Dz, дБ		Эн.сумма(-Dzi)	1,6	1,9	2,1	2,4	2,8	3,3	3,8	4,2	4,5		
Уровни звукового давления от источника ИШ-9-11 в расчётной точке днём, дБ		**ф-ла(3)[10]**	**0**	**25,1**	**26,1**	**26,4**	**24,9**	**22,2**	**15,1**	**0**	**0**	**26,3**	**26,3**
Уровни звукового давления от источника ИШ-9-11 в расчётной точке ночью, дБ		**ф-ла(3)[10]**	**0**	**25,1**	**26,1**	**26,4**	**24,9**	**22,2**	**15,1**	**0**	**0**	**26,3**	**26,3**
Источник шума: ИШ-9-12, координаты источника (x,y,z), м =[653.46,-326.33,1.00]													
Уровни звуковой мощности источника днём, Lw, дБ		**исходные данные**	**0**	**93,3**	**94,7**	**96**	**96,3**	**95,9**	**92,6**	**88,4**	**83,9**		
Уровни звуковой мощности источника ночью, Lw, дБ		**исходные данные**	**0**	**93,3**	**94,7**	**96**	**96,3**	**95,9**	**92,6**	**88,4**	**83,9**		
Поправка на телесный угол DΩ, дБ	Ω = 6.28	10Lg(4π/Ω)	**3**	3	3	3	3	3	3	3	3		
Показатель направленности источника Di, дБ		исходные данные	**0**	0	0	0	0	0	0	0	0		

1		2	3	4	5	6	7	8	9	10	11	12	13
Поправка на направленность источника Dc, дБ	Dc	DΩ + Di	**3**	3	3	3	3	3	3	3	3		
Затухание из-за геометрической дивергенции, Adiv, дБ	расстояние = 820.82 м	ф-ла (7) [10]	**69,3**										
Коэффициент затухания звука в атмосфере α, дБ/км	Ta=20,°C Pa=101.33,кПа hотн.=70%	ф-ла (5) [9]	0,02	0,09	0,33	1,12	2,79	4,98	9,04	23,09	77,63		
Учет затухания звука в атмосфере Aatm, дБ		ф-ла (8) [10]	0	0,1	0,3	0,9	2,3	4,1	7,4	18,9	63,7		
Снижение уровня звукового давления из-за влияния застройки между источником шума и расчетной точкой													
Снижение уровня звукового давления на пути над экраном, Dz1, дБ	z = 0.02м (разность путей)	ф-лы (14-18) [10]	4,8	4,8	4,8	4,8	4,8	4,8	4,8	4,8	4,8		
Снижение уровня звукового давления на пути слева от экрана, Dz2, дБ	z = 3.35м (разность путей)	ф-лы (14-18) [10]	15,1	18,6	21,7	24,7	27,7	30,7	33,7	36,8	39,8		
Снижение уровня звукового давления на пути справа от экрана, Dz3, дБ	z = 0.01м (разность путей)	ф-лы (14-18) [10]	4,8	4,9	5	5,3	5,8	6,5	7,8	9,6	11,8		
Общее снижение уровня звука препятствием Dz, дБ		Эн.сумма(-Dzi)	1,6	1,7	1,8	2	2,2	2,6	3	3,5	4		
Уровни звукового давления прямого звука от источника ИШ-9-12 в расчётной точке днём, дБ		**ф-ла(3)[10]**	**0**	**25,2**	**26,3**	**26,8**	**25,5**	**23**	**15,9**	**0**	**0**	**27**	**27**
Уровни звукового давления прямого звука от источника ИШ-9-12 в расчётной точке ночью, дБ		**ф-ла(3)[10]**	**0**	**25,2**	**26,3**	**26,8**	**25,5**	**23**	**15,9**	**0**	**0**	**27**	**27**
Расчёт отражённого звука													
Уровни звукового давления от мнимого источника ИШ-9-12_мн.(1) в расчётной точке днём, дБ		**ф-ла(3)[10]**	**0**	**0**	**0**	**0**	**0**	**0**	**0**	**1**	**0**	**2**	**2**
Уровни звукового давления от мнимого источника ИШ-9-12_мн.(1) в расчётной точке ночью, дБ		**ф-ла(3)[10]**	**0**	**0**	**0**	**0**	**0**	**0**	**0**	**0**	**0**	**2**	**2**
Уровни звукового давления от источника ИШ-9-12 в расчётной точке днём, дБ		**ф-ла(3)[10]**	**0**	**25,2**	**26,3**	**26,8**	**25,5**	**23**	**15,9**	**1**	**0**	**27**	**27**
Уровни звукового давления от источника ИШ-9-12 в расчётной точке ночью, дБ		**ф-ла(3)[10]**	**0**	**25,2**	**26,3**	**26,8**	**25,5**	**23**	**15,9**	**1**	**0**	**27**	**27**

1		2	3	4	5	6	7	8	9	10	11	12	13
Источник шума: ИШ-9-13, координаты источника (x,y,z), м =[654.48,-323.54,1.00]													
Уровни звуковой мощности источника днём, Lw, дБ		**исходные данные**	**0**	**93,3**	**94,7**	**96**	**96,3**	**95,9**	**92,6**	**88,4**	**83,9**		
Уровни звуковой мощности источника ночью, Lw, дБ		**исходные данные**	**0**	**93,3**	**94,7**	**96**	**96,3**	**95,9**	**92,6**	**88,4**	**83,9**		
Поправка на телесный угол DΩ, дБ	Ω = 6.28	10Lg(4π/Ω)	**3**	3	3	3	3	3	3	3	3		
Показатель направленности источника Di, дБ		исходные данные	**0**	0	0	0	0	0	0	0	0		
Поправка на направленность источника Dc, дБ	Dc	DΩ + Di	**3**	3	3	3	3	3	3	3	3		
Затухание из-за геометрической дивергенции, Adiv, дБ	расстояние = 820.87 м	ф-ла (7) [10]	**69,3**										
Коэффициент затухания звука в атмосфере α, дБ/км	Ta=20,°C Pa=101.33,кПа hотн.=70%	ф-ла (5) [9]	0,02	0,09	0,33	1,12	2,79	4,98	9,04	23,09	77,63		
Учет затухания звука в атмосфере Aatm, дБ		ф-ла (8) [10]	0	0,1	0,3	0,9	2,3	4,1	7,4	19	63,7		
Снижение уровня звукового давления из-за влияния застройки между источником шума и расчетной точкой													
Снижение уровня звукового давления на пути над экраном, Dz1, дБ	z = 0.02м (разность путей)	ф-лы (14-18) [10]	4,8	4,8	4,8	4,8	4,8	4,8	4,8	4,8	4,8		
Снижение уровня звукового давления на пути слева от экрана, Dz2, дБ	z = 3.63м (разность путей)	ф-лы (14-18) [10]	15,5	18,9	22	25,1	28,1	31,1	34,1	37,1	40,1		
Снижение уровня звукового давления на пути справа от экрана, Dz3, дБ	z = 0.00м (разность путей)	ф-лы (14-18) [10]	4,8	4,8	4,8	4,8	4,8	4,9	5,1	5,4	5,9		
Общее снижение уровня звука препятствием Dz, дБ		Эн.сумма(-Dzi)	1,6	1,7	1,7	1,8	1,8	1,8	1,9	2	2,3		
Уровни звукового давления прямого звука от источника ИШ-9-13 в расчётной точке днём, дБ		**ф-ла(3)[10]**	**0**	**25,2**	**26,4**	**27**	**25,9**	**23,7**	**17**	**1,1**	**0**	**27,6**	**27,6**
Уровни звукового давления прямого звука от источника ИШ-9-13 в расчётной точке ночью, дБ		**ф-ла(3)[10]**	**0**	**25,2**	**26,4**	**27**	**25,9**	**23,7**	**17**	**1,1**	**0**	**27,6**	**27,6**

1		2	3	4	5	6	7	8	9	10	11	12	13
Расчёт отражённого звука													
Уровни звукового давления от мнимого источника ИШ-9-13_мн.(1) в расчётной точке днём, дБ		**ф-ла(3)[10]**	**0**	**0**	**0**	**0**	**0**	**0**	**0**	**1**	**0**	**2**	**2**
Уровни звукового давления от мнимого источника ИШ-9-13_мн.(1) в расчётной точке ночью, дБ		**ф-ла(3)[10]**	**0**	**0**	**0**	**0**	**0**	**0**	**0**	**0**	**0**	**2**	**2**
Уровни звукового давления от источника ИШ-9-13 в расчётной точке днём, дБ		**ф-ла(3)[10]**	**0**	**25,2**	**26,4**	**27**	**25,9**	**23,7**	**17**	**4,1**	**0**	**27,6**	**27,6**
Уровни звукового давления от источника ИШ-9-13 в расчётной точке ночью, дБ		**ф-ла(3)[10]**	**0**	**25,2**	**26,4**	**27**	**25,9**	**23,7**	**17**	**4,1**	**0**	**27,6**	**27,6**
Источник шума: ИШ-9-14, координаты источника (x,y,z), м =[655.60,-320.74,1.00]													
Уровни звуковой мощности источника днём, Lw, дБ		**исходные данные**	**0**	**93,3**	**94,7**	**96**	**96,3**	**95,9**	**92,6**	**88,4**	**83,9**		
Уровни звуковой мощности источника ночью, Lw, дБ		**исходные данные**	**0**	**93,3**	**94,7**	**96**	**96,3**	**95,9**	**92,6**	**88,4**	**83,9**		
Поправка на телесный угол DΩ, дБ	Ω = 6.28	10Lg(4π/Ω)	**3**	3	3	3	3	3	3	3	3		
Показатель направленности источника Di, дБ		исходные данные	**0**	0	0	0	0	0	0	0	0		
Поправка на направленность источника Dc, дБ	Dc	DΩ + Di	**3**	3	3	3	3	3	3	3	3		
Затухание из-за геометрической дивергенции, Adiv, дБ	расстояние = 821.03 м	ф-ла (7) [10]	**69,3**										
Коэффициент затухания звука в атмосфере α, дБ/км	Ta=20,°C Pa=101.33,кПа hотн.=70%	ф-ла (5) [9]	0,02	0,09	0,33	1,12	2,79	4,98	9,04	23,09	77,63		
Учет затухания звука в атмосфере Aatm, дБ		ф-ла (8) [10]	0	0,1	0,3	0,9	2,3	4,1	7,4	19	63,7		
Снижение уровня звукового давления из-за влияния застройки между источником шума и расчетной точкой													
Снижение уровня звукового давления препятствием слева от трассы ИШ-РТ, Dz2, дБ	z = 0.00м (разность путей)	ф-лы (14-18) [10]	4,8	4,7	4,7	4,6	4,5	4,3	3,7	2,2	0		
* отрицательное значение z означает прохождение траектории вблизи экрана, в этом случае дополнительно производится учёт снижения подстилающей поверхностью (см.ниже)													

1		2	3	4	5	6	7	8	9	10	11	12	13
Снижение поверхностью земли возле источника As, дБ	Gs = 0 hs = 1м	ф-лы таб.3 [10]	-1,5	-1,5	-1,5	-1,5	-1,5	-1,5	-1,5	-1,5	-1,5		
Снижение поверхностью земли возле приёмника Ar, дБ	Gr = 1 hr = 1.5м	ф-лы таб.3 [10]	-1,5	-1,5	4,6	7	5	0,7	0	0	0		
Снижение поверхностью земли в средней зоне, Am дБ	Gm = 1	ф-лы таб.3 [10]	-2,7	-2,7	0	0	0	0	0	0	0		
Суммарное снижение поверхностью земли на траектории распространения звука Agr, дБ		ф-ла (9) [10]	-5,7	-5,7	3,1	5,5	3,5	-0,8	-1,5	-1,5	-1,5		
Уровни звукового давления от источника ИШ-9-14 в расчётной точке днём, дБ		**ф-ла(3)[10]**	**0**	**27,9**	**20,3**	**18,6**	**19,7**	**22,1**	**16,7**	**2,5**	**0**	**24,6**	**24,6**
Уровни звукового давления от источника ИШ-9-14 в расчётной точке ночью, дБ		**ф-ла(3)[10]**	**0**	**27,9**	**20,3**	**18,6**	**19,7**	**22,1**	**16,7**	**2,5**	**0**	**24,6**	**24,6**
Источник шума: ИШ-9-15, координаты источника (x,y,z), м =[656.44,-317.86,1.00]													
Уровни звуковой мощности источника днём, Lw, дБ		**исходные данные**	**0**	**93,3**	**94,7**	**96**	**96,3**	**95,9**	**92,6**	**88,4**	**83,9**		
Уровни звуковой мощности источника ночью, Lw, дБ		**исходные данные**	**0**	**93,3**	**94,7**	**96**	**96,3**	**95,9**	**92,6**	**88,4**	**83,9**		
Поправка на телесный угол DΩ, дБ	Ω = 6.28	10Lg(4π/Ω)	**3**	3	3	3	3	3	3	3	3		
Показатель направленности источника Di, дБ		исходные данные	**0**	0	0	0	0	0	0	0	0		
Поправка на направленность источника Dc, дБ	Dc	DΩ + Di	**3**	3	3	3	3	3	3	3	3		
Затухание из-за геометрической дивергенции, Adiv, дБ	расстояние = 820.90 м	ф-ла (7) [10]	**69,3**										
Коэффициент затухания звука в атмосфере α, дБ/км	Ta=20,°C Pa=101.33,кПа hотн.=70%	ф-ла (5) [9]	0,02	0,09	0,33	1,12	2,79	4,98	9,04	23,09	77,63		
Учет затухания звука в атмосфере Aatm, дБ		ф-ла (8) [10]	0	0,1	0,3	0,9	2,3	4,1	7,4	19	63,7		
Снижение уровня звукового давления из-за влияния застройки между источником шума и расчетной точкой													

1		2	3	4	5	6	7	8	9	10	11	12	13
Снижение уровня звукового давления препятствием слева от трассы ИШ-РТ, Dz2, дБ	z = -0.02м (разность путей)	ф-лы (14-18) [10]	4,7	4,6	4,4	3,9	2,8	0	NAN	NAN	NAN		
* отрицательное значение z означает прохождение траектории вблизи экрана, в этом случае дополнительно производится учёт снижения подстилающей поверхностью (см.ниже)													
Снижение поверхностью земли возле источника As, дБ	Gs = 0 hs = 1м	ф-лы таб.3 [10]	-1,5	-1,5	-1,5	-1,5	-1,5	-1,5	-1,5	-1,5	-1,5		
Снижение поверхностью земли возле приёмника Ar, дБ	Gr = 1 hr = 1.5м	ф-лы таб.3 [10]	-1,5	-1,5	4,6	7	5	0,7	0	0	0		
Снижение поверхностью земли в средней зоне, Am дБ	Gm = 1	ф-лы таб.3 [10]	-2,7	-2,7	0	0	0	0	0	0	0		
Суммарное снижение поверхностью земли на траектории распространения звука Agr, дБ		ф-ла (9) [10]	-5,7	-5,7	3,1	5,5	3,5	-0,8	-1,5	-1,5	-1,5		
Уровни звукового давления от источника ИШ-9-15 в расчётной точке днём, дБ		**ф-ла(3)[10]**	**0**	**28,1**	**20,6**	**19,4**	**21,4**	**26,4**	**20,4**	**4,7**	**0**	**28,2**	**28,2**
Уровни звукового давления от источника ИШ-9-15 в расчётной точке ночью, дБ		**ф-ла(3)[10]**	**0**	**28,1**	**20,6**	**19,4**	**21,4**	**26,4**	**20,4**	**4,7**	**0**	**28,2**	**28,2**
Источник шума: ИШ-9-16, координаты источника (x,y,z), м =[657.46,-314.97,1.00]													
Уровни звуковой мощности источника днём, Lw, дБ		**исходные данные**	**0**	**93,3**	**94,7**	**96**	**96,3**	**95,9**	**92,6**	**88,4**	**83,9**		
Уровни звуковой мощности источника ночью, Lw, дБ		**исходные данные**	**0**	**93,3**	**94,7**	**96**	**96,3**	**95,9**	**92,6**	**88,4**	**83,9**		
Поправка на телесный угол DΩ, дБ	Ω = 6.28	10Lg(4π/Ω)	**3**	3	3	3	3	3	3	3	3		
Показатель направленности источника Di, дБ		исходные данные	**0**	0	0	0	0	0	0	0	0		
Поправка на направленность источника Dc, дБ	Dc	DΩ + Di	**3**	3	3	3	3	3	3	3	3		
Затухание из-за геометрической дивергенции, Adiv, дБ	расстояние = 820.96 м	ф-ла (7) [10]	**69,3**										
Коэффициент затухания звука в атмосфере α, дБ/км	Ta=20,°C Pa=101.33,кПа hотн.=70%	ф-ла (5) [9]	0,02	0,09	0,33	1,12	2,79	4,98	9,04	23,09	77,63		
Учет затухания звука в атмосфере Aatm, дБ		ф-ла (8) [10]	0	0,1	0,3	0,9	2,3	4,1	7,4	19	63,7		

1		2	3	4	5	6	7	8	9	10	11	12	13
Снижение уровня звукового давления из-за влияния застройки между источником шума и расчетной точкой													
Снижение уровня звукового давления препятствием слева от трассы ИШ-РТ, Dz2, дБ	z = -0.05м (разность путей)	ф-лы (14-18) [10]	4,5	4,2	3,6	2,1	0	NAN	NAN	NAN	NAN		
* отрицательное значение z означает прохождение траектории вблизи экрана, в этом случае дополнительно производится учёт снижения подстилающей поверхностью (см.ниже)													
Снижение поверхностью земли возле источника As, дБ	Gs = 0 hs = 1м	ф-лы таб.3 [10]	-1,5	-1,5	-1,5	-1,5	-1,5	-1,5	-1,5	-1,5	-1,5		
Снижение поверхностью земли возле приёмника Ar, дБ	Gr = 1 hr = 1.5м	ф-лы таб.3 [10]	-1,5	-1,5	4,6	7	5	0,7	0	0	0		
Снижение поверхностью земли в средней зоне, Am дБ	Gm = 1	ф-лы таб.3 [10]	-2,7	-2,7	0	0	0	0	0	0	0		
Суммарное снижение поверхностью земли на траектории распространения звука Agr, дБ		ф-ла (9) [10]	-5,7	-5,7	3,1	5,5	3,5	-0,8	-1,5	-1,5	-1,5		
Уровни звукового давления от источника ИШ-9-16 в расчётной точке днём, дБ		**ф-ла(3)[10]**	**0**	**28,4**	**21,4**	**21,2**	**24,2**	**26,4**	**20,4**	**4,7**	**0**	**28,6**	**28,6**
Уровни звукового давления от источника ИШ-9-16 в расчётной точке ночью, дБ		**ф-ла(3)[10]**	**0**	**28,4**	**21,4**	**21,2**	**24,2**	**26,4**	**20,4**	**4,7**	**0**	**28,6**	**28,6**
Источник шума: ИШ-9-17, координаты источника (x,y,z), м =[658.49,-312.18,1.00]													
Уровни звуковой мощности источника днём, Lw, дБ		**исходные данные**	**0**	**93,3**	**94,7**	**96**	**96,3**	**95,9**	**92,6**	**88,4**	**83,9**		
Уровни звуковой мощности источника ночью, Lw, дБ		**исходные данные**	**0**	**93,3**	**94,7**	**96**	**96,3**	**95,9**	**92,6**	**88,4**	**83,9**		
Поправка на телесный угол DΩ, дБ	Ω = 6.28	10Lg(4π/Ω)	**3**	3	3	3	3	3	3	3	3		
Показатель направленности источника Di, дБ		исходные данные	**0**	0	0	0	0	0	0	0	0		
Поправка на направленность источника Dc, дБ	Dc	DΩ + Di	**3**	3	3	3	3	3	3	3	3		
Затухание из-за геометрической дивергенции, Adiv, дБ	расстояние = 821.06 м	ф-ла (7) [10]	**69,3**										
Коэффициент затухания звука в атмосфере α, дБ/км	Ta=20,°C Pa=101.33,кПа hотн.=70%	ф-ла (5) [9]	0,02	0,09	0,33	1,12	2,79	4,98	9,04	23,09	77,63		

1		2	3	4	5	6	7	8	9	10	11	12	13
Учет затухания звука в атмосфере Aatm, дБ		ф-ла (8) [10]	0	0,1	0,3	0,9	2,3	4,1	7,4	19	63,7		
Снижение уровня звукового давления из-за влияния застройки между источником шума и расчетной точкой													
Снижение уровня звукового давления препятствием слева от трассы ИШ-РТ, Dz2, дБ	z = -0.09м (разность путей)	ф-лы (14-18) [10]	4,3	3,7	2,3	0	NAN	NAN	NAN	NAN	NAN		
* отрицательное значение z означает прохождение траектории вблизи экрана, в этом случае дополнительно производится учёт снижения подстилающей поверхностью (см.ниже)													
Снижение поверхностью земли возле источника As, дБ	Gs = 0 hs = 1м	ф-лы таб.3 [10]	-1,5	-1,5	-1,5	-1,5	-1,5	-1,5	-1,5	-1,5	-1,5		
Снижение поверхностью земли возле приёмника Ar, дБ	Gr = 1 hr = 1.5м	ф-лы таб.3 [10]	-1,5	-1,5	4,6	7	5	0,7	0	0	0		
Снижение поверхностью земли в средней зоне, Am дБ	Gm = 1	ф-лы таб.3 [10]	-2,7	-2,7	0	0	0	0	0	0	0		
Суммарное снижение поверхностью земли на траектории распространения звука Agr, дБ		ф-ла (9) [10]	-5,7	-5,7	3,1	5,5	3,5	-0,8	-1,5	-1,5	-1,5		
Уровни звукового давления от источника ИШ-9-17 в расчётной точке днём, дБ		**ф-ла(3)[10]**	**0**	**29**	**22,7**	**23,3**	**24,2**	**26,4**	**20,4**	**4,6**	**0**	**28,7**	**28,7**
Уровни звукового давления от источника ИШ-9-17 в расчётной точке ночью, дБ		**ф-ла(3)[10]**	**0**	**29**	**22,7**	**23,3**	**24,2**	**26,4**	**20,4**	**4,6**	**0**	**28,7**	**28,7**
Источник шума: ИШ-9-18, координаты источника (x,y,z), м =[659.42,-309.20,1.00]													
Уровни звуковой мощности источника днём, Lw, дБ		**исходные данные**	**0**	**93,3**	**94,7**	**96**	**96,3**	**95,9**	**92,6**	**88,4**	**83,9**		
Уровни звуковой мощности источника ночью, Lw, дБ		**исходные данные**	**0**	**93,3**	**94,7**	**96**	**96,3**	**95,9**	**92,6**	**88,4**	**83,9**		
Поправка на телесный угол DΩ, дБ	Ω = 6.28	10Lg(4π/Ω)	**3**	3	3	3	3	3	3	3	3		
Показатель направленности источника Di, дБ		исходные данные	**0**	0	0	0	0	0	0	0	0		
Поправка на направленность источника Dc, дБ	Dc	DΩ + Di	**3**	3	3	3	3	3	3	3	3		
Затухание из-за геометрической дивергенции, Adiv, дБ	расстояние = 821.03 м	ф-ла (7) [10]	**69,3**										

1		2	3	4	5	6	7	8	9	10	11	12	13
Коэффициент затухания звука в атмосфере α, дБ/км	Та=20,°С Ра=101.33,кПа hотн.=70%	ф-ла (5) [9]	0,02	0,09	0,33	1,12	2,79	4,98	9,04	23,09	77,63		
Учет затухания звука в атмосфере Aatm, дБ		ф-ла (8) [10]	0	0,1	0,3	0,9	2,3	4,1	7,4	19	63,7		
Снижение уровня звукового давления из-за влияния застройки между источником шума и расчетной точкой													
Снижение уровня звукового давления препятствием слева от трассы ИШ-РТ, Dz2, дБ	z = -0.14м (разность путей)	ф-лы (14-18) [10]	3,9	2,8	0	NAN	NAN	NAN	NAN	NAN	NAN		
* отрицательное значение z означает прохождение траектории вблизи экрана, в этом случае дополнительно производится учёт снижения подстилающей поверхностью (см.ниже)													
Снижение поверхностью земли возле источника As, дБ	Gs = 0 hs = 1м	ф-лы таб.3 [10]	-1,5	-1,5	-1,5	-1,5	-1,5	-1,5	-1,5	-1,5	-1,5		
Снижение поверхностью земли возле приёмника Ar, дБ	Gr = 1 hr = 1.5м	ф-лы таб.3 [10]	-1,5	-1,5	4,6	7	5	0,7	0	0	0		
Снижение поверхностью земли в средней зоне, Am дБ	Gm = 1	ф-лы таб.3 [10]	-2,7	-2,7	0	0	0	0	0	0	0		
Суммарное снижение поверхностью земли на траектории распространения звука Agr, дБ		ф-ла (9) [10]	-5,7	-5,7	3,1	5,5	3,5	-0,8	-1,5	-1,5	-1,5		
Уровни звукового давления от источника ИШ-9-18 в расчётной точке днём, дБ		**ф-ла(3)[10]**	**0**	**29,8**	**25**	**23,3**	**24,2**	**26,4**	**20,4**	**4,7**	**0**	**28,7**	**28,7**
Уровни звукового давления от источника ИШ-9-18 в расчётной точке ночью, дБ		**ф-ла(3)[10]**	**0**	**29,8**	**25**	**23,3**	**24,2**	**26,4**	**20,4**	**4,7**	**0**	**28,7**	**28,7**
Источник шума: ИШ-9-19, координаты источника (x,y,z), м =[660.44,-306.50,1.00]													
Уровни звуковой мощности источника днём, Lw, дБ		**исходные данные**	**0**	**93,3**	**94,7**	**96**	**96,3**	**95,9**	**92,6**	**88,4**	**83,9**		
Уровни звуковой мощности источника ночью, Lw, дБ		**исходные данные**	**0**	**93,3**	**94,7**	**96**	**96,3**	**95,9**	**92,6**	**88,4**	**83,9**		
Поправка на телесный угол DΩ, дБ	Ω = 6.28	10Lg(4π/Ω)	**3**	3	3	3	3	3	3	3	3		
Показатель направленности источника Di, дБ		исходные данные	**0**	0	0	0	0	0	0	0	0		
Поправка на направленность источника Dc, дБ	Dc	DΩ + Di	**3**	3	3	3	3	3	3	3	3		

1		2	3	4	5	6	7	8	9	10	11	12	13
Затухание из-за геометрической дивергенции, Adiv, дБ	расстояние = 821.18 м	ф-ла (7) [10]	**69,3**										
Коэффициент затухания звука в атмосфере α, дБ/км	Ta=20,°C Pa=101.33,кПа hотн.=70%	ф-ла (5) [9]	0,02	0,09	0,33	1,12	2,79	4,98	9,04	23,09	77,63		
Учет затухания звука в атмосфере Aatm, дБ		ф-ла (8) [10]	0	0,1	0,3	0,9	2,3	4,1	7,4	19	63,8		
Снижение уровня звукового давления из-за влияния застройки между источником шума и расчетной точкой													
Снижение уровня звукового давления препятствием слева от трассы ИШ-РТ, Dz2, дБ	z = -0.21м (разность путей)	ф-лы (14-18) [10]	3,5	1,6	NAN	NAN	NAN	NAN	NAN	NAN	NAN		
* отрицательное значение z означает прохождение траектории вблизи экрана, в этом случае дополнительно производится учёт снижения подстилающей поверхностью (см.ниже)													
Снижение поверхностью земли возле источника As, дБ	Gs = 0 hs = 1м	ф-лы таб.3 [10]	-1,5	-1,5	-1,5	-1,5	-1,5	-1,5	-1,5	-1,5	-1,5		
Снижение поверхностью земли возле приёмника Ar, дБ	Gr = 1 hr = 1.5м	ф-лы таб.3 [10]	-1,5	-1,5	4,6	7	5	0,7	0	0	0		
Снижение поверхностью земли в средней зоне, Am дБ	Gm = 1	ф-лы таб.3 [10]	-2,7	-2,7	0	0	0	0	0	0	0		
Суммарное снижение поверхностью земли на траектории распространения звука Agr, дБ		ф-ла (9) [10]	-5,7	-5,7	3,1	5,5	3,5	-0,8	-1,5	-1,5	-1,5		
Уровни звукового давления прямого звука от источника ИШ-9-19 в расчётной точке днём, дБ		**ф-ла(3)[10]**	**0**	**31**	**25**	**23,3**	**24,2**	**26,4**	**20,4**	**4,6**	**0**	**28,7**	**28,7**
Уровни звукового давления прямого звука от источника ИШ-9-19 в расчётной точке ночью, дБ		**ф-ла(3)[10]**	**0**	**31**	**25**	**23,3**	**24,2**	**26,4**	**20,4**	**4,6**	**0**	**28,7**	**28,7**
Расчёт отражённого звука													
Уровни звукового давления от мнимого источника ИШ-9-19_мн.(1) в расчётной точке днём, дБ		**ф-ла(3)[10]**	**0**	**0**	**0**	**0**	**0**	**0**	**17,6**	**1,6**	**0**	**18,9**	**18,9**
Уровни звукового давления от мнимого источника ИШ-9-19_мн.(1) в расчётной точке ночью, дБ		**ф-ла(3)[10]**	**0**	**0**	**0**	**0**	**0**	**0**	**0**	**0**	**0**	**18,9**	**18,9**
Уровни звукового давления от источника ИШ-9-19 в расчётной точке днём, дБ		**ф-ла(3)[10]**	**0**	**31**	**25**	**23,3**	**24,2**	**26,4**	**22,2**	**6,4**	**0**	**29,2**	**29,2**
Уровни звукового давления от источника ИШ-9-19 в расчётной точке ночью, дБ		**ф-ла(3)[10]**	**0**	**31**	**25**	**23,3**	**24,2**	**26,4**	**22,2**	**6,4**	**0**	**29,2**	**29,2**

1		2	3	4	5	6	7	8	9	10	11	12	13
Источник шума: ИШ-9-20, координаты источника (x,y,z), м =[661.28,-303.61,1.00]													
Уровни звуковой мощности источника днём, Lw, дБ		**исходные данные**	**0**	**93,3**	**94,7**	**96**	**96,3**	**95,9**	**92,6**	**88,4**	**83,9**		
Уровни звуковой мощности источника ночью, Lw, дБ		**исходные данные**	**0**	**93,3**	**94,7**	**96**	**96,3**	**95,9**	**92,6**	**88,4**	**83,9**		
Поправка на телесный угол DΩ, дБ	Ω = 6.28	10Lg(4π/Ω)	**3**	3	3	3	3	3	3	3	3		
Показатель направленности источника Di, дБ		исходные данные	**0**	0	0	0	0	0	0	0	0		
Поправка на направленность источника Dc, дБ	Dc	DΩ + Di	**3**	3	3	3	3	3	3	3	3		
Затухание из-за геометрической дивергенции, Adiv, дБ	расстояние = 821.10 м	ф-ла (7) [10]	**69,3**										
Коэффициент затухания звука в атмосфере α, дБ/км	Ta=20,°C Pa=101.33,кПа hотн.=70%	ф-ла (5) [9]	0,02	0,09	0,33	1,12	2,79	4,98	9,04	23,09	77,63		
Учет затухания звука в атмосфере Aatm, дБ		ф-ла (8) [10]	0	0,1	0,3	0,9	2,3	4,1	7,4	19	63,7		
Снижение уровня звукового давления из-за влияния застройки между источником шума и расчетной точкой													
Снижение уровня звукового давления препятствием слева от трассы ИШ-РТ, Dz2, дБ	z = -0.29м (разность путей)	ф-лы (14-18) [10]	2,9	0	NAN	NAN	NAN	NAN	NAN	NAN	NAN		
* отрицательное значение z означает прохождение траектории вблизи экрана, в этом случае дополнительно производится учёт снижения подстилающей поверхностью (см.ниже)													
Снижение поверхностью земли возле источника As, дБ	Gs = 0 hs = 1м	ф-лы таб.3 [10]	-1,5	-1,5	-1,5	-1,5	-1,5	-1,5	-1,5	-1,5	-1,5		
Снижение поверхностью земли возле приёмника Ar, дБ	Gr = 1 hr = 1.5м	ф-лы таб.3 [10]	-1,5	-1,5	4,6	7	5	0,7	0	0	0		
Снижение поверхностью земли в средней зоне, Am дБ	Gm = 1	ф-лы таб.3 [10]	-2,7	-2,7	0	0	0	0	0	0	0		
Суммарное снижение поверхностью земли на траектории распространения звука Agr, дБ		ф-ла (9) [10]	-5,7	-5,7	3,1	5,5	3,5	-0,8	-1,5	-1,5	-1,5		
Уровни звукового давления прямого звука от источника ИШ-9-20 в расчётной точке днём, дБ		**ф-ла(3)[10]**	**0**	**32,7**	**25**	**23,3**	**24,2**	**26,4**	**20,4**	**4,6**	**0**	**28,7**	**28,7**

1		2	3	4	5	6	7	8	9	10	11	12	13
Уровни звукового давления прямого звука от источника ИШ-9-20 в расчётной точке ночью, дБ		**ф-ла(3)[10]**	**0**	**32,7**	**25**	**23,3**	**24,2**	**26,4**	**20,4**	**4,6**	**0**	**28,7**	**28,7**
Расчёт отражённого звука													
Уровни звукового давления от мнимого источника ИШ-9-20_мн.(1) в расчётной точке днём, дБ		**ф-ла(3)[10]**	**0**	**0**	**0**	**0**	**0**	**0**	**17,4**	**1,2**	**0**	**18,7**	**18,7**
Уровни звукового давления от мнимого источника ИШ-9-20_мн.(1) в расчётной точке ночью, дБ		**ф-ла(3)[10]**	**0**	**0**	**0**	**0**	**0**	**0**	**0**	**0**	**0**	**18,7**	**18,7**
Уровни звукового давления от источника ИШ-9-20 в расчётной точке днём, дБ		**ф-ла(3)[10]**	**0**	**32,7**	**25**	**23,3**	**24,2**	**26,4**	**22,1**	**6,3**	**0**	**29,1**	**29,1**
Уровни звукового давления от источника ИШ-9-20 в расчётной точке ночью, дБ		**ф-ла(3)[10]**	**0**	**32,7**	**25**	**23,3**	**24,2**	**26,4**	**22,1**	**6,3**	**0**	**29,1**	**29,1**
Источник шума: ИШ-9-21, координаты источника (x,y,z), м =[661.93,-300.72,1.00]													
Уровни звуковой мощности источника днём, Lw, дБ		**исходные данные**	**0**	**93,3**	**94,7**	**96**	**96,3**	**95,9**	**92,6**	**88,4**	**83,9**		
Уровни звуковой мощности источника ночью, Lw, дБ		**исходные данные**	**0**	**93,3**	**94,7**	**96**	**96,3**	**95,9**	**92,6**	**88,4**	**83,9**		
Поправка на телесный угол DΩ, дБ	Ω = 6.28	10Lg(4π/Ω)	**3**	3	3	3	3	3	3	3	3		
Показатель направленности источника Di, дБ		исходные данные	**0**	0	0	0	0	0	0	0	0		
Поправка на направленность источника Dc, дБ	Dc	DΩ + Di	**3**	3	3	3	3	3	3	3	3		
Затухание из-за геометрической дивергенции, Adiv, дБ	расстояние = 820.86 м	ф-ла (7) [10]	**69,3**										
Коэффициент затухания звука в атмосфере α, дБ/км	Ta=20,°C Pa=101.33,кПа hотн.=70%	ф-ла (5) [9]	0,02	0,09	0,33	1,12	2,79	4,98	9,04	23,09	77,63		
Учет затухания звука в атмосфере Aatm, дБ		ф-ла (8) [10]	0	0,1	0,3	0,9	2,3	4,1	7,4	19	63,7		
Снижение поверхностью земли возле источника As, дБ	Gs = 0 hs = 1м	ф-лы таб.3 [10]	-1,5	-1,5	-1,5	-1,5	-1,5	-1,5	-1,5	-1,5	-1,5		

1		2	3	4	5	6	7	8	9	10	11	12	13
Снижение поверхностью земли возле приёмника Ar, дБ	Gr = 1 hr = 1.5м	ф-лы таб.3 [10]	-1,5	-1,5	4,6	7	5	0,7	0	0	0		
Снижение поверхностью земли в средней зоне, Am дБ	Gm = 1	ф-лы таб.3 [10]	-2,7	-2,7	0	0	0	0	0	0	0		
Суммарное снижение поверхностью земли на траектории распространения звука Agr, дБ		ф-ла (9) [10]	-5,7	-5,7	3,1	5,5	3,5	-0,8	-1,5	-1,5	-1,5		
Уровни звукового давления прямого звука от источника ИШ-9-21 в расчётной точке днём, дБ		**ф-ла(3)[10]**	**0**	**32,7**	**25**	**23,3**	**24,2**	**26,4**	**20,4**	**4,7**	**0**	**28,7**	**28,7**
Уровни звукового давления прямого звука от источника ИШ-9-21 в расчётной точке ночью, дБ		**ф-ла(3)[10]**	**0**	**32,7**	**25**	**23,3**	**24,2**	**26,4**	**20,4**	**4,7**	**0**	**28,7**	**28,7**
Расчёт отражённого звука													
Уровни звукового давления от мнимого источника ИШ-9-21_мн.(1) в расчётной точке днём, дБ		**ф-ла(3)[10]**	**0**	**0**	**0**	**0**	**0**	**0**	**17,4**	**1,3**	**0**	**18,7**	**18,7**
Уровни звукового давления от мнимого источника ИШ-9-21_мн.(1) в расчётной точке ночью, дБ		**ф-ла(3)[10]**	**0**	**0**	**0**	**0**	**0**	**0**	**0**	**0**	**0**	**18,7**	**18,7**
Уровни звукового давления от источника ИШ-9-21 в расчётной точке днём, дБ		**ф-ла(3)[10]**	**0**	**32,7**	**25**	**23,3**	**24,2**	**26,4**	**22,1**	**6,3**	**0**	**29,2**	**29,2**
Уровни звукового давления от источника ИШ-9-21 в расчётной точке ночью, дБ		**ф-ла(3)[10]**	**0**	**32,7**	**25**	**23,3**	**24,2**	**26,4**	**22,1**	**6,3**	**0**	**29,2**	**29,2**
Источник шума: ИШ-9-22, координаты источника (x,y,z), м =[663.14,-297.83,1.00]													
Уровни звуковой мощности источника днём, Lw, дБ		**исходные данные**	**0**	**93,3**	**94,7**	**96**	**96,3**	**95,9**	**92,6**	**88,4**	**83,9**		
Уровни звуковой мощности источника ночью, Lw, дБ		**исходные данные**	**0**	**93,3**	**94,7**	**96**	**96,3**	**95,9**	**92,6**	**88,4**	**83,9**		
Поправка на телесный угол DΩ, дБ	Ω = 6.28	10Lg(4π/Ω)	**3**	3	3	3	3	3	3	3	3		
Показатель направленности источника Di, дБ		исходные данные	**0**	0	0	0	0	0	0	0	0		
Поправка на направленность источника Dc, дБ	Dc	DΩ + Di	**3**	3	3	3	3	3	3	3	3		
Затухание из-за геометрической дивергенции, Adiv, дБ	расстояние = 821.17 м	ф-ла (7) [10]	**69,3**										

1		2	3	4	5	6	7	8	9	10	11	12	13
Коэффициент затухания звука в атмосфере α, дБ/км	Ta=20,°C Pa=101.33,кПа hотн.=70%	ф-ла (5) [9]	0,02	0,09	0,33	1,12	2,79	4,98	9,04	23,09	77,63		
Учет затухания звука в атмосфере Aatm, дБ		ф-ла (8) [10]	0	0,1	0,3	0,9	2,3	4,1	7,4	19	63,7		
Снижение поверхностью земли возле источника As, дБ	Gs = 0 hs = 1м	ф-лы таб.3 [10]	-1,5	-1,5	-1,5	-1,5	-1,5	-1,5	-1,5	-1,5	-1,5		
Снижение поверхностью земли возле приёмника Ar, дБ	Gr = 1 hr = 1.5м	ф-лы таб.3 [10]	-1,5	-1,5	4,6	7	5	0,7	0	0	0		
Снижение поверхностью земли в средней зоне, Am дБ	Gm = 1	ф-лы таб.3 [10]	-2,7	-2,7	0	0	0	0	0	0	0		
Суммарное снижение поверхностью земли на траектории распространения звука Agr, дБ		ф-ла (9) [10]	-5,7	-5,7	3,1	5,5	3,5	-0,8	-1,5	-1,5	-1,5		
Уровни звукового давления прямого звука от источника ИШ-9-22 в расчётной точке днём, дБ		**ф-ла(3)[10]**	**0**	**32,7**	**25**	**23,3**	**24,2**	**26,4**	**20,4**	**4,6**	**0**	**28,7**	**28,7**
Уровни звукового давления прямого звука от источника ИШ-9-22 в расчётной точке ночью, дБ		**ф-ла(3)[10]**	**0**	**32,7**	**25**	**23,3**	**24,2**	**26,4**	**20,4**	**4,6**	**0**	**28,7**	**28,7**
Расчёт отражённого звука													
Уровни звукового давления от мнимого источника ИШ-9-22_мн.(1) в расчётной точке днём, дБ		**ф-ла(3)[10]**	**0**	**0**	**0**	**0**	**0**	**0**	**17,4**	**1,3**	**0**	**18,7**	**18,7**
Уровни звукового давления от мнимого источника ИШ-9-22_мн.(1) в расчётной точке ночью, дБ		**ф-ла(3)[10]**	**0**	**0**	**0**	**0**	**0**	**0**	**0**	**0**	**0**	**18,7**	**18,7**
Уровни звукового давления от источника ИШ-9-22 в расчётной точке днём, дБ		**ф-ла(3)[10]**	**0**	**32,7**	**25**	**23,3**	**24,2**	**26,4**	**22,1**	**6,3**	**0**	**29,1**	**29,1**
Уровни звукового давления от источника ИШ-9-22 в расчётной точке ночью, дБ		**ф-ла(3)[10]**	**0**	**32,7**	**25**	**23,3**	**24,2**	**26,4**	**22,1**	**6,3**	**0**	**29,1**	**29,1**
Источник шума: ИШ-9-23, координаты источника (x,y,z), м =[664.07,-295.13,1.00]													
Уровни звуковой мощности источника днём, Lw, дБ		**исходные данные**	**0**	**93,3**	**94,7**	**96**	**96,3**	**95,9**	**92,6**	**88,4**	**83,9**		
Уровни звуковой мощности источника ночью, Lw, дБ		**исходные данные**	**0**	**93,3**	**94,7**	**96**	**96,3**	**95,9**	**92,6**	**88,4**	**83,9**		

1		2	3	4	5	6	7	8	9	10	11	12	13
Поправка на телесный угол DΩ, дБ	Ω = 6.28	10Lg(4π/Ω)	**3**	3	3	3	3	3	3	3	3		
Показатель направленности источника Di, дБ		исходные данные	**0**	0	0	0	0	0	0	0	0		
Поправка на направленность источника Dc, дБ	Dc	DΩ + Di	**3**	3	3	3	3	3	3	3	3		
Затухание из-за геометрической дивергенции, Adiv, дБ	расстояние = 821.27 м	ф-ла (7) [10]	**69,3**										
Коэффициент затухания звука в атмосфере α, дБ/км	Ta=20,°C Pa=101.33,кПа hотн.=70%	ф-ла (5) [9]	0,02	0,09	0,33	1,12	2,79	4,98	9,04	23,09	77,63		
Учет затухания звука в атмосфере Aatm, дБ		ф-ла (8) [10]	0	0,1	0,3	0,9	2,3	4,1	7,4	19	63,8		
Снижение поверхностью земли возле источника As, дБ	Gs = 0 hs = 1м	ф-лы таб.3 [10]	-1,5	-1,5	-1,5	-1,5	-1,5	-1,5	-1,5	-1,5	-1,5		
Снижение поверхностью земли возле приёмника Ar, дБ	Gr = 1 hr = 1.5м	ф-лы таб.3 [10]	-1,5	-1,5	4,6	7	5	0,7	0	0	0		
Снижение поверхностью земли в средней зоне, Am дБ	Gm = 1	ф-лы таб.3 [10]	-2,7	-2,7	0	0	0	0	0	0	0		
Суммарное снижение поверхностью земли на траектории распространения звука Agr, дБ		ф-ла (9) [10]	-5,7	-5,7	3,1	5,5	3,5	-0,8	-1,5	-1,5	-1,5		
Уровни звукового давления от источника ИШ-9-23 в расчётной точке днём, дБ		**ф-ла(3)[10]**	**0**	**32,7**	**25**	**23,3**	**24,2**	**26,4**	**20,4**	**4,6**	**0**	**28,7**	**28,7**
Уровни звукового давления от источника ИШ-9-23 в расчётной точке ночью, дБ		**ф-ла(3)[10]**	**0**	**32,7**	**25**	**23,3**	**24,2**	**26,4**	**20,4**	**4,6**	**0**	**28,7**	**28,7**
Источник шума: ИШ-9-24, координаты источника (x,y,z), м =[665.19,-292.34,1.00]													
Уровни звуковой мощности источника днём, Lw, дБ		**исходные данные**	**0**	**93,3**	**94,7**	**96**	**96,3**	**95,9**	**92,6**	**88,4**	**83,9**		
Уровни звуковой мощности источника ночью, Lw, дБ		**исходные данные**	**0**	**93,3**	**94,7**	**96**	**96,3**	**95,9**	**92,6**	**88,4**	**83,9**		
Поправка на телесный угол DΩ, дБ	Ω = 6.28	10Lg(4π/Ω)	**3**	3	3	3	3	3	3	3	3		

1		2	3	4	5	6	7	8	9	10	11	12	13
Показатель направленности источника Di, дБ		исходные данные	**0**	0	0	0	0	0	0	0	0		
Поправка на направленность источника Dc, дБ	Dc	DΩ + Di	**3**	3	3	3	3	3	3	3	3		
Затухание из-за геометрической дивергенции, Adiv, дБ	расстояние = 821.54 м	ф-ла (7) [10]	**69,3**										
Коэффициент затухания звука в атмосфере α, дБ/км	Ta=20,°C Pa=101.33,кПа hотн.=70%	ф-ла (5) [9]	0,02	0,09	0,33	1,12	2,79	4,98	9,04	23,09	77,63		
Учет затухания звука в атмосфере Aatm, дБ		ф-ла (8) [10]	0	0,1	0,3	0,9	2,3	4,1	7,4	19	63,8		
Снижение поверхностью земли возле источника As, дБ	Gs = 0 hs = 1м	ф-лы таб.3 [10]	-1,5	-1,5	-1,5	-1,5	-1,5	-1,5	-1,5	-1,5	-1,5		
Снижение поверхностью земли возле приёмника Ar, дБ	Gr = 1 hr = 1.5м	ф-лы таб.3 [10]	-1,5	-1,5	4,6	7	5	0,7	0	0	0		
Снижение поверхностью земли в средней зоне, Am дБ	Gm = 1	ф-лы таб.3 [10]	-2,7	-2,7	0	0	0	0	0	0	0		
Суммарное снижение поверхностью земли на траектории распространения звука Agr, дБ		ф-ла (9) [10]	-5,7	-5,7	3,1	5,5	3,5	-0,8	-1,5	-1,5	-1,5		
Уровни звукового давления прямого звука от источника ИШ-9-24 в расчётной точке днём, дБ		**ф-ла(3)[10]**	**0**	**32,7**	**25**	**23,3**	**24,2**	**26,4**	**20,4**	**4,6**	**0**	**28,7**	**28,7**
Уровни звукового давления прямого звука от источника ИШ-9-24 в расчётной точке ночью, дБ		**ф-ла(3)[10]**	**0**	**32,7**	**25**	**23,3**	**24,2**	**26,4**	**20,4**	**4,6**	**0**	**28,7**	**28,7**
Расчёт отражённого звука													
Уровни звукового давления от мнимого источника ИШ-9-24_мн.(1) в расчётной точке днём, дБ		**ф-ла(3)[10]**	**0**	**0**	**0**	**0**	**0**	**0**	**0**	**0**	**0**	**0**	**0**
Уровни звукового давления от мнимого источника ИШ-9-24_мн.(1) в расчётной точке ночью, дБ		**ф-ла(3)[10]**	**0**	**0**	**0**	**0**	**0**	**0**	**0**	**0**	**0**	**0**	**0**
Уровни звукового давления от источника ИШ-9-24 в расчётной точке днём, дБ		**ф-ла(3)[10]**	**0**	**32,7**	**25**	**23,3**	**24,2**	**26,4**	**20,4**	**4,6**	**0**	**28,7**	**28,7**
Уровни звукового давления от источника ИШ-9-24 в расчётной точке ночью, дБ		**ф-ла(3)[10]**	**0**	**32,7**	**25**	**23,3**	**24,2**	**26,4**	**20,4**	**4,6**	**0**	**28,7**	**28,7**

1		2	3	4	5	6	7	8	9	10	11	12	13
Источник шума: ИШ-9-25, координаты источника (x,y,z), м =[683.46,-239.16,1.00]													
Уровни звуковой мощности источника днём, Lw, дБ		**исходные данные**	**77**	**75**	**67**	**66**	**63**	**55**	**53**	**48**	**51**		
Уровни звуковой мощности источника ночью, Lw, дБ		**исходные данные**	**77**	**75**	**67**	**66**	**63**	**55**	**53**	**48**	**51**		
Поправка на телесный угол DΩ, дБ	Ω = 6.28	10Lg(4π/Ω)	**3**	3	3	3	3	3	3	3	3		
Показатель направленности источника Di, дБ		исходные данные	**0**	0	0	0	0	0	0	0	0		
Поправка на направленность источника Dc, дБ	Dc	DΩ + Di	**3**	3	3	3	3	3	3	3	3		
Затухание из-за геометрической дивергенции, Adiv, дБ	расстояние = 825.71 м	ф-ла (7) [10]	**69,3**										
Коэффициент затухания звука в атмосфере α, дБ/км	Ta=20,°C Pa=101.33,кПа hотн.=70%	ф-ла (5) [9]	0,02	0,09	0,33	1,12	2,79	4,98	9,04	23,09	77,63		
Учет затухания звука в атмосфере Aatm, дБ		ф-ла (8) [10]	0	0,1	0,3	0,9	2,3	4,1	7,5	19,1	64,1		
Снижение поверхностью земли возле источника As, дБ	Gs = 0 hs = 1м	ф-лы таб.3 [10]	-1,5	-1,5	-1,5	-1,5	-1,5	-1,5	-1,5	-1,5	-1,5		
Снижение поверхностью земли возле приёмника Ar, дБ	Gr = 1 hr = 1.5м	ф-лы таб.3 [10]	-1,5	-1,5	4,7	7	5	0,7	0	0	0		
Снижение поверхностью земли в средней зоне, Am дБ	Gm = 1	ф-лы таб.3 [10]	-2,7	-2,7	0	0	0	0	0	0	0		
Суммарное снижение поверхностью земли на траектории распространения звука Agr, дБ		ф-ла (9) [10]	-5,7	-5,7	3,2	5,5	3,5	-0,8	-1,5	-1,5	-1,5		
Уровни звукового давления от источника ИШ-9-25 в расчётной точке днём, дБ		**ф-ла(3)[10]**	**16,4**	**14,3**	**0**	**0**	**0**	**0**	**0**	**0**	**0**	**0**	**0**
Уровни звукового давления от источника ИШ-9-25 в расчётной точке ночью, дБ		**ф-ла(3)[10]**	**16,4**	**14,3**	**0**	**0**	**0**	**0**	**0**	**0**	**0**	**0**	**0**
Источник шума: ИШ-9-26, координаты источника (x,y,z), м =[680.09,-249.52,1.00]													

1		2	3	4	5	6	7	8	9	10	11	12	13
Уровни звуковой мощности источника днём, Lw, дБ		**исходные данные**	**77**	**75**	**67**	**66**	**63**	**55**	**53**	**48**	**51**		
Уровни звуковой мощности источника ночью, Lw, дБ		**исходные данные**	**77**	**75**	**67**	**66**	**63**	**55**	**53**	**48**	**51**		
Поправка на телесный угол DΩ, дБ	Ω = 6.28	10Lg(4π/Ω)	**3**	3	3	3	3	3	3	3	3		
Показатель направленности источника Di, дБ		исходные данные	**0**	0	0	0	0	0	0	0	0		
Поправка на направленность источника Dc, дБ	Dc	DΩ + Di	**3**	3	3	3	3	3	3	3	3		
Затухание из-за геометрической дивергенции, Adiv, дБ	расстояние = 824.79 м	ф-ла (7) [10]	**69,3**										
Коэффициент затухания звука в атмосфере α, дБ/км	Ta=20,°C Pa=101.33,кПа hотн.=70%	ф-ла (5) [9]	0,02	0,09	0,33	1,12	2,79	4,98	9,04	23,09	77,63		
Учет затухания звука в атмосфере Aatm, дБ		ф-ла (8) [10]	0	0,1	0,3	0,9	2,3	4,1	7,5	19	64		
Снижение поверхностью земли возле источника As, дБ	Gs = 0 hs = 1м	ф-лы таб.3 [10]	-1,5	-1,5	-1,5	-1,5	-1,5	-1,5	-1,5	-1,5	-1,5		
Снижение поверхностью земли возле приёмника Ar, дБ	Gr = 1 hr = 1.5м	ф-лы таб.3 [10]	-1,5	-1,5	4,7	7	5	0,7	0	0	0		
Снижение поверхностью земли в средней зоне, Am дБ	Gm = 1	ф-лы таб.3 [10]	-2,7	-2,7	0	0	0	0	0	0	0		
Суммарное снижение поверхностью земли на траектории распространения звука Agr, дБ		ф-ла (9) [10]	-5,7	-5,7	3,2	5,5	3,5	-0,8	-1,5	-1,5	-1,5		
Уровни звукового давления от источника ИШ-9-26 в расчётной точке днём, дБ		**ф-ла(3)[10]**	**16,4**	**14,3**	**0**	**0**	**0**	**0**	**0**	**0**	**0**	**0**	**0**
Уровни звукового давления от источника ИШ-9-26 в расчётной точке ночью, дБ		**ф-ла(3)[10]**	**16,4**	**14,3**	**0**	**0**	**0**	**0**	**0**	**0**	**0**	**0**	**0**
Источник шума: ИШ-9-27, координаты источника (x,y,z), м =[676.46,-260.14,1.00]													
Уровни звуковой мощности источника днём, Lw, дБ		**исходные данные**	**77**	**75**	**67**	**66**	**63**	**55**	**53**	**48**	**51**		

1		2	3	4	5	6	7	8	9	10	11	12	13
Уровни звуковой мощности источника ночью, Lw, дБ		**исходные данные**	**77**	**75**	**67**	**66**	**63**	**55**	**53**	**48**	**51**		
Поправка на телесный угол DΩ, дБ	Ω = 6.28	10Lg(4π/Ω)	**3**	3	3	3	3	3	3	3	3		
Показатель направленности источника Di, дБ		исходные данные	**0**	0	0	0	0	0	0	0	0		
Поправка на направленность источника Dc, дБ	Dc	DΩ + Di	**3**	3	3	3	3	3	3	3	3		
Затухание из-за геометрической дивергенции, Adiv, дБ	расстояние = 823.81 м	ф-ла (7) [10]	**69,3**										
Коэффициент затухания звука в атмосфере α, дБ/км	Ta=20,°C Pa=101.33,кПа hотн.=70%	ф-ла (5) [9]	0,02	0,09	0,33	1,12	2,79	4,98	9,04	23,09	77,63		
Учет затухания звука в атмосфере Aatm, дБ		ф-ла (8) [10]	0	0,1	0,3	0,9	2,3	4,1	7,4	19	64		
Снижение поверхностью земли возле источника As, дБ	Gs = 0 hs = 1м	ф-лы таб.3 [10]	-1,5	-1,5	-1,5	-1,5	-1,5	-1,5	-1,5	-1,5	-1,5		
Снижение поверхностью земли возле приёмника Ar, дБ	Gr = 1 hr = 1.5м	ф-лы таб.3 [10]	-1,5	-1,5	4,6	7	5	0,7	0	0	0		
Снижение поверхностью земли в средней зоне, Am дБ	Gm = 1	ф-лы таб.3 [10]	-2,7	-2,7	0	0	0	0	0	0	0		
Суммарное снижение поверхностью земли на траектории распространения звука Agr, дБ		ф-ла (9) [10]	-5,7	-5,7	3,1	5,5	3,5	-0,8	-1,5	-1,5	-1,5		
Уровни звукового давления от источника ИШ-9-27 в расчётной точке днём, дБ		**ф-ла(3)[10]**	**16,4**	**14,3**	**0**	**0**	**0**	**0**	**0**	**0**	**0**	**0**	**0**
Уровни звукового давления от источника ИШ-9-27 в расчётной точке ночью, дБ		**ф-ла(3)[10]**	**16,4**	**14,3**	**0**	**0**	**0**	**0**	**0**	**0**	**0**	**0**	**0**
Источник шума: ИШ-10-1, координаты источника (x,y,z), м =[17.37,413.17,1.00]													
Уровни звуковой мощности источника днём, Lw, дБ		**исходные данные**	**0**	**98,3**	**99,7**	**101**	**101,3**	**100,9**	**97,6**	**93,4**	**88,9**		
Уровни звуковой мощности источника ночью, Lw, дБ		**исходные данные**	**0**	**98,3**	**99,7**	**101**	**101,3**	**100,9**	**97,6**	**93,4**	**88,9**		

1		2	3	4	5	6	7	8	9	10	11	12	13
Поправка на телесный угол DΩ, дБ	Ω = 6.28	10Lg(4π/Ω)	**3**	3	3	3	3	3	3	3	3		
Показатель направленности источника Di, дБ		исходные данные	**0**	0	0	0	0	0	0	0	0		
Поправка на направленность источника Dc, дБ	Dc	DΩ + Di	**3**	3	3	3	3	3	3	3	3		
Затухание из-за геометрической дивергенции, Adiv, дБ	расстояние = 490.31 м	ф-ла (7) [10]	**64,8**										
Коэффициент затухания звука в атмосфере α, дБ/км	Ta=20,°C Pa=101.33,кПа hотн.=70%	ф-ла (5) [9]	0,02	0,09	0,33	1,12	2,79	4,98	9,04	23,09	77,63		
Учет затухания звука в атмосфере Aatm, дБ		ф-ла (8) [10]	0	0	0,2	0,6	1,4	2,4	4,4	11,3	38,1		
Снижение поверхностью земли возле источника As, дБ	Gs = 0 hs = 1м	ф-лы таб.3 [10]	-1,5	-1,5	-1,5	-1,5	-1,5	-1,5	-1,5	-1,5	-1,5		
Снижение поверхностью земли возле приёмника Ar, дБ	Gr = 1 hr = 1.5м	ф-лы таб.3 [10]	-1,5	-1,5	3	7	5	0,7	0	0	0		
Снижение поверхностью земли в средней зоне, Am дБ	Gm = 1	ф-лы таб.3 [10]	-2,5	-2,5	0	0	0	0	0	0	0		
Суммарное снижение поверхностью земли на траектории распространения звука Agr, дБ		ф-ла (9) [10]	-5,5	-5,5	1,5	5,5	3,5	-0,8	-1,5	-1,5	-1,5		
Уровни звукового давления от источника ИШ-10-1 в расчётной точке днём, дБ		**ф-ла(3)[10]**	**0**	**42**	**36,3**	**33,1**	**34,7**	**37,5**	**32,9**	**21,8**	**0**	**40,1**	**40,1**
Уровни звукового давления от источника ИШ-10-1 в расчётной точке ночью, дБ		**ф-ла(3)[10]**	**0**	**42**	**36,3**	**33,1**	**34,7**	**37,5**	**32,9**	**21,8**	**0**	**40,1**	**40,1**
Источник шума: ИШ-10-2, координаты источника (x,y,z), м =[27.87,443.46,1.00]													
Уровни звуковой мощности источника днём, Lw, дБ		**исходные данные**	**0**	**98,3**	**99,7**	**101**	**101,3**	**100,9**	**97,6**	**93,4**	**88,9**		
Уровни звуковой мощности источника ночью, Lw, дБ		**исходные данные**	**0**	**98,3**	**99,7**	**101**	**101,3**	**100,9**	**97,6**	**93,4**	**88,9**		
Поправка на телесный угол DΩ, дБ	Ω = 6.28	10Lg(4π/Ω)	**3**	3	3	3	3	3	3	3	3		

1		2	3	4	5	6	7	8	9	10	11	12	13
Показатель направленности источника Di, дБ		исходные данные	**0**	0	0	0	0	0	0	0	0		
Поправка на направленность источника Dc, дБ	Dc	DΩ + Di	**3**	3	3	3	3	3	3	3	3		
Затухание из-за геометрической дивергенции, Adiv, дБ	расстояние = 522.34 м	ф-ла (7) [10]	**65,4**										
Коэффициент затухания звука в атмосфере α, дБ/км	Ta=20,°C Pa=101.33,кПа hотн.=70%	ф-ла (5) [9]	0,02	0,09	0,33	1,12	2,79	4,98	9,04	23,09	77,63		
Учет затухания звука в атмосфере Aatm, дБ		ф-ла (8) [10]	0	0	0,2	0,6	1,5	2,6	4,7	12,1	40,6		
Снижение поверхностью земли возле источника As, дБ	Gs = 0 hs = 1м	ф-лы таб.3 [10]	-1,5	-1,5	-1,5	-1,5	-1,5	-1,5	-1,5	-1,5	-1,5		
Снижение поверхностью земли возле приёмника Ar, дБ	Gr = 1 hr = 1.5м	ф-лы таб.3 [10]	-1,5	-1,5	3,2	7	5	0,7	0	0	0		
Снижение поверхностью земли в средней зоне, Am дБ	Gm = 1	ф-лы таб.3 [10]	-2,6	-2,6	0	0	0	0	0	0	0		
Суммарное снижение поверхностью земли на траектории распространения звука Agr, дБ		ф-ла (9) [10]	-5,6	-5,6	1,7	5,5	3,5	-0,8	-1,5	-1,5	-1,5		
Уровни звукового давления прямого звука от источника ИШ-10-2 в расчётной точке днём, дБ		**ф-ла(3)[10]**	**0**	**41,5**	**35,5**	**32,5**	**34**	**36,8**	**32**	**20,5**	**0**	**39,3**	**39,3**
Уровни звукового давления прямого звука от источника ИШ-10-2 в расчётной точке ночью, дБ		**ф-ла(3)[10]**	**0**	**41,5**	**35,5**	**32,5**	**34**	**36,8**	**32**	**20,5**	**0**	**39,3**	**39,3**
Расчёт отражённого звука													
Уровни звукового давления от мнимого источника ИШ-10-2_мн.(1) в расчётной точке днём, дБ		**ф-ла(3)[10]**	**0**	**0**	**0**	**0**	**0**	**0**	**0**	**0**	**0**	**0**	**0**
Уровни звукового давления от мнимого источника ИШ-10-2_мн.(1) в расчётной точке ночью, дБ		**ф-ла(3)[10]**	**0**	**0**	**0**	**0**	**0**	**0**	**0**	**0**	**0**	**0**	**0**
Уровни звукового давления от источника ИШ-10-2 в расчётной точке днём, дБ		**ф-ла(3)[10]**	**0**	**41,5**	**35,5**	**32,5**	**34**	**36,8**	**32**	**20,5**	**0**	**39,3**	**39,3**
Уровни звукового давления от источника ИШ-10-2 в расчётной точке ночью, дБ		**ф-ла(3)[10]**	**0**	**41,5**	**35,5**	**32,5**	**34**	**36,8**	**32**	**20,5**	**0**	**39,3**	**39,3**

1		2	3	4	5	6	7	8	9	10	11	12	13
Уровни звукового давления в расчётной точке													
Суммарные уровни звукового давления в расчётной точке от всех источников шума днём, Lрт, дБ		**ф-ла (19) [1]**	**54**	**53,7**	**49,4**	**47,8**	**47,2**	**48,7**	**43,4**	**30,3**	**0**	**51,5**	**51,5**
Суммарные уровни звукового давления в расчётной точке от всех источников шума ночью, Lрт, дБ		**ф-ла (19) [1]**	**49,7**	**52,8**	**49,2**	**47,7**	**47**	**48,4**	**42,4**	**30,1**	**0**	**51,1**	**51,1**
Допускаемые УЗД днём, Lдоп, дБ	Границы санитарно-защитных зон	Таблица 5.35.[23]	90	75	66	59	54	50	47	45	44	55	70
Допускаемые УЗД ночью, Lдоп, дБ	Границы санитарно-защитных зон	Таблица 5.35.[23]	83	67	57	49	44	40	37	35	33	45	60
Превышение днём, дБ		**Lрт - Lдоп**	**-36**	**-21,3**	**-16,6**	**-11,2**	**-6,8**	**-1,3**	**-3,6**	**-14,7**	**-44**	**-3,5**	**-18,5**
Превышение ночью, дБ		**Lрт - Lдоп**	**-33,3**	**-14,2**	**-7,8**	**-1,3**	**3**	**8,4**	**5,4**	**-4,9**	**-33**	**6,1**	**-8,9**

Определение уровней звукового давления в точке РТ-15 (координаты точки, м: x = 144.09, y = 526.54, z = 1.50)

Наименование величин и их описание		Ссылка	Расчётные уровни в октавных полосах, со среднегеометрическими частотами, Гц									La, дБА	Lмакс, дБА
			31,5	63	125	250	500	1000	2000	4000	8000		
1		2	3	4	5	6	7	8	9	10	11	12	13
Источник шума: ИШ-1-1, координаты источника (x,y,z), м =[271.72,229.68,1.00]													
Уровни звуковой мощности источника днём, Lw, дБ		**исходные данные**	**97**	**97**	**104**	**106**	**105**	**105**	**98**	**87**	**81**		
Уровни звуковой мощности источника ночью, Lw, дБ		**исходные данные**	**97**	**97**	**104**	**106**	**105**	**105**	**98**	**87**	**81**		
Поправка на телесный угол DΩ, дБ	Ω = 6.28	10Lg(4π/Ω)	**3**	3	3	3	3	3	3	3	3		
Показатель направленности источника Di, дБ		исходные данные	**0**	0	0	0	0	0	0	0	0		
Поправка на направленность источника Dc, дБ	Dc	DΩ + Di	**3**	3	3	3	3	3	3	3	3		
Затухание из-за геометрической дивергенции, Adiv, дБ	расстояние = 323.13 м	ф-ла (7) [10]	**61,2**										
Коэффициент затухания звука в атмосфере α, дБ/км	Ta=20,°C Pa=101.33,кПа hотн.=70%	ф-ла (5) [9]	0,02	0,09	0,33	1,12	2,79	4,98	9,04	23,09	77,63		
Учет затухания звука в атмосфере Aatm, дБ		ф-ла (8) [10]	0	0	0,1	0,4	0,9	1,6	2,9	7,5	25,1		
Снижение поверхностью земли возле источника As, дБ	Gs = 0 hs = 1м	ф-лы таб.3 [10]	-1,5	-1,5	-1,5	-1,5	-1,5	-1,5	-1,5	-1,5	-1,5		
Снижение поверхностью земли возле приёмника Ar, дБ	Gr = 1 hr = 1.5м	ф-лы таб.3 [10]	-1,5	-1,5	1,9	7	5	0,7	0	0	0		
Снижение поверхностью земли в средней зоне, Am дБ	Gm = 1	ф-лы таб.3 [10]	-2,3	-2,3	0	0	0	0	0	0	0		
Суммарное снижение поверхностью земли на траектории распространения звука Agr, дБ		ф-ла (9) [10]	-5,3	-5,3	0,4	5,5	3,5	-0,8	-1,5	-1,5	-1,5		

1		2	3	4	5	6	7	8	9	10	11	12	13
Уровни звукового давления от источника ИШ-1-1 в расчётной точке днём, дБ		**ф-ла(3)[10]**	**44,1**	**44,1**	**45,3**	**41,9**	**42,5**	**46,1**	**38,4**	**22,9**	**0**	**47,9**	**47,9**
Уровни звукового давления от источника ИШ-1-1 в расчётной точке ночью, дБ		**ф-ла(3)[10]**	**44,1**	**44,1**	**45,3**	**41,9**	**42,5**	**46,1**	**38,4**	**22,9**	**0**	**47,9**	**47,9**
Источник шума: ИШ-1-2, координаты источника (x,y,z), м =[261.74,199.14,1.00]													
Уровни звуковой мощности источника днём, Lw, дБ		**исходные данные**	**97**	**97**	**104**	**106**	**105**	**105**	**98**	**87**	**81**		
Уровни звуковой мощности источника ночью, Lw, дБ		**исходные данные**	**97**	**97**	**104**	**106**	**105**	**105**	**98**	**87**	**81**		
Поправка на телесный угол DΩ, дБ	Ω = 6.28	10Lg(4π/Ω)	**3**	3	3	3	3	3	3	3	3		
Показатель направленности источника Di, дБ		исходные данные	**0**	0	0	0	0	0	0	0	0		
Поправка на направленность источника Dc, дБ	Dc	DΩ + Di	**3**	3	3	3	3	3	3	3	3		
Затухание из-за геометрической дивергенции, Adiv, дБ	расстояние = 347.89 м	ф-ла (7) [10]	**61,8**										
Коэффициент затухания звука в атмосфере α, дБ/км	Ta=20,°C Pa=101.33,кПа hотн.=70%	ф-ла (5) [9]	0,02	0,09	0,33	1,12	2,79	4,98	9,04	23,09	77,63		
Учет затухания звука в атмосфере Aatm, дБ		ф-ла (8) [10]	0	0	0,1	0,4	1	1,7	3,1	8	27		
Снижение поверхностью земли возле источника As, дБ	Gs = 0 hs = 1м	ф-лы таб.3 [10]	-1,5	-1,5	-1,5	-1,5	-1,5	-1,5	-1,5	-1,5	-1,5		
Снижение поверхностью земли возле приёмника Ar, дБ	Gr = 1 hr = 1.5м	ф-лы таб.3 [10]	-1,5	-1,5	2	7	5	0,7	0	0	0		
Снижение поверхностью земли в средней зоне, Am дБ	Gm = 1	ф-лы таб.3 [10]	-2,4	-2,4	0	0	0	0	0	0	0		
Суммарное снижение поверхностью земли на траектории распространения звука Agr, дБ		ф-ла (9) [10]	-5,4	-5,4	0,5	5,5	3,5	-0,8	-1,5	-1,5	-1,5		
Уровни звукового давления прямого звука от источника ИШ-1-2 в расчётной точке днём, дБ		**ф-ла(3)[10]**	**43,5**	**43,5**	**44,5**	**41,3**	**41,7**	**45,3**	**37,5**	**21,7**	**0**	**47,1**	**47,1**

1		2	3	4	5	6	7	8	9	10	11	12	13
Уровни звукового давления прямого звука от источника ИШ-1-2 в расчётной точке ночью, дБ		**ф-ла(3)[10]**	**43,5**	**43,5**	**44,5**	**41,3**	**41,7**	**45,3**	**37,5**	**21,7**	**0**	**47,1**	**47,1**
Расчёт отражённого звука													
Уровни звукового давления от мнимого источника ИШ-1-2_мн.(1) в расчётной точке днём, дБ		**ф-ла(3)[10]**	**0**	**0**	**0**	**0**	**0**	**0**	**0**	**0**	**0**	**0**	**0**
Уровни звукового давления от мнимого источника ИШ-1-2_мн.(1) в расчётной точке ночью, дБ		**ф-ла(3)[10]**	**0**	**0**	**0**	**0**	**0**	**0**	**0**	**0**	**0**	**0**	**0**
Уровни звукового давления от источника ИШ-1-2 в расчётной точке днём, дБ		**ф-ла(3)[10]**	**43,5**	**43,5**	**44,5**	**41,3**	**41,7**	**45,3**	**37,5**	**21,7**	**0**	**47,1**	**47,1**
Уровни звукового давления от источника ИШ-1-2 в расчётной точке ночью, дБ		**ф-ла(3)[10]**	**43,5**	**43,5**	**44,5**	**41,3**	**41,7**	**45,3**	**37,5**	**21,7**	**0**	**47,1**	**47,1**
Источник шума: ИШ-1-3, координаты источника (x,y,z), м =[251.75,236.44,1.00]													
Уровни звуковой мощности источника днём, Lw, дБ		**исходные данные**	**0**	**91,3**	**92,7**	**94**	**94,3**	**93,9**	**90,6**	**86,4**	**81,9**		
Уровни звуковой мощности источника ночью, Lw, дБ		**исходные данные**	**0**	**91,3**	**92,7**	**94**	**94,3**	**93,9**	**90,6**	**86,4**	**81,9**		
Поправка на телесный угол DΩ, дБ	Ω = 6.28	10Lg(4π/Ω)	**3**	3	3	3	3	3	3	3	3		
Показатель направленности источника Di, дБ		исходные данные	**0**	0	0	0	0	0	0	0	0		
Поправка на направленность источника Dc, дБ	Dc	DΩ + Di	**3**	3	3	3	3	3	3	3	3		
Затухание из-за геометрической дивергенции, Adiv, дБ	расстояние = 309.44 м	ф-ла (7) [10]	**60,8**										
Коэффициент затухания звука в атмосфере α, дБ/км	Ta=20,°C Pa=101.33,кПа hотн.=70%	ф-ла (5) [9]	0,02	0,09	0,33	1,12	2,79	4,98	9,04	23,09	77,63		
Учет затухания звука в атмосфере Aatm, дБ		ф-ла (8) [10]	0	0	0,1	0,3	0,9	1,5	2,8	7,1	24		
Снижение поверхностью земли возле источника As, дБ	Gs = 0 hs = 1м	ф-лы таб.3 [10]	-1,5	-1,5	-1,5	-1,5	-1,5	-1,5	-1,5	-1,5	-1,5		

1		2	3	4	5	6	7	8	9	10	11	12	13
Снижение поверхностью земли возле приёмника Ar, дБ	Gr = 1 hr = 1.5м	ф-лы таб.3 [10]	-1,5	-1,5	1,8	7	5	0,7	0	0	0		
Снижение поверхностью земли в средней зоне, Am дБ	Gm = 1	ф-лы таб.3 [10]	-2,3	-2,3	0	0	0	0	0	0	0		
Суммарное снижение поверхностью земли на траектории распространения звука Agr, дБ		ф-ла (9) [10]	-5,3	-5,3	0,3	5,5	3,5	-0,8	-1,5	-1,5	-1,5		
Уровни звукового давления от источника ИШ-1-3 в расчётной точке днём, дБ		**ф-ла(3)[10]**	**0**	**38,7**	**34,5**	**30,3**	**32,2**	**35,4**	**31,5**	**22,9**	**1,6**	**38,2**	**38,2**
Уровни звукового давления от источника ИШ-1-3 в расчётной точке ночью, дБ		**ф-ла(3)[10]**	**0**	**38,7**	**34,5**	**30,3**	**32,2**	**35,4**	**31,5**	**22,9**	**1,6**	**38,2**	**38,2**
Источник шума: ИШ-1-4, координаты источника (x,y,z), м =[290.25,223.25,1.00]													
Уровни звуковой мощности источника днём, Lw, дБ		**исходные данные**	**0**	**91,3**	**92,7**	**94**	**94,3**	**93,9**	**90,6**	**86,4**	**81,9**		
Уровни звуковой мощности источника ночью, Lw, дБ		**исходные данные**	**0**	**91,3**	**92,7**	**94**	**94,3**	**93,9**	**90,6**	**86,4**	**81,9**		
Поправка на телесный угол DΩ, дБ	Ω = 6.28	10Lg(4π/Ω)	**3**	3	3	3	3	3	3	3	3		
Показатель направленности источника Di, дБ		исходные данные	**0**	0	0	0	0	0	0	0	0		
Поправка на направленность источника Dc, дБ	Dc	DΩ + Di	**3**	3	3	3	3	3	3	3	3		
Затухание из-за геометрической дивергенции, Adiv, дБ	расстояние = 336.67 м	ф-ла (7) [10]	**61,5**										
Коэффициент затухания звука в атмосфере α, дБ/км	Ta=20,°C Pa=101.33,кПа hотн.=70%	ф-ла (5) [9]	0,02	0,09	0,33	1,12	2,79	4,98	9,04	23,09	77,63		
Учет затухания звука в атмосфере Aatm, дБ		ф-ла (8) [10]	0	0	0,1	0,4	0,9	1,7	3	7,8	26,1		
Снижение поверхностью земли возле источника As, дБ	Gs = 0 hs = 1м	ф-лы таб.3 [10]	-1,5	-1,5	-1,5	-1,5	-1,5	-1,5	-1,5	-1,5	-1,5		
Снижение поверхностью земли возле приёмника Ar, дБ	Gr = 1 hr = 1.5м	ф-лы таб.3 [10]	-1,5	-1,5	2	7	5	0,7	0	0	0		

1		2	3	4	5	6	7	8	9	10	11	12	13
Снижение поверхностью земли в средней зоне, Am дБ	Gm = 1	ф-лы таб.3 [10]	-2,3	-2,3	0	0	0	0	0	0	0		
Суммарное снижение поверхностью земли на траектории распространения звука Agr, дБ		ф-ла (9) [10]	-5,3	-5,3	0,5	5,5	3,5	-0,8	-1,5	-1,5	-1,5		
Уровни звукового давления прямого звука от источника ИШ-1-4 в расчётной точке днём, дБ		**ф-ла(3)[10]**	**0**	**38**	**33,6**	**29,6**	**31,3**	**34,5**	**30,5**	**21,6**	**0**	**37,3**	**37,3**
Уровни звукового давления прямого звука от источника ИШ-1-4 в расчётной точке ночью, дБ		**ф-ла(3)[10]**	**0**	**38**	**33,6**	**29,6**	**31,3**	**34,5**	**30,5**	**21,6**	**0**	**37,3**	**37,3**
Расчёт отражённого звука													
Уровни звукового давления от мнимого источника ИШ-1-4_мн.(1) в расчётной точке днём, дБ		**ф-ла(3)[10]**	**0**	**0**	**0**	**0**	**0**	**0**	**0**	**0**	**0**	**0**	**0**
Уровни звукового давления от мнимого источника ИШ-1-4_мн.(1) в расчётной точке ночью, дБ		**ф-ла(3)[10]**	**0**	**0**	**0**	**0**	**0**	**0**	**0**	**0**	**0**	**0**	**0**
Уровни звукового давления от источника ИШ-1-4 в расчётной точке днём, дБ		**ф-ла(3)[10]**	**0**	**38**	**33,6**	**29,6**	**31,3**	**34,5**	**30,5**	**21,6**	**0**	**37,3**	**37,3**
Уровни звукового давления от источника ИШ-1-4 в расчётной точке ночью, дБ		**ф-ла(3)[10]**	**0**	**38**	**33,6**	**29,6**	**31,3**	**34,5**	**30,5**	**21,6**	**0**	**37,3**	**37,3**
Источник шума: ИШ-1-5, координаты источника (x,y,z), м =[241.49,205.86,1.00]													
Уровни звуковой мощности источника днём, Lw, дБ		**исходные данные**	**0**	**91,3**	**92,7**	**94**	**94,3**	**93,9**	**90,6**	**86,4**	**81,9**		
Уровни звуковой мощности источника ночью, Lw, дБ		**исходные данные**	**0**	**91,3**	**92,7**	**94**	**94,3**	**93,9**	**90,6**	**86,4**	**81,9**		
Поправка на телесный угол DΩ, дБ	Ω = 6.28	10Lg(4π/Ω)	**3**	3	3	3	3	3	3	3	3		
Показатель направленности источника Di, дБ		исходные данные	**0**	0	0	0	0	0	0	0	0		
Поправка на направленность источника Dc, дБ	Dc	DΩ + Di	**3**	3	3	3	3	3	3	3	3		
Затухание из-за геометрической дивергенции, Adiv, дБ	расстояние = 335.15 м	ф-ла (7) [10]	**61,5**										
Коэффициент затухания звука в атмосфере α, дБ/км	Ta=20,°C Pa=101.33,кПа hотн.=70%	ф-ла (5) [9]	0,02	0,09	0,33	1,12	2,79	4,98	9,04	23,09	77,63		

1		2	3	4	5	6	7	8	9	10	11	12	13
Учет затухания звука в атмосфере Aatm, дБ		ф-ла (8) [10]	0	0	0,1	0,4	0,9	1,7	3	7,7	26		
Снижение уровня звукового давления из-за влияния застройки между источником шума и расчетной точкой													
Снижение уровня звукового давления препятствием слева от трассы ИШ-РТ, Dz2, дБ	z = -0.21м (разность путей)	ф-лы (14-18) [10]	3,4	1,5	NAN	NAN	NAN	NAN	NAN	NAN	NAN		
* отрицательное значение z означает прохождение траектории вблизи экрана, в этом случае дополнительно производится учёт снижения подстилающей поверхностью (см.ниже)													
Снижение поверхностью земли возле источника As, дБ	Gs = 0 hs = 1м	ф-лы таб.3 [10]	-1,5	-1,5	-1,5	-1,5	-1,5	-1,5	-1,5	-1,5	-1,5		
Снижение поверхностью земли возле приёмника Ar, дБ	Gr = 1 hr = 1.5м	ф-лы таб.3 [10]	-1,5	-1,5	1,9	7	5	0,7	0	0	0		
Снижение поверхностью земли в средней зоне, Am дБ	Gm = 1	ф-лы таб.3 [10]	-2,3	-2,3	0	0	0	0	0	0	0		
Суммарное снижение поверхностью земли на траектории распространения звука Agr, дБ		ф-ла (9) [10]	-5,3	-5,3	0,4	5,5	3,5	-0,8	-1,5	-1,5	-1,5		
Уровни звукового давления прямого звука от источника ИШ-1-5 в расчётной точке днём, дБ		**ф-ла(3)[10]**	**0**	**36,6**	**33,6**	**29,6**	**31,4**	**34,6**	**30,6**	**21,7**	**0**	**37,3**	**37,3**
Уровни звукового давления прямого звука от источника ИШ-1-5 в расчётной точке ночью, дБ		**ф-ла(3)[10]**	**0**	**36,6**	**33,6**	**29,6**	**31,4**	**34,6**	**30,6**	**21,7**	**0**	**37,3**	**37,3**
Расчёт отражённого звука													
Уровни звукового давления от мнимого источника ИШ-1-5_мн.(1) в расчётной точке днём, дБ		**ф-ла(3)[10]**	**0**	**0**	**0**	**0**	**0**	**0**	**0**	**0**	**0**	**0**	**0**
Уровни звукового давления от мнимого источника ИШ-1-5_мн.(1) в расчётной точке ночью, дБ		**ф-ла(3)[10]**	**0**	**0**	**0**	**0**	**0**	**0**	**0**	**0**	**0**	**0**	**0**
Уровни звукового давления от мнимого источника ИШ-1-5_мн.(2) в расчётной точке днём, дБ		**ф-ла(3)[10]**	**0**	**0**	**0**	**0**	**0**	**0**	**8,4**	**0**	**0**	**9,6**	**9,6**
Уровни звукового давления от мнимого источника ИШ-1-5_мн.(2) в расчётной точке ночью, дБ		**ф-ла(3)[10]**	**0**	**0**	**0**	**0**	**0**	**0**	**0**	**0**	**0**	**9,6**	**9,6**
Суммарные уровни звукового давления от мнимых источников в расчётной точке днём, дБ		**ф-ла (19) [1]**	**0**	**0**	**0**	**0**	**0**	**0**	**8,4**	**0**	**0**	**0**	**9,6**
Суммарные уровни звукового давления от мнимых источников в расчётной точке ночью, дБ		**ф-ла (19) [1]**	**0**	**0**	**0**	**0**	**0**	**0**	**8,4**	**0**	**0**	**0**	**9,6**
Уровни звукового давления от источника ИШ-1-5 в расчётной точке днём, дБ		**ф-ла(3)[10]**	**0**	**36,6**	**33,6**	**29,6**	**31,4**	**34,6**	**30,6**	**21,7**	**0**	**37,3**	**37,3**

1		2	3	4	5	6	7	8	9	10	11	12	13
Уровни звукового давления от источника ИШ-1-5 в расчётной точке ночью, дБ		**ф-ла(3)[10]**	**0**	**36,6**	**33,6**	**29,6**	**31,4**	**34,6**	**30,6**	**21,7**	**0**	**37,3**	**37,3**
Источник шума: ИШ-1-6, координаты источника (x,y,z), м =[279.85,192.97,1.00]													
Уровни звуковой мощности источника днём, Lw, дБ		**исходные данные**	**0**	**91,3**	**92,7**	**94**	**94,3**	**93,9**	**90,6**	**86,4**	**81,9**		
Уровни звуковой мощности источника ночью, Lw, дБ		**исходные данные**	**0**	**91,3**	**92,7**	**94**	**94,3**	**93,9**	**90,6**	**86,4**	**81,9**		
Поправка на телесный угол DΩ, дБ	Ω = 6.28	10Lg(4π/Ω)	**3**	3	3	3	3	3	3	3	3		
Показатель направленности источника Di, дБ		исходные данные	**0**	0	0	0	0	0	0	0	0		
Поправка на направленность источника Dc, дБ	Dc	DΩ + Di	**3**	3	3	3	3	3	3	3	3		
Затухание из-за геометрической дивергенции, Adiv, дБ	расстояние = 360.14 м	ф-ла (7) [10]	**62,1**										
Коэффициент затухания звука в атмосфере α, дБ/км	Ta=20,°C Pa=101.33,кПа hотн.=70%	ф-ла (5) [9]	0,02	0,09	0,33	1,12	2,79	4,98	9,04	23,09	77,63		
Учет затухания звука в атмосфере Aatm, дБ		ф-ла (8) [10]	0	0	0,1	0,4	1	1,8	3,3	8,3	28		
Снижение поверхностью земли возле источника As, дБ	Gs = 0 hs = 1м	ф-лы таб.3 [10]	-1,5	-1,5	-1,5	-1,5	-1,5	-1,5	-1,5	-1,5	-1,5		
Снижение поверхностью земли возле приёмника Ar, дБ	Gr = 1 hr = 1.5м	ф-лы таб.3 [10]	-1,5	-1,5	2,1	7	5	0,7	0	0	0		
Снижение поверхностью земли в средней зоне, Am дБ	Gm = 1	ф-лы таб.3 [10]	-2,4	-2,4	0	0	0	0	0	0	0		
Суммарное снижение поверхностью земли на траектории распространения звука Agr, дБ		ф-ла (9) [10]	-5,4	-5,4	0,6	5,5	3,5	-0,8	-1,5	-1,5	-1,5		
Уровни звукового давления прямого звука от источника ИШ-1-6 в расчётной точке днём, дБ		**ф-ла(3)[10]**	**0**	**37,5**	**32,8**	**28,9**	**30,7**	**33,8**	**29,7**	**20,4**	**0**	**36,5**	**36,5**
Уровни звукового давления прямого звука от источника ИШ-1-6 в расчётной точке ночью, дБ		**ф-ла(3)[10]**	**0**	**37,5**	**32,8**	**28,9**	**30,7**	**33,8**	**29,7**	**20,4**	**0**	**36,5**	**36,5**

1		2	3	4	5	6	7	8	9	10	11	12	13
Расчёт отражённого звука													
Уровни звукового давления от мнимого источника ИШ-1-6_мн.(1) в расчётной точке днём, дБ		**ф-ла(3)[10]**	**0**	**0**	**0**	**0**	**0**	**0**	**0**	**0**	**0**	**0**	**0**
Уровни звукового давления от мнимого источника ИШ-1-6_мн.(1) в расчётной точке ночью, дБ		**ф-ла(3)[10]**	**0**	**0**	**0**	**0**	**0**	**0**	**0**	**0**	**0**	**0**	**0**
Уровни звукового давления от источника ИШ-1-6 в расчётной точке днём, дБ		**ф-ла(3)[10]**	**0**	**37,5**	**32,8**	**28,9**	**30,7**	**33,8**	**29,7**	**20,4**	**0**	**36,5**	**36,5**
Уровни звукового давления от источника ИШ-1-6 в расчётной точке ночью, дБ		**ф-ла(3)[10]**	**0**	**37,5**	**32,8**	**28,9**	**30,7**	**33,8**	**29,7**	**20,4**	**0**	**36,5**	**36,5**
Источник шума: ИШ-1-7, координаты источника (x,y,z), м =[451.87,146.66,1.00]													
Уровни звуковой мощности источника днём, Lw, дБ		**исходные данные**	**0**	**93,3**	**94,7**	**96**	**96,3**	**95,9**	**92,6**	**88,4**	**83,9**		
Уровни звуковой мощности источника ночью, Lw, дБ		**исходные данные**	**0**	**93,3**	**94,7**	**96**	**96,3**	**95,9**	**92,6**	**88,4**	**83,9**		
Поправка на телесный угол DΩ, дБ	Ω = 6.28	10Lg(4π/Ω)	**3**	3	3	3	3	3	3	3	3		
Показатель направленности источника Di, дБ		исходные данные	**0**	0	0	0	0	0	0	0	0		
Поправка на направленность источника Dc, дБ	Dc	DΩ + Di	**3**	3	3	3	3	3	3	3	3		
Затухание из-за геометрической дивергенции, Adiv, дБ	расстояние = 488.91 м	ф-ла (7) [10]	**64,8**										
Коэффициент затухания звука в атмосфере α, дБ/км	Ta=20,°C Pa=101.33,кПа hотн.=70%	ф-ла (5) [9]	0,02	0,09	0,33	1,12	2,79	4,98	9,04	23,09	77,63		
Учет затухания звука в атмосфере Aatm, дБ		ф-ла (8) [10]	0	0	0,2	0,5	1,4	2,4	4,4	11,3	38		
Снижение уровня звукового давления из-за влияния застройки между источником шума и расчетной точкой													
Снижение уровня звукового давления на пути над экраном, Dz1, дБ	z = 1.39м (разность путей)	ф-лы (14-18) [10]	10,1	12,8	15,5	18,4	21,3	24,3	27,3	30,3	33,3		

1		2	3	4	5	6	7	8	9	10	11	12	13
Снижение уровня звукового давления на пути слева от экрана, Dz2, дБ	z = 147.99м (разность путей)	ф-лы (14-18) [10]	30,8	34,7	38	41,1	44,2	47,2	50,2	53,2	56,2		
Снижение уровня звукового давления на пути справа от экрана, Dz3, дБ	z = 15.28м (разность путей)	ф-лы (14-18) [10]	20,7	24,7	28,1	31,3	34,3	37,3	40,3	43,3	46,3		
Общее снижение уровня звука препятствием Dz, дБ		Эн.сумма(-Dzi)	9,7	12,5	15,3	18,2	21,1	24,1	27	30	33		
Общее снижение уровня звука препятствием с учётом ограничения (25 дБ) для октавных полос Dz, дБ		Раздел 7.4 [10]	9,7	12,5	15,3	18,2	21,1	24,1	25	25	25		
Уровни звукового давления прямого звука от источника ИШ-1-7 в расчётной точке днём, дБ		**ф-ла(3)[10]**	**0**	**18,9**	**17,5**	**15,5**	**12,1**	**7,6**	**1,4**	**0**	**0**	**13,4**	**13,4**
Уровни звукового давления прямого звука от источника ИШ-1-7 в расчётной точке ночью, дБ		**ф-ла(3)[10]**	**0**	**18,9**	**17,5**	**15,5**	**12,1**	**7,6**	**1,4**	**0**	**0**	**13,4**	**13,4**
Расчёт отражённого звука													
Уровни звукового давления от мнимого источника ИШ-1-7_мн.(1) в расчётной точке днём, дБ		**ф-ла(3)[10]**	**0**	**0**	**0**	**0**	**0**	**20,2**	**12,4**	**0**	**0**	**21**	**21**
Уровни звукового давления от мнимого источника ИШ-1-7_мн.(1) в расчётной точке ночью, дБ		**ф-ла(3)[10]**	**0**	**0**	**0**	**0**	**0**	**0**	**0**	**0**	**0**	**21**	**21**
Уровни звукового давления от источника ИШ-1-7 в расчётной точке днём, дБ		**ф-ла(3)[10]**	**0**	**18,9**	**17,5**	**15,5**	**12,1**	**20,4**	**12,8**	**0**	**0**	**21,7**	**21,7**
Уровни звукового давления от источника ИШ-1-7 в расчётной точке ночью, дБ		**ф-ла(3)[10]**	**0**	**18,9**	**17,5**	**15,5**	**12,1**	**20,4**	**12,8**	**0**	**0**	**21,7**	**21,7**
Источник шума: ИШ-1-8, координаты источника (x,y,z), м =[454.99,145.29,1.00]													
Уровни звуковой мощности источника днём, Lw, дБ		**исходные данные**	**0**	**93,3**	**94,7**	**96**	**96,3**	**95,9**	**92,6**	**88,4**	**83,9**		
Уровни звуковой мощности источника ночью, Lw, дБ		**исходные данные**	**0**	**93,3**	**94,7**	**96**	**96,3**	**95,9**	**92,6**	**88,4**	**83,9**		
Поправка на телесный угол DΩ, дБ	Ω = 6.28	10Lg(4π/Ω)	**3**	3	3	3	3	3	3	3	3		
Показатель направленности источника Di, дБ		исходные данные	**0**	0	0	0	0	0	0	0	0		
Поправка на направленность источника Dc, дБ	Dc	DΩ + Di	**3**	3	3	3	3	3	3	3	3		

1		2	3	4	5	6	7	8	9	10	11	12	13
Затухание из-за геометрической дивергенции, Adiv, дБ	расстояние = 491.95 м	ф-ла (7) [10]	**64,8**										
Коэффициент затухания звука в атмосфере α, дБ/км	Ta=20,°C Pa=101.33,кПа hотн.=70%	ф-ла (5) [9]	0,02	0,09	0,33	1,12	2,79	4,98	9,04	23,09	77,63		
Учет затухания звука в атмосфере Aatm, дБ		ф-ла (8) [10]	0	0	0,2	0,6	1,4	2,4	4,4	11,4	38,2		
Снижение уровня звукового давления из-за влияния застройки между источником шума и расчетной точкой													
Снижение уровня звукового давления на пути над экраном, Dz1, дБ	z = 1.26м (разность путей)	ф-лы (14-18) [10]	9,6	12,2	14,9	17,7	20,6	23,5	26,5	29,5	32,5		
Снижение уровня звукового давления на пути слева от экрана, Dz2, дБ	z = 145.80м (разность путей)	ф-лы (14-18) [10]	30,8	34,7	38	41,1	44,1	47,1	50,1	53,1	56,1		
Снижение уровня звукового давления на пути справа от экрана, Dz3, дБ	z = 14.15м (разность путей)	ф-лы (14-18) [10]	20,3	24,4	27,8	30,9	34	37	40	43	46		
Общее снижение уровня звука препятствием Dz, дБ		Эн.сумма(-Dzi)	9,2	11,9	14,6	17,5	20,4	23,3	26,3	29,3	32,3		
Общее снижение уровня звука препятствием с учётом ограничения (25 дБ) для октавных полос Dz, дБ		Раздел 7.4 [10]	9,2	11,9	14,6	17,5	20,4	23,3	25	25	25		
Уровни звукового давления прямого звука от источника ИШ-1-8 в расчётной точке днём, дБ		**ф-ла(3)[10]**	**0**	**19,5**	**18,1**	**16,1**	**12,7**	**8,3**	**1,3**	**0**	**0**	**14**	**14**
Уровни звукового давления прямого звука от источника ИШ-1-8 в расчётной точке ночью, дБ		**ф-ла(3)[10]**	**0**	**19,5**	**18,1**	**16,1**	**12,7**	**8,3**	**1,3**	**0**	**0**	**14**	**14**
Расчёт отражённого звука													
Уровни звукового давления от мнимого источника ИШ-1-8_мн.(1) в расчётной точке днём, дБ		**ф-ла(3)[10]**	**0**	**0**	**0**	**0**	**0**	**20,3**	**12,6**	**0**	**0**	**21,2**	**21,2**
Уровни звукового давления от мнимого источника ИШ-1-8_мн.(1) в расчётной точке ночью, дБ		**ф-ла(3)[10]**	**0**	**0**	**0**	**0**	**0**	**0**	**0**	**0**	**0**	**21,2**	**21,2**
Уровни звукового давления от источника ИШ-1-8 в расчётной точке днём, дБ		**ф-ла(3)[10]**	**0**	**19,5**	**18,1**	**16,1**	**12,7**	**20,6**	**12,9**	**0**	**0**	**22**	**22**
Уровни звукового давления от источника ИШ-1-8 в расчётной точке ночью, дБ		**ф-ла(3)[10]**	**0**	**19,5**	**18,1**	**16,1**	**12,7**	**20,6**	**12,9**	**0**	**0**	**22**	**22**

1		2	3	4	5	6	7	8	9	10	11	12	13
Источник шума: ИШ-1-9, координаты источника (x,y,z), м =[458.12,144.31,1.00]													
Уровни звуковой мощности источника днём, Lw, дБ		**исходные данные**	**0**	**93,3**	**94,7**	**96**	**96,3**	**95,9**	**92,6**	**88,4**	**83,9**		
Уровни звуковой мощности источника ночью, Lw, дБ		**исходные данные**	**0**	**93,3**	**94,7**	**96**	**96,3**	**95,9**	**92,6**	**88,4**	**83,9**		
Поправка на телесный угол DΩ, дБ	Ω = 6.28	10Lg(4π/Ω)	**3**	3	3	3	3	3	3	3	3		
Показатель направленности источника Di, дБ		исходные данные	**0**	0	0	0	0	0	0	0	0		
Поправка на направленность источника Dc, дБ	Dc	DΩ + Di	**3**	3	3	3	3	3	3	3	3		
Затухание из-за геометрической дивергенции, Adiv, дБ	расстояние = 494.69 м	ф-ла (7) [10]	**64,9**										
Коэффициент затухания звука в атмосфере α, дБ/км	Ta=20,°C Pa=101.33,кПа hотн.=70%	ф-ла (5) [9]	0,02	0,09	0,33	1,12	2,79	4,98	9,04	23,09	77,63		
Учет затухания звука в атмосфере Aatm, дБ		ф-ла (8) [10]	0	0	0,2	0,6	1,4	2,5	4,5	11,4	38,4		
Снижение уровня звукового давления из-за влияния застройки между источником шума и расчетной точкой													
Снижение уровня звукового давления на пути над экраном, Dz1, дБ	z = 1.15м (разность путей)	ф-лы (14-18) [10]	9,1	11,6	14,2	17	19,9	22,9	25,8	28,8	31,8		
Снижение уровня звукового давления на пути слева от экрана, Dz2, дБ	z = 144.32м (разность путей)	ф-лы (14-18) [10]	30,7	34,6	37,9	41	44,1	47,1	50,1	53,1	56,1		
Снижение уровня звукового давления на пути справа от экрана, Dz3, дБ	z = 13.06м (разность путей)	ф-лы (14-18) [10]	20	24,1	27,5	30,6	33,6	36,6	39,6	42,7	45,7		
Общее снижение уровня звука препятствием Dz, дБ		Эн.сумма(-Dzi)	8,8	11,4	14	16,8	19,7	22,7	25,6	28,6	31,6		
Общее снижение уровня звука препятствием с учётом ограничения (25 дБ) для октавных полос Dz, дБ		Раздел 7.4 [10]	8,8	11,4	14	16,8	19,7	22,7	25	25	25		
Уровни звукового давления прямого звука от источника ИШ-1-9 в расчётной точке днём, дБ		**ф-ла(3)[10]**	**0**	**20**	**18,6**	**16,7**	**13,3**	**8,9**	**1,2**	**0**	**0**	**14,5**	**14,5**

1		2	3	4	5	6	7	8	9	10	11	12	13
Уровни звукового давления прямого звука от источника ИШ-1-9 в расчётной точке ночью, дБ		**ф-ла(3)[10]**	**0**	**20**	**18,6**	**16,7**	**13,3**	**8,9**	**1,2**	**0**	**0**	**14,5**	**14,5**
Расчёт отражённого звука													
Уровни звукового давления от мнимого источника ИШ-1-9_мн.(1) в расчётной точке днём, дБ		**ф-ла(3)[10]**	**0**	**0**	**0**	**0**	**0**	**20,5**	**12,8**	**0**	**0**	**21,3**	**21,3**
Уровни звукового давления от мнимого источника ИШ-1-9_мн.(1) в расчётной точке ночью, дБ		**ф-ла(3)[10]**	**0**	**0**	**0**	**0**	**0**	**0**	**0**	**0**	**0**	**21,3**	**21,3**
Уровни звукового давления от источника ИШ-1-9 в расчётной точке днём, дБ		**ф-ла(3)[10]**	**0**	**20**	**18,6**	**16,7**	**13,3**	**20,8**	**13,1**	**0**	**0**	**22,2**	**22,2**
Уровни звукового давления от источника ИШ-1-9 в расчётной точке ночью, дБ		**ф-ла(3)[10]**	**0**	**20**	**18,6**	**16,7**	**13,3**	**20,8**	**13,1**	**0**	**0**	**22,2**	**22,2**
Источник шума: ИШ-1-10, координаты источника (x,y,z), м =[461.05,143.53,1.00]													
Уровни звуковой мощности источника днём, Lw, дБ		**исходные данные**	**0**	**93,3**	**94,7**	**96**	**96,3**	**95,9**	**92,6**	**88,4**	**83,9**		
Уровни звуковой мощности источника ночью, Lw, дБ		**исходные данные**	**0**	**93,3**	**94,7**	**96**	**96,3**	**95,9**	**92,6**	**88,4**	**83,9**		
Поправка на телесный угол DΩ, дБ	Ω = 6.28	10Lg(4π/Ω)	**3**	3	3	3	3	3	3	3	3		
Показатель направленности источника Di, дБ		исходные данные	**0**	0	0	0	0	0	0	0	0		
Поправка на направленность источника Dc, дБ	Dc	DΩ + Di	**3**	3	3	3	3	3	3	3	3		
Затухание из-за геометрической дивергенции, Adiv, дБ	расстояние = 497.15 м	ф-ла (7) [10]	**64,9**										
Коэффициент затухания звука в атмосфере α, дБ/км	Ta=20,°C Pa=101.33,кПа hотн.=70%	ф-ла (5) [9]	0,02	0,09	0,33	1,12	2,79	4,98	9,04	23,09	77,63		
Учет затухания звука в атмосфере Aatm, дБ		ф-ла (8) [10]	0	0	0,2	0,6	1,4	2,5	4,5	11,5	38,6		
Снижение уровня звукового давления из-за влияния застройки между источником шума и расчетной точкой													

1		2	3	4	5	6	7	8	9	10	11	12	13
Снижение уровня звукового давления на пути над экраном, Dz1, дБ	z = 1.07м (разность путей)	ф-лы (14-18) [10]	8,8	11,1	13,7	16,5	19,3	22,3	25,2	28,2	31,2		
Снижение уровня звукового давления на пути слева от экрана, Dz2, дБ	z = 143.23м (разность путей)	ф-лы (14-18) [10]	30,7	34,6	37,9	41	44	47	50	53,1	56,1		
Снижение уровня звукового давления на пути справа от экрана, Dz3, дБ	z = 12.13м (разность путей)	ф-лы (14-18) [10]	19,7	23,8	27,1	30,3	33,3	36,3	39,3	42,3	45,3		
Общее снижение уровня звука препятствием Dz, дБ		Эн.сумма(-Dzi)	8,4	10,9	13,5	16,3	19,1	22,1	25,1	28,1	31,1		
Общее снижение уровня звука препятствием с учётом ограничения (25 дБ) для октавных полос Dz, дБ		Раздел 7.4 [10]	8,4	10,9	13,5	16,3	19,1	22,1	25	25	25		
Уровни звукового давления прямого звука от источника ИШ-1-10 в расчётной точке днём, дБ		**ф-ла(3)[10]**	**0**	**20,4**	**19,1**	**17,2**	**13,8**	**9,4**	**1,2**	**0**	**0**	**15**	**15**
Уровни звукового давления прямого звука от источника ИШ-1-10 в расчётной точке ночью, дБ		**ф-ла(3)[10]**	**0**	**20,4**	**19,1**	**17,2**	**13,8**	**9,4**	**1,2**	**0**	**0**	**15**	**15**
Расчёт отражённого звука													
Уровни звукового давления от мнимого источника ИШ-1-10_мн.(1) в расчётной точке днём, дБ		**ф-ла(3)[10]**	**0**	**0**	**0**	**0**	**0**	**20,6**	**13**	**0**	**0**	**21,5**	**21,5**
Уровни звукового давления от мнимого источника ИШ-1-10_мн.(1) в расчётной точке ночью, дБ		**ф-ла(3)[10]**	**0**	**0**	**0**	**0**	**0**	**0**	**0**	**0**	**0**	**21,5**	**21,5**
Уровни звукового давления от источника ИШ-1-10 в расчётной точке днём, дБ		**ф-ла(3)[10]**	**0**	**20,4**	**19,1**	**17,2**	**13,8**	**20,9**	**13,2**	**0**	**0**	**22,4**	**22,4**
Уровни звукового давления от источника ИШ-1-10 в расчётной точке ночью, дБ		**ф-ла(3)[10]**	**0**	**20,4**	**19,1**	**17,2**	**13,8**	**20,9**	**13,2**	**0**	**0**	**22,4**	**22,4**
Источник шума: ИШ-1-11, координаты источника (x,y,z), м =[464.18,142.55,1.00]													
Уровни звуковой мощности источника днём, Lw, дБ		**исходные данные**	**0**	**93,3**	**94,7**	**96**	**96,3**	**95,9**	**92,6**	**88,4**	**83,9**		
Уровни звуковой мощности источника ночью, Lw, дБ		**исходные данные**	**0**	**93,3**	**94,7**	**96**	**96,3**	**95,9**	**92,6**	**88,4**	**83,9**		
Поправка на телесный угол DΩ, дБ	Ω = 6.28	10Lg(4π/Ω)	**3**	3	3	3	3	3	3	3	3		
Показатель направленности источника Di, дБ		исходные данные	**0**	0	0	0	0	0	0	0	0		

1		2	3	4	5	6	7	8	9	10	11	12	13
Поправка на направленность источника Dc, дБ	Dc	DΩ + Di	**3**	3	3	3	3	3	3	3	3		
Затухание из-за геометрической дивергенции, Adiv, дБ	расстояние = 499.90 м	ф-ла (7) [10]	**65**										
Коэффициент затухания звука в атмосфере α, дБ/км	Ta=20,°C Pa=101.33,кПа hотн.=70%	ф-ла (5) [9]	0,02	0,09	0,33	1,12	2,79	4,98	9,04	23,09	77,63		
Учет затухания звука в атмосфере Aatm, дБ		ф-ла (8) [10]	0	0	0,2	0,6	1,4	2,5	4,5	11,5	38,8		
Снижение уровня звукового давления из-за влияния застройки между источником шума и расчетной точкой													
Снижение уровня звукового давления на пути над экраном, Dz1, дБ	z = 1.00м (разность путей)	ф-лы (14-18) [10]	8,4	10,7	13,2	15,9	18,7	21,7	24,6	27,6	30,6		
Снижение уровня звукового давления на пути слева от экрана, Dz2, дБ	z = 141.94м (разность путей)	ф-лы (14-18) [10]	30,6	34,6	37,8	40,9	44	47	50	53	56		
Снижение уровня звукового давления на пути справа от экрана, Dz3, дБ	z = 11.27м (разность путей)	ф-лы (14-18) [10]	19,4	23,4	26,8	29,9	33	36	39	42	45		
Общее снижение уровня звука препятствием Dz, дБ		Эн.сумма(-Dzi)	8	10,4	13	15,7	18,6	21,5	24,5	27,4	30,4		
Общее снижение уровня звука препятствием с учётом ограничения (25 дБ) для октавных полос Dz, дБ		Раздел 7.4 [10]	8	10,4	13	15,7	18,6	21,5	24,5	25	25		
Уровни звукового давления прямого звука от источника ИШ-1-11 в расчётной точке днём, дБ		**ф-ла(3)[10]**	**0**	**20,8**	**19,6**	**17,7**	**14,4**	**9,9**	**1,6**	**0**	**0**	**15,5**	**15,5**
Уровни звукового давления прямого звука от источника ИШ-1-11 в расчётной точке ночью, дБ		**ф-ла(3)[10]**	**0**	**20,8**	**19,6**	**17,7**	**14,4**	**9,9**	**1,6**	**0**	**0**	**15,5**	**15,5**
Расчёт отражённого звука													
Уровни звукового давления от мнимого источника ИШ-1-11_мн.(1) в расчётной точке днём, дБ		**ф-ла(3)[10]**	**0**	**0**	**0**	**0**	**0**	**20,7**	**13,1**	**0**	**0**	**21,6**	**21,6**
Уровни звукового давления от мнимого источника ИШ-1-11_мн.(1) в расчётной точке ночью, дБ		**ф-ла(3)[10]**	**0**	**0**	**0**	**0**	**0**	**0**	**0**	**0**	**0**	**21,6**	**21,6**
Уровни звукового давления от источника ИШ-1-11 в расчётной точке днём, дБ		**ф-ла(3)[10]**	**0**	**20,8**	**19,6**	**17,7**	**14,4**	**21,1**	**13,4**	**0**	**0**	**22,6**	**22,6**
Уровни звукового давления от источника ИШ-1-11 в расчётной точке ночью, дБ		**ф-ла(3)[10]**	**0**	**20,8**	**19,6**	**17,7**	**14,4**	**21,1**	**13,4**	**0**	**0**	**22,6**	**22,6**

1		2	3	4	5	6	7	8	9	10	11	12	13
Источник шума: ИШ-1-12, координаты источника (x,y,z), м =[435.45,97.79,1.00]													
Уровни звуковой мощности источника днём, Lw, дБ		**исходные данные**	**0**	**93,3**	**94,7**	**96**	**96,3**	**95,9**	**92,6**	**88,4**	**83,9**		
Уровни звуковой мощности источника ночью, Lw, дБ		**исходные данные**	**0**	**93,3**	**94,7**	**96**	**96,3**	**95,9**	**92,6**	**88,4**	**83,9**		
Поправка на телесный угол DΩ, дБ	Ω = 6.28	10Lg(4π/Ω)	**3**	3	3	3	3	3	3	3	3		
Показатель направленности источника Di, дБ		исходные данные	**0**	0	0	0	0	0	0	0	0		
Поправка на направленность источника Dc, дБ	Dc	DΩ + Di	**3**	3	3	3	3	3	3	3	3		
Затухание из-за геометрической дивергенции, Adiv, дБ	расстояние = 518.38 м	ф-ла (7) [10]	**65,3**										
Коэффициент затухания звука в атмосфере α, дБ/км	Ta=20,°C Pa=101.33,кПа hотн.=70%	ф-ла (5) [9]	0,02	0,09	0,33	1,12	2,79	4,98	9,04	23,09	77,63		
Учет затухания звука в атмосфере Aatm, дБ		ф-ла (8) [10]	0	0	0,2	0,6	1,4	2,6	4,7	12	40,2		
Снижение уровня звукового давления из-за влияния застройки между источником шума и расчетной точкой													
Снижение уровня звукового давления на пути над экраном, Dz1, дБ	z = 1.33м (разность путей)	ф-лы (14-18) [10]	10	12,5	15,2	18	21	23,9	26,9	29,9	32,9		
Снижение уровня звукового давления на пути слева от экрана, Dz2, дБ	z = 73.01м (разность путей)	ф-лы (14-18) [10]	27,8	31,7	35	38,1	41,1	44,1	47,1	50,1	53,1		
Снижение уровня звукового давления на пути справа от экрана, Dz3, дБ	z = 34.25м (разность путей)	ф-лы (14-18) [10]	24,1	28,2	31,6	34,8	37,8	40,8	43,8	46,8	49,9		
Общее снижение уровня звука препятствием Dz, дБ		Эн.сумма(-Dzi)	9,7	12,4	15,1	17,9	20,8	23,8	26,8	29,8	32,8		
Общее снижение уровня звука препятствием с учётом ограничения (25 дБ) для октавных полос Dz, дБ		Раздел 7.4 [10]	9,7	12,4	15,1	17,9	20,8	23,8	25	25	25		
Уровни звукового давления прямого звука от источника ИШ-1-12 в расчётной точке днём, дБ		**ф-ла(3)[10]**	**0**	**18,6**	**17,2**	**15,2**	**11,7**	**7,2**	**0,6**	**0**	**0**	**13**	**13**

1		2	3	4	5	6	7	8	9	10	11	12	13
Уровни звукового давления прямого звука от источника ИШ-1-12 в расчётной точке ночью, дБ		**ф-ла(3)[10]**	**0**	**18,6**	**17,2**	**15,2**	**11,7**	**7,2**	**0,6**	**0**	**0**	**13**	**13**
Расчёт отражённого звука													
Уровни звукового давления от мнимого источника ИШ-1-12_мн.(1) в расчётной точке днём, дБ		**ф-ла(3)[10]**	**0**	**0**	**0**	**0**	**0**	**0**	**2,9**	**0**	**0**	**4,1**	**4,1**
Уровни звукового давления от мнимого источника ИШ-1-12_мн.(1) в расчётной точке ночью, дБ		**ф-ла(3)[10]**	**0**	**0**	**0**	**0**	**0**	**0**	**0**	**0**	**0**	**4,1**	**4,1**
Уровни звукового давления от источника ИШ-1-12 в расчётной точке днём, дБ		**ф-ла(3)[10]**	**0**	**18,6**	**17,2**	**15,2**	**11,7**	**7,2**	**4,9**	**0**	**0**	**13,5**	**13,5**
Уровни звукового давления от источника ИШ-1-12 в расчётной точке ночью, дБ		**ф-ла(3)[10]**	**0**	**18,6**	**17,2**	**15,2**	**11,7**	**7,2**	**4,9**	**0**	**0**	**13,5**	**13,5**
Источник шума: ИШ-1-13, координаты источника (x,y,z), м =[438.77,96.82,1.00]													
Уровни звуковой мощности источника днём, Lw, дБ		**исходные данные**	**0**	**93,3**	**94,7**	**96**	**96,3**	**95,9**	**92,6**	**88,4**	**83,9**		
Уровни звуковой мощности источника ночью, Lw, дБ		**исходные данные**	**0**	**93,3**	**94,7**	**96**	**96,3**	**95,9**	**92,6**	**88,4**	**83,9**		
Поправка на телесный угол DΩ, дБ	Ω = 6.28	10Lg(4π/Ω)	**3**	3	3	3	3	3	3	3	3		
Показатель направленности источника Di, дБ		исходные данные	**0**	0	0	0	0	0	0	0	0		
Поправка на направленность источника Dc, дБ	Dc	DΩ + Di	**3**	3	3	3	3	3	3	3	3		
Затухание из-за геометрической дивергенции, Adiv, дБ	расстояние = 521.06 м	ф-ла (7) [10]	**65,3**										
Коэффициент затухания звука в атмосфере α, дБ/км	Ta=20,°C Pa=101.33,кПа hотн.=70%	ф-ла (5) [9]	0,02	0,09	0,33	1,12	2,79	4,98	9,04	23,09	77,63		
Учет затухания звука в атмосфере Aatm, дБ		ф-ла (8) [10]	0	0	0,2	0,6	1,5	2,6	4,7	12	40,5		
Снижение уровня звукового давления из-за влияния застройки между источником шума и расчетной точкой													

1		2	3	4	5	6	7	8	9	10	11	12	13
Снижение уровня звукового давления на пути над экраном, Dz1, дБ	z = 1.20м (разность путей)	ф-лы (14-18) [10]	9,5	11,9	14,5	17,3	20,2	23,2	26,1	29,1	32,1		
Снижение уровня звукового давления на пути слева от экрана, Dz2, дБ	z = 72.83м (разность путей)	ф-лы (14-18) [10]	27,8	31,7	35	38,1	41,1	44,1	47,1	50,1	53,1		
Снижение уровня звукового давления на пути справа от экрана, Dz3, дБ	z = 32.37м (разность путей)	ф-лы (14-18) [10]	23,9	28	31,4	34,5	37,6	40,6	43,6	46,6	49,6		
Общее снижение уровня звука препятствием Dz, дБ		Эн.сумма(-Dzi)	9,2	11,8	14,4	17,2	20,1	23,1	26	29	32		
Общее снижение уровня звука препятствием с учётом ограничения (25 дБ) для октавных полос Dz, дБ		Раздел 7.4 [10]	9,2	11,8	14,4	17,2	20,1	23,1	25	25	25		
Уровни звукового давления прямого звука от источника ИШ-1-13 в расчётной точке днём, дБ		**ф-ла(3)[10]**	**0**	**19,1**	**17,8**	**15,9**	**12,4**	**7,9**	**0,5**	**0**	**0**	**13,6**	**13,6**
Уровни звукового давления прямого звука от источника ИШ-1-13 в расчётной точке ночью, дБ		**ф-ла(3)[10]**	**0**	**19,1**	**17,8**	**15,9**	**12,4**	**7,9**	**0,5**	**0**	**0**	**13,6**	**13,6**
Расчёт отражённого звука													
Уровни звукового давления от мнимого источника ИШ-1-13_мн.(1) в расчётной точке днём, дБ		**ф-ла(3)[10]**	**0**	**0**	**0**	**0**	**0**	**0**	**3**	**0**	**0**	**4,2**	**4,2**
Уровни звукового давления от мнимого источника ИШ-1-13_мн.(1) в расчётной точке ночью, дБ		**ф-ла(3)[10]**	**0**	**0**	**0**	**0**	**0**	**0**	**0**	**0**	**0**	**4,2**	**4,2**
Уровни звукового давления от источника ИШ-1-13 в расчётной точке днём, дБ		**ф-ла(3)[10]**	**0**	**19,1**	**17,8**	**15,9**	**12,4**	**7,9**	**4,9**	**0**	**0**	**14,1**	**14,1**
Уровни звукового давления от источника ИШ-1-13 в расчётной точке ночью, дБ		**ф-ла(3)[10]**	**0**	**19,1**	**17,8**	**15,9**	**12,4**	**7,9**	**4,9**	**0**	**0**	**14,1**	**14,1**
Источник шума: ИШ-1-14, координаты источника (x,y,z), м =[441.70,96.03,1.00]													
Уровни звуковой мощности источника днём, Lw, дБ		**исходные данные**	**0**	**93,3**	**94,7**	**96**	**96,3**	**95,9**	**92,6**	**88,4**	**83,9**		
Уровни звуковой мощности источника ночью, Lw, дБ		**исходные данные**	**0**	**93,3**	**94,7**	**96**	**96,3**	**95,9**	**92,6**	**88,4**	**83,9**		
Поправка на телесный угол DΩ, дБ	Ω = 6.28	10Lg(4π/Ω)	**3**	3	3	3	3	3	3	3	3		
Показатель направленности источника Di, дБ		исходные данные	**0**	0	0	0	0	0	0	0	0		

1		2	3	4	5	6	7	8	9	10	11	12	13
Поправка на направленность источника Dc, дБ	Dc	DΩ + Di	**3**	3	3	3	3	3	3	3	3		
Затухание из-за геометрической дивергенции, Adiv, дБ	расстояние = 523.36 м	ф-ла (7) [10]	**65,4**										
Коэффициент затухания звука в атмосфере α, дБ/км	Ta=20,°C Pa=101.33,кПа hотн.=70%	ф-ла (5) [9]	0,02	0,09	0,33	1,12	2,79	4,98	9,04	23,09	77,63		
Учет затухания звука в атмосфере Aatm, дБ		ф-ла (8) [10]	0	0	0,2	0,6	1,5	2,6	4,7	12,1	40,6		
Снижение уровня звукового давления из-за влияния застройки между источником шума и расчетной точкой													
Снижение уровня звукового давления на пути над экраном, Dz1, дБ	z = 1.11м (разность путей)	ф-лы (14-18) [10]	9,1	11,4	14	16,7	19,6	22,5	25,5	28,5	31,5		
Снижение уровня звукового давления на пути слева от экрана, Dz2, дБ	z = 72.87м (разность путей)	ф-лы (14-18) [10]	27,8	31,7	35	38,1	41,1	44,1	47,1	50,1	53,1		
Снижение уровня звукового давления на пути справа от экрана, Dz3, дБ	z = 30.77м (разность путей)	ф-лы (14-18) [10]	23,7	27,8	31,2	34,3	37,3	40,4	43,4	46,4	49,4		
Общее снижение уровня звука препятствием Dz, дБ		Эн.сумма(-Dzi)	8,9	11,3	13,9	16,6	19,5	22,4	25,4	28,4	31,4		
Общее снижение уровня звука препятствием с учётом ограничения (25 дБ) для октавных полос Dz, дБ		Раздел 7.4 [10]	8,9	11,3	13,9	16,6	19,5	22,4	25	25	25		
Уровни звукового давления прямого звука от источника ИШ-1-14 в расчётной точке днём, дБ		**ф-ла(3)[10]**	**0**	**19,6**	**18,3**	**16,4**	**12,9**	**8,5**	**0,5**	**0**	**0**	**14,1**	**14,1**
Уровни звукового давления прямого звука от источника ИШ-1-14 в расчётной точке ночью, дБ		**ф-ла(3)[10]**	**0**	**19,6**	**18,3**	**16,4**	**12,9**	**8,5**	**0,5**	**0**	**0**	**14,1**	**14,1**
Расчёт отражённого звука													
Уровни звукового давления от мнимого источника ИШ-1-14_мн.(1) в расчётной точке днём, дБ		**ф-ла(3)[10]**	**0**	**0**	**0**	**0**	**0**	**0**	**3**	**0**	**0**	**4,2**	**4,2**
Уровни звукового давления от мнимого источника ИШ-1-14_мн.(1) в расчётной точке ночью, дБ		**ф-ла(3)[10]**	**0**	**0**	**0**	**0**	**0**	**0**	**0**	**0**	**0**	**4,2**	**4,2**
Уровни звукового давления от источника ИШ-1-14 в расчётной точке днём, дБ		**ф-ла(3)[10]**	**0**	**19,6**	**18,3**	**16,4**	**12,9**	**8,5**	**5**	**0**	**0**	**14,5**	**14,5**
Уровни звукового давления от источника ИШ-1-14 в расчётной точке ночью, дБ		**ф-ла(3)[10]**	**0**	**19,6**	**18,3**	**16,4**	**12,9**	**8,5**	**5**	**0**	**0**	**14,5**	**14,5**

1		2	3	4	5	6	7	8	9	10	11	12	13
Источник шума: ИШ-1-15, координаты источника (x,y,z), м =[445.03,95.25,1.00]													
Уровни звуковой мощности источника днём, Lw, дБ		**исходные данные**	**0**	**93,3**	**94,7**	**96**	**96,3**	**95,9**	**92,6**	**88,4**	**83,9**		
Уровни звуковой мощности источника ночью, Lw, дБ		**исходные данные**	**0**	**93,3**	**94,7**	**96**	**96,3**	**95,9**	**92,6**	**88,4**	**83,9**		
Поправка на телесный угол DΩ, дБ	Ω = 6.28	10Lg(4π/Ω)	**3**	3	3	3	3	3	3	3	3		
Показатель направленности источника Di, дБ		исходные данные	**0**	0	0	0	0	0	0	0	0		
Поправка на направленность источника Dc, дБ	Dc	DΩ + Di	**3**	3	3	3	3	3	3	3	3		
Затухание из-за геометрической дивергенции, Adiv, дБ	расстояние = 525.90 м	ф-ла (7) [10]	**65,4**										
Коэффициент затухания звука в атмосфере α, дБ/км	Ta=20,°C Pa=101.33,кПа hотн.=70%	ф-ла (5) [9]	0,02	0,09	0,33	1,12	2,79	4,98	9,04	23,09	77,63		
Учет затухания звука в атмосфере Aatm, дБ		ф-ла (8) [10]	0	0	0,2	0,6	1,5	2,6	4,8	12,1	40,8		
Снижение уровня звукового давления из-за влияния застройки между источником шума и расчетной точкой													
Снижение уровня звукового давления на пути над экраном, Dz1, дБ	z = 1.02м (разность путей)	ф-лы (14-18) [10]	8,7	10,9	13,4	16,1	19	21,9	24,9	27,9	30,9		
Снижение уровня звукового давления на пути слева от экрана, Dz2, дБ	z = 73.12м (разность путей)	ф-лы (14-18) [10]	27,8	31,7	35	38,1	41,1	44,1	47,1	50,1	53,1		
Снижение уровня звукового давления на пути справа от экрана, Dz3, дБ	z = 29.03м (разность путей)	ф-лы (14-18) [10]	23,4	27,5	30,9	34	37,1	40,1	43,1	46,1	49,1		
Общее снижение уровня звука препятствием Dz, дБ		Эн.сумма(-Dzi)	8,5	10,8	13,3	16	18,9	21,8	24,8	27,8	30,8		
Общее снижение уровня звука препятствием с учётом ограничения (25 дБ) для октавных полос Dz, дБ		Раздел 7.4 [10]	8,5	10,8	13,3	16	18,9	21,8	24,8	25	25		
Уровни звукового давления прямого звука от источника ИШ-1-15 в расчётной точке днём, дБ		**ф-ла(3)[10]**	**0**	**20**	**18,8**	**17**	**13,5**	**9**	**0,6**	**0**	**0**	**14,7**	**14,7**

1		2	3	4	5	6	7	8	9	10	11	12	13
Уровни звукового давления прямого звука от источника ИШ-1-15 в расчётной точке ночью, дБ		**ф-ла(3)[10]**	**0**	**20**	**18,8**	**17**	**13,5**	**9**	**0,6**	**0**	**0**	**14,7**	**14,7**
Расчёт отражённого звука													
Уровни звукового давления от мнимого источника ИШ-1-15_мн.(1) в расчётной точке днём, дБ		**ф-ла(3)[10]**	**0**	**0**	**0**	**0**	**0**	**0**	**3,1**	**0**	**0**	**4,3**	**4,3**
Уровни звукового давления от мнимого источника ИШ-1-15_мн.(1) в расчётной точке ночью, дБ		**ф-ла(3)[10]**	**0**	**0**	**0**	**0**	**0**	**0**	**0**	**0**	**0**	**4,3**	**4,3**
Уровни звукового давления от источника ИШ-1-15 в расчётной точке днём, дБ		**ф-ла(3)[10]**	**0**	**20**	**18,8**	**17**	**13,5**	**9**	**5,1**	**0**	**0**	**15**	**15**
Уровни звукового давления от источника ИШ-1-15 в расчётной точке ночью, дБ		**ф-ла(3)[10]**	**0**	**20**	**18,8**	**17**	**13,5**	**9**	**5,1**	**0**	**0**	**15**	**15**
Источник шума: ИШ-1-16, координаты источника (x,y,z), м =[447.96,94.28,1.00]													
Уровни звуковой мощности источника днём, Lw, дБ		**исходные данные**	**0**	**93,3**	**94,7**	**96**	**96,3**	**95,9**	**92,6**	**88,4**	**83,9**		
Уровни звуковой мощности источника ночью, Lw, дБ		**исходные данные**	**0**	**93,3**	**94,7**	**96**	**96,3**	**95,9**	**92,6**	**88,4**	**83,9**		
Поправка на телесный угол DΩ, дБ	Ω = 6.28	10Lg(4π/Ω)	**3**	3	3	3	3	3	3	3	3		
Показатель направленности источника Di, дБ		исходные данные	**0**	0	0	0	0	0	0	0	0		
Поправка на направленность источника Dc, дБ	Dc	DΩ + Di	**3**	3	3	3	3	3	3	3	3		
Затухание из-за геометрической дивергенции, Adiv, дБ	расстояние = 528.38 м	ф-ла (7) [10]	**65,5**										
Коэффициент затухания звука в атмосфере α, дБ/км	Ta=20,°C Pa=101.33,кПа hотн.=70%	ф-ла (5) [9]	0,02	0,09	0,33	1,12	2,79	4,98	9,04	23,09	77,63		
Учет затухания звука в атмосфере Aatm, дБ		ф-ла (8) [10]	0	0	0,2	0,6	1,5	2,6	4,8	12,2	41		
Снижение уровня звукового давления из-за влияния застройки между источником шума и расчетной точкой													

1		2	3	4	5	6	7	8	9	10	11	12	13
Снижение уровня звукового давления на пути над экраном, Dz1, дБ	z = 0.96м (разность путей)	ф-лы (14-18) [10]	8,3	10,5	12,9	15,6	18,4	21,4	24,3	27,3	30,3		
Снижение уровня звукового давления на пути слева от экрана, Dz2, дБ	z = 73.07м (разность путей)	ф-лы (14-18) [10]	27,8	31,7	35	38,1	41,1	44,1	47,1	50,1	53,1		
Снижение уровня звукового давления на пути справа от экрана, Dz3, дБ	z = 27.62м (разность путей)	ф-лы (14-18) [10]	23,2	27,3	30,7	33,8	36,9	39,9	42,9	45,9	48,9		
Общее снижение уровня звука препятствием Dz, дБ		Эн.сумма(-Dzi)	8,1	10,4	12,8	15,5	18,4	21,3	24,2	27,2	30,2		
Общее снижение уровня звука препятствием с учётом ограничения (25 дБ) для октавных полос Dz, дБ		Раздел 7.4 [10]	8,1	10,4	12,8	15,5	18,4	21,3	24,2	25	25		
Уровни звукового давления прямого звука от источника ИШ-1-16 в расчётной точке днём, дБ		**ф-ла(3)[10]**	**0**	**20,4**	**19,2**	**17,4**	**14**	**9,5**	**1,1**	**0**	**0**	**15,1**	**15,1**
Уровни звукового давления прямого звука от источника ИШ-1-16 в расчётной точке ночью, дБ		**ф-ла(3)[10]**	**0**	**20,4**	**19,2**	**17,4**	**14**	**9,5**	**1,1**	**0**	**0**	**15,1**	**15,1**
Расчёт отражённого звука													
Уровни звукового давления от мнимого источника ИШ-1-16_мн.(1) в расчётной точке днём, дБ		**ф-ла(3)[10]**	**0**	**0**	**0**	**0**	**0**	**0**	**3,2**	**0**	**0**	**4,4**	**4,4**
Уровни звукового давления от мнимого источника ИШ-1-16_мн.(1) в расчётной точке ночью, дБ		**ф-ла(3)[10]**	**0**	**0**	**0**	**0**	**0**	**0**	**0**	**0**	**0**	**4,4**	**4,4**
Уровни звукового давления от источника ИШ-1-16 в расчётной точке днём, дБ		**ф-ла(3)[10]**	**0**	**20,4**	**19,2**	**17,4**	**14**	**9,5**	**5,3**	**0**	**0**	**15,5**	**15,5**
Уровни звукового давления от источника ИШ-1-16 в расчётной точке ночью, дБ		**ф-ла(3)[10]**	**0**	**20,4**	**19,2**	**17,4**	**14**	**9,5**	**5,3**	**0**	**0**	**15,5**	**15,5**
Источник шума: ИШ-1-17, координаты источника (x,y,z), м =[540.99,141.77,1.00]													
Уровни звуковой мощности источника днём, Lw, дБ		**исходные данные**	**0**	**93,3**	**94,7**	**96**	**96,3**	**95,9**	**92,6**	**88,4**	**83,9**		
Уровни звуковой мощности источника ночью, Lw, дБ		**исходные данные**	**0**	**93,3**	**94,7**	**96**	**96,3**	**95,9**	**92,6**	**88,4**	**83,9**		
Поправка на телесный угол DΩ, дБ	Ω = 6.28	10Lg(4π/Ω)	**3**	3	3	3	3	3	3	3	3		
Показатель направленности источника Di, дБ		исходные данные	**0**	0	0	0	0	0	0	0	0		

1		2	3	4	5	6	7	8	9	10	11	12	13
Поправка на направленность источника Dc, дБ	Dc	DΩ + Di	**3**	3	3	3	3	3	3	3	3		
Затухание из-за геометрической дивергенции, Adiv, дБ	расстояние = 552.79 м	ф-ла (7) [10]	**65,9**										
Коэффициент затухания звука в атмосфере α, дБ/км	Ta=20,°C Pa=101.33,кПа hотн.=70%	ф-ла (5) [9]	0,02	0,09	0,33	1,12	2,79	4,98	9,04	23,09	77,63		
Учет затухания звука в атмосфере Aatm, дБ		ф-ла (8) [10]	0	0	0,2	0,6	1,5	2,8	5	12,8	42,9		
Снижение уровня звукового давления из-за влияния застройки между источником шума и расчетной точкой													
Снижение уровня звукового давления на пути над экраном, Dz1, дБ	z = 1.45м (разность путей)	ф-лы (14-18) [10]	10	12,7	15,4	18,2	21,1	24,1	27,1	30,1	33,1		
Снижение уровня звукового давления на пути слева от экрана, Dz2, дБ	z = 192.92м (разность путей)	ф-лы (14-18) [10]	32,8	36,2	39,3	42,3	45,3	48,3	51,3	54,4	57,4		
Снижение уровня звукового давления на пути справа от экрана, Dz3, дБ	z = 2.64м (разность путей)	ф-лы (14-18) [10]	14,4	17,7	20,7	23,7	26,7	29,7	32,7	35,7	38,7		
Общее снижение уровня звука препятствием Dz, дБ		Эн.сумма(-Dzi)	8,7	11,5	14,3	17,1	20,1	23	26	29	32		
Общее снижение уровня звука препятствием с учётом ограничения (25 дБ) для октавных полос Dz, дБ		Раздел 7.4 [10]	8,7	11,5	14,3	17,1	20,1	23	25	25	25		
Уровни звукового давления прямого звука от источника ИШ-1-17 в расчётной точке днём, дБ		**ф-ла(3)[10]**	**0**	**18,9**	**17,4**	**15,4**	**11,8**	**7,2**	**0**	**0**	**0**	**12,8**	**12,8**
Уровни звукового давления прямого звука от источника ИШ-1-17 в расчётной точке ночью, дБ		**ф-ла(3)[10]**	**0**	**18,9**	**17,4**	**15,4**	**11,8**	**7,2**	**0**	**0**	**0**	**12,8**	**12,8**
Расчёт отражённого звука													
Уровни звукового давления от мнимого источника ИШ-1-17_мн.(1) в расчётной точке днём, дБ		**ф-ла(3)[10]**	**0**	**0**	**0**	**0**	**0**	**0**	**0**	**5,1**	**0**	**6,1**	**6,1**
Уровни звукового давления от мнимого источника ИШ-1-17_мн.(1) в расчётной точке ночью, дБ		**ф-ла(3)[10]**	**0**	**0**	**0**	**0**	**0**	**0**	**0**	**0**	**0**	**6,1**	**6,1**
Уровни звукового давления от источника ИШ-1-17 в расчётной точке днём, дБ		**ф-ла(3)[10]**	**0**	**18,9**	**17,4**	**15,4**	**11,8**	**7,2**	**0**	**5,1**	**0**	**13,6**	**13,6**
Уровни звукового давления от источника ИШ-1-17 в расчётной точке ночью, дБ		**ф-ла(3)[10]**	**0**	**18,9**	**17,4**	**15,4**	**11,8**	**7,2**	**0**	**5,1**	**0**	**13,6**	**13,6**

1		2	3	4	5	6	7	8	9	10	11	12	13
Источник шума: ИШ-1-18, координаты источника (x,y,z), м =[543.53,140.79,1.00]													
Уровни звуковой мощности источника днём, Lw, дБ		**исходные данные**	**0**	**93,3**	**94,7**	**96**	**96,3**	**95,9**	**92,6**	**88,4**	**83,9**		
Уровни звуковой мощности источника ночью, Lw, дБ		**исходные данные**	**0**	**93,3**	**94,7**	**96**	**96,3**	**95,9**	**92,6**	**88,4**	**83,9**		
Поправка на телесный угол DΩ, дБ	Ω = 6.28	10Lg(4π/Ω)	**3**	3	3	3	3	3	3	3	3		
Показатель направленности источника Di, дБ		исходные данные	**0**	0	0	0	0	0	0	0	0		
Поправка на направленность источника Dc, дБ	Dc	DΩ + Di	**3**	3	3	3	3	3	3	3	3		
Затухание из-за геометрической дивергенции, Adiv, дБ	расстояние = 555.30 м	ф-ла (7) [10]	**65,9**										
Коэффициент затухания звука в атмосфере α, дБ/км	Ta=20,°C Pa=101.33,кПа hотн.=70%	ф-ла (5) [9]	0,02	0,09	0,33	1,12	2,79	4,98	9,04	23,09	77,63		
Учет затухания звука в атмосфере Aatm, дБ		ф-ла (8) [10]	0	0	0,2	0,6	1,5	2,8	5	12,8	43,1		
Снижение уровня звукового давления из-за влияния застройки между источником шума и расчетной точкой													
Снижение уровня звукового давления на пути над экраном, Dz1, дБ	z = 1.33м (разность путей)	ф-лы (14-18) [10]	9,6	12,1	14,8	17,6	20,5	23,5	26,4	29,4	32,4		
Снижение уровня звукового давления на пути слева от экрана, Dz2, дБ	z = 191.00м (разность путей)	ф-лы (14-18) [10]	32,7	36,1	39,2	42,3	45,3	48,3	51,3	54,3	57,3		
Снижение уровня звукового давления на пути справа от экрана, Dz3, дБ	z = 2.15м (разность путей)	ф-лы (14-18) [10]	13,6	16,9	19,9	22,8	25,8	28,8	31,8	34,8	37,8		
Общее снижение уровня звука препятствием Dz, дБ		Эн.сумма(-Dzi)	8,1	10,8	13,6	16,5	19,4	22,3	25,3	28,3	31,3		
Общее снижение уровня звука препятствием с учётом ограничения (25 дБ) для октавных полос Dz, дБ		Раздел 7.4 [10]	8,1	10,8	13,6	16,5	19,4	22,3	25	25	25		
Уровни звукового давления прямого звука от источника ИШ-1-18 в расчётной точке днём, дБ		**ф-ла(3)[10]**	**0**	**19,5**	**18**	**16**	**12,5**	**7,9**	**0**	**0**	**0**	**13,4**	**13,4**

1		2	3	4	5	6	7	8	9	10	11	12	13
Уровни звукового давления прямого звука от источника ИШ-1-18 в расчётной точке ночью, дБ		**ф-ла(3)[10]**	**0**	**19,5**	**18**	**16**	**12,5**	**7,9**	**0**	**0**	**0**	**13,4**	**13,4**
Расчёт отражённого звука													
Уровни звукового давления от мнимого источника ИШ-1-18_мн.(1) в расчётной точке днём, дБ		**ф-ла(3)[10]**	**0**	**0**	**0**	**0**	**0**	**0**	**0**	**5,2**	**0**	**6,2**	**6,2**
Уровни звукового давления от мнимого источника ИШ-1-18_мн.(1) в расчётной точке ночью, дБ		**ф-ла(3)[10]**	**0**	**0**	**0**	**0**	**0**	**0**	**0**	**0**	**0**	**6,2**	**6,2**
Уровни звукового давления от источника ИШ-1-18 в расчётной точке днём, дБ		**ф-ла(3)[10]**	**0**	**19,5**	**18**	**16**	**12,5**	**7,9**	**0**	**5,2**	**0**	**14,2**	**14,2**
Уровни звукового давления от источника ИШ-1-18 в расчётной точке ночью, дБ		**ф-ла(3)[10]**	**0**	**19,5**	**18**	**16**	**12,5**	**7,9**	**0**	**5,2**	**0**	**14,2**	**14,2**
Источник шума: ИШ-1-19, координаты источника (x,y,z), м =[547.25,139.62,1.00]													
Уровни звуковой мощности источника днём, Lw, дБ		**исходные данные**	**0**	**93,3**	**94,7**	**96**	**96,3**	**95,9**	**92,6**	**88,4**	**83,9**		
Уровни звуковой мощности источника ночью, Lw, дБ		**исходные данные**	**0**	**93,3**	**94,7**	**96**	**96,3**	**95,9**	**92,6**	**88,4**	**83,9**		
Поправка на телесный угол DΩ, дБ	Ω = 6.28	10Lg(4π/Ω)	**3**	3	3	3	3	3	3	3	3		
Показатель направленности источника Di, дБ		исходные данные	**0**	0	0	0	0	0	0	0	0		
Поправка на направленность источника Dc, дБ	Dc	DΩ + Di	**3**	3	3	3	3	3	3	3	3		
Затухание из-за геометрической дивергенции, Adiv, дБ	расстояние = 558.79 м	ф-ла (7) [10]	**65,9**										
Коэффициент затухания звука в атмосфере α, дБ/км	Ta=20,°C Pa=101.33,кПа hотн.=70%	ф-ла (5) [9]	0,02	0,09	0,33	1,12	2,79	4,98	9,04	23,09	77,63		
Учет затухания звука в атмосфере Aatm, дБ		ф-ла (8) [10]	0	0	0,2	0,6	1,6	2,8	5,1	12,9	43,4		
Снижение уровня звукового давления из-за влияния застройки между источником шума и расчетной точкой													

1		2	3	4	5	6	7	8	9	10	11	12	13
Снижение уровня звукового давления на пути над экраном, Dz1, дБ	z = 1.19м (разность путей)	ф-лы (14-18) [10]	9	11,4	14	16,8	19,6	22,6	25,6	28,6	31,6		
Снижение уровня звукового давления на пути слева от экрана, Dz2, дБ	z = 188.70м (разность путей)	ф-лы (14-18) [10]	32,7	36,1	39,2	42,2	45,2	48,2	51,2	54,3	57,3		
Снижение уровня звукового давления на пути справа от экрана, Dz3, дБ	z = 1.53м (разность путей)	ф-лы (14-18) [10]	12,4	15,5	18,4	21,4	24,4	27,4	30,4	33,4	36,4		
Общее снижение уровня звука препятствием Dz, дБ		Эн.сумма(-Dzi)	7,3	10	12,6	15,5	18,4	21,3	24,3	27,3	30,3		
Общее снижение уровня звука препятствием с учётом ограничения (25 дБ) для октавных полос Dz, дБ		Раздел 7.4 [10]	7,3	10	12,6	15,5	18,4	21,3	24,3	25	25		
Уровни звукового давления прямого звука от источника ИШ-1-19 в расчётной точке днём, дБ		**ф-ла(3)[10]**	**0**	**20,3**	**18,9**	**16,9**	**13,4**	**8,8**	**0,3**	**0**	**0**	**14,6**	**14,6**
Уровни звукового давления прямого звука от источника ИШ-1-19 в расчётной точке ночью, дБ		**ф-ла(3)[10]**	**0**	**20,3**	**18,9**	**16,9**	**13,4**	**8,8**	**0,3**	**0**	**0**	**14,6**	**14,6**
Расчёт отражённого звука													
Уровни звукового давления от мнимого источника ИШ-1-19_мн.(1) в расчётной точке днём, дБ		**ф-ла(3)[10]**	**0**	**0**	**0**	**0**	**0**	**0**	**0**	**5,3**	**0**	**6,3**	**6,3**
Уровни звукового давления от мнимого источника ИШ-1-19_мн.(1) в расчётной точке ночью, дБ		**ф-ла(3)[10]**	**0**	**0**	**0**	**0**	**0**	**0**	**0**	**0**	**0**	**6,3**	**6,3**
Уровни звукового давления от источника ИШ-1-19 в расчётной точке днём, дБ		**ф-ла(3)[10]**	**0**	**20,3**	**18,9**	**16,9**	**13,4**	**8,8**	**0,3**	**5,3**	**0**	**15,2**	**15,2**
Уровни звукового давления от источника ИШ-1-19 в расчётной точке ночью, дБ		**ф-ла(3)[10]**	**0**	**20,3**	**18,9**	**16,9**	**13,4**	**8,8**	**0,3**	**5,3**	**0**	**15,2**	**15,2**
Источник шума: ИШ-1-20, координаты источника (x,y,z), м =[550.38,138.64,1.00]													
Уровни звуковой мощности источника днём, Lw, дБ		**исходные данные**	**0**	**93,3**	**94,7**	**96**	**96,3**	**95,9**	**92,6**	**88,4**	**83,9**		
Уровни звуковой мощности источника ночью, Lw, дБ		**исходные данные**	**0**	**93,3**	**94,7**	**96**	**96,3**	**95,9**	**92,6**	**88,4**	**83,9**		
Поправка на телесный угол DΩ, дБ	Ω = 6.28	10Lg(4π/Ω)	**3**	3	3	3	3	3	3	3	3		
Показатель направленности источника Di, дБ		исходные данные	**0**	0	0	0	0	0	0	0	0		

1		2	3	4	5	6	7	8	9	10	11	12	13
Поправка на направленность источника Dc, дБ	Dc	DΩ + Di	**3**	3	3	3	3	3	3	3	3		
Затухание из-за геометрической дивергенции, Adiv, дБ	расстояние = 561.72 м	ф-ла (7) [10]	**66**										
Коэффициент затухания звука в атмосфере α, дБ/км	Ta=20,°C Pa=101.33,кПа hотн.=70%	ф-ла (5) [9]	0,02	0,09	0,33	1,12	2,79	4,98	9,04	23,09	77,63		
Учет затухания звука в атмосфере Aatm, дБ		ф-ла (8) [10]	0	0,1	0,2	0,6	1,6	2,8	5,1	13	43,6		
Снижение уровня звукового давления из-за влияния застройки между источником шума и расчетной точкой													
Снижение уровня звукового давления на пути над экраном, Dz1, дБ	z = 1.10м (разность путей)	ф-лы (14-18) [10]	8,5	10,9	13,4	16,1	19	21,9	24,9	27,8	30,8		
Снижение уровня звукового давления на пути слева от экрана, Dz2, дБ	z = 186.87м (разность путей)	ф-лы (14-18) [10]	32,6	36	39,1	42,2	45,2	48,2	51,2	54,2	57,2		
Снижение уровня звукового давления на пути справа от экрана, Dz3, дБ	z = 1.12м (разность путей)	ф-лы (14-18) [10]	11,3	14,3	17,1	20,1	23	26	29	32	35		
Общее снижение уровня звука препятствием Dz, дБ		Эн.сумма(-Dzi)	6,7	9,2	11,8	14,6	17,5	20,5	23,4	26,4	29,4		
Общее снижение уровня звука препятствием с учётом ограничения (25 дБ) для октавных полос Dz, дБ		Раздел 7.4 [10]	6,7	9,2	11,8	14,6	17,5	20,5	23,4	25	25		
Уровни звукового давления прямого звука от источника ИШ-1-20 в расчётной точке днём, дБ		**ф-ла(3)[10]**	**0**	**21**	**19,7**	**17,7**	**14,2**	**9,6**	**1,1**	**0**	**0**	**15,4**	**15,4**
Уровни звукового давления прямого звука от источника ИШ-1-20 в расчётной точке ночью, дБ		**ф-ла(3)[10]**	**0**	**21**	**19,7**	**17,7**	**14,2**	**9,6**	**1,1**	**0**	**0**	**15,4**	**15,4**
Расчёт отражённого звука													
Уровни звукового давления от мнимого источника ИШ-1-20_мн.(1) в расчётной точке днём, дБ		**ф-ла(3)[10]**	**0**	**0**	**0**	**0**	**0**	**0**	**0**	**5,4**	**0**	**6,4**	**6,4**
Уровни звукового давления от мнимого источника ИШ-1-20_мн.(1) в расчётной точке ночью, дБ		**ф-ла(3)[10]**	**0**	**0**	**0**	**0**	**0**	**0**	**0**	**0**	**0**	**6,4**	**6,4**
Уровни звукового давления от источника ИШ-1-20 в расчётной точке днём, дБ		**ф-ла(3)[10]**	**0**	**21**	**19,7**	**17,7**	**14,2**	**9,6**	**1,1**	**5,4**	**0**	**15,9**	**15,9**
Уровни звукового давления от источника ИШ-1-20 в расчётной точке ночью, дБ		**ф-ла(3)[10]**	**0**	**21**	**19,7**	**17,7**	**14,2**	**9,6**	**1,1**	**5,4**	**0**	**15,9**	**15,9**

1		2	3	4	5	6	7	8	9	10	11	12	13
Источник шума: ИШ-1-21, координаты источника (x,y,z), м =[553.31,137.67,1.00]													
Уровни звуковой мощности источника днём, Lw, дБ		**исходные данные**	**0**	**93,3**	**94,7**	**96**	**96,3**	**95,9**	**92,6**	**88,4**	**83,9**		
Уровни звуковой мощности источника ночью, Lw, дБ		**исходные данные**	**0**	**93,3**	**94,7**	**96**	**96,3**	**95,9**	**92,6**	**88,4**	**83,9**		
Поправка на телесный угол DΩ, дБ	Ω = 6.28	10Lg(4π/Ω)	**3**	3	3	3	3	3	3	3	3		
Показатель направленности источника Di, дБ		исходные данные	**0**	0	0	0	0	0	0	0	0		
Поправка на направленность источника Dc, дБ	Dc	DΩ + Di	**3**	3	3	3	3	3	3	3	3		
Затухание из-за геометрической дивергенции, Adiv, дБ	расстояние = 564.52 м	ф-ла (7) [10]	**66**										
Коэффициент затухания звука в атмосфере α, дБ/км	Ta=20,°C Pa=101.33,кПа hотн.=70%	ф-ла (5) [9]	0,02	0,09	0,33	1,12	2,79	4,98	9,04	23,09	77,63		
Учет затухания звука в атмосфере Aatm, дБ		ф-ла (8) [10]	0	0,1	0,2	0,6	1,6	2,8	5,1	13	43,8		
Снижение уровня звукового давления из-за влияния застройки между источником шума и расчетной точкой													
Снижение уровня звукового давления на пути над экраном, Dz1, дБ	z = 1.02м (разность путей)	ф-лы (14-18) [10]	8,2	10,4	12,8	15,5	18,3	21,3	24,2	27,2	30,2		
Снижение уровня звукового давления на пути слева от экрана, Dz2, дБ	z = 185.14м (разность путей)	ф-лы (14-18) [10]	32,6	36	39,1	42,1	45,1	48,2	51,2	54,2	57,2		
Снижение уровня звукового давления на пути справа от экрана, Dz3, дБ	z = 0.82м (разность путей)	ф-лы (14-18) [10]	10,3	13,1	15,9	18,8	21,7	24,7	27,6	30,6	33,7		
Общее снижение уровня звука препятствием Dz, дБ		Эн.сумма(-Dzi)	6,1	8,5	11,1	13,8	16,7	19,6	22,6	25,6	28,6		
Общее снижение уровня звука препятствием с учётом ограничения (25 дБ) для октавных полос Dz, дБ		Раздел 7.4 [10]	6,1	8,5	11,1	13,8	16,7	19,6	22,6	25	25		
Уровни звукового давления прямого звука от источника ИШ-1-21 в расчётной точке днём, дБ		**ф-ла(3)[10]**	**0**	**21,7**	**20,4**	**18,5**	**15**	**10,4**	**1,9**	**0**	**0**	**16,1**	**16,1**

1		2	3	4	5	6	7	8	9	10	11	12	13
Уровни звукового давления прямого звука от источника ИШ-1-21 в расчётной точке ночью, дБ		**ф-ла(3)[10]**	**0**	**21,7**	**20,4**	**18,5**	**15**	**10,4**	**1,9**	**0**	**0**	**16,1**	**16,1**
Расчёт отражённого звука													
Уровни звукового давления от мнимого источника ИШ-1-21_мн.(1) в расчётной точке днём, дБ		**ф-ла(3)[10]**	**0**	**0**	**0**	**0**	**0**	**0**	**0**	**5,5**	**0**	**6,5**	**6,5**
Уровни звукового давления от мнимого источника ИШ-1-21_мн.(1) в расчётной точке ночью, дБ		**ф-ла(3)[10]**	**0**	**0**	**0**	**0**	**0**	**0**	**0**	**0**	**0**	**6,5**	**6,5**
Уровни звукового давления от источника ИШ-1-21 в расчётной точке днём, дБ		**ф-ла(3)[10]**	**0**	**21,7**	**20,4**	**18,5**	**15**	**10,4**	**1,9**	**5,5**	**0**	**16,6**	**16,6**
Уровни звукового давления от источника ИШ-1-21 в расчётной точке ночью, дБ		**ф-ла(3)[10]**	**0**	**21,7**	**20,4**	**18,5**	**15**	**10,4**	**1,9**	**5,5**	**0**	**16,6**	**16,6**
Источник шума: ИШ-1-22, координаты источника (x,y,z), м =[522.03,85.28,1.00]													
Уровни звуковой мощности источника днём, Lw, дБ		**исходные данные**	**0**	**93,3**	**94,7**	**96**	**96,3**	**95,9**	**92,6**	**88,4**	**83,9**		
Уровни звуковой мощности источника ночью, Lw, дБ		**исходные данные**	**0**	**93,3**	**94,7**	**96**	**96,3**	**95,9**	**92,6**	**88,4**	**83,9**		
Поправка на телесный угол DΩ, дБ	Ω = 6.28	10Lg(4π/Ω)	**3**	3	3	3	3	3	3	3	3		
Показатель направленности источника Di, дБ		исходные данные	**0**	0	0	0	0	0	0	0	0		
Поправка на направленность источника Dc, дБ	Dc	DΩ + Di	**3**	3	3	3	3	3	3	3	3		
Затухание из-за геометрической дивергенции, Adiv, дБ	расстояние = 580.99 м	ф-ла (7) [10]	**66,3**										
Коэффициент затухания звука в атмосфере α, дБ/км	Ta=20,°C Pa=101.33,кПа hотн.=70%	ф-ла (5) [9]	0,02	0,09	0,33	1,12	2,79	4,98	9,04	23,09	77,63		
Учет затухания звука в атмосфере Aatm, дБ		ф-ла (8) [10]	0	0,1	0,2	0,7	1,6	2,9	5,3	13,4	45,1		
Снижение уровня звукового давления из-за влияния застройки между источником шума и расчетной точкой													

1		2	3	4	5	6	7	8	9	10	11	12	13
Снижение уровня звукового давления на пути над экраном, Dz1, дБ	z = 1.41м (разность путей)	ф-лы (14-18) [10]	10,2	12,7	15,4	18,2	21,1	24,1	27	30	33		
Снижение уровня звукового давления на пути слева от экрана, Dz2, дБ	z = 109.12м (разность путей)	ф-лы (14-18) [10]	30,3	33,7	36,8	39,8	42,8	45,9	48,9	51,9	54,9		
Снижение уровня звукового давления на пути справа от экрана, Dz3, дБ	z = 27.24м (разность путей)	ф-лы (14-18) [10]	24,1	27,6	30,8	33,8	36,8	39,8	42,8	45,9	48,9		
Общее снижение уровня звука препятствием Dz, дБ		Эн.сумма(-Dzi)	9,9	12,5	15,2	18	21	23,9	26,9	29,9	32,9		
Общее снижение уровня звука препятствием с учётом ограничения (25 дБ) для октавных полос Dz, дБ		Раздел 7.4 [10]	9,9	12,5	15,2	18	21	23,9	25	25	25		
Уровни звукового давления от источника ИШ-1-22 в расчётной точке днём, дБ		**ф-ла(3)[10]**	**0**	**17,4**	**16**	**14**	**10,4**	**5,8**	**0**	**0**	**0**	**11,4**	**11,4**
Уровни звукового давления от источника ИШ-1-22 в расчётной точке ночью, дБ		**ф-ла(3)[10]**	**0**	**17,4**	**16**	**14**	**10,4**	**5,8**	**0**	**0**	**0**	**11,4**	**11,4**
Источник шума: ИШ-1-23, координаты источника (x,y,z), м =[525.16,84.11,1.00]													
Уровни звуковой мощности источника днём, Lw, дБ		**исходные данные**	**0**	**93,3**	**94,7**	**96**	**96,3**	**95,9**	**92,6**	**88,4**	**83,9**		
Уровни звуковой мощности источника ночью, Lw, дБ		**исходные данные**	**0**	**93,3**	**94,7**	**96**	**96,3**	**95,9**	**92,6**	**88,4**	**83,9**		
Поправка на телесный угол DΩ, дБ	Ω = 6.28	10Lg(4π/Ω)	**3**	3	3	3	3	3	3	3	3		
Показатель направленности источника Di, дБ		исходные данные	**0**	0	0	0	0	0	0	0	0		
Поправка на направленность источника Dc, дБ	Dc	DΩ + Di	**3**	3	3	3	3	3	3	3	3		
Затухание из-за геометрической дивергенции, Adiv, дБ	расстояние = 583.92 м	ф-ла (7) [10]	**66,3**										
Коэффициент затухания звука в атмосфере α, дБ/км	Та=20,°С Ра=101.33,кПа hотн.=70%	ф-ла (5) [9]	0,02	0,09	0,33	1,12	2,79	4,98	9,04	23,09	77,63		
Учет затухания звука в атмосфере Aatm, дБ		ф-ла (8) [10]	0	0,1	0,2	0,7	1,6	2,9	5,3	13,5	45,3		

1		2	3	4	5	6	7	8	9	10	11	12	13
Снижение уровня звукового давления из-за влияния застройки между источником шума и расчетной точкой													
Снижение уровня звукового давления на пути над экраном, Dz1, дБ	z = 1.27м (разность путей)	ф-лы (14-18) [10]	9,6	12	14,6	17,4	20,3	23,3	26,3	29,3	32,3		
Снижение уровня звукового давления на пути слева от экрана, Dz2, дБ	z = 107.88м (разность путей)	ф-лы (14-18) [10]	30,2	33,7	36,7	39,8	42,8	45,8	48,8	51,8	54,8		
Снижение уровня звукового давления на пути справа от экрана, Dz3, дБ	z = 25.46м (разность путей)	ф-лы (14-18) [10]	23,8	27,3	30,5	33,5	36,5	39,5	42,5	45,6	48,6		
Общее снижение уровня звука препятствием Dz, дБ		Эн.сумма(-Dzi)	9,4	11,9	14,5	17,3	20,2	23,2	26,1	29,1	32,1		
Общее снижение уровня звука препятствием с учётом ограничения (25 дБ) для октавных полос Dz, дБ		Раздел 7.4 [10]	9,4	11,9	14,5	17,3	20,2	23,2	25	25	25		
Уровни звукового давления прямого звука от источника ИШ-1-23 в расчётной точке днём, дБ		**ф-ла(3)[10]**	**0**	**18**	**16,7**	**14,7**	**11,1**	**6,5**	**0**	**0**	**0**	**12**	**12**
Уровни звукового давления прямого звука от источника ИШ-1-23 в расчётной точке ночью, дБ		**ф-ла(3)[10]**	**0**	**18**	**16,7**	**14,7**	**11,1**	**6,5**	**0**	**0**	**0**	**12**	**12**
Расчёт отражённого звука													
Уровни звукового давления от мнимого источника ИШ-1-23_мн.(1) в расчётной точке днём, дБ		**ф-ла(3)[10]**	**0**	**0**	**0**	**0**	**0**	**0**	**0**	**0**	**0**	**0**	**0**
Уровни звукового давления от мнимого источника ИШ-1-23_мн.(1) в расчётной точке ночью, дБ		**ф-ла(3)[10]**	**0**	**0**	**0**	**0**	**0**	**0**	**0**	**0**	**0**	**0**	**0**
Уровни звукового давления от источника ИШ-1-23 в расчётной точке днём, дБ		**ф-ла(3)[10]**	**0**	**18**	**16,7**	**14,7**	**11,1**	**6,5**	**0**	**0**	**0**	**12**	**12**
Уровни звукового давления от источника ИШ-1-23 в расчётной точке ночью, дБ		**ф-ла(3)[10]**	**0**	**18**	**16,7**	**14,7**	**11,1**	**6,5**	**0**	**0**	**0**	**12**	**12**
Источник шума: ИШ-1-24, координаты источника (x,y,z), м =[528.48,82.94,1.00]													
Уровни звуковой мощности источника днём, Lw, дБ		**исходные данные**	**0**	**93,3**	**94,7**	**96**	**96,3**	**95,9**	**92,6**	**88,4**	**83,9**		
Уровни звуковой мощности источника ночью, Lw, дБ		**исходные данные**	**0**	**93,3**	**94,7**	**96**	**96,3**	**95,9**	**92,6**	**88,4**	**83,9**		
Поправка на телесный угол DΩ, дБ	Ω = 6.28	10Lg(4π/Ω)	**3**	3	3	3	3	3	3	3	3		

1		2	3	4	5	6	7	8	9	10	11	12	13
Показатель направленности источника Di, дБ		исходные данные	**0**	0	0	0	0	0	0	0	0		
Поправка на направленность источника Dc, дБ	Dc	DΩ + Di	**3**	3	3	3	3	3	3	3	3		
Затухание из-за геометрической дивергенции, Adiv, дБ	расстояние = 586.98 м	ф-ла (7) [10]	**66,4**										
Коэффициент затухания звука в атмосфере α, дБ/км	Ta=20,°C Pa=101.33,кПа hотн.=70%	ф-ла (5) [9]	0,02	0,09	0,33	1,12	2,79	4,98	9,04	23,09	77,63		
Учет затухания звука в атмосфере Aatm, дБ		ф-ла (8) [10]	0	0,1	0,2	0,7	1,6	2,9	5,3	13,6	45,6		
Снижение уровня звукового давления из-за влияния застройки между источником шума и расчетной точкой													
Снижение уровня звукового давления на пути над экраном, Dz1, дБ	z = 1.15м (разность путей)	ф-лы (14-18) [10]	9,1	11,4	14	16,7	19,6	22,5	25,5	28,5	31,5		
Снижение уровня звукового давления на пути слева от экрана, Dz2, дБ	z = 106.81м (разность путей)	ф-лы (14-18) [10]	30,2	33,6	36,7	39,7	42,8	45,8	48,8	51,8	54,8		
Снижение уровня звукового давления на пути справа от экрана, Dz3, дБ	z = 23.65м (разность путей)	ф-лы (14-18) [10]	23,5	27	30,1	33,2	36,2	39,2	42,2	45,2	48,2		
Общее снижение уровня звука препятствием Dz, дБ		Эн.сумма(-Dzi)	8,9	11,3	13,8	16,6	19,5	22,4	25,4	28,4	31,4		
Общее снижение уровня звука препятствием с учётом ограничения (25 дБ) для октавных полос Dz, дБ		Раздел 7.4 [10]	8,9	11,3	13,8	16,6	19,5	22,4	25	25	25		
Уровни звукового давления прямого звука от источника ИШ-1-24 в расчётной точке днём, дБ		**ф-ла(3)[10]**	**0**	**18,6**	**17,3**	**15,4**	**11,8**	**7,2**	**0**	**0**	**0**	**12,7**	**12,7**
Уровни звукового давления прямого звука от источника ИШ-1-24 в расчётной точке ночью, дБ		**ф-ла(3)[10]**	**0**	**18,6**	**17,3**	**15,4**	**11,8**	**7,2**	**0**	**0**	**0**	**12,7**	**12,7**
Расчёт отражённого звука													
Уровни звукового давления от мнимого источника ИШ-1-24_мн.(1) в расчётной точке днём, дБ		**ф-ла(3)[10]**	**0**	**0**	**0**	**0**	**0**	**0**	**0**	**0**	**0**	**0**	**0**
Уровни звукового давления от мнимого источника ИШ-1-24_мн.(1) в расчётной точке ночью, дБ		**ф-ла(3)[10]**	**0**	**0**	**0**	**0**	**0**	**0**	**0**	**0**	**0**	**0**	**0**
Уровни звукового давления от мнимого источника ИШ-1-24_мн.(2) в расчётной точке днём, дБ		**ф-ла(3)[10]**	**0**	**0**	**0**	**0**	**0**	**0**	**0**	**0**	**0**	**0**	**0**

1		2	3	4	5	6	7	8	9	10	11	12	13
Уровни звукового давления от мнимого источника ИШ-1-24_мн.(2) в расчётной точке ночью, дБ		**ф-ла(3)[10]**	**0**	**0**	**0**	**0**	**0**	**0**	**0**	**0**	**0**	**0**	**0**
Суммарные уровни звукового давления от мнимых источников в расчётной точке днём, дБ		**ф-ла (19) [1]**	**0**	**0**	**0**	**0**	**0**	**0**	**0**	**0**	**0**	**0**	**0**
Суммарные уровни звукового давления от мнимых источников в расчётной точке ночью, дБ		**ф-ла (19) [1]**	**0**	**0**	**0**	**0**	**0**	**0**	**0**	**0**	**0**	**0**	**0**
Уровни звукового давления от источника ИШ-1-24 в расчётной точке днём, дБ		**ф-ла(3)[10]**	**0**	**18,6**	**17,3**	**15,4**	**11,8**	**7,2**	**0**	**0**	**0**	**12,7**	**12,7**
Уровни звукового давления от источника ИШ-1-24 в расчётной точке ночью, дБ		**ф-ла(3)[10]**	**0**	**18,6**	**17,3**	**15,4**	**11,8**	**7,2**	**0**	**0**	**0**	**12,7**	**12,7**
Источник шума: ИШ-1-25, координаты источника (x,y,z), м =[531.22,82.16,1.00]													
Уровни звуковой мощности источника днём, Lw, дБ		**исходные данные**	**0**	**93,3**	**94,7**	**96**	**96,3**	**95,9**	**92,6**	**88,4**	**83,9**		
Уровни звуковой мощности источника ночью, Lw, дБ		**исходные данные**	**0**	**93,3**	**94,7**	**96**	**96,3**	**95,9**	**92,6**	**88,4**	**83,9**		
Поправка на телесный угол DΩ, дБ	Ω = 6.28	10Lg(4π/Ω)	**3**	3	3	3	3	3	3	3	3		
Показатель направленности источника Di, дБ		исходные данные	**0**	0	0	0	0	0	0	0	0		
Поправка на направленность источника Dc, дБ	Dc	DΩ + Di	**3**	3	3	3	3	3	3	3	3		
Затухание из-за геометрической дивергенции, Adiv, дБ	расстояние = 589.36 м	ф-ла (7) [10]	**66,4**										
Коэффициент затухания звука в атмосфере α, дБ/км	Ta=20,°C Pa=101.33,кПа hотн.=70%	ф-ла (5) [9]	0,02	0,09	0,33	1,12	2,79	4,98	9,04	23,09	77,63		
Учет затухания звука в атмосфере Aatm, дБ		ф-ла (8) [10]	0	0,1	0,2	0,7	1,6	2,9	5,3	13,6	45,8		
Снижение уровня звукового давления из-за влияния застройки между источником шума и расчетной точкой													
Снижение уровня звукового давления на пути над экраном, Dz1, дБ	z = 1.08м (разность путей)	ф-лы (14-18) [10]	8,7	11	13,4	16,2	19	21,9	24,9	27,9	30,9		

1		2	3	4	5	6	7	8	9	10	11	12	13
Снижение уровня звукового давления на пути слева от экрана, Dz2, дБ	z = 106.28м (разность путей)	ф-лы (14-18) [10]	30,2	33,6	36,7	39,7	42,7	45,7	48,8	51,8	54,8		
Снижение уровня звукового давления на пути справа от экрана, Dz3, дБ	z = 22.21м (разность путей)	ф-лы (14-18) [10]	23,2	26,7	29,9	32,9	35,9	38,9	42	45	48		
Общее снижение уровня звука препятствием Dz, дБ		Эн.сумма(-Dzi)	8,6	10,8	13,3	16,1	18,9	21,8	24,8	27,8	30,8		
Общее снижение уровня звука препятствием с учётом ограничения (25 дБ) для октавных полос Dz, дБ		Раздел 7.4 [10]	8,6	10,8	13,3	16,1	18,9	21,8	24,8	25	25		
Уровни звукового давления прямого звука от источника ИШ-1-25 в расчётной точке днём, дБ		**ф-ла(3)[10]**	**0**	**19**	**17,8**	**15,9**	**12,3**	**7,7**	**0**	**0**	**0**	**13,2**	**13,2**
Уровни звукового давления прямого звука от источника ИШ-1-25 в расчётной точке ночью, дБ		**ф-ла(3)[10]**	**0**	**19**	**17,8**	**15,9**	**12,3**	**7,7**	**0**	**0**	**0**	**13,2**	**13,2**
Расчёт отражённого звука													
Уровни звукового давления от мнимого источника ИШ-1-25_мн.(1) в расчётной точке днём, дБ		**ф-ла(3)[10]**	**0**	**0**	**0**	**0**	**0**	**0**	**0**	**0**	**0**	**0**	**0**
Уровни звукового давления от мнимого источника ИШ-1-25_мн.(1) в расчётной точке ночью, дБ		**ф-ла(3)[10]**	**0**	**0**	**0**	**0**	**0**	**0**	**0**	**0**	**0**	**0**	**0**
Уровни звукового давления от источника ИШ-1-25 в расчётной точке днём, дБ		**ф-ла(3)[10]**	**0**	**19**	**17,8**	**15,9**	**12,3**	**7,7**	**0**	**0**	**0**	**13,2**	**13,2**
Уровни звукового давления от источника ИШ-1-25 в расчётной точке ночью, дБ		**ф-ла(3)[10]**	**0**	**19**	**17,8**	**15,9**	**12,3**	**7,7**	**0**	**0**	**0**	**13,2**	**13,2**
Источник шума: ИШ-1-26, координаты источника (x,y,z), м =[534.15,80.79,1.00]													
Уровни звуковой мощности источника днём, Lw, дБ		**исходные данные**	**0**	**93,3**	**94,7**	**96**	**96,3**	**95,9**	**92,6**	**88,4**	**83,9**		
Уровни звуковой мощности источника ночью, Lw, дБ		**исходные данные**	**0**	**93,3**	**94,7**	**96**	**96,3**	**95,9**	**92,6**	**88,4**	**83,9**		
Поправка на телесный угол DΩ, дБ	Ω = 6.28	10Lg(4π/Ω)	**3**	3	3	3	3	3	3	3	3		
Показатель направленности источника Di, дБ		исходные данные	**0**	0	0	0	0	0	0	0	0		
Поправка на направленность источника Dc, дБ	Dc	DΩ + Di	**3**	3	3	3	3	3	3	3	3		

1		2	3	4	5	6	7	8	9	10	11	12	13
Затухание из-за геометрической дивергенции, Adiv, дБ	расстояние = 592.32 м	ф-ла (7) [10]	**66,5**										
Коэффициент затухания звука в атмосфере α, дБ/км	Ta=20,°C Pa=101.33,кПа hотн.=70%	ф-ла (5) [9]	0,02	0,09	0,33	1,12	2,79	4,98	9,04	23,09	77,63		
Учет затухания звука в атмосфере Aatm, дБ		ф-ла (8) [10]	0	0,1	0,2	0,7	1,7	2,9	5,4	13,7	46		
Снижение уровня звукового давления из-за влияния застройки между источником шума и расчетной точкой													
Снижение уровня звукового давления на пути над экраном, Dz1, дБ	z = 1.00м (разность путей)	ф-лы (14-18) [10]	8,4	10,5	12,9	15,6	18,4	21,3	24,3	27,3	30,3		
Снижение уровня звукового давления на пути слева от экрана, Dz2, дБ	z = 105.12м (разность путей)	ф-лы (14-18) [10]	30,1	33,5	36,6	39,7	42,7	45,7	48,7	51,7	54,7		
Снижение уровня звукового давления на пути справа от экрана, Dz3, дБ	z = 20.86м (разность путей)	ф-лы (14-18) [10]	23	26,5	29,6	32,6	35,7	38,7	41,7	44,7	47,7		
Общее снижение уровня звука препятствием Dz, дБ		Эн.сумма(-Dzi)	8,2	10,4	12,8	15,5	18,3	21,2	24,2	27,2	30,2		
Общее снижение уровня звука препятствием с учётом ограничения (25 дБ) для октавных полос Dz, дБ		Раздел 7.4 [10]	8,2	10,4	12,8	15,5	18,3	21,2	24,2	25	25		
Уровни звукового давления прямого звука от источника ИШ-1-26 в расчётной точке днём, дБ		**ф-ла(3)[10]**	**0**	**19,4**	**18,3**	**16,4**	**12,9**	**8,3**	**0**	**0**	**0**	**13,8**	**13,8**
Уровни звукового давления прямого звука от источника ИШ-1-26 в расчётной точке ночью, дБ		**ф-ла(3)[10]**	**0**	**19,4**	**18,3**	**16,4**	**12,9**	**8,3**	**0**	**0**	**0**	**13,8**	**13,8**
Расчёт отражённого звука													
Уровни звукового давления от мнимого источника ИШ-1-26_мн.(1) в расчётной точке днём, дБ		**ф-ла(3)[10]**	**0**	**0**	**0**	**0**	**0**	**0**	**0**	**0**	**0**	**0**	**0**
Уровни звукового давления от мнимого источника ИШ-1-26_мн.(1) в расчётной точке ночью, дБ		**ф-ла(3)[10]**	**0**	**0**	**0**	**0**	**0**	**0**	**0**	**0**	**0**	**0**	**0**
Уровни звукового давления от источника ИШ-1-26 в расчётной точке днём, дБ		**ф-ла(3)[10]**	**0**	**19,4**	**18,3**	**16,4**	**12,9**	**8,3**	**0**	**0**	**0**	**13,8**	**13,8**
Уровни звукового давления от источника ИШ-1-26 в расчётной точке ночью, дБ		**ф-ла(3)[10]**	**0**	**19,4**	**18,3**	**16,4**	**12,9**	**8,3**	**0**	**0**	**0**	**13,8**	**13,8**

1		2	3	4	5	6	7	8	9	10	11	12	13
Источник шума: ИШ-1-27, координаты источника (x,y,z), м =[469.65,197.67,1.00]													
Уровни звуковой мощности источника днём, Lw, дБ		**исходные данные**	**0**	**93,3**	**94,7**	**96**	**96,3**	**95,9**	**92,6**	**88,4**	**83,9**		
Уровни звуковой мощности источника ночью, Lw, дБ		**исходные данные**	**0**	**93,3**	**94,7**	**96**	**96,3**	**95,9**	**92,6**	**88,4**	**83,9**		
Поправка на телесный угол DΩ, дБ	Ω = 6.28	10Lg(4π/Ω)	**3**	3	3	3	3	3	3	3	3		
Показатель направленности источника Di, дБ		исходные данные	**0**	0	0	0	0	0	0	0	0		
Поправка на направленность источника Dc, дБ	Dc	DΩ + Di	**3**	3	3	3	3	3	3	3	3		
Затухание из-за геометрической дивергенции, Adiv, дБ	расстояние = 462.76 м	ф-ла (7) [10]	**64,3**										
Коэффициент затухания звука в атмосфере α, дБ/км	Ta=20,°C Pa=101.33,кПа hотн.=70%	ф-ла (5) [9]	0,02	0,09	0,33	1,12	2,79	4,98	9,04	23,09	77,63		
Учет затухания звука в атмосфере Aatm, дБ		ф-ла (8) [10]	0	0	0,2	0,5	1,3	2,3	4,2	10,7	35,9		
Снижение уровня звукового давления из-за влияния застройки между источником шума и расчетной точкой													
Снижение уровня звукового давления на пути над экраном, Dz1, дБ	z = 0.47м (разность путей)	ф-лы (14-18) [10]	5,1	5,7	7	8,9	11,1	13,7	16,4	19,3	22,2		
Снижение уровня звукового давления на пути слева от экрана, Dz2, дБ	z = 10.43м (разность путей)	ф-лы (14-18) [10]	16,2	19	21,9	24,9	27,9	30,9	33,9	36,9	39,9		
Снижение уровня звукового давления на пути справа от экрана, Dz3, дБ	z = 2.13м (разность путей)	ф-лы (14-18) [10]	10,4	12,7	15,4	18,2	21,1	24	27	30	33		
Общее снижение уровня звука препятствием Dz, дБ		Эн.сумма(-Dzi)	3,7	4,8	6,3	8,3	10,6	13,2	16	18,9	21,8		
Уровни звукового давления от источника ИШ-1-27 в расчётной точке днём, дБ		**ф-ла(3)[10]**	**0**	**27,2**	**26,9**	**25,8**	**23**	**19,1**	**11,1**	**0**	**0**	**24,2**	**24,2**
Уровни звукового давления от источника ИШ-1-27 в расчётной точке ночью, дБ		**ф-ла(3)[10]**	**0**	**27,2**	**26,9**	**25,8**	**23**	**19,1**	**11,1**	**0**	**0**	**24,2**	**24,2**

1		2	3	4	5	6	7	8	9	10	11	12	13
Источник шума: ИШ-1-28, координаты источника (x,y,z), м =[472.78,196.69,1.00]													
Уровни звуковой мощности источника днём, Lw, дБ		**исходные данные**	**0**	**93,3**	**94,7**	**96**	**96,3**	**95,9**	**92,6**	**88,4**	**83,9**		
Уровни звуковой мощности источника ночью, Lw, дБ		**исходные данные**	**0**	**93,3**	**94,7**	**96**	**96,3**	**95,9**	**92,6**	**88,4**	**83,9**		
Поправка на телесный угол DΩ, дБ	Ω = 6.28	10Lg(4π/Ω)	**3**	3	3	3	3	3	3	3	3		
Показатель направленности источника Di, дБ		исходные данные	**0**	0	0	0	0	0	0	0	0		
Поправка на направленность источника Dc, дБ	Dc	DΩ + Di	**3**	3	3	3	3	3	3	3	3		
Затухание из-за геометрической дивергенции, Adiv, дБ	расстояние = 465.66 м	ф-ла (7) [10]	**64,4**										
Коэффициент затухания звука в атмосфере α, дБ/км	Ta=20,°C Pa=101.33,кПа hотн.=70%	ф-ла (5) [9]	0,02	0,09	0,33	1,12	2,79	4,98	9,04	23,09	77,63		
Учет затухания звука в атмосфере Aatm, дБ		ф-ла (8) [10]	0	0	0,2	0,5	1,3	2,3	4,2	10,8	36,2		
Снижение уровня звукового давления из-за влияния застройки между источником шума и расчетной точкой													
Снижение уровня звукового давления на пути над экраном, Dz1, дБ	z = 0.47м (разность путей)	ф-лы (14-18) [10]	5,1	5,7	7	8,8	11	13,6	16,3	19,1	22,1		
Снижение уровня звукового давления на пути слева от экрана, Dz2, дБ	z = 10.70м (разность путей)	ф-лы (14-18) [10]	16,3	19,2	22,1	25	28	31	34	37	40		
Снижение уровня звукового давления на пути справа от экрана, Dz3, дБ	z = 1.85м (разность путей)	ф-лы (14-18) [10]	9,9	12,2	14,8	17,6	20,5	23,4	26,4	29,4	32,4		
Общее снижение уровня звука препятствием Dz, дБ		Эн.сумма(-Dzi)	3,6	4,7	6,2	8,2	10,5	13,1	15,8	18,7	21,6		
Уровни звукового давления от источника ИШ-1-28 в расчётной точке днём, дБ		**ф-ла(3)[10]**	**0**	**27,2**	**27**	**25,9**	**23,1**	**19,1**	**11,2**	**0**	**0**	**24,2**	**24,2**
Уровни звукового давления от источника ИШ-1-28 в расчётной точке ночью, дБ		**ф-ла(3)[10]**	**0**	**27,2**	**27**	**25,9**	**23,1**	**19,1**	**11,2**	**0**	**0**	**24,2**	**24,2**

1		2	3	4	5	6	7	8	9	10	11	12	13
Источник шума: ИШ-1-29, координаты источника (x,y,z), м =[475.52,195.72,1.00]													
Уровни звуковой мощности источника днём, Lw, дБ		**исходные данные**	**0**	**93,3**	**94,7**	**96**	**96,3**	**95,9**	**92,6**	**88,4**	**83,9**		
Уровни звуковой мощности источника ночью, Lw, дБ		**исходные данные**	**0**	**93,3**	**94,7**	**96**	**96,3**	**95,9**	**92,6**	**88,4**	**83,9**		
Поправка на телесный угол DΩ, дБ	Ω = 6.28	10Lg(4π/Ω)	**3**	3	3	3	3	3	3	3	3		
Показатель направленности источника Di, дБ		исходные данные	**0**	0	0	0	0	0	0	0	0		
Поправка на направленность источника Dc, дБ	Dc	DΩ + Di	**3**	3	3	3	3	3	3	3	3		
Затухание из-за геометрической дивергенции, Adiv, дБ	расстояние = 468.28 м	ф-ла (7) [10]	**64,4**										
Коэффициент затухания звука в атмосфере α, дБ/км	Ta=20,°C Pa=101.33,кПа hотн.=70%	ф-ла (5) [9]	0,02	0,09	0,33	1,12	2,79	4,98	9,04	23,09	77,63		
Учет затухания звука в атмосфере Aatm, дБ		ф-ла (8) [10]	0	0	0,2	0,5	1,3	2,3	4,2	10,8	36,4		
Снижение уровня звукового давления из-за влияния застройки между источником шума и расчетной точкой													
Снижение уровня звукового давления на пути над экраном, Dz1, дБ	z = 0.47м (разность путей)	ф-лы (14-18) [10]	5,1	5,7	6,9	8,7	10,9	13,4	16,2	19	21,9		
Снижение уровня звукового давления на пути слева от экрана, Dz2, дБ	z = 10.91м (разность путей)	ф-лы (14-18) [10]	16,4	19,2	22,1	25,1	28,1	31,1	34,1	37,1	40,1		
Снижение уровня звукового давления на пути справа от экрана, Dz3, дБ	z = 1.63м (разность путей)	ф-лы (14-18) [10]	9,6	11,8	14,3	17,1	20	22,9	25,9	28,9	31,9		
Общее снижение уровня звука препятствием Dz, дБ		Эн.сумма(-Dzi)	3,6	4,6	6,1	8,1	10,4	12,9	15,7	18,5	21,5		
Уровни звукового давления от источника ИШ-1-29 в расчётной точке днём, дБ		**ф-ла(3)[10]**	**0**	**27,3**	**27**	**26**	**23,2**	**19,2**	**11,3**	**0**	**0**	**24,3**	**24,3**
Уровни звукового давления от источника ИШ-1-29 в расчётной точке ночью, дБ		**ф-ла(3)[10]**	**0**	**27,3**	**27**	**26**	**23,2**	**19,2**	**11,3**	**0**	**0**	**24,3**	**24,3**

1		2	3	4	5	6	7	8	9	10	11	12	13
Источник шума: ИШ-1-30, координаты источника (x,y,z), м =[478.45,194.54,1.00]													
Уровни звуковой мощности источника днём, Lw, дБ		**исходные данные**	**0**	**93,3**	**94,7**	**96**	**96,3**	**95,9**	**92,6**	**88,4**	**83,9**		
Уровни звуковой мощности источника ночью, Lw, дБ		**исходные данные**	**0**	**93,3**	**94,7**	**96**	**96,3**	**95,9**	**92,6**	**88,4**	**83,9**		
Поправка на телесный угол DΩ, дБ	Ω = 6.28	10Lg(4π/Ω)	**3**	3	3	3	3	3	3	3	3		
Показатель направленности источника Di, дБ		исходные данные	**0**	0	0	0	0	0	0	0	0		
Поправка на направленность источника Dc, дБ	Dc	DΩ + Di	**3**	3	3	3	3	3	3	3	3		
Затухание из-за геометрической дивергенции, Adiv, дБ	расстояние = 471.19 м	ф-ла (7) [10]	**64,5**										
Коэффициент затухания звука в атмосфере α, дБ/км	Ta=20,°C Pa=101.33,кПа hотн.=70%	ф-ла (5) [9]	0,02	0,09	0,33	1,12	2,79	4,98	9,04	23,09	77,63		
Учет затухания звука в атмосфере Aatm, дБ		ф-ла (8) [10]	0	0	0,2	0,5	1,3	2,3	4,3	10,9	36,6		
Снижение уровня звукового давления из-за влияния застройки между источником шума и расчетной точкой													
Снижение уровня звукового давления на пути над экраном, Dz1, дБ	z = 0.46м (разность путей)	ф-лы (14-18) [10]	5,1	5,7	6,9	8,6	10,8	13,3	16	18,9	21,8		
Снижение уровня звукового давления на пути слева от экрана, Dz2, дБ	z = 11.12м (разность путей)	ф-лы (14-18) [10]	16,5	19,3	22,2	25,2	28,2	31,2	34,2	37,2	40,2		
Снижение уровня звукового давления на пути справа от экрана, Dz3, дБ	z = 1.43м (разность путей)	ф-лы (14-18) [10]	9,2	11,3	13,8	16,5	19,4	22,3	25,3	28,3	31,3		
Общее снижение уровня звука препятствием Dz, дБ		Эн.сумма(-Dzi)	3,5	4,5	6	7,9	10,2	12,7	15,5	18,3	21,3		
Уровни звукового давления от источника ИШ-1-30 в расчётной точке днём, дБ		**ф-ла(3)[10]**	**0**	**27,3**	**27,1**	**26,1**	**23,3**	**19,4**	**11,4**	**0**	**0**	**24,4**	**24,4**
Уровни звукового давления от источника ИШ-1-30 в расчётной точке ночью, дБ		**ф-ла(3)[10]**	**0**	**27,3**	**27,1**	**26,1**	**23,3**	**19,4**	**11,4**	**0**	**0**	**24,4**	**24,4**

1		2	3	4	5	6	7	8	9	10	11	12	13
Источник шума: ИШ-1-31, координаты источника (x,y,z), м =[481.58,193.96,1.00]													
Уровни звуковой мощности источника днём, Lw, дБ		**исходные данные**	**0**	**93,3**	**94,7**	**96**	**96,3**	**95,9**	**92,6**	**88,4**	**83,9**		
Уровни звуковой мощности источника ночью, Lw, дБ		**исходные данные**	**0**	**93,3**	**94,7**	**96**	**96,3**	**95,9**	**92,6**	**88,4**	**83,9**		
Поправка на телесный угол DΩ, дБ	Ω = 6.28	10Lg(4π/Ω)	**3**	3	3	3	3	3	3	3	3		
Показатель направленности источника Di, дБ		исходные данные	**0**	0	0	0	0	0	0	0	0		
Поправка на направленность источника Dc, дБ	Dc	DΩ + Di	**3**	3	3	3	3	3	3	3	3		
Затухание из-за геометрической дивергенции, Adiv, дБ	расстояние = 473.82 м	ф-ла (7) [10]	**64,5**										
Коэффициент затухания звука в атмосфере α, дБ/км	Ta=20,°C Pa=101.33,кПа hотн.=70%	ф-ла (5) [9]	0,02	0,09	0,33	1,12	2,79	4,98	9,04	23,09	77,63		
Учет затухания звука в атмосфере Aatm, дБ		ф-ла (8) [10]	0	0	0,2	0,5	1,3	2,4	4,3	10,9	36,8		
Снижение уровня звукового давления из-за влияния застройки между источником шума и расчетной точкой													
Снижение уровня звукового давления на пути над экраном, Dz1, дБ	z = 0.46м (разность путей)	ф-лы (14-18) [10]	5,1	5,6	6,8	8,6	10,8	13,2	15,9	18,8	21,7		
Снижение уровня звукового давления на пути слева от экрана, Dz2, дБ	z = 11.46м (разность путей)	ф-лы (14-18) [10]	16,6	19,4	22,3	25,3	28,3	31,3	34,3	37,3	40,3		
Снижение уровня звукового давления на пути справа от экрана, Dz3, дБ	z = 1.19м (разность путей)	ф-лы (14-18) [10]	8,7	10,7	13,1	15,8	18,6	21,5	24,5	27,5	30,5		
Общее снижение уровня звука препятствием Dz, дБ		Эн.сумма(-Dzi)	3,3	4,3	5,8	7,8	10	12,6	15,3	18,2	21,1		
Уровни звукового давления от источника ИШ-1-31 в расчётной точке днём, дБ		**ф-ла(3)[10]**	**0**	**27,4**	**27,2**	**26,2**	**23,4**	**19,4**	**11,5**	**0**	**0**	**24,5**	**24,5**
Уровни звукового давления от источника ИШ-1-31 в расчётной точке ночью, дБ		**ф-ла(3)[10]**	**0**	**27,4**	**27,2**	**26,2**	**23,4**	**19,4**	**11,5**	**0**	**0**	**24,5**	**24,5**

1		2	3	4	5	6	7	8	9	10	11	12	13
Источник шума: ИШ-1-32, координаты источника (x,y,z), м =[871.21,281.99,50.00]													
Уровни звуковой мощности источника днём, Lw, дБ		**исходные данные**	**125**	**119,6**	**113,4**	**111,4**	**110,8**	**112,7**	**113,8**	**109,2**	**97,4**		
Уровни звуковой мощности источника ночью, Lw, дБ		**исходные данные**	**0**	**0**	**0**	**0**	**0**	**0**	**0**	**0**	**0**		
Поправка на телесный угол DΩ, дБ	Ω = 12.57	10Lg(4π/Ω)	**0**	0	0	0	0	0	0	0	0		
Показатель направленности источника Di, дБ		исходные данные	**0**	0	0	0	0	0	0	0	0		
Поправка на направленность источника Dc, дБ	Dc	DΩ + Di	**0**	0	0	0	0	0	0	0	0		
Затухание из-за геометрической дивергенции, Adiv, дБ	расстояние = 768.68 м	ф-ла (7) [10]	**68,7**										
Коэффициент затухания звука в атмосфере α, дБ/км	Ta=20,°C Pa=101.33,кПа hотн.=70%	ф-ла (5) [9]	0,02	0,09	0,33	1,12	2,79	4,98	9,04	23,09	77,63		
Учет затухания звука в атмосфере Aatm, дБ		ф-ла (8) [10]	0	0,1	0,3	0,9	2,1	3,8	6,9	17,7	59,7		
Снижение поверхностью земли возле источника As, дБ	Gs = 0 hs = 50м	ф-лы таб.3 [10]	-1,5	-1,5	-1,5	-1,5	-1,5	-1,5	-1,5	-1,5	-1,5		
Снижение поверхностью земли возле приёмника Ar, дБ	Gr = 1 hr = 1.5м	ф-лы таб.3 [10]	-1,5	-1,5	4,4	7	5	0,7	0	0	0		
Снижение поверхностью земли в средней зоне, Am дБ	Gm = 1	ф-лы таб.3 [10]	0	0	0	0	0	0	0	0	0		
Суммарное снижение поверхностью земли на траектории распространения звука Agr, дБ		ф-ла (9) [10]	-3	-3	2,9	5,5	3,5	-0,8	-1,5	-1,5	-1,5		
Уровни звукового давления от источника ИШ-1-32 в расчётной точке днём, дБ		**ф-ла(3)[10]**	**59,3**	**53,8**	**41,5**	**36,3**	**36,5**	**41**	**39,7**	**24,3**	**0**	**44,6**	**44,6**
Уровни звукового давления от источника ИШ-1-32 в расчётной точке ночью, дБ		**ф-ла(3)[10]**	**0**	**0**	**0**	**0**	**0**	**0**	**0**	**0**	**0**	**0**	**0**
Источник шума: ИШ-1-33, координаты источника (x,y,z), м =[743.42,374.85,1.00]													

1		2	3	4	5	6	7	8	9	10	11	12	13
Уровни звуковой мощности источника днём, Lw, дБ		**исходные данные**	**0**	**88,7**	**90,1**	**93,1**	**96,4**	**103**	**112**	**108**	**99,2**		
Уровни звуковой мощности источника ночью, Lw, дБ		**исходные данные**	**0**	**0**	**0**	**0**	**0**	**0**	**0**	**0**	**0**		
Поправка на телесный угол DΩ, дБ	Ω = 6.28	10Lg(4π/Ω)	**3**	3	3	3	3	3	3	3	3		
Показатель направленности источника Di, дБ		исходные данные	**0**	0	0	0	0	0	0	0	0		
Поправка на направленность источника Dc, дБ	Dc	DΩ + Di	**3**	3	3	3	3	3	3	3	3		
Затухание из-за геометрической дивергенции, Adiv, дБ	расстояние = 618.23 м	ф-ла (7) [10]	**66,8**										
Коэффициент затухания звука в атмосфере α, дБ/км	Ta=20,°C Pa=101.33,кПа hотн.=70%	ф-ла (5) [9]	0,02	0,09	0,33	1,12	2,79	4,98	9,04	23,09	77,63		
Учет затухания звука в атмосфере Aatm, дБ		ф-ла (8) [10]	0	0,1	0,2	0,7	1,7	3,1	5,6	14,3	48		
Снижение поверхностью земли возле источника As, дБ	Gs = 0 hs = 1м	ф-лы таб.3 [10]	-1,5	-1,5	-1,5	-1,5	-1,5	-1,5	-1,5	-1,5	-1,5		
Снижение поверхностью земли возле приёмника Ar, дБ	Gr = 1 hr = 1.5м	ф-лы таб.3 [10]	-1,5	-1,5	3,7	7	5	0,7	0	0	0		
Снижение поверхностью земли в средней зоне, Am дБ	Gm = 1	ф-лы таб.3 [10]	-2,6	-2,6	0	0	0	0	0	0	0		
Суммарное снижение поверхностью земли на траектории распространения звука Agr, дБ		ф-ла (9) [10]	-5,6	-5,6	2,2	5,5	3,5	-0,8	-1,5	-1,5	-1,5		
Уровни звукового давления прямого звука от источника ИШ-1-33 в расчётной точке днём, дБ		**ф-ла(3)[10]**	**0**	**30,5**	**23,8**	**23,1**	**27,4**	**37**	**44,1**	**31,4**	**0**	**46,1**	**46,1**
Уровни звукового давления прямого звука от источника ИШ-1-33 в расчётной точке ночью, дБ		**ф-ла(3)[10]**	**0**	**0**	**0**	**0**	**0**	**0**	**0**	**0**	**0**	**0**	**0**
Расчёт отражённого звука													
Уровни звукового давления от мнимого источника ИШ-1-33_мн.(1) в расчётной точке днём, дБ		**ф-ла(3)[10]**	**0**	**0**	**0**	**0**	**0**	**0**	**0**	**0**	**0**	**0**	**0**
Уровни звукового давления от мнимого источника ИШ-1-33_мн.(1) в расчётной точке ночью, дБ		**ф-ла(3)[10]**	**0**	**0**	**0**	**0**	**0**	**0**	**0**	**0**	**0**	**0**	**0**

1		2	3	4	5	6	7	8	9	10	11	12	13
Уровни звукового давления от мнимого источника ИШ-1-33_мн.(2) в расчётной точке днём, дБ		**ф-ла(3)[10]**	**0**	**0**	**0**	**0**	**0**	**0**	**0**	**26**	**0**	**27**	**27**
Уровни звукового давления от мнимого источника ИШ-1-33_мн.(2) в расчётной точке ночью, дБ		**ф-ла(3)[10]**	**0**	**0**	**0**	**0**	**0**	**0**	**0**	**0**	**0**	**0**	**0**
Суммарные уровни звукового давления от мнимых источников в расчётной точке днём, дБ		**ф-ла (19) [1]**	**0**	**0**	**0**	**0**	**0**	**0**	**0**	**26**	**0**	**0**	**27**
Суммарные уровни звукового давления от мнимых источников в расчётной точке ночью, дБ		**ф-ла (19) [1]**	**0**	**0**	**0**	**0**	**0**	**0**	**0**	**0**	**0**	**0**	**0**
Уровни звукового давления от источника ИШ-1-33 в расчётной точке днём, дБ		**ф-ла(3)[10]**	**0**	**30,5**	**23,8**	**23,1**	**27,4**	**37**	**44,1**	**32,5**	**0**	**46,2**	**46,2**
Уровни звукового давления от источника ИШ-1-33 в расчётной точке ночью, дБ		**ф-ла(3)[10]**	**0**	**0**	**0**	**0**	**0**	**0**	**0**	**0**	**0**	**0**	**0**
Источник шума: ИШ-1-34, координаты источника (x,y,z), м =[1042.35,199.07,1.00]													
Уровни звуковой мощности источника днём, Lw, дБ		**исходные данные**	**0**	**88,7**	**90,1**	**93,1**	**96,4**	**103**	**112**	**108**	**99,2**		
Уровни звуковой мощности источника ночью, Lw, дБ		**исходные данные**	**0**	**0**	**0**	**0**	**0**	**0**	**0**	**0**	**0**		
Поправка на телесный угол DΩ, дБ	Ω = 6.28	10Lg(4π/Ω)	**3**	3	3	3	3	3	3	3	3		
Показатель направленности источника Di, дБ		исходные данные	**0**	0	0	0	0	0	0	0	0		
Поправка на направленность источника Dc, дБ	Dc	DΩ + Di	**3**	3	3	3	3	3	3	3	3		
Затухание из-за геометрической дивергенции, Adiv, дБ	расстояние = 956.09 м	ф-ла (7) [10]	**70,6**										
Коэффициент затухания звука в атмосфере α, дБ/км	Ta=20,°C Pa=101.33,кПа hотн.=70%	ф-ла (5) [9]	0,02	0,09	0,33	1,12	2,79	4,98	9,04	23,09	77,63		
Учет затухания звука в атмосфере Aatm, дБ		ф-ла (8) [10]	0	0,1	0,3	1,1	2,7	4,8	8,6	22,1	74,2		
Снижение поверхностью земли возле источника As, дБ	Gs = 0 hs = 1м	ф-лы таб.3 [10]	-1,5	-1,5	-1,5	-1,5	-1,5	-1,5	-1,5	-1,5	-1,5		

1		2	3	4	5	6	7	8	9	10	11	12	13
Снижение поверхностью земли возле приёмника Ar, дБ	Gr = 1 hr = 1.5м	ф-лы таб.3 [10]	-1,5	-1,5	5	7	5	0,7	0	0	0		
Снижение поверхностью земли в средней зоне, Am дБ	Gm = 1	ф-лы таб.3 [10]	-2,8	-2,8	0	0	0	0	0	0	0		
Суммарное снижение поверхностью земли на траектории распространения звука Agr, дБ		ф-ла (9) [10]	-5,8	-5,8	3,5	5,5	3,5	-0,8	-1,5	-1,5	-1,5		
Уровни звукового давления от источника ИШ-1-34 в расчётной точке днём, дБ		**ф-ла(3)[10]**	**0**	**26,8**	**18,7**	**18,9**	**22,7**	**31,5**	**37,3**	**19,8**	**0**	**39,4**	**39,4**
Уровни звукового давления от источника ИШ-1-34 в расчётной точке ночью, дБ		**ф-ла(3)[10]**	**0**	**0**	**0**	**0**	**0**	**0**	**0**	**0**	**0**	**0**	**0**
Источник шума: ИШ-2-1, координаты источника (x,y,z), м =[696.50,124.40,3.00]													
Уровни звуковой мощности источника днём, Lw, дБ		**исходные данные**	**105**	**104**	**104**	**101**	**102**	**106**	**101**	**95**	**87**		
Уровни звуковой мощности источника ночью, Lw, дБ		**исходные данные**	**105**	**104**	**104**	**101**	**102**	**106**	**101**	**95**	**87**		
Поправка на телесный угол DΩ, дБ	Ω = 6.28	10Lg(4π/Ω)	**3**	3	3	3	3	3	3	3	3		
Показатель направленности источника Di, дБ		исходные данные	**0**	0	0	0	0	0	0	0	0		
Поправка на направленность источника Dc, дБ	Dc	DΩ + Di	**3**	3	3	3	3	3	3	3	3		
Затухание из-за геометрической дивергенции, Adiv, дБ	расстояние = 683.28 м	ф-ла (7) [10]	**67,7**										
Коэффициент затухания звука в атмосфере α, дБ/км	Ta=20,°C Pa=101.33,кПа hотн.=70%	ф-ла (5) [9]	0,02	0,09	0,33	1,12	2,79	4,98	9,04	23,09	77,63		
Учет затухания звука в атмосфере Aatm, дБ		ф-ла (8) [10]	0	0,1	0,2	0,8	1,9	3,4	6,2	15,8	53		
Снижение уровня звукового давления из-за влияния застройки между источником шума и расчетной точкой													
Снижение уровня звукового давления препятствием слева от трассы ИШ-РТ, Dz2, дБ	z = -0.46м (разность путей)	ф-лы (14-18) [10]	1,2	NAN	NAN	NAN	NAN	NAN	NAN	NAN	NAN		
* отрицательное значение z означает прохождение траектории вблизи экрана, в этом случае дополнительно производится учёт снижения подстилающей поверхностью (см.ниже)													

1		2	3	4	5	6	7	8	9	10	11	12	13
Снижение поверхностью земли возле источника As, дБ	Gs = 0 hs = 3м	ф-лы таб.3 [10]	-1,5	-1,5	-1,5	-1,5	-1,5	-1,5	-1,5	-1,5	-1,5		
Снижение поверхностью земли возле приёмника Ar, дБ	Gr = 1 hr = 1.5м	ф-лы таб.3 [10]	-1,5	-1,5	4,1	7	5	0,7	0	0	0		
Снижение поверхностью земли в средней зоне, Am дБ	Gm = 1	ф-лы таб.3 [10]	-2,4	-2,4	0	0	0	0	0	0	0		
Суммарное снижение поверхностью земли на траектории распространения звука Agr, дБ		ф-ла (9) [10]	-5,4	-5,4	2,6	5,5	3,5	-0,8	-1,5	-1,5	-1,5		
Уровни звукового давления прямого звука от источника ИШ-2-1 в расчётной точке днём, дБ		**ф-ла(3)[10]**	**44,6**	**44,7**	**36,5**	**30**	**31,9**	**38,8**	**31,6**	**16**	**0**	**40,2**	**40,2**
Уровни звукового давления прямого звука от источника ИШ-2-1 в расчётной точке ночью, дБ		**ф-ла(3)[10]**	**44,6**	**44,7**	**36,5**	**30**	**31,9**	**38,8**	**31,6**	**16**	**0**	**40,2**	**40,2**
Расчёт отражённого звука													
Уровни звукового давления от мнимого источника ИШ-2-1_мн.(1) в расчётной точке днём, дБ		**ф-ла(3)[10]**	**0**	**0**	**0**	**0**	**0**	**0**	**0**	**0**	**0**	**0**	**0**
Уровни звукового давления от мнимого источника ИШ-2-1_мн.(1) в расчётной точке ночью, дБ		**ф-ла(3)[10]**	**0**	**0**	**0**	**0**	**0**	**0**	**0**	**0**	**0**	**0**	**0**
Уровни звукового давления от источника ИШ-2-1 в расчётной точке днём, дБ		**ф-ла(3)[10]**	**44,6**	**44,7**	**36,5**	**30**	**31,9**	**38,8**	**31,6**	**16**	**0**	**40,2**	**40,2**
Уровни звукового давления от источника ИШ-2-1 в расчётной точке ночью, дБ		**ф-ла(3)[10]**	**44,6**	**44,7**	**36,5**	**30**	**31,9**	**38,8**	**31,6**	**16**	**0**	**40,2**	**40,2**
Источник шума: ИШ-2-2, координаты источника (x,y,z), м =[682.20,81.60,3.00]													
Уровни звуковой мощности источника днём, Lw, дБ		**исходные данные**	**105**	**104**	**104**	**101**	**102**	**106**	**101**	**95**	**87**		
Уровни звуковой мощности источника ночью, Lw, дБ		**исходные данные**	**105**	**104**	**104**	**101**	**102**	**106**	**101**	**95**	**87**		
Поправка на телесный угол DΩ, дБ	Ω = 6.28	10Lg(4π/Ω)	**3**	3	3	3	3	3	3	3	3		
Показатель направленности источника Di, дБ		исходные данные	**0**	0	0	0	0	0	0	0	0		
Поправка на направленность источника Dc, дБ	Dc	DΩ + Di	**3**	3	3	3	3	3	3	3	3		

1		2	3	4	5	6	7	8	9	10	11	12	13
Затухание из-за геометрической дивергенции, Adiv, дБ	расстояние = 698.24 м	ф-ла (7) [10]	**67,9**										
Коэффициент затухания звука в атмосфере α, дБ/км	Ta=20,°C Pa=101.33,кПа hотн.=70%	ф-ла (5) [9]	0,02	0,09	0,33	1,12	2,79	4,98	9,04	23,09	77,63		
Учет затухания звука в атмосфере Aatm, дБ		ф-ла (8) [10]	0	0,1	0,2	0,8	1,9	3,5	6,3	16,1	54,2		
Снижение поверхностью земли возле источника As, дБ	Gs = 0 hs = 3м	ф-лы таб.3 [10]	-1,5	-1,5	-1,5	-1,5	-1,5	-1,5	-1,5	-1,5	-1,5		
Снижение поверхностью земли возле приёмника Ar, дБ	Gr = 1 hr = 1.5м	ф-лы таб.3 [10]	-1,5	-1,5	4,2	7	5	0,7	0	0	0		
Снижение поверхностью земли в средней зоне, Am дБ	Gm = 1	ф-лы таб.3 [10]	-2,4	-2,4	0	0	0	0	0	0	0		
Суммарное снижение поверхностью земли на траектории распространения звука Agr, дБ		ф-ла (9) [10]	-5,4	-5,4	2,7	5,5	3,5	-0,8	-1,5	-1,5	-1,5		
Уровни звукового давления от источника ИШ-2-2 в расчётной точке днём, дБ		**ф-ла(3)[10]**	**45,5**	**44,5**	**36,2**	**29,8**	**31,7**	**38,5**	**31,3**	**15,5**	**0**	**40**	**40**
Уровни звукового давления от источника ИШ-2-2 в расчётной точке ночью, дБ		**ф-ла(3)[10]**	**45,5**	**44,5**	**36,2**	**29,8**	**31,7**	**38,5**	**31,3**	**15,5**	**0**	**40**	**40**
Источник шума: ИШ-2-3, координаты источника (x,y,z), м =[667.80,38.90,3.00]													
Уровни звуковой мощности источника днём, Lw, дБ		**исходные данные**	**105**	**104**	**104**	**101**	**102**	**106**	**101**	**95**	**87**		
Уровни звуковой мощности источника ночью, Lw, дБ		**исходные данные**	**105**	**104**	**104**	**101**	**102**	**106**	**101**	**95**	**87**		
Поправка на телесный угол DΩ, дБ	Ω = 6.28	10Lg(4π/Ω)	**3**	3	3	3	3	3	3	3	3		
Показатель направленности источника Di, дБ		исходные данные	**0**	0	0	0	0	0	0	0	0		
Поправка на направленность источника Dc, дБ	Dc	DΩ + Di	**3**	3	3	3	3	3	3	3	3		
Затухание из-за геометрической дивергенции, Adiv, дБ	расстояние = 715.59 м	ф-ла (7) [10]	**68,1**										

1		2	3	4	5	6	7	8	9	10	11	12	13
Коэффициент затухания звука в атмосфере α, дБ/км	Та=20,°С Ра=101.33,кПа hотн.=70%	ф-ла (5) [9]	0,02	0,09	0,33	1,12	2,79	4,98	9,04	23,09	77,63		
Учет затухания звука в атмосфере Aatm, дБ		ф-ла (8) [10]	0	0,1	0,2	0,8	2	3,6	6,5	16,5	55,6		
Снижение уровня звукового давления из-за влияния застройки между источником шума и расчетной точкой													
Снижение уровня звукового давления на пути над экраном, Dz1, дБ	z = 0.23м (разность путей)	ф-лы (14-18) [10]	4,8	4,8	4,9	4,9	5,1	5,4	6	6,9	8,3		
Снижение уровня звукового давления на пути слева от экрана, Dz2, дБ	z = 108.02м (разность путей)	ф-лы (14-18) [10]	30,3	33,7	36,7	39,8	42,8	45,8	48,8	51,8	54,8		
Снижение уровня звукового давления на пути справа от экрана, Dz3, дБ	z = 0.14м (разность путей)	ф-лы (14-18) [10]	6,5	7,8	9,6	11,9	14,5	17,2	20,1	23,1	26		
Общее снижение уровня звука препятствием Dz, дБ		Эн.сумма(-Dzi)	2,5	3,1	3,6	4,1	4,6	5,1	5,8	6,8	8,2		
Уровни звукового давления от источника ИШ-2-3 в расчётной точке днём, дБ		**ф-ла(3)[10]**	**37,4**	**35,8**	**35,1**	**31**	**30,3**	**32,2**	**23,7**	**6,6**	**0**	**34,4**	**34,4**
Уровни звукового давления от источника ИШ-2-3 в расчётной точке ночью, дБ		**ф-ла(3)[10]**	**37,4**	**35,8**	**35,1**	**31**	**30,3**	**32,2**	**23,7**	**6,6**	**0**	**34,4**	**34,4**
Источник шума: ИШ-2-6, координаты источника (x,y,z), м =[765.97,112.43,1.00]													
Уровни звуковой мощности источника днём, Lw, дБ		**исходные данные**	**0**	**93,3**	**94,7**	**96**	**96,3**	**95,9**	**92,6**	**88,4**	**83,9**		
Уровни звуковой мощности источника ночью, Lw, дБ		**исходные данные**	**0**	**93,3**	**94,7**	**96**	**96,3**	**95,9**	**92,6**	**88,4**	**83,9**		
Поправка на телесный угол DΩ, дБ	Ω = 6.28	10Lg(4π/Ω)	**3**	3	3	3	3	3	3	3	3		
Показатель направленности источника Di, дБ		исходные данные	**0**	0	0	0	0	0	0	0	0		
Поправка на направленность источника Dc, дБ	Dc	DΩ + Di	**3**	3	3	3	3	3	3	3	3		
Затухание из-за геометрической дивергенции, Adiv, дБ	расстояние = 747.14 м	ф-ла (7) [10]	**68,5**										

1		2	3	4	5	6	7	8	9	10	11	12	13
Коэффициент затухания звука в атмосфере α, дБ/км	Та=20,°С Ра=101.33,кПа hотн.=70%	ф-ла (5) [9]	0,02	0,09	0,33	1,12	2,79	4,98	9,04	23,09	77,63		
Учет затухания звука в атмосфере Aatm, дБ		ф-ла (8) [10]	0	0,1	0,3	0,8	2,1	3,7	6,8	17,2	58		
Снижение поверхностью земли возле источника As, дБ	Gs = 0 hs = 1м	ф-лы таб.3 [10]	-1,5	-1,5	-1,5	-1,5	-1,5	-1,5	-1,5	-1,5	-1,5		
Снижение поверхностью земли возле приёмника Ar, дБ	Gr = 1 hr = 1.5м	ф-лы таб.3 [10]	-1,5	-1,5	4,4	7	5	0,7	0	0	0		
Снижение поверхностью земли в средней зоне, Am дБ	Gm = 1	ф-лы таб.3 [10]	-2,7	-2,7	0	0	0	0	0	0	0		
Суммарное снижение поверхностью земли на траектории распространения звука Agr, дБ		ф-ла (9) [10]	-5,7	-5,7	2,9	5,5	3,5	-0,8	-1,5	-1,5	-1,5		
Уровни звукового давления прямого звука от источника ИШ-2-6 в расчётной точке днём, дБ		**ф-ла(3)[10]**	**0**	**33,5**	**26,1**	**24,2**	**25,3**	**27,5**	**21,9**	**7,2**	**0**	**30**	**30**
Уровни звукового давления прямого звука от источника ИШ-2-6 в расчётной точке ночью, дБ		**ф-ла(3)[10]**	**0**	**33,5**	**26,1**	**24,2**	**25,3**	**27,5**	**21,9**	**7,2**	**0**	**30**	**30**
Расчёт отражённого звука													
Уровни звукового давления от мнимого источника ИШ-2-6_мн.(1) в расчётной точке днём, дБ		**ф-ла(3)[10]**	**0**	**0**	**0**	**0**	**0**	**0**	**0**	**0**	**0**	**0**	**0**
Уровни звукового давления от мнимого источника ИШ-2-6_мн.(1) в расчётной точке ночью, дБ		**ф-ла(3)[10]**	**0**	**0**	**0**	**0**	**0**	**0**	**0**	**0**	**0**	**0**	**0**
Уровни звукового давления от источника ИШ-2-6 в расчётной точке днём, дБ		**ф-ла(3)[10]**	**0**	**33,5**	**26,1**	**24,2**	**25,3**	**27,5**	**21,9**	**7,2**	**0**	**30**	**30**
Уровни звукового давления от источника ИШ-2-6 в расчётной точке ночью, дБ		**ф-ла(3)[10]**	**0**	**33,5**	**26,1**	**24,2**	**25,3**	**27,5**	**21,9**	**7,2**	**0**	**30**	**30**
Источник шума: ИШ-2-7, координаты источника (x,y,z), м =[764.91,109.54,1.00]													
Уровни звуковой мощности источника днём, Lw, дБ		**исходные данные**	**0**	**93,3**	**94,7**	**96**	**96,3**	**95,9**	**92,6**	**88,4**	**83,9**		
Уровни звуковой мощности источника ночью, Lw, дБ		**исходные данные**	**0**	**93,3**	**94,7**	**96**	**96,3**	**95,9**	**92,6**	**88,4**	**83,9**		

1		2	3	4	5	6	7	8	9	10	11	12	13
Поправка на телесный угол DΩ, дБ	Ω = 6.28	10Lg(4π/Ω)	**3**	3	3	3	3	3	3	3	3		
Показатель направленности источника Di, дБ		исходные данные	**0**	0	0	0	0	0	0	0	0		
Поправка на направленность источника Dc, дБ	Dc	DΩ + Di	**3**	3	3	3	3	3	3	3	3		
Затухание из-за геометрической дивергенции, Adiv, дБ	расстояние = 747.86 м	ф-ла (7) [10]	**68,5**										
Коэффициент затухания звука в атмосфере α, дБ/км	Ta=20,°C Pa=101.33,кПа hотн.=70%	ф-ла (5) [9]	0,02	0,09	0,33	1,12	2,79	4,98	9,04	23,09	77,63		
Учет затухания звука в атмосфере Aatm, дБ		ф-ла (8) [10]	0	0,1	0,3	0,8	2,1	3,7	6,8	17,3	58,1		
Снижение поверхностью земли возле источника As, дБ	Gs = 0 hs = 1м	ф-лы таб.3 [10]	-1,5	-1,5	-1,5	-1,5	-1,5	-1,5	-1,5	-1,5	-1,5		
Снижение поверхностью земли возле приёмника Ar, дБ	Gr = 1 hr = 1.5м	ф-лы таб.3 [10]	-1,5	-1,5	4,4	7	5	0,7	0	0	0		
Снижение поверхностью земли в средней зоне, Am дБ	Gm = 1	ф-лы таб.3 [10]	-2,7	-2,7	0	0	0	0	0	0	0		
Суммарное снижение поверхностью земли на траектории распространения звука Agr, дБ		ф-ла (9) [10]	-5,7	-5,7	2,9	5,5	3,5	-0,8	-1,5	-1,5	-1,5		
Уровни звукового давления от источника ИШ-2-7 в расчётной точке днём, дБ		**ф-ла(3)[10]**	**0**	**33,4**	**26,1**	**24,2**	**25,3**	**27,5**	**21,9**	**7,2**	**0**	**29,9**	**29,9**
Уровни звукового давления от источника ИШ-2-7 в расчётной точке ночью, дБ		**ф-ла(3)[10]**	**0**	**33,4**	**26,1**	**24,2**	**25,3**	**27,5**	**21,9**	**7,2**	**0**	**29,9**	**29,9**
Источник шума: ИШ-2-8, координаты источника (x,y,z), м =[764.03,106.58,1.00]													
Уровни звуковой мощности источника днём, Lw, дБ		**исходные данные**	**0**	**93,3**	**94,7**	**96**	**96,3**	**95,9**	**92,6**	**88,4**	**83,9**		
Уровни звуковой мощности источника ночью, Lw, дБ		**исходные данные**	**0**	**93,3**	**94,7**	**96**	**96,3**	**95,9**	**92,6**	**88,4**	**83,9**		
Поправка на телесный угол DΩ, дБ	Ω = 6.28	10Lg(4π/Ω)	**3**	3	3	3	3	3	3	3	3		

1		2	3	4	5	6	7	8	9	10	11	12	13
Показатель направленности источника Di, дБ		исходные данные	**0**	0	0	0	0	0	0	0	0		
Поправка на направленность источника Dc, дБ	Dc	DΩ + Di	**3**	3	3	3	3	3	3	3	3		
Затухание из-за геометрической дивергенции, Adiv, дБ	расстояние = 748.80 м	ф-ла (7) [10]	**68,5**										
Коэффициент затухания звука в атмосфере α, дБ/км	Ta=20,°C Pa=101.33,кПа hотн.=70%	ф-ла (5) [9]	0,02	0,09	0,33	1,12	2,79	4,98	9,04	23,09	77,63		
Учет затухания звука в атмосфере Aatm, дБ		ф-ла (8) [10]	0	0,1	0,3	0,8	2,1	3,7	6,8	17,3	58,1		
Снижение поверхностью земли возле источника As, дБ	Gs = 0 hs = 1м	ф-лы таб.3 [10]	-1,5	-1,5	-1,5	-1,5	-1,5	-1,5	-1,5	-1,5	-1,5		
Снижение поверхностью земли возле приёмника Ar, дБ	Gr = 1 hr = 1.5м	ф-лы таб.3 [10]	-1,5	-1,5	4,4	7	5	0,7	0	0	0		
Снижение поверхностью земли в средней зоне, Am дБ	Gm = 1	ф-лы таб.3 [10]	-2,7	-2,7	0	0	0	0	0	0	0		
Суммарное снижение поверхностью земли на траектории распространения звука Agr, дБ		ф-ла (9) [10]	-5,7	-5,7	2,9	5,5	3,5	-0,8	-1,5	-1,5	-1,5		
Уровни звукового давления от источника ИШ-2-8 в расчётной точке днём, дБ		**ф-ла(3)[10]**	**0**	**33,4**	**26,1**	**24,1**	**25,2**	**27,5**	**21,8**	**7,1**	**0**	**29,9**	**29,9**
Уровни звукового давления от источника ИШ-2-8 в расчётной точке ночью, дБ		**ф-ла(3)[10]**	**0**	**33,4**	**26,1**	**24,1**	**25,2**	**27,5**	**21,8**	**7,1**	**0**	**29,9**	**29,9**
Источник шума: ИШ-2-9, координаты источника (x,y,z), м =[763.26,103.71,1.00]													
Уровни звуковой мощности источника днём, Lw, дБ		**исходные данные**	**0**	**93,3**	**94,7**	**96**	**96,3**	**95,9**	**92,6**	**88,4**	**83,9**		
Уровни звуковой мощности источника ночью, Lw, дБ		**исходные данные**	**0**	**93,3**	**94,7**	**96**	**96,3**	**95,9**	**92,6**	**88,4**	**83,9**		
Поправка на телесный угол DΩ, дБ	Ω = 6.28	10Lg(4π/Ω)	**3**	3	3	3	3	3	3	3	3		
Показатель направленности источника Di, дБ		исходные данные	**0**	0	0	0	0	0	0	0	0		

1		2	3	4	5	6	7	8	9	10	11	12	13
Поправка на направленность источника Dc, дБ	Dc	DΩ + Di	**3**	3	3	3	3	3	3	3	3		
Затухание из-за геометрической дивергенции, Adiv, дБ	расстояние = 749.77 м	ф-ла (7) [10]	**68,5**										
Коэффициент затухания звука в атмосфере α, дБ/км	Ta=20,°C Pa=101.33,кПа hотн.=70%	ф-ла (5) [9]	0,02	0,09	0,33	1,12	2,79	4,98	9,04	23,09	77,63		
Учет затухания звука в атмосфере Aatm, дБ		ф-ла (8) [10]	0	0,1	0,3	0,8	2,1	3,7	6,8	17,3	58,2		
Снижение поверхностью земли возле источника As, дБ	Gs = 0 hs = 1м	ф-лы таб.3 [10]	-1,5	-1,5	-1,5	-1,5	-1,5	-1,5	-1,5	-1,5	-1,5		
Снижение поверхностью земли возле приёмника Ar, дБ	Gr = 1 hr = 1.5м	ф-лы таб.3 [10]	-1,5	-1,5	4,4	7	5	0,7	0	0	0		
Снижение поверхностью земли в средней зоне, Am дБ	Gm = 1	ф-лы таб.3 [10]	-2,7	-2,7	0	0	0	0	0	0	0		
Суммарное снижение поверхностью земли на траектории распространения звука Agr, дБ		ф-ла (9) [10]	-5,7	-5,7	2,9	5,5	3,5	-0,8	-1,5	-1,5	-1,5		
Уровни звукового давления от источника ИШ-2-9 в расчётной точке днём, дБ		**ф-ла(3)[10]**	**0**	**33,4**	**26,1**	**24,1**	**25,2**	**27,5**	**21,8**	**7,1**	**0**	**29,9**	**29,9**
Уровни звукового давления от источника ИШ-2-9 в расчётной точке ночью, дБ		**ф-ла(3)[10]**	**0**	**33,4**	**26,1**	**24,1**	**25,2**	**27,5**	**21,8**	**7,1**	**0**	**29,9**	**29,9**
Источник шума: ИШ-2-10, координаты источника (x,y,z), м =[762.14,100.75,1.00]													
Уровни звуковой мощности источника днём, Lw, дБ		**исходные данные**	**0**	**93,3**	**94,7**	**96**	**96,3**	**95,9**	**92,6**	**88,4**	**83,9**		
Уровни звуковой мощности источника ночью, Lw, дБ		**исходные данные**	**0**	**93,3**	**94,7**	**96**	**96,3**	**95,9**	**92,6**	**88,4**	**83,9**		
Поправка на телесный угол DΩ, дБ	Ω = 6.28	10Lg(4π/Ω)	**3**	3	3	3	3	3	3	3	3		
Показатель направленности источника Di, дБ		исходные данные	**0**	0	0	0	0	0	0	0	0		
Поправка на направленность источника Dc, дБ	Dc	DΩ + Di	**3**	3	3	3	3	3	3	3	3		

1		2	3	4	5	6	7	8	9	10	11	12	13
Затухание из-за геометрической дивергенции, Adiv, дБ	расстояние = 750.53 м	ф-ла (7) [10]	**68,5**										
Коэффициент затухания звука в атмосфере α, дБ/км	Ta=20,°C Pa=101.33,кПа hотн.=70%	ф-ла (5) [9]	0,02	0,09	0,33	1,12	2,79	4,98	9,04	23,09	77,63		
Учет затухания звука в атмосфере Aatm, дБ		ф-ла (8) [10]	0	0,1	0,3	0,8	2,1	3,7	6,8	17,3	58,3		
Снижение поверхностью земли возле источника As, дБ	Gs = 0 hs = 1м	ф-лы таб.3 [10]	-1,5	-1,5	-1,5	-1,5	-1,5	-1,5	-1,5	-1,5	-1,5		
Снижение поверхностью земли возле приёмника Ar, дБ	Gr = 1 hr = 1.5м	ф-лы таб.3 [10]	-1,5	-1,5	4,4	7	5	0,7	0	0	0		
Снижение поверхностью земли в средней зоне, Am дБ	Gm = 1	ф-лы таб.3 [10]	-2,7	-2,7	0	0	0	0	0	0	0		
Суммарное снижение поверхностью земли на траектории распространения звука Agr, дБ		ф-ла (9) [10]	-5,7	-5,7	2,9	5,5	3,5	-0,8	-1,5	-1,5	-1,5		
Уровни звукового давления от источника ИШ-2-10 в расчётной точке днём, дБ		**ф-ла(3)[10]**	**0**	**33,4**	**26,1**	**24,1**	**25,2**	**27,5**	**21,8**	**7,1**	**0**	**29,9**	**29,9**
Уровни звукового давления от источника ИШ-2-10 в расчётной точке ночью, дБ		**ф-ла(3)[10]**	**0**	**33,4**	**26,1**	**24,1**	**25,2**	**27,5**	**21,8**	**7,1**	**0**	**29,9**	**29,9**
Источник шума: ИШ-2-11, координаты источника (x,y,z), м =[761.13,97.90,1.00]													
Уровни звуковой мощности источника днём, Lw, дБ		**исходные данные**	**0**	**93,3**	**94,7**	**96**	**96,3**	**95,9**	**92,6**	**88,4**	**83,9**		
Уровни звуковой мощности источника ночью, Lw, дБ		**исходные данные**	**0**	**93,3**	**94,7**	**96**	**96,3**	**95,9**	**92,6**	**88,4**	**83,9**		
Поправка на телесный угол DΩ, дБ	Ω = 6.28	10Lg(4π/Ω)	**3**	3	3	3	3	3	3	3	3		
Показатель направленности источника Di, дБ		исходные данные	**0**	0	0	0	0	0	0	0	0		
Поправка на направленность источника Dc, дБ	Dc	DΩ + Di	**3**	3	3	3	3	3	3	3	3		
Затухание из-за геометрической дивергенции, Adiv, дБ	расстояние = 751.31 м	ф-ла (7) [10]	**68,5**										

1		2	3	4	5	6	7	8	9	10	11	12	13
Коэффициент затухания звука в атмосфере α, дБ/км	Ta=20,°C Pa=101.33,кПа hотн.=70%	ф-ла (5) [9]	0,02	0,09	0,33	1,12	2,79	4,98	9,04	23,09	77,63		
Учет затухания звука в атмосфере Aatm, дБ		ф-ла (8) [10]	0	0,1	0,3	0,8	2,1	3,7	6,8	17,3	58,3		
Снижение поверхностью земли возле источника As, дБ	Gs = 0 hs = 1м	ф-лы таб.3 [10]	-1,5	-1,5	-1,5	-1,5	-1,5	-1,5	-1,5	-1,5	-1,5		
Снижение поверхностью земли возле приёмника Ar, дБ	Gr = 1 hr = 1.5м	ф-лы таб.3 [10]	-1,5	-1,5	4,4	7	5	0,7	0	0	0		
Снижение поверхностью земли в средней зоне, Am дБ	Gm = 1	ф-лы таб.3 [10]	-2,7	-2,7	0	0	0	0	0	0	0		
Суммарное снижение поверхностью земли на траектории распространения звука Agr, дБ		ф-ла (9) [10]	-5,7	-5,7	2,9	5,5	3,5	-0,8	-1,5	-1,5	-1,5		
Уровни звукового давления от источника ИШ-2-11 в расчётной точке днём, дБ		**ф-ла(3)[10]**	**0**	**33,4**	**26**	**24,1**	**25,2**	**27,5**	**21,8**	**7**	**0**	**29,9**	**29,9**
Уровни звукового давления от источника ИШ-2-11 в расчётной точке ночью, дБ		**ф-ла(3)[10]**	**0**	**33,4**	**26**	**24,1**	**25,2**	**27,5**	**21,8**	**7**	**0**	**29,9**	**29,9**
Источник шума: ИШ-2-12, координаты источника (x,y,z), м =[760.25,95.02,1.00]													
Уровни звуковой мощности источника днём, Lw, дБ		**исходные данные**	**0**	**93,3**	**94,7**	**96**	**96,3**	**95,9**	**92,6**	**88,4**	**83,9**		
Уровни звуковой мощности источника ночью, Lw, дБ		**исходные данные**	**0**	**93,3**	**94,7**	**96**	**96,3**	**95,9**	**92,6**	**88,4**	**83,9**		
Поправка на телесный угол DΩ, дБ	Ω = 6.28	10Lg(4π/Ω)	**3**	3	3	3	3	3	3	3	3		
Показатель направленности источника Di, дБ		исходные данные	**0**	0	0	0	0	0	0	0	0		
Поправка на направленность источника Dc, дБ	Dc	DΩ + Di	**3**	3	3	3	3	3	3	3	3		
Затухание из-за геометрической дивергенции, Adiv, дБ	расстояние = 752.24 м	ф-ла (7) [10]	**68,5**										
Коэффициент затухания звука в атмосфере α, дБ/км	Ta=20,°C Pa=101.33,кПа hотн.=70%	ф-ла (5) [9]	0,02	0,09	0,33	1,12	2,79	4,98	9,04	23,09	77,63		

1		2	3	4	5	6	7	8	9	10	11	12	13
Учет затухания звука в атмосфере Aatm, дБ		ф-ла (8) [10]	0	0,1	0,3	0,8	2,1	3,7	6,8	17,4	58,4		
Снижение поверхностью земли возле источника As, дБ	Gs = 0 hs = 1м	ф-лы таб.3 [10]	-1,5	-1,5	-1,5	-1,5	-1,5	-1,5	-1,5	-1,5	-1,5		
Снижение поверхностью земли возле приёмника Ar, дБ	Gr = 1 hr = 1.5м	ф-лы таб.3 [10]	-1,5	-1,5	4,4	7	5	0,7	0	0	0		
Снижение поверхностью земли в средней зоне, Am дБ	Gm = 1	ф-лы таб.3 [10]	-2,7	-2,7	0	0	0	0	0	0	0		
Суммарное снижение поверхностью земли на траектории распространения звука Agr, дБ		ф-ла (9) [10]	-5,7	-5,7	2,9	5,5	3,5	-0,8	-1,5	-1,5	-1,5		
Уровни звукового давления от источника ИШ-2-12 в расчётной точке днём, дБ		**ф-ла(3)[10]**	**0**	**33,4**	**26**	**24,1**	**25,2**	**27,5**	**21,8**	**7**	**0**	**29,9**	**29,9**
Уровни звукового давления от источника ИШ-2-12 в расчётной точке ночью, дБ		**ф-ла(3)[10]**	**0**	**33,4**	**26**	**24,1**	**25,2**	**27,5**	**21,8**	**7**	**0**	**29,9**	**29,9**
Источник шума: ИШ-2-13, координаты источника (x,y,z), м =[759.28,92.25,1.00]													
Уровни звуковой мощности источника днём, Lw, дБ		**исходные данные**	**0**	**93,3**	**94,7**	**96**	**96,3**	**95,9**	**92,6**	**88,4**	**83,9**		
Уровни звуковой мощности источника ночью, Lw, дБ		**исходные данные**	**0**	**93,3**	**94,7**	**96**	**96,3**	**95,9**	**92,6**	**88,4**	**83,9**		
Поправка на телесный угол DΩ, дБ	Ω = 6.28	10Lg(4π/Ω)	**3**	3	3	3	3	3	3	3	3		
Показатель направленности источника Di, дБ		исходные данные	**0**	0	0	0	0	0	0	0	0		
Поправка на направленность источника Dc, дБ	Dc	DΩ + Di	**3**	3	3	3	3	3	3	3	3		
Затухание из-за геометрической дивергенции, Adiv, дБ	расстояние = 753.03 м	ф-ла (7) [10]	**68,5**										
Коэффициент затухания звука в атмосфере α, дБ/км	Ta=20,°C Pa=101.33,кПа hотн.=70%	ф-ла (5) [9]	0,02	0,09	0,33	1,12	2,79	4,98	9,04	23,09	77,63		
Учет затухания звука в атмосфере Aatm, дБ		ф-ла (8) [10]	0	0,1	0,3	0,8	2,1	3,7	6,8	17,4	58,5		

1		2	3	4	5	6	7	8	9	10	11	12	13
Снижение поверхностью земли возле источника As, дБ	Gs = 0 hs = 1м	ф-лы таб.3 [10]	-1,5	-1,5	-1,5	-1,5	-1,5	-1,5	-1,5	-1,5	-1,5		
Снижение поверхностью земли возле приёмника Ar, дБ	Gr = 1 hr = 1.5м	ф-лы таб.3 [10]	-1,5	-1,5	4,4	7	5	0,7	0	0	0		
Снижение поверхностью земли в средней зоне, Am дБ	Gm = 1	ф-лы таб.3 [10]	-2,7	-2,7	0	0	0	0	0	0	0		
Суммарное снижение поверхностью земли на траектории распространения звука Agr, дБ		ф-ла (9) [10]	-5,7	-5,7	2,9	5,5	3,5	-0,8	-1,5	-1,5	-1,5		
Уровни звукового давления от источника ИШ-2-13 в расчётной точке днём, дБ		**ф-ла(3)[10]**	**0**	**33,4**	**26**	**24,1**	**25,2**	**27,4**	**21,7**	**7**	**0**	**29,9**	**29,9**
Уровни звукового давления от источника ИШ-2-13 в расчётной точке ночью, дБ		**ф-ла(3)[10]**	**0**	**33,4**	**26**	**24,1**	**25,2**	**27,4**	**21,7**	**7**	**0**	**29,9**	**29,9**
Источник шума: ИШ-2-14, координаты источника (x,y,z), м =[751.62,69.73,1.00]													
Уровни звуковой мощности источника днём, Lw, дБ		**исходные данные**	**0**	**93,3**	**94,7**	**96**	**96,3**	**95,9**	**92,6**	**88,4**	**83,9**		
Уровни звуковой мощности источника ночью, Lw, дБ		**исходные данные**	**0**	**93,3**	**94,7**	**96**	**96,3**	**95,9**	**92,6**	**88,4**	**83,9**		
Поправка на телесный угол DΩ, дБ	Ω = 6.28	10Lg(4π/Ω)	**3**	3	3	3	3	3	3	3	3		
Показатель направленности источника Di, дБ		исходные данные	**0**	0	0	0	0	0	0	0	0		
Поправка на направленность источника Dc, дБ	Dc	DΩ + Di	**3**	3	3	3	3	3	3	3	3		
Затухание из-за геометрической дивергенции, Adiv, дБ	расстояние = 760.11 м	ф-ла (7) [10]	**68,6**										
Коэффициент затухания звука в атмосфере α, дБ/км	Ta=20,°C Pa=101.33,кПа hотн.=70%	ф-ла (5) [9]	0,02	0,09	0,33	1,12	2,79	4,98	9,04	23,09	77,63		
Учет затухания звука в атмосфере Aatm, дБ		ф-ла (8) [10]	0	0,1	0,3	0,9	2,1	3,8	6,9	17,5	59		
Снижение уровня звукового давления из-за влияния застройки между источником шума и расчетной точкой													

1		2	3	4	5	6	7	8	9	10	11	12	13
Снижение уровня звукового давления на пути над экраном, Dz1, дБ	z = 0.08м (разность путей)	ф-лы (14-18) [10]	4,8	4,8	4,8	4,8	4,8	4,8	4,8	4,8	4,8		
Снижение уровня звукового давления на пути слева от экрана, Dz2, дБ	z = 2.48м (разность путей)	ф-лы (14-18) [10]	10,9	13,3	16	18,8	21,7	24,7	27,7	30,7	33,7		
Снижение уровня звукового давления на пути справа от экрана, Dz3, дБ	z = 0.06м (разность путей)	ф-лы (14-18) [10]	5,1	5,4	5,9	6,8	8,2	10,2	12,5	15,1	17,9		
Общее снижение уровня звука препятствием Dz, дБ		Эн.сумма(-Dzi)	1,4	1,7	2,1	2,6	3,1	3,6	4,1	4,4	4,6		
Уровни звукового давления от источника ИШ-2-14 в расчётной точке днём, дБ		**ф-ла(3)[10]**	**0**	**25,9**	**26,7**	**26,9**	**25,5**	**22,9**	**16**	**0,8**	**0**	**27**	**27**
Уровни звукового давления от источника ИШ-2-14 в расчётной точке ночью, дБ		**ф-ла(3)[10]**	**0**	**25,9**	**26,7**	**26,9**	**25,5**	**22,9**	**16**	**0,8**	**0**	**27**	**27**
Источник шума: ИШ-2-15, координаты источника (x,y,z), м =[750.74,66.89,1.00]													
Уровни звуковой мощности источника днём, Lw, дБ		**исходные данные**	**0**	**93,3**	**94,7**	**96**	**96,3**	**95,9**	**92,6**	**88,4**	**83,9**		
Уровни звуковой мощности источника ночью, Lw, дБ		**исходные данные**	**0**	**93,3**	**94,7**	**96**	**96,3**	**95,9**	**92,6**	**88,4**	**83,9**		
Поправка на телесный угол DΩ, дБ	Ω = 6.28	10Lg(4π/Ω)	**3**	3	3	3	3	3	3	3	3		
Показатель направленности источника Di, дБ		исходные данные	**0**	0	0	0	0	0	0	0	0		
Поправка на направленность источника Dc, дБ	Dc	DΩ + Di	**3**	3	3	3	3	3	3	3	3		
Затухание из-за геометрической дивергенции, Adiv, дБ	расстояние = 761.12 м	ф-ла (7) [10]	**68,6**										
Коэффициент затухания звука в атмосфере α, дБ/км	Та=20,°С Ра=101.33,кПа hотн.=70%	ф-ла (5) [9]	0,02	0,09	0,33	1,12	2,79	4,98	9,04	23,09	77,63		
Учет затухания звука в атмосфере Aatm, дБ		ф-ла (8) [10]	0	0,1	0,3	0,9	2,1	3,8	6,9	17,6	59,1		
Снижение уровня звукового давления из-за влияния застройки между источником шума и расчетной точкой													

1		2	3	4	5	6	7	8	9	10	11	12	13
Снижение уровня звукового давления на пути над экраном, Dz1, дБ	z = 0.08м (разность путей)	ф-лы (14-18) [10]	4,8	4,8	4,8	4,8	4,8	4,8	4,8	4,8	4,8		
Снижение уровня звукового давления на пути слева от экрана, Dz2, дБ	z = 1.99м (разность путей)	ф-лы (14-18) [10]	10,2	12,5	15,1	17,9	20,8	23,7	26,7	29,7	32,7		
Снижение уровня звукового давления на пути справа от экрана, Dz3, дБ	z = 0.17м (разность путей)	ф-лы (14-18) [10]	5,6	6,3	7,4	9	11,1	13,6	16,3	19,2	22,1		
Общее снижение уровня звука препятствием Dz, дБ		Эн.сумма(-Dzi)	1,5	2	2,6	3,2	3,8	4,2	4,5	4,6	4,7		
Уровни звукового давления от источника ИШ-2-15 в расчётной точке днём, дБ		**ф-ла(3)[10]**	**0**	**25,6**	**26,2**	**26,3**	**24,8**	**22,3**	**15,6**	**0,6**	**0**	**26,3**	**26,3**
Уровни звукового давления от источника ИШ-2-15 в расчётной точке ночью, дБ		**ф-ла(3)[10]**	**0**	**25,6**	**26,2**	**26,3**	**24,8**	**22,3**	**15,6**	**0,6**	**0**	**26,3**	**26,3**
Источник шума: ИШ-2-16, координаты источника (x,y,z), м =[749.73,64.02,1.00]													
Уровни звуковой мощности источника днём, Lw, дБ		**исходные данные**	**0**	**93,3**	**94,7**	**96**	**96,3**	**95,9**	**92,6**	**88,4**	**83,9**		
Уровни звуковой мощности источника ночью, Lw, дБ		**исходные данные**	**0**	**93,3**	**94,7**	**96**	**96,3**	**95,9**	**92,6**	**88,4**	**83,9**		
Поправка на телесный угол DΩ, дБ	Ω = 6.28	10Lg(4π/Ω)	**3**	3	3	3	3	3	3	3	3		
Показатель направленности источника Di, дБ		исходные данные	**0**	0	0	0	0	0	0	0	0		
Поправка на направленность источника Dc, дБ	Dc	DΩ + Di	**3**	3	3	3	3	3	3	3	3		
Затухание из-за геометрической дивергенции, Adiv, дБ	расстояние = 762.05 м	ф-ла (7) [10]	**68,6**										
Коэффициент затухания звука в атмосфере α, дБ/км	Ta=20,°C Pa=101.33,кПа hотн.=70%	ф-ла (5) [9]	0,02	0,09	0,33	1,12	2,79	4,98	9,04	23,09	77,63		
Учет затухания звука в атмосфере Aatm, дБ		ф-ла (8) [10]	0	0,1	0,3	0,9	2,1	3,8	6,9	17,6	59,2		
Снижение уровня звукового давления из-за влияния застройки между источником шума и расчетной точкой													

1		2	3	4	5	6	7	8	9	10	11	12	13
Снижение уровня звукового давления на пути над экраном, Dz1, дБ	z = 0.08м (разность путей)	ф-лы (14-18) [10]	4,8	4,8	4,8	4,8	4,8	4,8	4,8	4,8	4,8		
Снижение уровня звукового давления на пути слева от экрана, Dz2, дБ	z = 1.53м (разность путей)	ф-лы (14-18) [10]	9,4	11,6	14,1	16,8	19,7	22,6	25,6	28,6	31,6		
Снижение уровня звукового давления на пути справа от экрана, Dz3, дБ	z = 0.33м (разность путей)	ф-лы (14-18) [10]	6,3	7,4	9	11,1	13,6	16,3	19,1	22	25		
Общее снижение уровня звука препятствием Dz, дБ		Эн.сумма(-Dzi)	1,6	2,3	3	3,6	4,1	4,4	4,6	4,7	4,7		
Уровни звукового давления от источника ИШ-2-16 в расчётной точке днём, дБ		**ф-ла(3)[10]**	**0**	**25,3**	**25,8**	**25,9**	**24,4**	**22**	**15,5**	**0,5**	**0**	**26,1**	**26,1**
Уровни звукового давления от источника ИШ-2-16 в расчётной точке ночью, дБ		**ф-ла(3)[10]**	**0**	**25,3**	**25,8**	**25,9**	**24,4**	**22**	**15,5**	**0,5**	**0**	**26,1**	**26,1**
Источник шума: ИШ-2-17, координаты источника (x,y,z), м =[748.87,61.06,1.00]													
Уровни звуковой мощности источника днём, Lw, дБ		**исходные данные**	**0**	**93,3**	**94,7**	**96**	**96,3**	**95,9**	**92,6**	**88,4**	**83,9**		
Уровни звуковой мощности источника ночью, Lw, дБ		**исходные данные**	**0**	**93,3**	**94,7**	**96**	**96,3**	**95,9**	**92,6**	**88,4**	**83,9**		
Поправка на телесный угол DΩ, дБ	Ω = 6.28	10Lg(4π/Ω)	**3**	3	3	3	3	3	3	3	3		
Показатель направленности источника Di, дБ		исходные данные	**0**	0	0	0	0	0	0	0	0		
Поправка на направленность источника Dc, дБ	Dc	DΩ + Di	**3**	3	3	3	3	3	3	3	3		
Затухание из-за геометрической дивергенции, Adiv, дБ	расстояние = 763.17 м	ф-ла (7) [10]	**68,7**										
Коэффициент затухания звука в атмосфере α, дБ/км	Ta=20,°C Pa=101.33,кПа hотн.=70%	ф-ла (5) [9]	0,02	0,09	0,33	1,12	2,79	4,98	9,04	23,09	77,63		
Учет затухания звука в атмосфере Aatm, дБ		ф-ла (8) [10]	0	0,1	0,3	0,9	2,1	3,8	6,9	17,6	59,2		
Снижение уровня звукового давления из-за влияния застройки между источником шума и расчетной точкой													

1		2	3	4	5	6	7	8	9	10	11	12	13
Снижение уровня звукового давления на пути над экраном, Dz1, дБ	z = 0.07м (разность путей)	ф-лы (14-18) [10]	4,8	4,8	4,8	4,8	4,8	4,8	4,8	4,8	4,8		
Снижение уровня звукового давления на пути слева от экрана, Dz2, дБ	z = 1.14м (разность путей)	ф-лы (14-18) [10]	8,6	10,6	13	15,6	18,5	21,4	24,3	27,3	30,3		
Снижение уровня звукового давления на пути справа от экрана, Dz3, дБ	z = 0.55м (разность путей)	ф-лы (14-18) [10]	7	8,5	10,4	12,8	15,5	18,3	21,2	24,2	27,2		
Общее снижение уровня звука препятствием Dz, дБ		Эн.сумма(-Dzi)	1,7	2,5	3,2	3,8	4,2	4,5	4,6	4,7	4,7		
Уровни звукового давления от источника ИШ-2-17 в расчётной точке днём, дБ		**ф-ла(3)[10]**	**0**	**25,1**	**25,5**	**25,6**	**24,3**	**21,9**	**15,4**	**0,4**	**0**	**25,9**	**25,9**
Уровни звукового давления от источника ИШ-2-17 в расчётной точке ночью, дБ		**ф-ла(3)[10]**	**0**	**25,1**	**25,5**	**25,6**	**24,3**	**21,9**	**15,4**	**0,4**	**0**	**25,9**	**25,9**
Источник шума: ИШ-2-18, координаты источника (x,y,z), м =[747.72,58.17,1.00]													
Уровни звуковой мощности источника днём, Lw, дБ		**исходные данные**	**0**	**93,3**	**94,7**	**96**	**96,3**	**95,9**	**92,6**	**88,4**	**83,9**		
Уровни звуковой мощности источника ночью, Lw, дБ		**исходные данные**	**0**	**93,3**	**94,7**	**96**	**96,3**	**95,9**	**92,6**	**88,4**	**83,9**		
Поправка на телесный угол DΩ, дБ	Ω = 6.28	10Lg(4π/Ω)	**3**	3	3	3	3	3	3	3	3		
Показатель направленности источника Di, дБ		исходные данные	**0**	0	0	0	0	0	0	0	0		
Поправка на направленность источника Dc, дБ	Dc	DΩ + Di	**3**	3	3	3	3	3	3	3	3		
Затухание из-за геометрической дивергенции, Adiv, дБ	расстояние = 764.02 м	ф-ла (7) [10]	**68,7**										
Коэффициент затухания звука в атмосфере α, дБ/км	Ta=20,°C Pa=101.33,кПа hотн.=70%	ф-ла (5) [9]	0,02	0,09	0,33	1,12	2,79	4,98	9,04	23,09	77,63		
Учет затухания звука в атмосфере Aatm, дБ		ф-ла (8) [10]	0	0,1	0,3	0,9	2,1	3,8	6,9	17,6	59,3		
Снижение уровня звукового давления из-за влияния застройки между источником шума и расчетной точкой													

1		2	3	4	5	6	7	8	9	10	11	12	13
Снижение уровня звукового давления на пути над экраном, Dz1, дБ	z = 0.07м (разность путей)	ф-лы (14-18) [10]	4,8	4,8	4,8	4,8	4,8	4,8	4,8	4,8	4,8		
Снижение уровня звукового давления на пути слева от экрана, Dz2, дБ	z = 0.80м (разность путей)	ф-лы (14-18) [10]	7,8	9,5	11,7	14,2	17	19,9	22,8	25,8	28,8		
Снижение уровня звукового давления на пути справа от экрана, Dz3, дБ	z = 0.83м (разность путей)	ф-лы (14-18) [10]	7,8	9,6	11,8	14,4	17,1	20	23	25,9	28,9		
Общее снижение уровня звука препятствием Dz, дБ		Эн.сумма(-Dzi)	1,8	2,6	3,3	3,9	4,3	4,5	4,6	4,7	4,8		
Уровни звукового давления от источника ИШ-2-18 в расчётной точке днём, дБ		**ф-ла(3)[10]**	**0**	**25**	**25,5**	**25,6**	**24,2**	**21,9**	**15,4**	**0,4**	**0**	**25,9**	**25,9**
Уровни звукового давления от источника ИШ-2-18 в расчётной точке ночью, дБ		**ф-ла(3)[10]**	**0**	**25**	**25,5**	**25,6**	**24,2**	**21,9**	**15,4**	**0,4**	**0**	**25,9**	**25,9**
Источник шума: ИШ-2-19, координаты источника (x,y,z), м =[746.80,55.25,1.00]													
Уровни звуковой мощности источника днём, Lw, дБ		**исходные данные**	**0**	**93,3**	**94,7**	**96**	**96,3**	**95,9**	**92,6**	**88,4**	**83,9**		
Уровни звуковой мощности источника ночью, Lw, дБ		**исходные данные**	**0**	**93,3**	**94,7**	**96**	**96,3**	**95,9**	**92,6**	**88,4**	**83,9**		
Поправка на телесный угол DΩ, дБ	Ω = 6.28	10Lg(4π/Ω)	**3**	3	3	3	3	3	3	3	3		
Показатель направленности источника Di, дБ		исходные данные	**0**	0	0	0	0	0	0	0	0		
Поправка на направленность источника Dc, дБ	Dc	DΩ + Di	**3**	3	3	3	3	3	3	3	3		
Затухание из-за геометрической дивергенции, Adiv, дБ	расстояние = 765.10 м	ф-ла (7) [10]	**68,7**										
Коэффициент затухания звука в атмосфере α, дБ/км	Ta=20,°C Pa=101.33,кПа hотн.=70%	ф-ла (5) [9]	0,02	0,09	0,33	1,12	2,79	4,98	9,04	23,09	77,63		
Учет затухания звука в атмосфере Aatm, дБ		ф-ла (8) [10]	0	0,1	0,3	0,9	2,1	3,8	6,9	17,7	59,4		
Снижение уровня звукового давления из-за влияния застройки между источником шума и расчетной точкой													

1		2	3	4	5	6	7	8	9	10	11	12	13
Снижение уровня звукового давления на пути над экраном, Dz1, дБ	z = 0.07м (разность путей)	ф-лы (14-18) [10]	4,8	4,8	4,8	4,8	4,8	4,8	4,8	4,8	4,8		
Снижение уровня звукового давления на пути слева от экрана, Dz2, дБ	z = 0.53м (разность путей)	ф-лы (14-18) [10]	7	8,4	10,3	12,7	15,3	18,1	21,1	24	27		
Снижение уровня звукового давления на пути справа от экрана, Dz3, дБ	z = 1.14м (разность путей)	ф-лы (14-18) [10]	8,6	10,6	13	15,6	18,5	21,4	24,4	27,3	30,3		
Общее снижение уровня звука препятствием Dz, дБ		Эн.сумма(-Dzi)	1,7	2,5	3,2	3,8	4,2	4,5	4,6	4,7	4,7		
Уровни звукового давления от источника ИШ-2-19 в расчётной точке днём, дБ		**ф-ла(3)[10]**	**0**	**25,1**	**25,5**	**25,6**	**24,2**	**21,9**	**15,4**	**0,4**	**0**	**25,9**	**25,9**
Уровни звукового давления от источника ИШ-2-19 в расчётной точке ночью, дБ		**ф-ла(3)[10]**	**0**	**25,1**	**25,5**	**25,6**	**24,2**	**21,9**	**15,4**	**0,4**	**0**	**25,9**	**25,9**
Источник шума: ИШ-2-20, координаты источника (x,y,z), м =[745.71,52.44,1.00]													
Уровни звуковой мощности источника днём, Lw, дБ		**исходные данные**	**0**	**93,3**	**94,7**	**96**	**96,3**	**95,9**	**92,6**	**88,4**	**83,9**		
Уровни звуковой мощности источника ночью, Lw, дБ		**исходные данные**	**0**	**93,3**	**94,7**	**96**	**96,3**	**95,9**	**92,6**	**88,4**	**83,9**		
Поправка на телесный угол DΩ, дБ	Ω = 6.28	10Lg(4π/Ω)	**3**	3	3	3	3	3	3	3	3		
Показатель направленности источника Di, дБ		исходные данные	**0**	0	0	0	0	0	0	0	0		
Поправка на направленность источника Dc, дБ	Dc	DΩ + Di	**3**	3	3	3	3	3	3	3	3		
Затухание из-за геометрической дивергенции, Adiv, дБ	расстояние = 765.97 м	ф-ла (7) [10]	**68,7**										
Коэффициент затухания звука в атмосфере α, дБ/км	Ta=20,°C Pa=101.33,кПа hотн.=70%	ф-ла (5) [9]	0,02	0,09	0,33	1,12	2,79	4,98	9,04	23,09	77,63		
Учет затухания звука в атмосфере Aatm, дБ		ф-ла (8) [10]	0	0,1	0,3	0,9	2,1	3,8	6,9	17,7	59,5		
Снижение уровня звукового давления из-за влияния застройки между источником шума и расчетной точкой													

1		2	3	4	5	6	7	8	9	10	11	12	13
Снижение уровня звукового давления на пути над экраном, Dz1, дБ	z = 0.07м (разность путей)	ф-лы (14-18) [10]	4,8	4,8	4,8	4,8	4,8	4,8	4,8	4,8	4,8		
Снижение уровня звукового давления на пути слева от экрана, Dz2, дБ	z = 0.31м (разность путей)	ф-лы (14-18) [10]	6,2	7,3	8,8	10,9	13,3	16	18,9	21,8	24,8		
Снижение уровня звукового давления на пути справа от экрана, Dz3, дБ	z = 1.51м (разность путей)	ф-лы (14-18) [10]	9,3	11,5	14	16,8	19,6	22,6	25,5	28,5	31,5		
Общее снижение уровня звука препятствием Dz, дБ		Эн.сумма(-Dzi)	1,6	2,3	3	3,6	4,1	4,4	4,6	4,7	4,7		
Уровни звукового давления от источника ИШ-2-20 в расчётной точке днём, дБ		**ф-ла(3)[10]**	**0**	**25,3**	**25,8**	**25,8**	**24,4**	**22**	**15,4**	**0,3**	**0**	**26**	**26**
Уровни звукового давления от источника ИШ-2-20 в расчётной точке ночью, дБ		**ф-ла(3)[10]**	**0**	**25,3**	**25,8**	**25,8**	**24,4**	**22**	**15,4**	**0,3**	**0**	**26**	**26**
Источник шума: ИШ-2-21, координаты источника (x,y,z), м =[744.89,49.62,1.00]													
Уровни звуковой мощности источника днём, Lw, дБ		**исходные данные**	**0**	**93,3**	**94,7**	**96**	**96,3**	**95,9**	**92,6**	**88,4**	**83,9**		
Уровни звуковой мощности источника ночью, Lw, дБ		**исходные данные**	**0**	**93,3**	**94,7**	**96**	**96,3**	**95,9**	**92,6**	**88,4**	**83,9**		
Поправка на телесный угол DΩ, дБ	Ω = 6.28	10Lg(4π/Ω)	**3**	3	3	3	3	3	3	3	3		
Показатель направленности источника Di, дБ		исходные данные	**0**	0	0	0	0	0	0	0	0		
Поправка на направленность источника Dc, дБ	Dc	DΩ + Di	**3**	3	3	3	3	3	3	3	3		
Затухание из-за геометрической дивергенции, Adiv, дБ	расстояние = 767.08 м	ф-ла (7) [10]	**68,7**										
Коэффициент затухания звука в атмосфере α, дБ/км	Ta=20,°C Pa=101.33,кПа hотн.=70%	ф-ла (5) [9]	0,02	0,09	0,33	1,12	2,79	4,98	9,04	23,09	77,63		
Учет затухания звука в атмосфере Aatm, дБ		ф-ла (8) [10]	0	0,1	0,3	0,9	2,1	3,8	6,9	17,7	59,6		
Снижение уровня звукового давления из-за влияния застройки между источником шума и расчетной точкой													

1		2	3	4	5	6	7	8	9	10	11	12	13
Снижение уровня звукового давления на пути над экраном, Dz1, дБ	z = 0.07м (разность путей)	ф-лы (14-18) [10]	4,8	4,8	4,8	4,8	4,8	4,8	4,8	4,8	4,8		
Снижение уровня звукового давления на пути слева от экрана, Dz2, дБ	z = 0.16м (разность путей)	ф-лы (14-18) [10]	5,6	6,2	7,3	8,9	11	13,5	16,2	19	22		
Снижение уровня звукового давления на пути справа от экрана, Dz3, дБ	z = 1.90м (разность путей)	ф-лы (14-18) [10]	10	12,3	14,9	17,7	20,6	23,5	26,5	29,5	32,5		
Общее снижение уровня звука препятствием Dz, дБ		Эн.сумма(-Dzi)	1,5	2	2,6	3,2	3,8	4,2	4,4	4,6	4,7		
Уровни звукового давления от источника ИШ-2-21 в расчётной точке днём, дБ		**ф-ла(3)[10]**	**0**	**25,5**	**26,1**	**26,2**	**24,7**	**22,2**	**15,5**	**0,4**	**0**	**26,3**	**26,3**
Уровни звукового давления от источника ИШ-2-21 в расчётной точке ночью, дБ		**ф-ла(3)[10]**	**0**	**25,5**	**26,1**	**26,2**	**24,7**	**22,2**	**15,5**	**0,4**	**0**	**26,3**	**26,3**
Источник шума: ИШ-2-22, координаты источника (x,y,z), м =[737.40,27.07,1.00]													
Уровни звуковой мощности источника днём, Lw, дБ		**исходные данные**	**0**	**93,3**	**94,7**	**96**	**96,3**	**95,9**	**92,6**	**88,4**	**83,9**		
Уровни звуковой мощности источника ночью, Lw, дБ		**исходные данные**	**0**	**93,3**	**94,7**	**96**	**96,3**	**95,9**	**92,6**	**88,4**	**83,9**		
Поправка на телесный угол DΩ, дБ	Ω = 6.28	10Lg(4π/Ω)	**3**	3	3	3	3	3	3	3	3		
Показатель направленности источника Di, дБ		исходные данные	**0**	0	0	0	0	0	0	0	0		
Поправка на направленность источника Dc, дБ	Dc	DΩ + Di	**3**	3	3	3	3	3	3	3	3		
Затухание из-за геометрической дивергенции, Adiv, дБ	расстояние = 775.55 м	ф-ла (7) [10]	**68,8**										
Коэффициент затухания звука в атмосфере α, дБ/км	Ta=20,°C Pa=101.33,кПа hотн.=70%	ф-ла (5) [9]	0,02	0,09	0,33	1,12	2,79	4,98	9,04	23,09	77,63		
Учет затухания звука в атмосфере Aatm, дБ		ф-ла (8) [10]	0	0,1	0,3	0,9	2,2	3,9	7	17,9	60,2		
Снижение уровня звукового давления из-за влияния застройки между источником шума и расчетной точкой													

1		2	3	4	5	6	7	8	9	10	11	12	13
Снижение уровня звукового давления на пути над экраном, Dz1, дБ	z = 0.03м (разность путей)	ф-лы (14-18) [10]	4,8	4,8	4,8	4,8	4,8	4,8	4,8	4,8	4,8		
Снижение уровня звукового давления на пути слева от экрана, Dz2, дБ	z = 0.69м (разность путей)	ф-лы (14-18) [10]	7,5	9,1	11,2	13,7	16,4	19,3	22,2	25,2	28,2		
Снижение уровня звукового давления на пути справа от экрана, Dz3, дБ	z = 0.02м (разность путей)	ф-лы (14-18) [10]	4,9	4,9	5,1	5,4	5,9	6,8	8,2	10,2	12,5		
Общее снижение уровня звука препятствием Dz, дБ		Эн.сумма(-Dzi)	0,8	1,1	1,4	1,8	2,1	2,6	3,1	3,6	4,1		
Уровни звукового давления от источника ИШ-2-22 в расчётной точке днём, дБ		**ф-ла(3)[10]**	**0**	**26,3**	**27,2**	**27,6**	**26,2**	**23,7**	**16,7**	**1,1**	**0**	**27,7**	**27,7**
Уровни звукового давления от источника ИШ-2-22 в расчётной точке ночью, дБ		**ф-ла(3)[10]**	**0**	**26,3**	**27,2**	**27,6**	**26,2**	**23,7**	**16,7**	**1,1**	**0**	**27,7**	**27,7**
Источник шума: ИШ-2-23, координаты источника (x,y,z), м =[736.46,24.18,1.00]													
Уровни звуковой мощности источника днём, Lw, дБ		**исходные данные**	**0**	**93,3**	**94,7**	**96**	**96,3**	**95,9**	**92,6**	**88,4**	**83,9**		
Уровни звуковой мощности источника ночью, Lw, дБ		**исходные данные**	**0**	**93,3**	**94,7**	**96**	**96,3**	**95,9**	**92,6**	**88,4**	**83,9**		
Поправка на телесный угол DΩ, дБ	Ω = 6.28	10Lg(4π/Ω)	**3**	3	3	3	3	3	3	3	3		
Показатель направленности источника Di, дБ		исходные данные	**0**	0	0	0	0	0	0	0	0		
Поправка на направленность источника Dc, дБ	Dc	DΩ + Di	**3**	3	3	3	3	3	3	3	3		
Затухание из-за геометрической дивергенции, Adiv, дБ	расстояние = 776.70 м	ф-ла (7) [10]	**68,8**										
Коэффициент затухания звука в атмосфере α, дБ/км	Ta=20,°C Pa=101.33,кПа hотн.=70%	ф-ла (5) [9]	0,02	0,09	0,33	1,12	2,79	4,98	9,04	23,09	77,63		
Учет затухания звука в атмосфере Aatm, дБ		ф-ла (8) [10]	0	0,1	0,3	0,9	2,2	3,9	7	17,9	60,3		
Снижение уровня звукового давления из-за влияния застройки между источником шума и расчетной точкой													

1		2	3	4	5	6	7	8	9	10	11	12	13
Снижение уровня звукового давления на пути над экраном, Dz1, дБ	z = 0.03м (разность путей)	ф-лы (14-18) [10]	4,8	4,8	4,8	4,8	4,8	4,8	4,8	4,8	4,8		
Снижение уровня звукового давления на пути слева от экрана, Dz2, дБ	z = 0.48м (разность путей)	ф-лы (14-18) [10]	6,8	8,2	10	12,3	14,9	17,7	20,6	23,6	26,5		
Снижение уровня звукового давления на пути справа от экрана, Dz3, дБ	z = 0.07м (разность путей)	ф-лы (14-18) [10]	5,1	5,5	6,1	7,1	8,6	10,6	13	15,7	18,5		
Общее снижение уровня звука препятствием Dz, дБ		Эн.сумма(-Dzi)	0,7	1,1	1,7	2,3	3	3,6	4,1	4,4	4,6		
Уровни звукового давления от источника ИШ-2-23 в расчётной точке днём, дБ		**ф-ла(3)[10]**	**0**	**26,3**	**27**	**27**	**25,3**	**22,6**	**15,7**	**0,3**	**0**	**26,8**	**26,8**
Уровни звукового давления от источника ИШ-2-23 в расчётной точке ночью, дБ		**ф-ла(3)[10]**	**0**	**26,3**	**27**	**27**	**25,3**	**22,6**	**15,7**	**0,3**	**0**	**26,8**	**26,8**
Источник шума: ИШ-2-24, координаты источника (x,y,z), м =[735.45,21.21,1.00]													
Уровни звуковой мощности источника днём, Lw, дБ		**исходные данные**	**0**	**93,3**	**94,7**	**96**	**96,3**	**95,9**	**92,6**	**88,4**	**83,9**		
Уровни звуковой мощности источника ночью, Lw, дБ		**исходные данные**	**0**	**93,3**	**94,7**	**96**	**96,3**	**95,9**	**92,6**	**88,4**	**83,9**		
Поправка на телесный угол DΩ, дБ	Ω = 6.28	10Lg(4π/Ω)	**3**	3	3	3	3	3	3	3	3		
Показатель направленности источника Di, дБ		исходные данные	**0**	0	0	0	0	0	0	0	0		
Поправка на направленность источника Dc, дБ	Dc	DΩ + Di	**3**	3	3	3	3	3	3	3	3		
Затухание из-за геометрической дивергенции, Adiv, дБ	расстояние = 777.85 м	ф-ла (7) [10]	**68,8**										
Коэффициент затухания звука в атмосфере α, дБ/км	Ta=20,°C Pa=101.33,кПа hотн.=70%	ф-ла (5) [9]	0,02	0,09	0,33	1,12	2,79	4,98	9,04	23,09	77,63		
Учет затухания звука в атмосфере Aatm, дБ		ф-ла (8) [10]	0	0,1	0,3	0,9	2,2	3,9	7	18	60,4		
Снижение уровня звукового давления из-за влияния застройки между источником шума и расчетной точкой													

1		2	3	4	5	6	7	8	9	10	11	12	13
Снижение уровня звукового давления на пути над экраном, Dz1, дБ	z = 0.03м (разность путей)	ф-лы (14-18) [10]	4,8	4,8	4,8	4,8	4,8	4,8	4,8	4,8	4,8		
Снижение уровня звукового давления на пути слева от экрана, Dz2, дБ	z = 0.30м (разность путей)	ф-лы (14-18) [10]	6,1	7,2	8,7	10,7	13,1	15,8	18,6	21,5	24,5		
Снижение уровня звукового давления на пути справа от экрана, Dz3, дБ	z = 0.17м (разность путей)	ф-лы (14-18) [10]	5,6	6,3	7,4	9,1	11,2	13,7	16,4	19,2	22,2		
Общее снижение уровня звука препятствием Dz, дБ		Эн.сумма(-Dzi)	0,7	1,2	1,9	2,7	3,4	3,9	4,3	4,5	4,6		
Уровни звукового давления от источника ИШ-2-24 в расчётной точке днём, дБ		**ф-ла(3)[10]**	**0**	**26,2**	**26,7**	**26,6**	**24,9**	**22,3**	**15,4**	**0,1**	**0**	**26,4**	**26,4**
Уровни звукового давления от источника ИШ-2-24 в расчётной точке ночью, дБ		**ф-ла(3)[10]**	**0**	**26,2**	**26,7**	**26,6**	**24,9**	**22,3**	**15,4**	**0,1**	**0**	**26,4**	**26,4**
Источник шума: ИШ-2-25, координаты источника (x,y,z), м =[734.58,18.32,1.00]													
Уровни звуковой мощности источника днём, Lw, дБ		**исходные данные**	**0**	**93,3**	**94,7**	**96**	**96,3**	**95,9**	**92,6**	**88,4**	**83,9**		
Уровни звуковой мощности источника ночью, Lw, дБ		**исходные данные**	**0**	**93,3**	**94,7**	**96**	**96,3**	**95,9**	**92,6**	**88,4**	**83,9**		
Поправка на телесный угол DΩ, дБ	Ω = 6.28	10Lg(4π/Ω)	**3**	3	3	3	3	3	3	3	3		
Показатель направленности источника Di, дБ		исходные данные	**0**	0	0	0	0	0	0	0	0		
Поправка на направленность источника Dc, дБ	Dc	DΩ + Di	**3**	3	3	3	3	3	3	3	3		
Затухание из-за геометрической дивергенции, Adiv, дБ	расстояние = 779.08 м	ф-ла (7) [10]	**68,8**										
Коэффициент затухания звука в атмосфере α, дБ/км	Ta=20,°C Pa=101.33,кПа hотн.=70%	ф-ла (5) [9]	0,02	0,09	0,33	1,12	2,79	4,98	9,04	23,09	77,63		
Учет затухания звука в атмосфере Aatm, дБ		ф-ла (8) [10]	0	0,1	0,3	0,9	2,2	3,9	7	18	60,5		
Снижение уровня звукового давления из-за влияния застройки между источником шума и расчетной точкой													

1		2	3	4	5	6	7	8	9	10	11	12	13
Снижение уровня звукового давления на пути над экраном, Dz1, дБ	z = 0.03м (разность путей)	ф-лы (14-18) [10]	4,8	4,8	4,8	4,8	4,8	4,8	4,8	4,8	4,8		
Снижение уровня звукового давления на пути слева от экрана, Dz2, дБ	z = 0.17м (разность путей)	ф-лы (14-18) [10]	5,6	6,3	7,3	9	11	13,5	16,2	19,1	22		
Снижение уровня звукового давления на пути справа от экрана, Dz3, дБ	z = 0.31м (разность путей)	ф-лы (14-18) [10]	6,2	7,2	8,7	10,8	13,2	15,9	18,7	21,7	24,6		
Общее снижение уровня звука препятствием Dz, дБ		Эн.сумма(-Dzi)	0,7	1,2	1,9	2,6	3,4	3,9	4,3	4,5	4,6		
Уровни звукового давления от источника ИШ-2-25 в расчётной точке днём, дБ		**ф-ла(3)[10]**	**0**	**26,2**	**26,7**	**26,6**	**24,9**	**22,2**	**15,4**	**0**	**0**	**26,4**	**26,4**
Уровни звукового давления от источника ИШ-2-25 в расчётной точке ночью, дБ		**ф-ла(3)[10]**	**0**	**26,2**	**26,7**	**26,6**	**24,9**	**22,2**	**15,4**	**0**	**0**	**26,4**	**26,4**
Источник шума: ИШ-2-26, координаты источника (x,y,z), м =[733.57,15.41,1.00]													
Уровни звуковой мощности источника днём, Lw, дБ		**исходные данные**	**0**	**93,3**	**94,7**	**96**	**96,3**	**95,9**	**92,6**	**88,4**	**83,9**		
Уровни звуковой мощности источника ночью, Lw, дБ		**исходные данные**	**0**	**93,3**	**94,7**	**96**	**96,3**	**95,9**	**92,6**	**88,4**	**83,9**		
Поправка на телесный угол DΩ, дБ	Ω = 6.28	10Lg(4π/Ω)	**3**	3	3	3	3	3	3	3	3		
Показатель направленности источника Di, дБ		исходные данные	**0**	0	0	0	0	0	0	0	0		
Поправка на направленность источника Dc, дБ	Dc	DΩ + Di	**3**	3	3	3	3	3	3	3	3		
Затухание из-за геометрической дивергенции, Adiv, дБ	расстояние = 780.22 м	ф-ла (7) [10]	**68,8**										
Коэффициент затухания звука в атмосфере α, дБ/км	Ta=20,°C Pa=101.33,кПа hотн.=70%	ф-ла (5) [9]	0,02	0,09	0,33	1,12	2,79	4,98	9,04	23,09	77,63		
Учет затухания звука в атмосфере Aatm, дБ		ф-ла (8) [10]	0	0,1	0,3	0,9	2,2	3,9	7,1	18	60,6		
Снижение уровня звукового давления из-за влияния застройки между источником шума и расчетной точкой													

1		2	3	4	5	6	7	8	9	10	11	12	13
Снижение уровня звукового давления на пути над экраном, Dz1, дБ	z = 0.03м (разность путей)	ф-лы (14-18) [10]	4,8	4,8	4,8	4,8	4,8	4,8	4,8	4,8	4,8		
Снижение уровня звукового давления на пути слева от экрана, Dz2, дБ	z = 0.07м (разность путей)	ф-лы (14-18) [10]	5,1	5,5	6	7	8,5	10,5	12,9	15,5	18,4		
Снижение уровня звукового давления на пути справа от экрана, Dz3, дБ	z = 0.48м (разность путей)	ф-лы (14-18) [10]	6,8	8,2	10	12,4	15	17,8	20,7	23,6	26,6		
Общее снижение уровня звука препятствием Dz, дБ		Эн.сумма(-Dzi)	0,7	1,1	1,7	2,3	3	3,6	4,1	4,4	4,6		
Уровни звукового давления от источника ИШ-2-26 в расчётной точке днём, дБ		**ф-ла(3)[10]**	**0**	**26,2**	**26,9**	**27**	**25,3**	**22,6**	**15,6**	**0,2**	**0**	**26,8**	**26,8**
Уровни звукового давления от источника ИШ-2-26 в расчётной точке ночью, дБ		**ф-ла(3)[10]**	**0**	**26,2**	**26,9**	**27**	**25,3**	**22,6**	**15,6**	**0,2**	**0**	**26,8**	**26,8**
Источник шума: ИШ-2-27, координаты источника (x,y,z), м =[732.43,12.66,1.00]													
Уровни звуковой мощности источника днём, Lw, дБ		**исходные данные**	**0**	**93,3**	**94,7**	**96**	**96,3**	**95,9**	**92,6**	**88,4**	**83,9**		
Уровни звуковой мощности источника ночью, Lw, дБ		**исходные данные**	**0**	**93,3**	**94,7**	**96**	**96,3**	**95,9**	**92,6**	**88,4**	**83,9**		
Поправка на телесный угол DΩ, дБ	Ω = 6.28	10Lg(4π/Ω)	**3**	3	3	3	3	3	3	3	3		
Показатель направленности источника Di, дБ		исходные данные	**0**	0	0	0	0	0	0	0	0		
Поправка на направленность источника Dc, дБ	Dc	DΩ + Di	**3**	3	3	3	3	3	3	3	3		
Затухание из-за геометрической дивергенции, Adiv, дБ	расстояние = 781.16 м	ф-ла (7) [10]	**68,9**										
Коэффициент затухания звука в атмосфере α, дБ/км	Ta=20,°C Pa=101.33,кПа hотн.=70%	ф-ла (5) [9]	0,02	0,09	0,33	1,12	2,79	4,98	9,04	23,09	77,63		
Учет затухания звука в атмосфере Aatm, дБ		ф-ла (8) [10]	0	0,1	0,3	0,9	2,2	3,9	7,1	18	60,6		
Снижение уровня звукового давления из-за влияния застройки между источником шума и расчетной точкой													

1		2	3	4	5	6	7	8	9	10	11	12	13
Снижение уровня звукового давления на пути над экраном, Dz1, дБ	z = 0.03м (разность путей)	ф-лы (14-18) [10]	4,8	4,8	4,8	4,8	4,8	4,8	4,8	4,8	4,8		
Снижение уровня звукового давления на пути слева от экрана, Dz2, дБ	z = 0.02м (разность путей)	ф-лы (14-18) [10]	4,9	4,9	5,1	5,4	5,9	6,9	8,3	10,2	12,5		
Снижение уровня звукового давления на пути справа от экрана, Dz3, дБ	z = 0.70м (разность путей)	ф-лы (14-18) [10]	7,5	9,1	11,2	13,7	16,4	19,3	22,2	25,2	28,2		
Общее снижение уровня звука препятствием Dz, дБ		Эн.сумма(-Dzi)	0,8	1,1	1,4	1,8	2,1	2,6	3,1	3,6	4,1		
Уровни звукового давления прямого звука от источника ИШ-2-27 в расчётной точке днём, дБ		**ф-ла(3)[10]**	**0**	**26,3**	**27,1**	**27,5**	**26,1**	**23,6**	**16,6**	**0,9**	**0**	**27,6**	**27,6**
Уровни звукового давления прямого звука от источника ИШ-2-27 в расчётной точке ночью, дБ		**ф-ла(3)[10]**	**0**	**26,3**	**27,1**	**27,5**	**26,1**	**23,6**	**16,6**	**0,9**	**0**	**27,6**	**27,6**
Расчёт отражённого звука													
Уровни звукового давления от мнимого источника ИШ-2-27_мн.(1) в расчётной точке днём, дБ		**ф-ла(3)[10]**	**0**	**0**	**0**	**0**	**0**	**0**	**0**	**0**	**0**	**0**	**0**
Уровни звукового давления от мнимого источника ИШ-2-27_мн.(1) в расчётной точке ночью, дБ		**ф-ла(3)[10]**	**0**	**0**	**0**	**0**	**0**	**0**	**0**	**0**	**0**	**0**	**0**
Уровни звукового давления от источника ИШ-2-27 в расчётной точке днём, дБ		**ф-ла(3)[10]**	**0**	**26,3**	**27,1**	**27,5**	**26,1**	**23,6**	**16,6**	**0,9**	**0**	**27,6**	**27,6**
Уровни звукового давления от источника ИШ-2-27 в расчётной точке ночью, дБ		**ф-ла(3)[10]**	**0**	**26,3**	**27,1**	**27,5**	**26,1**	**23,6**	**16,6**	**0,9**	**0**	**27,6**	**27,6**
Источник шума: ИШ-2-28, координаты источника (x,y,z), м =[731.54,9.78,1.00]													
Уровни звуковой мощности источника днём, Lw, дБ		**исходные данные**	**0**	**93,3**	**94,7**	**96**	**96,3**	**95,9**	**92,6**	**88,4**	**83,9**		
Уровни звуковой мощности источника ночью, Lw, дБ		**исходные данные**	**0**	**93,3**	**94,7**	**96**	**96,3**	**95,9**	**92,6**	**88,4**	**83,9**		
Поправка на телесный угол DΩ, дБ	Ω = 6.28	10Lg(4π/Ω)	**3**	3	3	3	3	3	3	3	3		
Показатель направленности источника Di, дБ		исходные данные	**0**	0	0	0	0	0	0	0	0		
Поправка на направленность источника Dc, дБ	Dc	DΩ + Di	**3**	3	3	3	3	3	3	3	3		

1		2	3	4	5	6	7	8	9	10	11	12	13
Затухание из-за геометрической дивергенции, Adiv, дБ	расстояние = 782.39 м	ф-ла (7) [10]	**68,9**										
Коэффициент затухания звука в атмосфере α, дБ/км	Ta=20,°C Pa=101.33,кПа hотн.=70%	ф-ла (5) [9]	0,02	0,09	0,33	1,12	2,79	4,98	9,04	23,09	77,63		
Учет затухания звука в атмосфере Aatm, дБ		ф-ла (8) [10]	0	0,1	0,3	0,9	2,2	3,9	7,1	18,1	60,7		
Снижение поверхностью земли возле источника As, дБ	Gs = 0 hs = 1м	ф-лы таб.3 [10]	-1,5	-1,5	-1,5	-1,5	-1,5	-1,5	-1,5	-1,5	-1,5		
Снижение поверхностью земли возле приёмника Ar, дБ	Gr = 1 hr = 1.5м	ф-лы таб.3 [10]	-1,5	-1,5	4,5	7	5	0,7	0	0	0		
Снижение поверхностью земли в средней зоне, Am дБ	Gm = 1	ф-лы таб.3 [10]	-2,7	-2,7	0	0	0	0	0	0	0		
Суммарное снижение поверхностью земли на траектории распространения звука Agr, дБ		ф-ла (9) [10]	-5,7	-5,7	3	5,5	3,5	-0,8	-1,5	-1,5	-1,5		
Уровни звукового давления прямого звука от источника ИШ-2-28 в расчётной точке днём, дБ		**ф-ла(3)[10]**	**0**	**33,1**	**25,6**	**23,7**	**24,8**	**27**	**21,2**	**6**	**0**	**29,4**	**29,4**
Уровни звукового давления прямого звука от источника ИШ-2-28 в расчётной точке ночью, дБ		**ф-ла(3)[10]**	**0**	**33,1**	**25,6**	**23,7**	**24,8**	**27**	**21,2**	**6**	**0**	**29,4**	**29,4**
Расчёт отражённого звука													
Уровни звукового давления от мнимого источника ИШ-2-28_мн.(1) в расчётной точке днём, дБ		**ф-ла(3)[10]**	**0**	**0**	**0**	**0**	**0**	**0**	**0**	**0**	**0**	**0**	**0**
Уровни звукового давления от мнимого источника ИШ-2-28_мн.(1) в расчётной точке ночью, дБ		**ф-ла(3)[10]**	**0**	**0**	**0**	**0**	**0**	**0**	**0**	**0**	**0**	**0**	**0**
Уровни звукового давления от источника ИШ-2-28 в расчётной точке днём, дБ		**ф-ла(3)[10]**	**0**	**33,1**	**25,6**	**23,7**	**24,8**	**27**	**21,2**	**6**	**0**	**29,4**	**29,4**
Уровни звукового давления от источника ИШ-2-28 в расчётной точке ночью, дБ		**ф-ла(3)[10]**	**0**	**33,1**	**25,6**	**23,7**	**24,8**	**27**	**21,2**	**6**	**0**	**29,4**	**29,4**
Источник шума: ИШ-2-29, координаты источника (x,y,z), м =[730.57,6.88,1.00]													
Уровни звуковой мощности источника днём, Lw, дБ		**исходные данные**	**0**	**93,3**	**94,7**	**96**	**96,3**	**95,9**	**92,6**	**88,4**	**83,9**		

1		2	3	4	5	6	7	8	9	10	11	12	13
Уровни звуковой мощности источника ночью, Lw, дБ		**исходные данные**	**0**	**93,3**	**94,7**	**96**	**96,3**	**95,9**	**92,6**	**88,4**	**83,9**		
Поправка на телесный угол DΩ, дБ	Ω = 6.28	10Lg(4π/Ω)	**3**	3	3	3	3	3	3	3	3		
Показатель направленности источника Di, дБ		исходные данные	**0**	0	0	0	0	0	0	0	0		
Поправка на направленность источника Dc, дБ	Dc	DΩ + Di	**3**	3	3	3	3	3	3	3	3		
Затухание из-за геометрической дивергенции, Adiv, дБ	расстояние = 783.58 м	ф-ла (7) [10]	**68,9**										
Коэффициент затухания звука в атмосфере α, дБ/км	Ta=20,°C Pa=101.33,кПа hотн.=70%	ф-ла (5) [9]	0,02	0,09	0,33	1,12	2,79	4,98	9,04	23,09	77,63		
Учет затухания звука в атмосфере Aatm, дБ		ф-ла (8) [10]	0	0,1	0,3	0,9	2,2	3,9	7,1	18,1	60,8		
Снижение уровня звукового давления из-за влияния застройки между источником шума и расчетной точкой													
Снижение уровня звукового давления препятствием слева от трассы ИШ-РТ, Dz2, дБ	z = -0.04м (разность путей)	ф-лы (14-18) [10]	0	0	0	2,6	0	NAN	NAN	NAN	NAN		
Снижение уровня звукового давления препятствием справа от трассы ИШ-РТ, Dz3, дБ	z = -0.02м (разность путей)	ф-лы (14-18) [10]	0	0	0	3,8	2,4	0	NAN	NAN	NAN		
Общее снижение уровня звука препятствием Dz, дБ		Эн.сумма(-Dzi)	0	0	0	0,1	0	0	0	0	0		
* отрицательное значение z означает прохождение траектории вблизи экрана, в этом случае дополнительно производится учёт снижения подстилающей поверхностью (см.ниже)													
Снижение поверхностью земли возле источника As, дБ	Gs = 0 hs = 1м	ф-лы таб.3 [10]	-1,5	-1,5	-1,5	-1,5	-1,5	-1,5	-1,5	-1,5	-1,5		
Снижение поверхностью земли возле приёмника Ar, дБ	Gr = 1 hr = 1.5м	ф-лы таб.3 [10]	-1,5	-1,5	4,5	7	5	0,7	0	0	0		
Снижение поверхностью земли в средней зоне, Am дБ	Gm = 1	ф-лы таб.3 [10]	-2,7	-2,7	0	0	0	0	0	0	0		
Суммарное снижение поверхностью земли на траектории распространения звука Agr, дБ		ф-ла (9) [10]	-5,7	-5,7	3	5,5	3,5	-0,8	-1,5	-1,5	-1,5		
Уровни звукового давления прямого звука от источника ИШ-2-29 в расчётной точке днём, дБ		**ф-ла(3)[10]**	**0**	**33,1**	**25,5**	**23,6**	**24,8**	**26,9**	**21,1**	**5,9**	**0**	**29,3**	**29,3**
Уровни звукового давления прямого звука от источника ИШ-2-29 в расчётной точке ночью, дБ		**ф-ла(3)[10]**	**0**	**33,1**	**25,5**	**23,6**	**24,8**	**26,9**	**21,1**	**5,9**	**0**	**29,3**	**29,3**

1		2	3	4	5	6	7	8	9	10	11	12	13
Расчёт отражённого звука													
Уровни звукового давления от мнимого источника ИШ-2-29_мн.(1) в расчётной точке днём, дБ		**ф-ла(3)[10]**	**0**	**0**	**0**	**0**	**0**	**0**	**0**	**0**	**0**	**0**	**0**
Уровни звукового давления от мнимого источника ИШ-2-29_мн.(1) в расчётной точке ночью, дБ		**ф-ла(3)[10]**	**0**	**0**	**0**	**0**	**0**	**0**	**0**	**0**	**0**	**0**	**0**
Уровни звукового давления от источника ИШ-2-29 в расчётной точке днём, дБ		**ф-ла(3)[10]**	**0**	**33,1**	**25,5**	**23,6**	**24,8**	**26,9**	**21,1**	**5,9**	**0**	**29,3**	**29,3**
Уровни звукового давления от источника ИШ-2-29 в расчётной точке ночью, дБ		**ф-ла(3)[10]**	**0**	**33,1**	**25,5**	**23,6**	**24,8**	**26,9**	**21,1**	**5,9**	**0**	**29,3**	**29,3**
Источник шума: ИШ-2-4, координаты источника (x,y,z), м =[632.70,-65.30,3.00]													
Уровни звуковой мощности источника днём, Lw, дБ		**исходные данные**	**105**	**104**	**104**	**101**	**102**	**106**	**101**	**95**	**87**		
Уровни звуковой мощности источника ночью, Lw, дБ		**исходные данные**	**105**	**104**	**104**	**101**	**102**	**106**	**101**	**95**	**87**		
Поправка на телесный угол DΩ, дБ	Ω = 6.28	10Lg(4π/Ω)	**3**	3	3	3	3	3	3	3	3		
Показатель направленности источника Di, дБ		исходные данные	**0**	0	0	0	0	0	0	0	0		
Поправка на направленность источника Dc, дБ	Dc	DΩ + Di	**3**	3	3	3	3	3	3	3	3		
Затухание из-за геометрической дивергенции, Adiv, дБ	расстояние = 767.47 м	ф-ла (7) [10]	**68,7**										
Коэффициент затухания звука в атмосфере α, дБ/км	Ta=20,°C Pa=101.33,кПа hотн.=70%	ф-ла (5) [9]	0,02	0,09	0,33	1,12	2,79	4,98	9,04	23,09	77,63		
Учет затухания звука в атмосфере Aatm, дБ		ф-ла (8) [10]	0	0,1	0,3	0,9	2,1	3,8	6,9	17,7	59,6		
Снижение уровня звукового давления из-за влияния застройки между источником шума и расчетной точкой													
Снижение уровня звукового давления на пути над экраном, Dz1, дБ	z = 0.25м (разность путей)	ф-лы (14-18) [10]	4,8	4,8	4,9	5,1	5,3	5,8	6,7	8	9,9		

1		2	3	4	5	6	7	8	9	10	11	12	13
Снижение уровня звукового давления на пути слева от экрана, Dz2, дБ	z = 65.66м (разность путей)	ф-лы (14-18) [10]	28,4	31,6	34,6	37,6	40,6	43,7	46,7	49,7	52,7		
Снижение уровня звукового давления на пути справа от экрана, Dz3, дБ	z = 14.42м (разность путей)	ф-лы (14-18) [10]	21,4	24,9	28	31	34,1	37,1	40,1	43,1	46,1		
Общее снижение уровня звука препятствием Dz, дБ		Эн.сумма(-Dzi)	4,7	4,8	4,9	5	5,3	5,8	6,7	8	9,9		
Уровни звукового давления от источника ИШ-2-4 в расчётной точке днём, дБ		**ф-ла(3)[10]**	**34,6**	**33,4**	**33,2**	**29,4**	**28,8**	**30,7**	**21,7**	**3,6**	**0**	**32,8**	**32,8**
Уровни звукового давления от источника ИШ-2-4 в расчётной точке ночью, дБ		**ф-ла(3)[10]**	**34,6**	**33,4**	**33,2**	**29,4**	**28,8**	**30,7**	**21,7**	**3,6**	**0**	**32,8**	**32,8**
Источник шума: ИШ-2-30, координаты источника (x,y,z), м =[702.44,-77.23,1.00]													
Уровни звуковой мощности источника днём, Lw, дБ		**исходные данные**	**0**	**93,3**	**94,7**	**96**	**96,3**	**95,9**	**92,6**	**88,4**	**83,9**		
Уровни звуковой мощности источника ночью, Lw, дБ		**исходные данные**	**0**	**93,3**	**94,7**	**96**	**96,3**	**95,9**	**92,6**	**88,4**	**83,9**		
Поправка на телесный угол DΩ, дБ	Ω = 6.28	10Lg(4π/Ω)	**3**	3	3	3	3	3	3	3	3		
Показатель направленности источника Di, дБ		исходные данные	**0**	0	0	0	0	0	0	0	0		
Поправка на направленность источника Dc, дБ	Dc	DΩ + Di	**3**	3	3	3	3	3	3	3	3		
Затухание из-за геометрической дивергенции, Adiv, дБ	расстояние = 822.37 м	ф-ла (7) [10]	**69,3**										
Коэффициент затухания звука в атмосфере α, дБ/км	Ta=20,°C Pa=101.33,кПа hотн.=70%	ф-ла (5) [9]	0,02	0,09	0,33	1,12	2,79	4,98	9,04	23,09	77,63		
Учет затухания звука в атмосфере Aatm, дБ		ф-ла (8) [10]	0	0,1	0,3	0,9	2,3	4,1	7,4	19	63,8		
Снижение уровня звукового давления из-за влияния застройки между источником шума и расчетной точкой													
Снижение уровня звукового давления на пути над экраном, Dz1, дБ	z = 0.27м (разность путей)	ф-лы (14-18) [10]	4,8	4,8	4,8	4,9	5	5,2	5,6	6,3	7,4		

1		2	3	4	5	6	7	8	9	10	11	12	13
Снижение уровня звукового давления на пути слева от экрана, Dz2, дБ	z = 67.84м (разность путей)	ф-лы (14-18) [10]	24,1	27	30	33	36	39	42	45	48,1		
Снижение уровня звукового давления на пути справа от экрана, Dz3, дБ	z = 4.00м (разность путей)	ф-лы (14-18) [10]	16,4	19,5	22,5	25,5	28,5	31,5	34,5	37,5	40,5		
Общее снижение уровня звука препятствием Dz, дБ		Эн.сумма(-Dzi)	4,4	4,6	4,7	4,8	5	5,2	5,6	6,3	7,4		
Уровни звукового давления от источника ИШ-2-30 в расчётной точке днём, дБ		**ф-ла(3)[10]**	**0**	**22,3**	**23,4**	**23,9**	**22,7**	**20,3**	**13,3**	**0**	**0**	**24,2**	**24,2**
Уровни звукового давления от источника ИШ-2-30 в расчётной точке ночью, дБ		**ф-ла(3)[10]**	**0**	**22,3**	**23,4**	**23,9**	**22,7**	**20,3**	**13,3**	**0**	**0**	**24,2**	**24,2**
Источник шума: ИШ-2-31, координаты источника (x,y,z), м =[701.42,-80.17,1.00]													
Уровни звуковой мощности источника днём, Lw, дБ		**исходные данные**	**0**	**93,3**	**94,7**	**96**	**96,3**	**95,9**	**92,6**	**88,4**	**83,9**		
Уровни звуковой мощности источника ночью, Lw, дБ		**исходные данные**	**0**	**93,3**	**94,7**	**96**	**96,3**	**95,9**	**92,6**	**88,4**	**83,9**		
Поправка на телесный угол DΩ, дБ	Ω = 6.28	10Lg(4π/Ω)	**3**	3	3	3	3	3	3	3	3		
Показатель направленности источника Di, дБ		исходные данные	**0**	0	0	0	0	0	0	0	0		
Поправка на направленность источника Dc, дБ	Dc	DΩ + Di	**3**	3	3	3	3	3	3	3	3		
Затухание из-за геометрической дивергенции, Adiv, дБ	расстояние = 823.84 м	ф-ла (7) [10]	**69,3**										
Коэффициент затухания звука в атмосфере α, дБ/км	Ta=20,°C Pa=101.33,кПа hотн.=70%	ф-ла (5) [9]	0,02	0,09	0,33	1,12	2,79	4,98	9,04	23,09	77,63		
Учет затухания звука в атмосфере Aatm, дБ		ф-ла (8) [10]	0	0,1	0,3	0,9	2,3	4,1	7,4	19	64		
Снижение уровня звукового давления из-за влияния застройки между источником шума и расчетной точкой													
Снижение уровня звукового давления на пути над экраном, Dz1, дБ	z = 0.27м (разность путей)	ф-лы (14-18) [10]	4,8	4,8	4,8	4,9	5	5,2	5,6	6,3	7,4		

1		2	3	4	5	6	7	8	9	10	11	12	13
Снижение уровня звукового давления на пути слева от экрана, Dz2, дБ	z = 66.71м (разность путей)	ф-лы (14-18) [10]	24	27	29,9	32,9	35,9	38,9	42	45	48		
Снижение уровня звукового давления на пути справа от экрана, Dz3, дБ	z = 4.42м (разность путей)	ф-лы (14-18) [10]	16,8	20	22,9	25,9	28,9	31,9	34,9	38	41		
Общее снижение уровня звука препятствием Dz, дБ		Эн.сумма(-Dzi)	4,5	4,6	4,7	4,8	5	5,2	5,6	6,3	7,4		
Уровни звукового давления от источника ИШ-2-31 в расчётной точке днём, дБ		**ф-ла(3)[10]**	**0**	**22,3**	**23,4**	**23,9**	**22,7**	**20,3**	**13,2**	**0**	**0**	**24,2**	**24,2**
Уровни звукового давления от источника ИШ-2-31 в расчётной точке ночью, дБ		**ф-ла(3)[10]**	**0**	**22,3**	**23,4**	**23,9**	**22,7**	**20,3**	**13,2**	**0**	**0**	**24,2**	**24,2**
Источник шума: ИШ-2-32, координаты источника (x,y,z), м =[700.38,-83.01,1.00]													
Уровни звуковой мощности источника днём, Lw, дБ		**исходные данные**	**0**	**93,3**	**94,7**	**96**	**96,3**	**95,9**	**92,6**	**88,4**	**83,9**		
Уровни звуковой мощности источника ночью, Lw, дБ		**исходные данные**	**0**	**93,3**	**94,7**	**96**	**96,3**	**95,9**	**92,6**	**88,4**	**83,9**		
Поправка на телесный угол DΩ, дБ	Ω = 6.28	10Lg(4π/Ω)	**3**	3	3	3	3	3	3	3	3		
Показатель направленности источника Di, дБ		исходные данные	**0**	0	0	0	0	0	0	0	0		
Поправка на направленность источника Dc, дБ	Dc	DΩ + Di	**3**	3	3	3	3	3	3	3	3		
Затухание из-за геометрической дивергенции, Adiv, дБ	расстояние = 825.23 м	ф-ла (7) [10]	**69,3**										
Коэффициент затухания звука в атмосфере α, дБ/км	Ta=20,°C Pa=101.33,кПа hотн.=70%	ф-ла (5) [9]	0,02	0,09	0,33	1,12	2,79	4,98	9,04	23,09	77,63		
Учет затухания звука в атмосфере Aatm, дБ		ф-ла (8) [10]	0	0,1	0,3	0,9	2,3	4,1	7,5	19,1	64,1		
Снижение уровня звукового давления из-за влияния застройки между источником шума и расчетной точкой													
Снижение уровня звукового давления на пути над экраном, Dz1, дБ	z = 0.27м (разность путей)	ф-лы (14-18) [10]	4,8	4,8	4,8	4,9	5	5,2	5,6	6,3	7,5		

1		2	3	4	5	6	7	8	9	10	11	12	13
Снижение уровня звукового давления на пути слева от экрана, Dz2, дБ	z = 75.85м (разность путей)	ф-лы (14-18) [10]	29,1	32,2	35,2	38,3	41,3	44,3	47,3	50,3	53,3		
Снижение уровня звукового давления на пути справа от экрана, Dz3, дБ	z = 4.85м (разность путей)	ф-лы (14-18) [10]	17,2	20,4	23,3	26,3	29,3	32,3	35,3	38,4	41,4		
Общее снижение уровня звука препятствием Dz, дБ		Эн.сумма(-Dzi)	4,5	4,7	4,8	4,9	5	5,2	5,6	6,3	7,5		
Уровни звукового давления от источника ИШ-2-32 в расчётной точке днём, дБ		**ф-ла(3)[10]**	**0**	**22,2**	**23,3**	**23,9**	**22,7**	**20,2**	**13,2**	**0**	**0**	**24,2**	**24,2**
Уровни звукового давления от источника ИШ-2-32 в расчётной точке ночью, дБ		**ф-ла(3)[10]**	**0**	**22,2**	**23,3**	**23,9**	**22,7**	**20,2**	**13,2**	**0**	**0**	**24,2**	**24,2**
Источник шума: ИШ-2-33, координаты источника (x,y,z), м =[699.52,-85.98,1.00]													
Уровни звуковой мощности источника днём, Lw, дБ		**исходные данные**	**0**	**93,3**	**94,7**	**96**	**96,3**	**95,9**	**92,6**	**88,4**	**83,9**		
Уровни звуковой мощности источника ночью, Lw, дБ		**исходные данные**	**0**	**93,3**	**94,7**	**96**	**96,3**	**95,9**	**92,6**	**88,4**	**83,9**		
Поправка на телесный угол DΩ, дБ	Ω = 6.28	10Lg(4π/Ω)	**3**	3	3	3	3	3	3	3	3		
Показатель направленности источника Di, дБ		исходные данные	**0**	0	0	0	0	0	0	0	0		
Поправка на направленность источника Dc, дБ	Dc	DΩ + Di	**3**	3	3	3	3	3	3	3	3		
Затухание из-за геометрической дивергенции, Adiv, дБ	расстояние = 826.85 м	ф-ла (7) [10]	**69,3**										
Коэффициент затухания звука в атмосфере α, дБ/км	Ta=20,°C Pa=101.33,кПа hотн.=70%	ф-ла (5) [9]	0,02	0,09	0,33	1,12	2,79	4,98	9,04	23,09	77,63		
Учет затухания звука в атмосфере Aatm, дБ		ф-ла (8) [10]	0	0,1	0,3	0,9	2,3	4,1	7,5	19,1	64,2		
Снижение уровня звукового давления из-за влияния застройки между источником шума и расчетной точкой													
Снижение уровня звукового давления на пути над экраном, Dz1, дБ	z = 0.27м (разность путей)	ф-лы (14-18) [10]	4,8	4,8	4,8	4,9	5	5,2	5,6	6,3	7,5		

1		2	3	4	5	6	7	8	9	10	11	12	13
Снижение уровня звукового давления на пути слева от экрана, Dz2, дБ	z = 73.71м (разность путей)	ф-лы (14-18) [10]	28,9	32,1	35,1	38,1	41,1	44,2	47,2	50,2	53,2		
Снижение уровня звукового давления на пути справа от экрана, Dz3, дБ	z = 5.28м (разность путей)	ф-лы (14-18) [10]	17,6	20,7	23,7	26,7	29,7	32,7	35,7	38,7	41,7		
Общее снижение уровня звука препятствием Dz, дБ		Эн.сумма(-Dzi)	4,5	4,7	4,8	4,9	5	5,2	5,6	6,3	7,5		
Уровни звукового давления от источника ИШ-2-33 в расчётной точке днём, дБ		**ф-ла(3)[10]**	**0**	**22,2**	**23,3**	**23,9**	**22,6**	**20,2**	**13,1**	**0**	**0**	**24,1**	**24,1**
Уровни звукового давления от источника ИШ-2-33 в расчётной точке ночью, дБ		**ф-ла(3)[10]**	**0**	**22,2**	**23,3**	**23,9**	**22,6**	**20,2**	**13,1**	**0**	**0**	**24,1**	**24,1**
Источник шума: ИШ-2-34, координаты источника (x,y,z), м =[698.43,-88.85,1.00]													
Уровни звуковой мощности источника днём, Lw, дБ		**исходные данные**	**0**	**93,3**	**94,7**	**96**	**96,3**	**95,9**	**92,6**	**88,4**	**83,9**		
Уровни звуковой мощности источника ночью, Lw, дБ		**исходные данные**	**0**	**93,3**	**94,7**	**96**	**96,3**	**95,9**	**92,6**	**88,4**	**83,9**		
Поправка на телесный угол DΩ, дБ	Ω = 6.28	10Lg(4π/Ω)	**3**	3	3	3	3	3	3	3	3		
Показатель направленности источника Di, дБ		исходные данные	**0**	0	0	0	0	0	0	0	0		
Поправка на направленность источника Dc, дБ	Dc	DΩ + Di	**3**	3	3	3	3	3	3	3	3		
Затухание из-за геометрической дивергенции, Adiv, дБ	расстояние = 828.25 м	ф-ла (7) [10]	**69,4**										
Коэффициент затухания звука в атмосфере α, дБ/км	Ta=20,°C Pa=101.33,кПа hотн.=70%	ф-ла (5) [9]	0,02	0,09	0,33	1,12	2,79	4,98	9,04	23,09	77,63		
Учет затухания звука в атмосфере Aatm, дБ		ф-ла (8) [10]	0	0,1	0,3	0,9	2,3	4,1	7,5	19,1	64,3		
Снижение уровня звукового давления из-за влияния застройки между источником шума и расчетной точкой													
Снижение уровня звукового давления на пути над экраном, Dz1, дБ	z = 0.27м (разность путей)	ф-лы (14-18) [10]	4,8	4,8	4,8	4,9	5	5,2	5,6	6,4	7,5		

1		2	3	4	5	6	7	8	9	10	11	12	13
Снижение уровня звукового давления на пути слева от экрана, Dz2, дБ	z = 71.62м (разность путей)	ф-лы (14-18) [10]	28,8	32	35	38	41	44	47	50	53,1		
Снижение уровня звукового давления на пути справа от экрана, Dz3, дБ	z = 5.76м (разность путей)	ф-лы (14-18) [10]	17,9	21,1	24,1	27,1	30,1	33,1	36,1	39,1	42,1		
Общее снижение уровня звука препятствием Dz, дБ		Эн.сумма(-Dzi)	4,6	4,7	4,8	4,9	5	5,2	5,6	6,4	7,5		
Уровни звукового давления от источника ИШ-2-34 в расчётной точке днём, дБ		**ф-ла(3)[10]**	**0**	**22,2**	**23,3**	**23,8**	**22,6**	**20,2**	**13,1**	**0**	**0**	**24,1**	**24,1**
Уровни звукового давления от источника ИШ-2-34 в расчётной точке ночью, дБ		**ф-ла(3)[10]**	**0**	**22,2**	**23,3**	**23,8**	**22,6**	**20,2**	**13,1**	**0**	**0**	**24,1**	**24,1**
Источник шума: ИШ-2-35, координаты источника (x,y,z), м =[697.52,-91.66,1.00]													
Уровни звуковой мощности источника днём, Lw, дБ		**исходные данные**	**0**	**93,3**	**94,7**	**96**	**96,3**	**95,9**	**92,6**	**88,4**	**83,9**		
Уровни звуковой мощности источника ночью, Lw, дБ		**исходные данные**	**0**	**93,3**	**94,7**	**96**	**96,3**	**95,9**	**92,6**	**88,4**	**83,9**		
Поправка на телесный угол DΩ, дБ	Ω = 6.28	10Lg(4π/Ω)	**3**	3	3	3	3	3	3	3	3		
Показатель направленности источника Di, дБ		исходные данные	**0**	0	0	0	0	0	0	0	0		
Поправка на направленность источника Dc, дБ	Dc	DΩ + Di	**3**	3	3	3	3	3	3	3	3		
Затухание из-за геометрической дивергенции, Adiv, дБ	расстояние = 829.73 м	ф-ла (7) [10]	**69,4**										
Коэффициент затухания звука в атмосфере α, дБ/км	Ta=20,°C Pa=101.33,кПа hотн.=70%	ф-ла (5) [9]	0,02	0,09	0,33	1,12	2,79	4,98	9,04	23,09	77,63		
Учет затухания звука в атмосфере Aatm, дБ		ф-ла (8) [10]	0	0,1	0,3	0,9	2,3	4,1	7,5	19,2	64,4		
Снижение уровня звукового давления из-за влияния застройки между источником шума и расчетной точкой													
Снижение уровня звукового давления на пути над экраном, Dz1, дБ	z = 0.27м (разность путей)	ф-лы (14-18) [10]	4,8	4,8	4,8	4,9	5	5,2	5,7	6,4	7,6		

1		2	3	4	5	6	7	8	9	10	11	12	13
Снижение уровня звукового давления на пути слева от экрана, Dz2, дБ	z = 69.67м (разность путей)	ф-лы (14-18) [10]	28,7	31,9	34,9	37,9	40,9	43,9	46,9	49,9	52,9		
Снижение уровня звукового давления на пути справа от экрана, Dz3, дБ	z = 6.21м (разность путей)	ф-лы (14-18) [10]	18,2	21,4	24,4	27,4	30,4	33,4	36,4	39,4	42,4		
Общее снижение уровня звука препятствием Dz, дБ		Эн.сумма(-Dzi)	4,6	4,7	4,8	4,9	5	5,2	5,6	6,4	7,6		
Уровни звукового давления от источника ИШ-2-35 в расчётной точке днём, дБ		**ф-ла(3)[10]**	**0**	**22,1**	**23,3**	**23,8**	**22,6**	**20,2**	**13,1**	**0**	**0**	**24,1**	**24,1**
Уровни звукового давления от источника ИШ-2-35 в расчётной точке ночью, дБ		**ф-ла(3)[10]**	**0**	**22,1**	**23,3**	**23,8**	**22,6**	**20,2**	**13,1**	**0**	**0**	**24,1**	**24,1**
Источник шума: ИШ-2-36, координаты источника (x,y,z), м =[696.58,-94.55,1.00]													
Уровни звуковой мощности источника днём, Lw, дБ		**исходные данные**	**0**	**93,3**	**94,7**	**96**	**96,3**	**95,9**	**92,6**	**88,4**	**83,9**		
Уровни звуковой мощности источника ночью, Lw, дБ		**исходные данные**	**0**	**93,3**	**94,7**	**96**	**96,3**	**95,9**	**92,6**	**88,4**	**83,9**		
Поправка на телесный угол DΩ, дБ	Ω = 6.28	10Lg(4π/Ω)	**3**	3	3	3	3	3	3	3	3		
Показатель направленности источника Di, дБ		исходные данные	**0**	0	0	0	0	0	0	0	0		
Поправка на направленность источника Dc, дБ	Dc	DΩ + Di	**3**	3	3	3	3	3	3	3	3		
Затухание из-за геометрической дивергенции, Adiv, дБ	расстояние = 831.26 м	ф-ла (7) [10]	**69,4**										
Коэффициент затухания звука в атмосфере α, дБ/км	Ta=20,°C Pa=101.33,кПа hотн.=70%	ф-ла (5) [9]	0,02	0,09	0,33	1,12	2,79	4,98	9,04	23,09	77,63		
Учет затухания звука в атмосфере Aatm, дБ		ф-ла (8) [10]	0	0,1	0,3	0,9	2,3	4,1	7,5	19,2	64,5		
Снижение уровня звукового давления из-за влияния застройки между источником шума и расчетной точкой													
Снижение уровня звукового давления на пути над экраном, Dz1, дБ	z = 0.27м (разность путей)	ф-лы (14-18) [10]	4,8	4,8	4,8	4,9	5	5,2	5,7	6,4	7,6		

1		2	3	4	5	6	7	8	9	10	11	12	13
Снижение уровня звукового давления на пути слева от экрана, Dz2, дБ	z = 67.75м (разность путей)	ф-лы (14-18) [10]	28,6	31,7	34,7	37,8	40,8	43,8	46,8	49,8	52,8		
Снижение уровня звукового давления на пути справа от экрана, Dz3, дБ	z = 6.70м (разность путей)	ф-лы (14-18) [10]	18,6	21,7	24,7	27,7	30,7	33,7	36,7	39,8	42,8		
Общее снижение уровня звука препятствием Dz, дБ		Эн.сумма(-Dzi)	4,6	4,7	4,8	4,9	5	5,2	5,7	6,4	7,6		
Уровни звукового давления от источника ИШ-2-36 в расчётной точке днём, дБ		**ф-ла(3)[10]**	**0**	**22,1**	**23,2**	**23,8**	**22,6**	**20,1**	**13**	**0**	**0**	**24,1**	**24,1**
Уровни звукового давления от источника ИШ-2-36 в расчётной точке ночью, дБ		**ф-ла(3)[10]**	**0**	**22,1**	**23,2**	**23,8**	**22,6**	**20,1**	**13**	**0**	**0**	**24,1**	**24,1**
Источник шума: ИШ-2-37, координаты источника (x,y,z), м =[695.57,-97.37,1.00]													
Уровни звуковой мощности источника днём, Lw, дБ		**исходные данные**	**0**	**93,3**	**94,7**	**96**	**96,3**	**95,9**	**92,6**	**88,4**	**83,9**		
Уровни звуковой мощности источника ночью, Lw, дБ		**исходные данные**	**0**	**93,3**	**94,7**	**96**	**96,3**	**95,9**	**92,6**	**88,4**	**83,9**		
Поправка на телесный угол DΩ, дБ	Ω = 6.28	10Lg(4π/Ω)	**3**	3	3	3	3	3	3	3	3		
Показатель направленности источника Di, дБ		исходные данные	**0**	0	0	0	0	0	0	0	0		
Поправка на направленность источника Dc, дБ	Dc	DΩ + Di	**3**	3	3	3	3	3	3	3	3		
Затухание из-за геометрической дивергенции, Adiv, дБ	расстояние = 832.70 м	ф-ла (7) [10]	**69,4**										
Коэффициент затухания звука в атмосфере α, дБ/км	Ta=20,°C Pa=101.33,кПа hотн.=70%	ф-ла (5) [9]	0,02	0,09	0,33	1,12	2,79	4,98	9,04	23,09	77,63		
Учет затухания звука в атмосфере Aatm, дБ		ф-ла (8) [10]	0	0,1	0,3	0,9	2,3	4,1	7,5	19,2	64,6		
Снижение уровня звукового давления из-за влияния застройки между источником шума и расчетной точкой													
Снижение уровня звукового давления на пути над экраном, Dz1, дБ	z = 0.27м (разность путей)	ф-лы (14-18) [10]	4,8	4,8	4,8	4,9	5	5,2	5,7	6,4	7,6		

1		2	3	4	5	6	7	8	9	10	11	12	13
Снижение уровня звукового давления на пути слева от экрана, Dz2, дБ	z = 65.91м (разность путей)	ф-лы (14-18) [10]	28,5	31,6	34,6	37,6	40,7	43,7	46,7	49,7	52,7		
Снижение уровня звукового давления на пути справа от экрана, Dz3, дБ	z = 7.20м (разность путей)	ф-лы (14-18) [10]	18,9	22	25	28	31	34,1	37,1	40,1	43,1		
Общее снижение уровня звука препятствием Dz, дБ		Эн.сумма(-Dzi)	4,6	4,7	4,8	4,9	5	5,2	5,7	6,4	7,6		
Уровни звукового давления от источника ИШ-2-37 в расчётной точке днём, дБ		**ф-ла(3)[10]**	**0**	**22,1**	**23,2**	**23,8**	**22,6**	**20,1**	**13**	**0**	**0**	**24**	**24**
Уровни звукового давления от источника ИШ-2-37 в расчётной точке ночью, дБ		**ф-ла(3)[10]**	**0**	**22,1**	**23,2**	**23,8**	**22,6**	**20,1**	**13**	**0**	**0**	**24**	**24**
Источник шума: ИШ-2-5, координаты источника (x,y,z), м =[618.60,-108.00,3.00]													
Уровни звуковой мощности источника днём, Lw, дБ		**исходные данные**	**105**	**104**	**104**	**101**	**102**	**106**	**101**	**95**	**87**		
Уровни звуковой мощности источника ночью, Lw, дБ		**исходные данные**	**105**	**104**	**104**	**101**	**102**	**106**	**101**	**95**	**87**		
Поправка на телесный угол DΩ, дБ	Ω = 6.28	10Lg(4π/Ω)	**3**	3	3	3	3	3	3	3	3		
Показатель направленности источника Di, дБ		исходные данные	**0**	0	0	0	0	0	0	0	0		
Поправка на направленность источника Dc, дБ	Dc	DΩ + Di	**3**	3	3	3	3	3	3	3	3		
Затухание из-за геометрической дивергенции, Adiv, дБ	расстояние = 792.34 м	ф-ла (7) [10]	**69**										
Коэффициент затухания звука в атмосфере α, дБ/км	Ta=20,°C Pa=101.33,кПа hотн.=70%	ф-ла (5) [9]	0,02	0,09	0,33	1,12	2,79	4,98	9,04	23,09	77,63		
Учет затухания звука в атмосфере Aatm, дБ		ф-ла (8) [10]	0	0,1	0,3	0,9	2,2	3,9	7,2	18,3	61,5		
Снижение уровня звукового давления из-за влияния застройки между источником шума и расчетной точкой													
Снижение уровня звукового давления на пути над экраном, Dz1, дБ	z = 0.36м (разность путей)	ф-лы (14-18) [10]	5,4	6	7	8,5	10,5	12,8	15,5	18,3	21,2		

1		2	3	4	5	6	7	8	9	10	11	12	13
Снижение уровня звукового давления на пути слева от экрана, Dz2, дБ	z = 46.13м (разность путей)	ф-лы (14-18) [10]	25,8	29,7	33	36,1	39,1	42,1	45,1	48,1	51,1		
Снижение уровня звукового давления на пути справа от экрана, Dz3, дБ	z = 13.17м (разность путей)	ф-лы (14-18) [10]	21,6	24,7	27,7	30,7	33,7	36,7	39,7	42,7	45,7		
Общее снижение уровня звука препятствием Dz, дБ		Эн.сумма(-Dzi)	5,3	6	7	8,5	10,4	12,8	15,5	18,3	21,2		
Уровни звукового давления от источника ИШ-2-5 в расчётной точке днём, дБ		**ф-ла(3)[10]**	**33,7**	**32**	**30,8**	**25,7**	**23,4**	**23,3**	**12,4**	**0**	**0**	**26,3**	**26,3**
Уровни звукового давления от источника ИШ-2-5 в расчётной точке ночью, дБ		**ф-ла(3)[10]**	**33,7**	**32**	**30,8**	**25,7**	**23,4**	**23,3**	**12,4**	**0**	**0**	**26,3**	**26,3**
Источник шума: ИШ-2-38, координаты источника (x,y,z), м =[688.13,-119.94,1.00]													
Уровни звуковой мощности источника днём, Lw, дБ		**исходные данные**	**0**	**93,3**	**94,7**	**96**	**96,3**	**95,9**	**92,6**	**88,4**	**83,9**		
Уровни звуковой мощности источника ночью, Lw, дБ		**исходные данные**	**0**	**93,3**	**94,7**	**96**	**96,3**	**95,9**	**92,6**	**88,4**	**83,9**		
Поправка на телесный угол DΩ, дБ	Ω = 6.28	10Lg(4π/Ω)	**3**	3	3	3	3	3	3	3	3		
Показатель направленности источника Di, дБ		исходные данные	**0**	0	0	0	0	0	0	0	0		
Поправка на направленность источника Dc, дБ	Dc	DΩ + Di	**3**	3	3	3	3	3	3	3	3		
Затухание из-за геометрической дивергенции, Adiv, дБ	расстояние = 844.93 м	ф-ла (7) [10]	**69,5**										
Коэффициент затухания звука в атмосфере α, дБ/км	Ta=20,°C Pa=101.33,кПа hотн.=70%	ф-ла (5) [9]	0,02	0,09	0,33	1,12	2,79	4,98	9,04	23,09	77,63		
Учет затухания звука в атмосфере Aatm, дБ		ф-ла (8) [10]	0	0,1	0,3	0,9	2,4	4,2	7,6	19,5	65,6		
Снижение уровня звукового давления из-за влияния застройки между источником шума и расчетной точкой													
Снижение уровня звукового давления на пути над экраном, Dz1, дБ	z = 0.27м (разность путей)	ф-лы (14-18) [10]	4,8	4,8	4,8	4,9	5	5,3	5,7	6,5	7,8		

1		2	3	4	5	6	7	8	9	10	11	12	13
Снижение уровня звукового давления на пути слева от экрана, Dz2, дБ	z = 54.70м (разность путей)	ф-лы (14-18) [10]	27,6	30,8	33,8	36,8	39,8	42,9	45,9	48,9	51,9		
Снижение уровня звукового давления на пути справа от экрана, Dz3, дБ	z = 11.54м (разность путей)	ф-лы (14-18) [10]	20,8	24,1	27,1	30,1	33,1	36,1	39,1	42,1	45,1		
Общее снижение уровня звука препятствием Dz, дБ		Эн.сумма(-Dzi)	4,7	4,7	4,8	4,9	5	5,3	5,7	6,5	7,8		
Уровни звукового давления прямого звука от источника ИШ-2-38 в расчётной точке днём, дБ		**ф-ла(3)[10]**	**0**	**21,9**	**23,1**	**23,6**	**22,4**	**19,9**	**12,7**	**0**	**0**	**23,8**	**23,8**
Уровни звукового давления прямого звука от источника ИШ-2-38 в расчётной точке ночью, дБ		**ф-ла(3)[10]**	**0**	**21,9**	**23,1**	**23,6**	**22,4**	**19,9**	**12,7**	**0**	**0**	**23,8**	**23,8**
Расчёт отражённого звука													
Уровни звукового давления от мнимого источника ИШ-2-38_мн.(1) в расчётной точке днём, дБ		**ф-ла(3)[10]**	**0**	**0**	**0**	**0**	**0**	**0**	**0**	**0**	**0**	**0**	**0**
Уровни звукового давления от мнимого источника ИШ-2-38_мн.(1) в расчётной точке ночью, дБ		**ф-ла(3)[10]**	**0**	**0**	**0**	**0**	**0**	**0**	**0**	**0**	**0**	**0**	**0**
Уровни звукового давления от источника ИШ-2-38 в расчётной точке днём, дБ		**ф-ла(3)[10]**	**0**	**21,9**	**23,1**	**23,6**	**22,4**	**19,9**	**12,7**	**0**	**0**	**23,8**	**23,8**
Уровни звукового давления от источника ИШ-2-38 в расчётной точке ночью, дБ		**ф-ла(3)[10]**	**0**	**21,9**	**23,1**	**23,6**	**22,4**	**19,9**	**12,7**	**0**	**0**	**23,8**	**23,8**
Источник шума: ИШ-2-39, координаты источника (x,y,z), м =[687.11,-122.83,1.00]													
Уровни звуковой мощности источника днём, Lw, дБ		**исходные данные**	**0**	**93,3**	**94,7**	**96**	**96,3**	**95,9**	**92,6**	**88,4**	**83,9**		
Уровни звуковой мощности источника ночью, Lw, дБ		**исходные данные**	**0**	**93,3**	**94,7**	**96**	**96,3**	**95,9**	**92,6**	**88,4**	**83,9**		
Поправка на телесный угол DΩ, дБ	Ω = 6.28	10Lg(4π/Ω)	**3**	3	3	3	3	3	3	3	3		
Показатель направленности источника Di, дБ		исходные данные	**0**	0	0	0	0	0	0	0	0		
Поправка на направленность источника Dc, дБ	Dc	DΩ + Di	**3**	3	3	3	3	3	3	3	3		
Затухание из-за геометрической дивергенции, Adiv, дБ	расстояние = 846.50 м	ф-ла (7) [10]	**69,6**										

1		2	3	4	5	6	7	8	9	10	11	12	13
Коэффициент затухания звука в атмосфере α, дБ/км	Та=20,°С Ра=101.33,кПа hотн.=70%	ф-ла (5) [9]	0,02	0,09	0,33	1,12	2,79	4,98	9,04	23,09	77,63		
Учет затухания звука в атмосфере Aatm, дБ		ф-ла (8) [10]	0	0,1	0,3	1	2,4	4,2	7,7	19,5	65,7		
Снижение уровня звукового давления из-за влияния застройки между источником шума и расчетной точкой													
Снижение уровня звукового давления на пути над экраном, Dz1, дБ	z = 0.27м (разность путей)	ф-лы (14-18) [10]	4,8	4,8	4,8	4,9	5	5,3	5,7	6,5	7,8		
Снижение уровня звукового давления на пути слева от экрана, Dz2, дБ	z = 53.39м (разность путей)	ф-лы (14-18) [10]	27,5	30,7	33,7	36,7	39,7	42,8	45,8	48,8	51,8		
Снижение уровня звукового давления на пути справа от экрана, Dz3, дБ	z = 12.16м (разность путей)	ф-лы (14-18) [10]	21,1	24,3	27,3	30,3	33,3	36,3	39,3	42,3	45,4		
Общее снижение уровня звука препятствием Dz, дБ		Эн.сумма(-Dzi)	4,7	4,7	4,8	4,9	5	5,3	5,7	6,5	7,8		
Уровни звукового давления прямого звука от источника ИШ-2-39 в расчётной точке днём, дБ		**ф-ла(3)[10]**	**0**	**21,9**	**23**	**23,6**	**22,3**	**19,8**	**12,6**	**0**	**0**	**23,8**	**23,8**
Уровни звукового давления прямого звука от источника ИШ-2-39 в расчётной точке ночью, дБ		**ф-ла(3)[10]**	**0**	**21,9**	**23**	**23,6**	**22,3**	**19,8**	**12,6**	**0**	**0**	**23,8**	**23,8**
Расчёт отражённого звука													
Уровни звукового давления от мнимого источника ИШ-2-39_мн.(1) в расчётной точке днём, дБ		**ф-ла(3)[10]**	**0**	**0**	**0**	**0**	**0**	**0**	**0**	**0**	**0**	**0**	**0**
Уровни звукового давления от мнимого источника ИШ-2-39_мн.(1) в расчётной точке ночью, дБ		**ф-ла(3)[10]**	**0**	**0**	**0**	**0**	**0**	**0**	**0**	**0**	**0**	**0**	**0**
Уровни звукового давления от источника ИШ-2-39 в расчётной точке днём, дБ		**ф-ла(3)[10]**	**0**	**21,9**	**23**	**23,6**	**22,3**	**19,8**	**12,6**	**0**	**0**	**23,8**	**23,8**
Уровни звукового давления от источника ИШ-2-39 в расчётной точке ночью, дБ		**ф-ла(3)[10]**	**0**	**21,9**	**23**	**23,6**	**22,3**	**19,8**	**12,6**	**0**	**0**	**23,8**	**23,8**
Источник шума: ИШ-2-40, координаты источника (x,y,z), м =[686.10,-125.67,1.00]													
Уровни звуковой мощности источника днём, Lw, дБ		**исходные данные**	**0**	**93,3**	**94,7**	**96**	**96,3**	**95,9**	**92,6**	**88,4**	**83,9**		

1		2	3	4	5	6	7	8	9	10	11	12	13
Уровни звуковой мощности источника ночью, Lw, дБ		**исходные данные**	**0**	**93,3**	**94,7**	**96**	**96,3**	**95,9**	**92,6**	**88,4**	**83,9**		
Поправка на телесный угол DΩ, дБ	Ω = 6.28	10Lg(4π/Ω)	**3**	3	3	3	3	3	3	3	3		
Показатель направленности источника Di, дБ		исходные данные	**0**	0	0	0	0	0	0	0	0		
Поправка на направленность источника Dc, дБ	Dc	DΩ + Di	**3**	3	3	3	3	3	3	3	3		
Затухание из-за геометрической дивергенции, Adiv, дБ	расстояние = 848.03 м	ф-ла (7) [10]	**69,6**										
Коэффициент затухания звука в атмосфере α, дБ/км	Ta=20,°C Pa=101.33,кПа hотн.=70%	ф-ла (5) [9]	0,02	0,09	0,33	1,12	2,79	4,98	9,04	23,09	77,63		
Учет затухания звука в атмосфере Aatm, дБ		ф-ла (8) [10]	0	0,1	0,3	1	2,4	4,2	7,7	19,6	65,8		
Снижение уровня звукового давления из-за влияния застройки между источником шума и расчетной точкой													
Снижение уровня звукового давления на пути над экраном, Dz1, дБ	z = 0.27м (разность путей)	ф-лы (14-18) [10]	4,8	4,8	4,8	4,9	5	5,3	5,8	6,6	7,8		
Снижение уровня звукового давления на пути слева от экрана, Dz2, дБ	z = 52.14м (разность путей)	ф-лы (14-18) [10]	27,4	30,6	33,6	36,6	39,6	42,6	45,7	48,7	51,7		
Снижение уровня звукового давления на пути справа от экрана, Dz3, дБ	z = 12.78м (разность путей)	ф-лы (14-18) [10]	21,3	24,5	27,5	30,5	33,5	36,5	39,6	42,6	45,6		
Общее снижение уровня звука препятствием Dz, дБ		Эн.сумма(-Dzi)	4,7	4,7	4,8	4,9	5	5,3	5,8	6,6	7,8		
Уровни звукового давления от источника ИШ-2-40 в расчётной точке днём, дБ		**ф-ла(3)[10]**	**0**	**21,9**	**23**	**23,6**	**22,3**	**19,8**	**12,6**	**0**	**0**	**23,8**	**23,8**
Уровни звукового давления от источника ИШ-2-40 в расчётной точке ночью, дБ		**ф-ла(3)[10]**	**0**	**21,9**	**23**	**23,6**	**22,3**	**19,8**	**12,6**	**0**	**0**	**23,8**	**23,8**
Источник шума: ИШ-2-41, координаты источника (x,y,z), м =[685.14,-128.64,1.00]													
Уровни звуковой мощности источника днём, Lw, дБ		**исходные данные**	**0**	**93,3**	**94,7**	**96**	**96,3**	**95,9**	**92,6**	**88,4**	**83,9**		

1		2	3	4	5	6	7	8	9	10	11	12	13
Уровни звуковой мощности источника ночью, Lw, дБ		**исходные данные**	**0**	**93,3**	**94,7**	**96**	**96,3**	**95,9**	**92,6**	**88,4**	**83,9**		
Поправка на телесный угол DΩ, дБ	Ω = 6.28	10Lg(4π/Ω)	**3**	3	3	3	3	3	3	3	3		
Показатель направленности источника Di, дБ		исходные данные	**0**	0	0	0	0	0	0	0	0		
Поправка на направленность источника Dc, дБ	Dc	DΩ + Di	**3**	3	3	3	3	3	3	3	3		
Затухание из-за геометрической дивергенции, Adiv, дБ	расстояние = 849.70 м	ф-ла (7) [10]	**69,6**										
Коэффициент затухания звука в атмосфере α, дБ/км	Ta=20,°C Pa=101.33,кПа hотн.=70%	ф-ла (5) [9]	0,02	0,09	0,33	1,12	2,79	4,98	9,04	23,09	77,63		
Учет затухания звука в атмосфере Aatm, дБ		ф-ла (8) [10]	0	0,1	0,3	1	2,4	4,2	7,7	19,6	66		
Снижение уровня звукового давления из-за влияния застройки между источником шума и расчетной точкой													
Снижение уровня звукового давления на пути над экраном, Dz1, дБ	z = 0.27м (разность путей)	ф-лы (14-18) [10]	4,8	4,8	4,8	4,9	5	5,3	5,8	6,6	7,8		
Снижение уровня звукового давления на пути слева от экрана, Dz2, дБ	z = 57.41м (разность путей)	ф-лы (14-18) [10]	26,7	30,6	33,9	37	40	43,1	46,1	49,1	52,1		
Снижение уровня звукового давления на пути справа от экрана, Dz3, дБ	z = 12.13м (разность путей)	ф-лы (14-18) [10]	20,6	24,1	27,2	30,3	33,3	36,3	39,3	42,3	45,3		
Общее снижение уровня звука препятствием Dz, дБ		Эн.сумма(-Dzi)	4,6	4,7	4,8	4,9	5	5,3	5,8	6,6	7,8		
Уровни звукового давления от источника ИШ-2-41 в расчётной точке днём, дБ		**ф-ла(3)[10]**	**0**	**21,9**	**23**	**23,6**	**22,3**	**19,8**	**12,6**	**0**	**0**	**23,7**	**23,7**
Уровни звукового давления от источника ИШ-2-41 в расчётной точке ночью, дБ		**ф-ла(3)[10]**	**0**	**21,9**	**23**	**23,6**	**22,3**	**19,8**	**12,6**	**0**	**0**	**23,7**	**23,7**
Источник шума: ИШ-2-42, координаты источника (x,y,z), м =[684.20,-131.46,1.00]													
Уровни звуковой мощности источника днём, Lw, дБ		**исходные данные**	**0**	**93,3**	**94,7**	**96**	**96,3**	**95,9**	**92,6**	**88,4**	**83,9**		

1		2	3	4	5	6	7	8	9	10	11	12	13
Уровни звуковой мощности источника ночью, Lw, дБ		**исходные данные**	**0**	**93,3**	**94,7**	**96**	**96,3**	**95,9**	**92,6**	**88,4**	**83,9**		
Поправка на телесный угол DΩ, дБ	Ω = 6.28	10Lg(4π/Ω)	**3**	3	3	3	3	3	3	3	3		
Показатель направленности источника Di, дБ		исходные данные	**0**	0	0	0	0	0	0	0	0		
Поправка на направленность источника Dc, дБ	Dc	DΩ + Di	**3**	3	3	3	3	3	3	3	3		
Затухание из-за геометрической дивергенции, Adiv, дБ	расстояние = 851.28 м	ф-ла (7) [10]	**69,6**										
Коэффициент затухания звука в атмосфере α, дБ/км	Ta=20,°C Pa=101.33,кПа hотн.=70%	ф-ла (5) [9]	0,02	0,09	0,33	1,12	2,79	4,98	9,04	23,09	77,63		
Учет затухания звука в атмосфере Aatm, дБ		ф-ла (8) [10]	0	0,1	0,3	1	2,4	4,2	7,7	19,7	66,1		
Снижение уровня звукового давления из-за влияния застройки между источником шума и расчетной точкой													
Снижение уровня звукового давления на пути над экраном, Dz1, дБ	z = 0.27м (разность путей)	ф-лы (14-18) [10]	4,8	4,8	4,8	4,9	5	5,3	5,8	6,6	7,8		
Снижение уровня звукового давления на пути слева от экрана, Dz2, дБ	z = 56.24м (разность путей)	ф-лы (14-18) [10]	26,6	30,5	33,8	36,9	40	43	46	49	52		
Снижение уровня звукового давления на пути справа от экрана, Dz3, дБ	z = 12.61м (разность путей)	ф-лы (14-18) [10]	20,8	24,3	27,4	30,5	33,5	36,5	39,5	42,5	45,5		
Общее снижение уровня звука препятствием Dz, дБ		Эн.сумма(-Dzi)	4,7	4,7	4,8	4,9	5	5,3	5,8	6,6	7,8		
Уровни звукового давления от источника ИШ-2-42 в расчётной точке днём, дБ		**ф-ла(3)[10]**	**0**	**21,9**	**23**	**23,5**	**22,3**	**19,8**	**12,5**	**0**	**0**	**23,7**	**23,7**
Уровни звукового давления от источника ИШ-2-42 в расчётной точке ночью, дБ		**ф-ла(3)[10]**	**0**	**21,9**	**23**	**23,5**	**22,3**	**19,8**	**12,5**	**0**	**0**	**23,7**	**23,7**
Источник шума: ИШ-2-43, координаты источника (x,y,z), м =[683.13,-134.37,1.00]													
Уровни звуковой мощности источника днём, Lw, дБ		**исходные данные**	**0**	**93,3**	**94,7**	**96**	**96,3**	**95,9**	**92,6**	**88,4**	**83,9**		

1		2	3	4	5	6	7	8	9	10	11	12	13
Уровни звуковой мощности источника ночью, Lw, дБ		**исходные данные**	**0**	**93,3**	**94,7**	**96**	**96,3**	**95,9**	**92,6**	**88,4**	**83,9**		
Поправка на телесный угол DΩ, дБ	Ω = 6.28	10Lg(4π/Ω)	**3**	3	3	3	3	3	3	3	3		
Показатель направленности источника Di, дБ		исходные данные	**0**	0	0	0	0	0	0	0	0		
Поправка на направленность источника Dc, дБ	Dc	DΩ + Di	**3**	3	3	3	3	3	3	3	3		
Затухание из-за геометрической дивергенции, Adiv, дБ	расстояние = 852.86 м	ф-ла (7) [10]	**69,6**										
Коэффициент затухания звука в атмосфере α, дБ/км	Ta=20,°C Pa=101.33,кПа hотн.=70%	ф-ла (5) [9]	0,02	0,09	0,33	1,12	2,79	4,98	9,04	23,09	77,63		
Учет затухания звука в атмосфере Aatm, дБ		ф-ла (8) [10]	0	0,1	0,3	1	2,4	4,2	7,7	19,7	66,2		
Снижение уровня звукового давления из-за влияния застройки между источником шума и расчетной точкой													
Снижение уровня звукового давления на пути над экраном, Dz1, дБ	z = 0.27м (разность путей)	ф-лы (14-18) [10]	4,8	4,8	4,8	4,9	5	5,3	5,8	6,6	7,9		
Снижение уровня звукового давления на пути слева от экрана, Dz2, дБ	z = 55.02м (разность путей)	ф-лы (14-18) [10]	26,5	30,4	33,7	36,8	39,9	42,9	45,9	48,9	51,9		
Снижение уровня звукового давления на пути справа от экрана, Dz3, дБ	z = 13.13м (разность путей)	ф-лы (14-18) [10]	21	24,5	27,6	30,6	33,7	36,7	39,7	42,7	45,7		
Общее снижение уровня звука препятствием Dz, дБ		Эн.сумма(-Dzi)	4,7	4,7	4,8	4,9	5	5,3	5,8	6,6	7,9		
Уровни звукового давления от источника ИШ-2-43 в расчётной точке днём, дБ		**ф-ла(3)[10]**	**0**	**21,9**	**23**	**23,5**	**22,3**	**19,7**	**12,5**	**0**	**0**	**23,7**	**23,7**
Уровни звукового давления от источника ИШ-2-43 в расчётной точке ночью, дБ		**ф-ла(3)[10]**	**0**	**21,9**	**23**	**23,5**	**22,3**	**19,7**	**12,5**	**0**	**0**	**23,7**	**23,7**
Источник шума: ИШ-2-44, координаты источника (x,y,z), м =[682.20,-137.16,1.00]													
Уровни звуковой мощности источника днём, Lw, дБ		**исходные данные**	**0**	**93,3**	**94,7**	**96**	**96,3**	**95,9**	**92,6**	**88,4**	**83,9**		

1		2	3	4	5	6	7	8	9	10	11	12	13
Уровни звуковой мощности источника ночью, Lw, дБ		**исходные данные**	**0**	**93,3**	**94,7**	**96**	**96,3**	**95,9**	**92,6**	**88,4**	**83,9**		
Поправка на телесный угол DΩ, дБ	Ω = 6.28	10Lg(4π/Ω)	**3**	3	3	3	3	3	3	3	3		
Показатель направленности источника Di, дБ		исходные данные	**0**	0	0	0	0	0	0	0	0		
Поправка на направленность источника Dc, дБ	Dc	DΩ + Di	**3**	3	3	3	3	3	3	3	3		
Затухание из-за геометрической дивергенции, Adiv, дБ	расстояние = 854.44 м	ф-ла (7) [10]	**69,6**										
Коэффициент затухания звука в атмосфере α, дБ/км	Ta=20,°C Pa=101.33,кПа hотн.=70%	ф-ла (5) [9]	0,02	0,09	0,33	1,12	2,79	4,98	9,04	23,09	77,63		
Учет затухания звука в атмосфере Aatm, дБ		ф-ла (8) [10]	0	0,1	0,3	1	2,4	4,3	7,7	19,7	66,3		
Снижение уровня звукового давления из-за влияния застройки между источником шума и расчетной точкой													
Снижение уровня звукового давления на пути над экраном, Dz1, дБ	z = 0.27м (разность путей)	ф-лы (14-18) [10]	4,8	4,8	4,8	4,9	5	5,3	5,8	6,6	7,9		
Снижение уровня звукового давления на пути слева от экрана, Dz2, дБ	z = 53.89м (разность путей)	ф-лы (14-18) [10]	26,4	30,3	33,6	36,7	39,8	42,8	45,8	48,8	51,8		
Снижение уровня звукового давления на пути справа от экрана, Dz3, дБ	z = 13.63м (разность путей)	ф-лы (14-18) [10]	21,1	24,6	27,8	30,8	33,8	36,8	39,8	42,8	45,9		
Общее снижение уровня звука препятствием Dz, дБ		Эн.сумма(-Dzi)	4,7	4,7	4,8	4,9	5	5,3	5,8	6,6	7,9		
Уровни звукового давления от источника ИШ-2-44 в расчётной точке днём, дБ		**ф-ла(3)[10]**	**0**	**21,8**	**23**	**23,5**	**22,2**	**19,7**	**12,5**	**0**	**0**	**23,7**	**23,7**
Уровни звукового давления от источника ИШ-2-44 в расчётной точке ночью, дБ		**ф-ла(3)[10]**	**0**	**21,8**	**23**	**23,5**	**22,2**	**19,7**	**12,5**	**0**	**0**	**23,7**	**23,7**
Источник шума: ИШ-2-45, координаты источника (x,y,z), м =[681.26,-139.98,1.00]													
Уровни звуковой мощности источника днём, Lw, дБ		**исходные данные**	**0**	**93,3**	**94,7**	**96**	**96,3**	**95,9**	**92,6**	**88,4**	**83,9**		

1		2	3	4	5	6	7	8	9	10	11	12	13
Уровни звуковой мощности источника ночью, Lw, дБ		**исходные данные**	**0**	**93,3**	**94,7**	**96**	**96,3**	**95,9**	**92,6**	**88,4**	**83,9**		
Поправка на телесный угол DΩ, дБ	Ω = 6.28	10Lg(4π/Ω)	**3**	3	3	3	3	3	3	3	3		
Показатель направленности источника Di, дБ		исходные данные	**0**	0	0	0	0	0	0	0	0		
Поправка на направленность источника Dc, дБ	Dc	DΩ + Di	**3**	3	3	3	3	3	3	3	3		
Затухание из-за геометрической дивергенции, Adiv, дБ	расстояние = 856.04 м	ф-ла (7) [10]	**69,6**										
Коэффициент затухания звука в атмосфере α, дБ/км	Ta=20,°C Pa=101.33,кПа hотн.=70%	ф-ла (5) [9]	0,02	0,09	0,33	1,12	2,79	4,98	9,04	23,09	77,63		
Учет затухания звука в атмосфере Aatm, дБ		ф-ла (8) [10]	0	0,1	0,3	1	2,4	4,3	7,7	19,8	66,5		
Снижение уровня звукового давления из-за влияния застройки между источником шума и расчетной точкой													
Снижение уровня звукового давления на пути над экраном, Dz1, дБ	z = 0.32м (разность путей)	ф-лы (14-18) [10]	4,9	5,1	5,3	5,8	6,6	7,9	9,7	12	14,6		
Снижение уровня звукового давления на пути слева от экрана, Dz2, дБ	z = 52.77м (разность путей)	ф-лы (14-18) [10]	26,3	30,3	33,6	36,7	39,7	42,7	45,7	48,7	51,7		
Снижение уровня звукового давления на пути справа от экрана, Dz3, дБ	z = 14.13м (разность путей)	ф-лы (14-18) [10]	21,3	24,8	27,9	31	34	37	40	43	46		
Общее снижение уровня звука препятствием Dz, дБ		Эн.сумма(-Dzi)	4,8	5	5,3	5,8	6,6	7,9	9,7	12	14,6		
Уровни звукового давления от источника ИШ-2-45 в расчётной точке днём, дБ		**ф-ла(3)[10]**	**0**	**21,6**	**22,5**	**22,6**	**20,6**	**17,1**	**8,5**	**0**	**0**	**21,6**	**21,6**
Уровни звукового давления от источника ИШ-2-45 в расчётной точке ночью, дБ		**ф-ла(3)[10]**	**0**	**21,6**	**22,5**	**22,6**	**20,6**	**17,1**	**8,5**	**0**	**0**	**21,6**	**21,6**
Источник шума: ИШ-4-1, координаты источника (x,y,z), м =[141.82,201.03,1.00]													
Уровни звуковой мощности источника днём, Lw, дБ		**исходные данные**	**0**	**90,3**	**91,7**	**93**	**93,3**	**92,9**	**89,6**	**85,4**	**80,9**		

1		2	3	4	5	6	7	8	9	10	11	12	13
Уровни звуковой мощности источника ночью, Lw, дБ		**исходные данные**	**0**	**90,3**	**91,7**	**93**	**93,3**	**92,9**	**89,6**	**85,4**	**80,9**		
Поправка на телесный угол DΩ, дБ	Ω = 6.28	10Lg(4π/Ω)	**3**	3	3	3	3	3	3	3	3		
Показатель направленности источника Di, дБ		исходные данные	**0**	0	0	0	0	0	0	0	0		
Поправка на направленность источника Dc, дБ	Dc	DΩ + Di	**3**	3	3	3	3	3	3	3	3		
Затухание из-за геометрической дивергенции, Adiv, дБ	расстояние = 325.52 м	ф-ла (7) [10]	**61,3**										
Коэффициент затухания звука в атмосфере α, дБ/км	Ta=20,°C Pa=101.33,кПа hотн.=70%	ф-ла (5) [9]	0,02	0,09	0,33	1,12	2,79	4,98	9,04	23,09	77,63		
Учет затухания звука в атмосфере Aatm, дБ		ф-ла (8) [10]	0	0	0,1	0,4	0,9	1,6	2,9	7,5	25,3		
Снижение уровня звукового давления из-за влияния застройки между источником шума и расчетной точкой													
Снижение уровня звукового давления на пути над экраном, Dz1, дБ	z = 0.88м (разность путей)	ф-лы (14-18) [10]	6,6	8,5	11,6	15,1	18,4	21,5	24,5	27,5	30,5		
Снижение уровня звукового давления на пути слева от экрана, Dz2, дБ	z = 71.56м (разность путей)	ф-лы (14-18) [10]	25	29,3	33,8	37,6	40,9	44	47	50	53,1		
Снижение уровня звукового давления на пути справа от экрана, Dz3, дБ	z = 0.38м (разность путей)	ф-лы (14-18) [10]	6,5	7,7	9,4	11,6	14,1	16,8	19,7	22,6	25,6		
Общее снижение уровня звука препятствием Dz, дБ		Эн.сумма(-Dzi)	3,5	5	7,3	10	12,7	15,5	18,4	21,4	24,4		
Уровни звукового давления от источника ИШ-4-1 в расчётной точке днём, дБ		**ф-ла(3)[10]**	**0**	**27**	**26**	**24,4**	**21,4**	**17,5**	**10**	**0**	**0**	**22,7**	**22,7**
Уровни звукового давления от источника ИШ-4-1 в расчётной точке ночью, дБ		**ф-ла(3)[10]**	**0**	**27**	**26**	**24,4**	**21,4**	**17,5**	**10**	**0**	**0**	**22,7**	**22,7**
Источник шума: ИШ-4-2, координаты источника (x,y,z), м =[133.85,183.21,1.00]													
Уровни звуковой мощности источника днём, Lw, дБ		**исходные данные**	**0**	**90,3**	**91,7**	**93**	**93,3**	**92,9**	**89,6**	**85,4**	**80,9**		

1		2	3	4	5	6	7	8	9	10	11	12	13
Уровни звуковой мощности источника ночью, Lw, дБ		**исходные данные**	**0**	**90,3**	**91,7**	**93**	**93,3**	**92,9**	**89,6**	**85,4**	**80,9**		
Поправка на телесный угол DΩ, дБ	Ω = 6.28	10Lg(4π/Ω)	**3**	3	3	3	3	3	3	3	3		
Показатель направленности источника Di, дБ		исходные данные	**0**	0	0	0	0	0	0	0	0		
Поправка на направленность источника Dc, дБ	Dc	DΩ + Di	**3**	3	3	3	3	3	3	3	3		
Затухание из-за геометрической дивергенции, Adiv, дБ	расстояние = 343.48 м	ф-ла (7) [10]	**61,7**										
Коэффициент затухания звука в атмосфере α, дБ/км	Ta=20,°C Pa=101.33,кПа hотн.=70%	ф-ла (5) [9]	0,02	0,09	0,33	1,12	2,79	4,98	9,04	23,09	77,63		
Учет затухания звука в атмосфере Aatm, дБ		ф-ла (8) [10]	0	0	0,1	0,4	1	1,7	3,1	7,9	26,7		
Снижение уровня звукового давления из-за влияния застройки между источником шума и расчетной точкой													
Снижение уровня звукового давления на пути над экраном, Dz1, дБ	z = 0.91м (разность путей)	ф-лы (14-18) [10]	7,1	9,5	12,7	15,8	18,8	21,7	24,7	27,7	30,7		
Снижение уровня звукового давления на пути слева от экрана, Dz2, дБ	z = 40.24м (разность путей)	ф-лы (14-18) [10]	22,6	26,8	31,3	35,1	38,4	41,5	44,5	47,5	50,6		
Снижение уровня звукового давления на пути справа от экрана, Dz3, дБ	z = 1.12м (разность путей)	ф-лы (14-18) [10]	8,6	10,5	12,9	15,6	18,4	21,3	24,3	27,3	30,3		
Общее снижение уровня звука препятствием Dz, дБ		Эн.сумма(-Dzi)	4,7	7	9,8	12,6	15,5	18,5	21,4	24,4	27,4		
Общее снижение уровня звука препятствием с учётом ограничения (25 дБ) для октавных полос Dz, дБ		Раздел 7.4 [10]	4,7	7	9,8	12,6	15,5	18,5	21,4	24,4	25		
Уровни звукового давления от источника ИШ-4-2 в расчётной точке днём, дБ		**ф-ла(3)[10]**	**0**	**24,6**	**23,1**	**21,2**	**18,1**	**14**	**6,3**	**0**	**0**	**19,3**	**19,3**
Уровни звукового давления от источника ИШ-4-2 в расчётной точке ночью, дБ		**ф-ла(3)[10]**	**0**	**24,6**	**23,1**	**21,2**	**18,1**	**14**	**6,3**	**0**	**0**	**19,3**	**19,3**

Источник шума: ИШ-4-3, координаты источника (x,y,z), м =[152.61,172.66,1.00]

1		2	3	4	5	6	7	8	9	10	11	12	13
Уровни звуковой мощности источника днём, Lw, дБ		**исходные данные**	**0**	**90,3**	**91,7**	**93**	**93,3**	**92,9**	**89,6**	**85,4**	**80,9**		
Уровни звуковой мощности источника ночью, Lw, дБ		**исходные данные**	**0**	**90,3**	**91,7**	**93**	**93,3**	**92,9**	**89,6**	**85,4**	**80,9**		
Поправка на телесный угол DΩ, дБ	Ω = 6.28	10Lg(4π/Ω)	**3**	3	3	3	3	3	3	3	3		
Показатель направленности источника Di, дБ		исходные данные	**0**	0	0	0	0	0	0	0	0		
Поправка на направленность источника Dc, дБ	Dc	DΩ + Di	**3**	3	3	3	3	3	3	3	3		
Затухание из-за геометрической дивергенции, Adiv, дБ	расстояние = 353.98 м	ф-ла (7) [10]	**62**										
Коэффициент затухания звука в атмосфере α, дБ/км	Ta=20,°C Pa=101.33,кПа hотн.=70%	ф-ла (5) [9]	0,02	0,09	0,33	1,12	2,79	4,98	9,04	23,09	77,63		
Учет затухания звука в атмосфере Aatm, дБ		ф-ла (8) [10]	0	0	0,1	0,4	1	1,8	3,2	8,2	27,5		
Снижение уровня звукового давления из-за влияния застройки между источником шума и расчетной точкой													
Снижение уровня звукового давления препятствием слева от трассы ИШ-РТ, Dz2, дБ	z = -0.01м (разность путей)	ф-лы (14-18) [10]	4,7	4,7	4,6	4,4	4	3,1	0,4	NAN	NAN		
* отрицательное значение z означает прохождение траектории вблизи экрана, в этом случае дополнительно производится учёт снижения подстилающей поверхностью (см.ниже)													
Снижение поверхностью земли возле источника As, дБ	Gs = 0 hs = 1м	ф-лы таб.3 [10]	-1,5	-1,5	-1,5	-1,5	-1,5	-1,5	-1,5	-1,5	-1,5		
Снижение поверхностью земли возле приёмника Ar, дБ	Gr = 1 hr = 1.5м	ф-лы таб.3 [10]	-1,5	-1,5	2,1	7	5	0,7	0	0	0		
Снижение поверхностью земли в средней зоне, Am дБ	Gm = 1	ф-лы таб.3 [10]	-2,4	-2,4	0	0	0	0	0	0	0		
Суммарное снижение поверхностью земли на траектории распространения звука Agr, дБ		ф-ла (9) [10]	-5,4	-5,4	0,6	5,5	3,5	-0,8	-1,5	-1,5	-1,5		
Уровни звукового давления прямого звука от источника ИШ-4-3 в расчётной точке днём, дБ		**ф-ла(3)[10]**	**0**	**32**	**27,4**	**23,7**	**25,8**	**29,9**	**28,5**	**19,7**	**0**	**33,5**	**33,5**
Уровни звукового давления прямого звука от источника ИШ-4-3 в расчётной точке ночью, дБ		**ф-ла(3)[10]**	**0**	**32**	**27,4**	**23,7**	**25,8**	**29,9**	**28,5**	**19,7**	**0**	**33,5**	**33,5**
Расчёт отражённого звука													

1		2	3	4	5	6	7	8	9	10	11	12	13
Уровни звукового давления от мнимого источника ИШ-4-3_мн.(1) в расчётной точке днём, дБ		**ф-ла(3)[10]**	**0**	**0**	**0**	**0**	**0**	**0**	**0**	**0**	**0**	**0**	**0**
Уровни звукового давления от мнимого источника ИШ-4-3_мн.(1) в расчётной точке ночью, дБ		**ф-ла(3)[10]**	**0**	**0**	**0**	**0**	**0**	**0**	**0**	**0**	**0**	**0**	**0**
Уровни звукового давления от источника ИШ-4-3 в расчётной точке днём, дБ		**ф-ла(3)[10]**	**0**	**32**	**27,4**	**23,7**	**25,8**	**29,9**	**28,5**	**19,7**	**0**	**33,5**	**33,5**
Уровни звукового давления от источника ИШ-4-3 в расчётной точке ночью, дБ		**ф-ла(3)[10]**	**0**	**32**	**27,4**	**23,7**	**25,8**	**29,9**	**28,5**	**19,7**	**0**	**33,5**	**33,5**
Источник шума: ИШ-4-4, координаты источника (x,y,z), м =[156.83,171.25,1.00]													
Уровни звуковой мощности источника днём, Lw, дБ		**исходные данные**	**0**	**90,3**	**91,7**	**93**	**93,3**	**92,9**	**89,6**	**85,4**	**80,9**		
Уровни звуковой мощности источника ночью, Lw, дБ		**исходные данные**	**0**	**90,3**	**91,7**	**93**	**93,3**	**92,9**	**89,6**	**85,4**	**80,9**		
Поправка на телесный угол DΩ, дБ	Ω = 6.28	10Lg(4π/Ω)	**3**	3	3	3	3	3	3	3	3		
Показатель направленности источника Di, дБ		исходные данные	**0**	0	0	0	0	0	0	0	0		
Поправка на направленность источника Dc, дБ	Dc	DΩ + Di	**3**	3	3	3	3	3	3	3	3		
Затухание из-за геометрической дивергенции, Adiv, дБ	расстояние = 355.52 м	ф-ла (7) [10]	**62**										
Коэффициент затухания звука в атмосфере α, дБ/км	Ta=20,°C Pa=101.33,кПа hотн.=70%	ф-ла (5) [9]	0,02	0,09	0,33	1,12	2,79	4,98	9,04	23,09	77,63		
Учет затухания звука в атмосфере Aatm, дБ		ф-ла (8) [10]	0	0	0,1	0,4	1	1,8	3,2	8,2	27,6		
Снижение поверхностью земли возле источника As, дБ	Gs = 0 hs = 1м	ф-лы таб.3 [10]	-1,5	-1,5	-1,5	-1,5	-1,5	-1,5	-1,5	-1,5	-1,5		
Снижение поверхностью земли возле приёмника Ar, дБ	Gr = 1 hr = 1.5м	ф-лы таб.3 [10]	-1,5	-1,5	2,1	7	5	0,7	0	0	0		
Снижение поверхностью земли в средней зоне, Am дБ	Gm = 1	ф-лы таб.3 [10]	-2,4	-2,4	0	0	0	0	0	0	0		

1		2	3	4	5	6	7	8	9	10	11	12	13
Суммарное снижение поверхностью земли на траектории распространения звука Agr, дБ		ф-ла (9) [10]	-5,4	-5,4	0,6	5,5	3,5	-0,8	-1,5	-1,5	-1,5		
Уровни звукового давления прямого звука от источника ИШ-4-4 в расчётной точке днём, дБ		**ф-ла(3)[10]**	**0**	**36,6**	**32**	**28,1**	**29,8**	**32,9**	**28,9**	**19,7**	**0**	**35,7**	**35,7**
Уровни звукового давления прямого звука от источника ИШ-4-4 в расчётной точке ночью, дБ		**ф-ла(3)[10]**	**0**	**36,6**	**32**	**28,1**	**29,8**	**32,9**	**28,9**	**19,7**	**0**	**35,7**	**35,7**
Расчёт отражённого звука													
Уровни звукового давления от мнимого источника ИШ-4-4_мн.(1) в расчётной точке днём, дБ		**ф-ла(3)[10]**	**0**	**0**	**0**	**0**	**0**	**0**	**0**	**0**	**0**	**0**	**0**
Уровни звукового давления от мнимого источника ИШ-4-4_мн.(1) в расчётной точке ночью, дБ		**ф-ла(3)[10]**	**0**	**0**	**0**	**0**	**0**	**0**	**0**	**0**	**0**	**0**	**0**
Уровни звукового давления от источника ИШ-4-4 в расчётной точке днём, дБ		**ф-ла(3)[10]**	**0**	**36,6**	**32**	**28,1**	**29,8**	**32,9**	**28,9**	**19,7**	**0**	**35,7**	**35,7**
Уровни звукового давления от источника ИШ-4-4 в расчётной точке ночью, дБ		**ф-ла(3)[10]**	**0**	**36,6**	**32**	**28,1**	**29,8**	**32,9**	**28,9**	**19,7**	**0**	**35,7**	**35,7**
Источник шума: ИШ-4-5, координаты источника (x,y,z), м =[126.48,222.66,11.00]													
Уровни звуковой мощности источника днём, Lw, дБ		**исходные данные**	**0**	**90,3**	**91,7**	**93**	**93,3**	**92,9**	**89,6**	**85,4**	**80,9**		
Уровни звуковой мощности источника ночью, Lw, дБ		**исходные данные**	**0**	**90,3**	**91,7**	**93**	**93,3**	**92,9**	**89,6**	**85,4**	**80,9**		
Поправка на телесный угол DΩ, дБ	Ω = 6.28	10Lg(4π/Ω)	**3**	3	3	3	3	3	3	3	3		
Показатель направленности источника Di, дБ		исходные данные	**0**	0	0	0	0	0	0	0	0		
Поправка на направленность источника Dc, дБ	Dc	DΩ + Di	**3**	3	3	3	3	3	3	3	3		
Затухание из-за геометрической дивергенции, Adiv, дБ	расстояние = 304.54 м	ф-ла (7) [10]	**60,7**										
Коэффициент затухания звука в атмосфере α, дБ/км	Ta=20,°C Pa=101.33,кПа hотн.=70%	ф-ла (5) [9]	0,02	0,09	0,33	1,12	2,79	4,98	9,04	23,09	77,63		

1		2	3	4	5	6	7	8	9	10	11	12	13
Учет затухания звука в атмосфере Aatm, дБ		ф-ла (8) [10]	0	0	0,1	0,3	0,8	1,5	2,8	7	23,6		
Снижение уровня звукового давления из-за влияния застройки между источником шума и расчетной точкой													
Снижение уровня звукового давления на пути над экраном, Dz1, дБ	z = 0.01м (разность путей)	ф-лы (14-18) [10]	4,8	4,8	4,8	4,8	4,8	4,8	4,8	4,8	4,8		
Снижение уровня звукового давления на пути слева от экрана, Dz2, дБ	z = 5.65м (разность путей)	ф-лы (14-18) [10]	13,8	16,5	19,4	22,3	25,3	28,2	31,2	34,3	37,3		
Снижение уровня звукового давления на пути справа от экрана, Dz3, дБ	z = 4.18м (разность путей)	ф-лы (14-18) [10]	13,1	16,7	21	25,1	28,5	31,7	34,7	37,7	40,7		
Общее снижение уровня звука препятствием Dz, дБ		Эн.сумма(-Dzi)	3,7	4,2	4,5	4,7	4,7	4,7	4,8	4,8	4,8		
Уровни звукового давления прямого звука от источника ИШ-4-5 в расчётной точке днём, дБ		**ф-ла(3)[10]**	**0**	**28,4**	**29,4**	**30,3**	**30,1**	**29**	**24,4**	**15,9**	**0**	**32,7**	**32,7**
Уровни звукового давления прямого звука от источника ИШ-4-5 в расчётной точке ночью, дБ		**ф-ла(3)[10]**	**0**	**28,4**	**29,4**	**30,3**	**30,1**	**29**	**24,4**	**15,9**	**0**	**32,7**	**32,7**
Расчёт отражённого звука													
Уровни звукового давления от мнимого источника ИШ-4-5_мн.(1) в расчётной точке днём, дБ		**ф-ла(3)[10]**	**0**	**0**	**0**	**0**	**0**	**22,7**	**19,6**	**7**	**0**	**24,9**	**24,9**
Уровни звукового давления от мнимого источника ИШ-4-5_мн.(1) в расчётной точке ночью, дБ		**ф-ла(3)[10]**	**0**	**0**	**0**	**0**	**0**	**0**	**0**	**0**	**0**	**24,9**	**24,9**
Уровни звукового давления от источника ИШ-4-5 в расчётной точке днём, дБ		**ф-ла(3)[10]**	**0**	**28,4**	**29,4**	**30,3**	**30,1**	**29,9**	**25,7**	**16,4**	**0**	**33,4**	**33,4**
Уровни звукового давления от источника ИШ-4-5 в расчётной точке ночью, дБ		**ф-ла(3)[10]**	**0**	**28,4**	**29,4**	**30,3**	**30,1**	**29,9**	**25,7**	**16,4**	**0**	**33,4**	**33,4**
Источник шума: ИШ-4-6, координаты источника (x,y,z), м =[125.17,218.57,11.00]													
Уровни звуковой мощности источника днём, Lw, дБ		**исходные данные**	**0**	**90,3**	**91,7**	**93**	**93,3**	**92,9**	**89,6**	**85,4**	**80,9**		
Уровни звуковой мощности источника ночью, Lw, дБ		**исходные данные**	**0**	**90,3**	**91,7**	**93**	**93,3**	**92,9**	**89,6**	**85,4**	**80,9**		
Поправка на телесный угол DΩ, дБ	Ω = 6.28	10Lg(4π/Ω)	**3**	3	3	3	3	3	3	3	3		

1		2	3	4	5	6	7	8	9	10	11	12	13
Показатель направленности источника Di, дБ		исходные данные	**0**	0	0	0	0	0	0	0	0		
Поправка на направленность источника Dc, дБ	Dc	DΩ + Di	**3**	3	3	3	3	3	3	3	3		
Затухание из-за геометрической дивергенции, Adiv, дБ	расстояние = 308.69 м	ф-ла (7) [10]	**60,8**										
Коэффициент затухания звука в атмосфере α, дБ/км	Ta=20,°C Pa=101.33,кПа hотн.=70%	ф-ла (5) [9]	0,02	0,09	0,33	1,12	2,79	4,98	9,04	23,09	77,63		
Учет затухания звука в атмосфере Aatm, дБ		ф-ла (8) [10]	0	0	0,1	0,3	0,9	1,5	2,8	7,1	24		
Снижение уровня звукового давления из-за влияния застройки между источником шума и расчетной точкой													
Снижение уровня звукового давления на пути над экраном, Dz1, дБ	z = 0.01м (разность путей)	ф-лы (14-18) [10]	4,8	4,8	4,8	4,8	4,8	4,8	4,8	4,8	4,8		
Снижение уровня звукового давления на пути слева от экрана, Dz2, дБ	z = 5.61м (разность путей)	ф-лы (14-18) [10]	13,8	16,5	19,3	22,3	25,2	28,2	31,2	34,2	37,2		
Снижение уровня звукового давления на пути справа от экрана, Dz3, дБ	z = 4.30м (разность путей)	ф-лы (14-18) [10]	13,3	17,1	21,5	25,4	28,7	31,8	34,8	37,8	40,8		
Общее снижение уровня звука препятствием Dz, дБ		Эн.сумма(-Dzi)	3,7	4,3	4,5	4,7	4,7	4,7	4,8	4,8	4,8		
Уровни звукового давления прямого звука от источника ИШ-4-6 в расчётной точке днём, дБ		**ф-ла(3)[10]**	**0**	**28,2**	**29,3**	**30,2**	**29,9**	**28,8**	**24,3**	**15,7**	**0**	**32,5**	**32,5**
Уровни звукового давления прямого звука от источника ИШ-4-6 в расчётной точке ночью, дБ		**ф-ла(3)[10]**	**0**	**28,2**	**29,3**	**30,2**	**29,9**	**28,8**	**24,3**	**15,7**	**0**	**32,5**	**32,5**
Расчёт отражённого звука													
Уровни звукового давления от мнимого источника ИШ-4-6_мн.(1) в расчётной точке днём, дБ		**ф-ла(3)[10]**	**0**	**0**	**0**	**0**	**0**	**22,8**	**19,7**	**7,2**	**0**	**25**	**25**
Уровни звукового давления от мнимого источника ИШ-4-6_мн.(1) в расчётной точке ночью, дБ		**ф-ла(3)[10]**	**0**	**0**	**0**	**0**	**0**	**0**	**0**	**0**	**0**	**25**	**25**
Уровни звукового давления от источника ИШ-4-6 в расчётной точке днём, дБ		**ф-ла(3)[10]**	**0**	**28,2**	**29,3**	**30,2**	**29,9**	**29,8**	**25,6**	**16,3**	**0**	**33,3**	**33,3**
Уровни звукового давления от источника ИШ-4-6 в расчётной точке ночью, дБ		**ф-ла(3)[10]**	**0**	**28,2**	**29,3**	**30,2**	**29,9**	**29,8**	**25,6**	**16,3**	**0**	**33,3**	**33,3**

1		2	3	4	5	6	7	8	9	10	11	12	13
Источник шума: ИШ-4-7, координаты источника (x,y,z), м =[177.91,257.92,11.00]													
Уровни звуковой мощности источника днём, Lw, дБ		**исходные данные**	**0**	**90,3**	**91,7**	**93**	**93,3**	**92,9**	**89,6**	**85,4**	**80,9**		
Уровни звуковой мощности источника ночью, Lw, дБ		**исходные данные**	**0**	**90,3**	**91,7**	**93**	**93,3**	**92,9**	**89,6**	**85,4**	**80,9**		
Поправка на телесный угол DΩ, дБ	Ω = 6.28	10Lg(4π/Ω)	**3**	3	3	3	3	3	3	3	3		
Показатель направленности источника Di, дБ		исходные данные	**0**	0	0	0	0	0	0	0	0		
Поправка на направленность источника Dc, дБ	Dc	DΩ + Di	**3**	3	3	3	3	3	3	3	3		
Затухание из-за геометрической дивергенции, Adiv, дБ	расстояние = 270.91 м	ф-ла (7) [10]	**59,7**										
Коэффициент затухания звука в атмосфере α, дБ/км	Ta=20,°C Pa=101.33,кПа hотн.=70%	ф-ла (5) [9]	0,02	0,09	0,33	1,12	2,79	4,98	9,04	23,09	77,63		
Учет затухания звука в атмосфере Aatm, дБ		ф-ла (8) [10]	0	0	0,1	0,3	0,8	1,3	2,4	6,3	21		
Снижение поверхностью земли возле источника As, дБ	Gs = 0 hs = 3м	ф-лы таб.3 [10]	-1,5	-1,5	-1,5	-1,5	-1,5	-1,5	-1,5	-1,5	-1,5		
Снижение поверхностью земли возле приёмника Ar, дБ	Gr = 1 hr = 1.5м	ф-лы таб.3 [10]	-1,5	-1,5	1,6	7	5	0,7	0	0	0		
Снижение поверхностью земли в средней зоне, Am дБ	Gm = 1	ф-лы таб.3 [10]	-1,5	-1,5	0	0	0	0	0	0	0		
Суммарное снижение поверхностью земли на траектории распространения звука Agr, дБ		ф-ла (9) [10]	-4,5	-4,5	0,1	5,5	3,5	-0,8	-1,5	-1,5	-1,5		
Уровни звукового давления от источника ИШ-4-7 в расчётной точке днём, дБ		**ф-ла(3)[10]**	**0**	**38,1**	**34,9**	**30,5**	**32,4**	**35,7**	**32**	**24**	**4,7**	**38,6**	**38,6**
Уровни звукового давления от источника ИШ-4-7 в расчётной точке ночью, дБ		**ф-ла(3)[10]**	**0**	**38,1**	**34,9**	**30,5**	**32,4**	**35,7**	**32**	**24**	**4,7**	**38,6**	**38,6**
Источник шума: ИШ-4-8, координаты источника (x,y,z), м =[178.24,257.77,13.00]													

1		2	3	4	5	6	7	8	9	10	11	12	13
Уровни звуковой мощности источника днём, Lw, дБ		**исходные данные**	**0**	**90,3**	**91,7**	**93**	**93,3**	**92,9**	**89,6**	**85,4**	**80,9**		
Уровни звуковой мощности источника ночью, Lw, дБ		**исходные данные**	**0**	**90,3**	**91,7**	**93**	**93,3**	**92,9**	**89,6**	**85,4**	**80,9**		
Поправка на телесный угол DΩ, дБ	Ω = 6.28	10Lg(4π/Ω)	**3**	3	3	3	3	3	3	3	3		
Показатель направленности источника Di, дБ		исходные данные	**0**	0	0	0	0	0	0	0	0		
Поправка на направленность источника Dc, дБ	Dc	DΩ + Di	**3**	3	3	3	3	3	3	3	3		
Затухание из-за геометрической дивергенции, Adiv, дБ	расстояние = 271.17 м	ф-ла (7) [10]	**59,7**										
Коэффициент затухания звука в атмосфере α, дБ/км	Ta=20,°C Pa=101.33,кПа hотн.=70%	ф-ла (5) [9]	0,02	0,09	0,33	1,12	2,79	4,98	9,04	23,09	77,63		
Учет затухания звука в атмосфере Aatm, дБ		ф-ла (8) [10]	0	0	0,1	0,3	0,8	1,3	2,5	6,3	21,1		
Снижение поверхностью земли возле источника As, дБ	Gs = 0 hs = 5м	ф-лы таб.3 [10]	-1,5	-1,5	-1,5	-1,5	-1,5	-1,5	-1,5	-1,5	-1,5		
Снижение поверхностью земли возле приёмника Ar, дБ	Gr = 1 hr = 1.5м	ф-лы таб.3 [10]	-1,5	-1,5	1,6	7	5	0,7	0	0	0		
Снижение поверхностью земли в средней зоне, Am дБ	Gm = 1	ф-лы таб.3 [10]	-0,8	-0,8	0	0	0	0	0	0	0		
Суммарное снижение поверхностью земли на траектории распространения звука Agr, дБ		ф-ла (9) [10]	-3,8	-3,8	0,1	5,5	3,5	-0,8	-1,5	-1,5	-1,5		
Уровни звукового давления от источника ИШ-4-8 в расчётной точке днём, дБ		**ф-ла(3)[10]**	**0**	**37,4**	**34,9**	**30,5**	**32,4**	**35,7**	**32**	**24**	**4,7**	**38,6**	**38,6**
Уровни звукового давления от источника ИШ-4-8 в расчётной точке ночью, дБ		**ф-ла(3)[10]**	**0**	**37,4**	**34,9**	**30,5**	**32,4**	**35,7**	**32**	**24**	**4,7**	**38,6**	**38,6**
Источник шума: ИШ-4-9, координаты источника (x,y,z), м =[178.68,257.63,15.50]													
Уровни звуковой мощности источника днём, Lw, дБ		**исходные данные**	**0**	**90,3**	**91,7**	**93**	**93,3**	**92,9**	**89,6**	**85,4**	**80,9**		

1		2	3	4	5	6	7	8	9	10	11	12	13
Уровни звуковой мощности источника ночью, Lw, дБ		**исходные данные**	**0**	**90,3**	**91,7**	**93**	**93,3**	**92,9**	**89,6**	**85,4**	**80,9**		
Поправка на телесный угол DΩ, дБ	Ω = 6.28	10Lg(4π/Ω)	**3**	3	3	3	3	3	3	3	3		
Показатель направленности источника Di, дБ		исходные данные	**0**	0	0	0	0	0	0	0	0		
Поправка на направленность источника Dc, дБ	Dc	DΩ + Di	**3**	3	3	3	3	3	3	3	3		
Затухание из-за геометрической дивергенции, Adiv, дБ	расстояние = 271.49 м	ф-ла (7) [10]	**59,7**										
Коэффициент затухания звука в атмосфере α, дБ/км	Ta=20,°C Pa=101.33,кПа hотн.=70%	ф-ла (5) [9]	0,02	0,09	0,33	1,12	2,79	4,98	9,04	23,09	77,63		
Учет затухания звука в атмосфере Aatm, дБ		ф-ла (8) [10]	0	0	0,1	0,3	0,8	1,4	2,5	6,3	21,1		
Снижение поверхностью земли возле источника As, дБ	Gs = 0 hs = 7.5м	ф-лы таб.3 [10]	-1,5	-1,5	-1,5	-1,5	-1,5	-1,5	-1,5	-1,5	-1,5		
Снижение поверхностью земли возле приёмника Ar, дБ	Gr = 1 hr = 1.5м	ф-лы таб.3 [10]	-1,5	-1,5	1,6	7	5	0,7	0	0	0		
Снижение поверхностью земли в средней зоне, Am дБ	Gm = 1	ф-лы таб.3 [10]	0	0	0	0	0	0	0	0	0		
Суммарное снижение поверхностью земли на траектории распространения звука Agr, дБ		ф-ла (9) [10]	-3	-3	0,1	5,5	3,5	-0,8	-1,5	-1,5	-1,5		
Уровни звукового давления от источника ИШ-4-9 в расчётной точке днём, дБ		**ф-ла(3)[10]**	**0**	**36,6**	**34,9**	**30,5**	**32,4**	**35,7**	**32**	**23,9**	**4,6**	**38,6**	**38,6**
Уровни звукового давления от источника ИШ-4-9 в расчётной точке ночью, дБ		**ф-ла(3)[10]**	**0**	**36,6**	**34,9**	**30,5**	**32,4**	**35,7**	**32**	**23,9**	**4,6**	**38,6**	**38,6**
Источник шума: ИШ-4-10, координаты источника (x,y,z), м =[185.65,255.31,11.00]													
Уровни звуковой мощности источника днём, Lw, дБ		**исходные данные**	**0**	**90,3**	**91,7**	**93**	**93,3**	**92,9**	**89,6**	**85,4**	**80,9**		
Уровни звуковой мощности источника ночью, Lw, дБ		**исходные данные**	**0**	**90,3**	**91,7**	**93**	**93,3**	**92,9**	**89,6**	**85,4**	**80,9**		

1		2	3	4	5	6	7	8	9	10	11	12	13
Поправка на телесный угол DΩ, дБ	Ω = 6.28	10Lg(4π/Ω)	**3**	3	3	3	3	3	3	3	3		
Показатель направленности источника Di, дБ		исходные данные	**0**	0	0	0	0	0	0	0	0		
Поправка на направленность источника Dc, дБ	Dc	DΩ + Di	**3**	3	3	3	3	3	3	3	3		
Затухание из-за геометрической дивергенции, Adiv, дБ	расстояние = 274.56 м	ф-ла (7) [10]	**59,8**										
Коэффициент затухания звука в атмосфере α, дБ/км	Ta=20,°C Pa=101.33,кПа hотн.=70%	ф-ла (5) [9]	0,02	0,09	0,33	1,12	2,79	4,98	9,04	23,09	77,63		
Учет затухания звука в атмосфере Aatm, дБ		ф-ла (8) [10]	0	0	0,1	0,3	0,8	1,4	2,5	6,3	21,3		
Снижение поверхностью земли возле источника As, дБ	Gs = 0 hs = 3м	ф-лы таб.3 [10]	-1,5	-1,5	-1,5	-1,5	-1,5	-1,5	-1,5	-1,5	-1,5		
Снижение поверхностью земли возле приёмника Ar, дБ	Gr = 1 hr = 1.5м	ф-лы таб.3 [10]	-1,5	-1,5	1,6	7	5	0,7	0	0	0		
Снижение поверхностью земли в средней зоне, Am дБ	Gm = 1	ф-лы таб.3 [10]	-1,5	-1,5	0	0	0	0	0	0	0		
Суммарное снижение поверхностью земли на траектории распространения звука Agr, дБ		ф-ла (9) [10]	-4,5	-4,5	0,1	5,5	3,5	-0,8	-1,5	-1,5	-1,5		
Уровни звукового давления от источника ИШ-4-10 в расчётной точке днём, дБ		**ф-ла(3)[10]**	**0**	**38**	**34,8**	**30,4**	**32,3**	**35,6**	**31,8**	**23,8**	**4,3**	**38,4**	**38,4**
Уровни звукового давления от источника ИШ-4-10 в расчётной точке ночью, дБ		**ф-ла(3)[10]**	**0**	**38**	**34,8**	**30,4**	**32,3**	**35,6**	**31,8**	**23,8**	**4,3**	**38,4**	**38,4**
Источник шума: ИШ-4-11, координаты источника (x,y,z), м =[185.89,255.16,13.00]													
Уровни звуковой мощности источника днём, Lw, дБ		**исходные данные**	**0**	**90,3**	**91,7**	**93**	**93,3**	**92,9**	**89,6**	**85,4**	**80,9**		
Уровни звуковой мощности источника ночью, Lw, дБ		**исходные данные**	**0**	**90,3**	**91,7**	**93**	**93,3**	**92,9**	**89,6**	**85,4**	**80,9**		
Поправка на телесный угол DΩ, дБ	Ω = 6.28	10Lg(4π/Ω)	**3**	3	3	3	3	3	3	3	3		

1		2	3	4	5	6	7	8	9	10	11	12	13
Показатель направленности источника Di, дБ		исходные данные	**0**	0	0	0	0	0	0	0	0		
Поправка на направленность источника Dc, дБ	Dc	DΩ + Di	**3**	3	3	3	3	3	3	3	3		
Затухание из-за геометрической дивергенции, Adiv, дБ	расстояние = 274.82 м	ф-ла (7) [10]	**59,8**										
Коэффициент затухания звука в атмосфере α, дБ/км	Ta=20,°C Pa=101.33,кПа hотн.=70%	ф-ла (5) [9]	0,02	0,09	0,33	1,12	2,79	4,98	9,04	23,09	77,63		
Учет затухания звука в атмосфере Aatm, дБ		ф-ла (8) [10]	0	0	0,1	0,3	0,8	1,4	2,5	6,3	21,3		
Снижение поверхностью земли возле источника As, дБ	Gs = 0 hs = 5м	ф-лы таб.3 [10]	-1,5	-1,5	-1,5	-1,5	-1,5	-1,5	-1,5	-1,5	-1,5		
Снижение поверхностью земли возле приёмника Ar, дБ	Gr = 1 hr = 1.5м	ф-лы таб.3 [10]	-1,5	-1,5	1,6	7	5	0,7	0	0	0		
Снижение поверхностью земли в средней зоне, Am дБ	Gm = 1	ф-лы таб.3 [10]	-0,9	-0,9	0	0	0	0	0	0	0		
Суммарное снижение поверхностью земли на траектории распространения звука Agr, дБ		ф-ла (9) [10]	-3,9	-3,9	0,1	5,5	3,5	-0,8	-1,5	-1,5	-1,5		
Уровни звукового давления от источника ИШ-4-11 в расчётной точке днём, дБ		**ф-ла(3)[10]**	**0**	**37,4**	**34,7**	**30,4**	**32,3**	**35,6**	**31,8**	**23,8**	**4,3**	**38,4**	**38,4**
Уровни звукового давления от источника ИШ-4-11 в расчётной точке ночью, дБ		**ф-ла(3)[10]**	**0**	**37,4**	**34,7**	**30,4**	**32,3**	**35,6**	**31,8**	**23,8**	**4,3**	**38,4**	**38,4**
Источник шума: ИШ-4-12, координаты источника (x,y,z), м =[186.18,255.02,15.50]													
Уровни звуковой мощности источника днём, Lw, дБ		**исходные данные**	**0**	**90,3**	**91,7**	**93**	**93,3**	**92,9**	**89,6**	**85,4**	**80,9**		
Уровни звуковой мощности источника ночью, Lw, дБ		**исходные данные**	**0**	**90,3**	**91,7**	**93**	**93,3**	**92,9**	**89,6**	**85,4**	**80,9**		
Поправка на телесный угол DΩ, дБ	Ω = 6.28	10Lg(4π/Ω)	**3**	3	3	3	3	3	3	3	3		
Показатель направленности источника Di, дБ		исходные данные	**0**	0	0	0	0	0	0	0	0		

1		2	3	4	5	6	7	8	9	10	11	12	13
Поправка на направленность источника Dc, дБ	Dc	DΩ + Di	**3**	3	3	3	3	3	3	3	3		
Затухание из-за геометрической дивергенции, Adiv, дБ	расстояние = 275.12 м	ф-ла (7) [10]	**59,8**										
Коэффициент затухания звука в атмосфере α, дБ/км	Ta=20,°C Pa=101.33,кПа hотн.=70%	ф-ла (5) [9]	0,02	0,09	0,33	1,12	2,79	4,98	9,04	23,09	77,63		
Учет затухания звука в атмосфере Aatm, дБ		ф-ла (8) [10]	0	0	0,1	0,3	0,8	1,4	2,5	6,4	21,4		
Снижение поверхностью земли возле источника As, дБ	Gs = 0 hs = 7.5м	ф-лы таб.3 [10]	-1,5	-1,5	-1,5	-1,5	-1,5	-1,5	-1,5	-1,5	-1,5		
Снижение поверхностью земли возле приёмника Ar, дБ	Gr = 1 hr = 1.5м	ф-лы таб.3 [10]	-1,5	-1,5	1,6	7	5	0,7	0	0	0		
Снижение поверхностью земли в средней зоне, Am дБ	Gm = 1	ф-лы таб.3 [10]	-0,1	-0,1	0	0	0	0	0	0	0		
Суммарное снижение поверхностью земли на траектории распространения звука Agr, дБ		ф-ла (9) [10]	-3,1	-3,1	0,1	5,5	3,5	-0,8	-1,5	-1,5	-1,5		
Уровни звукового давления от источника ИШ-4-12 в расчётной точке днём, дБ		**ф-ла(3)[10]**	**0**	**36,5**	**34,7**	**30,4**	**32,3**	**35,6**	**31,8**	**23,8**	**4,2**	**38,4**	**38,4**
Уровни звукового давления от источника ИШ-4-12 в расчётной точке ночью, дБ		**ф-ла(3)[10]**	**0**	**36,5**	**34,7**	**30,4**	**32,3**	**35,6**	**31,8**	**23,8**	**4,2**	**38,4**	**38,4**
Источник шума: ИШ-4-13, координаты источника (x,y,z), м =[94.56,229.10,1.00]													
Уровни звуковой мощности источника днём, Lw, дБ		**исходные данные**	**0**	**81,3**	**82,7**	**84**	**84,3**	**83,9**	**80,6**	**76,4**	**71,9**		
Уровни звуковой мощности источника ночью, Lw, дБ		**исходные данные**	**0**	**81,3**	**82,7**	**84**	**84,3**	**83,9**	**80,6**	**76,4**	**71,9**		
Поправка на телесный угол DΩ, дБ	Ω = 6.28	10Lg(4π/Ω)	**3**	3	3	3	3	3	3	3	3		
Показатель направленности источника Di, дБ		исходные данные	**0**	0	0	0	0	0	0	0	0		
Поправка на направленность источника Dc, дБ	Dc	DΩ + Di	**3**	3	3	3	3	3	3	3	3		

1		2	3	4	5	6	7	8	9	10	11	12	13
Затухание из-за геометрической дивергенции, Adiv, дБ	расстояние = 301.54 м	ф-ла (7) [10]	**60,6**										
Коэффициент затухания звука в атмосфере α, дБ/км	Ta=20,°C Pa=101.33,кПа hотн.=70%	ф-ла (5) [9]	0,02	0,09	0,33	1,12	2,79	4,98	9,04	23,09	77,63		
Учет затухания звука в атмосфере Aatm, дБ		ф-ла (8) [10]	0	0	0,1	0,3	0,8	1,5	2,7	7	23,4		
Снижение поверхностью земли возле источника As, дБ	Gs = 0 hs = 1м	ф-лы таб.3 [10]	-1,5	-1,5	-1,5	-1,5	-1,5	-1,5	-1,5	-1,5	-1,5		
Снижение поверхностью земли возле приёмника Ar, дБ	Gr = 1 hr = 1.5м	ф-лы таб.3 [10]	-1,5	-1,5	1,7	7	5	0,7	0	0	0		
Снижение поверхностью земли в средней зоне, Am дБ	Gm = 1	ф-лы таб.3 [10]	-2,3	-2,3	0	0	0	0	0	0	0		
Суммарное снижение поверхностью земли на траектории распространения звука Agr, дБ		ф-ла (9) [10]	-5,3	-5,3	0,2	5,5	3,5	-0,8	-1,5	-1,5	-1,5		
Уровни звукового давления прямого звука от источника ИШ-4-13 в расчётной точке днём, дБ		**ф-ла(3)[10]**	**0**	**28,9**	**24,8**	**20,6**	**22,4**	**25,6**	**21,8**	**13,3**	**0**	**28,5**	**28,5**
Уровни звукового давления прямого звука от источника ИШ-4-13 в расчётной точке ночью, дБ		**ф-ла(3)[10]**	**0**	**28,9**	**24,8**	**20,6**	**22,4**	**25,6**	**21,8**	**13,3**	**0**	**28,5**	**28,5**
Расчёт отражённого звука													
Уровни звукового давления от мнимого источника ИШ-4-13_мн.(1) в расчётной точке днём, дБ		**ф-ла(3)[10]**	**0**	**0**	**0**	**10,2**	**11,1**	**21,1**	**19,2**	**10,8**	**0**	**24,2**	**24,2**
Уровни звукового давления от мнимого источника ИШ-4-13_мн.(1) в расчётной точке ночью, дБ		**ф-ла(3)[10]**	**0**	**0**	**0**	**0**	**0**	**0**	**0**	**0**	**0**	**24,2**	**24,2**
Уровни звукового давления от источника ИШ-4-13 в расчётной точке днём, дБ		**ф-ла(3)[10]**	**0**	**28,9**	**24,8**	**20,9**	**22,7**	**26,9**	**23,7**	**15,3**	**0**	**29,8**	**29,8**
Уровни звукового давления от источника ИШ-4-13 в расчётной точке ночью, дБ		**ф-ла(3)[10]**	**0**	**28,9**	**24,8**	**20,9**	**22,7**	**26,9**	**23,7**	**15,3**	**0**	**29,8**	**29,8**
Источник шума: ИШ-4-14, координаты источника (x,y,z), м =[91.88,221.30,1.00]													
Уровни звуковой мощности источника днём, Lw, дБ		**исходные данные**	**0**	**81,3**	**82,7**	**84**	**84,3**	**83,9**	**80,6**	**76,4**	**71,9**		

1		2	3	4	5	6	7	8	9	10	11	12	13
Уровни звуковой мощности источника ночью, Lw, дБ		**исходные данные**	**0**	**81,3**	**82,7**	**84**	**84,3**	**83,9**	**80,6**	**76,4**	**71,9**		
Поправка на телесный угол DΩ, дБ	Ω = 6.28	10Lg(4π/Ω)	**3**	3	3	3	3	3	3	3	3		
Показатель направленности источника Di, дБ		исходные данные	**0**	0	0	0	0	0	0	0	0		
Поправка на направленность источника Dc, дБ	Dc	DΩ + Di	**3**	3	3	3	3	3	3	3	3		
Затухание из-за геометрической дивергенции, Adiv, дБ	расстояние = 309.67 м	ф-ла (7) [10]	**60,8**										
Коэффициент затухания звука в атмосфере α, дБ/км	Ta=20,°C Pa=101.33,кПа hотн.=70%	ф-ла (5) [9]	0,02	0,09	0,33	1,12	2,79	4,98	9,04	23,09	77,63		
Учет затухания звука в атмосфере Aatm, дБ		ф-ла (8) [10]	0	0	0,1	0,3	0,9	1,5	2,8	7,1	24		
Снижение поверхностью земли возле источника As, дБ	Gs = 0 hs = 1м	ф-лы таб.3 [10]	-1,5	-1,5	-1,5	-1,5	-1,5	-1,5	-1,5	-1,5	-1,5		
Снижение поверхностью земли возле приёмника Ar, дБ	Gr = 1 hr = 1.5м	ф-лы таб.3 [10]	-1,5	-1,5	1,8	7	5	0,7	0	0	0		
Снижение поверхностью земли в средней зоне, Am дБ	Gm = 1	ф-лы таб.3 [10]	-2,3	-2,3	0	0	0	0	0	0	0		
Суммарное снижение поверхностью земли на траектории распространения звука Agr, дБ		ф-ла (9) [10]	-5,3	-5,3	0,3	5,5	3,5	-0,8	-1,5	-1,5	-1,5		
Уровни звукового давления прямого звука от источника ИШ-4-14 в расчётной точке днём, дБ		**ф-ла(3)[10]**	**0**	**28,7**	**24,5**	**20,3**	**22,1**	**25,4**	**21,5**	**12,9**	**0**	**28,2**	**28,2**
Уровни звукового давления прямого звука от источника ИШ-4-14 в расчётной точке ночью, дБ		**ф-ла(3)[10]**	**0**	**28,7**	**24,5**	**20,3**	**22,1**	**25,4**	**21,5**	**12,9**	**0**	**28,2**	**28,2**
Расчёт отражённого звука													
Уровни звукового давления от мнимого источника ИШ-4-14_мн.(1) в расчётной точке днём, дБ		**ф-ла(3)[10]**	**0**	**0**	**0**	**9,9**	**10,8**	**20,8**	**18,9**	**10,4**	**0**	**23,9**	**23,9**
Уровни звукового давления от мнимого источника ИШ-4-14_мн.(1) в расчётной точке ночью, дБ		**ф-ла(3)[10]**	**0**	**0**	**0**	**0**	**0**	**0**	**0**	**0**	**0**	**23,9**	**23,9**
Уровни звукового давления от источника ИШ-4-14 в расчётной точке днём, дБ		**ф-ла(3)[10]**	**0**	**28,7**	**24,5**	**20,7**	**22,5**	**26,7**	**23,4**	**14,8**	**0**	**29,5**	**29,5**

1		2	3	4	5	6	7	8	9	10	11	12	13
Уровни звукового давления от источника ИШ-4-14 в расчётной точке ночью, дБ		**ф-ла(3)[10]**	**0**	**28,7**	**24,5**	**20,7**	**22,5**	**26,7**	**23,4**	**14,8**	**0**	**29,5**	**29,5**
Источник шума: ИШ-5-1, координаты источника (x,y,z), м =[626.70,162.36,1.00]													
Уровни звуковой мощности источника днём, Lw, дБ		**исходные данные**	**0**	**93,3**	**94,7**	**96**	**96,3**	**95,9**	**92,6**	**88,4**	**83,9**		
Уровни звуковой мощности источника ночью, Lw, дБ		**исходные данные**	**0**	**93,3**	**94,7**	**96**	**96,3**	**95,9**	**92,6**	**88,4**	**83,9**		
Поправка на телесный угол DΩ, дБ	Ω = 6.28	10Lg(4π/Ω)	**3**	3	3	3	3	3	3	3	3		
Показатель направленности источника Di, дБ		исходные данные	**0**	0	0	0	0	0	0	0	0		
Поправка на направленность источника Dc, дБ	Dc	DΩ + Di	**3**	3	3	3	3	3	3	3	3		
Затухание из-за геометрической дивергенции, Adiv, дБ	расстояние = 604.60 м	ф-ла (7) [10]	**66,6**										
Коэффициент затухания звука в атмосфере α, дБ/км	Ta=20,°C Pa=101.33,кПа hотн.=70%	ф-ла (5) [9]	0,02	0,09	0,33	1,12	2,79	4,98	9,04	23,09	77,63		
Учет затухания звука в атмосфере Aatm, дБ		ф-ла (8) [10]	0	0,1	0,2	0,7	1,7	3	5,5	14	46,9		
Снижение поверхностью земли возле источника As, дБ	Gs = 0 hs = 1м	ф-лы таб.3 [10]	-1,5	-1,5	-1,5	-1,5	-1,5	-1,5	-1,5	-1,5	-1,5		
Снижение поверхностью земли возле приёмника Ar, дБ	Gr = 1 hr = 1.5м	ф-лы таб.3 [10]	-1,5	-1,5	3,7	7	5	0,7	0	0	0		
Снижение поверхностью земли в средней зоне, Am дБ	Gm = 1	ф-лы таб.3 [10]	-2,6	-2,6	0	0	0	0	0	0	0		
Суммарное снижение поверхностью земли на траектории распространения звука Agr, дБ		ф-ла (9) [10]	-5,6	-5,6	2,2	5,5	3,5	-0,8	-1,5	-1,5	-1,5		
Уровни звукового давления прямого звука от источника ИШ-5-1 в расчётной точке днём, дБ		**ф-ла(3)[10]**	**0**	**35,2**	**28,7**	**26,2**	**27,5**	**30,1**	**25**	**12,3**	**0**	**32,6**	**32,6**
Уровни звукового давления прямого звука от источника ИШ-5-1 в расчётной точке ночью, дБ		**ф-ла(3)[10]**	**0**	**35,2**	**28,7**	**26,2**	**27,5**	**30,1**	**25**	**12,3**	**0**	**32,6**	**32,6**

1		2	3	4	5	6	7	8	9	10	11	12	13
Расчёт отражённого звука													
Уровни звукового давления от мнимого источника ИШ-5-1_мн.(1) в расчётной точке днём, дБ		**ф-ла(3)[10]**	**0**	**0**	**0**	**0**	**0**	**0**	**0**	**0**	**0**	**0**	**0**
Уровни звукового давления от мнимого источника ИШ-5-1_мн.(1) в расчётной точке ночью, дБ		**ф-ла(3)[10]**	**0**	**0**	**0**	**0**	**0**	**0**	**0**	**0**	**0**	**0**	**0**
Уровни звукового давления от источника ИШ-5-1 в расчётной точке днём, дБ		**ф-ла(3)[10]**	**0**	**35,2**	**28,7**	**26,2**	**27,5**	**30,1**	**25**	**12,3**	**0**	**32,6**	**32,6**
Уровни звукового давления от источника ИШ-5-1 в расчётной точке ночью, дБ		**ф-ла(3)[10]**	**0**	**35,2**	**28,7**	**26,2**	**27,5**	**30,1**	**25**	**12,3**	**0**	**32,6**	**32,6**
Источник шума: ИШ-5-2, координаты источника (x,y,z), м =[625.81,159.52,1.00]													
Уровни звуковой мощности источника днём, Lw, дБ		**исходные данные**	**0**	**93,3**	**94,7**	**96**	**96,3**	**95,9**	**92,6**	**88,4**	**83,9**		
Уровни звуковой мощности источника ночью, Lw, дБ		**исходные данные**	**0**	**93,3**	**94,7**	**96**	**96,3**	**95,9**	**92,6**	**88,4**	**83,9**		
Поправка на телесный угол DΩ, дБ	Ω = 6.28	10Lg(4π/Ω)	**3**	3	3	3	3	3	3	3	3		
Показатель направленности источника Di, дБ		исходные данные	**0**	0	0	0	0	0	0	0	0		
Поправка на направленность источника Dc, дБ	Dc	DΩ + Di	**3**	3	3	3	3	3	3	3	3		
Затухание из-за геометрической дивергенции, Adiv, дБ	расстояние = 605.61 м	ф-ла (7) [10]	**66,6**										
Коэффициент затухания звука в атмосфере α, дБ/км	Ta=20,°C Pa=101.33,кПа hотн.=70%	ф-ла (5) [9]	0,02	0,09	0,33	1,12	2,79	4,98	9,04	23,09	77,63		
Учет затухания звука в атмосфере Aatm, дБ		ф-ла (8) [10]	0	0,1	0,2	0,7	1,7	3	5,5	14	47		
Снижение поверхностью земли возле источника As, дБ	Gs = 0 hs = 1м	ф-лы таб.3 [10]	-1,5	-1,5	-1,5	-1,5	-1,5	-1,5	-1,5	-1,5	-1,5		
Снижение поверхностью земли возле приёмника Ar, дБ	Gr = 1 hr = 1.5м	ф-лы таб.3 [10]	-1,5	-1,5	3,7	7	5	0,7	0	0	0		

1		2	3	4	5	6	7	8	9	10	11	12	13
Снижение поверхностью земли в средней зоне, Am дБ	Gm = 1	ф-лы таб.3 [10]	-2,6	-2,6	0	0	0	0	0	0	0		
Суммарное снижение поверхностью земли на траектории распространения звука Agr, дБ		ф-ла (9) [10]	-5,6	-5,6	2,2	5,5	3,5	-0,8	-1,5	-1,5	-1,5		
Уровни звукового давления прямого звука от источника ИШ-5-2 в расчётной точке днём, дБ		**ф-ла(3)[10]**	**0**	**35,2**	**28,7**	**26,1**	**27,5**	**30,1**	**25**	**12,3**	**0**	**32,6**	**32,6**
Уровни звукового давления прямого звука от источника ИШ-5-2 в расчётной точке ночью, дБ		**ф-ла(3)[10]**	**0**	**35,2**	**28,7**	**26,1**	**27,5**	**30,1**	**25**	**12,3**	**0**	**32,6**	**32,6**
Расчёт отражённого звука													
Уровни звукового давления от мнимого источника ИШ-5-2_мн.(1) в расчётной точке днём, дБ		**ф-ла(3)[10]**	**0**	**0**	**0**	**0**	**0**	**0**	**0**	**0**	**0**	**0**	**0**
Уровни звукового давления от мнимого источника ИШ-5-2_мн.(1) в расчётной точке ночью, дБ		**ф-ла(3)[10]**	**0**	**0**	**0**	**0**	**0**	**0**	**0**	**0**	**0**	**0**	**0**
Уровни звукового давления от источника ИШ-5-2 в расчётной точке днём, дБ		**ф-ла(3)[10]**	**0**	**35,2**	**28,7**	**26,1**	**27,5**	**30,1**	**25**	**12,3**	**0**	**32,6**	**32,6**
Уровни звукового давления от источника ИШ-5-2 в расчётной точке ночью, дБ		**ф-ла(3)[10]**	**0**	**35,2**	**28,7**	**26,1**	**27,5**	**30,1**	**25**	**12,3**	**0**	**32,6**	**32,6**
Источник шума: ИШ-5-3, координаты источника (x,y,z), м =[624.84,156.69,1.00]													
Уровни звуковой мощности источника днём, Lw, дБ		**исходные данные**	**0**	**93,3**	**94,7**	**96**	**96,3**	**95,9**	**92,6**	**88,4**	**83,9**		
Уровни звуковой мощности источника ночью, Lw, дБ		**исходные данные**	**0**	**93,3**	**94,7**	**96**	**96,3**	**95,9**	**92,6**	**88,4**	**83,9**		
Поправка на телесный угол DΩ, дБ	Ω = 6.28	10Lg(4π/Ω)	**3**	3	3	3	3	3	3	3	3		
Показатель направленности источника Di, дБ		исходные данные	**0**	0	0	0	0	0	0	0	0		
Поправка на направленность источника Dc, дБ	Dc	DΩ + Di	**3**	3	3	3	3	3	3	3	3		
Затухание из-за геометрической дивергенции, Adiv, дБ	расстояние = 606.56 м	ф-ла (7) [10]	**66,7**										
Коэффициент затухания звука в атмосфере α, дБ/км	Ta=20,°C Pa=101.33,кПа hотн.=70%	ф-ла (5) [9]	0,02	0,09	0,33	1,12	2,79	4,98	9,04	23,09	77,63		

1		2	3	4	5	6	7	8	9	10	11	12	13
Учет затухания звука в атмосфере Aatm, дБ		ф-ла (8) [10]	0	0,1	0,2	0,7	1,7	3	5,5	14	47,1		
Снижение поверхностью земли возле источника As, дБ	Gs = 0 hs = 1м	ф-лы таб.3 [10]	-1,5	-1,5	-1,5	-1,5	-1,5	-1,5	-1,5	-1,5	-1,5		
Снижение поверхностью земли возле приёмника Ar, дБ	Gr = 1 hr = 1.5м	ф-лы таб.3 [10]	-1,5	-1,5	3,7	7	5	0,7	0	0	0		
Снижение поверхностью земли в средней зоне, Am дБ	Gm = 1	ф-лы таб.3 [10]	-2,6	-2,6	0	0	0	0	0	0	0		
Суммарное снижение поверхностью земли на траектории распространения звука Agr, дБ		ф-ла (9) [10]	-5,6	-5,6	2,2	5,5	3,5	-0,8	-1,5	-1,5	-1,5		
Уровни звукового давления от источника ИШ-5-3 в расчётной точке днём, дБ		**ф-ла(3)[10]**	**0**	**35,2**	**28,6**	**26,1**	**27,5**	**30,1**	**25**	**12,2**	**0**	**32,5**	**32,5**
Уровни звукового давления от источника ИШ-5-3 в расчётной точке ночью, дБ		**ф-ла(3)[10]**	**0**	**35,2**	**28,6**	**26,1**	**27,5**	**30,1**	**25**	**12,2**	**0**	**32,5**	**32,5**
Источник шума: ИШ-6-1, координаты источника (x,y,z), м =[836.30,122.24,1.00]													
Уровни звуковой мощности источника днём, Lw, дБ		**исходные данные**	**0**	**96,3**	**97,7**	**99**	**99,3**	**98,9**	**95,6**	**91,4**	**86,9**		
Уровни звуковой мощности источника ночью, Lw, дБ		**исходные данные**	**0**	**96,3**	**97,7**	**99**	**99,3**	**98,9**	**95,6**	**91,4**	**86,9**		
Поправка на телесный угол DΩ, дБ	Ω = 12.57	10Lg(4π/Ω)	**0**	0	0	0	0	0	0	0	0		
Показатель направленности источника Di, дБ		исходные данные	**0**	0	0	0	0	0	0	0	0		
Поправка на направленность источника Dc, дБ	Dc	DΩ + Di	**0**	0	0	0	0	0	0	0	0		
Затухание из-за геометрической дивергенции, Adiv, дБ	расстояние = 801.64 м	ф-ла (7) [10]	**69,1**										
Коэффициент затухания звука в атмосфере α, дБ/км	Ta=20,°C Pa=101.33,кПа hотн.=70%	ф-ла (5) [9]	0,02	0,09	0,33	1,12	2,79	4,98	9,04	23,09	77,63		
Учет затухания звука в атмосфере Aatm, дБ		ф-ла (8) [10]	0	0,1	0,3	0,9	2,2	4	7,2	18,5	62,2		

1		2	3	4	5	6	7	8	9	10	11	12	13
Снижение поверхностью земли возле источника As, дБ	Gs = 0 hs = 1м	ф-лы таб.3 [10]	-1,5	-1,5	-1,5	-1,5	-1,5	-1,5	-1,5	-1,5	-1,5		
Снижение поверхностью земли возле приёмника Ar, дБ	Gr = 1 hr = 1.5м	ф-лы таб.3 [10]	-1,5	-1,5	4,6	7	5	0,7	0	0	0		
Снижение поверхностью земли в средней зоне, Am дБ	Gm = 1	ф-лы таб.3 [10]	-2,7	-2,7	0	0	0	0	0	0	0		
Суммарное снижение поверхностью земли на траектории распространения звука Agr, дБ		ф-ла (9) [10]	-5,7	-5,7	3,1	5,5	3,5	-0,8	-1,5	-1,5	-1,5		
Уровни звукового давления от источника ИШ-6-1 в расчётной точке днём, дБ		**ф-ла(3)[10]**	**0**	**32,9**	**25,3**	**23,5**	**24,5**	**26,7**	**20,8**	**5,3**	**0**	**29,1**	**29,1**
Уровни звукового давления от источника ИШ-6-1 в расчётной точке ночью, дБ		**ф-ла(3)[10]**	**0**	**32,9**	**25,3**	**23,5**	**24,5**	**26,7**	**20,8**	**5,3**	**0**	**29,1**	**29,1**
Источник шума: ИШ-6-2, координаты источника (x,y,z), м =[835.37,119.30,1.00]													
Уровни звуковой мощности источника днём, Lw, дБ		**исходные данные**	**0**	**96,3**	**97,7**	**99**	**99,3**	**98,9**	**95,6**	**91,4**	**86,9**		
Уровни звуковой мощности источника ночью, Lw, дБ		**исходные данные**	**0**	**96,3**	**97,7**	**99**	**99,3**	**98,9**	**95,6**	**91,4**	**86,9**		
Поправка на телесный угол DΩ, дБ	Ω = 12.57	10Lg(4π/Ω)	**0**	0	0	0	0	0	0	0	0		
Показатель направленности источника Di, дБ		исходные данные	**0**	0	0	0	0	0	0	0	0		
Поправка на направленность источника Dc, дБ	Dc	DΩ + Di	**0**	0	0	0	0	0	0	0	0		
Затухание из-за геометрической дивергенции, Adiv, дБ	расстояние = 802.32 м	ф-ла (7) [10]	**69,1**										
Коэффициент затухания звука в атмосфере α, дБ/км	Ta=20,°C Pa=101.33,кПа hотн.=70%	ф-ла (5) [9]	0,02	0,09	0,33	1,12	2,79	4,98	9,04	23,09	77,63		
Учет затухания звука в атмосфере Aatm, дБ		ф-ла (8) [10]	0	0,1	0,3	0,9	2,2	4	7,3	18,5	62,3		
Снижение поверхностью земли возле источника As, дБ	Gs = 0 hs = 1м	ф-лы таб.3 [10]	-1,5	-1,5	-1,5	-1,5	-1,5	-1,5	-1,5	-1,5	-1,5		

1		2	3	4	5	6	7	8	9	10	11	12	13
Снижение поверхностью земли возле приёмника Ar, дБ	Gr = 1 hr = 1.5м	ф-лы таб.3 [10]	-1,5	-1,5	4,6	7	5	0,7	0	0	0		
Снижение поверхностью земли в средней зоне, Am дБ	Gm = 1	ф-лы таб.3 [10]	-2,7	-2,7	0	0	0	0	0	0	0		
Суммарное снижение поверхностью земли на траектории распространения звука Agr, дБ		ф-ла (9) [10]	-5,7	-5,7	3,1	5,5	3,5	-0,8	-1,5	-1,5	-1,5		
Уровни звукового давления прямого звука от источника ИШ-6-2 в расчётной точке днём, дБ		**ф-ла(3)[10]**	**0**	**32,9**	**25,3**	**23,5**	**24,5**	**26,7**	**20,8**	**5,3**	**0**	**29**	**29**
Уровни звукового давления прямого звука от источника ИШ-6-2 в расчётной точке ночью, дБ		**ф-ла(3)[10]**	**0**	**32,9**	**25,3**	**23,5**	**24,5**	**26,7**	**20,8**	**5,3**	**0**	**29**	**29**
Расчёт отражённого звука													
Уровни звукового давления от мнимого источника ИШ-6-2_мн.(1) в расчётной точке днём, дБ		**ф-ла(3)[10]**	**0**	**0**	**0**	**0**	**0**	**0**	**0**	**0**	**0**	**0**	**0**
Уровни звукового давления от мнимого источника ИШ-6-2_мн.(1) в расчётной точке ночью, дБ		**ф-ла(3)[10]**	**0**	**0**	**0**	**0**	**0**	**0**	**0**	**0**	**0**	**0**	**0**
Уровни звукового давления от источника ИШ-6-2 в расчётной точке днём, дБ		**ф-ла(3)[10]**	**0**	**32,9**	**25,3**	**23,5**	**24,5**	**26,7**	**20,8**	**5,3**	**0**	**29**	**29**
Уровни звукового давления от источника ИШ-6-2 в расчётной точке ночью, дБ		**ф-ла(3)[10]**	**0**	**32,9**	**25,3**	**23,5**	**24,5**	**26,7**	**20,8**	**5,3**	**0**	**29**	**29**
Источник шума: ИШ-6-3, координаты источника (x,y,z), м =[834.03,116.36,1.00]													
Уровни звуковой мощности источника днём, Lw, дБ		**исходные данные**	**0**	**96,3**	**97,7**	**99**	**99,3**	**98,9**	**95,6**	**91,4**	**86,9**		
Уровни звуковой мощности источника ночью, Lw, дБ		**исходные данные**	**0**	**96,3**	**97,7**	**99**	**99,3**	**98,9**	**95,6**	**91,4**	**86,9**		
Поправка на телесный угол DΩ, дБ	Ω = 12.57	10Lg(4π/Ω)	**0**	0	0	0	0	0	0	0	0		
Показатель направленности источника Di, дБ		исходные данные	**0**	0	0	0	0	0	0	0	0		
Поправка на направленность источника Dc, дБ	Dc	DΩ + Di	**0**	0	0	0	0	0	0	0	0		
Затухание из-за геометрической дивергенции, Adiv, дБ	расстояние = 802.66 м	ф-ла (7) [10]	**69,1**										

1		2	3	4	5	6	7	8	9	10	11	12	13
Коэффициент затухания звука в атмосфере α, дБ/км	Та=20,°С Ра=101.33,кПа hотн.=70%	ф-ла (5) [9]	0,02	0,09	0,33	1,12	2,79	4,98	9,04	23,09	77,63		
Учет затухания звука в атмосфере Aatm, дБ		ф-ла (8) [10]	0	0,1	0,3	0,9	2,2	4	7,3	18,5	62,3		
Снижение поверхностью земли возле источника As, дБ	Gs = 0 hs = 1м	ф-лы таб.3 [10]	-1,5	-1,5	-1,5	-1,5	-1,5	-1,5	-1,5	-1,5	-1,5		
Снижение поверхностью земли возле приёмника Ar, дБ	Gr = 1 hr = 1.5м	ф-лы таб.3 [10]	-1,5	-1,5	4,6	7	5	0,7	0	0	0		
Снижение поверхностью земли в средней зоне, Am дБ	Gm = 1	ф-лы таб.3 [10]	-2,7	-2,7	0	0	0	0	0	0	0		
Суммарное снижение поверхностью земли на траектории распространения звука Agr, дБ		ф-ла (9) [10]	-5,7	-5,7	3,1	5,5	3,5	-0,8	-1,5	-1,5	-1,5		
Уровни звукового давления прямого звука от источника ИШ-6-3 в расчётной точке днём, дБ		**ф-ла(3)[10]**	**0**	**32,8**	**25,3**	**23,5**	**24,5**	**26,6**	**20,7**	**5,3**	**0**	**29**	**29**
Уровни звукового давления прямого звука от источника ИШ-6-3 в расчётной точке ночью, дБ		**ф-ла(3)[10]**	**0**	**32,8**	**25,3**	**23,5**	**24,5**	**26,6**	**20,7**	**5,3**	**0**	**29**	**29**
Расчёт отражённого звука													
Уровни звукового давления от мнимого источника ИШ-6-3_мн.(1) в расчётной точке днём, дБ		**ф-ла(3)[10]**	**0**	**0**	**0**	**0**	**0**	**0**	**0**	**0**	**0**	**0**	**0**
Уровни звукового давления от мнимого источника ИШ-6-3_мн.(1) в расчётной точке ночью, дБ		**ф-ла(3)[10]**	**0**	**0**	**0**	**0**	**0**	**0**	**0**	**0**	**0**	**0**	**0**
Уровни звукового давления от источника ИШ-6-3 в расчётной точке днём, дБ		**ф-ла(3)[10]**	**0**	**32,8**	**25,3**	**23,5**	**24,5**	**26,6**	**20,7**	**5,3**	**0**	**29**	**29**
Уровни звукового давления от источника ИШ-6-3 в расчётной точке ночью, дБ		**ф-ла(3)[10]**	**0**	**32,8**	**25,3**	**23,5**	**24,5**	**26,6**	**20,7**	**5,3**	**0**	**29**	**29**
Источник шума: ИШ-6-4, координаты источника (x,y,z), м =[833.23,113.30,1.00]													
Уровни звуковой мощности источника днём, Lw, дБ		**исходные данные**	**0**	**96,3**	**97,7**	**99**	**99,3**	**98,9**	**95,6**	**91,4**	**86,9**		
Уровни звуковой мощности источника ночью, Lw, дБ		**исходные данные**	**0**	**96,3**	**97,7**	**99**	**99,3**	**98,9**	**95,6**	**91,4**	**86,9**		

1		2	3	4	5	6	7	8	9	10	11	12	13
Поправка на телесный угол DΩ, дБ	Ω = 12.57	10Lg(4π/Ω)	**0**	0	0	0	0	0	0	0	0		
Показатель направленности источника Di, дБ		исходные данные	**0**	0	0	0	0	0	0	0	0		
Поправка на направленность источника Dc, дБ	Dc	DΩ + Di	**0**	0	0	0	0	0	0	0	0		
Затухание из-за геометрической дивергенции, Adiv, дБ	расстояние = 803.55 м	ф-ла (7) [10]	**69,1**										
Коэффициент затухания звука в атмосфере α, дБ/км	Ta=20,°C Pa=101.33,кПа hотн.=70%	ф-ла (5) [9]	0,02	0,09	0,33	1,12	2,79	4,98	9,04	23,09	77,63		
Учет затухания звука в атмосфере Aatm, дБ		ф-ла (8) [10]	0	0,1	0,3	0,9	2,2	4	7,3	18,6	62,4		
Снижение поверхностью земли возле источника As, дБ	Gs = 0 hs = 1м	ф-лы таб.3 [10]	-1,5	-1,5	-1,5	-1,5	-1,5	-1,5	-1,5	-1,5	-1,5		
Снижение поверхностью земли возле приёмника Ar, дБ	Gr = 1 hr = 1.5м	ф-лы таб.3 [10]	-1,5	-1,5	4,6	7	5	0,7	0	0	0		
Снижение поверхностью земли в средней зоне, Am дБ	Gm = 1	ф-лы таб.3 [10]	-2,7	-2,7	0	0	0	0	0	0	0		
Суммарное снижение поверхностью земли на траектории распространения звука Agr, дБ		ф-ла (9) [10]	-5,7	-5,7	3,1	5,5	3,5	-0,8	-1,5	-1,5	-1,5		
Уровни звукового давления от источника ИШ-6-4 в расчётной точке днём, дБ		**ф-ла(3)[10]**	**0**	**32,8**	**25,2**	**23,5**	**24,5**	**26,6**	**20,7**	**5,2**	**0**	**29**	**29**
Уровни звукового давления от источника ИШ-6-4 в расчётной точке ночью, дБ		**ф-ла(3)[10]**	**0**	**32,8**	**25,2**	**23,5**	**24,5**	**26,6**	**20,7**	**5,2**	**0**	**29**	**29**
Источник шума: ИШ-6-5, координаты источника (x,y,z), м =[832.03,110.36,1.00]													
Уровни звуковой мощности источника днём, Lw, дБ		**исходные данные**	**0**	**96,3**	**97,7**	**99**	**99,3**	**98,9**	**95,6**	**91,4**	**86,9**		
Уровни звуковой мощности источника ночью, Lw, дБ		**исходные данные**	**0**	**96,3**	**97,7**	**99**	**99,3**	**98,9**	**95,6**	**91,4**	**86,9**		
Поправка на телесный угол DΩ, дБ	Ω = 12.57	10Lg(4π/Ω)	**0**	0	0	0	0	0	0	0	0		

1		2	3	4	5	6	7	8	9	10	11	12	13
Показатель направленности источника Di, дБ		исходные данные	**0**	0	0	0	0	0	0	0	0		
Поправка на направленность источника Dc, дБ	Dc	DΩ + Di	**0**	0	0	0	0	0	0	0	0		
Затухание из-за геометрической дивергенции, Adiv, дБ	расстояние = 804.03 м	ф-ла (7) [10]	**69,1**										
Коэффициент затухания звука в атмосфере α, дБ/км	Ta=20,°C Pa=101.33,кПа hотн.=70%	ф-ла (5) [9]	0,02	0,09	0,33	1,12	2,79	4,98	9,04	23,09	77,63		
Учет затухания звука в атмосфере Aatm, дБ		ф-ла (8) [10]	0	0,1	0,3	0,9	2,2	4	7,3	18,6	62,4		
Снижение поверхностью земли возле источника As, дБ	Gs = 0 hs = 1м	ф-лы таб.3 [10]	-1,5	-1,5	-1,5	-1,5	-1,5	-1,5	-1,5	-1,5	-1,5		
Снижение поверхностью земли возле приёмника Ar, дБ	Gr = 1 hr = 1.5м	ф-лы таб.3 [10]	-1,5	-1,5	4,6	7	5	0,7	0	0	0		
Снижение поверхностью земли в средней зоне, Am дБ	Gm = 1	ф-лы таб.3 [10]	-2,7	-2,7	0	0	0	0	0	0	0		
Суммарное снижение поверхностью земли на траектории распространения звука Agr, дБ		ф-ла (9) [10]	-5,7	-5,7	3,1	5,5	3,5	-0,8	-1,5	-1,5	-1,5		
Уровни звукового давления от источника ИШ-6-5 в расчётной точке днём, дБ		**ф-ла(3)[10]**	**0**	**32,8**	**25,2**	**23,5**	**24,5**	**26,6**	**20,7**	**5,2**	**0**	**29**	**29**
Уровни звукового давления от источника ИШ-6-5 в расчётной точке ночью, дБ		**ф-ла(3)[10]**	**0**	**32,8**	**25,2**	**23,5**	**24,5**	**26,6**	**20,7**	**5,2**	**0**	**29**	**29**
Источник шума: ИШ-6-6, координаты источника (x,y,z), м =[830.97,107.42,1.00]													
Уровни звуковой мощности источника днём, Lw, дБ		**исходные данные**	**0**	**96,3**	**97,7**	**99**	**99,3**	**98,9**	**95,6**	**91,4**	**86,9**		
Уровни звуковой мощности источника ночью, Lw, дБ		**исходные данные**	**0**	**96,3**	**97,7**	**99**	**99,3**	**98,9**	**95,6**	**91,4**	**86,9**		
Поправка на телесный угол DΩ, дБ	Ω = 12.57	10Lg(4π/Ω)	**0**	0	0	0	0	0	0	0	0		
Показатель направленности источника Di, дБ		исходные данные	**0**	0	0	0	0	0	0	0	0		

1		2	3	4	5	6	7	8	9	10	11	12	13
Поправка на направленность источника Dc, дБ	Dc	DΩ + Di	**0**	0	0	0	0	0	0	0	0		
Затухание из-за геометрической дивергенции, Adiv, дБ	расстояние = 804.65 м	ф-ла (7) [10]	**69,1**										
Коэффициент затухания звука в атмосфере α, дБ/км	Ta=20,°C Pa=101.33,кПа hотн.=70%	ф-ла (5) [9]	0,02	0,09	0,33	1,12	2,79	4,98	9,04	23,09	77,63		
Учет затухания звука в атмосфере Aatm, дБ		ф-ла (8) [10]	0	0,1	0,3	0,9	2,2	4	7,3	18,6	62,5		
Снижение поверхностью земли возле источника As, дБ	Gs = 0 hs = 1м	ф-лы таб.3 [10]	-1,5	-1,5	-1,5	-1,5	-1,5	-1,5	-1,5	-1,5	-1,5		
Снижение поверхностью земли возле приёмника Ar, дБ	Gr = 1 hr = 1.5м	ф-лы таб.3 [10]	-1,5	-1,5	4,6	7	5	0,7	0	0	0		
Снижение поверхностью земли в средней зоне, Am дБ	Gm = 1	ф-лы таб.3 [10]	-2,7	-2,7	0	0	0	0	0	0	0		
Суммарное снижение поверхностью земли на траектории распространения звука Agr, дБ		ф-ла (9) [10]	-5,7	-5,7	3,1	5,5	3,5	-0,8	-1,5	-1,5	-1,5		
Уровни звукового давления от источника ИШ-6-6 в расчётной точке днём, дБ		**ф-ла(3)[10]**	**0**	**32,8**	**25,2**	**23,5**	**24,5**	**26,6**	**20,7**	**5,2**	**0**	**29**	**29**
Уровни звукового давления от источника ИШ-6-6 в расчётной точке ночью, дБ		**ф-ла(3)[10]**	**0**	**32,8**	**25,2**	**23,5**	**24,5**	**26,6**	**20,7**	**5,2**	**0**	**29**	**29**
Источник шума: ИШ-6-7, координаты источника (x,y,z), м =[830.30,104.49,1.00]													
Уровни звуковой мощности источника днём, Lw, дБ		**исходные данные**	**0**	**96,3**	**97,7**	**99**	**99,3**	**98,9**	**95,6**	**91,4**	**86,9**		
Уровни звуковой мощности источника ночью, Lw, дБ		**исходные данные**	**0**	**96,3**	**97,7**	**99**	**99,3**	**98,9**	**95,6**	**91,4**	**86,9**		
Поправка на телесный угол DΩ, дБ	Ω = 12.57	10Lg(4π/Ω)	**0**	0	0	0	0	0	0	0	0		
Показатель направленности источника Di, дБ		исходные данные	**0**	0	0	0	0	0	0	0	0		
Поправка на направленность источника Dc, дБ	Dc	DΩ + Di	**0**	0	0	0	0	0	0	0	0		

1		2	3	4	5	6	7	8	9	10	11	12	13
Затухание из-за геометрической дивергенции, Adiv, дБ	расстояние = 805.61 м	ф-ла (7) [10]	**69,1**										
Коэффициент затухания звука в атмосфере α, дБ/км	Ta=20,°C Pa=101.33,кПа hотн.=70%	ф-ла (5) [9]	0,02	0,09	0,33	1,12	2,79	4,98	9,04	23,09	77,63		
Учет затухания звука в атмосфере Aatm, дБ		ф-ла (8) [10]	0	0,1	0,3	0,9	2,2	4	7,3	18,6	62,5		
Снижение поверхностью земли возле источника As, дБ	Gs = 0 hs = 1м	ф-лы таб.3 [10]	-1,5	-1,5	-1,5	-1,5	-1,5	-1,5	-1,5	-1,5	-1,5		
Снижение поверхностью земли возле приёмника Ar, дБ	Gr = 1 hr = 1.5м	ф-лы таб.3 [10]	-1,5	-1,5	4,6	7	5	0,7	0	0	0		
Снижение поверхностью земли в средней зоне, Am дБ	Gm = 1	ф-лы таб.3 [10]	-2,7	-2,7	0	0	0	0	0	0	0		
Суммарное снижение поверхностью земли на траектории распространения звука Agr, дБ		ф-ла (9) [10]	-5,7	-5,7	3,1	5,5	3,5	-0,8	-1,5	-1,5	-1,5		
Уровни звукового давления от источника ИШ-6-7 в расчётной точке днём, дБ		**ф-ла(3)[10]**	**0**	**32,8**	**25,2**	**23,4**	**24,4**	**26,6**	**20,7**	**5,2**	**0**	**29**	**29**
Уровни звукового давления от источника ИШ-6-7 в расчётной точке ночью, дБ		**ф-ла(3)[10]**	**0**	**32,8**	**25,2**	**23,4**	**24,4**	**26,6**	**20,7**	**5,2**	**0**	**29**	**29**
Источник шума: ИШ-6-8, координаты источника (x,y,z), м =[829.36,101.42,1.00]													
Уровни звуковой мощности источника днём, Lw, дБ		**исходные данные**	**0**	**96,3**	**97,7**	**99**	**99,3**	**98,9**	**95,6**	**91,4**	**86,9**		
Уровни звуковой мощности источника ночью, Lw, дБ		**исходные данные**	**0**	**96,3**	**97,7**	**99**	**99,3**	**98,9**	**95,6**	**91,4**	**86,9**		
Поправка на телесный угол DΩ, дБ	Ω = 12.57	10Lg(4π/Ω)	**0**	0	0	0	0	0	0	0	0		
Показатель направленности источника Di, дБ		исходные данные	**0**	0	0	0	0	0	0	0	0		
Поправка на направленность источника Dc, дБ	Dc	DΩ + Di	**0**	0	0	0	0	0	0	0	0		
Затухание из-за геометрической дивергенции, Adiv, дБ	расстояние = 806.43 м	ф-ла (7) [10]	**69,1**										

1		2	3	4	5	6	7	8	9	10	11	12	13
Коэффициент затухания звука в атмосфере α, дБ/км	Ta=20,°C Pa=101.33,кПа hотн.=70%	ф-ла (5) [9]	0,02	0,09	0,33	1,12	2,79	4,98	9,04	23,09	77,63		
Учет затухания звука в атмосфере Aatm, дБ		ф-ла (8) [10]	0	0,1	0,3	0,9	2,3	4	7,3	18,6	62,6		
Снижение поверхностью земли возле источника As, дБ	Gs = 0 hs = 1м	ф-лы таб.3 [10]	-1,5	-1,5	-1,5	-1,5	-1,5	-1,5	-1,5	-1,5	-1,5		
Снижение поверхностью земли возле приёмника Ar, дБ	Gr = 1 hr = 1.5м	ф-лы таб.3 [10]	-1,5	-1,5	4,6	7	5	0,7	0	0	0		
Снижение поверхностью земли в средней зоне, Am дБ	Gm = 1	ф-лы таб.3 [10]	-2,7	-2,7	0	0	0	0	0	0	0		
Суммарное снижение поверхностью земли на траектории распространения звука Agr, дБ		ф-ла (9) [10]	-5,7	-5,7	3,1	5,5	3,5	-0,8	-1,5	-1,5	-1,5		
Уровни звукового давления от источника ИШ-6-8 в расчётной точке днём, дБ		**ф-ла(3)[10]**	**0**	**32,8**	**25,2**	**23,4**	**24,4**	**26,6**	**20,7**	**5,1**	**0**	**29**	**29**
Уровни звукового давления от источника ИШ-6-8 в расчётной точке ночью, дБ		**ф-ла(3)[10]**	**0**	**32,8**	**25,2**	**23,4**	**24,4**	**26,6**	**20,7**	**5,1**	**0**	**29**	**29**
Источник шума: ИШ-6-9, координаты источника (x,y,z), м =[828.03,98.62,1.00]													
Уровни звуковой мощности источника днём, Lw, дБ		**исходные данные**	**0**	**96,3**	**97,7**	**99**	**99,3**	**98,9**	**95,6**	**91,4**	**86,9**		
Уровни звуковой мощности источника ночью, Lw, дБ		**исходные данные**	**0**	**96,3**	**97,7**	**99**	**99,3**	**98,9**	**95,6**	**91,4**	**86,9**		
Поправка на телесный угол DΩ, дБ	Ω = 12.57	10Lg(4π/Ω)	**0**	0	0	0	0	0	0	0	0		
Показатель направленности источника Di, дБ		исходные данные	**0**	0	0	0	0	0	0	0	0		
Поправка на направленность источника Dc, дБ	Dc	DΩ + Di	**0**	0	0	0	0	0	0	0	0		
Затухание из-за геометрической дивергенции, Adiv, дБ	расстояние = 806.78 м	ф-ла (7) [10]	**69,1**										
Коэффициент затухания звука в атмосфере α, дБ/км	Ta=20,°C Pa=101.33,кПа hотн.=70%	ф-ла (5) [9]	0,02	0,09	0,33	1,12	2,79	4,98	9,04	23,09	77,63		

1		2	3	4	5	6	7	8	9	10	11	12	13
Учет затухания звука в атмосфере Aatm, дБ		ф-ла (8) [10]	0	0,1	0,3	0,9	2,3	4	7,3	18,6	62,6		
Снижение поверхностью земли возле источника As, дБ	Gs = 0 hs = 1м	ф-лы таб.3 [10]	-1,5	-1,5	-1,5	-1,5	-1,5	-1,5	-1,5	-1,5	-1,5		
Снижение поверхностью земли возле приёмника Ar, дБ	Gr = 1 hr = 1.5м	ф-лы таб.3 [10]	-1,5	-1,5	4,6	7	5	0,7	0	0	0		
Снижение поверхностью земли в средней зоне, Am дБ	Gm = 1	ф-лы таб.3 [10]	-2,7	-2,7	0	0	0	0	0	0	0		
Суммарное снижение поверхностью земли на траектории распространения звука Agr, дБ		ф-ла (9) [10]	-5,7	-5,7	3,1	5,5	3,5	-0,8	-1,5	-1,5	-1,5		
Уровни звукового давления от источника ИШ-6-9 в расчётной точке днём, дБ		**ф-ла(3)[10]**	**0**	**32,8**	**25,2**	**23,4**	**24,4**	**26,6**	**20,7**	**5,1**	**0**	**29**	**29**
Уровни звукового давления от источника ИШ-6-9 в расчётной точке ночью, дБ		**ф-ла(3)[10]**	**0**	**32,8**	**25,2**	**23,4**	**24,4**	**26,6**	**20,7**	**5,1**	**0**	**29**	**29**
Источник шума: ИШ-6-10, координаты источника (x,y,z), м =[827.23,95.55,1.00]													
Уровни звуковой мощности источника днём, Lw, дБ		**исходные данные**	**0**	**96,3**	**97,7**	**99**	**99,3**	**98,9**	**95,6**	**91,4**	**86,9**		
Уровни звуковой мощности источника ночью, Lw, дБ		**исходные данные**	**0**	**96,3**	**97,7**	**99**	**99,3**	**98,9**	**95,6**	**91,4**	**86,9**		
Поправка на телесный угол DΩ, дБ	Ω = 12.57	10Lg(4π/Ω)	**0**	0	0	0	0	0	0	0	0		
Показатель направленности источника Di, дБ		исходные данные	**0**	0	0	0	0	0	0	0	0		
Поправка на направленность источника Dc, дБ	Dc	DΩ + Di	**0**	0	0	0	0	0	0	0	0		
Затухание из-за геометрической дивергенции, Adiv, дБ	расстояние = 807.73 м	ф-ла (7) [10]	**69,1**										
Коэффициент затухания звука в атмосфере α, дБ/км	Ta=20,°C Pa=101.33,кПа hотн.=70%	ф-ла (5) [9]	0,02	0,09	0,33	1,12	2,79	4,98	9,04	23,09	77,63		
Учет затухания звука в атмосфере Aatm, дБ		ф-ла (8) [10]	0	0,1	0,3	0,9	2,3	4	7,3	18,6	62,7		

1		2	3	4	5	6	7	8	9	10	11	12	13
Снижение поверхностью земли возле источника As, дБ	Gs = 0 hs = 1м	ф-лы таб.3 [10]	-1,5	-1,5	-1,5	-1,5	-1,5	-1,5	-1,5	-1,5	-1,5		
Снижение поверхностью земли возле приёмника Ar, дБ	Gr = 1 hr = 1.5м	ф-лы таб.3 [10]	-1,5	-1,5	4,6	7	5	0,7	0	0	0		
Снижение поверхностью земли в средней зоне, Am дБ	Gm = 1	ф-лы таб.3 [10]	-2,7	-2,7	0	0	0	0	0	0	0		
Суммарное снижение поверхностью земли на траектории распространения звука Agr, дБ		ф-ла (9) [10]	-5,7	-5,7	3,1	5,5	3,5	-0,8	-1,5	-1,5	-1,5		
Уровни звукового давления от источника ИШ-6-10 в расчётной точке днём, дБ		**ф-ла(3)[10]**	**0**	**32,8**	**25,2**	**23,4**	**24,4**	**26,6**	**20,6**	**5,1**	**0**	**29**	**29**
Уровни звукового давления от источника ИШ-6-10 в расчётной точке ночью, дБ		**ф-ла(3)[10]**	**0**	**32,8**	**25,2**	**23,4**	**24,4**	**26,6**	**20,6**	**5,1**	**0**	**29**	**29**
Источник шума: ИШ-6-11, координаты источника (x,y,z), м =[826.30,92.48,1.00]													
Уровни звуковой мощности источника днём, Lw, дБ		**исходные данные**	**0**	**96,3**	**97,7**	**99**	**99,3**	**98,9**	**95,6**	**91,4**	**86,9**		
Уровни звуковой мощности источника ночью, Lw, дБ		**исходные данные**	**0**	**96,3**	**97,7**	**99**	**99,3**	**98,9**	**95,6**	**91,4**	**86,9**		
Поправка на телесный угол DΩ, дБ	Ω = 12.57	10Lg(4π/Ω)	**0**	0	0	0	0	0	0	0	0		
Показатель направленности источника Di, дБ		исходные данные	**0**	0	0	0	0	0	0	0	0		
Поправка на направленность источника Dc, дБ	Dc	DΩ + Di	**0**	0	0	0	0	0	0	0	0		
Затухание из-за геометрической дивергенции, Adiv, дБ	расстояние = 808.59 м	ф-ла (7) [10]	**69,2**										
Коэффициент затухания звука в атмосфере α, дБ/км	Ta=20,°C Pa=101.33,кПа hотн.=70%	ф-ла (5) [9]	0,02	0,09	0,33	1,12	2,79	4,98	9,04	23,09	77,63		
Учет затухания звука в атмосфере Aatm, дБ		ф-ла (8) [10]	0	0,1	0,3	0,9	2,3	4	7,3	18,7	62,8		
Снижение поверхностью земли возле источника As, дБ	Gs = 0 hs = 1м	ф-лы таб.3 [10]	-1,5	-1,5	-1,5	-1,5	-1,5	-1,5	-1,5	-1,5	-1,5		

1		2	3	4	5	6	7	8	9	10	11	12	13
Снижение поверхностью земли возле приёмника Ar, дБ	Gr = 1 hr = 1.5м	ф-лы таб.3 [10]	-1,5	-1,5	4,6	7	5	0,7	0	0	0		
Снижение поверхностью земли в средней зоне, Am дБ	Gm = 1	ф-лы таб.3 [10]	-2,7	-2,7	0	0	0	0	0	0	0		
Суммарное снижение поверхностью земли на траектории распространения звука Agr, дБ		ф-ла (9) [10]	-5,7	-5,7	3,1	5,5	3,5	-0,8	-1,5	-1,5	-1,5		
Уровни звукового давления от источника ИШ-6-11 в расчётной точке днём, дБ		**ф-ла(3)[10]**	**0**	**32,8**	**25,2**	**23,4**	**24,4**	**26,6**	**20,6**	**5,1**	**0**	**28,9**	**28,9**
Уровни звукового давления от источника ИШ-6-11 в расчётной точке ночью, дБ		**ф-ла(3)[10]**	**0**	**32,8**	**25,2**	**23,4**	**24,4**	**26,6**	**20,6**	**5,1**	**0**	**28,9**	**28,9**
Источник шума: ИШ-6-12, координаты источника (x,y,z), м =[825.09,89.54,1.00]													
Уровни звуковой мощности источника днём, Lw, дБ		**исходные данные**	**0**	**96,3**	**97,7**	**99**	**99,3**	**98,9**	**95,6**	**91,4**	**86,9**		
Уровни звуковой мощности источника ночью, Lw, дБ		**исходные данные**	**0**	**96,3**	**97,7**	**99**	**99,3**	**98,9**	**95,6**	**91,4**	**86,9**		
Поправка на телесный угол DΩ, дБ	Ω = 12.57	10Lg(4π/Ω)	**0**	0	0	0	0	0	0	0	0		
Показатель направленности источника Di, дБ		исходные данные	**0**	0	0	0	0	0	0	0	0		
Поправка на направленность источника Dc, дБ	Dc	DΩ + Di	**0**	0	0	0	0	0	0	0	0		
Затухание из-за геометрической дивергенции, Adiv, дБ	расстояние = 809.15 м	ф-ла (7) [10]	**69,2**										
Коэффициент затухания звука в атмосфере α, дБ/км	Ta=20,°C Pa=101.33,кПа hотн.=70%	ф-ла (5) [9]	0,02	0,09	0,33	1,12	2,79	4,98	9,04	23,09	77,63		
Учет затухания звука в атмосфере Aatm, дБ		ф-ла (8) [10]	0	0,1	0,3	0,9	2,3	4	7,3	18,7	62,8		
Снижение поверхностью земли возле источника As, дБ	Gs = 0 hs = 1м	ф-лы таб.3 [10]	-1,5	-1,5	-1,5	-1,5	-1,5	-1,5	-1,5	-1,5	-1,5		
Снижение поверхностью земли возле приёмника Ar, дБ	Gr = 1 hr = 1.5м	ф-лы таб.3 [10]	-1,5	-1,5	4,6	7	5	0,7	0	0	0		

1		2	3	4	5	6	7	8	9	10	11	12	13
Снижение поверхностью земли в средней зоне, Am дБ	Gm = 1	ф-лы таб.3 [10]	-2,7	-2,7	0	0	0	0	0	0	0		
Суммарное снижение поверхностью земли на траектории распространения звука Agr, дБ		ф-ла (9) [10]	-5,7	-5,7	3,1	5,5	3,5	-0,8	-1,5	-1,5	-1,5		
Уровни звукового давления от источника ИШ-6-12 в расчётной точке днём, дБ		**ф-ла(3)[10]**	**0**	**32,8**	**25,2**	**23,4**	**24,4**	**26,5**	**20,6**	**5,1**	**0**	**28,9**	**28,9**
Уровни звукового давления от источника ИШ-6-12 в расчётной точке ночью, дБ		**ф-ла(3)[10]**	**0**	**32,8**	**25,2**	**23,4**	**24,4**	**26,5**	**20,6**	**5,1**	**0**	**28,9**	**28,9**
Источник шума: ИШ-6-13, координаты источника (x,y,z), м =[767.76,-114.15,1.00]													
Уровни звуковой мощности источника днём, Lw, дБ		**исходные данные**	**0**	**96,3**	**97,7**	**99**	**99,3**	**98,9**	**95,6**	**91,4**	**86,9**		
Уровни звуковой мощности источника ночью, Lw, дБ		**исходные данные**	**0**	**96,3**	**97,7**	**99**	**99,3**	**98,9**	**95,6**	**91,4**	**86,9**		
Поправка на телесный угол DΩ, дБ	Ω = 12.57	10Lg(4π/Ω)	**0**	0	0	0	0	0	0	0	0		
Показатель направленности источника Di, дБ		исходные данные	**0**	0	0	0	0	0	0	0	0		
Поправка на направленность источника Dc, дБ	Dc	DΩ + Di	**0**	0	0	0	0	0	0	0	0		
Затухание из-за геометрической дивергенции, Adiv, дБ	расстояние = 894.12 м	ф-ла (7) [10]	**70**										
Коэффициент затухания звука в атмосфере α, дБ/км	Ta=20,°C Pa=101.33,кПа hотн.=70%	ф-ла (5) [9]	0,02	0,09	0,33	1,12	2,79	4,98	9,04	23,09	77,63		
Учет затухания звука в атмосфере Aatm, дБ		ф-ла (8) [10]	0	0,1	0,3	1	2,5	4,5	8,1	20,6	69,4		
Снижение уровня звукового давления из-за влияния застройки между источником шума и расчетной точкой													
Снижение уровня звукового давления на пути над экраном, Dz1, дБ	z = 0.23м (разность путей)	ф-лы (14-18) [10]	4,8	4,8	4,8	4,8	4,8	4,8	4,9	5	5,3		
Снижение уровня звукового давления на пути слева от экрана, Dz2, дБ	z = 78.60м (разность путей)	ф-лы (14-18) [10]	29,2	32,4	35,4	38,4	41,4	44,4	47,4	50,5	53,5		

1		2	3	4	5	6	7	8	9	10	11	12	13
Снижение уровня звукового давления на пути справа от экрана, Dz3, дБ	z = 3.37м (разность путей)	ф-лы (14-18) [10]	15,8	18,8	21,8	24,8	27,8	30,8	33,8	36,8	39,8		
Общее снижение уровня звука препятствием Dz, дБ		Эн.сумма(-Dzi)	4,4	4,6	4,7	4,7	4,8	4,8	4,9	5	5,3		
Уровни звукового давления от источника ИШ-6-13 в расчётной точке днём, дБ		**ф-ла(3)[10]**	**0**	**21,6**	**22,7**	**23,2**	**22**	**19,6**	**12,6**	**0**	**0**	**23,5**	**23,5**
Уровни звукового давления от источника ИШ-6-13 в расчётной точке ночью, дБ		**ф-ла(3)[10]**	**0**	**21,6**	**22,7**	**23,2**	**22**	**19,6**	**12,6**	**0**	**0**	**23,5**	**23,5**
Источник шума: ИШ-6-14, координаты источника (x,y,z), м =[766.82,-117.10,1.00]													
Уровни звуковой мощности источника днём, Lw, дБ		**исходные данные**	**0**	**96,3**	**97,7**	**99**	**99,3**	**98,9**	**95,6**	**91,4**	**86,9**		
Уровни звуковой мощности источника ночью, Lw, дБ		**исходные данные**	**0**	**96,3**	**97,7**	**99**	**99,3**	**98,9**	**95,6**	**91,4**	**86,9**		
Поправка на телесный угол DΩ, дБ	Ω = 12.57	10Lg(4π/Ω)	**0**	0	0	0	0	0	0	0	0		
Показатель направленности источника Di, дБ		исходные данные	**0**	0	0	0	0	0	0	0	0		
Поправка на направленность источника Dc, дБ	Dc	DΩ + Di	**0**	0	0	0	0	0	0	0	0		
Затухание из-за геометрической дивергенции, Adiv, дБ	расстояние = 895.58 м	ф-ла (7) [10]	**70**										
Коэффициент затухания звука в атмосфере α, дБ/км	Ta=20,°C Pa=101.33,кПа hотн.=70%	ф-ла (5) [9]	0,02	0,09	0,33	1,12	2,79	4,98	9,04	23,09	77,63		
Учет затухания звука в атмосфере Aatm, дБ		ф-ла (8) [10]	0	0,1	0,3	1	2,5	4,5	8,1	20,7	69,5		
Снижение уровня звукового давления из-за влияния застройки между источником шума и расчетной точкой													
Снижение уровня звукового давления на пути над экраном, Dz1, дБ	z = 0.23м (разность путей)	ф-лы (14-18) [10]	4,8	4,8	4,8	4,8	4,8	4,8	4,9	5,1	5,3		
Снижение уровня звукового давления на пути слева от экрана, Dz2, дБ	z = 76.90м (разность путей)	ф-лы (14-18) [10]	29,1	32,3	35,3	38,3	41,3	44,3	47,3	50,4	53,4		

1		2	3	4	5	6	7	8	9	10	11	12	13
Снижение уровня звукового давления на пути справа от экрана, Dz3, дБ	z = 2.09м (разность путей)	ф-лы (14-18) [10]	13,5	16,7	19,7	22,7	25,7	28,7	31,7	34,7	37,7		
Общее снижение уровня звука препятствием Dz, дБ		Эн.сумма(-Dzi)	4,2	4,5	4,6	4,7	4,8	4,8	4,9	5	5,3		
Уровни звукового давления от источника ИШ-6-14 в расчётной точке днём, дБ		**ф-ла(3)[10]**	**0**	**21,7**	**22,7**	**23,2**	**22**	**19,6**	**12,6**	**0**	**0**	**23,5**	**23,5**
Уровни звукового давления от источника ИШ-6-14 в расчётной точке ночью, дБ		**ф-ла(3)[10]**	**0**	**21,7**	**22,7**	**23,2**	**22**	**19,6**	**12,6**	**0**	**0**	**23,5**	**23,5**
Источник шума: ИШ-6-15, координаты источника (x,y,z), м =[765.71,-120.27,1.00]													
Уровни звуковой мощности источника днём, Lw, дБ		**исходные данные**	**0**	**96,3**	**97,7**	**99**	**99,3**	**98,9**	**95,6**	**91,4**	**86,9**		
Уровни звуковой мощности источника ночью, Lw, дБ		**исходные данные**	**0**	**96,3**	**97,7**	**99**	**99,3**	**98,9**	**95,6**	**91,4**	**86,9**		
Поправка на телесный угол DΩ, дБ	Ω = 12.57	10Lg(4π/Ω)	**0**	0	0	0	0	0	0	0	0		
Показатель направленности источника Di, дБ		исходные данные	**0**	0	0	0	0	0	0	0	0		
Поправка на направленность источника Dc, дБ	Dc	DΩ + Di	**0**	0	0	0	0	0	0	0	0		
Затухание из-за геометрической дивергенции, Adiv, дБ	расстояние = 897.09 м	ф-ла (7) [10]	**70,1**										
Коэффициент затухания звука в атмосфере α, дБ/км	Ta=20,°C Pa=101.33,кПа hотн.=70%	ф-ла (5) [9]	0,02	0,09	0,33	1,12	2,79	4,98	9,04	23,09	77,63		
Учет затухания звука в атмосфере Aatm, дБ		ф-ла (8) [10]	0	0,1	0,3	1	2,5	4,5	8,1	20,7	69,6		
Снижение уровня звукового давления из-за влияния застройки между источником шума и расчетной точкой													
Снижение уровня звукового давления на пути над экраном, Dz1, дБ	z = 0.23м (разность путей)	ф-лы (14-18) [10]	4,8	4,8	4,8	4,8	4,8	4,8	4,9	5,1	5,3		
Снижение уровня звукового давления на пути слева от экрана, Dz2, дБ	z = 75.10м (разность путей)	ф-лы (14-18) [10]	29	32,2	35,2	38,2	41,2	44,2	47,2	50,3	53,3		

1		2	3	4	5	6	7	8	9	10	11	12	13
Снижение уровня звукового давления на пути справа от экрана, Dz3, дБ	z = 2.33м (разность путей)	ф-лы (14-18) [10]	13,9	17,2	20,2	23,2	26,2	29,2	32,2	35,2	38,2		
Общее снижение уровня звука препятствием Dz, дБ		Эн.сумма(-Dzi)	4,3	4,5	4,7	4,7	4,8	4,8	4,9	5,1	5,3		
Уровни звукового давления от источника ИШ-6-15 в расчётной точке днём, дБ		**ф-ла(3)[10]**	**0**	**21,6**	**22,7**	**23,2**	**22**	**19,5**	**12,5**	**0**	**0**	**23,5**	**23,5**
Уровни звукового давления от источника ИШ-6-15 в расчётной точке ночью, дБ		**ф-ла(3)[10]**	**0**	**21,6**	**22,7**	**23,2**	**22**	**19,5**	**12,5**	**0**	**0**	**23,5**	**23,5**
Источник шума: ИШ-6-16, координаты источника (x,y,z), м =[764.57,-123.22,1.00]													
Уровни звуковой мощности источника днём, Lw, дБ		**исходные данные**	**0**	**96,3**	**97,7**	**99**	**99,3**	**98,9**	**95,6**	**91,4**	**86,9**		
Уровни звуковой мощности источника ночью, Lw, дБ		**исходные данные**	**0**	**96,3**	**97,7**	**99**	**99,3**	**98,9**	**95,6**	**91,4**	**86,9**		
Поправка на телесный угол DΩ, дБ	Ω = 12.57	10Lg(4π/Ω)	**0**	0	0	0	0	0	0	0	0		
Показатель направленности источника Di, дБ		исходные данные	**0**	0	0	0	0	0	0	0	0		
Поправка на направленность источника Dc, дБ	Dc	DΩ + Di	**0**	0	0	0	0	0	0	0	0		
Затухание из-за геометрической дивергенции, Adiv, дБ	расстояние = 898.43 м	ф-ла (7) [10]	**70,1**										
Коэффициент затухания звука в атмосфере α, дБ/км	Ta=20,°C Pa=101.33,кПа hотн.=70%	ф-ла (5) [9]	0,02	0,09	0,33	1,12	2,79	4,98	9,04	23,09	77,63		
Учет затухания звука в атмосфере Aatm, дБ		ф-ла (8) [10]	0	0,1	0,3	1	2,5	4,5	8,1	20,7	69,7		
Снижение уровня звукового давления из-за влияния застройки между источником шума и расчетной точкой													
Снижение уровня звукового давления на пути над экраном, Dz1, дБ	z = 0.23м (разность путей)	ф-лы (14-18) [10]	4,8	4,8	4,8	4,8	4,8	4,8	4,9	5,1	5,3		
Снижение уровня звукового давления на пути слева от экрана, Dz2, дБ	z = 73.43м (разность путей)	ф-лы (14-18) [10]	28,9	32,1	35,1	38,1	41,1	44,1	47,1	50,2	53,2		

1		2	3	4	5	6	7	8	9	10	11	12	13
Снижение уровня звукового давления на пути справа от экрана, Dz3, дБ	z = 2.56м (разность путей)	ф-лы (14-18) [10]	14,3	17,6	20,6	23,6	26,6	29,6	32,6	35,6	38,6		
Общее снижение уровня звука препятствием Dz, дБ		Эн.сумма(-Dzi)	4,3	4,5	4,7	4,7	4,8	4,8	4,9	5,1	5,3		
Уровни звукового давления от источника ИШ-6-16 в расчётной точке днём, дБ		**ф-ла(3)[10]**	**0**	**21,6**	**22,7**	**23,2**	**21,9**	**19,5**	**12,5**	**0**	**0**	**23,4**	**23,4**
Уровни звукового давления от источника ИШ-6-16 в расчётной точке ночью, дБ		**ф-ла(3)[10]**	**0**	**21,6**	**22,7**	**23,2**	**21,9**	**19,5**	**12,5**	**0**	**0**	**23,4**	**23,4**
Источник шума: ИШ-6-17, координаты источника (x,y,z), м =[763.57,-126.18,1.00]													
Уровни звуковой мощности источника днём, Lw, дБ		**исходные данные**	**0**	**96,3**	**97,7**	**99**	**99,3**	**98,9**	**95,6**	**91,4**	**86,9**		
Уровни звуковой мощности источника ночью, Lw, дБ		**исходные данные**	**0**	**96,3**	**97,7**	**99**	**99,3**	**98,9**	**95,6**	**91,4**	**86,9**		
Поправка на телесный угол DΩ, дБ	Ω = 12.57	10Lg(4π/Ω)	**0**	0	0	0	0	0	0	0	0		
Показатель направленности источника Di, дБ		исходные данные	**0**	0	0	0	0	0	0	0	0		
Поправка на направленность источника Dc, дБ	Dc	DΩ + Di	**0**	0	0	0	0	0	0	0	0		
Затухание из-за геометрической дивергенции, Adiv, дБ	расстояние = 899.89 м	ф-ла (7) [10]	**70,1**										
Коэффициент затухания звука в атмосфере α, дБ/км	Ta=20,°C Pa=101.33,кПа hотн.=70%	ф-ла (5) [9]	0,02	0,09	0,33	1,12	2,79	4,98	9,04	23,09	77,63		
Учет затухания звука в атмосфере Aatm, дБ		ф-ла (8) [10]	0	0,1	0,3	1	2,5	4,5	8,1	20,8	69,9		
Снижение уровня звукового давления из-за влияния застройки между источником шума и расчетной точкой													
Снижение уровня звукового давления на пути над экраном, Dz1, дБ	z = 0.23м (разность путей)	ф-лы (14-18) [10]	4,8	4,8	4,8	4,8	4,8	4,8	4,9	5,1	5,3		
Снижение уровня звукового давления на пути слева от экрана, Dz2, дБ	z = 71.83м (разность путей)	ф-лы (14-18) [10]	28,8	32	35	38	41	44	47,1	50,1	53,1		

1		2	3	4	5	6	7	8	9	10	11	12	13
Снижение уровня звукового давления на пути справа от экрана, Dz3, дБ	z = 2.81м (разность путей)	ф-лы (14-18) [10]	14,6	17,9	21	24	27	30	33	36	39		
Общее снижение уровня звука препятствием Dz, дБ		Эн.сумма(-Dzi)	4,3	4,6	4,7	4,7	4,8	4,8	4,9	5,1	5,3		
Уровни звукового давления от источника ИШ-6-17 в расчётной точке днём, дБ		**ф-ла(3)[10]**	**0**	**21,6**	**22,6**	**23,2**	**21,9**	**19,5**	**12,5**	**0**	**0**	**23,4**	**23,4**
Уровни звукового давления от источника ИШ-6-17 в расчётной точке ночью, дБ		**ф-ла(3)[10]**	**0**	**21,6**	**22,6**	**23,2**	**21,9**	**19,5**	**12,5**	**0**	**0**	**23,4**	**23,4**
Источник шума: ИШ-6-18, координаты источника (x,y,z), м =[804.77,-126.28,1.00]													
Уровни звуковой мощности источника днём, Lw, дБ		**исходные данные**	**0**	**96,3**	**97,7**	**99**	**99,3**	**98,9**	**95,6**	**91,4**	**86,9**		
Уровни звуковой мощности источника ночью, Lw, дБ		**исходные данные**	**0**	**96,3**	**97,7**	**99**	**99,3**	**98,9**	**95,6**	**91,4**	**86,9**		
Поправка на телесный угол DΩ, дБ	Ω = 12.57	10Lg(4π/Ω)	**0**	0	0	0	0	0	0	0	0		
Показатель направленности источника Di, дБ		исходные данные	**0**	0	0	0	0	0	0	0	0		
Поправка на направленность источника Dc, дБ	Dc	DΩ + Di	**0**	0	0	0	0	0	0	0	0		
Затухание из-за геометрической дивергенции, Adiv, дБ	расстояние = 928.80 м	ф-ла (7) [10]	**70,4**										
Коэффициент затухания звука в атмосфере α, дБ/км	Ta=20,°C Pa=101.33,кПа hотн.=70%	ф-ла (5) [9]	0,02	0,09	0,33	1,12	2,79	4,98	9,04	23,09	77,63		
Учет затухания звука в атмосфере Aatm, дБ		ф-ла (8) [10]	0	0,1	0,3	1	2,6	4,6	8,4	21,4	72,1		
Снижение уровня звукового давления из-за влияния застройки между источником шума и расчетной точкой													
Снижение уровня звукового давления на пути над экраном, Dz1, дБ	z = 0.21м (разность путей)	ф-лы (14-18) [10]	4,8	4,8	4,8	4,8	4,8	4,8	4,8	4,9	5		
Снижение уровня звукового давления на пути слева от экрана, Dz2, дБ	z = 74.89м (разность путей)	ф-лы (14-18) [10]	24,5	27,5	30,4	33,4	36,4	39,5	42,5	45,5	48,5		

1		2	3	4	5	6	7	8	9	10	11	12	13
Снижение уровня звукового давления на пути справа от экрана, Dz3, дБ	z = 1.33м (разность путей)	ф-лы (14-18) [10]	12,3	15,1	17,9	20,8	23,8	26,7	29,7	32,7	35,7		
Общее снижение уровня звука препятствием Dz, дБ		Эн.сумма(-Dzi)	4	4,4	4,6	4,7	4,7	4,8	4,8	4,9	5		
Уровни звукового давления от источника ИШ-6-18 в расчётной точке днём, дБ		**ф-ла(3)[10]**	**0**	**21,5**	**22,5**	**22,9**	**21,6**	**19,1**	**12**	**0**	**0**	**23,1**	**23,1**
Уровни звукового давления от источника ИШ-6-18 в расчётной точке ночью, дБ		**ф-ла(3)[10]**	**0**	**21,5**	**22,5**	**22,9**	**21,6**	**19,1**	**12**	**0**	**0**	**23,1**	**23,1**
Источник шума: ИШ-6-19, координаты источника (x,y,z), м =[803.81,-129.30,1.00]													
Уровни звуковой мощности источника днём, Lw, дБ		**исходные данные**	**0**	**96,3**	**97,7**	**99**	**99,3**	**98,9**	**95,6**	**91,4**	**86,9**		
Уровни звуковой мощности источника ночью, Lw, дБ		**исходные данные**	**0**	**96,3**	**97,7**	**99**	**99,3**	**98,9**	**95,6**	**91,4**	**86,9**		
Поправка на телесный угол DΩ, дБ	Ω = 12.57	10Lg(4π/Ω)	**0**	0	0	0	0	0	0	0	0		
Показатель направленности источника Di, дБ		исходные данные	**0**	0	0	0	0	0	0	0	0		
Поправка на направленность источника Dc, дБ	Dc	DΩ + Di	**0**	0	0	0	0	0	0	0	0		
Затухание из-за геометрической дивергенции, Adiv, дБ	расстояние = 930.25 м	ф-ла (7) [10]	**70,4**										
Коэффициент затухания звука в атмосфере α, дБ/км	Ta=20,°C Pa=101.33,кПа hотн.=70%	ф-ла (5) [9]	0,02	0,09	0,33	1,12	2,79	4,98	9,04	23,09	77,63		
Учет затухания звука в атмосфере Aatm, дБ		ф-ла (8) [10]	0	0,1	0,3	1	2,6	4,6	8,4	21,5	72,2		
Снижение уровня звукового давления из-за влияния застройки между источником шума и расчетной точкой													
Снижение уровня звукового давления на пути над экраном, Dz1, дБ	z = 0.21м (разность путей)	ф-лы (14-18) [10]	4,8	4,8	4,8	4,8	4,8	4,8	4,8	4,9	5		
Снижение уровня звукового давления на пути слева от экрана, Dz2, дБ	z = 73.87м (разность путей)	ф-лы (14-18) [10]	24,4	27,4	30,4	33,4	36,4	39,4	42,4	45,4	48,4		

1		2	3	4	5	6	7	8	9	10	11	12	13
Снижение уровня звукового давления на пути справа от экрана, Dz3, дБ	z = 1.55м (разность путей)	ф-лы (14-18) [10]	12,8	15,7	18,5	21,5	24,4	27,4	30,4	33,4	36,4		
Общее снижение уровня звука препятствием Dz, дБ		Эн.сумма(-Dzi)	4,1	4,4	4,6	4,7	4,7	4,8	4,8	4,9	5		
Уровни звукового давления от источника ИШ-6-19 в расчётной точке днём, дБ		**ф-ла(3)[10]**	**0**	**21,4**	**22,4**	**22,9**	**21,6**	**19,1**	**12**	**0**	**0**	**23,1**	**23,1**
Уровни звукового давления от источника ИШ-6-19 в расчётной точке ночью, дБ		**ф-ла(3)[10]**	**0**	**21,4**	**22,4**	**22,9**	**21,6**	**19,1**	**12**	**0**	**0**	**23,1**	**23,1**
Источник шума: ИШ-6-20, координаты источника (x,y,z), м =[802.67,-132.35,1.00]													
Уровни звуковой мощности источника днём, Lw, дБ		**исходные данные**	**0**	**96,3**	**97,7**	**99**	**99,3**	**98,9**	**95,6**	**91,4**	**86,9**		
Уровни звуковой мощности источника ночью, Lw, дБ		**исходные данные**	**0**	**96,3**	**97,7**	**99**	**99,3**	**98,9**	**95,6**	**91,4**	**86,9**		
Поправка на телесный угол DΩ, дБ	Ω = 12.57	10Lg(4π/Ω)	**0**	0	0	0	0	0	0	0	0		
Показатель направленности источника Di, дБ		исходные данные	**0**	0	0	0	0	0	0	0	0		
Поправка на направленность источника Dc, дБ	Dc	DΩ + Di	**0**	0	0	0	0	0	0	0	0		
Затухание из-за геометрической дивергенции, Adiv, дБ	расстояние = 931.59 м	ф-ла (7) [10]	**70,4**										
Коэффициент затухания звука в атмосфере α, дБ/км	Ta=20,°C Pa=101.33,кПа hотн.=70%	ф-ла (5) [9]	0,02	0,09	0,33	1,12	2,79	4,98	9,04	23,09	77,63		
Учет затухания звука в атмосфере Aatm, дБ		ф-ла (8) [10]	0	0,1	0,3	1	2,6	4,6	8,4	21,5	72,3		
Снижение уровня звукового давления из-за влияния застройки между источником шума и расчетной точкой													
Снижение уровня звукового давления на пути над экраном, Dz1, дБ	z = 0.21м (разность путей)	ф-лы (14-18) [10]	4,8	4,8	4,8	4,8	4,8	4,8	4,8	4,9	5		
Снижение уровня звукового давления на пути слева от экрана, Dz2, дБ	z = 79.42м (разность путей)	ф-лы (14-18) [10]	29,3	32,4	35,4	38,5	41,5	44,5	47,5	50,5	53,5		

1		2	3	4	5	6	7	8	9	10	11	12	13
Снижение уровня звукового давления на пути справа от экрана, Dz3, дБ	z = 1.80м (разность путей)	ф-лы (14-18) [10]	13,4	16,3	19,1	22,1	25,1	28,1	31,1	34,1	37,1		
Общее снижение уровня звука препятствием Dz, дБ		Эн.сумма(-Dzi)	4,2	4,5	4,6	4,7	4,7	4,8	4,8	4,9	5		
Уровни звукового давления от источника ИШ-6-20 в расчётной точке днём, дБ		**ф-ла(3)[10]**	**0**	**21,4**	**22,4**	**22,9**	**21,6**	**19,1**	**12**	**0**	**0**	**23,1**	**23,1**
Уровни звукового давления от источника ИШ-6-20 в расчётной точке ночью, дБ		**ф-ла(3)[10]**	**0**	**21,4**	**22,4**	**22,9**	**21,6**	**19,1**	**12**	**0**	**0**	**23,1**	**23,1**
Источник шума: ИШ-6-21, координаты источника (x,y,z), м =[801.69,-135.42,1.00]													
Уровни звуковой мощности источника днём, Lw, дБ		**исходные данные**	**0**	**96,3**	**97,7**	**99**	**99,3**	**98,9**	**95,6**	**91,4**	**86,9**		
Уровни звуковой мощности источника ночью, Lw, дБ		**исходные данные**	**0**	**96,3**	**97,7**	**99**	**99,3**	**98,9**	**95,6**	**91,4**	**86,9**		
Поправка на телесный угол DΩ, дБ	Ω = 12.57	10Lg(4π/Ω)	**0**	0	0	0	0	0	0	0	0		
Показатель направленности источника Di, дБ		исходные данные	**0**	0	0	0	0	0	0	0	0		
Поправка на направленность источника Dc, дБ	Dc	DΩ + Di	**0**	0	0	0	0	0	0	0	0		
Затухание из-за геометрической дивергенции, Adiv, дБ	расстояние = 933.07 м	ф-ла (7) [10]	**70,4**										
Коэффициент затухания звука в атмосфере α, дБ/км	Ta=20,°C Pa=101.33,кПа hотн.=70%	ф-ла (5) [9]	0,02	0,09	0,33	1,12	2,79	4,98	9,04	23,09	77,63		
Учет затухания звука в атмосфере Aatm, дБ		ф-ла (8) [10]	0	0,1	0,3	1	2,6	4,6	8,4	21,5	72,4		
Снижение уровня звукового давления из-за влияния застройки между источником шума и расчетной точкой													
Снижение уровня звукового давления на пути над экраном, Dz1, дБ	z = 0.21м (разность путей)	ф-лы (14-18) [10]	4,8	4,8	4,8	4,8	4,8	4,8	4,8	4,9	5		
Снижение уровня звукового давления на пути слева от экрана, Dz2, дБ	z = 77.83м (разность путей)	ф-лы (14-18) [10]	29,2	32,3	35,3	38,4	41,4	44,4	47,4	50,4	53,4		

1		2	3	4	5	6	7	8	9	10	11	12	13
Снижение уровня звукового давления на пути справа от экрана, Dz3, дБ	z = 2.06м (разность путей)	ф-лы (14-18) [10]	13,9	16,8	19,7	22,7	25,6	28,6	31,6	34,6	37,7		
Общее снижение уровня звука препятствием Dz, дБ		Эн.сумма(-Dzi)	4,3	4,5	4,6	4,7	4,7	4,8	4,8	4,9	5		
Уровни звукового давления от источника ИШ-6-21 в расчётной точке днём, дБ		**ф-ла(3)[10]**	**0**	**21,3**	**22,3**	**22,8**	**21,5**	**19,1**	**11,9**	**0**	**0**	**23**	**23**
Уровни звукового давления от источника ИШ-6-21 в расчётной точке ночью, дБ		**ф-ла(3)[10]**	**0**	**21,3**	**22,3**	**22,8**	**21,5**	**19,1**	**11,9**	**0**	**0**	**23**	**23**
Источник шума: ИШ-6-22, координаты источника (x,y,z), м =[800.65,-138.47,1.00]													
Уровни звуковой мощности источника днём, Lw, дБ		**исходные данные**	**0**	**96,3**	**97,7**	**99**	**99,3**	**98,9**	**95,6**	**91,4**	**86,9**		
Уровни звуковой мощности источника ночью, Lw, дБ		**исходные данные**	**0**	**96,3**	**97,7**	**99**	**99,3**	**98,9**	**95,6**	**91,4**	**86,9**		
Поправка на телесный угол DΩ, дБ	Ω = 12.57	10Lg(4π/Ω)	**0**	0	0	0	0	0	0	0	0		
Показатель направленности источника Di, дБ		исходные данные	**0**	0	0	0	0	0	0	0	0		
Поправка на направленность источника Dc, дБ	Dc	DΩ + Di	**0**	0	0	0	0	0	0	0	0		
Затухание из-за геометрической дивергенции, Adiv, дБ	расстояние = 934.50 м	ф-ла (7) [10]	**70,4**										
Коэффициент затухания звука в атмосфере α, дБ/км	Ta=20,°C Pa=101.33,кПа hотн.=70%	ф-ла (5) [9]	0,02	0,09	0,33	1,12	2,79	4,98	9,04	23,09	77,63		
Учет затухания звука в атмосфере Aatm, дБ		ф-ла (8) [10]	0	0,1	0,3	1,1	2,6	4,7	8,4	21,6	72,5		
Снижение уровня звукового давления из-за влияния застройки между источником шума и расчетной точкой													
Снижение уровня звукового давления на пути над экраном, Dz1, дБ	z = 0.22м (разность путей)	ф-лы (14-18) [10]	4,8	4,8	4,8	4,8	4,8	4,8	4,8	4,9	5		
Снижение уровня звукового давления на пути слева от экрана, Dz2, дБ	z = 76.26м (разность путей)	ф-лы (14-18) [10]	29,1	32,2	35,3	38,3	41,3	44,3	47,3	50,3	53,3		

1		2	3	4	5	6	7	8	9	10	11	12	13
Снижение уровня звукового давления на пути справа от экрана, Dz3, дБ	z = 2.34м (разность путей)	ф-лы (14-18) [10]	14,4	17,3	20,2	23,2	26,2	29,2	32,2	35,2	38,2		
Общее снижение уровня звука препятствием Dz, дБ		Эн.сумма(-Dzi)	4,3	4,5	4,6	4,7	4,8	4,8	4,8	4,9	5		
Уровни звукового давления от источника ИШ-6-22 в расчётной точке днём, дБ		**ф-ла(3)[10]**	**0**	**21,3**	**22,3**	**22,8**	**21,5**	**19**	**11,9**	**0**	**0**	**23**	**23**
Уровни звукового давления от источника ИШ-6-22 в расчётной точке ночью, дБ		**ф-ла(3)[10]**	**0**	**21,3**	**22,3**	**22,8**	**21,5**	**19**	**11,9**	**0**	**0**	**23**	**23**
Источник шума: ИШ-7-1, координаты источника (x,y,z), м =[821.44,63.31,1.00]													
Уровни звуковой мощности источника днём, Lw, дБ		**исходные данные**	**77**	**75**	**67**	**66**	**63**	**55**	**53**	**48**	**51**		
Уровни звуковой мощности источника ночью, Lw, дБ		**исходные данные**	**77**	**75**	**67**	**66**	**63**	**55**	**53**	**48**	**51**		
Поправка на телесный угол DΩ, дБ	Ω = 12.57	10Lg(4π/Ω)	**0**	0	0	0	0	0	0	0	0		
Показатель направленности источника Di, дБ		исходные данные	**0**	0	0	0	0	0	0	0	0		
Поправка на направленность источника Dc, дБ	Dc	DΩ + Di	**0**	0	0	0	0	0	0	0	0		
Затухание из-за геометрической дивергенции, Adiv, дБ	расстояние = 820.60 м	ф-ла (7) [10]	**69,3**										
Коэффициент затухания звука в атмосфере α, дБ/км	Ta=20,°C Pa=101.33,кПа hотн.=70%	ф-ла (5) [9]	0,02	0,09	0,33	1,12	2,79	4,98	9,04	23,09	77,63		
Учет затухания звука в атмосфере Aatm, дБ		ф-ла (8) [10]	0	0,1	0,3	0,9	2,3	4,1	7,4	18,9	63,7		
Снижение поверхностью земли возле источника As, дБ	Gs = 0 hs = 1м	ф-лы таб.3 [10]	-1,5	-1,5	-1,5	-1,5	-1,5	-1,5	-1,5	-1,5	-1,5		
Снижение поверхностью земли возле приёмника Ar, дБ	Gr = 1 hr = 1.5м	ф-лы таб.3 [10]	-1,5	-1,5	4,6	7	5	0,7	0	0	0		
Снижение поверхностью земли в средней зоне, Am дБ	Gm = 1	ф-лы таб.3 [10]	-2,7	-2,7	0	0	0	0	0	0	0		

1		2	3	4	5	6	7	8	9	10	11	12	13
Суммарное снижение поверхностью земли на траектории распространения звука Agr, дБ		ф-ла (9) [10]	-5,7	-5,7	3,1	5,5	3,5	-0,8	-1,5	-1,5	-1,5		
Уровни звукового давления от источника ИШ-7-1 в расчётной точке днём, дБ		**ф-ла(3)[10]**	**13,4**	**11,4**	**0**	**0**	**0**	**0**	**0**	**0**	**0**	**0**	**0**
Уровни звукового давления от источника ИШ-7-1 в расчётной точке ночью, дБ		**ф-ла(3)[10]**	**13,4**	**11,4**	**0**	**0**	**0**	**0**	**0**	**0**	**0**	**0**	**0**
Источник шума: ИШ-7-2, координаты источника (x,y,z), м =[768.90,-86.75,1.00]													
Уровни звуковой мощности источника днём, Lw, дБ		**исходные данные**	**77**	**75**	**67**	**66**	**63**	**55**	**53**	**48**	**51**		
Уровни звуковой мощности источника ночью, Lw, дБ		**исходные данные**	**77**	**75**	**67**	**66**	**63**	**55**	**53**	**48**	**51**		
Поправка на телесный угол DΩ, дБ	Ω = 12.57	10Lg(4π/Ω)	**0**	0	0	0	0	0	0	0	0		
Показатель направленности источника Di, дБ		исходные данные	**0**	0	0	0	0	0	0	0	0		
Поправка на направленность источника Dc, дБ	Dc	DΩ + Di	**0**	0	0	0	0	0	0	0	0		
Затухание из-за геометрической дивергенции, Adiv, дБ	расстояние = 875.51 м	ф-ла (7) [10]	**69,8**										
Коэффициент затухания звука в атмосфере α, дБ/км	Ta=20,°C Pa=101.33,кПа hотн.=70%	ф-ла (5) [9]	0,02	0,09	0,33	1,12	2,79	4,98	9,04	23,09	77,63		
Учет затухания звука в атмосфере Aatm, дБ		ф-ла (8) [10]	0	0,1	0,3	1	2,4	4,4	7,9	20,2	68		
Снижение уровня звукового давления из-за влияния застройки между источником шума и расчетной точкой													
Снижение уровня звукового давления на пути над экраном, Dz1, дБ	z = 0.23м (разность путей)	ф-лы (14-18) [10]	4,8	4,8	4,8	4,8	4,8	4,8	4,9	5	5,3		
Уровни звукового давления от источника ИШ-7-2 в расчётной точке днём, дБ		**ф-ла(3)[10]**	**2,4**	**0,3**	**0**	**0**	**0**	**0**	**0**	**0**	**0**	**0**	**0**
Уровни звукового давления от источника ИШ-7-2 в расчётной точке ночью, дБ		**ф-ла(3)[10]**	**2,4**	**0,3**	**0**	**0**	**0**	**0**	**0**	**0**	**0**	**0**	**0**

1		2	3	4	5	6	7	8	9	10	11	12	13
Источник шума: ИШ-7-3, координаты источника (x,y,z), м =[766.80,-93.20,1.00]													
Уровни звуковой мощности источника днём, Lw, дБ		**исходные данные**	**77**	**75**	**67**	**66**	**63**	**55**	**53**	**48**	**51**		
Уровни звуковой мощности источника ночью, Lw, дБ		**исходные данные**	**77**	**75**	**67**	**66**	**63**	**55**	**53**	**48**	**51**		
Поправка на телесный угол DΩ, дБ	Ω = 12.57	10Lg(4π/Ω)	**0**	0	0	0	0	0	0	0	0		
Показатель направленности источника Di, дБ		исходные данные	**0**	0	0	0	0	0	0	0	0		
Поправка на направленность источника Dc, дБ	Dc	DΩ + Di	**0**	0	0	0	0	0	0	0	0		
Затухание из-за геометрической дивергенции, Adiv, дБ	расстояние = 878.55 м	ф-ла (7) [10]	**69,9**										
Коэффициент затухания звука в атмосфере α, дБ/км	Ta=20,°C Pa=101.33,кПа hотн.=70%	ф-ла (5) [9]	0,02	0,09	0,33	1,12	2,79	4,98	9,04	23,09	77,63		
Учет затухания звука в атмосфере Aatm, дБ		ф-ла (8) [10]	0	0,1	0,3	1	2,5	4,4	7,9	20,3	68,2		
Снижение уровня звукового давления из-за влияния застройки между источником шума и расчетной точкой													
Снижение уровня звукового давления на пути над экраном, Dz1, дБ	z = 0.23м (разность путей)	ф-лы (14-18) [10]	4,8	4,8	4,8	4,8	4,8	4,8	4,9	5,1	5,3		
Уровни звукового давления от источника ИШ-7-3 в расчётной точке днём, дБ		**ф-ла(3)[10]**	**2,3**	**0,3**	**0**	**0**	**0**	**0**	**0**	**0**	**0**	**0**	**0**
Уровни звукового давления от источника ИШ-7-3 в расчётной точке ночью, дБ		**ф-ла(3)[10]**	**2,3**	**0,3**	**0**	**0**	**0**	**0**	**0**	**0**	**0**	**0**	**0**
Источник шума: ИШ-7-4, координаты источника (x,y,z), м =[866.76,37.18,1.00]													
Уровни звуковой мощности источника днём, Lw, дБ		**исходные данные**	**77**	**75**	**67**	**66**	**63**	**55**	**53**	**48**	**51**		
Уровни звуковой мощности источника ночью, Lw, дБ		**исходные данные**	**77**	**75**	**67**	**66**	**63**	**55**	**53**	**48**	**51**		

1		2	3	4	5	6	7	8	9	10	11	12	13
Поправка на телесный угол DΩ, дБ	Ω = 12.57	10Lg(4π/Ω)	**0**	0	0	0	0	0	0	0	0		
Показатель направленности источника Di, дБ		исходные данные	**0**	0	0	0	0	0	0	0	0		
Поправка на направленность источника Dc, дБ	Dc	DΩ + Di	**0**	0	0	0	0	0	0	0	0		
Затухание из-за геометрической дивергенции, Adiv, дБ	расстояние = 872.77 м	ф-ла (7) [10]	**69,8**										
Коэффициент затухания звука в атмосфере α, дБ/км	Ta=20,°C Pa=101.33,кПа hотн.=70%	ф-ла (5) [9]	0,02	0,09	0,33	1,12	2,79	4,98	9,04	23,09	77,63		
Учет затухания звука в атмосфере Aatm, дБ		ф-ла (8) [10]	0	0,1	0,3	1	2,4	4,3	7,9	20,1	67,8		
Снижение поверхностью земли возле источника As, дБ	Gs = 0 hs = 1м	ф-лы таб.3 [10]	-1,5	-1,5	-1,5	-1,5	-1,5	-1,5	-1,5	-1,5	-1,5		
Снижение поверхностью земли возле приёмника Ar, дБ	Gr = 1 hr = 1.5м	ф-лы таб.3 [10]	-1,5	-1,5	4,8	7	5	0,7	0	0	0		
Снижение поверхностью земли в средней зоне, Am дБ	Gm = 1	ф-лы таб.3 [10]	-2,7	-2,7	0	0	0	0	0	0	0		
Суммарное снижение поверхностью земли на траектории распространения звука Agr, дБ		ф-ла (9) [10]	-5,7	-5,7	3,3	5,5	3,5	-0,8	-1,5	-1,5	-1,5		
Уровни звукового давления от источника ИШ-7-4 в расчётной точке днём, дБ		**ф-ла(3)[10]**	**12,9**	**10,8**	**0**	**0**	**0**	**0**	**0**	**0**	**0**	**0**	**0**
Уровни звукового давления от источника ИШ-7-4 в расчётной точке ночью, дБ		**ф-ла(3)[10]**	**12,9**	**10,8**	**0**	**0**	**0**	**0**	**0**	**0**	**0**	**0**	**0**
Источник шума: ИШ-7-5, координаты источника (x,y,z), м =[861.80,21.34,1.00]													
Уровни звуковой мощности источника днём, Lw, дБ		**исходные данные**	**77**	**75**	**67**	**66**	**63**	**55**	**53**	**48**	**51**		
Уровни звуковой мощности источника ночью, Lw, дБ		**исходные данные**	**77**	**75**	**67**	**66**	**63**	**55**	**53**	**48**	**51**		
Поправка на телесный угол DΩ, дБ	Ω = 12.57	10Lg(4π/Ω)	**0**	0	0	0	0	0	0	0	0		

1		2	3	4	5	6	7	8	9	10	11	12	13
Показатель направленности источника Di, дБ		исходные данные	**0**	0	0	0	0	0	0	0	0		
Поправка на направленность источника Dc, дБ	Dc	DΩ + Di	**0**	0	0	0	0	0	0	0	0		
Затухание из-за геометрической дивергенции, Adiv, дБ	расстояние = 877.69 м	ф-ла (7) [10]	**69,9**										
Коэффициент затухания звука в атмосфере α, дБ/км	Ta=20,°C Pa=101.33,кПа hотн.=70%	ф-ла (5) [9]	0,02	0,09	0,33	1,12	2,79	4,98	9,04	23,09	77,63		
Учет затухания звука в атмосфере Aatm, дБ		ф-ла (8) [10]	0	0,1	0,3	1	2,4	4,4	7,9	20,3	68,1		
Снижение поверхностью земли возле источника As, дБ	Gs = 0 hs = 1м	ф-лы таб.3 [10]	-1,5	-1,5	-1,5	-1,5	-1,5	-1,5	-1,5	-1,5	-1,5		
Снижение поверхностью земли возле приёмника Ar, дБ	Gr = 1 hr = 1.5м	ф-лы таб.3 [10]	-1,5	-1,5	4,8	7	5	0,7	0	0	0		
Снижение поверхностью земли в средней зоне, Am дБ	Gm = 1	ф-лы таб.3 [10]	-2,7	-2,7	0	0	0	0	0	0	0		
Суммарное снижение поверхностью земли на траектории распространения звука Agr, дБ		ф-ла (9) [10]	-5,7	-5,7	3,3	5,5	3,5	-0,8	-1,5	-1,5	-1,5		
Уровни звукового давления от источника ИШ-7-5 в расчётной точке днём, дБ		**ф-ла(3)[10]**	**12,9**	**10,8**	**0**	**0**	**0**	**0**	**0**	**0**	**0**	**0**	**0**
Уровни звукового давления от источника ИШ-7-5 в расчётной точке ночью, дБ		**ф-ла(3)[10]**	**12,9**	**10,8**	**0**	**0**	**0**	**0**	**0**	**0**	**0**	**0**	**0**
Источник шума: ИШ-7-6, координаты источника (x,y,z), м =[856.52,5.94,1.00]													
Уровни звуковой мощности источника днём, Lw, дБ		**исходные данные**	**77**	**75**	**67**	**66**	**63**	**55**	**53**	**48**	**51**		
Уровни звуковой мощности источника ночью, Lw, дБ		**исходные данные**	**77**	**75**	**67**	**66**	**63**	**55**	**53**	**48**	**51**		
Поправка на телесный угол DΩ, дБ	Ω = 12.57	10Lg(4π/Ω)	**0**	0	0	0	0	0	0	0	0		
Показатель направленности источника Di, дБ		исходные данные	**0**	0	0	0	0	0	0	0	0		

1		2	3	4	5	6	7	8	9	10	11	12	13
Поправка на направленность источника Dc, дБ	Dc	DΩ + Di	**0**	0	0	0	0	0	0	0	0		
Затухание из-за геометрической дивергенции, Adiv, дБ	расстояние = 882.37 м	ф-ла (7) [10]	**69,9**										
Коэффициент затухания звука в атмосфере α, дБ/км	Ta=20,°C Pa=101.33,кПа hотн.=70%	ф-ла (5) [9]	0,02	0,09	0,33	1,12	2,79	4,98	9,04	23,09	77,63		
Учет затухания звука в атмосфере Aatm, дБ		ф-ла (8) [10]	0	0,1	0,3	1	2,5	4,4	8	20,4	68,5		
Снижение уровня звукового давления из-за влияния застройки между источником шума и расчетной точкой													
Снижение уровня звукового давления препятствием слева от трассы ИШ-РТ, Dz2, дБ	z = -0.07м (разность путей)	ф-лы (14-18) [10]	4,4	3,9	2,8	0	NAN	NAN	NAN	NAN	NAN		
* отрицательное значение z означает прохождение траектории вблизи экрана, в этом случае дополнительно производится учёт снижения подстилающей поверхностью (см.ниже)													
Снижение поверхностью земли возле источника As, дБ	Gs = 0 hs = 1м	ф-лы таб.3 [10]	-1,5	-1,5	-1,5	-1,5	-1,5	-1,5	-1,5	-1,5	-1,5		
Снижение поверхностью земли возле приёмника Ar, дБ	Gr = 1 hr = 1.5м	ф-лы таб.3 [10]	-1,5	-1,5	4,8	7	5	0,7	0	0	0		
Снижение поверхностью земли в средней зоне, Am дБ	Gm = 1	ф-лы таб.3 [10]	-2,7	-2,7	0	0	0	0	0	0	0		
Суммарное снижение поверхностью земли на траектории распространения звука Agr, дБ		ф-ла (9) [10]	-5,7	-5,7	3,3	5,5	3,5	-0,8	-1,5	-1,5	-1,5		
Уровни звукового давления от источника ИШ-7-6 в расчётной точке днём, дБ		**ф-ла(3)[10]**	**8,5**	**6,9**	**0**	**0**	**0**	**0**	**0**	**0**	**0**	**0**	**0**
Уровни звукового давления от источника ИШ-7-6 в расчётной точке ночью, дБ		**ф-ла(3)[10]**	**8,5**	**6,9**	**0**	**0**	**0**	**0**	**0**	**0**	**0**	**0**	**0**
Источник шума: ИШ-7-7, координаты источника (x,y,z), м =[851.06,-9.89,1.00]													
Уровни звуковой мощности источника днём, Lw, дБ		**исходные данные**	**77**	**75**	**67**	**66**	**63**	**55**	**53**	**48**	**51**		
Уровни звуковой мощности источника ночью, Lw, дБ		**исходные данные**	**77**	**75**	**67**	**66**	**63**	**55**	**53**	**48**	**51**		
Поправка на телесный угол DΩ, дБ	Ω = 12.57	10Lg(4π/Ω)	**0**	0	0	0	0	0	0	0	0		

1		2	3	4	5	6	7	8	9	10	11	12	13
Показатель направленности источника Di, дБ		исходные данные	**0**	0	0	0	0	0	0	0	0		
Поправка на направленность источника Dc, дБ	Dc	DΩ + Di	**0**	0	0	0	0	0	0	0	0		
Затухание из-за геометрической дивергенции, Adiv, дБ	расстояние = 887.45 м	ф-ла (7) [10]	**70**										
Коэффициент затухания звука в атмосфере α, дБ/км	Ta=20,°C Pa=101.33,кПа hотн.=70%	ф-ла (5) [9]	0,02	0,09	0,33	1,12	2,79	4,98	9,04	23,09	77,63		
Учет затухания звука в атмосфере Aatm, дБ		ф-ла (8) [10]	0	0,1	0,3	1	2,5	4,4	8	20,5	68,9		
Снижение уровня звукового давления из-за влияния застройки между источником шума и расчетной точкой													
Снижение уровня звукового давления на пути над экраном, Dz1, дБ	z = 0.04м (разность путей)	ф-лы (14-18) [10]	4,8	4,8	4,8	4,8	4,8	4,8	4,8	4,8	4,8		
Уровни звукового давления от источника ИШ-7-7 в расчётной точке днём, дБ		**ф-ла(3)[10]**	**2,2**	**0,2**	**0**	**0**	**0**	**0**	**0**	**0**	**0**	**0**	**0**
Уровни звукового давления от источника ИШ-7-7 в расчётной точке ночью, дБ		**ф-ла(3)[10]**	**2,2**	**0,2**	**0**	**0**	**0**	**0**	**0**	**0**	**0**	**0**	**0**
Источник шума: ИШ-7-8, координаты источника (x,y,z), м =[821.90,-104.30,1.00]													
Уровни звуковой мощности источника днём, Lw, дБ		**исходные данные**	**77**	**75**	**67**	**66**	**63**	**55**	**53**	**48**	**51**		
Уровни звуковой мощности источника ночью, Lw, дБ		**исходные данные**	**77**	**75**	**67**	**66**	**63**	**55**	**53**	**48**	**51**		
Поправка на телесный угол DΩ, дБ	Ω = 12.57	10Lg(4π/Ω)	**0**	0	0	0	0	0	0	0	0		
Показатель направленности источника Di, дБ		исходные данные	**0**	0	0	0	0	0	0	0	0		
Поправка на направленность источника Dc, дБ	Dc	DΩ + Di	**0**	0	0	0	0	0	0	0	0		
Затухание из-за геометрической дивергенции, Adiv, дБ	расстояние = 925.95 м	ф-ла (7) [10]	**70,3**										

1		2	3	4	5	6	7	8	9	10	11	12	13
Коэффициент затухания звука в атмосфере α, дБ/км	Ta=20,°C Pa=101.33,кПа hотн.=70%	ф-ла (5) [9]	0,02	0,09	0,33	1,12	2,79	4,98	9,04	23,09	77,63		
Учет затухания звука в атмосфере Aatm, дБ		ф-ла (8) [10]	0	0,1	0,3	1	2,6	4,6	8,4	21,4	71,9		
Снижение уровня звукового давления из-за влияния застройки между источником шума и расчетной точкой													
Снижение уровня звукового давления на пути над экраном, Dz1, дБ	z = 0.20м (разность путей)	ф-лы (14-18) [10]	4,8	4,8	4,8	4,8	4,8	4,8	4,8	4,8	4,9		
Уровни звукового давления от источника ИШ-7-8 в расчётной точке днём, дБ		**ф-ла(3)[10]**	**1,9**	**0**	**0**	**0**	**0**	**0**	**0**	**0**	**0**	**0**	**0**
Уровни звукового давления от источника ИШ-7-8 в расчётной точке ночью, дБ		**ф-ла(3)[10]**	**1,9**	**0**	**0**	**0**	**0**	**0**	**0**	**0**	**0**	**0**	**0**
Источник шума: ИШ-7-9, координаты источника (x,y,z), м =[819.93,-110.97,1.00]													
Уровни звуковой мощности источника днём, Lw, дБ		**исходные данные**	**77**	**75**	**67**	**66**	**63**	**55**	**53**	**48**	**51**		
Уровни звуковой мощности источника ночью, Lw, дБ		**исходные данные**	**77**	**75**	**67**	**66**	**63**	**55**	**53**	**48**	**51**		
Поправка на телесный угол DΩ, дБ	Ω = 12.57	10Lg(4π/Ω)	**0**	0	0	0	0	0	0	0	0		
Показатель направленности источника Di, дБ		исходные данные	**0**	0	0	0	0	0	0	0	0		
Поправка на направленность источника Dc, дБ	Dc	DΩ + Di	**0**	0	0	0	0	0	0	0	0		
Затухание из-за геометрической дивергенции, Adiv, дБ	расстояние = 929.07 м	ф-ла (7) [10]	**70,4**										
Коэффициент затухания звука в атмосфере α, дБ/км	Ta=20,°C Pa=101.33,кПа hотн.=70%	ф-ла (5) [9]	0,02	0,09	0,33	1,12	2,79	4,98	9,04	23,09	77,63		
Учет затухания звука в атмосфере Aatm, дБ		ф-ла (8) [10]	0	0,1	0,3	1	2,6	4,6	8,4	21,4	72,1		
Снижение уровня звукового давления из-за влияния застройки между источником шума и расчетной точкой													

1		2	3	4	5	6	7	8	9	10	11	12	13
Снижение уровня звукового давления на пути над экраном, Dz1, дБ	z = 0.21м (разность путей)	ф-лы (14-18) [10]	4,8	4,8	4,8	4,8	4,8	4,8	4,8	4,8	4,9		
Уровни звукового давления от источника ИШ-7-9 в расчётной точке днём, дБ		**ф-ла(3)[10]**	**1,8**	**0**	**0**	**0**	**0**	**0**	**0**	**0**	**0**	**0**	**0**
Уровни звукового давления от источника ИШ-7-9 в расчётной точке ночью, дБ		**ф-ла(3)[10]**	**1,8**	**0**	**0**	**0**	**0**	**0**	**0**	**0**	**0**	**0**	**0**
Источник шума: ИШ-7-10, координаты источника (x,y,z), м =[868.68,92.66,1.00]													
Уровни звуковой мощности источника днём, Lw, дБ		**исходные данные**	**77**	**75**	**67**	**66**	**63**	**55**	**53**	**48**	**51**		
Уровни звуковой мощности источника ночью, Lw, дБ		**исходные данные**	**77**	**75**	**67**	**66**	**63**	**55**	**53**	**48**	**51**		
Поправка на телесный угол DΩ, дБ	Ω = 12.57	10Lg(4π/Ω)	**0**	0	0	0	0	0	0	0	0		
Показатель направленности источника Di, дБ		исходные данные	**0**	0	0	0	0	0	0	0	0		
Поправка на направленность источника Dc, дБ	Dc	DΩ + Di	**0**	0	0	0	0	0	0	0	0		
Затухание из-за геометрической дивергенции, Adiv, дБ	расстояние = 844.56 м	ф-ла (7) [10]	**69,5**										
Коэффициент затухания звука в атмосфере α, дБ/км	Ta=20,°C Pa=101.33,кПа hотн.=70%	ф-ла (5) [9]	0,02	0,09	0,33	1,12	2,79	4,98	9,04	23,09	77,63		
Учет затухания звука в атмосфере Aatm, дБ		ф-ла (8) [10]	0	0,1	0,3	0,9	2,4	4,2	7,6	19,5	65,6		
Снижение поверхностью земли возле источника As, дБ	Gs = 0 hs = 1м	ф-лы таб.3 [10]	-1,5	-1,5	-1,5	-1,5	-1,5	-1,5	-1,5	-1,5	-1,5		
Снижение поверхностью земли возле приёмника Ar, дБ	Gr = 1 hr = 1.5м	ф-лы таб.3 [10]	-1,5	-1,5	4,7	7	5	0,7	0	0	0		
Снижение поверхностью земли в средней зоне, Am дБ	Gm = 1	ф-лы таб.3 [10]	-2,7	-2,7	0	0	0	0	0	0	0		
Суммарное снижение поверхностью земли на траектории распространения звука Agr, дБ		ф-ла (9) [10]	-5,7	-5,7	3,2	5,5	3,5	-0,8	-1,5	-1,5	-1,5		

1		2	3	4	5	6	7	8	9	10	11	12	13
Уровни звукового давления от источника ИШ-7-10 в расчётной точке днём, дБ		**ф-ла(3)[10]**	**13,2**	**11,1**	**0**	**0**	**0**	**0**	**0**	**0**	**0**	**0**	**0**
Уровни звукового давления от источника ИШ-7-10 в расчётной точке ночью, дБ		**ф-ла(3)[10]**	**13,2**	**11,1**	**0**	**0**	**0**	**0**	**0**	**0**	**0**	**0**	**0**
Источник шума: ИШ-7-11, координаты источника (x,y,z), м =[877.95,88.75,1.00]													
Уровни звуковой мощности источника днём, Lw, дБ		**исходные данные**	**77**	**75**	**67**	**66**	**63**	**55**	**53**	**48**	**51**		
Уровни звуковой мощности источника ночью, Lw, дБ		**исходные данные**	**77**	**75**	**67**	**66**	**63**	**55**	**53**	**48**	**51**		
Поправка на телесный угол DΩ, дБ	Ω = 12.57	10Lg(4π/Ω)	**0**	0	0	0	0	0	0	0	0		
Показатель направленности источника Di, дБ		исходные данные	**0**	0	0	0	0	0	0	0	0		
Поправка на направленность источника Dc, дБ	Dc	DΩ + Di	**0**	0	0	0	0	0	0	0	0		
Затухание из-за геометрической дивергенции, Adiv, дБ	расстояние = 854.52 м	ф-ла (7) [10]	**69,6**										
Коэффициент затухания звука в атмосфере α, дБ/км	Ta=20,°C Pa=101.33,кПа hотн.=70%	ф-ла (5) [9]	0,02	0,09	0,33	1,12	2,79	4,98	9,04	23,09	77,63		
Учет затухания звука в атмосфере Aatm, дБ		ф-ла (8) [10]	0	0,1	0,3	1	2,4	4,3	7,7	19,7	66,3		
Снижение поверхностью земли возле источника As, дБ	Gs = 0 hs = 1м	ф-лы таб.3 [10]	-1,5	-1,5	-1,5	-1,5	-1,5	-1,5	-1,5	-1,5	-1,5		
Снижение поверхностью земли возле приёмника Ar, дБ	Gr = 1 hr = 1.5м	ф-лы таб.3 [10]	-1,5	-1,5	4,7	7	5	0,7	0	0	0		
Снижение поверхностью земли в средней зоне, Am дБ	Gm = 1	ф-лы таб.3 [10]	-2,7	-2,7	0	0	0	0	0	0	0		
Суммарное снижение поверхностью земли на траектории распространения звука Agr, дБ		ф-ла (9) [10]	-5,7	-5,7	3,2	5,5	3,5	-0,8	-1,5	-1,5	-1,5		
Уровни звукового давления от источника ИШ-7-11 в расчётной точке днём, дБ		**ф-ла(3)[10]**	**13,1**	**11**	**0**	**0**	**0**	**0**	**0**	**0**	**0**	**0**	**0**

1		2	3	4	5	6	7	8	9	10	11	12	13
Уровни звукового давления от источника ИШ-7-11 в расчётной точке ночью, дБ		**ф-ла(3)[10]**	**13,1**	**11**	**0**	**0**	**0**	**0**	**0**	**0**	**0**	**0**	**0**
Источник шума: ИШ-7-12, координаты источника (x,y,z), м =[887.42,85.45,1.00]													
Уровни звуковой мощности источника днём, Lw, дБ		**исходные данные**	**77**	**75**	**67**	**66**	**63**	**55**	**53**	**48**	**51**		
Уровни звуковой мощности источника ночью, Lw, дБ		**исходные данные**	**77**	**75**	**67**	**66**	**63**	**55**	**53**	**48**	**51**		
Поправка на телесный угол DΩ, дБ	Ω = 12.57	10Lg(4π/Ω)	**0**	0	0	0	0	0	0	0	0		
Показатель направленности источника Di, дБ		исходные данные	**0**	0	0	0	0	0	0	0	0		
Поправка на направленность источника Dc, дБ	Dc	DΩ + Di	**0**	0	0	0	0	0	0	0	0		
Затухание из-за геометрической дивергенции, Adiv, дБ	расстояние = 864.35 м	ф-ла (7) [10]	**69,7**										
Коэффициент затухания звука в атмосфере α, дБ/км	Ta=20,°C Pa=101.33,кПа hотн.=70%	ф-ла (5) [9]	0,02	0,09	0,33	1,12	2,79	4,98	9,04	23,09	77,63		
Учет затухания звука в атмосфере Aatm, дБ		ф-ла (8) [10]	0	0,1	0,3	1	2,4	4,3	7,8	20	67,1		
Снижение поверхностью земли возле источника As, дБ	Gs = 0 hs = 1м	ф-лы таб.3 [10]	-1,5	-1,5	-1,5	-1,5	-1,5	-1,5	-1,5	-1,5	-1,5		
Снижение поверхностью земли возле приёмника Ar, дБ	Gr = 1 hr = 1.5м	ф-лы таб.3 [10]	-1,5	-1,5	4,8	7	5	0,7	0	0	0		
Снижение поверхностью земли в средней зоне, Am дБ	Gm = 1	ф-лы таб.3 [10]	-2,7	-2,7	0	0	0	0	0	0	0		
Суммарное снижение поверхностью земли на траектории распространения звука Agr, дБ		ф-ла (9) [10]	-5,7	-5,7	3,3	5,5	3,5	-0,8	-1,5	-1,5	-1,5		
Уровни звукового давления от источника ИШ-7-12 в расчётной точке днём, дБ		**ф-ла(3)[10]**	**13**	**10,9**	**0**	**0**	**0**	**0**	**0**	**0**	**0**	**0**	**0**
Уровни звукового давления от источника ИШ-7-12 в расчётной точке ночью, дБ		**ф-ла(3)[10]**	**13**	**10,9**	**0**	**0**	**0**	**0**	**0**	**0**	**0**	**0**	**0**

1		2	3	4	5	6	7	8	9	10	11	12	13
Источник шума: ИШ-6-23, координаты источника (x,y,z), м =[756.16,-136.23,3.00]													
Уровни звуковой мощности источника днём, Lw, дБ		**исходные данные**	**91**	**91**	**91**	**91**	**91**	**91**	**91**	**91**	**91**		
Уровни звуковой мощности источника ночью, Lw, дБ		**исходные данные**	**91**	**91**	**91**	**91**	**91**	**91**	**91**	**91**	**91**		
Поправка на телесный угол DΩ, дБ	Ω = 12.57	10Lg(4π/Ω)	**0**	0	0	0	0	0	0	0	0		
Показатель направленности источника Di, дБ		исходные данные	**0**	0	0	0	0	0	0	0	0		
Поправка на направленность источника Dc, дБ	Dc	DΩ + Di	**0**	0	0	0	0	0	0	0	0		
Затухание из-за геометрической дивергенции, Adiv, дБ	расстояние = 902.16 м	ф-ла (7) [10]	**70,1**										
Коэффициент затухания звука в атмосфере α, дБ/км	Ta=20,°C Pa=101.33,кПа hотн.=70%	ф-ла (5) [9]	0,02	0,09	0,33	1,12	2,79	4,98	9,04	23,09	77,63		
Учет затухания звука в атмосфере Aatm, дБ		ф-ла (8) [10]	0	0,1	0,3	1	2,5	4,5	8,2	20,8	70		
Снижение уровня звукового давления из-за влияния застройки между источником шума и расчетной точкой													
Снижение уровня звукового давления на пути над экраном, Dz1, дБ	z = 0.19м (разность путей)	ф-лы (14-18) [10]	4,8	4,8	4,8	4,8	4,8	4,8	4,8	4,9	5		
Снижение уровня звукового давления на пути слева от экрана, Dz2, дБ	z = 66.08м (разность путей)	ф-лы (14-18) [10]	28,5	31,6	34,6	37,7	40,7	43,7	46,7	49,7	52,7		
Снижение уровня звукового давления на пути справа от экрана, Dz3, дБ	z = 3.37м (разность путей)	ф-лы (14-18) [10]	15,7	18,8	21,8	24,8	27,8	30,8	33,8	36,8	39,8		
Общее снижение уровня звука препятствием Dz, дБ		Эн.сумма(-Dzi)	4,4	4,6	4,7	4,7	4,8	4,8	4,8	4,9	5		
Уровни звукового давления от источника ИШ-6-23 в расчётной точке днём, дБ		**ф-ла(3)[10]**	**16,4**	**16,2**	**15,9**	**15,1**	**13,6**	**11,6**	**7,9**	**0**	**0**	**15,9**	**15,9**
Уровни звукового давления от источника ИШ-6-23 в расчётной точке ночью, дБ		**ф-ла(3)[10]**	**16,4**	**16,2**	**15,9**	**15,1**	**13,6**	**11,6**	**7,9**	**0**	**0**	**15,9**	**15,9**

1		2	3	4	5	6	7	8	9	10	11	12	13
Источник шума: ИШ-6-24, координаты источника (x,y,z), м =[800.98,-151.27,3.00]													
Уровни звуковой мощности источника днём, Lw, дБ		**исходные данные**	**91**	**91**	**91**	**91**	**91**	**91**	**91**	**91**	**91**		
Уровни звуковой мощности источника ночью, Lw, дБ		**исходные данные**	**91**	**91**	**91**	**91**	**91**	**91**	**91**	**91**	**91**		
Поправка на телесный угол DΩ, дБ	Ω = 12.57	10Lg(4π/Ω)	**0**	0	0	0	0	0	0	0	0		
Показатель направленности источника Di, дБ		исходные данные	**0**	0	0	0	0	0	0	0	0		
Поправка на направленность источника Dc, дБ	Dc	DΩ + Di	**0**	0	0	0	0	0	0	0	0		
Затухание из-за геометрической дивергенции, Adiv, дБ	расстояние = 943.89 м	ф-ла (7) [10]	**70,5**										
Коэффициент затухания звука в атмосфере α, дБ/км	Ta=20,°C Pa=101.33,кПа hотн.=70%	ф-ла (5) [9]	0,02	0,09	0,33	1,12	2,79	4,98	9,04	23,09	77,63		
Учет затухания звука в атмосфере Aatm, дБ		ф-ла (8) [10]	0	0,1	0,3	1,1	2,6	4,7	8,5	21,8	73,3		
Снижение уровня звукового давления из-за влияния застройки между источником шума и расчетной точкой													
Снижение уровня звукового давления на пути над экраном, Dz1, дБ	z = 0.18м (разность путей)	ф-лы (14-18) [10]	4,8	4,8	4,8	4,8	4,8	4,8	4,8	4,8	4,8		
Снижение уровня звукового давления на пути слева от экрана, Dz2, дБ	z = 71.62м (разность путей)	ф-лы (14-18) [10]	28,8	32	35	38	41	44	47	50	53,1		
Снижение уровня звукового давления на пути справа от экрана, Dz3, дБ	z = 3.23м (разность путей)	ф-лы (14-18) [10]	15,6	18,7	21,6	24,6	27,6	30,6	33,6	36,6	39,6		
Общее снижение уровня звука препятствием Dz, дБ		Эн.сумма(-Dzi)	4,4	4,6	4,7	4,7	4,8	4,8	4,8	4,8	4,8		
Уровни звукового давления от источника ИШ-6-24 в расчётной точке днём, дБ		**ф-ла(3)[10]**	**16,1**	**15,8**	**15,5**	**14,7**	**13,1**	**11**	**7,2**	**0**	**0**	**15,4**	**15,4**
Уровни звукового давления от источника ИШ-6-24 в расчётной точке ночью, дБ		**ф-ла(3)[10]**	**16,1**	**15,8**	**15,5**	**14,7**	**13,1**	**11**	**7,2**	**0**	**0**	**15,4**	**15,4**

1		2	3	4	5	6	7	8	9	10	11	12	13
Источник шума: ИШ-8-1, координаты источника (x,y,z), м =[612.60,-227.70,3.00]													
Уровни звуковой мощности источника днём, Lw, дБ		**исходные данные**	**105**	**104**	**104**	**101**	**102**	**106**	**101**	**95**	**87**		
Уровни звуковой мощности источника ночью, Lw, дБ		**исходные данные**	**105**	**104**	**104**	**101**	**102**	**106**	**101**	**95**	**87**		
Поправка на телесный угол DΩ, дБ	Ω = 6.28	10Lg(4π/Ω)	**3**	3	3	3	3	3	3	3	3		
Показатель направленности источника Di, дБ		исходные данные	**0**	0	0	0	0	0	0	0	0		
Поправка на направленность источника Dc, дБ	Dc	DΩ + Di	**3**	3	3	3	3	3	3	3	3		
Затухание из-за геометрической дивергенции, Adiv, дБ	расстояние = 887.91 м	ф-ла (7) [10]	**70**										
Коэффициент затухания звука в атмосфере α, дБ/км	Ta=20,°C Pa=101.33,кПа hотн.=70%	ф-ла (5) [9]	0,02	0,09	0,33	1,12	2,79	4,98	9,04	23,09	77,63		
Учет затухания звука в атмосфере Aatm, дБ		ф-ла (8) [10]	0	0,1	0,3	1	2,5	4,4	8	20,5	68,9		
Снижение уровня звукового давления из-за влияния застройки между источником шума и расчетной точкой													
Снижение уровня звукового давления на пути над экраном, Dz1, дБ	z = 0.15м (разность путей)	ф-лы (14-18) [10]	4,8	4,9	5	5,2	5,5	6,2	7,2	8,8	10,9		
Снижение уровня звукового давления на пути слева от экрана, Dz2, дБ	z = 18.72м (разность путей)	ф-лы (14-18) [10]	21,9	25,8	29,1	32,2	35,2	38,2	41,2	44,2	47,2		
Снижение уровня звукового давления на пути справа от экрана, Dz3, дБ	z = 34.22м (разность путей)	ф-лы (14-18) [10]	25,7	28,8	31,8	34,8	37,8	40,8	43,8	46,8	49,9		
Общее снижение уровня звука препятствием Dz, дБ		Эн.сумма(-Dzi)	4,7	4,8	4,9	5,2	5,5	6,2	7,2	8,8	10,9		
Уровни звукового давления от источника ИШ-8-1 в расчётной точке днём, дБ		**ф-ла(3)[10]**	**33,3**	**32,1**	**31,8**	**27,9**	**27**	**28,4**	**18,8**	**0**	**0**	**30,7**	**30,7**
Уровни звукового давления от источника ИШ-8-1 в расчётной точке ночью, дБ		**ф-ла(3)[10]**	**33,3**	**32,1**	**31,8**	**27,9**	**27**	**28,4**	**18,8**	**0**	**0**	**30,7**	**30,7**

1		2	3	4	5	6	7	8	9	10	11	12	13
Источник шума: ИШ-8-2, координаты источника (x,y,z), м =[596.60,-275.00,3.00]													
Уровни звуковой мощности источника днём, Lw, дБ		**исходные данные**	**105**	**104**	**104**	**101**	**102**	**106**	**101**	**95**	**87**		
Уровни звуковой мощности источника ночью, Lw, дБ		**исходные данные**	**105**	**104**	**104**	**101**	**102**	**106**	**101**	**95**	**87**		
Поправка на телесный угол DΩ, дБ	Ω = 6.28	10Lg(4π/Ω)	**3**	3	3	3	3	3	3	3	3		
Показатель направленности источника Di, дБ		исходные данные	**0**	0	0	0	0	0	0	0	0		
Поправка на направленность источника Dc, дБ	Dc	DΩ + Di	**3**	3	3	3	3	3	3	3	3		
Затухание из-за геометрической дивергенции, Adiv, дБ	расстояние = 920.45 м	ф-ла (7) [10]	**70,3**										
Коэффициент затухания звука в атмосфере α, дБ/км	Ta=20,°C Pa=101.33,кПа hотн.=70%	ф-ла (5) [9]	0,02	0,09	0,33	1,12	2,79	4,98	9,04	23,09	77,63		
Учет затухания звука в атмосфере Aatm, дБ		ф-ла (8) [10]	0	0,1	0,3	1	2,6	4,6	8,3	21,2	71,5		
Снижение уровня звукового давления из-за влияния застройки между источником шума и расчетной точкой													
Снижение уровня звукового давления на пути над экраном, Dz1, дБ	z = 0.17м (разность путей)	ф-лы (14-18) [10]	4,8	4,8	4,8	4,8	4,8	4,8	4,8	4,8	4,8		
Снижение уровня звукового давления на пути слева от экрана, Dz2, дБ	z = 11.54м (разность путей)	ф-лы (14-18) [10]	16,6	19,5	22,4	25,3	28,3	31,3	34,3	37,3	40,4		
Снижение уровня звукового давления на пути справа от экрана, Dz3, дБ	z = 48.04м (разность путей)	ф-лы (14-18) [10]	27,1	30,3	33,3	36,3	39,3	42,3	45,3	48,3	51,3		
Общее снижение уровня звука препятствием Dz, дБ		Эн.сумма(-Dzi)	4,5	4,6	4,7	4,7	4,8	4,8	4,8	4,8	4,8		
Уровни звукового давления прямого звука от источника ИШ-8-2 в расчётной точке днём, дБ		**ф-ла(3)[10]**	**33,2**	**32**	**31,7**	**28**	**27,4**	**29,4**	**20,6**	**1,7**	**0**	**31,5**	**31,5**
Уровни звукового давления прямого звука от источника ИШ-8-2 в расчётной точке ночью, дБ		**ф-ла(3)[10]**	**33,2**	**32**	**31,7**	**28**	**27,4**	**29,4**	**20,6**	**1,7**	**0**	**31,5**	**31,5**

1		2	3	4	5	6	7	8	9	10	11	12	13
Расчёт отражённого звука													
Уровни звукового давления от мнимого источника ИШ-8-2_мн.(1) в расчётной точке днём, дБ		**ф-ла(3)[10]**	**0**	**0**	**0**	**0**	**0**	**0**	**0**	**0**	**0**	**0**	**0**
Уровни звукового давления от мнимого источника ИШ-8-2_мн.(1) в расчётной точке ночью, дБ		**ф-ла(3)[10]**	**0**	**0**	**0**	**0**	**0**	**0**	**0**	**0**	**0**	**0**	**0**
Уровни звукового давления от источника ИШ-8-2 в расчётной точке днём, дБ		**ф-ла(3)[10]**	**33,2**	**32**	**31,7**	**28**	**27,4**	**29,4**	**20,6**	**1,7**	**0**	**31,5**	**31,5**
Уровни звукового давления от источника ИШ-8-2 в расчётной точке ночью, дБ		**ф-ла(3)[10]**	**33,2**	**32**	**31,7**	**28**	**27,4**	**29,4**	**20,6**	**1,7**	**0**	**31,5**	**31,5**
Источник шума: ИШ-8-3, координаты источника (x,y,z), м =[564.90,-369.90,3.00]													
Уровни звуковой мощности источника днём, Lw, дБ		**исходные данные**	**105**	**104**	**104**	**101**	**102**	**106**	**101**	**95**	**87**		
Уровни звуковой мощности источника ночью, Lw, дБ		**исходные данные**	**105**	**104**	**104**	**101**	**102**	**106**	**101**	**95**	**87**		
Поправка на телесный угол DΩ, дБ	Ω = 6.28	10Lg(4π/Ω)	**3**	3	3	3	3	3	3	3	3		
Показатель направленности источника Di, дБ		исходные данные	**0**	0	0	0	0	0	0	0	0		
Поправка на направленность источника Dc, дБ	Dc	DΩ + Di	**3**	3	3	3	3	3	3	3	3		
Затухание из-за геометрической дивергенции, Adiv, дБ	расстояние = 990.30 м	ф-ла (7) [10]	**70,9**										
Коэффициент затухания звука в атмосфере α, дБ/км	Ta=20,°C Pa=101.33,кПа hотн.=70%	ф-ла (5) [9]	0,02	0,09	0,33	1,12	2,79	4,98	9,04	23,09	77,63		
Учет затухания звука в атмосфере Aatm, дБ		ф-ла (8) [10]	0	0,1	0,3	1,1	2,8	4,9	9	22,9	76,9		
Снижение уровня звукового давления из-за влияния застройки между источником шума и расчетной точкой													
Снижение уровня звукового давления на пути над экраном, Dz1, дБ	z = 0.18м (разность путей)	ф-лы (14-18) [10]	4,8	4,8	4,8	4,8	4,8	4,8	4,8	4,9	4,9		

1		2	3	4	5	6	7	8	9	10	11	12	13
Снижение уровня звукового давления на пути слева от экрана, Dz2, дБ	z = 15.76м (разность путей)	ф-лы (14-18) [10]	22,4	25,4	28,4	31,4	34,4	37,5	40,5	43,5	46,5		
Снижение уровня звукового давления на пути справа от экрана, Dz3, дБ	z = 58.83м (разность путей)	ф-лы (14-18) [10]	28	31,1	34,1	37,2	40,2	43,2	46,2	49,2	52,2		
Общее снижение уровня звука препятствием Dz, дБ		Эн.сумма(-Dzi)	4,7	4,7	4,8	4,8	4,8	4,8	4,8	4,9	4,9		
Уровни звукового давления от источника ИШ-8-3 в расчётной точке днём, дБ		**ф-ла(3)[10]**	**32,4**	**31,3**	**31**	**27,2**	**26,6**	**28,4**	**19,3**	**0**	**0**	**30,5**	**30,5**
Уровни звукового давления от источника ИШ-8-3 в расчётной точке ночью, дБ		**ф-ла(3)[10]**	**32,4**	**31,3**	**31**	**27,2**	**26,6**	**28,4**	**19,3**	**0**	**0**	**30,5**	**30,5**
Источник шума: ИШ-9-1, координаты источника (x,y,z), м =[642.94,-357.54,1.00]													
Уровни звуковой мощности источника днём, Lw, дБ		**исходные данные**	**0**	**93,3**	**94,7**	**96**	**96,3**	**95,9**	**92,6**	**88,4**	**83,9**		
Уровни звуковой мощности источника ночью, Lw, дБ		**исходные данные**	**0**	**93,3**	**94,7**	**96**	**96,3**	**95,9**	**92,6**	**88,4**	**83,9**		
Поправка на телесный угол DΩ, дБ	Ω = 6.28	10Lg(4π/Ω)	**3**	3	3	3	3	3	3	3	3		
Показатель направленности источника Di, дБ		исходные данные	**0**	0	0	0	0	0	0	0	0		
Поправка на направленность источника Dc, дБ	Dc	DΩ + Di	**3**	3	3	3	3	3	3	3	3		
Затухание из-за геометрической дивергенции, Adiv, дБ	расстояние = 1015.11 м	ф-ла (7) [10]	**71,1**										
Коэффициент затухания звука в атмосфере α, дБ/км	Ta=20,°C Pa=101.33,кПа hотн.=70%	ф-ла (5) [9]	0,02	0,09	0,33	1,12	2,79	4,98	9,04	23,09	77,63		
Учет затухания звука в атмосфере Aatm, дБ		ф-ла (8) [10]	0	0,1	0,3	1,1	2,8	5,1	9,2	23,4	78,8		
Снижение уровня звукового давления из-за влияния застройки между источником шума и расчетной точкой													
Снижение уровня звукового давления на пути над экраном, Dz1, дБ	z = 0.19м (разность путей)	ф-лы (14-18) [10]	4,8	4,8	4,8	4,8	4,8	4,8	4,8	4,8	4,8		

1		2	3	4	5	6	7	8	9	10	11	12	13
Снижение уровня звукового давления на пути слева от экрана, Dz2, дБ	z = 40.05м (разность путей)	ф-лы (14-18) [10]	24,6	28,8	32,3	35,4	38,5	41,5	44,5	47,5	50,5		
Снижение уровня звукового давления на пути справа от экрана, Dz3, дБ	z = 39.67м (разность путей)	ф-лы (14-18) [10]	26,3	29,4	32,4	35,4	38,5	41,5	44,5	47,5	50,5		
Общее снижение уровня звука препятствием Dz, дБ		Эн.сумма(-Dzi)	4,7	4,7	4,8	4,8	4,8	4,8	4,8	4,8	4,8		
Уровни звукового давления от источника ИШ-9-1 в расчётной точке днём, дБ		**ф-ла(3)[10]**	**0**	**20,3**	**21,5**	**22**	**20,6**	**17,9**	**10,5**	**0**	**0**	**22**	**22**
Уровни звукового давления от источника ИШ-9-1 в расчётной точке ночью, дБ		**ф-ла(3)[10]**	**0**	**20,3**	**21,5**	**22**	**20,6**	**17,9**	**10,5**	**0**	**0**	**22**	**22**
Источник шума: ИШ-9-2, координаты источника (x,y,z), м =[644.14,-354.83,1.00]													
Уровни звуковой мощности источника днём, Lw, дБ		**исходные данные**	**0**	**93,3**	**94,7**	**96**	**96,3**	**95,9**	**92,6**	**88,4**	**83,9**		
Уровни звуковой мощности источника ночью, Lw, дБ		**исходные данные**	**0**	**93,3**	**94,7**	**96**	**96,3**	**95,9**	**92,6**	**88,4**	**83,9**		
Поправка на телесный угол DΩ, дБ	Ω = 6.28	10Lg(4π/Ω)	**3**	3	3	3	3	3	3	3	3		
Показатель направленности источника Di, дБ		исходные данные	**0**	0	0	0	0	0	0	0	0		
Поправка на направленность источника Dc, дБ	Dc	DΩ + Di	**3**	3	3	3	3	3	3	3	3		
Затухание из-за геометрической дивергенции, Adiv, дБ	расстояние = 1013.34 м	ф-ла (7) [10]	**71,1**										
Коэффициент затухания звука в атмосфере α, дБ/км	Ta=20,°C Pa=101.33,кПа hотн.=70%	ф-ла (5) [9]	0,02	0,09	0,33	1,12	2,79	4,98	9,04	23,09	77,63		
Учет затухания звука в атмосфере Aatm, дБ		ф-ла (8) [10]	0	0,1	0,3	1,1	2,8	5	9,2	23,4	78,7		
Снижение уровня звукового давления из-за влияния застройки между источником шума и расчетной точкой													
Снижение уровня звукового давления на пути над экраном, Dz1, дБ	z = 0.19м (разность путей)	ф-лы (14-18) [10]	4,8	4,8	4,8	4,8	4,8	4,8	4,8	4,8	4,8		

1		2	3	4	5	6	7	8	9	10	11	12	13
Снижение уровня звукового давления на пути слева от экрана, Dz2, дБ	z = 10.95м (разность путей)	ф-лы (14-18) [10]	16,4	19,3	22,1	25,1	28,1	31,1	34,1	37,1	40,1		
Снижение уровня звукового давления на пути справа от экрана, Dz3, дБ	z = 38.94м (разность путей)	ф-лы (14-18) [10]	26,2	29,3	32,3	35,4	38,4	41,4	44,4	47,4	50,4		
Общее снижение уровня звука препятствием Dz, дБ		Эн.сумма(-Dzi)	4,5	4,6	4,7	4,7	4,8	4,8	4,8	4,8	4,8		
Уровни звукового давления от источника ИШ-9-2 в расчётной точке днём, дБ		**ф-ла(3)[10]**	**0**	**20,5**	**21,6**	**22**	**20,6**	**18**	**10,5**	**0**	**0**	**22**	**22**
Уровни звукового давления от источника ИШ-9-2 в расчётной точке ночью, дБ		**ф-ла(3)[10]**	**0**	**20,5**	**21,6**	**22**	**20,6**	**18**	**10,5**	**0**	**0**	**22**	**22**
Источник шума: ИШ-9-3, координаты источника (x,y,z), м =[644.98,-351.85,1.00]													
Уровни звуковой мощности источника днём, Lw, дБ		**исходные данные**	**0**	**93,3**	**94,7**	**96**	**96,3**	**95,9**	**92,6**	**88,4**	**83,9**		
Уровни звуковой мощности источника ночью, Lw, дБ		**исходные данные**	**0**	**93,3**	**94,7**	**96**	**96,3**	**95,9**	**92,6**	**88,4**	**83,9**		
Поправка на телесный угол DΩ, дБ	Ω = 6.28	10Lg(4π/Ω)	**3**	3	3	3	3	3	3	3	3		
Показатель направленности источника Di, дБ		исходные данные	**0**	0	0	0	0	0	0	0	0		
Поправка на направленность источника Dc, дБ	Dc	DΩ + Di	**3**	3	3	3	3	3	3	3	3		
Затухание из-за геометрической дивергенции, Adiv, дБ	расстояние = 1011.17 м	ф-ла (7) [10]	**71,1**										
Коэффициент затухания звука в атмосфере α, дБ/км	Ta=20,°C Pa=101.33,кПа hотн.=70%	ф-ла (5) [9]	0,02	0,09	0,33	1,12	2,79	4,98	9,04	23,09	77,63		
Учет затухания звука в атмосфере Aatm, дБ		ф-ла (8) [10]	0	0,1	0,3	1,1	2,8	5	9,1	23,3	78,5		
Снижение уровня звукового давления из-за влияния застройки между источником шума и расчетной точкой													
Снижение уровня звукового давления на пути над экраном, Dz1, дБ	z = 0.19м (разность путей)	ф-лы (14-18) [10]	4,8	4,8	4,8	4,8	4,8	4,8	4,8	4,8	4,8		

1		2	3	4	5	6	7	8	9	10	11	12	13
Снижение уровня звукового давления на пути слева от экрана, Dz2, дБ	z = 11.25м (разность путей)	ф-лы (14-18) [10]	16,5	19,4	22,3	25,2	28,2	31,2	34,2	37,2	40,2		
Снижение уровня звукового давления на пути справа от экрана, Dz3, дБ	z = 38.30м (разность путей)	ф-лы (14-18) [10]	26,1	29,3	32,3	35,3	38,3	41,3	44,3	47,3	50,3		
Общее снижение уровня звука препятствием Dz, дБ		Эн.сумма(-Dzi)	4,5	4,6	4,7	4,7	4,8	4,8	4,8	4,8	4,8		
Уровни звукового давления от источника ИШ-9-3 в расчётной точке днём, дБ		**ф-ла(3)[10]**	**0**	**20,5**	**21,6**	**22**	**20,6**	**18**	**10,6**	**0**	**0**	**22**	**22**
Уровни звукового давления от источника ИШ-9-3 в расчётной точке ночью, дБ		**ф-ла(3)[10]**	**0**	**20,5**	**21,6**	**22**	**20,6**	**18**	**10,6**	**0**	**0**	**22**	**22**
Источник шума: ИШ-9-4, координаты источника (x,y,z), м =[646.01,-349.15,1.00]													
Уровни звуковой мощности источника днём, Lw, дБ		**исходные данные**	**0**	**93,3**	**94,7**	**96**	**96,3**	**95,9**	**92,6**	**88,4**	**83,9**		
Уровни звуковой мощности источника ночью, Lw, дБ		**исходные данные**	**0**	**93,3**	**94,7**	**96**	**96,3**	**95,9**	**92,6**	**88,4**	**83,9**		
Поправка на телесный угол DΩ, дБ	Ω = 6.28	10Lg(4π/Ω)	**3**	3	3	3	3	3	3	3	3		
Показатель направленности источника Di, дБ		исходные данные	**0**	0	0	0	0	0	0	0	0		
Поправка на направленность источника Dc, дБ	Dc	DΩ + Di	**3**	3	3	3	3	3	3	3	3		
Затухание из-за геометрической дивергенции, Adiv, дБ	расстояние = 1009.33 м	ф-ла (7) [10]	**71,1**										
Коэффициент затухания звука в атмосфере α, дБ/км	Ta=20,°C Pa=101.33,кПа hотн.=70%	ф-ла (5) [9]	0,02	0,09	0,33	1,12	2,79	4,98	9,04	23,09	77,63		
Учет затухания звука в атмосфере Aatm, дБ		ф-ла (8) [10]	0	0,1	0,3	1,1	2,8	5	9,1	23,3	78,4		
Снижение уровня звукового давления из-за влияния застройки между источником шума и расчетной точкой													
Снижение уровня звукового давления на пути над экраном, Dz1, дБ	z = 0.19м (разность путей)	ф-лы (14-18) [10]	4,8	4,8	4,8	4,8	4,8	4,8	4,8	4,8	4,8		

1		2	3	4	5	6	7	8	9	10	11	12	13
Снижение уровня звукового давления на пути слева от экрана, Dz2, дБ	z = 11.55м (разность путей)	ф-лы (14-18) [10]	16,6	19,5	22,4	25,3	28,3	31,3	34,3	37,4	40,4		
Снижение уровня звукового давления на пути справа от экрана, Dz3, дБ	z = 37.64м (разность путей)	ф-лы (14-18) [10]	26,1	29,2	32,2	35,2	38,2	41,2	44,2	47,3	50,3		
Общее снижение уровня звука препятствием Dz, дБ		Эн.сумма(-Dzi)	4,5	4,6	4,7	4,7	4,8	4,8	4,8	4,8	4,8		
Уровни звукового давления от источника ИШ-9-4 в расчётной точке днём, дБ		**ф-ла(3)[10]**	**0**	**20,5**	**21,6**	**22**	**20,6**	**18**	**10,6**	**0**	**0**	**22**	**22**
Уровни звукового давления от источника ИШ-9-4 в расчётной точке ночью, дБ		**ф-ла(3)[10]**	**0**	**20,5**	**21,6**	**22**	**20,6**	**18**	**10,6**	**0**	**0**	**22**	**22**
Источник шума: ИШ-9-5, координаты источника (x,y,z), м =[646.84,-346.17,1.00]													
Уровни звуковой мощности источника днём, Lw, дБ		**исходные данные**	**0**	**93,3**	**94,7**	**96**	**96,3**	**95,9**	**92,6**	**88,4**	**83,9**		
Уровни звуковой мощности источника ночью, Lw, дБ		**исходные данные**	**0**	**93,3**	**94,7**	**96**	**96,3**	**95,9**	**92,6**	**88,4**	**83,9**		
Поправка на телесный угол DΩ, дБ	Ω = 6.28	10Lg(4π/Ω)	**3**	3	3	3	3	3	3	3	3		
Показатель направленности источника Di, дБ		исходные данные	**0**	0	0	0	0	0	0	0	0		
Поправка на направленность источника Dc, дБ	Dc	DΩ + Di	**3**	3	3	3	3	3	3	3	3		
Затухание из-за геометрической дивергенции, Adiv, дБ	расстояние = 1007.17 м	ф-ла (7) [10]	**71,1**										
Коэффициент затухания звука в атмосфере α, дБ/км	Ta=20,°C Pa=101.33,кПа hотн.=70%	ф-ла (5) [9]	0,02	0,09	0,33	1,12	2,79	4,98	9,04	23,09	77,63		
Учет затухания звука в атмосфере Aatm, дБ		ф-ла (8) [10]	0	0,1	0,3	1,1	2,8	5	9,1	23,3	78,2		
Снижение уровня звукового давления из-за влияния застройки между источником шума и расчетной точкой													
Снижение уровня звукового давления на пути над экраном, Dz1, дБ	z = 0.19м (разность путей)	ф-лы (14-18) [10]	4,8	4,8	4,8	4,8	4,8	4,8	4,8	4,8	4,8		

1		2	3	4	5	6	7	8	9	10	11	12	13
Снижение уровня звукового давления на пути слева от экрана, Dz2, дБ	z = 11.86м (разность путей)	ф-лы (14-18) [10]	16,7	19,6	22,5	25,5	28,5	31,5	34,5	37,5	40,5		
Снижение уровня звукового давления на пути справа от экрана, Dz3, дБ	z = 37.01м (разность путей)	ф-лы (14-18) [10]	26	29,1	32,1	35,1	38,2	41,2	44,2	47,2	50,2		
Общее снижение уровня звука препятствием Dz, дБ		Эн.сумма(-Dzi)	4,5	4,6	4,7	4,7	4,8	4,8	4,8	4,8	4,8		
Уровни звукового давления от источника ИШ-9-5 в расчётной точке днём, дБ		**ф-ла(3)[10]**	**0**	**20,5**	**21,6**	**22,1**	**20,7**	**18,1**	**10,7**	**0**	**0**	**22,1**	**22,1**
Уровни звукового давления от источника ИШ-9-5 в расчётной точке ночью, дБ		**ф-ла(3)[10]**	**0**	**20,5**	**21,6**	**22,1**	**20,7**	**18,1**	**10,7**	**0**	**0**	**22,1**	**22,1**
Источник шума: ИШ-9-6, координаты источника (x,y,z), м =[647.87,-343.47,1.00]													
Уровни звуковой мощности источника днём, Lw, дБ		**исходные данные**	**0**	**93,3**	**94,7**	**96**	**96,3**	**95,9**	**92,6**	**88,4**	**83,9**		
Уровни звуковой мощности источника ночью, Lw, дБ		**исходные данные**	**0**	**93,3**	**94,7**	**96**	**96,3**	**95,9**	**92,6**	**88,4**	**83,9**		
Поправка на телесный угол DΩ, дБ	Ω = 6.28	10Lg(4π/Ω)	**3**	3	3	3	3	3	3	3	3		
Показатель направленности источника Di, дБ		исходные данные	**0**	0	0	0	0	0	0	0	0		
Поправка на направленность источника Dc, дБ	Dc	DΩ + Di	**3**	3	3	3	3	3	3	3	3		
Затухание из-за геометрической дивергенции, Adiv, дБ	расстояние = 1005.34 м	ф-ла (7) [10]	**71**										
Коэффициент затухания звука в атмосфере α, дБ/км	Ta=20,°C Pa=101.33,кПа hотн.=70%	ф-ла (5) [9]	0,02	0,09	0,33	1,12	2,79	4,98	9,04	23,09	77,63		
Учет затухания звука в атмосфере Aatm, дБ		ф-ла (8) [10]	0	0,1	0,3	1,1	2,8	5	9,1	23,2	78		
Снижение уровня звукового давления из-за влияния застройки между источником шума и расчетной точкой													
Снижение уровня звукового давления на пути над экраном, Dz1, дБ	z = 0.18м (разность путей)	ф-лы (14-18) [10]	4,8	4,8	4,8	4,8	4,8	4,8	4,8	4,8	4,8		

1		2	3	4	5	6	7	8	9	10	11	12	13
Снижение уровня звукового давления на пути слева от экрана, Dz2, дБ	z = 12.17м (разность путей)	ф-лы (14-18) [10]	16,8	19,7	22,6	25,6	28,6	31,6	34,6	37,6	40,6		
Снижение уровня звукового давления на пути справа от экрана, Dz3, дБ	z = 36.34м (разность путей)	ф-лы (14-18) [10]	25,9	29	32	35,1	38,1	41,1	44,1	47,1	50,1		
Общее снижение уровня звука препятствием Dz, дБ		Эн.сумма(-Dzi)	4,5	4,6	4,7	4,7	4,8	4,8	4,8	4,8	4,8		
Уровни звукового давления от источника ИШ-9-6 в расчётной точке днём, дБ		**ф-ла(3)[10]**	**0**	**20,5**	**21,6**	**22,1**	**20,7**	**18,1**	**10,7**	**0**	**0**	**22,1**	**22,1**
Уровни звукового давления от источника ИШ-9-6 в расчётной точке ночью, дБ		**ф-ла(3)[10]**	**0**	**20,5**	**21,6**	**22,1**	**20,7**	**18,1**	**10,7**	**0**	**0**	**22,1**	**22,1**
Источник шума: ИШ-9-7, координаты источника (x,y,z), м =[648.71,-340.49,1.00]													
Уровни звуковой мощности источника днём, Lw, дБ		**исходные данные**	**0**	**93,3**	**94,7**	**96**	**96,3**	**95,9**	**92,6**	**88,4**	**83,9**		
Уровни звуковой мощности источника ночью, Lw, дБ		**исходные данные**	**0**	**93,3**	**94,7**	**96**	**96,3**	**95,9**	**92,6**	**88,4**	**83,9**		
Поправка на телесный угол DΩ, дБ	Ω = 6.28	10Lg(4π/Ω)	**3**	3	3	3	3	3	3	3	3		
Показатель направленности источника Di, дБ		исходные данные	**0**	0	0	0	0	0	0	0	0		
Поправка на направленность источника Dc, дБ	Dc	DΩ + Di	**3**	3	3	3	3	3	3	3	3		
Затухание из-за геометрической дивергенции, Adiv, дБ	расстояние = 1003.18 м	ф-ла (7) [10]	**71**										
Коэффициент затухания звука в атмосфере α, дБ/км	Ta=20,°C Pa=101.33,кПа hотн.=70%	ф-ла (5) [9]	0,02	0,09	0,33	1,12	2,79	4,98	9,04	23,09	77,63		
Учет затухания звука в атмосфере Aatm, дБ		ф-ла (8) [10]	0	0,1	0,3	1,1	2,8	5	9,1	23,2	77,9		
Снижение уровня звукового давления из-за влияния застройки между источником шума и расчетной точкой													
Снижение уровня звукового давления на пути над экраном, Dz1, дБ	z = 0.18м (разность путей)	ф-лы (14-18) [10]	4,8	4,8	4,8	4,8	4,8	4,8	4,8	4,8	4,8		

1		2	3	4	5	6	7	8	9	10	11	12	13
Снижение уровня звукового давления на пути слева от экрана, Dz2, дБ	z = 12.49м (разность путей)	ф-лы (14-18) [10]	16,9	19,8	22,7	25,7	28,7	31,7	34,7	37,7	40,7		
Снижение уровня звукового давления на пути справа от экрана, Dz3, дБ	z = 35.71м (разность путей)	ф-лы (14-18) [10]	25,8	29	32	35	38	41	44	47	50		
Общее снижение уровня звука препятствием Dz, дБ		Эн.сумма(-Dzi)	4,5	4,6	4,7	4,7	4,8	4,8	4,8	4,8	4,8		
Уровни звукового давления от источника ИШ-9-7 в расчётной точке днём, дБ		**ф-ла(3)[10]**	**0**	**20,6**	**21,6**	**22,1**	**20,7**	**18,1**	**10,7**	**0**	**0**	**22,1**	**22,1**
Уровни звукового давления от источника ИШ-9-7 в расчётной точке ночью, дБ		**ф-ла(3)[10]**	**0**	**20,6**	**21,6**	**22,1**	**20,7**	**18,1**	**10,7**	**0**	**0**	**22,1**	**22,1**
Источник шума: ИШ-9-8, координаты источника (x,y,z), м =[649.92,-337.69,1.00]													
Уровни звуковой мощности источника днём, Lw, дБ		**исходные данные**	**0**	**93,3**	**94,7**	**96**	**96,3**	**95,9**	**92,6**	**88,4**	**83,9**		
Уровни звуковой мощности источника ночью, Lw, дБ		**исходные данные**	**0**	**93,3**	**94,7**	**96**	**96,3**	**95,9**	**92,6**	**88,4**	**83,9**		
Поправка на телесный угол DΩ, дБ	Ω = 6.28	10Lg(4π/Ω)	**3**	3	3	3	3	3	3	3	3		
Показатель направленности источника Di, дБ		исходные данные	**0**	0	0	0	0	0	0	0	0		
Поправка на направленность источника Dc, дБ	Dc	DΩ + Di	**3**	3	3	3	3	3	3	3	3		
Затухание из-за геометрической дивергенции, Adiv, дБ	расстояние = 1001.38 м	ф-ла (7) [10]	**71**										
Коэффициент затухания звука в атмосфере α, дБ/км	Ta=20,°C Pa=101.33,кПа hотн.=70%	ф-ла (5) [9]	0,02	0,09	0,33	1,12	2,79	4,98	9,04	23,09	77,63		
Учет затухания звука в атмосфере Aatm, дБ		ф-ла (8) [10]	0	0,1	0,3	1,1	2,8	5	9,1	23,1	77,7		
Снижение уровня звукового давления из-за влияния застройки между источником шума и расчетной точкой													
Снижение уровня звукового давления на пути над экраном, Dz1, дБ	z = 0.18м (разность путей)	ф-лы (14-18) [10]	4,8	4,8	4,8	4,8	4,8	4,8	4,8	4,8	4,8		

1		2	3	4	5	6	7	8	9	10	11	12	13
Снижение уровня звукового давления на пути слева от экрана, Dz2, дБ	z = 12.84м (разность путей)	ф-лы (14-18) [10]	17	19,9	22,8	25,8	28,8	31,8	34,8	37,8	40,8		
Снижение уровня звукового давления на пути справа от экрана, Dz3, дБ	z = 34.98м (разность путей)	ф-лы (14-18) [10]	25,8	28,9	31,9	34,9	37,9	40,9	43,9	46,9	49,9		
Общее снижение уровня звука препятствием Dz, дБ		Эн.сумма(-Dzi)	4,5	4,6	4,7	4,7	4,8	4,8	4,8	4,8	4,8		
Уровни звукового давления от источника ИШ-9-8 в расчётной точке днём, дБ		**ф-ла(3)[10]**	**0**	**20,6**	**21,6**	**22,1**	**20,7**	**18,1**	**10,8**	**0**	**0**	**22,1**	**22,1**
Уровни звукового давления от источника ИШ-9-8 в расчётной точке ночью, дБ		**ф-ла(3)[10]**	**0**	**20,6**	**21,6**	**22,1**	**20,7**	**18,1**	**10,8**	**0**	**0**	**22,1**	**22,1**
Источник шума: ИШ-9-9, координаты источника (x,y,z), м =[650.66,-334.90,1.00]													
Уровни звуковой мощности источника днём, Lw, дБ		**исходные данные**	**0**	**93,3**	**94,7**	**96**	**96,3**	**95,9**	**92,6**	**88,4**	**83,9**		
Уровни звуковой мощности источника ночью, Lw, дБ		**исходные данные**	**0**	**93,3**	**94,7**	**96**	**96,3**	**95,9**	**92,6**	**88,4**	**83,9**		
Поправка на телесный угол DΩ, дБ	Ω = 6.28	10Lg(4π/Ω)	**3**	3	3	3	3	3	3	3	3		
Показатель направленности источника Di, дБ		исходные данные	**0**	0	0	0	0	0	0	0	0		
Поправка на направленность источника Dc, дБ	Dc	DΩ + Di	**3**	3	3	3	3	3	3	3	3		
Затухание из-за геометрической дивергенции, Adiv, дБ	расстояние = 999.35 м	ф-ла (7) [10]	**71**										
Коэффициент затухания звука в атмосфере α, дБ/км	Ta=20,°C Pa=101.33,кПа hотн.=70%	ф-ла (5) [9]	0,02	0,09	0,33	1,12	2,79	4,98	9,04	23,09	77,63		
Учет затухания звука в атмосфере Aatm, дБ		ф-ла (8) [10]	0	0,1	0,3	1,1	2,8	5	9	23,1	77,6		
Снижение уровня звукового давления из-за влияния застройки между источником шума и расчетной точкой													
Снижение уровня звукового давления на пути над экраном, Dz1, дБ	z = 0.18м (разность путей)	ф-лы (14-18) [10]	4,8	4,8	4,8	4,8	4,8	4,8	4,8	4,8	4,8		

1		2	3	4	5	6	7	8	9	10	11	12	13
Снижение уровня звукового давления на пути слева от экрана, Dz2, дБ	z = 13.15м (разность путей)	ф-лы (14-18) [10]	17,1	20	22,9	25,9	28,9	31,9	34,9	37,9	40,9		
Снижение уровня звукового давления на пути справа от экрана, Dz3, дБ	z = 34.40м (разность путей)	ф-лы (14-18) [10]	25,7	28,8	31,8	34,8	37,8	40,8	43,9	46,9	49,9		
Общее снижение уровня звука препятствием Dz, дБ		Эн.сумма(-Dzi)	4,5	4,6	4,7	4,7	4,8	4,8	4,8	4,8	4,8		
Уровни звукового давления от источника ИШ-9-9 в расчётной точке днём, дБ		**ф-ла(3)[10]**	**0**	**20,6**	**21,7**	**22,1**	**20,8**	**18,2**	**10,8**	**0**	**0**	**22,2**	**22,2**
Уровни звукового давления от источника ИШ-9-9 в расчётной точке ночью, дБ		**ф-ла(3)[10]**	**0**	**20,6**	**21,7**	**22,1**	**20,8**	**18,2**	**10,8**	**0**	**0**	**22,2**	**22,2**
Источник шума: ИШ-9-10, координаты источника (x,y,z), м =[651.59,-332.01,1.00]													
Уровни звуковой мощности источника днём, Lw, дБ		**исходные данные**	**0**	**93,3**	**94,7**	**96**	**96,3**	**95,9**	**92,6**	**88,4**	**83,9**		
Уровни звуковой мощности источника ночью, Lw, дБ		**исходные данные**	**0**	**93,3**	**94,7**	**96**	**96,3**	**95,9**	**92,6**	**88,4**	**83,9**		
Поправка на телесный угол DΩ, дБ	Ω = 6.28	10Lg(4π/Ω)	**3**	3	3	3	3	3	3	3	3		
Показатель направленности источника Di, дБ		исходные данные	**0**	0	0	0	0	0	0	0	0		
Поправка на направленность источника Dc, дБ	Dc	DΩ + Di	**3**	3	3	3	3	3	3	3	3		
Затухание из-за геометрической дивергенции, Adiv, дБ	расстояние = 997.33 м	ф-ла (7) [10]	**71**										
Коэффициент затухания звука в атмосфере α, дБ/км	Ta=20,°C Pa=101.33,кПа hотн.=70%	ф-ла (5) [9]	0,02	0,09	0,33	1,12	2,79	4,98	9,04	23,09	77,63		
Учет затухания звука в атмосфере Aatm, дБ		ф-ла (8) [10]	0	0,1	0,3	1,1	2,8	5	9	23	77,4		
Снижение уровня звукового давления из-за влияния застройки между источником шума и расчетной точкой													
Снижение уровня звукового давления на пути над экраном, Dz1, дБ	z = 0.18м (разность путей)	ф-лы (14-18) [10]	4,8	4,8	4,8	4,8	4,8	4,8	4,8	4,8	4,8		

1		2	3	4	5	6	7	8	9	10	11	12	13
Снижение уровня звукового давления на пути слева от экрана, Dz2, дБ	z = 13.49м (разность путей)	ф-лы (14-18) [10]	17,2	20,1	23	26	29	32	35	38	41		
Снижение уровня звукового давления на пути справа от экрана, Dz3, дБ	z = 33.76м (разность путей)	ф-лы (14-18) [10]	25,6	28,7	31,7	34,7	37,8	40,8	43,8	46,8	49,8		
Общее снижение уровня звука препятствием Dz, дБ		Эн.сумма(-Dzi)	4,5	4,6	4,7	4,7	4,8	4,8	4,8	4,8	4,8		
Уровни звукового давления от источника ИШ-9-10 в расчётной точке днём, дБ		**ф-ла(3)[10]**	**0**	**20,6**	**21,7**	**22,2**	**20,8**	**18,2**	**10,8**	**0**	**0**	**22,2**	**22,2**
Уровни звукового давления от источника ИШ-9-10 в расчётной точке ночью, дБ		**ф-ла(3)[10]**	**0**	**20,6**	**21,7**	**22,2**	**20,8**	**18,2**	**10,8**	**0**	**0**	**22,2**	**22,2**
Источник шума: ИШ-9-11, координаты источника (x,y,z), м =[652.71,-329.22,1.00]													
Уровни звуковой мощности источника днём, Lw, дБ		**исходные данные**	**0**	**93,3**	**94,7**	**96**	**96,3**	**95,9**	**92,6**	**88,4**	**83,9**		
Уровни звуковой мощности источника ночью, Lw, дБ		**исходные данные**	**0**	**93,3**	**94,7**	**96**	**96,3**	**95,9**	**92,6**	**88,4**	**83,9**		
Поправка на телесный угол DΩ, дБ	Ω = 6.28	10Lg(4π/Ω)	**3**	3	3	3	3	3	3	3	3		
Показатель направленности источника Di, дБ		исходные данные	**0**	0	0	0	0	0	0	0	0		
Поправка на направленность источника Dc, дБ	Dc	DΩ + Di	**3**	3	3	3	3	3	3	3	3		
Затухание из-за геометрической дивергенции, Adiv, дБ	расстояние = 995.50 м	ф-ла (7) [10]	**71**										
Коэффициент затухания звука в атмосфере α, дБ/км	Ta=20,°C Pa=101.33,кПа hотн.=70%	ф-ла (5) [9]	0,02	0,09	0,33	1,12	2,79	4,98	9,04	23,09	77,63		
Учет затухания звука в атмосфере Aatm, дБ		ф-ла (8) [10]	0	0,1	0,3	1,1	2,8	5	9	23	77,3		
Снижение уровня звукового давления из-за влияния застройки между источником шума и расчетной точкой													
Снижение уровня звукового давления на пути над экраном, Dz1, дБ	z = 0.18м (разность путей)	ф-лы (14-18) [10]	4,8	4,8	4,8	4,8	4,8	4,8	4,8	4,8	4,8		

1		2	3	4	5	6	7	8	9	10	11	12	13
Снижение уровня звукового давления на пути слева от экрана, Dz2, дБ	z = 13.85м (разность путей)	ф-лы (14-18) [10]	17,4	20,2	23,2	26,1	29,1	32,1	35,1	38,1	41,2		
Снижение уровня звукового давления на пути справа от экрана, Dz3, дБ	z = 33.06м (разность путей)	ф-лы (14-18) [10]	25,5	28,6	31,6	34,7	37,7	40,7	43,7	46,7	49,7		
Общее снижение уровня звука препятствием Dz, дБ		Эн.сумма(-Dzi)	4,5	4,6	4,7	4,7	4,8	4,8	4,8	4,8	4,8		
Уровни звукового давления от источника ИШ-9-11 в расчётной точке днём, дБ		**ф-ла(3)[10]**	**0**	**20,6**	**21,7**	**22,2**	**20,8**	**18,2**	**10,9**	**0**	**0**	**22,2**	**22,2**
Уровни звукового давления от источника ИШ-9-11 в расчётной точке ночью, дБ		**ф-ла(3)[10]**	**0**	**20,6**	**21,7**	**22,2**	**20,8**	**18,2**	**10,9**	**0**	**0**	**22,2**	**22,2**
Источник шума: ИШ-9-12, координаты источника (x,y,z), м =[653.46,-326.33,1.00]													
Уровни звуковой мощности источника днём, Lw, дБ		**исходные данные**	**0**	**93,3**	**94,7**	**96**	**96,3**	**95,9**	**92,6**	**88,4**	**83,9**		
Уровни звуковой мощности источника ночью, Lw, дБ		**исходные данные**	**0**	**93,3**	**94,7**	**96**	**96,3**	**95,9**	**92,6**	**88,4**	**83,9**		
Поправка на телесный угол DΩ, дБ	Ω = 6.28	10Lg(4π/Ω)	**3**	3	3	3	3	3	3	3	3		
Показатель направленности источника Di, дБ		исходные данные	**0**	0	0	0	0	0	0	0	0		
Поправка на направленность источника Dc, дБ	Dc	DΩ + Di	**3**	3	3	3	3	3	3	3	3		
Затухание из-за геометрической дивергенции, Adiv, дБ	расстояние = 993.40 м	ф-ла (7) [10]	**70,9**										
Коэффициент затухания звука в атмосфере α, дБ/км	Ta=20,°C Pa=101.33,кПа hотн.=70%	ф-ла (5) [9]	0,02	0,09	0,33	1,12	2,79	4,98	9,04	23,09	77,63		
Учет затухания звука в атмосфере Aatm, дБ		ф-ла (8) [10]	0	0,1	0,3	1,1	2,8	4,9	9	22,9	77,1		
Снижение уровня звукового давления из-за влияния застройки между источником шума и расчетной точкой													
Снижение уровня звукового давления на пути над экраном, Dz1, дБ	z = 0.18м (разность путей)	ф-лы (14-18) [10]	4,8	4,8	4,8	4,8	4,8	4,8	4,8	4,8	4,8		

1		2	3	4	5	6	7	8	9	10	11	12	13
Снижение уровня звукового давления на пути слева от экрана, Dz2, дБ	z = 14.18м (разность путей)	ф-лы (14-18) [10]	17,4	20,3	23,3	26,2	29,2	32,2	35,2	38,2	41,3		
Снижение уровня звукового давления на пути справа от экрана, Dz3, дБ	z = 32.48м (разность путей)	ф-лы (14-18) [10]	25,4	28,6	31,6	34,6	37,6	40,6	43,6	46,6	49,6		
Общее снижение уровня звука препятствием Dz, дБ		Эн.сумма(-Dzi)	4,5	4,6	4,7	4,7	4,8	4,8	4,8	4,8	4,8		
Уровни звукового давления от источника ИШ-9-12 в расчётной точке днём, дБ		**ф-ла(3)[10]**	**0**	**20,6**	**21,7**	**22,2**	**20,8**	**18,2**	**10,9**	**0**	**0**	**22,2**	**22,2**
Уровни звукового давления от источника ИШ-9-12 в расчётной точке ночью, дБ		**ф-ла(3)[10]**	**0**	**20,6**	**21,7**	**22,2**	**20,8**	**18,2**	**10,9**	**0**	**0**	**22,2**	**22,2**
Источник шума: ИШ-9-13, координаты источника (x,y,z), м =[654.48,-323.54,1.00]													
Уровни звуковой мощности источника днём, Lw, дБ		**исходные данные**	**0**	**93,3**	**94,7**	**96**	**96,3**	**95,9**	**92,6**	**88,4**	**83,9**		
Уровни звуковой мощности источника ночью, Lw, дБ		**исходные данные**	**0**	**93,3**	**94,7**	**96**	**96,3**	**95,9**	**92,6**	**88,4**	**83,9**		
Поправка на телесный угол DΩ, дБ	Ω = 6.28	10Lg(4π/Ω)	**3**	3	3	3	3	3	3	3	3		
Показатель направленности источника Di, дБ		исходные данные	**0**	0	0	0	0	0	0	0	0		
Поправка на направленность источника Dc, дБ	Dc	DΩ + Di	**3**	3	3	3	3	3	3	3	3		
Затухание из-за геометрической дивергенции, Adiv, дБ	расстояние = 991.53 м	ф-ла (7) [10]	**70,9**										
Коэффициент затухания звука в атмосфере α, дБ/км	Ta=20,°C Pa=101.33,кПа hотн.=70%	ф-ла (5) [9]	0,02	0,09	0,33	1,12	2,79	4,98	9,04	23,09	77,63		
Учет затухания звука в атмосфере Aatm, дБ		ф-ла (8) [10]	0	0,1	0,3	1,1	2,8	4,9	9	22,9	77		
Снижение уровня звукового давления из-за влияния застройки между источником шума и расчетной точкой													
Снижение уровня звукового давления на пути над экраном, Dz1, дБ	z = 0.18м (разность путей)	ф-лы (14-18) [10]	4,8	4,8	4,8	4,8	4,8	4,8	4,8	4,8	4,8		

1		2	3	4	5	6	7	8	9	10	11	12	13
Снижение уровня звукового давления на пути слева от экрана, Dz2, дБ	z = 14.54м (разность путей)	ф-лы (14-18) [10]	17,6	20,4	23,4	26,3	29,3	32,3	35,3	38,4	41,4		
Снижение уровня звукового давления на пути справа от экрана, Dz3, дБ	z = 31.82м (разность путей)	ф-лы (14-18) [10]	25,3	28,5	31,5	34,5	37,5	40,5	43,5	46,5	49,5		
Общее снижение уровня звука препятствием Dz, дБ		Эн.сумма(-Dzi)	4,5	4,6	4,7	4,7	4,8	4,8	4,8	4,8	4,8		
Уровни звукового давления от источника ИШ-9-13 в расчётной точке днём, дБ		**ф-ла(3)[10]**	**0**	**20,6**	**21,7**	**22,2**	**20,8**	**18,3**	**10,9**	**0**	**0**	**22,3**	**22,3**
Уровни звукового давления от источника ИШ-9-13 в расчётной точке ночью, дБ		**ф-ла(3)[10]**	**0**	**20,6**	**21,7**	**22,2**	**20,8**	**18,3**	**10,9**	**0**	**0**	**22,3**	**22,3**
Источник шума: ИШ-9-14, координаты источника (x,y,z), м =[655.60,-320.74,1.00]													
Уровни звуковой мощности источника днём, Lw, дБ		**исходные данные**	**0**	**93,3**	**94,7**	**96**	**96,3**	**95,9**	**92,6**	**88,4**	**83,9**		
Уровни звуковой мощности источника ночью, Lw, дБ		**исходные данные**	**0**	**93,3**	**94,7**	**96**	**96,3**	**95,9**	**92,6**	**88,4**	**83,9**		
Поправка на телесный угол DΩ, дБ	Ω = 6.28	10Lg(4π/Ω)	**3**	3	3	3	3	3	3	3	3		
Показатель направленности источника Di, дБ		исходные данные	**0**	0	0	0	0	0	0	0	0		
Поправка на направленность источника Dc, дБ	Dc	DΩ + Di	**3**	3	3	3	3	3	3	3	3		
Затухание из-за геометрической дивергенции, Adiv, дБ	расстояние = 989.71 м	ф-ла (7) [10]	**70,9**										
Коэффициент затухания звука в атмосфере α, дБ/км	Ta=20,°C Pa=101.33,кПа hотн.=70%	ф-ла (5) [9]	0,02	0,09	0,33	1,12	2,79	4,98	9,04	23,09	77,63		
Учет затухания звука в атмосфере Aatm, дБ		ф-ла (8) [10]	0	0,1	0,3	1,1	2,8	4,9	8,9	22,8	76,8		
Снижение уровня звукового давления из-за влияния застройки между источником шума и расчетной точкой													
Снижение уровня звукового давления на пути над экраном, Dz1, дБ	z = 0.18м (разность путей)	ф-лы (14-18) [10]	4,8	4,8	4,8	4,8	4,8	4,8	4,8	4,8	4,8		

1		2	3	4	5	6	7	8	9	10	11	12	13
Снижение уровня звукового давления на пути слева от экрана, Dz2, дБ	z = 14.92м (разность путей)	ф-лы (14-18) [10]	20,9	24,8	28,1	31,2	34,2	37,2	40,2	43,2	46,2		
Снижение уровня звукового давления на пути справа от экрана, Dz3, дБ	z = 31.14м (разность путей)	ф-лы (14-18) [10]	25,3	28,4	31,4	34,4	37,4	40,4	43,4	46,4	49,4		
Общее снижение уровня звука препятствием Dz, дБ		Эн.сумма(-Dzi)	4,6	4,7	4,7	4,8	4,8	4,8	4,8	4,8	4,8		
Уровни звукового давления от источника ИШ-9-14 в расчётной точке днём, дБ		**ф-ла(3)[10]**	**0**	**20,6**	**21,7**	**22,2**	**20,9**	**18,3**	**11**	**0**	**0**	**22,3**	**22,3**
Уровни звукового давления от источника ИШ-9-14 в расчётной точке ночью, дБ		**ф-ла(3)[10]**	**0**	**20,6**	**21,7**	**22,2**	**20,9**	**18,3**	**11**	**0**	**0**	**22,3**	**22,3**
Источник шума: ИШ-9-15, координаты источника (x,y,z), м =[656.44,-317.86,1.00]													
Уровни звуковой мощности источника днём, Lw, дБ		**исходные данные**	**0**	**93,3**	**94,7**	**96**	**96,3**	**95,9**	**92,6**	**88,4**	**83,9**		
Уровни звуковой мощности источника ночью, Lw, дБ		**исходные данные**	**0**	**93,3**	**94,7**	**96**	**96,3**	**95,9**	**92,6**	**88,4**	**83,9**		
Поправка на телесный угол DΩ, дБ	Ω = 6.28	10Lg(4π/Ω)	**3**	3	3	3	3	3	3	3	3		
Показатель направленности источника Di, дБ		исходные данные	**0**	0	0	0	0	0	0	0	0		
Поправка на направленность источника Dc, дБ	Dc	DΩ + Di	**3**	3	3	3	3	3	3	3	3		
Затухание из-за геометрической дивергенции, Adiv, дБ	расстояние = 987.68 м	ф-ла (7) [10]	**70,9**										
Коэффициент затухания звука в атмосфере α, дБ/км	Ta=20,°C Pa=101.33,кПа hотн.=70%	ф-ла (5) [9]	0,02	0,09	0,33	1,12	2,79	4,98	9,04	23,09	77,63		
Учет затухания звука в атмосфере Aatm, дБ		ф-ла (8) [10]	0	0,1	0,3	1,1	2,8	4,9	8,9	22,8	76,7		
Снижение уровня звукового давления из-за влияния застройки между источником шума и расчетной точкой													
Снижение уровня звукового давления на пути над экраном, Dz1, дБ	z = 0.19м (разность путей)	ф-лы (14-18) [10]	4,8	4,8	4,8	4,8	4,8	4,8	4,8	4,8	4,8		

1		2	3	4	5	6	7	8	9	10	11	12	13
Снижение уровня звукового давления на пути слева от экрана, Dz2, дБ	z = 15.29м (разность путей)	ф-лы (14-18) [10]	21	24,9	28,2	31,3	34,3	37,3	40,3	43,3	46,4		
Снижение уровня звукового давления на пути справа от экрана, Dz3, дБ	z = 30.53м (разность путей)	ф-лы (14-18) [10]	25,2	28,3	31,3	34,3	37,3	40,3	43,3	46,3	49,4		
Общее снижение уровня звука препятствием Dz, дБ		Эн.сумма(-Dzi)	4,6	4,7	4,7	4,8	4,8	4,8	4,8	4,8	4,8		
Уровни звукового давления от источника ИШ-9-15 в расчётной точке днём, дБ		**ф-ла(3)[10]**	**0**	**20,6**	**21,7**	**22,2**	**20,9**	**18,3**	**11**	**0**	**0**	**22,3**	**22,3**
Уровни звукового давления от источника ИШ-9-15 в расчётной точке ночью, дБ		**ф-ла(3)[10]**	**0**	**20,6**	**21,7**	**22,2**	**20,9**	**18,3**	**11**	**0**	**0**	**22,3**	**22,3**
Источник шума: ИШ-9-16, координаты источника (x,y,z), м =[657.46,-314.97,1.00]													
Уровни звуковой мощности источника днём, Lw, дБ		**исходные данные**	**0**	**93,3**	**94,7**	**96**	**96,3**	**95,9**	**92,6**	**88,4**	**83,9**		
Уровни звуковой мощности источника ночью, Lw, дБ		**исходные данные**	**0**	**93,3**	**94,7**	**96**	**96,3**	**95,9**	**92,6**	**88,4**	**83,9**		
Поправка на телесный угол DΩ, дБ	Ω = 6.28	10Lg(4π/Ω)	**3**	3	3	3	3	3	3	3	3		
Показатель направленности источника Di, дБ		исходные данные	**0**	0	0	0	0	0	0	0	0		
Поправка на направленность источника Dc, дБ	Dc	DΩ + Di	**3**	3	3	3	3	3	3	3	3		
Затухание из-за геометрической дивергенции, Adiv, дБ	расстояние = 985.74 м	ф-ла (7) [10]	**70,9**										
Коэффициент затухания звука в атмосфере α, дБ/км	Ta=20,°C Pa=101.33,кПа hотн.=70%	ф-ла (5) [9]	0,02	0,09	0,33	1,12	2,79	4,98	9,04	23,09	77,63		
Учет затухания звука в атмосфере Aatm, дБ		ф-ла (8) [10]	0	0,1	0,3	1,1	2,8	4,9	8,9	22,8	76,5		
Снижение уровня звукового давления из-за влияния застройки между источником шума и расчетной точкой													
Снижение уровня звукового давления на пути над экраном, Dz1, дБ	z = 0.19м (разность путей)	ф-лы (14-18) [10]	4,8	4,8	4,8	4,8	4,8	4,8	4,8	4,8	4,8		

1		2	3	4	5	6	7	8	9	10	11	12	13
Снижение уровня звукового давления на пути слева от экрана, Dz2, дБ	z = 15.68м (разность путей)	ф-лы (14-18) [10]	21,1	25	28,3	31,4	34,4	37,4	40,4	43,5	46,5		
Снижение уровня звукового давления на пути справа от экрана, Dz3, дБ	z = 29.87м (разность путей)	ф-лы (14-18) [10]	25,1	28,2	31,2	34,2	37,2	40,2	43,2	46,2	49,3		
Общее снижение уровня звука препятствием Dz, дБ		Эн.сумма(-Dzi)	4,6	4,7	4,7	4,8	4,8	4,8	4,8	4,8	4,8		
Уровни звукового давления от источника ИШ-9-16 в расчётной точке днём, дБ		**ф-ла(3)[10]**	**0**	**20,6**	**21,7**	**22,3**	**20,9**	**18,3**	**11**	**0**	**0**	**22,3**	**22,3**
Уровни звукового давления от источника ИШ-9-16 в расчётной точке ночью, дБ		**ф-ла(3)[10]**	**0**	**20,6**	**21,7**	**22,3**	**20,9**	**18,3**	**11**	**0**	**0**	**22,3**	**22,3**
Источник шума: ИШ-9-17, координаты источника (x,y,z), м =[658.49,-312.18,1.00]													
Уровни звуковой мощности источника днём, Lw, дБ		**исходные данные**	**0**	**93,3**	**94,7**	**96**	**96,3**	**95,9**	**92,6**	**88,4**	**83,9**		
Уровни звуковой мощности источника ночью, Lw, дБ		**исходные данные**	**0**	**93,3**	**94,7**	**96**	**96,3**	**95,9**	**92,6**	**88,4**	**83,9**		
Поправка на телесный угол DΩ, дБ	Ω = 6.28	10Lg(4π/Ω)	**3**	3	3	3	3	3	3	3	3		
Показатель направленности источника Di, дБ		исходные данные	**0**	0	0	0	0	0	0	0	0		
Поправка на направленность источника Dc, дБ	Dc	DΩ + Di	**3**	3	3	3	3	3	3	3	3		
Затухание из-за геометрической дивергенции, Adiv, дБ	расстояние = 983.89 м	ф-ла (7) [10]	**70,9**										
Коэффициент затухания звука в атмосфере α, дБ/км	Ta=20,°C Pa=101.33,кПа hотн.=70%	ф-ла (5) [9]	0,02	0,09	0,33	1,12	2,79	4,98	9,04	23,09	77,63		
Учет затухания звука в атмосфере Aatm, дБ		ф-ла (8) [10]	0	0,1	0,3	1,1	2,7	4,9	8,9	22,7	76,4		
Снижение уровня звукового давления из-за влияния застройки между источником шума и расчетной точкой													
Снижение уровня звукового давления на пути над экраном, Dz1, дБ	z = 0.17м (разность путей)	ф-лы (14-18) [10]	4,8	4,8	4,8	4,8	4,8	4,9	5,1	5,3	5,9		

1		2	3	4	5	6	7	8	9	10	11	12	13
Снижение уровня звукового давления на пути слева от экрана, Dz2, дБ	z = 16.08м (разность путей)	ф-лы (14-18) [10]	21,2	25,1	28,4	31,5	34,5	37,5	40,5	43,6	46,6		
Снижение уровня звукового давления на пути справа от экрана, Dz3, дБ	z = 29.22м (разность путей)	ф-лы (14-18) [10]	25	28,1	31,1	34,1	37,1	40,1	43,1	46,2	49,2		
Общее снижение уровня звука препятствием Dz, дБ		Эн.сумма(-Dzi)	4,6	4,7	4,8	4,8	4,8	4,9	5,1	5,3	5,9		
Уровни звукового давления от источника ИШ-9-17 в расчётной точке днём, дБ		**ф-ла(3)[10]**	**0**	**20,6**	**21,7**	**22,2**	**20,8**	**18,2**	**10,8**	**0**	**0**	**22,2**	**22,2**
Уровни звукового давления от источника ИШ-9-17 в расчётной точке ночью, дБ		**ф-ла(3)[10]**	**0**	**20,6**	**21,7**	**22,2**	**20,8**	**18,2**	**10,8**	**0**	**0**	**22,2**	**22,2**
Источник шума: ИШ-9-18, координаты источника (x,y,z), м =[659.42,-309.20,1.00]													
Уровни звуковой мощности источника днём, Lw, дБ		**исходные данные**	**0**	**93,3**	**94,7**	**96**	**96,3**	**95,9**	**92,6**	**88,4**	**83,9**		
Уровни звуковой мощности источника ночью, Lw, дБ		**исходные данные**	**0**	**93,3**	**94,7**	**96**	**96,3**	**95,9**	**92,6**	**88,4**	**83,9**		
Поправка на телесный угол DΩ, дБ	Ω = 6.28	10Lg(4π/Ω)	**3**	3	3	3	3	3	3	3	3		
Показатель направленности источника Di, дБ		исходные данные	**0**	0	0	0	0	0	0	0	0		
Поправка на направленность источника Dc, дБ	Dc	DΩ + Di	**3**	3	3	3	3	3	3	3	3		
Затухание из-за геометрической дивергенции, Adiv, дБ	расстояние = 981.84 м	ф-ла (7) [10]	**70,8**										
Коэффициент затухания звука в атмосфере α, дБ/км	Ta=20,°C Pa=101.33,кПа hотн.=70%	ф-ла (5) [9]	0,02	0,09	0,33	1,12	2,79	4,98	9,04	23,09	77,63		
Учет затухания звука в атмосфере Aatm, дБ		ф-ла (8) [10]	0	0,1	0,3	1,1	2,7	4,9	8,9	22,7	76,2		
Снижение уровня звукового давления из-за влияния застройки между источником шума и расчетной точкой													
Снижение уровня звукового давления на пути над экраном, Dz1, дБ	z = 0.17м (разность путей)	ф-лы (14-18) [10]	4,8	4,8	4,8	4,8	4,9	4,9	5,1	5,4	6		

1		2	3	4	5	6	7	8	9	10	11	12	13
Снижение уровня звукового давления на пути слева от экрана, Dz2, дБ	z = 16.49м (разность путей)	ф-лы (14-18) [10]	21,3	25,2	28,5	31,6	34,6	37,6	40,7	43,7	46,7		
Снижение уровня звукового давления на пути справа от экрана, Dz3, дБ	z = 28.58м (разность путей)	ф-лы (14-18) [10]	24,9	28	31	34	37	40	43	46,1	49,1		
Общее снижение уровня звука препятствием Dz, дБ		Эн.сумма(-Dzi)	4,6	4,7	4,8	4,8	4,8	4,9	5,1	5,4	6		
Уровни звукового давления от источника ИШ-9-18 в расчётной точке днём, дБ		**ф-ла(3)[10]**	**0**	**20,6**	**21,8**	**22,2**	**20,9**	**18,2**	**10,8**	**0**	**0**	**22,2**	**22,2**
Уровни звукового давления от источника ИШ-9-18 в расчётной точке ночью, дБ		**ф-ла(3)[10]**	**0**	**20,6**	**21,8**	**22,2**	**20,9**	**18,2**	**10,8**	**0**	**0**	**22,2**	**22,2**
Источник шума: ИШ-9-19, координаты источника (x,y,z), м =[660.44,-306.50,1.00]													
Уровни звуковой мощности источника днём, Lw, дБ		**исходные данные**	**0**	**93,3**	**94,7**	**96**	**96,3**	**95,9**	**92,6**	**88,4**	**83,9**		
Уровни звуковой мощности источника ночью, Lw, дБ		**исходные данные**	**0**	**93,3**	**94,7**	**96**	**96,3**	**95,9**	**92,6**	**88,4**	**83,9**		
Поправка на телесный угол DΩ, дБ	Ω = 6.28	10Lg(4π/Ω)	**3**	3	3	3	3	3	3	3	3		
Показатель направленности источника Di, дБ		исходные данные	**0**	0	0	0	0	0	0	0	0		
Поправка на направленность источника Dc, дБ	Dc	DΩ + Di	**3**	3	3	3	3	3	3	3	3		
Затухание из-за геометрической дивергенции, Adiv, дБ	расстояние = 980.08 м	ф-ла (7) [10]	**70,8**										
Коэффициент затухания звука в атмосфере α, дБ/км	Ta=20,°C Pa=101.33,кПа hотн.=70%	ф-ла (5) [9]	0,02	0,09	0,33	1,12	2,79	4,98	9,04	23,09	77,63		
Учет затухания звука в атмосфере Aatm, дБ		ф-ла (8) [10]	0	0,1	0,3	1,1	2,7	4,9	8,9	22,6	76,1		
Снижение уровня звукового давления из-за влияния застройки между источником шума и расчетной точкой													
Снижение уровня звукового давления на пути над экраном, Dz1, дБ	z = 0.17м (разность путей)	ф-лы (14-18) [10]	4,8	4,8	4,8	4,8	4,9	5	5,1	5,5	6,1		

1		2	3	4	5	6	7	8	9	10	11	12	13
Снижение уровня звукового давления на пути слева от экрана, Dz2, дБ	z = 16.89м (разность путей)	ф-лы (14-18) [10]	21,5	25,3	28,6	31,7	34,7	37,8	40,8	43,8	46,8		
Снижение уровня звукового давления на пути справа от экрана, Dz3, дБ	z = 27.95м (разность путей)	ф-лы (14-18) [10]	24,8	27,9	30,9	33,9	36,9	39,9	43	46	49		
Общее снижение уровня звука препятствием Dz, дБ		Эн.сумма(-Dzi)	4,6	4,7	4,8	4,8	4,9	5	5,1	5,5	6,1		
Уровни звукового давления от источника ИШ-9-19 в расчётной точке днём, дБ		**ф-ла(3)[10]**	**0**	**20,7**	**21,8**	**22,3**	**20,9**	**18,2**	**10,8**	**0**	**0**	**22,3**	**22,3**
Уровни звукового давления от источника ИШ-9-19 в расчётной точке ночью, дБ		**ф-ла(3)[10]**	**0**	**20,7**	**21,8**	**22,3**	**20,9**	**18,2**	**10,8**	**0**	**0**	**22,3**	**22,3**
Источник шума: ИШ-9-20, координаты источника (x,y,z), м =[661.28,-303.61,1.00]													
Уровни звуковой мощности источника днём, Lw, дБ		**исходные данные**	**0**	**93,3**	**94,7**	**96**	**96,3**	**95,9**	**92,6**	**88,4**	**83,9**		
Уровни звуковой мощности источника ночью, Lw, дБ		**исходные данные**	**0**	**93,3**	**94,7**	**96**	**96,3**	**95,9**	**92,6**	**88,4**	**83,9**		
Поправка на телесный угол DΩ, дБ	Ω = 6.28	10Lg(4π/Ω)	**3**	3	3	3	3	3	3	3	3		
Показатель направленности источника Di, дБ		исходные данные	**0**	0	0	0	0	0	0	0	0		
Поправка на направленность источника Dc, дБ	Dc	DΩ + Di	**3**	3	3	3	3	3	3	3	3		
Затухание из-за геометрической дивергенции, Adiv, дБ	расстояние = 978.07 м	ф-ла (7) [10]	**70,8**										
Коэффициент затухания звука в атмосфере α, дБ/км	Ta=20,°C Pa=101.33,кПа hотн.=70%	ф-ла (5) [9]	0,02	0,09	0,33	1,12	2,79	4,98	9,04	23,09	77,63		
Учет затухания звука в атмосфере Aatm, дБ		ф-ла (8) [10]	0	0,1	0,3	1,1	2,7	4,9	8,8	22,6	75,9		
Снижение уровня звукового давления из-за влияния застройки между источником шума и расчетной точкой													
Снижение уровня звукового давления на пути над экраном, Dz1, дБ	z = 0.17м (разность путей)	ф-лы (14-18) [10]	4,8	4,8	4,8	4,8	4,9	5	5,2	5,5	6,1		

1		2	3	4	5	6	7	8	9	10	11	12	13
Снижение уровня звукового давления на пути слева от экрана, Dz2, дБ	z = 17.30м (разность путей)	ф-лы (14-18) [10]	21,6	25,4	28,7	31,8	34,8	37,9	40,9	43,9	46,9		
Снижение уровня звукового давления на пути справа от экрана, Dz3, дБ	z = 27.36м (разность путей)	ф-лы (14-18) [10]	24,7	27,8	30,8	33,8	36,8	39,8	42,9	45,9	48,9		
Общее снижение уровня звука препятствием Dz, дБ		Эн.сумма(-Dzi)	4,6	4,7	4,8	4,8	4,9	5	5,2	5,5	6,1		
Уровни звукового давления от источника ИШ-9-20 в расчётной точке днём, дБ		**ф-ла(3)[10]**	**0**	**20,7**	**21,8**	**22,3**	**20,9**	**18,3**	**10,8**	**0**	**0**	**22,3**	**22,3**
Уровни звукового давления от источника ИШ-9-20 в расчётной точке ночью, дБ		**ф-ла(3)[10]**	**0**	**20,7**	**21,8**	**22,3**	**20,9**	**18,3**	**10,8**	**0**	**0**	**22,3**	**22,3**
Источник шума: ИШ-9-21, координаты источника (x,y,z), м =[661.93,-300.72,1.00]													
Уровни звуковой мощности источника днём, Lw, дБ		**исходные данные**	**0**	**93,3**	**94,7**	**96**	**96,3**	**95,9**	**92,6**	**88,4**	**83,9**		
Уровни звуковой мощности источника ночью, Lw, дБ		**исходные данные**	**0**	**93,3**	**94,7**	**96**	**96,3**	**95,9**	**92,6**	**88,4**	**83,9**		
Поправка на телесный угол DΩ, дБ	Ω = 6.28	10Lg(4π/Ω)	**3**	3	3	3	3	3	3	3	3		
Показатель направленности источника Di, дБ		исходные данные	**0**	0	0	0	0	0	0	0	0		
Поправка на направленность источника Dc, дБ	Dc	DΩ + Di	**3**	3	3	3	3	3	3	3	3		
Затухание из-за геометрической дивергенции, Adiv, дБ	расстояние = 975.97 м	ф-ла (7) [10]	**70,8**										
Коэффициент затухания звука в атмосфере α, дБ/км	Ta=20,°C Pa=101.33,кПа hотн.=70%	ф-ла (5) [9]	0,02	0,09	0,33	1,12	2,79	4,98	9,04	23,09	77,63		
Учет затухания звука в атмосфере Aatm, дБ		ф-ла (8) [10]	0	0,1	0,3	1,1	2,7	4,9	8,8	22,5	75,8		
Снижение уровня звукового давления из-за влияния застройки между источником шума и расчетной точкой													
Снижение уровня звукового давления на пути над экраном, Dz1, дБ	z = 0.17м (разность путей)	ф-лы (14-18) [10]	4,8	4,8	4,8	4,8	4,9	5	5,2	5,5	6,2		

1		2	3	4	5	6	7	8	9	10	11	12	13
Снижение уровня звукового давления на пути слева от экрана, Dz2, дБ	z = 17.69м (разность путей)	ф-лы (14-18) [10]	21,6	25,5	28,8	31,9	34,9	38	41	44	47		
Снижение уровня звукового давления на пути справа от экрана, Dz3, дБ	z = 26.82м (разность путей)	ф-лы (14-18) [10]	24,6	27,7	30,7	33,7	36,8	39,8	42,8	45,8	48,8		
Общее снижение уровня звука препятствием Dz, дБ		Эн.сумма(-Dzi)	4,6	4,7	4,8	4,8	4,9	5	5,2	5,5	6,2		
Уровни звукового давления от источника ИШ-9-21 в расчётной точке днём, дБ		**ф-ла(3)[10]**	**0**	**20,7**	**21,8**	**22,3**	**20,9**	**18,3**	**10,8**	**0**	**0**	**22,3**	**22,3**
Уровни звукового давления от источника ИШ-9-21 в расчётной точке ночью, дБ		**ф-ла(3)[10]**	**0**	**20,7**	**21,8**	**22,3**	**20,9**	**18,3**	**10,8**	**0**	**0**	**22,3**	**22,3**
Источник шума: ИШ-9-22, координаты источника (x,y,z), м =[663.14,-297.83,1.00]													
Уровни звуковой мощности источника днём, Lw, дБ		**исходные данные**	**0**	**93,3**	**94,7**	**96**	**96,3**	**95,9**	**92,6**	**88,4**	**83,9**		
Уровни звуковой мощности источника ночью, Lw, дБ		**исходные данные**	**0**	**93,3**	**94,7**	**96**	**96,3**	**95,9**	**92,6**	**88,4**	**83,9**		
Поправка на телесный угол DΩ, дБ	Ω = 6.28	10Lg(4π/Ω)	**3**	3	3	3	3	3	3	3	3		
Показатель направленности источника Di, дБ		исходные данные	**0**	0	0	0	0	0	0	0	0		
Поправка на направленность источника Dc, дБ	Dc	DΩ + Di	**3**	3	3	3	3	3	3	3	3		
Затухание из-за геометрической дивергенции, Adiv, дБ	расстояние = 974.17 м	ф-ла (7) [10]	**70,8**										
Коэффициент затухания звука в атмосфере α, дБ/км	Ta=20,°C Pa=101.33,кПа hотн.=70%	ф-ла (5) [9]	0,02	0,09	0,33	1,12	2,79	4,98	9,04	23,09	77,63		
Учет затухания звука в атмосфере Aatm, дБ		ф-ла (8) [10]	0	0,1	0,3	1,1	2,7	4,8	8,8	22,5	75,6		
Снижение уровня звукового давления из-за влияния застройки между источником шума и расчетной точкой													
Снижение уровня звукового давления на пути над экраном, Dz1, дБ	z = 0.17м (разность путей)	ф-лы (14-18) [10]	4,8	4,8	4,8	4,8	4,9	5	5,2	5,5	6,2		

1		2	3	4	5	6	7	8	9	10	11	12	13
Снижение уровня звукового давления на пути слева от экрана, Dz2, дБ	z = 18.17м (разность путей)	ф-лы (14-18) [10]	21,8	25,7	28,9	32	35,1	38,1	41,1	44,1	47,1		
Снижение уровня звукового давления на пути справа от экрана, Dz3, дБ	z = 26.13м (разность путей)	ф-лы (14-18) [10]	24,5	27,6	30,6	33,6	36,6	39,6	42,7	45,7	48,7		
Общее снижение уровня звука препятствием Dz, дБ		Эн.сумма(-Dzi)	4,6	4,7	4,8	4,8	4,9	5	5,2	5,5	6,2		
Уровни звукового давления от источника ИШ-9-22 в расчётной точке днём, дБ		**ф-ла(3)[10]**	**0**	**20,7**	**21,8**	**22,3**	**20,9**	**18,3**	**10,8**	**0**	**0**	**22,3**	**22,3**
Уровни звукового давления от источника ИШ-9-22 в расчётной точке ночью, дБ		**ф-ла(3)[10]**	**0**	**20,7**	**21,8**	**22,3**	**20,9**	**18,3**	**10,8**	**0**	**0**	**22,3**	**22,3**
Источник шума: ИШ-9-23, координаты источника (x,y,z), м =[664.07,-295.13,1.00]													
Уровни звуковой мощности источника днём, Lw, дБ		**исходные данные**	**0**	**93,3**	**94,7**	**96**	**96,3**	**95,9**	**92,6**	**88,4**	**83,9**		
Уровни звуковой мощности источника ночью, Lw, дБ		**исходные данные**	**0**	**93,3**	**94,7**	**96**	**96,3**	**95,9**	**92,6**	**88,4**	**83,9**		
Поправка на телесный угол DΩ, дБ	Ω = 6.28	10Lg(4π/Ω)	**3**	3	3	3	3	3	3	3	3		
Показатель направленности источника Di, дБ		исходные данные	**0**	0	0	0	0	0	0	0	0		
Поправка на направленность источника Dc, дБ	Dc	DΩ + Di	**3**	3	3	3	3	3	3	3	3		
Затухание из-за геометрической дивергенции, Adiv, дБ	расстояние = 972.38 м	ф-ла (7) [10]	**70,8**										
Коэффициент затухания звука в атмосфере α, дБ/км	Ta=20,°C Pa=101.33,кПа hотн.=70%	ф-ла (5) [9]	0,02	0,09	0,33	1,12	2,79	4,98	9,04	23,09	77,63		
Учет затухания звука в атмосфере Aatm, дБ		ф-ла (8) [10]	0	0,1	0,3	1,1	2,7	4,8	8,8	22,4	75,5		
Снижение уровня звукового давления из-за влияния застройки между источником шума и расчетной точкой													
Снижение уровня звукового давления на пути над экраном, Dz1, дБ	z = 0.17м (разность путей)	ф-лы (14-18) [10]	4,8	4,8	4,8	4,8	4,9	5	5,2	5,6	6,2		

1		2	3	4	5	6	7	8	9	10	11	12	13
Снижение уровня звукового давления на пути слева от экрана, Dz2, дБ	z = 18.60м (разность путей)	ф-лы (14-18) [10]	21,9	25,8	29	32,1	35,2	38,2	41,2	44,2	47,2		
Снижение уровня звукового давления на пути справа от экрана, Dz3, дБ	z = 25.54м (разность путей)	ф-лы (14-18) [10]	24,4	27,5	30,5	33,5	36,5	39,6	42,6	45,6	48,6		
Общее снижение уровня звука препятствием Dz, дБ		Эн.сумма(-Dzi)	4,6	4,7	4,8	4,8	4,9	5	5,2	5,6	6,2		
Уровни звукового давления от источника ИШ-9-23 в расчётной точке днём, дБ		**ф-ла(3)[10]**	**0**	**20,7**	**21,8**	**22,3**	**20,9**	**18,3**	**10,9**	**0**	**0**	**22,3**	**22,3**
Уровни звукового давления от источника ИШ-9-23 в расчётной точке ночью, дБ		**ф-ла(3)[10]**	**0**	**20,7**	**21,8**	**22,3**	**20,9**	**18,3**	**10,9**	**0**	**0**	**22,3**	**22,3**
Источник шума: ИШ-9-24, координаты источника (x,y,z), м =[665.19,-292.34,1.00]													
Уровни звуковой мощности источника днём, Lw, дБ		**исходные данные**	**0**	**93,3**	**94,7**	**96**	**96,3**	**95,9**	**92,6**	**88,4**	**83,9**		
Уровни звуковой мощности источника ночью, Lw, дБ		**исходные данные**	**0**	**93,3**	**94,7**	**96**	**96,3**	**95,9**	**92,6**	**88,4**	**83,9**		
Поправка на телесный угол DΩ, дБ	Ω = 6.28	10Lg(4π/Ω)	**3**	3	3	3	3	3	3	3	3		
Показатель направленности источника Di, дБ		исходные данные	**0**	0	0	0	0	0	0	0	0		
Поправка на направленность источника Dc, дБ	Dc	DΩ + Di	**3**	3	3	3	3	3	3	3	3		
Затухание из-за геометрической дивергенции, Adiv, дБ	расстояние = 970.62 м	ф-ла (7) [10]	**70,7**										
Коэффициент затухания звука в атмосфере α, дБ/км	Ta=20,°C Pa=101.33,кПа hотн.=70%	ф-ла (5) [9]	0,02	0,09	0,33	1,12	2,79	4,98	9,04	23,09	77,63		
Учет затухания звука в атмосфере Aatm, дБ		ф-ла (8) [10]	0	0,1	0,3	1,1	2,7	4,8	8,8	22,4	75,4		
Снижение уровня звукового давления из-за влияния застройки между источником шума и расчетной точкой													
Снижение уровня звукового давления на пути над экраном, Dz1, дБ	z = 0.17м (разность путей)	ф-лы (14-18) [10]	4,8	4,8	4,8	4,8	4,9	5	5,2	5,6	6,3		

1		2	3	4	5	6	7	8	9	10	11	12	13
Снижение уровня звукового давления на пути слева от экрана, Dz2, дБ	z = 19.08м (разность путей)	ф-лы (14-18) [10]	22	25,9	29,1	32,2	35,3	38,3	41,3	44,3	47,3		
Снижение уровня звукового давления на пути справа от экрана, Dz3, дБ	z = 24.90м (разность путей)	ф-лы (14-18) [10]	24,3	27,4	30,4	33,4	36,4	39,4	42,4	45,5	48,5		
Общее снижение уровня звука препятствием Dz, дБ		Эн.сумма(-Dzi)	4,6	4,7	4,8	4,8	4,9	5	5,2	5,6	6,3		
Уровни звукового давления от источника ИШ-9-24 в расчётной точке днём, дБ		**ф-ла(3)[10]**	**0**	**20,7**	**21,9**	**22,3**	**21**	**18,3**	**10,9**	**0**	**0**	**22,4**	**22,4**
Уровни звукового давления от источника ИШ-9-24 в расчётной точке ночью, дБ		**ф-ла(3)[10]**	**0**	**20,7**	**21,9**	**22,3**	**21**	**18,3**	**10,9**	**0**	**0**	**22,4**	**22,4**
Источник шума: ИШ-9-25, координаты источника (x,y,z), м =[683.46,-239.16,1.00]													
Уровни звуковой мощности источника днём, Lw, дБ		**исходные данные**	**77**	**75**	**67**	**66**	**63**	**55**	**53**	**48**	**51**		
Уровни звуковой мощности источника ночью, Lw, дБ		**исходные данные**	**77**	**75**	**67**	**66**	**63**	**55**	**53**	**48**	**51**		
Поправка на телесный угол DΩ, дБ	Ω = 6.28	10Lg(4π/Ω)	**3**	3	3	3	3	3	3	3	3		
Показатель направленности источника Di, дБ		исходные данные	**0**	0	0	0	0	0	0	0	0		
Поправка на направленность источника Dc, дБ	Dc	DΩ + Di	**3**	3	3	3	3	3	3	3	3		
Затухание из-за геометрической дивергенции, Adiv, дБ	расстояние = 936.60 м	ф-ла (7) [10]	**70,4**										
Коэффициент затухания звука в атмосфере α, дБ/км	Ta=20,°C Pa=101.33,кПа hотн.=70%	ф-ла (5) [9]	0,02	0,09	0,33	1,12	2,79	4,98	9,04	23,09	77,63		
Учет затухания звука в атмосфере Aatm, дБ		ф-ла (8) [10]	0	0,1	0,3	1,1	2,6	4,7	8,5	21,6	72,7		
Снижение уровня звукового давления из-за влияния застройки между источником шума и расчетной точкой													
Снижение уровня звукового давления на пути над экраном, Dz1, дБ	z = 0.23м (разность путей)	ф-лы (14-18) [10]	4,8	4,8	4,8	4,9	5	5,3	5,7	6,5	7,7		

1		2	3	4	5	6	7	8	9	10	11	12	13
Уровни звукового давления от источника ИШ-9-25 в расчётной точке днём, дБ		**ф-ла(3)[10]**	**4,8**	**2,7**	**0**	**0**	**0**	**0**	**0**	**0**	**0**	**0**	**0**
Уровни звукового давления от источника ИШ-9-25 в расчётной точке ночью, дБ		**ф-ла(3)[10]**	**4,8**	**2,7**	**0**	**0**	**0**	**0**	**0**	**0**	**0**	**0**	**0**
Источник шума: ИШ-9-26, координаты источника (x,y,z), м =[680.09,-249.52,1.00]													
Уровни звуковой мощности источника днём, Lw, дБ		**исходные данные**	**77**	**75**	**67**	**66**	**63**	**55**	**53**	**48**	**51**		
Уровни звуковой мощности источника ночью, Lw, дБ		**исходные данные**	**77**	**75**	**67**	**66**	**63**	**55**	**53**	**48**	**51**		
Поправка на телесный угол DΩ, дБ	Ω = 6.28	10Lg(4π/Ω)	**3**	3	3	3	3	3	3	3	3		
Показатель направленности источника Di, дБ		исходные данные	**0**	0	0	0	0	0	0	0	0		
Поправка на направленность источника Dc, дБ	Dc	DΩ + Di	**3**	3	3	3	3	3	3	3	3		
Затухание из-за геометрической дивергенции, Adiv, дБ	расстояние = 943.17 м	ф-ла (7) [10]	**70,5**										
Коэффициент затухания звука в атмосфере α, дБ/км	Ta=20,°C Pa=101.33,кПа hотн.=70%	ф-ла (5) [9]	0,02	0,09	0,33	1,12	2,79	4,98	9,04	23,09	77,63		
Учет затухания звука в атмосфере Aatm, дБ		ф-ла (8) [10]	0	0,1	0,3	1,1	2,6	4,7	8,5	21,8	73,2		
Снижение уровня звукового давления из-за влияния застройки между источником шума и расчетной точкой													
Снижение уровня звукового давления на пути над экраном, Dz1, дБ	z = 0.23м (разность путей)	ф-лы (14-18) [10]	4,8	4,8	4,8	4,9	5	5,2	5,6	6,3	7,5		
Уровни звукового давления от источника ИШ-9-26 в расчётной точке днём, дБ		**ф-ла(3)[10]**	**4,7**	**2,6**	**0**	**0**	**0**	**0**	**0**	**0**	**0**	**0**	**0**
Уровни звукового давления от источника ИШ-9-26 в расчётной точке ночью, дБ		**ф-ла(3)[10]**	**4,7**	**2,6**	**0**	**0**	**0**	**0**	**0**	**0**	**0**	**0**	**0**
Источник шума: ИШ-9-27, координаты источника (x,y,z), м =[676.46,-260.14,1.00]													

1		2	3	4	5	6	7	8	9	10	11	12	13
Уровни звуковой мощности источника днём, Lw, дБ		**исходные данные**	**77**	**75**	**67**	**66**	**63**	**55**	**53**	**48**	**51**		
Уровни звуковой мощности источника ночью, Lw, дБ		**исходные данные**	**77**	**75**	**67**	**66**	**63**	**55**	**53**	**48**	**51**		
Поправка на телесный угол DΩ, дБ	Ω = 6.28	10Lg(4π/Ω)	**3**	3	3	3	3	3	3	3	3		
Показатель направленности источника Di, дБ		исходные данные	**0**	0	0	0	0	0	0	0	0		
Поправка на направленность источника Dc, дБ	Dc	DΩ + Di	**3**	3	3	3	3	3	3	3	3		
Затухание из-за геометрической дивергенции, Adiv, дБ	расстояние = 949.89 м	ф-ла (7) [10]	**70,6**										
Коэффициент затухания звука в атмосфере α, дБ/км	Ta=20,°C Pa=101.33,кПа hотн.=70%	ф-ла (5) [9]	0,02	0,09	0,33	1,12	2,79	4,98	9,04	23,09	77,63		
Учет затухания звука в атмосфере Aatm, дБ		ф-ла (8) [10]	0	0,1	0,3	1,1	2,7	4,7	8,6	21,9	73,7		
Снижение уровня звукового давления из-за влияния застройки между источником шума и расчетной точкой													
Снижение уровня звукового давления на пути над экраном, Dz1, дБ	z = 0.22м (разность путей)	ф-лы (14-18) [10]	4,8	4,8	4,8	4,9	4,9	5,1	5,4	6	6,9		
Уровни звукового давления от источника ИШ-9-27 в расчётной точке днём, дБ		**ф-ла(3)[10]**	**4,7**	**2,6**	**0**	**0**	**0**	**0**	**0**	**0**	**0**	**0**	**0**
Уровни звукового давления от источника ИШ-9-27 в расчётной точке ночью, дБ		**ф-ла(3)[10]**	**4,7**	**2,6**	**0**	**0**	**0**	**0**	**0**	**0**	**0**	**0**	**0**
Источник шума: ИШ-10-1, координаты источника (x,y,z), м =[17.37,413.17,1.00]													
Уровни звуковой мощности источника днём, Lw, дБ		**исходные данные**	**0**	**98,3**	**99,7**	**101**	**101,3**	**100,9**	**97,6**	**93,4**	**88,9**		
Уровни звуковой мощности источника ночью, Lw, дБ		**исходные данные**	**0**	**98,3**	**99,7**	**101**	**101,3**	**100,9**	**97,6**	**93,4**	**88,9**		
Поправка на телесный угол DΩ, дБ	Ω = 6.28	10Lg(4π/Ω)	**3**	3	3	3	3	3	3	3	3		

1		2	3	4	5	6	7	8	9	10	11	12	13
Показатель направленности источника Di, дБ		исходные данные	**0**	0	0	0	0	0	0	0	0		
Поправка на направленность источника Dc, дБ	Dc	DΩ + Di	**3**	3	3	3	3	3	3	3	3		
Затухание из-за геометрической дивергенции, Adiv, дБ	расстояние = 170.03 м	ф-ла (7) [10]	**55,6**										
Коэффициент затухания звука в атмосфере α, дБ/км	Ta=20,°C Pa=101.33,кПа hотн.=70%	ф-ла (5) [9]	0,02	0,09	0,33	1,12	2,79	4,98	9,04	23,09	77,63		
Учет затухания звука в атмосфере Aatm, дБ		ф-ла (8) [10]	0	0	0,1	0,2	0,5	0,8	1,5	3,9	13,2		
Снижение поверхностью земли возле источника As, дБ	Gs = 0 hs = 1м	ф-лы таб.3 [10]	-1,5	-1,5	-1,5	-1,5	-1,5	-1,5	-1,5	-1,5	-1,5		
Снижение поверхностью земли возле приёмника Ar, дБ	Gr = 1 hr = 1.5м	ф-лы таб.3 [10]	-1,5	-1,5	1	6,8	4,8	0,6	0	0	0		
Снижение поверхностью земли в средней зоне, Am дБ	Gm = 1	ф-лы таб.3 [10]	-1,7	-1,7	0	0	0	0	0	0	0		
Суммарное снижение поверхностью земли на траектории распространения звука Agr, дБ		ф-ла (9) [10]	-4,7	-4,7	-0,5	5,3	3,3	-0,9	-1,5	-1,5	-1,5		
Уровни звукового давления от источника ИШ-10-1 в расчётной точке днём, дБ		**ф-ла(3)[10]**	**0**	**50,4**	**47,5**	**42,9**	**44,9**	**48,3**	**45**	**38,4**	**24,6**	**51,4**	**51,4**
Уровни звукового давления от источника ИШ-10-1 в расчётной точке ночью, дБ		**ф-ла(3)[10]**	**0**	**50,4**	**47,5**	**42,9**	**44,9**	**48,3**	**45**	**38,4**	**24,6**	**51,4**	**51,4**
Источник шума: ИШ-10-2, координаты источника (x,y,z), м =[27.87,443.46,1.00]													
Уровни звуковой мощности источника днём, Lw, дБ		**исходные данные**	**0**	**98,3**	**99,7**	**101**	**101,3**	**100,9**	**97,6**	**93,4**	**88,9**		
Уровни звуковой мощности источника ночью, Lw, дБ		**исходные данные**	**0**	**98,3**	**99,7**	**101**	**101,3**	**100,9**	**97,6**	**93,4**	**88,9**		
Поправка на телесный угол DΩ, дБ	Ω = 6.28	10Lg(4π/Ω)	**3**	3	3	3	3	3	3	3	3		
Показатель направленности источника Di, дБ		исходные данные	**0**	0	0	0	0	0	0	0	0		

1		2	3	4	5	6	7	8	9	10	11	12	13
Поправка на направленность источника Dc, дБ	Dc	DΩ + Di	**3**	3	3	3	3	3	3	3	3		
Затухание из-за геометрической дивергенции, Adiv, дБ	расстояние = 142.86 м	ф-ла (7) [10]	**54,1**										
Коэффициент затухания звука в атмосфере α, дБ/км	Ta=20,°C Pa=101.33,кПа hотн.=70%	ф-ла (5) [9]	0,02	0,09	0,33	1,12	2,79	4,98	9,04	23,09	77,63		
Учет затухания звука в атмосфере Aatm, дБ		ф-ла (8) [10]	0	0	0	0,2	0,4	0,7	1,3	3,3	11,1		
Снижение поверхностью земли возле источника As, дБ	Gs = 0 hs = 1м	ф-лы таб.3 [10]	-1,5	-1,5	-1,5	-1,5	-1,5	-1,5	-1,5	-1,5	-1,5		
Снижение поверхностью земли возле приёмника Ar, дБ	Gr = 1 hr = 1.5м	ф-лы таб.3 [10]	-1,5	-1,5	0,9	6,6	4,7	0,6	0	0	0		
Снижение поверхностью земли в средней зоне, Am дБ	Gm = 1	ф-лы таб.3 [10]	-1,4	-1,4	0	0	0	0	0	0	0		
Суммарное снижение поверхностью земли на траектории распространения звука Agr, дБ		ф-ла (9) [10]	-4,4	-4,4	-0,6	5,1	3,2	-0,9	-1,5	-1,5	-1,5		
Уровни звукового давления от источника ИШ-10-2 в расчётной точке днём, дБ		**ф-ла(3)[10]**	**0**	**51,6**	**49,2**	**44,6**	**46,6**	**50**	**46,7**	**40,5**	**28,2**	**53,1**	**53,1**
Уровни звукового давления от источника ИШ-10-2 в расчётной точке ночью, дБ		**ф-ла(3)[10]**	**0**	**51,6**	**49,2**	**44,6**	**46,6**	**50**	**46,7**	**40,5**	**28,2**	**53,1**	**53,1**
Уровни звукового давления в расчётной точке													
Суммарные уровни звукового давления в расчётной точке от всех источников шума днём, Lрт, дБ		**ф-ла (19) [1]**	**59,9**	**58,8**	**54,7**	**51,1**	**52,1**	**55,3**	**51,9**	**43,7**	**29,9**	**58,3**	**58,3**
Суммарные уровни звукового давления в расчётной точке от всех источников шума ночью, Lрт, дБ		**ф-ла (19) [1]**	**51,1**	**57,1**	**54,5**	**50,9**	**52**	**55,1**	**50,7**	**43,2**	**29,9**	**57,8**	**57,8**
Допускаемые УЗД днём, Lдоп, дБ	Границы санитарно-защитных зон	Таблица 5.35.[23]	90	75	66	59	54	50	47	45	44	55	70
Допускаемые УЗД ночью, Lдоп, дБ	Границы санитарно-защитных зон	Таблица 5.35.[23]	83	67	57	49	44	40	37	35	33	45	60

1	2	3	4	5	6	7	8	9	10	11	12	13
Превышение днём, дБ	**Lрт - Lдоп**	**-30,1**	**-16,2**	**-11,3**	**-7,9**	**-1,9**	**5,3**	**4,9**	**-1,3**	**-14,1**	**3,3**	**-11,7**
Превышение ночью, дБ	**Lрт - Lдоп**	**-31,9**	**-9,9**	**-2,5**	**1,9**	**8**	**15,1**	**13,7**	**8,2**	**-3,1**	**12,8**	**-2,2**

Расчетные точки

на границе нормативной санитарно-защитной зоны

(РТ-1 ÷ РТ-8)

Определение уровней звукового давления в точке РТ-1 (координаты точки, м: x = 792.38, y = 1517.35, z = 1.50)

Наименование величин и их описание		Ссылка	Расчётные уровни в октавных полосах, со среднегеометрическими частотами, Гц									La, дБА	Lмакс, дБА
			31,5	63	125	250	500	1000	2000	4000	8000		
1		2	3	4	5	6	7	8	9	10	11	12	13
Источник шума: ИШ-1-1, координаты источника (x,y,z), м =[271.72,229.68,1.00]													
Уровни звуковой мощности источника днём, Lw, дБ		**исходные данные**	**97**	**97**	**104**	**106**	**105**	**105**	**98**	**87**	**81**		
Уровни звуковой мощности источника ночью, Lw, дБ		**исходные данные**	**97**	**97**	**104**	**106**	**105**	**105**	**98**	**87**	**81**		
Поправка на телесный угол DΩ, дБ	Ω = 6.28	10Lg(4π/Ω)	**3**	3	3	3	3	3	3	3	3		
Показатель направленности источника Di, дБ		исходные данные	**0**	0	0	0	0	0	0	0	0		
Поправка на направленность источника Dc, дБ	Dc	DΩ + Di	**3**	3	3	3	3	3	3	3	3		
Затухание из-за геометрической дивергенции, Adiv, дБ	расстояние = 1388.95 м	ф-ла (7) [10]	**73,9**										
Коэффициент затухания звука в атмосфере α, дБ/км	Ta=20,°C Pa=101.33,кПа hотн.=70%	ф-ла (5) [9]	0,02	0,09	0,33	1,12	2,79	4,98	9,04	23,09	77,63		
Учет затухания звука в атмосфере Aatm, дБ		ф-ла (8) [10]	0	0,1	0,5	1,6	3,9	6,9	12,6	32,1	107,8		
Снижение уровня звукового давления из-за влияния застройки между источником шума и расчетной точкой													
Снижение уровня звукового давления на пути над экраном, Dz1, дБ	z = 0.51м (разность путей)	ф-лы (14-18) [10]	4,8	4,8	4,8	4,9	5	5,3	5,8	6,6	8		
Снижение уровня звукового давления на пути слева от экрана, Dz2, дБ	z = 2.14м (разность путей)	ф-лы (14-18) [10]	10,6	13,5	17,3	21,7	25,4	28,7	31,8	34,8	37,8		
Снижение уровня звукового давления на пути справа от экрана, Dz3, дБ	z = 49.69м (разность путей)	ф-лы (14-18) [10]	23	26,5	30,8	35,3	39,1	42,3	45,4	48,5	51,5		

1		2	3	4	5	6	7	8	9	10	11	12	13
Общее снижение уровня звука препятствием Dz, дБ		Эн.сумма(-Dzi)	3,7	4,2	4,6	4,8	5	5,3	5,8	6,6	8		
Уровни звукового давления от источника ИШ-1-1 в расчётной точке днём, дБ		**ф-ла(3)[10]**	**22,4**	**21,8**	**28,1**	**28,8**	**25,3**	**22**	**8,8**	**0**	**0**	**26,5**	**26,5**
Уровни звукового давления от источника ИШ-1-1 в расчётной точке ночью, дБ		**ф-ла(3)[10]**	**22,4**	**21,8**	**28,1**	**28,8**	**25,3**	**22**	**8,8**	**0**	**0**	**26,5**	**26,5**
Источник шума: ИШ-1-2, координаты источника (x,y,z), м =[261.74,199.14,1.00]													
Уровни звуковой мощности источника днём, Lw, дБ		**исходные данные**	**97**	**97**	**104**	**106**	**105**	**105**	**98**	**87**	**81**		
Уровни звуковой мощности источника ночью, Lw, дБ		**исходные данные**	**97**	**97**	**104**	**106**	**105**	**105**	**98**	**87**	**81**		
Поправка на телесный угол DΩ, дБ	Ω = 6.28	10Lg(4π/Ω)	**3**	3	3	3	3	3	3	3	3		
Показатель направленности источника Di, дБ		исходные данные	**0**	0	0	0	0	0	0	0	0		
Поправка на направленность источника Dc, дБ	Dc	DΩ + Di	**3**	3	3	3	3	3	3	3	3		
Затухание из-за геометрической дивергенции, Adiv, дБ	расстояние = 1421.00 м	ф-ла (7) [10]	**74,1**										
Коэффициент затухания звука в атмосфере α, дБ/км	Ta=20,°C Pa=101.33,кПа hотн.=70%	ф-ла (5) [9]	0,02	0,09	0,33	1,12	2,79	4,98	9,04	23,09	77,63		
Учет затухания звука в атмосфере Aatm, дБ		ф-ла (8) [10]	0	0,1	0,5	1,6	4	7,1	12,8	32,8	110,3		
Снижение уровня звукового давления из-за влияния застройки между источником шума и расчетной точкой													
Снижение уровня звукового давления на пути над экраном, Dz1, дБ	z = 0.38м (разность путей)	ф-лы (14-18) [10]	4,8	4,8	4,8	4,8	4,8	4,8	4,9	4,9	5,1		
Снижение уровня звукового давления на пути слева от экрана, Dz2, дБ	z = 1.96м (разность путей)	ф-лы (14-18) [10]	10,3	13,1	17	21,3	25,1	28,3	31,4	34,4	37,4		
Снижение уровня звукового давления на пути справа от экрана, Dz3, дБ	z = 163.90м (разность путей)	ф-лы (14-18) [10]	32,1	35,5	38,6	41,6	44,6	47,6	50,6	53,6	56,7		

1		2	3	4	5	6	7	8	9	10	11	12	13
Общее снижение уровня звука препятствием Dz, дБ		Эн.сумма(-Dzi)	3,7	4,2	4,5	4,7	4,7	4,8	4,8	4,9	5,1		
Уровни звукового давления от источника ИШ-1-2 в расчётной точке днём, дБ		**ф-ла(3)[10]**	**22,2**	**21,7**	**28**	**28,7**	**25,2**	**22,1**	**9,3**	**0**	**0**	**26,5**	**26,5**
Уровни звукового давления от источника ИШ-1-2 в расчётной точке ночью, дБ		**ф-ла(3)[10]**	**22,2**	**21,7**	**28**	**28,7**	**25,2**	**22,1**	**9,3**	**0**	**0**	**26,5**	**26,5**
Источник шума: ИШ-1-3, координаты источника (x,y,z), м =[251.75,236.44,1.00]													
Уровни звуковой мощности источника днём, Lw, дБ		**исходные данные**	**0**	**91,3**	**92,7**	**94**	**94,3**	**93,9**	**90,6**	**86,4**	**81,9**		
Уровни звуковой мощности источника ночью, Lw, дБ		**исходные данные**	**0**	**91,3**	**92,7**	**94**	**94,3**	**93,9**	**90,6**	**86,4**	**81,9**		
Поправка на телесный угол DΩ, дБ	Ω = 6.28	10Lg(4π/Ω)	**3**	3	3	3	3	3	3	3	3		
Показатель направленности источника Di, дБ		исходные данные	**0**	0	0	0	0	0	0	0	0		
Поправка на направленность источника Dc, дБ	Dc	DΩ + Di	**3**	3	3	3	3	3	3	3	3		
Затухание из-за геометрической дивергенции, Adiv, дБ	расстояние = 1390.33 м	ф-ла (7) [10]	**73,9**										
Коэффициент затухания звука в атмосфере α, дБ/км	Ta=20,°C Pa=101.33,кПа hотн.=70%	ф-ла (5) [9]	0,02	0,09	0,33	1,12	2,79	4,98	9,04	23,09	77,63		
Учет затухания звука в атмосфере Aatm, дБ		ф-ла (8) [10]	0	0,1	0,5	1,6	3,9	6,9	12,6	32,1	107,9		
Снижение уровня звукового давления из-за влияния застройки между источником шума и расчетной точкой													
Снижение уровня звукового давления препятствием справа от трассы ИШ-РТ, Dz3, дБ	z = 0.00м (разность путей)	ф-лы (14-18) [10]	0	0	0	0	0	4,6	4,5	4,1	3,4		
* отрицательное значение z означает прохождение траектории вблизи экрана, в этом случае дополнительно производится учёт снижения подстилающей поверхностью (см.ниже)													
Снижение поверхностью земли возле источника As, дБ	Gs = 0 hs = 1м	ф-лы таб.3 [10]	-1,5	-1,5	-1,5	-1,5	-1,5	-1,5	-1,5	-1,5	-1,5		
Снижение поверхностью земли возле приёмника Ar, дБ	Gr = 1 hr = 1.5м	ф-лы таб.3 [10]	-1,5	-1,5	5,3	7	5	0,7	0	0	0		

1		2	3	4	5	6	7	8	9	10	11	12	13
Снижение поверхностью земли в средней зоне, Am дБ	Gm = 1	ф-лы таб.3 [10]	-2,8	-2,8	0	0	0	0	0	0	0		
Суммарное снижение поверхностью земли на траектории распространения звука Agr, дБ		ф-ла (9) [10]	-5,8	-5,8	3,8	5,5	3,5	-0,8	-1,5	-1,5	-1,5		
Уровни звукового давления от источника ИШ-1-3 в расчётной точке днём, дБ		**ф-ла(3)[10]**	**0**	**26,1**	**17,5**	**16**	**16,1**	**12,3**	**4,2**	**0**	**0**	**16,8**	**16,8**
Уровни звукового давления от источника ИШ-1-3 в расчётной точке ночью, дБ		**ф-ла(3)[10]**	**0**	**26,1**	**17,5**	**16**	**16,1**	**12,3**	**4,2**	**0**	**0**	**16,8**	**16,8**
Источник шума: ИШ-1-4, координаты источника (x,y,z), м =[290.25,223.25,1.00]													
Уровни звуковой мощности источника днём, Lw, дБ		**исходные данные**	**0**	**91,3**	**92,7**	**94**	**94,3**	**93,9**	**90,6**	**86,4**	**81,9**		
Уровни звуковой мощности источника ночью, Lw, дБ		**исходные данные**	**0**	**91,3**	**92,7**	**94**	**94,3**	**93,9**	**90,6**	**86,4**	**81,9**		
Поправка на телесный угол DΩ, дБ	Ω = 6.28	10Lg(4π/Ω)	**3**	3	3	3	3	3	3	3	3		
Показатель направленности источника Di, дБ		исходные данные	**0**	0	0	0	0	0	0	0	0		
Поправка на направленность источника Dc, дБ	Dc	DΩ + Di	**3**	3	3	3	3	3	3	3	3		
Затухание из-за геометрической дивергенции, Adiv, дБ	расстояние = 1388.10 м	ф-ла (7) [10]	**73,8**										
Коэффициент затухания звука в атмосфере α, дБ/км	Ta=20,°C Pa=101.33,кПа hотн.=70%	ф-ла (5) [9]	0,02	0,09	0,33	1,12	2,79	4,98	9,04	23,09	77,63		
Учет затухания звука в атмосфере Aatm, дБ		ф-ла (8) [10]	0	0,1	0,5	1,6	3,9	6,9	12,5	32	107,8		
Снижение уровня звукового давления из-за влияния застройки между источником шума и расчетной точкой													
Снижение уровня звукового давления на пути над экраном, Dz1, дБ	z = 0.51м (разность путей)	ф-лы (14-18) [10]	4,8	4,8	4,8	4,9	5	5,3	5,8	6,6	7,9		
Снижение уровня звукового давления на пути слева от экрана, Dz2, дБ	z = 8.32м (разность путей)	ф-лы (14-18) [10]	15,5	18,9	23,1	27,5	31,3	34,6	37,7	40,7	43,7		

1		2	3	4	5	6	7	8	9	10	11	12	13
Снижение уровня звукового давления на пути справа от экрана, Dz3, дБ	z = 215.41м (разность путей)	ф-лы (14-18) [10]	33,3	36,7	39,7	42,8	45,8	48,8	51,8	54,8	57,8		
Общее снижение уровня звука препятствием Dz, дБ		Эн.сумма(-Dzi)	4,4	4,6	4,7	4,9	5	5,3	5,8	6,6	7,9		
Уровни звукового давления прямого звука от источника ИШ-1-4 в расчётной точке днём, дБ		**ф-ла(3)[10]**	**0**	**15,7**	**16,6**	**16,7**	**14,5**	**10,8**	**1,4**	**0**	**0**	**15,5**	**15,5**
Уровни звукового давления прямого звука от источника ИШ-1-4 в расчётной точке ночью, дБ		**ф-ла(3)[10]**	**0**	**15,7**	**16,6**	**16,7**	**14,5**	**10,8**	**1,4**	**0**	**0**	**15,5**	**15,5**
Расчёт отражённого звука													
Уровни звукового давления от мнимого источника ИШ-1-4_мн.(1) в расчётной точке днём, дБ		**ф-ла(3)[10]**	**0**	**0**	**0**	**0**	**0**	**0**	**0**	**0**	**0**	**0**	**0**
Уровни звукового давления от мнимого источника ИШ-1-4_мн.(1) в расчётной точке ночью, дБ		**ф-ла(3)[10]**	**0**	**0**	**0**	**0**	**0**	**0**	**0**	**0**	**0**	**0**	**0**
Уровни звукового давления от источника ИШ-1-4 в расчётной точке днём, дБ		**ф-ла(3)[10]**	**0**	**15,7**	**16,6**	**16,7**	**14,5**	**10,8**	**1,4**	**0**	**0**	**15,5**	**15,5**
Уровни звукового давления от источника ИШ-1-4 в расчётной точке ночью, дБ		**ф-ла(3)[10]**	**0**	**15,7**	**16,6**	**16,7**	**14,5**	**10,8**	**1,4**	**0**	**0**	**15,5**	**15,5**
Источник шума: ИШ-1-5, координаты источника (x,y,z), м =[241.49,205.86,1.00]													
Уровни звуковой мощности источника днём, Lw, дБ		**исходные данные**	**0**	**91,3**	**92,7**	**94**	**94,3**	**93,9**	**90,6**	**86,4**	**81,9**		
Уровни звуковой мощности источника ночью, Lw, дБ		**исходные данные**	**0**	**91,3**	**92,7**	**94**	**94,3**	**93,9**	**90,6**	**86,4**	**81,9**		
Поправка на телесный угол DΩ, дБ	Ω = 6.28	10Lg(4π/Ω)	**3**	3	3	3	3	3	3	3	3		
Показатель направленности источника Di, дБ		исходные данные	**0**	0	0	0	0	0	0	0	0		
Поправка на направленность источника Dc, дБ	Dc	DΩ + Di	**3**	3	3	3	3	3	3	3	3		
Затухание из-за геометрической дивергенции, Adiv, дБ	расстояние = 1422.50 м	ф-ла (7) [10]	**74,1**										
Коэффициент затухания звука в атмосфере α, дБ/км	Ta=20,°C Pa=101.33,кПа hотн.=70%	ф-ла (5) [9]	0,02	0,09	0,33	1,12	2,79	4,98	9,04	23,09	77,63		

1		2	3	4	5	6	7	8	9	10	11	12	13
Учет затухания звука в атмосфере Aatm, дБ		ф-ла (8) [10]	0	0,1	0,5	1,6	4	7,1	12,9	32,8	110,4		
Снижение уровня звукового давления из-за влияния застройки между источником шума и расчетной точкой													
Снижение уровня звукового давления на пути над экраном, Dz1, дБ	z = 0.38м (разность путей)	ф-лы (14-18) [10]	4,8	4,8	4,8	4,8	4,8	4,8	4,9	4,9	5,1		
Снижение уровня звукового давления на пути слева от экрана, Dz2, дБ	z = 0.01м (разность путей)	ф-лы (14-18) [10]	4,8	4,9	5,1	5,3	5,8	6,6	7,9	9,7	12		
Снижение уровня звукового давления на пути справа от экрана, Dz3, дБ	z = 177.04м (разность путей)	ф-лы (14-18) [10]	32,4	35,8	38,9	41,9	44,9	48	51	54	57		
Общее снижение уровня звука препятствием Dz, дБ		Эн.сумма(-Dzi)	1,8	1,8	1,9	2	2,3	2,6	3,1	3,7	4,3		
Уровни звукового давления от источника ИШ-1-5 в расчётной точке днём, дБ		**ф-ла(3)[10]**	**0**	**18,3**	**19,3**	**19,3**	**17**	**13,1**	**3,6**	**0**	**0**	**17,9**	**17,9**
Уровни звукового давления от источника ИШ-1-5 в расчётной точке ночью, дБ		**ф-ла(3)[10]**	**0**	**18,3**	**19,3**	**19,3**	**17**	**13,1**	**3,6**	**0**	**0**	**17,9**	**17,9**
Источник шума: ИШ-1-6, координаты источника (x,y,z), м =[279.85,192.97,1.00]													
Уровни звуковой мощности источника днём, Lw, дБ		**исходные данные**	**0**	**91,3**	**92,7**	**94**	**94,3**	**93,9**	**90,6**	**86,4**	**81,9**		
Уровни звуковой мощности источника ночью, Lw, дБ		**исходные данные**	**0**	**91,3**	**92,7**	**94**	**94,3**	**93,9**	**90,6**	**86,4**	**81,9**		
Поправка на телесный угол DΩ, дБ	Ω = 6.28	10Lg(4π/Ω)	**3**	3	3	3	3	3	3	3	3		
Показатель направленности источника Di, дБ		исходные данные	**0**	0	0	0	0	0	0	0	0		
Поправка на направленность источника Dc, дБ	Dc	DΩ + Di	**3**	3	3	3	3	3	3	3	3		
Затухание из-за геометрической дивергенции, Adiv, дБ	расстояние = 1420.10 м	ф-ла (7) [10]	**74**										
Коэффициент затухания звука в атмосфере α, дБ/км	Ta=20,°C Pa=101.33,кПа hотн.=70%	ф-ла (5) [9]	0,02	0,09	0,33	1,12	2,79	4,98	9,04	23,09	77,63		

1		2	3	4	5	6	7	8	9	10	11	12	13
Учет затухания звука в атмосфере Aatm, дБ		ф-ла (8) [10]	0	0,1	0,5	1,6	4	7,1	12,8	32,8	110,2		
Снижение уровня звукового давления из-за влияния застройки между источником шума и расчетной точкой													
Снижение уровня звукового давления на пути над экраном, Dz1, дБ	z = 0.38м (разность путей)	ф-лы (14-18) [10]	4,8	4,8	4,8	4,8	4,8	4,8	4,9	4,9	5,1		
Снижение уровня звукового давления на пути слева от экрана, Dz2, дБ	z = 6.66м (разность путей)	ф-лы (14-18) [10]	14,6	18	22,1	26,6	30,4	33,6	36,7	39,7	42,7		
Снижение уровня звукового давления на пути справа от экрана, Dz3, дБ	z = 154.16м (разность путей)	ф-лы (14-18) [10]	31,8	35,2	38,3	41,3	44,3	47,4	50,4	53,4	56,4		
Общее снижение уровня звука препятствием Dz, дБ		Эн.сумма(-Dzi)	4,3	4,6	4,7	4,7	4,8	4,8	4,9	4,9	5,1		
Уровни звукового давления прямого звука от источника ИШ-1-6 в расчётной точке днём, дБ		**ф-ла(3)[10]**	**0**	**15,6**	**16,5**	**16,6**	**14,5**	**11**	**1,9**	**0**	**0**	**15,5**	**15,5**
Уровни звукового давления прямого звука от источника ИШ-1-6 в расчётной точке ночью, дБ		**ф-ла(3)[10]**	**0**	**15,6**	**16,5**	**16,6**	**14,5**	**11**	**1,9**	**0**	**0**	**15,5**	**15,5**
Расчёт отражённого звука													
Уровни звукового давления от мнимого источника ИШ-1-6_мн.(1) в расчётной точке днём, дБ		**ф-ла(3)[10]**	**0**	**0**	**0**	**0**	**0**	**0**	**0**	**0**	**0**	**0**	**0**
Уровни звукового давления от мнимого источника ИШ-1-6_мн.(1) в расчётной точке ночью, дБ		**ф-ла(3)[10]**	**0**	**0**	**0**	**0**	**0**	**0**	**0**	**0**	**0**	**0**	**0**
Уровни звукового давления от источника ИШ-1-6 в расчётной точке днём, дБ		**ф-ла(3)[10]**	**0**	**15,6**	**16,5**	**16,6**	**14,5**	**11**	**1,9**	**0**	**0**	**15,5**	**15,5**
Уровни звукового давления от источника ИШ-1-6 в расчётной точке ночью, дБ		**ф-ла(3)[10]**	**0**	**15,6**	**16,5**	**16,6**	**14,5**	**11**	**1,9**	**0**	**0**	**15,5**	**15,5**
Источник шума: ИШ-1-7, координаты источника (x,y,z), м =[451.87,146.66,1.00]													
Уровни звуковой мощности источника днём, Lw, дБ		**исходные данные**	**0**	**93,3**	**94,7**	**96**	**96,3**	**95,9**	**92,6**	**88,4**	**83,9**		
Уровни звуковой мощности источника ночью, Lw, дБ		**исходные данные**	**0**	**93,3**	**94,7**	**96**	**96,3**	**95,9**	**92,6**	**88,4**	**83,9**		
Поправка на телесный угол DΩ, дБ	Ω = 6.28	10Lg(4π/Ω)	**3**	3	3	3	3	3	3	3	3		

1		2	3	4	5	6	7	8	9	10	11	12	13
Показатель направленности источника Di, дБ		исходные данные	**0**	0	0	0	0	0	0	0	0		
Поправка на направленность источника Dc, дБ	Dc	DΩ + Di	**3**	3	3	3	3	3	3	3	3		
Затухание из-за геометрической дивергенции, Adiv, дБ	расстояние = 1412.36 м	ф-ла (7) [10]	**74**										
Коэффициент затухания звука в атмосфере α, дБ/км	Ta=20,°C Pa=101.33,кПа hотн.=70%	ф-ла (5) [9]	0,02	0,09	0,33	1,12	2,79	4,98	9,04	23,09	77,63		
Учет затухания звука в атмосфере Aatm, дБ		ф-ла (8) [10]	0	0,1	0,5	1,6	3,9	7	12,8	32,6	109,6		
Снижение поверхностью земли возле источника As, дБ	Gs = 0 hs = 1м	ф-лы таб.3 [10]	-1,5	-1,5	-1,5	-1,5	-1,5	-1,5	-1,5	-1,5	-1,5		
Снижение поверхностью земли возле приёмника Ar, дБ	Gr = 1 hr = 1.5м	ф-лы таб.3 [10]	-1,5	-1,5	5,3	7	5	0,7	0	0	0		
Снижение поверхностью земли в средней зоне, Am дБ	Gm = 1	ф-лы таб.3 [10]	-2,8	-2,8	0	0	0	0	0	0	0		
Суммарное снижение поверхностью земли на траектории распространения звука Agr, дБ		ф-ла (9) [10]	-5,8	-5,8	3,8	5,5	3,5	-0,8	-1,5	-1,5	-1,5		
Уровни звукового давления прямого звука от источника ИШ-1-7 в расчётной точке днём, дБ		**ф-ла(3)[10]**	**0**	**28**	**19,4**	**17,9**	**17,9**	**18,7**	**10,3**	**0**	**0**	**21,1**	**21,1**
Уровни звукового давления прямого звука от источника ИШ-1-7 в расчётной точке ночью, дБ		**ф-ла(3)[10]**	**0**	**28**	**19,4**	**17,9**	**17,9**	**18,7**	**10,3**	**0**	**0**	**21,1**	**21,1**
Расчёт отражённого звука													
Уровни звукового давления от мнимого источника ИШ-1-7_мн.(1) в расчётной точке днём, дБ		**ф-ла(3)[10]**	**0**	**0**	**0**	**0**	**0**	**11,7**	**4,5**	**0**	**0**	**12,7**	**12,7**
Уровни звукового давления от мнимого источника ИШ-1-7_мн.(1) в расчётной точке ночью, дБ		**ф-ла(3)[10]**	**0**	**0**	**0**	**0**	**0**	**0**	**0**	**0**	**0**	**12,7**	**12,7**
Уровни звукового давления от источника ИШ-1-7 в расчётной точке днём, дБ		**ф-ла(3)[10]**	**0**	**28**	**19,4**	**17,9**	**17,9**	**19,5**	**11,3**	**0**	**0**	**21,7**	**21,7**
Уровни звукового давления от источника ИШ-1-7 в расчётной точке ночью, дБ		**ф-ла(3)[10]**	**0**	**28**	**19,4**	**17,9**	**17,9**	**19,5**	**11,3**	**0**	**0**	**21,7**	**21,7**

1		2	3	4	5	6	7	8	9	10	11	12	13
Источник шума: ИШ-1-8, координаты источника (x,y,z), м =[454.99,145.29,1.00]													
Уровни звуковой мощности источника днём, Lw, дБ		**исходные данные**	**0**	**93,3**	**94,7**	**96**	**96,3**	**95,9**	**92,6**	**88,4**	**83,9**		
Уровни звуковой мощности источника ночью, Lw, дБ		**исходные данные**	**0**	**93,3**	**94,7**	**96**	**96,3**	**95,9**	**92,6**	**88,4**	**83,9**		
Поправка на телесный угол DΩ, дБ	Ω = 6.28	10Lg(4π/Ω)	**3**	3	3	3	3	3	3	3	3		
Показатель направленности источника Di, дБ		исходные данные	**0**	0	0	0	0	0	0	0	0		
Поправка на направленность источника Dc, дБ	Dc	DΩ + Di	**3**	3	3	3	3	3	3	3	3		
Затухание из-за геометрической дивергенции, Adiv, дБ	расстояние = 1412.93 м	ф-ла (7) [10]	**74**										
Коэффициент затухания звука в атмосфере α, дБ/км	Ta=20,°C Pa=101.33,кПа hотн.=70%	ф-ла (5) [9]	0,02	0,09	0,33	1,12	2,79	4,98	9,04	23,09	77,63		
Учет затухания звука в атмосфере Aatm, дБ		ф-ла (8) [10]	0	0,1	0,5	1,6	3,9	7	12,8	32,6	109,7		
Снижение поверхностью земли возле источника As, дБ	Gs = 0 hs = 1м	ф-лы таб.3 [10]	-1,5	-1,5	-1,5	-1,5	-1,5	-1,5	-1,5	-1,5	-1,5		
Снижение поверхностью земли возле приёмника Ar, дБ	Gr = 1 hr = 1.5м	ф-лы таб.3 [10]	-1,5	-1,5	5,3	7	5	0,7	0	0	0		
Снижение поверхностью земли в средней зоне, Am дБ	Gm = 1	ф-лы таб.3 [10]	-2,8	-2,8	0	0	0	0	0	0	0		
Суммарное снижение поверхностью земли на траектории распространения звука Agr, дБ		ф-ла (9) [10]	-5,8	-5,8	3,8	5,5	3,5	-0,8	-1,5	-1,5	-1,5		
Уровни звукового давления прямого звука от источника ИШ-1-8 в расчётной точке днём, дБ		**ф-ла(3)[10]**	**0**	**28**	**19,4**	**17,9**	**17,9**	**18,7**	**10,3**	**0**	**0**	**21,1**	**21,1**
Уровни звукового давления прямого звука от источника ИШ-1-8 в расчётной точке ночью, дБ		**ф-ла(3)[10]**	**0**	**28**	**19,4**	**17,9**	**17,9**	**18,7**	**10,3**	**0**	**0**	**21,1**	**21,1**
Расчёт отражённого звука													

1		2	3	4	5	6	7	8	9	10	11	12	13
Уровни звукового давления от мнимого источника ИШ-1-8_мн.(1) в расчётной точке днём, дБ		**ф-ла(3)[10]**	**0**	**0**	**0**	**0**	**0**	**11,7**	**4,5**	**0**	**0**	**12,7**	**12,7**
Уровни звукового давления от мнимого источника ИШ-1-8_мн.(1) в расчётной точке ночью, дБ		**ф-ла(3)[10]**	**0**	**0**	**0**	**0**	**0**	**0**	**0**	**0**	**0**	**12,7**	**12,7**
Уровни звукового давления от источника ИШ-1-8 в расчётной точке днём, дБ		**ф-ла(3)[10]**	**0**	**28**	**19,4**	**17,9**	**17,9**	**19,5**	**11,3**	**0**	**0**	**21,7**	**21,7**
Уровни звукового давления от источника ИШ-1-8 в расчётной точке ночью, дБ		**ф-ла(3)[10]**	**0**	**28**	**19,4**	**17,9**	**17,9**	**19,5**	**11,3**	**0**	**0**	**21,7**	**21,7**
Источник шума: ИШ-1-9, координаты источника (x,y,z), м =[458.12,144.31,1.00]													
Уровни звуковой мощности источника днём, Lw, дБ		**исходные данные**	**0**	**93,3**	**94,7**	**96**	**96,3**	**95,9**	**92,6**	**88,4**	**83,9**		
Уровни звуковой мощности источника ночью, Lw, дБ		**исходные данные**	**0**	**93,3**	**94,7**	**96**	**96,3**	**95,9**	**92,6**	**88,4**	**83,9**		
Поправка на телесный угол DΩ, дБ	Ω = 6.28	10Lg(4π/Ω)	**3**	3	3	3	3	3	3	3	3		
Показатель направленности источника Di, дБ		исходные данные	**0**	0	0	0	0	0	0	0	0		
Поправка на направленность источника Dc, дБ	Dc	DΩ + Di	**3**	3	3	3	3	3	3	3	3		
Затухание из-за геометрической дивергенции, Adiv, дБ	расстояние = 1413.14 м	ф-ла (7) [10]	**74**										
Коэффициент затухания звука в атмосфере α, дБ/км	Ta=20,°C Pa=101.33,кПа hотн.=70%	ф-ла (5) [9]	0,02	0,09	0,33	1,12	2,79	4,98	9,04	23,09	77,63		
Учет затухания звука в атмосфере Aatm, дБ		ф-ла (8) [10]	0	0,1	0,5	1,6	3,9	7	12,8	32,6	109,7		
Снижение поверхностью земли возле источника As, дБ	Gs = 0 hs = 1м	ф-лы таб.3 [10]	-1,5	-1,5	-1,5	-1,5	-1,5	-1,5	-1,5	-1,5	-1,5		
Снижение поверхностью земли возле приёмника Ar, дБ	Gr = 1 hr = 1.5м	ф-лы таб.3 [10]	-1,5	-1,5	5,3	7	5	0,7	0	0	0		
Снижение поверхностью земли в средней зоне, Am дБ	Gm = 1	ф-лы таб.3 [10]	-2,8	-2,8	0	0	0	0	0	0	0		

1		2	3	4	5	6	7	8	9	10	11	12	13
Суммарное снижение поверхностью земли на траектории распространения звука Agr, дБ		ф-ла (9) [10]	-5,8	-5,8	3,8	5,5	3,5	-0,8	-1,5	-1,5	-1,5		
Уровни звукового давления прямого звука от источника ИШ-1-9 в расчётной точке днём, дБ		**ф-ла(3)[10]**	**0**	**28**	**19,4**	**17,9**	**17,9**	**18,7**	**10,3**	**0**	**0**	**21,1**	**21,1**
Уровни звукового давления прямого звука от источника ИШ-1-9 в расчётной точке ночью, дБ		**ф-ла(3)[10]**	**0**	**28**	**19,4**	**17,9**	**17,9**	**18,7**	**10,3**	**0**	**0**	**21,1**	**21,1**
Расчёт отражённого звука													
Уровни звукового давления от мнимого источника ИШ-1-9_мн.(1) в расчётной точке днём, дБ		**ф-ла(3)[10]**	**0**	**0**	**0**	**0**	**0**	**11,7**	**4,5**	**0**	**0**	**12,7**	**12,7**
Уровни звукового давления от мнимого источника ИШ-1-9_мн.(1) в расчётной точке ночью, дБ		**ф-ла(3)[10]**	**0**	**0**	**0**	**0**	**0**	**0**	**0**	**0**	**0**	**12,7**	**12,7**
Уровни звукового давления от источника ИШ-1-9 в расчётной точке днём, дБ		**ф-ла(3)[10]**	**0**	**28**	**19,4**	**17,9**	**17,9**	**19,5**	**11,3**	**0**	**0**	**21,7**	**21,7**
Уровни звукового давления от источника ИШ-1-9 в расчётной точке ночью, дБ		**ф-ла(3)[10]**	**0**	**28**	**19,4**	**17,9**	**17,9**	**19,5**	**11,3**	**0**	**0**	**21,7**	**21,7**
Источник шума: ИШ-1-10, координаты источника (x,y,z), м =[461.05,143.53,1.00]													
Уровни звуковой мощности источника днём, Lw, дБ		**исходные данные**	**0**	**93,3**	**94,7**	**96**	**96,3**	**95,9**	**92,6**	**88,4**	**83,9**		
Уровни звуковой мощности источника ночью, Lw, дБ		**исходные данные**	**0**	**93,3**	**94,7**	**96**	**96,3**	**95,9**	**92,6**	**88,4**	**83,9**		
Поправка на телесный угол DΩ, дБ	Ω = 6.28	10Lg(4π/Ω)	**3**	3	3	3	3	3	3	3	3		
Показатель направленности источника Di, дБ		исходные данные	**0**	0	0	0	0	0	0	0	0		
Поправка на направленность источника Dc, дБ	Dc	DΩ + Di	**3**	3	3	3	3	3	3	3	3		
Затухание из-за геометрической дивергенции, Adiv, дБ	расстояние = 1413.21 м	ф-ла (7) [10]	**74**										
Коэффициент затухания звука в атмосфере α, дБ/км	Ta=20,°C Pa=101.33,кПа hотн.=70%	ф-ла (5) [9]	0,02	0,09	0,33	1,12	2,79	4,98	9,04	23,09	77,63		

1		2	3	4	5	6	7	8	9	10	11	12	13
Учет затухания звука в атмосфере Aatm, дБ		ф-ла (8) [10]	0	0,1	0,5	1,6	3,9	7	12,8	32,6	109,7		
Снижение поверхностью земли возле источника As, дБ	Gs = 0 hs = 1м	ф-лы таб.3 [10]	-1,5	-1,5	-1,5	-1,5	-1,5	-1,5	-1,5	-1,5	-1,5		
Снижение поверхностью земли возле приёмника Ar, дБ	Gr = 1 hr = 1.5м	ф-лы таб.3 [10]	-1,5	-1,5	5,3	7	5	0,7	0	0	0		
Снижение поверхностью земли в средней зоне, Am дБ	Gm = 1	ф-лы таб.3 [10]	-2,8	-2,8	0	0	0	0	0	0	0		
Суммарное снижение поверхностью земли на траектории распространения звука Agr, дБ		ф-ла (9) [10]	-5,8	-5,8	3,8	5,5	3,5	-0,8	-1,5	-1,5	-1,5		
Уровни звукового давления прямого звука от источника ИШ-1-10 в расчётной точке днём, дБ		**ф-ла(3)[10]**	**0**	**28**	**19,4**	**17,9**	**17,9**	**18,7**	**10,3**	**0**	**0**	**21,1**	**21,1**
Уровни звукового давления прямого звука от источника ИШ-1-10 в расчётной точке ночью, дБ		**ф-ла(3)[10]**	**0**	**28**	**19,4**	**17,9**	**17,9**	**18,7**	**10,3**	**0**	**0**	**21,1**	**21,1**
Расчёт отражённого звука													
Уровни звукового давления от мнимого источника ИШ-1-10_мн.(1) в расчётной точке днём, дБ		**ф-ла(3)[10]**	**0**	**0**	**0**	**0**	**0**	**11,7**	**4,5**	**0**	**0**	**12,7**	**12,7**
Уровни звукового давления от мнимого источника ИШ-1-10_мн.(1) в расчётной точке ночью, дБ		**ф-ла(3)[10]**	**0**	**0**	**0**	**0**	**0**	**0**	**0**	**0**	**0**	**12,7**	**12,7**
Уровни звукового давления от источника ИШ-1-10 в расчётной точке днём, дБ		**ф-ла(3)[10]**	**0**	**28**	**19,4**	**17,9**	**17,9**	**19,5**	**11,3**	**0**	**0**	**21,7**	**21,7**
Уровни звукового давления от источника ИШ-1-10 в расчётной точке ночью, дБ		**ф-ла(3)[10]**	**0**	**28**	**19,4**	**17,9**	**17,9**	**19,5**	**11,3**	**0**	**0**	**21,7**	**21,7**
Источник шума: ИШ-1-11, координаты источника (x,y,z), м =[464.18,142.55,1.00]													
Уровни звуковой мощности источника днём, Lw, дБ		**исходные данные**	**0**	**93,3**	**94,7**	**96**	**96,3**	**95,9**	**92,6**	**88,4**	**83,9**		
Уровни звуковой мощности источника ночью, Lw, дБ		**исходные данные**	**0**	**93,3**	**94,7**	**96**	**96,3**	**95,9**	**92,6**	**88,4**	**83,9**		
Поправка на телесный угол DΩ, дБ	Ω = 6.28	10Lg(4π/Ω)	**3**	3	3	3	3	3	3	3	3		
Показатель направленности источника Di, дБ		исходные данные	**0**	0	0	0	0	0	0	0	0		

1		2	3	4	5	6	7	8	9	10	11	12	13
Поправка на направленность источника Dc, дБ	Dc	DΩ + Di	**3**	3	3	3	3	3	3	3	3		
Затухание из-за геометрической дивергенции, Adiv, дБ	расстояние = 1413.43 м	ф-ла (7) [10]	**74**										
Коэффициент затухания звука в атмосфере α, дБ/км	Ta=20,°C Pa=101.33,кПа hотн.=70%	ф-ла (5) [9]	0,02	0,09	0,33	1,12	2,79	4,98	9,04	23,09	77,63		
Учет затухания звука в атмосфере Aatm, дБ		ф-ла (8) [10]	0	0,1	0,5	1,6	3,9	7	12,8	32,6	109,7		
Снижение поверхностью земли возле источника As, дБ	Gs = 0 hs = 1м	ф-лы таб.3 [10]	-1,5	-1,5	-1,5	-1,5	-1,5	-1,5	-1,5	-1,5	-1,5		
Снижение поверхностью земли возле приёмника Ar, дБ	Gr = 1 hr = 1.5м	ф-лы таб.3 [10]	-1,5	-1,5	5,3	7	5	0,7	0	0	0		
Снижение поверхностью земли в средней зоне, Am дБ	Gm = 1	ф-лы таб.3 [10]	-2,8	-2,8	0	0	0	0	0	0	0		
Суммарное снижение поверхностью земли на траектории распространения звука Agr, дБ		ф-ла (9) [10]	-5,8	-5,8	3,8	5,5	3,5	-0,8	-1,5	-1,5	-1,5		
Уровни звукового давления прямого звука от источника ИШ-1-11 в расчётной точке днём, дБ		**ф-ла(3)[10]**	**0**	**28**	**19,4**	**17,9**	**17,9**	**18,7**	**10,3**	**0**	**0**	**21,1**	**21,1**
Уровни звукового давления прямого звука от источника ИШ-1-11 в расчётной точке ночью, дБ		**ф-ла(3)[10]**	**0**	**28**	**19,4**	**17,9**	**17,9**	**18,7**	**10,3**	**0**	**0**	**21,1**	**21,1**
Расчёт отражённого звука													
Уровни звукового давления от мнимого источника ИШ-1-11_мн.(1) в расчётной точке днём, дБ		**ф-ла(3)[10]**	**0**	**0**	**0**	**0**	**0**	**11,7**	**4,4**	**0**	**0**	**12,7**	**12,7**
Уровни звукового давления от мнимого источника ИШ-1-11_мн.(1) в расчётной точке ночью, дБ		**ф-ла(3)[10]**	**0**	**0**	**0**	**0**	**0**	**0**	**0**	**0**	**0**	**12,7**	**12,7**
Уровни звукового давления от источника ИШ-1-11 в расчётной точке днём, дБ		**ф-ла(3)[10]**	**0**	**28**	**19,4**	**17,9**	**17,9**	**19,5**	**11,3**	**0**	**0**	**21,7**	**21,7**
Уровни звукового давления от источника ИШ-1-11 в расчётной точке ночью, дБ		**ф-ла(3)[10]**	**0**	**28**	**19,4**	**17,9**	**17,9**	**19,5**	**11,3**	**0**	**0**	**21,7**	**21,7**
Источник шума: ИШ-1-12, координаты источника (x,y,z), м =[435.45,97.79,1.00]													

1		2	3	4	5	6	7	8	9	10	11	12	13
Уровни звуковой мощности источника днём, Lw, дБ		**исходные данные**	**0**	**93,3**	**94,7**	**96**	**96,3**	**95,9**	**92,6**	**88,4**	**83,9**		
Уровни звуковой мощности источника ночью, Lw, дБ		**исходные данные**	**0**	**93,3**	**94,7**	**96**	**96,3**	**95,9**	**92,6**	**88,4**	**83,9**		
Поправка на телесный угол DΩ, дБ	Ω = 6.28	10Lg(4π/Ω)	**3**	3	3	3	3	3	3	3	3		
Показатель направленности источника Di, дБ		исходные данные	**0**	0	0	0	0	0	0	0	0		
Поправка на направленность источника Dc, дБ	Dc	DΩ + Di	**3**	3	3	3	3	3	3	3	3		
Затухание из-за геометрической дивергенции, Adiv, дБ	расстояние = 1463.74 м	ф-ла (7) [10]	**74,3**										
Коэффициент затухания звука в атмосфере α, дБ/км	Ta=20,°C Pa=101.33,кПа hотн.=70%	ф-ла (5) [9]	0,02	0,09	0,33	1,12	2,79	4,98	9,04	23,09	77,63		
Учет затухания звука в атмосфере Aatm, дБ		ф-ла (8) [10]	0	0,1	0,5	1,6	4,1	7,3	13,2	33,8	113,6		
Снижение поверхностью земли возле источника As, дБ	Gs = 0 hs = 1м	ф-лы таб.3 [10]	-1,5	-1,5	-1,5	-1,5	-1,5	-1,5	-1,5	-1,5	-1,5		
Снижение поверхностью земли возле приёмника Ar, дБ	Gr = 1 hr = 1.5м	ф-лы таб.3 [10]	-1,5	-1,5	5,3	7	5	0,7	0	0	0		
Снижение поверхностью земли в средней зоне, Am дБ	Gm = 1	ф-лы таб.3 [10]	-2,8	-2,8	0	0	0	0	0	0	0		
Суммарное снижение поверхностью земли на траектории распространения звука Agr, дБ		ф-ла (9) [10]	-5,8	-5,8	3,8	5,5	3,5	-0,8	-1,5	-1,5	-1,5		
Уровни звукового давления прямого звука от источника ИШ-1-12 в расчётной точке днём, дБ		**ф-ла(3)[10]**	**0**	**27,7**	**19,1**	**17,5**	**17,4**	**18,1**	**9,6**	**0**	**0**	**20,6**	**20,6**
Уровни звукового давления прямого звука от источника ИШ-1-12 в расчётной точке ночью, дБ		**ф-ла(3)[10]**	**0**	**27,7**	**19,1**	**17,5**	**17,4**	**18,1**	**9,6**	**0**	**0**	**20,6**	**20,6**
Расчёт отражённого звука													
Уровни звукового давления от мнимого источника ИШ-1-12_мн.(1) в расчётной точке днём, дБ		**ф-ла(3)[10]**	**0**	**0**	**0**	**0**	**5**	**12,3**	**5,2**	**0**	**0**	**13,6**	**13,6**
Уровни звукового давления от мнимого источника ИШ-1-12_мн.(1) в расчётной точке ночью, дБ		**ф-ла(3)[10]**	**0**	**0**	**0**	**0**	**0**	**0**	**0**	**0**	**0**	**13,6**	**13,6**

1		2	3	4	5	6	7	8	9	10	11	12	13
Уровни звукового давления от источника ИШ-1-12 в расчётной точке днём, дБ		**ф-ла(3)[10]**	**0**	**27,7**	**19,1**	**17,5**	**17,7**	**19,1**	**10,9**	**0**	**0**	**21,4**	**21,4**
Уровни звукового давления от источника ИШ-1-12 в расчётной точке ночью, дБ		**ф-ла(3)[10]**	**0**	**27,7**	**19,1**	**17,5**	**17,7**	**19,1**	**10,9**	**0**	**0**	**21,4**	**21,4**
Источник шума: ИШ-1-13, координаты источника (x,y,z), м =[438.77,96.82,1.00]													
Уровни звуковой мощности источника днём, Lw, дБ		**исходные данные**	**0**	**93,3**	**94,7**	**96**	**96,3**	**95,9**	**92,6**	**88,4**	**83,9**		
Уровни звуковой мощности источника ночью, Lw, дБ		**исходные данные**	**0**	**93,3**	**94,7**	**96**	**96,3**	**95,9**	**92,6**	**88,4**	**83,9**		
Поправка на телесный угол DΩ, дБ	Ω = 6.28	10Lg(4π/Ω)	**3**	3	3	3	3	3	3	3	3		
Показатель направленности источника Di, дБ		исходные данные	**0**	0	0	0	0	0	0	0	0		
Поправка на направленность источника Dc, дБ	Dc	DΩ + Di	**3**	3	3	3	3	3	3	3	3		
Затухание из-за геометрической дивергенции, Adiv, дБ	расстояние = 1463.88 м	ф-ла (7) [10]	**74,3**										
Коэффициент затухания звука в атмосфере α, дБ/км	Ta=20,°C Pa=101.33,кПа hотн.=70%	ф-ла (5) [9]	0,02	0,09	0,33	1,12	2,79	4,98	9,04	23,09	77,63		
Учет затухания звука в атмосфере Aatm, дБ		ф-ла (8) [10]	0	0,1	0,5	1,6	4,1	7,3	13,2	33,8	113,6		
Снижение поверхностью земли возле источника As, дБ	Gs = 0 hs = 1м	ф-лы таб.3 [10]	-1,5	-1,5	-1,5	-1,5	-1,5	-1,5	-1,5	-1,5	-1,5		
Снижение поверхностью земли возле приёмника Ar, дБ	Gr = 1 hr = 1.5м	ф-лы таб.3 [10]	-1,5	-1,5	5,3	7	5	0,7	0	0	0		
Снижение поверхностью земли в средней зоне, Am дБ	Gm = 1	ф-лы таб.3 [10]	-2,8	-2,8	0	0	0	0	0	0	0		
Суммарное снижение поверхностью земли на траектории распространения звука Agr, дБ		ф-ла (9) [10]	-5,8	-5,8	3,8	5,5	3,5	-0,8	-1,5	-1,5	-1,5		
Уровни звукового давления прямого звука от источника ИШ-1-13 в расчётной точке днём, дБ		**ф-ла(3)[10]**	**0**	**27,7**	**19,1**	**17,5**	**17,4**	**18,1**	**9,5**	**0**	**0**	**20,6**	**20,6**

1		2	3	4	5	6	7	8	9	10	11	12	13
Уровни звукового давления прямого звука от источника ИШ-1-13 в расчётной точке ночью, дБ		**ф-ла(3)[10]**	**0**	**27,7**	**19,1**	**17,5**	**17,4**	**18,1**	**9,5**	**0**	**0**	**20,6**	**20,6**
Расчёт отражённого звука													
Уровни звукового давления от мнимого источника ИШ-1-13_мн.(1) в расчётной точке днём, дБ		**ф-ла(3)[10]**	**0**	**0**	**0**	**0**	**5**	**12,3**	**5,2**	**0**	**0**	**13,6**	**13,6**
Уровни звукового давления от мнимого источника ИШ-1-13_мн.(1) в расчётной точке ночью, дБ		**ф-ла(3)[10]**	**0**	**0**	**0**	**0**	**0**	**0**	**0**	**0**	**0**	**13,6**	**13,6**
Уровни звукового давления от источника ИШ-1-13 в расчётной точке днём, дБ		**ф-ла(3)[10]**	**0**	**27,7**	**19,1**	**17,5**	**17,7**	**19,1**	**10,9**	**0**	**0**	**21,4**	**21,4**
Уровни звукового давления от источника ИШ-1-13 в расчётной точке ночью, дБ		**ф-ла(3)[10]**	**0**	**27,7**	**19,1**	**17,5**	**17,7**	**19,1**	**10,9**	**0**	**0**	**21,4**	**21,4**
Источник шума: ИШ-1-14, координаты источника (x,y,z), м =[441.70,96.03,1.00]													
Уровни звуковой мощности источника днём, Lw, дБ		**исходные данные**	**0**	**93,3**	**94,7**	**96**	**96,3**	**95,9**	**92,6**	**88,4**	**83,9**		
Уровни звуковой мощности источника ночью, Lw, дБ		**исходные данные**	**0**	**93,3**	**94,7**	**96**	**96,3**	**95,9**	**92,6**	**88,4**	**83,9**		
Поправка на телесный угол DΩ, дБ	Ω = 6.28	10Lg(4π/Ω)	**3**	3	3	3	3	3	3	3	3		
Показатель направленности источника Di, дБ		исходные данные	**0**	0	0	0	0	0	0	0	0		
Поправка на направленность источника Dc, дБ	Dc	DΩ + Di	**3**	3	3	3	3	3	3	3	3		
Затухание из-за геометрической дивергенции, Adiv, дБ	расстояние = 1463.94 м	ф-ла (7) [10]	**74,3**										
Коэффициент затухания звука в атмосфере α, дБ/км	Ta=20,°C Pa=101.33,кПа hотн.=70%	ф-ла (5) [9]	0,02	0,09	0,33	1,12	2,79	4,98	9,04	23,09	77,63		
Учет затухания звука в атмосфере Aatm, дБ		ф-ла (8) [10]	0	0,1	0,5	1,6	4,1	7,3	13,2	33,8	113,7		
Снижение поверхностью земли возле источника As, дБ	Gs = 0 hs = 1м	ф-лы таб.3 [10]	-1,5	-1,5	-1,5	-1,5	-1,5	-1,5	-1,5	-1,5	-1,5		

1		2	3	4	5	6	7	8	9	10	11	12	13
Снижение поверхностью земли возле приёмника Ar, дБ	Gr = 1 hr = 1.5м	ф-лы таб.3 [10]	-1,5	-1,5	5,3	7	5	0,7	0	0	0		
Снижение поверхностью земли в средней зоне, Am дБ	Gm = 1	ф-лы таб.3 [10]	-2,8	-2,8	0	0	0	0	0	0	0		
Суммарное снижение поверхностью земли на траектории распространения звука Agr, дБ		ф-ла (9) [10]	-5,8	-5,8	3,8	5,5	3,5	-0,8	-1,5	-1,5	-1,5		
Уровни звукового давления прямого звука от источника ИШ-1-14 в расчётной точке днём, дБ		**ф-ла(3)[10]**	**0**	**27,7**	**19,1**	**17,5**	**17,4**	**18,1**	**9,5**	**0**	**0**	**20,6**	**20,6**
Уровни звукового давления прямого звука от источника ИШ-1-14 в расчётной точке ночью, дБ		**ф-ла(3)[10]**	**0**	**27,7**	**19,1**	**17,5**	**17,4**	**18,1**	**9,5**	**0**	**0**	**20,6**	**20,6**
Расчёт отражённого звука													
Уровни звукового давления от мнимого источника ИШ-1-14_мн.(1) в расчётной точке днём, дБ		**ф-ла(3)[10]**	**0**	**0**	**0**	**0**	**5**	**12,3**	**5,2**	**0**	**0**	**13,6**	**13,6**
Уровни звукового давления от мнимого источника ИШ-1-14_мн.(1) в расчётной точке ночью, дБ		**ф-ла(3)[10]**	**0**	**0**	**0**	**0**	**0**	**0**	**0**	**0**	**0**	**13,6**	**13,6**
Уровни звукового давления от источника ИШ-1-14 в расчётной точке днём, дБ		**ф-ла(3)[10]**	**0**	**27,7**	**19,1**	**17,5**	**17,7**	**19,1**	**10,9**	**0**	**0**	**21,4**	**21,4**
Уровни звукового давления от источника ИШ-1-14 в расчётной точке ночью, дБ		**ф-ла(3)[10]**	**0**	**27,7**	**19,1**	**17,5**	**17,7**	**19,1**	**10,9**	**0**	**0**	**21,4**	**21,4**
Источник шума: ИШ-1-15, координаты источника (x,y,z), м =[445.03,95.25,1.00]													
Уровни звуковой мощности источника днём, Lw, дБ		**исходные данные**	**0**	**93,3**	**94,7**	**96**	**96,3**	**95,9**	**92,6**	**88,4**	**83,9**		
Уровни звуковой мощности источника ночью, Lw, дБ		**исходные данные**	**0**	**93,3**	**94,7**	**96**	**96,3**	**95,9**	**92,6**	**88,4**	**83,9**		
Поправка на телесный угол DΩ, дБ	Ω = 6.28	10Lg(4π/Ω)	**3**	3	3	3	3	3	3	3	3		
Показатель направленности источника Di, дБ		исходные данные	**0**	0	0	0	0	0	0	0	0		
Поправка на направленность источника Dc, дБ	Dc	DΩ + Di	**3**	3	3	3	3	3	3	3	3		
Затухание из-за геометрической дивергенции, Adiv, дБ	расстояние = 1463.91 м	ф-ла (7) [10]	**74,3**										

1		2	3	4	5	6	7	8	9	10	11	12	13
Коэффициент затухания звука в атмосфере α, дБ/км	Ta=20,°C Pa=101.33,кПа hотн.=70%	ф-ла (5) [9]	0,02	0,09	0,33	1,12	2,79	4,98	9,04	23,09	77,63		
Учет затухания звука в атмосфере Aatm, дБ		ф-ла (8) [10]	0	0,1	0,5	1,6	4,1	7,3	13,2	33,8	113,6		
Снижение поверхностью земли возле источника As, дБ	Gs = 0 hs = 1м	ф-лы таб.3 [10]	-1,5	-1,5	-1,5	-1,5	-1,5	-1,5	-1,5	-1,5	-1,5		
Снижение поверхностью земли возле приёмника Ar, дБ	Gr = 1 hr = 1.5м	ф-лы таб.3 [10]	-1,5	-1,5	5,3	7	5	0,7	0	0	0		
Снижение поверхностью земли в средней зоне, Am дБ	Gm = 1	ф-лы таб.3 [10]	-2,8	-2,8	0	0	0	0	0	0	0		
Суммарное снижение поверхностью земли на траектории распространения звука Agr, дБ		ф-ла (9) [10]	-5,8	-5,8	3,8	5,5	3,5	-0,8	-1,5	-1,5	-1,5		
Уровни звукового давления прямого звука от источника ИШ-1-15 в расчётной точке днём, дБ		**ф-ла(3)[10]**	**0**	**27,7**	**19,1**	**17,5**	**17,4**	**18,1**	**9,5**	**0**	**0**	**20,6**	**20,6**
Уровни звукового давления прямого звука от источника ИШ-1-15 в расчётной точке ночью, дБ		**ф-ла(3)[10]**	**0**	**27,7**	**19,1**	**17,5**	**17,4**	**18,1**	**9,5**	**0**	**0**	**20,6**	**20,6**
Расчёт отражённого звука													
Уровни звукового давления от мнимого источника ИШ-1-15_мн.(1) в расчётной точке днём, дБ		**ф-ла(3)[10]**	**0**	**0**	**0**	**0**	**5**	**12,3**	**5,2**	**0**	**0**	**13,6**	**13,6**
Уровни звукового давления от мнимого источника ИШ-1-15_мн.(1) в расчётной точке ночью, дБ		**ф-ла(3)[10]**	**0**	**0**	**0**	**0**	**0**	**0**	**0**	**0**	**0**	**13,6**	**13,6**
Уровни звукового давления от источника ИШ-1-15 в расчётной точке днём, дБ		**ф-ла(3)[10]**	**0**	**27,7**	**19,1**	**17,5**	**17,7**	**19,1**	**10,9**	**0**	**0**	**21,4**	**21,4**
Уровни звукового давления от источника ИШ-1-15 в расчётной точке ночью, дБ		**ф-ла(3)[10]**	**0**	**27,7**	**19,1**	**17,5**	**17,7**	**19,1**	**10,9**	**0**	**0**	**21,4**	**21,4**
Источник шума: ИШ-1-16, координаты источника (x,y,z), м =[447.96,94.28,1.00]													
Уровни звуковой мощности источника днём, Lw, дБ		**исходные данные**	**0**	**93,3**	**94,7**	**96**	**96,3**	**95,9**	**92,6**	**88,4**	**83,9**		
Уровни звуковой мощности источника ночью, Lw, дБ		**исходные данные**	**0**	**93,3**	**94,7**	**96**	**96,3**	**95,9**	**92,6**	**88,4**	**83,9**		

1		2	3	4	5	6	7	8	9	10	11	12	13
Поправка на телесный угол DΩ, дБ	Ω = 6.28	10Lg(4π/Ω)	**3**	3	3	3	3	3	3	3	3		
Показатель направленности источника Di, дБ		исходные данные	**0**	0	0	0	0	0	0	0	0		
Поправка на направленность источника Dc, дБ	Dc	DΩ + Di	**3**	3	3	3	3	3	3	3	3		
Затухание из-за геометрической дивергенции, Adiv, дБ	расстояние = 1464.16 м	ф-ла (7) [10]	**74,3**										
Коэффициент затухания звука в атмосфере α, дБ/км	Ta=20,°C Pa=101.33,кПа hотн.=70%	ф-ла (5) [9]	0,02	0,09	0,33	1,12	2,79	4,98	9,04	23,09	77,63		
Учет затухания звука в атмосфере Aatm, дБ		ф-ла (8) [10]	0	0,1	0,5	1,6	4,1	7,3	13,2	33,8	113,7		
Снижение поверхностью земли возле источника As, дБ	Gs = 0 hs = 1м	ф-лы таб.3 [10]	-1,5	-1,5	-1,5	-1,5	-1,5	-1,5	-1,5	-1,5	-1,5		
Снижение поверхностью земли возле приёмника Ar, дБ	Gr = 1 hr = 1.5м	ф-лы таб.3 [10]	-1,5	-1,5	5,3	7	5	0,7	0	0	0		
Снижение поверхностью земли в средней зоне, Am дБ	Gm = 1	ф-лы таб.3 [10]	-2,8	-2,8	0	0	0	0	0	0	0		
Суммарное снижение поверхностью земли на траектории распространения звука Agr, дБ		ф-ла (9) [10]	-5,8	-5,8	3,8	5,5	3,5	-0,8	-1,5	-1,5	-1,5		
Уровни звукового давления прямого звука от источника ИШ-1-16 в расчётной точке днём, дБ		**ф-ла(3)[10]**	**0**	**27,7**	**19,1**	**17,5**	**17,4**	**18,1**	**9,5**	**0**	**0**	**20,6**	**20,6**
Уровни звукового давления прямого звука от источника ИШ-1-16 в расчётной точке ночью, дБ		**ф-ла(3)[10]**	**0**	**27,7**	**19,1**	**17,5**	**17,4**	**18,1**	**9,5**	**0**	**0**	**20,6**	**20,6**
Расчёт отражённого звука													
Уровни звукового давления от мнимого источника ИШ-1-16_мн.(1) в расчётной точке днём, дБ		**ф-ла(3)[10]**	**0**	**0**	**0**	**0**	**5**	**12,3**	**5,2**	**0**	**0**	**13,6**	**13,6**
Уровни звукового давления от мнимого источника ИШ-1-16_мн.(1) в расчётной точке ночью, дБ		**ф-ла(3)[10]**	**0**	**0**	**0**	**0**	**0**	**0**	**0**	**0**	**0**	**13,6**	**13,6**
Уровни звукового давления от источника ИШ-1-16 в расчётной точке днём, дБ		**ф-ла(3)[10]**	**0**	**27,7**	**19,1**	**17,5**	**17,7**	**19,1**	**10,9**	**0**	**0**	**21,4**	**21,4**
Уровни звукового давления от источника ИШ-1-16 в расчётной точке ночью, дБ		**ф-ла(3)[10]**	**0**	**27,7**	**19,1**	**17,5**	**17,7**	**19,1**	**10,9**	**0**	**0**	**21,4**	**21,4**

1		2	3	4	5	6	7	8	9	10	11	12	13
Источник шума: ИШ-1-17, координаты источника (x,y,z), м =[540.99,141.77,1.00]													
Уровни звуковой мощности источника днём, Lw, дБ		**исходные данные**	**0**	**93,3**	**94,7**	**96**	**96,3**	**95,9**	**92,6**	**88,4**	**83,9**		
Уровни звуковой мощности источника ночью, Lw, дБ		**исходные данные**	**0**	**93,3**	**94,7**	**96**	**96,3**	**95,9**	**92,6**	**88,4**	**83,9**		
Поправка на телесный угол DΩ, дБ	Ω = 6.28	10Lg(4π/Ω)	**3**	3	3	3	3	3	3	3	3		
Показатель направленности источника Di, дБ		исходные данные	**0**	0	0	0	0	0	0	0	0		
Поправка на направленность источника Dc, дБ	Dc	DΩ + Di	**3**	3	3	3	3	3	3	3	3		
Затухание из-за геометрической дивергенции, Adiv, дБ	расстояние = 1398.36 м	ф-ла (7) [10]	**73,9**										
Коэффициент затухания звука в атмосфере α, дБ/км	Ta=20,°C Pa=101.33,кПа hотн.=70%	ф-ла (5) [9]	0,02	0,09	0,33	1,12	2,79	4,98	9,04	23,09	77,63		
Учет затухания звука в атмосфере Aatm, дБ		ф-ла (8) [10]	0	0,1	0,5	1,6	3,9	7	12,6	32,3	108,6		
Снижение поверхностью земли возле источника As, дБ	Gs = 0 hs = 1м	ф-лы таб.3 [10]	-1,5	-1,5	-1,5	-1,5	-1,5	-1,5	-1,5	-1,5	-1,5		
Снижение поверхностью земли возле приёмника Ar, дБ	Gr = 1 hr = 1.5м	ф-лы таб.3 [10]	-1,5	-1,5	5,3	7	5	0,7	0	0	0		
Снижение поверхностью земли в средней зоне, Am дБ	Gm = 1	ф-лы таб.3 [10]	-2,8	-2,8	0	0	0	0	0	0	0		
Суммарное снижение поверхностью земли на траектории распространения звука Agr, дБ		ф-ла (9) [10]	-5,8	-5,8	3,8	5,5	3,5	-0,8	-1,5	-1,5	-1,5		
Уровни звукового давления от источника ИШ-1-17 в расчётной точке днём, дБ		**ф-ла(3)[10]**	**0**	**28,1**	**19,5**	**18**	**18**	**18,9**	**10,5**	**0**	**0**	**21,3**	**21,3**
Уровни звукового давления от источника ИШ-1-17 в расчётной точке ночью, дБ		**ф-ла(3)[10]**	**0**	**28,1**	**19,5**	**18**	**18**	**18,9**	**10,5**	**0**	**0**	**21,3**	**21,3**
Источник шума: ИШ-1-18, координаты источника (x,y,z), м =[543.53,140.79,1.00]													

1		2	3	4	5	6	7	8	9	10	11	12	13
Уровни звуковой мощности источника днём, Lw, дБ		**исходные данные**	**0**	**93,3**	**94,7**	**96**	**96,3**	**95,9**	**92,6**	**88,4**	**83,9**		
Уровни звуковой мощности источника ночью, Lw, дБ		**исходные данные**	**0**	**93,3**	**94,7**	**96**	**96,3**	**95,9**	**92,6**	**88,4**	**83,9**		
Поправка на телесный угол DΩ, дБ	Ω = 6.28	10Lg(4π/Ω)	**3**	3	3	3	3	3	3	3	3		
Показатель направленности источника Di, дБ		исходные данные	**0**	0	0	0	0	0	0	0	0		
Поправка на направленность источника Dc, дБ	Dc	DΩ + Di	**3**	3	3	3	3	3	3	3	3		
Затухание из-за геометрической дивергенции, Adiv, дБ	расстояние = 1398.87 м	ф-ла (7) [10]	**73,9**										
Коэффициент затухания звука в атмосфере α, дБ/км	Ta=20,°C Pa=101.33,кПа hотн.=70%	ф-ла (5) [9]	0,02	0,09	0,33	1,12	2,79	4,98	9,04	23,09	77,63		
Учет затухания звука в атмосфере Aatm, дБ		ф-ла (8) [10]	0	0,1	0,5	1,6	3,9	7	12,6	32,3	108,6		
Снижение поверхностью земли возле источника As, дБ	Gs = 0 hs = 1м	ф-лы таб.3 [10]	-1,5	-1,5	-1,5	-1,5	-1,5	-1,5	-1,5	-1,5	-1,5		
Снижение поверхностью земли возле приёмника Ar, дБ	Gr = 1 hr = 1.5м	ф-лы таб.3 [10]	-1,5	-1,5	5,3	7	5	0,7	0	0	0		
Снижение поверхностью земли в средней зоне, Am дБ	Gm = 1	ф-лы таб.3 [10]	-2,8	-2,8	0	0	0	0	0	0	0		
Суммарное снижение поверхностью земли на траектории распространения звука Agr, дБ		ф-ла (9) [10]	-5,8	-5,8	3,8	5,5	3,5	-0,8	-1,5	-1,5	-1,5		
Уровни звукового давления от источника ИШ-1-18 в расчётной точке днём, дБ		**ф-ла(3)[10]**	**0**	**28,1**	**19,5**	**18**	**18**	**18,9**	**10,5**	**0**	**0**	**21,3**	**21,3**
Уровни звукового давления от источника ИШ-1-18 в расчётной точке ночью, дБ		**ф-ла(3)[10]**	**0**	**28,1**	**19,5**	**18**	**18**	**18,9**	**10,5**	**0**	**0**	**21,3**	**21,3**
Источник шума: ИШ-1-19, координаты источника (x,y,z), м =[547.25,139.62,1.00]													
Уровни звуковой мощности источника днём, Lw, дБ		**исходные данные**	**0**	**93,3**	**94,7**	**96**	**96,3**	**95,9**	**92,6**	**88,4**	**83,9**		

1		2	3	4	5	6	7	8	9	10	11	12	13
Уровни звуковой мощности источника ночью, Lw, дБ		**исходные данные**	**0**	**93,3**	**94,7**	**96**	**96,3**	**95,9**	**92,6**	**88,4**	**83,9**		
Поправка на телесный угол DΩ, дБ	Ω = 6.28	10Lg(4π/Ω)	**3**	3	3	3	3	3	3	3	3		
Показатель направленности источника Di, дБ		исходные данные	**0**	0	0	0	0	0	0	0	0		
Поправка на направленность источника Dc, дБ	Dc	DΩ + Di	**3**	3	3	3	3	3	3	3	3		
Затухание из-за геометрической дивергенции, Adiv, дБ	расстояние = 1399.37 м	ф-ла (7) [10]	**73,9**										
Коэффициент затухания звука в атмосфере α, дБ/км	Ta=20,°C Pa=101.33,кПа hотн.=70%	ф-ла (5) [9]	0,02	0,09	0,33	1,12	2,79	4,98	9,04	23,09	77,63		
Учет затухания звука в атмосфере Aatm, дБ		ф-ла (8) [10]	0	0,1	0,5	1,6	3,9	7	12,6	32,3	108,6		
Снижение поверхностью земли возле источника As, дБ	Gs = 0 hs = 1м	ф-лы таб.3 [10]	-1,5	-1,5	-1,5	-1,5	-1,5	-1,5	-1,5	-1,5	-1,5		
Снижение поверхностью земли возле приёмника Ar, дБ	Gr = 1 hr = 1.5м	ф-лы таб.3 [10]	-1,5	-1,5	5,3	7	5	0,7	0	0	0		
Снижение поверхностью земли в средней зоне, Am дБ	Gm = 1	ф-лы таб.3 [10]	-2,8	-2,8	0	0	0	0	0	0	0		
Суммарное снижение поверхностью земли на траектории распространения звука Agr, дБ		ф-ла (9) [10]	-5,8	-5,8	3,8	5,5	3,5	-0,8	-1,5	-1,5	-1,5		
Уровни звукового давления от источника ИШ-1-19 в расчётной точке днём, дБ		**ф-ла(3)[10]**	**0**	**28,1**	**19,5**	**18**	**18**	**18,8**	**10,5**	**0**	**0**	**21,3**	**21,3**
Уровни звукового давления от источника ИШ-1-19 в расчётной точке ночью, дБ		**ф-ла(3)[10]**	**0**	**28,1**	**19,5**	**18**	**18**	**18,8**	**10,5**	**0**	**0**	**21,3**	**21,3**
Источник шума: ИШ-1-20, координаты источника (x,y,z), м =[550.38,138.64,1.00]													
Уровни звуковой мощности источника днём, Lw, дБ		**исходные данные**	**0**	**93,3**	**94,7**	**96**	**96,3**	**95,9**	**92,6**	**88,4**	**83,9**		
Уровни звуковой мощности источника ночью, Lw, дБ		**исходные данные**	**0**	**93,3**	**94,7**	**96**	**96,3**	**95,9**	**92,6**	**88,4**	**83,9**		

1		2	3	4	5	6	7	8	9	10	11	12	13
Поправка на телесный угол DΩ, дБ	Ω = 6.28	10Lg(4π/Ω)	**3**	3	3	3	3	3	3	3	3		
Показатель направленности источника Di, дБ		исходные данные	**0**	0	0	0	0	0	0	0	0		
Поправка на направленность источника Dc, дБ	Dc	DΩ + Di	**3**	3	3	3	3	3	3	3	3		
Затухание из-за геометрической дивергенции, Adiv, дБ	расстояние = 1399.79 м	ф-ла (7) [10]	**73,9**										
Коэффициент затухания звука в атмосфере α, дБ/км	Ta=20,°C Pa=101.33,кПа hотн.=70%	ф-ла (5) [9]	0,02	0,09	0,33	1,12	2,79	4,98	9,04	23,09	77,63		
Учет затухания звука в атмосфере Aatm, дБ		ф-ла (8) [10]	0	0,1	0,5	1,6	3,9	7	12,7	32,3	108,7		
Снижение поверхностью земли возле источника As, дБ	Gs = 0 hs = 1м	ф-лы таб.3 [10]	-1,5	-1,5	-1,5	-1,5	-1,5	-1,5	-1,5	-1,5	-1,5		
Снижение поверхностью земли возле приёмника Ar, дБ	Gr = 1 hr = 1.5м	ф-лы таб.3 [10]	-1,5	-1,5	5,3	7	5	0,7	0	0	0		
Снижение поверхностью земли в средней зоне, Am дБ	Gm = 1	ф-лы таб.3 [10]	-2,8	-2,8	0	0	0	0	0	0	0		
Суммарное снижение поверхностью земли на траектории распространения звука Agr, дБ		ф-ла (9) [10]	-5,8	-5,8	3,8	5,5	3,5	-0,8	-1,5	-1,5	-1,5		
Уровни звукового давления от источника ИШ-1-20 в расчётной точке днём, дБ		**ф-ла(3)[10]**	**0**	**28,1**	**19,5**	**18**	**18**	**18,8**	**10,5**	**0**	**0**	**21,3**	**21,3**
Уровни звукового давления от источника ИШ-1-20 в расчётной точке ночью, дБ		**ф-ла(3)[10]**	**0**	**28,1**	**19,5**	**18**	**18**	**18,8**	**10,5**	**0**	**0**	**21,3**	**21,3**
Источник шума: ИШ-1-21, координаты источника (x,y,z), м =[553.31,137.67,1.00]													
Уровни звуковой мощности источника днём, Lw, дБ		**исходные данные**	**0**	**93,3**	**94,7**	**96**	**96,3**	**95,9**	**92,6**	**88,4**	**83,9**		
Уровни звуковой мощности источника ночью, Lw, дБ		**исходные данные**	**0**	**93,3**	**94,7**	**96**	**96,3**	**95,9**	**92,6**	**88,4**	**83,9**		
Поправка на телесный угол DΩ, дБ	Ω = 6.28	10Lg(4π/Ω)	**3**	3	3	3	3	3	3	3	3		

1		2	3	4	5	6	7	8	9	10	11	12	13
Показатель направленности источника Di, дБ		исходные данные	**0**	0	0	0	0	0	0	0	0		
Поправка на направленность источника Dc, дБ	Dc	DΩ + Di	**3**	3	3	3	3	3	3	3	3		
Затухание из-за геометрической дивергенции, Adiv, дБ	расстояние = 1400.24 м	ф-ла (7) [10]	**73,9**										
Коэффициент затухания звука в атмосфере α, дБ/км	Ta=20,°C Pa=101.33,кПа hотн.=70%	ф-ла (5) [9]	0,02	0,09	0,33	1,12	2,79	4,98	9,04	23,09	77,63		
Учет затухания звука в атмосфере Aatm, дБ		ф-ла (8) [10]	0	0,1	0,5	1,6	3,9	7	12,7	32,3	108,7		
Снижение поверхностью земли возле источника As, дБ	Gs = 0 hs = 1м	ф-лы таб.3 [10]	-1,5	-1,5	-1,5	-1,5	-1,5	-1,5	-1,5	-1,5	-1,5		
Снижение поверхностью земли возле приёмника Ar, дБ	Gr = 1 hr = 1.5м	ф-лы таб.3 [10]	-1,5	-1,5	5,3	7	5	0,7	0	0	0		
Снижение поверхностью земли в средней зоне, Am дБ	Gm = 1	ф-лы таб.3 [10]	-2,8	-2,8	0	0	0	0	0	0	0		
Суммарное снижение поверхностью земли на траектории распространения звука Agr, дБ		ф-ла (9) [10]	-5,8	-5,8	3,8	5,5	3,5	-0,8	-1,5	-1,5	-1,5		
Уровни звукового давления от источника ИШ-1-21 в расчётной точке днём, дБ		**ф-ла(3)[10]**	**0**	**28,1**	**19,5**	**18**	**18**	**18,8**	**10,5**	**0**	**0**	**21,3**	**21,3**
Уровни звукового давления от источника ИШ-1-21 в расчётной точке ночью, дБ		**ф-ла(3)[10]**	**0**	**28,1**	**19,5**	**18**	**18**	**18,8**	**10,5**	**0**	**0**	**21,3**	**21,3**
Источник шума: ИШ-1-22, координаты источника (x,y,z), м =[522.03,85.28,1.00]													
Уровни звуковой мощности источника днём, Lw, дБ		**исходные данные**	**0**	**93,3**	**94,7**	**96**	**96,3**	**95,9**	**92,6**	**88,4**	**83,9**		
Уровни звуковой мощности источника ночью, Lw, дБ		**исходные данные**	**0**	**93,3**	**94,7**	**96**	**96,3**	**95,9**	**92,6**	**88,4**	**83,9**		
Поправка на телесный угол DΩ, дБ	Ω = 6.28	10Lg(4π/Ω)	**3**	3	3	3	3	3	3	3	3		
Показатель направленности источника Di, дБ		исходные данные	**0**	0	0	0	0	0	0	0	0		

1		2	3	4	5	6	7	8	9	10	11	12	13
Поправка на направленность источника Dc, дБ	Dc	DΩ + Di	**3**	3	3	3	3	3	3	3	3		
Затухание из-за геометрической дивергенции, Adiv, дБ	расстояние = 1457.36 м	ф-ла (7) [10]	**74,3**										
Коэффициент затухания звука в атмосфере α, дБ/км	Ta=20,°C Pa=101.33,кПа hотн.=70%	ф-ла (5) [9]	0,02	0,09	0,33	1,12	2,79	4,98	9,04	23,09	77,63		
Учет затухания звука в атмосфере Aatm, дБ		ф-ла (8) [10]	0	0,1	0,5	1,6	4,1	7,3	13,2	33,6	113,1		
Снижение поверхностью земли возле источника As, дБ	Gs = 0 hs = 1м	ф-лы таб.3 [10]	-1,5	-1,5	-1,5	-1,5	-1,5	-1,5	-1,5	-1,5	-1,5		
Снижение поверхностью земли возле приёмника Ar, дБ	Gr = 1 hr = 1.5м	ф-лы таб.3 [10]	-1,5	-1,5	5,3	7	5	0,7	0	0	0		
Снижение поверхностью земли в средней зоне, Am дБ	Gm = 1	ф-лы таб.3 [10]	-2,8	-2,8	0	0	0	0	0	0	0		
Суммарное снижение поверхностью земли на траектории распространения звука Agr, дБ		ф-ла (9) [10]	-5,8	-5,8	3,8	5,5	3,5	-0,8	-1,5	-1,5	-1,5		
Уровни звукового давления от источника ИШ-1-22 в расчётной точке днём, дБ		**ф-ла(3)[10]**	**0**	**27,7**	**19,1**	**17,6**	**17,5**	**18,2**	**9,6**	**0**	**0**	**20,7**	**20,7**
Уровни звукового давления от источника ИШ-1-22 в расчётной точке ночью, дБ		**ф-ла(3)[10]**	**0**	**27,7**	**19,1**	**17,6**	**17,5**	**18,2**	**9,6**	**0**	**0**	**20,7**	**20,7**
Источник шума: ИШ-1-23, координаты источника (x,y,z), м =[525.16,84.11,1.00]													
Уровни звуковой мощности источника днём, Lw, дБ		**исходные данные**	**0**	**93,3**	**94,7**	**96**	**96,3**	**95,9**	**92,6**	**88,4**	**83,9**		
Уровни звуковой мощности источника ночью, Lw, дБ		**исходные данные**	**0**	**93,3**	**94,7**	**96**	**96,3**	**95,9**	**92,6**	**88,4**	**83,9**		
Поправка на телесный угол DΩ, дБ	Ω = 6.28	10Lg(4π/Ω)	**3**	3	3	3	3	3	3	3	3		
Показатель направленности источника Di, дБ		исходные данные	**0**	0	0	0	0	0	0	0	0		
Поправка на направленность источника Dc, дБ	Dc	DΩ + Di	**3**	3	3	3	3	3	3	3	3		

1		2	3	4	5	6	7	8	9	10	11	12	13
Затухание из-за геометрической дивергенции, Adiv, дБ	расстояние = 1457.94 м	ф-ла (7) [10]	**74,3**										
Коэффициент затухания звука в атмосфере α, дБ/км	Ta=20,°C Pa=101.33,кПа hотн.=70%	ф-ла (5) [9]	0,02	0,09	0,33	1,12	2,79	4,98	9,04	23,09	77,63		
Учет затухания звука в атмосфере Aatm, дБ		ф-ла (8) [10]	0	0,1	0,5	1,6	4,1	7,3	13,2	33,7	113,2		
Снижение поверхностью земли возле источника As, дБ	Gs = 0 hs = 1м	ф-лы таб.3 [10]	-1,5	-1,5	-1,5	-1,5	-1,5	-1,5	-1,5	-1,5	-1,5		
Снижение поверхностью земли возле приёмника Ar, дБ	Gr = 1 hr = 1.5м	ф-лы таб.3 [10]	-1,5	-1,5	5,3	7	5	0,7	0	0	0		
Снижение поверхностью земли в средней зоне, Am дБ	Gm = 1	ф-лы таб.3 [10]	-2,8	-2,8	0	0	0	0	0	0	0		
Суммарное снижение поверхностью земли на траектории распространения звука Agr, дБ		ф-ла (9) [10]	-5,8	-5,8	3,8	5,5	3,5	-0,8	-1,5	-1,5	-1,5		
Уровни звукового давления от источника ИШ-1-23 в расчётной точке днём, дБ		**ф-ла(3)[10]**	**0**	**27,7**	**19,1**	**17,6**	**17,5**	**18,2**	**9,6**	**0**	**0**	**20,7**	**20,7**
Уровни звукового давления от источника ИШ-1-23 в расчётной точке ночью, дБ		**ф-ла(3)[10]**	**0**	**27,7**	**19,1**	**17,6**	**17,5**	**18,2**	**9,6**	**0**	**0**	**20,7**	**20,7**
Источник шума: ИШ-1-24, координаты источника (x,y,z), м =[528.48,82.94,1.00]													
Уровни звуковой мощности источника днём, Lw, дБ		**исходные данные**	**0**	**93,3**	**94,7**	**96**	**96,3**	**95,9**	**92,6**	**88,4**	**83,9**		
Уровни звуковой мощности источника ночью, Lw, дБ		**исходные данные**	**0**	**93,3**	**94,7**	**96**	**96,3**	**95,9**	**92,6**	**88,4**	**83,9**		
Поправка на телесный угол DΩ, дБ	Ω = 6.28	10Lg(4π/Ω)	**3**	3	3	3	3	3	3	3	3		
Показатель направленности источника Di, дБ		исходные данные	**0**	0	0	0	0	0	0	0	0		
Поправка на направленность источника Dc, дБ	Dc	DΩ + Di	**3**	3	3	3	3	3	3	3	3		
Затухание из-за геометрической дивергенции, Adiv, дБ	расстояние = 1458.48 м	ф-ла (7) [10]	**74,3**										

1		2	3	4	5	6	7	8	9	10	11	12	13
Коэффициент затухания звука в атмосфере α, дБ/км	Ta=20,°C Pa=101.33,кПа hотн.=70%	ф-ла (5) [9]	0,02	0,09	0,33	1,12	2,79	4,98	9,04	23,09	77,63		
Учет затухания звука в атмосфере Aatm, дБ		ф-ла (8) [10]	0	0,1	0,5	1,6	4,1	7,3	13,2	33,7	113,2		
Снижение поверхностью земли возле источника As, дБ	Gs = 0 hs = 1м	ф-лы таб.3 [10]	-1,5	-1,5	-1,5	-1,5	-1,5	-1,5	-1,5	-1,5	-1,5		
Снижение поверхностью земли возле приёмника Ar, дБ	Gr = 1 hr = 1.5м	ф-лы таб.3 [10]	-1,5	-1,5	5,3	7	5	0,7	0	0	0		
Снижение поверхностью земли в средней зоне, Am дБ	Gm = 1	ф-лы таб.3 [10]	-2,8	-2,8	0	0	0	0	0	0	0		
Суммарное снижение поверхностью земли на траектории распространения звука Agr, дБ		ф-ла (9) [10]	-5,8	-5,8	3,8	5,5	3,5	-0,8	-1,5	-1,5	-1,5		
Уровни звукового давления от источника ИШ-1-24 в расчётной точке днём, дБ		**ф-ла(3)[10]**	**0**	**27,7**	**19,1**	**17,6**	**17,5**	**18,2**	**9,6**	**0**	**0**	**20,6**	**20,6**
Уровни звукового давления от источника ИШ-1-24 в расчётной точке ночью, дБ		**ф-ла(3)[10]**	**0**	**27,7**	**19,1**	**17,6**	**17,5**	**18,2**	**9,6**	**0**	**0**	**20,6**	**20,6**
Источник шума: ИШ-1-25, координаты источника (x,y,z), м =[531.22,82.16,1.00]													
Уровни звуковой мощности источника днём, Lw, дБ		**исходные данные**	**0**	**93,3**	**94,7**	**96**	**96,3**	**95,9**	**92,6**	**88,4**	**83,9**		
Уровни звуковой мощности источника ночью, Lw, дБ		**исходные данные**	**0**	**93,3**	**94,7**	**96**	**96,3**	**95,9**	**92,6**	**88,4**	**83,9**		
Поправка на телесный угол DΩ, дБ	Ω = 6.28	10Lg(4π/Ω)	**3**	3	3	3	3	3	3	3	3		
Показатель направленности источника Di, дБ		исходные данные	**0**	0	0	0	0	0	0	0	0		
Поправка на направленность источника Dc, дБ	Dc	DΩ + Di	**3**	3	3	3	3	3	3	3	3		
Затухание из-за геометрической дивергенции, Adiv, дБ	расстояние = 1458.76 м	ф-ла (7) [10]	**74,3**										
Коэффициент затухания звука в атмосфере α, дБ/км	Ta=20,°C Pa=101.33,кПа hотн.=70%	ф-ла (5) [9]	0,02	0,09	0,33	1,12	2,79	4,98	9,04	23,09	77,63		

1		2	3	4	5	6	7	8	9	10	11	12	13
Учет затухания звука в атмосфере Aatm, дБ		ф-ла (8) [10]	0	0,1	0,5	1,6	4,1	7,3	13,2	33,7	113,2		
Снижение поверхностью земли возле источника As, дБ	Gs = 0 hs = 1м	ф-лы таб.3 [10]	-1,5	-1,5	-1,5	-1,5	-1,5	-1,5	-1,5	-1,5	-1,5		
Снижение поверхностью земли возле приёмника Ar, дБ	Gr = 1 hr = 1.5м	ф-лы таб.3 [10]	-1,5	-1,5	5,3	7	5	0,7	0	0	0		
Снижение поверхностью земли в средней зоне, Am дБ	Gm = 1	ф-лы таб.3 [10]	-2,8	-2,8	0	0	0	0	0	0	0		
Суммарное снижение поверхностью земли на траектории распространения звука Agr, дБ		ф-ла (9) [10]	-5,8	-5,8	3,8	5,5	3,5	-0,8	-1,5	-1,5	-1,5		
Уровни звукового давления от источника ИШ-1-25 в расчётной точке днём, дБ		**ф-ла(3)[10]**	**0**	**27,7**	**19,1**	**17,5**	**17,5**	**18,2**	**9,6**	**0**	**0**	**20,6**	**20,6**
Уровни звукового давления от источника ИШ-1-25 в расчётной точке ночью, дБ		**ф-ла(3)[10]**	**0**	**27,7**	**19,1**	**17,5**	**17,5**	**18,2**	**9,6**	**0**	**0**	**20,6**	**20,6**
Источник шума: ИШ-1-26, координаты источника (x,y,z), м =[534.15,80.79,1.00]													
Уровни звуковой мощности источника днём, Lw, дБ		**исходные данные**	**0**	**93,3**	**94,7**	**96**	**96,3**	**95,9**	**92,6**	**88,4**	**83,9**		
Уровни звуковой мощности источника ночью, Lw, дБ		**исходные данные**	**0**	**93,3**	**94,7**	**96**	**96,3**	**95,9**	**92,6**	**88,4**	**83,9**		
Поправка на телесный угол DΩ, дБ	Ω = 6.28	10Lg(4π/Ω)	**3**	3	3	3	3	3	3	3	3		
Показатель направленности источника Di, дБ		исходные данные	**0**	0	0	0	0	0	0	0	0		
Поправка на направленность источника Dc, дБ	Dc	DΩ + Di	**3**	3	3	3	3	3	3	3	3		
Затухание из-за геометрической дивергенции, Adiv, дБ	расстояние = 1459.59 м	ф-ла (7) [10]	**74,3**										
Коэффициент затухания звука в атмосфере α, дБ/км	Ta=20,°C Pa=101.33,кПа hотн.=70%	ф-ла (5) [9]	0,02	0,09	0,33	1,12	2,79	4,98	9,04	23,09	77,63		
Учет затухания звука в атмосфере Aatm, дБ		ф-ла (8) [10]	0	0,1	0,5	1,6	4,1	7,3	13,2	33,7	113,3		

1		2	3	4	5	6	7	8	9	10	11	12	13
Снижение поверхностью земли возле источника As, дБ	Gs = 0 hs = 1м	ф-лы таб.3 [10]	-1,5	-1,5	-1,5	-1,5	-1,5	-1,5	-1,5	-1,5	-1,5		
Снижение поверхностью земли возле приёмника Ar, дБ	Gr = 1 hr = 1.5м	ф-лы таб.3 [10]	-1,5	-1,5	5,3	7	5	0,7	0	0	0		
Снижение поверхностью земли в средней зоне, Am дБ	Gm = 1	ф-лы таб.3 [10]	-2,8	-2,8	0	0	0	0	0	0	0		
Суммарное снижение поверхностью земли на траектории распространения звука Agr, дБ		ф-ла (9) [10]	-5,8	-5,8	3,8	5,5	3,5	-0,8	-1,5	-1,5	-1,5		
Уровни звукового давления от источника ИШ-1-26 в расчётной точке днём, дБ		**ф-ла(3)[10]**	**0**	**27,7**	**19,1**	**17,5**	**17,5**	**18,2**	**9,6**	**0**	**0**	**20,6**	**20,6**
Уровни звукового давления от источника ИШ-1-26 в расчётной точке ночью, дБ		**ф-ла(3)[10]**	**0**	**27,7**	**19,1**	**17,5**	**17,5**	**18,2**	**9,6**	**0**	**0**	**20,6**	**20,6**
Источник шума: ИШ-1-27, координаты источника (x,y,z), м =[469.65,197.67,1.00]													
Уровни звуковой мощности источника днём, Lw, дБ		**исходные данные**	**0**	**93,3**	**94,7**	**96**	**96,3**	**95,9**	**92,6**	**88,4**	**83,9**		
Уровни звуковой мощности источника ночью, Lw, дБ		**исходные данные**	**0**	**93,3**	**94,7**	**96**	**96,3**	**95,9**	**92,6**	**88,4**	**83,9**		
Поправка на телесный угол DΩ, дБ	Ω = 6.28	10Lg(4π/Ω)	**3**	3	3	3	3	3	3	3	3		
Показатель направленности источника Di, дБ		исходные данные	**0**	0	0	0	0	0	0	0	0		
Поправка на направленность источника Dc, дБ	Dc	DΩ + Di	**3**	3	3	3	3	3	3	3	3		
Затухание из-за геометрической дивергенции, Adiv, дБ	расстояние = 1358.57 м	ф-ла (7) [10]	**73,7**										
Коэффициент затухания звука в атмосфере α, дБ/км	Ta=20,°C Pa=101.33,кПа hотн.=70%	ф-ла (5) [9]	0,02	0,09	0,33	1,12	2,79	4,98	9,04	23,09	77,63		
Учет затухания звука в атмосфере Aatm, дБ		ф-ла (8) [10]	0	0,1	0,5	1,5	3,8	6,8	12,3	31,4	105,5		
Снижение поверхностью земли возле источника As, дБ	Gs = 0 hs = 1м	ф-лы таб.3 [10]	-1,5	-1,5	-1,5	-1,5	-1,5	-1,5	-1,5	-1,5	-1,5		

1		2	3	4	5	6	7	8	9	10	11	12	13
Снижение поверхностью земли возле приёмника Ar, дБ	Gr = 1 hr = 1.5м	ф-лы таб.3 [10]	-1,5	-1,5	5,3	7	5	0,7	0	0	0		
Снижение поверхностью земли в средней зоне, Am дБ	Gm = 1	ф-лы таб.3 [10]	-2,8	-2,8	0	0	0	0	0	0	0		
Суммарное снижение поверхностью земли на траектории распространения звука Agr, дБ		ф-ла (9) [10]	-5,8	-5,8	3,8	5,5	3,5	-0,8	-1,5	-1,5	-1,5		
Уровни звукового давления прямого звука от источника ИШ-1-27 в расчётной точке днём, дБ		**ф-ла(3)[10]**	**0**	**28,3**	**19,8**	**18,3**	**18,4**	**19,3**	**11,1**	**0**	**0**	**21,7**	**21,7**
Уровни звукового давления прямого звука от источника ИШ-1-27 в расчётной точке ночью, дБ		**ф-ла(3)[10]**	**0**	**28,3**	**19,8**	**18,3**	**18,4**	**19,3**	**11,1**	**0**	**0**	**21,7**	**21,7**
Расчёт отражённого звука													
Уровни звукового давления от мнимого источника ИШ-1-27_мн.(1) в расчётной точке днём, дБ		**ф-ла(3)[10]**	**0**	**0**	**0**	**0**	**0**	**0**	**3,7**	**0**	**0**	**4,9**	**4,9**
Уровни звукового давления от мнимого источника ИШ-1-27_мн.(1) в расчётной точке ночью, дБ		**ф-ла(3)[10]**	**0**	**0**	**0**	**0**	**0**	**0**	**0**	**0**	**0**	**4,9**	**4,9**
Уровни звукового давления от источника ИШ-1-27 в расчётной точке днём, дБ		**ф-ла(3)[10]**	**0**	**28,3**	**19,8**	**18,3**	**18,4**	**19,3**	**11,9**	**0**	**0**	**21,8**	**21,8**
Уровни звукового давления от источника ИШ-1-27 в расчётной точке ночью, дБ		**ф-ла(3)[10]**	**0**	**28,3**	**19,8**	**18,3**	**18,4**	**19,3**	**11,9**	**0**	**0**	**21,8**	**21,8**
Источник шума: ИШ-1-28, координаты источника (x,y,z), м =[472.78,196.69,1.00]													
Уровни звуковой мощности источника днём, Lw, дБ		**исходные данные**	**0**	**93,3**	**94,7**	**96**	**96,3**	**95,9**	**92,6**	**88,4**	**83,9**		
Уровни звуковой мощности источника ночью, Lw, дБ		**исходные данные**	**0**	**93,3**	**94,7**	**96**	**96,3**	**95,9**	**92,6**	**88,4**	**83,9**		
Поправка на телесный угол DΩ, дБ	Ω = 6.28	10Lg(4π/Ω)	**3**	3	3	3	3	3	3	3	3		
Показатель направленности источника Di, дБ		исходные данные	**0**	0	0	0	0	0	0	0	0		
Поправка на направленность источника Dc, дБ	Dc	DΩ + Di	**3**	3	3	3	3	3	3	3	3		
Затухание из-за геометрической дивергенции, Adiv, дБ	расстояние = 1358.78 м	ф-ла (7) [10]	**73,7**										

1		2	3	4	5	6	7	8	9	10	11	12	13
Коэффициент затухания звука в атмосфере α, дБ/км	Та=20,°С Ра=101.33,кПа hотн.=70%	ф-ла (5) [9]	0,02	0,09	0,33	1,12	2,79	4,98	9,04	23,09	77,63		
Учет затухания звука в атмосфере Aatm, дБ		ф-ла (8) [10]	0	0,1	0,5	1,5	3,8	6,8	12,3	31,4	105,5		
Снижение поверхностью земли возле источника As, дБ	Gs = 0 hs = 1м	ф-лы таб.3 [10]	-1,5	-1,5	-1,5	-1,5	-1,5	-1,5	-1,5	-1,5	-1,5		
Снижение поверхностью земли возле приёмника Ar, дБ	Gr = 1 hr = 1.5м	ф-лы таб.3 [10]	-1,5	-1,5	5,3	7	5	0,7	0	0	0		
Снижение поверхностью земли в средней зоне, Am дБ	Gm = 1	ф-лы таб.3 [10]	-2,8	-2,8	0	0	0	0	0	0	0		
Суммарное снижение поверхностью земли на траектории распространения звука Agr, дБ		ф-ла (9) [10]	-5,8	-5,8	3,8	5,5	3,5	-0,8	-1,5	-1,5	-1,5		
Уровни звукового давления прямого звука от источника ИШ-1-28 в расчётной точке днём, дБ		**ф-ла(3)[10]**	**0**	**28,3**	**19,8**	**18,3**	**18,4**	**19,3**	**11,1**	**0**	**0**	**21,7**	**21,7**
Уровни звукового давления прямого звука от источника ИШ-1-28 в расчётной точке ночью, дБ		**ф-ла(3)[10]**	**0**	**28,3**	**19,8**	**18,3**	**18,4**	**19,3**	**11,1**	**0**	**0**	**21,7**	**21,7**
Расчёт отражённого звука													
Уровни звукового давления от мнимого источника ИШ-1-28_мн.(1) в расчётной точке днём, дБ		**ф-ла(3)[10]**	**0**	**0**	**0**	**0**	**0**	**0**	**3,7**	**0**	**0**	**4,9**	**4,9**
Уровни звукового давления от мнимого источника ИШ-1-28_мн.(1) в расчётной точке ночью, дБ		**ф-ла(3)[10]**	**0**	**0**	**0**	**0**	**0**	**0**	**0**	**0**	**0**	**4,9**	**4,9**
Уровни звукового давления от источника ИШ-1-28 в расчётной точке днём, дБ		**ф-ла(3)[10]**	**0**	**28,3**	**19,8**	**18,3**	**18,4**	**19,3**	**11,9**	**0**	**0**	**21,8**	**21,8**
Уровни звукового давления от источника ИШ-1-28 в расчётной точке ночью, дБ		**ф-ла(3)[10]**	**0**	**28,3**	**19,8**	**18,3**	**18,4**	**19,3**	**11,9**	**0**	**0**	**21,8**	**21,8**
Источник шума: ИШ-1-29, координаты источника (x,y,z), м =[475.52,195.72,1.00]													
Уровни звуковой мощности источника днём, Lw, дБ		**исходные данные**	**0**	**93,3**	**94,7**	**96**	**96,3**	**95,9**	**92,6**	**88,4**	**83,9**		
Уровни звуковой мощности источника ночью, Lw, дБ		**исходные данные**	**0**	**93,3**	**94,7**	**96**	**96,3**	**95,9**	**92,6**	**88,4**	**83,9**		

1		2	3	4	5	6	7	8	9	10	11	12	13
Поправка на телесный угол DΩ, дБ	Ω = 6.28	10Lg(4π/Ω)	**3**	3	3	3	3	3	3	3	3		
Показатель направленности источника Di, дБ		исходные данные	**0**	0	0	0	0	0	0	0	0		
Поправка на направленность источника Dc, дБ	Dc	DΩ + Di	**3**	3	3	3	3	3	3	3	3		
Затухание из-за геометрической дивергенции, Adiv, дБ	расстояние = 1359.09 м	ф-ла (7) [10]	**73,7**										
Коэффициент затухания звука в атмосфере α, дБ/км	Ta=20,°C Pa=101.33,кПа hотн.=70%	ф-ла (5) [9]	0,02	0,09	0,33	1,12	2,79	4,98	9,04	23,09	77,63		
Учет затухания звука в атмосфере Aatm, дБ		ф-ла (8) [10]	0	0,1	0,5	1,5	3,8	6,8	12,3	31,4	105,5		
Снижение поверхностью земли возле источника As, дБ	Gs = 0 hs = 1м	ф-лы таб.3 [10]	-1,5	-1,5	-1,5	-1,5	-1,5	-1,5	-1,5	-1,5	-1,5		
Снижение поверхностью земли возле приёмника Ar, дБ	Gr = 1 hr = 1.5м	ф-лы таб.3 [10]	-1,5	-1,5	5,3	7	5	0,7	0	0	0		
Снижение поверхностью земли в средней зоне, Am дБ	Gm = 1	ф-лы таб.3 [10]	-2,8	-2,8	0	0	0	0	0	0	0		
Суммарное снижение поверхностью земли на траектории распространения звука Agr, дБ		ф-ла (9) [10]	-5,8	-5,8	3,8	5,5	3,5	-0,8	-1,5	-1,5	-1,5		
Уровни звукового давления прямого звука от источника ИШ-1-29 в расчётной точке днём, дБ		**ф-ла(3)[10]**	**0**	**28,3**	**19,8**	**18,3**	**18,4**	**19,3**	**11,1**	**0**	**0**	**21,7**	**21,7**
Уровни звукового давления прямого звука от источника ИШ-1-29 в расчётной точке ночью, дБ		**ф-ла(3)[10]**	**0**	**28,3**	**19,8**	**18,3**	**18,4**	**19,3**	**11,1**	**0**	**0**	**21,7**	**21,7**
Расчёт отражённого звука													
Уровни звукового давления от мнимого источника ИШ-1-29_мн.(1) в расчётной точке днём, дБ		**ф-ла(3)[10]**	**0**	**0**	**0**	**0**	**0**	**0**	**3,7**	**0**	**0**	**4,9**	**4,9**
Уровни звукового давления от мнимого источника ИШ-1-29_мн.(1) в расчётной точке ночью, дБ		**ф-ла(3)[10]**	**0**	**0**	**0**	**0**	**0**	**0**	**0**	**0**	**0**	**4,9**	**4,9**
Уровни звукового давления от источника ИШ-1-29 в расчётной точке днём, дБ		**ф-ла(3)[10]**	**0**	**28,3**	**19,8**	**18,3**	**18,4**	**19,3**	**11,9**	**0**	**0**	**21,8**	**21,8**
Уровни звукового давления от источника ИШ-1-29 в расчётной точке ночью, дБ		**ф-ла(3)[10]**	**0**	**28,3**	**19,8**	**18,3**	**18,4**	**19,3**	**11,9**	**0**	**0**	**21,8**	**21,8**

1		2	3	4	5	6	7	8	9	10	11	12	13
Источник шума: ИШ-1-30, координаты источника (x,y,z), м =[478.45,194.54,1.00]													
Уровни звуковой мощности источника днём, Lw, дБ		**исходные данные**	**0**	**93,3**	**94,7**	**96**	**96,3**	**95,9**	**92,6**	**88,4**	**83,9**		
Уровни звуковой мощности источника ночью, Lw, дБ		**исходные данные**	**0**	**93,3**	**94,7**	**96**	**96,3**	**95,9**	**92,6**	**88,4**	**83,9**		
Поправка на телесный угол DΩ, дБ	Ω = 6.28	10Lg(4π/Ω)	**3**	3	3	3	3	3	3	3	3		
Показатель направленности источника Di, дБ		исходные данные	**0**	0	0	0	0	0	0	0	0		
Поправка на направленность источника Dc, дБ	Dc	DΩ + Di	**3**	3	3	3	3	3	3	3	3		
Затухание из-за геометрической дивергенции, Adiv, дБ	расстояние = 1359.55 м	ф-ла (7) [10]	**73,7**										
Коэффициент затухания звука в атмосфере α, дБ/км	Ta=20,°C Pa=101.33,кПа hотн.=70%	ф-ла (5) [9]	0,02	0,09	0,33	1,12	2,79	4,98	9,04	23,09	77,63		
Учет затухания звука в атмосфере Aatm, дБ		ф-ла (8) [10]	0	0,1	0,5	1,5	3,8	6,8	12,3	31,4	105,5		
Снижение поверхностью земли возле источника As, дБ	Gs = 0 hs = 1м	ф-лы таб.3 [10]	-1,5	-1,5	-1,5	-1,5	-1,5	-1,5	-1,5	-1,5	-1,5		
Снижение поверхностью земли возле приёмника Ar, дБ	Gr = 1 hr = 1.5м	ф-лы таб.3 [10]	-1,5	-1,5	5,3	7	5	0,7	0	0	0		
Снижение поверхностью земли в средней зоне, Am дБ	Gm = 1	ф-лы таб.3 [10]	-2,8	-2,8	0	0	0	0	0	0	0		
Суммарное снижение поверхностью земли на траектории распространения звука Agr, дБ		ф-ла (9) [10]	-5,8	-5,8	3,8	5,5	3,5	-0,8	-1,5	-1,5	-1,5		
Уровни звукового давления прямого звука от источника ИШ-1-30 в расчётной точке днём, дБ		**ф-ла(3)[10]**	**0**	**28,3**	**19,8**	**18,3**	**18,4**	**19,3**	**11,1**	**0**	**0**	**21,7**	**21,7**
Уровни звукового давления прямого звука от источника ИШ-1-30 в расчётной точке ночью, дБ		**ф-ла(3)[10]**	**0**	**28,3**	**19,8**	**18,3**	**18,4**	**19,3**	**11,1**	**0**	**0**	**21,7**	**21,7**
Расчёт отражённого звука													

1		2	3	4	5	6	7	8	9	10	11	12	13
Уровни звукового давления от мнимого источника ИШ-1-30_мн.(1) в расчётной точке днём, дБ		**ф-ла(3)[10]**	**0**	**0**	**0**	**0**	**0**	**0**	**3,7**	**0**	**0**	**4,9**	**4,9**
Уровни звукового давления от мнимого источника ИШ-1-30_мн.(1) в расчётной точке ночью, дБ		**ф-ла(3)[10]**	**0**	**0**	**0**	**0**	**0**	**0**	**0**	**0**	**0**	**4,9**	**4,9**
Уровни звукового давления от источника ИШ-1-30 в расчётной точке днём, дБ		**ф-ла(3)[10]**	**0**	**28,3**	**19,8**	**18,3**	**18,4**	**19,3**	**11,9**	**0**	**0**	**21,8**	**21,8**
Уровни звукового давления от источника ИШ-1-30 в расчётной точке ночью, дБ		**ф-ла(3)[10]**	**0**	**28,3**	**19,8**	**18,3**	**18,4**	**19,3**	**11,9**	**0**	**0**	**21,8**	**21,8**
Источник шума: ИШ-1-31, координаты источника (x,y,z), м =[481.58,193.96,1.00]													
Уровни звуковой мощности источника днём, Lw, дБ		**исходные данные**	**0**	**93,3**	**94,7**	**96**	**96,3**	**95,9**	**92,6**	**88,4**	**83,9**		
Уровни звуковой мощности источника ночью, Lw, дБ		**исходные данные**	**0**	**93,3**	**94,7**	**96**	**96,3**	**95,9**	**92,6**	**88,4**	**83,9**		
Поправка на телесный угол DΩ, дБ	Ω = 6.28	10Lg(4π/Ω)	**3**	3	3	3	3	3	3	3	3		
Показатель направленности источника Di, дБ		исходные данные	**0**	0	0	0	0	0	0	0	0		
Поправка на направленность источника Dc, дБ	Dc	DΩ + Di	**3**	3	3	3	3	3	3	3	3		
Затухание из-за геометрической дивергенции, Adiv, дБ	расстояние = 1359.40 м	ф-ла (7) [10]	**73,7**										
Коэффициент затухания звука в атмосфере α, дБ/км	Ta=20,°C Pa=101.33,кПа hотн.=70%	ф-ла (5) [9]	0,02	0,09	0,33	1,12	2,79	4,98	9,04	23,09	77,63		
Учет затухания звука в атмосфере Aatm, дБ		ф-ла (8) [10]	0	0,1	0,5	1,5	3,8	6,8	12,3	31,4	105,5		
Снижение поверхностью земли возле источника As, дБ	Gs = 0 hs = 1м	ф-лы таб.3 [10]	-1,5	-1,5	-1,5	-1,5	-1,5	-1,5	-1,5	-1,5	-1,5		
Снижение поверхностью земли возле приёмника Ar, дБ	Gr = 1 hr = 1.5м	ф-лы таб.3 [10]	-1,5	-1,5	5,3	7	5	0,7	0	0	0		
Снижение поверхностью земли в средней зоне, Am дБ	Gm = 1	ф-лы таб.3 [10]	-2,8	-2,8	0	0	0	0	0	0	0		

1		2	3	4	5	6	7	8	9	10	11	12	13
Суммарное снижение поверхностью земли на траектории распространения звука Agr, дБ		ф-ла (9) [10]	-5,8	-5,8	3,8	5,5	3,5	-0,8	-1,5	-1,5	-1,5		
Уровни звукового давления прямого звука от источника ИШ-1-31 в расчётной точке днём, дБ		**ф-ла(3)[10]**	**0**	**28,3**	**19,8**	**18,3**	**18,4**	**19,3**	**11,1**	**0**	**0**	**21,7**	**21,7**
Уровни звукового давления прямого звука от источника ИШ-1-31 в расчётной точке ночью, дБ		**ф-ла(3)[10]**	**0**	**28,3**	**19,8**	**18,3**	**18,4**	**19,3**	**11,1**	**0**	**0**	**21,7**	**21,7**
Расчёт отражённого звука													
Уровни звукового давления от мнимого источника ИШ-1-31_мн.(1) в расчётной точке днём, дБ		**ф-ла(3)[10]**	**0**	**0**	**0**	**0**	**0**	**0**	**3,7**	**0**	**0**	**4,9**	**4,9**
Уровни звукового давления от мнимого источника ИШ-1-31_мн.(1) в расчётной точке ночью, дБ		**ф-ла(3)[10]**	**0**	**0**	**0**	**0**	**0**	**0**	**0**	**0**	**0**	**4,9**	**4,9**
Уровни звукового давления от источника ИШ-1-31 в расчётной точке днём, дБ		**ф-ла(3)[10]**	**0**	**28,3**	**19,8**	**18,3**	**18,4**	**19,3**	**11,9**	**0**	**0**	**21,8**	**21,8**
Уровни звукового давления от источника ИШ-1-31 в расчётной точке ночью, дБ		**ф-ла(3)[10]**	**0**	**28,3**	**19,8**	**18,3**	**18,4**	**19,3**	**11,9**	**0**	**0**	**21,8**	**21,8**
Источник шума: ИШ-1-32, координаты источника (x,y,z), м =[871.21,281.99,50.00]													
Уровни звуковой мощности источника днём, Lw, дБ		**исходные данные**	**125**	**119,6**	**113,4**	**111,4**	**110,8**	**112,7**	**113,8**	**109,2**	**97,4**		
Уровни звуковой мощности источника ночью, Lw, дБ		**исходные данные**	**0**	**0**	**0**	**0**	**0**	**0**	**0**	**0**	**0**		
Поправка на телесный угол DΩ, дБ	Ω = 12.57	10Lg(4π/Ω)	**0**	0	0	0	0	0	0	0	0		
Показатель направленности источника Di, дБ		исходные данные	**0**	0	0	0	0	0	0	0	0		
Поправка на направленность источника Dc, дБ	Dc	DΩ + Di	**0**	0	0	0	0	0	0	0	0		
Затухание из-за геометрической дивергенции, Adiv, дБ	расстояние = 1238.83 м	ф-ла (7) [10]	**72,9**										
Коэффициент затухания звука в атмосфере α, дБ/км	Ta=20,°C Pa=101.33,кПа hотн.=70%	ф-ла (5) [9]	0,02	0,09	0,33	1,12	2,79	4,98	9,04	23,09	77,63		

1		2	3	4	5	6	7	8	9	10	11	12	13
Учет затухания звука в атмосфере Aatm, дБ		ф-ла (8) [10]	0	0,1	0,4	1,4	3,5	6,2	11,2	28,6	96,2		
Снижение поверхностью земли возле источника As, дБ	Gs = 0 hs = 50м	ф-лы таб.3 [10]	-1,5	-1,5	-1,5	-1,5	-1,5	-1,5	-1,5	-1,5	-1,5		
Снижение поверхностью земли возле приёмника Ar, дБ	Gr = 1 hr = 1.5м	ф-лы таб.3 [10]	-1,5	-1,5	5,3	7	5	0,7	0	0	0		
Снижение поверхностью земли в средней зоне, Am дБ	Gm = 1	ф-лы таб.3 [10]	0	0	0	0	0	0	0	0	0		
Суммарное снижение поверхностью земли на траектории распространения звука Agr, дБ		ф-ла (9) [10]	-3	-3	3,8	5,5	3,5	-0,8	-1,5	-1,5	-1,5		
Уровни звукового давления от источника ИШ-1-32 в расчётной точке днём, дБ		**ф-ла(3)[10]**	**55,1**	**49,7**	**36,4**	**31,7**	**31**	**34,5**	**31,3**	**9,3**	**0**	**37,6**	**37,6**
Уровни звукового давления от источника ИШ-1-32 в расчётной точке ночью, дБ		**ф-ла(3)[10]**	**0**	**0**	**0**	**0**	**0**	**0**	**0**	**0**	**0**	**0**	**0**
Источник шума: ИШ-1-33, координаты источника (x,y,z), м =[743.42,374.85,1.00]													
Уровни звуковой мощности источника днём, Lw, дБ		**исходные данные**	**0**	**88,7**	**90,1**	**93,1**	**96,4**	**103**	**112**	**108**	**99,2**		
Уровни звуковой мощности источника ночью, Lw, дБ		**исходные данные**	**0**	**0**	**0**	**0**	**0**	**0**	**0**	**0**	**0**		
Поправка на телесный угол DΩ, дБ	Ω = 6.28	10Lg(4π/Ω)	**3**	3	3	3	3	3	3	3	3		
Показатель направленности источника Di, дБ		исходные данные	**0**	0	0	0	0	0	0	0	0		
Поправка на направленность источника Dc, дБ	Dc	DΩ + Di	**3**	3	3	3	3	3	3	3	3		
Затухание из-за геометрической дивергенции, Adiv, дБ	расстояние = 1143.55 м	ф-ла (7) [10]	**72,2**										
Коэффициент затухания звука в атмосфере α, дБ/км	Ta=20,°C Pa=101.33,кПа hотн.=70%	ф-ла (5) [9]	0,02	0,09	0,33	1,12	2,79	4,98	9,04	23,09	77,63		
Учет затухания звука в атмосфере Aatm, дБ		ф-ла (8) [10]	0	0,1	0,4	1,3	3,2	5,7	10,3	26,4	88,8		

1		2	3	4	5	6	7	8	9	10	11	12	13
Снижение поверхностью земли возле источника As, дБ	Gs = 0 hs = 1м	ф-лы таб.3 [10]	-1,5	-1,5	-1,5	-1,5	-1,5	-1,5	-1,5	-1,5	-1,5		
Снижение поверхностью земли возле приёмника Ar, дБ	Gr = 1 hr = 1.5м	ф-лы таб.3 [10]	-1,5	-1,5	5,2	7	5	0,7	0	0	0		
Снижение поверхностью земли в средней зоне, Am дБ	Gm = 1	ф-лы таб.3 [10]	-2,8	-2,8	0	0	0	0	0	0	0		
Суммарное снижение поверхностью земли на траектории распространения звука Agr, дБ		ф-ла (9) [10]	-5,8	-5,8	3,7	5,5	3,5	-0,8	-1,5	-1,5	-1,5		
Уровни звукового давления от источника ИШ-1-33 в расчётной точке днём, дБ		**ф-ла(3)[10]**	**0**	**25,2**	**16,8**	**17,1**	**20,6**	**29**	**34**	**13,9**	**0**	**36,2**	**36,2**
Уровни звукового давления от источника ИШ-1-33 в расчётной точке ночью, дБ		**ф-ла(3)[10]**	**0**	**0**	**0**	**0**	**0**	**0**	**0**	**0**	**0**	**0**	**0**
Источник шума: ИШ-1-34, координаты источника (x,y,z), м =[1042.35,199.07,1.00]													
Уровни звуковой мощности источника днём, Lw, дБ		**исходные данные**	**0**	**88,7**	**90,1**	**93,1**	**96,4**	**103**	**112**	**108**	**99,2**		
Уровни звуковой мощности источника ночью, Lw, дБ		**исходные данные**	**0**	**0**	**0**	**0**	**0**	**0**	**0**	**0**	**0**		
Поправка на телесный угол DΩ, дБ	Ω = 6.28	10Lg(4π/Ω)	**3**	3	3	3	3	3	3	3	3		
Показатель направленности источника Di, дБ		исходные данные	**0**	0	0	0	0	0	0	0	0		
Поправка на направленность источника Dc, дБ	Dc	DΩ + Di	**3**	3	3	3	3	3	3	3	3		
Затухание из-за геометрической дивергенции, Adiv, дБ	расстояние = 1341.77 м	ф-ла (7) [10]	**73,6**										
Коэффициент затухания звука в атмосфере α, дБ/км	Ta=20,°C Pa=101.33,кПа hотн.=70%	ф-ла (5) [9]	0,02	0,09	0,33	1,12	2,79	4,98	9,04	23,09	77,63		
Учет затухания звука в атмосфере Aatm, дБ		ф-ла (8) [10]	0	0,1	0,4	1,5	3,7	6,7	12,1	31	104,2		
Снижение поверхностью земли возле источника As, дБ	Gs = 0 hs = 1м	ф-лы таб.3 [10]	-1,5	-1,5	-1,5	-1,5	-1,5	-1,5	-1,5	-1,5	-1,5		

1		2	3	4	5	6	7	8	9	10	11	12	13
Снижение поверхностью земли возле приёмника Ar, дБ	Gr = 1 hr = 1.5м	ф-лы таб.3 [10]	-1,5	-1,5	5,3	7	5	0,7	0	0	0		
Снижение поверхностью земли в средней зоне, Am дБ	Gm = 1	ф-лы таб.3 [10]	-2,8	-2,8	0	0	0	0	0	0	0		
Суммарное снижение поверхностью земли на траектории распространения звука Agr, дБ		ф-ла (9) [10]	-5,8	-5,8	3,8	5,5	3,5	-0,8	-1,5	-1,5	-1,5		
Уровни звукового давления от источника ИШ-1-34 в расчётной точке днём, дБ		**ф-ла(3)[10]**	**0**	**23,9**	**15,3**	**15,5**	**18,6**	**26,6**	**30,8**	**8**	**0**	**33,2**	**33,2**
Уровни звукового давления от источника ИШ-1-34 в расчётной точке ночью, дБ		**ф-ла(3)[10]**	**0**	**0**	**0**	**0**	**0**	**0**	**0**	**0**	**0**	**0**	**0**
Источник шума: ИШ-2-1, координаты источника (x,y,z), м =[696.50,124.40,3.00]													
Уровни звуковой мощности источника днём, Lw, дБ		**исходные данные**	**105**	**104**	**104**	**101**	**102**	**106**	**101**	**95**	**87**		
Уровни звуковой мощности источника ночью, Lw, дБ		**исходные данные**	**105**	**104**	**104**	**101**	**102**	**106**	**101**	**95**	**87**		
Поправка на телесный угол DΩ, дБ	Ω = 6.28	10Lg(4π/Ω)	**3**	3	3	3	3	3	3	3	3		
Показатель направленности источника Di, дБ		исходные данные	**0**	0	0	0	0	0	0	0	0		
Поправка на направленность источника Dc, дБ	Dc	DΩ + Di	**3**	3	3	3	3	3	3	3	3		
Затухание из-за геометрической дивергенции, Adiv, дБ	расстояние = 1396.25 м	ф-ла (7) [10]	**73,9**										
Коэффициент затухания звука в атмосфере α, дБ/км	Ta=20,°C Pa=101.33,кПа hотн.=70%	ф-ла (5) [9]	0,02	0,09	0,33	1,12	2,79	4,98	9,04	23,09	77,63		
Учет затухания звука в атмосфере Aatm, дБ		ф-ла (8) [10]	0	0,1	0,5	1,6	3,9	7	12,6	32,2	108,4		
Снижение поверхностью земли возле источника As, дБ	Gs = 0 hs = 3м	ф-лы таб.3 [10]	-1,5	-1,5	-1,5	-1,5	-1,5	-1,5	-1,5	-1,5	-1,5		
Снижение поверхностью земли возле приёмника Ar, дБ	Gr = 1 hr = 1.5м	ф-лы таб.3 [10]	-1,5	-1,5	5,3	7	5	0,7	0	0	0		

1		2	3	4	5	6	7	8	9	10	11	12	13
Снижение поверхностью земли в средней зоне, Am дБ	Gm = 1	ф-лы таб.3 [10]	-2,7	-2,7	0	0	0	0	0	0	0		
Суммарное снижение поверхностью земли на траектории распространения звука Agr, дБ		ф-ла (9) [10]	-5,7	-5,7	3,8	5,5	3,5	-0,8	-1,5	-1,5	-1,5		
Уровни звукового давления от источника ИШ-2-1 в расчётной точке днём, дБ		**ф-ла(3)[10]**	**39,8**	**38,7**	**28,8**	**23**	**23,7**	**29**	**19**	**0**	**0**	**30,3**	**30,3**
Уровни звукового давления от источника ИШ-2-1 в расчётной точке ночью, дБ		**ф-ла(3)[10]**	**39,8**	**38,7**	**28,8**	**23**	**23,7**	**29**	**19**	**0**	**0**	**30,3**	**30,3**
Источник шума: ИШ-2-2, координаты источника (x,y,z), м =[682.20,81.60,3.00]													
Уровни звуковой мощности источника днём, Lw, дБ		**исходные данные**	**105**	**104**	**104**	**101**	**102**	**106**	**101**	**95**	**87**		
Уровни звуковой мощности источника ночью, Lw, дБ		**исходные данные**	**105**	**104**	**104**	**101**	**102**	**106**	**101**	**95**	**87**		
Поправка на телесный угол DΩ, дБ	Ω = 6.28	10Lg(4π/Ω)	**3**	3	3	3	3	3	3	3	3		
Показатель направленности источника Di, дБ		исходные данные	**0**	0	0	0	0	0	0	0	0		
Поправка на направленность источника Dc, дБ	Dc	DΩ + Di	**3**	3	3	3	3	3	3	3	3		
Затухание из-за геометрической дивергенции, Adiv, дБ	расстояние = 1439.97 м	ф-ла (7) [10]	**74,2**										
Коэффициент затухания звука в атмосфере α, дБ/км	Ta=20,°C Pa=101.33,кПа hотн.=70%	ф-ла (5) [9]	0,02	0,09	0,33	1,12	2,79	4,98	9,04	23,09	77,63		
Учет затухания звука в атмосфере Aatm, дБ		ф-ла (8) [10]	0	0,1	0,5	1,6	4	7,2	13	33,2	111,8		
Снижение поверхностью земли возле источника As, дБ	Gs = 0 hs = 3м	ф-лы таб.3 [10]	-1,5	-1,5	-1,5	-1,5	-1,5	-1,5	-1,5	-1,5	-1,5		
Снижение поверхностью земли возле приёмника Ar, дБ	Gr = 1 hr = 1.5м	ф-лы таб.3 [10]	-1,5	-1,5	5,3	7	5	0,7	0	0	0		
Снижение поверхностью земли в средней зоне, Am дБ	Gm = 1	ф-лы таб.3 [10]	-2,7	-2,7	0	0	0	0	0	0	0		

1		2	3	4	5	6	7	8	9	10	11	12	13
Суммарное снижение поверхностью земли на траектории распространения звука Agr, дБ		ф-ла (9) [10]	-5,7	-5,7	3,8	5,5	3,5	-0,8	-1,5	-1,5	-1,5		
Уровни звукового давления от источника ИШ-2-2 в расчётной точке днём, дБ		**ф-ла(3)[10]**	**39,5**	**38,4**	**28,5**	**22,7**	**23,4**	**28,5**	**18,3**	**0**	**0**	**29,8**	**29,8**
Уровни звукового давления от источника ИШ-2-2 в расчётной точке ночью, дБ		**ф-ла(3)[10]**	**39,5**	**38,4**	**28,5**	**22,7**	**23,4**	**28,5**	**18,3**	**0**	**0**	**29,8**	**29,8**
Источник шума: ИШ-2-3, координаты источника (x,y,z), м =[667.80,38.90,3.00]													
Уровни звуковой мощности источника днём, Lw, дБ		**исходные данные**	**105**	**104**	**104**	**101**	**102**	**106**	**101**	**95**	**87**		
Уровни звуковой мощности источника ночью, Lw, дБ		**исходные данные**	**105**	**104**	**104**	**101**	**102**	**106**	**101**	**95**	**87**		
Поправка на телесный угол DΩ, дБ	Ω = 6.28	10Lg(4π/Ω)	**3**	3	3	3	3	3	3	3	3		
Показатель направленности источника Di, дБ		исходные данные	**0**	0	0	0	0	0	0	0	0		
Поправка на направленность источника Dc, дБ	Dc	DΩ + Di	**3**	3	3	3	3	3	3	3	3		
Затухание из-за геометрической дивергенции, Adiv, дБ	расстояние = 1483.69 м	ф-ла (7) [10]	**74,4**										
Коэффициент затухания звука в атмосфере α, дБ/км	Ta=20,°C Pa=101.33,кПа hотн.=70%	ф-ла (5) [9]	0,02	0,09	0,33	1,12	2,79	4,98	9,04	23,09	77,63		
Учет затухания звука в атмосфере Aatm, дБ		ф-ла (8) [10]	0	0,1	0,5	1,7	4,1	7,4	13,4	34,3	115,2		
Снижение поверхностью земли возле источника As, дБ	Gs = 0 hs = 3м	ф-лы таб.3 [10]	-1,5	-1,5	-1,5	-1,5	-1,5	-1,5	-1,5	-1,5	-1,5		
Снижение поверхностью земли возле приёмника Ar, дБ	Gr = 1 hr = 1.5м	ф-лы таб.3 [10]	-1,5	-1,5	5,3	7	5	0,7	0	0	0		
Снижение поверхностью земли в средней зоне, Am дБ	Gm = 1	ф-лы таб.3 [10]	-2,7	-2,7	0	0	0	0	0	0	0		
Суммарное снижение поверхностью земли на траектории распространения звука Agr, дБ		ф-ла (9) [10]	-5,7	-5,7	3,8	5,5	3,5	-0,8	-1,5	-1,5	-1,5		

1		2	3	4	5	6	7	8	9	10	11	12	13
Уровни звукового давления от источника ИШ-2-3 в расчётной точке днём, дБ		**ф-ла(3)[10]**	**39,3**	**38,2**	**28,3**	**22,4**	**23**	**28**	**17,7**	**0**	**0**	**29,4**	**29,4**
Уровни звукового давления от источника ИШ-2-3 в расчётной точке ночью, дБ		**ф-ла(3)[10]**	**39,3**	**38,2**	**28,3**	**22,4**	**23**	**28**	**17,7**	**0**	**0**	**29,4**	**29,4**
Источник шума: ИШ-2-6, координаты источника (x,y,z), м =[765.97,112.43,1.00]													
Уровни звуковой мощности источника днём, Lw, дБ		**исходные данные**	**0**	**93,3**	**94,7**	**96**	**96,3**	**95,9**	**92,6**	**88,4**	**83,9**		
Уровни звуковой мощности источника ночью, Lw, дБ		**исходные данные**	**0**	**93,3**	**94,7**	**96**	**96,3**	**95,9**	**92,6**	**88,4**	**83,9**		
Поправка на телесный угол DΩ, дБ	Ω = 6.28	10Lg(4π/Ω)	**3**	3	3	3	3	3	3	3	3		
Показатель направленности источника Di, дБ		исходные данные	**0**	0	0	0	0	0	0	0	0		
Поправка на направленность источника Dc, дБ	Dc	DΩ + Di	**3**	3	3	3	3	3	3	3	3		
Затухание из-за геометрической дивергенции, Adiv, дБ	расстояние = 1405.17 м	ф-ла (7) [10]	**74**										
Коэффициент затухания звука в атмосфере α, дБ/км	Ta=20,°C Pa=101.33,кПа hотн.=70%	ф-ла (5) [9]	0,02	0,09	0,33	1,12	2,79	4,98	9,04	23,09	77,63		
Учет затухания звука в атмосфере Aatm, дБ		ф-ла (8) [10]	0	0,1	0,5	1,6	3,9	7	12,7	32,4	109,1		
Снижение поверхностью земли возле источника As, дБ	Gs = 0 hs = 1м	ф-лы таб.3 [10]	-1,5	-1,5	-1,5	-1,5	-1,5	-1,5	-1,5	-1,5	-1,5		
Снижение поверхностью земли возле приёмника Ar, дБ	Gr = 1 hr = 1.5м	ф-лы таб.3 [10]	-1,5	-1,5	5,3	7	5	0,7	0	0	0		
Снижение поверхностью земли в средней зоне, Am дБ	Gm = 1	ф-лы таб.3 [10]	-2,8	-2,8	0	0	0	0	0	0	0		
Суммарное снижение поверхностью земли на траектории распространения звука Agr, дБ		ф-ла (9) [10]	-5,8	-5,8	3,8	5,5	3,5	-0,8	-1,5	-1,5	-1,5		
Уровни звукового давления прямого звука от источника ИШ-2-6 в расчётной точке днём, дБ		**ф-ла(3)[10]**	**0**	**28,1**	**19,4**	**17,9**	**17,9**	**18,8**	**10,4**	**0**	**0**	**21,2**	**21,2**

1		2	3	4	5	6	7	8	9	10	11	12	13
Уровни звукового давления прямого звука от источника ИШ-2-6 в расчётной точке ночью, дБ		**ф-ла(3)[10]**	**0**	**28,1**	**19,4**	**17,9**	**17,9**	**18,8**	**10,4**	**0**	**0**	**21,2**	**21,2**
Расчёт отражённого звука													
Уровни звукового давления от мнимого источника ИШ-2-6_мн.(1) в расчётной точке днём, дБ		**ф-ла(3)[10]**	**0**	**0**	**0**	**0**	**0**	**0**	**0**	**0**	**0**	**0**	**0**
Уровни звукового давления от мнимого источника ИШ-2-6_мн.(1) в расчётной точке ночью, дБ		**ф-ла(3)[10]**	**0**	**0**	**0**	**0**	**0**	**0**	**0**	**0**	**0**	**0**	**0**
Уровни звукового давления от источника ИШ-2-6 в расчётной точке днём, дБ		**ф-ла(3)[10]**	**0**	**28,1**	**19,4**	**17,9**	**17,9**	**18,8**	**10,4**	**0**	**0**	**21,2**	**21,2**
Уровни звукового давления от источника ИШ-2-6 в расчётной точке ночью, дБ		**ф-ла(3)[10]**	**0**	**28,1**	**19,4**	**17,9**	**17,9**	**18,8**	**10,4**	**0**	**0**	**21,2**	**21,2**
Источник шума: ИШ-2-7, координаты источника (x,y,z), м =[764.91,109.54,1.00]													
Уровни звуковой мощности источника днём, Lw, дБ		**исходные данные**	**0**	**93,3**	**94,7**	**96**	**96,3**	**95,9**	**92,6**	**88,4**	**83,9**		
Уровни звуковой мощности источника ночью, Lw, дБ		**исходные данные**	**0**	**93,3**	**94,7**	**96**	**96,3**	**95,9**	**92,6**	**88,4**	**83,9**		
Поправка на телесный угол DΩ, дБ	Ω = 6.28	10Lg(4π/Ω)	**3**	3	3	3	3	3	3	3	3		
Показатель направленности источника Di, дБ		исходные данные	**0**	0	0	0	0	0	0	0	0		
Поправка на направленность источника Dc, дБ	Dc	DΩ + Di	**3**	3	3	3	3	3	3	3	3		
Затухание из-за геометрической дивергенции, Adiv, дБ	расстояние = 1408.08 м	ф-ла (7) [10]	**74**										
Коэффициент затухания звука в атмосфере α, дБ/км	Ta=20,°C Pa=101.33,кПа hотн.=70%	ф-ла (5) [9]	0,02	0,09	0,33	1,12	2,79	4,98	9,04	23,09	77,63		
Учет затухания звука в атмосфере Aatm, дБ		ф-ла (8) [10]	0	0,1	0,5	1,6	3,9	7	12,7	32,5	109,3		
Снижение поверхностью земли возле источника As, дБ	Gs = 0 hs = 1м	ф-лы таб.3 [10]	-1,5	-1,5	-1,5	-1,5	-1,5	-1,5	-1,5	-1,5	-1,5		

1		2	3	4	5	6	7	8	9	10	11	12	13
Снижение поверхностью земли возле приёмника Ar, дБ	Gr = 1 hr = 1.5м	ф-лы таб.3 [10]	-1,5	-1,5	5,3	7	5	0,7	0	0	0		
Снижение поверхностью земли в средней зоне, Am дБ	Gm = 1	ф-лы таб.3 [10]	-2,8	-2,8	0	0	0	0	0	0	0		
Суммарное снижение поверхностью земли на траектории распространения звука Agr, дБ		ф-ла (9) [10]	-5,8	-5,8	3,8	5,5	3,5	-0,8	-1,5	-1,5	-1,5		
Уровни звукового давления прямого звука от источника ИШ-2-7 в расчётной точке днём, дБ		**ф-ла(3)[10]**	**0**	**28**	**19,4**	**17,9**	**17,9**	**18,8**	**10,4**	**0**	**0**	**21,2**	**21,2**
Уровни звукового давления прямого звука от источника ИШ-2-7 в расчётной точке ночью, дБ		**ф-ла(3)[10]**	**0**	**28**	**19,4**	**17,9**	**17,9**	**18,8**	**10,4**	**0**	**0**	**21,2**	**21,2**
Расчёт отражённого звука													
Уровни звукового давления от мнимого источника ИШ-2-7_мн.(1) в расчётной точке днём, дБ		**ф-ла(3)[10]**	**0**	**0**	**0**	**0**	**0**	**0**	**0**	**0**	**0**	**0**	**0**
Уровни звукового давления от мнимого источника ИШ-2-7_мн.(1) в расчётной точке ночью, дБ		**ф-ла(3)[10]**	**0**	**0**	**0**	**0**	**0**	**0**	**0**	**0**	**0**	**0**	**0**
Уровни звукового давления от источника ИШ-2-7 в расчётной точке днём, дБ		**ф-ла(3)[10]**	**0**	**28**	**19,4**	**17,9**	**17,9**	**18,8**	**10,4**	**0**	**0**	**21,2**	**21,2**
Уровни звукового давления от источника ИШ-2-7 в расчётной точке ночью, дБ		**ф-ла(3)[10]**	**0**	**28**	**19,4**	**17,9**	**17,9**	**18,8**	**10,4**	**0**	**0**	**21,2**	**21,2**
Источник шума: ИШ-2-8, координаты источника (x,y,z), м =[764.03,106.58,1.00]													
Уровни звуковой мощности источника днём, Lw, дБ		**исходные данные**	**0**	**93,3**	**94,7**	**96**	**96,3**	**95,9**	**92,6**	**88,4**	**83,9**		
Уровни звуковой мощности источника ночью, Lw, дБ		**исходные данные**	**0**	**93,3**	**94,7**	**96**	**96,3**	**95,9**	**92,6**	**88,4**	**83,9**		
Поправка на телесный угол DΩ, дБ	Ω = 6.28	10Lg(4π/Ω)	**3**	3	3	3	3	3	3	3	3		
Показатель направленности источника Di, дБ		исходные данные	**0**	0	0	0	0	0	0	0	0		
Поправка на направленность источника Dc, дБ	Dc	DΩ + Di	**3**	3	3	3	3	3	3	3	3		
Затухание из-за геометрической дивергенции, Adiv, дБ	расстояние = 1411.06 м	ф-ла (7) [10]	**74**										

1		2	3	4	5	6	7	8	9	10	11	12	13
Коэффициент затухания звука в атмосфере α, дБ/км	Та=20,°С Ра=101.33,кПа hотн.=70%	ф-ла (5) [9]	0,02	0,09	0,33	1,12	2,79	4,98	9,04	23,09	77,63		
Учет затухания звука в атмосфере Aatm, дБ		ф-ла (8) [10]	0	0,1	0,5	1,6	3,9	7	12,8	32,6	109,5		
Снижение поверхностью земли возле источника As, дБ	Gs = 0 hs = 1м	ф-лы таб.3 [10]	-1,5	-1,5	-1,5	-1,5	-1,5	-1,5	-1,5	-1,5	-1,5		
Снижение поверхностью земли возле приёмника Ar, дБ	Gr = 1 hr = 1.5м	ф-лы таб.3 [10]	-1,5	-1,5	5,3	7	5	0,7	0	0	0		
Снижение поверхностью земли в средней зоне, Am дБ	Gm = 1	ф-лы таб.3 [10]	-2,8	-2,8	0	0	0	0	0	0	0		
Суммарное снижение поверхностью земли на траектории распространения звука Agr, дБ		ф-ла (9) [10]	-5,8	-5,8	3,8	5,5	3,5	-0,8	-1,5	-1,5	-1,5		
Уровни звукового давления прямого звука от источника ИШ-2-8 в расчётной точке днём, дБ		**ф-ла(3)[10]**	**0**	**28**	**19,4**	**17,9**	**17,9**	**18,7**	**10,3**	**0**	**0**	**21,1**	**21,1**
Уровни звукового давления прямого звука от источника ИШ-2-8 в расчётной точке ночью, дБ		**ф-ла(3)[10]**	**0**	**28**	**19,4**	**17,9**	**17,9**	**18,7**	**10,3**	**0**	**0**	**21,1**	**21,1**
Расчёт отражённого звука													
Уровни звукового давления от мнимого источника ИШ-2-8_мн.(1) в расчётной точке днём, дБ		**ф-ла(3)[10]**	**0**	**0**	**0**	**0**	**0**	**0**	**0**	**0**	**0**	**0**	**0**
Уровни звукового давления от мнимого источника ИШ-2-8_мн.(1) в расчётной точке ночью, дБ		**ф-ла(3)[10]**	**0**	**0**	**0**	**0**	**0**	**0**	**0**	**0**	**0**	**0**	**0**
Уровни звукового давления от источника ИШ-2-8 в расчётной точке днём, дБ		**ф-ла(3)[10]**	**0**	**28**	**19,4**	**17,9**	**17,9**	**18,7**	**10,3**	**0**	**0**	**21,1**	**21,1**
Уровни звукового давления от источника ИШ-2-8 в расчётной точке ночью, дБ		**ф-ла(3)[10]**	**0**	**28**	**19,4**	**17,9**	**17,9**	**18,7**	**10,3**	**0**	**0**	**21,1**	**21,1**
Источник шума: ИШ-2-9, координаты источника (x,y,z), м =[763.26,103.71,1.00]													
Уровни звуковой мощности источника днём, Lw, дБ		**исходные данные**	**0**	**93,3**	**94,7**	**96**	**96,3**	**95,9**	**92,6**	**88,4**	**83,9**		
Уровни звуковой мощности источника ночью, Lw, дБ		**исходные данные**	**0**	**93,3**	**94,7**	**96**	**96,3**	**95,9**	**92,6**	**88,4**	**83,9**		

1		2	3	4	5	6	7	8	9	10	11	12	13
Поправка на телесный угол DΩ, дБ	Ω = 6.28	10Lg(4π/Ω)	**3**	3	3	3	3	3	3	3	3		
Показатель направленности источника Di, дБ		исходные данные	**0**	0	0	0	0	0	0	0	0		
Поправка на направленность источника Dc, дБ	Dc	DΩ + Di	**3**	3	3	3	3	3	3	3	3		
Затухание из-за геометрической дивергенции, Adiv, дБ	расстояние = 1413.94 м	ф-ла (7) [10]	**74**										
Коэффициент затухания звука в атмосфере α, дБ/км	Ta=20,°C Pa=101.33,кПа hотн.=70%	ф-ла (5) [9]	0,02	0,09	0,33	1,12	2,79	4,98	9,04	23,09	77,63		
Учет затухания звука в атмосфере Aatm, дБ		ф-ла (8) [10]	0	0,1	0,5	1,6	3,9	7	12,8	32,6	109,8		
Снижение поверхностью земли возле источника As, дБ	Gs = 0 hs = 1м	ф-лы таб.3 [10]	-1,5	-1,5	-1,5	-1,5	-1,5	-1,5	-1,5	-1,5	-1,5		
Снижение поверхностью земли возле приёмника Ar, дБ	Gr = 1 hr = 1.5м	ф-лы таб.3 [10]	-1,5	-1,5	5,3	7	5	0,7	0	0	0		
Снижение поверхностью земли в средней зоне, Am дБ	Gm = 1	ф-лы таб.3 [10]	-2,8	-2,8	0	0	0	0	0	0	0		
Суммарное снижение поверхностью земли на траектории распространения звука Agr, дБ		ф-ла (9) [10]	-5,8	-5,8	3,8	5,5	3,5	-0,8	-1,5	-1,5	-1,5		
Уровни звукового давления прямого звука от источника ИШ-2-9 в расчётной точке днём, дБ		**ф-ла(3)[10]**	**0**	**28**	**19,4**	**17,9**	**17,9**	**18,7**	**10,3**	**0**	**0**	**21,1**	**21,1**
Уровни звукового давления прямого звука от источника ИШ-2-9 в расчётной точке ночью, дБ		**ф-ла(3)[10]**	**0**	**28**	**19,4**	**17,9**	**17,9**	**18,7**	**10,3**	**0**	**0**	**21,1**	**21,1**
Расчёт отражённого звука													
Уровни звукового давления от мнимого источника ИШ-2-9_мн.(1) в расчётной точке днём, дБ		**ф-ла(3)[10]**	**0**	**0**	**0**	**0**	**0**	**0**	**0**	**0**	**0**	**0**	**0**
Уровни звукового давления от мнимого источника ИШ-2-9_мн.(1) в расчётной точке ночью, дБ		**ф-ла(3)[10]**	**0**	**0**	**0**	**0**	**0**	**0**	**0**	**0**	**0**	**0**	**0**
Уровни звукового давления от источника ИШ-2-9 в расчётной точке днём, дБ		**ф-ла(3)[10]**	**0**	**28**	**19,4**	**17,9**	**17,9**	**18,7**	**10,3**	**0**	**0**	**21,1**	**21,1**
Уровни звукового давления от источника ИШ-2-9 в расчётной точке ночью, дБ		**ф-ла(3)[10]**	**0**	**28**	**19,4**	**17,9**	**17,9**	**18,7**	**10,3**	**0**	**0**	**21,1**	**21,1**

1		2	3	4	5	6	7	8	9	10	11	12	13
Источник шума: ИШ-2-10, координаты источника (x,y,z), м =[762.14,100.75,1.00]													
Уровни звуковой мощности источника днём, Lw, дБ		**исходные данные**	**0**	**93,3**	**94,7**	**96**	**96,3**	**95,9**	**92,6**	**88,4**	**83,9**		
Уровни звуковой мощности источника ночью, Lw, дБ		**исходные данные**	**0**	**93,3**	**94,7**	**96**	**96,3**	**95,9**	**92,6**	**88,4**	**83,9**		
Поправка на телесный угол DΩ, дБ	Ω = 6.28	10Lg(4π/Ω)	**3**	3	3	3	3	3	3	3	3		
Показатель направленности источника Di, дБ		исходные данные	**0**	0	0	0	0	0	0	0	0		
Поправка на направленность источника Dc, дБ	Dc	DΩ + Di	**3**	3	3	3	3	3	3	3	3		
Затухание из-за геометрической дивергенции, Adiv, дБ	расстояние = 1416.93 м	ф-ла (7) [10]	**74**										
Коэффициент затухания звука в атмосфере α, дБ/км	Ta=20,°C Pa=101.33,кПа hотн.=70%	ф-ла (5) [9]	0,02	0,09	0,33	1,12	2,79	4,98	9,04	23,09	77,63		
Учет затухания звука в атмосфере Aatm, дБ		ф-ла (8) [10]	0	0,1	0,5	1,6	4	7,1	12,8	32,7	110		
Снижение поверхностью земли возле источника As, дБ	Gs = 0 hs = 1м	ф-лы таб.3 [10]	-1,5	-1,5	-1,5	-1,5	-1,5	-1,5	-1,5	-1,5	-1,5		
Снижение поверхностью земли возле приёмника Ar, дБ	Gr = 1 hr = 1.5м	ф-лы таб.3 [10]	-1,5	-1,5	5,3	7	5	0,7	0	0	0		
Снижение поверхностью земли в средней зоне, Am дБ	Gm = 1	ф-лы таб.3 [10]	-2,8	-2,8	0	0	0	0	0	0	0		
Суммарное снижение поверхностью земли на траектории распространения звука Agr, дБ		ф-ла (9) [10]	-5,8	-5,8	3,8	5,5	3,5	-0,8	-1,5	-1,5	-1,5		
Уровни звукового давления прямого звука от источника ИШ-2-10 в расчётной точке днём, дБ		**ф-ла(3)[10]**	**0**	**28**	**19,4**	**17,8**	**17,8**	**18,7**	**10,3**	**0**	**0**	**21,1**	**21,1**
Уровни звукового давления прямого звука от источника ИШ-2-10 в расчётной точке ночью, дБ		**ф-ла(3)[10]**	**0**	**28**	**19,4**	**17,8**	**17,8**	**18,7**	**10,3**	**0**	**0**	**21,1**	**21,1**
Расчёт отражённого звука													

1		2	3	4	5	6	7	8	9	10	11	12	13
Уровни звукового давления от мнимого источника ИШ-2-10_мн.(1) в расчётной точке днём, дБ		**ф-ла(3)[10]**	**0**	**0**	**0**	**0**	**0**	**0**	**0**	**0**	**0**	**0**	**0**
Уровни звукового давления от мнимого источника ИШ-2-10_мн.(1) в расчётной точке ночью, дБ		**ф-ла(3)[10]**	**0**	**0**	**0**	**0**	**0**	**0**	**0**	**0**	**0**	**0**	**0**
Уровни звукового давления от источника ИШ-2-10 в расчётной точке днём, дБ		**ф-ла(3)[10]**	**0**	**28**	**19,4**	**17,8**	**17,8**	**18,7**	**10,3**	**0**	**0**	**21,1**	**21,1**
Уровни звукового давления от источника ИШ-2-10 в расчётной точке ночью, дБ		**ф-ла(3)[10]**	**0**	**28**	**19,4**	**17,8**	**17,8**	**18,7**	**10,3**	**0**	**0**	**21,1**	**21,1**
Источник шума: ИШ-2-11, координаты источника (x,y,z), м =[761.13,97.90,1.00]													
Уровни звуковой мощности источника днём, Lw, дБ		**исходные данные**	**0**	**93,3**	**94,7**	**96**	**96,3**	**95,9**	**92,6**	**88,4**	**83,9**		
Уровни звуковой мощности источника ночью, Lw, дБ		**исходные данные**	**0**	**93,3**	**94,7**	**96**	**96,3**	**95,9**	**92,6**	**88,4**	**83,9**		
Поправка на телесный угол DΩ, дБ	Ω = 6.28	10Lg(4π/Ω)	**3**	3	3	3	3	3	3	3	3		
Показатель направленности источника Di, дБ		исходные данные	**0**	0	0	0	0	0	0	0	0		
Поправка на направленность источника Dc, дБ	Dc	DΩ + Di	**3**	3	3	3	3	3	3	3	3		
Затухание из-за геометрической дивергенции, Adiv, дБ	расстояние = 1419.79 м	ф-ла (7) [10]	**74**										
Коэффициент затухания звука в атмосфере α, дБ/км	Ta=20,°C Pa=101.33,кПа hотн.=70%	ф-ла (5) [9]	0,02	0,09	0,33	1,12	2,79	4,98	9,04	23,09	77,63		
Учет затухания звука в атмосфере Aatm, дБ		ф-ла (8) [10]	0	0,1	0,5	1,6	4	7,1	12,8	32,8	110,2		
Снижение поверхностью земли возле источника As, дБ	Gs = 0 hs = 1м	ф-лы таб.3 [10]	-1,5	-1,5	-1,5	-1,5	-1,5	-1,5	-1,5	-1,5	-1,5		
Снижение поверхностью земли возле приёмника Ar, дБ	Gr = 1 hr = 1.5м	ф-лы таб.3 [10]	-1,5	-1,5	5,3	7	5	0,7	0	0	0		
Снижение поверхностью земли в средней зоне, Am дБ	Gm = 1	ф-лы таб.3 [10]	-2,8	-2,8	0	0	0	0	0	0	0		

1		2	3	4	5	6	7	8	9	10	11	12	13
Суммарное снижение поверхностью земли на траектории распространения звука Agr, дБ		ф-ла (9) [10]	-5,8	-5,8	3,8	5,5	3,5	-0,8	-1,5	-1,5	-1,5		
Уровни звукового давления прямого звука от источника ИШ-2-11 в расчётной точке днём, дБ		**ф-ла(3)[10]**	**0**	**28**	**19,3**	**17,8**	**17,8**	**18,6**	**10,2**	**0**	**0**	**21,1**	**21,1**
Уровни звукового давления прямого звука от источника ИШ-2-11 в расчётной точке ночью, дБ		**ф-ла(3)[10]**	**0**	**28**	**19,3**	**17,8**	**17,8**	**18,6**	**10,2**	**0**	**0**	**21,1**	**21,1**
Расчёт отражённого звука													
Уровни звукового давления от мнимого источника ИШ-2-11_мн.(1) в расчётной точке днём, дБ		**ф-ла(3)[10]**	**0**	**0**	**0**	**0**	**0**	**0**	**0**	**0**	**0**	**0**	**0**
Уровни звукового давления от мнимого источника ИШ-2-11_мн.(1) в расчётной точке ночью, дБ		**ф-ла(3)[10]**	**0**	**0**	**0**	**0**	**0**	**0**	**0**	**0**	**0**	**0**	**0**
Уровни звукового давления от источника ИШ-2-11 в расчётной точке днём, дБ		**ф-ла(3)[10]**	**0**	**28**	**19,3**	**17,8**	**17,8**	**18,6**	**10,2**	**0**	**0**	**21,1**	**21,1**
Уровни звукового давления от источника ИШ-2-11 в расчётной точке ночью, дБ		**ф-ла(3)[10]**	**0**	**28**	**19,3**	**17,8**	**17,8**	**18,6**	**10,2**	**0**	**0**	**21,1**	**21,1**
Источник шума: ИШ-2-12, координаты источника (x,y,z), м =[760.25,95.02,1.00]													
Уровни звуковой мощности источника днём, Lw, дБ		**исходные данные**	**0**	**93,3**	**94,7**	**96**	**96,3**	**95,9**	**92,6**	**88,4**	**83,9**		
Уровни звуковой мощности источника ночью, Lw, дБ		**исходные данные**	**0**	**93,3**	**94,7**	**96**	**96,3**	**95,9**	**92,6**	**88,4**	**83,9**		
Поправка на телесный угол DΩ, дБ	Ω = 6.28	10Lg(4π/Ω)	**3**	3	3	3	3	3	3	3	3		
Показатель направленности источника Di, дБ		исходные данные	**0**	0	0	0	0	0	0	0	0		
Поправка на направленность источника Dc, дБ	Dc	DΩ + Di	**3**	3	3	3	3	3	3	3	3		
Затухание из-за геометрической дивергенции, Adiv, дБ	расстояние = 1422.70 м	ф-ла (7) [10]	**74,1**										
Коэффициент затухания звука в атмосфере α, дБ/км	Ta=20,°C Pa=101.33,кПа hотн.=70%	ф-ла (5) [9]	0,02	0,09	0,33	1,12	2,79	4,98	9,04	23,09	77,63		

1		2	3	4	5	6	7	8	9	10	11	12	13
Учет затухания звука в атмосфере Aatm, дБ		ф-ла (8) [10]	0	0,1	0,5	1,6	4	7,1	12,9	32,8	110,4		
Снижение поверхностью земли возле источника As, дБ	Gs = 0 hs = 1м	ф-лы таб.3 [10]	-1,5	-1,5	-1,5	-1,5	-1,5	-1,5	-1,5	-1,5	-1,5		
Снижение поверхностью земли возле приёмника Ar, дБ	Gr = 1 hr = 1.5м	ф-лы таб.3 [10]	-1,5	-1,5	5,3	7	5	0,7	0	0	0		
Снижение поверхностью земли в средней зоне, Am дБ	Gm = 1	ф-лы таб.3 [10]	-2,8	-2,8	0	0	0	0	0	0	0		
Суммарное снижение поверхностью земли на траектории распространения звука Agr, дБ		ф-ла (9) [10]	-5,8	-5,8	3,8	5,5	3,5	-0,8	-1,5	-1,5	-1,5		
Уровни звукового давления прямого звука от источника ИШ-2-12 в расчётной точке днём, дБ		**ф-ла(3)[10]**	**0**	**27,9**	**19,3**	**17,8**	**17,8**	**18,6**	**10,2**	**0**	**0**	**21**	**21**
Уровни звукового давления прямого звука от источника ИШ-2-12 в расчётной точке ночью, дБ		**ф-ла(3)[10]**	**0**	**27,9**	**19,3**	**17,8**	**17,8**	**18,6**	**10,2**	**0**	**0**	**21**	**21**
Расчёт отражённого звука													
Уровни звукового давления от мнимого источника ИШ-2-12_мн.(1) в расчётной точке днём, дБ		**ф-ла(3)[10]**	**0**	**0**	**0**	**0**	**0**	**0**	**0**	**0**	**0**	**0**	**0**
Уровни звукового давления от мнимого источника ИШ-2-12_мн.(1) в расчётной точке ночью, дБ		**ф-ла(3)[10]**	**0**	**0**	**0**	**0**	**0**	**0**	**0**	**0**	**0**	**0**	**0**
Уровни звукового давления от источника ИШ-2-12 в расчётной точке днём, дБ		**ф-ла(3)[10]**	**0**	**27,9**	**19,3**	**17,8**	**17,8**	**18,6**	**10,2**	**0**	**0**	**21**	**21**
Уровни звукового давления от источника ИШ-2-12 в расчётной точке ночью, дБ		**ф-ла(3)[10]**	**0**	**27,9**	**19,3**	**17,8**	**17,8**	**18,6**	**10,2**	**0**	**0**	**21**	**21**
Источник шума: ИШ-2-13, координаты источника (x,y,z), м =[759.28,92.25,1.00]													
Уровни звуковой мощности источника днём, Lw, дБ		**исходные данные**	**0**	**93,3**	**94,7**	**96**	**96,3**	**95,9**	**92,6**	**88,4**	**83,9**		
Уровни звуковой мощности источника ночью, Lw, дБ		**исходные данные**	**0**	**93,3**	**94,7**	**96**	**96,3**	**95,9**	**92,6**	**88,4**	**83,9**		
Поправка на телесный угол DΩ, дБ	Ω = 6.28	10Lg(4π/Ω)	**3**	3	3	3	3	3	3	3	3		
Показатель направленности источника Di, дБ		исходные данные	**0**	0	0	0	0	0	0	0	0		

1		2	3	4	5	6	7	8	9	10	11	12	13
Поправка на направленность источника Dc, дБ	Dc	DΩ + Di	**3**	3	3	3	3	3	3	3	3		
Затухание из-за геометрической дивергенции, Adiv, дБ	расстояние = 1425.48 м	ф-ла (7) [10]	**74,1**										
Коэффициент затухания звука в атмосфере α, дБ/км	Ta=20,°C Pa=101.33,кПа hотн.=70%	ф-ла (5) [9]	0,02	0,09	0,33	1,12	2,79	4,98	9,04	23,09	77,63		
Учет затухания звука в атмосфере Aatm, дБ		ф-ла (8) [10]	0	0,1	0,5	1,6	4	7,1	12,9	32,9	110,7		
Снижение поверхностью земли возле источника As, дБ	Gs = 0 hs = 1м	ф-лы таб.3 [10]	-1,5	-1,5	-1,5	-1,5	-1,5	-1,5	-1,5	-1,5	-1,5		
Снижение поверхностью земли возле приёмника Ar, дБ	Gr = 1 hr = 1.5м	ф-лы таб.3 [10]	-1,5	-1,5	5,3	7	5	0,7	0	0	0		
Снижение поверхностью земли в средней зоне, Am дБ	Gm = 1	ф-лы таб.3 [10]	-2,8	-2,8	0	0	0	0	0	0	0		
Суммарное снижение поверхностью земли на траектории распространения звука Agr, дБ		ф-ла (9) [10]	-5,8	-5,8	3,8	5,5	3,5	-0,8	-1,5	-1,5	-1,5		
Уровни звукового давления прямого звука от источника ИШ-2-13 в расчётной точке днём, дБ		**ф-ла(3)[10]**	**0**	**27,9**	**19,3**	**17,8**	**17,8**	**18,6**	**10,1**	**0**	**0**	**21**	**21**
Уровни звукового давления прямого звука от источника ИШ-2-13 в расчётной точке ночью, дБ		**ф-ла(3)[10]**	**0**	**27,9**	**19,3**	**17,8**	**17,8**	**18,6**	**10,1**	**0**	**0**	**21**	**21**
Расчёт отражённого звука													
Уровни звукового давления от мнимого источника ИШ-2-13_мн.(1) в расчётной точке днём, дБ		**ф-ла(3)[10]**	**0**	**0**	**0**	**0**	**0**	**0**	**0**	**0**	**0**	**0**	**0**
Уровни звукового давления от мнимого источника ИШ-2-13_мн.(1) в расчётной точке ночью, дБ		**ф-ла(3)[10]**	**0**	**0**	**0**	**0**	**0**	**0**	**0**	**0**	**0**	**0**	**0**
Уровни звукового давления от источника ИШ-2-13 в расчётной точке днём, дБ		**ф-ла(3)[10]**	**0**	**27,9**	**19,3**	**17,8**	**17,8**	**18,6**	**10,1**	**0**	**0**	**21**	**21**
Уровни звукового давления от источника ИШ-2-13 в расчётной точке ночью, дБ		**ф-ла(3)[10]**	**0**	**27,9**	**19,3**	**17,8**	**17,8**	**18,6**	**10,1**	**0**	**0**	**21**	**21**
Источник шума: ИШ-2-14, координаты источника (x,y,z), м =[751.62,69.73,1.00]													

1		2	3	4	5	6	7	8	9	10	11	12	13
Уровни звуковой мощности источника днём, Lw, дБ		**исходные данные**	**0**	**93,3**	**94,7**	**96**	**96,3**	**95,9**	**92,6**	**88,4**	**83,9**		
Уровни звуковой мощности источника ночью, Lw, дБ		**исходные данные**	**0**	**93,3**	**94,7**	**96**	**96,3**	**95,9**	**92,6**	**88,4**	**83,9**		
Поправка на телесный угол DΩ, дБ	Ω = 6.28	10Lg(4π/Ω)	**3**	3	3	3	3	3	3	3	3		
Показатель направленности источника Di, дБ		исходные данные	**0**	0	0	0	0	0	0	0	0		
Поправка на направленность источника Dc, дБ	Dc	DΩ + Di	**3**	3	3	3	3	3	3	3	3		
Затухание из-за геометрической дивергенции, Adiv, дБ	расстояние = 1448.19 м	ф-ла (7) [10]	**74,2**										
Коэффициент затухания звука в атмосфере α, дБ/км	Ta=20,°C Pa=101.33,кПа hотн.=70%	ф-ла (5) [9]	0,02	0,09	0,33	1,12	2,79	4,98	9,04	23,09	77,63		
Учет затухания звука в атмосфере Aatm, дБ		ф-ла (8) [10]	0	0,1	0,5	1,6	4	7,2	13,1	33,4	112,4		
Снижение поверхностью земли возле источника As, дБ	Gs = 0 hs = 1м	ф-лы таб.3 [10]	-1,5	-1,5	-1,5	-1,5	-1,5	-1,5	-1,5	-1,5	-1,5		
Снижение поверхностью земли возле приёмника Ar, дБ	Gr = 1 hr = 1.5м	ф-лы таб.3 [10]	-1,5	-1,5	5,3	7	5	0,7	0	0	0		
Снижение поверхностью земли в средней зоне, Am дБ	Gm = 1	ф-лы таб.3 [10]	-2,8	-2,8	0	0	0	0	0	0	0		
Суммарное снижение поверхностью земли на траектории распространения звука Agr, дБ		ф-ла (9) [10]	-5,8	-5,8	3,8	5,5	3,5	-0,8	-1,5	-1,5	-1,5		
Уровни звукового давления от источника ИШ-2-14 в расчётной точке днём, дБ		**ф-ла(3)[10]**	**0**	**27,8**	**19,2**	**17,6**	**17,6**	**18,3**	**9,8**	**0**	**0**	**20,8**	**20,8**
Уровни звукового давления от источника ИШ-2-14 в расчётной точке ночью, дБ		**ф-ла(3)[10]**	**0**	**27,8**	**19,2**	**17,6**	**17,6**	**18,3**	**9,8**	**0**	**0**	**20,8**	**20,8**
Источник шума: ИШ-2-15, координаты источника (x,y,z), м =[750.74,66.89,1.00]													
Уровни звуковой мощности источника днём, Lw, дБ		**исходные данные**	**0**	**93,3**	**94,7**	**96**	**96,3**	**95,9**	**92,6**	**88,4**	**83,9**		

1		2	3	4	5	6	7	8	9	10	11	12	13
Уровни звуковой мощности источника ночью, Lw, дБ		**исходные данные**	**0**	**93,3**	**94,7**	**96**	**96,3**	**95,9**	**92,6**	**88,4**	**83,9**		
Поправка на телесный угол DΩ, дБ	Ω = 6.28	10Lg(4π/Ω)	**3**	3	3	3	3	3	3	3	3		
Показатель направленности источника Di, дБ		исходные данные	**0**	0	0	0	0	0	0	0	0		
Поправка на направленность источника Dc, дБ	Dc	DΩ + Di	**3**	3	3	3	3	3	3	3	3		
Затухание из-за геометрической дивергенции, Adiv, дБ	расстояние = 1451.06 м	ф-ла (7) [10]	**74,2**										
Коэффициент затухания звука в атмосфере α, дБ/км	Ta=20,°C Pa=101.33,кПа hотн.=70%	ф-ла (5) [9]	0,02	0,09	0,33	1,12	2,79	4,98	9,04	23,09	77,63		
Учет затухания звука в атмосфере Aatm, дБ		ф-ла (8) [10]	0	0,1	0,5	1,6	4,1	7,2	13,1	33,5	112,7		
Снижение поверхностью земли возле источника As, дБ	Gs = 0 hs = 1м	ф-лы таб.3 [10]	-1,5	-1,5	-1,5	-1,5	-1,5	-1,5	-1,5	-1,5	-1,5		
Снижение поверхностью земли возле приёмника Ar, дБ	Gr = 1 hr = 1.5м	ф-лы таб.3 [10]	-1,5	-1,5	5,3	7	5	0,7	0	0	0		
Снижение поверхностью земли в средней зоне, Am дБ	Gm = 1	ф-лы таб.3 [10]	-2,8	-2,8	0	0	0	0	0	0	0		
Суммарное снижение поверхностью земли на траектории распространения звука Agr, дБ		ф-ла (9) [10]	-5,8	-5,8	3,8	5,5	3,5	-0,8	-1,5	-1,5	-1,5		
Уровни звукового давления от источника ИШ-2-15 в расчётной точке днём, дБ		**ф-ла(3)[10]**	**0**	**27,8**	**19,1**	**17,6**	**17,5**	**18,3**	**9,7**	**0**	**0**	**20,7**	**20,7**
Уровни звукового давления от источника ИШ-2-15 в расчётной точке ночью, дБ		**ф-ла(3)[10]**	**0**	**27,8**	**19,1**	**17,6**	**17,5**	**18,3**	**9,7**	**0**	**0**	**20,7**	**20,7**
Источник шума: ИШ-2-16, координаты источника (x,y,z), м =[749.73,64.02,1.00]													
Уровни звуковой мощности источника днём, Lw, дБ		**исходные данные**	**0**	**93,3**	**94,7**	**96**	**96,3**	**95,9**	**92,6**	**88,4**	**83,9**		
Уровни звуковой мощности источника ночью, Lw, дБ		**исходные данные**	**0**	**93,3**	**94,7**	**96**	**96,3**	**95,9**	**92,6**	**88,4**	**83,9**		

1		2	3	4	5	6	7	8	9	10	11	12	13
Поправка на телесный угол DΩ, дБ	Ω = 6.28	10Lg(4π/Ω)	**3**	3	3	3	3	3	3	3	3		
Показатель направленности источника Di, дБ		исходные данные	**0**	0	0	0	0	0	0	0	0		
Поправка на направленность источника Dc, дБ	Dc	DΩ + Di	**3**	3	3	3	3	3	3	3	3		
Затухание из-за геометрической дивергенции, Adiv, дБ	расстояние = 1453.95 м	ф-ла (7) [10]	**74,3**										
Коэффициент затухания звука в атмосфере α, дБ/км	Ta=20,°C Pa=101.33,кПа hотн.=70%	ф-ла (5) [9]	0,02	0,09	0,33	1,12	2,79	4,98	9,04	23,09	77,63		
Учет затухания звука в атмосфере Aatm, дБ		ф-ла (8) [10]	0	0,1	0,5	1,6	4,1	7,2	13,1	33,6	112,9		
Снижение поверхностью земли возле источника As, дБ	Gs = 0 hs = 1м	ф-лы таб.3 [10]	-1,5	-1,5	-1,5	-1,5	-1,5	-1,5	-1,5	-1,5	-1,5		
Снижение поверхностью земли возле приёмника Ar, дБ	Gr = 1 hr = 1.5м	ф-лы таб.3 [10]	-1,5	-1,5	5,3	7	5	0,7	0	0	0		
Снижение поверхностью земли в средней зоне, Am дБ	Gm = 1	ф-лы таб.3 [10]	-2,8	-2,8	0	0	0	0	0	0	0		
Суммарное снижение поверхностью земли на траектории распространения звука Agr, дБ		ф-ла (9) [10]	-5,8	-5,8	3,8	5,5	3,5	-0,8	-1,5	-1,5	-1,5		
Уровни звукового давления от источника ИШ-2-16 в расчётной точке днём, дБ		**ф-ла(3)[10]**	**0**	**27,8**	**19,1**	**17,6**	**17,5**	**18,2**	**9,7**	**0**	**0**	**20,7**	**20,7**
Уровни звукового давления от источника ИШ-2-16 в расчётной точке ночью, дБ		**ф-ла(3)[10]**	**0**	**27,8**	**19,1**	**17,6**	**17,5**	**18,2**	**9,7**	**0**	**0**	**20,7**	**20,7**
Источник шума: ИШ-2-17, координаты источника (x,y,z), м =[748.87,61.06,1.00]													
Уровни звуковой мощности источника днём, Lw, дБ		**исходные данные**	**0**	**93,3**	**94,7**	**96**	**96,3**	**95,9**	**92,6**	**88,4**	**83,9**		
Уровни звуковой мощности источника ночью, Lw, дБ		**исходные данные**	**0**	**93,3**	**94,7**	**96**	**96,3**	**95,9**	**92,6**	**88,4**	**83,9**		
Поправка на телесный угол DΩ, дБ	Ω = 6.28	10Lg(4π/Ω)	**3**	3	3	3	3	3	3	3	3		

1		2	3	4	5	6	7	8	9	10	11	12	13
Показатель направленности источника Di, дБ		исходные данные	**0**	0	0	0	0	0	0	0	0		
Поправка на направленность источника Dc, дБ	Dc	DΩ + Di	**3**	3	3	3	3	3	3	3	3		
Затухание из-за геометрической дивергенции, Adiv, дБ	расстояние = 1456.94 м	ф-ла (7) [10]	**74,3**										
Коэффициент затухания звука в атмосфере α, дБ/км	Ta=20,°C Pa=101.33,кПа hотн.=70%	ф-ла (5) [9]	0,02	0,09	0,33	1,12	2,79	4,98	9,04	23,09	77,63		
Учет затухания звука в атмосфере Aatm, дБ		ф-ла (8) [10]	0	0,1	0,5	1,6	4,1	7,3	13,2	33,6	113,1		
Снижение поверхностью земли возле источника As, дБ	Gs = 0 hs = 1м	ф-лы таб.3 [10]	-1,5	-1,5	-1,5	-1,5	-1,5	-1,5	-1,5	-1,5	-1,5		
Снижение поверхностью земли возле приёмника Ar, дБ	Gr = 1 hr = 1.5м	ф-лы таб.3 [10]	-1,5	-1,5	5,3	7	5	0,7	0	0	0		
Снижение поверхностью земли в средней зоне, Am дБ	Gm = 1	ф-лы таб.3 [10]	-2,8	-2,8	0	0	0	0	0	0	0		
Суммарное снижение поверхностью земли на траектории распространения звука Agr, дБ		ф-ла (9) [10]	-5,8	-5,8	3,8	5,5	3,5	-0,8	-1,5	-1,5	-1,5		
Уровни звукового давления от источника ИШ-2-17 в расчётной точке днём, дБ		**ф-ла(3)[10]**	**0**	**27,7**	**19,1**	**17,6**	**17,5**	**18,2**	**9,7**	**0**	**0**	**20,7**	**20,7**
Уровни звукового давления от источника ИШ-2-17 в расчётной точке ночью, дБ		**ф-ла(3)[10]**	**0**	**27,7**	**19,1**	**17,6**	**17,5**	**18,2**	**9,7**	**0**	**0**	**20,7**	**20,7**
Источник шума: ИШ-2-18, координаты источника (x,y,z), м =[747.72,58.17,1.00]													
Уровни звуковой мощности источника днём, Lw, дБ		**исходные данные**	**0**	**93,3**	**94,7**	**96**	**96,3**	**95,9**	**92,6**	**88,4**	**83,9**		
Уровни звуковой мощности источника ночью, Lw, дБ		**исходные данные**	**0**	**93,3**	**94,7**	**96**	**96,3**	**95,9**	**92,6**	**88,4**	**83,9**		
Поправка на телесный угол DΩ, дБ	Ω = 6.28	10Lg(4π/Ω)	**3**	3	3	3	3	3	3	3	3		
Показатель направленности источника Di, дБ		исходные данные	**0**	0	0	0	0	0	0	0	0		

1		2	3	4	5	6	7	8	9	10	11	12	13
Поправка на направленность источника Dc, дБ	Dc	DΩ + Di	**3**	3	3	3	3	3	3	3	3		
Затухание из-за геометрической дивергенции, Adiv, дБ	расстояние = 1459.86 м	ф-ла (7) [10]	**74,3**										
Коэффициент затухания звука в атмосфере α, дБ/км	Ta=20,°C Pa=101.33,кПа hотн.=70%	ф-ла (5) [9]	0,02	0,09	0,33	1,12	2,79	4,98	9,04	23,09	77,63		
Учет затухания звука в атмосфере Aatm, дБ		ф-ла (8) [10]	0	0,1	0,5	1,6	4,1	7,3	13,2	33,7	113,3		
Снижение поверхностью земли возле источника As, дБ	Gs = 0 hs = 1м	ф-лы таб.3 [10]	-1,5	-1,5	-1,5	-1,5	-1,5	-1,5	-1,5	-1,5	-1,5		
Снижение поверхностью земли возле приёмника Ar, дБ	Gr = 1 hr = 1.5м	ф-лы таб.3 [10]	-1,5	-1,5	5,3	7	5	0,7	0	0	0		
Снижение поверхностью земли в средней зоне, Am дБ	Gm = 1	ф-лы таб.3 [10]	-2,8	-2,8	0	0	0	0	0	0	0		
Суммарное снижение поверхностью земли на траектории распространения звука Agr, дБ		ф-ла (9) [10]	-5,8	-5,8	3,8	5,5	3,5	-0,8	-1,5	-1,5	-1,5		
Уровни звукового давления от источника ИШ-2-18 в расчётной точке днём, дБ		**ф-ла(3)[10]**	**0**	**27,7**	**19,1**	**17,5**	**17,5**	**18,2**	**9,6**	**0**	**0**	**20,6**	**20,6**
Уровни звукового давления от источника ИШ-2-18 в расчётной точке ночью, дБ		**ф-ла(3)[10]**	**0**	**27,7**	**19,1**	**17,5**	**17,5**	**18,2**	**9,6**	**0**	**0**	**20,6**	**20,6**
Источник шума: ИШ-2-19, координаты источника (x,y,z), м =[746.80,55.25,1.00]													
Уровни звуковой мощности источника днём, Lw, дБ		**исходные данные**	**0**	**93,3**	**94,7**	**96**	**96,3**	**95,9**	**92,6**	**88,4**	**83,9**		
Уровни звуковой мощности источника ночью, Lw, дБ		**исходные данные**	**0**	**93,3**	**94,7**	**96**	**96,3**	**95,9**	**92,6**	**88,4**	**83,9**		
Поправка на телесный угол DΩ, дБ	Ω = 6.28	10Lg(4π/Ω)	**3**	3	3	3	3	3	3	3	3		
Показатель направленности источника Di, дБ		исходные данные	**0**	0	0	0	0	0	0	0	0		
Поправка на направленность источника Dc, дБ	Dc	DΩ + Di	**3**	3	3	3	3	3	3	3	3		

1		2	3	4	5	6	7	8	9	10	11	12	13
Затухание из-за геометрической дивергенции, Adiv, дБ	расстояние = 1462.81 м	ф-ла (7) [10]	**74,3**										
Коэффициент затухания звука в атмосфере α, дБ/км	Ta=20,°C Pa=101.33,кПа hотн.=70%	ф-ла (5) [9]	0,02	0,09	0,33	1,12	2,79	4,98	9,04	23,09	77,63		
Учет затухания звука в атмосфере Aatm, дБ		ф-ла (8) [10]	0	0,1	0,5	1,6	4,1	7,3	13,2	33,8	113,6		
Снижение поверхностью земли возле источника As, дБ	Gs = 0 hs = 1м	ф-лы таб.3 [10]	-1,5	-1,5	-1,5	-1,5	-1,5	-1,5	-1,5	-1,5	-1,5		
Снижение поверхностью земли возле приёмника Ar, дБ	Gr = 1 hr = 1.5м	ф-лы таб.3 [10]	-1,5	-1,5	5,3	7	5	0,7	0	0	0		
Снижение поверхностью земли в средней зоне, Am дБ	Gm = 1	ф-лы таб.3 [10]	-2,8	-2,8	0	0	0	0	0	0	0		
Суммарное снижение поверхностью земли на траектории распространения звука Agr, дБ		ф-ла (9) [10]	-5,8	-5,8	3,8	5,5	3,5	-0,8	-1,5	-1,5	-1,5		
Уровни звукового давления от источника ИШ-2-19 в расчётной точке днём, дБ		**ф-ла(3)[10]**	**0**	**27,7**	**19,1**	**17,5**	**17,4**	**18,1**	**9,6**	**0**	**0**	**20,6**	**20,6**
Уровни звукового давления от источника ИШ-2-19 в расчётной точке ночью, дБ		**ф-ла(3)[10]**	**0**	**27,7**	**19,1**	**17,5**	**17,4**	**18,1**	**9,6**	**0**	**0**	**20,6**	**20,6**
Источник шума: ИШ-2-20, координаты источника (x,y,z), м =[745.71,52.44,1.00]													
Уровни звуковой мощности источника днём, Lw, дБ		**исходные данные**	**0**	**93,3**	**94,7**	**96**	**96,3**	**95,9**	**92,6**	**88,4**	**83,9**		
Уровни звуковой мощности источника ночью, Lw, дБ		**исходные данные**	**0**	**93,3**	**94,7**	**96**	**96,3**	**95,9**	**92,6**	**88,4**	**83,9**		
Поправка на телесный угол DΩ, дБ	Ω = 6.28	10Lg(4π/Ω)	**3**	3	3	3	3	3	3	3	3		
Показатель направленности источника Di, дБ		исходные данные	**0**	0	0	0	0	0	0	0	0		
Поправка на направленность источника Dc, дБ	Dc	DΩ + Di	**3**	3	3	3	3	3	3	3	3		
Затухание из-за геометрической дивергенции, Adiv, дБ	расстояние = 1465.65 м	ф-ла (7) [10]	**74,3**										

1		2	3	4	5	6	7	8	9	10	11	12	13
Коэффициент затухания звука в атмосфере α, дБ/км	Ta=20,°C Pa=101.33,кПа hотн.=70%	ф-ла (5) [9]	0,02	0,09	0,33	1,12	2,79	4,98	9,04	23,09	77,63		
Учет затухания звука в атмосфере Aatm, дБ		ф-ла (8) [10]	0	0,1	0,5	1,6	4,1	7,3	13,2	33,8	113,8		
Снижение поверхностью земли возле источника As, дБ	Gs = 0 hs = 1м	ф-лы таб.3 [10]	-1,5	-1,5	-1,5	-1,5	-1,5	-1,5	-1,5	-1,5	-1,5		
Снижение поверхностью земли возле приёмника Ar, дБ	Gr = 1 hr = 1.5м	ф-лы таб.3 [10]	-1,5	-1,5	5,3	7	5	0,7	0	0	0		
Снижение поверхностью земли в средней зоне, Am дБ	Gm = 1	ф-лы таб.3 [10]	-2,8	-2,8	0	0	0	0	0	0	0		
Суммарное снижение поверхностью земли на траектории распространения звука Agr, дБ		ф-ла (9) [10]	-5,8	-5,8	3,8	5,5	3,5	-0,8	-1,5	-1,5	-1,5		
Уровни звукового давления от источника ИШ-2-20 в расчётной точке днём, дБ		**ф-ла(3)[10]**	**0**	**27,7**	**19**	**17,5**	**17,4**	**18,1**	**9,5**	**0**	**0**	**20,6**	**20,6**
Уровни звукового давления от источника ИШ-2-20 в расчётной точке ночью, дБ		**ф-ла(3)[10]**	**0**	**27,7**	**19**	**17,5**	**17,4**	**18,1**	**9,5**	**0**	**0**	**20,6**	**20,6**
Источник шума: ИШ-2-21, координаты источника (x,y,z), м =[744.89,49.62,1.00]													
Уровни звуковой мощности источника днём, Lw, дБ		**исходные данные**	**0**	**93,3**	**94,7**	**96**	**96,3**	**95,9**	**92,6**	**88,4**	**83,9**		
Уровни звуковой мощности источника ночью, Lw, дБ		**исходные данные**	**0**	**93,3**	**94,7**	**96**	**96,3**	**95,9**	**92,6**	**88,4**	**83,9**		
Поправка на телесный угол DΩ, дБ	Ω = 6.28	10Lg(4π/Ω)	**3**	3	3	3	3	3	3	3	3		
Показатель направленности источника Di, дБ		исходные данные	**0**	0	0	0	0	0	0	0	0		
Поправка на направленность источника Dc, дБ	Dc	DΩ + Di	**3**	3	3	3	3	3	3	3	3		
Затухание из-за геометрической дивергенции, Adiv, дБ	расстояние = 1468.50 м	ф-ла (7) [10]	**74,3**										
Коэффициент затухания звука в атмосфере α, дБ/км	Ta=20,°C Pa=101.33,кПа hотн.=70%	ф-ла (5) [9]	0,02	0,09	0,33	1,12	2,79	4,98	9,04	23,09	77,63		

1		2	3	4	5	6	7	8	9	10	11	12	13
Учет затухания звука в атмосфере Aatm, дБ		ф-ла (8) [10]	0	0,1	0,5	1,7	4,1	7,3	13,3	33,9	114		
Снижение поверхностью земли возле источника As, дБ	Gs = 0 hs = 1м	ф-лы таб.3 [10]	-1,5	-1,5	-1,5	-1,5	-1,5	-1,5	-1,5	-1,5	-1,5		
Снижение поверхностью земли возле приёмника Ar, дБ	Gr = 1 hr = 1.5м	ф-лы таб.3 [10]	-1,5	-1,5	5,3	7	5	0,7	0	0	0		
Снижение поверхностью земли в средней зоне, Am дБ	Gm = 1	ф-лы таб.3 [10]	-2,8	-2,8	0	0	0	0	0	0	0		
Суммарное снижение поверхностью земли на траектории распространения звука Agr, дБ		ф-ла (9) [10]	-5,8	-5,8	3,8	5,5	3,5	-0,8	-1,5	-1,5	-1,5		
Уровни звукового давления от источника ИШ-2-21 в расчётной точке днём, дБ		**ф-ла(3)[10]**	**0**	**27,7**	**19**	**17,5**	**17,4**	**18,1**	**9,5**	**0**	**0**	**20,5**	**20,5**
Уровни звукового давления от источника ИШ-2-21 в расчётной точке ночью, дБ		**ф-ла(3)[10]**	**0**	**27,7**	**19**	**17,5**	**17,4**	**18,1**	**9,5**	**0**	**0**	**20,5**	**20,5**
Источник шума: ИШ-2-22, координаты источника (x,y,z), м =[737.40,27.07,1.00]													
Уровни звуковой мощности источника днём, Lw, дБ		**исходные данные**	**0**	**93,3**	**94,7**	**96**	**96,3**	**95,9**	**92,6**	**88,4**	**83,9**		
Уровни звуковой мощности источника ночью, Lw, дБ		**исходные данные**	**0**	**93,3**	**94,7**	**96**	**96,3**	**95,9**	**92,6**	**88,4**	**83,9**		
Поправка на телесный угол DΩ, дБ	Ω = 6.28	10Lg(4π/Ω)	**3**	3	3	3	3	3	3	3	3		
Показатель направленности источника Di, дБ		исходные данные	**0**	0	0	0	0	0	0	0	0		
Поправка на направленность источника Dc, дБ	Dc	DΩ + Di	**3**	3	3	3	3	3	3	3	3		
Затухание из-за геометрической дивергенции, Adiv, дБ	расстояние = 1491.29 м	ф-ла (7) [10]	**74,5**										
Коэффициент затухания звука в атмосфере α, дБ/км	Ta=20,°C Pa=101.33,кПа hотн.=70%	ф-ла (5) [9]	0,02	0,09	0,33	1,12	2,79	4,98	9,04	23,09	77,63		
Учет затухания звука в атмосфере Aatm, дБ		ф-ла (8) [10]	0	0,1	0,5	1,7	4,2	7,4	13,5	34,4	115,8		

1		2	3	4	5	6	7	8	9	10	11	12	13
Снижение поверхностью земли возле источника As, дБ	Gs = 0 hs = 1м	ф-лы таб.3 [10]	-1,5	-1,5	-1,5	-1,5	-1,5	-1,5	-1,5	-1,5	-1,5		
Снижение поверхностью земли возле приёмника Ar, дБ	Gr = 1 hr = 1.5м	ф-лы таб.3 [10]	-1,5	-1,5	5,3	7	5	0,7	0	0	0		
Снижение поверхностью земли в средней зоне, Am дБ	Gm = 1	ф-лы таб.3 [10]	-2,8	-2,8	0	0	0	0	0	0	0		
Суммарное снижение поверхностью земли на траектории распространения звука Agr, дБ		ф-ла (9) [10]	-5,8	-5,8	3,8	5,5	3,5	-0,8	-1,5	-1,5	-1,5		
Уровни звукового давления от источника ИШ-2-22 в расчётной точке днём, дБ		**ф-ла(3)[10]**	**0**	**27,5**	**18,9**	**17,3**	**17,2**	**17,8**	**9,1**	**0**	**0**	**20,3**	**20,3**
Уровни звукового давления от источника ИШ-2-22 в расчётной точке ночью, дБ		**ф-ла(3)[10]**	**0**	**27,5**	**18,9**	**17,3**	**17,2**	**17,8**	**9,1**	**0**	**0**	**20,3**	**20,3**
Источник шума: ИШ-2-23, координаты источника (x,y,z), м =[736.46,24.18,1.00]													
Уровни звуковой мощности источника днём, Lw, дБ		**исходные данные**	**0**	**93,3**	**94,7**	**96**	**96,3**	**95,9**	**92,6**	**88,4**	**83,9**		
Уровни звуковой мощности источника ночью, Lw, дБ		**исходные данные**	**0**	**93,3**	**94,7**	**96**	**96,3**	**95,9**	**92,6**	**88,4**	**83,9**		
Поправка на телесный угол DΩ, дБ	Ω = 6.28	10Lg(4π/Ω)	**3**	3	3	3	3	3	3	3	3		
Показатель направленности источника Di, дБ		исходные данные	**0**	0	0	0	0	0	0	0	0		
Поправка на направленность источника Dc, дБ	Dc	DΩ + Di	**3**	3	3	3	3	3	3	3	3		
Затухание из-за геометрической дивергенции, Adiv, дБ	расстояние = 1494.22 м	ф-ла (7) [10]	**74,5**										
Коэффициент затухания звука в атмосфере α, дБ/км	Ta=20,°C Pa=101.33,кПа hотн.=70%	ф-ла (5) [9]	0,02	0,09	0,33	1,12	2,79	4,98	9,04	23,09	77,63		
Учет затухания звука в атмосфере Aatm, дБ		ф-ла (8) [10]	0	0,1	0,5	1,7	4,2	7,4	13,5	34,5	116		
Снижение поверхностью земли возле источника As, дБ	Gs = 0 hs = 1м	ф-лы таб.3 [10]	-1,5	-1,5	-1,5	-1,5	-1,5	-1,5	-1,5	-1,5	-1,5		

1		2	3	4	5	6	7	8	9	10	11	12	13
Снижение поверхностью земли возле приёмника Ar, дБ	Gr = 1 hr = 1.5м	ф-лы таб.3 [10]	-1,5	-1,5	5,3	7	5	0,7	0	0	0		
Снижение поверхностью земли в средней зоне, Am дБ	Gm = 1	ф-лы таб.3 [10]	-2,8	-2,8	0	0	0	0	0	0	0		
Суммарное снижение поверхностью земли на траектории распространения звука Agr, дБ		ф-ла (9) [10]	-5,8	-5,8	3,8	5,5	3,5	-0,8	-1,5	-1,5	-1,5		
Уровни звукового давления от источника ИШ-2-23 в расчётной точке днём, дБ		**ф-ла(3)[10]**	**0**	**27,5**	**18,9**	**17,3**	**17,2**	**17,8**	**9,1**	**0**	**0**	**20,3**	**20,3**
Уровни звукового давления от источника ИШ-2-23 в расчётной точке ночью, дБ		**ф-ла(3)[10]**	**0**	**27,5**	**18,9**	**17,3**	**17,2**	**17,8**	**9,1**	**0**	**0**	**20,3**	**20,3**
Источник шума: ИШ-2-24, координаты источника (x,y,z), м =[735.45,21.21,1.00]													
Уровни звуковой мощности источника днём, Lw, дБ		**исходные данные**	**0**	**93,3**	**94,7**	**96**	**96,3**	**95,9**	**92,6**	**88,4**	**83,9**		
Уровни звуковой мощности источника ночью, Lw, дБ		**исходные данные**	**0**	**93,3**	**94,7**	**96**	**96,3**	**95,9**	**92,6**	**88,4**	**83,9**		
Поправка на телесный угол DΩ, дБ	Ω = 6.28	10Lg(4π/Ω)	**3**	3	3	3	3	3	3	3	3		
Показатель направленности источника Di, дБ		исходные данные	**0**	0	0	0	0	0	0	0	0		
Поправка на направленность источника Dc, дБ	Dc	DΩ + Di	**3**	3	3	3	3	3	3	3	3		
Затухание из-за геометрической дивергенции, Adiv, дБ	расстояние = 1497.22 м	ф-ла (7) [10]	**74,5**										
Коэффициент затухания звука в атмосфере α, дБ/км	Ta=20,°C Pa=101.33,кПа hотн.=70%	ф-ла (5) [9]	0,02	0,09	0,33	1,12	2,79	4,98	9,04	23,09	77,63		
Учет затухания звука в атмосфере Aatm, дБ		ф-ла (8) [10]	0	0,1	0,5	1,7	4,2	7,5	13,5	34,6	116,2		
Снижение поверхностью земли возле источника As, дБ	Gs = 0 hs = 1м	ф-лы таб.3 [10]	-1,5	-1,5	-1,5	-1,5	-1,5	-1,5	-1,5	-1,5	-1,5		
Снижение поверхностью земли возле приёмника Ar, дБ	Gr = 1 hr = 1.5м	ф-лы таб.3 [10]	-1,5	-1,5	5,3	7	5	0,7	0	0	0		

1		2	3	4	5	6	7	8	9	10	11	12	13
Снижение поверхностью земли в средней зоне, Am дБ	Gm = 1	ф-лы таб.3 [10]	-2,8	-2,8	0	0	0	0	0	0	0		
Суммарное снижение поверхностью земли на траектории распространения звука Agr, дБ		ф-ла (9) [10]	-5,8	-5,8	3,8	5,5	3,5	-0,8	-1,5	-1,5	-1,5		
Уровни звукового давления от источника ИШ-2-24 в расчётной точке днём, дБ		**ф-ла(3)[10]**	**0**	**27,5**	**18,8**	**17,3**	**17,1**	**17,8**	**9,1**	**0**	**0**	**20,2**	**20,2**
Уровни звукового давления от источника ИШ-2-24 в расчётной точке ночью, дБ		**ф-ла(3)[10]**	**0**	**27,5**	**18,8**	**17,3**	**17,1**	**17,8**	**9,1**	**0**	**0**	**20,2**	**20,2**
Источник шума: ИШ-2-25, координаты источника (x,y,z), м =[734.58,18.32,1.00]													
Уровни звуковой мощности источника днём, Lw, дБ		**исходные данные**	**0**	**93,3**	**94,7**	**96**	**96,3**	**95,9**	**92,6**	**88,4**	**83,9**		
Уровни звуковой мощности источника ночью, Lw, дБ		**исходные данные**	**0**	**93,3**	**94,7**	**96**	**96,3**	**95,9**	**92,6**	**88,4**	**83,9**		
Поправка на телесный угол DΩ, дБ	Ω = 6.28	10Lg(4π/Ω)	**3**	3	3	3	3	3	3	3	3		
Показатель направленности источника Di, дБ		исходные данные	**0**	0	0	0	0	0	0	0	0		
Поправка на направленность источника Dc, дБ	Dc	DΩ + Di	**3**	3	3	3	3	3	3	3	3		
Затухание из-за геометрической дивергенции, Adiv, дБ	расстояние = 1500.14 м	ф-ла (7) [10]	**74,5**										
Коэффициент затухания звука в атмосфере α, дБ/км	Ta=20,°C Pa=101.33,кПа hотн.=70%	ф-ла (5) [9]	0,02	0,09	0,33	1,12	2,79	4,98	9,04	23,09	77,63		
Учет затухания звука в атмосфере Aatm, дБ		ф-ла (8) [10]	0	0,1	0,5	1,7	4,2	7,5	13,6	34,6	116,5		
Снижение поверхностью земли возле источника As, дБ	Gs = 0 hs = 1м	ф-лы таб.3 [10]	-1,5	-1,5	-1,5	-1,5	-1,5	-1,5	-1,5	-1,5	-1,5		
Снижение поверхностью земли возле приёмника Ar, дБ	Gr = 1 hr = 1.5м	ф-лы таб.3 [10]	-1,5	-1,5	5,3	7	5	0,7	0	0	0		
Снижение поверхностью земли в средней зоне, Am дБ	Gm = 1	ф-лы таб.3 [10]	-2,9	-2,9	0	0	0	0	0	0	0		

1		2	3	4	5	6	7	8	9	10	11	12	13
Суммарное снижение поверхностью земли на траектории распространения звука Agr, дБ		ф-ла (9) [10]	-5,9	-5,9	3,8	5,5	3,5	-0,8	-1,5	-1,5	-1,5		
Уровни звукового давления от источника ИШ-2-25 в расчётной точке днём, дБ		**ф-ла(3)[10]**	**0**	**27,5**	**18,8**	**17,3**	**17,1**	**17,7**	**9**	**0**	**0**	**20,2**	**20,2**
Уровни звукового давления от источника ИШ-2-25 в расчётной точке ночью, дБ		**ф-ла(3)[10]**	**0**	**27,5**	**18,8**	**17,3**	**17,1**	**17,7**	**9**	**0**	**0**	**20,2**	**20,2**
Источник шума: ИШ-2-26, координаты источника (x,y,z), м =[733.57,15.41,1.00]													
Уровни звуковой мощности источника днём, Lw, дБ		**исходные данные**	**0**	**93,3**	**94,7**	**96**	**96,3**	**95,9**	**92,6**	**88,4**	**83,9**		
Уровни звуковой мощности источника ночью, Lw, дБ		**исходные данные**	**0**	**93,3**	**94,7**	**96**	**96,3**	**95,9**	**92,6**	**88,4**	**83,9**		
Поправка на телесный угол DΩ, дБ	Ω = 6.28	10Lg(4π/Ω)	**3**	3	3	3	3	3	3	3	3		
Показатель направленности источника Di, дБ		исходные данные	**0**	0	0	0	0	0	0	0	0		
Поправка на направленность источника Dc, дБ	Dc	DΩ + Di	**3**	3	3	3	3	3	3	3	3		
Затухание из-за геометрической дивергенции, Adiv, дБ	расстояние = 1503.10 м	ф-ла (7) [10]	**74,5**										
Коэффициент затухания звука в атмосфере α, дБ/км	Ta=20,°C Pa=101.33,кПа hотн.=70%	ф-ла (5) [9]	0,02	0,09	0,33	1,12	2,79	4,98	9,04	23,09	77,63		
Учет затухания звука в атмосфере Aatm, дБ		ф-ла (8) [10]	0	0,1	0,5	1,7	4,2	7,5	13,6	34,7	116,7		
Снижение поверхностью земли возле источника As, дБ	Gs = 0 hs = 1м	ф-лы таб.3 [10]	-1,5	-1,5	-1,5	-1,5	-1,5	-1,5	-1,5	-1,5	-1,5		
Снижение поверхностью земли возле приёмника Ar, дБ	Gr = 1 hr = 1.5м	ф-лы таб.3 [10]	-1,5	-1,5	5,3	7	5	0,7	0	0	0		
Снижение поверхностью земли в средней зоне, Am дБ	Gm = 1	ф-лы таб.3 [10]	-2,9	-2,9	0	0	0	0	0	0	0		
Суммарное снижение поверхностью земли на траектории распространения звука Agr, дБ		ф-ла (9) [10]	-5,9	-5,9	3,8	5,5	3,5	-0,8	-1,5	-1,5	-1,5		

1		2	3	4	5	6	7	8	9	10	11	12	13
Уровни звукового давления от источника ИШ-2-26 в расчётной точке днём, дБ		**ф-ла(3)[10]**	**0**	**27,5**	**18,8**	**17,2**	**17,1**	**17,7**	**9**	**0**	**0**	**20,2**	**20,2**
Уровни звукового давления от источника ИШ-2-26 в расчётной точке ночью, дБ		**ф-ла(3)[10]**	**0**	**27,5**	**18,8**	**17,2**	**17,1**	**17,7**	**9**	**0**	**0**	**20,2**	**20,2**
Источник шума: ИШ-2-27, координаты источника (x,y,z), м =[732.43,12.66,1.00]													
Уровни звуковой мощности источника днём, Lw, дБ		**исходные данные**	**0**	**93,3**	**94,7**	**96**	**96,3**	**95,9**	**92,6**	**88,4**	**83,9**		
Уровни звуковой мощности источника ночью, Lw, дБ		**исходные данные**	**0**	**93,3**	**94,7**	**96**	**96,3**	**95,9**	**92,6**	**88,4**	**83,9**		
Поправка на телесный угол DΩ, дБ	Ω = 6.28	10Lg(4π/Ω)	**3**	3	3	3	3	3	3	3	3		
Показатель направленности источника Di, дБ		исходные данные	**0**	0	0	0	0	0	0	0	0		
Поправка на направленность источника Dc, дБ	Dc	DΩ + Di	**3**	3	3	3	3	3	3	3	3		
Затухание из-за геометрической дивергенции, Adiv, дБ	расстояние = 1505.88 м	ф-ла (7) [10]	**74,6**										
Коэффициент затухания звука в атмосфере α, дБ/км	Ta=20,°C Pa=101.33,кПа hотн.=70%	ф-ла (5) [9]	0,02	0,09	0,33	1,12	2,79	4,98	9,04	23,09	77,63		
Учет затухания звука в атмосфере Aatm, дБ		ф-ла (8) [10]	0	0,1	0,5	1,7	4,2	7,5	13,6	34,8	116,9		
Снижение поверхностью земли возле источника As, дБ	Gs = 0 hs = 1м	ф-лы таб.3 [10]	-1,5	-1,5	-1,5	-1,5	-1,5	-1,5	-1,5	-1,5	-1,5		
Снижение поверхностью земли возле приёмника Ar, дБ	Gr = 1 hr = 1.5м	ф-лы таб.3 [10]	-1,5	-1,5	5,3	7	5	0,7	0	0	0		
Снижение поверхностью земли в средней зоне, Am дБ	Gm = 1	ф-лы таб.3 [10]	-2,9	-2,9	0	0	0	0	0	0	0		
Суммарное снижение поверхностью земли на траектории распространения звука Agr, дБ		ф-ла (9) [10]	-5,9	-5,9	3,8	5,5	3,5	-0,8	-1,5	-1,5	-1,5		
Уровни звукового давления от источника ИШ-2-27 в расчётной точке днём, дБ		**ф-ла(3)[10]**	**0**	**27,5**	**18,8**	**17,2**	**17,1**	**17,7**	**8,9**	**0**	**0**	**20,2**	**20,2**

1		2	3	4	5	6	7	8	9	10	11	12	13
Уровни звукового давления от источника ИШ-2-27 в расчётной точке ночью, дБ		**ф-ла(3)[10]**	**0**	**27,5**	**18,8**	**17,2**	**17,1**	**17,7**	**8,9**	**0**	**0**	**20,2**	**20,2**
Источник шума: ИШ-2-28, координаты источника (x,y,z), м =[731.54,9.78,1.00]													
Уровни звуковой мощности источника днём, Lw, дБ		**исходные данные**	**0**	**93,3**	**94,7**	**96**	**96,3**	**95,9**	**92,6**	**88,4**	**83,9**		
Уровни звуковой мощности источника ночью, Lw, дБ		**исходные данные**	**0**	**93,3**	**94,7**	**96**	**96,3**	**95,9**	**92,6**	**88,4**	**83,9**		
Поправка на телесный угол DΩ, дБ	Ω = 6.28	10Lg(4π/Ω)	**3**	3	3	3	3	3	3	3	3		
Показатель направленности источника Di, дБ		исходные данные	**0**	0	0	0	0	0	0	0	0		
Поправка на направленность источника Dc, дБ	Dc	DΩ + Di	**3**	3	3	3	3	3	3	3	3		
Затухание из-за геометрической дивергенции, Adiv, дБ	расстояние = 1508.80 м	ф-ла (7) [10]	**74,6**										
Коэффициент затухания звука в атмосфере α, дБ/км	Ta=20,°C Pa=101.33,кПа hотн.=70%	ф-ла (5) [9]	0,02	0,09	0,33	1,12	2,79	4,98	9,04	23,09	77,63		
Учет затухания звука в атмосфере Aatm, дБ		ф-ла (8) [10]	0	0,1	0,5	1,7	4,2	7,5	13,6	34,8	117,1		
Снижение поверхностью земли возле источника As, дБ	Gs = 0 hs = 1м	ф-лы таб.3 [10]	-1,5	-1,5	-1,5	-1,5	-1,5	-1,5	-1,5	-1,5	-1,5		
Снижение поверхностью земли возле приёмника Ar, дБ	Gr = 1 hr = 1.5м	ф-лы таб.3 [10]	-1,5	-1,5	5,3	7	5	0,7	0	0	0		
Снижение поверхностью земли в средней зоне, Am дБ	Gm = 1	ф-лы таб.3 [10]	-2,9	-2,9	0	0	0	0	0	0	0		
Суммарное снижение поверхностью земли на траектории распространения звука Agr, дБ		ф-ла (9) [10]	-5,9	-5,9	3,8	5,5	3,5	-0,8	-1,5	-1,5	-1,5		
Уровни звукового давления от источника ИШ-2-28 в расчётной точке днём, дБ		**ф-ла(3)[10]**	**0**	**27,4**	**18,8**	**17,2**	**17**	**17,6**	**8,9**	**0**	**0**	**20,1**	**20,1**
Уровни звукового давления от источника ИШ-2-28 в расчётной точке ночью, дБ		**ф-ла(3)[10]**	**0**	**27,4**	**18,8**	**17,2**	**17**	**17,6**	**8,9**	**0**	**0**	**20,1**	**20,1**

1		2	3	4	5	6	7	8	9	10	11	12	13
Источник шума: ИШ-2-29, координаты источника (x,y,z), м =[730.57,6.88,1.00]													
Уровни звуковой мощности источника днём, Lw, дБ		**исходные данные**	**0**	**93,3**	**94,7**	**96**	**96,3**	**95,9**	**92,6**	**88,4**	**83,9**		
Уровни звуковой мощности источника ночью, Lw, дБ		**исходные данные**	**0**	**93,3**	**94,7**	**96**	**96,3**	**95,9**	**92,6**	**88,4**	**83,9**		
Поправка на телесный угол DΩ, дБ	Ω = 6.28	10Lg(4π/Ω)	**3**	3	3	3	3	3	3	3	3		
Показатель направленности источника Di, дБ		исходные данные	**0**	0	0	0	0	0	0	0	0		
Поправка на направленность источника Dc, дБ	Dc	DΩ + Di	**3**	3	3	3	3	3	3	3	3		
Затухание из-за геометрической дивергенции, Adiv, дБ	расстояние = 1511.73 м	ф-ла (7) [10]	**74,6**										
Коэффициент затухания звука в атмосфере α, дБ/км	Ta=20,°C Pa=101.33,кПа hотн.=70%	ф-ла (5) [9]	0,02	0,09	0,33	1,12	2,79	4,98	9,04	23,09	77,63		
Учет затухания звука в атмосфере Aatm, дБ		ф-ла (8) [10]	0	0,1	0,5	1,7	4,2	7,5	13,7	34,9	117,4		
Снижение поверхностью земли возле источника As, дБ	Gs = 0 hs = 1м	ф-лы таб.3 [10]	-1,5	-1,5	-1,5	-1,5	-1,5	-1,5	-1,5	-1,5	-1,5		
Снижение поверхностью земли возле приёмника Ar, дБ	Gr = 1 hr = 1.5м	ф-лы таб.3 [10]	-1,5	-1,5	5,3	7	5	0,7	0	0	0		
Снижение поверхностью земли в средней зоне, Am дБ	Gm = 1	ф-лы таб.3 [10]	-2,9	-2,9	0	0	0	0	0	0	0		
Суммарное снижение поверхностью земли на траектории распространения звука Agr, дБ		ф-ла (9) [10]	-5,9	-5,9	3,8	5,5	3,5	-0,8	-1,5	-1,5	-1,5		
Уровни звукового давления от источника ИШ-2-29 в расчётной точке днём, дБ		**ф-ла(3)[10]**	**0**	**27,4**	**18,8**	**17,2**	**17**	**17,6**	**8,8**	**0**	**0**	**20,1**	**20,1**
Уровни звукового давления от источника ИШ-2-29 в расчётной точке ночью, дБ		**ф-ла(3)[10]**	**0**	**27,4**	**18,8**	**17,2**	**17**	**17,6**	**8,8**	**0**	**0**	**20,1**	**20,1**
Источник шума: ИШ-2-4, координаты источника (x,y,z), м =[632.70,-65.30,3.00]													

1		2	3	4	5	6	7	8	9	10	11	12	13
Уровни звуковой мощности источника днём, Lw, дБ		**исходные данные**	**105**	**104**	**104**	**101**	**102**	**106**	**101**	**95**	**87**		
Уровни звуковой мощности источника ночью, Lw, дБ		**исходные данные**	**105**	**104**	**104**	**101**	**102**	**106**	**101**	**95**	**87**		
Поправка на телесный угол DΩ, дБ	Ω = 6.28	10Lg(4π/Ω)	**3**	3	3	3	3	3	3	3	3		
Показатель направленности источника Di, дБ		исходные данные	**0**	0	0	0	0	0	0	0	0		
Поправка на направленность источника Dc, дБ	Dc	DΩ + Di	**3**	3	3	3	3	3	3	3	3		
Затухание из-за геометрической дивергенции, Adiv, дБ	расстояние = 1590.69 м	ф-ла (7) [10]	**75**										
Коэффициент затухания звука в атмосфере α, дБ/км	Ta=20,°C Pa=101.33,кПа hотн.=70%	ф-ла (5) [9]	0,02	0,09	0,33	1,12	2,79	4,98	9,04	23,09	77,63		
Учет затухания звука в атмосфере Aatm, дБ		ф-ла (8) [10]	0	0,1	0,5	1,8	4,4	7,9	14,4	36,7	123,5		
Снижение уровня звукового давления из-за влияния застройки между источником шума и расчетной точкой													
Снижение уровня звукового давления на пути над экраном, Dz1, дБ	z = 0.01м (разность путей)	ф-лы (14-18) [10]	4,8	4,8	4,8	4,8	4,8	4,8	4,8	4,8	4,8		
Снижение уровня звукового давления на пути слева от экрана, Dz2, дБ	z = 0.41м (разность путей)	ф-лы (14-18) [10]	6,5	7,8	9,5	11,8	14,3	17,1	20	22,9	25,9		
Снижение уровня звукового давления на пути справа от экрана, Dz3, дБ	z = 0.01м (разность путей)	ф-лы (14-18) [10]	4,8	4,8	4,9	5,1	5,3	5,9	6,7	8,1	9,9		
Общее снижение уровня звука препятствием Dz, дБ		Эн.сумма(-Dzi)	0,5	0,8	1,2	1,5	1,8	2,1	2,6	3,1	3,6		
Уровни звукового давления от источника ИШ-2-4 в расчётной точке днём, дБ		**ф-ла(3)[10]**	**32,4**	**31**	**30,3**	**25,7**	**23,8**	**23,9**	**12,1**	**0**	**0**	**26,7**	**26,7**
Уровни звукового давления от источника ИШ-2-4 в расчётной точке ночью, дБ		**ф-ла(3)[10]**	**32,4**	**31**	**30,3**	**25,7**	**23,8**	**23,9**	**12,1**	**0**	**0**	**26,7**	**26,7**

Источник шума: ИШ-2-30, координаты источника (x,y,z), м =[702.44,-77.23,1.00]

1		2	3	4	5	6	7	8	9	10	11	12	13
Уровни звуковой мощности источника днём, Lw, дБ		**исходные данные**	**0**	**93,3**	**94,7**	**96**	**96,3**	**95,9**	**92,6**	**88,4**	**83,9**		
Уровни звуковой мощности источника ночью, Lw, дБ		**исходные данные**	**0**	**93,3**	**94,7**	**96**	**96,3**	**95,9**	**92,6**	**88,4**	**83,9**		
Поправка на телесный угол DΩ, дБ	Ω = 6.28	10Lg(4π/Ω)	**3**	3	3	3	3	3	3	3	3		
Показатель направленности источника Di, дБ		исходные данные	**0**	0	0	0	0	0	0	0	0		
Поправка на направленность источника Dc, дБ	Dc	DΩ + Di	**3**	3	3	3	3	3	3	3	3		
Затухание из-за геометрической дивергенции, Adiv, дБ	расстояние = 1597.11 м	ф-ла (7) [10]	**75,1**										
Коэффициент затухания звука в атмосфере α, дБ/км	Ta=20,°C Pa=101.33,кПа hотн.=70%	ф-ла (5) [9]	0,02	0,09	0,33	1,12	2,79	4,98	9,04	23,09	77,63		
Учет затухания звука в атмосфере Aatm, дБ		ф-ла (8) [10]	0	0,1	0,5	1,8	4,5	8	14,4	36,9	124		
Снижение поверхностью земли возле источника As, дБ	Gs = 0 hs = 1м	ф-лы таб.3 [10]	-1,5	-1,5	-1,5	-1,5	-1,5	-1,5	-1,5	-1,5	-1,5		
Снижение поверхностью земли возле приёмника Ar, дБ	Gr = 1 hr = 1.5м	ф-лы таб.3 [10]	-1,5	-1,5	5,3	7	5	0,7	0	0	0		
Снижение поверхностью земли в средней зоне, Am дБ	Gm = 1	ф-лы таб.3 [10]	-2,9	-2,9	0	0	0	0	0	0	0		
Суммарное снижение поверхностью земли на траектории распространения звука Agr, дБ		ф-ла (9) [10]	-5,9	-5,9	3,8	5,5	3,5	-0,8	-1,5	-1,5	-1,5		
Уровни звукового давления от источника ИШ-2-30 в расчётной точке днём, дБ		**ф-ла(3)[10]**	**0**	**26,9**	**18,2**	**16,6**	**16,3**	**16,7**	**7,6**	**0**	**0**	**19,2**	**19,2**
Уровни звукового давления от источника ИШ-2-30 в расчётной точке ночью, дБ		**ф-ла(3)[10]**	**0**	**26,9**	**18,2**	**16,6**	**16,3**	**16,7**	**7,6**	**0**	**0**	**19,2**	**19,2**
Источник шума: ИШ-2-31, координаты источника (x,y,z), м =[701.42,-80.17,1.00]													
Уровни звуковой мощности источника днём, Lw, дБ		**исходные данные**	**0**	**93,3**	**94,7**	**96**	**96,3**	**95,9**	**92,6**	**88,4**	**83,9**		

1		2	3	4	5	6	7	8	9	10	11	12	13
Уровни звуковой мощности источника ночью, Lw, дБ		**исходные данные**	**0**	**93,3**	**94,7**	**96**	**96,3**	**95,9**	**92,6**	**88,4**	**83,9**		
Поправка на телесный угол DΩ, дБ	Ω = 6.28	10Lg(4π/Ω)	**3**	3	3	3	3	3	3	3	3		
Показатель направленности источника Di, дБ		исходные данные	**0**	0	0	0	0	0	0	0	0		
Поправка на направленность источника Dc, дБ	Dc	DΩ + Di	**3**	3	3	3	3	3	3	3	3		
Затухание из-за геометрической дивергенции, Adiv, дБ	расстояние = 1600.11 м	ф-ла (7) [10]	**75,1**										
Коэффициент затухания звука в атмосфере α, дБ/км	Ta=20,°C Pa=101.33,кПа hотн.=70%	ф-ла (5) [9]	0,02	0,09	0,33	1,12	2,79	4,98	9,04	23,09	77,63		
Учет затухания звука в атмосфере Aatm, дБ		ф-ла (8) [10]	0	0,1	0,5	1,8	4,5	8	14,5	36,9	124,2		
Снижение поверхностью земли возле источника As, дБ	Gs = 0 hs = 1м	ф-лы таб.3 [10]	-1,5	-1,5	-1,5	-1,5	-1,5	-1,5	-1,5	-1,5	-1,5		
Снижение поверхностью земли возле приёмника Ar, дБ	Gr = 1 hr = 1.5м	ф-лы таб.3 [10]	-1,5	-1,5	5,3	7	5	0,7	0	0	0		
Снижение поверхностью земли в средней зоне, Am дБ	Gm = 1	ф-лы таб.3 [10]	-2,9	-2,9	0	0	0	0	0	0	0		
Суммарное снижение поверхностью земли на траектории распространения звука Agr, дБ		ф-ла (9) [10]	-5,9	-5,9	3,8	5,5	3,5	-0,8	-1,5	-1,5	-1,5		
Уровни звукового давления от источника ИШ-2-31 в расчётной точке днём, дБ		**ф-ла(3)[10]**	**0**	**26,9**	**18,2**	**16,6**	**16,3**	**16,7**	**7,5**	**0**	**0**	**19,2**	**19,2**
Уровни звукового давления от источника ИШ-2-31 в расчётной точке ночью, дБ		**ф-ла(3)[10]**	**0**	**26,9**	**18,2**	**16,6**	**16,3**	**16,7**	**7,5**	**0**	**0**	**19,2**	**19,2**
Источник шума: ИШ-2-32, координаты источника (x,y,z), м =[700.38,-83.01,1.00]													
Уровни звуковой мощности источника днём, Lw, дБ		**исходные данные**	**0**	**93,3**	**94,7**	**96**	**96,3**	**95,9**	**92,6**	**88,4**	**83,9**		
Уровни звуковой мощности источника ночью, Lw, дБ		**исходные данные**	**0**	**93,3**	**94,7**	**96**	**96,3**	**95,9**	**92,6**	**88,4**	**83,9**		

1		2	3	4	5	6	7	8	9	10	11	12	13
Поправка на телесный угол DΩ, дБ	Ω = 6.28	10Lg(4π/Ω)	**3**	3	3	3	3	3	3	3	3		
Показатель направленности источника Di, дБ		исходные данные	**0**	0	0	0	0	0	0	0	0		
Поправка на направленность источника Dc, дБ	Dc	DΩ + Di	**3**	3	3	3	3	3	3	3	3		
Затухание из-за геометрической дивергенции, Adiv, дБ	расстояние = 1603.00 м	ф-ла (7) [10]	**75,1**										
Коэффициент затухания звука в атмосфере α, дБ/км	Ta=20,°C Pa=101.33,кПа hотн.=70%	ф-ла (5) [9]	0,02	0,09	0,33	1,12	2,79	4,98	9,04	23,09	77,63		
Учет затухания звука в атмосфере Aatm, дБ		ф-ла (8) [10]	0	0,1	0,5	1,8	4,5	8	14,5	37	124,4		
Снижение поверхностью земли возле источника As, дБ	Gs = 0 hs = 1м	ф-лы таб.3 [10]	-1,5	-1,5	-1,5	-1,5	-1,5	-1,5	-1,5	-1,5	-1,5		
Снижение поверхностью земли возле приёмника Ar, дБ	Gr = 1 hr = 1.5м	ф-лы таб.3 [10]	-1,5	-1,5	5,3	7	5	0,7	0	0	0		
Снижение поверхностью земли в средней зоне, Am дБ	Gm = 1	ф-лы таб.3 [10]	-2,9	-2,9	0	0	0	0	0	0	0		
Суммарное снижение поверхностью земли на траектории распространения звука Agr, дБ		ф-ла (9) [10]	-5,9	-5,9	3,8	5,5	3,5	-0,8	-1,5	-1,5	-1,5		
Уровни звукового давления от источника ИШ-2-32 в расчётной точке днём, дБ		**ф-ла(3)[10]**	**0**	**26,9**	**18,2**	**16,6**	**16,2**	**16,7**	**7,5**	**0**	**0**	**19,2**	**19,2**
Уровни звукового давления от источника ИШ-2-32 в расчётной точке ночью, дБ		**ф-ла(3)[10]**	**0**	**26,9**	**18,2**	**16,6**	**16,2**	**16,7**	**7,5**	**0**	**0**	**19,2**	**19,2**
Источник шума: ИШ-2-33, координаты источника (x,y,z), м =[699.52,-85.98,1.00]													
Уровни звуковой мощности источника днём, Lw, дБ		**исходные данные**	**0**	**93,3**	**94,7**	**96**	**96,3**	**95,9**	**92,6**	**88,4**	**83,9**		
Уровни звуковой мощности источника ночью, Lw, дБ		**исходные данные**	**0**	**93,3**	**94,7**	**96**	**96,3**	**95,9**	**92,6**	**88,4**	**83,9**		
Поправка на телесный угол DΩ, дБ	Ω = 6.28	10Lg(4π/Ω)	**3**	3	3	3	3	3	3	3	3		

1		2	3	4	5	6	7	8	9	10	11	12	13
Показатель направленности источника Di, дБ		исходные данные	**0**	0	0	0	0	0	0	0	0		
Поправка на направленность источника Dc, дБ	Dc	DΩ + Di	**3**	3	3	3	3	3	3	3	3		
Затухание из-за геометрической дивергенции, Adiv, дБ	расстояние = 1606.01 м	ф-ла (7) [10]	**75,1**										
Коэффициент затухания звука в атмосфере α, дБ/км	Ta=20,°C Pa=101.33,кПа hотн.=70%	ф-ла (5) [9]	0,02	0,09	0,33	1,12	2,79	4,98	9,04	23,09	77,63		
Учет затухания звука в атмосфере Aatm, дБ		ф-ла (8) [10]	0	0,1	0,5	1,8	4,5	8	14,5	37,1	124,7		
Снижение поверхностью земли возле источника As, дБ	Gs = 0 hs = 1м	ф-лы таб.3 [10]	-1,5	-1,5	-1,5	-1,5	-1,5	-1,5	-1,5	-1,5	-1,5		
Снижение поверхностью земли возле приёмника Ar, дБ	Gr = 1 hr = 1.5м	ф-лы таб.3 [10]	-1,5	-1,5	5,3	7	5	0,7	0	0	0		
Снижение поверхностью земли в средней зоне, Am дБ	Gm = 1	ф-лы таб.3 [10]	-2,9	-2,9	0	0	0	0	0	0	0		
Суммарное снижение поверхностью земли на траектории распространения звука Agr, дБ		ф-ла (9) [10]	-5,9	-5,9	3,8	5,5	3,5	-0,8	-1,5	-1,5	-1,5		
Уровни звукового давления от источника ИШ-2-33 в расчётной точке днём, дБ		**ф-ла(3)[10]**	**0**	**26,9**	**18,2**	**16,5**	**16,2**	**16,6**	**7,5**	**0**	**0**	**19,2**	**19,2**
Уровни звукового давления от источника ИШ-2-33 в расчётной точке ночью, дБ		**ф-ла(3)[10]**	**0**	**26,9**	**18,2**	**16,5**	**16,2**	**16,6**	**7,5**	**0**	**0**	**19,2**	**19,2**
Источник шума: ИШ-2-34, координаты источника (x,y,z), м =[698.43,-88.85,1.00]													
Уровни звуковой мощности источника днём, Lw, дБ		**исходные данные**	**0**	**93,3**	**94,7**	**96**	**96,3**	**95,9**	**92,6**	**88,4**	**83,9**		
Уровни звуковой мощности источника ночью, Lw, дБ		**исходные данные**	**0**	**93,3**	**94,7**	**96**	**96,3**	**95,9**	**92,6**	**88,4**	**83,9**		
Поправка на телесный угол DΩ, дБ	Ω = 6.28	10Lg(4π/Ω)	**3**	3	3	3	3	3	3	3	3		
Показатель направленности источника Di, дБ		исходные данные	**0**	0	0	0	0	0	0	0	0		

1		2	3	4	5	6	7	8	9	10	11	12	13
Поправка на направленность источника Dc, дБ	Dc	DΩ + Di	**3**	3	3	3	3	3	3	3	3		
Затухание из-за геометрической дивергенции, Adiv, дБ	расстояние = 1608.94 м	ф-ла (7) [10]	**75,1**										
Коэффициент затухания звука в атмосфере α, дБ/км	Ta=20,°C Pa=101.33,кПа hотн.=70%	ф-ла (5) [9]	0,02	0,09	0,33	1,12	2,79	4,98	9,04	23,09	77,63		
Учет затухания звука в атмосфере Aatm, дБ		ф-ла (8) [10]	0	0,1	0,5	1,8	4,5	8	14,5	37,1	124,9		
Снижение поверхностью земли возле источника As, дБ	Gs = 0 hs = 1м	ф-лы таб.3 [10]	-1,5	-1,5	-1,5	-1,5	-1,5	-1,5	-1,5	-1,5	-1,5		
Снижение поверхностью земли возле приёмника Ar, дБ	Gr = 1 hr = 1.5м	ф-лы таб.3 [10]	-1,5	-1,5	5,3	7	5	0,7	0	0	0		
Снижение поверхностью земли в средней зоне, Am дБ	Gm = 1	ф-лы таб.3 [10]	-2,9	-2,9	0	0	0	0	0	0	0		
Суммарное снижение поверхностью земли на траектории распространения звука Agr, дБ		ф-ла (9) [10]	-5,9	-5,9	3,8	5,5	3,5	-0,8	-1,5	-1,5	-1,5		
Уровни звукового давления от источника ИШ-2-34 в расчётной точке днём, дБ		**ф-ла(3)[10]**	**0**	**26,9**	**18,2**	**16,5**	**16,2**	**16,6**	**7,4**	**0**	**0**	**19,1**	**19,1**
Уровни звукового давления от источника ИШ-2-34 в расчётной точке ночью, дБ		**ф-ла(3)[10]**	**0**	**26,9**	**18,2**	**16,5**	**16,2**	**16,6**	**7,4**	**0**	**0**	**19,1**	**19,1**
Источник шума: ИШ-2-35, координаты источника (x,y,z), м =[697.52,-91.66,1.00]													
Уровни звуковой мощности источника днём, Lw, дБ		**исходные данные**	**0**	**93,3**	**94,7**	**96**	**96,3**	**95,9**	**92,6**	**88,4**	**83,9**		
Уровни звуковой мощности источника ночью, Lw, дБ		**исходные данные**	**0**	**93,3**	**94,7**	**96**	**96,3**	**95,9**	**92,6**	**88,4**	**83,9**		
Поправка на телесный угол DΩ, дБ	Ω = 6.28	10Lg(4π/Ω)	**3**	3	3	3	3	3	3	3	3		
Показатель направленности источника Di, дБ		исходные данные	**0**	0	0	0	0	0	0	0	0		
Поправка на направленность источника Dc, дБ	Dc	DΩ + Di	**3**	3	3	3	3	3	3	3	3		

1		2	3	4	5	6	7	8	9	10	11	12	13
Затухание из-за геометрической дивергенции, Adiv, дБ	расстояние = 1611.80 м	ф-ла (7) [10]	**75,1**										
Коэффициент затухания звука в атмосфере α, дБ/км	Ta=20,°C Pa=101.33,кПа hотн.=70%	ф-ла (5) [9]	0,02	0,09	0,33	1,12	2,79	4,98	9,04	23,09	77,63		
Учет затухания звука в атмосфере Aatm, дБ		ф-ла (8) [10]	0	0,1	0,5	1,8	4,5	8	14,6	37,2	125,1		
Снижение поверхностью земли возле источника As, дБ	Gs = 0 hs = 1м	ф-лы таб.3 [10]	-1,5	-1,5	-1,5	-1,5	-1,5	-1,5	-1,5	-1,5	-1,5		
Снижение поверхностью земли возле приёмника Ar, дБ	Gr = 1 hr = 1.5м	ф-лы таб.3 [10]	-1,5	-1,5	5,3	7	5	0,7	0	0	0		
Снижение поверхностью земли в средней зоне, Am дБ	Gm = 1	ф-лы таб.3 [10]	-2,9	-2,9	0	0	0	0	0	0	0		
Суммарное снижение поверхностью земли на траектории распространения звука Agr, дБ		ф-ла (9) [10]	-5,9	-5,9	3,8	5,5	3,5	-0,8	-1,5	-1,5	-1,5		
Уровни звукового давления от источника ИШ-2-35 в расчётной точке днём, дБ		**ф-ла(3)[10]**	**0**	**26,9**	**18,2**	**16,5**	**16,2**	**16,6**	**7,4**	**0**	**0**	**19,1**	**19,1**
Уровни звукового давления от источника ИШ-2-35 в расчётной точке ночью, дБ		**ф-ла(3)[10]**	**0**	**26,9**	**18,2**	**16,5**	**16,2**	**16,6**	**7,4**	**0**	**0**	**19,1**	**19,1**
Источник шума: ИШ-2-36, координаты источника (x,y,z), м =[696.58,-94.55,1.00]													
Уровни звуковой мощности источника днём, Lw, дБ		**исходные данные**	**0**	**93,3**	**94,7**	**96**	**96,3**	**95,9**	**92,6**	**88,4**	**83,9**		
Уровни звуковой мощности источника ночью, Lw, дБ		**исходные данные**	**0**	**93,3**	**94,7**	**96**	**96,3**	**95,9**	**92,6**	**88,4**	**83,9**		
Поправка на телесный угол DΩ, дБ	Ω = 6.28	10Lg(4π/Ω)	**3**	3	3	3	3	3	3	3	3		
Показатель направленности источника Di, дБ		исходные данные	**0**	0	0	0	0	0	0	0	0		
Поправка на направленность источника Dc, дБ	Dc	DΩ + Di	**3**	3	3	3	3	3	3	3	3		
Затухание из-за геометрической дивергенции, Adiv, дБ	расстояние = 1614.75 м	ф-ла (7) [10]	**75,2**										

1		2	3	4	5	6	7	8	9	10	11	12	13
Коэффициент затухания звука в атмосфере α, дБ/км	Ta=20,°C Pa=101.33,кПа hотн.=70%	ф-ла (5) [9]	0,02	0,09	0,33	1,12	2,79	4,98	9,04	23,09	77,63		
Учет затухания звука в атмосфере Aatm, дБ		ф-ла (8) [10]	0	0,1	0,5	1,8	4,5	8	14,6	37,3	125,4		
Снижение поверхностью земли возле источника As, дБ	Gs = 0 hs = 1м	ф-лы таб.3 [10]	-1,5	-1,5	-1,5	-1,5	-1,5	-1,5	-1,5	-1,5	-1,5		
Снижение поверхностью земли возле приёмника Ar, дБ	Gr = 1 hr = 1.5м	ф-лы таб.3 [10]	-1,5	-1,5	5,3	7	5	0,7	0	0	0		
Снижение поверхностью земли в средней зоне, Am дБ	Gm = 1	ф-лы таб.3 [10]	-2,9	-2,9	0	0	0	0	0	0	0		
Суммарное снижение поверхностью земли на траектории распространения звука Agr, дБ		ф-ла (9) [10]	-5,9	-5,9	3,8	5,5	3,5	-0,8	-1,5	-1,5	-1,5		
Уровни звукового давления от источника ИШ-2-36 в расчётной точке днём, дБ		**ф-ла(3)[10]**	**0**	**26,8**	**18,1**	**16,5**	**16,1**	**16,5**	**7,3**	**0**	**0**	**19,1**	**19,1**
Уровни звукового давления от источника ИШ-2-36 в расчётной точке ночью, дБ		**ф-ла(3)[10]**	**0**	**26,8**	**18,1**	**16,5**	**16,1**	**16,5**	**7,3**	**0**	**0**	**19,1**	**19,1**
Источник шума: ИШ-2-37, координаты источника (x,y,z), м =[695.57,-97.37,1.00]													
Уровни звуковой мощности источника днём, Lw, дБ		**исходные данные**	**0**	**93,3**	**94,7**	**96**	**96,3**	**95,9**	**92,6**	**88,4**	**83,9**		
Уровни звуковой мощности источника ночью, Lw, дБ		**исходные данные**	**0**	**93,3**	**94,7**	**96**	**96,3**	**95,9**	**92,6**	**88,4**	**83,9**		
Поправка на телесный угол DΩ, дБ	Ω = 6.28	10Lg(4π/Ω)	**3**	3	3	3	3	3	3	3	3		
Показатель направленности источника Di, дБ		исходные данные	**0**	0	0	0	0	0	0	0	0		
Поправка на направленность источника Dc, дБ	Dc	DΩ + Di	**3**	3	3	3	3	3	3	3	3		
Затухание из-за геометрической дивергенции, Adiv, дБ	расстояние = 1617.62 м	ф-ла (7) [10]	**75,2**										
Коэффициент затухания звука в атмосфере α, дБ/км	Ta=20,°C Pa=101.33,кПа hотн.=70%	ф-ла (5) [9]	0,02	0,09	0,33	1,12	2,79	4,98	9,04	23,09	77,63		

1		2	3	4	5	6	7	8	9	10	11	12	13
Учет затухания звука в атмосфере Aatm, дБ		ф-ла (8) [10]	0	0,1	0,5	1,8	4,5	8,1	14,6	37,3	125,6		
Снижение поверхностью земли возле источника As, дБ	Gs = 0 hs = 1м	ф-лы таб.3 [10]	-1,5	-1,5	-1,5	-1,5	-1,5	-1,5	-1,5	-1,5	-1,5		
Снижение поверхностью земли возле приёмника Ar, дБ	Gr = 1 hr = 1.5м	ф-лы таб.3 [10]	-1,5	-1,5	5,3	7	5	0,7	0	0	0		
Снижение поверхностью земли в средней зоне, Am дБ	Gm = 1	ф-лы таб.3 [10]	-2,9	-2,9	0	0	0	0	0	0	0		
Суммарное снижение поверхностью земли на траектории распространения звука Agr, дБ		ф-ла (9) [10]	-5,9	-5,9	3,8	5,5	3,5	-0,8	-1,5	-1,5	-1,5		
Уровни звукового давления от источника ИШ-2-37 в расчётной точке днём, дБ		**ф-ла(3)[10]**	**0**	**26,8**	**18,1**	**16,5**	**16,1**	**16,5**	**7,3**	**0**	**0**	**19**	**19**
Уровни звукового давления от источника ИШ-2-37 в расчётной точке ночью, дБ		**ф-ла(3)[10]**	**0**	**26,8**	**18,1**	**16,5**	**16,1**	**16,5**	**7,3**	**0**	**0**	**19**	**19**
Источник шума: ИШ-2-5, координаты источника (x,y,z), м =[618.60,-108.00,3.00]													
Уровни звуковой мощности источника днём, Lw, дБ		**исходные данные**	**105**	**104**	**104**	**101**	**102**	**106**	**101**	**95**	**87**		
Уровни звуковой мощности источника ночью, Lw, дБ		**исходные данные**	**105**	**104**	**104**	**101**	**102**	**106**	**101**	**95**	**87**		
Поправка на телесный угол DΩ, дБ	Ω = 6.28	10Lg(4π/Ω)	**3**	3	3	3	3	3	3	3	3		
Показатель направленности источника Di, дБ		исходные данные	**0**	0	0	0	0	0	0	0	0		
Поправка на направленность источника Dc, дБ	Dc	DΩ + Di	**3**	3	3	3	3	3	3	3	3		
Затухание из-за геометрической дивергенции, Adiv, дБ	расстояние = 1634.61 м	ф-ла (7) [10]	**75,3**										
Коэффициент затухания звука в атмосфере α, дБ/км	Ta=20,°C Pa=101.33,кПа hотн.=70%	ф-ла (5) [9]	0,02	0,09	0,33	1,12	2,79	4,98	9,04	23,09	77,63		
Учет затухания звука в атмосфере Aatm, дБ		ф-ла (8) [10]	0	0,1	0,5	1,8	4,6	8,1	14,8	37,7	126,9		

1		2	3	4	5	6	7	8	9	10	11	12	13
Снижение уровня звукового давления из-за влияния застройки между источником шума и расчетной точкой													
Снижение уровня звукового давления на пути над экраном, Dz1, дБ	z = 0.01м (разность путей)	ф-лы (14-18) [10]	4,8	4,8	4,8	4,8	4,8	4,8	4,8	4,8	4,8		
Снижение уровня звукового давления на пути слева от экрана, Dz2, дБ	z = 0.03м (разность путей)	ф-лы (14-18) [10]	4,9	5,1	5,3	5,8	6,7	8	9,8	12,1	14,7		
Снижение уровня звукового давления на пути справа от экрана, Dz3, дБ	z = 0.22м (разность путей)	ф-лы (14-18) [10]	5,8	6,7	8	9,8	12,1	14,7	17,5	20,3	23,3		
Общее снижение уровня звука препятствием Dz, дБ		Эн.сумма(-Dzi)	0,4	0,7	1	1,6	2,1	2,8	3,4	3,9	4,3		
Уровни звукового давления прямого звука от источника ИШ-2-5 в расчётной точке днём, дБ		**ф-ла(3)[10]**	**32,3**	**30,9**	**30,1**	**25,4**	**23**	**22,8**	**10,6**	**0**	**0**	**25,8**	**25,8**
Уровни звукового давления прямого звука от источника ИШ-2-5 в расчётной точке ночью, дБ		**ф-ла(3)[10]**	**32,3**	**30,9**	**30,1**	**25,4**	**23**	**22,8**	**10,6**	**0**	**0**	**25,8**	**25,8**
Расчёт отражённого звука													
Уровни звукового давления от мнимого источника ИШ-2-5_мн.(1) в расчётной точке днём, дБ		**ф-ла(3)[10]**	**0**	**0**	**0**	**0**	**0**	**0**	**0**	**0**	**0**	**0**	**0**
Уровни звукового давления от мнимого источника ИШ-2-5_мн.(1) в расчётной точке ночью, дБ		**ф-ла(3)[10]**	**0**	**0**	**0**	**0**	**0**	**0**	**0**	**0**	**0**	**0**	**0**
Уровни звукового давления от источника ИШ-2-5 в расчётной точке днём, дБ		**ф-ла(3)[10]**	**32,3**	**30,9**	**30,1**	**25,4**	**23**	**22,8**	**10,6**	**0**	**0**	**25,8**	**25,8**
Уровни звукового давления от источника ИШ-2-5 в расчётной точке ночью, дБ		**ф-ла(3)[10]**	**32,3**	**30,9**	**30,1**	**25,4**	**23**	**22,8**	**10,6**	**0**	**0**	**25,8**	**25,8**
Источник шума: ИШ-2-38, координаты источника (x,y,z), м =[688.13,-119.94,1.00]													
Уровни звуковой мощности источника днём, Lw, дБ		**исходные данные**	**0**	**93,3**	**94,7**	**96**	**96,3**	**95,9**	**92,6**	**88,4**	**83,9**		
Уровни звуковой мощности источника ночью, Lw, дБ		**исходные данные**	**0**	**93,3**	**94,7**	**96**	**96,3**	**95,9**	**92,6**	**88,4**	**83,9**		
Поправка на телесный угол DΩ, дБ	Ω = 6.28	10Lg(4π/Ω)	**3**	3	3	3	3	3	3	3	3		
Показатель направленности источника Di, дБ		исходные данные	**0**	0	0	0	0	0	0	0	0		

1		2	3	4	5	6	7	8	9	10	11	12	13
Поправка на направленность источника Dc, дБ	Dc	DΩ + Di	**3**	3	3	3	3	3	3	3	3		
Затухание из-за геометрической дивергенции, Adiv, дБ	расстояние = 1640.60 м	ф-ла (7) [10]	**75,3**										
Коэффициент затухания звука в атмосфере α, дБ/км	Ta=20,°C Pa=101.33,кПа hотн.=70%	ф-ла (5) [9]	0,02	0,09	0,33	1,12	2,79	4,98	9,04	23,09	77,63		
Учет затухания звука в атмосфере Aatm, дБ		ф-ла (8) [10]	0	0,1	0,5	1,8	4,6	8,2	14,8	37,9	127,4		
Снижение поверхностью земли возле источника As, дБ	Gs = 0 hs = 1м	ф-лы таб.3 [10]	-1,5	-1,5	-1,5	-1,5	-1,5	-1,5	-1,5	-1,5	-1,5		
Снижение поверхностью земли возле приёмника Ar, дБ	Gr = 1 hr = 1.5м	ф-лы таб.3 [10]	-1,5	-1,5	5,3	7	5	0,7	0	0	0		
Снижение поверхностью земли в средней зоне, Am дБ	Gm = 1	ф-лы таб.3 [10]	-2,9	-2,9	0	0	0	0	0	0	0		
Суммарное снижение поверхностью земли на траектории распространения звука Agr, дБ		ф-ла (9) [10]	-5,9	-5,9	3,8	5,5	3,5	-0,8	-1,5	-1,5	-1,5		
Уровни звукового давления от источника ИШ-2-38 в расчётной точке днём, дБ		**ф-ла(3)[10]**	**0**	**26,7**	**18**	**16,3**	**15,9**	**16,3**	**7**	**0**	**0**	**18,8**	**18,8**
Уровни звукового давления от источника ИШ-2-38 в расчётной точке ночью, дБ		**ф-ла(3)[10]**	**0**	**26,7**	**18**	**16,3**	**15,9**	**16,3**	**7**	**0**	**0**	**18,8**	**18,8**
Источник шума: ИШ-2-39, координаты источника (x,y,z), м =[687.11,-122.83,1.00]													
Уровни звуковой мощности источника днём, Lw, дБ		**исходные данные**	**0**	**93,3**	**94,7**	**96**	**96,3**	**95,9**	**92,6**	**88,4**	**83,9**		
Уровни звуковой мощности источника ночью, Lw, дБ		**исходные данные**	**0**	**93,3**	**94,7**	**96**	**96,3**	**95,9**	**92,6**	**88,4**	**83,9**		
Поправка на телесный угол DΩ, дБ	Ω = 6.28	10Lg(4π/Ω)	**3**	3	3	3	3	3	3	3	3		
Показатель направленности источника Di, дБ		исходные данные	**0**	0	0	0	0	0	0	0	0		
Поправка на направленность источника Dc, дБ	Dc	DΩ + Di	**3**	3	3	3	3	3	3	3	3		

1		2	3	4	5	6	7	8	9	10	11	12	13
Затухание из-за геометрической дивергенции, Adiv, дБ	расстояние = 1643.55 м	ф-ла (7) [10]	**75,3**										
Коэффициент затухания звука в атмосфере α, дБ/км	Ta=20,°C Pa=101.33,кПа hотн.=70%	ф-ла (5) [9]	0,02	0,09	0,33	1,12	2,79	4,98	9,04	23,09	77,63		
Учет затухания звука в атмосфере Aatm, дБ		ф-ла (8) [10]	0	0,1	0,6	1,8	4,6	8,2	14,9	37,9	127,6		
Снижение поверхностью земли возле источника As, дБ	Gs = 0 hs = 1м	ф-лы таб.3 [10]	-1,5	-1,5	-1,5	-1,5	-1,5	-1,5	-1,5	-1,5	-1,5		
Снижение поверхностью земли возле приёмника Ar, дБ	Gr = 1 hr = 1.5м	ф-лы таб.3 [10]	-1,5	-1,5	5,3	7	5	0,7	0	0	0		
Снижение поверхностью земли в средней зоне, Am дБ	Gm = 1	ф-лы таб.3 [10]	-2,9	-2,9	0	0	0	0	0	0	0		
Суммарное снижение поверхностью земли на траектории распространения звука Agr, дБ		ф-ла (9) [10]	-5,9	-5,9	3,8	5,5	3,5	-0,8	-1,5	-1,5	-1,5		
Уровни звукового давления от источника ИШ-2-39 в расчётной точке днём, дБ		**ф-ла(3)[10]**	**0**	**26,7**	**18**	**16,3**	**15,9**	**16,2**	**6,9**	**0**	**0**	**18,8**	**18,8**
Уровни звукового давления от источника ИШ-2-39 в расчётной точке ночью, дБ		**ф-ла(3)[10]**	**0**	**26,7**	**18**	**16,3**	**15,9**	**16,2**	**6,9**	**0**	**0**	**18,8**	**18,8**
Источник шума: ИШ-2-40, координаты источника (x,y,z), м =[686.10,-125.67,1.00]													
Уровни звуковой мощности источника днём, Lw, дБ		**исходные данные**	**0**	**93,3**	**94,7**	**96**	**96,3**	**95,9**	**92,6**	**88,4**	**83,9**		
Уровни звуковой мощности источника ночью, Lw, дБ		**исходные данные**	**0**	**93,3**	**94,7**	**96**	**96,3**	**95,9**	**92,6**	**88,4**	**83,9**		
Поправка на телесный угол DΩ, дБ	Ω = 6.28	10Lg(4π/Ω)	**3**	3	3	3	3	3	3	3	3		
Показатель направленности источника Di, дБ		исходные данные	**0**	0	0	0	0	0	0	0	0		
Поправка на направленность источника Dc, дБ	Dc	DΩ + Di	**3**	3	3	3	3	3	3	3	3		
Затухание из-за геометрической дивергенции, Adiv, дБ	расстояние = 1646.46 м	ф-ла (7) [10]	**75,3**										

1		2	3	4	5	6	7	8	9	10	11	12	13
Коэффициент затухания звука в атмосфере α, дБ/км	Ta=20,°C Pa=101.33,кПа hотн.=70%	ф-ла (5) [9]	0,02	0,09	0,33	1,12	2,79	4,98	9,04	23,09	77,63		
Учет затухания звука в атмосфере Aatm, дБ		ф-ла (8) [10]	0	0,1	0,6	1,9	4,6	8,2	14,9	38	127,8		
Снижение поверхностью земли возле источника As, дБ	Gs = 0 hs = 1м	ф-лы таб.3 [10]	-1,5	-1,5	-1,5	-1,5	-1,5	-1,5	-1,5	-1,5	-1,5		
Снижение поверхностью земли возле приёмника Ar, дБ	Gr = 1 hr = 1.5м	ф-лы таб.3 [10]	-1,5	-1,5	5,3	7	5	0,7	0	0	0		
Снижение поверхностью земли в средней зоне, Am дБ	Gm = 1	ф-лы таб.3 [10]	-2,9	-2,9	0	0	0	0	0	0	0		
Суммарное снижение поверхностью земли на траектории распространения звука Agr, дБ		ф-ла (9) [10]	-5,9	-5,9	3,8	5,5	3,5	-0,8	-1,5	-1,5	-1,5		
Уровни звукового давления от источника ИШ-2-40 в расчётной точке днём, дБ		**ф-ла(3)[10]**	**0**	**26,7**	**18**	**16,3**	**15,9**	**16,2**	**6,9**	**0**	**0**	**18,8**	**18,8**
Уровни звукового давления от источника ИШ-2-40 в расчётной точке ночью, дБ		**ф-ла(3)[10]**	**0**	**26,7**	**18**	**16,3**	**15,9**	**16,2**	**6,9**	**0**	**0**	**18,8**	**18,8**
Источник шума: ИШ-2-41, координаты источника (x,y,z), м =[685.14,-128.64,1.00]													
Уровни звуковой мощности источника днём, Lw, дБ		**исходные данные**	**0**	**93,3**	**94,7**	**96**	**96,3**	**95,9**	**92,6**	**88,4**	**83,9**		
Уровни звуковой мощности источника ночью, Lw, дБ		**исходные данные**	**0**	**93,3**	**94,7**	**96**	**96,3**	**95,9**	**92,6**	**88,4**	**83,9**		
Поправка на телесный угол DΩ, дБ	Ω = 6.28	10Lg(4π/Ω)	**3**	3	3	3	3	3	3	3	3		
Показатель направленности источника Di, дБ		исходные данные	**0**	0	0	0	0	0	0	0	0		
Поправка на направленность источника Dc, дБ	Dc	DΩ + Di	**3**	3	3	3	3	3	3	3	3		
Затухание из-за геометрической дивергенции, Adiv, дБ	расстояние = 1649.48 м	ф-ла (7) [10]	**75,3**										
Коэффициент затухания звука в атмосфере α, дБ/км	Ta=20,°C Pa=101.33,кПа hотн.=70%	ф-ла (5) [9]	0,02	0,09	0,33	1,12	2,79	4,98	9,04	23,09	77,63		

1		2	3	4	5	6	7	8	9	10	11	12	13
Учет затухания звука в атмосфере Aatm, дБ		ф-ла (8) [10]	0	0,1	0,6	1,9	4,6	8,2	14,9	38,1	128,1		
Снижение поверхностью земли возле источника As, дБ	Gs = 0 hs = 1м	ф-лы таб.3 [10]	-1,5	-1,5	-1,5	-1,5	-1,5	-1,5	-1,5	-1,5	-1,5		
Снижение поверхностью земли возле приёмника Ar, дБ	Gr = 1 hr = 1.5м	ф-лы таб.3 [10]	-1,5	-1,5	5,3	7	5	0,7	0	0	0		
Снижение поверхностью земли в средней зоне, Am дБ	Gm = 1	ф-лы таб.3 [10]	-2,9	-2,9	0	0	0	0	0	0	0		
Суммарное снижение поверхностью земли на траектории распространения звука Agr, дБ		ф-ла (9) [10]	-5,9	-5,9	3,8	5,5	3,5	-0,8	-1,5	-1,5	-1,5		
Уровни звукового давления от источника ИШ-2-41 в расчётной точке днём, дБ		**ф-ла(3)[10]**	**0**	**26,7**	**17,9**	**16,3**	**15,9**	**16,2**	**6,8**	**0**	**0**	**18,7**	**18,7**
Уровни звукового давления от источника ИШ-2-41 в расчётной точке ночью, дБ		**ф-ла(3)[10]**	**0**	**26,7**	**17,9**	**16,3**	**15,9**	**16,2**	**6,8**	**0**	**0**	**18,7**	**18,7**
Источник шума: ИШ-2-42, координаты источника (x,y,z), м =[684.20,-131.46,1.00]													
Уровни звуковой мощности источника днём, Lw, дБ		**исходные данные**	**0**	**93,3**	**94,7**	**96**	**96,3**	**95,9**	**92,6**	**88,4**	**83,9**		
Уровни звуковой мощности источника ночью, Lw, дБ		**исходные данные**	**0**	**93,3**	**94,7**	**96**	**96,3**	**95,9**	**92,6**	**88,4**	**83,9**		
Поправка на телесный угол DΩ, дБ	Ω = 6.28	10Lg(4π/Ω)	**3**	3	3	3	3	3	3	3	3		
Показатель направленности источника Di, дБ		исходные данные	**0**	0	0	0	0	0	0	0	0		
Поправка на направленность источника Dc, дБ	Dc	DΩ + Di	**3**	3	3	3	3	3	3	3	3		
Затухание из-за геометрической дивергенции, Adiv, дБ	расстояние = 1652.35 м	ф-ла (7) [10]	**75,4**										
Коэффициент затухания звука в атмосфере α, дБ/км	Ta=20,°C Pa=101.33,кПа hотн.=70%	ф-ла (5) [9]	0,02	0,09	0,33	1,12	2,79	4,98	9,04	23,09	77,63		
Учет затухания звука в атмосфере Aatm, дБ		ф-ла (8) [10]	0	0,1	0,6	1,9	4,6	8,2	14,9	38,1	128,3		

1		2	3	4	5	6	7	8	9	10	11	12	13
Снижение поверхностью земли возле источника As, дБ	Gs = 0 hs = 1м	ф-лы таб.3 [10]	-1,5	-1,5	-1,5	-1,5	-1,5	-1,5	-1,5	-1,5	-1,5		
Снижение поверхностью земли возле приёмника Ar, дБ	Gr = 1 hr = 1.5м	ф-лы таб.3 [10]	-1,5	-1,5	5,3	7	5	0,7	0	0	0		
Снижение поверхностью земли в средней зоне, Am дБ	Gm = 1	ф-лы таб.3 [10]	-2,9	-2,9	0	0	0	0	0	0	0		
Суммарное снижение поверхностью земли на траектории распространения звука Agr, дБ		ф-ла (9) [10]	-5,9	-5,9	3,8	5,5	3,5	-0,8	-1,5	-1,5	-1,5		
Уровни звукового давления от источника ИШ-2-42 в расчётной точке днём, дБ		**ф-ла(3)[10]**	**0**	**26,6**	**17,9**	**16,2**	**15,8**	**16,1**	**6,8**	**0**	**0**	**18,7**	**18,7**
Уровни звукового давления от источника ИШ-2-42 в расчётной точке ночью, дБ		**ф-ла(3)[10]**	**0**	**26,6**	**17,9**	**16,2**	**15,8**	**16,1**	**6,8**	**0**	**0**	**18,7**	**18,7**
Источник шума: ИШ-2-43, координаты источника (x,y,z), м =[683.13,-134.37,1.00]													
Уровни звуковой мощности источника днём, Lw, дБ		**исходные данные**	**0**	**93,3**	**94,7**	**96**	**96,3**	**95,9**	**92,6**	**88,4**	**83,9**		
Уровни звуковой мощности источника ночью, Lw, дБ		**исходные данные**	**0**	**93,3**	**94,7**	**96**	**96,3**	**95,9**	**92,6**	**88,4**	**83,9**		
Поправка на телесный угол DΩ, дБ	Ω = 6.28	10Lg(4π/Ω)	**3**	3	3	3	3	3	3	3	3		
Показатель направленности источника Di, дБ		исходные данные	**0**	0	0	0	0	0	0	0	0		
Поправка на направленность источника Dc, дБ	Dc	DΩ + Di	**3**	3	3	3	3	3	3	3	3		
Затухание из-за геометрической дивергенции, Adiv, дБ	расстояние = 1655.33 м	ф-ла (7) [10]	**75,4**										
Коэффициент затухания звука в атмосфере α, дБ/км	Ta=20,°C Pa=101.33,кПа hотн.=70%	ф-ла (5) [9]	0,02	0,09	0,33	1,12	2,79	4,98	9,04	23,09	77,63		
Учет затухания звука в атмосфере Aatm, дБ		ф-ла (8) [10]	0	0,1	0,6	1,9	4,6	8,2	15	38,2	128,5		
Снижение поверхностью земли возле источника As, дБ	Gs = 0 hs = 1м	ф-лы таб.3 [10]	-1,5	-1,5	-1,5	-1,5	-1,5	-1,5	-1,5	-1,5	-1,5		

1		2	3	4	5	6	7	8	9	10	11	12	13
Снижение поверхностью земли возле приёмника Ar, дБ	Gr = 1 hr = 1.5м	ф-лы таб.3 [10]	-1,5	-1,5	5,3	7	5	0,7	0	0	0		
Снижение поверхностью земли в средней зоне, Am дБ	Gm = 1	ф-лы таб.3 [10]	-2,9	-2,9	0	0	0	0	0	0	0		
Суммарное снижение поверхностью земли на траектории распространения звука Agr, дБ		ф-ла (9) [10]	-5,9	-5,9	3,8	5,5	3,5	-0,8	-1,5	-1,5	-1,5		
Уровни звукового давления от источника ИШ-2-43 в расчётной точке днём, дБ		**ф-ла(3)[10]**	**0**	**26,6**	**17,9**	**16,2**	**15,8**	**16,1**	**6,8**	**0**	**0**	**18,7**	**18,7**
Уровни звукового давления от источника ИШ-2-43 в расчётной точке ночью, дБ		**ф-ла(3)[10]**	**0**	**26,6**	**17,9**	**16,2**	**15,8**	**16,1**	**6,8**	**0**	**0**	**18,7**	**18,7**
Источник шума: ИШ-2-44, координаты источника (x,y,z), м =[682.20,-137.16,1.00]													
Уровни звуковой мощности источника днём, Lw, дБ		**исходные данные**	**0**	**93,3**	**94,7**	**96**	**96,3**	**95,9**	**92,6**	**88,4**	**83,9**		
Уровни звуковой мощности источника ночью, Lw, дБ		**исходные данные**	**0**	**93,3**	**94,7**	**96**	**96,3**	**95,9**	**92,6**	**88,4**	**83,9**		
Поправка на телесный угол DΩ, дБ	Ω = 6.28	10Lg(4π/Ω)	**3**	3	3	3	3	3	3	3	3		
Показатель направленности источника Di, дБ		исходные данные	**0**	0	0	0	0	0	0	0	0		
Поправка на направленность источника Dc, дБ	Dc	DΩ + Di	**3**	3	3	3	3	3	3	3	3		
Затухание из-за геометрической дивергенции, Adiv, дБ	расстояние = 1658.18 м	ф-ла (7) [10]	**75,4**										
Коэффициент затухания звука в атмосфере α, дБ/км	Ta=20,°C Pa=101.33,кПа hотн.=70%	ф-ла (5) [9]	0,02	0,09	0,33	1,12	2,79	4,98	9,04	23,09	77,63		
Учет затухания звука в атмосфере Aatm, дБ		ф-ла (8) [10]	0	0,1	0,6	1,9	4,6	8,3	15	38,3	128,7		
Снижение поверхностью земли возле источника As, дБ	Gs = 0 hs = 1м	ф-лы таб.3 [10]	-1,5	-1,5	-1,5	-1,5	-1,5	-1,5	-1,5	-1,5	-1,5		
Снижение поверхностью земли возле приёмника Ar, дБ	Gr = 1 hr = 1.5м	ф-лы таб.3 [10]	-1,5	-1,5	5,3	7	5	0,7	0	0	0		

1		2	3	4	5	6	7	8	9	10	11	12	13
Снижение поверхностью земли в средней зоне, Am дБ	Gm = 1	ф-лы таб.3 [10]	-2,9	-2,9	0	0	0	0	0	0	0		
Суммарное снижение поверхностью земли на траектории распространения звука Agr, дБ		ф-ла (9) [10]	-5,9	-5,9	3,8	5,5	3,5	-0,8	-1,5	-1,5	-1,5		
Уровни звукового давления от источника ИШ-2-44 в расчётной точке днём, дБ		**ф-ла(3)[10]**	**0**	**26,6**	**17,9**	**16,2**	**15,8**	**16,1**	**6,7**	**0**	**0**	**18,7**	**18,7**
Уровни звукового давления от источника ИШ-2-44 в расчётной точке ночью, дБ		**ф-ла(3)[10]**	**0**	**26,6**	**17,9**	**16,2**	**15,8**	**16,1**	**6,7**	**0**	**0**	**18,7**	**18,7**
Источник шума: ИШ-2-45, координаты источника (x,y,z), м =[681.26,-139.98,1.00]													
Уровни звуковой мощности источника днём, Lw, дБ		**исходные данные**	**0**	**93,3**	**94,7**	**96**	**96,3**	**95,9**	**92,6**	**88,4**	**83,9**		
Уровни звуковой мощности источника ночью, Lw, дБ		**исходные данные**	**0**	**93,3**	**94,7**	**96**	**96,3**	**95,9**	**92,6**	**88,4**	**83,9**		
Поправка на телесный угол DΩ, дБ	Ω = 6.28	10Lg(4π/Ω)	**3**	3	3	3	3	3	3	3	3		
Показатель направленности источника Di, дБ		исходные данные	**0**	0	0	0	0	0	0	0	0		
Поправка на направленность источника Dc, дБ	Dc	DΩ + Di	**3**	3	3	3	3	3	3	3	3		
Затухание из-за геометрической дивергенции, Adiv, дБ	расстояние = 1661.05 м	ф-ла (7) [10]	**75,4**										
Коэффициент затухания звука в атмосфере α, дБ/км	Ta=20,°C Pa=101.33,кПа hотн.=70%	ф-ла (5) [9]	0,02	0,09	0,33	1,12	2,79	4,98	9,04	23,09	77,63		
Учет затухания звука в атмосфере Aatm, дБ		ф-ла (8) [10]	0	0,1	0,6	1,9	4,6	8,3	15	38,3	129		
Снижение поверхностью земли возле источника As, дБ	Gs = 0 hs = 1м	ф-лы таб.3 [10]	-1,5	-1,5	-1,5	-1,5	-1,5	-1,5	-1,5	-1,5	-1,5		
Снижение поверхностью земли возле приёмника Ar, дБ	Gr = 1 hr = 1.5м	ф-лы таб.3 [10]	-1,5	-1,5	5,3	7	5	0,7	0	0	0		
Снижение поверхностью земли в средней зоне, Am дБ	Gm = 1	ф-лы таб.3 [10]	-2,9	-2,9	0	0	0	0	0	0	0		

1		2	3	4	5	6	7	8	9	10	11	12	13
Суммарное снижение поверхностью земли на траектории распространения звука Agr, дБ		ф-ла (9) [10]	-5,9	-5,9	3,8	5,5	3,5	-0,8	-1,5	-1,5	-1,5		
Уровни звукового давления от источника ИШ-2-45 в расчётной точке днём, дБ		**ф-ла(3)[10]**	**0**	**26,6**	**17,9**	**16,2**	**15,8**	**16,1**	**6,7**	**0**	**0**	**18,6**	**18,6**
Уровни звукового давления от источника ИШ-2-45 в расчётной точке ночью, дБ		**ф-ла(3)[10]**	**0**	**26,6**	**17,9**	**16,2**	**15,8**	**16,1**	**6,7**	**0**	**0**	**18,6**	**18,6**
Источник шума: ИШ-4-1, координаты источника (x,y,z), м =[141.82,201.03,1.00]													
Уровни звуковой мощности источника днём, Lw, дБ		**исходные данные**	**0**	**90,3**	**91,7**	**93**	**93,3**	**92,9**	**89,6**	**85,4**	**80,9**		
Уровни звуковой мощности источника ночью, Lw, дБ		**исходные данные**	**0**	**90,3**	**91,7**	**93**	**93,3**	**92,9**	**89,6**	**85,4**	**80,9**		
Поправка на телесный угол DΩ, дБ	Ω = 6.28	10Lg(4π/Ω)	**3**	3	3	3	3	3	3	3	3		
Показатель направленности источника Di, дБ		исходные данные	**0**	0	0	0	0	0	0	0	0		
Поправка на направленность источника Dc, дБ	Dc	DΩ + Di	**3**	3	3	3	3	3	3	3	3		
Затухание из-за геометрической дивергенции, Adiv, дБ	расстояние = 1468.31 м	ф-ла (7) [10]	**74,3**										
Коэффициент затухания звука в атмосфере α, дБ/км	Ta=20,°C Pa=101.33,кПа hотн.=70%	ф-ла (5) [9]	0,02	0,09	0,33	1,12	2,79	4,98	9,04	23,09	77,63		
Учет затухания звука в атмосфере Aatm, дБ		ф-ла (8) [10]	0	0,1	0,5	1,7	4,1	7,3	13,3	33,9	114		
Снижение уровня звукового давления из-за влияния застройки между источником шума и расчетной точкой													
Снижение уровня звукового давления препятствием справа от трассы ИШ-РТ, Dz3, дБ	z = -0.01м (разность путей)	ф-лы (14-18) [10]	0	0	0	0	3,8	2,7	0	NAN	NAN		
* отрицательное значение z означает прохождение траектории вблизи экрана, в этом случае дополнительно производится учёт снижения подстилающей поверхностью (см.ниже)													
Снижение поверхностью земли возле источника As, дБ	Gs = 0 hs = 1м	ф-лы таб.3 [10]	-1,5	-1,5	-1,5	-1,5	-1,5	-1,5	-1,5	-1,5	-1,5		
Снижение поверхностью земли возле приёмника Ar, дБ	Gr = 1 hr = 1.5м	ф-лы таб.3 [10]	-1,5	-1,5	5,3	7	5	0,7	0	0	0		

1		2	3	4	5	6	7	8	9	10	11	12	13
Снижение поверхностью земли в средней зоне, Am дБ	Gm = 1	ф-лы таб.3 [10]	-2,8	-2,8	0	0	0	0	0	0	0		
Суммарное снижение поверхностью земли на траектории распространения звука Agr, дБ		ф-ла (9) [10]	-5,8	-5,8	3,8	5,5	3,5	-0,8	-1,5	-1,5	-1,5		
Уровни звукового давления от источника ИШ-4-1 в расчётной точке днём, дБ		**ф-ла(3)[10]**	**0**	**24,7**	**16**	**14,5**	**10,5**	**12,4**	**6,5**	**0**	**0**	**15,4**	**15,4**
Уровни звукового давления от источника ИШ-4-1 в расчётной точке ночью, дБ		**ф-ла(3)[10]**	**0**	**24,7**	**16**	**14,5**	**10,5**	**12,4**	**6,5**	**0**	**0**	**15,4**	**15,4**
Источник шума: ИШ-4-2, координаты источника (x,y,z), м =[133.85,183.21,1.00]													
Уровни звуковой мощности источника днём, Lw, дБ		**исходные данные**	**0**	**90,3**	**91,7**	**93**	**93,3**	**92,9**	**89,6**	**85,4**	**80,9**		
Уровни звуковой мощности источника ночью, Lw, дБ		**исходные данные**	**0**	**90,3**	**91,7**	**93**	**93,3**	**92,9**	**89,6**	**85,4**	**80,9**		
Поправка на телесный угол DΩ, дБ	Ω = 6.28	10Lg(4π/Ω)	**3**	3	3	3	3	3	3	3	3		
Показатель направленности источника Di, дБ		исходные данные	**0**	0	0	0	0	0	0	0	0		
Поправка на направленность источника Dc, дБ	Dc	DΩ + Di	**3**	3	3	3	3	3	3	3	3		
Затухание из-за геометрической дивергенции, Adiv, дБ	расстояние = 1487.81 м	ф-ла (7) [10]	**74,5**										
Коэффициент затухания звука в атмосфере α, дБ/км	Ta=20,°C Pa=101.33,кПа hотн.=70%	ф-ла (5) [9]	0,02	0,09	0,33	1,12	2,79	4,98	9,04	23,09	77,63		
Учет затухания звука в атмосфере Aatm, дБ		ф-ла (8) [10]	0	0,1	0,5	1,7	4,2	7,4	13,4	34,3	115,5		
Снижение уровня звукового давления из-за влияния застройки между источником шума и расчетной точкой													
Снижение уровня звукового давления препятствием справа от трассы ИШ-РТ, Dz3, дБ	z = 0.00м (разность путей)	ф-лы (14-18) [10]	0	0	0	0	0	4,5	4,2	3,5	1,8		
* отрицательное значение z означает прохождение траектории вблизи экрана, в этом случае дополнительно производится учёт снижения подстилающей поверхностью (см.ниже)													
Снижение поверхностью земли возле источника As, дБ	Gs = 0 hs = 1м	ф-лы таб.3 [10]	-1,5	-1,5	-1,5	-1,5	-1,5	-1,5	-1,5	-1,5	-1,5		

1		2	3	4	5	6	7	8	9	10	11	12	13
Снижение поверхностью земли возле приёмника Ar, дБ	Gr = 1 hr = 1.5м	ф-лы таб.3 [10]	-1,5	-1,5	5,3	7	5	0,7	0	0	0		
Снижение поверхностью земли в средней зоне, Am дБ	Gm = 1	ф-лы таб.3 [10]	-2,8	-2,8	0	0	0	0	0	0	0		
Суммарное снижение поверхностью земли на траектории распространения звука Agr, дБ		ф-ла (9) [10]	-5,8	-5,8	3,8	5,5	3,5	-0,8	-1,5	-1,5	-1,5		
Уровни звукового давления от источника ИШ-4-2 в расчётной точке днём, дБ		**ф-ла(3)[10]**	**0**	**24,6**	**15,9**	**14,3**	**14,2**	**10,4**	**2**	**0**	**0**	**14,9**	**14,9**
Уровни звукового давления от источника ИШ-4-2 в расчётной точке ночью, дБ		**ф-ла(3)[10]**	**0**	**24,6**	**15,9**	**14,3**	**14,2**	**10,4**	**2**	**0**	**0**	**14,9**	**14,9**
Источник шума: ИШ-4-3, координаты источника (x,y,z), м =[152.61,172.66,1.00]													
Уровни звуковой мощности источника днём, Lw, дБ		**исходные данные**	**0**	**90,3**	**91,7**	**93**	**93,3**	**92,9**	**89,6**	**85,4**	**80,9**		
Уровни звуковой мощности источника ночью, Lw, дБ		**исходные данные**	**0**	**90,3**	**91,7**	**93**	**93,3**	**92,9**	**89,6**	**85,4**	**80,9**		
Поправка на телесный угол DΩ, дБ	Ω = 6.28	10Lg(4π/Ω)	**3**	3	3	3	3	3	3	3	3		
Показатель направленности источника Di, дБ		исходные данные	**0**	0	0	0	0	0	0	0	0		
Поправка на направленность источника Dc, дБ	Dc	DΩ + Di	**3**	3	3	3	3	3	3	3	3		
Затухание из-за геометрической дивергенции, Adiv, дБ	расстояние = 1489.13 м	ф-ла (7) [10]	**74,5**										
Коэффициент затухания звука в атмосфере α, дБ/км	Ta=20,°C Pa=101.33,кПа hотн.=70%	ф-ла (5) [9]	0,02	0,09	0,33	1,12	2,79	4,98	9,04	23,09	77,63		
Учет затухания звука в атмосфере Aatm, дБ		ф-ла (8) [10]	0	0,1	0,5	1,7	4,2	7,4	13,5	34,4	115,6		
Снижение уровня звукового давления из-за влияния застройки между источником шума и расчетной точкой													
Снижение уровня звукового давления на пути над экраном, Dz1, дБ	z = 0.82м (разность путей)	ф-лы (14-18) [10]	5	5,2	5,9	7,3	9,4	11,7	14,4	17,1	20		

1		2	3	4	5	6	7	8	9	10	11	12	13
Снижение уровня звукового давления на пути слева от экрана, Dz2, дБ	z = 1.98м (разность путей)	ф-лы (14-18) [10]	10,6	14	18,2	22	25,3	28,4	31,4	34,5	37,5		
Снижение уровня звукового давления на пути справа от экрана, Dz3, дБ	z = 2.02м (разность путей)	ф-лы (14-18) [10]	12,2	16	19,4	22,5	25,5	28,5	31,5	34,6	37,6		
Общее снижение уровня звука препятствием Dz, дБ		Эн.сумма(-Dzi)	3,3	4,4	5,4	7,1	9,2	11,6	14,2	17	19,9		
Уровни звукового давления от источника ИШ-4-3 в расчётной точке днём, дБ		**ф-ла(3)[10]**	**0**	**14,3**	**14,3**	**12,8**	**8,5**	**2,5**	**0**	**0**	**0**	**9,3**	**9,3**
Уровни звукового давления от источника ИШ-4-3 в расчётной точке ночью, дБ		**ф-ла(3)[10]**	**0**	**14,3**	**14,3**	**12,8**	**8,5**	**2,5**	**0**	**0**	**0**	**9,3**	**9,3**
Источник шума: ИШ-4-4, координаты источника (x,y,z), м =[156.83,171.25,1.00]													
Уровни звуковой мощности источника днём, Lw, дБ		**исходные данные**	**0**	**90,3**	**91,7**	**93**	**93,3**	**92,9**	**89,6**	**85,4**	**80,9**		
Уровни звуковой мощности источника ночью, Lw, дБ		**исходные данные**	**0**	**90,3**	**91,7**	**93**	**93,3**	**92,9**	**89,6**	**85,4**	**80,9**		
Поправка на телесный угол DΩ, дБ	Ω = 6.28	10Lg(4π/Ω)	**3**	3	3	3	3	3	3	3	3		
Показатель направленности источника Di, дБ		исходные данные	**0**	0	0	0	0	0	0	0	0		
Поправка на направленность источника Dc, дБ	Dc	DΩ + Di	**3**	3	3	3	3	3	3	3	3		
Затухание из-за геометрической дивергенции, Adiv, дБ	расстояние = 1488.59 м	ф-ла (7) [10]	**74,5**										
Коэффициент затухания звука в атмосфере α, дБ/км	Ta=20,°C Pa=101.33,кПа hотн.=70%	ф-ла (5) [9]	0,02	0,09	0,33	1,12	2,79	4,98	9,04	23,09	77,63		
Учет затухания звука в атмосфере Aatm, дБ		ф-ла (8) [10]	0	0,1	0,5	1,7	4,2	7,4	13,5	34,4	115,6		
Снижение уровня звукового давления из-за влияния застройки между источником шума и расчетной точкой													
Снижение уровня звукового давления на пути над экраном, Dz1, дБ	z = 0.82м (разность путей)	ф-лы (14-18) [10]	5	5,2	5,9	7,3	9,4	11,8	14,4	17,1	20		

1		2	3	4	5	6	7	8	9	10	11	12	13
Снижение уровня звукового давления на пути слева от экрана, Dz2, дБ	z = 3.00м (разность путей)	ф-лы (14-18) [10]	12	15,7	19,9	23,8	27,1	30,2	33,2	36,3	39,3		
Снижение уровня звукового давления на пути справа от экрана, Dz3, дБ	z = 0.82м (разность путей)	ф-лы (14-18) [10]	9,3	12,5	15,7	18,7	21,7	24,7	27,6	30,6	33,7		
Общее снижение уровня звука препятствием Dz, дБ		Эн.сумма(-Dzi)	3	4,2	5,3	6,9	9,1	11,5	14,1	16,9	19,8		
Уровни звукового давления прямого звука от источника ИШ-4-4 в расчётной точке днём, дБ		**ф-ла(3)[10]**	**0**	**14,5**	**14,4**	**12,9**	**8,6**	**2,5**	**0**	**0**	**0**	**9,4**	**9,4**
Уровни звукового давления прямого звука от источника ИШ-4-4 в расчётной точке ночью, дБ		**ф-ла(3)[10]**	**0**	**14,5**	**14,4**	**12,9**	**8,6**	**2,5**	**0**	**0**	**0**	**9,4**	**9,4**
Расчёт отражённого звука													
Уровни звукового давления от мнимого источника ИШ-4-4_мн.(1) в расчётной точке днём, дБ		**ф-ла(3)[10]**	**0**	**0**	**0**	**0**	**0**	**8,2**	**0,8**	**0**	**0**	**9,2**	**9,2**
Уровни звукового давления от мнимого источника ИШ-4-4_мн.(1) в расчётной точке ночью, дБ		**ф-ла(3)[10]**	**0**	**0**	**0**	**0**	**0**	**0**	**0**	**0**	**0**	**9,2**	**9,2**
Уровни звукового давления от источника ИШ-4-4 в расчётной точке днём, дБ		**ф-ла(3)[10]**	**0**	**14,5**	**14,4**	**12,9**	**8,6**	**9,3**	**0,8**	**0**	**0**	**12,3**	**12,3**
Уровни звукового давления от источника ИШ-4-4 в расчётной точке ночью, дБ		**ф-ла(3)[10]**	**0**	**14,5**	**14,4**	**12,9**	**8,6**	**9,3**	**0,8**	**0**	**0**	**12,3**	**12,3**
Источник шума: ИШ-4-5, координаты источника (x,y,z), м =[126.48,222.66,11.00]													
Уровни звуковой мощности источника днём, Lw, дБ		**исходные данные**	**0**	**90,3**	**91,7**	**93**	**93,3**	**92,9**	**89,6**	**85,4**	**80,9**		
Уровни звуковой мощности источника ночью, Lw, дБ		**исходные данные**	**0**	**90,3**	**91,7**	**93**	**93,3**	**92,9**	**89,6**	**85,4**	**80,9**		
Поправка на телесный угол DΩ, дБ	Ω = 6.28	10Lg(4π/Ω)	**3**	3	3	3	3	3	3	3	3		
Показатель направленности источника Di, дБ		исходные данные	**0**	0	0	0	0	0	0	0	0		
Поправка на направленность источника Dc, дБ	Dc	DΩ + Di	**3**	3	3	3	3	3	3	3	3		
Затухание из-за геометрической дивергенции, Adiv, дБ	расстояние = 1455.93 м	ф-ла (7) [10]	**74,3**										

1		2	3	4	5	6	7	8	9	10	11	12	13
Коэффициент затухания звука в атмосфере α, дБ/км	Ta=20,°C Pa=101.33,кПа hотн.=70%	ф-ла (5) [9]	0,02	0,09	0,33	1,12	2,79	4,98	9,04	23,09	77,63		
Учет затухания звука в атмосфере Aatm, дБ		ф-ла (8) [10]	0	0,1	0,5	1,6	4,1	7,2	13,2	33,6	113		
Снижение поверхностью земли возле источника As, дБ	Gs = 0 hs = 1м	ф-лы таб.3 [10]	-1,5	-1,5	-1,5	-1,5	-1,5	-1,5	-1,5	-1,5	-1,5		
Снижение поверхностью земли возле приёмника Ar, дБ	Gr = 1 hr = 1.5м	ф-лы таб.3 [10]	-1,5	-1,5	5,3	7	5	0,7	0	0	0		
Снижение поверхностью земли в средней зоне, Am дБ	Gm = 1	ф-лы таб.3 [10]	-2,8	-2,8	0	0	0	0	0	0	0		
Суммарное снижение поверхностью земли на траектории распространения звука Agr, дБ		ф-ла (9) [10]	-5,8	-5,8	3,8	5,5	3,5	-0,8	-1,5	-1,5	-1,5		
Уровни звукового давления от источника ИШ-4-5 в расчётной точке днём, дБ		**ф-ла(3)[10]**	**0**	**24,7**	**16,1**	**14,6**	**14,5**	**15,2**	**6,7**	**0**	**0**	**17,7**	**17,7**
Уровни звукового давления от источника ИШ-4-5 в расчётной точке ночью, дБ		**ф-ла(3)[10]**	**0**	**24,7**	**16,1**	**14,6**	**14,5**	**15,2**	**6,7**	**0**	**0**	**17,7**	**17,7**
Источник шума: ИШ-4-6, координаты источника (x,y,z), м =[125.17,218.57,11.00]													
Уровни звуковой мощности источника днём, Lw, дБ		**исходные данные**	**0**	**90,3**	**91,7**	**93**	**93,3**	**92,9**	**89,6**	**85,4**	**80,9**		
Уровни звуковой мощности источника ночью, Lw, дБ		**исходные данные**	**0**	**90,3**	**91,7**	**93**	**93,3**	**92,9**	**89,6**	**85,4**	**80,9**		
Поправка на телесный угол DΩ, дБ	Ω = 6.28	10Lg(4π/Ω)	**3**	3	3	3	3	3	3	3	3		
Показатель направленности источника Di, дБ		исходные данные	**0**	0	0	0	0	0	0	0	0		
Поправка на направленность источника Dc, дБ	Dc	DΩ + Di	**3**	3	3	3	3	3	3	3	3		
Затухание из-за геометрической дивергенции, Adiv, дБ	расстояние = 1460.16 м	ф-ла (7) [10]	**74,3**										
Коэффициент затухания звука в атмосфере α, дБ/км	Ta=20,°C Pa=101.33,кПа hотн.=70%	ф-ла (5) [9]	0,02	0,09	0,33	1,12	2,79	4,98	9,04	23,09	77,63		

1		2	3	4	5	6	7	8	9	10	11	12	13
Учет затухания звука в атмосфере Aatm, дБ		ф-ла (8) [10]	0	0,1	0,5	1,6	4,1	7,3	13,2	33,7	113,4		
Снижение поверхностью земли возле источника As, дБ	Gs = 0 hs = 1м	ф-лы таб.3 [10]	-1,5	-1,5	-1,5	-1,5	-1,5	-1,5	-1,5	-1,5	-1,5		
Снижение поверхностью земли возле приёмника Ar, дБ	Gr = 1 hr = 1.5м	ф-лы таб.3 [10]	-1,5	-1,5	5,3	7	5	0,7	0	0	0		
Снижение поверхностью земли в средней зоне, Am дБ	Gm = 1	ф-лы таб.3 [10]	-2,8	-2,8	0	0	0	0	0	0	0		
Суммарное снижение поверхностью земли на траектории распространения звука Agr, дБ		ф-ла (9) [10]	-5,8	-5,8	3,8	5,5	3,5	-0,8	-1,5	-1,5	-1,5		
Уровни звукового давления от источника ИШ-4-6 в расчётной точке днём, дБ		**ф-ла(3)[10]**	**0**	**24,7**	**16,1**	**14,5**	**14,5**	**15,2**	**6,6**	**0**	**0**	**17,6**	**17,6**
Уровни звукового давления от источника ИШ-4-6 в расчётной точке ночью, дБ		**ф-ла(3)[10]**	**0**	**24,7**	**16,1**	**14,5**	**14,5**	**15,2**	**6,6**	**0**	**0**	**17,6**	**17,6**
Источник шума: ИШ-4-7, координаты источника (x,y,z), м =[177.91,257.92,11.00]													
Уровни звуковой мощности источника днём, Lw, дБ		**исходные данные**	**0**	**90,3**	**91,7**	**93**	**93,3**	**92,9**	**89,6**	**85,4**	**80,9**		
Уровни звуковой мощности источника ночью, Lw, дБ		**исходные данные**	**0**	**90,3**	**91,7**	**93**	**93,3**	**92,9**	**89,6**	**85,4**	**80,9**		
Поправка на телесный угол DΩ, дБ	Ω = 6.28	10Lg(4π/Ω)	**3**	3	3	3	3	3	3	3	3		
Показатель направленности источника Di, дБ		исходные данные	**0**	0	0	0	0	0	0	0	0		
Поправка на направленность источника Dc, дБ	Dc	DΩ + Di	**3**	3	3	3	3	3	3	3	3		
Затухание из-за геометрической дивергенции, Adiv, дБ	расстояние = 1401.37 м	ф-ла (7) [10]	**73,9**										
Коэффициент затухания звука в атмосфере α, дБ/км	Ta=20,°C Pa=101.33,кПа hотн.=70%	ф-ла (5) [9]	0,02	0,09	0,33	1,12	2,79	4,98	9,04	23,09	77,63		
Учет затухания звука в атмосфере Aatm, дБ		ф-ла (8) [10]	0	0,1	0,5	1,6	3,9	7	12,7	32,4	108,8		

1		2	3	4	5	6	7	8	9	10	11	12	13
Снижение поверхностью земли возле источника As, дБ	Gs = 0 hs = 3м	ф-лы таб.3 [10]	-1,5	-1,5	-1,5	-1,5	-1,5	-1,5	-1,5	-1,5	-1,5		
Снижение поверхностью земли возле приёмника Ar, дБ	Gr = 1 hr = 1.5м	ф-лы таб.3 [10]	-1,5	-1,5	5,3	7	5	0,7	0	0	0		
Снижение поверхностью земли в средней зоне, Am дБ	Gm = 1	ф-лы таб.3 [10]	-2,7	-2,7	0	0	0	0	0	0	0		
Суммарное снижение поверхностью земли на траектории распространения звука Agr, дБ		ф-ла (9) [10]	-5,7	-5,7	3,8	5,5	3,5	-0,8	-1,5	-1,5	-1,5		
Уровни звукового давления прямого звука от источника ИШ-4-7 в расчётной точке днём, дБ		**ф-ла(3)[10]**	**0**	**24,9**	**16,5**	**15**	**15**	**15,8**	**7,5**	**0**	**0**	**18,3**	**18,3**
Уровни звукового давления прямого звука от источника ИШ-4-7 в расчётной точке ночью, дБ		**ф-ла(3)[10]**	**0**	**24,9**	**16,5**	**15**	**15**	**15,8**	**7,5**	**0**	**0**	**18,3**	**18,3**
Расчёт отражённого звука													
Уровни звукового давления от мнимого источника ИШ-4-7_мн.(1) в расчётной точке днём, дБ		**ф-ла(3)[10]**	**0**	**0**	**0**	**0**	**0**	**0**	**0**	**0**	**0**	**0**	**0**
Уровни звукового давления от мнимого источника ИШ-4-7_мн.(1) в расчётной точке ночью, дБ		**ф-ла(3)[10]**	**0**	**0**	**0**	**0**	**0**	**0**	**0**	**0**	**0**	**0**	**0**
Уровни звукового давления от источника ИШ-4-7 в расчётной точке днём, дБ		**ф-ла(3)[10]**	**0**	**24,9**	**16,5**	**15**	**15**	**15,8**	**7,5**	**0**	**0**	**18,3**	**18,3**
Уровни звукового давления от источника ИШ-4-7 в расчётной точке ночью, дБ		**ф-ла(3)[10]**	**0**	**24,9**	**16,5**	**15**	**15**	**15,8**	**7,5**	**0**	**0**	**18,3**	**18,3**
Источник шума: ИШ-4-8, координаты источника (x,y,z), м =[178.24,257.77,13.00]													
Уровни звуковой мощности источника днём, Lw, дБ		**исходные данные**	**0**	**90,3**	**91,7**	**93**	**93,3**	**92,9**	**89,6**	**85,4**	**80,9**		
Уровни звуковой мощности источника ночью, Lw, дБ		**исходные данные**	**0**	**90,3**	**91,7**	**93**	**93,3**	**92,9**	**89,6**	**85,4**	**80,9**		
Поправка на телесный угол DΩ, дБ	Ω = 6.28	10Lg(4π/Ω)	**3**	3	3	3	3	3	3	3	3		
Показатель направленности источника Di, дБ		исходные данные	**0**	0	0	0	0	0	0	0	0		
Поправка на направленность источника Dc, дБ	Dc	DΩ + Di	**3**	3	3	3	3	3	3	3	3		

1		2	3	4	5	6	7	8	9	10	11	12	13
Затухание из-за геометрической дивергенции, Adiv, дБ	расстояние = 1401.37 м	ф-ла (7) [10]	**73,9**										
Коэффициент затухания звука в атмосфере α, дБ/км	Ta=20,°C Pa=101.33,кПа hотн.=70%	ф-ла (5) [9]	0,02	0,09	0,33	1,12	2,79	4,98	9,04	23,09	77,63		
Учет затухания звука в атмосфере Aatm, дБ		ф-ла (8) [10]	0	0,1	0,5	1,6	3,9	7	12,7	32,4	108,8		
Снижение поверхностью земли возле источника As, дБ	Gs = 0 hs = 5м	ф-лы таб.3 [10]	-1,5	-1,5	-1,5	-1,5	-1,5	-1,5	-1,5	-1,5	-1,5		
Снижение поверхностью земли возле приёмника Ar, дБ	Gr = 1 hr = 1.5м	ф-лы таб.3 [10]	-1,5	-1,5	5,3	7	5	0,7	0	0	0		
Снижение поверхностью земли в средней зоне, Am дБ	Gm = 1	ф-лы таб.3 [10]	-2,6	-2,6	0	0	0	0	0	0	0		
Суммарное снижение поверхностью земли на траектории распространения звука Agr, дБ		ф-ла (9) [10]	-5,6	-5,6	3,8	5,5	3,5	-0,8	-1,5	-1,5	-1,5		
Уровни звукового давления от источника ИШ-4-8 в расчётной точке днём, дБ		**ф-ла(3)[10]**	**0**	**24,8**	**16,5**	**15**	**15**	**15,8**	**7,5**	**0**	**0**	**18,3**	**18,3**
Уровни звукового давления от источника ИШ-4-8 в расчётной точке ночью, дБ		**ф-ла(3)[10]**	**0**	**24,8**	**16,5**	**15**	**15**	**15,8**	**7,5**	**0**	**0**	**18,3**	**18,3**
Источник шума: ИШ-4-9, координаты источника (x,y,z), м =[178.68,257.63,15.50]													
Уровни звуковой мощности источника днём, Lw, дБ		**исходные данные**	**0**	**90,3**	**91,7**	**93**	**93,3**	**92,9**	**89,6**	**85,4**	**80,9**		
Уровни звуковой мощности источника ночью, Lw, дБ		**исходные данные**	**0**	**90,3**	**91,7**	**93**	**93,3**	**92,9**	**89,6**	**85,4**	**80,9**		
Поправка на телесный угол DΩ, дБ	Ω = 6.28	10Lg(4π/Ω)	**3**	3	3	3	3	3	3	3	3		
Показатель направленности источника Di, дБ		исходные данные	**0**	0	0	0	0	0	0	0	0		
Поправка на направленность источника Dc, дБ	Dc	DΩ + Di	**3**	3	3	3	3	3	3	3	3		
Затухание из-за геометрической дивергенции, Adiv, дБ	расстояние = 1401.33 м	ф-ла (7) [10]	**73,9**										

1		2	3	4	5	6	7	8	9	10	11	12	13
Коэффициент затухания звука в атмосфере α, дБ/км	Ta=20,°C Pa=101.33,кПа hотн.=70%	ф-ла (5) [9]	0,02	0,09	0,33	1,12	2,79	4,98	9,04	23,09	77,63		
Учет затухания звука в атмосфере Aatm, дБ		ф-ла (8) [10]	0	0,1	0,5	1,6	3,9	7	12,7	32,4	108,8		
Снижение поверхностью земли возле источника As, дБ	Gs = 0 hs = 7.5м	ф-лы таб.3 [10]	-1,5	-1,5	-1,5	-1,5	-1,5	-1,5	-1,5	-1,5	-1,5		
Снижение поверхностью земли возле приёмника Ar, дБ	Gr = 1 hr = 1.5м	ф-лы таб.3 [10]	-1,5	-1,5	5,3	7	5	0,7	0	0	0		
Снижение поверхностью земли в средней зоне, Am дБ	Gm = 1	ф-лы таб.3 [10]	-2,4	-2,4	0	0	0	0	0	0	0		
Суммарное снижение поверхностью земли на траектории распространения звука Agr, дБ		ф-ла (9) [10]	-5,4	-5,4	3,8	5,5	3,5	-0,8	-1,5	-1,5	-1,5		
Уровни звукового давления от источника ИШ-4-9 в расчётной точке днём, дБ		**ф-ла(3)[10]**	**0**	**24,7**	**16,5**	**15**	**15**	**15,8**	**7,5**	**0**	**0**	**18,2**	**18,2**
Уровни звукового давления от источника ИШ-4-9 в расчётной точке ночью, дБ		**ф-ла(3)[10]**	**0**	**24,7**	**16,5**	**15**	**15**	**15,8**	**7,5**	**0**	**0**	**18,2**	**18,2**
Источник шума: ИШ-4-10, координаты источника (x,y,z), м =[185.65,255.31,11.00]													
Уровни звуковой мощности источника днём, Lw, дБ		**исходные данные**	**0**	**90,3**	**91,7**	**93**	**93,3**	**92,9**	**89,6**	**85,4**	**80,9**		
Уровни звуковой мощности источника ночью, Lw, дБ		**исходные данные**	**0**	**90,3**	**91,7**	**93**	**93,3**	**92,9**	**89,6**	**85,4**	**80,9**		
Поправка на телесный угол DΩ, дБ	Ω = 6.28	10Lg(4π/Ω)	**3**	3	3	3	3	3	3	3	3		
Показатель направленности источника Di, дБ		исходные данные	**0**	0	0	0	0	0	0	0	0		
Поправка на направленность источника Dc, дБ	Dc	DΩ + Di	**3**	3	3	3	3	3	3	3	3		
Затухание из-за геометрической дивергенции, Adiv, дБ	расстояние = 1400.35 м	ф-ла (7) [10]	**73,9**										
Коэффициент затухания звука в атмосфере α, дБ/км	Ta=20,°C Pa=101.33,кПа hотн.=70%	ф-ла (5) [9]	0,02	0,09	0,33	1,12	2,79	4,98	9,04	23,09	77,63		

1		2	3	4	5	6	7	8	9	10	11	12	13
Учет затухания звука в атмосфере Aatm, дБ		ф-ла (8) [10]	0	0,1	0,5	1,6	3,9	7	12,7	32,3	108,7		
Снижение поверхностью земли возле источника As, дБ	Gs = 0 hs = 3м	ф-лы таб.3 [10]	-1,5	-1,5	-1,5	-1,5	-1,5	-1,5	-1,5	-1,5	-1,5		
Снижение поверхностью земли возле приёмника Ar, дБ	Gr = 1 hr = 1.5м	ф-лы таб.3 [10]	-1,5	-1,5	5,3	7	5	0,7	0	0	0		
Снижение поверхностью земли в средней зоне, Am дБ	Gm = 1	ф-лы таб.3 [10]	-2,7	-2,7	0	0	0	0	0	0	0		
Суммарное снижение поверхностью земли на траектории распространения звука Agr, дБ		ф-ла (9) [10]	-5,7	-5,7	3,8	5,5	3,5	-0,8	-1,5	-1,5	-1,5		
Уровни звукового давления прямого звука от источника ИШ-4-10 в расчётной точке днём, дБ		**ф-ла(3)[10]**	**0**	**25**	**16,5**	**15**	**15**	**15,8**	**7,5**	**0**	**0**	**18,3**	**18,3**
Уровни звукового давления прямого звука от источника ИШ-4-10 в расчётной точке ночью, дБ		**ф-ла(3)[10]**	**0**	**25**	**16,5**	**15**	**15**	**15,8**	**7,5**	**0**	**0**	**18,3**	**18,3**
Расчёт отражённого звука													
Уровни звукового давления от мнимого источника ИШ-4-10_мн.(1) в расчётной точке днём, дБ		**ф-ла(3)[10]**	**0**	**0**	**0**	**0**	**0**	**0**	**0**	**0**	**0**	**0**	**0**
Уровни звукового давления от мнимого источника ИШ-4-10_мн.(1) в расчётной точке ночью, дБ		**ф-ла(3)[10]**	**0**	**0**	**0**	**0**	**0**	**0**	**0**	**0**	**0**	**0**	**0**
Уровни звукового давления от источника ИШ-4-10 в расчётной точке днём, дБ		**ф-ла(3)[10]**	**0**	**25**	**16,5**	**15**	**15**	**15,8**	**7,5**	**0**	**0**	**18,3**	**18,3**
Уровни звукового давления от источника ИШ-4-10 в расчётной точке ночью, дБ		**ф-ла(3)[10]**	**0**	**25**	**16,5**	**15**	**15**	**15,8**	**7,5**	**0**	**0**	**18,3**	**18,3**
Источник шума: ИШ-4-11, координаты источника (x,y,z), м =[185.89,255.16,13.00]													
Уровни звуковой мощности источника днём, Lw, дБ		**исходные данные**	**0**	**90,3**	**91,7**	**93**	**93,3**	**92,9**	**89,6**	**85,4**	**80,9**		
Уровни звуковой мощности источника ночью, Lw, дБ		**исходные данные**	**0**	**90,3**	**91,7**	**93**	**93,3**	**92,9**	**89,6**	**85,4**	**80,9**		
Поправка на телесный угол DΩ, дБ	Ω = 6.28	10Lg(4π/Ω)	**3**	3	3	3	3	3	3	3	3		
Показатель направленности источника Di, дБ		исходные данные	**0**	0	0	0	0	0	0	0	0		

1		2	3	4	5	6	7	8	9	10	11	12	13
Поправка на направленность источника Dc, дБ	Dc	DΩ + Di	**3**	3	3	3	3	3	3	3	3		
Затухание из-за геометрической дивергенции, Adiv, дБ	расстояние = 1400.39 м	ф-ла (7) [10]	**73,9**										
Коэффициент затухания звука в атмосфере α, дБ/км	Ta=20,°C Pa=101.33,кПа hотн.=70%	ф-ла (5) [9]	0,02	0,09	0,33	1,12	2,79	4,98	9,04	23,09	77,63		
Учет затухания звука в атмосфере Aatm, дБ		ф-ла (8) [10]	0	0,1	0,5	1,6	3,9	7	12,7	32,3	108,7		
Снижение поверхностью земли возле источника As, дБ	Gs = 0 hs = 5м	ф-лы таб.3 [10]	-1,5	-1,5	-1,5	-1,5	-1,5	-1,5	-1,5	-1,5	-1,5		
Снижение поверхностью земли возле приёмника Ar, дБ	Gr = 1 hr = 1.5м	ф-лы таб.3 [10]	-1,5	-1,5	5,3	7	5	0,7	0	0	0		
Снижение поверхностью земли в средней зоне, Am дБ	Gm = 1	ф-лы таб.3 [10]	-2,6	-2,6	0	0	0	0	0	0	0		
Суммарное снижение поверхностью земли на траектории распространения звука Agr, дБ		ф-ла (9) [10]	-5,6	-5,6	3,8	5,5	3,5	-0,8	-1,5	-1,5	-1,5		
Уровни звукового давления от источника ИШ-4-11 в расчётной точке днём, дБ		**ф-ла(3)[10]**	**0**	**24,8**	**16,5**	**15**	**15**	**15,8**	**7,5**	**0**	**0**	**18,3**	**18,3**
Уровни звукового давления от источника ИШ-4-11 в расчётной точке ночью, дБ		**ф-ла(3)[10]**	**0**	**24,8**	**16,5**	**15**	**15**	**15,8**	**7,5**	**0**	**0**	**18,3**	**18,3**
Источник шума: ИШ-4-12, координаты источника (x,y,z), м =[186.18,255.02,15.50]													
Уровни звуковой мощности источника днём, Lw, дБ		**исходные данные**	**0**	**90,3**	**91,7**	**93**	**93,3**	**92,9**	**89,6**	**85,4**	**80,9**		
Уровни звуковой мощности источника ночью, Lw, дБ		**исходные данные**	**0**	**90,3**	**91,7**	**93**	**93,3**	**92,9**	**89,6**	**85,4**	**80,9**		
Поправка на телесный угол DΩ, дБ	Ω = 6.28	10Lg(4π/Ω)	**3**	3	3	3	3	3	3	3	3		
Показатель направленности источника Di, дБ		исходные данные	**0**	0	0	0	0	0	0	0	0		
Поправка на направленность источника Dc, дБ	Dc	DΩ + Di	**3**	3	3	3	3	3	3	3	3		

1		2	3	4	5	6	7	8	9	10	11	12	13
Затухание из-за геометрической дивергенции, Adiv, дБ	расстояние = 1400.42 м	ф-ла (7) [10]	**73,9**										
Коэффициент затухания звука в атмосфере α, дБ/км	Ta=20,°C Pa=101.33,кПа hотн.=70%	ф-ла (5) [9]	0,02	0,09	0,33	1,12	2,79	4,98	9,04	23,09	77,63		
Учет затухания звука в атмосфере Aatm, дБ		ф-ла (8) [10]	0	0,1	0,5	1,6	3,9	7	12,7	32,3	108,7		
Снижение поверхностью земли возле источника As, дБ	Gs = 0 hs = 7.5м	ф-лы таб.3 [10]	-1,5	-1,5	-1,5	-1,5	-1,5	-1,5	-1,5	-1,5	-1,5		
Снижение поверхностью земли возле приёмника Ar, дБ	Gr = 1 hr = 1.5м	ф-лы таб.3 [10]	-1,5	-1,5	5,3	7	5	0,7	0	0	0		
Снижение поверхностью земли в средней зоне, Am дБ	Gm = 1	ф-лы таб.3 [10]	-2,4	-2,4	0	0	0	0	0	0	0		
Суммарное снижение поверхностью земли на траектории распространения звука Agr, дБ		ф-ла (9) [10]	-5,4	-5,4	3,8	5,5	3,5	-0,8	-1,5	-1,5	-1,5		
Уровни звукового давления от источника ИШ-4-12 в расчётной точке днём, дБ		**ф-ла(3)[10]**	**0**	**24,7**	**16,5**	**15**	**15**	**15,8**	**7,5**	**0**	**0**	**18,3**	**18,3**
Уровни звукового давления от источника ИШ-4-12 в расчётной точке ночью, дБ		**ф-ла(3)[10]**	**0**	**24,7**	**16,5**	**15**	**15**	**15,8**	**7,5**	**0**	**0**	**18,3**	**18,3**
Источник шума: ИШ-4-13, координаты источника (x,y,z), м =[94.56,229.10,1.00]													
Уровни звуковой мощности источника днём, Lw, дБ		**исходные данные**	**0**	**81,3**	**82,7**	**84**	**84,3**	**83,9**	**80,6**	**76,4**	**71,9**		
Уровни звуковой мощности источника ночью, Lw, дБ		**исходные данные**	**0**	**81,3**	**82,7**	**84**	**84,3**	**83,9**	**80,6**	**76,4**	**71,9**		
Поправка на телесный угол DΩ, дБ	Ω = 6.28	10Lg(4π/Ω)	**3**	3	3	3	3	3	3	3	3		
Показатель направленности источника Di, дБ		исходные данные	**0**	0	0	0	0	0	0	0	0		
Поправка на направленность источника Dc, дБ	Dc	DΩ + Di	**3**	3	3	3	3	3	3	3	3		
Затухание из-за геометрической дивергенции, Adiv, дБ	расстояние = 1465.11 м	ф-ла (7) [10]	**74,3**										

1		2	3	4	5	6	7	8	9	10	11	12	13
Коэффициент затухания звука в атмосфере α, дБ/км	Та=20,°С Ра=101.33,кПа hотн.=70%	ф-ла (5) [9]	0,02	0,09	0,33	1,12	2,79	4,98	9,04	23,09	77,63		
Учет затухания звука в атмосфере Aatm, дБ		ф-ла (8) [10]	0	0,1	0,5	1,6	4,1	7,3	13,2	33,8	113,7		
Снижение уровня звукового давления из-за влияния застройки между источником шума и расчетной точкой													
Снижение уровня звукового давления на пути над экраном, Dz1, дБ	z = 1.18м (разность путей)	ф-лы (14-18) [10]	5,2	5,8	7,3	9,5	11,9	14,6	17,4	20,3	23,2		
Снижение уровня звукового давления на пути слева от экрана, Dz2, дБ	z = 0.20м (разность путей)	ф-лы (14-18) [10]	5,7	6,5	7,7	9,4	11,6	14,2	16,9	19,8	22,7		
Снижение уровня звукового давления на пути справа от экрана, Dz3, дБ	z = 95.33м (разность путей)	ф-лы (14-18) [10]	26,3	30,5	35	38,9	42,2	45,2	48,3	51,3	54,3		
Общее снижение уровня звука препятствием Dz, дБ		Эн.сумма(-Dzi)	2,4	3,1	4,5	6,4	8,8	11,4	14,1	17	20		
Уровни звукового давления прямого звука от источника ИШ-4-13 в расчётной точке днём, дБ		**ф-ла(3)[10]**	**0**	**6,7**	**6,4**	**4,6**	**0,1**	**0**	**0**	**0**	**0**	**0**	**0**
Уровни звукового давления прямого звука от источника ИШ-4-13 в расчётной точке ночью, дБ		**ф-ла(3)[10]**	**0**	**6,7**	**6,4**	**4,6**	**0,1**	**0**	**0**	**0**	**0**	**0**	**0**
Расчёт отражённого звука													
Уровни звукового давления от мнимого источника ИШ-4-13_мн.(1) в расчётной точке днём, дБ		**ф-ла(3)[10]**	**0**	**0**	**0**	**0**	**0**	**0**	**0**	**0**	**0**	**0**	**0**
Уровни звукового давления от мнимого источника ИШ-4-13_мн.(1) в расчётной точке ночью, дБ		**ф-ла(3)[10]**	**0**	**0**	**0**	**0**	**0**	**0**	**0**	**0**	**0**	**0**	**0**
Уровни звукового давления от источника ИШ-4-13 в расчётной точке днём, дБ		**ф-ла(3)[10]**	**0**	**6,7**	**6,4**	**4,6**	**0,1**	**0**	**0**	**0**	**0**	**0**	**0**
Уровни звукового давления от источника ИШ-4-13 в расчётной точке ночью, дБ		**ф-ла(3)[10]**	**0**	**6,7**	**6,4**	**4,6**	**0,1**	**0**	**0**	**0**	**0**	**0**	**0**
Источник шума: ИШ-4-14, координаты источника (x,y,z), м =[91.88,221.30,1.00]													
Уровни звуковой мощности источника днём, Lw, дБ		**исходные данные**	**0**	**81,3**	**82,7**	**84**	**84,3**	**83,9**	**80,6**	**76,4**	**71,9**		

1		2	3	4	5	6	7	8	9	10	11	12	13
Уровни звуковой мощности источника ночью, Lw, дБ		**исходные данные**	**0**	**81,3**	**82,7**	**84**	**84,3**	**83,9**	**80,6**	**76,4**	**71,9**		
Поправка на телесный угол DΩ, дБ	Ω = 6.28	10Lg(4π/Ω)	**3**	3	3	3	3	3	3	3	3		
Показатель направленности источника Di, дБ		исходные данные	**0**	0	0	0	0	0	0	0	0		
Поправка на направленность источника Dc, дБ	Dc	DΩ + Di	**3**	3	3	3	3	3	3	3	3		
Затухание из-за геометрической дивергенции, Adiv, дБ	расстояние = 1473.24 м	ф-ла (7) [10]	**74,4**										
Коэффициент затухания звука в атмосфере α, дБ/км	Ta=20,°C Pa=101.33,кПа hотн.=70%	ф-ла (5) [9]	0,02	0,09	0,33	1,12	2,79	4,98	9,04	23,09	77,63		
Учет затухания звука в атмосфере Aatm, дБ		ф-ла (8) [10]	0	0,1	0,5	1,7	4,1	7,3	13,3	34	114,4		
Снижение уровня звукового давления из-за влияния застройки между источником шума и расчетной точкой													
Снижение уровня звукового давления на пути над экраном, Dz1, дБ	z = 1.16м (разность путей)	ф-лы (14-18) [10]	5,2	5,9	7,4	9,4	11,7	14,3	17,1	20	22,9		
Снижение уровня звукового давления на пути слева от экрана, Dz2, дБ	z = 0.28м (разность путей)	ф-лы (14-18) [10]	6,1	7,1	8,5	10,5	12,9	15,6	18,4	21,3	24,3		
Снижение уровня звукового давления на пути справа от экрана, Dz3, дБ	z = 79.11м (разность путей)	ф-лы (14-18) [10]	25,5	29,7	34,2	38,1	41,3	44,4	47,5	50,5	53,5		
Общее снижение уровня звука препятствием Dz, дБ		Эн.сумма(-Dzi)	2,6	3,4	4,9	6,9	9,3	11,9	14,7	17,6	20,5		
Уровни звукового давления прямого звука от источника ИШ-4-14 в расчётной точке днём, дБ		**ф-ла(3)[10]**	**0**	**6,4**	**5,9**	**4,1**	**0**	**0**	**0**	**0**	**0**	**0**	**0**
Уровни звукового давления прямого звука от источника ИШ-4-14 в расчётной точке ночью, дБ		**ф-ла(3)[10]**	**0**	**6,4**	**5,9**	**4,1**	**0**	**0**	**0**	**0**	**0**	**0**	**0**
Расчёт отражённого звука													
Уровни звукового давления от мнимого источника ИШ-4-14_мн.(1) в расчётной точке днём, дБ		**ф-ла(3)[10]**	**0**	**0**	**0**	**0**	**0**	**0**	**0**	**0**	**0**	**0**	**0**
Уровни звукового давления от мнимого источника ИШ-4-14_мн.(1) в расчётной точке ночью, дБ		**ф-ла(3)[10]**	**0**	**0**	**0**	**0**	**0**	**0**	**0**	**0**	**0**	**0**	**0**

1		2	3	4	5	6	7	8	9	10	11	12	13
Уровни звукового давления от мнимого источника ИШ-4-14_мн.(2) в расчётной точке днём, дБ		**ф-ла(3)[10]**	**0**	**0**	**0**	**0**	**0**	**0**	**0**	**0**	**0**	**0**	**0**
Уровни звукового давления от мнимого источника ИШ-4-14_мн.(2) в расчётной точке ночью, дБ		**ф-ла(3)[10]**	**0**	**0**	**0**	**0**	**0**	**0**	**0**	**0**	**0**	**0**	**0**
Суммарные уровни звукового давления от мнимых источников в расчётной точке днём, дБ		**ф-ла (19) [1]**	**0**	**0**	**0**	**0**	**0**	**0**	**0**	**0**	**0**	**0**	**0**
Суммарные уровни звукового давления от мнимых источников в расчётной точке ночью, дБ		**ф-ла (19) [1]**	**0**	**0**	**0**	**0**	**0**	**0**	**0**	**0**	**0**	**0**	**0**
Уровни звукового давления от источника ИШ-4-14 в расчётной точке днём, дБ		**ф-ла(3)[10]**	**0**	**6,4**	**5,9**	**4,1**	**0**	**0**	**0**	**0**	**0**	**0**	**0**
Уровни звукового давления от источника ИШ-4-14 в расчётной точке ночью, дБ		**ф-ла(3)[10]**	**0**	**6,4**	**5,9**	**4,1**	**0**	**0**	**0**	**0**	**0**	**0**	**0**
Источник шума: ИШ-5-1, координаты источника (x,y,z), м =[626.70,162.36,1.00]													
Уровни звуковой мощности источника днём, Lw, дБ		**исходные данные**	**0**	**93,3**	**94,7**	**96**	**96,3**	**95,9**	**92,6**	**88,4**	**83,9**		
Уровни звуковой мощности источника ночью, Lw, дБ		**исходные данные**	**0**	**93,3**	**94,7**	**96**	**96,3**	**95,9**	**92,6**	**88,4**	**83,9**		
Поправка на телесный угол DΩ, дБ	Ω = 6.28	10Lg(4π/Ω)	**3**	3	3	3	3	3	3	3	3		
Показатель направленности источника Di, дБ		исходные данные	**0**	0	0	0	0	0	0	0	0		
Поправка на направленность источника Dc, дБ	Dc	DΩ + Di	**3**	3	3	3	3	3	3	3	3		
Затухание из-за геометрической дивергенции, Adiv, дБ	расстояние = 1365.08 м	ф-ла (7) [10]	**73,7**										
Коэффициент затухания звука в атмосфере α, дБ/км	Ta=20,°C Pa=101.33,кПа hотн.=70%	ф-ла (5) [9]	0,02	0,09	0,33	1,12	2,79	4,98	9,04	23,09	77,63		
Учет затухания звука в атмосфере Aatm, дБ		ф-ла (8) [10]	0	0,1	0,5	1,5	3,8	6,8	12,3	31,5	106		
Снижение поверхностью земли возле источника As, дБ	Gs = 0 hs = 1м	ф-лы таб.3 [10]	-1,5	-1,5	-1,5	-1,5	-1,5	-1,5	-1,5	-1,5	-1,5		

1		2	3	4	5	6	7	8	9	10	11	12	13
Снижение поверхностью земли возле приёмника Ar, дБ	Gr = 1 hr = 1.5м	ф-лы таб.3 [10]	-1,5	-1,5	5,3	7	5	0,7	0	0	0		
Снижение поверхностью земли в средней зоне, Am дБ	Gm = 1	ф-лы таб.3 [10]	-2,8	-2,8	0	0	0	0	0	0	0		
Суммарное снижение поверхностью земли на траектории распространения звука Agr, дБ		ф-ла (9) [10]	-5,8	-5,8	3,8	5,5	3,5	-0,8	-1,5	-1,5	-1,5		
Уровни звукового давления от источника ИШ-5-1 в расчётной точке днём, дБ		**ф-ла(3)[10]**	**0**	**28,3**	**19,7**	**18,2**	**18,3**	**19,2**	**11**	**0**	**0**	**21,6**	**21,6**
Уровни звукового давления от источника ИШ-5-1 в расчётной точке ночью, дБ		**ф-ла(3)[10]**	**0**	**28,3**	**19,7**	**18,2**	**18,3**	**19,2**	**11**	**0**	**0**	**21,6**	**21,6**
Источник шума: ИШ-5-2, координаты источника (x,y,z), м =[625.81,159.52,1.00]													
Уровни звуковой мощности источника днём, Lw, дБ		**исходные данные**	**0**	**93,3**	**94,7**	**96**	**96,3**	**95,9**	**92,6**	**88,4**	**83,9**		
Уровни звуковой мощности источника ночью, Lw, дБ		**исходные данные**	**0**	**93,3**	**94,7**	**96**	**96,3**	**95,9**	**92,6**	**88,4**	**83,9**		
Поправка на телесный угол DΩ, дБ	Ω = 6.28	10Lg(4π/Ω)	**3**	3	3	3	3	3	3	3	3		
Показатель направленности источника Di, дБ		исходные данные	**0**	0	0	0	0	0	0	0	0		
Поправка на направленность источника Dc, дБ	Dc	DΩ + Di	**3**	3	3	3	3	3	3	3	3		
Затухание из-за геометрической дивергенции, Adiv, дБ	расстояние = 1368.01 м	ф-ла (7) [10]	**73,7**										
Коэффициент затухания звука в атмосфере α, дБ/км	Ta=20,°C Pa=101.33,кПа hотн.=70%	ф-ла (5) [9]	0,02	0,09	0,33	1,12	2,79	4,98	9,04	23,09	77,63		
Учет затухания звука в атмосфере Aatm, дБ		ф-ла (8) [10]	0	0,1	0,5	1,5	3,8	6,8	12,4	31,6	106,2		
Снижение поверхностью земли возле источника As, дБ	Gs = 0 hs = 1м	ф-лы таб.3 [10]	-1,5	-1,5	-1,5	-1,5	-1,5	-1,5	-1,5	-1,5	-1,5		
Снижение поверхностью земли возле приёмника Ar, дБ	Gr = 1 hr = 1.5м	ф-лы таб.3 [10]	-1,5	-1,5	5,3	7	5	0,7	0	0	0		

1		2	3	4	5	6	7	8	9	10	11	12	13
Снижение поверхностью земли в средней зоне, Am дБ	Gm = 1	ф-лы таб.3 [10]	-2,8	-2,8	0	0	0	0	0	0	0		
Суммарное снижение поверхностью земли на траектории распространения звука Agr, дБ		ф-ла (9) [10]	-5,8	-5,8	3,8	5,5	3,5	-0,8	-1,5	-1,5	-1,5		
Уровни звукового давления от источника ИШ-5-2 в расчётной точке днём, дБ		**ф-ла(3)[10]**	**0**	**28,3**	**19,7**	**18,2**	**18,3**	**19,2**	**11**	**0**	**0**	**21,6**	**21,6**
Уровни звукового давления от источника ИШ-5-2 в расчётной точке ночью, дБ		**ф-ла(3)[10]**	**0**	**28,3**	**19,7**	**18,2**	**18,3**	**19,2**	**11**	**0**	**0**	**21,6**	**21,6**
Источник шума: ИШ-5-3, координаты источника (x,y,z), м =[624.84,156.69,1.00]													
Уровни звуковой мощности источника днём, Lw, дБ		**исходные данные**	**0**	**93,3**	**94,7**	**96**	**96,3**	**95,9**	**92,6**	**88,4**	**83,9**		
Уровни звуковой мощности источника ночью, Lw, дБ		**исходные данные**	**0**	**93,3**	**94,7**	**96**	**96,3**	**95,9**	**92,6**	**88,4**	**83,9**		
Поправка на телесный угол DΩ, дБ	Ω = 6.28	10Lg(4π/Ω)	**3**	3	3	3	3	3	3	3	3		
Показатель направленности источника Di, дБ		исходные данные	**0**	0	0	0	0	0	0	0	0		
Поправка на направленность источника Dc, дБ	Dc	DΩ + Di	**3**	3	3	3	3	3	3	3	3		
Затухание из-за геометрической дивергенции, Adiv, дБ	расстояние = 1370.94 м	ф-ла (7) [10]	**73,7**										
Коэффициент затухания звука в атмосфере α, дБ/км	Ta=20,°C Pa=101.33,кПа hотн.=70%	ф-ла (5) [9]	0,02	0,09	0,33	1,12	2,79	4,98	9,04	23,09	77,63		
Учет затухания звука в атмосфере Aatm, дБ		ф-ла (8) [10]	0	0,1	0,5	1,5	3,8	6,8	12,4	31,6	106,4		
Снижение поверхностью земли возле источника As, дБ	Gs = 0 hs = 1м	ф-лы таб.3 [10]	-1,5	-1,5	-1,5	-1,5	-1,5	-1,5	-1,5	-1,5	-1,5		
Снижение поверхностью земли возле приёмника Ar, дБ	Gr = 1 hr = 1.5м	ф-лы таб.3 [10]	-1,5	-1,5	5,3	7	5	0,7	0	0	0		
Снижение поверхностью земли в средней зоне, Am дБ	Gm = 1	ф-лы таб.3 [10]	-2,8	-2,8	0	0	0	0	0	0	0		

1		2	3	4	5	6	7	8	9	10	11	12	13
Суммарное снижение поверхностью земли на траектории распространения звука Agr, дБ		ф-ла (9) [10]	-5,8	-5,8	3,8	5,5	3,5	-0,8	-1,5	-1,5	-1,5		
Уровни звукового давления от источника ИШ-5-3 в расчётной точке днём, дБ		**ф-ла(3)[10]**	**0**	**28,3**	**19,7**	**18,2**	**18,3**	**19,2**	**11**	**0**	**0**	**21,6**	**21,6**
Уровни звукового давления от источника ИШ-5-3 в расчётной точке ночью, дБ		**ф-ла(3)[10]**	**0**	**28,3**	**19,7**	**18,2**	**18,3**	**19,2**	**11**	**0**	**0**	**21,6**	**21,6**
Источник шума: ИШ-6-1, координаты источника (x,y,z), м =[836.30,122.24,1.00]													
Уровни звуковой мощности источника днём, Lw, дБ		**исходные данные**	**0**	**96,3**	**97,7**	**99**	**99,3**	**98,9**	**95,6**	**91,4**	**86,9**		
Уровни звуковой мощности источника ночью, Lw, дБ		**исходные данные**	**0**	**96,3**	**97,7**	**99**	**99,3**	**98,9**	**95,6**	**91,4**	**86,9**		
Поправка на телесный угол DΩ, дБ	Ω = 12.57	10Lg(4π/Ω)	**0**	0	0	0	0	0	0	0	0		
Показатель направленности источника Di, дБ		исходные данные	**0**	0	0	0	0	0	0	0	0		
Поправка на направленность источника Dc, дБ	Dc	DΩ + Di	**0**	0	0	0	0	0	0	0	0		
Затухание из-за геометрической дивергенции, Adiv, дБ	расстояние = 1395.81 м	ф-ла (7) [10]	**73,9**										
Коэффициент затухания звука в атмосфере α, дБ/км	Ta=20,°C Pa=101.33,кПа hотн.=70%	ф-ла (5) [9]	0,02	0,09	0,33	1,12	2,79	4,98	9,04	23,09	77,63		
Учет затухания звука в атмосфере Aatm, дБ		ф-ла (8) [10]	0	0,1	0,5	1,6	3,9	6,9	12,6	32,2	108,4		
Снижение поверхностью земли возле источника As, дБ	Gs = 0 hs = 1м	ф-лы таб.3 [10]	-1,5	-1,5	-1,5	-1,5	-1,5	-1,5	-1,5	-1,5	-1,5		
Снижение поверхностью земли возле приёмника Ar, дБ	Gr = 1 hr = 1.5м	ф-лы таб.3 [10]	-1,5	-1,5	5,3	7	5	0,7	0	0	0		
Снижение поверхностью земли в средней зоне, Am дБ	Gm = 1	ф-лы таб.3 [10]	-2,8	-2,8	0	0	0	0	0	0	0		
Суммарное снижение поверхностью земли на траектории распространения звука Agr, дБ		ф-ла (9) [10]	-5,8	-5,8	3,8	5,5	3,5	-0,8	-1,5	-1,5	-1,5		

1		2	3	4	5	6	7	8	9	10	11	12	13
Уровни звукового давления от источника ИШ-6-1 в расчётной точке днём, дБ		**ф-ла(3)[10]**	**0**	**28,1**	**19,5**	**18**	**18**	**18,9**	**10,6**	**0**	**0**	**21,3**	**21,3**
Уровни звукового давления от источника ИШ-6-1 в расчётной точке ночью, дБ		**ф-ла(3)[10]**	**0**	**28,1**	**19,5**	**18**	**18**	**18,9**	**10,6**	**0**	**0**	**21,3**	**21,3**
Источник шума: ИШ-6-2, координаты источника (x,y,z), м =[835.37,119.30,1.00]													
Уровни звуковой мощности источника днём, Lw, дБ		**исходные данные**	**0**	**96,3**	**97,7**	**99**	**99,3**	**98,9**	**95,6**	**91,4**	**86,9**		
Уровни звуковой мощности источника ночью, Lw, дБ		**исходные данные**	**0**	**96,3**	**97,7**	**99**	**99,3**	**98,9**	**95,6**	**91,4**	**86,9**		
Поправка на телесный угол DΩ, дБ	Ω = 12.57	10Lg(4π/Ω)	**0**	0	0	0	0	0	0	0	0		
Показатель направленности источника Di, дБ		исходные данные	**0**	0	0	0	0	0	0	0	0		
Поправка на направленность источника Dc, дБ	Dc	DΩ + Di	**0**	0	0	0	0	0	0	0	0		
Затухание из-за геометрической дивергенции, Adiv, дБ	расстояние = 1398.71 м	ф-ла (7) [10]	**73,9**										
Коэффициент затухания звука в атмосфере α, дБ/км	Ta=20,°C Pa=101.33,кПа hотн.=70%	ф-ла (5) [9]	0,02	0,09	0,33	1,12	2,79	4,98	9,04	23,09	77,63		
Учет затухания звука в атмосфере Aatm, дБ		ф-ла (8) [10]	0	0,1	0,5	1,6	3,9	7	12,6	32,3	108,6		
Снижение поверхностью земли возле источника As, дБ	Gs = 0 hs = 1м	ф-лы таб.3 [10]	-1,5	-1,5	-1,5	-1,5	-1,5	-1,5	-1,5	-1,5	-1,5		
Снижение поверхностью земли возле приёмника Ar, дБ	Gr = 1 hr = 1.5м	ф-лы таб.3 [10]	-1,5	-1,5	5,3	7	5	0,7	0	0	0		
Снижение поверхностью земли в средней зоне, Am дБ	Gm = 1	ф-лы таб.3 [10]	-2,8	-2,8	0	0	0	0	0	0	0		
Суммарное снижение поверхностью земли на траектории распространения звука Agr, дБ		ф-ла (9) [10]	-5,8	-5,8	3,8	5,5	3,5	-0,8	-1,5	-1,5	-1,5		
Уровни звукового давления от источника ИШ-6-2 в расчётной точке днём, дБ		**ф-ла(3)[10]**	**0**	**28,1**	**19,5**	**18**	**18**	**18,9**	**10,5**	**0**	**0**	**21,3**	**21,3**

1		2	3	4	5	6	7	8	9	10	11	12	13
Уровни звукового давления от источника ИШ-6-2 в расчётной точке ночью, дБ		**ф-ла(3)[10]**	**0**	**28,1**	**19,5**	**18**	**18**	**18,9**	**10,5**	**0**	**0**	**21,3**	**21,3**
Источник шума: ИШ-6-3, координаты источника (x,y,z), м =[834.03,116.36,1.00]													
Уровни звуковой мощности источника днём, Lw, дБ		**исходные данные**	**0**	**96,3**	**97,7**	**99**	**99,3**	**98,9**	**95,6**	**91,4**	**86,9**		
Уровни звуковой мощности источника ночью, Lw, дБ		**исходные данные**	**0**	**96,3**	**97,7**	**99**	**99,3**	**98,9**	**95,6**	**91,4**	**86,9**		
Поправка на телесный угол DΩ, дБ	Ω = 12.57	10Lg(4π/Ω)	**0**	0	0	0	0	0	0	0	0		
Показатель направленности источника Di, дБ		исходные данные	**0**	0	0	0	0	0	0	0	0		
Поправка на направленность источника Dc, дБ	Dc	DΩ + Di	**0**	0	0	0	0	0	0	0	0		
Затухание из-за геометрической дивергенции, Adiv, дБ	расстояние = 1401.61 м	ф-ла (7) [10]	**73,9**										
Коэффициент затухания звука в атмосфере α, дБ/км	Ta=20,°C Pa=101.33,кПа hотн.=70%	ф-ла (5) [9]	0,02	0,09	0,33	1,12	2,79	4,98	9,04	23,09	77,63		
Учет затухания звука в атмосфере Aatm, дБ		ф-ла (8) [10]	0	0,1	0,5	1,6	3,9	7	12,7	32,4	108,8		
Снижение поверхностью земли возле источника As, дБ	Gs = 0 hs = 1м	ф-лы таб.3 [10]	-1,5	-1,5	-1,5	-1,5	-1,5	-1,5	-1,5	-1,5	-1,5		
Снижение поверхностью земли возле приёмника Ar, дБ	Gr = 1 hr = 1.5м	ф-лы таб.3 [10]	-1,5	-1,5	5,3	7	5	0,7	0	0	0		
Снижение поверхностью земли в средней зоне, Am дБ	Gm = 1	ф-лы таб.3 [10]	-2,8	-2,8	0	0	0	0	0	0	0		
Суммарное снижение поверхностью земли на траектории распространения звука Agr, дБ		ф-ла (9) [10]	-5,8	-5,8	3,8	5,5	3,5	-0,8	-1,5	-1,5	-1,5		
Уровни звукового давления от источника ИШ-6-3 в расчётной точке днём, дБ		**ф-ла(3)[10]**	**0**	**28,1**	**19,5**	**18**	**18**	**18,8**	**10,5**	**0**	**0**	**21,3**	**21,3**
Уровни звукового давления от источника ИШ-6-3 в расчётной точке ночью, дБ		**ф-ла(3)[10]**	**0**	**28,1**	**19,5**	**18**	**18**	**18,8**	**10,5**	**0**	**0**	**21,3**	**21,3**

1		2	3	4	5	6	7	8	9	10	11	12	13
Источник шума: ИШ-6-4, координаты источника (x,y,z), м =[833.23,113.30,1.00]													
Уровни звуковой мощности источника днём, Lw, дБ		**исходные данные**	**0**	**96,3**	**97,7**	**99**	**99,3**	**98,9**	**95,6**	**91,4**	**86,9**		
Уровни звуковой мощности источника ночью, Lw, дБ		**исходные данные**	**0**	**96,3**	**97,7**	**99**	**99,3**	**98,9**	**95,6**	**91,4**	**86,9**		
Поправка на телесный угол DΩ, дБ	Ω = 12.57	10Lg(4π/Ω)	**0**	0	0	0	0	0	0	0	0		
Показатель направленности источника Di, дБ		исходные данные	**0**	0	0	0	0	0	0	0	0		
Поправка на направленность источника Dc, дБ	Dc	DΩ + Di	**0**	0	0	0	0	0	0	0	0		
Затухание из-за геометрической дивергенции, Adiv, дБ	расстояние = 1404.65 м	ф-ла (7) [10]	**74**										
Коэффициент затухания звука в атмосфере α, дБ/км	Ta=20,°C Pa=101.33,кПа hотн.=70%	ф-ла (5) [9]	0,02	0,09	0,33	1,12	2,79	4,98	9,04	23,09	77,63		
Учет затухания звука в атмосфере Aatm, дБ		ф-ла (8) [10]	0	0,1	0,5	1,6	3,9	7	12,7	32,4	109		
Снижение поверхностью земли возле источника As, дБ	Gs = 0 hs = 1м	ф-лы таб.3 [10]	-1,5	-1,5	-1,5	-1,5	-1,5	-1,5	-1,5	-1,5	-1,5		
Снижение поверхностью земли возле приёмника Ar, дБ	Gr = 1 hr = 1.5м	ф-лы таб.3 [10]	-1,5	-1,5	5,3	7	5	0,7	0	0	0		
Снижение поверхностью земли в средней зоне, Am дБ	Gm = 1	ф-лы таб.3 [10]	-2,8	-2,8	0	0	0	0	0	0	0		
Суммарное снижение поверхностью земли на траектории распространения звука Agr, дБ		ф-ла (9) [10]	-5,8	-5,8	3,8	5,5	3,5	-0,8	-1,5	-1,5	-1,5		
Уровни звукового давления от источника ИШ-6-4 в расчётной точке днём, дБ		**ф-ла(3)[10]**	**0**	**28,1**	**19,4**	**17,9**	**17,9**	**18,8**	**10,4**	**0**	**0**	**21,2**	**21,2**
Уровни звукового давления от источника ИШ-6-4 в расчётной точке ночью, дБ		**ф-ла(3)[10]**	**0**	**28,1**	**19,4**	**17,9**	**17,9**	**18,8**	**10,4**	**0**	**0**	**21,2**	**21,2**
Источник шума: ИШ-6-5, координаты источника (x,y,z), м =[832.03,110.36,1.00]													

1		2	3	4	5	6	7	8	9	10	11	12	13
Уровни звуковой мощности источника днём, Lw, дБ		**исходные данные**	**0**	**96,3**	**97,7**	**99**	**99,3**	**98,9**	**95,6**	**91,4**	**86,9**		
Уровни звуковой мощности источника ночью, Lw, дБ		**исходные данные**	**0**	**96,3**	**97,7**	**99**	**99,3**	**98,9**	**95,6**	**91,4**	**86,9**		
Поправка на телесный угол DΩ, дБ	Ω = 12.57	10Lg(4π/Ω)	**0**	0	0	0	0	0	0	0	0		
Показатель направленности источника Di, дБ		исходные данные	**0**	0	0	0	0	0	0	0	0		
Поправка на направленность источника Dc, дБ	Dc	DΩ + Di	**0**	0	0	0	0	0	0	0	0		
Затухание из-за геометрической дивергенции, Adiv, дБ	расстояние = 1407.55 м	ф-ла (7) [10]	**74**										
Коэффициент затухания звука в атмосфере α, дБ/км	Ta=20,°C Pa=101.33,кПа hотн.=70%	ф-ла (5) [9]	0,02	0,09	0,33	1,12	2,79	4,98	9,04	23,09	77,63		
Учет затухания звука в атмосфере Aatm, дБ		ф-ла (8) [10]	0	0,1	0,5	1,6	3,9	7	12,7	32,5	109,3		
Снижение поверхностью земли возле источника As, дБ	Gs = 0 hs = 1м	ф-лы таб.3 [10]	-1,5	-1,5	-1,5	-1,5	-1,5	-1,5	-1,5	-1,5	-1,5		
Снижение поверхностью земли возле приёмника Ar, дБ	Gr = 1 hr = 1.5м	ф-лы таб.3 [10]	-1,5	-1,5	5,3	7	5	0,7	0	0	0		
Снижение поверхностью земли в средней зоне, Am дБ	Gm = 1	ф-лы таб.3 [10]	-2,8	-2,8	0	0	0	0	0	0	0		
Суммарное снижение поверхностью земли на траектории распространения звука Agr, дБ		ф-ла (9) [10]	-5,8	-5,8	3,8	5,5	3,5	-0,8	-1,5	-1,5	-1,5		
Уровни звукового давления от источника ИШ-6-5 в расчётной точке днём, дБ		**ф-ла(3)[10]**	**0**	**28**	**19,4**	**17,9**	**17,9**	**18,8**	**10,4**	**0**	**0**	**21,2**	**21,2**
Уровни звукового давления от источника ИШ-6-5 в расчётной точке ночью, дБ		**ф-ла(3)[10]**	**0**	**28**	**19,4**	**17,9**	**17,9**	**18,8**	**10,4**	**0**	**0**	**21,2**	**21,2**
Источник шума: ИШ-6-6, координаты источника (x,y,z), м =[830.97,107.42,1.00]													
Уровни звуковой мощности источника днём, Lw, дБ		**исходные данные**	**0**	**96,3**	**97,7**	**99**	**99,3**	**98,9**	**95,6**	**91,4**	**86,9**		

1		2	3	4	5	6	7	8	9	10	11	12	13
Уровни звуковой мощности источника ночью, Lw, дБ		**исходные данные**	**0**	**96,3**	**97,7**	**99**	**99,3**	**98,9**	**95,6**	**91,4**	**86,9**		
Поправка на телесный угол DΩ, дБ	Ω = 12.57	10Lg(4π/Ω)	**0**	0	0	0	0	0	0	0	0		
Показатель направленности источника Di, дБ		исходные данные	**0**	0	0	0	0	0	0	0	0		
Поправка на направленность источника Dc, дБ	Dc	DΩ + Di	**0**	0	0	0	0	0	0	0	0		
Затухание из-за геометрической дивергенции, Adiv, дБ	расстояние = 1410.45 м	ф-ла (7) [10]	**74**										
Коэффициент затухания звука в атмосфере α, дБ/км	Ta=20,°C Pa=101.33,кПа hотн.=70%	ф-ла (5) [9]	0,02	0,09	0,33	1,12	2,79	4,98	9,04	23,09	77,63		
Учет затухания звука в атмосфере Aatm, дБ		ф-ла (8) [10]	0	0,1	0,5	1,6	3,9	7	12,7	32,6	109,5		
Снижение поверхностью земли возле источника As, дБ	Gs = 0 hs = 1м	ф-лы таб.3 [10]	-1,5	-1,5	-1,5	-1,5	-1,5	-1,5	-1,5	-1,5	-1,5		
Снижение поверхностью земли возле приёмника Ar, дБ	Gr = 1 hr = 1.5м	ф-лы таб.3 [10]	-1,5	-1,5	5,3	7	5	0,7	0	0	0		
Снижение поверхностью земли в средней зоне, Am дБ	Gm = 1	ф-лы таб.3 [10]	-2,8	-2,8	0	0	0	0	0	0	0		
Суммарное снижение поверхностью земли на траектории распространения звука Agr, дБ		ф-ла (9) [10]	-5,8	-5,8	3,8	5,5	3,5	-0,8	-1,5	-1,5	-1,5		
Уровни звукового давления от источника ИШ-6-6 в расчётной точке днём, дБ		**ф-ла(3)[10]**	**0**	**28**	**19,4**	**17,9**	**17,9**	**18,7**	**10,4**	**0**	**0**	**21,2**	**21,2**
Уровни звукового давления от источника ИШ-6-6 в расчётной точке ночью, дБ		**ф-ла(3)[10]**	**0**	**28**	**19,4**	**17,9**	**17,9**	**18,7**	**10,4**	**0**	**0**	**21,2**	**21,2**
Источник шума: ИШ-6-7, координаты источника (x,y,z), м =[830.30,104.49,1.00]													
Уровни звуковой мощности источника днём, Lw, дБ		**исходные данные**	**0**	**96,3**	**97,7**	**99**	**99,3**	**98,9**	**95,6**	**91,4**	**86,9**		
Уровни звуковой мощности источника ночью, Lw, дБ		**исходные данные**	**0**	**96,3**	**97,7**	**99**	**99,3**	**98,9**	**95,6**	**91,4**	**86,9**		

1		2	3	4	5	6	7	8	9	10	11	12	13
Поправка на телесный угол DΩ, дБ	Ω = 12.57	10Lg(4π/Ω)	**0**	0	0	0	0	0	0	0	0		
Показатель направленности источника Di, дБ		исходные данные	**0**	0	0	0	0	0	0	0	0		
Поправка на направленность источника Dc, дБ	Dc	DΩ + Di	**0**	0	0	0	0	0	0	0	0		
Затухание из-за геометрической дивергенции, Adiv, дБ	расстояние = 1413.37 м	ф-ла (7) [10]	**74**										
Коэффициент затухания звука в атмосфере α, дБ/км	Ta=20,°C Pa=101.33,кПа hотн.=70%	ф-ла (5) [9]	0,02	0,09	0,33	1,12	2,79	4,98	9,04	23,09	77,63		
Учет затухания звука в атмосфере Aatm, дБ		ф-ла (8) [10]	0	0,1	0,5	1,6	3,9	7	12,8	32,6	109,7		
Снижение поверхностью земли возле источника As, дБ	Gs = 0 hs = 1м	ф-лы таб.3 [10]	-1,5	-1,5	-1,5	-1,5	-1,5	-1,5	-1,5	-1,5	-1,5		
Снижение поверхностью земли возле приёмника Ar, дБ	Gr = 1 hr = 1.5м	ф-лы таб.3 [10]	-1,5	-1,5	5,3	7	5	0,7	0	0	0		
Снижение поверхностью земли в средней зоне, Am дБ	Gm = 1	ф-лы таб.3 [10]	-2,8	-2,8	0	0	0	0	0	0	0		
Суммарное снижение поверхностью земли на траектории распространения звука Agr, дБ		ф-ла (9) [10]	-5,8	-5,8	3,8	5,5	3,5	-0,8	-1,5	-1,5	-1,5		
Уровни звукового давления от источника ИШ-6-7 в расчётной точке днём, дБ		**ф-ла(3)[10]**	**0**	**28**	**19,4**	**17,9**	**17,9**	**18,7**	**10,3**	**0**	**0**	**21,1**	**21,1**
Уровни звукового давления от источника ИШ-6-7 в расчётной точке ночью, дБ		**ф-ла(3)[10]**	**0**	**28**	**19,4**	**17,9**	**17,9**	**18,7**	**10,3**	**0**	**0**	**21,1**	**21,1**
Источник шума: ИШ-6-8, координаты источника (x,y,z), м =[829.36,101.42,1.00]													
Уровни звуковой мощности источника днём, Lw, дБ		**исходные данные**	**0**	**96,3**	**97,7**	**99**	**99,3**	**98,9**	**95,6**	**91,4**	**86,9**		
Уровни звуковой мощности источника ночью, Lw, дБ		**исходные данные**	**0**	**96,3**	**97,7**	**99**	**99,3**	**98,9**	**95,6**	**91,4**	**86,9**		
Поправка на телесный угол DΩ, дБ	Ω = 12.57	10Lg(4π/Ω)	**0**	0	0	0	0	0	0	0	0		

1		2	3	4	5	6	7	8	9	10	11	12	13
Показатель направленности источника Di, дБ		исходные данные	**0**	0	0	0	0	0	0	0	0		
Поправка на направленность источника Dc, дБ	Dc	DΩ + Di	**0**	0	0	0	0	0	0	0	0		
Затухание из-за геометрической дивергенции, Adiv, дБ	расстояние = 1416.41 м	ф-ла (7) [10]	**74**										
Коэффициент затухания звука в атмосфере α, дБ/км	Ta=20,°C Pa=101.33,кПа hотн.=70%	ф-ла (5) [9]	0,02	0,09	0,33	1,12	2,79	4,98	9,04	23,09	77,63		
Учет затухания звука в атмосфере Aatm, дБ		ф-ла (8) [10]	0	0,1	0,5	1,6	4	7,1	12,8	32,7	110		
Снижение поверхностью земли возле источника As, дБ	Gs = 0 hs = 1м	ф-лы таб.3 [10]	-1,5	-1,5	-1,5	-1,5	-1,5	-1,5	-1,5	-1,5	-1,5		
Снижение поверхностью земли возле приёмника Ar, дБ	Gr = 1 hr = 1.5м	ф-лы таб.3 [10]	-1,5	-1,5	5,3	7	5	0,7	0	0	0		
Снижение поверхностью земли в средней зоне, Am дБ	Gm = 1	ф-лы таб.3 [10]	-2,8	-2,8	0	0	0	0	0	0	0		
Суммарное снижение поверхностью земли на траектории распространения звука Agr, дБ		ф-ла (9) [10]	-5,8	-5,8	3,8	5,5	3,5	-0,8	-1,5	-1,5	-1,5		
Уровни звукового давления от источника ИШ-6-8 в расчётной точке днём, дБ		**ф-ла(3)[10]**	**0**	**28**	**19,4**	**17,9**	**17,8**	**18,7**	**10,3**	**0**	**0**	**21,1**	**21,1**
Уровни звукового давления от источника ИШ-6-8 в расчётной точке ночью, дБ		**ф-ла(3)[10]**	**0**	**28**	**19,4**	**17,9**	**17,8**	**18,7**	**10,3**	**0**	**0**	**21,1**	**21,1**
Источник шума: ИШ-6-9, координаты источника (x,y,z), м =[828.03,98.62,1.00]													
Уровни звуковой мощности источника днём, Lw, дБ		**исходные данные**	**0**	**96,3**	**97,7**	**99**	**99,3**	**98,9**	**95,6**	**91,4**	**86,9**		
Уровни звуковой мощности источника ночью, Lw, дБ		**исходные данные**	**0**	**96,3**	**97,7**	**99**	**99,3**	**98,9**	**95,6**	**91,4**	**86,9**		
Поправка на телесный угол DΩ, дБ	Ω = 12.57	10Lg(4π/Ω)	**0**	0	0	0	0	0	0	0	0		
Показатель направленности источника Di, дБ		исходные данные	**0**	0	0	0	0	0	0	0	0		

1		2	3	4	5	6	7	8	9	10	11	12	13
Поправка на направленность источника Dc, дБ	Dc	DΩ + Di	**0**	0	0	0	0	0	0	0	0		
Затухание из-за геометрической дивергенции, Adiv, дБ	расстояние = 1419.18 м	ф-ла (7) [10]	**74**										
Коэффициент затухания звука в атмосфере α, дБ/км	Ta=20,°C Pa=101.33,кПа hотн.=70%	ф-ла (5) [9]	0,02	0,09	0,33	1,12	2,79	4,98	9,04	23,09	77,63		
Учет затухания звука в атмосфере Aatm, дБ		ф-ла (8) [10]	0	0,1	0,5	1,6	4	7,1	12,8	32,8	110,2		
Снижение поверхностью земли возле источника As, дБ	Gs = 0 hs = 1м	ф-лы таб.3 [10]	-1,5	-1,5	-1,5	-1,5	-1,5	-1,5	-1,5	-1,5	-1,5		
Снижение поверхностью земли возле приёмника Ar, дБ	Gr = 1 hr = 1.5м	ф-лы таб.3 [10]	-1,5	-1,5	5,3	7	5	0,7	0	0	0		
Снижение поверхностью земли в средней зоне, Am дБ	Gm = 1	ф-лы таб.3 [10]	-2,8	-2,8	0	0	0	0	0	0	0		
Суммарное снижение поверхностью земли на траектории распространения звука Agr, дБ		ф-ла (9) [10]	-5,8	-5,8	3,8	5,5	3,5	-0,8	-1,5	-1,5	-1,5		
Уровни звукового давления от источника ИШ-6-9 в расчётной точке днём, дБ		**ф-ла(3)[10]**	**0**	**28**	**19,3**	**17,8**	**17,8**	**18,6**	**10,2**	**0**	**0**	**21,1**	**21,1**
Уровни звукового давления от источника ИШ-6-9 в расчётной точке ночью, дБ		**ф-ла(3)[10]**	**0**	**28**	**19,3**	**17,8**	**17,8**	**18,6**	**10,2**	**0**	**0**	**21,1**	**21,1**
Источник шума: ИШ-6-10, координаты источника (x,y,z), м =[827.23,95.55,1.00]													
Уровни звуковой мощности источника днём, Lw, дБ		**исходные данные**	**0**	**96,3**	**97,7**	**99**	**99,3**	**98,9**	**95,6**	**91,4**	**86,9**		
Уровни звуковой мощности источника ночью, Lw, дБ		**исходные данные**	**0**	**96,3**	**97,7**	**99**	**99,3**	**98,9**	**95,6**	**91,4**	**86,9**		
Поправка на телесный угол DΩ, дБ	Ω = 12.57	10Lg(4π/Ω)	**0**	0	0	0	0	0	0	0	0		
Показатель направленности источника Di, дБ		исходные данные	**0**	0	0	0	0	0	0	0	0		
Поправка на направленность источника Dc, дБ	Dc	DΩ + Di	**0**	0	0	0	0	0	0	0	0		

1		2	3	4	5	6	7	8	9	10	11	12	13
Затухание из-за геометрической дивергенции, Adiv, дБ	расстояние = 1422.23 м	ф-ла (7) [10]	**74,1**										
Коэффициент затухания звука в атмосфере α, дБ/км	Ta=20,°C Pa=101.33,кПа hотн.=70%	ф-ла (5) [9]	0,02	0,09	0,33	1,12	2,79	4,98	9,04	23,09	77,63		
Учет затухания звука в атмосфере Aatm, дБ		ф-ла (8) [10]	0	0,1	0,5	1,6	4	7,1	12,9	32,8	110,4		
Снижение поверхностью земли возле источника As, дБ	Gs = 0 hs = 1м	ф-лы таб.3 [10]	-1,5	-1,5	-1,5	-1,5	-1,5	-1,5	-1,5	-1,5	-1,5		
Снижение поверхностью земли возле приёмника Ar, дБ	Gr = 1 hr = 1.5м	ф-лы таб.3 [10]	-1,5	-1,5	5,3	7	5	0,7	0	0	0		
Снижение поверхностью земли в средней зоне, Am дБ	Gm = 1	ф-лы таб.3 [10]	-2,8	-2,8	0	0	0	0	0	0	0		
Суммарное снижение поверхностью земли на траектории распространения звука Agr, дБ		ф-ла (9) [10]	-5,8	-5,8	3,8	5,5	3,5	-0,8	-1,5	-1,5	-1,5		
Уровни звукового давления от источника ИШ-6-10 в расчётной точке днём, дБ		**ф-ла(3)[10]**	**0**	**27,9**	**19,3**	**17,8**	**17,8**	**18,6**	**10,2**	**0**	**0**	**21**	**21**
Уровни звукового давления от источника ИШ-6-10 в расчётной точке ночью, дБ		**ф-ла(3)[10]**	**0**	**27,9**	**19,3**	**17,8**	**17,8**	**18,6**	**10,2**	**0**	**0**	**21**	**21**
Источник шума: ИШ-6-11, координаты источника (x,y,z), м =[826.30,92.48,1.00]													
Уровни звуковой мощности источника днём, Lw, дБ		**исходные данные**	**0**	**96,3**	**97,7**	**99**	**99,3**	**98,9**	**95,6**	**91,4**	**86,9**		
Уровни звуковой мощности источника ночью, Lw, дБ		**исходные данные**	**0**	**96,3**	**97,7**	**99**	**99,3**	**98,9**	**95,6**	**91,4**	**86,9**		
Поправка на телесный угол DΩ, дБ	Ω = 12.57	10Lg(4π/Ω)	**0**	0	0	0	0	0	0	0	0		
Показатель направленности источника Di, дБ		исходные данные	**0**	0	0	0	0	0	0	0	0		
Поправка на направленность источника Dc, дБ	Dc	DΩ + Di	**0**	0	0	0	0	0	0	0	0		
Затухание из-за геометрической дивергенции, Adiv, дБ	расстояние = 1425.27 м	ф-ла (7) [10]	**74,1**										

1		2	3	4	5	6	7	8	9	10	11	12	13
Коэффициент затухания звука в атмосфере α, дБ/км	Ta=20,°C Pa=101.33,кПа hотн.=70%	ф-ла (5) [9]	0,02	0,09	0,33	1,12	2,79	4,98	9,04	23,09	77,63		
Учет затухания звука в атмосфере Aatm, дБ		ф-ла (8) [10]	0	0,1	0,5	1,6	4	7,1	12,9	32,9	110,6		
Снижение поверхностью земли возле источника As, дБ	Gs = 0 hs = 1м	ф-лы таб.3 [10]	-1,5	-1,5	-1,5	-1,5	-1,5	-1,5	-1,5	-1,5	-1,5		
Снижение поверхностью земли возле приёмника Ar, дБ	Gr = 1 hr = 1.5м	ф-лы таб.3 [10]	-1,5	-1,5	5,3	7	5	0,7	0	0	0		
Снижение поверхностью земли в средней зоне, Am дБ	Gm = 1	ф-лы таб.3 [10]	-2,8	-2,8	0	0	0	0	0	0	0		
Суммарное снижение поверхностью земли на траектории распространения звука Agr, дБ		ф-ла (9) [10]	-5,8	-5,8	3,8	5,5	3,5	-0,8	-1,5	-1,5	-1,5		
Уровни звукового давления от источника ИШ-6-11 в расчётной точке днём, дБ		**ф-ла(3)[10]**	**0**	**27,9**	**19,3**	**17,8**	**17,8**	**18,6**	**10,1**	**0**	**0**	**21**	**21**
Уровни звукового давления от источника ИШ-6-11 в расчётной точке ночью, дБ		**ф-ла(3)[10]**	**0**	**27,9**	**19,3**	**17,8**	**17,8**	**18,6**	**10,1**	**0**	**0**	**21**	**21**
Источник шума: ИШ-6-12, координаты источника (x,y,z), м =[825.09,89.54,1.00]													
Уровни звуковой мощности источника днём, Lw, дБ		**исходные данные**	**0**	**96,3**	**97,7**	**99**	**99,3**	**98,9**	**95,6**	**91,4**	**86,9**		
Уровни звуковой мощности источника ночью, Lw, дБ		**исходные данные**	**0**	**96,3**	**97,7**	**99**	**99,3**	**98,9**	**95,6**	**91,4**	**86,9**		
Поправка на телесный угол DΩ, дБ	Ω = 12.57	10Lg(4π/Ω)	**0**	0	0	0	0	0	0	0	0		
Показатель направленности источника Di, дБ		исходные данные	**0**	0	0	0	0	0	0	0	0		
Поправка на направленность источника Dc, дБ	Dc	DΩ + Di	**0**	0	0	0	0	0	0	0	0		
Затухание из-за геометрической дивергенции, Adiv, дБ	расстояние = 1428.18 м	ф-ла (7) [10]	**74,1**										
Коэффициент затухания звука в атмосфере α, дБ/км	Ta=20,°C Pa=101.33,кПа hотн.=70%	ф-ла (5) [9]	0,02	0,09	0,33	1,12	2,79	4,98	9,04	23,09	77,63		

1		2	3	4	5	6	7	8	9	10	11	12	13
Учет затухания звука в атмосфере Aatm, дБ		ф-ла (8) [10]	0	0,1	0,5	1,6	4	7,1	12,9	33	110,9		
Снижение поверхностью земли возле источника As, дБ	Gs = 0 hs = 1м	ф-лы таб.3 [10]	-1,5	-1,5	-1,5	-1,5	-1,5	-1,5	-1,5	-1,5	-1,5		
Снижение поверхностью земли возле приёмника Ar, дБ	Gr = 1 hr = 1.5м	ф-лы таб.3 [10]	-1,5	-1,5	5,3	7	5	0,7	0	0	0		
Снижение поверхностью земли в средней зоне, Am дБ	Gm = 1	ф-лы таб.3 [10]	-2,8	-2,8	0	0	0	0	0	0	0		
Суммарное снижение поверхностью земли на траектории распространения звука Agr, дБ		ф-ла (9) [10]	-5,8	-5,8	3,8	5,5	3,5	-0,8	-1,5	-1,5	-1,5		
Уровни звукового давления от источника ИШ-6-12 в расчётной точке днём, дБ		**ф-ла(3)[10]**	**0**	**27,9**	**19,3**	**17,8**	**17,7**	**18,5**	**10,1**	**0**	**0**	**21**	**21**
Уровни звукового давления от источника ИШ-6-12 в расчётной точке ночью, дБ		**ф-ла(3)[10]**	**0**	**27,9**	**19,3**	**17,8**	**17,7**	**18,5**	**10,1**	**0**	**0**	**21**	**21**
Источник шума: ИШ-6-13, координаты источника (x,y,z), м =[767.76,-114.15,1.00]													
Уровни звуковой мощности источника днём, Lw, дБ		**исходные данные**	**0**	**96,3**	**97,7**	**99**	**99,3**	**98,9**	**95,6**	**91,4**	**86,9**		
Уровни звуковой мощности источника ночью, Lw, дБ		**исходные данные**	**0**	**96,3**	**97,7**	**99**	**99,3**	**98,9**	**95,6**	**91,4**	**86,9**		
Поправка на телесный угол DΩ, дБ	Ω = 12.57	10Lg(4π/Ω)	**0**	0	0	0	0	0	0	0	0		
Показатель направленности источника Di, дБ		исходные данные	**0**	0	0	0	0	0	0	0	0		
Поправка на направленность источника Dc, дБ	Dc	DΩ + Di	**0**	0	0	0	0	0	0	0	0		
Затухание из-за геометрической дивергенции, Adiv, дБ	расстояние = 1631.69 м	ф-ла (7) [10]	**75,3**										
Коэффициент затухания звука в атмосфере α, дБ/км	Ta=20,°C Pa=101.33,кПа hотн.=70%	ф-ла (5) [9]	0,02	0,09	0,33	1,12	2,79	4,98	9,04	23,09	77,63		
Учет затухания звука в атмосфере Aatm, дБ		ф-ла (8) [10]	0	0,1	0,5	1,8	4,6	8,1	14,7	37,7	126,7		

1		2	3	4	5	6	7	8	9	10	11	12	13
Снижение поверхностью земли возле источника As, дБ	Gs = 0 hs = 1м	ф-лы таб.3 [10]	-1,5	-1,5	-1,5	-1,5	-1,5	-1,5	-1,5	-1,5	-1,5		
Снижение поверхностью земли возле приёмника Ar, дБ	Gr = 1 hr = 1.5м	ф-лы таб.3 [10]	-1,5	-1,5	5,3	7	5	0,7	0	0	0		
Снижение поверхностью земли в средней зоне, Am дБ	Gm = 1	ф-лы таб.3 [10]	-2,9	-2,9	0	0	0	0	0	0	0		
Суммарное снижение поверхностью земли на траектории распространения звука Agr, дБ		ф-ла (9) [10]	-5,9	-5,9	3,8	5,5	3,5	-0,8	-1,5	-1,5	-1,5		
Уровни звукового давления от источника ИШ-6-13 в расчётной точке днём, дБ		**ф-ла(3)[10]**	**0**	**26,8**	**18,1**	**16,4**	**16**	**16,4**	**7,1**	**0**	**0**	**18,9**	**18,9**
Уровни звукового давления от источника ИШ-6-13 в расчётной точке ночью, дБ		**ф-ла(3)[10]**	**0**	**26,8**	**18,1**	**16,4**	**16**	**16,4**	**7,1**	**0**	**0**	**18,9**	**18,9**
Источник шума: ИШ-6-14, координаты источника (x,y,z), м =[766.82,-117.10,1.00]													
Уровни звуковой мощности источника днём, Lw, дБ		**исходные данные**	**0**	**96,3**	**97,7**	**99**	**99,3**	**98,9**	**95,6**	**91,4**	**86,9**		
Уровни звуковой мощности источника ночью, Lw, дБ		**исходные данные**	**0**	**96,3**	**97,7**	**99**	**99,3**	**98,9**	**95,6**	**91,4**	**86,9**		
Поправка на телесный угол DΩ, дБ	Ω = 12.57	10Lg(4π/Ω)	**0**	0	0	0	0	0	0	0	0		
Показатель направленности источника Di, дБ		исходные данные	**0**	0	0	0	0	0	0	0	0		
Поправка на направленность источника Dc, дБ	Dc	DΩ + Di	**0**	0	0	0	0	0	0	0	0		
Затухание из-за геометрической дивергенции, Adiv, дБ	расстояние = 1634.65 м	ф-ла (7) [10]	**75,3**										
Коэффициент затухания звука в атмосфере α, дБ/км	Ta=20,°C Pa=101.33,кПа hотн.=70%	ф-ла (5) [9]	0,02	0,09	0,33	1,12	2,79	4,98	9,04	23,09	77,63		
Учет затухания звука в атмосфере Aatm, дБ		ф-ла (8) [10]	0	0,1	0,5	1,8	4,6	8,1	14,8	37,7	126,9		
Снижение поверхностью земли возле источника As, дБ	Gs = 0 hs = 1м	ф-лы таб.3 [10]	-1,5	-1,5	-1,5	-1,5	-1,5	-1,5	-1,5	-1,5	-1,5		

1		2	3	4	5	6	7	8	9	10	11	12	13
Снижение поверхностью земли возле приёмника Ar, дБ	Gr = 1 hr = 1.5м	ф-лы таб.3 [10]	-1,5	-1,5	5,3	7	5	0,7	0	0	0		
Снижение поверхностью земли в средней зоне, Am дБ	Gm = 1	ф-лы таб.3 [10]	-2,9	-2,9	0	0	0	0	0	0	0		
Суммарное снижение поверхностью земли на траектории распространения звука Agr, дБ		ф-ла (9) [10]	-5,9	-5,9	3,8	5,5	3,5	-0,8	-1,5	-1,5	-1,5		
Уровни звукового давления от источника ИШ-6-14 в расчётной точке днём, дБ		**ф-ла(3)[10]**	**0**	**26,7**	**18**	**16,4**	**16**	**16,3**	**7**	**0**	**0**	**18,9**	**18,9**
Уровни звукового давления от источника ИШ-6-14 в расчётной точке ночью, дБ		**ф-ла(3)[10]**	**0**	**26,7**	**18**	**16,4**	**16**	**16,3**	**7**	**0**	**0**	**18,9**	**18,9**
Источник шума: ИШ-6-15, координаты источника (x,y,z), м =[765.71,-120.27,1.00]													
Уровни звуковой мощности источника днём, Lw, дБ		**исходные данные**	**0**	**96,3**	**97,7**	**99**	**99,3**	**98,9**	**95,6**	**91,4**	**86,9**		
Уровни звуковой мощности источника ночью, Lw, дБ		**исходные данные**	**0**	**96,3**	**97,7**	**99**	**99,3**	**98,9**	**95,6**	**91,4**	**86,9**		
Поправка на телесный угол DΩ, дБ	Ω = 12.57	10Lg(4π/Ω)	**0**	0	0	0	0	0	0	0	0		
Показатель направленности источника Di, дБ		исходные данные	**0**	0	0	0	0	0	0	0	0		
Поправка на направленность источника Dc, дБ	Dc	DΩ + Di	**0**	0	0	0	0	0	0	0	0		
Затухание из-за геометрической дивергенции, Adiv, дБ	расстояние = 1637.84 м	ф-ла (7) [10]	**75,3**										
Коэффициент затухания звука в атмосфере α, дБ/км	Ta=20,°C Pa=101.33,кПа hотн.=70%	ф-ла (5) [9]	0,02	0,09	0,33	1,12	2,79	4,98	9,04	23,09	77,63		
Учет затухания звука в атмосфере Aatm, дБ		ф-ла (8) [10]	0	0,1	0,5	1,8	4,6	8,2	14,8	37,8	127,2		
Снижение поверхностью земли возле источника As, дБ	Gs = 0 hs = 1м	ф-лы таб.3 [10]	-1,5	-1,5	-1,5	-1,5	-1,5	-1,5	-1,5	-1,5	-1,5		
Снижение поверхностью земли возле приёмника Ar, дБ	Gr = 1 hr = 1.5м	ф-лы таб.3 [10]	-1,5	-1,5	5,3	7	5	0,7	0	0	0		

1		2	3	4	5	6	7	8	9	10	11	12	13
Снижение поверхностью земли в средней зоне, Am дБ	Gm = 1	ф-лы таб.3 [10]	-2,9	-2,9	0	0	0	0	0	0	0		
Суммарное снижение поверхностью земли на траектории распространения звука Agr, дБ		ф-ла (9) [10]	-5,9	-5,9	3,8	5,5	3,5	-0,8	-1,5	-1,5	-1,5		
Уровни звукового давления от источника ИШ-6-15 в расчётной точке днём, дБ		**ф-ла(3)[10]**	**0**	**26,7**	**18**	**16,3**	**16**	**16,3**	**7**	**0**	**0**	**18,8**	**18,8**
Уровни звукового давления от источника ИШ-6-15 в расчётной точке ночью, дБ		**ф-ла(3)[10]**	**0**	**26,7**	**18**	**16,3**	**16**	**16,3**	**7**	**0**	**0**	**18,8**	**18,8**
Источник шума: ИШ-6-16, координаты источника (x,y,z), м =[764.57,-123.22,1.00]													
Уровни звуковой мощности источника днём, Lw, дБ		**исходные данные**	**0**	**96,3**	**97,7**	**99**	**99,3**	**98,9**	**95,6**	**91,4**	**86,9**		
Уровни звуковой мощности источника ночью, Lw, дБ		**исходные данные**	**0**	**96,3**	**97,7**	**99**	**99,3**	**98,9**	**95,6**	**91,4**	**86,9**		
Поправка на телесный угол DΩ, дБ	Ω = 12.57	10Lg(4π/Ω)	**0**	0	0	0	0	0	0	0	0		
Показатель направленности источника Di, дБ		исходные данные	**0**	0	0	0	0	0	0	0	0		
Поправка на направленность источника Dc, дБ	Dc	DΩ + Di	**0**	0	0	0	0	0	0	0	0		
Затухание из-за геометрической дивергенции, Adiv, дБ	расстояние = 1640.80 м	ф-ла (7) [10]	**75,3**										
Коэффициент затухания звука в атмосфере α, дБ/км	Ta=20,°C Pa=101.33,кПа hотн.=70%	ф-ла (5) [9]	0,02	0,09	0,33	1,12	2,79	4,98	9,04	23,09	77,63		
Учет затухания звука в атмосфере Aatm, дБ		ф-ла (8) [10]	0	0,1	0,5	1,8	4,6	8,2	14,8	37,9	127,4		
Снижение поверхностью земли возле источника As, дБ	Gs = 0 hs = 1м	ф-лы таб.3 [10]	-1,5	-1,5	-1,5	-1,5	-1,5	-1,5	-1,5	-1,5	-1,5		
Снижение поверхностью земли возле приёмника Ar, дБ	Gr = 1 hr = 1.5м	ф-лы таб.3 [10]	-1,5	-1,5	5,3	7	5	0,7	0	0	0		
Снижение поверхностью земли в средней зоне, Am дБ	Gm = 1	ф-лы таб.3 [10]	-2,9	-2,9	0	0	0	0	0	0	0		

1		2	3	4	5	6	7	8	9	10	11	12	13
Суммарное снижение поверхностью земли на траектории распространения звука Agr, дБ		ф-ла (9) [10]	-5,9	-5,9	3,8	5,5	3,5	-0,8	-1,5	-1,5	-1,5		
Уровни звукового давления от источника ИШ-6-16 в расчётной точке днём, дБ		**ф-ла(3)[10]**	**0**	**26,7**	**18**	**16,3**	**15,9**	**16,3**	**7**	**0**	**0**	**18,8**	**18,8**
Уровни звукового давления от источника ИШ-6-16 в расчётной точке ночью, дБ		**ф-ла(3)[10]**	**0**	**26,7**	**18**	**16,3**	**15,9**	**16,3**	**7**	**0**	**0**	**18,8**	**18,8**
Источник шума: ИШ-6-17, координаты источника (x,y,z), м =[763.57,-126.18,1.00]													
Уровни звуковой мощности источника днём, Lw, дБ		**исходные данные**	**0**	**96,3**	**97,7**	**99**	**99,3**	**98,9**	**95,6**	**91,4**	**86,9**		
Уровни звуковой мощности источника ночью, Lw, дБ		**исходные данные**	**0**	**96,3**	**97,7**	**99**	**99,3**	**98,9**	**95,6**	**91,4**	**86,9**		
Поправка на телесный угол DΩ, дБ	Ω = 12.57	10Lg(4π/Ω)	**0**	0	0	0	0	0	0	0	0		
Показатель направленности источника Di, дБ		исходные данные	**0**	0	0	0	0	0	0	0	0		
Поправка на направленность источника Dc, дБ	Dc	DΩ + Di	**0**	0	0	0	0	0	0	0	0		
Затухание из-за геометрической дивергенции, Adiv, дБ	расстояние = 1643.79 м	ф-ла (7) [10]	**75,3**										
Коэффициент затухания звука в атмосфере α, дБ/км	Ta=20,°C Pa=101.33,кПа hотн.=70%	ф-ла (5) [9]	0,02	0,09	0,33	1,12	2,79	4,98	9,04	23,09	77,63		
Учет затухания звука в атмосфере Aatm, дБ		ф-ла (8) [10]	0	0,1	0,6	1,8	4,6	8,2	14,9	37,9	127,6		
Снижение поверхностью земли возле источника As, дБ	Gs = 0 hs = 1м	ф-лы таб.3 [10]	-1,5	-1,5	-1,5	-1,5	-1,5	-1,5	-1,5	-1,5	-1,5		
Снижение поверхностью земли возле приёмника Ar, дБ	Gr = 1 hr = 1.5м	ф-лы таб.3 [10]	-1,5	-1,5	5,3	7	5	0,7	0	0	0		
Снижение поверхностью земли в средней зоне, Am дБ	Gm = 1	ф-лы таб.3 [10]	-2,9	-2,9	0	0	0	0	0	0	0		
Суммарное снижение поверхностью земли на траектории распространения звука Agr, дБ		ф-ла (9) [10]	-5,9	-5,9	3,8	5,5	3,5	-0,8	-1,5	-1,5	-1,5		

1		2	3	4	5	6	7	8	9	10	11	12	13
Уровни звукового давления от источника ИШ-6-17 в расчётной точке днём, дБ		**ф-ла(3)[10]**	**0**	**26,7**	**18**	**16,3**	**15,9**	**16,2**	**6,9**	**0**	**0**	**18,8**	**18,8**
Уровни звукового давления от источника ИШ-6-17 в расчётной точке ночью, дБ		**ф-ла(3)[10]**	**0**	**26,7**	**18**	**16,3**	**15,9**	**16,2**	**6,9**	**0**	**0**	**18,8**	**18,8**
Источник шума: ИШ-6-18, координаты источника (x,y,z), м =[804.77,-126.28,1.00]													
Уровни звуковой мощности источника днём, Lw, дБ		**исходные данные**	**0**	**96,3**	**97,7**	**99**	**99,3**	**98,9**	**95,6**	**91,4**	**86,9**		
Уровни звуковой мощности источника ночью, Lw, дБ		**исходные данные**	**0**	**96,3**	**97,7**	**99**	**99,3**	**98,9**	**95,6**	**91,4**	**86,9**		
Поправка на телесный угол DΩ, дБ	Ω = 12.57	10Lg(4π/Ω)	**0**	0	0	0	0	0	0	0	0		
Показатель направленности источника Di, дБ		исходные данные	**0**	0	0	0	0	0	0	0	0		
Поправка на направленность источника Dc, дБ	Dc	DΩ + Di	**0**	0	0	0	0	0	0	0	0		
Затухание из-за геометрической дивергенции, Adiv, дБ	расстояние = 1643.67 м	ф-ла (7) [10]	**75,3**										
Коэффициент затухания звука в атмосфере α, дБ/км	Ta=20,°C Pa=101.33,кПа hотн.=70%	ф-ла (5) [9]	0,02	0,09	0,33	1,12	2,79	4,98	9,04	23,09	77,63		
Учет затухания звука в атмосфере Aatm, дБ		ф-ла (8) [10]	0	0,1	0,6	1,8	4,6	8,2	14,9	37,9	127,6		
Снижение поверхностью земли возле источника As, дБ	Gs = 0 hs = 1м	ф-лы таб.3 [10]	-1,5	-1,5	-1,5	-1,5	-1,5	-1,5	-1,5	-1,5	-1,5		
Снижение поверхностью земли возле приёмника Ar, дБ	Gr = 1 hr = 1.5м	ф-лы таб.3 [10]	-1,5	-1,5	5,3	7	5	0,7	0	0	0		
Снижение поверхностью земли в средней зоне, Am дБ	Gm = 1	ф-лы таб.3 [10]	-2,9	-2,9	0	0	0	0	0	0	0		
Суммарное снижение поверхностью земли на траектории распространения звука Agr, дБ		ф-ла (9) [10]	-5,9	-5,9	3,8	5,5	3,5	-0,8	-1,5	-1,5	-1,5		
Уровни звукового давления от источника ИШ-6-18 в расчётной точке днём, дБ		**ф-ла(3)[10]**	**0**	**26,7**	**18**	**16,3**	**15,9**	**16,2**	**6,9**	**0**	**0**	**18,8**	**18,8**

1		2	3	4	5	6	7	8	9	10	11	12	13
Уровни звукового давления от источника ИШ-6-18 в расчётной точке ночью, дБ		**ф-ла(3)[10]**	**0**	**26,7**	**18**	**16,3**	**15,9**	**16,2**	**6,9**	**0**	**0**	**18,8**	**18,8**
Источник шума: ИШ-6-19, координаты источника (x,y,z), м =[803.81,-129.30,1.00]													
Уровни звуковой мощности источника днём, Lw, дБ		**исходные данные**	**0**	**96,3**	**97,7**	**99**	**99,3**	**98,9**	**95,6**	**91,4**	**86,9**		
Уровни звуковой мощности источника ночью, Lw, дБ		**исходные данные**	**0**	**96,3**	**97,7**	**99**	**99,3**	**98,9**	**95,6**	**91,4**	**86,9**		
Поправка на телесный угол DΩ, дБ	Ω = 12.57	10Lg(4π/Ω)	**0**	0	0	0	0	0	0	0	0		
Показатель направленности источника Di, дБ		исходные данные	**0**	0	0	0	0	0	0	0	0		
Поправка на направленность источника Dc, дБ	Dc	DΩ + Di	**0**	0	0	0	0	0	0	0	0		
Затухание из-за геометрической дивергенции, Adiv, дБ	расстояние = 1646.69 м	ф-ла (7) [10]	**75,3**										
Коэффициент затухания звука в атмосфере α, дБ/км	Ta=20,°C Pa=101.33,кПа hотн.=70%	ф-ла (5) [9]	0,02	0,09	0,33	1,12	2,79	4,98	9,04	23,09	77,63		
Учет затухания звука в атмосфере Aatm, дБ		ф-ла (8) [10]	0	0,1	0,6	1,9	4,6	8,2	14,9	38	127,8		
Снижение поверхностью земли возле источника As, дБ	Gs = 0 hs = 1м	ф-лы таб.3 [10]	-1,5	-1,5	-1,5	-1,5	-1,5	-1,5	-1,5	-1,5	-1,5		
Снижение поверхностью земли возле приёмника Ar, дБ	Gr = 1 hr = 1.5м	ф-лы таб.3 [10]	-1,5	-1,5	5,3	7	5	0,7	0	0	0		
Снижение поверхностью земли в средней зоне, Am дБ	Gm = 1	ф-лы таб.3 [10]	-2,9	-2,9	0	0	0	0	0	0	0		
Суммарное снижение поверхностью земли на траектории распространения звука Agr, дБ		ф-ла (9) [10]	-5,9	-5,9	3,8	5,5	3,5	-0,8	-1,5	-1,5	-1,5		
Уровни звукового давления от источника ИШ-6-19 в расчётной точке днём, дБ		**ф-ла(3)[10]**	**0**	**26,7**	**18**	**16,3**	**15,9**	**16,2**	**6,9**	**0**	**0**	**18,8**	**18,8**
Уровни звукового давления от источника ИШ-6-19 в расчётной точке ночью, дБ		**ф-ла(3)[10]**	**0**	**26,7**	**18**	**16,3**	**15,9**	**16,2**	**6,9**	**0**	**0**	**18,8**	**18,8**

1		2	3	4	5	6	7	8	9	10	11	12	13
Источник шума: ИШ-6-20, координаты источника (x,y,z), м =[802.67,-132.35,1.00]													
Уровни звуковой мощности источника днём, Lw, дБ		**исходные данные**	**0**	**96,3**	**97,7**	**99**	**99,3**	**98,9**	**95,6**	**91,4**	**86,9**		
Уровни звуковой мощности источника ночью, Lw, дБ		**исходные данные**	**0**	**96,3**	**97,7**	**99**	**99,3**	**98,9**	**95,6**	**91,4**	**86,9**		
Поправка на телесный угол DΩ, дБ	Ω = 12.57	10Lg(4π/Ω)	**0**	0	0	0	0	0	0	0	0		
Показатель направленности источника Di, дБ		исходные данные	**0**	0	0	0	0	0	0	0	0		
Поправка на направленность источника Dc, дБ	Dc	DΩ + Di	**0**	0	0	0	0	0	0	0	0		
Затухание из-за геометрической дивергенции, Adiv, дБ	расстояние = 1649.73 м	ф-ла (7) [10]	**75,3**										
Коэффициент затухания звука в атмосфере α, дБ/км	Ta=20,°C Pa=101.33,кПа hотн.=70%	ф-ла (5) [9]	0,02	0,09	0,33	1,12	2,79	4,98	9,04	23,09	77,63		
Учет затухания звука в атмосфере Aatm, дБ		ф-ла (8) [10]	0	0,1	0,6	1,9	4,6	8,2	14,9	38,1	128,1		
Снижение поверхностью земли возле источника As, дБ	Gs = 0 hs = 1м	ф-лы таб.3 [10]	-1,5	-1,5	-1,5	-1,5	-1,5	-1,5	-1,5	-1,5	-1,5		
Снижение поверхностью земли возле приёмника Ar, дБ	Gr = 1 hr = 1.5м	ф-лы таб.3 [10]	-1,5	-1,5	5,3	7	5	0,7	0	0	0		
Снижение поверхностью земли в средней зоне, Am дБ	Gm = 1	ф-лы таб.3 [10]	-2,9	-2,9	0	0	0	0	0	0	0		
Суммарное снижение поверхностью земли на траектории распространения звука Agr, дБ		ф-ла (9) [10]	-5,9	-5,9	3,8	5,5	3,5	-0,8	-1,5	-1,5	-1,5		
Уровни звукового давления от источника ИШ-6-20 в расчётной точке днём, дБ		**ф-ла(3)[10]**	**0**	**26,7**	**17,9**	**16,3**	**15,9**	**16,2**	**6,8**	**0**	**0**	**18,7**	**18,7**
Уровни звукового давления от источника ИШ-6-20 в расчётной точке ночью, дБ		**ф-ла(3)[10]**	**0**	**26,7**	**17,9**	**16,3**	**15,9**	**16,2**	**6,8**	**0**	**0**	**18,7**	**18,7**
Источник шума: ИШ-6-21, координаты источника (x,y,z), м =[801.69,-135.42,1.00]													

1		2	3	4	5	6	7	8	9	10	11	12	13
Уровни звуковой мощности источника днём, Lw, дБ		**исходные данные**	**0**	**96,3**	**97,7**	**99**	**99,3**	**98,9**	**95,6**	**91,4**	**86,9**		
Уровни звуковой мощности источника ночью, Lw, дБ		**исходные данные**	**0**	**96,3**	**97,7**	**99**	**99,3**	**98,9**	**95,6**	**91,4**	**86,9**		
Поправка на телесный угол DΩ, дБ	Ω = 12.57	10Lg(4π/Ω)	**0**	0	0	0	0	0	0	0	0		
Показатель направленности источника Di, дБ		исходные данные	**0**	0	0	0	0	0	0	0	0		
Поправка на направленность источника Dc, дБ	Dc	DΩ + Di	**0**	0	0	0	0	0	0	0	0		
Затухание из-за геометрической дивергенции, Adiv, дБ	расстояние = 1652.79 м	ф-ла (7) [10]	**75,4**										
Коэффициент затухания звука в атмосфере α, дБ/км	Ta=20,°C Pa=101.33,кПа hотн.=70%	ф-ла (5) [9]	0,02	0,09	0,33	1,12	2,79	4,98	9,04	23,09	77,63		
Учет затухания звука в атмосфере Aatm, дБ		ф-ла (8) [10]	0	0,1	0,6	1,9	4,6	8,2	14,9	38,2	128,3		
Снижение поверхностью земли возле источника As, дБ	Gs = 0 hs = 1м	ф-лы таб.3 [10]	-1,5	-1,5	-1,5	-1,5	-1,5	-1,5	-1,5	-1,5	-1,5		
Снижение поверхностью земли возле приёмника Ar, дБ	Gr = 1 hr = 1.5м	ф-лы таб.3 [10]	-1,5	-1,5	5,3	7	5	0,7	0	0	0		
Снижение поверхностью земли в средней зоне, Am дБ	Gm = 1	ф-лы таб.3 [10]	-2,9	-2,9	0	0	0	0	0	0	0		
Суммарное снижение поверхностью земли на траектории распространения звука Agr, дБ		ф-ла (9) [10]	-5,9	-5,9	3,8	5,5	3,5	-0,8	-1,5	-1,5	-1,5		
Уровни звукового давления от источника ИШ-6-21 в расчётной точке днём, дБ		**ф-ла(3)[10]**	**0**	**26,6**	**17,9**	**16,2**	**15,8**	**16,1**	**6,8**	**0**	**0**	**18,7**	**18,7**
Уровни звукового давления от источника ИШ-6-21 в расчётной точке ночью, дБ		**ф-ла(3)[10]**	**0**	**26,6**	**17,9**	**16,2**	**15,8**	**16,1**	**6,8**	**0**	**0**	**18,7**	**18,7**
Источник шума: ИШ-6-22, координаты источника (x,y,z), м =[800.65,-138.47,1.00]													
Уровни звуковой мощности источника днём, Lw, дБ		**исходные данные**	**0**	**96,3**	**97,7**	**99**	**99,3**	**98,9**	**95,6**	**91,4**	**86,9**		

1		2	3	4	5	6	7	8	9	10	11	12	13
Уровни звуковой мощности источника ночью, Lw, дБ		**исходные данные**	**0**	**96,3**	**97,7**	**99**	**99,3**	**98,9**	**95,6**	**91,4**	**86,9**		
Поправка на телесный угол DΩ, дБ	Ω = 12.57	10Lg(4π/Ω)	**0**	0	0	0	0	0	0	0	0		
Показатель направленности источника Di, дБ		исходные данные	**0**	0	0	0	0	0	0	0	0		
Поправка на направленность источника Dc, дБ	Dc	DΩ + Di	**0**	0	0	0	0	0	0	0	0		
Затухание из-за геометрической дивергенции, Adiv, дБ	расстояние = 1655.84 м	ф-ла (7) [10]	**75,4**										
Коэффициент затухания звука в атмосфере α, дБ/км	Ta=20,°C Pa=101.33,кПа hотн.=70%	ф-ла (5) [9]	0,02	0,09	0,33	1,12	2,79	4,98	9,04	23,09	77,63		
Учет затухания звука в атмосфере Aatm, дБ		ф-ла (8) [10]	0	0,1	0,6	1,9	4,6	8,2	15	38,2	128,5		
Снижение поверхностью земли возле источника As, дБ	Gs = 0 hs = 1м	ф-лы таб.3 [10]	-1,5	-1,5	-1,5	-1,5	-1,5	-1,5	-1,5	-1,5	-1,5		
Снижение поверхностью земли возле приёмника Ar, дБ	Gr = 1 hr = 1.5м	ф-лы таб.3 [10]	-1,5	-1,5	5,3	7	5	0,7	0	0	0		
Снижение поверхностью земли в средней зоне, Am дБ	Gm = 1	ф-лы таб.3 [10]	-2,9	-2,9	0	0	0	0	0	0	0		
Суммарное снижение поверхностью земли на траектории распространения звука Agr, дБ		ф-ла (9) [10]	-5,9	-5,9	3,8	5,5	3,5	-0,8	-1,5	-1,5	-1,5		
Уровни звукового давления от источника ИШ-6-22 в расчётной точке днём, дБ		**ф-ла(3)[10]**	**0**	**26,6**	**17,9**	**16,2**	**15,8**	**16,1**	**6,7**	**0**	**0**	**18,7**	**18,7**
Уровни звукового давления от источника ИШ-6-22 в расчётной точке ночью, дБ		**ф-ла(3)[10]**	**0**	**26,6**	**17,9**	**16,2**	**15,8**	**16,1**	**6,7**	**0**	**0**	**18,7**	**18,7**
Источник шума: ИШ-7-1, координаты источника (x,y,z), м =[821.44,63.31,1.00]													
Уровни звуковой мощности источника днём, Lw, дБ		**исходные данные**	**77**	**75**	**67**	**66**	**63**	**55**	**53**	**48**	**51**		
Уровни звуковой мощности источника ночью, Lw, дБ		**исходные данные**	**77**	**75**	**67**	**66**	**63**	**55**	**53**	**48**	**51**		

1		2	3	4	5	6	7	8	9	10	11	12	13
Поправка на телесный угол DΩ, дБ	Ω = 12.57	10Lg(4π/Ω)	**0**	0	0	0	0	0	0	0	0		
Показатель направленности источника Di, дБ		исходные данные	**0**	0	0	0	0	0	0	0	0		
Поправка на направленность источника Dc, дБ	Dc	DΩ + Di	**0**	0	0	0	0	0	0	0	0		
Затухание из-за геометрической дивергенции, Adiv, дБ	расстояние = 1454.33 м	ф-ла (7) [10]	**74,3**										
Коэффициент затухания звука в атмосфере α, дБ/км	Ta=20,°C Pa=101.33,кПа hотн.=70%	ф-ла (5) [9]	0,02	0,09	0,33	1,12	2,79	4,98	9,04	23,09	77,63		
Учет затухания звука в атмосфере Aatm, дБ		ф-ла (8) [10]	0	0,1	0,5	1,6	4,1	7,2	13,1	33,6	112,9		
Снижение поверхностью земли возле источника As, дБ	Gs = 0 hs = 1м	ф-лы таб.3 [10]	-1,5	-1,5	-1,5	-1,5	-1,5	-1,5	-1,5	-1,5	-1,5		
Снижение поверхностью земли возле приёмника Ar, дБ	Gr = 1 hr = 1.5м	ф-лы таб.3 [10]	-1,5	-1,5	5,3	7	5	0,7	0	0	0		
Снижение поверхностью земли в средней зоне, Am дБ	Gm = 1	ф-лы таб.3 [10]	-2,8	-2,8	0	0	0	0	0	0	0		
Суммарное снижение поверхностью земли на траектории распространения звука Agr, дБ		ф-ла (9) [10]	-5,8	-5,8	3,8	5,5	3,5	-0,8	-1,5	-1,5	-1,5		
Уровни звукового давления от источника ИШ-7-1 в расчётной точке днём, дБ		**ф-ла(3)[10]**	**8,6**	**6,5**	**0**	**0**	**0**	**0**	**0**	**0**	**0**	**0**	**0**
Уровни звукового давления от источника ИШ-7-1 в расчётной точке ночью, дБ		**ф-ла(3)[10]**	**8,6**	**6,5**	**0**	**0**	**0**	**0**	**0**	**0**	**0**	**0**	**0**
Источник шума: ИШ-7-2, координаты источника (x,y,z), м =[768.90,-86.75,1.00]													
Уровни звуковой мощности источника днём, Lw, дБ		**исходные данные**	**77**	**75**	**67**	**66**	**63**	**55**	**53**	**48**	**51**		
Уровни звуковой мощности источника ночью, Lw, дБ		**исходные данные**	**77**	**75**	**67**	**66**	**63**	**55**	**53**	**48**	**51**		
Поправка на телесный угол DΩ, дБ	Ω = 12.57	10Lg(4π/Ω)	**0**	0	0	0	0	0	0	0	0		

1		2	3	4	5	6	7	8	9	10	11	12	13
Показатель направленности источника Di, дБ		исходные данные	**0**	0	0	0	0	0	0	0	0		
Поправка на направленность источника Dc, дБ	Dc	DΩ + Di	**0**	0	0	0	0	0	0	0	0		
Затухание из-за геометрической дивергенции, Adiv, дБ	расстояние = 1604.28 м	ф-ла (7) [10]	**75,1**										
Коэффициент затухания звука в атмосфере α, дБ/км	Ta=20,°C Pa=101.33,кПа hотн.=70%	ф-ла (5) [9]	0,02	0,09	0,33	1,12	2,79	4,98	9,04	23,09	77,63		
Учет затухания звука в атмосфере Aatm, дБ		ф-ла (8) [10]	0	0,1	0,5	1,8	4,5	8	14,5	37	124,5		
Снижение поверхностью земли возле источника As, дБ	Gs = 0 hs = 1м	ф-лы таб.3 [10]	-1,5	-1,5	-1,5	-1,5	-1,5	-1,5	-1,5	-1,5	-1,5		
Снижение поверхностью земли возле приёмника Ar, дБ	Gr = 1 hr = 1.5м	ф-лы таб.3 [10]	-1,5	-1,5	5,3	7	5	0,7	0	0	0		
Снижение поверхностью земли в средней зоне, Am дБ	Gm = 1	ф-лы таб.3 [10]	-2,9	-2,9	0	0	0	0	0	0	0		
Суммарное снижение поверхностью земли на траектории распространения звука Agr, дБ		ф-ла (9) [10]	-5,9	-5,9	3,8	5,5	3,5	-0,8	-1,5	-1,5	-1,5		
Уровни звукового давления от источника ИШ-7-2 в расчётной точке днём, дБ		**ф-ла(3)[10]**	**7,7**	**0**	**0**	**0**	**0**	**0**	**0**	**0**	**0**	**0**	**0**
Уровни звукового давления от источника ИШ-7-2 в расчётной точке ночью, дБ		**ф-ла(3)[10]**	**7,7**	**0**	**0**	**0**	**0**	**0**	**0**	**0**	**0**	**0**	**0**
Источник шума: ИШ-7-3, координаты источника (x,y,z), м =[766.80,-93.20,1.00]													
Уровни звуковой мощности источника днём, Lw, дБ		**исходные данные**	**77**	**75**	**67**	**66**	**63**	**55**	**53**	**48**	**51**		
Уровни звуковой мощности источника ночью, Lw, дБ		**исходные данные**	**77**	**75**	**67**	**66**	**63**	**55**	**53**	**48**	**51**		
Поправка на телесный угол DΩ, дБ	Ω = 12.57	10Lg(4π/Ω)	**0**	0	0	0	0	0	0	0	0		
Показатель направленности источника Di, дБ		исходные данные	**0**	0	0	0	0	0	0	0	0		

1		2	3	4	5	6	7	8	9	10	11	12	13
Поправка на направленность источника Dc, дБ	Dc	DΩ + Di	**0**	0	0	0	0	0	0	0	0		
Затухание из-за геометрической дивергенции, Adiv, дБ	расстояние = 1610.75 м	ф-ла (7) [10]	**75,1**										
Коэффициент затухания звука в атмосфере α, дБ/км	Ta=20,°C Pa=101.33,кПа hотн.=70%	ф-ла (5) [9]	0,02	0,09	0,33	1,12	2,79	4,98	9,04	23,09	77,63		
Учет затухания звука в атмосфере Aatm, дБ		ф-ла (8) [10]	0	0,1	0,5	1,8	4,5	8	14,6	37,2	125		
Снижение поверхностью земли возле источника As, дБ	Gs = 0 hs = 1м	ф-лы таб.3 [10]	-1,5	-1,5	-1,5	-1,5	-1,5	-1,5	-1,5	-1,5	-1,5		
Снижение поверхностью земли возле приёмника Ar, дБ	Gr = 1 hr = 1.5м	ф-лы таб.3 [10]	-1,5	-1,5	5,3	7	5	0,7	0	0	0		
Снижение поверхностью земли в средней зоне, Am дБ	Gm = 1	ф-лы таб.3 [10]	-2,9	-2,9	0	0	0	0	0	0	0		
Суммарное снижение поверхностью земли на траектории распространения звука Agr, дБ		ф-ла (9) [10]	-5,9	-5,9	3,8	5,5	3,5	-0,8	-1,5	-1,5	-1,5		
Уровни звукового давления от источника ИШ-7-3 в расчётной точке днём, дБ		**ф-ла(3)[10]**	**7,7**	**0**	**0**	**0**	**0**	**0**	**0**	**0**	**0**	**0**	**0**
Уровни звукового давления от источника ИШ-7-3 в расчётной точке ночью, дБ		**ф-ла(3)[10]**	**7,7**	**0**	**0**	**0**	**0**	**0**	**0**	**0**	**0**	**0**	**0**
Источник шума: ИШ-7-4, координаты источника (x,y,z), м =[866.76,37.18,1.00]													
Уровни звуковой мощности источника днём, Lw, дБ		**исходные данные**	**77**	**75**	**67**	**66**	**63**	**55**	**53**	**48**	**51**		
Уровни звуковой мощности источника ночью, Lw, дБ		**исходные данные**	**77**	**75**	**67**	**66**	**63**	**55**	**53**	**48**	**51**		
Поправка на телесный угол DΩ, дБ	Ω = 12.57	10Lg(4π/Ω)	**0**	0	0	0	0	0	0	0	0		
Показатель направленности источника Di, дБ		исходные данные	**0**	0	0	0	0	0	0	0	0		
Поправка на направленность источника Dc, дБ	Dc	DΩ + Di	**0**	0	0	0	0	0	0	0	0		

1		2	3	4	5	6	7	8	9	10	11	12	13
Затухание из-за геометрической дивергенции, Adiv, дБ	расстояние = 1482.04 м	ф-ла (7) [10]	**74,4**										
Коэффициент затухания звука в атмосфере α, дБ/км	Ta=20,°C Pa=101.33,кПа hотн.=70%	ф-ла (5) [9]	0,02	0,09	0,33	1,12	2,79	4,98	9,04	23,09	77,63		
Учет затухания звука в атмосфере Aatm, дБ		ф-ла (8) [10]	0	0,1	0,5	1,7	4,1	7,4	13,4	34,2	115,1		
Снижение поверхностью земли возле источника As, дБ	Gs = 0 hs = 1м	ф-лы таб.3 [10]	-1,5	-1,5	-1,5	-1,5	-1,5	-1,5	-1,5	-1,5	-1,5		
Снижение поверхностью земли возле приёмника Ar, дБ	Gr = 1 hr = 1.5м	ф-лы таб.3 [10]	-1,5	-1,5	5,3	7	5	0,7	0	0	0		
Снижение поверхностью земли в средней зоне, Am дБ	Gm = 1	ф-лы таб.3 [10]	-2,8	-2,8	0	0	0	0	0	0	0		
Суммарное снижение поверхностью земли на траектории распространения звука Agr, дБ		ф-ла (9) [10]	-5,8	-5,8	3,8	5,5	3,5	-0,8	-1,5	-1,5	-1,5		
Уровни звукового давления от источника ИШ-7-4 в расчётной точке днём, дБ		**ф-ла(3)[10]**	**8,4**	**6,3**	**0**	**0**	**0**	**0**	**0**	**0**	**0**	**0**	**0**
Уровни звукового давления от источника ИШ-7-4 в расчётной точке ночью, дБ		**ф-ла(3)[10]**	**8,4**	**6,3**	**0**	**0**	**0**	**0**	**0**	**0**	**0**	**0**	**0**
Источник шума: ИШ-7-5, координаты источника (x,y,z), м =[861.80,21.34,1.00]													
Уровни звуковой мощности источника днём, Lw, дБ		**исходные данные**	**77**	**75**	**67**	**66**	**63**	**55**	**53**	**48**	**51**		
Уровни звуковой мощности источника ночью, Lw, дБ		**исходные данные**	**77**	**75**	**67**	**66**	**63**	**55**	**53**	**48**	**51**		
Поправка на телесный угол DΩ, дБ	Ω = 12.57	10Lg(4π/Ω)	**0**	0	0	0	0	0	0	0	0		
Показатель направленности источника Di, дБ		исходные данные	**0**	0	0	0	0	0	0	0	0		
Поправка на направленность источника Dc, дБ	Dc	DΩ + Di	**0**	0	0	0	0	0	0	0	0		
Затухание из-за геометрической дивергенции, Adiv, дБ	расстояние = 1497.62 м	ф-ла (7) [10]	**74,5**										

1		2	3	4	5	6	7	8	9	10	11	12	13
Коэффициент затухания звука в атмосфере α, дБ/км	Ta=20,°C Pa=101.33,кПа hотн.=70%	ф-ла (5) [9]	0,02	0,09	0,33	1,12	2,79	4,98	9,04	23,09	77,63		
Учет затухания звука в атмосфере Aatm, дБ		ф-ла (8) [10]	0	0,1	0,5	1,7	4,2	7,5	13,5	34,6	116,3		
Снижение поверхностью земли возле источника As, дБ	Gs = 0 hs = 1м	ф-лы таб.3 [10]	-1,5	-1,5	-1,5	-1,5	-1,5	-1,5	-1,5	-1,5	-1,5		
Снижение поверхностью земли возле приёмника Ar, дБ	Gr = 1 hr = 1.5м	ф-лы таб.3 [10]	-1,5	-1,5	5,3	7	5	0,7	0	0	0		
Снижение поверхностью земли в средней зоне, Am дБ	Gm = 1	ф-лы таб.3 [10]	-2,8	-2,8	0	0	0	0	0	0	0		
Суммарное снижение поверхностью земли на траектории распространения звука Agr, дБ		ф-ла (9) [10]	-5,8	-5,8	3,8	5,5	3,5	-0,8	-1,5	-1,5	-1,5		
Уровни звукового давления от источника ИШ-7-5 в расчётной точке днём, дБ		**ф-ла(3)[10]**	**8,3**	**6,2**	**0**	**0**	**0**	**0**	**0**	**0**	**0**	**0**	**0**
Уровни звукового давления от источника ИШ-7-5 в расчётной точке ночью, дБ		**ф-ла(3)[10]**	**8,3**	**6,2**	**0**	**0**	**0**	**0**	**0**	**0**	**0**	**0**	**0**
Источник шума: ИШ-7-6, координаты источника (x,y,z), м =[856.52,5.94,1.00]													
Уровни звуковой мощности источника днём, Lw, дБ		**исходные данные**	**77**	**75**	**67**	**66**	**63**	**55**	**53**	**48**	**51**		
Уровни звуковой мощности источника ночью, Lw, дБ		**исходные данные**	**77**	**75**	**67**	**66**	**63**	**55**	**53**	**48**	**51**		
Поправка на телесный угол DΩ, дБ	Ω = 12.57	10Lg(4π/Ω)	**0**	0	0	0	0	0	0	0	0		
Показатель направленности источника Di, дБ		исходные данные	**0**	0	0	0	0	0	0	0	0		
Поправка на направленность источника Dc, дБ	Dc	DΩ + Di	**0**	0	0	0	0	0	0	0	0		
Затухание из-за геометрической дивергенции, Adiv, дБ	расстояние = 1512.77 м	ф-ла (7) [10]	**74,6**										
Коэффициент затухания звука в атмосфере α, дБ/км	Ta=20,°C Pa=101.33,кПа hотн.=70%	ф-ла (5) [9]	0,02	0,09	0,33	1,12	2,79	4,98	9,04	23,09	77,63		

1		2	3	4	5	6	7	8	9	10	11	12	13
Учет затухания звука в атмосфере Aatm, дБ		ф-ла (8) [10]	0	0,1	0,5	1,7	4,2	7,5	13,7	34,9	117,4		
Снижение поверхностью земли возле источника As, дБ	Gs = 0 hs = 1м	ф-лы таб.3 [10]	-1,5	-1,5	-1,5	-1,5	-1,5	-1,5	-1,5	-1,5	-1,5		
Снижение поверхностью земли возле приёмника Ar, дБ	Gr = 1 hr = 1.5м	ф-лы таб.3 [10]	-1,5	-1,5	5,3	7	5	0,7	0	0	0		
Снижение поверхностью земли в средней зоне, Am дБ	Gm = 1	ф-лы таб.3 [10]	-2,9	-2,9	0	0	0	0	0	0	0		
Суммарное снижение поверхностью земли на траектории распространения звука Agr, дБ		ф-ла (9) [10]	-5,9	-5,9	3,8	5,5	3,5	-0,8	-1,5	-1,5	-1,5		
Уровни звукового давления от источника ИШ-7-6 в расчётной точке днём, дБ		**ф-ла(3)[10]**	**8,2**	**6,1**	**0**	**0**	**0**	**0**	**0**	**0**	**0**	**0**	**0**
Уровни звукового давления от источника ИШ-7-6 в расчётной точке ночью, дБ		**ф-ла(3)[10]**	**8,2**	**6,1**	**0**	**0**	**0**	**0**	**0**	**0**	**0**	**0**	**0**
Источник шума: ИШ-7-7, координаты источника (x,y,z), м =[851.06,-9.89,1.00]													
Уровни звуковой мощности источника днём, Lw, дБ		**исходные данные**	**77**	**75**	**67**	**66**	**63**	**55**	**53**	**48**	**51**		
Уровни звуковой мощности источника ночью, Lw, дБ		**исходные данные**	**77**	**75**	**67**	**66**	**63**	**55**	**53**	**48**	**51**		
Поправка на телесный угол DΩ, дБ	Ω = 12.57	10Lg(4π/Ω)	**0**	0	0	0	0	0	0	0	0		
Показатель направленности источника Di, дБ		исходные данные	**0**	0	0	0	0	0	0	0	0		
Поправка на направленность источника Dc, дБ	Dc	DΩ + Di	**0**	0	0	0	0	0	0	0	0		
Затухание из-за геометрической дивергенции, Adiv, дБ	расстояние = 1528.37 м	ф-ла (7) [10]	**74,7**										
Коэффициент затухания звука в атмосфере α, дБ/км	Ta=20,°C Pa=101.33,кПа hотн.=70%	ф-ла (5) [9]	0,02	0,09	0,33	1,12	2,79	4,98	9,04	23,09	77,63		
Учет затухания звука в атмосфере Aatm, дБ		ф-ла (8) [10]	0	0,1	0,5	1,7	4,3	7,6	13,8	35,3	118,7		

1		2	3	4	5	6	7	8	9	10	11	12	13
Снижение поверхностью земли возле источника As, дБ	Gs = 0 hs = 1м	ф-лы таб.3 [10]	-1,5	-1,5	-1,5	-1,5	-1,5	-1,5	-1,5	-1,5	-1,5		
Снижение поверхностью земли возле приёмника Ar, дБ	Gr = 1 hr = 1.5м	ф-лы таб.3 [10]	-1,5	-1,5	5,3	7	5	0,7	0	0	0		
Снижение поверхностью земли в средней зоне, Am дБ	Gm = 1	ф-лы таб.3 [10]	-2,9	-2,9	0	0	0	0	0	0	0		
Суммарное снижение поверхностью земли на траектории распространения звука Agr, дБ		ф-ла (9) [10]	-5,9	-5,9	3,8	5,5	3,5	-0,8	-1,5	-1,5	-1,5		
Уровни звукового давления от источника ИШ-7-7 в расчётной точке днём, дБ		**ф-ла(3)[10]**	**8,1**	**6**	**0**	**0**	**0**	**0**	**0**	**0**	**0**	**0**	**0**
Уровни звукового давления от источника ИШ-7-7 в расчётной точке ночью, дБ		**ф-ла(3)[10]**	**8,1**	**6**	**0**	**0**	**0**	**0**	**0**	**0**	**0**	**0**	**0**
Источник шума: ИШ-7-8, координаты источника (x,y,z), м =[821.90,-104.30,1.00]													
Уровни звуковой мощности источника днём, Lw, дБ		**исходные данные**	**77**	**75**	**67**	**66**	**63**	**55**	**53**	**48**	**51**		
Уровни звуковой мощности источника ночью, Lw, дБ		**исходные данные**	**77**	**75**	**67**	**66**	**63**	**55**	**53**	**48**	**51**		
Поправка на телесный угол DΩ, дБ	Ω = 12.57	10Lg(4π/Ω)	**0**	0	0	0	0	0	0	0	0		
Показатель направленности источника Di, дБ		исходные данные	**0**	0	0	0	0	0	0	0	0		
Поправка на направленность источника Dc, дБ	Dc	DΩ + Di	**0**	0	0	0	0	0	0	0	0		
Затухание из-за геометрической дивергенции, Adiv, дБ	расстояние = 1621.92 м	ф-ла (7) [10]	**75,2**										
Коэффициент затухания звука в атмосфере α, дБ/км	Ta=20,°C Pa=101.33,кПа hотн.=70%	ф-ла (5) [9]	0,02	0,09	0,33	1,12	2,79	4,98	9,04	23,09	77,63		
Учет затухания звука в атмосфере Aatm, дБ		ф-ла (8) [10]	0	0,1	0,5	1,8	4,5	8,1	14,7	37,4	125,9		
Снижение поверхностью земли возле источника As, дБ	Gs = 0 hs = 1м	ф-лы таб.3 [10]	-1,5	-1,5	-1,5	-1,5	-1,5	-1,5	-1,5	-1,5	-1,5		

1		2	3	4	5	6	7	8	9	10	11	12	13
Снижение поверхностью земли возле приёмника Ar, дБ	Gr = 1 hr = 1.5м	ф-лы таб.3 [10]	-1,5	-1,5	5,3	7	5	0,7	0	0	0		
Снижение поверхностью земли в средней зоне, Am дБ	Gm = 1	ф-лы таб.3 [10]	-2,9	-2,9	0	0	0	0	0	0	0		
Суммарное снижение поверхностью земли на траектории распространения звука Agr, дБ		ф-ла (9) [10]	-5,9	-5,9	3,8	5,5	3,5	-0,8	-1,5	-1,5	-1,5		
Уровни звукового давления от источника ИШ-7-8 в расчётной точке днём, дБ		**ф-ла(3)[10]**	**7,6**	**0**	**0**	**0**	**0**	**0**	**0**	**0**	**0**	**0**	**0**
Уровни звукового давления от источника ИШ-7-8 в расчётной точке ночью, дБ		**ф-ла(3)[10]**	**7,6**	**0**	**0**	**0**	**0**	**0**	**0**	**0**	**0**	**0**	**0**
Источник шума: ИШ-7-9, координаты источника (x,y,z), м =[819.93,-110.97,1.00]													
Уровни звуковой мощности источника днём, Lw, дБ		**исходные данные**	**77**	**75**	**67**	**66**	**63**	**55**	**53**	**48**	**51**		
Уровни звуковой мощности источника ночью, Lw, дБ		**исходные данные**	**77**	**75**	**67**	**66**	**63**	**55**	**53**	**48**	**51**		
Поправка на телесный угол DΩ, дБ	Ω = 12.57	10Lg(4π/Ω)	**0**	0	0	0	0	0	0	0	0		
Показатель направленности источника Di, дБ		исходные данные	**0**	0	0	0	0	0	0	0	0		
Поправка на направленность источника Dc, дБ	Dc	DΩ + Di	**0**	0	0	0	0	0	0	0	0		
Затухание из-за геометрической дивергенции, Adiv, дБ	расстояние = 1628.55 м	ф-ла (7) [10]	**75,2**										
Коэффициент затухания звука в атмосфере α, дБ/км	Ta=20,°C Pa=101.33,кПа hотн.=70%	ф-ла (5) [9]	0,02	0,09	0,33	1,12	2,79	4,98	9,04	23,09	77,63		
Учет затухания звука в атмосфере Aatm, дБ		ф-ла (8) [10]	0	0,1	0,5	1,8	4,5	8,1	14,7	37,6	126,4		
Снижение поверхностью земли возле источника As, дБ	Gs = 0 hs = 1м	ф-лы таб.3 [10]	-1,5	-1,5	-1,5	-1,5	-1,5	-1,5	-1,5	-1,5	-1,5		
Снижение поверхностью земли возле приёмника Ar, дБ	Gr = 1 hr = 1.5м	ф-лы таб.3 [10]	-1,5	-1,5	5,3	7	5	0,7	0	0	0		

1		2	3	4	5	6	7	8	9	10	11	12	13
Снижение поверхностью земли в средней зоне, Am дБ	Gm = 1	ф-лы таб.3 [10]	-2,9	-2,9	0	0	0	0	0	0	0		
Суммарное снижение поверхностью земли на траектории распространения звука Agr, дБ		ф-ла (9) [10]	-5,9	-5,9	3,8	5,5	3,5	-0,8	-1,5	-1,5	-1,5		
Уровни звукового давления от источника ИШ-7-9 в расчётной точке днём, дБ		**ф-ла(3)[10]**	**7,6**	**0**	**0**	**0**	**0**	**0**	**0**	**0**	**0**	**0**	**0**
Уровни звукового давления от источника ИШ-7-9 в расчётной точке ночью, дБ		**ф-ла(3)[10]**	**7,6**	**0**	**0**	**0**	**0**	**0**	**0**	**0**	**0**	**0**	**0**
Источник шума: ИШ-7-10, координаты источника (x,y,z), м =[868.68,92.66,1.00]													
Уровни звуковой мощности источника днём, Lw, дБ		**исходные данные**	**77**	**75**	**67**	**66**	**63**	**55**	**53**	**48**	**51**		
Уровни звуковой мощности источника ночью, Lw, дБ		**исходные данные**	**77**	**75**	**67**	**66**	**63**	**55**	**53**	**48**	**51**		
Поправка на телесный угол DΩ, дБ	Ω = 12.57	10Lg(4π/Ω)	**0**	0	0	0	0	0	0	0	0		
Показатель направленности источника Di, дБ		исходные данные	**0**	0	0	0	0	0	0	0	0		
Поправка на направленность источника Dc, дБ	Dc	DΩ + Di	**0**	0	0	0	0	0	0	0	0		
Затухание из-за геометрической дивергенции, Adiv, дБ	расстояние = 1426.73 м	ф-ла (7) [10]	**74,1**										
Коэффициент затухания звука в атмосфере α, дБ/км	Ta=20,°C Pa=101.33,кПа hотн.=70%	ф-ла (5) [9]	0,02	0,09	0,33	1,12	2,79	4,98	9,04	23,09	77,63		
Учет затухания звука в атмосфере Aatm, дБ		ф-ла (8) [10]	0	0,1	0,5	1,6	4	7,1	12,9	32,9	110,8		
Снижение поверхностью земли возле источника As, дБ	Gs = 0 hs = 1м	ф-лы таб.3 [10]	-1,5	-1,5	-1,5	-1,5	-1,5	-1,5	-1,5	-1,5	-1,5		
Снижение поверхностью земли возле приёмника Ar, дБ	Gr = 1 hr = 1.5м	ф-лы таб.3 [10]	-1,5	-1,5	5,3	7	5	0,7	0	0	0		
Снижение поверхностью земли в средней зоне, Am дБ	Gm = 1	ф-лы таб.3 [10]	-2,8	-2,8	0	0	0	0	0	0	0		

1		2	3	4	5	6	7	8	9	10	11	12	13
Суммарное снижение поверхностью земли на траектории распространения звука Agr, дБ		ф-ла (9) [10]	-5,8	-5,8	3,8	5,5	3,5	-0,8	-1,5	-1,5	-1,5		
Уровни звукового давления от источника ИШ-7-10 в расчётной точке днём, дБ		**ф-ла(3)[10]**	**8,7**	**6,6**	**0**	**0**	**0**	**0**	**0**	**0**	**0**	**0**	**0**
Уровни звукового давления от источника ИШ-7-10 в расчётной точке ночью, дБ		**ф-ла(3)[10]**	**8,7**	**6,6**	**0**	**0**	**0**	**0**	**0**	**0**	**0**	**0**	**0**
Источник шума: ИШ-7-11, координаты источника (x,y,z), м =[877.95,88.75,1.00]													
Уровни звуковой мощности источника днём, Lw, дБ		**исходные данные**	**77**	**75**	**67**	**66**	**63**	**55**	**53**	**48**	**51**		
Уровни звуковой мощности источника ночью, Lw, дБ		**исходные данные**	**77**	**75**	**67**	**66**	**63**	**55**	**53**	**48**	**51**		
Поправка на телесный угол DΩ, дБ	Ω = 12.57	10Lg(4π/Ω)	**0**	0	0	0	0	0	0	0	0		
Показатель направленности источника Di, дБ		исходные данные	**0**	0	0	0	0	0	0	0	0		
Поправка на направленность источника Dc, дБ	Dc	DΩ + Di	**0**	0	0	0	0	0	0	0	0		
Затухание из-за геометрической дивергенции, Adiv, дБ	расстояние = 1431.16 м	ф-ла (7) [10]	**74,1**										
Коэффициент затухания звука в атмосфере α, дБ/км	Ta=20,°C Pa=101.33,кПа hотн.=70%	ф-ла (5) [9]	0,02	0,09	0,33	1,12	2,79	4,98	9,04	23,09	77,63		
Учет затухания звука в атмосфере Aatm, дБ		ф-ла (8) [10]	0	0,1	0,5	1,6	4	7,1	12,9	33	111,1		
Снижение поверхностью земли возле источника As, дБ	Gs = 0 hs = 1м	ф-лы таб.3 [10]	-1,5	-1,5	-1,5	-1,5	-1,5	-1,5	-1,5	-1,5	-1,5		
Снижение поверхностью земли возле приёмника Ar, дБ	Gr = 1 hr = 1.5м	ф-лы таб.3 [10]	-1,5	-1,5	5,3	7	5	0,7	0	0	0		
Снижение поверхностью земли в средней зоне, Am дБ	Gm = 1	ф-лы таб.3 [10]	-2,8	-2,8	0	0	0	0	0	0	0		
Суммарное снижение поверхностью земли на траектории распространения звука Agr, дБ		ф-ла (9) [10]	-5,8	-5,8	3,8	5,5	3,5	-0,8	-1,5	-1,5	-1,5		

1		2	3	4	5	6	7	8	9	10	11	12	13
Уровни звукового давления от источника ИШ-7-11 в расчётной точке днём, дБ		**ф-ла(3)[10]**	**8,7**	**6,6**	**0**	**0**	**0**	**0**	**0**	**0**	**0**	**0**	**0**
Уровни звукового давления от источника ИШ-7-11 в расчётной точке ночью, дБ		**ф-ла(3)[10]**	**8,7**	**6,6**	**0**	**0**	**0**	**0**	**0**	**0**	**0**	**0**	**0**
Источник шума: ИШ-7-12, координаты источника (x,y,z), м =[887.42,85.45,1.00]													
Уровни звуковой мощности источника днём, Lw, дБ		**исходные данные**	**77**	**75**	**67**	**66**	**63**	**55**	**53**	**48**	**51**		
Уровни звуковой мощности источника ночью, Lw, дБ		**исходные данные**	**77**	**75**	**67**	**66**	**63**	**55**	**53**	**48**	**51**		
Поправка на телесный угол DΩ, дБ	Ω = 12.57	10Lg(4π/Ω)	**0**	0	0	0	0	0	0	0	0		
Показатель направленности источника Di, дБ		исходные данные	**0**	0	0	0	0	0	0	0	0		
Поправка на направленность источника Dc, дБ	Dc	DΩ + Di	**0**	0	0	0	0	0	0	0	0		
Затухание из-за геометрической дивергенции, Adiv, дБ	расстояние = 1435.05 м	ф-ла (7) [10]	**74,1**										
Коэффициент затухания звука в атмосфере α, дБ/км	Ta=20,°C Pa=101.33,кПа hотн.=70%	ф-ла (5) [9]	0,02	0,09	0,33	1,12	2,79	4,98	9,04	23,09	77,63		
Учет затухания звука в атмосфере Aatm, дБ		ф-ла (8) [10]	0	0,1	0,5	1,6	4	7,1	13	33,1	111,4		
Снижение поверхностью земли возле источника As, дБ	Gs = 0 hs = 1м	ф-лы таб.3 [10]	-1,5	-1,5	-1,5	-1,5	-1,5	-1,5	-1,5	-1,5	-1,5		
Снижение поверхностью земли возле приёмника Ar, дБ	Gr = 1 hr = 1.5м	ф-лы таб.3 [10]	-1,5	-1,5	5,3	7	5	0,7	0	0	0		
Снижение поверхностью земли в средней зоне, Am дБ	Gm = 1	ф-лы таб.3 [10]	-2,8	-2,8	0	0	0	0	0	0	0		
Суммарное снижение поверхностью земли на траектории распространения звука Agr, дБ		ф-ла (9) [10]	-5,8	-5,8	3,8	5,5	3,5	-0,8	-1,5	-1,5	-1,5		
Уровни звукового давления от источника ИШ-7-12 в расчётной точке днём, дБ		**ф-ла(3)[10]**	**8,7**	**6,6**	**0**	**0**	**0**	**0**	**0**	**0**	**0**	**0**	**0**

1		2	3	4	5	6	7	8	9	10	11	12	13
Уровни звукового давления от источника ИШ-7-12 в расчётной точке ночью, дБ		**ф-ла(3)[10]**	**8,7**	**6,6**	**0**	**0**	**0**	**0**	**0**	**0**	**0**	**0**	**0**
Источник шума: ИШ-6-23, координаты источника (x,y,z), м =[756.16,-136.23,3.00]													
Уровни звуковой мощности источника днём, Lw, дБ		**исходные данные**	**91**	**91**	**91**	**91**	**91**	**91**	**91**	**91**	**91**		
Уровни звуковой мощности источника ночью, Lw, дБ		**исходные данные**	**91**	**91**	**91**	**91**	**91**	**91**	**91**	**91**	**91**		
Поправка на телесный угол DΩ, дБ	Ω = 12.57	10Lg(4π/Ω)	**0**	0	0	0	0	0	0	0	0		
Показатель направленности источника Di, дБ		исходные данные	**0**	0	0	0	0	0	0	0	0		
Поправка на направленность источника Dc, дБ	Dc	DΩ + Di	**0**	0	0	0	0	0	0	0	0		
Затухание из-за геометрической дивергенции, Adiv, дБ	расстояние = 1653.98 м	ф-ла (7) [10]	**75,4**										
Коэффициент затухания звука в атмосфере α, дБ/км	Ta=20,°C Pa=101.33,кПа hотн.=70%	ф-ла (5) [9]	0,02	0,09	0,33	1,12	2,79	4,98	9,04	23,09	77,63		
Учет затухания звука в атмосфере Aatm, дБ		ф-ла (8) [10]	0	0,1	0,6	1,9	4,6	8,2	15	38,2	128,4		
Снижение поверхностью земли возле источника As, дБ	Gs = 0 hs = 3м	ф-лы таб.3 [10]	-1,5	-1,5	-1,5	-1,5	-1,5	-1,5	-1,5	-1,5	-1,5		
Снижение поверхностью земли возле приёмника Ar, дБ	Gr = 1 hr = 1.5м	ф-лы таб.3 [10]	-1,5	-1,5	5,3	7	5	0,7	0	0	0		
Снижение поверхностью земли в средней зоне, Am дБ	Gm = 1	ф-лы таб.3 [10]	-2,8	-2,8	0	0	0	0	0	0	0		
Суммарное снижение поверхностью земли на траектории распространения звука Agr, дБ		ф-ла (9) [10]	-5,8	-5,8	3,8	5,5	3,5	-0,8	-1,5	-1,5	-1,5		
Уровни звукового давления от источника ИШ-6-23 в расчётной точке днём, дБ		**ф-ла(3)[10]**	**21,3**	**21,2**	**11,2**	**8,2**	**7,5**	**8,2**	**2,2**	**0**	**0**	**11,2**	**11,2**
Уровни звукового давления от источника ИШ-6-23 в расчётной точке ночью, дБ		**ф-ла(3)[10]**	**21,3**	**21,2**	**11,2**	**8,2**	**7,5**	**8,2**	**2,2**	**0**	**0**	**11,2**	**11,2**

1		2	3	4	5	6	7	8	9	10	11	12	13
Источник шума: ИШ-6-24, координаты источника (x,y,z), м =[800.98,-151.27,3.00]													
Уровни звуковой мощности источника днём, Lw, дБ		**исходные данные**	**91**	**91**	**91**	**91**	**91**	**91**	**91**	**91**	**91**		
Уровни звуковой мощности источника ночью, Lw, дБ		**исходные данные**	**91**	**91**	**91**	**91**	**91**	**91**	**91**	**91**	**91**		
Поправка на телесный угол DΩ, дБ	Ω = 12.57	10Lg(4π/Ω)	**0**	0	0	0	0	0	0	0	0		
Показатель направленности источника Di, дБ		исходные данные	**0**	0	0	0	0	0	0	0	0		
Поправка на направленность источника Dc, дБ	Dc	DΩ + Di	**0**	0	0	0	0	0	0	0	0		
Затухание из-за геометрической дивергенции, Adiv, дБ	расстояние = 1668.65 м	ф-ла (7) [10]	**75,4**										
Коэффициент затухания звука в атмосфере α, дБ/км	Ta=20,°C Pa=101.33,кПа hотн.=70%	ф-ла (5) [9]	0,02	0,09	0,33	1,12	2,79	4,98	9,04	23,09	77,63		
Учет затухания звука в атмосфере Aatm, дБ		ф-ла (8) [10]	0	0,1	0,6	1,9	4,7	8,3	15,1	38,5	129,5		
Снижение поверхностью земли возле источника As, дБ	Gs = 0 hs = 3м	ф-лы таб.3 [10]	-1,5	-1,5	-1,5	-1,5	-1,5	-1,5	-1,5	-1,5	-1,5		
Снижение поверхностью земли возле приёмника Ar, дБ	Gr = 1 hr = 1.5м	ф-лы таб.3 [10]	-1,5	-1,5	5,3	7	5	0,7	0	0	0		
Снижение поверхностью земли в средней зоне, Am дБ	Gm = 1	ф-лы таб.3 [10]	-2,8	-2,8	0	0	0	0	0	0	0		
Суммарное снижение поверхностью земли на траектории распространения звука Agr, дБ		ф-ла (9) [10]	-5,8	-5,8	3,8	5,5	3,5	-0,8	-1,5	-1,5	-1,5		
Уровни звукового давления от источника ИШ-6-24 в расчётной точке днём, дБ		**ф-ла(3)[10]**	**21,3**	**21,2**	**11,1**	**8,1**	**7,4**	**8,1**	**2**	**0**	**0**	**11**	**11**
Уровни звукового давления от источника ИШ-6-24 в расчётной точке ночью, дБ		**ф-ла(3)[10]**	**21,3**	**21,2**	**11,1**	**8,1**	**7,4**	**8,1**	**2**	**0**	**0**	**11**	**11**
Источник шума: ИШ-8-1, координаты источника (x,y,z), м =[612.60,-227.70,3.00]													

1		2	3	4	5	6	7	8	9	10	11	12	13
Уровни звуковой мощности источника днём, Lw, дБ		**исходные данные**	**105**	**104**	**104**	**101**	**102**	**106**	**101**	**95**	**87**		
Уровни звуковой мощности источника ночью, Lw, дБ		**исходные данные**	**105**	**104**	**104**	**101**	**102**	**106**	**101**	**95**	**87**		
Поправка на телесный угол DΩ, дБ	Ω = 6.28	10Lg(4π/Ω)	**3**	3	3	3	3	3	3	3	3		
Показатель направленности источника Di, дБ		исходные данные	**0**	0	0	0	0	0	0	0	0		
Поправка на направленность источника Dc, дБ	Dc	DΩ + Di	**3**	3	3	3	3	3	3	3	3		
Затухание из-за геометрической дивергенции, Adiv, дБ	расстояние = 1754.29 м	ф-ла (7) [10]	**75,9**										
Коэффициент затухания звука в атмосфере α, дБ/км	Ta=20,°C Pa=101.33,кПа hотн.=70%	ф-ла (5) [9]	0,02	0,09	0,33	1,12	2,79	4,98	9,04	23,09	77,63		
Учет затухания звука в атмосфере Aatm, дБ		ф-ла (8) [10]	0	0,2	0,6	2	4,9	8,7	15,9	40,5	136,2		
Снижение уровня звукового давления из-за влияния застройки между источником шума и расчетной точкой													
Снижение уровня звукового давления на пути над экраном, Dz1, дБ	z = 0.01м (разность путей)	ф-лы (14-18) [10]	4,8	4,8	4,8	4,8	4,8	4,8	4,8	4,8	4,8		
Снижение уровня звукового давления на пути слева от экрана, Dz2, дБ	z = 0.14м (разность путей)	ф-лы (14-18) [10]	5,4	6	7	8,4	10,4	12,8	15,4	18,2	21,2		
Снижение уровня звукового давления на пути справа от экрана, Dz3, дБ	z = 0.03м (разность путей)	ф-лы (14-18) [10]	5	5,1	5,5	6	7	8,5	10,5	12,9	15,5		
Общее снижение уровня звука препятствием Dz, дБ		Эн.сумма(-Dzi)	0,3	0,5	0,9	1,4	2,1	2,8	3,5	4	4,3		
Уровни звукового давления от источника ИШ-8-1 в расчётной точке днём, дБ		**ф-ла(3)[10]**	**31,8**	**30,5**	**29,7**	**24,8**	**22,2**	**21,6**	**8,8**	**0**	**0**	**24,8**	**24,8**
Уровни звукового давления от источника ИШ-8-1 в расчётной точке ночью, дБ		**ф-ла(3)[10]**	**31,8**	**30,5**	**29,7**	**24,8**	**22,2**	**21,6**	**8,8**	**0**	**0**	**24,8**	**24,8**
Источник шума: ИШ-8-2, координаты источника (x,y,z), м =[596.60,-275.00,3.00]													

1		2	3	4	5	6	7	8	9	10	11	12	13
Уровни звуковой мощности источника днём, Lw, дБ		**исходные данные**	**105**	**104**	**104**	**101**	**102**	**106**	**101**	**95**	**87**		
Уровни звуковой мощности источника ночью, Lw, дБ		**исходные данные**	**105**	**104**	**104**	**101**	**102**	**106**	**101**	**95**	**87**		
Поправка на телесный угол DΩ, дБ	Ω = 6.28	10Lg(4π/Ω)	**3**	3	3	3	3	3	3	3	3		
Показатель направленности источника Di, дБ		исходные данные	**0**	0	0	0	0	0	0	0	0		
Поправка на направленность источника Dc, дБ	Dc	DΩ + Di	**3**	3	3	3	3	3	3	3	3		
Затухание из-за геометрической дивергенции, Adiv, дБ	расстояние = 1803.01 м	ф-ла (7) [10]	**76,1**										
Коэффициент затухания звука в атмосфере α, дБ/км	Ta=20,°C Pa=101.33,кПа hотн.=70%	ф-ла (5) [9]	0,02	0,09	0,33	1,12	2,79	4,98	9,04	23,09	77,63		
Учет затухания звука в атмосфере Aatm, дБ		ф-ла (8) [10]	0	0,2	0,6	2	5	9	16,3	41,6	140		
Снижение уровня звукового давления из-за влияния застройки между источником шума и расчетной точкой													
Снижение уровня звукового давления на пути над экраном, Dz1, дБ	z = 0.01м (разность путей)	ф-лы (14-18) [10]	4,8	4,8	4,8	4,8	4,8	4,8	4,8	4,8	4,8		
Снижение уровня звукового давления на пути слева от экрана, Dz2, дБ	z = 0.00м (разность путей)	ф-лы (14-18) [10]	4,8	4,8	4,8	4,8	4,8	4,8	4,8	4,8	4,8		
Снижение уровня звукового давления на пути справа от экрана, Dz3, дБ	z = 0.26м (разность путей)	ф-лы (14-18) [10]	6	6,9	8,3	10,3	12,6	15,3	18,1	21	23,9		
Общее снижение уровня звука препятствием Dz, дБ		Эн.сумма(-Dzi)	0,4	0,6	0,9	1,2	1,4	1,6	1,7	1,7	1,8		
Уровни звукового давления от источника ИШ-8-2 в расчётной точке днём, дБ		**ф-ла(3)[10]**	**31,5**	**30,1**	**29,4**	**24,7**	**22,4**	**22,3**	**9,9**	**0**	**0**	**25,2**	**25,2**
Уровни звукового давления от источника ИШ-8-2 в расчётной точке ночью, дБ		**ф-ла(3)[10]**	**31,5**	**30,1**	**29,4**	**24,7**	**22,4**	**22,3**	**9,9**	**0**	**0**	**25,2**	**25,2**

Источник шума: ИШ-8-3, координаты источника (x,y,z), м =[564.90,-369.90,3.00]

1		2	3	4	5	6	7	8	9	10	11	12	13
Уровни звуковой мощности источника днём, Lw, дБ		**исходные данные**	**105**	**104**	**104**	**101**	**102**	**106**	**101**	**95**	**87**		
Уровни звуковой мощности источника ночью, Lw, дБ		**исходные данные**	**105**	**104**	**104**	**101**	**102**	**106**	**101**	**95**	**87**		
Поправка на телесный угол DΩ, дБ	Ω = 6.28	10Lg(4π/Ω)	**3**	3	3	3	3	3	3	3	3		
Показатель направленности источника Di, дБ		исходные данные	**0**	0	0	0	0	0	0	0	0		
Поправка на направленность источника Dc, дБ	Dc	DΩ + Di	**3**	3	3	3	3	3	3	3	3		
Затухание из-за геометрической дивергенции, Adiv, дБ	расстояние = 1900.91 м	ф-ла (7) [10]	**76,6**										
Коэффициент затухания звука в атмосфере α, дБ/км	Ta=20,°C Pa=101.33,кПа hотн.=70%	ф-ла (5) [9]	0,02	0,09	0,33	1,12	2,79	4,98	9,04	23,09	77,63		
Учет затухания звука в атмосфере Aatm, дБ		ф-ла (8) [10]	0	0,2	0,6	2,1	5,3	9,5	17,2	43,9	147,6		
Снижение уровня звукового давления из-за влияния застройки между источником шума и расчетной точкой													
Снижение уровня звукового давления на пути над экраном, Dz1, дБ	z = 0.00м (разность путей)	ф-лы (14-18) [10]	4,8	4,8	4,8	4,8	4,8	4,8	4,8	4,8	4,8		
Снижение уровня звукового давления на пути слева от экрана, Dz2, дБ	z = 2.25м (разность путей)	ф-лы (14-18) [10]	10,5	12,9	15,6	18,4	21,3	24,3	27,3	30,3	33,3		
Снижение уровня звукового давления на пути справа от экрана, Dz3, дБ	z = 0.00м (разность путей)	ф-лы (14-18) [10]	4,8	4,8	4,8	4,9	5	5,2	5,5	6,2	7,2		
Общее снижение уровня звука препятствием Dz, дБ		Эн.сумма(-Dzi)	1,2	1,5	1,6	1,7	1,8	1,9	2,1	2,4	2,8		
Уровни звукового давления от источника ИШ-8-3 в расчётной точке днём, дБ		**ф-ла(3)[10]**	**30,2**	**28,8**	**28,2**	**23,6**	**21,3**	**21**	**8,1**	**0**	**0**	**24**	**24**
Уровни звукового давления от источника ИШ-8-3 в расчётной точке ночью, дБ		**ф-ла(3)[10]**	**30,2**	**28,8**	**28,2**	**23,6**	**21,3**	**21**	**8,1**	**0**	**0**	**24**	**24**

Источник шума: ИШ-9-1, координаты источника (x,y,z), м =[642.94,-357.54,1.00]

1		2	3	4	5	6	7	8	9	10	11	12	13
Уровни звуковой мощности источника днём, Lw, дБ		**исходные данные**	**0**	**93,3**	**94,7**	**96**	**96,3**	**95,9**	**92,6**	**88,4**	**83,9**		
Уровни звуковой мощности источника ночью, Lw, дБ		**исходные данные**	**0**	**93,3**	**94,7**	**96**	**96,3**	**95,9**	**92,6**	**88,4**	**83,9**		
Поправка на телесный угол DΩ, дБ	Ω = 6.28	10Lg(4π/Ω)	**3**	3	3	3	3	3	3	3	3		
Показатель направленности источника Di, дБ		исходные данные	**0**	0	0	0	0	0	0	0	0		
Поправка на направленность источника Dc, дБ	Dc	DΩ + Di	**3**	3	3	3	3	3	3	3	3		
Затухание из-за геометрической дивергенции, Adiv, дБ	расстояние = 1880.84 м	ф-ла (7) [10]	**76,5**										
Коэффициент затухания звука в атмосфере α, дБ/км	Ta=20,°C Pa=101.33,кПа hотн.=70%	ф-ла (5) [9]	0,02	0,09	0,33	1,12	2,79	4,98	9,04	23,09	77,63		
Учет затухания звука в атмосфере Aatm, дБ		ф-ла (8) [10]	0	0,2	0,6	2,1	5,2	9,4	17	43,4	146		
Снижение поверхностью земли возле источника As, дБ	Gs = 0 hs = 1м	ф-лы таб.3 [10]	-1,5	-1,5	-1,5	-1,5	-1,5	-1,5	-1,5	-1,5	-1,5		
Снижение поверхностью земли возле приёмника Ar, дБ	Gr = 1 hr = 1.5м	ф-лы таб.3 [10]	-1,5	-1,5	5,3	7	5	0,7	0	0	0		
Снижение поверхностью земли в средней зоне, Am дБ	Gm = 1	ф-лы таб.3 [10]	-2,9	-2,9	0	0	0	0	0	0	0		
Суммарное снижение поверхностью земли на траектории распространения звука Agr, дБ		ф-ла (9) [10]	-5,9	-5,9	3,8	5,5	3,5	-0,8	-1,5	-1,5	-1,5		
Уровни звукового давления от источника ИШ-9-1 в расчётной точке днём, дБ		**ф-ла(3)[10]**	**0**	**25,5**	**16,7**	**14,9**	**14,1**	**13,9**	**3,6**	**0**	**0**	**16,6**	**16,6**
Уровни звукового давления от источника ИШ-9-1 в расчётной точке ночью, дБ		**ф-ла(3)[10]**	**0**	**25,5**	**16,7**	**14,9**	**14,1**	**13,9**	**3,6**	**0**	**0**	**16,6**	**16,6**
Источник шума: ИШ-9-2, координаты источника (x,y,z), м =[644.14,-354.83,1.00]													
Уровни звуковой мощности источника днём, Lw, дБ		**исходные данные**	**0**	**93,3**	**94,7**	**96**	**96,3**	**95,9**	**92,6**	**88,4**	**83,9**		

1		2	3	4	5	6	7	8	9	10	11	12	13
Уровни звуковой мощности источника ночью, Lw, дБ		**исходные данные**	**0**	**93,3**	**94,7**	**96**	**96,3**	**95,9**	**92,6**	**88,4**	**83,9**		
Поправка на телесный угол DΩ, дБ	Ω = 6.28	10Lg(4π/Ω)	**3**	3	3	3	3	3	3	3	3		
Показатель направленности источника Di, дБ		исходные данные	**0**	0	0	0	0	0	0	0	0		
Поправка на направленность источника Dc, дБ	Dc	DΩ + Di	**3**	3	3	3	3	3	3	3	3		
Затухание из-за геометрической дивергенции, Adiv, дБ	расстояние = 1878.04 м	ф-ла (7) [10]	**76,5**										
Коэффициент затухания звука в атмосфере α, дБ/км	Ta=20,°C Pa=101.33,кПа hотн.=70%	ф-ла (5) [9]	0,02	0,09	0,33	1,12	2,79	4,98	9,04	23,09	77,63		
Учет затухания звука в атмосфере Aatm, дБ		ф-ла (8) [10]	0	0,2	0,6	2,1	5,2	9,3	17	43,4	145,8		
Снижение поверхностью земли возле источника As, дБ	Gs = 0 hs = 1м	ф-лы таб.3 [10]	-1,5	-1,5	-1,5	-1,5	-1,5	-1,5	-1,5	-1,5	-1,5		
Снижение поверхностью земли возле приёмника Ar, дБ	Gr = 1 hr = 1.5м	ф-лы таб.3 [10]	-1,5	-1,5	5,3	7	5	0,7	0	0	0		
Снижение поверхностью земли в средней зоне, Am дБ	Gm = 1	ф-лы таб.3 [10]	-2,9	-2,9	0	0	0	0	0	0	0		
Суммарное снижение поверхностью земли на траектории распространения звука Agr, дБ		ф-ла (9) [10]	-5,9	-5,9	3,8	5,5	3,5	-0,8	-1,5	-1,5	-1,5		
Уровни звукового давления от источника ИШ-9-2 в расчётной точке днём, дБ		**ф-ла(3)[10]**	**0**	**25,5**	**16,7**	**14,9**	**14,1**	**13,9**	**3,6**	**0**	**0**	**16,6**	**16,6**
Уровни звукового давления от источника ИШ-9-2 в расчётной точке ночью, дБ		**ф-ла(3)[10]**	**0**	**25,5**	**16,7**	**14,9**	**14,1**	**13,9**	**3,6**	**0**	**0**	**16,6**	**16,6**
Источник шума: ИШ-9-3, координаты источника (x,y,z), м =[644.98,-351.85,1.00]													
Уровни звуковой мощности источника днём, Lw, дБ		**исходные данные**	**0**	**93,3**	**94,7**	**96**	**96,3**	**95,9**	**92,6**	**88,4**	**83,9**		
Уровни звуковой мощности источника ночью, Lw, дБ		**исходные данные**	**0**	**93,3**	**94,7**	**96**	**96,3**	**95,9**	**92,6**	**88,4**	**83,9**		

1		2	3	4	5	6	7	8	9	10	11	12	13
Поправка на телесный угол DΩ, дБ	Ω = 6.28	10Lg(4π/Ω)	**3**	3	3	3	3	3	3	3	3		
Показатель направленности источника Di, дБ		исходные данные	**0**	0	0	0	0	0	0	0	0		
Поправка на направленность источника Dc, дБ	Dc	DΩ + Di	**3**	3	3	3	3	3	3	3	3		
Затухание из-за геометрической дивергенции, Adiv, дБ	расстояние = 1875.00 м	ф-ла (7) [10]	**76,5**										
Коэффициент затухания звука в атмосфере α, дБ/км	Ta=20,°C Pa=101.33,кПа hотн.=70%	ф-ла (5) [9]	0,02	0,09	0,33	1,12	2,79	4,98	9,04	23,09	77,63		
Учет затухания звука в атмосфере Aatm, дБ		ф-ла (8) [10]	0	0,2	0,6	2,1	5,2	9,3	16,9	43,3	145,6		
Снижение поверхностью земли возле источника As, дБ	Gs = 0 hs = 1м	ф-лы таб.3 [10]	-1,5	-1,5	-1,5	-1,5	-1,5	-1,5	-1,5	-1,5	-1,5		
Снижение поверхностью земли возле приёмника Ar, дБ	Gr = 1 hr = 1.5м	ф-лы таб.3 [10]	-1,5	-1,5	5,3	7	5	0,7	0	0	0		
Снижение поверхностью земли в средней зоне, Am дБ	Gm = 1	ф-лы таб.3 [10]	-2,9	-2,9	0	0	0	0	0	0	0		
Суммарное снижение поверхностью земли на траектории распространения звука Agr, дБ		ф-ла (9) [10]	-5,9	-5,9	3,8	5,5	3,5	-0,8	-1,5	-1,5	-1,5		
Уровни звукового давления от источника ИШ-9-3 в расчётной точке днём, дБ		**ф-ла(3)[10]**	**0**	**25,5**	**16,8**	**14,9**	**14,1**	**13,9**	**3,7**	**0**	**0**	**16,7**	**16,7**
Уровни звукового давления от источника ИШ-9-3 в расчётной точке ночью, дБ		**ф-ла(3)[10]**	**0**	**25,5**	**16,8**	**14,9**	**14,1**	**13,9**	**3,7**	**0**	**0**	**16,7**	**16,7**
Источник шума: ИШ-9-4, координаты источника (x,y,z), м =[646.01,-349.15,1.00]													
Уровни звуковой мощности источника днём, Lw, дБ		**исходные данные**	**0**	**93,3**	**94,7**	**96**	**96,3**	**95,9**	**92,6**	**88,4**	**83,9**		
Уровни звуковой мощности источника ночью, Lw, дБ		**исходные данные**	**0**	**93,3**	**94,7**	**96**	**96,3**	**95,9**	**92,6**	**88,4**	**83,9**		
Поправка на телесный угол DΩ, дБ	Ω = 6.28	10Lg(4π/Ω)	**3**	3	3	3	3	3	3	3	3		

1		2	3	4	5	6	7	8	9	10	11	12	13
Показатель направленности источника Di, дБ		исходные данные	**0**	0	0	0	0	0	0	0	0		
Поправка на направленность источника Dc, дБ	Dc	DΩ + Di	**3**	3	3	3	3	3	3	3	3		
Затухание из-за геометрической дивергенции, Adiv, дБ	расстояние = 1872.23 м	ф-ла (7) [10]	**76,4**										
Коэффициент затухания звука в атмосфере α, дБ/км	Ta=20,°C Pa=101.33,кПа hотн.=70%	ф-ла (5) [9]	0,02	0,09	0,33	1,12	2,79	4,98	9,04	23,09	77,63		
Учет затухания звука в атмосфере Aatm, дБ		ф-ла (8) [10]	0	0,2	0,6	2,1	5,2	9,3	16,9	43,2	145,3		
Снижение поверхностью земли возле источника As, дБ	Gs = 0 hs = 1м	ф-лы таб.3 [10]	-1,5	-1,5	-1,5	-1,5	-1,5	-1,5	-1,5	-1,5	-1,5		
Снижение поверхностью земли возле приёмника Ar, дБ	Gr = 1 hr = 1.5м	ф-лы таб.3 [10]	-1,5	-1,5	5,3	7	5	0,7	0	0	0		
Снижение поверхностью земли в средней зоне, Am дБ	Gm = 1	ф-лы таб.3 [10]	-2,9	-2,9	0	0	0	0	0	0	0		
Суммарное снижение поверхностью земли на траектории распространения звука Agr, дБ		ф-ла (9) [10]	-5,9	-5,9	3,8	5,5	3,5	-0,8	-1,5	-1,5	-1,5		
Уровни звукового давления от источника ИШ-9-4 в расчётной точке днём, дБ		**ф-ла(3)[10]**	**0**	**25,6**	**16,8**	**14,9**	**14,1**	**14**	**3,7**	**0**	**0**	**16,7**	**16,7**
Уровни звукового давления от источника ИШ-9-4 в расчётной точке ночью, дБ		**ф-ла(3)[10]**	**0**	**25,6**	**16,8**	**14,9**	**14,1**	**14**	**3,7**	**0**	**0**	**16,7**	**16,7**
Источник шума: ИШ-9-5, координаты источника (x,y,z), м =[646.84,-346.17,1.00]													
Уровни звуковой мощности источника днём, Lw, дБ		**исходные данные**	**0**	**93,3**	**94,7**	**96**	**96,3**	**95,9**	**92,6**	**88,4**	**83,9**		
Уровни звуковой мощности источника ночью, Lw, дБ		**исходные данные**	**0**	**93,3**	**94,7**	**96**	**96,3**	**95,9**	**92,6**	**88,4**	**83,9**		
Поправка на телесный угол DΩ, дБ	Ω = 6.28	10Lg(4π/Ω)	**3**	3	3	3	3	3	3	3	3		
Показатель направленности источника Di, дБ		исходные данные	**0**	0	0	0	0	0	0	0	0		

1		2	3	4	5	6	7	8	9	10	11	12	13
Поправка на направленность источника Dc, дБ	Dc	DΩ + Di	**3**	3	3	3	3	3	3	3	3		
Затухание из-за геометрической дивергенции, Adiv, дБ	расстояние = 1869.19 м	ф-ла (7) [10]	**76,4**										
Коэффициент затухания звука в атмосфере α, дБ/км	Ta=20,°C Pa=101.33,кПа hотн.=70%	ф-ла (5) [9]	0,02	0,09	0,33	1,12	2,79	4,98	9,04	23,09	77,63		
Учет затухания звука в атмосфере Aatm, дБ		ф-ла (8) [10]	0	0,2	0,6	2,1	5,2	9,3	16,9	43,2	145,1		
Снижение поверхностью земли возле источника As, дБ	Gs = 0 hs = 1м	ф-лы таб.3 [10]	-1,5	-1,5	-1,5	-1,5	-1,5	-1,5	-1,5	-1,5	-1,5		
Снижение поверхностью земли возле приёмника Ar, дБ	Gr = 1 hr = 1.5м	ф-лы таб.3 [10]	-1,5	-1,5	5,3	7	5	0,7	0	0	0		
Снижение поверхностью земли в средней зоне, Am дБ	Gm = 1	ф-лы таб.3 [10]	-2,9	-2,9	0	0	0	0	0	0	0		
Суммарное снижение поверхностью земли на траектории распространения звука Agr, дБ		ф-ла (9) [10]	-5,9	-5,9	3,8	5,5	3,5	-0,8	-1,5	-1,5	-1,5		
Уровни звукового давления от источника ИШ-9-5 в расчётной точке днём, дБ		**ф-ла(3)[10]**	**0**	**25,6**	**16,8**	**14,9**	**14,2**	**14**	**3,8**	**0**	**0**	**16,7**	**16,7**
Уровни звукового давления от источника ИШ-9-5 в расчётной точке ночью, дБ		**ф-ла(3)[10]**	**0**	**25,6**	**16,8**	**14,9**	**14,2**	**14**	**3,8**	**0**	**0**	**16,7**	**16,7**
Источник шума: ИШ-9-6, координаты источника (x,y,z), м =[647.87,-343.47,1.00]													
Уровни звуковой мощности источника днём, Lw, дБ		**исходные данные**	**0**	**93,3**	**94,7**	**96**	**96,3**	**95,9**	**92,6**	**88,4**	**83,9**		
Уровни звуковой мощности источника ночью, Lw, дБ		**исходные данные**	**0**	**93,3**	**94,7**	**96**	**96,3**	**95,9**	**92,6**	**88,4**	**83,9**		
Поправка на телесный угол DΩ, дБ	Ω = 6.28	10Lg(4π/Ω)	**3**	3	3	3	3	3	3	3	3		
Показатель направленности источника Di, дБ		исходные данные	**0**	0	0	0	0	0	0	0	0		
Поправка на направленность источника Dc, дБ	Dc	DΩ + Di	**3**	3	3	3	3	3	3	3	3		

1		2	3	4	5	6	7	8	9	10	11	12	13
Затухание из-за геометрической дивергенции, Adiv, дБ	расстояние = 1866.42 м	ф-ла (7) [10]	**76,4**										
Коэффициент затухания звука в атмосфере α, дБ/км	Ta=20,°C Pa=101.33,кПа hотн.=70%	ф-ла (5) [9]	0,02	0,09	0,33	1,12	2,79	4,98	9,04	23,09	77,63		
Учет затухания звука в атмосфере Aatm, дБ		ф-ла (8) [10]	0	0,2	0,6	2,1	5,2	9,3	16,9	43,1	144,9		
Снижение поверхностью земли возле источника As, дБ	Gs = 0 hs = 1м	ф-лы таб.3 [10]	-1,5	-1,5	-1,5	-1,5	-1,5	-1,5	-1,5	-1,5	-1,5		
Снижение поверхностью земли возле приёмника Ar, дБ	Gr = 1 hr = 1.5м	ф-лы таб.3 [10]	-1,5	-1,5	5,3	7	5	0,7	0	0	0		
Снижение поверхностью земли в средней зоне, Am дБ	Gm = 1	ф-лы таб.3 [10]	-2,9	-2,9	0	0	0	0	0	0	0		
Суммарное снижение поверхностью земли на траектории распространения звука Agr, дБ		ф-ла (9) [10]	-5,9	-5,9	3,8	5,5	3,5	-0,8	-1,5	-1,5	-1,5		
Уровни звукового давления от источника ИШ-9-6 в расчётной точке днём, дБ		**ф-ла(3)[10]**	**0**	**25,6**	**16,8**	**15**	**14,2**	**14**	**3,8**	**0**	**0**	**16,8**	**16,8**
Уровни звукового давления от источника ИШ-9-6 в расчётной точке ночью, дБ		**ф-ла(3)[10]**	**0**	**25,6**	**16,8**	**15**	**14,2**	**14**	**3,8**	**0**	**0**	**16,8**	**16,8**
Источник шума: ИШ-9-7, координаты источника (x,y,z), м =[648.71,-340.49,1.00]													
Уровни звуковой мощности источника днём, Lw, дБ		**исходные данные**	**0**	**93,3**	**94,7**	**96**	**96,3**	**95,9**	**92,6**	**88,4**	**83,9**		
Уровни звуковой мощности источника ночью, Lw, дБ		**исходные данные**	**0**	**93,3**	**94,7**	**96**	**96,3**	**95,9**	**92,6**	**88,4**	**83,9**		
Поправка на телесный угол DΩ, дБ	Ω = 6.28	10Lg(4π/Ω)	**3**	3	3	3	3	3	3	3	3		
Показатель направленности источника Di, дБ		исходные данные	**0**	0	0	0	0	0	0	0	0		
Поправка на направленность источника Dc, дБ	Dc	DΩ + Di	**3**	3	3	3	3	3	3	3	3		
Затухание из-за геометрической дивергенции, Adiv, дБ	расстояние = 1863.39 м	ф-ла (7) [10]	**76,4**										

1		2	3	4	5	6	7	8	9	10	11	12	13
Коэффициент затухания звука в атмосфере α, дБ/км	Ta=20,°C Pa=101.33,кПа hотн.=70%	ф-ла (5) [9]	0,02	0,09	0,33	1,12	2,79	4,98	9,04	23,09	77,63		
Учет затухания звука в атмосфере Aatm, дБ		ф-ла (8) [10]	0	0,2	0,6	2,1	5,2	9,3	16,8	43	144,7		
Снижение поверхностью земли возле источника As, дБ	Gs = 0 hs = 1м	ф-лы таб.3 [10]	-1,5	-1,5	-1,5	-1,5	-1,5	-1,5	-1,5	-1,5	-1,5		
Снижение поверхностью земли возле приёмника Ar, дБ	Gr = 1 hr = 1.5м	ф-лы таб.3 [10]	-1,5	-1,5	5,3	7	5	0,7	0	0	0		
Снижение поверхностью земли в средней зоне, Am дБ	Gm = 1	ф-лы таб.3 [10]	-2,9	-2,9	0	0	0	0	0	0	0		
Суммарное снижение поверхностью земли на траектории распространения звука Agr, дБ		ф-ла (9) [10]	-5,9	-5,9	3,8	5,5	3,5	-0,8	-1,5	-1,5	-1,5		
Уровни звукового давления от источника ИШ-9-7 в расчётной точке днём, дБ		**ф-ла(3)[10]**	**0**	**25,6**	**16,8**	**15**	**14,2**	**14,1**	**3,8**	**0**	**0**	**16,8**	**16,8**
Уровни звукового давления от источника ИШ-9-7 в расчётной точке ночью, дБ		**ф-ла(3)[10]**	**0**	**25,6**	**16,8**	**15**	**14,2**	**14,1**	**3,8**	**0**	**0**	**16,8**	**16,8**
Источник шума: ИШ-9-8, координаты источника (x,y,z), м =[649.92,-337.69,1.00]													
Уровни звуковой мощности источника днём, Lw, дБ		**исходные данные**	**0**	**93,3**	**94,7**	**96**	**96,3**	**95,9**	**92,6**	**88,4**	**83,9**		
Уровни звуковой мощности источника ночью, Lw, дБ		**исходные данные**	**0**	**93,3**	**94,7**	**96**	**96,3**	**95,9**	**92,6**	**88,4**	**83,9**		
Поправка на телесный угол DΩ, дБ	Ω = 6.28	10Lg(4π/Ω)	**3**	3	3	3	3	3	3	3	3		
Показатель направленности источника Di, дБ		исходные данные	**0**	0	0	0	0	0	0	0	0		
Поправка на направленность источника Dc, дБ	Dc	DΩ + Di	**3**	3	3	3	3	3	3	3	3		
Затухание из-за геометрической дивергенции, Adiv, дБ	расстояние = 1860.51 м	ф-ла (7) [10]	**76,4**										
Коэффициент затухания звука в атмосфере α, дБ/км	Ta=20,°C Pa=101.33,кПа hотн.=70%	ф-ла (5) [9]	0,02	0,09	0,33	1,12	2,79	4,98	9,04	23,09	77,63		

1		2	3	4	5	6	7	8	9	10	11	12	13
Учет затухания звука в атмосфере Aatm, дБ		ф-ла (8) [10]	0	0,2	0,6	2,1	5,2	9,3	16,8	43	144,4		
Снижение поверхностью земли возле источника As, дБ	Gs = 0 hs = 1м	ф-лы таб.3 [10]	-1,5	-1,5	-1,5	-1,5	-1,5	-1,5	-1,5	-1,5	-1,5		
Снижение поверхностью земли возле приёмника Ar, дБ	Gr = 1 hr = 1.5м	ф-лы таб.3 [10]	-1,5	-1,5	5,3	7	5	0,7	0	0	0		
Снижение поверхностью земли в средней зоне, Am дБ	Gm = 1	ф-лы таб.3 [10]	-2,9	-2,9	0	0	0	0	0	0	0		
Суммарное снижение поверхностью земли на траектории распространения звука Agr, дБ		ф-ла (9) [10]	-5,9	-5,9	3,8	5,5	3,5	-0,8	-1,5	-1,5	-1,5		
Уровни звукового давления от источника ИШ-9-8 в расчётной точке днём, дБ		**ф-ла(3)[10]**	**0**	**25,6**	**16,8**	**15**	**14,2**	**14,1**	**3,9**	**0**	**0**	**16,8**	**16,8**
Уровни звукового давления от источника ИШ-9-8 в расчётной точке ночью, дБ		**ф-ла(3)[10]**	**0**	**25,6**	**16,8**	**15**	**14,2**	**14,1**	**3,9**	**0**	**0**	**16,8**	**16,8**
Источник шума: ИШ-9-9, координаты источника (x,y,z), м =[650.66,-334.90,1.00]													
Уровни звуковой мощности источника днём, Lw, дБ		**исходные данные**	**0**	**93,3**	**94,7**	**96**	**96,3**	**95,9**	**92,6**	**88,4**	**83,9**		
Уровни звуковой мощности источника ночью, Lw, дБ		**исходные данные**	**0**	**93,3**	**94,7**	**96**	**96,3**	**95,9**	**92,6**	**88,4**	**83,9**		
Поправка на телесный угол DΩ, дБ	Ω = 6.28	10Lg(4π/Ω)	**3**	3	3	3	3	3	3	3	3		
Показатель направленности источника Di, дБ		исходные данные	**0**	0	0	0	0	0	0	0	0		
Поправка на направленность источника Dc, дБ	Dc	DΩ + Di	**3**	3	3	3	3	3	3	3	3		
Затухание из-за геометрической дивергенции, Adiv, дБ	расстояние = 1857.66 м	ф-ла (7) [10]	**76,4**										
Коэффициент затухания звука в атмосфере α, дБ/км	Ta=20,°C Pa=101.33,кПа hотн.=70%	ф-ла (5) [9]	0,02	0,09	0,33	1,12	2,79	4,98	9,04	23,09	77,63		
Учет затухания звука в атмосфере Aatm, дБ		ф-ла (8) [10]	0	0,2	0,6	2,1	5,2	9,2	16,8	42,9	144,2		

1		2	3	4	5	6	7	8	9	10	11	12	13
Снижение поверхностью земли возле источника As, дБ	Gs = 0 hs = 1м	ф-лы таб.3 [10]	-1,5	-1,5	-1,5	-1,5	-1,5	-1,5	-1,5	-1,5	-1,5		
Снижение поверхностью земли возле приёмника Ar, дБ	Gr = 1 hr = 1.5м	ф-лы таб.3 [10]	-1,5	-1,5	5,3	7	5	0,7	0	0	0		
Снижение поверхностью земли в средней зоне, Am дБ	Gm = 1	ф-лы таб.3 [10]	-2,9	-2,9	0	0	0	0	0	0	0		
Суммарное снижение поверхностью земли на траектории распространения звука Agr, дБ		ф-ла (9) [10]	-5,9	-5,9	3,8	5,5	3,5	-0,8	-1,5	-1,5	-1,5		
Уровни звукового давления от источника ИШ-9-9 в расчётной точке днём, дБ		**ф-ла(3)[10]**	**0**	**25,6**	**16,8**	**15**	**14,3**	**14,1**	**3,9**	**0**	**0**	**16,8**	**16,8**
Уровни звукового давления от источника ИШ-9-9 в расчётной точке ночью, дБ		**ф-ла(3)[10]**	**0**	**25,6**	**16,8**	**15**	**14,3**	**14,1**	**3,9**	**0**	**0**	**16,8**	**16,8**
Источник шума: ИШ-9-10, координаты источника (x,y,z), м =[651.59,-332.01,1.00]													
Уровни звуковой мощности источника днём, Lw, дБ		**исходные данные**	**0**	**93,3**	**94,7**	**96**	**96,3**	**95,9**	**92,6**	**88,4**	**83,9**		
Уровни звуковой мощности источника ночью, Lw, дБ		**исходные данные**	**0**	**93,3**	**94,7**	**96**	**96,3**	**95,9**	**92,6**	**88,4**	**83,9**		
Поправка на телесный угол DΩ, дБ	Ω = 6.28	10Lg(4π/Ω)	**3**	3	3	3	3	3	3	3	3		
Показатель направленности источника Di, дБ		исходные данные	**0**	0	0	0	0	0	0	0	0		
Поправка на направленность источника Dc, дБ	Dc	DΩ + Di	**3**	3	3	3	3	3	3	3	3		
Затухание из-за геометрической дивергенции, Adiv, дБ	расстояние = 1854.71 м	ф-ла (7) [10]	**76,4**										
Коэффициент затухания звука в атмосфере α, дБ/км	Ta=20,°C Pa=101.33,кПа hотн.=70%	ф-ла (5) [9]	0,02	0,09	0,33	1,12	2,79	4,98	9,04	23,09	77,63		
Учет затухания звука в атмосфере Aatm, дБ		ф-ла (8) [10]	0	0,2	0,6	2,1	5,2	9,2	16,8	42,8	144		
Снижение поверхностью земли возле источника As, дБ	Gs = 0 hs = 1м	ф-лы таб.3 [10]	-1,5	-1,5	-1,5	-1,5	-1,5	-1,5	-1,5	-1,5	-1,5		

1		2	3	4	5	6	7	8	9	10	11	12	13
Снижение поверхностью земли возле приёмника Ar, дБ	Gr = 1 hr = 1.5м	ф-лы таб.3 [10]	-1,5	-1,5	5,3	7	5	0,7	0	0	0		
Снижение поверхностью земли в средней зоне, Am дБ	Gm = 1	ф-лы таб.3 [10]	-2,9	-2,9	0	0	0	0	0	0	0		
Суммарное снижение поверхностью земли на траектории распространения звука Agr, дБ		ф-ла (9) [10]	-5,9	-5,9	3,8	5,5	3,5	-0,8	-1,5	-1,5	-1,5		
Уровни звукового давления от источника ИШ-9-10 в расчётной точке днём, дБ		**ф-ла(3)[10]**	**0**	**25,6**	**16,9**	**15**	**14,3**	**14,1**	**4**	**0**	**0**	**16,9**	**16,9**
Уровни звукового давления от источника ИШ-9-10 в расчётной точке ночью, дБ		**ф-ла(3)[10]**	**0**	**25,6**	**16,9**	**15**	**14,3**	**14,1**	**4**	**0**	**0**	**16,9**	**16,9**
Источник шума: ИШ-9-11, координаты источника (x,y,z), м =[652.71,-329.22,1.00]													
Уровни звуковой мощности источника днём, Lw, дБ		**исходные данные**	**0**	**93,3**	**94,7**	**96**	**96,3**	**95,9**	**92,6**	**88,4**	**83,9**		
Уровни звуковой мощности источника ночью, Lw, дБ		**исходные данные**	**0**	**93,3**	**94,7**	**96**	**96,3**	**95,9**	**92,6**	**88,4**	**83,9**		
Поправка на телесный угол DΩ, дБ	Ω = 6.28	10Lg(4π/Ω)	**3**	3	3	3	3	3	3	3	3		
Показатель направленности источника Di, дБ		исходные данные	**0**	0	0	0	0	0	0	0	0		
Поправка на направленность источника Dc, дБ	Dc	DΩ + Di	**3**	3	3	3	3	3	3	3	3		
Затухание из-за геометрической дивергенции, Adiv, дБ	расстояние = 1851.84 м	ф-ла (7) [10]	**76,4**										
Коэффициент затухания звука в атмосфере α, дБ/км	Ta=20,°C Pa=101.33,кПа hотн.=70%	ф-ла (5) [9]	0,02	0,09	0,33	1,12	2,79	4,98	9,04	23,09	77,63		
Учет затухания звука в атмосфере Aatm, дБ		ф-ла (8) [10]	0	0,2	0,6	2,1	5,2	9,2	16,7	42,8	143,8		
Снижение поверхностью земли возле источника As, дБ	Gs = 0 hs = 1м	ф-лы таб.3 [10]	-1,5	-1,5	-1,5	-1,5	-1,5	-1,5	-1,5	-1,5	-1,5		
Снижение поверхностью земли возле приёмника Ar, дБ	Gr = 1 hr = 1.5м	ф-лы таб.3 [10]	-1,5	-1,5	5,3	7	5	0,7	0	0	0		

1		2	3	4	5	6	7	8	9	10	11	12	13
Снижение поверхностью земли в средней зоне, Am дБ	Gm = 1	ф-лы таб.3 [10]	-2,9	-2,9	0	0	0	0	0	0	0		
Суммарное снижение поверхностью земли на траектории распространения звука Agr, дБ		ф-ла (9) [10]	-5,9	-5,9	3,8	5,5	3,5	-0,8	-1,5	-1,5	-1,5		
Уровни звукового давления от источника ИШ-9-11 в расчётной точке днём, дБ		**ф-ла(3)[10]**	**0**	**25,7**	**16,9**	**15**	**14,3**	**14,2**	**4**	**0**	**0**	**16,9**	**16,9**
Уровни звукового давления от источника ИШ-9-11 в расчётной точке ночью, дБ		**ф-ла(3)[10]**	**0**	**25,7**	**16,9**	**15**	**14,3**	**14,2**	**4**	**0**	**0**	**16,9**	**16,9**
Источник шума: ИШ-9-12, координаты источника (x,y,z), м =[653.46,-326.33,1.00]													
Уровни звуковой мощности источника днём, Lw, дБ		**исходные данные**	**0**	**93,3**	**94,7**	**96**	**96,3**	**95,9**	**92,6**	**88,4**	**83,9**		
Уровни звуковой мощности источника ночью, Lw, дБ		**исходные данные**	**0**	**93,3**	**94,7**	**96**	**96,3**	**95,9**	**92,6**	**88,4**	**83,9**		
Поправка на телесный угол DΩ, дБ	Ω = 6.28	10Lg(4π/Ω)	**3**	3	3	3	3	3	3	3	3		
Показатель направленности источника Di, дБ		исходные данные	**0**	0	0	0	0	0	0	0	0		
Поправка на направленность источника Dc, дБ	Dc	DΩ + Di	**3**	3	3	3	3	3	3	3	3		
Затухание из-за геометрической дивергенции, Adiv, дБ	расстояние = 1848.91 м	ф-ла (7) [10]	**76,3**										
Коэффициент затухания звука в атмосфере α, дБ/км	Ta=20,°C Pa=101.33,кПа hотн.=70%	ф-ла (5) [9]	0,02	0,09	0,33	1,12	2,79	4,98	9,04	23,09	77,63		
Учет затухания звука в атмосфере Aatm, дБ		ф-ла (8) [10]	0	0,2	0,6	2,1	5,2	9,2	16,7	42,7	143,5		
Снижение поверхностью земли возле источника As, дБ	Gs = 0 hs = 1м	ф-лы таб.3 [10]	-1,5	-1,5	-1,5	-1,5	-1,5	-1,5	-1,5	-1,5	-1,5		
Снижение поверхностью земли возле приёмника Ar, дБ	Gr = 1 hr = 1.5м	ф-лы таб.3 [10]	-1,5	-1,5	5,3	7	5	0,7	0	0	0		
Снижение поверхностью земли в средней зоне, Am дБ	Gm = 1	ф-лы таб.3 [10]	-2,9	-2,9	0	0	0	0	0	0	0		

1		2	3	4	5	6	7	8	9	10	11	12	13
Суммарное снижение поверхностью земли на траектории распространения звука Agr, дБ		ф-ла (9) [10]	-5,9	-5,9	3,8	5,5	3,5	-0,8	-1,5	-1,5	-1,5		
Уровни звукового давления от источника ИШ-9-12 в расчётной точке днём, дБ		**ф-ла(3)[10]**	**0**	**25,7**	**16,9**	**15,1**	**14,3**	**14,2**	**4**	**0**	**0**	**16,9**	**16,9**
Уровни звукового давления от источника ИШ-9-12 в расчётной точке ночью, дБ		**ф-ла(3)[10]**	**0**	**25,7**	**16,9**	**15,1**	**14,3**	**14,2**	**4**	**0**	**0**	**16,9**	**16,9**
Источник шума: ИШ-9-13, координаты источника (x,y,z), м =[654.48,-323.54,1.00]													
Уровни звуковой мощности источника днём, Lw, дБ		**исходные данные**	**0**	**93,3**	**94,7**	**96**	**96,3**	**95,9**	**92,6**	**88,4**	**83,9**		
Уровни звуковой мощности источника ночью, Lw, дБ		**исходные данные**	**0**	**93,3**	**94,7**	**96**	**96,3**	**95,9**	**92,6**	**88,4**	**83,9**		
Поправка на телесный угол DΩ, дБ	Ω = 6.28	10Lg(4π/Ω)	**3**	3	3	3	3	3	3	3	3		
Показатель направленности источника Di, дБ		исходные данные	**0**	0	0	0	0	0	0	0	0		
Поправка на направленность источника Dc, дБ	Dc	DΩ + Di	**3**	3	3	3	3	3	3	3	3		
Затухание из-за геометрической дивергенции, Adiv, дБ	расстояние = 1846.05 м	ф-ла (7) [10]	**76,3**										
Коэффициент затухания звука в атмосфере α, дБ/км	Ta=20,°C Pa=101.33,кПа hотн.=70%	ф-ла (5) [9]	0,02	0,09	0,33	1,12	2,79	4,98	9,04	23,09	77,63		
Учет затухания звука в атмосфере Aatm, дБ		ф-ла (8) [10]	0	0,2	0,6	2,1	5,2	9,2	16,7	42,6	143,3		
Снижение поверхностью земли возле источника As, дБ	Gs = 0 hs = 1м	ф-лы таб.3 [10]	-1,5	-1,5	-1,5	-1,5	-1,5	-1,5	-1,5	-1,5	-1,5		
Снижение поверхностью земли возле приёмника Ar, дБ	Gr = 1 hr = 1.5м	ф-лы таб.3 [10]	-1,5	-1,5	5,3	7	5	0,7	0	0	0		
Снижение поверхностью земли в средней зоне, Am дБ	Gm = 1	ф-лы таб.3 [10]	-2,9	-2,9	0	0	0	0	0	0	0		
Суммарное снижение поверхностью земли на траектории распространения звука Agr, дБ		ф-ла (9) [10]	-5,9	-5,9	3,8	5,5	3,5	-0,8	-1,5	-1,5	-1,5		

1		2	3	4	5	6	7	8	9	10	11	12	13
Уровни звукового давления от источника ИШ-9-13 в расчётной точке днём, дБ		**ф-ла(3)[10]**	**0**	**25,7**	**16,9**	**15,1**	**14,3**	**14,2**	**4,1**	**0**	**0**	**16,9**	**16,9**
Уровни звукового давления от источника ИШ-9-13 в расчётной точке ночью, дБ		**ф-ла(3)[10]**	**0**	**25,7**	**16,9**	**15,1**	**14,3**	**14,2**	**4,1**	**0**	**0**	**16,9**	**16,9**
Источник шума: ИШ-9-14, координаты источника (x,y,z), м =[655.60,-320.74,1.00]													
Уровни звуковой мощности источника днём, Lw, дБ		**исходные данные**	**0**	**93,3**	**94,7**	**96**	**96,3**	**95,9**	**92,6**	**88,4**	**83,9**		
Уровни звуковой мощности источника ночью, Lw, дБ		**исходные данные**	**0**	**93,3**	**94,7**	**96**	**96,3**	**95,9**	**92,6**	**88,4**	**83,9**		
Поправка на телесный угол DΩ, дБ	Ω = 6.28	10Lg(4π/Ω)	**3**	3	3	3	3	3	3	3	3		
Показатель направленности источника Di, дБ		исходные данные	**0**	0	0	0	0	0	0	0	0		
Поправка на направленность источника Dc, дБ	Dc	DΩ + Di	**3**	3	3	3	3	3	3	3	3		
Затухание из-за геометрической дивергенции, Adiv, дБ	расстояние = 1843.18 м	ф-ла (7) [10]	**76,3**										
Коэффициент затухания звука в атмосфере α, дБ/км	Ta=20,°C Pa=101.33,кПа hотн.=70%	ф-ла (5) [9]	0,02	0,09	0,33	1,12	2,79	4,98	9,04	23,09	77,63		
Учет затухания звука в атмосфере Aatm, дБ		ф-ла (8) [10]	0	0,2	0,6	2,1	5,1	9,2	16,7	42,6	143,1		
Снижение поверхностью земли возле источника As, дБ	Gs = 0 hs = 1м	ф-лы таб.3 [10]	-1,5	-1,5	-1,5	-1,5	-1,5	-1,5	-1,5	-1,5	-1,5		
Снижение поверхностью земли возле приёмника Ar, дБ	Gr = 1 hr = 1.5м	ф-лы таб.3 [10]	-1,5	-1,5	5,3	7	5	0,7	0	0	0		
Снижение поверхностью земли в средней зоне, Am дБ	Gm = 1	ф-лы таб.3 [10]	-2,9	-2,9	0	0	0	0	0	0	0		
Суммарное снижение поверхностью земли на траектории распространения звука Agr, дБ		ф-ла (9) [10]	-5,9	-5,9	3,8	5,5	3,5	-0,8	-1,5	-1,5	-1,5		
Уровни звукового давления от источника ИШ-9-14 в расчётной точке днём, дБ		**ф-ла(3)[10]**	**0**	**25,7**	**16,9**	**15,1**	**14,4**	**14,2**	**4,1**	**0**	**0**	**17**	**17**

1		2	3	4	5	6	7	8	9	10	11	12	13
Уровни звукового давления от источника ИШ-9-14 в расчётной точке ночью, дБ		**ф-ла(3)[10]**	**0**	**25,7**	**16,9**	**15,1**	**14,4**	**14,2**	**4,1**	**0**	**0**	**17**	**17**
Источник шума: ИШ-9-15, координаты источника (x,y,z), м =[656.44,-317.86,1.00]													
Уровни звуковой мощности источника днём, Lw, дБ		**исходные данные**	**0**	**93,3**	**94,7**	**96**	**96,3**	**95,9**	**92,6**	**88,4**	**83,9**		
Уровни звуковой мощности источника ночью, Lw, дБ		**исходные данные**	**0**	**93,3**	**94,7**	**96**	**96,3**	**95,9**	**92,6**	**88,4**	**83,9**		
Поправка на телесный угол DΩ, дБ	Ω = 6.28	10Lg(4π/Ω)	**3**	3	3	3	3	3	3	3	3		
Показатель направленности источника Di, дБ		исходные данные	**0**	0	0	0	0	0	0	0	0		
Поправка на направленность источника Dc, дБ	Dc	DΩ + Di	**3**	3	3	3	3	3	3	3	3		
Затухание из-за геометрической дивергенции, Adiv, дБ	расстояние = 1840.24 м	ф-ла (7) [10]	**76,3**										
Коэффициент затухания звука в атмосфере α, дБ/км	Ta=20,°C Pa=101.33,кПа hотн.=70%	ф-ла (5) [9]	0,02	0,09	0,33	1,12	2,79	4,98	9,04	23,09	77,63		
Учет затухания звука в атмосфере Aatm, дБ		ф-ла (8) [10]	0	0,2	0,6	2,1	5,1	9,2	16,6	42,5	142,9		
Снижение поверхностью земли возле источника As, дБ	Gs = 0 hs = 1м	ф-лы таб.3 [10]	-1,5	-1,5	-1,5	-1,5	-1,5	-1,5	-1,5	-1,5	-1,5		
Снижение поверхностью земли возле приёмника Ar, дБ	Gr = 1 hr = 1.5м	ф-лы таб.3 [10]	-1,5	-1,5	5,3	7	5	0,7	0	0	0		
Снижение поверхностью земли в средней зоне, Am дБ	Gm = 1	ф-лы таб.3 [10]	-2,9	-2,9	0	0	0	0	0	0	0		
Суммарное снижение поверхностью земли на траектории распространения звука Agr, дБ		ф-ла (9) [10]	-5,9	-5,9	3,8	5,5	3,5	-0,8	-1,5	-1,5	-1,5		
Уровни звукового давления от источника ИШ-9-15 в расчётной точке днём, дБ		**ф-ла(3)[10]**	**0**	**25,7**	**16,9**	**15,1**	**14,4**	**14,3**	**4,2**	**0**	**0**	**17**	**17**
Уровни звукового давления от источника ИШ-9-15 в расчётной точке ночью, дБ		**ф-ла(3)[10]**	**0**	**25,7**	**16,9**	**15,1**	**14,4**	**14,3**	**4,2**	**0**	**0**	**17**	**17**

1		2	3	4	5	6	7	8	9	10	11	12	13
Источник шума: ИШ-9-16, координаты источника (x,y,z), м =[657.46,-314.97,1.00]													
Уровни звуковой мощности источника днём, Lw, дБ		**исходные данные**	**0**	**93,3**	**94,7**	**96**	**96,3**	**95,9**	**92,6**	**88,4**	**83,9**		
Уровни звуковой мощности источника ночью, Lw, дБ		**исходные данные**	**0**	**93,3**	**94,7**	**96**	**96,3**	**95,9**	**92,6**	**88,4**	**83,9**		
Поправка на телесный угол DΩ, дБ	Ω = 6.28	10Lg(4π/Ω)	**3**	3	3	3	3	3	3	3	3		
Показатель направленности источника Di, дБ		исходные данные	**0**	0	0	0	0	0	0	0	0		
Поправка на направленность источника Dc, дБ	Dc	DΩ + Di	**3**	3	3	3	3	3	3	3	3		
Затухание из-за геометрической дивергенции, Adiv, дБ	расстояние = 1837.28 м	ф-ла (7) [10]	**76,3**										
Коэффициент затухания звука в атмосфере α, дБ/км	Ta=20,°C Pa=101.33,кПа hотн.=70%	ф-ла (5) [9]	0,02	0,09	0,33	1,12	2,79	4,98	9,04	23,09	77,63		
Учет затухания звука в атмосфере Aatm, дБ		ф-ла (8) [10]	0	0,2	0,6	2,1	5,1	9,1	16,6	42,4	142,6		
Снижение поверхностью земли возле источника As, дБ	Gs = 0 hs = 1м	ф-лы таб.3 [10]	-1,5	-1,5	-1,5	-1,5	-1,5	-1,5	-1,5	-1,5	-1,5		
Снижение поверхностью земли возле приёмника Ar, дБ	Gr = 1 hr = 1.5м	ф-лы таб.3 [10]	-1,5	-1,5	5,3	7	5	0,7	0	0	0		
Снижение поверхностью земли в средней зоне, Am дБ	Gm = 1	ф-лы таб.3 [10]	-2,9	-2,9	0	0	0	0	0	0	0		
Суммарное снижение поверхностью земли на траектории распространения звука Agr, дБ		ф-ла (9) [10]	-5,9	-5,9	3,8	5,5	3,5	-0,8	-1,5	-1,5	-1,5		
Уровни звукового давления от источника ИШ-9-16 в расчётной точке днём, дБ		**ф-ла(3)[10]**	**0**	**25,7**	**16,9**	**15,1**	**14,4**	**14,3**	**4,2**	**0**	**0**	**17**	**17**
Уровни звукового давления от источника ИШ-9-16 в расчётной точке ночью, дБ		**ф-ла(3)[10]**	**0**	**25,7**	**16,9**	**15,1**	**14,4**	**14,3**	**4,2**	**0**	**0**	**17**	**17**
Источник шума: ИШ-9-17, координаты источника (x,y,z), м =[658.49,-312.18,1.00]													

1		2	3	4	5	6	7	8	9	10	11	12	13
Уровни звуковой мощности источника днём, Lw, дБ		**исходные данные**	**0**	**93,3**	**94,7**	**96**	**96,3**	**95,9**	**92,6**	**88,4**	**83,9**		
Уровни звуковой мощности источника ночью, Lw, дБ		**исходные данные**	**0**	**93,3**	**94,7**	**96**	**96,3**	**95,9**	**92,6**	**88,4**	**83,9**		
Поправка на телесный угол DΩ, дБ	Ω = 6.28	10Lg(4π/Ω)	**3**	3	3	3	3	3	3	3	3		
Показатель направленности источника Di, дБ		исходные данные	**0**	0	0	0	0	0	0	0	0		
Поправка на направленность источника Dc, дБ	Dc	DΩ + Di	**3**	3	3	3	3	3	3	3	3		
Затухание из-за геометрической дивергенции, Adiv, дБ	расстояние = 1834.42 м	ф-ла (7) [10]	**76,3**										
Коэффициент затухания звука в атмосфере α, дБ/км	Ta=20,°C Pa=101.33,кПа hотн.=70%	ф-ла (5) [9]	0,02	0,09	0,33	1,12	2,79	4,98	9,04	23,09	77,63		
Учет затухания звука в атмосфере Aatm, дБ		ф-ла (8) [10]	0	0,2	0,6	2,1	5,1	9,1	16,6	42,3	142,4		
Снижение поверхностью земли возле источника As, дБ	Gs = 0 hs = 1м	ф-лы таб.3 [10]	-1,5	-1,5	-1,5	-1,5	-1,5	-1,5	-1,5	-1,5	-1,5		
Снижение поверхностью земли возле приёмника Ar, дБ	Gr = 1 hr = 1.5м	ф-лы таб.3 [10]	-1,5	-1,5	5,3	7	5	0,7	0	0	0		
Снижение поверхностью земли в средней зоне, Am дБ	Gm = 1	ф-лы таб.3 [10]	-2,9	-2,9	0	0	0	0	0	0	0		
Суммарное снижение поверхностью земли на траектории распространения звука Agr, дБ		ф-ла (9) [10]	-5,9	-5,9	3,8	5,5	3,5	-0,8	-1,5	-1,5	-1,5		
Уровни звукового давления от источника ИШ-9-17 в расчётной точке днём, дБ		**ф-ла(3)[10]**	**0**	**25,7**	**17**	**15,1**	**14,4**	**14,3**	**4,2**	**0**	**0**	**17**	**17**
Уровни звукового давления от источника ИШ-9-17 в расчётной точке ночью, дБ		**ф-ла(3)[10]**	**0**	**25,7**	**17**	**15,1**	**14,4**	**14,3**	**4,2**	**0**	**0**	**17**	**17**
Источник шума: ИШ-9-18, координаты источника (x,y,z), м =[659.42,-309.20,1.00]													
Уровни звуковой мощности источника днём, Lw, дБ		**исходные данные**	**0**	**93,3**	**94,7**	**96**	**96,3**	**95,9**	**92,6**	**88,4**	**83,9**		

1		2	3	4	5	6	7	8	9	10	11	12	13
Уровни звуковой мощности источника ночью, Lw, дБ		**исходные данные**	**0**	**93,3**	**94,7**	**96**	**96,3**	**95,9**	**92,6**	**88,4**	**83,9**		
Поправка на телесный угол DΩ, дБ	Ω = 6.28	10Lg(4π/Ω)	**3**	3	3	3	3	3	3	3	3		
Показатель направленности источника Di, дБ		исходные данные	**0**	0	0	0	0	0	0	0	0		
Поправка на направленность источника Dc, дБ	Dc	DΩ + Di	**3**	3	3	3	3	3	3	3	3		
Затухание из-за геометрической дивергенции, Adiv, дБ	расстояние = 1831.38 м	ф-ла (7) [10]	**76,3**										
Коэффициент затухания звука в атмосфере α, дБ/км	Ta=20,°C Pa=101.33,кПа hотн.=70%	ф-ла (5) [9]	0,02	0,09	0,33	1,12	2,79	4,98	9,04	23,09	77,63		
Учет затухания звука в атмосфере Aatm, дБ		ф-ла (8) [10]	0	0,2	0,6	2,1	5,1	9,1	16,6	42,3	142,2		
Снижение поверхностью земли возле источника As, дБ	Gs = 0 hs = 1м	ф-лы таб.3 [10]	-1,5	-1,5	-1,5	-1,5	-1,5	-1,5	-1,5	-1,5	-1,5		
Снижение поверхностью земли возле приёмника Ar, дБ	Gr = 1 hr = 1.5м	ф-лы таб.3 [10]	-1,5	-1,5	5,3	7	5	0,7	0	0	0		
Снижение поверхностью земли в средней зоне, Am дБ	Gm = 1	ф-лы таб.3 [10]	-2,9	-2,9	0	0	0	0	0	0	0		
Суммарное снижение поверхностью земли на траектории распространения звука Agr, дБ		ф-ла (9) [10]	-5,9	-5,9	3,8	5,5	3,5	-0,8	-1,5	-1,5	-1,5		
Уровни звукового давления от источника ИШ-9-18 в расчётной точке днём, дБ		**ф-ла(3)[10]**	**0**	**25,7**	**17**	**15,2**	**14,5**	**14,4**	**4,3**	**0**	**0**	**17,1**	**17,1**
Уровни звукового давления от источника ИШ-9-18 в расчётной точке ночью, дБ		**ф-ла(3)[10]**	**0**	**25,7**	**17**	**15,2**	**14,5**	**14,4**	**4,3**	**0**	**0**	**17,1**	**17,1**
Источник шума: ИШ-9-19, координаты источника (x,y,z), м =[660.44,-306.50,1.00]													
Уровни звуковой мощности источника днём, Lw, дБ		**исходные данные**	**0**	**93,3**	**94,7**	**96**	**96,3**	**95,9**	**92,6**	**88,4**	**83,9**		
Уровни звуковой мощности источника ночью, Lw, дБ		**исходные данные**	**0**	**93,3**	**94,7**	**96**	**96,3**	**95,9**	**92,6**	**88,4**	**83,9**		

1		2	3	4	5	6	7	8	9	10	11	12	13
Поправка на телесный угол DΩ, дБ	Ω = 6.28	10Lg(4π/Ω)	**3**	3	3	3	3	3	3	3	3		
Показатель направленности источника Di, дБ		исходные данные	**0**	0	0	0	0	0	0	0	0		
Поправка на направленность источника Dc, дБ	Dc	DΩ + Di	**3**	3	3	3	3	3	3	3	3		
Затухание из-за геометрической дивергенции, Adiv, дБ	расстояние = 1828.61 м	ф-ла (7) [10]	**76,2**										
Коэффициент затухания звука в атмосфере α, дБ/км	Ta=20,°C Pa=101.33,кПа hотн.=70%	ф-ла (5) [9]	0,02	0,09	0,33	1,12	2,79	4,98	9,04	23,09	77,63		
Учет затухания звука в атмосфере Aatm, дБ		ф-ла (8) [10]	0	0,2	0,6	2,1	5,1	9,1	16,5	42,2	142		
Снижение поверхностью земли возле источника As, дБ	Gs = 0 hs = 1м	ф-лы таб.3 [10]	-1,5	-1,5	-1,5	-1,5	-1,5	-1,5	-1,5	-1,5	-1,5		
Снижение поверхностью земли возле приёмника Ar, дБ	Gr = 1 hr = 1.5м	ф-лы таб.3 [10]	-1,5	-1,5	5,3	7	5	0,7	0	0	0		
Снижение поверхностью земли в средней зоне, Am дБ	Gm = 1	ф-лы таб.3 [10]	-2,9	-2,9	0	0	0	0	0	0	0		
Суммарное снижение поверхностью земли на траектории распространения звука Agr, дБ		ф-ла (9) [10]	-5,9	-5,9	3,8	5,5	3,5	-0,8	-1,5	-1,5	-1,5		
Уровни звукового давления от источника ИШ-9-19 в расчётной точке днём, дБ		**ф-ла(3)[10]**	**0**	**25,8**	**17**	**15,2**	**14,5**	**14,4**	**4,3**	**0**	**0**	**17,1**	**17,1**
Уровни звукового давления от источника ИШ-9-19 в расчётной точке ночью, дБ		**ф-ла(3)[10]**	**0**	**25,8**	**17**	**15,2**	**14,5**	**14,4**	**4,3**	**0**	**0**	**17,1**	**17,1**
Источник шума: ИШ-9-20, координаты источника (x,y,z), м =[661.28,-303.61,1.00]													
Уровни звуковой мощности источника днём, Lw, дБ		**исходные данные**	**0**	**93,3**	**94,7**	**96**	**96,3**	**95,9**	**92,6**	**88,4**	**83,9**		
Уровни звуковой мощности источника ночью, Lw, дБ		**исходные данные**	**0**	**93,3**	**94,7**	**96**	**96,3**	**95,9**	**92,6**	**88,4**	**83,9**		
Поправка на телесный угол DΩ, дБ	Ω = 6.28	10Lg(4π/Ω)	**3**	3	3	3	3	3	3	3	3		

1		2	3	4	5	6	7	8	9	10	11	12	13
Показатель направленности источника Di, дБ		исходные данные	**0**	0	0	0	0	0	0	0	0		
Поправка на направленность источника Dc, дБ	Dc	DΩ + Di	**3**	3	3	3	3	3	3	3	3		
Затухание из-за геометрической дивергенции, Adiv, дБ	расстояние = 1825.67 м	ф-ла (7) [10]	**76,2**										
Коэффициент затухания звука в атмосфере α, дБ/км	Ta=20,°C Pa=101.33,кПа hотн.=70%	ф-ла (5) [9]	0,02	0,09	0,33	1,12	2,79	4,98	9,04	23,09	77,63		
Учет затухания звука в атмосфере Aatm, дБ		ф-ла (8) [10]	0	0,2	0,6	2,1	5,1	9,1	16,5	42,1	141,7		
Снижение поверхностью земли возле источника As, дБ	Gs = 0 hs = 1м	ф-лы таб.3 [10]	-1,5	-1,5	-1,5	-1,5	-1,5	-1,5	-1,5	-1,5	-1,5		
Снижение поверхностью земли возле приёмника Ar, дБ	Gr = 1 hr = 1.5м	ф-лы таб.3 [10]	-1,5	-1,5	5,3	7	5	0,7	0	0	0		
Снижение поверхностью земли в средней зоне, Am дБ	Gm = 1	ф-лы таб.3 [10]	-2,9	-2,9	0	0	0	0	0	0	0		
Суммарное снижение поверхностью земли на траектории распространения звука Agr, дБ		ф-ла (9) [10]	-5,9	-5,9	3,8	5,5	3,5	-0,8	-1,5	-1,5	-1,5		
Уровни звукового давления от источника ИШ-9-20 в расчётной точке днём, дБ		**ф-ла(3)[10]**	**0**	**25,8**	**17**	**15,2**	**14,5**	**14,4**	**4,4**	**0**	**0**	**17,1**	**17,1**
Уровни звукового давления от источника ИШ-9-20 в расчётной точке ночью, дБ		**ф-ла(3)[10]**	**0**	**25,8**	**17**	**15,2**	**14,5**	**14,4**	**4,4**	**0**	**0**	**17,1**	**17,1**
Источник шума: ИШ-9-21, координаты источника (x,y,z), м =[661.93,-300.72,1.00]													
Уровни звуковой мощности источника днём, Lw, дБ		**исходные данные**	**0**	**93,3**	**94,7**	**96**	**96,3**	**95,9**	**92,6**	**88,4**	**83,9**		
Уровни звуковой мощности источника ночью, Lw, дБ		**исходные данные**	**0**	**93,3**	**94,7**	**96**	**96,3**	**95,9**	**92,6**	**88,4**	**83,9**		
Поправка на телесный угол DΩ, дБ	Ω = 6.28	10Lg(4π/Ω)	**3**	3	3	3	3	3	3	3	3		
Показатель направленности источника Di, дБ		исходные данные	**0**	0	0	0	0	0	0	0	0		

1		2	3	4	5	6	7	8	9	10	11	12	13
Поправка на направленность источника Dc, дБ	Dc	DΩ + Di	**3**	3	3	3	3	3	3	3	3		
Затухание из-за геометрической дивергенции, Adiv, дБ	расстояние = 1822.74 м	ф-ла (7) [10]	**76,2**										
Коэффициент затухания звука в атмосфере α, дБ/км	Ta=20,°C Pa=101.33,кПа hотн.=70%	ф-ла (5) [9]	0,02	0,09	0,33	1,12	2,79	4,98	9,04	23,09	77,63		
Учет затухания звука в атмосфере Aatm, дБ		ф-ла (8) [10]	0	0,2	0,6	2	5,1	9,1	16,5	42,1	141,5		
Снижение поверхностью земли возле источника As, дБ	Gs = 0 hs = 1м	ф-лы таб.3 [10]	-1,5	-1,5	-1,5	-1,5	-1,5	-1,5	-1,5	-1,5	-1,5		
Снижение поверхностью земли возле приёмника Ar, дБ	Gr = 1 hr = 1.5м	ф-лы таб.3 [10]	-1,5	-1,5	5,3	7	5	0,7	0	0	0		
Снижение поверхностью земли в средней зоне, Am дБ	Gm = 1	ф-лы таб.3 [10]	-2,9	-2,9	0	0	0	0	0	0	0		
Суммарное снижение поверхностью земли на траектории распространения звука Agr, дБ		ф-ла (9) [10]	-5,9	-5,9	3,8	5,5	3,5	-0,8	-1,5	-1,5	-1,5		
Уровни звукового давления от источника ИШ-9-21 в расчётной точке днём, дБ		**ф-ла(3)[10]**	**0**	**25,8**	**17**	**15,2**	**14,5**	**14,4**	**4,4**	**0**	**0**	**17,1**	**17,1**
Уровни звукового давления от источника ИШ-9-21 в расчётной точке ночью, дБ		**ф-ла(3)[10]**	**0**	**25,8**	**17**	**15,2**	**14,5**	**14,4**	**4,4**	**0**	**0**	**17,1**	**17,1**
Источник шума: ИШ-9-22, координаты источника (x,y,z), м =[663.14,-297.83,1.00]													
Уровни звуковой мощности источника днём, Lw, дБ		**исходные данные**	**0**	**93,3**	**94,7**	**96**	**96,3**	**95,9**	**92,6**	**88,4**	**83,9**		
Уровни звуковой мощности источника ночью, Lw, дБ		**исходные данные**	**0**	**93,3**	**94,7**	**96**	**96,3**	**95,9**	**92,6**	**88,4**	**83,9**		
Поправка на телесный угол DΩ, дБ	Ω = 6.28	10Lg(4π/Ω)	**3**	3	3	3	3	3	3	3	3		
Показатель направленности источника Di, дБ		исходные данные	**0**	0	0	0	0	0	0	0	0		
Поправка на направленность источника Dc, дБ	Dc	DΩ + Di	**3**	3	3	3	3	3	3	3	3		

1		2	3	4	5	6	7	8	9	10	11	12	13
Затухание из-за геометрической дивергенции, Adiv, дБ	расстояние = 1819.78 м	ф-ла (7) [10]	**76,2**										
Коэффициент затухания звука в атмосфере α, дБ/км	Ta=20,°C Pa=101.33,кПа hотн.=70%	ф-ла (5) [9]	0,02	0,09	0,33	1,12	2,79	4,98	9,04	23,09	77,63		
Учет затухания звука в атмосфере Aatm, дБ		ф-ла (8) [10]	0	0,2	0,6	2	5,1	9,1	16,4	42	141,3		
Снижение поверхностью земли возле источника As, дБ	Gs = 0 hs = 1м	ф-лы таб.3 [10]	-1,5	-1,5	-1,5	-1,5	-1,5	-1,5	-1,5	-1,5	-1,5		
Снижение поверхностью земли возле приёмника Ar, дБ	Gr = 1 hr = 1.5м	ф-лы таб.3 [10]	-1,5	-1,5	5,3	7	5	0,7	0	0	0		
Снижение поверхностью земли в средней зоне, Am дБ	Gm = 1	ф-лы таб.3 [10]	-2,9	-2,9	0	0	0	0	0	0	0		
Суммарное снижение поверхностью земли на траектории распространения звука Agr, дБ		ф-ла (9) [10]	-5,9	-5,9	3,8	5,5	3,5	-0,8	-1,5	-1,5	-1,5		
Уровни звукового давления от источника ИШ-9-22 в расчётной точке днём, дБ		**ф-ла(3)[10]**	**0**	**25,8**	**17**	**15,2**	**14,5**	**14,5**	**4,4**	**0**	**0**	**17,2**	**17,2**
Уровни звукового давления от источника ИШ-9-22 в расчётной точке ночью, дБ		**ф-ла(3)[10]**	**0**	**25,8**	**17**	**15,2**	**14,5**	**14,5**	**4,4**	**0**	**0**	**17,2**	**17,2**
Источник шума: ИШ-9-23, координаты источника (x,y,z), м =[664.07,-295.13,1.00]													
Уровни звуковой мощности источника днём, Lw, дБ		**исходные данные**	**0**	**93,3**	**94,7**	**96**	**96,3**	**95,9**	**92,6**	**88,4**	**83,9**		
Уровни звуковой мощности источника ночью, Lw, дБ		**исходные данные**	**0**	**93,3**	**94,7**	**96**	**96,3**	**95,9**	**92,6**	**88,4**	**83,9**		
Поправка на телесный угол DΩ, дБ	Ω = 6.28	10Lg(4π/Ω)	**3**	3	3	3	3	3	3	3	3		
Показатель направленности источника Di, дБ		исходные данные	**0**	0	0	0	0	0	0	0	0		
Поправка на направленность источника Dc, дБ	Dc	DΩ + Di	**3**	3	3	3	3	3	3	3	3		
Затухание из-за геометрической дивергенции, Adiv, дБ	расстояние = 1817.02 м	ф-ла (7) [10]	**76,2**										

1		2	3	4	5	6	7	8	9	10	11	12	13
Коэффициент затухания звука в атмосфере α, дБ/км	Ta=20,°C Pa=101.33,кПа hотн.=70%	ф-ла (5) [9]	0,02	0,09	0,33	1,12	2,79	4,98	9,04	23,09	77,63		
Учет затухания звука в атмосфере Aatm, дБ		ф-ла (8) [10]	0	0,2	0,6	2	5,1	9	16,4	41,9	141,1		
Снижение поверхностью земли возле источника As, дБ	Gs = 0 hs = 1м	ф-лы таб.3 [10]	-1,5	-1,5	-1,5	-1,5	-1,5	-1,5	-1,5	-1,5	-1,5		
Снижение поверхностью земли возле приёмника Ar, дБ	Gr = 1 hr = 1.5м	ф-лы таб.3 [10]	-1,5	-1,5	5,3	7	5	0,7	0	0	0		
Снижение поверхностью земли в средней зоне, Am дБ	Gm = 1	ф-лы таб.3 [10]	-2,9	-2,9	0	0	0	0	0	0	0		
Суммарное снижение поверхностью земли на траектории распространения звука Agr, дБ		ф-ла (9) [10]	-5,9	-5,9	3,8	5,5	3,5	-0,8	-1,5	-1,5	-1,5		
Уровни звукового давления от источника ИШ-9-23 в расчётной точке днём, дБ		**ф-ла(3)[10]**	**0**	**25,8**	**17,1**	**15,2**	**14,6**	**14,5**	**4,5**	**0**	**0**	**17,2**	**17,2**
Уровни звукового давления от источника ИШ-9-23 в расчётной точке ночью, дБ		**ф-ла(3)[10]**	**0**	**25,8**	**17,1**	**15,2**	**14,6**	**14,5**	**4,5**	**0**	**0**	**17,2**	**17,2**
Источник шума: ИШ-9-24, координаты источника (x,y,z), м =[665.19,-292.34,1.00]													
Уровни звуковой мощности источника днём, Lw, дБ		**исходные данные**	**0**	**93,3**	**94,7**	**96**	**96,3**	**95,9**	**92,6**	**88,4**	**83,9**		
Уровни звуковой мощности источника ночью, Lw, дБ		**исходные данные**	**0**	**93,3**	**94,7**	**96**	**96,3**	**95,9**	**92,6**	**88,4**	**83,9**		
Поправка на телесный угол DΩ, дБ	Ω = 6.28	10Lg(4π/Ω)	**3**	3	3	3	3	3	3	3	3		
Показатель направленности источника Di, дБ		исходные данные	**0**	0	0	0	0	0	0	0	0		
Поправка на направленность источника Dc, дБ	Dc	DΩ + Di	**3**	3	3	3	3	3	3	3	3		
Затухание из-за геометрической дивергенции, Adiv, дБ	расстояние = 1814.15 м	ф-ла (7) [10]	**76,2**										
Коэффициент затухания звука в атмосфере α, дБ/км	Ta=20,°C Pa=101.33,кПа hотн.=70%	ф-ла (5) [9]	0,02	0,09	0,33	1,12	2,79	4,98	9,04	23,09	77,63		

1		2	3	4	5	6	7	8	9	10	11	12	13
Учет затухания звука в атмосфере Aatm, дБ		ф-ла (8) [10]	0	0,2	0,6	2	5,1	9	16,4	41,9	140,8		
Снижение поверхностью земли возле источника As, дБ	Gs = 0 hs = 1м	ф-лы таб.3 [10]	-1,5	-1,5	-1,5	-1,5	-1,5	-1,5	-1,5	-1,5	-1,5		
Снижение поверхностью земли возле приёмника Ar, дБ	Gr = 1 hr = 1.5м	ф-лы таб.3 [10]	-1,5	-1,5	5,3	7	5	0,7	0	0	0		
Снижение поверхностью земли в средней зоне, Am дБ	Gm = 1	ф-лы таб.3 [10]	-2,9	-2,9	0	0	0	0	0	0	0		
Суммарное снижение поверхностью земли на траектории распространения звука Agr, дБ		ф-ла (9) [10]	-5,9	-5,9	3,8	5,5	3,5	-0,8	-1,5	-1,5	-1,5		
Уровни звукового давления от источника ИШ-9-24 в расчётной точке днём, дБ		**ф-ла(3)[10]**	**0**	**25,8**	**17,1**	**15,3**	**14,6**	**14,5**	**4,5**	**0**	**0**	**17,2**	**17,2**
Уровни звукового давления от источника ИШ-9-24 в расчётной точке ночью, дБ		**ф-ла(3)[10]**	**0**	**25,8**	**17,1**	**15,3**	**14,6**	**14,5**	**4,5**	**0**	**0**	**17,2**	**17,2**
Источник шума: ИШ-9-25, координаты источника (x,y,z), м =[683.46,-239.16,1.00]													
Уровни звуковой мощности источника днём, Lw, дБ		**исходные данные**	**77**	**75**	**67**	**66**	**63**	**55**	**53**	**48**	**51**		
Уровни звуковой мощности источника ночью, Lw, дБ		**исходные данные**	**77**	**75**	**67**	**66**	**63**	**55**	**53**	**48**	**51**		
Поправка на телесный угол DΩ, дБ	Ω = 6.28	10Lg(4π/Ω)	**3**	3	3	3	3	3	3	3	3		
Показатель направленности источника Di, дБ		исходные данные	**0**	0	0	0	0	0	0	0	0		
Поправка на направленность источника Dc, дБ	Dc	DΩ + Di	**3**	3	3	3	3	3	3	3	3		
Затухание из-за геометрической дивергенции, Adiv, дБ	расстояние = 1759.89 м	ф-ла (7) [10]	**75,9**										
Коэффициент затухания звука в атмосфере α, дБ/км	Ta=20,°C Pa=101.33,кПа hотн.=70%	ф-ла (5) [9]	0,02	0,09	0,33	1,12	2,79	4,98	9,04	23,09	77,63		
Учет затухания звука в атмосфере Aatm, дБ		ф-ла (8) [10]	0	0,2	0,6	2	4,9	8,8	15,9	40,6	136,6		

1		2	3	4	5	6	7	8	9	10	11	12	13
Снижение поверхностью земли возле источника As, дБ	Gs = 0 hs = 1м	ф-лы таб.3 [10]	-1,5	-1,5	-1,5	-1,5	-1,5	-1,5	-1,5	-1,5	-1,5		
Снижение поверхностью земли возле приёмника Ar, дБ	Gr = 1 hr = 1.5м	ф-лы таб.3 [10]	-1,5	-1,5	5,3	7	5	0,7	0	0	0		
Снижение поверхностью земли в средней зоне, Am дБ	Gm = 1	ф-лы таб.3 [10]	-2,9	-2,9	0	0	0	0	0	0	0		
Суммарное снижение поверхностью земли на траектории распространения звука Agr, дБ		ф-ла (9) [10]	-5,9	-5,9	3,8	5,5	3,5	-0,8	-1,5	-1,5	-1,5		
Уровни звукового давления от источника ИШ-9-25 в расчётной точке днём, дБ		**ф-ла(3)[10]**	**9,9**	**7,8**	**0**	**0**	**0**	**0**	**0**	**0**	**0**	**0**	**0**
Уровни звукового давления от источника ИШ-9-25 в расчётной точке ночью, дБ		**ф-ла(3)[10]**	**9,9**	**7,8**	**0**	**0**	**0**	**0**	**0**	**0**	**0**	**0**	**0**
Источник шума: ИШ-9-26, координаты источника (x,y,z), м =[680.09,-249.52,1.00]													
Уровни звуковой мощности источника днём, Lw, дБ		**исходные данные**	**77**	**75**	**67**	**66**	**63**	**55**	**53**	**48**	**51**		
Уровни звуковой мощности источника ночью, Lw, дБ		**исходные данные**	**77**	**75**	**67**	**66**	**63**	**55**	**53**	**48**	**51**		
Поправка на телесный угол DΩ, дБ	Ω = 6.28	10Lg(4π/Ω)	**3**	3	3	3	3	3	3	3	3		
Показатель направленности источника Di, дБ		исходные данные	**0**	0	0	0	0	0	0	0	0		
Поправка на направленность источника Dc, дБ	Dc	DΩ + Di	**3**	3	3	3	3	3	3	3	3		
Затухание из-за геометрической дивергенции, Adiv, дБ	расстояние = 1770.43 м	ф-ла (7) [10]	**76**										
Коэффициент затухания звука в атмосфере α, дБ/км	Ta=20,°C Pa=101.33,кПа hотн.=70%	ф-ла (5) [9]	0,02	0,09	0,33	1,12	2,79	4,98	9,04	23,09	77,63		
Учет затухания звука в атмосфере Aatm, дБ		ф-ла (8) [10]	0	0,2	0,6	2	4,9	8,8	16	40,9	137,4		
Снижение поверхностью земли возле источника As, дБ	Gs = 0 hs = 1м	ф-лы таб.3 [10]	-1,5	-1,5	-1,5	-1,5	-1,5	-1,5	-1,5	-1,5	-1,5		

1		2	3	4	5	6	7	8	9	10	11	12	13
Снижение поверхностью земли возле приёмника Ar, дБ	Gr = 1 hr = 1.5м	ф-лы таб.3 [10]	-1,5	-1,5	5,3	7	5	0,7	0	0	0		
Снижение поверхностью земли в средней зоне, Am дБ	Gm = 1	ф-лы таб.3 [10]	-2,9	-2,9	0	0	0	0	0	0	0		
Суммарное снижение поверхностью земли на траектории распространения звука Agr, дБ		ф-ла (9) [10]	-5,9	-5,9	3,8	5,5	3,5	-0,8	-1,5	-1,5	-1,5		
Уровни звукового давления от источника ИШ-9-26 в расчётной точке днём, дБ		**ф-ла(3)[10]**	**9,9**	**7,8**	**0**	**0**	**0**	**0**	**0**	**0**	**0**	**0**	**0**
Уровни звукового давления от источника ИШ-9-26 в расчётной точке ночью, дБ		**ф-ла(3)[10]**	**9,9**	**7,8**	**0**	**0**	**0**	**0**	**0**	**0**	**0**	**0**	**0**
Источник шума: ИШ-9-27, координаты источника (x,y,z), м =[676.46,-260.14,1.00]													
Уровни звуковой мощности источника днём, Lw, дБ		**исходные данные**	**77**	**75**	**67**	**66**	**63**	**55**	**53**	**48**	**51**		
Уровни звуковой мощности источника ночью, Lw, дБ		**исходные данные**	**77**	**75**	**67**	**66**	**63**	**55**	**53**	**48**	**51**		
Поправка на телесный угол DΩ, дБ	Ω = 6.28	10Lg(4π/Ω)	**3**	3	3	3	3	3	3	3	3		
Показатель направленности источника Di, дБ		исходные данные	**0**	0	0	0	0	0	0	0	0		
Поправка на направленность источника Dc, дБ	Dc	DΩ + Di	**3**	3	3	3	3	3	3	3	3		
Затухание из-за геометрической дивергенции, Adiv, дБ	расстояние = 1781.27 м	ф-ла (7) [10]	**76**										
Коэффициент затухания звука в атмосфере α, дБ/км	Ta=20,°C Pa=101.33,кПа hотн.=70%	ф-ла (5) [9]	0,02	0,09	0,33	1,12	2,79	4,98	9,04	23,09	77,63		
Учет затухания звука в атмосфере Aatm, дБ		ф-ла (8) [10]	0	0,2	0,6	2	5	8,9	16,1	41,1	138,3		
Снижение поверхностью земли возле источника As, дБ	Gs = 0 hs = 1м	ф-лы таб.3 [10]	-1,5	-1,5	-1,5	-1,5	-1,5	-1,5	-1,5	-1,5	-1,5		
Снижение поверхностью земли возле приёмника Ar, дБ	Gr = 1 hr = 1.5м	ф-лы таб.3 [10]	-1,5	-1,5	5,3	7	5	0,7	0	0	0		

1		2	3	4	5	6	7	8	9	10	11	12	13
Снижение поверхностью земли в средней зоне, Am дБ	Gm = 1	ф-лы таб.3 [10]	-2,9	-2,9	0	0	0	0	0	0	0		
Суммарное снижение поверхностью земли на траектории распространения звука Agr, дБ		ф-ла (9) [10]	-5,9	-5,9	3,8	5,5	3,5	-0,8	-1,5	-1,5	-1,5		
Уровни звукового давления от источника ИШ-9-27 в расчётной точке днём, дБ		**ф-ла(3)[10]**	**9,8**	**7,7**	**0**	**0**	**0**	**0**	**0**	**0**	**0**	**0**	**0**
Уровни звукового давления от источника ИШ-9-27 в расчётной точке ночью, дБ		**ф-ла(3)[10]**	**9,8**	**7,7**	**0**	**0**	**0**	**0**	**0**	**0**	**0**	**0**	**0**
Источник шума: ИШ-10-1, координаты источника (x,y,z), м =[17.37,413.17,1.00]													
Уровни звуковой мощности источника днём, Lw, дБ		**исходные данные**	**0**	**98,3**	**99,7**	**101**	**101,3**	**100,9**	**97,6**	**93,4**	**88,9**		
Уровни звуковой мощности источника ночью, Lw, дБ		**исходные данные**	**0**	**98,3**	**99,7**	**101**	**101,3**	**100,9**	**97,6**	**93,4**	**88,9**		
Поправка на телесный угол DΩ, дБ	Ω = 6.28	10Lg(4π/Ω)	**3**	3	3	3	3	3	3	3	3		
Показатель направленности источника Di, дБ		исходные данные	**0**	0	0	0	0	0	0	0	0		
Поправка на направленность источника Dc, дБ	Dc	DΩ + Di	**3**	3	3	3	3	3	3	3	3		
Затухание из-за геометрической дивергенции, Adiv, дБ	расстояние = 1349.02 м	ф-ла (7) [10]	**73,6**										
Коэффициент затухания звука в атмосфере α, дБ/км	Ta=20,°C Pa=101.33,кПа hотн.=70%	ф-ла (5) [9]	0,02	0,09	0,33	1,12	2,79	4,98	9,04	23,09	77,63		
Учет затухания звука в атмосфере Aatm, дБ		ф-ла (8) [10]	0	0,1	0,5	1,5	3,8	6,7	12,2	31,1	104,7		
Снижение поверхностью земли возле источника As, дБ	Gs = 0 hs = 1м	ф-лы таб.3 [10]	-1,5	-1,5	-1,5	-1,5	-1,5	-1,5	-1,5	-1,5	-1,5		
Снижение поверхностью земли возле приёмника Ar, дБ	Gr = 1 hr = 1.5м	ф-лы таб.3 [10]	-1,5	-1,5	5,3	7	5	0,7	0	0	0		
Снижение поверхностью земли в средней зоне, Am дБ	Gm = 1	ф-лы таб.3 [10]	-2,8	-2,8	0	0	0	0	0	0	0		

1		2	3	4	5	6	7	8	9	10	11	12	13
Суммарное снижение поверхностью земли на траектории распространения звука Agr, дБ		ф-ла (9) [10]	-5,8	-5,8	3,8	5,5	3,5	-0,8	-1,5	-1,5	-1,5		
Уровни звукового давления от источника ИШ-10-1 в расчётной точке днём, дБ		**ф-ла(3)[10]**	**0**	**33,4**	**24,8**	**23,4**	**23,5**	**24,4**	**16,3**	**0**	**0**	**26,8**	**26,8**
Уровни звукового давления от источника ИШ-10-1 в расчётной точке ночью, дБ		**ф-ла(3)[10]**	**0**	**33,4**	**24,8**	**23,4**	**23,5**	**24,4**	**16,3**	**0**	**0**	**26,8**	**26,8**
Источник шума: ИШ-10-2, координаты источника (x,y,z), м =[27.87,443.46,1.00]													
Уровни звуковой мощности источника днём, Lw, дБ		**исходные данные**	**0**	**98,3**	**99,7**	**101**	**101,3**	**100,9**	**97,6**	**93,4**	**88,9**		
Уровни звуковой мощности источника ночью, Lw, дБ		**исходные данные**	**0**	**98,3**	**99,7**	**101**	**101,3**	**100,9**	**97,6**	**93,4**	**88,9**		
Поправка на телесный угол DΩ, дБ	Ω = 6.28	10Lg(4π/Ω)	**3**	3	3	3	3	3	3	3	3		
Показатель направленности источника Di, дБ		исходные данные	**0**	0	0	0	0	0	0	0	0		
Поправка на направленность источника Dc, дБ	Dc	DΩ + Di	**3**	3	3	3	3	3	3	3	3		
Затухание из-за геометрической дивергенции, Adiv, дБ	расстояние = 1318.22 м	ф-ла (7) [10]	**73,4**										
Коэффициент затухания звука в атмосфере α, дБ/км	Ta=20,°C Pa=101.33,кПа hотн.=70%	ф-ла (5) [9]	0,02	0,09	0,33	1,12	2,79	4,98	9,04	23,09	77,63		
Учет затухания звука в атмосфере Aatm, дБ		ф-ла (8) [10]	0	0,1	0,4	1,5	3,7	6,6	11,9	30,4	102,3		
Снижение поверхностью земли возле источника As, дБ	Gs = 0 hs = 1м	ф-лы таб.3 [10]	-1,5	-1,5	-1,5	-1,5	-1,5	-1,5	-1,5	-1,5	-1,5		
Снижение поверхностью земли возле приёмника Ar, дБ	Gr = 1 hr = 1.5м	ф-лы таб.3 [10]	-1,5	-1,5	5,3	7	5	0,7	0	0	0		
Снижение поверхностью земли в средней зоне, Am дБ	Gm = 1	ф-лы таб.3 [10]	-2,8	-2,8	0	0	0	0	0	0	0		
Суммарное снижение поверхностью земли на траектории распространения звука Agr, дБ		ф-ла (9) [10]	-5,8	-5,8	3,8	5,5	3,5	-0,8	-1,5	-1,5	-1,5		

1		2	3	4	5	6	7	8	9	10	11	12	13
Уровни звукового давления от источника ИШ-10-2 в расчётной точке днём, дБ		**ф-ла(3)[10]**	**0**	**33,6**	**25,1**	**23,6**	**23,8**	**24,8**	**16,8**	**0**	**0**	**27,2**	**27,2**
Уровни звукового давления от источника ИШ-10-2 в расчётной точке ночью, дБ		**ф-ла(3)[10]**	**0**	**33,6**	**25,1**	**23,6**	**23,8**	**24,8**	**16,8**	**0**	**0**	**27,2**	**27,2**
Уровни звукового давления в расчётной точке													
Суммарные уровни звукового давления в расчётной точке от всех источников шума днём, Lрт, дБ		**ф-ла (19) [1]**	**55,6**	**52,8**	**43,4**	**40,8**	**40,1**	**41,7**	**38,1**	**16**	**0**	**44,9**	**44,9**
Суммарные уровни звукового давления в расчётной точке от всех источников шума ночью, Lрт, дБ		**ф-ла (19) [1]**	**45,5**	**49,8**	**42,5**	**40,1**	**39,4**	**40**	**31,2**	**0**	**0**	**42,7**	**42,7**
Допускаемые УЗД днём, Lдоп, дБ	Границы санитарно-защитных зон	Таблица 5.35.[23]	90	75	66	59	54	50	47	45	44	55	70
Допускаемые УЗД ночью, Lдоп, дБ	Границы санитарно-защитных зон	Таблица 5.35.[23]	83	67	57	49	44	40	37	35	33	45	60
Превышение днём, дБ		**Lрт - Lдоп**	**-34,4**	**-22,2**	**-22,6**	**-18,2**	**-13,9**	**-8,3**	**-8,9**	**-29**	**-44**	**-10,1**	**-25,1**
Превышение ночью, дБ		**Lрт - Lдоп**	**-37,5**	**-17,2**	**-14,5**	**-8,9**	**-4,6**	**0**	**-5,8**	**-35**	**-33**	**-2,3**	**-17,3**

Определение уровней звукового давления в точке РТ-2 (координаты точки, м: x = 2086.27, y = 1066.76, z = 1.50)

Наименование величин и их описание		Ссылка	Расчётные уровни в октавных полосах, со среднегеометрическими частотами, Гц									La, дБА	Lмакс, дБА
			31,5	63	125	250	500	1000	2000	4000	8000		
1		2	3	4	5	6	7	8	9	10	11	12	13
Источник шума: ИШ-1-1, координаты источника (x,y,z), м =[271.72,229.68,1.00]													
Уровни звуковой мощности источника днём, Lw, дБ		**исходные данные**	**97**	**97**	**104**	**106**	**105**	**105**	**98**	**87**	**81**		
Уровни звуковой мощности источника ночью, Lw, дБ		**исходные данные**	**97**	**97**	**104**	**106**	**105**	**105**	**98**	**87**	**81**		
Поправка на телесный угол DΩ, дБ	Ω = 6.28	10Lg(4π/Ω)	**3**	3	3	3	3	3	3	3	3		
Показатель направленности источника Di, дБ		исходные данные	**0**	0	0	0	0	0	0	0	0		
Поправка на направленность источника Dc, дБ	Dc	DΩ + Di	**3**	3	3	3	3	3	3	3	3		
Затухание из-за геометрической дивергенции, Adiv, дБ	расстояние = 1998.32 м	ф-ла (7) [10]	**77**										
Коэффициент затухания звука в атмосфере α, дБ/км	Ta=20,°C Pa=101.33,кПа hотн.=70%	ф-ла (5) [9]	0,02	0,09	0,33	1,12	2,79	4,98	9,04	23,09	77,63		
Учет затухания звука в атмосфере Aatm, дБ		ф-ла (8) [10]	0	0,2	0,7	2,2	5,6	9,9	18,1	46,1	155,1		
Снижение уровня звукового давления из-за влияния застройки между источником шума и расчетной точкой													
Снижение уровня звукового давления на пути над экраном, Dz1, дБ	z = 0.35м (разность путей)	ф-лы (14-18) [10]	4,8	4,8	4,8	4,8	4,8	4,8	4,8	4,8	4,8		
Снижение уровня звукового давления на пути слева от экрана, Dz2, дБ	z = 43.61м (разность путей)	ф-лы (14-18) [10]	22,4	26	30,2	34,7	38,5	41,8	44,9	47,9	50,9		
Снижение уровня звукового давления на пути справа от экрана, Dz3, дБ	z = 0.61м (разность путей)	ф-лы (14-18) [10]	7,2	8,7	10,8	13,2	15,9	18,7	21,6	24,6	27,6		

1		2	3	4	5	6	7	8	9	10	11	12	13
Общее снижение уровня звука препятствием Dz, дБ		Эн.сумма(-Dzi)	2,8	3,3	3,8	4,2	4,4	4,6	4,7	4,7	4,8		
Уровни звукового давления от источника ИШ-1-1 в расчётной точке днём, дБ		**ф-ла(3)[10]**	**20,2**	**19,5**	**25,5**	**25,6**	**21**	**16,5**	**1,3**	**0**	**0**	**22,2**	**22,2**
Уровни звукового давления от источника ИШ-1-1 в расчётной точке ночью, дБ		**ф-ла(3)[10]**	**20,2**	**19,5**	**25,5**	**25,6**	**21**	**16,5**	**1,3**	**0**	**0**	**22,2**	**22,2**
Источник шума: ИШ-1-2, координаты источника (x,y,z), м =[261.74,199.14,1.00]													
Уровни звуковой мощности источника днём, Lw, дБ		**исходные данные**	**97**	**97**	**104**	**106**	**105**	**105**	**98**	**87**	**81**		
Уровни звуковой мощности источника ночью, Lw, дБ		**исходные данные**	**97**	**97**	**104**	**106**	**105**	**105**	**98**	**87**	**81**		
Поправка на телесный угол DΩ, дБ	Ω = 6.28	10Lg(4π/Ω)	**3**	3	3	3	3	3	3	3	3		
Показатель направленности источника Di, дБ		исходные данные	**0**	0	0	0	0	0	0	0	0		
Поправка на направленность источника Dc, дБ	Dc	DΩ + Di	**3**	3	3	3	3	3	3	3	3		
Затухание из-за геометрической дивергенции, Adiv, дБ	расстояние = 2020.32 м	ф-ла (7) [10]	**77,1**										
Коэффициент затухания звука в атмосфере α, дБ/км	Ta=20,°C Pa=101.33,кПа hотн.=70%	ф-ла (5) [9]	0,02	0,09	0,33	1,12	2,79	4,98	9,04	23,09	77,63		
Учет затухания звука в атмосфере Aatm, дБ		ф-ла (8) [10]	0	0,2	0,7	2,3	5,6	10,1	18,3	46,6	156,8		
Снижение уровня звукового давления из-за влияния застройки между источником шума и расчетной точкой													
Снижение уровня звукового давления на пути над экраном, Dz1, дБ	z = 0.53м (разность путей)	ф-лы (14-18) [10]	4,8	4,8	4,8	4,8	4,8	4,8	4,9	5	5,2		
Снижение уровня звукового давления на пути слева от экрана, Dz2, дБ	z = 53.49м (разность путей)	ф-лы (14-18) [10]	23,3	26,8	31,1	35,6	39,4	42,7	45,7	48,8	51,8		
Снижение уровня звукового давления на пути справа от экрана, Dz3, дБ	z = 167.98м (разность путей)	ф-лы (14-18) [10]	32,2	35,6	38,7	41,7	44,7	47,7	50,7	53,8	56,8		

1		2	3	4	5	6	7	8	9	10	11	12	13
Общее снижение уровня звука препятствием Dz, дБ		Эн.сумма(-Dzi)	4,7	4,7	4,8	4,8	4,8	4,8	4,9	5	5,2		
Уровни звукового давления от источника ИШ-1-2 в расчётной точке днём, дБ		**ф-ла(3)[10]**	**18,2**	**18**	**24,5**	**24,9**	**20,5**	**16**	**0,8**	**0**	**0**	**21,6**	**21,6**
Уровни звукового давления от источника ИШ-1-2 в расчётной точке ночью, дБ		**ф-ла(3)[10]**	**18,2**	**18**	**24,5**	**24,9**	**20,5**	**16**	**0,8**	**0**	**0**	**21,6**	**21,6**
Источник шума: ИШ-1-3, координаты источника (x,y,z), м =[251.75,236.44,1.00]													
Уровни звуковой мощности источника днём, Lw, дБ		**исходные данные**	**0**	**91,3**	**92,7**	**94**	**94,3**	**93,9**	**90,6**	**86,4**	**81,9**		
Уровни звуковой мощности источника ночью, Lw, дБ		**исходные данные**	**0**	**91,3**	**92,7**	**94**	**94,3**	**93,9**	**90,6**	**86,4**	**81,9**		
Поправка на телесный угол DΩ, дБ	Ω = 6.28	10Lg(4π/Ω)	**3**	3	3	3	3	3	3	3	3		
Показатель направленности источника Di, дБ		исходные данные	**0**	0	0	0	0	0	0	0	0		
Поправка на направленность источника Dc, дБ	Dc	DΩ + Di	**3**	3	3	3	3	3	3	3	3		
Затухание из-за геометрической дивергенции, Adiv, дБ	расстояние = 2013.68 м	ф-ла (7) [10]	**77,1**										
Коэффициент затухания звука в атмосфере α, дБ/км	Ta=20,°C Pa=101.33,кПа hотн.=70%	ф-ла (5) [9]	0,02	0,09	0,33	1,12	2,79	4,98	9,04	23,09	77,63		
Учет затухания звука в атмосфере Aatm, дБ		ф-ла (8) [10]	0	0,2	0,7	2,3	5,6	10	18,2	46,5	156,3		
Снижение уровня звукового давления из-за влияния застройки между источником шума и расчетной точкой													
Снижение уровня звукового давления на пути над экраном, Dz1, дБ	z = 0.35м (разность путей)	ф-лы (14-18) [10]	4,8	4,8	4,8	4,8	4,8	4,8	4,8	4,8	4,8		
Снижение уровня звукового давления на пути слева от экрана, Dz2, дБ	z = 27.50м (разность путей)	ф-лы (14-18) [10]	20,2	23,2	26,1	29,1	32,1	35,1	38,1	41,1	44,1		
Снижение уровня звукового давления на пути справа от экрана, Dz3, дБ	z = 2.37м (разность путей)	ф-лы (14-18) [10]	10,7	13,1	15,8	18,6	21,5	24,5	27,5	30,5	33,5		

1		2	3	4	5	6	7	8	9	10	11	12	13
Общее снижение уровня звука препятствием Dz, дБ		Эн.сумма(-Dzi)	3,7	4,1	4,4	4,6	4,7	4,7	4,7	4,8	4,8		
Уровни звукового давления от источника ИШ-1-3 в расчётной точке днём, дБ		**ф-ла(3)[10]**	**0**	**12,9**	**13,5**	**13,1**	**9,9**	**5,1**	**0**	**0**	**0**	**10,5**	**10,5**
Уровни звукового давления от источника ИШ-1-3 в расчётной точке ночью, дБ		**ф-ла(3)[10]**	**0**	**12,9**	**13,5**	**13,1**	**9,9**	**5,1**	**0**	**0**	**0**	**10,5**	**10,5**
Источник шума: ИШ-1-4, координаты источника (x,y,z), м =[290.25,223.25,1.00]													
Уровни звуковой мощности источника днём, Lw, дБ		**исходные данные**	**0**	**91,3**	**92,7**	**94**	**94,3**	**93,9**	**90,6**	**86,4**	**81,9**		
Уровни звуковой мощности источника ночью, Lw, дБ		**исходные данные**	**0**	**91,3**	**92,7**	**94**	**94,3**	**93,9**	**90,6**	**86,4**	**81,9**		
Поправка на телесный угол DΩ, дБ	Ω = 6.28	10Lg(4π/Ω)	**3**	3	3	3	3	3	3	3	3		
Показатель направленности источника Di, дБ		исходные данные	**0**	0	0	0	0	0	0	0	0		
Поправка на направленность источника Dc, дБ	Dc	DΩ + Di	**3**	3	3	3	3	3	3	3	3		
Затухание из-за геометрической дивергенции, Adiv, дБ	расстояние = 1984.23 м	ф-ла (7) [10]	**77**										
Коэффициент затухания звука в атмосфере α, дБ/км	Ta=20,°C Pa=101.33,кПа hотн.=70%	ф-ла (5) [9]	0,02	0,09	0,33	1,12	2,79	4,98	9,04	23,09	77,63		
Учет затухания звука в атмосфере Aatm, дБ		ф-ла (8) [10]	0	0,2	0,7	2,2	5,5	9,9	17,9	45,8	154		
Снижение уровня звукового давления из-за влияния застройки между источником шума и расчетной точкой													
Снижение уровня звукового давления на пути над экраном, Dz1, дБ	z = 0.81м (разность путей)	ф-лы (14-18) [10]	4,8	4,8	4,8	5	5,3	6	7,1	8,7	10,8		
Снижение уровня звукового давления на пути слева от экрана, Dz2, дБ	z = 63.04м (разность путей)	ф-лы (14-18) [10]	24	27,5	31,8	36,3	40,1	43,4	46,5	49,5	52,5		
Снижение уровня звукового давления на пути справа от экрана, Dz3, дБ	z = 222.67м (разность путей)	ф-лы (14-18) [10]	33,4	36,8	39,9	42,9	45,9	49	52	55	58		

1		2	3	4	5	6	7	8	9	10	11	12	13
Общее снижение уровня звука препятствием Dz, дБ		Эн.сумма(-Dzi)	4,7	4,8	4,8	5	5,3	6	7,1	8,7	10,8		
Уровни звукового давления от источника ИШ-1-4 в расчётной точке днём, дБ		**ф-ла(3)[10]**	**0**	**12,4**	**13,2**	**12,8**	**9,5**	**4**	**0**	**0**	**0**	**10**	**10**
Уровни звукового давления от источника ИШ-1-4 в расчётной точке ночью, дБ		**ф-ла(3)[10]**	**0**	**12,4**	**13,2**	**12,8**	**9,5**	**4**	**0**	**0**	**0**	**10**	**10**
Источник шума: ИШ-1-5, координаты источника (x,y,z), м =[241.49,205.86,1.00]													
Уровни звуковой мощности источника днём, Lw, дБ		**исходные данные**	**0**	**91,3**	**92,7**	**94**	**94,3**	**93,9**	**90,6**	**86,4**	**81,9**		
Уровни звуковой мощности источника ночью, Lw, дБ		**исходные данные**	**0**	**91,3**	**92,7**	**94**	**94,3**	**93,9**	**90,6**	**86,4**	**81,9**		
Поправка на телесный угол DΩ, дБ	Ω = 6.28	10Lg(4π/Ω)	**3**	3	3	3	3	3	3	3	3		
Показатель направленности источника Di, дБ		исходные данные	**0**	0	0	0	0	0	0	0	0		
Поправка на направленность источника Dc, дБ	Dc	DΩ + Di	**3**	3	3	3	3	3	3	3	3		
Затухание из-за геометрической дивергенции, Adiv, дБ	расстояние = 2035.77 м	ф-ла (7) [10]	**77,2**										
Коэффициент затухания звука в атмосфере α, дБ/км	Ta=20,°C Pa=101.33,кПа hотн.=70%	ф-ла (5) [9]	0,02	0,09	0,33	1,12	2,79	4,98	9,04	23,09	77,63		
Учет затухания звука в атмосфере Aatm, дБ		ф-ла (8) [10]	0	0,2	0,7	2,3	5,7	10,1	18,4	47	158		
Снижение уровня звукового давления из-за влияния застройки между источником шума и расчетной точкой													
Снижение уровня звукового давления на пути над экраном, Dz1, дБ	z = 0.26м (разность путей)	ф-лы (14-18) [10]	4,8	4,8	4,8	4,8	4,8	4,8	4,8	4,8	4,8		
Снижение уровня звукового давления на пути слева от экрана, Dz2, дБ	z = 37.59м (разность путей)	ф-лы (14-18) [10]	21,5	24,5	27,4	30,4	33,5	36,5	39,5	42,5	45,5		
Снижение уровня звукового давления на пути справа от экрана, Dz3, дБ	z = 167.15м (разность путей)	ф-лы (14-18) [10]	32,1	35,6	38,6	41,7	44,7	47,7	50,7	53,7	56,7		

1		2	3	4	5	6	7	8	9	10	11	12	13
Общее снижение уровня звука препятствием Dz, дБ		Эн.сумма(-Dzi)	4,7	4,7	4,7	4,8	4,8	4,8	4,8	4,8	4,8		
Уровни звукового давления от источника ИШ-1-5 в расчётной точке днём, дБ		**ф-ла(3)[10]**	**0**	**12,2**	**13,1**	**12,8**	**9,7**	**4,8**	**0**	**0**	**0**	**10,3**	**10,3**
Уровни звукового давления от источника ИШ-1-5 в расчётной точке ночью, дБ		**ф-ла(3)[10]**	**0**	**12,2**	**13,1**	**12,8**	**9,7**	**4,8**	**0**	**0**	**0**	**10,3**	**10,3**
Источник шума: ИШ-1-6, координаты источника (x,y,z), м =[279.85,192.97,1.00]													
Уровни звуковой мощности источника днём, Lw, дБ		**исходные данные**	**0**	**91,3**	**92,7**	**94**	**94,3**	**93,9**	**90,6**	**86,4**	**81,9**		
Уровни звуковой мощности источника ночью, Lw, дБ		**исходные данные**	**0**	**91,3**	**92,7**	**94**	**94,3**	**93,9**	**90,6**	**86,4**	**81,9**		
Поправка на телесный угол DΩ, дБ	Ω = 6.28	10Lg(4π/Ω)	**3**	3	3	3	3	3	3	3	3		
Показатель направленности источника Di, дБ		исходные данные	**0**	0	0	0	0	0	0	0	0		
Поправка на направленность источника Dc, дБ	Dc	DΩ + Di	**3**	3	3	3	3	3	3	3	3		
Затухание из-за геометрической дивергенции, Adiv, дБ	расстояние = 2006.66 м	ф-ла (7) [10]	**77**										
Коэффициент затухания звука в атмосфере α, дБ/км	Ta=20,°C Pa=101.33,кПа hотн.=70%	ф-ла (5) [9]	0,02	0,09	0,33	1,12	2,79	4,98	9,04	23,09	77,63		
Учет затухания звука в атмосфере Aatm, дБ		ф-ла (8) [10]	0	0,2	0,7	2,3	5,6	10	18,1	46,3	155,8		
Снижение уровня звукового давления из-за влияния застройки между источником шума и расчетной точкой													
Снижение уровня звукового давления на пути над экраном, Dz1, дБ	z = 0.79м (разность путей)	ф-лы (14-18) [10]	4,8	4,8	4,9	5,1	5,4	6	6,9	8,4	10,3		
Снижение уровня звукового давления на пути слева от экрана, Dz2, дБ	z = 70.95м (разность путей)	ф-лы (14-18) [10]	24,5	28,1	32,3	36,8	40,6	43,9	47	50	53		
Снижение уровня звукового давления на пути справа от экрана, Dz3, дБ	z = 170.99м (разность путей)	ф-лы (14-18) [10]	32,2	35,7	38,7	41,8	44,8	47,8	50,8	53,8	56,8		

1		2	3	4	5	6	7	8	9	10	11	12	13
Общее снижение уровня звука препятствием Dz, дБ		Эн.сумма(-Dzi)	4,7	4,8	4,9	5,1	5,4	6	6,9	8,4	10,3		
Уровни звукового давления от источника ИШ-1-6 в расчётной точке днём, дБ		**ф-ла(3)[10]**	**0**	**12,3**	**13,1**	**12,6**	**9,2**	**3,9**	**0**	**0**	**0**	**9,8**	**9,8**
Уровни звукового давления от источника ИШ-1-6 в расчётной точке ночью, дБ		**ф-ла(3)[10]**	**0**	**12,3**	**13,1**	**12,6**	**9,2**	**3,9**	**0**	**0**	**0**	**9,8**	**9,8**
Источник шума: ИШ-1-7, координаты источника (x,y,z), м =[451.87,146.66,1.00]													
Уровни звуковой мощности источника днём, Lw, дБ		**исходные данные**	**0**	**93,3**	**94,7**	**96**	**96,3**	**95,9**	**92,6**	**88,4**	**83,9**		
Уровни звуковой мощности источника ночью, Lw, дБ		**исходные данные**	**0**	**93,3**	**94,7**	**96**	**96,3**	**95,9**	**92,6**	**88,4**	**83,9**		
Поправка на телесный угол DΩ, дБ	Ω = 6.28	10Lg(4π/Ω)	**3**	3	3	3	3	3	3	3	3		
Показатель направленности источника Di, дБ		исходные данные	**0**	0	0	0	0	0	0	0	0		
Поправка на направленность источника Dc, дБ	Dc	DΩ + Di	**3**	3	3	3	3	3	3	3	3		
Затухание из-за геометрической дивергенции, Adiv, дБ	расстояние = 1875.60 м	ф-ла (7) [10]	**76,5**										
Коэффициент затухания звука в атмосфере α, дБ/км	Ta=20,°C Pa=101.33,кПа hотн.=70%	ф-ла (5) [9]	0,02	0,09	0,33	1,12	2,79	4,98	9,04	23,09	77,63		
Учет затухания звука в атмосфере Aatm, дБ		ф-ла (8) [10]	0	0,2	0,6	2,1	5,2	9,3	17	43,3	145,6		
Снижение уровня звукового давления из-за влияния застройки между источником шума и расчетной точкой													
Снижение уровня звукового давления на пути над экраном, Dz1, дБ	z = 0.67м (разность путей)	ф-лы (14-18) [10]	4,8	4,8	4,8	4,9	5	5,3	5,9	6,8	8,2		
Снижение уровня звукового давления на пути слева от экрана, Dz2, дБ	z = 0.11м (разность путей)	ф-лы (14-18) [10]	5,3	5,8	6,7	8	9,9	12,1	14,7	17,5	20,4		
Снижение уровня звукового давления на пути справа от экрана, Dz3, дБ	z = 131.61м (разность путей)	ф-лы (14-18) [10]	27,2	30,9	35,3	39,7	43,4	46,6	49,7	52,7	55,7		

1		2	3	4	5	6	7	8	9	10	11	12	13
Общее снижение уровня звука препятствием Dz, дБ		Эн.сумма(-Dzi)	2	2,3	2,6	3,1	3,8	4,5	5,4	6,5	8		
Уровни звукового давления прямого звука от источника ИШ-1-7 в расчётной точке днём, дБ		**ф-ла(3)[10]**	**0**	**17,4**	**18**	**17,3**	**13,8**	**8,6**	**0**	**0**	**0**	**14,4**	**14,4**
Уровни звукового давления прямого звука от источника ИШ-1-7 в расчётной точке ночью, дБ		**ф-ла(3)[10]**	**0**	**17,4**	**18**	**17,3**	**13,8**	**8,6**	**0**	**0**	**0**	**14,4**	**14,4**
Расчёт отражённого звука													
Уровни звукового давления от мнимого источника ИШ-1-7_мн.(1) в расчётной точке днём, дБ		**ф-ла(3)[10]**	**0**	**0**	**0**	**0**	**0**	**0**	**0**	**0**	**0**	**0**	**0**
Уровни звукового давления от мнимого источника ИШ-1-7_мн.(1) в расчётной точке ночью, дБ		**ф-ла(3)[10]**	**0**	**0**	**0**	**0**	**0**	**0**	**0**	**0**	**0**	**0**	**0**
Уровни звукового давления от источника ИШ-1-7 в расчётной точке днём, дБ		**ф-ла(3)[10]**	**0**	**17,4**	**18**	**17,3**	**13,8**	**8,6**	**0**	**0**	**0**	**14,4**	**14,4**
Уровни звукового давления от источника ИШ-1-7 в расчётной точке ночью, дБ		**ф-ла(3)[10]**	**0**	**17,4**	**18**	**17,3**	**13,8**	**8,6**	**0**	**0**	**0**	**14,4**	**14,4**
Источник шума: ИШ-1-8, координаты источника (x,y,z), м =[454.99,145.29,1.00]													
Уровни звуковой мощности источника днём, Lw, дБ		**исходные данные**	**0**	**93,3**	**94,7**	**96**	**96,3**	**95,9**	**92,6**	**88,4**	**83,9**		
Уровни звуковой мощности источника ночью, Lw, дБ		**исходные данные**	**0**	**93,3**	**94,7**	**96**	**96,3**	**95,9**	**92,6**	**88,4**	**83,9**		
Поправка на телесный угол DΩ, дБ	Ω = 6.28	10Lg(4π/Ω)	**3**	3	3	3	3	3	3	3	3		
Показатель направленности источника Di, дБ		исходные данные	**0**	0	0	0	0	0	0	0	0		
Поправка на направленность источника Dc, дБ	Dc	DΩ + Di	**3**	3	3	3	3	3	3	3	3		
Затухание из-за геометрической дивергенции, Adiv, дБ	расстояние = 1873.55 м	ф-ла (7) [10]	**76,5**										
Коэффициент затухания звука в атмосфере α, дБ/км	Ta=20,°C Pa=101.33,кПа hотн.=70%	ф-ла (5) [9]	0,02	0,09	0,33	1,12	2,79	4,98	9,04	23,09	77,63		

1		2	3	4	5	6	7	8	9	10	11	12	13
Учет затухания звука в атмосфере Aatm, дБ		ф-ла (8) [10]	0	0,2	0,6	2,1	5,2	9,3	16,9	43,3	145,4		
Снижение уровня звукового давления из-за влияния застройки между источником шума и расчетной точкой													
Снижение уровня звукового давления на пути над экраном, Dz1, дБ	z = 0.73м (разность путей)	ф-лы (14-18) [10]	4,8	4,8	4,8	5	5,3	5,8	6,6	7,9	9,8		
Снижение уровня звукового давления на пути слева от экрана, Dz2, дБ	z = 0.34м (разность путей)	ф-лы (14-18) [10]	6,3	7,4	9	11,1	13,6	16,3	19,1	22,1	25		
Снижение уровня звукового давления на пути справа от экрана, Dz3, дБ	z = 131.89м (разность путей)	ф-лы (14-18) [10]	27,2	30,9	35,3	39,7	43,4	46,6	49,7	52,7	55,7		
Общее снижение уровня звука препятствием Dz, дБ		Эн.сумма(-Dzi)	2,4	2,9	3,4	4	4,7	5,4	6,4	7,8	9,6		
Уровни звукового давления прямого звука от источника ИШ-1-8 в расчётной точке днём, дБ		**ф-ла(3)[10]**	**0**	**16,8**	**17,2**	**16,4**	**12,9**	**7,7**	**0**	**0**	**0**	**13,6**	**13,6**
Уровни звукового давления прямого звука от источника ИШ-1-8 в расчётной точке ночью, дБ		**ф-ла(3)[10]**	**0**	**16,8**	**17,2**	**16,4**	**12,9**	**7,7**	**0**	**0**	**0**	**13,6**	**13,6**
Расчёт отражённого звука													
Уровни звукового давления от мнимого источника ИШ-1-8_мн.(1) в расчётной точке днём, дБ		**ф-ла(3)[10]**	**0**	**0**	**0**	**0**	**0**	**0**	**0**	**0**	**0**	**0**	**0**
Уровни звукового давления от мнимого источника ИШ-1-8_мн.(1) в расчётной точке ночью, дБ		**ф-ла(3)[10]**	**0**	**0**	**0**	**0**	**0**	**0**	**0**	**0**	**0**	**0**	**0**
Уровни звукового давления от источника ИШ-1-8 в расчётной точке днём, дБ		**ф-ла(3)[10]**	**0**	**16,8**	**17,2**	**16,4**	**12,9**	**7,7**	**0**	**0**	**0**	**13,6**	**13,6**
Уровни звукового давления от источника ИШ-1-8 в расчётной точке ночью, дБ		**ф-ла(3)[10]**	**0**	**16,8**	**17,2**	**16,4**	**12,9**	**7,7**	**0**	**0**	**0**	**13,6**	**13,6**
Источник шума: ИШ-1-9, координаты источника (x,y,z), м =[458.12,144.31,1.00]													
Уровни звуковой мощности источника днём, Lw, дБ		**исходные данные**	**0**	**93,3**	**94,7**	**96**	**96,3**	**95,9**	**92,6**	**88,4**	**83,9**		
Уровни звуковой мощности источника ночью, Lw, дБ		**исходные данные**	**0**	**93,3**	**94,7**	**96**	**96,3**	**95,9**	**92,6**	**88,4**	**83,9**		
Поправка на телесный угол DΩ, дБ	Ω = 6.28	10Lg(4π/Ω)	**3**	3	3	3	3	3	3	3	3		

1		2	3	4	5	6	7	8	9	10	11	12	13
Показатель направленности источника Di, дБ		исходные данные	**0**	0	0	0	0	0	0	0	0		
Поправка на направленность источника Dc, дБ	Dc	DΩ + Di	**3**	3	3	3	3	3	3	3	3		
Затухание из-за геометрической дивергенции, Adiv, дБ	расстояние = 1871.31 м	ф-ла (7) [10]	**76,4**										
Коэффициент затухания звука в атмосфере α, дБ/км	Ta=20,°C Pa=101.33,кПа hотн.=70%	ф-ла (5) [9]	0,02	0,09	0,33	1,12	2,79	4,98	9,04	23,09	77,63		
Учет затухания звука в атмосфере Aatm, дБ		ф-ла (8) [10]	0	0,2	0,6	2,1	5,2	9,3	16,9	43,2	145,3		
Снижение уровня звукового давления из-за влияния застройки между источником шума и расчетной точкой													
Снижение уровня звукового давления на пути над экраном, Dz1, дБ	z = 0.80м (разность путей)	ф-лы (14-18) [10]	4,8	4,8	4,9	5,2	5,6	6,4	7,7	9,4	11,6		
Снижение уровня звукового давления на пути слева от экрана, Dz2, дБ	z = 0.64м (разность путей)	ф-лы (14-18) [10]	7,3	8,9	10,9	13,4	16,1	18,9	21,9	24,8	27,8		
Снижение уровня звукового давления на пути справа от экрана, Dz3, дБ	z = 132.85м (разность путей)	ф-лы (14-18) [10]	27,2	30,9	35,3	39,7	43,4	46,6	49,7	52,7	55,7		
Общее снижение уровня звука препятствием Dz, дБ		Эн.сумма(-Dzi)	2,8	3,4	3,9	4,6	5,3	6,2	7,5	9,3	11,5		
Уровни звукового давления прямого звука от источника ИШ-1-9 в расчётной точке днём, дБ		**ф-ла(3)[10]**	**0**	**16,3**	**16,7**	**15,9**	**12,4**	**6,9**	**0**	**0**	**0**	**13**	**13**
Уровни звукового давления прямого звука от источника ИШ-1-9 в расчётной точке ночью, дБ		**ф-ла(3)[10]**	**0**	**16,3**	**16,7**	**15,9**	**12,4**	**6,9**	**0**	**0**	**0**	**13**	**13**
Расчёт отражённого звука													
Уровни звукового давления от мнимого источника ИШ-1-9_мн.(1) в расчётной точке днём, дБ		**ф-ла(3)[10]**	**0**	**0**	**0**	**0**	**0**	**0**	**0**	**0**	**0**	**0**	**0**
Уровни звукового давления от мнимого источника ИШ-1-9_мн.(1) в расчётной точке ночью, дБ		**ф-ла(3)[10]**	**0**	**0**	**0**	**0**	**0**	**0**	**0**	**0**	**0**	**0**	**0**
Уровни звукового давления от источника ИШ-1-9 в расчётной точке днём, дБ		**ф-ла(3)[10]**	**0**	**16,3**	**16,7**	**15,9**	**12,4**	**6,9**	**0**	**0**	**0**	**13**	**13**
Уровни звукового давления от источника ИШ-1-9 в расчётной точке ночью, дБ		**ф-ла(3)[10]**	**0**	**16,3**	**16,7**	**15,9**	**12,4**	**6,9**	**0**	**0**	**0**	**13**	**13**

1		2	3	4	5	6	7	8	9	10	11	12	13
Источник шума: ИШ-1-10, координаты источника (x,y,z), м =[461.05,143.53,1.00]													
Уровни звуковой мощности источника днём, Lw, дБ		**исходные данные**	**0**	**93,3**	**94,7**	**96**	**96,3**	**95,9**	**92,6**	**88,4**	**83,9**		
Уровни звуковой мощности источника ночью, Lw, дБ		**исходные данные**	**0**	**93,3**	**94,7**	**96**	**96,3**	**95,9**	**92,6**	**88,4**	**83,9**		
Поправка на телесный угол DΩ, дБ	Ω = 6.28	10Lg(4π/Ω)	**3**	3	3	3	3	3	3	3	3		
Показатель направленности источника Di, дБ		исходные данные	**0**	0	0	0	0	0	0	0	0		
Поправка на направленность источника Dc, дБ	Dc	DΩ + Di	**3**	3	3	3	3	3	3	3	3		
Затухание из-за геометрической дивергенции, Adiv, дБ	расстояние = 1869.14 м	ф-ла (7) [10]	**76,4**										
Коэффициент затухания звука в атмосфере α, дБ/км	Ta=20,°C Pa=101.33,кПа hотн.=70%	ф-ла (5) [9]	0,02	0,09	0,33	1,12	2,79	4,98	9,04	23,09	77,63		
Учет затухания звука в атмосфере Aatm, дБ		ф-ла (8) [10]	0	0,2	0,6	2,1	5,2	9,3	16,9	43,2	145,1		
Снижение уровня звукового давления из-за влияния застройки между источником шума и расчетной точкой													
Снижение уровня звукового давления на пути над экраном, Dz1, дБ	z = 0.87м (разность путей)	ф-лы (14-18) [10]	4,8	4,9	5	5,5	6,2	7,3	8,9	11	13,5		
Снижение уровня звукового давления на пути слева от экрана, Dz2, дБ	z = 1.01м (разность путей)	ф-лы (14-18) [10]	8,3	10,2	12,5	15,1	17,9	20,8	23,8	26,8	29,8		
Снижение уровня звукового давления на пути справа от экрана, Dz3, дБ	z = 134.04м (разность путей)	ф-лы (14-18) [10]	27,3	31	35,3	39,8	43,5	46,7	49,7	52,8	55,8		
Общее снижение уровня звука препятствием Dz, дБ		Эн.сумма(-Dzi)	3,2	3,7	4,3	5	5,9	7,1	8,8	10,9	13,4		
Уровни звукового давления прямого звука от источника ИШ-1-10 в расчётной точке днём, дБ		**ф-ла(3)[10]**	**0**	**15,9**	**16,3**	**15,4**	**11,7**	**6**	**0**	**0**	**0**	**12,3**	**12,3**
Уровни звукового давления прямого звука от источника ИШ-1-10 в расчётной точке ночью, дБ		**ф-ла(3)[10]**	**0**	**15,9**	**16,3**	**15,4**	**11,7**	**6**	**0**	**0**	**0**	**12,3**	**12,3**

1		2	3	4	5	6	7	8	9	10	11	12	13
Расчёт отражённого звука													
Уровни звукового давления от мнимого источника ИШ-1-10_мн.(1) в расчётной точке днём, дБ		**ф-ла(3)[10]**	**0**	**0**	**0**	**0**	**0**	**0**	**0**	**0**	**0**	**0**	**0**
Уровни звукового давления от мнимого источника ИШ-1-10_мн.(1) в расчётной точке ночью, дБ		**ф-ла(3)[10]**	**0**	**0**	**0**	**0**	**0**	**0**	**0**	**0**	**0**	**0**	**0**
Уровни звукового давления от источника ИШ-1-10 в расчётной точке днём, дБ		**ф-ла(3)[10]**	**0**	**15,9**	**16,3**	**15,4**	**11,7**	**6**	**0**	**0**	**0**	**12,3**	**12,3**
Уровни звукового давления от источника ИШ-1-10 в расчётной точке ночью, дБ		**ф-ла(3)[10]**	**0**	**15,9**	**16,3**	**15,4**	**11,7**	**6**	**0**	**0**	**0**	**12,3**	**12,3**
Источник шума: ИШ-1-11, координаты источника (x,y,z), м =[464.18,142.55,1.00]													
Уровни звуковой мощности источника днём, Lw, дБ		**исходные данные**	**0**	**93,3**	**94,7**	**96**	**96,3**	**95,9**	**92,6**	**88,4**	**83,9**		
Уровни звуковой мощности источника ночью, Lw, дБ		**исходные данные**	**0**	**93,3**	**94,7**	**96**	**96,3**	**95,9**	**92,6**	**88,4**	**83,9**		
Поправка на телесный угол DΩ, дБ	Ω = 6.28	10Lg(4π/Ω)	**3**	3	3	3	3	3	3	3	3		
Показатель направленности источника Di, дБ		исходные данные	**0**	0	0	0	0	0	0	0	0		
Поправка на направленность источника Dc, дБ	Dc	DΩ + Di	**3**	3	3	3	3	3	3	3	3		
Затухание из-за геометрической дивергенции, Adiv, дБ	расстояние = 1866.91 м	ф-ла (7) [10]	**76,4**										
Коэффициент затухания звука в атмосфере α, дБ/км	Ta=20,°C Pa=101.33,кПа hотн.=70%	ф-ла (5) [9]	0,02	0,09	0,33	1,12	2,79	4,98	9,04	23,09	77,63		
Учет затухания звука в атмосфере Aatm, дБ		ф-ла (8) [10]	0	0,2	0,6	2,1	5,2	9,3	16,9	43,1	144,9		
Снижение уровня звукового давления из-за влияния застройки между источником шума и расчетной точкой													
Снижение уровня звукового давления на пути над экраном, Dz1, дБ	z = 0.96м (разность путей)	ф-лы (14-18) [10]	4,8	5	5,3	6	7,1	8,6	10,7	13,1	15,8		

1		2	3	4	5	6	7	8	9	10	11	12	13
Снижение уровня звукового давления на пути слева от экрана, Dz2, дБ	z = 1.53м (разность путей)	ф-лы (14-18) [10]	9,4	11,6	14,1	16,8	19,7	22,6	25,6	28,6	31,6		
Снижение уровня звукового давления на пути справа от экрана, Dz3, дБ	z = 135.20м (разность путей)	ф-лы (14-18) [10]	27,3	31	35,4	39,8	43,5	46,7	49,8	52,8	55,8		
Общее снижение уровня звука препятствием Dz, дБ		Эн.сумма(-Dzi)	3,5	4,1	4,8	5,6	6,9	8,5	10,5	13	15,7		
Уровни звукового давления прямого звука от источника ИШ-1-11 в расчётной точке днём, дБ		**ф-ла(3)[10]**	**0**	**15,6**	**15,9**	**14,8**	**10,8**	**4,7**	**0**	**0**	**0**	**11,4**	**11,4**
Уровни звукового давления прямого звука от источника ИШ-1-11 в расчётной точке ночью, дБ		**ф-ла(3)[10]**	**0**	**15,6**	**15,9**	**14,8**	**10,8**	**4,7**	**0**	**0**	**0**	**11,4**	**11,4**
Расчёт отражённого звука													
Уровни звукового давления от мнимого источника ИШ-1-11_мн.(1) в расчётной точке днём, дБ		**ф-ла(3)[10]**	**0**	**0**	**0**	**0**	**0**	**0**	**0**	**0**	**0**	**0**	**0**
Уровни звукового давления от мнимого источника ИШ-1-11_мн.(1) в расчётной точке ночью, дБ		**ф-ла(3)[10]**	**0**	**0**	**0**	**0**	**0**	**0**	**0**	**0**	**0**	**0**	**0**
Уровни звукового давления от источника ИШ-1-11 в расчётной точке днём, дБ		**ф-ла(3)[10]**	**0**	**15,6**	**15,9**	**14,8**	**10,8**	**4,7**	**0**	**0**	**0**	**11,4**	**11,4**
Уровни звукового давления от источника ИШ-1-11 в расчётной точке ночью, дБ		**ф-ла(3)[10]**	**0**	**15,6**	**15,9**	**14,8**	**10,8**	**4,7**	**0**	**0**	**0**	**11,4**	**11,4**
Источник шума: ИШ-1-12, координаты источника (x,y,z), м =[435.45,97.79,1.00]													
Уровни звуковой мощности источника днём, Lw, дБ		**исходные данные**	**0**	**93,3**	**94,7**	**96**	**96,3**	**95,9**	**92,6**	**88,4**	**83,9**		
Уровни звуковой мощности источника ночью, Lw, дБ		**исходные данные**	**0**	**93,3**	**94,7**	**96**	**96,3**	**95,9**	**92,6**	**88,4**	**83,9**		
Поправка на телесный угол DΩ, дБ	Ω = 6.28	10Lg(4π/Ω)	**3**	3	3	3	3	3	3	3	3		
Показатель направленности источника Di, дБ		исходные данные	**0**	0	0	0	0	0	0	0	0		
Поправка на направленность источника Dc, дБ	Dc	DΩ + Di	**3**	3	3	3	3	3	3	3	3		
Затухание из-за геометрической дивергенции, Adiv, дБ	расстояние = 1914.19 м	ф-ла (7) [10]	**76,6**										

1		2	3	4	5	6	7	8	9	10	11	12	13
Коэффициент затухания звука в атмосфере α, дБ/км	Та=20,°С Ра=101.33,кПа hотн.=70%	ф-ла (5) [9]	0,02	0,09	0,33	1,12	2,79	4,98	9,04	23,09	77,63		
Учет затухания звука в атмосфере Aatm, дБ		ф-ла (8) [10]	0	0,2	0,6	2,2	5,3	9,5	17,3	44,2	148,6		
Снижение уровня звукового давления из-за влияния застройки между источником шума и расчетной точкой													
Снижение уровня звукового давления на пути над экраном, Dz1, дБ	z = 0.66м (разность путей)	ф-лы (14-18) [10]	4,8	4,8	4,8	4,9	5	5,3	5,7	6,5	7,7		
Снижение уровня звукового давления на пути слева от экрана, Dz2, дБ	z = 6.52м (разность путей)	ф-лы (14-18) [10]	14,3	17,1	20	22,9	25,9	28,9	31,9	34,9	37,9		
Снижение уровня звукового давления на пути справа от экрана, Dz3, дБ	z = 52.89м (разность путей)	ф-лы (14-18) [10]	23,3	27	31,3	35,7	39,4	42,6	45,7	48,7	51,7		
Общее снижение уровня звука препятствием Dz, дБ		Эн.сумма(-Dzi)	4,3	4,5	4,7	4,8	5	5,2	5,7	6,4	7,7		
Уровни звукового давления прямого звука от источника ИШ-1-12 в расчётной точке днём, дБ		**ф-ла(3)[10]**	**0**	**15**	**15,7**	**15,4**	**12,3**	**7,5**	**0**	**0**	**0**	**12,9**	**12,9**
Уровни звукового давления прямого звука от источника ИШ-1-12 в расчётной точке ночью, дБ		**ф-ла(3)[10]**	**0**	**15**	**15,7**	**15,4**	**12,3**	**7,5**	**0**	**0**	**0**	**12,9**	**12,9**
Расчёт отражённого звука													
Уровни звукового давления от мнимого источника ИШ-1-12_мн.(1) в расчётной точке днём, дБ		**ф-ла(3)[10]**	**0**	**0**	**0**	**0**	**0**	**0**	**0**	**0**	**0**	**0**	**0**
Уровни звукового давления от мнимого источника ИШ-1-12_мн.(1) в расчётной точке ночью, дБ		**ф-ла(3)[10]**	**0**	**0**	**0**	**0**	**0**	**0**	**0**	**0**	**0**	**0**	**0**
Уровни звукового давления от источника ИШ-1-12 в расчётной точке днём, дБ		**ф-ла(3)[10]**	**0**	**15**	**15,7**	**15,4**	**12,3**	**7,5**	**0**	**0**	**0**	**12,9**	**12,9**
Уровни звукового давления от источника ИШ-1-12 в расчётной точке ночью, дБ		**ф-ла(3)[10]**	**0**	**15**	**15,7**	**15,4**	**12,3**	**7,5**	**0**	**0**	**0**	**12,9**	**12,9**
Источник шума: ИШ-1-13, координаты источника (x,y,z), м =[438.77,96.82,1.00]													
Уровни звуковой мощности источника днём, Lw, дБ		**исходные данные**	**0**	**93,3**	**94,7**	**96**	**96,3**	**95,9**	**92,6**	**88,4**	**83,9**		

1		2	3	4	5	6	7	8	9	10	11	12	13
Уровни звуковой мощности источника ночью, Lw, дБ		**исходные данные**	**0**	**93,3**	**94,7**	**96**	**96,3**	**95,9**	**92,6**	**88,4**	**83,9**		
Поправка на телесный угол DΩ, дБ	Ω = 6.28	10Lg(4π/Ω)	**3**	3	3	3	3	3	3	3	3		
Показатель направленности источника Di, дБ		исходные данные	**0**	0	0	0	0	0	0	0	0		
Поправка на направленность источника Dc, дБ	Dc	DΩ + Di	**3**	3	3	3	3	3	3	3	3		
Затухание из-за геометрической дивергенции, Adiv, дБ	расстояние = 1911.82 м	ф-ла (7) [10]	**76,6**										
Коэффициент затухания звука в атмосфере α, дБ/км	Ta=20,°C Pa=101.33,кПа hотн.=70%	ф-ла (5) [9]	0,02	0,09	0,33	1,12	2,79	4,98	9,04	23,09	77,63		
Учет затухания звука в атмосфере Aatm, дБ		ф-ла (8) [10]	0	0,2	0,6	2,1	5,3	9,5	17,3	44,1	148,4		
Снижение уровня звукового давления из-за влияния застройки между источником шума и расчетной точкой													
Снижение уровня звукового давления на пути над экраном, Dz1, дБ	z = 0.72м (разность путей)	ф-лы (14-18) [10]	4,8	4,8	4,9	5	5,2	5,6	6,3	7,5	9,1		
Снижение уровня звукового давления на пути слева от экрана, Dz2, дБ	z = 7.53м (разность путей)	ф-лы (14-18) [10]	14,9	17,7	20,6	23,5	26,5	29,5	32,5	35,5	38,5		
Снижение уровня звукового давления на пути справа от экрана, Dz3, дБ	z = 52.56м (разность путей)	ф-лы (14-18) [10]	23,3	26,9	31,3	35,7	39,4	42,6	45,7	48,7	51,7		
Общее снижение уровня звука препятствием Dz, дБ		Эн.сумма(-Dzi)	4,3	4,6	4,7	4,9	5,2	5,6	6,3	7,5	9,1		
Уровни звукового давления прямого звука от источника ИШ-1-13 в расчётной точке днём, дБ		**ф-ла(3)[10]**	**0**	**14,9**	**15,7**	**15,3**	**12,2**	**7,2**	**0**	**0**	**0**	**12,7**	**12,7**
Уровни звукового давления прямого звука от источника ИШ-1-13 в расчётной точке ночью, дБ		**ф-ла(3)[10]**	**0**	**14,9**	**15,7**	**15,3**	**12,2**	**7,2**	**0**	**0**	**0**	**12,7**	**12,7**
Расчёт отражённого звука													
Уровни звукового давления от мнимого источника ИШ-1-13_мн.(1) в расчётной точке днём, дБ		**ф-ла(3)[10]**	**0**	**0**	**0**	**0**	**0**	**0**	**0**	**0**	**0**	**0**	**0**
Уровни звукового давления от мнимого источника ИШ-1-13_мн.(1) в расчётной точке ночью, дБ		**ф-ла(3)[10]**	**0**	**0**	**0**	**0**	**0**	**0**	**0**	**0**	**0**	**0**	**0**

1		2	3	4	5	6	7	8	9	10	11	12	13
Уровни звукового давления от источника ИШ-1-13 в расчётной точке днём, дБ		**ф-ла(3)[10]**	**0**	**14,9**	**15,7**	**15,3**	**12,2**	**7,2**	**0**	**0**	**0**	**12,7**	**12,7**
Уровни звукового давления от источника ИШ-1-13 в расчётной точке ночью, дБ		**ф-ла(3)[10]**	**0**	**14,9**	**15,7**	**15,3**	**12,2**	**7,2**	**0**	**0**	**0**	**12,7**	**12,7**
Источник шума: ИШ-1-14, координаты источника (x,y,z), м =[441.70,96.03,1.00]													
Уровни звуковой мощности источника днём, Lw, дБ		**исходные данные**	**0**	**93,3**	**94,7**	**96**	**96,3**	**95,9**	**92,6**	**88,4**	**83,9**		
Уровни звуковой мощности источника ночью, Lw, дБ		**исходные данные**	**0**	**93,3**	**94,7**	**96**	**96,3**	**95,9**	**92,6**	**88,4**	**83,9**		
Поправка на телесный угол DΩ, дБ	Ω = 6.28	10Lg(4π/Ω)	**3**	3	3	3	3	3	3	3	3		
Показатель направленности источника Di, дБ		исходные данные	**0**	0	0	0	0	0	0	0	0		
Поправка на направленность источника Dc, дБ	Dc	DΩ + Di	**3**	3	3	3	3	3	3	3	3		
Затухание из-за геометрической дивергенции, Adiv, дБ	расстояние = 1909.69 м	ф-ла (7) [10]	**76,6**										
Коэффициент затухания звука в атмосфере α, дБ/км	Ta=20,°C Pa=101.33,кПа hотн.=70%	ф-ла (5) [9]	0,02	0,09	0,33	1,12	2,79	4,98	9,04	23,09	77,63		
Учет затухания звука в атмосфере Aatm, дБ		ф-ла (8) [10]	0	0,2	0,6	2,1	5,3	9,5	17,3	44,1	148,3		
Снижение уровня звукового давления из-за влияния застройки между источником шума и расчетной точкой													
Снижение уровня звукового давления на пути над экраном, Dz1, дБ	z = 0.78м (разность путей)	ф-лы (14-18) [10]	4,8	4,8	4,9	5,1	5,5	6,1	7,2	8,7	10,7		
Снижение уровня звукового давления на пути слева от экрана, Dz2, дБ	z = 8.46м (разность путей)	ф-лы (14-18) [10]	15,4	18,2	21,1	24	27	30	33	36	39		
Снижение уровня звукового давления на пути справа от экрана, Dz3, дБ	z = 52.46м (разность путей)	ф-лы (14-18) [10]	23,2	26,9	31,3	35,7	39,4	42,6	45,7	48,7	51,7		
Общее снижение уровня звука препятствием Dz, дБ		Эн.сумма(-Dzi)	4,4	4,6	4,8	5,1	5,5	6,1	7,2	8,7	10,7		

1		2	3	4	5	6	7	8	9	10	11	12	13
Уровни звукового давления прямого звука от источника ИШ-1-14 в расчётной точке днём, дБ		**ф-ла(3)[10]**	**0**	**14,9**	**15,6**	**15,2**	**11,9**	**6,7**	**0**	**0**	**0**	**12,4**	**12,4**
Уровни звукового давления прямого звука от источника ИШ-1-14 в расчётной точке ночью, дБ		**ф-ла(3)[10]**	**0**	**14,9**	**15,6**	**15,2**	**11,9**	**6,7**	**0**	**0**	**0**	**12,4**	**12,4**
Расчёт отражённого звука													
Уровни звукового давления от мнимого источника ИШ-1-14_мн.(1) в расчётной точке днём, дБ		**ф-ла(3)[10]**	**0**	**0**	**0**	**0**	**0**	**0**	**0**	**0**	**0**	**0**	**0**
Уровни звукового давления от мнимого источника ИШ-1-14_мн.(1) в расчётной точке ночью, дБ		**ф-ла(3)[10]**	**0**	**0**	**0**	**0**	**0**	**0**	**0**	**0**	**0**	**0**	**0**
Уровни звукового давления от источника ИШ-1-14 в расчётной точке днём, дБ		**ф-ла(3)[10]**	**0**	**14,9**	**15,6**	**15,2**	**11,9**	**6,7**	**0**	**0**	**0**	**12,4**	**12,4**
Уровни звукового давления от источника ИШ-1-14 в расчётной точке ночью, дБ		**ф-ла(3)[10]**	**0**	**14,9**	**15,6**	**15,2**	**11,9**	**6,7**	**0**	**0**	**0**	**12,4**	**12,4**
Источник шума: ИШ-1-15, координаты источника (x,y,z), м =[445.03,95.25,1.00]													
Уровни звуковой мощности источника днём, Lw, дБ		**исходные данные**	**0**	**93,3**	**94,7**	**96**	**96,3**	**95,9**	**92,6**	**88,4**	**83,9**		
Уровни звуковой мощности источника ночью, Lw, дБ		**исходные данные**	**0**	**93,3**	**94,7**	**96**	**96,3**	**95,9**	**92,6**	**88,4**	**83,9**		
Поправка на телесный угол DΩ, дБ	Ω = 6.28	10Lg(4π/Ω)	**3**	3	3	3	3	3	3	3	3		
Показатель направленности источника Di, дБ		исходные данные	**0**	0	0	0	0	0	0	0	0		
Поправка на направленность источника Dc, дБ	Dc	DΩ + Di	**3**	3	3	3	3	3	3	3	3		
Затухание из-за геометрической дивергенции, Adiv, дБ	расстояние = 1907.23 м	ф-ла (7) [10]	**76,6**										
Коэффициент затухания звука в атмосфере α, дБ/км	Ta=20,°C Pa=101.33,кПа hотн.=70%	ф-ла (5) [9]	0,02	0,09	0,33	1,12	2,79	4,98	9,04	23,09	77,63		
Учет затухания звука в атмосфере Aatm, дБ		ф-ла (8) [10]	0	0,2	0,6	2,1	5,3	9,5	17,2	44	148,1		

1		2	3	4	5	6	7	8	9	10	11	12	13
Снижение уровня звукового давления из-за влияния застройки между источником шума и расчетной точкой													
Снижение уровня звукового давления на пути над экраном, Dz1, дБ	z = 0.85м (разность путей)	ф-лы (14-18) [10]	4,8	4,9	5	5,4	6	7	8,5	10,5	12,8		
Снижение уровня звукового давления на пути слева от экрана, Dz2, дБ	z = 9.58м (разность путей)	ф-лы (14-18) [10]	15,9	18,7	21,6	24,5	27,5	30,5	33,5	36,5	39,6		
Снижение уровня звукового давления на пути справа от экрана, Dz3, дБ	z = 52.60м (разность путей)	ф-лы (14-18) [10]	23,3	26,9	31,3	35,7	39,4	42,6	45,7	48,7	51,7		
Общее снижение уровня звука препятствием Dz, дБ		Эн.сумма(-Dzi)	4,4	4,7	4,9	5,3	6	7	8,5	10,5	12,8		
Уровни звукового давления прямого звука от источника ИШ-1-15 в расчётной точке днём, дБ		**ф-ла(3)[10]**	**0**	**14,9**	**15,5**	**14,9**	**11,4**	**5,8**	**0**	**0**	**0**	**11,9**	**11,9**
Уровни звукового давления прямого звука от источника ИШ-1-15 в расчётной точке ночью, дБ		**ф-ла(3)[10]**	**0**	**14,9**	**15,5**	**14,9**	**11,4**	**5,8**	**0**	**0**	**0**	**11,9**	**11,9**
Расчёт отражённого звука													
Уровни звукового давления от мнимого источника ИШ-1-15_мн.(1) в расчётной точке днём, дБ		**ф-ла(3)[10]**	**0**	**0**	**0**	**0**	**0**	**0**	**0**	**0**	**0**	**0**	**0**
Уровни звукового давления от мнимого источника ИШ-1-15_мн.(1) в расчётной точке ночью, дБ		**ф-ла(3)[10]**	**0**	**0**	**0**	**0**	**0**	**0**	**0**	**0**	**0**	**0**	**0**
Уровни звукового давления от источника ИШ-1-15 в расчётной точке днём, дБ		**ф-ла(3)[10]**	**0**	**14,9**	**15,5**	**14,9**	**11,4**	**5,8**	**0**	**0**	**0**	**11,9**	**11,9**
Уровни звукового давления от источника ИШ-1-15 в расчётной точке ночью, дБ		**ф-ла(3)[10]**	**0**	**14,9**	**15,5**	**14,9**	**11,4**	**5,8**	**0**	**0**	**0**	**11,9**	**11,9**
Источник шума: ИШ-1-16, координаты источника (x,y,z), м =[447.96,94.28,1.00]													
Уровни звуковой мощности источника днём, Lw, дБ		**исходные данные**	**0**	**93,3**	**94,7**	**96**	**96,3**	**95,9**	**92,6**	**88,4**	**83,9**		
Уровни звуковой мощности источника ночью, Lw, дБ		**исходные данные**	**0**	**93,3**	**94,7**	**96**	**96,3**	**95,9**	**92,6**	**88,4**	**83,9**		
Поправка на телесный угол DΩ, дБ	Ω = 6.28	10Lg(4π/Ω)	**3**	3	3	3	3	3	3	3	3		
Показатель направленности источника Di, дБ		исходные данные	**0**	0	0	0	0	0	0	0	0		

1		2	3	4	5	6	7	8	9	10	11	12	13
Поправка на направленность источника Dc, дБ	Dc	DΩ + Di	**3**	3	3	3	3	3	3	3	3		
Затухание из-за геометрической дивергенции, Adiv, дБ	расстояние = 1905.20 м	ф-ла (7) [10]	**76,6**										
Коэффициент затухания звука в атмосфере α, дБ/км	Ta=20,°C Pa=101.33,кПа hотн.=70%	ф-ла (5) [9]	0,02	0,09	0,33	1,12	2,79	4,98	9,04	23,09	77,63		
Учет затухания звука в атмосфере Aatm, дБ		ф-ла (8) [10]	0	0,2	0,6	2,1	5,3	9,5	17,2	44	147,9		
Снижение уровня звукового давления из-за влияния застройки между источником шума и расчетной точкой													
Снижение уровня звукового давления на пути над экраном, Dz1, дБ	z = 0.94м (разность путей)	ф-лы (14-18) [10]	4,8	4,9	5,2	5,8	6,8	8,2	10,1	12,4	15		
Снижение уровня звукового давления на пути слева от экрана, Dz2, дБ	z = 10.73м (разность путей)	ф-лы (14-18) [10]	16,3	19,2	22,1	25	28	31	34	37	40		
Снижение уровня звукового давления на пути справа от экрана, Dz3, дБ	z = 52.45м (разность путей)	ф-лы (14-18) [10]	23,2	26,9	31,3	35,7	39,4	42,6	45,7	48,7	51,7		
Общее снижение уровня звука препятствием Dz, дБ		Эн.сумма(-Dzi)	4,5	4,7	5,1	5,7	6,7	8,1	10	12,4	15		
Уровни звукового давления прямого звука от источника ИШ-1-16 в расчётной точке днём, дБ		**ф-ла(3)[10]**	**0**	**14,8**	**15,3**	**14,5**	**10,7**	**4,7**	**0**	**0**	**0**	**11,2**	**11,2**
Уровни звукового давления прямого звука от источника ИШ-1-16 в расчётной точке ночью, дБ		**ф-ла(3)[10]**	**0**	**14,8**	**15,3**	**14,5**	**10,7**	**4,7**	**0**	**0**	**0**	**11,2**	**11,2**
Расчёт отражённого звука													
Уровни звукового давления от мнимого источника ИШ-1-16_мн.(1) в расчётной точке днём, дБ		**ф-ла(3)[10]**	**0**	**0**	**0**	**0**	**0**	**0**	**0**	**0**	**0**	**0**	**0**
Уровни звукового давления от мнимого источника ИШ-1-16_мн.(1) в расчётной точке ночью, дБ		**ф-ла(3)[10]**	**0**	**0**	**0**	**0**	**0**	**0**	**0**	**0**	**0**	**0**	**0**
Уровни звукового давления от источника ИШ-1-16 в расчётной точке днём, дБ		**ф-ла(3)[10]**	**0**	**14,8**	**15,3**	**14,5**	**10,7**	**4,7**	**0**	**0**	**0**	**11,2**	**11,2**
Уровни звукового давления от источника ИШ-1-16 в расчётной точке ночью, дБ		**ф-ла(3)[10]**	**0**	**14,8**	**15,3**	**14,5**	**10,7**	**4,7**	**0**	**0**	**0**	**11,2**	**11,2**

1		2	3	4	5	6	7	8	9	10	11	12	13
Источник шума: ИШ-1-17, координаты источника (x,y,z), м =[540.99,141.77,1.00]													
Уровни звуковой мощности источника днём, Lw, дБ		**исходные данные**	**0**	**93,3**	**94,7**	**96**	**96,3**	**95,9**	**92,6**	**88,4**	**83,9**		
Уровни звуковой мощности источника ночью, Lw, дБ		**исходные данные**	**0**	**93,3**	**94,7**	**96**	**96,3**	**95,9**	**92,6**	**88,4**	**83,9**		
Поправка на телесный угол DΩ, дБ	Ω = 6.28	10Lg(4π/Ω)	**3**	3	3	3	3	3	3	3	3		
Показатель направленности источника Di, дБ		исходные данные	**0**	0	0	0	0	0	0	0	0		
Поправка на направленность источника Dc, дБ	Dc	DΩ + Di	**3**	3	3	3	3	3	3	3	3		
Затухание из-за геометрической дивергенции, Adiv, дБ	расстояние = 1800.97 м	ф-ла (7) [10]	**76,1**										
Коэффициент затухания звука в атмосфере α, дБ/км	Ta=20,°C Pa=101.33,кПа hотн.=70%	ф-ла (5) [9]	0,02	0,09	0,33	1,12	2,79	4,98	9,04	23,09	77,63		
Учет затухания звука в атмосфере Aatm, дБ		ф-ла (8) [10]	0	0,2	0,6	2	5	9	16,3	41,6	139,8		
Снижение поверхностью земли возле источника As, дБ	Gs = 0 hs = 1м	ф-лы таб.3 [10]	-1,5	-1,5	-1,5	-1,5	-1,5	-1,5	-1,5	-1,5	-1,5		
Снижение поверхностью земли возле приёмника Ar, дБ	Gr = 1 hr = 1.5м	ф-лы таб.3 [10]	-1,5	-1,5	5,3	7	5	0,7	0	0	0		
Снижение поверхностью земли в средней зоне, Am дБ	Gm = 1	ф-лы таб.3 [10]	-2,9	-2,9	0	0	0	0	0	0	0		
Суммарное снижение поверхностью земли на траектории распространения звука Agr, дБ		ф-ла (9) [10]	-5,9	-5,9	3,8	5,5	3,5	-0,8	-1,5	-1,5	-1,5		
Уровни звукового давления прямого звука от источника ИШ-1-17 в расчётной точке днём, дБ		**ф-ла(3)[10]**	**0**	**25,9**	**17,1**	**15,3**	**14,7**	**14,7**	**4,7**	**0**	**0**	**17,3**	**17,3**
Уровни звукового давления прямого звука от источника ИШ-1-17 в расчётной точке ночью, дБ		**ф-ла(3)[10]**	**0**	**25,9**	**17,1**	**15,3**	**14,7**	**14,7**	**4,7**	**0**	**0**	**17,3**	**17,3**
Расчёт отражённого звука													

1		2	3	4	5	6	7	8	9	10	11	12	13
Уровни звукового давления от мнимого источника ИШ-1-17_мн.(1) в расчётной точке днём, дБ		**ф-ла(3)[10]**	**0**	**0**	**0**	**0**	**0**	**0**	**0**	**0**	**0**	**0**	**0**
Уровни звукового давления от мнимого источника ИШ-1-17_мн.(1) в расчётной точке ночью, дБ		**ф-ла(3)[10]**	**0**	**0**	**0**	**0**	**0**	**0**	**0**	**0**	**0**	**0**	**0**
Уровни звукового давления от источника ИШ-1-17 в расчётной точке днём, дБ		**ф-ла(3)[10]**	**0**	**25,9**	**17,1**	**15,3**	**14,7**	**14,7**	**4,7**	**0**	**0**	**17,3**	**17,3**
Уровни звукового давления от источника ИШ-1-17 в расчётной точке ночью, дБ		**ф-ла(3)[10]**	**0**	**25,9**	**17,1**	**15,3**	**14,7**	**14,7**	**4,7**	**0**	**0**	**17,3**	**17,3**
Источник шума: ИШ-1-18, координаты источника (x,y,z), м =[543.53,140.79,1.00]													
Уровни звуковой мощности источника днём, Lw, дБ		**исходные данные**	**0**	**93,3**	**94,7**	**96**	**96,3**	**95,9**	**92,6**	**88,4**	**83,9**		
Уровни звуковой мощности источника ночью, Lw, дБ		**исходные данные**	**0**	**93,3**	**94,7**	**96**	**96,3**	**95,9**	**92,6**	**88,4**	**83,9**		
Поправка на телесный угол DΩ, дБ	Ω = 6.28	10Lg(4π/Ω)	**3**	3	3	3	3	3	3	3	3		
Показатель направленности источника Di, дБ		исходные данные	**0**	0	0	0	0	0	0	0	0		
Поправка на направленность источника Dc, дБ	Dc	DΩ + Di	**3**	3	3	3	3	3	3	3	3		
Затухание из-за геометрической дивергенции, Adiv, дБ	расстояние = 1799.29 м	ф-ла (7) [10]	**76,1**										
Коэффициент затухания звука в атмосфере α, дБ/км	Ta=20,°C Pa=101.33,кПа hотн.=70%	ф-ла (5) [9]	0,02	0,09	0,33	1,12	2,79	4,98	9,04	23,09	77,63		
Учет затухания звука в атмосфере Aatm, дБ		ф-ла (8) [10]	0	0,2	0,6	2	5	9	16,3	41,5	139,7		
Снижение поверхностью земли возле источника As, дБ	Gs = 0 hs = 1м	ф-лы таб.3 [10]	-1,5	-1,5	-1,5	-1,5	-1,5	-1,5	-1,5	-1,5	-1,5		
Снижение поверхностью земли возле приёмника Ar, дБ	Gr = 1 hr = 1.5м	ф-лы таб.3 [10]	-1,5	-1,5	5,3	7	5	0,7	0	0	0		
Снижение поверхностью земли в средней зоне, Am дБ	Gm = 1	ф-лы таб.3 [10]	-2,9	-2,9	0	0	0	0	0	0	0		

1		2	3	4	5	6	7	8	9	10	11	12	13
Суммарное снижение поверхностью земли на траектории распространения звука Agr, дБ		ф-ла (9) [10]	-5,9	-5,9	3,8	5,5	3,5	-0,8	-1,5	-1,5	-1,5		
Уровни звукового давления от источника ИШ-1-18 в расчётной точке днём, дБ		**ф-ла(3)[10]**	**0**	**25,9**	**17,1**	**15,3**	**14,7**	**14,7**	**4,7**	**0**	**0**	**17,3**	**17,3**
Уровни звукового давления от источника ИШ-1-18 в расчётной точке ночью, дБ		**ф-ла(3)[10]**	**0**	**25,9**	**17,1**	**15,3**	**14,7**	**14,7**	**4,7**	**0**	**0**	**17,3**	**17,3**
Источник шума: ИШ-1-19, координаты источника (x,y,z), м =[547.25,139.62,1.00]													
Уровни звуковой мощности источника днём, Lw, дБ		**исходные данные**	**0**	**93,3**	**94,7**	**96**	**96,3**	**95,9**	**92,6**	**88,4**	**83,9**		
Уровни звуковой мощности источника ночью, Lw, дБ		**исходные данные**	**0**	**93,3**	**94,7**	**96**	**96,3**	**95,9**	**92,6**	**88,4**	**83,9**		
Поправка на телесный угол DΩ, дБ	Ω = 6.28	10Lg(4π/Ω)	**3**	3	3	3	3	3	3	3	3		
Показатель направленности источника Di, дБ		исходные данные	**0**	0	0	0	0	0	0	0	0		
Поправка на направленность источника Dc, дБ	Dc	DΩ + Di	**3**	3	3	3	3	3	3	3	3		
Затухание из-за геометрической дивергенции, Adiv, дБ	расстояние = 1796.71 м	ф-ла (7) [10]	**76,1**										
Коэффициент затухания звука в атмосфере α, дБ/км	Ta=20,°C Pa=101.33,кПа hотн.=70%	ф-ла (5) [9]	0,02	0,09	0,33	1,12	2,79	4,98	9,04	23,09	77,63		
Учет затухания звука в атмосфере Aatm, дБ		ф-ла (8) [10]	0	0,2	0,6	2	5	8,9	16,2	41,5	139,5		
Снижение поверхностью земли возле источника As, дБ	Gs = 0 hs = 1м	ф-лы таб.3 [10]	-1,5	-1,5	-1,5	-1,5	-1,5	-1,5	-1,5	-1,5	-1,5		
Снижение поверхностью земли возле приёмника Ar, дБ	Gr = 1 hr = 1.5м	ф-лы таб.3 [10]	-1,5	-1,5	5,3	7	5	0,7	0	0	0		
Снижение поверхностью земли в средней зоне, Am дБ	Gm = 1	ф-лы таб.3 [10]	-2,9	-2,9	0	0	0	0	0	0	0		
Суммарное снижение поверхностью земли на траектории распространения звука Agr, дБ		ф-ла (9) [10]	-5,9	-5,9	3,8	5,5	3,5	-0,8	-1,5	-1,5	-1,5		

1		2	3	4	5	6	7	8	9	10	11	12	13
Уровни звукового давления от источника ИШ-1-19 в расчётной точке днём, дБ		**ф-ла(3)[10]**	**0**	**25,9**	**17,2**	**15,4**	**14,7**	**14,7**	**4,8**	**0**	**0**	**17,4**	**17,4**
Уровни звукового давления от источника ИШ-1-19 в расчётной точке ночью, дБ		**ф-ла(3)[10]**	**0**	**25,9**	**17,2**	**15,4**	**14,7**	**14,7**	**4,8**	**0**	**0**	**17,4**	**17,4**
Источник шума: ИШ-1-20, координаты источника (x,y,z), м =[550.38,138.64,1.00]													
Уровни звуковой мощности источника днём, Lw, дБ		**исходные данные**	**0**	**93,3**	**94,7**	**96**	**96,3**	**95,9**	**92,6**	**88,4**	**83,9**		
Уровни звуковой мощности источника ночью, Lw, дБ		**исходные данные**	**0**	**93,3**	**94,7**	**96**	**96,3**	**95,9**	**92,6**	**88,4**	**83,9**		
Поправка на телесный угол DΩ, дБ	Ω = 6.28	10Lg(4π/Ω)	**3**	3	3	3	3	3	3	3	3		
Показатель направленности источника Di, дБ		исходные данные	**0**	0	0	0	0	0	0	0	0		
Поправка на направленность источника Dc, дБ	Dc	DΩ + Di	**3**	3	3	3	3	3	3	3	3		
Затухание из-за геометрической дивергенции, Adiv, дБ	расстояние = 1794.54 м	ф-ла (7) [10]	**76,1**										
Коэффициент затухания звука в атмосфере α, дБ/км	Ta=20,°C Pa=101.33,кПа hотн.=70%	ф-ла (5) [9]	0,02	0,09	0,33	1,12	2,79	4,98	9,04	23,09	77,63		
Учет затухания звука в атмосфере Aatm, дБ		ф-ла (8) [10]	0	0,2	0,6	2	5	8,9	16,2	41,4	139,3		
Снижение поверхностью земли возле источника As, дБ	Gs = 0 hs = 1м	ф-лы таб.3 [10]	-1,5	-1,5	-1,5	-1,5	-1,5	-1,5	-1,5	-1,5	-1,5		
Снижение поверхностью земли возле приёмника Ar, дБ	Gr = 1 hr = 1.5м	ф-лы таб.3 [10]	-1,5	-1,5	5,3	7	5	0,7	0	0	0		
Снижение поверхностью земли в средней зоне, Am дБ	Gm = 1	ф-лы таб.3 [10]	-2,9	-2,9	0	0	0	0	0	0	0		
Суммарное снижение поверхностью земли на траектории распространения звука Agr, дБ		ф-ла (9) [10]	-5,9	-5,9	3,8	5,5	3,5	-0,8	-1,5	-1,5	-1,5		
Уровни звукового давления от источника ИШ-1-20 в расчётной точке днём, дБ		**ф-ла(3)[10]**	**0**	**25,9**	**17,2**	**15,4**	**14,7**	**14,7**	**4,8**	**0**	**0**	**17,4**	**17,4**

1		2	3	4	5	6	7	8	9	10	11	12	13
Уровни звукового давления от источника ИШ-1-20 в расчётной точке ночью, дБ		**ф-ла(3)[10]**	**0**	**25,9**	**17,2**	**15,4**	**14,7**	**14,7**	**4,8**	**0**	**0**	**17,4**	**17,4**
Источник шума: ИШ-1-21, координаты источника (x,y,z), м =[553.31,137.67,1.00]													
Уровни звуковой мощности источника днём, Lw, дБ		**исходные данные**	**0**	**93,3**	**94,7**	**96**	**96,3**	**95,9**	**92,6**	**88,4**	**83,9**		
Уровни звуковой мощности источника ночью, Lw, дБ		**исходные данные**	**0**	**93,3**	**94,7**	**96**	**96,3**	**95,9**	**92,6**	**88,4**	**83,9**		
Поправка на телесный угол DΩ, дБ	Ω = 6.28	10Lg(4π/Ω)	**3**	3	3	3	3	3	3	3	3		
Показатель направленности источника Di, дБ		исходные данные	**0**	0	0	0	0	0	0	0	0		
Поправка на направленность источника Dc, дБ	Dc	DΩ + Di	**3**	3	3	3	3	3	3	3	3		
Затухание из-за геометрической дивергенции, Adiv, дБ	расстояние = 1792.54 м	ф-ла (7) [10]	**76,1**										
Коэффициент затухания звука в атмосфере α, дБ/км	Ta=20,°C Pa=101.33,кПа hотн.=70%	ф-ла (5) [9]	0,02	0,09	0,33	1,12	2,79	4,98	9,04	23,09	77,63		
Учет затухания звука в атмосфере Aatm, дБ		ф-ла (8) [10]	0	0,2	0,6	2	5	8,9	16,2	41,4	139,2		
Снижение поверхностью земли возле источника As, дБ	Gs = 0 hs = 1м	ф-лы таб.3 [10]	-1,5	-1,5	-1,5	-1,5	-1,5	-1,5	-1,5	-1,5	-1,5		
Снижение поверхностью земли возле приёмника Ar, дБ	Gr = 1 hr = 1.5м	ф-лы таб.3 [10]	-1,5	-1,5	5,3	7	5	0,7	0	0	0		
Снижение поверхностью земли в средней зоне, Am дБ	Gm = 1	ф-лы таб.3 [10]	-2,9	-2,9	0	0	0	0	0	0	0		
Суммарное снижение поверхностью земли на траектории распространения звука Agr, дБ		ф-ла (9) [10]	-5,9	-5,9	3,8	5,5	3,5	-0,8	-1,5	-1,5	-1,5		
Уровни звукового давления от источника ИШ-1-21 в расчётной точке днём, дБ		**ф-ла(3)[10]**	**0**	**25,9**	**17,2**	**15,4**	**14,7**	**14,7**	**4,8**	**0**	**0**	**17,4**	**17,4**
Уровни звукового давления от источника ИШ-1-21 в расчётной точке ночью, дБ		**ф-ла(3)[10]**	**0**	**25,9**	**17,2**	**15,4**	**14,7**	**14,7**	**4,8**	**0**	**0**	**17,4**	**17,4**

1		2	3	4	5	6	7	8	9	10	11	12	13
Источник шума: ИШ-1-22, координаты источника (x,y,z), м =[522.03,85.28,1.00]													
Уровни звуковой мощности источника днём, Lw, дБ		**исходные данные**	**0**	**93,3**	**94,7**	**96**	**96,3**	**95,9**	**92,6**	**88,4**	**83,9**		
Уровни звуковой мощности источника ночью, Lw, дБ		**исходные данные**	**0**	**93,3**	**94,7**	**96**	**96,3**	**95,9**	**92,6**	**88,4**	**83,9**		
Поправка на телесный угол DΩ, дБ	Ω = 6.28	10Lg(4π/Ω)	**3**	3	3	3	3	3	3	3	3		
Показатель направленности источника Di, дБ		исходные данные	**0**	0	0	0	0	0	0	0	0		
Поправка на направленность источника Dc, дБ	Dc	DΩ + Di	**3**	3	3	3	3	3	3	3	3		
Затухание из-за геометрической дивергенции, Adiv, дБ	расстояние = 1846.65 м	ф-ла (7) [10]	**76,3**										
Коэффициент затухания звука в атмосфере α, дБ/км	Ta=20,°C Pa=101.33,кПа hотн.=70%	ф-ла (5) [9]	0,02	0,09	0,33	1,12	2,79	4,98	9,04	23,09	77,63		
Учет затухания звука в атмосфере Aatm, дБ		ф-ла (8) [10]	0	0,2	0,6	2,1	5,2	9,2	16,7	42,6	143,4		
Снижение поверхностью земли возле источника As, дБ	Gs = 0 hs = 1м	ф-лы таб.3 [10]	-1,5	-1,5	-1,5	-1,5	-1,5	-1,5	-1,5	-1,5	-1,5		
Снижение поверхностью земли возле приёмника Ar, дБ	Gr = 1 hr = 1.5м	ф-лы таб.3 [10]	-1,5	-1,5	5,3	7	5	0,7	0	0	0		
Снижение поверхностью земли в средней зоне, Am дБ	Gm = 1	ф-лы таб.3 [10]	-2,9	-2,9	0	0	0	0	0	0	0		
Суммарное снижение поверхностью земли на траектории распространения звука Agr, дБ		ф-ла (9) [10]	-5,9	-5,9	3,8	5,5	3,5	-0,8	-1,5	-1,5	-1,5		
Уровни звукового давления прямого звука от источника ИШ-1-22 в расчётной точке днём, дБ		**ф-ла(3)[10]**	**0**	**25,7**	**16,9**	**15,1**	**14,3**	**14,2**	**4,1**	**0**	**0**	**16,9**	**16,9**
Уровни звукового давления прямого звука от источника ИШ-1-22 в расчётной точке ночью, дБ		**ф-ла(3)[10]**	**0**	**25,7**	**16,9**	**15,1**	**14,3**	**14,2**	**4,1**	**0**	**0**	**16,9**	**16,9**
Расчёт отражённого звука													

1		2	3	4	5	6	7	8	9	10	11	12	13
Уровни звукового давления от мнимого источника ИШ-1-22_мн.(1) в расчётной точке днём, дБ		**ф-ла(3)[10]**	**0**	**0**	**0**	**0**	**0**	**0**	**0**	**0**	**0**	**0**	**0**
Уровни звукового давления от мнимого источника ИШ-1-22_мн.(1) в расчётной точке ночью, дБ		**ф-ла(3)[10]**	**0**	**0**	**0**	**0**	**0**	**0**	**0**	**0**	**0**	**0**	**0**
Уровни звукового давления от мнимого источника ИШ-1-22_мн.(2) в расчётной точке днём, дБ		**ф-ла(3)[10]**	**0**	**0**	**0**	**0**	**0**	**0**	**0**	**0**	**0**	**0**	**0**
Уровни звукового давления от мнимого источника ИШ-1-22_мн.(2) в расчётной точке ночью, дБ		**ф-ла(3)[10]**	**0**	**0**	**0**	**0**	**0**	**0**	**0**	**0**	**0**	**0**	**0**
Суммарные уровни звукового давления от мнимых источников в расчётной точке днём, дБ		**ф-ла (19) [1]**	**0**	**0**	**0**	**0**	**0**	**0**	**0**	**0**	**0**	**0**	**0**
Суммарные уровни звукового давления от мнимых источников в расчётной точке ночью, дБ		**ф-ла (19) [1]**	**0**	**0**	**0**	**0**	**0**	**0**	**0**	**0**	**0**	**0**	**0**
Уровни звукового давления от источника ИШ-1-22 в расчётной точке днём, дБ		**ф-ла(3)[10]**	**0**	**25,7**	**16,9**	**15,1**	**14,3**	**14,2**	**4,1**	**0**	**0**	**16,9**	**16,9**
Уровни звукового давления от источника ИШ-1-22 в расчётной точке ночью, дБ		**ф-ла(3)[10]**	**0**	**25,7**	**16,9**	**15,1**	**14,3**	**14,2**	**4,1**	**0**	**0**	**16,9**	**16,9**
Источник шума: ИШ-1-23, координаты источника (x,y,z), м =[525.16,84.11,1.00]													
Уровни звуковой мощности источника днём, Lw, дБ		**исходные данные**	**0**	**93,3**	**94,7**	**96**	**96,3**	**95,9**	**92,6**	**88,4**	**83,9**		
Уровни звуковой мощности источника ночью, Lw, дБ		**исходные данные**	**0**	**93,3**	**94,7**	**96**	**96,3**	**95,9**	**92,6**	**88,4**	**83,9**		
Поправка на телесный угол DΩ, дБ	Ω = 6.28	10Lg(4π/Ω)	**3**	3	3	3	3	3	3	3	3		
Показатель направленности источника Di, дБ		исходные данные	**0**	0	0	0	0	0	0	0	0		
Поправка на направленность источника Dc, дБ	Dc	DΩ + Di	**3**	3	3	3	3	3	3	3	3		
Затухание из-за геометрической дивергенции, Adiv, дБ	расстояние = 1844.63 м	ф-ла (7) [10]	**76,3**										
Коэффициент затухания звука в атмосфере α, дБ/км	Ta=20,°C Pa=101.33,кПа hотн.=70%	ф-ла (5) [9]	0,02	0,09	0,33	1,12	2,79	4,98	9,04	23,09	77,63		

1		2	3	4	5	6	7	8	9	10	11	12	13
Учет затухания звука в атмосфере Aatm, дБ		ф-ла (8) [10]	0	0,2	0,6	2,1	5,1	9,2	16,7	42,6	143,2		
Снижение уровня звукового давления из-за влияния застройки между источником шума и расчетной точкой													
Снижение уровня звукового давления препятствием справа от трассы ИШ-РТ, Dz3, дБ	z = -0.20м (разность путей)	ф-лы (14-18) [10]	0	1,8	0	NAN	NAN	NAN	NAN	NAN	NAN		
* отрицательное значение z означает прохождение траектории вблизи экрана, в этом случае дополнительно производится учёт снижения подстилающей поверхностью (см.ниже)													
Снижение поверхностью земли возле источника As, дБ	Gs = 0 hs = 1м	ф-лы таб.3 [10]	-1,5	-1,5	-1,5	-1,5	-1,5	-1,5	-1,5	-1,5	-1,5		
Снижение поверхностью земли возле приёмника Ar, дБ	Gr = 1 hr = 1.5м	ф-лы таб.3 [10]	-1,5	-1,5	5,3	7	5	0,7	0	0	0		
Снижение поверхностью земли в средней зоне, Am дБ	Gm = 1	ф-лы таб.3 [10]	-2,9	-2,9	0	0	0	0	0	0	0		
Суммарное снижение поверхностью земли на траектории распространения звука Agr, дБ		ф-ла (9) [10]	-5,9	-5,9	3,8	5,5	3,5	-0,8	-1,5	-1,5	-1,5		
Уровни звукового давления прямого звука от источника ИШ-1-23 в расчётной точке днём, дБ		**ф-ла(3)[10]**	**0**	**23,9**	**16,9**	**15,1**	**14,4**	**14,2**	**4,1**	**0**	**0**	**16,9**	**16,9**
Уровни звукового давления прямого звука от источника ИШ-1-23 в расчётной точке ночью, дБ		**ф-ла(3)[10]**	**0**	**23,9**	**16,9**	**15,1**	**14,4**	**14,2**	**4,1**	**0**	**0**	**16,9**	**16,9**
Расчёт отражённого звука													
Уровни звукового давления от мнимого источника ИШ-1-23_мн.(1) в расчётной точке днём, дБ		**ф-ла(3)[10]**	**0**	**0**	**0**	**0**	**0**	**0**	**0**	**0**	**0**	**0**	**0**
Уровни звукового давления от мнимого источника ИШ-1-23_мн.(1) в расчётной точке ночью, дБ		**ф-ла(3)[10]**	**0**	**0**	**0**	**0**	**0**	**0**	**0**	**0**	**0**	**0**	**0**
Уровни звукового давления от мнимого источника ИШ-1-23_мн.(2) в расчётной точке днём, дБ		**ф-ла(3)[10]**	**0**	**0**	**0**	**0**	**0**	**0**	**0**	**0**	**0**	**0**	**0**
Уровни звукового давления от мнимого источника ИШ-1-23_мн.(2) в расчётной точке ночью, дБ		**ф-ла(3)[10]**	**0**	**0**	**0**	**0**	**0**	**0**	**0**	**0**	**0**	**0**	**0**
Суммарные уровни звукового давления от мнимых источников в расчётной точке днём, дБ		**ф-ла (19) [1]**	**0**	**0**	**0**	**0**	**0**	**0**	**0**	**0**	**0**	**0**	**0**
Суммарные уровни звукового давления от мнимых источников в расчётной точке ночью, дБ		**ф-ла (19) [1]**	**0**	**0**	**0**	**0**	**0**	**0**	**0**	**0**	**0**	**0**	**0**
Уровни звукового давления от источника ИШ-1-23 в расчётной точке днём, дБ		**ф-ла(3)[10]**	**0**	**23,9**	**16,9**	**15,1**	**14,4**	**14,2**	**4,1**	**0**	**0**	**16,9**	**16,9**

1		2	3	4	5	6	7	8	9	10	11	12	13
Уровни звукового давления от источника ИШ-1-23 в расчётной точке ночью, дБ		**ф-ла(3)[10]**	**0**	**23,9**	**16,9**	**15,1**	**14,4**	**14,2**	**4,1**	**0**	**0**	**16,9**	**16,9**
Источник шума: ИШ-1-24, координаты источника (x,y,z), м =[528.48,82.94,1.00]													
Уровни звуковой мощности источника днём, Lw, дБ		**исходные данные**	**0**	**93,3**	**94,7**	**96**	**96,3**	**95,9**	**92,6**	**88,4**	**83,9**		
Уровни звуковой мощности источника ночью, Lw, дБ		**исходные данные**	**0**	**93,3**	**94,7**	**96**	**96,3**	**95,9**	**92,6**	**88,4**	**83,9**		
Поправка на телесный угол DΩ, дБ	Ω = 6.28	10Lg(4π/Ω)	**3**	3	3	3	3	3	3	3	3		
Показатель направленности источника Di, дБ		исходные данные	**0**	0	0	0	0	0	0	0	0		
Поправка на направленность источника Dc, дБ	Dc	DΩ + Di	**3**	3	3	3	3	3	3	3	3		
Затухание из-за геометрической дивергенции, Adiv, дБ	расстояние = 1842.44 м	ф-ла (7) [10]	**76,3**										
Коэффициент затухания звука в атмосфере α, дБ/км	Ta=20,°C Pa=101.33,кПа hотн.=70%	ф-ла (5) [9]	0,02	0,09	0,33	1,12	2,79	4,98	9,04	23,09	77,63		
Учет затухания звука в атмосфере Aatm, дБ		ф-ла (8) [10]	0	0,2	0,6	2,1	5,1	9,2	16,7	42,5	143		
Снижение уровня звукового давления из-за влияния застройки между источником шума и расчетной точкой													
Снижение уровня звукового давления препятствием справа от трассы ИШ-РТ, Dz3, дБ	z = -0.12м (разность путей)	ф-лы (14-18) [10]	0	0	0,8	NAN	NAN	NAN	NAN	NAN	NAN		
* отрицательное значение z означает прохождение траектории вблизи экрана, в этом случае дополнительно производится учёт снижения подстилающей поверхностью (см.ниже)													
Снижение поверхностью земли возле источника As, дБ	Gs = 0 hs = 1м	ф-лы таб.3 [10]	-1,5	-1,5	-1,5	-1,5	-1,5	-1,5	-1,5	-1,5	-1,5		
Снижение поверхностью земли возле приёмника Ar, дБ	Gr = 1 hr = 1.5м	ф-лы таб.3 [10]	-1,5	-1,5	5,3	7	5	0,7	0	0	0		
Снижение поверхностью земли в средней зоне, Am дБ	Gm = 1	ф-лы таб.3 [10]	-2,9	-2,9	0	0	0	0	0	0	0		
Суммарное снижение поверхностью земли на траектории распространения звука Agr, дБ		ф-ла (9) [10]	-5,9	-5,9	3,8	5,5	3,5	-0,8	-1,5	-1,5	-1,5		

1		2	3	4	5	6	7	8	9	10	11	12	13
Уровни звукового давления прямого звука от источника ИШ-1-24 в расчётной точке днём, дБ		**ф-ла(3)[10]**	**0**	**25,7**	**16,1**	**15,1**	**14,4**	**14,3**	**4,1**	**0**	**0**	**16,9**	**16,9**
Уровни звукового давления прямого звука от источника ИШ-1-24 в расчётной точке ночью, дБ		**ф-ла(3)[10]**	**0**	**25,7**	**16,1**	**15,1**	**14,4**	**14,3**	**4,1**	**0**	**0**	**16,9**	**16,9**
Расчёт отражённого звука													
Уровни звукового давления от мнимого источника ИШ-1-24_мн.(1) в расчётной точке днём, дБ		**ф-ла(3)[10]**	**0**	**0**	**0**	**0**	**0**	**0**	**0**	**0**	**0**	**0**	**0**
Уровни звукового давления от мнимого источника ИШ-1-24_мн.(1) в расчётной точке ночью, дБ		**ф-ла(3)[10]**	**0**	**0**	**0**	**0**	**0**	**0**	**0**	**0**	**0**	**0**	**0**
Уровни звукового давления от мнимого источника ИШ-1-24_мн.(2) в расчётной точке днём, дБ		**ф-ла(3)[10]**	**0**	**0**	**0**	**0**	**0**	**0**	**0**	**0**	**0**	**0**	**0**
Уровни звукового давления от мнимого источника ИШ-1-24_мн.(2) в расчётной точке ночью, дБ		**ф-ла(3)[10]**	**0**	**0**	**0**	**0**	**0**	**0**	**0**	**0**	**0**	**0**	**0**
Суммарные уровни звукового давления от мнимых источников в расчётной точке днём, дБ		**ф-ла (19) [1]**	**0**	**0**	**0**	**0**	**0**	**0**	**0**	**0**	**0**	**0**	**0**
Суммарные уровни звукового давления от мнимых источников в расчётной точке ночью, дБ		**ф-ла (19) [1]**	**0**	**0**	**0**	**0**	**0**	**0**	**0**	**0**	**0**	**0**	**0**
Уровни звукового давления от источника ИШ-1-24 в расчётной точке днём, дБ		**ф-ла(3)[10]**	**0**	**25,7**	**16,1**	**15,1**	**14,4**	**14,3**	**4,1**	**0**	**0**	**16,9**	**16,9**
Уровни звукового давления от источника ИШ-1-24 в расчётной точке ночью, дБ		**ф-ла(3)[10]**	**0**	**25,7**	**16,1**	**15,1**	**14,4**	**14,3**	**4,1**	**0**	**0**	**16,9**	**16,9**
Источник шума: ИШ-1-25, координаты источника (x,y,z), м =[531.22,82.16,1.00]													
Уровни звуковой мощности источника днём, Lw, дБ		**исходные данные**	**0**	**93,3**	**94,7**	**96**	**96,3**	**95,9**	**92,6**	**88,4**	**83,9**		
Уровни звуковой мощности источника ночью, Lw, дБ		**исходные данные**	**0**	**93,3**	**94,7**	**96**	**96,3**	**95,9**	**92,6**	**88,4**	**83,9**		
Поправка на телесный угол DΩ, дБ	Ω = 6.28	10Lg(4π/Ω)	**3**	3	3	3	3	3	3	3	3		
Показатель направленности источника Di, дБ		исходные данные	**0**	0	0	0	0	0	0	0	0		
Поправка на направленность источника Dc, дБ	Dc	DΩ + Di	**3**	3	3	3	3	3	3	3	3		

1		2	3	4	5	6	7	8	9	10	11	12	13
Затухание из-за геометрической дивергенции, Adiv, дБ	расстояние = 1840.55 м	ф-ла (7) [10]	**76,3**										
Коэффициент затухания звука в атмосфере α, дБ/км	Ta=20,°C Pa=101.33,кПа hотн.=70%	ф-ла (5) [9]	0,02	0,09	0,33	1,12	2,79	4,98	9,04	23,09	77,63		
Учет затухания звука в атмосфере Aatm, дБ		ф-ла (8) [10]	0	0,2	0,6	2,1	5,1	9,2	16,6	42,5	142,9		
Снижение уровня звукового давления из-за влияния застройки между источником шума и расчетной точкой													
Снижение уровня звукового давления препятствием справа от трассы ИШ-РТ, Dz3, дБ	z = -0.02м (разность путей)	ф-лы (14-18) [10]	0	0	0	0	2,7	0	NAN	NAN	NAN		
* отрицательное значение z означает прохождение траектории вблизи экрана, в этом случае дополнительно производится учёт снижения подстилающей поверхностью (см.ниже)													
Снижение поверхностью земли возле источника As, дБ	Gs = 0 hs = 1м	ф-лы таб.3 [10]	-1,5	-1,5	-1,5	-1,5	-1,5	-1,5	-1,5	-1,5	-1,5		
Снижение поверхностью земли возле приёмника Ar, дБ	Gr = 1 hr = 1.5м	ф-лы таб.3 [10]	-1,5	-1,5	5,3	7	5	0,7	0	0	0		
Снижение поверхностью земли в средней зоне, Am дБ	Gm = 1	ф-лы таб.3 [10]	-2,9	-2,9	0	0	0	0	0	0	0		
Суммарное снижение поверхностью земли на траектории распространения звука Agr, дБ		ф-ла (9) [10]	-5,9	-5,9	3,8	5,5	3,5	-0,8	-1,5	-1,5	-1,5		
Уровни звукового давления прямого звука от источника ИШ-1-25 в расчётной точке днём, дБ		**ф-ла(3)[10]**	**0**	**25,7**	**16,9**	**15,1**	**11,7**	**14,3**	**4,2**	**0**	**0**	**16,4**	**16,4**
Уровни звукового давления прямого звука от источника ИШ-1-25 в расчётной точке ночью, дБ		**ф-ла(3)[10]**	**0**	**25,7**	**16,9**	**15,1**	**11,7**	**14,3**	**4,2**	**0**	**0**	**16,4**	**16,4**
Расчёт отражённого звука													
Уровни звукового давления от мнимого источника ИШ-1-25_мн.(1) в расчётной точке днём, дБ		**ф-ла(3)[10]**	**0**	**0**	**0**	**0**	**0**	**0**	**0**	**0**	**0**	**0**	**0**
Уровни звукового давления от мнимого источника ИШ-1-25_мн.(1) в расчётной точке ночью, дБ		**ф-ла(3)[10]**	**0**	**0**	**0**	**0**	**0**	**0**	**0**	**0**	**0**	**0**	**0**
Уровни звукового давления от источника ИШ-1-25 в расчётной точке днём, дБ		**ф-ла(3)[10]**	**0**	**25,7**	**16,9**	**15,1**	**11,7**	**14,3**	**4,2**	**0**	**0**	**16,4**	**16,4**
Уровни звукового давления от источника ИШ-1-25 в расчётной точке ночью, дБ		**ф-ла(3)[10]**	**0**	**25,7**	**16,9**	**15,1**	**11,7**	**14,3**	**4,2**	**0**	**0**	**16,4**	**16,4**

1		2	3	4	5	6	7	8	9	10	11	12	13
Источник шума: ИШ-1-26, координаты источника (x,y,z), м =[534.15,80.79,1.00]													
Уровни звуковой мощности источника днём, Lw, дБ		**исходные данные**	**0**	**93,3**	**94,7**	**96**	**96,3**	**95,9**	**92,6**	**88,4**	**83,9**		
Уровни звуковой мощности источника ночью, Lw, дБ		**исходные данные**	**0**	**93,3**	**94,7**	**96**	**96,3**	**95,9**	**92,6**	**88,4**	**83,9**		
Поправка на телесный угол DΩ, дБ	Ω = 6.28	10Lg(4π/Ω)	**3**	3	3	3	3	3	3	3	3		
Показатель направленности источника Di, дБ		исходные данные	**0**	0	0	0	0	0	0	0	0		
Поправка на направленность источника Dc, дБ	Dc	DΩ + Di	**3**	3	3	3	3	3	3	3	3		
Затухание из-за геометрической дивергенции, Adiv, дБ	расстояние = 1838.81 м	ф-ла (7) [10]	**76,3**										
Коэффициент затухания звука в атмосфере α, дБ/км	Ta=20,°C Pa=101.33,кПа hотн.=70%	ф-ла (5) [9]	0,02	0,09	0,33	1,12	2,79	4,98	9,04	23,09	77,63		
Учет затухания звука в атмосфере Aatm, дБ		ф-ла (8) [10]	0	0,2	0,6	2,1	5,1	9,2	16,6	42,5	142,8		
Снижение уровня звукового давления из-за влияния застройки между источником шума и расчетной точкой													
Снижение уровня звукового давления на пути над экраном, Dz1, дБ	z = 0.11м (разность путей)	ф-лы (14-18) [10]	4,8	4,8	4,8	4,8	4,8	4,8	4,8	4,8	4,8		
Снижение уровня звукового давления на пути слева от экрана, Dz2, дБ	z = 0.02м (разность путей)	ф-лы (14-18) [10]	4,9	5	5,2	5,5	6,2	7,3	8,8	10,9	13,4		
Снижение уровня звукового давления на пути справа от экрана, Dz3, дБ	z = 8.45м (разность путей)	ф-лы (14-18) [10]	15,4	18,2	21	24	27	30	33	36	39		
Общее снижение уровня звука препятствием Dz, дБ		Эн.сумма(-Dzi)	1,6	1,8	1,9	2,1	2,4	2,8	3,3	3,8	4,2		
Уровни звукового давления прямого звука от источника ИШ-1-26 в расчётной точке днём, дБ		**ф-ла(3)[10]**	**0**	**18,1**	**18,9**	**18,5**	**15,5**	**10,6**	**0**	**0**	**0**	**16,1**	**16,1**
Уровни звукового давления прямого звука от источника ИШ-1-26 в расчётной точке ночью, дБ		**ф-ла(3)[10]**	**0**	**18,1**	**18,9**	**18,5**	**15,5**	**10,6**	**0**	**0**	**0**	**16,1**	**16,1**

1		2	3	4	5	6	7	8	9	10	11	12	13
Расчёт отражённого звука													
Уровни звукового давления от мнимого источника ИШ-1-26_мн.(1) в расчётной точке днём, дБ		**ф-ла(3)[10]**	**0**	**0**	**0**	**0**	**0**	**0**	**0**	**0**	**0**	**0**	**0**
Уровни звукового давления от мнимого источника ИШ-1-26_мн.(1) в расчётной точке ночью, дБ		**ф-ла(3)[10]**	**0**	**0**	**0**	**0**	**0**	**0**	**0**	**0**	**0**	**0**	**0**
Уровни звукового давления от источника ИШ-1-26 в расчётной точке днём, дБ		**ф-ла(3)[10]**	**0**	**18,1**	**18,9**	**18,5**	**15,5**	**10,6**	**0**	**0**	**0**	**16,1**	**16,1**
Уровни звукового давления от источника ИШ-1-26 в расчётной точке ночью, дБ		**ф-ла(3)[10]**	**0**	**18,1**	**18,9**	**18,5**	**15,5**	**10,6**	**0**	**0**	**0**	**16,1**	**16,1**
Источник шума: ИШ-1-27, координаты источника (x,y,z), м =[469.65,197.67,1.00]													
Уровни звуковой мощности источника днём, Lw, дБ		**исходные данные**	**0**	**93,3**	**94,7**	**96**	**96,3**	**95,9**	**92,6**	**88,4**	**83,9**		
Уровни звуковой мощности источника ночью, Lw, дБ		**исходные данные**	**0**	**93,3**	**94,7**	**96**	**96,3**	**95,9**	**92,6**	**88,4**	**83,9**		
Поправка на телесный угол DΩ, дБ	Ω = 6.28	10Lg(4π/Ω)	**3**	3	3	3	3	3	3	3	3		
Показатель направленности источника Di, дБ		исходные данные	**0**	0	0	0	0	0	0	0	0		
Поправка на направленность источника Dc, дБ	Dc	DΩ + Di	**3**	3	3	3	3	3	3	3	3		
Затухание из-за геометрической дивергенции, Adiv, дБ	расстояние = 1835.42 м	ф-ла (7) [10]	**76,3**										
Коэффициент затухания звука в атмосфере α, дБ/км	Ta=20,°C Pa=101.33,кПа hотн.=70%	ф-ла (5) [9]	0,02	0,09	0,33	1,12	2,79	4,98	9,04	23,09	77,63		
Учет затухания звука в атмосфере Aatm, дБ		ф-ла (8) [10]	0	0,2	0,6	2,1	5,1	9,1	16,6	42,4	142,5		
Снижение поверхностью земли возле источника As, дБ	Gs = 0 hs = 1м	ф-лы таб.3 [10]	-1,5	-1,5	-1,5	-1,5	-1,5	-1,5	-1,5	-1,5	-1,5		
Снижение поверхностью земли возле приёмника Ar, дБ	Gr = 1 hr = 1.5м	ф-лы таб.3 [10]	-1,5	-1,5	5,3	7	5	0,7	0	0	0		

1		2	3	4	5	6	7	8	9	10	11	12	13
Снижение поверхностью земли в средней зоне, Am дБ	Gm = 1	ф-лы таб.3 [10]	-2,9	-2,9	0	0	0	0	0	0	0		
Суммарное снижение поверхностью земли на траектории распространения звука Agr, дБ		ф-ла (9) [10]	-5,9	-5,9	3,8	5,5	3,5	-0,8	-1,5	-1,5	-1,5		
Уровни звукового давления от источника ИШ-1-27 в расчётной точке днём, дБ		**ф-ла(3)[10]**	**0**	**25,7**	**17**	**15,1**	**14,4**	**14,3**	**4,2**	**0**	**0**	**17**	**17**
Уровни звукового давления от источника ИШ-1-27 в расчётной точке ночью, дБ		**ф-ла(3)[10]**	**0**	**25,7**	**17**	**15,1**	**14,4**	**14,3**	**4,2**	**0**	**0**	**17**	**17**
Источник шума: ИШ-1-28, координаты источника (x,y,z), м =[472.78,196.69,1.00]													
Уровни звуковой мощности источника днём, Lw, дБ		**исходные данные**	**0**	**93,3**	**94,7**	**96**	**96,3**	**95,9**	**92,6**	**88,4**	**83,9**		
Уровни звуковой мощности источника ночью, Lw, дБ		**исходные данные**	**0**	**93,3**	**94,7**	**96**	**96,3**	**95,9**	**92,6**	**88,4**	**83,9**		
Поправка на телесный угол DΩ, дБ	Ω = 6.28	10Lg(4π/Ω)	**3**	3	3	3	3	3	3	3	3		
Показатель направленности источника Di, дБ		исходные данные	**0**	0	0	0	0	0	0	0	0		
Поправка на направленность источника Dc, дБ	Dc	DΩ + Di	**3**	3	3	3	3	3	3	3	3		
Затухание из-за геометрической дивергенции, Adiv, дБ	расстояние = 1833.13 м	ф-ла (7) [10]	**76,3**										
Коэффициент затухания звука в атмосфере α, дБ/км	Ta=20,°C Pa=101.33,кПа hотн.=70%	ф-ла (5) [9]	0,02	0,09	0,33	1,12	2,79	4,98	9,04	23,09	77,63		
Учет затухания звука в атмосфере Aatm, дБ		ф-ла (8) [10]	0	0,2	0,6	2,1	5,1	9,1	16,6	42,3	142,3		
Снижение поверхностью земли возле источника As, дБ	Gs = 0 hs = 1м	ф-лы таб.3 [10]	-1,5	-1,5	-1,5	-1,5	-1,5	-1,5	-1,5	-1,5	-1,5		
Снижение поверхностью земли возле приёмника Ar, дБ	Gr = 1 hr = 1.5м	ф-лы таб.3 [10]	-1,5	-1,5	5,3	7	5	0,7	0	0	0		
Снижение поверхностью земли в средней зоне, Am дБ	Gm = 1	ф-лы таб.3 [10]	-2,9	-2,9	0	0	0	0	0	0	0		

1		2	3	4	5	6	7	8	9	10	11	12	13
Суммарное снижение поверхностью земли на траектории распространения звука Agr, дБ		ф-ла (9) [10]	-5,9	-5,9	3,8	5,5	3,5	-0,8	-1,5	-1,5	-1,5		
Уровни звукового давления от источника ИШ-1-28 в расчётной точке днём, дБ		**ф-ла(3)[10]**	**0**	**25,7**	**17**	**15,1**	**14,4**	**14,3**	**4,3**	**0**	**0**	**17**	**17**
Уровни звукового давления от источника ИШ-1-28 в расчётной точке ночью, дБ		**ф-ла(3)[10]**	**0**	**25,7**	**17**	**15,1**	**14,4**	**14,3**	**4,3**	**0**	**0**	**17**	**17**
Источник шума: ИШ-1-29, координаты источника (x,y,z), м =[475.52,195.72,1.00]													
Уровни звуковой мощности источника днём, Lw, дБ		**исходные данные**	**0**	**93,3**	**94,7**	**96**	**96,3**	**95,9**	**92,6**	**88,4**	**83,9**		
Уровни звуковой мощности источника ночью, Lw, дБ		**исходные данные**	**0**	**93,3**	**94,7**	**96**	**96,3**	**95,9**	**92,6**	**88,4**	**83,9**		
Поправка на телесный угол DΩ, дБ	Ω = 6.28	10Lg(4π/Ω)	**3**	3	3	3	3	3	3	3	3		
Показатель направленности источника Di, дБ		исходные данные	**0**	0	0	0	0	0	0	0	0		
Поправка на направленность источника Dc, дБ	Dc	DΩ + Di	**3**	3	3	3	3	3	3	3	3		
Затухание из-за геометрической дивергенции, Adiv, дБ	расстояние = 1831.19 м	ф-ла (7) [10]	**76,3**										
Коэффициент затухания звука в атмосфере α, дБ/км	Ta=20,°C Pa=101.33,кПа hотн.=70%	ф-ла (5) [9]	0,02	0,09	0,33	1,12	2,79	4,98	9,04	23,09	77,63		
Учет затухания звука в атмосфере Aatm, дБ		ф-ла (8) [10]	0	0,2	0,6	2,1	5,1	9,1	16,6	42,3	142,2		
Снижение поверхностью земли возле источника As, дБ	Gs = 0 hs = 1м	ф-лы таб.3 [10]	-1,5	-1,5	-1,5	-1,5	-1,5	-1,5	-1,5	-1,5	-1,5		
Снижение поверхностью земли возле приёмника Ar, дБ	Gr = 1 hr = 1.5м	ф-лы таб.3 [10]	-1,5	-1,5	5,3	7	5	0,7	0	0	0		
Снижение поверхностью земли в средней зоне, Am дБ	Gm = 1	ф-лы таб.3 [10]	-2,9	-2,9	0	0	0	0	0	0	0		
Суммарное снижение поверхностью земли на траектории распространения звука Agr, дБ		ф-ла (9) [10]	-5,9	-5,9	3,8	5,5	3,5	-0,8	-1,5	-1,5	-1,5		

1		2	3	4	5	6	7	8	9	10	11	12	13
Уровни звукового давления от источника ИШ-1-29 в расчётной точке днём, дБ		**ф-ла(3)[10]**	**0**	**25,8**	**17**	**15,2**	**14,5**	**14,4**	**4,3**	**0**	**0**	**17,1**	**17,1**
Уровни звукового давления от источника ИШ-1-29 в расчётной точке ночью, дБ		**ф-ла(3)[10]**	**0**	**25,8**	**17**	**15,2**	**14,5**	**14,4**	**4,3**	**0**	**0**	**17,1**	**17,1**
Источник шума: ИШ-1-30, координаты источника (x,y,z), м =[478.45,194.54,1.00]													
Уровни звуковой мощности источника днём, Lw, дБ		**исходные данные**	**0**	**93,3**	**94,7**	**96**	**96,3**	**95,9**	**92,6**	**88,4**	**83,9**		
Уровни звуковой мощности источника ночью, Lw, дБ		**исходные данные**	**0**	**93,3**	**94,7**	**96**	**96,3**	**95,9**	**92,6**	**88,4**	**83,9**		
Поправка на телесный угол DΩ, дБ	Ω = 6.28	10Lg(4π/Ω)	**3**	3	3	3	3	3	3	3	3		
Показатель направленности источника Di, дБ		исходные данные	**0**	0	0	0	0	0	0	0	0		
Поправка на направленность источника Dc, дБ	Dc	DΩ + Di	**3**	3	3	3	3	3	3	3	3		
Затухание из-за геометрической дивергенции, Adiv, дБ	расстояние = 1829.17 м	ф-ла (7) [10]	**76,2**										
Коэффициент затухания звука в атмосфере α, дБ/км	Ta=20,°C Pa=101.33,кПа hотн.=70%	ф-ла (5) [9]	0,02	0,09	0,33	1,12	2,79	4,98	9,04	23,09	77,63		
Учет затухания звука в атмосфере Aatm, дБ		ф-ла (8) [10]	0	0,2	0,6	2,1	5,1	9,1	16,5	42,2	142		
Снижение поверхностью земли возле источника As, дБ	Gs = 0 hs = 1м	ф-лы таб.3 [10]	-1,5	-1,5	-1,5	-1,5	-1,5	-1,5	-1,5	-1,5	-1,5		
Снижение поверхностью земли возле приёмника Ar, дБ	Gr = 1 hr = 1.5м	ф-лы таб.3 [10]	-1,5	-1,5	5,3	7	5	0,7	0	0	0		
Снижение поверхностью земли в средней зоне, Am дБ	Gm = 1	ф-лы таб.3 [10]	-2,9	-2,9	0	0	0	0	0	0	0		
Суммарное снижение поверхностью земли на траектории распространения звука Agr, дБ		ф-ла (9) [10]	-5,9	-5,9	3,8	5,5	3,5	-0,8	-1,5	-1,5	-1,5		
Уровни звукового давления от источника ИШ-1-30 в расчётной точке днём, дБ		**ф-ла(3)[10]**	**0**	**25,8**	**17**	**15,2**	**14,5**	**14,4**	**4,3**	**0**	**0**	**17,1**	**17,1**

1		2	3	4	5	6	7	8	9	10	11	12	13
Уровни звукового давления от источника ИШ-1-30 в расчётной точке ночью, дБ		**ф-ла(3)[10]**	**0**	**25,8**	**17**	**15,2**	**14,5**	**14,4**	**4,3**	**0**	**0**	**17,1**	**17,1**
Источник шума: ИШ-1-31, координаты источника (x,y,z), м =[481.58,193.96,1.00]													
Уровни звуковой мощности источника днём, Lw, дБ		**исходные данные**	**0**	**93,3**	**94,7**	**96**	**96,3**	**95,9**	**92,6**	**88,4**	**83,9**		
Уровни звуковой мощности источника ночью, Lw, дБ		**исходные данные**	**0**	**93,3**	**94,7**	**96**	**96,3**	**95,9**	**92,6**	**88,4**	**83,9**		
Поправка на телесный угол DΩ, дБ	Ω = 6.28	10Lg(4π/Ω)	**3**	3	3	3	3	3	3	3	3		
Показатель направленности источника Di, дБ		исходные данные	**0**	0	0	0	0	0	0	0	0		
Поправка на направленность источника Dc, дБ	Dc	DΩ + Di	**3**	3	3	3	3	3	3	3	3		
Затухание из-за геометрической дивергенции, Adiv, дБ	расстояние = 1826.70 м	ф-ла (7) [10]	**76,2**										
Коэффициент затухания звука в атмосфере α, дБ/км	Ta=20,°C Pa=101.33,кПа hотн.=70%	ф-ла (5) [9]	0,02	0,09	0,33	1,12	2,79	4,98	9,04	23,09	77,63		
Учет затухания звука в атмосфере Aatm, дБ		ф-ла (8) [10]	0	0,2	0,6	2,1	5,1	9,1	16,5	42,2	141,8		
Снижение поверхностью земли возле источника As, дБ	Gs = 0 hs = 1м	ф-лы таб.3 [10]	-1,5	-1,5	-1,5	-1,5	-1,5	-1,5	-1,5	-1,5	-1,5		
Снижение поверхностью земли возле приёмника Ar, дБ	Gr = 1 hr = 1.5м	ф-лы таб.3 [10]	-1,5	-1,5	5,3	7	5	0,7	0	0	0		
Снижение поверхностью земли в средней зоне, Am дБ	Gm = 1	ф-лы таб.3 [10]	-2,9	-2,9	0	0	0	0	0	0	0		
Суммарное снижение поверхностью земли на траектории распространения звука Agr, дБ		ф-ла (9) [10]	-5,9	-5,9	3,8	5,5	3,5	-0,8	-1,5	-1,5	-1,5		
Уровни звукового давления от источника ИШ-1-31 в расчётной точке днём, дБ		**ф-ла(3)[10]**	**0**	**25,8**	**17**	**15,2**	**14,5**	**14,4**	**4,3**	**0**	**0**	**17,1**	**17,1**
Уровни звукового давления от источника ИШ-1-31 в расчётной точке ночью, дБ		**ф-ла(3)[10]**	**0**	**25,8**	**17**	**15,2**	**14,5**	**14,4**	**4,3**	**0**	**0**	**17,1**	**17,1**

1		2	3	4	5	6	7	8	9	10	11	12	13
Источник шума: ИШ-1-32, координаты источника (x,y,z), м =[871.21,281.99,50.00]													
Уровни звуковой мощности источника днём, Lw, дБ		**исходные данные**	**125**	**119,6**	**113,4**	**111,4**	**110,8**	**112,7**	**113,8**	**109,2**	**97,4**		
Уровни звуковой мощности источника ночью, Lw, дБ		**исходные данные**	**0**	**0**	**0**	**0**	**0**	**0**	**0**	**0**	**0**		
Поправка на телесный угол DΩ, дБ	Ω = 12.57	10Lg(4π/Ω)	**0**	0	0	0	0	0	0	0	0		
Показатель направленности источника Di, дБ		исходные данные	**0**	0	0	0	0	0	0	0	0		
Поправка на направленность источника Dc, дБ	Dc	DΩ + Di	**0**	0	0	0	0	0	0	0	0		
Затухание из-за геометрической дивергенции, Adiv, дБ	расстояние = 1447.27 м	ф-ла (7) [10]	**74,2**										
Коэффициент затухания звука в атмосфере α, дБ/км	Ta=20,°C Pa=101.33,кПа hотн.=70%	ф-ла (5) [9]	0,02	0,09	0,33	1,12	2,79	4,98	9,04	23,09	77,63		
Учет затухания звука в атмосфере Aatm, дБ		ф-ла (8) [10]	0	0,1	0,5	1,6	4	7,2	13,1	33,4	112,4		
Снижение поверхностью земли возле источника As, дБ	Gs = 0 hs = 50м	ф-лы таб.3 [10]	-1,5	-1,5	-1,5	-1,5	-1,5	-1,5	-1,5	-1,5	-1,5		
Снижение поверхностью земли возле приёмника Ar, дБ	Gr = 1 hr = 1.5м	ф-лы таб.3 [10]	-1,5	-1,5	5,3	7	5	0,7	0	0	0		
Снижение поверхностью земли в средней зоне, Am дБ	Gm = 1	ф-лы таб.3 [10]	0	0	0	0	0	0	0	0	0		
Суммарное снижение поверхностью земли на траектории распространения звука Agr, дБ		ф-ла (9) [10]	-3	-3	3,8	5,5	3,5	-0,8	-1,5	-1,5	-1,5		
Уровни звукового давления от источника ИШ-1-32 в расчётной точке днём, дБ		**ф-ла(3)[10]**	**53,8**	**48,3**	**34,9**	**30,1**	**29,1**	**32,2**	**28**	**3,1**	**0**	**35,2**	**35,2**
Уровни звукового давления от источника ИШ-1-32 в расчётной точке ночью, дБ		**ф-ла(3)[10]**	**0**	**0**	**0**	**0**	**0**	**0**	**0**	**0**	**0**	**0**	**0**
Источник шума: ИШ-1-33, координаты источника (x,y,z), м =[743.42,374.85,1.00]													

1		2	3	4	5	6	7	8	9	10	11	12	13
Уровни звуковой мощности источника днём, Lw, дБ		**исходные данные**	**0**	**88,7**	**90,1**	**93,1**	**96,4**	**103**	**112**	**108**	**99,2**		
Уровни звуковой мощности источника ночью, Lw, дБ		**исходные данные**	**0**	**0**	**0**	**0**	**0**	**0**	**0**	**0**	**0**		
Поправка на телесный угол DΩ, дБ	Ω = 6.28	10Lg(4π/Ω)	**3**	3	3	3	3	3	3	3	3		
Показатель направленности источника Di, дБ		исходные данные	**0**	0	0	0	0	0	0	0	0		
Поправка на направленность источника Dc, дБ	Dc	DΩ + Di	**3**	3	3	3	3	3	3	3	3		
Затухание из-за геометрической дивергенции, Adiv, дБ	расстояние = 1510.62 м	ф-ла (7) [10]	**74,6**										
Коэффициент затухания звука в атмосфере α, дБ/км	Ta=20,°C Pa=101.33,кПа hотн.=70%	ф-ла (5) [9]	0,02	0,09	0,33	1,12	2,79	4,98	9,04	23,09	77,63		
Учет затухания звука в атмосфере Aatm, дБ		ф-ла (8) [10]	0	0,1	0,5	1,7	4,2	7,5	13,7	34,9	117,3		
Снижение поверхностью земли возле источника As, дБ	Gs = 0 hs = 1м	ф-лы таб.3 [10]	-1,5	-1,5	-1,5	-1,5	-1,5	-1,5	-1,5	-1,5	-1,5		
Снижение поверхностью земли возле приёмника Ar, дБ	Gr = 1 hr = 1.5м	ф-лы таб.3 [10]	-1,5	-1,5	5,3	7	5	0,7	0	0	0		
Снижение поверхностью земли в средней зоне, Am дБ	Gm = 1	ф-лы таб.3 [10]	-2,9	-2,9	0	0	0	0	0	0	0		
Суммарное снижение поверхностью земли на траектории распространения звука Agr, дБ		ф-ла (9) [10]	-5,9	-5,9	3,8	5,5	3,5	-0,8	-1,5	-1,5	-1,5		
Уровни звукового давления от источника ИШ-1-33 в расчётной точке днём, дБ		**ф-ла(3)[10]**	**0**	**22,8**	**14,2**	**14,3**	**17,1**	**24,7**	**28,3**	**3,1**	**0**	**30,9**	**30,9**
Уровни звукового давления от источника ИШ-1-33 в расчётной точке ночью, дБ		**ф-ла(3)[10]**	**0**	**0**	**0**	**0**	**0**	**0**	**0**	**0**	**0**	**0**	**0**
Источник шума: ИШ-1-34, координаты источника (x,y,z), м =[1042.35,199.07,1.00]													
Уровни звуковой мощности источника днём, Lw, дБ		**исходные данные**	**0**	**88,7**	**90,1**	**93,1**	**96,4**	**103**	**112**	**108**	**99,2**		

1		2	3	4	5	6	7	8	9	10	11	12	13
Уровни звуковой мощности источника ночью, Lw, дБ		**исходные данные**	**0**	**0**	**0**	**0**	**0**	**0**	**0**	**0**	**0**		
Поправка на телесный угол DΩ, дБ	Ω = 6.28	10Lg(4π/Ω)	**3**	3	3	3	3	3	3	3	3		
Показатель направленности источника Di, дБ		исходные данные	**0**	0	0	0	0	0	0	0	0		
Поправка на направленность источника Dc, дБ	Dc	DΩ + Di	**3**	3	3	3	3	3	3	3	3		
Затухание из-за геометрической дивергенции, Adiv, дБ	расстояние = 1357.45 м	ф-ла (7) [10]	**73,7**										
Коэффициент затухания звука в атмосфере α, дБ/км	Ta=20,°C Pa=101.33,кПа hотн.=70%	ф-ла (5) [9]	0,02	0,09	0,33	1,12	2,79	4,98	9,04	23,09	77,63		
Учет затухания звука в атмосфере Aatm, дБ		ф-ла (8) [10]	0	0,1	0,5	1,5	3,8	6,8	12,3	31,3	105,4		
Снижение поверхностью земли возле источника As, дБ	Gs = 0 hs = 1м	ф-лы таб.3 [10]	-1,5	-1,5	-1,5	-1,5	-1,5	-1,5	-1,5	-1,5	-1,5		
Снижение поверхностью земли возле приёмника Ar, дБ	Gr = 1 hr = 1.5м	ф-лы таб.3 [10]	-1,5	-1,5	5,3	7	5	0,7	0	0	0		
Снижение поверхностью земли в средней зоне, Am дБ	Gm = 1	ф-лы таб.3 [10]	-2,8	-2,8	0	0	0	0	0	0	0		
Суммарное снижение поверхностью земли на траектории распространения звука Agr, дБ		ф-ла (9) [10]	-5,8	-5,8	3,8	5,5	3,5	-0,8	-1,5	-1,5	-1,5		
Уровни звукового давления от источника ИШ-1-34 в расчётной точке днём, дБ		**ф-ла(3)[10]**	**0**	**23,8**	**15,2**	**15,4**	**18,5**	**26,4**	**30,6**	**7,5**	**0**	**33**	**33**
Уровни звукового давления от источника ИШ-1-34 в расчётной точке ночью, дБ		**ф-ла(3)[10]**	**0**	**0**	**0**	**0**	**0**	**0**	**0**	**0**	**0**	**0**	**0**
Источник шума: ИШ-2-1, координаты источника (x,y,z), м =[696.50,124.40,3.00]													
Уровни звуковой мощности источника днём, Lw, дБ		**исходные данные**	**105**	**104**	**104**	**101**	**102**	**106**	**101**	**95**	**87**		
Уровни звуковой мощности источника ночью, Lw, дБ		**исходные данные**	**105**	**104**	**104**	**101**	**102**	**106**	**101**	**95**	**87**		

1		2	3	4	5	6	7	8	9	10	11	12	13
Поправка на телесный угол DΩ, дБ	Ω = 6.28	10Lg(4π/Ω)	**3**	3	3	3	3	3	3	3	3		
Показатель направленности источника Di, дБ		исходные данные	**0**	0	0	0	0	0	0	0	0		
Поправка на направленность источника Dc, дБ	Dc	DΩ + Di	**3**	3	3	3	3	3	3	3	3		
Затухание из-за геометрической дивергенции, Adiv, дБ	расстояние = 1679.14 м	ф-ла (7) [10]	**75,5**										
Коэффициент затухания звука в атмосфере α, дБ/км	Ta=20,°C Pa=101.33,кПа hотн.=70%	ф-ла (5) [9]	0,02	0,09	0,33	1,12	2,79	4,98	9,04	23,09	77,63		
Учет затухания звука в атмосфере Aatm, дБ		ф-ла (8) [10]	0	0,2	0,6	1,9	4,7	8,4	15,2	38,8	130,4		
Снижение поверхностью земли возле источника As, дБ	Gs = 0 hs = 3м	ф-лы таб.3 [10]	-1,5	-1,5	-1,5	-1,5	-1,5	-1,5	-1,5	-1,5	-1,5		
Снижение поверхностью земли возле приёмника Ar, дБ	Gr = 1 hr = 1.5м	ф-лы таб.3 [10]	-1,5	-1,5	5,3	7	5	0,7	0	0	0		
Снижение поверхностью земли в средней зоне, Am дБ	Gm = 1	ф-лы таб.3 [10]	-2,8	-2,8	0	0	0	0	0	0	0		
Суммарное снижение поверхностью земли на траектории распространения звука Agr, дБ		ф-ла (9) [10]	-5,8	-5,8	3,8	5,5	3,5	-0,8	-1,5	-1,5	-1,5		
Уровни звукового давления от источника ИШ-2-1 в расчётной точке днём, дБ		**ф-ла(3)[10]**	**38,2**	**37,1**	**27,1**	**21,1**	**21,4**	**26**	**14,8**	**0**	**0**	**27,4**	**27,4**
Уровни звукового давления от источника ИШ-2-1 в расчётной точке ночью, дБ		**ф-ла(3)[10]**	**38,2**	**37,1**	**27,1**	**21,1**	**21,4**	**26**	**14,8**	**0**	**0**	**27,4**	**27,4**
Источник шума: ИШ-2-2, координаты источника (x,y,z), м =[682.20,81.60,3.00]													
Уровни звуковой мощности источника днём, Lw, дБ		**исходные данные**	**105**	**104**	**104**	**101**	**102**	**106**	**101**	**95**	**87**		
Уровни звуковой мощности источника ночью, Lw, дБ		**исходные данные**	**105**	**104**	**104**	**101**	**102**	**106**	**101**	**95**	**87**		
Поправка на телесный угол DΩ, дБ	Ω = 6.28	10Lg(4π/Ω)	**3**	3	3	3	3	3	3	3	3		

1		2	3	4	5	6	7	8	9	10	11	12	13
Показатель направленности источника Di, дБ		исходные данные	**0**	0	0	0	0	0	0	0	0		
Поправка на направленность источника Dc, дБ	Dc	DΩ + Di	**3**	3	3	3	3	3	3	3	3		
Затухание из-за геометрической дивергенции, Adiv, дБ	расстояние = 1715.21 м	ф-ла (7) [10]	**75,7**										
Коэффициент затухания звука в атмосфере α, дБ/км	Ta=20,°C Pa=101.33,кПа hотн.=70%	ф-ла (5) [9]	0,02	0,09	0,33	1,12	2,79	4,98	9,04	23,09	77,63		
Учет затухания звука в атмосфере Aatm, дБ		ф-ла (8) [10]	0	0,2	0,6	1,9	4,8	8,5	15,5	39,6	133,2		
Снижение поверхностью земли возле источника As, дБ	Gs = 0 hs = 3м	ф-лы таб.3 [10]	-1,5	-1,5	-1,5	-1,5	-1,5	-1,5	-1,5	-1,5	-1,5		
Снижение поверхностью земли возле приёмника Ar, дБ	Gr = 1 hr = 1.5м	ф-лы таб.3 [10]	-1,5	-1,5	5,3	7	5	0,7	0	0	0		
Снижение поверхностью земли в средней зоне, Am дБ	Gm = 1	ф-лы таб.3 [10]	-2,8	-2,8	0	0	0	0	0	0	0		
Суммарное снижение поверхностью земли на траектории распространения звука Agr, дБ		ф-ла (9) [10]	-5,8	-5,8	3,8	5,5	3,5	-0,8	-1,5	-1,5	-1,5		
Уровни звукового давления от источника ИШ-2-2 в расчётной точке днём, дБ		**ф-ла(3)[10]**	**38,1**	**36,9**	**26,9**	**20,9**	**21,1**	**25,6**	**14,3**	**0**	**0**	**27**	**27**
Уровни звукового давления от источника ИШ-2-2 в расчётной точке ночью, дБ		**ф-ла(3)[10]**	**38,1**	**36,9**	**26,9**	**20,9**	**21,1**	**25,6**	**14,3**	**0**	**0**	**27**	**27**
Источник шума: ИШ-2-3, координаты источника (x,y,z), м =[667.80,38.90,3.00]													
Уровни звуковой мощности источника днём, Lw, дБ		**исходные данные**	**105**	**104**	**104**	**101**	**102**	**106**	**101**	**95**	**87**		
Уровни звуковой мощности источника ночью, Lw, дБ		**исходные данные**	**105**	**104**	**104**	**101**	**102**	**106**	**101**	**95**	**87**		
Поправка на телесный угол DΩ, дБ	Ω = 6.28	10Lg(4π/Ω)	**3**	3	3	3	3	3	3	3	3		
Показатель направленности источника Di, дБ		исходные данные	**0**	0	0	0	0	0	0	0	0		

1		2	3	4	5	6	7	8	9	10	11	12	13
Поправка на направленность источника Dc, дБ	Dc	DΩ + Di	**3**	3	3	3	3	3	3	3	3		
Затухание из-за геометрической дивергенции, Adiv, дБ	расстояние = 1751.73 м	ф-ла (7) [10]	**75,9**										
Коэффициент затухания звука в атмосфере α, дБ/км	Ta=20,°C Pa=101.33,кПа hотн.=70%	ф-ла (5) [9]	0,02	0,09	0,33	1,12	2,79	4,98	9,04	23,09	77,63		
Учет затухания звука в атмосфере Aatm, дБ		ф-ла (8) [10]	0	0,2	0,6	2	4,9	8,7	15,8	40,4	136		
Снижение поверхностью земли возле источника As, дБ	Gs = 0 hs = 3м	ф-лы таб.3 [10]	-1,5	-1,5	-1,5	-1,5	-1,5	-1,5	-1,5	-1,5	-1,5		
Снижение поверхностью земли возле приёмника Ar, дБ	Gr = 1 hr = 1.5м	ф-лы таб.3 [10]	-1,5	-1,5	5,3	7	5	0,7	0	0	0		
Снижение поверхностью земли в средней зоне, Am дБ	Gm = 1	ф-лы таб.3 [10]	-2,8	-2,8	0	0	0	0	0	0	0		
Суммарное снижение поверхностью земли на траектории распространения звука Agr, дБ		ф-ла (9) [10]	-5,8	-5,8	3,8	5,5	3,5	-0,8	-1,5	-1,5	-1,5		
Уровни звукового давления от источника ИШ-2-3 в расчётной точке днём, дБ		**ф-ла(3)[10]**	**37,9**	**36,8**	**26,7**	**20,7**	**20,8**	**25,3**	**13,8**	**0**	**0**	**26,7**	**26,7**
Уровни звукового давления от источника ИШ-2-3 в расчётной точке ночью, дБ		**ф-ла(3)[10]**	**37,9**	**36,8**	**26,7**	**20,7**	**20,8**	**25,3**	**13,8**	**0**	**0**	**26,7**	**26,7**
Источник шума: ИШ-2-6, координаты источника (x,y,z), м =[765.97,112.43,1.00]													
Уровни звуковой мощности источника днём, Lw, дБ		**исходные данные**	**0**	**93,3**	**94,7**	**96**	**96,3**	**95,9**	**92,6**	**88,4**	**83,9**		
Уровни звуковой мощности источника ночью, Lw, дБ		**исходные данные**	**0**	**93,3**	**94,7**	**96**	**96,3**	**95,9**	**92,6**	**88,4**	**83,9**		
Поправка на телесный угол DΩ, дБ	Ω = 6.28	10Lg(4π/Ω)	**3**	3	3	3	3	3	3	3	3		
Показатель направленности источника Di, дБ		исходные данные	**0**	0	0	0	0	0	0	0	0		
Поправка на направленность источника Dc, дБ	Dc	DΩ + Di	**3**	3	3	3	3	3	3	3	3		

1		2	3	4	5	6	7	8	9	10	11	12	13
Затухание из-за геометрической дивергенции, Adiv, дБ	расстояние = 1629.09 м	ф-ла (7) [10]	**75,2**										
Коэффициент затухания звука в атмосфере α, дБ/км	Ta=20,°C Pa=101.33,кПа hотн.=70%	ф-ла (5) [9]	0,02	0,09	0,33	1,12	2,79	4,98	9,04	23,09	77,63		
Учет затухания звука в атмосфере Aatm, дБ		ф-ла (8) [10]	0	0,1	0,5	1,8	4,5	8,1	14,7	37,6	126,5		
Снижение поверхностью земли возле источника As, дБ	Gs = 0 hs = 1м	ф-лы таб.3 [10]	-1,5	-1,5	-1,5	-1,5	-1,5	-1,5	-1,5	-1,5	-1,5		
Снижение поверхностью земли возле приёмника Ar, дБ	Gr = 1 hr = 1.5м	ф-лы таб.3 [10]	-1,5	-1,5	5,3	7	5	0,7	0	0	0		
Снижение поверхностью земли в средней зоне, Am дБ	Gm = 1	ф-лы таб.3 [10]	-2,9	-2,9	0	0	0	0	0	0	0		
Суммарное снижение поверхностью земли на траектории распространения звука Agr, дБ		ф-ла (9) [10]	-5,9	-5,9	3,8	5,5	3,5	-0,8	-1,5	-1,5	-1,5		
Уровни звукового давления от источника ИШ-2-6 в расчётной точке днём, дБ		**ф-ла(3)[10]**	**0**	**26,8**	**18,1**	**16,4**	**16**	**16,4**	**7,1**	**0**	**0**	**18,9**	**18,9**
Уровни звукового давления от источника ИШ-2-6 в расчётной точке ночью, дБ		**ф-ла(3)[10]**	**0**	**26,8**	**18,1**	**16,4**	**16**	**16,4**	**7,1**	**0**	**0**	**18,9**	**18,9**
Источник шума: ИШ-2-7, координаты источника (x,y,z), м =[764.91,109.54,1.00]													
Уровни звуковой мощности источника днём, Lw, дБ		**исходные данные**	**0**	**93,3**	**94,7**	**96**	**96,3**	**95,9**	**92,6**	**88,4**	**83,9**		
Уровни звуковой мощности источника ночью, Lw, дБ		**исходные данные**	**0**	**93,3**	**94,7**	**96**	**96,3**	**95,9**	**92,6**	**88,4**	**83,9**		
Поправка на телесный угол DΩ, дБ	Ω = 6.28	10Lg(4π/Ω)	**3**	3	3	3	3	3	3	3	3		
Показатель направленности источника Di, дБ		исходные данные	**0**	0	0	0	0	0	0	0	0		
Поправка на направленность источника Dc, дБ	Dc	DΩ + Di	**3**	3	3	3	3	3	3	3	3		
Затухание из-за геометрической дивергенции, Adiv, дБ	расстояние = 1631.65 м	ф-ла (7) [10]	**75,3**										

1		2	3	4	5	6	7	8	9	10	11	12	13
Коэффициент затухания звука в атмосфере α, дБ/км	Ta=20,°C Pa=101.33,кПа hотн.=70%	ф-ла (5) [9]	0,02	0,09	0,33	1,12	2,79	4,98	9,04	23,09	77,63		
Учет затухания звука в атмосфере Aatm, дБ		ф-ла (8) [10]	0	0,1	0,5	1,8	4,6	8,1	14,7	37,7	126,7		
Снижение поверхностью земли возле источника As, дБ	Gs = 0 hs = 1м	ф-лы таб.3 [10]	-1,5	-1,5	-1,5	-1,5	-1,5	-1,5	-1,5	-1,5	-1,5		
Снижение поверхностью земли возле приёмника Ar, дБ	Gr = 1 hr = 1.5м	ф-лы таб.3 [10]	-1,5	-1,5	5,3	7	5	0,7	0	0	0		
Снижение поверхностью земли в средней зоне, Am дБ	Gm = 1	ф-лы таб.3 [10]	-2,9	-2,9	0	0	0	0	0	0	0		
Суммарное снижение поверхностью земли на траектории распространения звука Agr, дБ		ф-ла (9) [10]	-5,9	-5,9	3,8	5,5	3,5	-0,8	-1,5	-1,5	-1,5		
Уровни звукового давления от источника ИШ-2-7 в расчётной точке днём, дБ		**ф-ла(3)[10]**	**0**	**26,8**	**18,1**	**16,4**	**16**	**16,4**	**7,1**	**0**	**0**	**18,9**	**18,9**
Уровни звукового давления от источника ИШ-2-7 в расчётной точке ночью, дБ		**ф-ла(3)[10]**	**0**	**26,8**	**18,1**	**16,4**	**16**	**16,4**	**7,1**	**0**	**0**	**18,9**	**18,9**
Источник шума: ИШ-2-8, координаты источника (x,y,z), м =[764.03,106.58,1.00]													
Уровни звуковой мощности источника днём, Lw, дБ		**исходные данные**	**0**	**93,3**	**94,7**	**96**	**96,3**	**95,9**	**92,6**	**88,4**	**83,9**		
Уровни звуковой мощности источника ночью, Lw, дБ		**исходные данные**	**0**	**93,3**	**94,7**	**96**	**96,3**	**95,9**	**92,6**	**88,4**	**83,9**		
Поправка на телесный угол DΩ, дБ	Ω = 6.28	10Lg(4π/Ω)	**3**	3	3	3	3	3	3	3	3		
Показатель направленности источника Di, дБ		исходные данные	**0**	0	0	0	0	0	0	0	0		
Поправка на направленность источника Dc, дБ	Dc	DΩ + Di	**3**	3	3	3	3	3	3	3	3		
Затухание из-за геометрической дивергенции, Adiv, дБ	расстояние = 1634.10 м	ф-ла (7) [10]	**75,3**										
Коэффициент затухания звука в атмосфере α, дБ/км	Ta=20,°C Pa=101.33,кПа hотн.=70%	ф-ла (5) [9]	0,02	0,09	0,33	1,12	2,79	4,98	9,04	23,09	77,63		

1		2	3	4	5	6	7	8	9	10	11	12	13
Учет затухания звука в атмосфере Aatm, дБ		ф-ла (8) [10]	0	0,1	0,5	1,8	4,6	8,1	14,8	37,7	126,9		
Снижение поверхностью земли возле источника As, дБ	Gs = 0 hs = 1м	ф-лы таб.3 [10]	-1,5	-1,5	-1,5	-1,5	-1,5	-1,5	-1,5	-1,5	-1,5		
Снижение поверхностью земли возле приёмника Ar, дБ	Gr = 1 hr = 1.5м	ф-лы таб.3 [10]	-1,5	-1,5	5,3	7	5	0,7	0	0	0		
Снижение поверхностью земли в средней зоне, Am дБ	Gm = 1	ф-лы таб.3 [10]	-2,9	-2,9	0	0	0	0	0	0	0		
Суммарное снижение поверхностью земли на траектории распространения звука Agr, дБ		ф-ла (9) [10]	-5,9	-5,9	3,8	5,5	3,5	-0,8	-1,5	-1,5	-1,5		
Уровни звукового давления от источника ИШ-2-8 в расчётной точке днём, дБ		**ф-ла(3)[10]**	**0**	**26,7**	**18**	**16,4**	**16**	**16,3**	**7,1**	**0**	**0**	**18,9**	**18,9**
Уровни звукового давления от источника ИШ-2-8 в расчётной точке ночью, дБ		**ф-ла(3)[10]**	**0**	**26,7**	**18**	**16,4**	**16**	**16,3**	**7,1**	**0**	**0**	**18,9**	**18,9**
Источник шума: ИШ-2-9, координаты источника (x,y,z), м =[763.26,103.71,1.00]													
Уровни звуковой мощности источника днём, Lw, дБ		**исходные данные**	**0**	**93,3**	**94,7**	**96**	**96,3**	**95,9**	**92,6**	**88,4**	**83,9**		
Уровни звуковой мощности источника ночью, Lw, дБ		**исходные данные**	**0**	**93,3**	**94,7**	**96**	**96,3**	**95,9**	**92,6**	**88,4**	**83,9**		
Поправка на телесный угол DΩ, дБ	Ω = 6.28	10Lg(4π/Ω)	**3**	3	3	3	3	3	3	3	3		
Показатель направленности источника Di, дБ		исходные данные	**0**	0	0	0	0	0	0	0	0		
Поправка на направленность источника Dc, дБ	Dc	DΩ + Di	**3**	3	3	3	3	3	3	3	3		
Затухание из-за геометрической дивергенции, Adiv, дБ	расстояние = 1636.41 м	ф-ла (7) [10]	**75,3**										
Коэффициент затухания звука в атмосфере α, дБ/км	Ta=20,°C Pa=101.33,кПа hотн.=70%	ф-ла (5) [9]	0,02	0,09	0,33	1,12	2,79	4,98	9,04	23,09	77,63		
Учет затухания звука в атмосфере Aatm, дБ		ф-ла (8) [10]	0	0,1	0,5	1,8	4,6	8,1	14,8	37,8	127		

1		2	3	4	5	6	7	8	9	10	11	12	13
Снижение поверхностью земли возле источника As, дБ	Gs = 0 hs = 1м	ф-лы таб.3 [10]	-1,5	-1,5	-1,5	-1,5	-1,5	-1,5	-1,5	-1,5	-1,5		
Снижение поверхностью земли возле приёмника Ar, дБ	Gr = 1 hr = 1.5м	ф-лы таб.3 [10]	-1,5	-1,5	5,3	7	5	0,7	0	0	0		
Снижение поверхностью земли в средней зоне, Am дБ	Gm = 1	ф-лы таб.3 [10]	-2,9	-2,9	0	0	0	0	0	0	0		
Суммарное снижение поверхностью земли на траектории распространения звука Agr, дБ		ф-ла (9) [10]	-5,9	-5,9	3,8	5,5	3,5	-0,8	-1,5	-1,5	-1,5		
Уровни звукового давления от источника ИШ-2-9 в расчётной точке днём, дБ		**ф-ла(3)[10]**	**0**	**26,7**	**18**	**16,4**	**16**	**16,3**	**7**	**0**	**0**	**18,9**	**18,9**
Уровни звукового давления от источника ИШ-2-9 в расчётной точке ночью, дБ		**ф-ла(3)[10]**	**0**	**26,7**	**18**	**16,4**	**16**	**16,3**	**7**	**0**	**0**	**18,9**	**18,9**
Источник шума: ИШ-2-10, координаты источника (x,y,z), м =[762.14,100.75,1.00]													
Уровни звуковой мощности источника днём, Lw, дБ		**исходные данные**	**0**	**93,3**	**94,7**	**96**	**96,3**	**95,9**	**92,6**	**88,4**	**83,9**		
Уровни звуковой мощности источника ночью, Lw, дБ		**исходные данные**	**0**	**93,3**	**94,7**	**96**	**96,3**	**95,9**	**92,6**	**88,4**	**83,9**		
Поправка на телесный угол DΩ, дБ	Ω = 6.28	10Lg(4π/Ω)	**3**	3	3	3	3	3	3	3	3		
Показатель направленности источника Di, дБ		исходные данные	**0**	0	0	0	0	0	0	0	0		
Поправка на направленность источника Dc, дБ	Dc	DΩ + Di	**3**	3	3	3	3	3	3	3	3		
Затухание из-за геометрической дивергенции, Adiv, дБ	расстояние = 1639.06 м	ф-ла (7) [10]	**75,3**										
Коэффициент затухания звука в атмосфере α, дБ/км	Ta=20,°C Pa=101.33,кПа hотн.=70%	ф-ла (5) [9]	0,02	0,09	0,33	1,12	2,79	4,98	9,04	23,09	77,63		
Учет затухания звука в атмосфере Aatm, дБ		ф-ла (8) [10]	0	0,1	0,5	1,8	4,6	8,2	14,8	37,8	127,2		
Снижение поверхностью земли возле источника As, дБ	Gs = 0 hs = 1м	ф-лы таб.3 [10]	-1,5	-1,5	-1,5	-1,5	-1,5	-1,5	-1,5	-1,5	-1,5		

1		2	3	4	5	6	7	8	9	10	11	12	13
Снижение поверхностью земли возле приёмника Ar, дБ	Gr = 1 hr = 1.5м	ф-лы таб.3 [10]	-1,5	-1,5	5,3	7	5	0,7	0	0	0		
Снижение поверхностью земли в средней зоне, Am дБ	Gm = 1	ф-лы таб.3 [10]	-2,9	-2,9	0	0	0	0	0	0	0		
Суммарное снижение поверхностью земли на траектории распространения звука Agr, дБ		ф-ла (9) [10]	-5,9	-5,9	3,8	5,5	3,5	-0,8	-1,5	-1,5	-1,5		
Уровни звукового давления от источника ИШ-2-10 в расчётной точке днём, дБ		**ф-ла(3)[10]**	**0**	**26,7**	**18**	**16,3**	**16**	**16,3**	**7**	**0**	**0**	**18,8**	**18,8**
Уровни звукового давления от источника ИШ-2-10 в расчётной точке ночью, дБ		**ф-ла(3)[10]**	**0**	**26,7**	**18**	**16,3**	**16**	**16,3**	**7**	**0**	**0**	**18,8**	**18,8**
Источник шума: ИШ-2-11, координаты источника (x,y,z), м =[761.13,97.90,1.00]													
Уровни звуковой мощности источника днём, Lw, дБ		**исходные данные**	**0**	**93,3**	**94,7**	**96**	**96,3**	**95,9**	**92,6**	**88,4**	**83,9**		
Уровни звуковой мощности источника ночью, Lw, дБ		**исходные данные**	**0**	**93,3**	**94,7**	**96**	**96,3**	**95,9**	**92,6**	**88,4**	**83,9**		
Поправка на телесный угол DΩ, дБ	Ω = 6.28	10Lg(4π/Ω)	**3**	3	3	3	3	3	3	3	3		
Показатель направленности источника Di, дБ		исходные данные	**0**	0	0	0	0	0	0	0	0		
Поправка на направленность источника Dc, дБ	Dc	DΩ + Di	**3**	3	3	3	3	3	3	3	3		
Затухание из-за геометрической дивергенции, Adiv, дБ	расстояние = 1641.55 м	ф-ла (7) [10]	**75,3**										
Коэффициент затухания звука в атмосфере α, дБ/км	Ta=20,°C Pa=101.33,кПа hотн.=70%	ф-ла (5) [9]	0,02	0,09	0,33	1,12	2,79	4,98	9,04	23,09	77,63		
Учет затухания звука в атмосфере Aatm, дБ		ф-ла (8) [10]	0	0,1	0,5	1,8	4,6	8,2	14,8	37,9	127,4		
Снижение поверхностью земли возле источника As, дБ	Gs = 0 hs = 1м	ф-лы таб.3 [10]	-1,5	-1,5	-1,5	-1,5	-1,5	-1,5	-1,5	-1,5	-1,5		
Снижение поверхностью земли возле приёмника Ar, дБ	Gr = 1 hr = 1.5м	ф-лы таб.3 [10]	-1,5	-1,5	5,3	7	5	0,7	0	0	0		

1		2	3	4	5	6	7	8	9	10	11	12	13
Снижение поверхностью земли в средней зоне, Am дБ	Gm = 1	ф-лы таб.3 [10]	-2,9	-2,9	0	0	0	0	0	0	0		
Суммарное снижение поверхностью земли на траектории распространения звука Agr, дБ		ф-ла (9) [10]	-5,9	-5,9	3,8	5,5	3,5	-0,8	-1,5	-1,5	-1,5		
Уровни звукового давления от источника ИШ-2-11 в расчётной точке днём, дБ		**ф-ла(3)[10]**	**0**	**26,7**	**18**	**16,3**	**15,9**	**16,3**	**6,9**	**0**	**0**	**18,8**	**18,8**
Уровни звукового давления от источника ИШ-2-11 в расчётной точке ночью, дБ		**ф-ла(3)[10]**	**0**	**26,7**	**18**	**16,3**	**15,9**	**16,3**	**6,9**	**0**	**0**	**18,8**	**18,8**
Источник шума: ИШ-2-12, координаты источника (x,y,z), м =[760.25,95.02,1.00]													
Уровни звуковой мощности источника днём, Lw, дБ		**исходные данные**	**0**	**93,3**	**94,7**	**96**	**96,3**	**95,9**	**92,6**	**88,4**	**83,9**		
Уровни звуковой мощности источника ночью, Lw, дБ		**исходные данные**	**0**	**93,3**	**94,7**	**96**	**96,3**	**95,9**	**92,6**	**88,4**	**83,9**		
Поправка на телесный угол DΩ, дБ	Ω = 6.28	10Lg(4π/Ω)	**3**	3	3	3	3	3	3	3	3		
Показатель направленности источника Di, дБ		исходные данные	**0**	0	0	0	0	0	0	0	0		
Поправка на направленность источника Dc, дБ	Dc	DΩ + Di	**3**	3	3	3	3	3	3	3	3		
Затухание из-за геометрической дивергенции, Adiv, дБ	расстояние = 1643.96 м	ф-ла (7) [10]	**75,3**										
Коэффициент затухания звука в атмосфере α, дБ/км	Ta=20,°C Pa=101.33,кПа hотн.=70%	ф-ла (5) [9]	0,02	0,09	0,33	1,12	2,79	4,98	9,04	23,09	77,63		
Учет затухания звука в атмосфере Aatm, дБ		ф-ла (8) [10]	0	0,1	0,6	1,8	4,6	8,2	14,9	38	127,6		
Снижение поверхностью земли возле источника As, дБ	Gs = 0 hs = 1м	ф-лы таб.3 [10]	-1,5	-1,5	-1,5	-1,5	-1,5	-1,5	-1,5	-1,5	-1,5		
Снижение поверхностью земли возле приёмника Ar, дБ	Gr = 1 hr = 1.5м	ф-лы таб.3 [10]	-1,5	-1,5	5,3	7	5	0,7	0	0	0		
Снижение поверхностью земли в средней зоне, Am дБ	Gm = 1	ф-лы таб.3 [10]	-2,9	-2,9	0	0	0	0	0	0	0		

1		2	3	4	5	6	7	8	9	10	11	12	13
Суммарное снижение поверхностью земли на траектории распространения звука Agr, дБ		ф-ла (9) [10]	-5,9	-5,9	3,8	5,5	3,5	-0,8	-1,5	-1,5	-1,5		
Уровни звукового давления от источника ИШ-2-12 в расчётной точке днём, дБ		**ф-ла(3)[10]**	**0**	**26,7**	**18**	**16,3**	**15,9**	**16,2**	**6,9**	**0**	**0**	**18,8**	**18,8**
Уровни звукового давления от источника ИШ-2-12 в расчётной точке ночью, дБ		**ф-ла(3)[10]**	**0**	**26,7**	**18**	**16,3**	**15,9**	**16,2**	**6,9**	**0**	**0**	**18,8**	**18,8**
Источник шума: ИШ-2-13, координаты источника (x,y,z), м =[759.28,92.25,1.00]													
Уровни звуковой мощности источника днём, Lw, дБ		**исходные данные**	**0**	**93,3**	**94,7**	**96**	**96,3**	**95,9**	**92,6**	**88,4**	**83,9**		
Уровни звуковой мощности источника ночью, Lw, дБ		**исходные данные**	**0**	**93,3**	**94,7**	**96**	**96,3**	**95,9**	**92,6**	**88,4**	**83,9**		
Поправка на телесный угол DΩ, дБ	Ω = 6.28	10Lg(4π/Ω)	**3**	3	3	3	3	3	3	3	3		
Показатель направленности источника Di, дБ		исходные данные	**0**	0	0	0	0	0	0	0	0		
Поправка на направленность источника Dc, дБ	Dc	DΩ + Di	**3**	3	3	3	3	3	3	3	3		
Затухание из-за геометрической дивергенции, Adiv, дБ	расстояние = 1646.38 м	ф-ла (7) [10]	**75,3**										
Коэффициент затухания звука в атмосфере α, дБ/км	Ta=20,°C Pa=101.33,кПа hотн.=70%	ф-ла (5) [9]	0,02	0,09	0,33	1,12	2,79	4,98	9,04	23,09	77,63		
Учет затухания звука в атмосфере Aatm, дБ		ф-ла (8) [10]	0	0,1	0,6	1,9	4,6	8,2	14,9	38	127,8		
Снижение поверхностью земли возле источника As, дБ	Gs = 0 hs = 1м	ф-лы таб.3 [10]	-1,5	-1,5	-1,5	-1,5	-1,5	-1,5	-1,5	-1,5	-1,5		
Снижение поверхностью земли возле приёмника Ar, дБ	Gr = 1 hr = 1.5м	ф-лы таб.3 [10]	-1,5	-1,5	5,3	7	5	0,7	0	0	0		
Снижение поверхностью земли в средней зоне, Am дБ	Gm = 1	ф-лы таб.3 [10]	-2,9	-2,9	0	0	0	0	0	0	0		
Суммарное снижение поверхностью земли на траектории распространения звука Agr, дБ		ф-ла (9) [10]	-5,9	-5,9	3,8	5,5	3,5	-0,8	-1,5	-1,5	-1,5		

1		2	3	4	5	6	7	8	9	10	11	12	13
Уровни звукового давления от источника ИШ-2-13 в расчётной точке днём, дБ		**ф-ла(3)[10]**	**0**	**26,7**	**18**	**16,3**	**15,9**	**16,2**	**6,9**	**0**	**0**	**18,8**	**18,8**
Уровни звукового давления от источника ИШ-2-13 в расчётной точке ночью, дБ		**ф-ла(3)[10]**	**0**	**26,7**	**18**	**16,3**	**15,9**	**16,2**	**6,9**	**0**	**0**	**18,8**	**18,8**
Источник шума: ИШ-2-14, координаты источника (x,y,z), м =[751.62,69.73,1.00]													
Уровни звуковой мощности источника днём, Lw, дБ		**исходные данные**	**0**	**93,3**	**94,7**	**96**	**96,3**	**95,9**	**92,6**	**88,4**	**83,9**		
Уровни звуковой мощности источника ночью, Lw, дБ		**исходные данные**	**0**	**93,3**	**94,7**	**96**	**96,3**	**95,9**	**92,6**	**88,4**	**83,9**		
Поправка на телесный угол DΩ, дБ	Ω = 6.28	10Lg(4π/Ω)	**3**	3	3	3	3	3	3	3	3		
Показатель направленности источника Di, дБ		исходные данные	**0**	0	0	0	0	0	0	0	0		
Поправка на направленность источника Dc, дБ	Dc	DΩ + Di	**3**	3	3	3	3	3	3	3	3		
Затухание из-за геометрической дивергенции, Adiv, дБ	расстояние = 1665.94 м	ф-ла (7) [10]	**75,4**										
Коэффициент затухания звука в атмосфере α, дБ/км	Ta=20,°C Pa=101.33,кПа hотн.=70%	ф-ла (5) [9]	0,02	0,09	0,33	1,12	2,79	4,98	9,04	23,09	77,63		
Учет затухания звука в атмосфере Aatm, дБ		ф-ла (8) [10]	0	0,1	0,6	1,9	4,6	8,3	15,1	38,5	129,3		
Снижение поверхностью земли возле источника As, дБ	Gs = 0 hs = 1м	ф-лы таб.3 [10]	-1,5	-1,5	-1,5	-1,5	-1,5	-1,5	-1,5	-1,5	-1,5		
Снижение поверхностью земли возле приёмника Ar, дБ	Gr = 1 hr = 1.5м	ф-лы таб.3 [10]	-1,5	-1,5	5,3	7	5	0,7	0	0	0		
Снижение поверхностью земли в средней зоне, Am дБ	Gm = 1	ф-лы таб.3 [10]	-2,9	-2,9	0	0	0	0	0	0	0		
Суммарное снижение поверхностью земли на траектории распространения звука Agr, дБ		ф-ла (9) [10]	-5,9	-5,9	3,8	5,5	3,5	-0,8	-1,5	-1,5	-1,5		
Уровни звукового давления прямого звука от источника ИШ-2-14 в расчётной точке днём, дБ		**ф-ла(3)[10]**	**0**	**26,6**	**17,9**	**16,2**	**15,7**	**16**	**6,6**	**0**	**0**	**18,6**	**18,6**

1		2	3	4	5	6	7	8	9	10	11	12	13
Уровни звукового давления прямого звука от источника ИШ-2-14 в расчётной точке ночью, дБ		**ф-ла(3)[10]**	**0**	**26,6**	**17,9**	**16,2**	**15,7**	**16**	**6,6**	**0**	**0**	**18,6**	**18,6**
Расчёт отражённого звука													
Уровни звукового давления от мнимого источника ИШ-2-14_мн.(1) в расчётной точке днём, дБ		**ф-ла(3)[10]**	**0**	**0**	**0**	**0**	**0**	**0**	**0**	**0**	**0**	**0**	**0**
Уровни звукового давления от мнимого источника ИШ-2-14_мн.(1) в расчётной точке ночью, дБ		**ф-ла(3)[10]**	**0**	**0**	**0**	**0**	**0**	**0**	**0**	**0**	**0**	**0**	**0**
Уровни звукового давления от источника ИШ-2-14 в расчётной точке днём, дБ		**ф-ла(3)[10]**	**0**	**26,6**	**17,9**	**16,2**	**15,7**	**16**	**6,6**	**0**	**0**	**18,6**	**18,6**
Уровни звукового давления от источника ИШ-2-14 в расчётной точке ночью, дБ		**ф-ла(3)[10]**	**0**	**26,6**	**17,9**	**16,2**	**15,7**	**16**	**6,6**	**0**	**0**	**18,6**	**18,6**
Источник шума: ИШ-2-15, координаты источника (x,y,z), м =[750.74,66.89,1.00]													
Уровни звуковой мощности источника днём, Lw, дБ		**исходные данные**	**0**	**93,3**	**94,7**	**96**	**96,3**	**95,9**	**92,6**	**88,4**	**83,9**		
Уровни звуковой мощности источника ночью, Lw, дБ		**исходные данные**	**0**	**93,3**	**94,7**	**96**	**96,3**	**95,9**	**92,6**	**88,4**	**83,9**		
Поправка на телесный угол DΩ, дБ	Ω = 6.28	10Lg(4π/Ω)	**3**	3	3	3	3	3	3	3	3		
Показатель направленности источника Di, дБ		исходные данные	**0**	0	0	0	0	0	0	0	0		
Поправка на направленность источника Dc, дБ	Dc	DΩ + Di	**3**	3	3	3	3	3	3	3	3		
Затухание из-за геометрической дивергенции, Adiv, дБ	расстояние = 1668.35 м	ф-ла (7) [10]	**75,4**										
Коэффициент затухания звука в атмосфере α, дБ/км	Ta=20,°C Pa=101.33,кПа hотн.=70%	ф-ла (5) [9]	0,02	0,09	0,33	1,12	2,79	4,98	9,04	23,09	77,63		
Учет затухания звука в атмосфере Aatm, дБ		ф-ла (8) [10]	0	0,1	0,6	1,9	4,7	8,3	15,1	38,5	129,5		
Снижение поверхностью земли возле источника As, дБ	Gs = 0 hs = 1м	ф-лы таб.3 [10]	-1,5	-1,5	-1,5	-1,5	-1,5	-1,5	-1,5	-1,5	-1,5		

1		2	3	4	5	6	7	8	9	10	11	12	13
Снижение поверхностью земли возле приёмника Ar, дБ	Gr = 1 hr = 1.5м	ф-лы таб.3 [10]	-1,5	-1,5	5,3	7	5	0,7	0	0	0		
Снижение поверхностью земли в средней зоне, Am дБ	Gm = 1	ф-лы таб.3 [10]	-2,9	-2,9	0	0	0	0	0	0	0		
Суммарное снижение поверхностью земли на траектории распространения звука Agr, дБ		ф-ла (9) [10]	-5,9	-5,9	3,8	5,5	3,5	-0,8	-1,5	-1,5	-1,5		
Уровни звукового давления прямого звука от источника ИШ-2-15 в расчётной точке днём, дБ		**ф-ла(3)[10]**	**0**	**26,6**	**17,8**	**16,1**	**15,7**	**16**	**6,6**	**0**	**0**	**18,6**	**18,6**
Уровни звукового давления прямого звука от источника ИШ-2-15 в расчётной точке ночью, дБ		**ф-ла(3)[10]**	**0**	**26,6**	**17,8**	**16,1**	**15,7**	**16**	**6,6**	**0**	**0**	**18,6**	**18,6**
Расчёт отражённого звука													
Уровни звукового давления от мнимого источника ИШ-2-15_мн.(1) в расчётной точке днём, дБ		**ф-ла(3)[10]**	**0**	**0**	**0**	**0**	**0**	**0**	**0**	**0**	**0**	**0**	**0**
Уровни звукового давления от мнимого источника ИШ-2-15_мн.(1) в расчётной точке ночью, дБ		**ф-ла(3)[10]**	**0**	**0**	**0**	**0**	**0**	**0**	**0**	**0**	**0**	**0**	**0**
Уровни звукового давления от источника ИШ-2-15 в расчётной точке днём, дБ		**ф-ла(3)[10]**	**0**	**26,6**	**17,8**	**16,1**	**15,7**	**16**	**6,6**	**0**	**0**	**18,6**	**18,6**
Уровни звукового давления от источника ИШ-2-15 в расчётной точке ночью, дБ		**ф-ла(3)[10]**	**0**	**26,6**	**17,8**	**16,1**	**15,7**	**16**	**6,6**	**0**	**0**	**18,6**	**18,6**
Источник шума: ИШ-2-16, координаты источника (x,y,z), м =[749.73,64.02,1.00]													
Уровни звуковой мощности источника днём, Lw, дБ		**исходные данные**	**0**	**93,3**	**94,7**	**96**	**96,3**	**95,9**	**92,6**	**88,4**	**83,9**		
Уровни звуковой мощности источника ночью, Lw, дБ		**исходные данные**	**0**	**93,3**	**94,7**	**96**	**96,3**	**95,9**	**92,6**	**88,4**	**83,9**		
Поправка на телесный угол DΩ, дБ	Ω = 6.28	10Lg(4π/Ω)	**3**	3	3	3	3	3	3	3	3		
Показатель направленности источника Di, дБ		исходные данные	**0**	0	0	0	0	0	0	0	0		
Поправка на направленность источника Dc, дБ	Dc	DΩ + Di	**3**	3	3	3	3	3	3	3	3		
Затухание из-за геометрической дивергенции, Adiv, дБ	расстояние = 1670.88 м	ф-ла (7) [10]	**75,5**										

1		2	3	4	5	6	7	8	9	10	11	12	13
Коэффициент затухания звука в атмосфере α, дБ/км	Та=20,°С Ра=101.33,кПа hотн.=70%	ф-ла (5) [9]	0,02	0,09	0,33	1,12	2,79	4,98	9,04	23,09	77,63		
Учет затухания звука в атмосфере Aatm, дБ		ф-ла (8) [10]	0	0,1	0,6	1,9	4,7	8,3	15,1	38,6	129,7		
Снижение поверхностью земли возле источника As, дБ	Gs = 0 hs = 1м	ф-лы таб.3 [10]	-1,5	-1,5	-1,5	-1,5	-1,5	-1,5	-1,5	-1,5	-1,5		
Снижение поверхностью земли возле приёмника Ar, дБ	Gr = 1 hr = 1.5м	ф-лы таб.3 [10]	-1,5	-1,5	5,3	7	5	0,7	0	0	0		
Снижение поверхностью земли в средней зоне, Am дБ	Gm = 1	ф-лы таб.3 [10]	-2,9	-2,9	0	0	0	0	0	0	0		
Суммарное снижение поверхностью земли на траектории распространения звука Agr, дБ		ф-ла (9) [10]	-5,9	-5,9	3,8	5,5	3,5	-0,8	-1,5	-1,5	-1,5		
Уровни звукового давления прямого звука от источника ИШ-2-16 в расчётной точке днём, дБ		**ф-ла(3)[10]**	**0**	**26,5**	**17,8**	**16,1**	**15,7**	**16**	**6,5**	**0**	**0**	**18,5**	**18,5**
Уровни звукового давления прямого звука от источника ИШ-2-16 в расчётной точке ночью, дБ		**ф-ла(3)[10]**	**0**	**26,5**	**17,8**	**16,1**	**15,7**	**16**	**6,5**	**0**	**0**	**18,5**	**18,5**
Расчёт отражённого звука													
Уровни звукового давления от мнимого источника ИШ-2-16_мн.(1) в расчётной точке днём, дБ		**ф-ла(3)[10]**	**0**	**0**	**0**	**0**	**0**	**0**	**0**	**0**	**0**	**0**	**0**
Уровни звукового давления от мнимого источника ИШ-2-16_мн.(1) в расчётной точке ночью, дБ		**ф-ла(3)[10]**	**0**	**0**	**0**	**0**	**0**	**0**	**0**	**0**	**0**	**0**	**0**
Уровни звукового давления от источника ИШ-2-16 в расчётной точке днём, дБ		**ф-ла(3)[10]**	**0**	**26,5**	**17,8**	**16,1**	**15,7**	**16**	**6,5**	**0**	**0**	**18,5**	**18,5**
Уровни звукового давления от источника ИШ-2-16 в расчётной точке ночью, дБ		**ф-ла(3)[10]**	**0**	**26,5**	**17,8**	**16,1**	**15,7**	**16**	**6,5**	**0**	**0**	**18,5**	**18,5**
Источник шума: ИШ-2-17, координаты источника (x,y,z), м =[748.87,61.06,1.00]													
Уровни звуковой мощности источника днём, Lw, дБ		**исходные данные**	**0**	**93,3**	**94,7**	**96**	**96,3**	**95,9**	**92,6**	**88,4**	**83,9**		
Уровни звуковой мощности источника ночью, Lw, дБ		**исходные данные**	**0**	**93,3**	**94,7**	**96**	**96,3**	**95,9**	**92,6**	**88,4**	**83,9**		

1		2	3	4	5	6	7	8	9	10	11	12	13
Поправка на телесный угол DΩ, дБ	Ω = 6.28	10Lg(4π/Ω)	**3**	3	3	3	3	3	3	3	3		
Показатель направленности источника Di, дБ		исходные данные	**0**	0	0	0	0	0	0	0	0		
Поправка на направленность источника Dc, дБ	Dc	DΩ + Di	**3**	3	3	3	3	3	3	3	3		
Затухание из-за геометрической дивергенции, Adiv, дБ	расстояние = 1673.34 м	ф-ла (7) [10]	**75,5**										
Коэффициент затухания звука в атмосфере α, дБ/км	Ta=20,°C Pa=101.33,кПа hотн.=70%	ф-ла (5) [9]	0,02	0,09	0,33	1,12	2,79	4,98	9,04	23,09	77,63		
Учет затухания звука в атмосфере Aatm, дБ		ф-ла (8) [10]	0	0,1	0,6	1,9	4,7	8,3	15,1	38,6	129,9		
Снижение поверхностью земли возле источника As, дБ	Gs = 0 hs = 1м	ф-лы таб.3 [10]	-1,5	-1,5	-1,5	-1,5	-1,5	-1,5	-1,5	-1,5	-1,5		
Снижение поверхностью земли возле приёмника Ar, дБ	Gr = 1 hr = 1.5м	ф-лы таб.3 [10]	-1,5	-1,5	5,3	7	5	0,7	0	0	0		
Снижение поверхностью земли в средней зоне, Am дБ	Gm = 1	ф-лы таб.3 [10]	-2,9	-2,9	0	0	0	0	0	0	0		
Суммарное снижение поверхностью земли на траектории распространения звука Agr, дБ		ф-ла (9) [10]	-5,9	-5,9	3,8	5,5	3,5	-0,8	-1,5	-1,5	-1,5		
Уровни звукового давления прямого звука от источника ИШ-2-17 в расчётной точке днём, дБ		**ф-ла(3)[10]**	**0**	**26,5**	**17,8**	**16,1**	**15,7**	**15,9**	**6,5**	**0**	**0**	**18,5**	**18,5**
Уровни звукового давления прямого звука от источника ИШ-2-17 в расчётной точке ночью, дБ		**ф-ла(3)[10]**	**0**	**26,5**	**17,8**	**16,1**	**15,7**	**15,9**	**6,5**	**0**	**0**	**18,5**	**18,5**
Расчёт отражённого звука													
Уровни звукового давления от мнимого источника ИШ-2-17_мн.(1) в расчётной точке днём, дБ		**ф-ла(3)[10]**	**0**	**0**	**0**	**0**	**0**	**0**	**0**	**0**	**0**	**0**	**0**
Уровни звукового давления от мнимого источника ИШ-2-17_мн.(1) в расчётной точке ночью, дБ		**ф-ла(3)[10]**	**0**	**0**	**0**	**0**	**0**	**0**	**0**	**0**	**0**	**0**	**0**
Уровни звукового давления от источника ИШ-2-17 в расчётной точке днём, дБ		**ф-ла(3)[10]**	**0**	**26,5**	**17,8**	**16,1**	**15,7**	**15,9**	**6,5**	**0**	**0**	**18,5**	**18,5**
Уровни звукового давления от источника ИШ-2-17 в расчётной точке ночью, дБ		**ф-ла(3)[10]**	**0**	**26,5**	**17,8**	**16,1**	**15,7**	**15,9**	**6,5**	**0**	**0**	**18,5**	**18,5**

1		2	3	4	5	6	7	8	9	10	11	12	13
Источник шума: ИШ-2-18, координаты источника (x,y,z), м =[747.72,58.17,1.00]													
Уровни звуковой мощности источника днём, Lw, дБ		**исходные данные**	**0**	**93,3**	**94,7**	**96**	**96,3**	**95,9**	**92,6**	**88,4**	**83,9**		
Уровни звуковой мощности источника ночью, Lw, дБ		**исходные данные**	**0**	**93,3**	**94,7**	**96**	**96,3**	**95,9**	**92,6**	**88,4**	**83,9**		
Поправка на телесный угол DΩ, дБ	Ω = 6.28	10Lg(4π/Ω)	**3**	3	3	3	3	3	3	3	3		
Показатель направленности источника Di, дБ		исходные данные	**0**	0	0	0	0	0	0	0	0		
Поправка на направленность источника Dc, дБ	Dc	DΩ + Di	**3**	3	3	3	3	3	3	3	3		
Затухание из-за геометрической дивергенции, Adiv, дБ	расстояние = 1676.00 м	ф-ла (7) [10]	**75,5**										
Коэффициент затухания звука в атмосфере α, дБ/км	Ta=20,°C Pa=101.33,кПа hотн.=70%	ф-ла (5) [9]	0,02	0,09	0,33	1,12	2,79	4,98	9,04	23,09	77,63		
Учет затухания звука в атмосфере Aatm, дБ		ф-ла (8) [10]	0	0,1	0,6	1,9	4,7	8,3	15,2	38,7	130,1		
Снижение поверхностью земли возле источника As, дБ	Gs = 0 hs = 1м	ф-лы таб.3 [10]	-1,5	-1,5	-1,5	-1,5	-1,5	-1,5	-1,5	-1,5	-1,5		
Снижение поверхностью земли возле приёмника Ar, дБ	Gr = 1 hr = 1.5м	ф-лы таб.3 [10]	-1,5	-1,5	5,3	7	5	0,7	0	0	0		
Снижение поверхностью земли в средней зоне, Am дБ	Gm = 1	ф-лы таб.3 [10]	-2,9	-2,9	0	0	0	0	0	0	0		
Суммарное снижение поверхностью земли на траектории распространения звука Agr, дБ		ф-ла (9) [10]	-5,9	-5,9	3,8	5,5	3,5	-0,8	-1,5	-1,5	-1,5		
Уровни звукового давления прямого звука от источника ИШ-2-18 в расчётной точке днём, дБ		**ф-ла(3)[10]**	**0**	**26,5**	**17,8**	**16,1**	**15,7**	**15,9**	**6,5**	**0**	**0**	**18,5**	**18,5**
Уровни звукового давления прямого звука от источника ИШ-2-18 в расчётной точке ночью, дБ		**ф-ла(3)[10]**	**0**	**26,5**	**17,8**	**16,1**	**15,7**	**15,9**	**6,5**	**0**	**0**	**18,5**	**18,5**
Расчёт отражённого звука													

1		2	3	4	5	6	7	8	9	10	11	12	13
Уровни звукового давления от мнимого источника ИШ-2-18_мн.(1) в расчётной точке днём, дБ		**ф-ла(3)[10]**	**0**	**0**	**0**	**0**	**0**	**0**	**0**	**0**	**0**	**0**	**0**
Уровни звукового давления от мнимого источника ИШ-2-18_мн.(1) в расчётной точке ночью, дБ		**ф-ла(3)[10]**	**0**	**0**	**0**	**0**	**0**	**0**	**0**	**0**	**0**	**0**	**0**
Уровни звукового давления от источника ИШ-2-18 в расчётной точке днём, дБ		**ф-ла(3)[10]**	**0**	**26,5**	**17,8**	**16,1**	**15,7**	**15,9**	**6,5**	**0**	**0**	**18,5**	**18,5**
Уровни звукового давления от источника ИШ-2-18 в расчётной точке ночью, дБ		**ф-ла(3)[10]**	**0**	**26,5**	**17,8**	**16,1**	**15,7**	**15,9**	**6,5**	**0**	**0**	**18,5**	**18,5**
Источник шума: ИШ-2-19, координаты источника (x,y,z), м =[746.80,55.25,1.00]													
Уровни звуковой мощности источника днём, Lw, дБ		**исходные данные**	**0**	**93,3**	**94,7**	**96**	**96,3**	**95,9**	**92,6**	**88,4**	**83,9**		
Уровни звуковой мощности источника ночью, Lw, дБ		**исходные данные**	**0**	**93,3**	**94,7**	**96**	**96,3**	**95,9**	**92,6**	**88,4**	**83,9**		
Поправка на телесный угол DΩ, дБ	Ω = 6.28	10Lg(4π/Ω)	**3**	3	3	3	3	3	3	3	3		
Показатель направленности источника Di, дБ		исходные данные	**0**	0	0	0	0	0	0	0	0		
Поправка на направленность источника Dc, дБ	Dc	DΩ + Di	**3**	3	3	3	3	3	3	3	3		
Затухание из-за геометрической дивергенции, Adiv, дБ	расстояние = 1678.49 м	ф-ла (7) [10]	**75,5**										
Коэффициент затухания звука в атмосфере α, дБ/км	Ta=20,°C Pa=101.33,кПа hотн.=70%	ф-ла (5) [9]	0,02	0,09	0,33	1,12	2,79	4,98	9,04	23,09	77,63		
Учет затухания звука в атмосфере Aatm, дБ		ф-ла (8) [10]	0	0,2	0,6	1,9	4,7	8,4	15,2	38,7	130,3		
Снижение поверхностью земли возле источника As, дБ	Gs = 0 hs = 1м	ф-лы таб.3 [10]	-1,5	-1,5	-1,5	-1,5	-1,5	-1,5	-1,5	-1,5	-1,5		
Снижение поверхностью земли возле приёмника Ar, дБ	Gr = 1 hr = 1.5м	ф-лы таб.3 [10]	-1,5	-1,5	5,3	7	5	0,7	0	0	0		
Снижение поверхностью земли в средней зоне, Am дБ	Gm = 1	ф-лы таб.3 [10]	-2,9	-2,9	0	0	0	0	0	0	0		

1		2	3	4	5	6	7	8	9	10	11	12	13
Суммарное снижение поверхностью земли на траектории распространения звука Agr, дБ		ф-ла (9) [10]	-5,9	-5,9	3,8	5,5	3,5	-0,8	-1,5	-1,5	-1,5		
Уровни звукового давления прямого звука от источника ИШ-2-19 в расчётной точке днём, дБ		**ф-ла(3)[10]**	**0**	**26,5**	**17,8**	**16,1**	**15,6**	**15,9**	**6,4**	**0**	**0**	**18,5**	**18,5**
Уровни звукового давления прямого звука от источника ИШ-2-19 в расчётной точке ночью, дБ		**ф-ла(3)[10]**	**0**	**26,5**	**17,8**	**16,1**	**15,6**	**15,9**	**6,4**	**0**	**0**	**18,5**	**18,5**
Расчёт отражённого звука													
Уровни звукового давления от мнимого источника ИШ-2-19_мн.(1) в расчётной точке днём, дБ		**ф-ла(3)[10]**	**0**	**0**	**0**	**0**	**0**	**0**	**0**	**0**	**0**	**0**	**0**
Уровни звукового давления от мнимого источника ИШ-2-19_мн.(1) в расчётной точке ночью, дБ		**ф-ла(3)[10]**	**0**	**0**	**0**	**0**	**0**	**0**	**0**	**0**	**0**	**0**	**0**
Уровни звукового давления от источника ИШ-2-19 в расчётной точке днём, дБ		**ф-ла(3)[10]**	**0**	**26,5**	**17,8**	**16,1**	**15,6**	**15,9**	**6,4**	**0**	**0**	**18,5**	**18,5**
Уровни звукового давления от источника ИШ-2-19 в расчётной точке ночью, дБ		**ф-ла(3)[10]**	**0**	**26,5**	**17,8**	**16,1**	**15,6**	**15,9**	**6,4**	**0**	**0**	**18,5**	**18,5**
Источник шума: ИШ-2-20, координаты источника (x,y,z), м =[745.71,52.44,1.00]													
Уровни звуковой мощности источника днём, Lw, дБ		**исходные данные**	**0**	**93,3**	**94,7**	**96**	**96,3**	**95,9**	**92,6**	**88,4**	**83,9**		
Уровни звуковой мощности источника ночью, Lw, дБ		**исходные данные**	**0**	**93,3**	**94,7**	**96**	**96,3**	**95,9**	**92,6**	**88,4**	**83,9**		
Поправка на телесный угол DΩ, дБ	Ω = 6.28	10Lg(4π/Ω)	**3**	3	3	3	3	3	3	3	3		
Показатель направленности источника Di, дБ		исходные данные	**0**	0	0	0	0	0	0	0	0		
Поправка на направленность источника Dc, дБ	Dc	DΩ + Di	**3**	3	3	3	3	3	3	3	3		
Затухание из-за геометрической дивергенции, Adiv, дБ	расстояние = 1681.05 м	ф-ла (7) [10]	**75,5**										
Коэффициент затухания звука в атмосфере α, дБ/км	Ta=20,°C Pa=101.33,кПа hотн.=70%	ф-ла (5) [9]	0,02	0,09	0,33	1,12	2,79	4,98	9,04	23,09	77,63		

1		2	3	4	5	6	7	8	9	10	11	12	13
Учет затухания звука в атмосфере Aatm, дБ		ф-ла (8) [10]	0	0,2	0,6	1,9	4,7	8,4	15,2	38,8	130,5		
Снижение поверхностью земли возле источника As, дБ	Gs = 0 hs = 1м	ф-лы таб.3 [10]	-1,5	-1,5	-1,5	-1,5	-1,5	-1,5	-1,5	-1,5	-1,5		
Снижение поверхностью земли возле приёмника Ar, дБ	Gr = 1 hr = 1.5м	ф-лы таб.3 [10]	-1,5	-1,5	5,3	7	5	0,7	0	0	0		
Снижение поверхностью земли в средней зоне, Am дБ	Gm = 1	ф-лы таб.3 [10]	-2,9	-2,9	0	0	0	0	0	0	0		
Суммарное снижение поверхностью земли на траектории распространения звука Agr, дБ		ф-ла (9) [10]	-5,9	-5,9	3,8	5,5	3,5	-0,8	-1,5	-1,5	-1,5		
Уровни звукового давления прямого звука от источника ИШ-2-20 в расчётной точке днём, дБ		**ф-ла(3)[10]**	**0**	**26,5**	**17,8**	**16,1**	**15,6**	**15,9**	**6,4**	**0**	**0**	**18,4**	**18,4**
Уровни звукового давления прямого звука от источника ИШ-2-20 в расчётной точке ночью, дБ		**ф-ла(3)[10]**	**0**	**26,5**	**17,8**	**16,1**	**15,6**	**15,9**	**6,4**	**0**	**0**	**18,4**	**18,4**
Расчёт отражённого звука													
Уровни звукового давления от мнимого источника ИШ-2-20_мн.(1) в расчётной точке днём, дБ		**ф-ла(3)[10]**	**0**	**0**	**0**	**0**	**0**	**0**	**0**	**0**	**0**	**0**	**0**
Уровни звукового давления от мнимого источника ИШ-2-20_мн.(1) в расчётной точке ночью, дБ		**ф-ла(3)[10]**	**0**	**0**	**0**	**0**	**0**	**0**	**0**	**0**	**0**	**0**	**0**
Уровни звукового давления от источника ИШ-2-20 в расчётной точке днём, дБ		**ф-ла(3)[10]**	**0**	**26,5**	**17,8**	**16,1**	**15,6**	**15,9**	**6,4**	**0**	**0**	**18,4**	**18,4**
Уровни звукового давления от источника ИШ-2-20 в расчётной точке ночью, дБ		**ф-ла(3)[10]**	**0**	**26,5**	**17,8**	**16,1**	**15,6**	**15,9**	**6,4**	**0**	**0**	**18,4**	**18,4**
Источник шума: ИШ-2-21, координаты источника (x,y,z), м =[744.89,49.62,1.00]													
Уровни звуковой мощности источника днём, Lw, дБ		**исходные данные**	**0**	**93,3**	**94,7**	**96**	**96,3**	**95,9**	**92,6**	**88,4**	**83,9**		
Уровни звуковой мощности источника ночью, Lw, дБ		**исходные данные**	**0**	**93,3**	**94,7**	**96**	**96,3**	**95,9**	**92,6**	**88,4**	**83,9**		
Поправка на телесный угол DΩ, дБ	Ω = 6.28	10Lg(4π/Ω)	**3**	3	3	3	3	3	3	3	3		
Показатель направленности источника Di, дБ		исходные данные	**0**	0	0	0	0	0	0	0	0		

1		2	3	4	5	6	7	8	9	10	11	12	13
Поправка на направленность источника Dc, дБ	Dc	DΩ + Di	**3**	3	3	3	3	3	3	3	3		
Затухание из-за геометрической дивергенции, Adiv, дБ	расстояние = 1683.41 м	ф-ла (7) [10]	**75,5**										
Коэффициент затухания звука в атмосфере α, дБ/км	Ta=20,°C Pa=101.33,кПа hотн.=70%	ф-ла (5) [9]	0,02	0,09	0,33	1,12	2,79	4,98	9,04	23,09	77,63		
Учет затухания звука в атмосфере Aatm, дБ		ф-ла (8) [10]	0	0,2	0,6	1,9	4,7	8,4	15,2	38,9	130,7		
Снижение поверхностью земли возле источника As, дБ	Gs = 0 hs = 1м	ф-лы таб.3 [10]	-1,5	-1,5	-1,5	-1,5	-1,5	-1,5	-1,5	-1,5	-1,5		
Снижение поверхностью земли возле приёмника Ar, дБ	Gr = 1 hr = 1.5м	ф-лы таб.3 [10]	-1,5	-1,5	5,3	7	5	0,7	0	0	0		
Снижение поверхностью земли в средней зоне, Am дБ	Gm = 1	ф-лы таб.3 [10]	-2,9	-2,9	0	0	0	0	0	0	0		
Суммарное снижение поверхностью земли на траектории распространения звука Agr, дБ		ф-ла (9) [10]	-5,9	-5,9	3,8	5,5	3,5	-0,8	-1,5	-1,5	-1,5		
Уровни звукового давления от источника ИШ-2-21 в расчётной точке днём, дБ		**ф-ла(3)[10]**	**0**	**26,5**	**17,8**	**16,1**	**15,6**	**15,8**	**6,4**	**0**	**0**	**18,4**	**18,4**
Уровни звукового давления от источника ИШ-2-21 в расчётной точке ночью, дБ		**ф-ла(3)[10]**	**0**	**26,5**	**17,8**	**16,1**	**15,6**	**15,8**	**6,4**	**0**	**0**	**18,4**	**18,4**
Источник шума: ИШ-2-22, координаты источника (x,y,z), м =[737.40,27.07,1.00]													
Уровни звуковой мощности источника днём, Lw, дБ		**исходные данные**	**0**	**93,3**	**94,7**	**96**	**96,3**	**95,9**	**92,6**	**88,4**	**83,9**		
Уровни звуковой мощности источника ночью, Lw, дБ		**исходные данные**	**0**	**93,3**	**94,7**	**96**	**96,3**	**95,9**	**92,6**	**88,4**	**83,9**		
Поправка на телесный угол DΩ, дБ	Ω = 6.28	10Lg(4π/Ω)	**3**	3	3	3	3	3	3	3	3		
Показатель направленности источника Di, дБ		исходные данные	**0**	0	0	0	0	0	0	0	0		
Поправка на направленность источника Dc, дБ	Dc	DΩ + Di	**3**	3	3	3	3	3	3	3	3		

1		2	3	4	5	6	7	8	9	10	11	12	13
Затухание из-за геометрической дивергенции, Adiv, дБ	расстояние = 1703.06 м	ф-ла (7) [10]	**75,6**										
Коэффициент затухания звука в атмосфере α, дБ/км	Ta=20,°C Pa=101.33,кПа hотн.=70%	ф-ла (5) [9]	0,02	0,09	0,33	1,12	2,79	4,98	9,04	23,09	77,63		
Учет затухания звука в атмосфере Aatm, дБ		ф-ла (8) [10]	0	0,2	0,6	1,9	4,8	8,5	15,4	39,3	132,2		
Снижение поверхностью земли возле источника As, дБ	Gs = 0 hs = 1м	ф-лы таб.3 [10]	-1,5	-1,5	-1,5	-1,5	-1,5	-1,5	-1,5	-1,5	-1,5		
Снижение поверхностью земли возле приёмника Ar, дБ	Gr = 1 hr = 1.5м	ф-лы таб.3 [10]	-1,5	-1,5	5,3	7	5	0,7	0	0	0		
Снижение поверхностью земли в средней зоне, Am дБ	Gm = 1	ф-лы таб.3 [10]	-2,9	-2,9	0	0	0	0	0	0	0		
Суммарное снижение поверхностью земли на траектории распространения звука Agr, дБ		ф-ла (9) [10]	-5,9	-5,9	3,8	5,5	3,5	-0,8	-1,5	-1,5	-1,5		
Уровни звукового давления прямого звука от источника ИШ-2-22 в расчётной точке днём, дБ		**ф-ла(3)[10]**	**0**	**26,4**	**17,7**	**15,9**	**15,4**	**15,6**	**6,1**	**0**	**0**	**18,2**	**18,2**
Уровни звукового давления прямого звука от источника ИШ-2-22 в расчётной точке ночью, дБ		**ф-ла(3)[10]**	**0**	**26,4**	**17,7**	**15,9**	**15,4**	**15,6**	**6,1**	**0**	**0**	**18,2**	**18,2**
Расчёт отражённого звука													
Уровни звукового давления от мнимого источника ИШ-2-22_мн.(1) в расчётной точке днём, дБ		**ф-ла(3)[10]**	**0**	**0**	**0**	**0**	**0**	**0**	**0**	**0**	**0**	**0**	**0**
Уровни звукового давления от мнимого источника ИШ-2-22_мн.(1) в расчётной точке ночью, дБ		**ф-ла(3)[10]**	**0**	**0**	**0**	**0**	**0**	**0**	**0**	**0**	**0**	**0**	**0**
Уровни звукового давления от источника ИШ-2-22 в расчётной точке днём, дБ		**ф-ла(3)[10]**	**0**	**26,4**	**17,7**	**15,9**	**15,4**	**15,6**	**6,1**	**0**	**0**	**18,2**	**18,2**
Уровни звукового давления от источника ИШ-2-22 в расчётной точке ночью, дБ		**ф-ла(3)[10]**	**0**	**26,4**	**17,7**	**15,9**	**15,4**	**15,6**	**6,1**	**0**	**0**	**18,2**	**18,2**
Источник шума: ИШ-2-23, координаты источника (x,y,z), м =[736.46,24.18,1.00]													
Уровни звуковой мощности источника днём, Lw, дБ		**исходные данные**	**0**	**93,3**	**94,7**	**96**	**96,3**	**95,9**	**92,6**	**88,4**	**83,9**		

1		2	3	4	5	6	7	8	9	10	11	12	13
Уровни звуковой мощности источника ночью, Lw, дБ		**исходные данные**	**0**	**93,3**	**94,7**	**96**	**96,3**	**95,9**	**92,6**	**88,4**	**83,9**		
Поправка на телесный угол DΩ, дБ	Ω = 6.28	10Lg(4π/Ω)	**3**	3	3	3	3	3	3	3	3		
Показатель направленности источника Di, дБ		исходные данные	**0**	0	0	0	0	0	0	0	0		
Поправка на направленность источника Dc, дБ	Dc	DΩ + Di	**3**	3	3	3	3	3	3	3	3		
Затухание из-за геометрической дивергенции, Adiv, дБ	расстояние = 1705.57 м	ф-ла (7) [10]	**75,6**										
Коэффициент затухания звука в атмосфере α, дБ/км	Ta=20,°C Pa=101.33,кПа hотн.=70%	ф-ла (5) [9]	0,02	0,09	0,33	1,12	2,79	4,98	9,04	23,09	77,63		
Учет затухания звука в атмосфере Aatm, дБ		ф-ла (8) [10]	0	0,2	0,6	1,9	4,8	8,5	15,4	39,4	132,4		
Снижение поверхностью земли возле источника As, дБ	Gs = 0 hs = 1м	ф-лы таб.3 [10]	-1,5	-1,5	-1,5	-1,5	-1,5	-1,5	-1,5	-1,5	-1,5		
Снижение поверхностью земли возле приёмника Ar, дБ	Gr = 1 hr = 1.5м	ф-лы таб.3 [10]	-1,5	-1,5	5,3	7	5	0,7	0	0	0		
Снижение поверхностью земли в средней зоне, Am дБ	Gm = 1	ф-лы таб.3 [10]	-2,9	-2,9	0	0	0	0	0	0	0		
Суммарное снижение поверхностью земли на траектории распространения звука Agr, дБ		ф-ла (9) [10]	-5,9	-5,9	3,8	5,5	3,5	-0,8	-1,5	-1,5	-1,5		
Уровни звукового давления прямого звука от источника ИШ-2-23 в расчётной точке днём, дБ		**ф-ла(3)[10]**	**0**	**26,4**	**17,6**	**15,9**	**15,4**	**15,6**	**6**	**0**	**0**	**18,2**	**18,2**
Уровни звукового давления прямого звука от источника ИШ-2-23 в расчётной точке ночью, дБ		**ф-ла(3)[10]**	**0**	**26,4**	**17,6**	**15,9**	**15,4**	**15,6**	**6**	**0**	**0**	**18,2**	**18,2**
Расчёт отражённого звука													
Уровни звукового давления от мнимого источника ИШ-2-23_мн.(1) в расчётной точке днём, дБ		**ф-ла(3)[10]**	**0**	**0**	**0**	**0**	**0**	**0**	**0**	**0**	**0**	**0**	**0**
Уровни звукового давления от мнимого источника ИШ-2-23_мн.(1) в расчётной точке ночью, дБ		**ф-ла(3)[10]**	**0**	**0**	**0**	**0**	**0**	**0**	**0**	**0**	**0**	**0**	**0**
Уровни звукового давления от источника ИШ-2-23 в расчётной точке днём, дБ		**ф-ла(3)[10]**	**0**	**26,4**	**17,6**	**15,9**	**15,4**	**15,6**	**6**	**0**	**0**	**18,2**	**18,2**

1		2	3	4	5	6	7	8	9	10	11	12	13
Уровни звукового давления от источника ИШ-2-23 в расчётной точке ночью, дБ		**ф-ла(3)[10]**	**0**	**26,4**	**17,6**	**15,9**	**15,4**	**15,6**	**6**	**0**	**0**	**18,2**	**18,2**
Источник шума: ИШ-2-24, координаты источника (x,y,z), м =[735.45,21.21,1.00]													
Уровни звуковой мощности источника днём, Lw, дБ		**исходные данные**	**0**	**93,3**	**94,7**	**96**	**96,3**	**95,9**	**92,6**	**88,4**	**83,9**		
Уровни звуковой мощности источника ночью, Lw, дБ		**исходные данные**	**0**	**93,3**	**94,7**	**96**	**96,3**	**95,9**	**92,6**	**88,4**	**83,9**		
Поправка на телесный угол DΩ, дБ	Ω = 6.28	10Lg(4π/Ω)	**3**	3	3	3	3	3	3	3	3		
Показатель направленности источника Di, дБ		исходные данные	**0**	0	0	0	0	0	0	0	0		
Поправка на направленность источника Dc, дБ	Dc	DΩ + Di	**3**	3	3	3	3	3	3	3	3		
Затухание из-за геометрической дивергенции, Adiv, дБ	расстояние = 1708.19 м	ф-ла (7) [10]	**75,7**										
Коэффициент затухания звука в атмосфере α, дБ/км	Ta=20,°C Pa=101.33,кПа hотн.=70%	ф-ла (5) [9]	0,02	0,09	0,33	1,12	2,79	4,98	9,04	23,09	77,63		
Учет затухания звука в атмосфере Aatm, дБ		ф-ла (8) [10]	0	0,2	0,6	1,9	4,8	8,5	15,4	39,4	132,6		
Снижение поверхностью земли возле источника As, дБ	Gs = 0 hs = 1м	ф-лы таб.3 [10]	-1,5	-1,5	-1,5	-1,5	-1,5	-1,5	-1,5	-1,5	-1,5		
Снижение поверхностью земли возле приёмника Ar, дБ	Gr = 1 hr = 1.5м	ф-лы таб.3 [10]	-1,5	-1,5	5,3	7	5	0,7	0	0	0		
Снижение поверхностью земли в средней зоне, Am дБ	Gm = 1	ф-лы таб.3 [10]	-2,9	-2,9	0	0	0	0	0	0	0		
Суммарное снижение поверхностью земли на траектории распространения звука Agr, дБ		ф-ла (9) [10]	-5,9	-5,9	3,8	5,5	3,5	-0,8	-1,5	-1,5	-1,5		
Уровни звукового давления прямого звука от источника ИШ-2-24 в расчётной точке днём, дБ		**ф-ла(3)[10]**	**0**	**26,4**	**17,6**	**15,9**	**15,4**	**15,6**	**6**	**0**	**0**	**18,2**	**18,2**
Уровни звукового давления прямого звука от источника ИШ-2-24 в расчётной точке ночью, дБ		**ф-ла(3)[10]**	**0**	**26,4**	**17,6**	**15,9**	**15,4**	**15,6**	**6**	**0**	**0**	**18,2**	**18,2**

1		2	3	4	5	6	7	8	9	10	11	12	13
Расчёт отражённого звука													
Уровни звукового давления от мнимого источника ИШ-2-24_мн.(1) в расчётной точке днём, дБ		**ф-ла(3)[10]**	**0**	**0**	**0**	**0**	**0**	**0**	**0**	**0**	**0**	**0**	**0**
Уровни звукового давления от мнимого источника ИШ-2-24_мн.(1) в расчётной точке ночью, дБ		**ф-ла(3)[10]**	**0**	**0**	**0**	**0**	**0**	**0**	**0**	**0**	**0**	**0**	**0**
Уровни звукового давления от источника ИШ-2-24 в расчётной точке днём, дБ		**ф-ла(3)[10]**	**0**	**26,4**	**17,6**	**15,9**	**15,4**	**15,6**	**6**	**0**	**0**	**18,2**	**18,2**
Уровни звукового давления от источника ИШ-2-24 в расчётной точке ночью, дБ		**ф-ла(3)[10]**	**0**	**26,4**	**17,6**	**15,9**	**15,4**	**15,6**	**6**	**0**	**0**	**18,2**	**18,2**
Источник шума: ИШ-2-25, координаты источника (x,y,z), м =[734.58,18.32,1.00]													
Уровни звуковой мощности источника днём, Lw, дБ		**исходные данные**	**0**	**93,3**	**94,7**	**96**	**96,3**	**95,9**	**92,6**	**88,4**	**83,9**		
Уровни звуковой мощности источника ночью, Lw, дБ		**исходные данные**	**0**	**93,3**	**94,7**	**96**	**96,3**	**95,9**	**92,6**	**88,4**	**83,9**		
Поправка на телесный угол DΩ, дБ	Ω = 6.28	10Lg(4π/Ω)	**3**	3	3	3	3	3	3	3	3		
Показатель направленности источника Di, дБ		исходные данные	**0**	0	0	0	0	0	0	0	0		
Поправка на направленность источника Dc, дБ	Dc	DΩ + Di	**3**	3	3	3	3	3	3	3	3		
Затухание из-за геометрической дивергенции, Adiv, дБ	расстояние = 1710.64 м	ф-ла (7) [10]	**75,7**										
Коэффициент затухания звука в атмосфере α, дБ/км	Ta=20,°C Pa=101.33,кПа hотн.=70%	ф-ла (5) [9]	0,02	0,09	0,33	1,12	2,79	4,98	9,04	23,09	77,63		
Учет затухания звука в атмосфере Aatm, дБ		ф-ла (8) [10]	0	0,2	0,6	1,9	4,8	8,5	15,5	39,5	132,8		
Снижение поверхностью земли возле источника As, дБ	Gs = 0 hs = 1м	ф-лы таб.3 [10]	-1,5	-1,5	-1,5	-1,5	-1,5	-1,5	-1,5	-1,5	-1,5		
Снижение поверхностью земли возле приёмника Ar, дБ	Gr = 1 hr = 1.5м	ф-лы таб.3 [10]	-1,5	-1,5	5,3	7	5	0,7	0	0	0		

1		2	3	4	5	6	7	8	9	10	11	12	13
Снижение поверхностью земли в средней зоне, Am дБ	Gm = 1	ф-лы таб.3 [10]	-2,9	-2,9	0	0	0	0	0	0	0		
Суммарное снижение поверхностью земли на траектории распространения звука Agr, дБ		ф-ла (9) [10]	-5,9	-5,9	3,8	5,5	3,5	-0,8	-1,5	-1,5	-1,5		
Уровни звукового давления прямого звука от источника ИШ-2-25 в расчётной точке днём, дБ		**ф-ла(3)[10]**	**0**	**26,3**	**17,6**	**15,9**	**15,4**	**15,6**	**6**	**0**	**0**	**18,2**	**18,2**
Уровни звукового давления прямого звука от источника ИШ-2-25 в расчётной точке ночью, дБ		**ф-ла(3)[10]**	**0**	**26,3**	**17,6**	**15,9**	**15,4**	**15,6**	**6**	**0**	**0**	**18,2**	**18,2**
Расчёт отражённого звука													
Уровни звукового давления от мнимого источника ИШ-2-25_мн.(1) в расчётной точке днём, дБ		**ф-ла(3)[10]**	**0**	**0**	**0**	**0**	**0**	**0**	**0**	**0**	**0**	**0**	**0**
Уровни звукового давления от мнимого источника ИШ-2-25_мн.(1) в расчётной точке ночью, дБ		**ф-ла(3)[10]**	**0**	**0**	**0**	**0**	**0**	**0**	**0**	**0**	**0**	**0**	**0**
Уровни звукового давления от источника ИШ-2-25 в расчётной точке днём, дБ		**ф-ла(3)[10]**	**0**	**26,3**	**17,6**	**15,9**	**15,4**	**15,6**	**6**	**0**	**0**	**18,2**	**18,2**
Уровни звукового давления от источника ИШ-2-25 в расчётной точке ночью, дБ		**ф-ла(3)[10]**	**0**	**26,3**	**17,6**	**15,9**	**15,4**	**15,6**	**6**	**0**	**0**	**18,2**	**18,2**
Источник шума: ИШ-2-26, координаты источника (x,y,z), м =[733.57,15.41,1.00]													
Уровни звуковой мощности источника днём, Lw, дБ		**исходные данные**	**0**	**93,3**	**94,7**	**96**	**96,3**	**95,9**	**92,6**	**88,4**	**83,9**		
Уровни звуковой мощности источника ночью, Lw, дБ		**исходные данные**	**0**	**93,3**	**94,7**	**96**	**96,3**	**95,9**	**92,6**	**88,4**	**83,9**		
Поправка на телесный угол DΩ, дБ	Ω = 6.28	10Lg(4π/Ω)	**3**	3	3	3	3	3	3	3	3		
Показатель направленности источника Di, дБ		исходные данные	**0**	0	0	0	0	0	0	0	0		
Поправка на направленность источника Dc, дБ	Dc	DΩ + Di	**3**	3	3	3	3	3	3	3	3		
Затухание из-за геометрической дивергенции, Adiv, дБ	расстояние = 1713.23 м	ф-ла (7) [10]	**75,7**										
Коэффициент затухания звука в атмосфере α, дБ/км	Ta=20,°C Pa=101.33,кПа hотн.=70%	ф-ла (5) [9]	0,02	0,09	0,33	1,12	2,79	4,98	9,04	23,09	77,63		

1		2	3	4	5	6	7	8	9	10	11	12	13
Учет затухания звука в атмосфере Aatm, дБ		ф-ла (8) [10]	0	0,2	0,6	1,9	4,8	8,5	15,5	39,6	133		
Снижение поверхностью земли возле источника As, дБ	Gs = 0 hs = 1м	ф-лы таб.3 [10]	-1,5	-1,5	-1,5	-1,5	-1,5	-1,5	-1,5	-1,5	-1,5		
Снижение поверхностью земли возле приёмника Ar, дБ	Gr = 1 hr = 1.5м	ф-лы таб.3 [10]	-1,5	-1,5	5,3	7	5	0,7	0	0	0		
Снижение поверхностью земли в средней зоне, Am дБ	Gm = 1	ф-лы таб.3 [10]	-2,9	-2,9	0	0	0	0	0	0	0		
Суммарное снижение поверхностью земли на траектории распространения звука Agr, дБ		ф-ла (9) [10]	-5,9	-5,9	3,8	5,5	3,5	-0,8	-1,5	-1,5	-1,5		
Уровни звукового давления от источника ИШ-2-26 в расчётной точке днём, дБ		**ф-ла(3)[10]**	**0**	**26,3**	**17,6**	**15,9**	**15,4**	**15,5**	**5,9**	**0**	**0**	**18,1**	**18,1**
Уровни звукового давления от источника ИШ-2-26 в расчётной точке ночью, дБ		**ф-ла(3)[10]**	**0**	**26,3**	**17,6**	**15,9**	**15,4**	**15,5**	**5,9**	**0**	**0**	**18,1**	**18,1**
Источник шума: ИШ-2-27, координаты источника (x,y,z), м =[732.43,12.66,1.00]													
Уровни звуковой мощности источника днём, Lw, дБ		**исходные данные**	**0**	**93,3**	**94,7**	**96**	**96,3**	**95,9**	**92,6**	**88,4**	**83,9**		
Уровни звуковой мощности источника ночью, Lw, дБ		**исходные данные**	**0**	**93,3**	**94,7**	**96**	**96,3**	**95,9**	**92,6**	**88,4**	**83,9**		
Поправка на телесный угол DΩ, дБ	Ω = 6.28	10Lg(4π/Ω)	**3**	3	3	3	3	3	3	3	3		
Показатель направленности источника Di, дБ		исходные данные	**0**	0	0	0	0	0	0	0	0		
Поправка на направленность источника Dc, дБ	Dc	DΩ + Di	**3**	3	3	3	3	3	3	3	3		
Затухание из-за геометрической дивергенции, Adiv, дБ	расстояние = 1715.81 м	ф-ла (7) [10]	**75,7**										
Коэффициент затухания звука в атмосфере α, дБ/км	Ta=20,°C Pa=101.33,кПа hотн.=70%	ф-ла (5) [9]	0,02	0,09	0,33	1,12	2,79	4,98	9,04	23,09	77,63		
Учет затухания звука в атмосфере Aatm, дБ		ф-ла (8) [10]	0	0,2	0,6	1,9	4,8	8,5	15,5	39,6	133,2		

1		2	3	4	5	6	7	8	9	10	11	12	13
Снижение поверхностью земли возле источника As, дБ	Gs = 0 hs = 1м	ф-лы таб.3 [10]	-1,5	-1,5	-1,5	-1,5	-1,5	-1,5	-1,5	-1,5	-1,5		
Снижение поверхностью земли возле приёмника Ar, дБ	Gr = 1 hr = 1.5м	ф-лы таб.3 [10]	-1,5	-1,5	5,3	7	5	0,7	0	0	0		
Снижение поверхностью земли в средней зоне, Am дБ	Gm = 1	ф-лы таб.3 [10]	-2,9	-2,9	0	0	0	0	0	0	0		
Суммарное снижение поверхностью земли на траектории распространения звука Agr, дБ		ф-ла (9) [10]	-5,9	-5,9	3,8	5,5	3,5	-0,8	-1,5	-1,5	-1,5		
Уровни звукового давления от источника ИШ-2-27 в расчётной точке днём, дБ		**ф-ла(3)[10]**	**0**	**26,3**	**17,6**	**15,9**	**15,3**	**15,5**	**5,9**	**0**	**0**	**18,1**	**18,1**
Уровни звукового давления от источника ИШ-2-27 в расчётной точке ночью, дБ		**ф-ла(3)[10]**	**0**	**26,3**	**17,6**	**15,9**	**15,3**	**15,5**	**5,9**	**0**	**0**	**18,1**	**18,1**
Источник шума: ИШ-2-28, координаты источника (x,y,z), м =[731.54,9.78,1.00]													
Уровни звуковой мощности источника днём, Lw, дБ		**исходные данные**	**0**	**93,3**	**94,7**	**96**	**96,3**	**95,9**	**92,6**	**88,4**	**83,9**		
Уровни звуковой мощности источника ночью, Lw, дБ		**исходные данные**	**0**	**93,3**	**94,7**	**96**	**96,3**	**95,9**	**92,6**	**88,4**	**83,9**		
Поправка на телесный угол DΩ, дБ	Ω = 6.28	10Lg(4π/Ω)	**3**	3	3	3	3	3	3	3	3		
Показатель направленности источника Di, дБ		исходные данные	**0**	0	0	0	0	0	0	0	0		
Поправка на направленность источника Dc, дБ	Dc	DΩ + Di	**3**	3	3	3	3	3	3	3	3		
Затухание из-за геометрической дивергенции, Adiv, дБ	расстояние = 1718.29 м	ф-ла (7) [10]	**75,7**										
Коэффициент затухания звука в атмосфере α, дБ/км	Ta=20,°C Pa=101.33,кПа hотн.=70%	ф-ла (5) [9]	0,02	0,09	0,33	1,12	2,79	4,98	9,04	23,09	77,63		
Учет затухания звука в атмосфере Aatm, дБ		ф-ла (8) [10]	0	0,2	0,6	1,9	4,8	8,6	15,5	39,7	133,4		
Снижение поверхностью земли возле источника As, дБ	Gs = 0 hs = 1м	ф-лы таб.3 [10]	-1,5	-1,5	-1,5	-1,5	-1,5	-1,5	-1,5	-1,5	-1,5		

1		2	3	4	5	6	7	8	9	10	11	12	13
Снижение поверхностью земли возле приёмника Ar, дБ	Gr = 1 hr = 1.5м	ф-лы таб.3 [10]	-1,5	-1,5	5,3	7	5	0,7	0	0	0		
Снижение поверхностью земли в средней зоне, Am дБ	Gm = 1	ф-лы таб.3 [10]	-2,9	-2,9	0	0	0	0	0	0	0		
Суммарное снижение поверхностью земли на траектории распространения звука Agr, дБ		ф-ла (9) [10]	-5,9	-5,9	3,8	5,5	3,5	-0,8	-1,5	-1,5	-1,5		
Уровни звукового давления от источника ИШ-2-28 в расчётной точке днём, дБ		**ф-ла(3)[10]**	**0**	**26,3**	**17,6**	**15,8**	**15,3**	**15,5**	**5,9**	**0**	**0**	**18,1**	**18,1**
Уровни звукового давления от источника ИШ-2-28 в расчётной точке ночью, дБ		**ф-ла(3)[10]**	**0**	**26,3**	**17,6**	**15,8**	**15,3**	**15,5**	**5,9**	**0**	**0**	**18,1**	**18,1**
Источник шума: ИШ-2-29, координаты источника (x,y,z), м =[730.57,6.88,1.00]													
Уровни звуковой мощности источника днём, Lw, дБ		**исходные данные**	**0**	**93,3**	**94,7**	**96**	**96,3**	**95,9**	**92,6**	**88,4**	**83,9**		
Уровни звуковой мощности источника ночью, Lw, дБ		**исходные данные**	**0**	**93,3**	**94,7**	**96**	**96,3**	**95,9**	**92,6**	**88,4**	**83,9**		
Поправка на телесный угол DΩ, дБ	Ω = 6.28	10Lg(4π/Ω)	**3**	3	3	3	3	3	3	3	3		
Показатель направленности источника Di, дБ		исходные данные	**0**	0	0	0	0	0	0	0	0		
Поправка на направленность источника Dc, дБ	Dc	DΩ + Di	**3**	3	3	3	3	3	3	3	3		
Затухание из-за геометрической дивергенции, Adiv, дБ	расстояние = 1720.83 м	ф-ла (7) [10]	**75,7**										
Коэффициент затухания звука в атмосфере α, дБ/км	Ta=20,°C Pa=101.33,кПа hотн.=70%	ф-ла (5) [9]	0,02	0,09	0,33	1,12	2,79	4,98	9,04	23,09	77,63		
Учет затухания звука в атмосфере Aatm, дБ		ф-ла (8) [10]	0	0,2	0,6	1,9	4,8	8,6	15,6	39,7	133,6		
Снижение поверхностью земли возле источника As, дБ	Gs = 0 hs = 1м	ф-лы таб.3 [10]	-1,5	-1,5	-1,5	-1,5	-1,5	-1,5	-1,5	-1,5	-1,5		
Снижение поверхностью земли возле приёмника Ar, дБ	Gr = 1 hr = 1.5м	ф-лы таб.3 [10]	-1,5	-1,5	5,3	7	5	0,7	0	0	0		

1		2	3	4	5	6	7	8	9	10	11	12	13
Снижение поверхностью земли в средней зоне, Am дБ	Gm = 1	ф-лы таб.3 [10]	-2,9	-2,9	0	0	0	0	0	0	0		
Суммарное снижение поверхностью земли на траектории распространения звука Agr, дБ		ф-ла (9) [10]	-5,9	-5,9	3,8	5,5	3,5	-0,8	-1,5	-1,5	-1,5		
Уровни звукового давления от источника ИШ-2-29 в расчётной точке днём, дБ		**ф-ла(3)[10]**	**0**	**26,3**	**17,6**	**15,8**	**15,3**	**15,5**	**5,8**	**0**	**0**	**18,1**	**18,1**
Уровни звукового давления от источника ИШ-2-29 в расчётной точке ночью, дБ		**ф-ла(3)[10]**	**0**	**26,3**	**17,6**	**15,8**	**15,3**	**15,5**	**5,8**	**0**	**0**	**18,1**	**18,1**
Источник шума: ИШ-2-4, координаты источника (x,y,z), м =[632.70,-65.30,3.00]													
Уровни звуковой мощности источника днём, Lw, дБ		**исходные данные**	**105**	**104**	**104**	**101**	**102**	**106**	**101**	**95**	**87**		
Уровни звуковой мощности источника ночью, Lw, дБ		**исходные данные**	**105**	**104**	**104**	**101**	**102**	**106**	**101**	**95**	**87**		
Поправка на телесный угол DΩ, дБ	Ω = 6.28	10Lg(4π/Ω)	**3**	3	3	3	3	3	3	3	3		
Показатель направленности источника Di, дБ		исходные данные	**0**	0	0	0	0	0	0	0	0		
Поправка на направленность источника Dc, дБ	Dc	DΩ + Di	**3**	3	3	3	3	3	3	3	3		
Затухание из-за геометрической дивергенции, Adiv, дБ	расстояние = 1842.40 м	ф-ла (7) [10]	**76,3**										
Коэффициент затухания звука в атмосфере α, дБ/км	Ta=20,°C Pa=101.33,кПа hотн.=70%	ф-ла (5) [9]	0,02	0,09	0,33	1,12	2,79	4,98	9,04	23,09	77,63		
Учет затухания звука в атмосфере Aatm, дБ		ф-ла (8) [10]	0	0,2	0,6	2,1	5,1	9,2	16,7	42,5	143		
Снижение поверхностью земли возле источника As, дБ	Gs = 0 hs = 3м	ф-лы таб.3 [10]	-1,5	-1,5	-1,5	-1,5	-1,5	-1,5	-1,5	-1,5	-1,5		
Снижение поверхностью земли возле приёмника Ar, дБ	Gr = 1 hr = 1.5м	ф-лы таб.3 [10]	-1,5	-1,5	5,3	7	5	0,7	0	0	0		
Снижение поверхностью земли в средней зоне, Am дБ	Gm = 1	ф-лы таб.3 [10]	-2,8	-2,8	0	0	0	0	0	0	0		

1		2	3	4	5	6	7	8	9	10	11	12	13
Суммарное снижение поверхностью земли на траектории распространения звука Agr, дБ		ф-ла (9) [10]	-5,8	-5,8	3,8	5,5	3,5	-0,8	-1,5	-1,5	-1,5		
Уровни звукового давления от источника ИШ-2-4 в расчётной точке днём, дБ		**ф-ла(3)[10]**	**37,4**	**36,3**	**26,2**	**20,1**	**20,1**	**24,4**	**12,6**	**0**	**0**	**25,8**	**25,8**
Уровни звукового давления от источника ИШ-2-4 в расчётной точке ночью, дБ		**ф-ла(3)[10]**	**37,4**	**36,3**	**26,2**	**20,1**	**20,1**	**24,4**	**12,6**	**0**	**0**	**25,8**	**25,8**
Источник шума: ИШ-2-30, координаты источника (x,y,z), м =[702.44,-77.23,1.00]													
Уровни звуковой мощности источника днём, Lw, дБ		**исходные данные**	**0**	**93,3**	**94,7**	**96**	**96,3**	**95,9**	**92,6**	**88,4**	**83,9**		
Уровни звуковой мощности источника ночью, Lw, дБ		**исходные данные**	**0**	**93,3**	**94,7**	**96**	**96,3**	**95,9**	**92,6**	**88,4**	**83,9**		
Поправка на телесный угол DΩ, дБ	Ω = 6.28	10Lg(4π/Ω)	**3**	3	3	3	3	3	3	3	3		
Показатель направленности источника Di, дБ		исходные данные	**0**	0	0	0	0	0	0	0	0		
Поправка на направленность источника Dc, дБ	Dc	DΩ + Di	**3**	3	3	3	3	3	3	3	3		
Затухание из-за геометрической дивергенции, Adiv, дБ	расстояние = 1795.47 м	ф-ла (7) [10]	**76,1**										
Коэффициент затухания звука в атмосфере α, дБ/км	Ta=20,°C Pa=101.33,кПа hотн.=70%	ф-ла (5) [9]	0,02	0,09	0,33	1,12	2,79	4,98	9,04	23,09	77,63		
Учет затухания звука в атмосфере Aatm, дБ		ф-ла (8) [10]	0	0,2	0,6	2	5	8,9	16,2	41,4	139,4		
Снижение поверхностью земли возле источника As, дБ	Gs = 0 hs = 1м	ф-лы таб.3 [10]	-1,5	-1,5	-1,5	-1,5	-1,5	-1,5	-1,5	-1,5	-1,5		
Снижение поверхностью земли возле приёмника Ar, дБ	Gr = 1 hr = 1.5м	ф-лы таб.3 [10]	-1,5	-1,5	5,3	7	5	0,7	0	0	0		
Снижение поверхностью земли в средней зоне, Am дБ	Gm = 1	ф-лы таб.3 [10]	-2,9	-2,9	0	0	0	0	0	0	0		
Суммарное снижение поверхностью земли на траектории распространения звука Agr, дБ		ф-ла (9) [10]	-5,9	-5,9	3,8	5,5	3,5	-0,8	-1,5	-1,5	-1,5		

1		2	3	4	5	6	7	8	9	10	11	12	13
Уровни звукового давления от источника ИШ-2-30 в расчётной точке днём, дБ		**ф-ла(3)[10]**	**0**	**25,9**	**17,2**	**15,4**	**14,7**	**14,7**	**4,8**	**0**	**0**	**17,4**	**17,4**
Уровни звукового давления от источника ИШ-2-30 в расчётной точке ночью, дБ		**ф-ла(3)[10]**	**0**	**25,9**	**17,2**	**15,4**	**14,7**	**14,7**	**4,8**	**0**	**0**	**17,4**	**17,4**
Источник шума: ИШ-2-31, координаты источника (x,y,z), м =[701.42,-80.17,1.00]													
Уровни звуковой мощности источника днём, Lw, дБ		**исходные данные**	**0**	**93,3**	**94,7**	**96**	**96,3**	**95,9**	**92,6**	**88,4**	**83,9**		
Уровни звуковой мощности источника ночью, Lw, дБ		**исходные данные**	**0**	**93,3**	**94,7**	**96**	**96,3**	**95,9**	**92,6**	**88,4**	**83,9**		
Поправка на телесный угол DΩ, дБ	Ω = 6.28	10Lg(4π/Ω)	**3**	3	3	3	3	3	3	3	3		
Показатель направленности источника Di, дБ		исходные данные	**0**	0	0	0	0	0	0	0	0		
Поправка на направленность источника Dc, дБ	Dc	DΩ + Di	**3**	3	3	3	3	3	3	3	3		
Затухание из-за геометрической дивергенции, Adiv, дБ	расстояние = 1798.12 м	ф-ла (7) [10]	**76,1**										
Коэффициент затухания звука в атмосфере α, дБ/км	Ta=20,°C Pa=101.33,кПа hотн.=70%	ф-ла (5) [9]	0,02	0,09	0,33	1,12	2,79	4,98	9,04	23,09	77,63		
Учет затухания звука в атмосфере Aatm, дБ		ф-ла (8) [10]	0	0,2	0,6	2	5	9	16,3	41,5	139,6		
Снижение поверхностью земли возле источника As, дБ	Gs = 0 hs = 1м	ф-лы таб.3 [10]	-1,5	-1,5	-1,5	-1,5	-1,5	-1,5	-1,5	-1,5	-1,5		
Снижение поверхностью земли возле приёмника Ar, дБ	Gr = 1 hr = 1.5м	ф-лы таб.3 [10]	-1,5	-1,5	5,3	7	5	0,7	0	0	0		
Снижение поверхностью земли в средней зоне, Am дБ	Gm = 1	ф-лы таб.3 [10]	-2,9	-2,9	0	0	0	0	0	0	0		
Суммарное снижение поверхностью земли на траектории распространения звука Agr, дБ		ф-ла (9) [10]	-5,9	-5,9	3,8	5,5	3,5	-0,8	-1,5	-1,5	-1,5		
Уровни звукового давления от источника ИШ-2-31 в расчётной точке днём, дБ		**ф-ла(3)[10]**	**0**	**25,9**	**17,1**	**15,4**	**14,7**	**14,7**	**4,7**	**0**	**0**	**17,4**	**17,4**

1		2	3	4	5	6	7	8	9	10	11	12	13
Уровни звукового давления от источника ИШ-2-31 в расчётной точке ночью, дБ		**ф-ла(3)[10]**	**0**	**25,9**	**17,1**	**15,4**	**14,7**	**14,7**	**4,7**	**0**	**0**	**17,4**	**17,4**
Источник шума: ИШ-2-32, координаты источника (x,y,z), м =[700.38,-83.01,1.00]													
Уровни звуковой мощности источника днём, Lw, дБ		**исходные данные**	**0**	**93,3**	**94,7**	**96**	**96,3**	**95,9**	**92,6**	**88,4**	**83,9**		
Уровни звуковой мощности источника ночью, Lw, дБ		**исходные данные**	**0**	**93,3**	**94,7**	**96**	**96,3**	**95,9**	**92,6**	**88,4**	**83,9**		
Поправка на телесный угол DΩ, дБ	Ω = 6.28	10Lg(4π/Ω)	**3**	3	3	3	3	3	3	3	3		
Показатель направленности источника Di, дБ		исходные данные	**0**	0	0	0	0	0	0	0	0		
Поправка на направленность источника Dc, дБ	Dc	DΩ + Di	**3**	3	3	3	3	3	3	3	3		
Затухание из-за геометрической дивергенции, Adiv, дБ	расстояние = 1800.74 м	ф-ла (7) [10]	**76,1**										
Коэффициент затухания звука в атмосфере α, дБ/км	Ta=20,°C Pa=101.33,кПа hотн.=70%	ф-ла (5) [9]	0,02	0,09	0,33	1,12	2,79	4,98	9,04	23,09	77,63		
Учет затухания звука в атмосфере Aatm, дБ		ф-ла (8) [10]	0	0,2	0,6	2	5	9	16,3	41,6	139,8		
Снижение поверхностью земли возле источника As, дБ	Gs = 0 hs = 1м	ф-лы таб.3 [10]	-1,5	-1,5	-1,5	-1,5	-1,5	-1,5	-1,5	-1,5	-1,5		
Снижение поверхностью земли возле приёмника Ar, дБ	Gr = 1 hr = 1.5м	ф-лы таб.3 [10]	-1,5	-1,5	5,3	7	5	0,7	0	0	0		
Снижение поверхностью земли в средней зоне, Am дБ	Gm = 1	ф-лы таб.3 [10]	-2,9	-2,9	0	0	0	0	0	0	0		
Суммарное снижение поверхностью земли на траектории распространения звука Agr, дБ		ф-ла (9) [10]	-5,9	-5,9	3,8	5,5	3,5	-0,8	-1,5	-1,5	-1,5		
Уровни звукового давления от источника ИШ-2-32 в расчётной точке днём, дБ		**ф-ла(3)[10]**	**0**	**25,9**	**17,1**	**15,3**	**14,7**	**14,7**	**4,7**	**0**	**0**	**17,3**	**17,3**
Уровни звукового давления от источника ИШ-2-32 в расчётной точке ночью, дБ		**ф-ла(3)[10]**	**0**	**25,9**	**17,1**	**15,3**	**14,7**	**14,7**	**4,7**	**0**	**0**	**17,3**	**17,3**

1		2	3	4	5	6	7	8	9	10	11	12	13
Источник шума: ИШ-2-33, координаты источника (x,y,z), м =[699.52,-85.98,1.00]													
Уровни звуковой мощности источника днём, Lw, дБ		**исходные данные**	**0**	**93,3**	**94,7**	**96**	**96,3**	**95,9**	**92,6**	**88,4**	**83,9**		
Уровни звуковой мощности источника ночью, Lw, дБ		**исходные данные**	**0**	**93,3**	**94,7**	**96**	**96,3**	**95,9**	**92,6**	**88,4**	**83,9**		
Поправка на телесный угол DΩ, дБ	Ω = 6.28	10Lg(4π/Ω)	**3**	3	3	3	3	3	3	3	3		
Показатель направленности источника Di, дБ		исходные данные	**0**	0	0	0	0	0	0	0	0		
Поправка на направленность источника Dc, дБ	Dc	DΩ + Di	**3**	3	3	3	3	3	3	3	3		
Затухание из-за геометрической дивергенции, Adiv, дБ	расстояние = 1803.29 м	ф-ла (7) [10]	**76,1**										
Коэффициент затухания звука в атмосфере α, дБ/км	Ta=20,°C Pa=101.33,кПа hотн.=70%	ф-ла (5) [9]	0,02	0,09	0,33	1,12	2,79	4,98	9,04	23,09	77,63		
Учет затухания звука в атмосфере Aatm, дБ		ф-ла (8) [10]	0	0,2	0,6	2	5	9	16,3	41,6	140		
Снижение поверхностью земли возле источника As, дБ	Gs = 0 hs = 1м	ф-лы таб.3 [10]	-1,5	-1,5	-1,5	-1,5	-1,5	-1,5	-1,5	-1,5	-1,5		
Снижение поверхностью земли возле приёмника Ar, дБ	Gr = 1 hr = 1.5м	ф-лы таб.3 [10]	-1,5	-1,5	5,3	7	5	0,7	0	0	0		
Снижение поверхностью земли в средней зоне, Am дБ	Gm = 1	ф-лы таб.3 [10]	-2,9	-2,9	0	0	0	0	0	0	0		
Суммарное снижение поверхностью земли на траектории распространения звука Agr, дБ		ф-ла (9) [10]	-5,9	-5,9	3,8	5,5	3,5	-0,8	-1,5	-1,5	-1,5		
Уровни звукового давления от источника ИШ-2-33 в расчётной точке днём, дБ		**ф-ла(3)[10]**	**0**	**25,9**	**17,1**	**15,3**	**14,7**	**14,6**	**4,7**	**0**	**0**	**17,3**	**17,3**
Уровни звукового давления от источника ИШ-2-33 в расчётной точке ночью, дБ		**ф-ла(3)[10]**	**0**	**25,9**	**17,1**	**15,3**	**14,7**	**14,6**	**4,7**	**0**	**0**	**17,3**	**17,3**
Источник шума: ИШ-2-34, координаты источника (x,y,z), м =[698.43,-88.85,1.00]													

1		2	3	4	5	6	7	8	9	10	11	12	13
Уровни звуковой мощности источника днём, Lw, дБ		**исходные данные**	**0**	**93,3**	**94,7**	**96**	**96,3**	**95,9**	**92,6**	**88,4**	**83,9**		
Уровни звуковой мощности источника ночью, Lw, дБ		**исходные данные**	**0**	**93,3**	**94,7**	**96**	**96,3**	**95,9**	**92,6**	**88,4**	**83,9**		
Поправка на телесный угол DΩ, дБ	Ω = 6.28	10Lg(4π/Ω)	**3**	3	3	3	3	3	3	3	3		
Показатель направленности источника Di, дБ		исходные данные	**0**	0	0	0	0	0	0	0	0		
Поправка на направленность источника Dc, дБ	Dc	DΩ + Di	**3**	3	3	3	3	3	3	3	3		
Затухание из-за геометрической дивергенции, Adiv, дБ	расстояние = 1805.97 м	ф-ла (7) [10]	**76,1**										
Коэффициент затухания звука в атмосфере α, дБ/км	Ta=20,°C Pa=101.33,кПа hотн.=70%	ф-ла (5) [9]	0,02	0,09	0,33	1,12	2,79	4,98	9,04	23,09	77,63		
Учет затухания звука в атмосфере Aatm, дБ		ф-ла (8) [10]	0	0,2	0,6	2	5	9	16,3	41,7	140,2		
Снижение поверхностью земли возле источника As, дБ	Gs = 0 hs = 1м	ф-лы таб.3 [10]	-1,5	-1,5	-1,5	-1,5	-1,5	-1,5	-1,5	-1,5	-1,5		
Снижение поверхностью земли возле приёмника Ar, дБ	Gr = 1 hr = 1.5м	ф-лы таб.3 [10]	-1,5	-1,5	5,3	7	5	0,7	0	0	0		
Снижение поверхностью земли в средней зоне, Am дБ	Gm = 1	ф-лы таб.3 [10]	-2,9	-2,9	0	0	0	0	0	0	0		
Суммарное снижение поверхностью земли на траектории распространения звука Agr, дБ		ф-ла (9) [10]	-5,9	-5,9	3,8	5,5	3,5	-0,8	-1,5	-1,5	-1,5		
Уровни звукового давления от источника ИШ-2-34 в расчётной точке днём, дБ		**ф-ла(3)[10]**	**0**	**25,9**	**17,1**	**15,3**	**14,6**	**14,6**	**4,6**	**0**	**0**	**17,3**	**17,3**
Уровни звукового давления от источника ИШ-2-34 в расчётной точке ночью, дБ		**ф-ла(3)[10]**	**0**	**25,9**	**17,1**	**15,3**	**14,6**	**14,6**	**4,6**	**0**	**0**	**17,3**	**17,3**
Источник шума: ИШ-2-35, координаты источника (x,y,z), м =[697.52,-91.66,1.00]													
Уровни звуковой мощности источника днём, Lw, дБ		**исходные данные**	**0**	**93,3**	**94,7**	**96**	**96,3**	**95,9**	**92,6**	**88,4**	**83,9**		

1		2	3	4	5	6	7	8	9	10	11	12	13
Уровни звуковой мощности источника ночью, Lw, дБ		**исходные данные**	**0**	**93,3**	**94,7**	**96**	**96,3**	**95,9**	**92,6**	**88,4**	**83,9**		
Поправка на телесный угол DΩ, дБ	Ω = 6.28	10Lg(4π/Ω)	**3**	3	3	3	3	3	3	3	3		
Показатель направленности источника Di, дБ		исходные данные	**0**	0	0	0	0	0	0	0	0		
Поправка на направленность источника Dc, дБ	Dc	DΩ + Di	**3**	3	3	3	3	3	3	3	3		
Затухание из-за геометрической дивергенции, Adiv, дБ	расстояние = 1808.47 м	ф-ла (7) [10]	**76,1**										
Коэффициент затухания звука в атмосфере α, дБ/км	Ta=20,°C Pa=101.33,кПа hотн.=70%	ф-ла (5) [9]	0,02	0,09	0,33	1,12	2,79	4,98	9,04	23,09	77,63		
Учет затухания звука в атмосфере Aatm, дБ		ф-ла (8) [10]	0	0,2	0,6	2	5	9	16,3	41,8	140,4		
Снижение поверхностью земли возле источника As, дБ	Gs = 0 hs = 1м	ф-лы таб.3 [10]	-1,5	-1,5	-1,5	-1,5	-1,5	-1,5	-1,5	-1,5	-1,5		
Снижение поверхностью земли возле приёмника Ar, дБ	Gr = 1 hr = 1.5м	ф-лы таб.3 [10]	-1,5	-1,5	5,3	7	5	0,7	0	0	0		
Снижение поверхностью земли в средней зоне, Am дБ	Gm = 1	ф-лы таб.3 [10]	-2,9	-2,9	0	0	0	0	0	0	0		
Суммарное снижение поверхностью земли на траектории распространения звука Agr, дБ		ф-ла (9) [10]	-5,9	-5,9	3,8	5,5	3,5	-0,8	-1,5	-1,5	-1,5		
Уровни звукового давления прямого звука от источника ИШ-2-35 в расчётной точке днём, дБ		**ф-ла(3)[10]**	**0**	**25,9**	**17,1**	**15,3**	**14,6**	**14,6**	**4,6**	**0**	**0**	**17,3**	**17,3**
Уровни звукового давления прямого звука от источника ИШ-2-35 в расчётной точке ночью, дБ		**ф-ла(3)[10]**	**0**	**25,9**	**17,1**	**15,3**	**14,6**	**14,6**	**4,6**	**0**	**0**	**17,3**	**17,3**
Расчёт отражённого звука													
Уровни звукового давления от мнимого источника ИШ-2-35_мн.(1) в расчётной точке днём, дБ		**ф-ла(3)[10]**	**0**	**0**	**0**	**0**	**0**	**0**	**0**	**0**	**0**	**0**	**0**
Уровни звукового давления от мнимого источника ИШ-2-35_мн.(1) в расчётной точке ночью, дБ		**ф-ла(3)[10]**	**0**	**0**	**0**	**0**	**0**	**0**	**0**	**0**	**0**	**0**	**0**
Уровни звукового давления от источника ИШ-2-35 в расчётной точке днём, дБ		**ф-ла(3)[10]**	**0**	**25,9**	**17,1**	**15,3**	**14,6**	**14,6**	**4,6**	**0**	**0**	**17,3**	**17,3**

1		2	3	4	5	6	7	8	9	10	11	12	13
Уровни звукового давления от источника ИШ-2-35 в расчётной точке ночью, дБ		**ф-ла(3)[10]**	**0**	**25,9**	**17,1**	**15,3**	**14,6**	**14,6**	**4,6**	**0**	**0**	**17,3**	**17,3**
Источник шума: ИШ-2-36, координаты источника (x,y,z), м =[696.58,-94.55,1.00]													
Уровни звуковой мощности источника днём, Lw, дБ		**исходные данные**	**0**	**93,3**	**94,7**	**96**	**96,3**	**95,9**	**92,6**	**88,4**	**83,9**		
Уровни звуковой мощности источника ночью, Lw, дБ		**исходные данные**	**0**	**93,3**	**94,7**	**96**	**96,3**	**95,9**	**92,6**	**88,4**	**83,9**		
Поправка на телесный угол DΩ, дБ	Ω = 6.28	10Lg(4π/Ω)	**3**	3	3	3	3	3	3	3	3		
Показатель направленности источника Di, дБ		исходные данные	**0**	0	0	0	0	0	0	0	0		
Поправка на направленность источника Dc, дБ	Dc	DΩ + Di	**3**	3	3	3	3	3	3	3	3		
Затухание из-за геометрической дивергенции, Adiv, дБ	расстояние = 1811.05 м	ф-ла (7) [10]	**76,2**										
Коэффициент затухания звука в атмосфере α, дБ/км	Ta=20,°C Pa=101.33,кПа hотн.=70%	ф-ла (5) [9]	0,02	0,09	0,33	1,12	2,79	4,98	9,04	23,09	77,63		
Учет затухания звука в атмосфере Aatm, дБ		ф-ла (8) [10]	0	0,2	0,6	2	5,1	9	16,4	41,8	140,6		
Снижение поверхностью земли возле источника As, дБ	Gs = 0 hs = 1м	ф-лы таб.3 [10]	-1,5	-1,5	-1,5	-1,5	-1,5	-1,5	-1,5	-1,5	-1,5		
Снижение поверхностью земли возле приёмника Ar, дБ	Gr = 1 hr = 1.5м	ф-лы таб.3 [10]	-1,5	-1,5	5,3	7	5	0,7	0	0	0		
Снижение поверхностью земли в средней зоне, Am дБ	Gm = 1	ф-лы таб.3 [10]	-2,9	-2,9	0	0	0	0	0	0	0		
Суммарное снижение поверхностью земли на траектории распространения звука Agr, дБ		ф-ла (9) [10]	-5,9	-5,9	3,8	5,5	3,5	-0,8	-1,5	-1,5	-1,5		
Уровни звукового давления прямого звука от источника ИШ-2-36 в расчётной точке днём, дБ		**ф-ла(3)[10]**	**0**	**25,8**	**17,1**	**15,3**	**14,6**	**14,6**	**4,6**	**0**	**0**	**17,2**	**17,2**
Уровни звукового давления прямого звука от источника ИШ-2-36 в расчётной точке ночью, дБ		**ф-ла(3)[10]**	**0**	**25,8**	**17,1**	**15,3**	**14,6**	**14,6**	**4,6**	**0**	**0**	**17,2**	**17,2**

1		2	3	4	5	6	7	8	9	10	11	12	13
Расчёт отражённого звука													
Уровни звукового давления от мнимого источника ИШ-2-36_мн.(1) в расчётной точке днём, дБ		**ф-ла(3)[10]**	**0**	**0**	**0**	**0**	**0**	**0**	**0**	**0**	**0**	**0**	**0**
Уровни звукового давления от мнимого источника ИШ-2-36_мн.(1) в расчётной точке ночью, дБ		**ф-ла(3)[10]**	**0**	**0**	**0**	**0**	**0**	**0**	**0**	**0**	**0**	**0**	**0**
Уровни звукового давления от источника ИШ-2-36 в расчётной точке днём, дБ		**ф-ла(3)[10]**	**0**	**25,8**	**17,1**	**15,3**	**14,6**	**14,6**	**4,6**	**0**	**0**	**17,2**	**17,2**
Уровни звукового давления от источника ИШ-2-36 в расчётной точке ночью, дБ		**ф-ла(3)[10]**	**0**	**25,8**	**17,1**	**15,3**	**14,6**	**14,6**	**4,6**	**0**	**0**	**17,2**	**17,2**
Источник шума: ИШ-2-37, координаты источника (x,y,z), м =[695.57,-97.37,1.00]													
Уровни звуковой мощности источника днём, Lw, дБ		**исходные данные**	**0**	**93,3**	**94,7**	**96**	**96,3**	**95,9**	**92,6**	**88,4**	**83,9**		
Уровни звуковой мощности источника ночью, Lw, дБ		**исходные данные**	**0**	**93,3**	**94,7**	**96**	**96,3**	**95,9**	**92,6**	**88,4**	**83,9**		
Поправка на телесный угол DΩ, дБ	Ω = 6.28	10Lg(4π/Ω)	**3**	3	3	3	3	3	3	3	3		
Показатель направленности источника Di, дБ		исходные данные	**0**	0	0	0	0	0	0	0	0		
Поправка на направленность источника Dc, дБ	Dc	DΩ + Di	**3**	3	3	3	3	3	3	3	3		
Затухание из-за геометрической дивергенции, Adiv, дБ	расстояние = 1813.63 м	ф-ла (7) [10]	**76,2**										
Коэффициент затухания звука в атмосфере α, дБ/км	Ta=20,°C Pa=101.33,кПа hотн.=70%	ф-ла (5) [9]	0,02	0,09	0,33	1,12	2,79	4,98	9,04	23,09	77,63		
Учет затухания звука в атмосфере Aatm, дБ		ф-ла (8) [10]	0	0,2	0,6	2	5,1	9	16,4	41,9	140,8		
Снижение поверхностью земли возле источника As, дБ	Gs = 0 hs = 1м	ф-лы таб.3 [10]	-1,5	-1,5	-1,5	-1,5	-1,5	-1,5	-1,5	-1,5	-1,5		
Снижение поверхностью земли возле приёмника Ar, дБ	Gr = 1 hr = 1.5м	ф-лы таб.3 [10]	-1,5	-1,5	5,3	7	5	0,7	0	0	0		

1		2	3	4	5	6	7	8	9	10	11	12	13
Снижение поверхностью земли в средней зоне, Am дБ	Gm = 1	ф-лы таб.3 [10]	-2,9	-2,9	0	0	0	0	0	0	0		
Суммарное снижение поверхностью земли на траектории распространения звука Agr, дБ		ф-ла (9) [10]	-5,9	-5,9	3,8	5,5	3,5	-0,8	-1,5	-1,5	-1,5		
Уровни звукового давления прямого звука от источника ИШ-2-37 в расчётной точке днём, дБ		**ф-ла(3)[10]**	**0**	**25,8**	**17,1**	**15,3**	**14,6**	**14,5**	**4,5**	**0**	**0**	**17,2**	**17,2**
Уровни звукового давления прямого звука от источника ИШ-2-37 в расчётной точке ночью, дБ		**ф-ла(3)[10]**	**0**	**25,8**	**17,1**	**15,3**	**14,6**	**14,5**	**4,5**	**0**	**0**	**17,2**	**17,2**
Расчёт отражённого звука													
Уровни звукового давления от мнимого источника ИШ-2-37_мн.(1) в расчётной точке днём, дБ		**ф-ла(3)[10]**	**0**	**0**	**0**	**0**	**0**	**0**	**0**	**0**	**0**	**0**	**0**
Уровни звукового давления от мнимого источника ИШ-2-37_мн.(1) в расчётной точке ночью, дБ		**ф-ла(3)[10]**	**0**	**0**	**0**	**0**	**0**	**0**	**0**	**0**	**0**	**0**	**0**
Уровни звукового давления от источника ИШ-2-37 в расчётной точке днём, дБ		**ф-ла(3)[10]**	**0**	**25,8**	**17,1**	**15,3**	**14,6**	**14,5**	**4,5**	**0**	**0**	**17,2**	**17,2**
Уровни звукового давления от источника ИШ-2-37 в расчётной точке ночью, дБ		**ф-ла(3)[10]**	**0**	**25,8**	**17,1**	**15,3**	**14,6**	**14,5**	**4,5**	**0**	**0**	**17,2**	**17,2**
Источник шума: ИШ-2-5, координаты источника (x,y,z), м =[618.60,-108.00,3.00]													
Уровни звуковой мощности источника днём, Lw, дБ		**исходные данные**	**105**	**104**	**104**	**101**	**102**	**106**	**101**	**95**	**87**		
Уровни звуковой мощности источника ночью, Lw, дБ		**исходные данные**	**105**	**104**	**104**	**101**	**102**	**106**	**101**	**95**	**87**		
Поправка на телесный угол DΩ, дБ	Ω = 6.28	10Lg(4π/Ω)	**3**	3	3	3	3	3	3	3	3		
Показатель направленности источника Di, дБ		исходные данные	**0**	0	0	0	0	0	0	0	0		
Поправка на направленность источника Dc, дБ	Dc	DΩ + Di	**3**	3	3	3	3	3	3	3	3		
Затухание из-за геометрической дивергенции, Adiv, дБ	расстояние = 1879.93 м	ф-ла (7) [10]	**76,5**										
Коэффициент затухания звука в атмосфере α, дБ/км	Ta=20,°C Pa=101.33,кПа hотн.=70%	ф-ла (5) [9]	0,02	0,09	0,33	1,12	2,79	4,98	9,04	23,09	77,63		

1		2	3	4	5	6	7	8	9	10	11	12	13
Учет затухания звука в атмосфере Aatm, дБ		ф-ла (8) [10]	0	0,2	0,6	2,1	5,2	9,4	17	43,4	145,9		
Снижение поверхностью земли возле источника As, дБ	Gs = 0 hs = 3м	ф-лы таб.3 [10]	-1,5	-1,5	-1,5	-1,5	-1,5	-1,5	-1,5	-1,5	-1,5		
Снижение поверхностью земли возле приёмника Ar, дБ	Gr = 1 hr = 1.5м	ф-лы таб.3 [10]	-1,5	-1,5	5,3	7	5	0,7	0	0	0		
Снижение поверхностью земли в средней зоне, Am дБ	Gm = 1	ф-лы таб.3 [10]	-2,8	-2,8	0	0	0	0	0	0	0		
Суммарное снижение поверхностью земли на траектории распространения звука Agr, дБ		ф-ла (9) [10]	-5,8	-5,8	3,8	5,5	3,5	-0,8	-1,5	-1,5	-1,5		
Уровни звукового давления от источника ИШ-2-5 в расчётной точке днём, дБ		**ф-ла(3)[10]**	**37,3**	**36,1**	**26,1**	**19,9**	**19,8**	**24**	**12**	**0**	**0**	**25,5**	**25,5**
Уровни звукового давления от источника ИШ-2-5 в расчётной точке ночью, дБ		**ф-ла(3)[10]**	**37,3**	**36,1**	**26,1**	**19,9**	**19,8**	**24**	**12**	**0**	**0**	**25,5**	**25,5**
Источник шума: ИШ-2-38, координаты источника (x,y,z), м =[688.13,-119.94,1.00]													
Уровни звуковой мощности источника днём, Lw, дБ		**исходные данные**	**0**	**93,3**	**94,7**	**96**	**96,3**	**95,9**	**92,6**	**88,4**	**83,9**		
Уровни звуковой мощности источника ночью, Lw, дБ		**исходные данные**	**0**	**93,3**	**94,7**	**96**	**96,3**	**95,9**	**92,6**	**88,4**	**83,9**		
Поправка на телесный угол DΩ, дБ	Ω = 6.28	10Lg(4π/Ω)	**3**	3	3	3	3	3	3	3	3		
Показатель направленности источника Di, дБ		исходные данные	**0**	0	0	0	0	0	0	0	0		
Поправка на направленность источника Dc, дБ	Dc	DΩ + Di	**3**	3	3	3	3	3	3	3	3		
Затухание из-за геометрической дивергенции, Adiv, дБ	расстояние = 1833.86 м	ф-ла (7) [10]	**76,3**										
Коэффициент затухания звука в атмосфере α, дБ/км	Ta=20,°C Pa=101.33,кПа hотн.=70%	ф-ла (5) [9]	0,02	0,09	0,33	1,12	2,79	4,98	9,04	23,09	77,63		
Учет затухания звука в атмосфере Aatm, дБ		ф-ла (8) [10]	0	0,2	0,6	2,1	5,1	9,1	16,6	42,3	142,4		

1		2	3	4	5	6	7	8	9	10	11	12	13
Снижение поверхностью земли возле источника As, дБ	Gs = 0 hs = 1м	ф-лы таб.3 [10]	-1,5	-1,5	-1,5	-1,5	-1,5	-1,5	-1,5	-1,5	-1,5		
Снижение поверхностью земли возле приёмника Ar, дБ	Gr = 1 hr = 1.5м	ф-лы таб.3 [10]	-1,5	-1,5	5,3	7	5	0,7	0	0	0		
Снижение поверхностью земли в средней зоне, Am дБ	Gm = 1	ф-лы таб.3 [10]	-2,9	-2,9	0	0	0	0	0	0	0		
Суммарное снижение поверхностью земли на траектории распространения звука Agr, дБ		ф-ла (9) [10]	-5,9	-5,9	3,8	5,5	3,5	-0,8	-1,5	-1,5	-1,5		
Уровни звукового давления от источника ИШ-2-38 в расчётной точке днём, дБ		**ф-ла(3)[10]**	**0**	**25,7**	**17**	**15,1**	**14,4**	**14,3**	**4,2**	**0**	**0**	**17**	**17**
Уровни звукового давления от источника ИШ-2-38 в расчётной точке ночью, дБ		**ф-ла(3)[10]**	**0**	**25,7**	**17**	**15,1**	**14,4**	**14,3**	**4,2**	**0**	**0**	**17**	**17**
Источник шума: ИШ-2-39, координаты источника (x,y,z), м =[687.11,-122.83,1.00]													
Уровни звуковой мощности источника днём, Lw, дБ		**исходные данные**	**0**	**93,3**	**94,7**	**96**	**96,3**	**95,9**	**92,6**	**88,4**	**83,9**		
Уровни звуковой мощности источника ночью, Lw, дБ		**исходные данные**	**0**	**93,3**	**94,7**	**96**	**96,3**	**95,9**	**92,6**	**88,4**	**83,9**		
Поправка на телесный угол DΩ, дБ	Ω = 6.28	10Lg(4π/Ω)	**3**	3	3	3	3	3	3	3	3		
Показатель направленности источника Di, дБ		исходные данные	**0**	0	0	0	0	0	0	0	0		
Поправка на направленность источника Dc, дБ	Dc	DΩ + Di	**3**	3	3	3	3	3	3	3	3		
Затухание из-за геометрической дивергенции, Adiv, дБ	расстояние = 1836.51 м	ф-ла (7) [10]	**76,3**										
Коэффициент затухания звука в атмосфере α, дБ/км	Ta=20,°C Pa=101.33,кПа hотн.=70%	ф-ла (5) [9]	0,02	0,09	0,33	1,12	2,79	4,98	9,04	23,09	77,63		
Учет затухания звука в атмосфере Aatm, дБ		ф-ла (8) [10]	0	0,2	0,6	2,1	5,1	9,1	16,6	42,4	142,6		
Снижение поверхностью земли возле источника As, дБ	Gs = 0 hs = 1м	ф-лы таб.3 [10]	-1,5	-1,5	-1,5	-1,5	-1,5	-1,5	-1,5	-1,5	-1,5		

1		2	3	4	5	6	7	8	9	10	11	12	13
Снижение поверхностью земли возле приёмника Ar, дБ	Gr = 1 hr = 1.5м	ф-лы таб.3 [10]	-1,5	-1,5	5,3	7	5	0,7	0	0	0		
Снижение поверхностью земли в средней зоне, Am дБ	Gm = 1	ф-лы таб.3 [10]	-2,9	-2,9	0	0	0	0	0	0	0		
Суммарное снижение поверхностью земли на траектории распространения звука Agr, дБ		ф-ла (9) [10]	-5,9	-5,9	3,8	5,5	3,5	-0,8	-1,5	-1,5	-1,5		
Уровни звукового давления от источника ИШ-2-39 в расчётной точке днём, дБ		**ф-ла(3)[10]**	**0**	**25,7**	**17**	**15,1**	**14,4**	**14,3**	**4,2**	**0**	**0**	**17**	**17**
Уровни звукового давления от источника ИШ-2-39 в расчётной точке ночью, дБ		**ф-ла(3)[10]**	**0**	**25,7**	**17**	**15,1**	**14,4**	**14,3**	**4,2**	**0**	**0**	**17**	**17**
Источник шума: ИШ-2-40, координаты источника (x,y,z), м =[686.10,-125.67,1.00]													
Уровни звуковой мощности источника днём, Lw, дБ		**исходные данные**	**0**	**93,3**	**94,7**	**96**	**96,3**	**95,9**	**92,6**	**88,4**	**83,9**		
Уровни звуковой мощности источника ночью, Lw, дБ		**исходные данные**	**0**	**93,3**	**94,7**	**96**	**96,3**	**95,9**	**92,6**	**88,4**	**83,9**		
Поправка на телесный угол DΩ, дБ	Ω = 6.28	10Lg(4π/Ω)	**3**	3	3	3	3	3	3	3	3		
Показатель направленности источника Di, дБ		исходные данные	**0**	0	0	0	0	0	0	0	0		
Поправка на направленность источника Dc, дБ	Dc	DΩ + Di	**3**	3	3	3	3	3	3	3	3		
Затухание из-за геометрической дивергенции, Adiv, дБ	расстояние = 1839.12 м	ф-ла (7) [10]	**76,3**										
Коэффициент затухания звука в атмосфере α, дБ/км	Ta=20,°C Pa=101.33,кПа hотн.=70%	ф-ла (5) [9]	0,02	0,09	0,33	1,12	2,79	4,98	9,04	23,09	77,63		
Учет затухания звука в атмосфере Aatm, дБ		ф-ла (8) [10]	0	0,2	0,6	2,1	5,1	9,2	16,6	42,5	142,8		
Снижение поверхностью земли возле источника As, дБ	Gs = 0 hs = 1м	ф-лы таб.3 [10]	-1,5	-1,5	-1,5	-1,5	-1,5	-1,5	-1,5	-1,5	-1,5		
Снижение поверхностью земли возле приёмника Ar, дБ	Gr = 1 hr = 1.5м	ф-лы таб.3 [10]	-1,5	-1,5	5,3	7	5	0,7	0	0	0		

1		2	3	4	5	6	7	8	9	10	11	12	13
Снижение поверхностью земли в средней зоне, Am дБ	Gm = 1	ф-лы таб.3 [10]	-2,9	-2,9	0	0	0	0	0	0	0		
Суммарное снижение поверхностью земли на траектории распространения звука Agr, дБ		ф-ла (9) [10]	-5,9	-5,9	3,8	5,5	3,5	-0,8	-1,5	-1,5	-1,5		
Уровни звукового давления прямого звука от источника ИШ-2-40 в расчётной точке днём, дБ		**ф-ла(3)[10]**	**0**	**25,7**	**16,9**	**15,1**	**14,4**	**14,3**	**4,2**	**0**	**0**	**17**	**17**
Уровни звукового давления прямого звука от источника ИШ-2-40 в расчётной точке ночью, дБ		**ф-ла(3)[10]**	**0**	**25,7**	**16,9**	**15,1**	**14,4**	**14,3**	**4,2**	**0**	**0**	**17**	**17**
Расчёт отражённого звука													
Уровни звукового давления от мнимого источника ИШ-2-40_мн.(1) в расчётной точке днём, дБ		**ф-ла(3)[10]**	**0**	**0**	**0**	**0**	**0**	**0**	**0**	**0**	**0**	**0**	**0**
Уровни звукового давления от мнимого источника ИШ-2-40_мн.(1) в расчётной точке ночью, дБ		**ф-ла(3)[10]**	**0**	**0**	**0**	**0**	**0**	**0**	**0**	**0**	**0**	**0**	**0**
Уровни звукового давления от источника ИШ-2-40 в расчётной точке днём, дБ		**ф-ла(3)[10]**	**0**	**25,7**	**16,9**	**15,1**	**14,4**	**14,3**	**4,2**	**0**	**0**	**17**	**17**
Уровни звукового давления от источника ИШ-2-40 в расчётной точке ночью, дБ		**ф-ла(3)[10]**	**0**	**25,7**	**16,9**	**15,1**	**14,4**	**14,3**	**4,2**	**0**	**0**	**17**	**17**
Источник шума: ИШ-2-41, координаты источника (x,y,z), м =[685.14,-128.64,1.00]													
Уровни звуковой мощности источника днём, Lw, дБ		**исходные данные**	**0**	**93,3**	**94,7**	**96**	**96,3**	**95,9**	**92,6**	**88,4**	**83,9**		
Уровни звуковой мощности источника ночью, Lw, дБ		**исходные данные**	**0**	**93,3**	**94,7**	**96**	**96,3**	**95,9**	**92,6**	**88,4**	**83,9**		
Поправка на телесный угол DΩ, дБ	Ω = 6.28	10Lg(4π/Ω)	**3**	3	3	3	3	3	3	3	3		
Показатель направленности источника Di, дБ		исходные данные	**0**	0	0	0	0	0	0	0	0		
Поправка на направленность источника Dc, дБ	Dc	DΩ + Di	**3**	3	3	3	3	3	3	3	3		
Затухание из-за геометрической дивергенции, Adiv, дБ	расстояние = 1841.78 м	ф-ла (7) [10]	**76,3**										
Коэффициент затухания звука в атмосфере α, дБ/км	Ta=20,°C Pa=101.33,кПа hотн.=70%	ф-ла (5) [9]	0,02	0,09	0,33	1,12	2,79	4,98	9,04	23,09	77,63		

1		2	3	4	5	6	7	8	9	10	11	12	13
Учет затухания звука в атмосфере Aatm, дБ		ф-ла (8) [10]	0	0,2	0,6	2,1	5,1	9,2	16,6	42,5	143		
Снижение поверхностью земли возле источника As, дБ	Gs = 0 hs = 1м	ф-лы таб.3 [10]	-1,5	-1,5	-1,5	-1,5	-1,5	-1,5	-1,5	-1,5	-1,5		
Снижение поверхностью земли возле приёмника Ar, дБ	Gr = 1 hr = 1.5м	ф-лы таб.3 [10]	-1,5	-1,5	5,3	7	5	0,7	0	0	0		
Снижение поверхностью земли в средней зоне, Am дБ	Gm = 1	ф-лы таб.3 [10]	-2,9	-2,9	0	0	0	0	0	0	0		
Суммарное снижение поверхностью земли на траектории распространения звука Agr, дБ		ф-ла (9) [10]	-5,9	-5,9	3,8	5,5	3,5	-0,8	-1,5	-1,5	-1,5		
Уровни звукового давления прямого звука от источника ИШ-2-41 в расчётной точке днём, дБ		**ф-ла(3)[10]**	**0**	**25,7**	**16,9**	**15,1**	**14,4**	**14,3**	**4,1**	**0**	**0**	**17**	**17**
Уровни звукового давления прямого звука от источника ИШ-2-41 в расчётной точке ночью, дБ		**ф-ла(3)[10]**	**0**	**25,7**	**16,9**	**15,1**	**14,4**	**14,3**	**4,1**	**0**	**0**	**17**	**17**
Расчёт отражённого звука													
Уровни звукового давления от мнимого источника ИШ-2-41_мн.(1) в расчётной точке днём, дБ		**ф-ла(3)[10]**	**0**	**0**	**0**	**0**	**0**	**0**	**0**	**0**	**0**	**0**	**0**
Уровни звукового давления от мнимого источника ИШ-2-41_мн.(1) в расчётной точке ночью, дБ		**ф-ла(3)[10]**	**0**	**0**	**0**	**0**	**0**	**0**	**0**	**0**	**0**	**0**	**0**
Уровни звукового давления от источника ИШ-2-41 в расчётной точке днём, дБ		**ф-ла(3)[10]**	**0**	**25,7**	**16,9**	**15,1**	**14,4**	**14,3**	**4,1**	**0**	**0**	**17**	**17**
Уровни звукового давления от источника ИШ-2-41 в расчётной точке ночью, дБ		**ф-ла(3)[10]**	**0**	**25,7**	**16,9**	**15,1**	**14,4**	**14,3**	**4,1**	**0**	**0**	**17**	**17**
Источник шума: ИШ-2-42, координаты источника (x,y,z), м =[684.20,-131.46,1.00]													
Уровни звуковой мощности источника днём, Lw, дБ		**исходные данные**	**0**	**93,3**	**94,7**	**96**	**96,3**	**95,9**	**92,6**	**88,4**	**83,9**		
Уровни звуковой мощности источника ночью, Lw, дБ		**исходные данные**	**0**	**93,3**	**94,7**	**96**	**96,3**	**95,9**	**92,6**	**88,4**	**83,9**		
Поправка на телесный угол DΩ, дБ	Ω = 6.28	10Lg(4π/Ω)	**3**	3	3	3	3	3	3	3	3		
Показатель направленности источника Di, дБ		исходные данные	**0**	0	0	0	0	0	0	0	0		

1		2	3	4	5	6	7	8	9	10	11	12	13
Поправка на направленность источника Dc, дБ	Dc	DΩ + Di	**3**	3	3	3	3	3	3	3	3		
Затухание из-за геометрической дивергенции, Adiv, дБ	расстояние = 1844.32 м	ф-ла (7) [10]	**76,3**										
Коэффициент затухания звука в атмосфере α, дБ/км	Ta=20,°C Pa=101.33,кПа hотн.=70%	ф-ла (5) [9]	0,02	0,09	0,33	1,12	2,79	4,98	9,04	23,09	77,63		
Учет затухания звука в атмосфере Aatm, дБ		ф-ла (8) [10]	0	0,2	0,6	2,1	5,1	9,2	16,7	42,6	143,2		
Снижение поверхностью земли возле источника As, дБ	Gs = 0 hs = 1м	ф-лы таб.3 [10]	-1,5	-1,5	-1,5	-1,5	-1,5	-1,5	-1,5	-1,5	-1,5		
Снижение поверхностью земли возле приёмника Ar, дБ	Gr = 1 hr = 1.5м	ф-лы таб.3 [10]	-1,5	-1,5	5,3	7	5	0,7	0	0	0		
Снижение поверхностью земли в средней зоне, Am дБ	Gm = 1	ф-лы таб.3 [10]	-2,9	-2,9	0	0	0	0	0	0	0		
Суммарное снижение поверхностью земли на траектории распространения звука Agr, дБ		ф-ла (9) [10]	-5,9	-5,9	3,8	5,5	3,5	-0,8	-1,5	-1,5	-1,5		
Уровни звукового давления прямого звука от источника ИШ-2-42 в расчётной точке днём, дБ		**ф-ла(3)[10]**	**0**	**25,7**	**16,9**	**15,1**	**14,4**	**14,2**	**4,1**	**0**	**0**	**16,9**	**16,9**
Уровни звукового давления прямого звука от источника ИШ-2-42 в расчётной точке ночью, дБ		**ф-ла(3)[10]**	**0**	**25,7**	**16,9**	**15,1**	**14,4**	**14,2**	**4,1**	**0**	**0**	**16,9**	**16,9**
Расчёт отражённого звука													
Уровни звукового давления от мнимого источника ИШ-2-42_мн.(1) в расчётной точке днём, дБ		**ф-ла(3)[10]**	**0**	**0**	**0**	**0**	**0**	**0**	**0**	**0**	**0**	**0**	**0**
Уровни звукового давления от мнимого источника ИШ-2-42_мн.(1) в расчётной точке ночью, дБ		**ф-ла(3)[10]**	**0**	**0**	**0**	**0**	**0**	**0**	**0**	**0**	**0**	**0**	**0**
Уровни звукового давления от источника ИШ-2-42 в расчётной точке днём, дБ		**ф-ла(3)[10]**	**0**	**25,7**	**16,9**	**15,1**	**14,4**	**14,2**	**4,1**	**0**	**0**	**16,9**	**16,9**
Уровни звукового давления от источника ИШ-2-42 в расчётной точке ночью, дБ		**ф-ла(3)[10]**	**0**	**25,7**	**16,9**	**15,1**	**14,4**	**14,2**	**4,1**	**0**	**0**	**16,9**	**16,9**
Источник шума: ИШ-2-43, координаты источника (x,y,z), м =[683.13,-134.37,1.00]													

1		2	3	4	5	6	7	8	9	10	11	12	13
Уровни звуковой мощности источника днём, Lw, дБ		**исходные данные**	**0**	**93,3**	**94,7**	**96**	**96,3**	**95,9**	**92,6**	**88,4**	**83,9**		
Уровни звуковой мощности источника ночью, Lw, дБ		**исходные данные**	**0**	**93,3**	**94,7**	**96**	**96,3**	**95,9**	**92,6**	**88,4**	**83,9**		
Поправка на телесный угол DΩ, дБ	Ω = 6.28	10Lg(4π/Ω)	**3**	3	3	3	3	3	3	3	3		
Показатель направленности источника Di, дБ		исходные данные	**0**	0	0	0	0	0	0	0	0		
Поправка на направленность источника Dc, дБ	Dc	DΩ + Di	**3**	3	3	3	3	3	3	3	3		
Затухание из-за геометрической дивергенции, Adiv, дБ	расстояние = 1847.03 м	ф-ла (7) [10]	**76,3**										
Коэффициент затухания звука в атмосфере α, дБ/км	Ta=20,°C Pa=101.33,кПа hотн.=70%	ф-ла (5) [9]	0,02	0,09	0,33	1,12	2,79	4,98	9,04	23,09	77,63		
Учет затухания звука в атмосфере Aatm, дБ		ф-ла (8) [10]	0	0,2	0,6	2,1	5,2	9,2	16,7	42,6	143,4		
Снижение поверхностью земли возле источника As, дБ	Gs = 0 hs = 1м	ф-лы таб.3 [10]	-1,5	-1,5	-1,5	-1,5	-1,5	-1,5	-1,5	-1,5	-1,5		
Снижение поверхностью земли возле приёмника Ar, дБ	Gr = 1 hr = 1.5м	ф-лы таб.3 [10]	-1,5	-1,5	5,3	7	5	0,7	0	0	0		
Снижение поверхностью земли в средней зоне, Am дБ	Gm = 1	ф-лы таб.3 [10]	-2,9	-2,9	0	0	0	0	0	0	0		
Суммарное снижение поверхностью земли на траектории распространения звука Agr, дБ		ф-ла (9) [10]	-5,9	-5,9	3,8	5,5	3,5	-0,8	-1,5	-1,5	-1,5		
Уровни звукового давления прямого звука от источника ИШ-2-43 в расчётной точке днём, дБ		**ф-ла(3)[10]**	**0**	**25,7**	**16,9**	**15,1**	**14,3**	**14,2**	**4,1**	**0**	**0**	**16,9**	**16,9**
Уровни звукового давления прямого звука от источника ИШ-2-43 в расчётной точке ночью, дБ		**ф-ла(3)[10]**	**0**	**25,7**	**16,9**	**15,1**	**14,3**	**14,2**	**4,1**	**0**	**0**	**16,9**	**16,9**
Расчёт отражённого звука													
Уровни звукового давления от мнимого источника ИШ-2-43_мн.(1) в расчётной точке днём, дБ		**ф-ла(3)[10]**	**0**	**0**	**0**	**0**	**0**	**0**	**0**	**0**	**0**	**0**	**0**
Уровни звукового давления от мнимого источника ИШ-2-43_мн.(1) в расчётной точке ночью, дБ		**ф-ла(3)[10]**	**0**	**0**	**0**	**0**	**0**	**0**	**0**	**0**	**0**	**0**	**0**

1		2	3	4	5	6	7	8	9	10	11	12	13
Уровни звукового давления от источника ИШ-2-43 в расчётной точке днём, дБ		**ф-ла(3)[10]**	**0**	**25,7**	**16,9**	**15,1**	**14,3**	**14,2**	**4,1**	**0**	**0**	**16,9**	**16,9**
Уровни звукового давления от источника ИШ-2-43 в расчётной точке ночью, дБ		**ф-ла(3)[10]**	**0**	**25,7**	**16,9**	**15,1**	**14,3**	**14,2**	**4,1**	**0**	**0**	**16,9**	**16,9**
Источник шума: ИШ-2-44, координаты источника (x,y,z), м =[682.20,-137.16,1.00]													
Уровни звуковой мощности источника днём, Lw, дБ		**исходные данные**	**0**	**93,3**	**94,7**	**96**	**96,3**	**95,9**	**92,6**	**88,4**	**83,9**		
Уровни звуковой мощности источника ночью, Lw, дБ		**исходные данные**	**0**	**93,3**	**94,7**	**96**	**96,3**	**95,9**	**92,6**	**88,4**	**83,9**		
Поправка на телесный угол DΩ, дБ	Ω = 6.28	10Lg(4π/Ω)	**3**	3	3	3	3	3	3	3	3		
Показатель направленности источника Di, дБ		исходные данные	**0**	0	0	0	0	0	0	0	0		
Поправка на направленность источника Dc, дБ	Dc	DΩ + Di	**3**	3	3	3	3	3	3	3	3		
Затухание из-за геометрической дивергенции, Adiv, дБ	расстояние = 1849.55 м	ф-ла (7) [10]	**76,3**										
Коэффициент затухания звука в атмосфере α, дБ/км	Ta=20,°C Pa=101.33,кПа hотн.=70%	ф-ла (5) [9]	0,02	0,09	0,33	1,12	2,79	4,98	9,04	23,09	77,63		
Учет затухания звука в атмосфере Aatm, дБ		ф-ла (8) [10]	0	0,2	0,6	2,1	5,2	9,2	16,7	42,7	143,6		
Снижение поверхностью земли возле источника As, дБ	Gs = 0 hs = 1м	ф-лы таб.3 [10]	-1,5	-1,5	-1,5	-1,5	-1,5	-1,5	-1,5	-1,5	-1,5		
Снижение поверхностью земли возле приёмника Ar, дБ	Gr = 1 hr = 1.5м	ф-лы таб.3 [10]	-1,5	-1,5	5,3	7	5	0,7	0	0	0		
Снижение поверхностью земли в средней зоне, Am дБ	Gm = 1	ф-лы таб.3 [10]	-2,9	-2,9	0	0	0	0	0	0	0		
Суммарное снижение поверхностью земли на траектории распространения звука Agr, дБ		ф-ла (9) [10]	-5,9	-5,9	3,8	5,5	3,5	-0,8	-1,5	-1,5	-1,5		
Уровни звукового давления прямого звука от источника ИШ-2-44 в расчётной точке днём, дБ		**ф-ла(3)[10]**	**0**	**25,7**	**16,9**	**15**	**14,3**	**14,2**	**4**	**0**	**0**	**16,9**	**16,9**

1		2	3	4	5	6	7	8	9	10	11	12	13
Уровни звукового давления прямого звука от источника ИШ-2-44 в расчётной точке ночью, дБ		**ф-ла(3)[10]**	**0**	**25,7**	**16,9**	**15**	**14,3**	**14,2**	**4**	**0**	**0**	**16,9**	**16,9**
Расчёт отражённого звука													
Уровни звукового давления от мнимого источника ИШ-2-44_мн.(1) в расчётной точке днём, дБ		**ф-ла(3)[10]**	**0**	**0**	**0**	**0**	**0**	**0**	**0**	**0**	**0**	**0**	**0**
Уровни звукового давления от мнимого источника ИШ-2-44_мн.(1) в расчётной точке ночью, дБ		**ф-ла(3)[10]**	**0**	**0**	**0**	**0**	**0**	**0**	**0**	**0**	**0**	**0**	**0**
Уровни звукового давления от источника ИШ-2-44 в расчётной точке днём, дБ		**ф-ла(3)[10]**	**0**	**25,7**	**16,9**	**15**	**14,3**	**14,2**	**4**	**0**	**0**	**16,9**	**16,9**
Уровни звукового давления от источника ИШ-2-44 в расчётной точке ночью, дБ		**ф-ла(3)[10]**	**0**	**25,7**	**16,9**	**15**	**14,3**	**14,2**	**4**	**0**	**0**	**16,9**	**16,9**
Источник шума: ИШ-2-45, координаты источника (x,y,z), м =[681.26,-139.98,1.00]													
Уровни звуковой мощности источника днём, Lw, дБ		**исходные данные**	**0**	**93,3**	**94,7**	**96**	**96,3**	**95,9**	**92,6**	**88,4**	**83,9**		
Уровни звуковой мощности источника ночью, Lw, дБ		**исходные данные**	**0**	**93,3**	**94,7**	**96**	**96,3**	**95,9**	**92,6**	**88,4**	**83,9**		
Поправка на телесный угол DΩ, дБ	Ω = 6.28	10Lg(4π/Ω)	**3**	3	3	3	3	3	3	3	3		
Показатель направленности источника Di, дБ		исходные данные	**0**	0	0	0	0	0	0	0	0		
Поправка на направленность источника Dc, дБ	Dc	DΩ + Di	**3**	3	3	3	3	3	3	3	3		
Затухание из-за геометрической дивергенции, Adiv, дБ	расстояние = 1852.10 м	ф-ла (7) [10]	**76,4**										
Коэффициент затухания звука в атмосфере α, дБ/км	Ta=20,°C Pa=101.33,кПа hотн.=70%	ф-ла (5) [9]	0,02	0,09	0,33	1,12	2,79	4,98	9,04	23,09	77,63		
Учет затухания звука в атмосфере Aatm, дБ		ф-ла (8) [10]	0	0,2	0,6	2,1	5,2	9,2	16,7	42,8	143,8		
Снижение поверхностью земли возле источника As, дБ	Gs = 0 hs = 1м	ф-лы таб.3 [10]	-1,5	-1,5	-1,5	-1,5	-1,5	-1,5	-1,5	-1,5	-1,5		

1		2	3	4	5	6	7	8	9	10	11	12	13
Снижение поверхностью земли возле приёмника Ar, дБ	Gr = 1 hr = 1.5м	ф-лы таб.3 [10]	-1,5	-1,5	5,3	7	5	0,7	0	0	0		
Снижение поверхностью земли в средней зоне, Am дБ	Gm = 1	ф-лы таб.3 [10]	-2,9	-2,9	0	0	0	0	0	0	0		
Суммарное снижение поверхностью земли на траектории распространения звука Agr, дБ		ф-ла (9) [10]	-5,9	-5,9	3,8	5,5	3,5	-0,8	-1,5	-1,5	-1,5		
Уровни звукового давления от источника ИШ-2-45 в расчётной точке днём, дБ		**ф-ла(3)[10]**	**0**	**25,7**	**16,9**	**15**	**14,3**	**14,2**	**4**	**0**	**0**	**16,9**	**16,9**
Уровни звукового давления от источника ИШ-2-45 в расчётной точке ночью, дБ		**ф-ла(3)[10]**	**0**	**25,7**	**16,9**	**15**	**14,3**	**14,2**	**4**	**0**	**0**	**16,9**	**16,9**
Источник шума: ИШ-4-1, координаты источника (x,y,z), м =[141.82,201.03,1.00]													
Уровни звуковой мощности источника днём, Lw, дБ		**исходные данные**	**0**	**90,3**	**91,7**	**93**	**93,3**	**92,9**	**89,6**	**85,4**	**80,9**		
Уровни звуковой мощности источника ночью, Lw, дБ		**исходные данные**	**0**	**90,3**	**91,7**	**93**	**93,3**	**92,9**	**89,6**	**85,4**	**80,9**		
Поправка на телесный угол DΩ, дБ	Ω = 6.28	10Lg(4π/Ω)	**3**	3	3	3	3	3	3	3	3		
Показатель направленности источника Di, дБ		исходные данные	**0**	0	0	0	0	0	0	0	0		
Поправка на направленность источника Dc, дБ	Dc	DΩ + Di	**3**	3	3	3	3	3	3	3	3		
Затухание из-за геометрической дивергенции, Adiv, дБ	расстояние = 2128.46 м	ф-ла (7) [10]	**77,6**										
Коэффициент затухания звука в атмосфере α, дБ/км	Ta=20,°C Pa=101.33,кПа hотн.=70%	ф-ла (5) [9]	0,02	0,09	0,33	1,12	2,79	4,98	9,04	23,09	77,63		
Учет затухания звука в атмосфере Aatm, дБ		ф-ла (8) [10]	0	0,2	0,7	2,4	5,9	10,6	19,2	49,1	165,2		
Снижение уровня звукового давления из-за влияния застройки между источником шума и расчетной точкой													
Снижение уровня звукового давления на пути над экраном, Dz1, дБ	z = 0.87м (разность путей)	ф-лы (14-18) [10]	5	5,2	5,6	6,3	7,4	9,1	11,2	13,7	16,4		

1		2	3	4	5	6	7	8	9	10	11	12	13
Снижение уровня звукового давления на пути слева от экрана, Dz2, дБ	z = 8.88м (разность путей)	ф-лы (14-18) [10]	15,6	18,4	21,3	24,2	27,2	30,2	33,2	36,2	39,2		
Снижение уровня звукового давления на пути справа от экрана, Dz3, дБ	z = 6.41м (разность путей)	ф-лы (14-18) [10]	18,3	21,5	24,5	27,5	30,5	33,6	36,6	39,6	42,6		
Общее снижение уровня звука препятствием Dz, дБ		Эн.сумма(-Dzi)	4,4	4,9	5,4	6,2	7,4	9	11,2	13,6	16,4		
Уровни звукового давления прямого звука от источника ИШ-4-1 в расчётной точке днём, дБ		**ф-ла(3)[10]**	**0**	**10,6**	**11**	**9,8**	**5,4**	**0**	**0**	**0**	**0**	**5,2**	**5,2**
Уровни звукового давления прямого звука от источника ИШ-4-1 в расчётной точке ночью, дБ		**ф-ла(3)[10]**	**0**	**10,6**	**11**	**9,8**	**5,4**	**0**	**0**	**0**	**0**	**5,2**	**5,2**
Расчёт отражённого звука													
Уровни звукового давления от мнимого источника ИШ-4-1_мн.(1) в расчётной точке днём, дБ		**ф-ла(3)[10]**	**0**	**0**	**0**	**0**	**0**	**0**	**0**	**0**	**0**	**0**	**0**
Уровни звукового давления от мнимого источника ИШ-4-1_мн.(1) в расчётной точке ночью, дБ		**ф-ла(3)[10]**	**0**	**0**	**0**	**0**	**0**	**0**	**0**	**0**	**0**	**0**	**0**
Уровни звукового давления от мнимого источника ИШ-4-1_мн.(2) в расчётной точке днём, дБ		**ф-ла(3)[10]**	**0**	**0**	**0**	**0**	**0**	**0**	**0**	**0**	**0**	**0**	**0**
Уровни звукового давления от мнимого источника ИШ-4-1_мн.(2) в расчётной точке ночью, дБ		**ф-ла(3)[10]**	**0**	**0**	**0**	**0**	**0**	**0**	**0**	**0**	**0**	**0**	**0**
Уровни звукового давления от мнимого источника ИШ-4-1_мн.(3) в расчётной точке днём, дБ		**ф-ла(3)[10]**	**0**	**0**	**0**	**0**	**0**	**0**	**0**	**0**	**0**	**0**	**0**
Уровни звукового давления от мнимого источника ИШ-4-1_мн.(3) в расчётной точке ночью, дБ		**ф-ла(3)[10]**	**0**	**0**	**0**	**0**	**0**	**0**	**0**	**0**	**0**	**0**	**0**
Суммарные уровни звукового давления от мнимых источников в расчётной точке днём, дБ		**ф-ла (19) [1]**	**0**	**0**	**0**	**0**	**0**	**0**	**0**	**0**	**0**	**0**	**0**
Суммарные уровни звукового давления от мнимых источников в расчётной точке ночью, дБ		**ф-ла (19) [1]**	**0**	**0**	**0**	**0**	**0**	**0**	**0**	**0**	**0**	**0**	**0**
Уровни звукового давления от источника ИШ-4-1 в расчётной точке днём, дБ		**ф-ла(3)[10]**	**0**	**10,6**	**11**	**9,8**	**5,4**	**0**	**0**	**0**	**0**	**5,2**	**5,2**
Уровни звукового давления от источника ИШ-4-1 в расчётной точке ночью, дБ		**ф-ла(3)[10]**	**0**	**10,6**	**11**	**9,8**	**5,4**	**0**	**0**	**0**	**0**	**5,2**	**5,2**
Источник шума: ИШ-4-2, координаты источника (x,y,z), м =[133.85,183.21,1.00]													

1		2	3	4	5	6	7	8	9	10	11	12	13
Уровни звуковой мощности источника днём, Lw, дБ		**исходные данные**	**0**	**90,3**	**91,7**	**93**	**93,3**	**92,9**	**89,6**	**85,4**	**80,9**		
Уровни звуковой мощности источника ночью, Lw, дБ		**исходные данные**	**0**	**90,3**	**91,7**	**93**	**93,3**	**92,9**	**89,6**	**85,4**	**80,9**		
Поправка на телесный угол DΩ, дБ	Ω = 6.28	10Lg(4π/Ω)	**3**	3	3	3	3	3	3	3	3		
Показатель направленности источника Di, дБ		исходные данные	**0**	0	0	0	0	0	0	0	0		
Поправка на направленность источника Dc, дБ	Dc	DΩ + Di	**3**	3	3	3	3	3	3	3	3		
Затухание из-за геометрической дивергенции, Adiv, дБ	расстояние = 2143.03 м	ф-ла (7) [10]	**77,6**										
Коэффициент затухания звука в атмосфере α, дБ/км	Ta=20,°C Pa=101.33,кПа hотн.=70%	ф-ла (5) [9]	0,02	0,09	0,33	1,12	2,79	4,98	9,04	23,09	77,63		
Учет затухания звука в атмосфере Aatm, дБ		ф-ла (8) [10]	0	0,2	0,7	2,4	6	10,7	19,4	49,5	166,4		
Снижение уровня звукового давления из-за влияния застройки между источником шума и расчетной точкой													
Снижение уровня звукового давления на пути над экраном, Dz1, дБ	z = 0.67м (разность путей)	ф-лы (14-18) [10]	4,8	4,9	5	5,2	5,5	6,2	7,2	8,7	10,8		
Снижение уровня звукового давления на пути слева от экрана, Dz2, дБ	z = 12.11м (разность путей)	ф-лы (14-18) [10]	20,6	24,1	27,2	30,3	33,3	36,3	39,3	42,3	45,3		
Снижение уровня звукового давления на пути справа от экрана, Dz3, дБ	z = 1.41м (разность путей)	ф-лы (14-18) [10]	12,4	15,3	18,1	21	24	27	30	33	36		
Общее снижение уровня звука препятствием Dz, дБ		Эн.сумма(-Dzi)	4	4,4	4,7	5	5,4	6,1	7,2	8,7	10,8		
Уровни звукового давления прямого звука от источника ИШ-4-2 в расчётной точке днём, дБ		**ф-ла(3)[10]**	**0**	**11**	**11,6**	**10,9**	**7,2**	**1,5**	**0**	**0**	**0**	**7,8**	**7,8**
Уровни звукового давления прямого звука от источника ИШ-4-2 в расчётной точке ночью, дБ		**ф-ла(3)[10]**	**0**	**11**	**11,6**	**10,9**	**7,2**	**1,5**	**0**	**0**	**0**	**7,8**	**7,8**
Расчёт отражённого звука													
Уровни звукового давления от мнимого источника ИШ-4-2_мн.(1) в расчётной точке днём, дБ		**ф-ла(3)[10]**	**0**	**0**	**0**	**0**	**0**	**0**	**0**	**0**	**0**	**0**	**0**

1		2	3	4	5	6	7	8	9	10	11	12	13
Уровни звукового давления от мнимого источника ИШ-4-2_мн.(1) в расчётной точке ночью, дБ		**ф-ла(3)[10]**	**0**	**0**	**0**	**0**	**0**	**0**	**0**	**0**	**0**	**0**	**0**
Уровни звукового давления от мнимого источника ИШ-4-2_мн.(2) в расчётной точке днём, дБ		**ф-ла(3)[10]**	**0**	**0**	**0**	**0**	**0**	**0**	**0**	**0**	**0**	**0**	**0**
Уровни звукового давления от мнимого источника ИШ-4-2_мн.(2) в расчётной точке ночью, дБ		**ф-ла(3)[10]**	**0**	**0**	**0**	**0**	**0**	**0**	**0**	**0**	**0**	**0**	**0**
Суммарные уровни звукового давления от мнимых источников в расчётной точке днём, дБ		**ф-ла (19) [1]**	**0**	**0**	**0**	**0**	**0**	**0**	**0**	**0**	**0**	**0**	**0**
Суммарные уровни звукового давления от мнимых источников в расчётной точке ночью, дБ		**ф-ла (19) [1]**	**0**	**0**	**0**	**0**	**0**	**0**	**0**	**0**	**0**	**0**	**0**
Уровни звукового давления от источника ИШ-4-2 в расчётной точке днём, дБ		**ф-ла(3)[10]**	**0**	**11**	**11,6**	**10,9**	**7,2**	**1,5**	**0**	**0**	**0**	**7,8**	**7,8**
Уровни звукового давления от источника ИШ-4-2 в расчётной точке ночью, дБ		**ф-ла(3)[10]**	**0**	**11**	**11,6**	**10,9**	**7,2**	**1,5**	**0**	**0**	**0**	**7,8**	**7,8**
Источник шума: ИШ-4-3, координаты источника (x,y,z), м =[152.61,172.66,1.00]													
Уровни звуковой мощности источника днём, Lw, дБ		**исходные данные**	**0**	**90,3**	**91,7**	**93**	**93,3**	**92,9**	**89,6**	**85,4**	**80,9**		
Уровни звуковой мощности источника ночью, Lw, дБ		**исходные данные**	**0**	**90,3**	**91,7**	**93**	**93,3**	**92,9**	**89,6**	**85,4**	**80,9**		
Поправка на телесный угол DΩ, дБ	Ω = 6.28	10Lg(4π/Ω)	**3**	3	3	3	3	3	3	3	3		
Показатель направленности источника Di, дБ		исходные данные	**0**	0	0	0	0	0	0	0	0		
Поправка на направленность источника Dc, дБ	Dc	DΩ + Di	**3**	3	3	3	3	3	3	3	3		
Затухание из-за геометрической дивергенции, Adiv, дБ	расстояние = 2130.37 м	ф-ла (7) [10]	**77,6**										
Коэффициент затухания звука в атмосфере α, дБ/км	Ta=20,°C Pa=101.33,кПа hотн.=70%	ф-ла (5) [9]	0,02	0,09	0,33	1,12	2,79	4,98	9,04	23,09	77,63		
Учет затухания звука в атмосфере Aatm, дБ		ф-ла (8) [10]	0	0,2	0,7	2,4	5,9	10,6	19,3	49,2	165,4		

1		2	3	4	5	6	7	8	9	10	11	12	13
Снижение уровня звукового давления из-за влияния застройки между источником шума и расчетной точкой													
Снижение уровня звукового давления на пути над экраном, Dz1, дБ	z = 0.18м (разность путей)	ф-лы (14-18) [10]	4,8	4,8	4,8	4,8	4,8	4,8	4,8	4,8	4,8		
Снижение уровня звукового давления на пути слева от экрана, Dz2, дБ	z = 23.09м (разность путей)	ф-лы (14-18) [10]	23,4	26,9	30	33,1	36,1	39,1	42,1	45,1	48,1		
Снижение уровня звукового давления на пути справа от экрана, Dz3, дБ	z = 119.69м (разность путей)	ф-лы (14-18) [10]	30,7	34,1	37,2	40,2	43,2	46,3	49,3	52,3	55,3		
Общее снижение уровня звука препятствием Dz, дБ		Эн.сумма(-Dzi)	4,7	4,7	4,8	4,8	4,8	4,8	4,8	4,8	4,8		
Уровни звукового давления прямого звука от источника ИШ-4-3 в расчётной точке днём, дБ		**ф-ла(3)[10]**	**0**	**10,8**	**11,7**	**11,3**	**8**	**2,9**	**0**	**0**	**0**	**8,6**	**8,6**
Уровни звукового давления прямого звука от источника ИШ-4-3 в расчётной точке ночью, дБ		**ф-ла(3)[10]**	**0**	**10,8**	**11,7**	**11,3**	**8**	**2,9**	**0**	**0**	**0**	**8,6**	**8,6**
Расчёт отражённого звука													
Уровни звукового давления от мнимого источника ИШ-4-3_мн.(1) в расчётной точке днём, дБ		**ф-ла(3)[10]**	**0**	**0**	**0**	**0**	**0**	**0**	**0**	**0**	**0**	**0**	**0**
Уровни звукового давления от мнимого источника ИШ-4-3_мн.(1) в расчётной точке ночью, дБ		**ф-ла(3)[10]**	**0**	**0**	**0**	**0**	**0**	**0**	**0**	**0**	**0**	**0**	**0**
Уровни звукового давления от мнимого источника ИШ-4-3_мн.(2) в расчётной точке днём, дБ		**ф-ла(3)[10]**	**0**	**0**	**0**	**0**	**0**	**0**	**0**	**0**	**0**	**0**	**0**
Уровни звукового давления от мнимого источника ИШ-4-3_мн.(2) в расчётной точке ночью, дБ		**ф-ла(3)[10]**	**0**	**0**	**0**	**0**	**0**	**0**	**0**	**0**	**0**	**0**	**0**
Суммарные уровни звукового давления от мнимых источников в расчётной точке днём, дБ		**ф-ла (19) [1]**	**0**	**0**	**0**	**0**	**0**	**0**	**0**	**0**	**0**	**0**	**0**
Суммарные уровни звукового давления от мнимых источников в расчётной точке ночью, дБ		**ф-ла (19) [1]**	**0**	**0**	**0**	**0**	**0**	**0**	**0**	**0**	**0**	**0**	**0**
Уровни звукового давления от источника ИШ-4-3 в расчётной точке днём, дБ		**ф-ла(3)[10]**	**0**	**10,8**	**11,7**	**11,3**	**8**	**2,9**	**0**	**0**	**0**	**8,6**	**8,6**
Уровни звукового давления от источника ИШ-4-3 в расчётной точке ночью, дБ		**ф-ла(3)[10]**	**0**	**10,8**	**11,7**	**11,3**	**8**	**2,9**	**0**	**0**	**0**	**8,6**	**8,6**
Источник шума: ИШ-4-4, координаты источника (x,y,z), м =[156.83,171.25,1.00]													

1		2	3	4	5	6	7	8	9	10	11	12	13
Уровни звуковой мощности источника днём, Lw, дБ		**исходные данные**	**0**	**90,3**	**91,7**	**93**	**93,3**	**92,9**	**89,6**	**85,4**	**80,9**		
Уровни звуковой мощности источника ночью, Lw, дБ		**исходные данные**	**0**	**90,3**	**91,7**	**93**	**93,3**	**92,9**	**89,6**	**85,4**	**80,9**		
Поправка на телесный угол DΩ, дБ	Ω = 6.28	10Lg(4π/Ω)	**3**	3	3	3	3	3	3	3	3		
Показатель направленности источника Di, дБ		исходные данные	**0**	0	0	0	0	0	0	0	0		
Поправка на направленность источника Dc, дБ	Dc	DΩ + Di	**3**	3	3	3	3	3	3	3	3		
Затухание из-за геометрической дивергенции, Adiv, дБ	расстояние = 2127.13 м	ф-ла (7) [10]	**77,6**										
Коэффициент затухания звука в атмосфере α, дБ/км	Ta=20,°C Pa=101.33,кПа hотн.=70%	ф-ла (5) [9]	0,02	0,09	0,33	1,12	2,79	4,98	9,04	23,09	77,63		
Учет затухания звука в атмосфере Aatm, дБ		ф-ла (8) [10]	0	0,2	0,7	2,4	5,9	10,6	19,2	49,1	165,1		
Снижение уровня звукового давления из-за влияния застройки между источником шума и расчетной точкой													
Снижение уровня звукового давления на пути над экраном, Dz1, дБ	z = 0.18м (разность путей)	ф-лы (14-18) [10]	4,8	4,8	4,8	4,8	4,8	4,8	4,8	4,8	4,8		
Снижение уровня звукового давления на пути слева от экрана, Dz2, дБ	z = 20.70м (разность путей)	ф-лы (14-18) [10]	19	21,9	24,9	27,9	30,9	33,9	36,9	39,9	42,9		
Снижение уровня звукового давления на пути справа от экрана, Dz3, дБ	z = 118.49м (разность путей)	ф-лы (14-18) [10]	30,7	34,1	37,1	40,2	43,2	46,2	49,2	52,2	55,2		
Общее снижение уровня звука препятствием Dz, дБ		Эн.сумма(-Dzi)	4,6	4,7	4,7	4,7	4,8	4,8	4,8	4,8	4,8		
Уровни звукового давления прямого звука от источника ИШ-4-4 в расчётной точке днём, дБ		**ф-ла(3)[10]**	**0**	**10,9**	**11,7**	**11,3**	**8**	**3**	**0**	**0**	**0**	**8,6**	**8,6**
Уровни звукового давления прямого звука от источника ИШ-4-4 в расчётной точке ночью, дБ		**ф-ла(3)[10]**	**0**	**10,9**	**11,7**	**11,3**	**8**	**3**	**0**	**0**	**0**	**8,6**	**8,6**
Расчёт отражённого звука													
Уровни звукового давления от мнимого источника ИШ-4-4_мн.(1) в расчётной точке днём, дБ		**ф-ла(3)[10]**	**0**	**0**	**0**	**0**	**0**	**0**	**0**	**0**	**0**	**0**	**0**

1		2	3	4	5	6	7	8	9	10	11	12	13
Уровни звукового давления от мнимого источника ИШ-4-4_мн.(1) в расчётной точке ночью, дБ		**ф-ла(3)[10]**	**0**	**0**	**0**	**0**	**0**	**0**	**0**	**0**	**0**	**0**	**0**
Уровни звукового давления от мнимого источника ИШ-4-4_мн.(2) в расчётной точке днём, дБ		**ф-ла(3)[10]**	**0**	**0**	**0**	**0**	**0**	**0**	**0**	**0**	**0**	**0**	**0**
Уровни звукового давления от мнимого источника ИШ-4-4_мн.(2) в расчётной точке ночью, дБ		**ф-ла(3)[10]**	**0**	**0**	**0**	**0**	**0**	**0**	**0**	**0**	**0**	**0**	**0**
Суммарные уровни звукового давления от мнимых источников в расчётной точке днём, дБ		**ф-ла (19) [1]**	**0**	**0**	**0**	**0**	**0**	**0**	**0**	**0**	**0**	**0**	**0**
Суммарные уровни звукового давления от мнимых источников в расчётной точке ночью, дБ		**ф-ла (19) [1]**	**0**	**0**	**0**	**0**	**0**	**0**	**0**	**0**	**0**	**0**	**0**
Уровни звукового давления от источника ИШ-4-4 в расчётной точке днём, дБ		**ф-ла(3)[10]**	**0**	**10,9**	**11,7**	**11,3**	**8**	**3**	**0**	**0**	**0**	**8,6**	**8,6**
Уровни звукового давления от источника ИШ-4-4 в расчётной точке ночью, дБ		**ф-ла(3)[10]**	**0**	**10,9**	**11,7**	**11,3**	**8**	**3**	**0**	**0**	**0**	**8,6**	**8,6**
Источник шума: ИШ-4-5, координаты источника (x,y,z), м =[126.48,222.66,11.00]													
Уровни звуковой мощности источника днём, Lw, дБ		**исходные данные**	**0**	**90,3**	**91,7**	**93**	**93,3**	**92,9**	**89,6**	**85,4**	**80,9**		
Уровни звуковой мощности источника ночью, Lw, дБ		**исходные данные**	**0**	**90,3**	**91,7**	**93**	**93,3**	**92,9**	**89,6**	**85,4**	**80,9**		
Поправка на телесный угол DΩ, дБ	Ω = 6.28	10Lg(4π/Ω)	**3**	3	3	3	3	3	3	3	3		
Показатель направленности источника Di, дБ		исходные данные	**0**	0	0	0	0	0	0	0	0		
Поправка на направленность источника Dc, дБ	Dc	DΩ + Di	**3**	3	3	3	3	3	3	3	3		
Затухание из-за геометрической дивергенции, Adiv, дБ	расстояние = 2133.86 м	ф-ла (7) [10]	**77,6**										
Коэффициент затухания звука в атмосфере α, дБ/км	Ta=20,°C Pa=101.33,кПа hотн.=70%	ф-ла (5) [9]	0,02	0,09	0,33	1,12	2,79	4,98	9,04	23,09	77,63		
Учет затухания звука в атмосфере Aatm, дБ		ф-ла (8) [10]	0	0,2	0,7	2,4	6	10,6	19,3	49,3	165,7		

1		2	3	4	5	6	7	8	9	10	11	12	13
Снижение уровня звукового давления из-за влияния застройки между источником шума и расчетной точкой													
Снижение уровня звукового давления на пути над экраном, Dz1, дБ	z = 0.00м (разность путей)	ф-лы (14-18) [10]	4,8	4,8	4,8	4,8	4,8	4,8	4,8	4,8	4,8		
Снижение уровня звукового давления на пути слева от экрана, Dz2, дБ	z = 0.03м (разность путей)	ф-лы (14-18) [10]	5	5,1	5,5	6	7	8,5	10,5	12,8	15,5		
Снижение уровня звукового давления на пути справа от экрана, Dz3, дБ	z = 7.49м (разность путей)	ф-лы (14-18) [10]	14,9	17,7	20,5	23,5	26,5	29,5	32,5	35,5	38,5		
Общее снижение уровня звука препятствием Dz, дБ		Эн.сумма(-Dzi)	1,6	1,8	2	2,3	2,7	3,2	3,7	4,1	4,4		
Уровни звукового давления прямого звука от источника ИШ-4-5 в расчётной точке днём, дБ		**ф-ла(3)[10]**	**0**	**13,7**	**14,4**	**13,7**	**10**	**4,5**	**0**	**0**	**0**	**10,6**	**10,6**
Уровни звукового давления прямого звука от источника ИШ-4-5 в расчётной точке ночью, дБ		**ф-ла(3)[10]**	**0**	**13,7**	**14,4**	**13,7**	**10**	**4,5**	**0**	**0**	**0**	**10,6**	**10,6**
Расчёт отражённого звука													
Уровни звукового давления от мнимого источника ИШ-4-5_мн.(1) в расчётной точке днём, дБ		**ф-ла(3)[10]**	**0**	**0**	**0**	**0**	**0**	**0**	**0**	**0**	**0**	**0**	**0**
Уровни звукового давления от мнимого источника ИШ-4-5_мн.(1) в расчётной точке ночью, дБ		**ф-ла(3)[10]**	**0**	**0**	**0**	**0**	**0**	**0**	**0**	**0**	**0**	**0**	**0**
Уровни звукового давления от источника ИШ-4-5 в расчётной точке днём, дБ		**ф-ла(3)[10]**	**0**	**13,7**	**14,4**	**13,7**	**10**	**4,5**	**0**	**0**	**0**	**10,6**	**10,6**
Уровни звукового давления от источника ИШ-4-5 в расчётной точке ночью, дБ		**ф-ла(3)[10]**	**0**	**13,7**	**14,4**	**13,7**	**10**	**4,5**	**0**	**0**	**0**	**10,6**	**10,6**
Источник шума: ИШ-4-6, координаты источника (x,y,z), м =[125.17,218.57,11.00]													
Уровни звуковой мощности источника днём, Lw, дБ		**исходные данные**	**0**	**90,3**	**91,7**	**93**	**93,3**	**92,9**	**89,6**	**85,4**	**80,9**		
Уровни звуковой мощности источника ночью, Lw, дБ		**исходные данные**	**0**	**90,3**	**91,7**	**93**	**93,3**	**92,9**	**89,6**	**85,4**	**80,9**		
Поправка на телесный угол DΩ, дБ	Ω = 6.28	10Lg(4π/Ω)	**3**	3	3	3	3	3	3	3	3		
Показатель направленности источника Di, дБ		исходные данные	**0**	0	0	0	0	0	0	0	0		

1		2	3	4	5	6	7	8	9	10	11	12	13
Поправка на направленность источника Dc, дБ	Dc	DΩ + Di	**3**	3	3	3	3	3	3	3	3		
Затухание из-за геометрической дивергенции, Adiv, дБ	расстояние = 2136.68 м	ф-ла (7) [10]	**77,6**										
Коэффициент затухания звука в атмосфере α, дБ/км	Ta=20,°C Pa=101.33,кПа hотн.=70%	ф-ла (5) [9]	0,02	0,09	0,33	1,12	2,79	4,98	9,04	23,09	77,63		
Учет затухания звука в атмосфере Aatm, дБ		ф-ла (8) [10]	0	0,2	0,7	2,4	6	10,6	19,3	49,3	165,9		
Снижение уровня звукового давления из-за влияния застройки между источником шума и расчетной точкой													
Снижение уровня звукового давления на пути над экраном, Dz1, дБ	z = 0.00м (разность путей)	ф-лы (14-18) [10]	4,8	4,8	4,8	4,8	4,8	4,8	4,8	4,8	4,8		
Снижение уровня звукового давления на пути слева от экрана, Dz2, дБ	z = 0.20м (разность путей)	ф-лы (14-18) [10]	5,7	6,5	7,7	9,4	11,6	14,2	16,9	19,8	22,7		
Снижение уровня звукового давления на пути справа от экрана, Dz3, дБ	z = 6.75м (разность путей)	ф-лы (14-18) [10]	14,5	17,2	20,1	23	26	29	32	35	38		
Общее снижение уровня звука препятствием Dz, дБ		Эн.сумма(-Dzi)	2	2,4	2,9	3,4	3,9	4,3	4,5	4,6	4,7		
Уровни звукового давления прямого звука от источника ИШ-4-6 в расчётной точке днём, дБ		**ф-ла(3)[10]**	**0**	**13,1**	**13,5**	**12,5**	**8,8**	**3,4**	**0**	**0**	**0**	**9,5**	**9,5**
Уровни звукового давления прямого звука от источника ИШ-4-6 в расчётной точке ночью, дБ		**ф-ла(3)[10]**	**0**	**13,1**	**13,5**	**12,5**	**8,8**	**3,4**	**0**	**0**	**0**	**9,5**	**9,5**
Расчёт отражённого звука													
Уровни звукового давления от мнимого источника ИШ-4-6_мн.(1) в расчётной точке днём, дБ		**ф-ла(3)[10]**	**0**	**0**	**0**	**0**	**0**	**0**	**0**	**0**	**0**	**0**	**0**
Уровни звукового давления от мнимого источника ИШ-4-6_мн.(1) в расчётной точке ночью, дБ		**ф-ла(3)[10]**	**0**	**0**	**0**	**0**	**0**	**0**	**0**	**0**	**0**	**0**	**0**
Уровни звукового давления от источника ИШ-4-6 в расчётной точке днём, дБ		**ф-ла(3)[10]**	**0**	**13,1**	**13,5**	**12,5**	**8,8**	**3,4**	**0**	**0**	**0**	**9,5**	**9,5**
Уровни звукового давления от источника ИШ-4-6 в расчётной точке ночью, дБ		**ф-ла(3)[10]**	**0**	**13,1**	**13,5**	**12,5**	**8,8**	**3,4**	**0**	**0**	**0**	**9,5**	**9,5**

1		2	3	4	5	6	7	8	9	10	11	12	13
Источник шума: ИШ-4-7, координаты источника (x,y,z), м =[177.91,257.92,11.00]													
Уровни звуковой мощности источника днём, Lw, дБ		**исходные данные**	**0**	**90,3**	**91,7**	**93**	**93,3**	**92,9**	**89,6**	**85,4**	**80,9**		
Уровни звуковой мощности источника ночью, Lw, дБ		**исходные данные**	**0**	**90,3**	**91,7**	**93**	**93,3**	**92,9**	**89,6**	**85,4**	**80,9**		
Поправка на телесный угол DΩ, дБ	Ω = 6.28	10Lg(4π/Ω)	**3**	3	3	3	3	3	3	3	3		
Показатель направленности источника Di, дБ		исходные данные	**0**	0	0	0	0	0	0	0	0		
Поправка на направленность источника Dc, дБ	Dc	DΩ + Di	**3**	3	3	3	3	3	3	3	3		
Затухание из-за геометрической дивергенции, Adiv, дБ	расстояние = 2072.72 м	ф-ла (7) [10]	**77,3**										
Коэффициент затухания звука в атмосфере α, дБ/км	Ta=20,°C Pa=101.33,кПа hотн.=70%	ф-ла (5) [9]	0,02	0,09	0,33	1,12	2,79	4,98	9,04	23,09	77,63		
Учет затухания звука в атмосфере Aatm, дБ		ф-ла (8) [10]	0	0,2	0,7	2,3	5,8	10,3	18,7	47,9	160,9		
Снижение поверхностью земли возле источника As, дБ	Gs = 0 hs = 3м	ф-лы таб.3 [10]	-1,5	-1,5	-1,5	-1,5	-1,5	-1,5	-1,5	-1,5	-1,5		
Снижение поверхностью земли возле приёмника Ar, дБ	Gr = 1 hr = 1.5м	ф-лы таб.3 [10]	-1,5	-1,5	5,3	7	5	0,7	0	0	0		
Снижение поверхностью земли в средней зоне, Am дБ	Gm = 1	ф-лы таб.3 [10]	-2,8	-2,8	0	0	0	0	0	0	0		
Суммарное снижение поверхностью земли на траектории распространения звука Agr, дБ		ф-ла (9) [10]	-5,8	-5,8	3,8	5,5	3,5	-0,8	-1,5	-1,5	-1,5		
Уровни звукового давления прямого звука от источника ИШ-4-7 в расчётной точке днём, дБ		**ф-ла(3)[10]**	**0**	**21,6**	**12,8**	**10,8**	**9,7**	**9,1**	**0**	**0**	**0**	**11,8**	**11,8**
Уровни звукового давления прямого звука от источника ИШ-4-7 в расчётной точке ночью, дБ		**ф-ла(3)[10]**	**0**	**21,6**	**12,8**	**10,8**	**9,7**	**9,1**	**0**	**0**	**0**	**11,8**	**11,8**
Расчёт отражённого звука													

1		2	3	4	5	6	7	8	9	10	11	12	13
Уровни звукового давления от мнимого источника ИШ-4-7_мн.(1) в расчётной точке днём, дБ		**ф-ла(3)[10]**	**0**	**0**	**0**	**0**	**0**	**0**	**0**	**0**	**0**	**0**	**0**
Уровни звукового давления от мнимого источника ИШ-4-7_мн.(1) в расчётной точке ночью, дБ		**ф-ла(3)[10]**	**0**	**0**	**0**	**0**	**0**	**0**	**0**	**0**	**0**	**0**	**0**
Уровни звукового давления от источника ИШ-4-7 в расчётной точке днём, дБ		**ф-ла(3)[10]**	**0**	**21,6**	**12,8**	**10,8**	**9,7**	**9,1**	**0**	**0**	**0**	**11,8**	**11,8**
Уровни звукового давления от источника ИШ-4-7 в расчётной точке ночью, дБ		**ф-ла(3)[10]**	**0**	**21,6**	**12,8**	**10,8**	**9,7**	**9,1**	**0**	**0**	**0**	**11,8**	**11,8**
Источник шума: ИШ-4-8, координаты источника (x,y,z), м =[178.24,257.77,13.00]													
Уровни звуковой мощности источника днём, Lw, дБ		**исходные данные**	**0**	**90,3**	**91,7**	**93**	**93,3**	**92,9**	**89,6**	**85,4**	**80,9**		
Уровни звуковой мощности источника ночью, Lw, дБ		**исходные данные**	**0**	**90,3**	**91,7**	**93**	**93,3**	**92,9**	**89,6**	**85,4**	**80,9**		
Поправка на телесный угол DΩ, дБ	Ω = 6.28	10Lg(4π/Ω)	**3**	3	3	3	3	3	3	3	3		
Показатель направленности источника Di, дБ		исходные данные	**0**	0	0	0	0	0	0	0	0		
Поправка на направленность источника Dc, дБ	Dc	DΩ + Di	**3**	3	3	3	3	3	3	3	3		
Затухание из-за геометрической дивергенции, Adiv, дБ	расстояние = 2072.48 м	ф-ла (7) [10]	**77,3**										
Коэффициент затухания звука в атмосфере α, дБ/км	Ta=20,°C Pa=101.33,кПа hотн.=70%	ф-ла (5) [9]	0,02	0,09	0,33	1,12	2,79	4,98	9,04	23,09	77,63		
Учет затухания звука в атмосфере Aatm, дБ		ф-ла (8) [10]	0	0,2	0,7	2,3	5,8	10,3	18,7	47,8	160,9		
Снижение уровня звукового давления из-за влияния застройки между источником шума и расчетной точкой													
Снижение уровня звукового давления препятствием снизу от трассы ИШ-РТ, Dz4, дБ	z = -0.02м (разность путей)	ф-лы (14-18) [10]	4,7	4,6	4,4	4	3,1	0,5	NAN	NAN	NAN		
* отрицательное значение z означает прохождение траектории вблизи экрана, в этом случае дополнительно производится учёт снижения подстилающей поверхностью (см.ниже)													
Снижение поверхностью земли возле источника As, дБ	Gs = 0 hs = 5м	ф-лы таб.3 [10]	-1,5	-1,5	-1,5	-1,5	-1,5	-1,5	-1,5	-1,5	-1,5		

1		2	3	4	5	6	7	8	9	10	11	12	13
Снижение поверхностью земли возле приёмника Ar, дБ	Gr = 1 hr = 1.5м	ф-лы таб.3 [10]	-1,5	-1,5	5,3	7	5	0,7	0	0	0		
Снижение поверхностью земли в средней зоне, Am дБ	Gm = 1	ф-лы таб.3 [10]	-2,7	-2,7	0	0	0	0	0	0	0		
Суммарное снижение поверхностью земли на траектории распространения звука Agr, дБ		ф-ла (9) [10]	-5,7	-5,7	3,8	5,5	3,5	-0,8	-1,5	-1,5	-1,5		
Уровни звукового давления от источника ИШ-4-8 в расчётной точке днём, дБ		**ф-ла(3)[10]**	**0**	**16,9**	**8,4**	**6,8**	**6,6**	**8,6**	**0**	**0**	**0**	**10,1**	**10,1**
Уровни звукового давления от источника ИШ-4-8 в расчётной точке ночью, дБ		**ф-ла(3)[10]**	**0**	**16,9**	**8,4**	**6,8**	**6,6**	**8,6**	**0**	**0**	**0**	**10,1**	**10,1**
Источник шума: ИШ-4-9, координаты источника (x,y,z), м =[178.68,257.63,15.50]													
Уровни звуковой мощности источника днём, Lw, дБ		**исходные данные**	**0**	**90,3**	**91,7**	**93**	**93,3**	**92,9**	**89,6**	**85,4**	**80,9**		
Уровни звуковой мощности источника ночью, Lw, дБ		**исходные данные**	**0**	**90,3**	**91,7**	**93**	**93,3**	**92,9**	**89,6**	**85,4**	**80,9**		
Поправка на телесный угол DΩ, дБ	Ω = 6.28	10Lg(4π/Ω)	**3**	3	3	3	3	3	3	3	3		
Показатель направленности источника Di, дБ		исходные данные	**0**	0	0	0	0	0	0	0	0		
Поправка на направленность источника Dc, дБ	Dc	DΩ + Di	**3**	3	3	3	3	3	3	3	3		
Затухание из-за геометрической дивергенции, Adiv, дБ	расстояние = 2072.15 м	ф-ла (7) [10]	**77,3**										
Коэффициент затухания звука в атмосфере α, дБ/км	Ta=20,°C Pa=101.33,кПа hотн.=70%	ф-ла (5) [9]	0,02	0,09	0,33	1,12	2,79	4,98	9,04	23,09	77,63		
Учет затухания звука в атмосфере Aatm, дБ		ф-ла (8) [10]	0	0,2	0,7	2,3	5,8	10,3	18,7	47,8	160,9		
Снижение уровня звукового давления из-за влияния застройки между источником шума и расчетной точкой													
Снижение уровня звукового давления препятствием снизу от трассы ИШ-РТ, Dz4, дБ	z = -0.07м (разность путей)	ф-лы (14-18) [10]	4,4	4	3	0	NAN	NAN	NAN	NAN	NAN		

* отрицательное значение z означает прохождение траектории вблизи экрана, в этом случае дополнительно производится учёт снижения подстилающей поверхностью (см.ниже)

1		2	3	4	5	6	7	8	9	10	11	12	13
Снижение поверхностью земли возле источника As, дБ	Gs = 0 hs = 7.5м	ф-лы таб.3 [10]	-1,5	-1,5	-1,5	-1,5	-1,5	-1,5	-1,5	-1,5	-1,5		
Снижение поверхностью земли возле приёмника Ar, дБ	Gr = 1 hr = 1.5м	ф-лы таб.3 [10]	-1,5	-1,5	5,3	7	5	0,7	0	0	0		
Снижение поверхностью земли в средней зоне, Am дБ	Gm = 1	ф-лы таб.3 [10]	-2,6	-2,6	0	0	0	0	0	0	0		
Суммарное снижение поверхностью земли на траектории распространения звука Agr, дБ		ф-ла (9) [10]	-5,6	-5,6	3,8	5,5	3,5	-0,8	-1,5	-1,5	-1,5		
Уровни звукового давления от источника ИШ-4-9 в расчётной точке днём, дБ		**ф-ла(3)[10]**	**0**	**17,4**	**9,8**	**10,8**	**9,7**	**9,1**	**0**	**0**	**0**	**11,6**	**11,6**
Уровни звукового давления от источника ИШ-4-9 в расчётной точке ночью, дБ		**ф-ла(3)[10]**	**0**	**17,4**	**9,8**	**10,8**	**9,7**	**9,1**	**0**	**0**	**0**	**11,6**	**11,6**
Источник шума: ИШ-4-10, координаты источника (x,y,z), м =[185.65,255.31,11.00]													
Уровни звуковой мощности источника днём, Lw, дБ		**исходные данные**	**0**	**90,3**	**91,7**	**93**	**93,3**	**92,9**	**89,6**	**85,4**	**80,9**		
Уровни звуковой мощности источника ночью, Lw, дБ		**исходные данные**	**0**	**90,3**	**91,7**	**93**	**93,3**	**92,9**	**89,6**	**85,4**	**80,9**		
Поправка на телесный угол DΩ, дБ	Ω = 6.28	10Lg(4π/Ω)	**3**	3	3	3	3	3	3	3	3		
Показатель направленности источника Di, дБ		исходные данные	**0**	0	0	0	0	0	0	0	0		
Поправка на направленность источника Dc, дБ	Dc	DΩ + Di	**3**	3	3	3	3	3	3	3	3		
Затухание из-за геометрической дивергенции, Adiv, дБ	расстояние = 2066.62 м	ф-ла (7) [10]	**77,3**										
Коэффициент затухания звука в атмосфере α, дБ/км	Ta=20,°C Pa=101.33,кПа hотн.=70%	ф-ла (5) [9]	0,02	0,09	0,33	1,12	2,79	4,98	9,04	23,09	77,63		
Учет затухания звука в атмосфере Aatm, дБ		ф-ла (8) [10]	0	0,2	0,7	2,3	5,8	10,3	18,7	47,7	160,4		
Снижение поверхностью земли возле источника As, дБ	Gs = 0 hs = 3м	ф-лы таб.3 [10]	-1,5	-1,5	-1,5	-1,5	-1,5	-1,5	-1,5	-1,5	-1,5		

1		2	3	4	5	6	7	8	9	10	11	12	13
Снижение поверхностью земли возле приёмника Ar, дБ	Gr = 1 hr = 1.5м	ф-лы таб.3 [10]	-1,5	-1,5	5,3	7	5	0,7	0	0	0		
Снижение поверхностью земли в средней зоне, Am дБ	Gm = 1	ф-лы таб.3 [10]	-2,8	-2,8	0	0	0	0	0	0	0		
Суммарное снижение поверхностью земли на траектории распространения звука Agr, дБ		ф-ла (9) [10]	-5,8	-5,8	3,8	5,5	3,5	-0,8	-1,5	-1,5	-1,5		
Уровни звукового давления от источника ИШ-4-10 в расчётной точке днём, дБ		**ф-ла(3)[10]**	**0**	**21,6**	**12,8**	**10,8**	**9,7**	**9,1**	**0**	**0**	**0**	**11,8**	**11,8**
Уровни звукового давления от источника ИШ-4-10 в расчётной точке ночью, дБ		**ф-ла(3)[10]**	**0**	**21,6**	**12,8**	**10,8**	**9,7**	**9,1**	**0**	**0**	**0**	**11,8**	**11,8**
Источник шума: ИШ-4-11, координаты источника (x,y,z), м =[185.89,255.16,13.00]													
Уровни звуковой мощности источника днём, Lw, дБ		**исходные данные**	**0**	**90,3**	**91,7**	**93**	**93,3**	**92,9**	**89,6**	**85,4**	**80,9**		
Уровни звуковой мощности источника ночью, Lw, дБ		**исходные данные**	**0**	**90,3**	**91,7**	**93**	**93,3**	**92,9**	**89,6**	**85,4**	**80,9**		
Поправка на телесный угол DΩ, дБ	Ω = 6.28	10Lg(4π/Ω)	**3**	3	3	3	3	3	3	3	3		
Показатель направленности источника Di, дБ		исходные данные	**0**	0	0	0	0	0	0	0	0		
Поправка на направленность источника Dc, дБ	Dc	DΩ + Di	**3**	3	3	3	3	3	3	3	3		
Затухание из-за геометрической дивергенции, Adiv, дБ	расстояние = 2066.46 м	ф-ла (7) [10]	**77,3**										
Коэффициент затухания звука в атмосфере α, дБ/км	Ta=20,°C Pa=101.33,кПа hотн.=70%	ф-ла (5) [9]	0,02	0,09	0,33	1,12	2,79	4,98	9,04	23,09	77,63		
Учет затухания звука в атмосфере Aatm, дБ		ф-ла (8) [10]	0	0,2	0,7	2,3	5,8	10,3	18,7	47,7	160,4		
Снижение уровня звукового давления из-за влияния застройки между источником шума и расчетной точкой													
Снижение уровня звукового давления препятствием снизу от трассы ИШ-РТ, Dz4, дБ	z = -0.02м (разность путей)	ф-лы (14-18) [10]	4,7	4,6	4,4	4	3,1	0,5	NAN	NAN	NAN		
* отрицательное значение z означает прохождение траектории вблизи экрана, в этом случае дополнительно производится учёт снижения подстилающей поверхностью (см.ниже)													

1		2	3	4	5	6	7	8	9	10	11	12	13
Снижение поверхностью земли возле источника As, дБ	Gs = 0 hs = 5м	ф-лы таб.3 [10]	-1,5	-1,5	-1,5	-1,5	-1,5	-1,5	-1,5	-1,5	-1,5		
Снижение поверхностью земли возле приёмника Ar, дБ	Gr = 1 hr = 1.5м	ф-лы таб.3 [10]	-1,5	-1,5	5,3	7	5	0,7	0	0	0		
Снижение поверхностью земли в средней зоне, Am дБ	Gm = 1	ф-лы таб.3 [10]	-2,7	-2,7	0	0	0	0	0	0	0		
Суммарное снижение поверхностью земли на траектории распространения звука Agr, дБ		ф-ла (9) [10]	-5,7	-5,7	3,8	5,5	3,5	-0,8	-1,5	-1,5	-1,5		
Уровни звукового давления от источника ИШ-4-11 в расчётной точке днём, дБ		**ф-ла(3)[10]**	**0**	**16,9**	**8,4**	**6,8**	**6,6**	**8,6**	**0**	**0**	**0**	**10,2**	**10,2**
Уровни звукового давления от источника ИШ-4-11 в расчётной точке ночью, дБ		**ф-ла(3)[10]**	**0**	**16,9**	**8,4**	**6,8**	**6,6**	**8,6**	**0**	**0**	**0**	**10,2**	**10,2**
Источник шума: ИШ-4-12, координаты источника (x,y,z), м =[186.18,255.02,15.50]													
Уровни звуковой мощности источника днём, Lw, дБ		**исходные данные**	**0**	**90,3**	**91,7**	**93**	**93,3**	**92,9**	**89,6**	**85,4**	**80,9**		
Уровни звуковой мощности источника ночью, Lw, дБ		**исходные данные**	**0**	**90,3**	**91,7**	**93**	**93,3**	**92,9**	**89,6**	**85,4**	**80,9**		
Поправка на телесный угол DΩ, дБ	Ω = 6.28	10Lg(4π/Ω)	**3**	3	3	3	3	3	3	3	3		
Показатель направленности источника Di, дБ		исходные данные	**0**	0	0	0	0	0	0	0	0		
Поправка на направленность источника Dc, дБ	Dc	DΩ + Di	**3**	3	3	3	3	3	3	3	3		
Затухание из-за геометрической дивергенции, Adiv, дБ	расстояние = 2066.27 м	ф-ла (7) [10]	**77,3**										
Коэффициент затухания звука в атмосфере α, дБ/км	Ta=20,°C Pa=101.33,кПа hотн.=70%	ф-ла (5) [9]	0,02	0,09	0,33	1,12	2,79	4,98	9,04	23,09	77,63		
Учет затухания звука в атмосфере Aatm, дБ		ф-ла (8) [10]	0	0,2	0,7	2,3	5,8	10,3	18,7	47,7	160,4		
Снижение уровня звукового давления из-за влияния застройки между источником шума и расчетной точкой													

1		2	3	4	5	6	7	8	9	10	11	12	13
Снижение уровня звукового давления препятствием снизу от трассы ИШ-РТ, Dz4, дБ	z = -0.07м (разность путей)	ф-лы (14-18) [10]	4,4	4	3	0	NAN	NAN	NAN	NAN	NAN		
* отрицательное значение z означает прохождение траектории вблизи экрана, в этом случае дополнительно производится учёт снижения подстилающей поверхностью (см.ниже)													
Снижение поверхностью земли возле источника As, дБ	Gs = 0 hs = 7.5м	ф-лы таб.3 [10]	-1,5	-1,5	-1,5	-1,5	-1,5	-1,5	-1,5	-1,5	-1,5		
Снижение поверхностью земли возле приёмника Ar, дБ	Gr = 1 hr = 1.5м	ф-лы таб.3 [10]	-1,5	-1,5	5,3	7	5	0,7	0	0	0		
Снижение поверхностью земли в средней зоне, Am дБ	Gm = 1	ф-лы таб.3 [10]	-2,6	-2,6	0	0	0	0	0	0	0		
Суммарное снижение поверхностью земли на траектории распространения звука Agr, дБ		ф-ла (9) [10]	-5,6	-5,6	3,8	5,5	3,5	-0,8	-1,5	-1,5	-1,5		
Уровни звукового давления от источника ИШ-4-12 в расчётной точке днём, дБ		**ф-ла(3)[10]**	**0**	**17,5**	**9,9**	**10,8**	**9,7**	**9,1**	**0**	**0**	**0**	**11,7**	**11,7**
Уровни звукового давления от источника ИШ-4-12 в расчётной точке ночью, дБ		**ф-ла(3)[10]**	**0**	**17,5**	**9,9**	**10,8**	**9,7**	**9,1**	**0**	**0**	**0**	**11,7**	**11,7**
Источник шума: ИШ-4-13, координаты источника (x,y,z), м =[94.56,229.10,1.00]													
Уровни звуковой мощности источника днём, Lw, дБ		**исходные данные**	**0**	**81,3**	**82,7**	**84**	**84,3**	**83,9**	**80,6**	**76,4**	**71,9**		
Уровни звуковой мощности источника ночью, Lw, дБ		**исходные данные**	**0**	**81,3**	**82,7**	**84**	**84,3**	**83,9**	**80,6**	**76,4**	**71,9**		
Поправка на телесный угол DΩ, дБ	Ω = 6.28	10Lg(4π/Ω)	**3**	3	3	3	3	3	3	3	3		
Показатель направленности источника Di, дБ		исходные данные	**0**	0	0	0	0	0	0	0	0		
Поправка на направленность источника Dc, дБ	Dc	DΩ + Di	**3**	3	3	3	3	3	3	3	3		
Затухание из-за геометрической дивергенции, Adiv, дБ	расстояние = 2160.69 м	ф-ла (7) [10]	**77,7**										
Коэффициент затухания звука в атмосфере α, дБ/км	Ta=20,°C Pa=101.33,кПа hотн.=70%	ф-ла (5) [9]	0,02	0,09	0,33	1,12	2,79	4,98	9,04	23,09	77,63		
Учет затухания звука в атмосфере Aatm, дБ		ф-ла (8) [10]	0	0,2	0,7	2,4	6	10,8	19,5	49,9	167,7		

1		2	3	4	5	6	7	8	9	10	11	12	13
Снижение уровня звукового давления из-за влияния застройки между источником шума и расчетной точкой													
Снижение уровня звукового давления на пути над экраном, Dz1, дБ	z = 4.10м (разность путей)	ф-лы (14-18) [10]	11,8	14,6	17,4	20,4	23,3	26,3	29,3	32,3	35,3		
Снижение уровня звукового давления на пути слева от экрана, Dz2, дБ	z = 17.35м (разность путей)	ф-лы (14-18) [10]	18,3	21,2	24,1	27,1	30,1	33,1	36,1	39,1	42,1		
Снижение уровня звукового давления на пути справа от экрана, Dz3, дБ	z = 59.30м (разность путей)	ф-лы (14-18) [10]	28	31,2	34,2	37,2	40,2	43,2	46,2	49,2	52,2		
Общее снижение уровня звука препятствием Dz, дБ		Эн.сумма(-Dzi)	10,8	13,7	16,5	19,4	22,4	25,4	28,4	31,4	34,4		
Общее снижение уровня звука препятствием с учётом ограничения (25 дБ) для октавных полос Dz, дБ		Раздел 7.4 [10]	10,8	13,7	16,5	19,4	22,4	25	25	25	25		
Уровни звукового давления от источника ИШ-4-13 в расчётной точке днём, дБ		**ф-ла(3)[10]**	**0**	**0**	**0**	**0**	**0**	**0**	**0**	**0**	**0**	**0**	**0**
Уровни звукового давления от источника ИШ-4-13 в расчётной точке ночью, дБ		**ф-ла(3)[10]**	**0**	**0**	**0**	**0**	**0**	**0**	**0**	**0**	**0**	**0**	**0**
Источник шума: ИШ-4-14, координаты источника (x,y,z), м =[91.88,221.30,1.00]													
Уровни звуковой мощности источника днём, Lw, дБ		**исходные данные**	**0**	**81,3**	**82,7**	**84**	**84,3**	**83,9**	**80,6**	**76,4**	**71,9**		
Уровни звуковой мощности источника ночью, Lw, дБ		**исходные данные**	**0**	**81,3**	**82,7**	**84**	**84,3**	**83,9**	**80,6**	**76,4**	**71,9**		
Поправка на телесный угол DΩ, дБ	Ω = 6.28	10Lg(4π/Ω)	**3**	3	3	3	3	3	3	3	3		
Показатель направленности источника Di, дБ		исходные данные	**0**	0	0	0	0	0	0	0	0		
Поправка на направленность источника Dc, дБ	Dc	DΩ + Di	**3**	3	3	3	3	3	3	3	3		
Затухание из-за геометрической дивергенции, Adiv, дБ	расстояние = 2166.19 м	ф-ла (7) [10]	**77,7**										
Коэффициент затухания звука в атмосфере α, дБ/км	Ta=20,°C Pa=101.33,кПа hотн.=70%	ф-ла (5) [9]	0,02	0,09	0,33	1,12	2,79	4,98	9,04	23,09	77,63		

1		2	3	4	5	6	7	8	9	10	11	12	13
Учет затухания звука в атмосфере Aatm, дБ		ф-ла (8) [10]	0	0,2	0,7	2,4	6	10,8	19,6	50	168,2		
Снижение уровня звукового давления из-за влияния застройки между источником шума и расчетной точкой													
Снижение уровня звукового давления на пути над экраном, Dz1, дБ	z = 4.07м (разность путей)	ф-лы (14-18) [10]	11,7	14,6	17,4	20,3	23,2	26,2	29,2	32,2	35,2		
Снижение уровня звукового давления на пути слева от экрана, Dz2, дБ	z = 20.07м (разность путей)	ф-лы (14-18) [10]	18,9	21,8	24,7	27,7	30,7	33,7	36,7	39,8	42,8		
Снижение уровня звукового давления на пути справа от экрана, Dz3, дБ	z = 45.72м (разность путей)	ф-лы (14-18) [10]	26,9	30	33	36,1	39,1	42,1	45,1	48,1	51,1		
Общее снижение уровня звука препятствием Dz, дБ		Эн.сумма(-Dzi)	10,9	13,7	16,5	19,5	22,4	25,4	28,4	31,4	34,4		
Общее снижение уровня звука препятствием с учётом ограничения (25 дБ) для октавных полос Dz, дБ		Раздел 7.4 [10]	10,9	13,7	16,5	19,5	22,4	25	25	25	25		
Уровни звукового давления от источника ИШ-4-14 в расчётной точке днём, дБ		**ф-ла(3)[10]**	**0**	**0**	**0**	**0**	**0**	**0**	**0**	**0**	**0**	**0**	**0**
Уровни звукового давления от источника ИШ-4-14 в расчётной точке ночью, дБ		**ф-ла(3)[10]**	**0**	**0**	**0**	**0**	**0**	**0**	**0**	**0**	**0**	**0**	**0**
Источник шума: ИШ-5-1, координаты источника (x,y,z), м =[626.70,162.36,1.00]													
Уровни звуковой мощности источника днём, Lw, дБ		**исходные данные**	**0**	**93,3**	**94,7**	**96**	**96,3**	**95,9**	**92,6**	**88,4**	**83,9**		
Уровни звуковой мощности источника ночью, Lw, дБ		**исходные данные**	**0**	**93,3**	**94,7**	**96**	**96,3**	**95,9**	**92,6**	**88,4**	**83,9**		
Поправка на телесный угол DΩ, дБ	Ω = 6.28	10Lg(4π/Ω)	**3**	3	3	3	3	3	3	3	3		
Показатель направленности источника Di, дБ		исходные данные	**0**	0	0	0	0	0	0	0	0		
Поправка на направленность источника Dc, дБ	Dc	DΩ + Di	**3**	3	3	3	3	3	3	3	3		
Затухание из-за геометрической дивергенции, Adiv, дБ	расстояние = 1717.06 м	ф-ла (7) [10]	**75,7**										

1		2	3	4	5	6	7	8	9	10	11	12	13
Коэффициент затухания звука в атмосфере α, дБ/км	Ta=20,°C Pa=101.33,кПа hотн.=70%	ф-ла (5) [9]	0,02	0,09	0,33	1,12	2,79	4,98	9,04	23,09	77,63		
Учет затухания звука в атмосфере Aatm, дБ		ф-ла (8) [10]	0	0,2	0,6	1,9	4,8	8,5	15,5	39,6	133,3		
Снижение поверхностью земли возле источника As, дБ	Gs = 0 hs = 1м	ф-лы таб.3 [10]	-1,5	-1,5	-1,5	-1,5	-1,5	-1,5	-1,5	-1,5	-1,5		
Снижение поверхностью земли возле приёмника Ar, дБ	Gr = 1 hr = 1.5м	ф-лы таб.3 [10]	-1,5	-1,5	5,3	7	5	0,7	0	0	0		
Снижение поверхностью земли в средней зоне, Am дБ	Gm = 1	ф-лы таб.3 [10]	-2,9	-2,9	0	0	0	0	0	0	0		
Суммарное снижение поверхностью земли на траектории распространения звука Agr, дБ		ф-ла (9) [10]	-5,9	-5,9	3,8	5,5	3,5	-0,8	-1,5	-1,5	-1,5		
Уровни звукового давления от источника ИШ-5-1 в расчётной точке днём, дБ		**ф-ла(3)[10]**	**0**	**26,3**	**17,6**	**15,8**	**15,3**	**15,5**	**5,9**	**0**	**0**	**18,1**	**18,1**
Уровни звукового давления от источника ИШ-5-1 в расчётной точке ночью, дБ		**ф-ла(3)[10]**	**0**	**26,3**	**17,6**	**15,8**	**15,3**	**15,5**	**5,9**	**0**	**0**	**18,1**	**18,1**
Источник шума: ИШ-5-2, координаты источника (x,y,z), м =[625.81,159.52,1.00]													
Уровни звуковой мощности источника днём, Lw, дБ		**исходные данные**	**0**	**93,3**	**94,7**	**96**	**96,3**	**95,9**	**92,6**	**88,4**	**83,9**		
Уровни звуковой мощности источника ночью, Lw, дБ		**исходные данные**	**0**	**93,3**	**94,7**	**96**	**96,3**	**95,9**	**92,6**	**88,4**	**83,9**		
Поправка на телесный угол DΩ, дБ	Ω = 6.28	10Lg(4π/Ω)	**3**	3	3	3	3	3	3	3	3		
Показатель направленности источника Di, дБ		исходные данные	**0**	0	0	0	0	0	0	0	0		
Поправка на направленность источника Dc, дБ	Dc	DΩ + Di	**3**	3	3	3	3	3	3	3	3		
Затухание из-за геометрической дивергенции, Adiv, дБ	расстояние = 1719.31 м	ф-ла (7) [10]	**75,7**										
Коэффициент затухания звука в атмосфере α, дБ/км	Ta=20,°C Pa=101.33,кПа hотн.=70%	ф-ла (5) [9]	0,02	0,09	0,33	1,12	2,79	4,98	9,04	23,09	77,63		

1		2	3	4	5	6	7	8	9	10	11	12	13
Учет затухания звука в атмосфере Aatm, дБ		ф-ла (8) [10]	0	0,2	0,6	1,9	4,8	8,6	15,5	39,7	133,5		
Снижение поверхностью земли возле источника As, дБ	Gs = 0 hs = 1м	ф-лы таб.3 [10]	-1,5	-1,5	-1,5	-1,5	-1,5	-1,5	-1,5	-1,5	-1,5		
Снижение поверхностью земли возле приёмника Ar, дБ	Gr = 1 hr = 1.5м	ф-лы таб.3 [10]	-1,5	-1,5	5,3	7	5	0,7	0	0	0		
Снижение поверхностью земли в средней зоне, Am дБ	Gm = 1	ф-лы таб.3 [10]	-2,9	-2,9	0	0	0	0	0	0	0		
Суммарное снижение поверхностью земли на траектории распространения звука Agr, дБ		ф-ла (9) [10]	-5,9	-5,9	3,8	5,5	3,5	-0,8	-1,5	-1,5	-1,5		
Уровни звукового давления от источника ИШ-5-2 в расчётной точке днём, дБ		**ф-ла(3)[10]**	**0**	**26,3**	**17,6**	**15,8**	**15,3**	**15,5**	**5,8**	**0**	**0**	**18,1**	**18,1**
Уровни звукового давления от источника ИШ-5-2 в расчётной точке ночью, дБ		**ф-ла(3)[10]**	**0**	**26,3**	**17,6**	**15,8**	**15,3**	**15,5**	**5,8**	**0**	**0**	**18,1**	**18,1**
Источник шума: ИШ-5-3, координаты источника (x,y,z), м =[624.84,156.69,1.00]													
Уровни звуковой мощности источника днём, Lw, дБ		**исходные данные**	**0**	**93,3**	**94,7**	**96**	**96,3**	**95,9**	**92,6**	**88,4**	**83,9**		
Уровни звуковой мощности источника ночью, Lw, дБ		**исходные данные**	**0**	**93,3**	**94,7**	**96**	**96,3**	**95,9**	**92,6**	**88,4**	**83,9**		
Поправка на телесный угол DΩ, дБ	Ω = 6.28	10Lg(4π/Ω)	**3**	3	3	3	3	3	3	3	3		
Показатель направленности источника Di, дБ		исходные данные	**0**	0	0	0	0	0	0	0	0		
Поправка на направленность источника Dc, дБ	Dc	DΩ + Di	**3**	3	3	3	3	3	3	3	3		
Затухание из-за геометрической дивергенции, Adiv, дБ	расстояние = 1721.63 м	ф-ла (7) [10]	**75,7**										
Коэффициент затухания звука в атмосфере α, дБ/км	Ta=20,°C Pa=101.33,кПа hотн.=70%	ф-ла (5) [9]	0,02	0,09	0,33	1,12	2,79	4,98	9,04	23,09	77,63		
Учет затухания звука в атмосфере Aatm, дБ		ф-ла (8) [10]	0	0,2	0,6	1,9	4,8	8,6	15,6	39,7	133,7		

1		2	3	4	5	6	7	8	9	10	11	12	13
Снижение поверхностью земли возле источника As, дБ	Gs = 0 hs = 1м	ф-лы таб.3 [10]	-1,5	-1,5	-1,5	-1,5	-1,5	-1,5	-1,5	-1,5	-1,5		
Снижение поверхностью земли возле приёмника Ar, дБ	Gr = 1 hr = 1.5м	ф-лы таб.3 [10]	-1,5	-1,5	5,3	7	5	0,7	0	0	0		
Снижение поверхностью земли в средней зоне, Am дБ	Gm = 1	ф-лы таб.3 [10]	-2,9	-2,9	0	0	0	0	0	0	0		
Суммарное снижение поверхностью земли на траектории распространения звука Agr, дБ		ф-ла (9) [10]	-5,9	-5,9	3,8	5,5	3,5	-0,8	-1,5	-1,5	-1,5		
Уровни звукового давления от источника ИШ-5-3 в расчётной точке днём, дБ		**ф-ла(3)[10]**	**0**	**26,3**	**17,6**	**15,8**	**15,3**	**15,4**	**5,8**	**0**	**0**	**18,1**	**18,1**
Уровни звукового давления от источника ИШ-5-3 в расчётной точке ночью, дБ		**ф-ла(3)[10]**	**0**	**26,3**	**17,6**	**15,8**	**15,3**	**15,4**	**5,8**	**0**	**0**	**18,1**	**18,1**
Источник шума: ИШ-6-1, координаты источника (x,y,z), м =[836.30,122.24,1.00]													
Уровни звуковой мощности источника днём, Lw, дБ		**исходные данные**	**0**	**96,3**	**97,7**	**99**	**99,3**	**98,9**	**95,6**	**91,4**	**86,9**		
Уровни звуковой мощности источника ночью, Lw, дБ		**исходные данные**	**0**	**96,3**	**97,7**	**99**	**99,3**	**98,9**	**95,6**	**91,4**	**86,9**		
Поправка на телесный угол DΩ, дБ	Ω = 12.57	10Lg(4π/Ω)	**0**	0	0	0	0	0	0	0	0		
Показатель направленности источника Di, дБ		исходные данные	**0**	0	0	0	0	0	0	0	0		
Поправка на направленность источника Dc, дБ	Dc	DΩ + Di	**0**	0	0	0	0	0	0	0	0		
Затухание из-за геометрической дивергенции, Adiv, дБ	расстояние = 1566.70 м	ф-ла (7) [10]	**74,9**										
Коэффициент затухания звука в атмосфере α, дБ/км	Ta=20,°C Pa=101.33,кПа hотн.=70%	ф-ла (5) [9]	0,02	0,09	0,33	1,12	2,79	4,98	9,04	23,09	77,63		
Учет затухания звука в атмосфере Aatm, дБ		ф-ла (8) [10]	0	0,1	0,5	1,8	4,4	7,8	14,2	36,2	121,6		
Снижение поверхностью земли возле источника As, дБ	Gs = 0 hs = 1м	ф-лы таб.3 [10]	-1,5	-1,5	-1,5	-1,5	-1,5	-1,5	-1,5	-1,5	-1,5		

1		2	3	4	5	6	7	8	9	10	11	12	13
Снижение поверхностью земли возле приёмника Ar, дБ	Gr = 1 hr = 1.5м	ф-лы таб.3 [10]	-1,5	-1,5	5,3	7	5	0,7	0	0	0		
Снижение поверхностью земли в средней зоне, Am дБ	Gm = 1	ф-лы таб.3 [10]	-2,9	-2,9	0	0	0	0	0	0	0		
Суммарное снижение поверхностью земли на траектории распространения звука Agr, дБ		ф-ла (9) [10]	-5,9	-5,9	3,8	5,5	3,5	-0,8	-1,5	-1,5	-1,5		
Уровни звукового давления от источника ИШ-6-1 в расчётной точке днём, дБ		**ф-ла(3)[10]**	**0**	**27,1**	**18,4**	**16,8**	**16,5**	**17**	**8**	**0**	**0**	**19,5**	**19,5**
Уровни звукового давления от источника ИШ-6-1 в расчётной точке ночью, дБ		**ф-ла(3)[10]**	**0**	**27,1**	**18,4**	**16,8**	**16,5**	**17**	**8**	**0**	**0**	**19,5**	**19,5**
Источник шума: ИШ-6-2, координаты источника (x,y,z), м =[835.37,119.30,1.00]													
Уровни звуковой мощности источника днём, Lw, дБ		**исходные данные**	**0**	**96,3**	**97,7**	**99**	**99,3**	**98,9**	**95,6**	**91,4**	**86,9**		
Уровни звуковой мощности источника ночью, Lw, дБ		**исходные данные**	**0**	**96,3**	**97,7**	**99**	**99,3**	**98,9**	**95,6**	**91,4**	**86,9**		
Поправка на телесный угол DΩ, дБ	Ω = 12.57	10Lg(4π/Ω)	**0**	0	0	0	0	0	0	0	0		
Показатель направленности источника Di, дБ		исходные данные	**0**	0	0	0	0	0	0	0	0		
Поправка на направленность источника Dc, дБ	Dc	DΩ + Di	**0**	0	0	0	0	0	0	0	0		
Затухание из-за геометрической дивергенции, Adiv, дБ	расстояние = 1569.22 м	ф-ла (7) [10]	**74,9**										
Коэффициент затухания звука в атмосфере α, дБ/км	Ta=20,°C Pa=101.33,кПа hотн.=70%	ф-ла (5) [9]	0,02	0,09	0,33	1,12	2,79	4,98	9,04	23,09	77,63		
Учет затухания звука в атмосфере Aatm, дБ		ф-ла (8) [10]	0	0,1	0,5	1,8	4,4	7,8	14,2	36,2	121,8		
Снижение поверхностью земли возле источника As, дБ	Gs = 0 hs = 1м	ф-лы таб.3 [10]	-1,5	-1,5	-1,5	-1,5	-1,5	-1,5	-1,5	-1,5	-1,5		
Снижение поверхностью земли возле приёмника Ar, дБ	Gr = 1 hr = 1.5м	ф-лы таб.3 [10]	-1,5	-1,5	5,3	7	5	0,7	0	0	0		

1		2	3	4	5	6	7	8	9	10	11	12	13
Снижение поверхностью земли в средней зоне, Am дБ	Gm = 1	ф-лы таб.3 [10]	-2,9	-2,9	0	0	0	0	0	0	0		
Суммарное снижение поверхностью земли на траектории распространения звука Agr, дБ		ф-ла (9) [10]	-5,9	-5,9	3,8	5,5	3,5	-0,8	-1,5	-1,5	-1,5		
Уровни звукового давления от источника ИШ-6-2 в расчётной точке днём, дБ		**ф-ла(3)[10]**	**0**	**27,1**	**18,4**	**16,8**	**16,5**	**17**	**8**	**0**	**0**	**19,5**	**19,5**
Уровни звукового давления от источника ИШ-6-2 в расчётной точке ночью, дБ		**ф-ла(3)[10]**	**0**	**27,1**	**18,4**	**16,8**	**16,5**	**17**	**8**	**0**	**0**	**19,5**	**19,5**
Источник шума: ИШ-6-3, координаты источника (x,y,z), м =[834.03,116.36,1.00]													
Уровни звуковой мощности источника днём, Lw, дБ		**исходные данные**	**0**	**96,3**	**97,7**	**99**	**99,3**	**98,9**	**95,6**	**91,4**	**86,9**		
Уровни звуковой мощности источника ночью, Lw, дБ		**исходные данные**	**0**	**96,3**	**97,7**	**99**	**99,3**	**98,9**	**95,6**	**91,4**	**86,9**		
Поправка на телесный угол DΩ, дБ	Ω = 12.57	10Lg(4π/Ω)	**0**	0	0	0	0	0	0	0	0		
Показатель направленности источника Di, дБ		исходные данные	**0**	0	0	0	0	0	0	0	0		
Поправка на направленность источника Dc, дБ	Dc	DΩ + Di	**0**	0	0	0	0	0	0	0	0		
Затухание из-за геометрической дивергенции, Adiv, дБ	расстояние = 1572.05 м	ф-ла (7) [10]	**74,9**										
Коэффициент затухания звука в атмосфере α, дБ/км	Ta=20,°C Pa=101.33,кПа hотн.=70%	ф-ла (5) [9]	0,02	0,09	0,33	1,12	2,79	4,98	9,04	23,09	77,63		
Учет затухания звука в атмосфере Aatm, дБ		ф-ла (8) [10]	0	0,1	0,5	1,8	4,4	7,8	14,2	36,3	122		
Снижение поверхностью земли возле источника As, дБ	Gs = 0 hs = 1м	ф-лы таб.3 [10]	-1,5	-1,5	-1,5	-1,5	-1,5	-1,5	-1,5	-1,5	-1,5		
Снижение поверхностью земли возле приёмника Ar, дБ	Gr = 1 hr = 1.5м	ф-лы таб.3 [10]	-1,5	-1,5	5,3	7	5	0,7	0	0	0		
Снижение поверхностью земли в средней зоне, Am дБ	Gm = 1	ф-лы таб.3 [10]	-2,9	-2,9	0	0	0	0	0	0	0		

1		2	3	4	5	6	7	8	9	10	11	12	13
Суммарное снижение поверхностью земли на траектории распространения звука Agr, дБ		ф-ла (9) [10]	-5,9	-5,9	3,8	5,5	3,5	-0,8	-1,5	-1,5	-1,5		
Уровни звукового давления от источника ИШ-6-3 в расчётной точке днём, дБ		**ф-ла(3)[10]**	**0**	**27,1**	**18,4**	**16,8**	**16,5**	**17**	**8**	**0**	**0**	**19,5**	**19,5**
Уровни звукового давления от источника ИШ-6-3 в расчётной точке ночью, дБ		**ф-ла(3)[10]**	**0**	**27,1**	**18,4**	**16,8**	**16,5**	**17**	**8**	**0**	**0**	**19,5**	**19,5**
Источник шума: ИШ-6-4, координаты источника (x,y,z), м =[833.23,113.30,1.00]													
Уровни звуковой мощности источника днём, Lw, дБ		**исходные данные**	**0**	**96,3**	**97,7**	**99**	**99,3**	**98,9**	**95,6**	**91,4**	**86,9**		
Уровни звуковой мощности источника ночью, Lw, дБ		**исходные данные**	**0**	**96,3**	**97,7**	**99**	**99,3**	**98,9**	**95,6**	**91,4**	**86,9**		
Поправка на телесный угол DΩ, дБ	Ω = 12.57	10Lg(4π/Ω)	**0**	0	0	0	0	0	0	0	0		
Показатель направленности источника Di, дБ		исходные данные	**0**	0	0	0	0	0	0	0	0		
Поправка на направленность источника Dc, дБ	Dc	DΩ + Di	**0**	0	0	0	0	0	0	0	0		
Затухание из-за геометрической дивергенции, Adiv, дБ	расстояние = 1574.55 м	ф-ла (7) [10]	**74,9**										
Коэффициент затухания звука в атмосфере α, дБ/км	Ta=20,°C Pa=101.33,кПа hотн.=70%	ф-ла (5) [9]	0,02	0,09	0,33	1,12	2,79	4,98	9,04	23,09	77,63		
Учет затухания звука в атмосфере Aatm, дБ		ф-ла (8) [10]	0	0,1	0,5	1,8	4,4	7,8	14,2	36,3	122,2		
Снижение поверхностью земли возле источника As, дБ	Gs = 0 hs = 1м	ф-лы таб.3 [10]	-1,5	-1,5	-1,5	-1,5	-1,5	-1,5	-1,5	-1,5	-1,5		
Снижение поверхностью земли возле приёмника Ar, дБ	Gr = 1 hr = 1.5м	ф-лы таб.3 [10]	-1,5	-1,5	5,3	7	5	0,7	0	0	0		
Снижение поверхностью земли в средней зоне, Am дБ	Gm = 1	ф-лы таб.3 [10]	-2,9	-2,9	0	0	0	0	0	0	0		
Суммарное снижение поверхностью земли на траектории распространения звука Agr, дБ		ф-ла (9) [10]	-5,9	-5,9	3,8	5,5	3,5	-0,8	-1,5	-1,5	-1,5		

1		2	3	4	5	6	7	8	9	10	11	12	13
Уровни звукового давления от источника ИШ-6-4 в расчётной точке днём, дБ		**ф-ла(3)[10]**	**0**	**27,1**	**18,4**	**16,8**	**16,5**	**17**	**7,9**	**0**	**0**	**19,5**	**19,5**
Уровни звукового давления от источника ИШ-6-4 в расчётной точке ночью, дБ		**ф-ла(3)[10]**	**0**	**27,1**	**18,4**	**16,8**	**16,5**	**17**	**7,9**	**0**	**0**	**19,5**	**19,5**
Источник шума: ИШ-6-5, координаты источника (x,y,z), м =[832.03,110.36,1.00]													
Уровни звуковой мощности источника днём, Lw, дБ		**исходные данные**	**0**	**96,3**	**97,7**	**99**	**99,3**	**98,9**	**95,6**	**91,4**	**86,9**		
Уровни звуковой мощности источника ночью, Lw, дБ		**исходные данные**	**0**	**96,3**	**97,7**	**99**	**99,3**	**98,9**	**95,6**	**91,4**	**86,9**		
Поправка на телесный угол DΩ, дБ	Ω = 12.57	10Lg(4π/Ω)	**0**	0	0	0	0	0	0	0	0		
Показатель направленности источника Di, дБ		исходные данные	**0**	0	0	0	0	0	0	0	0		
Поправка на направленность источника Dc, дБ	Dc	DΩ + Di	**0**	0	0	0	0	0	0	0	0		
Затухание из-за геометрической дивергенции, Adiv, дБ	расстояние = 1577.28 м	ф-ла (7) [10]	**75**										
Коэффициент затухания звука в атмосфере α, дБ/км	Ta=20,°C Pa=101.33,кПа hотн.=70%	ф-ла (5) [9]	0,02	0,09	0,33	1,12	2,79	4,98	9,04	23,09	77,63		
Учет затухания звука в атмосфере Aatm, дБ		ф-ла (8) [10]	0	0,1	0,5	1,8	4,4	7,9	14,3	36,4	122,4		
Снижение поверхностью земли возле источника As, дБ	Gs = 0 hs = 1м	ф-лы таб.3 [10]	-1,5	-1,5	-1,5	-1,5	-1,5	-1,5	-1,5	-1,5	-1,5		
Снижение поверхностью земли возле приёмника Ar, дБ	Gr = 1 hr = 1.5м	ф-лы таб.3 [10]	-1,5	-1,5	5,3	7	5	0,7	0	0	0		
Снижение поверхностью земли в средней зоне, Am дБ	Gm = 1	ф-лы таб.3 [10]	-2,9	-2,9	0	0	0	0	0	0	0		
Суммарное снижение поверхностью земли на траектории распространения звука Agr, дБ		ф-ла (9) [10]	-5,9	-5,9	3,8	5,5	3,5	-0,8	-1,5	-1,5	-1,5		
Уровни звукового давления от источника ИШ-6-5 в расчётной точке днём, дБ		**ф-ла(3)[10]**	**0**	**27,1**	**18,4**	**16,7**	**16,5**	**16,9**	**7,9**	**0**	**0**	**19,4**	**19,4**

1		2	3	4	5	6	7	8	9	10	11	12	13
Уровни звукового давления от источника ИШ-6-5 в расчётной точке ночью, дБ		**ф-ла(3)[10]**	**0**	**27,1**	**18,4**	**16,7**	**16,5**	**16,9**	**7,9**	**0**	**0**	**19,4**	**19,4**
Источник шума: ИШ-6-6, координаты источника (x,y,z), м =[830.97,107.42,1.00]													
Уровни звуковой мощности источника днём, Lw, дБ		**исходные данные**	**0**	**96,3**	**97,7**	**99**	**99,3**	**98,9**	**95,6**	**91,4**	**86,9**		
Уровни звуковой мощности источника ночью, Lw, дБ		**исходные данные**	**0**	**96,3**	**97,7**	**99**	**99,3**	**98,9**	**95,6**	**91,4**	**86,9**		
Поправка на телесный угол DΩ, дБ	Ω = 12.57	10Lg(4π/Ω)	**0**	0	0	0	0	0	0	0	0		
Показатель направленности источника Di, дБ		исходные данные	**0**	0	0	0	0	0	0	0	0		
Поправка на направленность источника Dc, дБ	Dc	DΩ + Di	**0**	0	0	0	0	0	0	0	0		
Затухание из-за геометрической дивергенции, Adiv, дБ	расстояние = 1579.91 м	ф-ла (7) [10]	**75**										
Коэффициент затухания звука в атмосфере α, дБ/км	Ta=20,°C Pa=101.33,кПа hотн.=70%	ф-ла (5) [9]	0,02	0,09	0,33	1,12	2,79	4,98	9,04	23,09	77,63		
Учет затухания звука в атмосфере Aatm, дБ		ф-ла (8) [10]	0	0,1	0,5	1,8	4,4	7,9	14,3	36,5	122,7		
Снижение поверхностью земли возле источника As, дБ	Gs = 0 hs = 1м	ф-лы таб.3 [10]	-1,5	-1,5	-1,5	-1,5	-1,5	-1,5	-1,5	-1,5	-1,5		
Снижение поверхностью земли возле приёмника Ar, дБ	Gr = 1 hr = 1.5м	ф-лы таб.3 [10]	-1,5	-1,5	5,3	7	5	0,7	0	0	0		
Снижение поверхностью земли в средней зоне, Am дБ	Gm = 1	ф-лы таб.3 [10]	-2,9	-2,9	0	0	0	0	0	0	0		
Суммарное снижение поверхностью земли на траектории распространения звука Agr, дБ		ф-ла (9) [10]	-5,9	-5,9	3,8	5,5	3,5	-0,8	-1,5	-1,5	-1,5		
Уровни звукового давления от источника ИШ-6-6 в расчётной точке днём, дБ		**ф-ла(3)[10]**	**0**	**27**	**18,3**	**16,7**	**16,4**	**16,9**	**7,8**	**0**	**0**	**19,4**	**19,4**
Уровни звукового давления от источника ИШ-6-6 в расчётной точке ночью, дБ		**ф-ла(3)[10]**	**0**	**27**	**18,3**	**16,7**	**16,4**	**16,9**	**7,8**	**0**	**0**	**19,4**	**19,4**

1		2	3	4	5	6	7	8	9	10	11	12	13
Источник шума: ИШ-6-7, координаты источника (x,y,z), м =[830.30,104.49,1.00]													
Уровни звуковой мощности источника днём, Lw, дБ		**исходные данные**	**0**	**96,3**	**97,7**	**99**	**99,3**	**98,9**	**95,6**	**91,4**	**86,9**		
Уровни звуковой мощности источника ночью, Lw, дБ		**исходные данные**	**0**	**96,3**	**97,7**	**99**	**99,3**	**98,9**	**95,6**	**91,4**	**86,9**		
Поправка на телесный угол DΩ, дБ	Ω = 12.57	10Lg(4π/Ω)	**0**	0	0	0	0	0	0	0	0		
Показатель направленности источника Di, дБ		исходные данные	**0**	0	0	0	0	0	0	0	0		
Поправка на направленность источника Dc, дБ	Dc	DΩ + Di	**0**	0	0	0	0	0	0	0	0		
Затухание из-за геометрической дивергенции, Adiv, дБ	расстояние = 1582.22 м	ф-ла (7) [10]	**75**										
Коэффициент затухания звука в атмосфере α, дБ/км	Ta=20,°C Pa=101.33,кПа hотн.=70%	ф-ла (5) [9]	0,02	0,09	0,33	1,12	2,79	4,98	9,04	23,09	77,63		
Учет затухания звука в атмосфере Aatm, дБ		ф-ла (8) [10]	0	0,1	0,5	1,8	4,4	7,9	14,3	36,5	122,8		
Снижение поверхностью земли возле источника As, дБ	Gs = 0 hs = 1м	ф-лы таб.3 [10]	-1,5	-1,5	-1,5	-1,5	-1,5	-1,5	-1,5	-1,5	-1,5		
Снижение поверхностью земли возле приёмника Ar, дБ	Gr = 1 hr = 1.5м	ф-лы таб.3 [10]	-1,5	-1,5	5,3	7	5	0,7	0	0	0		
Снижение поверхностью земли в средней зоне, Am дБ	Gm = 1	ф-лы таб.3 [10]	-2,9	-2,9	0	0	0	0	0	0	0		
Суммарное снижение поверхностью земли на траектории распространения звука Agr, дБ		ф-ла (9) [10]	-5,9	-5,9	3,8	5,5	3,5	-0,8	-1,5	-1,5	-1,5		
Уровни звукового давления от источника ИШ-6-7 в расчётной точке днём, дБ		**ф-ла(3)[10]**	**0**	**27**	**18,3**	**16,7**	**16,4**	**16,9**	**7,8**	**0**	**0**	**19,4**	**19,4**
Уровни звукового давления от источника ИШ-6-7 в расчётной точке ночью, дБ		**ф-ла(3)[10]**	**0**	**27**	**18,3**	**16,7**	**16,4**	**16,9**	**7,8**	**0**	**0**	**19,4**	**19,4**
Источник шума: ИШ-6-8, координаты источника (x,y,z), м =[829.36,101.42,1.00]													

1		2	3	4	5	6	7	8	9	10	11	12	13
Уровни звуковой мощности источника днём, Lw, дБ		**исходные данные**	**0**	**96,3**	**97,7**	**99**	**99,3**	**98,9**	**95,6**	**91,4**	**86,9**		
Уровни звуковой мощности источника ночью, Lw, дБ		**исходные данные**	**0**	**96,3**	**97,7**	**99**	**99,3**	**98,9**	**95,6**	**91,4**	**86,9**		
Поправка на телесный угол DΩ, дБ	Ω = 12.57	10Lg(4π/Ω)	**0**	0	0	0	0	0	0	0	0		
Показатель направленности источника Di, дБ		исходные данные	**0**	0	0	0	0	0	0	0	0		
Поправка на направленность источника Dc, дБ	Dc	DΩ + Di	**0**	0	0	0	0	0	0	0	0		
Затухание из-за геометрической дивергенции, Adiv, дБ	расстояние = 1584.83 м	ф-ла (7) [10]	**75**										
Коэффициент затухания звука в атмосфере α, дБ/км	Ta=20,°C Pa=101.33,кПа hотн.=70%	ф-ла (5) [9]	0,02	0,09	0,33	1,12	2,79	4,98	9,04	23,09	77,63		
Учет затухания звука в атмосфере Aatm, дБ		ф-ла (8) [10]	0	0,1	0,5	1,8	4,4	7,9	14,3	36,6	123		
Снижение поверхностью земли возле источника As, дБ	Gs = 0 hs = 1м	ф-лы таб.3 [10]	-1,5	-1,5	-1,5	-1,5	-1,5	-1,5	-1,5	-1,5	-1,5		
Снижение поверхностью земли возле приёмника Ar, дБ	Gr = 1 hr = 1.5м	ф-лы таб.3 [10]	-1,5	-1,5	5,3	7	5	0,7	0	0	0		
Снижение поверхностью земли в средней зоне, Am дБ	Gm = 1	ф-лы таб.3 [10]	-2,9	-2,9	0	0	0	0	0	0	0		
Суммарное снижение поверхностью земли на траектории распространения звука Agr, дБ		ф-ла (9) [10]	-5,9	-5,9	3,8	5,5	3,5	-0,8	-1,5	-1,5	-1,5		
Уровни звукового давления от источника ИШ-6-8 в расчётной точке днём, дБ		**ф-ла(3)[10]**	**0**	**27**	**18,3**	**16,7**	**16,4**	**16,8**	**7,8**	**0**	**0**	**19,4**	**19,4**
Уровни звукового давления от источника ИШ-6-8 в расчётной точке ночью, дБ		**ф-ла(3)[10]**	**0**	**27**	**18,3**	**16,7**	**16,4**	**16,8**	**7,8**	**0**	**0**	**19,4**	**19,4**
Источник шума: ИШ-6-9, координаты источника (x,y,z), м =[828.03,98.62,1.00]													
Уровни звуковой мощности источника днём, Lw, дБ		**исходные данные**	**0**	**96,3**	**97,7**	**99**	**99,3**	**98,9**	**95,6**	**91,4**	**86,9**		

1		2	3	4	5	6	7	8	9	10	11	12	13
Уровни звуковой мощности источника ночью, Lw, дБ		**исходные данные**	**0**	**96,3**	**97,7**	**99**	**99,3**	**98,9**	**95,6**	**91,4**	**86,9**		
Поправка на телесный угол DΩ, дБ	Ω = 12.57	10Lg(4π/Ω)	**0**	0	0	0	0	0	0	0	0		
Показатель направленности источника Di, дБ		исходные данные	**0**	0	0	0	0	0	0	0	0		
Поправка на направленность источника Dc, дБ	Dc	DΩ + Di	**0**	0	0	0	0	0	0	0	0		
Затухание из-за геометрической дивергенции, Adiv, дБ	расстояние = 1587.60 м	ф-ла (7) [10]	**75**										
Коэффициент затухания звука в атмосфере α, дБ/км	Ta=20,°C Pa=101.33,кПа hотн.=70%	ф-ла (5) [9]	0,02	0,09	0,33	1,12	2,79	4,98	9,04	23,09	77,63		
Учет затухания звука в атмосфере Aatm, дБ		ф-ла (8) [10]	0	0,1	0,5	1,8	4,4	7,9	14,4	36,7	123,3		
Снижение поверхностью земли возле источника As, дБ	Gs = 0 hs = 1м	ф-лы таб.3 [10]	-1,5	-1,5	-1,5	-1,5	-1,5	-1,5	-1,5	-1,5	-1,5		
Снижение поверхностью земли возле приёмника Ar, дБ	Gr = 1 hr = 1.5м	ф-лы таб.3 [10]	-1,5	-1,5	5,3	7	5	0,7	0	0	0		
Снижение поверхностью земли в средней зоне, Am дБ	Gm = 1	ф-лы таб.3 [10]	-2,9	-2,9	0	0	0	0	0	0	0		
Суммарное снижение поверхностью земли на траектории распространения звука Agr, дБ		ф-ла (9) [10]	-5,9	-5,9	3,8	5,5	3,5	-0,8	-1,5	-1,5	-1,5		
Уровни звукового давления от источника ИШ-6-9 в расчётной точке днём, дБ		**ф-ла(3)[10]**	**0**	**27**	**18,3**	**16,7**	**16,4**	**16,8**	**7,7**	**0**	**0**	**19,3**	**19,3**
Уровни звукового давления от источника ИШ-6-9 в расчётной точке ночью, дБ		**ф-ла(3)[10]**	**0**	**27**	**18,3**	**16,7**	**16,4**	**16,8**	**7,7**	**0**	**0**	**19,3**	**19,3**
Источник шума: ИШ-6-10, координаты источника (x,y,z), м =[827.23,95.55,1.00]													
Уровни звуковой мощности источника днём, Lw, дБ		**исходные данные**	**0**	**96,3**	**97,7**	**99**	**99,3**	**98,9**	**95,6**	**91,4**	**86,9**		
Уровни звуковой мощности источника ночью, Lw, дБ		**исходные данные**	**0**	**96,3**	**97,7**	**99**	**99,3**	**98,9**	**95,6**	**91,4**	**86,9**		

1		2	3	4	5	6	7	8	9	10	11	12	13
Поправка на телесный угол DΩ, дБ	Ω = 12.57	10Lg(4π/Ω)	**0**	0	0	0	0	0	0	0	0		
Показатель направленности источника Di, дБ		исходные данные	**0**	0	0	0	0	0	0	0	0		
Поправка на направленность источника Dc, дБ	Dc	DΩ + Di	**0**	0	0	0	0	0	0	0	0		
Затухание из-за геометрической дивергенции, Adiv, дБ	расстояние = 1590.11 м	ф-ла (7) [10]	**75**										
Коэффициент затухания звука в атмосфере α, дБ/км	Ta=20,°C Pa=101.33,кПа hотн.=70%	ф-ла (5) [9]	0,02	0,09	0,33	1,12	2,79	4,98	9,04	23,09	77,63		
Учет затухания звука в атмосфере Aatm, дБ		ф-ла (8) [10]	0	0,1	0,5	1,8	4,4	7,9	14,4	36,7	123,4		
Снижение поверхностью земли возле источника As, дБ	Gs = 0 hs = 1м	ф-лы таб.3 [10]	-1,5	-1,5	-1,5	-1,5	-1,5	-1,5	-1,5	-1,5	-1,5		
Снижение поверхностью земли возле приёмника Ar, дБ	Gr = 1 hr = 1.5м	ф-лы таб.3 [10]	-1,5	-1,5	5,3	7	5	0,7	0	0	0		
Снижение поверхностью земли в средней зоне, Am дБ	Gm = 1	ф-лы таб.3 [10]	-2,9	-2,9	0	0	0	0	0	0	0		
Суммарное снижение поверхностью земли на траектории распространения звука Agr, дБ		ф-ла (9) [10]	-5,9	-5,9	3,8	5,5	3,5	-0,8	-1,5	-1,5	-1,5		
Уровни звукового давления от источника ИШ-6-10 в расчётной точке днём, дБ		**ф-ла(3)[10]**	**0**	**27**	**18,3**	**16,7**	**16,4**	**16,8**	**7,7**	**0**	**0**	**19,3**	**19,3**
Уровни звукового давления от источника ИШ-6-10 в расчётной точке ночью, дБ		**ф-ла(3)[10]**	**0**	**27**	**18,3**	**16,7**	**16,4**	**16,8**	**7,7**	**0**	**0**	**19,3**	**19,3**
Источник шума: ИШ-6-11, координаты источника (x,y,z), м =[826.30,92.48,1.00]													
Уровни звуковой мощности источника днём, Lw, дБ		**исходные данные**	**0**	**96,3**	**97,7**	**99**	**99,3**	**98,9**	**95,6**	**91,4**	**86,9**		
Уровни звуковой мощности источника ночью, Lw, дБ		**исходные данные**	**0**	**96,3**	**97,7**	**99**	**99,3**	**98,9**	**95,6**	**91,4**	**86,9**		
Поправка на телесный угол DΩ, дБ	Ω = 12.57	10Lg(4π/Ω)	**0**	0	0	0	0	0	0	0	0		

1		2	3	4	5	6	7	8	9	10	11	12	13
Показатель направленности источника Di, дБ		исходные данные	**0**	0	0	0	0	0	0	0	0		
Поправка на направленность источника Dc, дБ	Dc	DΩ + Di	**0**	0	0	0	0	0	0	0	0		
Затухание из-за геометрической дивергенции, Adiv, дБ	расстояние = 1592.72 м	ф-ла (7) [10]	**75**										
Коэффициент затухания звука в атмосфере α, дБ/км	Ta=20,°C Pa=101.33,кПа hотн.=70%	ф-ла (5) [9]	0,02	0,09	0,33	1,12	2,79	4,98	9,04	23,09	77,63		
Учет затухания звука в атмосфере Aatm, дБ		ф-ла (8) [10]	0	0,1	0,5	1,8	4,4	7,9	14,4	36,8	123,6		
Снижение поверхностью земли возле источника As, дБ	Gs = 0 hs = 1м	ф-лы таб.3 [10]	-1,5	-1,5	-1,5	-1,5	-1,5	-1,5	-1,5	-1,5	-1,5		
Снижение поверхностью земли возле приёмника Ar, дБ	Gr = 1 hr = 1.5м	ф-лы таб.3 [10]	-1,5	-1,5	5,3	7	5	0,7	0	0	0		
Снижение поверхностью земли в средней зоне, Am дБ	Gm = 1	ф-лы таб.3 [10]	-2,9	-2,9	0	0	0	0	0	0	0		
Суммарное снижение поверхностью земли на траектории распространения звука Agr, дБ		ф-ла (9) [10]	-5,9	-5,9	3,8	5,5	3,5	-0,8	-1,5	-1,5	-1,5		
Уровни звукового давления от источника ИШ-6-11 в расчётной точке днём, дБ		**ф-ла(3)[10]**	**0**	**27**	**18,3**	**16,6**	**16,3**	**16,8**	**7,7**	**0**	**0**	**19,3**	**19,3**
Уровни звукового давления от источника ИШ-6-11 в расчётной точке ночью, дБ		**ф-ла(3)[10]**	**0**	**27**	**18,3**	**16,6**	**16,3**	**16,8**	**7,7**	**0**	**0**	**19,3**	**19,3**
Источник шума: ИШ-6-12, координаты источника (x,y,z), м =[825.09,89.54,1.00]													
Уровни звуковой мощности источника днём, Lw, дБ		**исходные данные**	**0**	**96,3**	**97,7**	**99**	**99,3**	**98,9**	**95,6**	**91,4**	**86,9**		
Уровни звуковой мощности источника ночью, Lw, дБ		**исходные данные**	**0**	**96,3**	**97,7**	**99**	**99,3**	**98,9**	**95,6**	**91,4**	**86,9**		
Поправка на телесный угол DΩ, дБ	Ω = 12.57	10Lg(4π/Ω)	**0**	0	0	0	0	0	0	0	0		
Показатель направленности источника Di, дБ		исходные данные	**0**	0	0	0	0	0	0	0	0		

1		2	3	4	5	6	7	8	9	10	11	12	13
Поправка на направленность источника Dc, дБ	Dc	DΩ + Di	**0**	0	0	0	0	0	0	0	0		
Затухание из-за геометрической дивергенции, Adiv, дБ	расстояние = 1595.47 м	ф-ла (7) [10]	**75,1**										
Коэффициент затухания звука в атмосфере α, дБ/км	Ta=20,°C Pa=101.33,кПа hотн.=70%	ф-ла (5) [9]	0,02	0,09	0,33	1,12	2,79	4,98	9,04	23,09	77,63		
Учет затухания звука в атмосфере Aatm, дБ		ф-ла (8) [10]	0	0,1	0,5	1,8	4,5	7,9	14,4	36,8	123,9		
Снижение поверхностью земли возле источника As, дБ	Gs = 0 hs = 1м	ф-лы таб.3 [10]	-1,5	-1,5	-1,5	-1,5	-1,5	-1,5	-1,5	-1,5	-1,5		
Снижение поверхностью земли возле приёмника Ar, дБ	Gr = 1 hr = 1.5м	ф-лы таб.3 [10]	-1,5	-1,5	5,3	7	5	0,7	0	0	0		
Снижение поверхностью земли в средней зоне, Am дБ	Gm = 1	ф-лы таб.3 [10]	-2,9	-2,9	0	0	0	0	0	0	0		
Суммарное снижение поверхностью земли на траектории распространения звука Agr, дБ		ф-ла (9) [10]	-5,9	-5,9	3,8	5,5	3,5	-0,8	-1,5	-1,5	-1,5		
Уровни звукового давления от источника ИШ-6-12 в расчётной точке днём, дБ		**ф-ла(3)[10]**	**0**	**27**	**18,3**	**16,6**	**16,3**	**16,7**	**7,6**	**0**	**0**	**19,3**	**19,3**
Уровни звукового давления от источника ИШ-6-12 в расчётной точке ночью, дБ		**ф-ла(3)[10]**	**0**	**27**	**18,3**	**16,6**	**16,3**	**16,7**	**7,6**	**0**	**0**	**19,3**	**19,3**
Источник шума: ИШ-6-13, координаты источника (x,y,z), м =[767.76,-114.15,1.00]													
Уровни звуковой мощности источника днём, Lw, дБ		**исходные данные**	**0**	**96,3**	**97,7**	**99**	**99,3**	**98,9**	**95,6**	**91,4**	**86,9**		
Уровни звуковой мощности источника ночью, Lw, дБ		**исходные данные**	**0**	**96,3**	**97,7**	**99**	**99,3**	**98,9**	**95,6**	**91,4**	**86,9**		
Поправка на телесный угол DΩ, дБ	Ω = 12.57	10Lg(4π/Ω)	**0**	0	0	0	0	0	0	0	0		
Показатель направленности источника Di, дБ		исходные данные	**0**	0	0	0	0	0	0	0	0		
Поправка на направленность источника Dc, дБ	Dc	DΩ + Di	**0**	0	0	0	0	0	0	0	0		

1		2	3	4	5	6	7	8	9	10	11	12	13
Затухание из-за геометрической дивергенции, Adiv, дБ	расстояние = 1770.04 м	ф-ла (7) [10]	**76**										
Коэффициент затухания звука в атмосфере α, дБ/км	Ta=20,°C Pa=101.33,кПа hотн.=70%	ф-ла (5) [9]	0,02	0,09	0,33	1,12	2,79	4,98	9,04	23,09	77,63		
Учет затухания звука в атмосфере Aatm, дБ		ф-ла (8) [10]	0	0,2	0,6	2	4,9	8,8	16	40,9	137,4		
Снижение поверхностью земли возле источника As, дБ	Gs = 0 hs = 1м	ф-лы таб.3 [10]	-1,5	-1,5	-1,5	-1,5	-1,5	-1,5	-1,5	-1,5	-1,5		
Снижение поверхностью земли возле приёмника Ar, дБ	Gr = 1 hr = 1.5м	ф-лы таб.3 [10]	-1,5	-1,5	5,3	7	5	0,7	0	0	0		
Снижение поверхностью земли в средней зоне, Am дБ	Gm = 1	ф-лы таб.3 [10]	-2,9	-2,9	0	0	0	0	0	0	0		
Суммарное снижение поверхностью земли на траектории распространения звука Agr, дБ		ф-ла (9) [10]	-5,9	-5,9	3,8	5,5	3,5	-0,8	-1,5	-1,5	-1,5		
Уровни звукового давления от источника ИШ-6-13 в расчётной точке днём, дБ		**ф-ла(3)[10]**	**0**	**26**	**17,3**	**15,5**	**14,9**	**15**	**5,1**	**0**	**0**	**17,6**	**17,6**
Уровни звукового давления от источника ИШ-6-13 в расчётной точке ночью, дБ		**ф-ла(3)[10]**	**0**	**26**	**17,3**	**15,5**	**14,9**	**15**	**5,1**	**0**	**0**	**17,6**	**17,6**
Источник шума: ИШ-6-14, координаты источника (x,y,z), м =[766.82,-117.10,1.00]													
Уровни звуковой мощности источника днём, Lw, дБ		**исходные данные**	**0**	**96,3**	**97,7**	**99**	**99,3**	**98,9**	**95,6**	**91,4**	**86,9**		
Уровни звуковой мощности источника ночью, Lw, дБ		**исходные данные**	**0**	**96,3**	**97,7**	**99**	**99,3**	**98,9**	**95,6**	**91,4**	**86,9**		
Поправка на телесный угол DΩ, дБ	Ω = 12.57	10Lg(4π/Ω)	**0**	0	0	0	0	0	0	0	0		
Показатель направленности источника Di, дБ		исходные данные	**0**	0	0	0	0	0	0	0	0		
Поправка на направленность источника Dc, дБ	Dc	DΩ + Di	**0**	0	0	0	0	0	0	0	0		
Затухание из-за геометрической дивергенции, Adiv, дБ	расстояние = 1772.71 м	ф-ла (7) [10]	**76**										

1		2	3	4	5	6	7	8	9	10	11	12	13
Коэффициент затухания звука в атмосфере α, дБ/км	Ta=20,°C Pa=101.33,кПа hотн.=70%	ф-ла (5) [9]	0,02	0,09	0,33	1,12	2,79	4,98	9,04	23,09	77,63		
Учет затухания звука в атмосфере Aatm, дБ		ф-ла (8) [10]	0	0,2	0,6	2	4,9	8,8	16	40,9	137,6		
Снижение поверхностью земли возле источника As, дБ	Gs = 0 hs = 1м	ф-лы таб.3 [10]	-1,5	-1,5	-1,5	-1,5	-1,5	-1,5	-1,5	-1,5	-1,5		
Снижение поверхностью земли возле приёмника Ar, дБ	Gr = 1 hr = 1.5м	ф-лы таб.3 [10]	-1,5	-1,5	5,3	7	5	0,7	0	0	0		
Снижение поверхностью земли в средней зоне, Am дБ	Gm = 1	ф-лы таб.3 [10]	-2,9	-2,9	0	0	0	0	0	0	0		
Суммарное снижение поверхностью земли на траектории распространения звука Agr, дБ		ф-ла (9) [10]	-5,9	-5,9	3,8	5,5	3,5	-0,8	-1,5	-1,5	-1,5		
Уровни звукового давления от источника ИШ-6-14 в расчётной точке днём, дБ		**ф-ла(3)[10]**	**0**	**26**	**17,3**	**15,5**	**14,9**	**14,9**	**5,1**	**0**	**0**	**17,6**	**17,6**
Уровни звукового давления от источника ИШ-6-14 в расчётной точке ночью, дБ		**ф-ла(3)[10]**	**0**	**26**	**17,3**	**15,5**	**14,9**	**14,9**	**5,1**	**0**	**0**	**17,6**	**17,6**
Источник шума: ИШ-6-15, координаты источника (x,y,z), м =[765.71,-120.27,1.00]													
Уровни звуковой мощности источника днём, Lw, дБ		**исходные данные**	**0**	**96,3**	**97,7**	**99**	**99,3**	**98,9**	**95,6**	**91,4**	**86,9**		
Уровни звуковой мощности источника ночью, Lw, дБ		**исходные данные**	**0**	**96,3**	**97,7**	**99**	**99,3**	**98,9**	**95,6**	**91,4**	**86,9**		
Поправка на телесный угол DΩ, дБ	Ω = 12.57	10Lg(4π/Ω)	**0**	0	0	0	0	0	0	0	0		
Показатель направленности источника Di, дБ		исходные данные	**0**	0	0	0	0	0	0	0	0		
Поправка на направленность источника Dc, дБ	Dc	DΩ + Di	**0**	0	0	0	0	0	0	0	0		
Затухание из-за геометрической дивергенции, Adiv, дБ	расстояние = 1775.64 м	ф-ла (7) [10]	**76**										
Коэффициент затухания звука в атмосфере α, дБ/км	Ta=20,°C Pa=101.33,кПа hотн.=70%	ф-ла (5) [9]	0,02	0,09	0,33	1,12	2,79	4,98	9,04	23,09	77,63		

1		2	3	4	5	6	7	8	9	10	11	12	13
Учет затухания звука в атмосфере Aatm, дБ		ф-ла (8) [10]	0	0,2	0,6	2	5	8,8	16,1	41	137,8		
Снижение поверхностью земли возле источника As, дБ	Gs = 0 hs = 1м	ф-лы таб.3 [10]	-1,5	-1,5	-1,5	-1,5	-1,5	-1,5	-1,5	-1,5	-1,5		
Снижение поверхностью земли возле приёмника Ar, дБ	Gr = 1 hr = 1.5м	ф-лы таб.3 [10]	-1,5	-1,5	5,3	7	5	0,7	0	0	0		
Снижение поверхностью земли в средней зоне, Am дБ	Gm = 1	ф-лы таб.3 [10]	-2,9	-2,9	0	0	0	0	0	0	0		
Суммарное снижение поверхностью земли на траектории распространения звука Agr, дБ		ф-ла (9) [10]	-5,9	-5,9	3,8	5,5	3,5	-0,8	-1,5	-1,5	-1,5		
Уровни звукового давления прямого звука от источника ИШ-6-15 в расчётной точке днём, дБ		**ф-ла(3)[10]**	**0**	**26**	**17,3**	**15,5**	**14,9**	**14,9**	**5,1**	**0**	**0**	**17,6**	**17,6**
Уровни звукового давления прямого звука от источника ИШ-6-15 в расчётной точке ночью, дБ		**ф-ла(3)[10]**	**0**	**26**	**17,3**	**15,5**	**14,9**	**14,9**	**5,1**	**0**	**0**	**17,6**	**17,6**
Расчёт отражённого звука													
Уровни звукового давления от мнимого источника ИШ-6-15_мн.(1) в расчётной точке днём, дБ		**ф-ла(3)[10]**	**0**	**0**	**0**	**0**	**0**	**0**	**0**	**0**	**0**	**0**	**0**
Уровни звукового давления от мнимого источника ИШ-6-15_мн.(1) в расчётной точке ночью, дБ		**ф-ла(3)[10]**	**0**	**0**	**0**	**0**	**0**	**0**	**0**	**0**	**0**	**0**	**0**
Уровни звукового давления от источника ИШ-6-15 в расчётной точке днём, дБ		**ф-ла(3)[10]**	**0**	**26**	**17,3**	**15,5**	**14,9**	**14,9**	**5,1**	**0**	**0**	**17,6**	**17,6**
Уровни звукового давления от источника ИШ-6-15 в расчётной точке ночью, дБ		**ф-ла(3)[10]**	**0**	**26**	**17,3**	**15,5**	**14,9**	**14,9**	**5,1**	**0**	**0**	**17,6**	**17,6**
Источник шума: ИШ-6-16, координаты источника (x,y,z), м =[764.57,-123.22,1.00]													
Уровни звуковой мощности источника днём, Lw, дБ		**исходные данные**	**0**	**96,3**	**97,7**	**99**	**99,3**	**98,9**	**95,6**	**91,4**	**86,9**		
Уровни звуковой мощности источника ночью, Lw, дБ		**исходные данные**	**0**	**96,3**	**97,7**	**99**	**99,3**	**98,9**	**95,6**	**91,4**	**86,9**		
Поправка на телесный угол DΩ, дБ	Ω = 12.57	10Lg(4π/Ω)	**0**	0	0	0	0	0	0	0	0		
Показатель направленности источника Di, дБ		исходные данные	**0**	0	0	0	0	0	0	0	0		

1		2	3	4	5	6	7	8	9	10	11	12	13
Поправка на направленность источника Dc, дБ	Dc	DΩ + Di	**0**	0	0	0	0	0	0	0	0		
Затухание из-за геометрической дивергенции, Adiv, дБ	расстояние = 1778.46 м	ф-ла (7) [10]	**76**										
Коэффициент затухания звука в атмосфере α, дБ/км	Ta=20,°C Pa=101.33,кПа hотн.=70%	ф-ла (5) [9]	0,02	0,09	0,33	1,12	2,79	4,98	9,04	23,09	77,63		
Учет затухания звука в атмосфере Aatm, дБ		ф-ла (8) [10]	0	0,2	0,6	2	5	8,9	16,1	41,1	138,1		
Снижение поверхностью земли возле источника As, дБ	Gs = 0 hs = 1м	ф-лы таб.3 [10]	-1,5	-1,5	-1,5	-1,5	-1,5	-1,5	-1,5	-1,5	-1,5		
Снижение поверхностью земли возле приёмника Ar, дБ	Gr = 1 hr = 1.5м	ф-лы таб.3 [10]	-1,5	-1,5	5,3	7	5	0,7	0	0	0		
Снижение поверхностью земли в средней зоне, Am дБ	Gm = 1	ф-лы таб.3 [10]	-2,9	-2,9	0	0	0	0	0	0	0		
Суммарное снижение поверхностью земли на траектории распространения звука Agr, дБ		ф-ла (9) [10]	-5,9	-5,9	3,8	5,5	3,5	-0,8	-1,5	-1,5	-1,5		
Уровни звукового давления прямого звука от источника ИШ-6-16 в расчётной точке днём, дБ		**ф-ла(3)[10]**	**0**	**26**	**17,3**	**15,5**	**14,9**	**14,9**	**5**	**0**	**0**	**17,5**	**17,5**
Уровни звукового давления прямого звука от источника ИШ-6-16 в расчётной точке ночью, дБ		**ф-ла(3)[10]**	**0**	**26**	**17,3**	**15,5**	**14,9**	**14,9**	**5**	**0**	**0**	**17,5**	**17,5**
Расчёт отражённого звука													
Уровни звукового давления от мнимого источника ИШ-6-16_мн.(1) в расчётной точке днём, дБ		**ф-ла(3)[10]**	**0**	**0**	**0**	**0**	**0**	**0**	**0**	**0**	**0**	**0**	**0**
Уровни звукового давления от мнимого источника ИШ-6-16_мн.(1) в расчётной точке ночью, дБ		**ф-ла(3)[10]**	**0**	**0**	**0**	**0**	**0**	**0**	**0**	**0**	**0**	**0**	**0**
Уровни звукового давления от источника ИШ-6-16 в расчётной точке днём, дБ		**ф-ла(3)[10]**	**0**	**26**	**17,3**	**15,5**	**14,9**	**14,9**	**5**	**0**	**0**	**17,5**	**17,5**
Уровни звукового давления от источника ИШ-6-16 в расчётной точке ночью, дБ		**ф-ла(3)[10]**	**0**	**26**	**17,3**	**15,5**	**14,9**	**14,9**	**5**	**0**	**0**	**17,5**	**17,5**
Источник шума: ИШ-6-17, координаты источника (x,y,z), м =[763.57,-126.18,1.00]													

1		2	3	4	5	6	7	8	9	10	11	12	13
Уровни звуковой мощности источника днём, Lw, дБ		**исходные данные**	**0**	**96,3**	**97,7**	**99**	**99,3**	**98,9**	**95,6**	**91,4**	**86,9**		
Уровни звуковой мощности источника ночью, Lw, дБ		**исходные данные**	**0**	**96,3**	**97,7**	**99**	**99,3**	**98,9**	**95,6**	**91,4**	**86,9**		
Поправка на телесный угол DΩ, дБ	Ω = 12.57	10Lg(4π/Ω)	**0**	0	0	0	0	0	0	0	0		
Показатель направленности источника Di, дБ		исходные данные	**0**	0	0	0	0	0	0	0	0		
Поправка на направленность источника Dc, дБ	Dc	DΩ + Di	**0**	0	0	0	0	0	0	0	0		
Затухание из-за геометрической дивергенции, Adiv, дБ	расстояние = 1781.20 м	ф-ла (7) [10]	**76**										
Коэффициент затухания звука в атмосфере α, дБ/км	Ta=20,°C Pa=101.33,кПа hотн.=70%	ф-ла (5) [9]	0,02	0,09	0,33	1,12	2,79	4,98	9,04	23,09	77,63		
Учет затухания звука в атмосфере Aatm, дБ		ф-ла (8) [10]	0	0,2	0,6	2	5	8,9	16,1	41,1	138,3		
Снижение поверхностью земли возле источника As, дБ	Gs = 0 hs = 1м	ф-лы таб.3 [10]	-1,5	-1,5	-1,5	-1,5	-1,5	-1,5	-1,5	-1,5	-1,5		
Снижение поверхностью земли возле приёмника Ar, дБ	Gr = 1 hr = 1.5м	ф-лы таб.3 [10]	-1,5	-1,5	5,3	7	5	0,7	0	0	0		
Снижение поверхностью земли в средней зоне, Am дБ	Gm = 1	ф-лы таб.3 [10]	-2,9	-2,9	0	0	0	0	0	0	0		
Суммарное снижение поверхностью земли на траектории распространения звука Agr, дБ		ф-ла (9) [10]	-5,9	-5,9	3,8	5,5	3,5	-0,8	-1,5	-1,5	-1,5		
Уровни звукового давления прямого звука от источника ИШ-6-17 в расчётной точке днём, дБ		**ф-ла(3)[10]**	**0**	**26**	**17,2**	**15,5**	**14,8**	**14,9**	**5**	**0**	**0**	**17,5**	**17,5**
Уровни звукового давления прямого звука от источника ИШ-6-17 в расчётной точке ночью, дБ		**ф-ла(3)[10]**	**0**	**26**	**17,2**	**15,5**	**14,8**	**14,9**	**5**	**0**	**0**	**17,5**	**17,5**
Расчёт отражённого звука													
Уровни звукового давления от мнимого источника ИШ-6-17_мн.(1) в расчётной точке днём, дБ		**ф-ла(3)[10]**	**0**	**0**	**0**	**0**	**0**	**0**	**0**	**0**	**0**	**0**	**0**
Уровни звукового давления от мнимого источника ИШ-6-17_мн.(1) в расчётной точке ночью, дБ		**ф-ла(3)[10]**	**0**	**0**	**0**	**0**	**0**	**0**	**0**	**0**	**0**	**0**	**0**

1		2	3	4	5	6	7	8	9	10	11	12	13
Уровни звукового давления от источника ИШ-6-17 в расчётной точке днём, дБ		**ф-ла(3)[10]**	**0**	**26**	**17,2**	**15,5**	**14,8**	**14,9**	**5**	**0**	**0**	**17,5**	**17,5**
Уровни звукового давления от источника ИШ-6-17 в расчётной точке ночью, дБ		**ф-ла(3)[10]**	**0**	**26**	**17,2**	**15,5**	**14,8**	**14,9**	**5**	**0**	**0**	**17,5**	**17,5**
Источник шума: ИШ-6-18, координаты источника (x,y,z), м =[804.77,-126.28,1.00]													
Уровни звуковой мощности источника днём, Lw, дБ		**исходные данные**	**0**	**96,3**	**97,7**	**99**	**99,3**	**98,9**	**95,6**	**91,4**	**86,9**		
Уровни звуковой мощности источника ночью, Lw, дБ		**исходные данные**	**0**	**96,3**	**97,7**	**99**	**99,3**	**98,9**	**95,6**	**91,4**	**86,9**		
Поправка на телесный угол DΩ, дБ	Ω = 12.57	10Lg(4π/Ω)	**0**	0	0	0	0	0	0	0	0		
Показатель направленности источника Di, дБ		исходные данные	**0**	0	0	0	0	0	0	0	0		
Поправка на направленность источника Dc, дБ	Dc	DΩ + Di	**0**	0	0	0	0	0	0	0	0		
Затухание из-за геометрической дивергенции, Adiv, дБ	расстояние = 1750.88 м	ф-ла (7) [10]	**75,9**										
Коэффициент затухания звука в атмосфере α, дБ/км	Ta=20,°C Pa=101.33,кПа hотн.=70%	ф-ла (5) [9]	0,02	0,09	0,33	1,12	2,79	4,98	9,04	23,09	77,63		
Учет затухания звука в атмосфере Aatm, дБ		ф-ла (8) [10]	0	0,2	0,6	2	4,9	8,7	15,8	40,4	135,9		
Снижение поверхностью земли возле источника As, дБ	Gs = 0 hs = 1м	ф-лы таб.3 [10]	-1,5	-1,5	-1,5	-1,5	-1,5	-1,5	-1,5	-1,5	-1,5		
Снижение поверхностью земли возле приёмника Ar, дБ	Gr = 1 hr = 1.5м	ф-лы таб.3 [10]	-1,5	-1,5	5,3	7	5	0,7	0	0	0		
Снижение поверхностью земли в средней зоне, Am дБ	Gm = 1	ф-лы таб.3 [10]	-2,9	-2,9	0	0	0	0	0	0	0		
Суммарное снижение поверхностью земли на траектории распространения звука Agr, дБ		ф-ла (9) [10]	-5,9	-5,9	3,8	5,5	3,5	-0,8	-1,5	-1,5	-1,5		
Уровни звукового давления от источника ИШ-6-18 в расчётной точке днём, дБ		**ф-ла(3)[10]**	**0**	**26,1**	**17,4**	**15,6**	**15,1**	**15,2**	**5,4**	**0**	**0**	**17,8**	**17,8**

1		2	3	4	5	6	7	8	9	10	11	12	13
Уровни звукового давления от источника ИШ-6-18 в расчётной точке ночью, дБ		**ф-ла(3)[10]**	**0**	**26,1**	**17,4**	**15,6**	**15,1**	**15,2**	**5,4**	**0**	**0**	**17,8**	**17,8**
Источник шума: ИШ-6-19, координаты источника (x,y,z), м =[803.81,-129.30,1.00]													
Уровни звуковой мощности источника днём, Lw, дБ		**исходные данные**	**0**	**96,3**	**97,7**	**99**	**99,3**	**98,9**	**95,6**	**91,4**	**86,9**		
Уровни звуковой мощности источника ночью, Lw, дБ		**исходные данные**	**0**	**96,3**	**97,7**	**99**	**99,3**	**98,9**	**95,6**	**91,4**	**86,9**		
Поправка на телесный угол DΩ, дБ	Ω = 12.57	10Lg(4π/Ω)	**0**	0	0	0	0	0	0	0	0		
Показатель направленности источника Di, дБ		исходные данные	**0**	0	0	0	0	0	0	0	0		
Поправка на направленность источника Dc, дБ	Dc	DΩ + Di	**0**	0	0	0	0	0	0	0	0		
Затухание из-за геометрической дивергенции, Adiv, дБ	расстояние = 1753.64 м	ф-ла (7) [10]	**75,9**										
Коэффициент затухания звука в атмосфере α, дБ/км	Ta=20,°C Pa=101.33,кПа hотн.=70%	ф-ла (5) [9]	0,02	0,09	0,33	1,12	2,79	4,98	9,04	23,09	77,63		
Учет затухания звука в атмосфере Aatm, дБ		ф-ла (8) [10]	0	0,2	0,6	2	4,9	8,7	15,9	40,5	136,1		
Снижение поверхностью земли возле источника As, дБ	Gs = 0 hs = 1м	ф-лы таб.3 [10]	-1,5	-1,5	-1,5	-1,5	-1,5	-1,5	-1,5	-1,5	-1,5		
Снижение поверхностью земли возле приёмника Ar, дБ	Gr = 1 hr = 1.5м	ф-лы таб.3 [10]	-1,5	-1,5	5,3	7	5	0,7	0	0	0		
Снижение поверхностью земли в средней зоне, Am дБ	Gm = 1	ф-лы таб.3 [10]	-2,9	-2,9	0	0	0	0	0	0	0		
Суммарное снижение поверхностью земли на траектории распространения звука Agr, дБ		ф-ла (9) [10]	-5,9	-5,9	3,8	5,5	3,5	-0,8	-1,5	-1,5	-1,5		
Уровни звукового давления от источника ИШ-6-19 в расчётной точке днём, дБ		**ф-ла(3)[10]**	**0**	**26,1**	**17,4**	**15,6**	**15**	**15,1**	**5,4**	**0**	**0**	**17,8**	**17,8**
Уровни звукового давления от источника ИШ-6-19 в расчётной точке ночью, дБ		**ф-ла(3)[10]**	**0**	**26,1**	**17,4**	**15,6**	**15**	**15,1**	**5,4**	**0**	**0**	**17,8**	**17,8**

1		2	3	4	5	6	7	8	9	10	11	12	13
Источник шума: ИШ-6-20, координаты источника (x,y,z), м =[802.67,-132.35,1.00]													
Уровни звуковой мощности источника днём, Lw, дБ		**исходные данные**	**0**	**96,3**	**97,7**	**99**	**99,3**	**98,9**	**95,6**	**91,4**	**86,9**		
Уровни звуковой мощности источника ночью, Lw, дБ		**исходные данные**	**0**	**96,3**	**97,7**	**99**	**99,3**	**98,9**	**95,6**	**91,4**	**86,9**		
Поправка на телесный угол DΩ, дБ	Ω = 12.57	10Lg(4π/Ω)	**0**	0	0	0	0	0	0	0	0		
Показатель направленности источника Di, дБ		исходные данные	**0**	0	0	0	0	0	0	0	0		
Поправка на направленность источника Dc, дБ	Dc	DΩ + Di	**0**	0	0	0	0	0	0	0	0		
Затухание из-за геометрической дивергенции, Adiv, дБ	расстояние = 1756.56 м	ф-ла (7) [10]	**75,9**										
Коэффициент затухания звука в атмосфере α, дБ/км	Ta=20,°C Pa=101.33,кПа hотн.=70%	ф-ла (5) [9]	0,02	0,09	0,33	1,12	2,79	4,98	9,04	23,09	77,63		
Учет затухания звука в атмосфере Aatm, дБ		ф-ла (8) [10]	0	0,2	0,6	2	4,9	8,7	15,9	40,6	136,4		
Снижение поверхностью земли возле источника As, дБ	Gs = 0 hs = 1м	ф-лы таб.3 [10]	-1,5	-1,5	-1,5	-1,5	-1,5	-1,5	-1,5	-1,5	-1,5		
Снижение поверхностью земли возле приёмника Ar, дБ	Gr = 1 hr = 1.5м	ф-лы таб.3 [10]	-1,5	-1,5	5,3	7	5	0,7	0	0	0		
Снижение поверхностью земли в средней зоне, Am дБ	Gm = 1	ф-лы таб.3 [10]	-2,9	-2,9	0	0	0	0	0	0	0		
Суммарное снижение поверхностью земли на траектории распространения звука Agr, дБ		ф-ла (9) [10]	-5,9	-5,9	3,8	5,5	3,5	-0,8	-1,5	-1,5	-1,5		
Уровни звукового давления от источника ИШ-6-20 в расчётной точке днём, дБ		**ф-ла(3)[10]**	**0**	**26,1**	**17,4**	**15,6**	**15**	**15,1**	**5,3**	**0**	**0**	**17,7**	**17,7**
Уровни звукового давления от источника ИШ-6-20 в расчётной точке ночью, дБ		**ф-ла(3)[10]**	**0**	**26,1**	**17,4**	**15,6**	**15**	**15,1**	**5,3**	**0**	**0**	**17,7**	**17,7**
Источник шума: ИШ-6-21, координаты источника (x,y,z), м =[801.69,-135.42,1.00]													

1		2	3	4	5	6	7	8	9	10	11	12	13
Уровни звуковой мощности источника днём, Lw, дБ		**исходные данные**	**0**	**96,3**	**97,7**	**99**	**99,3**	**98,9**	**95,6**	**91,4**	**86,9**		
Уровни звуковой мощности источника ночью, Lw, дБ		**исходные данные**	**0**	**96,3**	**97,7**	**99**	**99,3**	**98,9**	**95,6**	**91,4**	**86,9**		
Поправка на телесный угол DΩ, дБ	Ω = 12.57	10Lg(4π/Ω)	**0**	0	0	0	0	0	0	0	0		
Показатель направленности источника Di, дБ		исходные данные	**0**	0	0	0	0	0	0	0	0		
Поправка на направленность источника Dc, дБ	Dc	DΩ + Di	**0**	0	0	0	0	0	0	0	0		
Затухание из-за геометрической дивергенции, Adiv, дБ	расстояние = 1759.37 м	ф-ла (7) [10]	**75,9**										
Коэффициент затухания звука в атмосфере α, дБ/км	Ta=20,°C Pa=101.33,кПа hотн.=70%	ф-ла (5) [9]	0,02	0,09	0,33	1,12	2,79	4,98	9,04	23,09	77,63		
Учет затухания звука в атмосфере Aatm, дБ		ф-ла (8) [10]	0	0,2	0,6	2	4,9	8,8	15,9	40,6	136,6		
Снижение поверхностью земли возле источника As, дБ	Gs = 0 hs = 1м	ф-лы таб.3 [10]	-1,5	-1,5	-1,5	-1,5	-1,5	-1,5	-1,5	-1,5	-1,5		
Снижение поверхностью земли возле приёмника Ar, дБ	Gr = 1 hr = 1.5м	ф-лы таб.3 [10]	-1,5	-1,5	5,3	7	5	0,7	0	0	0		
Снижение поверхностью земли в средней зоне, Am дБ	Gm = 1	ф-лы таб.3 [10]	-2,9	-2,9	0	0	0	0	0	0	0		
Суммарное снижение поверхностью земли на траектории распространения звука Agr, дБ		ф-ла (9) [10]	-5,9	-5,9	3,8	5,5	3,5	-0,8	-1,5	-1,5	-1,5		
Уровни звукового давления от источника ИШ-6-21 в расчётной точке днём, дБ		**ф-ла(3)[10]**	**0**	**26,1**	**17,4**	**15,6**	**15**	**15,1**	**5,3**	**0**	**0**	**17,7**	**17,7**
Уровни звукового давления от источника ИШ-6-21 в расчётной точке ночью, дБ		**ф-ла(3)[10]**	**0**	**26,1**	**17,4**	**15,6**	**15**	**15,1**	**5,3**	**0**	**0**	**17,7**	**17,7**
Источник шума: ИШ-6-22, координаты источника (x,y,z), м =[800.65,-138.47,1.00]													
Уровни звуковой мощности источника днём, Lw, дБ		**исходные данные**	**0**	**96,3**	**97,7**	**99**	**99,3**	**98,9**	**95,6**	**91,4**	**86,9**		

1		2	3	4	5	6	7	8	9	10	11	12	13
Уровни звуковой мощности источника ночью, Lw, дБ		**исходные данные**	**0**	**96,3**	**97,7**	**99**	**99,3**	**98,9**	**95,6**	**91,4**	**86,9**		
Поправка на телесный угол DΩ, дБ	Ω = 12.57	10Lg(4π/Ω)	**0**	0	0	0	0	0	0	0	0		
Показатель направленности источника Di, дБ		исходные данные	**0**	0	0	0	0	0	0	0	0		
Поправка на направленность источника Dc, дБ	Dc	DΩ + Di	**0**	0	0	0	0	0	0	0	0		
Затухание из-за геометрической дивергенции, Adiv, дБ	расстояние = 1762.21 м	ф-ла (7) [10]	**75,9**										
Коэффициент затухания звука в атмосфере α, дБ/км	Ta=20,°C Pa=101.33,кПа hотн.=70%	ф-ла (5) [9]	0,02	0,09	0,33	1,12	2,79	4,98	9,04	23,09	77,63		
Учет затухания звука в атмосфере Aatm, дБ		ф-ла (8) [10]	0	0,2	0,6	2	4,9	8,8	15,9	40,7	136,8		
Снижение поверхностью земли возле источника As, дБ	Gs = 0 hs = 1м	ф-лы таб.3 [10]	-1,5	-1,5	-1,5	-1,5	-1,5	-1,5	-1,5	-1,5	-1,5		
Снижение поверхностью земли возле приёмника Ar, дБ	Gr = 1 hr = 1.5м	ф-лы таб.3 [10]	-1,5	-1,5	5,3	7	5	0,7	0	0	0		
Снижение поверхностью земли в средней зоне, Am дБ	Gm = 1	ф-лы таб.3 [10]	-2,9	-2,9	0	0	0	0	0	0	0		
Суммарное снижение поверхностью земли на траектории распространения звука Agr, дБ		ф-ла (9) [10]	-5,9	-5,9	3,8	5,5	3,5	-0,8	-1,5	-1,5	-1,5		
Уровни звукового давления от источника ИШ-6-22 в расчётной точке днём, дБ		**ф-ла(3)[10]**	**0**	**26,1**	**17,3**	**15,6**	**15**	**15**	**5,2**	**0**	**0**	**17,7**	**17,7**
Уровни звукового давления от источника ИШ-6-22 в расчётной точке ночью, дБ		**ф-ла(3)[10]**	**0**	**26,1**	**17,3**	**15,6**	**15**	**15**	**5,2**	**0**	**0**	**17,7**	**17,7**
Источник шума: ИШ-7-1, координаты источника (x,y,z), м =[821.44,63.31,1.00]													
Уровни звуковой мощности источника днём, Lw, дБ		**исходные данные**	**77**	**75**	**67**	**66**	**63**	**55**	**53**	**48**	**51**		
Уровни звуковой мощности источника ночью, Lw, дБ		**исходные данные**	**77**	**75**	**67**	**66**	**63**	**55**	**53**	**48**	**51**		

1		2	3	4	5	6	7	8	9	10	11	12	13
Поправка на телесный угол DΩ, дБ	Ω = 12.57	10Lg(4π/Ω)	**0**	0	0	0	0	0	0	0	0		
Показатель направленности источника Di, дБ		исходные данные	**0**	0	0	0	0	0	0	0	0		
Поправка на направленность источника Dc, дБ	Dc	DΩ + Di	**0**	0	0	0	0	0	0	0	0		
Затухание из-за геометрической дивергенции, Adiv, дБ	расстояние = 1614.53 м	ф-ла (7) [10]	**75,2**										
Коэффициент затухания звука в атмосфере α, дБ/км	Ta=20,°C Pa=101.33,кПа hотн.=70%	ф-ла (5) [9]	0,02	0,09	0,33	1,12	2,79	4,98	9,04	23,09	77,63		
Учет затухания звука в атмосфере Aatm, дБ		ф-ла (8) [10]	0	0,1	0,5	1,8	4,5	8	14,6	37,3	125,3		
Снижение поверхностью земли возле источника As, дБ	Gs = 0 hs = 1м	ф-лы таб.3 [10]	-1,5	-1,5	-1,5	-1,5	-1,5	-1,5	-1,5	-1,5	-1,5		
Снижение поверхностью земли возле приёмника Ar, дБ	Gr = 1 hr = 1.5м	ф-лы таб.3 [10]	-1,5	-1,5	5,3	7	5	0,7	0	0	0		
Снижение поверхностью земли в средней зоне, Am дБ	Gm = 1	ф-лы таб.3 [10]	-2,9	-2,9	0	0	0	0	0	0	0		
Суммарное снижение поверхностью земли на траектории распространения звука Agr, дБ		ф-ла (9) [10]	-5,9	-5,9	3,8	5,5	3,5	-0,8	-1,5	-1,5	-1,5		
Уровни звукового давления от источника ИШ-7-1 в расчётной точке днём, дБ		**ф-ла(3)[10]**	**7,7**	**0**	**0**	**0**	**0**	**0**	**0**	**0**	**0**	**0**	**0**
Уровни звукового давления от источника ИШ-7-1 в расчётной точке ночью, дБ		**ф-ла(3)[10]**	**7,7**	**0**	**0**	**0**	**0**	**0**	**0**	**0**	**0**	**0**	**0**
Источник шума: ИШ-7-2, координаты источника (x,y,z), м =[768.90,-86.75,1.00]													
Уровни звуковой мощности источника днём, Lw, дБ		**исходные данные**	**77**	**75**	**67**	**66**	**63**	**55**	**53**	**48**	**51**		
Уровни звуковой мощности источника ночью, Lw, дБ		**исходные данные**	**77**	**75**	**67**	**66**	**63**	**55**	**53**	**48**	**51**		
Поправка на телесный угол DΩ, дБ	Ω = 12.57	10Lg(4π/Ω)	**0**	0	0	0	0	0	0	0	0		

1		2	3	4	5	6	7	8	9	10	11	12	13
Показатель направленности источника Di, дБ		исходные данные	**0**	0	0	0	0	0	0	0	0		
Поправка на направленность источника Dc, дБ	Dc	DΩ + Di	**0**	0	0	0	0	0	0	0	0		
Затухание из-за геометрической дивергенции, Adiv, дБ	расстояние = 1751.02 м	ф-ла (7) [10]	**75,9**										
Коэффициент затухания звука в атмосфере α, дБ/км	Ta=20,°C Pa=101.33,кПа hотн.=70%	ф-ла (5) [9]	0,02	0,09	0,33	1,12	2,79	4,98	9,04	23,09	77,63		
Учет затухания звука в атмосфере Aatm, дБ		ф-ла (8) [10]	0	0,2	0,6	2	4,9	8,7	15,8	40,4	135,9		
Снижение поверхностью земли возле источника As, дБ	Gs = 0 hs = 1м	ф-лы таб.3 [10]	-1,5	-1,5	-1,5	-1,5	-1,5	-1,5	-1,5	-1,5	-1,5		
Снижение поверхностью земли возле приёмника Ar, дБ	Gr = 1 hr = 1.5м	ф-лы таб.3 [10]	-1,5	-1,5	5,3	7	5	0,7	0	0	0		
Снижение поверхностью земли в средней зоне, Am дБ	Gm = 1	ф-лы таб.3 [10]	-2,9	-2,9	0	0	0	0	0	0	0		
Суммарное снижение поверхностью земли на траектории распространения звука Agr, дБ		ф-ла (9) [10]	-5,9	-5,9	3,8	5,5	3,5	-0,8	-1,5	-1,5	-1,5		
Уровни звукового давления от источника ИШ-7-2 в расчётной точке днём, дБ		**ф-ла(3)[10]**	**7**	**0**	**0**	**0**	**0**	**0**	**0**	**0**	**0**	**0**	**0**
Уровни звукового давления от источника ИШ-7-2 в расчётной точке ночью, дБ		**ф-ла(3)[10]**	**7**	**0**	**0**	**0**	**0**	**0**	**0**	**0**	**0**	**0**	**0**
Источник шума: ИШ-7-3, координаты источника (x,y,z), м =[766.80,-93.20,1.00]													
Уровни звуковой мощности источника днём, Lw, дБ		**исходные данные**	**77**	**75**	**67**	**66**	**63**	**55**	**53**	**48**	**51**		
Уровни звуковой мощности источника ночью, Lw, дБ		**исходные данные**	**77**	**75**	**67**	**66**	**63**	**55**	**53**	**48**	**51**		
Поправка на телесный угол DΩ, дБ	Ω = 12.57	10Lg(4π/Ω)	**0**	0	0	0	0	0	0	0	0		
Показатель направленности источника Di, дБ		исходные данные	**0**	0	0	0	0	0	0	0	0		

1		2	3	4	5	6	7	8	9	10	11	12	13
Поправка на направленность источника Dc, дБ	Dc	DΩ + Di	**0**	0	0	0	0	0	0	0	0		
Затухание из-за геометрической дивергенции, Adiv, дБ	расстояние = 1756.84 м	ф-ла (7) [10]	**75,9**										
Коэффициент затухания звука в атмосфере α, дБ/км	Ta=20,°C Pa=101.33,кПа hотн.=70%	ф-ла (5) [9]	0,02	0,09	0,33	1,12	2,79	4,98	9,04	23,09	77,63		
Учет затухания звука в атмосфере Aatm, дБ		ф-ла (8) [10]	0	0,2	0,6	2	4,9	8,7	15,9	40,6	136,4		
Снижение поверхностью земли возле источника As, дБ	Gs = 0 hs = 1м	ф-лы таб.3 [10]	-1,5	-1,5	-1,5	-1,5	-1,5	-1,5	-1,5	-1,5	-1,5		
Снижение поверхностью земли возле приёмника Ar, дБ	Gr = 1 hr = 1.5м	ф-лы таб.3 [10]	-1,5	-1,5	5,3	7	5	0,7	0	0	0		
Снижение поверхностью земли в средней зоне, Am дБ	Gm = 1	ф-лы таб.3 [10]	-2,9	-2,9	0	0	0	0	0	0	0		
Суммарное снижение поверхностью земли на траектории распространения звука Agr, дБ		ф-ла (9) [10]	-5,9	-5,9	3,8	5,5	3,5	-0,8	-1,5	-1,5	-1,5		
Уровни звукового давления от источника ИШ-7-3 в расчётной точке днём, дБ		**ф-ла(3)[10]**	**6,9**	**0**	**0**	**0**	**0**	**0**	**0**	**0**	**0**	**0**	**0**
Уровни звукового давления от источника ИШ-7-3 в расчётной точке ночью, дБ		**ф-ла(3)[10]**	**6,9**	**0**	**0**	**0**	**0**	**0**	**0**	**0**	**0**	**0**	**0**
Источник шума: ИШ-7-4, координаты источника (x,y,z), м =[866.76,37.18,1.00]													
Уровни звуковой мощности источника днём, Lw, дБ		**исходные данные**	**77**	**75**	**67**	**66**	**63**	**55**	**53**	**48**	**51**		
Уровни звуковой мощности источника ночью, Lw, дБ		**исходные данные**	**77**	**75**	**67**	**66**	**63**	**55**	**53**	**48**	**51**		
Поправка на телесный угол DΩ, дБ	Ω = 12.57	10Lg(4π/Ω)	**0**	0	0	0	0	0	0	0	0		
Показатель направленности источника Di, дБ		исходные данные	**0**	0	0	0	0	0	0	0	0		
Поправка на направленность источника Dc, дБ	Dc	DΩ + Di	**0**	0	0	0	0	0	0	0	0		

1		2	3	4	5	6	7	8	9	10	11	12	13
Затухание из-за геометрической дивергенции, Adiv, дБ	расстояние = 1596.00 м	ф-ла (7) [10]	**75,1**										
Коэффициент затухания звука в атмосфере α, дБ/км	Ta=20,°C Pa=101.33,кПа hотн.=70%	ф-ла (5) [9]	0,02	0,09	0,33	1,12	2,79	4,98	9,04	23,09	77,63		
Учет затухания звука в атмосфере Aatm, дБ		ф-ла (8) [10]	0	0,1	0,5	1,8	4,5	7,9	14,4	36,8	123,9		
Снижение поверхностью земли возле источника As, дБ	Gs = 0 hs = 1м	ф-лы таб.3 [10]	-1,5	-1,5	-1,5	-1,5	-1,5	-1,5	-1,5	-1,5	-1,5		
Снижение поверхностью земли возле приёмника Ar, дБ	Gr = 1 hr = 1.5м	ф-лы таб.3 [10]	-1,5	-1,5	5,3	7	5	0,7	0	0	0		
Снижение поверхностью земли в средней зоне, Am дБ	Gm = 1	ф-лы таб.3 [10]	-2,9	-2,9	0	0	0	0	0	0	0		
Суммарное снижение поверхностью земли на траектории распространения звука Agr, дБ		ф-ла (9) [10]	-5,9	-5,9	3,8	5,5	3,5	-0,8	-1,5	-1,5	-1,5		
Уровни звукового давления от источника ИШ-7-4 в расчётной точке днём, дБ		**ф-ла(3)[10]**	**7,8**	**0**	**0**	**0**	**0**	**0**	**0**	**0**	**0**	**0**	**0**
Уровни звукового давления от источника ИШ-7-4 в расчётной точке ночью, дБ		**ф-ла(3)[10]**	**7,8**	**0**	**0**	**0**	**0**	**0**	**0**	**0**	**0**	**0**	**0**
Источник шума: ИШ-7-5, координаты источника (x,y,z), м =[861.80,21.34,1.00]													
Уровни звуковой мощности источника днём, Lw, дБ		**исходные данные**	**77**	**75**	**67**	**66**	**63**	**55**	**53**	**48**	**51**		
Уровни звуковой мощности источника ночью, Lw, дБ		**исходные данные**	**77**	**75**	**67**	**66**	**63**	**55**	**53**	**48**	**51**		
Поправка на телесный угол DΩ, дБ	Ω = 12.57	10Lg(4π/Ω)	**0**	0	0	0	0	0	0	0	0		
Показатель направленности источника Di, дБ		исходные данные	**0**	0	0	0	0	0	0	0	0		
Поправка на направленность источника Dc, дБ	Dc	DΩ + Di	**0**	0	0	0	0	0	0	0	0		
Затухание из-за геометрической дивергенции, Adiv, дБ	расстояние = 1610.04 м	ф-ла (7) [10]	**75,1**										

1		2	3	4	5	6	7	8	9	10	11	12	13
Коэффициент затухания звука в атмосфере α, дБ/км	Ta=20,°C Pa=101.33,кПа hотн.=70%	ф-ла (5) [9]	0,02	0,09	0,33	1,12	2,79	4,98	9,04	23,09	77,63		
Учет затухания звука в атмосфере Aatm, дБ		ф-ла (8) [10]	0	0,1	0,5	1,8	4,5	8	14,6	37,2	125		
Снижение поверхностью земли возле источника As, дБ	Gs = 0 hs = 1м	ф-лы таб.3 [10]	-1,5	-1,5	-1,5	-1,5	-1,5	-1,5	-1,5	-1,5	-1,5		
Снижение поверхностью земли возле приёмника Ar, дБ	Gr = 1 hr = 1.5м	ф-лы таб.3 [10]	-1,5	-1,5	5,3	7	5	0,7	0	0	0		
Снижение поверхностью земли в средней зоне, Am дБ	Gm = 1	ф-лы таб.3 [10]	-2,9	-2,9	0	0	0	0	0	0	0		
Суммарное снижение поверхностью земли на траектории распространения звука Agr, дБ		ф-ла (9) [10]	-5,9	-5,9	3,8	5,5	3,5	-0,8	-1,5	-1,5	-1,5		
Уровни звукового давления от источника ИШ-7-5 в расчётной точке днём, дБ		**ф-ла(3)[10]**	**7,7**	**0**	**0**	**0**	**0**	**0**	**0**	**0**	**0**	**0**	**0**
Уровни звукового давления от источника ИШ-7-5 в расчётной точке ночью, дБ		**ф-ла(3)[10]**	**7,7**	**0**	**0**	**0**	**0**	**0**	**0**	**0**	**0**	**0**	**0**
Источник шума: ИШ-7-6, координаты источника (x,y,z), м =[856.52,5.94,1.00]													
Уровни звуковой мощности источника днём, Lw, дБ		**исходные данные**	**77**	**75**	**67**	**66**	**63**	**55**	**53**	**48**	**51**		
Уровни звуковой мощности источника ночью, Lw, дБ		**исходные данные**	**77**	**75**	**67**	**66**	**63**	**55**	**53**	**48**	**51**		
Поправка на телесный угол DΩ, дБ	Ω = 12.57	10Lg(4π/Ω)	**0**	0	0	0	0	0	0	0	0		
Показатель направленности источника Di, дБ		исходные данные	**0**	0	0	0	0	0	0	0	0		
Поправка на направленность источника Dc, дБ	Dc	DΩ + Di	**0**	0	0	0	0	0	0	0	0		
Затухание из-за геометрической дивергенции, Adiv, дБ	расстояние = 1624.08 м	ф-ла (7) [10]	**75,2**										
Коэффициент затухания звука в атмосфере α, дБ/км	Ta=20,°C Pa=101.33,кПа hотн.=70%	ф-ла (5) [9]	0,02	0,09	0,33	1,12	2,79	4,98	9,04	23,09	77,63		

1		2	3	4	5	6	7	8	9	10	11	12	13
Учет затухания звука в атмосфере Aatm, дБ		ф-ла (8) [10]	0	0,1	0,5	1,8	4,5	8,1	14,7	37,5	126,1		
Снижение поверхностью земли возле источника As, дБ	Gs = 0 hs = 1м	ф-лы таб.3 [10]	-1,5	-1,5	-1,5	-1,5	-1,5	-1,5	-1,5	-1,5	-1,5		
Снижение поверхностью земли возле приёмника Ar, дБ	Gr = 1 hr = 1.5м	ф-лы таб.3 [10]	-1,5	-1,5	5,3	7	5	0,7	0	0	0		
Снижение поверхностью земли в средней зоне, Am дБ	Gm = 1	ф-лы таб.3 [10]	-2,9	-2,9	0	0	0	0	0	0	0		
Суммарное снижение поверхностью земли на траектории распространения звука Agr, дБ		ф-ла (9) [10]	-5,9	-5,9	3,8	5,5	3,5	-0,8	-1,5	-1,5	-1,5		
Уровни звукового давления от источника ИШ-7-6 в расчётной точке днём, дБ		**ф-ла(3)[10]**	**7,6**	**0**	**0**	**0**	**0**	**0**	**0**	**0**	**0**	**0**	**0**
Уровни звукового давления от источника ИШ-7-6 в расчётной точке ночью, дБ		**ф-ла(3)[10]**	**7,6**	**0**	**0**	**0**	**0**	**0**	**0**	**0**	**0**	**0**	**0**
Источник шума: ИШ-7-7, координаты источника (x,y,z), м =[851.06,-9.89,1.00]													
Уровни звуковой мощности источника днём, Lw, дБ		**исходные данные**	**77**	**75**	**67**	**66**	**63**	**55**	**53**	**48**	**51**		
Уровни звуковой мощности источника ночью, Lw, дБ		**исходные данные**	**77**	**75**	**67**	**66**	**63**	**55**	**53**	**48**	**51**		
Поправка на телесный угол DΩ, дБ	Ω = 12.57	10Lg(4π/Ω)	**0**	0	0	0	0	0	0	0	0		
Показатель направленности источника Di, дБ		исходные данные	**0**	0	0	0	0	0	0	0	0		
Поправка на направленность источника Dc, дБ	Dc	DΩ + Di	**0**	0	0	0	0	0	0	0	0		
Затухание из-за геометрической дивергенции, Adiv, дБ	расстояние = 1638.58 м	ф-ла (7) [10]	**75,3**										
Коэффициент затухания звука в атмосфере α, дБ/км	Ta=20,°C Pa=101.33,кПа hотн.=70%	ф-ла (5) [9]	0,02	0,09	0,33	1,12	2,79	4,98	9,04	23,09	77,63		
Учет затухания звука в атмосфере Aatm, дБ		ф-ла (8) [10]	0	0,1	0,5	1,8	4,6	8,2	14,8	37,8	127,2		

1		2	3	4	5	6	7	8	9	10	11	12	13
Снижение поверхностью земли возле источника As, дБ	Gs = 0 hs = 1м	ф-лы таб.3 [10]	-1,5	-1,5	-1,5	-1,5	-1,5	-1,5	-1,5	-1,5	-1,5		
Снижение поверхностью земли возле приёмника Ar, дБ	Gr = 1 hr = 1.5м	ф-лы таб.3 [10]	-1,5	-1,5	5,3	7	5	0,7	0	0	0		
Снижение поверхностью земли в средней зоне, Am дБ	Gm = 1	ф-лы таб.3 [10]	-2,9	-2,9	0	0	0	0	0	0	0		
Суммарное снижение поверхностью земли на траектории распространения звука Agr, дБ		ф-ла (9) [10]	-5,9	-5,9	3,8	5,5	3,5	-0,8	-1,5	-1,5	-1,5		
Уровни звукового давления от источника ИШ-7-7 в расчётной точке днём, дБ		**ф-ла(3)[10]**	**7,5**	**0**	**0**	**0**	**0**	**0**	**0**	**0**	**0**	**0**	**0**
Уровни звукового давления от источника ИШ-7-7 в расчётной точке ночью, дБ		**ф-ла(3)[10]**	**7,5**	**0**	**0**	**0**	**0**	**0**	**0**	**0**	**0**	**0**	**0**
Источник шума: ИШ-7-8, координаты источника (x,y,z), м =[821.90,-104.30,1.00]													
Уровни звуковой мощности источника днём, Lw, дБ		**исходные данные**	**77**	**75**	**67**	**66**	**63**	**55**	**53**	**48**	**51**		
Уровни звуковой мощности источника ночью, Lw, дБ		**исходные данные**	**77**	**75**	**67**	**66**	**63**	**55**	**53**	**48**	**51**		
Поправка на телесный угол DΩ, дБ	Ω = 12.57	10Lg(4π/Ω)	**0**	0	0	0	0	0	0	0	0		
Показатель направленности источника Di, дБ		исходные данные	**0**	0	0	0	0	0	0	0	0		
Поправка на направленность источника Dc, дБ	Dc	DΩ + Di	**0**	0	0	0	0	0	0	0	0		
Затухание из-за геометрической дивергенции, Adiv, дБ	расстояние = 1723.38 м	ф-ла (7) [10]	**75,7**										
Коэффициент затухания звука в атмосфере α, дБ/км	Ta=20,°C Pa=101.33,кПа hотн.=70%	ф-ла (5) [9]	0,02	0,09	0,33	1,12	2,79	4,98	9,04	23,09	77,63		
Учет затухания звука в атмосфере Aatm, дБ		ф-ла (8) [10]	0	0,2	0,6	1,9	4,8	8,6	15,6	39,8	133,8		
Снижение поверхностью земли возле источника As, дБ	Gs = 0 hs = 1м	ф-лы таб.3 [10]	-1,5	-1,5	-1,5	-1,5	-1,5	-1,5	-1,5	-1,5	-1,5		

1		2	3	4	5	6	7	8	9	10	11	12	13
Снижение поверхностью земли возле приёмника Ar, дБ	Gr = 1 hr = 1.5м	ф-лы таб.3 [10]	-1,5	-1,5	5,3	7	5	0,7	0	0	0		
Снижение поверхностью земли в средней зоне, Am дБ	Gm = 1	ф-лы таб.3 [10]	-2,9	-2,9	0	0	0	0	0	0	0		
Суммарное снижение поверхностью земли на траектории распространения звука Agr, дБ		ф-ла (9) [10]	-5,9	-5,9	3,8	5,5	3,5	-0,8	-1,5	-1,5	-1,5		
Уровни звукового давления от источника ИШ-7-8 в расчётной точке днём, дБ		**ф-ла(3)[10]**	**7,1**	**0**	**0**	**0**	**0**	**0**	**0**	**0**	**0**	**0**	**0**
Уровни звукового давления от источника ИШ-7-8 в расчётной точке ночью, дБ		**ф-ла(3)[10]**	**7,1**	**0**	**0**	**0**	**0**	**0**	**0**	**0**	**0**	**0**	**0**
Источник шума: ИШ-7-9, координаты источника (x,y,z), м =[819.93,-110.97,1.00]													
Уровни звуковой мощности источника днём, Lw, дБ		**исходные данные**	**77**	**75**	**67**	**66**	**63**	**55**	**53**	**48**	**51**		
Уровни звуковой мощности источника ночью, Lw, дБ		**исходные данные**	**77**	**75**	**67**	**66**	**63**	**55**	**53**	**48**	**51**		
Поправка на телесный угол DΩ, дБ	Ω = 12.57	10Lg(4π/Ω)	**0**	0	0	0	0	0	0	0	0		
Показатель направленности источника Di, дБ		исходные данные	**0**	0	0	0	0	0	0	0	0		
Поправка на направленность источника Dc, дБ	Dc	DΩ + Di	**0**	0	0	0	0	0	0	0	0		
Затухание из-за геометрической дивергенции, Adiv, дБ	расстояние = 1729.36 м	ф-ла (7) [10]	**75,8**										
Коэффициент затухания звука в атмосфере α, дБ/км	Ta=20,°C Pa=101.33,кПа hотн.=70%	ф-ла (5) [9]	0,02	0,09	0,33	1,12	2,79	4,98	9,04	23,09	77,63		
Учет затухания звука в атмосфере Aatm, дБ		ф-ла (8) [10]	0	0,2	0,6	1,9	4,8	8,6	15,6	39,9	134,3		
Снижение поверхностью земли возле источника As, дБ	Gs = 0 hs = 1м	ф-лы таб.3 [10]	-1,5	-1,5	-1,5	-1,5	-1,5	-1,5	-1,5	-1,5	-1,5		
Снижение поверхностью земли возле приёмника Ar, дБ	Gr = 1 hr = 1.5м	ф-лы таб.3 [10]	-1,5	-1,5	5,3	7	5	0,7	0	0	0		

1		2	3	4	5	6	7	8	9	10	11	12	13
Снижение поверхностью земли в средней зоне, Am дБ	Gm = 1	ф-лы таб.3 [10]	-2,9	-2,9	0	0	0	0	0	0	0		
Суммарное снижение поверхностью земли на траектории распространения звука Agr, дБ		ф-ла (9) [10]	-5,9	-5,9	3,8	5,5	3,5	-0,8	-1,5	-1,5	-1,5		
Уровни звукового давления от источника ИШ-7-9 в расчётной точке днём, дБ		**ф-ла(3)[10]**	**7,1**	**0**	**0**	**0**	**0**	**0**	**0**	**0**	**0**	**0**	**0**
Уровни звукового давления от источника ИШ-7-9 в расчётной точке ночью, дБ		**ф-ла(3)[10]**	**7,1**	**0**	**0**	**0**	**0**	**0**	**0**	**0**	**0**	**0**	**0**
Источник шума: ИШ-7-10, координаты источника (x,y,z), м =[868.68,92.66,1.00]													
Уровни звуковой мощности источника днём, Lw, дБ		**исходные данные**	**77**	**75**	**67**	**66**	**63**	**55**	**53**	**48**	**51**		
Уровни звуковой мощности источника ночью, Lw, дБ		**исходные данные**	**77**	**75**	**67**	**66**	**63**	**55**	**53**	**48**	**51**		
Поправка на телесный угол DΩ, дБ	Ω = 12.57	10Lg(4π/Ω)	**0**	0	0	0	0	0	0	0	0		
Показатель направленности источника Di, дБ		исходные данные	**0**	0	0	0	0	0	0	0	0		
Поправка на направленность источника Dc, дБ	Dc	DΩ + Di	**0**	0	0	0	0	0	0	0	0		
Затухание из-за геометрической дивергенции, Adiv, дБ	расстояние = 1559.30 м	ф-ла (7) [10]	**74,9**										
Коэффициент затухания звука в атмосфере α, дБ/км	Ta=20,°C Pa=101.33,кПа hотн.=70%	ф-ла (5) [9]	0,02	0,09	0,33	1,12	2,79	4,98	9,04	23,09	77,63		
Учет затухания звука в атмосфере Aatm, дБ		ф-ла (8) [10]	0	0,1	0,5	1,8	4,4	7,8	14,1	36	121,1		
Снижение поверхностью земли возле источника As, дБ	Gs = 0 hs = 1м	ф-лы таб.3 [10]	-1,5	-1,5	-1,5	-1,5	-1,5	-1,5	-1,5	-1,5	-1,5		
Снижение поверхностью земли возле приёмника Ar, дБ	Gr = 1 hr = 1.5м	ф-лы таб.3 [10]	-1,5	-1,5	5,3	7	5	0,7	0	0	0		
Снижение поверхностью земли в средней зоне, Am дБ	Gm = 1	ф-лы таб.3 [10]	-2,9	-2,9	0	0	0	0	0	0	0		

1		2	3	4	5	6	7	8	9	10	11	12	13
Суммарное снижение поверхностью земли на траектории распространения звука Agr, дБ		ф-ла (9) [10]	-5,9	-5,9	3,8	5,5	3,5	-0,8	-1,5	-1,5	-1,5		
Уровни звукового давления от источника ИШ-7-10 в расчётной точке днём, дБ		**ф-ла(3)[10]**	**8**	**0**	**0**	**0**	**0**	**0**	**0**	**0**	**0**	**0**	**0**
Уровни звукового давления от источника ИШ-7-10 в расчётной точке ночью, дБ		**ф-ла(3)[10]**	**8**	**0**	**0**	**0**	**0**	**0**	**0**	**0**	**0**	**0**	**0**
Источник шума: ИШ-7-11, координаты источника (x,y,z), м =[877.95,88.75,1.00]													
Уровни звуковой мощности источника днём, Lw, дБ		**исходные данные**	**77**	**75**	**67**	**66**	**63**	**55**	**53**	**48**	**51**		
Уровни звуковой мощности источника ночью, Lw, дБ		**исходные данные**	**77**	**75**	**67**	**66**	**63**	**55**	**53**	**48**	**51**		
Поправка на телесный угол DΩ, дБ	Ω = 12.57	10Lg(4π/Ω)	**0**	0	0	0	0	0	0	0	0		
Показатель направленности источника Di, дБ		исходные данные	**0**	0	0	0	0	0	0	0	0		
Поправка на направленность источника Dc, дБ	Dc	DΩ + Di	**0**	0	0	0	0	0	0	0	0		
Затухание из-за геометрической дивергенции, Adiv, дБ	расстояние = 1554.52 м	ф-ла (7) [10]	**74,8**										
Коэффициент затухания звука в атмосфере α, дБ/км	Ta=20,°C Pa=101.33,кПа hотн.=70%	ф-ла (5) [9]	0,02	0,09	0,33	1,12	2,79	4,98	9,04	23,09	77,63		
Учет затухания звука в атмосфере Aatm, дБ		ф-ла (8) [10]	0	0,1	0,5	1,7	4,3	7,7	14,1	35,9	120,7		
Снижение поверхностью земли возле источника As, дБ	Gs = 0 hs = 1м	ф-лы таб.3 [10]	-1,5	-1,5	-1,5	-1,5	-1,5	-1,5	-1,5	-1,5	-1,5		
Снижение поверхностью земли возле приёмника Ar, дБ	Gr = 1 hr = 1.5м	ф-лы таб.3 [10]	-1,5	-1,5	5,3	7	5	0,7	0	0	0		
Снижение поверхностью земли в средней зоне, Am дБ	Gm = 1	ф-лы таб.3 [10]	-2,9	-2,9	0	0	0	0	0	0	0		
Суммарное снижение поверхностью земли на траектории распространения звука Agr, дБ		ф-ла (9) [10]	-5,9	-5,9	3,8	5,5	3,5	-0,8	-1,5	-1,5	-1,5		

1		2	3	4	5	6	7	8	9	10	11	12	13
Уровни звукового давления от источника ИШ-7-11 в расчётной точке днём, дБ		**ф-ла(3)[10]**	**8**	**5,9**	**0**	**0**	**0**	**0**	**0**	**0**	**0**	**0**	**0**
Уровни звукового давления от источника ИШ-7-11 в расчётной точке ночью, дБ		**ф-ла(3)[10]**	**8**	**5,9**	**0**	**0**	**0**	**0**	**0**	**0**	**0**	**0**	**0**
Источник шума: ИШ-7-12, координаты источника (x,y,z), м =[887.42,85.45,1.00]													
Уровни звуковой мощности источника днём, Lw, дБ		**исходные данные**	**77**	**75**	**67**	**66**	**63**	**55**	**53**	**48**	**51**		
Уровни звуковой мощности источника ночью, Lw, дБ		**исходные данные**	**77**	**75**	**67**	**66**	**63**	**55**	**53**	**48**	**51**		
Поправка на телесный угол DΩ, дБ	Ω = 12.57	10Lg(4π/Ω)	**0**	0	0	0	0	0	0	0	0		
Показатель направленности источника Di, дБ		исходные данные	**0**	0	0	0	0	0	0	0	0		
Поправка на направленность источника Dc, дБ	Dc	DΩ + Di	**0**	0	0	0	0	0	0	0	0		
Затухание из-за геометрической дивергенции, Adiv, дБ	расстояние = 1549.26 м	ф-ла (7) [10]	**74,8**										
Коэффициент затухания звука в атмосфере α, дБ/км	Ta=20,°C Pa=101.33,кПа hотн.=70%	ф-ла (5) [9]	0,02	0,09	0,33	1,12	2,79	4,98	9,04	23,09	77,63		
Учет затухания звука в атмосфере Aatm, дБ		ф-ла (8) [10]	0	0,1	0,5	1,7	4,3	7,7	14	35,8	120,3		
Снижение поверхностью земли возле источника As, дБ	Gs = 0 hs = 1м	ф-лы таб.3 [10]	-1,5	-1,5	-1,5	-1,5	-1,5	-1,5	-1,5	-1,5	-1,5		
Снижение поверхностью земли возле приёмника Ar, дБ	Gr = 1 hr = 1.5м	ф-лы таб.3 [10]	-1,5	-1,5	5,3	7	5	0,7	0	0	0		
Снижение поверхностью земли в средней зоне, Am дБ	Gm = 1	ф-лы таб.3 [10]	-2,9	-2,9	0	0	0	0	0	0	0		
Суммарное снижение поверхностью земли на траектории распространения звука Agr, дБ		ф-ла (9) [10]	-5,9	-5,9	3,8	5,5	3,5	-0,8	-1,5	-1,5	-1,5		
Уровни звукового давления от источника ИШ-7-12 в расчётной точке днём, дБ		**ф-ла(3)[10]**	**8**	**5,9**	**0**	**0**	**0**	**0**	**0**	**0**	**0**	**0**	**0**

1		2	3	4	5	6	7	8	9	10	11	12	13
Уровни звукового давления от источника ИШ-7-12 в расчётной точке ночью, дБ		**ф-ла(3)[10]**	**8**	**5,9**	**0**	**0**	**0**	**0**	**0**	**0**	**0**	**0**	**0**
Источник шума: ИШ-6-23, координаты источника (x,y,z), м =[756.16,-136.23,3.00]													
Уровни звуковой мощности источника днём, Lw, дБ		**исходные данные**	**91**	**91**	**91**	**91**	**91**	**91**	**91**	**91**	**91**		
Уровни звуковой мощности источника ночью, Lw, дБ		**исходные данные**	**91**	**91**	**91**	**91**	**91**	**91**	**91**	**91**	**91**		
Поправка на телесный угол DΩ, дБ	Ω = 12.57	10Lg(4π/Ω)	**0**	0	0	0	0	0	0	0	0		
Показатель направленности источника Di, дБ		исходные данные	**0**	0	0	0	0	0	0	0	0		
Поправка на направленность источника Dc, дБ	Dc	DΩ + Di	**0**	0	0	0	0	0	0	0	0		
Затухание из-за геометрической дивергенции, Adiv, дБ	расстояние = 1793.43 м	ф-ла (7) [10]	**76,1**										
Коэффициент затухания звука в атмосфере α, дБ/км	Ta=20,°C Pa=101.33,кПа hотн.=70%	ф-ла (5) [9]	0,02	0,09	0,33	1,12	2,79	4,98	9,04	23,09	77,63		
Учет затухания звука в атмосфере Aatm, дБ		ф-ла (8) [10]	0	0,2	0,6	2	5	8,9	16,2	41,4	139,2		
Снижение поверхностью земли возле источника As, дБ	Gs = 0 hs = 3м	ф-лы таб.3 [10]	-1,5	-1,5	-1,5	-1,5	-1,5	-1,5	-1,5	-1,5	-1,5		
Снижение поверхностью земли возле приёмника Ar, дБ	Gr = 1 hr = 1.5м	ф-лы таб.3 [10]	-1,5	-1,5	5,3	7	5	0,7	0	0	0		
Снижение поверхностью земли в средней зоне, Am дБ	Gm = 1	ф-лы таб.3 [10]	-2,8	-2,8	0	0	0	0	0	0	0		
Суммарное снижение поверхностью земли на траектории распространения звука Agr, дБ		ф-ла (9) [10]	-5,8	-5,8	3,8	5,5	3,5	-0,8	-1,5	-1,5	-1,5		
Уровни звукового давления прямого звука от источника ИШ-6-23 в расчётной точке днём, дБ		**ф-ла(3)[10]**	**20,7**	**20,5**	**10,5**	**7,4**	**6,4**	**6,8**	**0**	**0**	**0**	**9,2**	**9,2**
Уровни звукового давления прямого звука от источника ИШ-6-23 в расчётной точке ночью, дБ		**ф-ла(3)[10]**	**20,7**	**20,5**	**10,5**	**7,4**	**6,4**	**6,8**	**0**	**0**	**0**	**9,2**	**9,2**

1		2	3	4	5	6	7	8	9	10	11	12	13
Расчёт отражённого звука													
Уровни звукового давления от мнимого источника ИШ-6-23_мн.(1) в расчётной точке днём, дБ		**ф-ла(3)[10]**	**0**	**0**	**0**	**0**	**0**	**0**	**0**	**0**	**0**	**0**	**0**
Уровни звукового давления от мнимого источника ИШ-6-23_мн.(1) в расчётной точке ночью, дБ		**ф-ла(3)[10]**	**0**	**0**	**0**	**0**	**0**	**0**	**0**	**0**	**0**	**0**	**0**
Уровни звукового давления от источника ИШ-6-23 в расчётной точке днём, дБ		**ф-ла(3)[10]**	**20,7**	**20,5**	**10,5**	**7,4**	**6,4**	**6,8**	**0**	**0**	**0**	**9,2**	**9,2**
Уровни звукового давления от источника ИШ-6-23 в расчётной точке ночью, дБ		**ф-ла(3)[10]**	**20,7**	**20,5**	**10,5**	**7,4**	**6,4**	**6,8**	**0**	**0**	**0**	**9,2**	**9,2**
Источник шума: ИШ-6-24, координаты источника (x,y,z), м =[800.98,-151.27,3.00]													
Уровни звуковой мощности источника днём, Lw, дБ		**исходные данные**	**91**	**91**	**91**	**91**	**91**	**91**	**91**	**91**	**91**		
Уровни звуковой мощности источника ночью, Lw, дБ		**исходные данные**	**91**	**91**	**91**	**91**	**91**	**91**	**91**	**91**	**91**		
Поправка на телесный угол DΩ, дБ	Ω = 12.57	10Lg(4π/Ω)	**0**	0	0	0	0	0	0	0	0		
Показатель направленности источника Di, дБ		исходные данные	**0**	0	0	0	0	0	0	0	0		
Поправка на направленность источника Dc, дБ	Dc	DΩ + Di	**0**	0	0	0	0	0	0	0	0		
Затухание из-за геометрической дивергенции, Adiv, дБ	расстояние = 1770.76 м	ф-ла (7) [10]	**76**										
Коэффициент затухания звука в атмосфере α, дБ/км	Ta=20,°C Pa=101.33,кПа hотн.=70%	ф-ла (5) [9]	0,02	0,09	0,33	1,12	2,79	4,98	9,04	23,09	77,63		
Учет затухания звука в атмосфере Aatm, дБ		ф-ла (8) [10]	0	0,2	0,6	2	4,9	8,8	16	40,9	137,5		
Снижение поверхностью земли возле источника As, дБ	Gs = 0 hs = 3м	ф-лы таб.3 [10]	-1,5	-1,5	-1,5	-1,5	-1,5	-1,5	-1,5	-1,5	-1,5		
Снижение поверхностью земли возле приёмника Ar, дБ	Gr = 1 hr = 1.5м	ф-лы таб.3 [10]	-1,5	-1,5	5,3	7	5	0,7	0	0	0		

1		2	3	4	5	6	7	8	9	10	11	12	13
Снижение поверхностью земли в средней зоне, Am дБ	Gm = 1	ф-лы таб.3 [10]	-2,8	-2,8	0	0	0	0	0	0	0		
Суммарное снижение поверхностью земли на траектории распространения звука Agr, дБ		ф-ла (9) [10]	-5,8	-5,8	3,8	5,5	3,5	-0,8	-1,5	-1,5	-1,5		
Уровни звукового давления от источника ИШ-6-24 в расчётной точке днём, дБ		**ф-ла(3)[10]**	**20,8**	**20,6**	**10,6**	**7,5**	**6,6**	**7,1**	**0**	**0**	**0**	**9,4**	**9,4**
Уровни звукового давления от источника ИШ-6-24 в расчётной точке ночью, дБ		**ф-ла(3)[10]**	**20,8**	**20,6**	**10,6**	**7,5**	**6,6**	**7,1**	**0**	**0**	**0**	**9,4**	**9,4**
Источник шума: ИШ-8-1, координаты источника (x,y,z), м =[612.60,-227.70,3.00]													
Уровни звуковой мощности источника днём, Lw, дБ		**исходные данные**	**105**	**104**	**104**	**101**	**102**	**106**	**101**	**95**	**87**		
Уровни звуковой мощности источника ночью, Lw, дБ		**исходные данные**	**105**	**104**	**104**	**101**	**102**	**106**	**101**	**95**	**87**		
Поправка на телесный угол DΩ, дБ	Ω = 6.28	10Lg(4π/Ω)	**3**	3	3	3	3	3	3	3	3		
Показатель направленности источника Di, дБ		исходные данные	**0**	0	0	0	0	0	0	0	0		
Поправка на направленность источника Dc, дБ	Dc	DΩ + Di	**3**	3	3	3	3	3	3	3	3		
Затухание из-за геометрической дивергенции, Adiv, дБ	расстояние = 1961.46 м	ф-ла (7) [10]	**76,9**										
Коэффициент затухания звука в атмосфере α, дБ/км	Ta=20,°C Pa=101.33,кПа hотн.=70%	ф-ла (5) [9]	0,02	0,09	0,33	1,12	2,79	4,98	9,04	23,09	77,63		
Учет затухания звука в атмосфере Aatm, дБ		ф-ла (8) [10]	0	0,2	0,7	2,2	5,5	9,8	17,7	45,3	152,3		
Снижение поверхностью земли возле источника As, дБ	Gs = 0 hs = 3м	ф-лы таб.3 [10]	-1,5	-1,5	-1,5	-1,5	-1,5	-1,5	-1,5	-1,5	-1,5		
Снижение поверхностью земли возле приёмника Ar, дБ	Gr = 1 hr = 1.5м	ф-лы таб.3 [10]	-1,5	-1,5	5,3	7	5	0,7	0	0	0		
Снижение поверхностью земли в средней зоне, Am дБ	Gm = 1	ф-лы таб.3 [10]	-2,8	-2,8	0	0	0	0	0	0	0		

1		2	3	4	5	6	7	8	9	10	11	12	13
Суммарное снижение поверхностью земли на траектории распространения звука Agr, дБ		ф-ла (9) [10]	-5,8	-5,8	3,8	5,5	3,5	-0,8	-1,5	-1,5	-1,5		
Уровни звукового давления от источника ИШ-8-1 в расчётной точке днём, дБ		**ф-ла(3)[10]**	**36,9**	**35,8**	**25,7**	**19,4**	**19,2**	**23,2**	**10,9**	**0**	**0**	**24,7**	**24,7**
Уровни звукового давления от источника ИШ-8-1 в расчётной точке ночью, дБ		**ф-ла(3)[10]**	**36,9**	**35,8**	**25,7**	**19,4**	**19,2**	**23,2**	**10,9**	**0**	**0**	**24,7**	**24,7**
Источник шума: ИШ-8-2, координаты источника (x,y,z), м =[596.60,-275.00,3.00]													
Уровни звуковой мощности источника днём, Lw, дБ		**исходные данные**	**105**	**104**	**104**	**101**	**102**	**106**	**101**	**95**	**87**		
Уровни звуковой мощности источника ночью, Lw, дБ		**исходные данные**	**105**	**104**	**104**	**101**	**102**	**106**	**101**	**95**	**87**		
Поправка на телесный угол DΩ, дБ	Ω = 6.28	10Lg(4π/Ω)	**3**	3	3	3	3	3	3	3	3		
Показатель направленности источника Di, дБ		исходные данные	**0**	0	0	0	0	0	0	0	0		
Поправка на направленность источника Dc, дБ	Dc	DΩ + Di	**3**	3	3	3	3	3	3	3	3		
Затухание из-за геометрической дивергенции, Adiv, дБ	расстояние = 2004.85 м	ф-ла (7) [10]	**77**										
Коэффициент затухания звука в атмосфере α, дБ/км	Ta=20,°C Pa=101.33,кПа hотн.=70%	ф-ла (5) [9]	0,02	0,09	0,33	1,12	2,79	4,98	9,04	23,09	77,63		
Учет затухания звука в атмосфере Aatm, дБ		ф-ла (8) [10]	0	0,2	0,7	2,3	5,6	10	18,1	46,3	155,6		
Снижение поверхностью земли возле источника As, дБ	Gs = 0 hs = 3м	ф-лы таб.3 [10]	-1,5	-1,5	-1,5	-1,5	-1,5	-1,5	-1,5	-1,5	-1,5		
Снижение поверхностью земли возле приёмника Ar, дБ	Gr = 1 hr = 1.5м	ф-лы таб.3 [10]	-1,5	-1,5	5,3	7	5	0,7	0	0	0		
Снижение поверхностью земли в средней зоне, Am дБ	Gm = 1	ф-лы таб.3 [10]	-2,8	-2,8	0	0	0	0	0	0	0		
Суммарное снижение поверхностью земли на траектории распространения звука Agr, дБ		ф-ла (9) [10]	-5,8	-5,8	3,8	5,5	3,5	-0,8	-1,5	-1,5	-1,5		

1		2	3	4	5	6	7	8	9	10	11	12	13
Уровни звукового давления прямого звука от источника ИШ-8-2 в расчётной точке днём, дБ		**ф-ла(3)[10]**	**36,7**	**35,6**	**25,5**	**19,2**	**18,9**	**22,8**	**10,3**	**0**	**0**	**24,4**	**24,4**
Уровни звукового давления прямого звука от источника ИШ-8-2 в расчётной точке ночью, дБ		**ф-ла(3)[10]**	**36,7**	**35,6**	**25,5**	**19,2**	**18,9**	**22,8**	**10,3**	**0**	**0**	**24,4**	**24,4**
Расчёт отражённого звука													
Уровни звукового давления от мнимого источника ИШ-8-2_мн.(1) в расчётной точке днём, дБ		**ф-ла(3)[10]**	**0**	**0**	**0**	**0**	**0**	**0**	**0**	**0**	**0**	**0**	**0**
Уровни звукового давления от мнимого источника ИШ-8-2_мн.(1) в расчётной точке ночью, дБ		**ф-ла(3)[10]**	**0**	**0**	**0**	**0**	**0**	**0**	**0**	**0**	**0**	**0**	**0**
Уровни звукового давления от источника ИШ-8-2 в расчётной точке днём, дБ		**ф-ла(3)[10]**	**36,7**	**35,6**	**25,5**	**19,2**	**18,9**	**22,8**	**10,3**	**0**	**0**	**24,4**	**24,4**
Уровни звукового давления от источника ИШ-8-2 в расчётной точке ночью, дБ		**ф-ла(3)[10]**	**36,7**	**35,6**	**25,5**	**19,2**	**18,9**	**22,8**	**10,3**	**0**	**0**	**24,4**	**24,4**
Источник шума: ИШ-8-3, координаты источника (x,y,z), м =[564.90,-369.90,3.00]													
Уровни звуковой мощности источника днём, Lw, дБ		**исходные данные**	**105**	**104**	**104**	**101**	**102**	**106**	**101**	**95**	**87**		
Уровни звуковой мощности источника ночью, Lw, дБ		**исходные данные**	**105**	**104**	**104**	**101**	**102**	**106**	**101**	**95**	**87**		
Поправка на телесный угол DΩ, дБ	Ω = 6.28	10Lg(4π/Ω)	**3**	3	3	3	3	3	3	3	3		
Показатель направленности источника Di, дБ		исходные данные	**0**	0	0	0	0	0	0	0	0		
Поправка на направленность источника Dc, дБ	Dc	DΩ + Di	**3**	3	3	3	3	3	3	3	3		
Затухание из-за геометрической дивергенции, Adiv, дБ	расстояние = 2092.50 м	ф-ла (7) [10]	**77,4**										
Коэффициент затухания звука в атмосфере α, дБ/км	Ta=20,°C Pa=101.33,кПа hотн.=70%	ф-ла (5) [9]	0,02	0,09	0,33	1,12	2,79	4,98	9,04	23,09	77,63		
Учет затухания звука в атмосфере Aatm, дБ		ф-ла (8) [10]	0	0,2	0,7	2,4	5,8	10,4	18,9	48,3	162,4		

1		2	3	4	5	6	7	8	9	10	11	12	13
Снижение уровня звукового давления из-за влияния застройки между источником шума и расчетной точкой													
Снижение уровня звукового давления препятствием справа от трассы ИШ-РТ, Dz3, дБ	z = -0.16м (разность путей)	ф-лы (14-18) [10]	0	2,5	0	NAN	NAN	NAN	NAN	NAN	NAN		
* отрицательное значение z означает прохождение траектории вблизи экрана, в этом случае дополнительно производится учёт снижения подстилающей поверхностью (см.ниже)													
Снижение поверхностью земли возле источника As, дБ	Gs = 0 hs = 3м	ф-лы таб.3 [10]	-1,5	-1,5	-1,5	-1,5	-1,5	-1,5	-1,5	-1,5	-1,5		
Снижение поверхностью земли возле приёмника Ar, дБ	Gr = 1 hr = 1.5м	ф-лы таб.3 [10]	-1,5	-1,5	5,3	7	5	0,7	0	0	0		
Снижение поверхностью земли в средней зоне, Am дБ	Gm = 1	ф-лы таб.3 [10]	-2,8	-2,8	0	0	0	0	0	0	0		
Суммарное снижение поверхностью земли на траектории распространения звука Agr, дБ		ф-ла (9) [10]	-5,8	-5,8	3,8	5,5	3,5	-0,8	-1,5	-1,5	-1,5		
Уровни звукового давления прямого звука от источника ИШ-8-3 в расчётной точке днём, дБ		**ф-ла(3)[10]**	**36,4**	**32,7**	**25,1**	**18,7**	**18,3**	**22**	**9,2**	**0**	**0**	**23,5**	**23,5**
Уровни звукового давления прямого звука от источника ИШ-8-3 в расчётной точке ночью, дБ		**ф-ла(3)[10]**	**36,4**	**32,7**	**25,1**	**18,7**	**18,3**	**22**	**9,2**	**0**	**0**	**23,5**	**23,5**
Расчёт отражённого звука													
Уровни звукового давления от мнимого источника ИШ-8-3_мн.(1) в расчётной точке днём, дБ		**ф-ла(3)[10]**	**0**	**0**	**0**	**0**	**0**	**0**	**0**	**0**	**0**	**0**	**0**
Уровни звукового давления от мнимого источника ИШ-8-3_мн.(1) в расчётной точке ночью, дБ		**ф-ла(3)[10]**	**0**	**0**	**0**	**0**	**0**	**0**	**0**	**0**	**0**	**0**	**0**
Уровни звукового давления от источника ИШ-8-3 в расчётной точке днём, дБ		**ф-ла(3)[10]**	**36,4**	**32,7**	**25,1**	**18,7**	**18,3**	**22**	**9,2**	**0**	**0**	**23,5**	**23,5**
Уровни звукового давления от источника ИШ-8-3 в расчётной точке ночью, дБ		**ф-ла(3)[10]**	**36,4**	**32,7**	**25,1**	**18,7**	**18,3**	**22**	**9,2**	**0**	**0**	**23,5**	**23,5**
Источник шума: ИШ-9-1, координаты источника (x,y,z), м =[642.94,-357.54,1.00]													
Уровни звуковой мощности источника днём, Lw, дБ		**исходные данные**	**0**	**93,3**	**94,7**	**96**	**96,3**	**95,9**	**92,6**	**88,4**	**83,9**		
Уровни звуковой мощности источника ночью, Lw, дБ		**исходные данные**	**0**	**93,3**	**94,7**	**96**	**96,3**	**95,9**	**92,6**	**88,4**	**83,9**		
Поправка на телесный угол DΩ, дБ	Ω = 6.28	10Lg(4π/Ω)	**3**	3	3	3	3	3	3	3	3		

1		2	3	4	5	6	7	8	9	10	11	12	13
Показатель направленности источника Di, дБ		исходные данные	**0**	0	0	0	0	0	0	0	0		
Поправка на направленность источника Dc, дБ	Dc	DΩ + Di	**3**	3	3	3	3	3	3	3	3		
Затухание из-за геометрической дивергенции, Adiv, дБ	расстояние = 2027.77 м	ф-ла (7) [10]	**77,1**										
Коэффициент затухания звука в атмосфере α, дБ/км	Ta=20,°C Pa=101.33,кПа hотн.=70%	ф-ла (5) [9]	0,02	0,09	0,33	1,12	2,79	4,98	9,04	23,09	77,63		
Учет затухания звука в атмосфере Aatm, дБ		ф-ла (8) [10]	0	0,2	0,7	2,3	5,7	10,1	18,3	46,8	157,4		
Снижение уровня звукового давления из-за влияния застройки между источником шума и расчетной точкой													
Снижение уровня звукового давления на пути над экраном, Dz1, дБ	z = 0.01м (разность путей)	ф-лы (14-18) [10]	4,8	4,8	4,8	4,8	4,8	4,8	4,8	4,8	4,8		
Снижение уровня звукового давления на пути слева от экрана, Dz2, дБ	z = 2.32м (разность путей)	ф-лы (14-18) [10]	10,6	13,1	15,7	18,5	21,5	24,4	27,4	30,4	33,4		
Снижение уровня звукового давления на пути справа от экрана, Dz3, дБ	z = 0.07м (разность путей)	ф-лы (14-18) [10]	5,1	5,5	6	7	8,5	10,5	12,8	15,5	18,3		
Общее снижение уровня звука препятствием Dz, дБ		Эн.сумма(-Dzi)	1,4	1,8	2,2	2,6	3,2	3,7	4,1	4,4	4,6		
Уровни звукового давления прямого звука от источника ИШ-9-1 в расчётной точке днём, дБ		**ф-ла(3)[10]**	**0**	**17,2**	**17,7**	**16,9**	**13,3**	**8**	**0**	**0**	**0**	**14**	**14**
Уровни звукового давления прямого звука от источника ИШ-9-1 в расчётной точке ночью, дБ		**ф-ла(3)[10]**	**0**	**17,2**	**17,7**	**16,9**	**13,3**	**8**	**0**	**0**	**0**	**14**	**14**
Расчёт отражённого звука													
Уровни звукового давления от мнимого источника ИШ-9-1_мн.(1) в расчётной точке днём, дБ		**ф-ла(3)[10]**	**0**	**0**	**0**	**0**	**0**	**0**	**0**	**0**	**0**	**0**	**0**
Уровни звукового давления от мнимого источника ИШ-9-1_мн.(1) в расчётной точке ночью, дБ		**ф-ла(3)[10]**	**0**	**0**	**0**	**0**	**0**	**0**	**0**	**0**	**0**	**0**	**0**
Уровни звукового давления от мнимого источника ИШ-9-1_мн.(2) в расчётной точке днём, дБ		**ф-ла(3)[10]**	**0**	**0**	**0**	**0**	**0**	**0**	**0**	**0**	**0**	**0**	**0**
Уровни звукового давления от мнимого источника ИШ-9-1_мн.(2) в расчётной точке ночью, дБ		**ф-ла(3)[10]**	**0**	**0**	**0**	**0**	**0**	**0**	**0**	**0**	**0**	**0**	**0**

1		2	3	4	5	6	7	8	9	10	11	12	13
Суммарные уровни звукового давления от мнимых источников в расчётной точке днём, дБ		**ф-ла (19) [1]**	**0**	**0**	**0**	**0**	**0**	**0**	**0**	**0**	**0**	**0**	**0**
Суммарные уровни звукового давления от мнимых источников в расчётной точке ночью, дБ		**ф-ла (19) [1]**	**0**	**0**	**0**	**0**	**0**	**0**	**0**	**0**	**0**	**0**	**0**
Уровни звукового давления от источника ИШ-9-1 в расчётной точке днём, дБ		**ф-ла(3)[10]**	**0**	**17,2**	**17,7**	**16,9**	**13,3**	**8**	**0**	**0**	**0**	**14**	**14**
Уровни звукового давления от источника ИШ-9-1 в расчётной точке ночью, дБ		**ф-ла(3)[10]**	**0**	**17,2**	**17,7**	**16,9**	**13,3**	**8**	**0**	**0**	**0**	**14**	**14**
Источник шума: ИШ-9-2, координаты источника (x,y,z), м =[644.14,-354.83,1.00]													
Уровни звуковой мощности источника днём, Lw, дБ		**исходные данные**	**0**	**93,3**	**94,7**	**96**	**96,3**	**95,9**	**92,6**	**88,4**	**83,9**		
Уровни звуковой мощности источника ночью, Lw, дБ		**исходные данные**	**0**	**93,3**	**94,7**	**96**	**96,3**	**95,9**	**92,6**	**88,4**	**83,9**		
Поправка на телесный угол DΩ, дБ	Ω = 6.28	10Lg(4π/Ω)	**3**	3	3	3	3	3	3	3	3		
Показатель направленности источника Di, дБ		исходные данные	**0**	0	0	0	0	0	0	0	0		
Поправка на направленность источника Dc, дБ	Dc	DΩ + Di	**3**	3	3	3	3	3	3	3	3		
Затухание из-за геометрической дивергенции, Adiv, дБ	расстояние = 2025.01 м	ф-ла (7) [10]	**77,1**										
Коэффициент затухания звука в атмосфере α, дБ/км	Ta=20,°C Pa=101.33,кПа hотн.=70%	ф-ла (5) [9]	0,02	0,09	0,33	1,12	2,79	4,98	9,04	23,09	77,63		
Учет затухания звука в атмосфере Aatm, дБ		ф-ла (8) [10]	0	0,2	0,7	2,3	5,7	10,1	18,3	46,7	157,2		
Снижение уровня звукового давления из-за влияния застройки между источником шума и расчетной точкой													
Снижение уровня звукового давления на пути над экраном, Dz1, дБ	z = 0.01м (разность путей)	ф-лы (14-18) [10]	4,8	4,8	4,8	4,8	4,8	4,8	4,8	4,8	4,8		
Снижение уровня звукового давления на пути слева от экрана, Dz2, дБ	z = 2.20м (разность путей)	ф-лы (14-18) [10]	10,5	12,9	15,5	18,3	21,2	24,2	27,2	30,2	33,2		

1		2	3	4	5	6	7	8	9	10	11	12	13
Снижение уровня звукового давления на пути справа от экрана, Dz3, дБ	z = 0.10м (разность путей)	ф-лы (14-18) [10]	5,3	5,7	6,5	7,7	9,5	11,7	14,3	17	19,9		
Общее снижение уровня звука препятствием Dz, дБ		Эн.сумма(-Dzi)	1,4	1,9	2,3	2,9	3,4	3,9	4,3	4,5	4,6		
Уровни звукового давления прямого звука от источника ИШ-9-2 в расчётной точке днём, дБ		**ф-ла(3)[10]**	**0**	**17,1**	**17,6**	**16,7**	**13,1**	**7,8**	**0**	**0**	**0**	**13,7**	**13,7**
Уровни звукового давления прямого звука от источника ИШ-9-2 в расчётной точке ночью, дБ		**ф-ла(3)[10]**	**0**	**17,1**	**17,6**	**16,7**	**13,1**	**7,8**	**0**	**0**	**0**	**13,7**	**13,7**
Расчёт отражённого звука													
Уровни звукового давления от мнимого источника ИШ-9-2_мн.(1) в расчётной точке днём, дБ		**ф-ла(3)[10]**	**0**	**0**	**0**	**0**	**0**	**0**	**0**	**0**	**0**	**0**	**0**
Уровни звукового давления от мнимого источника ИШ-9-2_мн.(1) в расчётной точке ночью, дБ		**ф-ла(3)[10]**	**0**	**0**	**0**	**0**	**0**	**0**	**0**	**0**	**0**	**0**	**0**
Уровни звукового давления от источника ИШ-9-2 в расчётной точке днём, дБ		**ф-ла(3)[10]**	**0**	**17,1**	**17,6**	**16,7**	**13,1**	**7,8**	**0**	**0**	**0**	**13,7**	**13,7**
Уровни звукового давления от источника ИШ-9-2 в расчётной точке ночью, дБ		**ф-ла(3)[10]**	**0**	**17,1**	**17,6**	**16,7**	**13,1**	**7,8**	**0**	**0**	**0**	**13,7**	**13,7**
Источник шума: ИШ-9-3, координаты источника (x,y,z), м =[644.98,-351.85,1.00]													
Уровни звуковой мощности источника днём, Lw, дБ		**исходные данные**	**0**	**93,3**	**94,7**	**96**	**96,3**	**95,9**	**92,6**	**88,4**	**83,9**		
Уровни звуковой мощности источника ночью, Lw, дБ		**исходные данные**	**0**	**93,3**	**94,7**	**96**	**96,3**	**95,9**	**92,6**	**88,4**	**83,9**		
Поправка на телесный угол DΩ, дБ	Ω = 6.28	10Lg(4π/Ω)	**3**	3	3	3	3	3	3	3	3		
Показатель направленности источника Di, дБ		исходные данные	**0**	0	0	0	0	0	0	0	0		
Поправка на направленность источника Dc, дБ	Dc	DΩ + Di	**3**	3	3	3	3	3	3	3	3		
Затухание из-за геометрической дивергенции, Adiv, дБ	расстояние = 2022.32 м	ф-ла (7) [10]	**77,1**										
Коэффициент затухания звука в атмосфере α, дБ/км	Ta=20,°C Pa=101.33,кПа hотн.=70%	ф-ла (5) [9]	0,02	0,09	0,33	1,12	2,79	4,98	9,04	23,09	77,63		

1		2	3	4	5	6	7	8	9	10	11	12	13
Учет затухания звука в атмосфере Aatm, дБ		ф-ла (8) [10]	0	0,2	0,7	2,3	5,6	10,1	18,3	46,7	157		
Снижение уровня звукового давления из-за влияния застройки между источником шума и расчетной точкой													
Снижение уровня звукового давления на пути над экраном, Dz1, дБ	z = 0.01м (разность путей)	ф-лы (14-18) [10]	4,8	4,8	4,8	4,8	4,8	4,8	4,8	4,8	4,8		
Снижение уровня звукового давления на пути слева от экрана, Dz2, дБ	z = 2.03м (разность путей)	ф-лы (14-18) [10]	10,2	12,6	15,2	18	20,9	23,8	26,8	29,8	32,8		
Снижение уровня звукового давления на пути справа от экрана, Dz3, дБ	z = 0.15м (разность путей)	ф-лы (14-18) [10]	5,5	6,2	7,2	8,8	10,8	13,3	16	18,8	21,7		
Общее снижение уровня звука препятствием Dz, дБ		Эн.сумма(-Dzi)	1,5	2	2,6	3,2	3,7	4,1	4,4	4,6	4,7		
Уровни звукового давления прямого звука от источника ИШ-9-3 в расчётной точке днём, дБ		**ф-ла(3)[10]**	**0**	**17**	**17,3**	**16,4**	**12,8**	**7,6**	**0**	**0**	**0**	**13,5**	**13,5**
Уровни звукового давления прямого звука от источника ИШ-9-3 в расчётной точке ночью, дБ		**ф-ла(3)[10]**	**0**	**17**	**17,3**	**16,4**	**12,8**	**7,6**	**0**	**0**	**0**	**13,5**	**13,5**
Расчёт отражённого звука													
Уровни звукового давления от мнимого источника ИШ-9-3_мн.(1) в расчётной точке днём, дБ		**ф-ла(3)[10]**	**0**	**0**	**0**	**0**	**0**	**0**	**0**	**0**	**0**	**0**	**0**
Уровни звукового давления от мнимого источника ИШ-9-3_мн.(1) в расчётной точке ночью, дБ		**ф-ла(3)[10]**	**0**	**0**	**0**	**0**	**0**	**0**	**0**	**0**	**0**	**0**	**0**
Уровни звукового давления от источника ИШ-9-3 в расчётной точке днём, дБ		**ф-ла(3)[10]**	**0**	**17**	**17,3**	**16,4**	**12,8**	**7,6**	**0**	**0**	**0**	**13,5**	**13,5**
Уровни звукового давления от источника ИШ-9-3 в расчётной точке ночью, дБ		**ф-ла(3)[10]**	**0**	**17**	**17,3**	**16,4**	**12,8**	**7,6**	**0**	**0**	**0**	**13,5**	**13,5**
Источник шума: ИШ-9-4, координаты источника (x,y,z), м =[646.01,-349.15,1.00]													
Уровни звуковой мощности источника днём, Lw, дБ		**исходные данные**	**0**	**93,3**	**94,7**	**96**	**96,3**	**95,9**	**92,6**	**88,4**	**83,9**		
Уровни звуковой мощности источника ночью, Lw, дБ		**исходные данные**	**0**	**93,3**	**94,7**	**96**	**96,3**	**95,9**	**92,6**	**88,4**	**83,9**		
Поправка на телесный угол DΩ, дБ	Ω = 6.28	10Lg(4π/Ω)	**3**	3	3	3	3	3	3	3	3		

1		2	3	4	5	6	7	8	9	10	11	12	13
Показатель направленности источника Di, дБ		исходные данные	**0**	0	0	0	0	0	0	0	0		
Поправка на направленность источника Dc, дБ	Dc	DΩ + Di	**3**	3	3	3	3	3	3	3	3		
Затухание из-за геометрической дивергенции, Adiv, дБ	расстояние = 2019.69 м	ф-ла (7) [10]	**77,1**										
Коэффициент затухания звука в атмосфере α, дБ/км	Ta=20,°C Pa=101.33,кПа hотн.=70%	ф-ла (5) [9]	0,02	0,09	0,33	1,12	2,79	4,98	9,04	23,09	77,63		
Учет затухания звука в атмосфере Aatm, дБ		ф-ла (8) [10]	0	0,2	0,7	2,3	5,6	10,1	18,3	46,6	156,8		
Снижение уровня звукового давления из-за влияния застройки между источником шума и расчетной точкой													
Снижение уровня звукового давления на пути над экраном, Dz1, дБ	z = 0.01м (разность путей)	ф-лы (14-18) [10]	4,8	4,8	4,8	4,8	4,8	4,8	4,8	4,8	4,8		
Снижение уровня звукового давления на пути слева от экрана, Dz2, дБ	z = 1.90м (разность путей)	ф-лы (14-18) [10]	10	12,3	14,9	17,7	20,6	23,5	26,5	29,5	32,5		
Снижение уровня звукового давления на пути справа от экрана, Dz3, дБ	z = 0.21м (разность путей)	ф-лы (14-18) [10]	5,8	6,6	7,8	9,6	11,8	14,4	17,1	20	23		
Общее снижение уровня звука препятствием Dz, дБ		Эн.сумма(-Dzi)	1,6	2,1	2,7	3,4	3,9	4,3	4,5	4,6	4,7		
Уровни звукового давления от источника ИШ-9-4 в расчётной точке днём, дБ		**ф-ла(3)[10]**	**0**	**16,9**	**17,2**	**16,2**	**12,7**	**7,5**	**0**	**0**	**0**	**13,3**	**13,3**
Уровни звукового давления от источника ИШ-9-4 в расчётной точке ночью, дБ		**ф-ла(3)[10]**	**0**	**16,9**	**17,2**	**16,2**	**12,7**	**7,5**	**0**	**0**	**0**	**13,3**	**13,3**
Источник шума: ИШ-9-5, координаты источника (x,y,z), м =[646.84,-346.17,1.00]													
Уровни звуковой мощности источника днём, Lw, дБ		**исходные данные**	**0**	**93,3**	**94,7**	**96**	**96,3**	**95,9**	**92,6**	**88,4**	**83,9**		
Уровни звуковой мощности источника ночью, Lw, дБ		**исходные данные**	**0**	**93,3**	**94,7**	**96**	**96,3**	**95,9**	**92,6**	**88,4**	**83,9**		
Поправка на телесный угол DΩ, дБ	Ω = 6.28	10Lg(4π/Ω)	**3**	3	3	3	3	3	3	3	3		

1		2	3	4	5	6	7	8	9	10	11	12	13
Показатель направленности источника Di, дБ		исходные данные	**0**	0	0	0	0	0	0	0	0		
Поправка на направленность источника Dc, дБ	Dc	DΩ + Di	**3**	3	3	3	3	3	3	3	3		
Затухание из-за геометрической дивергенции, Adiv, дБ	расстояние = 2017.01 м	ф-ла (7) [10]	**77,1**										
Коэффициент затухания звука в атмосфере α, дБ/км	Ta=20,°C Pa=101.33,кПа hотн.=70%	ф-ла (5) [9]	0,02	0,09	0,33	1,12	2,79	4,98	9,04	23,09	77,63		
Учет затухания звука в атмосфере Aatm, дБ		ф-ла (8) [10]	0	0,2	0,7	2,3	5,6	10	18,2	46,6	156,6		
Снижение уровня звукового давления из-за влияния застройки между источником шума и расчетной точкой													
Снижение уровня звукового давления на пути над экраном, Dz1, дБ	z = 0.01м (разность путей)	ф-лы (14-18) [10]	4,8	4,8	4,8	4,8	4,8	4,8	4,8	4,8	4,8		
Снижение уровня звукового давления на пути слева от экрана, Dz2, дБ	z = 1.73м (разность путей)	ф-лы (14-18) [10]	9,7	12	14,5	17,3	20,2	23,1	26,1	29,1	32,1		
Снижение уровня звукового давления на пути справа от экрана, Dz3, дБ	z = 0.29м (разность путей)	ф-лы (14-18) [10]	6,1	7,1	8,6	10,6	13	15,6	18,5	21,4	24,3		
Общее снижение уровня звука препятствием Dz, дБ		Эн.сумма(-Dzi)	1,6	2,3	2,9	3,6	4,1	4,4	4,6	4,7	4,7		
Уровни звукового давления от источника ИШ-9-5 в расчётной точке днём, дБ		**ф-ла(3)[10]**	**0**	**16,7**	**17**	**16,1**	**12,5**	**7,4**	**0**	**0**	**0**	**13,2**	**13,2**
Уровни звукового давления от источника ИШ-9-5 в расчётной точке ночью, дБ		**ф-ла(3)[10]**	**0**	**16,7**	**17**	**16,1**	**12,5**	**7,4**	**0**	**0**	**0**	**13,2**	**13,2**
Источник шума: ИШ-9-6, координаты источника (x,y,z), м =[647.87,-343.47,1.00]													
Уровни звуковой мощности источника днём, Lw, дБ		**исходные данные**	**0**	**93,3**	**94,7**	**96**	**96,3**	**95,9**	**92,6**	**88,4**	**83,9**		
Уровни звуковой мощности источника ночью, Lw, дБ		**исходные данные**	**0**	**93,3**	**94,7**	**96**	**96,3**	**95,9**	**92,6**	**88,4**	**83,9**		
Поправка на телесный угол DΩ, дБ	Ω = 6.28	10Lg(4π/Ω)	**3**	3	3	3	3	3	3	3	3		

1		2	3	4	5	6	7	8	9	10	11	12	13
Показатель направленности источника Di, дБ		исходные данные	**0**	0	0	0	0	0	0	0	0		
Поправка на направленность источника Dc, дБ	Dc	DΩ + Di	**3**	3	3	3	3	3	3	3	3		
Затухание из-за геометрической дивергенции, Adiv, дБ	расстояние = 2014.38 м	ф-ла (7) [10]	**77,1**										
Коэффициент затухания звука в атмосфере α, дБ/км	Ta=20,°C Pa=101.33,кПа hотн.=70%	ф-ла (5) [9]	0,02	0,09	0,33	1,12	2,79	4,98	9,04	23,09	77,63		
Учет затухания звука в атмосфере Aatm, дБ		ф-ла (8) [10]	0	0,2	0,7	2,3	5,6	10	18,2	46,5	156,4		
Снижение уровня звукового давления из-за влияния застройки между источником шума и расчетной точкой													
Снижение уровня звукового давления на пути над экраном, Dz1, дБ	z = 0.01м (разность путей)	ф-лы (14-18) [10]	4,8	4,8	4,8	4,8	4,8	4,8	4,8	4,8	4,8		
Снижение уровня звукового давления на пути слева от экрана, Dz2, дБ	z = 1.61м (разность путей)	ф-лы (14-18) [10]	9,5	11,7	14,2	17	19,9	22,8	25,8	28,8	31,8		
Снижение уровня звукового давления на пути справа от экрана, Dz3, дБ	z = 0.36м (разность путей)	ф-лы (14-18) [10]	6,4	7,5	9,2	11,3	13,8	16,5	19,4	22,3	25,3		
Общее снижение уровня звука препятствием Dz, дБ		Эн.сумма(-Dzi)	1,7	2,4	3,1	3,7	4,1	4,4	4,6	4,7	4,7		
Уровни звукового давления от источника ИШ-9-6 в расчётной точке днём, дБ		**ф-ла(3)[10]**	**0**	**16,6**	**16,9**	**16**	**12,4**	**7,4**	**0**	**0**	**0**	**13,1**	**13,1**
Уровни звукового давления от источника ИШ-9-6 в расчётной точке ночью, дБ		**ф-ла(3)[10]**	**0**	**16,6**	**16,9**	**16**	**12,4**	**7,4**	**0**	**0**	**0**	**13,1**	**13,1**
Источник шума: ИШ-9-7, координаты источника (x,y,z), м =[648.71,-340.49,1.00]													
Уровни звуковой мощности источника днём, Lw, дБ		**исходные данные**	**0**	**93,3**	**94,7**	**96**	**96,3**	**95,9**	**92,6**	**88,4**	**83,9**		
Уровни звуковой мощности источника ночью, Lw, дБ		**исходные данные**	**0**	**93,3**	**94,7**	**96**	**96,3**	**95,9**	**92,6**	**88,4**	**83,9**		
Поправка на телесный угол DΩ, дБ	Ω = 6.28	10Lg(4π/Ω)	**3**	3	3	3	3	3	3	3	3		

1		2	3	4	5	6	7	8	9	10	11	12	13
Показатель направленности источника Di, дБ		исходные данные	**0**	0	0	0	0	0	0	0	0		
Поправка на направленность источника Dc, дБ	Dc	DΩ + Di	**3**	3	3	3	3	3	3	3	3		
Затухание из-за геометрической дивергенции, Adiv, дБ	расстояние = 2011.70 м	ф-ла (7) [10]	**77,1**										
Коэффициент затухания звука в атмосфере α, дБ/км	Ta=20,°C Pa=101.33,кПа hотн.=70%	ф-ла (5) [9]	0,02	0,09	0,33	1,12	2,79	4,98	9,04	23,09	77,63		
Учет затухания звука в атмосфере Aatm, дБ		ф-ла (8) [10]	0	0,2	0,7	2,3	5,6	10	18,2	46,4	156,2		
Снижение уровня звукового давления из-за влияния застройки между источником шума и расчетной точкой													
Снижение уровня звукового давления на пути над экраном, Dz1, дБ	z = 0.01м (разность путей)	ф-лы (14-18) [10]	4,8	4,8	4,8	4,8	4,8	4,8	4,8	4,8	4,8		
Снижение уровня звукового давления на пути слева от экрана, Dz2, дБ	z = 1.45м (разность путей)	ф-лы (14-18) [10]	9,2	11,4	13,9	16,6	19,5	22,4	25,4	28,4	31,4		
Снижение уровня звукового давления на пути справа от экрана, Dz3, дБ	z = 0.46м (разность путей)	ф-лы (14-18) [10]	6,7	8,1	9,9	12,2	14,8	17,6	20,5	23,4	26,4		
Общее снижение уровня звука препятствием Dz, дБ		Эн.сумма(-Dzi)	1,8	2,5	3,2	3,8	4,2	4,5	4,6	4,7	4,7		
Уровни звукового давления прямого звука от источника ИШ-9-7 в расчётной точке днём, дБ		**ф-ла(3)[10]**	**0**	**16,5**	**16,7**	**15,8**	**12,4**	**7,3**	**0**	**0**	**0**	**13,1**	**13,1**
Уровни звукового давления прямого звука от источника ИШ-9-7 в расчётной точке ночью, дБ		**ф-ла(3)[10]**	**0**	**16,5**	**16,7**	**15,8**	**12,4**	**7,3**	**0**	**0**	**0**	**13,1**	**13,1**
Расчёт отражённого звука													
Уровни звукового давления от мнимого источника ИШ-9-7_мн.(1) в расчётной точке днём, дБ		**ф-ла(3)[10]**	**0**	**0**	**0**	**0**	**0**	**0**	**0**	**0**	**0**	**0**	**0**
Уровни звукового давления от мнимого источника ИШ-9-7_мн.(1) в расчётной точке ночью, дБ		**ф-ла(3)[10]**	**0**	**0**	**0**	**0**	**0**	**0**	**0**	**0**	**0**	**0**	**0**
Уровни звукового давления от источника ИШ-9-7 в расчётной точке днём, дБ		**ф-ла(3)[10]**	**0**	**16,5**	**16,7**	**15,8**	**12,4**	**7,3**	**0**	**0**	**0**	**13,1**	**13,1**
Уровни звукового давления от источника ИШ-9-7 в расчётной точке ночью, дБ		**ф-ла(3)[10]**	**0**	**16,5**	**16,7**	**15,8**	**12,4**	**7,3**	**0**	**0**	**0**	**13,1**	**13,1**

1		2	3	4	5	6	7	8	9	10	11	12	13
Источник шума: ИШ-9-8, координаты источника (x,y,z), м =[649.92,-337.69,1.00]													
Уровни звуковой мощности источника днём, Lw, дБ		**исходные данные**	**0**	**93,3**	**94,7**	**96**	**96,3**	**95,9**	**92,6**	**88,4**	**83,9**		
Уровни звуковой мощности источника ночью, Lw, дБ		**исходные данные**	**0**	**93,3**	**94,7**	**96**	**96,3**	**95,9**	**92,6**	**88,4**	**83,9**		
Поправка на телесный угол DΩ, дБ	Ω = 6.28	10Lg(4π/Ω)	**3**	3	3	3	3	3	3	3	3		
Показатель направленности источника Di, дБ		исходные данные	**0**	0	0	0	0	0	0	0	0		
Поправка на направленность источника Dc, дБ	Dc	DΩ + Di	**3**	3	3	3	3	3	3	3	3		
Затухание из-за геометрической дивергенции, Adiv, дБ	расстояние = 2008.88 м	ф-ла (7) [10]	**77,1**										
Коэффициент затухания звука в атмосфере α, дБ/км	Ta=20,°C Pa=101.33,кПа hотн.=70%	ф-ла (5) [9]	0,02	0,09	0,33	1,12	2,79	4,98	9,04	23,09	77,63		
Учет затухания звука в атмосфере Aatm, дБ		ф-ла (8) [10]	0	0,2	0,7	2,3	5,6	10	18,2	46,4	156		
Снижение уровня звукового давления из-за влияния застройки между источником шума и расчетной точкой													
Снижение уровня звукового давления на пути над экраном, Dz1, дБ	z = 0.01м (разность путей)	ф-лы (14-18) [10]	4,8	4,8	4,8	4,8	4,8	4,8	4,8	4,8	4,8		
Снижение уровня звукового давления на пути слева от экрана, Dz2, дБ	z = 1.34м (разность путей)	ф-лы (14-18) [10]	9	11,1	13,6	16,3	19,1	22,1	25	28	31		
Снижение уровня звукового давления на пути справа от экрана, Dz3, дБ	z = 0.55м (разность путей)	ф-лы (14-18) [10]	7	8,5	10,4	12,8	15,5	18,3	21,2	24,2	27,2		
Общее снижение уровня звука препятствием Dz, дБ		Эн.сумма(-Dzi)	1,8	2,6	3,3	3,9	4,3	4,5	4,6	4,7	4,7		
Уровни звукового давления прямого звука от источника ИШ-9-8 в расчётной точке днём, дБ		**ф-ла(3)[10]**	**0**	**16,5**	**16,7**	**15,8**	**12,4**	**7,3**	**0**	**0**	**0**	**13**	**13**
Уровни звукового давления прямого звука от источника ИШ-9-8 в расчётной точке ночью, дБ		**ф-ла(3)[10]**	**0**	**16,5**	**16,7**	**15,8**	**12,4**	**7,3**	**0**	**0**	**0**	**13**	**13**

1		2	3	4	5	6	7	8	9	10	11	12	13
Расчёт отражённого звука													
Уровни звукового давления от мнимого источника ИШ-9-8_мн.(1) в расчётной точке днём, дБ		**ф-ла(3)[10]**	**0**	**0**	**0**	**0**	**0**	**0**	**0**	**0**	**0**	**0**	**0**
Уровни звукового давления от мнимого источника ИШ-9-8_мн.(1) в расчётной точке ночью, дБ		**ф-ла(3)[10]**	**0**	**0**	**0**	**0**	**0**	**0**	**0**	**0**	**0**	**0**	**0**
Уровни звукового давления от источника ИШ-9-8 в расчётной точке днём, дБ		**ф-ла(3)[10]**	**0**	**16,5**	**16,7**	**15,8**	**12,4**	**7,3**	**0**	**0**	**0**	**13**	**13**
Уровни звукового давления от источника ИШ-9-8 в расчётной точке ночью, дБ		**ф-ла(3)[10]**	**0**	**16,5**	**16,7**	**15,8**	**12,4**	**7,3**	**0**	**0**	**0**	**13**	**13**
Источник шума: ИШ-9-9, координаты источника (x,y,z), м =[650.66,-334.90,1.00]													
Уровни звуковой мощности источника днём, Lw, дБ		**исходные данные**	**0**	**93,3**	**94,7**	**96**	**96,3**	**95,9**	**92,6**	**88,4**	**83,9**		
Уровни звуковой мощности источника ночью, Lw, дБ		**исходные данные**	**0**	**93,3**	**94,7**	**96**	**96,3**	**95,9**	**92,6**	**88,4**	**83,9**		
Поправка на телесный угол DΩ, дБ	Ω = 6.28	10Lg(4π/Ω)	**3**	3	3	3	3	3	3	3	3		
Показатель направленности источника Di, дБ		исходные данные	**0**	0	0	0	0	0	0	0	0		
Поправка на направленность источника Dc, дБ	Dc	DΩ + Di	**3**	3	3	3	3	3	3	3	3		
Затухание из-за геометрической дивергенции, Adiv, дБ	расстояние = 2006.40 м	ф-ла (7) [10]	**77**										
Коэффициент затухания звука в атмосфере α, дБ/км	Ta=20,°C Pa=101.33,кПа hотн.=70%	ф-ла (5) [9]	0,02	0,09	0,33	1,12	2,79	4,98	9,04	23,09	77,63		
Учет затухания звука в атмосфере Aatm, дБ		ф-ла (8) [10]	0	0,2	0,7	2,3	5,6	10	18,1	46,3	155,8		
Снижение уровня звукового давления из-за влияния застройки между источником шума и расчетной точкой													
Снижение уровня звукового давления на пути над экраном, Dz1, дБ	z = 0.01м (разность путей)	ф-лы (14-18) [10]	4,8	4,8	4,8	4,8	4,8	4,8	4,8	4,8	4,8		

1		2	3	4	5	6	7	8	9	10	11	12	13
Снижение уровня звукового давления на пути слева от экрана, Dz2, дБ	z = 1.20м (разность путей)	ф-лы (14-18) [10]	8,7	10,7	13,1	15,8	18,7	21,6	24,5	27,5	30,5		
Снижение уровня звукового давления на пути справа от экрана, Dz3, дБ	z = 0.67м (разность путей)	ф-лы (14-18) [10]	7,4	9	11,1	13,6	16,3	19,2	22,1	25,1	28		
Общее снижение уровня звука препятствием Dz, дБ		Эн.сумма(-Dzi)	1,9	2,7	3,4	3,9	4,3	4,5	4,6	4,7	4,7		
Уровни звукового давления от источника ИШ-9-9 в расчётной точке днём, дБ		**ф-ла(3)[10]**	**0**	**16,4**	**16,6**	**15,7**	**12,3**	**7,3**	**0**	**0**	**0**	**13**	**13**
Уровни звукового давления от источника ИШ-9-9 в расчётной точке ночью, дБ		**ф-ла(3)[10]**	**0**	**16,4**	**16,6**	**15,7**	**12,3**	**7,3**	**0**	**0**	**0**	**13**	**13**
Источник шума: ИШ-9-10, координаты источника (x,y,z), м =[651.59,-332.01,1.00]													
Уровни звуковой мощности источника днём, Lw, дБ		**исходные данные**	**0**	**93,3**	**94,7**	**96**	**96,3**	**95,9**	**92,6**	**88,4**	**83,9**		
Уровни звуковой мощности источника ночью, Lw, дБ		**исходные данные**	**0**	**93,3**	**94,7**	**96**	**96,3**	**95,9**	**92,6**	**88,4**	**83,9**		
Поправка на телесный угол DΩ, дБ	Ω = 6.28	10Lg(4π/Ω)	**3**	3	3	3	3	3	3	3	3		
Показатель направленности источника Di, дБ		исходные данные	**0**	0	0	0	0	0	0	0	0		
Поправка на направленность источника Dc, дБ	Dc	DΩ + Di	**3**	3	3	3	3	3	3	3	3		
Затухание из-за геометрической дивергенции, Adiv, дБ	расстояние = 2003.71 м	ф-ла (7) [10]	**77**										
Коэффициент затухания звука в атмосфере α, дБ/км	Ta=20,°C Pa=101.33,кПа hотн.=70%	ф-ла (5) [9]	0,02	0,09	0,33	1,12	2,79	4,98	9,04	23,09	77,63		
Учет затухания звука в атмосфере Aatm, дБ		ф-ла (8) [10]	0	0,2	0,7	2,3	5,6	10	18,1	46,3	155,6		
Снижение уровня звукового давления из-за влияния застройки между источником шума и расчетной точкой													
Снижение уровня звукового давления на пути над экраном, Dz1, дБ	z = 0.01м (разность путей)	ф-лы (14-18) [10]	4,8	4,8	4,8	4,8	4,8	4,8	4,8	4,8	4,8		

1		2	3	4	5	6	7	8	9	10	11	12	13
Снижение уровня звукового давления на пути слева от экрана, Dz2, дБ	z = 1.07м (разность путей)	ф-лы (14-18) [10]	8,4	10,4	12,7	15,4	18,2	21,1	24,1	27	30		
Снижение уровня звукового давления на пути справа от экрана, Dz3, дБ	z = 0.81м (разность путей)	ф-лы (14-18) [10]	7,8	9,5	11,7	14,3	17	19,9	22,9	25,8	28,8		
Общее снижение уровня звука препятствием Dz, дБ		Эн.сумма(-Dzi)	1,9	2,7	3,4	4	4,3	4,5	4,7	4,7	4,7		
Уровни звукового давления от источника ИШ-9-10 в расчётной точке днём, дБ		**ф-ла(3)[10]**	**0**	**16,4**	**16,6**	**15,7**	**12,3**	**7,3**	**0**	**0**	**0**	**13**	**13**
Уровни звукового давления от источника ИШ-9-10 в расчётной точке ночью, дБ		**ф-ла(3)[10]**	**0**	**16,4**	**16,6**	**15,7**	**12,3**	**7,3**	**0**	**0**	**0**	**13**	**13**
Источник шума: ИШ-9-11, координаты источника (x,y,z), м =[652.71,-329.22,1.00]													
Уровни звуковой мощности источника днём, Lw, дБ		**исходные данные**	**0**	**93,3**	**94,7**	**96**	**96,3**	**95,9**	**92,6**	**88,4**	**83,9**		
Уровни звуковой мощности источника ночью, Lw, дБ		**исходные данные**	**0**	**93,3**	**94,7**	**96**	**96,3**	**95,9**	**92,6**	**88,4**	**83,9**		
Поправка на телесный угол DΩ, дБ	Ω = 6.28	10Lg(4π/Ω)	**3**	3	3	3	3	3	3	3	3		
Показатель направленности источника Di, дБ		исходные данные	**0**	0	0	0	0	0	0	0	0		
Поправка на направленность источника Dc, дБ	Dc	DΩ + Di	**3**	3	3	3	3	3	3	3	3		
Затухание из-за геометрической дивергенции, Adiv, дБ	расстояние = 2000.96 м	ф-ла (7) [10]	**77**										
Коэффициент затухания звука в атмосфере α, дБ/км	Ta=20,°C Pa=101.33,кПа hотн.=70%	ф-ла (5) [9]	0,02	0,09	0,33	1,12	2,79	4,98	9,04	23,09	77,63		
Учет затухания звука в атмосфере Aatm, дБ		ф-ла (8) [10]	0	0,2	0,7	2,2	5,6	10	18,1	46,2	155,3		
Снижение уровня звукового давления из-за влияния застройки между источником шума и расчетной точкой													
Снижение уровня звукового давления на пути над экраном, Dz1, дБ	z = 0.01м (разность путей)	ф-лы (14-18) [10]	4,8	4,8	4,8	4,8	4,8	4,8	4,8	4,8	4,8		

1		2	3	4	5	6	7	8	9	10	11	12	13
Снижение уровня звукового давления на пути слева от экрана, Dz2, дБ	z = 0.97м (разность путей)	ф-лы (14-18) [10]	8,2	10,1	12,4	15	17,8	20,7	23,6	26,6	29,6		
Снижение уровня звукового давления на пути справа от экрана, Dz3, дБ	z = 0.94м (разность путей)	ф-лы (14-18) [10]	8,1	10	12,3	14,9	17,7	20,6	23,5	26,5	29,5		
Общее снижение уровня звука препятствием Dz, дБ		Эн.сумма(-Dzi)	1,9	2,7	3,5	4	4,4	4,6	4,7	4,7	4,7		
Уровни звукового давления прямого звука от источника ИШ-9-11 в расчётной точке днём, дБ		**ф-ла(3)[10]**	**0**	**16,3**	**16,5**	**15,7**	**12,3**	**7,4**	**0**	**0**	**0**	**13**	**13**
Уровни звукового давления прямого звука от источника ИШ-9-11 в расчётной точке ночью, дБ		**ф-ла(3)[10]**	**0**	**16,3**	**16,5**	**15,7**	**12,3**	**7,4**	**0**	**0**	**0**	**13**	**13**
Расчёт отражённого звука													
Уровни звукового давления от мнимого источника ИШ-9-11_мн.(1) в расчётной точке днём, дБ		**ф-ла(3)[10]**	**0**	**0**	**0**	**0**	**0**	**0**	**0**	**0**	**0**	**0**	**0**
Уровни звукового давления от мнимого источника ИШ-9-11_мн.(1) в расчётной точке ночью, дБ		**ф-ла(3)[10]**	**0**	**0**	**0**	**0**	**0**	**0**	**0**	**0**	**0**	**0**	**0**
Уровни звукового давления от источника ИШ-9-11 в расчётной точке днём, дБ		**ф-ла(3)[10]**	**0**	**16,3**	**16,5**	**15,7**	**12,3**	**7,4**	**0**	**0**	**0**	**13**	**13**
Уровни звукового давления от источника ИШ-9-11 в расчётной точке ночью, дБ		**ф-ла(3)[10]**	**0**	**16,3**	**16,5**	**15,7**	**12,3**	**7,4**	**0**	**0**	**0**	**13**	**13**
Источник шума: ИШ-9-12, координаты источника (x,y,z), м =[653.46,-326.33,1.00]													
Уровни звуковой мощности источника днём, Lw, дБ		**исходные данные**	**0**	**93,3**	**94,7**	**96**	**96,3**	**95,9**	**92,6**	**88,4**	**83,9**		
Уровни звуковой мощности источника ночью, Lw, дБ		**исходные данные**	**0**	**93,3**	**94,7**	**96**	**96,3**	**95,9**	**92,6**	**88,4**	**83,9**		
Поправка на телесный угол DΩ, дБ	Ω = 6.28	10Lg(4π/Ω)	**3**	3	3	3	3	3	3	3	3		
Показатель направленности источника Di, дБ		исходные данные	**0**	0	0	0	0	0	0	0	0		
Поправка на направленность источника Dc, дБ	Dc	DΩ + Di	**3**	3	3	3	3	3	3	3	3		
Затухание из-за геометрической дивергенции, Adiv, дБ	расстояние = 1998.41 м	ф-ла (7) [10]	**77**										

1		2	3	4	5	6	7	8	9	10	11	12	13
Коэффициент затухания звука в атмосфере α, дБ/км	Та=20,°С Ра=101.33,кПа hотн.=70%	ф-ла (5) [9]	0,02	0,09	0,33	1,12	2,79	4,98	9,04	23,09	77,63		
Учет затухания звука в атмосфере Aatm, дБ		ф-ла (8) [10]	0	0,2	0,7	2,2	5,6	9,9	18,1	46,1	155,1		
Снижение уровня звукового давления из-за влияния застройки между источником шума и расчетной точкой													
Снижение уровня звукового давления на пути над экраном, Dz1, дБ	z = 0.01м (разность путей)	ф-лы (14-18) [10]	4,8	4,8	4,8	4,8	4,8	4,8	4,8	4,8	4,8		
Снижение уровня звукового давления на пути слева от экрана, Dz2, дБ	z = 0.84м (разность путей)	ф-лы (14-18) [10]	7,9	9,6	11,8	14,4	17,2	20,1	23	26	29		
Снижение уровня звукового давления на пути справа от экрана, Dz3, дБ	z = 1.12м (разность путей)	ф-лы (14-18) [10]	8,5	10,5	12,9	15,5	18,4	21,3	24,2	27,2	30,2		
Общее снижение уровня звука препятствием Dz, дБ		Эн.сумма(-Dzi)	2	2,8	3,5	4	4,4	4,6	4,7	4,7	4,7		
Уровни звукового давления прямого звука от источника ИШ-9-12 в расчётной точке днём, дБ		**ф-ла(3)[10]**	**0**	**16,3**	**16,5**	**15,7**	**12,3**	**7,4**	**0**	**0**	**0**	**13**	**13**
Уровни звукового давления прямого звука от источника ИШ-9-12 в расчётной точке ночью, дБ		**ф-ла(3)[10]**	**0**	**16,3**	**16,5**	**15,7**	**12,3**	**7,4**	**0**	**0**	**0**	**13**	**13**
Расчёт отражённого звука													
Уровни звукового давления от мнимого источника ИШ-9-12_мн.(1) в расчётной точке днём, дБ		**ф-ла(3)[10]**	**0**	**0**	**0**	**0**	**0**	**0**	**0**	**0**	**0**	**0**	**0**
Уровни звукового давления от мнимого источника ИШ-9-12_мн.(1) в расчётной точке ночью, дБ		**ф-ла(3)[10]**	**0**	**0**	**0**	**0**	**0**	**0**	**0**	**0**	**0**	**0**	**0**
Уровни звукового давления от источника ИШ-9-12 в расчётной точке днём, дБ		**ф-ла(3)[10]**	**0**	**16,3**	**16,5**	**15,7**	**12,3**	**7,4**	**0**	**0**	**0**	**13**	**13**
Уровни звукового давления от источника ИШ-9-12 в расчётной точке ночью, дБ		**ф-ла(3)[10]**	**0**	**16,3**	**16,5**	**15,7**	**12,3**	**7,4**	**0**	**0**	**0**	**13**	**13**
Источник шума: ИШ-9-13, координаты источника (x,y,z), м =[654.48,-323.54,1.00]													
Уровни звуковой мощности источника днём, Lw, дБ		**исходные данные**	**0**	**93,3**	**94,7**	**96**	**96,3**	**95,9**	**92,6**	**88,4**	**83,9**		

1		2	3	4	5	6	7	8	9	10	11	12	13
Уровни звуковой мощности источника ночью, Lw, дБ		**исходные данные**	**0**	**93,3**	**94,7**	**96**	**96,3**	**95,9**	**92,6**	**88,4**	**83,9**		
Поправка на телесный угол DΩ, дБ	Ω = 6.28	10Lg(4π/Ω)	**3**	3	3	3	3	3	3	3	3		
Показатель направленности источника Di, дБ		исходные данные	**0**	0	0	0	0	0	0	0	0		
Поправка на направленность источника Dc, дБ	Dc	DΩ + Di	**3**	3	3	3	3	3	3	3	3		
Затухание из-за геометрической дивергенции, Adiv, дБ	расстояние = 1995.73 м	ф-ла (7) [10]	**77**										
Коэффициент затухания звука в атмосфере α, дБ/км	Ta=20,°C Pa=101.33,кПа hотн.=70%	ф-ла (5) [9]	0,02	0,09	0,33	1,12	2,79	4,98	9,04	23,09	77,63		
Учет затухания звука в атмосфере Aatm, дБ		ф-ла (8) [10]	0	0,2	0,7	2,2	5,6	9,9	18	46,1	154,9		
Снижение уровня звукового давления из-за влияния застройки между источником шума и расчетной точкой													
Снижение уровня звукового давления на пути над экраном, Dz1, дБ	z = 0.01м (разность путей)	ф-лы (14-18) [10]	4,8	4,8	4,8	4,8	4,8	4,8	4,8	4,8	4,8		
Снижение уровня звукового давления на пути слева от экрана, Dz2, дБ	z = 0.74м (разность путей)	ф-лы (14-18) [10]	7,6	9,3	11,4	13,9	16,7	19,5	22,5	25,4	28,4		
Снижение уровня звукового давления на пути справа от экрана, Dz3, дБ	z = 1.28м (разность путей)	ф-лы (14-18) [10]	8,9	11	13,4	16,1	18,9	21,9	24,8	27,8	30,8		
Общее снижение уровня звука препятствием Dz, дБ		Эн.сумма(-Dzi)	2	2,7	3,5	4	4,3	4,5	4,7	4,7	4,7		
Уровни звукового давления прямого звука от источника ИШ-9-13 в расчётной точке днём, дБ		**ф-ла(3)[10]**	**0**	**16,4**	**16,6**	**15,8**	**12,4**	**7,4**	**0**	**0**	**0**	**13**	**13**
Уровни звукового давления прямого звука от источника ИШ-9-13 в расчётной точке ночью, дБ		**ф-ла(3)[10]**	**0**	**16,4**	**16,6**	**15,8**	**12,4**	**7,4**	**0**	**0**	**0**	**13**	**13**
Расчёт отражённого звука													
Уровни звукового давления от мнимого источника ИШ-9-13_мн.(1) в расчётной точке днём, дБ		**ф-ла(3)[10]**	**0**	**0**	**0**	**0**	**0**	**0**	**0**	**0**	**0**	**0**	**0**
Уровни звукового давления от мнимого источника ИШ-9-13_мн.(1) в расчётной точке ночью, дБ		**ф-ла(3)[10]**	**0**	**0**	**0**	**0**	**0**	**0**	**0**	**0**	**0**	**0**	**0**

1		2	3	4	5	6	7	8	9	10	11	12	13
Уровни звукового давления от источника ИШ-9-13 в расчётной точке днём, дБ		**ф-ла(3)[10]**	**0**	**16,4**	**16,6**	**15,8**	**12,4**	**7,4**	**0**	**0**	**0**	**13**	**13**
Уровни звукового давления от источника ИШ-9-13 в расчётной точке ночью, дБ		**ф-ла(3)[10]**	**0**	**16,4**	**16,6**	**15,8**	**12,4**	**7,4**	**0**	**0**	**0**	**13**	**13**
Источник шума: ИШ-9-14, координаты источника (x,y,z), м =[655.60,-320.74,1.00]													
Уровни звуковой мощности источника днём, Lw, дБ		**исходные данные**	**0**	**93,3**	**94,7**	**96**	**96,3**	**95,9**	**92,6**	**88,4**	**83,9**		
Уровни звуковой мощности источника ночью, Lw, дБ		**исходные данные**	**0**	**93,3**	**94,7**	**96**	**96,3**	**95,9**	**92,6**	**88,4**	**83,9**		
Поправка на телесный угол DΩ, дБ	Ω = 6.28	10Lg(4π/Ω)	**3**	3	3	3	3	3	3	3	3		
Показатель направленности источника Di, дБ		исходные данные	**0**	0	0	0	0	0	0	0	0		
Поправка на направленность источника Dc, дБ	Dc	DΩ + Di	**3**	3	3	3	3	3	3	3	3		
Затухание из-за геометрической дивергенции, Adiv, дБ	расстояние = 1992.99 м	ф-ла (7) [10]	**77**										
Коэффициент затухания звука в атмосфере α, дБ/км	Ta=20,°C Pa=101.33,кПа hотн.=70%	ф-ла (5) [9]	0,02	0,09	0,33	1,12	2,79	4,98	9,04	23,09	77,63		
Учет затухания звука в атмосфере Aatm, дБ		ф-ла (8) [10]	0	0,2	0,7	2,2	5,6	9,9	18	46	154,7		
Снижение уровня звукового давления из-за влияния застройки между источником шума и расчетной точкой													
Снижение уровня звукового давления на пути над экраном, Dz1, дБ	z = 0.01м (разность путей)	ф-лы (14-18) [10]	4,8	4,8	4,8	4,8	4,8	4,8	4,8	4,8	4,8		
Снижение уровня звукового давления на пути слева от экрана, Dz2, дБ	z = 0.65м (разность путей)	ф-лы (14-18) [10]	7,3	8,9	11	13,4	16,1	19	21,9	24,9	27,9		
Снижение уровня звукового давления на пути справа от экрана, Dz3, дБ	z = 1.45м (разность путей)	ф-лы (14-18) [10]	9,2	11,4	13,9	16,6	19,5	22,4	25,4	28,4	31,4		
Общее снижение уровня звука препятствием Dz, дБ		Эн.сумма(-Dzi)	2	2,7	3,4	4	4,3	4,5	4,7	4,7	4,7		

1		2	3	4	5	6	7	8	9	10	11	12	13
Уровни звукового давления прямого звука от источника ИШ-9-14 в расчётной точке днём, дБ		**ф-ла(3)[10]**	**0**	**16,4**	**16,6**	**15,8**	**12,4**	**7,4**	**0**	**0**	**0**	**13,1**	**13,1**
Уровни звукового давления прямого звука от источника ИШ-9-14 в расчётной точке ночью, дБ		**ф-ла(3)[10]**	**0**	**16,4**	**16,6**	**15,8**	**12,4**	**7,4**	**0**	**0**	**0**	**13,1**	**13,1**
Расчёт отражённого звука													
Уровни звукового давления от мнимого источника ИШ-9-14_мн.(1) в расчётной точке днём, дБ		**ф-ла(3)[10]**	**0**	**0**	**0**	**0**	**0**	**0**	**0**	**0**	**0**	**0**	**0**
Уровни звукового давления от мнимого источника ИШ-9-14_мн.(1) в расчётной точке ночью, дБ		**ф-ла(3)[10]**	**0**	**0**	**0**	**0**	**0**	**0**	**0**	**0**	**0**	**0**	**0**
Уровни звукового давления от источника ИШ-9-14 в расчётной точке днём, дБ		**ф-ла(3)[10]**	**0**	**16,4**	**16,6**	**15,8**	**12,4**	**7,4**	**0**	**0**	**0**	**13,1**	**13,1**
Уровни звукового давления от источника ИШ-9-14 в расчётной точке ночью, дБ		**ф-ла(3)[10]**	**0**	**16,4**	**16,6**	**15,8**	**12,4**	**7,4**	**0**	**0**	**0**	**13,1**	**13,1**
Источник шума: ИШ-9-15, координаты источника (x,y,z), м =[656.44,-317.86,1.00]													
Уровни звуковой мощности источника днём, Lw, дБ		**исходные данные**	**0**	**93,3**	**94,7**	**96**	**96,3**	**95,9**	**92,6**	**88,4**	**83,9**		
Уровни звуковой мощности источника ночью, Lw, дБ		**исходные данные**	**0**	**93,3**	**94,7**	**96**	**96,3**	**95,9**	**92,6**	**88,4**	**83,9**		
Поправка на телесный угол DΩ, дБ	Ω = 6.28	10Lg(4π/Ω)	**3**	3	3	3	3	3	3	3	3		
Показатель направленности источника Di, дБ		исходные данные	**0**	0	0	0	0	0	0	0	0		
Поправка на направленность источника Dc, дБ	Dc	DΩ + Di	**3**	3	3	3	3	3	3	3	3		
Затухание из-за геометрической дивергенции, Adiv, дБ	расстояние = 1990.37 м	ф-ла (7) [10]	**77**										
Коэффициент затухания звука в атмосфере α, дБ/км	Ta=20,°C Pa=101.33,кПа hотн.=70%	ф-ла (5) [9]	0,02	0,09	0,33	1,12	2,79	4,98	9,04	23,09	77,63		
Учет затухания звука в атмосфере Aatm, дБ		ф-ла (8) [10]	0	0,2	0,7	2,2	5,6	9,9	18	45,9	154,5		

1		2	3	4	5	6	7	8	9	10	11	12	13
Снижение уровня звукового давления из-за влияния застройки между источником шума и расчетной точкой													
Снижение уровня звукового давления на пути над экраном, Dz1, дБ	z = 0.01м (разность путей)	ф-лы (14-18) [10]	4,8	4,8	4,8	4,8	4,8	4,8	4,8	4,8	4,8		
Снижение уровня звукового давления на пути слева от экрана, Dz2, дБ	z = 0.54м (разность путей)	ф-лы (14-18) [10]	7	8,5	10,4	12,8	15,4	18,2	21,2	24,1	27,1		
Снижение уровня звукового давления на пути справа от экрана, Dz3, дБ	z = 1.68м (разность путей)	ф-лы (14-18) [10]	9,6	11,9	14,4	17,2	20,1	23	26	29	32		
Общее снижение уровня звука препятствием Dz, дБ		Эн.сумма(-Dzi)	1,9	2,7	3,4	3,9	4,3	4,5	4,6	4,7	4,7		
Уровни звукового давления прямого звука от источника ИШ-9-15 в расчётной точке днём, дБ		**ф-ла(3)[10]**	**0**	**16,5**	**16,7**	**15,9**	**12,5**	**7,5**	**0**	**0**	**0**	**13,1**	**13,1**
Уровни звукового давления прямого звука от источника ИШ-9-15 в расчётной точке ночью, дБ		**ф-ла(3)[10]**	**0**	**16,5**	**16,7**	**15,9**	**12,5**	**7,5**	**0**	**0**	**0**	**13,1**	**13,1**
Расчёт отражённого звука													
Уровни звукового давления от мнимого источника ИШ-9-15_мн.(1) в расчётной точке днём, дБ		**ф-ла(3)[10]**	**0**	**0**	**0**	**0**	**0**	**0**	**0**	**0**	**0**	**0**	**0**
Уровни звукового давления от мнимого источника ИШ-9-15_мн.(1) в расчётной точке ночью, дБ		**ф-ла(3)[10]**	**0**	**0**	**0**	**0**	**0**	**0**	**0**	**0**	**0**	**0**	**0**
Уровни звукового давления от источника ИШ-9-15 в расчётной точке днём, дБ		**ф-ла(3)[10]**	**0**	**16,5**	**16,7**	**15,9**	**12,5**	**7,5**	**0**	**0**	**0**	**13,1**	**13,1**
Уровни звукового давления от источника ИШ-9-15 в расчётной точке ночью, дБ		**ф-ла(3)[10]**	**0**	**16,5**	**16,7**	**15,9**	**12,5**	**7,5**	**0**	**0**	**0**	**13,1**	**13,1**
Источник шума: ИШ-9-16, координаты источника (x,y,z), м =[657.46,-314.97,1.00]													
Уровни звуковой мощности источника днём, Lw, дБ		**исходные данные**	**0**	**93,3**	**94,7**	**96**	**96,3**	**95,9**	**92,6**	**88,4**	**83,9**		
Уровни звуковой мощности источника ночью, Lw, дБ		**исходные данные**	**0**	**93,3**	**94,7**	**96**	**96,3**	**95,9**	**92,6**	**88,4**	**83,9**		
Поправка на телесный угол DΩ, дБ	Ω = 6.28	10Lg(4π/Ω)	**3**	3	3	3	3	3	3	3	3		
Показатель направленности источника Di, дБ		исходные данные	**0**	0	0	0	0	0	0	0	0		

1		2	3	4	5	6	7	8	9	10	11	12	13
Поправка на направленность источника Dc, дБ	Dc	DΩ + Di	**3**	3	3	3	3	3	3	3	3		
Затухание из-за геометрической дивергенции, Adiv, дБ	расстояние = 1987.63 м	ф-ла (7) [10]	**77**										
Коэффициент затухания звука в атмосфере α, дБ/км	Ta=20,°C Pa=101.33,кПа hотн.=70%	ф-ла (5) [9]	0,02	0,09	0,33	1,12	2,79	4,98	9,04	23,09	77,63		
Учет затухания звука в атмосфере Aatm, дБ		ф-ла (8) [10]	0	0,2	0,7	2,2	5,5	9,9	18	45,9	154,3		
Снижение уровня звукового давления из-за влияния застройки между источником шума и расчетной точкой													
Снижение уровня звукового давления на пути над экраном, Dz1, дБ	z = 0.01м (разность путей)	ф-лы (14-18) [10]	4,8	4,8	4,8	4,8	4,8	4,8	4,8	4,8	4,8		
Снижение уровня звукового давления на пути слева от экрана, Dz2, дБ	z = 0.45м (разность путей)	ф-лы (14-18) [10]	6,7	8	9,9	12,1	14,7	17,5	20,4	23,4	26,3		
Снижение уровня звукового давления на пути справа от экрана, Dz3, дБ	z = 1.90м (разность путей)	ф-лы (14-18) [10]	10	12,3	14,9	17,7	20,6	23,5	26,5	29,5	32,5		
Общее снижение уровня звука препятствием Dz, дБ		Эн.сумма(-Dzi)	1,9	2,6	3,3	3,9	4,3	4,5	4,6	4,7	4,7		
Уровни звукового давления прямого звука от источника ИШ-9-16 в расчётной точке днём, дБ		**ф-ла(3)[10]**	**0**	**16,5**	**16,8**	**15,9**	**12,5**	**7,5**	**0**	**0**	**0**	**13,2**	**13,2**
Уровни звукового давления прямого звука от источника ИШ-9-16 в расчётной точке ночью, дБ		**ф-ла(3)[10]**	**0**	**16,5**	**16,8**	**15,9**	**12,5**	**7,5**	**0**	**0**	**0**	**13,2**	**13,2**
Расчёт отражённого звука													
Уровни звукового давления от мнимого источника ИШ-9-16_мн.(1) в расчётной точке днём, дБ		**ф-ла(3)[10]**	**0**	**0**	**0**	**0**	**0**	**0**	**0**	**0**	**0**	**0**	**0**
Уровни звукового давления от мнимого источника ИШ-9-16_мн.(1) в расчётной точке ночью, дБ		**ф-ла(3)[10]**	**0**	**0**	**0**	**0**	**0**	**0**	**0**	**0**	**0**	**0**	**0**
Уровни звукового давления от источника ИШ-9-16 в расчётной точке днём, дБ		**ф-ла(3)[10]**	**0**	**16,5**	**16,8**	**15,9**	**12,5**	**7,5**	**0**	**0**	**0**	**13,2**	**13,2**
Уровни звукового давления от источника ИШ-9-16 в расчётной точке ночью, дБ		**ф-ла(3)[10]**	**0**	**16,5**	**16,8**	**15,9**	**12,5**	**7,5**	**0**	**0**	**0**	**13,2**	**13,2**

1		2	3	4	5	6	7	8	9	10	11	12	13
Источник шума: ИШ-9-17, координаты источника (x,y,z), м =[658.49,-312.18,1.00]													
Уровни звуковой мощности источника днём, Lw, дБ		**исходные данные**	**0**	**93,3**	**94,7**	**96**	**96,3**	**95,9**	**92,6**	**88,4**	**83,9**		
Уровни звуковой мощности источника ночью, Lw, дБ		**исходные данные**	**0**	**93,3**	**94,7**	**96**	**96,3**	**95,9**	**92,6**	**88,4**	**83,9**		
Поправка на телесный угол DΩ, дБ	Ω = 6.28	10Lg(4π/Ω)	**3**	3	3	3	3	3	3	3	3		
Показатель направленности источника Di, дБ		исходные данные	**0**	0	0	0	0	0	0	0	0		
Поправка на направленность источника Dc, дБ	Dc	DΩ + Di	**3**	3	3	3	3	3	3	3	3		
Затухание из-за геометрической дивергенции, Adiv, дБ	расстояние = 1984.95 м	ф-ла (7) [10]	**77**										
Коэффициент затухания звука в атмосфере α, дБ/км	Ta=20,°C Pa=101.33,кПа hотн.=70%	ф-ла (5) [9]	0,02	0,09	0,33	1,12	2,79	4,98	9,04	23,09	77,63		
Учет затухания звука в атмосфере Aatm, дБ		ф-ла (8) [10]	0	0,2	0,7	2,2	5,5	9,9	17,9	45,8	154,1		
Снижение уровня звукового давления из-за влияния застройки между источником шума и расчетной точкой													
Снижение уровня звукового давления на пути над экраном, Dz1, дБ	z = 0.01м (разность путей)	ф-лы (14-18) [10]	4,8	4,8	4,8	4,8	4,8	4,8	4,8	4,8	4,8		
Снижение уровня звукового давления на пути слева от экрана, Dz2, дБ	z = 0.38м (разность путей)	ф-лы (14-18) [10]	6,4	7,6	9,3	11,5	14	16,8	19,6	22,6	25,5		
Снижение уровня звукового давления на пути справа от экрана, Dz3, дБ	z = 2.13м (разность путей)	ф-лы (14-18) [10]	10,4	12,7	15,4	18,2	21,1	24	27	30	33		
Общее снижение уровня звука препятствием Dz, дБ		Эн.сумма(-Dzi)	1,9	2,5	3,2	3,8	4,2	4,5	4,6	4,7	4,7		
Уровни звукового давления прямого звука от источника ИШ-9-17 в расчётной точке днём, дБ		**ф-ла(3)[10]**	**0**	**16,6**	**16,9**	**16**	**12,6**	**7,6**	**0**	**0**	**0**	**13,3**	**13,3**
Уровни звукового давления прямого звука от источника ИШ-9-17 в расчётной точке ночью, дБ		**ф-ла(3)[10]**	**0**	**16,6**	**16,9**	**16**	**12,6**	**7,6**	**0**	**0**	**0**	**13,3**	**13,3**

1		2	3	4	5	6	7	8	9	10	11	12	13
Расчёт отражённого звука													
Уровни звукового давления от мнимого источника ИШ-9-17_мн.(1) в расчётной точке днём, дБ		**ф-ла(3)[10]**	**0**	**0**	**0**	**0**	**0**	**0**	**0**	**0**	**0**	**0**	**0**
Уровни звукового давления от мнимого источника ИШ-9-17_мн.(1) в расчётной точке ночью, дБ		**ф-ла(3)[10]**	**0**	**0**	**0**	**0**	**0**	**0**	**0**	**0**	**0**	**0**	**0**
Уровни звукового давления от источника ИШ-9-17 в расчётной точке днём, дБ		**ф-ла(3)[10]**	**0**	**16,6**	**16,9**	**16**	**12,6**	**7,6**	**0**	**0**	**0**	**13,3**	**13,3**
Уровни звукового давления от источника ИШ-9-17 в расчётной точке ночью, дБ		**ф-ла(3)[10]**	**0**	**16,6**	**16,9**	**16**	**12,6**	**7,6**	**0**	**0**	**0**	**13,3**	**13,3**
Источник шума: ИШ-9-18, координаты источника (x,y,z), м =[659.42,-309.20,1.00]													
Уровни звуковой мощности источника днём, Lw, дБ		**исходные данные**	**0**	**93,3**	**94,7**	**96**	**96,3**	**95,9**	**92,6**	**88,4**	**83,9**		
Уровни звуковой мощности источника ночью, Lw, дБ		**исходные данные**	**0**	**93,3**	**94,7**	**96**	**96,3**	**95,9**	**92,6**	**88,4**	**83,9**		
Поправка на телесный угол DΩ, дБ	Ω = 6.28	10Lg(4π/Ω)	**3**	3	3	3	3	3	3	3	3		
Показатель направленности источника Di, дБ		исходные данные	**0**	0	0	0	0	0	0	0	0		
Поправка на направленность источника Dc, дБ	Dc	DΩ + Di	**3**	3	3	3	3	3	3	3	3		
Затухание из-за геометрической дивергенции, Adiv, дБ	расстояние = 1982.21 м	ф-ла (7) [10]	**76,9**										
Коэффициент затухания звука в атмосфере α, дБ/км	Ta=20,°C Pa=101.33,кПа hотн.=70%	ф-ла (5) [9]	0,02	0,09	0,33	1,12	2,79	4,98	9,04	23,09	77,63		
Учет затухания звука в атмосфере Aatm, дБ		ф-ла (8) [10]	0	0,2	0,7	2,2	5,5	9,9	17,9	45,8	153,9		
Снижение уровня звукового давления из-за влияния застройки между источником шума и расчетной точкой													
Снижение уровня звукового давления на пути над экраном, Dz1, дБ	z = 0.01м (разность путей)	ф-лы (14-18) [10]	4,8	4,8	4,8	4,8	4,8	4,8	4,8	4,8	4,8		

1		2	3	4	5	6	7	8	9	10	11	12	13
Снижение уровня звукового давления на пути слева от экрана, Dz2, дБ	z = 0.30м (разность путей)	ф-лы (14-18) [10]	6,1	7,1	8,7	10,7	13,1	15,8	18,6	21,5	24,5		
Снижение уровня звукового давления на пути справа от экрана, Dz3, дБ	z = 2.41м (разность путей)	ф-лы (14-18) [10]	10,8	13,2	15,8	18,7	21,6	24,6	27,6	30,6	33,6		
Общее снижение уровня звука препятствием Dz, дБ		Эн.сумма(-Dzi)	1,8	2,4	3	3,6	4,1	4,4	4,6	4,7	4,7		
Уровни звукового давления прямого звука от источника ИШ-9-18 в расчётной точке днём, дБ		**ф-ла(3)[10]**	**0**	**16,8**	**17**	**16,2**	**12,7**	**7,7**	**0**	**0**	**0**	**13,4**	**13,4**
Уровни звукового давления прямого звука от источника ИШ-9-18 в расчётной точке ночью, дБ		**ф-ла(3)[10]**	**0**	**16,8**	**17**	**16,2**	**12,7**	**7,7**	**0**	**0**	**0**	**13,4**	**13,4**
Расчёт отражённого звука													
Уровни звукового давления от мнимого источника ИШ-9-18_мн.(1) в расчётной точке днём, дБ		**ф-ла(3)[10]**	**0**	**0**	**0**	**0**	**0**	**0**	**0**	**0**	**0**	**0**	**0**
Уровни звукового давления от мнимого источника ИШ-9-18_мн.(1) в расчётной точке ночью, дБ		**ф-ла(3)[10]**	**0**	**0**	**0**	**0**	**0**	**0**	**0**	**0**	**0**	**0**	**0**
Уровни звукового давления от источника ИШ-9-18 в расчётной точке днём, дБ		**ф-ла(3)[10]**	**0**	**16,8**	**17**	**16,2**	**12,7**	**7,7**	**0**	**0**	**0**	**13,4**	**13,4**
Уровни звукового давления от источника ИШ-9-18 в расчётной точке ночью, дБ		**ф-ла(3)[10]**	**0**	**16,8**	**17**	**16,2**	**12,7**	**7,7**	**0**	**0**	**0**	**13,4**	**13,4**
Источник шума: ИШ-9-19, координаты источника (x,y,z), м =[660.44,-306.50,1.00]													
Уровни звуковой мощности источника днём, Lw, дБ		**исходные данные**	**0**	**93,3**	**94,7**	**96**	**96,3**	**95,9**	**92,6**	**88,4**	**83,9**		
Уровни звуковой мощности источника ночью, Lw, дБ		**исходные данные**	**0**	**93,3**	**94,7**	**96**	**96,3**	**95,9**	**92,6**	**88,4**	**83,9**		
Поправка на телесный угол DΩ, дБ	Ω = 6.28	10Lg(4π/Ω)	**3**	3	3	3	3	3	3	3	3		
Показатель направленности источника Di, дБ		исходные данные	**0**	0	0	0	0	0	0	0	0		
Поправка на направленность источника Dc, дБ	Dc	DΩ + Di	**3**	3	3	3	3	3	3	3	3		
Затухание из-за геометрической дивергенции, Adiv, дБ	расстояние = 1979.60 м	ф-ла (7) [10]	**76,9**										

1		2	3	4	5	6	7	8	9	10	11	12	13
Коэффициент затухания звука в атмосфере α, дБ/км	Ta=20,°C Pa=101.33,кПа hотн.=70%	ф-ла (5) [9]	0,02	0,09	0,33	1,12	2,79	4,98	9,04	23,09	77,63		
Учет затухания звука в атмосфере Aatm, дБ		ф-ла (8) [10]	0	0,2	0,7	2,2	5,5	9,9	17,9	45,7	153,7		
Снижение уровня звукового давления из-за влияния застройки между источником шума и расчетной точкой													
Снижение уровня звукового давления на пути над экраном, Dz1, дБ	z = 0.01м (разность путей)	ф-лы (14-18) [10]	4,8	4,8	4,8	4,8	4,8	4,8	4,8	4,8	4,8		
Снижение уровня звукового давления на пути слева от экрана, Dz2, дБ	z = 0.23м (разность путей)	ф-лы (14-18) [10]	5,9	6,8	8,1	10	12,3	14,9	17,7	20,5	23,5		
Снижение уровня звукового давления на пути справа от экрана, Dz3, дБ	z = 2.67м (разность путей)	ф-лы (14-18) [10]	11,1	13,6	16,3	19,1	22	25	28	31	34		
Общее снижение уровня звука препятствием Dz, дБ		Эн.сумма(-Dzi)	1,7	2,3	2,9	3,5	4	4,3	4,5	4,6	4,7		
Уровни звукового давления прямого звука от источника ИШ-9-19 в расчётной точке днём, дБ		**ф-ла(3)[10]**	**0**	**16,9**	**17,2**	**16,3**	**12,8**	**7,8**	**0**	**0**	**0**	**13,5**	**13,5**
Уровни звукового давления прямого звука от источника ИШ-9-19 в расчётной точке ночью, дБ		**ф-ла(3)[10]**	**0**	**16,9**	**17,2**	**16,3**	**12,8**	**7,8**	**0**	**0**	**0**	**13,5**	**13,5**
Расчёт отражённого звука													
Уровни звукового давления от мнимого источника ИШ-9-19_мн.(1) в расчётной точке днём, дБ		**ф-ла(3)[10]**	**0**	**0**	**0**	**0**	**0**	**0**	**0**	**0**	**0**	**0**	**0**
Уровни звукового давления от мнимого источника ИШ-9-19_мн.(1) в расчётной точке ночью, дБ		**ф-ла(3)[10]**	**0**	**0**	**0**	**0**	**0**	**0**	**0**	**0**	**0**	**0**	**0**
Уровни звукового давления от источника ИШ-9-19 в расчётной точке днём, дБ		**ф-ла(3)[10]**	**0**	**16,9**	**17,2**	**16,3**	**12,8**	**7,8**	**0**	**0**	**0**	**13,5**	**13,5**
Уровни звукового давления от источника ИШ-9-19 в расчётной точке ночью, дБ		**ф-ла(3)[10]**	**0**	**16,9**	**17,2**	**16,3**	**12,8**	**7,8**	**0**	**0**	**0**	**13,5**	**13,5**
Источник шума: ИШ-9-20, координаты источника (x,y,z), м =[661.28,-303.61,1.00]													
Уровни звуковой мощности источника днём, Lw, дБ		**исходные данные**	**0**	**93,3**	**94,7**	**96**	**96,3**	**95,9**	**92,6**	**88,4**	**83,9**		

1		2	3	4	5	6	7	8	9	10	11	12	13
Уровни звуковой мощности источника ночью, Lw, дБ		**исходные данные**	**0**	**93,3**	**94,7**	**96**	**96,3**	**95,9**	**92,6**	**88,4**	**83,9**		
Поправка на телесный угол DΩ, дБ	Ω = 6.28	10Lg(4π/Ω)	**3**	3	3	3	3	3	3	3	3		
Показатель направленности источника Di, дБ		исходные данные	**0**	0	0	0	0	0	0	0	0		
Поправка на направленность источника Dc, дБ	Dc	DΩ + Di	**3**	3	3	3	3	3	3	3	3		
Затухание из-за геометрической дивергенции, Adiv, дБ	расстояние = 1976.99 м	ф-ла (7) [10]	**76,9**										
Коэффициент затухания звука в атмосфере α, дБ/км	Ta=20,°C Pa=101.33,кПа hотн.=70%	ф-ла (5) [9]	0,02	0,09	0,33	1,12	2,79	4,98	9,04	23,09	77,63		
Учет затухания звука в атмосфере Aatm, дБ		ф-ла (8) [10]	0	0,2	0,7	2,2	5,5	9,8	17,9	45,6	153,5		
Снижение уровня звукового давления из-за влияния застройки между источником шума и расчетной точкой													
Снижение уровня звукового давления на пути над экраном, Dz1, дБ	z = 0.01м (разность путей)	ф-лы (14-18) [10]	4,8	4,8	4,8	4,8	4,8	4,8	4,8	4,8	4,8		
Снижение уровня звукового давления на пути слева от экрана, Dz2, дБ	z = 0.17м (разность путей)	ф-лы (14-18) [10]	5,6	6,3	7,4	9	11,1	13,6	16,3	19,2	22,1		
Снижение уровня звукового давления на пути справа от экрана, Dz3, дБ	z = 2.99м (разность путей)	ф-лы (14-18) [10]	11,5	14	16,7	19,6	22,5	25,5	28,5	31,5	34,5		
Общее снижение уровня звука препятствием Dz, дБ		Эн.сумма(-Dzi)	1,7	2,2	2,7	3,3	3,8	4,2	4,5	4,6	4,7		
Уровни звукового давления прямого звука от источника ИШ-9-20 в расчётной точке днём, дБ		**ф-ла(3)[10]**	**0**	**17**	**17,4**	**16,6**	**13**	**7,9**	**0**	**0**	**0**	**13,7**	**13,7**
Уровни звукового давления прямого звука от источника ИШ-9-20 в расчётной точке ночью, дБ		**ф-ла(3)[10]**	**0**	**17**	**17,4**	**16,6**	**13**	**7,9**	**0**	**0**	**0**	**13,7**	**13,7**
Расчёт отражённого звука													
Уровни звукового давления от мнимого источника ИШ-9-20_мн.(1) в расчётной точке днём, дБ		**ф-ла(3)[10]**	**0**	**0**	**0**	**0**	**0**	**0**	**0**	**0**	**0**	**0**	**0**
Уровни звукового давления от мнимого источника ИШ-9-20_мн.(1) в расчётной точке ночью, дБ		**ф-ла(3)[10]**	**0**	**0**	**0**	**0**	**0**	**0**	**0**	**0**	**0**	**0**	**0**

1		2	3	4	5	6	7	8	9	10	11	12	13
Уровни звукового давления от источника ИШ-9-20 в расчётной точке днём, дБ		**ф-ла(3)[10]**	**0**	**17**	**17,4**	**16,6**	**13**	**7,9**	**0**	**0**	**0**	**13,7**	**13,7**
Уровни звукового давления от источника ИШ-9-20 в расчётной точке ночью, дБ		**ф-ла(3)[10]**	**0**	**17**	**17,4**	**16,6**	**13**	**7,9**	**0**	**0**	**0**	**13,7**	**13,7**
Источник шума: ИШ-9-21, координаты источника (x,y,z), м =[661.93,-300.72,1.00]													
Уровни звуковой мощности источника днём, Lw, дБ		**исходные данные**	**0**	**93,3**	**94,7**	**96**	**96,3**	**95,9**	**92,6**	**88,4**	**83,9**		
Уровни звуковой мощности источника ночью, Lw, дБ		**исходные данные**	**0**	**93,3**	**94,7**	**96**	**96,3**	**95,9**	**92,6**	**88,4**	**83,9**		
Поправка на телесный угол DΩ, дБ	Ω = 6.28	10Lg(4π/Ω)	**3**	3	3	3	3	3	3	3	3		
Показатель направленности источника Di, дБ		исходные данные	**0**	0	0	0	0	0	0	0	0		
Поправка на направленность источника Dc, дБ	Dc	DΩ + Di	**3**	3	3	3	3	3	3	3	3		
Затухание из-за геометрической дивергенции, Adiv, дБ	расстояние = 1974.52 м	ф-ла (7) [10]	**76,9**										
Коэффициент затухания звука в атмосфере α, дБ/км	Та=20,°С Ра=101.33,кПа hотн.=70%	ф-ла (5) [9]	0,02	0,09	0,33	1,12	2,79	4,98	9,04	23,09	77,63		
Учет затухания звука в атмосфере Aatm, дБ		ф-ла (8) [10]	0	0,2	0,7	2,2	5,5	9,8	17,8	45,6	153,3		
Снижение уровня звукового давления из-за влияния застройки между источником шума и расчетной точкой													
Снижение уровня звукового давления на пути над экраном, Dz1, дБ	z = 0.01м (разность путей)	ф-лы (14-18) [10]	4,8	4,8	4,8	4,8	4,8	4,8	4,8	4,8	4,8		
Снижение уровня звукового давления на пути слева от экрана, Dz2, дБ	z = 0.11м (разность путей)	ф-лы (14-18) [10]	5,3	5,8	6,6	7,9	9,7	12	14,6	17,3	20,2		
Снижение уровня звукового давления на пути справа от экрана, Dz3, дБ	z = 3.36м (разность путей)	ф-лы (14-18) [10]	11,9	14,5	17,2	20,1	23	26	29	32	35		
Общее снижение уровня звука препятствием Dz, дБ		Эн.сумма(-Dzi)	1,6	2	2,4	3	3,5	4	4,3	4,5	4,6		

1		2	3	4	5	6	7	8	9	10	11	12	13
Уровни звукового давления прямого звука от источника ИШ-9-21 в расчётной точке днём, дБ		**ф-ла(3)[10]**	**0**	**17,2**	**17,7**	**16,9**	**13,4**	**8,2**	**0**	**0**	**0**	**14**	**14**
Уровни звукового давления прямого звука от источника ИШ-9-21 в расчётной точке ночью, дБ		**ф-ла(3)[10]**	**0**	**17,2**	**17,7**	**16,9**	**13,4**	**8,2**	**0**	**0**	**0**	**14**	**14**
Расчёт отражённого звука													
Уровни звукового давления от мнимого источника ИШ-9-21_мн.(1) в расчётной точке днём, дБ		**ф-ла(3)[10]**	**0**	**0**	**0**	**0**	**0**	**0**	**0**	**0**	**0**	**0**	**0**
Уровни звукового давления от мнимого источника ИШ-9-21_мн.(1) в расчётной точке ночью, дБ		**ф-ла(3)[10]**	**0**	**0**	**0**	**0**	**0**	**0**	**0**	**0**	**0**	**0**	**0**
Уровни звукового давления от источника ИШ-9-21 в расчётной точке днём, дБ		**ф-ла(3)[10]**	**0**	**17,2**	**17,7**	**16,9**	**13,4**	**8,2**	**0**	**0**	**0**	**14**	**14**
Уровни звукового давления от источника ИШ-9-21 в расчётной точке ночью, дБ		**ф-ла(3)[10]**	**0**	**17,2**	**17,7**	**16,9**	**13,4**	**8,2**	**0**	**0**	**0**	**14**	**14**
Источник шума: ИШ-9-22, координаты источника (x,y,z), м =[663.14,-297.83,1.00]													
Уровни звуковой мощности источника днём, Lw, дБ		**исходные данные**	**0**	**93,3**	**94,7**	**96**	**96,3**	**95,9**	**92,6**	**88,4**	**83,9**		
Уровни звуковой мощности источника ночью, Lw, дБ		**исходные данные**	**0**	**93,3**	**94,7**	**96**	**96,3**	**95,9**	**92,6**	**88,4**	**83,9**		
Поправка на телесный угол DΩ, дБ	Ω = 6.28	10Lg(4π/Ω)	**3**	3	3	3	3	3	3	3	3		
Показатель направленности источника Di, дБ		исходные данные	**0**	0	0	0	0	0	0	0	0		
Поправка на направленность источника Dc, дБ	Dc	DΩ + Di	**3**	3	3	3	3	3	3	3	3		
Затухание из-за геометрической дивергенции, Adiv, дБ	расстояние = 1971.65 м	ф-ла (7) [10]	**76,9**										
Коэффициент затухания звука в атмосфере α, дБ/км	Ta=20,°C Pa=101.33,кПа hотн.=70%	ф-ла (5) [9]	0,02	0,09	0,33	1,12	2,79	4,98	9,04	23,09	77,63		
Учет затухания звука в атмосфере Aatm, дБ		ф-ла (8) [10]	0	0,2	0,7	2,2	5,5	9,8	17,8	45,5	153,1		

1		2	3	4	5	6	7	8	9	10	11	12	13
Снижение уровня звукового давления из-за влияния застройки между источником шума и расчетной точкой													
Снижение уровня звукового давления на пути над экраном, Dz1, дБ	z = 0.01м (разность путей)	ф-лы (14-18) [10]	4,8	4,8	4,8	4,8	4,8	4,8	4,8	4,8	4,8		
Снижение уровня звукового давления на пути слева от экрана, Dz2, дБ	z = 0.07м (разность путей)	ф-лы (14-18) [10]	5,1	5,5	6,1	7,1	8,6	10,6	13	15,7	18,5		
Снижение уровня звукового давления на пути справа от экрана, Dz3, дБ	z = 3.69м (разность путей)	ф-лы (14-18) [10]	12,2	14,8	17,6	20,5	23,4	26,4	29,4	32,4	35,4		
Общее снижение уровня звука препятствием Dz, дБ		Эн.сумма(-Dzi)	1,6	1,9	2,2	2,7	3,2	3,7	4,1	4,4	4,6		
Уровни звукового давления прямого звука от источника ИШ-9-22 в расчётной точке днём, дБ		**ф-ла(3)[10]**	**0**	**17,3**	**17,9**	**17,2**	**13,7**	**8,4**	**0**	**0**	**0**	**14,3**	**14,3**
Уровни звукового давления прямого звука от источника ИШ-9-22 в расчётной точке ночью, дБ		**ф-ла(3)[10]**	**0**	**17,3**	**17,9**	**17,2**	**13,7**	**8,4**	**0**	**0**	**0**	**14,3**	**14,3**
Расчёт отражённого звука													
Уровни звукового давления от мнимого источника ИШ-9-22_мн.(1) в расчётной точке днём, дБ		**ф-ла(3)[10]**	**0**	**0**	**0**	**0**	**0**	**0**	**0**	**0**	**0**	**0**	**0**
Уровни звукового давления от мнимого источника ИШ-9-22_мн.(1) в расчётной точке ночью, дБ		**ф-ла(3)[10]**	**0**	**0**	**0**	**0**	**0**	**0**	**0**	**0**	**0**	**0**	**0**
Уровни звукового давления от источника ИШ-9-22 в расчётной точке днём, дБ		**ф-ла(3)[10]**	**0**	**17,3**	**17,9**	**17,2**	**13,7**	**8,4**	**0**	**0**	**0**	**14,3**	**14,3**
Уровни звукового давления от источника ИШ-9-22 в расчётной точке ночью, дБ		**ф-ла(3)[10]**	**0**	**17,3**	**17,9**	**17,2**	**13,7**	**8,4**	**0**	**0**	**0**	**14,3**	**14,3**
Источник шума: ИШ-9-23, координаты источника (x,y,z), м =[664.07,-295.13,1.00]													
Уровни звуковой мощности источника днём, Lw, дБ		**исходные данные**	**0**	**93,3**	**94,7**	**96**	**96,3**	**95,9**	**92,6**	**88,4**	**83,9**		
Уровни звуковой мощности источника ночью, Lw, дБ		**исходные данные**	**0**	**93,3**	**94,7**	**96**	**96,3**	**95,9**	**92,6**	**88,4**	**83,9**		
Поправка на телесный угол DΩ, дБ	Ω = 6.28	10Lg(4π/Ω)	**3**	3	3	3	3	3	3	3	3		
Показатель направленности источника Di, дБ		исходные данные	**0**	0	0	0	0	0	0	0	0		

1		2	3	4	5	6	7	8	9	10	11	12	13
Поправка на направленность источника Dc, дБ	Dc	DΩ + Di	**3**	3	3	3	3	3	3	3	3		
Затухание из-за геометрической дивергенции, Adiv, дБ	расстояние = 1969.11 м	ф-ла (7) [10]	**76,9**										
Коэффициент затухания звука в атмосфере α, дБ/км	Ta=20,°C Pa=101.33,кПа hотн.=70%	ф-ла (5) [9]	0,02	0,09	0,33	1,12	2,79	4,98	9,04	23,09	77,63		
Учет затухания звука в атмосфере Aatm, дБ		ф-ла (8) [10]	0	0,2	0,7	2,2	5,5	9,8	17,8	45,5	152,9		
Снижение уровня звукового давления из-за влияния застройки между источником шума и расчетной точкой													
Снижение уровня звукового давления на пути над экраном, Dz1, дБ	z = 0.01м (разность путей)	ф-лы (14-18) [10]	4,8	4,8	4,8	4,8	4,8	4,8	4,8	4,8	4,8		
Снижение уровня звукового давления на пути слева от экрана, Dz2, дБ	z = 0.04м (разность путей)	ф-лы (14-18) [10]	5	5,2	5,6	6,2	7,3	8,9	11	13,5	16,2		
Снижение уровня звукового давления на пути справа от экрана, Dz3, дБ	z = 4.04м (разность путей)	ф-лы (14-18) [10]	12,5	15,2	18	20,9	23,8	26,8	29,8	32,8	35,8		
Общее снижение уровня звука препятствием Dz, дБ		Эн.сумма(-Dzi)	1,5	1,8	2	2,4	2,8	3,3	3,8	4,2	4,5		
Уровни звукового давления прямого звука от источника ИШ-9-23 в расчётной точке днём, дБ		**ф-ла(3)[10]**	**0**	**17,5**	**18,1**	**17,5**	**14,1**	**8,9**	**0**	**0**	**0**	**14,7**	**14,7**
Уровни звукового давления прямого звука от источника ИШ-9-23 в расчётной точке ночью, дБ		**ф-ла(3)[10]**	**0**	**17,5**	**18,1**	**17,5**	**14,1**	**8,9**	**0**	**0**	**0**	**14,7**	**14,7**
Расчёт отражённого звука													
Уровни звукового давления от мнимого источника ИШ-9-23_мн.(1) в расчётной точке днём, дБ		**ф-ла(3)[10]**	**0**	**0**	**0**	**0**	**0**	**0**	**0**	**0**	**0**	**0**	**0**
Уровни звукового давления от мнимого источника ИШ-9-23_мн.(1) в расчётной точке ночью, дБ		**ф-ла(3)[10]**	**0**	**0**	**0**	**0**	**0**	**0**	**0**	**0**	**0**	**0**	**0**
Уровни звукового давления от источника ИШ-9-23 в расчётной точке днём, дБ		**ф-ла(3)[10]**	**0**	**17,5**	**18,1**	**17,5**	**14,1**	**8,9**	**0**	**0**	**0**	**14,7**	**14,7**
Уровни звукового давления от источника ИШ-9-23 в расчётной точке ночью, дБ		**ф-ла(3)[10]**	**0**	**17,5**	**18,1**	**17,5**	**14,1**	**8,9**	**0**	**0**	**0**	**14,7**	**14,7**

1		2	3	4	5	6	7	8	9	10	11	12	13
Источник шума: ИШ-9-24, координаты источника (x,y,z), м =[665.19,-292.34,1.00]													
Уровни звуковой мощности источника днём, Lw, дБ		**исходные данные**	**0**	**93,3**	**94,7**	**96**	**96,3**	**95,9**	**92,6**	**88,4**	**83,9**		
Уровни звуковой мощности источника ночью, Lw, дБ		**исходные данные**	**0**	**93,3**	**94,7**	**96**	**96,3**	**95,9**	**92,6**	**88,4**	**83,9**		
Поправка на телесный угол DΩ, дБ	Ω = 6.28	10Lg(4π/Ω)	**3**	3	3	3	3	3	3	3	3		
Показатель направленности источника Di, дБ		исходные данные	**0**	0	0	0	0	0	0	0	0		
Поправка на направленность источника Dc, дБ	Dc	DΩ + Di	**3**	3	3	3	3	3	3	3	3		
Затухание из-за геометрической дивергенции, Adiv, дБ	расстояние = 1966.37 м	ф-ла (7) [10]	**76,9**										
Коэффициент затухания звука в атмосфере α, дБ/км	Ta=20,°C Pa=101.33,кПа hотн.=70%	ф-ла (5) [9]	0,02	0,09	0,33	1,12	2,79	4,98	9,04	23,09	77,63		
Учет затухания звука в атмосфере Aatm, дБ		ф-ла (8) [10]	0	0,2	0,7	2,2	5,5	9,8	17,8	45,4	152,7		
Снижение уровня звукового давления из-за влияния застройки между источником шума и расчетной точкой													
Снижение уровня звукового давления на пути над экраном, Dz1, дБ	z = 0.01м (разность путей)	ф-лы (14-18) [10]	4,8	4,8	4,8	4,8	4,8	4,8	4,8	4,8	4,8		
Снижение уровня звукового давления на пути слева от экрана, Dz2, дБ	z = 0.02м (разность путей)	ф-лы (14-18) [10]	4,9	5	5,2	5,5	6,1	7,2	8,7	10,8	13,2		
Снижение уровня звукового давления на пути справа от экрана, Dz3, дБ	z = 4.41м (разность путей)	ф-лы (14-18) [10]	12,9	15,5	18,3	21,2	24,2	27,2	30,2	33,2	36,2		
Общее снижение уровня звука препятствием Dz, дБ		Эн.сумма(-Dzi)	1,5	1,7	1,9	2,1	2,4	2,8	3,3	3,8	4,2		
Уровни звукового давления прямого звука от источника ИШ-9-24 в расчётной точке днём, дБ		**ф-ла(3)[10]**	**0**	**17,6**	**18,3**	**17,8**	**14,6**	**9,4**	**0**	**0**	**0**	**15,1**	**15,1**
Уровни звукового давления прямого звука от источника ИШ-9-24 в расчётной точке ночью, дБ		**ф-ла(3)[10]**	**0**	**17,6**	**18,3**	**17,8**	**14,6**	**9,4**	**0**	**0**	**0**	**15,1**	**15,1**

1		2	3	4	5	6	7	8	9	10	11	12	13
Расчёт отражённого звука													
Уровни звукового давления от мнимого источника ИШ-9-24_мн.(1) в расчётной точке днём, дБ		**ф-ла(3)[10]**	**0**	**0**	**0**	**0**	**0**	**0**	**0**	**0**	**0**	**0**	**0**
Уровни звукового давления от мнимого источника ИШ-9-24_мн.(1) в расчётной точке ночью, дБ		**ф-ла(3)[10]**	**0**	**0**	**0**	**0**	**0**	**0**	**0**	**0**	**0**	**0**	**0**
Уровни звукового давления от источника ИШ-9-24 в расчётной точке днём, дБ		**ф-ла(3)[10]**	**0**	**17,6**	**18,3**	**17,8**	**14,6**	**9,4**	**0**	**0**	**0**	**15,1**	**15,1**
Уровни звукового давления от источника ИШ-9-24 в расчётной точке ночью, дБ		**ф-ла(3)[10]**	**0**	**17,6**	**18,3**	**17,8**	**14,6**	**9,4**	**0**	**0**	**0**	**15,1**	**15,1**
Источник шума: ИШ-9-25, координаты источника (x,y,z), м =[683.46,-239.16,1.00]													
Уровни звуковой мощности источника днём, Lw, дБ		**исходные данные**	**77**	**75**	**67**	**66**	**63**	**55**	**53**	**48**	**51**		
Уровни звуковой мощности источника ночью, Lw, дБ		**исходные данные**	**77**	**75**	**67**	**66**	**63**	**55**	**53**	**48**	**51**		
Поправка на телесный угол DΩ, дБ	Ω = 6.28	10Lg(4π/Ω)	**3**	3	3	3	3	3	3	3	3		
Показатель направленности источника Di, дБ		исходные данные	**0**	0	0	0	0	0	0	0	0		
Поправка на направленность источника Dc, дБ	Dc	DΩ + Di	**3**	3	3	3	3	3	3	3	3		
Затухание из-за геометрической дивергенции, Adiv, дБ	расстояние = 1916.59 м	ф-ла (7) [10]	**76,7**										
Коэффициент затухания звука в атмосфере α, дБ/км	Ta=20,°C Pa=101.33,кПа hотн.=70%	ф-ла (5) [9]	0,02	0,09	0,33	1,12	2,79	4,98	9,04	23,09	77,63		
Учет затухания звука в атмосфере Aatm, дБ		ф-ла (8) [10]	0	0,2	0,6	2,2	5,3	9,5	17,3	44,2	148,8		
Снижение поверхностью земли возле источника As, дБ	Gs = 0 hs = 1м	ф-лы таб.3 [10]	-1,5	-1,5	-1,5	-1,5	-1,5	-1,5	-1,5	-1,5	-1,5		
Снижение поверхностью земли возле приёмника Ar, дБ	Gr = 1 hr = 1.5м	ф-лы таб.3 [10]	-1,5	-1,5	5,3	7	5	0,7	0	0	0		

1		2	3	4	5	6	7	8	9	10	11	12	13
Снижение поверхностью земли в средней зоне, Am дБ	Gm = 1	ф-лы таб.3 [10]	-2,9	-2,9	0	0	0	0	0	0	0		
Суммарное снижение поверхностью земли на траектории распространения звука Agr, дБ		ф-ла (9) [10]	-5,9	-5,9	3,8	5,5	3,5	-0,8	-1,5	-1,5	-1,5		
Уровни звукового давления от источника ИШ-9-25 в расчётной точке днём, дБ		**ф-ла(3)[10]**	**9,2**	**7,1**	**0**	**0**	**0**	**0**	**0**	**0**	**0**	**0**	**0**
Уровни звукового давления от источника ИШ-9-25 в расчётной точке ночью, дБ		**ф-ла(3)[10]**	**9,2**	**7,1**	**0**	**0**	**0**	**0**	**0**	**0**	**0**	**0**	**0**
Источник шума: ИШ-9-26, координаты источника (x,y,z), м =[680.09,-249.52,1.00]													
Уровни звуковой мощности источника днём, Lw, дБ		**исходные данные**	**77**	**75**	**67**	**66**	**63**	**55**	**53**	**48**	**51**		
Уровни звуковой мощности источника ночью, Lw, дБ		**исходные данные**	**77**	**75**	**67**	**66**	**63**	**55**	**53**	**48**	**51**		
Поправка на телесный угол DΩ, дБ	Ω = 6.28	10Lg(4π/Ω)	**3**	3	3	3	3	3	3	3	3		
Показатель направленности источника Di, дБ		исходные данные	**0**	0	0	0	0	0	0	0	0		
Поправка на направленность источника Dc, дБ	Dc	DΩ + Di	**3**	3	3	3	3	3	3	3	3		
Затухание из-за геометрической дивергенции, Adiv, дБ	расстояние = 1926.12 м	ф-ла (7) [10]	**76,7**										
Коэффициент затухания звука в атмосфере α, дБ/км	Ta=20,°C Pa=101.33,кПа hотн.=70%	ф-ла (5) [9]	0,02	0,09	0,33	1,12	2,79	4,98	9,04	23,09	77,63		
Учет затухания звука в атмосфере Aatm, дБ		ф-ла (8) [10]	0	0,2	0,6	2,2	5,4	9,6	17,4	44,5	149,5		
Снижение поверхностью земли возле источника As, дБ	Gs = 0 hs = 1м	ф-лы таб.3 [10]	-1,5	-1,5	-1,5	-1,5	-1,5	-1,5	-1,5	-1,5	-1,5		
Снижение поверхностью земли возле приёмника Ar, дБ	Gr = 1 hr = 1.5м	ф-лы таб.3 [10]	-1,5	-1,5	5,3	7	5	0,7	0	0	0		
Снижение поверхностью земли в средней зоне, Am дБ	Gm = 1	ф-лы таб.3 [10]	-2,9	-2,9	0	0	0	0	0	0	0		

1		2	3	4	5	6	7	8	9	10	11	12	13
Суммарное снижение поверхностью земли на траектории распространения звука Agr, дБ		ф-ла (9) [10]	-5,9	-5,9	3,8	5,5	3,5	-0,8	-1,5	-1,5	-1,5		
Уровни звукового давления от источника ИШ-9-26 в расчётной точке днём, дБ		**ф-ла(3)[10]**	**9,2**	**7**	**0**	**0**	**0**	**0**	**0**	**0**	**0**	**0**	**0**
Уровни звукового давления от источника ИШ-9-26 в расчётной точке ночью, дБ		**ф-ла(3)[10]**	**9,2**	**7**	**0**	**0**	**0**	**0**	**0**	**0**	**0**	**0**	**0**
Источник шума: ИШ-9-27, координаты источника (x,y,z), м =[676.46,-260.14,1.00]													
Уровни звуковой мощности источника днём, Lw, дБ		**исходные данные**	**77**	**75**	**67**	**66**	**63**	**55**	**53**	**48**	**51**		
Уровни звуковой мощности источника ночью, Lw, дБ		**исходные данные**	**77**	**75**	**67**	**66**	**63**	**55**	**53**	**48**	**51**		
Поправка на телесный угол DΩ, дБ	Ω = 6.28	10Lg(4π/Ω)	**3**	3	3	3	3	3	3	3	3		
Показатель направленности источника Di, дБ		исходные данные	**0**	0	0	0	0	0	0	0	0		
Поправка на направленность источника Dc, дБ	Dc	DΩ + Di	**3**	3	3	3	3	3	3	3	3		
Затухание из-за геометрической дивергенции, Adiv, дБ	расстояние = 1936.03 м	ф-ла (7) [10]	**76,7**										
Коэффициент затухания звука в атмосфере α, дБ/км	Ta=20,°C Pa=101.33,кПа hотн.=70%	ф-ла (5) [9]	0,02	0,09	0,33	1,12	2,79	4,98	9,04	23,09	77,63		
Учет затухания звука в атмосфере Aatm, дБ		ф-ла (8) [10]	0	0,2	0,6	2,2	5,4	9,6	17,5	44,7	150,3		
Снижение поверхностью земли возле источника As, дБ	Gs = 0 hs = 1м	ф-лы таб.3 [10]	-1,5	-1,5	-1,5	-1,5	-1,5	-1,5	-1,5	-1,5	-1,5		
Снижение поверхностью земли возле приёмника Ar, дБ	Gr = 1 hr = 1.5м	ф-лы таб.3 [10]	-1,5	-1,5	5,3	7	5	0,7	0	0	0		
Снижение поверхностью земли в средней зоне, Am дБ	Gm = 1	ф-лы таб.3 [10]	-2,9	-2,9	0	0	0	0	0	0	0		
Суммарное снижение поверхностью земли на траектории распространения звука Agr, дБ		ф-ла (9) [10]	-5,9	-5,9	3,8	5,5	3,5	-0,8	-1,5	-1,5	-1,5		

1		2	3	4	5	6	7	8	9	10	11	12	13
Уровни звукового давления от источника ИШ-9-27 в расчётной точке днём, дБ		**ф-ла(3)[10]**	**9,1**	**7**	**0**	**0**	**0**	**0**	**0**	**0**	**0**	**0**	**0**
Уровни звукового давления от источника ИШ-9-27 в расчётной точке ночью, дБ		**ф-ла(3)[10]**	**9,1**	**7**	**0**	**0**	**0**	**0**	**0**	**0**	**0**	**0**	**0**
Источник шума: ИШ-10-1, координаты источника (x,y,z), м =[17.37,413.17,1.00]													
Уровни звуковой мощности источника днём, Lw, дБ		**исходные данные**	**0**	**98,3**	**99,7**	**101**	**101,3**	**100,9**	**97,6**	**93,4**	**88,9**		
Уровни звуковой мощности источника ночью, Lw, дБ		**исходные данные**	**0**	**98,3**	**99,7**	**101**	**101,3**	**100,9**	**97,6**	**93,4**	**88,9**		
Поправка на телесный угол DΩ, дБ	Ω = 6.28	10Lg(4π/Ω)	**3**	3	3	3	3	3	3	3	3		
Показатель направленности источника Di, дБ		исходные данные	**0**	0	0	0	0	0	0	0	0		
Поправка на направленность источника Dc, дБ	Dc	DΩ + Di	**3**	3	3	3	3	3	3	3	3		
Затухание из-за геометрической дивергенции, Adiv, дБ	расстояние = 2169.69 м	ф-ла (7) [10]	**77,7**										
Коэффициент затухания звука в атмосфере α, дБ/км	Ta=20,°C Pa=101.33,кПа hотн.=70%	ф-ла (5) [9]	0,02	0,09	0,33	1,12	2,79	4,98	9,04	23,09	77,63		
Учет затухания звука в атмосфере Aatm, дБ		ф-ла (8) [10]	0	0,2	0,7	2,4	6,1	10,8	19,6	50,1	168,4		
Снижение уровня звукового давления из-за влияния застройки между источником шума и расчетной точкой													
Снижение уровня звукового давления на пути над экраном, Dz1, дБ	z = 0.10м (разность путей)	ф-лы (14-18) [10]	4,8	4,8	4,8	4,8	4,8	4,8	4,8	4,8	4,8		
Снижение уровня звукового давления на пути слева от экрана, Dz2, дБ	z = 3.14м (разность путей)	ф-лы (14-18) [10]	11,7	14,2	16,9	19,8	22,7	25,7	28,7	31,7	34,7		
Снижение уровня звукового давления на пути справа от экрана, Dz3, дБ	z = 0.87м (разность путей)	ф-лы (14-18) [10]	7,9	9,8	12	14,6	17,3	20,2	23,2	26,2	29,2		
Общее снижение уровня звука препятствием Dz, дБ		Эн.сумма(-Dzi)	2,5	3,2	3,8	4,2	4,5	4,6	4,7	4,7	4,8		

1		2	3	4	5	6	7	8	9	10	11	12	13
Уровни звукового давления прямого звука от источника ИШ-10-1 в расчётной точке днём, дБ		**ф-ла(3)[10]**	**0**	**20,2**	**20,5**	**19,6**	**16,1**	**10,8**	**0**	**0**	**0**	**16,7**	**16,7**
Уровни звукового давления прямого звука от источника ИШ-10-1 в расчётной точке ночью, дБ		**ф-ла(3)[10]**	**0**	**20,2**	**20,5**	**19,6**	**16,1**	**10,8**	**0**	**0**	**0**	**16,7**	**16,7**
Расчёт отражённого звука													
Уровни звукового давления от мнимого источника ИШ-10-1_мн.(1) в расчётной точке днём, дБ		**ф-ла(3)[10]**	**0**	**0**	**0**	**0**	**0**	**0**	**0**	**0**	**0**	**0**	**0**
Уровни звукового давления от мнимого источника ИШ-10-1_мн.(1) в расчётной точке ночью, дБ		**ф-ла(3)[10]**	**0**	**0**	**0**	**0**	**0**	**0**	**0**	**0**	**0**	**0**	**0**
Уровни звукового давления от источника ИШ-10-1 в расчётной точке днём, дБ		**ф-ла(3)[10]**	**0**	**20,2**	**20,5**	**19,6**	**16,1**	**10,8**	**0**	**0**	**0**	**16,7**	**16,7**
Уровни звукового давления от источника ИШ-10-1 в расчётной точке ночью, дБ		**ф-ла(3)[10]**	**0**	**20,2**	**20,5**	**19,6**	**16,1**	**10,8**	**0**	**0**	**0**	**16,7**	**16,7**
Источник шума: ИШ-10-2, координаты источника (x,y,z), м =[27.87,443.46,1.00]													
Уровни звуковой мощности источника днём, Lw, дБ		**исходные данные**	**0**	**98,3**	**99,7**	**101**	**101,3**	**100,9**	**97,6**	**93,4**	**88,9**		
Уровни звуковой мощности источника ночью, Lw, дБ		**исходные данные**	**0**	**98,3**	**99,7**	**101**	**101,3**	**100,9**	**97,6**	**93,4**	**88,9**		
Поправка на телесный угол DΩ, дБ	Ω = 6.28	10Lg(4π/Ω)	**3**	3	3	3	3	3	3	3	3		
Показатель направленности источника Di, дБ		исходные данные	**0**	0	0	0	0	0	0	0	0		
Поправка на направленность источника Dc, дБ	Dc	DΩ + Di	**3**	3	3	3	3	3	3	3	3		
Затухание из-за геометрической дивергенции, Adiv, дБ	расстояние = 2150.70 м	ф-ла (7) [10]	**77,7**										
Коэффициент затухания звука в атмосфере α, дБ/км	Ta=20,°C Pa=101.33,кПа hотн.=70%	ф-ла (5) [9]	0,02	0,09	0,33	1,12	2,79	4,98	9,04	23,09	77,63		
Учет затухания звука в атмосфере Aatm, дБ		ф-ла (8) [10]	0	0,2	0,7	2,4	6	10,7	19,4	49,7	167		

1		2	3	4	5	6	7	8	9	10	11	12	13
Снижение поверхностью земли возле источника As, дБ	Gs = 0 hs = 1м	ф-лы таб.3 [10]	-1,5	-1,5	-1,5	-1,5	-1,5	-1,5	-1,5	-1,5	-1,5		
Снижение поверхностью земли возле приёмника Ar, дБ	Gr = 1 hr = 1.5м	ф-лы таб.3 [10]	-1,5	-1,5	5,3	7	5	0,7	0	0	0		
Снижение поверхностью земли в средней зоне, Am дБ	Gm = 1	ф-лы таб.3 [10]	-2,9	-2,9	0	0	0	0	0	0	0		
Суммарное снижение поверхностью земли на траектории распространения звука Agr, дБ		ф-ла (9) [10]	-5,9	-5,9	3,8	5,5	3,5	-0,8	-1,5	-1,5	-1,5		
Уровни звукового давления прямого звука от источника ИШ-10-2 в расчётной точке днём, дБ		**ф-ла(3)[10]**	**0**	**29,4**	**20,5**	**18,4**	**17,2**	**16,4**	**5**	**0**	**0**	**19,4**	**19,4**
Уровни звукового давления прямого звука от источника ИШ-10-2 в расчётной точке ночью, дБ		**ф-ла(3)[10]**	**0**	**29,4**	**20,5**	**18,4**	**17,2**	**16,4**	**5**	**0**	**0**	**19,4**	**19,4**
Расчёт отражённого звука													
Уровни звукового давления от мнимого источника ИШ-10-2_мн.(1) в расчётной точке днём, дБ		**ф-ла(3)[10]**	**0**	**0**	**0**	**0**	**0**	**0**	**0**	**0**	**0**	**0**	**0**
Уровни звукового давления от мнимого источника ИШ-10-2_мн.(1) в расчётной точке ночью, дБ		**ф-ла(3)[10]**	**0**	**0**	**0**	**0**	**0**	**0**	**0**	**0**	**0**	**0**	**0**
Уровни звукового давления от источника ИШ-10-2 в расчётной точке днём, дБ		**ф-ла(3)[10]**	**0**	**29,4**	**20,5**	**18,4**	**17,2**	**16,4**	**5**	**0**	**0**	**19,4**	**19,4**
Уровни звукового давления от источника ИШ-10-2 в расчётной точке ночью, дБ		**ф-ла(3)[10]**	**0**	**29,4**	**20,5**	**18,4**	**17,2**	**16,4**	**5**	**0**	**0**	**19,4**	**19,4**
Уровни звукового давления в расчётной точке													
Суммарные уровни звукового давления в расчётной точке от всех источников шума днём, Lрт, дБ		**ф-ла (19) [1]**	**54,5**	**51,4**	**41,4**	**38,7**	**37,4**	**38,9**	**34,6**	**9,9**	**0**	**42**	**42**
Суммарные уровни звукового давления в расчётной точке от всех источников шума ночью, Lрт, дБ		**ф-ла (19) [1]**	**46,5**	**48,4**	**40,3**	**38**	**36,6**	**37,3**	**26,6**	**0**	**0**	**39,8**	**39,8**
Допускаемые УЗД днём, Lдоп, дБ	Границы санитарно-защитных зон	Таблица 5.35.[23]	90	75	66	59	54	50	47	45	44	55	70
Допускаемые УЗД ночью, Lдоп, дБ	Границы санитарно-защитных зон	Таблица 5.35.[23]	83	67	57	49	44	40	37	35	33	45	60

1	2	3	4	5	6	7	8	9	10	11	12	13
Превышение днём, дБ	**Lрт - Lдоп**	**-35,5**	**-23,6**	**-24,6**	**-20,3**	**-16,6**	**-11,1**	**-12,4**	**-35,1**	**-44**	**-13**	**-28**
Превышение ночью, дБ	**Lрт - Lдоп**	**-36,5**	**-18,6**	**-16,7**	**-11**	**-7,4**	**-2,7**	**-10,4**	**-35**	**-33**	**-5,2**	**-20,2**

Определение уровней звукового давления в точке РТ-3 (координаты точки, м: x = 2351.47, y = 397.49, z = 1.50)

Наименование величин и их описание		Ссылка	Расчётные уровни в октавных полосах, со среднегеометрическими частотами, Гц									La, дБА	Lмакс, дБА
			31,5	63	125	250	500	1000	2000	4000	8000		
1		2	3	4	5	6	7	8	9	10	11	12	13
Источник шума: ИШ-1-1, координаты источника (x,y,z), м =[271.72,229.68,1.00]													
Уровни звуковой мощности источника днём, Lw, дБ		**исходные данные**	**97**	**97**	**104**	**106**	**105**	**105**	**98**	**87**	**81**		
Уровни звуковой мощности источника ночью, Lw, дБ		**исходные данные**	**97**	**97**	**104**	**106**	**105**	**105**	**98**	**87**	**81**		
Поправка на телесный угол DΩ, дБ	Ω = 6.28	10Lg(4π/Ω)	**3**	3	3	3	3	3	3	3	3		
Показатель направленности источника Di, дБ		исходные данные	**0**	0	0	0	0	0	0	0	0		
Поправка на направленность источника Dc, дБ	Dc	DΩ + Di	**3**	3	3	3	3	3	3	3	3		
Затухание из-за геометрической дивергенции, Adiv, дБ	расстояние = 2086.51 м	ф-ла (7) [10]	**77,4**										
Коэффициент затухания звука в атмосфере α, дБ/км	Ta=20,°C Pa=101.33,кПа hотн.=70%	ф-ла (5) [9]	0,02	0,09	0,33	1,12	2,79	4,98	9,04	23,09	77,63		
Учет затухания звука в атмосфере Aatm, дБ		ф-ла (8) [10]	0	0,2	0,7	2,3	5,8	10,4	18,9	48,2	162		
Снижение уровня звукового давления из-за влияния застройки между источником шума и расчетной точкой													
Снижение уровня звукового давления на пути над экраном, Dz1, дБ	z = 0.67м (разность путей)	ф-лы (14-18) [10]	4,8	4,8	4,8	4,8	4,9	5,1	5,4	5,9	6,8		
Снижение уровня звукового давления на пути слева от экрана, Dz2, дБ	z = 1.61м (разность путей)	ф-лы (14-18) [10]	9,5	11,7	14,3	17	19,9	22,8	25,8	28,8	31,8		
Снижение уровня звукового давления на пути справа от экрана, Dz3, дБ	z = 131.22м (разность путей)	ф-лы (14-18) [10]	31,1	34,5	37,6	40,6	43,6	46,7	49,7	52,7	55,7		

1		2	3	4	5	6	7	8	9	10	11	12	13
Общее снижение уровня звука препятствием Dz, дБ		Эн.сумма(-Dzi)	3,5	4	4,3	4,6	4,8	5	5,3	5,9	6,8		
Уровни звукового давления от источника ИШ-1-1 в расчётной точке днём, дБ		**ф-ла(3)[10]**	**19,1**	**18,5**	**24,6**	**24,7**	**20**	**15,2**	**0**	**0**	**0**	**21,1**	**21,1**
Уровни звукового давления от источника ИШ-1-1 в расчётной точке ночью, дБ		**ф-ла(3)[10]**	**19,1**	**18,5**	**24,6**	**24,7**	**20**	**15,2**	**0**	**0**	**0**	**21,1**	**21,1**
Источник шума: ИШ-1-2, координаты источника (x,y,z), м =[261.74,199.14,1.00]													
Уровни звуковой мощности источника днём, Lw, дБ		**исходные данные**	**97**	**97**	**104**	**106**	**105**	**105**	**98**	**87**	**81**		
Уровни звуковой мощности источника ночью, Lw, дБ		**исходные данные**	**97**	**97**	**104**	**106**	**105**	**105**	**98**	**87**	**81**		
Поправка на телесный угол DΩ, дБ	Ω = 6.28	10Lg(4π/Ω)	**3**	3	3	3	3	3	3	3	3		
Показатель направленности источника Di, дБ		исходные данные	**0**	0	0	0	0	0	0	0	0		
Поправка на направленность источника Dc, дБ	Dc	DΩ + Di	**3**	3	3	3	3	3	3	3	3		
Затухание из-за геометрической дивергенции, Adiv, дБ	расстояние = 2099.13 м	ф-ла (7) [10]	**77,4**										
Коэффициент затухания звука в атмосфере α, дБ/км	Ta=20,°C Pa=101.33,кПа hотн.=70%	ф-ла (5) [9]	0,02	0,09	0,33	1,12	2,79	4,98	9,04	23,09	77,63		
Учет затухания звука в атмосфере Aatm, дБ		ф-ла (8) [10]	0	0,2	0,7	2,4	5,9	10,4	19	48,5	163		
Снижение уровня звукового давления из-за влияния застройки между источником шума и расчетной точкой													
Снижение уровня звукового давления на пути над экраном, Dz1, дБ	z = 0.67м (разность путей)	ф-лы (14-18) [10]	4,8	4,8	4,8	4,8	4,9	5,1	5,4	5,9	6,8		
Снижение уровня звукового давления на пути слева от экрана, Dz2, дБ	z = 11.25м (разность путей)	ф-лы (14-18) [10]	16,5	19,4	22,3	25,2	28,2	31,2	34,2	37,2	40,2		
Снижение уровня звукового давления на пути справа от экрана, Dz3, дБ	z = 91.67м (разность путей)	ф-лы (14-18) [10]	29,5	32,9	36	39,1	42,1	45,1	48,1	51,1	54,1		

1		2	3	4	5	6	7	8	9	10	11	12	13
Общее снижение уровня звука препятствием Dz, дБ		Эн.сумма(-Dzi)	4,5	4,6	4,7	4,8	4,9	5,1	5,4	5,9	6,8		
Уровни звукового давления прямого звука от источника ИШ-1-2 в расчётной точке днём, дБ		**ф-ла(3)[10]**	**18**	**17,8**	**24,2**	**24,4**	**19,8**	**15,1**	**0**	**0**	**0**	**20,9**	**20,9**
Уровни звукового давления прямого звука от источника ИШ-1-2 в расчётной точке ночью, дБ		**ф-ла(3)[10]**	**18**	**17,8**	**24,2**	**24,4**	**19,8**	**15,1**	**0**	**0**	**0**	**20,9**	**20,9**
Расчёт отражённого звука													
Уровни звукового давления от мнимого источника ИШ-1-2_мн.(1) в расчётной точке днём, дБ		**ф-ла(3)[10]**	**0**	**0**	**0**	**0**	**0**	**0**	**1,6**	**0**	**0**	**2,8**	**2,8**
Уровни звукового давления от мнимого источника ИШ-1-2_мн.(1) в расчётной точке ночью, дБ		**ф-ла(3)[10]**	**0**	**0**	**0**	**0**	**0**	**0**	**0**	**0**	**0**	**2,8**	**2,8**
Уровни звукового давления от источника ИШ-1-2 в расчётной точке днём, дБ		**ф-ла(3)[10]**	**18**	**17,8**	**24,2**	**24,4**	**19,8**	**15,1**	**1,6**	**0**	**0**	**21**	**21**
Уровни звукового давления от источника ИШ-1-2 в расчётной точке ночью, дБ		**ф-ла(3)[10]**	**18**	**17,8**	**24,2**	**24,4**	**19,8**	**15,1**	**1,6**	**0**	**0**	**21**	**21**
Источник шума: ИШ-1-3, координаты источника (x,y,z), м =[251.75,236.44,1.00]													
Уровни звуковой мощности источника днём, Lw, дБ		**исходные данные**	**0**	**91,3**	**92,7**	**94**	**94,3**	**93,9**	**90,6**	**86,4**	**81,9**		
Уровни звуковой мощности источника ночью, Lw, дБ		**исходные данные**	**0**	**91,3**	**92,7**	**94**	**94,3**	**93,9**	**90,6**	**86,4**	**81,9**		
Поправка на телесный угол DΩ, дБ	Ω = 6.28	10Lg(4π/Ω)	**3**	3	3	3	3	3	3	3	3		
Показатель направленности источника Di, дБ		исходные данные	**0**	0	0	0	0	0	0	0	0		
Поправка на направленность источника Dc, дБ	Dc	DΩ + Di	**3**	3	3	3	3	3	3	3	3		
Затухание из-за геометрической дивергенции, Adiv, дБ	расстояние = 2105.88 м	ф-ла (7) [10]	**77,5**										
Коэффициент затухания звука в атмосфере α, дБ/км	Ta=20,°C Pa=101.33,кПа hотн.=70%	ф-ла (5) [9]	0,02	0,09	0,33	1,12	2,79	4,98	9,04	23,09	77,63		

1		2	3	4	5	6	7	8	9	10	11	12	13
Учет затухания звука в атмосфере Aatm, дБ		ф-ла (8) [10]	0	0,2	0,7	2,4	5,9	10,5	19	48,6	163,5		
Снижение уровня звукового давления из-за влияния застройки между источником шума и расчетной точкой													
Снижение уровня звукового давления на пути над экраном, Dz1, дБ	z = 0.50м (разность путей)	ф-лы (14-18) [10]	4,8	4,8	4,8	4,8	4,8	4,8	4,8	4,8	4,9		
Снижение уровня звукового давления на пути слева от экрана, Dz2, дБ	z = 0.26м (разность путей)	ф-лы (14-18) [10]	6	6,9	8,4	10,3	12,7	15,3	18,1	21	24		
Снижение уровня звукового давления на пути справа от экрана, Dz3, дБ	z = 123.41м (разность путей)	ф-лы (14-18) [10]	30,8	34,2	37,3	40,4	43,4	46,4	49,4	52,4	55,4		
Общее снижение уровня звука препятствием Dz, дБ		Эн.сумма(-Dzi)	2,3	2,7	3,2	3,7	4,1	4,4	4,6	4,7	4,9		
Уровни звукового давления прямого звука от источника ИШ-1-3 в расчётной точке днём, дБ		**ф-ла(3)[10]**	**0**	**13,9**	**14,3**	**13,5**	**9,8**	**4,5**	**0**	**0**	**0**	**10,5**	**10,5**
Уровни звукового давления прямого звука от источника ИШ-1-3 в расчётной точке ночью, дБ		**ф-ла(3)[10]**	**0**	**13,9**	**14,3**	**13,5**	**9,8**	**4,5**	**0**	**0**	**0**	**10,5**	**10,5**
Расчёт отражённого звука													
Уровни звукового давления от мнимого источника ИШ-1-3_мн.(1) в расчётной точке днём, дБ		**ф-ла(3)[10]**	**0**	**0**	**0**	**0**	**0**	**0**	**0**	**0**	**0**	**0**	**0**
Уровни звукового давления от мнимого источника ИШ-1-3_мн.(1) в расчётной точке ночью, дБ		**ф-ла(3)[10]**	**0**	**0**	**0**	**0**	**0**	**0**	**0**	**0**	**0**	**0**	**0**
Уровни звукового давления от источника ИШ-1-3 в расчётной точке днём, дБ		**ф-ла(3)[10]**	**0**	**13,9**	**14,3**	**13,5**	**9,8**	**4,5**	**0**	**0**	**0**	**10,5**	**10,5**
Уровни звукового давления от источника ИШ-1-3 в расчётной точке ночью, дБ		**ф-ла(3)[10]**	**0**	**13,9**	**14,3**	**13,5**	**9,8**	**4,5**	**0**	**0**	**0**	**10,5**	**10,5**
Источник шума: ИШ-1-4, координаты источника (x,y,z), м =[290.25,223.25,1.00]													
Уровни звуковой мощности источника днём, Lw, дБ		**исходные данные**	**0**	**91,3**	**92,7**	**94**	**94,3**	**93,9**	**90,6**	**86,4**	**81,9**		
Уровни звуковой мощности источника ночью, Lw, дБ		**исходные данные**	**0**	**91,3**	**92,7**	**94**	**94,3**	**93,9**	**90,6**	**86,4**	**81,9**		
Поправка на телесный угол DΩ, дБ	Ω = 6.28	10Lg(4π/Ω)	**3**	3	3	3	3	3	3	3	3		

1		2	3	4	5	6	7	8	9	10	11	12	13
Показатель направленности источника Di, дБ		исходные данные	**0**	0	0	0	0	0	0	0	0		
Поправка на направленность источника Dc, дБ	Dc	DΩ + Di	**3**	3	3	3	3	3	3	3	3		
Затухание из-за геометрической дивергенции, Adiv, дБ	расстояние = 2068.57 м	ф-ла (7) [10]	**77,3**										
Коэффициент затухания звука в атмосфере α, дБ/км	Ta=20,°C Pa=101.33,кПа hотн.=70%	ф-ла (5) [9]	0,02	0,09	0,33	1,12	2,79	4,98	9,04	23,09	77,63		
Учет затухания звука в атмосфере Aatm, дБ		ф-ла (8) [10]	0	0,2	0,7	2,3	5,8	10,3	18,7	47,8	160,6		
Снижение уровня звукового давления из-за влияния застройки между источником шума и расчетной точкой													
Снижение уровня звукового давления на пути над экраном, Dz1, дБ	z = 1.01м (разность путей)	ф-лы (14-18) [10]	4,8	4,9	5,2	5,8	6,8	8,2	10,1	12,4	15		
Снижение уровня звукового давления на пути слева от экрана, Dz2, дБ	z = 4.89м (разность путей)	ф-лы (14-18) [10]	13,2	15,9	18,7	21,7	24,6	27,6	30,6	33,6	36,6		
Снижение уровня звукового давления на пути справа от экрана, Dz3, дБ	z = 140.84м (разность путей)	ф-лы (14-18) [10]	31,4	34,8	37,9	40,9	44	47	50	53	56		
Общее снижение уровня звука препятствием Dz, дБ		Эн.сумма(-Dzi)	4,2	4,6	5	5,7	6,7	8,1	10,1	12,4	15		
Уровни звукового давления прямого звука от источника ИШ-1-4 в расчётной точке днём, дБ		**ф-ла(3)[10]**	**0**	**12,2**	**12,7**	**11,7**	**7,5**	**1,1**	**0**	**0**	**0**	**8,2**	**8,2**
Уровни звукового давления прямого звука от источника ИШ-1-4 в расчётной точке ночью, дБ		**ф-ла(3)[10]**	**0**	**12,2**	**12,7**	**11,7**	**7,5**	**1,1**	**0**	**0**	**0**	**8,2**	**8,2**
Расчёт отражённого звука													
Уровни звукового давления от мнимого источника ИШ-1-4_мн.(1) в расчётной точке днём, дБ		**ф-ла(3)[10]**	**0**	**0**	**0**	**0**	**0**	**0**	**0**	**0**	**0**	**0**	**0**
Уровни звукового давления от мнимого источника ИШ-1-4_мн.(1) в расчётной точке ночью, дБ		**ф-ла(3)[10]**	**0**	**0**	**0**	**0**	**0**	**0**	**0**	**0**	**0**	**0**	**0**
Уровни звукового давления от источника ИШ-1-4 в расчётной точке днём, дБ		**ф-ла(3)[10]**	**0**	**12,2**	**12,7**	**11,7**	**7,5**	**1,1**	**0**	**0**	**0**	**8,2**	**8,2**
Уровни звукового давления от источника ИШ-1-4 в расчётной точке ночью, дБ		**ф-ла(3)[10]**	**0**	**12,2**	**12,7**	**11,7**	**7,5**	**1,1**	**0**	**0**	**0**	**8,2**	**8,2**

1		2	3	4	5	6	7	8	9	10	11	12	13
Источник шума: ИШ-1-5, координаты источника (x,y,z), м =[241.49,205.86,1.00]													
Уровни звуковой мощности источника днём, Lw, дБ		**исходные данные**	**0**	**91,3**	**92,7**	**94**	**94,3**	**93,9**	**90,6**	**86,4**	**81,9**		
Уровни звуковой мощности источника ночью, Lw, дБ		**исходные данные**	**0**	**91,3**	**92,7**	**94**	**94,3**	**93,9**	**90,6**	**86,4**	**81,9**		
Поправка на телесный угол DΩ, дБ	Ω = 6.28	10Lg(4π/Ω)	**3**	3	3	3	3	3	3	3	3		
Показатель направленности источника Di, дБ		исходные данные	**0**	0	0	0	0	0	0	0	0		
Поправка на направленность источника Dc, дБ	Dc	DΩ + Di	**3**	3	3	3	3	3	3	3	3		
Затухание из-за геометрической дивергенции, Adiv, дБ	расстояние = 2118.67 м	ф-ла (7) [10]	**77,5**										
Коэффициент затухания звука в атмосфере α, дБ/км	Ta=20,°C Pa=101.33,кПа hотн.=70%	ф-ла (5) [9]	0,02	0,09	0,33	1,12	2,79	4,98	9,04	23,09	77,63		
Учет затухания звука в атмосфере Aatm, дБ		ф-ла (8) [10]	0	0,2	0,7	2,4	5,9	10,5	19,2	48,9	164,5		
Снижение уровня звукового давления из-за влияния застройки между источником шума и расчетной точкой													
Снижение уровня звукового давления на пути над экраном, Dz1, дБ	z = 0.49м (разность путей)	ф-лы (14-18) [10]	4,8	4,8	4,8	4,8	4,8	4,8	4,8	4,8	4,9		
Снижение уровня звукового давления на пути слева от экрана, Dz2, дБ	z = 6.22м (разность путей)	ф-лы (14-18) [10]	14,2	16,9	19,8	22,7	25,7	28,7	31,7	34,7	37,7		
Снижение уровня звукового давления на пути справа от экрана, Dz3, дБ	z = 86.76м (разность путей)	ф-лы (14-18) [10]	29,3	32,7	35,8	38,8	41,8	44,9	47,9	50,9	53,9		
Общее снижение уровня звука препятствием Dz, дБ		Эн.сумма(-Dzi)	4,3	4,5	4,6	4,7	4,7	4,8	4,8	4,8	4,9		
Уровни звукового давления прямого звука от источника ИШ-1-5 в расчётной точке днём, дБ		**ф-ла(3)[10]**	**0**	**12,1**	**12,8**	**12,4**	**9,1**	**4,1**	**0**	**0**	**0**	**9,7**	**9,7**
Уровни звукового давления прямого звука от источника ИШ-1-5 в расчётной точке ночью, дБ		**ф-ла(3)[10]**	**0**	**12,1**	**12,8**	**12,4**	**9,1**	**4,1**	**0**	**0**	**0**	**9,7**	**9,7**

1		2	3	4	5	6	7	8	9	10	11	12	13
Расчёт отражённого звука													
Уровни звукового давления от мнимого источника ИШ-1-5_мн.(1) в расчётной точке днём, дБ		**ф-ла(3)[10]**	**0**	**0**	**0**	**0**	**0**	**0**	**0**	**0**	**0**	**0**	**0**
Уровни звукового давления от мнимого источника ИШ-1-5_мн.(1) в расчётной точке ночью, дБ		**ф-ла(3)[10]**	**0**	**0**	**0**	**0**	**0**	**0**	**0**	**0**	**0**	**0**	**0**
Уровни звукового давления от источника ИШ-1-5 в расчётной точке днём, дБ		**ф-ла(3)[10]**	**0**	**12,1**	**12,8**	**12,4**	**9,1**	**4,1**	**0**	**0**	**0**	**9,7**	**9,7**
Уровни звукового давления от источника ИШ-1-5 в расчётной точке ночью, дБ		**ф-ла(3)[10]**	**0**	**12,1**	**12,8**	**12,4**	**9,1**	**4,1**	**0**	**0**	**0**	**9,7**	**9,7**
Источник шума: ИШ-1-6, координаты источника (x,y,z), м =[279.85,192.97,1.00]													
Уровни звуковой мощности источника днём, Lw, дБ		**исходные данные**	**0**	**91,3**	**92,7**	**94**	**94,3**	**93,9**	**90,6**	**86,4**	**81,9**		
Уровни звуковой мощности источника ночью, Lw, дБ		**исходные данные**	**0**	**91,3**	**92,7**	**94**	**94,3**	**93,9**	**90,6**	**86,4**	**81,9**		
Поправка на телесный угол DΩ, дБ	Ω = 6.28	10Lg(4π/Ω)	**3**	3	3	3	3	3	3	3	3		
Показатель направленности источника Di, дБ		исходные данные	**0**	0	0	0	0	0	0	0	0		
Поправка на направленность источника Dc, дБ	Dc	DΩ + Di	**3**	3	3	3	3	3	3	3	3		
Затухание из-за геометрической дивергенции, Adiv, дБ	расстояние = 2081.69 м	ф-ла (7) [10]	**77,4**										
Коэффициент затухания звука в атмосфере α, дБ/км	Ta=20,°C Pa=101.33,кПа hотн.=70%	ф-ла (5) [9]	0,02	0,09	0,33	1,12	2,79	4,98	9,04	23,09	77,63		
Учет затухания звука в атмосфере Aatm, дБ		ф-ла (8) [10]	0	0,2	0,7	2,3	5,8	10,4	18,8	48,1	161,6		
Снижение уровня звукового давления из-за влияния застройки между источником шума и расчетной точкой													
Снижение уровня звукового давления на пути над экраном, Dz1, дБ	z = 1.00м (разность путей)	ф-лы (14-18) [10]	4,9	5,1	5,4	5,9	6,8	8,2	10,1	12,5	15,1		

1		2	3	4	5	6	7	8	9	10	11	12	13
Снижение уровня звукового давления на пути слева от экрана, Dz2, дБ	z = 18.42м (разность путей)	ф-лы (14-18) [10]	18,5	21,4	24,4	27,4	30,4	33,4	36,4	39,4	42,4		
Снижение уровня звукового давления на пути справа от экрана, Dz3, дБ	z = 98.46м (разность путей)	ф-лы (14-18) [10]	29,9	33,3	36,3	39,4	42,4	45,4	48,4	51,4	54,4		
Общее снижение уровня звука препятствием Dz, дБ		Эн.сумма(-Dzi)	4,7	5	5,3	5,9	6,8	8,2	10,1	12,5	15,1		
Уровни звукового давления прямого звука от источника ИШ-1-6 в расчётной точке днём, дБ		**ф-ла(3)[10]**	**0**	**11,8**	**12,3**	**11,4**	**7,3**	**0,9**	**0**	**0**	**0**	**7,9**	**7,9**
Уровни звукового давления прямого звука от источника ИШ-1-6 в расчётной точке ночью, дБ		**ф-ла(3)[10]**	**0**	**11,8**	**12,3**	**11,4**	**7,3**	**0,9**	**0**	**0**	**0**	**7,9**	**7,9**
Расчёт отражённого звука													
Уровни звукового давления от мнимого источника ИШ-1-6_мн.(1) в расчётной точке днём, дБ		**ф-ла(3)[10]**	**0**	**0**	**0**	**0**	**0**	**0**	**0**	**0**	**0**	**0**	**0**
Уровни звукового давления от мнимого источника ИШ-1-6_мн.(1) в расчётной точке ночью, дБ		**ф-ла(3)[10]**	**0**	**0**	**0**	**0**	**0**	**0**	**0**	**0**	**0**	**0**	**0**
Уровни звукового давления от источника ИШ-1-6 в расчётной точке днём, дБ		**ф-ла(3)[10]**	**0**	**11,8**	**12,3**	**11,4**	**7,3**	**0,9**	**0**	**0**	**0**	**7,9**	**7,9**
Уровни звукового давления от источника ИШ-1-6 в расчётной точке ночью, дБ		**ф-ла(3)[10]**	**0**	**11,8**	**12,3**	**11,4**	**7,3**	**0,9**	**0**	**0**	**0**	**7,9**	**7,9**
Источник шума: ИШ-1-7, координаты источника (x,y,z), м =[451.87,146.66,1.00]													
Уровни звуковой мощности источника днём, Lw, дБ		**исходные данные**	**0**	**93,3**	**94,7**	**96**	**96,3**	**95,9**	**92,6**	**88,4**	**83,9**		
Уровни звуковой мощности источника ночью, Lw, дБ		**исходные данные**	**0**	**93,3**	**94,7**	**96**	**96,3**	**95,9**	**92,6**	**88,4**	**83,9**		
Поправка на телесный угол DΩ, дБ	Ω = 6.28	10Lg(4π/Ω)	**3**	3	3	3	3	3	3	3	3		
Показатель направленности источника Di, дБ		исходные данные	**0**	0	0	0	0	0	0	0	0		
Поправка на направленность источника Dc, дБ	Dc	DΩ + Di	**3**	3	3	3	3	3	3	3	3		
Затухание из-за геометрической дивергенции, Adiv, дБ	расстояние = 1916.09 м	ф-ла (7) [10]	**76,6**										

1		2	3	4	5	6	7	8	9	10	11	12	13
Коэффициент затухания звука в атмосфере α, дБ/км	Та=20,°С Ра=101.33,кПа hотн.=70%	ф-ла (5) [9]	0,02	0,09	0,33	1,12	2,79	4,98	9,04	23,09	77,63		
Учет затухания звука в атмосфере Aatm, дБ		ф-ла (8) [10]	0	0,2	0,6	2,2	5,3	9,5	17,3	44,2	148,8		
Снижение уровня звукового давления из-за влияния застройки между источником шума и расчетной точкой													
Снижение уровня звукового давления на пути над экраном, Dz1, дБ	z = 0.89м (разность путей)	ф-лы (14-18) [10]	4,8	4,9	5	5,5	6,2	7,4	9	11,2	13,7		
Снижение уровня звукового давления на пути слева от экрана, Dz2, дБ	z = 6.47м (разность путей)	ф-лы (14-18) [10]	14,3	17,1	19,9	22,9	25,8	28,8	31,8	34,8	37,8		
Снижение уровня звукового давления на пути справа от экрана, Dz3, дБ	z = 93.62м (разность путей)	ф-лы (14-18) [10]	25,7	29,4	33,8	38,2	41,9	45,1	48,2	51,2	54,2		
Общее снижение уровня звука препятствием Dz, дБ		Эн.сумма(-Dzi)	4,3	4,6	4,9	5,4	6,2	7,4	9	11,1	13,6		
Уровни звукового давления прямого звука от источника ИШ-1-7 в расчётной точке днём, дБ		**ф-ла(3)[10]**	**0**	**14,9**	**15,5**	**14,8**	**11,1**	**5,3**	**0**	**0**	**0**	**11,7**	**11,7**
Уровни звукового давления прямого звука от источника ИШ-1-7 в расчётной точке ночью, дБ		**ф-ла(3)[10]**	**0**	**14,9**	**15,5**	**14,8**	**11,1**	**5,3**	**0**	**0**	**0**	**11,7**	**11,7**
Расчёт отражённого звука													
Уровни звукового давления от мнимого источника ИШ-1-7_мн.(1) в расчётной точке днём, дБ		**ф-ла(3)[10]**	**0**	**0**	**0**	**0**	**11,9**	**6,8**	**0**	**0**	**0**	**10,9**	**10,9**
Уровни звукового давления от мнимого источника ИШ-1-7_мн.(1) в расчётной точке ночью, дБ		**ф-ла(3)[10]**	**0**	**0**	**0**	**0**	**0**	**0**	**0**	**0**	**0**	**10,9**	**10,9**
Уровни звукового давления от источника ИШ-1-7 в расчётной точке днём, дБ		**ф-ла(3)[10]**	**0**	**14,9**	**15,5**	**14,8**	**14,5**	**9,2**	**0**	**0**	**0**	**14,3**	**14,3**
Уровни звукового давления от источника ИШ-1-7 в расчётной точке ночью, дБ		**ф-ла(3)[10]**	**0**	**14,9**	**15,5**	**14,8**	**14,5**	**9,2**	**0**	**0**	**0**	**14,3**	**14,3**
Источник шума: ИШ-1-8, координаты источника (x,y,z), м =[454.99,145.29,1.00]													
Уровни звуковой мощности источника днём, Lw, дБ		**исходные данные**	**0**	**93,3**	**94,7**	**96**	**96,3**	**95,9**	**92,6**	**88,4**	**83,9**		

1		2	3	4	5	6	7	8	9	10	11	12	13
Уровни звуковой мощности источника ночью, Lw, дБ		**исходные данные**	**0**	**93,3**	**94,7**	**96**	**96,3**	**95,9**	**92,6**	**88,4**	**83,9**		
Поправка на телесный угол DΩ, дБ	Ω = 6.28	10Lg(4π/Ω)	**3**	3	3	3	3	3	3	3	3		
Показатель направленности источника Di, дБ		исходные данные	**0**	0	0	0	0	0	0	0	0		
Поправка на направленность источника Dc, дБ	Dc	DΩ + Di	**3**	3	3	3	3	3	3	3	3		
Затухание из-за геометрической дивергенции, Adiv, дБ	расстояние = 1913.17 м	ф-ла (7) [10]	**76,6**										
Коэффициент затухания звука в атмосфере α, дБ/км	Ta=20,°C Pa=101.33,кПа hотн.=70%	ф-ла (5) [9]	0,02	0,09	0,33	1,12	2,79	4,98	9,04	23,09	77,63		
Учет затухания звука в атмосфере Aatm, дБ		ф-ла (8) [10]	0	0,2	0,6	2,2	5,3	9,5	17,3	44,2	148,5		
Снижение уровня звукового давления из-за влияния застройки между источником шума и расчетной точкой													
Снижение уровня звукового давления на пути над экраном, Dz1, дБ	z = 0.97м (разность путей)	ф-лы (14-18) [10]	4,8	4,9	5,2	5,8	6,9	8,4	10,4	12,8	15,5		
Снижение уровня звукового давления на пути слева от экрана, Dz2, дБ	z = 7.56м (разность путей)	ф-лы (14-18) [10]	14,9	17,7	20,6	23,5	26,5	29,5	32,5	35,5	38,5		
Снижение уровня звукового давления на пути справа от экрана, Dz3, дБ	z = 94.77м (разность путей)	ф-лы (14-18) [10]	25,8	29,5	33,8	38,3	41,9	45,2	48,2	51,3	54,3		
Общее снижение уровня звука препятствием Dz, дБ		Эн.сумма(-Dzi)	4,4	4,7	5,1	5,8	6,9	8,4	10,4	12,8	15,4		
Уровни звукового давления прямого звука от источника ИШ-1-8 в расчётной точке днём, дБ		**ф-ла(3)[10]**	**0**	**14,8**	**15,4**	**14,4**	**10,5**	**4,3**	**0**	**0**	**0**	**11,1**	**11,1**
Уровни звукового давления прямого звука от источника ИШ-1-8 в расчётной точке ночью, дБ		**ф-ла(3)[10]**	**0**	**14,8**	**15,4**	**14,4**	**10,5**	**4,3**	**0**	**0**	**0**	**11,1**	**11,1**
Расчёт отражённого звука													
Уровни звукового давления от мнимого источника ИШ-1-8_мн.(1) в расчётной точке днём, дБ		**ф-ла(3)[10]**	**0**	**0**	**0**	**0**	**0**	**7**	**0**	**0**	**0**	**7**	**7**
Уровни звукового давления от мнимого источника ИШ-1-8_мн.(1) в расчётной точке ночью, дБ		**ф-ла(3)[10]**	**0**	**0**	**0**	**0**	**0**	**0**	**0**	**0**	**0**	**7**	**7**

1		2	3	4	5	6	7	8	9	10	11	12	13
Уровни звукового давления от источника ИШ-1-8 в расчётной точке днём, дБ		**ф-ла(3)[10]**	**0**	**14,8**	**15,4**	**14,4**	**10,5**	**8,9**	**0**	**0**	**0**	**12,5**	**12,5**
Уровни звукового давления от источника ИШ-1-8 в расчётной точке ночью, дБ		**ф-ла(3)[10]**	**0**	**14,8**	**15,4**	**14,4**	**10,5**	**8,9**	**0**	**0**	**0**	**12,5**	**12,5**
Источник шума: ИШ-1-9, координаты источника (x,y,z), м =[458.12,144.31,1.00]													
Уровни звуковой мощности источника днём, Lw, дБ		**исходные данные**	**0**	**93,3**	**94,7**	**96**	**96,3**	**95,9**	**92,6**	**88,4**	**83,9**		
Уровни звуковой мощности источника ночью, Lw, дБ		**исходные данные**	**0**	**93,3**	**94,7**	**96**	**96,3**	**95,9**	**92,6**	**88,4**	**83,9**		
Поправка на телесный угол DΩ, дБ	Ω = 6.28	10Lg(4π/Ω)	**3**	3	3	3	3	3	3	3	3		
Показатель направленности источника Di, дБ		исходные данные	**0**	0	0	0	0	0	0	0	0		
Поправка на направленность источника Dc, дБ	Dc	DΩ + Di	**3**	3	3	3	3	3	3	3	3		
Затухание из-за геометрической дивергенции, Adiv, дБ	расстояние = 1910.20 м	ф-ла (7) [10]	**76,6**										
Коэффициент затухания звука в атмосфере α, дБ/км	Ta=20,°C Pa=101.33,кПа hотн.=70%	ф-ла (5) [9]	0,02	0,09	0,33	1,12	2,79	4,98	9,04	23,09	77,63		
Учет затухания звука в атмосфере Aatm, дБ		ф-ла (8) [10]	0	0,2	0,6	2,1	5,3	9,5	17,3	44,1	148,3		
Снижение уровня звукового давления из-за влияния застройки между источником шума и расчетной точкой													
Снижение уровня звукового давления на пути над экраном, Dz1, дБ	z = 1.05м (разность путей)	ф-лы (14-18) [10]	4,9	5	5,4	6,3	7,8	9,7	11,9	14,5	17,3		
Снижение уровня звукового давления на пути слева от экрана, Dz2, дБ	z = 8.60м (разность путей)	ф-лы (14-18) [10]	15,4	18,2	21,1	24,1	27,1	30,1	33,1	36,1	39,1		
Снижение уровня звукового давления на пути справа от экрана, Dz3, дБ	z = 96.46м (разность путей)	ф-лы (14-18) [10]	25,9	29,6	33,9	38,3	42	45,2	48,3	51,3	54,4		
Общее снижение уровня звука препятствием Dz, дБ		Эн.сумма(-Dzi)	4,5	4,8	5,3	6,3	7,7	9,6	11,9	14,5	17,3		

1		2	3	4	5	6	7	8	9	10	11	12	13
Уровни звукового давления прямого звука от источника ИШ-1-9 в расчётной точке днём, дБ		**ф-ла(3)[10]**	**0**	**14,7**	**15,1**	**14**	**9,6**	**3,1**	**0**	**0**	**0**	**10,3**	**10,3**
Уровни звукового давления прямого звука от источника ИШ-1-9 в расчётной точке ночью, дБ		**ф-ла(3)[10]**	**0**	**14,7**	**15,1**	**14**	**9,6**	**3,1**	**0**	**0**	**0**	**10,3**	**10,3**
Расчёт отражённого звука													
Уровни звукового давления от мнимого источника ИШ-1-9_мн.(1) в расчётной точке днём, дБ		**ф-ла(3)[10]**	**0**	**0**	**0**	**0**	**0**	**7,3**	**0**	**0**	**0**	**7,3**	**7,3**
Уровни звукового давления от мнимого источника ИШ-1-9_мн.(1) в расчётной точке ночью, дБ		**ф-ла(3)[10]**	**0**	**0**	**0**	**0**	**0**	**0**	**0**	**0**	**0**	**7,3**	**7,3**
Уровни звукового давления от источника ИШ-1-9 в расчётной точке днём, дБ		**ф-ла(3)[10]**	**0**	**14,7**	**15,1**	**14**	**9,6**	**8,7**	**0**	**0**	**0**	**12,1**	**12,1**
Уровни звукового давления от источника ИШ-1-9 в расчётной точке ночью, дБ		**ф-ла(3)[10]**	**0**	**14,7**	**15,1**	**14**	**9,6**	**8,7**	**0**	**0**	**0**	**12,1**	**12,1**
Источник шума: ИШ-1-10, координаты источника (x,y,z), м =[461.05,143.53,1.00]													
Уровни звуковой мощности источника днём, Lw, дБ		**исходные данные**	**0**	**93,3**	**94,7**	**96**	**96,3**	**95,9**	**92,6**	**88,4**	**83,9**		
Уровни звуковой мощности источника ночью, Lw, дБ		**исходные данные**	**0**	**93,3**	**94,7**	**96**	**96,3**	**95,9**	**92,6**	**88,4**	**83,9**		
Поправка на телесный угол DΩ, дБ	Ω = 6.28	10Lg(4π/Ω)	**3**	3	3	3	3	3	3	3	3		
Показатель направленности источника Di, дБ		исходные данные	**0**	0	0	0	0	0	0	0	0		
Поправка на направленность источника Dc, дБ	Dc	DΩ + Di	**3**	3	3	3	3	3	3	3	3		
Затухание из-за геометрической дивергенции, Adiv, дБ	расстояние = 1907.40 м	ф-ла (7) [10]	**76,6**										
Коэффициент затухания звука в атмосфере α, дБ/км	Ta=20,°C Pa=101.33,кПа hотн.=70%	ф-ла (5) [9]	0,02	0,09	0,33	1,12	2,79	4,98	9,04	23,09	77,63		
Учет затухания звука в атмосфере Aatm, дБ		ф-ла (8) [10]	0	0,2	0,6	2,1	5,3	9,5	17,2	44	148,1		

1		2	3	4	5	6	7	8	9	10	11	12	13
Снижение уровня звукового давления из-за влияния застройки между источником шума и расчетной точкой													
Снижение уровня звукового давления на пути над экраном, Dz1, дБ	z = 1.15м (разность путей)	ф-лы (14-18) [10]	4,9	5,1	5,7	7	8,8	11	13,5	16,2	19,1		
Снижение уровня звукового давления на пути слева от экрана, Dz2, дБ	z = 9.60м (разность путей)	ф-лы (14-18) [10]	15,9	18,7	21,6	24,6	27,5	30,5	33,5	36,6	39,6		
Снижение уровня звукового давления на пути справа от экрана, Dz3, дБ	z = 98.29м (разность путей)	ф-лы (14-18) [10]	25,9	29,6	34	38,4	42,1	45,3	48,4	51,4	54,4		
Общее снижение уровня звука препятствием Dz, дБ		Эн.сумма(-Dzi)	4,6	4,9	5,6	6,9	8,7	10,9	13,4	16,2	19		
Уровни звукового давления прямого звука от источника ИШ-1-10 в расчётной точке днём, дБ		**ф-ла(3)[10]**	**0**	**14,6**	**14,8**	**13,3**	**8,6**	**1,8**	**0**	**0**	**0**	**9,4**	**9,4**
Уровни звукового давления прямого звука от источника ИШ-1-10 в расчётной точке ночью, дБ		**ф-ла(3)[10]**	**0**	**14,6**	**14,8**	**13,3**	**8,6**	**1,8**	**0**	**0**	**0**	**9,4**	**9,4**
Расчёт отражённого звука													
Уровни звукового давления от мнимого источника ИШ-1-10_мн.(1) в расчётной точке днём, дБ		**ф-ла(3)[10]**	**0**	**0**	**0**	**0**	**0**	**8**	**0**	**0**	**0**	**8**	**8**
Уровни звукового давления от мнимого источника ИШ-1-10_мн.(1) в расчётной точке ночью, дБ		**ф-ла(3)[10]**	**0**	**0**	**0**	**0**	**0**	**0**	**0**	**0**	**0**	**8**	**8**
Уровни звукового давления от источника ИШ-1-10 в расчётной точке днём, дБ		**ф-ла(3)[10]**	**0**	**14,6**	**14,8**	**13,3**	**8,6**	**9**	**0**	**0**	**0**	**11,8**	**11,8**
Уровни звукового давления от источника ИШ-1-10 в расчётной точке ночью, дБ		**ф-ла(3)[10]**	**0**	**14,6**	**14,8**	**13,3**	**8,6**	**9**	**0**	**0**	**0**	**11,8**	**11,8**
Источник шума: ИШ-1-11, координаты источника (x,y,z), м =[464.18,142.55,1.00]													
Уровни звуковой мощности источника днём, Lw, дБ		**исходные данные**	**0**	**93,3**	**94,7**	**96**	**96,3**	**95,9**	**92,6**	**88,4**	**83,9**		
Уровни звуковой мощности источника ночью, Lw, дБ		**исходные данные**	**0**	**93,3**	**94,7**	**96**	**96,3**	**95,9**	**92,6**	**88,4**	**83,9**		
Поправка на телесный угол DΩ, дБ	Ω = 6.28	10Lg(4π/Ω)	**3**	3	3	3	3	3	3	3	3		
Показатель направленности источника Di, дБ		исходные данные	**0**	0	0	0	0	0	0	0	0		

1		2	3	4	5	6	7	8	9	10	11	12	13
Поправка на направленность источника Dc, дБ	Dc	DΩ + Di	**3**	3	3	3	3	3	3	3	3		
Затухание из-за геометрической дивергенции, Adiv, дБ	расстояние = 1904.43 м	ф-ла (7) [10]	**76,6**										
Коэффициент затухания звука в атмосфере α, дБ/км	Ta=20,°C Pa=101.33,кПа hотн.=70%	ф-ла (5) [9]	0,02	0,09	0,33	1,12	2,79	4,98	9,04	23,09	77,63		
Учет затухания звука в атмосфере Aatm, дБ		ф-ла (8) [10]	0	0,2	0,6	2,1	5,3	9,5	17,2	44	147,8		
Снижение уровня звукового давления из-за влияния застройки между источником шума и расчетной точкой													
Снижение уровня звукового давления на пути над экраном, Dz1, дБ	z = 1.28м (разность путей)	ф-лы (14-18) [10]	5	5,3	6,2	7,9	10,1	12,6	15,3	18,1	21		
Снижение уровня звукового давления на пути слева от экрана, Dz2, дБ	z = 10.86м (разность путей)	ф-лы (14-18) [10]	16,4	19,2	22,1	25,1	28,1	31,1	34,1	37,1	40,1		
Снижение уровня звукового давления на пути справа от экрана, Dz3, дБ	z = 100.18м (разность путей)	ф-лы (14-18) [10]	26	29,7	34,1	38,5	42,2	45,4	48,5	51,5	54,5		
Общее снижение уровня звука препятствием Dz, дБ		Эн.сумма(-Dzi)	4,7	5,2	6,1	7,8	10,1	12,6	15,2	18,1	21		
Уровни звукового давления прямого звука от источника ИШ-1-11 в расчётной точке днём, дБ		**ф-ла(3)[10]**	**0**	**14,4**	**14,4**	**12,4**	**7,3**	**0,3**	**0**	**0**	**0**	**8,3**	**8,3**
Уровни звукового давления прямого звука от источника ИШ-1-11 в расчётной точке ночью, дБ		**ф-ла(3)[10]**	**0**	**14,4**	**14,4**	**12,4**	**7,3**	**0,3**	**0**	**0**	**0**	**8,3**	**8,3**
Расчёт отражённого звука													
Уровни звукового давления от мнимого источника ИШ-1-11_мн.(1) в расчётной точке днём, дБ		**ф-ла(3)[10]**	**0**	**0**	**0**	**0**	**0**	**9,1**	**0**	**0**	**0**	**9,1**	**9,1**
Уровни звукового давления от мнимого источника ИШ-1-11_мн.(1) в расчётной точке ночью, дБ		**ф-ла(3)[10]**	**0**	**0**	**0**	**0**	**0**	**0**	**0**	**0**	**0**	**9,1**	**9,1**
Уровни звукового давления от источника ИШ-1-11 в расчётной точке днём, дБ		**ф-ла(3)[10]**	**0**	**14,4**	**14,4**	**12,4**	**7,3**	**9,7**	**0**	**0**	**0**	**11,8**	**11,8**
Уровни звукового давления от источника ИШ-1-11 в расчётной точке ночью, дБ		**ф-ла(3)[10]**	**0**	**14,4**	**14,4**	**12,4**	**7,3**	**9,7**	**0**	**0**	**0**	**11,8**	**11,8**

1		2	3	4	5	6	7	8	9	10	11	12	13
Источник шума: ИШ-1-12, координаты источника (x,y,z), м =[435.45,97.79,1.00]													
Уровни звуковой мощности источника днём, Lw, дБ		**исходные данные**	**0**	**93,3**	**94,7**	**96**	**96,3**	**95,9**	**92,6**	**88,4**	**83,9**		
Уровни звуковой мощности источника ночью, Lw, дБ		**исходные данные**	**0**	**93,3**	**94,7**	**96**	**96,3**	**95,9**	**92,6**	**88,4**	**83,9**		
Поправка на телесный угол DΩ, дБ	Ω = 6.28	10Lg(4π/Ω)	**3**	3	3	3	3	3	3	3	3		
Показатель направленности источника Di, дБ		исходные данные	**0**	0	0	0	0	0	0	0	0		
Поправка на направленность источника Dc, дБ	Dc	DΩ + Di	**3**	3	3	3	3	3	3	3	3		
Затухание из-за геометрической дивергенции, Adiv, дБ	расстояние = 1939.32 м	ф-ла (7) [10]	**76,8**										
Коэффициент затухания звука в атмосфере α, дБ/км	Ta=20,°C Pa=101.33,кПа hотн.=70%	ф-ла (5) [9]	0,02	0,09	0,33	1,12	2,79	4,98	9,04	23,09	77,63		
Учет затухания звука в атмосфере Aatm, дБ		ф-ла (8) [10]	0	0,2	0,6	2,2	5,4	9,7	17,5	44,8	150,6		
Снижение уровня звукового давления из-за влияния застройки между источником шума и расчетной точкой													
Снижение уровня звукового давления на пути над экраном, Dz1, дБ	z = 0.88м (разность путей)	ф-лы (14-18) [10]	4,8	4,9	5	5,4	6,1	7,1	8,7	10,7	13,2		
Снижение уровня звукового давления на пути слева от экрана, Dz2, дБ	z = 28.24м (разность путей)	ф-лы (14-18) [10]	20,3	23,3	26,2	29,2	32,2	35,2	38,2	41,2	44,2		
Снижение уровня звукового давления на пути справа от экрана, Dz3, дБ	z = 30.26м (разность путей)	ф-лы (14-18) [10]	20,9	24,6	28,9	33,3	37	40,2	43,3	46,3	49,3		
Общее снижение уровня звука препятствием Dz, дБ		Эн.сумма(-Dzi)	4,6	4,8	5	5,4	6,1	7,1	8,7	10,7	13,2		
Уровни звукового давления прямого звука от источника ИШ-1-12 в расчётной точке днём, дБ		**ф-ла(3)[10]**	**0**	**14,6**	**15,3**	**14,7**	**11,1**	**5,3**	**0**	**0**	**0**	**11,6**	**11,6**
Уровни звукового давления прямого звука от источника ИШ-1-12 в расчётной точке ночью, дБ		**ф-ла(3)[10]**	**0**	**14,6**	**15,3**	**14,7**	**11,1**	**5,3**	**0**	**0**	**0**	**11,6**	**11,6**

1		2	3	4	5	6	7	8	9	10	11	12	13
Расчёт отражённого звука													
Уровни звукового давления от мнимого источника ИШ-1-12_мн.(1) в расчётной точке днём, дБ		**ф-ла(3)[10]**	**0**	**0**	**0**	**0**	**0**	**6,2**	**0**	**0**	**0**	**6,2**	**6,2**
Уровни звукового давления от мнимого источника ИШ-1-12_мн.(1) в расчётной точке ночью, дБ		**ф-ла(3)[10]**	**0**	**0**	**0**	**0**	**0**	**0**	**0**	**0**	**0**	**6,2**	**6,2**
Уровни звукового давления от источника ИШ-1-12 в расчётной точке днём, дБ		**ф-ла(3)[10]**	**0**	**14,6**	**15,3**	**14,7**	**11,1**	**8,8**	**0**	**0**	**0**	**12,7**	**12,7**
Уровни звукового давления от источника ИШ-1-12 в расчётной точке ночью, дБ		**ф-ла(3)[10]**	**0**	**14,6**	**15,3**	**14,7**	**11,1**	**8,8**	**0**	**0**	**0**	**12,7**	**12,7**
Источник шума: ИШ-1-13, координаты источника (x,y,z), м =[438.77,96.82,1.00]													
Уровни звуковой мощности источника днём, Lw, дБ		**исходные данные**	**0**	**93,3**	**94,7**	**96**	**96,3**	**95,9**	**92,6**	**88,4**	**83,9**		
Уровни звуковой мощности источника ночью, Lw, дБ		**исходные данные**	**0**	**93,3**	**94,7**	**96**	**96,3**	**95,9**	**92,6**	**88,4**	**83,9**		
Поправка на телесный угол DΩ, дБ	Ω = 6.28	10Lg(4π/Ω)	**3**	3	3	3	3	3	3	3	3		
Показатель направленности источника Di, дБ		исходные данные	**0**	0	0	0	0	0	0	0	0		
Поправка на направленность источника Dc, дБ	Dc	DΩ + Di	**3**	3	3	3	3	3	3	3	3		
Затухание из-за геометрической дивергенции, Adiv, дБ	расстояние = 1936.19 м	ф-ла (7) [10]	**76,7**										
Коэффициент затухания звука в атмосфере α, дБ/км	Ta=20,°C Pa=101.33,кПа hотн.=70%	ф-ла (5) [9]	0,02	0,09	0,33	1,12	2,79	4,98	9,04	23,09	77,63		
Учет затухания звука в атмосфере Aatm, дБ		ф-ла (8) [10]	0	0,2	0,6	2,2	5,4	9,6	17,5	44,7	150,3		
Снижение уровня звукового давления из-за влияния застройки между источником шума и расчетной точкой													
Снижение уровня звукового давления на пути над экраном, Dz1, дБ	z = 0.96м (разность путей)	ф-лы (14-18) [10]	4,8	4,9	5,2	5,7	6,7	8,2	10,1	12,4	15		

1		2	3	4	5	6	7	8	9	10	11	12	13
Снижение уровня звукового давления на пути слева от экрана, Dz2, дБ	z = 30.01м (разность путей)	ф-лы (14-18) [10]	20,6	23,5	26,5	29,5	32,5	35,5	38,5	41,5	44,5		
Снижение уровня звукового давления на пути справа от экрана, Dz3, дБ	z = 30.69м (разность путей)	ф-лы (14-18) [10]	21	24,6	29	33,4	37	40,3	43,3	46,4	49,4		
Общее снижение уровня звука препятствием Dz, дБ		Эн.сумма(-Dzi)	4,6	4,8	5,1	5,7	6,7	8,1	10,1	12,4	15		
Уровни звукового давления прямого звука от источника ИШ-1-13 в расчётной точке днём, дБ		**ф-ла(3)[10]**	**0**	**14,6**	**15,2**	**14,4**	**10,4**	**4,4**	**0**	**0**	**0**	**11**	**11**
Уровни звукового давления прямого звука от источника ИШ-1-13 в расчётной точке ночью, дБ		**ф-ла(3)[10]**	**0**	**14,6**	**15,2**	**14,4**	**10,4**	**4,4**	**0**	**0**	**0**	**11**	**11**
Расчёт отражённого звука													
Уровни звукового давления от мнимого источника ИШ-1-13_мн.(1) в расчётной точке днём, дБ		**ф-ла(3)[10]**	**0**	**0**	**0**	**0**	**0**	**6,2**	**0**	**0**	**0**	**6,2**	**6,2**
Уровни звукового давления от мнимого источника ИШ-1-13_мн.(1) в расчётной точке ночью, дБ		**ф-ла(3)[10]**	**0**	**0**	**0**	**0**	**0**	**0**	**0**	**0**	**0**	**6,2**	**6,2**
Уровни звукового давления от источника ИШ-1-13 в расчётной точке днём, дБ		**ф-ла(3)[10]**	**0**	**14,6**	**15,2**	**14,4**	**10,4**	**8,4**	**0**	**0**	**0**	**12,3**	**12,3**
Уровни звукового давления от источника ИШ-1-13 в расчётной точке ночью, дБ		**ф-ла(3)[10]**	**0**	**14,6**	**15,2**	**14,4**	**10,4**	**8,4**	**0**	**0**	**0**	**12,3**	**12,3**
Источник шума: ИШ-1-14, координаты источника (x,y,z), м =[441.70,96.03,1.00]													
Уровни звуковой мощности источника днём, Lw, дБ		**исходные данные**	**0**	**93,3**	**94,7**	**96**	**96,3**	**95,9**	**92,6**	**88,4**	**83,9**		
Уровни звуковой мощности источника ночью, Lw, дБ		**исходные данные**	**0**	**93,3**	**94,7**	**96**	**96,3**	**95,9**	**92,6**	**88,4**	**83,9**		
Поправка на телесный угол DΩ, дБ	Ω = 6.28	10Lg(4π/Ω)	**3**	3	3	3	3	3	3	3	3		
Показатель направленности источника Di, дБ		исходные данные	**0**	0	0	0	0	0	0	0	0		
Поправка на направленность источника Dc, дБ	Dc	DΩ + Di	**3**	3	3	3	3	3	3	3	3		
Затухание из-за геометрической дивергенции, Adiv, дБ	расстояние = 1933.41 м	ф-ла (7) [10]	**76,7**										

1		2	3	4	5	6	7	8	9	10	11	12	13
Коэффициент затухания звука в атмосфере α, дБ/км	Та=20,°С Ра=101.33,кПа hотн.=70%	ф-ла (5) [9]	0,02	0,09	0,33	1,12	2,79	4,98	9,04	23,09	77,63		
Учет затухания звука в атмосфере Aatm, дБ		ф-ла (8) [10]	0	0,2	0,6	2,2	5,4	9,6	17,5	44,6	150,1		
Снижение уровня звукового давления из-за влияния застройки между источником шума и расчетной точкой													
Снижение уровня звукового давления на пути над экраном, Dz1, дБ	z = 1.04м (разность путей)	ф-лы (14-18) [10]	4,9	5	5,3	6,2	7,5	9,3	11,5	14	16,7		
Снижение уровня звукового давления на пути слева от экрана, Dz2, дБ	z = 31.59м (разность путей)	ф-лы (14-18) [10]	20,8	23,8	26,7	29,7	32,7	35,7	38,7	41,7	44,7		
Снижение уровня звукового давления на пути справа от экрана, Dz3, дБ	z = 31.24м (разность путей)	ф-лы (14-18) [10]	21	24,7	29	33,4	37,1	40,3	43,4	46,4	49,5		
Общее снижение уровня звука препятствием Dz, дБ		Эн.сумма(-Dzi)	4,7	4,9	5,3	6,1	7,5	9,2	11,4	14	16,7		
Уровни звукового давления прямого звука от источника ИШ-1-14 в расчётной точке днём, дБ		**ф-ла(3)[10]**	**0**	**14,5**	**15**	**13,9**	**9,7**	**3,3**	**0**	**0**	**0**	**10,4**	**10,4**
Уровни звукового давления прямого звука от источника ИШ-1-14 в расчётной точке ночью, дБ		**ф-ла(3)[10]**	**0**	**14,5**	**15**	**13,9**	**9,7**	**3,3**	**0**	**0**	**0**	**10,4**	**10,4**
Расчёт отражённого звука													
Уровни звукового давления от мнимого источника ИШ-1-14_мн.(1) в расчётной точке днём, дБ		**ф-ла(3)[10]**	**0**	**0**	**0**	**0**	**0**	**6,2**	**0**	**0**	**0**	**6,2**	**6,2**
Уровни звукового давления от мнимого источника ИШ-1-14_мн.(1) в расчётной точке ночью, дБ		**ф-ла(3)[10]**	**0**	**0**	**0**	**0**	**0**	**0**	**0**	**0**	**0**	**6,2**	**6,2**
Уровни звукового давления от источника ИШ-1-14 в расчётной точке днём, дБ		**ф-ла(3)[10]**	**0**	**14,5**	**15**	**13,9**	**9,7**	**8**	**0**	**0**	**0**	**11,8**	**11,8**
Уровни звукового давления от источника ИШ-1-14 в расчётной точке ночью, дБ		**ф-ла(3)[10]**	**0**	**14,5**	**15**	**13,9**	**9,7**	**8**	**0**	**0**	**0**	**11,8**	**11,8**
Источник шума: ИШ-1-15, координаты источника (x,y,z), м =[445.03,95.25,1.00]													
Уровни звуковой мощности источника днём, Lw, дБ		**исходные данные**	**0**	**93,3**	**94,7**	**96**	**96,3**	**95,9**	**92,6**	**88,4**	**83,9**		

1		2	3	4	5	6	7	8	9	10	11	12	13
Уровни звуковой мощности источника ночью, Lw, дБ		**исходные данные**	**0**	**93,3**	**94,7**	**96**	**96,3**	**95,9**	**92,6**	**88,4**	**83,9**		
Поправка на телесный угол DΩ, дБ	Ω = 6.28	10Lg(4π/Ω)	**3**	3	3	3	3	3	3	3	3		
Показатель направленности источника Di, дБ		исходные данные	**0**	0	0	0	0	0	0	0	0		
Поправка на направленность источника Dc, дБ	Dc	DΩ + Di	**3**	3	3	3	3	3	3	3	3		
Затухание из-за геометрической дивергенции, Adiv, дБ	расстояние = 1930.25 м	ф-ла (7) [10]	**76,7**										
Коэффициент затухания звука в атмосфере α, дБ/км	Ta=20,°C Pa=101.33,кПа hотн.=70%	ф-ла (5) [9]	0,02	0,09	0,33	1,12	2,79	4,98	9,04	23,09	77,63		
Учет затухания звука в атмосфере Aatm, дБ		ф-ла (8) [10]	0	0,2	0,6	2,2	5,4	9,6	17,4	44,6	149,9		
Снижение уровня звукового давления из-за влияния застройки между источником шума и расчетной точкой													
Снижение уровня звукового давления на пути над экраном, Dz1, дБ	z = 1.14м (разность путей)	ф-лы (14-18) [10]	4,9	5,1	5,7	6,9	8,6	10,7	13,2	15,9	18,7		
Снижение уровня звукового давления на пути слева от экрана, Dz2, дБ	z = 33.41м (разность путей)	ф-лы (14-18) [10]	21	24	26,9	29,9	32,9	35,9	39	42	45		
Снижение уровня звукового давления на пути справа от экрана, Dz3, дБ	z = 32.08м (разность путей)	ф-лы (14-18) [10]	21,2	24,8	29,2	33,6	37,2	40,5	43,5	46,6	49,6		
Общее снижение уровня звука препятствием Dz, дБ		Эн.сумма(-Dzi)	4,7	5	5,6	6,8	8,6	10,7	13,2	15,9	18,7		
Уровни звукового давления прямого звука от источника ИШ-1-15 в расчётной точке днём, дБ		**ф-ла(3)[10]**	**0**	**14,4**	**14,7**	**13,3**	**8,6**	**1,8**	**0**	**0**	**0**	**9,4**	**9,4**
Уровни звукового давления прямого звука от источника ИШ-1-15 в расчётной точке ночью, дБ		**ф-ла(3)[10]**	**0**	**14,4**	**14,7**	**13,3**	**8,6**	**1,8**	**0**	**0**	**0**	**9,4**	**9,4**
Расчёт отражённого звука													
Уровни звукового давления от мнимого источника ИШ-1-15_мн.(1) в расчётной точке днём, дБ		**ф-ла(3)[10]**	**0**	**0**	**0**	**0**	**0**	**6,1**	**0**	**0**	**0**	**6,1**	**6,1**
Уровни звукового давления от мнимого источника ИШ-1-15_мн.(1) в расчётной точке ночью, дБ		**ф-ла(3)[10]**	**0**	**0**	**0**	**0**	**0**	**0**	**0**	**0**	**0**	**6,1**	**6,1**

1		2	3	4	5	6	7	8	9	10	11	12	13
Уровни звукового давления от источника ИШ-1-15 в расчётной точке днём, дБ		**ф-ла(3)[10]**	**0**	**14,4**	**14,7**	**13,3**	**8,6**	**7,5**	**0**	**0**	**0**	**11,1**	**11,1**
Уровни звукового давления от источника ИШ-1-15 в расчётной точке ночью, дБ		**ф-ла(3)[10]**	**0**	**14,4**	**14,7**	**13,3**	**8,6**	**7,5**	**0**	**0**	**0**	**11,1**	**11,1**
Источник шума: ИШ-1-16, координаты источника (x,y,z), м =[447.96,94.28,1.00]													
Уровни звуковой мощности источника днём, Lw, дБ		**исходные данные**	**0**	**93,3**	**94,7**	**96**	**96,3**	**95,9**	**92,6**	**88,4**	**83,9**		
Уровни звуковой мощности источника ночью, Lw, дБ		**исходные данные**	**0**	**93,3**	**94,7**	**96**	**96,3**	**95,9**	**92,6**	**88,4**	**83,9**		
Поправка на телесный угол DΩ, дБ	Ω = 6.28	10Lg(4π/Ω)	**3**	3	3	3	3	3	3	3	3		
Показатель направленности источника Di, дБ		исходные данные	**0**	0	0	0	0	0	0	0	0		
Поправка на направленность источника Dc, дБ	Dc	DΩ + Di	**3**	3	3	3	3	3	3	3	3		
Затухание из-за геометрической дивергенции, Adiv, дБ	расстояние = 1927.51 м	ф-ла (7) [10]	**76,7**										
Коэффициент затухания звука в атмосфере α, дБ/км	Ta=20,°C Pa=101.33,кПа hотн.=70%	ф-ла (5) [9]	0,02	0,09	0,33	1,12	2,79	4,98	9,04	23,09	77,63		
Учет затухания звука в атмосфере Aatm, дБ		ф-ла (8) [10]	0	0,2	0,6	2,2	5,4	9,6	17,4	44,5	149,6		
Снижение уровня звукового давления из-за влияния застройки между источником шума и расчетной точкой													
Снижение уровня звукового давления на пути над экраном, Dz1, дБ	z = 1.26м (разность путей)	ф-лы (14-18) [10]	5	5,3	6,1	7,7	9,9	12,3	14,9	17,7	20,6		
Снижение уровня звукового давления на пути слева от экрана, Dz2, дБ	z = 35.28м (разность путей)	ф-лы (14-18) [10]	21,3	24,2	27,2	30,2	33,2	36,2	39,2	42,2	45,2		
Снижение уровня звукового давления на пути справа от экрана, Dz3, дБ	z = 32.64м (разность путей)	ф-лы (14-18) [10]	21,2	24,9	29,2	33,6	37,3	40,5	43,6	46,6	49,6		
Общее снижение уровня звука препятствием Dz, дБ		Эн.сумма(-Dzi)	4,8	5,2	6,1	7,7	9,8	12,3	14,9	17,7	20,6		

1		2	3	4	5	6	7	8	9	10	11	12	13
Уровни звукового давления прямого звука от источника ИШ-1-16 в расчётной точке днём, дБ		**ф-ла(3)[10]**	**0**	**14,2**	**14,3**	**12,4**	**7,4**	**0,3**	**0**	**0**	**0**	**8,3**	**8,3**
Уровни звукового давления прямого звука от источника ИШ-1-16 в расчётной точке ночью, дБ		**ф-ла(3)[10]**	**0**	**14,2**	**14,3**	**12,4**	**7,4**	**0,3**	**0**	**0**	**0**	**8,3**	**8,3**
Расчёт отражённого звука													
Уровни звукового давления от мнимого источника ИШ-1-16_мн.(1) в расчётной точке днём, дБ		**ф-ла(3)[10]**	**0**	**0**	**0**	**0**	**0**	**6,1**	**0**	**0**	**0**	**6,1**	**6,1**
Уровни звукового давления от мнимого источника ИШ-1-16_мн.(1) в расчётной точке ночью, дБ		**ф-ла(3)[10]**	**0**	**0**	**0**	**0**	**0**	**0**	**0**	**0**	**0**	**6,1**	**6,1**
Уровни звукового давления от источника ИШ-1-16 в расчётной точке днём, дБ		**ф-ла(3)[10]**	**0**	**14,2**	**14,3**	**12,4**	**7,4**	**7,1**	**0**	**0**	**0**	**10,4**	**10,4**
Уровни звукового давления от источника ИШ-1-16 в расчётной точке ночью, дБ		**ф-ла(3)[10]**	**0**	**14,2**	**14,3**	**12,4**	**7,4**	**7,1**	**0**	**0**	**0**	**10,4**	**10,4**
Источник шума: ИШ-1-17, координаты источника (x,y,z), м =[540.99,141.77,1.00]													
Уровни звуковой мощности источника днём, Lw, дБ		**исходные данные**	**0**	**93,3**	**94,7**	**96**	**96,3**	**95,9**	**92,6**	**88,4**	**83,9**		
Уровни звуковой мощности источника ночью, Lw, дБ		**исходные данные**	**0**	**93,3**	**94,7**	**96**	**96,3**	**95,9**	**92,6**	**88,4**	**83,9**		
Поправка на телесный угол DΩ, дБ	Ω = 6.28	10Lg(4π/Ω)	**3**	3	3	3	3	3	3	3	3		
Показатель направленности источника Di, дБ		исходные данные	**0**	0	0	0	0	0	0	0	0		
Поправка на направленность источника Dc, дБ	Dc	DΩ + Di	**3**	3	3	3	3	3	3	3	3		
Затухание из-за геометрической дивергенции, Adiv, дБ	расстояние = 1828.45 м	ф-ла (7) [10]	**76,2**										
Коэффициент затухания звука в атмосфере α, дБ/км	Ta=20,°C Pa=101.33,кПа hотн.=70%	ф-ла (5) [9]	0,02	0,09	0,33	1,12	2,79	4,98	9,04	23,09	77,63		
Учет затухания звука в атмосфере Aatm, дБ		ф-ла (8) [10]	0	0,2	0,6	2,1	5,1	9,1	16,5	42,2	141,9		

1		2	3	4	5	6	7	8	9	10	11	12	13
Снижение поверхностью земли возле источника As, дБ	Gs = 0 hs = 1м	ф-лы таб.3 [10]	-1,5	-1,5	-1,5	-1,5	-1,5	-1,5	-1,5	-1,5	-1,5		
Снижение поверхностью земли возле приёмника Ar, дБ	Gr = 1 hr = 1.5м	ф-лы таб.3 [10]	-1,5	-1,5	5,3	7	5	0,7	0	0	0		
Снижение поверхностью земли в средней зоне, Am дБ	Gm = 1	ф-лы таб.3 [10]	-2,9	-2,9	0	0	0	0	0	0	0		
Суммарное снижение поверхностью земли на траектории распространения звука Agr, дБ		ф-ла (9) [10]	-5,9	-5,9	3,8	5,5	3,5	-0,8	-1,5	-1,5	-1,5		
Уровни звукового давления прямого звука от источника ИШ-1-17 в расчётной точке днём, дБ		**ф-ла(3)[10]**	**0**	**25,8**	**17**	**15,2**	**14,5**	**14,4**	**4,3**	**0**	**0**	**17,1**	**17,1**
Уровни звукового давления прямого звука от источника ИШ-1-17 в расчётной точке ночью, дБ		**ф-ла(3)[10]**	**0**	**25,8**	**17**	**15,2**	**14,5**	**14,4**	**4,3**	**0**	**0**	**17,1**	**17,1**
Расчёт отражённого звука													
Уровни звукового давления от мнимого источника ИШ-1-17_мн.(1) в расчётной точке днём, дБ		**ф-ла(3)[10]**	**0**	**0**	**0**	**0**	**0**	**9,4**	**1,2**	**0**	**0**	**10,2**	**10,2**
Уровни звукового давления от мнимого источника ИШ-1-17_мн.(1) в расчётной точке ночью, дБ		**ф-ла(3)[10]**	**0**	**0**	**0**	**0**	**0**	**0**	**0**	**0**	**0**	**10,2**	**10,2**
Уровни звукового давления от мнимого источника ИШ-1-17_мн.(2) в расчётной точке днём, дБ		**ф-ла(3)[10]**	**0**	**0**	**0**	**0**	**0**	**0**	**0**	**0**	**0**	**0**	**0**
Уровни звукового давления от мнимого источника ИШ-1-17_мн.(2) в расчётной точке ночью, дБ		**ф-ла(3)[10]**	**0**	**0**	**0**	**0**	**0**	**0**	**0**	**0**	**0**	**0**	**0**
Суммарные уровни звукового давления от мнимых источников в расчётной точке днём, дБ		**ф-ла (19) [1]**	**0**	**0**	**0**	**0**	**0**	**9,4**	**1,2**	**0**	**0**	**0**	**10,2**
Суммарные уровни звукового давления от мнимых источников в расчётной точке ночью, дБ		**ф-ла (19) [1]**	**0**	**0**	**0**	**0**	**0**	**9,4**	**1,2**	**0**	**0**	**0**	**10,2**
Уровни звукового давления от источника ИШ-1-17 в расчётной точке днём, дБ		**ф-ла(3)[10]**	**0**	**25,8**	**17**	**15,2**	**14,5**	**15,6**	**6**	**0**	**0**	**17,9**	**17,9**
Уровни звукового давления от источника ИШ-1-17 в расчётной точке ночью, дБ		**ф-ла(3)[10]**	**0**	**25,8**	**17**	**15,2**	**14,5**	**15,6**	**6**	**0**	**0**	**17,9**	**17,9**
Источник шума: ИШ-1-18, координаты источника (x,y,z), м =[543.53,140.79,1.00]													
Уровни звуковой мощности источника днём, Lw, дБ		**исходные данные**	**0**	**93,3**	**94,7**	**96**	**96,3**	**95,9**	**92,6**	**88,4**	**83,9**		

1		2	3	4	5	6	7	8	9	10	11	12	13
Уровни звуковой мощности источника ночью, Lw, дБ		**исходные данные**	**0**	**93,3**	**94,7**	**96**	**96,3**	**95,9**	**92,6**	**88,4**	**83,9**		
Поправка на телесный угол DΩ, дБ	Ω = 6.28	10Lg(4π/Ω)	**3**	3	3	3	3	3	3	3	3		
Показатель направленности источника Di, дБ		исходные данные	**0**	0	0	0	0	0	0	0	0		
Поправка на направленность источника Dc, дБ	Dc	DΩ + Di	**3**	3	3	3	3	3	3	3	3		
Затухание из-за геометрической дивергенции, Adiv, дБ	расстояние = 1826.07 м	ф-ла (7) [10]	**76,2**										
Коэффициент затухания звука в атмосфере α, дБ/км	Ta=20,°C Pa=101.33,кПа hотн.=70%	ф-ла (5) [9]	0,02	0,09	0,33	1,12	2,79	4,98	9,04	23,09	77,63		
Учет затухания звука в атмосфере Aatm, дБ		ф-ла (8) [10]	0	0,2	0,6	2,1	5,1	9,1	16,5	42,2	141,8		
Снижение уровня звукового давления из-за влияния застройки между источником шума и расчетной точкой													
Снижение уровня звукового давления препятствием справа от трассы ИШ-РТ, Dz3, дБ	z = -0.23м (разность путей)	ф-лы (14-18) [10]	0	1,2	NAN	NAN	NAN	NAN	NAN	NAN	NAN		
* отрицательное значение z означает прохождение траектории вблизи экрана, в этом случае дополнительно производится учёт снижения подстилающей поверхностью (см.ниже)													
Снижение поверхностью земли возле источника As, дБ	Gs = 0 hs = 1м	ф-лы таб.3 [10]	-1,5	-1,5	-1,5	-1,5	-1,5	-1,5	-1,5	-1,5	-1,5		
Снижение поверхностью земли возле приёмника Ar, дБ	Gr = 1 hr = 1.5м	ф-лы таб.3 [10]	-1,5	-1,5	5,3	7	5	0,7	0	0	0		
Снижение поверхностью земли в средней зоне, Am дБ	Gm = 1	ф-лы таб.3 [10]	-2,9	-2,9	0	0	0	0	0	0	0		
Суммарное снижение поверхностью земли на траектории распространения звука Agr, дБ		ф-ла (9) [10]	-5,9	-5,9	3,8	5,5	3,5	-0,8	-1,5	-1,5	-1,5		
Уровни звукового давления прямого звука от источника ИШ-1-18 в расчётной точке днём, дБ		**ф-ла(3)[10]**	**0**	**24,6**	**17**	**15,2**	**14,5**	**14,4**	**4,4**	**0**	**0**	**17,1**	**17,1**
Уровни звукового давления прямого звука от источника ИШ-1-18 в расчётной точке ночью, дБ		**ф-ла(3)[10]**	**0**	**24,6**	**17**	**15,2**	**14,5**	**14,4**	**4,4**	**0**	**0**	**17,1**	**17,1**
Расчёт отражённого звука													
Уровни звукового давления от мнимого источника ИШ-1-18_мн.(1) в расчётной точке днём, дБ		**ф-ла(3)[10]**	**0**	**0**	**0**	**0**	**0**	**9,4**	**1,2**	**0**	**0**	**10,2**	**10,2**

1		2	3	4	5	6	7	8	9	10	11	12	13
Уровни звукового давления от мнимого источника ИШ-1-18_мн.(1) в расчётной точке ночью, дБ		**ф-ла(3)[10]**	**0**	**0**	**0**	**0**	**0**	**0**	**0**	**0**	**0**	**10,2**	**10,2**
Уровни звукового давления от мнимого источника ИШ-1-18_мн.(2) в расчётной точке днём, дБ		**ф-ла(3)[10]**	**0**	**0**	**0**	**0**	**0**	**0**	**0**	**0**	**0**	**0**	**0**
Уровни звукового давления от мнимого источника ИШ-1-18_мн.(2) в расчётной точке ночью, дБ		**ф-ла(3)[10]**	**0**	**0**	**0**	**0**	**0**	**0**	**0**	**0**	**0**	**0**	**0**
Суммарные уровни звукового давления от мнимых источников в расчётной точке днём, дБ		**ф-ла (19) [1]**	**0**	**0**	**0**	**0**	**0**	**9,4**	**1,2**	**0**	**0**	**0**	**10,2**
Суммарные уровни звукового давления от мнимых источников в расчётной точке ночью, дБ		**ф-ла (19) [1]**	**0**	**0**	**0**	**0**	**0**	**9,4**	**1,2**	**0**	**0**	**0**	**10,2**
Уровни звукового давления от источника ИШ-1-18 в расчётной точке днём, дБ		**ф-ла(3)[10]**	**0**	**24,6**	**17**	**15,2**	**14,5**	**15,6**	**6,1**	**0**	**0**	**17,9**	**17,9**
Уровни звукового давления от источника ИШ-1-18 в расчётной точке ночью, дБ		**ф-ла(3)[10]**	**0**	**24,6**	**17**	**15,2**	**14,5**	**15,6**	**6,1**	**0**	**0**	**17,9**	**17,9**
Источник шума: ИШ-1-19, координаты источника (x,y,z), м =[547.25,139.62,1.00]													
Уровни звуковой мощности источника днём, Lw, дБ		**исходные данные**	**0**	**93,3**	**94,7**	**96**	**96,3**	**95,9**	**92,6**	**88,4**	**83,9**		
Уровни звуковой мощности источника ночью, Lw, дБ		**исходные данные**	**0**	**93,3**	**94,7**	**96**	**96,3**	**95,9**	**92,6**	**88,4**	**83,9**		
Поправка на телесный угол DΩ, дБ	Ω = 6.28	10Lg(4π/Ω)	**3**	3	3	3	3	3	3	3	3		
Показатель направленности источника Di, дБ		исходные данные	**0**	0	0	0	0	0	0	0	0		
Поправка на направленность источника Dc, дБ	Dc	DΩ + Di	**3**	3	3	3	3	3	3	3	3		
Затухание из-за геометрической дивергенции, Adiv, дБ	расстояние = 1822.56 м	ф-ла (7) [10]	**76,2**										
Коэффициент затухания звука в атмосфере α, дБ/км	Ta=20,°C Pa=101.33,кПа hотн.=70%	ф-ла (5) [9]	0,02	0,09	0,33	1,12	2,79	4,98	9,04	23,09	77,63		
Учет затухания звука в атмосфере Aatm, дБ		ф-ла (8) [10]	0	0,2	0,6	2	5,1	9,1	16,5	42,1	141,5		

1		2	3	4	5	6	7	8	9	10	11	12	13
Снижение уровня звукового давления из-за влияния застройки между источником шума и расчетной точкой													
Снижение уровня звукового давления препятствием справа от трассы ИШ-РТ, Dz3, дБ	z = -0.14м (разность путей)	ф-лы (14-18) [10]	0	0	0	NAN	NAN	NAN	NAN	NAN	NAN		
* отрицательное значение z означает прохождение траектории вблизи экрана, в этом случае дополнительно производится учёт снижения подстилающей поверхностью (см.ниже)													
Снижение поверхностью земли возле источника As, дБ	Gs = 0 hs = 1м	ф-лы таб.3 [10]	-1,5	-1,5	-1,5	-1,5	-1,5	-1,5	-1,5	-1,5	-1,5		
Снижение поверхностью земли возле приёмника Ar, дБ	Gr = 1 hr = 1.5м	ф-лы таб.3 [10]	-1,5	-1,5	5,3	7	5	0,7	0	0	0		
Снижение поверхностью земли в средней зоне, Am дБ	Gm = 1	ф-лы таб.3 [10]	-2,9	-2,9	0	0	0	0	0	0	0		
Суммарное снижение поверхностью земли на траектории распространения звука Agr, дБ		ф-ла (9) [10]	-5,9	-5,9	3,8	5,5	3,5	-0,8	-1,5	-1,5	-1,5		
Уровни звукового давления прямого звука от источника ИШ-1-19 в расчётной точке днём, дБ		**ф-ла(3)[10]**	**0**	**25,8**	**17**	**15,2**	**14,5**	**14,4**	**4,4**	**0**	**0**	**17,1**	**17,1**
Уровни звукового давления прямого звука от источника ИШ-1-19 в расчётной точке ночью, дБ		**ф-ла(3)[10]**	**0**	**25,8**	**17**	**15,2**	**14,5**	**14,4**	**4,4**	**0**	**0**	**17,1**	**17,1**
Расчёт отражённого звука													
Уровни звукового давления от мнимого источника ИШ-1-19_мн.(1) в расчётной точке днём, дБ		**ф-ла(3)[10]**	**0**	**0**	**0**	**0**	**0**	**9,4**	**1,1**	**0**	**0**	**10,1**	**10,1**
Уровни звукового давления от мнимого источника ИШ-1-19_мн.(1) в расчётной точке ночью, дБ		**ф-ла(3)[10]**	**0**	**0**	**0**	**0**	**0**	**0**	**0**	**0**	**0**	**10,1**	**10,1**
Уровни звукового давления от источника ИШ-1-19 в расчётной точке днём, дБ		**ф-ла(3)[10]**	**0**	**25,8**	**17**	**15,2**	**14,5**	**15,6**	**6,1**	**0**	**0**	**17,9**	**17,9**
Уровни звукового давления от источника ИШ-1-19 в расчётной точке ночью, дБ		**ф-ла(3)[10]**	**0**	**25,8**	**17**	**15,2**	**14,5**	**15,6**	**6,1**	**0**	**0**	**17,9**	**17,9**
Источник шума: ИШ-1-20, координаты источника (x,y,z), м =[550.38,138.64,1.00]													
Уровни звуковой мощности источника днём, Lw, дБ		**исходные данные**	**0**	**93,3**	**94,7**	**96**	**96,3**	**95,9**	**92,6**	**88,4**	**83,9**		
Уровни звуковой мощности источника ночью, Lw, дБ		**исходные данные**	**0**	**93,3**	**94,7**	**96**	**96,3**	**95,9**	**92,6**	**88,4**	**83,9**		
Поправка на телесный угол DΩ, дБ	Ω = 6.28	10Lg(4π/Ω)	**3**	3	3	3	3	3	3	3	3		

1		2	3	4	5	6	7	8	9	10	11	12	13
Показатель направленности источника Di, дБ		исходные данные	**0**	0	0	0	0	0	0	0	0		
Поправка на направленность источника Dc, дБ	Dc	DΩ + Di	**3**	3	3	3	3	3	3	3	3		
Затухание из-за геометрической дивергенции, Adiv, дБ	расстояние = 1819.60 м	ф-ла (7) [10]	**76,2**										
Коэффициент затухания звука в атмосфере α, дБ/км	Ta=20,°C Pa=101.33,кПа hотн.=70%	ф-ла (5) [9]	0,02	0,09	0,33	1,12	2,79	4,98	9,04	23,09	77,63		
Учет затухания звука в атмосфере Aatm, дБ		ф-ла (8) [10]	0	0,2	0,6	2	5,1	9,1	16,4	42	141,3		
Снижение уровня звукового давления из-за влияния застройки между источником шума и расчетной точкой													
Снижение уровня звукового давления препятствием справа от трассы ИШ-РТ, Dz3, дБ	z = -0.08м (разность путей)	ф-лы (14-18) [10]	0	0	2,7	0	NAN	NAN	NAN	NAN	NAN		
* отрицательное значение z означает прохождение траектории вблизи экрана, в этом случае дополнительно производится учёт снижения подстилающей поверхностью (см.ниже)													
Снижение поверхностью земли возле источника As, дБ	Gs = 0 hs = 1м	ф-лы таб.3 [10]	-1,5	-1,5	-1,5	-1,5	-1,5	-1,5	-1,5	-1,5	-1,5		
Снижение поверхностью земли возле приёмника Ar, дБ	Gr = 1 hr = 1.5м	ф-лы таб.3 [10]	-1,5	-1,5	5,3	7	5	0,7	0	0	0		
Снижение поверхностью земли в средней зоне, Am дБ	Gm = 1	ф-лы таб.3 [10]	-2,9	-2,9	0	0	0	0	0	0	0		
Суммарное снижение поверхностью земли на траектории распространения звука Agr, дБ		ф-ла (9) [10]	-5,9	-5,9	3,8	5,5	3,5	-0,8	-1,5	-1,5	-1,5		
Уровни звукового давления прямого звука от источника ИШ-1-20 в расчётной точке днём, дБ		**ф-ла(3)[10]**	**0**	**25,8**	**14,3**	**15,2**	**14,5**	**14,5**	**4,4**	**0**	**0**	**17,1**	**17,1**
Уровни звукового давления прямого звука от источника ИШ-1-20 в расчётной точке ночью, дБ		**ф-ла(3)[10]**	**0**	**25,8**	**14,3**	**15,2**	**14,5**	**14,5**	**4,4**	**0**	**0**	**17,1**	**17,1**
Расчёт отражённого звука													
Уровни звукового давления от мнимого источника ИШ-1-20_мн.(1) в расчётной точке днём, дБ		**ф-ла(3)[10]**	**0**	**0**	**0**	**0**	**0**	**9,3**	**1,1**	**0**	**0**	**10,1**	**10,1**
Уровни звукового давления от мнимого источника ИШ-1-20_мн.(1) в расчётной точке ночью, дБ		**ф-ла(3)[10]**	**0**	**0**	**0**	**0**	**0**	**0**	**0**	**0**	**0**	**10,1**	**10,1**
Уровни звукового давления от источника ИШ-1-20 в расчётной точке днём, дБ		**ф-ла(3)[10]**	**0**	**25,8**	**14,3**	**15,2**	**14,5**	**15,6**	**6,1**	**0**	**0**	**17,9**	**17,9**

1		2	3	4	5	6	7	8	9	10	11	12	13
Уровни звукового давления от источника ИШ-1-20 в расчётной точке ночью, дБ		**ф-ла(3)[10]**	**0**	**25,8**	**14,3**	**15,2**	**14,5**	**15,6**	**6,1**	**0**	**0**	**17,9**	**17,9**
Источник шума: ИШ-1-21, координаты источника (x,y,z), м =[553.31,137.67,1.00]													
Уровни звуковой мощности источника днём, Lw, дБ		**исходные данные**	**0**	**93,3**	**94,7**	**96**	**96,3**	**95,9**	**92,6**	**88,4**	**83,9**		
Уровни звуковой мощности источника ночью, Lw, дБ		**исходные данные**	**0**	**93,3**	**94,7**	**96**	**96,3**	**95,9**	**92,6**	**88,4**	**83,9**		
Поправка на телесный угол DΩ, дБ	Ω = 6.28	10Lg(4π/Ω)	**3**	3	3	3	3	3	3	3	3		
Показатель направленности источника Di, дБ		исходные данные	**0**	0	0	0	0	0	0	0	0		
Поправка на направленность источника Dc, дБ	Dc	DΩ + Di	**3**	3	3	3	3	3	3	3	3		
Затухание из-за геометрической дивергенции, Adiv, дБ	расстояние = 1816.84 м	ф-ла (7) [10]	**76,2**										
Коэффициент затухания звука в атмосфере α, дБ/км	Ta=20,°C Pa=101.33,кПа hотн.=70%	ф-ла (5) [9]	0,02	0,09	0,33	1,12	2,79	4,98	9,04	23,09	77,63		
Учет затухания звука в атмосфере Aatm, дБ		ф-ла (8) [10]	0	0,2	0,6	2	5,1	9	16,4	41,9	141		
Снижение уровня звукового давления из-за влияния застройки между источником шума и расчетной точкой													
Снижение уровня звукового давления препятствием справа от трассы ИШ-РТ, Dz3, дБ	z = -0.03м (разность путей)	ф-лы (14-18) [10]	0	0	0	3,1	0,2	NAN	NAN	NAN	NAN		
* отрицательное значение z означает прохождение траектории вблизи экрана, в этом случае дополнительно производится учёт снижения подстилающей поверхностью (см.ниже)													
Снижение поверхностью земли возле источника As, дБ	Gs = 0 hs = 1м	ф-лы таб.3 [10]	-1,5	-1,5	-1,5	-1,5	-1,5	-1,5	-1,5	-1,5	-1,5		
Снижение поверхностью земли возле приёмника Ar, дБ	Gr = 1 hr = 1.5м	ф-лы таб.3 [10]	-1,5	-1,5	5,3	7	5	0,7	0	0	0		
Снижение поверхностью земли в средней зоне, Am дБ	Gm = 1	ф-лы таб.3 [10]	-2,9	-2,9	0	0	0	0	0	0	0		
Суммарное снижение поверхностью земли на траектории распространения звука Agr, дБ		ф-ла (9) [10]	-5,9	-5,9	3,8	5,5	3,5	-0,8	-1,5	-1,5	-1,5		

1		2	3	4	5	6	7	8	9	10	11	12	13
Уровни звукового давления прямого звука от источника ИШ-1-21 в расчётной точке днём, дБ		**ф-ла(3)[10]**	**0**	**25,8**	**17,1**	**12,2**	**14,4**	**14,5**	**4,5**	**0**	**0**	**16,9**	**16,9**
Уровни звукового давления прямого звука от источника ИШ-1-21 в расчётной точке ночью, дБ		**ф-ла(3)[10]**	**0**	**25,8**	**17,1**	**12,2**	**14,4**	**14,5**	**4,5**	**0**	**0**	**16,9**	**16,9**
Расчёт отражённого звука													
Уровни звукового давления от мнимого источника ИШ-1-21_мн.(1) в расчётной точке днём, дБ		**ф-ла(3)[10]**	**0**	**0**	**0**	**0**	**0**	**9,3**	**1**	**0**	**0**	**10,1**	**10,1**
Уровни звукового давления от мнимого источника ИШ-1-21_мн.(1) в расчётной точке ночью, дБ		**ф-ла(3)[10]**	**0**	**0**	**0**	**0**	**0**	**0**	**0**	**0**	**0**	**10,1**	**10,1**
Уровни звукового давления от источника ИШ-1-21 в расчётной точке днём, дБ		**ф-ла(3)[10]**	**0**	**25,8**	**17,1**	**12,2**	**14,4**	**15,7**	**6,1**	**0**	**0**	**17,8**	**17,8**
Уровни звукового давления от источника ИШ-1-21 в расчётной точке ночью, дБ		**ф-ла(3)[10]**	**0**	**25,8**	**17,1**	**12,2**	**14,4**	**15,7**	**6,1**	**0**	**0**	**17,8**	**17,8**
Источник шума: ИШ-1-22, координаты источника (x,y,z), м =[522.03,85.28,1.00]													
Уровни звуковой мощности источника днём, Lw, дБ		**исходные данные**	**0**	**93,3**	**94,7**	**96**	**96,3**	**95,9**	**92,6**	**88,4**	**83,9**		
Уровни звуковой мощности источника ночью, Lw, дБ		**исходные данные**	**0**	**93,3**	**94,7**	**96**	**96,3**	**95,9**	**92,6**	**88,4**	**83,9**		
Поправка на телесный угол DΩ, дБ	Ω = 6.28	10Lg(4π/Ω)	**3**	3	3	3	3	3	3	3	3		
Показатель направленности источника Di, дБ		исходные данные	**0**	0	0	0	0	0	0	0	0		
Поправка на направленность источника Dc, дБ	Dc	DΩ + Di	**3**	3	3	3	3	3	3	3	3		
Затухание из-за геометрической дивергенции, Adiv, дБ	расстояние = 1855.88 м	ф-ла (7) [10]	**76,4**										
Коэффициент затухания звука в атмосфере α, дБ/км	Ta=20,°C Pa=101.33,кПа hотн.=70%	ф-ла (5) [9]	0,02	0,09	0,33	1,12	2,79	4,98	9,04	23,09	77,63		
Учет затухания звука в атмосфере Aatm, дБ		ф-ла (8) [10]	0	0,2	0,6	2,1	5,2	9,2	16,8	42,8	144,1		

1		2	3	4	5	6	7	8	9	10	11	12	13
Снижение уровня звукового давления из-за влияния застройки между источником шума и расчетной точкой													
Снижение уровня звукового давления на пути над экраном, Dz1, дБ	z = 0.09м (разность путей)	ф-лы (14-18) [10]	4,8	4,8	4,8	4,8	4,8	4,8	4,8	4,8	4,8		
Снижение уровня звукового давления на пути слева от экрана, Dz2, дБ	z = 1.44м (разность путей)	ф-лы (14-18) [10]	9,2	11,4	13,8	16,6	19,4	22,4	25,3	28,3	31,3		
Снижение уровня звукового давления на пути справа от экрана, Dz3, дБ	z = 0.96м (разность путей)	ф-лы (14-18) [10]	8,2	10,1	12,3	15	17,8	20,7	23,6	26,6	29,6		
Общее снижение уровня звука препятствием Dz, дБ		Эн.сумма(-Dzi)	2,2	3	3,6	4,1	4,4	4,6	4,7	4,7	4,7		
Уровни звукового давления прямого звука от источника ИШ-1-22 в расчётной точке днём, дБ		**ф-ла(3)[10]**	**0**	**16,8**	**17,1**	**16,4**	**13,3**	**8,7**	**0**	**0**	**0**	**14**	**14**
Уровни звукового давления прямого звука от источника ИШ-1-22 в расчётной точке ночью, дБ		**ф-ла(3)[10]**	**0**	**16,8**	**17,1**	**16,4**	**13,3**	**8,7**	**0**	**0**	**0**	**14**	**14**
Расчёт отражённого звука													
Уровни звукового давления от мнимого источника ИШ-1-22_мн.(1) в расчётной точке днём, дБ		**ф-ла(3)[10]**	**0**	**0**	**0**	**0**	**0**	**7,4**	**0**	**0**	**0**	**7,4**	**7,4**
Уровни звукового давления от мнимого источника ИШ-1-22_мн.(1) в расчётной точке ночью, дБ		**ф-ла(3)[10]**	**0**	**0**	**0**	**0**	**0**	**0**	**0**	**0**	**0**	**7,4**	**7,4**
Уровни звукового давления от источника ИШ-1-22 в расчётной точке днём, дБ		**ф-ла(3)[10]**	**0**	**16,8**	**17,1**	**16,4**	**13,3**	**11,1**	**0**	**0**	**0**	**14,9**	**14,9**
Уровни звукового давления от источника ИШ-1-22 в расчётной точке ночью, дБ		**ф-ла(3)[10]**	**0**	**16,8**	**17,1**	**16,4**	**13,3**	**11,1**	**0**	**0**	**0**	**14,9**	**14,9**
Источник шума: ИШ-1-23, координаты источника (x,y,z), м =[525.16,84.11,1.00]													
Уровни звуковой мощности источника днём, Lw, дБ		**исходные данные**	**0**	**93,3**	**94,7**	**96**	**96,3**	**95,9**	**92,6**	**88,4**	**83,9**		
Уровни звуковой мощности источника ночью, Lw, дБ		**исходные данные**	**0**	**93,3**	**94,7**	**96**	**96,3**	**95,9**	**92,6**	**88,4**	**83,9**		
Поправка на телесный угол DΩ, дБ	Ω = 6.28	10Lg(4π/Ω)	**3**	3	3	3	3	3	3	3	3		
Показатель направленности источника Di, дБ		исходные данные	**0**	0	0	0	0	0	0	0	0		

1		2	3	4	5	6	7	8	9	10	11	12	13
Поправка на направленность источника Dc, дБ	Dc	DΩ + Di	**3**	3	3	3	3	3	3	3	3		
Затухание из-за геометрической дивергенции, Adiv, дБ	расстояние = 1853.00 м	ф-ла (7) [10]	**76,4**										
Коэффициент затухания звука в атмосфере α, дБ/км	Ta=20,°C Pa=101.33,кПа hотн.=70%	ф-ла (5) [9]	0,02	0,09	0,33	1,12	2,79	4,98	9,04	23,09	77,63		
Учет затухания звука в атмосфере Aatm, дБ		ф-ла (8) [10]	0	0,2	0,6	2,1	5,2	9,2	16,8	42,8	143,9		
Снижение уровня звукового давления из-за влияния застройки между источником шума и расчетной точкой													
Снижение уровня звукового давления на пути над экраном, Dz1, дБ	z = 0.09м (разность путей)	ф-лы (14-18) [10]	4,8	4,8	4,8	4,8	4,8	4,8	4,8	4,8	4,8		
Снижение уровня звукового давления на пути слева от экрана, Dz2, дБ	z = 1.95м (разность путей)	ф-лы (14-18) [10]	10,1	12,4	15	17,8	20,7	23,7	26,6	29,6	32,6		
Снижение уровня звукового давления на пути справа от экрана, Dz3, дБ	z = 0.75м (разность путей)	ф-лы (14-18) [10]	7,6	9,3	11,5	14	16,8	19,6	22,6	25,5	28,5		
Общее снижение уровня звука препятствием Dz, дБ		Эн.сумма(-Dzi)	2,2	2,9	3,6	4,1	4,4	4,6	4,7	4,7	4,7		
Уровни звукового давления прямого звука от источника ИШ-1-23 в расчётной точке днём, дБ		**ф-ла(3)[10]**	**0**	**16,8**	**17,1**	**16,5**	**13,4**	**8,7**	**0**	**0**	**0**	**14**	**14**
Уровни звукового давления прямого звука от источника ИШ-1-23 в расчётной точке ночью, дБ		**ф-ла(3)[10]**	**0**	**16,8**	**17,1**	**16,5**	**13,4**	**8,7**	**0**	**0**	**0**	**14**	**14**
Расчёт отражённого звука													
Уровни звукового давления от мнимого источника ИШ-1-23_мн.(1) в расчётной точке днём, дБ		**ф-ла(3)[10]**	**0**	**0**	**0**	**0**	**0**	**7,4**	**0**	**0**	**0**	**7,4**	**7,4**
Уровни звукового давления от мнимого источника ИШ-1-23_мн.(1) в расчётной точке ночью, дБ		**ф-ла(3)[10]**	**0**	**0**	**0**	**0**	**0**	**0**	**0**	**0**	**0**	**7,4**	**7,4**
Уровни звукового давления от источника ИШ-1-23 в расчётной точке днём, дБ		**ф-ла(3)[10]**	**0**	**16,8**	**17,1**	**16,5**	**13,4**	**11,1**	**0**	**0**	**0**	**14,9**	**14,9**
Уровни звукового давления от источника ИШ-1-23 в расчётной точке ночью, дБ		**ф-ла(3)[10]**	**0**	**16,8**	**17,1**	**16,5**	**13,4**	**11,1**	**0**	**0**	**0**	**14,9**	**14,9**

1		2	3	4	5	6	7	8	9	10	11	12	13
Источник шума: ИШ-1-24, координаты источника (x,y,z), м =[528.48,82.94,1.00]													
Уровни звуковой мощности источника днём, Lw, дБ		**исходные данные**	**0**	**93,3**	**94,7**	**96**	**96,3**	**95,9**	**92,6**	**88,4**	**83,9**		
Уровни звуковой мощности источника ночью, Lw, дБ		**исходные данные**	**0**	**93,3**	**94,7**	**96**	**96,3**	**95,9**	**92,6**	**88,4**	**83,9**		
Поправка на телесный угол DΩ, дБ	Ω = 6.28	10Lg(4π/Ω)	**3**	3	3	3	3	3	3	3	3		
Показатель направленности источника Di, дБ		исходные данные	**0**	0	0	0	0	0	0	0	0		
Поправка на направленность источника Dc, дБ	Dc	DΩ + Di	**3**	3	3	3	3	3	3	3	3		
Затухание из-за геометрической дивергенции, Adiv, дБ	расстояние = 1849.92 м	ф-ла (7) [10]	**76,3**										
Коэффициент затухания звука в атмосфере α, дБ/км	Ta=20,°C Pa=101.33,кПа hотн.=70%	ф-ла (5) [9]	0,02	0,09	0,33	1,12	2,79	4,98	9,04	23,09	77,63		
Учет затухания звука в атмосфере Aatm, дБ		ф-ла (8) [10]	0	0,2	0,6	2,1	5,2	9,2	16,7	42,7	143,6		
Снижение уровня звукового давления из-за влияния застройки между источником шума и расчетной точкой													
Снижение уровня звукового давления на пути над экраном, Dz1, дБ	z = 0.09м (разность путей)	ф-лы (14-18) [10]	4,8	4,8	4,8	4,8	4,8	4,8	4,8	4,8	4,8		
Снижение уровня звукового давления на пути слева от экрана, Dz2, дБ	z = 2.59м (разность путей)	ф-лы (14-18) [10]	11	13,5	16,1	19	21,9	24,9	27,9	30,9	33,9		
Снижение уровня звукового давления на пути справа от экрана, Dz3, дБ	z = 0.56м (разность путей)	ф-лы (14-18) [10]	7,1	8,6	10,5	12,9	15,6	18,4	21,3	24,3	27,3		
Общее снижение уровня звука препятствием Dz, дБ		Эн.сумма(-Dzi)	2,2	2,9	3,5	4	4,3	4,5	4,7	4,7	4,7		
Уровни звукового давления прямого звука от источника ИШ-1-24 в расчётной точке днём, дБ		**ф-ла(3)[10]**	**0**	**16,9**	**17,2**	**16,6**	**13,4**	**8,8**	**0**	**0**	**0**	**14,1**	**14,1**
Уровни звукового давления прямого звука от источника ИШ-1-24 в расчётной точке ночью, дБ		**ф-ла(3)[10]**	**0**	**16,9**	**17,2**	**16,6**	**13,4**	**8,8**	**0**	**0**	**0**	**14,1**	**14,1**

1		2	3	4	5	6	7	8	9	10	11	12	13
Расчёт отражённого звука													
Уровни звукового давления от мнимого источника ИШ-1-24_мн.(1) в расчётной точке днём, дБ		**ф-ла(3)[10]**	**0**	**0**	**0**	**0**	**0**	**7,3**	**0**	**0**	**0**	**7,3**	**7,3**
Уровни звукового давления от мнимого источника ИШ-1-24_мн.(1) в расчётной точке ночью, дБ		**ф-ла(3)[10]**	**0**	**0**	**0**	**0**	**0**	**0**	**0**	**0**	**0**	**7,3**	**7,3**
Уровни звукового давления от источника ИШ-1-24 в расчётной точке днём, дБ		**ф-ла(3)[10]**	**0**	**16,9**	**17,2**	**16,6**	**13,4**	**11,1**	**0**	**0**	**0**	**14,9**	**14,9**
Уровни звукового давления от источника ИШ-1-24 в расчётной точке ночью, дБ		**ф-ла(3)[10]**	**0**	**16,9**	**17,2**	**16,6**	**13,4**	**11,1**	**0**	**0**	**0**	**14,9**	**14,9**
Источник шума: ИШ-1-25, координаты источника (x,y,z), м =[531.22,82.16,1.00]													
Уровни звуковой мощности источника днём, Lw, дБ		**исходные данные**	**0**	**93,3**	**94,7**	**96**	**96,3**	**95,9**	**92,6**	**88,4**	**83,9**		
Уровни звуковой мощности источника ночью, Lw, дБ		**исходные данные**	**0**	**93,3**	**94,7**	**96**	**96,3**	**95,9**	**92,6**	**88,4**	**83,9**		
Поправка на телесный угол DΩ, дБ	Ω = 6.28	10Lg(4π/Ω)	**3**	3	3	3	3	3	3	3	3		
Показатель направленности источника Di, дБ		исходные данные	**0**	0	0	0	0	0	0	0	0		
Поправка на направленность источника Dc, дБ	Dc	DΩ + Di	**3**	3	3	3	3	3	3	3	3		
Затухание из-за геометрической дивергенции, Adiv, дБ	расстояние = 1847.36 м	ф-ла (7) [10]	**76,3**										
Коэффициент затухания звука в атмосфере α, дБ/км	Ta=20,°C Pa=101.33,кПа hотн.=70%	ф-ла (5) [9]	0,02	0,09	0,33	1,12	2,79	4,98	9,04	23,09	77,63		
Учет затухания звука в атмосфере Aatm, дБ		ф-ла (8) [10]	0	0,2	0,6	2,1	5,2	9,2	16,7	42,6	143,4		
Снижение уровня звукового давления из-за влияния застройки между источником шума и расчетной точкой													
Снижение уровня звукового давления на пути над экраном, Dz1, дБ	z = 0.07м (разность путей)	ф-лы (14-18) [10]	4,8	4,8	4,8	4,8	4,8	4,8	4,8	4,8	4,8		

1		2	3	4	5	6	7	8	9	10	11	12	13
Снижение уровня звукового давления на пути слева от экрана, Dz2, дБ	z = 3.15м (разность путей)	ф-лы (14-18) [10]	11,7	14,2	16,9	19,8	22,8	25,7	28,7	31,7	34,7		
Снижение уровня звукового давления на пути справа от экрана, Dz3, дБ	z = 0.44м (разность путей)	ф-лы (14-18) [10]	6,7	8	9,8	12	14,6	17,4	20,3	23,2	26,2		
Общее снижение уровня звука препятствием Dz, дБ		Эн.сумма(-Dzi)	2,1	2,8	3,4	3,9	4,3	4,5	4,6	4,7	4,7		
Уровни звукового давления прямого звука от источника ИШ-1-25 в расчётной точке днём, дБ		**ф-ла(3)[10]**	**0**	**17**	**17,4**	**16,7**	**13,5**	**8,9**	**0**	**0**	**0**	**14,2**	**14,2**
Уровни звукового давления прямого звука от источника ИШ-1-25 в расчётной точке ночью, дБ		**ф-ла(3)[10]**	**0**	**17**	**17,4**	**16,7**	**13,5**	**8,9**	**0**	**0**	**0**	**14,2**	**14,2**
Расчёт отражённого звука													
Уровни звукового давления от мнимого источника ИШ-1-25_мн.(1) в расчётной точке днём, дБ		**ф-ла(3)[10]**	**0**	**0**	**0**	**0**	**0**	**7,3**	**0**	**0**	**0**	**7,3**	**7,3**
Уровни звукового давления от мнимого источника ИШ-1-25_мн.(1) в расчётной точке ночью, дБ		**ф-ла(3)[10]**	**0**	**0**	**0**	**0**	**0**	**0**	**0**	**0**	**0**	**7,3**	**7,3**
Уровни звукового давления от источника ИШ-1-25 в расчётной точке днём, дБ		**ф-ла(3)[10]**	**0**	**17**	**17,4**	**16,7**	**13,5**	**11,1**	**0**	**0**	**0**	**15**	**15**
Уровни звукового давления от источника ИШ-1-25 в расчётной точке ночью, дБ		**ф-ла(3)[10]**	**0**	**17**	**17,4**	**16,7**	**13,5**	**11,1**	**0**	**0**	**0**	**15**	**15**
Источник шума: ИШ-1-26, координаты источника (x,y,z), м =[534.15,80.79,1.00]													
Уровни звуковой мощности источника днём, Lw, дБ		**исходные данные**	**0**	**93,3**	**94,7**	**96**	**96,3**	**95,9**	**92,6**	**88,4**	**83,9**		
Уровни звуковой мощности источника ночью, Lw, дБ		**исходные данные**	**0**	**93,3**	**94,7**	**96**	**96,3**	**95,9**	**92,6**	**88,4**	**83,9**		
Поправка на телесный угол DΩ, дБ	Ω = 6.28	10Lg(4π/Ω)	**3**	3	3	3	3	3	3	3	3		
Показатель направленности источника Di, дБ		исходные данные	**0**	0	0	0	0	0	0	0	0		
Поправка на направленность источника Dc, дБ	Dc	DΩ + Di	**3**	3	3	3	3	3	3	3	3		
Затухание из-за геометрической дивергенции, Adiv, дБ	расстояние = 1844.71 м	ф-ла (7) [10]	**76,3**										

1		2	3	4	5	6	7	8	9	10	11	12	13
Коэффициент затухания звука в атмосфере α, дБ/км	Та=20,°С Ра=101.33,кПа hотн.=70%	ф-ла (5) [9]	0,02	0,09	0,33	1,12	2,79	4,98	9,04	23,09	77,63		
Учет затухания звука в атмосфере Aatm, дБ		ф-ла (8) [10]	0	0,2	0,6	2,1	5,1	9,2	16,7	42,6	143,2		
Снижение уровня звукового давления из-за влияния застройки между источником шума и расчетной точкой													
Снижение уровня звукового давления на пути над экраном, Dz1, дБ	z = 0.07м (разность путей)	ф-лы (14-18) [10]	4,8	4,8	4,8	4,8	4,8	4,8	4,8	4,8	4,8		
Снижение уровня звукового давления на пути слева от экрана, Dz2, дБ	z = 4.06м (разность путей)	ф-лы (14-18) [10]	12,6	15,2	18	20,9	23,8	26,8	29,8	32,8	35,8		
Снижение уровня звукового давления на пути справа от экрана, Dz3, дБ	z = 0.28м (разность путей)	ф-лы (14-18) [10]	6	7	8,5	10,5	12,8	15,5	18,3	21,2	24,2		
Общее снижение уровня звука препятствием Dz, дБ		Эн.сумма(-Dzi)	2	2,5	3,1	3,7	4,1	4,4	4,6	4,7	4,7		
Уровни звукового давления прямого звука от источника ИШ-1-26 в расчётной точке днём, дБ		**ф-ла(3)[10]**	**0**	**17,3**	**17,7**	**17**	**13,7**	**9**	**0**	**0**	**0**	**14,4**	**14,4**
Уровни звукового давления прямого звука от источника ИШ-1-26 в расчётной точке ночью, дБ		**ф-ла(3)[10]**	**0**	**17,3**	**17,7**	**17**	**13,7**	**9**	**0**	**0**	**0**	**14,4**	**14,4**
Расчёт отражённого звука													
Уровни звукового давления от мнимого источника ИШ-1-26_мн.(1) в расчётной точке днём, дБ		**ф-ла(3)[10]**	**0**	**0**	**0**	**0**	**0**	**7,2**	**0**	**0**	**0**	**7,2**	**7,2**
Уровни звукового давления от мнимого источника ИШ-1-26_мн.(1) в расчётной точке ночью, дБ		**ф-ла(3)[10]**	**0**	**0**	**0**	**0**	**0**	**0**	**0**	**0**	**0**	**7,2**	**7,2**
Уровни звукового давления от источника ИШ-1-26 в расчётной точке днём, дБ		**ф-ла(3)[10]**	**0**	**17,3**	**17,7**	**17**	**13,7**	**11,2**	**0**	**0**	**0**	**15,2**	**15,2**
Уровни звукового давления от источника ИШ-1-26 в расчётной точке ночью, дБ		**ф-ла(3)[10]**	**0**	**17,3**	**17,7**	**17**	**13,7**	**11,2**	**0**	**0**	**0**	**15,2**	**15,2**
Источник шума: ИШ-1-27, координаты источника (x,y,z), м =[469.65,197.67,1.00]													
Уровни звуковой мощности источника днём, Lw, дБ		**исходные данные**	**0**	**93,3**	**94,7**	**96**	**96,3**	**95,9**	**92,6**	**88,4**	**83,9**		

1		2	3	4	5	6	7	8	9	10	11	12	13
Уровни звуковой мощности источника ночью, Lw, дБ		**исходные данные**	**0**	**93,3**	**94,7**	**96**	**96,3**	**95,9**	**92,6**	**88,4**	**83,9**		
Поправка на телесный угол DΩ, дБ	Ω = 6.28	10Lg(4π/Ω)	**3**	3	3	3	3	3	3	3	3		
Показатель направленности источника Di, дБ		исходные данные	**0**	0	0	0	0	0	0	0	0		
Поправка на направленность источника Dc, дБ	Dc	DΩ + Di	**3**	3	3	3	3	3	3	3	3		
Затухание из-за геометрической дивергенции, Adiv, дБ	расстояние = 1892.40 м	ф-ла (7) [10]	**76,5**										
Коэффициент затухания звука в атмосфере α, дБ/км	Ta=20,°C Pa=101.33,кПа hотн.=70%	ф-ла (5) [9]	0,02	0,09	0,33	1,12	2,79	4,98	9,04	23,09	77,63		
Учет затухания звука в атмосфере Aatm, дБ		ф-ла (8) [10]	0	0,2	0,6	2,1	5,3	9,4	17,1	43,7	146,9		
Снижение поверхностью земли возле источника As, дБ	Gs = 0 hs = 1м	ф-лы таб.3 [10]	-1,5	-1,5	-1,5	-1,5	-1,5	-1,5	-1,5	-1,5	-1,5		
Снижение поверхностью земли возле приёмника Ar, дБ	Gr = 1 hr = 1.5м	ф-лы таб.3 [10]	-1,5	-1,5	5,3	7	5	0,7	0	0	0		
Снижение поверхностью земли в средней зоне, Am дБ	Gm = 1	ф-лы таб.3 [10]	-2,9	-2,9	0	0	0	0	0	0	0		
Суммарное снижение поверхностью земли на траектории распространения звука Agr, дБ		ф-ла (9) [10]	-5,9	-5,9	3,8	5,5	3,5	-0,8	-1,5	-1,5	-1,5		
Уровни звукового давления от источника ИШ-1-27 в расчётной точке днём, дБ		**ф-ла(3)[10]**	**0**	**25,5**	**16,7**	**14,8**	**14**	**13,8**	**3,4**	**0**	**0**	**16,5**	**16,5**
Уровни звукового давления от источника ИШ-1-27 в расчётной точке ночью, дБ		**ф-ла(3)[10]**	**0**	**25,5**	**16,7**	**14,8**	**14**	**13,8**	**3,4**	**0**	**0**	**16,5**	**16,5**
Источник шума: ИШ-1-28, координаты источника (x,y,z), м =[472.78,196.69,1.00]													
Уровни звуковой мощности источника днём, Lw, дБ		**исходные данные**	**0**	**93,3**	**94,7**	**96**	**96,3**	**95,9**	**92,6**	**88,4**	**83,9**		
Уровни звуковой мощности источника ночью, Lw, дБ		**исходные данные**	**0**	**93,3**	**94,7**	**96**	**96,3**	**95,9**	**92,6**	**88,4**	**83,9**		

1		2	3	4	5	6	7	8	9	10	11	12	13
Поправка на телесный угол DΩ, дБ	Ω = 6.28	10Lg(4π/Ω)	**3**	3	3	3	3	3	3	3	3		
Показатель направленности источника Di, дБ		исходные данные	**0**	0	0	0	0	0	0	0	0		
Поправка на направленность источника Dc, дБ	Dc	DΩ + Di	**3**	3	3	3	3	3	3	3	3		
Затухание из-за геометрической дивергенции, Adiv, дБ	расстояние = 1889.39 м	ф-ла (7) [10]	**76,5**										
Коэффициент затухания звука в атмосфере α, дБ/км	Ta=20,°C Pa=101.33,кПа hотн.=70%	ф-ла (5) [9]	0,02	0,09	0,33	1,12	2,79	4,98	9,04	23,09	77,63		
Учет затухания звука в атмосфере Aatm, дБ		ф-ла (8) [10]	0	0,2	0,6	2,1	5,3	9,4	17,1	43,6	146,7		
Снижение поверхностью земли возле источника As, дБ	Gs = 0 hs = 1м	ф-лы таб.3 [10]	-1,5	-1,5	-1,5	-1,5	-1,5	-1,5	-1,5	-1,5	-1,5		
Снижение поверхностью земли возле приёмника Ar, дБ	Gr = 1 hr = 1.5м	ф-лы таб.3 [10]	-1,5	-1,5	5,3	7	5	0,7	0	0	0		
Снижение поверхностью земли в средней зоне, Am дБ	Gm = 1	ф-лы таб.3 [10]	-2,9	-2,9	0	0	0	0	0	0	0		
Суммарное снижение поверхностью земли на траектории распространения звука Agr, дБ		ф-ла (9) [10]	-5,9	-5,9	3,8	5,5	3,5	-0,8	-1,5	-1,5	-1,5		
Уровни звукового давления от источника ИШ-1-28 в расчётной точке днём, дБ		**ф-ла(3)[10]**	**0**	**25,5**	**16,7**	**14,8**	**14**	**13,8**	**3,5**	**0**	**0**	**16,6**	**16,6**
Уровни звукового давления от источника ИШ-1-28 в расчётной точке ночью, дБ		**ф-ла(3)[10]**	**0**	**25,5**	**16,7**	**14,8**	**14**	**13,8**	**3,5**	**0**	**0**	**16,6**	**16,6**
Источник шума: ИШ-1-29, координаты источника (x,y,z), м =[475.52,195.72,1.00]													
Уровни звуковой мощности источника днём, Lw, дБ		**исходные данные**	**0**	**93,3**	**94,7**	**96**	**96,3**	**95,9**	**92,6**	**88,4**	**83,9**		
Уровни звуковой мощности источника ночью, Lw, дБ		**исходные данные**	**0**	**93,3**	**94,7**	**96**	**96,3**	**95,9**	**92,6**	**88,4**	**83,9**		
Поправка на телесный угол DΩ, дБ	Ω = 6.28	10Lg(4π/Ω)	**3**	3	3	3	3	3	3	3	3		

1		2	3	4	5	6	7	8	9	10	11	12	13
Показатель направленности источника Di, дБ		исходные данные	**0**	0	0	0	0	0	0	0	0		
Поправка на направленность источника Dc, дБ	Dc	DΩ + Di	**3**	3	3	3	3	3	3	3	3		
Затухание из-за геометрической дивергенции, Adiv, дБ	расстояние = 1886.77 м	ф-ла (7) [10]	**76,5**										
Коэффициент затухания звука в атмосфере α, дБ/км	Ta=20,°C Pa=101.33,кПа hотн.=70%	ф-ла (5) [9]	0,02	0,09	0,33	1,12	2,79	4,98	9,04	23,09	77,63		
Учет затухания звука в атмосфере Aatm, дБ		ф-ла (8) [10]	0	0,2	0,6	2,1	5,3	9,4	17,1	43,6	146,5		
Снижение поверхностью земли возле источника As, дБ	Gs = 0 hs = 1м	ф-лы таб.3 [10]	-1,5	-1,5	-1,5	-1,5	-1,5	-1,5	-1,5	-1,5	-1,5		
Снижение поверхностью земли возле приёмника Ar, дБ	Gr = 1 hr = 1.5м	ф-лы таб.3 [10]	-1,5	-1,5	5,3	7	5	0,7	0	0	0		
Снижение поверхностью земли в средней зоне, Am дБ	Gm = 1	ф-лы таб.3 [10]	-2,9	-2,9	0	0	0	0	0	0	0		
Суммарное снижение поверхностью земли на траектории распространения звука Agr, дБ		ф-ла (9) [10]	-5,9	-5,9	3,8	5,5	3,5	-0,8	-1,5	-1,5	-1,5		
Уровни звукового давления от источника ИШ-1-29 в расчётной точке днём, дБ		**ф-ла(3)[10]**	**0**	**25,5**	**16,7**	**14,8**	**14**	**13,8**	**3,5**	**0**	**0**	**16,6**	**16,6**
Уровни звукового давления от источника ИШ-1-29 в расчётной точке ночью, дБ		**ф-ла(3)[10]**	**0**	**25,5**	**16,7**	**14,8**	**14**	**13,8**	**3,5**	**0**	**0**	**16,6**	**16,6**
Источник шума: ИШ-1-30, координаты источника (x,y,z), м =[478.45,194.54,1.00]													
Уровни звуковой мощности источника днём, Lw, дБ		**исходные данные**	**0**	**93,3**	**94,7**	**96**	**96,3**	**95,9**	**92,6**	**88,4**	**83,9**		
Уровни звуковой мощности источника ночью, Lw, дБ		**исходные данные**	**0**	**93,3**	**94,7**	**96**	**96,3**	**95,9**	**92,6**	**88,4**	**83,9**		
Поправка на телесный угол DΩ, дБ	Ω = 6.28	10Lg(4π/Ω)	**3**	3	3	3	3	3	3	3	3		
Показатель направленности источника Di, дБ		исходные данные	**0**	0	0	0	0	0	0	0	0		

1		2	3	4	5	6	7	8	9	10	11	12	13
Поправка на направленность источника Dc, дБ	Dc	DΩ + Di	**3**	3	3	3	3	3	3	3	3		
Затухание из-за геометрической дивергенции, Adiv, дБ	расстояние = 1883.98 м	ф-ла (7) [10]	**76,5**										
Коэффициент затухания звука в атмосфере α, дБ/км	Ta=20,°C Pa=101.33,кПа hотн.=70%	ф-ла (5) [9]	0,02	0,09	0,33	1,12	2,79	4,98	9,04	23,09	77,63		
Учет затухания звука в атмосфере Aatm, дБ		ф-ла (8) [10]	0	0,2	0,6	2,1	5,3	9,4	17	43,5	146,3		
Снижение поверхностью земли возле источника As, дБ	Gs = 0 hs = 1м	ф-лы таб.3 [10]	-1,5	-1,5	-1,5	-1,5	-1,5	-1,5	-1,5	-1,5	-1,5		
Снижение поверхностью земли возле приёмника Ar, дБ	Gr = 1 hr = 1.5м	ф-лы таб.3 [10]	-1,5	-1,5	5,3	7	5	0,7	0	0	0		
Снижение поверхностью земли в средней зоне, Am дБ	Gm = 1	ф-лы таб.3 [10]	-2,9	-2,9	0	0	0	0	0	0	0		
Суммарное снижение поверхностью земли на траектории распространения звука Agr, дБ		ф-ла (9) [10]	-5,9	-5,9	3,8	5,5	3,5	-0,8	-1,5	-1,5	-1,5		
Уровни звукового давления от источника ИШ-1-30 в расчётной точке днём, дБ		**ф-ла(3)[10]**	**0**	**25,5**	**16,7**	**14,8**	**14,1**	**13,9**	**3,6**	**0**	**0**	**16,6**	**16,6**
Уровни звукового давления от источника ИШ-1-30 в расчётной точке ночью, дБ		**ф-ла(3)[10]**	**0**	**25,5**	**16,7**	**14,8**	**14,1**	**13,9**	**3,6**	**0**	**0**	**16,6**	**16,6**
Источник шума: ИШ-1-31, координаты источника (x,y,z), м =[481.58,193.96,1.00]													
Уровни звуковой мощности источника днём, Lw, дБ		**исходные данные**	**0**	**93,3**	**94,7**	**96**	**96,3**	**95,9**	**92,6**	**88,4**	**83,9**		
Уровни звуковой мощности источника ночью, Lw, дБ		**исходные данные**	**0**	**93,3**	**94,7**	**96**	**96,3**	**95,9**	**92,6**	**88,4**	**83,9**		
Поправка на телесный угол DΩ, дБ	Ω = 6.28	10Lg(4π/Ω)	**3**	3	3	3	3	3	3	3	3		
Показатель направленности источника Di, дБ		исходные данные	**0**	0	0	0	0	0	0	0	0		
Поправка на направленность источника Dc, дБ	Dc	DΩ + Di	**3**	3	3	3	3	3	3	3	3		

1		2	3	4	5	6	7	8	9	10	11	12	13
Затухание из-за геометрической дивергенции, Adiv, дБ	расстояние = 1880.94 м	ф-ла (7) [10]	**76,5**										
Коэффициент затухания звука в атмосфере α, дБ/км	Ta=20,°C Pa=101.33,кПа hотн.=70%	ф-ла (5) [9]	0,02	0,09	0,33	1,12	2,79	4,98	9,04	23,09	77,63		
Учет затухания звука в атмосфере Aatm, дБ		ф-ла (8) [10]	0	0,2	0,6	2,1	5,2	9,4	17	43,4	146		
Снижение поверхностью земли возле источника As, дБ	Gs = 0 hs = 1м	ф-лы таб.3 [10]	-1,5	-1,5	-1,5	-1,5	-1,5	-1,5	-1,5	-1,5	-1,5		
Снижение поверхностью земли возле приёмника Ar, дБ	Gr = 1 hr = 1.5м	ф-лы таб.3 [10]	-1,5	-1,5	5,3	7	5	0,7	0	0	0		
Снижение поверхностью земли в средней зоне, Am дБ	Gm = 1	ф-лы таб.3 [10]	-2,9	-2,9	0	0	0	0	0	0	0		
Суммарное снижение поверхностью земли на траектории распространения звука Agr, дБ		ф-ла (9) [10]	-5,9	-5,9	3,8	5,5	3,5	-0,8	-1,5	-1,5	-1,5		
Уровни звукового давления от источника ИШ-1-31 в расчётной точке днём, дБ		**ф-ла(3)[10]**	**0**	**25,5**	**16,7**	**14,9**	**14,1**	**13,9**	**3,6**	**0**	**0**	**16,6**	**16,6**
Уровни звукового давления от источника ИШ-1-31 в расчётной точке ночью, дБ		**ф-ла(3)[10]**	**0**	**25,5**	**16,7**	**14,9**	**14,1**	**13,9**	**3,6**	**0**	**0**	**16,6**	**16,6**
Источник шума: ИШ-1-32, координаты источника (x,y,z), м =[871.21,281.99,50.00]													
Уровни звуковой мощности источника днём, Lw, дБ		**исходные данные**	**125**	**119,6**	**113,4**	**111,4**	**110,8**	**112,7**	**113,8**	**109,2**	**97,4**		
Уровни звуковой мощности источника ночью, Lw, дБ		**исходные данные**	**0**	**0**	**0**	**0**	**0**	**0**	**0**	**0**	**0**		
Поправка на телесный угол DΩ, дБ	Ω = 12.57	10Lg(4π/Ω)	**0**	0	0	0	0	0	0	0	0		
Показатель направленности источника Di, дБ		исходные данные	**0**	0	0	0	0	0	0	0	0		
Поправка на направленность источника Dc, дБ	Dc	DΩ + Di	**0**	0	0	0	0	0	0	0	0		
Затухание из-за геометрической дивергенции, Adiv, дБ	расстояние = 1485.55 м	ф-ла (7) [10]	**74,4**										

1		2	3	4	5	6	7	8	9	10	11	12	13
Коэффициент затухания звука в атмосфере α, дБ/км	Ta=20,°C Pa=101.33,кПа hотн.=70%	ф-ла (5) [9]	0,02	0,09	0,33	1,12	2,79	4,98	9,04	23,09	77,63		
Учет затухания звука в атмосфере Aatm, дБ		ф-ла (8) [10]	0	0,1	0,5	1,7	4,1	7,4	13,4	34,3	115,3		
Снижение поверхностью земли возле источника As, дБ	Gs = 0 hs = 50м	ф-лы таб.3 [10]	-1,5	-1,5	-1,5	-1,5	-1,5	-1,5	-1,5	-1,5	-1,5		
Снижение поверхностью земли возле приёмника Ar, дБ	Gr = 1 hr = 1.5м	ф-лы таб.3 [10]	-1,5	-1,5	5,3	7	5	0,7	0	0	0		
Снижение поверхностью земли в средней зоне, Am дБ	Gm = 1	ф-лы таб.3 [10]	0	0	0	0	0	0	0	0	0		
Суммарное снижение поверхностью земли на траектории распространения звука Agr, дБ		ф-ла (9) [10]	-3	-3	3,8	5,5	3,5	-0,8	-1,5	-1,5	-1,5		
Уровни звукового давления от источника ИШ-1-32 в расчётной точке днём, дБ		**ф-ла(3)[10]**	**53,6**	**48,1**	**34,7**	**29,8**	**28,8**	**31,7**	**27,5**	**2**	**0**	**34,7**	**34,7**
Уровни звукового давления от источника ИШ-1-32 в расчётной точке ночью, дБ		**ф-ла(3)[10]**	**0**	**0**	**0**	**0**	**0**	**0**	**0**	**0**	**0**	**0**	**0**
Источник шума: ИШ-1-33, координаты источника (x,y,z), м =[743.42,374.85,1.00]													
Уровни звуковой мощности источника днём, Lw, дБ		**исходные данные**	**0**	**88,7**	**90,1**	**93,1**	**96,4**	**103**	**112**	**108**	**99,2**		
Уровни звуковой мощности источника ночью, Lw, дБ		**исходные данные**	**0**	**0**	**0**	**0**	**0**	**0**	**0**	**0**	**0**		
Поправка на телесный угол DΩ, дБ	Ω = 6.28	10Lg(4π/Ω)	**3**	3	3	3	3	3	3	3	3		
Показатель направленности источника Di, дБ		исходные данные	**0**	0	0	0	0	0	0	0	0		
Поправка на направленность источника Dc, дБ	Dc	DΩ + Di	**3**	3	3	3	3	3	3	3	3		
Затухание из-за геометрической дивергенции, Adiv, дБ	расстояние = 1608.21 м	ф-ла (7) [10]	**75,1**										
Коэффициент затухания звука в атмосфере α, дБ/км	Ta=20,°C Pa=101.33,кПа hотн.=70%	ф-ла (5) [9]	0,02	0,09	0,33	1,12	2,79	4,98	9,04	23,09	77,63		

1		2	3	4	5	6	7	8	9	10	11	12	13
Учет затухания звука в атмосфере Aatm, дБ		ф-ла (8) [10]	0	0,1	0,5	1,8	4,5	8	14,5	37,1	124,9		
Снижение поверхностью земли возле источника As, дБ	Gs = 0 hs = 1м	ф-лы таб.3 [10]	-1,5	-1,5	-1,5	-1,5	-1,5	-1,5	-1,5	-1,5	-1,5		
Снижение поверхностью земли возле приёмника Ar, дБ	Gr = 1 hr = 1.5м	ф-лы таб.3 [10]	-1,5	-1,5	5,3	7	5	0,7	0	0	0		
Снижение поверхностью земли в средней зоне, Am дБ	Gm = 1	ф-лы таб.3 [10]	-2,9	-2,9	0	0	0	0	0	0	0		
Суммарное снижение поверхностью земли на траектории распространения звука Agr, дБ		ф-ла (9) [10]	-5,9	-5,9	3,8	5,5	3,5	-0,8	-1,5	-1,5	-1,5		
Уровни звукового давления от источника ИШ-1-33 в расчётной точке днём, дБ		**ф-ла(3)[10]**	**0**	**22,3**	**13,6**	**13,7**	**16,3**	**23,7**	**26,8**	**0**	**0**	**29,5**	**29,5**
Уровни звукового давления от источника ИШ-1-33 в расчётной точке ночью, дБ		**ф-ла(3)[10]**	**0**	**0**	**0**	**0**	**0**	**0**	**0**	**0**	**0**	**0**	**0**
Источник шума: ИШ-1-34, координаты источника (x,y,z), м =[1042.35,199.07,1.00]													
Уровни звуковой мощности источника днём, Lw, дБ		**исходные данные**	**0**	**88,7**	**90,1**	**93,1**	**96,4**	**103**	**112**	**108**	**99,2**		
Уровни звуковой мощности источника ночью, Lw, дБ		**исходные данные**	**0**	**0**	**0**	**0**	**0**	**0**	**0**	**0**	**0**		
Поправка на телесный угол DΩ, дБ	Ω = 6.28	10Lg(4π/Ω)	**3**	3	3	3	3	3	3	3	3		
Показатель направленности источника Di, дБ		исходные данные	**0**	0	0	0	0	0	0	0	0		
Поправка на направленность источника Dc, дБ	Dc	DΩ + Di	**3**	3	3	3	3	3	3	3	3		
Затухание из-за геометрической дивергенции, Adiv, дБ	расстояние = 1324.07 м	ф-ла (7) [10]	**73,4**										
Коэффициент затухания звука в атмосфере α, дБ/км	Ta=20,°C Pa=101.33,кПа hотн.=70%	ф-ла (5) [9]	0,02	0,09	0,33	1,12	2,79	4,98	9,04	23,09	77,63		
Учет затухания звука в атмосфере Aatm, дБ		ф-ла (8) [10]	0	0,1	0,4	1,5	3,7	6,6	12	30,6	102,8		

1		2	3	4	5	6	7	8	9	10	11	12	13
Снижение поверхностью земли возле источника As, дБ	Gs = 0 hs = 1м	ф-лы таб.3 [10]	-1,5	-1,5	-1,5	-1,5	-1,5	-1,5	-1,5	-1,5	-1,5		
Снижение поверхностью земли возле приёмника Ar, дБ	Gr = 1 hr = 1.5м	ф-лы таб.3 [10]	-1,5	-1,5	5,3	7	5	0,7	0	0	0		
Снижение поверхностью земли в средней зоне, Am дБ	Gm = 1	ф-лы таб.3 [10]	-2,8	-2,8	0	0	0	0	0	0	0		
Суммарное снижение поверхностью земли на траектории распространения звука Agr, дБ		ф-ла (9) [10]	-5,8	-5,8	3,8	5,5	3,5	-0,8	-1,5	-1,5	-1,5		
Уровни звукового давления от источника ИШ-1-34 в расчётной точке днём, дБ		**ф-ла(3)[10]**	**0**	**24**	**15,4**	**15,7**	**18,8**	**26,8**	**31,1**	**8,5**	**0**	**33,5**	**33,5**
Уровни звукового давления от источника ИШ-1-34 в расчётной точке ночью, дБ		**ф-ла(3)[10]**	**0**	**0**	**0**	**0**	**0**	**0**	**0**	**0**	**0**	**0**	**0**
Источник шума: ИШ-2-1, координаты источника (x,y,z), м =[696.50,124.40,3.00]													
Уровни звуковой мощности источника днём, Lw, дБ		**исходные данные**	**105**	**104**	**104**	**101**	**102**	**106**	**101**	**95**	**87**		
Уровни звуковой мощности источника ночью, Lw, дБ		**исходные данные**	**105**	**104**	**104**	**101**	**102**	**106**	**101**	**95**	**87**		
Поправка на телесный угол DΩ, дБ	Ω = 6.28	10Lg(4π/Ω)	**3**	3	3	3	3	3	3	3	3		
Показатель направленности источника Di, дБ		исходные данные	**0**	0	0	0	0	0	0	0	0		
Поправка на направленность источника Dc, дБ	Dc	DΩ + Di	**3**	3	3	3	3	3	3	3	3		
Затухание из-за геометрической дивергенции, Adiv, дБ	расстояние = 1677.35 м	ф-ла (7) [10]	**75,5**										
Коэффициент затухания звука в атмосфере α, дБ/км	Ta=20,°C Pa=101.33,кПа hотн.=70%	ф-ла (5) [9]	0,02	0,09	0,33	1,12	2,79	4,98	9,04	23,09	77,63		
Учет затухания звука в атмосфере Aatm, дБ		ф-ла (8) [10]	0	0,1	0,6	1,9	4,7	8,3	15,2	38,7	130,2		
Снижение поверхностью земли возле источника As, дБ	Gs = 0 hs = 3м	ф-лы таб.3 [10]	-1,5	-1,5	-1,5	-1,5	-1,5	-1,5	-1,5	-1,5	-1,5		

1		2	3	4	5	6	7	8	9	10	11	12	13
Снижение поверхностью земли возле приёмника Ar, дБ	Gr = 1 hr = 1.5м	ф-лы таб.3 [10]	-1,5	-1,5	5,3	7	5	0,7	0	0	0		
Снижение поверхностью земли в средней зоне, Am дБ	Gm = 1	ф-лы таб.3 [10]	-2,8	-2,8	0	0	0	0	0	0	0		
Суммарное снижение поверхностью земли на траектории распространения звука Agr, дБ		ф-ла (9) [10]	-5,8	-5,8	3,8	5,5	3,5	-0,8	-1,5	-1,5	-1,5		
Уровни звукового давления от источника ИШ-2-1 в расчётной точке днём, дБ		**ф-ла(3)[10]**	**38,2**	**37,1**	**27,1**	**21,1**	**21,4**	**26**	**14,9**	**0**	**0**	**27,4**	**27,4**
Уровни звукового давления от источника ИШ-2-1 в расчётной точке ночью, дБ		**ф-ла(3)[10]**	**38,2**	**37,1**	**27,1**	**21,1**	**21,4**	**26**	**14,9**	**0**	**0**	**27,4**	**27,4**
Источник шума: ИШ-2-2, координаты источника (x,y,z), м =[682.20,81.60,3.00]													
Уровни звуковой мощности источника днём, Lw, дБ		**исходные данные**	**105**	**104**	**104**	**101**	**102**	**106**	**101**	**95**	**87**		
Уровни звуковой мощности источника ночью, Lw, дБ		**исходные данные**	**105**	**104**	**104**	**101**	**102**	**106**	**101**	**95**	**87**		
Поправка на телесный угол DΩ, дБ	Ω = 6.28	10Lg(4π/Ω)	**3**	3	3	3	3	3	3	3	3		
Показатель направленности источника Di, дБ		исходные данные	**0**	0	0	0	0	0	0	0	0		
Поправка на направленность источника Dc, дБ	Dc	DΩ + Di	**3**	3	3	3	3	3	3	3	3		
Затухание из-за геометрической дивергенции, Adiv, дБ	расстояние = 1698.90 м	ф-ла (7) [10]	**75,6**										
Коэффициент затухания звука в атмосфере α, дБ/км	Ta=20,°C Pa=101.33,кПа hотн.=70%	ф-ла (5) [9]	0,02	0,09	0,33	1,12	2,79	4,98	9,04	23,09	77,63		
Учет затухания звука в атмосфере Aatm, дБ		ф-ла (8) [10]	0	0,2	0,6	1,9	4,7	8,5	15,4	39,2	131,9		
Снижение поверхностью земли возле источника As, дБ	Gs = 0 hs = 3м	ф-лы таб.3 [10]	-1,5	-1,5	-1,5	-1,5	-1,5	-1,5	-1,5	-1,5	-1,5		
Снижение поверхностью земли возле приёмника Ar, дБ	Gr = 1 hr = 1.5м	ф-лы таб.3 [10]	-1,5	-1,5	5,3	7	5	0,7	0	0	0		

1		2	3	4	5	6	7	8	9	10	11	12	13
Снижение поверхностью земли в средней зоне, Am дБ	Gm = 1	ф-лы таб.3 [10]	-2,8	-2,8	0	0	0	0	0	0	0		
Суммарное снижение поверхностью земли на траектории распространения звука Agr, дБ		ф-ла (9) [10]	-5,8	-5,8	3,8	5,5	3,5	-0,8	-1,5	-1,5	-1,5		
Уровни звукового давления от источника ИШ-2-2 в расчётной точке днём, дБ		**ф-ла(3)[10]**	**38,1**	**37**	**27**	**21**	**21,2**	**25,8**	**14,6**	**0**	**0**	**27,2**	**27,2**
Уровни звукового давления от источника ИШ-2-2 в расчётной точке ночью, дБ		**ф-ла(3)[10]**	**38,1**	**37**	**27**	**21**	**21,2**	**25,8**	**14,6**	**0**	**0**	**27,2**	**27,2**
Источник шума: ИШ-2-3, координаты источника (x,y,z), м =[667.80,38.90,3.00]													
Уровни звуковой мощности источника днём, Lw, дБ		**исходные данные**	**105**	**104**	**104**	**101**	**102**	**106**	**101**	**95**	**87**		
Уровни звуковой мощности источника ночью, Lw, дБ		**исходные данные**	**105**	**104**	**104**	**101**	**102**	**106**	**101**	**95**	**87**		
Поправка на телесный угол DΩ, дБ	Ω = 6.28	10Lg(4π/Ω)	**3**	3	3	3	3	3	3	3	3		
Показатель направленности источника Di, дБ		исходные данные	**0**	0	0	0	0	0	0	0	0		
Поправка на направленность источника Dc, дБ	Dc	DΩ + Di	**3**	3	3	3	3	3	3	3	3		
Затухание из-за геометрической дивергенции, Adiv, дБ	расстояние = 1721.43 м	ф-ла (7) [10]	**75,7**										
Коэффициент затухания звука в атмосфере α, дБ/км	Ta=20,°C Pa=101.33,кПа hотн.=70%	ф-ла (5) [9]	0,02	0,09	0,33	1,12	2,79	4,98	9,04	23,09	77,63		
Учет затухания звука в атмосфере Aatm, дБ		ф-ла (8) [10]	0	0,2	0,6	1,9	4,8	8,6	15,6	39,7	133,6		
Снижение поверхностью земли возле источника As, дБ	Gs = 0 hs = 3м	ф-лы таб.3 [10]	-1,5	-1,5	-1,5	-1,5	-1,5	-1,5	-1,5	-1,5	-1,5		
Снижение поверхностью земли возле приёмника Ar, дБ	Gr = 1 hr = 1.5м	ф-лы таб.3 [10]	-1,5	-1,5	5,3	7	5	0,7	0	0	0		
Снижение поверхностью земли в средней зоне, Am дБ	Gm = 1	ф-лы таб.3 [10]	-2,8	-2,8	0	0	0	0	0	0	0		

1		2	3	4	5	6	7	8	9	10	11	12	13
Суммарное снижение поверхностью земли на траектории распространения звука Agr, дБ		ф-ла (9) [10]	-5,8	-5,8	3,8	5,5	3,5	-0,8	-1,5	-1,5	-1,5		
Уровни звукового давления от источника ИШ-2-3 в расчётной точке днём, дБ		**ф-ла(3)[10]**	**38**	**36,9**	**26,9**	**20,8**	**21**	**25,6**	**14,2**	**0**	**0**	**27**	**27**
Уровни звукового давления от источника ИШ-2-3 в расчётной точке ночью, дБ		**ф-ла(3)[10]**	**38**	**36,9**	**26,9**	**20,8**	**21**	**25,6**	**14,2**	**0**	**0**	**27**	**27**
Источник шума: ИШ-2-6, координаты источника (x,y,z), м =[765.97,112.43,1.00]													
Уровни звуковой мощности источника днём, Lw, дБ		**исходные данные**	**0**	**93,3**	**94,7**	**96**	**96,3**	**95,9**	**92,6**	**88,4**	**83,9**		
Уровни звуковой мощности источника ночью, Lw, дБ		**исходные данные**	**0**	**93,3**	**94,7**	**96**	**96,3**	**95,9**	**92,6**	**88,4**	**83,9**		
Поправка на телесный угол DΩ, дБ	Ω = 6.28	10Lg(4π/Ω)	**3**	3	3	3	3	3	3	3	3		
Показатель направленности источника Di, дБ		исходные данные	**0**	0	0	0	0	0	0	0	0		
Поправка на направленность источника Dc, дБ	Dc	DΩ + Di	**3**	3	3	3	3	3	3	3	3		
Затухание из-за геометрической дивергенции, Adiv, дБ	расстояние = 1610.92 м	ф-ла (7) [10]	**75,1**										
Коэффициент затухания звука в атмосфере α, дБ/км	Ta=20,°C Pa=101.33,кПа hотн.=70%	ф-ла (5) [9]	0,02	0,09	0,33	1,12	2,79	4,98	9,04	23,09	77,63		
Учет затухания звука в атмосфере Aatm, дБ		ф-ла (8) [10]	0	0,1	0,5	1,8	4,5	8	14,6	37,2	125,1		
Снижение поверхностью земли возле источника As, дБ	Gs = 0 hs = 1м	ф-лы таб.3 [10]	-1,5	-1,5	-1,5	-1,5	-1,5	-1,5	-1,5	-1,5	-1,5		
Снижение поверхностью земли возле приёмника Ar, дБ	Gr = 1 hr = 1.5м	ф-лы таб.3 [10]	-1,5	-1,5	5,3	7	5	0,7	0	0	0		
Снижение поверхностью земли в средней зоне, Am дБ	Gm = 1	ф-лы таб.3 [10]	-2,9	-2,9	0	0	0	0	0	0	0		
Суммарное снижение поверхностью земли на траектории распространения звука Agr, дБ		ф-ла (9) [10]	-5,9	-5,9	3,8	5,5	3,5	-0,8	-1,5	-1,5	-1,5		

1		2	3	4	5	6	7	8	9	10	11	12	13
Уровни звукового давления от источника ИШ-2-6 в расчётной точке днём, дБ		**ф-ла(3)[10]**	**0**	**26,9**	**18,2**	**16,5**	**16,2**	**16,6**	**7,4**	**0**	**0**	**19,1**	**19,1**
Уровни звукового давления от источника ИШ-2-6 в расчётной точке ночью, дБ		**ф-ла(3)[10]**	**0**	**26,9**	**18,2**	**16,5**	**16,2**	**16,6**	**7,4**	**0**	**0**	**19,1**	**19,1**
Источник шума: ИШ-2-7, координаты источника (x,y,z), м =[764.91,109.54,1.00]													
Уровни звуковой мощности источника днём, Lw, дБ		**исходные данные**	**0**	**93,3**	**94,7**	**96**	**96,3**	**95,9**	**92,6**	**88,4**	**83,9**		
Уровни звуковой мощности источника ночью, Lw, дБ		**исходные данные**	**0**	**93,3**	**94,7**	**96**	**96,3**	**95,9**	**92,6**	**88,4**	**83,9**		
Поправка на телесный угол DΩ, дБ	Ω = 6.28	10Lg(4π/Ω)	**3**	3	3	3	3	3	3	3	3		
Показатель направленности источника Di, дБ		исходные данные	**0**	0	0	0	0	0	0	0	0		
Поправка на направленность источника Dc, дБ	Dc	DΩ + Di	**3**	3	3	3	3	3	3	3	3		
Затухание из-за геометрической дивергенции, Adiv, дБ	расстояние = 1612.48 м	ф-ла (7) [10]	**75,1**										
Коэффициент затухания звука в атмосфере α, дБ/км	Ta=20,°C Pa=101.33,кПа hотн.=70%	ф-ла (5) [9]	0,02	0,09	0,33	1,12	2,79	4,98	9,04	23,09	77,63		
Учет затухания звука в атмосфере Aatm, дБ		ф-ла (8) [10]	0	0,1	0,5	1,8	4,5	8	14,6	37,2	125,2		
Снижение поверхностью земли возле источника As, дБ	Gs = 0 hs = 1м	ф-лы таб.3 [10]	-1,5	-1,5	-1,5	-1,5	-1,5	-1,5	-1,5	-1,5	-1,5		
Снижение поверхностью земли возле приёмника Ar, дБ	Gr = 1 hr = 1.5м	ф-лы таб.3 [10]	-1,5	-1,5	5,3	7	5	0,7	0	0	0		
Снижение поверхностью земли в средней зоне, Am дБ	Gm = 1	ф-лы таб.3 [10]	-2,9	-2,9	0	0	0	0	0	0	0		
Суммарное снижение поверхностью земли на траектории распространения звука Agr, дБ		ф-ла (9) [10]	-5,9	-5,9	3,8	5,5	3,5	-0,8	-1,5	-1,5	-1,5		
Уровни звукового давления от источника ИШ-2-7 в расчётной точке днём, дБ		**ф-ла(3)[10]**	**0**	**26,9**	**18,2**	**16,5**	**16,2**	**16,6**	**7,4**	**0**	**0**	**19,1**	**19,1**

1		2	3	4	5	6	7	8	9	10	11	12	13
Уровни звукового давления от источника ИШ-2-7 в расчётной точке ночью, дБ		**ф-ла(3)[10]**	**0**	**26,9**	**18,2**	**16,5**	**16,2**	**16,6**	**7,4**	**0**	**0**	**19,1**	**19,1**
Источник шума: ИШ-2-8, координаты источника (x,y,z), м =[764.03,106.58,1.00]													
Уровни звуковой мощности источника днём, Lw, дБ		**исходные данные**	**0**	**93,3**	**94,7**	**96**	**96,3**	**95,9**	**92,6**	**88,4**	**83,9**		
Уровни звуковой мощности источника ночью, Lw, дБ		**исходные данные**	**0**	**93,3**	**94,7**	**96**	**96,3**	**95,9**	**92,6**	**88,4**	**83,9**		
Поправка на телесный угол DΩ, дБ	Ω = 6.28	10Lg(4π/Ω)	**3**	3	3	3	3	3	3	3	3		
Показатель направленности источника Di, дБ		исходные данные	**0**	0	0	0	0	0	0	0	0		
Поправка на направленность источника Dc, дБ	Dc	DΩ + Di	**3**	3	3	3	3	3	3	3	3		
Затухание из-за геометрической дивергенции, Adiv, дБ	расстояние = 1613.88 м	ф-ла (7) [10]	**75,2**										
Коэффициент затухания звука в атмосфере α, дБ/км	Ta=20,°C Pa=101.33,кПа hотн.=70%	ф-ла (5) [9]	0,02	0,09	0,33	1,12	2,79	4,98	9,04	23,09	77,63		
Учет затухания звука в атмосфере Aatm, дБ		ф-ла (8) [10]	0	0,1	0,5	1,8	4,5	8	14,6	37,3	125,3		
Снижение поверхностью земли возле источника As, дБ	Gs = 0 hs = 1м	ф-лы таб.3 [10]	-1,5	-1,5	-1,5	-1,5	-1,5	-1,5	-1,5	-1,5	-1,5		
Снижение поверхностью земли возле приёмника Ar, дБ	Gr = 1 hr = 1.5м	ф-лы таб.3 [10]	-1,5	-1,5	5,3	7	5	0,7	0	0	0		
Снижение поверхностью земли в средней зоне, Am дБ	Gm = 1	ф-лы таб.3 [10]	-2,9	-2,9	0	0	0	0	0	0	0		
Суммарное снижение поверхностью земли на траектории распространения звука Agr, дБ		ф-ла (9) [10]	-5,9	-5,9	3,8	5,5	3,5	-0,8	-1,5	-1,5	-1,5		
Уровни звукового давления от источника ИШ-2-8 в расчётной точке днём, дБ		**ф-ла(3)[10]**	**0**	**26,9**	**18,2**	**16,5**	**16,2**	**16,5**	**7,3**	**0**	**0**	**19,1**	**19,1**
Уровни звукового давления от источника ИШ-2-8 в расчётной точке ночью, дБ		**ф-ла(3)[10]**	**0**	**26,9**	**18,2**	**16,5**	**16,2**	**16,5**	**7,3**	**0**	**0**	**19,1**	**19,1**

1		2	3	4	5	6	7	8	9	10	11	12	13
Источник шума: ИШ-2-9, координаты источника (x,y,z), м =[763.26,103.71,1.00]													
Уровни звуковой мощности источника днём, Lw, дБ		**исходные данные**	**0**	**93,3**	**94,7**	**96**	**96,3**	**95,9**	**92,6**	**88,4**	**83,9**		
Уровни звуковой мощности источника ночью, Lw, дБ		**исходные данные**	**0**	**93,3**	**94,7**	**96**	**96,3**	**95,9**	**92,6**	**88,4**	**83,9**		
Поправка на телесный угол DΩ, дБ	Ω = 6.28	10Lg(4π/Ω)	**3**	3	3	3	3	3	3	3	3		
Показатель направленности источника Di, дБ		исходные данные	**0**	0	0	0	0	0	0	0	0		
Поправка на направленность источника Dc, дБ	Dc	DΩ + Di	**3**	3	3	3	3	3	3	3	3		
Затухание из-за геометрической дивергенции, Adiv, дБ	расстояние = 1615.16 м	ф-ла (7) [10]	**75,2**										
Коэффициент затухания звука в атмосфере α, дБ/км	Ta=20,°C Pa=101.33,кПа hотн.=70%	ф-ла (5) [9]	0,02	0,09	0,33	1,12	2,79	4,98	9,04	23,09	77,63		
Учет затухания звука в атмосфере Aatm, дБ		ф-ла (8) [10]	0	0,1	0,5	1,8	4,5	8	14,6	37,3	125,4		
Снижение поверхностью земли возле источника As, дБ	Gs = 0 hs = 1м	ф-лы таб.3 [10]	-1,5	-1,5	-1,5	-1,5	-1,5	-1,5	-1,5	-1,5	-1,5		
Снижение поверхностью земли возле приёмника Ar, дБ	Gr = 1 hr = 1.5м	ф-лы таб.3 [10]	-1,5	-1,5	5,3	7	5	0,7	0	0	0		
Снижение поверхностью земли в средней зоне, Am дБ	Gm = 1	ф-лы таб.3 [10]	-2,9	-2,9	0	0	0	0	0	0	0		
Суммарное снижение поверхностью земли на траектории распространения звука Agr, дБ		ф-ла (9) [10]	-5,9	-5,9	3,8	5,5	3,5	-0,8	-1,5	-1,5	-1,5		
Уровни звукового давления от источника ИШ-2-9 в расчётной точке днём, дБ		**ф-ла(3)[10]**	**0**	**26,8**	**18,1**	**16,5**	**16,1**	**16,5**	**7,3**	**0**	**0**	**19,1**	**19,1**
Уровни звукового давления от источника ИШ-2-9 в расчётной точке ночью, дБ		**ф-ла(3)[10]**	**0**	**26,8**	**18,1**	**16,5**	**16,1**	**16,5**	**7,3**	**0**	**0**	**19,1**	**19,1**
Источник шума: ИШ-2-10, координаты источника (x,y,z), м =[762.14,100.75,1.00]													

1		2	3	4	5	6	7	8	9	10	11	12	13
Уровни звуковой мощности источника днём, Lw, дБ		**исходные данные**	**0**	**93,3**	**94,7**	**96**	**96,3**	**95,9**	**92,6**	**88,4**	**83,9**		
Уровни звуковой мощности источника ночью, Lw, дБ		**исходные данные**	**0**	**93,3**	**94,7**	**96**	**96,3**	**95,9**	**92,6**	**88,4**	**83,9**		
Поправка на телесный угол DΩ, дБ	Ω = 6.28	10Lg(4π/Ω)	**3**	3	3	3	3	3	3	3	3		
Показатель направленности источника Di, дБ		исходные данные	**0**	0	0	0	0	0	0	0	0		
Поправка на направленность источника Dc, дБ	Dc	DΩ + Di	**3**	3	3	3	3	3	3	3	3		
Затухание из-за геометрической дивергенции, Adiv, дБ	расстояние = 1616.79 м	ф-ла (7) [10]	**75,2**										
Коэффициент затухания звука в атмосфере α, дБ/км	Ta=20,°C Pa=101.33,кПа hотн.=70%	ф-ла (5) [9]	0,02	0,09	0,33	1,12	2,79	4,98	9,04	23,09	77,63		
Учет затухания звука в атмосфере Aatm, дБ		ф-ла (8) [10]	0	0,1	0,5	1,8	4,5	8	14,6	37,3	125,5		
Снижение поверхностью земли возле источника As, дБ	Gs = 0 hs = 1м	ф-лы таб.3 [10]	-1,5	-1,5	-1,5	-1,5	-1,5	-1,5	-1,5	-1,5	-1,5		
Снижение поверхностью земли возле приёмника Ar, дБ	Gr = 1 hr = 1.5м	ф-лы таб.3 [10]	-1,5	-1,5	5,3	7	5	0,7	0	0	0		
Снижение поверхностью земли в средней зоне, Am дБ	Gm = 1	ф-лы таб.3 [10]	-2,9	-2,9	0	0	0	0	0	0	0		
Суммарное снижение поверхностью земли на траектории распространения звука Agr, дБ		ф-ла (9) [10]	-5,9	-5,9	3,8	5,5	3,5	-0,8	-1,5	-1,5	-1,5		
Уровни звукового давления от источника ИШ-2-10 в расчётной точке днём, дБ		**ф-ла(3)[10]**	**0**	**26,8**	**18,1**	**16,5**	**16,1**	**16,5**	**7,3**	**0**	**0**	**19,1**	**19,1**
Уровни звукового давления от источника ИШ-2-10 в расчётной точке ночью, дБ		**ф-ла(3)[10]**	**0**	**26,8**	**18,1**	**16,5**	**16,1**	**16,5**	**7,3**	**0**	**0**	**19,1**	**19,1**
Источник шума: ИШ-2-11, координаты источника (x,y,z), м =[761.13,97.90,1.00]													
Уровни звуковой мощности источника днём, Lw, дБ		**исходные данные**	**0**	**93,3**	**94,7**	**96**	**96,3**	**95,9**	**92,6**	**88,4**	**83,9**		

1		2	3	4	5	6	7	8	9	10	11	12	13
Уровни звуковой мощности источника ночью, Lw, дБ		**исходные данные**	**0**	**93,3**	**94,7**	**96**	**96,3**	**95,9**	**92,6**	**88,4**	**83,9**		
Поправка на телесный угол DΩ, дБ	Ω = 6.28	10Lg(4π/Ω)	**3**	3	3	3	3	3	3	3	3		
Показатель направленности источника Di, дБ		исходные данные	**0**	0	0	0	0	0	0	0	0		
Поправка на направленность источника Dc, дБ	Dc	DΩ + Di	**3**	3	3	3	3	3	3	3	3		
Затухание из-за геометрической дивергенции, Adiv, дБ	расстояние = 1618.32 м	ф-ла (7) [10]	**75,2**										
Коэффициент затухания звука в атмосфере α, дБ/км	Ta=20,°C Pa=101.33,кПа hотн.=70%	ф-ла (5) [9]	0,02	0,09	0,33	1,12	2,79	4,98	9,04	23,09	77,63		
Учет затухания звука в атмосфере Aatm, дБ		ф-ла (8) [10]	0	0,1	0,5	1,8	4,5	8,1	14,6	37,4	125,6		
Снижение поверхностью земли возле источника As, дБ	Gs = 0 hs = 1м	ф-лы таб.3 [10]	-1,5	-1,5	-1,5	-1,5	-1,5	-1,5	-1,5	-1,5	-1,5		
Снижение поверхностью земли возле приёмника Ar, дБ	Gr = 1 hr = 1.5м	ф-лы таб.3 [10]	-1,5	-1,5	5,3	7	5	0,7	0	0	0		
Снижение поверхностью земли в средней зоне, Am дБ	Gm = 1	ф-лы таб.3 [10]	-2,9	-2,9	0	0	0	0	0	0	0		
Суммарное снижение поверхностью земли на траектории распространения звука Agr, дБ		ф-ла (9) [10]	-5,9	-5,9	3,8	5,5	3,5	-0,8	-1,5	-1,5	-1,5		
Уровни звукового давления от источника ИШ-2-11 в расчётной точке днём, дБ		**ф-ла(3)[10]**	**0**	**26,8**	**18,1**	**16,5**	**16,1**	**16,5**	**7,3**	**0**	**0**	**19**	**19**
Уровни звукового давления от источника ИШ-2-11 в расчётной точке ночью, дБ		**ф-ла(3)[10]**	**0**	**26,8**	**18,1**	**16,5**	**16,1**	**16,5**	**7,3**	**0**	**0**	**19**	**19**
Источник шума: ИШ-2-12, координаты источника (x,y,z), м =[760.25,95.02,1.00]													
Уровни звуковой мощности источника днём, Lw, дБ		**исходные данные**	**0**	**93,3**	**94,7**	**96**	**96,3**	**95,9**	**92,6**	**88,4**	**83,9**		
Уровни звуковой мощности источника ночью, Lw, дБ		**исходные данные**	**0**	**93,3**	**94,7**	**96**	**96,3**	**95,9**	**92,6**	**88,4**	**83,9**		

1		2	3	4	5	6	7	8	9	10	11	12	13
Поправка на телесный угол DΩ, дБ	Ω = 6.28	10Lg(4π/Ω)	**3**	3	3	3	3	3	3	3	3		
Показатель направленности источника Di, дБ		исходные данные	**0**	0	0	0	0	0	0	0	0		
Поправка на направленность источника Dc, дБ	Dc	DΩ + Di	**3**	3	3	3	3	3	3	3	3		
Затухание из-за геометрической дивергенции, Adiv, дБ	расстояние = 1619.71 м	ф-ла (7) [10]	**75,2**										
Коэффициент затухания звука в атмосфере α, дБ/км	Ta=20,°C Pa=101.33,кПа hотн.=70%	ф-ла (5) [9]	0,02	0,09	0,33	1,12	2,79	4,98	9,04	23,09	77,63		
Учет затухания звука в атмосфере Aatm, дБ		ф-ла (8) [10]	0	0,1	0,5	1,8	4,5	8,1	14,6	37,4	125,7		
Снижение поверхностью земли возле источника As, дБ	Gs = 0 hs = 1м	ф-лы таб.3 [10]	-1,5	-1,5	-1,5	-1,5	-1,5	-1,5	-1,5	-1,5	-1,5		
Снижение поверхностью земли возле приёмника Ar, дБ	Gr = 1 hr = 1.5м	ф-лы таб.3 [10]	-1,5	-1,5	5,3	7	5	0,7	0	0	0		
Снижение поверхностью земли в средней зоне, Am дБ	Gm = 1	ф-лы таб.3 [10]	-2,9	-2,9	0	0	0	0	0	0	0		
Суммарное снижение поверхностью земли на траектории распространения звука Agr, дБ		ф-ла (9) [10]	-5,9	-5,9	3,8	5,5	3,5	-0,8	-1,5	-1,5	-1,5		
Уровни звукового давления от источника ИШ-2-12 в расчётной точке днём, дБ		**ф-ла(3)[10]**	**0**	**26,8**	**18,1**	**16,5**	**16,1**	**16,5**	**7,3**	**0**	**0**	**19**	**19**
Уровни звукового давления от источника ИШ-2-12 в расчётной точке ночью, дБ		**ф-ла(3)[10]**	**0**	**26,8**	**18,1**	**16,5**	**16,1**	**16,5**	**7,3**	**0**	**0**	**19**	**19**
Источник шума: ИШ-2-13, координаты источника (x,y,z), м =[759.28,92.25,1.00]													
Уровни звуковой мощности источника днём, Lw, дБ		**исходные данные**	**0**	**93,3**	**94,7**	**96**	**96,3**	**95,9**	**92,6**	**88,4**	**83,9**		
Уровни звуковой мощности источника ночью, Lw, дБ		**исходные данные**	**0**	**93,3**	**94,7**	**96**	**96,3**	**95,9**	**92,6**	**88,4**	**83,9**		
Поправка на телесный угол DΩ, дБ	Ω = 6.28	10Lg(4π/Ω)	**3**	3	3	3	3	3	3	3	3		

1		2	3	4	5	6	7	8	9	10	11	12	13
Показатель направленности источника Di, дБ		исходные данные	**0**	0	0	0	0	0	0	0	0		
Поправка на направленность источника Dc, дБ	Dc	DΩ + Di	**3**	3	3	3	3	3	3	3	3		
Затухание из-за геометрической дивергенции, Adiv, дБ	расстояние = 1621.19 м	ф-ла (7) [10]	**75,2**										
Коэффициент затухания звука в атмосфере α, дБ/км	Ta=20,°C Pa=101.33,кПа hотн.=70%	ф-ла (5) [9]	0,02	0,09	0,33	1,12	2,79	4,98	9,04	23,09	77,63		
Учет затухания звука в атмосфере Aatm, дБ		ф-ла (8) [10]	0	0,1	0,5	1,8	4,5	8,1	14,7	37,4	125,9		
Снижение поверхностью земли возле источника As, дБ	Gs = 0 hs = 1м	ф-лы таб.3 [10]	-1,5	-1,5	-1,5	-1,5	-1,5	-1,5	-1,5	-1,5	-1,5		
Снижение поверхностью земли возле приёмника Ar, дБ	Gr = 1 hr = 1.5м	ф-лы таб.3 [10]	-1,5	-1,5	5,3	7	5	0,7	0	0	0		
Снижение поверхностью земли в средней зоне, Am дБ	Gm = 1	ф-лы таб.3 [10]	-2,9	-2,9	0	0	0	0	0	0	0		
Суммарное снижение поверхностью земли на траектории распространения звука Agr, дБ		ф-ла (9) [10]	-5,9	-5,9	3,8	5,5	3,5	-0,8	-1,5	-1,5	-1,5		
Уровни звукового давления от источника ИШ-2-13 в расчётной точке днём, дБ		**ф-ла(3)[10]**	**0**	**26,8**	**18,1**	**16,4**	**16,1**	**16,5**	**7,2**	**0**	**0**	**19**	**19**
Уровни звукового давления от источника ИШ-2-13 в расчётной точке ночью, дБ		**ф-ла(3)[10]**	**0**	**26,8**	**18,1**	**16,4**	**16,1**	**16,5**	**7,2**	**0**	**0**	**19**	**19**
Источник шума: ИШ-2-14, координаты источника (x,y,z), м =[751.62,69.73,1.00]													
Уровни звуковой мощности источника днём, Lw, дБ		**исходные данные**	**0**	**93,3**	**94,7**	**96**	**96,3**	**95,9**	**92,6**	**88,4**	**83,9**		
Уровни звуковой мощности источника ночью, Lw, дБ		**исходные данные**	**0**	**93,3**	**94,7**	**96**	**96,3**	**95,9**	**92,6**	**88,4**	**83,9**		
Поправка на телесный угол DΩ, дБ	Ω = 6.28	10Lg(4π/Ω)	**3**	3	3	3	3	3	3	3	3		
Показатель направленности источника Di, дБ		исходные данные	**0**	0	0	0	0	0	0	0	0		

1		2	3	4	5	6	7	8	9	10	11	12	13
Поправка на направленность источника Dc, дБ	Dc	DΩ + Di	**3**	3	3	3	3	3	3	3	3		
Затухание из-за геометрической дивергенции, Adiv, дБ	расстояние = 1633.08 м	ф-ла (7) [10]	**75,3**										
Коэффициент затухания звука в атмосфере α, дБ/км	Ta=20,°C Pa=101.33,кПа hотн.=70%	ф-ла (5) [9]	0,02	0,09	0,33	1,12	2,79	4,98	9,04	23,09	77,63		
Учет затухания звука в атмосфере Aatm, дБ		ф-ла (8) [10]	0	0,1	0,5	1,8	4,6	8,1	14,8	37,7	126,8		
Снижение поверхностью земли возле источника As, дБ	Gs = 0 hs = 1м	ф-лы таб.3 [10]	-1,5	-1,5	-1,5	-1,5	-1,5	-1,5	-1,5	-1,5	-1,5		
Снижение поверхностью земли возле приёмника Ar, дБ	Gr = 1 hr = 1.5м	ф-лы таб.3 [10]	-1,5	-1,5	5,3	7	5	0,7	0	0	0		
Снижение поверхностью земли в средней зоне, Am дБ	Gm = 1	ф-лы таб.3 [10]	-2,9	-2,9	0	0	0	0	0	0	0		
Суммарное снижение поверхностью земли на траектории распространения звука Agr, дБ		ф-ла (9) [10]	-5,9	-5,9	3,8	5,5	3,5	-0,8	-1,5	-1,5	-1,5		
Уровни звукового давления от источника ИШ-2-14 в расчётной точке днём, дБ		**ф-ла(3)[10]**	**0**	**26,7**	**18**	**16,4**	**16**	**16,3**	**7,1**	**0**	**0**	**18,9**	**18,9**
Уровни звукового давления от источника ИШ-2-14 в расчётной точке ночью, дБ		**ф-ла(3)[10]**	**0**	**26,7**	**18**	**16,4**	**16**	**16,3**	**7,1**	**0**	**0**	**18,9**	**18,9**
Источник шума: ИШ-2-15, координаты источника (x,y,z), м =[750.74,66.89,1.00]													
Уровни звуковой мощности источника днём, Lw, дБ		**исходные данные**	**0**	**93,3**	**94,7**	**96**	**96,3**	**95,9**	**92,6**	**88,4**	**83,9**		
Уровни звуковой мощности источника ночью, Lw, дБ		**исходные данные**	**0**	**93,3**	**94,7**	**96**	**96,3**	**95,9**	**92,6**	**88,4**	**83,9**		
Поправка на телесный угол DΩ, дБ	Ω = 6.28	10Lg(4π/Ω)	**3**	3	3	3	3	3	3	3	3		
Показатель направленности источника Di, дБ		исходные данные	**0**	0	0	0	0	0	0	0	0		
Поправка на направленность источника Dc, дБ	Dc	DΩ + Di	**3**	3	3	3	3	3	3	3	3		

1		2	3	4	5	6	7	8	9	10	11	12	13
Затухание из-за геометрической дивергенции, Adiv, дБ	расстояние = 1634.51 м	ф-ла (7) [10]	**75,3**										
Коэффициент затухания звука в атмосфере α, дБ/км	Ta=20,°C Pa=101.33,кПа hотн.=70%	ф-ла (5) [9]	0,02	0,09	0,33	1,12	2,79	4,98	9,04	23,09	77,63		
Учет затухания звука в атмосфере Aatm, дБ		ф-ла (8) [10]	0	0,1	0,5	1,8	4,6	8,1	14,8	37,7	126,9		
Снижение поверхностью земли возле источника As, дБ	Gs = 0 hs = 1м	ф-лы таб.3 [10]	-1,5	-1,5	-1,5	-1,5	-1,5	-1,5	-1,5	-1,5	-1,5		
Снижение поверхностью земли возле приёмника Ar, дБ	Gr = 1 hr = 1.5м	ф-лы таб.3 [10]	-1,5	-1,5	5,3	7	5	0,7	0	0	0		
Снижение поверхностью земли в средней зоне, Am дБ	Gm = 1	ф-лы таб.3 [10]	-2,9	-2,9	0	0	0	0	0	0	0		
Суммарное снижение поверхностью земли на траектории распространения звука Agr, дБ		ф-ла (9) [10]	-5,9	-5,9	3,8	5,5	3,5	-0,8	-1,5	-1,5	-1,5		
Уровни звукового давления от источника ИШ-2-15 в расчётной точке днём, дБ		**ф-ла(3)[10]**	**0**	**26,7**	**18**	**16,4**	**16**	**16,3**	**7**	**0**	**0**	**18,9**	**18,9**
Уровни звукового давления от источника ИШ-2-15 в расчётной точке ночью, дБ		**ф-ла(3)[10]**	**0**	**26,7**	**18**	**16,4**	**16**	**16,3**	**7**	**0**	**0**	**18,9**	**18,9**
Источник шума: ИШ-2-16, координаты источника (x,y,z), м =[749.73,64.02,1.00]													
Уровни звуковой мощности источника днём, Lw, дБ		**исходные данные**	**0**	**93,3**	**94,7**	**96**	**96,3**	**95,9**	**92,6**	**88,4**	**83,9**		
Уровни звуковой мощности источника ночью, Lw, дБ		**исходные данные**	**0**	**93,3**	**94,7**	**96**	**96,3**	**95,9**	**92,6**	**88,4**	**83,9**		
Поправка на телесный угол DΩ, дБ	Ω = 6.28	10Lg(4π/Ω)	**3**	3	3	3	3	3	3	3	3		
Показатель направленности источника Di, дБ		исходные данные	**0**	0	0	0	0	0	0	0	0		
Поправка на направленность источника Dc, дБ	Dc	DΩ + Di	**3**	3	3	3	3	3	3	3	3		
Затухание из-за геометрической дивергенции, Adiv, дБ	расстояние = 1636.09 м	ф-ла (7) [10]	**75,3**										

1		2	3	4	5	6	7	8	9	10	11	12	13
Коэффициент затухания звука в атмосфере α, дБ/км	Ta=20,°C Pa=101.33,кПа hотн.=70%	ф-ла (5) [9]	0,02	0,09	0,33	1,12	2,79	4,98	9,04	23,09	77,63		
Учет затухания звука в атмосфере Aatm, дБ		ф-ла (8) [10]	0	0,1	0,5	1,8	4,6	8,1	14,8	37,8	127		
Снижение поверхностью земли возле источника As, дБ	Gs = 0 hs = 1м	ф-лы таб.3 [10]	-1,5	-1,5	-1,5	-1,5	-1,5	-1,5	-1,5	-1,5	-1,5		
Снижение поверхностью земли возле приёмника Ar, дБ	Gr = 1 hr = 1.5м	ф-лы таб.3 [10]	-1,5	-1,5	5,3	7	5	0,7	0	0	0		
Снижение поверхностью земли в средней зоне, Am дБ	Gm = 1	ф-лы таб.3 [10]	-2,9	-2,9	0	0	0	0	0	0	0		
Суммарное снижение поверхностью земли на траектории распространения звука Agr, дБ		ф-ла (9) [10]	-5,9	-5,9	3,8	5,5	3,5	-0,8	-1,5	-1,5	-1,5		
Уровни звукового давления от источника ИШ-2-16 в расчётной точке днём, дБ		**ф-ла(3)[10]**	**0**	**26,7**	**18**	**16,4**	**16**	**16,3**	**7**	**0**	**0**	**18,9**	**18,9**
Уровни звукового давления от источника ИШ-2-16 в расчётной точке ночью, дБ		**ф-ла(3)[10]**	**0**	**26,7**	**18**	**16,4**	**16**	**16,3**	**7**	**0**	**0**	**18,9**	**18,9**
Источник шума: ИШ-2-17, координаты источника (x,y,z), м =[748.87,61.06,1.00]													
Уровни звуковой мощности источника днём, Lw, дБ		**исходные данные**	**0**	**93,3**	**94,7**	**96**	**96,3**	**95,9**	**92,6**	**88,4**	**83,9**		
Уровни звуковой мощности источника ночью, Lw, дБ		**исходные данные**	**0**	**93,3**	**94,7**	**96**	**96,3**	**95,9**	**92,6**	**88,4**	**83,9**		
Поправка на телесный угол DΩ, дБ	Ω = 6.28	10Lg(4π/Ω)	**3**	3	3	3	3	3	3	3	3		
Показатель направленности источника Di, дБ		исходные данные	**0**	0	0	0	0	0	0	0	0		
Поправка на направленность источника Dc, дБ	Dc	DΩ + Di	**3**	3	3	3	3	3	3	3	3		
Затухание из-за геометрической дивергенции, Adiv, дБ	расстояние = 1637.53 м	ф-ла (7) [10]	**75,3**										
Коэффициент затухания звука в атмосфере α, дБ/км	Ta=20,°C Pa=101.33,кПа hотн.=70%	ф-ла (5) [9]	0,02	0,09	0,33	1,12	2,79	4,98	9,04	23,09	77,63		

1		2	3	4	5	6	7	8	9	10	11	12	13
Учет затухания звука в атмосфере Aatm, дБ		ф-ла (8) [10]	0	0,1	0,5	1,8	4,6	8,2	14,8	37,8	127,1		
Снижение поверхностью земли возле источника As, дБ	Gs = 0 hs = 1м	ф-лы таб.3 [10]	-1,5	-1,5	-1,5	-1,5	-1,5	-1,5	-1,5	-1,5	-1,5		
Снижение поверхностью земли возле приёмника Ar, дБ	Gr = 1 hr = 1.5м	ф-лы таб.3 [10]	-1,5	-1,5	5,3	7	5	0,7	0	0	0		
Снижение поверхностью земли в средней зоне, Am дБ	Gm = 1	ф-лы таб.3 [10]	-2,9	-2,9	0	0	0	0	0	0	0		
Суммарное снижение поверхностью земли на траектории распространения звука Agr, дБ		ф-ла (9) [10]	-5,9	-5,9	3,8	5,5	3,5	-0,8	-1,5	-1,5	-1,5		
Уровни звукового давления от источника ИШ-2-17 в расчётной точке днём, дБ		**ф-ла(3)[10]**	**0**	**26,7**	**18**	**16,3**	**16**	**16,3**	**7**	**0**	**0**	**18,9**	**18,9**
Уровни звукового давления от источника ИШ-2-17 в расчётной точке ночью, дБ		**ф-ла(3)[10]**	**0**	**26,7**	**18**	**16,3**	**16**	**16,3**	**7**	**0**	**0**	**18,9**	**18,9**
Источник шума: ИШ-2-18, координаты источника (x,y,z), м =[747.72,58.17,1.00]													
Уровни звуковой мощности источника днём, Lw, дБ		**исходные данные**	**0**	**93,3**	**94,7**	**96**	**96,3**	**95,9**	**92,6**	**88,4**	**83,9**		
Уровни звуковой мощности источника ночью, Lw, дБ		**исходные данные**	**0**	**93,3**	**94,7**	**96**	**96,3**	**95,9**	**92,6**	**88,4**	**83,9**		
Поправка на телесный угол DΩ, дБ	Ω = 6.28	10Lg(4π/Ω)	**3**	3	3	3	3	3	3	3	3		
Показатель направленности источника Di, дБ		исходные данные	**0**	0	0	0	0	0	0	0	0		
Поправка на направленность источника Dc, дБ	Dc	DΩ + Di	**3**	3	3	3	3	3	3	3	3		
Затухание из-за геометрической дивергенции, Adiv, дБ	расстояние = 1639.26 м	ф-ла (7) [10]	**75,3**										
Коэффициент затухания звука в атмосфере α, дБ/км	Ta=20,°C Pa=101.33,кПа hотн.=70%	ф-ла (5) [9]	0,02	0,09	0,33	1,12	2,79	4,98	9,04	23,09	77,63		
Учет затухания звука в атмосфере Aatm, дБ		ф-ла (8) [10]	0	0,1	0,5	1,8	4,6	8,2	14,8	37,8	127,3		

1		2	3	4	5	6	7	8	9	10	11	12	13
Снижение поверхностью земли возле источника As, дБ	Gs = 0 hs = 1м	ф-лы таб.3 [10]	-1,5	-1,5	-1,5	-1,5	-1,5	-1,5	-1,5	-1,5	-1,5		
Снижение поверхностью земли возле приёмника Ar, дБ	Gr = 1 hr = 1.5м	ф-лы таб.3 [10]	-1,5	-1,5	5,3	7	5	0,7	0	0	0		
Снижение поверхностью земли в средней зоне, Am дБ	Gm = 1	ф-лы таб.3 [10]	-2,9	-2,9	0	0	0	0	0	0	0		
Суммарное снижение поверхностью земли на траектории распространения звука Agr, дБ		ф-ла (9) [10]	-5,9	-5,9	3,8	5,5	3,5	-0,8	-1,5	-1,5	-1,5		
Уровни звукового давления от источника ИШ-2-18 в расчётной точке днём, дБ		**ф-ла(3)[10]**	**0**	**26,7**	**18**	**16,3**	**16**	**16,3**	**7**	**0**	**0**	**18,8**	**18,8**
Уровни звукового давления от источника ИШ-2-18 в расчётной точке ночью, дБ		**ф-ла(3)[10]**	**0**	**26,7**	**18**	**16,3**	**16**	**16,3**	**7**	**0**	**0**	**18,8**	**18,8**
Источник шума: ИШ-2-19, координаты источника (x,y,z), м =[746.80,55.25,1.00]													
Уровни звуковой мощности источника днём, Lw, дБ		**исходные данные**	**0**	**93,3**	**94,7**	**96**	**96,3**	**95,9**	**92,6**	**88,4**	**83,9**		
Уровни звуковой мощности источника ночью, Lw, дБ		**исходные данные**	**0**	**93,3**	**94,7**	**96**	**96,3**	**95,9**	**92,6**	**88,4**	**83,9**		
Поправка на телесный угол DΩ, дБ	Ω = 6.28	10Lg(4π/Ω)	**3**	3	3	3	3	3	3	3	3		
Показатель направленности источника Di, дБ		исходные данные	**0**	0	0	0	0	0	0	0	0		
Поправка на направленность источника Dc, дБ	Dc	DΩ + Di	**3**	3	3	3	3	3	3	3	3		
Затухание из-за геометрической дивергенции, Adiv, дБ	расстояние = 1640.76 м	ф-ла (7) [10]	**75,3**										
Коэффициент затухания звука в атмосфере α, дБ/км	Ta=20,°C Pa=101.33,кПа hотн.=70%	ф-ла (5) [9]	0,02	0,09	0,33	1,12	2,79	4,98	9,04	23,09	77,63		
Учет затухания звука в атмосфере Aatm, дБ		ф-ла (8) [10]	0	0,1	0,5	1,8	4,6	8,2	14,8	37,9	127,4		
Снижение поверхностью земли возле источника As, дБ	Gs = 0 hs = 1м	ф-лы таб.3 [10]	-1,5	-1,5	-1,5	-1,5	-1,5	-1,5	-1,5	-1,5	-1,5		

1		2	3	4	5	6	7	8	9	10	11	12	13
Снижение поверхностью земли возле приёмника Ar, дБ	Gr = 1 hr = 1.5м	ф-лы таб.3 [10]	-1,5	-1,5	5,3	7	5	0,7	0	0	0		
Снижение поверхностью земли в средней зоне, Am дБ	Gm = 1	ф-лы таб.3 [10]	-2,9	-2,9	0	0	0	0	0	0	0		
Суммарное снижение поверхностью земли на траектории распространения звука Agr, дБ		ф-ла (9) [10]	-5,9	-5,9	3,8	5,5	3,5	-0,8	-1,5	-1,5	-1,5		
Уровни звукового давления от источника ИШ-2-19 в расчётной точке днём, дБ		**ф-ла(3)[10]**	**0**	**26,7**	**18**	**16,3**	**15,9**	**16,3**	**7**	**0**	**0**	**18,8**	**18,8**
Уровни звукового давления от источника ИШ-2-19 в расчётной точке ночью, дБ		**ф-ла(3)[10]**	**0**	**26,7**	**18**	**16,3**	**15,9**	**16,3**	**7**	**0**	**0**	**18,8**	**18,8**
Источник шума: ИШ-2-20, координаты источника (x,y,z), м =[745.71,52.44,1.00]													
Уровни звуковой мощности источника днём, Lw, дБ		**исходные данные**	**0**	**93,3**	**94,7**	**96**	**96,3**	**95,9**	**92,6**	**88,4**	**83,9**		
Уровни звуковой мощности источника ночью, Lw, дБ		**исходные данные**	**0**	**93,3**	**94,7**	**96**	**96,3**	**95,9**	**92,6**	**88,4**	**83,9**		
Поправка на телесный угол DΩ, дБ	Ω = 6.28	10Lg(4π/Ω)	**3**	3	3	3	3	3	3	3	3		
Показатель направленности источника Di, дБ		исходные данные	**0**	0	0	0	0	0	0	0	0		
Поправка на направленность источника Dc, дБ	Dc	DΩ + Di	**3**	3	3	3	3	3	3	3	3		
Затухание из-за геометрической дивергенции, Adiv, дБ	расстояние = 1642.42 м	ф-ла (7) [10]	**75,3**										
Коэффициент затухания звука в атмосфере α, дБ/км	Ta=20,°C Pa=101.33,кПа hотн.=70%	ф-ла (5) [9]	0,02	0,09	0,33	1,12	2,79	4,98	9,04	23,09	77,63		
Учет затухания звука в атмосфере Aatm, дБ		ф-ла (8) [10]	0	0,1	0,6	1,8	4,6	8,2	14,8	37,9	127,5		
Снижение поверхностью земли возле источника As, дБ	Gs = 0 hs = 1м	ф-лы таб.3 [10]	-1,5	-1,5	-1,5	-1,5	-1,5	-1,5	-1,5	-1,5	-1,5		
Снижение поверхностью земли возле приёмника Ar, дБ	Gr = 1 hr = 1.5м	ф-лы таб.3 [10]	-1,5	-1,5	5,3	7	5	0,7	0	0	0		

1		2	3	4	5	6	7	8	9	10	11	12	13
Снижение поверхностью земли в средней зоне, Am дБ	Gm = 1	ф-лы таб.3 [10]	-2,9	-2,9	0	0	0	0	0	0	0		
Суммарное снижение поверхностью земли на траектории распространения звука Agr, дБ		ф-ла (9) [10]	-5,9	-5,9	3,8	5,5	3,5	-0,8	-1,5	-1,5	-1,5		
Уровни звукового давления прямого звука от источника ИШ-2-20 в расчётной точке днём, дБ		**ф-ла(3)[10]**	**0**	**26,7**	**18**	**16,3**	**15,9**	**16,2**	**6,9**	**0**	**0**	**18,8**	**18,8**
Уровни звукового давления прямого звука от источника ИШ-2-20 в расчётной точке ночью, дБ		**ф-ла(3)[10]**	**0**	**26,7**	**18**	**16,3**	**15,9**	**16,2**	**6,9**	**0**	**0**	**18,8**	**18,8**
Расчёт отражённого звука													
Уровни звукового давления от мнимого источника ИШ-2-20_мн.(1) в расчётной точке днём, дБ		**ф-ла(3)[10]**	**0**	**0**	**0**	**0**	**0**	**0**	**0**	**0**	**0**	**0**	**0**
Уровни звукового давления от мнимого источника ИШ-2-20_мн.(1) в расчётной точке ночью, дБ		**ф-ла(3)[10]**	**0**	**0**	**0**	**0**	**0**	**0**	**0**	**0**	**0**	**0**	**0**
Уровни звукового давления от источника ИШ-2-20 в расчётной точке днём, дБ		**ф-ла(3)[10]**	**0**	**26,7**	**18**	**16,3**	**15,9**	**16,2**	**6,9**	**0**	**0**	**18,8**	**18,8**
Уровни звукового давления от источника ИШ-2-20 в расчётной точке ночью, дБ		**ф-ла(3)[10]**	**0**	**26,7**	**18**	**16,3**	**15,9**	**16,2**	**6,9**	**0**	**0**	**18,8**	**18,8**
Источник шума: ИШ-2-21, координаты источника (x,y,z), м =[744.89,49.62,1.00]													
Уровни звуковой мощности источника днём, Lw, дБ		**исходные данные**	**0**	**93,3**	**94,7**	**96**	**96,3**	**95,9**	**92,6**	**88,4**	**83,9**		
Уровни звуковой мощности источника ночью, Lw, дБ		**исходные данные**	**0**	**93,3**	**94,7**	**96**	**96,3**	**95,9**	**92,6**	**88,4**	**83,9**		
Поправка на телесный угол DΩ, дБ	Ω = 6.28	10Lg(4π/Ω)	**3**	3	3	3	3	3	3	3	3		
Показатель направленности источника Di, дБ		исходные данные	**0**	0	0	0	0	0	0	0	0		
Поправка на направленность источника Dc, дБ	Dc	DΩ + Di	**3**	3	3	3	3	3	3	3	3		
Затухание из-за геометрической дивергенции, Adiv, дБ	расстояние = 1643.81 м	ф-ла (7) [10]	**75,3**										
Коэффициент затухания звука в атмосфере α, дБ/км	Ta=20,°C Pa=101.33,кПа hотн.=70%	ф-ла (5) [9]	0,02	0,09	0,33	1,12	2,79	4,98	9,04	23,09	77,63		

1		2	3	4	5	6	7	8	9	10	11	12	13
Учет затухания звука в атмосфере Aatm, дБ		ф-ла (8) [10]	0	0,1	0,6	1,8	4,6	8,2	14,9	37,9	127,6		
Снижение поверхностью земли возле источника As, дБ	Gs = 0 hs = 1м	ф-лы таб.3 [10]	-1,5	-1,5	-1,5	-1,5	-1,5	-1,5	-1,5	-1,5	-1,5		
Снижение поверхностью земли возле приёмника Ar, дБ	Gr = 1 hr = 1.5м	ф-лы таб.3 [10]	-1,5	-1,5	5,3	7	5	0,7	0	0	0		
Снижение поверхностью земли в средней зоне, Am дБ	Gm = 1	ф-лы таб.3 [10]	-2,9	-2,9	0	0	0	0	0	0	0		
Суммарное снижение поверхностью земли на траектории распространения звука Agr, дБ		ф-ла (9) [10]	-5,9	-5,9	3,8	5,5	3,5	-0,8	-1,5	-1,5	-1,5		
Уровни звукового давления прямого звука от источника ИШ-2-21 в расчётной точке днём, дБ		**ф-ла(3)[10]**	**0**	**26,7**	**18**	**16,3**	**15,9**	**16,2**	**6,9**	**0**	**0**	**18,8**	**18,8**
Уровни звукового давления прямого звука от источника ИШ-2-21 в расчётной точке ночью, дБ		**ф-ла(3)[10]**	**0**	**26,7**	**18**	**16,3**	**15,9**	**16,2**	**6,9**	**0**	**0**	**18,8**	**18,8**
Расчёт отражённого звука													
Уровни звукового давления от мнимого источника ИШ-2-21_мн.(1) в расчётной точке днём, дБ		**ф-ла(3)[10]**	**0**	**0**	**0**	**0**	**0**	**0**	**0**	**0**	**0**	**0**	**0**
Уровни звукового давления от мнимого источника ИШ-2-21_мн.(1) в расчётной точке ночью, дБ		**ф-ла(3)[10]**	**0**	**0**	**0**	**0**	**0**	**0**	**0**	**0**	**0**	**0**	**0**
Уровни звукового давления от источника ИШ-2-21 в расчётной точке днём, дБ		**ф-ла(3)[10]**	**0**	**26,7**	**18**	**16,3**	**15,9**	**16,2**	**6,9**	**0**	**0**	**18,8**	**18,8**
Уровни звукового давления от источника ИШ-2-21 в расчётной точке ночью, дБ		**ф-ла(3)[10]**	**0**	**26,7**	**18**	**16,3**	**15,9**	**16,2**	**6,9**	**0**	**0**	**18,8**	**18,8**
Источник шума: ИШ-2-22, координаты источника (x,y,z), м =[737.40,27.07,1.00]													
Уровни звуковой мощности источника днём, Lw, дБ		**исходные данные**	**0**	**93,3**	**94,7**	**96**	**96,3**	**95,9**	**92,6**	**88,4**	**83,9**		
Уровни звуковой мощности источника ночью, Lw, дБ		**исходные данные**	**0**	**93,3**	**94,7**	**96**	**96,3**	**95,9**	**92,6**	**88,4**	**83,9**		
Поправка на телесный угол DΩ, дБ	Ω = 6.28	10Lg(4π/Ω)	**3**	3	3	3	3	3	3	3	3		
Показатель направленности источника Di, дБ		исходные данные	**0**	0	0	0	0	0	0	0	0		

1		2	3	4	5	6	7	8	9	10	11	12	13
Поправка на направленность источника Dc, дБ	Dc	DΩ + Di	**3**	3	3	3	3	3	3	3	3		
Затухание из-за геометрической дивергенции, Adiv, дБ	расстояние = 1656.03 м	ф-ла (7) [10]	**75,4**										
Коэффициент затухания звука в атмосфере α, дБ/км	Ta=20,°C Pa=101.33,кПа hотн.=70%	ф-ла (5) [9]	0,02	0,09	0,33	1,12	2,79	4,98	9,04	23,09	77,63		
Учет затухания звука в атмосфере Aatm, дБ		ф-ла (8) [10]	0	0,1	0,6	1,9	4,6	8,2	15	38,2	128,6		
Снижение поверхностью земли возле источника As, дБ	Gs = 0 hs = 1м	ф-лы таб.3 [10]	-1,5	-1,5	-1,5	-1,5	-1,5	-1,5	-1,5	-1,5	-1,5		
Снижение поверхностью земли возле приёмника Ar, дБ	Gr = 1 hr = 1.5м	ф-лы таб.3 [10]	-1,5	-1,5	5,3	7	5	0,7	0	0	0		
Снижение поверхностью земли в средней зоне, Am дБ	Gm = 1	ф-лы таб.3 [10]	-2,9	-2,9	0	0	0	0	0	0	0		
Суммарное снижение поверхностью земли на траектории распространения звука Agr, дБ		ф-ла (9) [10]	-5,9	-5,9	3,8	5,5	3,5	-0,8	-1,5	-1,5	-1,5		
Уровни звукового давления от источника ИШ-2-22 в расчётной точке днём, дБ		**ф-ла(3)[10]**	**0**	**26,6**	**17,9**	**16,2**	**15,8**	**16,1**	**6,7**	**0**	**0**	**18,7**	**18,7**
Уровни звукового давления от источника ИШ-2-22 в расчётной точке ночью, дБ		**ф-ла(3)[10]**	**0**	**26,6**	**17,9**	**16,2**	**15,8**	**16,1**	**6,7**	**0**	**0**	**18,7**	**18,7**
Источник шума: ИШ-2-23, координаты источника (x,y,z), м =[736.46,24.18,1.00]													
Уровни звуковой мощности источника днём, Lw, дБ		**исходные данные**	**0**	**93,3**	**94,7**	**96**	**96,3**	**95,9**	**92,6**	**88,4**	**83,9**		
Уровни звуковой мощности источника ночью, Lw, дБ		**исходные данные**	**0**	**93,3**	**94,7**	**96**	**96,3**	**95,9**	**92,6**	**88,4**	**83,9**		
Поправка на телесный угол DΩ, дБ	Ω = 6.28	10Lg(4π/Ω)	**3**	3	3	3	3	3	3	3	3		
Показатель направленности источника Di, дБ		исходные данные	**0**	0	0	0	0	0	0	0	0		
Поправка на направленность источника Dc, дБ	Dc	DΩ + Di	**3**	3	3	3	3	3	3	3	3		

1		2	3	4	5	6	7	8	9	10	11	12	13
Затухание из-за геометрической дивергенции, Adiv, дБ	расстояние = 1657.60 м	ф-ла (7) [10]	**75,4**										
Коэффициент затухания звука в атмосфере α, дБ/км	Ta=20,°C Pa=101.33,кПа hотн.=70%	ф-ла (5) [9]	0,02	0,09	0,33	1,12	2,79	4,98	9,04	23,09	77,63		
Учет затухания звука в атмосфере Aatm, дБ		ф-ла (8) [10]	0	0,1	0,6	1,9	4,6	8,3	15	38,3	128,7		
Снижение поверхностью земли возле источника As, дБ	Gs = 0 hs = 1м	ф-лы таб.3 [10]	-1,5	-1,5	-1,5	-1,5	-1,5	-1,5	-1,5	-1,5	-1,5		
Снижение поверхностью земли возле приёмника Ar, дБ	Gr = 1 hr = 1.5м	ф-лы таб.3 [10]	-1,5	-1,5	5,3	7	5	0,7	0	0	0		
Снижение поверхностью земли в средней зоне, Am дБ	Gm = 1	ф-лы таб.3 [10]	-2,9	-2,9	0	0	0	0	0	0	0		
Суммарное снижение поверхностью земли на траектории распространения звука Agr, дБ		ф-ла (9) [10]	-5,9	-5,9	3,8	5,5	3,5	-0,8	-1,5	-1,5	-1,5		
Уровни звукового давления от источника ИШ-2-23 в расчётной точке днём, дБ		**ф-ла(3)[10]**	**0**	**26,6**	**17,9**	**16,2**	**15,8**	**16,1**	**6,7**	**0**	**0**	**18,7**	**18,7**
Уровни звукового давления от источника ИШ-2-23 в расчётной точке ночью, дБ		**ф-ла(3)[10]**	**0**	**26,6**	**17,9**	**16,2**	**15,8**	**16,1**	**6,7**	**0**	**0**	**18,7**	**18,7**
Источник шума: ИШ-2-24, координаты источника (x,y,z), м =[735.45,21.21,1.00]													
Уровни звуковой мощности источника днём, Lw, дБ		**исходные данные**	**0**	**93,3**	**94,7**	**96**	**96,3**	**95,9**	**92,6**	**88,4**	**83,9**		
Уровни звуковой мощности источника ночью, Lw, дБ		**исходные данные**	**0**	**93,3**	**94,7**	**96**	**96,3**	**95,9**	**92,6**	**88,4**	**83,9**		
Поправка на телесный угол DΩ, дБ	Ω = 6.28	10Lg(4π/Ω)	**3**	3	3	3	3	3	3	3	3		
Показатель направленности источника Di, дБ		исходные данные	**0**	0	0	0	0	0	0	0	0		
Поправка на направленность источника Dc, дБ	Dc	DΩ + Di	**3**	3	3	3	3	3	3	3	3		
Затухание из-за геометрической дивергенции, Adiv, дБ	расстояние = 1659.25 м	ф-ла (7) [10]	**75,4**										

1		2	3	4	5	6	7	8	9	10	11	12	13
Коэффициент затухания звука в атмосфере α, дБ/км	Ta=20,°C Pa=101.33,кПа hотн.=70%	ф-ла (5) [9]	0,02	0,09	0,33	1,12	2,79	4,98	9,04	23,09	77,63		
Учет затухания звука в атмосфере Aatm, дБ		ф-ла (8) [10]	0	0,1	0,6	1,9	4,6	8,3	15	38,3	128,8		
Снижение поверхностью земли возле источника As, дБ	Gs = 0 hs = 1м	ф-лы таб.3 [10]	-1,5	-1,5	-1,5	-1,5	-1,5	-1,5	-1,5	-1,5	-1,5		
Снижение поверхностью земли возле приёмника Ar, дБ	Gr = 1 hr = 1.5м	ф-лы таб.3 [10]	-1,5	-1,5	5,3	7	5	0,7	0	0	0		
Снижение поверхностью земли в средней зоне, Am дБ	Gm = 1	ф-лы таб.3 [10]	-2,9	-2,9	0	0	0	0	0	0	0		
Суммарное снижение поверхностью земли на траектории распространения звука Agr, дБ		ф-ла (9) [10]	-5,9	-5,9	3,8	5,5	3,5	-0,8	-1,5	-1,5	-1,5		
Уровни звукового давления от источника ИШ-2-24 в расчётной точке днём, дБ		**ф-ла(3)[10]**	**0**	**26,6**	**17,9**	**16,2**	**15,8**	**16,1**	**6,7**	**0**	**0**	**18,6**	**18,6**
Уровни звукового давления от источника ИШ-2-24 в расчётной точке ночью, дБ		**ф-ла(3)[10]**	**0**	**26,6**	**17,9**	**16,2**	**15,8**	**16,1**	**6,7**	**0**	**0**	**18,6**	**18,6**
Источник шума: ИШ-2-25, координаты источника (x,y,z), м =[734.58,18.32,1.00]													
Уровни звуковой мощности источника днём, Lw, дБ		**исходные данные**	**0**	**93,3**	**94,7**	**96**	**96,3**	**95,9**	**92,6**	**88,4**	**83,9**		
Уровни звуковой мощности источника ночью, Lw, дБ		**исходные данные**	**0**	**93,3**	**94,7**	**96**	**96,3**	**95,9**	**92,6**	**88,4**	**83,9**		
Поправка на телесный угол DΩ, дБ	Ω = 6.28	10Lg(4π/Ω)	**3**	3	3	3	3	3	3	3	3		
Показатель направленности источника Di, дБ		исходные данные	**0**	0	0	0	0	0	0	0	0		
Поправка на направленность источника Dc, дБ	Dc	DΩ + Di	**3**	3	3	3	3	3	3	3	3		
Затухание из-за геометрической дивергенции, Adiv, дБ	расстояние = 1660.75 м	ф-ла (7) [10]	**75,4**										
Коэффициент затухания звука в атмосфере α, дБ/км	Ta=20,°C Pa=101.33,кПа hотн.=70%	ф-ла (5) [9]	0,02	0,09	0,33	1,12	2,79	4,98	9,04	23,09	77,63		

1		2	3	4	5	6	7	8	9	10	11	12	13
Учет затухания звука в атмосфере Aatm, дБ		ф-ла (8) [10]	0	0,1	0,6	1,9	4,6	8,3	15	38,3	128,9		
Снижение поверхностью земли возле источника As, дБ	Gs = 0 hs = 1м	ф-лы таб.3 [10]	-1,5	-1,5	-1,5	-1,5	-1,5	-1,5	-1,5	-1,5	-1,5		
Снижение поверхностью земли возле приёмника Ar, дБ	Gr = 1 hr = 1.5м	ф-лы таб.3 [10]	-1,5	-1,5	5,3	7	5	0,7	0	0	0		
Снижение поверхностью земли в средней зоне, Am дБ	Gm = 1	ф-лы таб.3 [10]	-2,9	-2,9	0	0	0	0	0	0	0		
Суммарное снижение поверхностью земли на траектории распространения звука Agr, дБ		ф-ла (9) [10]	-5,9	-5,9	3,8	5,5	3,5	-0,8	-1,5	-1,5	-1,5		
Уровни звукового давления от источника ИШ-2-25 в расчётной точке днём, дБ		**ф-ла(3)[10]**	**0**	**26,6**	**17,9**	**16,2**	**15,8**	**16,1**	**6,7**	**0**	**0**	**18,6**	**18,6**
Уровни звукового давления от источника ИШ-2-25 в расчётной точке ночью, дБ		**ф-ла(3)[10]**	**0**	**26,6**	**17,9**	**16,2**	**15,8**	**16,1**	**6,7**	**0**	**0**	**18,6**	**18,6**
Источник шума: ИШ-2-26, координаты источника (x,y,z), м =[733.57,15.41,1.00]													
Уровни звуковой мощности источника днём, Lw, дБ		**исходные данные**	**0**	**93,3**	**94,7**	**96**	**96,3**	**95,9**	**92,6**	**88,4**	**83,9**		
Уровни звуковой мощности источника ночью, Lw, дБ		**исходные данные**	**0**	**93,3**	**94,7**	**96**	**96,3**	**95,9**	**92,6**	**88,4**	**83,9**		
Поправка на телесный угол DΩ, дБ	Ω = 6.28	10Lg(4π/Ω)	**3**	3	3	3	3	3	3	3	3		
Показатель направленности источника Di, дБ		исходные данные	**0**	0	0	0	0	0	0	0	0		
Поправка на направленность источника Dc, дБ	Dc	DΩ + Di	**3**	3	3	3	3	3	3	3	3		
Затухание из-за геометрической дивергенции, Adiv, дБ	расстояние = 1662.41 м	ф-ла (7) [10]	**75,4**										
Коэффициент затухания звука в атмосфере α, дБ/км	Ta=20,°C Pa=101.33,кПа hотн.=70%	ф-ла (5) [9]	0,02	0,09	0,33	1,12	2,79	4,98	9,04	23,09	77,63		
Учет затухания звука в атмосфере Aatm, дБ		ф-ла (8) [10]	0	0,1	0,6	1,9	4,6	8,3	15	38,4	129,1		

1		2	3	4	5	6	7	8	9	10	11	12	13
Снижение поверхностью земли возле источника As, дБ	Gs = 0 hs = 1м	ф-лы таб.3 [10]	-1,5	-1,5	-1,5	-1,5	-1,5	-1,5	-1,5	-1,5	-1,5		
Снижение поверхностью земли возле приёмника Ar, дБ	Gr = 1 hr = 1.5м	ф-лы таб.3 [10]	-1,5	-1,5	5,3	7	5	0,7	0	0	0		
Снижение поверхностью земли в средней зоне, Am дБ	Gm = 1	ф-лы таб.3 [10]	-2,9	-2,9	0	0	0	0	0	0	0		
Суммарное снижение поверхностью земли на траектории распространения звука Agr, дБ		ф-ла (9) [10]	-5,9	-5,9	3,8	5,5	3,5	-0,8	-1,5	-1,5	-1,5		
Уровни звукового давления от источника ИШ-2-26 в расчётной точке днём, дБ		**ф-ла(3)[10]**	**0**	**26,6**	**17,9**	**16,2**	**15,8**	**16**	**6,7**	**0**	**0**	**18,6**	**18,6**
Уровни звукового давления от источника ИШ-2-26 в расчётной точке ночью, дБ		**ф-ла(3)[10]**	**0**	**26,6**	**17,9**	**16,2**	**15,8**	**16**	**6,7**	**0**	**0**	**18,6**	**18,6**
Источник шума: ИШ-2-27, координаты источника (x,y,z), м =[732.43,12.66,1.00]													
Уровни звуковой мощности источника днём, Lw, дБ		**исходные данные**	**0**	**93,3**	**94,7**	**96**	**96,3**	**95,9**	**92,6**	**88,4**	**83,9**		
Уровни звуковой мощности источника ночью, Lw, дБ		**исходные данные**	**0**	**93,3**	**94,7**	**96**	**96,3**	**95,9**	**92,6**	**88,4**	**83,9**		
Поправка на телесный угол DΩ, дБ	Ω = 6.28	10Lg(4π/Ω)	**3**	3	3	3	3	3	3	3	3		
Показатель направленности источника Di, дБ		исходные данные	**0**	0	0	0	0	0	0	0	0		
Поправка на направленность источника Dc, дБ	Dc	DΩ + Di	**3**	3	3	3	3	3	3	3	3		
Затухание из-за геометрической дивергенции, Adiv, дБ	расстояние = 1664.15 м	ф-ла (7) [10]	**75,4**										
Коэффициент затухания звука в атмосфере α, дБ/км	Ta=20,°C Pa=101.33,кПа hотн.=70%	ф-ла (5) [9]	0,02	0,09	0,33	1,12	2,79	4,98	9,04	23,09	77,63		
Учет затухания звука в атмосфере Aatm, дБ		ф-ла (8) [10]	0	0,1	0,6	1,9	4,6	8,3	15	38,4	129,2		
Снижение поверхностью земли возле источника As, дБ	Gs = 0 hs = 1м	ф-лы таб.3 [10]	-1,5	-1,5	-1,5	-1,5	-1,5	-1,5	-1,5	-1,5	-1,5		

1		2	3	4	5	6	7	8	9	10	11	12	13
Снижение поверхностью земли возле приёмника Ar, дБ	Gr = 1 hr = 1.5м	ф-лы таб.3 [10]	-1,5	-1,5	5,3	7	5	0,7	0	0	0		
Снижение поверхностью земли в средней зоне, Am дБ	Gm = 1	ф-лы таб.3 [10]	-2,9	-2,9	0	0	0	0	0	0	0		
Суммарное снижение поверхностью земли на траектории распространения звука Agr, дБ		ф-ла (9) [10]	-5,9	-5,9	3,8	5,5	3,5	-0,8	-1,5	-1,5	-1,5		
Уровни звукового давления прямого звука от источника ИШ-2-27 в расчётной точке днём, дБ		**ф-ла(3)[10]**	**0**	**26,6**	**17,9**	**16,2**	**15,8**	**16**	**6,6**	**0**	**0**	**18,6**	**18,6**
Уровни звукового давления прямого звука от источника ИШ-2-27 в расчётной точке ночью, дБ		**ф-ла(3)[10]**	**0**	**26,6**	**17,9**	**16,2**	**15,8**	**16**	**6,6**	**0**	**0**	**18,6**	**18,6**
Расчёт отражённого звука													
Уровни звукового давления от мнимого источника ИШ-2-27_мн.(1) в расчётной точке днём, дБ		**ф-ла(3)[10]**	**0**	**0**	**0**	**0**	**0**	**0**	**0**	**0**	**0**	**0**	**0**
Уровни звукового давления от мнимого источника ИШ-2-27_мн.(1) в расчётной точке ночью, дБ		**ф-ла(3)[10]**	**0**	**0**	**0**	**0**	**0**	**0**	**0**	**0**	**0**	**0**	**0**
Уровни звукового давления от источника ИШ-2-27 в расчётной точке днём, дБ		**ф-ла(3)[10]**	**0**	**26,6**	**17,9**	**16,2**	**15,8**	**16**	**6,6**	**0**	**0**	**18,6**	**18,6**
Уровни звукового давления от источника ИШ-2-27 в расчётной точке ночью, дБ		**ф-ла(3)[10]**	**0**	**26,6**	**17,9**	**16,2**	**15,8**	**16**	**6,6**	**0**	**0**	**18,6**	**18,6**
Источник шума: ИШ-2-28, координаты источника (x,y,z), м =[731.54,9.78,1.00]													
Уровни звуковой мощности источника днём, Lw, дБ		**исходные данные**	**0**	**93,3**	**94,7**	**96**	**96,3**	**95,9**	**92,6**	**88,4**	**83,9**		
Уровни звуковой мощности источника ночью, Lw, дБ		**исходные данные**	**0**	**93,3**	**94,7**	**96**	**96,3**	**95,9**	**92,6**	**88,4**	**83,9**		
Поправка на телесный угол DΩ, дБ	Ω = 6.28	10Lg(4π/Ω)	**3**	3	3	3	3	3	3	3	3		
Показатель направленности источника Di, дБ		исходные данные	**0**	0	0	0	0	0	0	0	0		
Поправка на направленность источника Dc, дБ	Dc	DΩ + Di	**3**	3	3	3	3	3	3	3	3		
Затухание из-за геометрической дивергенции, Adiv, дБ	расстояние = 1665.69 м	ф-ла (7) [10]	**75,4**										

1		2	3	4	5	6	7	8	9	10	11	12	13
Коэффициент затухания звука в атмосфере α, дБ/км	Ta=20,°C Pa=101.33,кПа hотн.=70%	ф-ла (5) [9]	0,02	0,09	0,33	1,12	2,79	4,98	9,04	23,09	77,63		
Учет затухания звука в атмосфере Aatm, дБ		ф-ла (8) [10]	0	0,1	0,6	1,9	4,6	8,3	15,1	38,5	129,3		
Снижение поверхностью земли возле источника As, дБ	Gs = 0 hs = 1м	ф-лы таб.3 [10]	-1,5	-1,5	-1,5	-1,5	-1,5	-1,5	-1,5	-1,5	-1,5		
Снижение поверхностью земли возле приёмника Ar, дБ	Gr = 1 hr = 1.5м	ф-лы таб.3 [10]	-1,5	-1,5	5,3	7	5	0,7	0	0	0		
Снижение поверхностью земли в средней зоне, Am дБ	Gm = 1	ф-лы таб.3 [10]	-2,9	-2,9	0	0	0	0	0	0	0		
Суммарное снижение поверхностью земли на траектории распространения звука Agr, дБ		ф-ла (9) [10]	-5,9	-5,9	3,8	5,5	3,5	-0,8	-1,5	-1,5	-1,5		
Уровни звукового давления прямого звука от источника ИШ-2-28 в расчётной точке днём, дБ		**ф-ла(3)[10]**	**0**	**26,6**	**17,9**	**16,2**	**15,7**	**16**	**6,6**	**0**	**0**	**18,6**	**18,6**
Уровни звукового давления прямого звука от источника ИШ-2-28 в расчётной точке ночью, дБ		**ф-ла(3)[10]**	**0**	**26,6**	**17,9**	**16,2**	**15,7**	**16**	**6,6**	**0**	**0**	**18,6**	**18,6**
Расчёт отражённого звука													
Уровни звукового давления от мнимого источника ИШ-2-28_мн.(1) в расчётной точке днём, дБ		**ф-ла(3)[10]**	**0**	**0**	**0**	**0**	**0**	**0**	**0**	**0**	**0**	**0**	**0**
Уровни звукового давления от мнимого источника ИШ-2-28_мн.(1) в расчётной точке ночью, дБ		**ф-ла(3)[10]**	**0**	**0**	**0**	**0**	**0**	**0**	**0**	**0**	**0**	**0**	**0**
Уровни звукового давления от мнимого источника ИШ-2-28_мн.(2) в расчётной точке днём, дБ		**ф-ла(3)[10]**	**0**	**0**	**0**	**0**	**0**	**0**	**0**	**0**	**0**	**0**	**0**
Уровни звукового давления от мнимого источника ИШ-2-28_мн.(2) в расчётной точке ночью, дБ		**ф-ла(3)[10]**	**0**	**0**	**0**	**0**	**0**	**0**	**0**	**0**	**0**	**0**	**0**
Суммарные уровни звукового давления от мнимых источников в расчётной точке днём, дБ		**ф-ла (19) [1]**	**0**	**0**	**0**	**0**	**0**	**0**	**0**	**0**	**0**	**0**	**0**
Суммарные уровни звукового давления от мнимых источников в расчётной точке ночью, дБ		**ф-ла (19) [1]**	**0**	**0**	**0**	**0**	**0**	**0**	**0**	**0**	**0**	**0**	**0**
Уровни звукового давления от источника ИШ-2-28 в расчётной точке днём, дБ		**ф-ла(3)[10]**	**0**	**26,6**	**17,9**	**16,2**	**15,7**	**16**	**6,6**	**0**	**0**	**18,6**	**18,6**
Уровни звукового давления от источника ИШ-2-28 в расчётной точке ночью, дБ		**ф-ла(3)[10]**	**0**	**26,6**	**17,9**	**16,2**	**15,7**	**16**	**6,6**	**0**	**0**	**18,6**	**18,6**

1		2	3	4	5	6	7	8	9	10	11	12	13
Источник шума: ИШ-2-29, координаты источника (x,y,z), м =[730.57,6.88,1.00]													
Уровни звуковой мощности источника днём, Lw, дБ		**исходные данные**	**0**	**93,3**	**94,7**	**96**	**96,3**	**95,9**	**92,6**	**88,4**	**83,9**		
Уровни звуковой мощности источника ночью, Lw, дБ		**исходные данные**	**0**	**93,3**	**94,7**	**96**	**96,3**	**95,9**	**92,6**	**88,4**	**83,9**		
Поправка на телесный угол DΩ, дБ	Ω = 6.28	10Lg(4π/Ω)	**3**	3	3	3	3	3	3	3	3		
Показатель направленности источника Di, дБ		исходные данные	**0**	0	0	0	0	0	0	0	0		
Поправка на направленность источника Dc, дБ	Dc	DΩ + Di	**3**	3	3	3	3	3	3	3	3		
Затухание из-за геометрической дивергенции, Adiv, дБ	расстояние = 1667.30 м	ф-ла (7) [10]	**75,4**										
Коэффициент затухания звука в атмосфере α, дБ/км	Ta=20,°C Pa=101.33,кПа hотн.=70%	ф-ла (5) [9]	0,02	0,09	0,33	1,12	2,79	4,98	9,04	23,09	77,63		
Учет затухания звука в атмосфере Aatm, дБ		ф-ла (8) [10]	0	0,1	0,6	1,9	4,7	8,3	15,1	38,5	129,4		
Снижение поверхностью земли возле источника As, дБ	Gs = 0 hs = 1м	ф-лы таб.3 [10]	-1,5	-1,5	-1,5	-1,5	-1,5	-1,5	-1,5	-1,5	-1,5		
Снижение поверхностью земли возле приёмника Ar, дБ	Gr = 1 hr = 1.5м	ф-лы таб.3 [10]	-1,5	-1,5	5,3	7	5	0,7	0	0	0		
Снижение поверхностью земли в средней зоне, Am дБ	Gm = 1	ф-лы таб.3 [10]	-2,9	-2,9	0	0	0	0	0	0	0		
Суммарное снижение поверхностью земли на траектории распространения звука Agr, дБ		ф-ла (9) [10]	-5,9	-5,9	3,8	5,5	3,5	-0,8	-1,5	-1,5	-1,5		
Уровни звукового давления прямого звука от источника ИШ-2-29 в расчётной точке днём, дБ		**ф-ла(3)[10]**	**0**	**26,6**	**17,9**	**16,2**	**15,7**	**16**	**6,6**	**0**	**0**	**18,6**	**18,6**
Уровни звукового давления прямого звука от источника ИШ-2-29 в расчётной точке ночью, дБ		**ф-ла(3)[10]**	**0**	**26,6**	**17,9**	**16,2**	**15,7**	**16**	**6,6**	**0**	**0**	**18,6**	**18,6**
Расчёт отражённого звука													

1		2	3	4	5	6	7	8	9	10	11	12	13
Уровни звукового давления от мнимого источника ИШ-2-29_мн.(1) в расчётной точке днём, дБ		**ф-ла(3)[10]**	**0**	**0**	**0**	**0**	**0**	**0**	**0**	**0**	**0**	**0**	**0**
Уровни звукового давления от мнимого источника ИШ-2-29_мн.(1) в расчётной точке ночью, дБ		**ф-ла(3)[10]**	**0**	**0**	**0**	**0**	**0**	**0**	**0**	**0**	**0**	**0**	**0**
Уровни звукового давления от мнимого источника ИШ-2-29_мн.(2) в расчётной точке днём, дБ		**ф-ла(3)[10]**	**0**	**0**	**0**	**0**	**0**	**0**	**0**	**0**	**0**	**0**	**0**
Уровни звукового давления от мнимого источника ИШ-2-29_мн.(2) в расчётной точке ночью, дБ		**ф-ла(3)[10]**	**0**	**0**	**0**	**0**	**0**	**0**	**0**	**0**	**0**	**0**	**0**
Суммарные уровни звукового давления от мнимых источников в расчётной точке днём, дБ		**ф-ла (19) [1]**	**0**	**0**	**0**	**0**	**0**	**0**	**0**	**0**	**0**	**0**	**0**
Суммарные уровни звукового давления от мнимых источников в расчётной точке ночью, дБ		**ф-ла (19) [1]**	**0**	**0**	**0**	**0**	**0**	**0**	**0**	**0**	**0**	**0**	**0**
Уровни звукового давления от источника ИШ-2-29 в расчётной точке днём, дБ		**ф-ла(3)[10]**	**0**	**26,6**	**17,9**	**16,2**	**15,7**	**16**	**6,6**	**0**	**0**	**18,6**	**18,6**
Уровни звукового давления от источника ИШ-2-29 в расчётной точке ночью, дБ		**ф-ла(3)[10]**	**0**	**26,6**	**17,9**	**16,2**	**15,7**	**16**	**6,6**	**0**	**0**	**18,6**	**18,6**
Источник шума: ИШ-2-4, координаты источника (x,y,z), м =[632.70,-65.30,3.00]													
Уровни звуковой мощности источника днём, Lw, дБ		**исходные данные**	**105**	**104**	**104**	**101**	**102**	**106**	**101**	**95**	**87**		
Уровни звуковой мощности источника ночью, Lw, дБ		**исходные данные**	**105**	**104**	**104**	**101**	**102**	**106**	**101**	**95**	**87**		
Поправка на телесный угол DΩ, дБ	Ω = 6.28	10Lg(4π/Ω)	**3**	3	3	3	3	3	3	3	3		
Показатель направленности источника Di, дБ		исходные данные	**0**	0	0	0	0	0	0	0	0		
Поправка на направленность источника Dc, дБ	Dc	DΩ + Di	**3**	3	3	3	3	3	3	3	3		
Затухание из-за геометрической дивергенции, Adiv, дБ	расстояние = 1779.99 м	ф-ла (7) [10]	**76**										
Коэффициент затухания звука в атмосфере α, дБ/км	Ta=20,°C Pa=101.33,кПа hотн.=70%	ф-ла (5) [9]	0,02	0,09	0,33	1,12	2,79	4,98	9,04	23,09	77,63		

1		2	3	4	5	6	7	8	9	10	11	12	13
Учет затухания звука в атмосфере Aatm, дБ		ф-ла (8) [10]	0	0,2	0,6	2	5	8,9	16,1	41,1	138,2		
Снижение поверхностью земли возле источника As, дБ	Gs = 0 hs = 3м	ф-лы таб.3 [10]	-1,5	-1,5	-1,5	-1,5	-1,5	-1,5	-1,5	-1,5	-1,5		
Снижение поверхностью земли возле приёмника Ar, дБ	Gr = 1 hr = 1.5м	ф-лы таб.3 [10]	-1,5	-1,5	5,3	7	5	0,7	0	0	0		
Снижение поверхностью земли в средней зоне, Am дБ	Gm = 1	ф-лы таб.3 [10]	-2,8	-2,8	0	0	0	0	0	0	0		
Суммарное снижение поверхностью земли на траектории распространения звука Agr, дБ		ф-ла (9) [10]	-5,8	-5,8	3,8	5,5	3,5	-0,8	-1,5	-1,5	-1,5		
Уровни звукового давления прямого звука от источника ИШ-2-4 в расчётной точке днём, дБ		**ф-ла(3)[10]**	**37,7**	**36,6**	**26,6**	**20,5**	**20,6**	**25**	**13,4**	**0**	**0**	**26,4**	**26,4**
Уровни звукового давления прямого звука от источника ИШ-2-4 в расчётной точке ночью, дБ		**ф-ла(3)[10]**	**37,7**	**36,6**	**26,6**	**20,5**	**20,6**	**25**	**13,4**	**0**	**0**	**26,4**	**26,4**
Расчёт отражённого звука													
Уровни звукового давления от мнимого источника ИШ-2-4_мн.(1) в расчётной точке днём, дБ		**ф-ла(3)[10]**	**0**	**0**	**0**	**0**	**0**	**0**	**0**	**0**	**0**	**0**	**0**
Уровни звукового давления от мнимого источника ИШ-2-4_мн.(1) в расчётной точке ночью, дБ		**ф-ла(3)[10]**	**0**	**0**	**0**	**0**	**0**	**0**	**0**	**0**	**0**	**0**	**0**
Уровни звукового давления от источника ИШ-2-4 в расчётной точке днём, дБ		**ф-ла(3)[10]**	**37,7**	**36,6**	**26,6**	**20,5**	**20,6**	**25**	**13,4**	**0**	**0**	**26,4**	**26,4**
Уровни звукового давления от источника ИШ-2-4 в расчётной точке ночью, дБ		**ф-ла(3)[10]**	**37,7**	**36,6**	**26,6**	**20,5**	**20,6**	**25**	**13,4**	**0**	**0**	**26,4**	**26,4**
Источник шума: ИШ-2-30, координаты источника (x,y,z), м =[702.44,-77.23,1.00]													
Уровни звуковой мощности источника днём, Lw, дБ		**исходные данные**	**0**	**93,3**	**94,7**	**96**	**96,3**	**95,9**	**92,6**	**88,4**	**83,9**		
Уровни звуковой мощности источника ночью, Lw, дБ		**исходные данные**	**0**	**93,3**	**94,7**	**96**	**96,3**	**95,9**	**92,6**	**88,4**	**83,9**		
Поправка на телесный угол DΩ, дБ	Ω = 6.28	10Lg(4π/Ω)	**3**	3	3	3	3	3	3	3	3		
Показатель направленности источника Di, дБ		исходные данные	**0**	0	0	0	0	0	0	0	0		

1		2	3	4	5	6	7	8	9	10	11	12	13
Поправка на направленность источника Dc, дБ	Dc	DΩ + Di	**3**	3	3	3	3	3	3	3	3		
Затухание из-за геометрической дивергенции, Adiv, дБ	расстояние = 1716.00 м	ф-ла (7) [10]	**75,7**										
Коэффициент затухания звука в атмосфере α, дБ/км	Ta=20,°C Pa=101.33,кПа hотн.=70%	ф-ла (5) [9]	0,02	0,09	0,33	1,12	2,79	4,98	9,04	23,09	77,63		
Учет затухания звука в атмосфере Aatm, дБ		ф-ла (8) [10]	0	0,2	0,6	1,9	4,8	8,5	15,5	39,6	133,2		
Снижение поверхностью земли возле источника As, дБ	Gs = 0 hs = 1м	ф-лы таб.3 [10]	-1,5	-1,5	-1,5	-1,5	-1,5	-1,5	-1,5	-1,5	-1,5		
Снижение поверхностью земли возле приёмника Ar, дБ	Gr = 1 hr = 1.5м	ф-лы таб.3 [10]	-1,5	-1,5	5,3	7	5	0,7	0	0	0		
Снижение поверхностью земли в средней зоне, Am дБ	Gm = 1	ф-лы таб.3 [10]	-2,9	-2,9	0	0	0	0	0	0	0		
Суммарное снижение поверхностью земли на траектории распространения звука Agr, дБ		ф-ла (9) [10]	-5,9	-5,9	3,8	5,5	3,5	-0,8	-1,5	-1,5	-1,5		
Уровни звукового давления прямого звука от источника ИШ-2-30 в расчётной точке днём, дБ		**ф-ла(3)[10]**	**0**	**26,3**	**17,6**	**15,8**	**15,3**	**15,5**	**5,9**	**0**	**0**	**18,1**	**18,1**
Уровни звукового давления прямого звука от источника ИШ-2-30 в расчётной точке ночью, дБ		**ф-ла(3)[10]**	**0**	**26,3**	**17,6**	**15,8**	**15,3**	**15,5**	**5,9**	**0**	**0**	**18,1**	**18,1**
Расчёт отражённого звука													
Уровни звукового давления от мнимого источника ИШ-2-30_мн.(1) в расчётной точке днём, дБ		**ф-ла(3)[10]**	**0**	**0**	**0**	**0**	**0**	**0**	**0**	**0**	**0**	**0**	**0**
Уровни звукового давления от мнимого источника ИШ-2-30_мн.(1) в расчётной точке ночью, дБ		**ф-ла(3)[10]**	**0**	**0**	**0**	**0**	**0**	**0**	**0**	**0**	**0**	**0**	**0**
Уровни звукового давления от мнимого источника ИШ-2-30_мн.(2) в расчётной точке днём, дБ		**ф-ла(3)[10]**	**0**	**0**	**0**	**0**	**0**	**0**	**0**	**0**	**0**	**0**	**0**
Уровни звукового давления от мнимого источника ИШ-2-30_мн.(2) в расчётной точке ночью, дБ		**ф-ла(3)[10]**	**0**	**0**	**0**	**0**	**0**	**0**	**0**	**0**	**0**	**0**	**0**
Суммарные уровни звукового давления от мнимых источников в расчётной точке днём, дБ		**ф-ла (19) [1]**	**0**	**0**	**0**	**0**	**0**	**0**	**0**	**0**	**0**	**0**	**0**
Суммарные уровни звукового давления от мнимых источников в расчётной точке ночью, дБ		**ф-ла (19) [1]**	**0**	**0**	**0**	**0**	**0**	**0**	**0**	**0**	**0**	**0**	**0**

1		2	3	4	5	6	7	8	9	10	11	12	13
Уровни звукового давления от источника ИШ-2-30 в расчётной точке днём, дБ		**ф-ла(3)[10]**	**0**	**26,3**	**17,6**	**15,8**	**15,3**	**15,5**	**5,9**	**0**	**0**	**18,1**	**18,1**
Уровни звукового давления от источника ИШ-2-30 в расчётной точке ночью, дБ		**ф-ла(3)[10]**	**0**	**26,3**	**17,6**	**15,8**	**15,3**	**15,5**	**5,9**	**0**	**0**	**18,1**	**18,1**
Источник шума: ИШ-2-31, координаты источника (x,y,z), м =[701.42,-80.17,1.00]													
Уровни звуковой мощности источника днём, Lw, дБ		**исходные данные**	**0**	**93,3**	**94,7**	**96**	**96,3**	**95,9**	**92,6**	**88,4**	**83,9**		
Уровни звуковой мощности источника ночью, Lw, дБ		**исходные данные**	**0**	**93,3**	**94,7**	**96**	**96,3**	**95,9**	**92,6**	**88,4**	**83,9**		
Поправка на телесный угол DΩ, дБ	Ω = 6.28	10Lg(4π/Ω)	**3**	3	3	3	3	3	3	3	3		
Показатель направленности источника Di, дБ		исходные данные	**0**	0	0	0	0	0	0	0	0		
Поправка на направленность источника Dc, дБ	Dc	DΩ + Di	**3**	3	3	3	3	3	3	3	3		
Затухание из-за геометрической дивергенции, Adiv, дБ	расстояние = 1717.79 м	ф-ла (7) [10]	**75,7**										
Коэффициент затухания звука в атмосфере α, дБ/км	Ta=20,°C Pa=101.33,кПа hотн.=70%	ф-ла (5) [9]	0,02	0,09	0,33	1,12	2,79	4,98	9,04	23,09	77,63		
Учет затухания звука в атмосфере Aatm, дБ		ф-ла (8) [10]	0	0,2	0,6	1,9	4,8	8,6	15,5	39,7	133,4		
Снижение поверхностью земли возле источника As, дБ	Gs = 0 hs = 1м	ф-лы таб.3 [10]	-1,5	-1,5	-1,5	-1,5	-1,5	-1,5	-1,5	-1,5	-1,5		
Снижение поверхностью земли возле приёмника Ar, дБ	Gr = 1 hr = 1.5м	ф-лы таб.3 [10]	-1,5	-1,5	5,3	7	5	0,7	0	0	0		
Снижение поверхностью земли в средней зоне, Am дБ	Gm = 1	ф-лы таб.3 [10]	-2,9	-2,9	0	0	0	0	0	0	0		
Суммарное снижение поверхностью земли на траектории распространения звука Agr, дБ		ф-ла (9) [10]	-5,9	-5,9	3,8	5,5	3,5	-0,8	-1,5	-1,5	-1,5		
Уровни звукового давления прямого звука от источника ИШ-2-31 в расчётной точке днём, дБ		**ф-ла(3)[10]**	**0**	**26,3**	**17,6**	**15,8**	**15,3**	**15,5**	**5,9**	**0**	**0**	**18,1**	**18,1**

1		2	3	4	5	6	7	8	9	10	11	12	13
Уровни звукового давления прямого звука от источника ИШ-2-31 в расчётной точке ночью, дБ		**ф-ла(3)[10]**	**0**	**26,3**	**17,6**	**15,8**	**15,3**	**15,5**	**5,9**	**0**	**0**	**18,1**	**18,1**
Расчёт отражённого звука													
Уровни звукового давления от мнимого источника ИШ-2-31_мн.(1) в расчётной точке днём, дБ		**ф-ла(3)[10]**	**0**	**0**	**0**	**0**	**0**	**0**	**0**	**0**	**0**	**0**	**0**
Уровни звукового давления от мнимого источника ИШ-2-31_мн.(1) в расчётной точке ночью, дБ		**ф-ла(3)[10]**	**0**	**0**	**0**	**0**	**0**	**0**	**0**	**0**	**0**	**0**	**0**
Уровни звукового давления от мнимого источника ИШ-2-31_мн.(2) в расчётной точке днём, дБ		**ф-ла(3)[10]**	**0**	**0**	**0**	**0**	**0**	**0**	**0**	**0**	**0**	**0**	**0**
Уровни звукового давления от мнимого источника ИШ-2-31_мн.(2) в расчётной точке ночью, дБ		**ф-ла(3)[10]**	**0**	**0**	**0**	**0**	**0**	**0**	**0**	**0**	**0**	**0**	**0**
Суммарные уровни звукового давления от мнимых источников в расчётной точке днём, дБ		**ф-ла (19) [1]**	**0**	**0**	**0**	**0**	**0**	**0**	**0**	**0**	**0**	**0**	**0**
Суммарные уровни звукового давления от мнимых источников в расчётной точке ночью, дБ		**ф-ла (19) [1]**	**0**	**0**	**0**	**0**	**0**	**0**	**0**	**0**	**0**	**0**	**0**
Уровни звукового давления от источника ИШ-2-31 в расчётной точке днём, дБ		**ф-ла(3)[10]**	**0**	**26,3**	**17,6**	**15,8**	**15,3**	**15,5**	**5,9**	**0**	**0**	**18,1**	**18,1**
Уровни звукового давления от источника ИШ-2-31 в расчётной точке ночью, дБ		**ф-ла(3)[10]**	**0**	**26,3**	**17,6**	**15,8**	**15,3**	**15,5**	**5,9**	**0**	**0**	**18,1**	**18,1**
Источник шума: ИШ-2-32, координаты источника (x,y,z), м =[700.38,-83.01,1.00]													
Уровни звуковой мощности источника днём, Lw, дБ		**исходные данные**	**0**	**93,3**	**94,7**	**96**	**96,3**	**95,9**	**92,6**	**88,4**	**83,9**		
Уровни звуковой мощности источника ночью, Lw, дБ		**исходные данные**	**0**	**93,3**	**94,7**	**96**	**96,3**	**95,9**	**92,6**	**88,4**	**83,9**		
Поправка на телесный угол DΩ, дБ	Ω = 6.28	10Lg(4π/Ω)	**3**	3	3	3	3	3	3	3	3		
Показатель направленности источника Di, дБ		исходные данные	**0**	0	0	0	0	0	0	0	0		
Поправка на направленность источника Dc, дБ	Dc	DΩ + Di	**3**	3	3	3	3	3	3	3	3		
Затухание из-за геометрической дивергенции, Adiv, дБ	расстояние = 1719.58 м	ф-ла (7) [10]	**75,7**										

1		2	3	4	5	6	7	8	9	10	11	12	13
Коэффициент затухания звука в атмосфере α, дБ/км	Ta=20,°C Pa=101.33,кПа hотн.=70%	ф-ла (5) [9]	0,02	0,09	0,33	1,12	2,79	4,98	9,04	23,09	77,63		
Учет затухания звука в атмосфере Aatm, дБ		ф-ла (8) [10]	0	0,2	0,6	1,9	4,8	8,6	15,5	39,7	133,5		
Снижение поверхностью земли возле источника As, дБ	Gs = 0 hs = 1м	ф-лы таб.3 [10]	-1,5	-1,5	-1,5	-1,5	-1,5	-1,5	-1,5	-1,5	-1,5		
Снижение поверхностью земли возле приёмника Ar, дБ	Gr = 1 hr = 1.5м	ф-лы таб.3 [10]	-1,5	-1,5	5,3	7	5	0,7	0	0	0		
Снижение поверхностью земли в средней зоне, Am дБ	Gm = 1	ф-лы таб.3 [10]	-2,9	-2,9	0	0	0	0	0	0	0		
Суммарное снижение поверхностью земли на траектории распространения звука Agr, дБ		ф-ла (9) [10]	-5,9	-5,9	3,8	5,5	3,5	-0,8	-1,5	-1,5	-1,5		
Уровни звукового давления прямого звука от источника ИШ-2-32 в расчётной точке днём, дБ		**ф-ла(3)[10]**	**0**	**26,3**	**17,6**	**15,8**	**15,3**	**15,5**	**5,8**	**0**	**0**	**18,1**	**18,1**
Уровни звукового давления прямого звука от источника ИШ-2-32 в расчётной точке ночью, дБ		**ф-ла(3)[10]**	**0**	**26,3**	**17,6**	**15,8**	**15,3**	**15,5**	**5,8**	**0**	**0**	**18,1**	**18,1**
Расчёт отражённого звука													
Уровни звукового давления от мнимого источника ИШ-2-32_мн.(1) в расчётной точке днём, дБ		**ф-ла(3)[10]**	**0**	**0**	**0**	**0**	**0**	**0**	**0**	**0**	**0**	**0**	**0**
Уровни звукового давления от мнимого источника ИШ-2-32_мн.(1) в расчётной точке ночью, дБ		**ф-ла(3)[10]**	**0**	**0**	**0**	**0**	**0**	**0**	**0**	**0**	**0**	**0**	**0**
Уровни звукового давления от мнимого источника ИШ-2-32_мн.(2) в расчётной точке днём, дБ		**ф-ла(3)[10]**	**0**	**0**	**0**	**0**	**0**	**0**	**0**	**0**	**0**	**0**	**0**
Уровни звукового давления от мнимого источника ИШ-2-32_мн.(2) в расчётной точке ночью, дБ		**ф-ла(3)[10]**	**0**	**0**	**0**	**0**	**0**	**0**	**0**	**0**	**0**	**0**	**0**
Суммарные уровни звукового давления от мнимых источников в расчётной точке днём, дБ		**ф-ла (19) [1]**	**0**	**0**	**0**	**0**	**0**	**0**	**0**	**0**	**0**	**0**	**0**
Суммарные уровни звукового давления от мнимых источников в расчётной точке ночью, дБ		**ф-ла (19) [1]**	**0**	**0**	**0**	**0**	**0**	**0**	**0**	**0**	**0**	**0**	**0**
Уровни звукового давления от источника ИШ-2-32 в расчётной точке днём, дБ		**ф-ла(3)[10]**	**0**	**26,3**	**17,6**	**15,8**	**15,3**	**15,5**	**5,8**	**0**	**0**	**18,1**	**18,1**
Уровни звукового давления от источника ИШ-2-32 в расчётной точке ночью, дБ		**ф-ла(3)[10]**	**0**	**26,3**	**17,6**	**15,8**	**15,3**	**15,5**	**5,8**	**0**	**0**	**18,1**	**18,1**

1		2	3	4	5	6	7	8	9	10	11	12	13
Источник шума: ИШ-2-33, координаты источника (x,y,z), м =[699.52,-85.98,1.00]													
Уровни звуковой мощности источника днём, Lw, дБ		**исходные данные**	**0**	**93,3**	**94,7**	**96**	**96,3**	**95,9**	**92,6**	**88,4**	**83,9**		
Уровни звуковой мощности источника ночью, Lw, дБ		**исходные данные**	**0**	**93,3**	**94,7**	**96**	**96,3**	**95,9**	**92,6**	**88,4**	**83,9**		
Поправка на телесный угол DΩ, дБ	Ω = 6.28	10Lg(4π/Ω)	**3**	3	3	3	3	3	3	3	3		
Показатель направленности источника Di, дБ		исходные данные	**0**	0	0	0	0	0	0	0	0		
Поправка на направленность источника Dc, дБ	Dc	DΩ + Di	**3**	3	3	3	3	3	3	3	3		
Затухание из-за геометрической дивергенции, Adiv, дБ	расстояние = 1721.24 м	ф-ла (7) [10]	**75,7**										
Коэффициент затухания звука в атмосфере α, дБ/км	Ta=20,°C Pa=101.33,кПа hотн.=70%	ф-ла (5) [9]	0,02	0,09	0,33	1,12	2,79	4,98	9,04	23,09	77,63		
Учет затухания звука в атмосфере Aatm, дБ		ф-ла (8) [10]	0	0,2	0,6	1,9	4,8	8,6	15,6	39,7	133,6		
Снижение поверхностью земли возле источника As, дБ	Gs = 0 hs = 1м	ф-лы таб.3 [10]	-1,5	-1,5	-1,5	-1,5	-1,5	-1,5	-1,5	-1,5	-1,5		
Снижение поверхностью земли возле приёмника Ar, дБ	Gr = 1 hr = 1.5м	ф-лы таб.3 [10]	-1,5	-1,5	5,3	7	5	0,7	0	0	0		
Снижение поверхностью земли в средней зоне, Am дБ	Gm = 1	ф-лы таб.3 [10]	-2,9	-2,9	0	0	0	0	0	0	0		
Суммарное снижение поверхностью земли на траектории распространения звука Agr, дБ		ф-ла (9) [10]	-5,9	-5,9	3,8	5,5	3,5	-0,8	-1,5	-1,5	-1,5		
Уровни звукового давления прямого звука от источника ИШ-2-33 в расчётной точке днём, дБ		**ф-ла(3)[10]**	**0**	**26,3**	**17,6**	**15,8**	**15,3**	**15,4**	**5,8**	**0**	**0**	**18,1**	**18,1**
Уровни звукового давления прямого звука от источника ИШ-2-33 в расчётной точке ночью, дБ		**ф-ла(3)[10]**	**0**	**26,3**	**17,6**	**15,8**	**15,3**	**15,4**	**5,8**	**0**	**0**	**18,1**	**18,1**
Расчёт отражённого звука													

1		2	3	4	5	6	7	8	9	10	11	12	13
Уровни звукового давления от мнимого источника ИШ-2-33_мн.(1) в расчётной точке днём, дБ		**ф-ла(3)[10]**	**0**	**0**	**0**	**0**	**0**	**0**	**0**	**0**	**0**	**0**	**0**
Уровни звукового давления от мнимого источника ИШ-2-33_мн.(1) в расчётной точке ночью, дБ		**ф-ла(3)[10]**	**0**	**0**	**0**	**0**	**0**	**0**	**0**	**0**	**0**	**0**	**0**
Уровни звукового давления от мнимого источника ИШ-2-33_мн.(2) в расчётной точке днём, дБ		**ф-ла(3)[10]**	**0**	**0**	**0**	**0**	**0**	**0**	**0**	**0**	**0**	**0**	**0**
Уровни звукового давления от мнимого источника ИШ-2-33_мн.(2) в расчётной точке ночью, дБ		**ф-ла(3)[10]**	**0**	**0**	**0**	**0**	**0**	**0**	**0**	**0**	**0**	**0**	**0**
Суммарные уровни звукового давления от мнимых источников в расчётной точке днём, дБ		**ф-ла (19) [1]**	**0**	**0**	**0**	**0**	**0**	**0**	**0**	**0**	**0**	**0**	**0**
Суммарные уровни звукового давления от мнимых источников в расчётной точке ночью, дБ		**ф-ла (19) [1]**	**0**	**0**	**0**	**0**	**0**	**0**	**0**	**0**	**0**	**0**	**0**
Уровни звукового давления от источника ИШ-2-33 в расчётной точке днём, дБ		**ф-ла(3)[10]**	**0**	**26,3**	**17,6**	**15,8**	**15,3**	**15,4**	**5,8**	**0**	**0**	**18,1**	**18,1**
Уровни звукового давления от источника ИШ-2-33 в расчётной точке ночью, дБ		**ф-ла(3)[10]**	**0**	**26,3**	**17,6**	**15,8**	**15,3**	**15,4**	**5,8**	**0**	**0**	**18,1**	**18,1**
Источник шума: ИШ-2-34, координаты источника (x,y,z), м =[698.43,-88.85,1.00]													
Уровни звуковой мощности источника днём, Lw, дБ		**исходные данные**	**0**	**93,3**	**94,7**	**96**	**96,3**	**95,9**	**92,6**	**88,4**	**83,9**		
Уровни звуковой мощности источника ночью, Lw, дБ		**исходные данные**	**0**	**93,3**	**94,7**	**96**	**96,3**	**95,9**	**92,6**	**88,4**	**83,9**		
Поправка на телесный угол DΩ, дБ	Ω = 6.28	10Lg(4π/Ω)	**3**	3	3	3	3	3	3	3	3		
Показатель направленности источника Di, дБ		исходные данные	**0**	0	0	0	0	0	0	0	0		
Поправка на направленность источника Dc, дБ	Dc	DΩ + Di	**3**	3	3	3	3	3	3	3	3		
Затухание из-за геометрической дивергенции, Adiv, дБ	расстояние = 1723.09 м	ф-ла (7) [10]	**75,7**										
Коэффициент затухания звука в атмосфере α, дБ/км	Ta=20,°C Pa=101.33,кПа hотн.=70%	ф-ла (5) [9]	0,02	0,09	0,33	1,12	2,79	4,98	9,04	23,09	77,63		

1		2	3	4	5	6	7	8	9	10	11	12	13
Учет затухания звука в атмосфере Aatm, дБ		ф-ла (8) [10]	0	0,2	0,6	1,9	4,8	8,6	15,6	39,8	133,8		
Снижение поверхностью земли возле источника As, дБ	Gs = 0 hs = 1м	ф-лы таб.3 [10]	-1,5	-1,5	-1,5	-1,5	-1,5	-1,5	-1,5	-1,5	-1,5		
Снижение поверхностью земли возле приёмника Ar, дБ	Gr = 1 hr = 1.5м	ф-лы таб.3 [10]	-1,5	-1,5	5,3	7	5	0,7	0	0	0		
Снижение поверхностью земли в средней зоне, Am дБ	Gm = 1	ф-лы таб.3 [10]	-2,9	-2,9	0	0	0	0	0	0	0		
Суммарное снижение поверхностью земли на траектории распространения звука Agr, дБ		ф-ла (9) [10]	-5,9	-5,9	3,8	5,5	3,5	-0,8	-1,5	-1,5	-1,5		
Уровни звукового давления прямого звука от источника ИШ-2-34 в расчётной точке днём, дБ		**ф-ла(3)[10]**	**0**	**26,3**	**17,5**	**15,8**	**15,3**	**15,4**	**5,8**	**0**	**0**	**18**	**18**
Уровни звукового давления прямого звука от источника ИШ-2-34 в расчётной точке ночью, дБ		**ф-ла(3)[10]**	**0**	**26,3**	**17,5**	**15,8**	**15,3**	**15,4**	**5,8**	**0**	**0**	**18**	**18**
Расчёт отражённого звука													
Уровни звукового давления от мнимого источника ИШ-2-34_мн.(1) в расчётной точке днём, дБ		**ф-ла(3)[10]**	**0**	**0**	**0**	**0**	**0**	**0**	**0**	**0**	**0**	**0**	**0**
Уровни звукового давления от мнимого источника ИШ-2-34_мн.(1) в расчётной точке ночью, дБ		**ф-ла(3)[10]**	**0**	**0**	**0**	**0**	**0**	**0**	**0**	**0**	**0**	**0**	**0**
Уровни звукового давления от мнимого источника ИШ-2-34_мн.(2) в расчётной точке днём, дБ		**ф-ла(3)[10]**	**0**	**0**	**0**	**0**	**0**	**0**	**0**	**0**	**0**	**0**	**0**
Уровни звукового давления от мнимого источника ИШ-2-34_мн.(2) в расчётной точке ночью, дБ		**ф-ла(3)[10]**	**0**	**0**	**0**	**0**	**0**	**0**	**0**	**0**	**0**	**0**	**0**
Суммарные уровни звукового давления от мнимых источников в расчётной точке днём, дБ		**ф-ла (19) [1]**	**0**	**0**	**0**	**0**	**0**	**0**	**0**	**0**	**0**	**0**	**0**
Суммарные уровни звукового давления от мнимых источников в расчётной точке ночью, дБ		**ф-ла (19) [1]**	**0**	**0**	**0**	**0**	**0**	**0**	**0**	**0**	**0**	**0**	**0**
Уровни звукового давления от источника ИШ-2-34 в расчётной точке днём, дБ		**ф-ла(3)[10]**	**0**	**26,3**	**17,5**	**15,8**	**15,3**	**15,4**	**5,8**	**0**	**0**	**18**	**18**
Уровни звукового давления от источника ИШ-2-34 в расчётной точке ночью, дБ		**ф-ла(3)[10]**	**0**	**26,3**	**17,5**	**15,8**	**15,3**	**15,4**	**5,8**	**0**	**0**	**18**	**18**
Источник шума: ИШ-2-35, координаты источника (x,y,z), м =[697.52,-91.66,1.00]													

1		2	3	4	5	6	7	8	9	10	11	12	13
Уровни звуковой мощности источника днём, Lw, дБ		**исходные данные**	**0**	**93,3**	**94,7**	**96**	**96,3**	**95,9**	**92,6**	**88,4**	**83,9**		
Уровни звуковой мощности источника ночью, Lw, дБ		**исходные данные**	**0**	**93,3**	**94,7**	**96**	**96,3**	**95,9**	**92,6**	**88,4**	**83,9**		
Поправка на телесный угол DΩ, дБ	Ω = 6.28	10Lg(4π/Ω)	**3**	3	3	3	3	3	3	3	3		
Показатель направленности источника Di, дБ		исходные данные	**0**	0	0	0	0	0	0	0	0		
Поправка на направленность источника Dc, дБ	Dc	DΩ + Di	**3**	3	3	3	3	3	3	3	3		
Затухание из-за геометрической дивергенции, Adiv, дБ	расстояние = 1724.77 м	ф-ла (7) [10]	**75,7**										
Коэффициент затухания звука в атмосфере α, дБ/км	Ta=20,°C Pa=101.33,кПа hотн.=70%	ф-ла (5) [9]	0,02	0,09	0,33	1,12	2,79	4,98	9,04	23,09	77,63		
Учет затухания звука в атмосфере Aatm, дБ		ф-ла (8) [10]	0	0,2	0,6	1,9	4,8	8,6	15,6	39,8	133,9		
Снижение поверхностью земли возле источника As, дБ	Gs = 0 hs = 1м	ф-лы таб.3 [10]	-1,5	-1,5	-1,5	-1,5	-1,5	-1,5	-1,5	-1,5	-1,5		
Снижение поверхностью земли возле приёмника Ar, дБ	Gr = 1 hr = 1.5м	ф-лы таб.3 [10]	-1,5	-1,5	5,3	7	5	0,7	0	0	0		
Снижение поверхностью земли в средней зоне, Am дБ	Gm = 1	ф-лы таб.3 [10]	-2,9	-2,9	0	0	0	0	0	0	0		
Суммарное снижение поверхностью земли на траектории распространения звука Agr, дБ		ф-ла (9) [10]	-5,9	-5,9	3,8	5,5	3,5	-0,8	-1,5	-1,5	-1,5		
Уровни звукового давления прямого звука от источника ИШ-2-35 в расчётной точке днём, дБ		**ф-ла(3)[10]**	**0**	**26,3**	**17,5**	**15,8**	**15,3**	**15,4**	**5,8**	**0**	**0**	**18**	**18**
Уровни звукового давления прямого звука от источника ИШ-2-35 в расчётной точке ночью, дБ		**ф-ла(3)[10]**	**0**	**26,3**	**17,5**	**15,8**	**15,3**	**15,4**	**5,8**	**0**	**0**	**18**	**18**
Расчёт отражённого звука													
Уровни звукового давления от мнимого источника ИШ-2-35_мн.(1) в расчётной точке днём, дБ		**ф-ла(3)[10]**	**0**	**0**	**0**	**0**	**0**	**0**	**0**	**0**	**0**	**0**	**0**
Уровни звукового давления от мнимого источника ИШ-2-35_мн.(1) в расчётной точке ночью, дБ		**ф-ла(3)[10]**	**0**	**0**	**0**	**0**	**0**	**0**	**0**	**0**	**0**	**0**	**0**

1		2	3	4	5	6	7	8	9	10	11	12	13
Уровни звукового давления от мнимого источника ИШ-2-35_мн.(2) в расчётной точке днём, дБ		**ф-ла(3)[10]**	**0**	**0**	**0**	**0**	**0**	**0**	**0**	**0**	**0**	**0**	**0**
Уровни звукового давления от мнимого источника ИШ-2-35_мн.(2) в расчётной точке ночью, дБ		**ф-ла(3)[10]**	**0**	**0**	**0**	**0**	**0**	**0**	**0**	**0**	**0**	**0**	**0**
Суммарные уровни звукового давления от мнимых источников в расчётной точке днём, дБ		**ф-ла (19) [1]**	**0**	**0**	**0**	**0**	**0**	**0**	**0**	**0**	**0**	**0**	**0**
Суммарные уровни звукового давления от мнимых источников в расчётной точке ночью, дБ		**ф-ла (19) [1]**	**0**	**0**	**0**	**0**	**0**	**0**	**0**	**0**	**0**	**0**	**0**
Уровни звукового давления от источника ИШ-2-35 в расчётной точке днём, дБ		**ф-ла(3)[10]**	**0**	**26,3**	**17,5**	**15,8**	**15,3**	**15,4**	**5,8**	**0**	**0**	**18**	**18**
Уровни звукового давления от источника ИШ-2-35 в расчётной точке ночью, дБ		**ф-ла(3)[10]**	**0**	**26,3**	**17,5**	**15,8**	**15,3**	**15,4**	**5,8**	**0**	**0**	**18**	**18**
Источник шума: ИШ-2-36, координаты источника (x,y,z), м =[696.58,-94.55,1.00]													
Уровни звуковой мощности источника днём, Lw, дБ		**исходные данные**	**0**	**93,3**	**94,7**	**96**	**96,3**	**95,9**	**92,6**	**88,4**	**83,9**		
Уровни звуковой мощности источника ночью, Lw, дБ		**исходные данные**	**0**	**93,3**	**94,7**	**96**	**96,3**	**95,9**	**92,6**	**88,4**	**83,9**		
Поправка на телесный угол DΩ, дБ	Ω = 6.28	10Lg(4π/Ω)	**3**	3	3	3	3	3	3	3	3		
Показатель направленности источника Di, дБ		исходные данные	**0**	0	0	0	0	0	0	0	0		
Поправка на направленность источника Dc, дБ	Dc	DΩ + Di	**3**	3	3	3	3	3	3	3	3		
Затухание из-за геометрической дивергенции, Adiv, дБ	расстояние = 1726.49 м	ф-ла (7) [10]	**75,7**										
Коэффициент затухания звука в атмосфере α, дБ/км	Ta=20,°C Pa=101.33,кПа hотн.=70%	ф-ла (5) [9]	0,02	0,09	0,33	1,12	2,79	4,98	9,04	23,09	77,63		
Учет затухания звука в атмосфере Aatm, дБ		ф-ла (8) [10]	0	0,2	0,6	1,9	4,8	8,6	15,6	39,9	134		
Снижение поверхностью земли возле источника As, дБ	Gs = 0 hs = 1м	ф-лы таб.3 [10]	-1,5	-1,5	-1,5	-1,5	-1,5	-1,5	-1,5	-1,5	-1,5		

1		2	3	4	5	6	7	8	9	10	11	12	13
Снижение поверхностью земли возле приёмника Ar, дБ	Gr = 1 hr = 1.5м	ф-лы таб.3 [10]	-1,5	-1,5	5,3	7	5	0,7	0	0	0		
Снижение поверхностью земли в средней зоне, Am дБ	Gm = 1	ф-лы таб.3 [10]	-2,9	-2,9	0	0	0	0	0	0	0		
Суммарное снижение поверхностью земли на траектории распространения звука Agr, дБ		ф-ла (9) [10]	-5,9	-5,9	3,8	5,5	3,5	-0,8	-1,5	-1,5	-1,5		
Уровни звукового давления прямого звука от источника ИШ-2-36 в расчётной точке днём, дБ		**ф-ла(3)[10]**	**0**	**26,3**	**17,5**	**15,8**	**15,3**	**15,4**	**5,7**	**0**	**0**	**18**	**18**
Уровни звукового давления прямого звука от источника ИШ-2-36 в расчётной точке ночью, дБ		**ф-ла(3)[10]**	**0**	**26,3**	**17,5**	**15,8**	**15,3**	**15,4**	**5,7**	**0**	**0**	**18**	**18**
Расчёт отражённого звука													
Уровни звукового давления от мнимого источника ИШ-2-36_мн.(1) в расчётной точке днём, дБ		**ф-ла(3)[10]**	**0**	**0**	**0**	**0**	**0**	**0**	**0**	**0**	**0**	**0**	**0**
Уровни звукового давления от мнимого источника ИШ-2-36_мн.(1) в расчётной точке ночью, дБ		**ф-ла(3)[10]**	**0**	**0**	**0**	**0**	**0**	**0**	**0**	**0**	**0**	**0**	**0**
Уровни звукового давления от источника ИШ-2-36 в расчётной точке днём, дБ		**ф-ла(3)[10]**	**0**	**26,3**	**17,5**	**15,8**	**15,3**	**15,4**	**5,7**	**0**	**0**	**18**	**18**
Уровни звукового давления от источника ИШ-2-36 в расчётной точке ночью, дБ		**ф-ла(3)[10]**	**0**	**26,3**	**17,5**	**15,8**	**15,3**	**15,4**	**5,7**	**0**	**0**	**18**	**18**
Источник шума: ИШ-2-37, координаты источника (x,y,z), м =[695.57,-97.37,1.00]													
Уровни звуковой мощности источника днём, Lw, дБ		**исходные данные**	**0**	**93,3**	**94,7**	**96**	**96,3**	**95,9**	**92,6**	**88,4**	**83,9**		
Уровни звуковой мощности источника ночью, Lw, дБ		**исходные данные**	**0**	**93,3**	**94,7**	**96**	**96,3**	**95,9**	**92,6**	**88,4**	**83,9**		
Поправка на телесный угол DΩ, дБ	Ω = 6.28	10Lg(4π/Ω)	**3**	3	3	3	3	3	3	3	3		
Показатель направленности источника Di, дБ		исходные данные	**0**	0	0	0	0	0	0	0	0		
Поправка на направленность источника Dc, дБ	Dc	DΩ + Di	**3**	3	3	3	3	3	3	3	3		
Затухание из-за геометрической дивергенции, Adiv, дБ	расстояние = 1728.27 м	ф-ла (7) [10]	**75,8**										

1		2	3	4	5	6	7	8	9	10	11	12	13
Коэффициент затухания звука в атмосфере α, дБ/км	Ta=20,°C Pa=101.33,кПа hотн.=70%	ф-ла (5) [9]	0,02	0,09	0,33	1,12	2,79	4,98	9,04	23,09	77,63		
Учет затухания звука в атмосфере Aatm, дБ		ф-ла (8) [10]	0	0,2	0,6	1,9	4,8	8,6	15,6	39,9	134,2		
Снижение поверхностью земли возле источника As, дБ	Gs = 0 hs = 1м	ф-лы таб.3 [10]	-1,5	-1,5	-1,5	-1,5	-1,5	-1,5	-1,5	-1,5	-1,5		
Снижение поверхностью земли возле приёмника Ar, дБ	Gr = 1 hr = 1.5м	ф-лы таб.3 [10]	-1,5	-1,5	5,3	7	5	0,7	0	0	0		
Снижение поверхностью земли в средней зоне, Am дБ	Gm = 1	ф-лы таб.3 [10]	-2,9	-2,9	0	0	0	0	0	0	0		
Суммарное снижение поверхностью земли на траектории распространения звука Agr, дБ		ф-ла (9) [10]	-5,9	-5,9	3,8	5,5	3,5	-0,8	-1,5	-1,5	-1,5		
Уровни звукового давления прямого звука от источника ИШ-2-37 в расчётной точке днём, дБ		**ф-ла(3)[10]**	**0**	**26,3**	**17,5**	**15,8**	**15,2**	**15,4**	**5,7**	**0**	**0**	**18**	**18**
Уровни звукового давления прямого звука от источника ИШ-2-37 в расчётной точке ночью, дБ		**ф-ла(3)[10]**	**0**	**26,3**	**17,5**	**15,8**	**15,2**	**15,4**	**5,7**	**0**	**0**	**18**	**18**
Расчёт отражённого звука													
Уровни звукового давления от мнимого источника ИШ-2-37_мн.(1) в расчётной точке днём, дБ		**ф-ла(3)[10]**	**0**	**0**	**0**	**0**	**0**	**0**	**0**	**0**	**0**	**0**	**0**
Уровни звукового давления от мнимого источника ИШ-2-37_мн.(1) в расчётной точке ночью, дБ		**ф-ла(3)[10]**	**0**	**0**	**0**	**0**	**0**	**0**	**0**	**0**	**0**	**0**	**0**
Уровни звукового давления от источника ИШ-2-37 в расчётной точке днём, дБ		**ф-ла(3)[10]**	**0**	**26,3**	**17,5**	**15,8**	**15,2**	**15,4**	**5,7**	**0**	**0**	**18**	**18**
Уровни звукового давления от источника ИШ-2-37 в расчётной точке ночью, дБ		**ф-ла(3)[10]**	**0**	**26,3**	**17,5**	**15,8**	**15,2**	**15,4**	**5,7**	**0**	**0**	**18**	**18**
Источник шума: ИШ-2-5, координаты источника (x,y,z), м =[618.60,-108.00,3.00]													
Уровни звуковой мощности источника днём, Lw, дБ		**исходные данные**	**105**	**104**	**104**	**101**	**102**	**106**	**101**	**95**	**87**		
Уровни звуковой мощности источника ночью, Lw, дБ		**исходные данные**	**105**	**104**	**104**	**101**	**102**	**106**	**101**	**95**	**87**		

1		2	3	4	5	6	7	8	9	10	11	12	13
Поправка на телесный угол DΩ, дБ	Ω = 6.28	10Lg(4π/Ω)	**3**	3	3	3	3	3	3	3	3		
Показатель направленности источника Di, дБ		исходные данные	**0**	0	0	0	0	0	0	0	0		
Поправка на направленность источника Dc, дБ	Dc	DΩ + Di	**3**	3	3	3	3	3	3	3	3		
Затухание из-за геометрической дивергенции, Adiv, дБ	расстояние = 1805.09 м	ф-ла (7) [10]	**76,1**										
Коэффициент затухания звука в атмосфере α, дБ/км	Ta=20,°C Pa=101.33,кПа hотн.=70%	ф-ла (5) [9]	0,02	0,09	0,33	1,12	2,79	4,98	9,04	23,09	77,63		
Учет затухания звука в атмосфере Aatm, дБ		ф-ла (8) [10]	0	0,2	0,6	2	5	9	16,3	41,7	140,1		
Снижение поверхностью земли возле источника As, дБ	Gs = 0 hs = 3м	ф-лы таб.3 [10]	-1,5	-1,5	-1,5	-1,5	-1,5	-1,5	-1,5	-1,5	-1,5		
Снижение поверхностью земли возле приёмника Ar, дБ	Gr = 1 hr = 1.5м	ф-лы таб.3 [10]	-1,5	-1,5	5,3	7	5	0,7	0	0	0		
Снижение поверхностью земли в средней зоне, Am дБ	Gm = 1	ф-лы таб.3 [10]	-2,8	-2,8	0	0	0	0	0	0	0		
Суммарное снижение поверхностью земли на траектории распространения звука Agr, дБ		ф-ла (9) [10]	-5,8	-5,8	3,8	5,5	3,5	-0,8	-1,5	-1,5	-1,5		
Уровни звукового давления прямого звука от источника ИШ-2-5 в расчётной точке днём, дБ		**ф-ла(3)[10]**	**37,6**	**36,5**	**26,4**	**20,3**	**20,4**	**24,7**	**13,1**	**0**	**0**	**26,2**	**26,2**
Уровни звукового давления прямого звука от источника ИШ-2-5 в расчётной точке ночью, дБ		**ф-ла(3)[10]**	**37,6**	**36,5**	**26,4**	**20,3**	**20,4**	**24,7**	**13,1**	**0**	**0**	**26,2**	**26,2**
Расчёт отражённого звука													
Уровни звукового давления от мнимого источника ИШ-2-5_мн.(1) в расчётной точке днём, дБ		**ф-ла(3)[10]**	**0**	**0**	**0**	**0**	**0**	**0**	**0**	**0**	**0**	**0**	**0**
Уровни звукового давления от мнимого источника ИШ-2-5_мн.(1) в расчётной точке ночью, дБ		**ф-ла(3)[10]**	**0**	**0**	**0**	**0**	**0**	**0**	**0**	**0**	**0**	**0**	**0**
Уровни звукового давления от источника ИШ-2-5 в расчётной точке днём, дБ		**ф-ла(3)[10]**	**37,6**	**36,5**	**26,4**	**20,3**	**20,4**	**24,7**	**13,1**	**0**	**0**	**26,2**	**26,2**
Уровни звукового давления от источника ИШ-2-5 в расчётной точке ночью, дБ		**ф-ла(3)[10]**	**37,6**	**36,5**	**26,4**	**20,3**	**20,4**	**24,7**	**13,1**	**0**	**0**	**26,2**	**26,2**

1		2	3	4	5	6	7	8	9	10	11	12	13
Источник шума: ИШ-2-38, координаты источника (x,y,z), м =[688.13,-119.94,1.00]													
Уровни звуковой мощности источника днём, Lw, дБ		**исходные данные**	**0**	**93,3**	**94,7**	**96**	**96,3**	**95,9**	**92,6**	**88,4**	**83,9**		
Уровни звуковой мощности источника ночью, Lw, дБ		**исходные данные**	**0**	**93,3**	**94,7**	**96**	**96,3**	**95,9**	**92,6**	**88,4**	**83,9**		
Поправка на телесный угол DΩ, дБ	Ω = 6.28	10Lg(4π/Ω)	**3**	3	3	3	3	3	3	3	3		
Показатель направленности источника Di, дБ		исходные данные	**0**	0	0	0	0	0	0	0	0		
Поправка на направленность источника Dc, дБ	Dc	DΩ + Di	**3**	3	3	3	3	3	3	3	3		
Затухание из-за геометрической дивергенции, Adiv, дБ	расстояние = 1741.96 м	ф-ла (7) [10]	**75,8**										
Коэффициент затухания звука в атмосфере α, дБ/км	Ta=20,°C Pa=101.33,кПа hотн.=70%	ф-ла (5) [9]	0,02	0,09	0,33	1,12	2,79	4,98	9,04	23,09	77,63		
Учет затухания звука в атмосфере Aatm, дБ		ф-ла (8) [10]	0	0,2	0,6	2	4,9	8,7	15,7	40,2	135,2		
Снижение поверхностью земли возле источника As, дБ	Gs = 0 hs = 1м	ф-лы таб.3 [10]	-1,5	-1,5	-1,5	-1,5	-1,5	-1,5	-1,5	-1,5	-1,5		
Снижение поверхностью земли возле приёмника Ar, дБ	Gr = 1 hr = 1.5м	ф-лы таб.3 [10]	-1,5	-1,5	5,3	7	5	0,7	0	0	0		
Снижение поверхностью земли в средней зоне, Am дБ	Gm = 1	ф-лы таб.3 [10]	-2,9	-2,9	0	0	0	0	0	0	0		
Суммарное снижение поверхностью земли на траектории распространения звука Agr, дБ		ф-ла (9) [10]	-5,9	-5,9	3,8	5,5	3,5	-0,8	-1,5	-1,5	-1,5		
Уровни звукового давления прямого звука от источника ИШ-2-38 в расчётной точке днём, дБ		**ф-ла(3)[10]**	**0**	**26,2**	**17,4**	**15,7**	**15,1**	**15,2**	**5,5**	**0**	**0**	**17,9**	**17,9**
Уровни звукового давления прямого звука от источника ИШ-2-38 в расчётной точке ночью, дБ		**ф-ла(3)[10]**	**0**	**26,2**	**17,4**	**15,7**	**15,1**	**15,2**	**5,5**	**0**	**0**	**17,9**	**17,9**
Расчёт отражённого звука													

1		2	3	4	5	6	7	8	9	10	11	12	13
Уровни звукового давления от мнимого источника ИШ-2-38_мн.(1) в расчётной точке днём, дБ		**ф-ла(3)[10]**	**0**	**0**	**0**	**0**	**0**	**0**	**0**	**0**	**0**	**0**	**0**
Уровни звукового давления от мнимого источника ИШ-2-38_мн.(1) в расчётной точке ночью, дБ		**ф-ла(3)[10]**	**0**	**0**	**0**	**0**	**0**	**0**	**0**	**0**	**0**	**0**	**0**
Уровни звукового давления от источника ИШ-2-38 в расчётной точке днём, дБ		**ф-ла(3)[10]**	**0**	**26,2**	**17,4**	**15,7**	**15,1**	**15,2**	**5,5**	**0**	**0**	**17,9**	**17,9**
Уровни звукового давления от источника ИШ-2-38 в расчётной точке ночью, дБ		**ф-ла(3)[10]**	**0**	**26,2**	**17,4**	**15,7**	**15,1**	**15,2**	**5,5**	**0**	**0**	**17,9**	**17,9**
Источник шума: ИШ-2-39, координаты источника (x,y,z), м =[687.11,-122.83,1.00]													
Уровни звуковой мощности источника днём, Lw, дБ		**исходные данные**	**0**	**93,3**	**94,7**	**96**	**96,3**	**95,9**	**92,6**	**88,4**	**83,9**		
Уровни звуковой мощности источника ночью, Lw, дБ		**исходные данные**	**0**	**93,3**	**94,7**	**96**	**96,3**	**95,9**	**92,6**	**88,4**	**83,9**		
Поправка на телесный угол DΩ, дБ	Ω = 6.28	10Lg(4π/Ω)	**3**	3	3	3	3	3	3	3	3		
Показатель направленности источника Di, дБ		исходные данные	**0**	0	0	0	0	0	0	0	0		
Поправка на направленность источника Dc, дБ	Dc	DΩ + Di	**3**	3	3	3	3	3	3	3	3		
Затухание из-за геометрической дивергенции, Adiv, дБ	расстояние = 1743.79 м	ф-ла (7) [10]	**75,8**										
Коэффициент затухания звука в атмосфере α, дБ/км	Ta=20,°C Pa=101.33,кПа hотн.=70%	ф-ла (5) [9]	0,02	0,09	0,33	1,12	2,79	4,98	9,04	23,09	77,63		
Учет затухания звука в атмосфере Aatm, дБ		ф-ла (8) [10]	0	0,2	0,6	2	4,9	8,7	15,8	40,3	135,4		
Снижение поверхностью земли возле источника As, дБ	Gs = 0 hs = 1м	ф-лы таб.3 [10]	-1,5	-1,5	-1,5	-1,5	-1,5	-1,5	-1,5	-1,5	-1,5		
Снижение поверхностью земли возле приёмника Ar, дБ	Gr = 1 hr = 1.5м	ф-лы таб.3 [10]	-1,5	-1,5	5,3	7	5	0,7	0	0	0		
Снижение поверхностью земли в средней зоне, Am дБ	Gm = 1	ф-лы таб.3 [10]	-2,9	-2,9	0	0	0	0	0	0	0		

1		2	3	4	5	6	7	8	9	10	11	12	13
Суммарное снижение поверхностью земли на траектории распространения звука Agr, дБ		ф-ла (9) [10]	-5,9	-5,9	3,8	5,5	3,5	-0,8	-1,5	-1,5	-1,5		
Уровни звукового давления прямого звука от источника ИШ-2-39 в расчётной точке днём, дБ		**ф-ла(3)[10]**	**0**	**26,2**	**17,4**	**15,7**	**15,1**	**15,2**	**5,5**	**0**	**0**	**17,9**	**17,9**
Уровни звукового давления прямого звука от источника ИШ-2-39 в расчётной точке ночью, дБ		**ф-ла(3)[10]**	**0**	**26,2**	**17,4**	**15,7**	**15,1**	**15,2**	**5,5**	**0**	**0**	**17,9**	**17,9**
Расчёт отражённого звука													
Уровни звукового давления от мнимого источника ИШ-2-39_мн.(1) в расчётной точке днём, дБ		**ф-ла(3)[10]**	**0**	**0**	**0**	**0**	**0**	**0**	**0**	**0**	**0**	**0**	**0**
Уровни звукового давления от мнимого источника ИШ-2-39_мн.(1) в расчётной точке ночью, дБ		**ф-ла(3)[10]**	**0**	**0**	**0**	**0**	**0**	**0**	**0**	**0**	**0**	**0**	**0**
Уровни звукового давления от источника ИШ-2-39 в расчётной точке днём, дБ		**ф-ла(3)[10]**	**0**	**26,2**	**17,4**	**15,7**	**15,1**	**15,2**	**5,5**	**0**	**0**	**17,9**	**17,9**
Уровни звукового давления от источника ИШ-2-39 в расчётной точке ночью, дБ		**ф-ла(3)[10]**	**0**	**26,2**	**17,4**	**15,7**	**15,1**	**15,2**	**5,5**	**0**	**0**	**17,9**	**17,9**
Источник шума: ИШ-2-40, координаты источника (x,y,z), м =[686.10,-125.67,1.00]													
Уровни звуковой мощности источника днём, Lw, дБ		**исходные данные**	**0**	**93,3**	**94,7**	**96**	**96,3**	**95,9**	**92,6**	**88,4**	**83,9**		
Уровни звуковой мощности источника ночью, Lw, дБ		**исходные данные**	**0**	**93,3**	**94,7**	**96**	**96,3**	**95,9**	**92,6**	**88,4**	**83,9**		
Поправка на телесный угол DΩ, дБ	Ω = 6.28	10Lg(4π/Ω)	**3**	3	3	3	3	3	3	3	3		
Показатель направленности источника Di, дБ		исходные данные	**0**	0	0	0	0	0	0	0	0		
Поправка на направленность источника Dc, дБ	Dc	DΩ + Di	**3**	3	3	3	3	3	3	3	3		
Затухание из-за геометрической дивергенции, Adiv, дБ	расстояние = 1745.61 м	ф-ла (7) [10]	**75,8**										
Коэффициент затухания звука в атмосфере α, дБ/км	Ta=20,°C Pa=101.33,кПа hотн.=70%	ф-ла (5) [9]	0,02	0,09	0,33	1,12	2,79	4,98	9,04	23,09	77,63		

1		2	3	4	5	6	7	8	9	10	11	12	13
Учет затухания звука в атмосфере Aatm, дБ		ф-ла (8) [10]	0	0,2	0,6	2	4,9	8,7	15,8	40,3	135,5		
Снижение поверхностью земли возле источника As, дБ	Gs = 0 hs = 1м	ф-лы таб.3 [10]	-1,5	-1,5	-1,5	-1,5	-1,5	-1,5	-1,5	-1,5	-1,5		
Снижение поверхностью земли возле приёмника Ar, дБ	Gr = 1 hr = 1.5м	ф-лы таб.3 [10]	-1,5	-1,5	5,3	7	5	0,7	0	0	0		
Снижение поверхностью земли в средней зоне, Am дБ	Gm = 1	ф-лы таб.3 [10]	-2,9	-2,9	0	0	0	0	0	0	0		
Суммарное снижение поверхностью земли на траектории распространения звука Agr, дБ		ф-ла (9) [10]	-5,9	-5,9	3,8	5,5	3,5	-0,8	-1,5	-1,5	-1,5		
Уровни звукового давления прямого звука от источника ИШ-2-40 в расчётной точке днём, дБ		**ф-ла(3)[10]**	**0**	**26,2**	**17,4**	**15,7**	**15,1**	**15,2**	**5,5**	**0**	**0**	**17,8**	**17,8**
Уровни звукового давления прямого звука от источника ИШ-2-40 в расчётной точке ночью, дБ		**ф-ла(3)[10]**	**0**	**26,2**	**17,4**	**15,7**	**15,1**	**15,2**	**5,5**	**0**	**0**	**17,8**	**17,8**
Расчёт отражённого звука													
Уровни звукового давления от мнимого источника ИШ-2-40_мн.(1) в расчётной точке днём, дБ		**ф-ла(3)[10]**	**0**	**0**	**0**	**0**	**0**	**0**	**0**	**0**	**0**	**0**	**0**
Уровни звукового давления от мнимого источника ИШ-2-40_мн.(1) в расчётной точке ночью, дБ		**ф-ла(3)[10]**	**0**	**0**	**0**	**0**	**0**	**0**	**0**	**0**	**0**	**0**	**0**
Уровни звукового давления от источника ИШ-2-40 в расчётной точке днём, дБ		**ф-ла(3)[10]**	**0**	**26,2**	**17,4**	**15,7**	**15,1**	**15,2**	**5,5**	**0**	**0**	**17,8**	**17,8**
Уровни звукового давления от источника ИШ-2-40 в расчётной точке ночью, дБ		**ф-ла(3)[10]**	**0**	**26,2**	**17,4**	**15,7**	**15,1**	**15,2**	**5,5**	**0**	**0**	**17,8**	**17,8**
Источник шума: ИШ-2-41, координаты источника (x,y,z), м =[685.14,-128.64,1.00]													
Уровни звуковой мощности источника днём, Lw, дБ		**исходные данные**	**0**	**93,3**	**94,7**	**96**	**96,3**	**95,9**	**92,6**	**88,4**	**83,9**		
Уровни звуковой мощности источника ночью, Lw, дБ		**исходные данные**	**0**	**93,3**	**94,7**	**96**	**96,3**	**95,9**	**92,6**	**88,4**	**83,9**		
Поправка на телесный угол DΩ, дБ	Ω = 6.28	10Lg(4π/Ω)	**3**	3	3	3	3	3	3	3	3		
Показатель направленности источника Di, дБ		исходные данные	**0**	0	0	0	0	0	0	0	0		

1		2	3	4	5	6	7	8	9	10	11	12	13
Поправка на направленность источника Dc, дБ	Dc	DΩ + Di	**3**	3	3	3	3	3	3	3	3		
Затухание из-за геометрической дивергенции, Adiv, дБ	расстояние = 1747.42 м	ф-ла (7) [10]	**75,8**										
Коэффициент затухания звука в атмосфере α, дБ/км	Ta=20,°C Pa=101.33,кПа hотн.=70%	ф-ла (5) [9]	0,02	0,09	0,33	1,12	2,79	4,98	9,04	23,09	77,63		
Учет затухания звука в атмосфере Aatm, дБ		ф-ла (8) [10]	0	0,2	0,6	2	4,9	8,7	15,8	40,3	135,7		
Снижение поверхностью земли возле источника As, дБ	Gs = 0 hs = 1м	ф-лы таб.3 [10]	-1,5	-1,5	-1,5	-1,5	-1,5	-1,5	-1,5	-1,5	-1,5		
Снижение поверхностью земли возле приёмника Ar, дБ	Gr = 1 hr = 1.5м	ф-лы таб.3 [10]	-1,5	-1,5	5,3	7	5	0,7	0	0	0		
Снижение поверхностью земли в средней зоне, Am дБ	Gm = 1	ф-лы таб.3 [10]	-2,9	-2,9	0	0	0	0	0	0	0		
Суммарное снижение поверхностью земли на траектории распространения звука Agr, дБ		ф-ла (9) [10]	-5,9	-5,9	3,8	5,5	3,5	-0,8	-1,5	-1,5	-1,5		
Уровни звукового давления от источника ИШ-2-41 в расчётной точке днём, дБ		**ф-ла(3)[10]**	**0**	**26,2**	**17,4**	**15,7**	**15,1**	**15,2**	**5,4**	**0**	**0**	**17,8**	**17,8**
Уровни звукового давления от источника ИШ-2-41 в расчётной точке ночью, дБ		**ф-ла(3)[10]**	**0**	**26,2**	**17,4**	**15,7**	**15,1**	**15,2**	**5,4**	**0**	**0**	**17,8**	**17,8**
Источник шума: ИШ-2-42, координаты источника (x,y,z), м =[684.20,-131.46,1.00]													
Уровни звуковой мощности источника днём, Lw, дБ		**исходные данные**	**0**	**93,3**	**94,7**	**96**	**96,3**	**95,9**	**92,6**	**88,4**	**83,9**		
Уровни звуковой мощности источника ночью, Lw, дБ		**исходные данные**	**0**	**93,3**	**94,7**	**96**	**96,3**	**95,9**	**92,6**	**88,4**	**83,9**		
Поправка на телесный угол DΩ, дБ	Ω = 6.28	10Lg(4π/Ω)	**3**	3	3	3	3	3	3	3	3		
Показатель направленности источника Di, дБ		исходные данные	**0**	0	0	0	0	0	0	0	0		
Поправка на направленность источника Dc, дБ	Dc	DΩ + Di	**3**	3	3	3	3	3	3	3	3		

1		2	3	4	5	6	7	8	9	10	11	12	13
Затухание из-за геометрической дивергенции, Adiv, дБ	расстояние = 1749.16 м	ф-ла (7) [10]	**75,9**										
Коэффициент затухания звука в атмосфере α, дБ/км	Ta=20,°C Pa=101.33,кПа hотн.=70%	ф-ла (5) [9]	0,02	0,09	0,33	1,12	2,79	4,98	9,04	23,09	77,63		
Учет затухания звука в атмосфере Aatm, дБ		ф-ла (8) [10]	0	0,2	0,6	2	4,9	8,7	15,8	40,4	135,8		
Снижение поверхностью земли возле источника As, дБ	Gs = 0 hs = 1м	ф-лы таб.3 [10]	-1,5	-1,5	-1,5	-1,5	-1,5	-1,5	-1,5	-1,5	-1,5		
Снижение поверхностью земли возле приёмника Ar, дБ	Gr = 1 hr = 1.5м	ф-лы таб.3 [10]	-1,5	-1,5	5,3	7	5	0,7	0	0	0		
Снижение поверхностью земли в средней зоне, Am дБ	Gm = 1	ф-лы таб.3 [10]	-2,9	-2,9	0	0	0	0	0	0	0		
Суммарное снижение поверхностью земли на траектории распространения звука Agr, дБ		ф-ла (9) [10]	-5,9	-5,9	3,8	5,5	3,5	-0,8	-1,5	-1,5	-1,5		
Уровни звукового давления от источника ИШ-2-42 в расчётной точке днём, дБ		**ф-ла(3)[10]**	**0**	**26,2**	**17,4**	**15,6**	**15,1**	**15,2**	**5,4**	**0**	**0**	**17,8**	**17,8**
Уровни звукового давления от источника ИШ-2-42 в расчётной точке ночью, дБ		**ф-ла(3)[10]**	**0**	**26,2**	**17,4**	**15,6**	**15,1**	**15,2**	**5,4**	**0**	**0**	**17,8**	**17,8**
Источник шума: ИШ-2-43, координаты источника (x,y,z), м =[683.13,-134.37,1.00]													
Уровни звуковой мощности источника днём, Lw, дБ		**исходные данные**	**0**	**93,3**	**94,7**	**96**	**96,3**	**95,9**	**92,6**	**88,4**	**83,9**		
Уровни звуковой мощности источника ночью, Lw, дБ		**исходные данные**	**0**	**93,3**	**94,7**	**96**	**96,3**	**95,9**	**92,6**	**88,4**	**83,9**		
Поправка на телесный угол DΩ, дБ	Ω = 6.28	10Lg(4π/Ω)	**3**	3	3	3	3	3	3	3	3		
Показатель направленности источника Di, дБ		исходные данные	**0**	0	0	0	0	0	0	0	0		
Поправка на направленность источника Dc, дБ	Dc	DΩ + Di	**3**	3	3	3	3	3	3	3	3		
Затухание из-за геометрической дивергенции, Adiv, дБ	расстояние = 1751.06 м	ф-ла (7) [10]	**75,9**										

1		2	3	4	5	6	7	8	9	10	11	12	13
Коэффициент затухания звука в атмосфере α, дБ/км	Ta=20,°C Pa=101.33,кПа hотн.=70%	ф-ла (5) [9]	0,02	0,09	0,33	1,12	2,79	4,98	9,04	23,09	77,63		
Учет затухания звука в атмосфере Aatm, дБ		ф-ла (8) [10]	0	0,2	0,6	2	4,9	8,7	15,8	40,4	135,9		
Снижение поверхностью земли возле источника As, дБ	Gs = 0 hs = 1м	ф-лы таб.3 [10]	-1,5	-1,5	-1,5	-1,5	-1,5	-1,5	-1,5	-1,5	-1,5		
Снижение поверхностью земли возле приёмника Ar, дБ	Gr = 1 hr = 1.5м	ф-лы таб.3 [10]	-1,5	-1,5	5,3	7	5	0,7	0	0	0		
Снижение поверхностью земли в средней зоне, Am дБ	Gm = 1	ф-лы таб.3 [10]	-2,9	-2,9	0	0	0	0	0	0	0		
Суммарное снижение поверхностью земли на траектории распространения звука Agr, дБ		ф-ла (9) [10]	-5,9	-5,9	3,8	5,5	3,5	-0,8	-1,5	-1,5	-1,5		
Уровни звукового давления от источника ИШ-2-43 в расчётной точке днём, дБ		**ф-ла(3)[10]**	**0**	**26,1**	**17,4**	**15,6**	**15,1**	**15,1**	**5,4**	**0**	**0**	**17,8**	**17,8**
Уровни звукового давления от источника ИШ-2-43 в расчётной точке ночью, дБ		**ф-ла(3)[10]**	**0**	**26,1**	**17,4**	**15,6**	**15,1**	**15,1**	**5,4**	**0**	**0**	**17,8**	**17,8**
Источник шума: ИШ-2-44, координаты источника (x,y,z), м =[682.20,-137.16,1.00]													
Уровни звуковой мощности источника днём, Lw, дБ		**исходные данные**	**0**	**93,3**	**94,7**	**96**	**96,3**	**95,9**	**92,6**	**88,4**	**83,9**		
Уровни звуковой мощности источника ночью, Lw, дБ		**исходные данные**	**0**	**93,3**	**94,7**	**96**	**96,3**	**95,9**	**92,6**	**88,4**	**83,9**		
Поправка на телесный угол DΩ, дБ	Ω = 6.28	10Lg(4π/Ω)	**3**	3	3	3	3	3	3	3	3		
Показатель направленности источника Di, дБ		исходные данные	**0**	0	0	0	0	0	0	0	0		
Поправка на направленность источника Dc, дБ	Dc	DΩ + Di	**3**	3	3	3	3	3	3	3	3		
Затухание из-за геометрической дивергенции, Adiv, дБ	расстояние = 1752.81 м	ф-ла (7) [10]	**75,9**										
Коэффициент затухания звука в атмосфере α, дБ/км	Ta=20,°C Pa=101.33,кПа hотн.=70%	ф-ла (5) [9]	0,02	0,09	0,33	1,12	2,79	4,98	9,04	23,09	77,63		

1		2	3	4	5	6	7	8	9	10	11	12	13
Учет затухания звука в атмосфере Aatm, дБ		ф-ла (8) [10]	0	0,2	0,6	2	4,9	8,7	15,8	40,5	136,1		
Снижение поверхностью земли возле источника As, дБ	Gs = 0 hs = 1м	ф-лы таб.3 [10]	-1,5	-1,5	-1,5	-1,5	-1,5	-1,5	-1,5	-1,5	-1,5		
Снижение поверхностью земли возле приёмника Ar, дБ	Gr = 1 hr = 1.5м	ф-лы таб.3 [10]	-1,5	-1,5	5,3	7	5	0,7	0	0	0		
Снижение поверхностью земли в средней зоне, Am дБ	Gm = 1	ф-лы таб.3 [10]	-2,9	-2,9	0	0	0	0	0	0	0		
Суммарное снижение поверхностью земли на траектории распространения звука Agr, дБ		ф-ла (9) [10]	-5,9	-5,9	3,8	5,5	3,5	-0,8	-1,5	-1,5	-1,5		
Уровни звукового давления от источника ИШ-2-44 в расчётной точке днём, дБ		**ф-ла(3)[10]**	**0**	**26,1**	**17,4**	**15,6**	**15,1**	**15,1**	**5,4**	**0**	**0**	**17,8**	**17,8**
Уровни звукового давления от источника ИШ-2-44 в расчётной точке ночью, дБ		**ф-ла(3)[10]**	**0**	**26,1**	**17,4**	**15,6**	**15,1**	**15,1**	**5,4**	**0**	**0**	**17,8**	**17,8**
Источник шума: ИШ-2-45, координаты источника (x,y,z), м =[681.26,-139.98,1.00]													
Уровни звуковой мощности источника днём, Lw, дБ		**исходные данные**	**0**	**93,3**	**94,7**	**96**	**96,3**	**95,9**	**92,6**	**88,4**	**83,9**		
Уровни звуковой мощности источника ночью, Lw, дБ		**исходные данные**	**0**	**93,3**	**94,7**	**96**	**96,3**	**95,9**	**92,6**	**88,4**	**83,9**		
Поправка на телесный угол DΩ, дБ	Ω = 6.28	10Lg(4π/Ω)	**3**	3	3	3	3	3	3	3	3		
Показатель направленности источника Di, дБ		исходные данные	**0**	0	0	0	0	0	0	0	0		
Поправка на направленность источника Dc, дБ	Dc	DΩ + Di	**3**	3	3	3	3	3	3	3	3		
Затухание из-за геометрической дивергенции, Adiv, дБ	расстояние = 1754.56 м	ф-ла (7) [10]	**75,9**										
Коэффициент затухания звука в атмосфере α, дБ/км	Ta=20,°C Pa=101.33,кПа hотн.=70%	ф-ла (5) [9]	0,02	0,09	0,33	1,12	2,79	4,98	9,04	23,09	77,63		
Учет затухания звука в атмосфере Aatm, дБ		ф-ла (8) [10]	0	0,2	0,6	2	4,9	8,7	15,9	40,5	136,2		

1		2	3	4	5	6	7	8	9	10	11	12	13
Снижение поверхностью земли возле источника As, дБ	Gs = 0 hs = 1м	ф-лы таб.3 [10]	-1,5	-1,5	-1,5	-1,5	-1,5	-1,5	-1,5	-1,5	-1,5		
Снижение поверхностью земли возле приёмника Ar, дБ	Gr = 1 hr = 1.5м	ф-лы таб.3 [10]	-1,5	-1,5	5,3	7	5	0,7	0	0	0		
Снижение поверхностью земли в средней зоне, Am дБ	Gm = 1	ф-лы таб.3 [10]	-2,9	-2,9	0	0	0	0	0	0	0		
Суммарное снижение поверхностью земли на траектории распространения звука Agr, дБ		ф-ла (9) [10]	-5,9	-5,9	3,8	5,5	3,5	-0,8	-1,5	-1,5	-1,5		
Уровни звукового давления прямого звука от источника ИШ-2-45 в расчётной точке днём, дБ		**ф-ла(3)[10]**	**0**	**26,1**	**17,4**	**15,6**	**15**	**15,1**	**5,3**	**0**	**0**	**17,8**	**17,8**
Уровни звукового давления прямого звука от источника ИШ-2-45 в расчётной точке ночью, дБ		**ф-ла(3)[10]**	**0**	**26,1**	**17,4**	**15,6**	**15**	**15,1**	**5,3**	**0**	**0**	**17,8**	**17,8**
Расчёт отражённого звука													
Уровни звукового давления от мнимого источника ИШ-2-45_мн.(1) в расчётной точке днём, дБ		**ф-ла(3)[10]**	**0**	**0**	**0**	**0**	**0**	**0**	**0**	**0**	**0**	**0**	**0**
Уровни звукового давления от мнимого источника ИШ-2-45_мн.(1) в расчётной точке ночью, дБ		**ф-ла(3)[10]**	**0**	**0**	**0**	**0**	**0**	**0**	**0**	**0**	**0**	**0**	**0**
Уровни звукового давления от источника ИШ-2-45 в расчётной точке днём, дБ		**ф-ла(3)[10]**	**0**	**26,1**	**17,4**	**15,6**	**15**	**15,1**	**5,3**	**0**	**0**	**17,8**	**17,8**
Уровни звукового давления от источника ИШ-2-45 в расчётной точке ночью, дБ		**ф-ла(3)[10]**	**0**	**26,1**	**17,4**	**15,6**	**15**	**15,1**	**5,3**	**0**	**0**	**17,8**	**17,8**
Источник шума: ИШ-4-1, координаты источника (x,y,z), м =[141.82,201.03,1.00]													
Уровни звуковой мощности источника днём, Lw, дБ		**исходные данные**	**0**	**90,3**	**91,7**	**93**	**93,3**	**92,9**	**89,6**	**85,4**	**80,9**		
Уровни звуковой мощности источника ночью, Lw, дБ		**исходные данные**	**0**	**90,3**	**91,7**	**93**	**93,3**	**92,9**	**89,6**	**85,4**	**80,9**		
Поправка на телесный угол DΩ, дБ	Ω = 6.28	10Lg(4π/Ω)	**3**	3	3	3	3	3	3	3	3		
Показатель направленности источника Di, дБ		исходные данные	**0**	0	0	0	0	0	0	0	0		
Поправка на направленность источника Dc, дБ	Dc	DΩ + Di	**3**	3	3	3	3	3	3	3	3		

1		2	3	4	5	6	7	8	9	10	11	12	13
Затухание из-за геометрической дивергенции, Adiv, дБ	расстояние = 2218.36 м	ф-ла (7) [10]	**77,9**										
Коэффициент затухания звука в атмосфере α, дБ/км	Та=20,°С Ра=101.33,кПа hотн.=70%	ф-ла (5) [9]	0,02	0,09	0,33	1,12	2,79	4,98	9,04	23,09	77,63		
Учет затухания звука в атмосфере Aatm, дБ		ф-ла (8) [10]	0,1	0,2	0,7	2,5	6,2	11	20,1	51,2	172,2		
Снижение уровня звукового давления из-за влияния застройки между источником шума и расчетной точкой													
Снижение уровня звукового давления на пути над экраном, Dz1, дБ	z = 1.07м (разность путей)	ф-лы (14-18) [10]	5,2	5,6	6,4	7,6	9,3	11,5	14	16,7	19,6		
Снижение уровня звукового давления на пути слева от экрана, Dz2, дБ	z = 4.00м (разность путей)	ф-лы (14-18) [10]	16,1	19,4	22,5	25,5	28,5	31,5	34,5	37,5	40,5		
Снижение уровня звукового давления на пути справа от экрана, Dz3, дБ	z = 56.40м (разность путей)	ф-лы (14-18) [10]	27,4	30,8	33,9	37	40	43	46	49	52		
Общее снижение уровня звука препятствием Dz, дБ		Эн.сумма(-Dzi)	4,8	5,5	6,3	7,5	9,2	11,4	14	16,7	19,6		
Уровни звукового давления прямого звука от источника ИШ-4-1 в расчётной точке днём, дБ		**ф-ла(3)[10]**	**0**	**9,7**	**9,7**	**8,1**	**2,9**	**0**	**0**	**0**	**0**	**3,2**	**3,2**
Уровни звукового давления прямого звука от источника ИШ-4-1 в расчётной точке ночью, дБ		**ф-ла(3)[10]**	**0**	**9,7**	**9,7**	**8,1**	**2,9**	**0**	**0**	**0**	**0**	**3,2**	**3,2**
Расчёт отражённого звука													
Уровни звукового давления от мнимого источника ИШ-4-1_мн.(1) в расчётной точке днём, дБ		**ф-ла(3)[10]**	**0**	**0**	**0**	**0**	**6,5**	**1**	**0**	**0**	**0**	**5,3**	**5,3**
Уровни звукового давления от мнимого источника ИШ-4-1_мн.(1) в расчётной точке ночью, дБ		**ф-ла(3)[10]**	**0**	**0**	**0**	**0**	**0**	**0**	**0**	**0**	**0**	**5,3**	**5,3**
Уровни звукового давления от источника ИШ-4-1 в расчётной точке днём, дБ		**ф-ла(3)[10]**	**0**	**9,7**	**9,7**	**8,1**	**8,1**	**1**	**0**	**0**	**0**	**7,4**	**7,4**
Уровни звукового давления от источника ИШ-4-1 в расчётной точке ночью, дБ		**ф-ла(3)[10]**	**0**	**9,7**	**9,7**	**8,1**	**8,1**	**1**	**0**	**0**	**0**	**7,4**	**7,4**
Источник шума: ИШ-4-2, координаты источника (x,y,z), м =[133.85,183.21,1.00]													

1		2	3	4	5	6	7	8	9	10	11	12	13
Уровни звуковой мощности источника днём, Lw, дБ		**исходные данные**	**0**	**90,3**	**91,7**	**93**	**93,3**	**92,9**	**89,6**	**85,4**	**80,9**		
Уровни звуковой мощности источника ночью, Lw, дБ		**исходные данные**	**0**	**90,3**	**91,7**	**93**	**93,3**	**92,9**	**89,6**	**85,4**	**80,9**		
Поправка на телесный угол DΩ, дБ	Ω = 6.28	10Lg(4π/Ω)	**3**	3	3	3	3	3	3	3	3		
Показатель направленности источника Di, дБ		исходные данные	**0**	0	0	0	0	0	0	0	0		
Поправка на направленность источника Dc, дБ	Dc	DΩ + Di	**3**	3	3	3	3	3	3	3	3		
Затухание из-за геометрической дивергенции, Adiv, дБ	расстояние = 2227.95 м	ф-ла (7) [10]	**78**										
Коэффициент затухания звука в атмосфере α, дБ/км	Ta=20,°C Pa=101.33,кПа hотн.=70%	ф-ла (5) [9]	0,02	0,09	0,33	1,12	2,79	4,98	9,04	23,09	77,63		
Учет затухания звука в атмосфере Aatm, дБ		ф-ла (8) [10]	0,1	0,2	0,7	2,5	6,2	11,1	20,1	51,4	173		
Снижение уровня звукового давления из-за влияния застройки между источником шума и расчетной точкой													
Снижение уровня звукового давления на пути над экраном, Dz1, дБ	z = 0.23м (разность путей)	ф-лы (14-18) [10]	4,8	4,8	4,8	4,8	4,8	4,8	4,8	4,8	4,8		
Снижение уровня звукового давления на пути слева от экрана, Dz2, дБ	z = 11.53м (разность путей)	ф-лы (14-18) [10]	20,5	23,9	27	30,1	33,1	36,1	39,1	42,1	45,1		
Снижение уровня звукового давления на пути справа от экрана, Dz3, дБ	z = 45.99м (разность путей)	ф-лы (14-18) [10]	26,6	30	33	36,1	39,1	42,1	45,1	48,1	51,1		
Общее снижение уровня звука препятствием Dz, дБ		Эн.сумма(-Dzi)	4,6	4,7	4,7	4,8	4,8	4,8	4,8	4,8	4,8		
Уровни звукового давления прямого звука от источника ИШ-4-2 в расчётной точке днём, дБ		**ф-ла(3)[10]**	**0**	**10,4**	**11,2**	**10,8**	**7,4**	**2,1**	**0**	**0**	**0**	**7,9**	**7,9**
Уровни звукового давления прямого звука от источника ИШ-4-2 в расчётной точке ночью, дБ		**ф-ла(3)[10]**	**0**	**10,4**	**11,2**	**10,8**	**7,4**	**2,1**	**0**	**0**	**0**	**7,9**	**7,9**
Расчёт отражённого звука													
Уровни звукового давления от мнимого источника ИШ-4-2_мн.(1) в расчётной точке днём, дБ		**ф-ла(3)[10]**	**0**	**0**	**0**	**9,6**	**6,1**	**0,6**	**0**	**0**	**0**	**6,4**	**6,4**

1		2	3	4	5	6	7	8	9	10	11	12	13
Уровни звукового давления от мнимого источника ИШ-4-2_мн.(1) в расчётной точке ночью, дБ		**ф-ла(3)[10]**	**0**	**0**	**0**	**0**	**0**	**0**	**0**	**0**	**0**	**6,4**	**6,4**
Уровни звукового давления от источника ИШ-4-2 в расчётной точке днём, дБ		**ф-ла(3)[10]**	**0**	**10,4**	**11,2**	**13,2**	**9,8**	**4,4**	**0**	**0**	**0**	**10,2**	**10,2**
Уровни звукового давления от источника ИШ-4-2 в расчётной точке ночью, дБ		**ф-ла(3)[10]**	**0**	**10,4**	**11,2**	**13,2**	**9,8**	**4,4**	**0**	**0**	**0**	**10,2**	**10,2**
Источник шума: ИШ-4-3, координаты источника (x,y,z), м =[152.61,172.66,1.00]													
Уровни звуковой мощности источника днём, Lw, дБ		**исходные данные**	**0**	**90,3**	**91,7**	**93**	**93,3**	**92,9**	**89,6**	**85,4**	**80,9**		
Уровни звуковой мощности источника ночью, Lw, дБ		**исходные данные**	**0**	**90,3**	**91,7**	**93**	**93,3**	**92,9**	**89,6**	**85,4**	**80,9**		
Поправка на телесный угол DΩ, дБ	Ω = 6.28	10Lg(4π/Ω)	**3**	3	3	3	3	3	3	3	3		
Показатель направленности источника Di, дБ		исходные данные	**0**	0	0	0	0	0	0	0	0		
Поправка на направленность источника Dc, дБ	Dc	DΩ + Di	**3**	3	3	3	3	3	3	3	3		
Затухание из-за геометрической дивергенции, Adiv, дБ	расстояние = 2210.32 м	ф-ла (7) [10]	**77,9**										
Коэффициент затухания звука в атмосфере α, дБ/км	Ta=20,°C Pa=101.33,кПа hотн.=70%	ф-ла (5) [9]	0,02	0,09	0,33	1,12	2,79	4,98	9,04	23,09	77,63		
Учет затухания звука в атмосфере Aatm, дБ		ф-ла (8) [10]	0,1	0,2	0,7	2,5	6,2	11	20	51	171,6		
Снижение уровня звукового давления из-за влияния застройки между источником шума и расчетной точкой													
Снижение уровня звукового давления на пути над экраном, Dz1, дБ	z = 0.26м (разность путей)	ф-лы (14-18) [10]	4,8	4,8	4,8	4,8	4,8	4,8	4,8	4,8	4,8		
Снижение уровня звукового давления на пути слева от экрана, Dz2, дБ	z = 9.32м (разность путей)	ф-лы (14-18) [10]	15,7	18,6	21,5	24,4	27,4	30,4	33,4	36,4	39,4		
Снижение уровня звукового давления на пути справа от экрана, Dz3, дБ	z = 42.23м (разность путей)	ф-лы (14-18) [10]	26,2	29,6	32,7	35,7	38,7	41,7	44,7	47,8	50,8		

1		2	3	4	5	6	7	8	9	10	11	12	13
Общее снижение уровня звука препятствием Dz, дБ		Эн.сумма(-Dzi)	4,4	4,6	4,7	4,7	4,7	4,8	4,8	4,8	4,8		
Уровни звукового давления прямого звука от источника ИШ-4-3 в расчётной точке днём, дБ		**ф-ла(3)[10]**	**0**	**10,6**	**11,4**	**10,9**	**7,5**	**2,2**	**0**	**0**	**0**	**8,1**	**8,1**
Уровни звукового давления прямого звука от источника ИШ-4-3 в расчётной точке ночью, дБ		**ф-ла(3)[10]**	**0**	**10,6**	**11,4**	**10,9**	**7,5**	**2,2**	**0**	**0**	**0**	**8,1**	**8,1**
Расчёт отражённого звука													
Уровни звукового давления от мнимого источника ИШ-4-3_мн.(1) в расчётной точке днём, дБ		**ф-ла(3)[10]**	**0**	**0**	**0**	**0**	**0**	**0,1**	**0**	**0**	**0**	**0,1**	**0,1**
Уровни звукового давления от мнимого источника ИШ-4-3_мн.(1) в расчётной точке ночью, дБ		**ф-ла(3)[10]**	**0**	**0**	**0**	**0**	**0**	**0**	**0**	**0**	**0**	**0,1**	**0,1**
Уровни звукового давления от источника ИШ-4-3 в расчётной точке днём, дБ		**ф-ла(3)[10]**	**0**	**10,6**	**11,4**	**10,9**	**7,5**	**4,3**	**0**	**0**	**0**	**8,7**	**8,7**
Уровни звукового давления от источника ИШ-4-3 в расчётной точке ночью, дБ		**ф-ла(3)[10]**	**0**	**10,6**	**11,4**	**10,9**	**7,5**	**4,3**	**0**	**0**	**0**	**8,7**	**8,7**
Источник шума: ИШ-4-4, координаты источника (x,y,z), м =[156.83,171.25,1.00]													
Уровни звуковой мощности источника днём, Lw, дБ		**исходные данные**	**0**	**90,3**	**91,7**	**93**	**93,3**	**92,9**	**89,6**	**85,4**	**80,9**		
Уровни звуковой мощности источника ночью, Lw, дБ		**исходные данные**	**0**	**90,3**	**91,7**	**93**	**93,3**	**92,9**	**89,6**	**85,4**	**80,9**		
Поправка на телесный угол DΩ, дБ	Ω = 6.28	10Lg(4π/Ω)	**3**	3	3	3	3	3	3	3	3		
Показатель направленности источника Di, дБ		исходные данные	**0**	0	0	0	0	0	0	0	0		
Поправка на направленность источника Dc, дБ	Dc	DΩ + Di	**3**	3	3	3	3	3	3	3	3		
Затухание из-за геометрической дивергенции, Adiv, дБ	расстояние = 2206.27 м	ф-ла (7) [10]	**77,9**										
Коэффициент затухания звука в атмосфере α, дБ/км	Ta=20,°C Pa=101.33,кПа hотн.=70%	ф-ла (5) [9]	0,02	0,09	0,33	1,12	2,79	4,98	9,04	23,09	77,63		

1		2	3	4	5	6	7	8	9	10	11	12	13
Учет затухания звука в атмосфере Aatm, дБ		ф-ла (8) [10]	0	0,2	0,7	2,5	6,2	11	19,9	50,9	171,3		
Снижение уровня звукового давления из-за влияния застройки между источником шума и расчетной точкой													
Снижение уровня звукового давления на пути над экраном, Dz1, дБ	z = 0.27м (разность путей)	ф-лы (14-18) [10]	4,8	4,8	4,8	4,8	4,8	4,8	4,8	4,8	4,8		
Снижение уровня звукового давления на пути слева от экрана, Dz2, дБ	z = 10.03м (разность путей)	ф-лы (14-18) [10]	16	18,9	21,8	24,7	27,7	30,7	33,7	36,7	39,8		
Снижение уровня звукового давления на пути справа от экрана, Dz3, дБ	z = 41.85м (разность путей)	ф-лы (14-18) [10]	26,2	29,5	32,6	35,7	38,7	41,7	44,7	47,7	50,7		
Общее снижение уровня звука препятствием Dz, дБ		Эн.сумма(-Dzi)	4,4	4,6	4,7	4,7	4,7	4,8	4,8	4,8	4,8		
Уровни звукового давления прямого звука от источника ИШ-4-4 в расчётной точке днём, дБ		**ф-ла(3)[10]**	**0**	**10,6**	**11,4**	**10,9**	**7,5**	**2,3**	**0**	**0**	**0**	**8,1**	**8,1**
Уровни звукового давления прямого звука от источника ИШ-4-4 в расчётной точке ночью, дБ		**ф-ла(3)[10]**	**0**	**10,6**	**11,4**	**10,9**	**7,5**	**2,3**	**0**	**0**	**0**	**8,1**	**8,1**
Расчёт отражённого звука													
Уровни звукового давления от мнимого источника ИШ-4-4_мн.(1) в расчётной точке днём, дБ		**ф-ла(3)[10]**	**0**	**0**	**0**	**0**	**0**	**0,1**	**0**	**0**	**0**	**0,1**	**0,1**
Уровни звукового давления от мнимого источника ИШ-4-4_мн.(1) в расчётной точке ночью, дБ		**ф-ла(3)[10]**	**0**	**0**	**0**	**0**	**0**	**0**	**0**	**0**	**0**	**0,1**	**0,1**
Уровни звукового давления от источника ИШ-4-4 в расчётной точке днём, дБ		**ф-ла(3)[10]**	**0**	**10,6**	**11,4**	**10,9**	**7,5**	**4,3**	**0**	**0**	**0**	**8,7**	**8,7**
Уровни звукового давления от источника ИШ-4-4 в расчётной точке ночью, дБ		**ф-ла(3)[10]**	**0**	**10,6**	**11,4**	**10,9**	**7,5**	**4,3**	**0**	**0**	**0**	**8,7**	**8,7**
Источник шума: ИШ-4-5, координаты источника (x,y,z), м =[126.48,222.66,11.00]													
Уровни звуковой мощности источника днём, Lw, дБ		**исходные данные**	**0**	**90,3**	**91,7**	**93**	**93,3**	**92,9**	**89,6**	**85,4**	**80,9**		
Уровни звуковой мощности источника ночью, Lw, дБ		**исходные данные**	**0**	**90,3**	**91,7**	**93**	**93,3**	**92,9**	**89,6**	**85,4**	**80,9**		
Поправка на телесный угол DΩ, дБ	Ω = 6.28	10Lg(4π/Ω)	**3**	3	3	3	3	3	3	3	3		

1		2	3	4	5	6	7	8	9	10	11	12	13
Показатель направленности источника Di, дБ		исходные данные	**0**	0	0	0	0	0	0	0	0		
Поправка на направленность источника Dc, дБ	Dc	DΩ + Di	**3**	3	3	3	3	3	3	3	3		
Затухание из-за геометрической дивергенции, Adiv, дБ	расстояние = 2231.87 м	ф-ла (7) [10]	**78**										
Коэффициент затухания звука в атмосфере α, дБ/км	Ta=20,°C Pa=101.33,кПа hотн.=70%	ф-ла (5) [9]	0,02	0,09	0,33	1,12	2,79	4,98	9,04	23,09	77,63		
Учет затухания звука в атмосфере Aatm, дБ		ф-ла (8) [10]	0,1	0,2	0,7	2,5	6,2	11,1	20,2	51,5	173,3		
Снижение поверхностью земли возле источника As, дБ	Gs = 0 hs = 1м	ф-лы таб.3 [10]	-1,5	-1,5	-1,5	-1,5	-1,5	-1,5	-1,5	-1,5	-1,5		
Снижение поверхностью земли возле приёмника Ar, дБ	Gr = 1 hr = 1.5м	ф-лы таб.3 [10]	-1,5	-1,5	5,3	7	5	0,7	0	0	0		
Снижение поверхностью земли в средней зоне, Am дБ	Gm = 1	ф-лы таб.3 [10]	-2,9	-2,9	0	0	0	0	0	0	0		
Суммарное снижение поверхностью земли на траектории распространения звука Agr, дБ		ф-ла (9) [10]	-5,9	-5,9	3,8	5,5	3,5	-0,8	-1,5	-1,5	-1,5		
Уровни звукового давления от источника ИШ-4-5 в расчётной точке днём, дБ		**ф-ла(3)[10]**	**0**	**21**	**12,1**	**10**	**8,6**	**7,6**	**0**	**0**	**0**	**10,6**	**10,6**
Уровни звукового давления от источника ИШ-4-5 в расчётной точке ночью, дБ		**ф-ла(3)[10]**	**0**	**21**	**12,1**	**10**	**8,6**	**7,6**	**0**	**0**	**0**	**10,6**	**10,6**
Источник шума: ИШ-4-6, координаты источника (x,y,z), м =[125.17,218.57,11.00]													
Уровни звуковой мощности источника днём, Lw, дБ		**исходные данные**	**0**	**90,3**	**91,7**	**93**	**93,3**	**92,9**	**89,6**	**85,4**	**80,9**		
Уровни звуковой мощности источника ночью, Lw, дБ		**исходные данные**	**0**	**90,3**	**91,7**	**93**	**93,3**	**92,9**	**89,6**	**85,4**	**80,9**		
Поправка на телесный угол DΩ, дБ	Ω = 6.28	10Lg(4π/Ω)	**3**	3	3	3	3	3	3	3	3		
Показатель направленности источника Di, дБ		исходные данные	**0**	0	0	0	0	0	0	0	0		

1		2	3	4	5	6	7	8	9	10	11	12	13
Поправка на направленность источника Dc, дБ	Dc	DΩ + Di	**3**	3	3	3	3	3	3	3	3		
Затухание из-за геометрической дивергенции, Adiv, дБ	расстояние = 2233.50 м	ф-ла (7) [10]	**78**										
Коэффициент затухания звука в атмосфере α, дБ/км	Ta=20,°C Pa=101.33,кПа hотн.=70%	ф-ла (5) [9]	0,02	0,09	0,33	1,12	2,79	4,98	9,04	23,09	77,63		
Учет затухания звука в атмосфере Aatm, дБ		ф-ла (8) [10]	0,1	0,2	0,7	2,5	6,2	11,1	20,2	51,6	173,4		
Снижение поверхностью земли возле источника As, дБ	Gs = 0 hs = 1м	ф-лы таб.3 [10]	-1,5	-1,5	-1,5	-1,5	-1,5	-1,5	-1,5	-1,5	-1,5		
Снижение поверхностью земли возле приёмника Ar, дБ	Gr = 1 hr = 1.5м	ф-лы таб.3 [10]	-1,5	-1,5	5,3	7	5	0,7	0	0	0		
Снижение поверхностью земли в средней зоне, Am дБ	Gm = 1	ф-лы таб.3 [10]	-2,9	-2,9	0	0	0	0	0	0	0		
Суммарное снижение поверхностью земли на траектории распространения звука Agr, дБ		ф-ла (9) [10]	-5,9	-5,9	3,8	5,5	3,5	-0,8	-1,5	-1,5	-1,5		
Уровни звукового давления от источника ИШ-4-6 в расчётной точке днём, дБ		**ф-ла(3)[10]**	**0**	**21**	**12,1**	**10**	**8,6**	**7,6**	**0**	**0**	**0**	**10,5**	**10,5**
Уровни звукового давления от источника ИШ-4-6 в расчётной точке ночью, дБ		**ф-ла(3)[10]**	**0**	**21**	**12,1**	**10**	**8,6**	**7,6**	**0**	**0**	**0**	**10,5**	**10,5**
Источник шума: ИШ-4-7, координаты источника (x,y,z), м =[177.91,257.92,11.00]													
Уровни звуковой мощности источника днём, Lw, дБ		**исходные данные**	**0**	**90,3**	**91,7**	**93**	**93,3**	**92,9**	**89,6**	**85,4**	**80,9**		
Уровни звуковой мощности источника ночью, Lw, дБ		**исходные данные**	**0**	**90,3**	**91,7**	**93**	**93,3**	**92,9**	**89,6**	**85,4**	**80,9**		
Поправка на телесный угол DΩ, дБ	Ω = 6.28	10Lg(4π/Ω)	**3**	3	3	3	3	3	3	3	3		
Показатель направленности источника Di, дБ		исходные данные	**0**	0	0	0	0	0	0	0	0		
Поправка на направленность источника Dc, дБ	Dc	DΩ + Di	**3**	3	3	3	3	3	3	3	3		

1		2	3	4	5	6	7	8	9	10	11	12	13
Затухание из-за геометрической дивергенции, Adiv, дБ	расстояние = 2178.06 м	ф-ла (7) [10]	**77,8**										
Коэффициент затухания звука в атмосфере α, дБ/км	Ta=20,°C Pa=101.33,кПа hотн.=70%	ф-ла (5) [9]	0,02	0,09	0,33	1,12	2,79	4,98	9,04	23,09	77,63		
Учет затухания звука в атмосфере Aatm, дБ		ф-ла (8) [10]	0	0,2	0,7	2,4	6,1	10,8	19,7	50,3	169,1		
Снижение поверхностью земли возле источника As, дБ	Gs = 0 hs = 3м	ф-лы таб.3 [10]	-1,5	-1,5	-1,5	-1,5	-1,5	-1,5	-1,5	-1,5	-1,5		
Снижение поверхностью земли возле приёмника Ar, дБ	Gr = 1 hr = 1.5м	ф-лы таб.3 [10]	-1,5	-1,5	5,3	7	5	0,7	0	0	0		
Снижение поверхностью земли в средней зоне, Am дБ	Gm = 1	ф-лы таб.3 [10]	-2,8	-2,8	0	0	0	0	0	0	0		
Суммарное снижение поверхностью земли на траектории распространения звука Agr, дБ		ф-ла (9) [10]	-5,8	-5,8	3,8	5,5	3,5	-0,8	-1,5	-1,5	-1,5		
Уровни звукового давления от источника ИШ-4-7 в расчётной точке днём, дБ		**ф-ла(3)[10]**	**0**	**21,1**	**12,4**	**10,3**	**9**	**8,1**	**0**	**0**	**0**	**11**	**11**
Уровни звукового давления от источника ИШ-4-7 в расчётной точке ночью, дБ		**ф-ла(3)[10]**	**0**	**21,1**	**12,4**	**10,3**	**9**	**8,1**	**0**	**0**	**0**	**11**	**11**
Источник шума: ИШ-4-8, координаты источника (x,y,z), м =[178.24,257.77,13.00]													
Уровни звуковой мощности источника днём, Lw, дБ		**исходные данные**	**0**	**90,3**	**91,7**	**93**	**93,3**	**92,9**	**89,6**	**85,4**	**80,9**		
Уровни звуковой мощности источника ночью, Lw, дБ		**исходные данные**	**0**	**90,3**	**91,7**	**93**	**93,3**	**92,9**	**89,6**	**85,4**	**80,9**		
Поправка на телесный угол DΩ, дБ	Ω = 6.28	10Lg(4π/Ω)	**3**	3	3	3	3	3	3	3	3		
Показатель направленности источника Di, дБ		исходные данные	**0**	0	0	0	0	0	0	0	0		
Поправка на направленность источника Dc, дБ	Dc	DΩ + Di	**3**	3	3	3	3	3	3	3	3		
Затухание из-за геометрической дивергенции, Adiv, дБ	расстояние = 2177.74 м	ф-ла (7) [10]	**77,8**										

1		2	3	4	5	6	7	8	9	10	11	12	13
Коэффициент затухания звука в атмосфере α, дБ/км	Ta=20,°C Pa=101.33,кПа hотн.=70%	ф-ла (5) [9]	0,02	0,09	0,33	1,12	2,79	4,98	9,04	23,09	77,63		
Учет затухания звука в атмосфере Aatm, дБ		ф-ла (8) [10]	0	0,2	0,7	2,4	6,1	10,8	19,7	50,3	169,1		
Снижение поверхностью земли возле источника As, дБ	Gs = 0 hs = 5м	ф-лы таб.3 [10]	-1,5	-1,5	-1,5	-1,5	-1,5	-1,5	-1,5	-1,5	-1,5		
Снижение поверхностью земли возле приёмника Ar, дБ	Gr = 1 hr = 1.5м	ф-лы таб.3 [10]	-1,5	-1,5	5,3	7	5	0,7	0	0	0		
Снижение поверхностью земли в средней зоне, Am дБ	Gm = 1	ф-лы таб.3 [10]	-2,7	-2,7	0	0	0	0	0	0	0		
Суммарное снижение поверхностью земли на траектории распространения звука Agr, дБ		ф-ла (9) [10]	-5,7	-5,7	3,8	5,5	3,5	-0,8	-1,5	-1,5	-1,5		
Уровни звукового давления от источника ИШ-4-8 в расчётной точке днём, дБ		**ф-ла(3)[10]**	**0**	**21,1**	**12,4**	**10,3**	**9**	**8,1**	**0**	**0**	**0**	**11**	**11**
Уровни звукового давления от источника ИШ-4-8 в расчётной точке ночью, дБ		**ф-ла(3)[10]**	**0**	**21,1**	**12,4**	**10,3**	**9**	**8,1**	**0**	**0**	**0**	**11**	**11**
Источник шума: ИШ-4-9, координаты источника (x,y,z), м =[178.68,257.63,15.50]													
Уровни звуковой мощности источника днём, Lw, дБ		**исходные данные**	**0**	**90,3**	**91,7**	**93**	**93,3**	**92,9**	**89,6**	**85,4**	**80,9**		
Уровни звуковой мощности источника ночью, Lw, дБ		**исходные данные**	**0**	**90,3**	**91,7**	**93**	**93,3**	**92,9**	**89,6**	**85,4**	**80,9**		
Поправка на телесный угол DΩ, дБ	Ω = 6.28	10Lg(4π/Ω)	**3**	3	3	3	3	3	3	3	3		
Показатель направленности источника Di, дБ		исходные данные	**0**	0	0	0	0	0	0	0	0		
Поправка на направленность источника Dc, дБ	Dc	DΩ + Di	**3**	3	3	3	3	3	3	3	3		
Затухание из-за геометрической дивергенции, Adiv, дБ	расстояние = 2177.33 м	ф-ла (7) [10]	**77,8**										
Коэффициент затухания звука в атмосфере α, дБ/км	Ta=20,°C Pa=101.33,кПа hотн.=70%	ф-ла (5) [9]	0,02	0,09	0,33	1,12	2,79	4,98	9,04	23,09	77,63		

1		2	3	4	5	6	7	8	9	10	11	12	13
Учет затухания звука в атмосфере Aatm, дБ		ф-ла (8) [10]	0	0,2	0,7	2,4	6,1	10,8	19,7	50,3	169		
Снижение поверхностью земли возле источника As, дБ	Gs = 0 hs = 7.5м	ф-лы таб.3 [10]	-1,5	-1,5	-1,5	-1,5	-1,5	-1,5	-1,5	-1,5	-1,5		
Снижение поверхностью земли возле приёмника Ar, дБ	Gr = 1 hr = 1.5м	ф-лы таб.3 [10]	-1,5	-1,5	5,3	7	5	0,7	0	0	0		
Снижение поверхностью земли в средней зоне, Am дБ	Gm = 1	ф-лы таб.3 [10]	-2,6	-2,6	0	0	0	0	0	0	0		
Суммарное снижение поверхностью земли на траектории распространения звука Agr, дБ		ф-ла (9) [10]	-5,6	-5,6	3,8	5,5	3,5	-0,8	-1,5	-1,5	-1,5		
Уровни звукового давления от источника ИШ-4-9 в расчётной точке днём, дБ		**ф-ла(3)[10]**	**0**	**21**	**12,4**	**10,3**	**9**	**8,1**	**0**	**0**	**0**	**11**	**11**
Уровни звукового давления от источника ИШ-4-9 в расчётной точке ночью, дБ		**ф-ла(3)[10]**	**0**	**21**	**12,4**	**10,3**	**9**	**8,1**	**0**	**0**	**0**	**11**	**11**
Источник шума: ИШ-4-10, координаты источника (x,y,z), м =[185.65,255.31,11.00]													
Уровни звуковой мощности источника днём, Lw, дБ		**исходные данные**	**0**	**90,3**	**91,7**	**93**	**93,3**	**92,9**	**89,6**	**85,4**	**80,9**		
Уровни звуковой мощности источника ночью, Lw, дБ		**исходные данные**	**0**	**90,3**	**91,7**	**93**	**93,3**	**92,9**	**89,6**	**85,4**	**80,9**		
Поправка на телесный угол DΩ, дБ	Ω = 6.28	10Lg(4π/Ω)	**3**	3	3	3	3	3	3	3	3		
Показатель направленности источника Di, дБ		исходные данные	**0**	0	0	0	0	0	0	0	0		
Поправка на направленность источника Dc, дБ	Dc	DΩ + Di	**3**	3	3	3	3	3	3	3	3		
Затухание из-за геометрической дивергенции, Adiv, дБ	расстояние = 2170.50 м	ф-ла (7) [10]	**77,7**										
Коэффициент затухания звука в атмосфере α, дБ/км	Ta=20,°C Pa=101.33,кПа hотн.=70%	ф-ла (5) [9]	0,02	0,09	0,33	1,12	2,79	4,98	9,04	23,09	77,63		
Учет затухания звука в атмосфере Aatm, дБ		ф-ла (8) [10]	0	0,2	0,7	2,4	6,1	10,8	19,6	50,1	168,5		

1		2	3	4	5	6	7	8	9	10	11	12	13
Снижение поверхностью земли возле источника As, дБ	Gs = 0 hs = 3м	ф-лы таб.3 [10]	-1,5	-1,5	-1,5	-1,5	-1,5	-1,5	-1,5	-1,5	-1,5		
Снижение поверхностью земли возле приёмника Ar, дБ	Gr = 1 hr = 1.5м	ф-лы таб.3 [10]	-1,5	-1,5	5,3	7	5	0,7	0	0	0		
Снижение поверхностью земли в средней зоне, Am дБ	Gm = 1	ф-лы таб.3 [10]	-2,8	-2,8	0	0	0	0	0	0	0		
Суммарное снижение поверхностью земли на траектории распространения звука Agr, дБ		ф-ла (9) [10]	-5,8	-5,8	3,8	5,5	3,5	-0,8	-1,5	-1,5	-1,5		
Уровни звукового давления прямого звука от источника ИШ-4-10 в расчётной точке днём, дБ		**ф-ла(3)[10]**	**0**	**21,2**	**12,4**	**10,3**	**9**	**8,2**	**0**	**0**	**0**	**11**	**11**
Уровни звукового давления прямого звука от источника ИШ-4-10 в расчётной точке ночью, дБ		**ф-ла(3)[10]**	**0**	**21,2**	**12,4**	**10,3**	**9**	**8,2**	**0**	**0**	**0**	**11**	**11**
Расчёт отражённого звука													
Уровни звукового давления от мнимого источника ИШ-4-10_мн.(1) в расчётной точке днём, дБ		**ф-ла(3)[10]**	**0**	**0**	**0**	**0**	**0**	**0**	**0**	**0**	**0**	**0**	**0**
Уровни звукового давления от мнимого источника ИШ-4-10_мн.(1) в расчётной точке ночью, дБ		**ф-ла(3)[10]**	**0**	**0**	**0**	**0**	**0**	**0**	**0**	**0**	**0**	**0**	**0**
Уровни звукового давления от источника ИШ-4-10 в расчётной точке днём, дБ		**ф-ла(3)[10]**	**0**	**21,2**	**12,4**	**10,3**	**9**	**8,2**	**0**	**0**	**0**	**11**	**11**
Уровни звукового давления от источника ИШ-4-10 в расчётной точке ночью, дБ		**ф-ла(3)[10]**	**0**	**21,2**	**12,4**	**10,3**	**9**	**8,2**	**0**	**0**	**0**	**11**	**11**
Источник шума: ИШ-4-11, координаты источника (x,y,z), м =[185.89,255.16,13.00]													
Уровни звуковой мощности источника днём, Lw, дБ		**исходные данные**	**0**	**90,3**	**91,7**	**93**	**93,3**	**92,9**	**89,6**	**85,4**	**80,9**		
Уровни звуковой мощности источника ночью, Lw, дБ		**исходные данные**	**0**	**90,3**	**91,7**	**93**	**93,3**	**92,9**	**89,6**	**85,4**	**80,9**		
Поправка на телесный угол DΩ, дБ	Ω = 6.28	10Lg(4π/Ω)	**3**	3	3	3	3	3	3	3	3		
Показатель направленности источника Di, дБ		исходные данные	**0**	0	0	0	0	0	0	0	0		
Поправка на направленность источника Dc, дБ	Dc	DΩ + Di	**3**	3	3	3	3	3	3	3	3		

1		2	3	4	5	6	7	8	9	10	11	12	13
Затухание из-за геометрической дивергенции, Adiv, дБ	расстояние = 2170.28 м	ф-ла (7) [10]	**77,7**										
Коэффициент затухания звука в атмосфере α, дБ/км	Ta=20,°C Pa=101.33,кПа hотн.=70%	ф-ла (5) [9]	0,02	0,09	0,33	1,12	2,79	4,98	9,04	23,09	77,63		
Учет затухания звука в атмосфере Aatm, дБ		ф-ла (8) [10]	0	0,2	0,7	2,4	6,1	10,8	19,6	50,1	168,5		
Снижение поверхностью земли возле источника As, дБ	Gs = 0 hs = 5м	ф-лы таб.3 [10]	-1,5	-1,5	-1,5	-1,5	-1,5	-1,5	-1,5	-1,5	-1,5		
Снижение поверхностью земли возле приёмника Ar, дБ	Gr = 1 hr = 1.5м	ф-лы таб.3 [10]	-1,5	-1,5	5,3	7	5	0,7	0	0	0		
Снижение поверхностью земли в средней зоне, Am дБ	Gm = 1	ф-лы таб.3 [10]	-2,7	-2,7	0	0	0	0	0	0	0		
Суммарное снижение поверхностью земли на траектории распространения звука Agr, дБ		ф-ла (9) [10]	-5,7	-5,7	3,8	5,5	3,5	-0,8	-1,5	-1,5	-1,5		
Уровни звукового давления от источника ИШ-4-11 в расчётной точке днём, дБ		**ф-ла(3)[10]**	**0**	**21,1**	**12,4**	**10,3**	**9**	**8,2**	**0**	**0**	**0**	**11**	**11**
Уровни звукового давления от источника ИШ-4-11 в расчётной точке ночью, дБ		**ф-ла(3)[10]**	**0**	**21,1**	**12,4**	**10,3**	**9**	**8,2**	**0**	**0**	**0**	**11**	**11**
Источник шума: ИШ-4-12, координаты источника (x,y,z), м =[186.18,255.02,15.50]													
Уровни звуковой мощности источника днём, Lw, дБ		**исходные данные**	**0**	**90,3**	**91,7**	**93**	**93,3**	**92,9**	**89,6**	**85,4**	**80,9**		
Уровни звуковой мощности источника ночью, Lw, дБ		**исходные данные**	**0**	**90,3**	**91,7**	**93**	**93,3**	**92,9**	**89,6**	**85,4**	**80,9**		
Поправка на телесный угол DΩ, дБ	Ω = 6.28	10Lg(4π/Ω)	**3**	3	3	3	3	3	3	3	3		
Показатель направленности источника Di, дБ		исходные данные	**0**	0	0	0	0	0	0	0	0		
Поправка на направленность источника Dc, дБ	Dc	DΩ + Di	**3**	3	3	3	3	3	3	3	3		
Затухание из-за геометрической дивергенции, Adiv, дБ	расстояние = 2170.02 м	ф-ла (7) [10]	**77,7**										

1		2	3	4	5	6	7	8	9	10	11	12	13
Коэффициент затухания звука в атмосфере α, дБ/км	Ta=20,°C Pa=101.33,кПа hотн.=70%	ф-ла (5) [9]	0,02	0,09	0,33	1,12	2,79	4,98	9,04	23,09	77,63		
Учет затухания звука в атмосфере Aatm, дБ		ф-ла (8) [10]	0	0,2	0,7	2,4	6,1	10,8	19,6	50,1	168,5		
Снижение поверхностью земли возле источника As, дБ	Gs = 0 hs = 7.5м	ф-лы таб.3 [10]	-1,5	-1,5	-1,5	-1,5	-1,5	-1,5	-1,5	-1,5	-1,5		
Снижение поверхностью земли возле приёмника Ar, дБ	Gr = 1 hr = 1.5м	ф-лы таб.3 [10]	-1,5	-1,5	5,3	7	5	0,7	0	0	0		
Снижение поверхностью земли в средней зоне, Am дБ	Gm = 1	ф-лы таб.3 [10]	-2,6	-2,6	0	0	0	0	0	0	0		
Суммарное снижение поверхностью земли на траектории распространения звука Agr, дБ		ф-ла (9) [10]	-5,6	-5,6	3,8	5,5	3,5	-0,8	-1,5	-1,5	-1,5		
Уровни звукового давления от источника ИШ-4-12 в расчётной точке днём, дБ		**ф-ла(3)[10]**	**0**	**21**	**12,4**	**10,3**	**9**	**8,2**	**0**	**0**	**0**	**11**	**11**
Уровни звукового давления от источника ИШ-4-12 в расчётной точке ночью, дБ		**ф-ла(3)[10]**	**0**	**21**	**12,4**	**10,3**	**9**	**8,2**	**0**	**0**	**0**	**11**	**11**
Источник шума: ИШ-4-13, координаты источника (x,y,z), м =[94.56,229.10,1.00]													
Уровни звуковой мощности источника днём, Lw, дБ		**исходные данные**	**0**	**81,3**	**82,7**	**84**	**84,3**	**83,9**	**80,6**	**76,4**	**71,9**		
Уровни звуковой мощности источника ночью, Lw, дБ		**исходные данные**	**0**	**81,3**	**82,7**	**84**	**84,3**	**83,9**	**80,6**	**76,4**	**71,9**		
Поправка на телесный угол DΩ, дБ	Ω = 6.28	10Lg(4π/Ω)	**3**	3	3	3	3	3	3	3	3		
Показатель направленности источника Di, дБ		исходные данные	**0**	0	0	0	0	0	0	0	0		
Поправка на направленность источника Dc, дБ	Dc	DΩ + Di	**3**	3	3	3	3	3	3	3	3		
Затухание из-за геометрической дивергенции, Adiv, дБ	расстояние = 2263.18 м	ф-ла (7) [10]	**78,1**										
Коэффициент затухания звука в атмосфере α, дБ/км	Ta=20,°C Pa=101.33,кПа hотн.=70%	ф-ла (5) [9]	0,02	0,09	0,33	1,12	2,79	4,98	9,04	23,09	77,63		

1		2	3	4	5	6	7	8	9	10	11	12	13
Учет затухания звука в атмосфере Aatm, дБ		ф-ла (8) [10]	0,1	0,2	0,8	2,5	6,3	11,3	20,5	52,2	175,7		
Снижение уровня звукового давления из-за влияния застройки между источником шума и расчетной точкой													
Снижение уровня звукового давления на пути над экраном, Dz1, дБ	z = 4.65м (разность путей)	ф-лы (14-18) [10]	12,5	15,4	18,2	21,2	24,1	27,1	30,1	33,1	36,1		
Снижение уровня звукового давления на пути слева от экрана, Dz2, дБ	z = 37.09м (разность путей)	ф-лы (14-18) [10]	25,5	29	32,1	35,1	38,2	41,2	44,2	47,2	50,2		
Снижение уровня звукового давления на пути справа от экрана, Dz3, дБ	z = 91.91м (разность путей)	ф-лы (14-18) [10]	30	33,1	36,1	39,1	42,1	45,1	48,1	51,1	54,1		
Общее снижение уровня звука препятствием Dz, дБ		Эн.сумма(-Dzi)	12,2	15,1	18	20,9	23,9	26,9	29,9	32,9	35,9		
Общее снижение уровня звука препятствием с учётом ограничения (25 дБ) для октавных полос Dz, дБ		Раздел 7.4 [10]	12,2	15,1	18	20,9	23,9	25	25	25	25		
Уровни звукового давления от источника ИШ-4-13 в расчётной точке днём, дБ		**ф-ла(3)[10]**	**0**	**0**	**0**	**0**	**0**	**0**	**0**	**0**	**0**	**0**	**0**
Уровни звукового давления от источника ИШ-4-13 в расчётной точке ночью, дБ		**ф-ла(3)[10]**	**0**	**0**	**0**	**0**	**0**	**0**	**0**	**0**	**0**	**0**	**0**
Источник шума: ИШ-4-14, координаты источника (x,y,z), м =[91.88,221.30,1.00]													
Уровни звуковой мощности источника днём, Lw, дБ		**исходные данные**	**0**	**81,3**	**82,7**	**84**	**84,3**	**83,9**	**80,6**	**76,4**	**71,9**		
Уровни звуковой мощности источника ночью, Lw, дБ		**исходные данные**	**0**	**81,3**	**82,7**	**84**	**84,3**	**83,9**	**80,6**	**76,4**	**71,9**		
Поправка на телесный угол DΩ, дБ	Ω = 6.28	10Lg(4π/Ω)	**3**	3	3	3	3	3	3	3	3		
Показатель направленности источника Di, дБ		исходные данные	**0**	0	0	0	0	0	0	0	0		
Поправка на направленность источника Dc, дБ	Dc	DΩ + Di	**3**	3	3	3	3	3	3	3	3		
Затухание из-за геометрической дивергенции, Adiv, дБ	расстояние = 2266.44 м	ф-ла (7) [10]	**78,1**										

1		2	3	4	5	6	7	8	9	10	11	12	13
Коэффициент затухания звука в атмосфере α, дБ/км	Та=20,°С Ра=101.33,кПа hотн.=70%	ф-ла (5) [9]	0,02	0,09	0,33	1,12	2,79	4,98	9,04	23,09	77,63		
Учет затухания звука в атмосфере Aatm, дБ		ф-ла (8) [10]	0,1	0,2	0,8	2,5	6,3	11,3	20,5	52,3	176		
Снижение уровня звукового давления из-за влияния застройки между источником шума и расчетной точкой													
Снижение уровня звукового давления на пути над экраном, Dz1, дБ	z = 4.62м (разность путей)	ф-лы (14-18) [10]	12,5	15,4	18,2	21,1	24,1	27,1	30,1	33,1	36,1		
Снижение уровня звукового давления на пути слева от экрана, Dz2, дБ	z = 42.04м (разность путей)	ф-лы (14-18) [10]	26	29,5	32,6	35,7	38,7	41,7	44,7	47,7	50,7		
Снижение уровня звукового давления на пути справа от экрана, Dz3, дБ	z = 80.56м (разность путей)	ф-лы (14-18) [10]	29,4	32,5	35,5	38,5	41,5	44,5	47,5	50,6	53,6		
Общее снижение уровня звука препятствием Dz, дБ		Эн.сумма(-Dzi)	12,2	15,1	18	20,9	23,9	26,9	29,9	32,9	35,9		
Общее снижение уровня звука препятствием с учётом ограничения (25 дБ) для октавных полос Dz, дБ		Раздел 7.4 [10]	12,2	15,1	18	20,9	23,9	25	25	25	25		
Уровни звукового давления от источника ИШ-4-14 в расчётной точке днём, дБ		**ф-ла(3)[10]**	**0**	**0**	**0**	**0**	**0**	**0**	**0**	**0**	**0**	**0**	**0**
Уровни звукового давления от источника ИШ-4-14 в расчётной точке ночью, дБ		**ф-ла(3)[10]**	**0**	**0**	**0**	**0**	**0**	**0**	**0**	**0**	**0**	**0**	**0**
Источник шума: ИШ-5-1, координаты источника (x,y,z), м =[626.70,162.36,1.00]													
Уровни звуковой мощности источника днём, Lw, дБ		**исходные данные**	**0**	**93,3**	**94,7**	**96**	**96,3**	**95,9**	**92,6**	**88,4**	**83,9**		
Уровни звуковой мощности источника ночью, Lw, дБ		**исходные данные**	**0**	**93,3**	**94,7**	**96**	**96,3**	**95,9**	**92,6**	**88,4**	**83,9**		
Поправка на телесный угол DΩ, дБ	Ω = 6.28	10Lg($4\pi/\Omega$)	**3**	3	3	3	3	3	3	3	3		
Показатель направленности источника Di, дБ		исходные данные	**0**	0	0	0	0	0	0	0	0		
Поправка на направленность источника Dc, дБ	Dc	DΩ + Di	**3**	3	3	3	3	3	3	3	3		

1		2	3	4	5	6	7	8	9	10	11	12	13
Затухание из-за геометрической дивергенции, Adiv, дБ	расстояние = 1740.72 м	ф-ла (7) [10]	**75,8**										
Коэффициент затухания звука в атмосфере α, дБ/км	Ta=20,°C Pa=101.33,кПа hотн.=70%	ф-ла (5) [9]	0,02	0,09	0,33	1,12	2,79	4,98	9,04	23,09	77,63		
Учет затухания звука в атмосфере Aatm, дБ		ф-ла (8) [10]	0	0,2	0,6	2	4,9	8,7	15,7	40,2	135,1		
Снижение поверхностью земли возле источника As, дБ	Gs = 0 hs = 1м	ф-лы таб.3 [10]	-1,5	-1,5	-1,5	-1,5	-1,5	-1,5	-1,5	-1,5	-1,5		
Снижение поверхностью земли возле приёмника Ar, дБ	Gr = 1 hr = 1.5м	ф-лы таб.3 [10]	-1,5	-1,5	5,3	7	5	0,7	0	0	0		
Снижение поверхностью земли в средней зоне, Am дБ	Gm = 1	ф-лы таб.3 [10]	-2,9	-2,9	0	0	0	0	0	0	0		
Суммарное снижение поверхностью земли на траектории распространения звука Agr, дБ		ф-ла (9) [10]	-5,9	-5,9	3,8	5,5	3,5	-0,8	-1,5	-1,5	-1,5		
Уровни звукового давления от источника ИШ-5-1 в расчётной точке днём, дБ		**ф-ла(3)[10]**	**0**	**26,2**	**17,5**	**15,7**	**15,1**	**15,3**	**5,5**	**0**	**0**	**17,9**	**17,9**
Уровни звукового давления от источника ИШ-5-1 в расчётной точке ночью, дБ		**ф-ла(3)[10]**	**0**	**26,2**	**17,5**	**15,7**	**15,1**	**15,3**	**5,5**	**0**	**0**	**17,9**	**17,9**
Источник шума: ИШ-5-2, координаты источника (x,y,z), м =[625.81,159.52,1.00]													
Уровни звуковой мощности источника днём, Lw, дБ		**исходные данные**	**0**	**93,3**	**94,7**	**96**	**96,3**	**95,9**	**92,6**	**88,4**	**83,9**		
Уровни звуковой мощности источника ночью, Lw, дБ		**исходные данные**	**0**	**93,3**	**94,7**	**96**	**96,3**	**95,9**	**92,6**	**88,4**	**83,9**		
Поправка на телесный угол DΩ, дБ	Ω = 6.28	10Lg(4π/Ω)	**3**	3	3	3	3	3	3	3	3		
Показатель направленности источника Di, дБ		исходные данные	**0**	0	0	0	0	0	0	0	0		
Поправка на направленность источника Dc, дБ	Dc	DΩ + Di	**3**	3	3	3	3	3	3	3	3		
Затухание из-за геометрической дивергенции, Adiv, дБ	расстояние = 1741.99 м	ф-ла (7) [10]	**75,8**										

1		2	3	4	5	6	7	8	9	10	11	12	13
Коэффициент затухания звука в атмосфере α, дБ/км	Ta=20,°C Pa=101.33,кПа hотн.=70%	ф-ла (5) [9]	0,02	0,09	0,33	1,12	2,79	4,98	9,04	23,09	77,63		
Учет затухания звука в атмосфере Aatm, дБ		ф-ла (8) [10]	0	0,2	0,6	2	4,9	8,7	15,7	40,2	135,2		
Снижение поверхностью земли возле источника As, дБ	Gs = 0 hs = 1м	ф-лы таб.3 [10]	-1,5	-1,5	-1,5	-1,5	-1,5	-1,5	-1,5	-1,5	-1,5		
Снижение поверхностью земли возле приёмника Ar, дБ	Gr = 1 hr = 1.5м	ф-лы таб.3 [10]	-1,5	-1,5	5,3	7	5	0,7	0	0	0		
Снижение поверхностью земли в средней зоне, Am дБ	Gm = 1	ф-лы таб.3 [10]	-2,9	-2,9	0	0	0	0	0	0	0		
Суммарное снижение поверхностью земли на траектории распространения звука Agr, дБ		ф-ла (9) [10]	-5,9	-5,9	3,8	5,5	3,5	-0,8	-1,5	-1,5	-1,5		
Уровни звукового давления от источника ИШ-5-2 в расчётной точке днём, дБ		**ф-ла(3)[10]**	**0**	**26,2**	**17,4**	**15,7**	**15,1**	**15,2**	**5,5**	**0**	**0**	**17,9**	**17,9**
Уровни звукового давления от источника ИШ-5-2 в расчётной точке ночью, дБ		**ф-ла(3)[10]**	**0**	**26,2**	**17,4**	**15,7**	**15,1**	**15,2**	**5,5**	**0**	**0**	**17,9**	**17,9**
Источник шума: ИШ-5-3, координаты источника (x,y,z), м =[624.84,156.69,1.00]													
Уровни звуковой мощности источника днём, Lw, дБ		**исходные данные**	**0**	**93,3**	**94,7**	**96**	**96,3**	**95,9**	**92,6**	**88,4**	**83,9**		
Уровни звуковой мощности источника ночью, Lw, дБ		**исходные данные**	**0**	**93,3**	**94,7**	**96**	**96,3**	**95,9**	**92,6**	**88,4**	**83,9**		
Поправка на телесный угол DΩ, дБ	Ω = 6.28	10Lg(4π/Ω)	**3**	3	3	3	3	3	3	3	3		
Показатель направленности источника Di, дБ		исходные данные	**0**	0	0	0	0	0	0	0	0		
Поправка на направленность источника Dc, дБ	Dc	DΩ + Di	**3**	3	3	3	3	3	3	3	3		
Затухание из-за геометрической дивергенции, Adiv, дБ	расстояние = 1743.34 м	ф-ла (7) [10]	**75,8**										
Коэффициент затухания звука в атмосфере α, дБ/км	Ta=20,°C Pa=101.33,кПа hотн.=70%	ф-ла (5) [9]	0,02	0,09	0,33	1,12	2,79	4,98	9,04	23,09	77,63		

1		2	3	4	5	6	7	8	9	10	11	12	13
Учет затухания звука в атмосфере Aatm, дБ		ф-ла (8) [10]	0	0,2	0,6	2	4,9	8,7	15,8	40,2	135,3		
Снижение поверхностью земли возле источника As, дБ	Gs = 0 hs = 1м	ф-лы таб.3 [10]	-1,5	-1,5	-1,5	-1,5	-1,5	-1,5	-1,5	-1,5	-1,5		
Снижение поверхностью земли возле приёмника Ar, дБ	Gr = 1 hr = 1.5м	ф-лы таб.3 [10]	-1,5	-1,5	5,3	7	5	0,7	0	0	0		
Снижение поверхностью земли в средней зоне, Am дБ	Gm = 1	ф-лы таб.3 [10]	-2,9	-2,9	0	0	0	0	0	0	0		
Суммарное снижение поверхностью земли на траектории распространения звука Agr, дБ		ф-ла (9) [10]	-5,9	-5,9	3,8	5,5	3,5	-0,8	-1,5	-1,5	-1,5		
Уровни звукового давления от источника ИШ-5-3 в расчётной точке днём, дБ		**ф-ла(3)[10]**	**0**	**26,2**	**17,4**	**15,7**	**15,1**	**15,2**	**5,5**	**0**	**0**	**17,9**	**17,9**
Уровни звукового давления от источника ИШ-5-3 в расчётной точке ночью, дБ		**ф-ла(3)[10]**	**0**	**26,2**	**17,4**	**15,7**	**15,1**	**15,2**	**5,5**	**0**	**0**	**17,9**	**17,9**
Источник шума: ИШ-6-1, координаты источника (x,y,z), м =[836.30,122.24,1.00]													
Уровни звуковой мощности источника днём, Lw, дБ		**исходные данные**	**0**	**96,3**	**97,7**	**99**	**99,3**	**98,9**	**95,6**	**91,4**	**86,9**		
Уровни звуковой мощности источника ночью, Lw, дБ		**исходные данные**	**0**	**96,3**	**97,7**	**99**	**99,3**	**98,9**	**95,6**	**91,4**	**86,9**		
Поправка на телесный угол DΩ, дБ	Ω = 12.57	10Lg(4π/Ω)	**0**	0	0	0	0	0	0	0	0		
Показатель направленности источника Di, дБ		исходные данные	**0**	0	0	0	0	0	0	0	0		
Поправка на направленность источника Dc, дБ	Dc	DΩ + Di	**0**	0	0	0	0	0	0	0	0		
Затухание из-за геометрической дивергенции, Adiv, дБ	расстояние = 1539.97 м	ф-ла (7) [10]	**74,8**										
Коэффициент затухания звука в атмосфере α, дБ/км	Ta=20,°C Pa=101.33,кПа hотн.=70%	ф-ла (5) [9]	0,02	0,09	0,33	1,12	2,79	4,98	9,04	23,09	77,63		
Учет затухания звука в атмосфере Aatm, дБ		ф-ла (8) [10]	0	0,1	0,5	1,7	4,3	7,7	13,9	35,6	119,6		

1		2	3	4	5	6	7	8	9	10	11	12	13
Снижение поверхностью земли возле источника As, дБ	Gs = 0 hs = 1м	ф-лы таб.3 [10]	-1,5	-1,5	-1,5	-1,5	-1,5	-1,5	-1,5	-1,5	-1,5		
Снижение поверхностью земли возле приёмника Ar, дБ	Gr = 1 hr = 1.5м	ф-лы таб.3 [10]	-1,5	-1,5	5,3	7	5	0,7	0	0	0		
Снижение поверхностью земли в средней зоне, Am дБ	Gm = 1	ф-лы таб.3 [10]	-2,9	-2,9	0	0	0	0	0	0	0		
Суммарное снижение поверхностью земли на траектории распространения звука Agr, дБ		ф-ла (9) [10]	-5,9	-5,9	3,8	5,5	3,5	-0,8	-1,5	-1,5	-1,5		
Уровни звукового давления от источника ИШ-6-1 в расчётной точке днём, дБ		**ф-ла(3)[10]**	**0**	**27,3**	**18,6**	**17**	**16,8**	**17,3**	**8,4**	**0**	**0**	**19,8**	**19,8**
Уровни звукового давления от источника ИШ-6-1 в расчётной точке ночью, дБ		**ф-ла(3)[10]**	**0**	**27,3**	**18,6**	**17**	**16,8**	**17,3**	**8,4**	**0**	**0**	**19,8**	**19,8**
Источник шума: ИШ-6-2, координаты источника (x,y,z), м =[835.37,119.30,1.00]													
Уровни звуковой мощности источника днём, Lw, дБ		**исходные данные**	**0**	**96,3**	**97,7**	**99**	**99,3**	**98,9**	**95,6**	**91,4**	**86,9**		
Уровни звуковой мощности источника ночью, Lw, дБ		**исходные данные**	**0**	**96,3**	**97,7**	**99**	**99,3**	**98,9**	**95,6**	**91,4**	**86,9**		
Поправка на телесный угол DΩ, дБ	Ω = 12.57	10Lg(4π/Ω)	**0**	0	0	0	0	0	0	0	0		
Показатель направленности источника Di, дБ		исходные данные	**0**	0	0	0	0	0	0	0	0		
Поправка на направленность источника Dc, дБ	Dc	DΩ + Di	**0**	0	0	0	0	0	0	0	0		
Затухание из-за геометрической дивергенции, Adiv, дБ	расстояние = 1541.41 м	ф-ла (7) [10]	**74,8**										
Коэффициент затухания звука в атмосфере α, дБ/км	Ta=20,°C Pa=101.33,кПа hотн.=70%	ф-ла (5) [9]	0,02	0,09	0,33	1,12	2,79	4,98	9,04	23,09	77,63		
Учет затухания звука в атмосфере Aatm, дБ		ф-ла (8) [10]	0	0,1	0,5	1,7	4,3	7,7	13,9	35,6	119,7		
Снижение поверхностью земли возле источника As, дБ	Gs = 0 hs = 1м	ф-лы таб.3 [10]	-1,5	-1,5	-1,5	-1,5	-1,5	-1,5	-1,5	-1,5	-1,5		

1		2	3	4	5	6	7	8	9	10	11	12	13
Снижение поверхностью земли возле приёмника Ar, дБ	Gr = 1 hr = 1.5м	ф-лы таб.3 [10]	-1,5	-1,5	5,3	7	5	0,7	0	0	0		
Снижение поверхностью земли в средней зоне, Am дБ	Gm = 1	ф-лы таб.3 [10]	-2,9	-2,9	0	0	0	0	0	0	0		
Суммарное снижение поверхностью земли на траектории распространения звука Agr, дБ		ф-ла (9) [10]	-5,9	-5,9	3,8	5,5	3,5	-0,8	-1,5	-1,5	-1,5		
Уровни звукового давления от источника ИШ-6-2 в расчётной точке днём, дБ		**ф-ла(3)[10]**	**0**	**27,2**	**18,6**	**17**	**16,8**	**17,3**	**8,4**	**0**	**0**	**19,8**	**19,8**
Уровни звукового давления от источника ИШ-6-2 в расчётной точке ночью, дБ		**ф-ла(3)[10]**	**0**	**27,2**	**18,6**	**17**	**16,8**	**17,3**	**8,4**	**0**	**0**	**19,8**	**19,8**
Источник шума: ИШ-6-3, координаты источника (x,y,z), м =[834.03,116.36,1.00]													
Уровни звуковой мощности источника днём, Lw, дБ		**исходные данные**	**0**	**96,3**	**97,7**	**99**	**99,3**	**98,9**	**95,6**	**91,4**	**86,9**		
Уровни звуковой мощности источника ночью, Lw, дБ		**исходные данные**	**0**	**96,3**	**97,7**	**99**	**99,3**	**98,9**	**95,6**	**91,4**	**86,9**		
Поправка на телесный угол DΩ, дБ	Ω = 12.57	10Lg(4π/Ω)	**0**	0	0	0	0	0	0	0	0		
Показатель направленности источника Di, дБ		исходные данные	**0**	0	0	0	0	0	0	0	0		
Поправка на направленность источника Dc, дБ	Dc	DΩ + Di	**0**	0	0	0	0	0	0	0	0		
Затухание из-за геометрической дивергенции, Adiv, дБ	расстояние = 1543.26 м	ф-ла (7) [10]	**74,8**										
Коэффициент затухания звука в атмосфере α, дБ/км	Ta=20,°C Pa=101.33,кПа hотн.=70%	ф-ла (5) [9]	0,02	0,09	0,33	1,12	2,79	4,98	9,04	23,09	77,63		
Учет затухания звука в атмосфере Aatm, дБ		ф-ла (8) [10]	0	0,1	0,5	1,7	4,3	7,7	14	35,6	119,8		
Снижение поверхностью земли возле источника As, дБ	Gs = 0 hs = 1м	ф-лы таб.3 [10]	-1,5	-1,5	-1,5	-1,5	-1,5	-1,5	-1,5	-1,5	-1,5		
Снижение поверхностью земли возле приёмника Ar, дБ	Gr = 1 hr = 1.5м	ф-лы таб.3 [10]	-1,5	-1,5	5,3	7	5	0,7	0	0	0		

1		2	3	4	5	6	7	8	9	10	11	12	13
Снижение поверхностью земли в средней зоне, Am дБ	Gm = 1	ф-лы таб.3 [10]	-2,9	-2,9	0	0	0	0	0	0	0		
Суммарное снижение поверхностью земли на траектории распространения звука Agr, дБ		ф-ла (9) [10]	-5,9	-5,9	3,8	5,5	3,5	-0,8	-1,5	-1,5	-1,5		
Уровни звукового давления от источника ИШ-6-3 в расчётной точке днём, дБ		**ф-ла(3)[10]**	**0**	**27,2**	**18,6**	**17**	**16,7**	**17,3**	**8,4**	**0**	**0**	**19,8**	**19,8**
Уровни звукового давления от источника ИШ-6-3 в расчётной точке ночью, дБ		**ф-ла(3)[10]**	**0**	**27,2**	**18,6**	**17**	**16,7**	**17,3**	**8,4**	**0**	**0**	**19,8**	**19,8**
Источник шума: ИШ-6-4, координаты источника (x,y,z), м =[833.23,113.30,1.00]													
Уровни звуковой мощности источника днём, Lw, дБ		**исходные данные**	**0**	**96,3**	**97,7**	**99**	**99,3**	**98,9**	**95,6**	**91,4**	**86,9**		
Уровни звуковой мощности источника ночью, Lw, дБ		**исходные данные**	**0**	**96,3**	**97,7**	**99**	**99,3**	**98,9**	**95,6**	**91,4**	**86,9**		
Поправка на телесный угол DΩ, дБ	Ω = 12.57	10Lg(4π/Ω)	**0**	0	0	0	0	0	0	0	0		
Показатель направленности источника Di, дБ		исходные данные	**0**	0	0	0	0	0	0	0	0		
Поправка на направленность источника Dc, дБ	Dc	DΩ + Di	**0**	0	0	0	0	0	0	0	0		
Затухание из-за геометрической дивергенции, Adiv, дБ	расстояние = 1544.61 м	ф-ла (7) [10]	**74,8**										
Коэффициент затухания звука в атмосфере α, дБ/км	Ta=20,°C Pa=101.33,кПа hотн.=70%	ф-ла (5) [9]	0,02	0,09	0,33	1,12	2,79	4,98	9,04	23,09	77,63		
Учет затухания звука в атмосфере Aatm, дБ		ф-ла (8) [10]	0	0,1	0,5	1,7	4,3	7,7	14	35,7	119,9		
Снижение поверхностью земли возле источника As, дБ	Gs = 0 hs = 1м	ф-лы таб.3 [10]	-1,5	-1,5	-1,5	-1,5	-1,5	-1,5	-1,5	-1,5	-1,5		
Снижение поверхностью земли возле приёмника Ar, дБ	Gr = 1 hr = 1.5м	ф-лы таб.3 [10]	-1,5	-1,5	5,3	7	5	0,7	0	0	0		
Снижение поверхностью земли в средней зоне, Am дБ	Gm = 1	ф-лы таб.3 [10]	-2,9	-2,9	0	0	0	0	0	0	0		

1		2	3	4	5	6	7	8	9	10	11	12	13
Суммарное снижение поверхностью земли на траектории распространения звука Agr, дБ		ф-ла (9) [10]	-5,9	-5,9	3,8	5,5	3,5	-0,8	-1,5	-1,5	-1,5		
Уровни звукового давления от источника ИШ-6-4 в расчётной точке днём, дБ		**ф-ла(3)[10]**	**0**	**27,2**	**18,6**	**17**	**16,7**	**17,3**	**8,4**	**0**	**0**	**19,8**	**19,8**
Уровни звукового давления от источника ИШ-6-4 в расчётной точке ночью, дБ		**ф-ла(3)[10]**	**0**	**27,2**	**18,6**	**17**	**16,7**	**17,3**	**8,4**	**0**	**0**	**19,8**	**19,8**
Источник шума: ИШ-6-5, координаты источника (x,y,z), м =[832.03,110.36,1.00]													
Уровни звуковой мощности источника днём, Lw, дБ		**исходные данные**	**0**	**96,3**	**97,7**	**99**	**99,3**	**98,9**	**95,6**	**91,4**	**86,9**		
Уровни звуковой мощности источника ночью, Lw, дБ		**исходные данные**	**0**	**96,3**	**97,7**	**99**	**99,3**	**98,9**	**95,6**	**91,4**	**86,9**		
Поправка на телесный угол DΩ, дБ	Ω = 12.57	10Lg(4π/Ω)	**0**	0	0	0	0	0	0	0	0		
Показатель направленности источника Di, дБ		исходные данные	**0**	0	0	0	0	0	0	0	0		
Поправка на направленность источника Dc, дБ	Dc	DΩ + Di	**0**	0	0	0	0	0	0	0	0		
Затухание из-за геометрической дивергенции, Adiv, дБ	расстояние = 1546.33 м	ф-ла (7) [10]	**74,8**										
Коэффициент затухания звука в атмосфере α, дБ/км	Ta=20,°C Pa=101.33,кПа hотн.=70%	ф-ла (5) [9]	0,02	0,09	0,33	1,12	2,79	4,98	9,04	23,09	77,63		
Учет затухания звука в атмосфере Aatm, дБ		ф-ла (8) [10]	0	0,1	0,5	1,7	4,3	7,7	14	35,7	120		
Снижение поверхностью земли возле источника As, дБ	Gs = 0 hs = 1м	ф-лы таб.3 [10]	-1,5	-1,5	-1,5	-1,5	-1,5	-1,5	-1,5	-1,5	-1,5		
Снижение поверхностью земли возле приёмника Ar, дБ	Gr = 1 hr = 1.5м	ф-лы таб.3 [10]	-1,5	-1,5	5,3	7	5	0,7	0	0	0		
Снижение поверхностью земли в средней зоне, Am дБ	Gm = 1	ф-лы таб.3 [10]	-2,9	-2,9	0	0	0	0	0	0	0		
Суммарное снижение поверхностью земли на траектории распространения звука Agr, дБ		ф-ла (9) [10]	-5,9	-5,9	3,8	5,5	3,5	-0,8	-1,5	-1,5	-1,5		

1		2	3	4	5	6	7	8	9	10	11	12	13
Уровни звукового давления от источника ИШ-6-5 в расчётной точке днём, дБ		**ф-ла(3)[10]**	**0**	**27,2**	**18,5**	**16,9**	**16,7**	**17,2**	**8,3**	**0**	**0**	**19,7**	**19,7**
Уровни звукового давления от источника ИШ-6-5 в расчётной точке ночью, дБ		**ф-ла(3)[10]**	**0**	**27,2**	**18,5**	**16,9**	**16,7**	**17,2**	**8,3**	**0**	**0**	**19,7**	**19,7**
Источник шума: ИШ-6-6, координаты источника (x,y,z), м =[830.97,107.42,1.00]													
Уровни звуковой мощности источника днём, Lw, дБ		**исходные данные**	**0**	**96,3**	**97,7**	**99**	**99,3**	**98,9**	**95,6**	**91,4**	**86,9**		
Уровни звуковой мощности источника ночью, Lw, дБ		**исходные данные**	**0**	**96,3**	**97,7**	**99**	**99,3**	**98,9**	**95,6**	**91,4**	**86,9**		
Поправка на телесный угол DΩ, дБ	Ω = 12.57	10Lg(4π/Ω)	**0**	0	0	0	0	0	0	0	0		
Показатель направленности источника Di, дБ		исходные данные	**0**	0	0	0	0	0	0	0	0		
Поправка на направленность источника Dc, дБ	Dc	DΩ + Di	**0**	0	0	0	0	0	0	0	0		
Затухание из-за геометрической дивергенции, Adiv, дБ	расстояние = 1547.93 м	ф-ла (7) [10]	**74,8**										
Коэффициент затухания звука в атмосфере α, дБ/км	Ta=20,°C Pa=101.33,кПа hотн.=70%	ф-ла (5) [9]	0,02	0,09	0,33	1,12	2,79	4,98	9,04	23,09	77,63		
Учет затухания звука в атмосфере Aatm, дБ		ф-ла (8) [10]	0	0,1	0,5	1,7	4,3	7,7	14	35,7	120,2		
Снижение поверхностью земли возле источника As, дБ	Gs = 0 hs = 1м	ф-лы таб.3 [10]	-1,5	-1,5	-1,5	-1,5	-1,5	-1,5	-1,5	-1,5	-1,5		
Снижение поверхностью земли возле приёмника Ar, дБ	Gr = 1 hr = 1.5м	ф-лы таб.3 [10]	-1,5	-1,5	5,3	7	5	0,7	0	0	0		
Снижение поверхностью земли в средней зоне, Am дБ	Gm = 1	ф-лы таб.3 [10]	-2,9	-2,9	0	0	0	0	0	0	0		
Суммарное снижение поверхностью земли на траектории распространения звука Agr, дБ		ф-ла (9) [10]	-5,9	-5,9	3,8	5,5	3,5	-0,8	-1,5	-1,5	-1,5		
Уровни звукового давления от источника ИШ-6-6 в расчётной точке днём, дБ		**ф-ла(3)[10]**	**0**	**27,2**	**18,5**	**16,9**	**16,7**	**17,2**	**8,3**	**0**	**0**	**19,7**	**19,7**

1		2	3	4	5	6	7	8	9	10	11	12	13
Уровни звукового давления от источника ИШ-6-6 в расчётной точке ночью, дБ		**ф-ла(3)[10]**	**0**	**27,2**	**18,5**	**16,9**	**16,7**	**17,2**	**8,3**	**0**	**0**	**19,7**	**19,7**
Источник шума: ИШ-6-7, координаты источника (x,y,z), м =[830.30,104.49,1.00]													
Уровни звуковой мощности источника днём, Lw, дБ		**исходные данные**	**0**	**96,3**	**97,7**	**99**	**99,3**	**98,9**	**95,6**	**91,4**	**86,9**		
Уровни звуковой мощности источника ночью, Lw, дБ		**исходные данные**	**0**	**96,3**	**97,7**	**99**	**99,3**	**98,9**	**95,6**	**91,4**	**86,9**		
Поправка на телесный угол DΩ, дБ	Ω = 12.57	10Lg(4π/Ω)	**0**	0	0	0	0	0	0	0	0		
Показатель направленности источника Di, дБ		исходные данные	**0**	0	0	0	0	0	0	0	0		
Поправка на направленность источника Dc, дБ	Dc	DΩ + Di	**0**	0	0	0	0	0	0	0	0		
Затухание из-за геометрической дивергенции, Adiv, дБ	расстояние = 1549.13 м	ф-ла (7) [10]	**74,8**										
Коэффициент затухания звука в атмосфере α, дБ/км	Ta=20,°C Pa=101.33,кПа hотн.=70%	ф-ла (5) [9]	0,02	0,09	0,33	1,12	2,79	4,98	9,04	23,09	77,63		
Учет затухания звука в атмосфере Aatm, дБ		ф-ла (8) [10]	0	0,1	0,5	1,7	4,3	7,7	14	35,8	120,3		
Снижение поверхностью земли возле источника As, дБ	Gs = 0 hs = 1м	ф-лы таб.3 [10]	-1,5	-1,5	-1,5	-1,5	-1,5	-1,5	-1,5	-1,5	-1,5		
Снижение поверхностью земли возле приёмника Ar, дБ	Gr = 1 hr = 1.5м	ф-лы таб.3 [10]	-1,5	-1,5	5,3	7	5	0,7	0	0	0		
Снижение поверхностью земли в средней зоне, Am дБ	Gm = 1	ф-лы таб.3 [10]	-2,9	-2,9	0	0	0	0	0	0	0		
Суммарное снижение поверхностью земли на траектории распространения звука Agr, дБ		ф-ла (9) [10]	-5,9	-5,9	3,8	5,5	3,5	-0,8	-1,5	-1,5	-1,5		
Уровни звукового давления от источника ИШ-6-7 в расчётной точке днём, дБ		**ф-ла(3)[10]**	**0**	**27,2**	**18,5**	**16,9**	**16,7**	**17,2**	**8,3**	**0**	**0**	**19,7**	**19,7**
Уровни звукового давления от источника ИШ-6-7 в расчётной точке ночью, дБ		**ф-ла(3)[10]**	**0**	**27,2**	**18,5**	**16,9**	**16,7**	**17,2**	**8,3**	**0**	**0**	**19,7**	**19,7**

1		2	3	4	5	6	7	8	9	10	11	12	13
Источник шума: ИШ-6-8, координаты источника (x,y,z), м =[829.36,101.42,1.00]													
Уровни звуковой мощности источника днём, Lw, дБ		**исходные данные**	**0**	**96,3**	**97,7**	**99**	**99,3**	**98,9**	**95,6**	**91,4**	**86,9**		
Уровни звуковой мощности источника ночью, Lw, дБ		**исходные данные**	**0**	**96,3**	**97,7**	**99**	**99,3**	**98,9**	**95,6**	**91,4**	**86,9**		
Поправка на телесный угол DΩ, дБ	Ω = 12.57	10Lg(4π/Ω)	**0**	0	0	0	0	0	0	0	0		
Показатель направленности источника Di, дБ		исходные данные	**0**	0	0	0	0	0	0	0	0		
Поправка на направленность источника Dc, дБ	Dc	DΩ + Di	**0**	0	0	0	0	0	0	0	0		
Затухание из-за геометрической дивергенции, Adiv, дБ	расстояние = 1550.63 м	ф-ла (7) [10]	**74,8**										
Коэффициент затухания звука в атмосфере α, дБ/км	Ta=20,°C Pa=101.33,кПа hотн.=70%	ф-ла (5) [9]	0,02	0,09	0,33	1,12	2,79	4,98	9,04	23,09	77,63		
Учет затухания звука в атмосфере Aatm, дБ		ф-ла (8) [10]	0	0,1	0,5	1,7	4,3	7,7	14	35,8	120,4		
Снижение поверхностью земли возле источника As, дБ	Gs = 0 hs = 1м	ф-лы таб.3 [10]	-1,5	-1,5	-1,5	-1,5	-1,5	-1,5	-1,5	-1,5	-1,5		
Снижение поверхностью земли возле приёмника Ar, дБ	Gr = 1 hr = 1.5м	ф-лы таб.3 [10]	-1,5	-1,5	5,3	7	5	0,7	0	0	0		
Снижение поверхностью земли в средней зоне, Am дБ	Gm = 1	ф-лы таб.3 [10]	-2,9	-2,9	0	0	0	0	0	0	0		
Суммарное снижение поверхностью земли на траектории распространения звука Agr, дБ		ф-ла (9) [10]	-5,9	-5,9	3,8	5,5	3,5	-0,8	-1,5	-1,5	-1,5		
Уровни звукового давления от источника ИШ-6-8 в расчётной точке днём, дБ		**ф-ла(3)[10]**	**0**	**27,2**	**18,5**	**16,9**	**16,7**	**17,2**	**8,3**	**0**	**0**	**19,7**	**19,7**
Уровни звукового давления от источника ИШ-6-8 в расчётной точке ночью, дБ		**ф-ла(3)[10]**	**0**	**27,2**	**18,5**	**16,9**	**16,7**	**17,2**	**8,3**	**0**	**0**	**19,7**	**19,7**
Источник шума: ИШ-6-9, координаты источника (x,y,z), м =[828.03,98.62,1.00]													

1		2	3	4	5	6	7	8	9	10	11	12	13
Уровни звуковой мощности источника днём, Lw, дБ		**исходные данные**	**0**	**96,3**	**97,7**	**99**	**99,3**	**98,9**	**95,6**	**91,4**	**86,9**		
Уровни звуковой мощности источника ночью, Lw, дБ		**исходные данные**	**0**	**96,3**	**97,7**	**99**	**99,3**	**98,9**	**95,6**	**91,4**	**86,9**		
Поправка на телесный угол DΩ, дБ	Ω = 12.57	10Lg(4π/Ω)	**0**	0	0	0	0	0	0	0	0		
Показатель направленности источника Di, дБ		исходные данные	**0**	0	0	0	0	0	0	0	0		
Поправка на направленность источника Dc, дБ	Dc	DΩ + Di	**0**	0	0	0	0	0	0	0	0		
Затухание из-за геометрической дивергенции, Adiv, дБ	расстояние = 1552.48 м	ф-ла (7) [10]	**74,8**										
Коэффициент затухания звука в атмосфере α, дБ/км	Ta=20,°C Pa=101.33,кПа hотн.=70%	ф-ла (5) [9]	0,02	0,09	0,33	1,12	2,79	4,98	9,04	23,09	77,63		
Учет затухания звука в атмосфере Aatm, дБ		ф-ла (8) [10]	0	0,1	0,5	1,7	4,3	7,7	14	35,8	120,5		
Снижение поверхностью земли возле источника As, дБ	Gs = 0 hs = 1м	ф-лы таб.3 [10]	-1,5	-1,5	-1,5	-1,5	-1,5	-1,5	-1,5	-1,5	-1,5		
Снижение поверхностью земли возле приёмника Ar, дБ	Gr = 1 hr = 1.5м	ф-лы таб.3 [10]	-1,5	-1,5	5,3	7	5	0,7	0	0	0		
Снижение поверхностью земли в средней зоне, Am дБ	Gm = 1	ф-лы таб.3 [10]	-2,9	-2,9	0	0	0	0	0	0	0		
Суммарное снижение поверхностью земли на траектории распространения звука Agr, дБ		ф-ла (9) [10]	-5,9	-5,9	3,8	5,5	3,5	-0,8	-1,5	-1,5	-1,5		
Уровни звукового давления от источника ИШ-6-9 в расчётной точке днём, дБ		**ф-ла(3)[10]**	**0**	**27,2**	**18,5**	**16,9**	**16,7**	**17,2**	**8,2**	**0**	**0**	**19,7**	**19,7**
Уровни звукового давления от источника ИШ-6-9 в расчётной точке ночью, дБ		**ф-ла(3)[10]**	**0**	**27,2**	**18,5**	**16,9**	**16,7**	**17,2**	**8,2**	**0**	**0**	**19,7**	**19,7**
Источник шума: ИШ-6-10, координаты источника (x,y,z), м =[827.23,95.55,1.00]													
Уровни звуковой мощности источника днём, Lw, дБ		**исходные данные**	**0**	**96,3**	**97,7**	**99**	**99,3**	**98,9**	**95,6**	**91,4**	**86,9**		

1		2	3	4	5	6	7	8	9	10	11	12	13
Уровни звуковой мощности источника ночью, Lw, дБ		**исходные данные**	**0**	**96,3**	**97,7**	**99**	**99,3**	**98,9**	**95,6**	**91,4**	**86,9**		
Поправка на телесный угол DΩ, дБ	Ω = 12.57	10Lg(4π/Ω)	**0**	0	0	0	0	0	0	0	0		
Показатель направленности источника Di, дБ		исходные данные	**0**	0	0	0	0	0	0	0	0		
Поправка на направленность источника Dc, дБ	Dc	DΩ + Di	**0**	0	0	0	0	0	0	0	0		
Затухание из-за геометрической дивергенции, Adiv, дБ	расстояние = 1553.86 м	ф-ла (7) [10]	**74,8**										
Коэффициент затухания звука в атмосфере α, дБ/км	Ta=20,°C Pa=101.33,кПа hотн.=70%	ф-ла (5) [9]	0,02	0,09	0,33	1,12	2,79	4,98	9,04	23,09	77,63		
Учет затухания звука в атмосфере Aatm, дБ		ф-ла (8) [10]	0	0,1	0,5	1,7	4,3	7,7	14	35,9	120,6		
Снижение поверхностью земли возле источника As, дБ	Gs = 0 hs = 1м	ф-лы таб.3 [10]	-1,5	-1,5	-1,5	-1,5	-1,5	-1,5	-1,5	-1,5	-1,5		
Снижение поверхностью земли возле приёмника Ar, дБ	Gr = 1 hr = 1.5м	ф-лы таб.3 [10]	-1,5	-1,5	5,3	7	5	0,7	0	0	0		
Снижение поверхностью земли в средней зоне, Am дБ	Gm = 1	ф-лы таб.3 [10]	-2,9	-2,9	0	0	0	0	0	0	0		
Суммарное снижение поверхностью земли на траектории распространения звука Agr, дБ		ф-ла (9) [10]	-5,9	-5,9	3,8	5,5	3,5	-0,8	-1,5	-1,5	-1,5		
Уровни звукового давления от источника ИШ-6-10 в расчётной точке днём, дБ		**ф-ла(3)[10]**	**0**	**27,2**	**18,5**	**16,9**	**16,7**	**17,2**	**8,2**	**0**	**0**	**19,7**	**19,7**
Уровни звукового давления от источника ИШ-6-10 в расчётной точке ночью, дБ		**ф-ла(3)[10]**	**0**	**27,2**	**18,5**	**16,9**	**16,7**	**17,2**	**8,2**	**0**	**0**	**19,7**	**19,7**
Источник шума: ИШ-6-11, координаты источника (x,y,z), м =[826.30,92.48,1.00]													
Уровни звуковой мощности источника днём, Lw, дБ		**исходные данные**	**0**	**96,3**	**97,7**	**99**	**99,3**	**98,9**	**95,6**	**91,4**	**86,9**		
Уровни звуковой мощности источника ночью, Lw, дБ		**исходные данные**	**0**	**96,3**	**97,7**	**99**	**99,3**	**98,9**	**95,6**	**91,4**	**86,9**		

1		2	3	4	5	6	7	8	9	10	11	12	13
Поправка на телесный угол DΩ, дБ	Ω = 12.57	10Lg(4π/Ω)	**0**	0	0	0	0	0	0	0	0		
Показатель направленности источника Di, дБ		исходные данные	**0**	0	0	0	0	0	0	0	0		
Поправка на направленность источника Dc, дБ	Dc	DΩ + Di	**0**	0	0	0	0	0	0	0	0		
Затухание из-за геометрической дивергенции, Adiv, дБ	расстояние = 1555.37 м	ф-ла (7) [10]	**74,8**										
Коэффициент затухания звука в атмосфере α, дБ/км	Ta=20,°C Pa=101.33,кПа hотн.=70%	ф-ла (5) [9]	0,02	0,09	0,33	1,12	2,79	4,98	9,04	23,09	77,63		
Учет затухания звука в атмосфере Aatm, дБ		ф-ла (8) [10]	0	0,1	0,5	1,7	4,3	7,7	14,1	35,9	120,7		
Снижение поверхностью земли возле источника As, дБ	Gs = 0 hs = 1м	ф-лы таб.3 [10]	-1,5	-1,5	-1,5	-1,5	-1,5	-1,5	-1,5	-1,5	-1,5		
Снижение поверхностью земли возле приёмника Ar, дБ	Gr = 1 hr = 1.5м	ф-лы таб.3 [10]	-1,5	-1,5	5,3	7	5	0,7	0	0	0		
Снижение поверхностью земли в средней зоне, Am дБ	Gm = 1	ф-лы таб.3 [10]	-2,9	-2,9	0	0	0	0	0	0	0		
Суммарное снижение поверхностью земли на траектории распространения звука Agr, дБ		ф-ла (9) [10]	-5,9	-5,9	3,8	5,5	3,5	-0,8	-1,5	-1,5	-1,5		
Уровни звукового давления от источника ИШ-6-11 в расчётной точке днём, дБ		**ф-ла(3)[10]**	**0**	**27,2**	**18,5**	**16,9**	**16,6**	**17,2**	**8,2**	**0**	**0**	**19,7**	**19,7**
Уровни звукового давления от источника ИШ-6-11 в расчётной точке ночью, дБ		**ф-ла(3)[10]**	**0**	**27,2**	**18,5**	**16,9**	**16,6**	**17,2**	**8,2**	**0**	**0**	**19,7**	**19,7**
Источник шума: ИШ-6-12, координаты источника (x,y,z), м =[825.09,89.54,1.00]													
Уровни звуковой мощности источника днём, Lw, дБ		**исходные данные**	**0**	**96,3**	**97,7**	**99**	**99,3**	**98,9**	**95,6**	**91,4**	**86,9**		
Уровни звуковой мощности источника ночью, Lw, дБ		**исходные данные**	**0**	**96,3**	**97,7**	**99**	**99,3**	**98,9**	**95,6**	**91,4**	**86,9**		
Поправка на телесный угол DΩ, дБ	Ω = 12.57	10Lg(4π/Ω)	**0**	0	0	0	0	0	0	0	0		

1		2	3	4	5	6	7	8	9	10	11	12	13
Показатель направленности источника Di, дБ		исходные данные	**0**	0	0	0	0	0	0	0	0		
Поправка на направленность источника Dc, дБ	Dc	DΩ + Di	**0**	0	0	0	0	0	0	0	0		
Затухание из-за геометрической дивергенции, Adiv, дБ	расстояние = 1557.13 м	ф-ла (7) [10]	**74,8**										
Коэффициент затухания звука в атмосфере α, дБ/км	Ta=20,°C Pa=101.33,кПа hотн.=70%	ф-ла (5) [9]	0,02	0,09	0,33	1,12	2,79	4,98	9,04	23,09	77,63		
Учет затухания звука в атмосфере Aatm, дБ		ф-ла (8) [10]	0	0,1	0,5	1,8	4,3	7,8	14,1	35,9	120,9		
Снижение поверхностью земли возле источника As, дБ	Gs = 0 hs = 1м	ф-лы таб.3 [10]	-1,5	-1,5	-1,5	-1,5	-1,5	-1,5	-1,5	-1,5	-1,5		
Снижение поверхностью земли возле приёмника Ar, дБ	Gr = 1 hr = 1.5м	ф-лы таб.3 [10]	-1,5	-1,5	5,3	7	5	0,7	0	0	0		
Снижение поверхностью земли в средней зоне, Am дБ	Gm = 1	ф-лы таб.3 [10]	-2,9	-2,9	0	0	0	0	0	0	0		
Суммарное снижение поверхностью земли на траектории распространения звука Agr, дБ		ф-ла (9) [10]	-5,9	-5,9	3,8	5,5	3,5	-0,8	-1,5	-1,5	-1,5		
Уровни звукового давления от источника ИШ-6-12 в расчётной точке днём, дБ		**ф-ла(3)[10]**	**0**	**27,2**	**18,5**	**16,9**	**16,6**	**17,1**	**8,2**	**0**	**0**	**19,6**	**19,6**
Уровни звукового давления от источника ИШ-6-12 в расчётной точке ночью, дБ		**ф-ла(3)[10]**	**0**	**27,2**	**18,5**	**16,9**	**16,6**	**17,1**	**8,2**	**0**	**0**	**19,6**	**19,6**
Источник шума: ИШ-6-13, координаты источника (x,y,z), м =[767.76,-114.15,1.00]													
Уровни звуковой мощности источника днём, Lw, дБ		**исходные данные**	**0**	**96,3**	**97,7**	**99**	**99,3**	**98,9**	**95,6**	**91,4**	**86,9**		
Уровни звуковой мощности источника ночью, Lw, дБ		**исходные данные**	**0**	**96,3**	**97,7**	**99**	**99,3**	**98,9**	**95,6**	**91,4**	**86,9**		
Поправка на телесный угол DΩ, дБ	Ω = 12.57	10Lg(4π/Ω)	**0**	0	0	0	0	0	0	0	0		
Показатель направленности источника Di, дБ		исходные данные	**0**	0	0	0	0	0	0	0	0		

1		2	3	4	5	6	7	8	9	10	11	12	13
Поправка на направленность источника Dc, дБ	Dc	DΩ + Di	**0**	0	0	0	0	0	0	0	0		
Затухание из-за геометрической дивергенции, Adiv, дБ	расстояние = 1664.31 м	ф-ла (7) [10]	**75,4**										
Коэффициент затухания звука в атмосфере α, дБ/км	Ta=20,°C Pa=101.33,кПа hотн.=70%	ф-ла (5) [9]	0,02	0,09	0,33	1,12	2,79	4,98	9,04	23,09	77,63		
Учет затухания звука в атмосфере Aatm, дБ		ф-ла (8) [10]	0	0,1	0,6	1,9	4,6	8,3	15	38,4	129,2		
Снижение поверхностью земли возле источника As, дБ	Gs = 0 hs = 1м	ф-лы таб.3 [10]	-1,5	-1,5	-1,5	-1,5	-1,5	-1,5	-1,5	-1,5	-1,5		
Снижение поверхностью земли возле приёмника Ar, дБ	Gr = 1 hr = 1.5м	ф-лы таб.3 [10]	-1,5	-1,5	5,3	7	5	0,7	0	0	0		
Снижение поверхностью земли в средней зоне, Am дБ	Gm = 1	ф-лы таб.3 [10]	-2,9	-2,9	0	0	0	0	0	0	0		
Суммарное снижение поверхностью земли на траектории распространения звука Agr, дБ		ф-ла (9) [10]	-5,9	-5,9	3,8	5,5	3,5	-0,8	-1,5	-1,5	-1,5		
Уровни звукового давления прямого звука от источника ИШ-6-13 в расчётной точке днём, дБ		**ф-ла(3)[10]**	**0**	**26,6**	**17,9**	**16,2**	**15,7**	**16**	**6,6**	**0**	**0**	**18,6**	**18,6**
Уровни звукового давления прямого звука от источника ИШ-6-13 в расчётной точке ночью, дБ		**ф-ла(3)[10]**	**0**	**26,6**	**17,9**	**16,2**	**15,7**	**16**	**6,6**	**0**	**0**	**18,6**	**18,6**
Расчёт отражённого звука													
Уровни звукового давления от мнимого источника ИШ-6-13_мн.(1) в расчётной точке днём, дБ		**ф-ла(3)[10]**	**0**	**0**	**0**	**0**	**0**	**0**	**0**	**0**	**0**	**0**	**0**
Уровни звукового давления от мнимого источника ИШ-6-13_мн.(1) в расчётной точке ночью, дБ		**ф-ла(3)[10]**	**0**	**0**	**0**	**0**	**0**	**0**	**0**	**0**	**0**	**0**	**0**
Уровни звукового давления от источника ИШ-6-13 в расчётной точке днём, дБ		**ф-ла(3)[10]**	**0**	**26,6**	**17,9**	**16,2**	**15,7**	**16**	**6,6**	**0**	**0**	**18,6**	**18,6**
Уровни звукового давления от источника ИШ-6-13 в расчётной точке ночью, дБ		**ф-ла(3)[10]**	**0**	**26,6**	**17,9**	**16,2**	**15,7**	**16**	**6,6**	**0**	**0**	**18,6**	**18,6**
Источник шума: ИШ-6-14, координаты источника (x,y,z), м =[766.82,-117.10,1.00]													

1		2	3	4	5	6	7	8	9	10	11	12	13
Уровни звуковой мощности источника днём, Lw, дБ		**исходные данные**	**0**	**96,3**	**97,7**	**99**	**99,3**	**98,9**	**95,6**	**91,4**	**86,9**		
Уровни звуковой мощности источника ночью, Lw, дБ		**исходные данные**	**0**	**96,3**	**97,7**	**99**	**99,3**	**98,9**	**95,6**	**91,4**	**86,9**		
Поправка на телесный угол DΩ, дБ	Ω = 12.57	10Lg(4π/Ω)	**0**	0	0	0	0	0	0	0	0		
Показатель направленности источника Di, дБ		исходные данные	**0**	0	0	0	0	0	0	0	0		
Поправка на направленность источника Dc, дБ	Dc	DΩ + Di	**0**	0	0	0	0	0	0	0	0		
Затухание из-за геометрической дивергенции, Adiv, дБ	расстояние = 1666.11 м	ф-ла (7) [10]	**75,4**										
Коэффициент затухания звука в атмосфере α, дБ/км	Ta=20,°C Pa=101.33,кПа hотн.=70%	ф-ла (5) [9]	0,02	0,09	0,33	1,12	2,79	4,98	9,04	23,09	77,63		
Учет затухания звука в атмосфере Aatm, дБ		ф-ла (8) [10]	0	0,1	0,6	1,9	4,7	8,3	15,1	38,5	129,3		
Снижение поверхностью земли возле источника As, дБ	Gs = 0 hs = 1м	ф-лы таб.3 [10]	-1,5	-1,5	-1,5	-1,5	-1,5	-1,5	-1,5	-1,5	-1,5		
Снижение поверхностью земли возле приёмника Ar, дБ	Gr = 1 hr = 1.5м	ф-лы таб.3 [10]	-1,5	-1,5	5,3	7	5	0,7	0	0	0		
Снижение поверхностью земли в средней зоне, Am дБ	Gm = 1	ф-лы таб.3 [10]	-2,9	-2,9	0	0	0	0	0	0	0		
Суммарное снижение поверхностью земли на траектории распространения звука Agr, дБ		ф-ла (9) [10]	-5,9	-5,9	3,8	5,5	3,5	-0,8	-1,5	-1,5	-1,5		
Уровни звукового давления прямого звука от источника ИШ-6-14 в расчётной точке днём, дБ		**ф-ла(3)[10]**	**0**	**26,6**	**17,9**	**16,2**	**15,7**	**16**	**6,6**	**0**	**0**	**18,6**	**18,6**
Уровни звукового давления прямого звука от источника ИШ-6-14 в расчётной точке ночью, дБ		**ф-ла(3)[10]**	**0**	**26,6**	**17,9**	**16,2**	**15,7**	**16**	**6,6**	**0**	**0**	**18,6**	**18,6**
Расчёт отражённого звука													
Уровни звукового давления от мнимого источника ИШ-6-14_мн.(1) в расчётной точке днём, дБ		**ф-ла(3)[10]**	**0**	**0**	**0**	**0**	**0**	**0**	**0**	**0**	**0**	**0**	**0**
Уровни звукового давления от мнимого источника ИШ-6-14_мн.(1) в расчётной точке ночью, дБ		**ф-ла(3)[10]**	**0**	**0**	**0**	**0**	**0**	**0**	**0**	**0**	**0**	**0**	**0**

1		2	3	4	5	6	7	8	9	10	11	12	13
Уровни звукового давления от источника ИШ-6-14 в расчётной точке днём, дБ		**ф-ла(3)[10]**	**0**	**26,6**	**17,9**	**16,2**	**15,7**	**16**	**6,6**	**0**	**0**	**18,6**	**18,6**
Уровни звукового давления от источника ИШ-6-14 в расчётной точке ночью, дБ		**ф-ла(3)[10]**	**0**	**26,6**	**17,9**	**16,2**	**15,7**	**16**	**6,6**	**0**	**0**	**18,6**	**18,6**
Источник шума: ИШ-6-15, координаты источника (x,y,z), м =[765.71,-120.27,1.00]													
Уровни звуковой мощности источника днём, Lw, дБ		**исходные данные**	**0**	**96,3**	**97,7**	**99**	**99,3**	**98,9**	**95,6**	**91,4**	**86,9**		
Уровни звуковой мощности источника ночью, Lw, дБ		**исходные данные**	**0**	**96,3**	**97,7**	**99**	**99,3**	**98,9**	**95,6**	**91,4**	**86,9**		
Поправка на телесный угол DΩ, дБ	Ω = 12.57	10Lg(4π/Ω)	**0**	0	0	0	0	0	0	0	0		
Показатель направленности источника Di, дБ		исходные данные	**0**	0	0	0	0	0	0	0	0		
Поправка на направленность источника Dc, дБ	Dc	DΩ + Di	**0**	0	0	0	0	0	0	0	0		
Затухание из-за геометрической дивергенции, Adiv, дБ	расстояние = 1668.14 м	ф-ла (7) [10]	**75,4**										
Коэффициент затухания звука в атмосфере α, дБ/км	Ta=20,°C Pa=101.33,кПа hотн.=70%	ф-ла (5) [9]	0,02	0,09	0,33	1,12	2,79	4,98	9,04	23,09	77,63		
Учет затухания звука в атмосфере Aatm, дБ		ф-ла (8) [10]	0	0,1	0,6	1,9	4,7	8,3	15,1	38,5	129,5		
Снижение поверхностью земли возле источника As, дБ	Gs = 0 hs = 1м	ф-лы таб.3 [10]	-1,5	-1,5	-1,5	-1,5	-1,5	-1,5	-1,5	-1,5	-1,5		
Снижение поверхностью земли возле приёмника Ar, дБ	Gr = 1 hr = 1.5м	ф-лы таб.3 [10]	-1,5	-1,5	5,3	7	5	0,7	0	0	0		
Снижение поверхностью земли в средней зоне, Am дБ	Gm = 1	ф-лы таб.3 [10]	-2,9	-2,9	0	0	0	0	0	0	0		
Суммарное снижение поверхностью земли на траектории распространения звука Agr, дБ		ф-ла (9) [10]	-5,9	-5,9	3,8	5,5	3,5	-0,8	-1,5	-1,5	-1,5		
Уровни звукового давления прямого звука от источника ИШ-6-15 в расчётной точке днём, дБ		**ф-ла(3)[10]**	**0**	**26,6**	**17,8**	**16,1**	**15,7**	**16**	**6,6**	**0**	**0**	**18,6**	**18,6**

1		2	3	4	5	6	7	8	9	10	11	12	13
Уровни звукового давления прямого звука от источника ИШ-6-15 в расчётной точке ночью, дБ		**ф-ла(3)[10]**	**0**	**26,6**	**17,8**	**16,1**	**15,7**	**16**	**6,6**	**0**	**0**	**18,6**	**18,6**
Расчёт отражённого звука													
Уровни звукового давления от мнимого источника ИШ-6-15_мн.(1) в расчётной точке днём, дБ		**ф-ла(3)[10]**	**0**	**0**	**0**	**0**	**0**	**0**	**0**	**0**	**0**	**0**	**0**
Уровни звукового давления от мнимого источника ИШ-6-15_мн.(1) в расчётной точке ночью, дБ		**ф-ла(3)[10]**	**0**	**0**	**0**	**0**	**0**	**0**	**0**	**0**	**0**	**0**	**0**
Уровни звукового давления от источника ИШ-6-15 в расчётной точке днём, дБ		**ф-ла(3)[10]**	**0**	**26,6**	**17,8**	**16,1**	**15,7**	**16**	**6,6**	**0**	**0**	**18,6**	**18,6**
Уровни звукового давления от источника ИШ-6-15 в расчётной точке ночью, дБ		**ф-ла(3)[10]**	**0**	**26,6**	**17,8**	**16,1**	**15,7**	**16**	**6,6**	**0**	**0**	**18,6**	**18,6**
Источник шума: ИШ-6-16, координаты источника (x,y,z), м =[764.57,-123.22,1.00]													
Уровни звуковой мощности источника днём, Lw, дБ		**исходные данные**	**0**	**96,3**	**97,7**	**99**	**99,3**	**98,9**	**95,6**	**91,4**	**86,9**		
Уровни звуковой мощности источника ночью, Lw, дБ		**исходные данные**	**0**	**96,3**	**97,7**	**99**	**99,3**	**98,9**	**95,6**	**91,4**	**86,9**		
Поправка на телесный угол DΩ, дБ	Ω = 12.57	10Lg(4π/Ω)	**0**	0	0	0	0	0	0	0	0		
Показатель направленности источника Di, дБ		исходные данные	**0**	0	0	0	0	0	0	0	0		
Поправка на направленность источника Dc, дБ	Dc	DΩ + Di	**0**	0	0	0	0	0	0	0	0		
Затухание из-за геометрической дивергенции, Adiv, дБ	расстояние = 1670.15 м	ф-ла (7) [10]	**75,5**										
Коэффициент затухания звука в атмосфере α, дБ/км	Ta=20,°C Pa=101.33,кПа hотн.=70%	ф-ла (5) [9]	0,02	0,09	0,33	1,12	2,79	4,98	9,04	23,09	77,63		
Учет затухания звука в атмосфере Aatm, дБ		ф-ла (8) [10]	0	0,1	0,6	1,9	4,7	8,3	15,1	38,6	129,7		
Снижение поверхностью земли возле источника As, дБ	Gs = 0 hs = 1м	ф-лы таб.3 [10]	-1,5	-1,5	-1,5	-1,5	-1,5	-1,5	-1,5	-1,5	-1,5		

1		2	3	4	5	6	7	8	9	10	11	12	13
Снижение поверхностью земли возле приёмника Ar, дБ	Gr = 1 hr = 1.5м	ф-лы таб.3 [10]	-1,5	-1,5	5,3	7	5	0,7	0	0	0		
Снижение поверхностью земли в средней зоне, Am дБ	Gm = 1	ф-лы таб.3 [10]	-2,9	-2,9	0	0	0	0	0	0	0		
Суммарное снижение поверхностью земли на траектории распространения звука Agr, дБ		ф-ла (9) [10]	-5,9	-5,9	3,8	5,5	3,5	-0,8	-1,5	-1,5	-1,5		
Уровни звукового давления прямого звука от источника ИШ-6-16 в расчётной точке днём, дБ		**ф-ла(3)[10]**	**0**	**26,6**	**17,8**	**16,1**	**15,7**	**16**	**6,5**	**0**	**0**	**18,5**	**18,5**
Уровни звукового давления прямого звука от источника ИШ-6-16 в расчётной точке ночью, дБ		**ф-ла(3)[10]**	**0**	**26,6**	**17,8**	**16,1**	**15,7**	**16**	**6,5**	**0**	**0**	**18,5**	**18,5**
Расчёт отражённого звука													
Уровни звукового давления от мнимого источника ИШ-6-16_мн.(1) в расчётной точке днём, дБ		**ф-ла(3)[10]**	**0**	**0**	**0**	**0**	**0**	**0**	**0**	**0**	**0**	**0**	**0**
Уровни звукового давления от мнимого источника ИШ-6-16_мн.(1) в расчётной точке ночью, дБ		**ф-ла(3)[10]**	**0**	**0**	**0**	**0**	**0**	**0**	**0**	**0**	**0**	**0**	**0**
Уровни звукового давления от источника ИШ-6-16 в расчётной точке днём, дБ		**ф-ла(3)[10]**	**0**	**26,6**	**17,8**	**16,1**	**15,7**	**16**	**6,5**	**0**	**0**	**18,5**	**18,5**
Уровни звукового давления от источника ИШ-6-16 в расчётной точке ночью, дБ		**ф-ла(3)[10]**	**0**	**26,6**	**17,8**	**16,1**	**15,7**	**16**	**6,5**	**0**	**0**	**18,5**	**18,5**
Источник шума: ИШ-6-17, координаты источника (x,y,z), м =[763.57,-126.18,1.00]													
Уровни звуковой мощности источника днём, Lw, дБ		**исходные данные**	**0**	**96,3**	**97,7**	**99**	**99,3**	**98,9**	**95,6**	**91,4**	**86,9**		
Уровни звуковой мощности источника ночью, Lw, дБ		**исходные данные**	**0**	**96,3**	**97,7**	**99**	**99,3**	**98,9**	**95,6**	**91,4**	**86,9**		
Поправка на телесный угол DΩ, дБ	Ω = 12.57	10Lg(4π/Ω)	**0**	0	0	0	0	0	0	0	0		
Показатель направленности источника Di, дБ		исходные данные	**0**	0	0	0	0	0	0	0	0		
Поправка на направленность источника Dc, дБ	Dc	DΩ + Di	**0**	0	0	0	0	0	0	0	0		
Затухание из-за геометрической дивергенции, Adiv, дБ	расстояние = 1672.03 м	ф-ла (7) [10]	**75,5**										

1		2	3	4	5	6	7	8	9	10	11	12	13
Коэффициент затухания звука в атмосфере α, дБ/км	Ta=20,°C Pa=101.33,кПа hотн.=70%	ф-ла (5) [9]	0,02	0,09	0,33	1,12	2,79	4,98	9,04	23,09	77,63		
Учет затухания звука в атмосфере Aatm, дБ		ф-ла (8) [10]	0	0,1	0,6	1,9	4,7	8,3	15,1	38,6	129,8		
Снижение поверхностью земли возле источника As, дБ	Gs = 0 hs = 1м	ф-лы таб.3 [10]	-1,5	-1,5	-1,5	-1,5	-1,5	-1,5	-1,5	-1,5	-1,5		
Снижение поверхностью земли возле приёмника Ar, дБ	Gr = 1 hr = 1.5м	ф-лы таб.3 [10]	-1,5	-1,5	5,3	7	5	0,7	0	0	0		
Снижение поверхностью земли в средней зоне, Am дБ	Gm = 1	ф-лы таб.3 [10]	-2,9	-2,9	0	0	0	0	0	0	0		
Суммарное снижение поверхностью земли на траектории распространения звука Agr, дБ		ф-ла (9) [10]	-5,9	-5,9	3,8	5,5	3,5	-0,8	-1,5	-1,5	-1,5		
Уровни звукового давления прямого звука от источника ИШ-6-17 в расчётной точке днём, дБ		**ф-ла(3)[10]**	**0**	**26,5**	**17,8**	**16,1**	**15,7**	**15,9**	**6,5**	**0**	**0**	**18,5**	**18,5**
Уровни звукового давления прямого звука от источника ИШ-6-17 в расчётной точке ночью, дБ		**ф-ла(3)[10]**	**0**	**26,5**	**17,8**	**16,1**	**15,7**	**15,9**	**6,5**	**0**	**0**	**18,5**	**18,5**
Расчёт отражённого звука													
Уровни звукового давления от мнимого источника ИШ-6-17_мн.(1) в расчётной точке днём, дБ		**ф-ла(3)[10]**	**0**	**0**	**0**	**0**	**0**	**0**	**0**	**0**	**0**	**0**	**0**
Уровни звукового давления от мнимого источника ИШ-6-17_мн.(1) в расчётной точке ночью, дБ		**ф-ла(3)[10]**	**0**	**0**	**0**	**0**	**0**	**0**	**0**	**0**	**0**	**0**	**0**
Уровни звукового давления от источника ИШ-6-17 в расчётной точке днём, дБ		**ф-ла(3)[10]**	**0**	**26,5**	**17,8**	**16,1**	**15,7**	**15,9**	**6,5**	**0**	**0**	**18,5**	**18,5**
Уровни звукового давления от источника ИШ-6-17 в расчётной точке ночью, дБ		**ф-ла(3)[10]**	**0**	**26,5**	**17,8**	**16,1**	**15,7**	**15,9**	**6,5**	**0**	**0**	**18,5**	**18,5**
Источник шума: ИШ-6-18, координаты источника (x,y,z), м =[804.77,-126.28,1.00]													
Уровни звуковой мощности источника днём, Lw, дБ		**исходные данные**	**0**	**96,3**	**97,7**	**99**	**99,3**	**98,9**	**95,6**	**91,4**	**86,9**		
Уровни звуковой мощности источника ночью, Lw, дБ		**исходные данные**	**0**	**96,3**	**97,7**	**99**	**99,3**	**98,9**	**95,6**	**91,4**	**86,9**		

1		2	3	4	5	6	7	8	9	10	11	12	13
Поправка на телесный угол DΩ, дБ	Ω = 12.57	10Lg(4π/Ω)	**0**	0	0	0	0	0	0	0	0		
Показатель направленности источника Di, дБ		исходные данные	**0**	0	0	0	0	0	0	0	0		
Поправка на направленность источника Dc, дБ	Dc	DΩ + Di	**0**	0	0	0	0	0	0	0	0		
Затухание из-за геометрической дивергенции, Adiv, дБ	расстояние = 1632.97 м	ф-ла (7) [10]	**75,3**										
Коэффициент затухания звука в атмосфере α, дБ/км	Ta=20,°C Pa=101.33,кПа hотн.=70%	ф-ла (5) [9]	0,02	0,09	0,33	1,12	2,79	4,98	9,04	23,09	77,63		
Учет затухания звука в атмосфере Aatm, дБ		ф-ла (8) [10]	0	0,1	0,5	1,8	4,6	8,1	14,8	37,7	126,8		
Снижение поверхностью земли возле источника As, дБ	Gs = 0 hs = 1м	ф-лы таб.3 [10]	-1,5	-1,5	-1,5	-1,5	-1,5	-1,5	-1,5	-1,5	-1,5		
Снижение поверхностью земли возле приёмника Ar, дБ	Gr = 1 hr = 1.5м	ф-лы таб.3 [10]	-1,5	-1,5	5,3	7	5	0,7	0	0	0		
Снижение поверхностью земли в средней зоне, Am дБ	Gm = 1	ф-лы таб.3 [10]	-2,9	-2,9	0	0	0	0	0	0	0		
Суммарное снижение поверхностью земли на траектории распространения звука Agr, дБ		ф-ла (9) [10]	-5,9	-5,9	3,8	5,5	3,5	-0,8	-1,5	-1,5	-1,5		
Уровни звукового давления прямого звука от источника ИШ-6-18 в расчётной точке днём, дБ		**ф-ла(3)[10]**	**0**	**26,7**	**18**	**16,4**	**16**	**16,3**	**7,1**	**0**	**0**	**18,9**	**18,9**
Уровни звукового давления прямого звука от источника ИШ-6-18 в расчётной точке ночью, дБ		**ф-ла(3)[10]**	**0**	**26,7**	**18**	**16,4**	**16**	**16,3**	**7,1**	**0**	**0**	**18,9**	**18,9**
Расчёт отражённого звука													
Уровни звукового давления от мнимого источника ИШ-6-18_мн.(1) в расчётной точке днём, дБ		**ф-ла(3)[10]**	**0**	**0**	**0**	**0**	**0**	**0**	**0**	**0**	**0**	**0**	**0**
Уровни звукового давления от мнимого источника ИШ-6-18_мн.(1) в расчётной точке ночью, дБ		**ф-ла(3)[10]**	**0**	**0**	**0**	**0**	**0**	**0**	**0**	**0**	**0**	**0**	**0**
Уровни звукового давления от источника ИШ-6-18 в расчётной точке днём, дБ		**ф-ла(3)[10]**	**0**	**26,7**	**18**	**16,4**	**16**	**16,3**	**7,1**	**0**	**0**	**18,9**	**18,9**
Уровни звукового давления от источника ИШ-6-18 в расчётной точке ночью, дБ		**ф-ла(3)[10]**	**0**	**26,7**	**18**	**16,4**	**16**	**16,3**	**7,1**	**0**	**0**	**18,9**	**18,9**

1		2	3	4	5	6	7	8	9	10	11	12	13
Источник шума: ИШ-6-19, координаты источника (x,y,z), м =[803.81,-129.30,1.00]													
Уровни звуковой мощности источника днём, Lw, дБ		**исходные данные**	**0**	**96,3**	**97,7**	**99**	**99,3**	**98,9**	**95,6**	**91,4**	**86,9**		
Уровни звуковой мощности источника ночью, Lw, дБ		**исходные данные**	**0**	**96,3**	**97,7**	**99**	**99,3**	**98,9**	**95,6**	**91,4**	**86,9**		
Поправка на телесный угол DΩ, дБ	Ω = 12.57	10Lg(4π/Ω)	**0**	0	0	0	0	0	0	0	0		
Показатель направленности источника Di, дБ		исходные данные	**0**	0	0	0	0	0	0	0	0		
Поправка на направленность источника Dc, дБ	Dc	DΩ + Di	**0**	0	0	0	0	0	0	0	0		
Затухание из-за геометрической дивергенции, Adiv, дБ	расстояние = 1634.86 м	ф-ла (7) [10]	**75,3**										
Коэффициент затухания звука в атмосфере α, дБ/км	Ta=20,°C Pa=101.33,кПа hотн.=70%	ф-ла (5) [9]	0,02	0,09	0,33	1,12	2,79	4,98	9,04	23,09	77,63		
Учет затухания звука в атмосфере Aatm, дБ		ф-ла (8) [10]	0	0,1	0,5	1,8	4,6	8,1	14,8	37,7	126,9		
Снижение поверхностью земли возле источника As, дБ	Gs = 0 hs = 1м	ф-лы таб.3 [10]	-1,5	-1,5	-1,5	-1,5	-1,5	-1,5	-1,5	-1,5	-1,5		
Снижение поверхностью земли возле приёмника Ar, дБ	Gr = 1 hr = 1.5м	ф-лы таб.3 [10]	-1,5	-1,5	5,3	7	5	0,7	0	0	0		
Снижение поверхностью земли в средней зоне, Am дБ	Gm = 1	ф-лы таб.3 [10]	-2,9	-2,9	0	0	0	0	0	0	0		
Суммарное снижение поверхностью земли на траектории распространения звука Agr, дБ		ф-ла (9) [10]	-5,9	-5,9	3,8	5,5	3,5	-0,8	-1,5	-1,5	-1,5		
Уровни звукового давления прямого звука от источника ИШ-6-19 в расчётной точке днём, дБ		**ф-ла(3)[10]**	**0**	**26,7**	**18**	**16,4**	**16**	**16,3**	**7**	**0**	**0**	**18,9**	**18,9**
Уровни звукового давления прямого звука от источника ИШ-6-19 в расчётной точке ночью, дБ		**ф-ла(3)[10]**	**0**	**26,7**	**18**	**16,4**	**16**	**16,3**	**7**	**0**	**0**	**18,9**	**18,9**
Расчёт отражённого звука													

1		2	3	4	5	6	7	8	9	10	11	12	13
Уровни звукового давления от мнимого источника ИШ-6-19_мн.(1) в расчётной точке днём, дБ		**ф-ла(3)[10]**	**0**	**0**	**0**	**0**	**0**	**0**	**0**	**0**	**0**	**0**	**0**
Уровни звукового давления от мнимого источника ИШ-6-19_мн.(1) в расчётной точке ночью, дБ		**ф-ла(3)[10]**	**0**	**0**	**0**	**0**	**0**	**0**	**0**	**0**	**0**	**0**	**0**
Уровни звукового давления от источника ИШ-6-19 в расчётной точке днём, дБ		**ф-ла(3)[10]**	**0**	**26,7**	**18**	**16,4**	**16**	**16,3**	**7**	**0**	**0**	**18,9**	**18,9**
Уровни звукового давления от источника ИШ-6-19 в расчётной точке ночью, дБ		**ф-ла(3)[10]**	**0**	**26,7**	**18**	**16,4**	**16**	**16,3**	**7**	**0**	**0**	**18,9**	**18,9**
Источник шума: ИШ-6-20, координаты источника (x,y,z), м =[802.67,-132.35,1.00]													
Уровни звуковой мощности источника днём, Lw, дБ		**исходные данные**	**0**	**96,3**	**97,7**	**99**	**99,3**	**98,9**	**95,6**	**91,4**	**86,9**		
Уровни звуковой мощности источника ночью, Lw, дБ		**исходные данные**	**0**	**96,3**	**97,7**	**99**	**99,3**	**98,9**	**95,6**	**91,4**	**86,9**		
Поправка на телесный угол DΩ, дБ	Ω = 12.57	10Lg(4π/Ω)	**0**	0	0	0	0	0	0	0	0		
Показатель направленности источника Di, дБ		исходные данные	**0**	0	0	0	0	0	0	0	0		
Поправка на направленность источника Dc, дБ	Dc	DΩ + Di	**0**	0	0	0	0	0	0	0	0		
Затухание из-за геометрической дивергенции, Adiv, дБ	расстояние = 1636.92 м	ф-ла (7) [10]	**75,3**										
Коэффициент затухания звука в атмосфере α, дБ/км	Ta=20,°C Pa=101.33,кПа hотн.=70%	ф-ла (5) [9]	0,02	0,09	0,33	1,12	2,79	4,98	9,04	23,09	77,63		
Учет затухания звука в атмосфере Aatm, дБ		ф-ла (8) [10]	0	0,1	0,5	1,8	4,6	8,1	14,8	37,8	127,1		
Снижение поверхностью земли возле источника As, дБ	Gs = 0 hs = 1м	ф-лы таб.3 [10]	-1,5	-1,5	-1,5	-1,5	-1,5	-1,5	-1,5	-1,5	-1,5		
Снижение поверхностью земли возле приёмника Ar, дБ	Gr = 1 hr = 1.5м	ф-лы таб.3 [10]	-1,5	-1,5	5,3	7	5	0,7	0	0	0		
Снижение поверхностью земли в средней зоне, Am дБ	Gm = 1	ф-лы таб.3 [10]	-2,9	-2,9	0	0	0	0	0	0	0		

1		2	3	4	5	6	7	8	9	10	11	12	13
Суммарное снижение поверхностью земли на траектории распространения звука Agr, дБ		ф-ла (9) [10]	-5,9	-5,9	3,8	5,5	3,5	-0,8	-1,5	-1,5	-1,5		
Уровни звукового давления прямого звука от источника ИШ-6-20 в расчётной точке днём, дБ		**ф-ла(3)[10]**	**0**	**26,7**	**18**	**16,3**	**16**	**16,3**	**7**	**0**	**0**	**18,9**	**18,9**
Уровни звукового давления прямого звука от источника ИШ-6-20 в расчётной точке ночью, дБ		**ф-ла(3)[10]**	**0**	**26,7**	**18**	**16,3**	**16**	**16,3**	**7**	**0**	**0**	**18,9**	**18,9**
Расчёт отражённого звука													
Уровни звукового давления от мнимого источника ИШ-6-20_мн.(1) в расчётной точке днём, дБ		**ф-ла(3)[10]**	**0**	**0**	**0**	**0**	**0**	**0**	**0**	**0**	**0**	**0**	**0**
Уровни звукового давления от мнимого источника ИШ-6-20_мн.(1) в расчётной точке ночью, дБ		**ф-ла(3)[10]**	**0**	**0**	**0**	**0**	**0**	**0**	**0**	**0**	**0**	**0**	**0**
Уровни звукового давления от источника ИШ-6-20 в расчётной точке днём, дБ		**ф-ла(3)[10]**	**0**	**26,7**	**18**	**16,3**	**16**	**16,3**	**7**	**0**	**0**	**18,9**	**18,9**
Уровни звукового давления от источника ИШ-6-20 в расчётной точке ночью, дБ		**ф-ла(3)[10]**	**0**	**26,7**	**18**	**16,3**	**16**	**16,3**	**7**	**0**	**0**	**18,9**	**18,9**
Источник шума: ИШ-6-21, координаты источника (x,y,z), м =[801.69,-135.42,1.00]													
Уровни звуковой мощности источника днём, Lw, дБ		**исходные данные**	**0**	**96,3**	**97,7**	**99**	**99,3**	**98,9**	**95,6**	**91,4**	**86,9**		
Уровни звуковой мощности источника ночью, Lw, дБ		**исходные данные**	**0**	**96,3**	**97,7**	**99**	**99,3**	**98,9**	**95,6**	**91,4**	**86,9**		
Поправка на телесный угол DΩ, дБ	Ω = 12.57	10Lg(4π/Ω)	**0**	0	0	0	0	0	0	0	0		
Показатель направленности источника Di, дБ		исходные данные	**0**	0	0	0	0	0	0	0	0		
Поправка на направленность источника Dc, дБ	Dc	DΩ + Di	**0**	0	0	0	0	0	0	0	0		
Затухание из-за геометрической дивергенции, Adiv, дБ	расстояние = 1638.85 м	ф-ла (7) [10]	**75,3**										
Коэффициент затухания звука в атмосфере α, дБ/км	Ta=20,°C Pa=101.33,кПа hотн.=70%	ф-ла (5) [9]	0,02	0,09	0,33	1,12	2,79	4,98	9,04	23,09	77,63		

1		2	3	4	5	6	7	8	9	10	11	12	13
Учет затухания звука в атмосфере Aatm, дБ		ф-ла (8) [10]	0	0,1	0,5	1,8	4,6	8,2	14,8	37,8	127,2		
Снижение поверхностью земли возле источника As, дБ	Gs = 0 hs = 1м	ф-лы таб.3 [10]	-1,5	-1,5	-1,5	-1,5	-1,5	-1,5	-1,5	-1,5	-1,5		
Снижение поверхностью земли возле приёмника Ar, дБ	Gr = 1 hr = 1.5м	ф-лы таб.3 [10]	-1,5	-1,5	5,3	7	5	0,7	0	0	0		
Снижение поверхностью земли в средней зоне, Am дБ	Gm = 1	ф-лы таб.3 [10]	-2,9	-2,9	0	0	0	0	0	0	0		
Суммарное снижение поверхностью земли на траектории распространения звука Agr, дБ		ф-ла (9) [10]	-5,9	-5,9	3,8	5,5	3,5	-0,8	-1,5	-1,5	-1,5		
Уровни звукового давления прямого звука от источника ИШ-6-21 в расчётной точке днём, дБ		**ф-ла(3)[10]**	**0**	**26,7**	**18**	**16,3**	**16**	**16,3**	**7**	**0**	**0**	**18,8**	**18,8**
Уровни звукового давления прямого звука от источника ИШ-6-21 в расчётной точке ночью, дБ		**ф-ла(3)[10]**	**0**	**26,7**	**18**	**16,3**	**16**	**16,3**	**7**	**0**	**0**	**18,8**	**18,8**
Расчёт отражённого звука													
Уровни звукового давления от мнимого источника ИШ-6-21_мн.(1) в расчётной точке днём, дБ		**ф-ла(3)[10]**	**0**	**0**	**0**	**0**	**0**	**0**	**0**	**0**	**0**	**0**	**0**
Уровни звукового давления от мнимого источника ИШ-6-21_мн.(1) в расчётной точке ночью, дБ		**ф-ла(3)[10]**	**0**	**0**	**0**	**0**	**0**	**0**	**0**	**0**	**0**	**0**	**0**
Уровни звукового давления от источника ИШ-6-21 в расчётной точке днём, дБ		**ф-ла(3)[10]**	**0**	**26,7**	**18**	**16,3**	**16**	**16,3**	**7**	**0**	**0**	**18,8**	**18,8**
Уровни звукового давления от источника ИШ-6-21 в расчётной точке ночью, дБ		**ф-ла(3)[10]**	**0**	**26,7**	**18**	**16,3**	**16**	**16,3**	**7**	**0**	**0**	**18,8**	**18,8**
Источник шума: ИШ-6-22, координаты источника (x,y,z), м =[800.65,-138.47,1.00]													
Уровни звуковой мощности источника днём, Lw, дБ		**исходные данные**	**0**	**96,3**	**97,7**	**99**	**99,3**	**98,9**	**95,6**	**91,4**	**86,9**		
Уровни звуковой мощности источника ночью, Lw, дБ		**исходные данные**	**0**	**96,3**	**97,7**	**99**	**99,3**	**98,9**	**95,6**	**91,4**	**86,9**		
Поправка на телесный угол DΩ, дБ	Ω = 12.57	10Lg(4π/Ω)	**0**	0	0	0	0	0	0	0	0		
Показатель направленности источника Di, дБ		исходные данные	**0**	0	0	0	0	0	0	0	0		

1		2	3	4	5	6	7	8	9	10	11	12	13
Поправка на направленность источника Dc, дБ	Dc	DΩ + Di	**0**	0	0	0	0	0	0	0	0		
Затухание из-за геометрической дивергенции, Adiv, дБ	расстояние = 1640.82 м	ф-ла (7) [10]	**75,3**										
Коэффициент затухания звука в атмосфере α, дБ/км	Ta=20,°C Pa=101.33,кПа hотн.=70%	ф-ла (5) [9]	0,02	0,09	0,33	1,12	2,79	4,98	9,04	23,09	77,63		
Учет затухания звука в атмосфере Aatm, дБ		ф-ла (8) [10]	0	0,1	0,5	1,8	4,6	8,2	14,8	37,9	127,4		
Снижение поверхностью земли возле источника As, дБ	Gs = 0 hs = 1м	ф-лы таб.3 [10]	-1,5	-1,5	-1,5	-1,5	-1,5	-1,5	-1,5	-1,5	-1,5		
Снижение поверхностью земли возле приёмника Ar, дБ	Gr = 1 hr = 1.5м	ф-лы таб.3 [10]	-1,5	-1,5	5,3	7	5	0,7	0	0	0		
Снижение поверхностью земли в средней зоне, Am дБ	Gm = 1	ф-лы таб.3 [10]	-2,9	-2,9	0	0	0	0	0	0	0		
Суммарное снижение поверхностью земли на траектории распространения звука Agr, дБ		ф-ла (9) [10]	-5,9	-5,9	3,8	5,5	3,5	-0,8	-1,5	-1,5	-1,5		
Уровни звукового давления прямого звука от источника ИШ-6-22 в расчётной точке днём, дБ		**ф-ла(3)[10]**	**0**	**26,7**	**18**	**16,3**	**15,9**	**16,3**	**7**	**0**	**0**	**18,8**	**18,8**
Уровни звукового давления прямого звука от источника ИШ-6-22 в расчётной точке ночью, дБ		**ф-ла(3)[10]**	**0**	**26,7**	**18**	**16,3**	**15,9**	**16,3**	**7**	**0**	**0**	**18,8**	**18,8**
Расчёт отражённого звука													
Уровни звукового давления от мнимого источника ИШ-6-22_мн.(1) в расчётной точке днём, дБ		**ф-ла(3)[10]**	**0**	**0**	**0**	**0**	**0**	**0**	**0**	**0**	**0**	**0**	**0**
Уровни звукового давления от мнимого источника ИШ-6-22_мн.(1) в расчётной точке ночью, дБ		**ф-ла(3)[10]**	**0**	**0**	**0**	**0**	**0**	**0**	**0**	**0**	**0**	**0**	**0**
Уровни звукового давления от мнимого источника ИШ-6-22_мн.(2) в расчётной точке днём, дБ		**ф-ла(3)[10]**	**0**	**0**	**0**	**0**	**0**	**0**	**0**	**0**	**0**	**0**	**0**
Уровни звукового давления от мнимого источника ИШ-6-22_мн.(2) в расчётной точке ночью, дБ		**ф-ла(3)[10]**	**0**	**0**	**0**	**0**	**0**	**0**	**0**	**0**	**0**	**0**	**0**
Суммарные уровни звукового давления от мнимых источников в расчётной точке днём, дБ		**ф-ла (19) [1]**	**0**	**0**	**0**	**0**	**0**	**0**	**0**	**0**	**0**	**0**	**0**
Суммарные уровни звукового давления от мнимых источников в расчётной точке ночью, дБ		**ф-ла (19) [1]**	**0**	**0**	**0**	**0**	**0**	**0**	**0**	**0**	**0**	**0**	**0**

1		2	3	4	5	6	7	8	9	10	11	12	13
Уровни звукового давления от источника ИШ-6-22 в расчётной точке днём, дБ		**ф-ла(3)[10]**	**0**	**26,7**	**18**	**16,3**	**15,9**	**16,3**	**7**	**0**	**0**	**18,8**	**18,8**
Уровни звукового давления от источника ИШ-6-22 в расчётной точке ночью, дБ		**ф-ла(3)[10]**	**0**	**26,7**	**18**	**16,3**	**15,9**	**16,3**	**7**	**0**	**0**	**18,8**	**18,8**
Источник шума: ИШ-7-1, координаты источника (x,y,z), м =[821.44,63.31,1.00]													
Уровни звуковой мощности источника днём, Lw, дБ		**исходные данные**	**77**	**75**	**67**	**66**	**63**	**55**	**53**	**48**	**51**		
Уровни звуковой мощности источника ночью, Lw, дБ		**исходные данные**	**77**	**75**	**67**	**66**	**63**	**55**	**53**	**48**	**51**		
Поправка на телесный угол DΩ, дБ	Ω = 12.57	10Lg(4π/Ω)	**0**	0	0	0	0	0	0	0	0		
Показатель направленности источника Di, дБ		исходные данные	**0**	0	0	0	0	0	0	0	0		
Поправка на направленность источника Dc, дБ	Dc	DΩ + Di	**0**	0	0	0	0	0	0	0	0		
Затухание из-за геометрической дивергенции, Adiv, дБ	расстояние = 1566.10 м	ф-ла (7) [10]	**74,9**										
Коэффициент затухания звука в атмосфере α, дБ/км	Ta=20,°C Pa=101.33,кПа hотн.=70%	ф-ла (5) [9]	0,02	0,09	0,33	1,12	2,79	4,98	9,04	23,09	77,63		
Учет затухания звука в атмосфере Aatm, дБ		ф-ла (8) [10]	0	0,1	0,5	1,8	4,4	7,8	14,2	36,2	121,6		
Снижение поверхностью земли возле источника As, дБ	Gs = 0 hs = 1м	ф-лы таб.3 [10]	-1,5	-1,5	-1,5	-1,5	-1,5	-1,5	-1,5	-1,5	-1,5		
Снижение поверхностью земли возле приёмника Ar, дБ	Gr = 1 hr = 1.5м	ф-лы таб.3 [10]	-1,5	-1,5	5,3	7	5	0,7	0	0	0		
Снижение поверхностью земли в средней зоне, Am дБ	Gm = 1	ф-лы таб.3 [10]	-2,9	-2,9	0	0	0	0	0	0	0		
Суммарное снижение поверхностью земли на траектории распространения звука Agr, дБ		ф-ла (9) [10]	-5,9	-5,9	3,8	5,5	3,5	-0,8	-1,5	-1,5	-1,5		
Уровни звукового давления от источника ИШ-7-1 в расчётной точке днём, дБ		**ф-ла(3)[10]**	**7,9**	**0**	**0**	**0**	**0**	**0**	**0**	**0**	**0**	**0**	**0**

1		2	3	4	5	6	7	8	9	10	11	12	13
Уровни звукового давления от источника ИШ-7-1 в расчётной точке ночью, дБ		**ф-ла(3)[10]**	**7,9**	**0**	**0**	**0**	**0**	**0**	**0**	**0**	**0**	**0**	**0**
Источник шума: ИШ-7-2, координаты источника (x,y,z), м =[768.90,-86.75,1.00]													
Уровни звуковой мощности источника днём, Lw, дБ		**исходные данные**	**77**	**75**	**67**	**66**	**63**	**55**	**53**	**48**	**51**		
Уровни звуковой мощности источника ночью, Lw, дБ		**исходные данные**	**77**	**75**	**67**	**66**	**63**	**55**	**53**	**48**	**51**		
Поправка на телесный угол DΩ, дБ	Ω = 12.57	10Lg(4π/Ω)	**0**	0	0	0	0	0	0	0	0		
Показатель направленности источника Di, дБ		исходные данные	**0**	0	0	0	0	0	0	0	0		
Поправка на направленность источника Dc, дБ	Dc	DΩ + Di	**0**	0	0	0	0	0	0	0	0		
Затухание из-за геометрической дивергенции, Adiv, дБ	расстояние = 1655.00 м	ф-ла (7) [10]	**75,4**										
Коэффициент затухания звука в атмосфере α, дБ/км	Ta=20,°C Pa=101.33,кПа hотн.=70%	ф-ла (5) [9]	0,02	0,09	0,33	1,12	2,79	4,98	9,04	23,09	77,63		
Учет затухания звука в атмосфере Aatm, дБ		ф-ла (8) [10]	0	0,1	0,6	1,9	4,6	8,2	15	38,2	128,5		
Снижение поверхностью земли возле источника As, дБ	Gs = 0 hs = 1м	ф-лы таб.3 [10]	-1,5	-1,5	-1,5	-1,5	-1,5	-1,5	-1,5	-1,5	-1,5		
Снижение поверхностью земли возле приёмника Ar, дБ	Gr = 1 hr = 1.5м	ф-лы таб.3 [10]	-1,5	-1,5	5,3	7	5	0,7	0	0	0		
Снижение поверхностью земли в средней зоне, Am дБ	Gm = 1	ф-лы таб.3 [10]	-2,9	-2,9	0	0	0	0	0	0	0		
Суммарное снижение поверхностью земли на траектории распространения звука Agr, дБ		ф-ла (9) [10]	-5,9	-5,9	3,8	5,5	3,5	-0,8	-1,5	-1,5	-1,5		
Уровни звукового давления от источника ИШ-7-2 в расчётной точке днём, дБ		**ф-ла(3)[10]**	**7,4**	**0**	**0**	**0**	**0**	**0**	**0**	**0**	**0**	**0**	**0**
Уровни звукового давления от источника ИШ-7-2 в расчётной точке ночью, дБ		**ф-ла(3)[10]**	**7,4**	**0**	**0**	**0**	**0**	**0**	**0**	**0**	**0**	**0**	**0**

1		2	3	4	5	6	7	8	9	10	11	12	13
Источник шума: ИШ-7-3, координаты источника (x,y,z), м =[766.80,-93.20,1.00]													
Уровни звуковой мощности источника днём, Lw, дБ		**исходные данные**	**77**	**75**	**67**	**66**	**63**	**55**	**53**	**48**	**51**		
Уровни звуковой мощности источника ночью, Lw, дБ		**исходные данные**	**77**	**75**	**67**	**66**	**63**	**55**	**53**	**48**	**51**		
Поправка на телесный угол DΩ, дБ	Ω = 12.57	10Lg(4π/Ω)	**0**	0	0	0	0	0	0	0	0		
Показатель направленности источника Di, дБ		исходные данные	**0**	0	0	0	0	0	0	0	0		
Поправка на направленность источника Dc, дБ	Dc	DΩ + Di	**0**	0	0	0	0	0	0	0	0		
Затухание из-за геометрической дивергенции, Adiv, дБ	расстояние = 1658.90 м	ф-ла (7) [10]	**75,4**										
Коэффициент затухания звука в атмосфере α, дБ/км	Ta=20,°C Pa=101.33,кПа hотн.=70%	ф-ла (5) [9]	0,02	0,09	0,33	1,12	2,79	4,98	9,04	23,09	77,63		
Учет затухания звука в атмосфере Aatm, дБ		ф-ла (8) [10]	0	0,1	0,6	1,9	4,6	8,3	15	38,3	128,8		
Снижение поверхностью земли возле источника As, дБ	Gs = 0 hs = 1м	ф-лы таб.3 [10]	-1,5	-1,5	-1,5	-1,5	-1,5	-1,5	-1,5	-1,5	-1,5		
Снижение поверхностью земли возле приёмника Ar, дБ	Gr = 1 hr = 1.5м	ф-лы таб.3 [10]	-1,5	-1,5	5,3	7	5	0,7	0	0	0		
Снижение поверхностью земли в средней зоне, Am дБ	Gm = 1	ф-лы таб.3 [10]	-2,9	-2,9	0	0	0	0	0	0	0		
Суммарное снижение поверхностью земли на траектории распространения звука Agr, дБ		ф-ла (9) [10]	-5,9	-5,9	3,8	5,5	3,5	-0,8	-1,5	-1,5	-1,5		
Уровни звукового давления от источника ИШ-7-3 в расчётной точке днём, дБ		**ф-ла(3)[10]**	**7,4**	**0**	**0**	**0**	**0**	**0**	**0**	**0**	**0**	**0**	**0**
Уровни звукового давления от источника ИШ-7-3 в расчётной точке ночью, дБ		**ф-ла(3)[10]**	**7,4**	**0**	**0**	**0**	**0**	**0**	**0**	**0**	**0**	**0**	**0**
Источник шума: ИШ-7-4, координаты источника (x,y,z), м =[866.76,37.18,1.00]													

1		2	3	4	5	6	7	8	9	10	11	12	13
Уровни звуковой мощности источника днём, Lw, дБ		**исходные данные**	**77**	**75**	**67**	**66**	**63**	**55**	**53**	**48**	**51**		
Уровни звуковой мощности источника ночью, Lw, дБ		**исходные данные**	**77**	**75**	**67**	**66**	**63**	**55**	**53**	**48**	**51**		
Поправка на телесный угол DΩ, дБ	Ω = 12.57	10Lg(4π/Ω)	**0**	0	0	0	0	0	0	0	0		
Показатель направленности источника Di, дБ		исходные данные	**0**	0	0	0	0	0	0	0	0		
Поправка на направленность источника Dc, дБ	Dc	DΩ + Di	**0**	0	0	0	0	0	0	0	0		
Затухание из-за геометрической дивергенции, Adiv, дБ	расстояние = 1527.80 м	ф-ла (7) [10]	**74,7**										
Коэффициент затухания звука в атмосфере α, дБ/км	Ta=20,°C Pa=101.33,кПа hотн.=70%	ф-ла (5) [9]	0,02	0,09	0,33	1,12	2,79	4,98	9,04	23,09	77,63		
Учет затухания звука в атмосфере Aatm, дБ		ф-ла (8) [10]	0	0,1	0,5	1,7	4,3	7,6	13,8	35,3	118,6		
Снижение поверхностью земли возле источника As, дБ	Gs = 0 hs = 1м	ф-лы таб.3 [10]	-1,5	-1,5	-1,5	-1,5	-1,5	-1,5	-1,5	-1,5	-1,5		
Снижение поверхностью земли возле приёмника Ar, дБ	Gr = 1 hr = 1.5м	ф-лы таб.3 [10]	-1,5	-1,5	5,3	7	5	0,7	0	0	0		
Снижение поверхностью земли в средней зоне, Am дБ	Gm = 1	ф-лы таб.3 [10]	-2,9	-2,9	0	0	0	0	0	0	0		
Суммарное снижение поверхностью земли на траектории распространения звука Agr, дБ		ф-ла (9) [10]	-5,9	-5,9	3,8	5,5	3,5	-0,8	-1,5	-1,5	-1,5		
Уровни звукового давления от источника ИШ-7-4 в расчётной точке днём, дБ		**ф-ла(3)[10]**	**8,1**	**6**	**0**	**0**	**0**	**0**	**0**	**0**	**0**	**0**	**0**
Уровни звукового давления от источника ИШ-7-4 в расчётной точке ночью, дБ		**ф-ла(3)[10]**	**8,1**	**6**	**0**	**0**	**0**	**0**	**0**	**0**	**0**	**0**	**0**
Источник шума: ИШ-7-5, координаты источника (x,y,z), м =[861.80,21.34,1.00]													
Уровни звуковой мощности источника днём, Lw, дБ		**исходные данные**	**77**	**75**	**67**	**66**	**63**	**55**	**53**	**48**	**51**		

1		2	3	4	5	6	7	8	9	10	11	12	13
Уровни звуковой мощности источника ночью, Lw, дБ		**исходные данные**	**77**	**75**	**67**	**66**	**63**	**55**	**53**	**48**	**51**		
Поправка на телесный угол DΩ, дБ	Ω = 12.57	10Lg(4π/Ω)	**0**	0	0	0	0	0	0	0	0		
Показатель направленности источника Di, дБ		исходные данные	**0**	0	0	0	0	0	0	0	0		
Поправка на направленность источника Dc, дБ	Dc	DΩ + Di	**0**	0	0	0	0	0	0	0	0		
Затухание из-за геометрической дивергенции, Adiv, дБ	расстояние = 1536.42 м	ф-ла (7) [10]	**74,7**										
Коэффициент затухания звука в атмосфере α, дБ/км	Ta=20,°C Pa=101.33,кПа hотн.=70%	ф-ла (5) [9]	0,02	0,09	0,33	1,12	2,79	4,98	9,04	23,09	77,63		
Учет затухания звука в атмосфере Aatm, дБ		ф-ла (8) [10]	0	0,1	0,5	1,7	4,3	7,6	13,9	35,5	119,3		
Снижение поверхностью земли возле источника As, дБ	Gs = 0 hs = 1м	ф-лы таб.3 [10]	-1,5	-1,5	-1,5	-1,5	-1,5	-1,5	-1,5	-1,5	-1,5		
Снижение поверхностью земли возле приёмника Ar, дБ	Gr = 1 hr = 1.5м	ф-лы таб.3 [10]	-1,5	-1,5	5,3	7	5	0,7	0	0	0		
Снижение поверхностью земли в средней зоне, Am дБ	Gm = 1	ф-лы таб.3 [10]	-2,9	-2,9	0	0	0	0	0	0	0		
Суммарное снижение поверхностью земли на траектории распространения звука Agr, дБ		ф-ла (9) [10]	-5,9	-5,9	3,8	5,5	3,5	-0,8	-1,5	-1,5	-1,5		
Уровни звукового давления от источника ИШ-7-5 в расчётной точке днём, дБ		**ф-ла(3)[10]**	**8,1**	**6**	**0**	**0**	**0**	**0**	**0**	**0**	**0**	**0**	**0**
Уровни звукового давления от источника ИШ-7-5 в расчётной точке ночью, дБ		**ф-ла(3)[10]**	**8,1**	**6**	**0**	**0**	**0**	**0**	**0**	**0**	**0**	**0**	**0**
Источник шума: ИШ-7-6, координаты источника (x,y,z), м =[856.52,5.94,1.00]													
Уровни звуковой мощности источника днём, Lw, дБ		**исходные данные**	**77**	**75**	**67**	**66**	**63**	**55**	**53**	**48**	**51**		
Уровни звуковой мощности источника ночью, Lw, дБ		**исходные данные**	**77**	**75**	**67**	**66**	**63**	**55**	**53**	**48**	**51**		

1		2	3	4	5	6	7	8	9	10	11	12	13
Поправка на телесный угол DΩ, дБ	Ω = 12.57	10Lg(4π/Ω)	**0**	0	0	0	0	0	0	0	0		
Показатель направленности источника Di, дБ		исходные данные	**0**	0	0	0	0	0	0	0	0		
Поправка на направленность источника Dc, дБ	Dc	DΩ + Di	**0**	0	0	0	0	0	0	0	0		
Затухание из-за геометрической дивергенции, Adiv, дБ	расстояние = 1545.38 м	ф-ла (7) [10]	**74,8**										
Коэффициент затухания звука в атмосфере α, дБ/км	Ta=20,°C Pa=101.33,кПа hотн.=70%	ф-ла (5) [9]	0,02	0,09	0,33	1,12	2,79	4,98	9,04	23,09	77,63		
Учет затухания звука в атмосфере Aatm, дБ		ф-ла (8) [10]	0	0,1	0,5	1,7	4,3	7,7	14	35,7	120		
Снижение поверхностью земли возле источника As, дБ	Gs = 0 hs = 1м	ф-лы таб.3 [10]	-1,5	-1,5	-1,5	-1,5	-1,5	-1,5	-1,5	-1,5	-1,5		
Снижение поверхностью земли возле приёмника Ar, дБ	Gr = 1 hr = 1.5м	ф-лы таб.3 [10]	-1,5	-1,5	5,3	7	5	0,7	0	0	0		
Снижение поверхностью земли в средней зоне, Am дБ	Gm = 1	ф-лы таб.3 [10]	-2,9	-2,9	0	0	0	0	0	0	0		
Суммарное снижение поверхностью земли на траектории распространения звука Agr, дБ		ф-ла (9) [10]	-5,9	-5,9	3,8	5,5	3,5	-0,8	-1,5	-1,5	-1,5		
Уровни звукового давления от источника ИШ-7-6 в расчётной точке днём, дБ		**ф-ла(3)[10]**	**8**	**5,9**	**0**	**0**	**0**	**0**	**0**	**0**	**0**	**0**	**0**
Уровни звукового давления от источника ИШ-7-6 в расчётной точке ночью, дБ		**ф-ла(3)[10]**	**8**	**5,9**	**0**	**0**	**0**	**0**	**0**	**0**	**0**	**0**	**0**
Источник шума: ИШ-7-7, координаты источника (x,y,z), м =[851.06,-9.89,1.00]													
Уровни звуковой мощности источника днём, Lw, дБ		**исходные данные**	**77**	**75**	**67**	**66**	**63**	**55**	**53**	**48**	**51**		
Уровни звуковой мощности источника ночью, Lw, дБ		**исходные данные**	**77**	**75**	**67**	**66**	**63**	**55**	**53**	**48**	**51**		
Поправка на телесный угол DΩ, дБ	Ω = 12.57	10Lg(4π/Ω)	**0**	0	0	0	0	0	0	0	0		

1		2	3	4	5	6	7	8	9	10	11	12	13
Показатель направленности источника Di, дБ		исходные данные	**0**	0	0	0	0	0	0	0	0		
Поправка на направленность источника Dc, дБ	Dc	DΩ + Di	**0**	0	0	0	0	0	0	0	0		
Затухание из-за геометрической дивергенции, Adiv, дБ	расстояние = 1554.74 м	ф-ла (7) [10]	**74,8**										
Коэффициент затухания звука в атмосфере α, дБ/км	Ta=20,°C Pa=101.33,кПа hотн.=70%	ф-ла (5) [9]	0,02	0,09	0,33	1,12	2,79	4,98	9,04	23,09	77,63		
Учет затухания звука в атмосфере Aatm, дБ		ф-ла (8) [10]	0	0,1	0,5	1,7	4,3	7,7	14,1	35,9	120,7		
Снижение поверхностью земли возле источника As, дБ	Gs = 0 hs = 1м	ф-лы таб.3 [10]	-1,5	-1,5	-1,5	-1,5	-1,5	-1,5	-1,5	-1,5	-1,5		
Снижение поверхностью земли возле приёмника Ar, дБ	Gr = 1 hr = 1.5м	ф-лы таб.3 [10]	-1,5	-1,5	5,3	7	5	0,7	0	0	0		
Снижение поверхностью земли в средней зоне, Am дБ	Gm = 1	ф-лы таб.3 [10]	-2,9	-2,9	0	0	0	0	0	0	0		
Суммарное снижение поверхностью земли на траектории распространения звука Agr, дБ		ф-ла (9) [10]	-5,9	-5,9	3,8	5,5	3,5	-0,8	-1,5	-1,5	-1,5		
Уровни звукового давления от источника ИШ-7-7 в расчётной точке днём, дБ		**ф-ла(3)[10]**	**8**	**5,9**	**0**	**0**	**0**	**0**	**0**	**0**	**0**	**0**	**0**
Уровни звукового давления от источника ИШ-7-7 в расчётной точке ночью, дБ		**ф-ла(3)[10]**	**8**	**5,9**	**0**	**0**	**0**	**0**	**0**	**0**	**0**	**0**	**0**
Источник шума: ИШ-7-8, координаты источника (x,y,z), м =[821.90,-104.30,1.00]													
Уровни звуковой мощности источника днём, Lw, дБ		**исходные данные**	**77**	**75**	**67**	**66**	**63**	**55**	**53**	**48**	**51**		
Уровни звуковой мощности источника ночью, Lw, дБ		**исходные данные**	**77**	**75**	**67**	**66**	**63**	**55**	**53**	**48**	**51**		
Поправка на телесный угол DΩ, дБ	Ω = 12.57	10Lg(4π/Ω)	**0**	0	0	0	0	0	0	0	0		
Показатель направленности источника Di, дБ		исходные данные	**0**	0	0	0	0	0	0	0	0		

1		2	3	4	5	6	7	8	9	10	11	12	13
Поправка на направленность источника Dc, дБ	Dc	DΩ + Di	**0**	0	0	0	0	0	0	0	0		
Затухание из-за геометрической дивергенции, Adiv, дБ	расстояние = 1609.78 м	ф-ла (7) [10]	**75,1**										
Коэффициент затухания звука в атмосфере α, дБ/км	Ta=20,°C Pa=101.33,кПа hотн.=70%	ф-ла (5) [9]	0,02	0,09	0,33	1,12	2,79	4,98	9,04	23,09	77,63		
Учет затухания звука в атмосфере Aatm, дБ		ф-ла (8) [10]	0	0,1	0,5	1,8	4,5	8	14,6	37,2	125		
Снижение поверхностью земли возле источника As, дБ	Gs = 0 hs = 1м	ф-лы таб.3 [10]	-1,5	-1,5	-1,5	-1,5	-1,5	-1,5	-1,5	-1,5	-1,5		
Снижение поверхностью земли возле приёмника Ar, дБ	Gr = 1 hr = 1.5м	ф-лы таб.3 [10]	-1,5	-1,5	5,3	7	5	0,7	0	0	0		
Снижение поверхностью земли в средней зоне, Am дБ	Gm = 1	ф-лы таб.3 [10]	-2,9	-2,9	0	0	0	0	0	0	0		
Суммарное снижение поверхностью земли на траектории распространения звука Agr, дБ		ф-ла (9) [10]	-5,9	-5,9	3,8	5,5	3,5	-0,8	-1,5	-1,5	-1,5		
Уровни звукового давления от источника ИШ-7-8 в расчётной точке днём, дБ		**ф-ла(3)[10]**	**7,7**	**0**	**0**	**0**	**0**	**0**	**0**	**0**	**0**	**0**	**0**
Уровни звукового давления от источника ИШ-7-8 в расчётной точке ночью, дБ		**ф-ла(3)[10]**	**7,7**	**0**	**0**	**0**	**0**	**0**	**0**	**0**	**0**	**0**	**0**
Источник шума: ИШ-7-9, координаты источника (x,y,z), м =[819.93,-110.97,1.00]													
Уровни звуковой мощности источника днём, Lw, дБ		**исходные данные**	**77**	**75**	**67**	**66**	**63**	**55**	**53**	**48**	**51**		
Уровни звуковой мощности источника ночью, Lw, дБ		**исходные данные**	**77**	**75**	**67**	**66**	**63**	**55**	**53**	**48**	**51**		
Поправка на телесный угол DΩ, дБ	Ω = 12.57	10Lg(4π/Ω)	**0**	0	0	0	0	0	0	0	0		
Показатель направленности источника Di, дБ		исходные данные	**0**	0	0	0	0	0	0	0	0		
Поправка на направленность источника Dc, дБ	Dc	DΩ + Di	**0**	0	0	0	0	0	0	0	0		

1		2	3	4	5	6	7	8	9	10	11	12	13
Затухание из-за геометрической дивергенции, Adiv, дБ	расстояние = 1613.74 м	ф-ла (7) [10]	**75,2**										
Коэффициент затухания звука в атмосфере α, дБ/км	Ta=20,°C Pa=101.33,кПа hотн.=70%	ф-ла (5) [9]	0,02	0,09	0,33	1,12	2,79	4,98	9,04	23,09	77,63		
Учет затухания звука в атмосфере Aatm, дБ		ф-ла (8) [10]	0	0,1	0,5	1,8	4,5	8	14,6	37,3	125,3		
Снижение поверхностью земли возле источника As, дБ	Gs = 0 hs = 1м	ф-лы таб.3 [10]	-1,5	-1,5	-1,5	-1,5	-1,5	-1,5	-1,5	-1,5	-1,5		
Снижение поверхностью земли возле приёмника Ar, дБ	Gr = 1 hr = 1.5м	ф-лы таб.3 [10]	-1,5	-1,5	5,3	7	5	0,7	0	0	0		
Снижение поверхностью земли в средней зоне, Am дБ	Gm = 1	ф-лы таб.3 [10]	-2,9	-2,9	0	0	0	0	0	0	0		
Суммарное снижение поверхностью земли на траектории распространения звука Agr, дБ		ф-ла (9) [10]	-5,9	-5,9	3,8	5,5	3,5	-0,8	-1,5	-1,5	-1,5		
Уровни звукового давления от источника ИШ-7-9 в расчётной точке днём, дБ		**ф-ла(3)[10]**	**7,7**	**0**	**0**	**0**	**0**	**0**	**0**	**0**	**0**	**0**	**0**
Уровни звукового давления от источника ИШ-7-9 в расчётной точке ночью, дБ		**ф-ла(3)[10]**	**7,7**	**0**	**0**	**0**	**0**	**0**	**0**	**0**	**0**	**0**	**0**
Источник шума: ИШ-7-10, координаты источника (x,y,z), м =[868.68,92.66,1.00]													
Уровни звуковой мощности источника днём, Lw, дБ		**исходные данные**	**77**	**75**	**67**	**66**	**63**	**55**	**53**	**48**	**51**		
Уровни звуковой мощности источника ночью, Lw, дБ		**исходные данные**	**77**	**75**	**67**	**66**	**63**	**55**	**53**	**48**	**51**		
Поправка на телесный угол DΩ, дБ	Ω = 12.57	10Lg(4π/Ω)	**0**	0	0	0	0	0	0	0	0		
Показатель направленности источника Di, дБ		исходные данные	**0**	0	0	0	0	0	0	0	0		
Поправка на направленность источника Dc, дБ	Dc	DΩ + Di	**0**	0	0	0	0	0	0	0	0		
Затухание из-за геометрической дивергенции, Adiv, дБ	расстояние = 1513.80 м	ф-ла (7) [10]	**74,6**										

1		2	3	4	5	6	7	8	9	10	11	12	13
Коэффициент затухания звука в атмосфере α, дБ/км	Ta=20,°C Pa=101.33,кПа hотн.=70%	ф-ла (5) [9]	0,02	0,09	0,33	1,12	2,79	4,98	9,04	23,09	77,63		
Учет затухания звука в атмосфере Aatm, дБ		ф-ла (8) [10]	0	0,1	0,5	1,7	4,2	7,5	13,7	34,9	117,5		
Снижение поверхностью земли возле источника As, дБ	Gs = 0 hs = 1м	ф-лы таб.3 [10]	-1,5	-1,5	-1,5	-1,5	-1,5	-1,5	-1,5	-1,5	-1,5		
Снижение поверхностью земли возле приёмника Ar, дБ	Gr = 1 hr = 1.5м	ф-лы таб.3 [10]	-1,5	-1,5	5,3	7	5	0,7	0	0	0		
Снижение поверхностью земли в средней зоне, Am дБ	Gm = 1	ф-лы таб.3 [10]	-2,9	-2,9	0	0	0	0	0	0	0		
Суммарное снижение поверхностью земли на траектории распространения звука Agr, дБ		ф-ла (9) [10]	-5,9	-5,9	3,8	5,5	3,5	-0,8	-1,5	-1,5	-1,5		
Уровни звукового давления от источника ИШ-7-10 в расчётной точке днём, дБ		**ф-ла(3)[10]**	**8,2**	**6,1**	**0**	**0**	**0**	**0**	**0**	**0**	**0**	**0**	**0**
Уровни звукового давления от источника ИШ-7-10 в расчётной точке ночью, дБ		**ф-ла(3)[10]**	**8,2**	**6,1**	**0**	**0**	**0**	**0**	**0**	**0**	**0**	**0**	**0**
Источник шума: ИШ-7-11, координаты источника (x,y,z), м =[877.95,88.75,1.00]													
Уровни звуковой мощности источника днём, Lw, дБ		**исходные данные**	**77**	**75**	**67**	**66**	**63**	**55**	**53**	**48**	**51**		
Уровни звуковой мощности источника ночью, Lw, дБ		**исходные данные**	**77**	**75**	**67**	**66**	**63**	**55**	**53**	**48**	**51**		
Поправка на телесный угол DΩ, дБ	Ω = 12.57	10Lg(4π/Ω)	**0**	0	0	0	0	0	0	0	0		
Показатель направленности источника Di, дБ		исходные данные	**0**	0	0	0	0	0	0	0	0		
Поправка на направленность источника Dc, дБ	Dc	DΩ + Di	**0**	0	0	0	0	0	0	0	0		
Затухание из-за геометрической дивергенции, Adiv, дБ	расстояние = 1505.52 м	ф-ла (7) [10]	**74,6**										
Коэффициент затухания звука в атмосфере α, дБ/км	Ta=20,°C Pa=101.33,кПа hотн.=70%	ф-ла (5) [9]	0,02	0,09	0,33	1,12	2,79	4,98	9,04	23,09	77,63		

1		2	3	4	5	6	7	8	9	10	11	12	13
Учет затухания звука в атмосфере Aatm, дБ		ф-ла (8) [10]	0	0,1	0,5	1,7	4,2	7,5	13,6	34,8	116,9		
Снижение поверхностью земли возле источника As, дБ	Gs = 0 hs = 1м	ф-лы таб.3 [10]	-1,5	-1,5	-1,5	-1,5	-1,5	-1,5	-1,5	-1,5	-1,5		
Снижение поверхностью земли возле приёмника Ar, дБ	Gr = 1 hr = 1.5м	ф-лы таб.3 [10]	-1,5	-1,5	5,3	7	5	0,7	0	0	0		
Снижение поверхностью земли в средней зоне, Am дБ	Gm = 1	ф-лы таб.3 [10]	-2,9	-2,9	0	0	0	0	0	0	0		
Суммарное снижение поверхностью земли на траектории распространения звука Agr, дБ		ф-ла (9) [10]	-5,9	-5,9	3,8	5,5	3,5	-0,8	-1,5	-1,5	-1,5		
Уровни звукового давления от источника ИШ-7-11 в расчётной точке днём, дБ		**ф-ла(3)[10]**	**8,3**	**6,2**	**0**	**0**	**0**	**0**	**0**	**0**	**0**	**0**	**0**
Уровни звукового давления от источника ИШ-7-11 в расчётной точке ночью, дБ		**ф-ла(3)[10]**	**8,3**	**6,2**	**0**	**0**	**0**	**0**	**0**	**0**	**0**	**0**	**0**
Источник шума: ИШ-7-12, координаты источника (x,y,z), м =[887.42,85.45,1.00]													
Уровни звуковой мощности источника днём, Lw, дБ		**исходные данные**	**77**	**75**	**67**	**66**	**63**	**55**	**53**	**48**	**51**		
Уровни звуковой мощности источника ночью, Lw, дБ		**исходные данные**	**77**	**75**	**67**	**66**	**63**	**55**	**53**	**48**	**51**		
Поправка на телесный угол DΩ, дБ	Ω = 12.57	10Lg(4π/Ω)	**0**	0	0	0	0	0	0	0	0		
Показатель направленности источника Di, дБ		исходные данные	**0**	0	0	0	0	0	0	0	0		
Поправка на направленность источника Dc, дБ	Dc	DΩ + Di	**0**	0	0	0	0	0	0	0	0		
Затухание из-за геометрической дивергенции, Adiv, дБ	расстояние = 1496.93 м	ф-ла (7) [10]	**74,5**										
Коэффициент затухания звука в атмосфере α, дБ/км	Ta=20,°C Pa=101.33,кПа hотн.=70%	ф-ла (5) [9]	0,02	0,09	0,33	1,12	2,79	4,98	9,04	23,09	77,63		
Учет затухания звука в атмосфере Aatm, дБ		ф-ла (8) [10]	0	0,1	0,5	1,7	4,2	7,5	13,5	34,6	116,2		

1		2	3	4	5	6	7	8	9	10	11	12	13
Снижение поверхностью земли возле источника As, дБ	Gs = 0 hs = 1м	ф-лы таб.3 [10]	-1,5	-1,5	-1,5	-1,5	-1,5	-1,5	-1,5	-1,5	-1,5		
Снижение поверхностью земли возле приёмника Ar, дБ	Gr = 1 hr = 1.5м	ф-лы таб.3 [10]	-1,5	-1,5	5,3	7	5	0,7	0	0	0		
Снижение поверхностью земли в средней зоне, Am дБ	Gm = 1	ф-лы таб.3 [10]	-2,8	-2,8	0	0	0	0	0	0	0		
Суммарное снижение поверхностью земли на траектории распространения звука Agr, дБ		ф-ла (9) [10]	-5,8	-5,8	3,8	5,5	3,5	-0,8	-1,5	-1,5	-1,5		
Уровни звукового давления от источника ИШ-7-12 в расчётной точке днём, дБ		**ф-ла(3)[10]**	**8,3**	**6,2**	**0**	**0**	**0**	**0**	**0**	**0**	**0**	**0**	**0**
Уровни звукового давления от источника ИШ-7-12 в расчётной точке ночью, дБ		**ф-ла(3)[10]**	**8,3**	**6,2**	**0**	**0**	**0**	**0**	**0**	**0**	**0**	**0**	**0**
Источник шума: ИШ-6-23, координаты источника (x,y,z), м =[756.16,-136.23,3.00]													
Уровни звуковой мощности источника днём, Lw, дБ		**исходные данные**	**91**	**91**	**91**	**91**	**91**	**91**	**91**	**91**	**91**		
Уровни звуковой мощности источника ночью, Lw, дБ		**исходные данные**	**91**	**91**	**91**	**91**	**91**	**91**	**91**	**91**	**91**		
Поправка на телесный угол DΩ, дБ	Ω = 12.57	10Lg(4π/Ω)	**0**	0	0	0	0	0	0	0	0		
Показатель направленности источника Di, дБ		исходные данные	**0**	0	0	0	0	0	0	0	0		
Поправка на направленность источника Dc, дБ	Dc	DΩ + Di	**0**	0	0	0	0	0	0	0	0		
Затухание из-за геометрической дивергенции, Adiv, дБ	расстояние = 1682.23 м	ф-ла (7) [10]	**75,5**										
Коэффициент затухания звука в атмосфере α, дБ/км	Ta=20,°C Pa=101.33,кПа hотн.=70%	ф-ла (5) [9]	0,02	0,09	0,33	1,12	2,79	4,98	9,04	23,09	77,63		
Учет затухания звука в атмосфере Aatm, дБ		ф-ла (8) [10]	0	0,2	0,6	1,9	4,7	8,4	15,2	38,8	130,6		
Снижение поверхностью земли возле источника As, дБ	Gs = 0 hs = 3м	ф-лы таб.3 [10]	-1,5	-1,5	-1,5	-1,5	-1,5	-1,5	-1,5	-1,5	-1,5		

1		2	3	4	5	6	7	8	9	10	11	12	13
Снижение поверхностью земли возле приёмника Ar, дБ	Gr = 1 hr = 1.5м	ф-лы таб.3 [10]	-1,5	-1,5	5,3	7	5	0,7	0	0	0		
Снижение поверхностью земли в средней зоне, Am дБ	Gm = 1	ф-лы таб.3 [10]	-2,8	-2,8	0	0	0	0	0	0	0		
Суммарное снижение поверхностью земли на траектории распространения звука Agr, дБ		ф-ла (9) [10]	-5,8	-5,8	3,8	5,5	3,5	-0,8	-1,5	-1,5	-1,5		
Уровни звукового давления прямого звука от источника ИШ-6-23 в расчётной точке днём, дБ		**ф-ла(3)[10]**	**21,2**	**21,1**	**11,1**	**8,1**	**7,3**	**7,9**	**1,8**	**0**	**0**	**10,9**	**10,9**
Уровни звукового давления прямого звука от источника ИШ-6-23 в расчётной точке ночью, дБ		**ф-ла(3)[10]**	**21,2**	**21,1**	**11,1**	**8,1**	**7,3**	**7,9**	**1,8**	**0**	**0**	**10,9**	**10,9**
Расчёт отражённого звука													
Уровни звукового давления от мнимого источника ИШ-6-23_мн.(1) в расчётной точке днём, дБ		**ф-ла(3)[10]**	**0**	**0**	**0**	**0**	**0**	**0**	**0**	**0**	**0**	**0**	**0**
Уровни звукового давления от мнимого источника ИШ-6-23_мн.(1) в расчётной точке ночью, дБ		**ф-ла(3)[10]**	**0**	**0**	**0**	**0**	**0**	**0**	**0**	**0**	**0**	**0**	**0**
Уровни звукового давления от мнимого источника ИШ-6-23_мн.(2) в расчётной точке днём, дБ		**ф-ла(3)[10]**	**0**	**0**	**0**	**0**	**0**	**0**	**0**	**0**	**0**	**0**	**0**
Уровни звукового давления от мнимого источника ИШ-6-23_мн.(2) в расчётной точке ночью, дБ		**ф-ла(3)[10]**	**0**	**0**	**0**	**0**	**0**	**0**	**0**	**0**	**0**	**0**	**0**
Суммарные уровни звукового давления от мнимых источников в расчётной точке днём, дБ		**ф-ла (19) [1]**	**0**	**0**	**0**	**0**	**0**	**0**	**0**	**0**	**0**	**0**	**0**
Суммарные уровни звукового давления от мнимых источников в расчётной точке ночью, дБ		**ф-ла (19) [1]**	**0**	**0**	**0**	**0**	**0**	**0**	**0**	**0**	**0**	**0**	**0**
Уровни звукового давления от источника ИШ-6-23 в расчётной точке днём, дБ		**ф-ла(3)[10]**	**21,2**	**21,1**	**11,1**	**8,1**	**7,3**	**7,9**	**1,8**	**0**	**0**	**10,9**	**10,9**
Уровни звукового давления от источника ИШ-6-23 в расчётной точке ночью, дБ		**ф-ла(3)[10]**	**21,2**	**21,1**	**11,1**	**8,1**	**7,3**	**7,9**	**1,8**	**0**	**0**	**10,9**	**10,9**
Источник шума: ИШ-6-24, координаты источника (x,y,z), м =[800.98,-151.27,3.00]													
Уровни звуковой мощности источника днём, Lw, дБ		**исходные данные**	**91**	**91**	**91**	**91**	**91**	**91**	**91**	**91**	**91**		
Уровни звуковой мощности источника ночью, Lw, дБ		**исходные данные**	**91**	**91**	**91**	**91**	**91**	**91**	**91**	**91**	**91**		

1		2	3	4	5	6	7	8	9	10	11	12	13
Поправка на телесный угол DΩ, дБ	Ω = 12.57	10Lg(4π/Ω)	**0**	0	0	0	0	0	0	0	0		
Показатель направленности источника Di, дБ		исходные данные	**0**	0	0	0	0	0	0	0	0		
Поправка на направленность источника Dc, дБ	Dc	DΩ + Di	**0**	0	0	0	0	0	0	0	0		
Затухание из-за геометрической дивергенции, Adiv, дБ	расстояние = 1644.74 м	ф-ла (7) [10]	**75,3**										
Коэффициент затухания звука в атмосфере α, дБ/км	Ta=20,°C Pa=101.33,кПа hотн.=70%	ф-ла (5) [9]	0,02	0,09	0,33	1,12	2,79	4,98	9,04	23,09	77,63		
Учет затухания звука в атмосфере Aatm, дБ		ф-ла (8) [10]	0	0,1	0,6	1,8	4,6	8,2	14,9	38	127,7		
Снижение поверхностью земли возле источника As, дБ	Gs = 0 hs = 3м	ф-лы таб.3 [10]	-1,5	-1,5	-1,5	-1,5	-1,5	-1,5	-1,5	-1,5	-1,5		
Снижение поверхностью земли возле приёмника Ar, дБ	Gr = 1 hr = 1.5м	ф-лы таб.3 [10]	-1,5	-1,5	5,3	7	5	0,7	0	0	0		
Снижение поверхностью земли в средней зоне, Am дБ	Gm = 1	ф-лы таб.3 [10]	-2,8	-2,8	0	0	0	0	0	0	0		
Суммарное снижение поверхностью земли на траектории распространения звука Agr, дБ		ф-ла (9) [10]	-5,8	-5,8	3,8	5,5	3,5	-0,8	-1,5	-1,5	-1,5		
Уровни звукового давления прямого звука от источника ИШ-6-24 в расчётной точке днём, дБ		**ф-ла(3)[10]**	**21,4**	**21,3**	**11,3**	**8,3**	**7,6**	**8,3**	**2,3**	**0**	**0**	**11,3**	**11,3**
Уровни звукового давления прямого звука от источника ИШ-6-24 в расчётной точке ночью, дБ		**ф-ла(3)[10]**	**21,4**	**21,3**	**11,3**	**8,3**	**7,6**	**8,3**	**2,3**	**0**	**0**	**11,3**	**11,3**
Расчёт отражённого звука													
Уровни звукового давления от мнимого источника ИШ-6-24_мн.(1) в расчётной точке днём, дБ		**ф-ла(3)[10]**	**0**	**0**	**0**	**0**	**0**	**0**	**0**	**0**	**0**	**0**	**0**
Уровни звукового давления от мнимого источника ИШ-6-24_мн.(1) в расчётной точке ночью, дБ		**ф-ла(3)[10]**	**0**	**0**	**0**	**0**	**0**	**0**	**0**	**0**	**0**	**0**	**0**
Уровни звукового давления от источника ИШ-6-24 в расчётной точке днём, дБ		**ф-ла(3)[10]**	**21,4**	**21,3**	**11,3**	**8,3**	**7,6**	**8,3**	**2,3**	**0**	**0**	**11,3**	**11,3**
Уровни звукового давления от источника ИШ-6-24 в расчётной точке ночью, дБ		**ф-ла(3)[10]**	**21,4**	**21,3**	**11,3**	**8,3**	**7,6**	**8,3**	**2,3**	**0**	**0**	**11,3**	**11,3**

1		2	3	4	5	6	7	8	9	10	11	12	13
Источник шума: ИШ-8-1, координаты источника (x,y,z), м =[612.60,-227.70,3.00]													
Уровни звуковой мощности источника днём, Lw, дБ		**исходные данные**	**105**	**104**	**104**	**101**	**102**	**106**	**101**	**95**	**87**		
Уровни звуковой мощности источника ночью, Lw, дБ		**исходные данные**	**105**	**104**	**104**	**101**	**102**	**106**	**101**	**95**	**87**		
Поправка на телесный угол DΩ, дБ	Ω = 6.28	10Lg(4π/Ω)	**3**	3	3	3	3	3	3	3	3		
Показатель направленности источника Di, дБ		исходные данные	**0**	0	0	0	0	0	0	0	0		
Поправка на направленность источника Dc, дБ	Dc	DΩ + Di	**3**	3	3	3	3	3	3	3	3		
Затухание из-за геометрической дивергенции, Adiv, дБ	расстояние = 1847.85 м	ф-ла (7) [10]	**76,3**										
Коэффициент затухания звука в атмосфере α, дБ/км	Ta=20,°C Pa=101.33,кПа hотн.=70%	ф-ла (5) [9]	0,02	0,09	0,33	1,12	2,79	4,98	9,04	23,09	77,63		
Учет затухания звука в атмосфере Aatm, дБ		ф-ла (8) [10]	0	0,2	0,6	2,1	5,2	9,2	16,7	42,7	143,5		
Снижение поверхностью земли возле источника As, дБ	Gs = 0 hs = 3м	ф-лы таб.3 [10]	-1,5	-1,5	-1,5	-1,5	-1,5	-1,5	-1,5	-1,5	-1,5		
Снижение поверхностью земли возле приёмника Ar, дБ	Gr = 1 hr = 1.5м	ф-лы таб.3 [10]	-1,5	-1,5	5,3	7	5	0,7	0	0	0		
Снижение поверхностью земли в средней зоне, Am дБ	Gm = 1	ф-лы таб.3 [10]	-2,8	-2,8	0	0	0	0	0	0	0		
Суммарное снижение поверхностью земли на траектории распространения звука Agr, дБ		ф-ла (9) [10]	-5,8	-5,8	3,8	5,5	3,5	-0,8	-1,5	-1,5	-1,5		
Уровни звукового давления от источника ИШ-8-1 в расчётной точке днём, дБ		**ф-ла(3)[10]**	**37,4**	**36,3**	**26,2**	**20,1**	**20**	**24,3**	**12,5**	**0**	**0**	**25,8**	**25,8**
Уровни звукового давления от источника ИШ-8-1 в расчётной точке ночью, дБ		**ф-ла(3)[10]**	**37,4**	**36,3**	**26,2**	**20,1**	**20**	**24,3**	**12,5**	**0**	**0**	**25,8**	**25,8**
Источник шума: ИШ-8-2, координаты источника (x,y,z), м =[596.60,-275.00,3.00]													

1		2	3	4	5	6	7	8	9	10	11	12	13
Уровни звуковой мощности источника днём, Lw, дБ		**исходные данные**	**105**	**104**	**104**	**101**	**102**	**106**	**101**	**95**	**87**		
Уровни звуковой мощности источника ночью, Lw, дБ		**исходные данные**	**105**	**104**	**104**	**101**	**102**	**106**	**101**	**95**	**87**		
Поправка на телесный угол DΩ, дБ	Ω = 6.28	10Lg(4π/Ω)	**3**	3	3	3	3	3	3	3	3		
Показатель направленности источника Di, дБ		исходные данные	**0**	0	0	0	0	0	0	0	0		
Поправка на направленность источника Dc, дБ	Dc	DΩ + Di	**3**	3	3	3	3	3	3	3	3		
Затухание из-за геометрической дивергенции, Adiv, дБ	расстояние = 1879.31 м	ф-ла (7) [10]	**76,5**										
Коэффициент затухания звука в атмосфере α, дБ/км	Ta=20,°C Pa=101.33,кПа hотн.=70%	ф-ла (5) [9]	0,02	0,09	0,33	1,12	2,79	4,98	9,04	23,09	77,63		
Учет затухания звука в атмосфере Aatm, дБ		ф-ла (8) [10]	0	0,2	0,6	2,1	5,2	9,4	17	43,4	145,9		
Снижение уровня звукового давления из-за влияния застройки между источником шума и расчетной точкой													
Снижение уровня звукового давления на пути над экраном, Dz1, дБ	z = 0.00м (разность путей)	ф-лы (14-18) [10]	4,8	4,8	4,8	4,8	4,8	4,8	4,8	4,8	4,8		
Снижение уровня звукового давления на пути слева от экрана, Dz2, дБ	z = 0.00м (разность путей)	ф-лы (14-18) [10]	4,8	4,8	4,8	4,8	4,9	5	5,2	5,6	6,2		
Снижение уровня звукового давления на пути справа от экрана, Dz3, дБ	z = 1.06м (разность путей)	ф-лы (14-18) [10]	8,4	10,3	12,7	15,3	18,1	21	24	27	30		
Общее снижение уровня звука препятствием Dz, дБ		Эн.сумма(-Dzi)	0,9	1,2	1,4	1,6	1,7	1,8	1,9	2,1	2,4		
Уровни звукового давления от источника ИШ-8-2 в расчётной точке днём, дБ		**ф-ла(3)[10]**	**30,6**	**29,2**	**28,5**	**23,8**	**21,6**	**21,4**	**8,6**	**0**	**0**	**24,3**	**24,3**
Уровни звукового давления от источника ИШ-8-2 в расчётной точке ночью, дБ		**ф-ла(3)[10]**	**30,6**	**29,2**	**28,5**	**23,8**	**21,6**	**21,4**	**8,6**	**0**	**0**	**24,3**	**24,3**
Источник шума: ИШ-8-3, координаты источника (x,y,z), м =[564.90,-369.90,3.00]													

1		2	3	4	5	6	7	8	9	10	11	12	13
Уровни звуковой мощности источника днём, Lw, дБ		**исходные данные**	**105**	**104**	**104**	**101**	**102**	**106**	**101**	**95**	**87**		
Уровни звуковой мощности источника ночью, Lw, дБ		**исходные данные**	**105**	**104**	**104**	**101**	**102**	**106**	**101**	**95**	**87**		
Поправка на телесный угол DΩ, дБ	Ω = 6.28	10Lg(4π/Ω)	**3**	3	3	3	3	3	3	3	3		
Показатель направленности источника Di, дБ		исходные данные	**0**	0	0	0	0	0	0	0	0		
Поправка на направленность источника Dc, дБ	Dc	DΩ + Di	**3**	3	3	3	3	3	3	3	3		
Затухание из-за геометрической дивергенции, Adiv, дБ	расстояние = 1944.41 м	ф-ла (7) [10]	**76,8**										
Коэффициент затухания звука в атмосфере α, дБ/км	Ta=20,°C Pa=101.33,кПа hотн.=70%	ф-ла (5) [9]	0,02	0,09	0,33	1,12	2,79	4,98	9,04	23,09	77,63		
Учет затухания звука в атмосфере Aatm, дБ		ф-ла (8) [10]	0	0,2	0,7	2,2	5,4	9,7	17,6	44,9	151		
Снижение поверхностью земли возле источника As, дБ	Gs = 0 hs = 3м	ф-лы таб.3 [10]	-1,5	-1,5	-1,5	-1,5	-1,5	-1,5	-1,5	-1,5	-1,5		
Снижение поверхностью земли возле приёмника Ar, дБ	Gr = 1 hr = 1.5м	ф-лы таб.3 [10]	-1,5	-1,5	5,3	7	5	0,7	0	0	0		
Снижение поверхностью земли в средней зоне, Am дБ	Gm = 1	ф-лы таб.3 [10]	-2,8	-2,8	0	0	0	0	0	0	0		
Суммарное снижение поверхностью земли на траектории распространения звука Agr, дБ		ф-ла (9) [10]	-5,8	-5,8	3,8	5,5	3,5	-0,8	-1,5	-1,5	-1,5		
Уровни звукового давления прямого звука от источника ИШ-8-3 в расчётной точке днём, дБ		**ф-ла(3)[10]**	**37**	**35,9**	**25,7**	**19,5**	**19,3**	**23,4**	**11,2**	**0**	**0**	**24,9**	**24,9**
Уровни звукового давления прямого звука от источника ИШ-8-3 в расчётной точке ночью, дБ		**ф-ла(3)[10]**	**37**	**35,9**	**25,7**	**19,5**	**19,3**	**23,4**	**11,2**	**0**	**0**	**24,9**	**24,9**
Расчёт отражённого звука													
Уровни звукового давления от мнимого источника ИШ-8-3_мн.(1) в расчётной точке днём, дБ		**ф-ла(3)[10]**	**0**	**0**	**0**	**0**	**0**	**0**	**0**	**0**	**0**	**0**	**0**
Уровни звукового давления от мнимого источника ИШ-8-3_мн.(1) в расчётной точке ночью, дБ		**ф-ла(3)[10]**	**0**	**0**	**0**	**0**	**0**	**0**	**0**	**0**	**0**	**0**	**0**

1		2	3	4	5	6	7	8	9	10	11	12	13
Уровни звукового давления от источника ИШ-8-3 в расчётной точке днём, дБ		**ф-ла(3)[10]**	**37**	**35,9**	**25,7**	**19,5**	**19,3**	**23,4**	**11,2**	**0**	**0**	**24,9**	**24,9**
Уровни звукового давления от источника ИШ-8-3 в расчётной точке ночью, дБ		**ф-ла(3)[10]**	**37**	**35,9**	**25,7**	**19,5**	**19,3**	**23,4**	**11,2**	**0**	**0**	**24,9**	**24,9**
Источник шума: ИШ-9-1, координаты источника (x,y,z), м =[642.94,-357.54,1.00]													
Уровни звуковой мощности источника днём, Lw, дБ		**исходные данные**	**0**	**93,3**	**94,7**	**96**	**96,3**	**95,9**	**92,6**	**88,4**	**83,9**		
Уровни звуковой мощности источника ночью, Lw, дБ		**исходные данные**	**0**	**93,3**	**94,7**	**96**	**96,3**	**95,9**	**92,6**	**88,4**	**83,9**		
Поправка на телесный угол DΩ, дБ	Ω = 6.28	10Lg(4π/Ω)	**3**	3	3	3	3	3	3	3	3		
Показатель направленности источника Di, дБ		исходные данные	**0**	0	0	0	0	0	0	0	0		
Поправка на направленность источника Dc, дБ	Dc	DΩ + Di	**3**	3	3	3	3	3	3	3	3		
Затухание из-за геометрической дивергенции, Adiv, дБ	расстояние = 1867.93 м	ф-ла (7) [10]	**76,4**										
Коэффициент затухания звука в атмосфере α, дБ/км	Ta=20,°C Pa=101.33,кПа hотн.=70%	ф-ла (5) [9]	0,02	0,09	0,33	1,12	2,79	4,98	9,04	23,09	77,63		
Учет затухания звука в атмосфере Aatm, дБ		ф-ла (8) [10]	0	0,2	0,6	2,1	5,2	9,3	16,9	43,1	145		
Снижение поверхностью земли возле источника As, дБ	Gs = 0 hs = 1м	ф-лы таб.3 [10]	-1,5	-1,5	-1,5	-1,5	-1,5	-1,5	-1,5	-1,5	-1,5		
Снижение поверхностью земли возле приёмника Ar, дБ	Gr = 1 hr = 1.5м	ф-лы таб.3 [10]	-1,5	-1,5	5,3	7	5	0,7	0	0	0		
Снижение поверхностью земли в средней зоне, Am дБ	Gm = 1	ф-лы таб.3 [10]	-2,9	-2,9	0	0	0	0	0	0	0		
Суммарное снижение поверхностью земли на траектории распространения звука Agr, дБ		ф-ла (9) [10]	-5,9	-5,9	3,8	5,5	3,5	-0,8	-1,5	-1,5	-1,5		
Уровни звукового давления прямого звука от источника ИШ-9-1 в расчётной точке днём, дБ		**ф-ла(3)[10]**	**0**	**25,6**	**16,8**	**14,9**	**14,2**	**14**	**3,8**	**0**	**0**	**16,7**	**16,7**

1		2	3	4	5	6	7	8	9	10	11	12	13
Уровни звукового давления прямого звука от источника ИШ-9-1 в расчётной точке ночью, дБ		**ф-ла(3)[10]**	**0**	**25,6**	**16,8**	**14,9**	**14,2**	**14**	**3,8**	**0**	**0**	**16,7**	**16,7**
Расчёт отражённого звука													
Уровни звукового давления от мнимого источника ИШ-9-1_мн.(1) в расчётной точке днём, дБ		**ф-ла(3)[10]**	**0**	**0**	**0**	**0**	**0**	**0**	**0**	**0**	**0**	**0**	**0**
Уровни звукового давления от мнимого источника ИШ-9-1_мн.(1) в расчётной точке ночью, дБ		**ф-ла(3)[10]**	**0**	**0**	**0**	**0**	**0**	**0**	**0**	**0**	**0**	**0**	**0**
Уровни звукового давления от источника ИШ-9-1 в расчётной точке днём, дБ		**ф-ла(3)[10]**	**0**	**25,6**	**16,8**	**14,9**	**14,2**	**14**	**3,8**	**0**	**0**	**16,7**	**16,7**
Уровни звукового давления от источника ИШ-9-1 в расчётной точке ночью, дБ		**ф-ла(3)[10]**	**0**	**25,6**	**16,8**	**14,9**	**14,2**	**14**	**3,8**	**0**	**0**	**16,7**	**16,7**
Источник шума: ИШ-9-2, координаты источника (x,y,z), м =[644.14,-354.83,1.00]													
Уровни звуковой мощности источника днём, Lw, дБ		**исходные данные**	**0**	**93,3**	**94,7**	**96**	**96,3**	**95,9**	**92,6**	**88,4**	**83,9**		
Уровни звуковой мощности источника ночью, Lw, дБ		**исходные данные**	**0**	**93,3**	**94,7**	**96**	**96,3**	**95,9**	**92,6**	**88,4**	**83,9**		
Поправка на телесный угол DΩ, дБ	Ω = 6.28	10Lg(4π/Ω)	**3**	3	3	3	3	3	3	3	3		
Показатель направленности источника Di, дБ		исходные данные	**0**	0	0	0	0	0	0	0	0		
Поправка на направленность источника Dc, дБ	Dc	DΩ + Di	**3**	3	3	3	3	3	3	3	3		
Затухание из-за геометрической дивергенции, Adiv, дБ	расстояние = 1865.73 м	ф-ла (7) [10]	**76,4**										
Коэффициент затухания звука в атмосфере α, дБ/км	Ta=20,°C Pa=101.33,кПа hотн.=70%	ф-ла (5) [9]	0,02	0,09	0,33	1,12	2,79	4,98	9,04	23,09	77,63		
Учет затухания звука в атмосфере Aatm, дБ		ф-ла (8) [10]	0	0,2	0,6	2,1	5,2	9,3	16,9	43,1	144,8		
Снижение поверхностью земли возле источника As, дБ	Gs = 0 hs = 1м	ф-лы таб.3 [10]	-1,5	-1,5	-1,5	-1,5	-1,5	-1,5	-1,5	-1,5	-1,5		

1		2	3	4	5	6	7	8	9	10	11	12	13
Снижение поверхностью земли возле приёмника Ar, дБ	Gr = 1 hr = 1.5м	ф-лы таб.3 [10]	-1,5	-1,5	5,3	7	5	0,7	0	0	0		
Снижение поверхностью земли в средней зоне, Am дБ	Gm = 1	ф-лы таб.3 [10]	-2,9	-2,9	0	0	0	0	0	0	0		
Суммарное снижение поверхностью земли на траектории распространения звука Agr, дБ		ф-ла (9) [10]	-5,9	-5,9	3,8	5,5	3,5	-0,8	-1,5	-1,5	-1,5		
Уровни звукового давления прямого звука от источника ИШ-9-2 в расчётной точке днём, дБ		**ф-ла(3)[10]**	**0**	**25,6**	**16,8**	**15**	**14,2**	**14**	**3,8**	**0**	**0**	**16,8**	**16,8**
Уровни звукового давления прямого звука от источника ИШ-9-2 в расчётной точке ночью, дБ		**ф-ла(3)[10]**	**0**	**25,6**	**16,8**	**15**	**14,2**	**14**	**3,8**	**0**	**0**	**16,8**	**16,8**
Расчёт отражённого звука													
Уровни звукового давления от мнимого источника ИШ-9-2_мн.(1) в расчётной точке днём, дБ		**ф-ла(3)[10]**	**0**	**0**	**0**	**0**	**0**	**0**	**0**	**0**	**0**	**0**	**0**
Уровни звукового давления от мнимого источника ИШ-9-2_мн.(1) в расчётной точке ночью, дБ		**ф-ла(3)[10]**	**0**	**0**	**0**	**0**	**0**	**0**	**0**	**0**	**0**	**0**	**0**
Уровни звукового давления от источника ИШ-9-2 в расчётной точке днём, дБ		**ф-ла(3)[10]**	**0**	**25,6**	**16,8**	**15**	**14,2**	**14**	**3,8**	**0**	**0**	**16,8**	**16,8**
Уровни звукового давления от источника ИШ-9-2 в расчётной точке ночью, дБ		**ф-ла(3)[10]**	**0**	**25,6**	**16,8**	**15**	**14,2**	**14**	**3,8**	**0**	**0**	**16,8**	**16,8**
Источник шума: ИШ-9-3, координаты источника (x,y,z), м =[644.98,-351.85,1.00]													
Уровни звуковой мощности источника днём, Lw, дБ		**исходные данные**	**0**	**93,3**	**94,7**	**96**	**96,3**	**95,9**	**92,6**	**88,4**	**83,9**		
Уровни звуковой мощности источника ночью, Lw, дБ		**исходные данные**	**0**	**93,3**	**94,7**	**96**	**96,3**	**95,9**	**92,6**	**88,4**	**83,9**		
Поправка на телесный угол DΩ, дБ	Ω = 6.28	10Lg(4π/Ω)	**3**	3	3	3	3	3	3	3	3		
Показатель направленности источника Di, дБ		исходные данные	**0**	0	0	0	0	0	0	0	0		
Поправка на направленность источника Dc, дБ	Dc	DΩ + Di	**3**	3	3	3	3	3	3	3	3		
Затухание из-за геометрической дивергенции, Adiv, дБ	расстояние = 1863.76 м	ф-ла (7) [10]	**76,4**										

1		2	3	4	5	6	7	8	9	10	11	12	13
Коэффициент затухания звука в атмосфере α, дБ/км	Ta=20,°C Pa=101.33,кПа hотн.=70%	ф-ла (5) [9]	0,02	0,09	0,33	1,12	2,79	4,98	9,04	23,09	77,63		
Учет затухания звука в атмосфере Aatm, дБ		ф-ла (8) [10]	0	0,2	0,6	2,1	5,2	9,3	16,8	43	144,7		
Снижение поверхностью земли возле источника As, дБ	Gs = 0 hs = 1м	ф-лы таб.3 [10]	-1,5	-1,5	-1,5	-1,5	-1,5	-1,5	-1,5	-1,5	-1,5		
Снижение поверхностью земли возле приёмника Ar, дБ	Gr = 1 hr = 1.5м	ф-лы таб.3 [10]	-1,5	-1,5	5,3	7	5	0,7	0	0	0		
Снижение поверхностью земли в средней зоне, Am дБ	Gm = 1	ф-лы таб.3 [10]	-2,9	-2,9	0	0	0	0	0	0	0		
Суммарное снижение поверхностью земли на траектории распространения звука Agr, дБ		ф-ла (9) [10]	-5,9	-5,9	3,8	5,5	3,5	-0,8	-1,5	-1,5	-1,5		
Уровни звукового давления прямого звука от источника ИШ-9-3 в расчётной точке днём, дБ		**ф-ла(3)[10]**	**0**	**25,6**	**16,8**	**15**	**14,2**	**14**	**3,8**	**0**	**0**	**16,8**	**16,8**
Уровни звукового давления прямого звука от источника ИШ-9-3 в расчётной точке ночью, дБ		**ф-ла(3)[10]**	**0**	**25,6**	**16,8**	**15**	**14,2**	**14**	**3,8**	**0**	**0**	**16,8**	**16,8**
Расчёт отражённого звука													
Уровни звукового давления от мнимого источника ИШ-9-3_мн.(1) в расчётной точке днём, дБ		**ф-ла(3)[10]**	**0**	**0**	**0**	**0**	**0**	**0**	**0**	**0**	**0**	**0**	**0**
Уровни звукового давления от мнимого источника ИШ-9-3_мн.(1) в расчётной точке ночью, дБ		**ф-ла(3)[10]**	**0**	**0**	**0**	**0**	**0**	**0**	**0**	**0**	**0**	**0**	**0**
Уровни звукового давления от источника ИШ-9-3 в расчётной точке днём, дБ		**ф-ла(3)[10]**	**0**	**25,6**	**16,8**	**15**	**14,2**	**14**	**3,8**	**0**	**0**	**16,8**	**16,8**
Уровни звукового давления от источника ИШ-9-3 в расчётной точке ночью, дБ		**ф-ла(3)[10]**	**0**	**25,6**	**16,8**	**15**	**14,2**	**14**	**3,8**	**0**	**0**	**16,8**	**16,8**
Источник шума: ИШ-9-4, координаты источника (x,y,z), м =[646.01,-349.15,1.00]													
Уровни звуковой мощности источника днём, Lw, дБ		**исходные данные**	**0**	**93,3**	**94,7**	**96**	**96,3**	**95,9**	**92,6**	**88,4**	**83,9**		
Уровни звуковой мощности источника ночью, Lw, дБ		**исходные данные**	**0**	**93,3**	**94,7**	**96**	**96,3**	**95,9**	**92,6**	**88,4**	**83,9**		

1		2	3	4	5	6	7	8	9	10	11	12	13
Поправка на телесный угол DΩ, дБ	Ω = 6.28	10Lg(4π/Ω)	**3**	3	3	3	3	3	3	3	3		
Показатель направленности источника Di, дБ		исходные данные	**0**	0	0	0	0	0	0	0	0		
Поправка на направленность источника Dc, дБ	Dc	DΩ + Di	**3**	3	3	3	3	3	3	3	3		
Затухание из-за геометрической дивергенции, Adiv, дБ	расстояние = 1861.74 м	ф-ла (7) [10]	**76,4**										
Коэффициент затухания звука в атмосфере α, дБ/км	Ta=20,°C Pa=101.33,кПа hотн.=70%	ф-ла (5) [9]	0,02	0,09	0,33	1,12	2,79	4,98	9,04	23,09	77,63		
Учет затухания звука в атмосфере Aatm, дБ		ф-ла (8) [10]	0	0,2	0,6	2,1	5,2	9,3	16,8	43	144,5		
Снижение поверхностью земли возле источника As, дБ	Gs = 0 hs = 1м	ф-лы таб.3 [10]	-1,5	-1,5	-1,5	-1,5	-1,5	-1,5	-1,5	-1,5	-1,5		
Снижение поверхностью земли возле приёмника Ar, дБ	Gr = 1 hr = 1.5м	ф-лы таб.3 [10]	-1,5	-1,5	5,3	7	5	0,7	0	0	0		
Снижение поверхностью земли в средней зоне, Am дБ	Gm = 1	ф-лы таб.3 [10]	-2,9	-2,9	0	0	0	0	0	0	0		
Суммарное снижение поверхностью земли на траектории распространения звука Agr, дБ		ф-ла (9) [10]	-5,9	-5,9	3,8	5,5	3,5	-0,8	-1,5	-1,5	-1,5		
Уровни звукового давления от источника ИШ-9-4 в расчётной точке днём, дБ		**ф-ла(3)[10]**	**0**	**25,6**	**16,8**	**15**	**14,2**	**14,1**	**3,9**	**0**	**0**	**16,8**	**16,8**
Уровни звукового давления от источника ИШ-9-4 в расчётной точке ночью, дБ		**ф-ла(3)[10]**	**0**	**25,6**	**16,8**	**15**	**14,2**	**14,1**	**3,9**	**0**	**0**	**16,8**	**16,8**
Источник шума: ИШ-9-5, координаты источника (x,y,z), м =[646.84,-346.17,1.00]													
Уровни звуковой мощности источника днём, Lw, дБ		**исходные данные**	**0**	**93,3**	**94,7**	**96**	**96,3**	**95,9**	**92,6**	**88,4**	**83,9**		
Уровни звуковой мощности источника ночью, Lw, дБ		**исходные данные**	**0**	**93,3**	**94,7**	**96**	**96,3**	**95,9**	**92,6**	**88,4**	**83,9**		
Поправка на телесный угол DΩ, дБ	Ω = 6.28	10Lg(4π/Ω)	**3**	3	3	3	3	3	3	3	3		

1		2	3	4	5	6	7	8	9	10	11	12	13
Показатель направленности источника Di, дБ		исходные данные	**0**	0	0	0	0	0	0	0	0		
Поправка на направленность источника Dc, дБ	Dc	DΩ + Di	**3**	3	3	3	3	3	3	3	3		
Затухание из-за геометрической дивергенции, Adiv, дБ	расстояние = 1859.78 м	ф-ла (7) [10]	**76,4**										
Коэффициент затухания звука в атмосфере α, дБ/км	Ta=20,°C Pa=101.33,кПа hотн.=70%	ф-ла (5) [9]	0,02	0,09	0,33	1,12	2,79	4,98	9,04	23,09	77,63		
Учет затухания звука в атмосфере Aatm, дБ		ф-ла (8) [10]	0	0,2	0,6	2,1	5,2	9,3	16,8	42,9	144,4		
Снижение поверхностью земли возле источника As, дБ	Gs = 0 hs = 1м	ф-лы таб.3 [10]	-1,5	-1,5	-1,5	-1,5	-1,5	-1,5	-1,5	-1,5	-1,5		
Снижение поверхностью земли возле приёмника Ar, дБ	Gr = 1 hr = 1.5м	ф-лы таб.3 [10]	-1,5	-1,5	5,3	7	5	0,7	0	0	0		
Снижение поверхностью земли в средней зоне, Am дБ	Gm = 1	ф-лы таб.3 [10]	-2,9	-2,9	0	0	0	0	0	0	0		
Суммарное снижение поверхностью земли на траектории распространения звука Agr, дБ		ф-ла (9) [10]	-5,9	-5,9	3,8	5,5	3,5	-0,8	-1,5	-1,5	-1,5		
Уровни звукового давления от источника ИШ-9-5 в расчётной точке днём, дБ		**ф-ла(3)[10]**	**0**	**25,6**	**16,8**	**15**	**14,2**	**14,1**	**3,9**	**0**	**0**	**16,8**	**16,8**
Уровни звукового давления от источника ИШ-9-5 в расчётной точке ночью, дБ		**ф-ла(3)[10]**	**0**	**25,6**	**16,8**	**15**	**14,2**	**14,1**	**3,9**	**0**	**0**	**16,8**	**16,8**
Источник шума: ИШ-9-6, координаты источника (x,y,z), м =[647.87,-343.47,1.00]													
Уровни звуковой мощности источника днём, Lw, дБ		**исходные данные**	**0**	**93,3**	**94,7**	**96**	**96,3**	**95,9**	**92,6**	**88,4**	**83,9**		
Уровни звуковой мощности источника ночью, Lw, дБ		**исходные данные**	**0**	**93,3**	**94,7**	**96**	**96,3**	**95,9**	**92,6**	**88,4**	**83,9**		
Поправка на телесный угол DΩ, дБ	Ω = 6.28	10Lg(4π/Ω)	**3**	3	3	3	3	3	3	3	3		
Показатель направленности источника Di, дБ		исходные данные	**0**	0	0	0	0	0	0	0	0		

1		2	3	4	5	6	7	8	9	10	11	12	13
Поправка на направленность источника Dc, дБ	Dc	DΩ + Di	**3**	3	3	3	3	3	3	3	3		
Затухание из-за геометрической дивергенции, Adiv, дБ	расстояние = 1857.76 м	ф-ла (7) [10]	**76,4**										
Коэффициент затухания звука в атмосфере α, дБ/км	Ta=20,°C Pa=101.33,кПа hотн.=70%	ф-ла (5) [9]	0,02	0,09	0,33	1,12	2,79	4,98	9,04	23,09	77,63		
Учет затухания звука в атмосфере Aatm, дБ		ф-ла (8) [10]	0	0,2	0,6	2,1	5,2	9,2	16,8	42,9	144,2		
Снижение поверхностью земли возле источника As, дБ	Gs = 0 hs = 1м	ф-лы таб.3 [10]	-1,5	-1,5	-1,5	-1,5	-1,5	-1,5	-1,5	-1,5	-1,5		
Снижение поверхностью земли возле приёмника Ar, дБ	Gr = 1 hr = 1.5м	ф-лы таб.3 [10]	-1,5	-1,5	5,3	7	5	0,7	0	0	0		
Снижение поверхностью земли в средней зоне, Am дБ	Gm = 1	ф-лы таб.3 [10]	-2,9	-2,9	0	0	0	0	0	0	0		
Суммарное снижение поверхностью земли на траектории распространения звука Agr, дБ		ф-ла (9) [10]	-5,9	-5,9	3,8	5,5	3,5	-0,8	-1,5	-1,5	-1,5		
Уровни звукового давления от источника ИШ-9-6 в расчётной точке днём, дБ		**ф-ла(3)[10]**	**0**	**25,6**	**16,8**	**15**	**14,3**	**14,1**	**3,9**	**0**	**0**	**16,8**	**16,8**
Уровни звукового давления от источника ИШ-9-6 в расчётной точке ночью, дБ		**ф-ла(3)[10]**	**0**	**25,6**	**16,8**	**15**	**14,3**	**14,1**	**3,9**	**0**	**0**	**16,8**	**16,8**
Источник шума: ИШ-9-7, координаты источника (x,y,z), м =[648.71,-340.49,1.00]													
Уровни звуковой мощности источника днём, Lw, дБ		**исходные данные**	**0**	**93,3**	**94,7**	**96**	**96,3**	**95,9**	**92,6**	**88,4**	**83,9**		
Уровни звуковой мощности источника ночью, Lw, дБ		**исходные данные**	**0**	**93,3**	**94,7**	**96**	**96,3**	**95,9**	**92,6**	**88,4**	**83,9**		
Поправка на телесный угол DΩ, дБ	Ω = 6.28	10Lg(4π/Ω)	**3**	3	3	3	3	3	3	3	3		
Показатель направленности источника Di, дБ		исходные данные	**0**	0	0	0	0	0	0	0	0		
Поправка на направленность источника Dc, дБ	Dc	DΩ + Di	**3**	3	3	3	3	3	3	3	3		

1		2	3	4	5	6	7	8	9	10	11	12	13
Затухание из-за геометрической дивергенции, Adiv, дБ	расстояние = 1855.81 м	ф-ла (7) [10]	**76,4**										
Коэффициент затухания звука в атмосфере α, дБ/км	Ta=20,°C Pa=101.33,кПа hотн.=70%	ф-ла (5) [9]	0,02	0,09	0,33	1,12	2,79	4,98	9,04	23,09	77,63		
Учет затухания звука в атмосфере Aatm, дБ		ф-ла (8) [10]	0	0,2	0,6	2,1	5,2	9,2	16,8	42,8	144,1		
Снижение поверхностью земли возле источника As, дБ	Gs = 0 hs = 1м	ф-лы таб.3 [10]	-1,5	-1,5	-1,5	-1,5	-1,5	-1,5	-1,5	-1,5	-1,5		
Снижение поверхностью земли возле приёмника Ar, дБ	Gr = 1 hr = 1.5м	ф-лы таб.3 [10]	-1,5	-1,5	5,3	7	5	0,7	0	0	0		
Снижение поверхностью земли в средней зоне, Am дБ	Gm = 1	ф-лы таб.3 [10]	-2,9	-2,9	0	0	0	0	0	0	0		
Суммарное снижение поверхностью земли на траектории распространения звука Agr, дБ		ф-ла (9) [10]	-5,9	-5,9	3,8	5,5	3,5	-0,8	-1,5	-1,5	-1,5		
Уровни звукового давления от источника ИШ-9-7 в расчётной точке днём, дБ		**ф-ла(3)[10]**	**0**	**25,6**	**16,9**	**15**	**14,3**	**14,1**	**3,9**	**0**	**0**	**16,8**	**16,8**
Уровни звукового давления от источника ИШ-9-7 в расчётной точке ночью, дБ		**ф-ла(3)[10]**	**0**	**25,6**	**16,9**	**15**	**14,3**	**14,1**	**3,9**	**0**	**0**	**16,8**	**16,8**
Источник шума: ИШ-9-8, координаты источника (x,y,z), м =[649.92,-337.69,1.00]													
Уровни звуковой мощности источника днём, Lw, дБ		**исходные данные**	**0**	**93,3**	**94,7**	**96**	**96,3**	**95,9**	**92,6**	**88,4**	**83,9**		
Уровни звуковой мощности источника ночью, Lw, дБ		**исходные данные**	**0**	**93,3**	**94,7**	**96**	**96,3**	**95,9**	**92,6**	**88,4**	**83,9**		
Поправка на телесный угол DΩ, дБ	Ω = 6.28	10Lg(4π/Ω)	**3**	3	3	3	3	3	3	3	3		
Показатель направленности источника Di, дБ		исходные данные	**0**	0	0	0	0	0	0	0	0		
Поправка на направленность источника Dc, дБ	Dc	DΩ + Di	**3**	3	3	3	3	3	3	3	3		
Затухание из-за геометрической дивергенции, Adiv, дБ	расстояние = 1853.59 м	ф-ла (7) [10]	**76,4**										

1		2	3	4	5	6	7	8	9	10	11	12	13
Коэффициент затухания звука в атмосфере α, дБ/км	Ta=20,°C Pa=101.33,кПа hотн.=70%	ф-ла (5) [9]	0,02	0,09	0,33	1,12	2,79	4,98	9,04	23,09	77,63		
Учет затухания звука в атмосфере Aatm, дБ		ф-ла (8) [10]	0	0,2	0,6	2,1	5,2	9,2	16,8	42,8	143,9		
Снижение поверхностью земли возле источника As, дБ	Gs = 0 hs = 1м	ф-лы таб.3 [10]	-1,5	-1,5	-1,5	-1,5	-1,5	-1,5	-1,5	-1,5	-1,5		
Снижение поверхностью земли возле приёмника Ar, дБ	Gr = 1 hr = 1.5м	ф-лы таб.3 [10]	-1,5	-1,5	5,3	7	5	0,7	0	0	0		
Снижение поверхностью земли в средней зоне, Am дБ	Gm = 1	ф-лы таб.3 [10]	-2,9	-2,9	0	0	0	0	0	0	0		
Суммарное снижение поверхностью земли на траектории распространения звука Agr, дБ		ф-ла (9) [10]	-5,9	-5,9	3,8	5,5	3,5	-0,8	-1,5	-1,5	-1,5		
Уровни звукового давления от источника ИШ-9-8 в расчётной точке днём, дБ		**ф-ла(3)[10]**	**0**	**25,6**	**16,9**	**15**	**14,3**	**14,1**	**4**	**0**	**0**	**16,9**	**16,9**
Уровни звукового давления от источника ИШ-9-8 в расчётной точке ночью, дБ		**ф-ла(3)[10]**	**0**	**25,6**	**16,9**	**15**	**14,3**	**14,1**	**4**	**0**	**0**	**16,9**	**16,9**
Источник шума: ИШ-9-9, координаты источника (x,y,z), м =[650.66,-334.90,1.00]													
Уровни звуковой мощности источника днём, Lw, дБ		**исходные данные**	**0**	**93,3**	**94,7**	**96**	**96,3**	**95,9**	**92,6**	**88,4**	**83,9**		
Уровни звуковой мощности источника ночью, Lw, дБ		**исходные данные**	**0**	**93,3**	**94,7**	**96**	**96,3**	**95,9**	**92,6**	**88,4**	**83,9**		
Поправка на телесный угол DΩ, дБ	Ω = 6.28	10Lg(4π/Ω)	**3**	3	3	3	3	3	3	3	3		
Показатель направленности источника Di, дБ		исходные данные	**0**	0	0	0	0	0	0	0	0		
Поправка на направленность источника Dc, дБ	Dc	DΩ + Di	**3**	3	3	3	3	3	3	3	3		
Затухание из-за геометрической дивергенции, Adiv, дБ	расстояние = 1851.79 м	ф-ла (7) [10]	**76,4**										
Коэффициент затухания звука в атмосфере α, дБ/км	Ta=20,°C Pa=101.33,кПа hотн.=70%	ф-ла (5) [9]	0,02	0,09	0,33	1,12	2,79	4,98	9,04	23,09	77,63		

1		2	3	4	5	6	7	8	9	10	11	12	13
Учет затухания звука в атмосфере Aatm, дБ		ф-ла (8) [10]	0	0,2	0,6	2,1	5,2	9,2	16,7	42,8	143,8		
Снижение поверхностью земли возле источника As, дБ	Gs = 0 hs = 1м	ф-лы таб.3 [10]	-1,5	-1,5	-1,5	-1,5	-1,5	-1,5	-1,5	-1,5	-1,5		
Снижение поверхностью земли возле приёмника Ar, дБ	Gr = 1 hr = 1.5м	ф-лы таб.3 [10]	-1,5	-1,5	5,3	7	5	0,7	0	0	0		
Снижение поверхностью земли в средней зоне, Am дБ	Gm = 1	ф-лы таб.3 [10]	-2,9	-2,9	0	0	0	0	0	0	0		
Суммарное снижение поверхностью земли на траектории распространения звука Agr, дБ		ф-ла (9) [10]	-5,9	-5,9	3,8	5,5	3,5	-0,8	-1,5	-1,5	-1,5		
Уровни звукового давления от источника ИШ-9-9 в расчётной точке днём, дБ		**ф-ла(3)[10]**	**0**	**25,7**	**16,9**	**15**	**14,3**	**14,2**	**4**	**0**	**0**	**16,9**	**16,9**
Уровни звукового давления от источника ИШ-9-9 в расчётной точке ночью, дБ		**ф-ла(3)[10]**	**0**	**25,7**	**16,9**	**15**	**14,3**	**14,2**	**4**	**0**	**0**	**16,9**	**16,9**
Источник шума: ИШ-9-10, координаты источника (x,y,z), м =[651.59,-332.01,1.00]													
Уровни звуковой мощности источника днём, Lw, дБ		**исходные данные**	**0**	**93,3**	**94,7**	**96**	**96,3**	**95,9**	**92,6**	**88,4**	**83,9**		
Уровни звуковой мощности источника ночью, Lw, дБ		**исходные данные**	**0**	**93,3**	**94,7**	**96**	**96,3**	**95,9**	**92,6**	**88,4**	**83,9**		
Поправка на телесный угол DΩ, дБ	Ω = 6.28	10Lg(4π/Ω)	**3**	3	3	3	3	3	3	3	3		
Показатель направленности источника Di, дБ		исходные данные	**0**	0	0	0	0	0	0	0	0		
Поправка на направленность источника Dc, дБ	Dc	DΩ + Di	**3**	3	3	3	3	3	3	3	3		
Затухание из-за геометрической дивергенции, Adiv, дБ	расстояние = 1849.80 м	ф-ла (7) [10]	**76,3**										
Коэффициент затухания звука в атмосфере α, дБ/км	Ta=20,°C Pa=101.33,кПа hотн.=70%	ф-ла (5) [9]	0,02	0,09	0,33	1,12	2,79	4,98	9,04	23,09	77,63		
Учет затухания звука в атмосфере Aatm, дБ		ф-ла (8) [10]	0	0,2	0,6	2,1	5,2	9,2	16,7	42,7	143,6		

1		2	3	4	5	6	7	8	9	10	11	12	13
Снижение поверхностью земли возле источника As, дБ	Gs = 0 hs = 1м	ф-лы таб.3 [10]	-1,5	-1,5	-1,5	-1,5	-1,5	-1,5	-1,5	-1,5	-1,5		
Снижение поверхностью земли возле приёмника Ar, дБ	Gr = 1 hr = 1.5м	ф-лы таб.3 [10]	-1,5	-1,5	5,3	7	5	0,7	0	0	0		
Снижение поверхностью земли в средней зоне, Am дБ	Gm = 1	ф-лы таб.3 [10]	-2,9	-2,9	0	0	0	0	0	0	0		
Суммарное снижение поверхностью земли на траектории распространения звука Agr, дБ		ф-ла (9) [10]	-5,9	-5,9	3,8	5,5	3,5	-0,8	-1,5	-1,5	-1,5		
Уровни звукового давления от источника ИШ-9-10 в расчётной точке днём, дБ		**ф-ла(3)[10]**	**0**	**25,7**	**16,9**	**15**	**14,3**	**14,2**	**4**	**0**	**0**	**16,9**	**16,9**
Уровни звукового давления от источника ИШ-9-10 в расчётной точке ночью, дБ		**ф-ла(3)[10]**	**0**	**25,7**	**16,9**	**15**	**14,3**	**14,2**	**4**	**0**	**0**	**16,9**	**16,9**
Источник шума: ИШ-9-11, координаты источника (x,y,z), м =[652.71,-329.22,1.00]													
Уровни звуковой мощности источника днём, Lw, дБ		**исходные данные**	**0**	**93,3**	**94,7**	**96**	**96,3**	**95,9**	**92,6**	**88,4**	**83,9**		
Уровни звуковой мощности источника ночью, Lw, дБ		**исходные данные**	**0**	**93,3**	**94,7**	**96**	**96,3**	**95,9**	**92,6**	**88,4**	**83,9**		
Поправка на телесный угол DΩ, дБ	Ω = 6.28	10Lg(4π/Ω)	**3**	3	3	3	3	3	3	3	3		
Показатель направленности источника Di, дБ		исходные данные	**0**	0	0	0	0	0	0	0	0		
Поправка на направленность источника Dc, дБ	Dc	DΩ + Di	**3**	3	3	3	3	3	3	3	3		
Затухание из-за геометрической дивергенции, Adiv, дБ	расстояние = 1847.67 м	ф-ла (7) [10]	**76,3**										
Коэффициент затухания звука в атмосфере α, дБ/км	Ta=20,°C Pa=101.33,кПа hотн.=70%	ф-ла (5) [9]	0,02	0,09	0,33	1,12	2,79	4,98	9,04	23,09	77,63		
Учет затухания звука в атмосфере Aatm, дБ		ф-ла (8) [10]	0	0,2	0,6	2,1	5,2	9,2	16,7	42,7	143,4		
Снижение поверхностью земли возле источника As, дБ	Gs = 0 hs = 1м	ф-лы таб.3 [10]	-1,5	-1,5	-1,5	-1,5	-1,5	-1,5	-1,5	-1,5	-1,5		

1		2	3	4	5	6	7	8	9	10	11	12	13
Снижение поверхностью земли возле приёмника Ar, дБ	Gr = 1 hr = 1.5м	ф-лы таб.3 [10]	-1,5	-1,5	5,3	7	5	0,7	0	0	0		
Снижение поверхностью земли в средней зоне, Am дБ	Gm = 1	ф-лы таб.3 [10]	-2,9	-2,9	0	0	0	0	0	0	0		
Суммарное снижение поверхностью земли на траектории распространения звука Agr, дБ		ф-ла (9) [10]	-5,9	-5,9	3,8	5,5	3,5	-0,8	-1,5	-1,5	-1,5		
Уровни звукового давления от источника ИШ-9-11 в расчётной точке днём, дБ		**ф-ла(3)[10]**	**0**	**25,7**	**16,9**	**15,1**	**14,3**	**14,2**	**4,1**	**0**	**0**	**16,9**	**16,9**
Уровни звукового давления от источника ИШ-9-11 в расчётной точке ночью, дБ		**ф-ла(3)[10]**	**0**	**25,7**	**16,9**	**15,1**	**14,3**	**14,2**	**4,1**	**0**	**0**	**16,9**	**16,9**
Источник шума: ИШ-9-12, координаты источника (x,y,z), м =[653.46,-326.33,1.00]													
Уровни звуковой мощности источника днём, Lw, дБ		**исходные данные**	**0**	**93,3**	**94,7**	**96**	**96,3**	**95,9**	**92,6**	**88,4**	**83,9**		
Уровни звуковой мощности источника ночью, Lw, дБ		**исходные данные**	**0**	**93,3**	**94,7**	**96**	**96,3**	**95,9**	**92,6**	**88,4**	**83,9**		
Поправка на телесный угол DΩ, дБ	Ω = 6.28	10Lg(4π/Ω)	**3**	3	3	3	3	3	3	3	3		
Показатель направленности источника Di, дБ		исходные данные	**0**	0	0	0	0	0	0	0	0		
Поправка на направленность источника Dc, дБ	Dc	DΩ + Di	**3**	3	3	3	3	3	3	3	3		
Затухание из-за геометрической дивергенции, Adiv, дБ	расстояние = 1845.85 м	ф-ла (7) [10]	**76,3**										
Коэффициент затухания звука в атмосфере α, дБ/км	Ta=20,°C Pa=101.33,кПа hотн.=70%	ф-ла (5) [9]	0,02	0,09	0,33	1,12	2,79	4,98	9,04	23,09	77,63		
Учет затухания звука в атмосфере Aatm, дБ		ф-ла (8) [10]	0	0,2	0,6	2,1	5,2	9,2	16,7	42,6	143,3		
Снижение поверхностью земли возле источника As, дБ	Gs = 0 hs = 1м	ф-лы таб.3 [10]	-1,5	-1,5	-1,5	-1,5	-1,5	-1,5	-1,5	-1,5	-1,5		
Снижение поверхностью земли возле приёмника Ar, дБ	Gr = 1 hr = 1.5м	ф-лы таб.3 [10]	-1,5	-1,5	5,3	7	5	0,7	0	0	0		

1		2	3	4	5	6	7	8	9	10	11	12	13
Снижение поверхностью земли в средней зоне, Am дБ	Gm = 1	ф-лы таб.3 [10]	-2,9	-2,9	0	0	0	0	0	0	0		
Суммарное снижение поверхностью земли на траектории распространения звука Agr, дБ		ф-ла (9) [10]	-5,9	-5,9	3,8	5,5	3,5	-0,8	-1,5	-1,5	-1,5		
Уровни звукового давления от источника ИШ-9-12 в расчётной точке днём, дБ		**ф-ла(3)[10]**	**0**	**25,7**	**16,9**	**15,1**	**14,3**	**14,2**	**4,1**	**0**	**0**	**16,9**	**16,9**
Уровни звукового давления от источника ИШ-9-12 в расчётной точке ночью, дБ		**ф-ла(3)[10]**	**0**	**25,7**	**16,9**	**15,1**	**14,3**	**14,2**	**4,1**	**0**	**0**	**16,9**	**16,9**
Источник шума: ИШ-9-13, координаты источника (x,y,z), м =[654.48,-323.54,1.00]													
Уровни звуковой мощности источника днём, Lw, дБ		**исходные данные**	**0**	**93,3**	**94,7**	**96**	**96,3**	**95,9**	**92,6**	**88,4**	**83,9**		
Уровни звуковой мощности источника ночью, Lw, дБ		**исходные данные**	**0**	**93,3**	**94,7**	**96**	**96,3**	**95,9**	**92,6**	**88,4**	**83,9**		
Поправка на телесный угол DΩ, дБ	Ω = 6.28	10Lg(4π/Ω)	**3**	3	3	3	3	3	3	3	3		
Показатель направленности источника Di, дБ		исходные данные	**0**	0	0	0	0	0	0	0	0		
Поправка на направленность источника Dc, дБ	Dc	DΩ + Di	**3**	3	3	3	3	3	3	3	3		
Затухание из-за геометрической дивергенции, Adiv, дБ	расстояние = 1843.82 м	ф-ла (7) [10]	**76,3**										
Коэффициент затухания звука в атмосфере α, дБ/км	Ta=20,°C Pa=101.33,кПа hотн.=70%	ф-ла (5) [9]	0,02	0,09	0,33	1,12	2,79	4,98	9,04	23,09	77,63		
Учет затухания звука в атмосфере Aatm, дБ		ф-ла (8) [10]	0	0,2	0,6	2,1	5,1	9,2	16,7	42,6	143,1		
Снижение поверхностью земли возле источника As, дБ	Gs = 0 hs = 1м	ф-лы таб.3 [10]	-1,5	-1,5	-1,5	-1,5	-1,5	-1,5	-1,5	-1,5	-1,5		
Снижение поверхностью земли возле приёмника Ar, дБ	Gr = 1 hr = 1.5м	ф-лы таб.3 [10]	-1,5	-1,5	5,3	7	5	0,7	0	0	0		
Снижение поверхностью земли в средней зоне, Am дБ	Gm = 1	ф-лы таб.3 [10]	-2,9	-2,9	0	0	0	0	0	0	0		

1		2	3	4	5	6	7	8	9	10	11	12	13
Суммарное снижение поверхностью земли на траектории распространения звука Agr, дБ		ф-ла (9) [10]	-5,9	-5,9	3,8	5,5	3,5	-0,8	-1,5	-1,5	-1,5		
Уровни звукового давления прямого звука от источника ИШ-9-13 в расчётной точке днём, дБ		**ф-ла(3)[10]**	**0**	**25,7**	**16,9**	**15,1**	**14,4**	**14,2**	**4,1**	**0**	**0**	**16,9**	**16,9**
Уровни звукового давления прямого звука от источника ИШ-9-13 в расчётной точке ночью, дБ		**ф-ла(3)[10]**	**0**	**25,7**	**16,9**	**15,1**	**14,4**	**14,2**	**4,1**	**0**	**0**	**16,9**	**16,9**
Расчёт отражённого звука													
Уровни звукового давления от мнимого источника ИШ-9-13_мн.(1) в расчётной точке днём, дБ		**ф-ла(3)[10]**	**0**	**0**	**0**	**0**	**0**	**0**	**0**	**0**	**0**	**0**	**0**
Уровни звукового давления от мнимого источника ИШ-9-13_мн.(1) в расчётной точке ночью, дБ		**ф-ла(3)[10]**	**0**	**0**	**0**	**0**	**0**	**0**	**0**	**0**	**0**	**0**	**0**
Уровни звукового давления от источника ИШ-9-13 в расчётной точке днём, дБ		**ф-ла(3)[10]**	**0**	**25,7**	**16,9**	**15,1**	**14,4**	**14,2**	**4,1**	**0**	**0**	**16,9**	**16,9**
Уровни звукового давления от источника ИШ-9-13 в расчётной точке ночью, дБ		**ф-ла(3)[10]**	**0**	**25,7**	**16,9**	**15,1**	**14,4**	**14,2**	**4,1**	**0**	**0**	**16,9**	**16,9**
Источник шума: ИШ-9-14, координаты источника (x,y,z), м =[655.60,-320.74,1.00]													
Уровни звуковой мощности источника днём, Lw, дБ		**исходные данные**	**0**	**93,3**	**94,7**	**96**	**96,3**	**95,9**	**92,6**	**88,4**	**83,9**		
Уровни звуковой мощности источника ночью, Lw, дБ		**исходные данные**	**0**	**93,3**	**94,7**	**96**	**96,3**	**95,9**	**92,6**	**88,4**	**83,9**		
Поправка на телесный угол DΩ, дБ	Ω = 6.28	10Lg(4π/Ω)	**3**	3	3	3	3	3	3	3	3		
Показатель направленности источника Di, дБ		исходные данные	**0**	0	0	0	0	0	0	0	0		
Поправка на направленность источника Dc, дБ	Dc	DΩ + Di	**3**	3	3	3	3	3	3	3	3		
Затухание из-за геометрической дивергенции, Adiv, дБ	расстояние = 1841.70 м	ф-ла (7) [10]	**76,3**										
Коэффициент затухания звука в атмосфере α, дБ/км	Ta=20,°C Pa=101.33,кПа hотн.=70%	ф-ла (5) [9]	0,02	0,09	0,33	1,12	2,79	4,98	9,04	23,09	77,63		

1		2	3	4	5	6	7	8	9	10	11	12	13
Учет затухания звука в атмосфере Aatm, дБ		ф-ла (8) [10]	0	0,2	0,6	2,1	5,1	9,2	16,6	42,5	143		
Снижение поверхностью земли возле источника As, дБ	Gs = 0 hs = 1м	ф-лы таб.3 [10]	-1,5	-1,5	-1,5	-1,5	-1,5	-1,5	-1,5	-1,5	-1,5		
Снижение поверхностью земли возле приёмника Ar, дБ	Gr = 1 hr = 1.5м	ф-лы таб.3 [10]	-1,5	-1,5	5,3	7	5	0,7	0	0	0		
Снижение поверхностью земли в средней зоне, Am дБ	Gm = 1	ф-лы таб.3 [10]	-2,9	-2,9	0	0	0	0	0	0	0		
Суммарное снижение поверхностью земли на траектории распространения звука Agr, дБ		ф-ла (9) [10]	-5,9	-5,9	3,8	5,5	3,5	-0,8	-1,5	-1,5	-1,5		
Уровни звукового давления прямого звука от источника ИШ-9-14 в расчётной точке днём, дБ		**ф-ла(3)[10]**	**0**	**25,7**	**16,9**	**15,1**	**14,4**	**14,3**	**4,1**	**0**	**0**	**17**	**17**
Уровни звукового давления прямого звука от источника ИШ-9-14 в расчётной точке ночью, дБ		**ф-ла(3)[10]**	**0**	**25,7**	**16,9**	**15,1**	**14,4**	**14,3**	**4,1**	**0**	**0**	**17**	**17**
Расчёт отражённого звука													
Уровни звукового давления от мнимого источника ИШ-9-14_мн.(1) в расчётной точке днём, дБ		**ф-ла(3)[10]**	**0**	**0**	**0**	**0**	**0**	**0**	**0**	**0**	**0**	**0**	**0**
Уровни звукового давления от мнимого источника ИШ-9-14_мн.(1) в расчётной точке ночью, дБ		**ф-ла(3)[10]**	**0**	**0**	**0**	**0**	**0**	**0**	**0**	**0**	**0**	**0**	**0**
Уровни звукового давления от источника ИШ-9-14 в расчётной точке днём, дБ		**ф-ла(3)[10]**	**0**	**25,7**	**16,9**	**15,1**	**14,4**	**14,3**	**4,1**	**0**	**0**	**17**	**17**
Уровни звукового давления от источника ИШ-9-14 в расчётной точке ночью, дБ		**ф-ла(3)[10]**	**0**	**25,7**	**16,9**	**15,1**	**14,4**	**14,3**	**4,1**	**0**	**0**	**17**	**17**
Источник шума: ИШ-9-15, координаты источника (x,y,z), м =[656.44,-317.86,1.00]													
Уровни звуковой мощности источника днём, Lw, дБ		**исходные данные**	**0**	**93,3**	**94,7**	**96**	**96,3**	**95,9**	**92,6**	**88,4**	**83,9**		
Уровни звуковой мощности источника ночью, Lw, дБ		**исходные данные**	**0**	**93,3**	**94,7**	**96**	**96,3**	**95,9**	**92,6**	**88,4**	**83,9**		
Поправка на телесный угол DΩ, дБ	Ω = 6.28	10Lg(4π/Ω)	**3**	3	3	3	3	3	3	3	3		
Показатель направленности источника Di, дБ		исходные данные	**0**	0	0	0	0	0	0	0	0		

1		2	3	4	5	6	7	8	9	10	11	12	13
Поправка на направленность источника Dc, дБ	Dc	DΩ + Di	**3**	3	3	3	3	3	3	3	3		
Затухание из-за геометрической дивергенции, Adiv, дБ	расстояние = 1839.80 м	ф-ла (7) [10]	**76,3**										
Коэффициент затухания звука в атмосфере α, дБ/км	Ta=20,°C Pa=101.33,кПа hотн.=70%	ф-ла (5) [9]	0,02	0,09	0,33	1,12	2,79	4,98	9,04	23,09	77,63		
Учет затухания звука в атмосфере Aatm, дБ		ф-ла (8) [10]	0	0,2	0,6	2,1	5,1	9,2	16,6	42,5	142,8		
Снижение поверхностью земли возле источника As, дБ	Gs = 0 hs = 1м	ф-лы таб.3 [10]	-1,5	-1,5	-1,5	-1,5	-1,5	-1,5	-1,5	-1,5	-1,5		
Снижение поверхностью земли возле приёмника Ar, дБ	Gr = 1 hr = 1.5м	ф-лы таб.3 [10]	-1,5	-1,5	5,3	7	5	0,7	0	0	0		
Снижение поверхностью земли в средней зоне, Am дБ	Gm = 1	ф-лы таб.3 [10]	-2,9	-2,9	0	0	0	0	0	0	0		
Суммарное снижение поверхностью земли на траектории распространения звука Agr, дБ		ф-ла (9) [10]	-5,9	-5,9	3,8	5,5	3,5	-0,8	-1,5	-1,5	-1,5		
Уровни звукового давления прямого звука от источника ИШ-9-15 в расчётной точке днём, дБ		**ф-ла(3)[10]**	**0**	**25,7**	**16,9**	**15,1**	**14,4**	**14,3**	**4,2**	**0**	**0**	**17**	**17**
Уровни звукового давления прямого звука от источника ИШ-9-15 в расчётной точке ночью, дБ		**ф-ла(3)[10]**	**0**	**25,7**	**16,9**	**15,1**	**14,4**	**14,3**	**4,2**	**0**	**0**	**17**	**17**
Расчёт отражённого звука													
Уровни звукового давления от мнимого источника ИШ-9-15_мн.(1) в расчётной точке днём, дБ		**ф-ла(3)[10]**	**0**	**0**	**0**	**0**	**0**	**0**	**0**	**0**	**0**	**0**	**0**
Уровни звукового давления от мнимого источника ИШ-9-15_мн.(1) в расчётной точке ночью, дБ		**ф-ла(3)[10]**	**0**	**0**	**0**	**0**	**0**	**0**	**0**	**0**	**0**	**0**	**0**
Уровни звукового давления от источника ИШ-9-15 в расчётной точке днём, дБ		**ф-ла(3)[10]**	**0**	**25,7**	**16,9**	**15,1**	**14,4**	**14,3**	**4,2**	**0**	**0**	**17**	**17**
Уровни звукового давления от источника ИШ-9-15 в расчётной точке ночью, дБ		**ф-ла(3)[10]**	**0**	**25,7**	**16,9**	**15,1**	**14,4**	**14,3**	**4,2**	**0**	**0**	**17**	**17**
Источник шума: ИШ-9-16, координаты источника (x,y,z), м =[657.46,-314.97,1.00]													

1		2	3	4	5	6	7	8	9	10	11	12	13
Уровни звуковой мощности источника днём, Lw, дБ		**исходные данные**	**0**	**93,3**	**94,7**	**96**	**96,3**	**95,9**	**92,6**	**88,4**	**83,9**		
Уровни звуковой мощности источника ночью, Lw, дБ		**исходные данные**	**0**	**93,3**	**94,7**	**96**	**96,3**	**95,9**	**92,6**	**88,4**	**83,9**		
Поправка на телесный угол DΩ, дБ	Ω = 6.28	10Lg(4π/Ω)	**3**	3	3	3	3	3	3	3	3		
Показатель направленности источника Di, дБ		исходные данные	**0**	0	0	0	0	0	0	0	0		
Поправка на направленность источника Dc, дБ	Dc	DΩ + Di	**3**	3	3	3	3	3	3	3	3		
Затухание из-за геометрической дивергенции, Adiv, дБ	расстояние = 1837.73 м	ф-ла (7) [10]	**76,3**										
Коэффициент затухания звука в атмосфере α, дБ/км	Ta=20,°C Pa=101.33,кПа hотн.=70%	ф-ла (5) [9]	0,02	0,09	0,33	1,12	2,79	4,98	9,04	23,09	77,63		
Учет затухания звука в атмосфере Aatm, дБ		ф-ла (8) [10]	0	0,2	0,6	2,1	5,1	9,1	16,6	42,4	142,7		
Снижение поверхностью земли возле источника As, дБ	Gs = 0 hs = 1м	ф-лы таб.3 [10]	-1,5	-1,5	-1,5	-1,5	-1,5	-1,5	-1,5	-1,5	-1,5		
Снижение поверхностью земли возле приёмника Ar, дБ	Gr = 1 hr = 1.5м	ф-лы таб.3 [10]	-1,5	-1,5	5,3	7	5	0,7	0	0	0		
Снижение поверхностью земли в средней зоне, Am дБ	Gm = 1	ф-лы таб.3 [10]	-2,9	-2,9	0	0	0	0	0	0	0		
Суммарное снижение поверхностью земли на траектории распространения звука Agr, дБ		ф-ла (9) [10]	-5,9	-5,9	3,8	5,5	3,5	-0,8	-1,5	-1,5	-1,5		
Уровни звукового давления прямого звука от источника ИШ-9-16 в расчётной точке днём, дБ		**ф-ла(3)[10]**	**0**	**25,7**	**16,9**	**15,1**	**14,4**	**14,3**	**4,2**	**0**	**0**	**17**	**17**
Уровни звукового давления прямого звука от источника ИШ-9-16 в расчётной точке ночью, дБ		**ф-ла(3)[10]**	**0**	**25,7**	**16,9**	**15,1**	**14,4**	**14,3**	**4,2**	**0**	**0**	**17**	**17**
Расчёт отражённого звука													
Уровни звукового давления от мнимого источника ИШ-9-16_мн.(1) в расчётной точке днём, дБ		**ф-ла(3)[10]**	**0**	**0**	**0**	**0**	**0**	**0**	**0**	**0**	**0**	**0**	**0**
Уровни звукового давления от мнимого источника ИШ-9-16_мн.(1) в расчётной точке ночью, дБ		**ф-ла(3)[10]**	**0**	**0**	**0**	**0**	**0**	**0**	**0**	**0**	**0**	**0**	**0**

1		2	3	4	5	6	7	8	9	10	11	12	13
Уровни звукового давления от источника ИШ-9-16 в расчётной точке днём, дБ		**ф-ла(3)[10]**	**0**	**25,7**	**16,9**	**15,1**	**14,4**	**14,3**	**4,2**	**0**	**0**	**17**	**17**
Уровни звукового давления от источника ИШ-9-16 в расчётной точке ночью, дБ		**ф-ла(3)[10]**	**0**	**25,7**	**16,9**	**15,1**	**14,4**	**14,3**	**4,2**	**0**	**0**	**17**	**17**
Источник шума: ИШ-9-17, координаты источника (x,y,z), м =[658.49,-312.18,1.00]													
Уровни звуковой мощности источника днём, Lw, дБ		**исходные данные**	**0**	**93,3**	**94,7**	**96**	**96,3**	**95,9**	**92,6**	**88,4**	**83,9**		
Уровни звуковой мощности источника ночью, Lw, дБ		**исходные данные**	**0**	**93,3**	**94,7**	**96**	**96,3**	**95,9**	**92,6**	**88,4**	**83,9**		
Поправка на телесный угол DΩ, дБ	Ω = 6.28	10Lg(4π/Ω)	**3**	3	3	3	3	3	3	3	3		
Показатель направленности источника Di, дБ		исходные данные	**0**	0	0	0	0	0	0	0	0		
Поправка на направленность источника Dc, дБ	Dc	DΩ + Di	**3**	3	3	3	3	3	3	3	3		
Затухание из-за геометрической дивергенции, Adiv, дБ	расстояние = 1835.71 м	ф-ла (7) [10]	**76,3**										
Коэффициент затухания звука в атмосфере α, дБ/км	Ta=20,°C Pa=101.33,кПа hотн.=70%	ф-ла (5) [9]	0,02	0,09	0,33	1,12	2,79	4,98	9,04	23,09	77,63		
Учет затухания звука в атмосфере Aatm, дБ		ф-ла (8) [10]	0	0,2	0,6	2,1	5,1	9,1	16,6	42,4	142,5		
Снижение поверхностью земли возле источника As, дБ	Gs = 0 hs = 1м	ф-лы таб.3 [10]	-1,5	-1,5	-1,5	-1,5	-1,5	-1,5	-1,5	-1,5	-1,5		
Снижение поверхностью земли возле приёмника Ar, дБ	Gr = 1 hr = 1.5м	ф-лы таб.3 [10]	-1,5	-1,5	5,3	7	5	0,7	0	0	0		
Снижение поверхностью земли в средней зоне, Am дБ	Gm = 1	ф-лы таб.3 [10]	-2,9	-2,9	0	0	0	0	0	0	0		
Суммарное снижение поверхностью земли на траектории распространения звука Agr, дБ		ф-ла (9) [10]	-5,9	-5,9	3,8	5,5	3,5	-0,8	-1,5	-1,5	-1,5		
Уровни звукового давления прямого звука от источника ИШ-9-17 в расчётной точке днём, дБ		**ф-ла(3)[10]**	**0**	**25,7**	**17**	**15,1**	**14,4**	**14,3**	**4,2**	**0**	**0**	**17**	**17**

1		2	3	4	5	6	7	8	9	10	11	12	13
Уровни звукового давления прямого звука от источника ИШ-9-17 в расчётной точке ночью, дБ		**ф-ла(3)[10]**	**0**	**25,7**	**17**	**15,1**	**14,4**	**14,3**	**4,2**	**0**	**0**	**17**	**17**
Расчёт отражённого звука													
Уровни звукового давления от мнимого источника ИШ-9-17_мн.(1) в расчётной точке днём, дБ		**ф-ла(3)[10]**	**0**	**0**	**0**	**0**	**0**	**0**	**0**	**0**	**0**	**0**	**0**
Уровни звукового давления от мнимого источника ИШ-9-17_мн.(1) в расчётной точке ночью, дБ		**ф-ла(3)[10]**	**0**	**0**	**0**	**0**	**0**	**0**	**0**	**0**	**0**	**0**	**0**
Уровни звукового давления от источника ИШ-9-17 в расчётной точке днём, дБ		**ф-ла(3)[10]**	**0**	**25,7**	**17**	**15,1**	**14,4**	**14,3**	**4,2**	**0**	**0**	**17**	**17**
Уровни звукового давления от источника ИШ-9-17 в расчётной точке ночью, дБ		**ф-ла(3)[10]**	**0**	**25,7**	**17**	**15,1**	**14,4**	**14,3**	**4,2**	**0**	**0**	**17**	**17**
Источник шума: ИШ-9-18, координаты источника (x,y,z), м =[659.42,-309.20,1.00]													
Уровни звуковой мощности источника днём, Lw, дБ		**исходные данные**	**0**	**93,3**	**94,7**	**96**	**96,3**	**95,9**	**92,6**	**88,4**	**83,9**		
Уровни звуковой мощности источника ночью, Lw, дБ		**исходные данные**	**0**	**93,3**	**94,7**	**96**	**96,3**	**95,9**	**92,6**	**88,4**	**83,9**		
Поправка на телесный угол DΩ, дБ	Ω = 6.28	10Lg(4π/Ω)	**3**	3	3	3	3	3	3	3	3		
Показатель направленности источника Di, дБ		исходные данные	**0**	0	0	0	0	0	0	0	0		
Поправка на направленность источника Dc, дБ	Dc	DΩ + Di	**3**	3	3	3	3	3	3	3	3		
Затухание из-за геометрической дивергенции, Adiv, дБ	расстояние = 1833.70 м	ф-ла (7) [10]	**76,3**										
Коэффициент затухания звука в атмосфере α, дБ/км	Ta=20,°C Pa=101.33,кПа hотн.=70%	ф-ла (5) [9]	0,02	0,09	0,33	1,12	2,79	4,98	9,04	23,09	77,63		
Учет затухания звука в атмосфере Aatm, дБ		ф-ла (8) [10]	0	0,2	0,6	2,1	5,1	9,1	16,6	42,3	142,4		
Снижение поверхностью земли возле источника As, дБ	Gs = 0 hs = 1м	ф-лы таб.3 [10]	-1,5	-1,5	-1,5	-1,5	-1,5	-1,5	-1,5	-1,5	-1,5		

1		2	3	4	5	6	7	8	9	10	11	12	13
Снижение поверхностью земли возле приёмника Ar, дБ	Gr = 1 hr = 1.5м	ф-лы таб.3 [10]	-1,5	-1,5	5,3	7	5	0,7	0	0	0		
Снижение поверхностью земли в средней зоне, Am дБ	Gm = 1	ф-лы таб.3 [10]	-2,9	-2,9	0	0	0	0	0	0	0		
Суммарное снижение поверхностью земли на траектории распространения звука Agr, дБ		ф-ла (9) [10]	-5,9	-5,9	3,8	5,5	3,5	-0,8	-1,5	-1,5	-1,5		
Уровни звукового давления прямого звука от источника ИШ-9-18 в расчётной точке днём, дБ		**ф-ла(3)[10]**	**0**	**25,7**	**17**	**15,1**	**14,4**	**14,3**	**4,2**	**0**	**0**	**17**	**17**
Уровни звукового давления прямого звука от источника ИШ-9-18 в расчётной точке ночью, дБ		**ф-ла(3)[10]**	**0**	**25,7**	**17**	**15,1**	**14,4**	**14,3**	**4,2**	**0**	**0**	**17**	**17**
Расчёт отражённого звука													
Уровни звукового давления от мнимого источника ИШ-9-18_мн.(1) в расчётной точке днём, дБ		**ф-ла(3)[10]**	**0**	**0**	**0**	**0**	**0**	**0**	**0**	**0**	**0**	**0**	**0**
Уровни звукового давления от мнимого источника ИШ-9-18_мн.(1) в расчётной точке ночью, дБ		**ф-ла(3)[10]**	**0**	**0**	**0**	**0**	**0**	**0**	**0**	**0**	**0**	**0**	**0**
Уровни звукового давления от источника ИШ-9-18 в расчётной точке днём, дБ		**ф-ла(3)[10]**	**0**	**25,7**	**17**	**15,1**	**14,4**	**14,3**	**4,2**	**0**	**0**	**17**	**17**
Уровни звукового давления от источника ИШ-9-18 в расчётной точке ночью, дБ		**ф-ла(3)[10]**	**0**	**25,7**	**17**	**15,1**	**14,4**	**14,3**	**4,2**	**0**	**0**	**17**	**17**
Источник шума: ИШ-9-19, координаты источника (x,y,z), м =[660.44,-306.50,1.00]													
Уровни звуковой мощности источника днём, Lw, дБ		**исходные данные**	**0**	**93,3**	**94,7**	**96**	**96,3**	**95,9**	**92,6**	**88,4**	**83,9**		
Уровни звуковой мощности источника ночью, Lw, дБ		**исходные данные**	**0**	**93,3**	**94,7**	**96**	**96,3**	**95,9**	**92,6**	**88,4**	**83,9**		
Поправка на телесный угол DΩ, дБ	Ω = 6.28	10Lg(4π/Ω)	**3**	3	3	3	3	3	3	3	3		
Показатель направленности источника Di, дБ		исходные данные	**0**	0	0	0	0	0	0	0	0		
Поправка на направленность источника Dc, дБ	Dc	DΩ + Di	**3**	3	3	3	3	3	3	3	3		
Затухание из-за геометрической дивергенции, Adiv, дБ	расстояние = 1831.71 м	ф-ла (7) [10]	**76,3**										

1		2	3	4	5	6	7	8	9	10	11	12	13
Коэффициент затухания звука в атмосфере α, дБ/км	Ta=20,°C Pa=101.33,кПа hотн.=70%	ф-ла (5) [9]	0,02	0,09	0,33	1,12	2,79	4,98	9,04	23,09	77,63		
Учет затухания звука в атмосфере Aatm, дБ		ф-ла (8) [10]	0	0,2	0,6	2,1	5,1	9,1	16,6	42,3	142,2		
Снижение поверхностью земли возле источника As, дБ	Gs = 0 hs = 1м	ф-лы таб.3 [10]	-1,5	-1,5	-1,5	-1,5	-1,5	-1,5	-1,5	-1,5	-1,5		
Снижение поверхностью земли возле приёмника Ar, дБ	Gr = 1 hr = 1.5м	ф-лы таб.3 [10]	-1,5	-1,5	5,3	7	5	0,7	0	0	0		
Снижение поверхностью земли в средней зоне, Am дБ	Gm = 1	ф-лы таб.3 [10]	-2,9	-2,9	0	0	0	0	0	0	0		
Суммарное снижение поверхностью земли на траектории распространения звука Agr, дБ		ф-ла (9) [10]	-5,9	-5,9	3,8	5,5	3,5	-0,8	-1,5	-1,5	-1,5		
Уровни звукового давления прямого звука от источника ИШ-9-19 в расчётной точке днём, дБ		**ф-ла(3)[10]**	**0**	**25,7**	**17**	**15,2**	**14,4**	**14,4**	**4,3**	**0**	**0**	**17,1**	**17,1**
Уровни звукового давления прямого звука от источника ИШ-9-19 в расчётной точке ночью, дБ		**ф-ла(3)[10]**	**0**	**25,7**	**17**	**15,2**	**14,4**	**14,4**	**4,3**	**0**	**0**	**17,1**	**17,1**
Расчёт отражённого звука													
Уровни звукового давления от мнимого источника ИШ-9-19_мн.(1) в расчётной точке днём, дБ		**ф-ла(3)[10]**	**0**	**0**	**0**	**0**	**0**	**0**	**0**	**0**	**0**	**0**	**0**
Уровни звукового давления от мнимого источника ИШ-9-19_мн.(1) в расчётной точке ночью, дБ		**ф-ла(3)[10]**	**0**	**0**	**0**	**0**	**0**	**0**	**0**	**0**	**0**	**0**	**0**
Уровни звукового давления от источника ИШ-9-19 в расчётной точке днём, дБ		**ф-ла(3)[10]**	**0**	**25,7**	**17**	**15,2**	**14,4**	**14,4**	**4,3**	**0**	**0**	**17,1**	**17,1**
Уровни звукового давления от источника ИШ-9-19 в расчётной точке ночью, дБ		**ф-ла(3)[10]**	**0**	**25,7**	**17**	**15,2**	**14,4**	**14,4**	**4,3**	**0**	**0**	**17,1**	**17,1**
Источник шума: ИШ-9-20, координаты источника (x,y,z), м =[661.28,-303.61,1.00]													
Уровни звуковой мощности источника днём, Lw, дБ		**исходные данные**	**0**	**93,3**	**94,7**	**96**	**96,3**	**95,9**	**92,6**	**88,4**	**83,9**		
Уровни звуковой мощности источника ночью, Lw, дБ		**исходные данные**	**0**	**93,3**	**94,7**	**96**	**96,3**	**95,9**	**92,6**	**88,4**	**83,9**		

1		2	3	4	5	6	7	8	9	10	11	12	13
Поправка на телесный угол DΩ, дБ	Ω = 6.28	10Lg(4π/Ω)	**3**	3	3	3	3	3	3	3	3		
Показатель направленности источника Di, дБ		исходные данные	**0**	0	0	0	0	0	0	0	0		
Поправка на направленность источника Dc, дБ	Dc	DΩ + Di	**3**	3	3	3	3	3	3	3	3		
Затухание из-за геометрической дивергенции, Adiv, дБ	расстояние = 1829.83 м	ф-ла (7) [10]	**76,2**										
Коэффициент затухания звука в атмосфере α, дБ/км	Ta=20,°C Pa=101.33,кПа hотн.=70%	ф-ла (5) [9]	0,02	0,09	0,33	1,12	2,79	4,98	9,04	23,09	77,63		
Учет затухания звука в атмосфере Aatm, дБ		ф-ла (8) [10]	0	0,2	0,6	2,1	5,1	9,1	16,5	42,2	142,1		
Снижение поверхностью земли возле источника As, дБ	Gs = 0 hs = 1м	ф-лы таб.3 [10]	-1,5	-1,5	-1,5	-1,5	-1,5	-1,5	-1,5	-1,5	-1,5		
Снижение поверхностью земли возле приёмника Ar, дБ	Gr = 1 hr = 1.5м	ф-лы таб.3 [10]	-1,5	-1,5	5,3	7	5	0,7	0	0	0		
Снижение поверхностью земли в средней зоне, Am дБ	Gm = 1	ф-лы таб.3 [10]	-2,9	-2,9	0	0	0	0	0	0	0		
Суммарное снижение поверхностью земли на траектории распространения звука Agr, дБ		ф-ла (9) [10]	-5,9	-5,9	3,8	5,5	3,5	-0,8	-1,5	-1,5	-1,5		
Уровни звукового давления прямого звука от источника ИШ-9-20 в расчётной точке днём, дБ		**ф-ла(3)[10]**	**0**	**25,8**	**17**	**15,2**	**14,5**	**14,4**	**4,3**	**0**	**0**	**17,1**	**17,1**
Уровни звукового давления прямого звука от источника ИШ-9-20 в расчётной точке ночью, дБ		**ф-ла(3)[10]**	**0**	**25,8**	**17**	**15,2**	**14,5**	**14,4**	**4,3**	**0**	**0**	**17,1**	**17,1**
Расчёт отражённого звука													
Уровни звукового давления от мнимого источника ИШ-9-20_мн.(1) в расчётной точке днём, дБ		**ф-ла(3)[10]**	**0**	**0**	**0**	**0**	**0**	**0**	**0**	**0**	**0**	**0**	**0**
Уровни звукового давления от мнимого источника ИШ-9-20_мн.(1) в расчётной точке ночью, дБ		**ф-ла(3)[10]**	**0**	**0**	**0**	**0**	**0**	**0**	**0**	**0**	**0**	**0**	**0**
Уровни звукового давления от источника ИШ-9-20 в расчётной точке днём, дБ		**ф-ла(3)[10]**	**0**	**25,8**	**17**	**15,2**	**14,5**	**14,4**	**4,3**	**0**	**0**	**17,1**	**17,1**
Уровни звукового давления от источника ИШ-9-20 в расчётной точке ночью, дБ		**ф-ла(3)[10]**	**0**	**25,8**	**17**	**15,2**	**14,5**	**14,4**	**4,3**	**0**	**0**	**17,1**	**17,1**

1		2	3	4	5	6	7	8	9	10	11	12	13
Источник шума: ИШ-9-21, координаты источника (x,y,z), м =[661.93,-300.72,1.00]													
Уровни звуковой мощности источника днём, Lw, дБ		**исходные данные**	**0**	**93,3**	**94,7**	**96**	**96,3**	**95,9**	**92,6**	**88,4**	**83,9**		
Уровни звуковой мощности источника ночью, Lw, дБ		**исходные данные**	**0**	**93,3**	**94,7**	**96**	**96,3**	**95,9**	**92,6**	**88,4**	**83,9**		
Поправка на телесный угол DΩ, дБ	Ω = 6.28	10Lg(4π/Ω)	**3**	3	3	3	3	3	3	3	3		
Показатель направленности источника Di, дБ		исходные данные	**0**	0	0	0	0	0	0	0	0		
Поправка на направленность источника Dc, дБ	Dc	DΩ + Di	**3**	3	3	3	3	3	3	3	3		
Затухание из-за геометрической дивергенции, Adiv, дБ	расстояние = 1828.12 м	ф-ла (7) [10]	**76,2**										
Коэффициент затухания звука в атмосфере α, дБ/км	Ta=20,°C Pa=101.33,кПа hотн.=70%	ф-ла (5) [9]	0,02	0,09	0,33	1,12	2,79	4,98	9,04	23,09	77,63		
Учет затухания звука в атмосфере Aatm, дБ		ф-ла (8) [10]	0	0,2	0,6	2,1	5,1	9,1	16,5	42,2	141,9		
Снижение поверхностью земли возле источника As, дБ	Gs = 0 hs = 1м	ф-лы таб.3 [10]	-1,5	-1,5	-1,5	-1,5	-1,5	-1,5	-1,5	-1,5	-1,5		
Снижение поверхностью земли возле приёмника Ar, дБ	Gr = 1 hr = 1.5м	ф-лы таб.3 [10]	-1,5	-1,5	5,3	7	5	0,7	0	0	0		
Снижение поверхностью земли в средней зоне, Am дБ	Gm = 1	ф-лы таб.3 [10]	-2,9	-2,9	0	0	0	0	0	0	0		
Суммарное снижение поверхностью земли на траектории распространения звука Agr, дБ		ф-ла (9) [10]	-5,9	-5,9	3,8	5,5	3,5	-0,8	-1,5	-1,5	-1,5		
Уровни звукового давления прямого звука от источника ИШ-9-21 в расчётной точке днём, дБ		**ф-ла(3)[10]**	**0**	**25,8**	**17**	**15,2**	**14,5**	**14,4**	**4,3**	**0**	**0**	**17,1**	**17,1**
Уровни звукового давления прямого звука от источника ИШ-9-21 в расчётной точке ночью, дБ		**ф-ла(3)[10]**	**0**	**25,8**	**17**	**15,2**	**14,5**	**14,4**	**4,3**	**0**	**0**	**17,1**	**17,1**
Расчёт отражённого звука													

1		2	3	4	5	6	7	8	9	10	11	12	13
Уровни звукового давления от мнимого источника ИШ-9-21_мн.(1) в расчётной точке днём, дБ		**ф-ла(3)[10]**	**0**	**0**	**0**	**0**	**0**	**0**	**0**	**0**	**0**	**0**	**0**
Уровни звукового давления от мнимого источника ИШ-9-21_мн.(1) в расчётной точке ночью, дБ		**ф-ла(3)[10]**	**0**	**0**	**0**	**0**	**0**	**0**	**0**	**0**	**0**	**0**	**0**
Уровни звукового давления от источника ИШ-9-21 в расчётной точке днём, дБ		**ф-ла(3)[10]**	**0**	**25,8**	**17**	**15,2**	**14,5**	**14,4**	**4,3**	**0**	**0**	**17,1**	**17,1**
Уровни звукового давления от источника ИШ-9-21 в расчётной точке ночью, дБ		**ф-ла(3)[10]**	**0**	**25,8**	**17**	**15,2**	**14,5**	**14,4**	**4,3**	**0**	**0**	**17,1**	**17,1**
Источник шума: ИШ-9-22, координаты источника (x,y,z), м =[663.14,-297.83,1.00]													
Уровни звуковой мощности источника днём, Lw, дБ		**исходные данные**	**0**	**93,3**	**94,7**	**96**	**96,3**	**95,9**	**92,6**	**88,4**	**83,9**		
Уровни звуковой мощности источника ночью, Lw, дБ		**исходные данные**	**0**	**93,3**	**94,7**	**96**	**96,3**	**95,9**	**92,6**	**88,4**	**83,9**		
Поправка на телесный угол DΩ, дБ	Ω = 6.28	10Lg(4π/Ω)	**3**	3	3	3	3	3	3	3	3		
Показатель направленности источника Di, дБ		исходные данные	**0**	0	0	0	0	0	0	0	0		
Поправка на направленность источника Dc, дБ	Dc	DΩ + Di	**3**	3	3	3	3	3	3	3	3		
Затухание из-за геометрической дивергенции, Adiv, дБ	расстояние = 1825.90 м	ф-ла (7) [10]	**76,2**										
Коэффициент затухания звука в атмосфере α, дБ/км	Ta=20,°C Pa=101.33,кПа hотн.=70%	ф-ла (5) [9]	0,02	0,09	0,33	1,12	2,79	4,98	9,04	23,09	77,63		
Учет затухания звука в атмосфере Aatm, дБ		ф-ла (8) [10]	0	0,2	0,6	2,1	5,1	9,1	16,5	42,2	141,8		
Снижение поверхностью земли возле источника As, дБ	Gs = 0 hs = 1м	ф-лы таб.3 [10]	-1,5	-1,5	-1,5	-1,5	-1,5	-1,5	-1,5	-1,5	-1,5		
Снижение поверхностью земли возле приёмника Ar, дБ	Gr = 1 hr = 1.5м	ф-лы таб.3 [10]	-1,5	-1,5	5,3	7	5	0,7	0	0	0		
Снижение поверхностью земли в средней зоне, Am дБ	Gm = 1	ф-лы таб.3 [10]	-2,9	-2,9	0	0	0	0	0	0	0		

1		2	3	4	5	6	7	8	9	10	11	12	13
Суммарное снижение поверхностью земли на траектории распространения звука Agr, дБ		ф-ла (9) [10]	-5,9	-5,9	3,8	5,5	3,5	-0,8	-1,5	-1,5	-1,5		
Уровни звукового давления от источника ИШ-9-22 в расчётной точке днём, дБ		**ф-ла(3)[10]**	**0**	**25,8**	**17**	**15,2**	**14,5**	**14,4**	**4,4**	**0**	**0**	**17,1**	**17,1**
Уровни звукового давления от источника ИШ-9-22 в расчётной точке ночью, дБ		**ф-ла(3)[10]**	**0**	**25,8**	**17**	**15,2**	**14,5**	**14,4**	**4,4**	**0**	**0**	**17,1**	**17,1**
Источник шума: ИШ-9-23, координаты источника (x,y,z), м =[664.07,-295.13,1.00]													
Уровни звуковой мощности источника днём, Lw, дБ		**исходные данные**	**0**	**93,3**	**94,7**	**96**	**96,3**	**95,9**	**92,6**	**88,4**	**83,9**		
Уровни звуковой мощности источника ночью, Lw, дБ		**исходные данные**	**0**	**93,3**	**94,7**	**96**	**96,3**	**95,9**	**92,6**	**88,4**	**83,9**		
Поправка на телесный угол DΩ, дБ	Ω = 6.28	10Lg(4π/Ω)	**3**	3	3	3	3	3	3	3	3		
Показатель направленности источника Di, дБ		исходные данные	**0**	0	0	0	0	0	0	0	0		
Поправка на направленность источника Dc, дБ	Dc	DΩ + Di	**3**	3	3	3	3	3	3	3	3		
Затухание из-за геометрической дивергенции, Adiv, дБ	расстояние = 1824.02 м	ф-ла (7) [10]	**76,2**										
Коэффициент затухания звука в атмосфере α, дБ/км	Ta=20,°C Pa=101.33,кПа hотн.=70%	ф-ла (5) [9]	0,02	0,09	0,33	1,12	2,79	4,98	9,04	23,09	77,63		
Учет затухания звука в атмосфере Aatm, дБ		ф-ла (8) [10]	0	0,2	0,6	2,1	5,1	9,1	16,5	42,1	141,6		
Снижение поверхностью земли возле источника As, дБ	Gs = 0 hs = 1м	ф-лы таб.3 [10]	-1,5	-1,5	-1,5	-1,5	-1,5	-1,5	-1,5	-1,5	-1,5		
Снижение поверхностью земли возле приёмника Ar, дБ	Gr = 1 hr = 1.5м	ф-лы таб.3 [10]	-1,5	-1,5	5,3	7	5	0,7	0	0	0		
Снижение поверхностью земли в средней зоне, Am дБ	Gm = 1	ф-лы таб.3 [10]	-2,9	-2,9	0	0	0	0	0	0	0		
Суммарное снижение поверхностью земли на траектории распространения звука Agr, дБ		ф-ла (9) [10]	-5,9	-5,9	3,8	5,5	3,5	-0,8	-1,5	-1,5	-1,5		

1		2	3	4	5	6	7	8	9	10	11	12	13
Уровни звукового давления прямого звука от источника ИШ-9-23 в расчётной точке днём, дБ		**ф-ла(3)[10]**	**0**	**25,8**	**17**	**15,2**	**14,5**	**14,4**	**4,4**	**0**	**0**	**17,1**	**17,1**
Уровни звукового давления прямого звука от источника ИШ-9-23 в расчётной точке ночью, дБ		**ф-ла(3)[10]**	**0**	**25,8**	**17**	**15,2**	**14,5**	**14,4**	**4,4**	**0**	**0**	**17,1**	**17,1**
Расчёт отражённого звука													
Уровни звукового давления от мнимого источника ИШ-9-23_мн.(1) в расчётной точке днём, дБ		**ф-ла(3)[10]**	**0**	**0**	**0**	**0**	**0**	**0**	**0**	**0**	**0**	**0**	**0**
Уровни звукового давления от мнимого источника ИШ-9-23_мн.(1) в расчётной точке ночью, дБ		**ф-ла(3)[10]**	**0**	**0**	**0**	**0**	**0**	**0**	**0**	**0**	**0**	**0**	**0**
Уровни звукового давления от источника ИШ-9-23 в расчётной точке днём, дБ		**ф-ла(3)[10]**	**0**	**25,8**	**17**	**15,2**	**14,5**	**14,4**	**4,4**	**0**	**0**	**17,1**	**17,1**
Уровни звукового давления от источника ИШ-9-23 в расчётной точке ночью, дБ		**ф-ла(3)[10]**	**0**	**25,8**	**17**	**15,2**	**14,5**	**14,4**	**4,4**	**0**	**0**	**17,1**	**17,1**
Источник шума: ИШ-9-24, координаты источника (x,y,z), м =[665.19,-292.34,1.00]													
Уровни звуковой мощности источника днём, Lw, дБ		**исходные данные**	**0**	**93,3**	**94,7**	**96**	**96,3**	**95,9**	**92,6**	**88,4**	**83,9**		
Уровни звуковой мощности источника ночью, Lw, дБ		**исходные данные**	**0**	**93,3**	**94,7**	**96**	**96,3**	**95,9**	**92,6**	**88,4**	**83,9**		
Поправка на телесный угол DΩ, дБ	Ω = 6.28	10Lg(4π/Ω)	**3**	3	3	3	3	3	3	3	3		
Показатель направленности источника Di, дБ		исходные данные	**0**	0	0	0	0	0	0	0	0		
Поправка на направленность источника Dc, дБ	Dc	DΩ + Di	**3**	3	3	3	3	3	3	3	3		
Затухание из-за геометрической дивергенции, Adiv, дБ	расстояние = 1821.92 м	ф-ла (7) [10]	**76,2**										
Коэффициент затухания звука в атмосфере α, дБ/км	Ta=20,°C Pa=101.33,кПа hотн.=70%	ф-ла (5) [9]	0,02	0,09	0,33	1,12	2,79	4,98	9,04	23,09	77,63		
Учет затухания звука в атмосфере Aatm, дБ		ф-ла (8) [10]	0	0,2	0,6	2	5,1	9,1	16,5	42,1	141,4		

1		2	3	4	5	6	7	8	9	10	11	12	13
Снижение поверхностью земли возле источника As, дБ	Gs = 0 hs = 1м	ф-лы таб.3 [10]	-1,5	-1,5	-1,5	-1,5	-1,5	-1,5	-1,5	-1,5	-1,5		
Снижение поверхностью земли возле приёмника Ar, дБ	Gr = 1 hr = 1.5м	ф-лы таб.3 [10]	-1,5	-1,5	5,3	7	5	0,7	0	0	0		
Снижение поверхностью земли в средней зоне, Am дБ	Gm = 1	ф-лы таб.3 [10]	-2,9	-2,9	0	0	0	0	0	0	0		
Суммарное снижение поверхностью земли на траектории распространения звука Agr, дБ		ф-ла (9) [10]	-5,9	-5,9	3,8	5,5	3,5	-0,8	-1,5	-1,5	-1,5		
Уровни звукового давления прямого звука от источника ИШ-9-24 в расчётной точке днём, дБ		**ф-ла(3)[10]**	**0**	**25,8**	**17**	**15,2**	**14,5**	**14,5**	**4,4**	**0**	**0**	**17,1**	**17,1**
Уровни звукового давления прямого звука от источника ИШ-9-24 в расчётной точке ночью, дБ		**ф-ла(3)[10]**	**0**	**25,8**	**17**	**15,2**	**14,5**	**14,5**	**4,4**	**0**	**0**	**17,1**	**17,1**
Расчёт отражённого звука													
Уровни звукового давления от мнимого источника ИШ-9-24_мн.(1) в расчётной точке днём, дБ		**ф-ла(3)[10]**	**0**	**0**	**0**	**0**	**0**	**0**	**0**	**0**	**0**	**0**	**0**
Уровни звукового давления от мнимого источника ИШ-9-24_мн.(1) в расчётной точке ночью, дБ		**ф-ла(3)[10]**	**0**	**0**	**0**	**0**	**0**	**0**	**0**	**0**	**0**	**0**	**0**
Уровни звукового давления от источника ИШ-9-24 в расчётной точке днём, дБ		**ф-ла(3)[10]**	**0**	**25,8**	**17**	**15,2**	**14,5**	**14,5**	**4,4**	**0**	**0**	**17,1**	**17,1**
Уровни звукового давления от источника ИШ-9-24 в расчётной точке ночью, дБ		**ф-ла(3)[10]**	**0**	**25,8**	**17**	**15,2**	**14,5**	**14,5**	**4,4**	**0**	**0**	**17,1**	**17,1**
Источник шума: ИШ-9-25, координаты источника (x,y,z), м =[683.46,-239.16,1.00]													
Уровни звуковой мощности источника днём, Lw, дБ		**исходные данные**	**77**	**75**	**67**	**66**	**63**	**55**	**53**	**48**	**51**		
Уровни звуковой мощности источника ночью, Lw, дБ		**исходные данные**	**77**	**75**	**67**	**66**	**63**	**55**	**53**	**48**	**51**		
Поправка на телесный угол DΩ, дБ	Ω = 6.28	10Lg(4π/Ω)	**3**	3	3	3	3	3	3	3	3		
Показатель направленности источника Di, дБ		исходные данные	**0**	0	0	0	0	0	0	0	0		
Поправка на направленность источника Dc, дБ	Dc	DΩ + Di	**3**	3	3	3	3	3	3	3	3		

1		2	3	4	5	6	7	8	9	10	11	12	13
Затухание из-за геометрической дивергенции, Adiv, дБ	расстояние = 1785.39 м	ф-ла (7) [10]	**76**										
Коэффициент затухания звука в атмосфере α, дБ/км	Ta=20,°C Pa=101.33,кПа hотн.=70%	ф-ла (5) [9]	0,02	0,09	0,33	1,12	2,79	4,98	9,04	23,09	77,63		
Учет затухания звука в атмосфере Aatm, дБ		ф-ла (8) [10]	0	0,2	0,6	2	5	8,9	16,1	41,2	138,6		
Снижение поверхностью земли возле источника As, дБ	Gs = 0 hs = 1м	ф-лы таб.3 [10]	-1,5	-1,5	-1,5	-1,5	-1,5	-1,5	-1,5	-1,5	-1,5		
Снижение поверхностью земли возле приёмника Ar, дБ	Gr = 1 hr = 1.5м	ф-лы таб.3 [10]	-1,5	-1,5	5,3	7	5	0,7	0	0	0		
Снижение поверхностью земли в средней зоне, Am дБ	Gm = 1	ф-лы таб.3 [10]	-2,9	-2,9	0	0	0	0	0	0	0		
Суммарное снижение поверхностью земли на траектории распространения звука Agr, дБ		ф-ла (9) [10]	-5,9	-5,9	3,8	5,5	3,5	-0,8	-1,5	-1,5	-1,5		
Уровни звукового давления от источника ИШ-9-25 в расчётной точке днём, дБ		**ф-ла(3)[10]**	**9,8**	**7,7**	**0**	**0**	**0**	**0**	**0**	**0**	**0**	**0**	**0**
Уровни звукового давления от источника ИШ-9-25 в расчётной точке ночью, дБ		**ф-ла(3)[10]**	**9,8**	**7,7**	**0**	**0**	**0**	**0**	**0**	**0**	**0**	**0**	**0**
Источник шума: ИШ-9-26, координаты источника (x,y,z), м =[680.09,-249.52,1.00]													
Уровни звуковой мощности источника днём, Lw, дБ		**исходные данные**	**77**	**75**	**67**	**66**	**63**	**55**	**53**	**48**	**51**		
Уровни звуковой мощности источника ночью, Lw, дБ		**исходные данные**	**77**	**75**	**67**	**66**	**63**	**55**	**53**	**48**	**51**		
Поправка на телесный угол DΩ, дБ	Ω = 6.28	10Lg(4π/Ω)	**3**	3	3	3	3	3	3	3	3		
Показатель направленности источника Di, дБ		исходные данные	**0**	0	0	0	0	0	0	0	0		
Поправка на направленность источника Dc, дБ	Dc	DΩ + Di	**3**	3	3	3	3	3	3	3	3		
Затухание из-за геометрической дивергенции, Adiv, дБ	расстояние = 1792.24 м	ф-ла (7) [10]	**76,1**										

1		2	3	4	5	6	7	8	9	10	11	12	13
Коэффициент затухания звука в атмосфере α, дБ/км	Ta=20,°C Pa=101.33,кПа hотн.=70%	ф-ла (5) [9]	0,02	0,09	0,33	1,12	2,79	4,98	9,04	23,09	77,63		
Учет затухания звука в атмосфере Aatm, дБ		ф-ла (8) [10]	0	0,2	0,6	2	5	8,9	16,2	41,4	139,1		
Снижение уровня звукового давления из-за влияния застройки между источником шума и расчетной точкой													
Снижение уровня звукового давления на пути над экраном, Dz1, дБ	z = 0.02м (разность путей)	ф-лы (14-18) [10]	4,8	4,8	4,8	4,8	4,8	4,8	4,8	4,8	4,8		
Уровни звукового давления от источника ИШ-9-26 в расчётной точке днём, дБ		**ф-ла(3)[10]**	**0**	**0**	**0**	**0**	**0**	**0**	**0**	**0**	**0**	**0**	**0**
Уровни звукового давления от источника ИШ-9-26 в расчётной точке ночью, дБ		**ф-ла(3)[10]**	**0**	**0**	**0**	**0**	**0**	**0**	**0**	**0**	**0**	**0**	**0**
Источник шума: ИШ-9-27, координаты источника (x,y,z), м =[676.46,-260.14,1.00]													
Уровни звуковой мощности источника днём, Lw, дБ		**исходные данные**	**77**	**75**	**67**	**66**	**63**	**55**	**53**	**48**	**51**		
Уровни звуковой мощности источника ночью, Lw, дБ		**исходные данные**	**77**	**75**	**67**	**66**	**63**	**55**	**53**	**48**	**51**		
Поправка на телесный угол DΩ, дБ	Ω = 6.28	10Lg(4π/Ω)	**3**	3	3	3	3	3	3	3	3		
Показатель направленности источника Di, дБ		исходные данные	**0**	0	0	0	0	0	0	0	0		
Поправка на направленность источника Dc, дБ	Dc	DΩ + Di	**3**	3	3	3	3	3	3	3	3		
Затухание из-за геометрической дивергенции, Adiv, дБ	расстояние = 1799.48 м	ф-ла (7) [10]	**76,1**										
Коэффициент затухания звука в атмосфере α, дБ/км	Ta=20,°C Pa=101.33,кПа hотн.=70%	ф-ла (5) [9]	0,02	0,09	0,33	1,12	2,79	4,98	9,04	23,09	77,63		
Учет затухания звука в атмосфере Aatm, дБ		ф-ла (8) [10]	0	0,2	0,6	2	5	9	16,3	41,5	139,7		
Снижение уровня звукового давления из-за влияния застройки между источником шума и расчетной точкой													

1		2	3	4	5	6	7	8	9	10	11	12	13
Снижение уровня звукового давления на пути над экраном, Dz1, дБ	z = 0.02м (разность путей)	ф-лы (14-18) [10]	4,8	4,8	4,8	4,8	4,8	4,8	4,8	4,8	4,8		
Уровни звукового давления от источника ИШ-9-27 в расчётной точке днём, дБ		**ф-ла(3)[10]**	**0**	**0**	**0**	**0**	**0**	**0**	**0**	**0**	**0**	**0**	**0**
Уровни звукового давления от источника ИШ-9-27 в расчётной точке ночью, дБ		**ф-ла(3)[10]**	**0**	**0**	**0**	**0**	**0**	**0**	**0**	**0**	**0**	**0**	**0**
Источник шума: ИШ-10-1, координаты источника (x,y,z), м =[17.37,413.17,1.00]													
Уровни звуковой мощности источника днём, Lw, дБ		**исходные данные**	**0**	**98,3**	**99,7**	**101**	**101,3**	**100,9**	**97,6**	**93,4**	**88,9**		
Уровни звуковой мощности источника ночью, Lw, дБ		**исходные данные**	**0**	**98,3**	**99,7**	**101**	**101,3**	**100,9**	**97,6**	**93,4**	**88,9**		
Поправка на телесный угол DΩ, дБ	Ω = 6.28	10Lg(4π/Ω)	**3**	3	3	3	3	3	3	3	3		
Показатель направленности источника Di, дБ		исходные данные	**0**	0	0	0	0	0	0	0	0		
Поправка на направленность источника Dc, дБ	Dc	DΩ + Di	**3**	3	3	3	3	3	3	3	3		
Затухание из-за геометрической дивергенции, Adiv, дБ	расстояние = 2334.16 м	ф-ла (7) [10]	**78,4**										
Коэффициент затухания звука в атмосфере α, дБ/км	Ta=20,°C Pa=101.33,кПа hотн.=70%	ф-ла (5) [9]	0,02	0,09	0,33	1,12	2,79	4,98	9,04	23,09	77,63		
Учет затухания звука в атмосфере Aatm, дБ		ф-ла (8) [10]	0,1	0,2	0,8	2,6	6,5	11,6	21,1	53,9	181,2		
Снижение поверхностью земли возле источника As, дБ	Gs = 0 hs = 1м	ф-лы таб.3 [10]	-1,5	-1,5	-1,5	-1,5	-1,5	-1,5	-1,5	-1,5	-1,5		
Снижение поверхностью земли возле приёмника Ar, дБ	Gr = 1 hr = 1.5м	ф-лы таб.3 [10]	-1,5	-1,5	5,3	7	5	0,7	0	0	0		
Снижение поверхностью земли в средней зоне, Am дБ	Gm = 1	ф-лы таб.3 [10]	-2,9	-2,9	0	0	0	0	0	0	0		
Суммарное снижение поверхностью земли на траектории распространения звука Agr, дБ		ф-ла (9) [10]	-5,9	-5,9	3,8	5,5	3,5	-0,8	-1,5	-1,5	-1,5		

1		2	3	4	5	6	7	8	9	10	11	12	13
Уровни звукового давления от источника ИШ-10-1 в расчётной точке днём, дБ		**ф-ла(3)[10]**	**0**	**28,6**	**19,7**	**17,5**	**16**	**14,8**	**2,7**	**0**	**0**	**18**	**18**
Уровни звукового давления от источника ИШ-10-1 в расчётной точке ночью, дБ		**ф-ла(3)[10]**	**0**	**28,6**	**19,7**	**17,5**	**16**	**14,8**	**2,7**	**0**	**0**	**18**	**18**
Источник шума: ИШ-10-2, координаты источника (x,y,z), м =[27.87,443.46,1.00]													
Уровни звуковой мощности источника днём, Lw, дБ		**исходные данные**	**0**	**98,3**	**99,7**	**101**	**101,3**	**100,9**	**97,6**	**93,4**	**88,9**		
Уровни звуковой мощности источника ночью, Lw, дБ		**исходные данные**	**0**	**98,3**	**99,7**	**101**	**101,3**	**100,9**	**97,6**	**93,4**	**88,9**		
Поправка на телесный угол DΩ, дБ	Ω = 6.28	10Lg(4π/Ω)	**3**	3	3	3	3	3	3	3	3		
Показатель направленности источника Di, дБ		исходные данные	**0**	0	0	0	0	0	0	0	0		
Поправка на направленность источника Dc, дБ	Dc	DΩ + Di	**3**	3	3	3	3	3	3	3	3		
Затухание из-за геометрической дивергенции, Adiv, дБ	расстояние = 2324.05 м	ф-ла (7) [10]	**78,3**										
Коэффициент затухания звука в атмосфере α, дБ/км	Ta=20,°C Pa=101.33,кПа hотн.=70%	ф-ла (5) [9]	0,02	0,09	0,33	1,12	2,79	4,98	9,04	23,09	77,63		
Учет затухания звука в атмосфере Aatm, дБ		ф-ла (8) [10]	0,1	0,2	0,8	2,6	6,5	11,6	21	53,7	180,4		
Снижение уровня звукового давления из-за влияния застройки между источником шума и расчетной точкой													
Снижение уровня звукового давления препятствием справа от трассы ИШ-РТ, Dz3, дБ	z = -0.05м (разность путей)	ф-лы (14-18) [10]	0	0	0	2	0	NAN	NAN	NAN	NAN		
* отрицательное значение z означает прохождение траектории вблизи экрана, в этом случае дополнительно производится учёт снижения подстилающей поверхностью (см.ниже)													
Снижение поверхностью земли возле источника As, дБ	Gs = 0 hs = 1м	ф-лы таб.3 [10]	-1,5	-1,5	-1,5	-1,5	-1,5	-1,5	-1,5	-1,5	-1,5		
Снижение поверхностью земли возле приёмника Ar, дБ	Gr = 1 hr = 1.5м	ф-лы таб.3 [10]	-1,5	-1,5	5,3	7	5	0,7	0	0	0		
Снижение поверхностью земли в средней зоне, Am дБ	Gm = 1	ф-лы таб.3 [10]	-2,9	-2,9	0	0	0	0	0	0	0		

1		2	3	4	5	6	7	8	9	10	11	12	13
Суммарное снижение поверхностью земли на траектории распространения звука Agr, дБ		ф-ла (9) [10]	-5,9	-5,9	3,8	5,5	3,5	-0,8	-1,5	-1,5	-1,5		
Уровни звукового давления от источника ИШ-10-2 в расчётной точке днём, дБ		**ф-ла(3)[10]**	**0**	**28,7**	**19,8**	**15,6**	**16**	**14,9**	**2,8**	**0**	**0**	**17,9**	**17,9**
Уровни звукового давления от источника ИШ-10-2 в расчётной точке ночью, дБ		**ф-ла(3)[10]**	**0**	**28,7**	**19,8**	**15,6**	**16**	**14,9**	**2,8**	**0**	**0**	**17,9**	**17,9**
Уровни звукового давления в расчётной точке													
Суммарные уровни звукового давления в расчётной точке от всех источников шума днём, Lрт, дБ		**ф-ла (19) [1]**	**54,3**	**51,6**	**41,5**	**38,6**	**37,7**	**39,3**	**34,7**	**9,4**	**0**	**42,3**	**42,3**
Суммарные уровни звукового давления в расчётной точке от всех источников шума ночью, Lрт, дБ		**ф-ла (19) [1]**	**46,4**	**49**	**40,5**	**37,9**	**37**	**38**	**27,7**	**0**	**0**	**40,4**	**40,4**
Допускаемые УЗД днём, Lдоп, дБ	Границы санитарно-защитных зон	Таблица 5.35.[23]	90	75	66	59	54	50	47	45	44	55	70
Допускаемые УЗД ночью, Lдоп, дБ	Границы санитарно-защитных зон	Таблица 5.35.[23]	83	67	57	49	44	40	37	35	33	45	60
Превышение днём, дБ		**Lрт - Lдоп**	**-35,7**	**-23,4**	**-24,5**	**-20,4**	**-16,3**	**-10,7**	**-12,3**	**-35,6**	**-44**	**-12,7**	**-27,7**
Превышение ночью, дБ		**Lрт - Lдоп**	**-36,6**	**-18**	**-16,5**	**-11,1**	**-7**	**-2**	**-9,3**	**-35**	**-33**	**-4,6**	**-19,6**

Определение уровней звукового давления в точке РТ-4 (координаты точки, м: x = 2231.40, y = -725.45, z = 1.50)													
Наименование величин и их описание		**Ссылка**	**Расчётные уровни в октавных полосах, со среднегеометрическими частотами, Гц**									**La, дБА**	**Lмакс, дБА**
			31,5	**63**	**125**	**250**	**500**	**1000**	**2000**	**4000**	**8000**		
1		**2**	**3**	**4**	**5**	**6**	**7**	**8**	**9**	**10**	**11**	**12**	**13**
Источник шума: ИШ-1-1, координаты источника (x,y,z), м =[271.72,229.68,1.00]													
Уровни звуковой мощности источника днём, Lw, дБ		**исходные данные**	**97**	**97**	**104**	**106**	**105**	**105**	**98**	**87**	**81**		
Уровни звуковой мощности источника ночью, Lw, дБ		**исходные данные**	**97**	**97**	**104**	**106**	**105**	**105**	**98**	**87**	**81**		
Поправка на телесный угол DΩ, дБ	Ω = 6.28	10Lg(4π/Ω)	**3**	3	3	3	3	3	3	3	3		
Показатель направленности источника Di, дБ		исходные данные	**0**	0	0	0	0	0	0	0	0		
Поправка на направленность источника Dc, дБ	Dc	DΩ + Di	**3**	3	3	3	3	3	3	3	3		
Затухание из-за геометрической дивергенции, Adiv, дБ	расстояние = 2180.05 м	ф-ла (7) [10]	**77,8**										
Коэффициент затухания звука в атмосфере α, дБ/км	Ta=20,°C Pa=101.33,кПа hотн.=70%	ф-ла (5) [9]	0,02	0,09	0,33	1,12	2,79	4,98	9,04	23,09	77,63		
Учет затухания звука в атмосфере Aatm, дБ		ф-ла (8) [10]	0	0,2	0,7	2,5	6,1	10,9	19,7	50,3	169,2		
Снижение уровня звукового давления из-за влияния застройки между источником шума и расчетной точкой													
Снижение уровня звукового давления на пути над экраном, Dz1, дБ	z = 0.72м (разность путей)	ф-лы (14-18) [10]	4,8	4,8	4,8	4,9	5,1	5,3	5,8	6,6	7,9		
Снижение уровня звукового давления на пути слева от экрана, Dz2, дБ	z = 19.77м (разность путей)	ф-лы (14-18) [10]	23,2	26,4	29,4	32,4	35,4	38,4	41,4	44,5	47,5		
Снижение уровня звукового давления на пути справа от экрана, Dz3, дБ	z = 49.64м (разность путей)	ф-лы (14-18) [10]	22,7	25,7	28,7	31,7	34,7	37,7	40,7	43,7	46,7		

1		2	3	4	5	6	7	8	9	10	11	12	13
Общее снижение уровня звука препятствием Dz, дБ		Эн.сумма(-Dzi)	4,7	4,7	4,8	4,9	5	5,3	5,8	6,6	7,9		
Уровни звукового давления прямого звука от источника ИШ-1-1 в расчётной точке днём, дБ		**ф-ла(3)[10]**	**17,5**	**17,3**	**23,7**	**23,9**	**19,1**	**14,1**	**0**	**0**	**0**	**20,2**	**20,2**
Уровни звукового давления прямого звука от источника ИШ-1-1 в расчётной точке ночью, дБ		**ф-ла(3)[10]**	**17,5**	**17,3**	**23,7**	**23,9**	**19,1**	**14,1**	**0**	**0**	**0**	**20,2**	**20,2**
Расчёт отражённого звука													
Уровни звукового давления от мнимого источника ИШ-1-1_мн.(1) в расчётной точке днём, дБ		**ф-ла(3)[10]**	**0**	**0**	**0**	**0**	**0**	**12,2**	**0**	**0**	**0**	**12,2**	**12,2**
Уровни звукового давления от мнимого источника ИШ-1-1_мн.(1) в расчётной точке ночью, дБ		**ф-ла(3)[10]**	**0**	**0**	**0**	**0**	**0**	**0**	**0**	**0**	**0**	**12,2**	**12,2**
Уровни звукового давления от источника ИШ-1-1 в расчётной точке днём, дБ		**ф-ла(3)[10]**	**17,5**	**17,3**	**23,7**	**23,9**	**19,1**	**16,2**	**0**	**0**	**0**	**20,8**	**20,8**
Уровни звукового давления от источника ИШ-1-1 в расчётной точке ночью, дБ		**ф-ла(3)[10]**	**17,5**	**17,3**	**23,7**	**23,9**	**19,1**	**16,2**	**0**	**0**	**0**	**20,8**	**20,8**
Источник шума: ИШ-1-2, координаты источника (x,y,z), м =[261.74,199.14,1.00]													
Уровни звуковой мощности источника днём, Lw, дБ		**исходные данные**	**97**	**97**	**104**	**106**	**105**	**105**	**98**	**87**	**81**		
Уровни звуковой мощности источника ночью, Lw, дБ		**исходные данные**	**97**	**97**	**104**	**106**	**105**	**105**	**98**	**87**	**81**		
Поправка на телесный угол DΩ, дБ	Ω = 6.28	10Lg(4π/Ω)	**3**	3	3	3	3	3	3	3	3		
Показатель направленности источника Di, дБ		исходные данные	**0**	0	0	0	0	0	0	0	0		
Поправка на направленность источника Dc, дБ	Dc	DΩ + Di	**3**	3	3	3	3	3	3	3	3		
Затухание из-за геометрической дивергенции, Adiv, дБ	расстояние = 2175.88 м	ф-ла (7) [10]	**77,8**										
Коэффициент затухания звука в атмосфере α, дБ/км	Ta=20,°C Pa=101.33,кПа hотн.=70%	ф-ла (5) [9]	0,02	0,09	0,33	1,12	2,79	4,98	9,04	23,09	77,63		

1		2	3	4	5	6	7	8	9	10	11	12	13
Учет затухания звука в атмосфере Aatm, дБ		ф-ла (8) [10]	0	0,2	0,7	2,4	6,1	10,8	19,7	50,2	168,9		
Снижение уровня звукового давления из-за влияния застройки между источником шума и расчетной точкой													
Снижение уровня звукового давления на пути над экраном, Dz1, дБ	z = 0.73м (разность путей)	ф-лы (14-18) [10]	4,8	4,8	4,8	4,9	5,1	5,3	5,9	6,7	8,1		
Снижение уровня звукового давления на пути слева от экрана, Dz2, дБ	z = 46.20м (разность путей)	ф-лы (14-18) [10]	26,9	30,1	33,1	36,1	39,1	42,1	45,1	48,1	51,2		
Снижение уровня звукового давления на пути справа от экрана, Dz3, дБ	z = 26.89м (разность путей)	ф-лы (14-18) [10]	20,1	23,1	26	29	32	35	38	41	44		
Общее снижение уровня звука препятствием Dz, дБ		Эн.сумма(-Dzi)	4,6	4,7	4,8	4,9	5,1	5,3	5,9	6,7	8,1		
Уровни звукового давления прямого звука от источника ИШ-1-2 в расчётной точке днём, дБ		**ф-ла(3)[10]**	**17,6**	**17,3**	**23,7**	**23,9**	**19,1**	**14,1**	**0**	**0**	**0**	**20,2**	**20,2**
Уровни звукового давления прямого звука от источника ИШ-1-2 в расчётной точке ночью, дБ		**ф-ла(3)[10]**	**17,6**	**17,3**	**23,7**	**23,9**	**19,1**	**14,1**	**0**	**0**	**0**	**20,2**	**20,2**
Расчёт отражённого звука													
Уровни звукового давления от мнимого источника ИШ-1-2_мн.(1) в расчётной точке днём, дБ		**ф-ла(3)[10]**	**0**	**0**	**0**	**0**	**0**	**10,4**	**0**	**0**	**0**	**10,4**	**10,4**
Уровни звукового давления от мнимого источника ИШ-1-2_мн.(1) в расчётной точке ночью, дБ		**ф-ла(3)[10]**	**0**	**0**	**0**	**0**	**0**	**0**	**0**	**0**	**0**	**10,4**	**10,4**
Уровни звукового давления от источника ИШ-1-2 в расчётной точке днём, дБ		**ф-ла(3)[10]**	**17,6**	**17,3**	**23,7**	**23,9**	**19,1**	**15,6**	**0**	**0**	**0**	**20,6**	**20,6**
Уровни звукового давления от источника ИШ-1-2 в расчётной точке ночью, дБ		**ф-ла(3)[10]**	**17,6**	**17,3**	**23,7**	**23,9**	**19,1**	**15,6**	**0**	**0**	**0**	**20,6**	**20,6**
Источник шума: ИШ-1-3, координаты источника (x,y,z), м =[251.75,236.44,1.00]													
Уровни звуковой мощности источника днём, Lw, дБ		**исходные данные**	**0**	**91,3**	**92,7**	**94**	**94,3**	**93,9**	**90,6**	**86,4**	**81,9**		
Уровни звуковой мощности источника ночью, Lw, дБ		**исходные данные**	**0**	**91,3**	**92,7**	**94**	**94,3**	**93,9**	**90,6**	**86,4**	**81,9**		
Поправка на телесный угол DΩ, дБ	Ω = 6.28	10Lg(4π/Ω)	**3**	3	3	3	3	3	3	3	3		

1		2	3	4	5	6	7	8	9	10	11	12	13
Показатель направленности источника Di, дБ		исходные данные	**0**	0	0	0	0	0	0	0	0		
Поправка на направленность источника Dc, дБ	Dc	DΩ + Di	**3**	3	3	3	3	3	3	3	3		
Затухание из-за геометрической дивергенции, Adiv, дБ	расстояние = 2200.96 м	ф-ла (7) [10]	**77,9**										
Коэффициент затухания звука в атмосфере α, дБ/км	Ta=20,°C Pa=101.33,кПа hотн.=70%	ф-ла (5) [9]	0,02	0,09	0,33	1,12	2,79	4,98	9,04	23,09	77,63		
Учет затухания звука в атмосфере Aatm, дБ		ф-ла (8) [10]	0	0,2	0,7	2,5	6,1	11	19,9	50,8	170,9		
Снижение уровня звукового давления из-за влияния застройки между источником шума и расчетной точкой													
Снижение уровня звукового давления на пути над экраном, Dz1, дБ	z = 0.53м (разность путей)	ф-лы (14-18) [10]	4,8	4,8	4,8	4,8	4,8	4,8	4,9	4,9	5,1		
Снижение уровня звукового давления на пути слева от экрана, Dz2, дБ	z = 16.89м (разность путей)	ф-лы (14-18) [10]	22,6	25,7	28,7	31,7	34,7	37,8	40,8	43,8	46,8		
Снижение уровня звукового давления на пути справа от экрана, Dz3, дБ	z = 40.30м (разность путей)	ф-лы (14-18) [10]	21,8	24,8	27,8	30,7	33,8	36,8	39,8	42,8	45,8		
Общее снижение уровня звука препятствием Dz, дБ		Эн.сумма(-Dzi)	4,6	4,7	4,7	4,8	4,8	4,8	4,8	4,9	5,1		
Уровни звукового давления прямого звука от источника ИШ-1-3 в расчётной точке днём, дБ		**ф-ла(3)[10]**	**0**	**11,5**	**12,4**	**11,9**	**8,5**	**3,3**	**0**	**0**	**0**	**9,1**	**9,1**
Уровни звукового давления прямого звука от источника ИШ-1-3 в расчётной точке ночью, дБ		**ф-ла(3)[10]**	**0**	**11,5**	**12,4**	**11,9**	**8,5**	**3,3**	**0**	**0**	**0**	**9,1**	**9,1**
Расчёт отражённого звука													
Уровни звукового давления от мнимого источника ИШ-1-3_мн.(1) в расчётной точке днём, дБ		**ф-ла(3)[10]**	**0**	**0**	**0**	**0**	**0**	**1,2**	**0**	**0**	**0**	**1,2**	**1,2**
Уровни звукового давления от мнимого источника ИШ-1-3_мн.(1) в расчётной точке ночью, дБ		**ф-ла(3)[10]**	**0**	**0**	**0**	**0**	**0**	**0**	**0**	**0**	**0**	**1,2**	**1,2**
Уровни звукового давления от источника ИШ-1-3 в расчётной точке днём, дБ		**ф-ла(3)[10]**	**0**	**11,5**	**12,4**	**11,9**	**8,5**	**5,4**	**0**	**0**	**0**	**9,8**	**9,8**
Уровни звукового давления от источника ИШ-1-3 в расчётной точке ночью, дБ		**ф-ла(3)[10]**	**0**	**11,5**	**12,4**	**11,9**	**8,5**	**5,4**	**0**	**0**	**0**	**9,8**	**9,8**

1		2	3	4	5	6	7	8	9	10	11	12	13
Источник шума: ИШ-1-4, координаты источника (x,y,z), м =[290.25,223.25,1.00]													
Уровни звуковой мощности источника днём, Lw, дБ		**исходные данные**	**0**	**91,3**	**92,7**	**94**	**94,3**	**93,9**	**90,6**	**86,4**	**81,9**		
Уровни звуковой мощности источника ночью, Lw, дБ		**исходные данные**	**0**	**91,3**	**92,7**	**94**	**94,3**	**93,9**	**90,6**	**86,4**	**81,9**		
Поправка на телесный угол DΩ, дБ	Ω = 6.28	10Lg(4π/Ω)	**3**	3	3	3	3	3	3	3	3		
Показатель направленности источника Di, дБ		исходные данные	**0**	0	0	0	0	0	0	0	0		
Поправка на направленность источника Dc, дБ	Dc	DΩ + Di	**3**	3	3	3	3	3	3	3	3		
Затухание из-за геометрической дивергенции, Adiv, дБ	расстояние = 2160.57 м	ф-ла (7) [10]	**77,7**										
Коэффициент затухания звука в атмосфере α, дБ/км	Ta=20,°C Pa=101.33,кПа hотн.=70%	ф-ла (5) [9]	0,02	0,09	0,33	1,12	2,79	4,98	9,04	23,09	77,63		
Учет затухания звука в атмосфере Aatm, дБ		ф-ла (8) [10]	0	0,2	0,7	2,4	6	10,8	19,5	49,9	167,7		
Снижение уровня звукового давления из-за влияния застройки между источником шума и расчетной точкой													
Снижение уровня звукового давления на пути над экраном, Dz1, дБ	z = 1.09м (разность путей)	ф-лы (14-18) [10]	5	5,2	5,6	6,4	7,6	9,2	11,4	13,9	16,6		
Снижение уровня звукового давления на пути слева от экрана, Dz2, дБ	z = 24.59м (разность путей)	ф-лы (14-18) [10]	24,2	27,3	30,3	33,4	36,4	39,4	42,4	45,4	48,4		
Снижение уровня звукового давления на пути справа от экрана, Dz3, дБ	z = 60.80м (разность путей)	ф-лы (14-18) [10]	23,6	26,6	29,5	32,5	35,5	38,5	41,6	44,6	47,6		
Общее снижение уровня звука препятствием Dz, дБ		Эн.сумма(-Dzi)	4,9	5,2	5,6	6,4	7,5	9,2	11,4	13,9	16,6		
Уровни звукового давления от источника ИШ-1-4 в расчётной точке днём, дБ		**ф-ла(3)[10]**	**0**	**11,2**	**11,7**	**10,5**	**6**	**0**	**0**	**0**	**0**	**5,9**	**5,9**
Уровни звукового давления от источника ИШ-1-4 в расчётной точке ночью, дБ		**ф-ла(3)[10]**	**0**	**11,2**	**11,7**	**10,5**	**6**	**0**	**0**	**0**	**0**	**5,9**	**5,9**

1		2	3	4	5	6	7	8	9	10	11	12	13
Источник шума: ИШ-1-5, координаты источника (x,y,z), м =[241.49,205.86,1.00]													
Уровни звуковой мощности источника днём, Lw, дБ		**исходные данные**	**0**	**91,3**	**92,7**	**94**	**94,3**	**93,9**	**90,6**	**86,4**	**81,9**		
Уровни звуковой мощности источника ночью, Lw, дБ		**исходные данные**	**0**	**91,3**	**92,7**	**94**	**94,3**	**93,9**	**90,6**	**86,4**	**81,9**		
Поправка на телесный угол DΩ, дБ	Ω = 6.28	10Lg(4π/Ω)	**3**	3	3	3	3	3	3	3	3		
Показатель направленности источника Di, дБ		исходные данные	**0**	0	0	0	0	0	0	0	0		
Поправка на направленность источника Dc, дБ	Dc	DΩ + Di	**3**	3	3	3	3	3	3	3	3		
Затухание из-за геометрической дивергенции, Adiv, дБ	расстояние = 2197.06 м	ф-ла (7) [10]	**77,8**										
Коэффициент затухания звука в атмосфере α, дБ/км	Ta=20,°C Pa=101.33,кПа hотн.=70%	ф-ла (5) [9]	0,02	0,09	0,33	1,12	2,79	4,98	9,04	23,09	77,63		
Учет затухания звука в атмосфере Aatm, дБ		ф-ла (8) [10]	0	0,2	0,7	2,5	6,1	10,9	19,9	50,7	170,6		
Снижение уровня звукового давления из-за влияния застройки между источником шума и расчетной точкой													
Снижение уровня звукового давления на пути над экраном, Dz1, дБ	z = 0.54м (разность путей)	ф-лы (14-18) [10]	4,8	4,8	4,8	4,8	4,8	4,8	4,9	4,9	5,1		
Снижение уровня звукового давления на пути слева от экрана, Dz2, дБ	z = 39.53м (разность путей)	ф-лы (14-18) [10]	26,2	29,4	32,4	35,4	38,4	41,4	44,5	47,5	50,5		
Снижение уровня звукового давления на пути справа от экрана, Dz3, дБ	z = 20.34м (разность путей)	ф-лы (14-18) [10]	18,9	21,9	24,8	27,8	30,8	33,8	36,8	39,8	42,8		
Общее снижение уровня звука препятствием Dz, дБ		Эн.сумма(-Dzi)	4,6	4,7	4,7	4,8	4,8	4,8	4,9	4,9	5,1		
Уровни звукового давления прямого звука от источника ИШ-1-5 в расчётной точке днём, дБ		**ф-ла(3)[10]**	**0**	**11,6**	**12,4**	**11,9**	**8,5**	**3,3**	**0**	**0**	**0**	**9,1**	**9,1**
Уровни звукового давления прямого звука от источника ИШ-1-5 в расчётной точке ночью, дБ		**ф-ла(3)[10]**	**0**	**11,6**	**12,4**	**11,9**	**8,5**	**3,3**	**0**	**0**	**0**	**9,1**	**9,1**

1		2	3	4	5	6	7	8	9	10	11	12	13
Расчёт отражённого звука													
Уровни звукового давления от мнимого источника ИШ-1-5_мн.(1) в расчётной точке днём, дБ		**ф-ла(3)[10]**	**0**	**0**	**0**	**0**	**0**	**0**	**0**	**0**	**0**	**0**	**0**
Уровни звукового давления от мнимого источника ИШ-1-5_мн.(1) в расчётной точке ночью, дБ		**ф-ла(3)[10]**	**0**	**0**	**0**	**0**	**0**	**0**	**0**	**0**	**0**	**0**	**0**
Уровни звукового давления от источника ИШ-1-5 в расчётной точке днём, дБ		**ф-ла(3)[10]**	**0**	**11,6**	**12,4**	**11,9**	**8,5**	**3,3**	**0**	**0**	**0**	**9,1**	**9,1**
Уровни звукового давления от источника ИШ-1-5 в расчётной точке ночью, дБ		**ф-ла(3)[10]**	**0**	**11,6**	**12,4**	**11,9**	**8,5**	**3,3**	**0**	**0**	**0**	**9,1**	**9,1**
Источник шума: ИШ-1-6, координаты источника (x,y,z), м =[279.85,192.97,1.00]													
Уровни звуковой мощности источника днём, Lw, дБ		**исходные данные**	**0**	**91,3**	**92,7**	**94**	**94,3**	**93,9**	**90,6**	**86,4**	**81,9**		
Уровни звуковой мощности источника ночью, Lw, дБ		**исходные данные**	**0**	**91,3**	**92,7**	**94**	**94,3**	**93,9**	**90,6**	**86,4**	**81,9**		
Поправка на телесный угол DΩ, дБ	Ω = 6.28	10Lg(4π/Ω)	**3**	3	3	3	3	3	3	3	3		
Показатель направленности источника Di, дБ		исходные данные	**0**	0	0	0	0	0	0	0	0		
Поправка на направленность источника Dc, дБ	Dc	DΩ + Di	**3**	3	3	3	3	3	3	3	3		
Затухание из-за геометрической дивергенции, Adiv, дБ	расстояние = 2156.86 м	ф-ла (7) [10]	**77,7**										
Коэффициент затухания звука в атмосфере α, дБ/км	Ta=20,°C Pa=101.33,кПа hотн.=70%	ф-ла (5) [9]	0,02	0,09	0,33	1,12	2,79	4,98	9,04	23,09	77,63		
Учет затухания звука в атмосфере Aatm, дБ		ф-ла (8) [10]	0	0,2	0,7	2,4	6	10,7	19,5	49,8	167,4		
Снижение уровня звукового давления из-за влияния застройки между источником шума и расчетной точкой													
Снижение уровня звукового давления на пути над экраном, Dz1, дБ	z = 1.09м (разность путей)	ф-лы (14-18) [10]	5	5,2	5,6	6,4	7,5	9,2	11,4	13,9	16,6		

1		2	3	4	5	6	7	8	9	10	11	12	13
Снижение уровня звукового давления на пути слева от экрана, Dz2, дБ	z = 54.96м (разность путей)	ф-лы (14-18) [10]	27,6	30,8	33,8	36,9	39,9	42,9	45,9	48,9	51,9		
Снижение уровня звукового давления на пути справа от экрана, Dz3, дБ	z = 35.26м (разность путей)	ф-лы (14-18) [10]	21,3	24,2	27,2	30,2	33,2	36,2	39,2	42,2	45,2		
Общее снижение уровня звука препятствием Dz, дБ		Эн.сумма(-Dzi)	4,9	5,2	5,6	6,3	7,5	9,2	11,3	13,9	16,6		
Уровни звукового давления прямого звука от источника ИШ-1-6 в расчётной точке днём, дБ		**ф-ла(3)[10]**	**0**	**11,3**	**11,7**	**10,5**	**6,1**	**0**	**0**	**0**	**0**	**5,9**	**5,9**
Уровни звукового давления прямого звука от источника ИШ-1-6 в расчётной точке ночью, дБ		**ф-ла(3)[10]**	**0**	**11,3**	**11,7**	**10,5**	**6,1**	**0**	**0**	**0**	**0**	**5,9**	**5,9**
Расчёт отражённого звука													
Уровни звукового давления от мнимого источника ИШ-1-6_мн.(1) в расчётной точке днём, дБ		**ф-ла(3)[10]**	**0**	**0**	**0**	**0**	**0**	**0**	**0**	**0**	**0**	**0**	**0**
Уровни звукового давления от мнимого источника ИШ-1-6_мн.(1) в расчётной точке ночью, дБ		**ф-ла(3)[10]**	**0**	**0**	**0**	**0**	**0**	**0**	**0**	**0**	**0**	**0**	**0**
Уровни звукового давления от источника ИШ-1-6 в расчётной точке днём, дБ		**ф-ла(3)[10]**	**0**	**11,3**	**11,7**	**10,5**	**6,1**	**0**	**0**	**0**	**0**	**5,9**	**5,9**
Уровни звукового давления от источника ИШ-1-6 в расчётной точке ночью, дБ		**ф-ла(3)[10]**	**0**	**11,3**	**11,7**	**10,5**	**6,1**	**0**	**0**	**0**	**0**	**5,9**	**5,9**
Источник шума: ИШ-1-7, координаты источника (x,y,z), м =[451.87,146.66,1.00]													
Уровни звуковой мощности источника днём, Lw, дБ		**исходные данные**	**0**	**93,3**	**94,7**	**96**	**96,3**	**95,9**	**92,6**	**88,4**	**83,9**		
Уровни звуковой мощности источника ночью, Lw, дБ		**исходные данные**	**0**	**93,3**	**94,7**	**96**	**96,3**	**95,9**	**92,6**	**88,4**	**83,9**		
Поправка на телесный угол DΩ, дБ	Ω = 6.28	10Lg(4π/Ω)	**3**	3	3	3	3	3	3	3	3		
Показатель направленности источника Di, дБ		исходные данные	**0**	0	0	0	0	0	0	0	0		
Поправка на направленность источника Dc, дБ	Dc	DΩ + Di	**3**	3	3	3	3	3	3	3	3		
Затухание из-за геометрической дивергенции, Adiv, дБ	расстояние = 1981.74 м	ф-ла (7) [10]	**76,9**										

1		2	3	4	5	6	7	8	9	10	11	12	13
Коэффициент затухания звука в атмосфере α, дБ/км	Та=20,°С Ра=101.33,кПа hотн.=70%	ф-ла (5) [9]	0,02	0,09	0,33	1,12	2,79	4,98	9,04	23,09	77,63		
Учет затухания звука в атмосфере Aatm, дБ		ф-ла (8) [10]	0	0,2	0,7	2,2	5,5	9,9	17,9	45,8	153,8		
Снижение уровня звукового давления из-за влияния застройки между источником шума и расчетной точкой													
Снижение уровня звукового давления на пути над экраном, Dz1, дБ	z = 0.98м (разность путей)	ф-лы (14-18) [10]	4,8	4,9	5,1	5,7	6,7	8,2	10,1	12,4	15,1		
Снижение уровня звукового давления на пути слева от экрана, Dz2, дБ	z = 32.70м (разность путей)	ф-лы (14-18) [10]	24,5	28,3	31,5	34,6	37,6	40,6	43,6	46,6	49,7		
Снижение уровня звукового давления на пути справа от экрана, Dz3, дБ	z = 40.66м (разность путей)	ф-лы (14-18) [10]	21,9	24,8	27,8	30,8	33,8	36,8	39,8	42,8	45,8		
Общее снижение уровня звука препятствием Dz, дБ		Эн.сумма(-Dzi)	4,7	4,8	5,1	5,7	6,7	8,2	10,1	12,4	15,1		
Уровни звукового давления прямого звука от источника ИШ-1-7 в расчётной точке днём, дБ		**ф-ла(3)[10]**	**0**	**14,3**	**15**	**14,1**	**10,1**	**3,9**	**0**	**0**	**0**	**10,7**	**10,7**
Уровни звукового давления прямого звука от источника ИШ-1-7 в расчётной точке ночью, дБ		**ф-ла(3)[10]**	**0**	**14,3**	**15**	**14,1**	**10,1**	**3,9**	**0**	**0**	**0**	**10,7**	**10,7**
Расчёт отражённого звука													
Уровни звукового давления от мнимого источника ИШ-1-7_мн.(1) в расчётной точке днём, дБ		**ф-ла(3)[10]**	**0**	**0**	**0**	**13,8**	**10,6**	**5,7**	**0**	**0**	**0**	**11**	**11**
Уровни звукового давления от мнимого источника ИШ-1-7_мн.(1) в расчётной точке ночью, дБ		**ф-ла(3)[10]**	**0**	**0**	**0**	**0**	**0**	**0**	**0**	**0**	**0**	**11**	**11**
Уровни звукового давления от источника ИШ-1-7 в расчётной точке днём, дБ		**ф-ла(3)[10]**	**0**	**14,3**	**15**	**17**	**13,4**	**7,9**	**0**	**0**	**0**	**13,9**	**13,9**
Уровни звукового давления от источника ИШ-1-7 в расчётной точке ночью, дБ		**ф-ла(3)[10]**	**0**	**14,3**	**15**	**17**	**13,4**	**7,9**	**0**	**0**	**0**	**13,9**	**13,9**
Источник шума: ИШ-1-8, координаты источника (x,y,z), м =[454.99,145.29,1.00]													
Уровни звуковой мощности источника днём, Lw, дБ		**исходные данные**	**0**	**93,3**	**94,7**	**96**	**96,3**	**95,9**	**92,6**	**88,4**	**83,9**		

1		2	3	4	5	6	7	8	9	10	11	12	13
Уровни звуковой мощности источника ночью, Lw, дБ		**исходные данные**	**0**	**93,3**	**94,7**	**96**	**96,3**	**95,9**	**92,6**	**88,4**	**83,9**		
Поправка на телесный угол DΩ, дБ	Ω = 6.28	10Lg(4π/Ω)	**3**	3	3	3	3	3	3	3	3		
Показатель направленности источника Di, дБ		исходные данные	**0**	0	0	0	0	0	0	0	0		
Поправка на направленность источника Dc, дБ	Dc	DΩ + Di	**3**	3	3	3	3	3	3	3	3		
Затухание из-за геометрической дивергенции, Adiv, дБ	расстояние = 1978.33 м	ф-ла (7) [10]	**76,9**										
Коэффициент затухания звука в атмосфере α, дБ/км	Ta=20,°C Pa=101.33,кПа hотн.=70%	ф-ла (5) [9]	0,02	0,09	0,33	1,12	2,79	4,98	9,04	23,09	77,63		
Учет затухания звука в атмосфере Aatm, дБ		ф-ла (8) [10]	0	0,2	0,7	2,2	5,5	9,8	17,9	45,7	153,6		
Снижение уровня звукового давления из-за влияния застройки между источником шума и расчетной точкой													
Снижение уровня звукового давления на пути над экраном, Dz1, дБ	z = 1.06м (разность путей)	ф-лы (14-18) [10]	4,9	5	5,3	6,2	7,5	9,3	11,6	14,1	16,9		
Снижение уровня звукового давления на пути слева от экрана, Dz2, дБ	z = 34.28м (разность путей)	ф-лы (14-18) [10]	24,7	28,5	31,7	34,8	37,8	40,8	43,8	46,8	49,9		
Снижение уровня звукового давления на пути справа от экрана, Dz3, дБ	z = 42.30м (разность путей)	ф-лы (14-18) [10]	22	25	28	31	34	37	40	43	46		
Общее снижение уровня звука препятствием Dz, дБ		Эн.сумма(-Dzi)	4,7	4,9	5,3	6,1	7,5	9,3	11,5	14,1	16,8		
Уровни звукового давления прямого звука от источника ИШ-1-8 в расчётной точке днём, дБ		**ф-ла(3)[10]**	**0**	**14,3**	**14,8**	**13,7**	**9,3**	**2,8**	**0**	**0**	**0**	**10**	**10**
Уровни звукового давления прямого звука от источника ИШ-1-8 в расчётной точке ночью, дБ		**ф-ла(3)[10]**	**0**	**14,3**	**14,8**	**13,7**	**9,3**	**2,8**	**0**	**0**	**0**	**10**	**10**
Расчёт отражённого звука													
Уровни звукового давления от мнимого источника ИШ-1-8_мн.(1) в расчётной точке днём, дБ		**ф-ла(3)[10]**	**0**	**0**	**0**	**13,8**	**10,6**	**5,6**	**0**	**0**	**0**	**11**	**11**
Уровни звукового давления от мнимого источника ИШ-1-8_мн.(1) в расчётной точке ночью, дБ		**ф-ла(3)[10]**	**0**	**0**	**0**	**0**	**0**	**0**	**0**	**0**	**0**	**11**	**11**

1		2	3	4	5	6	7	8	9	10	11	12	13
Уровни звукового давления от источника ИШ-1-8 в расчётной точке днём, дБ		**ф-ла(3)[10]**	**0**	**14,3**	**14,8**	**16,7**	**13**	**7,5**	**0**	**0**	**0**	**13,5**	**13,5**
Уровни звукового давления от источника ИШ-1-8 в расчётной точке ночью, дБ		**ф-ла(3)[10]**	**0**	**14,3**	**14,8**	**16,7**	**13**	**7,5**	**0**	**0**	**0**	**13,5**	**13,5**
Источник шума: ИШ-1-9, координаты источника (x,y,z), м =[458.12,144.31,1.00]													
Уровни звуковой мощности источника днём, Lw, дБ		**исходные данные**	**0**	**93,3**	**94,7**	**96**	**96,3**	**95,9**	**92,6**	**88,4**	**83,9**		
Уровни звуковой мощности источника ночью, Lw, дБ		**исходные данные**	**0**	**93,3**	**94,7**	**96**	**96,3**	**95,9**	**92,6**	**88,4**	**83,9**		
Поправка на телесный угол DΩ, дБ	Ω = 6.28	10Lg(4π/Ω)	**3**	3	3	3	3	3	3	3	3		
Показатель направленности источника Di, дБ		исходные данные	**0**	0	0	0	0	0	0	0	0		
Поправка на направленность источника Dc, дБ	Dc	DΩ + Di	**3**	3	3	3	3	3	3	3	3		
Затухание из-за геометрической дивергенции, Adiv, дБ	расстояние = 1975.10 м	ф-ла (7) [10]	**76,9**										
Коэффициент затухания звука в атмосфере α, дБ/км	Ta=20,°C Pa=101.33,кПа hотн.=70%	ф-ла (5) [9]	0,02	0,09	0,33	1,12	2,79	4,98	9,04	23,09	77,63		
Учет затухания звука в атмосфере Aatm, дБ		ф-ла (8) [10]	0	0,2	0,7	2,2	5,5	9,8	17,9	45,6	153,3		
Снижение уровня звукового давления из-за влияния застройки между источником шума и расчетной точкой													
Снижение уровня звукового давления на пути над экраном, Dz1, дБ	z = 1.16м (разность путей)	ф-лы (14-18) [10]	4,9	5,1	5,6	6,8	8,5	10,6	13,1	15,8	18,6		
Снижение уровня звукового давления на пути слева от экрана, Dz2, дБ	z = 35.58м (разность путей)	ф-лы (14-18) [10]	24,8	28,6	31,9	34,9	38	41	44	47	50		
Снижение уровня звукового давления на пути справа от экрана, Dz3, дБ	z = 44.25м (разность путей)	ф-лы (14-18) [10]	22,2	25,2	28,2	31,2	34,2	37,2	40,2	43,2	46,2		
Общее снижение уровня звука препятствием Dz, дБ		Эн.сумма(-Dzi)	4,8	5	5,6	6,8	8,5	10,6	13,1	15,8	18,6		

1		2	3	4	5	6	7	8	9	10	11	12	13
Уровни звукового давления прямого звука от источника ИШ-1-9 в расчётной точке днём, дБ		**ф-ла(3)[10]**	**0**	**14,2**	**14,5**	**13,1**	**8,4**	**1,5**	**0**	**0**	**0**	**9,2**	**9,2**
Уровни звукового давления прямого звука от источника ИШ-1-9 в расчётной точке ночью, дБ		**ф-ла(3)[10]**	**0**	**14,2**	**14,5**	**13,1**	**8,4**	**1,5**	**0**	**0**	**0**	**9,2**	**9,2**
Расчёт отражённого звука													
Уровни звукового давления от мнимого источника ИШ-1-9_мн.(1) в расчётной точке днём, дБ		**ф-ла(3)[10]**	**0**	**0**	**0**	**13,7**	**10,6**	**5,6**	**0**	**0**	**0**	**10,9**	**10,9**
Уровни звукового давления от мнимого источника ИШ-1-9_мн.(1) в расчётной точке ночью, дБ		**ф-ла(3)[10]**	**0**	**0**	**0**	**0**	**0**	**0**	**0**	**0**	**0**	**10,9**	**10,9**
Уровни звукового давления от источника ИШ-1-9 в расчётной точке днём, дБ		**ф-ла(3)[10]**	**0**	**14,2**	**14,5**	**16,4**	**12,6**	**7**	**0**	**0**	**0**	**13,2**	**13,2**
Уровни звукового давления от источника ИШ-1-9 в расчётной точке ночью, дБ		**ф-ла(3)[10]**	**0**	**14,2**	**14,5**	**16,4**	**12,6**	**7**	**0**	**0**	**0**	**13,2**	**13,2**
Источник шума: ИШ-1-10, координаты источника (x,y,z), м =[461.05,143.53,1.00]													
Уровни звуковой мощности источника днём, Lw, дБ		**исходные данные**	**0**	**93,3**	**94,7**	**96**	**96,3**	**95,9**	**92,6**	**88,4**	**83,9**		
Уровни звуковой мощности источника ночью, Lw, дБ		**исходные данные**	**0**	**93,3**	**94,7**	**96**	**96,3**	**95,9**	**92,6**	**88,4**	**83,9**		
Поправка на телесный угол DΩ, дБ	Ω = 6.28	10Lg(4π/Ω)	**3**	3	3	3	3	3	3	3	3		
Показатель направленности источника Di, дБ		исходные данные	**0**	0	0	0	0	0	0	0	0		
Поправка на направленность источника Dc, дБ	Dc	DΩ + Di	**3**	3	3	3	3	3	3	3	3		
Затухание из-за геометрической дивергенции, Adiv, дБ	расстояние = 1972.12 м	ф-ла (7) [10]	**76,9**										
Коэффициент затухания звука в атмосфере α, дБ/км	Ta=20,°C Pa=101.33,кПа hотн.=70%	ф-ла (5) [9]	0,02	0,09	0,33	1,12	2,79	4,98	9,04	23,09	77,63		
Учет затухания звука в атмосфере Aatm, дБ		ф-ла (8) [10]	0	0,2	0,7	2,2	5,5	9,8	17,8	45,5	153,1		

1		2	3	4	5	6	7	8	9	10	11	12	13
Снижение уровня звукового давления из-за влияния застройки между источником шума и расчетной точкой													
Снижение уровня звукового давления на пути над экраном, Dz1, дБ	z = 1.26м (разность путей)	ф-лы (14-18) [10]	5	5,2	6	7,5	9,6	12	14,7	17,4	20,3		
Снижение уровня звукового давления на пути слева от экрана, Dz2, дБ	z = 36.76м (разность путей)	ф-лы (14-18) [10]	25	28,8	32	35,1	38,1	41,1	44,1	47,2	50,2		
Снижение уровня звукового давления на пути справа от экрана, Dz3, дБ	z = 46.26м (разность путей)	ф-лы (14-18) [10]	22,4	25,4	28,3	31,3	34,4	37,4	40,4	43,4	46,4		
Общее снижение уровня звука препятствием Dz, дБ		Эн.сумма(-Dzi)	4,9	5,2	5,9	7,5	9,6	12	14,6	17,4	20,3		
Уровни звукового давления прямого звука от источника ИШ-1-10 в расчётной точке днём, дБ		**ф-ла(3)[10]**	**0**	**14**	**14,2**	**12,4**	**7,3**	**0,2**	**0**	**0**	**0**	**8,3**	**8,3**
Уровни звукового давления прямого звука от источника ИШ-1-10 в расчётной точке ночью, дБ		**ф-ла(3)[10]**	**0**	**14**	**14,2**	**12,4**	**7,3**	**0,2**	**0**	**0**	**0**	**8,3**	**8,3**
Расчёт отражённого звука													
Уровни звукового давления от мнимого источника ИШ-1-10_мн.(1) в расчётной точке днём, дБ		**ф-ла(3)[10]**	**0**	**0**	**0**	**0**	**10,6**	**5,6**	**0**	**0**	**0**	**9,6**	**9,6**
Уровни звукового давления от мнимого источника ИШ-1-10_мн.(1) в расчётной точке ночью, дБ		**ф-ла(3)[10]**	**0**	**0**	**0**	**0**	**0**	**0**	**0**	**0**	**0**	**9,6**	**9,6**
Уровни звукового давления от источника ИШ-1-10 в расчётной точке днём, дБ		**ф-ла(3)[10]**	**0**	**14**	**14,2**	**12,4**	**12,2**	**6,7**	**0**	**0**	**0**	**12**	**12**
Уровни звукового давления от источника ИШ-1-10 в расчётной точке ночью, дБ		**ф-ла(3)[10]**	**0**	**14**	**14,2**	**12,4**	**12,2**	**6,7**	**0**	**0**	**0**	**12**	**12**
Источник шума: ИШ-1-11, координаты источника (x,y,z), м =[464.18,142.55,1.00]													
Уровни звуковой мощности источника днём, Lw, дБ		**исходные данные**	**0**	**93,3**	**94,7**	**96**	**96,3**	**95,9**	**92,6**	**88,4**	**83,9**		
Уровни звуковой мощности источника ночью, Lw, дБ		**исходные данные**	**0**	**93,3**	**94,7**	**96**	**96,3**	**95,9**	**92,6**	**88,4**	**83,9**		
Поправка на телесный угол DΩ, дБ	Ω = 6.28	10Lg(4π/Ω)	**3**	3	3	3	3	3	3	3	3		
Показатель направленности источника Di, дБ		исходные данные	**0**	0	0	0	0	0	0	0	0		

1		2	3	4	5	6	7	8	9	10	11	12	13
Поправка на направленность источника Dc, дБ	Dc	DΩ + Di	**3**	3	3	3	3	3	3	3	3		
Затухание из-за геометрической дивергенции, Adiv, дБ	расстояние = 1968.88 м	ф-ла (7) [10]	**76,9**										
Коэффициент затухания звука в атмосфере α, дБ/км	Ta=20,°C Pa=101.33,кПа hотн.=70%	ф-ла (5) [9]	0,02	0,09	0,33	1,12	2,79	4,98	9,04	23,09	77,63		
Учет затухания звука в атмосфере Aatm, дБ		ф-ла (8) [10]	0	0,2	0,7	2,2	5,5	9,8	17,8	45,5	152,9		
Снижение уровня звукового давления из-за влияния застройки между источником шума и расчетной точкой													
Снижение уровня звукового давления на пути над экраном, Dz1, дБ	z = 1.40м (разность путей)	ф-лы (14-18) [10]	5,1	5,5	6,5	8,5	11	13,7	16,4	19,3	22,2		
Снижение уровня звукового давления на пути слева от экрана, Dz2, дБ	z = 38.29м (разность путей)	ф-лы (14-18) [10]	25,2	29	32,2	35,3	38,3	41,3	44,3	47,3	50,3		
Снижение уровня звукового давления на пути справа от экрана, Dz3, дБ	z = 48.42м (разность путей)	ф-лы (14-18) [10]	22,6	25,6	28,5	31,5	34,6	37,6	40,6	43,6	46,6		
Общее снижение уровня звука препятствием Dz, дБ		Эн.сумма(-Dzi)	5	5,4	6,5	8,5	11	13,6	16,4	19,3	22,2		
Уровни звукового давления прямого звука от источника ИШ-1-11 в расчётной точке днём, дБ		**ф-ла(3)[10]**	**0**	**13,8**	**13,7**	**11,4**	**5,9**	**0**	**0**	**0**	**0**	**6,4**	**6,4**
Уровни звукового давления прямого звука от источника ИШ-1-11 в расчётной точке ночью, дБ		**ф-ла(3)[10]**	**0**	**13,8**	**13,7**	**11,4**	**5,9**	**0**	**0**	**0**	**0**	**6,4**	**6,4**
Расчёт отражённого звука													
Уровни звукового давления от мнимого источника ИШ-1-11_мн.(1) в расчётной точке днём, дБ		**ф-ла(3)[10]**	**0**	**0**	**0**	**0**	**10,5**	**5,6**	**0**	**0**	**0**	**9,6**	**9,6**
Уровни звукового давления от мнимого источника ИШ-1-11_мн.(1) в расчётной точке ночью, дБ		**ф-ла(3)[10]**	**0**	**0**	**0**	**0**	**0**	**0**	**0**	**0**	**0**	**9,6**	**9,6**
Уровни звукового давления от источника ИШ-1-11 в расчётной точке днём, дБ		**ф-ла(3)[10]**	**0**	**13,8**	**13,7**	**11,4**	**11,8**	**5,6**	**0**	**0**	**0**	**11,3**	**11,3**
Уровни звукового давления от источника ИШ-1-11 в расчётной точке ночью, дБ		**ф-ла(3)[10]**	**0**	**13,8**	**13,7**	**11,4**	**11,8**	**5,6**	**0**	**0**	**0**	**11,3**	**11,3**

1		2	3	4	5	6	7	8	9	10	11	12	13
Источник шума: ИШ-1-12, координаты источника (x,y,z), м =[435.45,97.79,1.00]													
Уровни звуковой мощности источника днём, Lw, дБ		**исходные данные**	**0**	**93,3**	**94,7**	**96**	**96,3**	**95,9**	**92,6**	**88,4**	**83,9**		
Уровни звуковой мощности источника ночью, Lw, дБ		**исходные данные**	**0**	**93,3**	**94,7**	**96**	**96,3**	**95,9**	**92,6**	**88,4**	**83,9**		
Поправка на телесный угол DΩ, дБ	Ω = 6.28	10Lg(4π/Ω)	**3**	3	3	3	3	3	3	3	3		
Показатель направленности источника Di, дБ		исходные данные	**0**	0	0	0	0	0	0	0	0		
Поправка на направленность источника Dc, дБ	Dc	DΩ + Di	**3**	3	3	3	3	3	3	3	3		
Затухание из-за геометрической дивергенции, Adiv, дБ	расстояние = 1975.64 м	ф-ла (7) [10]	**76,9**										
Коэффициент затухания звука в атмосфере α, дБ/км	Ta=20,°C Pa=101.33,кПа hотн.=70%	ф-ла (5) [9]	0,02	0,09	0,33	1,12	2,79	4,98	9,04	23,09	77,63		
Учет затухания звука в атмосфере Aatm, дБ		ф-ла (8) [10]	0	0,2	0,7	2,2	5,5	9,8	17,9	45,6	153,4		
Снижение уровня звукового давления из-за влияния застройки между источником шума и расчетной точкой													
Снижение уровня звукового давления на пути над экраном, Dz1, дБ	z = 0.98м (разность путей)	ф-лы (14-18) [10]	4,8	4,9	5,1	5,7	6,8	8,3	10,2	12,5	15,2		
Снижение уровня звукового давления на пути слева от экрана, Dz2, дБ	z = 83.79м (разность путей)	ф-лы (14-18) [10]	28,5	32,3	35,6	38,7	41,7	44,7	47,7	50,7	53,7		
Снижение уровня звукового давления на пути справа от экрана, Dz3, дБ	z = 6.62м (разность путей)	ф-лы (14-18) [10]	14,4	17,2	20	23	25,9	28,9	31,9	34,9	37,9		
Общее снижение уровня звука препятствием Dz, дБ		Эн.сумма(-Dzi)	4,4	4,7	5	5,7	6,7	8,2	10,2	12,5	15,2		
Уровни звукового давления прямого звука от источника ИШ-1-12 в расчётной точке днём, дБ		**ф-ла(3)[10]**	**0**	**14,5**	**15,1**	**14,2**	**10,1**	**3,9**	**0**	**0**	**0**	**10,8**	**10,8**
Уровни звукового давления прямого звука от источника ИШ-1-12 в расчётной точке ночью, дБ		**ф-ла(3)[10]**	**0**	**14,5**	**15,1**	**14,2**	**10,1**	**3,9**	**0**	**0**	**0**	**10,8**	**10,8**

1		2	3	4	5	6	7	8	9	10	11	12	13
Расчёт отражённого звука													
Уровни звукового давления от мнимого источника ИШ-1-12_мн.(1) в расчётной точке днём, дБ		**ф-ла(3)[10]**	**0**	**0**	**0**	**13,9**	**10,7**	**5,8**	**0**	**0**	**0**	**11,1**	**11,1**
Уровни звукового давления от мнимого источника ИШ-1-12_мн.(1) в расчётной точке ночью, дБ		**ф-ла(3)[10]**	**0**	**0**	**0**	**0**	**0**	**0**	**0**	**0**	**0**	**11,1**	**11,1**
Уровни звукового давления от источника ИШ-1-12 в расчётной точке днём, дБ		**ф-ла(3)[10]**	**0**	**14,5**	**15,1**	**17,1**	**13,5**	**8**	**0**	**0**	**0**	**13,9**	**13,9**
Уровни звукового давления от источника ИШ-1-12 в расчётной точке ночью, дБ		**ф-ла(3)[10]**	**0**	**14,5**	**15,1**	**17,1**	**13,5**	**8**	**0**	**0**	**0**	**13,9**	**13,9**
Источник шума: ИШ-1-13, координаты источника (x,y,z), м =[438.77,96.82,1.00]													
Уровни звуковой мощности источника днём, Lw, дБ		**исходные данные**	**0**	**93,3**	**94,7**	**96**	**96,3**	**95,9**	**92,6**	**88,4**	**83,9**		
Уровни звуковой мощности источника ночью, Lw, дБ		**исходные данные**	**0**	**93,3**	**94,7**	**96**	**96,3**	**95,9**	**92,6**	**88,4**	**83,9**		
Поправка на телесный угол DΩ, дБ	Ω = 6.28	10Lg(4π/Ω)	**3**	3	3	3	3	3	3	3	3		
Показатель направленности источника Di, дБ		исходные данные	**0**	0	0	0	0	0	0	0	0		
Поправка на направленность источника Dc, дБ	Dc	DΩ + Di	**3**	3	3	3	3	3	3	3	3		
Затухание из-за геометрической дивергенции, Adiv, дБ	расстояние = 1972.22 м	ф-ла (7) [10]	**76,9**										
Коэффициент затухания звука в атмосфере α, дБ/км	Ta=20,°C Pa=101.33,кПа hотн.=70%	ф-ла (5) [9]	0,02	0,09	0,33	1,12	2,79	4,98	9,04	23,09	77,63		
Учет затухания звука в атмосфере Aatm, дБ		ф-ла (8) [10]	0	0,2	0,7	2,2	5,5	9,8	17,8	45,5	153,1		
Снижение уровня звукового давления из-за влияния застройки между источником шума и расчетной точкой													
Снижение уровня звукового давления на пути над экраном, Dz1, дБ	z = 1.07м (разность путей)	ф-лы (14-18) [10]	4,9	5	5,3	6,2	7,6	9,4	11,7	14,2	17		

1		2	3	4	5	6	7	8	9	10	11	12	13
Снижение уровня звукового давления на пути слева от экрана, Dz2, дБ	z = 85.86м (разность путей)	ф-лы (14-18) [10]	28,6	32,5	35,7	38,8	41,8	44,8	47,8	50,8	53,8		
Снижение уровня звукового давления на пути справа от экрана, Dz3, дБ	z = 7.35м (разность путей)	ф-лы (14-18) [10]	14,8	17,6	20,5	23,4	26,4	29,4	32,4	35,4	38,4		
Общее снижение уровня звука препятствием Dz, дБ		Эн.сумма(-Dzi)	4,4	4,8	5,2	6,1	7,5	9,4	11,6	14,2	17		
Уровни звукового давления прямого звука от источника ИШ-1-13 в расчётной точке днём, дБ		**ф-ла(3)[10]**	**0**	**14,5**	**14,9**	**13,8**	**9,3**	**2,8**	**0**	**0**	**0**	**10,1**	**10,1**
Уровни звукового давления прямого звука от источника ИШ-1-13 в расчётной точке ночью, дБ		**ф-ла(3)[10]**	**0**	**14,5**	**14,9**	**13,8**	**9,3**	**2,8**	**0**	**0**	**0**	**10,1**	**10,1**
Расчёт отражённого звука													
Уровни звукового давления от мнимого источника ИШ-1-13_мн.(1) в расчётной точке днём, дБ		**ф-ла(3)[10]**	**0**	**0**	**0**	**13,9**	**10,7**	**5,7**	**0**	**0**	**0**	**11,1**	**11,1**
Уровни звукового давления от мнимого источника ИШ-1-13_мн.(1) в расчётной точке ночью, дБ		**ф-ла(3)[10]**	**0**	**0**	**0**	**0**	**0**	**0**	**0**	**0**	**0**	**11,1**	**11,1**
Уровни звукового давления от источника ИШ-1-13 в расчётной точке днём, дБ		**ф-ла(3)[10]**	**0**	**14,5**	**14,9**	**16,9**	**13,1**	**7,5**	**0**	**0**	**0**	**13,6**	**13,6**
Уровни звукового давления от источника ИШ-1-13 в расчётной точке ночью, дБ		**ф-ла(3)[10]**	**0**	**14,5**	**14,9**	**16,9**	**13,1**	**7,5**	**0**	**0**	**0**	**13,6**	**13,6**
Источник шума: ИШ-1-14, координаты источника (x,y,z), м =[441.70,96.03,1.00]													
Уровни звуковой мощности источника днём, Lw, дБ		**исходные данные**	**0**	**93,3**	**94,7**	**96**	**96,3**	**95,9**	**92,6**	**88,4**	**83,9**		
Уровни звуковой мощности источника ночью, Lw, дБ		**исходные данные**	**0**	**93,3**	**94,7**	**96**	**96,3**	**95,9**	**92,6**	**88,4**	**83,9**		
Поправка на телесный угол DΩ, дБ	Ω = 6.28	10Lg(4π/Ω)	**3**	3	3	3	3	3	3	3	3		
Показатель направленности источника Di, дБ		исходные данные	**0**	0	0	0	0	0	0	0	0		
Поправка на направленность источника Dc, дБ	Dc	DΩ + Di	**3**	3	3	3	3	3	3	3	3		
Затухание из-за геометрической дивергенции, Adiv, дБ	расстояние = 1969.23 м	ф-ла (7) [10]	**76,9**										

1		2	3	4	5	6	7	8	9	10	11	12	13
Коэффициент затухания звука в атмосфере α, дБ/км	Ta=20,°C Pa=101.33,кПа hотн.=70%	ф-ла (5) [9]	0,02	0,09	0,33	1,12	2,79	4,98	9,04	23,09	77,63		
Учет затухания звука в атмосфере Aatm, дБ		ф-ла (8) [10]	0	0,2	0,7	2,2	5,5	9,8	17,8	45,5	152,9		
Снижение уровня звукового давления из-за влияния застройки между источником шума и расчетной точкой													
Снижение уровня звукового давления на пути над экраном, Dz1, дБ	z = 1.16м (разность путей)	ф-лы (14-18) [10]	4,9	5,1	5,6	6,8	8,5	10,6	13,1	15,8	18,6		
Снижение уровня звукового давления на пути слева от экрана, Dz2, дБ	z = 87.66м (разность путей)	ф-лы (14-18) [10]	28,7	32,5	35,8	38,9	41,9	44,9	47,9	50,9	53,9		
Снижение уровня звукового давления на пути справа от экрана, Dz3, дБ	z = 8.11м (разность путей)	ф-лы (14-18) [10]	15,2	18	20,9	23,8	26,8	29,8	32,8	35,8	38,8		
Общее снижение уровня звука препятствием Dz, дБ		Эн.сумма(-Dzi)	4,5	4,9	5,5	6,7	8,4	10,6	13,1	15,8	18,6		
Уровни звукового давления прямого звука от источника ИШ-1-14 в расчётной точке днём, дБ		**ф-ла(3)[10]**	**0**	**14,4**	**14,7**	**13,2**	**8,5**	**1,6**	**0**	**0**	**0**	**9,3**	**9,3**
Уровни звукового давления прямого звука от источника ИШ-1-14 в расчётной точке ночью, дБ		**ф-ла(3)[10]**	**0**	**14,4**	**14,7**	**13,2**	**8,5**	**1,6**	**0**	**0**	**0**	**9,3**	**9,3**
Расчёт отражённого звука													
Уровни звукового давления от мнимого источника ИШ-1-14_мн.(1) в расчётной точке днём, дБ		**ф-ла(3)[10]**	**0**	**0**	**0**	**13,9**	**10,7**	**5,7**	**0**	**0**	**0**	**11,1**	**11,1**
Уровни звукового давления от мнимого источника ИШ-1-14_мн.(1) в расчётной точке ночью, дБ		**ф-ла(3)[10]**	**0**	**0**	**0**	**0**	**0**	**0**	**0**	**0**	**0**	**11,1**	**11,1**
Уровни звукового давления от источника ИШ-1-14 в расчётной точке днём, дБ		**ф-ла(3)[10]**	**0**	**14,4**	**14,7**	**16,6**	**12,7**	**7,1**	**0**	**0**	**0**	**13,3**	**13,3**
Уровни звукового давления от источника ИШ-1-14 в расчётной точке ночью, дБ		**ф-ла(3)[10]**	**0**	**14,4**	**14,7**	**16,6**	**12,7**	**7,1**	**0**	**0**	**0**	**13,3**	**13,3**
Источник шума: ИШ-1-15, координаты источника (x,y,z), м =[445.03,95.25,1.00]													
Уровни звуковой мощности источника днём, Lw, дБ		**исходные данные**	**0**	**93,3**	**94,7**	**96**	**96,3**	**95,9**	**92,6**	**88,4**	**83,9**		

1		2	3	4	5	6	7	8	9	10	11	12	13
Уровни звуковой мощности источника ночью, Lw, дБ		**исходные данные**	**0**	**93,3**	**94,7**	**96**	**96,3**	**95,9**	**92,6**	**88,4**	**83,9**		
Поправка на телесный угол DΩ, дБ	Ω = 6.28	10Lg(4π/Ω)	**3**	3	3	3	3	3	3	3	3		
Показатель направленности источника Di, дБ		исходные данные	**0**	0	0	0	0	0	0	0	0		
Поправка на направленность источника Dc, дБ	Dc	DΩ + Di	**3**	3	3	3	3	3	3	3	3		
Затухание из-за геометрической дивергенции, Adiv, дБ	расстояние = 1965.88 м	ф-ла (7) [10]	**76,9**										
Коэффициент затухания звука в атмосфере α, дБ/км	Ta=20,°C Pa=101.33,кПа hотн.=70%	ф-ла (5) [9]	0,02	0,09	0,33	1,12	2,79	4,98	9,04	23,09	77,63		
Учет затухания звука в атмосфере Aatm, дБ		ф-ла (8) [10]	0	0,2	0,7	2,2	5,5	9,8	17,8	45,4	152,6		
Снижение уровня звукового давления из-за влияния застройки между источником шума и расчетной точкой													
Снижение уровня звукового давления на пути над экраном, Dz1, дБ	z = 1.27м (разность путей)	ф-лы (14-18) [10]	5	5,3	6	7,6	9,8	12,2	14,8	17,6	20,5		
Снижение уровня звукового давления на пути слева от экрана, Dz2, дБ	z = 89.66м (разность путей)	ф-лы (14-18) [10]	28,8	32,6	35,9	39	42	45	48	51	54		
Снижение уровня звукового давления на пути справа от экрана, Dz3, дБ	z = 9.14м (разность путей)	ф-лы (14-18) [10]	15,7	18,5	21,4	24,3	27,3	30,3	33,3	36,3	39,3		
Общее снижение уровня звука препятствием Dz, дБ		Эн.сумма(-Dzi)	4,6	5,1	5,9	7,5	9,7	12,1	14,8	17,6	20,5		
Уровни звукового давления прямого звука от источника ИШ-1-15 в расчётной точке днём, дБ		**ф-ла(3)[10]**	**0**	**14,2**	**14,3**	**12,4**	**7,3**	**0,1**	**0**	**0**	**0**	**8,3**	**8,3**
Уровни звукового давления прямого звука от источника ИШ-1-15 в расчётной точке ночью, дБ		**ф-ла(3)[10]**	**0**	**14,2**	**14,3**	**12,4**	**7,3**	**0,1**	**0**	**0**	**0**	**8,3**	**8,3**
Расчёт отражённого звука													
Уровни звукового давления от мнимого источника ИШ-1-15_мн.(1) в расчётной точке днём, дБ		**ф-ла(3)[10]**	**0**	**0**	**0**	**0**	**10,7**	**5,7**	**0**	**0**	**0**	**9,7**	**9,7**
Уровни звукового давления от мнимого источника ИШ-1-15_мн.(1) в расчётной точке ночью, дБ		**ф-ла(3)[10]**	**0**	**0**	**0**	**0**	**0**	**0**	**0**	**0**	**0**	**9,7**	**9,7**

1		2	3	4	5	6	7	8	9	10	11	12	13
Уровни звукового давления от источника ИШ-1-15 в расчётной точке днём, дБ		**ф-ла(3)[10]**	**0**	**14,2**	**14,3**	**12,4**	**12,3**	**6,7**	**0**	**0**	**0**	**12**	**12**
Уровни звукового давления от источника ИШ-1-15 в расчётной точке ночью, дБ		**ф-ла(3)[10]**	**0**	**14,2**	**14,3**	**12,4**	**12,3**	**6,7**	**0**	**0**	**0**	**12**	**12**
Источник шума: ИШ-1-16, координаты источника (x,y,z), м =[447.96,94.28,1.00]													
Уровни звуковой мощности источника днём, Lw, дБ		**исходные данные**	**0**	**93,3**	**94,7**	**96**	**96,3**	**95,9**	**92,6**	**88,4**	**83,9**		
Уровни звуковой мощности источника ночью, Lw, дБ		**исходные данные**	**0**	**93,3**	**94,7**	**96**	**96,3**	**95,9**	**92,6**	**88,4**	**83,9**		
Поправка на телесный угол DΩ, дБ	Ω = 6.28	10Lg(4π/Ω)	**3**	3	3	3	3	3	3	3	3		
Показатель направленности источника Di, дБ		исходные данные	**0**	0	0	0	0	0	0	0	0		
Поправка на направленность источника Dc, дБ	Dc	DΩ + Di	**3**	3	3	3	3	3	3	3	3		
Затухание из-за геометрической дивергенции, Adiv, дБ	расстояние = 1962.81 м	ф-ла (7) [10]	**76,9**										
Коэффициент затухания звука в атмосфере α, дБ/км	Ta=20,°C Pa=101.33,кПа hотн.=70%	ф-ла (5) [9]	0,02	0,09	0,33	1,12	2,79	4,98	9,04	23,09	77,63		
Учет затухания звука в атмосфере Aatm, дБ		ф-ла (8) [10]	0	0,2	0,7	2,2	5,5	9,8	17,7	45,3	152,4		
Снижение уровня звукового давления из-за влияния застройки между источником шума и расчетной точкой													
Снижение уровня звукового давления на пути над экраном, Dz1, дБ	z = 1.41м (разность путей)	ф-лы (14-18) [10]	5,1	5,5	6,6	8,6	11,1	13,7	16,5	19,4	22,3		
Снижение уровня звукового давления на пути слева от экрана, Dz2, дБ	z = 91.85м (разность путей)	ф-лы (14-18) [10]	28,9	32,7	36	39,1	42,1	45,1	48,1	51,1	54,1		
Снижение уровня звукового давления на пути справа от экрана, Dz3, дБ	z = 10.04м (разность путей)	ф-лы (14-18) [10]	16	18,9	21,8	24,7	27,7	30,7	33,7	36,7	39,8		
Общее снижение уровня звука препятствием Dz, дБ		Эн.сумма(-Dzi)	4,7	5,3	6,4	8,5	11	13,6	16,4	19,3	22,2		

1		2	3	4	5	6	7	8	9	10	11	12	13
Уровни звукового давления прямого звука от источника ИШ-1-16 в расчётной точке днём, дБ		**ф-ла(3)[10]**	**0**	**14**	**13,8**	**11,5**	**6**	**0**	**0**	**0**	**0**	**6,5**	**6,5**
Уровни звукового давления прямого звука от источника ИШ-1-16 в расчётной точке ночью, дБ		**ф-ла(3)[10]**	**0**	**14**	**13,8**	**11,5**	**6**	**0**	**0**	**0**	**0**	**6,5**	**6,5**
Расчёт отражённого звука													
Уровни звукового давления от мнимого источника ИШ-1-16_мн.(1) в расчётной точке днём, дБ		**ф-ла(3)[10]**	**0**	**0**	**0**	**0**	**10,7**	**5,6**	**0**	**0**	**0**	**9,7**	**9,7**
Уровни звукового давления от мнимого источника ИШ-1-16_мн.(1) в расчётной точке ночью, дБ		**ф-ла(3)[10]**	**0**	**0**	**0**	**0**	**0**	**0**	**0**	**0**	**0**	**9,7**	**9,7**
Уровни звукового давления от источника ИШ-1-16 в расчётной точке днём, дБ		**ф-ла(3)[10]**	**0**	**14**	**13,8**	**11,5**	**11,9**	**5,6**	**0**	**0**	**0**	**11,4**	**11,4**
Уровни звукового давления от источника ИШ-1-16 в расчётной точке ночью, дБ		**ф-ла(3)[10]**	**0**	**14**	**13,8**	**11,5**	**11,9**	**5,6**	**0**	**0**	**0**	**11,4**	**11,4**
Источник шума: ИШ-1-17, координаты источника (x,y,z), м =[540.99,141.77,1.00]													
Уровни звуковой мощности источника днём, Lw, дБ		**исходные данные**	**0**	**93,3**	**94,7**	**96**	**96,3**	**95,9**	**92,6**	**88,4**	**83,9**		
Уровни звуковой мощности источника ночью, Lw, дБ		**исходные данные**	**0**	**93,3**	**94,7**	**96**	**96,3**	**95,9**	**92,6**	**88,4**	**83,9**		
Поправка на телесный угол DΩ, дБ	Ω = 6.28	10Lg(4π/Ω)	**3**	3	3	3	3	3	3	3	3		
Показатель направленности источника Di, дБ		исходные данные	**0**	0	0	0	0	0	0	0	0		
Поправка на направленность источника Dc, дБ	Dc	DΩ + Di	**3**	3	3	3	3	3	3	3	3		
Затухание из-за геометрической дивергенции, Adiv, дБ	расстояние = 1899.88 м	ф-ла (7) [10]	**76,6**										
Коэффициент затухания звука в атмосфере α, дБ/км	Ta=20,°C Pa=101.33,кПа hотн.=70%	ф-ла (5) [9]	0,02	0,09	0,33	1,12	2,79	4,98	9,04	23,09	77,63		
Учет затухания звука в атмосфере Aatm, дБ		ф-ла (8) [10]	0	0,2	0,6	2,1	5,3	9,5	17,2	43,9	147,5		

1		2	3	4	5	6	7	8	9	10	11	12	13
Снижение поверхностью земли возле источника As, дБ	Gs = 0 hs = 1м	ф-лы таб.3 [10]	-1,5	-1,5	-1,5	-1,5	-1,5	-1,5	-1,5	-1,5	-1,5		
Снижение поверхностью земли возле приёмника Ar, дБ	Gr = 1 hr = 1.5м	ф-лы таб.3 [10]	-1,5	-1,5	5,3	7	5	0,7	0	0	0		
Снижение поверхностью земли в средней зоне, Am дБ	Gm = 1	ф-лы таб.3 [10]	-2,9	-2,9	0	0	0	0	0	0	0		
Суммарное снижение поверхностью земли на траектории распространения звука Agr, дБ		ф-ла (9) [10]	-5,9	-5,9	3,8	5,5	3,5	-0,8	-1,5	-1,5	-1,5		
Уровни звукового давления прямого звука от источника ИШ-1-17 в расчётной точке днём, дБ		**ф-ла(3)[10]**	**0**	**25,4**	**16,6**	**14,8**	**13,9**	**13,7**	**3,3**	**0**	**0**	**16,5**	**16,5**
Уровни звукового давления прямого звука от источника ИШ-1-17 в расчётной точке ночью, дБ		**ф-ла(3)[10]**	**0**	**25,4**	**16,6**	**14,8**	**13,9**	**13,7**	**3,3**	**0**	**0**	**16,5**	**16,5**
Расчёт отражённого звука													
Уровни звукового давления от мнимого источника ИШ-1-17_мн.(1) в расчётной точке днём, дБ		**ф-ла(3)[10]**	**0**	**0**	**0**	**17,3**	**14,3**	**9,6**	**0**	**0**	**0**	**14,7**	**14,7**
Уровни звукового давления от мнимого источника ИШ-1-17_мн.(1) в расчётной точке ночью, дБ		**ф-ла(3)[10]**	**0**	**0**	**0**	**0**	**0**	**0**	**0**	**0**	**0**	**14,7**	**14,7**
Уровни звукового давления от источника ИШ-1-17 в расчётной точке днём, дБ		**ф-ла(3)[10]**	**0**	**25,4**	**16,6**	**19,2**	**17,1**	**15,1**	**3,3**	**0**	**0**	**18,7**	**18,7**
Уровни звукового давления от источника ИШ-1-17 в расчётной точке ночью, дБ		**ф-ла(3)[10]**	**0**	**25,4**	**16,6**	**19,2**	**17,1**	**15,1**	**3,3**	**0**	**0**	**18,7**	**18,7**
Источник шума: ИШ-1-18, координаты источника (x,y,z), м =[543.53,140.79,1.00]													
Уровни звуковой мощности источника днём, Lw, дБ		**исходные данные**	**0**	**93,3**	**94,7**	**96**	**96,3**	**95,9**	**92,6**	**88,4**	**83,9**		
Уровни звуковой мощности источника ночью, Lw, дБ		**исходные данные**	**0**	**93,3**	**94,7**	**96**	**96,3**	**95,9**	**92,6**	**88,4**	**83,9**		
Поправка на телесный угол DΩ, дБ	Ω = 6.28	10Lg(4π/Ω)	**3**	3	3	3	3	3	3	3	3		
Показатель направленности источника Di, дБ		исходные данные	**0**	0	0	0	0	0	0	0	0		
Поправка на направленность источника Dc, дБ	Dc	DΩ + Di	**3**	3	3	3	3	3	3	3	3		

1		2	3	4	5	6	7	8	9	10	11	12	13
Затухание из-за геометрической дивергенции, Adiv, дБ	расстояние = 1897.17 м	ф-ла (7) [10]	**76,6**										
Коэффициент затухания звука в атмосфере α, дБ/км	Ta=20,°C Pa=101.33,кПа hотн.=70%	ф-ла (5) [9]	0,02	0,09	0,33	1,12	2,79	4,98	9,04	23,09	77,63		
Учет затухания звука в атмосфере Aatm, дБ		ф-ла (8) [10]	0	0,2	0,6	2,1	5,3	9,4	17,1	43,8	147,3		
Снижение поверхностью земли возле источника As, дБ	Gs = 0 hs = 1м	ф-лы таб.3 [10]	-1,5	-1,5	-1,5	-1,5	-1,5	-1,5	-1,5	-1,5	-1,5		
Снижение поверхностью земли возле приёмника Ar, дБ	Gr = 1 hr = 1.5м	ф-лы таб.3 [10]	-1,5	-1,5	5,3	7	5	0,7	0	0	0		
Снижение поверхностью земли в средней зоне, Am дБ	Gm = 1	ф-лы таб.3 [10]	-2,9	-2,9	0	0	0	0	0	0	0		
Суммарное снижение поверхностью земли на траектории распространения звука Agr, дБ		ф-ла (9) [10]	-5,9	-5,9	3,8	5,5	3,5	-0,8	-1,5	-1,5	-1,5		
Уровни звукового давления прямого звука от источника ИШ-1-18 в расчётной точке днём, дБ		**ф-ла(3)[10]**	**0**	**25,4**	**16,6**	**14,8**	**14**	**13,7**	**3,4**	**0**	**0**	**16,5**	**16,5**
Уровни звукового давления прямого звука от источника ИШ-1-18 в расчётной точке ночью, дБ		**ф-ла(3)[10]**	**0**	**25,4**	**16,6**	**14,8**	**14**	**13,7**	**3,4**	**0**	**0**	**16,5**	**16,5**
Расчёт отражённого звука													
Уровни звукового давления от мнимого источника ИШ-1-18_мн.(1) в расчётной точке днём, дБ		**ф-ла(3)[10]**	**0**	**0**	**0**	**17,2**	**14,2**	**9,3**	**0**	**0**	**0**	**14,5**	**14,5**
Уровни звукового давления от мнимого источника ИШ-1-18_мн.(1) в расчётной точке ночью, дБ		**ф-ла(3)[10]**	**0**	**0**	**0**	**0**	**0**	**0**	**0**	**0**	**0**	**14,5**	**14,5**
Уровни звукового давления от источника ИШ-1-18 в расчётной точке днём, дБ		**ф-ла(3)[10]**	**0**	**25,4**	**16,6**	**19,2**	**17,1**	**15,1**	**3,4**	**0**	**0**	**18,6**	**18,6**
Уровни звукового давления от источника ИШ-1-18 в расчётной точке ночью, дБ		**ф-ла(3)[10]**	**0**	**25,4**	**16,6**	**19,2**	**17,1**	**15,1**	**3,4**	**0**	**0**	**18,6**	**18,6**
Источник шума: ИШ-1-19, координаты источника (x,y,z), м =[547.25,139.62,1.00]													
Уровни звуковой мощности источника днём, Lw, дБ		**исходные данные**	**0**	**93,3**	**94,7**	**96**	**96,3**	**95,9**	**92,6**	**88,4**	**83,9**		

1		2	3	4	5	6	7	8	9	10	11	12	13
Уровни звуковой мощности источника ночью, Lw, дБ		**исходные данные**	**0**	**93,3**	**94,7**	**96**	**96,3**	**95,9**	**92,6**	**88,4**	**83,9**		
Поправка на телесный угол DΩ, дБ	Ω = 6.28	10Lg(4π/Ω)	**3**	3	3	3	3	3	3	3	3		
Показатель направленности источника Di, дБ		исходные данные	**0**	0	0	0	0	0	0	0	0		
Поправка на направленность источника Dc, дБ	Dc	DΩ + Di	**3**	3	3	3	3	3	3	3	3		
Затухание из-за геометрической дивергенции, Adiv, дБ	расстояние = 1893.34 м	ф-ла (7) [10]	**76,5**										
Коэффициент затухания звука в атмосфере α, дБ/км	Ta=20,°C Pa=101.33,кПа hотн.=70%	ф-ла (5) [9]	0,02	0,09	0,33	1,12	2,79	4,98	9,04	23,09	77,63		
Учет затухания звука в атмосфере Aatm, дБ		ф-ла (8) [10]	0	0,2	0,6	2,1	5,3	9,4	17,1	43,7	147		
Снижение поверхностью земли возле источника As, дБ	Gs = 0 hs = 1м	ф-лы таб.3 [10]	-1,5	-1,5	-1,5	-1,5	-1,5	-1,5	-1,5	-1,5	-1,5		
Снижение поверхностью земли возле приёмника Ar, дБ	Gr = 1 hr = 1.5м	ф-лы таб.3 [10]	-1,5	-1,5	5,3	7	5	0,7	0	0	0		
Снижение поверхностью земли в средней зоне, Am дБ	Gm = 1	ф-лы таб.3 [10]	-2,9	-2,9	0	0	0	0	0	0	0		
Суммарное снижение поверхностью земли на траектории распространения звука Agr, дБ		ф-ла (9) [10]	-5,9	-5,9	3,8	5,5	3,5	-0,8	-1,5	-1,5	-1,5		
Уровни звукового давления прямого звука от источника ИШ-1-19 в расчётной точке днём, дБ		**ф-ла(3)[10]**	**0**	**25,5**	**16,7**	**14,8**	**14**	**13,8**	**3,4**	**0**	**0**	**16,5**	**16,5**
Уровни звукового давления прямого звука от источника ИШ-1-19 в расчётной точке ночью, дБ		**ф-ла(3)[10]**	**0**	**25,5**	**16,7**	**14,8**	**14**	**13,8**	**3,4**	**0**	**0**	**16,5**	**16,5**
Расчёт отражённого звука													
Уровни звукового давления от мнимого источника ИШ-1-19_мн.(1) в расчётной точке днём, дБ		**ф-ла(3)[10]**	**0**	**0**	**0**	**17,1**	**13,9**	**9**	**0**	**0**	**0**	**14,3**	**14,3**
Уровни звукового давления от мнимого источника ИШ-1-19_мн.(1) в расчётной точке ночью, дБ		**ф-ла(3)[10]**	**0**	**0**	**0**	**0**	**0**	**0**	**0**	**0**	**0**	**14,3**	**14,3**
Уровни звукового давления от источника ИШ-1-19 в расчётной точке днём, дБ		**ф-ла(3)[10]**	**0**	**25,5**	**16,7**	**19,1**	**17**	**15**	**3,4**	**0**	**0**	**18,6**	**18,6**

1		2	3	4	5	6	7	8	9	10	11	12	13
Уровни звукового давления от источника ИШ-1-19 в расчётной точке ночью, дБ		**ф-ла(3)[10]**	**0**	**25,5**	**16,7**	**19,1**	**17**	**15**	**3,4**	**0**	**0**	**18,6**	**18,6**
Источник шума: ИШ-1-20, координаты источника (x,y,z), м =[550.38,138.64,1.00]													
Уровни звуковой мощности источника днём, Lw, дБ		**исходные данные**	**0**	**93,3**	**94,7**	**96**	**96,3**	**95,9**	**92,6**	**88,4**	**83,9**		
Уровни звуковой мощности источника ночью, Lw, дБ		**исходные данные**	**0**	**93,3**	**94,7**	**96**	**96,3**	**95,9**	**92,6**	**88,4**	**83,9**		
Поправка на телесный угол DΩ, дБ	Ω = 6.28	10Lg(4π/Ω)	**3**	3	3	3	3	3	3	3	3		
Показатель направленности источника Di, дБ		исходные данные	**0**	0	0	0	0	0	0	0	0		
Поправка на направленность источника Dc, дБ	Dc	DΩ + Di	**3**	3	3	3	3	3	3	3	3		
Затухание из-за геометрической дивергенции, Adiv, дБ	расстояние = 1890.11 м	ф-ла (7) [10]	**76,5**										
Коэффициент затухания звука в атмосфере α, дБ/км	Ta=20,°C Pa=101.33,кПа hотн.=70%	ф-ла (5) [9]	0,02	0,09	0,33	1,12	2,79	4,98	9,04	23,09	77,63		
Учет затухания звука в атмосфере Aatm, дБ		ф-ла (8) [10]	0	0,2	0,6	2,1	5,3	9,4	17,1	43,6	146,7		
Снижение поверхностью земли возле источника As, дБ	Gs = 0 hs = 1м	ф-лы таб.3 [10]	-1,5	-1,5	-1,5	-1,5	-1,5	-1,5	-1,5	-1,5	-1,5		
Снижение поверхностью земли возле приёмника Ar, дБ	Gr = 1 hr = 1.5м	ф-лы таб.3 [10]	-1,5	-1,5	5,3	7	5	0,7	0	0	0		
Снижение поверхностью земли в средней зоне, Am дБ	Gm = 1	ф-лы таб.3 [10]	-2,9	-2,9	0	0	0	0	0	0	0		
Суммарное снижение поверхностью земли на траектории распространения звука Agr, дБ		ф-ла (9) [10]	-5,9	-5,9	3,8	5,5	3,5	-0,8	-1,5	-1,5	-1,5		
Уровни звукового давления прямого звука от источника ИШ-1-20 в расчётной точке днём, дБ		**ф-ла(3)[10]**	**0**	**25,5**	**16,7**	**14,8**	**14**	**13,8**	**3,5**	**0**	**0**	**16,5**	**16,5**
Уровни звукового давления прямого звука от источника ИШ-1-20 в расчётной точке ночью, дБ		**ф-ла(3)[10]**	**0**	**25,5**	**16,7**	**14,8**	**14**	**13,8**	**3,5**	**0**	**0**	**16,5**	**16,5**

1		2	3	4	5	6	7	8	9	10	11	12	13
Расчёт отражённого звука													
Уровни звукового давления от мнимого источника ИШ-1-20_мн.(1) в расчётной точке днём, дБ		**ф-ла(3)[10]**	**0**	**0**	**0**	**0**	**13,7**	**8,7**	**0**	**0**	**0**	**12,7**	**12,7**
Уровни звукового давления от мнимого источника ИШ-1-20_мн.(1) в расчётной точке ночью, дБ		**ф-ла(3)[10]**	**0**	**0**	**0**	**0**	**0**	**0**	**0**	**0**	**0**	**12,7**	**12,7**
Уровни звукового давления от источника ИШ-1-20 в расчётной точке днём, дБ		**ф-ла(3)[10]**	**0**	**25,5**	**16,7**	**14,8**	**16,9**	**15**	**3,5**	**0**	**0**	**18,1**	**18,1**
Уровни звукового давления от источника ИШ-1-20 в расчётной точке ночью, дБ		**ф-ла(3)[10]**	**0**	**25,5**	**16,7**	**14,8**	**16,9**	**15**	**3,5**	**0**	**0**	**18,1**	**18,1**
Источник шума: ИШ-1-21, координаты источника (x,y,z), м =[553.31,137.67,1.00]													
Уровни звуковой мощности источника днём, Lw, дБ		**исходные данные**	**0**	**93,3**	**94,7**	**96**	**96,3**	**95,9**	**92,6**	**88,4**	**83,9**		
Уровни звуковой мощности источника ночью, Lw, дБ		**исходные данные**	**0**	**93,3**	**94,7**	**96**	**96,3**	**95,9**	**92,6**	**88,4**	**83,9**		
Поправка на телесный угол DΩ, дБ	Ω = 6.28	10Lg(4π/Ω)	**3**	3	3	3	3	3	3	3	3		
Показатель направленности источника Di, дБ		исходные данные	**0**	0	0	0	0	0	0	0	0		
Поправка на направленность источника Dc, дБ	Dc	DΩ + Di	**3**	3	3	3	3	3	3	3	3		
Затухание из-за геометрической дивергенции, Adiv, дБ	расстояние = 1887.05 м	ф-ла (7) [10]	**76,5**										
Коэффициент затухания звука в атмосфере α, дБ/км	Ta=20,°C Pa=101.33,кПа hотн.=70%	ф-ла (5) [9]	0,02	0,09	0,33	1,12	2,79	4,98	9,04	23,09	77,63		
Учет затухания звука в атмосфере Aatm, дБ		ф-ла (8) [10]	0	0,2	0,6	2,1	5,3	9,4	17,1	43,6	146,5		
Снижение поверхностью земли возле источника As, дБ	Gs = 0 hs = 1м	ф-лы таб.3 [10]	-1,5	-1,5	-1,5	-1,5	-1,5	-1,5	-1,5	-1,5	-1,5		
Снижение поверхностью земли возле приёмника Ar, дБ	Gr = 1 hr = 1.5м	ф-лы таб.3 [10]	-1,5	-1,5	5,3	7	5	0,7	0	0	0		

1		2	3	4	5	6	7	8	9	10	11	12	13
Снижение поверхностью земли в средней зоне, Am дБ	Gm = 1	ф-лы таб.3 [10]	-2,9	-2,9	0	0	0	0	0	0	0		
Суммарное снижение поверхностью земли на траектории распространения звука Agr, дБ		ф-ла (9) [10]	-5,9	-5,9	3,8	5,5	3,5	-0,8	-1,5	-1,5	-1,5		
Уровни звукового давления прямого звука от источника ИШ-1-21 в расчётной точке днём, дБ		**ф-ла(3)[10]**	**0**	**25,5**	**16,7**	**14,8**	**14**	**13,8**	**3,5**	**0**	**0**	**16,6**	**16,6**
Уровни звукового давления прямого звука от источника ИШ-1-21 в расчётной точке ночью, дБ		**ф-ла(3)[10]**	**0**	**25,5**	**16,7**	**14,8**	**14**	**13,8**	**3,5**	**0**	**0**	**16,6**	**16,6**
Расчёт отражённого звука													
Уровни звукового давления от мнимого источника ИШ-1-21_мн.(1) в расчётной точке днём, дБ		**ф-ла(3)[10]**	**0**	**0**	**0**	**0**	**13,5**	**8,4**	**0**	**0**	**0**	**12,5**	**12,5**
Уровни звукового давления от мнимого источника ИШ-1-21_мн.(1) в расчётной точке ночью, дБ		**ф-ла(3)[10]**	**0**	**0**	**0**	**0**	**0**	**0**	**0**	**0**	**0**	**12,5**	**12,5**
Уровни звукового давления от источника ИШ-1-21 в расчётной точке днём, дБ		**ф-ла(3)[10]**	**0**	**25,5**	**16,7**	**14,8**	**16,8**	**14,9**	**3,5**	**0**	**0**	**18**	**18**
Уровни звукового давления от источника ИШ-1-21 в расчётной точке ночью, дБ		**ф-ла(3)[10]**	**0**	**25,5**	**16,7**	**14,8**	**16,8**	**14,9**	**3,5**	**0**	**0**	**18**	**18**
Источник шума: ИШ-1-22, координаты источника (x,y,z), м =[522.03,85.28,1.00]													
Уровни звуковой мощности источника днём, Lw, дБ		**исходные данные**	**0**	**93,3**	**94,7**	**96**	**96,3**	**95,9**	**92,6**	**88,4**	**83,9**		
Уровни звуковой мощности источника ночью, Lw, дБ		**исходные данные**	**0**	**93,3**	**94,7**	**96**	**96,3**	**95,9**	**92,6**	**88,4**	**83,9**		
Поправка на телесный угол DΩ, дБ	Ω = 6.28	10Lg(4π/Ω)	**3**	3	3	3	3	3	3	3	3		
Показатель направленности источника Di, дБ		исходные данные	**0**	0	0	0	0	0	0	0	0		
Поправка на направленность источника Dc, дБ	Dc	DΩ + Di	**3**	3	3	3	3	3	3	3	3		
Затухание из-за геометрической дивергенции, Adiv, дБ	расстояние = 1891.88 м	ф-ла (7) [10]	**76,5**										
Коэффициент затухания звука в атмосфере α, дБ/км	Ta=20,°C Pa=101.33,кПа hотн.=70%	ф-ла (5) [9]	0,02	0,09	0,33	1,12	2,79	4,98	9,04	23,09	77,63		

1		2	3	4	5	6	7	8	9	10	11	12	13
Учет затухания звука в атмосфере Aatm, дБ		ф-ла (8) [10]	0	0,2	0,6	2,1	5,3	9,4	17,1	43,7	146,9		
Снижение поверхностью земли возле источника As, дБ	Gs = 0 hs = 1м	ф-лы таб.3 [10]	-1,5	-1,5	-1,5	-1,5	-1,5	-1,5	-1,5	-1,5	-1,5		
Снижение поверхностью земли возле приёмника Ar, дБ	Gr = 1 hr = 1.5м	ф-лы таб.3 [10]	-1,5	-1,5	5,3	7	5	0,7	0	0	0		
Снижение поверхностью земли в средней зоне, Am дБ	Gm = 1	ф-лы таб.3 [10]	-2,9	-2,9	0	0	0	0	0	0	0		
Суммарное снижение поверхностью земли на траектории распространения звука Agr, дБ		ф-ла (9) [10]	-5,9	-5,9	3,8	5,5	3,5	-0,8	-1,5	-1,5	-1,5		
Уровни звукового давления прямого звука от источника ИШ-1-22 в расчётной точке днём, дБ		**ф-ла(3)[10]**	**0**	**25,5**	**16,7**	**14,8**	**14**	**13,8**	**3,5**	**0**	**0**	**16,5**	**16,5**
Уровни звукового давления прямого звука от источника ИШ-1-22 в расчётной точке ночью, дБ		**ф-ла(3)[10]**	**0**	**25,5**	**16,7**	**14,8**	**14**	**13,8**	**3,5**	**0**	**0**	**16,5**	**16,5**
Расчёт отражённого звука													
Уровни звукового давления от мнимого источника ИШ-1-22_мн.(1) в расчётной точке днём, дБ		**ф-ла(3)[10]**	**0**	**0**	**0**	**4,2**	**2,3**	**8,8**	**0,3**	**0**	**0**	**10**	**10**
Уровни звукового давления от мнимого источника ИШ-1-22_мн.(1) в расчётной точке ночью, дБ		**ф-ла(3)[10]**	**0**	**0**	**0**	**0**	**0**	**0**	**0**	**0**	**0**	**10**	**10**
Уровни звукового давления от источника ИШ-1-22 в расчётной точке днём, дБ		**ф-ла(3)[10]**	**0**	**25,5**	**16,7**	**15,2**	**14,3**	**15**	**5,2**	**0**	**0**	**17,4**	**17,4**
Уровни звукового давления от источника ИШ-1-22 в расчётной точке ночью, дБ		**ф-ла(3)[10]**	**0**	**25,5**	**16,7**	**15,2**	**14,3**	**15**	**5,2**	**0**	**0**	**17,4**	**17,4**
Источник шума: ИШ-1-23, координаты источника (x,y,z), м =[525.16,84.11,1.00]													
Уровни звуковой мощности источника днём, Lw, дБ		**исходные данные**	**0**	**93,3**	**94,7**	**96**	**96,3**	**95,9**	**92,6**	**88,4**	**83,9**		
Уровни звуковой мощности источника ночью, Lw, дБ		**исходные данные**	**0**	**93,3**	**94,7**	**96**	**96,3**	**95,9**	**92,6**	**88,4**	**83,9**		
Поправка на телесный угол DΩ, дБ	Ω = 6.28	10Lg(4π/Ω)	**3**	3	3	3	3	3	3	3	3		
Показатель направленности источника Di, дБ		исходные данные	**0**	0	0	0	0	0	0	0	0		

1		2	3	4	5	6	7	8	9	10	11	12	13
Поправка на направленность источника Dc, дБ	Dc	DΩ + Di	**3**	3	3	3	3	3	3	3	3		
Затухание из-за геометрической дивергенции, Adiv, дБ	расстояние = 1888.56 м	ф-ла (7) [10]	**76,5**										
Коэффициент затухания звука в атмосфере α, дБ/км	Ta=20,°C Pa=101.33,кПа hотн.=70%	ф-ла (5) [9]	0,02	0,09	0,33	1,12	2,79	4,98	9,04	23,09	77,63		
Учет затухания звука в атмосфере Aatm, дБ		ф-ла (8) [10]	0	0,2	0,6	2,1	5,3	9,4	17,1	43,6	146,6		
Снижение поверхностью земли возле источника As, дБ	Gs = 0 hs = 1м	ф-лы таб.3 [10]	-1,5	-1,5	-1,5	-1,5	-1,5	-1,5	-1,5	-1,5	-1,5		
Снижение поверхностью земли возле приёмника Ar, дБ	Gr = 1 hr = 1.5м	ф-лы таб.3 [10]	-1,5	-1,5	5,3	7	5	0,7	0	0	0		
Снижение поверхностью земли в средней зоне, Am дБ	Gm = 1	ф-лы таб.3 [10]	-2,9	-2,9	0	0	0	0	0	0	0		
Суммарное снижение поверхностью земли на траектории распространения звука Agr, дБ		ф-ла (9) [10]	-5,9	-5,9	3,8	5,5	3,5	-0,8	-1,5	-1,5	-1,5		
Уровни звукового давления прямого звука от источника ИШ-1-23 в расчётной точке днём, дБ		**ф-ла(3)[10]**	**0**	**25,5**	**16,7**	**14,8**	**14**	**13,8**	**3,5**	**0**	**0**	**16,6**	**16,6**
Уровни звукового давления прямого звука от источника ИШ-1-23 в расчётной точке ночью, дБ		**ф-ла(3)[10]**	**0**	**25,5**	**16,7**	**14,8**	**14**	**13,8**	**3,5**	**0**	**0**	**16,6**	**16,6**
Расчёт отражённого звука													
Уровни звукового давления от мнимого источника ИШ-1-23_мн.(1) в расчётной точке днём, дБ		**ф-ла(3)[10]**	**0**	**0**	**0**	**4,2**	**2,3**	**8,7**	**0,2**	**0**	**0**	**10**	**10**
Уровни звукового давления от мнимого источника ИШ-1-23_мн.(1) в расчётной точке ночью, дБ		**ф-ла(3)[10]**	**0**	**0**	**0**	**0**	**0**	**0**	**0**	**0**	**0**	**10**	**10**
Уровни звукового давления от источника ИШ-1-23 в расчётной точке днём, дБ		**ф-ла(3)[10]**	**0**	**25,5**	**16,7**	**15,2**	**14,3**	**15**	**5,2**	**0**	**0**	**17,4**	**17,4**
Уровни звукового давления от источника ИШ-1-23 в расчётной точке ночью, дБ		**ф-ла(3)[10]**	**0**	**25,5**	**16,7**	**15,2**	**14,3**	**15**	**5,2**	**0**	**0**	**17,4**	**17,4**
Источник шума: ИШ-1-24, координаты источника (x,y,z), м =[528.48,82.94,1.00]													

1		2	3	4	5	6	7	8	9	10	11	12	13
Уровни звуковой мощности источника днём, Lw, дБ		**исходные данные**	**0**	**93,3**	**94,7**	**96**	**96,3**	**95,9**	**92,6**	**88,4**	**83,9**		
Уровни звуковой мощности источника ночью, Lw, дБ		**исходные данные**	**0**	**93,3**	**94,7**	**96**	**96,3**	**95,9**	**92,6**	**88,4**	**83,9**		
Поправка на телесный угол DΩ, дБ	Ω = 6.28	10Lg(4π/Ω)	**3**	3	3	3	3	3	3	3	3		
Показатель направленности источника Di, дБ		исходные данные	**0**	0	0	0	0	0	0	0	0		
Поправка на направленность источника Dc, дБ	Dc	DΩ + Di	**3**	3	3	3	3	3	3	3	3		
Затухание из-за геометрической дивергенции, Adiv, дБ	расстояние = 1885.05 м	ф-ла (7) [10]	**76,5**										
Коэффициент затухания звука в атмосфере α, дБ/км	Ta=20,°C Pa=101.33,кПа hотн.=70%	ф-ла (5) [9]	0,02	0,09	0,33	1,12	2,79	4,98	9,04	23,09	77,63		
Учет затухания звука в атмосфере Aatm, дБ		ф-ла (8) [10]	0	0,2	0,6	2,1	5,3	9,4	17	43,5	146,3		
Снижение поверхностью земли возле источника As, дБ	Gs = 0 hs = 1м	ф-лы таб.3 [10]	-1,5	-1,5	-1,5	-1,5	-1,5	-1,5	-1,5	-1,5	-1,5		
Снижение поверхностью земли возле приёмника Ar, дБ	Gr = 1 hr = 1.5м	ф-лы таб.3 [10]	-1,5	-1,5	5,3	7	5	0,7	0	0	0		
Снижение поверхностью земли в средней зоне, Am дБ	Gm = 1	ф-лы таб.3 [10]	-2,9	-2,9	0	0	0	0	0	0	0		
Суммарное снижение поверхностью земли на траектории распространения звука Agr, дБ		ф-ла (9) [10]	-5,9	-5,9	3,8	5,5	3,5	-0,8	-1,5	-1,5	-1,5		
Уровни звукового давления прямого звука от источника ИШ-1-24 в расчётной точке днём, дБ		**ф-ла(3)[10]**	**0**	**25,5**	**16,7**	**14,8**	**14,1**	**13,8**	**3,5**	**0**	**0**	**16,6**	**16,6**
Уровни звукового давления прямого звука от источника ИШ-1-24 в расчётной точке ночью, дБ		**ф-ла(3)[10]**	**0**	**25,5**	**16,7**	**14,8**	**14,1**	**13,8**	**3,5**	**0**	**0**	**16,6**	**16,6**
Расчёт отражённого звука													
Уровни звукового давления от мнимого источника ИШ-1-24_мн.(1) в расчётной точке днём, дБ		**ф-ла(3)[10]**	**0**	**0**	**0**	**4,1**	**2,3**	**8,7**	**0,2**	**0**	**0**	**10**	**10**
Уровни звукового давления от мнимого источника ИШ-1-24_мн.(1) в расчётной точке ночью, дБ		**ф-ла(3)[10]**	**0**	**0**	**0**	**0**	**0**	**0**	**0**	**0**	**0**	**10**	**10**

1		2	3	4	5	6	7	8	9	10	11	12	13
Уровни звукового давления от источника ИШ-1-24 в расчётной точке днём, дБ		**ф-ла(3)[10]**	**0**	**25,5**	**16,7**	**15,2**	**14,3**	**15**	**5,2**	**0**	**0**	**17,4**	**17,4**
Уровни звукового давления от источника ИШ-1-24 в расчётной точке ночью, дБ		**ф-ла(3)[10]**	**0**	**25,5**	**16,7**	**15,2**	**14,3**	**15**	**5,2**	**0**	**0**	**17,4**	**17,4**
Источник шума: ИШ-1-25, координаты источника (x,y,z), м =[531.22,82.16,1.00]													
Уровни звуковой мощности источника днём, Lw, дБ		**исходные данные**	**0**	**93,3**	**94,7**	**96**	**96,3**	**95,9**	**92,6**	**88,4**	**83,9**		
Уровни звуковой мощности источника ночью, Lw, дБ		**исходные данные**	**0**	**93,3**	**94,7**	**96**	**96,3**	**95,9**	**92,6**	**88,4**	**83,9**		
Поправка на телесный угол DΩ, дБ	Ω = 6.28	10Lg(4π/Ω)	**3**	3	3	3	3	3	3	3	3		
Показатель направленности источника Di, дБ		исходные данные	**0**	0	0	0	0	0	0	0	0		
Поправка на направленность источника Dc, дБ	Dc	DΩ + Di	**3**	3	3	3	3	3	3	3	3		
Затухание из-за геометрической дивергенции, Adiv, дБ	расстояние = 1882.24 м	ф-ла (7) [10]	**76,5**										
Коэффициент затухания звука в атмосфере α, дБ/км	Ta=20,°C Pa=101.33,кПа hотн.=70%	ф-ла (5) [9]	0,02	0,09	0,33	1,12	2,79	4,98	9,04	23,09	77,63		
Учет затухания звука в атмосфере Aatm, дБ		ф-ла (8) [10]	0	0,2	0,6	2,1	5,3	9,4	17	43,5	146,1		
Снижение поверхностью земли возле источника As, дБ	Gs = 0 hs = 1м	ф-лы таб.3 [10]	-1,5	-1,5	-1,5	-1,5	-1,5	-1,5	-1,5	-1,5	-1,5		
Снижение поверхностью земли возле приёмника Ar, дБ	Gr = 1 hr = 1.5м	ф-лы таб.3 [10]	-1,5	-1,5	5,3	7	5	0,7	0	0	0		
Снижение поверхностью земли в средней зоне, Am дБ	Gm = 1	ф-лы таб.3 [10]	-2,9	-2,9	0	0	0	0	0	0	0		
Суммарное снижение поверхностью земли на траектории распространения звука Agr, дБ		ф-ла (9) [10]	-5,9	-5,9	3,8	5,5	3,5	-0,8	-1,5	-1,5	-1,5		
Уровни звукового давления прямого звука от источника ИШ-1-25 в расчётной точке днём, дБ		**ф-ла(3)[10]**	**0**	**25,5**	**16,7**	**14,9**	**14,1**	**13,9**	**3,6**	**0**	**0**	**16,6**	**16,6**

1		2	3	4	5	6	7	8	9	10	11	12	13
Уровни звукового давления прямого звука от источника ИШ-1-25 в расчётной точке ночью, дБ		**ф-ла(3)[10]**	**0**	**25,5**	**16,7**	**14,9**	**14,1**	**13,9**	**3,6**	**0**	**0**	**16,6**	**16,6**
Расчёт отражённого звука													
Уровни звукового давления от мнимого источника ИШ-1-25_мн.(1) в расчётной точке днём, дБ		**ф-ла(3)[10]**	**0**	**0**	**0**	**0**	**2,2**	**8,7**	**0,1**	**0**	**0**	**9,8**	**9,8**
Уровни звукового давления от мнимого источника ИШ-1-25_мн.(1) в расчётной точке ночью, дБ		**ф-ла(3)[10]**	**0**	**0**	**0**	**0**	**0**	**0**	**0**	**0**	**0**	**9,8**	**9,8**
Уровни звукового давления от источника ИШ-1-25 в расчётной точке днём, дБ		**ф-ла(3)[10]**	**0**	**25,5**	**16,7**	**14,9**	**14,3**	**15**	**5,2**	**0**	**0**	**17,4**	**17,4**
Уровни звукового давления от источника ИШ-1-25 в расчётной точке ночью, дБ		**ф-ла(3)[10]**	**0**	**25,5**	**16,7**	**14,9**	**14,3**	**15**	**5,2**	**0**	**0**	**17,4**	**17,4**
Источник шума: ИШ-1-26, координаты источника (x,y,z), м =[534.15,80.79,1.00]													
Уровни звуковой мощности источника днём, Lw, дБ		**исходные данные**	**0**	**93,3**	**94,7**	**96**	**96,3**	**95,9**	**92,6**	**88,4**	**83,9**		
Уровни звуковой мощности источника ночью, Lw, дБ		**исходные данные**	**0**	**93,3**	**94,7**	**96**	**96,3**	**95,9**	**92,6**	**88,4**	**83,9**		
Поправка на телесный угол DΩ, дБ	Ω = 6.28	10Lg(4π/Ω)	**3**	3	3	3	3	3	3	3	3		
Показатель направленности источника Di, дБ		исходные данные	**0**	0	0	0	0	0	0	0	0		
Поправка на направленность источника Dc, дБ	Dc	DΩ + Di	**3**	3	3	3	3	3	3	3	3		
Затухание из-за геометрической дивергенции, Adiv, дБ	расстояние = 1879.01 м	ф-ла (7) [10]	**76,5**										
Коэффициент затухания звука в атмосфере α, дБ/км	Ta=20,°C Pa=101.33,кПа hотн.=70%	ф-ла (5) [9]	0,02	0,09	0,33	1,12	2,79	4,98	9,04	23,09	77,63		
Учет затухания звука в атмосфере Aatm, дБ		ф-ла (8) [10]	0	0,2	0,6	2,1	5,2	9,4	17	43,4	145,9		
Снижение поверхностью земли возле источника As, дБ	Gs = 0 hs = 1м	ф-лы таб.3 [10]	-1,5	-1,5	-1,5	-1,5	-1,5	-1,5	-1,5	-1,5	-1,5		

1		2	3	4	5	6	7	8	9	10	11	12	13
Снижение поверхностью земли возле приёмника Ar, дБ	Gr = 1 hr = 1.5м	ф-лы таб.3 [10]	-1,5	-1,5	5,3	7	5	0,7	0	0	0		
Снижение поверхностью земли в средней зоне, Am дБ	Gm = 1	ф-лы таб.3 [10]	-2,9	-2,9	0	0	0	0	0	0	0		
Суммарное снижение поверхностью земли на траектории распространения звука Agr, дБ		ф-ла (9) [10]	-5,9	-5,9	3,8	5,5	3,5	-0,8	-1,5	-1,5	-1,5		
Уровни звукового давления прямого звука от источника ИШ-1-26 в расчётной точке днём, дБ		**ф-ла(3)[10]**	**0**	**25,5**	**16,7**	**14,9**	**14,1**	**13,9**	**3,6**	**0**	**0**	**16,6**	**16,6**
Уровни звукового давления прямого звука от источника ИШ-1-26 в расчётной точке ночью, дБ		**ф-ла(3)[10]**	**0**	**25,5**	**16,7**	**14,9**	**14,1**	**13,9**	**3,6**	**0**	**0**	**16,6**	**16,6**
Расчёт отражённого звука													
Уровни звукового давления от мнимого источника ИШ-1-26_мн.(1) в расчётной точке днём, дБ		**ф-ла(3)[10]**	**0**	**0**	**0**	**0**	**2,2**	**8,7**	**0,1**	**0**	**0**	**9,8**	**9,8**
Уровни звукового давления от мнимого источника ИШ-1-26_мн.(1) в расчётной точке ночью, дБ		**ф-ла(3)[10]**	**0**	**0**	**0**	**0**	**0**	**0**	**0**	**0**	**0**	**9,8**	**9,8**
Уровни звукового давления от источника ИШ-1-26 в расчётной точке днём, дБ		**ф-ла(3)[10]**	**0**	**25,5**	**16,7**	**14,9**	**14,4**	**15**	**5,2**	**0**	**0**	**17,5**	**17,5**
Уровни звукового давления от источника ИШ-1-26 в расчётной точке ночью, дБ		**ф-ла(3)[10]**	**0**	**25,5**	**16,7**	**14,9**	**14,4**	**15**	**5,2**	**0**	**0**	**17,5**	**17,5**
Источник шума: ИШ-1-27, координаты источника (x,y,z), м =[469.65,197.67,1.00]													
Уровни звуковой мощности источника днём, Lw, дБ		**исходные данные**	**0**	**93,3**	**94,7**	**96**	**96,3**	**95,9**	**92,6**	**88,4**	**83,9**		
Уровни звуковой мощности источника ночью, Lw, дБ		**исходные данные**	**0**	**93,3**	**94,7**	**96**	**96,3**	**95,9**	**92,6**	**88,4**	**83,9**		
Поправка на телесный угол DΩ, дБ	Ω = 6.28	10Lg(4π/Ω)	**3**	3	3	3	3	3	3	3	3		
Показатель направленности источника Di, дБ		исходные данные	**0**	0	0	0	0	0	0	0	0		
Поправка на направленность источника Dc, дБ	Dc	DΩ + Di	**3**	3	3	3	3	3	3	3	3		
Затухание из-за геометрической дивергенции, Adiv, дБ	расстояние = 1988.95 м	ф-ла (7) [10]	**77**										

1		2	3	4	5	6	7	8	9	10	11	12	13
Коэффициент затухания звука в атмосфере α, дБ/км	Ta=20,°C Pa=101.33,кПа hотн.=70%	ф-ла (5) [9]	0,02	0,09	0,33	1,12	2,79	4,98	9,04	23,09	77,63		
Учет затухания звука в атмосфере Aatm, дБ		ф-ла (8) [10]	0	0,2	0,7	2,2	5,6	9,9	18	45,9	154,4		
Снижение уровня звукового давления из-за влияния застройки между источником шума и расчетной точкой													
Снижение уровня звукового давления на пути над экраном, Dz1, дБ	z = 0.99м (разность путей)	ф-лы (14-18) [10]	4,8	4,9	5,2	5,8	6,8	8,3	10,2	12,6	15,2		
Снижение уровня звукового давления на пути слева от экрана, Dz2, дБ	z = 0.41м (разность путей)	ф-лы (14-18) [10]	8	10,5	13,2	15,9	18,8	21,7	24,7	27,7	30,7		
Снижение уровня звукового давления на пути справа от экрана, Dz3, дБ	z = 83.53м (разность путей)	ф-лы (14-18) [10]	24,9	27,9	30,9	33,9	36,9	39,9	42,9	45,9	49		
Общее снижение уровня звука препятствием Dz, дБ		Эн.сумма(-Dzi)	3,1	3,8	4,5	5,4	6,5	8,1	10,1	12,5	15,1		
Уровни звукового давления прямого звука от источника ИШ-1-27 в расчётной точке днём, дБ		**ф-ла(3)[10]**	**0**	**15,3**	**15,5**	**14,4**	**10,2**	**3,9**	**0**	**0**	**0**	**10,9**	**10,9**
Уровни звукового давления прямого звука от источника ИШ-1-27 в расчётной точке ночью, дБ		**ф-ла(3)[10]**	**0**	**15,3**	**15,5**	**14,4**	**10,2**	**3,9**	**0**	**0**	**0**	**10,9**	**10,9**
Расчёт отражённого звука													
Уровни звукового давления от мнимого источника ИШ-1-27_мн.(1) в расчётной точке днём, дБ		**ф-ла(3)[10]**	**0**	**0**	**0**	**13,8**	**10,6**	**5,6**	**0**	**0**	**0**	**11**	**11**
Уровни звукового давления от мнимого источника ИШ-1-27_мн.(1) в расчётной точке ночью, дБ		**ф-ла(3)[10]**	**0**	**0**	**0**	**0**	**0**	**0**	**0**	**0**	**0**	**11**	**11**
Уровни звукового давления от источника ИШ-1-27 в расчётной точке днём, дБ		**ф-ла(3)[10]**	**0**	**15,3**	**15,5**	**17,2**	**13,4**	**7,9**	**0**	**0**	**0**	**14**	**14**
Уровни звукового давления от источника ИШ-1-27 в расчётной точке ночью, дБ		**ф-ла(3)[10]**	**0**	**15,3**	**15,5**	**17,2**	**13,4**	**7,9**	**0**	**0**	**0**	**14**	**14**
Источник шума: ИШ-1-28, координаты источника (x,y,z), м =[472.78,196.69,1.00]													
Уровни звуковой мощности источника днём, Lw, дБ		**исходные данные**	**0**	**93,3**	**94,7**	**96**	**96,3**	**95,9**	**92,6**	**88,4**	**83,9**		

1		2	3	4	5	6	7	8	9	10	11	12	13
Уровни звуковой мощности источника ночью, Lw, дБ		**исходные данные**	**0**	**93,3**	**94,7**	**96**	**96,3**	**95,9**	**92,6**	**88,4**	**83,9**		
Поправка на телесный угол DΩ, дБ	Ω = 6.28	10Lg(4π/Ω)	**3**	3	3	3	3	3	3	3	3		
Показатель направленности источника Di, дБ		исходные данные	**0**	0	0	0	0	0	0	0	0		
Поправка на направленность источника Dc, дБ	Dc	DΩ + Di	**3**	3	3	3	3	3	3	3	3		
Затухание из-за геометрической дивергенции, Adiv, дБ	расстояние = 1985.72 м	ф-ла (7) [10]	**77**										
Коэффициент затухания звука в атмосфере α, дБ/км	Ta=20,°C Pa=101.33,кПа hотн.=70%	ф-ла (5) [9]	0,02	0,09	0,33	1,12	2,79	4,98	9,04	23,09	77,63		
Учет затухания звука в атмосфере Aatm, дБ		ф-ла (8) [10]	0	0,2	0,7	2,2	5,5	9,9	17,9	45,8	154,2		
Снижение уровня звукового давления из-за влияния застройки между источником шума и расчетной точкой													
Снижение уровня звукового давления на пути над экраном, Dz1, дБ	z = 1.07м (разность путей)	ф-лы (14-18) [10]	4,9	5	5,3	6,2	7,6	9,4	11,7	14,2	17		
Снижение уровня звукового давления на пути слева от экрана, Dz2, дБ	z = 0.37м (разность путей)	ф-лы (14-18) [10]	7,7	10,2	12,7	15,5	18,3	21,2	24,2	27,2	30,2		
Снижение уровня звукового давления на пути справа от экрана, Dz3, дБ	z = 85.91м (разность путей)	ф-лы (14-18) [10]	25,1	28,1	31	34	37	40	43,1	46,1	49,1		
Общее снижение уровня звука препятствием Dz, дБ		Эн.сумма(-Dzi)	3	3,8	4,6	5,7	7,2	9,1	11,4	14	16,8		
Уровни звукового давления прямого звука от источника ИШ-1-28 в расчётной точке днём, дБ		**ф-ла(3)[10]**	**0**	**15,3**	**15,5**	**14,1**	**9,6**	**2,9**	**0**	**0**	**0**	**10,3**	**10,3**
Уровни звукового давления прямого звука от источника ИШ-1-28 в расчётной точке ночью, дБ		**ф-ла(3)[10]**	**0**	**15,3**	**15,5**	**14,1**	**9,6**	**2,9**	**0**	**0**	**0**	**10,3**	**10,3**
Расчёт отражённого звука													
Уровни звукового давления от мнимого источника ИШ-1-28_мн.(1) в расчётной точке днём, дБ		**ф-ла(3)[10]**	**0**	**0**	**0**	**13,8**	**10,6**	**5,6**	**0**	**0**	**0**	**11**	**11**
Уровни звукового давления от мнимого источника ИШ-1-28_мн.(1) в расчётной точке ночью, дБ		**ф-ла(3)[10]**	**0**	**0**	**0**	**0**	**0**	**0**	**0**	**0**	**0**	**11**	**11**

1		2	3	4	5	6	7	8	9	10	11	12	13
Уровни звукового давления от источника ИШ-1-28 в расчётной точке днём, дБ		**ф-ла(3)[10]**	**0**	**15,3**	**15,5**	**17**	**13,1**	**7,5**	**0**	**0**	**0**	**13,7**	**13,7**
Уровни звукового давления от источника ИШ-1-28 в расчётной точке ночью, дБ		**ф-ла(3)[10]**	**0**	**15,3**	**15,5**	**17**	**13,1**	**7,5**	**0**	**0**	**0**	**13,7**	**13,7**
Источник шума: ИШ-1-29, координаты источника (x,y,z), м =[475.52,195.72,1.00]													
Уровни звуковой мощности источника днём, Lw, дБ		**исходные данные**	**0**	**93,3**	**94,7**	**96**	**96,3**	**95,9**	**92,6**	**88,4**	**83,9**		
Уровни звуковой мощности источника ночью, Lw, дБ		**исходные данные**	**0**	**93,3**	**94,7**	**96**	**96,3**	**95,9**	**92,6**	**88,4**	**83,9**		
Поправка на телесный угол DΩ, дБ	Ω = 6.28	10Lg(4π/Ω)	**3**	3	3	3	3	3	3	3	3		
Показатель направленности источника Di, дБ		исходные данные	**0**	0	0	0	0	0	0	0	0		
Поправка на направленность источника Dc, дБ	Dc	DΩ + Di	**3**	3	3	3	3	3	3	3	3		
Затухание из-за геометрической дивергенции, Adiv, дБ	расстояние = 1982.85 м	ф-ла (7) [10]	**76,9**										
Коэффициент затухания звука в атмосфере α, дБ/км	Ta=20,°C Pa=101.33,кПа hотн.=70%	ф-ла (5) [9]	0,02	0,09	0,33	1,12	2,79	4,98	9,04	23,09	77,63		
Учет затухания звука в атмосфере Aatm, дБ		ф-ла (8) [10]	0	0,2	0,7	2,2	5,5	9,9	17,9	45,8	153,9		
Снижение уровня звукового давления из-за влияния застройки между источником шума и расчетной точкой													
Снижение уровня звукового давления на пути над экраном, Dz1, дБ	z = 1.16м (разность путей)	ф-лы (14-18) [10]	4,9	5,1	5,6	6,8	8,5	10,6	13	15,7	18,6		
Снижение уровня звукового давления на пути слева от экрана, Dz2, дБ	z = 0.34м (разность путей)	ф-лы (14-18) [10]	7,6	9,9	12,5	15,2	18	20,9	23,9	26,9	29,9		
Снижение уровня звукового давления на пути справа от экрана, Dz3, дБ	z = 87.99м (разность путей)	ф-лы (14-18) [10]	25,2	28,2	31,1	34,1	37,1	40,2	43,2	46,2	49,2		
Общее снижение уровня звука препятствием Dz, дБ		Эн.сумма(-Dzi)	3	3,8	4,8	6,2	8	10,2	12,7	15,4	18,3		

1		2	3	4	5	6	7	8	9	10	11	12	13
Уровни звукового давления прямого звука от источника ИШ-1-29 в расчётной точке днём, дБ		**ф-ла(3)[10]**	**0**	**15,3**	**15,3**	**13,7**	**8,8**	**1,9**	**0**	**0**	**0**	**9,7**	**9,7**
Уровни звукового давления прямого звука от источника ИШ-1-29 в расчётной точке ночью, дБ		**ф-ла(3)[10]**	**0**	**15,3**	**15,3**	**13,7**	**8,8**	**1,9**	**0**	**0**	**0**	**9,7**	**9,7**
Расчёт отражённого звука													
Уровни звукового давления от мнимого источника ИШ-1-29_мн.(1) в расчётной точке днём, дБ		**ф-ла(3)[10]**	**0**	**0**	**0**	**13,8**	**10,6**	**5,6**	**0**	**0**	**0**	**10,9**	**10,9**
Уровни звукового давления от мнимого источника ИШ-1-29_мн.(1) в расчётной точке ночью, дБ		**ф-ла(3)[10]**	**0**	**0**	**0**	**0**	**0**	**0**	**0**	**0**	**0**	**10,9**	**10,9**
Уровни звукового давления от источника ИШ-1-29 в расчётной точке днём, дБ		**ф-ла(3)[10]**	**0**	**15,3**	**15,3**	**16,7**	**12,8**	**7,1**	**0**	**0**	**0**	**13,4**	**13,4**
Уровни звукового давления от источника ИШ-1-29 в расчётной точке ночью, дБ		**ф-ла(3)[10]**	**0**	**15,3**	**15,3**	**16,7**	**12,8**	**7,1**	**0**	**0**	**0**	**13,4**	**13,4**
Источник шума: ИШ-1-30, координаты источника (x,y,z), м =[478.45,194.54,1.00]													
Уровни звуковой мощности источника днём, Lw, дБ		**исходные данные**	**0**	**93,3**	**94,7**	**96**	**96,3**	**95,9**	**92,6**	**88,4**	**83,9**		
Уровни звуковой мощности источника ночью, Lw, дБ		**исходные данные**	**0**	**93,3**	**94,7**	**96**	**96,3**	**95,9**	**92,6**	**88,4**	**83,9**		
Поправка на телесный угол DΩ, дБ	Ω = 6.28	10Lg(4π/Ω)	**3**	3	3	3	3	3	3	3	3		
Показатель направленности источника Di, дБ		исходные данные	**0**	0	0	0	0	0	0	0	0		
Поправка на направленность источника Dc, дБ	Dc	DΩ + Di	**3**	3	3	3	3	3	3	3	3		
Затухание из-за геометрической дивергенции, Adiv, дБ	расстояние = 1979.70 м	ф-ла (7) [10]	**76,9**										
Коэффициент затухания звука в атмосфере α, дБ/км	Ta=20,°C Pa=101.33,кПа hотн.=70%	ф-ла (5) [9]	0,02	0,09	0,33	1,12	2,79	4,98	9,04	23,09	77,63		
Учет затухания звука в атмосфере Aatm, дБ		ф-ла (8) [10]	0	0,2	0,7	2,2	5,5	9,9	17,9	45,7	153,7		

1		2	3	4	5	6	7	8	9	10	11	12	13
Снижение уровня звукового давления из-за влияния застройки между источником шума и расчетной точкой													
Снижение уровня звукового давления на пути над экраном, Dz1, дБ	z = 1.27м (разность путей)	ф-лы (14-18) [10]	5	5,3	6	7,5	9,6	12	14,7	17,5	20,4		
Снижение уровня звукового давления на пути слева от экрана, Dz2, дБ	z = 0.33м (разность путей)	ф-лы (14-18) [10]	7,5	9,8	12,3	15	17,8	20,7	23,7	26,7	29,6		
Снижение уровня звукового давления на пути справа от экрана, Dz3, дБ	z = 90.21м (разность путей)	ф-лы (14-18) [10]	25,3	28,3	31,2	34,2	37,3	40,3	43,3	46,3	49,3		
Общее снижение уровня звука препятствием Dz, дБ		Эн.сумма(-Dzi)	3	3,9	5,1	6,8	9	11,5	14,1	17	19,9		
Уровни звукового давления прямого звука от источника ИШ-1-30 в расчётной точке днём, дБ		**ф-ла(3)[10]**	**0**	**15,3**	**15**	**13**	**7,8**	**0,6**	**0**	**0**	**0**	**8,9**	**8,9**
Уровни звукового давления прямого звука от источника ИШ-1-30 в расчётной точке ночью, дБ		**ф-ла(3)[10]**	**0**	**15,3**	**15**	**13**	**7,8**	**0,6**	**0**	**0**	**0**	**8,9**	**8,9**
Расчёт отражённого звука													
Уровни звукового давления от мнимого источника ИШ-1-30_мн.(1) в расчётной точке днём, дБ		**ф-ла(3)[10]**	**0**	**0**	**0**	**0**	**10,6**	**5,6**	**0**	**0**	**0**	**9,6**	**9,6**
Уровни звукового давления от мнимого источника ИШ-1-30_мн.(1) в расчётной точке ночью, дБ		**ф-ла(3)[10]**	**0**	**0**	**0**	**0**	**0**	**0**	**0**	**0**	**0**	**9,6**	**9,6**
Уровни звукового давления от источника ИШ-1-30 в расчётной точке днём, дБ		**ф-ла(3)[10]**	**0**	**15,3**	**15**	**13**	**12,4**	**6,8**	**0**	**0**	**0**	**12,2**	**12,2**
Уровни звукового давления от источника ИШ-1-30 в расчётной точке ночью, дБ		**ф-ла(3)[10]**	**0**	**15,3**	**15**	**13**	**12,4**	**6,8**	**0**	**0**	**0**	**12,2**	**12,2**
Источник шума: ИШ-1-31, координаты источника (x,y,z), м =[481.58,193.96,1.00]													
Уровни звуковой мощности источника днём, Lw, дБ		**исходные данные**	**0**	**93,3**	**94,7**	**96**	**96,3**	**95,9**	**92,6**	**88,4**	**83,9**		
Уровни звуковой мощности источника ночью, Lw, дБ		**исходные данные**	**0**	**93,3**	**94,7**	**96**	**96,3**	**95,9**	**92,6**	**88,4**	**83,9**		
Поправка на телесный угол DΩ, дБ	Ω = 6.28	10Lg(4π/Ω)	**3**	3	3	3	3	3	3	3	3		
Показатель направленности источника Di, дБ		исходные данные	**0**	0	0	0	0	0	0	0	0		

1		2	3	4	5	6	7	8	9	10	11	12	13
Поправка на направленность источника Dc, дБ	Dc	DΩ + Di	**3**	3	3	3	3	3	3	3	3		
Затухание из-за геометрической дивергенции, Adiv, дБ	расстояние = 1976.66 м	ф-ла (7) [10]	**76,9**										
Коэффициент затухания звука в атмосфере α, дБ/км	Ta=20,°C Pa=101.33,кПа hотн.=70%	ф-ла (5) [9]	0,02	0,09	0,33	1,12	2,79	4,98	9,04	23,09	77,63		
Учет затухания звука в атмосфере Aatm, дБ		ф-ла (8) [10]	0	0,2	0,7	2,2	5,5	9,8	17,9	45,6	153,5		
Снижение уровня звукового давления из-за влияния застройки между источником шума и расчетной точкой													
Снижение уровня звукового давления на пути над экраном, Dz1, дБ	z = 1.40м (разность путей)	ф-лы (14-18) [10]	5,1	5,5	6,5	8,5	11	13,6	16,4	19,3	22,2		
Снижение уровня звукового давления на пути слева от экрана, Dz2, дБ	z = 0.24м (разность путей)	ф-лы (14-18) [10]	6,9	9	11,3	13,9	16,6	19,5	22,4	25,4	28,4		
Снижение уровня звукового давления на пути справа от экрана, Dz3, дБ	z = 93.00м (разность путей)	ф-лы (14-18) [10]	25,4	28,4	31,4	34,4	37,4	40,4	43,4	46,4	49,4		
Общее снижение уровня звука препятствием Dz, дБ		Эн.сумма(-Dzi)	2,9	3,9	5,3	7,4	9,9	12,6	15,4	18,3	21,3		
Уровни звукового давления прямого звука от источника ИШ-1-31 в расчётной точке днём, дБ		**ф-ла(3)[10]**	**0**	**15,3**	**14,9**	**12,5**	**6,9**	**0**	**0**	**0**	**0**	**7,5**	**7,5**
Уровни звукового давления прямого звука от источника ИШ-1-31 в расчётной точке ночью, дБ		**ф-ла(3)[10]**	**0**	**15,3**	**14,9**	**12,5**	**6,9**	**0**	**0**	**0**	**0**	**7,5**	**7,5**
Расчёт отражённого звука													
Уровни звукового давления от мнимого источника ИШ-1-31_мн.(1) в расчётной точке днём, дБ		**ф-ла(3)[10]**	**0**	**0**	**0**	**0**	**10,5**	**5,5**	**0**	**0**	**0**	**9,5**	**9,5**
Уровни звукового давления от мнимого источника ИШ-1-31_мн.(1) в расчётной точке ночью, дБ		**ф-ла(3)[10]**	**0**	**0**	**0**	**0**	**0**	**0**	**0**	**0**	**0**	**9,5**	**9,5**
Уровни звукового давления от источника ИШ-1-31 в расчётной точке днём, дБ		**ф-ла(3)[10]**	**0**	**15,3**	**14,9**	**12,5**	**12,1**	**5,5**	**0**	**0**	**0**	**11,6**	**11,6**
Уровни звукового давления от источника ИШ-1-31 в расчётной точке ночью, дБ		**ф-ла(3)[10]**	**0**	**15,3**	**14,9**	**12,5**	**12,1**	**5,5**	**0**	**0**	**0**	**11,6**	**11,6**

1		2	3	4	5	6	7	8	9	10	11	12	13
Источник шума: ИШ-1-32, координаты источника (x,y,z), м =[871.21,281.99,50.00]													
Уровни звуковой мощности источника днём, Lw, дБ		**исходные данные**	**125**	**119,6**	**113,4**	**111,4**	**110,8**	**112,7**	**113,8**	**109,2**	**97,4**		
Уровни звуковой мощности источника ночью, Lw, дБ		**исходные данные**	**0**	**0**	**0**	**0**	**0**	**0**	**0**	**0**	**0**		
Поправка на телесный угол DΩ, дБ	Ω = 12.57	10Lg(4π/Ω)	**0**	0	0	0	0	0	0	0	0		
Показатель направленности источника Di, дБ		исходные данные	**0**	0	0	0	0	0	0	0	0		
Поправка на направленность источника Dc, дБ	Dc	DΩ + Di	**0**	0	0	0	0	0	0	0	0		
Затухание из-за геометрической дивергенции, Adiv, дБ	расстояние = 1693.34 м	ф-ла (7) [10]	**75,6**										
Коэффициент затухания звука в атмосфере α, дБ/км	Ta=20,°C Pa=101.33,кПа hотн.=70%	ф-ла (5) [9]	0,02	0,09	0,33	1,12	2,79	4,98	9,04	23,09	77,63		
Учет затухания звука в атмосфере Aatm, дБ		ф-ла (8) [10]	0	0,2	0,6	1,9	4,7	8,4	15,3	39,1	131,5		
Снижение поверхностью земли возле источника As, дБ	Gs = 0 hs = 50м	ф-лы таб.3 [10]	-1,5	-1,5	-1,5	-1,5	-1,5	-1,5	-1,5	-1,5	-1,5		
Снижение поверхностью земли возле приёмника Ar, дБ	Gr = 1 hr = 1.5м	ф-лы таб.3 [10]	-1,5	-1,5	5,3	7	5	0,7	0	0	0		
Снижение поверхностью земли в средней зоне, Am дБ	Gm = 1	ф-лы таб.3 [10]	-0,3	-0,3	0	0	0	0	0	0	0		
Суммарное снижение поверхностью земли на траектории распространения звука Agr, дБ		ф-ла (9) [10]	-3,3	-3,3	3,8	5,5	3,5	-0,8	-1,5	-1,5	-1,5		
Уровни звукового давления от источника ИШ-1-32 в расчётной точке днём, дБ		**ф-ла(3)[10]**	**52,7**	**47,2**	**33,4**	**28,4**	**27,1**	**29,6**	**24,5**	**0**	**0**	**32,6**	**32,6**
Уровни звукового давления от источника ИШ-1-32 в расчётной точке ночью, дБ		**ф-ла(3)[10]**	**0**	**0**	**0**	**0**	**0**	**0**	**0**	**0**	**0**	**0**	**0**
Источник шума: ИШ-1-33, координаты источника (x,y,z), м =[743.42,374.85,1.00]													

1		2	3	4	5	6	7	8	9	10	11	12	13
Уровни звуковой мощности источника днём, Lw, дБ		**исходные данные**	**0**	**88,7**	**90,1**	**93,1**	**96,4**	**103**	**112**	**108**	**99,2**		
Уровни звуковой мощности источника ночью, Lw, дБ		**исходные данные**	**0**	**0**	**0**	**0**	**0**	**0**	**0**	**0**	**0**		
Поправка на телесный угол DΩ, дБ	Ω = 6.28	10Lg(4π/Ω)	**3**	3	3	3	3	3	3	3	3		
Показатель направленности источника Di, дБ		исходные данные	**0**	0	0	0	0	0	0	0	0		
Поправка на направленность источника Dc, дБ	Dc	DΩ + Di	**3**	3	3	3	3	3	3	3	3		
Затухание из-за геометрической дивергенции, Adiv, дБ	расстояние = 1850.60 м	ф-ла (7) [10]	**76,3**										
Коэффициент затухания звука в атмосфере α, дБ/км	Ta=20,°C Pa=101.33,кПа hотн.=70%	ф-ла (5) [9]	0,02	0,09	0,33	1,12	2,79	4,98	9,04	23,09	77,63		
Учет затухания звука в атмосфере Aatm, дБ		ф-ла (8) [10]	0	0,2	0,6	2,1	5,2	9,2	16,7	42,7	143,7		
Снижение поверхностью земли возле источника As, дБ	Gs = 0 hs = 1м	ф-лы таб.3 [10]	-1,5	-1,5	-1,5	-1,5	-1,5	-1,5	-1,5	-1,5	-1,5		
Снижение поверхностью земли возле приёмника Ar, дБ	Gr = 1 hr = 1.5м	ф-лы таб.3 [10]	-1,5	-1,5	5,3	7	5	0,7	0	0	0		
Снижение поверхностью земли в средней зоне, Am дБ	Gm = 1	ф-лы таб.3 [10]	-2,9	-2,9	0	0	0	0	0	0	0		
Суммарное снижение поверхностью земли на траектории распространения звука Agr, дБ		ф-ла (9) [10]	-5,9	-5,9	3,8	5,5	3,5	-0,8	-1,5	-1,5	-1,5		
Уровни звукового давления от источника ИШ-1-33 в расчётной точке днём, дБ		**ф-ла(3)[10]**	**0**	**21,1**	**12,3**	**12,2**	**14,4**	**21,3**	**23,4**	**0**	**0**	**26,5**	**26,5**
Уровни звукового давления от источника ИШ-1-33 в расчётной точке ночью, дБ		**ф-ла(3)[10]**	**0**	**0**	**0**	**0**	**0**	**0**	**0**	**0**	**0**	**0**	**0**
Источник шума: ИШ-1-34, координаты источника (x,y,z), м =[1042.35,199.07,1.00]													
Уровни звуковой мощности источника днём, Lw, дБ		**исходные данные**	**0**	**88,7**	**90,1**	**93,1**	**96,4**	**103**	**112**	**108**	**99,2**		

1		2	3	4	5	6	7	8	9	10	11	12	13
Уровни звуковой мощности источника ночью, Lw, дБ		**исходные данные**	**0**	**0**	**0**	**0**	**0**	**0**	**0**	**0**	**0**		
Поправка на телесный угол DΩ, дБ	Ω = 6.28	10Lg(4π/Ω)	**3**	3	3	3	3	3	3	3	3		
Показатель направленности источника Di, дБ		исходные данные	**0**	0	0	0	0	0	0	0	0		
Поправка на направленность источника Dc, дБ	Dc	DΩ + Di	**3**	3	3	3	3	3	3	3	3		
Затухание из-за геометрической дивергенции, Adiv, дБ	расстояние = 1506.18 м	ф-ла (7) [10]	**74,6**										
Коэффициент затухания звука в атмосфере α, дБ/км	Ta=20,°C Pa=101.33,кПа hотн.=70%	ф-ла (5) [9]	0,02	0,09	0,33	1,12	2,79	4,98	9,04	23,09	77,63		
Учет затухания звука в атмосфере Aatm, дБ		ф-ла (8) [10]	0	0,1	0,5	1,7	4,2	7,5	13,6	34,8	116,9		
Снижение поверхностью земли возле источника As, дБ	Gs = 0 hs = 1м	ф-лы таб.3 [10]	-1,5	-1,5	-1,5	-1,5	-1,5	-1,5	-1,5	-1,5	-1,5		
Снижение поверхностью земли возле приёмника Ar, дБ	Gr = 1 hr = 1.5м	ф-лы таб.3 [10]	-1,5	-1,5	5,3	7	5	0,7	0	0	0		
Снижение поверхностью земли в средней зоне, Am дБ	Gm = 1	ф-лы таб.3 [10]	-2,9	-2,9	0	0	0	0	0	0	0		
Суммарное снижение поверхностью земли на траектории распространения звука Agr, дБ		ф-ла (9) [10]	-5,9	-5,9	3,8	5,5	3,5	-0,8	-1,5	-1,5	-1,5		
Уровни звукового давления прямого звука от источника ИШ-1-34 в расчётной точке днём, дБ		**ф-ла(3)[10]**	**0**	**22,9**	**14,2**	**14,3**	**17,2**	**24,8**	**28,3**	**3,2**	**0**	**30,9**	**30,9**
Уровни звукового давления прямого звука от источника ИШ-1-34 в расчётной точке ночью, дБ		**ф-ла(3)[10]**	**0**	**0**	**0**	**0**	**0**	**0**	**0**	**0**	**0**	**0**	**0**
Расчёт отражённого звука													
Уровни звукового давления от мнимого источника ИШ-1-34_мн.(1) в расчётной точке днём, дБ		**ф-ла(3)[10]**	**0**	**0**	**0**	**0**	**0**	**0**	**0**	**0**	**0**	**0**	**0**
Уровни звукового давления от мнимого источника ИШ-1-34_мн.(1) в расчётной точке ночью, дБ		**ф-ла(3)[10]**	**0**	**0**	**0**	**0**	**0**	**0**	**0**	**0**	**0**	**0**	**0**
Уровни звукового давления от мнимого источника ИШ-1-34_мн.(2) в расчётной точке днём, дБ		**ф-ла(3)[10]**	**0**	**0**	**0**	**0**	**0**	**0**	**0**	**0**	**0**	**0**	**0**

1		2	3	4	5	6	7	8	9	10	11	12	13
Уровни звукового давления от мнимого источника ИШ-1-34_мн.(2) в расчётной точке ночью, дБ		**ф-ла(3)[10]**	**0**	**0**	**0**	**0**	**0**	**0**	**0**	**0**	**0**	**0**	**0**
Суммарные уровни звукового давления от мнимых источников в расчётной точке днём, дБ		**ф-ла (19) [1]**	**0**	**0**	**0**	**0**	**0**	**0**	**0**	**0**	**0**	**0**	**0**
Суммарные уровни звукового давления от мнимых источников в расчётной точке ночью, дБ		**ф-ла (19) [1]**	**0**	**0**	**0**	**0**	**0**	**0**	**0**	**0**	**0**	**0**	**0**
Уровни звукового давления от источника ИШ-1-34 в расчётной точке днём, дБ		**ф-ла(3)[10]**	**0**	**22,9**	**14,2**	**14,3**	**17,2**	**24,8**	**28,3**	**3,2**	**0**	**30,9**	**30,9**
Уровни звукового давления от источника ИШ-1-34 в расчётной точке ночью, дБ		**ф-ла(3)[10]**	**0**	**0**	**0**	**0**	**0**	**0**	**0**	**0**	**0**	**0**	**0**
Источник шума: ИШ-2-1, координаты источника (x,y,z), м =[696.50,124.40,3.00]													
Уровни звуковой мощности источника днём, Lw, дБ		**исходные данные**	**105**	**104**	**104**	**101**	**102**	**106**	**101**	**95**	**87**		
Уровни звуковой мощности источника ночью, Lw, дБ		**исходные данные**	**105**	**104**	**104**	**101**	**102**	**106**	**101**	**95**	**87**		
Поправка на телесный угол DΩ, дБ	Ω = 6.28	10Lg(4π/Ω)	**3**	3	3	3	3	3	3	3	3		
Показатель направленности источника Di, дБ		исходные данные	**0**	0	0	0	0	0	0	0	0		
Поправка на направленность источника Dc, дБ	Dc	DΩ + Di	**3**	3	3	3	3	3	3	3	3		
Затухание из-за геометрической дивергенции, Adiv, дБ	расстояние = 1754.47 м	ф-ла (7) [10]	**75,9**										
Коэффициент затухания звука в атмосфере α, дБ/км	Ta=20,°C Pa=101.33,кПа hотн.=70%	ф-ла (5) [9]	0,02	0,09	0,33	1,12	2,79	4,98	9,04	23,09	77,63		
Учет затухания звука в атмосфере Aatm, дБ		ф-ла (8) [10]	0	0,2	0,6	2	4,9	8,7	15,9	40,5	136,2		
Снижение поверхностью земли возле источника As, дБ	Gs = 0 hs = 3м	ф-лы таб.3 [10]	-1,5	-1,5	-1,5	-1,5	-1,5	-1,5	-1,5	-1,5	-1,5		
Снижение поверхностью земли возле приёмника Ar, дБ	Gr = 1 hr = 1.5м	ф-лы таб.3 [10]	-1,5	-1,5	5,3	7	5	0,7	0	0	0		

1		2	3	4	5	6	7	8	9	10	11	12	13
Снижение поверхностью земли в средней зоне, Am дБ	Gm = 1	ф-лы таб.3 [10]	-2,8	-2,8	0	0	0	0	0	0	0		
Суммарное снижение поверхностью земли на траектории распространения звука Agr, дБ		ф-ла (9) [10]	-5,8	-5,8	3,8	5,5	3,5	-0,8	-1,5	-1,5	-1,5		
Уровни звукового давления прямого звука от источника ИШ-2-1 в расчётной точке днём, дБ		**ф-ла(3)[10]**	**37,9**	**36,7**	**26,7**	**20,6**	**20,8**	**25,2**	**13,8**	**0**	**0**	**26,6**	**26,6**
Уровни звукового давления прямого звука от источника ИШ-2-1 в расчётной точке ночью, дБ		**ф-ла(3)[10]**	**37,9**	**36,7**	**26,7**	**20,6**	**20,8**	**25,2**	**13,8**	**0**	**0**	**26,6**	**26,6**
Расчёт отражённого звука													
Уровни звукового давления от мнимого источника ИШ-2-1_мн.(1) в расчётной точке днём, дБ		**ф-ла(3)[10]**	**0**	**0**	**0**	**0**	**0**	**0**	**10,1**	**0**	**0**	**11,3**	**11,3**
Уровни звукового давления от мнимого источника ИШ-2-1_мн.(1) в расчётной точке ночью, дБ		**ф-ла(3)[10]**	**0**	**0**	**0**	**0**	**0**	**0**	**0**	**0**	**0**	**11,3**	**11,3**
Уровни звукового давления от источника ИШ-2-1 в расчётной точке днём, дБ		**ф-ла(3)[10]**	**37,9**	**36,7**	**26,7**	**20,6**	**20,8**	**25,2**	**15,3**	**0**	**0**	**26,8**	**26,8**
Уровни звукового давления от источника ИШ-2-1 в расчётной точке ночью, дБ		**ф-ла(3)[10]**	**37,9**	**36,7**	**26,7**	**20,6**	**20,8**	**25,2**	**15,3**	**0**	**0**	**26,8**	**26,8**
Источник шума: ИШ-2-2, координаты источника (x,y,z), м =[682.20,81.60,3.00]													
Уровни звуковой мощности источника днём, Lw, дБ		**исходные данные**	**105**	**104**	**104**	**101**	**102**	**106**	**101**	**95**	**87**		
Уровни звуковой мощности источника ночью, Lw, дБ		**исходные данные**	**105**	**104**	**104**	**101**	**102**	**106**	**101**	**95**	**87**		
Поправка на телесный угол DΩ, дБ	Ω = 6.28	10Lg(4π/Ω)	**3**	3	3	3	3	3	3	3	3		
Показатель направленности источника Di, дБ		исходные данные	**0**	0	0	0	0	0	0	0	0		
Поправка на направленность источника Dc, дБ	Dc	DΩ + Di	**3**	3	3	3	3	3	3	3	3		
Затухание из-за геометрической дивергенции, Adiv, дБ	расстояние = 1746.81 м	ф-ла (7) [10]	**75,8**										
Коэффициент затухания звука в атмосфере α, дБ/км	Ta=20,°C Pa=101.33,кПа hотн.=70%	ф-ла (5) [9]	0,02	0,09	0,33	1,12	2,79	4,98	9,04	23,09	77,63		

1		2	3	4	5	6	7	8	9	10	11	12	13
Учет затухания звука в атмосфере Aatm, дБ		ф-ла (8) [10]	0	0,2	0,6	2	4,9	8,7	15,8	40,3	135,6		
Снижение поверхностью земли возле источника As, дБ	Gs = 0 hs = 3м	ф-лы таб.3 [10]	-1,5	-1,5	-1,5	-1,5	-1,5	-1,5	-1,5	-1,5	-1,5		
Снижение поверхностью земли возле приёмника Ar, дБ	Gr = 1 hr = 1.5м	ф-лы таб.3 [10]	-1,5	-1,5	5,3	7	5	0,7	0	0	0		
Снижение поверхностью земли в средней зоне, Am дБ	Gm = 1	ф-лы таб.3 [10]	-2,8	-2,8	0	0	0	0	0	0	0		
Суммарное снижение поверхностью земли на траектории распространения звука Agr, дБ		ф-ла (9) [10]	-5,8	-5,8	3,8	5,5	3,5	-0,8	-1,5	-1,5	-1,5		
Уровни звукового давления прямого звука от источника ИШ-2-2 в расчётной точке днём, дБ		**ф-ла(3)[10]**	**37,9**	**36,8**	**26,7**	**20,7**	**20,8**	**25,3**	**13,9**	**0**	**0**	**26,7**	**26,7**
Уровни звукового давления прямого звука от источника ИШ-2-2 в расчётной точке ночью, дБ		**ф-ла(3)[10]**	**37,9**	**36,8**	**26,7**	**20,7**	**20,8**	**25,3**	**13,9**	**0**	**0**	**26,7**	**26,7**
Расчёт отражённого звука													
Уровни звукового давления от мнимого источника ИШ-2-2_мн.(1) в расчётной точке днём, дБ		**ф-ла(3)[10]**	**0**	**0**	**0**	**0**	**0**	**0**	**0**	**0**	**0**	**0**	**0**
Уровни звукового давления от мнимого источника ИШ-2-2_мн.(1) в расчётной точке ночью, дБ		**ф-ла(3)[10]**	**0**	**0**	**0**	**0**	**0**	**0**	**0**	**0**	**0**	**0**	**0**
Уровни звукового давления от источника ИШ-2-2 в расчётной точке днём, дБ		**ф-ла(3)[10]**	**37,9**	**36,8**	**26,7**	**20,7**	**20,8**	**25,3**	**13,9**	**0**	**0**	**26,7**	**26,7**
Уровни звукового давления от источника ИШ-2-2 в расчётной точке ночью, дБ		**ф-ла(3)[10]**	**37,9**	**36,8**	**26,7**	**20,7**	**20,8**	**25,3**	**13,9**	**0**	**0**	**26,7**	**26,7**
Источник шума: ИШ-2-3, координаты источника (x,y,z), м =[667.80,38.90,3.00]													
Уровни звуковой мощности источника днём, Lw, дБ		**исходные данные**	**105**	**104**	**104**	**101**	**102**	**106**	**101**	**95**	**87**		
Уровни звуковой мощности источника ночью, Lw, дБ		**исходные данные**	**105**	**104**	**104**	**101**	**102**	**106**	**101**	**95**	**87**		
Поправка на телесный угол DΩ, дБ	Ω = 6.28	10Lg(4π/Ω)	**3**	3	3	3	3	3	3	3	3		
Показатель направленности источника Di, дБ		исходные данные	**0**	0	0	0	0	0	0	0	0		

1		2	3	4	5	6	7	8	9	10	11	12	13
Поправка на направленность источника Dc, дБ	Dc	DΩ + Di	**3**	3	3	3	3	3	3	3	3		
Затухание из-за геометрической дивергенции, Adiv, дБ	расстояние = 1740.42 м	ф-ла (7) [10]	**75,8**										
Коэффициент затухания звука в атмосфере α, дБ/км	Ta=20,°C Pa=101.33,кПа hотн.=70%	ф-ла (5) [9]	0,02	0,09	0,33	1,12	2,79	4,98	9,04	23,09	77,63		
Учет затухания звука в атмосфере Aatm, дБ		ф-ла (8) [10]	0	0,2	0,6	2	4,9	8,7	15,7	40,2	135,1		
Снижение поверхностью земли возле источника As, дБ	Gs = 0 hs = 3м	ф-лы таб.3 [10]	-1,5	-1,5	-1,5	-1,5	-1,5	-1,5	-1,5	-1,5	-1,5		
Снижение поверхностью земли возле приёмника Ar, дБ	Gr = 1 hr = 1.5м	ф-лы таб.3 [10]	-1,5	-1,5	5,3	7	5	0,7	0	0	0		
Снижение поверхностью земли в средней зоне, Am дБ	Gm = 1	ф-лы таб.3 [10]	-2,8	-2,8	0	0	0	0	0	0	0		
Суммарное снижение поверхностью земли на траектории распространения звука Agr, дБ		ф-ла (9) [10]	-5,8	-5,8	3,8	5,5	3,5	-0,8	-1,5	-1,5	-1,5		
Уровни звукового давления прямого звука от источника ИШ-2-3 в расчётной точке днём, дБ		**ф-ла(3)[10]**	**37,9**	**36,8**	**26,8**	**20,7**	**20,9**	**25,4**	**14**	**0**	**0**	**26,8**	**26,8**
Уровни звукового давления прямого звука от источника ИШ-2-3 в расчётной точке ночью, дБ		**ф-ла(3)[10]**	**37,9**	**36,8**	**26,8**	**20,7**	**20,9**	**25,4**	**14**	**0**	**0**	**26,8**	**26,8**
Расчёт отражённого звука													
Уровни звукового давления от мнимого источника ИШ-2-3_мн.(1) в расчётной точке днём, дБ		**ф-ла(3)[10]**	**0**	**0**	**0**	**0**	**0**	**0**	**6,7**	**0**	**0**	**7,9**	**7,9**
Уровни звукового давления от мнимого источника ИШ-2-3_мн.(1) в расчётной точке ночью, дБ		**ф-ла(3)[10]**	**0**	**0**	**0**	**0**	**0**	**0**	**0**	**0**	**0**	**7,9**	**7,9**
Уровни звукового давления от источника ИШ-2-3 в расчётной точке днём, дБ		**ф-ла(3)[10]**	**37,9**	**36,8**	**26,8**	**20,7**	**20,9**	**25,4**	**14,7**	**0**	**0**	**26,8**	**26,8**
Уровни звукового давления от источника ИШ-2-3 в расчётной точке ночью, дБ		**ф-ла(3)[10]**	**37,9**	**36,8**	**26,8**	**20,7**	**20,9**	**25,4**	**14,7**	**0**	**0**	**26,8**	**26,8**
Источник шума: ИШ-2-6, координаты источника (x,y,z), м =[765.97,112.43,1.00]													

1		2	3	4	5	6	7	8	9	10	11	12	13
Уровни звуковой мощности источника днём, Lw, дБ		**исходные данные**	**0**	**93,3**	**94,7**	**96**	**96,3**	**95,9**	**92,6**	**88,4**	**83,9**		
Уровни звуковой мощности источника ночью, Lw, дБ		**исходные данные**	**0**	**93,3**	**94,7**	**96**	**96,3**	**95,9**	**92,6**	**88,4**	**83,9**		
Поправка на телесный угол DΩ, дБ	Ω = 6.28	10Lg(4π/Ω)	**3**	3	3	3	3	3	3	3	3		
Показатель направленности источника Di, дБ		исходные данные	**0**	0	0	0	0	0	0	0	0		
Поправка на направленность источника Dc, дБ	Dc	DΩ + Di	**3**	3	3	3	3	3	3	3	3		
Затухание из-за геометрической дивергенции, Adiv, дБ	расстояние = 1688.05 м	ф-ла (7) [10]	**75,5**										
Коэффициент затухания звука в атмосфере α, дБ/км	Ta=20,°C Pa=101.33,кПа hотн.=70%	ф-ла (5) [9]	0,02	0,09	0,33	1,12	2,79	4,98	9,04	23,09	77,63		
Учет затухания звука в атмосфере Aatm, дБ		ф-ла (8) [10]	0	0,2	0,6	1,9	4,7	8,4	15,3	39	131		
Снижение поверхностью земли возле источника As, дБ	Gs = 0 hs = 1м	ф-лы таб.3 [10]	-1,5	-1,5	-1,5	-1,5	-1,5	-1,5	-1,5	-1,5	-1,5		
Снижение поверхностью земли возле приёмника Ar, дБ	Gr = 1 hr = 1.5м	ф-лы таб.3 [10]	-1,5	-1,5	5,3	7	5	0,7	0	0	0		
Снижение поверхностью земли в средней зоне, Am дБ	Gm = 1	ф-лы таб.3 [10]	-2,9	-2,9	0	0	0	0	0	0	0		
Суммарное снижение поверхностью земли на траектории распространения звука Agr, дБ		ф-ла (9) [10]	-5,9	-5,9	3,8	5,5	3,5	-0,8	-1,5	-1,5	-1,5		
Уровни звукового давления прямого звука от источника ИШ-2-6 в расчётной точке днём, дБ		**ф-ла(3)[10]**	**0**	**26,5**	**17,7**	**16**	**15,6**	**15,8**	**6,3**	**0**	**0**	**18,4**	**18,4**
Уровни звукового давления прямого звука от источника ИШ-2-6 в расчётной точке ночью, дБ		**ф-ла(3)[10]**	**0**	**26,5**	**17,7**	**16**	**15,6**	**15,8**	**6,3**	**0**	**0**	**18,4**	**18,4**
Расчёт отражённого звука													
Уровни звукового давления от мнимого источника ИШ-2-6_мн.(1) в расчётной точке днём, дБ		**ф-ла(3)[10]**	**0**	**0**	**0**	**0**	**0**	**0**	**0**	**0**	**0**	**0**	**0**
Уровни звукового давления от мнимого источника ИШ-2-6_мн.(1) в расчётной точке ночью, дБ		**ф-ла(3)[10]**	**0**	**0**	**0**	**0**	**0**	**0**	**0**	**0**	**0**	**0**	**0**

1		2	3	4	5	6	7	8	9	10	11	12	13
Уровни звукового давления от источника ИШ-2-6 в расчётной точке днём, дБ		**ф-ла(3)[10]**	**0**	**26,5**	**17,7**	**16**	**15,6**	**15,8**	**6,3**	**0**	**0**	**18,4**	**18,4**
Уровни звукового давления от источника ИШ-2-6 в расчётной точке ночью, дБ		**ф-ла(3)[10]**	**0**	**26,5**	**17,7**	**16**	**15,6**	**15,8**	**6,3**	**0**	**0**	**18,4**	**18,4**
Источник шума: ИШ-2-7, координаты источника (x,y,z), м =[764.91,109.54,1.00]													
Уровни звуковой мощности источника днём, Lw, дБ		**исходные данные**	**0**	**93,3**	**94,7**	**96**	**96,3**	**95,9**	**92,6**	**88,4**	**83,9**		
Уровни звуковой мощности источника ночью, Lw, дБ		**исходные данные**	**0**	**93,3**	**94,7**	**96**	**96,3**	**95,9**	**92,6**	**88,4**	**83,9**		
Поправка на телесный угол DΩ, дБ	Ω = 6.28	10Lg(4π/Ω)	**3**	3	3	3	3	3	3	3	3		
Показатель направленности источника Di, дБ		исходные данные	**0**	0	0	0	0	0	0	0	0		
Поправка на направленность источника Dc, дБ	Dc	DΩ + Di	**3**	3	3	3	3	3	3	3	3		
Затухание из-за геометрической дивергенции, Adiv, дБ	расстояние = 1687.55 м	ф-ла (7) [10]	**75,5**										
Коэффициент затухания звука в атмосфере α, дБ/км	Ta=20,°C Pa=101.33,кПа hотн.=70%	ф-ла (5) [9]	0,02	0,09	0,33	1,12	2,79	4,98	9,04	23,09	77,63		
Учет затухания звука в атмосфере Aatm, дБ		ф-ла (8) [10]	0	0,2	0,6	1,9	4,7	8,4	15,3	39	131		
Снижение поверхностью земли возле источника As, дБ	Gs = 0 hs = 1м	ф-лы таб.3 [10]	-1,5	-1,5	-1,5	-1,5	-1,5	-1,5	-1,5	-1,5	-1,5		
Снижение поверхностью земли возле приёмника Ar, дБ	Gr = 1 hr = 1.5м	ф-лы таб.3 [10]	-1,5	-1,5	5,3	7	5	0,7	0	0	0		
Снижение поверхностью земли в средней зоне, Am дБ	Gm = 1	ф-лы таб.3 [10]	-2,9	-2,9	0	0	0	0	0	0	0		
Суммарное снижение поверхностью земли на траектории распространения звука Agr, дБ		ф-ла (9) [10]	-5,9	-5,9	3,8	5,5	3,5	-0,8	-1,5	-1,5	-1,5		
Уровни звукового давления прямого звука от источника ИШ-2-7 в расчётной точке днём, дБ		**ф-ла(3)[10]**	**0**	**26,5**	**17,7**	**16**	**15,6**	**15,8**	**6,3**	**0**	**0**	**18,4**	**18,4**

1		2	3	4	5	6	7	8	9	10	11	12	13
Уровни звукового давления прямого звука от источника ИШ-2-7 в расчётной точке ночью, дБ		**ф-ла(3)[10]**	**0**	**26,5**	**17,7**	**16**	**15,6**	**15,8**	**6,3**	**0**	**0**	**18,4**	**18,4**
Расчёт отражённого звука													
Уровни звукового давления от мнимого источника ИШ-2-7_мн.(1) в расчётной точке днём, дБ		**ф-ла(3)[10]**	**0**	**0**	**0**	**0**	**0**	**0**	**0**	**0**	**0**	**0**	**0**
Уровни звукового давления от мнимого источника ИШ-2-7_мн.(1) в расчётной точке ночью, дБ		**ф-ла(3)[10]**	**0**	**0**	**0**	**0**	**0**	**0**	**0**	**0**	**0**	**0**	**0**
Уровни звукового давления от источника ИШ-2-7 в расчётной точке днём, дБ		**ф-ла(3)[10]**	**0**	**26,5**	**17,7**	**16**	**15,6**	**15,8**	**6,3**	**0**	**0**	**18,4**	**18,4**
Уровни звукового давления от источника ИШ-2-7 в расчётной точке ночью, дБ		**ф-ла(3)[10]**	**0**	**26,5**	**17,7**	**16**	**15,6**	**15,8**	**6,3**	**0**	**0**	**18,4**	**18,4**
Источник шума: ИШ-2-8, координаты источника (x,y,z), м =[764.03,106.58,1.00]													
Уровни звуковой мощности источника днём, Lw, дБ		**исходные данные**	**0**	**93,3**	**94,7**	**96**	**96,3**	**95,9**	**92,6**	**88,4**	**83,9**		
Уровни звуковой мощности источника ночью, Lw, дБ		**исходные данные**	**0**	**93,3**	**94,7**	**96**	**96,3**	**95,9**	**92,6**	**88,4**	**83,9**		
Поправка на телесный угол DΩ, дБ	Ω = 6.28	10Lg(4π/Ω)	**3**	3	3	3	3	3	3	3	3		
Показатель направленности источника Di, дБ		исходные данные	**0**	0	0	0	0	0	0	0	0		
Поправка на направленность источника Dc, дБ	Dc	DΩ + Di	**3**	3	3	3	3	3	3	3	3		
Затухание из-за геометрической дивергенции, Adiv, дБ	расстояние = 1686.84 м	ф-ла (7) [10]	**75,5**										
Коэффициент затухания звука в атмосфере α, дБ/км	Ta=20,°C Pa=101.33,кПа hотн.=70%	ф-ла (5) [9]	0,02	0,09	0,33	1,12	2,79	4,98	9,04	23,09	77,63		
Учет затухания звука в атмосфере Aatm, дБ		ф-ла (8) [10]	0	0,2	0,6	1,9	4,7	8,4	15,2	38,9	131		
Снижение поверхностью земли возле источника As, дБ	Gs = 0 hs = 1м	ф-лы таб.3 [10]	-1,5	-1,5	-1,5	-1,5	-1,5	-1,5	-1,5	-1,5	-1,5		

1		2	3	4	5	6	7	8	9	10	11	12	13
Снижение поверхностью земли возле приёмника Ar, дБ	Gr = 1 hr = 1.5м	ф-лы таб.3 [10]	-1,5	-1,5	5,3	7	5	0,7	0	0	0		
Снижение поверхностью земли в средней зоне, Am дБ	Gm = 1	ф-лы таб.3 [10]	-2,9	-2,9	0	0	0	0	0	0	0		
Суммарное снижение поверхностью земли на траектории распространения звука Agr, дБ		ф-ла (9) [10]	-5,9	-5,9	3,8	5,5	3,5	-0,8	-1,5	-1,5	-1,5		
Уровни звукового давления прямого звука от источника ИШ-2-8 в расчётной точке днём, дБ		**ф-ла(3)[10]**	**0**	**26,5**	**17,7**	**16**	**15,6**	**15,8**	**6,3**	**0**	**0**	**18,4**	**18,4**
Уровни звукового давления прямого звука от источника ИШ-2-8 в расчётной точке ночью, дБ		**ф-ла(3)[10]**	**0**	**26,5**	**17,7**	**16**	**15,6**	**15,8**	**6,3**	**0**	**0**	**18,4**	**18,4**
Расчёт отражённого звука													
Уровни звукового давления от мнимого источника ИШ-2-8_мн.(1) в расчётной точке днём, дБ		**ф-ла(3)[10]**	**0**	**0**	**0**	**0**	**0**	**0**	**0**	**0**	**0**	**0**	**0**
Уровни звукового давления от мнимого источника ИШ-2-8_мн.(1) в расчётной точке ночью, дБ		**ф-ла(3)[10]**	**0**	**0**	**0**	**0**	**0**	**0**	**0**	**0**	**0**	**0**	**0**
Уровни звукового давления от источника ИШ-2-8 в расчётной точке днём, дБ		**ф-ла(3)[10]**	**0**	**26,5**	**17,7**	**16**	**15,6**	**15,8**	**6,3**	**0**	**0**	**18,4**	**18,4**
Уровни звукового давления от источника ИШ-2-8 в расчётной точке ночью, дБ		**ф-ла(3)[10]**	**0**	**26,5**	**17,7**	**16**	**15,6**	**15,8**	**6,3**	**0**	**0**	**18,4**	**18,4**
Источник шума: ИШ-2-9, координаты источника (x,y,z), м =[763.26,103.71,1.00]													
Уровни звуковой мощности источника днём, Lw, дБ		**исходные данные**	**0**	**93,3**	**94,7**	**96**	**96,3**	**95,9**	**92,6**	**88,4**	**83,9**		
Уровни звуковой мощности источника ночью, Lw, дБ		**исходные данные**	**0**	**93,3**	**94,7**	**96**	**96,3**	**95,9**	**92,6**	**88,4**	**83,9**		
Поправка на телесный угол DΩ, дБ	Ω = 6.28	10Lg(4π/Ω)	**3**	3	3	3	3	3	3	3	3		
Показатель направленности источника Di, дБ		исходные данные	**0**	0	0	0	0	0	0	0	0		
Поправка на направленность источника Dc, дБ	Dc	DΩ + Di	**3**	3	3	3	3	3	3	3	3		
Затухание из-за геометрической дивергенции, Adiv, дБ	расстояние = 1686.11 м	ф-ла (7) [10]	**75,5**										

1		2	3	4	5	6	7	8	9	10	11	12	13
Коэффициент затухания звука в атмосфере α, дБ/км	Ta=20,°C Pa=101.33,кПа hотн.=70%	ф-ла (5) [9]	0,02	0,09	0,33	1,12	2,79	4,98	9,04	23,09	77,63		
Учет затухания звука в атмосфере Aatm, дБ		ф-ла (8) [10]	0	0,2	0,6	1,9	4,7	8,4	15,2	38,9	130,9		
Снижение поверхностью земли возле источника As, дБ	Gs = 0 hs = 1м	ф-лы таб.3 [10]	-1,5	-1,5	-1,5	-1,5	-1,5	-1,5	-1,5	-1,5	-1,5		
Снижение поверхностью земли возле приёмника Ar, дБ	Gr = 1 hr = 1.5м	ф-лы таб.3 [10]	-1,5	-1,5	5,3	7	5	0,7	0	0	0		
Снижение поверхностью земли в средней зоне, Am дБ	Gm = 1	ф-лы таб.3 [10]	-2,9	-2,9	0	0	0	0	0	0	0		
Суммарное снижение поверхностью земли на траектории распространения звука Agr, дБ		ф-ла (9) [10]	-5,9	-5,9	3,8	5,5	3,5	-0,8	-1,5	-1,5	-1,5		
Уровни звукового давления от источника ИШ-2-9 в расчётной точке днём, дБ		**ф-ла(3)[10]**	**0**	**26,5**	**17,7**	**16**	**15,6**	**15,8**	**6,3**	**0**	**0**	**18,4**	**18,4**
Уровни звукового давления от источника ИШ-2-9 в расчётной точке ночью, дБ		**ф-ла(3)[10]**	**0**	**26,5**	**17,7**	**16**	**15,6**	**15,8**	**6,3**	**0**	**0**	**18,4**	**18,4**
Источник шума: ИШ-2-10, координаты источника (x,y,z), м =[762.14,100.75,1.00]													
Уровни звуковой мощности источника днём, Lw, дБ		**исходные данные**	**0**	**93,3**	**94,7**	**96**	**96,3**	**95,9**	**92,6**	**88,4**	**83,9**		
Уровни звуковой мощности источника ночью, Lw, дБ		**исходные данные**	**0**	**93,3**	**94,7**	**96**	**96,3**	**95,9**	**92,6**	**88,4**	**83,9**		
Поправка на телесный угол DΩ, дБ	Ω = 6.28	10Lg(4π/Ω)	**3**	3	3	3	3	3	3	3	3		
Показатель направленности источника Di, дБ		исходные данные	**0**	0	0	0	0	0	0	0	0		
Поправка на направленность источника Dc, дБ	Dc	DΩ + Di	**3**	3	3	3	3	3	3	3	3		
Затухание из-за геометрической дивергенции, Adiv, дБ	расстояние = 1685.62 м	ф-ла (7) [10]	**75,5**										
Коэффициент затухания звука в атмосфере α, дБ/км	Ta=20,°C Pa=101.33,кПа hотн.=70%	ф-ла (5) [9]	0,02	0,09	0,33	1,12	2,79	4,98	9,04	23,09	77,63		

1		2	3	4	5	6	7	8	9	10	11	12	13
Учет затухания звука в атмосфере Aatm, дБ		ф-ла (8) [10]	0	0,2	0,6	1,9	4,7	8,4	15,2	38,9	130,9		
Снижение поверхностью земли возле источника As, дБ	Gs = 0 hs = 1м	ф-лы таб.3 [10]	-1,5	-1,5	-1,5	-1,5	-1,5	-1,5	-1,5	-1,5	-1,5		
Снижение поверхностью земли возле приёмника Ar, дБ	Gr = 1 hr = 1.5м	ф-лы таб.3 [10]	-1,5	-1,5	5,3	7	5	0,7	0	0	0		
Снижение поверхностью земли в средней зоне, Am дБ	Gm = 1	ф-лы таб.3 [10]	-2,9	-2,9	0	0	0	0	0	0	0		
Суммарное снижение поверхностью земли на траектории распространения звука Agr, дБ		ф-ла (9) [10]	-5,9	-5,9	3,8	5,5	3,5	-0,8	-1,5	-1,5	-1,5		
Уровни звукового давления прямого звука от источника ИШ-2-10 в расчётной точке днём, дБ		**ф-ла(3)[10]**	**0**	**26,5**	**17,7**	**16**	**15,6**	**15,8**	**6,3**	**0**	**0**	**18,4**	**18,4**
Уровни звукового давления прямого звука от источника ИШ-2-10 в расчётной точке ночью, дБ		**ф-ла(3)[10]**	**0**	**26,5**	**17,7**	**16**	**15,6**	**15,8**	**6,3**	**0**	**0**	**18,4**	**18,4**
Расчёт отражённого звука													
Уровни звукового давления от мнимого источника ИШ-2-10_мн.(1) в расчётной точке днём, дБ		**ф-ла(3)[10]**	**0**	**0**	**0**	**0**	**0**	**0**	**0**	**0**	**0**	**0**	**0**
Уровни звукового давления от мнимого источника ИШ-2-10_мн.(1) в расчётной точке ночью, дБ		**ф-ла(3)[10]**	**0**	**0**	**0**	**0**	**0**	**0**	**0**	**0**	**0**	**0**	**0**
Уровни звукового давления от источника ИШ-2-10 в расчётной точке днём, дБ		**ф-ла(3)[10]**	**0**	**26,5**	**17,7**	**16**	**15,6**	**15,8**	**6,3**	**0**	**0**	**18,4**	**18,4**
Уровни звукового давления от источника ИШ-2-10 в расчётной точке ночью, дБ		**ф-ла(3)[10]**	**0**	**26,5**	**17,7**	**16**	**15,6**	**15,8**	**6,3**	**0**	**0**	**18,4**	**18,4**
Источник шума: ИШ-2-11, координаты источника (x,y,z), м =[761.13,97.90,1.00]													
Уровни звуковой мощности источника днём, Lw, дБ		**исходные данные**	**0**	**93,3**	**94,7**	**96**	**96,3**	**95,9**	**92,6**	**88,4**	**83,9**		
Уровни звуковой мощности источника ночью, Lw, дБ		**исходные данные**	**0**	**93,3**	**94,7**	**96**	**96,3**	**95,9**	**92,6**	**88,4**	**83,9**		
Поправка на телесный угол DΩ, дБ	Ω = 6.28	10Lg(4π/Ω)	**3**	3	3	3	3	3	3	3	3		
Показатель направленности источника Di, дБ		исходные данные	**0**	0	0	0	0	0	0	0	0		

1		2	3	4	5	6	7	8	9	10	11	12	13
Поправка на направленность источника Dc, дБ	Dc	DΩ + Di	**3**	3	3	3	3	3	3	3	3		
Затухание из-за геометрической дивергенции, Adiv, дБ	расстояние = 1685.12 м	ф-ла (7) [10]	**75,5**										
Коэффициент затухания звука в атмосфере α, дБ/км	Ta=20,°C Pa=101.33,кПа hотн.=70%	ф-ла (5) [9]	0,02	0,09	0,33	1,12	2,79	4,98	9,04	23,09	77,63		
Учет затухания звука в атмосфере Aatm, дБ		ф-ла (8) [10]	0	0,2	0,6	1,9	4,7	8,4	15,2	38,9	130,8		
Снижение поверхностью земли возле источника As, дБ	Gs = 0 hs = 1м	ф-лы таб.3 [10]	-1,5	-1,5	-1,5	-1,5	-1,5	-1,5	-1,5	-1,5	-1,5		
Снижение поверхностью земли возле приёмника Ar, дБ	Gr = 1 hr = 1.5м	ф-лы таб.3 [10]	-1,5	-1,5	5,3	7	5	0,7	0	0	0		
Снижение поверхностью земли в средней зоне, Am дБ	Gm = 1	ф-лы таб.3 [10]	-2,9	-2,9	0	0	0	0	0	0	0		
Суммарное снижение поверхностью земли на траектории распространения звука Agr, дБ		ф-ла (9) [10]	-5,9	-5,9	3,8	5,5	3,5	-0,8	-1,5	-1,5	-1,5		
Уровни звукового давления прямого звука от источника ИШ-2-11 в расчётной точке днём, дБ		**ф-ла(3)[10]**	**0**	**26,5**	**17,8**	**16**	**15,6**	**15,8**	**6,3**	**0**	**0**	**18,4**	**18,4**
Уровни звукового давления прямого звука от источника ИШ-2-11 в расчётной точке ночью, дБ		**ф-ла(3)[10]**	**0**	**26,5**	**17,8**	**16**	**15,6**	**15,8**	**6,3**	**0**	**0**	**18,4**	**18,4**
Расчёт отражённого звука													
Уровни звукового давления от мнимого источника ИШ-2-11_мн.(1) в расчётной точке днём, дБ		**ф-ла(3)[10]**	**0**	**0**	**0**	**0**	**0**	**0**	**0**	**0**	**0**	**0**	**0**
Уровни звукового давления от мнимого источника ИШ-2-11_мн.(1) в расчётной точке ночью, дБ		**ф-ла(3)[10]**	**0**	**0**	**0**	**0**	**0**	**0**	**0**	**0**	**0**	**0**	**0**
Уровни звукового давления от источника ИШ-2-11 в расчётной точке днём, дБ		**ф-ла(3)[10]**	**0**	**26,5**	**17,8**	**16**	**15,6**	**15,8**	**6,3**	**0**	**0**	**18,4**	**18,4**
Уровни звукового давления от источника ИШ-2-11 в расчётной точке ночью, дБ		**ф-ла(3)[10]**	**0**	**26,5**	**17,8**	**16**	**15,6**	**15,8**	**6,3**	**0**	**0**	**18,4**	**18,4**
Источник шума: ИШ-2-12, координаты источника (x,y,z), м =[760.25,95.02,1.00]													

1		2	3	4	5	6	7	8	9	10	11	12	13
Уровни звуковой мощности источника днём, Lw, дБ		**исходные данные**	**0**	**93,3**	**94,7**	**96**	**96,3**	**95,9**	**92,6**	**88,4**	**83,9**		
Уровни звуковой мощности источника ночью, Lw, дБ		**исходные данные**	**0**	**93,3**	**94,7**	**96**	**96,3**	**95,9**	**92,6**	**88,4**	**83,9**		
Поправка на телесный угол DΩ, дБ	Ω = 6.28	10Lg(4π/Ω)	**3**	3	3	3	3	3	3	3	3		
Показатель направленности источника Di, дБ		исходные данные	**0**	0	0	0	0	0	0	0	0		
Поправка на направленность источника Dc, дБ	Dc	DΩ + Di	**3**	3	3	3	3	3	3	3	3		
Затухание из-за геометрической дивергенции, Adiv, дБ	расстояние = 1684.47 м	ф-ла (7) [10]	**75,5**										
Коэффициент затухания звука в атмосфере α, дБ/км	Ta=20,°C Pa=101.33,кПа hотн.=70%	ф-ла (5) [9]	0,02	0,09	0,33	1,12	2,79	4,98	9,04	23,09	77,63		
Учет затухания звука в атмосфере Aatm, дБ		ф-ла (8) [10]	0	0,2	0,6	1,9	4,7	8,4	15,2	38,9	130,8		
Снижение поверхностью земли возле источника As, дБ	Gs = 0 hs = 1м	ф-лы таб.3 [10]	-1,5	-1,5	-1,5	-1,5	-1,5	-1,5	-1,5	-1,5	-1,5		
Снижение поверхностью земли возле приёмника Ar, дБ	Gr = 1 hr = 1.5м	ф-лы таб.3 [10]	-1,5	-1,5	5,3	7	5	0,7	0	0	0		
Снижение поверхностью земли в средней зоне, Am дБ	Gm = 1	ф-лы таб.3 [10]	-2,9	-2,9	0	0	0	0	0	0	0		
Суммарное снижение поверхностью земли на траектории распространения звука Agr, дБ		ф-ла (9) [10]	-5,9	-5,9	3,8	5,5	3,5	-0,8	-1,5	-1,5	-1,5		
Уровни звукового давления прямого звука от источника ИШ-2-12 в расчётной точке днём, дБ		**ф-ла(3)[10]**	**0**	**26,5**	**17,8**	**16**	**15,6**	**15,8**	**6,3**	**0**	**0**	**18,4**	**18,4**
Уровни звукового давления прямого звука от источника ИШ-2-12 в расчётной точке ночью, дБ		**ф-ла(3)[10]**	**0**	**26,5**	**17,8**	**16**	**15,6**	**15,8**	**6,3**	**0**	**0**	**18,4**	**18,4**
Расчёт отражённого звука													
Уровни звукового давления от мнимого источника ИШ-2-12_мн.(1) в расчётной точке днём, дБ		**ф-ла(3)[10]**	**0**	**0**	**0**	**0**	**0**	**0**	**0**	**0**	**0**	**0**	**0**
Уровни звукового давления от мнимого источника ИШ-2-12_мн.(1) в расчётной точке ночью, дБ		**ф-ла(3)[10]**	**0**	**0**	**0**	**0**	**0**	**0**	**0**	**0**	**0**	**0**	**0**

1		2	3	4	5	6	7	8	9	10	11	12	13
Уровни звукового давления от источника ИШ-2-12 в расчётной точке днём, дБ		**ф-ла(3)[10]**	**0**	**26,5**	**17,8**	**16**	**15,6**	**15,8**	**6,3**	**0**	**0**	**18,4**	**18,4**
Уровни звукового давления от источника ИШ-2-12 в расчётной точке ночью, дБ		**ф-ла(3)[10]**	**0**	**26,5**	**17,8**	**16**	**15,6**	**15,8**	**6,3**	**0**	**0**	**18,4**	**18,4**
Источник шума: ИШ-2-13, координаты источника (x,y,z), м =[759.28,92.25,1.00]													
Уровни звуковой мощности источника днём, Lw, дБ		**исходные данные**	**0**	**93,3**	**94,7**	**96**	**96,3**	**95,9**	**92,6**	**88,4**	**83,9**		
Уровни звуковой мощности источника ночью, Lw, дБ		**исходные данные**	**0**	**93,3**	**94,7**	**96**	**96,3**	**95,9**	**92,6**	**88,4**	**83,9**		
Поправка на телесный угол DΩ, дБ	Ω = 6.28	10Lg(4π/Ω)	**3**	3	3	3	3	3	3	3	3		
Показатель направленности источника Di, дБ		исходные данные	**0**	0	0	0	0	0	0	0	0		
Поправка на направленность источника Dc, дБ	Dc	DΩ + Di	**3**	3	3	3	3	3	3	3	3		
Затухание из-за геометрической дивергенции, Adiv, дБ	расстояние = 1683.98 м	ф-ла (7) [10]	**75,5**										
Коэффициент затухания звука в атмосфере α, дБ/км	Ta=20,°C Pa=101.33,кПа hотн.=70%	ф-ла (5) [9]	0,02	0,09	0,33	1,12	2,79	4,98	9,04	23,09	77,63		
Учет затухания звука в атмосфере Aatm, дБ		ф-ла (8) [10]	0	0,2	0,6	1,9	4,7	8,4	15,2	38,9	130,7		
Снижение поверхностью земли возле источника As, дБ	Gs = 0 hs = 1м	ф-лы таб.3 [10]	-1,5	-1,5	-1,5	-1,5	-1,5	-1,5	-1,5	-1,5	-1,5		
Снижение поверхностью земли возле приёмника Ar, дБ	Gr = 1 hr = 1.5м	ф-лы таб.3 [10]	-1,5	-1,5	5,3	7	5	0,7	0	0	0		
Снижение поверхностью земли в средней зоне, Am дБ	Gm = 1	ф-лы таб.3 [10]	-2,9	-2,9	0	0	0	0	0	0	0		
Суммарное снижение поверхностью земли на траектории распространения звука Agr, дБ		ф-ла (9) [10]	-5,9	-5,9	3,8	5,5	3,5	-0,8	-1,5	-1,5	-1,5		
Уровни звукового давления прямого звука от источника ИШ-2-13 в расчётной точке днём, дБ		**ф-ла(3)[10]**	**0**	**26,5**	**17,8**	**16**	**15,6**	**15,8**	**6,3**	**0**	**0**	**18,4**	**18,4**

1		2	3	4	5	6	7	8	9	10	11	12	13
Уровни звукового давления прямого звука от источника ИШ-2-13 в расчётной точке ночью, дБ		**ф-ла(3)[10]**	**0**	**26,5**	**17,8**	**16**	**15,6**	**15,8**	**6,3**	**0**	**0**	**18,4**	**18,4**
Расчёт отражённого звука													
Уровни звукового давления от мнимого источника ИШ-2-13_мн.(1) в расчётной точке днём, дБ		**ф-ла(3)[10]**	**0**	**0**	**0**	**0**	**0**	**0**	**0**	**0**	**0**	**0**	**0**
Уровни звукового давления от мнимого источника ИШ-2-13_мн.(1) в расчётной точке ночью, дБ		**ф-ла(3)[10]**	**0**	**0**	**0**	**0**	**0**	**0**	**0**	**0**	**0**	**0**	**0**
Уровни звукового давления от источника ИШ-2-13 в расчётной точке днём, дБ		**ф-ла(3)[10]**	**0**	**26,5**	**17,8**	**16**	**15,6**	**15,8**	**6,3**	**0**	**0**	**18,4**	**18,4**
Уровни звукового давления от источника ИШ-2-13 в расчётной точке ночью, дБ		**ф-ла(3)[10]**	**0**	**26,5**	**17,8**	**16**	**15,6**	**15,8**	**6,3**	**0**	**0**	**18,4**	**18,4**
Источник шума: ИШ-2-14, координаты источника (x,y,z), м =[751.62,69.73,1.00]													
Уровни звуковой мощности источника днём, Lw, дБ		**исходные данные**	**0**	**93,3**	**94,7**	**96**	**96,3**	**95,9**	**92,6**	**88,4**	**83,9**		
Уровни звуковой мощности источника ночью, Lw, дБ		**исходные данные**	**0**	**93,3**	**94,7**	**96**	**96,3**	**95,9**	**92,6**	**88,4**	**83,9**		
Поправка на телесный угол DΩ, дБ	Ω = 6.28	10Lg(4π/Ω)	**3**	3	3	3	3	3	3	3	3		
Показатель направленности источника Di, дБ		исходные данные	**0**	0	0	0	0	0	0	0	0		
Поправка на направленность источника Dc, дБ	Dc	DΩ + Di	**3**	3	3	3	3	3	3	3	3		
Затухание из-за геометрической дивергенции, Adiv, дБ	расстояние = 1679.90 м	ф-ла (7) [10]	**75,5**										
Коэффициент затухания звука в атмосфере α, дБ/км	Ta=20,°C Pa=101.33,кПа hотн.=70%	ф-ла (5) [9]	0,02	0,09	0,33	1,12	2,79	4,98	9,04	23,09	77,63		
Учет затухания звука в атмосфере Aatm, дБ		ф-ла (8) [10]	0	0,2	0,6	1,9	4,7	8,4	15,2	38,8	130,4		
Снижение поверхностью земли возле источника As, дБ	Gs = 0 hs = 1м	ф-лы таб.3 [10]	-1,5	-1,5	-1,5	-1,5	-1,5	-1,5	-1,5	-1,5	-1,5		

1		2	3	4	5	6	7	8	9	10	11	12	13
Снижение поверхностью земли возле приёмника Ar, дБ	Gr = 1 hr = 1.5м	ф-лы таб.3 [10]	-1,5	-1,5	5,3	7	5	0,7	0	0	0		
Снижение поверхностью земли в средней зоне, Am дБ	Gm = 1	ф-лы таб.3 [10]	-2,9	-2,9	0	0	0	0	0	0	0		
Суммарное снижение поверхностью земли на траектории распространения звука Agr, дБ		ф-ла (9) [10]	-5,9	-5,9	3,8	5,5	3,5	-0,8	-1,5	-1,5	-1,5		
Уровни звукового давления прямого звука от источника ИШ-2-14 в расчётной точке днём, дБ		**ф-ла(3)[10]**	**0**	**26,5**	**17,8**	**16,1**	**15,6**	**15,9**	**6,4**	**0**	**0**	**18,4**	**18,4**
Уровни звукового давления прямого звука от источника ИШ-2-14 в расчётной точке ночью, дБ		**ф-ла(3)[10]**	**0**	**26,5**	**17,8**	**16,1**	**15,6**	**15,9**	**6,4**	**0**	**0**	**18,4**	**18,4**
Расчёт отражённого звука													
Уровни звукового давления от мнимого источника ИШ-2-14_мн.(1) в расчётной точке днём, дБ		**ф-ла(3)[10]**	**0**	**0**	**0**	**0**	**0**	**0**	**0**	**0**	**0**	**0**	**0**
Уровни звукового давления от мнимого источника ИШ-2-14_мн.(1) в расчётной точке ночью, дБ		**ф-ла(3)[10]**	**0**	**0**	**0**	**0**	**0**	**0**	**0**	**0**	**0**	**0**	**0**
Уровни звукового давления от источника ИШ-2-14 в расчётной точке днём, дБ		**ф-ла(3)[10]**	**0**	**26,5**	**17,8**	**16,1**	**15,6**	**15,9**	**6,4**	**0**	**0**	**18,4**	**18,4**
Уровни звукового давления от источника ИШ-2-14 в расчётной точке ночью, дБ		**ф-ла(3)[10]**	**0**	**26,5**	**17,8**	**16,1**	**15,6**	**15,9**	**6,4**	**0**	**0**	**18,4**	**18,4**
Источник шума: ИШ-2-15, координаты источника (x,y,z), м =[750.74,66.89,1.00]													
Уровни звуковой мощности источника днём, Lw, дБ		**исходные данные**	**0**	**93,3**	**94,7**	**96**	**96,3**	**95,9**	**92,6**	**88,4**	**83,9**		
Уровни звуковой мощности источника ночью, Lw, дБ		**исходные данные**	**0**	**93,3**	**94,7**	**96**	**96,3**	**95,9**	**92,6**	**88,4**	**83,9**		
Поправка на телесный угол DΩ, дБ	Ω = 6.28	10Lg(4π/Ω)	**3**	3	3	3	3	3	3	3	3		
Показатель направленности источника Di, дБ		исходные данные	**0**	0	0	0	0	0	0	0	0		
Поправка на направленность источника Dc, дБ	Dc	DΩ + Di	**3**	3	3	3	3	3	3	3	3		
Затухание из-за геометрической дивергенции, Adiv, дБ	расстояние = 1679.33 м	ф-ла (7) [10]	**75,5**										

1		2	3	4	5	6	7	8	9	10	11	12	13
Коэффициент затухания звука в атмосфере α, дБ/км	Та=20,°С Ра=101.33,кПа hотн.=70%	ф-ла (5) [9]	0,02	0,09	0,33	1,12	2,79	4,98	9,04	23,09	77,63		
Учет затухания звука в атмосфере Aatm, дБ		ф-ла (8) [10]	0	0,2	0,6	1,9	4,7	8,4	15,2	38,8	130,4		
Снижение поверхностью земли возле источника As, дБ	Gs = 0 hs = 1м	ф-лы таб.3 [10]	-1,5	-1,5	-1,5	-1,5	-1,5	-1,5	-1,5	-1,5	-1,5		
Снижение поверхностью земли возле приёмника Ar, дБ	Gr = 1 hr = 1.5м	ф-лы таб.3 [10]	-1,5	-1,5	5,3	7	5	0,7	0	0	0		
Снижение поверхностью земли в средней зоне, Am дБ	Gm = 1	ф-лы таб.3 [10]	-2,9	-2,9	0	0	0	0	0	0	0		
Суммарное снижение поверхностью земли на траектории распространения звука Agr, дБ		ф-ла (9) [10]	-5,9	-5,9	3,8	5,5	3,5	-0,8	-1,5	-1,5	-1,5		
Уровни звукового давления прямого звука от источника ИШ-2-15 в расчётной точке днём, дБ		**ф-ла(3)[10]**	**0**	**26,5**	**17,8**	**16,1**	**15,6**	**15,9**	**6,4**	**0**	**0**	**18,5**	**18,5**
Уровни звукового давления прямого звука от источника ИШ-2-15 в расчётной точке ночью, дБ		**ф-ла(3)[10]**	**0**	**26,5**	**17,8**	**16,1**	**15,6**	**15,9**	**6,4**	**0**	**0**	**18,5**	**18,5**
Расчёт отражённого звука													
Уровни звукового давления от мнимого источника ИШ-2-15_мн.(1) в расчётной точке днём, дБ		**ф-ла(3)[10]**	**0**	**0**	**0**	**0**	**0**	**0**	**0**	**0**	**0**	**0**	**0**
Уровни звукового давления от мнимого источника ИШ-2-15_мн.(1) в расчётной точке ночью, дБ		**ф-ла(3)[10]**	**0**	**0**	**0**	**0**	**0**	**0**	**0**	**0**	**0**	**0**	**0**
Уровни звукового давления от источника ИШ-2-15 в расчётной точке днём, дБ		**ф-ла(3)[10]**	**0**	**26,5**	**17,8**	**16,1**	**15,6**	**15,9**	**6,4**	**0**	**0**	**18,5**	**18,5**
Уровни звукового давления от источника ИШ-2-15 в расчётной точке ночью, дБ		**ф-ла(3)[10]**	**0**	**26,5**	**17,8**	**16,1**	**15,6**	**15,9**	**6,4**	**0**	**0**	**18,5**	**18,5**
Источник шума: ИШ-2-16, координаты источника (x,y,z), м =[749.73,64.02,1.00]													
Уровни звуковой мощности источника днём, Lw, дБ		**исходные данные**	**0**	**93,3**	**94,7**	**96**	**96,3**	**95,9**	**92,6**	**88,4**	**83,9**		
Уровни звуковой мощности источника ночью, Lw, дБ		**исходные данные**	**0**	**93,3**	**94,7**	**96**	**96,3**	**95,9**	**92,6**	**88,4**	**83,9**		

1		2	3	4	5	6	7	8	9	10	11	12	13
Поправка на телесный угол DΩ, дБ	Ω = 6.28	10Lg(4π/Ω)	**3**	3	3	3	3	3	3	3	3		
Показатель направленности источника Di, дБ		исходные данные	**0**	0	0	0	0	0	0	0	0		
Поправка на направленность источника Dc, дБ	Dc	DΩ + Di	**3**	3	3	3	3	3	3	3	3		
Затухание из-за геометрической дивергенции, Adiv, дБ	расстояние = 1678.87 м	ф-ла (7) [10]	**75,5**										
Коэффициент затухания звука в атмосфере α, дБ/км	Ta=20,°C Pa=101.33,кПа hотн.=70%	ф-ла (5) [9]	0,02	0,09	0,33	1,12	2,79	4,98	9,04	23,09	77,63		
Учет затухания звука в атмосфере Aatm, дБ		ф-ла (8) [10]	0	0,2	0,6	1,9	4,7	8,4	15,2	38,8	130,3		
Снижение поверхностью земли возле источника As, дБ	Gs = 0 hs = 1м	ф-лы таб.3 [10]	-1,5	-1,5	-1,5	-1,5	-1,5	-1,5	-1,5	-1,5	-1,5		
Снижение поверхностью земли возле приёмника Ar, дБ	Gr = 1 hr = 1.5м	ф-лы таб.3 [10]	-1,5	-1,5	5,3	7	5	0,7	0	0	0		
Снижение поверхностью земли в средней зоне, Am дБ	Gm = 1	ф-лы таб.3 [10]	-2,9	-2,9	0	0	0	0	0	0	0		
Суммарное снижение поверхностью земли на траектории распространения звука Agr, дБ		ф-ла (9) [10]	-5,9	-5,9	3,8	5,5	3,5	-0,8	-1,5	-1,5	-1,5		
Уровни звукового давления прямого звука от источника ИШ-2-16 в расчётной точке днём, дБ		**ф-ла(3)[10]**	**0**	**26,5**	**17,8**	**16,1**	**15,6**	**15,9**	**6,4**	**0**	**0**	**18,5**	**18,5**
Уровни звукового давления прямого звука от источника ИШ-2-16 в расчётной точке ночью, дБ		**ф-ла(3)[10]**	**0**	**26,5**	**17,8**	**16,1**	**15,6**	**15,9**	**6,4**	**0**	**0**	**18,5**	**18,5**
Расчёт отражённого звука													
Уровни звукового давления от мнимого источника ИШ-2-16_мн.(1) в расчётной точке днём, дБ		**ф-ла(3)[10]**	**0**	**0**	**0**	**0**	**0**	**0**	**0**	**0**	**0**	**0**	**0**
Уровни звукового давления от мнимого источника ИШ-2-16_мн.(1) в расчётной точке ночью, дБ		**ф-ла(3)[10]**	**0**	**0**	**0**	**0**	**0**	**0**	**0**	**0**	**0**	**0**	**0**
Уровни звукового давления от источника ИШ-2-16 в расчётной точке днём, дБ		**ф-ла(3)[10]**	**0**	**26,5**	**17,8**	**16,1**	**15,6**	**15,9**	**6,4**	**0**	**0**	**18,5**	**18,5**
Уровни звукового давления от источника ИШ-2-16 в расчётной точке ночью, дБ		**ф-ла(3)[10]**	**0**	**26,5**	**17,8**	**16,1**	**15,6**	**15,9**	**6,4**	**0**	**0**	**18,5**	**18,5**

1		2	3	4	5	6	7	8	9	10	11	12	13
Источник шума: ИШ-2-17, координаты источника (x,y,z), м =[748.87,61.06,1.00]													
Уровни звуковой мощности источника днём, Lw, дБ		**исходные данные**	**0**	**93,3**	**94,7**	**96**	**96,3**	**95,9**	**92,6**	**88,4**	**83,9**		
Уровни звуковой мощности источника ночью, Lw, дБ		**исходные данные**	**0**	**93,3**	**94,7**	**96**	**96,3**	**95,9**	**92,6**	**88,4**	**83,9**		
Поправка на телесный угол DΩ, дБ	Ω = 6.28	10Lg(4π/Ω)	**3**	3	3	3	3	3	3	3	3		
Показатель направленности источника Di, дБ		исходные данные	**0**	0	0	0	0	0	0	0	0		
Поправка на направленность источника Dc, дБ	Dc	DΩ + Di	**3**	3	3	3	3	3	3	3	3		
Затухание из-за геометрической дивергенции, Adiv, дБ	расстояние = 1678.24 м	ф-ла (7) [10]	**75,5**										
Коэффициент затухания звука в атмосфере α, дБ/км	Ta=20,°C Pa=101.33,кПа hотн.=70%	ф-ла (5) [9]	0,02	0,09	0,33	1,12	2,79	4,98	9,04	23,09	77,63		
Учет затухания звука в атмосфере Aatm, дБ		ф-ла (8) [10]	0	0,2	0,6	1,9	4,7	8,4	15,2	38,7	130,3		
Снижение поверхностью земли возле источника As, дБ	Gs = 0 hs = 1м	ф-лы таб.3 [10]	-1,5	-1,5	-1,5	-1,5	-1,5	-1,5	-1,5	-1,5	-1,5		
Снижение поверхностью земли возле приёмника Ar, дБ	Gr = 1 hr = 1.5м	ф-лы таб.3 [10]	-1,5	-1,5	5,3	7	5	0,7	0	0	0		
Снижение поверхностью земли в средней зоне, Am дБ	Gm = 1	ф-лы таб.3 [10]	-2,9	-2,9	0	0	0	0	0	0	0		
Суммарное снижение поверхностью земли на траектории распространения звука Agr, дБ		ф-ла (9) [10]	-5,9	-5,9	3,8	5,5	3,5	-0,8	-1,5	-1,5	-1,5		
Уровни звукового давления прямого звука от источника ИШ-2-17 в расчётной точке днём, дБ		**ф-ла(3)[10]**	**0**	**26,5**	**17,8**	**16,1**	**15,6**	**15,9**	**6,4**	**0**	**0**	**18,5**	**18,5**
Уровни звукового давления прямого звука от источника ИШ-2-17 в расчётной точке ночью, дБ		**ф-ла(3)[10]**	**0**	**26,5**	**17,8**	**16,1**	**15,6**	**15,9**	**6,4**	**0**	**0**	**18,5**	**18,5**
Расчёт отражённого звука													

1		2	3	4	5	6	7	8	9	10	11	12	13
Уровни звукового давления от мнимого источника ИШ-2-17_мн.(1) в расчётной точке днём, дБ		**ф-ла(3)[10]**	**0**	**0**	**0**	**0**	**0**	**0**	**0**	**0**	**0**	**0**	**0**
Уровни звукового давления от мнимого источника ИШ-2-17_мн.(1) в расчётной точке ночью, дБ		**ф-ла(3)[10]**	**0**	**0**	**0**	**0**	**0**	**0**	**0**	**0**	**0**	**0**	**0**
Уровни звукового давления от источника ИШ-2-17 в расчётной точке днём, дБ		**ф-ла(3)[10]**	**0**	**26,5**	**17,8**	**16,1**	**15,6**	**15,9**	**6,4**	**0**	**0**	**18,5**	**18,5**
Уровни звукового давления от источника ИШ-2-17 в расчётной точке ночью, дБ		**ф-ла(3)[10]**	**0**	**26,5**	**17,8**	**16,1**	**15,6**	**15,9**	**6,4**	**0**	**0**	**18,5**	**18,5**
Источник шума: ИШ-2-18, координаты источника (x,y,z), м =[747.72,58.17,1.00]													
Уровни звуковой мощности источника днём, Lw, дБ		**исходные данные**	**0**	**93,3**	**94,7**	**96**	**96,3**	**95,9**	**92,6**	**88,4**	**83,9**		
Уровни звуковой мощности источника ночью, Lw, дБ		**исходные данные**	**0**	**93,3**	**94,7**	**96**	**96,3**	**95,9**	**92,6**	**88,4**	**83,9**		
Поправка на телесный угол DΩ, дБ	Ω = 6.28	10Lg(4π/Ω)	**3**	3	3	3	3	3	3	3	3		
Показатель направленности источника Di, дБ		исходные данные	**0**	0	0	0	0	0	0	0	0		
Поправка на направленность источника Dc, дБ	Dc	DΩ + Di	**3**	3	3	3	3	3	3	3	3		
Затухание из-за геометрической дивергенции, Adiv, дБ	расстояние = 1677.91 м	ф-ла (7) [10]	**75,5**										
Коэффициент затухания звука в атмосфере α, дБ/км	Ta=20,°C Pa=101.33,кПа hотн.=70%	ф-ла (5) [9]	0,02	0,09	0,33	1,12	2,79	4,98	9,04	23,09	77,63		
Учет затухания звука в атмосфере Aatm, дБ		ф-ла (8) [10]	0	0,2	0,6	1,9	4,7	8,4	15,2	38,7	130,3		
Снижение поверхностью земли возле источника As, дБ	Gs = 0 hs = 1м	ф-лы таб.3 [10]	-1,5	-1,5	-1,5	-1,5	-1,5	-1,5	-1,5	-1,5	-1,5		
Снижение поверхностью земли возле приёмника Ar, дБ	Gr = 1 hr = 1.5м	ф-лы таб.3 [10]	-1,5	-1,5	5,3	7	5	0,7	0	0	0		
Снижение поверхностью земли в средней зоне, Am дБ	Gm = 1	ф-лы таб.3 [10]	-2,9	-2,9	0	0	0	0	0	0	0		

1		2	3	4	5	6	7	8	9	10	11	12	13
Суммарное снижение поверхностью земли на траектории распространения звука Agr, дБ		ф-ла (9) [10]	-5,9	-5,9	3,8	5,5	3,5	-0,8	-1,5	-1,5	-1,5		
Уровни звукового давления от источника ИШ-2-18 в расчётной точке днём, дБ		**ф-ла(3)[10]**	**0**	**26,5**	**17,8**	**16,1**	**15,6**	**15,9**	**6,4**	**0**	**0**	**18,5**	**18,5**
Уровни звукового давления от источника ИШ-2-18 в расчётной точке ночью, дБ		**ф-ла(3)[10]**	**0**	**26,5**	**17,8**	**16,1**	**15,6**	**15,9**	**6,4**	**0**	**0**	**18,5**	**18,5**
Источник шума: ИШ-2-19, координаты источника (x,y,z), м =[746.80,55.25,1.00]													
Уровни звуковой мощности источника днём, Lw, дБ		**исходные данные**	**0**	**93,3**	**94,7**	**96**	**96,3**	**95,9**	**92,6**	**88,4**	**83,9**		
Уровни звуковой мощности источника ночью, Lw, дБ		**исходные данные**	**0**	**93,3**	**94,7**	**96**	**96,3**	**95,9**	**92,6**	**88,4**	**83,9**		
Поправка на телесный угол DΩ, дБ	Ω = 6.28	10Lg(4π/Ω)	**3**	3	3	3	3	3	3	3	3		
Показатель направленности источника Di, дБ		исходные данные	**0**	0	0	0	0	0	0	0	0		
Поправка на направленность источника Dc, дБ	Dc	DΩ + Di	**3**	3	3	3	3	3	3	3	3		
Затухание из-за геометрической дивергенции, Adiv, дБ	расстояние = 1677.35 м	ф-ла (7) [10]	**75,5**										
Коэффициент затухания звука в атмосфере α, дБ/км	Ta=20,°C Pa=101.33,кПа hотн.=70%	ф-ла (5) [9]	0,02	0,09	0,33	1,12	2,79	4,98	9,04	23,09	77,63		
Учет затухания звука в атмосфере Aatm, дБ		ф-ла (8) [10]	0	0,1	0,6	1,9	4,7	8,3	15,2	38,7	130,2		
Снижение поверхностью земли возле источника As, дБ	Gs = 0 hs = 1м	ф-лы таб.3 [10]	-1,5	-1,5	-1,5	-1,5	-1,5	-1,5	-1,5	-1,5	-1,5		
Снижение поверхностью земли возле приёмника Ar, дБ	Gr = 1 hr = 1.5м	ф-лы таб.3 [10]	-1,5	-1,5	5,3	7	5	0,7	0	0	0		
Снижение поверхностью земли в средней зоне, Am дБ	Gm = 1	ф-лы таб.3 [10]	-2,9	-2,9	0	0	0	0	0	0	0		
Суммарное снижение поверхностью земли на траектории распространения звука Agr, дБ		ф-ла (9) [10]	-5,9	-5,9	3,8	5,5	3,5	-0,8	-1,5	-1,5	-1,5		

1		2	3	4	5	6	7	8	9	10	11	12	13
Уровни звукового давления прямого звука от источника ИШ-2-19 в расчётной точке днём, дБ		**ф-ла(3)[10]**	**0**	**26,5**	**17,8**	**16,1**	**15,6**	**15,9**	**6,4**	**0**	**0**	**18,5**	**18,5**
Уровни звукового давления прямого звука от источника ИШ-2-19 в расчётной точке ночью, дБ		**ф-ла(3)[10]**	**0**	**26,5**	**17,8**	**16,1**	**15,6**	**15,9**	**6,4**	**0**	**0**	**18,5**	**18,5**
Расчёт отражённого звука													
Уровни звукового давления от мнимого источника ИШ-2-19_мн.(1) в расчётной точке днём, дБ		**ф-ла(3)[10]**	**0**	**0**	**0**	**0**	**0**	**0**	**0**	**0**	**0**	**0**	**0**
Уровни звукового давления от мнимого источника ИШ-2-19_мн.(1) в расчётной точке ночью, дБ		**ф-ла(3)[10]**	**0**	**0**	**0**	**0**	**0**	**0**	**0**	**0**	**0**	**0**	**0**
Уровни звукового давления от источника ИШ-2-19 в расчётной точке днём, дБ		**ф-ла(3)[10]**	**0**	**26,5**	**17,8**	**16,1**	**15,6**	**15,9**	**6,4**	**0**	**0**	**18,5**	**18,5**
Уровни звукового давления от источника ИШ-2-19 в расчётной точке ночью, дБ		**ф-ла(3)[10]**	**0**	**26,5**	**17,8**	**16,1**	**15,6**	**15,9**	**6,4**	**0**	**0**	**18,5**	**18,5**
Источник шума: ИШ-2-20, координаты источника (x,y,z), м =[745.71,52.44,1.00]													
Уровни звуковой мощности источника днём, Lw, дБ		**исходные данные**	**0**	**93,3**	**94,7**	**96**	**96,3**	**95,9**	**92,6**	**88,4**	**83,9**		
Уровни звуковой мощности источника ночью, Lw, дБ		**исходные данные**	**0**	**93,3**	**94,7**	**96**	**96,3**	**95,9**	**92,6**	**88,4**	**83,9**		
Поправка на телесный угол DΩ, дБ	Ω = 6.28	10Lg(4π/Ω)	**3**	3	3	3	3	3	3	3	3		
Показатель направленности источника Di, дБ		исходные данные	**0**	0	0	0	0	0	0	0	0		
Поправка на направленность источника Dc, дБ	Dc	DΩ + Di	**3**	3	3	3	3	3	3	3	3		
Затухание из-за геометрической дивергенции, Adiv, дБ	расстояние = 1677.02 м	ф-ла (7) [10]	**75,5**										
Коэффициент затухания звука в атмосфере α, дБ/км	Та=20,°С Ра=101.33,кПа hотн.=70%	ф-ла (5) [9]	0,02	0,09	0,33	1,12	2,79	4,98	9,04	23,09	77,63		
Учет затухания звука в атмосфере Aatm, дБ		ф-ла (8) [10]	0	0,1	0,6	1,9	4,7	8,3	15,2	38,7	130,2		

1		2	3	4	5	6	7	8	9	10	11	12	13
Снижение поверхностью земли возле источника As, дБ	Gs = 0 hs = 1м	ф-лы таб.3 [10]	-1,5	-1,5	-1,5	-1,5	-1,5	-1,5	-1,5	-1,5	-1,5		
Снижение поверхностью земли возле приёмника Ar, дБ	Gr = 1 hr = 1.5м	ф-лы таб.3 [10]	-1,5	-1,5	5,3	7	5	0,7	0	0	0		
Снижение поверхностью земли в средней зоне, Am дБ	Gm = 1	ф-лы таб.3 [10]	-2,9	-2,9	0	0	0	0	0	0	0		
Суммарное снижение поверхностью земли на траектории распространения звука Agr, дБ		ф-ла (9) [10]	-5,9	-5,9	3,8	5,5	3,5	-0,8	-1,5	-1,5	-1,5		
Уровни звукового давления прямого звука от источника ИШ-2-20 в расчётной точке днём, дБ		**ф-ла(3)[10]**	**0**	**26,5**	**17,8**	**16,1**	**15,6**	**15,9**	**6,4**	**0**	**0**	**18,5**	**18,5**
Уровни звукового давления прямого звука от источника ИШ-2-20 в расчётной точке ночью, дБ		**ф-ла(3)[10]**	**0**	**26,5**	**17,8**	**16,1**	**15,6**	**15,9**	**6,4**	**0**	**0**	**18,5**	**18,5**
Расчёт отражённого звука													
Уровни звукового давления от мнимого источника ИШ-2-20_мн.(1) в расчётной точке днём, дБ		**ф-ла(3)[10]**	**0**	**0**	**0**	**0**	**0**	**0**	**0**	**0**	**0**	**0**	**0**
Уровни звукового давления от мнимого источника ИШ-2-20_мн.(1) в расчётной точке ночью, дБ		**ф-ла(3)[10]**	**0**	**0**	**0**	**0**	**0**	**0**	**0**	**0**	**0**	**0**	**0**
Уровни звукового давления от источника ИШ-2-20 в расчётной точке днём, дБ		**ф-ла(3)[10]**	**0**	**26,5**	**17,8**	**16,1**	**15,6**	**15,9**	**6,4**	**0**	**0**	**18,5**	**18,5**
Уровни звукового давления от источника ИШ-2-20 в расчётной точке ночью, дБ		**ф-ла(3)[10]**	**0**	**26,5**	**17,8**	**16,1**	**15,6**	**15,9**	**6,4**	**0**	**0**	**18,5**	**18,5**
Источник шума: ИШ-2-21, координаты источника (x,y,z), м =[744.89,49.62,1.00]													
Уровни звуковой мощности источника днём, Lw, дБ		**исходные данные**	**0**	**93,3**	**94,7**	**96**	**96,3**	**95,9**	**92,6**	**88,4**	**83,9**		
Уровни звуковой мощности источника ночью, Lw, дБ		**исходные данные**	**0**	**93,3**	**94,7**	**96**	**96,3**	**95,9**	**92,6**	**88,4**	**83,9**		
Поправка на телесный угол DΩ, дБ	Ω = 6.28	10Lg(4π/Ω)	**3**	3	3	3	3	3	3	3	3		
Показатель направленности источника Di, дБ		исходные данные	**0**	0	0	0	0	0	0	0	0		
Поправка на направленность источника Dc, дБ	Dc	DΩ + Di	**3**	3	3	3	3	3	3	3	3		

1		2	3	4	5	6	7	8	9	10	11	12	13
Затухание из-за геометрической дивергенции, Adiv, дБ	расстояние = 1676.43 м	ф-ла (7) [10]	**75,5**										
Коэффициент затухания звука в атмосфере α, дБ/км	Ta=20,°C Pa=101.33,кПа hотн.=70%	ф-ла (5) [9]	0,02	0,09	0,33	1,12	2,79	4,98	9,04	23,09	77,63		
Учет затухания звука в атмосфере Aatm, дБ		ф-ла (8) [10]	0	0,1	0,6	1,9	4,7	8,3	15,2	38,7	130,1		
Снижение поверхностью земли возле источника As, дБ	Gs = 0 hs = 1м	ф-лы таб.3 [10]	-1,5	-1,5	-1,5	-1,5	-1,5	-1,5	-1,5	-1,5	-1,5		
Снижение поверхностью земли возле приёмника Ar, дБ	Gr = 1 hr = 1.5м	ф-лы таб.3 [10]	-1,5	-1,5	5,3	7	5	0,7	0	0	0		
Снижение поверхностью земли в средней зоне, Am дБ	Gm = 1	ф-лы таб.3 [10]	-2,9	-2,9	0	0	0	0	0	0	0		
Суммарное снижение поверхностью земли на траектории распространения звука Agr, дБ		ф-ла (9) [10]	-5,9	-5,9	3,8	5,5	3,5	-0,8	-1,5	-1,5	-1,5		
Уровни звукового давления прямого звука от источника ИШ-2-21 в расчётной точке днём, дБ		**ф-ла(3)[10]**	**0**	**26,5**	**17,8**	**16,1**	**15,7**	**15,9**	**6,5**	**0**	**0**	**18,5**	**18,5**
Уровни звукового давления прямого звука от источника ИШ-2-21 в расчётной точке ночью, дБ		**ф-ла(3)[10]**	**0**	**26,5**	**17,8**	**16,1**	**15,7**	**15,9**	**6,5**	**0**	**0**	**18,5**	**18,5**
Расчёт отражённого звука													
Уровни звукового давления от мнимого источника ИШ-2-21_мн.(1) в расчётной точке днём, дБ		**ф-ла(3)[10]**	**0**	**0**	**0**	**0**	**0**	**0**	**0**	**0**	**0**	**0**	**0**
Уровни звукового давления от мнимого источника ИШ-2-21_мн.(1) в расчётной точке ночью, дБ		**ф-ла(3)[10]**	**0**	**0**	**0**	**0**	**0**	**0**	**0**	**0**	**0**	**0**	**0**
Уровни звукового давления от источника ИШ-2-21 в расчётной точке днём, дБ		**ф-ла(3)[10]**	**0**	**26,5**	**17,8**	**16,1**	**15,7**	**15,9**	**6,5**	**0**	**0**	**18,5**	**18,5**
Уровни звукового давления от источника ИШ-2-21 в расчётной точке ночью, дБ		**ф-ла(3)[10]**	**0**	**26,5**	**17,8**	**16,1**	**15,7**	**15,9**	**6,5**	**0**	**0**	**18,5**	**18,5**
Источник шума: ИШ-2-22, координаты источника (x,y,z), м =[737.40,27.07,1.00]													
Уровни звуковой мощности источника днём, Lw, дБ		**исходные данные**	**0**	**93,3**	**94,7**	**96**	**96,3**	**95,9**	**92,6**	**88,4**	**83,9**		

1		2	3	4	5	6	7	8	9	10	11	12	13
Уровни звуковой мощности источника ночью, Lw, дБ		**исходные данные**	**0**	**93,3**	**94,7**	**96**	**96,3**	**95,9**	**92,6**	**88,4**	**83,9**		
Поправка на телесный угол DΩ, дБ	Ω = 6.28	10Lg(4π/Ω)	**3**	3	3	3	3	3	3	3	3		
Показатель направленности источника Di, дБ		исходные данные	**0**	0	0	0	0	0	0	0	0		
Поправка на направленность источника Dc, дБ	Dc	DΩ + Di	**3**	3	3	3	3	3	3	3	3		
Затухание из-за геометрической дивергенции, Adiv, дБ	расстояние = 1672.82 м	ф-ла (7) [10]	**75,5**										
Коэффициент затухания звука в атмосфере α, дБ/км	Ta=20,°C Pa=101.33,кПа hотн.=70%	ф-ла (5) [9]	0,02	0,09	0,33	1,12	2,79	4,98	9,04	23,09	77,63		
Учет затухания звука в атмосфере Aatm, дБ		ф-ла (8) [10]	0	0,1	0,6	1,9	4,7	8,3	15,1	38,6	129,9		
Снижение поверхностью земли возле источника As, дБ	Gs = 0 hs = 1м	ф-лы таб.3 [10]	-1,5	-1,5	-1,5	-1,5	-1,5	-1,5	-1,5	-1,5	-1,5		
Снижение поверхностью земли возле приёмника Ar, дБ	Gr = 1 hr = 1.5м	ф-лы таб.3 [10]	-1,5	-1,5	5,3	7	5	0,7	0	0	0		
Снижение поверхностью земли в средней зоне, Am дБ	Gm = 1	ф-лы таб.3 [10]	-2,9	-2,9	0	0	0	0	0	0	0		
Суммарное снижение поверхностью земли на траектории распространения звука Agr, дБ		ф-ла (9) [10]	-5,9	-5,9	3,8	5,5	3,5	-0,8	-1,5	-1,5	-1,5		
Уровни звукового давления прямого звука от источника ИШ-2-22 в расчётной точке днём, дБ		**ф-ла(3)[10]**	**0**	**26,5**	**17,8**	**16,1**	**15,7**	**15,9**	**6,5**	**0**	**0**	**18,5**	**18,5**
Уровни звукового давления прямого звука от источника ИШ-2-22 в расчётной точке ночью, дБ		**ф-ла(3)[10]**	**0**	**26,5**	**17,8**	**16,1**	**15,7**	**15,9**	**6,5**	**0**	**0**	**18,5**	**18,5**
Расчёт отражённого звука													
Уровни звукового давления от мнимого источника ИШ-2-22_мн.(1) в расчётной точке днём, дБ		**ф-ла(3)[10]**	**0**	**0**	**0**	**0**	**0**	**0**	**0**	**0**	**0**	**0**	**0**
Уровни звукового давления от мнимого источника ИШ-2-22_мн.(1) в расчётной точке ночью, дБ		**ф-ла(3)[10]**	**0**	**0**	**0**	**0**	**0**	**0**	**0**	**0**	**0**	**0**	**0**
Уровни звукового давления от источника ИШ-2-22 в расчётной точке днём, дБ		**ф-ла(3)[10]**	**0**	**26,5**	**17,8**	**16,1**	**15,7**	**15,9**	**6,5**	**0**	**0**	**18,5**	**18,5**

1		2	3	4	5	6	7	8	9	10	11	12	13
Уровни звукового давления от источника ИШ-2-22 в расчётной точке ночью, дБ		**ф-ла(3)[10]**	**0**	**26,5**	**17,8**	**16,1**	**15,7**	**15,9**	**6,5**	**0**	**0**	**18,5**	**18,5**
Источник шума: ИШ-2-23, координаты источника (x,y,z), м =[736.46,24.18,1.00]													
Уровни звуковой мощности источника днём, Lw, дБ		**исходные данные**	**0**	**93,3**	**94,7**	**96**	**96,3**	**95,9**	**92,6**	**88,4**	**83,9**		
Уровни звуковой мощности источника ночью, Lw, дБ		**исходные данные**	**0**	**93,3**	**94,7**	**96**	**96,3**	**95,9**	**92,6**	**88,4**	**83,9**		
Поправка на телесный угол DΩ, дБ	Ω = 6.28	10Lg(4π/Ω)	**3**	3	3	3	3	3	3	3	3		
Показатель направленности источника Di, дБ		исходные данные	**0**	0	0	0	0	0	0	0	0		
Поправка на направленность источника Dc, дБ	Dc	DΩ + Di	**3**	3	3	3	3	3	3	3	3		
Затухание из-за геометрической дивергенции, Adiv, дБ	расстояние = 1672.36 м	ф-ла (7) [10]	**75,5**										
Коэффициент затухания звука в атмосфере α, дБ/км	Ta=20,°C Pa=101.33,кПа hотн.=70%	ф-ла (5) [9]	0,02	0,09	0,33	1,12	2,79	4,98	9,04	23,09	77,63		
Учет затухания звука в атмосфере Aatm, дБ		ф-ла (8) [10]	0	0,1	0,6	1,9	4,7	8,3	15,1	38,6	129,8		
Снижение поверхностью земли возле источника As, дБ	Gs = 0 hs = 1м	ф-лы таб.3 [10]	-1,5	-1,5	-1,5	-1,5	-1,5	-1,5	-1,5	-1,5	-1,5		
Снижение поверхностью земли возле приёмника Ar, дБ	Gr = 1 hr = 1.5м	ф-лы таб.3 [10]	-1,5	-1,5	5,3	7	5	0,7	0	0	0		
Снижение поверхностью земли в средней зоне, Am дБ	Gm = 1	ф-лы таб.3 [10]	-2,9	-2,9	0	0	0	0	0	0	0		
Суммарное снижение поверхностью земли на траектории распространения звука Agr, дБ		ф-ла (9) [10]	-5,9	-5,9	3,8	5,5	3,5	-0,8	-1,5	-1,5	-1,5		
Уровни звукового давления прямого звука от источника ИШ-2-23 в расчётной точке днём, дБ		**ф-ла(3)[10]**	**0**	**26,5**	**17,8**	**16,1**	**15,7**	**15,9**	**6,5**	**0**	**0**	**18,5**	**18,5**
Уровни звукового давления прямого звука от источника ИШ-2-23 в расчётной точке ночью, дБ		**ф-ла(3)[10]**	**0**	**26,5**	**17,8**	**16,1**	**15,7**	**15,9**	**6,5**	**0**	**0**	**18,5**	**18,5**

1		2	3	4	5	6	7	8	9	10	11	12	13
Расчёт отражённого звука													
Уровни звукового давления от мнимого источника ИШ-2-23_мн.(1) в расчётной точке днём, дБ		**ф-ла(3)[10]**	**0**	**0**	**0**	**0**	**0**	**0**	**0**	**0**	**0**	**0**	**0**
Уровни звукового давления от мнимого источника ИШ-2-23_мн.(1) в расчётной точке ночью, дБ		**ф-ла(3)[10]**	**0**	**0**	**0**	**0**	**0**	**0**	**0**	**0**	**0**	**0**	**0**
Уровни звукового давления от источника ИШ-2-23 в расчётной точке днём, дБ		**ф-ла(3)[10]**	**0**	**26,5**	**17,8**	**16,1**	**15,7**	**15,9**	**6,5**	**0**	**0**	**18,5**	**18,5**
Уровни звукового давления от источника ИШ-2-23 в расчётной точке ночью, дБ		**ф-ла(3)[10]**	**0**	**26,5**	**17,8**	**16,1**	**15,7**	**15,9**	**6,5**	**0**	**0**	**18,5**	**18,5**
Источник шума: ИШ-2-24, координаты источника (x,y,z), м =[735.45,21.21,1.00]													
Уровни звуковой мощности источника днём, Lw, дБ		**исходные данные**	**0**	**93,3**	**94,7**	**96**	**96,3**	**95,9**	**92,6**	**88,4**	**83,9**		
Уровни звуковой мощности источника ночью, Lw, дБ		**исходные данные**	**0**	**93,3**	**94,7**	**96**	**96,3**	**95,9**	**92,6**	**88,4**	**83,9**		
Поправка на телесный угол DΩ, дБ	Ω = 6.28	10Lg(4π/Ω)	**3**	3	3	3	3	3	3	3	3		
Показатель направленности источника Di, дБ		исходные данные	**0**	0	0	0	0	0	0	0	0		
Поправка на направленность источника Dc, дБ	Dc	DΩ + Di	**3**	3	3	3	3	3	3	3	3		
Затухание из-за геометрической дивергенции, Adiv, дБ	расстояние = 1671.94 м	ф-ла (7) [10]	**75,5**										
Коэффициент затухания звука в атмосфере α, дБ/км	Ta=20,°C Pa=101.33,кПа hотн.=70%	ф-ла (5) [9]	0,02	0,09	0,33	1,12	2,79	4,98	9,04	23,09	77,63		
Учет затухания звука в атмосфере Aatm, дБ		ф-ла (8) [10]	0	0,1	0,6	1,9	4,7	8,3	15,1	38,6	129,8		
Снижение поверхностью земли возле источника As, дБ	Gs = 0 hs = 1м	ф-лы таб.3 [10]	-1,5	-1,5	-1,5	-1,5	-1,5	-1,5	-1,5	-1,5	-1,5		
Снижение поверхностью земли возле приёмника Ar, дБ	Gr = 1 hr = 1.5м	ф-лы таб.3 [10]	-1,5	-1,5	5,3	7	5	0,7	0	0	0		

1		2	3	4	5	6	7	8	9	10	11	12	13
Снижение поверхностью земли в средней зоне, Am дБ	Gm = 1	ф-лы таб.3 [10]	-2,9	-2,9	0	0	0	0	0	0	0		
Суммарное снижение поверхностью земли на траектории распространения звука Agr, дБ		ф-ла (9) [10]	-5,9	-5,9	3,8	5,5	3,5	-0,8	-1,5	-1,5	-1,5		
Уровни звукового давления прямого звука от источника ИШ-2-24 в расчётной точке днём, дБ		**ф-ла(3)[10]**	**0**	**26,5**	**17,8**	**16,1**	**15,7**	**15,9**	**6,5**	**0**	**0**	**18,5**	**18,5**
Уровни звукового давления прямого звука от источника ИШ-2-24 в расчётной точке ночью, дБ		**ф-ла(3)[10]**	**0**	**26,5**	**17,8**	**16,1**	**15,7**	**15,9**	**6,5**	**0**	**0**	**18,5**	**18,5**
Расчёт отражённого звука													
Уровни звукового давления от мнимого источника ИШ-2-24_мн.(1) в расчётной точке днём, дБ		**ф-ла(3)[10]**	**0**	**0**	**0**	**0**	**0**	**0**	**0**	**0**	**0**	**0**	**0**
Уровни звукового давления от мнимого источника ИШ-2-24_мн.(1) в расчётной точке ночью, дБ		**ф-ла(3)[10]**	**0**	**0**	**0**	**0**	**0**	**0**	**0**	**0**	**0**	**0**	**0**
Уровни звукового давления от источника ИШ-2-24 в расчётной точке днём, дБ		**ф-ла(3)[10]**	**0**	**26,5**	**17,8**	**16,1**	**15,7**	**15,9**	**6,5**	**0**	**0**	**18,5**	**18,5**
Уровни звукового давления от источника ИШ-2-24 в расчётной точке ночью, дБ		**ф-ла(3)[10]**	**0**	**26,5**	**17,8**	**16,1**	**15,7**	**15,9**	**6,5**	**0**	**0**	**18,5**	**18,5**
Источник шума: ИШ-2-25, координаты источника (x,y,z), м =[734.58,18.32,1.00]													
Уровни звуковой мощности источника днём, Lw, дБ		**исходные данные**	**0**	**93,3**	**94,7**	**96**	**96,3**	**95,9**	**92,6**	**88,4**	**83,9**		
Уровни звуковой мощности источника ночью, Lw, дБ		**исходные данные**	**0**	**93,3**	**94,7**	**96**	**96,3**	**95,9**	**92,6**	**88,4**	**83,9**		
Поправка на телесный угол DΩ, дБ	Ω = 6.28	10Lg(4π/Ω)	**3**	3	3	3	3	3	3	3	3		
Показатель направленности источника Di, дБ		исходные данные	**0**	0	0	0	0	0	0	0	0		
Поправка на направленность источника Dc, дБ	Dc	DΩ + Di	**3**	3	3	3	3	3	3	3	3		
Затухание из-за геометрической дивергенции, Adiv, дБ	расстояние = 1671.43 м	ф-ла (7) [10]	**75,5**										
Коэффициент затухания звука в атмосфере α, дБ/км	Ta=20,°C Pa=101.33,кПа hотн.=70%	ф-ла (5) [9]	0,02	0,09	0,33	1,12	2,79	4,98	9,04	23,09	77,63		

1		2	3	4	5	6	7	8	9	10	11	12	13
Учет затухания звука в атмосфере Aatm, дБ		ф-ла (8) [10]	0	0,1	0,6	1,9	4,7	8,3	15,1	38,6	129,8		
Снижение поверхностью земли возле источника As, дБ	Gs = 0 hs = 1м	ф-лы таб.3 [10]	-1,5	-1,5	-1,5	-1,5	-1,5	-1,5	-1,5	-1,5	-1,5		
Снижение поверхностью земли возле приёмника Ar, дБ	Gr = 1 hr = 1.5м	ф-лы таб.3 [10]	-1,5	-1,5	5,3	7	5	0,7	0	0	0		
Снижение поверхностью земли в средней зоне, Am дБ	Gm = 1	ф-лы таб.3 [10]	-2,9	-2,9	0	0	0	0	0	0	0		
Суммарное снижение поверхностью земли на траектории распространения звука Agr, дБ		ф-ла (9) [10]	-5,9	-5,9	3,8	5,5	3,5	-0,8	-1,5	-1,5	-1,5		
Уровни звукового давления прямого звука от источника ИШ-2-25 в расчётной точке днём, дБ		**ф-ла(3)[10]**	**0**	**26,5**	**17,8**	**16,1**	**15,7**	**16**	**6,5**	**0**	**0**	**18,5**	**18,5**
Уровни звукового давления прямого звука от источника ИШ-2-25 в расчётной точке ночью, дБ		**ф-ла(3)[10]**	**0**	**26,5**	**17,8**	**16,1**	**15,7**	**16**	**6,5**	**0**	**0**	**18,5**	**18,5**
Расчёт отражённого звука													
Уровни звукового давления от мнимого источника ИШ-2-25_мн.(1) в расчётной точке днём, дБ		**ф-ла(3)[10]**	**0**	**0**	**0**	**0**	**0**	**0**	**0**	**0**	**0**	**0**	**0**
Уровни звукового давления от мнимого источника ИШ-2-25_мн.(1) в расчётной точке ночью, дБ		**ф-ла(3)[10]**	**0**	**0**	**0**	**0**	**0**	**0**	**0**	**0**	**0**	**0**	**0**
Уровни звукового давления от источника ИШ-2-25 в расчётной точке днём, дБ		**ф-ла(3)[10]**	**0**	**26,5**	**17,8**	**16,1**	**15,7**	**16**	**6,5**	**0**	**0**	**18,5**	**18,5**
Уровни звукового давления от источника ИШ-2-25 в расчётной точке ночью, дБ		**ф-ла(3)[10]**	**0**	**26,5**	**17,8**	**16,1**	**15,7**	**16**	**6,5**	**0**	**0**	**18,5**	**18,5**
Источник шума: ИШ-2-26, координаты источника (x,y,z), м =[733.57,15.41,1.00]													
Уровни звуковой мощности источника днём, Lw, дБ		**исходные данные**	**0**	**93,3**	**94,7**	**96**	**96,3**	**95,9**	**92,6**	**88,4**	**83,9**		
Уровни звуковой мощности источника ночью, Lw, дБ		**исходные данные**	**0**	**93,3**	**94,7**	**96**	**96,3**	**95,9**	**92,6**	**88,4**	**83,9**		
Поправка на телесный угол DΩ, дБ	Ω = 6.28	10Lg(4π/Ω)	**3**	3	3	3	3	3	3	3	3		
Показатель направленности источника Di, дБ		исходные данные	**0**	0	0	0	0	0	0	0	0		

1		2	3	4	5	6	7	8	9	10	11	12	13
Поправка на направленность источника Dc, дБ	Dc	DΩ + Di	**3**	3	3	3	3	3	3	3	3		
Затухание из-за геометрической дивергенции, Adiv, дБ	расстояние = 1671.04 м	ф-ла (7) [10]	**75,5**										
Коэффициент затухания звука в атмосфере α, дБ/км	Ta=20,°C Pa=101.33,кПа hотн.=70%	ф-ла (5) [9]	0,02	0,09	0,33	1,12	2,79	4,98	9,04	23,09	77,63		
Учет затухания звука в атмосфере Aatm, дБ		ф-ла (8) [10]	0	0,1	0,6	1,9	4,7	8,3	15,1	38,6	129,7		
Снижение поверхностью земли возле источника As, дБ	Gs = 0 hs = 1м	ф-лы таб.3 [10]	-1,5	-1,5	-1,5	-1,5	-1,5	-1,5	-1,5	-1,5	-1,5		
Снижение поверхностью земли возле приёмника Ar, дБ	Gr = 1 hr = 1.5м	ф-лы таб.3 [10]	-1,5	-1,5	5,3	7	5	0,7	0	0	0		
Снижение поверхностью земли в средней зоне, Am дБ	Gm = 1	ф-лы таб.3 [10]	-2,9	-2,9	0	0	0	0	0	0	0		
Суммарное снижение поверхностью земли на траектории распространения звука Agr, дБ		ф-ла (9) [10]	-5,9	-5,9	3,8	5,5	3,5	-0,8	-1,5	-1,5	-1,5		
Уровни звукового давления прямого звука от источника ИШ-2-26 в расчётной точке днём, дБ		**ф-ла(3)[10]**	**0**	**26,5**	**17,8**	**16,1**	**15,7**	**16**	**6,5**	**0**	**0**	**18,5**	**18,5**
Уровни звукового давления прямого звука от источника ИШ-2-26 в расчётной точке ночью, дБ		**ф-ла(3)[10]**	**0**	**26,5**	**17,8**	**16,1**	**15,7**	**16**	**6,5**	**0**	**0**	**18,5**	**18,5**
Расчёт отражённого звука													
Уровни звукового давления от мнимого источника ИШ-2-26_мн.(1) в расчётной точке днём, дБ		**ф-ла(3)[10]**	**0**	**0**	**0**	**0**	**0**	**0**	**0**	**0**	**0**	**0**	**0**
Уровни звукового давления от мнимого источника ИШ-2-26_мн.(1) в расчётной точке ночью, дБ		**ф-ла(3)[10]**	**0**	**0**	**0**	**0**	**0**	**0**	**0**	**0**	**0**	**0**	**0**
Уровни звукового давления от источника ИШ-2-26 в расчётной точке днём, дБ		**ф-ла(3)[10]**	**0**	**26,5**	**17,8**	**16,1**	**15,7**	**16**	**6,5**	**0**	**0**	**18,5**	**18,5**
Уровни звукового давления от источника ИШ-2-26 в расчётной точке ночью, дБ		**ф-ла(3)[10]**	**0**	**26,5**	**17,8**	**16,1**	**15,7**	**16**	**6,5**	**0**	**0**	**18,5**	**18,5**
Источник шума: ИШ-2-27, координаты источника (x,y,z), м =[732.43,12.66,1.00]													

1		2	3	4	5	6	7	8	9	10	11	12	13
Уровни звуковой мощности источника днём, Lw, дБ		**исходные данные**	**0**	**93,3**	**94,7**	**96**	**96,3**	**95,9**	**92,6**	**88,4**	**83,9**		
Уровни звуковой мощности источника ночью, Lw, дБ		**исходные данные**	**0**	**93,3**	**94,7**	**96**	**96,3**	**95,9**	**92,6**	**88,4**	**83,9**		
Поправка на телесный угол DΩ, дБ	Ω = 6.28	10Lg(4π/Ω)	**3**	3	3	3	3	3	3	3	3		
Показатель направленности источника Di, дБ		исходные данные	**0**	0	0	0	0	0	0	0	0		
Поправка на направленность источника Dc, дБ	Dc	DΩ + Di	**3**	3	3	3	3	3	3	3	3		
Затухание из-за геометрической дивергенции, Adiv, дБ	расстояние = 1670.85 м	ф-ла (7) [10]	**75,5**										
Коэффициент затухания звука в атмосфере α, дБ/км	Ta=20,°C Pa=101.33,кПа hотн.=70%	ф-ла (5) [9]	0,02	0,09	0,33	1,12	2,79	4,98	9,04	23,09	77,63		
Учет затухания звука в атмосфере Aatm, дБ		ф-ла (8) [10]	0	0,1	0,6	1,9	4,7	8,3	15,1	38,6	129,7		
Снижение поверхностью земли возле источника As, дБ	Gs = 0 hs = 1м	ф-лы таб.3 [10]	-1,5	-1,5	-1,5	-1,5	-1,5	-1,5	-1,5	-1,5	-1,5		
Снижение поверхностью земли возле приёмника Ar, дБ	Gr = 1 hr = 1.5м	ф-лы таб.3 [10]	-1,5	-1,5	5,3	7	5	0,7	0	0	0		
Снижение поверхностью земли в средней зоне, Am дБ	Gm = 1	ф-лы таб.3 [10]	-2,9	-2,9	0	0	0	0	0	0	0		
Суммарное снижение поверхностью земли на траектории распространения звука Agr, дБ		ф-ла (9) [10]	-5,9	-5,9	3,8	5,5	3,5	-0,8	-1,5	-1,5	-1,5		
Уровни звукового давления прямого звука от источника ИШ-2-27 в расчётной точке днём, дБ		**ф-ла(3)[10]**	**0**	**26,5**	**17,8**	**16,1**	**15,7**	**16**	**6,5**	**0**	**0**	**18,5**	**18,5**
Уровни звукового давления прямого звука от источника ИШ-2-27 в расчётной точке ночью, дБ		**ф-ла(3)[10]**	**0**	**26,5**	**17,8**	**16,1**	**15,7**	**16**	**6,5**	**0**	**0**	**18,5**	**18,5**
Расчёт отражённого звука													
Уровни звукового давления от мнимого источника ИШ-2-27_мн.(1) в расчётной точке днём, дБ		**ф-ла(3)[10]**	**0**	**0**	**0**	**0**	**0**	**0**	**0**	**0**	**0**	**0**	**0**
Уровни звукового давления от мнимого источника ИШ-2-27_мн.(1) в расчётной точке ночью, дБ		**ф-ла(3)[10]**	**0**	**0**	**0**	**0**	**0**	**0**	**0**	**0**	**0**	**0**	**0**

1		2	3	4	5	6	7	8	9	10	11	12	13
Уровни звукового давления от источника ИШ-2-27 в расчётной точке днём, дБ		**ф-ла(3)[10]**	**0**	**26,5**	**17,8**	**16,1**	**15,7**	**16**	**6,5**	**0**	**0**	**18,5**	**18,5**
Уровни звукового давления от источника ИШ-2-27 в расчётной точке ночью, дБ		**ф-ла(3)[10]**	**0**	**26,5**	**17,8**	**16,1**	**15,7**	**16**	**6,5**	**0**	**0**	**18,5**	**18,5**
Источник шума: ИШ-2-28, координаты источника (x,y,z), м =[731.54,9.78,1.00]													
Уровни звуковой мощности источника днём, Lw, дБ		**исходные данные**	**0**	**93,3**	**94,7**	**96**	**96,3**	**95,9**	**92,6**	**88,4**	**83,9**		
Уровни звуковой мощности источника ночью, Lw, дБ		**исходные данные**	**0**	**93,3**	**94,7**	**96**	**96,3**	**95,9**	**92,6**	**88,4**	**83,9**		
Поправка на телесный угол DΩ, дБ	Ω = 6.28	10Lg(4π/Ω)	**3**	3	3	3	3	3	3	3	3		
Показатель направленности источника Di, дБ		исходные данные	**0**	0	0	0	0	0	0	0	0		
Поправка на направленность источника Dc, дБ	Dc	DΩ + Di	**3**	3	3	3	3	3	3	3	3		
Затухание из-за геометрической дивергенции, Adiv, дБ	расстояние = 1670.37 м	ф-ла (7) [10]	**75,5**										
Коэффициент затухания звука в атмосфере α, дБ/км	Ta=20,°C Pa=101.33,кПа hотн.=70%	ф-ла (5) [9]	0,02	0,09	0,33	1,12	2,79	4,98	9,04	23,09	77,63		
Учет затухания звука в атмосфере Aatm, дБ		ф-ла (8) [10]	0	0,1	0,6	1,9	4,7	8,3	15,1	38,6	129,7		
Снижение поверхностью земли возле источника As, дБ	Gs = 0 hs = 1м	ф-лы таб.3 [10]	-1,5	-1,5	-1,5	-1,5	-1,5	-1,5	-1,5	-1,5	-1,5		
Снижение поверхностью земли возле приёмника Ar, дБ	Gr = 1 hr = 1.5м	ф-лы таб.3 [10]	-1,5	-1,5	5,3	7	5	0,7	0	0	0		
Снижение поверхностью земли в средней зоне, Am дБ	Gm = 1	ф-лы таб.3 [10]	-2,9	-2,9	0	0	0	0	0	0	0		
Суммарное снижение поверхностью земли на траектории распространения звука Agr, дБ		ф-ла (9) [10]	-5,9	-5,9	3,8	5,5	3,5	-0,8	-1,5	-1,5	-1,5		
Уровни звукового давления прямого звука от источника ИШ-2-28 в расчётной точке днём, дБ		**ф-ла(3)[10]**	**0**	**26,6**	**17,8**	**16,1**	**15,7**	**16**	**6,5**	**0**	**0**	**18,5**	**18,5**

1		2	3	4	5	6	7	8	9	10	11	12	13
Уровни звукового давления прямого звука от источника ИШ-2-28 в расчётной точке ночью, дБ		**ф-ла(3)[10]**	**0**	**26,6**	**17,8**	**16,1**	**15,7**	**16**	**6,5**	**0**	**0**	**18,5**	**18,5**
Расчёт отражённого звука													
Уровни звукового давления от мнимого источника ИШ-2-28_мн.(1) в расчётной точке днём, дБ		**ф-ла(3)[10]**	**0**	**0**	**0**	**0**	**0**	**0**	**0**	**0**	**0**	**0**	**0**
Уровни звукового давления от мнимого источника ИШ-2-28_мн.(1) в расчётной точке ночью, дБ		**ф-ла(3)[10]**	**0**	**0**	**0**	**0**	**0**	**0**	**0**	**0**	**0**	**0**	**0**
Уровни звукового давления от источника ИШ-2-28 в расчётной точке днём, дБ		**ф-ла(3)[10]**	**0**	**26,6**	**17,8**	**16,1**	**15,7**	**16**	**6,5**	**0**	**0**	**18,5**	**18,5**
Уровни звукового давления от источника ИШ-2-28 в расчётной точке ночью, дБ		**ф-ла(3)[10]**	**0**	**26,6**	**17,8**	**16,1**	**15,7**	**16**	**6,5**	**0**	**0**	**18,5**	**18,5**
Источник шума: ИШ-2-29, координаты источника (x,y,z), м =[730.57,6.88,1.00]													
Уровни звуковой мощности источника днём, Lw, дБ		**исходные данные**	**0**	**93,3**	**94,7**	**96**	**96,3**	**95,9**	**92,6**	**88,4**	**83,9**		
Уровни звуковой мощности источника ночью, Lw, дБ		**исходные данные**	**0**	**93,3**	**94,7**	**96**	**96,3**	**95,9**	**92,6**	**88,4**	**83,9**		
Поправка на телесный угол DΩ, дБ	Ω = 6.28	10Lg(4π/Ω)	**3**	3	3	3	3	3	3	3	3		
Показатель направленности источника Di, дБ		исходные данные	**0**	0	0	0	0	0	0	0	0		
Поправка на направленность источника Dc, дБ	Dc	DΩ + Di	**3**	3	3	3	3	3	3	3	3		
Затухание из-за геометрической дивергенции, Adiv, дБ	расстояние = 1669.97 м	ф-ла (7) [10]	**75,5**										
Коэффициент затухания звука в атмосфере α, дБ/км	Ta=20,°C Pa=101.33,кПа hотн.=70%	ф-ла (5) [9]	0,02	0,09	0,33	1,12	2,79	4,98	9,04	23,09	77,63		
Учет затухания звука в атмосфере Aatm, дБ		ф-ла (8) [10]	0	0,1	0,6	1,9	4,7	8,3	15,1	38,6	129,6		
Снижение поверхностью земли возле источника As, дБ	Gs = 0 hs = 1м	ф-лы таб.3 [10]	-1,5	-1,5	-1,5	-1,5	-1,5	-1,5	-1,5	-1,5	-1,5		

1		2	3	4	5	6	7	8	9	10	11	12	13
Снижение поверхностью земли возле приёмника Ar, дБ	Gr = 1 hr = 1.5м	ф-лы таб.3 [10]	-1,5	-1,5	5,3	7	5	0,7	0	0	0		
Снижение поверхностью земли в средней зоне, Am дБ	Gm = 1	ф-лы таб.3 [10]	-2,9	-2,9	0	0	0	0	0	0	0		
Суммарное снижение поверхностью земли на траектории распространения звука Agr, дБ		ф-ла (9) [10]	-5,9	-5,9	3,8	5,5	3,5	-0,8	-1,5	-1,5	-1,5		
Уровни звукового давления прямого звука от источника ИШ-2-29 в расчётной точке днём, дБ		**ф-ла(3)[10]**	**0**	**26,6**	**17,8**	**16,1**	**15,7**	**16**	**6,5**	**0**	**0**	**18,5**	**18,5**
Уровни звукового давления прямого звука от источника ИШ-2-29 в расчётной точке ночью, дБ		**ф-ла(3)[10]**	**0**	**26,6**	**17,8**	**16,1**	**15,7**	**16**	**6,5**	**0**	**0**	**18,5**	**18,5**
Расчёт отражённого звука													
Уровни звукового давления от мнимого источника ИШ-2-29_мн.(1) в расчётной точке днём, дБ		**ф-ла(3)[10]**	**0**	**0**	**0**	**0**	**0**	**0**	**0**	**0**	**0**	**0**	**0**
Уровни звукового давления от мнимого источника ИШ-2-29_мн.(1) в расчётной точке ночью, дБ		**ф-ла(3)[10]**	**0**	**0**	**0**	**0**	**0**	**0**	**0**	**0**	**0**	**0**	**0**
Уровни звукового давления от источника ИШ-2-29 в расчётной точке днём, дБ		**ф-ла(3)[10]**	**0**	**26,6**	**17,8**	**16,1**	**15,7**	**16**	**6,5**	**0**	**0**	**18,5**	**18,5**
Уровни звукового давления от источника ИШ-2-29 в расчётной точке ночью, дБ		**ф-ла(3)[10]**	**0**	**26,6**	**17,8**	**16,1**	**15,7**	**16**	**6,5**	**0**	**0**	**18,5**	**18,5**
Источник шума: ИШ-2-4, координаты источника (x,y,z), м =[632.70,-65.30,3.00]													
Уровни звуковой мощности источника днём, Lw, дБ		**исходные данные**	**105**	**104**	**104**	**101**	**102**	**106**	**101**	**95**	**87**		
Уровни звуковой мощности источника ночью, Lw, дБ		**исходные данные**	**105**	**104**	**104**	**101**	**102**	**106**	**101**	**95**	**87**		
Поправка на телесный угол DΩ, дБ	Ω = 6.28	10Lg(4π/Ω)	**3**	3	3	3	3	3	3	3	3		
Показатель направленности источника Di, дБ		исходные данные	**0**	0	0	0	0	0	0	0	0		
Поправка на направленность источника Dc, дБ	Dc	DΩ + Di	**3**	3	3	3	3	3	3	3	3		
Затухание из-за геометрической дивергенции, Adiv, дБ	расстояние = 1729.64 м	ф-ла (7) [10]	**75,8**										

1		2	3	4	5	6	7	8	9	10	11	12	13
Коэффициент затухания звука в атмосфере α, дБ/км	Ta=20,°C Pa=101.33,кПа hотн.=70%	ф-ла (5) [9]	0,02	0,09	0,33	1,12	2,79	4,98	9,04	23,09	77,63		
Учет затухания звука в атмосфере Aatm, дБ		ф-ла (8) [10]	0	0,2	0,6	1,9	4,8	8,6	15,6	39,9	134,3		
Снижение поверхностью земли возле источника As, дБ	Gs = 0 hs = 3м	ф-лы таб.3 [10]	-1,5	-1,5	-1,5	-1,5	-1,5	-1,5	-1,5	-1,5	-1,5		
Снижение поверхностью земли возле приёмника Ar, дБ	Gr = 1 hr = 1.5м	ф-лы таб.3 [10]	-1,5	-1,5	5,3	7	5	0,7	0	0	0		
Снижение поверхностью земли в средней зоне, Am дБ	Gm = 1	ф-лы таб.3 [10]	-2,8	-2,8	0	0	0	0	0	0	0		
Суммарное снижение поверхностью земли на траектории распространения звука Agr, дБ		ф-ла (9) [10]	-5,8	-5,8	3,8	5,5	3,5	-0,8	-1,5	-1,5	-1,5		
Уровни звукового давления прямого звука от источника ИШ-2-4 в расчётной точке днём, дБ		**ф-ла(3)[10]**	**38**	**36,9**	**26,8**	**20,8**	**21**	**25,5**	**14,1**	**0**	**0**	**26,9**	**26,9**
Уровни звукового давления прямого звука от источника ИШ-2-4 в расчётной точке ночью, дБ		**ф-ла(3)[10]**	**38**	**36,9**	**26,8**	**20,8**	**21**	**25,5**	**14,1**	**0**	**0**	**26,9**	**26,9**
Расчёт отражённого звука													
Уровни звукового давления от мнимого источника ИШ-2-4_мн.(1) в расчётной точке днём, дБ		**ф-ла(3)[10]**	**0**	**0**	**0**	**0**	**0**	**22**	**10,3**	**0**	**0**	**22,4**	**22,4**
Уровни звукового давления от мнимого источника ИШ-2-4_мн.(1) в расчётной точке ночью, дБ		**ф-ла(3)[10]**	**0**	**0**	**0**	**0**	**0**	**0**	**0**	**0**	**0**	**22,4**	**22,4**
Уровни звукового давления от источника ИШ-2-4 в расчётной точке днём, дБ		**ф-ла(3)[10]**	**38**	**36,9**	**26,8**	**20,8**	**21**	**27,1**	**15,6**	**0**	**0**	**28,2**	**28,2**
Уровни звукового давления от источника ИШ-2-4 в расчётной точке ночью, дБ		**ф-ла(3)[10]**	**38**	**36,9**	**26,8**	**20,8**	**21**	**27,1**	**15,6**	**0**	**0**	**28,2**	**28,2**
Источник шума: ИШ-2-30, координаты источника (x,y,z), м =[702.44,-77.23,1.00]													
Уровни звуковой мощности источника днём, Lw, дБ		**исходные данные**	**0**	**93,3**	**94,7**	**96**	**96,3**	**95,9**	**92,6**	**88,4**	**83,9**		
Уровни звуковой мощности источника ночью, Lw, дБ		**исходные данные**	**0**	**93,3**	**94,7**	**96**	**96,3**	**95,9**	**92,6**	**88,4**	**83,9**		

1		2	3	4	5	6	7	8	9	10	11	12	13
Поправка на телесный угол DΩ, дБ	Ω = 6.28	10Lg(4π/Ω)	**3**	3	3	3	3	3	3	3	3		
Показатель направленности источника Di, дБ		исходные данные	**0**	0	0	0	0	0	0	0	0		
Поправка на направленность источника Dc, дБ	Dc	DΩ + Di	**3**	3	3	3	3	3	3	3	3		
Затухание из-за геометрической дивергенции, Adiv, дБ	расстояние = 1660.70 м	ф-ла (7) [10]	**75,4**										
Коэффициент затухания звука в атмосфере α, дБ/км	Ta=20,°C Pa=101.33,кПа hотн.=70%	ф-ла (5) [9]	0,02	0,09	0,33	1,12	2,79	4,98	9,04	23,09	77,63		
Учет затухания звука в атмосфере Aatm, дБ		ф-ла (8) [10]	0	0,1	0,6	1,9	4,6	8,3	15	38,3	128,9		
Снижение поверхностью земли возле источника As, дБ	Gs = 0 hs = 1м	ф-лы таб.3 [10]	-1,5	-1,5	-1,5	-1,5	-1,5	-1,5	-1,5	-1,5	-1,5		
Снижение поверхностью земли возле приёмника Ar, дБ	Gr = 1 hr = 1.5м	ф-лы таб.3 [10]	-1,5	-1,5	5,3	7	5	0,7	0	0	0		
Снижение поверхностью земли в средней зоне, Am дБ	Gm = 1	ф-лы таб.3 [10]	-2,9	-2,9	0	0	0	0	0	0	0		
Суммарное снижение поверхностью земли на траектории распространения звука Agr, дБ		ф-ла (9) [10]	-5,9	-5,9	3,8	5,5	3,5	-0,8	-1,5	-1,5	-1,5		
Уровни звукового давления прямого звука от источника ИШ-2-30 в расчётной точке днём, дБ		**ф-ла(3)[10]**	**0**	**26,6**	**17,9**	**16,2**	**15,8**	**16,1**	**6,7**	**0**	**0**	**18,6**	**18,6**
Уровни звукового давления прямого звука от источника ИШ-2-30 в расчётной точке ночью, дБ		**ф-ла(3)[10]**	**0**	**26,6**	**17,9**	**16,2**	**15,8**	**16,1**	**6,7**	**0**	**0**	**18,6**	**18,6**
Расчёт отражённого звука													
Уровни звукового давления от мнимого источника ИШ-2-30_мн.(1) в расчётной точке днём, дБ		**ф-ла(3)[10]**	**0**	**0**	**0**	**0**	**0**	**0**	**0,9**	**0**	**0**	**2,1**	**2,1**
Уровни звукового давления от мнимого источника ИШ-2-30_мн.(1) в расчётной точке ночью, дБ		**ф-ла(3)[10]**	**0**	**0**	**0**	**0**	**0**	**0**	**0**	**0**	**0**	**2,1**	**2,1**
Уровни звукового давления от источника ИШ-2-30 в расчётной точке днём, дБ		**ф-ла(3)[10]**	**0**	**26,6**	**17,9**	**16,2**	**15,8**	**16,1**	**7,7**	**0**	**0**	**18,7**	**18,7**
Уровни звукового давления от источника ИШ-2-30 в расчётной точке ночью, дБ		**ф-ла(3)[10]**	**0**	**26,6**	**17,9**	**16,2**	**15,8**	**16,1**	**7,7**	**0**	**0**	**18,7**	**18,7**

1		2	3	4	5	6	7	8	9	10	11	12	13
Источник шума: ИШ-2-31, координаты источника (x,y,z), м =[701.42,-80.17,1.00]													
Уровни звуковой мощности источника днём, Lw, дБ		**исходные данные**	**0**	**93,3**	**94,7**	**96**	**96,3**	**95,9**	**92,6**	**88,4**	**83,9**		
Уровни звуковой мощности источника ночью, Lw, дБ		**исходные данные**	**0**	**93,3**	**94,7**	**96**	**96,3**	**95,9**	**92,6**	**88,4**	**83,9**		
Поправка на телесный угол DΩ, дБ	Ω = 6.28	10Lg(4π/Ω)	**3**	3	3	3	3	3	3	3	3		
Показатель направленности источника Di, дБ		исходные данные	**0**	0	0	0	0	0	0	0	0		
Поправка на направленность источника Dc, дБ	Dc	DΩ + Di	**3**	3	3	3	3	3	3	3	3		
Затухание из-за геометрической дивергенции, Adiv, дБ	расстояние = 1660.49 м	ф-ла (7) [10]	**75,4**										
Коэффициент затухания звука в атмосфере α, дБ/км	Ta=20,°C Pa=101.33,кПа hотн.=70%	ф-ла (5) [9]	0,02	0,09	0,33	1,12	2,79	4,98	9,04	23,09	77,63		
Учет затухания звука в атмосфере Aatm, дБ		ф-ла (8) [10]	0	0,1	0,6	1,9	4,6	8,3	15	38,3	128,9		
Снижение поверхностью земли возле источника As, дБ	Gs = 0 hs = 1м	ф-лы таб.3 [10]	-1,5	-1,5	-1,5	-1,5	-1,5	-1,5	-1,5	-1,5	-1,5		
Снижение поверхностью земли возле приёмника Ar, дБ	Gr = 1 hr = 1.5м	ф-лы таб.3 [10]	-1,5	-1,5	5,3	7	5	0,7	0	0	0		
Снижение поверхностью земли в средней зоне, Am дБ	Gm = 1	ф-лы таб.3 [10]	-2,9	-2,9	0	0	0	0	0	0	0		
Суммарное снижение поверхностью земли на траектории распространения звука Agr, дБ		ф-ла (9) [10]	-5,9	-5,9	3,8	5,5	3,5	-0,8	-1,5	-1,5	-1,5		
Уровни звукового давления прямого звука от источника ИШ-2-31 в расчётной точке днём, дБ		**ф-ла(3)[10]**	**0**	**26,6**	**17,9**	**16,2**	**15,8**	**16,1**	**6,7**	**0**	**0**	**18,6**	**18,6**
Уровни звукового давления прямого звука от источника ИШ-2-31 в расчётной точке ночью, дБ		**ф-ла(3)[10]**	**0**	**26,6**	**17,9**	**16,2**	**15,8**	**16,1**	**6,7**	**0**	**0**	**18,6**	**18,6**
Расчёт отражённого звука													

1		2	3	4	5	6	7	8	9	10	11	12	13
Уровни звукового давления от мнимого источника ИШ-2-31_мн.(1) в расчётной точке днём, дБ		**ф-ла(3)[10]**	**0**	**0**	**0**	**0**	**0**	**0**	**0,9**	**0**	**0**	**2,1**	**2,1**
Уровни звукового давления от мнимого источника ИШ-2-31_мн.(1) в расчётной точке ночью, дБ		**ф-ла(3)[10]**	**0**	**0**	**0**	**0**	**0**	**0**	**0**	**0**	**0**	**2,1**	**2,1**
Уровни звукового давления от источника ИШ-2-31 в расчётной точке днём, дБ		**ф-ла(3)[10]**	**0**	**26,6**	**17,9**	**16,2**	**15,8**	**16,1**	**7,7**	**0**	**0**	**18,7**	**18,7**
Уровни звукового давления от источника ИШ-2-31 в расчётной точке ночью, дБ		**ф-ла(3)[10]**	**0**	**26,6**	**17,9**	**16,2**	**15,8**	**16,1**	**7,7**	**0**	**0**	**18,7**	**18,7**
Источник шума: ИШ-2-32, координаты источника (x,y,z), м =[700.38,-83.01,1.00]													
Уровни звуковой мощности источника днём, Lw, дБ		**исходные данные**	**0**	**93,3**	**94,7**	**96**	**96,3**	**95,9**	**92,6**	**88,4**	**83,9**		
Уровни звуковой мощности источника ночью, Lw, дБ		**исходные данные**	**0**	**93,3**	**94,7**	**96**	**96,3**	**95,9**	**92,6**	**88,4**	**83,9**		
Поправка на телесный угол DΩ, дБ	Ω = 6.28	10Lg(4π/Ω)	**3**	3	3	3	3	3	3	3	3		
Показатель направленности источника Di, дБ		исходные данные	**0**	0	0	0	0	0	0	0	0		
Поправка на направленность источника Dc, дБ	Dc	DΩ + Di	**3**	3	3	3	3	3	3	3	3		
Затухание из-за геометрической дивергенции, Adiv, дБ	расстояние = 1660.34 м	ф-ла (7) [10]	**75,4**										
Коэффициент затухания звука в атмосфере α, дБ/км	Ta=20,°C Pa=101.33,кПа hотн.=70%	ф-ла (5) [9]	0,02	0,09	0,33	1,12	2,79	4,98	9,04	23,09	77,63		
Учет затухания звука в атмосфере Aatm, дБ		ф-ла (8) [10]	0	0,1	0,6	1,9	4,6	8,3	15	38,3	128,9		
Снижение поверхностью земли возле источника As, дБ	Gs = 0 hs = 1м	ф-лы таб.3 [10]	-1,5	-1,5	-1,5	-1,5	-1,5	-1,5	-1,5	-1,5	-1,5		
Снижение поверхностью земли возле приёмника Ar, дБ	Gr = 1 hr = 1.5м	ф-лы таб.3 [10]	-1,5	-1,5	5,3	7	5	0,7	0	0	0		
Снижение поверхностью земли в средней зоне, Am дБ	Gm = 1	ф-лы таб.3 [10]	-2,9	-2,9	0	0	0	0	0	0	0		

1		2	3	4	5	6	7	8	9	10	11	12	13
Суммарное снижение поверхностью земли на траектории распространения звука Agr, дБ		ф-ла (9) [10]	-5,9	-5,9	3,8	5,5	3,5	-0,8	-1,5	-1,5	-1,5		
Уровни звукового давления прямого звука от источника ИШ-2-32 в расчётной точке днём, дБ		**ф-ла(3)[10]**	**0**	**26,6**	**17,9**	**16,2**	**15,8**	**16,1**	**6,7**	**0**	**0**	**18,6**	**18,6**
Уровни звукового давления прямого звука от источника ИШ-2-32 в расчётной точке ночью, дБ		**ф-ла(3)[10]**	**0**	**26,6**	**17,9**	**16,2**	**15,8**	**16,1**	**6,7**	**0**	**0**	**18,6**	**18,6**
Расчёт отражённого звука													
Уровни звукового давления от мнимого источника ИШ-2-32_мн.(1) в расчётной точке днём, дБ		**ф-ла(3)[10]**	**0**	**0**	**0**	**0**	**0**	**0**	**0,9**	**0**	**0**	**2,1**	**2,1**
Уровни звукового давления от мнимого источника ИШ-2-32_мн.(1) в расчётной точке ночью, дБ		**ф-ла(3)[10]**	**0**	**0**	**0**	**0**	**0**	**0**	**0**	**0**	**0**	**2,1**	**2,1**
Уровни звукового давления от источника ИШ-2-32 в расчётной точке днём, дБ		**ф-ла(3)[10]**	**0**	**26,6**	**17,9**	**16,2**	**15,8**	**16,1**	**7,7**	**0**	**0**	**18,7**	**18,7**
Уровни звукового давления от источника ИШ-2-32 в расчётной точке ночью, дБ		**ф-ла(3)[10]**	**0**	**26,6**	**17,9**	**16,2**	**15,8**	**16,1**	**7,7**	**0**	**0**	**18,7**	**18,7**
Источник шума: ИШ-2-33, координаты источника (x,y,z), м =[699.52,-85.98,1.00]													
Уровни звуковой мощности источника днём, Lw, дБ		**исходные данные**	**0**	**93,3**	**94,7**	**96**	**96,3**	**95,9**	**92,6**	**88,4**	**83,9**		
Уровни звуковой мощности источника ночью, Lw, дБ		**исходные данные**	**0**	**93,3**	**94,7**	**96**	**96,3**	**95,9**	**92,6**	**88,4**	**83,9**		
Поправка на телесный угол DΩ, дБ	Ω = 6.28	10Lg(4π/Ω)	**3**	3	3	3	3	3	3	3	3		
Показатель направленности источника Di, дБ		исходные данные	**0**	0	0	0	0	0	0	0	0		
Поправка на направленность источника Dc, дБ	Dc	DΩ + Di	**3**	3	3	3	3	3	3	3	3		
Затухание из-за геометрической дивергенции, Adiv, дБ	расстояние = 1659.99 м	ф-ла (7) [10]	**75,4**										
Коэффициент затухания звука в атмосфере α, дБ/км	Ta=20,°C Pa=101.33,кПа hотн.=70%	ф-ла (5) [9]	0,02	0,09	0,33	1,12	2,79	4,98	9,04	23,09	77,63		

1		2	3	4	5	6	7	8	9	10	11	12	13
Учет затухания звука в атмосфере Aatm, дБ		ф-ла (8) [10]	0	0,1	0,6	1,9	4,6	8,3	15	38,3	128,9		
Снижение поверхностью земли возле источника As, дБ	Gs = 0 hs = 1м	ф-лы таб.3 [10]	-1,5	-1,5	-1,5	-1,5	-1,5	-1,5	-1,5	-1,5	-1,5		
Снижение поверхностью земли возле приёмника Ar, дБ	Gr = 1 hr = 1.5м	ф-лы таб.3 [10]	-1,5	-1,5	5,3	7	5	0,7	0	0	0		
Снижение поверхностью земли в средней зоне, Am дБ	Gm = 1	ф-лы таб.3 [10]	-2,9	-2,9	0	0	0	0	0	0	0		
Суммарное снижение поверхностью земли на траектории распространения звука Agr, дБ		ф-ла (9) [10]	-5,9	-5,9	3,8	5,5	3,5	-0,8	-1,5	-1,5	-1,5		
Уровни звукового давления прямого звука от источника ИШ-2-33 в расчётной точке днём, дБ		**ф-ла(3)[10]**	**0**	**26,6**	**17,9**	**16,2**	**15,8**	**16,1**	**6,7**	**0**	**0**	**18,6**	**18,6**
Уровни звукового давления прямого звука от источника ИШ-2-33 в расчётной точке ночью, дБ		**ф-ла(3)[10]**	**0**	**26,6**	**17,9**	**16,2**	**15,8**	**16,1**	**6,7**	**0**	**0**	**18,6**	**18,6**
Расчёт отражённого звука													
Уровни звукового давления от мнимого источника ИШ-2-33_мн.(1) в расчётной точке днём, дБ		**ф-ла(3)[10]**	**0**	**0**	**0**	**0**	**0**	**0**	**0,9**	**0**	**0**	**2,1**	**2,1**
Уровни звукового давления от мнимого источника ИШ-2-33_мн.(1) в расчётной точке ночью, дБ		**ф-ла(3)[10]**	**0**	**0**	**0**	**0**	**0**	**0**	**0**	**0**	**0**	**2,1**	**2,1**
Уровни звукового давления от источника ИШ-2-33 в расчётной точке днём, дБ		**ф-ла(3)[10]**	**0**	**26,6**	**17,9**	**16,2**	**15,8**	**16,1**	**7,7**	**0**	**0**	**18,7**	**18,7**
Уровни звукового давления от источника ИШ-2-33 в расчётной точке ночью, дБ		**ф-ла(3)[10]**	**0**	**26,6**	**17,9**	**16,2**	**15,8**	**16,1**	**7,7**	**0**	**0**	**18,7**	**18,7**
Источник шума: ИШ-2-34, координаты источника (x,y,z), м =[698.43,-88.85,1.00]													
Уровни звуковой мощности источника днём, Lw, дБ		**исходные данные**	**0**	**93,3**	**94,7**	**96**	**96,3**	**95,9**	**92,6**	**88,4**	**83,9**		
Уровни звуковой мощности источника ночью, Lw, дБ		**исходные данные**	**0**	**93,3**	**94,7**	**96**	**96,3**	**95,9**	**92,6**	**88,4**	**83,9**		
Поправка на телесный угол DΩ, дБ	Ω = 6.28	10Lg(4π/Ω)	**3**	3	3	3	3	3	3	3	3		
Показатель направленности источника Di, дБ		исходные данные	**0**	0	0	0	0	0	0	0	0		

1		2	3	4	5	6	7	8	9	10	11	12	13
Поправка на направленность источника Dc, дБ	Dc	DΩ + Di	**3**	3	3	3	3	3	3	3	3		
Затухание из-за геометрической дивергенции, Adiv, дБ	расстояние = 1659.90 м	ф-ла (7) [10]	**75,4**										
Коэффициент затухания звука в атмосфере α, дБ/км	Ta=20,°C Pa=101.33,кПа hотн.=70%	ф-ла (5) [9]	0,02	0,09	0,33	1,12	2,79	4,98	9,04	23,09	77,63		
Учет затухания звука в атмосфере Aatm, дБ		ф-ла (8) [10]	0	0,1	0,6	1,9	4,6	8,3	15	38,3	128,9		
Снижение поверхностью земли возле источника As, дБ	Gs = 0 hs = 1м	ф-лы таб.3 [10]	-1,5	-1,5	-1,5	-1,5	-1,5	-1,5	-1,5	-1,5	-1,5		
Снижение поверхностью земли возле приёмника Ar, дБ	Gr = 1 hr = 1.5м	ф-лы таб.3 [10]	-1,5	-1,5	5,3	7	5	0,7	0	0	0		
Снижение поверхностью земли в средней зоне, Am дБ	Gm = 1	ф-лы таб.3 [10]	-2,9	-2,9	0	0	0	0	0	0	0		
Суммарное снижение поверхностью земли на траектории распространения звука Agr, дБ		ф-ла (9) [10]	-5,9	-5,9	3,8	5,5	3,5	-0,8	-1,5	-1,5	-1,5		
Уровни звукового давления прямого звука от источника ИШ-2-34 в расчётной точке днём, дБ		**ф-ла(3)[10]**	**0**	**26,6**	**17,9**	**16,2**	**15,8**	**16,1**	**6,7**	**0**	**0**	**18,6**	**18,6**
Уровни звукового давления прямого звука от источника ИШ-2-34 в расчётной точке ночью, дБ		**ф-ла(3)[10]**	**0**	**26,6**	**17,9**	**16,2**	**15,8**	**16,1**	**6,7**	**0**	**0**	**18,6**	**18,6**
Расчёт отражённого звука													
Уровни звукового давления от мнимого источника ИШ-2-34_мн.(1) в расчётной точке днём, дБ		**ф-ла(3)[10]**	**0**	**0**	**0**	**0**	**0**	**0**	**0,9**	**0**	**0**	**2,1**	**2,1**
Уровни звукового давления от мнимого источника ИШ-2-34_мн.(1) в расчётной точке ночью, дБ		**ф-ла(3)[10]**	**0**	**0**	**0**	**0**	**0**	**0**	**0**	**0**	**0**	**2,1**	**2,1**
Уровни звукового давления от источника ИШ-2-34 в расчётной точке днём, дБ		**ф-ла(3)[10]**	**0**	**26,6**	**17,9**	**16,2**	**15,8**	**16,1**	**7,7**	**0**	**0**	**18,7**	**18,7**
Уровни звукового давления от источника ИШ-2-34 в расчётной точке ночью, дБ		**ф-ла(3)[10]**	**0**	**26,6**	**17,9**	**16,2**	**15,8**	**16,1**	**7,7**	**0**	**0**	**18,7**	**18,7**
Источник шума: ИШ-2-35, координаты источника (x,y,z), м =[697.52,-91.66,1.00]													

1		2	3	4	5	6	7	8	9	10	11	12	13
Уровни звуковой мощности источника днём, Lw, дБ		**исходные данные**	**0**	**93,3**	**94,7**	**96**	**96,3**	**95,9**	**92,6**	**88,4**	**83,9**		
Уровни звуковой мощности источника ночью, Lw, дБ		**исходные данные**	**0**	**93,3**	**94,7**	**96**	**96,3**	**95,9**	**92,6**	**88,4**	**83,9**		
Поправка на телесный угол DΩ, дБ	Ω = 6.28	10Lg(4π/Ω)	**3**	3	3	3	3	3	3	3	3		
Показатель направленности источника Di, дБ		исходные данные	**0**	0	0	0	0	0	0	0	0		
Поправка на направленность источника Dc, дБ	Dc	DΩ + Di	**3**	3	3	3	3	3	3	3	3		
Затухание из-за геометрической дивергенции, Adiv, дБ	расстояние = 1659.67 м	ф-ла (7) [10]	**75,4**										
Коэффициент затухания звука в атмосфере α, дБ/км	Ta=20,°C Pa=101.33,кПа hотн.=70%	ф-ла (5) [9]	0,02	0,09	0,33	1,12	2,79	4,98	9,04	23,09	77,63		
Учет затухания звука в атмосфере Aatm, дБ		ф-ла (8) [10]	0	0,1	0,6	1,9	4,6	8,3	15	38,3	128,8		
Снижение поверхностью земли возле источника As, дБ	Gs = 0 hs = 1м	ф-лы таб.3 [10]	-1,5	-1,5	-1,5	-1,5	-1,5	-1,5	-1,5	-1,5	-1,5		
Снижение поверхностью земли возле приёмника Ar, дБ	Gr = 1 hr = 1.5м	ф-лы таб.3 [10]	-1,5	-1,5	5,3	7	5	0,7	0	0	0		
Снижение поверхностью земли в средней зоне, Am дБ	Gm = 1	ф-лы таб.3 [10]	-2,9	-2,9	0	0	0	0	0	0	0		
Суммарное снижение поверхностью земли на траектории распространения звука Agr, дБ		ф-ла (9) [10]	-5,9	-5,9	3,8	5,5	3,5	-0,8	-1,5	-1,5	-1,5		
Уровни звукового давления прямого звука от источника ИШ-2-35 в расчётной точке днём, дБ		**ф-ла(3)[10]**	**0**	**26,6**	**17,9**	**16,2**	**15,8**	**16,1**	**6,7**	**0**	**0**	**18,6**	**18,6**
Уровни звукового давления прямого звука от источника ИШ-2-35 в расчётной точке ночью, дБ		**ф-ла(3)[10]**	**0**	**26,6**	**17,9**	**16,2**	**15,8**	**16,1**	**6,7**	**0**	**0**	**18,6**	**18,6**
Расчёт отражённого звука													
Уровни звукового давления от мнимого источника ИШ-2-35_мн.(1) в расчётной точке днём, дБ		**ф-ла(3)[10]**	**0**	**0**	**0**	**0**	**0**	**0**	**0,9**	**0**	**0**	**2,1**	**2,1**
Уровни звукового давления от мнимого источника ИШ-2-35_мн.(1) в расчётной точке ночью, дБ		**ф-ла(3)[10]**	**0**	**0**	**0**	**0**	**0**	**0**	**0**	**0**	**0**	**2,1**	**2,1**

1		2	3	4	5	6	7	8	9	10	11	12	13
Уровни звукового давления от источника ИШ-2-35 в расчётной точке днём, дБ		**ф-ла(3)[10]**	**0**	**26,6**	**17,9**	**16,2**	**15,8**	**16,1**	**7,7**	**0**	**0**	**18,7**	**18,7**
Уровни звукового давления от источника ИШ-2-35 в расчётной точке ночью, дБ		**ф-ла(3)[10]**	**0**	**26,6**	**17,9**	**16,2**	**15,8**	**16,1**	**7,7**	**0**	**0**	**18,7**	**18,7**
Источник шума: ИШ-2-36, координаты источника (x,y,z), м =[696.58,-94.55,1.00]													
Уровни звуковой мощности источника днём, Lw, дБ		**исходные данные**	**0**	**93,3**	**94,7**	**96**	**96,3**	**95,9**	**92,6**	**88,4**	**83,9**		
Уровни звуковой мощности источника ночью, Lw, дБ		**исходные данные**	**0**	**93,3**	**94,7**	**96**	**96,3**	**95,9**	**92,6**	**88,4**	**83,9**		
Поправка на телесный угол DΩ, дБ	Ω = 6.28	10Lg(4π/Ω)	**3**	3	3	3	3	3	3	3	3		
Показатель направленности источника Di, дБ		исходные данные	**0**	0	0	0	0	0	0	0	0		
Поправка на направленность источника Dc, дБ	Dc	DΩ + Di	**3**	3	3	3	3	3	3	3	3		
Затухание из-за геометрической дивергенции, Adiv, дБ	расстояние = 1659.43 м	ф-ла (7) [10]	**75,4**										
Коэффициент затухания звука в атмосфере α, дБ/км	Ta=20,°C Pa=101.33,кПа hотн.=70%	ф-ла (5) [9]	0,02	0,09	0,33	1,12	2,79	4,98	9,04	23,09	77,63		
Учет затухания звука в атмосфере Aatm, дБ		ф-ла (8) [10]	0	0,1	0,6	1,9	4,6	8,3	15	38,3	128,8		
Снижение поверхностью земли возле источника As, дБ	Gs = 0 hs = 1м	ф-лы таб.3 [10]	-1,5	-1,5	-1,5	-1,5	-1,5	-1,5	-1,5	-1,5	-1,5		
Снижение поверхностью земли возле приёмника Ar, дБ	Gr = 1 hr = 1.5м	ф-лы таб.3 [10]	-1,5	-1,5	5,3	7	5	0,7	0	0	0		
Снижение поверхностью земли в средней зоне, Am дБ	Gm = 1	ф-лы таб.3 [10]	-2,9	-2,9	0	0	0	0	0	0	0		
Суммарное снижение поверхностью земли на траектории распространения звука Agr, дБ		ф-ла (9) [10]	-5,9	-5,9	3,8	5,5	3,5	-0,8	-1,5	-1,5	-1,5		
Уровни звукового давления прямого звука от источника ИШ-2-36 в расчётной точке днём, дБ		**ф-ла(3)[10]**	**0**	**26,6**	**17,9**	**16,2**	**15,8**	**16,1**	**6,7**	**0**	**0**	**18,6**	**18,6**

1		2	3	4	5	6	7	8	9	10	11	12	13
Уровни звукового давления прямого звука от источника ИШ-2-36 в расчётной точке ночью, дБ		**ф-ла(3)[10]**	**0**	**26,6**	**17,9**	**16,2**	**15,8**	**16,1**	**6,7**	**0**	**0**	**18,6**	**18,6**
Расчёт отражённого звука													
Уровни звукового давления от мнимого источника ИШ-2-36_мн.(1) в расчётной точке днём, дБ		**ф-ла(3)[10]**	**0**	**0**	**0**	**0**	**0**	**0**	**0,9**	**0**	**0**	**2,1**	**2,1**
Уровни звукового давления от мнимого источника ИШ-2-36_мн.(1) в расчётной точке ночью, дБ		**ф-ла(3)[10]**	**0**	**0**	**0**	**0**	**0**	**0**	**0**	**0**	**0**	**2,1**	**2,1**
Уровни звукового давления от источника ИШ-2-36 в расчётной точке днём, дБ		**ф-ла(3)[10]**	**0**	**26,6**	**17,9**	**16,2**	**15,8**	**16,1**	**7,7**	**0**	**0**	**18,7**	**18,7**
Уровни звукового давления от источника ИШ-2-36 в расчётной точке ночью, дБ		**ф-ла(3)[10]**	**0**	**26,6**	**17,9**	**16,2**	**15,8**	**16,1**	**7,7**	**0**	**0**	**18,7**	**18,7**
Источник шума: ИШ-2-37, координаты источника (x,y,z), м =[695.57,-97.37,1.00]													
Уровни звуковой мощности источника днём, Lw, дБ		**исходные данные**	**0**	**93,3**	**94,7**	**96**	**96,3**	**95,9**	**92,6**	**88,4**	**83,9**		
Уровни звуковой мощности источника ночью, Lw, дБ		**исходные данные**	**0**	**93,3**	**94,7**	**96**	**96,3**	**95,9**	**92,6**	**88,4**	**83,9**		
Поправка на телесный угол DΩ, дБ	Ω = 6.28	10Lg(4π/Ω)	**3**	3	3	3	3	3	3	3	3		
Показатель направленности источника Di, дБ		исходные данные	**0**	0	0	0	0	0	0	0	0		
Поправка на направленность источника Dc, дБ	Dc	DΩ + Di	**3**	3	3	3	3	3	3	3	3		
Затухание из-за геометрической дивергенции, Adiv, дБ	расстояние = 1659.30 м	ф-ла (7) [10]	**75,4**										
Коэффициент затухания звука в атмосфере α, дБ/км	Ta=20,°C Pa=101.33,кПа hотн.=70%	ф-ла (5) [9]	0,02	0,09	0,33	1,12	2,79	4,98	9,04	23,09	77,63		
Учет затухания звука в атмосфере Aatm, дБ		ф-ла (8) [10]	0	0,1	0,6	1,9	4,6	8,3	15	38,3	128,8		
Снижение поверхностью земли возле источника As, дБ	Gs = 0 hs = 1м	ф-лы таб.3 [10]	-1,5	-1,5	-1,5	-1,5	-1,5	-1,5	-1,5	-1,5	-1,5		

1		2	3	4	5	6	7	8	9	10	11	12	13
Снижение поверхностью земли возле приёмника Ar, дБ	Gr = 1 hr = 1.5м	ф-лы таб.3 [10]	-1,5	-1,5	5,3	7	5	0,7	0	0	0		
Снижение поверхностью земли в средней зоне, Am дБ	Gm = 1	ф-лы таб.3 [10]	-2,9	-2,9	0	0	0	0	0	0	0		
Суммарное снижение поверхностью земли на траектории распространения звука Agr, дБ		ф-ла (9) [10]	-5,9	-5,9	3,8	5,5	3,5	-0,8	-1,5	-1,5	-1,5		
Уровни звукового давления прямого звука от источника ИШ-2-37 в расчётной точке днём, дБ		**ф-ла(3)[10]**	**0**	**26,6**	**17,9**	**16,2**	**15,8**	**16,1**	**6,7**	**0**	**0**	**18,6**	**18,6**
Уровни звукового давления прямого звука от источника ИШ-2-37 в расчётной точке ночью, дБ		**ф-ла(3)[10]**	**0**	**26,6**	**17,9**	**16,2**	**15,8**	**16,1**	**6,7**	**0**	**0**	**18,6**	**18,6**
Расчёт отражённого звука													
Уровни звукового давления от мнимого источника ИШ-2-37_мн.(1) в расчётной точке днём, дБ		**ф-ла(3)[10]**	**0**	**0**	**0**	**0**	**0**	**0**	**0,9**	**0**	**0**	**2,1**	**2,1**
Уровни звукового давления от мнимого источника ИШ-2-37_мн.(1) в расчётной точке ночью, дБ		**ф-ла(3)[10]**	**0**	**0**	**0**	**0**	**0**	**0**	**0**	**0**	**0**	**2,1**	**2,1**
Уровни звукового давления от источника ИШ-2-37 в расчётной точке днём, дБ		**ф-ла(3)[10]**	**0**	**26,6**	**17,9**	**16,2**	**15,8**	**16,1**	**7,7**	**0**	**0**	**18,7**	**18,7**
Уровни звукового давления от источника ИШ-2-37 в расчётной точке ночью, дБ		**ф-ла(3)[10]**	**0**	**26,6**	**17,9**	**16,2**	**15,8**	**16,1**	**7,7**	**0**	**0**	**18,7**	**18,7**
Источник шума: ИШ-2-5, координаты источника (x,y,z), м =[618.60,-108.00,3.00]													
Уровни звуковой мощности источника днём, Lw, дБ		**исходные данные**	**105**	**104**	**104**	**101**	**102**	**106**	**101**	**95**	**87**		
Уровни звуковой мощности источника ночью, Lw, дБ		**исходные данные**	**105**	**104**	**104**	**101**	**102**	**106**	**101**	**95**	**87**		
Поправка на телесный угол DΩ, дБ	Ω = 6.28	10Lg(4π/Ω)	**3**	3	3	3	3	3	3	3	3		
Показатель направленности источника Di, дБ		исходные данные	**0**	0	0	0	0	0	0	0	0		
Поправка на направленность источника Dc, дБ	Dc	DΩ + Di	**3**	3	3	3	3	3	3	3	3		
Затухание из-за геометрической дивергенции, Adiv, дБ	расстояние = 1726.95 м	ф-ла (7) [10]	**75,7**										

1		2	3	4	5	6	7	8	9	10	11	12	13
Коэффициент затухания звука в атмосфере α, дБ/км	Та=20,°С Ра=101.33,кПа hотн.=70%	ф-ла (5) [9]	0,02	0,09	0,33	1,12	2,79	4,98	9,04	23,09	77,63		
Учет затухания звука в атмосфере Aatm, дБ		ф-ла (8) [10]	0	0,2	0,6	1,9	4,8	8,6	15,6	39,9	134,1		
Снижение уровня звукового давления из-за влияния застройки между источником шума и расчетной точкой													
Снижение уровня звукового давления препятствием справа от трассы ИШ-РТ, Dz3, дБ	z = -0.08м (разность путей)	ф-лы (14-18) [10]	0	0	2,5	0	NAN	NAN	NAN	NAN	NAN		
* отрицательное значение z означает прохождение траектории вблизи экрана, в этом случае дополнительно производится учёт снижения подстилающей поверхностью (см.ниже)													
Снижение поверхностью земли возле источника As, дБ	Gs = 0 hs = 3м	ф-лы таб.3 [10]	-1,5	-1,5	-1,5	-1,5	-1,5	-1,5	-1,5	-1,5	-1,5		
Снижение поверхностью земли возле приёмника Ar, дБ	Gr = 1 hr = 1.5м	ф-лы таб.3 [10]	-1,5	-1,5	5,3	7	5	0,7	0	0	0		
Снижение поверхностью земли в средней зоне, Am дБ	Gm = 1	ф-лы таб.3 [10]	-2,8	-2,8	0	0	0	0	0	0	0		
Суммарное снижение поверхностью земли на траектории распространения звука Agr, дБ		ф-ла (9) [10]	-5,8	-5,8	3,8	5,5	3,5	-0,8	-1,5	-1,5	-1,5		
Уровни звукового давления прямого звука от источника ИШ-2-5 в расчётной точке днём, дБ		**ф-ла(3)[10]**	**38**	**36,9**	**24,3**	**20,8**	**21**	**25,5**	**14,2**	**0**	**0**	**26,9**	**26,9**
Уровни звукового давления прямого звука от источника ИШ-2-5 в расчётной точке ночью, дБ		**ф-ла(3)[10]**	**38**	**36,9**	**24,3**	**20,8**	**21**	**25,5**	**14,2**	**0**	**0**	**26,9**	**26,9**
Расчёт отражённого звука													
Уровни звукового давления от мнимого источника ИШ-2-5_мн.(1) в расчётной точке днём, дБ		**ф-ла(3)[10]**	**0**	**0**	**0**	**0**	**0**	**0**	**0**	**0**	**0**	**0**	**0**
Уровни звукового давления от мнимого источника ИШ-2-5_мн.(1) в расчётной точке ночью, дБ		**ф-ла(3)[10]**	**0**	**0**	**0**	**0**	**0**	**0**	**0**	**0**	**0**	**0**	**0**
Уровни звукового давления от источника ИШ-2-5 в расчётной точке днём, дБ		**ф-ла(3)[10]**	**38**	**36,9**	**24,3**	**20,8**	**21**	**25,5**	**14,2**	**0**	**0**	**26,9**	**26,9**
Уровни звукового давления от источника ИШ-2-5 в расчётной точке ночью, дБ		**ф-ла(3)[10]**	**38**	**36,9**	**24,3**	**20,8**	**21**	**25,5**	**14,2**	**0**	**0**	**26,9**	**26,9**
Источник шума: ИШ-2-38, координаты источника (x,y,z), м =[688.13,-119.94,1.00]													

1		2	3	4	5	6	7	8	9	10	11	12	13
Уровни звуковой мощности источника днём, Lw, дБ		**исходные данные**	**0**	**93,3**	**94,7**	**96**	**96,3**	**95,9**	**92,6**	**88,4**	**83,9**		
Уровни звуковой мощности источника ночью, Lw, дБ		**исходные данные**	**0**	**93,3**	**94,7**	**96**	**96,3**	**95,9**	**92,6**	**88,4**	**83,9**		
Поправка на телесный угол DΩ, дБ	Ω = 6.28	10Lg(4π/Ω)	**3**	3	3	3	3	3	3	3	3		
Показатель направленности источника Di, дБ		исходные данные	**0**	0	0	0	0	0	0	0	0		
Поправка на направленность источника Dc, дБ	Dc	DΩ + Di	**3**	3	3	3	3	3	3	3	3		
Затухание из-за геометрической дивергенции, Adiv, дБ	расстояние = 1657.81 м	ф-ла (7) [10]	**75,4**										
Коэффициент затухания звука в атмосфере α, дБ/км	Ta=20,°C Pa=101.33,кПа hотн.=70%	ф-ла (5) [9]	0,02	0,09	0,33	1,12	2,79	4,98	9,04	23,09	77,63		
Учет затухания звука в атмосфере Aatm, дБ		ф-ла (8) [10]	0	0,1	0,6	1,9	4,6	8,3	15	38,3	128,7		
Снижение поверхностью земли возле источника As, дБ	Gs = 0 hs = 1м	ф-лы таб.3 [10]	-1,5	-1,5	-1,5	-1,5	-1,5	-1,5	-1,5	-1,5	-1,5		
Снижение поверхностью земли возле приёмника Ar, дБ	Gr = 1 hr = 1.5м	ф-лы таб.3 [10]	-1,5	-1,5	5,3	7	5	0,7	0	0	0		
Снижение поверхностью земли в средней зоне, Am дБ	Gm = 1	ф-лы таб.3 [10]	-2,9	-2,9	0	0	0	0	0	0	0		
Суммарное снижение поверхностью земли на траектории распространения звука Agr, дБ		ф-ла (9) [10]	-5,9	-5,9	3,8	5,5	3,5	-0,8	-1,5	-1,5	-1,5		
Уровни звукового давления прямого звука от источника ИШ-2-38 в расчётной точке днём, дБ		**ф-ла(3)[10]**	**0**	**26,6**	**17,9**	**16,2**	**15,8**	**16,1**	**6,7**	**0**	**0**	**18,7**	**18,7**
Уровни звукового давления прямого звука от источника ИШ-2-38 в расчётной точке ночью, дБ		**ф-ла(3)[10]**	**0**	**26,6**	**17,9**	**16,2**	**15,8**	**16,1**	**6,7**	**0**	**0**	**18,7**	**18,7**
Расчёт отражённого звука													
Уровни звукового давления от мнимого источника ИШ-2-38_мн.(1) в расчётной точке днём, дБ		**ф-ла(3)[10]**	**0**	**0**	**0**	**0**	**0**	**0**	**0**	**0**	**0**	**0**	**0**
Уровни звукового давления от мнимого источника ИШ-2-38_мн.(1) в расчётной точке ночью, дБ		**ф-ла(3)[10]**	**0**	**0**	**0**	**0**	**0**	**0**	**0**	**0**	**0**	**0**	**0**

1		2	3	4	5	6	7	8	9	10	11	12	13
Уровни звукового давления от источника ИШ-2-38 в расчётной точке днём, дБ		**ф-ла(3)[10]**	**0**	**26,6**	**17,9**	**16,2**	**15,8**	**16,1**	**6,7**	**0**	**0**	**18,7**	**18,7**
Уровни звукового давления от источника ИШ-2-38 в расчётной точке ночью, дБ		**ф-ла(3)[10]**	**0**	**26,6**	**17,9**	**16,2**	**15,8**	**16,1**	**6,7**	**0**	**0**	**18,7**	**18,7**
Источник шума: ИШ-2-39, координаты источника (x,y,z), м =[687.11,-122.83,1.00]													
Уровни звуковой мощности источника днём, Lw, дБ		**исходные данные**	**0**	**93,3**	**94,7**	**96**	**96,3**	**95,9**	**92,6**	**88,4**	**83,9**		
Уровни звуковой мощности источника ночью, Lw, дБ		**исходные данные**	**0**	**93,3**	**94,7**	**96**	**96,3**	**95,9**	**92,6**	**88,4**	**83,9**		
Поправка на телесный угол DΩ, дБ	Ω = 6.28	10Lg(4π/Ω)	**3**	3	3	3	3	3	3	3	3		
Показатель направленности источника Di, дБ		исходные данные	**0**	0	0	0	0	0	0	0	0		
Поправка на направленность источника Dc, дБ	Dc	DΩ + Di	**3**	3	3	3	3	3	3	3	3		
Затухание из-за геометрической дивергенции, Adiv, дБ	расстояние = 1657.70 м	ф-ла (7) [10]	**75,4**										
Коэффициент затухания звука в атмосфере α, дБ/км	Ta=20,°C Pa=101.33,кПа hотн.=70%	ф-ла (5) [9]	0,02	0,09	0,33	1,12	2,79	4,98	9,04	23,09	77,63		
Учет затухания звука в атмосфере Aatm, дБ		ф-ла (8) [10]	0	0,1	0,6	1,9	4,6	8,3	15	38,3	128,7		
Снижение поверхностью земли возле источника As, дБ	Gs = 0 hs = 1м	ф-лы таб.3 [10]	-1,5	-1,5	-1,5	-1,5	-1,5	-1,5	-1,5	-1,5	-1,5		
Снижение поверхностью земли возле приёмника Ar, дБ	Gr = 1 hr = 1.5м	ф-лы таб.3 [10]	-1,5	-1,5	5,3	7	5	0,7	0	0	0		
Снижение поверхностью земли в средней зоне, Am дБ	Gm = 1	ф-лы таб.3 [10]	-2,9	-2,9	0	0	0	0	0	0	0		
Суммарное снижение поверхностью земли на траектории распространения звука Agr, дБ		ф-ла (9) [10]	-5,9	-5,9	3,8	5,5	3,5	-0,8	-1,5	-1,5	-1,5		
Уровни звукового давления прямого звука от источника ИШ-2-39 в расчётной точке днём, дБ		**ф-ла(3)[10]**	**0**	**26,6**	**17,9**	**16,2**	**15,8**	**16,1**	**6,7**	**0**	**0**	**18,7**	**18,7**

1		2	3	4	5	6	7	8	9	10	11	12	13
Уровни звукового давления прямого звука от источника ИШ-2-39 в расчётной точке ночью, дБ		**ф-ла(3)[10]**	**0**	**26,6**	**17,9**	**16,2**	**15,8**	**16,1**	**6,7**	**0**	**0**	**18,7**	**18,7**
Расчёт отражённого звука													
Уровни звукового давления от мнимого источника ИШ-2-39_мн.(1) в расчётной точке днём, дБ		**ф-ла(3)[10]**	**0**	**0**	**0**	**0**	**0**	**0**	**0**	**0**	**0**	**0**	**0**
Уровни звукового давления от мнимого источника ИШ-2-39_мн.(1) в расчётной точке ночью, дБ		**ф-ла(3)[10]**	**0**	**0**	**0**	**0**	**0**	**0**	**0**	**0**	**0**	**0**	**0**
Уровни звукового давления от источника ИШ-2-39 в расчётной точке днём, дБ		**ф-ла(3)[10]**	**0**	**26,6**	**17,9**	**16,2**	**15,8**	**16,1**	**6,7**	**0**	**0**	**18,7**	**18,7**
Уровни звукового давления от источника ИШ-2-39 в расчётной точке ночью, дБ		**ф-ла(3)[10]**	**0**	**26,6**	**17,9**	**16,2**	**15,8**	**16,1**	**6,7**	**0**	**0**	**18,7**	**18,7**
Источник шума: ИШ-2-40, координаты источника (x,y,z), м =[686.10,-125.67,1.00]													
Уровни звуковой мощности источника днём, Lw, дБ		**исходные данные**	**0**	**93,3**	**94,7**	**96**	**96,3**	**95,9**	**92,6**	**88,4**	**83,9**		
Уровни звуковой мощности источника ночью, Lw, дБ		**исходные данные**	**0**	**93,3**	**94,7**	**96**	**96,3**	**95,9**	**92,6**	**88,4**	**83,9**		
Поправка на телесный угол DΩ, дБ	Ω = 6.28	10Lg(4π/Ω)	**3**	3	3	3	3	3	3	3	3		
Показатель направленности источника Di, дБ		исходные данные	**0**	0	0	0	0	0	0	0	0		
Поправка на направленность источника Dc, дБ	Dc	DΩ + Di	**3**	3	3	3	3	3	3	3	3		
Затухание из-за геометрической дивергенции, Adiv, дБ	расстояние = 1657.61 м	ф-ла (7) [10]	**75,4**										
Коэффициент затухания звука в атмосфере α, дБ/км	Ta=20,°C Pa=101.33,кПа hотн.=70%	ф-ла (5) [9]	0,02	0,09	0,33	1,12	2,79	4,98	9,04	23,09	77,63		
Учет затухания звука в атмосфере Aatm, дБ		ф-ла (8) [10]	0	0,1	0,6	1,9	4,6	8,3	15	38,3	128,7		
Снижение поверхностью земли возле источника As, дБ	Gs = 0 hs = 1м	ф-лы таб.3 [10]	-1,5	-1,5	-1,5	-1,5	-1,5	-1,5	-1,5	-1,5	-1,5		

1		2	3	4	5	6	7	8	9	10	11	12	13
Снижение поверхностью земли возле приёмника Ar, дБ	Gr = 1 hr = 1.5м	ф-лы таб.3 [10]	-1,5	-1,5	5,3	7	5	0,7	0	0	0		
Снижение поверхностью земли в средней зоне, Am дБ	Gm = 1	ф-лы таб.3 [10]	-2,9	-2,9	0	0	0	0	0	0	0		
Суммарное снижение поверхностью земли на траектории распространения звука Agr, дБ		ф-ла (9) [10]	-5,9	-5,9	3,8	5,5	3,5	-0,8	-1,5	-1,5	-1,5		
Уровни звукового давления прямого звука от источника ИШ-2-40 в расчётной точке днём, дБ		**ф-ла(3)[10]**	**0**	**26,6**	**17,9**	**16,2**	**15,8**	**16,1**	**6,7**	**0**	**0**	**18,7**	**18,7**
Уровни звукового давления прямого звука от источника ИШ-2-40 в расчётной точке ночью, дБ		**ф-ла(3)[10]**	**0**	**26,6**	**17,9**	**16,2**	**15,8**	**16,1**	**6,7**	**0**	**0**	**18,7**	**18,7**
Расчёт отражённого звука													
Уровни звукового давления от мнимого источника ИШ-2-40_мн.(1) в расчётной точке днём, дБ		**ф-ла(3)[10]**	**0**	**0**	**0**	**0**	**0**	**0**	**0**	**0**	**0**	**0**	**0**
Уровни звукового давления от мнимого источника ИШ-2-40_мн.(1) в расчётной точке ночью, дБ		**ф-ла(3)[10]**	**0**	**0**	**0**	**0**	**0**	**0**	**0**	**0**	**0**	**0**	**0**
Уровни звукового давления от источника ИШ-2-40 в расчётной точке днём, дБ		**ф-ла(3)[10]**	**0**	**26,6**	**17,9**	**16,2**	**15,8**	**16,1**	**6,7**	**0**	**0**	**18,7**	**18,7**
Уровни звукового давления от источника ИШ-2-40 в расчётной точке ночью, дБ		**ф-ла(3)[10]**	**0**	**26,6**	**17,9**	**16,2**	**15,8**	**16,1**	**6,7**	**0**	**0**	**18,7**	**18,7**
Источник шума: ИШ-2-41, координаты источника (x,y,z), м =[685.14,-128.64,1.00]													
Уровни звуковой мощности источника днём, Lw, дБ		**исходные данные**	**0**	**93,3**	**94,7**	**96**	**96,3**	**95,9**	**92,6**	**88,4**	**83,9**		
Уровни звуковой мощности источника ночью, Lw, дБ		**исходные данные**	**0**	**93,3**	**94,7**	**96**	**96,3**	**95,9**	**92,6**	**88,4**	**83,9**		
Поправка на телесный угол DΩ, дБ	Ω = 6.28	10Lg(4π/Ω)	**3**	3	3	3	3	3	3	3	3		
Показатель направленности источника Di, дБ		исходные данные	**0**	0	0	0	0	0	0	0	0		
Поправка на направленность источника Dc, дБ	Dc	DΩ + Di	**3**	3	3	3	3	3	3	3	3		
Затухание из-за геометрической дивергенции, Adiv, дБ	расстояние = 1657.44 м	ф-ла (7) [10]	**75,4**										

1		2	3	4	5	6	7	8	9	10	11	12	13
Коэффициент затухания звука в атмосфере α, дБ/км	Ta=20,°C Pa=101.33,кПа hотн.=70%	ф-ла (5) [9]	0,02	0,09	0,33	1,12	2,79	4,98	9,04	23,09	77,63		
Учет затухания звука в атмосфере Aatm, дБ		ф-ла (8) [10]	0	0,1	0,6	1,9	4,6	8,3	15	38,3	128,7		
Снижение поверхностью земли возле источника As, дБ	Gs = 0 hs = 1м	ф-лы таб.3 [10]	-1,5	-1,5	-1,5	-1,5	-1,5	-1,5	-1,5	-1,5	-1,5		
Снижение поверхностью земли возле приёмника Ar, дБ	Gr = 1 hr = 1.5м	ф-лы таб.3 [10]	-1,5	-1,5	5,3	7	5	0,7	0	0	0		
Снижение поверхностью земли в средней зоне, Am дБ	Gm = 1	ф-лы таб.3 [10]	-2,9	-2,9	0	0	0	0	0	0	0		
Суммарное снижение поверхностью земли на траектории распространения звука Agr, дБ		ф-ла (9) [10]	-5,9	-5,9	3,8	5,5	3,5	-0,8	-1,5	-1,5	-1,5		
Уровни звукового давления прямого звука от источника ИШ-2-41 в расчётной точке днём, дБ		**ф-ла(3)[10]**	**0**	**26,6**	**17,9**	**16,2**	**15,8**	**16,1**	**6,7**	**0**	**0**	**18,7**	**18,7**
Уровни звукового давления прямого звука от источника ИШ-2-41 в расчётной точке ночью, дБ		**ф-ла(3)[10]**	**0**	**26,6**	**17,9**	**16,2**	**15,8**	**16,1**	**6,7**	**0**	**0**	**18,7**	**18,7**
Расчёт отражённого звука													
Уровни звукового давления от мнимого источника ИШ-2-41_мн.(1) в расчётной точке днём, дБ		**ф-ла(3)[10]**	**0**	**0**	**0**	**0**	**0**	**0**	**0**	**0**	**0**	**0**	**0**
Уровни звукового давления от мнимого источника ИШ-2-41_мн.(1) в расчётной точке ночью, дБ		**ф-ла(3)[10]**	**0**	**0**	**0**	**0**	**0**	**0**	**0**	**0**	**0**	**0**	**0**
Уровни звукового давления от источника ИШ-2-41 в расчётной точке днём, дБ		**ф-ла(3)[10]**	**0**	**26,6**	**17,9**	**16,2**	**15,8**	**16,1**	**6,7**	**0**	**0**	**18,7**	**18,7**
Уровни звукового давления от источника ИШ-2-41 в расчётной точке ночью, дБ		**ф-ла(3)[10]**	**0**	**26,6**	**17,9**	**16,2**	**15,8**	**16,1**	**6,7**	**0**	**0**	**18,7**	**18,7**
Источник шума: ИШ-2-42, координаты источника (x,y,z), м =[684.20,-131.46,1.00]													
Уровни звуковой мощности источника днём, Lw, дБ		**исходные данные**	**0**	**93,3**	**94,7**	**96**	**96,3**	**95,9**	**92,6**	**88,4**	**83,9**		
Уровни звуковой мощности источника ночью, Lw, дБ		**исходные данные**	**0**	**93,3**	**94,7**	**96**	**96,3**	**95,9**	**92,6**	**88,4**	**83,9**		

1		2	3	4	5	6	7	8	9	10	11	12	13
Поправка на телесный угол DΩ, дБ	Ω = 6.28	10Lg(4π/Ω)	**3**	3	3	3	3	3	3	3	3		
Показатель направленности источника Di, дБ		исходные данные	**0**	0	0	0	0	0	0	0	0		
Поправка на направленность источника Dc, дБ	Dc	DΩ + Di	**3**	3	3	3	3	3	3	3	3		
Затухание из-за геометрической дивергенции, Adiv, дБ	расстояние = 1657.31 м	ф-ла (7) [10]	**75,4**										
Коэффициент затухания звука в атмосфере α, дБ/км	Ta=20,°C Pa=101.33,кПа hотн.=70%	ф-ла (5) [9]	0,02	0,09	0,33	1,12	2,79	4,98	9,04	23,09	77,63		
Учет затухания звука в атмосфере Aatm, дБ		ф-ла (8) [10]	0	0,1	0,6	1,9	4,6	8,2	15	38,3	128,7		
Снижение уровня звукового давления из-за влияния застройки между источником шума и расчетной точкой													
Снижение уровня звукового давления препятствием справа от трассы ИШ-РТ, Dz3, дБ	z = -0.20м (разность путей)	ф-лы (14-18) [10]	0	1,9	0	NAN	NAN	NAN	NAN	NAN	NAN		
* отрицательное значение z означает прохождение траектории вблизи экрана, в этом случае дополнительно производится учёт снижения подстилающей поверхностью (см.ниже)													
Снижение поверхностью земли возле источника As, дБ	Gs = 0 hs = 1м	ф-лы таб.3 [10]	-1,5	-1,5	-1,5	-1,5	-1,5	-1,5	-1,5	-1,5	-1,5		
Снижение поверхностью земли возле приёмника Ar, дБ	Gr = 1 hr = 1.5м	ф-лы таб.3 [10]	-1,5	-1,5	5,3	7	5	0,7	0	0	0		
Снижение поверхностью земли в средней зоне, Am дБ	Gm = 1	ф-лы таб.3 [10]	-2,9	-2,9	0	0	0	0	0	0	0		
Суммарное снижение поверхностью земли на траектории распространения звука Agr, дБ		ф-ла (9) [10]	-5,9	-5,9	3,8	5,5	3,5	-0,8	-1,5	-1,5	-1,5		
Уровни звукового давления прямого звука от источника ИШ-2-42 в расчётной точке днём, дБ		**ф-ла(3)[10]**	**0**	**24,8**	**17,9**	**16,2**	**15,8**	**16,1**	**6,7**	**0**	**0**	**18,6**	**18,6**
Уровни звукового давления прямого звука от источника ИШ-2-42 в расчётной точке ночью, дБ		**ф-ла(3)[10]**	**0**	**24,8**	**17,9**	**16,2**	**15,8**	**16,1**	**6,7**	**0**	**0**	**18,6**	**18,6**
Расчёт отражённого звука													
Уровни звукового давления от мнимого источника ИШ-2-42_мн.(1) в расчётной точке днём, дБ		**ф-ла(3)[10]**	**0**	**0**	**0**	**0**	**0**	**0**	**0**	**0**	**0**	**0**	**0**
Уровни звукового давления от мнимого источника ИШ-2-42_мн.(1) в расчётной точке ночью, дБ		**ф-ла(3)[10]**	**0**	**0**	**0**	**0**	**0**	**0**	**0**	**0**	**0**	**0**	**0**

1		2	3	4	5	6	7	8	9	10	11	12	13
Уровни звукового давления от источника ИШ-2-42 в расчётной точке днём, дБ		**ф-ла(3)[10]**	**0**	**24,8**	**17,9**	**16,2**	**15,8**	**16,1**	**6,7**	**0**	**0**	**18,6**	**18,6**
Уровни звукового давления от источника ИШ-2-42 в расчётной точке ночью, дБ		**ф-ла(3)[10]**	**0**	**24,8**	**17,9**	**16,2**	**15,8**	**16,1**	**6,7**	**0**	**0**	**18,6**	**18,6**
Источник шума: ИШ-2-43, координаты источника (x,y,z), м =[683.13,-134.37,1.00]													
Уровни звуковой мощности источника днём, Lw, дБ		**исходные данные**	**0**	**93,3**	**94,7**	**96**	**96,3**	**95,9**	**92,6**	**88,4**	**83,9**		
Уровни звуковой мощности источника ночью, Lw, дБ		**исходные данные**	**0**	**93,3**	**94,7**	**96**	**96,3**	**95,9**	**92,6**	**88,4**	**83,9**		
Поправка на телесный угол DΩ, дБ	Ω = 6.28	10Lg(4π/Ω)	**3**	3	3	3	3	3	3	3	3		
Показатель направленности источника Di, дБ		исходные данные	**0**	0	0	0	0	0	0	0	0		
Поправка на направленность источника Dc, дБ	Dc	DΩ + Di	**3**	3	3	3	3	3	3	3	3		
Затухание из-за геометрической дивергенции, Adiv, дБ	расстояние = 1657.26 м	ф-ла (7) [10]	**75,4**										
Коэффициент затухания звука в атмосфере α, дБ/км	Ta=20,°C Pa=101.33,кПа hотн.=70%	ф-ла (5) [9]	0,02	0,09	0,33	1,12	2,79	4,98	9,04	23,09	77,63		
Учет затухания звука в атмосфере Aatm, дБ		ф-ла (8) [10]	0	0,1	0,6	1,9	4,6	8,2	15	38,3	128,7		
Снижение уровня звукового давления из-за влияния застройки между источником шума и расчетной точкой													
Снижение уровня звукового давления препятствием справа от трассы ИШ-РТ, Dz3, дБ	z = -0.07м (разность путей)	ф-лы (14-18) [10]	0	0	3,1	0,3	NAN	NAN	NAN	NAN	NAN		
* отрицательное значение z означает прохождение траектории вблизи экрана, в этом случае дополнительно производится учёт снижения подстилающей поверхностью (см.ниже)													
Снижение поверхностью земли возле источника As, дБ	Gs = 0 hs = 1м	ф-лы таб.3 [10]	-1,5	-1,5	-1,5	-1,5	-1,5	-1,5	-1,5	-1,5	-1,5		
Снижение поверхностью земли возле приёмника Ar, дБ	Gr = 1 hr = 1.5м	ф-лы таб.3 [10]	-1,5	-1,5	5,3	7	5	0,7	0	0	0		
Снижение поверхностью земли в средней зоне, Am дБ	Gm = 1	ф-лы таб.3 [10]	-2,9	-2,9	0	0	0	0	0	0	0		

1		2	3	4	5	6	7	8	9	10	11	12	13
Суммарное снижение поверхностью земли на траектории распространения звука Agr, дБ		ф-ла (9) [10]	-5,9	-5,9	3,8	5,5	3,5	-0,8	-1,5	-1,5	-1,5		
Уровни звукового давления прямого звука от источника ИШ-2-43 в расчётной точке днём, дБ		**ф-ла(3)[10]**	**0**	**26,6**	**14,8**	**16**	**15,8**	**16,1**	**6,7**	**0**	**0**	**18,6**	**18,6**
Уровни звукового давления прямого звука от источника ИШ-2-43 в расчётной точке ночью, дБ		**ф-ла(3)[10]**	**0**	**26,6**	**14,8**	**16**	**15,8**	**16,1**	**6,7**	**0**	**0**	**18,6**	**18,6**
Расчёт отражённого звука													
Уровни звукового давления от мнимого источника ИШ-2-43_мн.(1) в расчётной точке днём, дБ		**ф-ла(3)[10]**	**0**	**0**	**0**	**0**	**0**	**0**	**0**	**0**	**0**	**0**	**0**
Уровни звукового давления от мнимого источника ИШ-2-43_мн.(1) в расчётной точке ночью, дБ		**ф-ла(3)[10]**	**0**	**0**	**0**	**0**	**0**	**0**	**0**	**0**	**0**	**0**	**0**
Уровни звукового давления от источника ИШ-2-43 в расчётной точке днём, дБ		**ф-ла(3)[10]**	**0**	**26,6**	**14,8**	**16**	**15,8**	**16,1**	**6,7**	**0**	**0**	**18,6**	**18,6**
Уровни звукового давления от источника ИШ-2-43 в расчётной точке ночью, дБ		**ф-ла(3)[10]**	**0**	**26,6**	**14,8**	**16**	**15,8**	**16,1**	**6,7**	**0**	**0**	**18,6**	**18,6**
Источник шума: ИШ-2-44, координаты источника (x,y,z), м =[682.20,-137.16,1.00]													
Уровни звуковой мощности источника днём, Lw, дБ		**исходные данные**	**0**	**93,3**	**94,7**	**96**	**96,3**	**95,9**	**92,6**	**88,4**	**83,9**		
Уровни звуковой мощности источника ночью, Lw, дБ		**исходные данные**	**0**	**93,3**	**94,7**	**96**	**96,3**	**95,9**	**92,6**	**88,4**	**83,9**		
Поправка на телесный угол DΩ, дБ	Ω = 6.28	10Lg(4π/Ω)	**3**	3	3	3	3	3	3	3	3		
Показатель направленности источника Di, дБ		исходные данные	**0**	0	0	0	0	0	0	0	0		
Поправка на направленность источника Dc, дБ	Dc	DΩ + Di	**3**	3	3	3	3	3	3	3	3		
Затухание из-за геометрической дивергенции, Adiv, дБ	расстояние = 1657.14 м	ф-ла (7) [10]	**75,4**										
Коэффициент затухания звука в атмосфере α, дБ/км	Ta=20,°C Pa=101.33,кПа hотн.=70%	ф-ла (5) [9]	0,02	0,09	0,33	1,12	2,79	4,98	9,04	23,09	77,63		

1		2	3	4	5	6	7	8	9	10	11	12	13
Учет затухания звука в атмосфере Aatm, дБ		ф-ла (8) [10]	0	0,1	0,6	1,9	4,6	8,2	15	38,3	128,6		
Снижение уровня звукового давления из-за влияния застройки между источником шума и расчетной точкой													
Снижение уровня звукового давления препятствием справа от трассы ИШ-РТ, Dz3, дБ	z = -0.01м (разность путей)	ф-лы (14-18) [10]	0	0	0	0	4,2	3,6	1,9	0	NAN		
* отрицательное значение z означает прохождение траектории вблизи экрана, в этом случае дополнительно производится учёт снижения подстилающей поверхностью (см.ниже)													
Снижение поверхностью земли возле источника As, дБ	Gs = 0 hs = 1м	ф-лы таб.3 [10]	-1,5	-1,5	-1,5	-1,5	-1,5	-1,5	-1,5	-1,5	-1,5		
Снижение поверхностью земли возле приёмника Ar, дБ	Gr = 1 hr = 1.5м	ф-лы таб.3 [10]	-1,5	-1,5	5,3	7	5	0,7	0	0	0		
Снижение поверхностью земли в средней зоне, Am дБ	Gm = 1	ф-лы таб.3 [10]	-2,9	-2,9	0	0	0	0	0	0	0		
Суммарное снижение поверхностью земли на траектории распространения звука Agr, дБ		ф-ла (9) [10]	-5,9	-5,9	3,8	5,5	3,5	-0,8	-1,5	-1,5	-1,5		
Уровни звукового давления прямого звука от источника ИШ-2-44 в расчётной точке днём, дБ		**ф-ла(3)[10]**	**0**	**26,6**	**17,9**	**16,2**	**11,6**	**12,5**	**4,8**	**0**	**0**	**15,7**	**15,7**
Уровни звукового давления прямого звука от источника ИШ-2-44 в расчётной точке ночью, дБ		**ф-ла(3)[10]**	**0**	**26,6**	**17,9**	**16,2**	**11,6**	**12,5**	**4,8**	**0**	**0**	**15,7**	**15,7**
Расчёт отражённого звука													
Уровни звукового давления от мнимого источника ИШ-2-44_мн.(1) в расчётной точке днём, дБ		**ф-ла(3)[10]**	**0**	**0**	**0**	**0**	**0**	**0**	**0**	**0**	**0**	**0**	**0**
Уровни звукового давления от мнимого источника ИШ-2-44_мн.(1) в расчётной точке ночью, дБ		**ф-ла(3)[10]**	**0**	**0**	**0**	**0**	**0**	**0**	**0**	**0**	**0**	**0**	**0**
Уровни звукового давления от источника ИШ-2-44 в расчётной точке днём, дБ		**ф-ла(3)[10]**	**0**	**26,6**	**17,9**	**16,2**	**11,6**	**12,5**	**4,8**	**0**	**0**	**15,7**	**15,7**
Уровни звукового давления от источника ИШ-2-44 в расчётной точке ночью, дБ		**ф-ла(3)[10]**	**0**	**26,6**	**17,9**	**16,2**	**11,6**	**12,5**	**4,8**	**0**	**0**	**15,7**	**15,7**
Источник шума: ИШ-2-45, координаты источника (x,y,z), м =[681.26,-139.98,1.00]													
Уровни звуковой мощности источника днём, Lw, дБ		**исходные данные**	**0**	**93,3**	**94,7**	**96**	**96,3**	**95,9**	**92,6**	**88,4**	**83,9**		

1		2	3	4	5	6	7	8	9	10	11	12	13
Уровни звуковой мощности источника ночью, Lw, дБ		**исходные данные**	**0**	**93,3**	**94,7**	**96**	**96,3**	**95,9**	**92,6**	**88,4**	**83,9**		
Поправка на телесный угол DΩ, дБ	Ω = 6.28	10Lg(4π/Ω)	**3**	3	3	3	3	3	3	3	3		
Показатель направленности источника Di, дБ		исходные данные	**0**	0	0	0	0	0	0	0	0		
Поправка на направленность источника Dc, дБ	Dc	DΩ + Di	**3**	3	3	3	3	3	3	3	3		
Затухание из-за геометрической дивергенции, Adiv, дБ	расстояние = 1657.02 м	ф-ла (7) [10]	**75,4**										
Коэффициент затухания звука в атмосфере α, дБ/км	Ta=20,°C Pa=101.33,кПа hотн.=70%	ф-ла (5) [9]	0,02	0,09	0,33	1,12	2,79	4,98	9,04	23,09	77,63		
Учет затухания звука в атмосфере Aatm, дБ		ф-ла (8) [10]	0	0,1	0,6	1,9	4,6	8,2	15	38,3	128,6		
Снижение уровня звукового давления из-за влияния застройки между источником шума и расчетной точкой													
Снижение уровня звукового давления на пути над экраном, Dz1, дБ	z = 0.02м (разность путей)	ф-лы (14-18) [10]	4,8	4,8	4,8	4,8	4,8	4,8	4,8	4,8	4,8		
Снижение уровня звукового давления на пути слева от экрана, Dz2, дБ	z = 0.01м (разность путей)	ф-лы (14-18) [10]	4,8	4,9	5	5,2	5,6	6,2	7,3	9	11		
Снижение уровня звукового давления на пути справа от экрана, Dz3, дБ	z = 0.85м (разность путей)	ф-лы (14-18) [10]	7,9	9,7	11,9	14,5	17,2	20,1	23,1	26	29		
Общее снижение уровня звука препятствием Dz, дБ		Эн.сумма(-Dzi)	0,8	1,2	1,5	1,7	2	2,4	2,8	3,3	3,8		
Уровни звукового давления прямого звука от источника ИШ-2-45 в расчётной точке днём, дБ		**ф-ла(3)[10]**	**0**	**19,6**	**20,3**	**20**	**17,3**	**12,9**	**2,4**	**0**	**0**	**18,1**	**18,1**
Уровни звукового давления прямого звука от источника ИШ-2-45 в расчётной точке ночью, дБ		**ф-ла(3)[10]**	**0**	**19,6**	**20,3**	**20**	**17,3**	**12,9**	**2,4**	**0**	**0**	**18,1**	**18,1**
Расчёт отражённого звука													
Уровни звукового давления от мнимого источника ИШ-2-45_мн.(1) в расчётной точке днём, дБ		**ф-ла(3)[10]**	**0**	**0**	**0**	**0**	**0**	**0**	**0**	**0**	**0**	**0**	**0**
Уровни звукового давления от мнимого источника ИШ-2-45_мн.(1) в расчётной точке ночью, дБ		**ф-ла(3)[10]**	**0**	**0**	**0**	**0**	**0**	**0**	**0**	**0**	**0**	**0**	**0**

1		2	3	4	5	6	7	8	9	10	11	12	13
Уровни звукового давления от источника ИШ-2-45 в расчётной точке днём, дБ		**ф-ла(3)[10]**	**0**	**19,6**	**20,3**	**20**	**17,3**	**12,9**	**2,4**	**0**	**0**	**18,1**	**18,1**
Уровни звукового давления от источника ИШ-2-45 в расчётной точке ночью, дБ		**ф-ла(3)[10]**	**0**	**19,6**	**20,3**	**20**	**17,3**	**12,9**	**2,4**	**0**	**0**	**18,1**	**18,1**
Источник шума: ИШ-4-1, координаты источника (x,y,z), м =[141.82,201.03,1.00]													
Уровни звуковой мощности источника днём, Lw, дБ		**исходные данные**	**0**	**90,3**	**91,7**	**93**	**93,3**	**92,9**	**89,6**	**85,4**	**80,9**		
Уровни звуковой мощности источника ночью, Lw, дБ		**исходные данные**	**0**	**90,3**	**91,7**	**93**	**93,3**	**92,9**	**89,6**	**85,4**	**80,9**		
Поправка на телесный угол DΩ, дБ	Ω = 6.28	10Lg(4π/Ω)	**3**	3	3	3	3	3	3	3	3		
Показатель направленности источника Di, дБ		исходные данные	**0**	0	0	0	0	0	0	0	0		
Поправка на направленность источника Dc, дБ	Dc	DΩ + Di	**3**	3	3	3	3	3	3	3	3		
Затухание из-за геометрической дивергенции, Adiv, дБ	расстояние = 2285.76 м	ф-ла (7) [10]	**78,2**										
Коэффициент затухания звука в атмосфере α, дБ/км	Ta=20,°C Pa=101.33,кПа hотн.=70%	ф-ла (5) [9]	0,02	0,09	0,33	1,12	2,79	4,98	9,04	23,09	77,63		
Учет затухания звука в атмосфере Aatm, дБ		ф-ла (8) [10]	0,1	0,2	0,8	2,6	6,4	11,4	20,7	52,8	177,5		
Снижение уровня звукового давления из-за влияния застройки между источником шума и расчетной точкой													
Снижение уровня звукового давления на пути над экраном, Dz1, дБ	z = 0.25м (разность путей)	ф-лы (14-18) [10]	4,8	4,8	4,8	4,8	4,8	4,8	4,8	4,8	4,8		
Снижение уровня звукового давления на пути слева от экрана, Dz2, дБ	z = 28.50м (разность путей)	ф-лы (14-18) [10]	24,9	28	31	34	37	40	43	46	49,1		
Снижение уровня звукового давления на пути справа от экрана, Dz3, дБ	z = 0.97м (разность путей)	ф-лы (14-18) [10]	8,2	10,1	12,4	15	17,8	20,7	23,7	26,6	29,6		
Общее снижение уровня звука препятствием Dz, дБ		Эн.сумма(-Dzi)	3,1	3,6	4,1	4,4	4,6	4,7	4,7	4,7	4,8		

1		2	3	4	5	6	7	8	9	10	11	12	13
Уровни звукового давления прямого звука от источника ИШ-4-1 в расчётной точке днём, дБ		**ф-ла(3)[10]**	**0**	**11,3**	**11,7**	**10,9**	**7,2**	**1,7**	**0**	**0**	**0**	**7,8**	**7,8**
Уровни звукового давления прямого звука от источника ИШ-4-1 в расчётной точке ночью, дБ		**ф-ла(3)[10]**	**0**	**11,3**	**11,7**	**10,9**	**7,2**	**1,7**	**0**	**0**	**0**	**7,8**	**7,8**
Расчёт отражённого звука													
Уровни звукового давления от мнимого источника ИШ-4-1_мн.(1) в расчётной точке днём, дБ		**ф-ла(3)[10]**	**0**	**0**	**10,8**	**9,9**	**6,1**	**0,5**	**0**	**0**	**0**	**6,7**	**6,7**
Уровни звукового давления от мнимого источника ИШ-4-1_мн.(1) в расчётной точке ночью, дБ		**ф-ла(3)[10]**	**0**	**0**	**0**	**0**	**0**	**0**	**0**	**0**	**0**	**6,7**	**6,7**
Уровни звукового давления от источника ИШ-4-1 в расчётной точке днём, дБ		**ф-ла(3)[10]**	**0**	**11,3**	**14,3**	**13,4**	**9,7**	**4,1**	**0**	**0**	**0**	**10,3**	**10,3**
Уровни звукового давления от источника ИШ-4-1 в расчётной точке ночью, дБ		**ф-ла(3)[10]**	**0**	**11,3**	**14,3**	**13,4**	**9,7**	**4,1**	**0**	**0**	**0**	**10,3**	**10,3**
Источник шума: ИШ-4-2, координаты источника (x,y,z), м =[133.85,183.21,1.00]													
Уровни звуковой мощности источника днём, Lw, дБ		**исходные данные**	**0**	**90,3**	**91,7**	**93**	**93,3**	**92,9**	**89,6**	**85,4**	**80,9**		
Уровни звуковой мощности источника ночью, Lw, дБ		**исходные данные**	**0**	**90,3**	**91,7**	**93**	**93,3**	**92,9**	**89,6**	**85,4**	**80,9**		
Поправка на телесный угол DΩ, дБ	Ω = 6.28	10Lg(4π/Ω)	**3**	3	3	3	3	3	3	3	3		
Показатель направленности источника Di, дБ		исходные данные	**0**	0	0	0	0	0	0	0	0		
Поправка на направленность источника Dc, дБ	Dc	DΩ + Di	**3**	3	3	3	3	3	3	3	3		
Затухание из-за геометрической дивергенции, Adiv, дБ	расстояние = 2285.91 м	ф-ла (7) [10]	**78,2**										
Коэффициент затухания звука в атмосфере α, дБ/км	Та=20,°С Ра=101.33,кПа hотн.=70%	ф-ла (5) [9]	0,02	0,09	0,33	1,12	2,79	4,98	9,04	23,09	77,63		
Учет затухания звука в атмосфере Aatm, дБ		ф-ла (8) [10]	0,1	0,2	0,8	2,6	6,4	11,4	20,7	52,8	177,5		

1		2	3	4	5	6	7	8	9	10	11	12	13
Снижение уровня звукового давления из-за влияния застройки между источником шума и расчетной точкой													
Снижение уровня звукового давления препятствием слева от трассы ИШ-РТ, Dz2, дБ	z = 0.00м (разность путей)	ф-лы (14-18) [10]	4,8	4,8	4,8	4,8	4,7	4,7	4,6	4,4	4,1		
* отрицательное значение z означает прохождение траектории вблизи экрана, в этом случае дополнительно производится учёт снижения подстилающей поверхностью (см.ниже)													
Снижение поверхностью земли возле источника As, дБ	Gs = 0 hs = 1м	ф-лы таб.3 [10]	-1,5	-1,5	-1,5	-1,5	-1,5	-1,5	-1,5	-1,5	-1,5		
Снижение поверхностью земли возле приёмника Ar, дБ	Gr = 1 hr = 1.5м	ф-лы таб.3 [10]	-1,5	-1,5	5,3	7	5	0,7	0	0	0		
Снижение поверхностью земли в средней зоне, Am дБ	Gm = 1	ф-лы таб.3 [10]	-2,9	-2,9	0	0	0	0	0	0	0		
Суммарное снижение поверхностью земли на траектории распространения звука Agr, дБ		ф-ла (9) [10]	-5,9	-5,9	3,8	5,5	3,5	-0,8	-1,5	-1,5	-1,5		
Уровни звукового давления прямого звука от источника ИШ-4-2 в расчётной точке днём, дБ		**ф-ла(3)[10]**	**0**	**16**	**7,1**	**5**	**3,5**	**2,5**	**0**	**0**	**0**	**5,4**	**5,4**
Уровни звукового давления прямого звука от источника ИШ-4-2 в расчётной точке ночью, дБ		**ф-ла(3)[10]**	**0**	**16**	**7,1**	**5**	**3,5**	**2,5**	**0**	**0**	**0**	**5,4**	**5,4**
Расчёт отражённого звука													
Уровни звукового давления от мнимого источника ИШ-4-2_мн.(1) в расчётной точке днём, дБ		**ф-ла(3)[10]**	**0**	**0**	**4,6**	**0**	**0**	**2,4**	**0**	**0**	**0**	**2,6**	**2,6**
Уровни звукового давления от мнимого источника ИШ-4-2_мн.(1) в расчётной точке ночью, дБ		**ф-ла(3)[10]**	**0**	**0**	**0**	**0**	**0**	**0**	**0**	**0**	**0**	**2,6**	**2,6**
Уровни звукового давления от источника ИШ-4-2 в расчётной точке днём, дБ		**ф-ла(3)[10]**	**0**	**16**	**9**	**5**	**3,5**	**5,5**	**0**	**0**	**0**	**7,3**	**7,3**
Уровни звукового давления от источника ИШ-4-2 в расчётной точке ночью, дБ		**ф-ла(3)[10]**	**0**	**16**	**9**	**5**	**3,5**	**5,5**	**0**	**0**	**0**	**7,3**	**7,3**
Источник шума: ИШ-4-3, координаты источника (x,y,z), м =[152.61,172.66,1.00]													
Уровни звуковой мощности источника днём, Lw, дБ		**исходные данные**	**0**	**90,3**	**91,7**	**93**	**93,3**	**92,9**	**89,6**	**85,4**	**80,9**		
Уровни звуковой мощности источника ночью, Lw, дБ		**исходные данные**	**0**	**90,3**	**91,7**	**93**	**93,3**	**92,9**	**89,6**	**85,4**	**80,9**		
Поправка на телесный угол DΩ, дБ	Ω = 6.28	10Lg(4π/Ω)	**3**	3	3	3	3	3	3	3	3		

1		2	3	4	5	6	7	8	9	10	11	12	13
Показатель направленности источника Di, дБ		исходные данные	**0**	0	0	0	0	0	0	0	0		
Поправка на направленность источника Dc, дБ	Dc	DΩ + Di	**3**	3	3	3	3	3	3	3	3		
Затухание из-за геометрической дивергенции, Adiv, дБ	расстояние = 2264.50 м	ф-ла (7) [10]	**78,1**										
Коэффициент затухания звука в атмосфере α, дБ/км	Ta=20,°C Pa=101.33,кПа hотн.=70%	ф-ла (5) [9]	0,02	0,09	0,33	1,12	2,79	4,98	9,04	23,09	77,63		
Учет затухания звука в атмосфере Aatm, дБ		ф-ла (8) [10]	0,1	0,2	0,8	2,5	6,3	11,3	20,5	52,3	175,8		
Снижение поверхностью земли возле источника As, дБ	Gs = 0 hs = 1м	ф-лы таб.3 [10]	-1,5	-1,5	-1,5	-1,5	-1,5	-1,5	-1,5	-1,5	-1,5		
Снижение поверхностью земли возле приёмника Ar, дБ	Gr = 1 hr = 1.5м	ф-лы таб.3 [10]	-1,5	-1,5	5,3	7	5	0,7	0	0	0		
Снижение поверхностью земли в средней зоне, Am дБ	Gm = 1	ф-лы таб.3 [10]	-2,9	-2,9	0	0	0	0	0	0	0		
Суммарное снижение поверхностью земли на траектории распространения звука Agr, дБ		ф-ла (9) [10]	-5,9	-5,9	3,8	5,5	3,5	-0,8	-1,5	-1,5	-1,5		
Уровни звукового давления от источника ИШ-4-3 в расчётной точке днём, дБ		**ф-ла(3)[10]**	**0**	**20,9**	**12**	**9,8**	**8,4**	**7,4**	**0**	**0**	**0**	**10,3**	**10,3**
Уровни звукового давления от источника ИШ-4-3 в расчётной точке ночью, дБ		**ф-ла(3)[10]**	**0**	**20,9**	**12**	**9,8**	**8,4**	**7,4**	**0**	**0**	**0**	**10,3**	**10,3**
Источник шума: ИШ-4-4, координаты источника (x,y,z), м =[156.83,171.25,1.00]													
Уровни звуковой мощности источника днём, Lw, дБ		**исходные данные**	**0**	**90,3**	**91,7**	**93**	**93,3**	**92,9**	**89,6**	**85,4**	**80,9**		
Уровни звуковой мощности источника ночью, Lw, дБ		**исходные данные**	**0**	**90,3**	**91,7**	**93**	**93,3**	**92,9**	**89,6**	**85,4**	**80,9**		
Поправка на телесный угол DΩ, дБ	Ω = 6.28	10Lg(4π/Ω)	**3**	3	3	3	3	3	3	3	3		
Показатель направленности источника Di, дБ		исходные данные	**0**	0	0	0	0	0	0	0	0		

1		2	3	4	5	6	7	8	9	10	11	12	13
Поправка на направленность источника Dc, дБ	Dc	DΩ + Di	**3**	3	3	3	3	3	3	3	3		
Затухание из-за геометрической дивергенции, Adiv, дБ	расстояние = 2260.07 м	ф-ла (7) [10]	**78,1**										
Коэффициент затухания звука в атмосфере α, дБ/км	Ta=20,°C Pa=101.33,кПа hотн.=70%	ф-ла (5) [9]	0,02	0,09	0,33	1,12	2,79	4,98	9,04	23,09	77,63		
Учет затухания звука в атмосфере Aatm, дБ		ф-ла (8) [10]	0,1	0,2	0,8	2,5	6,3	11,3	20,4	52,2	175,5		
Снижение поверхностью земли возле источника As, дБ	Gs = 0 hs = 1м	ф-лы таб.3 [10]	-1,5	-1,5	-1,5	-1,5	-1,5	-1,5	-1,5	-1,5	-1,5		
Снижение поверхностью земли возле приёмника Ar, дБ	Gr = 1 hr = 1.5м	ф-лы таб.3 [10]	-1,5	-1,5	5,3	7	5	0,7	0	0	0		
Снижение поверхностью земли в средней зоне, Am дБ	Gm = 1	ф-лы таб.3 [10]	-2,9	-2,9	0	0	0	0	0	0	0		
Суммарное снижение поверхностью земли на траектории распространения звука Agr, дБ		ф-ла (9) [10]	-5,9	-5,9	3,8	5,5	3,5	-0,8	-1,5	-1,5	-1,5		
Уровни звукового давления от источника ИШ-4-4 в расчётной точке днём, дБ		**ф-ла(3)[10]**	**0**	**20,9**	**12**	**9,8**	**8,4**	**7,4**	**0**	**0**	**0**	**10,4**	**10,4**
Уровни звукового давления от источника ИШ-4-4 в расчётной точке ночью, дБ		**ф-ла(3)[10]**	**0**	**20,9**	**12**	**9,8**	**8,4**	**7,4**	**0**	**0**	**0**	**10,4**	**10,4**
Источник шума: ИШ-4-5, координаты источника (x,y,z), м =[126.48,222.66,11.00]													
Уровни звуковой мощности источника днём, Lw, дБ		**исходные данные**	**0**	**90,3**	**91,7**	**93**	**93,3**	**92,9**	**89,6**	**85,4**	**80,9**		
Уровни звуковой мощности источника ночью, Lw, дБ		**исходные данные**	**0**	**90,3**	**91,7**	**93**	**93,3**	**92,9**	**89,6**	**85,4**	**80,9**		
Поправка на телесный угол DΩ, дБ	Ω = 6.28	10Lg(4π/Ω)	**3**	3	3	3	3	3	3	3	3		
Показатель направленности источника Di, дБ		исходные данные	**0**	0	0	0	0	0	0	0	0		
Поправка на направленность источника Dc, дБ	Dc	DΩ + Di	**3**	3	3	3	3	3	3	3	3		

1		2	3	4	5	6	7	8	9	10	11	12	13
Затухание из-за геометрической дивергенции, Adiv, дБ	расстояние = 2308.61 м	ф-ла (7) [10]	**78,3**										
Коэффициент затухания звука в атмосфере α, дБ/км	Ta=20,°C Pa=101.33,кПа hотн.=70%	ф-ла (5) [9]	0,02	0,09	0,33	1,12	2,79	4,98	9,04	23,09	77,63		
Учет затухания звука в атмосфере Aatm, дБ		ф-ла (8) [10]	0,1	0,2	0,8	2,6	6,4	11,5	20,9	53,3	179,2		
Снижение уровня звукового давления из-за влияния застройки между источником шума и расчетной точкой													
Снижение уровня звукового давления на пути над экраном, Dz1, дБ	z = 0.00м (разность путей)	ф-лы (14-18) [10]	4,8	4,8	4,8	4,8	4,8	4,8	4,8	4,8	4,8		
Снижение уровня звукового давления на пути слева от экрана, Dz2, дБ	z = 25.69м (разность путей)	ф-лы (14-18) [10]	23,1	27,1	30,4	33,5	36,6	39,6	42,6	45,6	48,6		
Снижение уровня звукового давления на пути справа от экрана, Dz3, дБ	z = 0.83м (разность путей)	ф-лы (14-18) [10]	7,8	9,6	11,8	14,4	17,1	20	23	25,9	28,9		
Общее снижение уровня звука препятствием Dz, дБ		Эн.сумма(-Dzi)	3	3,5	4	4,3	4,5	4,6	4,7	4,7	4,8		
Уровни звукового давления от источника ИШ-4-5 в расчётной точке днём, дБ		**ф-ла(3)[10]**	**0**	**11,3**	**11,7**	**10,8**	**7,1**	**1,5**	**0**	**0**	**0**	**7,7**	**7,7**
Уровни звукового давления от источника ИШ-4-5 в расчётной точке ночью, дБ		**ф-ла(3)[10]**	**0**	**11,3**	**11,7**	**10,8**	**7,1**	**1,5**	**0**	**0**	**0**	**7,7**	**7,7**
Источник шума: ИШ-4-6, координаты источника (x,y,z), м =[125.17,218.57,11.00]													
Уровни звуковой мощности источника днём, Lw, дБ		**исходные данные**	**0**	**90,3**	**91,7**	**93**	**93,3**	**92,9**	**89,6**	**85,4**	**80,9**		
Уровни звуковой мощности источника ночью, Lw, дБ		**исходные данные**	**0**	**90,3**	**91,7**	**93**	**93,3**	**92,9**	**89,6**	**85,4**	**80,9**		
Поправка на телесный угол DΩ, дБ	Ω = 6.28	10Lg($4\pi/\Omega$)	**3**	3	3	3	3	3	3	3	3		
Показатель направленности источника Di, дБ		исходные данные	**0**	0	0	0	0	0	0	0	0		
Поправка на направленность источника Dc, дБ	Dc	DΩ + Di	**3**	3	3	3	3	3	3	3	3		

1		2	3	4	5	6	7	8	9	10	11	12	13
Затухание из-за геометрической дивергенции, Adiv, дБ	расстояние = 2308.13 м	ф-ла (7) [10]	**78,3**										
Коэффициент затухания звука в атмосфере α, дБ/км	Ta=20,°C Pa=101.33,кПа hотн.=70%	ф-ла (5) [9]	0,02	0,09	0,33	1,12	2,79	4,98	9,04	23,09	77,63		
Учет затухания звука в атмосфере Aatm, дБ		ф-ла (8) [10]	0,1	0,2	0,8	2,6	6,4	11,5	20,9	53,3	179,2		
Снижение уровня звукового давления из-за влияния застройки между источником шума и расчетной точкой													
Снижение уровня звукового давления на пути над экраном, Dz1, дБ	z = 0.00м (разность путей)	ф-лы (14-18) [10]	4,8	4,8	4,8	4,8	4,8	4,8	4,8	4,8	4,8		
Снижение уровня звукового давления на пути слева от экрана, Dz2, дБ	z = 27.33м (разность путей)	ф-лы (14-18) [10]	23,4	27,3	30,7	33,8	36,8	39,8	42,9	45,9	48,9		
Снижение уровня звукового давления на пути справа от экрана, Dz3, дБ	z = 0.56м (разность путей)	ф-лы (14-18) [10]	7	8,5	10,5	12,9	15,5	18,3	21,3	24,2	27,2		
Общее снижение уровня звука препятствием Dz, дБ		Эн.сумма(-Dzi)	2,7	3,2	3,7	4,1	4,4	4,6	4,7	4,7	4,7		
Уровни звукового давления от источника ИШ-4-6 в расчётной точке днём, дБ		**ф-ла(3)[10]**	**0**	**11,6**	**11,9**	**11**	**7,2**	**1,6**	**0**	**0**	**0**	**7,8**	**7,8**
Уровни звукового давления от источника ИШ-4-6 в расчётной точке ночью, дБ		**ф-ла(3)[10]**	**0**	**11,6**	**11,9**	**11**	**7,2**	**1,6**	**0**	**0**	**0**	**7,8**	**7,8**
Источник шума: ИШ-4-7, координаты источника (x,y,z), м =[177.91,257.92,11.00]													
Уровни звуковой мощности источника днём, Lw, дБ		**исходные данные**	**0**	**90,3**	**91,7**	**93**	**93,3**	**92,9**	**89,6**	**85,4**	**80,9**		
Уровни звуковой мощности источника ночью, Lw, дБ		**исходные данные**	**0**	**90,3**	**91,7**	**93**	**93,3**	**92,9**	**89,6**	**85,4**	**80,9**		
Поправка на телесный угол DΩ, дБ	Ω = 6.28	10Lg($4\pi/\Omega$)	**3**	3	3	3	3	3	3	3	3		
Показатель направленности источника Di, дБ		исходные данные	**0**	0	0	0	0	0	0	0	0		
Поправка на направленность источника Dc, дБ	Dc	DΩ + Di	**3**	3	3	3	3	3	3	3	3		

1		2	3	4	5	6	7	8	9	10	11	12	13
Затухание из-за геометрической дивергенции, Adiv, дБ	расстояние = 2276.83 м	ф-ла (7) [10]	**78,1**										
Коэффициент затухания звука в атмосфере α, дБ/км	Та=20,°С Ра=101.33,кПа hотн.=70%	ф-ла (5) [9]	0,02	0,09	0,33	1,12	2,79	4,98	9,04	23,09	77,63		
Учет затухания звука в атмосфере Aatm, дБ		ф-ла (8) [10]	0,1	0,2	0,8	2,6	6,4	11,3	20,6	52,6	176,8		
Снижение уровня звукового давления из-за влияния застройки между источником шума и расчетной точкой													
Снижение уровня звукового давления на пути над экраном, Dz1, дБ	z = 0.00м (разность путей)	ф-лы (14-18) [10]	4,8	4,8	4,8	4,8	4,8	4,8	4,8	4,8	4,8		
Снижение уровня звукового давления на пути слева от экрана, Dz2, дБ	z = 10.42м (разность путей)	ф-лы (14-18) [10]	19,3	23,2	26,5	29,6	32,6	35,7	38,7	41,7	44,7		
Снижение уровня звукового давления на пути справа от экрана, Dz3, дБ	z = 9.79м (разность путей)	ф-лы (14-18) [10]	15,9	18,8	21,7	24,6	27,6	30,6	33,6	36,6	39,6		
Общее снижение уровня звука препятствием Dz, дБ		Эн.сумма(-Dzi)	4,3	4,5	4,7	4,7	4,7	4,8	4,8	4,8	4,8		
Уровни звукового давления от источника ИШ-4-7 в расчётной точке днём, дБ		**ф-ла(3)[10]**	**0**	**10,4**	**11,1**	**10,6**	**7**	**1,7**	**0**	**0**	**0**	**7,6**	**7,6**
Уровни звукового давления от источника ИШ-4-7 в расчётной точке ночью, дБ		**ф-ла(3)[10]**	**0**	**10,4**	**11,1**	**10,6**	**7**	**1,7**	**0**	**0**	**0**	**7,6**	**7,6**
Источник шума: ИШ-4-8, координаты источника (x,y,z), м =[178.24,257.77,13.00]													
Уровни звуковой мощности источника днём, Lw, дБ		**исходные данные**	**0**	**90,3**	**91,7**	**93**	**93,3**	**92,9**	**89,6**	**85,4**	**80,9**		
Уровни звуковой мощности источника ночью, Lw, дБ		**исходные данные**	**0**	**90,3**	**91,7**	**93**	**93,3**	**92,9**	**89,6**	**85,4**	**80,9**		
Поправка на телесный угол DΩ, дБ	Ω = 6.28	10Lg($4\pi/\Omega$)	**3**	3	3	3	3	3	3	3	3		
Показатель направленности источника Di, дБ		исходные данные	**0**	0	0	0	0	0	0	0	0		
Поправка на направленность источника Dc, дБ	Dc	DΩ + Di	**3**	3	3	3	3	3	3	3	3		

1		2	3	4	5	6	7	8	9	10	11	12	13
Затухание из-за геометрической дивергенции, Adiv, дБ	расстояние = 2276.47 м	ф-ла (7) [10]	**78,1**										
Коэффициент затухания звука в атмосфере α, дБ/км	Ta=20,°C Pa=101.33,кПа hотн.=70%	ф-ла (5) [9]	0,02	0,09	0,33	1,12	2,79	4,98	9,04	23,09	77,63		
Учет затухания звука в атмосфере Aatm, дБ		ф-ла (8) [10]	0,1	0,2	0,8	2,6	6,4	11,3	20,6	52,6	176,7		
Снижение уровня звукового давления из-за влияния застройки между источником шума и расчетной точкой													
Снижение уровня звукового давления препятствием снизу от трассы ИШ-РТ, Dz4, дБ	z = 0.00м (разность путей)	ф-лы (14-18) [10]	4,8	4,7	4,7	4,7	4,6	4,3	3,9	2,7	0		
* отрицательное значение z означает прохождение траектории вблизи экрана, в этом случае дополнительно производится учёт снижения подстилающей поверхностью (см.ниже)													
Снижение поверхностью земли возле источника As, дБ	Gs = 0 hs = 5м	ф-лы таб.3 [10]	-1,5	-1,5	-1,5	-1,5	-1,5	-1,5	-1,5	-1,5	-1,5		
Снижение поверхностью земли возле приёмника Ar, дБ	Gr = 1 hr = 1.5м	ф-лы таб.3 [10]	-1,5	-1,5	5,3	7	5	0,7	0	0	0		
Снижение поверхностью земли в средней зоне, Am дБ	Gm = 1	ф-лы таб.3 [10]	-2,7	-2,7	0	0	0	0	0	0	0		
Суммарное снижение поверхностью земли на траектории распространения звука Agr, дБ		ф-ла (9) [10]	-5,7	-5,7	3,8	5,5	3,5	-0,8	-1,5	-1,5	-1,5		
Уровни звукового давления от источника ИШ-4-8 в расчётной точке днём, дБ		**ф-ла(3)[10]**	**0**	**15,9**	**7,2**	**5,1**	**3,8**	**2,9**	**0**	**0**	**0**	**5,8**	**5,8**
Уровни звукового давления от источника ИШ-4-8 в расчётной точке ночью, дБ		**ф-ла(3)[10]**	**0**	**15,9**	**7,2**	**5,1**	**3,8**	**2,9**	**0**	**0**	**0**	**5,8**	**5,8**
Источник шума: ИШ-4-9, координаты источника (x,y,z), м =[178.68,257.63,15.50]													
Уровни звуковой мощности источника днём, Lw, дБ		**исходные данные**	**0**	**90,3**	**91,7**	**93**	**93,3**	**92,9**	**89,6**	**85,4**	**80,9**		
Уровни звуковой мощности источника ночью, Lw, дБ		**исходные данные**	**0**	**90,3**	**91,7**	**93**	**93,3**	**92,9**	**89,6**	**85,4**	**80,9**		
Поправка на телесный угол DΩ, дБ	Ω = 6.28	10Lg(4π/Ω)	**3**	3	3	3	3	3	3	3	3		
Показатель направленности источника Di, дБ		исходные данные	**0**	0	0	0	0	0	0	0	0		

1		2	3	4	5	6	7	8	9	10	11	12	13
Поправка на направленность источника Dc, дБ	Dc	DΩ + Di	**3**	3	3	3	3	3	3	3	3		
Затухание из-за геометрической дивергенции, Adiv, дБ	расстояние = 2276.03 м	ф-ла (7) [10]	**78,1**										
Коэффициент затухания звука в атмосфере α, дБ/км	Ta=20,°C Pa=101.33,кПа hотн.=70%	ф-ла (5) [9]	0,02	0,09	0,33	1,12	2,79	4,98	9,04	23,09	77,63		
Учет затухания звука в атмосфере Aatm, дБ		ф-ла (8) [10]	0,1	0,2	0,8	2,6	6,4	11,3	20,6	52,5	176,7		
Снижение уровня звукового давления из-за влияния застройки между источником шума и расчетной точкой													
Снижение уровня звукового давления препятствием снизу от трассы ИШ-РТ, Dz4, дБ	z = -0.02м (разность путей)	ф-лы (14-18) [10]	4,7	4,6	4,4	3,9	2,9	0	NAN	NAN	NAN		
* отрицательное значение z означает прохождение траектории вблизи экрана, в этом случае дополнительно производится учёт снижения подстилающей поверхностью (см.ниже)													
Снижение поверхностью земли возле источника As, дБ	Gs = 0 hs = 7.5м	ф-лы таб.3 [10]	-1,5	-1,5	-1,5	-1,5	-1,5	-1,5	-1,5	-1,5	-1,5		
Снижение поверхностью земли возле приёмника Ar, дБ	Gr = 1 hr = 1.5м	ф-лы таб.3 [10]	-1,5	-1,5	5,3	7	5	0,7	0	0	0		
Снижение поверхностью земли в средней зоне, Am дБ	Gm = 1	ф-лы таб.3 [10]	-2,6	-2,6	0	0	0	0	0	0	0		
Суммарное снижение поверхностью земли на траектории распространения звука Agr, дБ		ф-ла (9) [10]	-5,6	-5,6	3,8	5,5	3,5	-0,8	-1,5	-1,5	-1,5		
Уровни звукового давления от источника ИШ-4-9 в расчётной точке днём, дБ		**ф-ла(3)[10]**	**0**	**16**	**7,6**	**5,8**	**5,5**	**7,3**	**0**	**0**	**0**	**8,9**	**8,9**
Уровни звукового давления от источника ИШ-4-9 в расчётной точке ночью, дБ		**ф-ла(3)[10]**	**0**	**16**	**7,6**	**5,8**	**5,5**	**7,3**	**0**	**0**	**0**	**8,9**	**8,9**
Источник шума: ИШ-4-10, координаты источника (x,y,z), м =[185.65,255.31,11.00]													
Уровни звуковой мощности источника днём, Lw, дБ		**исходные данные**	**0**	**90,3**	**91,7**	**93**	**93,3**	**92,9**	**89,6**	**85,4**	**80,9**		
Уровни звуковой мощности источника ночью, Lw, дБ		**исходные данные**	**0**	**90,3**	**91,7**	**93**	**93,3**	**92,9**	**89,6**	**85,4**	**80,9**		
Поправка на телесный угол DΩ, дБ	Ω = 6.28	10Lg(4π/Ω)	**3**	3	3	3	3	3	3	3	3		

1		2	3	4	5	6	7	8	9	10	11	12	13
Показатель направленности источника Di, дБ		исходные данные	**0**	0	0	0	0	0	0	0	0		
Поправка на направленность источника Dc, дБ	Dc	DΩ + Di	**3**	3	3	3	3	3	3	3	3		
Затухание из-за геометрической дивергенции, Adiv, дБ	расстояние = 2268.72 м	ф-ла (7) [10]	**78,1**										
Коэффициент затухания звука в атмосфере α, дБ/км	Ta=20,°C Pa=101.33,кПа hотн.=70%	ф-ла (5) [9]	0,02	0,09	0,33	1,12	2,79	4,98	9,04	23,09	77,63		
Учет затухания звука в атмосфере Aatm, дБ		ф-ла (8) [10]	0,1	0,2	0,8	2,5	6,3	11,3	20,5	52,4	176,1		
Снижение уровня звукового давления из-за влияния застройки между источником шума и расчетной точкой													
Снижение уровня звукового давления на пути над экраном, Dz1, дБ	z = 0.00м (разность путей)	ф-лы (14-18) [10]	4,8	4,8	4,8	4,8	4,8	4,8	4,8	4,8	4,8		
Снижение уровня звукового давления на пути слева от экрана, Dz2, дБ	z = 10.41м (разность путей)	ф-лы (14-18) [10]	19,2	23,2	26,5	29,6	32,6	35,7	38,7	41,7	44,7		
Снижение уровня звукового давления на пути справа от экрана, Dz3, дБ	z = 10.32м (разность путей)	ф-лы (14-18) [10]	16,2	19	21,9	24,9	27,9	30,9	33,9	36,9	39,9		
Общее снижение уровня звука препятствием Dz, дБ		Эн.сумма(-Dzi)	4,3	4,6	4,7	4,7	4,7	4,8	4,8	4,8	4,8		
Уровни звукового давления от источника ИШ-4-10 в расчётной точке днём, дБ		**ф-ла(3)[10]**	**0**	**10,4**	**11,2**	**10,6**	**7,1**	**1,7**	**0**	**0**	**0**	**7,7**	**7,7**
Уровни звукового давления от источника ИШ-4-10 в расчётной точке ночью, дБ		**ф-ла(3)[10]**	**0**	**10,4**	**11,2**	**10,6**	**7,1**	**1,7**	**0**	**0**	**0**	**7,7**	**7,7**
Источник шума: ИШ-4-11, координаты источника (x,y,z), м =[185.89,255.16,13.00]													
Уровни звуковой мощности источника днём, Lw, дБ		**исходные данные**	**0**	**90,3**	**91,7**	**93**	**93,3**	**92,9**	**89,6**	**85,4**	**80,9**		
Уровни звуковой мощности источника ночью, Lw, дБ		**исходные данные**	**0**	**90,3**	**91,7**	**93**	**93,3**	**92,9**	**89,6**	**85,4**	**80,9**		
Поправка на телесный угол DΩ, дБ	Ω = 6.28	10Lg(4π/Ω)	**3**	3	3	3	3	3	3	3	3		

1		2	3	4	5	6	7	8	9	10	11	12	13
Показатель направленности источника Di, дБ		исходные данные	**0**	0	0	0	0	0	0	0	0		
Поправка на направленность источника Dc, дБ	Dc	DΩ + Di	**3**	3	3	3	3	3	3	3	3		
Затухание из-за геометрической дивергенции, Adiv, дБ	расстояние = 2268.44 м	ф-ла (7) [10]	**78,1**										
Коэффициент затухания звука в атмосфере α, дБ/км	Ta=20,°C Pa=101.33,кПа hотн.=70%	ф-ла (5) [9]	0,02	0,09	0,33	1,12	2,79	4,98	9,04	23,09	77,63		
Учет затухания звука в атмосфере Aatm, дБ		ф-ла (8) [10]	0,1	0,2	0,8	2,5	6,3	11,3	20,5	52,4	176,1		
Снижение уровня звукового давления из-за влияния застройки между источником шума и расчетной точкой													
Снижение уровня звукового давления препятствием снизу от трассы ИШ-РТ, Dz4, дБ	z = 0.00м (разность путей)	ф-лы (14-18) [10]	4,8	4,7	4,7	4,7	4,5	4,3	3,8	2,5	0		
* отрицательное значение z означает прохождение траектории вблизи экрана, в этом случае дополнительно производится учёт снижения подстилающей поверхностью (см.ниже)													
Снижение поверхностью земли возле источника As, дБ	Gs = 0 hs = 5м	ф-лы таб.3 [10]	-1,5	-1,5	-1,5	-1,5	-1,5	-1,5	-1,5	-1,5	-1,5		
Снижение поверхностью земли возле приёмника Ar, дБ	Gr = 1 hr = 1.5м	ф-лы таб.3 [10]	-1,5	-1,5	5,3	7	5	0,7	0	0	0		
Снижение поверхностью земли в средней зоне, Am дБ	Gm = 1	ф-лы таб.3 [10]	-2,7	-2,7	0	0	0	0	0	0	0		
Суммарное снижение поверхностью земли на траектории распространения звука Agr, дБ		ф-ла (9) [10]	-5,7	-5,7	3,8	5,5	3,5	-0,8	-1,5	-1,5	-1,5		
Уровни звукового давления от источника ИШ-4-11 в расчётной точке днём, дБ		**ф-ла(3)[10]**	**0**	**16**	**7,3**	**5,1**	**3,8**	**3**	**0**	**0**	**0**	**5,8**	**5,8**
Уровни звукового давления от источника ИШ-4-11 в расчётной точке ночью, дБ		**ф-ла(3)[10]**	**0**	**16**	**7,3**	**5,1**	**3,8**	**3**	**0**	**0**	**0**	**5,8**	**5,8**
Источник шума: ИШ-4-12, координаты источника (x,y,z), м =[186.18,255.02,15.50]													
Уровни звуковой мощности источника днём, Lw, дБ		**исходные данные**	**0**	**90,3**	**91,7**	**93**	**93,3**	**92,9**	**89,6**	**85,4**	**80,9**		
Уровни звуковой мощности источника ночью, Lw, дБ		**исходные данные**	**0**	**90,3**	**91,7**	**93**	**93,3**	**92,9**	**89,6**	**85,4**	**80,9**		

1		2	3	4	5	6	7	8	9	10	11	12	13
Поправка на телесный угол DΩ, дБ	Ω = 6.28	10Lg(4π/Ω)	**3**	3	3	3	3	3	3	3	3		
Показатель направленности источника Di, дБ		исходные данные	**0**	0	0	0	0	0	0	0	0		
Поправка на направленность источника Dc, дБ	Dc	DΩ + Di	**3**	3	3	3	3	3	3	3	3		
Затухание из-за геометрической дивергенции, Adiv, дБ	расстояние = 2268.13 м	ф-ла (7) [10]	**78,1**										
Коэффициент затухания звука в атмосфере α, дБ/км	Ta=20,°C Pa=101.33,кПа hотн.=70%	ф-ла (5) [9]	0,02	0,09	0,33	1,12	2,79	4,98	9,04	23,09	77,63		
Учет затухания звука в атмосфере Aatm, дБ		ф-ла (8) [10]	0,1	0,2	0,8	2,5	6,3	11,3	20,5	52,4	176,1		
Снижение уровня звукового давления из-за влияния застройки между источником шума и расчетной точкой													
Снижение уровня звукового давления препятствием снизу от трассы ИШ-РТ, Dz4, дБ	z = -0.02м (разность путей)	ф-лы (14-18) [10]	4,7	4,6	4,3	3,9	2,7	0	NAN	NAN	NAN		
* отрицательное значение z означает прохождение траектории вблизи экрана, в этом случае дополнительно производится учёт снижения подстилающей поверхностью (см.ниже)													
Снижение поверхностью земли возле источника As, дБ	Gs = 0 hs = 7.5м	ф-лы таб.3 [10]	-1,5	-1,5	-1,5	-1,5	-1,5	-1,5	-1,5	-1,5	-1,5		
Снижение поверхностью земли возле приёмника Ar, дБ	Gr = 1 hr = 1.5м	ф-лы таб.3 [10]	-1,5	-1,5	5,3	7	5	0,7	0	0	0		
Снижение поверхностью земли в средней зоне, Am дБ	Gm = 1	ф-лы таб.3 [10]	-2,6	-2,6	0	0	0	0	0	0	0		
Суммарное снижение поверхностью земли на траектории распространения звука Agr, дБ		ф-ла (9) [10]	-5,6	-5,6	3,8	5,5	3,5	-0,8	-1,5	-1,5	-1,5		
Уровни звукового давления от источника ИШ-4-12 в расчётной точке днём, дБ		**ф-ла(3)[10]**	**0**	**16,1**	**7,6**	**5,9**	**5,6**	**7,3**	**0**	**0**	**0**	**9**	**9**
Уровни звукового давления от источника ИШ-4-12 в расчётной точке ночью, дБ		**ф-ла(3)[10]**	**0**	**16,1**	**7,6**	**5,9**	**5,6**	**7,3**	**0**	**0**	**0**	**9**	**9**
Источник шума: ИШ-4-13, координаты источника (x,y,z), м =[94.56,229.10,1.00]													
Уровни звуковой мощности источника днём, Lw, дБ		**исходные данные**	**0**	**81,3**	**82,7**	**84**	**84,3**	**83,9**	**80,6**	**76,4**	**71,9**		

1		2	3	4	5	6	7	8	9	10	11	12	13
Уровни звуковой мощности источника ночью, Lw, дБ		**исходные данные**	**0**	**81,3**	**82,7**	**84**	**84,3**	**83,9**	**80,6**	**76,4**	**71,9**		
Поправка на телесный угол DΩ, дБ	Ω = 6.28	10Lg(4π/Ω)	**3**	3	3	3	3	3	3	3	3		
Показатель направленности источника Di, дБ		исходные данные	**0**	0	0	0	0	0	0	0	0		
Поправка на направленность источника Dc, дБ	Dc	DΩ + Di	**3**	3	3	3	3	3	3	3	3		
Затухание из-за геометрической дивергенции, Adiv, дБ	расстояние = 2340.35 м	ф-ла (7) [10]	**78,4**										
Коэффициент затухания звука в атмосфере α, дБ/км	Ta=20,°C Pa=101.33,кПа hотн.=70%	ф-ла (5) [9]	0,02	0,09	0,33	1,12	2,79	4,98	9,04	23,09	77,63		
Учет затухания звука в атмосфере Aatm, дБ		ф-ла (8) [10]	0,1	0,2	0,8	2,6	6,5	11,6	21,2	54	181,7		
Снижение уровня звукового давления из-за влияния застройки между источником шума и расчетной точкой													
Снижение уровня звукового давления на пути над экраном, Dz1, дБ	z = 4.86м (разность путей)	ф-лы (14-18) [10]	13	15,8	18,6	21,6	24,5	27,5	30,5	33,5	36,5		
Снижение уровня звукового давления на пути слева от экрана, Dz2, дБ	z = 69.99м (разность путей)	ф-лы (14-18) [10]	28,8	31,9	34,9	37,9	40,9	43,9	46,9	49,9	53		
Снижение уровня звукового давления на пути справа от экрана, Dz3, дБ	z = 26.67м (разность путей)	ф-лы (14-18) [10]	20,1	23	26	29	32	35	38	41	44		
Общее снижение уровня звука препятствием Dz, дБ		Эн.сумма(-Dzi)	12,2	15	17,8	20,8	23,7	26,7	29,7	32,7	35,7		
Общее снижение уровня звука препятствием с учётом ограничения (25 дБ) для октавных полос Dz, дБ		Раздел 7.4 [10]	12,2	15	17,8	20,8	23,7	25	25	25	25		
Уровни звукового давления от источника ИШ-4-13 в расчётной точке днём, дБ		**ф-ла(3)[10]**	**0**	**0**	**0**	**0**	**0**	**0**	**0**	**0**	**0**	**0**	**0**
Уровни звукового давления от источника ИШ-4-13 в расчётной точке ночью, дБ		**ф-ла(3)[10]**	**0**	**0**	**0**	**0**	**0**	**0**	**0**	**0**	**0**	**0**	**0**
Источник шума: ИШ-4-14, координаты источника (x,y,z), м =[91.88,221.30,1.00]													

1		2	3	4	5	6	7	8	9	10	11	12	13
Уровни звуковой мощности источника днём, Lw, дБ		**исходные данные**	**0**	**81,3**	**82,7**	**84**	**84,3**	**83,9**	**80,6**	**76,4**	**71,9**		
Уровни звуковой мощности источника ночью, Lw, дБ		**исходные данные**	**0**	**81,3**	**82,7**	**84**	**84,3**	**83,9**	**80,6**	**76,4**	**71,9**		
Поправка на телесный угол DΩ, дБ	Ω = 6.28	10Lg(4π/Ω)	**3**	3	3	3	3	3	3	3	3		
Показатель направленности источника Di, дБ		исходные данные	**0**	0	0	0	0	0	0	0	0		
Поправка на направленность источника Dc, дБ	Dc	DΩ + Di	**3**	3	3	3	3	3	3	3	3		
Затухание из-за геометрической дивергенции, Adiv, дБ	расстояние = 2339.63 м	ф-ла (7) [10]	**78,4**										
Коэффициент затухания звука в атмосфере α, дБ/км	Ta=20,°C Pa=101.33,кПа hотн.=70%	ф-ла (5) [9]	0,02	0,09	0,33	1,12	2,79	4,98	9,04	23,09	77,63		
Учет затухания звука в атмосфере Aatm, дБ		ф-ла (8) [10]	0,1	0,2	0,8	2,6	6,5	11,6	21,1	54	181,6		
Снижение уровня звукового давления из-за влияния застройки между источником шума и расчетной точкой													
Снижение уровня звукового давления на пути над экраном, Dz1, дБ	z = 4.83м (разность путей)	ф-лы (14-18) [10]	12,9	15,7	18,5	21,4	24,4	27,4	30,4	33,4	36,4		
Снижение уровня звукового давления на пути слева от экрана, Dz2, дБ	z = 78.92м (разность путей)	ф-лы (14-18) [10]	29,4	32,4	35,4	38,4	41,4	44,4	47,5	50,5	53,5		
Снижение уровня звукового давления на пути справа от экрана, Dz3, дБ	z = 19.31м (разность путей)	ф-лы (14-18) [10]	18,7	21,6	24,6	27,6	30,6	33,6	36,6	39,6	42,6		
Общее снижение уровня звука препятствием Dz, дБ		Эн.сумма(-Dzi)	11,8	14,6	17,5	20,4	23,4	26,4	29,4	32,4	35,4		
Общее снижение уровня звука препятствием с учётом ограничения (25 дБ) для октавных полос Dz, дБ		Раздел 7.4 [10]	11,8	14,6	17,5	20,4	23,4	25	25	25	25		
Уровни звукового давления от источника ИШ-4-14 в расчётной точке днём, дБ		**ф-ла(3)[10]**	**0**	**0**	**0**	**0**	**0**	**0**	**0**	**0**	**0**	**0**	**0**
Уровни звукового давления от источника ИШ-4-14 в расчётной точке ночью, дБ		**ф-ла(3)[10]**	**0**	**0**	**0**	**0**	**0**	**0**	**0**	**0**	**0**	**0**	**0**

1		2	3	4	5	6	7	8	9	10	11	12	13
Источник шума: ИШ-5-1, координаты источника (x,y,z), м =[626.70,162.36,1.00]													
Уровни звуковой мощности источника днём, Lw, дБ		**исходные данные**	**0**	**93,3**	**94,7**	**96**	**96,3**	**95,9**	**92,6**	**88,4**	**83,9**		
Уровни звуковой мощности источника ночью, Lw, дБ		**исходные данные**	**0**	**93,3**	**94,7**	**96**	**96,3**	**95,9**	**92,6**	**88,4**	**83,9**		
Поправка на телесный угол DΩ, дБ	Ω = 6.28	10Lg(4π/Ω)	**3**	3	3	3	3	3	3	3	3		
Показатель направленности источника Di, дБ		исходные данные	**0**	0	0	0	0	0	0	0	0		
Поправка на направленность источника Dc, дБ	Dc	DΩ + Di	**3**	3	3	3	3	3	3	3	3		
Затухание из-за геометрической дивергенции, Adiv, дБ	расстояние = 1833.92 м	ф-ла (7) [10]	**76,3**										
Коэффициент затухания звука в атмосфере α, дБ/км	Ta=20,°C Pa=101.33,кПа hотн.=70%	ф-ла (5) [9]	0,02	0,09	0,33	1,12	2,79	4,98	9,04	23,09	77,63		
Учет затухания звука в атмосфере Aatm, дБ		ф-ла (8) [10]	0	0,2	0,6	2,1	5,1	9,1	16,6	42,3	142,4		
Снижение уровня звукового давления из-за влияния застройки между источником шума и расчетной точкой													
Снижение уровня звукового давления на пути над экраном, Dz1, дБ	z = 0.24м (разность путей)	ф-лы (14-18) [10]	4,8	4,8	4,8	4,8	4,8	4,8	4,8	4,9	5		
Снижение уровня звукового давления на пути слева от экрана, Dz2, дБ	z = 0.00м (разность путей)	ф-лы (14-18) [10]	4,8	4,8	4,8	4,8	4,8	4,8	4,8	4,8	4,8		
Снижение уровня звукового давления на пути справа от экрана, Dz3, дБ	z = 9.95м (разность путей)	ф-лы (14-18) [10]	16	18,9	21,7	24,7	27,7	30,7	33,7	36,7	39,7		
Общее снижение уровня звука препятствием Dz, дБ		Эн.сумма(-Dzi)	1,6	1,7	1,7	1,7	1,8	1,8	1,8	1,8	1,9		
Уровни звукового давления прямого звука от источника ИШ-5-1 в расчётной точке днём, дБ		**ф-ла(3)[10]**	**0**	**18,2**	**19,1**	**18,9**	**16,1**	**11,7**	**1**	**0**	**0**	**16,9**	**16,9**
Уровни звукового давления прямого звука от источника ИШ-5-1 в расчётной точке ночью, дБ		**ф-ла(3)[10]**	**0**	**18,2**	**19,1**	**18,9**	**16,1**	**11,7**	**1**	**0**	**0**	**16,9**	**16,9**

1		2	3	4	5	6	7	8	9	10	11	12	13
Расчёт отражённого звука													
Уровни звукового давления от мнимого источника ИШ-5-1_мн.(1) в расчётной точке днём, дБ		**ф-ла(3)[10]**	**0**	**0**	**0**	**0**	**0**	**0**	**0**	**0**	**0**	**0**	**0**
Уровни звукового давления от мнимого источника ИШ-5-1_мн.(1) в расчётной точке ночью, дБ		**ф-ла(3)[10]**	**0**	**0**	**0**	**0**	**0**	**0**	**0**	**0**	**0**	**0**	**0**
Уровни звукового давления от источника ИШ-5-1 в расчётной точке днём, дБ		**ф-ла(3)[10]**	**0**	**18,2**	**19,1**	**18,9**	**16,1**	**11,7**	**1**	**0**	**0**	**16,9**	**16,9**
Уровни звукового давления от источника ИШ-5-1 в расчётной точке ночью, дБ		**ф-ла(3)[10]**	**0**	**18,2**	**19,1**	**18,9**	**16,1**	**11,7**	**1**	**0**	**0**	**16,9**	**16,9**
Источник шума: ИШ-5-2, координаты источника (x,y,z), м =[625.81,159.52,1.00]													
Уровни звуковой мощности источника днём, Lw, дБ		**исходные данные**	**0**	**93,3**	**94,7**	**96**	**96,3**	**95,9**	**92,6**	**88,4**	**83,9**		
Уровни звуковой мощности источника ночью, Lw, дБ		**исходные данные**	**0**	**93,3**	**94,7**	**96**	**96,3**	**95,9**	**92,6**	**88,4**	**83,9**		
Поправка на телесный угол DΩ, дБ	Ω = 6.28	10Lg(4π/Ω)	**3**	3	3	3	3	3	3	3	3		
Показатель направленности источника Di, дБ		исходные данные	**0**	0	0	0	0	0	0	0	0		
Поправка на направленность источника Dc, дБ	Dc	DΩ + Di	**3**	3	3	3	3	3	3	3	3		
Затухание из-за геометрической дивергенции, Adiv, дБ	расстояние = 1833.33 м	ф-ла (7) [10]	**76,3**										
Коэффициент затухания звука в атмосфере α, дБ/км	Ta=20,°C Pa=101.33,кПа hотн.=70%	ф-ла (5) [9]	0,02	0,09	0,33	1,12	2,79	4,98	9,04	23,09	77,63		
Учет затухания звука в атмосфере Aatm, дБ		ф-ла (8) [10]	0	0,2	0,6	2,1	5,1	9,1	16,6	42,3	142,3		
Снижение уровня звукового давления из-за влияния застройки между источником шума и расчетной точкой													
Снижение уровня звукового давления на пути над экраном, Dz1, дБ	z = 0.32м (разность путей)	ф-лы (14-18) [10]	4,8	4,8	4,8	4,8	5	5,3	5,7	6,6	7,8		

1		2	3	4	5	6	7	8	9	10	11	12	13
Снижение уровня звукового давления на пути слева от экрана, Dz2, дБ	z = 0.13м (разность путей)	ф-лы (14-18) [10]	5,4	6	6,9	8,3	10,3	12,6	15,3	18,1	21		
Снижение уровня звукового давления на пути справа от экрана, Dz3, дБ	z = 8.22м (разность путей)	ф-лы (14-18) [10]	15,2	18,1	20,9	23,9	26,9	29,9	32,9	35,9	38,9		
Общее снижение уровня звука препятствием Dz, дБ		Эн.сумма(-Dzi)	1,9	2,2	2,7	3,2	3,8	4,5	5,3	6,3	7,6		
Уровни звукового давления прямого звука от источника ИШ-5-2 в расчётной точке днём, дБ		**ф-ла(3)[10]**	**0**	**17,6**	**18,2**	**17,5**	**14,1**	**9**	**0**	**0**	**0**	**14,7**	**14,7**
Уровни звукового давления прямого звука от источника ИШ-5-2 в расчётной точке ночью, дБ		**ф-ла(3)[10]**	**0**	**17,6**	**18,2**	**17,5**	**14,1**	**9**	**0**	**0**	**0**	**14,7**	**14,7**
Расчёт отражённого звука													
Уровни звукового давления от мнимого источника ИШ-5-2_мн.(1) в расчётной точке днём, дБ		**ф-ла(3)[10]**	**0**	**0**	**0**	**0**	**0**	**7,8**	**0**	**0**	**0**	**7,8**	**7,8**
Уровни звукового давления от мнимого источника ИШ-5-2_мн.(1) в расчётной точке ночью, дБ		**ф-ла(3)[10]**	**0**	**0**	**0**	**0**	**0**	**0**	**0**	**0**	**0**	**7,8**	**7,8**
Уровни звукового давления от источника ИШ-5-2 в расчётной точке днём, дБ		**ф-ла(3)[10]**	**0**	**17,6**	**18,2**	**17,5**	**14,1**	**11,4**	**0**	**0**	**0**	**15,5**	**15,5**
Уровни звукового давления от источника ИШ-5-2 в расчётной точке ночью, дБ		**ф-ла(3)[10]**	**0**	**17,6**	**18,2**	**17,5**	**14,1**	**11,4**	**0**	**0**	**0**	**15,5**	**15,5**
Источник шума: ИШ-5-3, координаты источника (x,y,z), м =[624.84,156.69,1.00]													
Уровни звуковой мощности источника днём, Lw, дБ		**исходные данные**	**0**	**93,3**	**94,7**	**96**	**96,3**	**95,9**	**92,6**	**88,4**	**83,9**		
Уровни звуковой мощности источника ночью, Lw, дБ		**исходные данные**	**0**	**93,3**	**94,7**	**96**	**96,3**	**95,9**	**92,6**	**88,4**	**83,9**		
Поправка на телесный угол DΩ, дБ	Ω = 6.28	10Lg(4π/Ω)	**3**	3	3	3	3	3	3	3	3		
Показатель направленности источника Di, дБ		исходные данные	**0**	0	0	0	0	0	0	0	0		
Поправка на направленность источника Dc, дБ	Dc	DΩ + Di	**3**	3	3	3	3	3	3	3	3		
Затухание из-за геометрической дивергенции, Adiv, дБ	расстояние = 1832.81 м	ф-ла (7) [10]	**76,3**										

1		2	3	4	5	6	7	8	9	10	11	12	13
Коэффициент затухания звука в атмосфере α, дБ/км	Та=20,°С Ра=101.33,кПа hотн.=70%	ф-ла (5) [9]	0,02	0,09	0,33	1,12	2,79	4,98	9,04	23,09	77,63		
Учет затухания звука в атмосфере Aatm, дБ		ф-ла (8) [10]	0	0,2	0,6	2,1	5,1	9,1	16,6	42,3	142,3		
Снижение уровня звукового давления из-за влияния застройки между источником шума и расчетной точкой													
Снижение уровня звукового давления на пути над экраном, Dz1, дБ	z = 0.32м (разность путей)	ф-лы (14-18) [10]	4,8	4,8	4,8	4,8	5	5,3	5,7	6,6	7,8		
Снижение уровня звукового давления на пути слева от экрана, Dz2, дБ	z = 0.53м (разность путей)	ф-лы (14-18) [10]	7	8,5	10,9	14,5	18,7	22,4	25,6	28,7	31,7		
Снижение уровня звукового давления на пути справа от экрана, Dz3, дБ	z = 6.55м (разность путей)	ф-лы (14-18) [10]	14,4	17,1	20	22,9	25,9	28,9	31,9	34,9	37,9		
Общее снижение уровня звука препятствием Dz, дБ		Эн.сумма(-Dzi)	2,4	3,1	3,7	4,3	4,8	5,2	5,7	6,5	7,8		
Уровни звукового давления прямого звука от источника ИШ-5-3 в расчётной точке днём, дБ		**ф-ла(3)[10]**	**0**	**16,8**	**17,1**	**16,3**	**13,1**	**8,4**	**0**	**0**	**0**	**13,8**	**13,8**
Уровни звукового давления прямого звука от источника ИШ-5-3 в расчётной точке ночью, дБ		**ф-ла(3)[10]**	**0**	**16,8**	**17,1**	**16,3**	**13,1**	**8,4**	**0**	**0**	**0**	**13,8**	**13,8**
Расчёт отражённого звука													
Уровни звукового давления от мнимого источника ИШ-5-3_мн.(1) в расчётной точке днём, дБ		**ф-ла(3)[10]**	**0**	**0**	**0**	**0**	**0**	**6,8**	**0**	**0**	**0**	**6,8**	**6,8**
Уровни звукового давления от мнимого источника ИШ-5-3_мн.(1) в расчётной точке ночью, дБ		**ф-ла(3)[10]**	**0**	**0**	**0**	**0**	**0**	**0**	**0**	**0**	**0**	**6,8**	**6,8**
Уровни звукового давления от источника ИШ-5-3 в расчётной точке днём, дБ		**ф-ла(3)[10]**	**0**	**16,8**	**17,1**	**16,3**	**13,1**	**10,7**	**0**	**0**	**0**	**14,6**	**14,6**
Уровни звукового давления от источника ИШ-5-3 в расчётной точке ночью, дБ		**ф-ла(3)[10]**	**0**	**16,8**	**17,1**	**16,3**	**13,1**	**10,7**	**0**	**0**	**0**	**14,6**	**14,6**
Источник шума: ИШ-6-1, координаты источника (x,y,z), м =[836.30,122.24,1.00]													
Уровни звуковой мощности источника днём, Lw, дБ		**исходные данные**	**0**	**96,3**	**97,7**	**99**	**99,3**	**98,9**	**95,6**	**91,4**	**86,9**		

1		2	3	4	5	6	7	8	9	10	11	12	13
Уровни звуковой мощности источника ночью, Lw, дБ		**исходные данные**	**0**	**96,3**	**97,7**	**99**	**99,3**	**98,9**	**95,6**	**91,4**	**86,9**		
Поправка на телесный угол DΩ, дБ	Ω = 12.57	10Lg(4π/Ω)	**0**	0	0	0	0	0	0	0	0		
Показатель направленности источника Di, дБ		исходные данные	**0**	0	0	0	0	0	0	0	0		
Поправка на направленность источника Dc, дБ	Dc	DΩ + Di	**0**	0	0	0	0	0	0	0	0		
Затухание из-за геометрической дивергенции, Adiv, дБ	расстояние = 1632.44 м	ф-ла (7) [10]	**75,3**										
Коэффициент затухания звука в атмосфере α, дБ/км	Ta=20,°C Pa=101.33,кПа hотн.=70%	ф-ла (5) [9]	0,02	0,09	0,33	1,12	2,79	4,98	9,04	23,09	77,63		
Учет затухания звука в атмосфере Aatm, дБ		ф-ла (8) [10]	0	0,1	0,5	1,8	4,6	8,1	14,8	37,7	126,7		
Снижение поверхностью земли возле источника As, дБ	Gs = 0 hs = 1м	ф-лы таб.3 [10]	-1,5	-1,5	-1,5	-1,5	-1,5	-1,5	-1,5	-1,5	-1,5		
Снижение поверхностью земли возле приёмника Ar, дБ	Gr = 1 hr = 1.5м	ф-лы таб.3 [10]	-1,5	-1,5	5,3	7	5	0,7	0	0	0		
Снижение поверхностью земли в средней зоне, Am дБ	Gm = 1	ф-лы таб.3 [10]	-2,9	-2,9	0	0	0	0	0	0	0		
Суммарное снижение поверхностью земли на траектории распространения звука Agr, дБ		ф-ла (9) [10]	-5,9	-5,9	3,8	5,5	3,5	-0,8	-1,5	-1,5	-1,5		
Уровни звукового давления прямого звука от источника ИШ-6-1 в расчётной точке днём, дБ		**ф-ла(3)[10]**	**0**	**26,8**	**18**	**16,4**	**16**	**16,3**	**7,1**	**0**	**0**	**18,9**	**18,9**
Уровни звукового давления прямого звука от источника ИШ-6-1 в расчётной точке ночью, дБ		**ф-ла(3)[10]**	**0**	**26,8**	**18**	**16,4**	**16**	**16,3**	**7,1**	**0**	**0**	**18,9**	**18,9**
Расчёт отражённого звука													
Уровни звукового давления от мнимого источника ИШ-6-1_мн.(1) в расчётной точке днём, дБ		**ф-ла(3)[10]**	**0**	**0**	**0**	**0**	**0**	**0**	**0**	**0**	**0**	**0**	**0**
Уровни звукового давления от мнимого источника ИШ-6-1_мн.(1) в расчётной точке ночью, дБ		**ф-ла(3)[10]**	**0**	**0**	**0**	**0**	**0**	**0**	**0**	**0**	**0**	**0**	**0**
Уровни звукового давления от источника ИШ-6-1 в расчётной точке днём, дБ		**ф-ла(3)[10]**	**0**	**26,8**	**18**	**16,4**	**16**	**16,3**	**7,1**	**0**	**0**	**18,9**	**18,9**

1		2	3	4	5	6	7	8	9	10	11	12	13
Уровни звукового давления от источника ИШ-6-1 в расчётной точке ночью, дБ		**ф-ла(3)[10]**	**0**	**26,8**	**18**	**16,4**	**16**	**16,3**	**7,1**	**0**	**0**	**18,9**	**18,9**
Источник шума: ИШ-6-2, координаты источника (x,y,z), м =[835.37,119.30,1.00]													
Уровни звуковой мощности источника днём, Lw, дБ		**исходные данные**	**0**	**96,3**	**97,7**	**99**	**99,3**	**98,9**	**95,6**	**91,4**	**86,9**		
Уровни звуковой мощности источника ночью, Lw, дБ		**исходные данные**	**0**	**96,3**	**97,7**	**99**	**99,3**	**98,9**	**95,6**	**91,4**	**86,9**		
Поправка на телесный угол DΩ, дБ	Ω = 12.57	10Lg(4π/Ω)	**0**	0	0	0	0	0	0	0	0		
Показатель направленности источника Di, дБ		исходные данные	**0**	0	0	0	0	0	0	0	0		
Поправка на направленность источника Dc, дБ	Dc	DΩ + Di	**0**	0	0	0	0	0	0	0	0		
Затухание из-за геометрической дивергенции, Adiv, дБ	расстояние = 1631.72 м	ф-ла (7) [10]	**75,3**										
Коэффициент затухания звука в атмосфере α, дБ/км	Ta=20,°C Pa=101.33,кПа hотн.=70%	ф-ла (5) [9]	0,02	0,09	0,33	1,12	2,79	4,98	9,04	23,09	77,63		
Учет затухания звука в атмосфере Aatm, дБ		ф-ла (8) [10]	0	0,1	0,5	1,8	4,6	8,1	14,7	37,7	126,7		
Снижение поверхностью земли возле источника As, дБ	Gs = 0 hs = 1м	ф-лы таб.3 [10]	-1,5	-1,5	-1,5	-1,5	-1,5	-1,5	-1,5	-1,5	-1,5		
Снижение поверхностью земли возле приёмника Ar, дБ	Gr = 1 hr = 1.5м	ф-лы таб.3 [10]	-1,5	-1,5	5,3	7	5	0,7	0	0	0		
Снижение поверхностью земли в средней зоне, Am дБ	Gm = 1	ф-лы таб.3 [10]	-2,9	-2,9	0	0	0	0	0	0	0		
Суммарное снижение поверхностью земли на траектории распространения звука Agr, дБ		ф-ла (9) [10]	-5,9	-5,9	3,8	5,5	3,5	-0,8	-1,5	-1,5	-1,5		
Уровни звукового давления прямого звука от источника ИШ-6-2 в расчётной точке днём, дБ		**ф-ла(3)[10]**	**0**	**26,8**	**18,1**	**16,4**	**16**	**16,4**	**7,1**	**0**	**0**	**18,9**	**18,9**
Уровни звукового давления прямого звука от источника ИШ-6-2 в расчётной точке ночью, дБ		**ф-ла(3)[10]**	**0**	**26,8**	**18,1**	**16,4**	**16**	**16,4**	**7,1**	**0**	**0**	**18,9**	**18,9**

1		2	3	4	5	6	7	8	9	10	11	12	13
Расчёт отражённого звука													
Уровни звукового давления от мнимого источника ИШ-6-2_мн.(1) в расчётной точке днём, дБ		**ф-ла(3)[10]**	**0**	**0**	**0**	**0**	**0**	**0**	**0**	**0**	**0**	**0**	**0**
Уровни звукового давления от мнимого источника ИШ-6-2_мн.(1) в расчётной точке ночью, дБ		**ф-ла(3)[10]**	**0**	**0**	**0**	**0**	**0**	**0**	**0**	**0**	**0**	**0**	**0**
Уровни звукового давления от мнимого источника ИШ-6-2_мн.(2) в расчётной точке днём, дБ		**ф-ла(3)[10]**	**0**	**0**	**0**	**0**	**0**	**0**	**0**	**0**	**0**	**0**	**0**
Уровни звукового давления от мнимого источника ИШ-6-2_мн.(2) в расчётной точке ночью, дБ		**ф-ла(3)[10]**	**0**	**0**	**0**	**0**	**0**	**0**	**0**	**0**	**0**	**0**	**0**
Суммарные уровни звукового давления от мнимых источников в расчётной точке днём, дБ		**ф-ла (19) [1]**	**0**	**0**	**0**	**0**	**0**	**0**	**0**	**0**	**0**	**0**	**0**
Суммарные уровни звукового давления от мнимых источников в расчётной точке ночью, дБ		**ф-ла (19) [1]**	**0**	**0**	**0**	**0**	**0**	**0**	**0**	**0**	**0**	**0**	**0**
Уровни звукового давления от источника ИШ-6-2 в расчётной точке днём, дБ		**ф-ла(3)[10]**	**0**	**26,8**	**18,1**	**16,4**	**16**	**16,4**	**7,1**	**0**	**0**	**18,9**	**18,9**
Уровни звукового давления от источника ИШ-6-2 в расчётной точке ночью, дБ		**ф-ла(3)[10]**	**0**	**26,8**	**18,1**	**16,4**	**16**	**16,4**	**7,1**	**0**	**0**	**18,9**	**18,9**
Источник шума: ИШ-6-3, координаты источника (x,y,z), м =[834.03,116.36,1.00]													
Уровни звуковой мощности источника днём, Lw, дБ		**исходные данные**	**0**	**96,3**	**97,7**	**99**	**99,3**	**98,9**	**95,6**	**91,4**	**86,9**		
Уровни звуковой мощности источника ночью, Lw, дБ		**исходные данные**	**0**	**96,3**	**97,7**	**99**	**99,3**	**98,9**	**95,6**	**91,4**	**86,9**		
Поправка на телесный угол DΩ, дБ	Ω = 12.57	10Lg(4π/Ω)	**0**	0	0	0	0	0	0	0	0		
Показатель направленности источника Di, дБ		исходные данные	**0**	0	0	0	0	0	0	0	0		
Поправка на направленность источника Dc, дБ	Dc	DΩ + Di	**0**	0	0	0	0	0	0	0	0		
Затухание из-за геометрической дивергенции, Adiv, дБ	расстояние = 1631.34 м	ф-ла (7) [10]	**75,3**										
Коэффициент затухания звука в атмосфере α, дБ/км	Ta=20,°C Pa=101.33,кПа hотн.=70%	ф-ла (5) [9]	0,02	0,09	0,33	1,12	2,79	4,98	9,04	23,09	77,63		

1		2	3	4	5	6	7	8	9	10	11	12	13
Учет затухания звука в атмосфере Aatm, дБ		ф-ла (8) [10]	0	0,1	0,5	1,8	4,6	8,1	14,7	37,7	126,6		
Снижение поверхностью земли возле источника As, дБ	Gs = 0 hs = 1м	ф-лы таб.3 [10]	-1,5	-1,5	-1,5	-1,5	-1,5	-1,5	-1,5	-1,5	-1,5		
Снижение поверхностью земли возле приёмника Ar, дБ	Gr = 1 hr = 1.5м	ф-лы таб.3 [10]	-1,5	-1,5	5,3	7	5	0,7	0	0	0		
Снижение поверхностью земли в средней зоне, Am дБ	Gm = 1	ф-лы таб.3 [10]	-2,9	-2,9	0	0	0	0	0	0	0		
Суммарное снижение поверхностью земли на траектории распространения звука Agr, дБ		ф-ла (9) [10]	-5,9	-5,9	3,8	5,5	3,5	-0,8	-1,5	-1,5	-1,5		
Уровни звукового давления прямого звука от источника ИШ-6-3 в расчётной точке днём, дБ		**ф-ла(3)[10]**	**0**	**26,8**	**18,1**	**16,4**	**16**	**16,4**	**7,1**	**0**	**0**	**18,9**	**18,9**
Уровни звукового давления прямого звука от источника ИШ-6-3 в расчётной точке ночью, дБ		**ф-ла(3)[10]**	**0**	**26,8**	**18,1**	**16,4**	**16**	**16,4**	**7,1**	**0**	**0**	**18,9**	**18,9**
Расчёт отражённого звука													
Уровни звукового давления от мнимого источника ИШ-6-3_мн.(1) в расчётной точке днём, дБ		**ф-ла(3)[10]**	**0**	**0**	**0**	**0**	**0**	**0**	**0**	**0**	**0**	**0**	**0**
Уровни звукового давления от мнимого источника ИШ-6-3_мн.(1) в расчётной точке ночью, дБ		**ф-ла(3)[10]**	**0**	**0**	**0**	**0**	**0**	**0**	**0**	**0**	**0**	**0**	**0**
Уровни звукового давления от источника ИШ-6-3 в расчётной точке днём, дБ		**ф-ла(3)[10]**	**0**	**26,8**	**18,1**	**16,4**	**16**	**16,4**	**7,1**	**0**	**0**	**18,9**	**18,9**
Уровни звукового давления от источника ИШ-6-3 в расчётной точке ночью, дБ		**ф-ла(3)[10]**	**0**	**26,8**	**18,1**	**16,4**	**16**	**16,4**	**7,1**	**0**	**0**	**18,9**	**18,9**
Источник шума: ИШ-6-4, координаты источника (x,y,z), м =[833.23,113.30,1.00]													
Уровни звуковой мощности источника днём, Lw, дБ		**исходные данные**	**0**	**96,3**	**97,7**	**99**	**99,3**	**98,9**	**95,6**	**91,4**	**86,9**		
Уровни звуковой мощности источника ночью, Lw, дБ		**исходные данные**	**0**	**96,3**	**97,7**	**99**	**99,3**	**98,9**	**95,6**	**91,4**	**86,9**		
Поправка на телесный угол DΩ, дБ	Ω = 12.57	10Lg(4π/Ω)	**0**	0	0	0	0	0	0	0	0		
Показатель направленности источника Di, дБ		исходные данные	**0**	0	0	0	0	0	0	0	0		

1		2	3	4	5	6	7	8	9	10	11	12	13
Поправка на направленность источника Dc, дБ	Dc	DΩ + Di	**0**	0	0	0	0	0	0	0	0		
Затухание из-за геометрической дивергенции, Adiv, дБ	расстояние = 1630.45 м	ф-ла (7) [10]	**75,2**										
Коэффициент затухания звука в атмосфере α, дБ/км	Ta=20,°C Pa=101.33,кПа hотн.=70%	ф-ла (5) [9]	0,02	0,09	0,33	1,12	2,79	4,98	9,04	23,09	77,63		
Учет затухания звука в атмосфере Aatm, дБ		ф-ла (8) [10]	0	0,1	0,5	1,8	4,6	8,1	14,7	37,6	126,6		
Снижение поверхностью земли возле источника As, дБ	Gs = 0 hs = 1м	ф-лы таб.3 [10]	-1,5	-1,5	-1,5	-1,5	-1,5	-1,5	-1,5	-1,5	-1,5		
Снижение поверхностью земли возле приёмника Ar, дБ	Gr = 1 hr = 1.5м	ф-лы таб.3 [10]	-1,5	-1,5	5,3	7	5	0,7	0	0	0		
Снижение поверхностью земли в средней зоне, Am дБ	Gm = 1	ф-лы таб.3 [10]	-2,9	-2,9	0	0	0	0	0	0	0		
Суммарное снижение поверхностью земли на траектории распространения звука Agr, дБ		ф-ла (9) [10]	-5,9	-5,9	3,8	5,5	3,5	-0,8	-1,5	-1,5	-1,5		
Уровни звукового давления прямого звука от источника ИШ-6-4 в расчётной точке днём, дБ		**ф-ла(3)[10]**	**0**	**26,8**	**18,1**	**16,4**	**16**	**16,4**	**7,1**	**0**	**0**	**18,9**	**18,9**
Уровни звукового давления прямого звука от источника ИШ-6-4 в расчётной точке ночью, дБ		**ф-ла(3)[10]**	**0**	**26,8**	**18,1**	**16,4**	**16**	**16,4**	**7,1**	**0**	**0**	**18,9**	**18,9**
Расчёт отражённого звука													
Уровни звукового давления от мнимого источника ИШ-6-4_мн.(1) в расчётной точке днём, дБ		**ф-ла(3)[10]**	**0**	**0**	**0**	**0**	**0**	**0**	**0**	**0**	**0**	**0**	**0**
Уровни звукового давления от мнимого источника ИШ-6-4_мн.(1) в расчётной точке ночью, дБ		**ф-ла(3)[10]**	**0**	**0**	**0**	**0**	**0**	**0**	**0**	**0**	**0**	**0**	**0**
Уровни звукового давления от источника ИШ-6-4 в расчётной точке днём, дБ		**ф-ла(3)[10]**	**0**	**26,8**	**18,1**	**16,4**	**16**	**16,4**	**7,1**	**0**	**0**	**18,9**	**18,9**
Уровни звукового давления от источника ИШ-6-4 в расчётной точке ночью, дБ		**ф-ла(3)[10]**	**0**	**26,8**	**18,1**	**16,4**	**16**	**16,4**	**7,1**	**0**	**0**	**18,9**	**18,9**
Источник шума: ИШ-6-5, координаты источника (x,y,z), м =[832.03,110.36,1.00]													

1		2	3	4	5	6	7	8	9	10	11	12	13
Уровни звуковой мощности источника днём, Lw, дБ		**исходные данные**	**0**	**96,3**	**97,7**	**99**	**99,3**	**98,9**	**95,6**	**91,4**	**86,9**		
Уровни звуковой мощности источника ночью, Lw, дБ		**исходные данные**	**0**	**96,3**	**97,7**	**99**	**99,3**	**98,9**	**95,6**	**91,4**	**86,9**		
Поправка на телесный угол DΩ, дБ	Ω = 12.57	10Lg(4π/Ω)	**0**	0	0	0	0	0	0	0	0		
Показатель направленности источника Di, дБ		исходные данные	**0**	0	0	0	0	0	0	0	0		
Поправка на направленность источника Dc, дБ	Dc	DΩ + Di	**0**	0	0	0	0	0	0	0	0		
Затухание из-за геометрической дивергенции, Adiv, дБ	расстояние = 1629.97 м	ф-ла (7) [10]	**75,2**										
Коэффициент затухания звука в атмосфере α, дБ/км	Ta=20,°C Pa=101.33,кПа hотн.=70%	ф-ла (5) [9]	0,02	0,09	0,33	1,12	2,79	4,98	9,04	23,09	77,63		
Учет затухания звука в атмосфере Aatm, дБ		ф-ла (8) [10]	0	0,1	0,5	1,8	4,5	8,1	14,7	37,6	126,5		
Снижение поверхностью земли возле источника As, дБ	Gs = 0 hs = 1м	ф-лы таб.3 [10]	-1,5	-1,5	-1,5	-1,5	-1,5	-1,5	-1,5	-1,5	-1,5		
Снижение поверхностью земли возле приёмника Ar, дБ	Gr = 1 hr = 1.5м	ф-лы таб.3 [10]	-1,5	-1,5	5,3	7	5	0,7	0	0	0		
Снижение поверхностью земли в средней зоне, Am дБ	Gm = 1	ф-лы таб.3 [10]	-2,9	-2,9	0	0	0	0	0	0	0		
Суммарное снижение поверхностью земли на траектории распространения звука Agr, дБ		ф-ла (9) [10]	-5,9	-5,9	3,8	5,5	3,5	-0,8	-1,5	-1,5	-1,5		
Уровни звукового давления прямого звука от источника ИШ-6-5 в расчётной точке днём, дБ		**ф-ла(3)[10]**	**0**	**26,8**	**18,1**	**16,4**	**16**	**16,4**	**7,1**	**0**	**0**	**18,9**	**18,9**
Уровни звукового давления прямого звука от источника ИШ-6-5 в расчётной точке ночью, дБ		**ф-ла(3)[10]**	**0**	**26,8**	**18,1**	**16,4**	**16**	**16,4**	**7,1**	**0**	**0**	**18,9**	**18,9**
Расчёт отражённого звука													
Уровни звукового давления от мнимого источника ИШ-6-5_мн.(1) в расчётной точке днём, дБ		**ф-ла(3)[10]**	**0**	**0**	**0**	**0**	**0**	**0**	**0**	**0**	**0**	**0**	**0**
Уровни звукового давления от мнимого источника ИШ-6-5_мн.(1) в расчётной точке ночью, дБ		**ф-ла(3)[10]**	**0**	**0**	**0**	**0**	**0**	**0**	**0**	**0**	**0**	**0**	**0**

1		2	3	4	5	6	7	8	9	10	11	12	13
Уровни звукового давления от источника ИШ-6-5 в расчётной точке днём, дБ		**ф-ла(3)[10]**	**0**	**26,8**	**18,1**	**16,4**	**16**	**16,4**	**7,1**	**0**	**0**	**18,9**	**18,9**
Уровни звукового давления от источника ИШ-6-5 в расчётной точке ночью, дБ		**ф-ла(3)[10]**	**0**	**26,8**	**18,1**	**16,4**	**16**	**16,4**	**7,1**	**0**	**0**	**18,9**	**18,9**
Источник шума: ИШ-6-6, координаты источника (x,y,z), м =[830.97,107.42,1.00]													
Уровни звуковой мощности источника днём, Lw, дБ		**исходные данные**	**0**	**96,3**	**97,7**	**99**	**99,3**	**98,9**	**95,6**	**91,4**	**86,9**		
Уровни звуковой мощности источника ночью, Lw, дБ		**исходные данные**	**0**	**96,3**	**97,7**	**99**	**99,3**	**98,9**	**95,6**	**91,4**	**86,9**		
Поправка на телесный угол DΩ, дБ	Ω = 12.57	10Lg(4π/Ω)	**0**	0	0	0	0	0	0	0	0		
Показатель направленности источника Di, дБ		исходные данные	**0**	0	0	0	0	0	0	0	0		
Поправка на направленность источника Dc, дБ	Dc	DΩ + Di	**0**	0	0	0	0	0	0	0	0		
Затухание из-за геометрической дивергенции, Adiv, дБ	расстояние = 1629.39 м	ф-ла (7) [10]	**75,2**										
Коэффициент затухания звука в атмосфере α, дБ/км	Ta=20,°C Pa=101.33,кПа hотн.=70%	ф-ла (5) [9]	0,02	0,09	0,33	1,12	2,79	4,98	9,04	23,09	77,63		
Учет затухания звука в атмосфере Aatm, дБ		ф-ла (8) [10]	0	0,1	0,5	1,8	4,5	8,1	14,7	37,6	126,5		
Снижение поверхностью земли возле источника As, дБ	Gs = 0 hs = 1м	ф-лы таб.3 [10]	-1,5	-1,5	-1,5	-1,5	-1,5	-1,5	-1,5	-1,5	-1,5		
Снижение поверхностью земли возле приёмника Ar, дБ	Gr = 1 hr = 1.5м	ф-лы таб.3 [10]	-1,5	-1,5	5,3	7	5	0,7	0	0	0		
Снижение поверхностью земли в средней зоне, Am дБ	Gm = 1	ф-лы таб.3 [10]	-2,9	-2,9	0	0	0	0	0	0	0		
Суммарное снижение поверхностью земли на траектории распространения звука Agr, дБ		ф-ла (9) [10]	-5,9	-5,9	3,8	5,5	3,5	-0,8	-1,5	-1,5	-1,5		
Уровни звукового давления прямого звука от источника ИШ-6-6 в расчётной точке днём, дБ		**ф-ла(3)[10]**	**0**	**26,8**	**18,1**	**16,4**	**16**	**16,4**	**7,1**	**0**	**0**	**18,9**	**18,9**

1		2	3	4	5	6	7	8	9	10	11	12	13
Уровни звукового давления прямого звука от источника ИШ-6-6 в расчётной точке ночью, дБ		**ф-ла(3)[10]**	**0**	**26,8**	**18,1**	**16,4**	**16**	**16,4**	**7,1**	**0**	**0**	**18,9**	**18,9**
Расчёт отражённого звука													
Уровни звукового давления от мнимого источника ИШ-6-6_мн.(1) в расчётной точке днём, дБ		**ф-ла(3)[10]**	**0**	**0**	**0**	**0**	**0**	**0**	**0**	**0**	**0**	**0**	**0**
Уровни звукового давления от мнимого источника ИШ-6-6_мн.(1) в расчётной точке ночью, дБ		**ф-ла(3)[10]**	**0**	**0**	**0**	**0**	**0**	**0**	**0**	**0**	**0**	**0**	**0**
Уровни звукового давления от источника ИШ-6-6 в расчётной точке днём, дБ		**ф-ла(3)[10]**	**0**	**26,8**	**18,1**	**16,4**	**16**	**16,4**	**7,1**	**0**	**0**	**18,9**	**18,9**
Уровни звукового давления от источника ИШ-6-6 в расчётной точке ночью, дБ		**ф-ла(3)[10]**	**0**	**26,8**	**18,1**	**16,4**	**16**	**16,4**	**7,1**	**0**	**0**	**18,9**	**18,9**
Источник шума: ИШ-6-7, координаты источника (x,y,z), м =[830.30,104.49,1.00]													
Уровни звуковой мощности источника днём, Lw, дБ		**исходные данные**	**0**	**96,3**	**97,7**	**99**	**99,3**	**98,9**	**95,6**	**91,4**	**86,9**		
Уровни звуковой мощности источника ночью, Lw, дБ		**исходные данные**	**0**	**96,3**	**97,7**	**99**	**99,3**	**98,9**	**95,6**	**91,4**	**86,9**		
Поправка на телесный угол DΩ, дБ	Ω = 12.57	10Lg(4π/Ω)	**0**	0	0	0	0	0	0	0	0		
Показатель направленности источника Di, дБ		исходные данные	**0**	0	0	0	0	0	0	0	0		
Поправка на направленность источника Dc, дБ	Dc	DΩ + Di	**0**	0	0	0	0	0	0	0	0		
Затухание из-за геометрической дивергенции, Adiv, дБ	расстояние = 1628.46 м	ф-ла (7) [10]	**75,2**										
Коэффициент затухания звука в атмосфере α, дБ/км	Ta=20,°C Pa=101.33,кПа hотн.=70%	ф-ла (5) [9]	0,02	0,09	0,33	1,12	2,79	4,98	9,04	23,09	77,63		
Учет затухания звука в атмосфере Aatm, дБ		ф-ла (8) [10]	0	0,1	0,5	1,8	4,5	8,1	14,7	37,6	126,4		
Снижение поверхностью земли возле источника As, дБ	Gs = 0 hs = 1м	ф-лы таб.3 [10]	-1,5	-1,5	-1,5	-1,5	-1,5	-1,5	-1,5	-1,5	-1,5		

1		2	3	4	5	6	7	8	9	10	11	12	13
Снижение поверхностью земли возле приёмника Ar, дБ	Gr = 1 hr = 1.5м	ф-лы таб.3 [10]	-1,5	-1,5	5,3	7	5	0,7	0	0	0		
Снижение поверхностью земли в средней зоне, Am дБ	Gm = 1	ф-лы таб.3 [10]	-2,9	-2,9	0	0	0	0	0	0	0		
Суммарное снижение поверхностью земли на траектории распространения звука Agr, дБ		ф-ла (9) [10]	-5,9	-5,9	3,8	5,5	3,5	-0,8	-1,5	-1,5	-1,5		
Уровни звукового давления прямого звука от источника ИШ-6-7 в расчётной точке днём, дБ		**ф-ла(3)[10]**	**0**	**26,8**	**18,1**	**16,4**	**16**	**16,4**	**7,1**	**0**	**0**	**18,9**	**18,9**
Уровни звукового давления прямого звука от источника ИШ-6-7 в расчётной точке ночью, дБ		**ф-ла(3)[10]**	**0**	**26,8**	**18,1**	**16,4**	**16**	**16,4**	**7,1**	**0**	**0**	**18,9**	**18,9**
Расчёт отражённого звука													
Уровни звукового давления от мнимого источника ИШ-6-7_мн.(1) в расчётной точке днём, дБ		**ф-ла(3)[10]**	**0**	**0**	**0**	**0**	**0**	**0**	**0**	**0**	**0**	**0**	**0**
Уровни звукового давления от мнимого источника ИШ-6-7_мн.(1) в расчётной точке ночью, дБ		**ф-ла(3)[10]**	**0**	**0**	**0**	**0**	**0**	**0**	**0**	**0**	**0**	**0**	**0**
Уровни звукового давления от источника ИШ-6-7 в расчётной точке днём, дБ		**ф-ла(3)[10]**	**0**	**26,8**	**18,1**	**16,4**	**16**	**16,4**	**7,1**	**0**	**0**	**18,9**	**18,9**
Уровни звукового давления от источника ИШ-6-7 в расчётной точке ночью, дБ		**ф-ла(3)[10]**	**0**	**26,8**	**18,1**	**16,4**	**16**	**16,4**	**7,1**	**0**	**0**	**18,9**	**18,9**
Источник шума: ИШ-6-8, координаты источника (x,y,z), м =[829.36,101.42,1.00]													
Уровни звуковой мощности источника днём, Lw, дБ		**исходные данные**	**0**	**96,3**	**97,7**	**99**	**99,3**	**98,9**	**95,6**	**91,4**	**86,9**		
Уровни звуковой мощности источника ночью, Lw, дБ		**исходные данные**	**0**	**96,3**	**97,7**	**99**	**99,3**	**98,9**	**95,6**	**91,4**	**86,9**		
Поправка на телесный угол DΩ, дБ	Ω = 12.57	10Lg(4π/Ω)	**0**	0	0	0	0	0	0	0	0		
Показатель направленности источника Di, дБ		исходные данные	**0**	0	0	0	0	0	0	0	0		
Поправка на направленность источника Dc, дБ	Dc	DΩ + Di	**0**	0	0	0	0	0	0	0	0		
Затухание из-за геометрической дивергенции, Adiv, дБ	расстояние = 1627.70 м	ф-ла (7) [10]	**75,2**										

1		2	3	4	5	6	7	8	9	10	11	12	13
Коэффициент затухания звука в атмосфере α, дБ/км	Та=20,°С Ра=101.33,кПа hотн.=70%	ф-ла (5) [9]	0,02	0,09	0,33	1,12	2,79	4,98	9,04	23,09	77,63		
Учет затухания звука в атмосфере Aatm, дБ		ф-ла (8) [10]	0	0,1	0,5	1,8	4,5	8,1	14,7	37,6	126,4		
Снижение поверхностью земли возле источника As, дБ	Gs = 0 hs = 1м	ф-лы таб.3 [10]	-1,5	-1,5	-1,5	-1,5	-1,5	-1,5	-1,5	-1,5	-1,5		
Снижение поверхностью земли возле приёмника Ar, дБ	Gr = 1 hr = 1.5м	ф-лы таб.3 [10]	-1,5	-1,5	5,3	7	5	0,7	0	0	0		
Снижение поверхностью земли в средней зоне, Am дБ	Gm = 1	ф-лы таб.3 [10]	-2,9	-2,9	0	0	0	0	0	0	0		
Суммарное снижение поверхностью земли на траектории распространения звука Agr, дБ		ф-ла (9) [10]	-5,9	-5,9	3,8	5,5	3,5	-0,8	-1,5	-1,5	-1,5		
Уровни звукового давления прямого звука от источника ИШ-6-8 в расчётной точке днём, дБ		**ф-ла(3)[10]**	**0**	**26,8**	**18,1**	**16,4**	**16**	**16,4**	**7,1**	**0**	**0**	**18,9**	**18,9**
Уровни звукового давления прямого звука от источника ИШ-6-8 в расчётной точке ночью, дБ		**ф-ла(3)[10]**	**0**	**26,8**	**18,1**	**16,4**	**16**	**16,4**	**7,1**	**0**	**0**	**18,9**	**18,9**
Расчёт отражённого звука													
Уровни звукового давления от мнимого источника ИШ-6-8_мн.(1) в расчётной точке днём, дБ		**ф-ла(3)[10]**	**0**	**0**	**0**	**0**	**0**	**0**	**0**	**0**	**0**	**0**	**0**
Уровни звукового давления от мнимого источника ИШ-6-8_мн.(1) в расчётной точке ночью, дБ		**ф-ла(3)[10]**	**0**	**0**	**0**	**0**	**0**	**0**	**0**	**0**	**0**	**0**	**0**
Уровни звукового давления от источника ИШ-6-8 в расчётной точке днём, дБ		**ф-ла(3)[10]**	**0**	**26,8**	**18,1**	**16,4**	**16**	**16,4**	**7,1**	**0**	**0**	**18,9**	**18,9**
Уровни звукового давления от источника ИШ-6-8 в расчётной точке ночью, дБ		**ф-ла(3)[10]**	**0**	**26,8**	**18,1**	**16,4**	**16**	**16,4**	**7,1**	**0**	**0**	**18,9**	**18,9**
Источник шума: ИШ-6-9, координаты источника (x,y,z), м =[828.03,98.62,1.00]													
Уровни звуковой мощности источника днём, Lw, дБ		**исходные данные**	**0**	**96,3**	**97,7**	**99**	**99,3**	**98,9**	**95,6**	**91,4**	**86,9**		
Уровни звуковой мощности источника ночью, Lw, дБ		**исходные данные**	**0**	**96,3**	**97,7**	**99**	**99,3**	**98,9**	**95,6**	**91,4**	**86,9**		

1		2	3	4	5	6	7	8	9	10	11	12	13
Поправка на телесный угол DΩ, дБ	Ω = 12.57	10Lg(4π/Ω)	**0**	0	0	0	0	0	0	0	0		
Показатель направленности источника Di, дБ		исходные данные	**0**	0	0	0	0	0	0	0	0		
Поправка на направленность источника Dc, дБ	Dc	DΩ + Di	**0**	0	0	0	0	0	0	0	0		
Затухание из-за геометрической дивергенции, Adiv, дБ	расстояние = 1627.43 м	ф-ла (7) [10]	**75,2**										
Коэффициент затухания звука в атмосфере α, дБ/км	Ta=20,°C Pa=101.33,кПа hотн.=70%	ф-ла (5) [9]	0,02	0,09	0,33	1,12	2,79	4,98	9,04	23,09	77,63		
Учет затухания звука в атмосфере Aatm, дБ		ф-ла (8) [10]	0	0,1	0,5	1,8	4,5	8,1	14,7	37,6	126,3		
Снижение поверхностью земли возле источника As, дБ	Gs = 0 hs = 1м	ф-лы таб.3 [10]	-1,5	-1,5	-1,5	-1,5	-1,5	-1,5	-1,5	-1,5	-1,5		
Снижение поверхностью земли возле приёмника Ar, дБ	Gr = 1 hr = 1.5м	ф-лы таб.3 [10]	-1,5	-1,5	5,3	7	5	0,7	0	0	0		
Снижение поверхностью земли в средней зоне, Am дБ	Gm = 1	ф-лы таб.3 [10]	-2,9	-2,9	0	0	0	0	0	0	0		
Суммарное снижение поверхностью земли на траектории распространения звука Agr, дБ		ф-ла (9) [10]	-5,9	-5,9	3,8	5,5	3,5	-0,8	-1,5	-1,5	-1,5		
Уровни звукового давления прямого звука от источника ИШ-6-9 в расчётной точке днём, дБ		**ф-ла(3)[10]**	**0**	**26,8**	**18,1**	**16,4**	**16**	**16,4**	**7,2**	**0**	**0**	**18,9**	**18,9**
Уровни звукового давления прямого звука от источника ИШ-6-9 в расчётной точке ночью, дБ		**ф-ла(3)[10]**	**0**	**26,8**	**18,1**	**16,4**	**16**	**16,4**	**7,2**	**0**	**0**	**18,9**	**18,9**
Расчёт отражённого звука													
Уровни звукового давления от мнимого источника ИШ-6-9_мн.(1) в расчётной точке днём, дБ		**ф-ла(3)[10]**	**0**	**0**	**0**	**0**	**0**	**0**	**0**	**0**	**0**	**0**	**0**
Уровни звукового давления от мнимого источника ИШ-6-9_мн.(1) в расчётной точке ночью, дБ		**ф-ла(3)[10]**	**0**	**0**	**0**	**0**	**0**	**0**	**0**	**0**	**0**	**0**	**0**
Уровни звукового давления от источника ИШ-6-9 в расчётной точке днём, дБ		**ф-ла(3)[10]**	**0**	**26,8**	**18,1**	**16,4**	**16**	**16,4**	**7,2**	**0**	**0**	**18,9**	**18,9**
Уровни звукового давления от источника ИШ-6-9 в расчётной точке ночью, дБ		**ф-ла(3)[10]**	**0**	**26,8**	**18,1**	**16,4**	**16**	**16,4**	**7,2**	**0**	**0**	**18,9**	**18,9**

1		2	3	4	5	6	7	8	9	10	11	12	13
Источник шума: ИШ-6-10, координаты источника (x,y,z), м =[827.23,95.55,1.00]													
Уровни звуковой мощности источника днём, Lw, дБ		**исходные данные**	**0**	**96,3**	**97,7**	**99**	**99,3**	**98,9**	**95,6**	**91,4**	**86,9**		
Уровни звуковой мощности источника ночью, Lw, дБ		**исходные данные**	**0**	**96,3**	**97,7**	**99**	**99,3**	**98,9**	**95,6**	**91,4**	**86,9**		
Поправка на телесный угол DΩ, дБ	Ω = 12.57	10Lg(4π/Ω)	**0**	0	0	0	0	0	0	0	0		
Показатель направленности источника Di, дБ		исходные данные	**0**	0	0	0	0	0	0	0	0		
Поправка на направленность источника Dc, дБ	Dc	DΩ + Di	**0**	0	0	0	0	0	0	0	0		
Затухание из-за геометрической дивергенции, Adiv, дБ	расстояние = 1626.57 м	ф-ла (7) [10]	**75,2**										
Коэффициент затухания звука в атмосфере α, дБ/км	Ta=20,°C Pa=101.33,кПа hотн.=70%	ф-ла (5) [9]	0,02	0,09	0,33	1,12	2,79	4,98	9,04	23,09	77,63		
Учет затухания звука в атмосфере Aatm, дБ		ф-ла (8) [10]	0	0,1	0,5	1,8	4,5	8,1	14,7	37,6	126,3		
Снижение поверхностью земли возле источника As, дБ	Gs = 0 hs = 1м	ф-лы таб.3 [10]	-1,5	-1,5	-1,5	-1,5	-1,5	-1,5	-1,5	-1,5	-1,5		
Снижение поверхностью земли возле приёмника Ar, дБ	Gr = 1 hr = 1.5м	ф-лы таб.3 [10]	-1,5	-1,5	5,3	7	5	0,7	0	0	0		
Снижение поверхностью земли в средней зоне, Am дБ	Gm = 1	ф-лы таб.3 [10]	-2,9	-2,9	0	0	0	0	0	0	0		
Суммарное снижение поверхностью земли на траектории распространения звука Agr, дБ		ф-ла (9) [10]	-5,9	-5,9	3,8	5,5	3,5	-0,8	-1,5	-1,5	-1,5		
Уровни звукового давления прямого звука от источника ИШ-6-10 в расчётной точке днём, дБ		**ф-ла(3)[10]**	**0**	**26,8**	**18,1**	**16,4**	**16,1**	**16,4**	**7,2**	**0**	**0**	**19**	**19**
Уровни звукового давления прямого звука от источника ИШ-6-10 в расчётной точке ночью, дБ		**ф-ла(3)[10]**	**0**	**26,8**	**18,1**	**16,4**	**16,1**	**16,4**	**7,2**	**0**	**0**	**19**	**19**
Расчёт отражённого звука													

1		2	3	4	5	6	7	8	9	10	11	12	13
Уровни звукового давления от мнимого источника ИШ-6-10_мн.(1) в расчётной точке днём, дБ		**ф-ла(3)[10]**	**0**	**0**	**0**	**0**	**0**	**0**	**0**	**0**	**0**	**0**	**0**
Уровни звукового давления от мнимого источника ИШ-6-10_мн.(1) в расчётной точке ночью, дБ		**ф-ла(3)[10]**	**0**	**0**	**0**	**0**	**0**	**0**	**0**	**0**	**0**	**0**	**0**
Уровни звукового давления от источника ИШ-6-10 в расчётной точке днём, дБ		**ф-ла(3)[10]**	**0**	**26,8**	**18,1**	**16,4**	**16,1**	**16,4**	**7,2**	**0**	**0**	**19**	**19**
Уровни звукового давления от источника ИШ-6-10 в расчётной точке ночью, дБ		**ф-ла(3)[10]**	**0**	**26,8**	**18,1**	**16,4**	**16,1**	**16,4**	**7,2**	**0**	**0**	**19**	**19**
Источник шума: ИШ-6-11, координаты источника (x,y,z), м =[826.30,92.48,1.00]													
Уровни звуковой мощности источника днём, Lw, дБ		**исходные данные**	**0**	**96,3**	**97,7**	**99**	**99,3**	**98,9**	**95,6**	**91,4**	**86,9**		
Уровни звуковой мощности источника ночью, Lw, дБ		**исходные данные**	**0**	**96,3**	**97,7**	**99**	**99,3**	**98,9**	**95,6**	**91,4**	**86,9**		
Поправка на телесный угол DΩ, дБ	Ω = 12.57	10Lg(4π/Ω)	**0**	0	0	0	0	0	0	0	0		
Показатель направленности источника Di, дБ		исходные данные	**0**	0	0	0	0	0	0	0	0		
Поправка на направленность источника Dc, дБ	Dc	DΩ + Di	**0**	0	0	0	0	0	0	0	0		
Затухание из-за геометрической дивергенции, Adiv, дБ	расстояние = 1625.83 м	ф-ла (7) [10]	**75,2**										
Коэффициент затухания звука в атмосфере α, дБ/км	Ta=20,°C Pa=101.33,кПа hотн.=70%	ф-ла (5) [9]	0,02	0,09	0,33	1,12	2,79	4,98	9,04	23,09	77,63		
Учет затухания звука в атмосфере Aatm, дБ		ф-ла (8) [10]	0	0,1	0,5	1,8	4,5	8,1	14,7	37,5	126,2		
Снижение поверхностью земли возле источника As, дБ	Gs = 0 hs = 1м	ф-лы таб.3 [10]	-1,5	-1,5	-1,5	-1,5	-1,5	-1,5	-1,5	-1,5	-1,5		
Снижение поверхностью земли возле приёмника Ar, дБ	Gr = 1 hr = 1.5м	ф-лы таб.3 [10]	-1,5	-1,5	5,3	7	5	0,7	0	0	0		
Снижение поверхностью земли в средней зоне, Am дБ	Gm = 1	ф-лы таб.3 [10]	-2,9	-2,9	0	0	0	0	0	0	0		

1		2	3	4	5	6	7	8	9	10	11	12	13
Суммарное снижение поверхностью земли на траектории распространения звука Agr, дБ		ф-ла (9) [10]	-5,9	-5,9	3,8	5,5	3,5	-0,8	-1,5	-1,5	-1,5		
Уровни звукового давления от источника ИШ-6-11 в расчётной точке днём, дБ		**ф-ла(3)[10]**	**0**	**26,8**	**18,1**	**16,4**	**16,1**	**16,4**	**7,2**	**0**	**0**	**19**	**19**
Уровни звукового давления от источника ИШ-6-11 в расчётной точке ночью, дБ		**ф-ла(3)[10]**	**0**	**26,8**	**18,1**	**16,4**	**16,1**	**16,4**	**7,2**	**0**	**0**	**19**	**19**
Источник шума: ИШ-6-12, координаты источника (x,y,z), м =[825.09,89.54,1.00]													
Уровни звуковой мощности источника днём, Lw, дБ		**исходные данные**	**0**	**96,3**	**97,7**	**99**	**99,3**	**98,9**	**95,6**	**91,4**	**86,9**		
Уровни звуковой мощности источника ночью, Lw, дБ		**исходные данные**	**0**	**96,3**	**97,7**	**99**	**99,3**	**98,9**	**95,6**	**91,4**	**86,9**		
Поправка на телесный угол DΩ, дБ	Ω = 12.57	10Lg(4π/Ω)	**0**	0	0	0	0	0	0	0	0		
Показатель направленности источника Di, дБ		исходные данные	**0**	0	0	0	0	0	0	0	0		
Поправка на направленность источника Dc, дБ	Dc	DΩ + Di	**0**	0	0	0	0	0	0	0	0		
Затухание из-за геометрической дивергенции, Adiv, дБ	расстояние = 1625.40 м	ф-ла (7) [10]	**75,2**										
Коэффициент затухания звука в атмосфере α, дБ/км	Ta=20,°C Pa=101.33,кПа hотн.=70%	ф-ла (5) [9]	0,02	0,09	0,33	1,12	2,79	4,98	9,04	23,09	77,63		
Учет затухания звука в атмосфере Aatm, дБ		ф-ла (8) [10]	0	0,1	0,5	1,8	4,5	8,1	14,7	37,5	126,2		
Снижение поверхностью земли возле источника As, дБ	Gs = 0 hs = 1м	ф-лы таб.3 [10]	-1,5	-1,5	-1,5	-1,5	-1,5	-1,5	-1,5	-1,5	-1,5		
Снижение поверхностью земли возле приёмника Ar, дБ	Gr = 1 hr = 1.5м	ф-лы таб.3 [10]	-1,5	-1,5	5,3	7	5	0,7	0	0	0		
Снижение поверхностью земли в средней зоне, Am дБ	Gm = 1	ф-лы таб.3 [10]	-2,9	-2,9	0	0	0	0	0	0	0		
Суммарное снижение поверхностью земли на траектории распространения звука Agr, дБ		ф-ла (9) [10]	-5,9	-5,9	3,8	5,5	3,5	-0,8	-1,5	-1,5	-1,5		

1		2	3	4	5	6	7	8	9	10	11	12	13
Уровни звукового давления прямого звука от источника ИШ-6-12 в расчётной точке днём, дБ		**ф-ла(3)[10]**	**0**	**26,8**	**18,1**	**16,4**	**16,1**	**16,4**	**7,2**	**0**	**0**	**19**	**19**
Уровни звукового давления прямого звука от источника ИШ-6-12 в расчётной точке ночью, дБ		**ф-ла(3)[10]**	**0**	**26,8**	**18,1**	**16,4**	**16,1**	**16,4**	**7,2**	**0**	**0**	**19**	**19**
Расчёт отражённого звука													
Уровни звукового давления от мнимого источника ИШ-6-12_мн.(1) в расчётной точке днём, дБ		**ф-ла(3)[10]**	**0**	**0**	**0**	**0**	**0**	**0**	**0**	**0**	**0**	**0**	**0**
Уровни звукового давления от мнимого источника ИШ-6-12_мн.(1) в расчётной точке ночью, дБ		**ф-ла(3)[10]**	**0**	**0**	**0**	**0**	**0**	**0**	**0**	**0**	**0**	**0**	**0**
Уровни звукового давления от источника ИШ-6-12 в расчётной точке днём, дБ		**ф-ла(3)[10]**	**0**	**26,8**	**18,1**	**16,4**	**16,1**	**16,4**	**7,2**	**0**	**0**	**19**	**19**
Уровни звукового давления от источника ИШ-6-12 в расчётной точке ночью, дБ		**ф-ла(3)[10]**	**0**	**26,8**	**18,1**	**16,4**	**16,1**	**16,4**	**7,2**	**0**	**0**	**19**	**19**
Источник шума: ИШ-6-13, координаты источника (x,y,z), м =[767.76,-114.15,1.00]													
Уровни звуковой мощности источника днём, Lw, дБ		**исходные данные**	**0**	**96,3**	**97,7**	**99**	**99,3**	**98,9**	**95,6**	**91,4**	**86,9**		
Уровни звуковой мощности источника ночью, Lw, дБ		**исходные данные**	**0**	**96,3**	**97,7**	**99**	**99,3**	**98,9**	**95,6**	**91,4**	**86,9**		
Поправка на телесный угол DΩ, дБ	Ω = 12.57	10Lg(4π/Ω)	**0**	0	0	0	0	0	0	0	0		
Показатель направленности источника Di, дБ		исходные данные	**0**	0	0	0	0	0	0	0	0		
Поправка на направленность источника Dc, дБ	Dc	DΩ + Di	**0**	0	0	0	0	0	0	0	0		
Затухание из-за геометрической дивергенции, Adiv, дБ	расстояние = 1586.17 м	ф-ла (7) [10]	**75**										
Коэффициент затухания звука в атмосфере α, дБ/км	Ta=20,°C Pa=101.33,кПа hотн.=70%	ф-ла (5) [9]	0,02	0,09	0,33	1,12	2,79	4,98	9,04	23,09	77,63		
Учет затухания звука в атмосфере Aatm, дБ		ф-ла (8) [10]	0	0,1	0,5	1,8	4,4	7,9	14,3	36,6	123,1		

1		2	3	4	5	6	7	8	9	10	11	12	13
Снижение поверхностью земли возле источника As, дБ	Gs = 0 hs = 1м	ф-лы таб.3 [10]	-1,5	-1,5	-1,5	-1,5	-1,5	-1,5	-1,5	-1,5	-1,5		
Снижение поверхностью земли возле приёмника Ar, дБ	Gr = 1 hr = 1.5м	ф-лы таб.3 [10]	-1,5	-1,5	5,3	7	5	0,7	0	0	0		
Снижение поверхностью земли в средней зоне, Am дБ	Gm = 1	ф-лы таб.3 [10]	-2,9	-2,9	0	0	0	0	0	0	0		
Суммарное снижение поверхностью земли на траектории распространения звука Agr, дБ		ф-ла (9) [10]	-5,9	-5,9	3,8	5,5	3,5	-0,8	-1,5	-1,5	-1,5		
Уровни звукового давления прямого звука от источника ИШ-6-13 в расчётной точке днём, дБ		**ф-ла(3)[10]**	**0**	**27**	**18,3**	**16,7**	**16,4**	**16,8**	**7,7**	**0**	**0**	**19,4**	**19,4**
Уровни звукового давления прямого звука от источника ИШ-6-13 в расчётной точке ночью, дБ		**ф-ла(3)[10]**	**0**	**27**	**18,3**	**16,7**	**16,4**	**16,8**	**7,7**	**0**	**0**	**19,4**	**19,4**
Расчёт отражённого звука													
Уровни звукового давления от мнимого источника ИШ-6-13_мн.(1) в расчётной точке днём, дБ		**ф-ла(3)[10]**	**0**	**0**	**0**	**0**	**0**	**0**	**0**	**0**	**0**	**0**	**0**
Уровни звукового давления от мнимого источника ИШ-6-13_мн.(1) в расчётной точке ночью, дБ		**ф-ла(3)[10]**	**0**	**0**	**0**	**0**	**0**	**0**	**0**	**0**	**0**	**0**	**0**
Уровни звукового давления от источника ИШ-6-13 в расчётной точке днём, дБ		**ф-ла(3)[10]**	**0**	**27**	**18,3**	**16,7**	**16,4**	**16,8**	**7,7**	**0**	**0**	**19,4**	**19,4**
Уровни звукового давления от источника ИШ-6-13 в расчётной точке ночью, дБ		**ф-ла(3)[10]**	**0**	**27**	**18,3**	**16,7**	**16,4**	**16,8**	**7,7**	**0**	**0**	**19,4**	**19,4**
Источник шума: ИШ-6-14, координаты источника (x,y,z), м =[766.82,-117.10,1.00]													
Уровни звуковой мощности источника днём, Lw, дБ		**исходные данные**	**0**	**96,3**	**97,7**	**99**	**99,3**	**98,9**	**95,6**	**91,4**	**86,9**		
Уровни звуковой мощности источника ночью, Lw, дБ		**исходные данные**	**0**	**96,3**	**97,7**	**99**	**99,3**	**98,9**	**95,6**	**91,4**	**86,9**		
Поправка на телесный угол DΩ, дБ	Ω = 12.57	10Lg(4π/Ω)	**0**	0	0	0	0	0	0	0	0		
Показатель направленности источника Di, дБ		исходные данные	**0**	0	0	0	0	0	0	0	0		
Поправка на направленность источника Dc, дБ	Dc	DΩ + Di	**0**	0	0	0	0	0	0	0	0		

1		2	3	4	5	6	7	8	9	10	11	12	13
Затухание из-за геометрической дивергенции, Adiv, дБ	расстояние = 1585.91 м	ф-ла (7) [10]	**75**										
Коэффициент затухания звука в атмосфере α, дБ/км	Ta=20,°C Pa=101.33,кПа hотн.=70%	ф-ла (5) [9]	0,02	0,09	0,33	1,12	2,79	4,98	9,04	23,09	77,63		
Учет затухания звука в атмосфере Aatm, дБ		ф-ла (8) [10]	0	0,1	0,5	1,8	4,4	7,9	14,3	36,6	123,1		
Снижение поверхностью земли возле источника As, дБ	Gs = 0 hs = 1м	ф-лы таб.3 [10]	-1,5	-1,5	-1,5	-1,5	-1,5	-1,5	-1,5	-1,5	-1,5		
Снижение поверхностью земли возле приёмника Ar, дБ	Gr = 1 hr = 1.5м	ф-лы таб.3 [10]	-1,5	-1,5	5,3	7	5	0,7	0	0	0		
Снижение поверхностью земли в средней зоне, Am дБ	Gm = 1	ф-лы таб.3 [10]	-2,9	-2,9	0	0	0	0	0	0	0		
Суммарное снижение поверхностью земли на траектории распространения звука Agr, дБ		ф-ла (9) [10]	-5,9	-5,9	3,8	5,5	3,5	-0,8	-1,5	-1,5	-1,5		
Уровни звукового давления прямого звука от источника ИШ-6-14 в расчётной точке днём, дБ		**ф-ла(3)[10]**	**0**	**27**	**18,3**	**16,7**	**16,4**	**16,8**	**7,8**	**0**	**0**	**19,4**	**19,4**
Уровни звукового давления прямого звука от источника ИШ-6-14 в расчётной точке ночью, дБ		**ф-ла(3)[10]**	**0**	**27**	**18,3**	**16,7**	**16,4**	**16,8**	**7,8**	**0**	**0**	**19,4**	**19,4**
Расчёт отражённого звука													
Уровни звукового давления от мнимого источника ИШ-6-14_мн.(1) в расчётной точке днём, дБ		**ф-ла(3)[10]**	**0**	**0**	**0**	**0**	**0**	**0**	**0**	**0**	**0**	**0**	**0**
Уровни звукового давления от мнимого источника ИШ-6-14_мн.(1) в расчётной точке ночью, дБ		**ф-ла(3)[10]**	**0**	**0**	**0**	**0**	**0**	**0**	**0**	**0**	**0**	**0**	**0**
Уровни звукового давления от источника ИШ-6-14 в расчётной точке днём, дБ		**ф-ла(3)[10]**	**0**	**27**	**18,3**	**16,7**	**16,4**	**16,8**	**7,8**	**0**	**0**	**19,4**	**19,4**
Уровни звукового давления от источника ИШ-6-14 в расчётной точке ночью, дБ		**ф-ла(3)[10]**	**0**	**27**	**18,3**	**16,7**	**16,4**	**16,8**	**7,8**	**0**	**0**	**19,4**	**19,4**
Источник шума: ИШ-6-15, координаты источника (x,y,z), м =[765.71,-120.27,1.00]													
Уровни звуковой мощности источника днём, Lw, дБ		**исходные данные**	**0**	**96,3**	**97,7**	**99**	**99,3**	**98,9**	**95,6**	**91,4**	**86,9**		

1		2	3	4	5	6	7	8	9	10	11	12	13
Уровни звуковой мощности источника ночью, Lw, дБ		**исходные данные**	**0**	**96,3**	**97,7**	**99**	**99,3**	**98,9**	**95,6**	**91,4**	**86,9**		
Поправка на телесный угол DΩ, дБ	Ω = 12.57	10Lg(4π/Ω)	**0**	0	0	0	0	0	0	0	0		
Показатель направленности источника Di, дБ		исходные данные	**0**	0	0	0	0	0	0	0	0		
Поправка на направленность источника Dc, дБ	Dc	DΩ + Di	**0**	0	0	0	0	0	0	0	0		
Затухание из-за геометрической дивергенции, Adiv, дБ	расстояние = 1585.71 м	ф-ла (7) [10]	**75**										
Коэффициент затухания звука в атмосфере α, дБ/км	Ta=20,°C Pa=101.33,кПа hотн.=70%	ф-ла (5) [9]	0,02	0,09	0,33	1,12	2,79	4,98	9,04	23,09	77,63		
Учет затухания звука в атмосфере Aatm, дБ		ф-ла (8) [10]	0	0,1	0,5	1,8	4,4	7,9	14,3	36,6	123,1		
Снижение поверхностью земли возле источника As, дБ	Gs = 0 hs = 1м	ф-лы таб.3 [10]	-1,5	-1,5	-1,5	-1,5	-1,5	-1,5	-1,5	-1,5	-1,5		
Снижение поверхностью земли возле приёмника Ar, дБ	Gr = 1 hr = 1.5м	ф-лы таб.3 [10]	-1,5	-1,5	5,3	7	5	0,7	0	0	0		
Снижение поверхностью земли в средней зоне, Am дБ	Gm = 1	ф-лы таб.3 [10]	-2,9	-2,9	0	0	0	0	0	0	0		
Суммарное снижение поверхностью земли на траектории распространения звука Agr, дБ		ф-ла (9) [10]	-5,9	-5,9	3,8	5,5	3,5	-0,8	-1,5	-1,5	-1,5		
Уровни звукового давления прямого звука от источника ИШ-6-15 в расчётной точке днём, дБ		**ф-ла(3)[10]**	**0**	**27**	**18,3**	**16,7**	**16,4**	**16,8**	**7,8**	**0**	**0**	**19,4**	**19,4**
Уровни звукового давления прямого звука от источника ИШ-6-15 в расчётной точке ночью, дБ		**ф-ла(3)[10]**	**0**	**27**	**18,3**	**16,7**	**16,4**	**16,8**	**7,8**	**0**	**0**	**19,4**	**19,4**
Расчёт отражённого звука													
Уровни звукового давления от мнимого источника ИШ-6-15_мн.(1) в расчётной точке днём, дБ		**ф-ла(3)[10]**	**0**	**0**	**0**	**0**	**0**	**0**	**0**	**0**	**0**	**0**	**0**
Уровни звукового давления от мнимого источника ИШ-6-15_мн.(1) в расчётной точке ночью, дБ		**ф-ла(3)[10]**	**0**	**0**	**0**	**0**	**0**	**0**	**0**	**0**	**0**	**0**	**0**
Уровни звукового давления от источника ИШ-6-15 в расчётной точке днём, дБ		**ф-ла(3)[10]**	**0**	**27**	**18,3**	**16,7**	**16,4**	**16,8**	**7,8**	**0**	**0**	**19,4**	**19,4**

1		2	3	4	5	6	7	8	9	10	11	12	13
Уровни звукового давления от источника ИШ-6-15 в расчётной точке ночью, дБ		**ф-ла(3)[10]**	**0**	**27**	**18,3**	**16,7**	**16,4**	**16,8**	**7,8**	**0**	**0**	**19,4**	**19,4**
Источник шума: ИШ-6-16, координаты источника (x,y,z), м =[764.57,-123.22,1.00]													
Уровни звуковой мощности источника днём, Lw, дБ		**исходные данные**	**0**	**96,3**	**97,7**	**99**	**99,3**	**98,9**	**95,6**	**91,4**	**86,9**		
Уровни звуковой мощности источника ночью, Lw, дБ		**исходные данные**	**0**	**96,3**	**97,7**	**99**	**99,3**	**98,9**	**95,6**	**91,4**	**86,9**		
Поправка на телесный угол DΩ, дБ	Ω = 12.57	10Lg(4π/Ω)	**0**	0	0	0	0	0	0	0	0		
Показатель направленности источника Di, дБ		исходные данные	**0**	0	0	0	0	0	0	0	0		
Поправка на направленность источника Dc, дБ	Dc	DΩ + Di	**0**	0	0	0	0	0	0	0	0		
Затухание из-за геометрической дивергенции, Adiv, дБ	расстояние = 1585.65 м	ф-ла (7) [10]	**75**										
Коэффициент затухания звука в атмосфере α, дБ/км	Ta=20,°C Pa=101.33,кПа hотн.=70%	ф-ла (5) [9]	0,02	0,09	0,33	1,12	2,79	4,98	9,04	23,09	77,63		
Учет затухания звука в атмосфере Aatm, дБ		ф-ла (8) [10]	0	0,1	0,5	1,8	4,4	7,9	14,3	36,6	123,1		
Снижение поверхностью земли возле источника As, дБ	Gs = 0 hs = 1м	ф-лы таб.3 [10]	-1,5	-1,5	-1,5	-1,5	-1,5	-1,5	-1,5	-1,5	-1,5		
Снижение поверхностью земли возле приёмника Ar, дБ	Gr = 1 hr = 1.5м	ф-лы таб.3 [10]	-1,5	-1,5	5,3	7	5	0,7	0	0	0		
Снижение поверхностью земли в средней зоне, Am дБ	Gm = 1	ф-лы таб.3 [10]	-2,9	-2,9	0	0	0	0	0	0	0		
Суммарное снижение поверхностью земли на траектории распространения звука Agr, дБ		ф-ла (9) [10]	-5,9	-5,9	3,8	5,5	3,5	-0,8	-1,5	-1,5	-1,5		
Уровни звукового давления от источника ИШ-6-16 в расчётной точке днём, дБ		**ф-ла(3)[10]**	**0**	**27**	**18,3**	**16,7**	**16,4**	**16,8**	**7,8**	**0**	**0**	**19,4**	**19,4**
Уровни звукового давления от источника ИШ-6-16 в расчётной точке ночью, дБ		**ф-ла(3)[10]**	**0**	**27**	**18,3**	**16,7**	**16,4**	**16,8**	**7,8**	**0**	**0**	**19,4**	**19,4**

1		2	3	4	5	6	7	8	9	10	11	12	13
Источник шума: ИШ-6-17, координаты источника (x,y,z), м =[763.57,-126.18,1.00]													
Уровни звуковой мощности источника днём, Lw, дБ		**исходные данные**	**0**	**96,3**	**97,7**	**99**	**99,3**	**98,9**	**95,6**	**91,4**	**86,9**		
Уровни звуковой мощности источника ночью, Lw, дБ		**исходные данные**	**0**	**96,3**	**97,7**	**99**	**99,3**	**98,9**	**95,6**	**91,4**	**86,9**		
Поправка на телесный угол DΩ, дБ	Ω = 12.57	10Lg(4π/Ω)	**0**	0	0	0	0	0	0	0	0		
Показатель направленности источника Di, дБ		исходные данные	**0**	0	0	0	0	0	0	0	0		
Поправка на направленность источника Dc, дБ	Dc	DΩ + Di	**0**	0	0	0	0	0	0	0	0		
Затухание из-за геометрической дивергенции, Adiv, дБ	расстояние = 1585.45 м	ф-ла (7) [10]	**75**										
Коэффициент затухания звука в атмосфере α, дБ/км	Ta=20,°C Pa=101.33,кПа hотн.=70%	ф-ла (5) [9]	0,02	0,09	0,33	1,12	2,79	4,98	9,04	23,09	77,63		
Учет затухания звука в атмосфере Aatm, дБ		ф-ла (8) [10]	0	0,1	0,5	1,8	4,4	7,9	14,3	36,6	123,1		
Снижение поверхностью земли возле источника As, дБ	Gs = 0 hs = 1м	ф-лы таб.3 [10]	-1,5	-1,5	-1,5	-1,5	-1,5	-1,5	-1,5	-1,5	-1,5		
Снижение поверхностью земли возле приёмника Ar, дБ	Gr = 1 hr = 1.5м	ф-лы таб.3 [10]	-1,5	-1,5	5,3	7	5	0,7	0	0	0		
Снижение поверхностью земли в средней зоне, Am дБ	Gm = 1	ф-лы таб.3 [10]	-2,9	-2,9	0	0	0	0	0	0	0		
Суммарное снижение поверхностью земли на траектории распространения звука Agr, дБ		ф-ла (9) [10]	-5,9	-5,9	3,8	5,5	3,5	-0,8	-1,5	-1,5	-1,5		
Уровни звукового давления прямого звука от источника ИШ-6-17 в расчётной точке днём, дБ		**ф-ла(3)[10]**	**0**	**27**	**18,3**	**16,7**	**16,4**	**16,8**	**7,8**	**0**	**0**	**19,4**	**19,4**
Уровни звукового давления прямого звука от источника ИШ-6-17 в расчётной точке ночью, дБ		**ф-ла(3)[10]**	**0**	**27**	**18,3**	**16,7**	**16,4**	**16,8**	**7,8**	**0**	**0**	**19,4**	**19,4**
Расчёт отражённого звука													

1		2	3	4	5	6	7	8	9	10	11	12	13
Уровни звукового давления от мнимого источника ИШ-6-17_мн.(1) в расчётной точке днём, дБ		**ф-ла(3)[10]**	**0**	**0**	**0**	**0**	**0**	**0**	**0**	**0**	**0**	**0**	**0**
Уровни звукового давления от мнимого источника ИШ-6-17_мн.(1) в расчётной точке ночью, дБ		**ф-ла(3)[10]**	**0**	**0**	**0**	**0**	**0**	**0**	**0**	**0**	**0**	**0**	**0**
Уровни звукового давления от источника ИШ-6-17 в расчётной точке днём, дБ		**ф-ла(3)[10]**	**0**	**27**	**18,3**	**16,7**	**16,4**	**16,8**	**7,8**	**0**	**0**	**19,4**	**19,4**
Уровни звукового давления от источника ИШ-6-17 в расчётной точке ночью, дБ		**ф-ла(3)[10]**	**0**	**27**	**18,3**	**16,7**	**16,4**	**16,8**	**7,8**	**0**	**0**	**19,4**	**19,4**
Источник шума: ИШ-6-18, координаты источника (x,y,z), м =[804.77,-126.28,1.00]													
Уровни звуковой мощности источника днём, Lw, дБ		**исходные данные**	**0**	**96,3**	**97,7**	**99**	**99,3**	**98,9**	**95,6**	**91,4**	**86,9**		
Уровни звуковой мощности источника ночью, Lw, дБ		**исходные данные**	**0**	**96,3**	**97,7**	**99**	**99,3**	**98,9**	**95,6**	**91,4**	**86,9**		
Поправка на телесный угол DΩ, дБ	Ω = 12.57	10Lg(4π/Ω)	**0**	0	0	0	0	0	0	0	0		
Показатель направленности источника Di, дБ		исходные данные	**0**	0	0	0	0	0	0	0	0		
Поправка на направленность источника Dc, дБ	Dc	DΩ + Di	**0**	0	0	0	0	0	0	0	0		
Затухание из-за геометрической дивергенции, Adiv, дБ	расстояние = 1547.34 м	ф-ла (7) [10]	**74,8**										
Коэффициент затухания звука в атмосфере α, дБ/км	Ta=20,°C Pa=101.33,кПа hотн.=70%	ф-ла (5) [9]	0,02	0,09	0,33	1,12	2,79	4,98	9,04	23,09	77,63		
Учет затухания звука в атмосфере Aatm, дБ		ф-ла (8) [10]	0	0,1	0,5	1,7	4,3	7,7	14	35,7	120,1		
Снижение поверхностью земли возле источника As, дБ	Gs = 0 hs = 1м	ф-лы таб.3 [10]	-1,5	-1,5	-1,5	-1,5	-1,5	-1,5	-1,5	-1,5	-1,5		
Снижение поверхностью земли возле приёмника Ar, дБ	Gr = 1 hr = 1.5м	ф-лы таб.3 [10]	-1,5	-1,5	5,3	7	5	0,7	0	0	0		
Снижение поверхностью земли в средней зоне, Am дБ	Gm = 1	ф-лы таб.3 [10]	-2,9	-2,9	0	0	0	0	0	0	0		

1		2	3	4	5	6	7	8	9	10	11	12	13
Суммарное снижение поверхностью земли на траектории распространения звука Agr, дБ		ф-ла (9) [10]	-5,9	-5,9	3,8	5,5	3,5	-0,8	-1,5	-1,5	-1,5		
Уровни звукового давления прямого звука от источника ИШ-6-18 в расчётной точке днём, дБ		**ф-ла(3)[10]**	**0**	**27,2**	**18,5**	**16,9**	**16,7**	**17,2**	**8,3**	**0**	**0**	**19,7**	**19,7**
Уровни звукового давления прямого звука от источника ИШ-6-18 в расчётной точке ночью, дБ		**ф-ла(3)[10]**	**0**	**27,2**	**18,5**	**16,9**	**16,7**	**17,2**	**8,3**	**0**	**0**	**19,7**	**19,7**
Расчёт отражённого звука													
Уровни звукового давления от мнимого источника ИШ-6-18_мн.(1) в расчётной точке днём, дБ		**ф-ла(3)[10]**	**0**	**0**	**0**	**0**	**0**	**0**	**0**	**0**	**0**	**0**	**0**
Уровни звукового давления от мнимого источника ИШ-6-18_мн.(1) в расчётной точке ночью, дБ		**ф-ла(3)[10]**	**0**	**0**	**0**	**0**	**0**	**0**	**0**	**0**	**0**	**0**	**0**
Уровни звукового давления от источника ИШ-6-18 в расчётной точке днём, дБ		**ф-ла(3)[10]**	**0**	**27,2**	**18,5**	**16,9**	**16,7**	**17,2**	**8,3**	**0**	**0**	**19,7**	**19,7**
Уровни звукового давления от источника ИШ-6-18 в расчётной точке ночью, дБ		**ф-ла(3)[10]**	**0**	**27,2**	**18,5**	**16,9**	**16,7**	**17,2**	**8,3**	**0**	**0**	**19,7**	**19,7**
Источник шума: ИШ-6-19, координаты источника (x,y,z), м =[803.81,-129.30,1.00]													
Уровни звуковой мощности источника днём, Lw, дБ		**исходные данные**	**0**	**96,3**	**97,7**	**99**	**99,3**	**98,9**	**95,6**	**91,4**	**86,9**		
Уровни звуковой мощности источника ночью, Lw, дБ		**исходные данные**	**0**	**96,3**	**97,7**	**99**	**99,3**	**98,9**	**95,6**	**91,4**	**86,9**		
Поправка на телесный угол DΩ, дБ	Ω = 12.57	10Lg(4π/Ω)	**0**	0	0	0	0	0	0	0	0		
Показатель направленности источника Di, дБ		исходные данные	**0**	0	0	0	0	0	0	0	0		
Поправка на направленность источника Dc, дБ	Dc	DΩ + Di	**0**	0	0	0	0	0	0	0	0		
Затухание из-за геометрической дивергенции, Adiv, дБ	расстояние = 1547.06 м	ф-ла (7) [10]	**74,8**										
Коэффициент затухания звука в атмосфере α, дБ/км	Ta=20,°C Pa=101.33,кПа hотн.=70%	ф-ла (5) [9]	0,02	0,09	0,33	1,12	2,79	4,98	9,04	23,09	77,63		

1		2	3	4	5	6	7	8	9	10	11	12	13
Учет затухания звука в атмосфере Aatm, дБ		ф-ла (8) [10]	0	0,1	0,5	1,7	4,3	7,7	14	35,7	120,1		
Снижение поверхностью земли возле источника As, дБ	Gs = 0 hs = 1м	ф-лы таб.3 [10]	-1,5	-1,5	-1,5	-1,5	-1,5	-1,5	-1,5	-1,5	-1,5		
Снижение поверхностью земли возле приёмника Ar, дБ	Gr = 1 hr = 1.5м	ф-лы таб.3 [10]	-1,5	-1,5	5,3	7	5	0,7	0	0	0		
Снижение поверхностью земли в средней зоне, Am дБ	Gm = 1	ф-лы таб.3 [10]	-2,9	-2,9	0	0	0	0	0	0	0		
Суммарное снижение поверхностью земли на траектории распространения звука Agr, дБ		ф-ла (9) [10]	-5,9	-5,9	3,8	5,5	3,5	-0,8	-1,5	-1,5	-1,5		
Уровни звукового давления прямого звука от источника ИШ-6-19 в расчётной точке днём, дБ		**ф-ла(3)[10]**	**0**	**27,2**	**18,5**	**16,9**	**16,7**	**17,2**	**8,3**	**0**	**0**	**19,7**	**19,7**
Уровни звукового давления прямого звука от источника ИШ-6-19 в расчётной точке ночью, дБ		**ф-ла(3)[10]**	**0**	**27,2**	**18,5**	**16,9**	**16,7**	**17,2**	**8,3**	**0**	**0**	**19,7**	**19,7**
Расчёт отражённого звука													
Уровни звукового давления от мнимого источника ИШ-6-19_мн.(1) в расчётной точке днём, дБ		**ф-ла(3)[10]**	**0**	**0**	**0**	**0**	**0**	**0**	**0**	**0**	**0**	**0**	**0**
Уровни звукового давления от мнимого источника ИШ-6-19_мн.(1) в расчётной точке ночью, дБ		**ф-ла(3)[10]**	**0**	**0**	**0**	**0**	**0**	**0**	**0**	**0**	**0**	**0**	**0**
Уровни звукового давления от источника ИШ-6-19 в расчётной точке днём, дБ		**ф-ла(3)[10]**	**0**	**27,2**	**18,5**	**16,9**	**16,7**	**17,2**	**8,3**	**0**	**0**	**19,7**	**19,7**
Уровни звукового давления от источника ИШ-6-19 в расчётной точке ночью, дБ		**ф-ла(3)[10]**	**0**	**27,2**	**18,5**	**16,9**	**16,7**	**17,2**	**8,3**	**0**	**0**	**19,7**	**19,7**
Источник шума: ИШ-6-20, координаты источника (x,y,z), м =[802.67,-132.35,1.00]													
Уровни звуковой мощности источника днём, Lw, дБ		**исходные данные**	**0**	**96,3**	**97,7**	**99**	**99,3**	**98,9**	**95,6**	**91,4**	**86,9**		
Уровни звуковой мощности источника ночью, Lw, дБ		**исходные данные**	**0**	**96,3**	**97,7**	**99**	**99,3**	**98,9**	**95,6**	**91,4**	**86,9**		
Поправка на телесный угол DΩ, дБ	Ω = 12.57	10Lg(4π/Ω)	**0**	0	0	0	0	0	0	0	0		
Показатель направленности источника Di, дБ		исходные данные	**0**	0	0	0	0	0	0	0	0		

1		2	3	4	5	6	7	8	9	10	11	12	13
Поправка на направленность источника Dc, дБ	Dc	DΩ + Di	**0**	0	0	0	0	0	0	0	0		
Затухание из-за геометрической дивергенции, Adiv, дБ	расстояние = 1546.95 м	ф-ла (7) [10]	**74,8**										
Коэффициент затухания звука в атмосфере α, дБ/км	Ta=20,°C Pa=101.33,кПа hотн.=70%	ф-ла (5) [9]	0,02	0,09	0,33	1,12	2,79	4,98	9,04	23,09	77,63		
Учет затухания звука в атмосфере Aatm, дБ		ф-ла (8) [10]	0	0,1	0,5	1,7	4,3	7,7	14	35,7	120,1		
Снижение поверхностью земли возле источника As, дБ	Gs = 0 hs = 1м	ф-лы таб.3 [10]	-1,5	-1,5	-1,5	-1,5	-1,5	-1,5	-1,5	-1,5	-1,5		
Снижение поверхностью земли возле приёмника Ar, дБ	Gr = 1 hr = 1.5м	ф-лы таб.3 [10]	-1,5	-1,5	5,3	7	5	0,7	0	0	0		
Снижение поверхностью земли в средней зоне, Am дБ	Gm = 1	ф-лы таб.3 [10]	-2,9	-2,9	0	0	0	0	0	0	0		
Суммарное снижение поверхностью земли на траектории распространения звука Agr, дБ		ф-ла (9) [10]	-5,9	-5,9	3,8	5,5	3,5	-0,8	-1,5	-1,5	-1,5		
Уровни звукового давления прямого звука от источника ИШ-6-20 в расчётной точке днём, дБ		**ф-ла(3)[10]**	**0**	**27,2**	**18,5**	**16,9**	**16,7**	**17,2**	**8,3**	**0**	**0**	**19,7**	**19,7**
Уровни звукового давления прямого звука от источника ИШ-6-20 в расчётной точке ночью, дБ		**ф-ла(3)[10]**	**0**	**27,2**	**18,5**	**16,9**	**16,7**	**17,2**	**8,3**	**0**	**0**	**19,7**	**19,7**
Расчёт отражённого звука													
Уровни звукового давления от мнимого источника ИШ-6-20_мн.(1) в расчётной точке днём, дБ		**ф-ла(3)[10]**	**0**	**0**	**0**	**0**	**0**	**0**	**0**	**0**	**0**	**0**	**0**
Уровни звукового давления от мнимого источника ИШ-6-20_мн.(1) в расчётной точке ночью, дБ		**ф-ла(3)[10]**	**0**	**0**	**0**	**0**	**0**	**0**	**0**	**0**	**0**	**0**	**0**
Уровни звукового давления от источника ИШ-6-20 в расчётной точке днём, дБ		**ф-ла(3)[10]**	**0**	**27,2**	**18,5**	**16,9**	**16,7**	**17,2**	**8,3**	**0**	**0**	**19,7**	**19,7**
Уровни звукового давления от источника ИШ-6-20 в расчётной точке ночью, дБ		**ф-ла(3)[10]**	**0**	**27,2**	**18,5**	**16,9**	**16,7**	**17,2**	**8,3**	**0**	**0**	**19,7**	**19,7**
Источник шума: ИШ-6-21, координаты источника (x,y,z), м =[801.69,-135.42,1.00]													

1		2	3	4	5	6	7	8	9	10	11	12	13
Уровни звуковой мощности источника днём, Lw, дБ		**исходные данные**	**0**	**96,3**	**97,7**	**99**	**99,3**	**98,9**	**95,6**	**91,4**	**86,9**		
Уровни звуковой мощности источника ночью, Lw, дБ		**исходные данные**	**0**	**96,3**	**97,7**	**99**	**99,3**	**98,9**	**95,6**	**91,4**	**86,9**		
Поправка на телесный угол DΩ, дБ	Ω = 12.57	10Lg(4π/Ω)	**0**	0	0	0	0	0	0	0	0		
Показатель направленности источника Di, дБ		исходные данные	**0**	0	0	0	0	0	0	0	0		
Поправка на направленность источника Dc, дБ	Dc	DΩ + Di	**0**	0	0	0	0	0	0	0	0		
Затухание из-за геометрической дивергенции, Adiv, дБ	расстояние = 1546.68 м	ф-ла (7) [10]	**74,8**										
Коэффициент затухания звука в атмосфере α, дБ/км	Ta=20,°C Pa=101.33,кПа hотн.=70%	ф-ла (5) [9]	0,02	0,09	0,33	1,12	2,79	4,98	9,04	23,09	77,63		
Учет затухания звука в атмосфере Aatm, дБ		ф-ла (8) [10]	0	0,1	0,5	1,7	4,3	7,7	14	35,7	120,1		
Снижение поверхностью земли возле источника As, дБ	Gs = 0 hs = 1м	ф-лы таб.3 [10]	-1,5	-1,5	-1,5	-1,5	-1,5	-1,5	-1,5	-1,5	-1,5		
Снижение поверхностью земли возле приёмника Ar, дБ	Gr = 1 hr = 1.5м	ф-лы таб.3 [10]	-1,5	-1,5	5,3	7	5	0,7	0	0	0		
Снижение поверхностью земли в средней зоне, Am дБ	Gm = 1	ф-лы таб.3 [10]	-2,9	-2,9	0	0	0	0	0	0	0		
Суммарное снижение поверхностью земли на траектории распространения звука Agr, дБ		ф-ла (9) [10]	-5,9	-5,9	3,8	5,5	3,5	-0,8	-1,5	-1,5	-1,5		
Уровни звукового давления от источника ИШ-6-21 в расчётной точке днём, дБ		**ф-ла(3)[10]**	**0**	**27,2**	**18,5**	**16,9**	**16,7**	**17,2**	**8,3**	**0**	**0**	**19,7**	**19,7**
Уровни звукового давления от источника ИШ-6-21 в расчётной точке ночью, дБ		**ф-ла(3)[10]**	**0**	**27,2**	**18,5**	**16,9**	**16,7**	**17,2**	**8,3**	**0**	**0**	**19,7**	**19,7**
Источник шума: ИШ-6-22, координаты источника (x,y,z), м =[800.65,-138.47,1.00]													
Уровни звуковой мощности источника днём, Lw, дБ		**исходные данные**	**0**	**96,3**	**97,7**	**99**	**99,3**	**98,9**	**95,6**	**91,4**	**86,9**		

1		2	3	4	5	6	7	8	9	10	11	12	13
Уровни звуковой мощности источника ночью, Lw, дБ		**исходные данные**	**0**	**96,3**	**97,7**	**99**	**99,3**	**98,9**	**95,6**	**91,4**	**86,9**		
Поправка на телесный угол DΩ, дБ	Ω = 12.57	10Lg(4π/Ω)	**0**	0	0	0	0	0	0	0	0		
Показатель направленности источника Di, дБ		исходные данные	**0**	0	0	0	0	0	0	0	0		
Поправка на направленность источника Dc, дБ	Dc	DΩ + Di	**0**	0	0	0	0	0	0	0	0		
Затухание из-за геометрической дивергенции, Adiv, дБ	расстояние = 1546.48 м	ф-ла (7) [10]	**74,8**										
Коэффициент затухания звука в атмосфере α, дБ/км	Ta=20,°C Pa=101.33,кПа hотн.=70%	ф-ла (5) [9]	0,02	0,09	0,33	1,12	2,79	4,98	9,04	23,09	77,63		
Учет затухания звука в атмосфере Aatm, дБ		ф-ла (8) [10]	0	0,1	0,5	1,7	4,3	7,7	14	35,7	120,1		
Снижение поверхностью земли возле источника As, дБ	Gs = 0 hs = 1м	ф-лы таб.3 [10]	-1,5	-1,5	-1,5	-1,5	-1,5	-1,5	-1,5	-1,5	-1,5		
Снижение поверхностью земли возле приёмника Ar, дБ	Gr = 1 hr = 1.5м	ф-лы таб.3 [10]	-1,5	-1,5	5,3	7	5	0,7	0	0	0		
Снижение поверхностью земли в средней зоне, Am дБ	Gm = 1	ф-лы таб.3 [10]	-2,9	-2,9	0	0	0	0	0	0	0		
Суммарное снижение поверхностью земли на траектории распространения звука Agr, дБ		ф-ла (9) [10]	-5,9	-5,9	3,8	5,5	3,5	-0,8	-1,5	-1,5	-1,5		
Уровни звукового давления прямого звука от источника ИШ-6-22 в расчётной точке днём, дБ		**ф-ла(3)[10]**	**0**	**27,2**	**18,5**	**16,9**	**16,7**	**17,2**	**8,3**	**0**	**0**	**19,7**	**19,7**
Уровни звукового давления прямого звука от источника ИШ-6-22 в расчётной точке ночью, дБ		**ф-ла(3)[10]**	**0**	**27,2**	**18,5**	**16,9**	**16,7**	**17,2**	**8,3**	**0**	**0**	**19,7**	**19,7**
Расчёт отражённого звука													
Уровни звукового давления от мнимого источника ИШ-6-22_мн.(1) в расчётной точке днём, дБ		**ф-ла(3)[10]**	**0**	**0**	**0**	**0**	**0**	**0**	**0**	**0**	**0**	**0**	**0**
Уровни звукового давления от мнимого источника ИШ-6-22_мн.(1) в расчётной точке ночью, дБ		**ф-ла(3)[10]**	**0**	**0**	**0**	**0**	**0**	**0**	**0**	**0**	**0**	**0**	**0**
Уровни звукового давления от источника ИШ-6-22 в расчётной точке днём, дБ		**ф-ла(3)[10]**	**0**	**27,2**	**18,5**	**16,9**	**16,7**	**17,2**	**8,3**	**0**	**0**	**19,7**	**19,7**

1		2	3	4	5	6	7	8	9	10	11	12	13
Уровни звукового давления от источника ИШ-6-22 в расчётной точке ночью, дБ		**ф-ла(3)[10]**	**0**	**27,2**	**18,5**	**16,9**	**16,7**	**17,2**	**8,3**	**0**	**0**	**19,7**	**19,7**
Источник шума: ИШ-7-1, координаты источника (x,y,z), м =[821.44,63.31,1.00]													
Уровни звуковой мощности источника днём, Lw, дБ		**исходные данные**	**77**	**75**	**67**	**66**	**63**	**55**	**53**	**48**	**51**		
Уровни звуковой мощности источника ночью, Lw, дБ		**исходные данные**	**77**	**75**	**67**	**66**	**63**	**55**	**53**	**48**	**51**		
Поправка на телесный угол DΩ, дБ	Ω = 12.57	10Lg(4π/Ω)	**0**	0	0	0	0	0	0	0	0		
Показатель направленности источника Di, дБ		исходные данные	**0**	0	0	0	0	0	0	0	0		
Поправка на направленность источника Dc, дБ	Dc	DΩ + Di	**0**	0	0	0	0	0	0	0	0		
Затухание из-за геометрической дивергенции, Adiv, дБ	расстояние = 1615.59 м	ф-ла (7) [10]	**75,2**										
Коэффициент затухания звука в атмосфере α, дБ/км	Ta=20,°C Pa=101.33,кПа hотн.=70%	ф-ла (5) [9]	0,02	0,09	0,33	1,12	2,79	4,98	9,04	23,09	77,63		
Учет затухания звука в атмосфере Aatm, дБ		ф-ла (8) [10]	0	0,1	0,5	1,8	4,5	8	14,6	37,3	125,4		
Снижение поверхностью земли возле источника As, дБ	Gs = 0 hs = 1м	ф-лы таб.3 [10]	-1,5	-1,5	-1,5	-1,5	-1,5	-1,5	-1,5	-1,5	-1,5		
Снижение поверхностью земли возле приёмника Ar, дБ	Gr = 1 hr = 1.5м	ф-лы таб.3 [10]	-1,5	-1,5	5,3	7	5	0,7	0	0	0		
Снижение поверхностью земли в средней зоне, Am дБ	Gm = 1	ф-лы таб.3 [10]	-2,9	-2,9	0	0	0	0	0	0	0		
Суммарное снижение поверхностью земли на траектории распространения звука Agr, дБ		ф-ла (9) [10]	-5,9	-5,9	3,8	5,5	3,5	-0,8	-1,5	-1,5	-1,5		
Уровни звукового давления от источника ИШ-7-1 в расчётной точке днём, дБ		**ф-ла(3)[10]**	**7,7**	**0**	**0**	**0**	**0**	**0**	**0**	**0**	**0**	**0**	**0**
Уровни звукового давления от источника ИШ-7-1 в расчётной точке ночью, дБ		**ф-ла(3)[10]**	**7,7**	**0**	**0**	**0**	**0**	**0**	**0**	**0**	**0**	**0**	**0**

1		2	3	4	5	6	7	8	9	10	11	12	13
Источник шума: ИШ-7-2, координаты источника (x,y,z), м =[768.90,-86.75,1.00]													
Уровни звуковой мощности источника днём, Lw, дБ		**исходные данные**	**77**	**75**	**67**	**66**	**63**	**55**	**53**	**48**	**51**		
Уровни звуковой мощности источника ночью, Lw, дБ		**исходные данные**	**77**	**75**	**67**	**66**	**63**	**55**	**53**	**48**	**51**		
Поправка на телесный угол DΩ, дБ	Ω = 12.57	10Lg(4π/Ω)	**0**	0	0	0	0	0	0	0	0		
Показатель направленности источника Di, дБ		исходные данные	**0**	0	0	0	0	0	0	0	0		
Поправка на направленность источника Dc, дБ	Dc	DΩ + Di	**0**	0	0	0	0	0	0	0	0		
Затухание из-за геометрической дивергенции, Adiv, дБ	расстояние = 1595.89 м	ф-ла (7) [10]	**75,1**										
Коэффициент затухания звука в атмосфере α, дБ/км	Ta=20,°C Pa=101.33,кПа hотн.=70%	ф-ла (5) [9]	0,02	0,09	0,33	1,12	2,79	4,98	9,04	23,09	77,63		
Учет затухания звука в атмосфере Aatm, дБ		ф-ла (8) [10]	0	0,1	0,5	1,8	4,5	7,9	14,4	36,8	123,9		
Снижение поверхностью земли возле источника As, дБ	Gs = 0 hs = 1м	ф-лы таб.3 [10]	-1,5	-1,5	-1,5	-1,5	-1,5	-1,5	-1,5	-1,5	-1,5		
Снижение поверхностью земли возле приёмника Ar, дБ	Gr = 1 hr = 1.5м	ф-лы таб.3 [10]	-1,5	-1,5	5,3	7	5	0,7	0	0	0		
Снижение поверхностью земли в средней зоне, Am дБ	Gm = 1	ф-лы таб.3 [10]	-2,9	-2,9	0	0	0	0	0	0	0		
Суммарное снижение поверхностью земли на траектории распространения звука Agr, дБ		ф-ла (9) [10]	-5,9	-5,9	3,8	5,5	3,5	-0,8	-1,5	-1,5	-1,5		
Уровни звукового давления от источника ИШ-7-2 в расчётной точке днём, дБ		**ф-ла(3)[10]**	**7,8**	**0**	**0**	**0**	**0**	**0**	**0**	**0**	**0**	**0**	**0**
Уровни звукового давления от источника ИШ-7-2 в расчётной точке ночью, дБ		**ф-ла(3)[10]**	**7,8**	**0**	**0**	**0**	**0**	**0**	**0**	**0**	**0**	**0**	**0**
Источник шума: ИШ-7-3, координаты источника (x,y,z), м =[766.80,-93.20,1.00]													

1		2	3	4	5	6	7	8	9	10	11	12	13
Уровни звуковой мощности источника днём, Lw, дБ		**исходные данные**	**77**	**75**	**67**	**66**	**63**	**55**	**53**	**48**	**51**		
Уровни звуковой мощности источника ночью, Lw, дБ		**исходные данные**	**77**	**75**	**67**	**66**	**63**	**55**	**53**	**48**	**51**		
Поправка на телесный угол DΩ, дБ	Ω = 12.57	10Lg(4π/Ω)	**0**	0	0	0	0	0	0	0	0		
Показатель направленности источника Di, дБ		исходные данные	**0**	0	0	0	0	0	0	0	0		
Поправка на направленность источника Dc, дБ	Dc	DΩ + Di	**0**	0	0	0	0	0	0	0	0		
Затухание из-за геометрической дивергенции, Adiv, дБ	расстояние = 1595.24 м	ф-ла (7) [10]	**75,1**										
Коэффициент затухания звука в атмосфере α, дБ/км	Ta=20,°C Pa=101.33,кПа hотн.=70%	ф-ла (5) [9]	0,02	0,09	0,33	1,12	2,79	4,98	9,04	23,09	77,63		
Учет затухания звука в атмосфере Aatm, дБ		ф-ла (8) [10]	0	0,1	0,5	1,8	4,5	7,9	14,4	36,8	123,8		
Снижение поверхностью земли возле источника As, дБ	Gs = 0 hs = 1м	ф-лы таб.3 [10]	-1,5	-1,5	-1,5	-1,5	-1,5	-1,5	-1,5	-1,5	-1,5		
Снижение поверхностью земли возле приёмника Ar, дБ	Gr = 1 hr = 1.5м	ф-лы таб.3 [10]	-1,5	-1,5	5,3	7	5	0,7	0	0	0		
Снижение поверхностью земли в средней зоне, Am дБ	Gm = 1	ф-лы таб.3 [10]	-2,9	-2,9	0	0	0	0	0	0	0		
Суммарное снижение поверхностью земли на траектории распространения звука Agr, дБ		ф-ла (9) [10]	-5,9	-5,9	3,8	5,5	3,5	-0,8	-1,5	-1,5	-1,5		
Уровни звукового давления от источника ИШ-7-3 в расчётной точке днём, дБ		**ф-ла(3)[10]**	**7,8**	**0**	**0**	**0**	**0**	**0**	**0**	**0**	**0**	**0**	**0**
Уровни звукового давления от источника ИШ-7-3 в расчётной точке ночью, дБ		**ф-ла(3)[10]**	**7,8**	**0**	**0**	**0**	**0**	**0**	**0**	**0**	**0**	**0**	**0**
Источник шума: ИШ-7-4, координаты источника (x,y,z), м =[866.76,37.18,1.00]													
Уровни звуковой мощности источника днём, Lw, дБ		**исходные данные**	**77**	**75**	**67**	**66**	**63**	**55**	**53**	**48**	**51**		

1		2	3	4	5	6	7	8	9	10	11	12	13
Уровни звуковой мощности источника ночью, Lw, дБ		**исходные данные**	**77**	**75**	**67**	**66**	**63**	**55**	**53**	**48**	**51**		
Поправка на телесный угол DΩ, дБ	Ω = 12.57	10Lg(4π/Ω)	**0**	0	0	0	0	0	0	0	0		
Показатель направленности источника Di, дБ		исходные данные	**0**	0	0	0	0	0	0	0	0		
Поправка на направленность источника Dc, дБ	Dc	DΩ + Di	**0**	0	0	0	0	0	0	0	0		
Затухание из-за геометрической дивергенции, Adiv, дБ	расстояние = 1563.28 м	ф-ла (7) [10]	**74,9**										
Коэффициент затухания звука в атмосфере α, дБ/км	Ta=20,°C Pa=101.33,кПа hотн.=70%	ф-ла (5) [9]	0,02	0,09	0,33	1,12	2,79	4,98	9,04	23,09	77,63		
Учет затухания звука в атмосфере Aatm, дБ		ф-ла (8) [10]	0	0,1	0,5	1,8	4,4	7,8	14,1	36,1	121,4		
Снижение поверхностью земли возле источника As, дБ	Gs = 0 hs = 1м	ф-лы таб.3 [10]	-1,5	-1,5	-1,5	-1,5	-1,5	-1,5	-1,5	-1,5	-1,5		
Снижение поверхностью земли возле приёмника Ar, дБ	Gr = 1 hr = 1.5м	ф-лы таб.3 [10]	-1,5	-1,5	5,3	7	5	0,7	0	0	0		
Снижение поверхностью земли в средней зоне, Am дБ	Gm = 1	ф-лы таб.3 [10]	-2,9	-2,9	0	0	0	0	0	0	0		
Суммарное снижение поверхностью земли на траектории распространения звука Agr, дБ		ф-ла (9) [10]	-5,9	-5,9	3,8	5,5	3,5	-0,8	-1,5	-1,5	-1,5		
Уровни звукового давления от источника ИШ-7-4 в расчётной точке днём, дБ		**ф-ла(3)[10]**	**7,9**	**0**	**0**	**0**	**0**	**0**	**0**	**0**	**0**	**0**	**0**
Уровни звукового давления от источника ИШ-7-4 в расчётной точке ночью, дБ		**ф-ла(3)[10]**	**7,9**	**0**	**0**	**0**	**0**	**0**	**0**	**0**	**0**	**0**	**0**
Источник шума: ИШ-7-5, координаты источника (x,y,z), м =[861.80,21.34,1.00]													
Уровни звуковой мощности источника днём, Lw, дБ		**исходные данные**	**77**	**75**	**67**	**66**	**63**	**55**	**53**	**48**	**51**		
Уровни звуковой мощности источника ночью, Lw, дБ		**исходные данные**	**77**	**75**	**67**	**66**	**63**	**55**	**53**	**48**	**51**		

1		2	3	4	5	6	7	8	9	10	11	12	13
Поправка на телесный угол DΩ, дБ	Ω = 12.57	10Lg(4π/Ω)	**0**	0	0	0	0	0	0	0	0		
Показатель направленности источника Di, дБ		исходные данные	**0**	0	0	0	0	0	0	0	0		
Поправка на направленность источника Dc, дБ	Dc	DΩ + Di	**0**	0	0	0	0	0	0	0	0		
Затухание из-за геометрической дивергенции, Adiv, дБ	расстояние = 1559.97 м	ф-ла (7) [10]	**74,9**										
Коэффициент затухания звука в атмосфере α, дБ/км	Ta=20,°C Pa=101.33,кПа hотн.=70%	ф-ла (5) [9]	0,02	0,09	0,33	1,12	2,79	4,98	9,04	23,09	77,63		
Учет затухания звука в атмосфере Aatm, дБ		ф-ла (8) [10]	0	0,1	0,5	1,8	4,4	7,8	14,1	36	121,1		
Снижение поверхностью земли возле источника As, дБ	Gs = 0 hs = 1м	ф-лы таб.3 [10]	-1,5	-1,5	-1,5	-1,5	-1,5	-1,5	-1,5	-1,5	-1,5		
Снижение поверхностью земли возле приёмника Ar, дБ	Gr = 1 hr = 1.5м	ф-лы таб.3 [10]	-1,5	-1,5	5,3	7	5	0,7	0	0	0		
Снижение поверхностью земли в средней зоне, Am дБ	Gm = 1	ф-лы таб.3 [10]	-2,9	-2,9	0	0	0	0	0	0	0		
Суммарное снижение поверхностью земли на траектории распространения звука Agr, дБ		ф-ла (9) [10]	-5,9	-5,9	3,8	5,5	3,5	-0,8	-1,5	-1,5	-1,5		
Уровни звукового давления от источника ИШ-7-5 в расчётной точке днём, дБ		**ф-ла(3)[10]**	**8**	**0**	**0**	**0**	**0**	**0**	**0**	**0**	**0**	**0**	**0**
Уровни звукового давления от источника ИШ-7-5 в расчётной точке ночью, дБ		**ф-ла(3)[10]**	**8**	**0**	**0**	**0**	**0**	**0**	**0**	**0**	**0**	**0**	**0**
Источник шума: ИШ-7-6, координаты источника (x,y,z), м =[856.52,5.94,1.00]													
Уровни звуковой мощности источника днём, Lw, дБ		**исходные данные**	**77**	**75**	**67**	**66**	**63**	**55**	**53**	**48**	**51**		
Уровни звуковой мощности источника ночью, Lw, дБ		**исходные данные**	**77**	**75**	**67**	**66**	**63**	**55**	**53**	**48**	**51**		
Поправка на телесный угол DΩ, дБ	Ω = 12.57	10Lg(4π/Ω)	**0**	0	0	0	0	0	0	0	0		

1		2	3	4	5	6	7	8	9	10	11	12	13
Показатель направленности источника Di, дБ		исходные данные	**0**	0	0	0	0	0	0	0	0		
Поправка на направленность источника Dc, дБ	Dc	DΩ + Di	**0**	0	0	0	0	0	0	0	0		
Затухание из-за геометрической дивергенции, Adiv, дБ	расстояние = 1557.31 м	ф-ла (7) [10]	**74,8**										
Коэффициент затухания звука в атмосфере α, дБ/км	Ta=20,°C Pa=101.33,кПа hотн.=70%	ф-ла (5) [9]	0,02	0,09	0,33	1,12	2,79	4,98	9,04	23,09	77,63		
Учет затухания звука в атмосфере Aatm, дБ		ф-ла (8) [10]	0	0,1	0,5	1,8	4,3	7,8	14,1	36	120,9		
Снижение поверхностью земли возле источника As, дБ	Gs = 0 hs = 1м	ф-лы таб.3 [10]	-1,5	-1,5	-1,5	-1,5	-1,5	-1,5	-1,5	-1,5	-1,5		
Снижение поверхностью земли возле приёмника Ar, дБ	Gr = 1 hr = 1.5м	ф-лы таб.3 [10]	-1,5	-1,5	5,3	7	5	0,7	0	0	0		
Снижение поверхностью земли в средней зоне, Am дБ	Gm = 1	ф-лы таб.3 [10]	-2,9	-2,9	0	0	0	0	0	0	0		
Суммарное снижение поверхностью земли на траектории распространения звука Agr, дБ		ф-ла (9) [10]	-5,9	-5,9	3,8	5,5	3,5	-0,8	-1,5	-1,5	-1,5		
Уровни звукового давления от источника ИШ-7-6 в расчётной точке днём, дБ		**ф-ла(3)[10]**	**8**	**5,9**	**0**	**0**	**0**	**0**	**0**	**0**	**0**	**0**	**0**
Уровни звукового давления от источника ИШ-7-6 в расчётной точке ночью, дБ		**ф-ла(3)[10]**	**8**	**5,9**	**0**	**0**	**0**	**0**	**0**	**0**	**0**	**0**	**0**
Источник шума: ИШ-7-7, координаты источника (x,y,z), м =[851.06,-9.89,1.00]													
Уровни звуковой мощности источника днём, Lw, дБ		**исходные данные**	**77**	**75**	**67**	**66**	**63**	**55**	**53**	**48**	**51**		
Уровни звуковой мощности источника ночью, Lw, дБ		**исходные данные**	**77**	**75**	**67**	**66**	**63**	**55**	**53**	**48**	**51**		
Поправка на телесный угол DΩ, дБ	Ω = 12.57	10Lg(4π/Ω)	**0**	0	0	0	0	0	0	0	0		
Показатель направленности источника Di, дБ		исходные данные	**0**	0	0	0	0	0	0	0	0		

1		2	3	4	5	6	7	8	9	10	11	12	13
Поправка на направленность источника Dc, дБ	Dc	DΩ + Di	**0**	0	0	0	0	0	0	0	0		
Затухание из-за геометрической дивергенции, Adiv, дБ	расстояние = 1554.79 м	ф-ла (7) [10]	**74,8**										
Коэффициент затухания звука в атмосфере α, дБ/км	Ta=20,°C Pa=101.33,кПа hотн.=70%	ф-ла (5) [9]	0,02	0,09	0,33	1,12	2,79	4,98	9,04	23,09	77,63		
Учет затухания звука в атмосфере Aatm, дБ		ф-ла (8) [10]	0	0,1	0,5	1,7	4,3	7,7	14,1	35,9	120,7		
Снижение поверхностью земли возле источника As, дБ	Gs = 0 hs = 1м	ф-лы таб.3 [10]	-1,5	-1,5	-1,5	-1,5	-1,5	-1,5	-1,5	-1,5	-1,5		
Снижение поверхностью земли возле приёмника Ar, дБ	Gr = 1 hr = 1.5м	ф-лы таб.3 [10]	-1,5	-1,5	5,3	7	5	0,7	0	0	0		
Снижение поверхностью земли в средней зоне, Am дБ	Gm = 1	ф-лы таб.3 [10]	-2,9	-2,9	0	0	0	0	0	0	0		
Суммарное снижение поверхностью земли на траектории распространения звука Agr, дБ		ф-ла (9) [10]	-5,9	-5,9	3,8	5,5	3,5	-0,8	-1,5	-1,5	-1,5		
Уровни звукового давления от источника ИШ-7-7 в расчётной точке днём, дБ		**ф-ла(3)[10]**	**8**	**5,9**	**0**	**0**	**0**	**0**	**0**	**0**	**0**	**0**	**0**
Уровни звукового давления от источника ИШ-7-7 в расчётной точке ночью, дБ		**ф-ла(3)[10]**	**8**	**5,9**	**0**	**0**	**0**	**0**	**0**	**0**	**0**	**0**	**0**
Источник шума: ИШ-7-8, координаты источника (x,y,z), м =[821.90,-104.30,1.00]													
Уровни звуковой мощности источника днём, Lw, дБ		**исходные данные**	**77**	**75**	**67**	**66**	**63**	**55**	**53**	**48**	**51**		
Уровни звуковой мощности источника ночью, Lw, дБ		**исходные данные**	**77**	**75**	**67**	**66**	**63**	**55**	**53**	**48**	**51**		
Поправка на телесный угол DΩ, дБ	Ω = 12.57	10Lg(4π/Ω)	**0**	0	0	0	0	0	0	0	0		
Показатель направленности источника Di, дБ		исходные данные	**0**	0	0	0	0	0	0	0	0		
Поправка на направленность источника Dc, дБ	Dc	DΩ + Di	**0**	0	0	0	0	0	0	0	0		

1		2	3	4	5	6	7	8	9	10	11	12	13
Затухание из-за геометрической дивергенции, Adiv, дБ	расстояние = 1540.30 м	ф-ла (7) [10]	**74,8**										
Коэффициент затухания звука в атмосфере α, дБ/км	Ta=20,°C Pa=101.33,кПа hотн.=70%	ф-ла (5) [9]	0,02	0,09	0,33	1,12	2,79	4,98	9,04	23,09	77,63		
Учет затухания звука в атмосфере Aatm, дБ		ф-ла (8) [10]	0	0,1	0,5	1,7	4,3	7,7	13,9	35,6	119,6		
Снижение поверхностью земли возле источника As, дБ	Gs = 0 hs = 1м	ф-лы таб.3 [10]	-1,5	-1,5	-1,5	-1,5	-1,5	-1,5	-1,5	-1,5	-1,5		
Снижение поверхностью земли возле приёмника Ar, дБ	Gr = 1 hr = 1.5м	ф-лы таб.3 [10]	-1,5	-1,5	5,3	7	5	0,7	0	0	0		
Снижение поверхностью земли в средней зоне, Am дБ	Gm = 1	ф-лы таб.3 [10]	-2,9	-2,9	0	0	0	0	0	0	0		
Суммарное снижение поверхностью земли на траектории распространения звука Agr, дБ		ф-ла (9) [10]	-5,9	-5,9	3,8	5,5	3,5	-0,8	-1,5	-1,5	-1,5		
Уровни звукового давления от источника ИШ-7-8 в расчётной точке днём, дБ		**ф-ла(3)[10]**	**8,1**	**6**	**0**	**0**	**0**	**0**	**0**	**0**	**0**	**0**	**0**
Уровни звукового давления от источника ИШ-7-8 в расчётной точке ночью, дБ		**ф-ла(3)[10]**	**8,1**	**6**	**0**	**0**	**0**	**0**	**0**	**0**	**0**	**0**	**0**
Источник шума: ИШ-7-9, координаты источника (x,y,z), м =[819.93,-110.97,1.00]													
Уровни звуковой мощности источника днём, Lw, дБ		**исходные данные**	**77**	**75**	**67**	**66**	**63**	**55**	**53**	**48**	**51**		
Уровни звуковой мощности источника ночью, Lw, дБ		**исходные данные**	**77**	**75**	**67**	**66**	**63**	**55**	**53**	**48**	**51**		
Поправка на телесный угол DΩ, дБ	Ω = 12.57	10Lg(4π/Ω)	**0**	0	0	0	0	0	0	0	0		
Показатель направленности источника Di, дБ		исходные данные	**0**	0	0	0	0	0	0	0	0		
Поправка на направленность источника Dc, дБ	Dc	DΩ + Di	**0**	0	0	0	0	0	0	0	0		
Затухание из-за геометрической дивергенции, Adiv, дБ	расстояние = 1539.43 м	ф-ла (7) [10]	**74,7**										

1		2	3	4	5	6	7	8	9	10	11	12	13
Коэффициент затухания звука в атмосфере α, дБ/км	Ta=20,°C Pa=101.33,кПа hотн.=70%	ф-ла (5) [9]	0,02	0,09	0,33	1,12	2,79	4,98	9,04	23,09	77,63		
Учет затухания звука в атмосфере Aatm, дБ		ф-ла (8) [10]	0	0,1	0,5	1,7	4,3	7,7	13,9	35,5	119,5		
Снижение поверхностью земли возле источника As, дБ	Gs = 0 hs = 1м	ф-лы таб.3 [10]	-1,5	-1,5	-1,5	-1,5	-1,5	-1,5	-1,5	-1,5	-1,5		
Снижение поверхностью земли возле приёмника Ar, дБ	Gr = 1 hr = 1.5м	ф-лы таб.3 [10]	-1,5	-1,5	5,3	7	5	0,7	0	0	0		
Снижение поверхностью земли в средней зоне, Am дБ	Gm = 1	ф-лы таб.3 [10]	-2,9	-2,9	0	0	0	0	0	0	0		
Суммарное снижение поверхностью земли на траектории распространения звука Agr, дБ		ф-ла (9) [10]	-5,9	-5,9	3,8	5,5	3,5	-0,8	-1,5	-1,5	-1,5		
Уровни звукового давления от источника ИШ-7-9 в расчётной точке днём, дБ		**ф-ла(3)[10]**	**8,1**	**6**	**0**	**0**	**0**	**0**	**0**	**0**	**0**	**0**	**0**
Уровни звукового давления от источника ИШ-7-9 в расчётной точке ночью, дБ		**ф-ла(3)[10]**	**8,1**	**6**	**0**	**0**	**0**	**0**	**0**	**0**	**0**	**0**	**0**
Источник шума: ИШ-7-10, координаты источника (x,y,z), м =[868.68,92.66,1.00]													
Уровни звуковой мощности источника днём, Lw, дБ		**исходные данные**	**77**	**75**	**67**	**66**	**63**	**55**	**53**	**48**	**51**		
Уровни звуковой мощности источника ночью, Lw, дБ		**исходные данные**	**77**	**75**	**67**	**66**	**63**	**55**	**53**	**48**	**51**		
Поправка на телесный угол DΩ, дБ	Ω = 12.57	10Lg(4π/Ω)	**0**	0	0	0	0	0	0	0	0		
Показатель направленности источника Di, дБ		исходные данные	**0**	0	0	0	0	0	0	0	0		
Поправка на направленность источника Dc, дБ	Dc	DΩ + Di	**0**	0	0	0	0	0	0	0	0		
Затухание из-за геометрической дивергенции, Adiv, дБ	расстояние = 1589.44 м	ф-ла (7) [10]	**75**										
Коэффициент затухания звука в атмосфере α, дБ/км	Ta=20,°C Pa=101.33,кПа hотн.=70%	ф-ла (5) [9]	0,02	0,09	0,33	1,12	2,79	4,98	9,04	23,09	77,63		

1		2	3	4	5	6	7	8	9	10	11	12	13
Учет затухания звука в атмосфере Aatm, дБ		ф-ла (8) [10]	0	0,1	0,5	1,8	4,4	7,9	14,4	36,7	123,4		
Снижение поверхностью земли возле источника As, дБ	Gs = 0 hs = 1м	ф-лы таб.3 [10]	-1,5	-1,5	-1,5	-1,5	-1,5	-1,5	-1,5	-1,5	-1,5		
Снижение поверхностью земли возле приёмника Ar, дБ	Gr = 1 hr = 1.5м	ф-лы таб.3 [10]	-1,5	-1,5	5,3	7	5	0,7	0	0	0		
Снижение поверхностью земли в средней зоне, Am дБ	Gm = 1	ф-лы таб.3 [10]	-2,9	-2,9	0	0	0	0	0	0	0		
Суммарное снижение поверхностью земли на траектории распространения звука Agr, дБ		ф-ла (9) [10]	-5,9	-5,9	3,8	5,5	3,5	-0,8	-1,5	-1,5	-1,5		
Уровни звукового давления от источника ИШ-7-10 в расчётной точке днём, дБ		**ф-ла(3)[10]**	**7,8**	**0**	**0**	**0**	**0**	**0**	**0**	**0**	**0**	**0**	**0**
Уровни звукового давления от источника ИШ-7-10 в расчётной точке ночью, дБ		**ф-ла(3)[10]**	**7,8**	**0**	**0**	**0**	**0**	**0**	**0**	**0**	**0**	**0**	**0**
Источник шума: ИШ-7-11, координаты источника (x,y,z), м =[877.95,88.75,1.00]													
Уровни звуковой мощности источника днём, Lw, дБ		**исходные данные**	**77**	**75**	**67**	**66**	**63**	**55**	**53**	**48**	**51**		
Уровни звуковой мощности источника ночью, Lw, дБ		**исходные данные**	**77**	**75**	**67**	**66**	**63**	**55**	**53**	**48**	**51**		
Поправка на телесный угол DΩ, дБ	Ω = 12.57	10Lg(4π/Ω)	**0**	0	0	0	0	0	0	0	0		
Показатель направленности источника Di, дБ		исходные данные	**0**	0	0	0	0	0	0	0	0		
Поправка на направленность источника Dc, дБ	Dc	DΩ + Di	**0**	0	0	0	0	0	0	0	0		
Затухание из-за геометрической дивергенции, Adiv, дБ	расстояние = 1579.48 м	ф-ла (7) [10]	**75**										
Коэффициент затухания звука в атмосфере α, дБ/км	Ta=20,°C Pa=101.33,кПа hотн.=70%	ф-ла (5) [9]	0,02	0,09	0,33	1,12	2,79	4,98	9,04	23,09	77,63		
Учет затухания звука в атмосфере Aatm, дБ		ф-ла (8) [10]	0	0,1	0,5	1,8	4,4	7,9	14,3	36,5	122,6		

1		2	3	4	5	6	7	8	9	10	11	12	13
Снижение поверхностью земли возле источника As, дБ	Gs = 0 hs = 1м	ф-лы таб.3 [10]	-1,5	-1,5	-1,5	-1,5	-1,5	-1,5	-1,5	-1,5	-1,5		
Снижение поверхностью земли возле приёмника Ar, дБ	Gr = 1 hr = 1.5м	ф-лы таб.3 [10]	-1,5	-1,5	5,3	7	5	0,7	0	0	0		
Снижение поверхностью земли в средней зоне, Am дБ	Gm = 1	ф-лы таб.3 [10]	-2,9	-2,9	0	0	0	0	0	0	0		
Суммарное снижение поверхностью земли на траектории распространения звука Agr, дБ		ф-ла (9) [10]	-5,9	-5,9	3,8	5,5	3,5	-0,8	-1,5	-1,5	-1,5		
Уровни звукового давления от источника ИШ-7-11 в расчётной точке днём, дБ		**ф-ла(3)[10]**	**7,9**	**0**	**0**	**0**	**0**	**0**	**0**	**0**	**0**	**0**	**0**
Уровни звукового давления от источника ИШ-7-11 в расчётной точке ночью, дБ		**ф-ла(3)[10]**	**7,9**	**0**	**0**	**0**	**0**	**0**	**0**	**0**	**0**	**0**	**0**
Источник шума: ИШ-7-12, координаты источника (x,y,z), м =[887.42,85.45,1.00]													
Уровни звуковой мощности источника днём, Lw, дБ		**исходные данные**	**77**	**75**	**67**	**66**	**63**	**55**	**53**	**48**	**51**		
Уровни звуковой мощности источника ночью, Lw, дБ		**исходные данные**	**77**	**75**	**67**	**66**	**63**	**55**	**53**	**48**	**51**		
Поправка на телесный угол DΩ, дБ	Ω = 12.57	10Lg(4π/Ω)	**0**	0	0	0	0	0	0	0	0		
Показатель направленности источника Di, дБ		исходные данные	**0**	0	0	0	0	0	0	0	0		
Поправка на направленность источника Dc, дБ	Dc	DΩ + Di	**0**	0	0	0	0	0	0	0	0		
Затухание из-за геометрической дивергенции, Adiv, дБ	расстояние = 1569.66 м	ф-ла (7) [10]	**74,9**										
Коэффициент затухания звука в атмосфере α, дБ/км	Ta=20,°C Pa=101.33,кПа hотн.=70%	ф-ла (5) [9]	0,02	0,09	0,33	1,12	2,79	4,98	9,04	23,09	77,63		
Учет затухания звука в атмосфере Aatm, дБ		ф-ла (8) [10]	0	0,1	0,5	1,8	4,4	7,8	14,2	36,2	121,9		
Снижение поверхностью земли возле источника As, дБ	Gs = 0 hs = 1м	ф-лы таб.3 [10]	-1,5	-1,5	-1,5	-1,5	-1,5	-1,5	-1,5	-1,5	-1,5		

1		2	3	4	5	6	7	8	9	10	11	12	13
Снижение поверхностью земли возле приёмника Ar, дБ	Gr = 1 hr = 1.5м	ф-лы таб.3 [10]	-1,5	-1,5	5,3	7	5	0,7	0	0	0		
Снижение поверхностью земли в средней зоне, Am дБ	Gm = 1	ф-лы таб.3 [10]	-2,9	-2,9	0	0	0	0	0	0	0		
Суммарное снижение поверхностью земли на траектории распространения звука Agr, дБ		ф-ла (9) [10]	-5,9	-5,9	3,8	5,5	3,5	-0,8	-1,5	-1,5	-1,5		
Уровни звукового давления от источника ИШ-7-12 в расчётной точке днём, дБ		**ф-ла(3)[10]**	**7,9**	**0**	**0**	**0**	**0**	**0**	**0**	**0**	**0**	**0**	**0**
Уровни звукового давления от источника ИШ-7-12 в расчётной точке ночью, дБ		**ф-ла(3)[10]**	**7,9**	**0**	**0**	**0**	**0**	**0**	**0**	**0**	**0**	**0**	**0**
Источник шума: ИШ-6-23, координаты источника (x,y,z), м =[756.16,-136.23,3.00]													
Уровни звуковой мощности источника днём, Lw, дБ		**исходные данные**	**91**	**91**	**91**	**91**	**91**	**91**	**91**	**91**	**91**		
Уровни звуковой мощности источника ночью, Lw, дБ		**исходные данные**	**91**	**91**	**91**	**91**	**91**	**91**	**91**	**91**	**91**		
Поправка на телесный угол DΩ, дБ	Ω = 12.57	10Lg(4π/Ω)	**0**	0	0	0	0	0	0	0	0		
Показатель направленности источника Di, дБ		исходные данные	**0**	0	0	0	0	0	0	0	0		
Поправка на направленность источника Dc, дБ	Dc	DΩ + Di	**0**	0	0	0	0	0	0	0	0		
Затухание из-за геометрической дивергенции, Adiv, дБ	расстояние = 1588.56 м	ф-ла (7) [10]	**75**										
Коэффициент затухания звука в атмосфере α, дБ/км	Ta=20,°C Pa=101.33,кПа hотн.=70%	ф-ла (5) [9]	0,02	0,09	0,33	1,12	2,79	4,98	9,04	23,09	77,63		
Учет затухания звука в атмосфере Aatm, дБ		ф-ла (8) [10]	0	0,1	0,5	1,8	4,4	7,9	14,4	36,7	123,3		
Снижение поверхностью земли возле источника As, дБ	Gs = 0 hs = 3м	ф-лы таб.3 [10]	-1,5	-1,5	-1,5	-1,5	-1,5	-1,5	-1,5	-1,5	-1,5		
Снижение поверхностью земли возле приёмника Ar, дБ	Gr = 1 hr = 1.5м	ф-лы таб.3 [10]	-1,5	-1,5	5,3	7	5	0,7	0	0	0		

1		2	3	4	5	6	7	8	9	10	11	12	13
Снижение поверхностью земли в средней зоне, Am дБ	Gm = 1	ф-лы таб.3 [10]	-2,7	-2,7	0	0	0	0	0	0	0		
Суммарное снижение поверхностью земли на траектории распространения звука Agr, дБ		ф-ла (9) [10]	-5,7	-5,7	3,8	5,5	3,5	-0,8	-1,5	-1,5	-1,5		
Уровни звукового давления прямого звука от источника ИШ-6-23 в расчётной точке днём, дБ		**ф-ла(3)[10]**	**21,7**	**21,6**	**11,6**	**8,7**	**8,1**	**8,9**	**3,1**	**0**	**0**	**11,8**	**11,8**
Уровни звукового давления прямого звука от источника ИШ-6-23 в расчётной точке ночью, дБ		**ф-ла(3)[10]**	**21,7**	**21,6**	**11,6**	**8,7**	**8,1**	**8,9**	**3,1**	**0**	**0**	**11,8**	**11,8**
Расчёт отражённого звука													
Уровни звукового давления от мнимого источника ИШ-6-23_мн.(1) в расчётной точке днём, дБ		**ф-ла(3)[10]**	**0**	**0**	**0**	**0**	**0**	**0**	**0**	**0**	**0**	**0**	**0**
Уровни звукового давления от мнимого источника ИШ-6-23_мн.(1) в расчётной точке ночью, дБ		**ф-ла(3)[10]**	**0**	**0**	**0**	**0**	**0**	**0**	**0**	**0**	**0**	**0**	**0**
Уровни звукового давления от источника ИШ-6-23 в расчётной точке днём, дБ		**ф-ла(3)[10]**	**21,7**	**21,6**	**11,6**	**8,7**	**8,1**	**8,9**	**3,1**	**0**	**0**	**11,8**	**11,8**
Уровни звукового давления от источника ИШ-6-23 в расчётной точке ночью, дБ		**ф-ла(3)[10]**	**21,7**	**21,6**	**11,6**	**8,7**	**8,1**	**8,9**	**3,1**	**0**	**0**	**11,8**	**11,8**
Источник шума: ИШ-6-24, координаты источника (x,y,z), м =[800.98,-151.27,3.00]													
Уровни звуковой мощности источника днём, Lw, дБ		**исходные данные**	**91**	**91**	**91**	**91**	**91**	**91**	**91**	**91**	**91**		
Уровни звуковой мощности источника ночью, Lw, дБ		**исходные данные**	**91**	**91**	**91**	**91**	**91**	**91**	**91**	**91**	**91**		
Поправка на телесный угол DΩ, дБ	Ω = 12.57	10Lg(4π/Ω)	**0**	0	0	0	0	0	0	0	0		
Показатель направленности источника Di, дБ		исходные данные	**0**	0	0	0	0	0	0	0	0		
Поправка на направленность источника Dc, дБ	Dc	DΩ + Di	**0**	0	0	0	0	0	0	0	0		
Затухание из-за геометрической дивергенции, Adiv, дБ	расстояние = 1541.36 м	ф-ла (7) [10]	**74,8**										
Коэффициент затухания звука в атмосфере α, дБ/км	Ta=20,°C Pa=101.33,кПа hотн.=70%	ф-ла (5) [9]	0,02	0,09	0,33	1,12	2,79	4,98	9,04	23,09	77,63		

1		2	3	4	5	6	7	8	9	10	11	12	13
Учет затухания звука в атмосфере Aatm, дБ		ф-ла (8) [10]	0	0,1	0,5	1,7	4,3	7,7	13,9	35,6	119,7		
Снижение поверхностью земли возле источника As, дБ	Gs = 0 hs = 3м	ф-лы таб.3 [10]	-1,5	-1,5	-1,5	-1,5	-1,5	-1,5	-1,5	-1,5	-1,5		
Снижение поверхностью земли возле приёмника Ar, дБ	Gr = 1 hr = 1.5м	ф-лы таб.3 [10]	-1,5	-1,5	5,3	7	5	0,7	0	0	0		
Снижение поверхностью земли в средней зоне, Am дБ	Gm = 1	ф-лы таб.3 [10]	-2,7	-2,7	0	0	0	0	0	0	0		
Суммарное снижение поверхностью земли на траектории распространения звука Agr, дБ		ф-ла (9) [10]	-5,7	-5,7	3,8	5,5	3,5	-0,8	-1,5	-1,5	-1,5		
Уровни звукового давления прямого звука от источника ИШ-6-24 в расчётной точке днём, дБ		**ф-ла(3)[10]**	**21,9**	**21,8**	**11,9**	**9**	**8,5**	**9,4**	**3,8**	**0**	**0**	**12,3**	**12,3**
Уровни звукового давления прямого звука от источника ИШ-6-24 в расчётной точке ночью, дБ		**ф-ла(3)[10]**	**21,9**	**21,8**	**11,9**	**9**	**8,5**	**9,4**	**3,8**	**0**	**0**	**12,3**	**12,3**
Расчёт отражённого звука													
Уровни звукового давления от мнимого источника ИШ-6-24_мн.(1) в расчётной точке днём, дБ		**ф-ла(3)[10]**	**0**	**0**	**0**	**0**	**0**	**0**	**0**	**0**	**0**	**0**	**0**
Уровни звукового давления от мнимого источника ИШ-6-24_мн.(1) в расчётной точке ночью, дБ		**ф-ла(3)[10]**	**0**	**0**	**0**	**0**	**0**	**0**	**0**	**0**	**0**	**0**	**0**
Уровни звукового давления от источника ИШ-6-24 в расчётной точке днём, дБ		**ф-ла(3)[10]**	**21,9**	**21,8**	**11,9**	**9**	**8,5**	**9,4**	**3,8**	**0**	**0**	**12,3**	**12,3**
Уровни звукового давления от источника ИШ-6-24 в расчётной точке ночью, дБ		**ф-ла(3)[10]**	**21,9**	**21,8**	**11,9**	**9**	**8,5**	**9,4**	**3,8**	**0**	**0**	**12,3**	**12,3**
Источник шума: ИШ-8-1, координаты источника (x,y,z), м =[612.60,-227.70,3.00]													
Уровни звуковой мощности источника днём, Lw, дБ		**исходные данные**	**105**	**104**	**104**	**101**	**102**	**106**	**101**	**95**	**87**		
Уровни звуковой мощности источника ночью, Lw, дБ		**исходные данные**	**105**	**104**	**104**	**101**	**102**	**106**	**101**	**95**	**87**		
Поправка на телесный угол DΩ, дБ	Ω = 6.28	10Lg(4π/Ω)	**3**	3	3	3	3	3	3	3	3		
Показатель направленности источника Di, дБ		исходные данные	**0**	0	0	0	0	0	0	0	0		

1		2	3	4	5	6	7	8	9	10	11	12	13
Поправка на направленность источника Dc, дБ	Dc	DΩ + Di	**3**	3	3	3	3	3	3	3	3		
Затухание из-за геометрической дивергенции, Adiv, дБ	расстояние = 1693.60 м	ф-ла (7) [10]	**75,6**										
Коэффициент затухания звука в атмосфере α, дБ/км	Ta=20,°C Pa=101.33,кПа hотн.=70%	ф-ла (5) [9]	0,02	0,09	0,33	1,12	2,79	4,98	9,04	23,09	77,63		
Учет затухания звука в атмосфере Aatm, дБ		ф-ла (8) [10]	0	0,2	0,6	1,9	4,7	8,4	15,3	39,1	131,5		
Снижение поверхностью земли возле источника As, дБ	Gs = 0 hs = 3м	ф-лы таб.3 [10]	-1,5	-1,5	-1,5	-1,5	-1,5	-1,5	-1,5	-1,5	-1,5		
Снижение поверхностью земли возле приёмника Ar, дБ	Gr = 1 hr = 1.5м	ф-лы таб.3 [10]	-1,5	-1,5	5,3	7	5	0,7	0	0	0		
Снижение поверхностью земли в средней зоне, Am дБ	Gm = 1	ф-лы таб.3 [10]	-2,8	-2,8	0	0	0	0	0	0	0		
Суммарное снижение поверхностью земли на траектории распространения звука Agr, дБ		ф-ла (9) [10]	-5,8	-5,8	3,8	5,5	3,5	-0,8	-1,5	-1,5	-1,5		
Уровни звукового давления от источника ИШ-8-1 в расчётной точке днём, дБ		**ф-ла(3)[10]**	**38,2**	**37**	**27**	**21**	**21,2**	**25,8**	**14,6**	**0**	**0**	**27,2**	**27,2**
Уровни звукового давления от источника ИШ-8-1 в расчётной точке ночью, дБ		**ф-ла(3)[10]**	**38,2**	**37**	**27**	**21**	**21,2**	**25,8**	**14,6**	**0**	**0**	**27,2**	**27,2**
Источник шума: ИШ-8-2, координаты источника (x,y,z), м =[596.60,-275.00,3.00]													
Уровни звуковой мощности источника днём, Lw, дБ		**исходные данные**	**105**	**104**	**104**	**101**	**102**	**106**	**101**	**95**	**87**		
Уровни звуковой мощности источника ночью, Lw, дБ		**исходные данные**	**105**	**104**	**104**	**101**	**102**	**106**	**101**	**95**	**87**		
Поправка на телесный угол DΩ, дБ	Ω = 6.28	10Lg(4π/Ω)	**3**	3	3	3	3	3	3	3	3		
Показатель направленности источника Di, дБ		исходные данные	**0**	0	0	0	0	0	0	0	0		
Поправка на направленность источника Dc, дБ	Dc	DΩ + Di	**3**	3	3	3	3	3	3	3	3		

1		2	3	4	5	6	7	8	9	10	11	12	13
Затухание из-за геометрической дивергенции, Adiv, дБ	расстояние = 1695.72 м	ф-ла (7) [10]	**75,6**										
Коэффициент затухания звука в атмосфере α, дБ/км	Ta=20,°C Pa=101.33,кПа hотн.=70%	ф-ла (5) [9]	0,02	0,09	0,33	1,12	2,79	4,98	9,04	23,09	77,63		
Учет затухания звука в атмосфере Aatm, дБ		ф-ла (8) [10]	0	0,2	0,6	1,9	4,7	8,4	15,3	39,1	131,6		
Снижение поверхностью земли возле источника As, дБ	Gs = 0 hs = 3м	ф-лы таб.3 [10]	-1,5	-1,5	-1,5	-1,5	-1,5	-1,5	-1,5	-1,5	-1,5		
Снижение поверхностью земли возле приёмника Ar, дБ	Gr = 1 hr = 1.5м	ф-лы таб.3 [10]	-1,5	-1,5	5,3	7	5	0,7	0	0	0		
Снижение поверхностью земли в средней зоне, Am дБ	Gm = 1	ф-лы таб.3 [10]	-2,8	-2,8	0	0	0	0	0	0	0		
Суммарное снижение поверхностью земли на траектории распространения звука Agr, дБ		ф-ла (9) [10]	-5,8	-5,8	3,8	5,5	3,5	-0,8	-1,5	-1,5	-1,5		
Уровни звукового давления от источника ИШ-8-2 в расчётной точке днём, дБ		**ф-ла(3)[10]**	**38,1**	**37**	**27**	**21**	**21,2**	**25,8**	**14,6**	**0**	**0**	**27,2**	**27,2**
Уровни звукового давления от источника ИШ-8-2 в расчётной точке ночью, дБ		**ф-ла(3)[10]**	**38,1**	**37**	**27**	**21**	**21,2**	**25,8**	**14,6**	**0**	**0**	**27,2**	**27,2**
Источник шума: ИШ-8-3, координаты источника (x,y,z), м =[564.90,-369.90,3.00]													
Уровни звуковой мощности источника днём, Lw, дБ		**исходные данные**	**105**	**104**	**104**	**101**	**102**	**106**	**101**	**95**	**87**		
Уровни звуковой мощности источника ночью, Lw, дБ		**исходные данные**	**105**	**104**	**104**	**101**	**102**	**106**	**101**	**95**	**87**		
Поправка на телесный угол DΩ, дБ	Ω = 6.28	10Lg(4π/Ω)	**3**	3	3	3	3	3	3	3	3		
Показатель направленности источника Di, дБ		исходные данные	**0**	0	0	0	0	0	0	0	0		
Поправка на направленность источника Dc, дБ	Dc	DΩ + Di	**3**	3	3	3	3	3	3	3	3		
Затухание из-за геометрической дивергенции, Adiv, дБ	расстояние = 1704.01 м	ф-ла (7) [10]	**75,6**										

1		2	3	4	5	6	7	8	9	10	11	12	13
Коэффициент затухания звука в атмосфере α, дБ/км	Ta=20,°C Pa=101.33,кПа hотн.=70%	ф-ла (5) [9]	0,02	0,09	0,33	1,12	2,79	4,98	9,04	23,09	77,63		
Учет затухания звука в атмосфере Aatm, дБ		ф-ла (8) [10]	0	0,2	0,6	1,9	4,8	8,5	15,4	39,3	132,3		
Снижение поверхностью земли возле источника As, дБ	Gs = 0 hs = 3м	ф-лы таб.3 [10]	-1,5	-1,5	-1,5	-1,5	-1,5	-1,5	-1,5	-1,5	-1,5		
Снижение поверхностью земли возле приёмника Ar, дБ	Gr = 1 hr = 1.5м	ф-лы таб.3 [10]	-1,5	-1,5	5,3	7	5	0,7	0	0	0		
Снижение поверхностью земли в средней зоне, Am дБ	Gm = 1	ф-лы таб.3 [10]	-2,8	-2,8	0	0	0	0	0	0	0		
Суммарное снижение поверхностью земли на траектории распространения звука Agr, дБ		ф-ла (9) [10]	-5,8	-5,8	3,8	5,5	3,5	-0,8	-1,5	-1,5	-1,5		
Уровни звукового давления от источника ИШ-8-3 в расчётной точке днём, дБ		**ф-ла(3)[10]**	**38,1**	**37**	**27**	**20,9**	**21,2**	**25,7**	**14,5**	**0**	**0**	**27,1**	**27,1**
Уровни звукового давления от источника ИШ-8-3 в расчётной точке ночью, дБ		**ф-ла(3)[10]**	**38,1**	**37**	**27**	**20,9**	**21,2**	**25,7**	**14,5**	**0**	**0**	**27,1**	**27,1**
Источник шума: ИШ-9-1, координаты источника (x,y,z), м =[642.94,-357.54,1.00]													
Уровни звуковой мощности источника днём, Lw, дБ		**исходные данные**	**0**	**93,3**	**94,7**	**96**	**96,3**	**95,9**	**92,6**	**88,4**	**83,9**		
Уровни звуковой мощности источника ночью, Lw, дБ		**исходные данные**	**0**	**93,3**	**94,7**	**96**	**96,3**	**95,9**	**92,6**	**88,4**	**83,9**		
Поправка на телесный угол DΩ, дБ	Ω = 6.28	10Lg(4π/Ω)	**3**	3	3	3	3	3	3	3	3		
Показатель направленности источника Di, дБ		исходные данные	**0**	0	0	0	0	0	0	0	0		
Поправка на направленность источника Dc, дБ	Dc	DΩ + Di	**3**	3	3	3	3	3	3	3	3		
Затухание из-за геометрической дивергенции, Adiv, дБ	расстояние = 1630.51 м	ф-ла (7) [10]	**75,2**										
Коэффициент затухания звука в атмосфере α, дБ/км	Ta=20,°C Pa=101.33,кПа hотн.=70%	ф-ла (5) [9]	0,02	0,09	0,33	1,12	2,79	4,98	9,04	23,09	77,63		

1		2	3	4	5	6	7	8	9	10	11	12	13
Учет затухания звука в атмосфере Aatm, дБ		ф-ла (8) [10]	0	0,1	0,5	1,8	4,6	8,1	14,7	37,6	126,6		
Снижение поверхностью земли возле источника As, дБ	Gs = 0 hs = 1м	ф-лы таб.3 [10]	-1,5	-1,5	-1,5	-1,5	-1,5	-1,5	-1,5	-1,5	-1,5		
Снижение поверхностью земли возле приёмника Ar, дБ	Gr = 1 hr = 1.5м	ф-лы таб.3 [10]	-1,5	-1,5	5,3	7	5	0,7	0	0	0		
Снижение поверхностью земли в средней зоне, Am дБ	Gm = 1	ф-лы таб.3 [10]	-2,9	-2,9	0	0	0	0	0	0	0		
Суммарное снижение поверхностью земли на траектории распространения звука Agr, дБ		ф-ла (9) [10]	-5,9	-5,9	3,8	5,5	3,5	-0,8	-1,5	-1,5	-1,5		
Уровни звукового давления прямого звука от источника ИШ-9-1 в расчётной точке днём, дБ		**ф-ла(3)[10]**	**0**	**26,8**	**18,1**	**16,4**	**16**	**16,4**	**7,1**	**0**	**0**	**18,9**	**18,9**
Уровни звукового давления прямого звука от источника ИШ-9-1 в расчётной точке ночью, дБ		**ф-ла(3)[10]**	**0**	**26,8**	**18,1**	**16,4**	**16**	**16,4**	**7,1**	**0**	**0**	**18,9**	**18,9**
Расчёт отражённого звука													
Уровни звукового давления от мнимого источника ИШ-9-1_мн.(1) в расчётной точке днём, дБ		**ф-ла(3)[10]**	**0**	**0**	**0**	**0**	**0**	**0**	**0**	**0**	**0**	**0**	**0**
Уровни звукового давления от мнимого источника ИШ-9-1_мн.(1) в расчётной точке ночью, дБ		**ф-ла(3)[10]**	**0**	**0**	**0**	**0**	**0**	**0**	**0**	**0**	**0**	**0**	**0**
Уровни звукового давления от источника ИШ-9-1 в расчётной точке днём, дБ		**ф-ла(3)[10]**	**0**	**26,8**	**18,1**	**16,4**	**16**	**16,4**	**7,1**	**0**	**0**	**18,9**	**18,9**
Уровни звукового давления от источника ИШ-9-1 в расчётной точке ночью, дБ		**ф-ла(3)[10]**	**0**	**26,8**	**18,1**	**16,4**	**16**	**16,4**	**7,1**	**0**	**0**	**18,9**	**18,9**
Источник шума: ИШ-9-2, координаты источника (x,y,z), м =[644.14,-354.83,1.00]													
Уровни звуковой мощности источника днём, Lw, дБ		**исходные данные**	**0**	**93,3**	**94,7**	**96**	**96,3**	**95,9**	**92,6**	**88,4**	**83,9**		
Уровни звуковой мощности источника ночью, Lw, дБ		**исходные данные**	**0**	**93,3**	**94,7**	**96**	**96,3**	**95,9**	**92,6**	**88,4**	**83,9**		
Поправка на телесный угол DΩ, дБ	Ω = 6.28	10Lg(4π/Ω)	**3**	3	3	3	3	3	3	3	3		
Показатель направленности источника Di, дБ		исходные данные	**0**	0	0	0	0	0	0	0	0		

1		2	3	4	5	6	7	8	9	10	11	12	13
Поправка на направленность источника Dc, дБ	Dc	DΩ + Di	**3**	3	3	3	3	3	3	3	3		
Затухание из-за геометрической дивергенции, Adiv, дБ	расстояние = 1629.95 м	ф-ла (7) [10]	**75,2**										
Коэффициент затухания звука в атмосфере α, дБ/км	Ta=20,°C Pa=101.33,кПа hотн.=70%	ф-ла (5) [9]	0,02	0,09	0,33	1,12	2,79	4,98	9,04	23,09	77,63		
Учет затухания звука в атмосфере Aatm, дБ		ф-ла (8) [10]	0	0,1	0,5	1,8	4,5	8,1	14,7	37,6	126,5		
Снижение поверхностью земли возле источника As, дБ	Gs = 0 hs = 1м	ф-лы таб.3 [10]	-1,5	-1,5	-1,5	-1,5	-1,5	-1,5	-1,5	-1,5	-1,5		
Снижение поверхностью земли возле приёмника Ar, дБ	Gr = 1 hr = 1.5м	ф-лы таб.3 [10]	-1,5	-1,5	5,3	7	5	0,7	0	0	0		
Снижение поверхностью земли в средней зоне, Am дБ	Gm = 1	ф-лы таб.3 [10]	-2,9	-2,9	0	0	0	0	0	0	0		
Суммарное снижение поверхностью земли на траектории распространения звука Agr, дБ		ф-ла (9) [10]	-5,9	-5,9	3,8	5,5	3,5	-0,8	-1,5	-1,5	-1,5		
Уровни звукового давления прямого звука от источника ИШ-9-2 в расчётной точке днём, дБ		**ф-ла(3)[10]**	**0**	**26,8**	**18,1**	**16,4**	**16**	**16,4**	**7,1**	**0**	**0**	**18,9**	**18,9**
Уровни звукового давления прямого звука от источника ИШ-9-2 в расчётной точке ночью, дБ		**ф-ла(3)[10]**	**0**	**26,8**	**18,1**	**16,4**	**16**	**16,4**	**7,1**	**0**	**0**	**18,9**	**18,9**
Расчёт отражённого звука													
Уровни звукового давления от мнимого источника ИШ-9-2_мн.(1) в расчётной точке днём, дБ		**ф-ла(3)[10]**	**0**	**0**	**0**	**0**	**0**	**0**	**0**	**0**	**0**	**0**	**0**
Уровни звукового давления от мнимого источника ИШ-9-2_мн.(1) в расчётной точке ночью, дБ		**ф-ла(3)[10]**	**0**	**0**	**0**	**0**	**0**	**0**	**0**	**0**	**0**	**0**	**0**
Уровни звукового давления от источника ИШ-9-2 в расчётной точке днём, дБ		**ф-ла(3)[10]**	**0**	**26,8**	**18,1**	**16,4**	**16**	**16,4**	**7,1**	**0**	**0**	**18,9**	**18,9**
Уровни звукового давления от источника ИШ-9-2 в расчётной точке ночью, дБ		**ф-ла(3)[10]**	**0**	**26,8**	**18,1**	**16,4**	**16**	**16,4**	**7,1**	**0**	**0**	**18,9**	**18,9**
Источник шума: ИШ-9-3, координаты источника (x,y,z), м =[644.98,-351.85,1.00]													

1		2	3	4	5	6	7	8	9	10	11	12	13
Уровни звуковой мощности источника днём, Lw, дБ		**исходные данные**	**0**	**93,3**	**94,7**	**96**	**96,3**	**95,9**	**92,6**	**88,4**	**83,9**		
Уровни звуковой мощности источника ночью, Lw, дБ		**исходные данные**	**0**	**93,3**	**94,7**	**96**	**96,3**	**95,9**	**92,6**	**88,4**	**83,9**		
Поправка на телесный угол DΩ, дБ	Ω = 6.28	10Lg(4π/Ω)	**3**	3	3	3	3	3	3	3	3		
Показатель направленности источника Di, дБ		исходные данные	**0**	0	0	0	0	0	0	0	0		
Поправка на направленность источника Dc, дБ	Dc	DΩ + Di	**3**	3	3	3	3	3	3	3	3		
Затухание из-за геометрической дивергенции, Adiv, дБ	расстояние = 1629.82 м	ф-ла (7) [10]	**75,2**										
Коэффициент затухания звука в атмосфере α, дБ/км	Ta=20,°C Pa=101.33,кПа hотн.=70%	ф-ла (5) [9]	0,02	0,09	0,33	1,12	2,79	4,98	9,04	23,09	77,63		
Учет затухания звука в атмосфере Aatm, дБ		ф-ла (8) [10]	0	0,1	0,5	1,8	4,5	8,1	14,7	37,6	126,5		
Снижение поверхностью земли возле источника As, дБ	Gs = 0 hs = 1м	ф-лы таб.3 [10]	-1,5	-1,5	-1,5	-1,5	-1,5	-1,5	-1,5	-1,5	-1,5		
Снижение поверхностью земли возле приёмника Ar, дБ	Gr = 1 hr = 1.5м	ф-лы таб.3 [10]	-1,5	-1,5	5,3	7	5	0,7	0	0	0		
Снижение поверхностью земли в средней зоне, Am дБ	Gm = 1	ф-лы таб.3 [10]	-2,9	-2,9	0	0	0	0	0	0	0		
Суммарное снижение поверхностью земли на траектории распространения звука Agr, дБ		ф-ла (9) [10]	-5,9	-5,9	3,8	5,5	3,5	-0,8	-1,5	-1,5	-1,5		
Уровни звукового давления прямого звука от источника ИШ-9-3 в расчётной точке днём, дБ		**ф-ла(3)[10]**	**0**	**26,8**	**18,1**	**16,4**	**16**	**16,4**	**7,1**	**0**	**0**	**18,9**	**18,9**
Уровни звукового давления прямого звука от источника ИШ-9-3 в расчётной точке ночью, дБ		**ф-ла(3)[10]**	**0**	**26,8**	**18,1**	**16,4**	**16**	**16,4**	**7,1**	**0**	**0**	**18,9**	**18,9**
Расчёт отражённого звука													
Уровни звукового давления от мнимого источника ИШ-9-3_мн.(1) в расчётной точке днём, дБ		**ф-ла(3)[10]**	**0**	**0**	**0**	**0**	**0**	**0**	**0**	**0**	**0**	**0**	**0**
Уровни звукового давления от мнимого источника ИШ-9-3_мн.(1) в расчётной точке ночью, дБ		**ф-ла(3)[10]**	**0**	**0**	**0**	**0**	**0**	**0**	**0**	**0**	**0**	**0**	**0**

1		2	3	4	5	6	7	8	9	10	11	12	13
Уровни звукового давления от источника ИШ-9-3 в расчётной точке днём, дБ		**ф-ла(3)[10]**	**0**	**26,8**	**18,1**	**16,4**	**16**	**16,4**	**7,1**	**0**	**0**	**18,9**	**18,9**
Уровни звукового давления от источника ИШ-9-3 в расчётной точке ночью, дБ		**ф-ла(3)[10]**	**0**	**26,8**	**18,1**	**16,4**	**16**	**16,4**	**7,1**	**0**	**0**	**18,9**	**18,9**
Источник шума: ИШ-9-4, координаты источника (x,y,z), м =[646.01,-349.15,1.00]													
Уровни звуковой мощности источника днём, Lw, дБ		**исходные данные**	**0**	**93,3**	**94,7**	**96**	**96,3**	**95,9**	**92,6**	**88,4**	**83,9**		
Уровни звуковой мощности источника ночью, Lw, дБ		**исходные данные**	**0**	**93,3**	**94,7**	**96**	**96,3**	**95,9**	**92,6**	**88,4**	**83,9**		
Поправка на телесный угол DΩ, дБ	Ω = 6.28	10Lg(4π/Ω)	**3**	3	3	3	3	3	3	3	3		
Показатель направленности источника Di, дБ		исходные данные	**0**	0	0	0	0	0	0	0	0		
Поправка на направленность источника Dc, дБ	Dc	DΩ + Di	**3**	3	3	3	3	3	3	3	3		
Затухание из-за геометрической дивергенции, Adiv, дБ	расстояние = 1629.44 м	ф-ла (7) [10]	**75,2**										
Коэффициент затухания звука в атмосфере α, дБ/км	Ta=20,°C Pa=101.33,кПа hотн.=70%	ф-ла (5) [9]	0,02	0,09	0,33	1,12	2,79	4,98	9,04	23,09	77,63		
Учет затухания звука в атмосфере Aatm, дБ		ф-ла (8) [10]	0	0,1	0,5	1,8	4,5	8,1	14,7	37,6	126,5		
Снижение поверхностью земли возле источника As, дБ	Gs = 0 hs = 1м	ф-лы таб.3 [10]	-1,5	-1,5	-1,5	-1,5	-1,5	-1,5	-1,5	-1,5	-1,5		
Снижение поверхностью земли возле приёмника Ar, дБ	Gr = 1 hr = 1.5м	ф-лы таб.3 [10]	-1,5	-1,5	5,3	7	5	0,7	0	0	0		
Снижение поверхностью земли в средней зоне, Am дБ	Gm = 1	ф-лы таб.3 [10]	-2,9	-2,9	0	0	0	0	0	0	0		
Суммарное снижение поверхностью земли на траектории распространения звука Agr, дБ		ф-ла (9) [10]	-5,9	-5,9	3,8	5,5	3,5	-0,8	-1,5	-1,5	-1,5		
Уровни звукового давления прямого звука от источника ИШ-9-4 в расчётной точке днём, дБ		**ф-ла(3)[10]**	**0**	**26,8**	**18,1**	**16,4**	**16**	**16,4**	**7,1**	**0**	**0**	**18,9**	**18,9**

1		2	3	4	5	6	7	8	9	10	11	12	13
Уровни звукового давления прямого звука от источника ИШ-9-4 в расчётной точке ночью, дБ		**ф-ла(3)[10]**	**0**	**26,8**	**18,1**	**16,4**	**16**	**16,4**	**7,1**	**0**	**0**	**18,9**	**18,9**
Расчёт отражённого звука													
Уровни звукового давления от мнимого источника ИШ-9-4_мн.(1) в расчётной точке днём, дБ		**ф-ла(3)[10]**	**0**	**0**	**0**	**0**	**0**	**0**	**0**	**0**	**0**	**0**	**0**
Уровни звукового давления от мнимого источника ИШ-9-4_мн.(1) в расчётной точке ночью, дБ		**ф-ла(3)[10]**	**0**	**0**	**0**	**0**	**0**	**0**	**0**	**0**	**0**	**0**	**0**
Уровни звукового давления от источника ИШ-9-4 в расчётной точке днём, дБ		**ф-ла(3)[10]**	**0**	**26,8**	**18,1**	**16,4**	**16**	**16,4**	**7,1**	**0**	**0**	**18,9**	**18,9**
Уровни звукового давления от источника ИШ-9-4 в расчётной точке ночью, дБ		**ф-ла(3)[10]**	**0**	**26,8**	**18,1**	**16,4**	**16**	**16,4**	**7,1**	**0**	**0**	**18,9**	**18,9**
Источник шума: ИШ-9-5, координаты источника (x,y,z), м =[646.84,-346.17,1.00]													
Уровни звуковой мощности источника днём, Lw, дБ		**исходные данные**	**0**	**93,3**	**94,7**	**96**	**96,3**	**95,9**	**92,6**	**88,4**	**83,9**		
Уровни звуковой мощности источника ночью, Lw, дБ		**исходные данные**	**0**	**93,3**	**94,7**	**96**	**96,3**	**95,9**	**92,6**	**88,4**	**83,9**		
Поправка на телесный угол DΩ, дБ	Ω = 6.28	10Lg(4π/Ω)	**3**	3	3	3	3	3	3	3	3		
Показатель направленности источника Di, дБ		исходные данные	**0**	0	0	0	0	0	0	0	0		
Поправка на направленность источника Dc, дБ	Dc	DΩ + Di	**3**	3	3	3	3	3	3	3	3		
Затухание из-за геометрической дивергенции, Adiv, дБ	расстояние = 1629.32 м	ф-ла (7) [10]	**75,2**										
Коэффициент затухания звука в атмосфере α, дБ/км	Ta=20,°C Pa=101.33,кПа hотн.=70%	ф-ла (5) [9]	0,02	0,09	0,33	1,12	2,79	4,98	9,04	23,09	77,63		
Учет затухания звука в атмосфере Aatm, дБ		ф-ла (8) [10]	0	0,1	0,5	1,8	4,5	8,1	14,7	37,6	126,5		
Снижение поверхностью земли возле источника As, дБ	Gs = 0 hs = 1м	ф-лы таб.3 [10]	-1,5	-1,5	-1,5	-1,5	-1,5	-1,5	-1,5	-1,5	-1,5		

1		2	3	4	5	6	7	8	9	10	11	12	13
Снижение поверхностью земли возле приёмника Ar, дБ	Gr = 1 hr = 1.5м	ф-лы таб.3 [10]	-1,5	-1,5	5,3	7	5	0,7	0	0	0		
Снижение поверхностью земли в средней зоне, Am дБ	Gm = 1	ф-лы таб.3 [10]	-2,9	-2,9	0	0	0	0	0	0	0		
Суммарное снижение поверхностью земли на траектории распространения звука Agr, дБ		ф-ла (9) [10]	-5,9	-5,9	3,8	5,5	3,5	-0,8	-1,5	-1,5	-1,5		
Уровни звукового давления прямого звука от источника ИШ-9-5 в расчётной точке днём, дБ		**ф-ла(3)[10]**	**0**	**26,8**	**18,1**	**16,4**	**16**	**16,4**	**7,1**	**0**	**0**	**18,9**	**18,9**
Уровни звукового давления прямого звука от источника ИШ-9-5 в расчётной точке ночью, дБ		**ф-ла(3)[10]**	**0**	**26,8**	**18,1**	**16,4**	**16**	**16,4**	**7,1**	**0**	**0**	**18,9**	**18,9**
Расчёт отражённого звука													
Уровни звукового давления от мнимого источника ИШ-9-5_мн.(1) в расчётной точке днём, дБ		**ф-ла(3)[10]**	**0**	**0**	**0**	**0**	**0**	**0**	**0**	**0**	**0**	**0**	**0**
Уровни звукового давления от мнимого источника ИШ-9-5_мн.(1) в расчётной точке ночью, дБ		**ф-ла(3)[10]**	**0**	**0**	**0**	**0**	**0**	**0**	**0**	**0**	**0**	**0**	**0**
Уровни звукового давления от источника ИШ-9-5 в расчётной точке днём, дБ		**ф-ла(3)[10]**	**0**	**26,8**	**18,1**	**16,4**	**16**	**16,4**	**7,1**	**0**	**0**	**18,9**	**18,9**
Уровни звукового давления от источника ИШ-9-5 в расчётной точке ночью, дБ		**ф-ла(3)[10]**	**0**	**26,8**	**18,1**	**16,4**	**16**	**16,4**	**7,1**	**0**	**0**	**18,9**	**18,9**
Источник шума: ИШ-9-6, координаты источника (x,y,z), м =[647.87,-343.47,1.00]													
Уровни звуковой мощности источника днём, Lw, дБ		**исходные данные**	**0**	**93,3**	**94,7**	**96**	**96,3**	**95,9**	**92,6**	**88,4**	**83,9**		
Уровни звуковой мощности источника ночью, Lw, дБ		**исходные данные**	**0**	**93,3**	**94,7**	**96**	**96,3**	**95,9**	**92,6**	**88,4**	**83,9**		
Поправка на телесный угол DΩ, дБ	Ω = 6.28	10Lg(4π/Ω)	**3**	3	3	3	3	3	3	3	3		
Показатель направленности источника Di, дБ		исходные данные	**0**	0	0	0	0	0	0	0	0		
Поправка на направленность источника Dc, дБ	Dc	DΩ + Di	**3**	3	3	3	3	3	3	3	3		
Затухание из-за геометрической дивергенции, Adiv, дБ	расстояние = 1628.95 м	ф-ла (7) [10]	**75,2**										

1		2	3	4	5	6	7	8	9	10	11	12	13
Коэффициент затухания звука в атмосфере α, дБ/км	Ta=20,°C Pa=101.33,кПа hотн.=70%	ф-ла (5) [9]	0,02	0,09	0,33	1,12	2,79	4,98	9,04	23,09	77,63		
Учет затухания звука в атмосфере Aatm, дБ		ф-ла (8) [10]	0	0,1	0,5	1,8	4,5	8,1	14,7	37,6	126,5		
Снижение поверхностью земли возле источника As, дБ	Gs = 0 hs = 1м	ф-лы таб.3 [10]	-1,5	-1,5	-1,5	-1,5	-1,5	-1,5	-1,5	-1,5	-1,5		
Снижение поверхностью земли возле приёмника Ar, дБ	Gr = 1 hr = 1.5м	ф-лы таб.3 [10]	-1,5	-1,5	5,3	7	5	0,7	0	0	0		
Снижение поверхностью земли в средней зоне, Am дБ	Gm = 1	ф-лы таб.3 [10]	-2,9	-2,9	0	0	0	0	0	0	0		
Суммарное снижение поверхностью земли на траектории распространения звука Agr, дБ		ф-ла (9) [10]	-5,9	-5,9	3,8	5,5	3,5	-0,8	-1,5	-1,5	-1,5		
Уровни звукового давления прямого звука от источника ИШ-9-6 в расчётной точке днём, дБ		**ф-ла(3)[10]**	**0**	**26,8**	**18,1**	**16,4**	**16**	**16,4**	**7,1**	**0**	**0**	**18,9**	**18,9**
Уровни звукового давления прямого звука от источника ИШ-9-6 в расчётной точке ночью, дБ		**ф-ла(3)[10]**	**0**	**26,8**	**18,1**	**16,4**	**16**	**16,4**	**7,1**	**0**	**0**	**18,9**	**18,9**
Расчёт отражённого звука													
Уровни звукового давления от мнимого источника ИШ-9-6_мн.(1) в расчётной точке днём, дБ		**ф-ла(3)[10]**	**0**	**0**	**0**	**0**	**0**	**0**	**0**	**0**	**0**	**0**	**0**
Уровни звукового давления от мнимого источника ИШ-9-6_мн.(1) в расчётной точке ночью, дБ		**ф-ла(3)[10]**	**0**	**0**	**0**	**0**	**0**	**0**	**0**	**0**	**0**	**0**	**0**
Уровни звукового давления от источника ИШ-9-6 в расчётной точке днём, дБ		**ф-ла(3)[10]**	**0**	**26,8**	**18,1**	**16,4**	**16**	**16,4**	**7,1**	**0**	**0**	**18,9**	**18,9**
Уровни звукового давления от источника ИШ-9-6 в расчётной точке ночью, дБ		**ф-ла(3)[10]**	**0**	**26,8**	**18,1**	**16,4**	**16**	**16,4**	**7,1**	**0**	**0**	**18,9**	**18,9**
Источник шума: ИШ-9-7, координаты источника (x,y,z), м =[648.71,-340.49,1.00]													
Уровни звуковой мощности источника днём, Lw, дБ		**исходные данные**	**0**	**93,3**	**94,7**	**96**	**96,3**	**95,9**	**92,6**	**88,4**	**83,9**		
Уровни звуковой мощности источника ночью, Lw, дБ		**исходные данные**	**0**	**93,3**	**94,7**	**96**	**96,3**	**95,9**	**92,6**	**88,4**	**83,9**		

1		2	3	4	5	6	7	8	9	10	11	12	13
Поправка на телесный угол DΩ, дБ	Ω = 6.28	10Lg(4π/Ω)	**3**	3	3	3	3	3	3	3	3		
Показатель направленности источника Di, дБ		исходные данные	**0**	0	0	0	0	0	0	0	0		
Поправка на направленность источника Dc, дБ	Dc	DΩ + Di	**3**	3	3	3	3	3	3	3	3		
Затухание из-за геометрической дивергенции, Adiv, дБ	расстояние = 1628.84 м	ф-ла (7) [10]	**75,2**										
Коэффициент затухания звука в атмосфере α, дБ/км	Ta=20,°C Pa=101.33,кПа hотн.=70%	ф-ла (5) [9]	0,02	0,09	0,33	1,12	2,79	4,98	9,04	23,09	77,63		
Учет затухания звука в атмосфере Aatm, дБ		ф-ла (8) [10]	0	0,1	0,5	1,8	4,5	8,1	14,7	37,6	126,5		
Снижение поверхностью земли возле источника As, дБ	Gs = 0 hs = 1м	ф-лы таб.3 [10]	-1,5	-1,5	-1,5	-1,5	-1,5	-1,5	-1,5	-1,5	-1,5		
Снижение поверхностью земли возле приёмника Ar, дБ	Gr = 1 hr = 1.5м	ф-лы таб.3 [10]	-1,5	-1,5	5,3	7	5	0,7	0	0	0		
Снижение поверхностью земли в средней зоне, Am дБ	Gm = 1	ф-лы таб.3 [10]	-2,9	-2,9	0	0	0	0	0	0	0		
Суммарное снижение поверхностью земли на траектории распространения звука Agr, дБ		ф-ла (9) [10]	-5,9	-5,9	3,8	5,5	3,5	-0,8	-1,5	-1,5	-1,5		
Уровни звукового давления от источника ИШ-9-7 в расчётной точке днём, дБ		**ф-ла(3)[10]**	**0**	**26,8**	**18,1**	**16,4**	**16**	**16,4**	**7,1**	**0**	**0**	**18,9**	**18,9**
Уровни звукового давления от источника ИШ-9-7 в расчётной точке ночью, дБ		**ф-ла(3)[10]**	**0**	**26,8**	**18,1**	**16,4**	**16**	**16,4**	**7,1**	**0**	**0**	**18,9**	**18,9**
Источник шума: ИШ-9-8, координаты источника (x,y,z), м =[649.92,-337.69,1.00]													
Уровни звуковой мощности источника днём, Lw, дБ		**исходные данные**	**0**	**93,3**	**94,7**	**96**	**96,3**	**95,9**	**92,6**	**88,4**	**83,9**		
Уровни звуковой мощности источника ночью, Lw, дБ		**исходные данные**	**0**	**93,3**	**94,7**	**96**	**96,3**	**95,9**	**92,6**	**88,4**	**83,9**		
Поправка на телесный угол DΩ, дБ	Ω = 6.28	10Lg(4π/Ω)	**3**	3	3	3	3	3	3	3	3		

1		2	3	4	5	6	7	8	9	10	11	12	13
Показатель направленности источника Di, дБ		исходные данные	**0**	0	0	0	0	0	0	0	0		
Поправка на направленность источника Dc, дБ	Dc	DΩ + Di	**3**	3	3	3	3	3	3	3	3		
Затухание из-за геометрической дивергенции, Adiv, дБ	расстояние = 1628.33 м	ф-ла (7) [10]	**75,2**										
Коэффициент затухания звука в атмосфере α, дБ/км	Ta=20,°C Pa=101.33,кПа hотн.=70%	ф-ла (5) [9]	0,02	0,09	0,33	1,12	2,79	4,98	9,04	23,09	77,63		
Учет затухания звука в атмосфере Aatm, дБ		ф-ла (8) [10]	0	0,1	0,5	1,8	4,5	8,1	14,7	37,6	126,4		
Снижение поверхностью земли возле источника As, дБ	Gs = 0 hs = 1м	ф-лы таб.3 [10]	-1,5	-1,5	-1,5	-1,5	-1,5	-1,5	-1,5	-1,5	-1,5		
Снижение поверхностью земли возле приёмника Ar, дБ	Gr = 1 hr = 1.5м	ф-лы таб.3 [10]	-1,5	-1,5	5,3	7	5	0,7	0	0	0		
Снижение поверхностью земли в средней зоне, Am дБ	Gm = 1	ф-лы таб.3 [10]	-2,9	-2,9	0	0	0	0	0	0	0		
Суммарное снижение поверхностью земли на траектории распространения звука Agr, дБ		ф-ла (9) [10]	-5,9	-5,9	3,8	5,5	3,5	-0,8	-1,5	-1,5	-1,5		
Уровни звукового давления от источника ИШ-9-8 в расчётной точке днём, дБ		**ф-ла(3)[10]**	**0**	**26,8**	**18,1**	**16,4**	**16**	**16,4**	**7,1**	**0**	**0**	**18,9**	**18,9**
Уровни звукового давления от источника ИШ-9-8 в расчётной точке ночью, дБ		**ф-ла(3)[10]**	**0**	**26,8**	**18,1**	**16,4**	**16**	**16,4**	**7,1**	**0**	**0**	**18,9**	**18,9**
Источник шума: ИШ-9-9, координаты источника (x,y,z), м =[650.66,-334.90,1.00]													
Уровни звуковой мощности источника днём, Lw, дБ		**исходные данные**	**0**	**93,3**	**94,7**	**96**	**96,3**	**95,9**	**92,6**	**88,4**	**83,9**		
Уровни звуковой мощности источника ночью, Lw, дБ		**исходные данные**	**0**	**93,3**	**94,7**	**96**	**96,3**	**95,9**	**92,6**	**88,4**	**83,9**		
Поправка на телесный угол DΩ, дБ	Ω = 6.28	10Lg(4π/Ω)	**3**	3	3	3	3	3	3	3	3		
Показатель направленности источника Di, дБ		исходные данные	**0**	0	0	0	0	0	0	0	0		

1		2	3	4	5	6	7	8	9	10	11	12	13
Поправка на направленность источника Dc, дБ	Dc	DΩ + Di	**3**	3	3	3	3	3	3	3	3		
Затухание из-за геометрической дивергенции, Adiv, дБ	расстояние = 1628.27 м	ф-ла (7) [10]	**75,2**										
Коэффициент затухания звука в атмосфере α, дБ/км	Ta=20,°C Pa=101.33,кПа hотн.=70%	ф-ла (5) [9]	0,02	0,09	0,33	1,12	2,79	4,98	9,04	23,09	77,63		
Учет затухания звука в атмосфере Aatm, дБ		ф-ла (8) [10]	0	0,1	0,5	1,8	4,5	8,1	14,7	37,6	126,4		
Снижение поверхностью земли возле источника As, дБ	Gs = 0 hs = 1м	ф-лы таб.3 [10]	-1,5	-1,5	-1,5	-1,5	-1,5	-1,5	-1,5	-1,5	-1,5		
Снижение поверхностью земли возле приёмника Ar, дБ	Gr = 1 hr = 1.5м	ф-лы таб.3 [10]	-1,5	-1,5	5,3	7	5	0,7	0	0	0		
Снижение поверхностью земли в средней зоне, Am дБ	Gm = 1	ф-лы таб.3 [10]	-2,9	-2,9	0	0	0	0	0	0	0		
Суммарное снижение поверхностью земли на траектории распространения звука Agr, дБ		ф-ла (9) [10]	-5,9	-5,9	3,8	5,5	3,5	-0,8	-1,5	-1,5	-1,5		
Уровни звукового давления от источника ИШ-9-9 в расчётной точке днём, дБ		**ф-ла(3)[10]**	**0**	**26,8**	**18,1**	**16,4**	**16**	**16,4**	**7,1**	**0**	**0**	**18,9**	**18,9**
Уровни звукового давления от источника ИШ-9-9 в расчётной точке ночью, дБ		**ф-ла(3)[10]**	**0**	**26,8**	**18,1**	**16,4**	**16**	**16,4**	**7,1**	**0**	**0**	**18,9**	**18,9**
Источник шума: ИШ-9-10, координаты источника (x,y,z), м =[651.59,-332.01,1.00]													
Уровни звуковой мощности источника днём, Lw, дБ		**исходные данные**	**0**	**93,3**	**94,7**	**96**	**96,3**	**95,9**	**92,6**	**88,4**	**83,9**		
Уровни звуковой мощности источника ночью, Lw, дБ		**исходные данные**	**0**	**93,3**	**94,7**	**96**	**96,3**	**95,9**	**92,6**	**88,4**	**83,9**		
Поправка на телесный угол DΩ, дБ	Ω = 6.28	10Lg(4π/Ω)	**3**	3	3	3	3	3	3	3	3		
Показатель направленности источника Di, дБ		исходные данные	**0**	0	0	0	0	0	0	0	0		
Поправка на направленность источника Dc, дБ	Dc	DΩ + Di	**3**	3	3	3	3	3	3	3	3		

1		2	3	4	5	6	7	8	9	10	11	12	13
Затухание из-за геометрической дивергенции, Adiv, дБ	расстояние = 1628.06 м	ф-ла (7) [10]	**75,2**										
Коэффициент затухания звука в атмосфере α, дБ/км	Ta=20,°C Pa=101.33,кПа hотн.=70%	ф-ла (5) [9]	0,02	0,09	0,33	1,12	2,79	4,98	9,04	23,09	77,63		
Учет затухания звука в атмосфере Aatm, дБ		ф-ла (8) [10]	0	0,1	0,5	1,8	4,5	8,1	14,7	37,6	126,4		
Снижение поверхностью земли возле источника As, дБ	Gs = 0 hs = 1м	ф-лы таб.3 [10]	-1,5	-1,5	-1,5	-1,5	-1,5	-1,5	-1,5	-1,5	-1,5		
Снижение поверхностью земли возле приёмника Ar, дБ	Gr = 1 hr = 1.5м	ф-лы таб.3 [10]	-1,5	-1,5	5,3	7	5	0,7	0	0	0		
Снижение поверхностью земли в средней зоне, Am дБ	Gm = 1	ф-лы таб.3 [10]	-2,9	-2,9	0	0	0	0	0	0	0		
Суммарное снижение поверхностью земли на траектории распространения звука Agr, дБ		ф-ла (9) [10]	-5,9	-5,9	3,8	5,5	3,5	-0,8	-1,5	-1,5	-1,5		
Уровни звукового давления от источника ИШ-9-10 в расчётной точке днём, дБ		**ф-ла(3)[10]**	**0**	**26,8**	**18,1**	**16,4**	**16**	**16,4**	**7,1**	**0**	**0**	**18,9**	**18,9**
Уровни звукового давления от источника ИШ-9-10 в расчётной точке ночью, дБ		**ф-ла(3)[10]**	**0**	**26,8**	**18,1**	**16,4**	**16**	**16,4**	**7,1**	**0**	**0**	**18,9**	**18,9**
Источник шума: ИШ-9-11, координаты источника (x,y,z), м =[652.71,-329.22,1.00]													
Уровни звуковой мощности источника днём, Lw, дБ		**исходные данные**	**0**	**93,3**	**94,7**	**96**	**96,3**	**95,9**	**92,6**	**88,4**	**83,9**		
Уровни звуковой мощности источника ночью, Lw, дБ		**исходные данные**	**0**	**93,3**	**94,7**	**96**	**96,3**	**95,9**	**92,6**	**88,4**	**83,9**		
Поправка на телесный угол DΩ, дБ	Ω = 6.28	10Lg(4π/Ω)	**3**	3	3	3	3	3	3	3	3		
Показатель направленности источника Di, дБ		исходные данные	**0**	0	0	0	0	0	0	0	0		
Поправка на направленность источника Dc, дБ	Dc	DΩ + Di	**3**	3	3	3	3	3	3	3	3		
Затухание из-за геометрической дивергенции, Adiv, дБ	расстояние = 1627.65 м	ф-ла (7) [10]	**75,2**										

1		2	3	4	5	6	7	8	9	10	11	12	13
Коэффициент затухания звука в атмосфере α, дБ/км	Ta=20,°C Pa=101.33,кПа hотн.=70%	ф-ла (5) [9]	0,02	0,09	0,33	1,12	2,79	4,98	9,04	23,09	77,63		
Учет затухания звука в атмосфере Aatm, дБ		ф-ла (8) [10]	0	0,1	0,5	1,8	4,5	8,1	14,7	37,6	126,4		
Снижение поверхностью земли возле источника As, дБ	Gs = 0 hs = 1м	ф-лы таб.3 [10]	-1,5	-1,5	-1,5	-1,5	-1,5	-1,5	-1,5	-1,5	-1,5		
Снижение поверхностью земли возле приёмника Ar, дБ	Gr = 1 hr = 1.5м	ф-лы таб.3 [10]	-1,5	-1,5	5,3	7	5	0,7	0	0	0		
Снижение поверхностью земли в средней зоне, Am дБ	Gm = 1	ф-лы таб.3 [10]	-2,9	-2,9	0	0	0	0	0	0	0		
Суммарное снижение поверхностью земли на траектории распространения звука Agr, дБ		ф-ла (9) [10]	-5,9	-5,9	3,8	5,5	3,5	-0,8	-1,5	-1,5	-1,5		
Уровни звукового давления от источника ИШ-9-11 в расчётной точке днём, дБ		**ф-ла(3)[10]**	**0**	**26,8**	**18,1**	**16,4**	**16**	**16,4**	**7,1**	**0**	**0**	**18,9**	**18,9**
Уровни звукового давления от источника ИШ-9-11 в расчётной точке ночью, дБ		**ф-ла(3)[10]**	**0**	**26,8**	**18,1**	**16,4**	**16**	**16,4**	**7,1**	**0**	**0**	**18,9**	**18,9**
Источник шума: ИШ-9-12, координаты источника (x,y,z), м =[653.46,-326.33,1.00]													
Уровни звуковой мощности источника днём, Lw, дБ		**исходные данные**	**0**	**93,3**	**94,7**	**96**	**96,3**	**95,9**	**92,6**	**88,4**	**83,9**		
Уровни звуковой мощности источника ночью, Lw, дБ		**исходные данные**	**0**	**93,3**	**94,7**	**96**	**96,3**	**95,9**	**92,6**	**88,4**	**83,9**		
Поправка на телесный угол DΩ, дБ	Ω = 6.28	10Lg(4π/Ω)	**3**	3	3	3	3	3	3	3	3		
Показатель направленности источника Di, дБ		исходные данные	**0**	0	0	0	0	0	0	0	0		
Поправка на направленность источника Dc, дБ	Dc	DΩ + Di	**3**	3	3	3	3	3	3	3	3		
Затухание из-за геометрической дивергенции, Adiv, дБ	расстояние = 1627.64 м	ф-ла (7) [10]	**75,2**										
Коэффициент затухания звука в атмосфере α, дБ/км	Ta=20,°C Pa=101.33,кПа hотн.=70%	ф-ла (5) [9]	0,02	0,09	0,33	1,12	2,79	4,98	9,04	23,09	77,63		

1		2	3	4	5	6	7	8	9	10	11	12	13
Учет затухания звука в атмосфере Aatm, дБ		ф-ла (8) [10]	0	0,1	0,5	1,8	4,5	8,1	14,7	37,6	126,4		
Снижение поверхностью земли возле источника As, дБ	Gs = 0 hs = 1м	ф-лы таб.3 [10]	-1,5	-1,5	-1,5	-1,5	-1,5	-1,5	-1,5	-1,5	-1,5		
Снижение поверхностью земли возле приёмника Ar, дБ	Gr = 1 hr = 1.5м	ф-лы таб.3 [10]	-1,5	-1,5	5,3	7	5	0,7	0	0	0		
Снижение поверхностью земли в средней зоне, Am дБ	Gm = 1	ф-лы таб.3 [10]	-2,9	-2,9	0	0	0	0	0	0	0		
Суммарное снижение поверхностью земли на траектории распространения звука Agr, дБ		ф-ла (9) [10]	-5,9	-5,9	3,8	5,5	3,5	-0,8	-1,5	-1,5	-1,5		
Уровни звукового давления от источника ИШ-9-12 в расчётной точке днём, дБ		**ф-ла(3)[10]**	**0**	**26,8**	**18,1**	**16,4**	**16**	**16,4**	**7,1**	**0**	**0**	**18,9**	**18,9**
Уровни звукового давления от источника ИШ-9-12 в расчётной точке ночью, дБ		**ф-ла(3)[10]**	**0**	**26,8**	**18,1**	**16,4**	**16**	**16,4**	**7,1**	**0**	**0**	**18,9**	**18,9**
Источник шума: ИШ-9-13, координаты источника (x,y,z), м =[654.48,-323.54,1.00]													
Уровни звуковой мощности источника днём, Lw, дБ		**исходные данные**	**0**	**93,3**	**94,7**	**96**	**96,3**	**95,9**	**92,6**	**88,4**	**83,9**		
Уровни звуковой мощности источника ночью, Lw, дБ		**исходные данные**	**0**	**93,3**	**94,7**	**96**	**96,3**	**95,9**	**92,6**	**88,4**	**83,9**		
Поправка на телесный угол DΩ, дБ	Ω = 6.28	10Lg(4π/Ω)	**3**	3	3	3	3	3	3	3	3		
Показатель направленности источника Di, дБ		исходные данные	**0**	0	0	0	0	0	0	0	0		
Поправка на направленность источника Dc, дБ	Dc	DΩ + Di	**3**	3	3	3	3	3	3	3	3		
Затухание из-за геометрической дивергенции, Adiv, дБ	расстояние = 1627.33 м	ф-ла (7) [10]	**75,2**										
Коэффициент затухания звука в атмосфере α, дБ/км	Ta=20,°C Pa=101.33,кПа hотн.=70%	ф-ла (5) [9]	0,02	0,09	0,33	1,12	2,79	4,98	9,04	23,09	77,63		
Учет затухания звука в атмосфере Aatm, дБ		ф-ла (8) [10]	0	0,1	0,5	1,8	4,5	8,1	14,7	37,6	126,3		

1		2	3	4	5	6	7	8	9	10	11	12	13
Снижение поверхностью земли возле источника As, дБ	Gs = 0 hs = 1м	ф-лы таб.3 [10]	-1,5	-1,5	-1,5	-1,5	-1,5	-1,5	-1,5	-1,5	-1,5		
Снижение поверхностью земли возле приёмника Ar, дБ	Gr = 1 hr = 1.5м	ф-лы таб.3 [10]	-1,5	-1,5	5,3	7	5	0,7	0	0	0		
Снижение поверхностью земли в средней зоне, Am дБ	Gm = 1	ф-лы таб.3 [10]	-2,9	-2,9	0	0	0	0	0	0	0		
Суммарное снижение поверхностью земли на траектории распространения звука Agr, дБ		ф-ла (9) [10]	-5,9	-5,9	3,8	5,5	3,5	-0,8	-1,5	-1,5	-1,5		
Уровни звукового давления от источника ИШ-9-13 в расчётной точке днём, дБ		**ф-ла(3)[10]**	**0**	**26,8**	**18,1**	**16,4**	**16**	**16,4**	**7,2**	**0**	**0**	**19**	**19**
Уровни звукового давления от источника ИШ-9-13 в расчётной точке ночью, дБ		**ф-ла(3)[10]**	**0**	**26,8**	**18,1**	**16,4**	**16**	**16,4**	**7,2**	**0**	**0**	**19**	**19**
Источник шума: ИШ-9-14, координаты источника (x,y,z), м =[655.60,-320.74,1.00]													
Уровни звуковой мощности источника днём, Lw, дБ		**исходные данные**	**0**	**93,3**	**94,7**	**96**	**96,3**	**95,9**	**92,6**	**88,4**	**83,9**		
Уровни звуковой мощности источника ночью, Lw, дБ		**исходные данные**	**0**	**93,3**	**94,7**	**96**	**96,3**	**95,9**	**92,6**	**88,4**	**83,9**		
Поправка на телесный угол DΩ, дБ	Ω = 6.28	10Lg(4π/Ω)	**3**	3	3	3	3	3	3	3	3		
Показатель направленности источника Di, дБ		исходные данные	**0**	0	0	0	0	0	0	0	0		
Поправка на направленность источника Dc, дБ	Dc	DΩ + Di	**3**	3	3	3	3	3	3	3	3		
Затухание из-за геометрической дивергенции, Adiv, дБ	расстояние = 1626.94 м	ф-ла (7) [10]	**75,2**										
Коэффициент затухания звука в атмосфере α, дБ/км	Ta=20,°C Pa=101.33,кПа hотн.=70%	ф-ла (5) [9]	0,02	0,09	0,33	1,12	2,79	4,98	9,04	23,09	77,63		
Учет затухания звука в атмосфере Aatm, дБ		ф-ла (8) [10]	0	0,1	0,5	1,8	4,5	8,1	14,7	37,6	126,3		
Снижение поверхностью земли возле источника As, дБ	Gs = 0 hs = 1м	ф-лы таб.3 [10]	-1,5	-1,5	-1,5	-1,5	-1,5	-1,5	-1,5	-1,5	-1,5		

1		2	3	4	5	6	7	8	9	10	11	12	13
Снижение поверхностью земли возле приёмника Ar, дБ	Gr = 1 hr = 1.5м	ф-лы таб.3 [10]	-1,5	-1,5	5,3	7	5	0,7	0	0	0		
Снижение поверхностью земли в средней зоне, Am дБ	Gm = 1	ф-лы таб.3 [10]	-2,9	-2,9	0	0	0	0	0	0	0		
Суммарное снижение поверхностью земли на траектории распространения звука Agr, дБ		ф-ла (9) [10]	-5,9	-5,9	3,8	5,5	3,5	-0,8	-1,5	-1,5	-1,5		
Уровни звукового давления от источника ИШ-9-14 в расчётной точке днём, дБ		**ф-ла(3)[10]**	**0**	**26,8**	**18,1**	**16,4**	**16,1**	**16,4**	**7,2**	**0**	**0**	**19**	**19**
Уровни звукового давления от источника ИШ-9-14 в расчётной точке ночью, дБ		**ф-ла(3)[10]**	**0**	**26,8**	**18,1**	**16,4**	**16,1**	**16,4**	**7,2**	**0**	**0**	**19**	**19**
Источник шума: ИШ-9-15, координаты источника (x,y,z), м =[656.44,-317.86,1.00]													
Уровни звуковой мощности источника днём, Lw, дБ		**исходные данные**	**0**	**93,3**	**94,7**	**96**	**96,3**	**95,9**	**92,6**	**88,4**	**83,9**		
Уровни звуковой мощности источника ночью, Lw, дБ		**исходные данные**	**0**	**93,3**	**94,7**	**96**	**96,3**	**95,9**	**92,6**	**88,4**	**83,9**		
Поправка на телесный угол DΩ, дБ	Ω = 6.28	10Lg(4π/Ω)	**3**	3	3	3	3	3	3	3	3		
Показатель направленности источника Di, дБ		исходные данные	**0**	0	0	0	0	0	0	0	0		
Поправка на направленность источника Dc, дБ	Dc	DΩ + Di	**3**	3	3	3	3	3	3	3	3		
Затухание из-за геометрической дивергенции, Adiv, дБ	расстояние = 1626.85 м	ф-ла (7) [10]	**75,2**										
Коэффициент затухания звука в атмосфере α, дБ/км	Ta=20,°C Pa=101.33,кПа hотн.=70%	ф-ла (5) [9]	0,02	0,09	0,33	1,12	2,79	4,98	9,04	23,09	77,63		
Учет затухания звука в атмосфере Aatm, дБ		ф-ла (8) [10]	0	0,1	0,5	1,8	4,5	8,1	14,7	37,6	126,3		
Снижение поверхностью земли возле источника As, дБ	Gs = 0 hs = 1м	ф-лы таб.3 [10]	-1,5	-1,5	-1,5	-1,5	-1,5	-1,5	-1,5	-1,5	-1,5		
Снижение поверхностью земли возле приёмника Ar, дБ	Gr = 1 hr = 1.5м	ф-лы таб.3 [10]	-1,5	-1,5	5,3	7	5	0,7	0	0	0		

1		2	3	4	5	6	7	8	9	10	11	12	13
Снижение поверхностью земли в средней зоне, Am дБ	Gm = 1	ф-лы таб.3 [10]	-2,9	-2,9	0	0	0	0	0	0	0		
Суммарное снижение поверхностью земли на траектории распространения звука Agr, дБ		ф-ла (9) [10]	-5,9	-5,9	3,8	5,5	3,5	-0,8	-1,5	-1,5	-1,5		
Уровни звукового давления от источника ИШ-9-15 в расчётной точке днём, дБ		**ф-ла(3)[10]**	**0**	**26,8**	**18,1**	**16,4**	**16,1**	**16,4**	**7,2**	**0**	**0**	**19**	**19**
Уровни звукового давления от источника ИШ-9-15 в расчётной точке ночью, дБ		**ф-ла(3)[10]**	**0**	**26,8**	**18,1**	**16,4**	**16,1**	**16,4**	**7,2**	**0**	**0**	**19**	**19**
Источник шума: ИШ-9-16, координаты источника (x,y,z), м =[657.46,-314.97,1.00]													
Уровни звуковой мощности источника днём, Lw, дБ		**исходные данные**	**0**	**93,3**	**94,7**	**96**	**96,3**	**95,9**	**92,6**	**88,4**	**83,9**		
Уровни звуковой мощности источника ночью, Lw, дБ		**исходные данные**	**0**	**93,3**	**94,7**	**96**	**96,3**	**95,9**	**92,6**	**88,4**	**83,9**		
Поправка на телесный угол DΩ, дБ	Ω = 6.28	10Lg(4π/Ω)	**3**	3	3	3	3	3	3	3	3		
Показатель направленности источника Di, дБ		исходные данные	**0**	0	0	0	0	0	0	0	0		
Поправка на направленность источника Dc, дБ	Dc	DΩ + Di	**3**	3	3	3	3	3	3	3	3		
Затухание из-за геометрической дивергенции, Adiv, дБ	расстояние = 1626.58 м	ф-ла (7) [10]	**75,2**										
Коэффициент затухания звука в атмосфере α, дБ/км	Ta=20,°C Pa=101.33,кПа hотн.=70%	ф-ла (5) [9]	0,02	0,09	0,33	1,12	2,79	4,98	9,04	23,09	77,63		
Учет затухания звука в атмосфере Aatm, дБ		ф-ла (8) [10]	0	0,1	0,5	1,8	4,5	8,1	14,7	37,6	126,3		
Снижение поверхностью земли возле источника As, дБ	Gs = 0 hs = 1м	ф-лы таб.3 [10]	-1,5	-1,5	-1,5	-1,5	-1,5	-1,5	-1,5	-1,5	-1,5		
Снижение поверхностью земли возле приёмника Ar, дБ	Gr = 1 hr = 1.5м	ф-лы таб.3 [10]	-1,5	-1,5	5,3	7	5	0,7	0	0	0		
Снижение поверхностью земли в средней зоне, Am дБ	Gm = 1	ф-лы таб.3 [10]	-2,9	-2,9	0	0	0	0	0	0	0		

1		2	3	4	5	6	7	8	9	10	11	12	13
Суммарное снижение поверхностью земли на траектории распространения звука Agr, дБ		ф-ла (9) [10]	-5,9	-5,9	3,8	5,5	3,5	-0,8	-1,5	-1,5	-1,5		
Уровни звукового давления от источника ИШ-9-16 в расчётной точке днём, дБ		**ф-ла(3)[10]**	**0**	**26,8**	**18,1**	**16,4**	**16,1**	**16,4**	**7,2**	**0**	**0**	**19**	**19**
Уровни звукового давления от источника ИШ-9-16 в расчётной точке ночью, дБ		**ф-ла(3)[10]**	**0**	**26,8**	**18,1**	**16,4**	**16,1**	**16,4**	**7,2**	**0**	**0**	**19**	**19**
Источник шума: ИШ-9-17, координаты источника (x,y,z), м =[658.49,-312.18,1.00]													
Уровни звуковой мощности источника днём, Lw, дБ		**исходные данные**	**0**	**93,3**	**94,7**	**96**	**96,3**	**95,9**	**92,6**	**88,4**	**83,9**		
Уровни звуковой мощности источника ночью, Lw, дБ		**исходные данные**	**0**	**93,3**	**94,7**	**96**	**96,3**	**95,9**	**92,6**	**88,4**	**83,9**		
Поправка на телесный угол DΩ, дБ	Ω = 6.28	10Lg(4π/Ω)	**3**	3	3	3	3	3	3	3	3		
Показатель направленности источника Di, дБ		исходные данные	**0**	0	0	0	0	0	0	0	0		
Поправка на направленность источника Dc, дБ	Dc	DΩ + Di	**3**	3	3	3	3	3	3	3	3		
Затухание из-за геометрической дивергенции, Adiv, дБ	расстояние = 1626.30 м	ф-ла (7) [10]	**75,2**										
Коэффициент затухания звука в атмосфере α, дБ/км	Ta=20,°C Pa=101.33,кПа hотн.=70%	ф-ла (5) [9]	0,02	0,09	0,33	1,12	2,79	4,98	9,04	23,09	77,63		
Учет затухания звука в атмосфере Aatm, дБ		ф-ла (8) [10]	0	0,1	0,5	1,8	4,5	8,1	14,7	37,5	126,3		
Снижение поверхностью земли возле источника As, дБ	Gs = 0 hs = 1м	ф-лы таб.3 [10]	-1,5	-1,5	-1,5	-1,5	-1,5	-1,5	-1,5	-1,5	-1,5		
Снижение поверхностью земли возле приёмника Ar, дБ	Gr = 1 hr = 1.5м	ф-лы таб.3 [10]	-1,5	-1,5	5,3	7	5	0,7	0	0	0		
Снижение поверхностью земли в средней зоне, Am дБ	Gm = 1	ф-лы таб.3 [10]	-2,9	-2,9	0	0	0	0	0	0	0		
Суммарное снижение поверхностью земли на траектории распространения звука Agr, дБ		ф-ла (9) [10]	-5,9	-5,9	3,8	5,5	3,5	-0,8	-1,5	-1,5	-1,5		

1		2	3	4	5	6	7	8	9	10	11	12	13
Уровни звукового давления от источника ИШ-9-17 в расчётной точке днём, дБ		**ф-ла(3)[10]**	**0**	**26,8**	**18,1**	**16,4**	**16,1**	**16,4**	**7,2**	**0**	**0**	**19**	**19**
Уровни звукового давления от источника ИШ-9-17 в расчётной точке ночью, дБ		**ф-ла(3)[10]**	**0**	**26,8**	**18,1**	**16,4**	**16,1**	**16,4**	**7,2**	**0**	**0**	**19**	**19**
Источник шума: ИШ-9-18, координаты источника (x,y,z), м =[659.42,-309.20,1.00]													
Уровни звуковой мощности источника днём, Lw, дБ		**исходные данные**	**0**	**93,3**	**94,7**	**96**	**96,3**	**95,9**	**92,6**	**88,4**	**83,9**		
Уровни звуковой мощности источника ночью, Lw, дБ		**исходные данные**	**0**	**93,3**	**94,7**	**96**	**96,3**	**95,9**	**92,6**	**88,4**	**83,9**		
Поправка на телесный угол DΩ, дБ	Ω = 6.28	10Lg(4π/Ω)	**3**	3	3	3	3	3	3	3	3		
Показатель направленности источника Di, дБ		исходные данные	**0**	0	0	0	0	0	0	0	0		
Поправка на направленность источника Dc, дБ	Dc	DΩ + Di	**3**	3	3	3	3	3	3	3	3		
Затухание из-за геометрической дивергенции, Adiv, дБ	расстояние = 1626.16 м	ф-ла (7) [10]	**75,2**										
Коэффициент затухания звука в атмосфере α, дБ/км	Ta=20,°C Pa=101.33,кПа hотн.=70%	ф-ла (5) [9]	0,02	0,09	0,33	1,12	2,79	4,98	9,04	23,09	77,63		
Учет затухания звука в атмосфере Aatm, дБ		ф-ла (8) [10]	0	0,1	0,5	1,8	4,5	8,1	14,7	37,5	126,2		
Снижение поверхностью земли возле источника As, дБ	Gs = 0 hs = 1м	ф-лы таб.3 [10]	-1,5	-1,5	-1,5	-1,5	-1,5	-1,5	-1,5	-1,5	-1,5		
Снижение поверхностью земли возле приёмника Ar, дБ	Gr = 1 hr = 1.5м	ф-лы таб.3 [10]	-1,5	-1,5	5,3	7	5	0,7	0	0	0		
Снижение поверхностью земли в средней зоне, Am дБ	Gm = 1	ф-лы таб.3 [10]	-2,9	-2,9	0	0	0	0	0	0	0		
Суммарное снижение поверхностью земли на траектории распространения звука Agr, дБ		ф-ла (9) [10]	-5,9	-5,9	3,8	5,5	3,5	-0,8	-1,5	-1,5	-1,5		
Уровни звукового давления от источника ИШ-9-18 в расчётной точке днём, дБ		**ф-ла(3)[10]**	**0**	**26,8**	**18,1**	**16,4**	**16,1**	**16,4**	**7,2**	**0**	**0**	**19**	**19**

1		2	3	4	5	6	7	8	9	10	11	12	13
Уровни звукового давления от источника ИШ-9-18 в расчётной точке ночью, дБ		**ф-ла(3)[10]**	**0**	**26,8**	**18,1**	**16,4**	**16,1**	**16,4**	**7,2**	**0**	**0**	**19**	**19**
Источник шума: ИШ-9-19, координаты источника (x,y,z), м =[660.44,-306.50,1.00]													
Уровни звуковой мощности источника днём, Lw, дБ		**исходные данные**	**0**	**93,3**	**94,7**	**96**	**96,3**	**95,9**	**92,6**	**88,4**	**83,9**		
Уровни звуковой мощности источника ночью, Lw, дБ		**исходные данные**	**0**	**93,3**	**94,7**	**96**	**96,3**	**95,9**	**92,6**	**88,4**	**83,9**		
Поправка на телесный угол DΩ, дБ	Ω = 6.28	10Lg(4π/Ω)	**3**	3	3	3	3	3	3	3	3		
Показатель направленности источника Di, дБ		исходные данные	**0**	0	0	0	0	0	0	0	0		
Поправка на направленность источника Dc, дБ	Dc	DΩ + Di	**3**	3	3	3	3	3	3	3	3		
Затухание из-за геометрической дивергенции, Adiv, дБ	расстояние = 1625.86 м	ф-ла (7) [10]	**75,2**										
Коэффициент затухания звука в атмосфере α, дБ/км	Ta=20,°C Pa=101.33,кПа hотн.=70%	ф-ла (5) [9]	0,02	0,09	0,33	1,12	2,79	4,98	9,04	23,09	77,63		
Учет затухания звука в атмосфере Aatm, дБ		ф-ла (8) [10]	0	0,1	0,5	1,8	4,5	8,1	14,7	37,5	126,2		
Снижение поверхностью земли возле источника As, дБ	Gs = 0 hs = 1м	ф-лы таб.3 [10]	-1,5	-1,5	-1,5	-1,5	-1,5	-1,5	-1,5	-1,5	-1,5		
Снижение поверхностью земли возле приёмника Ar, дБ	Gr = 1 hr = 1.5м	ф-лы таб.3 [10]	-1,5	-1,5	5,3	7	5	0,7	0	0	0		
Снижение поверхностью земли в средней зоне, Am дБ	Gm = 1	ф-лы таб.3 [10]	-2,9	-2,9	0	0	0	0	0	0	0		
Суммарное снижение поверхностью земли на траектории распространения звука Agr, дБ		ф-ла (9) [10]	-5,9	-5,9	3,8	5,5	3,5	-0,8	-1,5	-1,5	-1,5		
Уровни звукового давления от источника ИШ-9-19 в расчётной точке днём, дБ		**ф-ла(3)[10]**	**0**	**26,8**	**18,1**	**16,4**	**16,1**	**16,4**	**7,2**	**0**	**0**	**19**	**19**
Уровни звукового давления от источника ИШ-9-19 в расчётной точке ночью, дБ		**ф-ла(3)[10]**	**0**	**26,8**	**18,1**	**16,4**	**16,1**	**16,4**	**7,2**	**0**	**0**	**19**	**19**

1		2	3	4	5	6	7	8	9	10	11	12	13
Источник шума: ИШ-9-20, координаты источника (x,y,z), м =[661.28,-303.61,1.00]													
Уровни звуковой мощности источника днём, Lw, дБ		**исходные данные**	**0**	**93,3**	**94,7**	**96**	**96,3**	**95,9**	**92,6**	**88,4**	**83,9**		
Уровни звуковой мощности источника ночью, Lw, дБ		**исходные данные**	**0**	**93,3**	**94,7**	**96**	**96,3**	**95,9**	**92,6**	**88,4**	**83,9**		
Поправка на телесный угол DΩ, дБ	Ω = 6.28	10Lg(4π/Ω)	**3**	3	3	3	3	3	3	3	3		
Показатель направленности источника Di, дБ		исходные данные	**0**	0	0	0	0	0	0	0	0		
Поправка на направленность источника Dc, дБ	Dc	DΩ + Di	**3**	3	3	3	3	3	3	3	3		
Затухание из-за геометрической дивергенции, Adiv, дБ	расстояние = 1625.80 м	ф-ла (7) [10]	**75,2**										
Коэффициент затухания звука в атмосфере α, дБ/км	Ta=20,°C Pa=101.33,кПа hотн.=70%	ф-ла (5) [9]	0,02	0,09	0,33	1,12	2,79	4,98	9,04	23,09	77,63		
Учет затухания звука в атмосфере Aatm, дБ		ф-ла (8) [10]	0	0,1	0,5	1,8	4,5	8,1	14,7	37,5	126,2		
Снижение поверхностью земли возле источника As, дБ	Gs = 0 hs = 1м	ф-лы таб.3 [10]	-1,5	-1,5	-1,5	-1,5	-1,5	-1,5	-1,5	-1,5	-1,5		
Снижение поверхностью земли возле приёмника Ar, дБ	Gr = 1 hr = 1.5м	ф-лы таб.3 [10]	-1,5	-1,5	5,3	7	5	0,7	0	0	0		
Снижение поверхностью земли в средней зоне, Am дБ	Gm = 1	ф-лы таб.3 [10]	-2,9	-2,9	0	0	0	0	0	0	0		
Суммарное снижение поверхностью земли на траектории распространения звука Agr, дБ		ф-ла (9) [10]	-5,9	-5,9	3,8	5,5	3,5	-0,8	-1,5	-1,5	-1,5		
Уровни звукового давления от источника ИШ-9-20 в расчётной точке днём, дБ		**ф-ла(3)[10]**	**0**	**26,8**	**18,1**	**16,4**	**16,1**	**16,4**	**7,2**	**0**	**0**	**19**	**19**
Уровни звукового давления от источника ИШ-9-20 в расчётной точке ночью, дБ		**ф-ла(3)[10]**	**0**	**26,8**	**18,1**	**16,4**	**16,1**	**16,4**	**7,2**	**0**	**0**	**19**	**19**
Источник шума: ИШ-9-21, координаты источника (x,y,z), м =[661.93,-300.72,1.00]													

1		2	3	4	5	6	7	8	9	10	11	12	13
Уровни звуковой мощности источника днём, Lw, дБ		**исходные данные**	**0**	**93,3**	**94,7**	**96**	**96,3**	**95,9**	**92,6**	**88,4**	**83,9**		
Уровни звуковой мощности источника ночью, Lw, дБ		**исходные данные**	**0**	**93,3**	**94,7**	**96**	**96,3**	**95,9**	**92,6**	**88,4**	**83,9**		
Поправка на телесный угол DΩ, дБ	Ω = 6.28	10Lg(4π/Ω)	**3**	3	3	3	3	3	3	3	3		
Показатель направленности источника Di, дБ		исходные данные	**0**	0	0	0	0	0	0	0	0		
Поправка на направленность источника Dc, дБ	Dc	DΩ + Di	**3**	3	3	3	3	3	3	3	3		
Затухание из-за геометрической дивергенции, Adiv, дБ	расстояние = 1625.92 м	ф-ла (7) [10]	**75,2**										
Коэффициент затухания звука в атмосфере α, дБ/км	Ta=20,°C Pa=101.33,кПа hотн.=70%	ф-ла (5) [9]	0,02	0,09	0,33	1,12	2,79	4,98	9,04	23,09	77,63		
Учет затухания звука в атмосфере Aatm, дБ		ф-ла (8) [10]	0	0,1	0,5	1,8	4,5	8,1	14,7	37,5	126,2		
Снижение поверхностью земли возле источника As, дБ	Gs = 0 hs = 1м	ф-лы таб.3 [10]	-1,5	-1,5	-1,5	-1,5	-1,5	-1,5	-1,5	-1,5	-1,5		
Снижение поверхностью земли возле приёмника Ar, дБ	Gr = 1 hr = 1.5м	ф-лы таб.3 [10]	-1,5	-1,5	5,3	7	5	0,7	0	0	0		
Снижение поверхностью земли в средней зоне, Am дБ	Gm = 1	ф-лы таб.3 [10]	-2,9	-2,9	0	0	0	0	0	0	0		
Суммарное снижение поверхностью земли на траектории распространения звука Agr, дБ		ф-ла (9) [10]	-5,9	-5,9	3,8	5,5	3,5	-0,8	-1,5	-1,5	-1,5		
Уровни звукового давления от источника ИШ-9-21 в расчётной точке днём, дБ		**ф-ла(3)[10]**	**0**	**26,8**	**18,1**	**16,4**	**16,1**	**16,4**	**7,2**	**0**	**0**	**19**	**19**
Уровни звукового давления от источника ИШ-9-21 в расчётной точке ночью, дБ		**ф-ла(3)[10]**	**0**	**26,8**	**18,1**	**16,4**	**16,1**	**16,4**	**7,2**	**0**	**0**	**19**	**19**
Источник шума: ИШ-9-22, координаты источника (x,y,z), м =[663.14,-297.83,1.00]													
Уровни звуковой мощности источника днём, Lw, дБ		**исходные данные**	**0**	**93,3**	**94,7**	**96**	**96,3**	**95,9**	**92,6**	**88,4**	**83,9**		

1		2	3	4	5	6	7	8	9	10	11	12	13
Уровни звуковой мощности источника ночью, Lw, дБ		**исходные данные**	**0**	**93,3**	**94,7**	**96**	**96,3**	**95,9**	**92,6**	**88,4**	**83,9**		
Поправка на телесный угол DΩ, дБ	Ω = 6.28	10Lg(4π/Ω)	**3**	3	3	3	3	3	3	3	3		
Показатель направленности источника Di, дБ		исходные данные	**0**	0	0	0	0	0	0	0	0		
Поправка на направленность источника Dc, дБ	Dc	DΩ + Di	**3**	3	3	3	3	3	3	3	3		
Затухание из-за геометрической дивергенции, Adiv, дБ	расстояние = 1625.51 м	ф-ла (7) [10]	**75,2**										
Коэффициент затухания звука в атмосфере α, дБ/км	Ta=20,°C Pa=101.33,кПа hотн.=70%	ф-ла (5) [9]	0,02	0,09	0,33	1,12	2,79	4,98	9,04	23,09	77,63		
Учет затухания звука в атмосфере Aatm, дБ		ф-ла (8) [10]	0	0,1	0,5	1,8	4,5	8,1	14,7	37,5	126,2		
Снижение поверхностью земли возле источника As, дБ	Gs = 0 hs = 1м	ф-лы таб.3 [10]	-1,5	-1,5	-1,5	-1,5	-1,5	-1,5	-1,5	-1,5	-1,5		
Снижение поверхностью земли возле приёмника Ar, дБ	Gr = 1 hr = 1.5м	ф-лы таб.3 [10]	-1,5	-1,5	5,3	7	5	0,7	0	0	0		
Снижение поверхностью земли в средней зоне, Am дБ	Gm = 1	ф-лы таб.3 [10]	-2,9	-2,9	0	0	0	0	0	0	0		
Суммарное снижение поверхностью земли на траектории распространения звука Agr, дБ		ф-ла (9) [10]	-5,9	-5,9	3,8	5,5	3,5	-0,8	-1,5	-1,5	-1,5		
Уровни звукового давления от источника ИШ-9-22 в расчётной точке днём, дБ		**ф-ла(3)[10]**	**0**	**26,8**	**18,1**	**16,4**	**16,1**	**16,4**	**7,2**	**0**	**0**	**19**	**19**
Уровни звукового давления от источника ИШ-9-22 в расчётной точке ночью, дБ		**ф-ла(3)[10]**	**0**	**26,8**	**18,1**	**16,4**	**16,1**	**16,4**	**7,2**	**0**	**0**	**19**	**19**
Источник шума: ИШ-9-23, координаты источника (x,y,z), м =[664.07,-295.13,1.00]													
Уровни звуковой мощности источника днём, Lw, дБ		**исходные данные**	**0**	**93,3**	**94,7**	**96**	**96,3**	**95,9**	**92,6**	**88,4**	**83,9**		
Уровни звуковой мощности источника ночью, Lw, дБ		**исходные данные**	**0**	**93,3**	**94,7**	**96**	**96,3**	**95,9**	**92,6**	**88,4**	**83,9**		

1		2	3	4	5	6	7	8	9	10	11	12	13
Поправка на телесный угол DΩ, дБ	Ω = 6.28	10Lg(4π/Ω)	**3**	3	3	3	3	3	3	3	3		
Показатель направленности источника Di, дБ		исходные данные	**0**	0	0	0	0	0	0	0	0		
Поправка на направленность источника Dc, дБ	Dc	DΩ + Di	**3**	3	3	3	3	3	3	3	3		
Затухание из-за геометрической дивергенции, Adiv, дБ	расстояние = 1625.33 м	ф-ла (7) [10]	**75,2**										
Коэффициент затухания звука в атмосфере α, дБ/км	Ta=20,°C Pa=101.33,кПа hотн.=70%	ф-ла (5) [9]	0,02	0,09	0,33	1,12	2,79	4,98	9,04	23,09	77,63		
Учет затухания звука в атмосфере Aatm, дБ		ф-ла (8) [10]	0	0,1	0,5	1,8	4,5	8,1	14,7	37,5	126,2		
Снижение поверхностью земли возле источника As, дБ	Gs = 0 hs = 1м	ф-лы таб.3 [10]	-1,5	-1,5	-1,5	-1,5	-1,5	-1,5	-1,5	-1,5	-1,5		
Снижение поверхностью земли возле приёмника Ar, дБ	Gr = 1 hr = 1.5м	ф-лы таб.3 [10]	-1,5	-1,5	5,3	7	5	0,7	0	0	0		
Снижение поверхностью земли в средней зоне, Am дБ	Gm = 1	ф-лы таб.3 [10]	-2,9	-2,9	0	0	0	0	0	0	0		
Суммарное снижение поверхностью земли на траектории распространения звука Agr, дБ		ф-ла (9) [10]	-5,9	-5,9	3,8	5,5	3,5	-0,8	-1,5	-1,5	-1,5		
Уровни звукового давления от источника ИШ-9-23 в расчётной точке днём, дБ		**ф-ла(3)[10]**	**0**	**26,8**	**18,1**	**16,4**	**16,1**	**16,4**	**7,2**	**0**	**0**	**19**	**19**
Уровни звукового давления от источника ИШ-9-23 в расчётной точке ночью, дБ		**ф-ла(3)[10]**	**0**	**26,8**	**18,1**	**16,4**	**16,1**	**16,4**	**7,2**	**0**	**0**	**19**	**19**
Источник шума: ИШ-9-24, координаты источника (x,y,z), м =[665.19,-292.34,1.00]													
Уровни звуковой мощности источника днём, Lw, дБ		**исходные данные**	**0**	**93,3**	**94,7**	**96**	**96,3**	**95,9**	**92,6**	**88,4**	**83,9**		
Уровни звуковой мощности источника ночью, Lw, дБ		**исходные данные**	**0**	**93,3**	**94,7**	**96**	**96,3**	**95,9**	**92,6**	**88,4**	**83,9**		
Поправка на телесный угол DΩ, дБ	Ω = 6.28	10Lg(4π/Ω)	**3**	3	3	3	3	3	3	3	3		

1		2	3	4	5	6	7	8	9	10	11	12	13
Показатель направленности источника Di, дБ		исходные данные	**0**	0	0	0	0	0	0	0	0		
Поправка на направленность источника Dc, дБ	Dc	DΩ + Di	**3**	3	3	3	3	3	3	3	3		
Затухание из-за геометрической дивергенции, Adiv, дБ	расстояние = 1624.99 м	ф-ла (7) [10]	**75,2**										
Коэффициент затухания звука в атмосфере α, дБ/км	Ta=20,°C Pa=101.33,кПа hотн.=70%	ф-ла (5) [9]	0,02	0,09	0,33	1,12	2,79	4,98	9,04	23,09	77,63		
Учет затухания звука в атмосфере Aatm, дБ		ф-ла (8) [10]	0	0,1	0,5	1,8	4,5	8,1	14,7	37,5	126,2		
Снижение поверхностью земли возле источника As, дБ	Gs = 0 hs = 1м	ф-лы таб.3 [10]	-1,5	-1,5	-1,5	-1,5	-1,5	-1,5	-1,5	-1,5	-1,5		
Снижение поверхностью земли возле приёмника Ar, дБ	Gr = 1 hr = 1.5м	ф-лы таб.3 [10]	-1,5	-1,5	5,3	7	5	0,7	0	0	0		
Снижение поверхностью земли в средней зоне, Am дБ	Gm = 1	ф-лы таб.3 [10]	-2,9	-2,9	0	0	0	0	0	0	0		
Суммарное снижение поверхностью земли на траектории распространения звука Agr, дБ		ф-ла (9) [10]	-5,9	-5,9	3,8	5,5	3,5	-0,8	-1,5	-1,5	-1,5		
Уровни звукового давления от источника ИШ-9-24 в расчётной точке днём, дБ		**ф-ла(3)[10]**	**0**	**26,8**	**18,1**	**16,4**	**16,1**	**16,4**	**7,2**	**0**	**0**	**19**	**19**
Уровни звукового давления от источника ИШ-9-24 в расчётной точке ночью, дБ		**ф-ла(3)[10]**	**0**	**26,8**	**18,1**	**16,4**	**16,1**	**16,4**	**7,2**	**0**	**0**	**19**	**19**
Источник шума: ИШ-9-25, координаты источника (x,y,z), м =[683.46,-239.16,1.00]													
Уровни звуковой мощности источника днём, Lw, дБ		**исходные данные**	**77**	**75**	**67**	**66**	**63**	**55**	**53**	**48**	**51**		
Уровни звуковой мощности источника ночью, Lw, дБ		**исходные данные**	**77**	**75**	**67**	**66**	**63**	**55**	**53**	**48**	**51**		
Поправка на телесный угол DΩ, дБ	Ω = 6.28	10Lg(4π/Ω)	**3**	3	3	3	3	3	3	3	3		
Показатель направленности источника Di, дБ		исходные данные	**0**	0	0	0	0	0	0	0	0		

1		2	3	4	5	6	7	8	9	10	11	12	13
Поправка на направленность источника Dc, дБ	Dc	DΩ + Di	**3**	3	3	3	3	3	3	3	3		
Затухание из-за геометрической дивергенции, Adiv, дБ	расстояние = 1622.53 м	ф-ла (7) [10]	**75,2**										
Коэффициент затухания звука в атмосфере α, дБ/км	Ta=20,°C Pa=101.33,кПа hотн.=70%	ф-ла (5) [9]	0,02	0,09	0,33	1,12	2,79	4,98	9,04	23,09	77,63		
Учет затухания звука в атмосфере Aatm, дБ		ф-ла (8) [10]	0	0,1	0,5	1,8	4,5	8,1	14,7	37,5	126		
Снижение поверхностью земли возле источника As, дБ	Gs = 0 hs = 1м	ф-лы таб.3 [10]	-1,5	-1,5	-1,5	-1,5	-1,5	-1,5	-1,5	-1,5	-1,5		
Снижение поверхностью земли возле приёмника Ar, дБ	Gr = 1 hr = 1.5м	ф-лы таб.3 [10]	-1,5	-1,5	5,3	7	5	0,7	0	0	0		
Снижение поверхностью земли в средней зоне, Am дБ	Gm = 1	ф-лы таб.3 [10]	-2,9	-2,9	0	0	0	0	0	0	0		
Суммарное снижение поверхностью земли на траектории распространения звука Agr, дБ		ф-ла (9) [10]	-5,9	-5,9	3,8	5,5	3,5	-0,8	-1,5	-1,5	-1,5		
Уровни звукового давления от источника ИШ-9-25 в расчётной точке днём, дБ		**ф-ла(3)[10]**	**10,6**	**8,5**	**0**	**0**	**0**	**0**	**0**	**0**	**0**	**0**	**0**
Уровни звукового давления от источника ИШ-9-25 в расчётной точке ночью, дБ		**ф-ла(3)[10]**	**10,6**	**8,5**	**0**	**0**	**0**	**0**	**0**	**0**	**0**	**0**	**0**
Источник шума: ИШ-9-26, координаты источника (x,y,z), м =[680.09,-249.52,1.00]													
Уровни звуковой мощности источника днём, Lw, дБ		**исходные данные**	**77**	**75**	**67**	**66**	**63**	**55**	**53**	**48**	**51**		
Уровни звуковой мощности источника ночью, Lw, дБ		**исходные данные**	**77**	**75**	**67**	**66**	**63**	**55**	**53**	**48**	**51**		
Поправка на телесный угол DΩ, дБ	Ω = 6.28	10Lg(4π/Ω)	**3**	3	3	3	3	3	3	3	3		
Показатель направленности источника Di, дБ		исходные данные	**0**	0	0	0	0	0	0	0	0		
Поправка на направленность источника Dc, дБ	Dc	DΩ + Di	**3**	3	3	3	3	3	3	3	3		

1		2	3	4	5	6	7	8	9	10	11	12	13
Затухание из-за геометрической дивергенции, Adiv, дБ	расстояние = 1622.67 м	ф-ла (7) [10]	**75,2**										
Коэффициент затухания звука в атмосфере α, дБ/км	Ta=20,°C Pa=101.33,кПа hотн.=70%	ф-ла (5) [9]	0,02	0,09	0,33	1,12	2,79	4,98	9,04	23,09	77,63		
Учет затухания звука в атмосфере Aatm, дБ		ф-ла (8) [10]	0	0,1	0,5	1,8	4,5	8,1	14,7	37,5	126		
Снижение поверхностью земли возле источника As, дБ	Gs = 0 hs = 1м	ф-лы таб.3 [10]	-1,5	-1,5	-1,5	-1,5	-1,5	-1,5	-1,5	-1,5	-1,5		
Снижение поверхностью земли возле приёмника Ar, дБ	Gr = 1 hr = 1.5м	ф-лы таб.3 [10]	-1,5	-1,5	5,3	7	5	0,7	0	0	0		
Снижение поверхностью земли в средней зоне, Am дБ	Gm = 1	ф-лы таб.3 [10]	-2,9	-2,9	0	0	0	0	0	0	0		
Суммарное снижение поверхностью земли на траектории распространения звука Agr, дБ		ф-ла (9) [10]	-5,9	-5,9	3,8	5,5	3,5	-0,8	-1,5	-1,5	-1,5		
Уровни звукового давления от источника ИШ-9-26 в расчётной точке днём, дБ		**ф-ла(3)[10]**	**10,6**	**8,5**	**0**	**0**	**0**	**0**	**0**	**0**	**0**	**0**	**0**
Уровни звукового давления от источника ИШ-9-26 в расчётной точке ночью, дБ		**ф-ла(3)[10]**	**10,6**	**8,5**	**0**	**0**	**0**	**0**	**0**	**0**	**0**	**0**	**0**
Источник шума: ИШ-9-27, координаты источника (x,y,z), м =[676.46,-260.14,1.00]													
Уровни звуковой мощности источника днём, Lw, дБ		**исходные данные**	**77**	**75**	**67**	**66**	**63**	**55**	**53**	**48**	**51**		
Уровни звуковой мощности источника ночью, Lw, дБ		**исходные данные**	**77**	**75**	**67**	**66**	**63**	**55**	**53**	**48**	**51**		
Поправка на телесный угол DΩ, дБ	Ω = 6.28	10Lg(4π/Ω)	**3**	3	3	3	3	3	3	3	3		
Показатель направленности источника Di, дБ		исходные данные	**0**	0	0	0	0	0	0	0	0		
Поправка на направленность источника Dc, дБ	Dc	DΩ + Di	**3**	3	3	3	3	3	3	3	3		
Затухание из-за геометрической дивергенции, Adiv, дБ	расстояние = 1623.07 м	ф-ла (7) [10]	**75,2**										

1		2	3	4	5	6	7	8	9	10	11	12	13
Коэффициент затухания звука в атмосфере α, дБ/км	Ta=20,°C Pa=101.33,кПа hотн.=70%	ф-ла (5) [9]	0,02	0,09	0,33	1,12	2,79	4,98	9,04	23,09	77,63		
Учет затухания звука в атмосфере Aatm, дБ		ф-ла (8) [10]	0	0,1	0,5	1,8	4,5	8,1	14,7	37,5	126		
Снижение поверхностью земли возле источника As, дБ	Gs = 0 hs = 1м	ф-лы таб.3 [10]	-1,5	-1,5	-1,5	-1,5	-1,5	-1,5	-1,5	-1,5	-1,5		
Снижение поверхностью земли возле приёмника Ar, дБ	Gr = 1 hr = 1.5м	ф-лы таб.3 [10]	-1,5	-1,5	5,3	7	5	0,7	0	0	0		
Снижение поверхностью земли в средней зоне, Am дБ	Gm = 1	ф-лы таб.3 [10]	-2,9	-2,9	0	0	0	0	0	0	0		
Суммарное снижение поверхностью земли на траектории распространения звука Agr, дБ		ф-ла (9) [10]	-5,9	-5,9	3,8	5,5	3,5	-0,8	-1,5	-1,5	-1,5		
Уровни звукового давления от источника ИШ-9-27 в расчётной точке днём, дБ		**ф-ла(3)[10]**	**10,6**	**8,5**	**0**	**0**	**0**	**0**	**0**	**0**	**0**	**0**	**0**
Уровни звукового давления от источника ИШ-9-27 в расчётной точке ночью, дБ		**ф-ла(3)[10]**	**10,6**	**8,5**	**0**	**0**	**0**	**0**	**0**	**0**	**0**	**0**	**0**
Источник шума: ИШ-10-1, координаты источника (x,y,z), м =[17.37,413.17,1.00]													
Уровни звуковой мощности источника днём, Lw, дБ		**исходные данные**	**0**	**98,3**	**99,7**	**101**	**101,3**	**100,9**	**97,6**	**93,4**	**88,9**		
Уровни звуковой мощности источника ночью, Lw, дБ		**исходные данные**	**0**	**98,3**	**99,7**	**101**	**101,3**	**100,9**	**97,6**	**93,4**	**88,9**		
Поправка на телесный угол DΩ, дБ	Ω = 6.28	10Lg(4π/Ω)	**3**	3	3	3	3	3	3	3	3		
Показатель направленности источника Di, дБ		исходные данные	**0**	0	0	0	0	0	0	0	0		
Поправка на направленность источника Dc, дБ	Dc	DΩ + Di	**3**	3	3	3	3	3	3	3	3		
Затухание из-за геометрической дивергенции, Adiv, дБ	расстояние = 2489.66 м	ф-ла (7) [10]	**78,9**										
Коэффициент затухания звука в атмосфере α, дБ/км	Ta=20,°C Pa=101.33,кПа hотн.=70%	ф-ла (5) [9]	0,02	0,09	0,33	1,12	2,79	4,98	9,04	23,09	77,63		

1		2	3	4	5	6	7	8	9	10	11	12	13
Учет затухания звука в атмосфере Aatm, дБ		ф-ла (8) [10]	0,1	0,2	0,8	2,8	6,9	12,4	22,5	57,5	193,3		
Снижение уровня звукового давления из-за влияния застройки между источником шума и расчетной точкой													
Снижение уровня звукового давления на пути над экраном, Dz1, дБ	z = 0.24м (разность путей)	ф-лы (14-18) [10]	4,8	4,8	4,8	4,8	4,8	4,8	4,9	4,9	5,1		
Снижение уровня звукового давления на пути слева от экрана, Dz2, дБ	z = 2.08м (разность путей)	ф-лы (14-18) [10]	14,1	16,9	19,8	22,7	25,7	28,7	31,7	34,7	37,7		
Снижение уровня звукового давления на пути справа от экрана, Dz3, дБ	z = 72.38м (разность путей)	ф-лы (14-18) [10]	24,3	27,3	30,3	33,3	36,3	39,3	42,3	45,3	48,3		
Общее снижение уровня звука препятствием Dz, дБ		Эн.сумма(-Dzi)	4,3	4,5	4,6	4,7	4,8	4,8	4,8	4,9	5,1		
Уровни звукового давления от источника ИШ-10-1 в расчётной точке днём, дБ		**ф-ла(3)[10]**	**0**	**17,7**	**18,3**	**17,6**	**13,7**	**7,8**	**0**	**0**	**0**	**14,3**	**14,3**
Уровни звукового давления от источника ИШ-10-1 в расчётной точке ночью, дБ		**ф-ла(3)[10]**	**0**	**17,7**	**18,3**	**17,6**	**13,7**	**7,8**	**0**	**0**	**0**	**14,3**	**14,3**
Источник шума: ИШ-10-2, координаты источника (x,y,z), м =[27.87,443.46,1.00]													
Уровни звуковой мощности источника днём, Lw, дБ		**исходные данные**	**0**	**98,3**	**99,7**	**101**	**101,3**	**100,9**	**97,6**	**93,4**	**88,9**		
Уровни звуковой мощности источника ночью, Lw, дБ		**исходные данные**	**0**	**98,3**	**99,7**	**101**	**101,3**	**100,9**	**97,6**	**93,4**	**88,9**		
Поправка на телесный угол DΩ, дБ	Ω = 6.28	10Lg(4π/Ω)	**3**	3	3	3	3	3	3	3	3		
Показатель направленности источника Di, дБ		исходные данные	**0**	0	0	0	0	0	0	0	0		
Поправка на направленность источника Dc, дБ	Dc	DΩ + Di	**3**	3	3	3	3	3	3	3	3		
Затухание из-за геометрической дивергенции, Adiv, дБ	расстояние = 2494.37 м	ф-ла (7) [10]	**78,9**										
Коэффициент затухания звука в атмосфере α, дБ/км	Ta=20,°C Pa=101.33,кПа hотн.=70%	ф-ла (5) [9]	0,02	0,09	0,33	1,12	2,79	4,98	9,04	23,09	77,63		

1		2	3	4	5	6	7	8	9	10	11	12	13
Учет затухания звука в атмосфере Aatm, дБ		ф-ла (8) [10]	0,1	0,2	0,8	2,8	7	12,4	22,5	57,6	193,6		
Снижение уровня звукового давления из-за влияния застройки между источником шума и расчетной точкой													
Снижение уровня звукового давления на пути над экраном, Dz1, дБ	z = 0.19м (разность путей)	ф-лы (14-18) [10]	4,8	4,8	4,8	4,8	4,8	4,8	4,8	4,8	4,8		
Снижение уровня звукового давления на пути слева от экрана, Dz2, дБ	z = 3.71м (разность путей)	ф-лы (14-18) [10]	16,3	19,3	22,2	25,2	28,2	31,2	34,2	37,2	40,2		
Снижение уровня звукового давления на пути справа от экрана, Dz3, дБ	z = 93.94м (разность путей)	ф-лы (14-18) [10]	29,7	33,1	36,1	39,2	42,2	45,2	48,2	51,2	54,2		
Общее снижение уровня звука препятствием Dz, дБ		Эн.сумма(-Dzi)	4,5	4,6	4,7	4,7	4,8	4,8	4,8	4,8	4,8		
Уровни звукового давления прямого звука от источника ИШ-10-2 в расчётной точке днём, дБ		**ф-ла(3)[10]**	**0**	**17,5**	**18,2**	**17,5**	**13,7**	**7,8**	**0**	**0**	**0**	**14,3**	**14,3**
Уровни звукового давления прямого звука от источника ИШ-10-2 в расчётной точке ночью, дБ		**ф-ла(3)[10]**	**0**	**17,5**	**18,2**	**17,5**	**13,7**	**7,8**	**0**	**0**	**0**	**14,3**	**14,3**
Расчёт отражённого звука													
Уровни звукового давления от мнимого источника ИШ-10-2_мн.(1) в расчётной точке днём, дБ		**ф-ла(3)[10]**	**0**	**0**	**0**	**0**	**0**	**0**	**0**	**0**	**0**	**0**	**0**
Уровни звукового давления от мнимого источника ИШ-10-2_мн.(1) в расчётной точке ночью, дБ		**ф-ла(3)[10]**	**0**	**0**	**0**	**0**	**0**	**0**	**0**	**0**	**0**	**0**	**0**
Уровни звукового давления от источника ИШ-10-2 в расчётной точке днём, дБ		**ф-ла(3)[10]**	**0**	**17,5**	**18,2**	**17,5**	**13,7**	**7,8**	**0**	**0**	**0**	**14,3**	**14,3**
Уровни звукового давления от источника ИШ-10-2 в расчётной точке ночью, дБ		**ф-ла(3)[10]**	**0**	**17,5**	**18,2**	**17,5**	**13,7**	**7,8**	**0**	**0**	**0**	**14,3**	**14,3**
Уровни звукового давления в расчётной точке													
Суммарные уровни звукового давления в расчётной точке от всех источников шума днём, Lрт, дБ		**ф-ла (19) [1]**	**53,7**	**51,4**	**41,2**	**38,7**	**37,8**	**39,3**	**32,8**	**3,2**	**0**	**41,9**	**41,9**
Суммарные уровни звукового давления в расчётной точке от всех источников шума ночью, Lрт, дБ		**ф-ла (19) [1]**	**47,1**	**49,3**	**40,4**	**38,2**	**37,4**	**38,6**	**28,5**	**0**	**0**	**40,8**	**40,8**

1		2	3	4	5	6	7	8	9	10	11	12	13
Допускаемые УЗД днём, Lдоп, дБ	Границы санитарно-защитных зон	Таблица 5.35.[23]	90	75	66	59	54	50	47	45	44	55	70
Допускаемые УЗД ночью, Lдоп, дБ	Границы санитарно-защитных зон	Таблица 5.35.[23]	83	67	57	49	44	40	37	35	33	45	60
Превышение днём, дБ		**Lрт - Lдоп**	**-36,3**	**-23,6**	**-24,8**	**-20,3**	**-16,2**	**-10,7**	**-14,2**	**-41,8**	**-44**	**-13,1**	**-28,1**
Превышение ночью, дБ		**Lрт - Lдоп**	**-35,9**	**-17,7**	**-16,6**	**-10,8**	**-6,6**	**-1,4**	**-8,5**	**-35**	**-33**	**-4,2**	**-19,2**

Определение уровней звукового давления в точке РТ-5 (координаты точки, м: x = 754.22, y = -1586.53, z = 1.50)

Наименование величин и их описание		Ссылка	Расчётные уровни в октавных полосах, со среднегеометрическими частотами, Гц									La, дБА	Lмакс, дБА
			31,5	63	125	250	500	1000	2000	4000	8000		
1		2	3	4	5	6	7	8	9	10	11	12	13
Источник шума: ИШ-1-1, координаты источника (x,y,z), м =[271.72,229.68,1.00]													
Уровни звуковой мощности источника днём, Lw, дБ		**исходные данные**	**97**	**97**	**104**	**106**	**105**	**105**	**98**	**87**	**81**		
Уровни звуковой мощности источника ночью, Lw, дБ		**исходные данные**	**97**	**97**	**104**	**106**	**105**	**105**	**98**	**87**	**81**		
Поправка на телесный угол DΩ, дБ	Ω = 6.28	10Lg(4π/Ω)	**3**	3	3	3	3	3	3	3	3		
Показатель направленности источника Di, дБ		исходные данные	**0**	0	0	0	0	0	0	0	0		
Поправка на направленность источника Dc, дБ	Dc	DΩ + Di	**3**	3	3	3	3	3	3	3	3		
Затухание из-за геометрической дивергенции, Adiv, дБ	расстояние = 1879.21 м	ф-ла (7) [10]	**76,5**										
Коэффициент затухания звука в атмосфере α, дБ/км	Ta=20,°C Pa=101.33,кПа hотн.=70%	ф-ла (5) [9]	0,02	0,09	0,33	1,12	2,79	4,98	9,04	23,09	77,63		
Учет затухания звука в атмосфере Aatm, дБ		ф-ла (8) [10]	0	0,2	0,6	2,1	5,2	9,4	17	43,4	145,9		
Снижение уровня звукового давления из-за влияния застройки между источником шума и расчетной точкой													
Снижение уровня звукового давления на пути над экраном, Dz1, дБ	z = 0.42м (разность путей)	ф-лы (14-18) [10]	4,8	4,8	4,8	4,8	4,8	4,8	4,8	4,8	4,9		
Снижение уровня звукового давления на пути слева от экрана, Dz2, дБ	z = 133.68м (разность путей)	ф-лы (14-18) [10]	31,6	34,7	37,7	40,7	43,7	46,7	49,7	52,8	55,8		
Снижение уровня звукового давления на пути справа от экрана, Dz3, дБ	z = 3.38м (разность путей)	ф-лы (14-18) [10]	14,8	18,5	21,7	24,8	27,8	30,8	33,8	36,8	39,8		

1		2	3	4	5	6	7	8	9	10	11	12	13
Общее снижение уровня звука препятствием Dz, дБ		Эн.сумма(-Dzi)	4,3	4,6	4,7	4,7	4,8	4,8	4,8	4,8	4,9		
Уровни звукового давления прямого звука от источника ИШ-1-1 в расчётной точке днём, дБ		**ф-ла(3)[10]**	**19,1**	**18,8**	**25,2**	**25,7**	**21,5**	**17,4**	**2,7**	**0**	**0**	**22,7**	**22,7**
Уровни звукового давления прямого звука от источника ИШ-1-1 в расчётной точке ночью, дБ		**ф-ла(3)[10]**	**19,1**	**18,8**	**25,2**	**25,7**	**21,5**	**17,4**	**2,7**	**0**	**0**	**22,7**	**22,7**
Расчёт отражённого звука													
Уровни звукового давления от мнимого источника ИШ-1-1_мн.(1) в расчётной точке днём, дБ		**ф-ла(3)[10]**	**0**	**0**	**0**	**0**	**0**	**0**	**0**	**0**	**0**	**0**	**0**
Уровни звукового давления от мнимого источника ИШ-1-1_мн.(1) в расчётной точке ночью, дБ		**ф-ла(3)[10]**	**0**	**0**	**0**	**0**	**0**	**0**	**0**	**0**	**0**	**0**	**0**
Уровни звукового давления от источника ИШ-1-1 в расчётной точке днём, дБ		**ф-ла(3)[10]**	**19,1**	**18,8**	**25,2**	**25,7**	**21,5**	**17,4**	**2,7**	**0**	**0**	**22,7**	**22,7**
Уровни звукового давления от источника ИШ-1-1 в расчётной точке ночью, дБ		**ф-ла(3)[10]**	**19,1**	**18,8**	**25,2**	**25,7**	**21,5**	**17,4**	**2,7**	**0**	**0**	**22,7**	**22,7**
Источник шума: ИШ-1-2, координаты источника (x,y,z), м =[261.74,199.14,1.00]													
Уровни звуковой мощности источника днём, Lw, дБ		**исходные данные**	**97**	**97**	**104**	**106**	**105**	**105**	**98**	**87**	**81**		
Уровни звуковой мощности источника ночью, Lw, дБ		**исходные данные**	**97**	**97**	**104**	**106**	**105**	**105**	**98**	**87**	**81**		
Поправка на телесный угол DΩ, дБ	Ω = 6.28	10Lg(4π/Ω)	**3**	3	3	3	3	3	3	3	3		
Показатель направленности источника Di, дБ		исходные данные	**0**	0	0	0	0	0	0	0	0		
Поправка на направленность источника Dc, дБ	Dc	DΩ + Di	**3**	3	3	3	3	3	3	3	3		
Затухание из-за геометрической дивергенции, Adiv, дБ	расстояние = 1852.34 м	ф-ла (7) [10]	**76,4**										
Коэффициент затухания звука в атмосфере α, дБ/км	Ta=20,°C Pa=101.33,кПа hотн.=70%	ф-ла (5) [9]	0,02	0,09	0,33	1,12	2,79	4,98	9,04	23,09	77,63		

1		2	3	4	5	6	7	8	9	10	11	12	13
Учет затухания звука в атмосфере Aatm, дБ		ф-ла (8) [10]	0	0,2	0,6	2,1	5,2	9,2	16,7	42,8	143,8		
Снижение уровня звукового давления из-за влияния застройки между источником шума и расчетной точкой													
Снижение уровня звукового давления на пути над экраном, Dz1, дБ	z = 0.25м (разность путей)	ф-лы (14-18) [10]	4,8	4,8	4,8	4,8	4,8	4,8	4,8	4,8	4,8		
Снижение уровня звукового давления на пути слева от экрана, Dz2, дБ	z = 182.80м (разность путей)	ф-лы (14-18) [10]	32,9	36	39,1	42,1	45,1	48,1	51,1	54,1	57,1		
Снижение уровня звукового давления на пути справа от экрана, Dz3, дБ	z = 1.48м (разность путей)	ф-лы (14-18) [10]	11,7	15,1	18,2	21,2	24,2	27,2	30,2	33,2	36,2		
Общее снижение уровня звука препятствием Dz, дБ		Эн.сумма(-Dzi)	4	4,4	4,6	4,7	4,7	4,7	4,8	4,8	4,8		
Уровни звукового давления прямого звука от источника ИШ-1-2 в расчётной точке днём, дБ		**ф-ла(3)[10]**	**19,7**	**19,1**	**25,5**	**25,9**	**21,8**	**17,7**	**3,2**	**0**	**0**	**22,9**	**22,9**
Уровни звукового давления прямого звука от источника ИШ-1-2 в расчётной точке ночью, дБ		**ф-ла(3)[10]**	**19,7**	**19,1**	**25,5**	**25,9**	**21,8**	**17,7**	**3,2**	**0**	**0**	**22,9**	**22,9**
Расчёт отражённого звука													
Уровни звукового давления от мнимого источника ИШ-1-2_мн.(1) в расчётной точке днём, дБ		**ф-ла(3)[10]**	**0**	**0**	**0**	**0**	**0**	**0**	**0**	**0**	**0**	**0**	**0**
Уровни звукового давления от мнимого источника ИШ-1-2_мн.(1) в расчётной точке ночью, дБ		**ф-ла(3)[10]**	**0**	**0**	**0**	**0**	**0**	**0**	**0**	**0**	**0**	**0**	**0**
Уровни звукового давления от источника ИШ-1-2 в расчётной точке днём, дБ		**ф-ла(3)[10]**	**19,7**	**19,1**	**25,5**	**25,9**	**21,8**	**17,7**	**3,2**	**0**	**0**	**22,9**	**22,9**
Уровни звукового давления от источника ИШ-1-2 в расчётной точке ночью, дБ		**ф-ла(3)[10]**	**19,7**	**19,1**	**25,5**	**25,9**	**21,8**	**17,7**	**3,2**	**0**	**0**	**22,9**	**22,9**
Источник шума: ИШ-1-3, координаты источника (x,y,z), м =[251.75,236.44,1.00]													
Уровни звуковой мощности источника днём, Lw, дБ		**исходные данные**	**0**	**91,3**	**92,7**	**94**	**94,3**	**93,9**	**90,6**	**86,4**	**81,9**		
Уровни звуковой мощности источника ночью, Lw, дБ		**исходные данные**	**0**	**91,3**	**92,7**	**94**	**94,3**	**93,9**	**90,6**	**86,4**	**81,9**		
Поправка на телесный угол DΩ, дБ	Ω = 6.28	10Lg(4π/Ω)	**3**	3	3	3	3	3	3	3	3		

1		2	3	4	5	6	7	8	9	10	11	12	13
Показатель направленности источника Di, дБ		исходные данные	**0**	0	0	0	0	0	0	0	0		
Поправка на направленность источника Dc, дБ	Dc	DΩ + Di	**3**	3	3	3	3	3	3	3	3		
Затухание из-за геометрической дивергенции, Adiv, дБ	расстояние = 1890.95 м	ф-ла (7) [10]	**76,5**										
Коэффициент затухания звука в атмосфере α, дБ/км	Ta=20,°C Pa=101.33,кПа hотн.=70%	ф-ла (5) [9]	0,02	0,09	0,33	1,12	2,79	4,98	9,04	23,09	77,63		
Учет затухания звука в атмосфере Aatm, дБ		ф-ла (8) [10]	0	0,2	0,6	2,1	5,3	9,4	17,1	43,7	146,8		
Снижение уровня звукового давления из-за влияния застройки между источником шума и расчетной точкой													
Снижение уровня звукового давления на пути над экраном, Dz1, дБ	z = 0.21м (разность путей)	ф-лы (14-18) [10]	4,8	4,8	4,8	4,8	4,8	4,8	4,8	4,8	4,8		
Снижение уровня звукового давления на пути слева от экрана, Dz2, дБ	z = 139.97м (разность путей)	ф-лы (14-18) [10]	31,8	34,9	37,9	40,9	43,9	46,9	49,9	53	56		
Снижение уровня звукового давления на пути справа от экрана, Dz3, дБ	z = 1.37м (разность путей)	ф-лы (14-18) [10]	9,1	11,2	13,6	16,4	19,2	22,1	25,1	28,1	31,1		
Общее снижение уровня звука препятствием Dz, дБ		Эн.сумма(-Dzi)	3,4	3,9	4,2	4,5	4,6	4,7	4,7	4,8	4,8		
Уровни звукового давления прямого звука от источника ИШ-1-3 в расчётной точке днём, дБ		**ф-ла(3)[10]**	**0**	**13,7**	**14,3**	**13,9**	**10,9**	**6,3**	**0**	**0**	**0**	**11,5**	**11,5**
Уровни звукового давления прямого звука от источника ИШ-1-3 в расчётной точке ночью, дБ		**ф-ла(3)[10]**	**0**	**13,7**	**14,3**	**13,9**	**10,9**	**6,3**	**0**	**0**	**0**	**11,5**	**11,5**
Расчёт отражённого звука													
Уровни звукового давления от мнимого источника ИШ-1-3_мн.(1) в расчётной точке днём, дБ		**ф-ла(3)[10]**	**0**	**0**	**0**	**0**	**0**	**0**	**0**	**0**	**0**	**0**	**0**
Уровни звукового давления от мнимого источника ИШ-1-3_мн.(1) в расчётной точке ночью, дБ		**ф-ла(3)[10]**	**0**	**0**	**0**	**0**	**0**	**0**	**0**	**0**	**0**	**0**	**0**
Уровни звукового давления от источника ИШ-1-3 в расчётной точке днём, дБ		**ф-ла(3)[10]**	**0**	**13,7**	**14,3**	**13,9**	**10,9**	**6,3**	**0**	**0**	**0**	**11,5**	**11,5**
Уровни звукового давления от источника ИШ-1-3 в расчётной точке ночью, дБ		**ф-ла(3)[10]**	**0**	**13,7**	**14,3**	**13,9**	**10,9**	**6,3**	**0**	**0**	**0**	**11,5**	**11,5**

1		2	3	4	5	6	7	8	9	10	11	12	13
Источник шума: ИШ-1-4, координаты источника (x,y,z), м =[290.25,223.25,1.00]													
Уровни звуковой мощности источника днём, Lw, дБ		**исходные данные**	**0**	**91,3**	**92,7**	**94**	**94,3**	**93,9**	**90,6**	**86,4**	**81,9**		
Уровни звуковой мощности источника ночью, Lw, дБ		**исходные данные**	**0**	**91,3**	**92,7**	**94**	**94,3**	**93,9**	**90,6**	**86,4**	**81,9**		
Поправка на телесный угол DΩ, дБ	Ω = 6.28	10Lg(4π/Ω)	**3**	3	3	3	3	3	3	3	3		
Показатель направленности источника Di, дБ		исходные данные	**0**	0	0	0	0	0	0	0	0		
Поправка на направленность источника Dc, дБ	Dc	DΩ + Di	**3**	3	3	3	3	3	3	3	3		
Затухание из-за геометрической дивергенции, Adiv, дБ	расстояние = 1868.31 м	ф-ла (7) [10]	**76,4**										
Коэффициент затухания звука в атмосфере α, дБ/км	Ta=20,°C Pa=101.33,кПа hотн.=70%	ф-ла (5) [9]	0,02	0,09	0,33	1,12	2,79	4,98	9,04	23,09	77,63		
Учет затухания звука в атмосфере Aatm, дБ		ф-ла (8) [10]	0	0,2	0,6	2,1	5,2	9,3	16,9	43,1	145		
Снижение уровня звукового давления из-за влияния застройки между источником шума и расчетной точкой													
Снижение уровня звукового давления на пути над экраном, Dz1, дБ	z = 0.62м (разность путей)	ф-лы (14-18) [10]	4,8	4,8	4,8	4,9	5	5,3	5,7	6,5	7,7		
Снижение уровня звукового давления на пути слева от экрана, Dz2, дБ	z = 129.92м (разность путей)	ф-лы (14-18) [10]	31,4	34,6	37,6	40,6	43,6	46,6	49,6	52,6	55,6		
Снижение уровня звукового давления на пути справа от экрана, Dz3, дБ	z = 5.97м (разность путей)	ф-лы (14-18) [10]	18	21,2	24,2	27,2	30,2	33,2	36,2	39,3	42,3		
Общее снижение уровня звука препятствием Dz, дБ		Эн.сумма(-Dzi)	4,6	4,7	4,8	4,9	5	5,2	5,7	6,4	7,7		
Уровни звукового давления прямого звука от источника ИШ-1-4 в расчётной точке днём, дБ		**ф-ла(3)[10]**	**0**	**13**	**13,9**	**13,6**	**10,6**	**5,9**	**0**	**0**	**0**	**11,2**	**11,2**
Уровни звукового давления прямого звука от источника ИШ-1-4 в расчётной точке ночью, дБ		**ф-ла(3)[10]**	**0**	**13**	**13,9**	**13,6**	**10,6**	**5,9**	**0**	**0**	**0**	**11,2**	**11,2**

1		2	3	4	5	6	7	8	9	10	11	12	13
Расчёт отражённого звука													
Уровни звукового давления от мнимого источника ИШ-1-4_мн.(1) в расчётной точке днём, дБ		**ф-ла(3)[10]**	**0**	**0**	**0**	**0**	**0**	**0**	**0**	**0**	**0**	**0**	**0**
Уровни звукового давления от мнимого источника ИШ-1-4_мн.(1) в расчётной точке ночью, дБ		**ф-ла(3)[10]**	**0**	**0**	**0**	**0**	**0**	**0**	**0**	**0**	**0**	**0**	**0**
Уровни звукового давления от источника ИШ-1-4 в расчётной точке днём, дБ		**ф-ла(3)[10]**	**0**	**13**	**13,9**	**13,6**	**10,6**	**5,9**	**0**	**0**	**0**	**11,2**	**11,2**
Уровни звукового давления от источника ИШ-1-4 в расчётной точке ночью, дБ		**ф-ла(3)[10]**	**0**	**13**	**13,9**	**13,6**	**10,6**	**5,9**	**0**	**0**	**0**	**11,2**	**11,2**
Источник шума: ИШ-1-5, координаты источника (x,y,z), м =[241.49,205.86,1.00]													
Уровни звуковой мощности источника днём, Lw, дБ		**исходные данные**	**0**	**91,3**	**92,7**	**94**	**94,3**	**93,9**	**90,6**	**86,4**	**81,9**		
Уровни звуковой мощности источника ночью, Lw, дБ		**исходные данные**	**0**	**91,3**	**92,7**	**94**	**94,3**	**93,9**	**90,6**	**86,4**	**81,9**		
Поправка на телесный угол DΩ, дБ	Ω = 6.28	10Lg(4π/Ω)	**3**	3	3	3	3	3	3	3	3		
Показатель направленности источника Di, дБ		исходные данные	**0**	0	0	0	0	0	0	0	0		
Поправка на направленность источника Dc, дБ	Dc	DΩ + Di	**3**	3	3	3	3	3	3	3	3		
Затухание из-за геометрической дивергенции, Adiv, дБ	расстояние = 1864.28 м	ф-ла (7) [10]	**76,4**										
Коэффициент затухания звука в атмосфере α, дБ/км	Ta=20,°C Pa=101.33,кПа hотн.=70%	ф-ла (5) [9]	0,02	0,09	0,33	1,12	2,79	4,98	9,04	23,09	77,63		
Учет затухания звука в атмосфере Aatm, дБ		ф-ла (8) [10]	0	0,2	0,6	2,1	5,2	9,3	16,9	43	144,7		
Снижение уровня звукового давления из-за влияния застройки между источником шума и расчетной точкой													
Снижение уровня звукового давления на пути над экраном, Dz1, дБ	z = 0.21м (разность путей)	ф-лы (14-18) [10]	4,8	4,8	4,8	4,8	4,8	4,8	4,8	4,8	4,8		

1		2	3	4	5	6	7	8	9	10	11	12	13
Снижение уровня звукового давления на пути слева от экрана, Dz2, дБ	z = 185.37м (разность путей)	ф-лы (14-18) [10]	33	36,1	39,1	42,1	45,1	48,2	51,2	54,2	57,2		
Снижение уровня звукового давления на пути справа от экрана, Dz3, дБ	z = 0.32м (разность путей)	ф-лы (14-18) [10]	6,2	7,3	8,9	11	13,4	16,1	19	21,9	24,8		
Общее снижение уровня звука препятствием Dz, дБ		Эн.сумма(-Dzi)	2,4	2,8	3,3	3,8	4,2	4,5	4,6	4,7	4,7		
Уровни звукового давления прямого звука от источника ИШ-1-5 в расчётной точке днём, дБ		**ф-ла(3)[10]**	**0**	**14,9**	**15,3**	**14,7**	**11,5**	**6,7**	**0**	**0**	**0**	**12,1**	**12,1**
Уровни звукового давления прямого звука от источника ИШ-1-5 в расчётной точке ночью, дБ		**ф-ла(3)[10]**	**0**	**14,9**	**15,3**	**14,7**	**11,5**	**6,7**	**0**	**0**	**0**	**12,1**	**12,1**
Расчёт отражённого звука													
Уровни звукового давления от мнимого источника ИШ-1-5_мн.(1) в расчётной точке днём, дБ		**ф-ла(3)[10]**	**0**	**0**	**0**	**0**	**0**	**0**	**0**	**0**	**0**	**0**	**0**
Уровни звукового давления от мнимого источника ИШ-1-5_мн.(1) в расчётной точке ночью, дБ		**ф-ла(3)[10]**	**0**	**0**	**0**	**0**	**0**	**0**	**0**	**0**	**0**	**0**	**0**
Уровни звукового давления от источника ИШ-1-5 в расчётной точке днём, дБ		**ф-ла(3)[10]**	**0**	**14,9**	**15,3**	**14,7**	**11,5**	**6,7**	**0**	**0**	**0**	**12,1**	**12,1**
Уровни звукового давления от источника ИШ-1-5 в расчётной точке ночью, дБ		**ф-ла(3)[10]**	**0**	**14,9**	**15,3**	**14,7**	**11,5**	**6,7**	**0**	**0**	**0**	**12,1**	**12,1**
Источник шума: ИШ-1-6, координаты источника (x,y,z), м =[279.85,192.97,1.00]													
Уровни звуковой мощности источника днём, Lw, дБ		**исходные данные**	**0**	**91,3**	**92,7**	**94**	**94,3**	**93,9**	**90,6**	**86,4**	**81,9**		
Уровни звуковой мощности источника ночью, Lw, дБ		**исходные данные**	**0**	**91,3**	**92,7**	**94**	**94,3**	**93,9**	**90,6**	**86,4**	**81,9**		
Поправка на телесный угол DΩ, дБ	Ω = 6.28	10Lg(4π/Ω)	**3**	3	3	3	3	3	3	3	3		
Показатель направленности источника Di, дБ		исходные данные	**0**	0	0	0	0	0	0	0	0		
Поправка на направленность источника Dc, дБ	Dc	DΩ + Di	**3**	3	3	3	3	3	3	3	3		
Затухание из-за геометрической дивергенции, Adiv, дБ	расстояние = 1841.64 м	ф-ла (7) [10]	**76,3**										

1		2	3	4	5	6	7	8	9	10	11	12	13
Коэффициент затухания звука в атмосфере α, дБ/км	Та=20,°С Ра=101.33,кПа hотн.=70%	ф-ла (5) [9]	0,02	0,09	0,33	1,12	2,79	4,98	9,04	23,09	77,63		
Учет затухания звука в атмосфере Aatm, дБ		ф-ла (8) [10]	0	0,2	0,6	2,1	5,1	9,2	16,6	42,5	143		
Снижение уровня звукового давления из-за влияния застройки между источником шума и расчетной точкой													
Снижение уровня звукового давления на пути над экраном, Dz1, дБ	z = 0.62м (разность путей)	ф-лы (14-18) [10]	4,8	4,8	4,8	4,9	5,1	5,3	5,8	6,7	8		
Снижение уровня звукового давления на пути слева от экрана, Dz2, дБ	z = 183.24м (разность путей)	ф-лы (14-18) [10]	32,9	36,1	39,1	42,1	45,1	48,1	51,1	54,1	57,1		
Снижение уровня звукового давления на пути справа от экрана, Dz3, дБ	z = 3.58м (разность путей)	ф-лы (14-18) [10]	15	18,7	21,9	25	28	31	34	37	40,1		
Общее снижение уровня звука препятствием Dz, дБ		Эн.сумма(-Dzi)	4,4	4,6	4,8	4,9	5	5,3	5,8	6,7	8		
Уровни звукового давления прямого звука от источника ИШ-1-6 в расчётной точке днём, дБ		**ф-ла(3)[10]**	**0**	**13,2**	**14**	**13,7**	**10,8**	**6,1**	**0**	**0**	**0**	**11,4**	**11,4**
Уровни звукового давления прямого звука от источника ИШ-1-6 в расчётной точке ночью, дБ		**ф-ла(3)[10]**	**0**	**13,2**	**14**	**13,7**	**10,8**	**6,1**	**0**	**0**	**0**	**11,4**	**11,4**
Расчёт отражённого звука													
Уровни звукового давления от мнимого источника ИШ-1-6_мн.(1) в расчётной точке днём, дБ		**ф-ла(3)[10]**	**0**	**0**	**0**	**0**	**0**	**0**	**0**	**0**	**0**	**0**	**0**
Уровни звукового давления от мнимого источника ИШ-1-6_мн.(1) в расчётной точке ночью, дБ		**ф-ла(3)[10]**	**0**	**0**	**0**	**0**	**0**	**0**	**0**	**0**	**0**	**0**	**0**
Уровни звукового давления от источника ИШ-1-6 в расчётной точке днём, дБ		**ф-ла(3)[10]**	**0**	**13,2**	**14**	**13,7**	**10,8**	**6,1**	**0**	**0**	**0**	**11,4**	**11,4**
Уровни звукового давления от источника ИШ-1-6 в расчётной точке ночью, дБ		**ф-ла(3)[10]**	**0**	**13,2**	**14**	**13,7**	**10,8**	**6,1**	**0**	**0**	**0**	**11,4**	**11,4**
Источник шума: ИШ-1-7, координаты источника (x,y,z), м =[451.87,146.66,1.00]													
Уровни звуковой мощности источника днём, Lw, дБ		**исходные данные**	**0**	**93,3**	**94,7**	**96**	**96,3**	**95,9**	**92,6**	**88,4**	**83,9**		

1		2	3	4	5	6	7	8	9	10	11	12	13
Уровни звуковой мощности источника ночью, Lw, дБ		**исходные данные**	**0**	**93,3**	**94,7**	**96**	**96,3**	**95,9**	**92,6**	**88,4**	**83,9**		
Поправка на телесный угол DΩ, дБ	Ω = 6.28	10Lg(4π/Ω)	**3**	3	3	3	3	3	3	3	3		
Показатель направленности источника Di, дБ		исходные данные	**0**	0	0	0	0	0	0	0	0		
Поправка на направленность источника Dc, дБ	Dc	DΩ + Di	**3**	3	3	3	3	3	3	3	3		
Затухание из-за геометрической дивергенции, Adiv, дБ	расстояние = 1759.36 м	ф-ла (7) [10]	**75,9**										
Коэффициент затухания звука в атмосфере α, дБ/км	Ta=20,°C Pa=101.33,кПа hотн.=70%	ф-ла (5) [9]	0,02	0,09	0,33	1,12	2,79	4,98	9,04	23,09	77,63		
Учет затухания звука в атмосфере Aatm, дБ		ф-ла (8) [10]	0	0,2	0,6	2	4,9	8,8	15,9	40,6	136,6		
Снижение уровня звукового давления из-за влияния застройки между источником шума и расчетной точкой													
Снижение уровня звукового давления на пути над экраном, Dz1, дБ	z = 0.49м (разность путей)	ф-лы (14-18) [10]	4,8	4,8	4,8	4,8	4,8	4,8	4,9	5,1	5,3		
Снижение уровня звукового давления на пути слева от экрана, Dz2, дБ	z = 100.45м (разность путей)	ф-лы (14-18) [10]	30,1	33,4	36,4	39,5	42,5	45,5	48,5	51,5	54,5		
Снижение уровня звукового давления на пути справа от экрана, Dz3, дБ	z = 0.21м (разность путей)	ф-лы (14-18) [10]	5,8	6,6	7,8	9,6	11,8	14,4	17,1	20	22,9		
Общее снижение уровня звука препятствием Dz, дБ		Эн.сумма(-Dzi)	2,2	2,6	3	3,5	4	4,4	4,7	4,9	5,3		
Уровни звукового давления прямого звука от источника ИШ-1-7 в расчётной точке днём, дБ		**ф-ла(3)[10]**	**0**	**17,7**	**18,2**	**17,6**	**14,5**	**9,9**	**0**	**0**	**0**	**15,1**	**15,1**
Уровни звукового давления прямого звука от источника ИШ-1-7 в расчётной точке ночью, дБ		**ф-ла(3)[10]**	**0**	**17,7**	**18,2**	**17,6**	**14,5**	**9,9**	**0**	**0**	**0**	**15,1**	**15,1**
Расчёт отражённого звука													
Уровни звукового давления от мнимого источника ИШ-1-7_мн.(1) в расчётной точке днём, дБ		**ф-ла(3)[10]**	**0**	**0**	**0**	**0**	**0**	**0**	**0**	**0**	**0**	**0**	**0**
Уровни звукового давления от мнимого источника ИШ-1-7_мн.(1) в расчётной точке ночью, дБ		**ф-ла(3)[10]**	**0**	**0**	**0**	**0**	**0**	**0**	**0**	**0**	**0**	**0**	**0**

1		2	3	4	5	6	7	8	9	10	11	12	13
Уровни звукового давления от источника ИШ-1-7 в расчётной точке днём, дБ		**ф-ла(3)[10]**	**0**	**17,7**	**18,2**	**17,6**	**14,5**	**9,9**	**0**	**0**	**0**	**15,1**	**15,1**
Уровни звукового давления от источника ИШ-1-7 в расчётной точке ночью, дБ		**ф-ла(3)[10]**	**0**	**17,7**	**18,2**	**17,6**	**14,5**	**9,9**	**0**	**0**	**0**	**15,1**	**15,1**
Источник шума: ИШ-1-8, координаты источника (x,y,z), м =[454.99,145.29,1.00]													
Уровни звуковой мощности источника днём, Lw, дБ		**исходные данные**	**0**	**93,3**	**94,7**	**96**	**96,3**	**95,9**	**92,6**	**88,4**	**83,9**		
Уровни звуковой мощности источника ночью, Lw, дБ		**исходные данные**	**0**	**93,3**	**94,7**	**96**	**96,3**	**95,9**	**92,6**	**88,4**	**83,9**		
Поправка на телесный угол DΩ, дБ	Ω = 6.28	10Lg(4π/Ω)	**3**	3	3	3	3	3	3	3	3		
Показатель направленности источника Di, дБ		исходные данные	**0**	0	0	0	0	0	0	0	0		
Поправка на направленность источника Dc, дБ	Dc	DΩ + Di	**3**	3	3	3	3	3	3	3	3		
Затухание из-за геометрической дивергенции, Adiv, дБ	расстояние = 1757.48 м	ф-ла (7) [10]	**75,9**										
Коэффициент затухания звука в атмосфере α, дБ/км	Ta=20,°C Pa=101.33,кПа hотн.=70%	ф-ла (5) [9]	0,02	0,09	0,33	1,12	2,79	4,98	9,04	23,09	77,63		
Учет затухания звука в атмосфере Aatm, дБ		ф-ла (8) [10]	0	0,2	0,6	2	4,9	8,7	15,9	40,6	136,4		
Снижение уровня звукового давления из-за влияния застройки между источником шума и расчетной точкой													
Снижение уровня звукового давления на пути над экраном, Dz1, дБ	z = 0.53м (разность путей)	ф-лы (14-18) [10]	4,8	4,8	4,8	4,8	4,8	4,9	5,1	5,3	5,9		
Снижение уровня звукового давления на пути слева от экрана, Dz2, дБ	z = 100.50м (разность путей)	ф-лы (14-18) [10]	30,1	33,4	36,4	39,5	42,5	45,5	48,5	51,5	54,5		
Снижение уровня звукового давления на пути справа от экрана, Dz3, дБ	z = 0.32м (разность путей)	ф-лы (14-18) [10]	8,1	10	12,3	14,9	17,7	20,6	23,6	26,6	29,6		
Общее снижение уровня звука препятствием Dz, дБ		Эн.сумма(-Dzi)	3,1	3,6	4,1	4,4	4,6	4,8	5	5,3	5,8		

1		2	3	4	5	6	7	8	9	10	11	12	13
Уровни звукового давления прямого звука от источника ИШ-1-8 в расчётной точке днём, дБ		**ф-ла(3)[10]**	**0**	**16,6**	**17,1**	**16,7**	**13,9**	**9,4**	**0**	**0**	**0**	**14,5**	**14,5**
Уровни звукового давления прямого звука от источника ИШ-1-8 в расчётной точке ночью, дБ		**ф-ла(3)[10]**	**0**	**16,6**	**17,1**	**16,7**	**13,9**	**9,4**	**0**	**0**	**0**	**14,5**	**14,5**
Расчёт отражённого звука													
Уровни звукового давления от мнимого источника ИШ-1-8_мн.(1) в расчётной точке днём, дБ		**ф-ла(3)[10]**	**0**	**0**	**0**	**0**	**0**	**0**	**0**	**0**	**0**	**0**	**0**
Уровни звукового давления от мнимого источника ИШ-1-8_мн.(1) в расчётной точке ночью, дБ		**ф-ла(3)[10]**	**0**	**0**	**0**	**0**	**0**	**0**	**0**	**0**	**0**	**0**	**0**
Уровни звукового давления от источника ИШ-1-8 в расчётной точке днём, дБ		**ф-ла(3)[10]**	**0**	**16,6**	**17,1**	**16,7**	**13,9**	**9,4**	**0**	**0**	**0**	**14,5**	**14,5**
Уровни звукового давления от источника ИШ-1-8 в расчётной точке ночью, дБ		**ф-ла(3)[10]**	**0**	**16,6**	**17,1**	**16,7**	**13,9**	**9,4**	**0**	**0**	**0**	**14,5**	**14,5**
Источник шума: ИШ-1-9, координаты источника (x,y,z), м =[458.12,144.31,1.00]													
Уровни звуковой мощности источника днём, Lw, дБ		**исходные данные**	**0**	**93,3**	**94,7**	**96**	**96,3**	**95,9**	**92,6**	**88,4**	**83,9**		
Уровни звуковой мощности источника ночью, Lw, дБ		**исходные данные**	**0**	**93,3**	**94,7**	**96**	**96,3**	**95,9**	**92,6**	**88,4**	**83,9**		
Поправка на телесный угол DΩ, дБ	Ω = 6.28	10Lg(4π/Ω)	**3**	3	3	3	3	3	3	3	3		
Показатель направленности источника Di, дБ		исходные данные	**0**	0	0	0	0	0	0	0	0		
Поправка на направленность источника Dc, дБ	Dc	DΩ + Di	**3**	3	3	3	3	3	3	3	3		
Затухание из-за геометрической дивергенции, Adiv, дБ	расстояние = 1755.99 м	ф-ла (7) [10]	**75,9**										
Коэффициент затухания звука в атмосфере α, дБ/км	Ta=20,°C Pa=101.33,кПа hотн.=70%	ф-ла (5) [9]	0,02	0,09	0,33	1,12	2,79	4,98	9,04	23,09	77,63		
Учет затухания звука в атмосфере Aatm, дБ		ф-ла (8) [10]	0	0,2	0,6	2	4,9	8,7	15,9	40,5	136,3		

1		2	3	4	5	6	7	8	9	10	11	12	13
Снижение уровня звукового давления из-за влияния застройки между источником шума и расчетной точкой													
Снижение уровня звукового давления на пути над экраном, Dz1, дБ	z = 0.57м (разность путей)	ф-лы (14-18) [10]	4,8	4,8	4,8	4,8	4,9	5,1	5,3	5,9	6,7		
Снижение уровня звукового давления на пути слева от экрана, Dz2, дБ	z = 100.06м (разность путей)	ф-лы (14-18) [10]	30	33,4	36,4	39,5	42,5	45,5	48,5	51,5	54,5		
Снижение уровня звукового давления на пути справа от экрана, Dz3, дБ	z = 0.53м (разность путей)	ф-лы (14-18) [10]	9,4	11,7	14,2	17	19,9	22,8	25,8	28,8	31,8		
Общее снижение уровня звука препятствием Dz, дБ		Эн.сумма(-Dzi)	3,5	4	4,3	4,6	4,8	5	5,3	5,8	6,7		
Уровни звукового давления прямого звука от источника ИШ-1-9 в расчётной точке днём, дБ		**ф-ла(3)[10]**	**0**	**16,3**	**16,9**	**16,6**	**13,7**	**9,3**	**0**	**0**	**0**	**14,4**	**14,4**
Уровни звукового давления прямого звука от источника ИШ-1-9 в расчётной точке ночью, дБ		**ф-ла(3)[10]**	**0**	**16,3**	**16,9**	**16,6**	**13,7**	**9,3**	**0**	**0**	**0**	**14,4**	**14,4**
Расчёт отражённого звука													
Уровни звукового давления от мнимого источника ИШ-1-9_мн.(1) в расчётной точке днём, дБ		**ф-ла(3)[10]**	**0**	**0**	**0**	**0**	**0**	**0**	**0**	**0**	**0**	**0**	**0**
Уровни звукового давления от мнимого источника ИШ-1-9_мн.(1) в расчётной точке ночью, дБ		**ф-ла(3)[10]**	**0**	**0**	**0**	**0**	**0**	**0**	**0**	**0**	**0**	**0**	**0**
Уровни звукового давления от источника ИШ-1-9 в расчётной точке днём, дБ		**ф-ла(3)[10]**	**0**	**16,3**	**16,9**	**16,6**	**13,7**	**9,3**	**0**	**0**	**0**	**14,4**	**14,4**
Уровни звукового давления от источника ИШ-1-9 в расчётной точке ночью, дБ		**ф-ла(3)[10]**	**0**	**16,3**	**16,9**	**16,6**	**13,7**	**9,3**	**0**	**0**	**0**	**14,4**	**14,4**
Источник шума: ИШ-1-10, координаты источника (x,y,z), м =[461.05,143.53,1.00]													
Уровни звуковой мощности источника днём, Lw, дБ		**исходные данные**	**0**	**93,3**	**94,7**	**96**	**96,3**	**95,9**	**92,6**	**88,4**	**83,9**		
Уровни звуковой мощности источника ночью, Lw, дБ		**исходные данные**	**0**	**93,3**	**94,7**	**96**	**96,3**	**95,9**	**92,6**	**88,4**	**83,9**		
Поправка на телесный угол DΩ, дБ	Ω = 6.28	10Lg(4π/Ω)	**3**	3	3	3	3	3	3	3	3		
Показатель направленности источника Di, дБ		исходные данные	**0**	0	0	0	0	0	0	0	0		

1		2	3	4	5	6	7	8	9	10	11	12	13
Поправка на направленность источника Dc, дБ	Dc	DΩ + Di	**3**	3	3	3	3	3	3	3	3		
Затухание из-за геометрической дивергенции, Adiv, дБ	расстояние = 1754.72 м	ф-ла (7) [10]	**75,9**										
Коэффициент затухания звука в атмосфере α, дБ/км	Ta=20,°C Pa=101.33,кПа hотн.=70%	ф-ла (5) [9]	0,02	0,09	0,33	1,12	2,79	4,98	9,04	23,09	77,63		
Учет затухания звука в атмосфере Aatm, дБ		ф-ла (8) [10]	0	0,2	0,6	2	4,9	8,7	15,9	40,5	136,2		
Снижение уровня звукового давления из-за влияния застройки между источником шума и расчетной точкой													
Снижение уровня звукового давления на пути над экраном, Dz1, дБ	z = 0.62м (разность путей)	ф-лы (14-18) [10]	4,8	4,8	4,8	4,9	5	5,3	5,8	6,7	8		
Снижение уровня звукового давления на пути слева от экрана, Dz2, дБ	z = 99.53м (разность путей)	ф-лы (14-18) [10]	30	33,3	36,4	39,4	42,4	45,5	48,5	51,5	54,5		
Снижение уровня звукового давления на пути справа от экрана, Dz3, дБ	z = 0.82м (разность путей)	ф-лы (14-18) [10]	10,7	13,2	15,9	18,8	21,7	24,7	27,7	30,7	33,7		
Общее снижение уровня звука препятствием Dz, дБ		Эн.сумма(-Dzi)	3,8	4,2	4,5	4,7	5	5,3	5,8	6,6	8		
Уровни звукового давления прямого звука от источника ИШ-1-10 в расчётной точке днём, дБ		**ф-ла(3)[10]**	**0**	**16**	**16,7**	**16,4**	**13,6**	**9**	**0**	**0**	**0**	**14,2**	**14,2**
Уровни звукового давления прямого звука от источника ИШ-1-10 в расчётной точке ночью, дБ		**ф-ла(3)[10]**	**0**	**16**	**16,7**	**16,4**	**13,6**	**9**	**0**	**0**	**0**	**14,2**	**14,2**
Расчёт отражённого звука													
Уровни звукового давления от мнимого источника ИШ-1-10_мн.(1) в расчётной точке днём, дБ		**ф-ла(3)[10]**	**0**	**0**	**0**	**0**	**0**	**0**	**0**	**0**	**0**	**0**	**0**
Уровни звукового давления от мнимого источника ИШ-1-10_мн.(1) в расчётной точке ночью, дБ		**ф-ла(3)[10]**	**0**	**0**	**0**	**0**	**0**	**0**	**0**	**0**	**0**	**0**	**0**
Уровни звукового давления от источника ИШ-1-10 в расчётной точке днём, дБ		**ф-ла(3)[10]**	**0**	**16**	**16,7**	**16,4**	**13,6**	**9**	**0**	**0**	**0**	**14,2**	**14,2**
Уровни звукового давления от источника ИШ-1-10 в расчётной точке ночью, дБ		**ф-ла(3)[10]**	**0**	**16**	**16,7**	**16,4**	**13,6**	**9**	**0**	**0**	**0**	**14,2**	**14,2**

1		2	3	4	5	6	7	8	9	10	11	12	13
Источник шума: ИШ-1-11, координаты источника (x,y,z), м =[464.18,142.55,1.00]													
Уровни звуковой мощности источника днём, Lw, дБ		**исходные данные**	**0**	**93,3**	**94,7**	**96**	**96,3**	**95,9**	**92,6**	**88,4**	**83,9**		
Уровни звуковой мощности источника ночью, Lw, дБ		**исходные данные**	**0**	**93,3**	**94,7**	**96**	**96,3**	**95,9**	**92,6**	**88,4**	**83,9**		
Поправка на телесный угол DΩ, дБ	Ω = 6.28	10Lg(4π/Ω)	**3**	3	3	3	3	3	3	3	3		
Показатель направленности источника Di, дБ		исходные данные	**0**	0	0	0	0	0	0	0	0		
Поправка на направленность источника Dc, дБ	Dc	DΩ + Di	**3**	3	3	3	3	3	3	3	3		
Затухание из-за геометрической дивергенции, Adiv, дБ	расстояние = 1753.24 м	ф-ла (7) [10]	**75,9**										
Коэффициент затухания звука в атмосфере α, дБ/км	Ta=20,°C Pa=101.33,кПа hотн.=70%	ф-ла (5) [9]	0,02	0,09	0,33	1,12	2,79	4,98	9,04	23,09	77,63		
Учет затухания звука в атмосфере Aatm, дБ		ф-ла (8) [10]	0	0,2	0,6	2	4,9	8,7	15,8	40,5	136,1		
Снижение уровня звукового давления из-за влияния застройки между источником шума и расчетной точкой													
Снижение уровня звукового давления на пути над экраном, Dz1, дБ	z = 0.69м (разность путей)	ф-лы (14-18) [10]	4,8	4,8	4,9	5	5,3	5,8	6,7	8	9,9		
Снижение уровня звукового давления на пути слева от экрана, Dz2, дБ	z = 99.30м (разность путей)	ф-лы (14-18) [10]	30	33,3	36,4	39,4	42,4	45,4	48,5	51,5	54,5		
Снижение уровня звукового давления на пути справа от экрана, Dz3, дБ	z = 1.23м (разность путей)	ф-лы (14-18) [10]	12,1	14,8	17,6	20,5	23,4	26,4	29,4	32,4	35,4		
Общее снижение уровня звука препятствием Dz, дБ		Эн.сумма(-Dzi)	4	4,4	4,7	4,9	5,3	5,8	6,7	8	9,9		
Уровни звукового давления прямого звука от источника ИШ-1-11 в расчётной точке днём, дБ		**ф-ла(3)[10]**	**0**	**15,9**	**16,6**	**16,2**	**13,3**	**8,5**	**0**	**0**	**0**	**13,8**	**13,8**
Уровни звукового давления прямого звука от источника ИШ-1-11 в расчётной точке ночью, дБ		**ф-ла(3)[10]**	**0**	**15,9**	**16,6**	**16,2**	**13,3**	**8,5**	**0**	**0**	**0**	**13,8**	**13,8**

1		2	3	4	5	6	7	8	9	10	11	12	13
Расчёт отражённого звука													
Уровни звукового давления от мнимого источника ИШ-1-11_мн.(1) в расчётной точке днём, дБ		**ф-ла(3)[10]**	**0**	**0**	**0**	**0**	**0**	**0**	**0**	**0**	**0**	**0**	**0**
Уровни звукового давления от мнимого источника ИШ-1-11_мн.(1) в расчётной точке ночью, дБ		**ф-ла(3)[10]**	**0**	**0**	**0**	**0**	**0**	**0**	**0**	**0**	**0**	**0**	**0**
Уровни звукового давления от источника ИШ-1-11 в расчётной точке днём, дБ		**ф-ла(3)[10]**	**0**	**15,9**	**16,6**	**16,2**	**13,3**	**8,5**	**0**	**0**	**0**	**13,8**	**13,8**
Уровни звукового давления от источника ИШ-1-11 в расчётной точке ночью, дБ		**ф-ла(3)[10]**	**0**	**15,9**	**16,6**	**16,2**	**13,3**	**8,5**	**0**	**0**	**0**	**13,8**	**13,8**
Источник шума: ИШ-1-12, координаты источника (x,y,z), м =[435.45,97.79,1.00]													
Уровни звуковой мощности источника днём, Lw, дБ		**исходные данные**	**0**	**93,3**	**94,7**	**96**	**96,3**	**95,9**	**92,6**	**88,4**	**83,9**		
Уровни звуковой мощности источника ночью, Lw, дБ		**исходные данные**	**0**	**93,3**	**94,7**	**96**	**96,3**	**95,9**	**92,6**	**88,4**	**83,9**		
Поправка на телесный угол DΩ, дБ	Ω = 6.28	10Lg(4π/Ω)	**3**	3	3	3	3	3	3	3	3		
Показатель направленности источника Di, дБ		исходные данные	**0**	0	0	0	0	0	0	0	0		
Поправка на направленность источника Dc, дБ	Dc	DΩ + Di	**3**	3	3	3	3	3	3	3	3		
Затухание из-за геометрической дивергенции, Adiv, дБ	расстояние = 1714.22 м	ф-ла (7) [10]	**75,7**										
Коэффициент затухания звука в атмосфере α, дБ/км	Ta=20,°C Pa=101.33,кПа hотн.=70%	ф-ла (5) [9]	0,02	0,09	0,33	1,12	2,79	4,98	9,04	23,09	77,63		
Учет затухания звука в атмосфере Aatm, дБ		ф-ла (8) [10]	0	0,2	0,6	1,9	4,8	8,5	15,5	39,6	133,1		
Снижение уровня звукового давления из-за влияния застройки между источником шума и расчетной точкой													
Снижение уровня звукового давления препятствием слева от трассы ИШ-РТ, Dz2, дБ	z = -0.06м (разность путей)	ф-лы (14-18) [10]	0	0	3,2	0,7	NAN	NAN	NAN	NAN	NAN		

1		2	3	4	5	6	7	8	9	10	11	12	13
Снижение уровня звукового давления препятствием справа от трассы ИШ-РТ, Dz3, дБ	z = -0.06м (разность путей)	ф-лы (14-18) [10]	0	0	3,4	1,3	NAN	NAN	NAN	NAN	NAN		
Общее снижение уровня звука препятствием Dz, дБ		Эн.сумма(-Dzi)	0	0	0,3	-2	0	0	0	0	0		
* отрицательное значение z означает прохождение траектории вблизи экрана, в этом случае дополнительно производится учёт снижения подстилающей поверхностью (см.ниже)													
Снижение поверхностью земли возле источника As, дБ	Gs = 0 hs = 1м	ф-лы таб.3 [10]	-1,5	-1,5	-1,5	-1,5	-1,5	-1,5	-1,5	-1,5	-1,5		
Снижение поверхностью земли возле приёмника Ar, дБ	Gr = 1 hr = 1.5м	ф-лы таб.3 [10]	-1,5	-1,5	5,3	7	5	0,7	0	0	0		
Снижение поверхностью земли в средней зоне, Am дБ	Gm = 1	ф-лы таб.3 [10]	-2,9	-2,9	0	0	0	0	0	0	0		
Суммарное снижение поверхностью земли на траектории распространения звука Agr, дБ		ф-ла (9) [10]	-5,9	-5,9	3,8	5,5	3,5	-0,8	-1,5	-1,5	-1,5		
Уровни звукового давления от источника ИШ-1-12 в расчётной точке днём, дБ		**ф-ла(3)[10]**	**0**	**26,3**	**17,3**	**17,9**	**15,4**	**15,5**	**5,9**	**0**	**0**	**18,3**	**18,3**
Уровни звукового давления от источника ИШ-1-12 в расчётной точке ночью, дБ		**ф-ла(3)[10]**	**0**	**26,3**	**17,3**	**17,9**	**15,4**	**15,5**	**5,9**	**0**	**0**	**18,3**	**18,3**
Источник шума: ИШ-1-13, координаты источника (x,y,z), м =[438.77,96.82,1.00]													
Уровни звуковой мощности источника днём, Lw, дБ		**исходные данные**	**0**	**93,3**	**94,7**	**96**	**96,3**	**95,9**	**92,6**	**88,4**	**83,9**		
Уровни звуковой мощности источника ночью, Lw, дБ		**исходные данные**	**0**	**93,3**	**94,7**	**96**	**96,3**	**95,9**	**92,6**	**88,4**	**83,9**		
Поправка на телесный угол DΩ, дБ	Ω = 6.28	10Lg(4π/Ω)	**3**	3	3	3	3	3	3	3	3		
Показатель направленности источника Di, дБ		исходные данные	**0**	0	0	0	0	0	0	0	0		
Поправка на направленность источника Dc, дБ	Dc	DΩ + Di	**3**	3	3	3	3	3	3	3	3		
Затухание из-за геометрической дивергенции, Adiv, дБ	расстояние = 1712.65 м	ф-ла (7) [10]	**75,7**										
Коэффициент затухания звука в атмосфере α, дБ/км	Ta=20,°C Pa=101.33,кПа hотн.=70%	ф-ла (5) [9]	0,02	0,09	0,33	1,12	2,79	4,98	9,04	23,09	77,63		

1		2	3	4	5	6	7	8	9	10	11	12	13
Учет затухания звука в атмосфере Aatm, дБ		ф-ла (8) [10]	0	0,2	0,6	1,9	4,8	8,5	15,5	39,5	133		
Снижение поверхностью земли возле источника As, дБ	Gs = 0 hs = 1м	ф-лы таб.3 [10]	-1,5	-1,5	-1,5	-1,5	-1,5	-1,5	-1,5	-1,5	-1,5		
Снижение поверхностью земли возле приёмника Ar, дБ	Gr = 1 hr = 1.5м	ф-лы таб.3 [10]	-1,5	-1,5	5,3	7	5	0,7	0	0	0		
Снижение поверхностью земли в средней зоне, Am дБ	Gm = 1	ф-лы таб.3 [10]	-2,9	-2,9	0	0	0	0	0	0	0		
Суммарное снижение поверхностью земли на траектории распространения звука Agr, дБ		ф-ла (9) [10]	-5,9	-5,9	3,8	5,5	3,5	-0,8	-1,5	-1,5	-1,5		
Уровни звукового давления от источника ИШ-1-13 в расчётной точке днём, дБ		**ф-ла(3)[10]**	**0**	**26,3**	**17,6**	**15,9**	**15,4**	**15,5**	**5,9**	**0**	**0**	**18,1**	**18,1**
Уровни звукового давления от источника ИШ-1-13 в расчётной точке ночью, дБ		**ф-ла(3)[10]**	**0**	**26,3**	**17,6**	**15,9**	**15,4**	**15,5**	**5,9**	**0**	**0**	**18,1**	**18,1**
Источник шума: ИШ-1-14, координаты источника (x,y,z), м =[441.70,96.03,1.00]													
Уровни звуковой мощности источника днём, Lw, дБ		**исходные данные**	**0**	**93,3**	**94,7**	**96**	**96,3**	**95,9**	**92,6**	**88,4**	**83,9**		
Уровни звуковой мощности источника ночью, Lw, дБ		**исходные данные**	**0**	**93,3**	**94,7**	**96**	**96,3**	**95,9**	**92,6**	**88,4**	**83,9**		
Поправка на телесный угол DΩ, дБ	Ω = 6.28	10Lg(4π/Ω)	**3**	3	3	3	3	3	3	3	3		
Показатель направленности источника Di, дБ		исходные данные	**0**	0	0	0	0	0	0	0	0		
Поправка на направленность источника Dc, дБ	Dc	DΩ + Di	**3**	3	3	3	3	3	3	3	3		
Затухание из-за геометрической дивергенции, Adiv, дБ	расстояние = 1711.34 м	ф-ла (7) [10]	**75,7**										
Коэффициент затухания звука в атмосфере α, дБ/км	Ta=20,°C Pa=101.33,кПа hотн.=70%	ф-ла (5) [9]	0,02	0,09	0,33	1,12	2,79	4,98	9,04	23,09	77,63		
Учет затухания звука в атмосфере Aatm, дБ		ф-ла (8) [10]	0	0,2	0,6	1,9	4,8	8,5	15,5	39,5	132,9		

1		2	3	4	5	6	7	8	9	10	11	12	13
Снижение поверхностью земли возле источника As, дБ	Gs = 0 hs = 1м	ф-лы таб.3 [10]	-1,5	-1,5	-1,5	-1,5	-1,5	-1,5	-1,5	-1,5	-1,5		
Снижение поверхностью земли возле приёмника Ar, дБ	Gr = 1 hr = 1.5м	ф-лы таб.3 [10]	-1,5	-1,5	5,3	7	5	0,7	0	0	0		
Снижение поверхностью земли в средней зоне, Am дБ	Gm = 1	ф-лы таб.3 [10]	-2,9	-2,9	0	0	0	0	0	0	0		
Суммарное снижение поверхностью земли на траектории распространения звука Agr, дБ		ф-ла (9) [10]	-5,9	-5,9	3,8	5,5	3,5	-0,8	-1,5	-1,5	-1,5		
Уровни звукового давления от источника ИШ-1-14 в расчётной точке днём, дБ		**ф-ла(3)[10]**	**0**	**26,3**	**17,6**	**15,9**	**15,4**	**15,5**	**6**	**0**	**0**	**18,2**	**18,2**
Уровни звукового давления от источника ИШ-1-14 в расчётной точке ночью, дБ		**ф-ла(3)[10]**	**0**	**26,3**	**17,6**	**15,9**	**15,4**	**15,5**	**6**	**0**	**0**	**18,2**	**18,2**
Источник шума: ИШ-1-15, координаты источника (x,y,z), м =[445.03,95.25,1.00]													
Уровни звуковой мощности источника днём, Lw, дБ		**исходные данные**	**0**	**93,3**	**94,7**	**96**	**96,3**	**95,9**	**92,6**	**88,4**	**83,9**		
Уровни звуковой мощности источника ночью, Lw, дБ		**исходные данные**	**0**	**93,3**	**94,7**	**96**	**96,3**	**95,9**	**92,6**	**88,4**	**83,9**		
Поправка на телесный угол DΩ, дБ	Ω = 6.28	10Lg(4π/Ω)	**3**	3	3	3	3	3	3	3	3		
Показатель направленности источника Di, дБ		исходные данные	**0**	0	0	0	0	0	0	0	0		
Поправка на направленность источника Dc, дБ	Dc	DΩ + Di	**3**	3	3	3	3	3	3	3	3		
Затухание из-за геометрической дивергенции, Adiv, дБ	расстояние = 1709.97 м	ф-ла (7) [10]	**75,7**										
Коэффициент затухания звука в атмосфере α, дБ/км	Ta=20,°C Pa=101.33,кПа hотн.=70%	ф-ла (5) [9]	0,02	0,09	0,33	1,12	2,79	4,98	9,04	23,09	77,63		
Учет затухания звука в атмосфере Aatm, дБ		ф-ла (8) [10]	0	0,2	0,6	1,9	4,8	8,5	15,5	39,5	132,8		
Снижение уровня звукового давления из-за влияния застройки между источником шума и расчетной точкой													

1		2	3	4	5	6	7	8	9	10	11	12	13
Снижение уровня звукового давления на пути над экраном, Dz1, дБ	z = 0.01м (разность путей)	ф-лы (14-18) [10]	4,8	4,8	4,8	4,8	4,8	4,8	4,8	4,8	4,8		
Снижение уровня звукового давления на пути слева от экрана, Dz2, дБ	z = 0.56м (разность путей)	ф-лы (14-18) [10]	7	8,5	10,5	12,9	15,5	18,4	21,3	24,2	27,2		
Снижение уровня звукового давления на пути справа от экрана, Dz3, дБ	z = 0.00м (разность путей)	ф-лы (14-18) [10]	4,8	4,8	4,8	4,8	4,8	4,8	4,8	4,9	5		
Общее снижение уровня звука препятствием Dz, дБ		Эн.сумма(-Dzi)	0,6	0,9	1,2	1,4	1,6	1,7	1,7	1,8	1,9		
Уровни звукового давления от источника ИШ-1-15 в расчётной точке днём, дБ		**ф-ла(3)[10]**	**0**	**19,5**	**20,2**	**20**	**17,3**	**13**	**2,7**	**0**	**0**	**18,1**	**18,1**
Уровни звукового давления от источника ИШ-1-15 в расчётной точке ночью, дБ		**ф-ла(3)[10]**	**0**	**19,5**	**20,2**	**20**	**17,3**	**13**	**2,7**	**0**	**0**	**18,1**	**18,1**
Источник шума: ИШ-1-16, координаты источника (x,y,z), м =[447.96,94.28,1.00]													
Уровни звуковой мощности источника днём, Lw, дБ		**исходные данные**	**0**	**93,3**	**94,7**	**96**	**96,3**	**95,9**	**92,6**	**88,4**	**83,9**		
Уровни звуковой мощности источника ночью, Lw, дБ		**исходные данные**	**0**	**93,3**	**94,7**	**96**	**96,3**	**95,9**	**92,6**	**88,4**	**83,9**		
Поправка на телесный угол DΩ, дБ	Ω = 6.28	10Lg(4π/Ω)	**3**	3	3	3	3	3	3	3	3		
Показатель направленности источника Di, дБ		исходные данные	**0**	0	0	0	0	0	0	0	0		
Поправка на направленность источника Dc, дБ	Dc	DΩ + Di	**3**	3	3	3	3	3	3	3	3		
Затухание из-за геометрической дивергенции, Adiv, дБ	расстояние = 1708.48 м	ф-ла (7) [10]	**75,7**										
Коэффициент затухания звука в атмосфере α, дБ/км	Ta=20,°C Pa=101.33,кПа hотн.=70%	ф-ла (5) [9]	0,02	0,09	0,33	1,12	2,79	4,98	9,04	23,09	77,63		
Учет затухания звука в атмосфере Aatm, дБ		ф-ла (8) [10]	0	0,2	0,6	1,9	4,8	8,5	15,4	39,4	132,6		
Снижение уровня звукового давления из-за влияния застройки между источником шума и расчетной точкой													

1		2	3	4	5	6	7	8	9	10	11	12	13
Снижение уровня звукового давления на пути над экраном, Dz1, дБ	z = 0.01м (разность путей)	ф-лы (14-18) [10]	4,8	4,8	4,8	4,8	4,8	4,8	4,8	4,8	4,8		
Снижение уровня звукового давления на пути слева от экрана, Dz2, дБ	z = 0.44м (разность путей)	ф-лы (14-18) [10]	6,7	8	9,8	12,1	14,6	17,4	20,3	23,3	26,2		
Снижение уровня звукового давления на пути справа от экрана, Dz3, дБ	z = 0.01м (разность путей)	ф-лы (14-18) [10]	4,8	4,9	5	5,1	5,5	6,1	7	8,5	10,5		
Общее снижение уровня звука препятствием Dz, дБ		Эн.сумма(-Dzi)	0,6	0,9	1,2	1,5	1,9	2,2	2,7	3,2	3,7		
Уровни звукового давления от источника ИШ-1-16 в расчётной точке днём, дБ		**ф-ла(3)[10]**	**0**	**19,6**	**20,3**	**19,9**	**17**	**12,5**	**1,8**	**0**	**0**	**17,8**	**17,8**
Уровни звукового давления от источника ИШ-1-16 в расчётной точке ночью, дБ		**ф-ла(3)[10]**	**0**	**19,6**	**20,3**	**19,9**	**17**	**12,5**	**1,8**	**0**	**0**	**17,8**	**17,8**
Источник шума: ИШ-1-17, координаты источника (x,y,z), м =[540.99,141.77,1.00]													
Уровни звуковой мощности источника днём, Lw, дБ		**исходные данные**	**0**	**93,3**	**94,7**	**96**	**96,3**	**95,9**	**92,6**	**88,4**	**83,9**		
Уровни звуковой мощности источника ночью, Lw, дБ		**исходные данные**	**0**	**93,3**	**94,7**	**96**	**96,3**	**95,9**	**92,6**	**88,4**	**83,9**		
Поправка на телесный угол DΩ, дБ	Ω = 6.28	10Lg(4π/Ω)	**3**	3	3	3	3	3	3	3	3		
Показатель направленности источника Di, дБ		исходные данные	**0**	0	0	0	0	0	0	0	0		
Поправка на направленность источника Dc, дБ	Dc	DΩ + Di	**3**	3	3	3	3	3	3	3	3		
Затухание из-за геометрической дивергенции, Adiv, дБ	расстояние = 1741.40 м	ф-ла (7) [10]	**75,8**										
Коэффициент затухания звука в атмосфере α, дБ/км	Ta=20,°C Pa=101.33,кПа hотн.=70%	ф-ла (5) [9]	0,02	0,09	0,33	1,12	2,79	4,98	9,04	23,09	77,63		
Учет затухания звука в атмосфере Aatm, дБ		ф-ла (8) [10]	0	0,2	0,6	2	4,9	8,7	15,7	40,2	135,2		
Снижение уровня звукового давления из-за влияния застройки между источником шума и расчетной точкой													

1		2	3	4	5	6	7	8	9	10	11	12	13
Снижение уровня звукового давления на пути над экраном, Dz1, дБ	z = 0.02м (разность путей)	ф-лы (14-18) [10]	4,8	4,8	4,8	4,8	4,8	4,8	4,8	4,8	4,8		
Снижение уровня звукового давления на пути слева от экрана, Dz2, дБ	z = 2.96м (разность путей)	ф-лы (14-18) [10]	11,5	14	16,7	19,5	22,5	25,5	28,5	31,5	34,5		
Снижение уровня звукового давления на пути справа от экрана, Dz3, дБ	z = 2.46м (разность путей)	ф-лы (14-18) [10]	10,8	13,3	15,9	18,8	21,7	24,7	27,7	30,7	33,7		
Общее снижение уровня звука препятствием Dz, дБ		Эн.сумма(-Dzi)	3,1	3,8	4,2	4,5	4,6	4,7	4,7	4,8	4,8		
Уровни звукового давления прямого звука от источника ИШ-1-17 в расчётной точке днём, дБ		**ф-ла(3)[10]**	**0**	**16,6**	**17,1**	**16,8**	**14**	**9,7**	**0**	**0**	**0**	**14,7**	**14,7**
Уровни звукового давления прямого звука от источника ИШ-1-17 в расчётной точке ночью, дБ		**ф-ла(3)[10]**	**0**	**16,6**	**17,1**	**16,8**	**14**	**9,7**	**0**	**0**	**0**	**14,7**	**14,7**
Расчёт отражённого звука													
Уровни звукового давления от мнимого источника ИШ-1-17_мн.(1) в расчётной точке днём, дБ		**ф-ла(3)[10]**	**0**	**0**	**0**	**0**	**0**	**0**	**2,7**	**0**	**0**	**3,9**	**3,9**
Уровни звукового давления от мнимого источника ИШ-1-17_мн.(1) в расчётной точке ночью, дБ		**ф-ла(3)[10]**	**0**	**0**	**0**	**0**	**0**	**0**	**0**	**0**	**0**	**3,9**	**3,9**
Уровни звукового давления от источника ИШ-1-17 в расчётной точке днём, дБ		**ф-ла(3)[10]**	**0**	**16,6**	**17,1**	**16,8**	**14**	**9,7**	**2,7**	**0**	**0**	**15**	**15**
Уровни звукового давления от источника ИШ-1-17 в расчётной точке ночью, дБ		**ф-ла(3)[10]**	**0**	**16,6**	**17,1**	**16,8**	**14**	**9,7**	**2,7**	**0**	**0**	**15**	**15**
Источник шума: ИШ-1-18, координаты источника (x,y,z), м =[543.53,140.79,1.00]													
Уровни звуковой мощности источника днём, Lw, дБ		**исходные данные**	**0**	**93,3**	**94,7**	**96**	**96,3**	**95,9**	**92,6**	**88,4**	**83,9**		
Уровни звуковой мощности источника ночью, Lw, дБ		**исходные данные**	**0**	**93,3**	**94,7**	**96**	**96,3**	**95,9**	**92,6**	**88,4**	**83,9**		
Поправка на телесный угол DΩ, дБ	Ω = 6.28	10Lg(4π/Ω)	**3**	3	3	3	3	3	3	3	3		
Показатель направленности источника Di, дБ		исходные данные	**0**	0	0	0	0	0	0	0	0		
Поправка на направленность источника Dc, дБ	Dc	DΩ + Di	**3**	3	3	3	3	3	3	3	3		

1		2	3	4	5	6	7	8	9	10	11	12	13
Затухание из-за геометрической дивергенции, Adiv, дБ	расстояние = 1740.12 м	ф-ла (7) [10]	**75,8**										
Коэффициент затухания звука в атмосфере α, дБ/км	Та=20,°С Ра=101.33,кПа hотн.=70%	ф-ла (5) [9]	0,02	0,09	0,33	1,12	2,79	4,98	9,04	23,09	77,63		
Учет затухания звука в атмосфере Aatm, дБ		ф-ла (8) [10]	0	0,2	0,6	2	4,9	8,7	15,7	40,2	135,1		
Снижение уровня звукового давления из-за влияния застройки между источником шума и расчетной точкой													
Снижение уровня звукового давления на пути над экраном, Dz1, дБ	z = 0.13м (разность путей)	ф-лы (14-18) [10]	4,8	4,8	4,8	4,8	4,8	4,8	4,8	4,8	4,8		
Снижение уровня звукового давления на пути слева от экрана, Dz2, дБ	z = 2.58м (разность путей)	ф-лы (14-18) [10]	11	13,4	16,1	19	21,9	24,9	27,9	30,9	33,9		
Снижение уровня звукового давления на пути справа от экрана, Dz3, дБ	z = 2.85м (разность путей)	ф-лы (14-18) [10]	11,3	13,8	16,5	19,4	22,3	25,3	28,3	31,3	34,3		
Общее снижение уровня звука препятствием Dz, дБ		Эн.сумма(-Dzi)	3,1	3,8	4,2	4,5	4,6	4,7	4,7	4,8	4,8		
Уровни звукового давления прямого звука от источника ИШ-1-18 в расчётной точке днём, дБ		**ф-ла(3)[10]**	**0**	**16,6**	**17,1**	**16,8**	**14**	**9,7**	**0**	**0**	**0**	**14,7**	**14,7**
Уровни звукового давления прямого звука от источника ИШ-1-18 в расчётной точке ночью, дБ		**ф-ла(3)[10]**	**0**	**16,6**	**17,1**	**16,8**	**14**	**9,7**	**0**	**0**	**0**	**14,7**	**14,7**
Расчёт отражённого звука													
Уровни звукового давления от мнимого источника ИШ-1-18_мн.(1) в расчётной точке днём, дБ		**ф-ла(3)[10]**	**0**	**0**	**0**	**0**	**0**	**0**	**2,7**	**0**	**0**	**3,9**	**3,9**
Уровни звукового давления от мнимого источника ИШ-1-18_мн.(1) в расчётной точке ночью, дБ		**ф-ла(3)[10]**	**0**	**0**	**0**	**0**	**0**	**0**	**0**	**0**	**0**	**3,9**	**3,9**
Уровни звукового давления от источника ИШ-1-18 в расчётной точке днём, дБ		**ф-ла(3)[10]**	**0**	**16,6**	**17,1**	**16,8**	**14**	**9,7**	**2,7**	**0**	**0**	**15**	**15**
Уровни звукового давления от источника ИШ-1-18 в расчётной точке ночью, дБ		**ф-ла(3)[10]**	**0**	**16,6**	**17,1**	**16,8**	**14**	**9,7**	**2,7**	**0**	**0**	**15**	**15**
Источник шума: ИШ-1-19, координаты источника (x,y,z), м =[547.25,139.62,1.00]													

1		2	3	4	5	6	7	8	9	10	11	12	13
Уровни звуковой мощности источника днём, Lw, дБ		**исходные данные**	**0**	**93,3**	**94,7**	**96**	**96,3**	**95,9**	**92,6**	**88,4**	**83,9**		
Уровни звуковой мощности источника ночью, Lw, дБ		**исходные данные**	**0**	**93,3**	**94,7**	**96**	**96,3**	**95,9**	**92,6**	**88,4**	**83,9**		
Поправка на телесный угол DΩ, дБ	Ω = 6.28	10Lg(4π/Ω)	**3**	3	3	3	3	3	3	3	3		
Показатель направленности источника Di, дБ		исходные данные	**0**	0	0	0	0	0	0	0	0		
Поправка на направленность источника Dc, дБ	Dc	DΩ + Di	**3**	3	3	3	3	3	3	3	3		
Затухание из-за геометрической дивергенции, Adiv, дБ	расстояние = 1738.51 м	ф-ла (7) [10]	**75,8**										
Коэффициент затухания звука в атмосфере α, дБ/км	Ta=20,°C Pa=101.33,кПа hотн.=70%	ф-ла (5) [9]	0,02	0,09	0,33	1,12	2,79	4,98	9,04	23,09	77,63		
Учет затухания звука в атмосфере Aatm, дБ		ф-ла (8) [10]	0	0,2	0,6	2	4,9	8,7	15,7	40,1	135		
Снижение уровня звукового давления из-за влияния застройки между источником шума и расчетной точкой													
Снижение уровня звукового давления на пути над экраном, Dz1, дБ	z = 0.14м (разность путей)	ф-лы (14-18) [10]	4,8	4,8	4,8	4,8	4,8	4,8	4,8	4,8	4,8		
Снижение уровня звукового давления на пути слева от экрана, Dz2, дБ	z = 2.05м (разность путей)	ф-лы (14-18) [10]	10,3	12,6	15,2	18	20,9	23,9	26,9	29,9	32,9		
Снижение уровня звукового давления на пути справа от экрана, Dz3, дБ	z = 0.18м (разность путей)	ф-лы (14-18) [10]	5,6	6,4	7,5	9,1	11,3	13,8	16,5	19,4	22,3		
Общее снижение уровня звука препятствием Dz, дБ		Эн.сумма(-Dzi)	1,5	2,1	2,7	3,3	3,8	4,2	4,5	4,6	4,7		
Уровни звукового давления прямого звука от источника ИШ-1-19 в расчётной точке днём, дБ		**ф-ла(3)[10]**	**0**	**18,3**	**18,6**	**18**	**14,8**	**10,2**	**0**	**0**	**0**	**15,5**	**15,5**
Уровни звукового давления прямого звука от источника ИШ-1-19 в расчётной точке ночью, дБ		**ф-ла(3)[10]**	**0**	**18,3**	**18,6**	**18**	**14,8**	**10,2**	**0**	**0**	**0**	**15,5**	**15,5**
Расчёт отражённого звука													
Уровни звукового давления от мнимого источника ИШ-1-19_мн.(1) в расчётной точке днём, дБ		**ф-ла(3)[10]**	**0**	**0**	**0**	**0**	**0**	**0**	**2,7**	**0**	**0**	**3,9**	**3,9**

1		2	3	4	5	6	7	8	9	10	11	12	13
Уровни звукового давления от мнимого источника ИШ-1-19_мн.(1) в расчётной точке ночью, дБ		**ф-ла(3)[10]**	**0**	**0**	**0**	**0**	**0**	**0**	**0**	**0**	**0**	**3,9**	**3,9**
Уровни звукового давления от источника ИШ-1-19 в расчётной точке днём, дБ		**ф-ла(3)[10]**	**0**	**18,3**	**18,6**	**18**	**14,8**	**10,2**	**2,7**	**0**	**0**	**15,8**	**15,8**
Уровни звукового давления от источника ИШ-1-19 в расчётной точке ночью, дБ		**ф-ла(3)[10]**	**0**	**18,3**	**18,6**	**18**	**14,8**	**10,2**	**2,7**	**0**	**0**	**15,8**	**15,8**
Источник шума: ИШ-1-20, координаты источника (x,y,z), м =[550.38,138.64,1.00]													
Уровни звуковой мощности источника днём, Lw, дБ		**исходные данные**	**0**	**93,3**	**94,7**	**96**	**96,3**	**95,9**	**92,6**	**88,4**	**83,9**		
Уровни звуковой мощности источника ночью, Lw, дБ		**исходные данные**	**0**	**93,3**	**94,7**	**96**	**96,3**	**95,9**	**92,6**	**88,4**	**83,9**		
Поправка на телесный угол DΩ, дБ	Ω = 6.28	10Lg(4π/Ω)	**3**	3	3	3	3	3	3	3	3		
Показатель направленности источника Di, дБ		исходные данные	**0**	0	0	0	0	0	0	0	0		
Поправка на направленность источника Dc, дБ	Dc	DΩ + Di	**3**	3	3	3	3	3	3	3	3		
Затухание из-за геометрической дивергенции, Adiv, дБ	расстояние = 1737.17 м	ф-ла (7) [10]	**75,8**										
Коэффициент затухания звука в атмосфере α, дБ/км	Ta=20,°C Pa=101.33,кПа hотн.=70%	ф-ла (5) [9]	0,02	0,09	0,33	1,12	2,79	4,98	9,04	23,09	77,63		
Учет затухания звука в атмосфере Aatm, дБ		ф-ла (8) [10]	0	0,2	0,6	2	4,8	8,6	15,7	40,1	134,9		
Снижение уровня звукового давления из-за влияния застройки между источником шума и расчетной точкой													
Снижение уровня звукового давления на пути над экраном, Dz1, дБ	z = 0.14м (разность путей)	ф-лы (14-18) [10]	4,8	4,8	4,8	4,8	4,8	4,8	4,8	4,8	4,8		
Снижение уровня звукового давления на пути слева от экрана, Dz2, дБ	z = 1.65м (разность путей)	ф-лы (14-18) [10]	9,6	11,8	14,4	17,1	20	23	25,9	28,9	31,9		
Снижение уровня звукового давления на пути справа от экрана, Dz3, дБ	z = 0.28м (разность путей)	ф-лы (14-18) [10]	6,1	7,1	8,5	10,5	12,9	15,6	18,4	21,3	24,3		

1		2	3	4	5	6	7	8	9	10	11	12	13
Общее снижение уровня звука препятствием Dz, дБ		Эн.сумма(-Dzi)	1,6	2,2	2,9	3,5	4	4,4	4,6	4,7	4,7		
Уровни звукового давления прямого звука от источника ИШ-1-20 в расчётной точке днём, дБ		**ф-ла(3)[10]**	**0**	**18,1**	**18,4**	**17,7**	**14,6**	**10,1**	**0**	**0**	**0**	**15,3**	**15,3**
Уровни звукового давления прямого звука от источника ИШ-1-20 в расчётной точке ночью, дБ		**ф-ла(3)[10]**	**0**	**18,1**	**18,4**	**17,7**	**14,6**	**10,1**	**0**	**0**	**0**	**15,3**	**15,3**
Расчёт отражённого звука													
Уровни звукового давления от мнимого источника ИШ-1-20_мн.(1) в расчётной точке днём, дБ		**ф-ла(3)[10]**	**0**	**0**	**0**	**0**	**0**	**0**	**2,7**	**0**	**0**	**3,9**	**3,9**
Уровни звукового давления от мнимого источника ИШ-1-20_мн.(1) в расчётной точке ночью, дБ		**ф-ла(3)[10]**	**0**	**0**	**0**	**0**	**0**	**0**	**0**	**0**	**0**	**3,9**	**3,9**
Уровни звукового давления от источника ИШ-1-20 в расчётной точке днём, дБ		**ф-ла(3)[10]**	**0**	**18,1**	**18,4**	**17,7**	**14,6**	**10,1**	**2,7**	**0**	**0**	**15,6**	**15,6**
Уровни звукового давления от источника ИШ-1-20 в расчётной точке ночью, дБ		**ф-ла(3)[10]**	**0**	**18,1**	**18,4**	**17,7**	**14,6**	**10,1**	**2,7**	**0**	**0**	**15,6**	**15,6**
Источник шума: ИШ-1-21, координаты источника (x,y,z), м =[553.31,137.67,1.00]													
Уровни звуковой мощности источника днём, Lw, дБ		**исходные данные**	**0**	**93,3**	**94,7**	**96**	**96,3**	**95,9**	**92,6**	**88,4**	**83,9**		
Уровни звуковой мощности источника ночью, Lw, дБ		**исходные данные**	**0**	**93,3**	**94,7**	**96**	**96,3**	**95,9**	**92,6**	**88,4**	**83,9**		
Поправка на телесный угол DΩ, дБ	Ω = 6.28	10Lg(4π/Ω)	**3**	3	3	3	3	3	3	3	3		
Показатель направленности источника Di, дБ		исходные данные	**0**	0	0	0	0	0	0	0	0		
Поправка на направленность источника Dc, дБ	Dc	DΩ + Di	**3**	3	3	3	3	3	3	3	3		
Затухание из-за геометрической дивергенции, Adiv, дБ	расстояние = 1735.86 м	ф-ла (7) [10]	**75,8**										
Коэффициент затухания звука в атмосфере α, дБ/км	Ta=20,°C Pa=101.33,кПа hотн.=70%	ф-ла (5) [9]	0,02	0,09	0,33	1,12	2,79	4,98	9,04	23,09	77,63		

1		2	3	4	5	6	7	8	9	10	11	12	13
Учет затухания звука в атмосфере Aatm, дБ		ф-ла (8) [10]	0	0,2	0,6	2	4,8	8,6	15,7	40,1	134,8		
Снижение уровня звукового давления из-за влияния застройки между источником шума и расчетной точкой													
Снижение уровня звукового давления на пути над экраном, Dz1, дБ	z = 0.15м (разность путей)	ф-лы (14-18) [10]	4,8	4,8	4,8	4,8	4,8	4,8	4,8	4,8	4,8		
Снижение уровня звукового давления на пути слева от экрана, Dz2, дБ	z = 1.32м (разность путей)	ф-лы (14-18) [10]	9	11,1	13,5	16,2	19,1	22	25	27,9	30,9		
Снижение уровня звукового давления на пути справа от экрана, Dz3, дБ	z = 0.40м (разность путей)	ф-лы (14-18) [10]	7,9	10,4	13	15,8	18,6	21,6	24,5	27,5	30,5		
Общее снижение уровня звука препятствием Dz, дБ		Эн.сумма(-Dzi)	2,1	3	3,7	4,2	4,4	4,6	4,7	4,7	4,7		
Уровни звукового давления прямого звука от источника ИШ-1-21 в расчётной точке днём, дБ		**ф-ла(3)[10]**	**0**	**17,4**	**17,6**	**17,1**	**14,2**	**9,9**	**0**	**0**	**0**	**14,9**	**14,9**
Уровни звукового давления прямого звука от источника ИШ-1-21 в расчётной точке ночью, дБ		**ф-ла(3)[10]**	**0**	**17,4**	**17,6**	**17,1**	**14,2**	**9,9**	**0**	**0**	**0**	**14,9**	**14,9**
Расчёт отражённого звука													
Уровни звукового давления от мнимого источника ИШ-1-21_мн.(1) в расчётной точке днём, дБ		**ф-ла(3)[10]**	**0**	**0**	**0**	**0**	**0**	**0**	**2,6**	**0**	**0**	**3,8**	**3,8**
Уровни звукового давления от мнимого источника ИШ-1-21_мн.(1) в расчётной точке ночью, дБ		**ф-ла(3)[10]**	**0**	**0**	**0**	**0**	**0**	**0**	**0**	**0**	**0**	**3,8**	**3,8**
Уровни звукового давления от источника ИШ-1-21 в расчётной точке днём, дБ		**ф-ла(3)[10]**	**0**	**17,4**	**17,6**	**17,1**	**14,2**	**9,9**	**2,6**	**0**	**0**	**15,2**	**15,2**
Уровни звукового давления от источника ИШ-1-21 в расчётной точке ночью, дБ		**ф-ла(3)[10]**	**0**	**17,4**	**17,6**	**17,1**	**14,2**	**9,9**	**2,6**	**0**	**0**	**15,2**	**15,2**
Источник шума: ИШ-1-22, координаты источника (x,y,z), м =[522.03,85.28,1.00]													
Уровни звуковой мощности источника днём, Lw, дБ		**исходные данные**	**0**	**93,3**	**94,7**	**96**	**96,3**	**95,9**	**92,6**	**88,4**	**83,9**		
Уровни звуковой мощности источника ночью, Lw, дБ		**исходные данные**	**0**	**93,3**	**94,7**	**96**	**96,3**	**95,9**	**92,6**	**88,4**	**83,9**		
Поправка на телесный угол DΩ, дБ	Ω = 6.28	10Lg(4π/Ω)	**3**	3	3	3	3	3	3	3	3		

1		2	3	4	5	6	7	8	9	10	11	12	13
Показатель направленности источника Di, дБ		исходные данные	**0**	0	0	0	0	0	0	0	0		
Поправка на направленность источника Dc, дБ	Dc	DΩ + Di	**3**	3	3	3	3	3	3	3	3		
Затухание из-за геометрической дивергенции, Adiv, дБ	расстояние = 1687.86 м	ф-ла (7) [10]	**75,5**										
Коэффициент затухания звука в атмосфере α, дБ/км	Ta=20,°C Pa=101.33,кПа hотн.=70%	ф-ла (5) [9]	0,02	0,09	0,33	1,12	2,79	4,98	9,04	23,09	77,63		
Учет затухания звука в атмосфере Aatm, дБ		ф-ла (8) [10]	0	0,2	0,6	1,9	4,7	8,4	15,3	39	131		
Снижение уровня звукового давления из-за влияния застройки между источником шума и расчетной точкой													
Снижение уровня звукового давления на пути над экраном, Dz1, дБ	z = 0.15м (разность путей)	ф-лы (14-18) [10]	4,8	4,8	4,8	4,8	4,8	4,8	4,8	4,8	4,8		
Снижение уровня звукового давления на пути слева от экрана, Dz2, дБ	z = 12.53м (разность путей)	ф-лы (14-18) [10]	16,9	19,8	22,7	25,7	28,7	31,7	34,7	37,7	40,7		
Снижение уровня звукового давления на пути справа от экрана, Dz3, дБ	z = 0.12м (разность путей)	ф-лы (14-18) [10]	5,4	5,9	6,8	8,2	10,1	12,4	15	17,8	20,7		
Общее снижение уровня звука препятствием Dz, дБ		Эн.сумма(-Dzi)	1,9	2,2	2,6	3,1	3,6	4,1	4,4	4,6	4,7		
Уровни звукового давления от источника ИШ-1-22 в расчётной точке днём, дБ		**ф-ла(3)[10]**	**0**	**18,4**	**19**	**18,4**	**15,4**	**10,9**	**0,4**	**0**	**0**	**16,2**	**16,2**
Уровни звукового давления от источника ИШ-1-22 в расчётной точке ночью, дБ		**ф-ла(3)[10]**	**0**	**18,4**	**19**	**18,4**	**15,4**	**10,9**	**0,4**	**0**	**0**	**16,2**	**16,2**
Источник шума: ИШ-1-23, координаты источника (x,y,z), м =[525.16,84.11,1.00]													
Уровни звуковой мощности источника днём, Lw, дБ		**исходные данные**	**0**	**93,3**	**94,7**	**96**	**96,3**	**95,9**	**92,6**	**88,4**	**83,9**		
Уровни звуковой мощности источника ночью, Lw, дБ		**исходные данные**	**0**	**93,3**	**94,7**	**96**	**96,3**	**95,9**	**92,6**	**88,4**	**83,9**		
Поправка на телесный угол DΩ, дБ	Ω = 6.28	10Lg(4π/Ω)	**3**	3	3	3	3	3	3	3	3		

1		2	3	4	5	6	7	8	9	10	11	12	13
Показатель направленности источника Di, дБ		исходные данные	**0**	0	0	0	0	0	0	0	0		
Поправка на направленность источника Dc, дБ	Dc	DΩ + Di	**3**	3	3	3	3	3	3	3	3		
Затухание из-за геометрической дивергенции, Adiv, дБ	расстояние = 1686.27 м	ф-ла (7) [10]	**75,5**										
Коэффициент затухания звука в атмосфере α, дБ/км	Ta=20,°C Pa=101.33,кПа hотн.=70%	ф-ла (5) [9]	0,02	0,09	0,33	1,12	2,79	4,98	9,04	23,09	77,63		
Учет затухания звука в атмосфере Aatm, дБ		ф-ла (8) [10]	0	0,2	0,6	1,9	4,7	8,4	15,2	38,9	130,9		
Снижение уровня звукового давления из-за влияния застройки между источником шума и расчетной точкой													
Снижение уровня звукового давления на пути над экраном, Dz1, дБ	z = 0.16м (разность путей)	ф-лы (14-18) [10]	4,8	4,8	4,8	4,8	4,8	4,8	4,8	4,8	4,8		
Снижение уровня звукового давления на пути слева от экрана, Dz2, дБ	z = 11.49м (разность путей)	ф-лы (14-18) [10]	16,6	19,5	22,4	25,3	28,3	31,3	34,3	37,3	40,3		
Снижение уровня звукового давления на пути справа от экрана, Dz3, дБ	z = 0.27м (разность путей)	ф-лы (14-18) [10]	6	7	8,4	10,4	12,8	15,4	18,2	21,1	24,1		
Общее снижение уровня звука препятствием Dz, дБ		Эн.сумма(-Dzi)	2,2	2,6	3,2	3,7	4,1	4,4	4,6	4,7	4,7		
Уровни звукового давления прямого звука от источника ИШ-1-23 в расчётной точке днём, дБ		**ф-ла(3)[10]**	**0**	**18**	**18,4**	**17,9**	**14,9**	**10,6**	**0,2**	**0**	**0**	**15,8**	**15,8**
Уровни звукового давления прямого звука от источника ИШ-1-23 в расчётной точке ночью, дБ		**ф-ла(3)[10]**	**0**	**18**	**18,4**	**17,9**	**14,9**	**10,6**	**0,2**	**0**	**0**	**15,8**	**15,8**
Расчёт отражённого звука													
Уровни звукового давления от мнимого источника ИШ-1-23_мн.(1) в расчётной точке днём, дБ		**ф-ла(3)[10]**	**0**	**0**	**0**	**0**	**0**	**0**	**0**	**0**	**0**	**0**	**0**
Уровни звукового давления от мнимого источника ИШ-1-23_мн.(1) в расчётной точке ночью, дБ		**ф-ла(3)[10]**	**0**	**0**	**0**	**0**	**0**	**0**	**0**	**0**	**0**	**0**	**0**
Уровни звукового давления от источника ИШ-1-23 в расчётной точке днём, дБ		**ф-ла(3)[10]**	**0**	**18**	**18,4**	**17,9**	**14,9**	**10,6**	**0,2**	**0**	**0**	**15,8**	**15,8**
Уровни звукового давления от источника ИШ-1-23 в расчётной точке ночью, дБ		**ф-ла(3)[10]**	**0**	**18**	**18,4**	**17,9**	**14,9**	**10,6**	**0,2**	**0**	**0**	**15,8**	**15,8**

1		2	3	4	5	6	7	8	9	10	11	12	13
Источник шума: ИШ-1-24, координаты источника (x,y,z), м =[528.48,82.94,1.00]													
Уровни звуковой мощности источника днём, Lw, дБ		**исходные данные**	**0**	**93,3**	**94,7**	**96**	**96,3**	**95,9**	**92,6**	**88,4**	**83,9**		
Уровни звуковой мощности источника ночью, Lw, дБ		**исходные данные**	**0**	**93,3**	**94,7**	**96**	**96,3**	**95,9**	**92,6**	**88,4**	**83,9**		
Поправка на телесный угол DΩ, дБ	Ω = 6.28	10Lg(4π/Ω)	**3**	3	3	3	3	3	3	3	3		
Показатель направленности источника Di, дБ		исходные данные	**0**	0	0	0	0	0	0	0	0		
Поправка на направленность источника Dc, дБ	Dc	DΩ + Di	**3**	3	3	3	3	3	3	3	3		
Затухание из-за геометрической дивергенции, Adiv, дБ	расстояние = 1684.66 м	ф-ла (7) [10]	**75,5**										
Коэффициент затухания звука в атмосфере α, дБ/км	Ta=20,°C Pa=101.33,кПа hотн.=70%	ф-ла (5) [9]	0,02	0,09	0,33	1,12	2,79	4,98	9,04	23,09	77,63		
Учет затухания звука в атмосфере Aatm, дБ		ф-ла (8) [10]	0	0,2	0,6	1,9	4,7	8,4	15,2	38,9	130,8		
Снижение уровня звукового давления из-за влияния застройки между источником шума и расчетной точкой													
Снижение уровня звукового давления на пути над экраном, Dz1, дБ	z = 0.17м (разность путей)	ф-лы (14-18) [10]	4,8	4,8	4,8	4,8	4,8	4,8	4,8	4,8	4,8		
Снижение уровня звукового давления на пути слева от экрана, Dz2, дБ	z = 10.40м (разность путей)	ф-лы (14-18) [10]	16,2	19	21,9	24,9	27,9	30,9	33,9	36,9	39,9		
Снижение уровня звукового давления на пути справа от экрана, Dz3, дБ	z = 0.50м (разность путей)	ф-лы (14-18) [10]	6,8	8,2	10,1	12,4	15,1	17,9	20,8	23,7	26,7		
Общее снижение уровня звука препятствием Dz, дБ		Эн.сумма(-Dzi)	2,5	3	3,6	4,1	4,4	4,6	4,7	4,7	4,7		
Уровни звукового давления прямого звука от источника ИШ-1-24 в расчётной точке днём, дБ		**ф-ла(3)[10]**	**0**	**17,6**	**18**	**17,5**	**14,7**	**10,4**	**0,2**	**0**	**0**	**15,6**	**15,6**
Уровни звукового давления прямого звука от источника ИШ-1-24 в расчётной точке ночью, дБ		**ф-ла(3)[10]**	**0**	**17,6**	**18**	**17,5**	**14,7**	**10,4**	**0,2**	**0**	**0**	**15,6**	**15,6**

1		2	3	4	5	6	7	8	9	10	11	12	13
Расчёт отражённого звука													
Уровни звукового давления от мнимого источника ИШ-1-24_мн.(1) в расчётной точке днём, дБ		**ф-ла(3)[10]**	**0**	**0**	**0**	**0**	**0**	**0**	**0**	**0**	**0**	**0**	**0**
Уровни звукового давления от мнимого источника ИШ-1-24_мн.(1) в расчётной точке ночью, дБ		**ф-ла(3)[10]**	**0**	**0**	**0**	**0**	**0**	**0**	**0**	**0**	**0**	**0**	**0**
Уровни звукового давления от источника ИШ-1-24 в расчётной точке днём, дБ		**ф-ла(3)[10]**	**0**	**17,6**	**18**	**17,5**	**14,7**	**10,4**	**0,2**	**0**	**0**	**15,6**	**15,6**
Уровни звукового давления от источника ИШ-1-24 в расчётной точке ночью, дБ		**ф-ла(3)[10]**	**0**	**17,6**	**18**	**17,5**	**14,7**	**10,4**	**0,2**	**0**	**0**	**15,6**	**15,6**
Источник шума: ИШ-1-25, координаты источника (x,y,z), м =[531.22,82.16,1.00]													
Уровни звуковой мощности источника днём, Lw, дБ		**исходные данные**	**0**	**93,3**	**94,7**	**96**	**96,3**	**95,9**	**92,6**	**88,4**	**83,9**		
Уровни звуковой мощности источника ночью, Lw, дБ		**исходные данные**	**0**	**93,3**	**94,7**	**96**	**96,3**	**95,9**	**92,6**	**88,4**	**83,9**		
Поправка на телесный угол DΩ, дБ	Ω = 6.28	10Lg(4π/Ω)	**3**	3	3	3	3	3	3	3	3		
Показатель направленности источника Di, дБ		исходные данные	**0**	0	0	0	0	0	0	0	0		
Поправка на направленность источника Dc, дБ	Dc	DΩ + Di	**3**	3	3	3	3	3	3	3	3		
Затухание из-за геометрической дивергенции, Adiv, дБ	расстояние = 1683.52 м	ф-ла (7) [10]	**75,5**										
Коэффициент затухания звука в атмосфере α, дБ/км	Ta=20,°C Pa=101.33,кПа hотн.=70%	ф-ла (5) [9]	0,02	0,09	0,33	1,12	2,79	4,98	9,04	23,09	77,63		
Учет затухания звука в атмосфере Aatm, дБ		ф-ла (8) [10]	0	0,2	0,6	1,9	4,7	8,4	15,2	38,9	130,7		
Снижение уровня звукового давления из-за влияния застройки между источником шума и расчетной точкой													
Снижение уровня звукового давления на пути над экраном, Dz1, дБ	z = 0.18м (разность путей)	ф-лы (14-18) [10]	4,8	4,8	4,8	4,8	4,8	4,8	4,8	4,8	4,8		

1		2	3	4	5	6	7	8	9	10	11	12	13
Снижение уровня звукового давления на пути слева от экрана, Dz2, дБ	z = 9.51м (разность путей)	ф-лы (14-18) [10]	15,8	18,7	21,6	24,5	27,5	30,5	33,5	36,5	39,5		
Снижение уровня звукового давления на пути справа от экрана, Dz3, дБ	z = 0.74м (разность путей)	ф-лы (14-18) [10]	7,6	9,3	11,4	13,9	16,7	19,5	22,5	25,4	28,4		
Общее снижение уровня звука препятствием Dz, дБ		Эн.сумма(-Dzi)	2,7	3,3	3,8	4,2	4,5	4,6	4,7	4,7	4,8		
Уровни звукового давления прямого звука от источника ИШ-1-25 в расчётной точке днём, дБ		**ф-ла(3)[10]**	**0**	**17,3**	**17,8**	**17,3**	**14,6**	**10,4**	**0,2**	**0**	**0**	**15,5**	**15,5**
Уровни звукового давления прямого звука от источника ИШ-1-25 в расчётной точке ночью, дБ		**ф-ла(3)[10]**	**0**	**17,3**	**17,8**	**17,3**	**14,6**	**10,4**	**0,2**	**0**	**0**	**15,5**	**15,5**
Расчёт отражённого звука													
Уровни звукового давления от мнимого источника ИШ-1-25_мн.(1) в расчётной точке днём, дБ		**ф-ла(3)[10]**	**0**	**0**	**0**	**0**	**0**	**0**	**0**	**0**	**0**	**0**	**0**
Уровни звукового давления от мнимого источника ИШ-1-25_мн.(1) в расчётной точке ночью, дБ		**ф-ла(3)[10]**	**0**	**0**	**0**	**0**	**0**	**0**	**0**	**0**	**0**	**0**	**0**
Уровни звукового давления от источника ИШ-1-25 в расчётной точке днём, дБ		**ф-ла(3)[10]**	**0**	**17,3**	**17,8**	**17,3**	**14,6**	**10,4**	**0,2**	**0**	**0**	**15,5**	**15,5**
Уровни звукового давления от источника ИШ-1-25 в расчётной точке ночью, дБ		**ф-ла(3)[10]**	**0**	**17,3**	**17,8**	**17,3**	**14,6**	**10,4**	**0,2**	**0**	**0**	**15,5**	**15,5**
Источник шума: ИШ-1-26, координаты источника (x,y,z), м =[534.15,80.79,1.00]													
Уровни звуковой мощности источника днём, Lw, дБ		**исходные данные**	**0**	**93,3**	**94,7**	**96**	**96,3**	**95,9**	**92,6**	**88,4**	**83,9**		
Уровни звуковой мощности источника ночью, Lw, дБ		**исходные данные**	**0**	**93,3**	**94,7**	**96**	**96,3**	**95,9**	**92,6**	**88,4**	**83,9**		
Поправка на телесный угол DΩ, дБ	Ω = 6.28	10Lg(4π/Ω)	**3**	3	3	3	3	3	3	3	3		
Показатель направленности источника Di, дБ		исходные данные	**0**	0	0	0	0	0	0	0	0		
Поправка на направленность источника Dc, дБ	Dc	DΩ + Di	**3**	3	3	3	3	3	3	3	3		
Затухание из-за геометрической дивергенции, Adiv, дБ	расстояние = 1681.78 м	ф-ла (7) [10]	**75,5**										

1		2	3	4	5	6	7	8	9	10	11	12	13
Коэффициент затухания звука в атмосфере α, дБ/км	Ta=20,°C Pa=101.33,кПа hотн.=70%	ф-ла (5) [9]	0,02	0,09	0,33	1,12	2,79	4,98	9,04	23,09	77,63		
Учет затухания звука в атмосфере Aatm, дБ		ф-ла (8) [10]	0	0,2	0,6	1,9	4,7	8,4	15,2	38,8	130,6		
Снижение уровня звукового давления из-за влияния застройки между источником шума и расчетной точкой													
Снижение уровня звукового давления на пути над экраном, Dz1, дБ	z = 0.19м (разность путей)	ф-лы (14-18) [10]	4,8	4,8	4,8	4,8	4,8	4,8	4,8	4,8	4,8		
Снижение уровня звукового давления на пути слева от экрана, Dz2, дБ	z = 8.65м (разность путей)	ф-лы (14-18) [10]	15,4	18,3	21,1	24,1	27,1	30,1	33,1	36,1	39,1		
Снижение уровня звукового давления на пути справа от экрана, Dz3, дБ	z = 1.05м (разность путей)	ф-лы (14-18) [10]	8,4	10,3	12,6	15,3	18,1	21	24	26,9	29,9		
Общее снижение уровня звука препятствием Dz, дБ		Эн.сумма(-Dzi)	2,9	3,6	4	4,4	4,5	4,7	4,7	4,7	4,8		
Уровни звукового давления прямого звука от источника ИШ-1-26 в расчётной точке днём, дБ		**ф-ла(3)[10]**	**0**	**17,1**	**17,6**	**17,2**	**14,5**	**10,3**	**0,2**	**0**	**0**	**15,4**	**15,4**
Уровни звукового давления прямого звука от источника ИШ-1-26 в расчётной точке ночью, дБ		**ф-ла(3)[10]**	**0**	**17,1**	**17,6**	**17,2**	**14,5**	**10,3**	**0,2**	**0**	**0**	**15,4**	**15,4**
Расчёт отражённого звука													
Уровни звукового давления от мнимого источника ИШ-1-26_мн.(1) в расчётной точке днём, дБ		**ф-ла(3)[10]**	**0**	**0**	**0**	**0**	**0**	**0**	**0**	**0**	**0**	**0**	**0**
Уровни звукового давления от мнимого источника ИШ-1-26_мн.(1) в расчётной точке ночью, дБ		**ф-ла(3)[10]**	**0**	**0**	**0**	**0**	**0**	**0**	**0**	**0**	**0**	**0**	**0**
Уровни звукового давления от источника ИШ-1-26 в расчётной точке днём, дБ		**ф-ла(3)[10]**	**0**	**17,1**	**17,6**	**17,2**	**14,5**	**10,3**	**0,2**	**0**	**0**	**15,4**	**15,4**
Уровни звукового давления от источника ИШ-1-26 в расчётной точке ночью, дБ		**ф-ла(3)[10]**	**0**	**17,1**	**17,6**	**17,2**	**14,5**	**10,3**	**0,2**	**0**	**0**	**15,4**	**15,4**
Источник шума: ИШ-1-27, координаты источника (x,y,z), м =[469.65,197.67,1.00]													
Уровни звуковой мощности источника днём, Lw, дБ		**исходные данные**	**0**	**93,3**	**94,7**	**96**	**96,3**	**95,9**	**92,6**	**88,4**	**83,9**		

1		2	3	4	5	6	7	8	9	10	11	12	13
Уровни звуковой мощности источника ночью, Lw, дБ		**исходные данные**	**0**	**93,3**	**94,7**	**96**	**96,3**	**95,9**	**92,6**	**88,4**	**83,9**		
Поправка на телесный угол DΩ, дБ	Ω = 6.28	10Lg(4π/Ω)	**3**	3	3	3	3	3	3	3	3		
Показатель направленности источника Di, дБ		исходные данные	**0**	0	0	0	0	0	0	0	0		
Поправка на направленность источника Dc, дБ	Dc	DΩ + Di	**3**	3	3	3	3	3	3	3	3		
Затухание из-за геометрической дивергенции, Adiv, дБ	расстояние = 1806.75 м	ф-ла (7) [10]	**76,1**										
Коэффициент затухания звука в атмосфере α, дБ/км	Ta=20,°C Pa=101.33,кПа hотн.=70%	ф-ла (5) [9]	0,02	0,09	0,33	1,12	2,79	4,98	9,04	23,09	77,63		
Учет затухания звука в атмосфере Aatm, дБ		ф-ла (8) [10]	0	0,2	0,6	2	5	9	16,3	41,7	140,3		
Снижение уровня звукового давления из-за влияния застройки между источником шума и расчетной точкой													
Снижение уровня звукового давления на пути над экраном, Dz1, дБ	z = 0.48м (разность путей)	ф-лы (14-18) [10]	4,8	4,8	4,8	4,8	4,8	4,8	4,9	5	5,2		
Снижение уровня звукового давления на пути слева от экрана, Dz2, дБ	z = 34.53м (разность путей)	ф-лы (14-18) [10]	25,4	28,7	31,8	34,8	37,8	40,9	43,9	46,9	49,9		
Снижение уровня звукового давления на пути справа от экрана, Dz3, дБ	z = 2.90м (разность путей)	ф-лы (14-18) [10]	15,3	18,2	21,2	24,1	27,1	30,1	33,1	36,1	39,1		
Общее снижение уровня звука препятствием Dz, дБ		Эн.сумма(-Dzi)	4,4	4,6	4,7	4,7	4,8	4,8	4,9	5	5,2		
Уровни звукового давления прямого звука от источника ИШ-1-27 в расчётной точке днём, дБ		**ф-ла(3)[10]**	**0**	**15,4**	**16,3**	**16,1**	**13,3**	**8,9**	**0**	**0**	**0**	**14**	**14**
Уровни звукового давления прямого звука от источника ИШ-1-27 в расчётной точке ночью, дБ		**ф-ла(3)[10]**	**0**	**15,4**	**16,3**	**16,1**	**13,3**	**8,9**	**0**	**0**	**0**	**14**	**14**
Расчёт отражённого звука													
Уровни звукового давления от мнимого источника ИШ-1-27_мн.(1) в расчётной точке днём, дБ		**ф-ла(3)[10]**	**0**	**0**	**0**	**0**	**0**	**0**	**1,8**	**0**	**0**	**3**	**3**
Уровни звукового давления от мнимого источника ИШ-1-27_мн.(1) в расчётной точке ночью, дБ		**ф-ла(3)[10]**	**0**	**0**	**0**	**0**	**0**	**0**	**0**	**0**	**0**	**3**	**3**

1		2	3	4	5	6	7	8	9	10	11	12	13
Уровни звукового давления от источника ИШ-1-27 в расчётной точке днём, дБ		**ф-ла(3)[10]**	**0**	**15,4**	**16,3**	**16,1**	**13,3**	**8,9**	**1,8**	**0**	**0**	**14,3**	**14,3**
Уровни звукового давления от источника ИШ-1-27 в расчётной точке ночью, дБ		**ф-ла(3)[10]**	**0**	**15,4**	**16,3**	**16,1**	**13,3**	**8,9**	**1,8**	**0**	**0**	**14,3**	**14,3**
Источник шума: ИШ-1-28, координаты источника (x,y,z), м =[472.78,196.69,1.00]													
Уровни звуковой мощности источника днём, Lw, дБ		**исходные данные**	**0**	**93,3**	**94,7**	**96**	**96,3**	**95,9**	**92,6**	**88,4**	**83,9**		
Уровни звуковой мощности источника ночью, Lw, дБ		**исходные данные**	**0**	**93,3**	**94,7**	**96**	**96,3**	**95,9**	**92,6**	**88,4**	**83,9**		
Поправка на телесный угол DΩ, дБ	Ω = 6.28	10Lg(4π/Ω)	**3**	3	3	3	3	3	3	3	3		
Показатель направленности источника Di, дБ		исходные данные	**0**	0	0	0	0	0	0	0	0		
Поправка на направленность источника Dc, дБ	Dc	DΩ + Di	**3**	3	3	3	3	3	3	3	3		
Затухание из-за геометрической дивергенции, Adiv, дБ	расстояние = 1805.30 м	ф-ла (7) [10]	**76,1**										
Коэффициент затухания звука в атмосфере α, дБ/км	Ta=20,°C Pa=101.33,кПа hотн.=70%	ф-ла (5) [9]	0,02	0,09	0,33	1,12	2,79	4,98	9,04	23,09	77,63		
Учет затухания звука в атмосфере Aatm, дБ		ф-ла (8) [10]	0	0,2	0,6	2	5	9	16,3	41,7	140,2		
Снижение уровня звукового давления из-за влияния застройки между источником шума и расчетной точкой													
Снижение уровня звукового давления на пути над экраном, Dz1, дБ	z = 0.52м (разность путей)	ф-лы (14-18) [10]	4,8	4,8	4,8	4,8	4,8	4,9	5	5,2	5,6		
Снижение уровня звукового давления на пути слева от экрана, Dz2, дБ	z = 32.71м (разность путей)	ф-лы (14-18) [10]	25,2	28,5	31,6	34,6	37,6	40,6	43,6	46,6	49,7		
Снижение уровня звукового давления на пути справа от экрана, Dz3, дБ	z = 3.51м (разность путей)	ф-лы (14-18) [10]	16,1	19	22	24,9	27,9	30,9	33,9	37	40		
Общее снижение уровня звука препятствием Dz, дБ		Эн.сумма(-Dzi)	4,4	4,6	4,7	4,8	4,8	4,9	5	5,2	5,6		

1		2	3	4	5	6	7	8	9	10	11	12	13
Уровни звукового давления прямого звука от источника ИШ-1-28 в расчётной точке днём, дБ		**ф-ла(3)[10]**	**0**	**15,4**	**16,3**	**16,1**	**13,3**	**8,9**	**0**	**0**	**0**	**13,9**	**13,9**
Уровни звукового давления прямого звука от источника ИШ-1-28 в расчётной точке ночью, дБ		**ф-ла(3)[10]**	**0**	**15,4**	**16,3**	**16,1**	**13,3**	**8,9**	**0**	**0**	**0**	**13,9**	**13,9**
Расчёт отражённого звука													
Уровни звукового давления от мнимого источника ИШ-1-28_мн.(1) в расчётной точке днём, дБ		**ф-ла(3)[10]**	**0**	**0**	**0**	**0**	**0**	**0**	**1,8**	**0**	**0**	**3**	**3**
Уровни звукового давления от мнимого источника ИШ-1-28_мн.(1) в расчётной точке ночью, дБ		**ф-ла(3)[10]**	**0**	**0**	**0**	**0**	**0**	**0**	**0**	**0**	**0**	**3**	**3**
Уровни звукового давления от источника ИШ-1-28 в расчётной точке днём, дБ		**ф-ла(3)[10]**	**0**	**15,4**	**16,3**	**16,1**	**13,3**	**8,9**	**1,8**	**0**	**0**	**14,3**	**14,3**
Уровни звукового давления от источника ИШ-1-28 в расчётной точке ночью, дБ		**ф-ла(3)[10]**	**0**	**15,4**	**16,3**	**16,1**	**13,3**	**8,9**	**1,8**	**0**	**0**	**14,3**	**14,3**
Источник шума: ИШ-1-29, координаты источника (x,y,z), м =[475.52,195.72,1.00]													
Уровни звуковой мощности источника днём, Lw, дБ		**исходные данные**	**0**	**93,3**	**94,7**	**96**	**96,3**	**95,9**	**92,6**	**88,4**	**83,9**		
Уровни звуковой мощности источника ночью, Lw, дБ		**исходные данные**	**0**	**93,3**	**94,7**	**96**	**96,3**	**95,9**	**92,6**	**88,4**	**83,9**		
Поправка на телесный угол DΩ, дБ	Ω = 6.28	10Lg(4π/Ω)	**3**	3	3	3	3	3	3	3	3		
Показатель направленности источника Di, дБ		исходные данные	**0**	0	0	0	0	0	0	0	0		
Поправка на направленность источника Dc, дБ	Dc	DΩ + Di	**3**	3	3	3	3	3	3	3	3		
Затухание из-за геометрической дивергенции, Adiv, дБ	расстояние = 1803.91 м	ф-ла (7) [10]	**76,1**										
Коэффициент затухания звука в атмосфере α, дБ/км	Ta=20,°C Pa=101.33,кПа hотн.=70%	ф-ла (5) [9]	0,02	0,09	0,33	1,12	2,79	4,98	9,04	23,09	77,63		
Учет затухания звука в атмосфере Aatm, дБ		ф-ла (8) [10]	0	0,2	0,6	2	5	9	16,3	41,6	140		

1		2	3	4	5	6	7	8	9	10	11	12	13
Снижение уровня звукового давления из-за влияния застройки между источником шума и расчетной точкой													
Снижение уровня звукового давления на пути над экраном, Dz1, дБ	z = 0.56м (разность путей)	ф-лы (14-18) [10]	4,8	4,8	4,8	4,8	4,9	5	5,2	5,6	6,3		
Снижение уровня звукового давления на пути слева от экрана, Dz2, дБ	z = 31.20м (разность путей)	ф-лы (14-18) [10]	25	28,3	31,4	34,4	37,4	40,4	43,4	46,4	49,4		
Снижение уровня звукового давления на пути справа от экрана, Dz3, дБ	z = 4.10м (разность путей)	ф-лы (14-18) [10]	16,7	19,7	22,6	25,6	28,6	31,6	34,6	37,6	40,6		
Общее снижение уровня звука препятствием Dz, дБ		Эн.сумма(-Dzi)	4,5	4,6	4,7	4,8	4,9	5	5,2	5,6	6,3		
Уровни звукового давления прямого звука от источника ИШ-1-29 в расчётной точке днём, дБ		**ф-ла(3)[10]**	**0**	**15,4**	**16,2**	**16,1**	**13,3**	**8,8**	**0**	**0**	**0**	**13,9**	**13,9**
Уровни звукового давления прямого звука от источника ИШ-1-29 в расчётной точке ночью, дБ		**ф-ла(3)[10]**	**0**	**15,4**	**16,2**	**16,1**	**13,3**	**8,8**	**0**	**0**	**0**	**13,9**	**13,9**
Расчёт отражённого звука													
Уровни звукового давления от мнимого источника ИШ-1-29_мн.(1) в расчётной точке днём, дБ		**ф-ла(3)[10]**	**0**	**0**	**0**	**0**	**0**	**0**	**1,8**	**0**	**0**	**3**	**3**
Уровни звукового давления от мнимого источника ИШ-1-29_мн.(1) в расчётной точке ночью, дБ		**ф-ла(3)[10]**	**0**	**0**	**0**	**0**	**0**	**0**	**0**	**0**	**0**	**3**	**3**
Уровни звукового давления от источника ИШ-1-29 в расчётной точке днём, дБ		**ф-ла(3)[10]**	**0**	**15,4**	**16,2**	**16,1**	**13,3**	**8,8**	**1,8**	**0**	**0**	**14,2**	**14,2**
Уровни звукового давления от источника ИШ-1-29 в расчётной точке ночью, дБ		**ф-ла(3)[10]**	**0**	**15,4**	**16,2**	**16,1**	**13,3**	**8,8**	**1,8**	**0**	**0**	**14,2**	**14,2**
Источник шума: ИШ-1-30, координаты источника (x,y,z), м =[478.45,194.54,1.00]													
Уровни звуковой мощности источника днём, Lw, дБ		**исходные данные**	**0**	**93,3**	**94,7**	**96**	**96,3**	**95,9**	**92,6**	**88,4**	**83,9**		
Уровни звуковой мощности источника ночью, Lw, дБ		**исходные данные**	**0**	**93,3**	**94,7**	**96**	**96,3**	**95,9**	**92,6**	**88,4**	**83,9**		
Поправка на телесный угол DΩ, дБ	Ω = 6.28	10Lg(4π/Ω)	**3**	3	3	3	3	3	3	3	3		
Показатель направленности источника Di, дБ		исходные данные	**0**	0	0	0	0	0	0	0	0		

1		2	3	4	5	6	7	8	9	10	11	12	13
Поправка на направленность источника Dc, дБ	Dc	DΩ + Di	**3**	3	3	3	3	3	3	3	3		
Затухание из-за геометрической дивергенции, Adiv, дБ	расстояние = 1802.30 м	ф-ла (7) [10]	**76,1**										
Коэффициент затухания звука в атмосфере α, дБ/км	Ta=20,°C Pa=101.33,кПа hотн.=70%	ф-ла (5) [9]	0,02	0,09	0,33	1,12	2,79	4,98	9,04	23,09	77,63		
Учет затухания звука в атмосфере Aatm, дБ		ф-ла (8) [10]	0	0,2	0,6	2	5	9	16,3	41,6	139,9		
Снижение уровня звукового давления из-за влияния застройки между источником шума и расчетной точкой													
Снижение уровня звукового давления на пути над экраном, Dz1, дБ	z = 0.61м (разность путей)	ф-лы (14-18) [10]	4,8	4,8	4,8	4,9	5	5,2	5,6	6,3	7,4		
Снижение уровня звукового давления на пути слева от экрана, Dz2, дБ	z = 29.65м (разность путей)	ф-лы (14-18) [10]	24,7	28,1	31,1	34,2	37,2	40,2	43,2	46,2	49,2		
Снижение уровня звукового давления на пути справа от экрана, Dz3, дБ	z = 4.78м (разность путей)	ф-лы (14-18) [10]	17,3	20,3	23,3	26,3	29,3	32,3	35,3	38,3	41,3		
Общее снижение уровня звука препятствием Dz, дБ		Эн.сумма(-Dzi)	4,5	4,6	4,7	4,8	5	5,2	5,6	6,3	7,4		
Уровни звукового давления прямого звука от источника ИШ-1-30 в расчётной точке днём, дБ		**ф-ла(3)[10]**	**0**	**15,4**	**16,2**	**16**	**13,2**	**8,6**	**0**	**0**	**0**	**13,8**	**13,8**
Уровни звукового давления прямого звука от источника ИШ-1-30 в расчётной точке ночью, дБ		**ф-ла(3)[10]**	**0**	**15,4**	**16,2**	**16**	**13,2**	**8,6**	**0**	**0**	**0**	**13,8**	**13,8**
Расчёт отражённого звука													
Уровни звукового давления от мнимого источника ИШ-1-30_мн.(1) в расчётной точке днём, дБ		**ф-ла(3)[10]**	**0**	**0**	**0**	**0**	**0**	**0**	**1,7**	**0**	**0**	**2,9**	**2,9**
Уровни звукового давления от мнимого источника ИШ-1-30_мн.(1) в расчётной точке ночью, дБ		**ф-ла(3)[10]**	**0**	**0**	**0**	**0**	**0**	**0**	**0**	**0**	**0**	**2,9**	**2,9**
Уровни звукового давления от источника ИШ-1-30 в расчётной точке днём, дБ		**ф-ла(3)[10]**	**0**	**15,4**	**16,2**	**16**	**13,2**	**8,6**	**1,7**	**0**	**0**	**14,1**	**14,1**
Уровни звукового давления от источника ИШ-1-30 в расчётной точке ночью, дБ		**ф-ла(3)[10]**	**0**	**15,4**	**16,2**	**16**	**13,2**	**8,6**	**1,7**	**0**	**0**	**14,1**	**14,1**

1		2	3	4	5	6	7	8	9	10	11	12	13
Источник шума: ИШ-1-31, координаты источника (x,y,z), м =[481.58,193.96,1.00]													
Уровни звуковой мощности источника днём, Lw, дБ		**исходные данные**	**0**	**93,3**	**94,7**	**96**	**96,3**	**95,9**	**92,6**	**88,4**	**83,9**		
Уровни звуковой мощности источника ночью, Lw, дБ		**исходные данные**	**0**	**93,3**	**94,7**	**96**	**96,3**	**95,9**	**92,6**	**88,4**	**83,9**		
Поправка на телесный угол DΩ, дБ	Ω = 6.28	10Lg(4π/Ω)	**3**	3	3	3	3	3	3	3	3		
Показатель направленности источника Di, дБ		исходные данные	**0**	0	0	0	0	0	0	0	0		
Поправка на направленность источника Dc, дБ	Dc	DΩ + Di	**3**	3	3	3	3	3	3	3	3		
Затухание из-за геометрической дивергенции, Adiv, дБ	расстояние = 1801.24 м	ф-ла (7) [10]	**76,1**										
Коэффициент затухания звука в атмосфере α, дБ/км	Ta=20,°C Pa=101.33,кПа hотн.=70%	ф-ла (5) [9]	0,02	0,09	0,33	1,12	2,79	4,98	9,04	23,09	77,63		
Учет затухания звука в атмосфере Aatm, дБ		ф-ла (8) [10]	0	0,2	0,6	2	5	9	16,3	41,6	139,8		
Снижение уровня звукового давления из-за влияния застройки между источником шума и расчетной точкой													
Снижение уровня звукового давления на пути над экраном, Dz1, дБ	z = 0.68м (разность путей)	ф-лы (14-18) [10]	4,8	4,8	4,9	5	5,2	5,6	6,3	7,4	9		
Снижение уровня звукового давления на пути слева от экрана, Dz2, дБ	z = 27.58м (разность путей)	ф-лы (14-18) [10]	24,4	27,8	30,8	33,9	36,9	39,9	42,9	45,9	48,9		
Снижение уровня звукового давления на пути справа от экрана, Dz3, дБ	z = 5.59м (разность путей)	ф-лы (14-18) [10]	18	21	24	27	30	33	36	39	42		
Общее снижение уровня звука препятствием Dz, дБ		Эн.сумма(-Dzi)	4,5	4,7	4,8	4,9	5,2	5,6	6,3	7,4	9		
Уровни звукового давления прямого звука от источника ИШ-1-31 в расчётной точке днём, дБ		**ф-ла(3)[10]**	**0**	**15,3**	**16,2**	**15,9**	**13**	**8,2**	**0**	**0**	**0**	**13,5**	**13,5**
Уровни звукового давления прямого звука от источника ИШ-1-31 в расчётной точке ночью, дБ		**ф-ла(3)[10]**	**0**	**15,3**	**16,2**	**15,9**	**13**	**8,2**	**0**	**0**	**0**	**13,5**	**13,5**

1		2	3	4	5	6	7	8	9	10	11	12	13
Расчёт отражённого звука													
Уровни звукового давления от мнимого источника ИШ-1-31_мн.(1) в расчётной точке днём, дБ		**ф-ла(3)[10]**	**0**	**0**	**0**	**0**	**0**	**0**	**0**	**0**	**0**	**0**	**0**
Уровни звукового давления от мнимого источника ИШ-1-31_мн.(1) в расчётной точке ночью, дБ		**ф-ла(3)[10]**	**0**	**0**	**0**	**0**	**0**	**0**	**0**	**0**	**0**	**0**	**0**
Уровни звукового давления от источника ИШ-1-31 в расчётной точке днём, дБ		**ф-ла(3)[10]**	**0**	**15,3**	**16,2**	**15,9**	**13**	**8,2**	**0**	**0**	**0**	**13,5**	**13,5**
Уровни звукового давления от источника ИШ-1-31 в расчётной точке ночью, дБ		**ф-ла(3)[10]**	**0**	**15,3**	**16,2**	**15,9**	**13**	**8,2**	**0**	**0**	**0**	**13,5**	**13,5**
Источник шума: ИШ-1-32, координаты источника (x,y,z), м =[871.21,281.99,50.00]													
Уровни звуковой мощности источника днём, Lw, дБ		**исходные данные**	**125**	**119,6**	**113,4**	**111,4**	**110,8**	**112,7**	**113,8**	**109,2**	**97,4**		
Уровни звуковой мощности источника ночью, Lw, дБ		**исходные данные**	**0**	**0**	**0**	**0**	**0**	**0**	**0**	**0**	**0**		
Поправка на телесный угол DΩ, дБ	Ω = 12.57	10Lg(4π/Ω)	**0**	0	0	0	0	0	0	0	0		
Показатель направленности источника Di, дБ		исходные данные	**0**	0	0	0	0	0	0	0	0		
Поправка на направленность источника Dc, дБ	Dc	DΩ + Di	**0**	0	0	0	0	0	0	0	0		
Затухание из-за геометрической дивергенции, Adiv, дБ	расстояние = 1872.80 м	ф-ла (7) [10]	**76,4**										
Коэффициент затухания звука в атмосфере α, дБ/км	Ta=20,°C Pa=101.33,кПа hотн.=70%	ф-ла (5) [9]	0,02	0,09	0,33	1,12	2,79	4,98	9,04	23,09	77,63		
Учет затухания звука в атмосфере Aatm, дБ		ф-ла (8) [10]	0	0,2	0,6	2,1	5,2	9,3	16,9	43,2	145,4		
Снижение поверхностью земли возле источника As, дБ	Gs = 0 hs = 50м	ф-лы таб.3 [10]	-1,5	-1,5	-1,5	-1,5	-1,5	-1,5	-1,5	-1,5	-1,5		
Снижение поверхностью земли возле приёмника Ar, дБ	Gr = 1 hr = 1.5м	ф-лы таб.3 [10]	-1,5	-1,5	5,3	7	5	0,7	0	0	0		

1		2	3	4	5	6	7	8	9	10	11	12	13
Снижение поверхностью земли в средней зоне, Am дБ	Gm = 1	ф-лы таб.3 [10]	-0,5	-0,5	0	0	0	0	0	0	0		
Суммарное снижение поверхностью земли на траектории распространения звука Agr, дБ		ф-ла (9) [10]	-3,5	-3,5	3,8	5,5	3,5	-0,8	-1,5	-1,5	-1,5		
Уровни звукового давления от источника ИШ-1-32 в расчётной точке днём, дБ		**ф-ла(3)[10]**	**52,1**	**46,5**	**32,5**	**27,4**	**25,7**	**27,8**	**22**	**0**	**0**	**30,9**	**30,9**
Уровни звукового давления от источника ИШ-1-32 в расчётной точке ночью, дБ		**ф-ла(3)[10]**	**0**	**0**	**0**	**0**	**0**	**0**	**0**	**0**	**0**	**0**	**0**
Источник шума: ИШ-1-33, координаты источника (x,y,z), м =[743.42,374.85,1.00]													
Уровни звуковой мощности источника днём, Lw, дБ		**исходные данные**	**0**	**88,7**	**90,1**	**93,1**	**96,4**	**103**	**112**	**108**	**99,2**		
Уровни звуковой мощности источника ночью, Lw, дБ		**исходные данные**	**0**	**0**	**0**	**0**	**0**	**0**	**0**	**0**	**0**		
Поправка на телесный угол DΩ, дБ	Ω = 6.28	10Lg(4π/Ω)	**3**	3	3	3	3	3	3	3	3		
Показатель направленности источника Di, дБ		исходные данные	**0**	0	0	0	0	0	0	0	0		
Поправка на направленность источника Dc, дБ	Dc	DΩ + Di	**3**	3	3	3	3	3	3	3	3		
Затухание из-за геометрической дивергенции, Adiv, дБ	расстояние = 1961.41 м	ф-ла (7) [10]	**76,9**										
Коэффициент затухания звука в атмосфере α, дБ/км	Ta=20,°C Pa=101.33,кПа hотн.=70%	ф-ла (5) [9]	0,02	0,09	0,33	1,12	2,79	4,98	9,04	23,09	77,63		
Учет затухания звука в атмосфере Aatm, дБ		ф-ла (8) [10]	0	0,2	0,7	2,2	5,5	9,8	17,7	45,3	152,3		
Снижение поверхностью земли возле источника As, дБ	Gs = 0 hs = 1м	ф-лы таб.3 [10]	-1,5	-1,5	-1,5	-1,5	-1,5	-1,5	-1,5	-1,5	-1,5		
Снижение поверхностью земли возле приёмника Ar, дБ	Gr = 1 hr = 1.5м	ф-лы таб.3 [10]	-1,5	-1,5	5,3	7	5	0,7	0	0	0		
Снижение поверхностью земли в средней зоне, Am дБ	Gm = 1	ф-лы таб.3 [10]	-2,9	-2,9	0	0	0	0	0	0	0		

1		2	3	4	5	6	7	8	9	10	11	12	13
Суммарное снижение поверхностью земли на траектории распространения звука Agr, дБ		ф-ла (9) [10]	-5,9	-5,9	3,8	5,5	3,5	-0,8	-1,5	-1,5	-1,5		
Уровни звукового давления прямого звука от источника ИШ-1-33 в расчётной точке днём, дБ		**ф-ла(3)[10]**	**0**	**20,6**	**11,8**	**11,5**	**13,6**	**20,2**	**21,9**	**0**	**0**	**25,1**	**25,1**
Уровни звукового давления прямого звука от источника ИШ-1-33 в расчётной точке ночью, дБ		**ф-ла(3)[10]**	**0**	**0**	**0**	**0**	**0**	**0**	**0**	**0**	**0**	**0**	**0**
Расчёт отражённого звука													
Уровни звукового давления от мнимого источника ИШ-1-33_мн.(1) в расчётной точке днём, дБ		**ф-ла(3)[10]**	**0**	**0**	**0**	**0**	**0**	**0**	**0**	**0**	**0**	**0**	**0**
Уровни звукового давления от мнимого источника ИШ-1-33_мн.(1) в расчётной точке ночью, дБ		**ф-ла(3)[10]**	**0**	**0**	**0**	**0**	**0**	**0**	**0**	**0**	**0**	**0**	**0**
Уровни звукового давления от источника ИШ-1-33 в расчётной точке днём, дБ		**ф-ла(3)[10]**	**0**	**20,6**	**11,8**	**11,5**	**13,6**	**20,2**	**21,9**	**0**	**0**	**25,1**	**25,1**
Уровни звукового давления от источника ИШ-1-33 в расчётной точке ночью, дБ		**ф-ла(3)[10]**	**0**	**0**	**0**	**0**	**0**	**0**	**0**	**0**	**0**	**0**	**0**
Источник шума: ИШ-1-34, координаты источника (x,y,z), м =[1042.35,199.07,1.00]													
Уровни звуковой мощности источника днём, Lw, дБ		**исходные данные**	**0**	**88,7**	**90,1**	**93,1**	**96,4**	**103**	**112**	**108**	**99,2**		
Уровни звуковой мощности источника ночью, Lw, дБ		**исходные данные**	**0**	**0**	**0**	**0**	**0**	**0**	**0**	**0**	**0**		
Поправка на телесный угол DΩ, дБ	Ω = 6.28	10Lg(4π/Ω)	**3**	3	3	3	3	3	3	3	3		
Показатель направленности источника Di, дБ		исходные данные	**0**	0	0	0	0	0	0	0	0		
Поправка на направленность источника Dc, дБ	Dc	DΩ + Di	**3**	3	3	3	3	3	3	3	3		
Затухание из-за геометрической дивергенции, Adiv, дБ	расстояние = 1808.70 м	ф-ла (7) [10]	**76,1**										
Коэффициент затухания звука в атмосфере α, дБ/км	Ta=20,°C Pa=101.33,кПа hотн.=70%	ф-ла (5) [9]	0,02	0,09	0,33	1,12	2,79	4,98	9,04	23,09	77,63		

1		2	3	4	5	6	7	8	9	10	11	12	13
Учет затухания звука в атмосфере Aatm, дБ		ф-ла (8) [10]	0	0,2	0,6	2	5	9	16,3	41,8	140,4		
Снижение поверхностью земли возле источника As, дБ	Gs = 0 hs = 1м	ф-лы таб.3 [10]	-1,5	-1,5	-1,5	-1,5	-1,5	-1,5	-1,5	-1,5	-1,5		
Снижение поверхностью земли возле приёмника Ar, дБ	Gr = 1 hr = 1.5м	ф-лы таб.3 [10]	-1,5	-1,5	5,3	7	5	0,7	0	0	0		
Снижение поверхностью земли в средней зоне, Am дБ	Gm = 1	ф-лы таб.3 [10]	-2,9	-2,9	0	0	0	0	0	0	0		
Суммарное снижение поверхностью земли на траектории распространения звука Agr, дБ		ф-ла (9) [10]	-5,9	-5,9	3,8	5,5	3,5	-0,8	-1,5	-1,5	-1,5		
Уровни звукового давления от источника ИШ-1-34 в расчётной точке днём, дБ		**ф-ла(3)[10]**	**0**	**21,3**	**12,5**	**12,4**	**14,7**	**21,7**	**24**	**0**	**0**	**27**	**27**
Уровни звукового давления от источника ИШ-1-34 в расчётной точке ночью, дБ		**ф-ла(3)[10]**	**0**	**0**	**0**	**0**	**0**	**0**	**0**	**0**	**0**	**0**	**0**
Источник шума: ИШ-2-1, координаты источника (x,y,z), м =[696.50,124.40,3.00]													
Уровни звуковой мощности источника днём, Lw, дБ		**исходные данные**	**105**	**104**	**104**	**101**	**102**	**106**	**101**	**95**	**87**		
Уровни звуковой мощности источника ночью, Lw, дБ		**исходные данные**	**105**	**104**	**104**	**101**	**102**	**106**	**101**	**95**	**87**		
Поправка на телесный угол DΩ, дБ	Ω = 6.28	10Lg(4π/Ω)	**3**	3	3	3	3	3	3	3	3		
Показатель направленности источника Di, дБ		исходные данные	**0**	0	0	0	0	0	0	0	0		
Поправка на направленность источника Dc, дБ	Dc	DΩ + Di	**3**	3	3	3	3	3	3	3	3		
Затухание из-за геометрической дивергенции, Adiv, дБ	расстояние = 1711.90 м	ф-ла (7) [10]	**75,7**										
Коэффициент затухания звука в атмосфере α, дБ/км	Ta=20,°C Pa=101.33,кПа hотн.=70%	ф-ла (5) [9]	0,02	0,09	0,33	1,12	2,79	4,98	9,04	23,09	77,63		
Учет затухания звука в атмосфере Aatm, дБ		ф-ла (8) [10]	0	0,2	0,6	1,9	4,8	8,5	15,5	39,5	132,9		

1		2	3	4	5	6	7	8	9	10	11	12	13
Снижение поверхностью земли возле источника As, дБ	Gs = 0 hs = 3м	ф-лы таб.3 [10]	-1,5	-1,5	-1,5	-1,5	-1,5	-1,5	-1,5	-1,5	-1,5		
Снижение поверхностью земли возле приёмника Ar, дБ	Gr = 1 hr = 1.5м	ф-лы таб.3 [10]	-1,5	-1,5	5,3	7	5	0,7	0	0	0		
Снижение поверхностью земли в средней зоне, Am дБ	Gm = 1	ф-лы таб.3 [10]	-2,8	-2,8	0	0	0	0	0	0	0		
Суммарное снижение поверхностью земли на траектории распространения звука Agr, дБ		ф-ла (9) [10]	-5,8	-5,8	3,8	5,5	3,5	-0,8	-1,5	-1,5	-1,5		
Уровни звукового давления от источника ИШ-2-1 в расчётной точке днём, дБ		**ф-ла(3)[10]**	**38,1**	**37**	**26,9**	**20,9**	**21,1**	**25,7**	**14,4**	**0**	**0**	**27,1**	**27,1**
Уровни звукового давления от источника ИШ-2-1 в расчётной точке ночью, дБ		**ф-ла(3)[10]**	**38,1**	**37**	**26,9**	**20,9**	**21,1**	**25,7**	**14,4**	**0**	**0**	**27,1**	**27,1**
Источник шума: ИШ-2-2, координаты источника (x,y,z), м =[682.20,81.60,3.00]													
Уровни звуковой мощности источника днём, Lw, дБ		**исходные данные**	**105**	**104**	**104**	**101**	**102**	**106**	**101**	**95**	**87**		
Уровни звуковой мощности источника ночью, Lw, дБ		**исходные данные**	**105**	**104**	**104**	**101**	**102**	**106**	**101**	**95**	**87**		
Поправка на телесный угол DΩ, дБ	Ω = 6.28	10Lg(4π/Ω)	**3**	3	3	3	3	3	3	3	3		
Показатель направленности источника Di, дБ		исходные данные	**0**	0	0	0	0	0	0	0	0		
Поправка на направленность источника Dc, дБ	Dc	DΩ + Di	**3**	3	3	3	3	3	3	3	3		
Затухание из-за геометрической дивергенции, Adiv, дБ	расстояние = 1669.68 м	ф-ла (7) [10]	**75,5**										
Коэффициент затухания звука в атмосфере α, дБ/км	Ta=20,°C Pa=101.33,кПа hотн.=70%	ф-ла (5) [9]	0,02	0,09	0,33	1,12	2,79	4,98	9,04	23,09	77,63		
Учет затухания звука в атмосфере Aatm, дБ		ф-ла (8) [10]	0	0,1	0,6	1,9	4,7	8,3	15,1	38,5	129,6		
Снижение поверхностью земли возле источника As, дБ	Gs = 0 hs = 3м	ф-лы таб.3 [10]	-1,5	-1,5	-1,5	-1,5	-1,5	-1,5	-1,5	-1,5	-1,5		

1		2	3	4	5	6	7	8	9	10	11	12	13
Снижение поверхностью земли возле приёмника Ar, дБ	Gr = 1 hr = 1.5м	ф-лы таб.3 [10]	-1,5	-1,5	5,3	7	5	0,7	0	0	0		
Снижение поверхностью земли в средней зоне, Am дБ	Gm = 1	ф-лы таб.3 [10]	-2,8	-2,8	0	0	0	0	0	0	0		
Суммарное снижение поверхностью земли на траектории распространения звука Agr, дБ		ф-ла (9) [10]	-5,8	-5,8	3,8	5,5	3,5	-0,8	-1,5	-1,5	-1,5		
Уровни звукового давления прямого звука от источника ИШ-2-2 в расчётной точке днём, дБ		**ф-ла(3)[10]**	**38,3**	**37,2**	**27,2**	**21,2**	**21,4**	**26,1**	**15**	**0**	**0**	**27,5**	**27,5**
Уровни звукового давления прямого звука от источника ИШ-2-2 в расчётной точке ночью, дБ		**ф-ла(3)[10]**	**38,3**	**37,2**	**27,2**	**21,2**	**21,4**	**26,1**	**15**	**0**	**0**	**27,5**	**27,5**
Расчёт отражённого звука													
Уровни звукового давления от мнимого источника ИШ-2-2_мн.(1) в расчётной точке днём, дБ		**ф-ла(3)[10]**	**0**	**0**	**0**	**0**	**0**	**0**	**0**	**0**	**0**	**0**	**0**
Уровни звукового давления от мнимого источника ИШ-2-2_мн.(1) в расчётной точке ночью, дБ		**ф-ла(3)[10]**	**0**	**0**	**0**	**0**	**0**	**0**	**0**	**0**	**0**	**0**	**0**
Уровни звукового давления от источника ИШ-2-2 в расчётной точке днём, дБ		**ф-ла(3)[10]**	**38,3**	**37,2**	**27,2**	**21,2**	**21,4**	**26,1**	**15**	**0**	**0**	**27,5**	**27,5**
Уровни звукового давления от источника ИШ-2-2 в расчётной точке ночью, дБ		**ф-ла(3)[10]**	**38,3**	**37,2**	**27,2**	**21,2**	**21,4**	**26,1**	**15**	**0**	**0**	**27,5**	**27,5**
Источник шума: ИШ-2-3, координаты источника (x,y,z), м =[667.80,38.90,3.00]													
Уровни звуковой мощности источника днём, Lw, дБ		**исходные данные**	**105**	**104**	**104**	**101**	**102**	**106**	**101**	**95**	**87**		
Уровни звуковой мощности источника ночью, Lw, дБ		**исходные данные**	**105**	**104**	**104**	**101**	**102**	**106**	**101**	**95**	**87**		
Поправка на телесный угол DΩ, дБ	Ω = 6.28	10Lg(4π/Ω)	**3**	3	3	3	3	3	3	3	3		
Показатель направленности источника Di, дБ		исходные данные	**0**	0	0	0	0	0	0	0	0		
Поправка на направленность источника Dc, дБ	Dc	DΩ + Di	**3**	3	3	3	3	3	3	3	3		
Затухание из-за геометрической дивергенции, Adiv, дБ	расстояние = 1627.73 м	ф-ла (7) [10]	**75,2**										

1		2	3	4	5	6	7	8	9	10	11	12	13
Коэффициент затухания звука в атмосфере α, дБ/км	Ta=20,°C Pa=101.33,кПа hотн.=70%	ф-ла (5) [9]	0,02	0,09	0,33	1,12	2,79	4,98	9,04	23,09	77,63		
Учет затухания звука в атмосфере Aatm, дБ		ф-ла (8) [10]	0	0,1	0,5	1,8	4,5	8,1	14,7	37,6	126,4		
Снижение поверхностью земли возле источника As, дБ	Gs = 0 hs = 3м	ф-лы таб.3 [10]	-1,5	-1,5	-1,5	-1,5	-1,5	-1,5	-1,5	-1,5	-1,5		
Снижение поверхностью земли возле приёмника Ar, дБ	Gr = 1 hr = 1.5м	ф-лы таб.3 [10]	-1,5	-1,5	5,3	7	5	0,7	0	0	0		
Снижение поверхностью земли в средней зоне, Am дБ	Gm = 1	ф-лы таб.3 [10]	-2,8	-2,8	0	0	0	0	0	0	0		
Суммарное снижение поверхностью земли на траектории распространения звука Agr, дБ		ф-ла (9) [10]	-5,8	-5,8	3,8	5,5	3,5	-0,8	-1,5	-1,5	-1,5		
Уровни звукового давления прямого звука от источника ИШ-2-3 в расчётной точке днём, дБ		**ф-ла(3)[10]**	**38,5**	**37,4**	**27,4**	**21,4**	**21,8**	**26,5**	**15,6**	**0**	**0**	**27,9**	**27,9**
Уровни звукового давления прямого звука от источника ИШ-2-3 в расчётной точке ночью, дБ		**ф-ла(3)[10]**	**38,5**	**37,4**	**27,4**	**21,4**	**21,8**	**26,5**	**15,6**	**0**	**0**	**27,9**	**27,9**
Расчёт отражённого звука													
Уровни звукового давления от мнимого источника ИШ-2-3_мн.(1) в расчётной точке днём, дБ		**ф-ла(3)[10]**	**0**	**0**	**0**	**0**	**0**	**0**	**0**	**0**	**0**	**0**	**0**
Уровни звукового давления от мнимого источника ИШ-2-3_мн.(1) в расчётной точке ночью, дБ		**ф-ла(3)[10]**	**0**	**0**	**0**	**0**	**0**	**0**	**0**	**0**	**0**	**0**	**0**
Уровни звукового давления от источника ИШ-2-3 в расчётной точке днём, дБ		**ф-ла(3)[10]**	**38,5**	**37,4**	**27,4**	**21,4**	**21,8**	**26,5**	**15,6**	**0**	**0**	**27,9**	**27,9**
Уровни звукового давления от источника ИШ-2-3 в расчётной точке ночью, дБ		**ф-ла(3)[10]**	**38,5**	**37,4**	**27,4**	**21,4**	**21,8**	**26,5**	**15,6**	**0**	**0**	**27,9**	**27,9**
Источник шума: ИШ-2-6, координаты источника (x,y,z), м =[765.97,112.43,1.00]													
Уровни звуковой мощности источника днём, Lw, дБ		**исходные данные**	**0**	**93,3**	**94,7**	**96**	**96,3**	**95,9**	**92,6**	**88,4**	**83,9**		
Уровни звуковой мощности источника ночью, Lw, дБ		**исходные данные**	**0**	**93,3**	**94,7**	**96**	**96,3**	**95,9**	**92,6**	**88,4**	**83,9**		

1		2	3	4	5	6	7	8	9	10	11	12	13
Поправка на телесный угол DΩ, дБ	Ω = 6.28	10Lg(4π/Ω)	**3**	3	3	3	3	3	3	3	3		
Показатель направленности источника Di, дБ		исходные данные	**0**	0	0	0	0	0	0	0	0		
Поправка на направленность источника Dc, дБ	Dc	DΩ + Di	**3**	3	3	3	3	3	3	3	3		
Затухание из-за геометрической дивергенции, Adiv, дБ	расстояние = 1699.00 м	ф-ла (7) [10]	**75,6**										
Коэффициент затухания звука в атмосфере α, дБ/км	Ta=20,°C Pa=101.33,кПа hотн.=70%	ф-ла (5) [9]	0,02	0,09	0,33	1,12	2,79	4,98	9,04	23,09	77,63		
Учет затухания звука в атмосфере Aatm, дБ		ф-ла (8) [10]	0	0,2	0,6	1,9	4,7	8,5	15,4	39,2	131,9		
Снижение уровня звукового давления из-за влияния застройки между источником шума и расчетной точкой													
Снижение уровня звукового давления препятствием слева от трассы ИШ-РТ, Dz2, дБ	z = -0.02м (разность путей)	ф-лы (14-18) [10]	4,7	4,6	4,4	4,1	3,2	0,8	NAN	NAN	NAN		
* отрицательное значение z означает прохождение траектории вблизи экрана, в этом случае дополнительно производится учёт снижения подстилающей поверхностью (см.ниже)													
Снижение поверхностью земли возле источника As, дБ	Gs = 0 hs = 1м	ф-лы таб.3 [10]	-1,5	-1,5	-1,5	-1,5	-1,5	-1,5	-1,5	-1,5	-1,5		
Снижение поверхностью земли возле приёмника Ar, дБ	Gr = 1 hr = 1.5м	ф-лы таб.3 [10]	-1,5	-1,5	5,3	7	5	0,7	0	0	0		
Снижение поверхностью земли в средней зоне, Am дБ	Gm = 1	ф-лы таб.3 [10]	-2,9	-2,9	0	0	0	0	0	0	0		
Суммарное снижение поверхностью земли на траектории распространения звука Agr, дБ		ф-ла (9) [10]	-5,9	-5,9	3,8	5,5	3,5	-0,8	-1,5	-1,5	-1,5		
Уровни звукового давления от источника ИШ-2-6 в расчётной точке днём, дБ		**ф-ла(3)[10]**	**0**	**21,8**	**13,2**	**11,9**	**12,2**	**14,8**	**6,1**	**0**	**0**	**16,7**	**16,7**
Уровни звукового давления от источника ИШ-2-6 в расчётной точке ночью, дБ		**ф-ла(3)[10]**	**0**	**21,8**	**13,2**	**11,9**	**12,2**	**14,8**	**6,1**	**0**	**0**	**16,7**	**16,7**
Источник шума: ИШ-2-7, координаты источника (x,y,z), м =[764.91,109.54,1.00]													
Уровни звуковой мощности источника днём, Lw, дБ		**исходные данные**	**0**	**93,3**	**94,7**	**96**	**96,3**	**95,9**	**92,6**	**88,4**	**83,9**		

1		2	3	4	5	6	7	8	9	10	11	12	13
Уровни звуковой мощности источника ночью, Lw, дБ		**исходные данные**	**0**	**93,3**	**94,7**	**96**	**96,3**	**95,9**	**92,6**	**88,4**	**83,9**		
Поправка на телесный угол DΩ, дБ	Ω = 6.28	10Lg(4π/Ω)	**3**	3	3	3	3	3	3	3	3		
Показатель направленности источника Di, дБ		исходные данные	**0**	0	0	0	0	0	0	0	0		
Поправка на направленность источника Dc, дБ	Dc	DΩ + Di	**3**	3	3	3	3	3	3	3	3		
Затухание из-за геометрической дивергенции, Adiv, дБ	расстояние = 1696.10 м	ф-ла (7) [10]	**75,6**										
Коэффициент затухания звука в атмосфере α, дБ/км	Ta=20,°C Pa=101.33,кПа hотн.=70%	ф-ла (5) [9]	0,02	0,09	0,33	1,12	2,79	4,98	9,04	23,09	77,63		
Учет затухания звука в атмосфере Aatm, дБ		ф-ла (8) [10]	0	0,2	0,6	1,9	4,7	8,4	15,3	39,2	131,7		
Снижение уровня звукового давления из-за влияния застройки между источником шума и расчетной точкой													
Снижение уровня звукового давления препятствием слева от трассы ИШ-РТ, Dz2, дБ	z = -0.03м (разность путей)	ф-лы (14-18) [10]	4,6	4,5	4,2	3,5	1,7	NAN	NAN	NAN	NAN		
* отрицательное значение z означает прохождение траектории вблизи экрана, в этом случае дополнительно производится учёт снижения подстилающей поверхностью (см.ниже)													
Снижение поверхностью земли возле источника As, дБ	Gs = 0 hs = 1м	ф-лы таб.3 [10]	-1,5	-1,5	-1,5	-1,5	-1,5	-1,5	-1,5	-1,5	-1,5		
Снижение поверхностью земли возле приёмника Ar, дБ	Gr = 1 hr = 1.5м	ф-лы таб.3 [10]	-1,5	-1,5	5,3	7	5	0,7	0	0	0		
Снижение поверхностью земли в средней зоне, Am дБ	Gm = 1	ф-лы таб.3 [10]	-2,9	-2,9	0	0	0	0	0	0	0		
Суммарное снижение поверхностью земли на траектории распространения звука Agr, дБ		ф-ла (9) [10]	-5,9	-5,9	3,8	5,5	3,5	-0,8	-1,5	-1,5	-1,5		
Уровни звукового давления от источника ИШ-2-7 в расчётной точке днём, дБ		**ф-ла(3)[10]**	**0**	**21,9**	**13,5**	**12,5**	**13,8**	**15,7**	**6,2**	**0**	**0**	**17,6**	**17,6**
Уровни звукового давления от источника ИШ-2-7 в расчётной точке ночью, дБ		**ф-ла(3)[10]**	**0**	**21,9**	**13,5**	**12,5**	**13,8**	**15,7**	**6,2**	**0**	**0**	**17,6**	**17,6**
Источник шума: ИШ-2-8, координаты источника (x,y,z), м =[764.03,106.58,1.00]													

1		2	3	4	5	6	7	8	9	10	11	12	13
Уровни звуковой мощности источника днём, Lw, дБ		**исходные данные**	**0**	**93,3**	**94,7**	**96**	**96,3**	**95,9**	**92,6**	**88,4**	**83,9**		
Уровни звуковой мощности источника ночью, Lw, дБ		**исходные данные**	**0**	**93,3**	**94,7**	**96**	**96,3**	**95,9**	**92,6**	**88,4**	**83,9**		
Поправка на телесный угол DΩ, дБ	Ω = 6.28	10Lg(4π/Ω)	**3**	3	3	3	3	3	3	3	3		
Показатель направленности источника Di, дБ		исходные данные	**0**	0	0	0	0	0	0	0	0		
Поправка на направленность источника Dc, дБ	Dc	DΩ + Di	**3**	3	3	3	3	3	3	3	3		
Затухание из-за геометрической дивергенции, Adiv, дБ	расстояние = 1693.13 м	ф-ла (7) [10]	**75,6**										
Коэффициент затухания звука в атмосфере α, дБ/км	Ta=20,°C Pa=101.33,кПа hотн.=70%	ф-ла (5) [9]	0,02	0,09	0,33	1,12	2,79	4,98	9,04	23,09	77,63		
Учет затухания звука в атмосфере Aatm, дБ		ф-ла (8) [10]	0	0,2	0,6	1,9	4,7	8,4	15,3	39,1	131,4		
Снижение уровня звукового давления из-за влияния застройки между источником шума и расчетной точкой													
Снижение уровня звукового давления препятствием слева от трассы ИШ-РТ, Dz2, дБ	z = -0.04м (разность путей)	ф-лы (14-18) [10]	4,6	4,4	3,9	2,8	0	NAN	NAN	NAN	NAN		
* отрицательное значение z означает прохождение траектории вблизи экрана, в этом случае дополнительно производится учёт снижения подстилающей поверхностью (см.ниже)													
Снижение поверхностью земли возле источника As, дБ	Gs = 0 hs = 1м	ф-лы таб.3 [10]	-1,5	-1,5	-1,5	-1,5	-1,5	-1,5	-1,5	-1,5	-1,5		
Снижение поверхностью земли возле приёмника Ar, дБ	Gr = 1 hr = 1.5м	ф-лы таб.3 [10]	-1,5	-1,5	5,3	7	5	0,7	0	0	0		
Снижение поверхностью земли в средней зоне, Am дБ	Gm = 1	ф-лы таб.3 [10]	-2,9	-2,9	0	0	0	0	0	0	0		
Суммарное снижение поверхностью земли на траектории распространения звука Agr, дБ		ф-ла (9) [10]	-5,9	-5,9	3,8	5,5	3,5	-0,8	-1,5	-1,5	-1,5		
Уровни звукового давления от источника ИШ-2-8 в расчётной точке днём, дБ		**ф-ла(3)[10]**	**0**	**22,1**	**13,8**	**13,2**	**15,5**	**15,7**	**6,2**	**0**	**0**	**18**	**18**
Уровни звукового давления от источника ИШ-2-8 в расчётной точке ночью, дБ		**ф-ла(3)[10]**	**0**	**22,1**	**13,8**	**13,2**	**15,5**	**15,7**	**6,2**	**0**	**0**	**18**	**18**

1		2	3	4	5	6	7	8	9	10	11	12	13
Источник шума: ИШ-2-9, координаты источника (x,y,z), м =[763.26,103.71,1.00]													
Уровни звуковой мощности источника днём, Lw, дБ		**исходные данные**	**0**	**93,3**	**94,7**	**96**	**96,3**	**95,9**	**92,6**	**88,4**	**83,9**		
Уровни звуковой мощности источника ночью, Lw, дБ		**исходные данные**	**0**	**93,3**	**94,7**	**96**	**96,3**	**95,9**	**92,6**	**88,4**	**83,9**		
Поправка на телесный угол DΩ, дБ	Ω = 6.28	10Lg(4π/Ω)	**3**	3	3	3	3	3	3	3	3		
Показатель направленности источника Di, дБ		исходные данные	**0**	0	0	0	0	0	0	0	0		
Поправка на направленность источника Dc, дБ	Dc	DΩ + Di	**3**	3	3	3	3	3	3	3	3		
Затухание из-за геометрической дивергенции, Adiv, дБ	расстояние = 1690.26 м	ф-ла (7) [10]	**75,6**										
Коэффициент затухания звука в атмосфере α, дБ/км	Ta=20,°C Pa=101.33,кПа hотн.=70%	ф-ла (5) [9]	0,02	0,09	0,33	1,12	2,79	4,98	9,04	23,09	77,63		
Учет затухания звука в атмосфере Aatm, дБ		ф-ла (8) [10]	0	0,2	0,6	1,9	4,7	8,4	15,3	39	131,2		
Снижение уровня звукового давления из-за влияния застройки между источником шума и расчетной точкой													
Снижение уровня звукового давления препятствием слева от трассы ИШ-РТ, Dz2, дБ	z = -0.05м (разность путей)	ф-лы (14-18) [10]	4,5	4,2	3,6	2	0	NAN	NAN	NAN	NAN		
* отрицательное значение z означает прохождение траектории вблизи экрана, в этом случае дополнительно производится учёт снижения подстилающей поверхностью (см.ниже)													
Снижение поверхностью земли возле источника As, дБ	Gs = 0 hs = 1м	ф-лы таб.3 [10]	-1,5	-1,5	-1,5	-1,5	-1,5	-1,5	-1,5	-1,5	-1,5		
Снижение поверхностью земли возле приёмника Ar, дБ	Gr = 1 hr = 1.5м	ф-лы таб.3 [10]	-1,5	-1,5	5,3	7	5	0,7	0	0	0		
Снижение поверхностью земли в средней зоне, Am дБ	Gm = 1	ф-лы таб.3 [10]	-2,9	-2,9	0	0	0	0	0	0	0		
Суммарное снижение поверхностью земли на траектории распространения звука Agr, дБ		ф-ла (9) [10]	-5,9	-5,9	3,8	5,5	3,5	-0,8	-1,5	-1,5	-1,5		
Уровни звукового давления от источника ИШ-2-9 в расчётной точке днём, дБ		**ф-ла(3)[10]**	**0**	**22,2**	**14,1**	**14**	**15,5**	**15,8**	**6,3**	**0**	**0**	**18,1**	**18,1**

1		2	3	4	5	6	7	8	9	10	11	12	13
Уровни звукового давления от источника ИШ-2-9 в расчётной точке ночью, дБ		**ф-ла(3)[10]**	**0**	**22,2**	**14,1**	**14**	**15,5**	**15,8**	**6,3**	**0**	**0**	**18,1**	**18,1**
Источник шума: ИШ-2-10, координаты источника (x,y,z), м =[762.14,100.75,1.00]													
Уровни звуковой мощности источника днём, Lw, дБ		**исходные данные**	**0**	**93,3**	**94,7**	**96**	**96,3**	**95,9**	**92,6**	**88,4**	**83,9**		
Уровни звуковой мощности источника ночью, Lw, дБ		**исходные данные**	**0**	**93,3**	**94,7**	**96**	**96,3**	**95,9**	**92,6**	**88,4**	**83,9**		
Поправка на телесный угол DΩ, дБ	Ω = 6.28	10Lg(4π/Ω)	**3**	3	3	3	3	3	3	3	3		
Показатель направленности источника Di, дБ		исходные данные	**0**	0	0	0	0	0	0	0	0		
Поправка на направленность источника Dc, дБ	Dc	DΩ + Di	**3**	3	3	3	3	3	3	3	3		
Затухание из-за геометрической дивергенции, Adiv, дБ	расстояние = 1687.29 м	ф-ла (7) [10]	**75,5**										
Коэффициент затухания звука в атмосфере α, дБ/км	Ta=20,°C Pa=101.33,кПа hотн.=70%	ф-ла (5) [9]	0,02	0,09	0,33	1,12	2,79	4,98	9,04	23,09	77,63		
Учет затухания звука в атмосфере Aatm, дБ		ф-ла (8) [10]	0	0,2	0,6	1,9	4,7	8,4	15,3	39	131		
Снижение уровня звукового давления из-за влияния застройки между источником шума и расчетной точкой													
Снижение уровня звукового давления препятствием слева от трассы ИШ-РТ, Dz2, дБ	z = -0.07м (разность путей)	ф-лы (14-18) [10]	4,4	4	3	0,1	NAN	NAN	NAN	NAN	NAN		
* отрицательное значение z означает прохождение траектории вблизи экрана, в этом случае дополнительно производится учёт снижения подстилающей поверхностью (см.ниже)													
Снижение поверхностью земли возле источника As, дБ	Gs = 0 hs = 1м	ф-лы таб.3 [10]	-1,5	-1,5	-1,5	-1,5	-1,5	-1,5	-1,5	-1,5	-1,5		
Снижение поверхностью земли возле приёмника Ar, дБ	Gr = 1 hr = 1.5м	ф-лы таб.3 [10]	-1,5	-1,5	5,3	7	5	0,7	0	0	0		
Снижение поверхностью земли в средней зоне, Am дБ	Gm = 1	ф-лы таб.3 [10]	-2,9	-2,9	0	0	0	0	0	0	0		
Суммарное снижение поверхностью земли на траектории распространения звука Agr, дБ		ф-ла (9) [10]	-5,9	-5,9	3,8	5,5	3,5	-0,8	-1,5	-1,5	-1,5		

1		2	3	4	5	6	7	8	9	10	11	12	13
Уровни звукового давления от источника ИШ-2-10 в расчётной точке днём, дБ		**ф-ла(3)[10]**	**0**	**22,5**	**14,7**	**15,9**	**15,6**	**15,8**	**6,3**	**0**	**0**	**18,3**	**18,3**
Уровни звукового давления от источника ИШ-2-10 в расчётной точке ночью, дБ		**ф-ла(3)[10]**	**0**	**22,5**	**14,7**	**15,9**	**15,6**	**15,8**	**6,3**	**0**	**0**	**18,3**	**18,3**
Источник шума: ИШ-2-11, координаты источника (x,y,z), м =[761.13,97.90,1.00]													
Уровни звуковой мощности источника днём, Lw, дБ		**исходные данные**	**0**	**93,3**	**94,7**	**96**	**96,3**	**95,9**	**92,6**	**88,4**	**83,9**		
Уровни звуковой мощности источника ночью, Lw, дБ		**исходные данные**	**0**	**93,3**	**94,7**	**96**	**96,3**	**95,9**	**92,6**	**88,4**	**83,9**		
Поправка на телесный угол DΩ, дБ	Ω = 6.28	10Lg(4π/Ω)	**3**	3	3	3	3	3	3	3	3		
Показатель направленности источника Di, дБ		исходные данные	**0**	0	0	0	0	0	0	0	0		
Поправка на направленность источника Dc, дБ	Dc	DΩ + Di	**3**	3	3	3	3	3	3	3	3		
Затухание из-за геометрической дивергенции, Adiv, дБ	расстояние = 1684.45 м	ф-ла (7) [10]	**75,5**										
Коэффициент затухания звука в атмосфере α, дБ/км	Ta=20,°C Pa=101.33,кПа hотн.=70%	ф-ла (5) [9]	0,02	0,09	0,33	1,12	2,79	4,98	9,04	23,09	77,63		
Учет затухания звука в атмосфере Aatm, дБ		ф-ла (8) [10]	0	0,2	0,6	1,9	4,7	8,4	15,2	38,9	130,8		
Снижение уровня звукового давления из-за влияния застройки между источником шума и расчетной точкой													
Снижение уровня звукового давления препятствием слева от трассы ИШ-РТ, Dz2, дБ	z = -0.09м (разность путей)	ф-лы (14-18) [10]	4,3	3,7	2,3	0	NAN	NAN	NAN	NAN	NAN		
* отрицательное значение z означает прохождение траектории вблизи экрана, в этом случае дополнительно производится учёт снижения подстилающей поверхностью (см.ниже)													
Снижение поверхностью земли возле источника As, дБ	Gs = 0 hs = 1м	ф-лы таб.3 [10]	-1,5	-1,5	-1,5	-1,5	-1,5	-1,5	-1,5	-1,5	-1,5		
Снижение поверхностью земли возле приёмника Ar, дБ	Gr = 1 hr = 1.5м	ф-лы таб.3 [10]	-1,5	-1,5	5,3	7	5	0,7	0	0	0		
Снижение поверхностью земли в средней зоне, Am дБ	Gm = 1	ф-лы таб.3 [10]	-2,9	-2,9	0	0	0	0	0	0	0		

1		2	3	4	5	6	7	8	9	10	11	12	13
Суммарное снижение поверхностью земли на траектории распространения звука Agr, дБ		ф-ла (9) [10]	-5,9	-5,9	3,8	5,5	3,5	-0,8	-1,5	-1,5	-1,5		
Уровни звукового давления от источника ИШ-2-11 в расчётной точке днём, дБ		**ф-ла(3)[10]**	**0**	**22,8**	**15,4**	**16**	**15,6**	**15,8**	**6,3**	**0**	**0**	**18,3**	**18,3**
Уровни звукового давления от источника ИШ-2-11 в расчётной точке ночью, дБ		**ф-ла(3)[10]**	**0**	**22,8**	**15,4**	**16**	**15,6**	**15,8**	**6,3**	**0**	**0**	**18,3**	**18,3**
Источник шума: ИШ-2-12, координаты источника (x,y,z), м =[760.25,95.02,1.00]													
Уровни звуковой мощности источника днём, Lw, дБ		**исходные данные**	**0**	**93,3**	**94,7**	**96**	**96,3**	**95,9**	**92,6**	**88,4**	**83,9**		
Уровни звуковой мощности источника ночью, Lw, дБ		**исходные данные**	**0**	**93,3**	**94,7**	**96**	**96,3**	**95,9**	**92,6**	**88,4**	**83,9**		
Поправка на телесный угол DΩ, дБ	Ω = 6.28	10Lg(4π/Ω)	**3**	3	3	3	3	3	3	3	3		
Показатель направленности источника Di, дБ		исходные данные	**0**	0	0	0	0	0	0	0	0		
Поправка на направленность источника Dc, дБ	Dc	DΩ + Di	**3**	3	3	3	3	3	3	3	3		
Затухание из-за геометрической дивергенции, Adiv, дБ	расстояние = 1681.56 м	ф-ла (7) [10]	**75,5**										
Коэффициент затухания звука в атмосфере α, дБ/км	Ta=20,°C Pa=101.33,кПа hотн.=70%	ф-ла (5) [9]	0,02	0,09	0,33	1,12	2,79	4,98	9,04	23,09	77,63		
Учет затухания звука в атмосфере Aatm, дБ		ф-ла (8) [10]	0	0,2	0,6	1,9	4,7	8,4	15,2	38,8	130,5		
Снижение уровня звукового давления из-за влияния застройки между источником шума и расчетной точкой													
Снижение уровня звукового давления препятствием слева от трассы ИШ-РТ, Dz2, дБ	z = -0.11м (разность путей)	ф-лы (14-18) [10]	4,1	3,4	1,5	NAN	NAN	NAN	NAN	NAN	NAN		
* отрицательное значение z означает прохождение траектории вблизи экрана, в этом случае дополнительно производится учёт снижения подстилающей поверхностью (см.ниже)													
Снижение поверхностью земли возле источника As, дБ	Gs = 0 hs = 1м	ф-лы таб.3 [10]	-1,5	-1,5	-1,5	-1,5	-1,5	-1,5	-1,5	-1,5	-1,5		
Снижение поверхностью земли возле приёмника Ar, дБ	Gr = 1 hr = 1.5м	ф-лы таб.3 [10]	-1,5	-1,5	5,3	7	5	0,7	0	0	0		

1		2	3	4	5	6	7	8	9	10	11	12	13
Снижение поверхностью земли в средней зоне, Am дБ	Gm = 1	ф-лы таб.3 [10]	-2,9	-2,9	0	0	0	0	0	0	0		
Суммарное снижение поверхностью земли на траектории распространения звука Agr, дБ		ф-ла (9) [10]	-5,9	-5,9	3,8	5,5	3,5	-0,8	-1,5	-1,5	-1,5		
Уровни звукового давления от источника ИШ-2-12 в расчётной точке днём, дБ		**ф-ла(3)[10]**	**0**	**23,1**	**16,3**	**16,1**	**15,6**	**15,8**	**6,4**	**0**	**0**	**18,4**	**18,4**
Уровни звукового давления от источника ИШ-2-12 в расчётной точке ночью, дБ		**ф-ла(3)[10]**	**0**	**23,1**	**16,3**	**16,1**	**15,6**	**15,8**	**6,4**	**0**	**0**	**18,4**	**18,4**
Источник шума: ИШ-2-13, координаты источника (x,y,z), м =[759.28,92.25,1.00]													
Уровни звуковой мощности источника днём, Lw, дБ		**исходные данные**	**0**	**93,3**	**94,7**	**96**	**96,3**	**95,9**	**92,6**	**88,4**	**83,9**		
Уровни звуковой мощности источника ночью, Lw, дБ		**исходные данные**	**0**	**93,3**	**94,7**	**96**	**96,3**	**95,9**	**92,6**	**88,4**	**83,9**		
Поправка на телесный угол DΩ, дБ	Ω = 6.28	10Lg(4π/Ω)	**3**	3	3	3	3	3	3	3	3		
Показатель направленности источника Di, дБ		исходные данные	**0**	0	0	0	0	0	0	0	0		
Поправка на направленность источника Dc, дБ	Dc	DΩ + Di	**3**	3	3	3	3	3	3	3	3		
Затухание из-за геометрической дивергенции, Adiv, дБ	расстояние = 1678.79 м	ф-ла (7) [10]	**75,5**										
Коэффициент затухания звука в атмосфере α, дБ/км	Ta=20,°C Pa=101.33,кПа hотн.=70%	ф-ла (5) [9]	0,02	0,09	0,33	1,12	2,79	4,98	9,04	23,09	77,63		
Учет затухания звука в атмосфере Aatm, дБ		ф-ла (8) [10]	0	0,2	0,6	1,9	4,7	8,4	15,2	38,8	130,3		
Снижение уровня звукового давления из-за влияния застройки между источником шума и расчетной точкой													
Снижение уровня звукового давления препятствием слева от трассы ИШ-РТ, Dz2, дБ	z = -0.13м (разность путей)	ф-лы (14-18) [10]	4	3	0,2	NAN	NAN	NAN	NAN	NAN	NAN		
* отрицательное значение z означает прохождение траектории вблизи экрана, в этом случае дополнительно производится учёт снижения подстилающей поверхностью (см.ниже)													
Снижение поверхностью земли возле источника As, дБ	Gs = 0 hs = 1м	ф-лы таб.3 [10]	-1,5	-1,5	-1,5	-1,5	-1,5	-1,5	-1,5	-1,5	-1,5		

1		2	3	4	5	6	7	8	9	10	11	12	13
Снижение поверхностью земли возле приёмника Ar, дБ	Gr = 1 hr = 1.5м	ф-лы таб.3 [10]	-1,5	-1,5	5,3	7	5	0,7	0	0	0		
Снижение поверхностью земли в средней зоне, Am дБ	Gm = 1	ф-лы таб.3 [10]	-2,9	-2,9	0	0	0	0	0	0	0		
Суммарное снижение поверхностью земли на траектории распространения звука Agr, дБ		ф-ла (9) [10]	-5,9	-5,9	3,8	5,5	3,5	-0,8	-1,5	-1,5	-1,5		
Уровни звукового давления от источника ИШ-2-13 в расчётной точке днём, дБ		**ф-ла(3)[10]**	**0**	**23,5**	**17,6**	**16,1**	**15,6**	**15,9**	**6,4**	**0**	**0**	**18,4**	**18,4**
Уровни звукового давления от источника ИШ-2-13 в расчётной точке ночью, дБ		**ф-ла(3)[10]**	**0**	**23,5**	**17,6**	**16,1**	**15,6**	**15,9**	**6,4**	**0**	**0**	**18,4**	**18,4**
Источник шума: ИШ-2-14, координаты источника (x,y,z), м =[751.62,69.73,1.00]													
Уровни звуковой мощности источника днём, Lw, дБ		**исходные данные**	**0**	**93,3**	**94,7**	**96**	**96,3**	**95,9**	**92,6**	**88,4**	**83,9**		
Уровни звуковой мощности источника ночью, Lw, дБ		**исходные данные**	**0**	**93,3**	**94,7**	**96**	**96,3**	**95,9**	**92,6**	**88,4**	**83,9**		
Поправка на телесный угол DΩ, дБ	Ω = 6.28	10Lg(4π/Ω)	**3**	3	3	3	3	3	3	3	3		
Показатель направленности источника Di, дБ		исходные данные	**0**	0	0	0	0	0	0	0	0		
Поправка на направленность источника Dc, дБ	Dc	DΩ + Di	**3**	3	3	3	3	3	3	3	3		
Затухание из-за геометрической дивергенции, Adiv, дБ	расстояние = 1656.26 м	ф-ла (7) [10]	**75,4**										
Коэффициент затухания звука в атмосфере α, дБ/км	Ta=20,°C Pa=101.33,кПа hотн.=70%	ф-ла (5) [9]	0,02	0,09	0,33	1,12	2,79	4,98	9,04	23,09	77,63		
Учет затухания звука в атмосфере Aatm, дБ		ф-ла (8) [10]	0	0,1	0,6	1,9	4,6	8,2	15	38,2	128,6		
Снижение поверхностью земли возле источника As, дБ	Gs = 0 hs = 1м	ф-лы таб.3 [10]	-1,5	-1,5	-1,5	-1,5	-1,5	-1,5	-1,5	-1,5	-1,5		
Снижение поверхностью земли возле приёмника Ar, дБ	Gr = 1 hr = 1.5м	ф-лы таб.3 [10]	-1,5	-1,5	5,3	7	5	0,7	0	0	0		

1		2	3	4	5	6	7	8	9	10	11	12	13
Снижение поверхностью земли в средней зоне, Am дБ	Gm = 1	ф-лы таб.3 [10]	-2,9	-2,9	0	0	0	0	0	0	0		
Суммарное снижение поверхностью земли на траектории распространения звука Agr, дБ		ф-ла (9) [10]	-5,9	-5,9	3,8	5,5	3,5	-0,8	-1,5	-1,5	-1,5		
Уровни звукового давления от источника ИШ-2-14 в расчётной точке днём, дБ		**ф-ла(3)[10]**	**0**	**26,6**	**17,9**	**16,2**	**15,8**	**16,1**	**6,7**	**0**	**0**	**18,7**	**18,7**
Уровни звукового давления от источника ИШ-2-14 в расчётной точке ночью, дБ		**ф-ла(3)[10]**	**0**	**26,6**	**17,9**	**16,2**	**15,8**	**16,1**	**6,7**	**0**	**0**	**18,7**	**18,7**
Источник шума: ИШ-2-15, координаты источника (x,y,z), м =[750.74,66.89,1.00]													
Уровни звуковой мощности источника днём, Lw, дБ		**исходные данные**	**0**	**93,3**	**94,7**	**96**	**96,3**	**95,9**	**92,6**	**88,4**	**83,9**		
Уровни звуковой мощности источника ночью, Lw, дБ		**исходные данные**	**0**	**93,3**	**94,7**	**96**	**96,3**	**95,9**	**92,6**	**88,4**	**83,9**		
Поправка на телесный угол DΩ, дБ	Ω = 6.28	10Lg(4π/Ω)	**3**	3	3	3	3	3	3	3	3		
Показатель направленности источника Di, дБ		исходные данные	**0**	0	0	0	0	0	0	0	0		
Поправка на направленность источника Dc, дБ	Dc	DΩ + Di	**3**	3	3	3	3	3	3	3	3		
Затухание из-за геометрической дивергенции, Adiv, дБ	расстояние = 1653.42 м	ф-ла (7) [10]	**75,4**										
Коэффициент затухания звука в атмосфере α, дБ/км	Ta=20,°C Pa=101.33,кПа hотн.=70%	ф-ла (5) [9]	0,02	0,09	0,33	1,12	2,79	4,98	9,04	23,09	77,63		
Учет затухания звука в атмосфере Aatm, дБ		ф-ла (8) [10]	0	0,1	0,6	1,9	4,6	8,2	14,9	38,2	128,4		
Снижение поверхностью земли возле источника As, дБ	Gs = 0 hs = 1м	ф-лы таб.3 [10]	-1,5	-1,5	-1,5	-1,5	-1,5	-1,5	-1,5	-1,5	-1,5		
Снижение поверхностью земли возле приёмника Ar, дБ	Gr = 1 hr = 1.5м	ф-лы таб.3 [10]	-1,5	-1,5	5,3	7	5	0,7	0	0	0		
Снижение поверхностью земли в средней зоне, Am дБ	Gm = 1	ф-лы таб.3 [10]	-2,9	-2,9	0	0	0	0	0	0	0		

1		2	3	4	5	6	7	8	9	10	11	12	13
Суммарное снижение поверхностью земли на траектории распространения звука Agr, дБ		ф-ла (9) [10]	-5,9	-5,9	3,8	5,5	3,5	-0,8	-1,5	-1,5	-1,5		
Уровни звукового давления от источника ИШ-2-15 в расчётной точке днём, дБ		**ф-ла(3)[10]**	**0**	**26,6**	**17,9**	**16,2**	**15,8**	**16,1**	**6,8**	**0**	**0**	**18,7**	**18,7**
Уровни звукового давления от источника ИШ-2-15 в расчётной точке ночью, дБ		**ф-ла(3)[10]**	**0**	**26,6**	**17,9**	**16,2**	**15,8**	**16,1**	**6,8**	**0**	**0**	**18,7**	**18,7**
Источник шума: ИШ-2-16, координаты источника (x,y,z), м =[749.73,64.02,1.00]													
Уровни звуковой мощности источника днём, Lw, дБ		**исходные данные**	**0**	**93,3**	**94,7**	**96**	**96,3**	**95,9**	**92,6**	**88,4**	**83,9**		
Уровни звуковой мощности источника ночью, Lw, дБ		**исходные данные**	**0**	**93,3**	**94,7**	**96**	**96,3**	**95,9**	**92,6**	**88,4**	**83,9**		
Поправка на телесный угол DΩ, дБ	Ω = 6.28	10Lg(4π/Ω)	**3**	3	3	3	3	3	3	3	3		
Показатель направленности источника Di, дБ		исходные данные	**0**	0	0	0	0	0	0	0	0		
Поправка на направленность источника Dc, дБ	Dc	DΩ + Di	**3**	3	3	3	3	3	3	3	3		
Затухание из-за геометрической дивергенции, Adiv, дБ	расстояние = 1650.56 м	ф-ла (7) [10]	**75,4**										
Коэффициент затухания звука в атмосфере α, дБ/км	Ta=20,°C Pa=101.33,кПа hотн.=70%	ф-ла (5) [9]	0,02	0,09	0,33	1,12	2,79	4,98	9,04	23,09	77,63		
Учет затухания звука в атмосфере Aatm, дБ		ф-ла (8) [10]	0	0,1	0,6	1,9	4,6	8,2	14,9	38,1	128,1		
Снижение поверхностью земли возле источника As, дБ	Gs = 0 hs = 1м	ф-лы таб.3 [10]	-1,5	-1,5	-1,5	-1,5	-1,5	-1,5	-1,5	-1,5	-1,5		
Снижение поверхностью земли возле приёмника Ar, дБ	Gr = 1 hr = 1.5м	ф-лы таб.3 [10]	-1,5	-1,5	5,3	7	5	0,7	0	0	0		
Снижение поверхностью земли в средней зоне, Am дБ	Gm = 1	ф-лы таб.3 [10]	-2,9	-2,9	0	0	0	0	0	0	0		
Суммарное снижение поверхностью земли на траектории распространения звука Agr, дБ		ф-ла (9) [10]	-5,9	-5,9	3,8	5,5	3,5	-0,8	-1,5	-1,5	-1,5		

1		2	3	4	5	6	7	8	9	10	11	12	13
Уровни звукового давления от источника ИШ-2-16 в расчётной точке днём, дБ		**ф-ла(3)[10]**	**0**	**26,7**	**17,9**	**16,3**	**15,9**	**16,2**	**6,8**	**0**	**0**	**18,7**	**18,7**
Уровни звукового давления от источника ИШ-2-16 в расчётной точке ночью, дБ		**ф-ла(3)[10]**	**0**	**26,7**	**17,9**	**16,3**	**15,9**	**16,2**	**6,8**	**0**	**0**	**18,7**	**18,7**
Источник шума: ИШ-2-17, координаты источника (x,y,z), м =[748.87,61.06,1.00]													
Уровни звуковой мощности источника днём, Lw, дБ		**исходные данные**	**0**	**93,3**	**94,7**	**96**	**96,3**	**95,9**	**92,6**	**88,4**	**83,9**		
Уровни звуковой мощности источника ночью, Lw, дБ		**исходные данные**	**0**	**93,3**	**94,7**	**96**	**96,3**	**95,9**	**92,6**	**88,4**	**83,9**		
Поправка на телесный угол DΩ, дБ	Ω = 6.28	10Lg(4π/Ω)	**3**	3	3	3	3	3	3	3	3		
Показатель направленности источника Di, дБ		исходные данные	**0**	0	0	0	0	0	0	0	0		
Поправка на направленность источника Dc, дБ	Dc	DΩ + Di	**3**	3	3	3	3	3	3	3	3		
Затухание из-за геометрической дивергенции, Adiv, дБ	расстояние = 1647.60 м	ф-ла (7) [10]	**75,3**										
Коэффициент затухания звука в атмосфере α, дБ/км	Ta=20,°C Pa=101.33,кПа hотн.=70%	ф-ла (5) [9]	0,02	0,09	0,33	1,12	2,79	4,98	9,04	23,09	77,63		
Учет затухания звука в атмосфере Aatm, дБ		ф-ла (8) [10]	0	0,1	0,6	1,9	4,6	8,2	14,9	38	127,9		
Снижение поверхностью земли возле источника As, дБ	Gs = 0 hs = 1м	ф-лы таб.3 [10]	-1,5	-1,5	-1,5	-1,5	-1,5	-1,5	-1,5	-1,5	-1,5		
Снижение поверхностью земли возле приёмника Ar, дБ	Gr = 1 hr = 1.5м	ф-лы таб.3 [10]	-1,5	-1,5	5,3	7	5	0,7	0	0	0		
Снижение поверхностью земли в средней зоне, Am дБ	Gm = 1	ф-лы таб.3 [10]	-2,9	-2,9	0	0	0	0	0	0	0		
Суммарное снижение поверхностью земли на траектории распространения звука Agr, дБ		ф-ла (9) [10]	-5,9	-5,9	3,8	5,5	3,5	-0,8	-1,5	-1,5	-1,5		
Уровни звукового давления от источника ИШ-2-17 в расчётной точке днём, дБ		**ф-ла(3)[10]**	**0**	**26,7**	**18**	**16,3**	**15,9**	**16,2**	**6,9**	**0**	**0**	**18,8**	**18,8**

1		2	3	4	5	6	7	8	9	10	11	12	13
Уровни звукового давления от источника ИШ-2-17 в расчётной точке ночью, дБ		**ф-ла(3)[10]**	**0**	**26,7**	**18**	**16,3**	**15,9**	**16,2**	**6,9**	**0**	**0**	**18,8**	**18,8**
Источник шума: ИШ-2-18, координаты источника (x,y,z), м =[747.72,58.17,1.00]													
Уровни звуковой мощности источника днём, Lw, дБ		**исходные данные**	**0**	**93,3**	**94,7**	**96**	**96,3**	**95,9**	**92,6**	**88,4**	**83,9**		
Уровни звуковой мощности источника ночью, Lw, дБ		**исходные данные**	**0**	**93,3**	**94,7**	**96**	**96,3**	**95,9**	**92,6**	**88,4**	**83,9**		
Поправка на телесный угол DΩ, дБ	Ω = 6.28	10Lg(4π/Ω)	**3**	3	3	3	3	3	3	3	3		
Показатель направленности источника Di, дБ		исходные данные	**0**	0	0	0	0	0	0	0	0		
Поправка на направленность источника Dc, дБ	Dc	DΩ + Di	**3**	3	3	3	3	3	3	3	3		
Затухание из-за геометрической дивергенции, Adiv, дБ	расстояние = 1644.72 м	ф-ла (7) [10]	**75,3**										
Коэффициент затухания звука в атмосфере α, дБ/км	Ta=20,°C Pa=101.33,кПа hотн.=70%	ф-ла (5) [9]	0,02	0,09	0,33	1,12	2,79	4,98	9,04	23,09	77,63		
Учет затухания звука в атмосфере Aatm, дБ		ф-ла (8) [10]	0	0,1	0,6	1,8	4,6	8,2	14,9	38	127,7		
Снижение поверхностью земли возле источника As, дБ	Gs = 0 hs = 1м	ф-лы таб.3 [10]	-1,5	-1,5	-1,5	-1,5	-1,5	-1,5	-1,5	-1,5	-1,5		
Снижение поверхностью земли возле приёмника Ar, дБ	Gr = 1 hr = 1.5м	ф-лы таб.3 [10]	-1,5	-1,5	5,3	7	5	0,7	0	0	0		
Снижение поверхностью земли в средней зоне, Am дБ	Gm = 1	ф-лы таб.3 [10]	-2,9	-2,9	0	0	0	0	0	0	0		
Суммарное снижение поверхностью земли на траектории распространения звука Agr, дБ		ф-ла (9) [10]	-5,9	-5,9	3,8	5,5	3,5	-0,8	-1,5	-1,5	-1,5		
Уровни звукового давления от источника ИШ-2-18 в расчётной точке днём, дБ		**ф-ла(3)[10]**	**0**	**26,7**	**18**	**16,3**	**15,9**	**16,2**	**6,9**	**0**	**0**	**18,8**	**18,8**
Уровни звукового давления от источника ИШ-2-18 в расчётной точке ночью, дБ		**ф-ла(3)[10]**	**0**	**26,7**	**18**	**16,3**	**15,9**	**16,2**	**6,9**	**0**	**0**	**18,8**	**18,8**

1		2	3	4	5	6	7	8	9	10	11	12	13
Источник шума: ИШ-2-19, координаты источника (x,y,z), м =[746.80,55.25,1.00]													
Уровни звуковой мощности источника днём, Lw, дБ		**исходные данные**	**0**	**93,3**	**94,7**	**96**	**96,3**	**95,9**	**92,6**	**88,4**	**83,9**		
Уровни звуковой мощности источника ночью, Lw, дБ		**исходные данные**	**0**	**93,3**	**94,7**	**96**	**96,3**	**95,9**	**92,6**	**88,4**	**83,9**		
Поправка на телесный угол DΩ, дБ	Ω = 6.28	10Lg(4π/Ω)	**3**	3	3	3	3	3	3	3	3		
Показатель направленности источника Di, дБ		исходные данные	**0**	0	0	0	0	0	0	0	0		
Поправка на направленность источника Dc, дБ	Dc	DΩ + Di	**3**	3	3	3	3	3	3	3	3		
Затухание из-за геометрической дивергенции, Adiv, дБ	расстояние = 1641.80 м	ф-ла (7) [10]	**75,3**										
Коэффициент затухания звука в атмосфере α, дБ/км	Ta=20,°C Pa=101.33,кПа hотн.=70%	ф-ла (5) [9]	0,02	0,09	0,33	1,12	2,79	4,98	9,04	23,09	77,63		
Учет затухания звука в атмосфере Aatm, дБ		ф-ла (8) [10]	0	0,1	0,5	1,8	4,6	8,2	14,8	37,9	127,5		
Снижение поверхностью земли возле источника As, дБ	Gs = 0 hs = 1м	ф-лы таб.3 [10]	-1,5	-1,5	-1,5	-1,5	-1,5	-1,5	-1,5	-1,5	-1,5		
Снижение поверхностью земли возле приёмника Ar, дБ	Gr = 1 hr = 1.5м	ф-лы таб.3 [10]	-1,5	-1,5	5,3	7	5	0,7	0	0	0		
Снижение поверхностью земли в средней зоне, Am дБ	Gm = 1	ф-лы таб.3 [10]	-2,9	-2,9	0	0	0	0	0	0	0		
Суммарное снижение поверхностью земли на траектории распространения звука Agr, дБ		ф-ла (9) [10]	-5,9	-5,9	3,8	5,5	3,5	-0,8	-1,5	-1,5	-1,5		
Уровни звукового давления от источника ИШ-2-19 в расчётной точке днём, дБ		**ф-ла(3)[10]**	**0**	**26,7**	**18**	**16,3**	**15,9**	**16,3**	**6,9**	**0**	**0**	**18,8**	**18,8**
Уровни звукового давления от источника ИШ-2-19 в расчётной точке ночью, дБ		**ф-ла(3)[10]**	**0**	**26,7**	**18**	**16,3**	**15,9**	**16,3**	**6,9**	**0**	**0**	**18,8**	**18,8**
Источник шума: ИШ-2-20, координаты источника (x,y,z), м =[745.71,52.44,1.00]													

1		2	3	4	5	6	7	8	9	10	11	12	13
Уровни звуковой мощности источника днём, Lw, дБ		**исходные данные**	**0**	**93,3**	**94,7**	**96**	**96,3**	**95,9**	**92,6**	**88,4**	**83,9**		
Уровни звуковой мощности источника ночью, Lw, дБ		**исходные данные**	**0**	**93,3**	**94,7**	**96**	**96,3**	**95,9**	**92,6**	**88,4**	**83,9**		
Поправка на телесный угол DΩ, дБ	Ω = 6.28	10Lg(4π/Ω)	**3**	3	3	3	3	3	3	3	3		
Показатель направленности источника Di, дБ		исходные данные	**0**	0	0	0	0	0	0	0	0		
Поправка на направленность источника Dc, дБ	Dc	DΩ + Di	**3**	3	3	3	3	3	3	3	3		
Затухание из-за геометрической дивергенции, Adiv, дБ	расстояние = 1639.00 м	ф-ла (7) [10]	**75,3**										
Коэффициент затухания звука в атмосфере α, дБ/км	Ta=20,°C Pa=101.33,кПа hотн.=70%	ф-ла (5) [9]	0,02	0,09	0,33	1,12	2,79	4,98	9,04	23,09	77,63		
Учет затухания звука в атмосфере Aatm, дБ		ф-ла (8) [10]	0	0,1	0,5	1,8	4,6	8,2	14,8	37,8	127,2		
Снижение поверхностью земли возле источника As, дБ	Gs = 0 hs = 1м	ф-лы таб.3 [10]	-1,5	-1,5	-1,5	-1,5	-1,5	-1,5	-1,5	-1,5	-1,5		
Снижение поверхностью земли возле приёмника Ar, дБ	Gr = 1 hr = 1.5м	ф-лы таб.3 [10]	-1,5	-1,5	5,3	7	5	0,7	0	0	0		
Снижение поверхностью земли в средней зоне, Am дБ	Gm = 1	ф-лы таб.3 [10]	-2,9	-2,9	0	0	0	0	0	0	0		
Суммарное снижение поверхностью земли на траектории распространения звука Agr, дБ		ф-ла (9) [10]	-5,9	-5,9	3,8	5,5	3,5	-0,8	-1,5	-1,5	-1,5		
Уровни звукового давления от источника ИШ-2-20 в расчётной точке днём, дБ		**ф-ла(3)[10]**	**0**	**26,7**	**18**	**16,3**	**16**	**16,3**	**7**	**0**	**0**	**18,8**	**18,8**
Уровни звукового давления от источника ИШ-2-20 в расчётной точке ночью, дБ		**ф-ла(3)[10]**	**0**	**26,7**	**18**	**16,3**	**16**	**16,3**	**7**	**0**	**0**	**18,8**	**18,8**
Источник шума: ИШ-2-21, координаты источника (x,y,z), м =[744.89,49.62,1.00]													
Уровни звуковой мощности источника днём, Lw, дБ		**исходные данные**	**0**	**93,3**	**94,7**	**96**	**96,3**	**95,9**	**92,6**	**88,4**	**83,9**		

1		2	3	4	5	6	7	8	9	10	11	12	13
Уровни звуковой мощности источника ночью, Lw, дБ		**исходные данные**	**0**	**93,3**	**94,7**	**96**	**96,3**	**95,9**	**92,6**	**88,4**	**83,9**		
Поправка на телесный угол DΩ, дБ	Ω = 6.28	10Lg(4π/Ω)	**3**	3	3	3	3	3	3	3	3		
Показатель направленности источника Di, дБ		исходные данные	**0**	0	0	0	0	0	0	0	0		
Поправка на направленность источника Dc, дБ	Dc	DΩ + Di	**3**	3	3	3	3	3	3	3	3		
Затухание из-за геометрической дивергенции, Adiv, дБ	расстояние = 1636.18 м	ф-ла (7) [10]	**75,3**										
Коэффициент затухания звука в атмосфере α, дБ/км	Ta=20,°C Pa=101.33,кПа hотн.=70%	ф-ла (5) [9]	0,02	0,09	0,33	1,12	2,79	4,98	9,04	23,09	77,63		
Учет затухания звука в атмосфере Aatm, дБ		ф-ла (8) [10]	0	0,1	0,5	1,8	4,6	8,1	14,8	37,8	127		
Снижение поверхностью земли возле источника As, дБ	Gs = 0 hs = 1м	ф-лы таб.3 [10]	-1,5	-1,5	-1,5	-1,5	-1,5	-1,5	-1,5	-1,5	-1,5		
Снижение поверхностью земли возле приёмника Ar, дБ	Gr = 1 hr = 1.5м	ф-лы таб.3 [10]	-1,5	-1,5	5,3	7	5	0,7	0	0	0		
Снижение поверхностью земли в средней зоне, Am дБ	Gm = 1	ф-лы таб.3 [10]	-2,9	-2,9	0	0	0	0	0	0	0		
Суммарное снижение поверхностью земли на траектории распространения звука Agr, дБ		ф-ла (9) [10]	-5,9	-5,9	3,8	5,5	3,5	-0,8	-1,5	-1,5	-1,5		
Уровни звукового давления от источника ИШ-2-21 в расчётной точке днём, дБ		**ф-ла(3)[10]**	**0**	**26,7**	**18**	**16,4**	**16**	**16,3**	**7**	**0**	**0**	**18,9**	**18,9**
Уровни звукового давления от источника ИШ-2-21 в расчётной точке ночью, дБ		**ф-ла(3)[10]**	**0**	**26,7**	**18**	**16,4**	**16**	**16,3**	**7**	**0**	**0**	**18,9**	**18,9**
Источник шума: ИШ-2-22, координаты источника (x,y,z), м =[737.40,27.07,1.00]													
Уровни звуковой мощности источника днём, Lw, дБ		**исходные данные**	**0**	**93,3**	**94,7**	**96**	**96,3**	**95,9**	**92,6**	**88,4**	**83,9**		
Уровни звуковой мощности источника ночью, Lw, дБ		**исходные данные**	**0**	**93,3**	**94,7**	**96**	**96,3**	**95,9**	**92,6**	**88,4**	**83,9**		

1		2	3	4	5	6	7	8	9	10	11	12	13
Поправка на телесный угол DΩ, дБ	Ω = 6.28	10Lg(4π/Ω)	**3**	3	3	3	3	3	3	3	3		
Показатель направленности источника Di, дБ		исходные данные	**0**	0	0	0	0	0	0	0	0		
Поправка на направленность источника Dc, дБ	Dc	DΩ + Di	**3**	3	3	3	3	3	3	3	3		
Затухание из-за геометрической дивергенции, Adiv, дБ	расстояние = 1613.69 м	ф-ла (7) [10]	**75,2**										
Коэффициент затухания звука в атмосфере α, дБ/км	Ta=20,°C Pa=101.33,кПа hотн.=70%	ф-ла (5) [9]	0,02	0,09	0,33	1,12	2,79	4,98	9,04	23,09	77,63		
Учет затухания звука в атмосфере Aatm, дБ		ф-ла (8) [10]	0	0,1	0,5	1,8	4,5	8	14,6	37,3	125,3		
Снижение поверхностью земли возле источника As, дБ	Gs = 0 hs = 1м	ф-лы таб.3 [10]	-1,5	-1,5	-1,5	-1,5	-1,5	-1,5	-1,5	-1,5	-1,5		
Снижение поверхностью земли возле приёмника Ar, дБ	Gr = 1 hr = 1.5м	ф-лы таб.3 [10]	-1,5	-1,5	5,3	7	5	0,7	0	0	0		
Снижение поверхностью земли в средней зоне, Am дБ	Gm = 1	ф-лы таб.3 [10]	-2,9	-2,9	0	0	0	0	0	0	0		
Суммарное снижение поверхностью земли на траектории распространения звука Agr, дБ		ф-ла (9) [10]	-5,9	-5,9	3,8	5,5	3,5	-0,8	-1,5	-1,5	-1,5		
Уровни звукового давления от источника ИШ-2-22 в расчётной точке днём, дБ		**ф-ла(3)[10]**	**0**	**26,9**	**18,2**	**16,5**	**16,2**	**16,5**	**7,3**	**0**	**0**	**19,1**	**19,1**
Уровни звукового давления от источника ИШ-2-22 в расчётной точке ночью, дБ		**ф-ла(3)[10]**	**0**	**26,9**	**18,2**	**16,5**	**16,2**	**16,5**	**7,3**	**0**	**0**	**19,1**	**19,1**
Источник шума: ИШ-2-23, координаты источника (x,y,z), м =[736.46,24.18,1.00]													
Уровни звуковой мощности источника днём, Lw, дБ		**исходные данные**	**0**	**93,3**	**94,7**	**96**	**96,3**	**95,9**	**92,6**	**88,4**	**83,9**		
Уровни звуковой мощности источника ночью, Lw, дБ		**исходные данные**	**0**	**93,3**	**94,7**	**96**	**96,3**	**95,9**	**92,6**	**88,4**	**83,9**		
Поправка на телесный угол DΩ, дБ	Ω = 6.28	10Lg(4π/Ω)	**3**	3	3	3	3	3	3	3	3		

1		2	3	4	5	6	7	8	9	10	11	12	13
Показатель направленности источника Di, дБ		исходные данные	**0**	0	0	0	0	0	0	0	0		
Поправка на направленность источника Dc, дБ	Dc	DΩ + Di	**3**	3	3	3	3	3	3	3	3		
Затухание из-за геометрической дивергенции, Adiv, дБ	расстояние = 1610.81 м	ф-ла (7) [10]	**75,1**										
Коэффициент затухания звука в атмосфере α, дБ/км	Ta=20,°C Pa=101.33,кПа hотн.=70%	ф-ла (5) [9]	0,02	0,09	0,33	1,12	2,79	4,98	9,04	23,09	77,63		
Учет затухания звука в атмосфере Aatm, дБ		ф-ла (8) [10]	0	0,1	0,5	1,8	4,5	8	14,6	37,2	125,1		
Снижение поверхностью земли возле источника As, дБ	Gs = 0 hs = 1м	ф-лы таб.3 [10]	-1,5	-1,5	-1,5	-1,5	-1,5	-1,5	-1,5	-1,5	-1,5		
Снижение поверхностью земли возле приёмника Ar, дБ	Gr = 1 hr = 1.5м	ф-лы таб.3 [10]	-1,5	-1,5	5,3	7	5	0,7	0	0	0		
Снижение поверхностью земли в средней зоне, Am дБ	Gm = 1	ф-лы таб.3 [10]	-2,9	-2,9	0	0	0	0	0	0	0		
Суммарное снижение поверхностью земли на траектории распространения звука Agr, дБ		ф-ла (9) [10]	-5,9	-5,9	3,8	5,5	3,5	-0,8	-1,5	-1,5	-1,5		
Уровни звукового давления от источника ИШ-2-23 в расчётной точке днём, дБ		**ф-ла(3)[10]**	**0**	**26,9**	**18,2**	**16,5**	**16,2**	**16,6**	**7,4**	**0**	**0**	**19,1**	**19,1**
Уровни звукового давления от источника ИШ-2-23 в расчётной точке ночью, дБ		**ф-ла(3)[10]**	**0**	**26,9**	**18,2**	**16,5**	**16,2**	**16,6**	**7,4**	**0**	**0**	**19,1**	**19,1**
Источник шума: ИШ-2-24, координаты источника (x,y,z), м =[735.45,21.21,1.00]													
Уровни звуковой мощности источника днём, Lw, дБ		**исходные данные**	**0**	**93,3**	**94,7**	**96**	**96,3**	**95,9**	**92,6**	**88,4**	**83,9**		
Уровни звуковой мощности источника ночью, Lw, дБ		**исходные данные**	**0**	**93,3**	**94,7**	**96**	**96,3**	**95,9**	**92,6**	**88,4**	**83,9**		
Поправка на телесный угол DΩ, дБ	Ω = 6.28	10Lg(4π/Ω)	**3**	3	3	3	3	3	3	3	3		
Показатель направленности источника Di, дБ		исходные данные	**0**	0	0	0	0	0	0	0	0		

1		2	3	4	5	6	7	8	9	10	11	12	13
Поправка на направленность источника Dc, дБ	Dc	DΩ + Di	**3**	3	3	3	3	3	3	3	3		
Затухание из-за геометрической дивергенции, Adiv, дБ	расстояние = 1607.85 м	ф-ла (7) [10]	**75,1**										
Коэффициент затухания звука в атмосфере α, дБ/км	Ta=20,°C Pa=101.33,кПа hотн.=70%	ф-ла (5) [9]	0,02	0,09	0,33	1,12	2,79	4,98	9,04	23,09	77,63		
Учет затухания звука в атмосфере Aatm, дБ		ф-ла (8) [10]	0	0,1	0,5	1,8	4,5	8	14,5	37,1	124,8		
Снижение поверхностью земли возле источника As, дБ	Gs = 0 hs = 1м	ф-лы таб.3 [10]	-1,5	-1,5	-1,5	-1,5	-1,5	-1,5	-1,5	-1,5	-1,5		
Снижение поверхностью земли возле приёмника Ar, дБ	Gr = 1 hr = 1.5м	ф-лы таб.3 [10]	-1,5	-1,5	5,3	7	5	0,7	0	0	0		
Снижение поверхностью земли в средней зоне, Am дБ	Gm = 1	ф-лы таб.3 [10]	-2,9	-2,9	0	0	0	0	0	0	0		
Суммарное снижение поверхностью земли на траектории распространения звука Agr, дБ		ф-ла (9) [10]	-5,9	-5,9	3,8	5,5	3,5	-0,8	-1,5	-1,5	-1,5		
Уровни звукового давления от источника ИШ-2-24 в расчётной точке днём, дБ		**ф-ла(3)[10]**	**0**	**26,9**	**18,2**	**16,5**	**16,2**	**16,6**	**7,4**	**0**	**0**	**19,1**	**19,1**
Уровни звукового давления от источника ИШ-2-24 в расчётной точке ночью, дБ		**ф-ла(3)[10]**	**0**	**26,9**	**18,2**	**16,5**	**16,2**	**16,6**	**7,4**	**0**	**0**	**19,1**	**19,1**
Источник шума: ИШ-2-25, координаты источника (x,y,z), м =[734.58,18.32,1.00]													
Уровни звуковой мощности источника днём, Lw, дБ		**исходные данные**	**0**	**93,3**	**94,7**	**96**	**96,3**	**95,9**	**92,6**	**88,4**	**83,9**		
Уровни звуковой мощности источника ночью, Lw, дБ		**исходные данные**	**0**	**93,3**	**94,7**	**96**	**96,3**	**95,9**	**92,6**	**88,4**	**83,9**		
Поправка на телесный угол DΩ, дБ	Ω = 6.28	10Lg(4π/Ω)	**3**	3	3	3	3	3	3	3	3		
Показатель направленности источника Di, дБ		исходные данные	**0**	0	0	0	0	0	0	0	0		
Поправка на направленность источника Dc, дБ	Dc	DΩ + Di	**3**	3	3	3	3	3	3	3	3		

1		2	3	4	5	6	7	8	9	10	11	12	13
Затухание из-за геометрической дивергенции, Adiv, дБ	расстояние = 1604.97 м	ф-ла (7) [10]	**75,1**										
Коэффициент затухания звука в атмосфере α, дБ/км	Ta=20,°C Pa=101.33,кПа hотн.=70%	ф-ла (5) [9]	0,02	0,09	0,33	1,12	2,79	4,98	9,04	23,09	77,63		
Учет затухания звука в атмосфере Aatm, дБ		ф-ла (8) [10]	0	0,1	0,5	1,8	4,5	8	14,5	37,1	124,6		
Снижение поверхностью земли возле источника As, дБ	Gs = 0 hs = 1м	ф-лы таб.3 [10]	-1,5	-1,5	-1,5	-1,5	-1,5	-1,5	-1,5	-1,5	-1,5		
Снижение поверхностью земли возле приёмника Ar, дБ	Gr = 1 hr = 1.5м	ф-лы таб.3 [10]	-1,5	-1,5	5,3	7	5	0,7	0	0	0		
Снижение поверхностью земли в средней зоне, Am дБ	Gm = 1	ф-лы таб.3 [10]	-2,9	-2,9	0	0	0	0	0	0	0		
Суммарное снижение поверхностью земли на траектории распространения звука Agr, дБ		ф-ла (9) [10]	-5,9	-5,9	3,8	5,5	3,5	-0,8	-1,5	-1,5	-1,5		
Уровни звукового давления от источника ИШ-2-25 в расчётной точке днём, дБ		**ф-ла(3)[10]**	**0**	**26,9**	**18,2**	**16,6**	**16,2**	**16,6**	**7,5**	**0**	**0**	**19,2**	**19,2**
Уровни звукового давления от источника ИШ-2-25 в расчётной точке ночью, дБ		**ф-ла(3)[10]**	**0**	**26,9**	**18,2**	**16,6**	**16,2**	**16,6**	**7,5**	**0**	**0**	**19,2**	**19,2**
Источник шума: ИШ-2-26, координаты источника (x,y,z), м =[733.57,15.41,1.00]													
Уровни звуковой мощности источника днём, Lw, дБ		**исходные данные**	**0**	**93,3**	**94,7**	**96**	**96,3**	**95,9**	**92,6**	**88,4**	**83,9**		
Уровни звуковой мощности источника ночью, Lw, дБ		**исходные данные**	**0**	**93,3**	**94,7**	**96**	**96,3**	**95,9**	**92,6**	**88,4**	**83,9**		
Поправка на телесный угол DΩ, дБ	Ω = 6.28	10Lg(4π/Ω)	**3**	3	3	3	3	3	3	3	3		
Показатель направленности источника Di, дБ		исходные данные	**0**	0	0	0	0	0	0	0	0		
Поправка на направленность источника Dc, дБ	Dc	DΩ + Di	**3**	3	3	3	3	3	3	3	3		
Затухание из-за геометрической дивергенции, Adiv, дБ	расстояние = 1602.07 м	ф-ла (7) [10]	**75,1**										

1		2	3	4	5	6	7	8	9	10	11	12	13
Коэффициент затухания звука в атмосфере α, дБ/км	Ta=20,°C Pa=101.33,кПа hотн.=70%	ф-ла (5) [9]	0,02	0,09	0,33	1,12	2,79	4,98	9,04	23,09	77,63		
Учет затухания звука в атмосфере Aatm, дБ		ф-ла (8) [10]	0	0,1	0,5	1,8	4,5	8	14,5	37	124,4		
Снижение поверхностью земли возле источника As, дБ	Gs = 0 hs = 1м	ф-лы таб.3 [10]	-1,5	-1,5	-1,5	-1,5	-1,5	-1,5	-1,5	-1,5	-1,5		
Снижение поверхностью земли возле приёмника Ar, дБ	Gr = 1 hr = 1.5м	ф-лы таб.3 [10]	-1,5	-1,5	5,3	7	5	0,7	0	0	0		
Снижение поверхностью земли в средней зоне, Am дБ	Gm = 1	ф-лы таб.3 [10]	-2,9	-2,9	0	0	0	0	0	0	0		
Суммарное снижение поверхностью земли на траектории распространения звука Agr, дБ		ф-ла (9) [10]	-5,9	-5,9	3,8	5,5	3,5	-0,8	-1,5	-1,5	-1,5		
Уровни звукового давления от источника ИШ-2-26 в расчётной точке днём, дБ		**ф-ла(3)[10]**	**0**	**26,9**	**18,2**	**16,6**	**16,3**	**16,7**	**7,5**	**0**	**0**	**19,2**	**19,2**
Уровни звукового давления от источника ИШ-2-26 в расчётной точке ночью, дБ		**ф-ла(3)[10]**	**0**	**26,9**	**18,2**	**16,6**	**16,3**	**16,7**	**7,5**	**0**	**0**	**19,2**	**19,2**
Источник шума: ИШ-2-27, координаты источника (x,y,z), м =[732.43,12.66,1.00]													
Уровни звуковой мощности источника днём, Lw, дБ		**исходные данные**	**0**	**93,3**	**94,7**	**96**	**96,3**	**95,9**	**92,6**	**88,4**	**83,9**		
Уровни звуковой мощности источника ночью, Lw, дБ		**исходные данные**	**0**	**93,3**	**94,7**	**96**	**96,3**	**95,9**	**92,6**	**88,4**	**83,9**		
Поправка на телесный угол DΩ, дБ	Ω = 6.28	10Lg(4π/Ω)	**3**	3	3	3	3	3	3	3	3		
Показатель направленности источника Di, дБ		исходные данные	**0**	0	0	0	0	0	0	0	0		
Поправка на направленность источника Dc, дБ	Dc	DΩ + Di	**3**	3	3	3	3	3	3	3	3		
Затухание из-за геометрической дивергенции, Adiv, дБ	расстояние = 1599.34 м	ф-ла (7) [10]	**75,1**										
Коэффициент затухания звука в атмосфере α, дБ/км	Ta=20,°C Pa=101.33,кПа hотн.=70%	ф-ла (5) [9]	0,02	0,09	0,33	1,12	2,79	4,98	9,04	23,09	77,63		

1		2	3	4	5	6	7	8	9	10	11	12	13
Учет затухания звука в атмосфере Aatm, дБ		ф-ла (8) [10]	0	0,1	0,5	1,8	4,5	8	14,5	36,9	124,2		
Снижение поверхностью земли возле источника As, дБ	Gs = 0 hs = 1м	ф-лы таб.3 [10]	-1,5	-1,5	-1,5	-1,5	-1,5	-1,5	-1,5	-1,5	-1,5		
Снижение поверхностью земли возле приёмника Ar, дБ	Gr = 1 hr = 1.5м	ф-лы таб.3 [10]	-1,5	-1,5	5,3	7	5	0,7	0	0	0		
Снижение поверхностью земли в средней зоне, Am дБ	Gm = 1	ф-лы таб.3 [10]	-2,9	-2,9	0	0	0	0	0	0	0		
Суммарное снижение поверхностью земли на траектории распространения звука Agr, дБ		ф-ла (9) [10]	-5,9	-5,9	3,8	5,5	3,5	-0,8	-1,5	-1,5	-1,5		
Уровни звукового давления от источника ИШ-2-27 в расчётной точке днём, дБ		**ф-ла(3)[10]**	**0**	**26,9**	**18,2**	**16,6**	**16,3**	**16,7**	**7,6**	**0**	**0**	**19,2**	**19,2**
Уровни звукового давления от источника ИШ-2-27 в расчётной точке ночью, дБ		**ф-ла(3)[10]**	**0**	**26,9**	**18,2**	**16,6**	**16,3**	**16,7**	**7,6**	**0**	**0**	**19,2**	**19,2**
Источник шума: ИШ-2-28, координаты источника (x,y,z), м =[731.54,9.78,1.00]													
Уровни звуковой мощности источника днём, Lw, дБ		**исходные данные**	**0**	**93,3**	**94,7**	**96**	**96,3**	**95,9**	**92,6**	**88,4**	**83,9**		
Уровни звуковой мощности источника ночью, Lw, дБ		**исходные данные**	**0**	**93,3**	**94,7**	**96**	**96,3**	**95,9**	**92,6**	**88,4**	**83,9**		
Поправка на телесный угол DΩ, дБ	Ω = 6.28	10Lg(4π/Ω)	**3**	3	3	3	3	3	3	3	3		
Показатель направленности источника Di, дБ		исходные данные	**0**	0	0	0	0	0	0	0	0		
Поправка на направленность источника Dc, дБ	Dc	DΩ + Di	**3**	3	3	3	3	3	3	3	3		
Затухание из-за геометрической дивергенции, Adiv, дБ	расстояние = 1596.47 м	ф-ла (7) [10]	**75,1**										
Коэффициент затухания звука в атмосфере α, дБ/км	Ta=20,°C Pa=101.33,кПа hотн.=70%	ф-ла (5) [9]	0,02	0,09	0,33	1,12	2,79	4,98	9,04	23,09	77,63		
Учет затухания звука в атмосфере Aatm, дБ		ф-ла (8) [10]	0	0,1	0,5	1,8	4,5	7,9	14,4	36,9	123,9		

1		2	3	4	5	6	7	8	9	10	11	12	13
Снижение поверхностью земли возле источника As, дБ	Gs = 0 hs = 1м	ф-лы таб.3 [10]	-1,5	-1,5	-1,5	-1,5	-1,5	-1,5	-1,5	-1,5	-1,5		
Снижение поверхностью земли возле приёмника Ar, дБ	Gr = 1 hr = 1.5м	ф-лы таб.3 [10]	-1,5	-1,5	5,3	7	5	0,7	0	0	0		
Снижение поверхностью земли в средней зоне, Am дБ	Gm = 1	ф-лы таб.3 [10]	-2,9	-2,9	0	0	0	0	0	0	0		
Суммарное снижение поверхностью земли на траектории распространения звука Agr, дБ		ф-ла (9) [10]	-5,9	-5,9	3,8	5,5	3,5	-0,8	-1,5	-1,5	-1,5		
Уровни звукового давления от источника ИШ-2-28 в расчётной точке днём, дБ		**ф-ла(3)[10]**	**0**	**26,9**	**18,3**	**16,6**	**16,3**	**16,7**	**7,6**	**0**	**0**	**19,3**	**19,3**
Уровни звукового давления от источника ИШ-2-28 в расчётной точке ночью, дБ		**ф-ла(3)[10]**	**0**	**26,9**	**18,3**	**16,6**	**16,3**	**16,7**	**7,6**	**0**	**0**	**19,3**	**19,3**
Источник шума: ИШ-2-29, координаты источника (x,y,z), м =[730.57,6.88,1.00]													
Уровни звуковой мощности источника днём, Lw, дБ		**исходные данные**	**0**	**93,3**	**94,7**	**96**	**96,3**	**95,9**	**92,6**	**88,4**	**83,9**		
Уровни звуковой мощности источника ночью, Lw, дБ		**исходные данные**	**0**	**93,3**	**94,7**	**96**	**96,3**	**95,9**	**92,6**	**88,4**	**83,9**		
Поправка на телесный угол DΩ, дБ	Ω = 6.28	10Lg(4π/Ω)	**3**	3	3	3	3	3	3	3	3		
Показатель направленности источника Di, дБ		исходные данные	**0**	0	0	0	0	0	0	0	0		
Поправка на направленность источника Dc, дБ	Dc	DΩ + Di	**3**	3	3	3	3	3	3	3	3		
Затухание из-за геометрической дивергенции, Adiv, дБ	расстояние = 1593.59 м	ф-ла (7) [10]	**75**										
Коэффициент затухания звука в атмосфере α, дБ/км	Ta=20,°C Pa=101.33,кПа hотн.=70%	ф-ла (5) [9]	0,02	0,09	0,33	1,12	2,79	4,98	9,04	23,09	77,63		
Учет затухания звука в атмосфере Aatm, дБ		ф-ла (8) [10]	0	0,1	0,5	1,8	4,4	7,9	14,4	36,8	123,7		
Снижение поверхностью земли возле источника As, дБ	Gs = 0 hs = 1м	ф-лы таб.3 [10]	-1,5	-1,5	-1,5	-1,5	-1,5	-1,5	-1,5	-1,5	-1,5		

1		2	3	4	5	6	7	8	9	10	11	12	13
Снижение поверхностью земли возле приёмника Ar, дБ	Gr = 1 hr = 1.5м	ф-лы таб.3 [10]	-1,5	-1,5	5,3	7	5	0,7	0	0	0		
Снижение поверхностью земли в средней зоне, Am дБ	Gm = 1	ф-лы таб.3 [10]	-2,9	-2,9	0	0	0	0	0	0	0		
Суммарное снижение поверхностью земли на траектории распространения звука Agr, дБ		ф-ла (9) [10]	-5,9	-5,9	3,8	5,5	3,5	-0,8	-1,5	-1,5	-1,5		
Уровни звукового давления от источника ИШ-2-29 в расчётной точке днём, дБ		**ф-ла(3)[10]**	**0**	**27**	**18,3**	**16,6**	**16,3**	**16,8**	**7,6**	**0**	**0**	**19,3**	**19,3**
Уровни звукового давления от источника ИШ-2-29 в расчётной точке ночью, дБ		**ф-ла(3)[10]**	**0**	**27**	**18,3**	**16,6**	**16,3**	**16,8**	**7,6**	**0**	**0**	**19,3**	**19,3**
Источник шума: ИШ-2-4, координаты источника (x,y,z), м =[632.70,-65.30,3.00]													
Уровни звуковой мощности источника днём, Lw, дБ		**исходные данные**	**105**	**104**	**104**	**101**	**102**	**106**	**101**	**95**	**87**		
Уровни звуковой мощности источника ночью, Lw, дБ		**исходные данные**	**105**	**104**	**104**	**101**	**102**	**106**	**101**	**95**	**87**		
Поправка на телесный угол DΩ, дБ	Ω = 6.28	10Lg(4π/Ω)	**3**	3	3	3	3	3	3	3	3		
Показатель направленности источника Di, дБ		исходные данные	**0**	0	0	0	0	0	0	0	0		
Поправка на направленность источника Dc, дБ	Dc	DΩ + Di	**3**	3	3	3	3	3	3	3	3		
Затухание из-за геометрической дивергенции, Adiv, дБ	расстояние = 1526.08 м	ф-ла (7) [10]	**74,7**										
Коэффициент затухания звука в атмосфере α, дБ/км	Ta=20,°C Pa=101.33,кПа hотн.=70%	ф-ла (5) [9]	0,02	0,09	0,33	1,12	2,79	4,98	9,04	23,09	77,63		
Учет затухания звука в атмосфере Aatm, дБ		ф-ла (8) [10]	0	0,1	0,5	1,7	4,3	7,6	13,8	35,2	118,5		
Снижение поверхностью земли возле источника As, дБ	Gs = 0 hs = 3м	ф-лы таб.3 [10]	-1,5	-1,5	-1,5	-1,5	-1,5	-1,5	-1,5	-1,5	-1,5		
Снижение поверхностью земли возле приёмника Ar, дБ	Gr = 1 hr = 1.5м	ф-лы таб.3 [10]	-1,5	-1,5	5,3	7	5	0,7	0	0	0		

1		2	3	4	5	6	7	8	9	10	11	12	13
Снижение поверхностью земли в средней зоне, Am дБ	Gm = 1	ф-лы таб.3 [10]	-2,7	-2,7	0	0	0	0	0	0	0		
Суммарное снижение поверхностью земли на траектории распространения звука Agr, дБ		ф-ла (9) [10]	-5,7	-5,7	3,8	5,5	3,5	-0,8	-1,5	-1,5	-1,5		
Уровни звукового давления от источника ИШ-2-4 в расчётной точке днём, дБ		**ф-ла(3)[10]**	**39**	**37,9**	**28**	**22,1**	**22,6**	**27,6**	**17**	**0**	**0**	**28,9**	**28,9**
Уровни звукового давления от источника ИШ-2-4 в расчётной точке ночью, дБ		**ф-ла(3)[10]**	**39**	**37,9**	**28**	**22,1**	**22,6**	**27,6**	**17**	**0**	**0**	**28,9**	**28,9**
Источник шума: ИШ-2-30, координаты источника (x,y,z), м =[702.44,-77.23,1.00]													
Уровни звуковой мощности источника днём, Lw, дБ		**исходные данные**	**0**	**93,3**	**94,7**	**96**	**96,3**	**95,9**	**92,6**	**88,4**	**83,9**		
Уровни звуковой мощности источника ночью, Lw, дБ		**исходные данные**	**0**	**93,3**	**94,7**	**96**	**96,3**	**95,9**	**92,6**	**88,4**	**83,9**		
Поправка на телесный угол DΩ, дБ	Ω = 6.28	10Lg(4π/Ω)	**3**	3	3	3	3	3	3	3	3		
Показатель направленности источника Di, дБ		исходные данные	**0**	0	0	0	0	0	0	0	0		
Поправка на направленность источника Dc, дБ	Dc	DΩ + Di	**3**	3	3	3	3	3	3	3	3		
Затухание из-за геометрической дивергенции, Adiv, дБ	расстояние = 1510.19 м	ф-ла (7) [10]	**74,6**										
Коэффициент затухания звука в атмосфере α, дБ/км	Ta=20,°C Pa=101.33,кПа hотн.=70%	ф-ла (5) [9]	0,02	0,09	0,33	1,12	2,79	4,98	9,04	23,09	77,63		
Учет затухания звука в атмосфере Aatm, дБ		ф-ла (8) [10]	0	0,1	0,5	1,7	4,2	7,5	13,7	34,9	117,2		
Снижение поверхностью земли возле источника As, дБ	Gs = 0 hs = 1м	ф-лы таб.3 [10]	-1,5	-1,5	-1,5	-1,5	-1,5	-1,5	-1,5	-1,5	-1,5		
Снижение поверхностью земли возле приёмника Ar, дБ	Gr = 1 hr = 1.5м	ф-лы таб.3 [10]	-1,5	-1,5	5,3	7	5	0,7	0	0	0		
Снижение поверхностью земли в средней зоне, Am дБ	Gm = 1	ф-лы таб.3 [10]	-2,9	-2,9	0	0	0	0	0	0	0		

1		2	3	4	5	6	7	8	9	10	11	12	13
Суммарное снижение поверхностью земли на траектории распространения звука Agr, дБ		ф-ла (9) [10]	-5,9	-5,9	3,8	5,5	3,5	-0,8	-1,5	-1,5	-1,5		
Уровни звукового давления от источника ИШ-2-30 в расчётной точке днём, дБ		**ф-ла(3)[10]**	**0**	**27,4**	**18,8**	**17,2**	**17**	**17,6**	**8,9**	**0**	**0**	**20,1**	**20,1**
Уровни звукового давления от источника ИШ-2-30 в расчётной точке ночью, дБ		**ф-ла(3)[10]**	**0**	**27,4**	**18,8**	**17,2**	**17**	**17,6**	**8,9**	**0**	**0**	**20,1**	**20,1**
Источник шума: ИШ-2-31, координаты источника (x,y,z), м =[701.42,-80.17,1.00]													
Уровни звуковой мощности источника днём, Lw, дБ		**исходные данные**	**0**	**93,3**	**94,7**	**96**	**96,3**	**95,9**	**92,6**	**88,4**	**83,9**		
Уровни звуковой мощности источника ночью, Lw, дБ		**исходные данные**	**0**	**93,3**	**94,7**	**96**	**96,3**	**95,9**	**92,6**	**88,4**	**83,9**		
Поправка на телесный угол DΩ, дБ	Ω = 6.28	10Lg(4π/Ω)	**3**	3	3	3	3	3	3	3	3		
Показатель направленности источника Di, дБ		исходные данные	**0**	0	0	0	0	0	0	0	0		
Поправка на направленность источника Dc, дБ	Dc	DΩ + Di	**3**	3	3	3	3	3	3	3	3		
Затухание из-за геометрической дивергенции, Adiv, дБ	расстояние = 1507.29 м	ф-ла (7) [10]	**74,6**										
Коэффициент затухания звука в атмосфере α, дБ/км	Ta=20,°C Pa=101.33,кПа hотн.=70%	ф-ла (5) [9]	0,02	0,09	0,33	1,12	2,79	4,98	9,04	23,09	77,63		
Учет затухания звука в атмосфере Aatm, дБ		ф-ла (8) [10]	0	0,1	0,5	1,7	4,2	7,5	13,6	34,8	117		
Снижение поверхностью земли возле источника As, дБ	Gs = 0 hs = 1м	ф-лы таб.3 [10]	-1,5	-1,5	-1,5	-1,5	-1,5	-1,5	-1,5	-1,5	-1,5		
Снижение поверхностью земли возле приёмника Ar, дБ	Gr = 1 hr = 1.5м	ф-лы таб.3 [10]	-1,5	-1,5	5,3	7	5	0,7	0	0	0		
Снижение поверхностью земли в средней зоне, Am дБ	Gm = 1	ф-лы таб.3 [10]	-2,9	-2,9	0	0	0	0	0	0	0		
Суммарное снижение поверхностью земли на траектории распространения звука Agr, дБ		ф-ла (9) [10]	-5,9	-5,9	3,8	5,5	3,5	-0,8	-1,5	-1,5	-1,5		

1		2	3	4	5	6	7	8	9	10	11	12	13
Уровни звукового давления от источника ИШ-2-31 в расчётной точке днём, дБ		**ф-ла(3)[10]**	**0**	**27,4**	**18,8**	**17,2**	**17**	**17,7**	**8,9**	**0**	**0**	**20,1**	**20,1**
Уровни звукового давления от источника ИШ-2-31 в расчётной точке ночью, дБ		**ф-ла(3)[10]**	**0**	**27,4**	**18,8**	**17,2**	**17**	**17,7**	**8,9**	**0**	**0**	**20,1**	**20,1**
Источник шума: ИШ-2-32, координаты источника (x,y,z), м =[700.38,-83.01,1.00]													
Уровни звуковой мощности источника днём, Lw, дБ		**исходные данные**	**0**	**93,3**	**94,7**	**96**	**96,3**	**95,9**	**92,6**	**88,4**	**83,9**		
Уровни звуковой мощности источника ночью, Lw, дБ		**исходные данные**	**0**	**93,3**	**94,7**	**96**	**96,3**	**95,9**	**92,6**	**88,4**	**83,9**		
Поправка на телесный угол DΩ, дБ	Ω = 6.28	10Lg(4π/Ω)	**3**	3	3	3	3	3	3	3	3		
Показатель направленности источника Di, дБ		исходные данные	**0**	0	0	0	0	0	0	0	0		
Поправка на направленность источника Dc, дБ	Dc	DΩ + Di	**3**	3	3	3	3	3	3	3	3		
Затухание из-за геометрической дивергенции, Adiv, дБ	расстояние = 1504.48 м	ф-ла (7) [10]	**74,5**										
Коэффициент затухания звука в атмосфере α, дБ/км	Ta=20,°C Pa=101.33,кПа hотн.=70%	ф-ла (5) [9]	0,02	0,09	0,33	1,12	2,79	4,98	9,04	23,09	77,63		
Учет затухания звука в атмосфере Aatm, дБ		ф-ла (8) [10]	0	0,1	0,5	1,7	4,2	7,5	13,6	34,7	116,8		
Снижение поверхностью земли возле источника As, дБ	Gs = 0 hs = 1м	ф-лы таб.3 [10]	-1,5	-1,5	-1,5	-1,5	-1,5	-1,5	-1,5	-1,5	-1,5		
Снижение поверхностью земли возле приёмника Ar, дБ	Gr = 1 hr = 1.5м	ф-лы таб.3 [10]	-1,5	-1,5	5,3	7	5	0,7	0	0	0		
Снижение поверхностью земли в средней зоне, Am дБ	Gm = 1	ф-лы таб.3 [10]	-2,9	-2,9	0	0	0	0	0	0	0		
Суммарное снижение поверхностью земли на траектории распространения звука Agr, дБ		ф-ла (9) [10]	-5,9	-5,9	3,8	5,5	3,5	-0,8	-1,5	-1,5	-1,5		
Уровни звукового давления от источника ИШ-2-32 в расчётной точке днём, дБ		**ф-ла(3)[10]**	**0**	**27,5**	**18,8**	**17,2**	**17,1**	**17,7**	**8,9**	**0**	**0**	**20,2**	**20,2**

1		2	3	4	5	6	7	8	9	10	11	12	13
Уровни звукового давления от источника ИШ-2-32 в расчётной точке ночью, дБ		**ф-ла(3)[10]**	**0**	**27,5**	**18,8**	**17,2**	**17,1**	**17,7**	**8,9**	**0**	**0**	**20,2**	**20,2**
Источник шума: ИШ-2-33, координаты источника (x,y,z), м =[699.52,-85.98,1.00]													
Уровни звуковой мощности источника днём, Lw, дБ		**исходные данные**	**0**	**93,3**	**94,7**	**96**	**96,3**	**95,9**	**92,6**	**88,4**	**83,9**		
Уровни звуковой мощности источника ночью, Lw, дБ		**исходные данные**	**0**	**93,3**	**94,7**	**96**	**96,3**	**95,9**	**92,6**	**88,4**	**83,9**		
Поправка на телесный угол DΩ, дБ	Ω = 6.28	10Lg(4π/Ω)	**3**	3	3	3	3	3	3	3	3		
Показатель направленности источника Di, дБ		исходные данные	**0**	0	0	0	0	0	0	0	0		
Поправка на направленность источника Dc, дБ	Dc	DΩ + Di	**3**	3	3	3	3	3	3	3	3		
Затухание из-за геометрической дивергенции, Adiv, дБ	расстояние = 1501.55 м	ф-ла (7) [10]	**74,5**										
Коэффициент затухания звука в атмосфере α, дБ/км	Ta=20,°C Pa=101.33,кПа hотн.=70%	ф-ла (5) [9]	0,02	0,09	0,33	1,12	2,79	4,98	9,04	23,09	77,63		
Учет затухания звука в атмосфере Aatm, дБ		ф-ла (8) [10]	0	0,1	0,5	1,7	4,2	7,5	13,6	34,7	116,6		
Снижение поверхностью земли возле источника As, дБ	Gs = 0 hs = 1м	ф-лы таб.3 [10]	-1,5	-1,5	-1,5	-1,5	-1,5	-1,5	-1,5	-1,5	-1,5		
Снижение поверхностью земли возле приёмника Ar, дБ	Gr = 1 hr = 1.5м	ф-лы таб.3 [10]	-1,5	-1,5	5,3	7	5	0,7	0	0	0		
Снижение поверхностью земли в средней зоне, Am дБ	Gm = 1	ф-лы таб.3 [10]	-2,9	-2,9	0	0	0	0	0	0	0		
Суммарное снижение поверхностью земли на траектории распространения звука Agr, дБ		ф-ла (9) [10]	-5,9	-5,9	3,8	5,5	3,5	-0,8	-1,5	-1,5	-1,5		
Уровни звукового давления от источника ИШ-2-33 в расчётной точке днём, дБ		**ф-ла(3)[10]**	**0**	**27,5**	**18,8**	**17,3**	**17,1**	**17,7**	**9**	**0**	**0**	**20,2**	**20,2**
Уровни звукового давления от источника ИШ-2-33 в расчётной точке ночью, дБ		**ф-ла(3)[10]**	**0**	**27,5**	**18,8**	**17,3**	**17,1**	**17,7**	**9**	**0**	**0**	**20,2**	**20,2**

1		2	3	4	5	6	7	8	9	10	11	12	13
Источник шума: ИШ-2-34, координаты источника (x,y,z), м =[698.43,-88.85,1.00]													
Уровни звуковой мощности источника днём, Lw, дБ		**исходные данные**	**0**	**93,3**	**94,7**	**96**	**96,3**	**95,9**	**92,6**	**88,4**	**83,9**		
Уровни звуковой мощности источника ночью, Lw, дБ		**исходные данные**	**0**	**93,3**	**94,7**	**96**	**96,3**	**95,9**	**92,6**	**88,4**	**83,9**		
Поправка на телесный угол DΩ, дБ	Ω = 6.28	10Lg(4π/Ω)	**3**	3	3	3	3	3	3	3	3		
Показатель направленности источника Di, дБ		исходные данные	**0**	0	0	0	0	0	0	0	0		
Поправка на направленность источника Dc, дБ	Dc	DΩ + Di	**3**	3	3	3	3	3	3	3	3		
Затухание из-за геометрической дивергенции, Adiv, дБ	расстояние = 1498.72 м	ф-ла (7) [10]	**74,5**										
Коэффициент затухания звука в атмосфере α, дБ/км	Ta=20,°C Pa=101.33,кПа hотн.=70%	ф-ла (5) [9]	0,02	0,09	0,33	1,12	2,79	4,98	9,04	23,09	77,63		
Учет затухания звука в атмосфере Aatm, дБ		ф-ла (8) [10]	0	0,1	0,5	1,7	4,2	7,5	13,5	34,6	116,4		
Снижение поверхностью земли возле источника As, дБ	Gs = 0 hs = 1м	ф-лы таб.3 [10]	-1,5	-1,5	-1,5	-1,5	-1,5	-1,5	-1,5	-1,5	-1,5		
Снижение поверхностью земли возле приёмника Ar, дБ	Gr = 1 hr = 1.5м	ф-лы таб.3 [10]	-1,5	-1,5	5,3	7	5	0,7	0	0	0		
Снижение поверхностью земли в средней зоне, Am дБ	Gm = 1	ф-лы таб.3 [10]	-2,8	-2,8	0	0	0	0	0	0	0		
Суммарное снижение поверхностью земли на траектории распространения звука Agr, дБ		ф-ла (9) [10]	-5,8	-5,8	3,8	5,5	3,5	-0,8	-1,5	-1,5	-1,5		
Уровни звукового давления от источника ИШ-2-34 в расчётной точке днём, дБ		**ф-ла(3)[10]**	**0**	**27,5**	**18,8**	**17,3**	**17,1**	**17,8**	**9**	**0**	**0**	**20,2**	**20,2**
Уровни звукового давления от источника ИШ-2-34 в расчётной точке ночью, дБ		**ф-ла(3)[10]**	**0**	**27,5**	**18,8**	**17,3**	**17,1**	**17,8**	**9**	**0**	**0**	**20,2**	**20,2**
Источник шума: ИШ-2-35, координаты источника (x,y,z), м =[697.52,-91.66,1.00]													

1		2	3	4	5	6	7	8	9	10	11	12	13
Уровни звуковой мощности источника днём, Lw, дБ		**исходные данные**	**0**	**93,3**	**94,7**	**96**	**96,3**	**95,9**	**92,6**	**88,4**	**83,9**		
Уровни звуковой мощности источника ночью, Lw, дБ		**исходные данные**	**0**	**93,3**	**94,7**	**96**	**96,3**	**95,9**	**92,6**	**88,4**	**83,9**		
Поправка на телесный угол DΩ, дБ	Ω = 6.28	10Lg(4π/Ω)	**3**	3	3	3	3	3	3	3	3		
Показатель направленности источника Di, дБ		исходные данные	**0**	0	0	0	0	0	0	0	0		
Поправка на направленность источника Dc, дБ	Dc	DΩ + Di	**3**	3	3	3	3	3	3	3	3		
Затухание из-за геометрической дивергенции, Adiv, дБ	расстояние = 1495.95 м	ф-ла (7) [10]	**74,5**										
Коэффициент затухания звука в атмосфере α, дБ/км	Ta=20,°C Pa=101.33,кПа hотн.=70%	ф-ла (5) [9]	0,02	0,09	0,33	1,12	2,79	4,98	9,04	23,09	77,63		
Учет затухания звука в атмосфере Aatm, дБ		ф-ла (8) [10]	0	0,1	0,5	1,7	4,2	7,4	13,5	34,5	116,1		
Снижение поверхностью земли возле источника As, дБ	Gs = 0 hs = 1м	ф-лы таб.3 [10]	-1,5	-1,5	-1,5	-1,5	-1,5	-1,5	-1,5	-1,5	-1,5		
Снижение поверхностью земли возле приёмника Ar, дБ	Gr = 1 hr = 1.5м	ф-лы таб.3 [10]	-1,5	-1,5	5,3	7	5	0,7	0	0	0		
Снижение поверхностью земли в средней зоне, Am дБ	Gm = 1	ф-лы таб.3 [10]	-2,8	-2,8	0	0	0	0	0	0	0		
Суммарное снижение поверхностью земли на траектории распространения звука Agr, дБ		ф-ла (9) [10]	-5,8	-5,8	3,8	5,5	3,5	-0,8	-1,5	-1,5	-1,5		
Уровни звукового давления от источника ИШ-2-35 в расчётной точке днём, дБ		**ф-ла(3)[10]**	**0**	**27,5**	**18,9**	**17,3**	**17,1**	**17,8**	**9,1**	**0**	**0**	**20,3**	**20,3**
Уровни звукового давления от источника ИШ-2-35 в расчётной точке ночью, дБ		**ф-ла(3)[10]**	**0**	**27,5**	**18,9**	**17,3**	**17,1**	**17,8**	**9,1**	**0**	**0**	**20,3**	**20,3**
Источник шума: ИШ-2-36, координаты источника (x,y,z), м =[696.58,-94.55,1.00]													
Уровни звуковой мощности источника днём, Lw, дБ		**исходные данные**	**0**	**93,3**	**94,7**	**96**	**96,3**	**95,9**	**92,6**	**88,4**	**83,9**		

1		2	3	4	5	6	7	8	9	10	11	12	13
Уровни звуковой мощности источника ночью, Lw, дБ		**исходные данные**	**0**	**93,3**	**94,7**	**96**	**96,3**	**95,9**	**92,6**	**88,4**	**83,9**		
Поправка на телесный угол DΩ, дБ	Ω = 6.28	10Lg(4π/Ω)	**3**	3	3	3	3	3	3	3	3		
Показатель направленности источника Di, дБ		исходные данные	**0**	0	0	0	0	0	0	0	0		
Поправка на направленность источника Dc, дБ	Dc	DΩ + Di	**3**	3	3	3	3	3	3	3	3		
Затухание из-за геометрической дивергенции, Adiv, дБ	расстояние = 1493.09 м	ф-ла (7) [10]	**74,5**										
Коэффициент затухания звука в атмосфере α, дБ/км	Ta=20,°C Pa=101.33,кПа hотн.=70%	ф-ла (5) [9]	0,02	0,09	0,33	1,12	2,79	4,98	9,04	23,09	77,63		
Учет затухания звука в атмосфере Aatm, дБ		ф-ла (8) [10]	0	0,1	0,5	1,7	4,2	7,4	13,5	34,5	115,9		
Снижение поверхностью земли возле источника As, дБ	Gs = 0 hs = 1м	ф-лы таб.3 [10]	-1,5	-1,5	-1,5	-1,5	-1,5	-1,5	-1,5	-1,5	-1,5		
Снижение поверхностью земли возле приёмника Ar, дБ	Gr = 1 hr = 1.5м	ф-лы таб.3 [10]	-1,5	-1,5	5,3	7	5	0,7	0	0	0		
Снижение поверхностью земли в средней зоне, Am дБ	Gm = 1	ф-лы таб.3 [10]	-2,8	-2,8	0	0	0	0	0	0	0		
Суммарное снижение поверхностью земли на траектории распространения звука Agr, дБ		ф-ла (9) [10]	-5,8	-5,8	3,8	5,5	3,5	-0,8	-1,5	-1,5	-1,5		
Уровни звукового давления от источника ИШ-2-36 в расчётной точке днём, дБ		**ф-ла(3)[10]**	**0**	**27,5**	**18,9**	**17,3**	**17,2**	**17,8**	**9,1**	**0**	**0**	**20,3**	**20,3**
Уровни звукового давления от источника ИШ-2-36 в расчётной точке ночью, дБ		**ф-ла(3)[10]**	**0**	**27,5**	**18,9**	**17,3**	**17,2**	**17,8**	**9,1**	**0**	**0**	**20,3**	**20,3**
Источник шума: ИШ-2-37, координаты источника (x,y,z), м =[695.57,-97.37,1.00]													
Уровни звуковой мощности источника днём, Lw, дБ		**исходные данные**	**0**	**93,3**	**94,7**	**96**	**96,3**	**95,9**	**92,6**	**88,4**	**83,9**		
Уровни звуковой мощности источника ночью, Lw, дБ		**исходные данные**	**0**	**93,3**	**94,7**	**96**	**96,3**	**95,9**	**92,6**	**88,4**	**83,9**		

1		2	3	4	5	6	7	8	9	10	11	12	13
Поправка на телесный угол DΩ, дБ	Ω = 6.28	10Lg(4π/Ω)	**3**	3	3	3	3	3	3	3	3		
Показатель направленности источника Di, дБ		исходные данные	**0**	0	0	0	0	0	0	0	0		
Поправка на направленность источника Dc, дБ	Dc	DΩ + Di	**3**	3	3	3	3	3	3	3	3		
Затухание из-за геометрической дивергенции, Adiv, дБ	расстояние = 1490.32 м	ф-ла (7) [10]	**74,5**										
Коэффициент затухания звука в атмосфере α, дБ/км	Ta=20,°C Pa=101.33,кПа hотн.=70%	ф-ла (5) [9]	0,02	0,09	0,33	1,12	2,79	4,98	9,04	23,09	77,63		
Учет затухания звука в атмосфере Aatm, дБ		ф-ла (8) [10]	0	0,1	0,5	1,7	4,2	7,4	13,5	34,4	115,7		
Снижение поверхностью земли возле источника As, дБ	Gs = 0 hs = 1м	ф-лы таб.3 [10]	-1,5	-1,5	-1,5	-1,5	-1,5	-1,5	-1,5	-1,5	-1,5		
Снижение поверхностью земли возле приёмника Ar, дБ	Gr = 1 hr = 1.5м	ф-лы таб.3 [10]	-1,5	-1,5	5,3	7	5	0,7	0	0	0		
Снижение поверхностью земли в средней зоне, Am дБ	Gm = 1	ф-лы таб.3 [10]	-2,8	-2,8	0	0	0	0	0	0	0		
Суммарное снижение поверхностью земли на траектории распространения звука Agr, дБ		ф-ла (9) [10]	-5,8	-5,8	3,8	5,5	3,5	-0,8	-1,5	-1,5	-1,5		
Уровни звукового давления от источника ИШ-2-37 в расчётной точке днём, дБ		**ф-ла(3)[10]**	**0**	**27,5**	**18,9**	**17,3**	**17,2**	**17,8**	**9,2**	**0**	**0**	**20,3**	**20,3**
Уровни звукового давления от источника ИШ-2-37 в расчётной точке ночью, дБ		**ф-ла(3)[10]**	**0**	**27,5**	**18,9**	**17,3**	**17,2**	**17,8**	**9,2**	**0**	**0**	**20,3**	**20,3**
Источник шума: ИШ-2-5, координаты источника (x,y,z), м =[618.60,-108.00,3.00]													
Уровни звуковой мощности источника днём, Lw, дБ		**исходные данные**	**105**	**104**	**104**	**101**	**102**	**106**	**101**	**95**	**87**		
Уровни звуковой мощности источника ночью, Lw, дБ		**исходные данные**	**105**	**104**	**104**	**101**	**102**	**106**	**101**	**95**	**87**		
Поправка на телесный угол DΩ, дБ	Ω = 6.28	10Lg(4π/Ω)	**3**	3	3	3	3	3	3	3	3		

1		2	3	4	5	6	7	8	9	10	11	12	13
Показатель направленности источника Di, дБ		исходные данные	**0**	0	0	0	0	0	0	0	0		
Поправка на направленность источника Dc, дБ	Dc	DΩ + Di	**3**	3	3	3	3	3	3	3	3		
Затухание из-за геометрической дивергенции, Adiv, дБ	расстояние = 1484.74 м	ф-ла (7) [10]	**74,4**										
Коэффициент затухания звука в атмосфере α, дБ/км	Ta=20,°C Pa=101.33,кПа hотн.=70%	ф-ла (5) [9]	0,02	0,09	0,33	1,12	2,79	4,98	9,04	23,09	77,63		
Учет затухания звука в атмосфере Aatm, дБ		ф-ла (8) [10]	0	0,1	0,5	1,7	4,1	7,4	13,4	34,3	115,3		
Снижение поверхностью земли возле источника As, дБ	Gs = 0 hs = 3м	ф-лы таб.3 [10]	-1,5	-1,5	-1,5	-1,5	-1,5	-1,5	-1,5	-1,5	-1,5		
Снижение поверхностью земли возле приёмника Ar, дБ	Gr = 1 hr = 1.5м	ф-лы таб.3 [10]	-1,5	-1,5	5,3	7	5	0,7	0	0	0		
Снижение поверхностью земли в средней зоне, Am дБ	Gm = 1	ф-лы таб.3 [10]	-2,7	-2,7	0	0	0	0	0	0	0		
Суммарное снижение поверхностью земли на траектории распространения звука Agr, дБ		ф-ла (9) [10]	-5,7	-5,7	3,8	5,5	3,5	-0,8	-1,5	-1,5	-1,5		
Уровни звукового давления от источника ИШ-2-5 в расчётной точке днём, дБ		**ф-ла(3)[10]**	**39,3**	**38,2**	**28,2**	**22,4**	**23**	**28**	**17,7**	**0**	**0**	**29,4**	**29,4**
Уровни звукового давления от источника ИШ-2-5 в расчётной точке ночью, дБ		**ф-ла(3)[10]**	**39,3**	**38,2**	**28,2**	**22,4**	**23**	**28**	**17,7**	**0**	**0**	**29,4**	**29,4**
Источник шума: ИШ-2-38, координаты источника (x,y,z), м =[688.13,-119.94,1.00]													
Уровни звуковой мощности источника днём, Lw, дБ		**исходные данные**	**0**	**93,3**	**94,7**	**96**	**96,3**	**95,9**	**92,6**	**88,4**	**83,9**		
Уровни звуковой мощности источника ночью, Lw, дБ		**исходные данные**	**0**	**93,3**	**94,7**	**96**	**96,3**	**95,9**	**92,6**	**88,4**	**83,9**		
Поправка на телесный угол DΩ, дБ	Ω = 6.28	10Lg(4π/Ω)	**3**	3	3	3	3	3	3	3	3		
Показатель направленности источника Di, дБ		исходные данные	**0**	0	0	0	0	0	0	0	0		

1		2	3	4	5	6	7	8	9	10	11	12	13
Поправка на направленность источника Dc, дБ	Dc	DΩ + Di	**3**	3	3	3	3	3	3	3	3		
Затухание из-за геометрической дивергенции, Adiv, дБ	расстояние = 1468.08 м	ф-ла (7) [10]	**74,3**										
Коэффициент затухания звука в атмосфере α, дБ/км	Ta=20,°C Pa=101.33,кПа hотн.=70%	ф-ла (5) [9]	0,02	0,09	0,33	1,12	2,79	4,98	9,04	23,09	77,63		
Учет затухания звука в атмосфере Aatm, дБ		ф-ла (8) [10]	0	0,1	0,5	1,7	4,1	7,3	13,3	33,9	114		
Снижение поверхностью земли возле источника As, дБ	Gs = 0 hs = 1м	ф-лы таб.3 [10]	-1,5	-1,5	-1,5	-1,5	-1,5	-1,5	-1,5	-1,5	-1,5		
Снижение поверхностью земли возле приёмника Ar, дБ	Gr = 1 hr = 1.5м	ф-лы таб.3 [10]	-1,5	-1,5	5,3	7	5	0,7	0	0	0		
Снижение поверхностью земли в средней зоне, Am дБ	Gm = 1	ф-лы таб.3 [10]	-2,8	-2,8	0	0	0	0	0	0	0		
Суммарное снижение поверхностью земли на траектории распространения звука Agr, дБ		ф-ла (9) [10]	-5,8	-5,8	3,8	5,5	3,5	-0,8	-1,5	-1,5	-1,5		
Уровни звукового давления от источника ИШ-2-38 в расчётной точке днём, дБ		**ф-ла(3)[10]**	**0**	**27,7**	**19**	**17,5**	**17,4**	**18,1**	**9,5**	**0**	**0**	**20,5**	**20,5**
Уровни звукового давления от источника ИШ-2-38 в расчётной точке ночью, дБ		**ф-ла(3)[10]**	**0**	**27,7**	**19**	**17,5**	**17,4**	**18,1**	**9,5**	**0**	**0**	**20,5**	**20,5**
Источник шума: ИШ-2-39, координаты источника (x,y,z), м =[687.11,-122.83,1.00]													
Уровни звуковой мощности источника днём, Lw, дБ		**исходные данные**	**0**	**93,3**	**94,7**	**96**	**96,3**	**95,9**	**92,6**	**88,4**	**83,9**		
Уровни звуковой мощности источника ночью, Lw, дБ		**исходные данные**	**0**	**93,3**	**94,7**	**96**	**96,3**	**95,9**	**92,6**	**88,4**	**83,9**		
Поправка на телесный угол DΩ, дБ	Ω = 6.28	10Lg(4π/Ω)	**3**	3	3	3	3	3	3	3	3		
Показатель направленности источника Di, дБ		исходные данные	**0**	0	0	0	0	0	0	0	0		
Поправка на направленность источника Dc, дБ	Dc	DΩ + Di	**3**	3	3	3	3	3	3	3	3		

1		2	3	4	5	6	7	8	9	10	11	12	13
Затухание из-за геометрической дивергенции, Adiv, дБ	расстояние = 1465.24 м	ф-ла (7) [10]	**74,3**										
Коэффициент затухания звука в атмосфере α, дБ/км	Ta=20,°C Pa=101.33,кПа hотн.=70%	ф-ла (5) [9]	0,02	0,09	0,33	1,12	2,79	4,98	9,04	23,09	77,63		
Учет затухания звука в атмосфере Aatm, дБ		ф-ла (8) [10]	0	0,1	0,5	1,6	4,1	7,3	13,2	33,8	113,8		
Снижение поверхностью земли возле источника As, дБ	Gs = 0 hs = 1м	ф-лы таб.3 [10]	-1,5	-1,5	-1,5	-1,5	-1,5	-1,5	-1,5	-1,5	-1,5		
Снижение поверхностью земли возле приёмника Ar, дБ	Gr = 1 hr = 1.5м	ф-лы таб.3 [10]	-1,5	-1,5	5,3	7	5	0,7	0	0	0		
Снижение поверхностью земли в средней зоне, Am дБ	Gm = 1	ф-лы таб.3 [10]	-2,8	-2,8	0	0	0	0	0	0	0		
Суммарное снижение поверхностью земли на траектории распространения звука Agr, дБ		ф-ла (9) [10]	-5,8	-5,8	3,8	5,5	3,5	-0,8	-1,5	-1,5	-1,5		
Уровни звукового давления от источника ИШ-2-39 в расчётной точке днём, дБ		**ф-ла(3)[10]**	**0**	**27,7**	**19**	**17,5**	**17,4**	**18,1**	**9,5**	**0**	**0**	**20,6**	**20,6**
Уровни звукового давления от источника ИШ-2-39 в расчётной точке ночью, дБ		**ф-ла(3)[10]**	**0**	**27,7**	**19**	**17,5**	**17,4**	**18,1**	**9,5**	**0**	**0**	**20,6**	**20,6**
Источник шума: ИШ-2-40, координаты источника (x,y,z), м =[686.10,-125.67,1.00]													
Уровни звуковой мощности источника днём, Lw, дБ		**исходные данные**	**0**	**93,3**	**94,7**	**96**	**96,3**	**95,9**	**92,6**	**88,4**	**83,9**		
Уровни звуковой мощности источника ночью, Lw, дБ		**исходные данные**	**0**	**93,3**	**94,7**	**96**	**96,3**	**95,9**	**92,6**	**88,4**	**83,9**		
Поправка на телесный угол DΩ, дБ	Ω = 6.28	10Lg(4π/Ω)	**3**	3	3	3	3	3	3	3	3		
Показатель направленности источника Di, дБ		исходные данные	**0**	0	0	0	0	0	0	0	0		
Поправка на направленность источника Dc, дБ	Dc	DΩ + Di	**3**	3	3	3	3	3	3	3	3		
Затухание из-за геометрической дивергенции, Adiv, дБ	расстояние = 1462.44 м	ф-ла (7) [10]	**74,3**										

1		2	3	4	5	6	7	8	9	10	11	12	13
Коэффициент затухания звука в атмосфере α, дБ/км	Ta=20,°C Pa=101.33,кПа hотн.=70%	ф-ла (5) [9]	0,02	0,09	0,33	1,12	2,79	4,98	9,04	23,09	77,63		
Учет затухания звука в атмосфере Aatm, дБ		ф-ла (8) [10]	0	0,1	0,5	1,6	4,1	7,3	13,2	33,8	113,5		
Снижение поверхностью земли возле источника As, дБ	Gs = 0 hs = 1м	ф-лы таб.3 [10]	-1,5	-1,5	-1,5	-1,5	-1,5	-1,5	-1,5	-1,5	-1,5		
Снижение поверхностью земли возле приёмника Ar, дБ	Gr = 1 hr = 1.5м	ф-лы таб.3 [10]	-1,5	-1,5	5,3	7	5	0,7	0	0	0		
Снижение поверхностью земли в средней зоне, Am дБ	Gm = 1	ф-лы таб.3 [10]	-2,8	-2,8	0	0	0	0	0	0	0		
Суммарное снижение поверхностью земли на траектории распространения звука Agr, дБ		ф-ла (9) [10]	-5,8	-5,8	3,8	5,5	3,5	-0,8	-1,5	-1,5	-1,5		
Уровни звукового давления от источника ИШ-2-40 в расчётной точке днём, дБ		**ф-ла(3)[10]**	**0**	**27,7**	**19,1**	**17,5**	**17,4**	**18,2**	**9,6**	**0**	**0**	**20,6**	**20,6**
Уровни звукового давления от источника ИШ-2-40 в расчётной точке ночью, дБ		**ф-ла(3)[10]**	**0**	**27,7**	**19,1**	**17,5**	**17,4**	**18,2**	**9,6**	**0**	**0**	**20,6**	**20,6**
Источник шума: ИШ-2-41, координаты источника (x,y,z), м =[685.14,-128.64,1.00]													
Уровни звуковой мощности источника днём, Lw, дБ		**исходные данные**	**0**	**93,3**	**94,7**	**96**	**96,3**	**95,9**	**92,6**	**88,4**	**83,9**		
Уровни звуковой мощности источника ночью, Lw, дБ		**исходные данные**	**0**	**93,3**	**94,7**	**96**	**96,3**	**95,9**	**92,6**	**88,4**	**83,9**		
Поправка на телесный угол DΩ, дБ	Ω = 6.28	10Lg(4π/Ω)	**3**	3	3	3	3	3	3	3	3		
Показатель направленности источника Di, дБ		исходные данные	**0**	0	0	0	0	0	0	0	0		
Поправка на направленность источника Dc, дБ	Dc	DΩ + Di	**3**	3	3	3	3	3	3	3	3		
Затухание из-за геометрической дивергенции, Adiv, дБ	расстояние = 1459.52 м	ф-ла (7) [10]	**74,3**										
Коэффициент затухания звука в атмосфере α, дБ/км	Ta=20,°C Pa=101.33,кПа hотн.=70%	ф-ла (5) [9]	0,02	0,09	0,33	1,12	2,79	4,98	9,04	23,09	77,63		

1		2	3	4	5	6	7	8	9	10	11	12	13
Учет затухания звука в атмосфере Aatm, дБ		ф-ла (8) [10]	0	0,1	0,5	1,6	4,1	7,3	13,2	33,7	113,3		
Снижение поверхностью земли возле источника As, дБ	Gs = 0 hs = 1м	ф-лы таб.3 [10]	-1,5	-1,5	-1,5	-1,5	-1,5	-1,5	-1,5	-1,5	-1,5		
Снижение поверхностью земли возле приёмника Ar, дБ	Gr = 1 hr = 1.5м	ф-лы таб.3 [10]	-1,5	-1,5	5,3	7	5	0,7	0	0	0		
Снижение поверхностью земли в средней зоне, Am дБ	Gm = 1	ф-лы таб.3 [10]	-2,8	-2,8	0	0	0	0	0	0	0		
Суммарное снижение поверхностью земли на траектории распространения звука Agr, дБ		ф-ла (9) [10]	-5,8	-5,8	3,8	5,5	3,5	-0,8	-1,5	-1,5	-1,5		
Уровни звукового давления от источника ИШ-2-41 в расчётной точке днём, дБ		**ф-ла(3)[10]**	**0**	**27,7**	**19,1**	**17,5**	**17,5**	**18,2**	**9,6**	**0**	**0**	**20,6**	**20,6**
Уровни звукового давления от источника ИШ-2-41 в расчётной точке ночью, дБ		**ф-ла(3)[10]**	**0**	**27,7**	**19,1**	**17,5**	**17,5**	**18,2**	**9,6**	**0**	**0**	**20,6**	**20,6**
Источник шума: ИШ-2-42, координаты источника (x,y,z), м =[684.20,-131.46,1.00]													
Уровни звуковой мощности источника днём, Lw, дБ		**исходные данные**	**0**	**93,3**	**94,7**	**96**	**96,3**	**95,9**	**92,6**	**88,4**	**83,9**		
Уровни звуковой мощности источника ночью, Lw, дБ		**исходные данные**	**0**	**93,3**	**94,7**	**96**	**96,3**	**95,9**	**92,6**	**88,4**	**83,9**		
Поправка на телесный угол DΩ, дБ	Ω = 6.28	10Lg(4π/Ω)	**3**	3	3	3	3	3	3	3	3		
Показатель направленности источника Di, дБ		исходные данные	**0**	0	0	0	0	0	0	0	0		
Поправка на направленность источника Dc, дБ	Dc	DΩ + Di	**3**	3	3	3	3	3	3	3	3		
Затухание из-за геометрической дивергенции, Adiv, дБ	расстояние = 1456.76 м	ф-ла (7) [10]	**74,3**										
Коэффициент затухания звука в атмосфере α, дБ/км	Ta=20,°C Pa=101.33,кПа hотн.=70%	ф-ла (5) [9]	0,02	0,09	0,33	1,12	2,79	4,98	9,04	23,09	77,63		
Учет затухания звука в атмосфере Aatm, дБ		ф-ла (8) [10]	0	0,1	0,5	1,6	4,1	7,3	13,2	33,6	113,1		

1		2	3	4	5	6	7	8	9	10	11	12	13
Снижение поверхностью земли возле источника As, дБ	Gs = 0 hs = 1м	ф-лы таб.3 [10]	-1,5	-1,5	-1,5	-1,5	-1,5	-1,5	-1,5	-1,5	-1,5		
Снижение поверхностью земли возле приёмника Ar, дБ	Gr = 1 hr = 1.5м	ф-лы таб.3 [10]	-1,5	-1,5	5,3	7	5	0,7	0	0	0		
Снижение поверхностью земли в средней зоне, Am дБ	Gm = 1	ф-лы таб.3 [10]	-2,8	-2,8	0	0	0	0	0	0	0		
Суммарное снижение поверхностью земли на траектории распространения звука Agr, дБ		ф-ла (9) [10]	-5,8	-5,8	3,8	5,5	3,5	-0,8	-1,5	-1,5	-1,5		
Уровни звукового давления от источника ИШ-2-42 в расчётной точке днём, дБ		**ф-ла(3)[10]**	**0**	**27,7**	**19,1**	**17,6**	**17,5**	**18,2**	**9,7**	**0**	**0**	**20,7**	**20,7**
Уровни звукового давления от источника ИШ-2-42 в расчётной точке ночью, дБ		**ф-ла(3)[10]**	**0**	**27,7**	**19,1**	**17,6**	**17,5**	**18,2**	**9,7**	**0**	**0**	**20,7**	**20,7**
Источник шума: ИШ-2-43, координаты источника (x,y,z), м =[683.13,-134.37,1.00]													
Уровни звуковой мощности источника днём, Lw, дБ		**исходные данные**	**0**	**93,3**	**94,7**	**96**	**96,3**	**95,9**	**92,6**	**88,4**	**83,9**		
Уровни звуковой мощности источника ночью, Lw, дБ		**исходные данные**	**0**	**93,3**	**94,7**	**96**	**96,3**	**95,9**	**92,6**	**88,4**	**83,9**		
Поправка на телесный угол DΩ, дБ	Ω = 6.28	10Lg(4π/Ω)	**3**	3	3	3	3	3	3	3	3		
Показатель направленности источника Di, дБ		исходные данные	**0**	0	0	0	0	0	0	0	0		
Поправка на направленность источника Dc, дБ	Dc	DΩ + Di	**3**	3	3	3	3	3	3	3	3		
Затухание из-за геометрической дивергенции, Adiv, дБ	расстояние = 1453.90 м	ф-ла (7) [10]	**74,3**										
Коэффициент затухания звука в атмосфере α, дБ/км	Ta=20,°C Pa=101.33,кПа hотн.=70%	ф-ла (5) [9]	0,02	0,09	0,33	1,12	2,79	4,98	9,04	23,09	77,63		
Учет затухания звука в атмосфере Aatm, дБ		ф-ла (8) [10]	0	0,1	0,5	1,6	4,1	7,2	13,1	33,6	112,9		
Снижение поверхностью земли возле источника As, дБ	Gs = 0 hs = 1м	ф-лы таб.3 [10]	-1,5	-1,5	-1,5	-1,5	-1,5	-1,5	-1,5	-1,5	-1,5		

1		2	3	4	5	6	7	8	9	10	11	12	13
Снижение поверхностью земли возле приёмника Ar, дБ	Gr = 1 hr = 1.5м	ф-лы таб.3 [10]	-1,5	-1,5	5,3	7	5	0,7	0	0	0		
Снижение поверхностью земли в средней зоне, Am дБ	Gm = 1	ф-лы таб.3 [10]	-2,8	-2,8	0	0	0	0	0	0	0		
Суммарное снижение поверхностью земли на траектории распространения звука Agr, дБ		ф-ла (9) [10]	-5,8	-5,8	3,8	5,5	3,5	-0,8	-1,5	-1,5	-1,5		
Уровни звукового давления от источника ИШ-2-43 в расчётной точке днём, дБ		**ф-ла(3)[10]**	**0**	**27,8**	**19,1**	**17,6**	**17,5**	**18,2**	**9,7**	**0**	**0**	**20,7**	**20,7**
Уровни звукового давления от источника ИШ-2-43 в расчётной точке ночью, дБ		**ф-ла(3)[10]**	**0**	**27,8**	**19,1**	**17,6**	**17,5**	**18,2**	**9,7**	**0**	**0**	**20,7**	**20,7**
Источник шума: ИШ-2-44, координаты источника (x,y,z), м =[682.20,-137.16,1.00]													
Уровни звуковой мощности источника днём, Lw, дБ		**исходные данные**	**0**	**93,3**	**94,7**	**96**	**96,3**	**95,9**	**92,6**	**88,4**	**83,9**		
Уровни звуковой мощности источника ночью, Lw, дБ		**исходные данные**	**0**	**93,3**	**94,7**	**96**	**96,3**	**95,9**	**92,6**	**88,4**	**83,9**		
Поправка на телесный угол DΩ, дБ	Ω = 6.28	10Lg(4π/Ω)	**3**	3	3	3	3	3	3	3	3		
Показатель направленности источника Di, дБ		исходные данные	**0**	0	0	0	0	0	0	0	0		
Поправка на направленность источника Dc, дБ	Dc	DΩ + Di	**3**	3	3	3	3	3	3	3	3		
Затухание из-за геометрической дивергенции, Adiv, дБ	расстояние = 1451.16 м	ф-ла (7) [10]	**74,2**										
Коэффициент затухания звука в атмосфере α, дБ/км	Ta=20,°C Pa=101.33,кПа hотн.=70%	ф-ла (5) [9]	0,02	0,09	0,33	1,12	2,79	4,98	9,04	23,09	77,63		
Учет затухания звука в атмосфере Aatm, дБ		ф-ла (8) [10]	0	0,1	0,5	1,6	4,1	7,2	13,1	33,5	112,7		
Снижение поверхностью земли возле источника As, дБ	Gs = 0 hs = 1м	ф-лы таб.3 [10]	-1,5	-1,5	-1,5	-1,5	-1,5	-1,5	-1,5	-1,5	-1,5		
Снижение поверхностью земли возле приёмника Ar, дБ	Gr = 1 hr = 1.5м	ф-лы таб.3 [10]	-1,5	-1,5	5,3	7	5	0,7	0	0	0		

1		2	3	4	5	6	7	8	9	10	11	12	13
Снижение поверхностью земли в средней зоне, Am дБ	Gm = 1	ф-лы таб.3 [10]	-2,8	-2,8	0	0	0	0	0	0	0		
Суммарное снижение поверхностью земли на траектории распространения звука Agr, дБ		ф-ла (9) [10]	-5,8	-5,8	3,8	5,5	3,5	-0,8	-1,5	-1,5	-1,5		
Уровни звукового давления от источника ИШ-2-44 в расчётной точке днём, дБ		**ф-ла(3)[10]**	**0**	**27,8**	**19,1**	**17,6**	**17,5**	**18,3**	**9,7**	**0**	**0**	**20,7**	**20,7**
Уровни звукового давления от источника ИШ-2-44 в расчётной точке ночью, дБ		**ф-ла(3)[10]**	**0**	**27,8**	**19,1**	**17,6**	**17,5**	**18,3**	**9,7**	**0**	**0**	**20,7**	**20,7**
Источник шума: ИШ-2-45, координаты источника (x,y,z), м =[681.26,-139.98,1.00]													
Уровни звуковой мощности источника днём, Lw, дБ		**исходные данные**	**0**	**93,3**	**94,7**	**96**	**96,3**	**95,9**	**92,6**	**88,4**	**83,9**		
Уровни звуковой мощности источника ночью, Lw, дБ		**исходные данные**	**0**	**93,3**	**94,7**	**96**	**96,3**	**95,9**	**92,6**	**88,4**	**83,9**		
Поправка на телесный угол DΩ, дБ	Ω = 6.28	10Lg(4π/Ω)	**3**	3	3	3	3	3	3	3	3		
Показатель направленности источника Di, дБ		исходные данные	**0**	0	0	0	0	0	0	0	0		
Поправка на направленность источника Dc, дБ	Dc	DΩ + Di	**3**	3	3	3	3	3	3	3	3		
Затухание из-за геометрической дивергенции, Adiv, дБ	расстояние = 1448.39 м	ф-ла (7) [10]	**74,2**										
Коэффициент затухания звука в атмосфере α, дБ/км	Ta=20,°C Pa=101.33,кПа hотн.=70%	ф-ла (5) [9]	0,02	0,09	0,33	1,12	2,79	4,98	9,04	23,09	77,63		
Учет затухания звука в атмосфере Aatm, дБ		ф-ла (8) [10]	0	0,1	0,5	1,6	4	7,2	13,1	33,4	112,4		
Снижение поверхностью земли возле источника As, дБ	Gs = 0 hs = 1м	ф-лы таб.3 [10]	-1,5	-1,5	-1,5	-1,5	-1,5	-1,5	-1,5	-1,5	-1,5		
Снижение поверхностью земли возле приёмника Ar, дБ	Gr = 1 hr = 1.5м	ф-лы таб.3 [10]	-1,5	-1,5	5,3	7	5	0,7	0	0	0		
Снижение поверхностью земли в средней зоне, Am дБ	Gm = 1	ф-лы таб.3 [10]	-2,8	-2,8	0	0	0	0	0	0	0		

1		2	3	4	5	6	7	8	9	10	11	12	13
Суммарное снижение поверхностью земли на траектории распространения звука Agr, дБ		ф-ла (9) [10]	-5,8	-5,8	3,8	5,5	3,5	-0,8	-1,5	-1,5	-1,5		
Уровни звукового давления от источника ИШ-2-45 в расчётной точке днём, дБ		**ф-ла(3)[10]**	**0**	**27,8**	**19,2**	**17,6**	**17,6**	**18,3**	**9,8**	**0**	**0**	**20,8**	**20,8**
Уровни звукового давления от источника ИШ-2-45 в расчётной точке ночью, дБ		**ф-ла(3)[10]**	**0**	**27,8**	**19,2**	**17,6**	**17,6**	**18,3**	**9,8**	**0**	**0**	**20,8**	**20,8**
Источник шума: ИШ-4-1, координаты источника (x,y,z), м =[141.82,201.03,1.00]													
Уровни звуковой мощности источника днём, Lw, дБ		**исходные данные**	**0**	**90,3**	**91,7**	**93**	**93,3**	**92,9**	**89,6**	**85,4**	**80,9**		
Уровни звуковой мощности источника ночью, Lw, дБ		**исходные данные**	**0**	**90,3**	**91,7**	**93**	**93,3**	**92,9**	**89,6**	**85,4**	**80,9**		
Поправка на телесный угол DΩ, дБ	Ω = 6.28	10Lg(4π/Ω)	**3**	3	3	3	3	3	3	3	3		
Показатель направленности источника Di, дБ		исходные данные	**0**	0	0	0	0	0	0	0	0		
Поправка на направленность источника Dc, дБ	Dc	DΩ + Di	**3**	3	3	3	3	3	3	3	3		
Затухание из-за геометрической дивергенции, Adiv, дБ	расстояние = 1889.55 м	ф-ла (7) [10]	**76,5**										
Коэффициент затухания звука в атмосфере α, дБ/км	Ta=20,°C Pa=101.33,кПа hотн.=70%	ф-ла (5) [9]	0,02	0,09	0,33	1,12	2,79	4,98	9,04	23,09	77,63		
Учет затухания звука в атмосфере Aatm, дБ		ф-ла (8) [10]	0	0,2	0,6	2,1	5,3	9,4	17,1	43,6	146,7		
Снижение уровня звукового давления из-за влияния застройки между источником шума и расчетной точкой													
Снижение уровня звукового давления на пути над экраном, Dz1, дБ	z = 0.01м (разность путей)	ф-лы (14-18) [10]	4,8	4,8	4,8	4,8	4,8	4,8	4,8	4,8	4,8		
Снижение уровня звукового давления на пути слева от экрана, Dz2, дБ	z = 2.58м (разность путей)	ф-лы (14-18) [10]	14,7	17,7	20,6	23,6	26,6	29,6	32,6	35,6	38,6		
Снижение уровня звукового давления на пути справа от экрана, Dz3, дБ	z = 0.03м (разность путей)	ф-лы (14-18) [10]	4,9	5	5,3	5,8	6,6	7,8	9,6	11,8	14,4		

1		2	3	4	5	6	7	8	9	10	11	12	13
Общее снижение уровня звука препятствием Dz, дБ		Эн.сумма(-Dzi)	1,6	1,8	2	2,2	2,5	3	3,5	4	4,3		
Уровни звукового давления прямого звука от источника ИШ-4-1 в расчётной точке днём, дБ		**ф-ла(3)[10]**	**0**	**14,8**	**15,6**	**15,1**	**11,9**	**6,9**	**0**	**0**	**0**	**12,5**	**12,5**
Уровни звукового давления прямого звука от источника ИШ-4-1 в расчётной точке ночью, дБ		**ф-ла(3)[10]**	**0**	**14,8**	**15,6**	**15,1**	**11,9**	**6,9**	**0**	**0**	**0**	**12,5**	**12,5**
Расчёт отражённого звука													
Уровни звукового давления от мнимого источника ИШ-4-1_мн.(1) в расчётной точке днём, дБ		**ф-ла(3)[10]**	**0**	**0**	**0**	**0**	**0**	**0**	**0**	**0**	**0**	**0**	**0**
Уровни звукового давления от мнимого источника ИШ-4-1_мн.(1) в расчётной точке ночью, дБ		**ф-ла(3)[10]**	**0**	**0**	**0**	**0**	**0**	**0**	**0**	**0**	**0**	**0**	**0**
Уровни звукового давления от источника ИШ-4-1 в расчётной точке днём, дБ		**ф-ла(3)[10]**	**0**	**14,8**	**15,6**	**15,1**	**11,9**	**6,9**	**0**	**0**	**0**	**12,5**	**12,5**
Уровни звукового давления от источника ИШ-4-1 в расчётной точке ночью, дБ		**ф-ла(3)[10]**	**0**	**14,8**	**15,6**	**15,1**	**11,9**	**6,9**	**0**	**0**	**0**	**12,5**	**12,5**
Источник шума: ИШ-4-2, координаты источника (x,y,z), м =[133.85,183.21,1.00]													
Уровни звуковой мощности источника днём, Lw, дБ		**исходные данные**	**0**	**90,3**	**91,7**	**93**	**93,3**	**92,9**	**89,6**	**85,4**	**80,9**		
Уровни звуковой мощности источника ночью, Lw, дБ		**исходные данные**	**0**	**90,3**	**91,7**	**93**	**93,3**	**92,9**	**89,6**	**85,4**	**80,9**		
Поправка на телесный угол DΩ, дБ	Ω = 6.28	10Lg(4π/Ω)	**3**	3	3	3	3	3	3	3	3		
Показатель направленности источника Di, дБ		исходные данные	**0**	0	0	0	0	0	0	0	0		
Поправка на направленность источника Dc, дБ	Dc	DΩ + Di	**3**	3	3	3	3	3	3	3	3		
Затухание из-за геометрической дивергенции, Adiv, дБ	расстояние = 1875.32 м	ф-ла (7) [10]	**76,5**										
Коэффициент затухания звука в атмосфере α, дБ/км	Ta=20,°C Pa=101.33,кПа hотн.=70%	ф-ла (5) [9]	0,02	0,09	0,33	1,12	2,79	4,98	9,04	23,09	77,63		

1		2	3	4	5	6	7	8	9	10	11	12	13
Учет затухания звука в атмосфере Aatm, дБ		ф-ла (8) [10]	0	0,2	0,6	2,1	5,2	9,3	17	43,3	145,6		
Снижение уровня звукового давления из-за влияния застройки между источником шума и расчетной точкой													
Снижение уровня звукового давления на пути над экраном, Dz1, дБ	z = 0.12м (разность путей)	ф-лы (14-18) [10]	4,8	4,8	4,8	4,8	4,8	4,8	4,8	4,8	4,8		
Снижение уровня звукового давления на пути слева от экрана, Dz2, дБ	z = 0.02м (разность путей)	ф-лы (14-18) [10]	4,9	4,9	5,1	5,4	6	7	8,4	10,4	12,7		
Снижение уровня звукового давления на пути справа от экрана, Dz3, дБ	z = 13.87м (разность путей)	ф-лы (14-18) [10]	17,4	20,2	23,2	26,1	29,1	32,1	35,1	38,1	41,2		
Общее снижение уровня звука препятствием Dz, дБ		Эн.сумма(-Dzi)	1,7	1,8	1,9	2,1	2,3	2,7	3,2	3,7	4,1		
Уровни звукового давления от источника ИШ-4-2 в расчётной точке днём, дБ		**ф-ла(3)[10]**	**0**	**14,9**	**15,7**	**15,4**	**12,3**	**7,4**	**0**	**0**	**0**	**12,8**	**12,8**
Уровни звукового давления от источника ИШ-4-2 в расчётной точке ночью, дБ		**ф-ла(3)[10]**	**0**	**14,9**	**15,7**	**15,4**	**12,3**	**7,4**	**0**	**0**	**0**	**12,8**	**12,8**
Источник шума: ИШ-4-3, координаты источника (x,y,z), м =[152.61,172.66,1.00]													
Уровни звуковой мощности источника днём, Lw, дБ		**исходные данные**	**0**	**90,3**	**91,7**	**93**	**93,3**	**92,9**	**89,6**	**85,4**	**80,9**		
Уровни звуковой мощности источника ночью, Lw, дБ		**исходные данные**	**0**	**90,3**	**91,7**	**93**	**93,3**	**92,9**	**89,6**	**85,4**	**80,9**		
Поправка на телесный угол DΩ, дБ	Ω = 6.28	10Lg(4π/Ω)	**3**	3	3	3	3	3	3	3	3		
Показатель направленности источника Di, дБ		исходные данные	**0**	0	0	0	0	0	0	0	0		
Поправка на направленность источника Dc, дБ	Dc	DΩ + Di	**3**	3	3	3	3	3	3	3	3		
Затухание из-за геометрической дивергенции, Adiv, дБ	расстояние = 1859.22 м	ф-ла (7) [10]	**76,4**										
Коэффициент затухания звука в атмосфере α, дБ/км	Ta=20,°C Pa=101.33,кПа hотн.=70%	ф-ла (5) [9]	0,02	0,09	0,33	1,12	2,79	4,98	9,04	23,09	77,63		

1		2	3	4	5	6	7	8	9	10	11	12	13
Учет затухания звука в атмосфере Aatm, дБ		ф-ла (8) [10]	0	0,2	0,6	2,1	5,2	9,3	16,8	42,9	144,3		
Снижение уровня звукового давления из-за влияния застройки между источником шума и расчетной точкой													
Снижение уровня звукового давления на пути над экраном, Dz1, дБ	z = 0.01м (разность путей)	ф-лы (14-18) [10]	4,8	4,8	4,8	4,8	4,8	4,8	4,8	4,8	4,8		
Снижение уровня звукового давления на пути слева от экрана, Dz2, дБ	z = 2.81м (разность путей)	ф-лы (14-18) [10]	15	18,1	21	24	27	30	33	36	39		
Снижение уровня звукового давления на пути справа от экрана, Dz3, дБ	z = 0.04м (разность путей)	ф-лы (14-18) [10]	5	5,2	5,5	6,2	7,2	8,7	10,8	13,2	15,9		
Общее снижение уровня звука препятствием Dz, дБ		Эн.сумма(-Dzi)	1,7	1,8	2,1	2,4	2,8	3,3	3,8	4,2	4,4		
Уровни звукового давления прямого звука от источника ИШ-4-3 в расчётной точке днём, дБ		**ф-ла(3)[10]**	**0**	**14,9**	**15,6**	**15,1**	**11,9**	**7**	**0**	**0**	**0**	**12,5**	**12,5**
Уровни звукового давления прямого звука от источника ИШ-4-3 в расчётной точке ночью, дБ		**ф-ла(3)[10]**	**0**	**14,9**	**15,6**	**15,1**	**11,9**	**7**	**0**	**0**	**0**	**12,5**	**12,5**
Расчёт отражённого звука													
Уровни звукового давления от мнимого источника ИШ-4-3_мн.(1) в расчётной точке днём, дБ		**ф-ла(3)[10]**	**0**	**0**	**0**	**0**	**0**	**0**	**0**	**0**	**0**	**0**	**0**
Уровни звукового давления от мнимого источника ИШ-4-3_мн.(1) в расчётной точке ночью, дБ		**ф-ла(3)[10]**	**0**	**0**	**0**	**0**	**0**	**0**	**0**	**0**	**0**	**0**	**0**
Уровни звукового давления от мнимого источника ИШ-4-3_мн.(2) в расчётной точке днём, дБ		**ф-ла(3)[10]**	**0**	**0**	**0**	**0**	**0**	**0**	**0**	**0**	**0**	**0**	**0**
Уровни звукового давления от мнимого источника ИШ-4-3_мн.(2) в расчётной точке ночью, дБ		**ф-ла(3)[10]**	**0**	**0**	**0**	**0**	**0**	**0**	**0**	**0**	**0**	**0**	**0**
Суммарные уровни звукового давления от мнимых источников в расчётной точке днём, дБ		**ф-ла (19) [1]**	**0**	**0**	**0**	**0**	**0**	**0**	**0**	**0**	**0**	**0**	**0**
Суммарные уровни звукового давления от мнимых источников в расчётной точке ночью, дБ		**ф-ла (19) [1]**	**0**	**0**	**0**	**0**	**0**	**0**	**0**	**0**	**0**	**0**	**0**
Уровни звукового давления от источника ИШ-4-3 в расчётной точке днём, дБ		**ф-ла(3)[10]**	**0**	**14,9**	**15,6**	**15,1**	**11,9**	**7**	**0**	**0**	**0**	**12,5**	**12,5**
Уровни звукового давления от источника ИШ-4-3 в расчётной точке ночью, дБ		**ф-ла(3)[10]**	**0**	**14,9**	**15,6**	**15,1**	**11,9**	**7**	**0**	**0**	**0**	**12,5**	**12,5**

1		2	3	4	5	6	7	8	9	10	11	12	13
Источник шума: ИШ-4-4, координаты источника (x,y,z), м =[156.83,171.25,1.00]													
Уровни звуковой мощности источника днём, Lw, дБ		**исходные данные**	**0**	**90,3**	**91,7**	**93**	**93,3**	**92,9**	**89,6**	**85,4**	**80,9**		
Уровни звуковой мощности источника ночью, Lw, дБ		**исходные данные**	**0**	**90,3**	**91,7**	**93**	**93,3**	**92,9**	**89,6**	**85,4**	**80,9**		
Поправка на телесный угол DΩ, дБ	Ω = 6.28	10Lg(4π/Ω)	**3**	3	3	3	3	3	3	3	3		
Показатель направленности источника Di, дБ		исходные данные	**0**	0	0	0	0	0	0	0	0		
Поправка на направленность источника Dc, дБ	Dc	DΩ + Di	**3**	3	3	3	3	3	3	3	3		
Затухание из-за геометрической дивергенции, Adiv, дБ	расстояние = 1856.52 м	ф-ла (7) [10]	**76,4**										
Коэффициент затухания звука в атмосфере α, дБ/км	Ta=20,°C Pa=101.33,кПа hотн.=70%	ф-ла (5) [9]	0,02	0,09	0,33	1,12	2,79	4,98	9,04	23,09	77,63		
Учет затухания звука в атмосфере Aatm, дБ		ф-ла (8) [10]	0	0,2	0,6	2,1	5,2	9,2	16,8	42,9	144,1		
Снижение уровня звукового давления из-за влияния застройки между источником шума и расчетной точкой													
Снижение уровня звукового давления на пути над экраном, Dz1, дБ	z = 0.01м (разность путей)	ф-лы (14-18) [10]	4,8	4,8	4,8	4,8	4,8	4,8	4,8	4,8	4,8		
Снижение уровня звукового давления на пути слева от экрана, Dz2, дБ	z = 2.27м (разность путей)	ф-лы (14-18) [10]	14,2	17,2	20,1	23,1	26,1	29	32	35,1	38,1		
Снижение уровня звукового давления на пути справа от экрана, Dz3, дБ	z = 0.09м (разность путей)	ф-лы (14-18) [10]	5,2	5,7	6,4	7,5	9,2	11,4	13,9	16,6	19,5		
Общее снижение уровня звука препятствием Dz, дБ		Эн.сумма(-Dzi)	1,7	2	2,4	2,9	3,4	3,9	4,3	4,5	4,6		
Уровни звукового давления прямого звука от источника ИШ-4-4 в расчётной точке днём, дБ		**ф-ла(3)[10]**	**0**	**14,7**	**15,3**	**14,6**	**11,3**	**6,4**	**0**	**0**	**0**	**12**	**12**
Уровни звукового давления прямого звука от источника ИШ-4-4 в расчётной точке ночью, дБ		**ф-ла(3)[10]**	**0**	**14,7**	**15,3**	**14,6**	**11,3**	**6,4**	**0**	**0**	**0**	**12**	**12**

1		2	3	4	5	6	7	8	9	10	11	12	13
Расчёт отражённого звука													
Уровни звукового давления от мнимого источника ИШ-4-4_мн.(1) в расчётной точке днём, дБ		**ф-ла(3)[10]**	**0**	**0**	**0**	**0**	**0**	**0**	**0**	**0**	**0**	**0**	**0**
Уровни звукового давления от мнимого источника ИШ-4-4_мн.(1) в расчётной точке ночью, дБ		**ф-ла(3)[10]**	**0**	**0**	**0**	**0**	**0**	**0**	**0**	**0**	**0**	**0**	**0**
Уровни звукового давления от мнимого источника ИШ-4-4_мн.(2) в расчётной точке днём, дБ		**ф-ла(3)[10]**	**0**	**0**	**0**	**0**	**0**	**0**	**0**	**0**	**0**	**0**	**0**
Уровни звукового давления от мнимого источника ИШ-4-4_мн.(2) в расчётной точке ночью, дБ		**ф-ла(3)[10]**	**0**	**0**	**0**	**0**	**0**	**0**	**0**	**0**	**0**	**0**	**0**
Суммарные уровни звукового давления от мнимых источников в расчётной точке днём, дБ		**ф-ла (19) [1]**	**0**	**0**	**0**	**0**	**0**	**0**	**0**	**0**	**0**	**0**	**0**
Суммарные уровни звукового давления от мнимых источников в расчётной точке ночью, дБ		**ф-ла (19) [1]**	**0**	**0**	**0**	**0**	**0**	**0**	**0**	**0**	**0**	**0**	**0**
Уровни звукового давления от источника ИШ-4-4 в расчётной точке днём, дБ		**ф-ла(3)[10]**	**0**	**14,7**	**15,3**	**14,6**	**11,3**	**6,4**	**0**	**0**	**0**	**12**	**12**
Уровни звукового давления от источника ИШ-4-4 в расчётной точке ночью, дБ		**ф-ла(3)[10]**	**0**	**14,7**	**15,3**	**14,6**	**11,3**	**6,4**	**0**	**0**	**0**	**12**	**12**
Источник шума: ИШ-4-5, координаты источника (x,y,z), м =[126.48,222.66,11.00]													
Уровни звуковой мощности источника днём, Lw, дБ		**исходные данные**	**0**	**90,3**	**91,7**	**93**	**93,3**	**92,9**	**89,6**	**85,4**	**80,9**		
Уровни звуковой мощности источника ночью, Lw, дБ		**исходные данные**	**0**	**90,3**	**91,7**	**93**	**93,3**	**92,9**	**89,6**	**85,4**	**80,9**		
Поправка на телесный угол DΩ, дБ	Ω = 6.28	10Lg(4π/Ω)	**3**	3	3	3	3	3	3	3	3		
Показатель направленности источника Di, дБ		исходные данные	**0**	0	0	0	0	0	0	0	0		
Поправка на направленность источника Dc, дБ	Dc	DΩ + Di	**3**	3	3	3	3	3	3	3	3		
Затухание из-за геометрической дивергенции, Adiv, дБ	расстояние = 1915.02 м	ф-ла (7) [10]	**76,6**										
Коэффициент затухания звука в атмосфере α, дБ/км	Ta=20,°C Pa=101.33,кПа hотн.=70%	ф-ла (5) [9]	0,02	0,09	0,33	1,12	2,79	4,98	9,04	23,09	77,63		

1		2	3	4	5	6	7	8	9	10	11	12	13
Учет затухания звука в атмосфере Aatm, дБ		ф-ла (8) [10]	0	0,2	0,6	2,2	5,3	9,5	17,3	44,2	148,7		
Снижение уровня звукового давления из-за влияния застройки между источником шума и расчетной точкой													
Снижение уровня звукового давления препятствием справа от трассы ИШ-РТ, Dz3, дБ	z = 0.00м (разность путей)	ф-лы (14-18) [10]	0	0	0	0	4,6	4,3	3,8	2,6	0		
* отрицательное значение z означает прохождение траектории вблизи экрана, в этом случае дополнительно производится учёт снижения подстилающей поверхностью (см.ниже)													
Снижение поверхностью земли возле источника As, дБ	Gs = 0 hs = 1м	ф-лы таб.3 [10]	-1,5	-1,5	-1,5	-1,5	-1,5	-1,5	-1,5	-1,5	-1,5		
Снижение поверхностью земли возле приёмника Ar, дБ	Gr = 1 hr = 1.5м	ф-лы таб.3 [10]	-1,5	-1,5	5,3	7	5	0,7	0	0	0		
Снижение поверхностью земли в средней зоне, Am дБ	Gm = 1	ф-лы таб.3 [10]	-2,9	-2,9	0	0	0	0	0	0	0		
Суммарное снижение поверхностью земли на траектории распространения звука Agr, дБ		ф-ла (9) [10]	-5,9	-5,9	3,8	5,5	3,5	-0,8	-1,5	-1,5	-1,5		
Уровни звукового давления от источника ИШ-4-5 в расчётной точке днём, дБ		**ф-ла(3)[10]**	**0**	**22,4**	**13,6**	**11,7**	**6,3**	**6,2**	**0**	**0**	**0**	**9,7**	**9,7**
Уровни звукового давления от источника ИШ-4-5 в расчётной точке ночью, дБ		**ф-ла(3)[10]**	**0**	**22,4**	**13,6**	**11,7**	**6,3**	**6,2**	**0**	**0**	**0**	**9,7**	**9,7**
Источник шума: ИШ-4-6, координаты источника (x,y,z), м =[125.17,218.57,11.00]													
Уровни звуковой мощности источника днём, Lw, дБ		**исходные данные**	**0**	**90,3**	**91,7**	**93**	**93,3**	**92,9**	**89,6**	**85,4**	**80,9**		
Уровни звуковой мощности источника ночью, Lw, дБ		**исходные данные**	**0**	**90,3**	**91,7**	**93**	**93,3**	**92,9**	**89,6**	**85,4**	**80,9**		
Поправка на телесный угол DΩ, дБ	Ω = 6.28	10Lg(4π/Ω)	**3**	3	3	3	3	3	3	3	3		
Показатель направленности источника Di, дБ		исходные данные	**0**	0	0	0	0	0	0	0	0		
Поправка на направленность источника Dc, дБ	Dc	DΩ + Di	**3**	3	3	3	3	3	3	3	3		
Затухание из-за геометрической дивергенции, Adiv, дБ	расстояние = 1911.59 м	ф-ла (7) [10]	**76,6**										

1		2	3	4	5	6	7	8	9	10	11	12	13
Коэффициент затухания звука в атмосфере α, дБ/км	Ta=20,°C Pa=101.33,кПа hотн.=70%	ф-ла (5) [9]	0,02	0,09	0,33	1,12	2,79	4,98	9,04	23,09	77,63		
Учет затухания звука в атмосфере Aatm, дБ		ф-ла (8) [10]	0	0,2	0,6	2,1	5,3	9,5	17,3	44,1	148,4		
Снижение уровня звукового давления из-за влияния застройки между источником шума и расчетной точкой													
Снижение уровня звукового давления на пути над экраном, Dz1, дБ	z = 0.00м (разность путей)	ф-лы (14-18) [10]	4,8	4,8	4,8	4,8	4,8	4,8	4,8	4,8	4,8		
Снижение уровня звукового давления на пути слева от экрана, Dz2, дБ	z = 0.00м (разность путей)	ф-лы (14-18) [10]	4,8	4,8	4,8	4,8	4,8	4,9	5	5,2	5,5		
Снижение уровня звукового давления на пути справа от экрана, Dz3, дБ	z = 13.68м (разность путей)	ф-лы (14-18) [10]	17,3	20,2	23,1	26,1	29,1	32,1	35,1	38,1	41,1		
Общее снижение уровня звука препятствием Dz, дБ		Эн.сумма(-Dzi)	1,6	1,7	1,7	1,8	1,8	1,8	1,9	1,9	2,1		
Уровни звукового давления от источника ИШ-4-6 в расчётной точке днём, дБ		**ф-ла(3)[10]**	**0**	**14,8**	**15,7**	**15,5**	**12,6**	**7,9**	**0**	**0**	**0**	**13,2**	**13,2**
Уровни звукового давления от источника ИШ-4-6 в расчётной точке ночью, дБ		**ф-ла(3)[10]**	**0**	**14,8**	**15,7**	**15,5**	**12,6**	**7,9**	**0**	**0**	**0**	**13,2**	**13,2**
Источник шума: ИШ-4-7, координаты источника (x,y,z), м =[177.91,257.92,11.00]													
Уровни звуковой мощности источника днём, Lw, дБ		**исходные данные**	**0**	**90,3**	**91,7**	**93**	**93,3**	**92,9**	**89,6**	**85,4**	**80,9**		
Уровни звуковой мощности источника ночью, Lw, дБ		**исходные данные**	**0**	**90,3**	**91,7**	**93**	**93,3**	**92,9**	**89,6**	**85,4**	**80,9**		
Поправка на телесный угол DΩ, дБ	Ω = 6.28	10Lg(4π/Ω)	**3**	3	3	3	3	3	3	3	3		
Показатель направленности источника Di, дБ		исходные данные	**0**	0	0	0	0	0	0	0	0		
Поправка на направленность источника Dc, дБ	Dc	DΩ + Di	**3**	3	3	3	3	3	3	3	3		
Затухание из-за геометрической дивергенции, Adiv, дБ	расстояние = 1932.41 м	ф-ла (7) [10]	**76,7**										

1		2	3	4	5	6	7	8	9	10	11	12	13
Коэффициент затухания звука в атмосфере α, дБ/км	Та=20,°С Ра=101.33,кПа hотн.=70%	ф-ла (5) [9]	0,02	0,09	0,33	1,12	2,79	4,98	9,04	23,09	77,63		
Учет затухания звука в атмосфере Aatm, дБ		ф-ла (8) [10]	0	0,2	0,6	2,2	5,4	9,6	17,5	44,6	150		
Снижение уровня звукового давления из-за влияния застройки между источником шума и расчетной точкой													
Снижение уровня звукового давления на пути над экраном, Dz1, дБ	z = 0.00м (разность путей)	ф-лы (14-18) [10]	4,8	4,8	4,8	4,8	4,8	4,8	4,8	4,8	4,8		
Снижение уровня звукового давления на пути слева от экрана, Dz2, дБ	z = 2.76м (разность путей)	ф-лы (14-18) [10]	11,2	13,7	16,4	19,3	22,2	25,2	28,1	31,1	34,2		
Снижение уровня звукового давления на пути справа от экрана, Dz3, дБ	z = 0.03м (разность путей)	ф-лы (14-18) [10]	4,9	5,1	5,4	5,9	6,8	8,2	10,1	12,4	15		
Общее снижение уровня звука препятствием Dz, дБ		Эн.сумма(-Dzi)	1,4	1,6	1,9	2,2	2,6	3,1	3,6	4,1	4,4		
Уровни звукового давления от источника ИШ-4-7 в расчётной точке днём, дБ		**ф-ла(3)[10]**	**0**	**14,8**	**15,4**	**14,9**	**11,6**	**6,4**	**0**	**0**	**0**	**12,2**	**12,2**
Уровни звукового давления от источника ИШ-4-7 в расчётной точке ночью, дБ		**ф-ла(3)[10]**	**0**	**14,8**	**15,4**	**14,9**	**11,6**	**6,4**	**0**	**0**	**0**	**12,2**	**12,2**
Источник шума: ИШ-4-8, координаты источника (x,y,z), м =[178.24,257.77,13.00]													
Уровни звуковой мощности источника днём, Lw, дБ		**исходные данные**	**0**	**90,3**	**91,7**	**93**	**93,3**	**92,9**	**89,6**	**85,4**	**80,9**		
Уровни звуковой мощности источника ночью, Lw, дБ		**исходные данные**	**0**	**90,3**	**91,7**	**93**	**93,3**	**92,9**	**89,6**	**85,4**	**80,9**		
Поправка на телесный угол DΩ, дБ	Ω = 6.28	10Lg(4π/Ω)	**3**	3	3	3	3	3	3	3	3		
Показатель направленности источника Di, дБ		исходные данные	**0**	0	0	0	0	0	0	0	0		
Поправка на направленность источника Dc, дБ	Dc	DΩ + Di	**3**	3	3	3	3	3	3	3	3		
Затухание из-за геометрической дивергенции, Adiv, дБ	расстояние = 1932.19 м	ф-ла (7) [10]	**76,7**										

1		2	3	4	5	6	7	8	9	10	11	12	13
Коэффициент затухания звука в атмосфере α, дБ/км	Ta=20,°C Pa=101.33,кПа hотн.=70%	ф-ла (5) [9]	0,02	0,09	0,33	1,12	2,79	4,98	9,04	23,09	77,63		
Учет затухания звука в атмосфере Aatm, дБ		ф-ла (8) [10]	0	0,2	0,6	2,2	5,4	9,6	17,5	44,6	150		
Снижение уровня звукового давления из-за влияния застройки между источником шума и расчетной точкой													
Снижение уровня звукового давления препятствием снизу от трассы ИШ-РТ, Dz4, дБ	z = 0.00м (разность путей)	ф-лы (14-18) [10]	4,8	4,8	4,7	4,7	4,6	4,5	4,2	3,4	1,5		
* отрицательное значение z означает прохождение траектории вблизи экрана, в этом случае дополнительно производится учёт снижения подстилающей поверхностью (см.ниже)													
Снижение поверхностью земли возле источника As, дБ	Gs = 0 hs = 5м	ф-лы таб.3 [10]	-1,5	-1,5	-1,5	-1,5	-1,5	-1,5	-1,5	-1,5	-1,5		
Снижение поверхностью земли возле приёмника Ar, дБ	Gr = 1 hr = 1.5м	ф-лы таб.3 [10]	-1,5	-1,5	5,3	7	5	0,7	0	0	0		
Снижение поверхностью земли в средней зоне, Am дБ	Gm = 1	ф-лы таб.3 [10]	-2,7	-2,7	0	0	0	0	0	0	0		
Суммарное снижение поверхностью земли на траектории распространения звука Agr, дБ		ф-ла (9) [10]	-5,7	-5,7	3,8	5,5	3,5	-0,8	-1,5	-1,5	-1,5		
Уровни звукового давления от источника ИШ-4-8 в расчётной точке днём, дБ		**ф-ла(3)[10]**	**0**	**17,3**	**8,7**	**6,9**	**6,1**	**5,9**	**0**	**0**	**0**	**8,3**	**8,3**
Уровни звукового давления от источника ИШ-4-8 в расчётной точке ночью, дБ		**ф-ла(3)[10]**	**0**	**17,3**	**8,7**	**6,9**	**6,1**	**5,9**	**0**	**0**	**0**	**8,3**	**8,3**
Источник шума: ИШ-4-9, координаты источника (x,y,z), м =[178.68,257.63,15.50]													
Уровни звуковой мощности источника днём, Lw, дБ		**исходные данные**	**0**	**90,3**	**91,7**	**93**	**93,3**	**92,9**	**89,6**	**85,4**	**80,9**		
Уровни звуковой мощности источника ночью, Lw, дБ		**исходные данные**	**0**	**90,3**	**91,7**	**93**	**93,3**	**92,9**	**89,6**	**85,4**	**80,9**		
Поправка на телесный угол DΩ, дБ	Ω = 6.28	10Lg(4π/Ω)	**3**	3	3	3	3	3	3	3	3		
Показатель направленности источника Di, дБ		исходные данные	**0**	0	0	0	0	0	0	0	0		
Поправка на направленность источника Dc, дБ	Dc	DΩ + Di	**3**	3	3	3	3	3	3	3	3		

1		2	3	4	5	6	7	8	9	10	11	12	13
Затухание из-за геометрической дивергенции, Adiv, дБ	расстояние = 1931.93 м	ф-ла (7) [10]	**76,7**										
Коэффициент затухания звука в атмосфере α, дБ/км	Ta=20,°C Pa=101.33,кПа hотн.=70%	ф-ла (5) [9]	0,02	0,09	0,33	1,12	2,79	4,98	9,04	23,09	77,63		
Учет затухания звука в атмосфере Aatm, дБ		ф-ла (8) [10]	0	0,2	0,6	2,2	5,4	9,6	17,5	44,6	150		
Снижение уровня звукового давления из-за влияния застройки между источником шума и расчетной точкой													
Снижение уровня звукового давления препятствием снизу от трассы ИШ-РТ, Dz4, дБ	z = -0.02м (разность путей)	ф-лы (14-18) [10]	4,7	4,6	4,4	4	3,1	0,3	NAN	NAN	NAN		
* отрицательное значение z означает прохождение траектории вблизи экрана, в этом случае дополнительно производится учёт снижения подстилающей поверхностью (см.ниже)													
Снижение поверхностью земли возле источника As, дБ	Gs = 0 hs = 7.5м	ф-лы таб.3 [10]	-1,5	-1,5	-1,5	-1,5	-1,5	-1,5	-1,5	-1,5	-1,5		
Снижение поверхностью земли возле приёмника Ar, дБ	Gr = 1 hr = 1.5м	ф-лы таб.3 [10]	-1,5	-1,5	5,3	7	5	0,7	0	0	0		
Снижение поверхностью земли в средней зоне, Am дБ	Gm = 1	ф-лы таб.3 [10]	-2,6	-2,6	0	0	0	0	0	0	0		
Суммарное снижение поверхностью земли на траектории распространения звука Agr, дБ		ф-ла (9) [10]	-5,6	-5,6	3,8	5,5	3,5	-0,8	-1,5	-1,5	-1,5		
Уровни звукового давления от источника ИШ-4-9 в расчётной точке днём, дБ		**ф-ла(3)[10]**	**0**	**17,4**	**9,1**	**7,6**	**7,6**	**10,1**	**0**	**0**	**0**	**11,5**	**11,5**
Уровни звукового давления от источника ИШ-4-9 в расчётной точке ночью, дБ		**ф-ла(3)[10]**	**0**	**17,4**	**9,1**	**7,6**	**7,6**	**10,1**	**0**	**0**	**0**	**11,5**	**11,5**
Источник шума: ИШ-4-10, координаты источника (x,y,z), м =[185.65,255.31,11.00]													
Уровни звуковой мощности источника днём, Lw, дБ		**исходные данные**	**0**	**90,3**	**91,7**	**93**	**93,3**	**92,9**	**89,6**	**85,4**	**80,9**		
Уровни звуковой мощности источника ночью, Lw, дБ		**исходные данные**	**0**	**90,3**	**91,7**	**93**	**93,3**	**92,9**	**89,6**	**85,4**	**80,9**		
Поправка на телесный угол DΩ, дБ	Ω = 6.28	10Lg(4π/Ω)	**3**	3	3	3	3	3	3	3	3		
Показатель направленности источника Di, дБ		исходные данные	**0**	0	0	0	0	0	0	0	0		

1		2	3	4	5	6	7	8	9	10	11	12	13
Поправка на направленность источника Dc, дБ	Dc	DΩ + Di	**3**	3	3	3	3	3	3	3	3		
Затухание из-за геометрической дивергенции, Adiv, дБ	расстояние = 1927.62 м	ф-ла (7) [10]	**76,7**										
Коэффициент затухания звука в атмосфере α, дБ/км	Ta=20,°C Pa=101.33,кПа hотн.=70%	ф-ла (5) [9]	0,02	0,09	0,33	1,12	2,79	4,98	9,04	23,09	77,63		
Учет затухания звука в атмосфере Aatm, дБ		ф-ла (8) [10]	0	0,2	0,6	2,2	5,4	9,6	17,4	44,5	149,6		
Снижение уровня звукового давления из-за влияния застройки между источником шума и расчетной точкой													
Снижение уровня звукового давления на пути над экраном, Dz1, дБ	z = 0.00м (разность путей)	ф-лы (14-18) [10]	4,8	4,8	4,8	4,8	4,8	4,8	4,8	4,8	4,8		
Снижение уровня звукового давления на пути слева от экрана, Dz2, дБ	z = 2.13м (разность путей)	ф-лы (14-18) [10]	10,4	12,7	15,3	18,2	21,1	24	27	30	33		
Снижение уровня звукового давления на пути справа от экрана, Dz3, дБ	z = 0.17м (разность путей)	ф-лы (14-18) [10]	5,6	6,3	7,4	9	11,1	13,6	16,3	19,1	22,1		
Общее снижение уровня звука препятствием Dz, дБ		Эн.сумма(-Dzi)	1,5	2,1	2,6	3,2	3,8	4,2	4,4	4,6	4,7		
Уровни звукового давления от источника ИШ-4-10 в расчётной точке днём, дБ		**ф-ла(3)[10]**	**0**	**14,4**	**14,7**	**13,9**	**10,4**	**5,4**	**0**	**0**	**0**	**11,1**	**11,1**
Уровни звукового давления от источника ИШ-4-10 в расчётной точке ночью, дБ		**ф-ла(3)[10]**	**0**	**14,4**	**14,7**	**13,9**	**10,4**	**5,4**	**0**	**0**	**0**	**11,1**	**11,1**
Источник шума: ИШ-4-11, координаты источника (x,y,z), м =[185.89,255.16,13.00]													
Уровни звуковой мощности источника днём, Lw, дБ		**исходные данные**	**0**	**90,3**	**91,7**	**93**	**93,3**	**92,9**	**89,6**	**85,4**	**80,9**		
Уровни звуковой мощности источника ночью, Lw, дБ		**исходные данные**	**0**	**90,3**	**91,7**	**93**	**93,3**	**92,9**	**89,6**	**85,4**	**80,9**		
Поправка на телесный угол DΩ, дБ	Ω = 6.28	10Lg(4π/Ω)	**3**	3	3	3	3	3	3	3	3		
Показатель направленности источника Di, дБ		исходные данные	**0**	0	0	0	0	0	0	0	0		

1		2	3	4	5	6	7	8	9	10	11	12	13
Поправка на направленность источника Dc, дБ	Dc	DΩ + Di	**3**	3	3	3	3	3	3	3	3		
Затухание из-за геометрической дивергенции, Adiv, дБ	расстояние = 1927.42 м	ф-ла (7) [10]	**76,7**										
Коэффициент затухания звука в атмосфере α, дБ/км	Ta=20,°C Pa=101.33,кПа hотн.=70%	ф-ла (5) [9]	0,02	0,09	0,33	1,12	2,79	4,98	9,04	23,09	77,63		
Учет затухания звука в атмосфере Aatm, дБ		ф-ла (8) [10]	0	0,2	0,6	2,2	5,4	9,6	17,4	44,5	149,6		
Снижение уровня звукового давления из-за влияния застройки между источником шума и расчетной точкой													
Снижение уровня звукового давления препятствием снизу от трассы ИШ-РТ, Dz4, дБ	z = 0.00м (разность путей)	ф-лы (14-18) [10]	4,8	4,8	4,7	4,7	4,6	4,5	4,2	3,4	1,5		
* отрицательное значение z означает прохождение траектории вблизи экрана, в этом случае дополнительно производится учёт снижения подстилающей поверхностью (см.ниже)													
Снижение поверхностью земли возле источника As, дБ	Gs = 0 hs = 5м	ф-лы таб.3 [10]	-1,5	-1,5	-1,5	-1,5	-1,5	-1,5	-1,5	-1,5	-1,5		
Снижение поверхностью земли возле приёмника Ar, дБ	Gr = 1 hr = 1.5м	ф-лы таб.3 [10]	-1,5	-1,5	5,3	7	5	0,7	0	0	0		
Снижение поверхностью земли в средней зоне, Am дБ	Gm = 1	ф-лы таб.3 [10]	-2,7	-2,7	0	0	0	0	0	0	0		
Суммарное снижение поверхностью земли на траектории распространения звука Agr, дБ		ф-ла (9) [10]	-5,7	-5,7	3,8	5,5	3,5	-0,8	-1,5	-1,5	-1,5		
Уровни звукового давления от источника ИШ-4-11 в расчётной точке днём, дБ		**ф-ла(3)[10]**	**0**	**17,4**	**8,8**	**6,9**	**6,1**	**6**	**0**	**0**	**0**	**8,4**	**8,4**
Уровни звукового давления от источника ИШ-4-11 в расчётной точке ночью, дБ		**ф-ла(3)[10]**	**0**	**17,4**	**8,8**	**6,9**	**6,1**	**6**	**0**	**0**	**0**	**8,4**	**8,4**
Источник шума: ИШ-4-12, координаты источника (x,y,z), м =[186.18,255.02,15.50]													
Уровни звуковой мощности источника днём, Lw, дБ		**исходные данные**	**0**	**90,3**	**91,7**	**93**	**93,3**	**92,9**	**89,6**	**85,4**	**80,9**		
Уровни звуковой мощности источника ночью, Lw, дБ		**исходные данные**	**0**	**90,3**	**91,7**	**93**	**93,3**	**92,9**	**89,6**	**85,4**	**80,9**		
Поправка на телесный угол DΩ, дБ	Ω = 6.28	10Lg(4π/Ω)	**3**	3	3	3	3	3	3	3	3		

1		2	3	4	5	6	7	8	9	10	11	12	13
Показатель направленности источника Di, дБ		исходные данные	**0**	0	0	0	0	0	0	0	0		
Поправка на направленность источника Dc, дБ	Dc	DΩ + Di	**3**	3	3	3	3	3	3	3	3		
Затухание из-за геометрической дивергенции, Adiv, дБ	расстояние = 1927.21 м	ф-ла (7) [10]	**76,7**										
Коэффициент затухания звука в атмосфере α, дБ/км	Ta=20,°C Pa=101.33,кПа hотн.=70%	ф-ла (5) [9]	0,02	0,09	0,33	1,12	2,79	4,98	9,04	23,09	77,63		
Учет затухания звука в атмосфере Aatm, дБ		ф-ла (8) [10]	0	0,2	0,6	2,2	5,4	9,6	17,4	44,5	149,6		
Снижение уровня звукового давления из-за влияния застройки между источником шума и расчетной точкой													
Снижение уровня звукового давления препятствием снизу от трассы ИШ-РТ, Dz4, дБ	z = -0.02м (разность путей)	ф-лы (14-18) [10]	4,7	4,6	4,4	4	3,1	0,3	NAN	NAN	NAN		
* отрицательное значение z означает прохождение траектории вблизи экрана, в этом случае дополнительно производится учёт снижения подстилающей поверхностью (см.ниже)													
Снижение поверхностью земли возле источника As, дБ	Gs = 0 hs = 7.5м	ф-лы таб.3 [10]	-1,5	-1,5	-1,5	-1,5	-1,5	-1,5	-1,5	-1,5	-1,5		
Снижение поверхностью земли возле приёмника Ar, дБ	Gr = 1 hr = 1.5м	ф-лы таб.3 [10]	-1,5	-1,5	5,3	7	5	0,7	0	0	0		
Снижение поверхностью земли в средней зоне, Am дБ	Gm = 1	ф-лы таб.3 [10]	-2,6	-2,6	0	0	0	0	0	0	0		
Суммарное снижение поверхностью земли на траектории распространения звука Agr, дБ		ф-ла (9) [10]	-5,6	-5,6	3,8	5,5	3,5	-0,8	-1,5	-1,5	-1,5		
Уровни звукового давления от источника ИШ-4-12 в расчётной точке днём, дБ		**ф-ла(3)[10]**	**0**	**17,4**	**9,1**	**7,6**	**7,7**	**10,2**	**0**	**0**	**0**	**11,5**	**11,5**
Уровни звукового давления от источника ИШ-4-12 в расчётной точке ночью, дБ		**ф-ла(3)[10]**	**0**	**17,4**	**9,1**	**7,6**	**7,7**	**10,2**	**0**	**0**	**0**	**11,5**	**11,5**
Источник шума: ИШ-4-13, координаты источника (x,y,z), м =[94.56,229.10,1.00]													
Уровни звуковой мощности источника днём, Lw, дБ		**исходные данные**	**0**	**81,3**	**82,7**	**84**	**84,3**	**83,9**	**80,6**	**76,4**	**71,9**		
Уровни звуковой мощности источника ночью, Lw, дБ		**исходные данные**	**0**	**81,3**	**82,7**	**84**	**84,3**	**83,9**	**80,6**	**76,4**	**71,9**		

1		2	3	4	5	6	7	8	9	10	11	12	13
Поправка на телесный угол DΩ, дБ	Ω = 6.28	10Lg(4π/Ω)	**3**	3	3	3	3	3	3	3	3		
Показатель направленности источника Di, дБ		исходные данные	**0**	0	0	0	0	0	0	0	0		
Поправка на направленность источника Dc, дБ	Dc	DΩ + Di	**3**	3	3	3	3	3	3	3	3		
Затухание из-за геометрической дивергенции, Adiv, дБ	расстояние = 1931.75 м	ф-ла (7) [10]	**76,7**										
Коэффициент затухания звука в атмосфере α, дБ/км	Ta=20,°C Pa=101.33,кПа hотн.=70%	ф-ла (5) [9]	0,02	0,09	0,33	1,12	2,79	4,98	9,04	23,09	77,63		
Учет затухания звука в атмосфере Aatm, дБ		ф-ла (8) [10]	0	0,2	0,6	2,2	5,4	9,6	17,5	44,6	150		
Снижение уровня звукового давления из-за влияния застройки между источником шума и расчетной точкой													
Снижение уровня звукового давления на пути над экраном, Dz1, дБ	z = 3.61м (разность путей)	ф-лы (14-18) [10]	12	14,6	17,4	20,3	23,2	26,2	29,2	32,2	35,2		
Снижение уровня звукового давления на пути слева от экрана, Dz2, дБ	z = 114.66м (разность путей)	ф-лы (14-18) [10]	29,4	33,5	36,9	40	43,1	46,1	49,1	52,1	55,1		
Снижение уровня звукового давления на пути справа от экрана, Dz3, дБ	z = 10.38м (разность путей)	ф-лы (14-18) [10]	20,6	23,6	26,6	29,6	32,6	35,6	38,7	41,7	44,7		
Общее снижение уровня звука препятствием Dz, дБ		Эн.сумма(-Dzi)	11,3	14	16,8	19,7	22,7	25,7	28,7	31,7	34,7		
Общее снижение уровня звука препятствием с учётом ограничения (25 дБ) для октавных полос Dz, дБ		Раздел 7.4 [10]	11,3	14	16,8	19,7	22,7	25	25	25	25		
Уровни звукового давления от источника ИШ-4-13 в расчётной точке днём, дБ		**ф-ла(3)[10]**	**0**	**0**	**0**	**0**	**0**	**0**	**0**	**0**	**0**	**0**	**0**
Уровни звукового давления от источника ИШ-4-13 в расчётной точке ночью, дБ		**ф-ла(3)[10]**	**0**	**0**	**0**	**0**	**0**	**0**	**0**	**0**	**0**	**0**	**0**
Источник шума: ИШ-4-14, координаты источника (x,y,z), м =[91.88,221.30,1.00]													
Уровни звуковой мощности источника днём, Lw, дБ		**исходные данные**	**0**	**81,3**	**82,7**	**84**	**84,3**	**83,9**	**80,6**	**76,4**	**71,9**		

1		2	3	4	5	6	7	8	9	10	11	12	13
Уровни звуковой мощности источника ночью, Lw, дБ		**исходные данные**	**0**	**81,3**	**82,7**	**84**	**84,3**	**83,9**	**80,6**	**76,4**	**71,9**		
Поправка на телесный угол DΩ, дБ	Ω = 6.28	10Lg(4π/Ω)	**3**	3	3	3	3	3	3	3	3		
Показатель направленности источника Di, дБ		исходные данные	**0**	0	0	0	0	0	0	0	0		
Поправка на направленность источника Dc, дБ	Dc	DΩ + Di	**3**	3	3	3	3	3	3	3	3		
Затухание из-за геометрической дивергенции, Adiv, дБ	расстояние = 1925.34 м	ф-ла (7) [10]	**76,7**										
Коэффициент затухания звука в атмосфере α, дБ/км	Ta=20,°C Pa=101.33,кПа hотн.=70%	ф-ла (5) [9]	0,02	0,09	0,33	1,12	2,79	4,98	9,04	23,09	77,63		
Учет затухания звука в атмосфере Aatm, дБ		ф-ла (8) [10]	0	0,2	0,6	2,2	5,4	9,6	17,4	44,4	149,5		
Снижение уровня звукового давления из-за влияния застройки между источником шума и расчетной точкой													
Снижение уровня звукового давления на пути над экраном, Dz1, дБ	z = 3.59м (разность путей)	ф-лы (14-18) [10]	11,9	14,6	17,3	20,2	23,2	26,2	29,2	32,2	35,2		
Снижение уровня звукового давления на пути слева от экрана, Dz2, дБ	z = 129.28м (разность путей)	ф-лы (14-18) [10]	29,9	34	37,4	40,5	43,6	46,6	49,6	52,6	55,6		
Снижение уровня звукового давления на пути справа от экрана, Dz3, дБ	z = 8.70м (разность путей)	ф-лы (14-18) [10]	19,8	22,9	25,9	28,9	31,9	34,9	37,9	40,9	43,9		
Общее снижение уровня звука препятствием Dz, дБ		Эн.сумма(-Dzi)	11,2	13,9	16,7	19,6	22,6	25,6	28,6	31,6	34,6		
Общее снижение уровня звука препятствием с учётом ограничения (25 дБ) для октавных полос Dz, дБ		Раздел 7.4 [10]	11,2	13,9	16,7	19,6	22,6	25	25	25	25		
Уровни звукового давления от источника ИШ-4-14 в расчётной точке днём, дБ		**ф-ла(3)[10]**	**0**	**0**	**0**	**0**	**0**	**0**	**0**	**0**	**0**	**0**	**0**
Уровни звукового давления от источника ИШ-4-14 в расчётной точке ночью, дБ		**ф-ла(3)[10]**	**0**	**0**	**0**	**0**	**0**	**0**	**0**	**0**	**0**	**0**	**0**
Источник шума: ИШ-5-1, координаты источника (x,y,z), м =[626.70,162.36,1.00]													

1		2	3	4	5	6	7	8	9	10	11	12	13
Уровни звуковой мощности источника днём, Lw, дБ		**исходные данные**	**0**	**93,3**	**94,7**	**96**	**96,3**	**95,9**	**92,6**	**88,4**	**83,9**		
Уровни звуковой мощности источника ночью, Lw, дБ		**исходные данные**	**0**	**93,3**	**94,7**	**96**	**96,3**	**95,9**	**92,6**	**88,4**	**83,9**		
Поправка на телесный угол DΩ, дБ	Ω = 6.28	10Lg(4π/Ω)	**3**	3	3	3	3	3	3	3	3		
Показатель направленности источника Di, дБ		исходные данные	**0**	0	0	0	0	0	0	0	0		
Поправка на направленность источника Dc, дБ	Dc	DΩ + Di	**3**	3	3	3	3	3	3	3	3		
Затухание из-за геометрической дивергенции, Adiv, дБ	расстояние = 1753.53 м	ф-ла (7) [10]	**75,9**										
Коэффициент затухания звука в атмосфере α, дБ/км	Ta=20,°C Pa=101.33,кПа hотн.=70%	ф-ла (5) [9]	0,02	0,09	0,33	1,12	2,79	4,98	9,04	23,09	77,63		
Учет затухания звука в атмосфере Aatm, дБ		ф-ла (8) [10]	0	0,2	0,6	2	4,9	8,7	15,9	40,5	136,1		
Снижение поверхностью земли возле источника As, дБ	Gs = 0 hs = 1м	ф-лы таб.3 [10]	-1,5	-1,5	-1,5	-1,5	-1,5	-1,5	-1,5	-1,5	-1,5		
Снижение поверхностью земли возле приёмника Ar, дБ	Gr = 1 hr = 1.5м	ф-лы таб.3 [10]	-1,5	-1,5	5,3	7	5	0,7	0	0	0		
Снижение поверхностью земли в средней зоне, Am дБ	Gm = 1	ф-лы таб.3 [10]	-2,9	-2,9	0	0	0	0	0	0	0		
Суммарное снижение поверхностью земли на траектории распространения звука Agr, дБ		ф-ла (9) [10]	-5,9	-5,9	3,8	5,5	3,5	-0,8	-1,5	-1,5	-1,5		
Уровни звукового давления прямого звука от источника ИШ-5-1 в расчётной точке днём, дБ		**ф-ла(3)[10]**	**0**	**26,1**	**17,4**	**15,6**	**15**	**15,1**	**5,4**	**0**	**0**	**17,8**	**17,8**
Уровни звукового давления прямого звука от источника ИШ-5-1 в расчётной точке ночью, дБ		**ф-ла(3)[10]**	**0**	**26,1**	**17,4**	**15,6**	**15**	**15,1**	**5,4**	**0**	**0**	**17,8**	**17,8**
Расчёт отражённого звука													
Уровни звукового давления от мнимого источника ИШ-5-1_мн.(1) в расчётной точке днём, дБ		**ф-ла(3)[10]**	**0**	**0**	**0**	**0**	**0**	**0**	**0**	**0**	**0**	**0**	**0**
Уровни звукового давления от мнимого источника ИШ-5-1_мн.(1) в расчётной точке ночью, дБ		**ф-ла(3)[10]**	**0**	**0**	**0**	**0**	**0**	**0**	**0**	**0**	**0**	**0**	**0**

1		2	3	4	5	6	7	8	9	10	11	12	13
Уровни звукового давления от источника ИШ-5-1 в расчётной точке днём, дБ		**ф-ла(3)[10]**	**0**	**26,1**	**17,4**	**15,6**	**15**	**15,1**	**5,4**	**0**	**0**	**17,8**	**17,8**
Уровни звукового давления от источника ИШ-5-1 в расчётной точке ночью, дБ		**ф-ла(3)[10]**	**0**	**26,1**	**17,4**	**15,6**	**15**	**15,1**	**5,4**	**0**	**0**	**17,8**	**17,8**
Источник шума: ИШ-5-2, координаты источника (x,y,z), м =[625.81,159.52,1.00]													
Уровни звуковой мощности источника днём, Lw, дБ		**исходные данные**	**0**	**93,3**	**94,7**	**96**	**96,3**	**95,9**	**92,6**	**88,4**	**83,9**		
Уровни звуковой мощности источника ночью, Lw, дБ		**исходные данные**	**0**	**93,3**	**94,7**	**96**	**96,3**	**95,9**	**92,6**	**88,4**	**83,9**		
Поправка на телесный угол DΩ, дБ	Ω = 6.28	10Lg(4π/Ω)	**3**	3	3	3	3	3	3	3	3		
Показатель направленности источника Di, дБ		исходные данные	**0**	0	0	0	0	0	0	0	0		
Поправка на направленность источника Dc, дБ	Dc	DΩ + Di	**3**	3	3	3	3	3	3	3	3		
Затухание из-за геометрической дивергенции, Adiv, дБ	расстояние = 1750.77 м	ф-ла (7) [10]	**75,9**										
Коэффициент затухания звука в атмосфере α, дБ/км	Ta=20,°C Pa=101.33,кПа hотн.=70%	ф-ла (5) [9]	0,02	0,09	0,33	1,12	2,79	4,98	9,04	23,09	77,63		
Учет затухания звука в атмосфере Aatm, дБ		ф-ла (8) [10]	0	0,2	0,6	2	4,9	8,7	15,8	40,4	135,9		
Снижение поверхностью земли возле источника As, дБ	Gs = 0 hs = 1м	ф-лы таб.3 [10]	-1,5	-1,5	-1,5	-1,5	-1,5	-1,5	-1,5	-1,5	-1,5		
Снижение поверхностью земли возле приёмника Ar, дБ	Gr = 1 hr = 1.5м	ф-лы таб.3 [10]	-1,5	-1,5	5,3	7	5	0,7	0	0	0		
Снижение поверхностью земли в средней зоне, Am дБ	Gm = 1	ф-лы таб.3 [10]	-2,9	-2,9	0	0	0	0	0	0	0		
Суммарное снижение поверхностью земли на траектории распространения звука Agr, дБ		ф-ла (9) [10]	-5,9	-5,9	3,8	5,5	3,5	-0,8	-1,5	-1,5	-1,5		
Уровни звукового давления прямого звука от источника ИШ-5-2 в расчётной точке днём, дБ		**ф-ла(3)[10]**	**0**	**26,1**	**17,4**	**15,6**	**15,1**	**15,2**	**5,4**	**0**	**0**	**17,8**	**17,8**

1		2	3	4	5	6	7	8	9	10	11	12	13
Уровни звукового давления прямого звука от источника ИШ-5-2 в расчётной точке ночью, дБ		**ф-ла(3)[10]**	**0**	**26,1**	**17,4**	**15,6**	**15,1**	**15,2**	**5,4**	**0**	**0**	**17,8**	**17,8**
Расчёт отражённого звука													
Уровни звукового давления от мнимого источника ИШ-5-2_мн.(1) в расчётной точке днём, дБ		**ф-ла(3)[10]**	**0**	**0**	**0**	**0**	**0**	**0**	**0**	**0**	**0**	**0**	**0**
Уровни звукового давления от мнимого источника ИШ-5-2_мн.(1) в расчётной точке ночью, дБ		**ф-ла(3)[10]**	**0**	**0**	**0**	**0**	**0**	**0**	**0**	**0**	**0**	**0**	**0**
Уровни звукового давления от источника ИШ-5-2 в расчётной точке днём, дБ		**ф-ла(3)[10]**	**0**	**26,1**	**17,4**	**15,6**	**15,1**	**15,2**	**5,4**	**0**	**0**	**17,8**	**17,8**
Уровни звукового давления от источника ИШ-5-2 в расчётной точке ночью, дБ		**ф-ла(3)[10]**	**0**	**26,1**	**17,4**	**15,6**	**15,1**	**15,2**	**5,4**	**0**	**0**	**17,8**	**17,8**
Источник шума: ИШ-5-3, координаты источника (x,y,z), м =[624.84,156.69,1.00]													
Уровни звуковой мощности источника днём, Lw, дБ		**исходные данные**	**0**	**93,3**	**94,7**	**96**	**96,3**	**95,9**	**92,6**	**88,4**	**83,9**		
Уровни звуковой мощности источника ночью, Lw, дБ		**исходные данные**	**0**	**93,3**	**94,7**	**96**	**96,3**	**95,9**	**92,6**	**88,4**	**83,9**		
Поправка на телесный угол DΩ, дБ	Ω = 6.28	10Lg(4π/Ω)	**3**	3	3	3	3	3	3	3	3		
Показатель направленности источника Di, дБ		исходные данные	**0**	0	0	0	0	0	0	0	0		
Поправка на направленность источника Dc, дБ	Dc	DΩ + Di	**3**	3	3	3	3	3	3	3	3		
Затухание из-за геометрической дивергенции, Adiv, дБ	расстояние = 1748.01 м	ф-ла (7) [10]	**75,9**										
Коэффициент затухания звука в атмосфере α, дБ/км	Ta=20,°C Pa=101.33,кПа hотн.=70%	ф-ла (5) [9]	0,02	0,09	0,33	1,12	2,79	4,98	9,04	23,09	77,63		
Учет затухания звука в атмосфере Aatm, дБ		ф-ла (8) [10]	0	0,2	0,6	2	4,9	8,7	15,8	40,4	135,7		
Снижение поверхностью земли возле источника As, дБ	Gs = 0 hs = 1м	ф-лы таб.3 [10]	-1,5	-1,5	-1,5	-1,5	-1,5	-1,5	-1,5	-1,5	-1,5		

1		2	3	4	5	6	7	8	9	10	11	12	13
Снижение поверхностью земли возле приёмника Ar, дБ	Gr = 1 hr = 1.5м	ф-лы таб.3 [10]	-1,5	-1,5	5,3	7	5	0,7	0	0	0		
Снижение поверхностью земли в средней зоне, Am дБ	Gm = 1	ф-лы таб.3 [10]	-2,9	-2,9	0	0	0	0	0	0	0		
Суммарное снижение поверхностью земли на траектории распространения звука Agr, дБ		ф-ла (9) [10]	-5,9	-5,9	3,8	5,5	3,5	-0,8	-1,5	-1,5	-1,5		
Уровни звукового давления прямого звука от источника ИШ-5-3 в расчётной точке днём, дБ		**ф-ла(3)[10]**	**0**	**26,2**	**17,4**	**15,7**	**15,1**	**15,2**	**5,4**	**0**	**0**	**17,8**	**17,8**
Уровни звукового давления прямого звука от источника ИШ-5-3 в расчётной точке ночью, дБ		**ф-ла(3)[10]**	**0**	**26,2**	**17,4**	**15,7**	**15,1**	**15,2**	**5,4**	**0**	**0**	**17,8**	**17,8**
Расчёт отражённого звука													
Уровни звукового давления от мнимого источника ИШ-5-3_мн.(1) в расчётной точке днём, дБ		**ф-ла(3)[10]**	**0**	**0**	**0**	**0**	**0**	**0**	**0**	**0**	**0**	**0**	**0**
Уровни звукового давления от мнимого источника ИШ-5-3_мн.(1) в расчётной точке ночью, дБ		**ф-ла(3)[10]**	**0**	**0**	**0**	**0**	**0**	**0**	**0**	**0**	**0**	**0**	**0**
Уровни звукового давления от источника ИШ-5-3 в расчётной точке днём, дБ		**ф-ла(3)[10]**	**0**	**26,2**	**17,4**	**15,7**	**15,1**	**15,2**	**5,4**	**0**	**0**	**17,8**	**17,8**
Уровни звукового давления от источника ИШ-5-3 в расчётной точке ночью, дБ		**ф-ла(3)[10]**	**0**	**26,2**	**17,4**	**15,7**	**15,1**	**15,2**	**5,4**	**0**	**0**	**17,8**	**17,8**
Источник шума: ИШ-6-1, координаты источника (x,y,z), м =[836.30,122.24,1.00]													
Уровни звуковой мощности источника днём, Lw, дБ		**исходные данные**	**0**	**96,3**	**97,7**	**99**	**99,3**	**98,9**	**95,6**	**91,4**	**86,9**		
Уровни звуковой мощности источника ночью, Lw, дБ		**исходные данные**	**0**	**96,3**	**97,7**	**99**	**99,3**	**98,9**	**95,6**	**91,4**	**86,9**		
Поправка на телесный угол DΩ, дБ	Ω = 12.57	10Lg(4π/Ω)	**0**	0	0	0	0	0	0	0	0		
Показатель направленности источника Di, дБ		исходные данные	**0**	0	0	0	0	0	0	0	0		
Поправка на направленность источника Dc, дБ	Dc	DΩ + Di	**0**	0	0	0	0	0	0	0	0		
Затухание из-за геометрической дивергенции, Adiv, дБ	расстояние = 1710.74 м	ф-ла (7) [10]	**75,7**										

1		2	3	4	5	6	7	8	9	10	11	12	13
Коэффициент затухания звука в атмосфере α, дБ/км	Ta=20,°C Pa=101.33,кПа hотн.=70%	ф-ла (5) [9]	0,02	0,09	0,33	1,12	2,79	4,98	9,04	23,09	77,63		
Учет затухания звука в атмосфере Aatm, дБ		ф-ла (8) [10]	0	0,2	0,6	1,9	4,8	8,5	15,5	39,5	132,8		
Снижение поверхностью земли возле источника As, дБ	Gs = 0 hs = 1м	ф-лы таб.3 [10]	-1,5	-1,5	-1,5	-1,5	-1,5	-1,5	-1,5	-1,5	-1,5		
Снижение поверхностью земли возле приёмника Ar, дБ	Gr = 1 hr = 1.5м	ф-лы таб.3 [10]	-1,5	-1,5	5,3	7	5	0,7	0	0	0		
Снижение поверхностью земли в средней зоне, Am дБ	Gm = 1	ф-лы таб.3 [10]	-2,9	-2,9	0	0	0	0	0	0	0		
Суммарное снижение поверхностью земли на траектории распространения звука Agr, дБ		ф-ла (9) [10]	-5,9	-5,9	3,8	5,5	3,5	-0,8	-1,5	-1,5	-1,5		
Уровни звукового давления от источника ИШ-6-1 в расчётной точке днём, дБ		**ф-ла(3)[10]**	**0**	**26,3**	**17,6**	**15,9**	**15,4**	**15,6**	**6**	**0**	**0**	**18,2**	**18,2**
Уровни звукового давления от источника ИШ-6-1 в расчётной точке ночью, дБ		**ф-ла(3)[10]**	**0**	**26,3**	**17,6**	**15,9**	**15,4**	**15,6**	**6**	**0**	**0**	**18,2**	**18,2**
Источник шума: ИШ-6-2, координаты источника (x,y,z), м =[835.37,119.30,1.00]													
Уровни звуковой мощности источника днём, Lw, дБ		**исходные данные**	**0**	**96,3**	**97,7**	**99**	**99,3**	**98,9**	**95,6**	**91,4**	**86,9**		
Уровни звуковой мощности источника ночью, Lw, дБ		**исходные данные**	**0**	**96,3**	**97,7**	**99**	**99,3**	**98,9**	**95,6**	**91,4**	**86,9**		
Поправка на телесный угол DΩ, дБ	Ω = 12.57	10Lg(4π/Ω)	**0**	0	0	0	0	0	0	0	0		
Показатель направленности источника Di, дБ		исходные данные	**0**	0	0	0	0	0	0	0	0		
Поправка на направленность источника Dc, дБ	Dc	DΩ + Di	**0**	0	0	0	0	0	0	0	0		
Затухание из-за геометрической дивергенции, Adiv, дБ	расстояние = 1707.76 м	ф-ла (7) [10]	**75,6**										
Коэффициент затухания звука в атмосфере α, дБ/км	Ta=20,°C Pa=101.33,кПа hотн.=70%	ф-ла (5) [9]	0,02	0,09	0,33	1,12	2,79	4,98	9,04	23,09	77,63		

1		2	3	4	5	6	7	8	9	10	11	12	13
Учет затухания звука в атмосфере Aatm, дБ		ф-ла (8) [10]	0	0,2	0,6	1,9	4,8	8,5	15,4	39,4	132,6		
Снижение поверхностью земли возле источника As, дБ	Gs = 0 hs = 1м	ф-лы таб.3 [10]	-1,5	-1,5	-1,5	-1,5	-1,5	-1,5	-1,5	-1,5	-1,5		
Снижение поверхностью земли возле приёмника Ar, дБ	Gr = 1 hr = 1.5м	ф-лы таб.3 [10]	-1,5	-1,5	5,3	7	5	0,7	0	0	0		
Снижение поверхностью земли в средней зоне, Am дБ	Gm = 1	ф-лы таб.3 [10]	-2,9	-2,9	0	0	0	0	0	0	0		
Суммарное снижение поверхностью земли на траектории распространения звука Agr, дБ		ф-ла (9) [10]	-5,9	-5,9	3,8	5,5	3,5	-0,8	-1,5	-1,5	-1,5		
Уровни звукового давления от источника ИШ-6-2 в расчётной точке днём, дБ		**ф-ла(3)[10]**	**0**	**26,4**	**17,6**	**15,9**	**15,4**	**15,6**	**6**	**0**	**0**	**18,2**	**18,2**
Уровни звукового давления от источника ИШ-6-2 в расчётной точке ночью, дБ		**ф-ла(3)[10]**	**0**	**26,4**	**17,6**	**15,9**	**15,4**	**15,6**	**6**	**0**	**0**	**18,2**	**18,2**
Источник шума: ИШ-6-3, координаты источника (x,y,z), м =[834.03,116.36,1.00]													
Уровни звуковой мощности источника днём, Lw, дБ		**исходные данные**	**0**	**96,3**	**97,7**	**99**	**99,3**	**98,9**	**95,6**	**91,4**	**86,9**		
Уровни звуковой мощности источника ночью, Lw, дБ		**исходные данные**	**0**	**96,3**	**97,7**	**99**	**99,3**	**98,9**	**95,6**	**91,4**	**86,9**		
Поправка на телесный угол DΩ, дБ	Ω = 12.57	10Lg(4π/Ω)	**0**	0	0	0	0	0	0	0	0		
Показатель направленности источника Di, дБ		исходные данные	**0**	0	0	0	0	0	0	0	0		
Поправка на направленность источника Dc, дБ	Dc	DΩ + Di	**0**	0	0	0	0	0	0	0	0		
Затухание из-за геометрической дивергенции, Adiv, дБ	расстояние = 1704.76 м	ф-ла (7) [10]	**75,6**										
Коэффициент затухания звука в атмосфере α, дБ/км	Ta=20,°C Pa=101.33,кПа hотн.=70%	ф-ла (5) [9]	0,02	0,09	0,33	1,12	2,79	4,98	9,04	23,09	77,63		
Учет затухания звука в атмосфере Aatm, дБ		ф-ла (8) [10]	0	0,2	0,6	1,9	4,8	8,5	15,4	39,4	132,3		

1		2	3	4	5	6	7	8	9	10	11	12	13
Снижение поверхностью земли возле источника As, дБ	Gs = 0 hs = 1м	ф-лы таб.3 [10]	-1,5	-1,5	-1,5	-1,5	-1,5	-1,5	-1,5	-1,5	-1,5		
Снижение поверхностью земли возле приёмника Ar, дБ	Gr = 1 hr = 1.5м	ф-лы таб.3 [10]	-1,5	-1,5	5,3	7	5	0,7	0	0	0		
Снижение поверхностью земли в средней зоне, Am дБ	Gm = 1	ф-лы таб.3 [10]	-2,9	-2,9	0	0	0	0	0	0	0		
Суммарное снижение поверхностью земли на траектории распространения звука Agr, дБ		ф-ла (9) [10]	-5,9	-5,9	3,8	5,5	3,5	-0,8	-1,5	-1,5	-1,5		
Уровни звукового давления от источника ИШ-6-3 в расчётной точке днём, дБ		**ф-ла(3)[10]**	**0**	**26,4**	**17,6**	**15,9**	**15,4**	**15,6**	**6**	**0**	**0**	**18,2**	**18,2**
Уровни звукового давления от источника ИШ-6-3 в расчётной точке ночью, дБ		**ф-ла(3)[10]**	**0**	**26,4**	**17,6**	**15,9**	**15,4**	**15,6**	**6**	**0**	**0**	**18,2**	**18,2**
Источник шума: ИШ-6-4, координаты источника (x,y,z), м =[833.23,113.30,1.00]													
Уровни звуковой мощности источника днём, Lw, дБ		**исходные данные**	**0**	**96,3**	**97,7**	**99**	**99,3**	**98,9**	**95,6**	**91,4**	**86,9**		
Уровни звуковой мощности источника ночью, Lw, дБ		**исходные данные**	**0**	**96,3**	**97,7**	**99**	**99,3**	**98,9**	**95,6**	**91,4**	**86,9**		
Поправка на телесный угол DΩ, дБ	Ω = 12.57	10Lg(4π/Ω)	**0**	0	0	0	0	0	0	0	0		
Показатель направленности источника Di, дБ		исходные данные	**0**	0	0	0	0	0	0	0	0		
Поправка на направленность источника Dc, дБ	Dc	DΩ + Di	**0**	0	0	0	0	0	0	0	0		
Затухание из-за геометрической дивергенции, Adiv, дБ	расстояние = 1701.66 м	ф-ла (7) [10]	**75,6**										
Коэффициент затухания звука в атмосфере α, дБ/км	Ta=20,°C Pa=101.33,кПа hотн.=70%	ф-ла (5) [9]	0,02	0,09	0,33	1,12	2,79	4,98	9,04	23,09	77,63		
Учет затухания звука в атмосфере Aatm, дБ		ф-ла (8) [10]	0	0,2	0,6	1,9	4,7	8,5	15,4	39,3	132,1		
Снижение поверхностью земли возле источника As, дБ	Gs = 0 hs = 1м	ф-лы таб.3 [10]	-1,5	-1,5	-1,5	-1,5	-1,5	-1,5	-1,5	-1,5	-1,5		

1		2	3	4	5	6	7	8	9	10	11	12	13
Снижение поверхностью земли возле приёмника Ar, дБ	Gr = 1 hr = 1.5м	ф-лы таб.3 [10]	-1,5	-1,5	5,3	7	5	0,7	0	0	0		
Снижение поверхностью земли в средней зоне, Am дБ	Gm = 1	ф-лы таб.3 [10]	-2,9	-2,9	0	0	0	0	0	0	0		
Суммарное снижение поверхностью земли на траектории распространения звука Agr, дБ		ф-ла (9) [10]	-5,9	-5,9	3,8	5,5	3,5	-0,8	-1,5	-1,5	-1,5		
Уровни звукового давления от источника ИШ-6-4 в расчётной точке днём, дБ		**ф-ла(3)[10]**	**0**	**26,4**	**17,7**	**15,9**	**15,5**	**15,6**	**6,1**	**0**	**0**	**18,2**	**18,2**
Уровни звукового давления от источника ИШ-6-4 в расчётной точке ночью, дБ		**ф-ла(3)[10]**	**0**	**26,4**	**17,7**	**15,9**	**15,5**	**15,6**	**6,1**	**0**	**0**	**18,2**	**18,2**
Источник шума: ИШ-6-5, координаты источника (x,y,z), м =[832.03,110.36,1.00]													
Уровни звуковой мощности источника днём, Lw, дБ		**исходные данные**	**0**	**96,3**	**97,7**	**99**	**99,3**	**98,9**	**95,6**	**91,4**	**86,9**		
Уровни звуковой мощности источника ночью, Lw, дБ		**исходные данные**	**0**	**96,3**	**97,7**	**99**	**99,3**	**98,9**	**95,6**	**91,4**	**86,9**		
Поправка на телесный угол DΩ, дБ	Ω = 12.57	10Lg(4π/Ω)	**0**	0	0	0	0	0	0	0	0		
Показатель направленности источника Di, дБ		исходные данные	**0**	0	0	0	0	0	0	0	0		
Поправка на направленность источника Dc, дБ	Dc	DΩ + Di	**0**	0	0	0	0	0	0	0	0		
Затухание из-за геометрической дивергенции, Adiv, дБ	расстояние = 1698.67 м	ф-ла (7) [10]	**75,6**										
Коэффициент затухания звука в атмосфере α, дБ/км	Ta=20,°C Pa=101.33,кПа hотн.=70%	ф-ла (5) [9]	0,02	0,09	0,33	1,12	2,79	4,98	9,04	23,09	77,63		
Учет затухания звука в атмосфере Aatm, дБ		ф-ла (8) [10]	0	0,2	0,6	1,9	4,7	8,5	15,4	39,2	131,9		
Снижение поверхностью земли возле источника As, дБ	Gs = 0 hs = 1м	ф-лы таб.3 [10]	-1,5	-1,5	-1,5	-1,5	-1,5	-1,5	-1,5	-1,5	-1,5		
Снижение поверхностью земли возле приёмника Ar, дБ	Gr = 1 hr = 1.5м	ф-лы таб.3 [10]	-1,5	-1,5	5,3	7	5	0,7	0	0	0		

1		2	3	4	5	6	7	8	9	10	11	12	13
Снижение поверхностью земли в средней зоне, Am дБ	Gm = 1	ф-лы таб.3 [10]	-2,9	-2,9	0	0	0	0	0	0	0		
Суммарное снижение поверхностью земли на траектории распространения звука Agr, дБ		ф-ла (9) [10]	-5,9	-5,9	3,8	5,5	3,5	-0,8	-1,5	-1,5	-1,5		
Уровни звукового давления от источника ИШ-6-5 в расчётной точке днём, дБ		**ф-ла(3)[10]**	**0**	**26,4**	**17,7**	**16**	**15,5**	**15,7**	**6,1**	**0**	**0**	**18,3**	**18,3**
Уровни звукового давления от источника ИШ-6-5 в расчётной точке ночью, дБ		**ф-ла(3)[10]**	**0**	**26,4**	**17,7**	**16**	**15,5**	**15,7**	**6,1**	**0**	**0**	**18,3**	**18,3**
Источник шума: ИШ-6-6, координаты источника (x,y,z), м =[830.97,107.42,1.00]													
Уровни звуковой мощности источника днём, Lw, дБ		**исходные данные**	**0**	**96,3**	**97,7**	**99**	**99,3**	**98,9**	**95,6**	**91,4**	**86,9**		
Уровни звуковой мощности источника ночью, Lw, дБ		**исходные данные**	**0**	**96,3**	**97,7**	**99**	**99,3**	**98,9**	**95,6**	**91,4**	**86,9**		
Поправка на телесный угол DΩ, дБ	Ω = 12.57	10Lg(4π/Ω)	**0**	0	0	0	0	0	0	0	0		
Показатель направленности источника Di, дБ		исходные данные	**0**	0	0	0	0	0	0	0	0		
Поправка на направленность источника Dc, дБ	Dc	DΩ + Di	**0**	0	0	0	0	0	0	0	0		
Затухание из-за геометрической дивергенции, Adiv, дБ	расстояние = 1695.69 м	ф-ла (7) [10]	**75,6**										
Коэффициент затухания звука в атмосфере α, дБ/км	Ta=20,°C Pa=101.33,кПа hотн.=70%	ф-ла (5) [9]	0,02	0,09	0,33	1,12	2,79	4,98	9,04	23,09	77,63		
Учет затухания звука в атмосфере Aatm, дБ		ф-ла (8) [10]	0	0,2	0,6	1,9	4,7	8,4	15,3	39,1	131,6		
Снижение поверхностью земли возле источника As, дБ	Gs = 0 hs = 1м	ф-лы таб.3 [10]	-1,5	-1,5	-1,5	-1,5	-1,5	-1,5	-1,5	-1,5	-1,5		
Снижение поверхностью земли возле приёмника Ar, дБ	Gr = 1 hr = 1.5м	ф-лы таб.3 [10]	-1,5	-1,5	5,3	7	5	0,7	0	0	0		
Снижение поверхностью земли в средней зоне, Am дБ	Gm = 1	ф-лы таб.3 [10]	-2,9	-2,9	0	0	0	0	0	0	0		

1		2	3	4	5	6	7	8	9	10	11	12	13
Суммарное снижение поверхностью земли на траектории распространения звука Agr, дБ		ф-ла (9) [10]	-5,9	-5,9	3,8	5,5	3,5	-0,8	-1,5	-1,5	-1,5		
Уровни звукового давления от источника ИШ-6-6 в расчётной точке днём, дБ		**ф-ла(3)[10]**	**0**	**26,4**	**17,7**	**16**	**15,5**	**15,7**	**6,2**	**0**	**0**	**18,3**	**18,3**
Уровни звукового давления от источника ИШ-6-6 в расчётной точке ночью, дБ		**ф-ла(3)[10]**	**0**	**26,4**	**17,7**	**16**	**15,5**	**15,7**	**6,2**	**0**	**0**	**18,3**	**18,3**
Источник шума: ИШ-6-7, координаты источника (x,y,z), м =[830.30,104.49,1.00]													
Уровни звуковой мощности источника днём, Lw, дБ		**исходные данные**	**0**	**96,3**	**97,7**	**99**	**99,3**	**98,9**	**95,6**	**91,4**	**86,9**		
Уровни звуковой мощности источника ночью, Lw, дБ		**исходные данные**	**0**	**96,3**	**97,7**	**99**	**99,3**	**98,9**	**95,6**	**91,4**	**86,9**		
Поправка на телесный угол DΩ, дБ	Ω = 12.57	10Lg(4π/Ω)	**0**	0	0	0	0	0	0	0	0		
Показатель направленности источника Di, дБ		исходные данные	**0**	0	0	0	0	0	0	0	0		
Поправка на направленность источника Dc, дБ	Dc	DΩ + Di	**0**	0	0	0	0	0	0	0	0		
Затухание из-за геометрической дивергенции, Adiv, дБ	расстояние = 1692.73 м	ф-ла (7) [10]	**75,6**										
Коэффициент затухания звука в атмосфере α, дБ/км	Ta=20,°C Pa=101.33,кПа hотн.=70%	ф-ла (5) [9]	0,02	0,09	0,33	1,12	2,79	4,98	9,04	23,09	77,63		
Учет затухания звука в атмосфере Aatm, дБ		ф-ла (8) [10]	0	0,2	0,6	1,9	4,7	8,4	15,3	39,1	131,4		
Снижение поверхностью земли возле источника As, дБ	Gs = 0 hs = 1м	ф-лы таб.3 [10]	-1,5	-1,5	-1,5	-1,5	-1,5	-1,5	-1,5	-1,5	-1,5		
Снижение поверхностью земли возле приёмника Ar, дБ	Gr = 1 hr = 1.5м	ф-лы таб.3 [10]	-1,5	-1,5	5,3	7	5	0,7	0	0	0		
Снижение поверхностью земли в средней зоне, Am дБ	Gm = 1	ф-лы таб.3 [10]	-2,9	-2,9	0	0	0	0	0	0	0		
Суммарное снижение поверхностью земли на траектории распространения звука Agr, дБ		ф-ла (9) [10]	-5,9	-5,9	3,8	5,5	3,5	-0,8	-1,5	-1,5	-1,5		

1		2	3	4	5	6	7	8	9	10	11	12	13
Уровни звукового давления от источника ИШ-6-7 в расчётной точке днём, дБ		**ф-ла(3)[10]**	**0**	**26,4**	**17,7**	**16**	**15,5**	**15,7**	**6,2**	**0**	**0**	**18,3**	**18,3**
Уровни звукового давления от источника ИШ-6-7 в расчётной точке ночью, дБ		**ф-ла(3)[10]**	**0**	**26,4**	**17,7**	**16**	**15,5**	**15,7**	**6,2**	**0**	**0**	**18,3**	**18,3**
Источник шума: ИШ-6-8, координаты источника (x,y,z), м =[829.36,101.42,1.00]													
Уровни звуковой мощности источника днём, Lw, дБ		**исходные данные**	**0**	**96,3**	**97,7**	**99**	**99,3**	**98,9**	**95,6**	**91,4**	**86,9**		
Уровни звуковой мощности источника ночью, Lw, дБ		**исходные данные**	**0**	**96,3**	**97,7**	**99**	**99,3**	**98,9**	**95,6**	**91,4**	**86,9**		
Поправка на телесный угол DΩ, дБ	Ω = 12.57	10Lg(4π/Ω)	**0**	0	0	0	0	0	0	0	0		
Показатель направленности источника Di, дБ		исходные данные	**0**	0	0	0	0	0	0	0	0		
Поправка на направленность источника Dc, дБ	Dc	DΩ + Di	**0**	0	0	0	0	0	0	0	0		
Затухание из-за геометрической дивергенции, Adiv, дБ	расстояние = 1689.62 м	ф-ла (7) [10]	**75,6**										
Коэффициент затухания звука в атмосфере α, дБ/км	Ta=20,°C Pa=101.33,кПа hотн.=70%	ф-ла (5) [9]	0,02	0,09	0,33	1,12	2,79	4,98	9,04	23,09	77,63		
Учет затухания звука в атмосфере Aatm, дБ		ф-ла (8) [10]	0	0,2	0,6	1,9	4,7	8,4	15,3	39	131,2		
Снижение поверхностью земли возле источника As, дБ	Gs = 0 hs = 1м	ф-лы таб.3 [10]	-1,5	-1,5	-1,5	-1,5	-1,5	-1,5	-1,5	-1,5	-1,5		
Снижение поверхностью земли возле приёмника Ar, дБ	Gr = 1 hr = 1.5м	ф-лы таб.3 [10]	-1,5	-1,5	5,3	7	5	0,7	0	0	0		
Снижение поверхностью земли в средней зоне, Am дБ	Gm = 1	ф-лы таб.3 [10]	-2,9	-2,9	0	0	0	0	0	0	0		
Суммарное снижение поверхностью земли на траектории распространения звука Agr, дБ		ф-ла (9) [10]	-5,9	-5,9	3,8	5,5	3,5	-0,8	-1,5	-1,5	-1,5		
Уровни звукового давления от источника ИШ-6-8 в расчётной точке днём, дБ		**ф-ла(3)[10]**	**0**	**26,5**	**17,7**	**16**	**15,5**	**15,8**	**6,3**	**0**	**0**	**18,4**	**18,4**

1		2	3	4	5	6	7	8	9	10	11	12	13
Уровни звукового давления от источника ИШ-6-8 в расчётной точке ночью, дБ		**ф-ла(3)[10]**	**0**	**26,5**	**17,7**	**16**	**15,5**	**15,8**	**6,3**	**0**	**0**	**18,4**	**18,4**
Источник шума: ИШ-6-9, координаты источника (x,y,z), м =[828.03,98.62,1.00]													
Уровни звуковой мощности источника днём, Lw, дБ		**исходные данные**	**0**	**96,3**	**97,7**	**99**	**99,3**	**98,9**	**95,6**	**91,4**	**86,9**		
Уровни звуковой мощности источника ночью, Lw, дБ		**исходные данные**	**0**	**96,3**	**97,7**	**99**	**99,3**	**98,9**	**95,6**	**91,4**	**86,9**		
Поправка на телесный угол DΩ, дБ	Ω = 12.57	10Lg(4π/Ω)	**0**	0	0	0	0	0	0	0	0		
Показатель направленности источника Di, дБ		исходные данные	**0**	0	0	0	0	0	0	0	0		
Поправка на направленность источника Dc, дБ	Dc	DΩ + Di	**0**	0	0	0	0	0	0	0	0		
Затухание из-за геометрической дивергенции, Adiv, дБ	расстояние = 1686.76 м	ф-ла (7) [10]	**75,5**										
Коэффициент затухания звука в атмосфере α, дБ/км	Ta=20,°C Pa=101.33,кПа hотн.=70%	ф-ла (5) [9]	0,02	0,09	0,33	1,12	2,79	4,98	9,04	23,09	77,63		
Учет затухания звука в атмосфере Aatm, дБ		ф-ла (8) [10]	0	0,2	0,6	1,9	4,7	8,4	15,2	38,9	130,9		
Снижение поверхностью земли возле источника As, дБ	Gs = 0 hs = 1м	ф-лы таб.3 [10]	-1,5	-1,5	-1,5	-1,5	-1,5	-1,5	-1,5	-1,5	-1,5		
Снижение поверхностью земли возле приёмника Ar, дБ	Gr = 1 hr = 1.5м	ф-лы таб.3 [10]	-1,5	-1,5	5,3	7	5	0,7	0	0	0		
Снижение поверхностью земли в средней зоне, Am дБ	Gm = 1	ф-лы таб.3 [10]	-2,9	-2,9	0	0	0	0	0	0	0		
Суммарное снижение поверхностью земли на траектории распространения звука Agr, дБ		ф-ла (9) [10]	-5,9	-5,9	3,8	5,5	3,5	-0,8	-1,5	-1,5	-1,5		
Уровни звукового давления от источника ИШ-6-9 в расчётной точке днём, дБ		**ф-ла(3)[10]**	**0**	**26,5**	**17,7**	**16**	**15,6**	**15,8**	**6,3**	**0**	**0**	**18,4**	**18,4**
Уровни звукового давления от источника ИШ-6-9 в расчётной точке ночью, дБ		**ф-ла(3)[10]**	**0**	**26,5**	**17,7**	**16**	**15,6**	**15,8**	**6,3**	**0**	**0**	**18,4**	**18,4**

1		2	3	4	5	6	7	8	9	10	11	12	13
Источник шума: ИШ-6-10, координаты источника (x,y,z), м =[827.23,95.55,1.00]													
Уровни звуковой мощности источника днём, Lw, дБ		**исходные данные**	**0**	**96,3**	**97,7**	**99**	**99,3**	**98,9**	**95,6**	**91,4**	**86,9**		
Уровни звуковой мощности источника ночью, Lw, дБ		**исходные данные**	**0**	**96,3**	**97,7**	**99**	**99,3**	**98,9**	**95,6**	**91,4**	**86,9**		
Поправка на телесный угол DΩ, дБ	Ω = 12.57	10Lg(4π/Ω)	**0**	0	0	0	0	0	0	0	0		
Показатель направленности источника Di, дБ		исходные данные	**0**	0	0	0	0	0	0	0	0		
Поправка на направленность источника Dc, дБ	Dc	DΩ + Di	**0**	0	0	0	0	0	0	0	0		
Затухание из-за геометрической дивергенции, Adiv, дБ	расстояние = 1683.66 м	ф-ла (7) [10]	**75,5**										
Коэффициент затухания звука в атмосфере α, дБ/км	Ta=20,°C Pa=101.33,кПа hотн.=70%	ф-ла (5) [9]	0,02	0,09	0,33	1,12	2,79	4,98	9,04	23,09	77,63		
Учет затухания звука в атмосфере Aatm, дБ		ф-ла (8) [10]	0	0,2	0,6	1,9	4,7	8,4	15,2	38,9	130,7		
Снижение поверхностью земли возле источника As, дБ	Gs = 0 hs = 1м	ф-лы таб.3 [10]	-1,5	-1,5	-1,5	-1,5	-1,5	-1,5	-1,5	-1,5	-1,5		
Снижение поверхностью земли возле приёмника Ar, дБ	Gr = 1 hr = 1.5м	ф-лы таб.3 [10]	-1,5	-1,5	5,3	7	5	0,7	0	0	0		
Снижение поверхностью земли в средней зоне, Am дБ	Gm = 1	ф-лы таб.3 [10]	-2,9	-2,9	0	0	0	0	0	0	0		
Суммарное снижение поверхностью земли на траектории распространения звука Agr, дБ		ф-ла (9) [10]	-5,9	-5,9	3,8	5,5	3,5	-0,8	-1,5	-1,5	-1,5		
Уровни звукового давления от источника ИШ-6-10 в расчётной точке днём, дБ		**ф-ла(3)[10]**	**0**	**26,5**	**17,8**	**16,1**	**15,6**	**15,8**	**6,3**	**0**	**0**	**18,4**	**18,4**
Уровни звукового давления от источника ИШ-6-10 в расчётной точке ночью, дБ		**ф-ла(3)[10]**	**0**	**26,5**	**17,8**	**16,1**	**15,6**	**15,8**	**6,3**	**0**	**0**	**18,4**	**18,4**
Источник шума: ИШ-6-11, координаты источника (x,y,z), м =[826.30,92.48,1.00]													

1		2	3	4	5	6	7	8	9	10	11	12	13
Уровни звуковой мощности источника днём, Lw, дБ		**исходные данные**	**0**	**96,3**	**97,7**	**99**	**99,3**	**98,9**	**95,6**	**91,4**	**86,9**		
Уровни звуковой мощности источника ночью, Lw, дБ		**исходные данные**	**0**	**96,3**	**97,7**	**99**	**99,3**	**98,9**	**95,6**	**91,4**	**86,9**		
Поправка на телесный угол DΩ, дБ	Ω = 12.57	10Lg(4π/Ω)	**0**	0	0	0	0	0	0	0	0		
Показатель направленности источника Di, дБ		исходные данные	**0**	0	0	0	0	0	0	0	0		
Поправка на направленность источника Dc, дБ	Dc	DΩ + Di	**0**	0	0	0	0	0	0	0	0		
Затухание из-за геометрической дивергенции, Adiv, дБ	расстояние = 1680.56 м	ф-ла (7) [10]	**75,5**										
Коэффициент затухания звука в атмосфере α, дБ/км	Ta=20,°C Pa=101.33,кПа hотн.=70%	ф-ла (5) [9]	0,02	0,09	0,33	1,12	2,79	4,98	9,04	23,09	77,63		
Учет затухания звука в атмосфере Aatm, дБ		ф-ла (8) [10]	0	0,2	0,6	1,9	4,7	8,4	15,2	38,8	130,5		
Снижение поверхностью земли возле источника As, дБ	Gs = 0 hs = 1м	ф-лы таб.3 [10]	-1,5	-1,5	-1,5	-1,5	-1,5	-1,5	-1,5	-1,5	-1,5		
Снижение поверхностью земли возле приёмника Ar, дБ	Gr = 1 hr = 1.5м	ф-лы таб.3 [10]	-1,5	-1,5	5,3	7	5	0,7	0	0	0		
Снижение поверхностью земли в средней зоне, Am дБ	Gm = 1	ф-лы таб.3 [10]	-2,9	-2,9	0	0	0	0	0	0	0		
Суммарное снижение поверхностью земли на траектории распространения звука Agr, дБ		ф-ла (9) [10]	-5,9	-5,9	3,8	5,5	3,5	-0,8	-1,5	-1,5	-1,5		
Уровни звукового давления от источника ИШ-6-11 в расчётной точке днём, дБ		**ф-ла(3)[10]**	**0**	**26,5**	**17,8**	**16,1**	**15,6**	**15,9**	**6,4**	**0**	**0**	**18,4**	**18,4**
Уровни звукового давления от источника ИШ-6-11 в расчётной точке ночью, дБ		**ф-ла(3)[10]**	**0**	**26,5**	**17,8**	**16,1**	**15,6**	**15,9**	**6,4**	**0**	**0**	**18,4**	**18,4**
Источник шума: ИШ-6-12, координаты источника (x,y,z), м =[825.09,89.54,1.00]													
Уровни звуковой мощности источника днём, Lw, дБ		**исходные данные**	**0**	**96,3**	**97,7**	**99**	**99,3**	**98,9**	**95,6**	**91,4**	**86,9**		

1		2	3	4	5	6	7	8	9	10	11	12	13
Уровни звуковой мощности источника ночью, Lw, дБ		**исходные данные**	**0**	**96,3**	**97,7**	**99**	**99,3**	**98,9**	**95,6**	**91,4**	**86,9**		
Поправка на телесный угол DΩ, дБ	Ω = 12.57	10Lg(4π/Ω)	**0**	0	0	0	0	0	0	0	0		
Показатель направленности источника Di, дБ		исходные данные	**0**	0	0	0	0	0	0	0	0		
Поправка на направленность источника Dc, дБ	Dc	DΩ + Di	**0**	0	0	0	0	0	0	0	0		
Затухание из-за геометрической дивергенции, Adiv, дБ	расстояние = 1677.57 м	ф-ла (7) [10]	**75,5**										
Коэффициент затухания звука в атмосфере α, дБ/км	Ta=20,°C Pa=101.33,кПа hотн.=70%	ф-ла (5) [9]	0,02	0,09	0,33	1,12	2,79	4,98	9,04	23,09	77,63		
Учет затухания звука в атмосфере Aatm, дБ		ф-ла (8) [10]	0	0,2	0,6	1,9	4,7	8,4	15,2	38,7	130,2		
Снижение поверхностью земли возле источника As, дБ	Gs = 0 hs = 1м	ф-лы таб.3 [10]	-1,5	-1,5	-1,5	-1,5	-1,5	-1,5	-1,5	-1,5	-1,5		
Снижение поверхностью земли возле приёмника Ar, дБ	Gr = 1 hr = 1.5м	ф-лы таб.3 [10]	-1,5	-1,5	5,3	7	5	0,7	0	0	0		
Снижение поверхностью земли в средней зоне, Am дБ	Gm = 1	ф-лы таб.3 [10]	-2,9	-2,9	0	0	0	0	0	0	0		
Суммарное снижение поверхностью земли на траектории распространения звука Agr, дБ		ф-ла (9) [10]	-5,9	-5,9	3,8	5,5	3,5	-0,8	-1,5	-1,5	-1,5		
Уровни звукового давления от источника ИШ-6-12 в расчётной точке днём, дБ		**ф-ла(3)[10]**	**0**	**26,5**	**17,8**	**16,1**	**15,6**	**15,9**	**6,4**	**0**	**0**	**18,5**	**18,5**
Уровни звукового давления от источника ИШ-6-12 в расчётной точке ночью, дБ		**ф-ла(3)[10]**	**0**	**26,5**	**17,8**	**16,1**	**15,6**	**15,9**	**6,4**	**0**	**0**	**18,5**	**18,5**
Источник шума: ИШ-6-13, координаты источника (x,y,z), м =[767.76,-114.15,1.00]													
Уровни звуковой мощности источника днём, Lw, дБ		**исходные данные**	**0**	**96,3**	**97,7**	**99**	**99,3**	**98,9**	**95,6**	**91,4**	**86,9**		
Уровни звуковой мощности источника ночью, Lw, дБ		**исходные данные**	**0**	**96,3**	**97,7**	**99**	**99,3**	**98,9**	**95,6**	**91,4**	**86,9**		

1		2	3	4	5	6	7	8	9	10	11	12	13
Поправка на телесный угол DΩ, дБ	Ω = 12.57	10Lg(4π/Ω)	**0**	0	0	0	0	0	0	0	0		
Показатель направленности источника Di, дБ		исходные данные	**0**	0	0	0	0	0	0	0	0		
Поправка на направленность источника Dc, дБ	Dc	DΩ + Di	**0**	0	0	0	0	0	0	0	0		
Затухание из-за геометрической дивергенции, Adiv, дБ	расстояние = 1472.44 м	ф-ла (7) [10]	**74,4**										
Коэффициент затухания звука в атмосфере α, дБ/км	Ta=20,°C Pa=101.33,кПа hотн.=70%	ф-ла (5) [9]	0,02	0,09	0,33	1,12	2,79	4,98	9,04	23,09	77,63		
Учет затухания звука в атмосфере Aatm, дБ		ф-ла (8) [10]	0	0,1	0,5	1,7	4,1	7,3	13,3	34	114,3		
Снижение уровня звукового давления из-за влияния застройки между источником шума и расчетной точкой													
Снижение уровня звукового давления на пути над экраном, Dz1, дБ	z = 0.02м (разность путей)	ф-лы (14-18) [10]	4,8	4,8	4,8	4,8	4,8	4,8	4,8	4,8	4,8		
Снижение уровня звукового давления на пути слева от экрана, Dz2, дБ	z = 7.45м (разность путей)	ф-лы (14-18) [10]	14,9	17,7	20,5	23,5	26,4	29,4	32,4	35,5	38,5		
Снижение уровня звукового давления на пути справа от экрана, Dz3, дБ	z = 0.00м (разность путей)	ф-лы (14-18) [10]	4,8	4,8	4,8	4,8	4,8	4,8	4,9	5	5,3		
Общее снижение уровня звука препятствием Dz, дБ		Эн.сумма(-Dzi)	1,6	1,7	1,7	1,7	1,8	1,8	1,8	1,9	2		
Уровни звукового давления от источника ИШ-6-13 в расчётной точке днём, дБ		**ф-ла(3)[10]**	**0**	**20,1**	**21,1**	**21,2**	**19,1**	**15,4**	**6,1**	**0**	**0**	**20**	**20**
Уровни звукового давления от источника ИШ-6-13 в расчётной точке ночью, дБ		**ф-ла(3)[10]**	**0**	**20,1**	**21,1**	**21,2**	**19,1**	**15,4**	**6,1**	**0**	**0**	**20**	**20**
Источник шума: ИШ-6-14, координаты источника (x,y,z), м =[766.82,-117.10,1.00]													
Уровни звуковой мощности источника днём, Lw, дБ		**исходные данные**	**0**	**96,3**	**97,7**	**99**	**99,3**	**98,9**	**95,6**	**91,4**	**86,9**		
Уровни звуковой мощности источника ночью, Lw, дБ		**исходные данные**	**0**	**96,3**	**97,7**	**99**	**99,3**	**98,9**	**95,6**	**91,4**	**86,9**		

1		2	3	4	5	6	7	8	9	10	11	12	13
Поправка на телесный угол DΩ, дБ	Ω = 12.57	10Lg(4π/Ω)	**0**	0	0	0	0	0	0	0	0		
Показатель направленности источника Di, дБ		исходные данные	**0**	0	0	0	0	0	0	0	0		
Поправка на направленность источника Dc, дБ	Dc	DΩ + Di	**0**	0	0	0	0	0	0	0	0		
Затухание из-за геометрической дивергенции, Adiv, дБ	расстояние = 1469.48 м	ф-ла (7) [10]	**74,3**										
Коэффициент затухания звука в атмосфере α, дБ/км	Ta=20,°C Pa=101.33,кПа hотн.=70%	ф-ла (5) [9]	0,02	0,09	0,33	1,12	2,79	4,98	9,04	23,09	77,63		
Учет затухания звука в атмосфере Aatm, дБ		ф-ла (8) [10]	0	0,1	0,5	1,7	4,1	7,3	13,3	33,9	114,1		
Снижение уровня звукового давления из-за влияния застройки между источником шума и расчетной точкой													
Снижение уровня звукового давления препятствием слева от трассы ИШ-РТ, Dz2, дБ	z = 0.00м (разность путей)	ф-лы (14-18) [10]	4,8	4,8	4,7	4,7	4,6	4,5	4,1	3,4	1,2		
* отрицательное значение z означает прохождение траектории вблизи экрана, в этом случае дополнительно производится учёт снижения подстилающей поверхностью (см.ниже)													
Снижение поверхностью земли возле источника As, дБ	Gs = 0 hs = 1м	ф-лы таб.3 [10]	-1,5	-1,5	-1,5	-1,5	-1,5	-1,5	-1,5	-1,5	-1,5		
Снижение поверхностью земли возле приёмника Ar, дБ	Gr = 1 hr = 1.5м	ф-лы таб.3 [10]	-1,5	-1,5	5,3	7	5	0,7	0	0	0		
Снижение поверхностью земли в средней зоне, Am дБ	Gm = 1	ф-лы таб.3 [10]	-2,8	-2,8	0	0	0	0	0	0	0		
Суммарное снижение поверхностью земли на траектории распространения звука Agr, дБ		ф-ла (9) [10]	-5,8	-5,8	3,8	5,5	3,5	-0,8	-1,5	-1,5	-1,5		
Уровни звукового давления от источника ИШ-6-14 в расчётной точке днём, дБ		**ф-ла(3)[10]**	**0**	**22,9**	**14,3**	**12,8**	**12,8**	**13,6**	**5,3**	**0**	**0**	**16,1**	**16,1**
Уровни звукового давления от источника ИШ-6-14 в расчётной точке ночью, дБ		**ф-ла(3)[10]**	**0**	**22,9**	**14,3**	**12,8**	**12,8**	**13,6**	**5,3**	**0**	**0**	**16,1**	**16,1**
Источник шума: ИШ-6-15, координаты источника (x,y,z), м =[765.71,-120.27,1.00]													
Уровни звуковой мощности источника днём, Lw, дБ		**исходные данные**	**0**	**96,3**	**97,7**	**99**	**99,3**	**98,9**	**95,6**	**91,4**	**86,9**		

1		2	3	4	5	6	7	8	9	10	11	12	13
Уровни звуковой мощности источника ночью, Lw, дБ		**исходные данные**	**0**	**96,3**	**97,7**	**99**	**99,3**	**98,9**	**95,6**	**91,4**	**86,9**		
Поправка на телесный угол DΩ, дБ	Ω = 12.57	10Lg(4π/Ω)	**0**	0	0	0	0	0	0	0	0		
Показатель направленности источника Di, дБ		исходные данные	**0**	0	0	0	0	0	0	0	0		
Поправка на направленность источника Dc, дБ	Dc	DΩ + Di	**0**	0	0	0	0	0	0	0	0		
Затухание из-за геометрической дивергенции, Adiv, дБ	расстояние = 1466.31 м	ф-ла (7) [10]	**74,3**										
Коэффициент затухания звука в атмосфере α, дБ/км	Ta=20,°C Pa=101.33,кПа hотн.=70%	ф-ла (5) [9]	0,02	0,09	0,33	1,12	2,79	4,98	9,04	23,09	77,63		
Учет затухания звука в атмосфере Aatm, дБ		ф-ла (8) [10]	0	0,1	0,5	1,6	4,1	7,3	13,3	33,9	113,8		
Снижение уровня звукового давления из-за влияния застройки между источником шума и расчетной точкой													
Снижение уровня звукового давления препятствием слева от трассы ИШ-РТ, Dz2, дБ	z = -0.01м (разность путей)	ф-лы (14-18) [10]	4,7	4,6	4,5	4,1	3,4	1,4	NAN	NAN	NAN		
* отрицательное значение z означает прохождение траектории вблизи экрана, в этом случае дополнительно производится учёт снижения подстилающей поверхностью (см.ниже)													
Снижение поверхностью земли возле источника As, дБ	Gs = 0 hs = 1м	ф-лы таб.3 [10]	-1,5	-1,5	-1,5	-1,5	-1,5	-1,5	-1,5	-1,5	-1,5		
Снижение поверхностью земли возле приёмника Ar, дБ	Gr = 1 hr = 1.5м	ф-лы таб.3 [10]	-1,5	-1,5	5,3	7	5	0,7	0	0	0		
Снижение поверхностью земли в средней зоне, Am дБ	Gm = 1	ф-лы таб.3 [10]	-2,8	-2,8	0	0	0	0	0	0	0		
Суммарное снижение поверхностью земли на траектории распространения звука Agr, дБ		ф-ла (9) [10]	-5,8	-5,8	3,8	5,5	3,5	-0,8	-1,5	-1,5	-1,5		
Уровни звукового давления от источника ИШ-6-15 в расчётной точке днём, дБ		**ф-ла(3)[10]**	**0**	**23,1**	**14,6**	**13,4**	**14**	**16,7**	**9,5**	**0**	**0**	**18,8**	**18,8**
Уровни звукового давления от источника ИШ-6-15 в расчётной точке ночью, дБ		**ф-ла(3)[10]**	**0**	**23,1**	**14,6**	**13,4**	**14**	**16,7**	**9,5**	**0**	**0**	**18,8**	**18,8**

Источник шума: ИШ-6-16, координаты источника (x,y,z), м =[764.57,-123.22,1.00]

1		2	3	4	5	6	7	8	9	10	11	12	13
Уровни звуковой мощности источника днём, Lw, дБ		**исходные данные**	**0**	**96,3**	**97,7**	**99**	**99,3**	**98,9**	**95,6**	**91,4**	**86,9**		
Уровни звуковой мощности источника ночью, Lw, дБ		**исходные данные**	**0**	**96,3**	**97,7**	**99**	**99,3**	**98,9**	**95,6**	**91,4**	**86,9**		
Поправка на телесный угол DΩ, дБ	Ω = 12.57	10Lg(4π/Ω)	**0**	0	0	0	0	0	0	0	0		
Показатель направленности источника Di, дБ		исходные данные	**0**	0	0	0	0	0	0	0	0		
Поправка на направленность источника Dc, дБ	Dc	DΩ + Di	**0**	0	0	0	0	0	0	0	0		
Затухание из-за геометрической дивергенции, Adiv, дБ	расстояние = 1463.35 м	ф-ла (7) [10]	**74,3**										
Коэффициент затухания звука в атмосфере α, дБ/км	Ta=20,°C Pa=101.33,кПа hотн.=70%	ф-ла (5) [9]	0,02	0,09	0,33	1,12	2,79	4,98	9,04	23,09	77,63		
Учет затухания звука в атмосфере Aatm, дБ		ф-ла (8) [10]	0	0,1	0,5	1,6	4,1	7,3	13,2	33,8	113,6		
Снижение уровня звукового давления из-за влияния застройки между источником шума и расчетной точкой													
Снижение уровня звукового давления препятствием слева от трассы ИШ-РТ, Dz2, дБ	z = -0.04м (разность путей)	ф-лы (14-18) [10]	4,6	4,3	3,8	2,6	0	NAN	NAN	NAN	NAN		
* отрицательное значение z означает прохождение траектории вблизи экрана, в этом случае дополнительно производится учёт снижения подстилающей поверхностью (см.ниже)													
Снижение поверхностью земли возле источника As, дБ	Gs = 0 hs = 1м	ф-лы таб.3 [10]	-1,5	-1,5	-1,5	-1,5	-1,5	-1,5	-1,5	-1,5	-1,5		
Снижение поверхностью земли возле приёмника Ar, дБ	Gr = 1 hr = 1.5м	ф-лы таб.3 [10]	-1,5	-1,5	5,3	7	5	0,7	0	0	0		
Снижение поверхностью земли в средней зоне, Am дБ	Gm = 1	ф-лы таб.3 [10]	-2,8	-2,8	0	0	0	0	0	0	0		
Суммарное снижение поверхностью земли на траектории распространения звука Agr, дБ		ф-ла (9) [10]	-5,8	-5,8	3,8	5,5	3,5	-0,8	-1,5	-1,5	-1,5		
Уровни звукового давления от источника ИШ-6-16 в расчётной точке днём, дБ		**ф-ла(3)[10]**	**0**	**23,4**	**15,2**	**14,9**	**17,4**	**18,1**	**9,6**	**0**	**0**	**20,4**	**20,4**
Уровни звукового давления от источника ИШ-6-16 в расчётной точке ночью, дБ		**ф-ла(3)[10]**	**0**	**23,4**	**15,2**	**14,9**	**17,4**	**18,1**	**9,6**	**0**	**0**	**20,4**	**20,4**

1		2	3	4	5	6	7	8	9	10	11	12	13
Источник шума: ИШ-6-17, координаты источника (x,y,z), м =[763.57,-126.18,1.00]													
Уровни звуковой мощности источника днём, Lw, дБ		**исходные данные**	**0**	**96,3**	**97,7**	**99**	**99,3**	**98,9**	**95,6**	**91,4**	**86,9**		
Уровни звуковой мощности источника ночью, Lw, дБ		**исходные данные**	**0**	**96,3**	**97,7**	**99**	**99,3**	**98,9**	**95,6**	**91,4**	**86,9**		
Поправка на телесный угол DΩ, дБ	Ω = 12.57	10Lg(4π/Ω)	**0**	0	0	0	0	0	0	0	0		
Показатель направленности источника Di, дБ		исходные данные	**0**	0	0	0	0	0	0	0	0		
Поправка на направленность источника Dc, дБ	Dc	DΩ + Di	**0**	0	0	0	0	0	0	0	0		
Затухание из-за геометрической дивергенции, Adiv, дБ	расстояние = 1460.38 м	ф-ла (7) [10]	**74,3**										
Коэффициент затухания звука в атмосфере α, дБ/км	Ta=20,°C Pa=101.33,кПа hотн.=70%	ф-ла (5) [9]	0,02	0,09	0,33	1,12	2,79	4,98	9,04	23,09	77,63		
Учет затухания звука в атмосфере Aatm, дБ		ф-ла (8) [10]	0	0,1	0,5	1,6	4,1	7,3	13,2	33,7	113,4		
Снижение уровня звукового давления из-за влияния застройки между источником шума и расчетной точкой													
Снижение уровня звукового давления препятствием слева от трассы ИШ-РТ, Dz2, дБ	z = -0.07м (разность путей)	ф-лы (14-18) [10]	4,4	3,9	2,8	0	NAN	NAN	NAN	NAN	NAN		
* отрицательное значение z означает прохождение траектории вблизи экрана, в этом случае дополнительно производится учёт снижения подстилающей поверхностью (см.ниже)													
Снижение поверхностью земли возле источника As, дБ	Gs = 0 hs = 1м	ф-лы таб.3 [10]	-1,5	-1,5	-1,5	-1,5	-1,5	-1,5	-1,5	-1,5	-1,5		
Снижение поверхностью земли возле приёмника Ar, дБ	Gr = 1 hr = 1.5м	ф-лы таб.3 [10]	-1,5	-1,5	5,3	7	5	0,7	0	0	0		
Снижение поверхностью земли в средней зоне, Am дБ	Gm = 1	ф-лы таб.3 [10]	-2,8	-2,8	0	0	0	0	0	0	0		
Суммарное снижение поверхностью земли на траектории распространения звука Agr, дБ		ф-ла (9) [10]	-5,8	-5,8	3,8	5,5	3,5	-0,8	-1,5	-1,5	-1,5		
Уровни звукового давления от источника ИШ-6-17 в расчётной точке днём, дБ		**ф-ла(3)[10]**	**0**	**23,8**	**16,3**	**17,5**	**17,5**	**18,2**	**9,6**	**0**	**0**	**20,6**	**20,6**

1		2	3	4	5	6	7	8	9	10	11	12	13
Уровни звукового давления от источника ИШ-6-17 в расчётной точке ночью, дБ		**ф-ла(3)[10]**	**0**	**23,8**	**16,3**	**17,5**	**17,5**	**18,2**	**9,6**	**0**	**0**	**20,6**	**20,6**
Источник шума: ИШ-6-18, координаты источника (x,y,z), м =[804.77,-126.28,1.00]													
Уровни звуковой мощности источника днём, Lw, дБ		**исходные данные**	**0**	**96,3**	**97,7**	**99**	**99,3**	**98,9**	**95,6**	**91,4**	**86,9**		
Уровни звуковой мощности источника ночью, Lw, дБ		**исходные данные**	**0**	**96,3**	**97,7**	**99**	**99,3**	**98,9**	**95,6**	**91,4**	**86,9**		
Поправка на телесный угол DΩ, дБ	Ω = 12.57	10Lg(4π/Ω)	**0**	0	0	0	0	0	0	0	0		
Показатель направленности источника Di, дБ		исходные данные	**0**	0	0	0	0	0	0	0	0		
Поправка на направленность источника Dc, дБ	Dc	DΩ + Di	**0**	0	0	0	0	0	0	0	0		
Затухание из-за геометрической дивергенции, Adiv, дБ	расстояние = 1461.13 м	ф-ла (7) [10]	**74,3**										
Коэффициент затухания звука в атмосфере α, дБ/км	Ta=20,°C Pa=101.33,кПа hотн.=70%	ф-ла (5) [9]	0,02	0,09	0,33	1,12	2,79	4,98	9,04	23,09	77,63		
Учет затухания звука в атмосфере Aatm, дБ		ф-ла (8) [10]	0	0,1	0,5	1,6	4,1	7,3	13,2	33,7	113,4		
Снижение уровня звукового давления из-за влияния застройки между источником шума и расчетной точкой													
Снижение уровня звукового давления препятствием справа от трассы ИШ-РТ, Dz3, дБ	z = -0.13м (разность путей)	ф-лы (14-18) [10]	0	0	0,4	NAN	NAN	NAN	NAN	NAN	NAN		
* отрицательное значение z означает прохождение траектории вблизи экрана, в этом случае дополнительно производится учёт снижения подстилающей поверхностью (см.ниже)													
Снижение поверхностью земли возле источника As, дБ	Gs = 0 hs = 1м	ф-лы таб.3 [10]	-1,5	-1,5	-1,5	-1,5	-1,5	-1,5	-1,5	-1,5	-1,5		
Снижение поверхностью земли возле приёмника Ar, дБ	Gr = 1 hr = 1.5м	ф-лы таб.3 [10]	-1,5	-1,5	5,3	7	5	0,7	0	0	0		
Снижение поверхностью земли в средней зоне, Am дБ	Gm = 1	ф-лы таб.3 [10]	-2,8	-2,8	0	0	0	0	0	0	0		
Суммарное снижение поверхностью земли на траектории распространения звука Agr, дБ		ф-ла (9) [10]	-5,8	-5,8	3,8	5,5	3,5	-0,8	-1,5	-1,5	-1,5		

1		2	3	4	5	6	7	8	9	10	11	12	13
Уровни звукового давления от источника ИШ-6-18 в расчётной точке днём, дБ		**ф-ла(3)[10]**	**0**	**27,7**	**18,7**	**17,5**	**17,4**	**18,2**	**9,6**	**0**	**0**	**20,6**	**20,6**
Уровни звукового давления от источника ИШ-6-18 в расчётной точке ночью, дБ		**ф-ла(3)[10]**	**0**	**27,7**	**18,7**	**17,5**	**17,4**	**18,2**	**9,6**	**0**	**0**	**20,6**	**20,6**
Источник шума: ИШ-6-19, координаты источника (x,y,z), м =[803.81,-129.30,1.00]													
Уровни звуковой мощности источника днём, Lw, дБ		**исходные данные**	**0**	**96,3**	**97,7**	**99**	**99,3**	**98,9**	**95,6**	**91,4**	**86,9**		
Уровни звуковой мощности источника ночью, Lw, дБ		**исходные данные**	**0**	**96,3**	**97,7**	**99**	**99,3**	**98,9**	**95,6**	**91,4**	**86,9**		
Поправка на телесный угол DΩ, дБ	Ω = 12.57	10Lg(4π/Ω)	**0**	0	0	0	0	0	0	0	0		
Показатель направленности источника Di, дБ		исходные данные	**0**	0	0	0	0	0	0	0	0		
Поправка на направленность источника Dc, дБ	Dc	DΩ + Di	**0**	0	0	0	0	0	0	0	0		
Затухание из-за геометрической дивергенции, Adiv, дБ	расстояние = 1458.07 м	ф-ла (7) [10]	**74,3**										
Коэффициент затухания звука в атмосфере α, дБ/км	Ta=20,°C Pa=101.33,кПа hотн.=70%	ф-ла (5) [9]	0,02	0,09	0,33	1,12	2,79	4,98	9,04	23,09	77,63		
Учет затухания звука в атмосфере Aatm, дБ		ф-ла (8) [10]	0	0,1	0,5	1,6	4,1	7,3	13,2	33,7	113,2		
Снижение уровня звукового давления из-за влияния застройки между источником шума и расчетной точкой													
Снижение уровня звукового давления препятствием справа от трассы ИШ-РТ, Dz3, дБ	z = -0.08м (разность путей)	ф-лы (14-18) [10]	0	0	2,5	0	NAN	NAN	NAN	NAN	NAN		
* отрицательное значение z означает прохождение траектории вблизи экрана, в этом случае дополнительно производится учёт снижения подстилающей поверхностью (см.ниже)													
Снижение поверхностью земли возле источника As, дБ	Gs = 0 hs = 1м	ф-лы таб.3 [10]	-1,5	-1,5	-1,5	-1,5	-1,5	-1,5	-1,5	-1,5	-1,5		
Снижение поверхностью земли возле приёмника Ar, дБ	Gr = 1 hr = 1.5м	ф-лы таб.3 [10]	-1,5	-1,5	5,3	7	5	0,7	0	0	0		
Снижение поверхностью земли в средней зоне, Am дБ	Gm = 1	ф-лы таб.3 [10]	-2,8	-2,8	0	0	0	0	0	0	0		

1		2	3	4	5	6	7	8	9	10	11	12	13
Суммарное снижение поверхностью земли на траектории распространения звука Agr, дБ		ф-ла (9) [10]	-5,8	-5,8	3,8	5,5	3,5	-0,8	-1,5	-1,5	-1,5		
Уровни звукового давления от источника ИШ-6-19 в расчётной точке днём, дБ		**ф-ла(3)[10]**	**0**	**27,7**	**16,6**	**17,6**	**17,5**	**18,2**	**9,6**	**0**	**0**	**20,6**	**20,6**
Уровни звукового давления от источника ИШ-6-19 в расчётной точке ночью, дБ		**ф-ла(3)[10]**	**0**	**27,7**	**16,6**	**17,6**	**17,5**	**18,2**	**9,6**	**0**	**0**	**20,6**	**20,6**
Источник шума: ИШ-6-20, координаты источника (x,y,z), м =[802.67,-132.35,1.00]													
Уровни звуковой мощности источника днём, Lw, дБ		**исходные данные**	**0**	**96,3**	**97,7**	**99**	**99,3**	**98,9**	**95,6**	**91,4**	**86,9**		
Уровни звуковой мощности источника ночью, Lw, дБ		**исходные данные**	**0**	**96,3**	**97,7**	**99**	**99,3**	**98,9**	**95,6**	**91,4**	**86,9**		
Поправка на телесный угол DΩ, дБ	Ω = 12.57	10Lg(4π/Ω)	**0**	0	0	0	0	0	0	0	0		
Показатель направленности источника Di, дБ		исходные данные	**0**	0	0	0	0	0	0	0	0		
Поправка на направленность источника Dc, дБ	Dc	DΩ + Di	**0**	0	0	0	0	0	0	0	0		
Затухание из-за геометрической дивергенции, Adiv, дБ	расстояние = 1454.99 м	ф-ла (7) [10]	**74,3**										
Коэффициент затухания звука в атмосфере α, дБ/км	Ta=20,°C Pa=101.33,кПа hотн.=70%	ф-ла (5) [9]	0,02	0,09	0,33	1,12	2,79	4,98	9,04	23,09	77,63		
Учет затухания звука в атмосфере Aatm, дБ		ф-ла (8) [10]	0	0,1	0,5	1,6	4,1	7,2	13,2	33,6	113		
Снижение уровня звукового давления из-за влияния застройки между источником шума и расчетной точкой													
Снижение уровня звукового давления препятствием справа от трассы ИШ-РТ, Dz3, дБ	z = -0.04м (разность путей)	ф-лы (14-18) [10]	0	0	0	2,7	0	NAN	NAN	NAN	NAN		
* отрицательное значение z означает прохождение траектории вблизи экрана, в этом случае дополнительно производится учёт снижения подстилающей поверхностью (см.ниже)													
Снижение поверхностью земли возле источника As, дБ	Gs = 0 hs = 1м	ф-лы таб.3 [10]	-1,5	-1,5	-1,5	-1,5	-1,5	-1,5	-1,5	-1,5	-1,5		
Снижение поверхностью земли возле приёмника Ar, дБ	Gr = 1 hr = 1.5м	ф-лы таб.3 [10]	-1,5	-1,5	5,3	7	5	0,7	0	0	0		

1		2	3	4	5	6	7	8	9	10	11	12	13
Снижение поверхностью земли в средней зоне, Am дБ	Gm = 1	ф-лы таб.3 [10]	-2,8	-2,8	0	0	0	0	0	0	0		
Суммарное снижение поверхностью земли на траектории распространения звука Agr, дБ		ф-ла (9) [10]	-5,8	-5,8	3,8	5,5	3,5	-0,8	-1,5	-1,5	-1,5		
Уровни звукового давления от источника ИШ-6-20 в расчётной точке днём, дБ		**ф-ла(3)[10]**	**0**	**27,8**	**19,1**	**14,8**	**17,5**	**18,2**	**9,7**	**0**	**0**	**20,5**	**20,5**
Уровни звукового давления от источника ИШ-6-20 в расчётной точке ночью, дБ		**ф-ла(3)[10]**	**0**	**27,8**	**19,1**	**14,8**	**17,5**	**18,2**	**9,7**	**0**	**0**	**20,5**	**20,5**
Источник шума: ИШ-6-21, координаты источника (x,y,z), м =[801.69,-135.42,1.00]													
Уровни звуковой мощности источника днём, Lw, дБ		**исходные данные**	**0**	**96,3**	**97,7**	**99**	**99,3**	**98,9**	**95,6**	**91,4**	**86,9**		
Уровни звуковой мощности источника ночью, Lw, дБ		**исходные данные**	**0**	**96,3**	**97,7**	**99**	**99,3**	**98,9**	**95,6**	**91,4**	**86,9**		
Поправка на телесный угол DΩ, дБ	Ω = 12.57	10Lg(4π/Ω)	**0**	0	0	0	0	0	0	0	0		
Показатель направленности источника Di, дБ		исходные данные	**0**	0	0	0	0	0	0	0	0		
Поправка на направленность источника Dc, дБ	Dc	DΩ + Di	**0**	0	0	0	0	0	0	0	0		
Затухание из-за геометрической дивергенции, Adiv, дБ	расстояние = 1451.89 м	ф-ла (7) [10]	**74,2**										
Коэффициент затухания звука в атмосфере α, дБ/км	Ta=20,°C Pa=101.33,кПа hотн.=70%	ф-ла (5) [9]	0,02	0,09	0,33	1,12	2,79	4,98	9,04	23,09	77,63		
Учет затухания звука в атмосфере Aatm, дБ		ф-ла (8) [10]	0	0,1	0,5	1,6	4,1	7,2	13,1	33,5	112,7		
Снижение уровня звукового давления из-за влияния застройки между источником шума и расчетной точкой													
Снижение уровня звукового давления препятствием справа от трассы ИШ-РТ, Dz3, дБ	z = -0.01м (разность путей)	ф-лы (14-18) [10]	0	0	0	0	3,5	1,8	0	NAN	NAN		
* отрицательное значение z означает прохождение траектории вблизи экрана, в этом случае дополнительно производится учёт снижения подстилающей поверхностью (см.ниже)													
Снижение поверхностью земли возле источника As, дБ	Gs = 0 hs = 1м	ф-лы таб.3 [10]	-1,5	-1,5	-1,5	-1,5	-1,5	-1,5	-1,5	-1,5	-1,5		

1		2	3	4	5	6	7	8	9	10	11	12	13
Снижение поверхностью земли возле приёмника Ar, дБ	Gr = 1 hr = 1.5м	ф-лы таб.3 [10]	-1,5	-1,5	5,3	7	5	0,7	0	0	0		
Снижение поверхностью земли в средней зоне, Am дБ	Gm = 1	ф-лы таб.3 [10]	-2,8	-2,8	0	0	0	0	0	0	0		
Суммарное снижение поверхностью земли на траектории распространения звука Agr, дБ		ф-ла (9) [10]	-5,8	-5,8	3,8	5,5	3,5	-0,8	-1,5	-1,5	-1,5		
Уровни звукового давления от источника ИШ-6-21 в расчётной точке днём, дБ		**ф-ла(3)[10]**	**0**	**27,8**	**19,1**	**17,6**	**14**	**16,5**	**9,7**	**0**	**0**	**19,1**	**19,1**
Уровни звукового давления от источника ИШ-6-21 в расчётной точке ночью, дБ		**ф-ла(3)[10]**	**0**	**27,8**	**19,1**	**17,6**	**14**	**16,5**	**9,7**	**0**	**0**	**19,1**	**19,1**
Источник шума: ИШ-6-22, координаты источника (x,y,z), м =[800.65,-138.47,1.00]													
Уровни звуковой мощности источника днём, Lw, дБ		**исходные данные**	**0**	**96,3**	**97,7**	**99**	**99,3**	**98,9**	**95,6**	**91,4**	**86,9**		
Уровни звуковой мощности источника ночью, Lw, дБ		**исходные данные**	**0**	**96,3**	**97,7**	**99**	**99,3**	**98,9**	**95,6**	**91,4**	**86,9**		
Поправка на телесный угол DΩ, дБ	Ω = 12.57	10Lg(4π/Ω)	**0**	0	0	0	0	0	0	0	0		
Показатель направленности источника Di, дБ		исходные данные	**0**	0	0	0	0	0	0	0	0		
Поправка на направленность источника Dc, дБ	Dc	DΩ + Di	**0**	0	0	0	0	0	0	0	0		
Затухание из-за геометрической дивергенции, Adiv, дБ	расстояние = 1448.81 м	ф-ла (7) [10]	**74,2**										
Коэффициент затухания звука в атмосфере α, дБ/км	Ta=20,°C Pa=101.33,кПа hотн.=70%	ф-ла (5) [9]	0,02	0,09	0,33	1,12	2,79	4,98	9,04	23,09	77,63		
Учет затухания звука в атмосфере Aatm, дБ		ф-ла (8) [10]	0	0,1	0,5	1,6	4	7,2	13,1	33,4	112,5		
Снижение уровня звукового давления из-за влияния застройки между источником шума и расчетной точкой													
Снижение уровня звукового давления препятствием справа от трассы ИШ-РТ, Dz3, дБ	z = 0.00м (разность путей)	ф-лы (14-18) [10]	0	0	0	0	0	0	0	4,5	4,3		

* отрицательное значение z означает прохождение траектории вблизи экрана, в этом случае дополнительно производится учёт снижения подстилающей поверхностью (см.ниже)

1		2	3	4	5	6	7	8	9	10	11	12	13
Снижение поверхностью земли возле источника As, дБ	Gs = 0 hs = 1м	ф-лы таб.3 [10]	-1,5	-1,5	-1,5	-1,5	-1,5	-1,5	-1,5	-1,5	-1,5		
Снижение поверхностью земли возле приёмника Ar, дБ	Gr = 1 hr = 1.5м	ф-лы таб.3 [10]	-1,5	-1,5	5,3	7	5	0,7	0	0	0		
Снижение поверхностью земли в средней зоне, Am дБ	Gm = 1	ф-лы таб.3 [10]	-2,8	-2,8	0	0	0	0	0	0	0		
Суммарное снижение поверхностью земли на траектории распространения звука Agr, дБ		ф-ла (9) [10]	-5,8	-5,8	3,8	5,5	3,5	-0,8	-1,5	-1,5	-1,5		
Уровни звукового давления от источника ИШ-6-22 в расчётной точке днём, дБ		**ф-ла(3)[10]**	**0**	**27,8**	**19,2**	**17,6**	**17,6**	**18,3**	**9,8**	**0**	**0**	**20,7**	**20,7**
Уровни звукового давления от источника ИШ-6-22 в расчётной точке ночью, дБ		**ф-ла(3)[10]**	**0**	**27,8**	**19,2**	**17,6**	**17,6**	**18,3**	**9,8**	**0**	**0**	**20,7**	**20,7**
Источник шума: ИШ-7-1, координаты источника (x,y,z), м =[821.44,63.31,1.00]													
Уровни звуковой мощности источника днём, Lw, дБ		**исходные данные**	**77**	**75**	**67**	**66**	**63**	**55**	**53**	**48**	**51**		
Уровни звуковой мощности источника ночью, Lw, дБ		**исходные данные**	**77**	**75**	**67**	**66**	**63**	**55**	**53**	**48**	**51**		
Поправка на телесный угол DΩ, дБ	Ω = 12.57	10Lg(4π/Ω)	**0**	0	0	0	0	0	0	0	0		
Показатель направленности источника Di, дБ		исходные данные	**0**	0	0	0	0	0	0	0	0		
Поправка на направленность источника Dc, дБ	Dc	DΩ + Di	**0**	0	0	0	0	0	0	0	0		
Затухание из-за геометрической дивергенции, Adiv, дБ	расстояние = 1651.21 м	ф-ла (7) [10]	**75,4**										
Коэффициент затухания звука в атмосфере α, дБ/км	Ta=20,°C Pa=101.33,кПа hотн.=70%	ф-ла (5) [9]	0,02	0,09	0,33	1,12	2,79	4,98	9,04	23,09	77,63		
Учет затухания звука в атмосфере Aatm, дБ		ф-ла (8) [10]	0	0,1	0,6	1,9	4,6	8,2	14,9	38,1	128,2		
Снижение поверхностью земли возле источника As, дБ	Gs = 0 hs = 1м	ф-лы таб.3 [10]	-1,5	-1,5	-1,5	-1,5	-1,5	-1,5	-1,5	-1,5	-1,5		

1		2	3	4	5	6	7	8	9	10	11	12	13
Снижение поверхностью земли возле приёмника Ar, дБ	Gr = 1 hr = 1.5м	ф-лы таб.3 [10]	-1,5	-1,5	5,3	7	5	0,7	0	0	0		
Снижение поверхностью земли в средней зоне, Am дБ	Gm = 1	ф-лы таб.3 [10]	-2,9	-2,9	0	0	0	0	0	0	0		
Суммарное снижение поверхностью земли на траектории распространения звука Agr, дБ		ф-ла (9) [10]	-5,9	-5,9	3,8	5,5	3,5	-0,8	-1,5	-1,5	-1,5		
Уровни звукового давления от источника ИШ-7-1 в расчётной точке днём, дБ		**ф-ла(3)[10]**	**7,5**	**0**	**0**	**0**	**0**	**0**	**0**	**0**	**0**	**0**	**0**
Уровни звукового давления от источника ИШ-7-1 в расчётной точке ночью, дБ		**ф-ла(3)[10]**	**7,5**	**0**	**0**	**0**	**0**	**0**	**0**	**0**	**0**	**0**	**0**
Источник шума: ИШ-7-2, координаты источника (x,y,z), м =[768.90,-86.75,1.00]													
Уровни звуковой мощности источника днём, Lw, дБ		**исходные данные**	**77**	**75**	**67**	**66**	**63**	**55**	**53**	**48**	**51**		
Уровни звуковой мощности источника ночью, Lw, дБ		**исходные данные**	**77**	**75**	**67**	**66**	**63**	**55**	**53**	**48**	**51**		
Поправка на телесный угол DΩ, дБ	Ω = 12.57	10Lg(4π/Ω)	**0**	0	0	0	0	0	0	0	0		
Показатель направленности источника Di, дБ		исходные данные	**0**	0	0	0	0	0	0	0	0		
Поправка на направленность источника Dc, дБ	Dc	DΩ + Di	**0**	0	0	0	0	0	0	0	0		
Затухание из-за геометрической дивергенции, Adiv, дБ	расстояние = 1499.85 м	ф-ла (7) [10]	**74,5**										
Коэффициент затухания звука в атмосфере α, дБ/км	Ta=20,°C Pa=101.33,кПа hотн.=70%	ф-ла (5) [9]	0,02	0,09	0,33	1,12	2,79	4,98	9,04	23,09	77,63		
Учет затухания звука в атмосфере Aatm, дБ		ф-ла (8) [10]	0	0,1	0,5	1,7	4,2	7,5	13,6	34,6	116,4		
Снижение уровня звукового давления из-за влияния застройки между источником шума и расчетной точкой													
Снижение уровня звукового давления на пути над экраном, Dz1, дБ	z = 0.02м (разность путей)	ф-лы (14-18) [10]	4,8	4,8	4,8	4,8	4,8	4,8	4,8	4,8	4,8		

1		2	3	4	5	6	7	8	9	10	11	12	13
Уровни звукового давления от источника ИШ-7-2 в расчётной точке днём, дБ		**ф-ла(3)[10]**	**0**	**0**	**0**	**0**	**0**	**0**	**0**	**0**	**0**	**0**	**0**
Уровни звукового давления от источника ИШ-7-2 в расчётной точке ночью, дБ		**ф-ла(3)[10]**	**0**	**0**	**0**	**0**	**0**	**0**	**0**	**0**	**0**	**0**	**0**
Источник шума: ИШ-7-3, координаты источника (x,y,z), м =[766.80,-93.20,1.00]													
Уровни звуковой мощности источника днём, Lw, дБ		**исходные данные**	**77**	**75**	**67**	**66**	**63**	**55**	**53**	**48**	**51**		
Уровни звуковой мощности источника ночью, Lw, дБ		**исходные данные**	**77**	**75**	**67**	**66**	**63**	**55**	**53**	**48**	**51**		
Поправка на телесный угол DΩ, дБ	Ω = 12.57	10Lg(4π/Ω)	**0**	0	0	0	0	0	0	0	0		
Показатель направленности источника Di, дБ		исходные данные	**0**	0	0	0	0	0	0	0	0		
Поправка на направленность источника Dc, дБ	Dc	DΩ + Di	**0**	0	0	0	0	0	0	0	0		
Затухание из-за геометрической дивергенции, Adiv, дБ	расстояние = 1493.38 м	ф-ла (7) [10]	**74,5**										
Коэффициент затухания звука в атмосфере α, дБ/км	Ta=20,°C Pa=101.33,кПа hотн.=70%	ф-ла (5) [9]	0,02	0,09	0,33	1,12	2,79	4,98	9,04	23,09	77,63		
Учет затухания звука в атмосфере Aatm, дБ		ф-ла (8) [10]	0	0,1	0,5	1,7	4,2	7,4	13,5	34,5	115,9		
Снижение уровня звукового давления из-за влияния застройки между источником шума и расчетной точкой													
Снижение уровня звукового давления препятствием слева от трассы ИШ-РТ, Dz2, дБ	z = 0.00м (разность путей)	ф-лы (14-18) [10]	4,8	4,7	4,7	4,7	4,5	4,3	3,8	2,5	0		
* отрицательное значение z означает прохождение траектории вблизи экрана, в этом случае дополнительно производится учёт снижения подстилающей поверхностью (см.ниже)													
Снижение поверхностью земли возле источника As, дБ	Gs = 0 hs = 1м	ф-лы таб.3 [10]	-1,5	-1,5	-1,5	-1,5	-1,5	-1,5	-1,5	-1,5	-1,5		
Снижение поверхностью земли возле приёмника Ar, дБ	Gr = 1 hr = 1.5м	ф-лы таб.3 [10]	-1,5	-1,5	5,3	7	5	0,7	0	0	0		
Снижение поверхностью земли в средней зоне, Am дБ	Gm = 1	ф-лы таб.3 [10]	-2,8	-2,8	0	0	0	0	0	0	0		

1		2	3	4	5	6	7	8	9	10	11	12	13
Суммарное снижение поверхностью земли на траектории распространения звука Agr, дБ		ф-ла (9) [10]	-5,8	-5,8	3,8	5,5	3,5	-0,8	-1,5	-1,5	-1,5		
Уровни звукового давления от источника ИШ-7-3 в расчётной точке днём, дБ		**ф-ла(3)[10]**	**0**	**0**	**0**	**0**	**0**	**0**	**0**	**0**	**0**	**0**	**0**
Уровни звукового давления от источника ИШ-7-3 в расчётной точке ночью, дБ		**ф-ла(3)[10]**	**0**	**0**	**0**	**0**	**0**	**0**	**0**	**0**	**0**	**0**	**0**
Источник шума: ИШ-7-4, координаты источника (x,y,z), м =[866.76,37.18,1.00]													
Уровни звуковой мощности источника днём, Lw, дБ		**исходные данные**	**77**	**75**	**67**	**66**	**63**	**55**	**53**	**48**	**51**		
Уровни звуковой мощности источника ночью, Lw, дБ		**исходные данные**	**77**	**75**	**67**	**66**	**63**	**55**	**53**	**48**	**51**		
Поправка на телесный угол DΩ, дБ	Ω = 12.57	10Lg(4π/Ω)	**0**	0	0	0	0	0	0	0	0		
Показатель направленности источника Di, дБ		исходные данные	**0**	0	0	0	0	0	0	0	0		
Поправка на направленность источника Dc, дБ	Dc	DΩ + Di	**0**	0	0	0	0	0	0	0	0		
Затухание из-за геометрической дивергенции, Adiv, дБ	расстояние = 1627.61 м	ф-ла (7) [10]	**75,2**										
Коэффициент затухания звука в атмосфере α, дБ/км	Ta=20,°C Pa=101.33,кПа hотн.=70%	ф-ла (5) [9]	0,02	0,09	0,33	1,12	2,79	4,98	9,04	23,09	77,63		
Учет затухания звука в атмосфере Aatm, дБ		ф-ла (8) [10]	0	0,1	0,5	1,8	4,5	8,1	14,7	37,6	126,4		
Снижение поверхностью земли возле источника As, дБ	Gs = 0 hs = 1м	ф-лы таб.3 [10]	-1,5	-1,5	-1,5	-1,5	-1,5	-1,5	-1,5	-1,5	-1,5		
Снижение поверхностью земли возле приёмника Ar, дБ	Gr = 1 hr = 1.5м	ф-лы таб.3 [10]	-1,5	-1,5	5,3	7	5	0,7	0	0	0		
Снижение поверхностью земли в средней зоне, Am дБ	Gm = 1	ф-лы таб.3 [10]	-2,9	-2,9	0	0	0	0	0	0	0		
Суммарное снижение поверхностью земли на траектории распространения звука Agr, дБ		ф-ла (9) [10]	-5,9	-5,9	3,8	5,5	3,5	-0,8	-1,5	-1,5	-1,5		

1		2	3	4	5	6	7	8	9	10	11	12	13
Уровни звукового давления от источника ИШ-7-4 в расчётной точке днём, дБ		**ф-ла(3)[10]**	**7,6**	**0**	**0**	**0**	**0**	**0**	**0**	**0**	**0**	**0**	**0**
Уровни звукового давления от источника ИШ-7-4 в расчётной точке ночью, дБ		**ф-ла(3)[10]**	**7,6**	**0**	**0**	**0**	**0**	**0**	**0**	**0**	**0**	**0**	**0**
Источник шума: ИШ-7-5, координаты источника (x,y,z), м =[861.80,21.34,1.00]													
Уровни звуковой мощности источника днём, Lw, дБ		**исходные данные**	**77**	**75**	**67**	**66**	**63**	**55**	**53**	**48**	**51**		
Уровни звуковой мощности источника ночью, Lw, дБ		**исходные данные**	**77**	**75**	**67**	**66**	**63**	**55**	**53**	**48**	**51**		
Поправка на телесный угол DΩ, дБ	Ω = 12.57	10Lg(4π/Ω)	**0**	0	0	0	0	0	0	0	0		
Показатель направленности источника Di, дБ		исходные данные	**0**	0	0	0	0	0	0	0	0		
Поправка на направленность источника Dc, дБ	Dc	DΩ + Di	**0**	0	0	0	0	0	0	0	0		
Затухание из-за геометрической дивергенции, Adiv, дБ	расстояние = 1611.47 м	ф-ла (7) [10]	**75,1**										
Коэффициент затухания звука в атмосфере α, дБ/км	Ta=20,°C Pa=101.33,кПа hотн.=70%	ф-ла (5) [9]	0,02	0,09	0,33	1,12	2,79	4,98	9,04	23,09	77,63		
Учет затухания звука в атмосфере Aatm, дБ		ф-ла (8) [10]	0	0,1	0,5	1,8	4,5	8	14,6	37,2	125,1		
Снижение поверхностью земли возле источника As, дБ	Gs = 0 hs = 1м	ф-лы таб.3 [10]	-1,5	-1,5	-1,5	-1,5	-1,5	-1,5	-1,5	-1,5	-1,5		
Снижение поверхностью земли возле приёмника Ar, дБ	Gr = 1 hr = 1.5м	ф-лы таб.3 [10]	-1,5	-1,5	5,3	7	5	0,7	0	0	0		
Снижение поверхностью земли в средней зоне, Am дБ	Gm = 1	ф-лы таб.3 [10]	-2,9	-2,9	0	0	0	0	0	0	0		
Суммарное снижение поверхностью земли на траектории распространения звука Agr, дБ		ф-ла (9) [10]	-5,9	-5,9	3,8	5,5	3,5	-0,8	-1,5	-1,5	-1,5		
Уровни звукового давления от источника ИШ-7-5 в расчётной точке днём, дБ		**ф-ла(3)[10]**	**7,7**	**0**	**0**	**0**	**0**	**0**	**0**	**0**	**0**	**0**	**0**

1		2	3	4	5	6	7	8	9	10	11	12	13
Уровни звукового давления от источника ИШ-7-5 в расчётной точке ночью, дБ		**ф-ла(3)[10]**	**7,7**	**0**	**0**	**0**	**0**	**0**	**0**	**0**	**0**	**0**	**0**
Источник шума: ИШ-7-6, координаты источника (x,y,z), м =[856.52,5.94,1.00]													
Уровни звуковой мощности источника днём, Lw, дБ		**исходные данные**	**77**	**75**	**67**	**66**	**63**	**55**	**53**	**48**	**51**		
Уровни звуковой мощности источника ночью, Lw, дБ		**исходные данные**	**77**	**75**	**67**	**66**	**63**	**55**	**53**	**48**	**51**		
Поправка на телесный угол DΩ, дБ	Ω = 12.57	10Lg(4π/Ω)	**0**	0	0	0	0	0	0	0	0		
Показатель направленности источника Di, дБ		исходные данные	**0**	0	0	0	0	0	0	0	0		
Поправка на направленность источника Dc, дБ	Dc	DΩ + Di	**0**	0	0	0	0	0	0	0	0		
Затухание из-за геометрической дивергенции, Adiv, дБ	расстояние = 1595.75 м	ф-ла (7) [10]	**75,1**										
Коэффициент затухания звука в атмосфере α, дБ/км	Ta=20,°C Pa=101.33,кПа hотн.=70%	ф-ла (5) [9]	0,02	0,09	0,33	1,12	2,79	4,98	9,04	23,09	77,63		
Учет затухания звука в атмосфере Aatm, дБ		ф-ла (8) [10]	0	0,1	0,5	1,8	4,5	7,9	14,4	36,8	123,9		
Снижение поверхностью земли возле источника As, дБ	Gs = 0 hs = 1м	ф-лы таб.3 [10]	-1,5	-1,5	-1,5	-1,5	-1,5	-1,5	-1,5	-1,5	-1,5		
Снижение поверхностью земли возле приёмника Ar, дБ	Gr = 1 hr = 1.5м	ф-лы таб.3 [10]	-1,5	-1,5	5,3	7	5	0,7	0	0	0		
Снижение поверхностью земли в средней зоне, Am дБ	Gm = 1	ф-лы таб.3 [10]	-2,9	-2,9	0	0	0	0	0	0	0		
Суммарное снижение поверхностью земли на траектории распространения звука Agr, дБ		ф-ла (9) [10]	-5,9	-5,9	3,8	5,5	3,5	-0,8	-1,5	-1,5	-1,5		
Уровни звукового давления от источника ИШ-7-6 в расчётной точке днём, дБ		**ф-ла(3)[10]**	**7,8**	**0**	**0**	**0**	**0**	**0**	**0**	**0**	**0**	**0**	**0**
Уровни звукового давления от источника ИШ-7-6 в расчётной точке ночью, дБ		**ф-ла(3)[10]**	**7,8**	**0**	**0**	**0**	**0**	**0**	**0**	**0**	**0**	**0**	**0**

1		2	3	4	5	6	7	8	9	10	11	12	13
Источник шума: ИШ-7-7, координаты источника (x,y,z), м =[851.06,-9.89,1.00]													
Уровни звуковой мощности источника днём, Lw, дБ		**исходные данные**	**77**	**75**	**67**	**66**	**63**	**55**	**53**	**48**	**51**		
Уровни звуковой мощности источника ночью, Lw, дБ		**исходные данные**	**77**	**75**	**67**	**66**	**63**	**55**	**53**	**48**	**51**		
Поправка на телесный угол DΩ, дБ	Ω = 12.57	10Lg(4π/Ω)	**0**	0	0	0	0	0	0	0	0		
Показатель направленности источника Di, дБ		исходные данные	**0**	0	0	0	0	0	0	0	0		
Поправка на направленность источника Dc, дБ	Dc	DΩ + Di	**0**	0	0	0	0	0	0	0	0		
Затухание из-за геометрической дивергенции, Adiv, дБ	расстояние = 1579.61 м	ф-ла (7) [10]	**75**										
Коэффициент затухания звука в атмосфере α, дБ/км	Ta=20,°C Pa=101.33,кПа hотн.=70%	ф-ла (5) [9]	0,02	0,09	0,33	1,12	2,79	4,98	9,04	23,09	77,63		
Учет затухания звука в атмосфере Aatm, дБ		ф-ла (8) [10]	0	0,1	0,5	1,8	4,4	7,9	14,3	36,5	122,6		
Снижение поверхностью земли возле источника As, дБ	Gs = 0 hs = 1м	ф-лы таб.3 [10]	-1,5	-1,5	-1,5	-1,5	-1,5	-1,5	-1,5	-1,5	-1,5		
Снижение поверхностью земли возле приёмника Ar, дБ	Gr = 1 hr = 1.5м	ф-лы таб.3 [10]	-1,5	-1,5	5,3	7	5	0,7	0	0	0		
Снижение поверхностью земли в средней зоне, Am дБ	Gm = 1	ф-лы таб.3 [10]	-2,9	-2,9	0	0	0	0	0	0	0		
Суммарное снижение поверхностью земли на траектории распространения звука Agr, дБ		ф-ла (9) [10]	-5,9	-5,9	3,8	5,5	3,5	-0,8	-1,5	-1,5	-1,5		
Уровни звукового давления от источника ИШ-7-7 в расчётной точке днём, дБ		**ф-ла(3)[10]**	**7,8**	**0**	**0**	**0**	**0**	**0**	**0**	**0**	**0**	**0**	**0**
Уровни звукового давления от источника ИШ-7-7 в расчётной точке ночью, дБ		**ф-ла(3)[10]**	**7,8**	**0**	**0**	**0**	**0**	**0**	**0**	**0**	**0**	**0**	**0**
Источник шума: ИШ-7-8, координаты источника (x,y,z), м =[821.90,-104.30,1.00]													

1		2	3	4	5	6	7	8	9	10	11	12	13
Уровни звуковой мощности источника днём, Lw, дБ		**исходные данные**	**77**	**75**	**67**	**66**	**63**	**55**	**53**	**48**	**51**		
Уровни звуковой мощности источника ночью, Lw, дБ		**исходные данные**	**77**	**75**	**67**	**66**	**63**	**55**	**53**	**48**	**51**		
Поправка на телесный угол DΩ, дБ	Ω = 12.57	10Lg(4π/Ω)	**0**	0	0	0	0	0	0	0	0		
Показатель направленности источника Di, дБ		исходные данные	**0**	0	0	0	0	0	0	0	0		
Поправка на направленность источника Dc, дБ	Dc	DΩ + Di	**0**	0	0	0	0	0	0	0	0		
Затухание из-за геометрической дивергенции, Adiv, дБ	расстояние = 1483.77 м	ф-ла (7) [10]	**74,4**										
Коэффициент затухания звука в атмосфере α, дБ/км	Ta=20,°C Pa=101.33,кПа hотн.=70%	ф-ла (5) [9]	0,02	0,09	0,33	1,12	2,79	4,98	9,04	23,09	77,63		
Учет затухания звука в атмосфере Aatm, дБ		ф-ла (8) [10]	0	0,1	0,5	1,7	4,1	7,4	13,4	34,3	115,2		
Снижение поверхностью земли возле источника As, дБ	Gs = 0 hs = 1м	ф-лы таб.3 [10]	-1,5	-1,5	-1,5	-1,5	-1,5	-1,5	-1,5	-1,5	-1,5		
Снижение поверхностью земли возле приёмника Ar, дБ	Gr = 1 hr = 1.5м	ф-лы таб.3 [10]	-1,5	-1,5	5,3	7	5	0,7	0	0	0		
Снижение поверхностью земли в средней зоне, Am дБ	Gm = 1	ф-лы таб.3 [10]	-2,8	-2,8	0	0	0	0	0	0	0		
Суммарное снижение поверхностью земли на траектории распространения звука Agr, дБ		ф-ла (9) [10]	-5,8	-5,8	3,8	5,5	3,5	-0,8	-1,5	-1,5	-1,5		
Уровни звукового давления от источника ИШ-7-8 в расчётной точке днём, дБ		**ф-ла(3)[10]**	**8,4**	**6,3**	**0**	**0**	**0**	**0**	**0**	**0**	**0**	**0**	**0**
Уровни звукового давления от источника ИШ-7-8 в расчётной точке ночью, дБ		**ф-ла(3)[10]**	**8,4**	**6,3**	**0**	**0**	**0**	**0**	**0**	**0**	**0**	**0**	**0**
Источник шума: ИШ-7-9, координаты источника (x,y,z), м =[819.93,-110.97,1.00]													
Уровни звуковой мощности источника днём, Lw, дБ		**исходные данные**	**77**	**75**	**67**	**66**	**63**	**55**	**53**	**48**	**51**		

1		2	3	4	5	6	7	8	9	10	11	12	13
Уровни звуковой мощности источника ночью, Lw, дБ		**исходные данные**	**77**	**75**	**67**	**66**	**63**	**55**	**53**	**48**	**51**		
Поправка на телесный угол DΩ, дБ	Ω = 12.57	10Lg(4π/Ω)	**0**	0	0	0	0	0	0	0	0		
Показатель направленности источника Di, дБ		исходные данные	**0**	0	0	0	0	0	0	0	0		
Поправка на направленность источника Dc, дБ	Dc	DΩ + Di	**0**	0	0	0	0	0	0	0	0		
Затухание из-за геометрической дивергенции, Adiv, дБ	расстояние = 1477.02 м	ф-ла (7) [10]	**74,4**										
Коэффициент затухания звука в атмосфере α, дБ/км	Ta=20,°C Pa=101.33,кПа hотн.=70%	ф-ла (5) [9]	0,02	0,09	0,33	1,12	2,79	4,98	9,04	23,09	77,63		
Учет затухания звука в атмосфере Aatm, дБ		ф-ла (8) [10]	0	0,1	0,5	1,7	4,1	7,4	13,4	34,1	114,7		
Снижение поверхностью земли возле источника As, дБ	Gs = 0 hs = 1м	ф-лы таб.3 [10]	-1,5	-1,5	-1,5	-1,5	-1,5	-1,5	-1,5	-1,5	-1,5		
Снижение поверхностью земли возле приёмника Ar, дБ	Gr = 1 hr = 1.5м	ф-лы таб.3 [10]	-1,5	-1,5	5,3	7	5	0,7	0	0	0		
Снижение поверхностью земли в средней зоне, Am дБ	Gm = 1	ф-лы таб.3 [10]	-2,8	-2,8	0	0	0	0	0	0	0		
Суммарное снижение поверхностью земли на траектории распространения звука Agr, дБ		ф-ла (9) [10]	-5,8	-5,8	3,8	5,5	3,5	-0,8	-1,5	-1,5	-1,5		
Уровни звукового давления от источника ИШ-7-9 в расчётной точке днём, дБ		**ф-ла(3)[10]**	**8,4**	**6,3**	**0**	**0**	**0**	**0**	**0**	**0**	**0**	**0**	**0**
Уровни звукового давления от источника ИШ-7-9 в расчётной точке ночью, дБ		**ф-ла(3)[10]**	**8,4**	**6,3**	**0**	**0**	**0**	**0**	**0**	**0**	**0**	**0**	**0**
Источник шума: ИШ-7-10, координаты источника (x,y,z), м =[868.68,92.66,1.00]													
Уровни звуковой мощности источника днём, Lw, дБ		**исходные данные**	**77**	**75**	**67**	**66**	**63**	**55**	**53**	**48**	**51**		
Уровни звуковой мощности источника ночью, Lw, дБ		**исходные данные**	**77**	**75**	**67**	**66**	**63**	**55**	**53**	**48**	**51**		

1		2	3	4	5	6	7	8	9	10	11	12	13
Поправка на телесный угол DΩ, дБ	Ω = 12.57	10Lg(4π/Ω)	**0**	0	0	0	0	0	0	0	0		
Показатель направленности источника Di, дБ		исходные данные	**0**	0	0	0	0	0	0	0	0		
Поправка на направленность источника Dc, дБ	Dc	DΩ + Di	**0**	0	0	0	0	0	0	0	0		
Затухание из-за геометрической дивергенции, Adiv, дБ	расстояние = 1683.08 м	ф-ла (7) [10]	**75,5**										
Коэффициент затухания звука в атмосфере α, дБ/км	Ta=20,°C Pa=101.33,кПа hотн.=70%	ф-ла (5) [9]	0,02	0,09	0,33	1,12	2,79	4,98	9,04	23,09	77,63		
Учет затухания звука в атмосфере Aatm, дБ		ф-ла (8) [10]	0	0,2	0,6	1,9	4,7	8,4	15,2	38,9	130,7		
Снижение поверхностью земли возле источника As, дБ	Gs = 0 hs = 1м	ф-лы таб.3 [10]	-1,5	-1,5	-1,5	-1,5	-1,5	-1,5	-1,5	-1,5	-1,5		
Снижение поверхностью земли возле приёмника Ar, дБ	Gr = 1 hr = 1.5м	ф-лы таб.3 [10]	-1,5	-1,5	5,3	7	5	0,7	0	0	0		
Снижение поверхностью земли в средней зоне, Am дБ	Gm = 1	ф-лы таб.3 [10]	-2,9	-2,9	0	0	0	0	0	0	0		
Суммарное снижение поверхностью земли на траектории распространения звука Agr, дБ		ф-ла (9) [10]	-5,9	-5,9	3,8	5,5	3,5	-0,8	-1,5	-1,5	-1,5		
Уровни звукового давления от источника ИШ-7-10 в расчётной точке днём, дБ		**ф-ла(3)[10]**	**7,3**	**0**	**0**	**0**	**0**	**0**	**0**	**0**	**0**	**0**	**0**
Уровни звукового давления от источника ИШ-7-10 в расчётной точке ночью, дБ		**ф-ла(3)[10]**	**7,3**	**0**	**0**	**0**	**0**	**0**	**0**	**0**	**0**	**0**	**0**
Источник шума: ИШ-7-11, координаты источника (x,y,z), м =[877.95,88.75,1.00]													
Уровни звуковой мощности источника днём, Lw, дБ		**исходные данные**	**77**	**75**	**67**	**66**	**63**	**55**	**53**	**48**	**51**		
Уровни звуковой мощности источника ночью, Lw, дБ		**исходные данные**	**77**	**75**	**67**	**66**	**63**	**55**	**53**	**48**	**51**		
Поправка на телесный угол DΩ, дБ	Ω = 12.57	10Lg(4π/Ω)	**0**	0	0	0	0	0	0	0	0		

1		2	3	4	5	6	7	8	9	10	11	12	13
Показатель направленности источника Di, дБ		исходные данные	**0**	0	0	0	0	0	0	0	0		
Поправка на направленность источника Dc, дБ	Dc	DΩ + Di	**0**	0	0	0	0	0	0	0	0		
Затухание из-за геометрической дивергенции, Adiv, дБ	расстояние = 1679.85 м	ф-ла (7) [10]	**75,5**										
Коэффициент затухания звука в атмосфере α, дБ/км	Ta=20,°C Pa=101.33,кПа hотн.=70%	ф-ла (5) [9]	0,02	0,09	0,33	1,12	2,79	4,98	9,04	23,09	77,63		
Учет затухания звука в атмосфере Aatm, дБ		ф-ла (8) [10]	0	0,2	0,6	1,9	4,7	8,4	15,2	38,8	130,4		
Снижение поверхностью земли возле источника As, дБ	Gs = 0 hs = 1м	ф-лы таб.3 [10]	-1,5	-1,5	-1,5	-1,5	-1,5	-1,5	-1,5	-1,5	-1,5		
Снижение поверхностью земли возле приёмника Ar, дБ	Gr = 1 hr = 1.5м	ф-лы таб.3 [10]	-1,5	-1,5	5,3	7	5	0,7	0	0	0		
Снижение поверхностью земли в средней зоне, Am дБ	Gm = 1	ф-лы таб.3 [10]	-2,9	-2,9	0	0	0	0	0	0	0		
Суммарное снижение поверхностью земли на траектории распространения звука Agr, дБ		ф-ла (9) [10]	-5,9	-5,9	3,8	5,5	3,5	-0,8	-1,5	-1,5	-1,5		
Уровни звукового давления от источника ИШ-7-11 в расчётной точке днём, дБ		**ф-ла(3)[10]**	**7,3**	**0**	**0**	**0**	**0**	**0**	**0**	**0**	**0**	**0**	**0**
Уровни звукового давления от источника ИШ-7-11 в расчётной точке ночью, дБ		**ф-ла(3)[10]**	**7,3**	**0**	**0**	**0**	**0**	**0**	**0**	**0**	**0**	**0**	**0**
Источник шума: ИШ-7-12, координаты источника (x,y,z), м =[887.42,85.45,1.00]													
Уровни звуковой мощности источника днём, Lw, дБ		**исходные данные**	**77**	**75**	**67**	**66**	**63**	**55**	**53**	**48**	**51**		
Уровни звуковой мощности источника ночью, Lw, дБ		**исходные данные**	**77**	**75**	**67**	**66**	**63**	**55**	**53**	**48**	**51**		
Поправка на телесный угол DΩ, дБ	Ω = 12.57	10Lg(4π/Ω)	**0**	0	0	0	0	0	0	0	0		
Показатель направленности источника Di, дБ		исходные данные	**0**	0	0	0	0	0	0	0	0		

1		2	3	4	5	6	7	8	9	10	11	12	13
Поправка на направленность источника Dc, дБ	Dc	DΩ + Di	**0**	0	0	0	0	0	0	0	0		
Затухание из-за геометрической дивергенции, Adiv, дБ	расстояние = 1677.28 м	ф-ла (7) [10]	**75,5**										
Коэффициент затухания звука в атмосфере α, дБ/км	Ta=20,°C Pa=101.33,кПа hотн.=70%	ф-ла (5) [9]	0,02	0,09	0,33	1,12	2,79	4,98	9,04	23,09	77,63		
Учет затухания звука в атмосфере Aatm, дБ		ф-ла (8) [10]	0	0,1	0,6	1,9	4,7	8,3	15,2	38,7	130,2		
Снижение поверхностью земли возле источника As, дБ	Gs = 0 hs = 1м	ф-лы таб.3 [10]	-1,5	-1,5	-1,5	-1,5	-1,5	-1,5	-1,5	-1,5	-1,5		
Снижение поверхностью земли возле приёмника Ar, дБ	Gr = 1 hr = 1.5м	ф-лы таб.3 [10]	-1,5	-1,5	5,3	7	5	0,7	0	0	0		
Снижение поверхностью земли в средней зоне, Am дБ	Gm = 1	ф-лы таб.3 [10]	-2,9	-2,9	0	0	0	0	0	0	0		
Суммарное снижение поверхностью земли на траектории распространения звука Agr, дБ		ф-ла (9) [10]	-5,9	-5,9	3,8	5,5	3,5	-0,8	-1,5	-1,5	-1,5		
Уровни звукового давления от источника ИШ-7-12 в расчётной точке днём, дБ		**ф-ла(3)[10]**	**7,3**	**0**	**0**	**0**	**0**	**0**	**0**	**0**	**0**	**0**	**0**
Уровни звукового давления от источника ИШ-7-12 в расчётной точке ночью, дБ		**ф-ла(3)[10]**	**7,3**	**0**	**0**	**0**	**0**	**0**	**0**	**0**	**0**	**0**	**0**
Источник шума: ИШ-6-23, координаты источника (x,y,z), м =[756.16,-136.23,3.00]													
Уровни звуковой мощности источника днём, Lw, дБ		**исходные данные**	**91**	**91**	**91**	**91**	**91**	**91**	**91**	**91**	**91**		
Уровни звуковой мощности источника ночью, Lw, дБ		**исходные данные**	**91**	**91**	**91**	**91**	**91**	**91**	**91**	**91**	**91**		
Поправка на телесный угол DΩ, дБ	Ω = 12.57	10Lg(4π/Ω)	**0**	0	0	0	0	0	0	0	0		
Показатель направленности источника Di, дБ		исходные данные	**0**	0	0	0	0	0	0	0	0		
Поправка на направленность источника Dc, дБ	Dc	DΩ + Di	**0**	0	0	0	0	0	0	0	0		

1		2	3	4	5	6	7	8	9	10	11	12	13
Затухание из-за геометрической дивергенции, Adiv, дБ	расстояние = 1450.30 м	ф-ла (7) [10]	**74,2**										
Коэффициент затухания звука в атмосфере α, дБ/км	Ta=20,°C Pa=101.33,кПа hотн.=70%	ф-ла (5) [9]	0,02	0,09	0,33	1,12	2,79	4,98	9,04	23,09	77,63		
Учет затухания звука в атмосфере Aatm, дБ		ф-ла (8) [10]	0	0,1	0,5	1,6	4	7,2	13,1	33,5	112,6		
Снижение поверхностью земли возле источника As, дБ	Gs = 0 hs = 3м	ф-лы таб.3 [10]	-1,5	-1,5	-1,5	-1,5	-1,5	-1,5	-1,5	-1,5	-1,5		
Снижение поверхностью земли возле приёмника Ar, дБ	Gr = 1 hr = 1.5м	ф-лы таб.3 [10]	-1,5	-1,5	5,3	7	5	0,7	0	0	0		
Снижение поверхностью земли в средней зоне, Am дБ	Gm = 1	ф-лы таб.3 [10]	-2,7	-2,7	0	0	0	0	0	0	0		
Суммарное снижение поверхностью земли на траектории распространения звука Agr, дБ		ф-ла (9) [10]	-5,7	-5,7	3,8	5,5	3,5	-0,8	-1,5	-1,5	-1,5		
Уровни звукового давления от источника ИШ-6-23 в расчётной точке днём, дБ		**ф-ла(3)[10]**	**22,5**	**22,4**	**12,4**	**9,6**	**9,2**	**10,4**	**5,2**	**0**	**0**	**13,3**	**13,3**
Уровни звукового давления от источника ИШ-6-23 в расчётной точке ночью, дБ		**ф-ла(3)[10]**	**22,5**	**22,4**	**12,4**	**9,6**	**9,2**	**10,4**	**5,2**	**0**	**0**	**13,3**	**13,3**
Источник шума: ИШ-6-24, координаты источника (x,y,z), м =[800.98,-151.27,3.00]													
Уровни звуковой мощности источника днём, Lw, дБ		**исходные данные**	**91**	**91**	**91**	**91**	**91**	**91**	**91**	**91**	**91**		
Уровни звуковой мощности источника ночью, Lw, дБ		**исходные данные**	**91**	**91**	**91**	**91**	**91**	**91**	**91**	**91**	**91**		
Поправка на телесный угол DΩ, дБ	Ω = 12.57	10Lg(4π/Ω)	**0**	0	0	0	0	0	0	0	0		
Показатель направленности источника Di, дБ		исходные данные	**0**	0	0	0	0	0	0	0	0		
Поправка на направленность источника Dc, дБ	Dc	DΩ + Di	**0**	0	0	0	0	0	0	0	0		
Затухание из-за геометрической дивергенции, Adiv, дБ	расстояние = 1436.02 м	ф-ла (7) [10]	**74,1**										

1		2	3	4	5	6	7	8	9	10	11	12	13
Коэффициент затухания звука в атмосфере α, дБ/км	Та=20,°С Ра=101.33,кПа hотн.=70%	ф-ла (5) [9]	0,02	0,09	0,33	1,12	2,79	4,98	9,04	23,09	77,63		
Учет затухания звука в атмосфере Aatm, дБ		ф-ла (8) [10]	0	0,1	0,5	1,6	4	7,1	13	33,2	111,5		
Снижение уровня звукового давления из-за влияния застройки между источником шума и расчетной точкой													
Снижение уровня звукового давления препятствием справа от трассы ИШ-РТ, Dz3, дБ	z = -0.01м (разность путей)	ф-лы (14-18) [10]	0	0	0	0	3,5	1,7	NAN	NAN	NAN		
* отрицательное значение z означает прохождение траектории вблизи экрана, в этом случае дополнительно производится учёт снижения подстилающей поверхностью (см.ниже)													
Снижение поверхностью земли возле источника As, дБ	Gs = 0 hs = 3м	ф-лы таб.3 [10]	-1,5	-1,5	-1,5	-1,5	-1,5	-1,5	-1,5	-1,5	-1,5		
Снижение поверхностью земли возле приёмника Ar, дБ	Gr = 1 hr = 1.5м	ф-лы таб.3 [10]	-1,5	-1,5	5,3	7	5	0,7	0	0	0		
Снижение поверхностью земли в средней зоне, Am дБ	Gm = 1	ф-лы таб.3 [10]	-2,7	-2,7	0	0	0	0	0	0	0		
Суммарное снижение поверхностью земли на траектории распространения звука Agr, дБ		ф-ла (9) [10]	-5,7	-5,7	3,8	5,5	3,5	-0,8	-1,5	-1,5	-1,5		
Уровни звукового давления от источника ИШ-6-24 в расчётной точке днём, дБ		**ф-ла(3)[10]**	**22,5**	**22,4**	**12,5**	**9,7**	**5,9**	**8,9**	**5,4**	**0**	**0**	**12,1**	**12,1**
Уровни звукового давления от источника ИШ-6-24 в расчётной точке ночью, дБ		**ф-ла(3)[10]**	**22,5**	**22,4**	**12,5**	**9,7**	**5,9**	**8,9**	**5,4**	**0**	**0**	**12,1**	**12,1**
Источник шума: ИШ-8-1, координаты источника (x,y,z), м =[612.60,-227.70,3.00]													
Уровни звуковой мощности источника днём, Lw, дБ		**исходные данные**	**105**	**104**	**104**	**101**	**102**	**106**	**101**	**95**	**87**		
Уровни звуковой мощности источника ночью, Lw, дБ		**исходные данные**	**105**	**104**	**104**	**101**	**102**	**106**	**101**	**95**	**87**		
Поправка на телесный угол DΩ, дБ	Ω = 6.28	10Lg(4π/Ω)	**3**	3	3	3	3	3	3	3	3		
Показатель направленности источника Di, дБ		исходные данные	**0**	0	0	0	0	0	0	0	0		
Поправка на направленность источника Dc, дБ	Dc	DΩ + Di	**3**	3	3	3	3	3	3	3	3		

1		2	3	4	5	6	7	8	9	10	11	12	13
Затухание из-за геометрической дивергенции, Adiv, дБ	расстояние = 1366.19 м	ф-ла (7) [10]	**73,7**										
Коэффициент затухания звука в атмосфере α, дБ/км	Ta=20,°C Pa=101.33,кПа hотн.=70%	ф-ла (5) [9]	0,02	0,09	0,33	1,12	2,79	4,98	9,04	23,09	77,63		
Учет затухания звука в атмосфере Aatm, дБ		ф-ла (8) [10]	0	0,1	0,5	1,5	3,8	6,8	12,3	31,5	106,1		
Снижение поверхностью земли возле источника As, дБ	Gs = 0 hs = 3м	ф-лы таб.3 [10]	-1,5	-1,5	-1,5	-1,5	-1,5	-1,5	-1,5	-1,5	-1,5		
Снижение поверхностью земли возле приёмника Ar, дБ	Gr = 1 hr = 1.5м	ф-лы таб.3 [10]	-1,5	-1,5	5,3	7	5	0,7	0	0	0		
Снижение поверхностью земли в средней зоне, Am дБ	Gm = 1	ф-лы таб.3 [10]	-2,7	-2,7	0	0	0	0	0	0	0		
Суммарное снижение поверхностью земли на траектории распространения звука Agr, дБ		ф-ла (9) [10]	-5,7	-5,7	3,8	5,5	3,5	-0,8	-1,5	-1,5	-1,5		
Уровни звукового давления от источника ИШ-8-1 в расчётной точке днём, дБ		**ф-ла(3)[10]**	**40**	**38,9**	**29**	**23,2**	**24**	**29,3**	**19,5**	**0**	**0**	**30,7**	**30,7**
Уровни звукового давления от источника ИШ-8-1 в расчётной точке ночью, дБ		**ф-ла(3)[10]**	**40**	**38,9**	**29**	**23,2**	**24**	**29,3**	**19,5**	**0**	**0**	**30,7**	**30,7**
Источник шума: ИШ-8-2, координаты источника (x,y,z), м =[596.60,-275.00,3.00]													
Уровни звуковой мощности источника днём, Lw, дБ		**исходные данные**	**105**	**104**	**104**	**101**	**102**	**106**	**101**	**95**	**87**		
Уровни звуковой мощности источника ночью, Lw, дБ		**исходные данные**	**105**	**104**	**104**	**101**	**102**	**106**	**101**	**95**	**87**		
Поправка на телесный угол DΩ, дБ	Ω = 6.28	10Lg(4π/Ω)	**3**	3	3	3	3	3	3	3	3		
Показатель направленности источника Di, дБ		исходные данные	**0**	0	0	0	0	0	0	0	0		
Поправка на направленность источника Dc, дБ	Dc	DΩ + Di	**3**	3	3	3	3	3	3	3	3		
Затухание из-за геометрической дивергенции, Adiv, дБ	расстояние = 1320.97 м	ф-ла (7) [10]	**73,4**										

1		2	3	4	5	6	7	8	9	10	11	12	13
Коэффициент затухания звука в атмосфере α, дБ/км	Ta=20,°C Pa=101.33,кПа hотн.=70%	ф-ла (5) [9]	0,02	0,09	0,33	1,12	2,79	4,98	9,04	23,09	77,63		
Учет затухания звука в атмосфере Aatm, дБ		ф-ла (8) [10]	0	0,1	0,4	1,5	3,7	6,6	11,9	30,5	102,6		
Снижение поверхностью земли возле источника As, дБ	Gs = 0 hs = 3м	ф-лы таб.3 [10]	-1,5	-1,5	-1,5	-1,5	-1,5	-1,5	-1,5	-1,5	-1,5		
Снижение поверхностью земли возле приёмника Ar, дБ	Gr = 1 hr = 1.5м	ф-лы таб.3 [10]	-1,5	-1,5	5,3	7	5	0,7	0	0	0		
Снижение поверхностью земли в средней зоне, Am дБ	Gm = 1	ф-лы таб.3 [10]	-2,7	-2,7	0	0	0	0	0	0	0		
Суммарное снижение поверхностью земли на траектории распространения звука Agr, дБ		ф-ла (9) [10]	-5,7	-5,7	3,8	5,5	3,5	-0,8	-1,5	-1,5	-1,5		
Уровни звукового давления от источника ИШ-8-2 в расчётной точке днём, дБ		**ф-ла(3)[10]**	**40,3**	**39,2**	**29,3**	**23,6**	**24,4**	**29,9**	**20,2**	**0**	**0**	**31,2**	**31,2**
Уровни звукового давления от источника ИШ-8-2 в расчётной точке ночью, дБ		**ф-ла(3)[10]**	**40,3**	**39,2**	**29,3**	**23,6**	**24,4**	**29,9**	**20,2**	**0**	**0**	**31,2**	**31,2**
Источник шума: ИШ-8-3, координаты источника (x,y,z), м =[564.90,-369.90,3.00]													
Уровни звуковой мощности источника днём, Lw, дБ		**исходные данные**	**105**	**104**	**104**	**101**	**102**	**106**	**101**	**95**	**87**		
Уровни звуковой мощности источника ночью, Lw, дБ		**исходные данные**	**105**	**104**	**104**	**101**	**102**	**106**	**101**	**95**	**87**		
Поправка на телесный угол DΩ, дБ	Ω = 6.28	10Lg(4π/Ω)	**3**	3	3	3	3	3	3	3	3		
Показатель направленности источника Di, дБ		исходные данные	**0**	0	0	0	0	0	0	0	0		
Поправка на направленность источника Dc, дБ	Dc	DΩ + Di	**3**	3	3	3	3	3	3	3	3		
Затухание из-за геометрической дивергенции, Adiv, дБ	расстояние = 1231.27 м	ф-ла (7) [10]	**72,8**										
Коэффициент затухания звука в атмосфере α, дБ/км	Ta=20,°C Pa=101.33,кПа hотн.=70%	ф-ла (5) [9]	0,02	0,09	0,33	1,12	2,79	4,98	9,04	23,09	77,63		

1		2	3	4	5	6	7	8	9	10	11	12	13
Учет затухания звука в атмосфере Aatm, дБ		ф-ла (8) [10]	0	0,1	0,4	1,4	3,4	6,1	11,1	28,4	95,6		
Снижение поверхностью земли возле источника As, дБ	Gs = 0 hs = 3м	ф-лы таб.3 [10]	-1,5	-1,5	-1,5	-1,5	-1,5	-1,5	-1,5	-1,5	-1,5		
Снижение поверхностью земли возле приёмника Ar, дБ	Gr = 1 hr = 1.5м	ф-лы таб.3 [10]	-1,5	-1,5	5,3	7	5	0,7	0	0	0		
Снижение поверхностью земли в средней зоне, Am дБ	Gm = 1	ф-лы таб.3 [10]	-2,7	-2,7	0	0	0	0	0	0	0		
Суммарное снижение поверхностью земли на траектории распространения звука Agr, дБ		ф-ла (9) [10]	-5,7	-5,7	3,8	5,5	3,5	-0,8	-1,5	-1,5	-1,5		
Уровни звукового давления от источника ИШ-8-3 в расчётной точке днём, дБ		**ф-ла(3)[10]**	**40,8**	**39,8**	**30**	**24,3**	**25,3**	**30,9**	**21,6**	**0**	**0**	**32,2**	**32,2**
Уровни звукового давления от источника ИШ-8-3 в расчётной точке ночью, дБ		**ф-ла(3)[10]**	**40,8**	**39,8**	**30**	**24,3**	**25,3**	**30,9**	**21,6**	**0**	**0**	**32,2**	**32,2**
Источник шума: ИШ-9-1, координаты источника (x,y,z), м =[642.94,-357.54,1.00]													
Уровни звуковой мощности источника днём, Lw, дБ		**исходные данные**	**0**	**93,3**	**94,7**	**96**	**96,3**	**95,9**	**92,6**	**88,4**	**83,9**		
Уровни звуковой мощности источника ночью, Lw, дБ		**исходные данные**	**0**	**93,3**	**94,7**	**96**	**96,3**	**95,9**	**92,6**	**88,4**	**83,9**		
Поправка на телесный угол DΩ, дБ	Ω = 6.28	10Lg(4π/Ω)	**3**	3	3	3	3	3	3	3	3		
Показатель направленности источника Di, дБ		исходные данные	**0**	0	0	0	0	0	0	0	0		
Поправка на направленность источника Dc, дБ	Dc	DΩ + Di	**3**	3	3	3	3	3	3	3	3		
Затухание из-за геометрической дивергенции, Adiv, дБ	расстояние = 1234.02 м	ф-ла (7) [10]	**72,8**										
Коэффициент затухания звука в атмосфере α, дБ/км	Ta=20,°C Pa=101.33,кПа hотн.=70%	ф-ла (5) [9]	0,02	0,09	0,33	1,12	2,79	4,98	9,04	23,09	77,63		
Учет затухания звука в атмосфере Aatm, дБ		ф-ла (8) [10]	0	0,1	0,4	1,4	3,4	6,1	11,2	28,5	95,8		

1		2	3	4	5	6	7	8	9	10	11	12	13
Снижение поверхностью земли возле источника As, дБ	Gs = 0 hs = 1м	ф-лы таб.3 [10]	-1,5	-1,5	-1,5	-1,5	-1,5	-1,5	-1,5	-1,5	-1,5		
Снижение поверхностью земли возле приёмника Ar, дБ	Gr = 1 hr = 1.5м	ф-лы таб.3 [10]	-1,5	-1,5	5,3	7	5	0,7	0	0	0		
Снижение поверхностью земли в средней зоне, Am дБ	Gm = 1	ф-лы таб.3 [10]	-2,8	-2,8	0	0	0	0	0	0	0		
Суммарное снижение поверхностью земли на траектории распространения звука Agr, дБ		ф-ла (9) [10]	-5,8	-5,8	3,8	5,5	3,5	-0,8	-1,5	-1,5	-1,5		
Уровни звукового давления от источника ИШ-9-1 в расчётной точке днём, дБ		**ф-ла(3)[10]**	**0**	**29,2**	**20,7**	**19,3**	**19,5**	**20,8**	**13,1**	**0**	**0**	**23,1**	**23,1**
Уровни звукового давления от источника ИШ-9-1 в расчётной точке ночью, дБ		**ф-ла(3)[10]**	**0**	**29,2**	**20,7**	**19,3**	**19,5**	**20,8**	**13,1**	**0**	**0**	**23,1**	**23,1**
Источник шума: ИШ-9-2, координаты источника (x,y,z), м =[644.14,-354.83,1.00]													
Уровни звуковой мощности источника днём, Lw, дБ		**исходные данные**	**0**	**93,3**	**94,7**	**96**	**96,3**	**95,9**	**92,6**	**88,4**	**83,9**		
Уровни звуковой мощности источника ночью, Lw, дБ		**исходные данные**	**0**	**93,3**	**94,7**	**96**	**96,3**	**95,9**	**92,6**	**88,4**	**83,9**		
Поправка на телесный угол DΩ, дБ	Ω = 6.28	10Lg(4π/Ω)	**3**	3	3	3	3	3	3	3	3		
Показатель направленности источника Di, дБ		исходные данные	**0**	0	0	0	0	0	0	0	0		
Поправка на направленность источника Dc, дБ	Dc	DΩ + Di	**3**	3	3	3	3	3	3	3	3		
Затухание из-за геометрической дивергенции, Adiv, дБ	расстояние = 1236.61 м	ф-ла (7) [10]	**72,8**										
Коэффициент затухания звука в атмосфере α, дБ/км	Ta=20,°C Pa=101.33,кПа hотн.=70%	ф-ла (5) [9]	0,02	0,09	0,33	1,12	2,79	4,98	9,04	23,09	77,63		
Учет затухания звука в атмосфере Aatm, дБ		ф-ла (8) [10]	0	0,1	0,4	1,4	3,5	6,2	11,2	28,5	96		
Снижение поверхностью земли возле источника As, дБ	Gs = 0 hs = 1м	ф-лы таб.3 [10]	-1,5	-1,5	-1,5	-1,5	-1,5	-1,5	-1,5	-1,5	-1,5		

1		2	3	4	5	6	7	8	9	10	11	12	13
Снижение поверхностью земли возле приёмника Ar, дБ	Gr = 1 hr = 1.5м	ф-лы таб.3 [10]	-1,5	-1,5	5,3	7	5	0,7	0	0	0		
Снижение поверхностью земли в средней зоне, Am дБ	Gm = 1	ф-лы таб.3 [10]	-2,8	-2,8	0	0	0	0	0	0	0		
Суммарное снижение поверхностью земли на траектории распространения звука Agr, дБ		ф-ла (9) [10]	-5,8	-5,8	3,8	5,5	3,5	-0,8	-1,5	-1,5	-1,5		
Уровни звукового давления от источника ИШ-9-2 в расчётной точке днём, дБ		**ф-ла(3)[10]**	**0**	**29,2**	**20,7**	**19,2**	**19,5**	**20,7**	**13,1**	**0**	**0**	**23,1**	**23,1**
Уровни звукового давления от источника ИШ-9-2 в расчётной точке ночью, дБ		**ф-ла(3)[10]**	**0**	**29,2**	**20,7**	**19,2**	**19,5**	**20,7**	**13,1**	**0**	**0**	**23,1**	**23,1**
Источник шума: ИШ-9-3, координаты источника (x,y,z), м =[644.98,-351.85,1.00]													
Уровни звуковой мощности источника днём, Lw, дБ		**исходные данные**	**0**	**93,3**	**94,7**	**96**	**96,3**	**95,9**	**92,6**	**88,4**	**83,9**		
Уровни звуковой мощности источника ночью, Lw, дБ		**исходные данные**	**0**	**93,3**	**94,7**	**96**	**96,3**	**95,9**	**92,6**	**88,4**	**83,9**		
Поправка на телесный угол DΩ, дБ	Ω = 6.28	10Lg(4π/Ω)	**3**	3	3	3	3	3	3	3	3		
Показатель направленности источника Di, дБ		исходные данные	**0**	0	0	0	0	0	0	0	0		
Поправка на направленность источника Dc, дБ	Dc	DΩ + Di	**3**	3	3	3	3	3	3	3	3		
Затухание из-за геометрической дивергенции, Adiv, дБ	расстояние = 1239.50 м	ф-ла (7) [10]	**72,9**										
Коэффициент затухания звука в атмосфере α, дБ/км	Ta=20,°C Pa=101.33,кПа hотн.=70%	ф-ла (5) [9]	0,02	0,09	0,33	1,12	2,79	4,98	9,04	23,09	77,63		
Учет затухания звука в атмосфере Aatm, дБ		ф-ла (8) [10]	0	0,1	0,4	1,4	3,5	6,2	11,2	28,6	96,2		
Снижение поверхностью земли возле источника As, дБ	Gs = 0 hs = 1м	ф-лы таб.3 [10]	-1,5	-1,5	-1,5	-1,5	-1,5	-1,5	-1,5	-1,5	-1,5		
Снижение поверхностью земли возле приёмника Ar, дБ	Gr = 1 hr = 1.5м	ф-лы таб.3 [10]	-1,5	-1,5	5,3	7	5	0,7	0	0	0		

1		2	3	4	5	6	7	8	9	10	11	12	13
Снижение поверхностью земли в средней зоне, Am дБ	Gm = 1	ф-лы таб.3 [10]	-2,8	-2,8	0	0	0	0	0	0	0		
Суммарное снижение поверхностью земли на траектории распространения звука Agr, дБ		ф-ла (9) [10]	-5,8	-5,8	3,8	5,5	3,5	-0,8	-1,5	-1,5	-1,5		
Уровни звукового давления от источника ИШ-9-3 в расчётной точке днём, дБ		**ф-ла(3)[10]**	**0**	**29,1**	**20,6**	**19,2**	**19,5**	**20,7**	**13**	**0**	**0**	**23,1**	**23,1**
Уровни звукового давления от источника ИШ-9-3 в расчётной точке ночью, дБ		**ф-ла(3)[10]**	**0**	**29,1**	**20,6**	**19,2**	**19,5**	**20,7**	**13**	**0**	**0**	**23,1**	**23,1**
Источник шума: ИШ-9-4, координаты источника (x,y,z), м =[646.01,-349.15,1.00]													
Уровни звуковой мощности источника днём, Lw, дБ		**исходные данные**	**0**	**93,3**	**94,7**	**96**	**96,3**	**95,9**	**92,6**	**88,4**	**83,9**		
Уровни звуковой мощности источника ночью, Lw, дБ		**исходные данные**	**0**	**93,3**	**94,7**	**96**	**96,3**	**95,9**	**92,6**	**88,4**	**83,9**		
Поправка на телесный угол DΩ, дБ	Ω = 6.28	10Lg(4π/Ω)	**3**	3	3	3	3	3	3	3	3		
Показатель направленности источника Di, дБ		исходные данные	**0**	0	0	0	0	0	0	0	0		
Поправка на направленность источника Dc, дБ	Dc	DΩ + Di	**3**	3	3	3	3	3	3	3	3		
Затухание из-за геометрической дивергенции, Adiv, дБ	расстояние = 1242.10 м	ф-ла (7) [10]	**72,9**										
Коэффициент затухания звука в атмосфере α, дБ/км	Ta=20,°C Pa=101.33,кПа hотн.=70%	ф-ла (5) [9]	0,02	0,09	0,33	1,12	2,79	4,98	9,04	23,09	77,63		
Учет затухания звука в атмосфере Aatm, дБ		ф-ла (8) [10]	0	0,1	0,4	1,4	3,5	6,2	11,2	28,7	96,4		
Снижение поверхностью земли возле источника As, дБ	Gs = 0 hs = 1м	ф-лы таб.3 [10]	-1,5	-1,5	-1,5	-1,5	-1,5	-1,5	-1,5	-1,5	-1,5		
Снижение поверхностью земли возле приёмника Ar, дБ	Gr = 1 hr = 1.5м	ф-лы таб.3 [10]	-1,5	-1,5	5,3	7	5	0,7	0	0	0		
Снижение поверхностью земли в средней зоне, Am дБ	Gm = 1	ф-лы таб.3 [10]	-2,8	-2,8	0	0	0	0	0	0	0		

1		2	3	4	5	6	7	8	9	10	11	12	13
Суммарное снижение поверхностью земли на траектории распространения звука Agr, дБ		ф-ла (9) [10]	-5,8	-5,8	3,8	5,5	3,5	-0,8	-1,5	-1,5	-1,5		
Уровни звукового давления от источника ИШ-9-4 в расчётной точке днём, дБ		**ф-ла(3)[10]**	**0**	**29,1**	**20,6**	**19,2**	**19,5**	**20,7**	**13**	**0**	**0**	**23**	**23**
Уровни звукового давления от источника ИШ-9-4 в расчётной точке ночью, дБ		**ф-ла(3)[10]**	**0**	**29,1**	**20,6**	**19,2**	**19,5**	**20,7**	**13**	**0**	**0**	**23**	**23**
Источник шума: ИШ-9-5, координаты источника (x,y,z), м =[646.84,-346.17,1.00]													
Уровни звуковой мощности источника днём, Lw, дБ		**исходные данные**	**0**	**93,3**	**94,7**	**96**	**96,3**	**95,9**	**92,6**	**88,4**	**83,9**		
Уровни звуковой мощности источника ночью, Lw, дБ		**исходные данные**	**0**	**93,3**	**94,7**	**96**	**96,3**	**95,9**	**92,6**	**88,4**	**83,9**		
Поправка на телесный угол DΩ, дБ	Ω = 6.28	10Lg(4π/Ω)	**3**	3	3	3	3	3	3	3	3		
Показатель направленности источника Di, дБ		исходные данные	**0**	0	0	0	0	0	0	0	0		
Поправка на направленность источника Dc, дБ	Dc	DΩ + Di	**3**	3	3	3	3	3	3	3	3		
Затухание из-за геометрической дивергенции, Adiv, дБ	расстояние = 1245.00 м	ф-ла (7) [10]	**72,9**										
Коэффициент затухания звука в атмосфере α, дБ/км	Ta=20,°C Pa=101.33,кПа hотн.=70%	ф-ла (5) [9]	0,02	0,09	0,33	1,12	2,79	4,98	9,04	23,09	77,63		
Учет затухания звука в атмосфере Aatm, дБ		ф-ла (8) [10]	0	0,1	0,4	1,4	3,5	6,2	11,3	28,7	96,7		
Снижение поверхностью земли возле источника As, дБ	Gs = 0 hs = 1м	ф-лы таб.3 [10]	-1,5	-1,5	-1,5	-1,5	-1,5	-1,5	-1,5	-1,5	-1,5		
Снижение поверхностью земли возле приёмника Ar, дБ	Gr = 1 hr = 1.5м	ф-лы таб.3 [10]	-1,5	-1,5	5,3	7	5	0,7	0	0	0		
Снижение поверхностью земли в средней зоне, Am дБ	Gm = 1	ф-лы таб.3 [10]	-2,8	-2,8	0	0	0	0	0	0	0		
Суммарное снижение поверхностью земли на траектории распространения звука Agr, дБ		ф-ла (9) [10]	-5,8	-5,8	3,8	5,5	3,5	-0,8	-1,5	-1,5	-1,5		

1		2	3	4	5	6	7	8	9	10	11	12	13
Уровни звукового давления от источника ИШ-9-5 в расчётной точке днём, дБ		**ф-ла(3)[10]**	**0**	**29,1**	**20,6**	**19,2**	**19,4**	**20,6**	**12,9**	**0**	**0**	**23**	**23**
Уровни звукового давления от источника ИШ-9-5 в расчётной точке ночью, дБ		**ф-ла(3)[10]**	**0**	**29,1**	**20,6**	**19,2**	**19,4**	**20,6**	**12,9**	**0**	**0**	**23**	**23**
Источник шума: ИШ-9-6, координаты источника (x,y,z), м =[647.87,-343.47,1.00]													
Уровни звуковой мощности источника днём, Lw, дБ		**исходные данные**	**0**	**93,3**	**94,7**	**96**	**96,3**	**95,9**	**92,6**	**88,4**	**83,9**		
Уровни звуковой мощности источника ночью, Lw, дБ		**исходные данные**	**0**	**93,3**	**94,7**	**96**	**96,3**	**95,9**	**92,6**	**88,4**	**83,9**		
Поправка на телесный угол DΩ, дБ	Ω = 6.28	10Lg(4π/Ω)	**3**	3	3	3	3	3	3	3	3		
Показатель направленности источника Di, дБ		исходные данные	**0**	0	0	0	0	0	0	0	0		
Поправка на направленность источника Dc, дБ	Dc	DΩ + Di	**3**	3	3	3	3	3	3	3	3		
Затухание из-за геометрической дивергенции, Adiv, дБ	расстояние = 1247.60 м	ф-ла (7) [10]	**72,9**										
Коэффициент затухания звука в атмосфере α, дБ/км	Ta=20,°C Pa=101.33,кПа hотн.=70%	ф-ла (5) [9]	0,02	0,09	0,33	1,12	2,79	4,98	9,04	23,09	77,63		
Учет затухания звука в атмосфере Aatm, дБ		ф-ла (8) [10]	0	0,1	0,4	1,4	3,5	6,2	11,3	28,8	96,9		
Снижение поверхностью земли возле источника As, дБ	Gs = 0 hs = 1м	ф-лы таб.3 [10]	-1,5	-1,5	-1,5	-1,5	-1,5	-1,5	-1,5	-1,5	-1,5		
Снижение поверхностью земли возле приёмника Ar, дБ	Gr = 1 hr = 1.5м	ф-лы таб.3 [10]	-1,5	-1,5	5,3	7	5	0,7	0	0	0		
Снижение поверхностью земли в средней зоне, Am дБ	Gm = 1	ф-лы таб.3 [10]	-2,8	-2,8	0	0	0	0	0	0	0		
Суммарное снижение поверхностью земли на траектории распространения звука Agr, дБ		ф-ла (9) [10]	-5,8	-5,8	3,8	5,5	3,5	-0,8	-1,5	-1,5	-1,5		
Уровни звукового давления от источника ИШ-9-6 в расчётной точке днём, дБ		**ф-ла(3)[10]**	**0**	**29,1**	**20,6**	**19,1**	**19,4**	**20,6**	**12,9**	**0**	**0**	**23**	**23**

1		2	3	4	5	6	7	8	9	10	11	12	13
Уровни звукового давления от источника ИШ-9-6 в расчётной точке ночью, дБ		**ф-ла(3)[10]**	**0**	**29,1**	**20,6**	**19,1**	**19,4**	**20,6**	**12,9**	**0**	**0**	**23**	**23**
Источник шума: ИШ-9-7, координаты источника (x,y,z), м =[648.71,-340.49,1.00]													
Уровни звуковой мощности источника днём, Lw, дБ		**исходные данные**	**0**	**93,3**	**94,7**	**96**	**96,3**	**95,9**	**92,6**	**88,4**	**83,9**		
Уровни звуковой мощности источника ночью, Lw, дБ		**исходные данные**	**0**	**93,3**	**94,7**	**96**	**96,3**	**95,9**	**92,6**	**88,4**	**83,9**		
Поправка на телесный угол DΩ, дБ	Ω = 6.28	10Lg(4π/Ω)	**3**	3	3	3	3	3	3	3	3		
Показатель направленности источника Di, дБ		исходные данные	**0**	0	0	0	0	0	0	0	0		
Поправка на направленность источника Dc, дБ	Dc	DΩ + Di	**3**	3	3	3	3	3	3	3	3		
Затухание из-за геометрической дивергенции, Adiv, дБ	расстояние = 1250.50 м	ф-ла (7) [10]	**72,9**										
Коэффициент затухания звука в атмосфере α, дБ/км	Ta=20,°C Pa=101.33,кПа hотн.=70%	ф-ла (5) [9]	0,02	0,09	0,33	1,12	2,79	4,98	9,04	23,09	77,63		
Учет затухания звука в атмосфере Aatm, дБ		ф-ла (8) [10]	0	0,1	0,4	1,4	3,5	6,2	11,3	28,9	97,1		
Снижение поверхностью земли возле источника As, дБ	Gs = 0 hs = 1м	ф-лы таб.3 [10]	-1,5	-1,5	-1,5	-1,5	-1,5	-1,5	-1,5	-1,5	-1,5		
Снижение поверхностью земли возле приёмника Ar, дБ	Gr = 1 hr = 1.5м	ф-лы таб.3 [10]	-1,5	-1,5	5,3	7	5	0,7	0	0	0		
Снижение поверхностью земли в средней зоне, Am дБ	Gm = 1	ф-лы таб.3 [10]	-2,8	-2,8	0	0	0	0	0	0	0		
Суммарное снижение поверхностью земли на траектории распространения звука Agr, дБ		ф-ла (9) [10]	-5,8	-5,8	3,8	5,5	3,5	-0,8	-1,5	-1,5	-1,5		
Уровни звукового давления от источника ИШ-9-7 в расчётной точке днём, дБ		**ф-ла(3)[10]**	**0**	**29,1**	**20,5**	**19,1**	**19,4**	**20,6**	**12,8**	**0**	**0**	**22,9**	**22,9**
Уровни звукового давления от источника ИШ-9-7 в расчётной точке ночью, дБ		**ф-ла(3)[10]**	**0**	**29,1**	**20,5**	**19,1**	**19,4**	**20,6**	**12,8**	**0**	**0**	**22,9**	**22,9**

1		2	3	4	5	6	7	8	9	10	11	12	13
Источник шума: ИШ-9-8, координаты источника (x,y,z), м =[649.92,-337.69,1.00]													
Уровни звуковой мощности источника днём, Lw, дБ		**исходные данные**	**0**	**93,3**	**94,7**	**96**	**96,3**	**95,9**	**92,6**	**88,4**	**83,9**		
Уровни звуковой мощности источника ночью, Lw, дБ		**исходные данные**	**0**	**93,3**	**94,7**	**96**	**96,3**	**95,9**	**92,6**	**88,4**	**83,9**		
Поправка на телесный угол DΩ, дБ	Ω = 6.28	10Lg(4π/Ω)	**3**	3	3	3	3	3	3	3	3		
Показатель направленности источника Di, дБ		исходные данные	**0**	0	0	0	0	0	0	0	0		
Поправка на направленность источника Dc, дБ	Dc	DΩ + Di	**3**	3	3	3	3	3	3	3	3		
Затухание из-за геометрической дивергенции, Adiv, дБ	расстояние = 1253.18 м	ф-ла (7) [10]	**73**										
Коэффициент затухания звука в атмосфере α, дБ/км	Ta=20,°C Pa=101.33,кПа hотн.=70%	ф-ла (5) [9]	0,02	0,09	0,33	1,12	2,79	4,98	9,04	23,09	77,63		
Учет затухания звука в атмосфере Aatm, дБ		ф-ла (8) [10]	0	0,1	0,4	1,4	3,5	6,2	11,3	28,9	97,3		
Снижение поверхностью земли возле источника As, дБ	Gs = 0 hs = 1м	ф-лы таб.3 [10]	-1,5	-1,5	-1,5	-1,5	-1,5	-1,5	-1,5	-1,5	-1,5		
Снижение поверхностью земли возле приёмника Ar, дБ	Gr = 1 hr = 1.5м	ф-лы таб.3 [10]	-1,5	-1,5	5,3	7	5	0,7	0	0	0		
Снижение поверхностью земли в средней зоне, Am дБ	Gm = 1	ф-лы таб.3 [10]	-2,8	-2,8	0	0	0	0	0	0	0		
Суммарное снижение поверхностью земли на траектории распространения звука Agr, дБ		ф-ла (9) [10]	-5,8	-5,8	3,8	5,5	3,5	-0,8	-1,5	-1,5	-1,5		
Уровни звукового давления от источника ИШ-9-8 в расчётной точке днём, дБ		**ф-ла(3)[10]**	**0**	**29**	**20,5**	**19,1**	**19,4**	**20,5**	**12,8**	**0**	**0**	**22,9**	**22,9**
Уровни звукового давления от источника ИШ-9-8 в расчётной точке ночью, дБ		**ф-ла(3)[10]**	**0**	**29**	**20,5**	**19,1**	**19,4**	**20,5**	**12,8**	**0**	**0**	**22,9**	**22,9**
Источник шума: ИШ-9-9, координаты источника (x,y,z), м =[650.66,-334.90,1.00]													

1		2	3	4	5	6	7	8	9	10	11	12	13
Уровни звуковой мощности источника днём, Lw, дБ		**исходные данные**	**0**	**93,3**	**94,7**	**96**	**96,3**	**95,9**	**92,6**	**88,4**	**83,9**		
Уровни звуковой мощности источника ночью, Lw, дБ		**исходные данные**	**0**	**93,3**	**94,7**	**96**	**96,3**	**95,9**	**92,6**	**88,4**	**83,9**		
Поправка на телесный угол DΩ, дБ	Ω = 6.28	10Lg(4π/Ω)	**3**	3	3	3	3	3	3	3	3		
Показатель направленности источника Di, дБ		исходные данные	**0**	0	0	0	0	0	0	0	0		
Поправка на направленность источника Dc, дБ	Dc	DΩ + Di	**3**	3	3	3	3	3	3	3	3		
Затухание из-за геометрической дивергенции, Adiv, дБ	расстояние = 1255.91 м	ф-ла (7) [10]	**73**										
Коэффициент затухания звука в атмосфере α, дБ/км	Ta=20,°C Pa=101.33,кПа hотн.=70%	ф-ла (5) [9]	0,02	0,09	0,33	1,12	2,79	4,98	9,04	23,09	77,63		
Учет затухания звука в атмосфере Aatm, дБ		ф-ла (8) [10]	0	0,1	0,4	1,4	3,5	6,3	11,4	29	97,5		
Снижение поверхностью земли возле источника As, дБ	Gs = 0 hs = 1м	ф-лы таб.3 [10]	-1,5	-1,5	-1,5	-1,5	-1,5	-1,5	-1,5	-1,5	-1,5		
Снижение поверхностью земли возле приёмника Ar, дБ	Gr = 1 hr = 1.5м	ф-лы таб.3 [10]	-1,5	-1,5	5,3	7	5	0,7	0	0	0		
Снижение поверхностью земли в средней зоне, Am дБ	Gm = 1	ф-лы таб.3 [10]	-2,8	-2,8	0	0	0	0	0	0	0		
Суммарное снижение поверхностью земли на траектории распространения звука Agr, дБ		ф-ла (9) [10]	-5,8	-5,8	3,8	5,5	3,5	-0,8	-1,5	-1,5	-1,5		
Уровни звукового давления от источника ИШ-9-9 в расчётной точке днём, дБ		**ф-ла(3)[10]**	**0**	**29**	**20,5**	**19,1**	**19,3**	**20,5**	**12,8**	**0**	**0**	**22,9**	**22,9**
Уровни звукового давления от источника ИШ-9-9 в расчётной точке ночью, дБ		**ф-ла(3)[10]**	**0**	**29**	**20,5**	**19,1**	**19,3**	**20,5**	**12,8**	**0**	**0**	**22,9**	**22,9**
Источник шума: ИШ-9-10, координаты источника (x,y,z), м =[651.59,-332.01,1.00]													
Уровни звуковой мощности источника днём, Lw, дБ		**исходные данные**	**0**	**93,3**	**94,7**	**96**	**96,3**	**95,9**	**92,6**	**88,4**	**83,9**		

1		2	3	4	5	6	7	8	9	10	11	12	13
Уровни звуковой мощности источника ночью, Lw, дБ		**исходные данные**	**0**	**93,3**	**94,7**	**96**	**96,3**	**95,9**	**92,6**	**88,4**	**83,9**		
Поправка на телесный угол DΩ, дБ	Ω = 6.28	10Lg(4π/Ω)	**3**	3	3	3	3	3	3	3	3		
Показатель направленности источника Di, дБ		исходные данные	**0**	0	0	0	0	0	0	0	0		
Поправка на направленность источника Dc, дБ	Dc	DΩ + Di	**3**	3	3	3	3	3	3	3	3		
Затухание из-за геометрической дивергенции, Adiv, дБ	расстояние = 1258.71 м	ф-ла (7) [10]	**73**										
Коэффициент затухания звука в атмосфере α, дБ/км	Ta=20,°C Pa=101.33,кПа hотн.=70%	ф-ла (5) [9]	0,02	0,09	0,33	1,12	2,79	4,98	9,04	23,09	77,63		
Учет затухания звука в атмосфере Aatm, дБ		ф-ла (8) [10]	0	0,1	0,4	1,4	3,5	6,3	11,4	29,1	97,7		
Снижение поверхностью земли возле источника As, дБ	Gs = 0 hs = 1м	ф-лы таб.3 [10]	-1,5	-1,5	-1,5	-1,5	-1,5	-1,5	-1,5	-1,5	-1,5		
Снижение поверхностью земли возле приёмника Ar, дБ	Gr = 1 hr = 1.5м	ф-лы таб.3 [10]	-1,5	-1,5	5,3	7	5	0,7	0	0	0		
Снижение поверхностью земли в средней зоне, Am дБ	Gm = 1	ф-лы таб.3 [10]	-2,8	-2,8	0	0	0	0	0	0	0		
Суммарное снижение поверхностью земли на траектории распространения звука Agr, дБ		ф-ла (9) [10]	-5,8	-5,8	3,8	5,5	3,5	-0,8	-1,5	-1,5	-1,5		
Уровни звукового давления от источника ИШ-9-10 в расчётной точке днём, дБ		**ф-ла(3)[10]**	**0**	**29**	**20,5**	**19,1**	**19,3**	**20,5**	**12,7**	**0**	**0**	**22,8**	**22,8**
Уровни звукового давления от источника ИШ-9-10 в расчётной точке ночью, дБ		**ф-ла(3)[10]**	**0**	**29**	**20,5**	**19,1**	**19,3**	**20,5**	**12,7**	**0**	**0**	**22,8**	**22,8**
Источник шума: ИШ-9-11, координаты источника (x,y,z), м =[652.71,-329.22,1.00]													
Уровни звуковой мощности источника днём, Lw, дБ		**исходные данные**	**0**	**93,3**	**94,7**	**96**	**96,3**	**95,9**	**92,6**	**88,4**	**83,9**		
Уровни звуковой мощности источника ночью, Lw, дБ		**исходные данные**	**0**	**93,3**	**94,7**	**96**	**96,3**	**95,9**	**92,6**	**88,4**	**83,9**		

1		2	3	4	5	6	7	8	9	10	11	12	13
Поправка на телесный угол DΩ, дБ	Ω = 6.28	10Lg(4π/Ω)	**3**	3	3	3	3	3	3	3	3		
Показатель направленности источника Di, дБ		исходные данные	**0**	0	0	0	0	0	0	0	0		
Поправка на направленность источника Dc, дБ	Dc	DΩ + Di	**3**	3	3	3	3	3	3	3	3		
Затухание из-за геометрической дивергенции, Adiv, дБ	расстояние = 1261.40 м	ф-ла (7) [10]	**73**										
Коэффициент затухания звука в атмосфере α, дБ/км	Ta=20,°C Pa=101.33,кПа hотн.=70%	ф-ла (5) [9]	0,02	0,09	0,33	1,12	2,79	4,98	9,04	23,09	77,63		
Учет затухания звука в атмосфере Aatm, дБ		ф-ла (8) [10]	0	0,1	0,4	1,4	3,5	6,3	11,4	29,1	97,9		
Снижение поверхностью земли возле источника As, дБ	Gs = 0 hs = 1м	ф-лы таб.3 [10]	-1,5	-1,5	-1,5	-1,5	-1,5	-1,5	-1,5	-1,5	-1,5		
Снижение поверхностью земли возле приёмника Ar, дБ	Gr = 1 hr = 1.5м	ф-лы таб.3 [10]	-1,5	-1,5	5,3	7	5	0,7	0	0	0		
Снижение поверхностью земли в средней зоне, Am дБ	Gm = 1	ф-лы таб.3 [10]	-2,8	-2,8	0	0	0	0	0	0	0		
Суммарное снижение поверхностью земли на траектории распространения звука Agr, дБ		ф-ла (9) [10]	-5,8	-5,8	3,8	5,5	3,5	-0,8	-1,5	-1,5	-1,5		
Уровни звукового давления от источника ИШ-9-11 в расчётной точке днём, дБ		**ф-ла(3)[10]**	**0**	**29**	**20,5**	**19**	**19,3**	**20,4**	**12,7**	**0**	**0**	**22,8**	**22,8**
Уровни звукового давления от источника ИШ-9-11 в расчётной точке ночью, дБ		**ф-ла(3)[10]**	**0**	**29**	**20,5**	**19**	**19,3**	**20,4**	**12,7**	**0**	**0**	**22,8**	**22,8**
Источник шума: ИШ-9-12, координаты источника (x,y,z), м =[653.46,-326.33,1.00]													
Уровни звуковой мощности источника днём, Lw, дБ		**исходные данные**	**0**	**93,3**	**94,7**	**96**	**96,3**	**95,9**	**92,6**	**88,4**	**83,9**		
Уровни звуковой мощности источника ночью, Lw, дБ		**исходные данные**	**0**	**93,3**	**94,7**	**96**	**96,3**	**95,9**	**92,6**	**88,4**	**83,9**		
Поправка на телесный угол DΩ, дБ	Ω = 6.28	10Lg(4π/Ω)	**3**	3	3	3	3	3	3	3	3		

1		2	3	4	5	6	7	8	9	10	11	12	13
Показатель направленности источника Di, дБ		исходные данные	**0**	0	0	0	0	0	0	0	0		
Поправка на направленность источника Dc, дБ	Dc	DΩ + Di	**3**	3	3	3	3	3	3	3	3		
Затухание из-за геометрической дивергенции, Adiv, дБ	расстояние = 1264.22 м	ф-ла (7) [10]	**73**										
Коэффициент затухания звука в атмосфере α, дБ/км	Ta=20,°C Pa=101.33,кПа hотн.=70%	ф-ла (5) [9]	0,02	0,09	0,33	1,12	2,79	4,98	9,04	23,09	77,63		
Учет затухания звука в атмосфере Aatm, дБ		ф-ла (8) [10]	0	0,1	0,4	1,4	3,5	6,3	11,4	29,2	98,1		
Снижение поверхностью земли возле источника As, дБ	Gs = 0 hs = 1м	ф-лы таб.3 [10]	-1,5	-1,5	-1,5	-1,5	-1,5	-1,5	-1,5	-1,5	-1,5		
Снижение поверхностью земли возле приёмника Ar, дБ	Gr = 1 hr = 1.5м	ф-лы таб.3 [10]	-1,5	-1,5	5,3	7	5	0,7	0	0	0		
Снижение поверхностью земли в средней зоне, Am дБ	Gm = 1	ф-лы таб.3 [10]	-2,8	-2,8	0	0	0	0	0	0	0		
Суммарное снижение поверхностью земли на траектории распространения звука Agr, дБ		ф-ла (9) [10]	-5,8	-5,8	3,8	5,5	3,5	-0,8	-1,5	-1,5	-1,5		
Уровни звукового давления от источника ИШ-9-12 в расчётной точке днём, дБ		**ф-ла(3)[10]**	**0**	**29**	**20,4**	**19**	**19,3**	**20,4**	**12,6**	**0**	**0**	**22,8**	**22,8**
Уровни звукового давления от источника ИШ-9-12 в расчётной точке ночью, дБ		**ф-ла(3)[10]**	**0**	**29**	**20,4**	**19**	**19,3**	**20,4**	**12,6**	**0**	**0**	**22,8**	**22,8**
Источник шума: ИШ-9-13, координаты источника (x,y,z), м =[654.48,-323.54,1.00]													
Уровни звуковой мощности источника днём, Lw, дБ		**исходные данные**	**0**	**93,3**	**94,7**	**96**	**96,3**	**95,9**	**92,6**	**88,4**	**83,9**		
Уровни звуковой мощности источника ночью, Lw, дБ		**исходные данные**	**0**	**93,3**	**94,7**	**96**	**96,3**	**95,9**	**92,6**	**88,4**	**83,9**		
Поправка на телесный угол DΩ, дБ	Ω = 6.28	10Lg(4π/Ω)	**3**	3	3	3	3	3	3	3	3		
Показатель направленности источника Di, дБ		исходные данные	**0**	0	0	0	0	0	0	0	0		

1		2	3	4	5	6	7	8	9	10	11	12	13
Поправка на направленность источника Dc, дБ	Dc	DΩ + Di	**3**	3	3	3	3	3	3	3	3		
Затухание из-за геометрической дивергенции, Adiv, дБ	расстояние = 1266.92 м	ф-ла (7) [10]	**73,1**										
Коэффициент затухания звука в атмосфере α, дБ/км	Ta=20,°C Pa=101.33,кПа hотн.=70%	ф-ла (5) [9]	0,02	0,09	0,33	1,12	2,79	4,98	9,04	23,09	77,63		
Учет затухания звука в атмосфере Aatm, дБ		ф-ла (8) [10]	0	0,1	0,4	1,4	3,5	6,3	11,5	29,2	98,4		
Снижение поверхностью земли возле источника As, дБ	Gs = 0 hs = 1м	ф-лы таб.3 [10]	-1,5	-1,5	-1,5	-1,5	-1,5	-1,5	-1,5	-1,5	-1,5		
Снижение поверхностью земли возле приёмника Ar, дБ	Gr = 1 hr = 1.5м	ф-лы таб.3 [10]	-1,5	-1,5	5,3	7	5	0,7	0	0	0		
Снижение поверхностью земли в средней зоне, Am дБ	Gm = 1	ф-лы таб.3 [10]	-2,8	-2,8	0	0	0	0	0	0	0		
Суммарное снижение поверхностью земли на траектории распространения звука Agr, дБ		ф-ла (9) [10]	-5,8	-5,8	3,8	5,5	3,5	-0,8	-1,5	-1,5	-1,5		
Уровни звукового давления от источника ИШ-9-13 в расчётной точке днём, дБ		**ф-ла(3)[10]**	**0**	**28,9**	**20,4**	**19**	**19,2**	**20,4**	**12,6**	**0**	**0**	**22,8**	**22,8**
Уровни звукового давления от источника ИШ-9-13 в расчётной точке ночью, дБ		**ф-ла(3)[10]**	**0**	**28,9**	**20,4**	**19**	**19,2**	**20,4**	**12,6**	**0**	**0**	**22,8**	**22,8**
Источник шума: ИШ-9-14, координаты источника (x,y,z), м =[655.60,-320.74,1.00]													
Уровни звуковой мощности источника днём, Lw, дБ		**исходные данные**	**0**	**93,3**	**94,7**	**96**	**96,3**	**95,9**	**92,6**	**88,4**	**83,9**		
Уровни звуковой мощности источника ночью, Lw, дБ		**исходные данные**	**0**	**93,3**	**94,7**	**96**	**96,3**	**95,9**	**92,6**	**88,4**	**83,9**		
Поправка на телесный угол DΩ, дБ	Ω = 6.28	10Lg(4π/Ω)	**3**	3	3	3	3	3	3	3	3		
Показатель направленности источника Di, дБ		исходные данные	**0**	0	0	0	0	0	0	0	0		
Поправка на направленность источника Dc, дБ	Dc	DΩ + Di	**3**	3	3	3	3	3	3	3	3		

1		2	3	4	5	6	7	8	9	10	11	12	13
Затухание из-за геометрической дивергенции, Adiv, дБ	расстояние = 1269.62 м	ф-ла (7) [10]	**73,1**										
Коэффициент затухания звука в атмосфере α, дБ/км	Ta=20,°C Pa=101.33,кПа hотн.=70%	ф-ла (5) [9]	0,02	0,09	0,33	1,12	2,79	4,98	9,04	23,09	77,63		
Учет затухания звука в атмосфере Aatm, дБ		ф-ла (8) [10]	0	0,1	0,4	1,4	3,5	6,3	11,5	29,3	98,6		
Снижение поверхностью земли возле источника As, дБ	Gs = 0 hs = 1м	ф-лы таб.3 [10]	-1,5	-1,5	-1,5	-1,5	-1,5	-1,5	-1,5	-1,5	-1,5		
Снижение поверхностью земли возле приёмника Ar, дБ	Gr = 1 hr = 1.5м	ф-лы таб.3 [10]	-1,5	-1,5	5,3	7	5	0,7	0	0	0		
Снижение поверхностью земли в средней зоне, Am дБ	Gm = 1	ф-лы таб.3 [10]	-2,8	-2,8	0	0	0	0	0	0	0		
Суммарное снижение поверхностью земли на траектории распространения звука Agr, дБ		ф-ла (9) [10]	-5,8	-5,8	3,8	5,5	3,5	-0,8	-1,5	-1,5	-1,5		
Уровни звукового давления от источника ИШ-9-14 в расчётной точке днём, дБ		**ф-ла(3)[10]**	**0**	**28,9**	**20,4**	**19**	**19,2**	**20,3**	**12,5**	**0**	**0**	**22,7**	**22,7**
Уровни звукового давления от источника ИШ-9-14 в расчётной точке ночью, дБ		**ф-ла(3)[10]**	**0**	**28,9**	**20,4**	**19**	**19,2**	**20,3**	**12,5**	**0**	**0**	**22,7**	**22,7**
Источник шума: ИШ-9-15, координаты источника (x,y,z), м =[656.44,-317.86,1.00]													
Уровни звуковой мощности источника днём, Lw, дБ		**исходные данные**	**0**	**93,3**	**94,7**	**96**	**96,3**	**95,9**	**92,6**	**88,4**	**83,9**		
Уровни звуковой мощности источника ночью, Lw, дБ		**исходные данные**	**0**	**93,3**	**94,7**	**96**	**96,3**	**95,9**	**92,6**	**88,4**	**83,9**		
Поправка на телесный угол DΩ, дБ	Ω = 6.28	10Lg(4π/Ω)	**3**	3	3	3	3	3	3	3	3		
Показатель направленности источника Di, дБ		исходные данные	**0**	0	0	0	0	0	0	0	0		
Поправка на направленность источника Dc, дБ	Dc	DΩ + Di	**3**	3	3	3	3	3	3	3	3		
Затухание из-за геометрической дивергенции, Adiv, дБ	расстояние = 1272.44 м	ф-ла (7) [10]	**73,1**										

1		2	3	4	5	6	7	8	9	10	11	12	13
Коэффициент затухания звука в атмосфере α, дБ/км	Ta=20,°C Pa=101.33,кПа hотн.=70%	ф-ла (5) [9]	0,02	0,09	0,33	1,12	2,79	4,98	9,04	23,09	77,63		
Учет затухания звука в атмосфере Aatm, дБ		ф-ла (8) [10]	0	0,1	0,4	1,4	3,6	6,3	11,5	29,4	98,8		
Снижение поверхностью земли возле источника As, дБ	Gs = 0 hs = 1м	ф-лы таб.3 [10]	-1,5	-1,5	-1,5	-1,5	-1,5	-1,5	-1,5	-1,5	-1,5		
Снижение поверхностью земли возле приёмника Ar, дБ	Gr = 1 hr = 1.5м	ф-лы таб.3 [10]	-1,5	-1,5	5,3	7	5	0,7	0	0	0		
Снижение поверхностью земли в средней зоне, Am дБ	Gm = 1	ф-лы таб.3 [10]	-2,8	-2,8	0	0	0	0	0	0	0		
Суммарное снижение поверхностью земли на траектории распространения звука Agr, дБ		ф-ла (9) [10]	-5,8	-5,8	3,8	5,5	3,5	-0,8	-1,5	-1,5	-1,5		
Уровни звукового давления от источника ИШ-9-15 в расчётной точке днём, дБ		**ф-ла(3)[10]**	**0**	**28,9**	**20,4**	**18,9**	**19,2**	**20,3**	**12,5**	**0**	**0**	**22,7**	**22,7**
Уровни звукового давления от источника ИШ-9-15 в расчётной точке ночью, дБ		**ф-ла(3)[10]**	**0**	**28,9**	**20,4**	**18,9**	**19,2**	**20,3**	**12,5**	**0**	**0**	**22,7**	**22,7**
Источник шума: ИШ-9-16, координаты источника (x,y,z), м =[657.46,-314.97,1.00]													
Уровни звуковой мощности источника днём, Lw, дБ		**исходные данные**	**0**	**93,3**	**94,7**	**96**	**96,3**	**95,9**	**92,6**	**88,4**	**83,9**		
Уровни звуковой мощности источника ночью, Lw, дБ		**исходные данные**	**0**	**93,3**	**94,7**	**96**	**96,3**	**95,9**	**92,6**	**88,4**	**83,9**		
Поправка на телесный угол DΩ, дБ	Ω = 6.28	10Lg(4π/Ω)	**3**	3	3	3	3	3	3	3	3		
Показатель направленности источника Di, дБ		исходные данные	**0**	0	0	0	0	0	0	0	0		
Поправка на направленность источника Dc, дБ	Dc	DΩ + Di	**3**	3	3	3	3	3	3	3	3		
Затухание из-за геометрической дивергенции, Adiv, дБ	расстояние = 1275.24 м	ф-ла (7) [10]	**73,1**										
Коэффициент затухания звука в атмосфере α, дБ/км	Ta=20,°C Pa=101.33,кПа hотн.=70%	ф-ла (5) [9]	0,02	0,09	0,33	1,12	2,79	4,98	9,04	23,09	77,63		

1		2	3	4	5	6	7	8	9	10	11	12	13
Учет затухания звука в атмосфере Aatm, дБ		ф-ла (8) [10]	0	0,1	0,4	1,4	3,6	6,3	11,5	29,4	99		
Снижение поверхностью земли возле источника As, дБ	Gs = 0 hs = 1м	ф-лы таб.3 [10]	-1,5	-1,5	-1,5	-1,5	-1,5	-1,5	-1,5	-1,5	-1,5		
Снижение поверхностью земли возле приёмника Ar, дБ	Gr = 1 hr = 1.5м	ф-лы таб.3 [10]	-1,5	-1,5	5,3	7	5	0,7	0	0	0		
Снижение поверхностью земли в средней зоне, Am дБ	Gm = 1	ф-лы таб.3 [10]	-2,8	-2,8	0	0	0	0	0	0	0		
Суммарное снижение поверхностью земли на траектории распространения звука Agr, дБ		ф-ла (9) [10]	-5,8	-5,8	3,8	5,5	3,5	-0,8	-1,5	-1,5	-1,5		
Уровни звукового давления от источника ИШ-9-16 в расчётной точке днём, дБ		**ф-ла(3)[10]**	**0**	**28,9**	**20,4**	**18,9**	**19,1**	**20,3**	**12,5**	**0**	**0**	**22,7**	**22,7**
Уровни звукового давления от источника ИШ-9-16 в расчётной точке ночью, дБ		**ф-ла(3)[10]**	**0**	**28,9**	**20,4**	**18,9**	**19,1**	**20,3**	**12,5**	**0**	**0**	**22,7**	**22,7**
Источник шума: ИШ-9-17, координаты источника (x,y,z), м =[658.49,-312.18,1.00]													
Уровни звуковой мощности источника днём, Lw, дБ		**исходные данные**	**0**	**93,3**	**94,7**	**96**	**96,3**	**95,9**	**92,6**	**88,4**	**83,9**		
Уровни звуковой мощности источника ночью, Lw, дБ		**исходные данные**	**0**	**93,3**	**94,7**	**96**	**96,3**	**95,9**	**92,6**	**88,4**	**83,9**		
Поправка на телесный угол DΩ, дБ	Ω = 6.28	10Lg(4π/Ω)	**3**	3	3	3	3	3	3	3	3		
Показатель направленности источника Di, дБ		исходные данные	**0**	0	0	0	0	0	0	0	0		
Поправка на направленность источника Dc, дБ	Dc	DΩ + Di	**3**	3	3	3	3	3	3	3	3		
Затухание из-за геометрической дивергенции, Adiv, дБ	расстояние = 1277.95 м	ф-ла (7) [10]	**73,1**										
Коэффициент затухания звука в атмосфере α, дБ/км	Ta=20,°C Pa=101.33,кПа hотн.=70%	ф-ла (5) [9]	0,02	0,09	0,33	1,12	2,79	4,98	9,04	23,09	77,63		
Учет затухания звука в атмосфере Aatm, дБ		ф-ла (8) [10]	0	0,1	0,4	1,4	3,6	6,4	11,6	29,5	99,2		

1		2	3	4	5	6	7	8	9	10	11	12	13
Снижение поверхностью земли возле источника As, дБ	Gs = 0 hs = 1м	ф-лы таб.3 [10]	-1,5	-1,5	-1,5	-1,5	-1,5	-1,5	-1,5	-1,5	-1,5		
Снижение поверхностью земли возле приёмника Ar, дБ	Gr = 1 hr = 1.5м	ф-лы таб.3 [10]	-1,5	-1,5	5,3	7	5	0,7	0	0	0		
Снижение поверхностью земли в средней зоне, Am дБ	Gm = 1	ф-лы таб.3 [10]	-2,8	-2,8	0	0	0	0	0	0	0		
Суммарное снижение поверхностью земли на траектории распространения звука Agr, дБ		ф-ла (9) [10]	-5,8	-5,8	3,8	5,5	3,5	-0,8	-1,5	-1,5	-1,5		
Уровни звукового давления от источника ИШ-9-17 в расчётной точке днём, дБ		**ф-ла(3)[10]**	**0**	**28,9**	**20,3**	**18,9**	**19,1**	**20,2**	**12,4**	**0**	**0**	**22,6**	**22,6**
Уровни звукового давления от источника ИШ-9-17 в расчётной точке ночью, дБ		**ф-ла(3)[10]**	**0**	**28,9**	**20,3**	**18,9**	**19,1**	**20,2**	**12,4**	**0**	**0**	**22,6**	**22,6**
Источник шума: ИШ-9-18, координаты источника (x,y,z), м =[659.42,-309.20,1.00]													
Уровни звуковой мощности источника днём, Lw, дБ		**исходные данные**	**0**	**93,3**	**94,7**	**96**	**96,3**	**95,9**	**92,6**	**88,4**	**83,9**		
Уровни звуковой мощности источника ночью, Lw, дБ		**исходные данные**	**0**	**93,3**	**94,7**	**96**	**96,3**	**95,9**	**92,6**	**88,4**	**83,9**		
Поправка на телесный угол DΩ, дБ	Ω = 6.28	10Lg(4π/Ω)	**3**	3	3	3	3	3	3	3	3		
Показатель направленности источника Di, дБ		исходные данные	**0**	0	0	0	0	0	0	0	0		
Поправка на направленность источника Dc, дБ	Dc	DΩ + Di	**3**	3	3	3	3	3	3	3	3		
Затухание из-за геометрической дивергенции, Adiv, дБ	расстояние = 1280.85 м	ф-ла (7) [10]	**73,1**										
Коэффициент затухания звука в атмосфере α, дБ/км	Ta=20,°C Pa=101.33,кПа hотн.=70%	ф-ла (5) [9]	0,02	0,09	0,33	1,12	2,79	4,98	9,04	23,09	77,63		
Учет затухания звука в атмосфере Aatm, дБ		ф-ла (8) [10]	0	0,1	0,4	1,4	3,6	6,4	11,6	29,6	99,4		
Снижение поверхностью земли возле источника As, дБ	Gs = 0 hs = 1м	ф-лы таб.3 [10]	-1,5	-1,5	-1,5	-1,5	-1,5	-1,5	-1,5	-1,5	-1,5		

1		2	3	4	5	6	7	8	9	10	11	12	13
Снижение поверхностью земли возле приёмника Ar, дБ	Gr = 1 hr = 1.5м	ф-лы таб.3 [10]	-1,5	-1,5	5,3	7	5	0,7	0	0	0		
Снижение поверхностью земли в средней зоне, Am дБ	Gm = 1	ф-лы таб.3 [10]	-2,8	-2,8	0	0	0	0	0	0	0		
Суммарное снижение поверхностью земли на траектории распространения звука Agr, дБ		ф-ла (9) [10]	-5,8	-5,8	3,8	5,5	3,5	-0,8	-1,5	-1,5	-1,5		
Уровни звукового давления от источника ИШ-9-18 в расчётной точке днём, дБ		**ф-ла(3)[10]**	**0**	**28,9**	**20,3**	**18,9**	**19,1**	**20,2**	**12,4**	**0**	**0**	**22,6**	**22,6**
Уровни звукового давления от источника ИШ-9-18 в расчётной точке ночью, дБ		**ф-ла(3)[10]**	**0**	**28,9**	**20,3**	**18,9**	**19,1**	**20,2**	**12,4**	**0**	**0**	**22,6**	**22,6**
Источник шума: ИШ-9-19, координаты источника (x,y,z), м =[660.44,-306.50,1.00]													
Уровни звуковой мощности источника днём, Lw, дБ		**исходные данные**	**0**	**93,3**	**94,7**	**96**	**96,3**	**95,9**	**92,6**	**88,4**	**83,9**		
Уровни звуковой мощности источника ночью, Lw, дБ		**исходные данные**	**0**	**93,3**	**94,7**	**96**	**96,3**	**95,9**	**92,6**	**88,4**	**83,9**		
Поправка на телесный угол DΩ, дБ	Ω = 6.28	10Lg(4π/Ω)	**3**	3	3	3	3	3	3	3	3		
Показатель направленности источника Di, дБ		исходные данные	**0**	0	0	0	0	0	0	0	0		
Поправка на направленность источника Dc, дБ	Dc	DΩ + Di	**3**	3	3	3	3	3	3	3	3		
Затухание из-за геометрической дивергенции, Adiv, дБ	расстояние = 1283.47 м	ф-ла (7) [10]	**73,2**										
Коэффициент затухания звука в атмосфере α, дБ/км	Ta=20,°C Pa=101.33,кПа hотн.=70%	ф-ла (5) [9]	0,02	0,09	0,33	1,12	2,79	4,98	9,04	23,09	77,63		
Учет затухания звука в атмосфере Aatm, дБ		ф-ла (8) [10]	0	0,1	0,4	1,4	3,6	6,4	11,6	29,6	99,6		
Снижение поверхностью земли возле источника As, дБ	Gs = 0 hs = 1м	ф-лы таб.3 [10]	-1,5	-1,5	-1,5	-1,5	-1,5	-1,5	-1,5	-1,5	-1,5		
Снижение поверхностью земли возле приёмника Ar, дБ	Gr = 1 hr = 1.5м	ф-лы таб.3 [10]	-1,5	-1,5	5,3	7	5	0,7	0	0	0		

1		2	3	4	5	6	7	8	9	10	11	12	13
Снижение поверхностью земли в средней зоне, Am дБ	Gm = 1	ф-лы таб.3 [10]	-2,8	-2,8	0	0	0	0	0	0	0		
Суммарное снижение поверхностью земли на траектории распространения звука Agr, дБ		ф-ла (9) [10]	-5,8	-5,8	3,8	5,5	3,5	-0,8	-1,5	-1,5	-1,5		
Уровни звукового давления от источника ИШ-9-19 в расчётной точке днём, дБ		**ф-ла(3)[10]**	**0**	**28,8**	**20,3**	**18,9**	**19,1**	**20,2**	**12,3**	**0**	**0**	**22,6**	**22,6**
Уровни звукового давления от источника ИШ-9-19 в расчётной точке ночью, дБ		**ф-ла(3)[10]**	**0**	**28,8**	**20,3**	**18,9**	**19,1**	**20,2**	**12,3**	**0**	**0**	**22,6**	**22,6**
Источник шума: ИШ-9-20, координаты источника (x,y,z), м =[661.28,-303.61,1.00]													
Уровни звуковой мощности источника днём, Lw, дБ		**исходные данные**	**0**	**93,3**	**94,7**	**96**	**96,3**	**95,9**	**92,6**	**88,4**	**83,9**		
Уровни звуковой мощности источника ночью, Lw, дБ		**исходные данные**	**0**	**93,3**	**94,7**	**96**	**96,3**	**95,9**	**92,6**	**88,4**	**83,9**		
Поправка на телесный угол DΩ, дБ	Ω = 6.28	10Lg(4π/Ω)	**3**	3	3	3	3	3	3	3	3		
Показатель направленности источника Di, дБ		исходные данные	**0**	0	0	0	0	0	0	0	0		
Поправка на направленность источника Dc, дБ	Dc	DΩ + Di	**3**	3	3	3	3	3	3	3	3		
Затухание из-за геометрической дивергенции, Adiv, дБ	расстояние = 1286.28 м	ф-ла (7) [10]	**73,2**										
Коэффициент затухания звука в атмосфере α, дБ/км	Ta=20,°C Pa=101.33,кПа hотн.=70%	ф-ла (5) [9]	0,02	0,09	0,33	1,12	2,79	4,98	9,04	23,09	77,63		
Учет затухания звука в атмосфере Aatm, дБ		ф-ла (8) [10]	0	0,1	0,4	1,4	3,6	6,4	11,6	29,7	99,9		
Снижение поверхностью земли возле источника As, дБ	Gs = 0 hs = 1м	ф-лы таб.3 [10]	-1,5	-1,5	-1,5	-1,5	-1,5	-1,5	-1,5	-1,5	-1,5		
Снижение поверхностью земли возле приёмника Ar, дБ	Gr = 1 hr = 1.5м	ф-лы таб.3 [10]	-1,5	-1,5	5,3	7	5	0,7	0	0	0		
Снижение поверхностью земли в средней зоне, Am дБ	Gm = 1	ф-лы таб.3 [10]	-2,8	-2,8	0	0	0	0	0	0	0		

1		2	3	4	5	6	7	8	9	10	11	12	13
Суммарное снижение поверхностью земли на траектории распространения звука Agr, дБ		ф-ла (9) [10]	-5,8	-5,8	3,8	5,5	3,5	-0,8	-1,5	-1,5	-1,5		
Уровни звукового давления от источника ИШ-9-20 в расчётной точке днём, дБ		**ф-ла(3)[10]**	**0**	**28,8**	**20,3**	**18,8**	**19**	**20,1**	**12,3**	**0**	**0**	**22,5**	**22,5**
Уровни звукового давления от источника ИШ-9-20 в расчётной точке ночью, дБ		**ф-ла(3)[10]**	**0**	**28,8**	**20,3**	**18,8**	**19**	**20,1**	**12,3**	**0**	**0**	**22,5**	**22,5**
Источник шума: ИШ-9-21, координаты источника (x,y,z), м =[661.93,-300.72,1.00]													
Уровни звуковой мощности источника днём, Lw, дБ		**исходные данные**	**0**	**93,3**	**94,7**	**96**	**96,3**	**95,9**	**92,6**	**88,4**	**83,9**		
Уровни звуковой мощности источника ночью, Lw, дБ		**исходные данные**	**0**	**93,3**	**94,7**	**96**	**96,3**	**95,9**	**92,6**	**88,4**	**83,9**		
Поправка на телесный угол DΩ, дБ	Ω = 6.28	10Lg(4π/Ω)	**3**	3	3	3	3	3	3	3	3		
Показатель направленности источника Di, дБ		исходные данные	**0**	0	0	0	0	0	0	0	0		
Поправка на направленность источника Dc, дБ	Dc	DΩ + Di	**3**	3	3	3	3	3	3	3	3		
Затухание из-за геометрической дивергенции, Adiv, дБ	расстояние = 1289.12 м	ф-ла (7) [10]	**73,2**										
Коэффициент затухания звука в атмосфере α, дБ/км	Ta=20,°C Pa=101.33,кПа hотн.=70%	ф-ла (5) [9]	0,02	0,09	0,33	1,12	2,79	4,98	9,04	23,09	77,63		
Учет затухания звука в атмосфере Aatm, дБ		ф-ла (8) [10]	0	0,1	0,4	1,4	3,6	6,4	11,7	29,8	100,1		
Снижение поверхностью земли возле источника As, дБ	Gs = 0 hs = 1м	ф-лы таб.3 [10]	-1,5	-1,5	-1,5	-1,5	-1,5	-1,5	-1,5	-1,5	-1,5		
Снижение поверхностью земли возле приёмника Ar, дБ	Gr = 1 hr = 1.5м	ф-лы таб.3 [10]	-1,5	-1,5	5,3	7	5	0,7	0	0	0		
Снижение поверхностью земли в средней зоне, Am дБ	Gm = 1	ф-лы таб.3 [10]	-2,8	-2,8	0	0	0	0	0	0	0		
Суммарное снижение поверхностью земли на траектории распространения звука Agr, дБ		ф-ла (9) [10]	-5,8	-5,8	3,8	5,5	3,5	-0,8	-1,5	-1,5	-1,5		

1		2	3	4	5	6	7	8	9	10	11	12	13
Уровни звукового давления от источника ИШ-9-21 в расчётной точке днём, дБ		**ф-ла(3)[10]**	**0**	**28,8**	**20,3**	**18,8**	**19**	**20,1**	**12,2**	**0**	**0**	**22,5**	**22,5**
Уровни звукового давления от источника ИШ-9-21 в расчётной точке ночью, дБ		**ф-ла(3)[10]**	**0**	**28,8**	**20,3**	**18,8**	**19**	**20,1**	**12,2**	**0**	**0**	**22,5**	**22,5**
Источник шума: ИШ-9-22, координаты источника (x,y,z), м =[663.14,-297.83,1.00]													
Уровни звуковой мощности источника днём, Lw, дБ		**исходные данные**	**0**	**93,3**	**94,7**	**96**	**96,3**	**95,9**	**92,6**	**88,4**	**83,9**		
Уровни звуковой мощности источника ночью, Lw, дБ		**исходные данные**	**0**	**93,3**	**94,7**	**96**	**96,3**	**95,9**	**92,6**	**88,4**	**83,9**		
Поправка на телесный угол DΩ, дБ	Ω = 6.28	10Lg(4π/Ω)	**3**	3	3	3	3	3	3	3	3		
Показатель направленности источника Di, дБ		исходные данные	**0**	0	0	0	0	0	0	0	0		
Поправка на направленность источника Dc, дБ	Dc	DΩ + Di	**3**	3	3	3	3	3	3	3	3		
Затухание из-за геометрической дивергенции, Adiv, дБ	расстояние = 1291.91 м	ф-ла (7) [10]	**73,2**										
Коэффициент затухания звука в атмосфере α, дБ/км	Ta=20,°C Pa=101.33,кПа hотн.=70%	ф-ла (5) [9]	0,02	0,09	0,33	1,12	2,79	4,98	9,04	23,09	77,63		
Учет затухания звука в атмосфере Aatm, дБ		ф-ла (8) [10]	0	0,1	0,4	1,5	3,6	6,4	11,7	29,8	100,3		
Снижение поверхностью земли возле источника As, дБ	Gs = 0 hs = 1м	ф-лы таб.3 [10]	-1,5	-1,5	-1,5	-1,5	-1,5	-1,5	-1,5	-1,5	-1,5		
Снижение поверхностью земли возле приёмника Ar, дБ	Gr = 1 hr = 1.5м	ф-лы таб.3 [10]	-1,5	-1,5	5,3	7	5	0,7	0	0	0		
Снижение поверхностью земли в средней зоне, Am дБ	Gm = 1	ф-лы таб.3 [10]	-2,8	-2,8	0	0	0	0	0	0	0		
Суммарное снижение поверхностью земли на траектории распространения звука Agr, дБ		ф-ла (9) [10]	-5,8	-5,8	3,8	5,5	3,5	-0,8	-1,5	-1,5	-1,5		
Уровни звукового давления от источника ИШ-9-22 в расчётной точке днём, дБ		**ф-ла(3)[10]**	**0**	**28,8**	**20,2**	**18,8**	**19**	**20,1**	**12,2**	**0**	**0**	**22,5**	**22,5**

1		2	3	4	5	6	7	8	9	10	11	12	13
Уровни звукового давления от источника ИШ-9-22 в расчётной точке ночью, дБ		**ф-ла(3)[10]**	**0**	**28,8**	**20,2**	**18,8**	**19**	**20,1**	**12,2**	**0**	**0**	**22,5**	**22,5**
Источник шума: ИШ-9-23, координаты источника (x,y,z), м =[664.07,-295.13,1.00]													
Уровни звуковой мощности источника днём, Lw, дБ		**исходные данные**	**0**	**93,3**	**94,7**	**96**	**96,3**	**95,9**	**92,6**	**88,4**	**83,9**		
Уровни звуковой мощности источника ночью, Lw, дБ		**исходные данные**	**0**	**93,3**	**94,7**	**96**	**96,3**	**95,9**	**92,6**	**88,4**	**83,9**		
Поправка на телесный угол DΩ, дБ	Ω = 6.28	10Lg(4π/Ω)	**3**	3	3	3	3	3	3	3	3		
Показатель направленности источника Di, дБ		исходные данные	**0**	0	0	0	0	0	0	0	0		
Поправка на направленность источника Dc, дБ	Dc	DΩ + Di	**3**	3	3	3	3	3	3	3	3		
Затухание из-за геометрической дивергенции, Adiv, дБ	расстояние = 1294.54 м	ф-ла (7) [10]	**73,2**										
Коэффициент затухания звука в атмосфере α, дБ/км	Ta=20,°C Pa=101.33,кПа hотн.=70%	ф-ла (5) [9]	0,02	0,09	0,33	1,12	2,79	4,98	9,04	23,09	77,63		
Учет затухания звука в атмосфере Aatm, дБ		ф-ла (8) [10]	0	0,1	0,4	1,5	3,6	6,4	11,7	29,9	100,5		
Снижение поверхностью земли возле источника As, дБ	Gs = 0 hs = 1м	ф-лы таб.3 [10]	-1,5	-1,5	-1,5	-1,5	-1,5	-1,5	-1,5	-1,5	-1,5		
Снижение поверхностью земли возле приёмника Ar, дБ	Gr = 1 hr = 1.5м	ф-лы таб.3 [10]	-1,5	-1,5	5,3	7	5	0,7	0	0	0		
Снижение поверхностью земли в средней зоне, Am дБ	Gm = 1	ф-лы таб.3 [10]	-2,8	-2,8	0	0	0	0	0	0	0		
Суммарное снижение поверхностью земли на траектории распространения звука Agr, дБ		ф-ла (9) [10]	-5,8	-5,8	3,8	5,5	3,5	-0,8	-1,5	-1,5	-1,5		
Уровни звукового давления от источника ИШ-9-23 в расчётной точке днём, дБ		**ф-ла(3)[10]**	**0**	**28,8**	**20,2**	**18,8**	**19**	**20**	**12,1**	**0**	**0**	**22,4**	**22,4**
Уровни звукового давления от источника ИШ-9-23 в расчётной точке ночью, дБ		**ф-ла(3)[10]**	**0**	**28,8**	**20,2**	**18,8**	**19**	**20**	**12,1**	**0**	**0**	**22,4**	**22,4**

1		2	3	4	5	6	7	8	9	10	11	12	13
Источник шума: ИШ-9-24, координаты источника (x,y,z), м =[665.19,-292.34,1.00]													
Уровни звуковой мощности источника днём, Lw, дБ		**исходные данные**	**0**	**93,3**	**94,7**	**96**	**96,3**	**95,9**	**92,6**	**88,4**	**83,9**		
Уровни звуковой мощности источника ночью, Lw, дБ		**исходные данные**	**0**	**93,3**	**94,7**	**96**	**96,3**	**95,9**	**92,6**	**88,4**	**83,9**		
Поправка на телесный угол DΩ, дБ	Ω = 6.28	10Lg(4π/Ω)	**3**	3	3	3	3	3	3	3	3		
Показатель направленности источника Di, дБ		исходные данные	**0**	0	0	0	0	0	0	0	0		
Поправка на направленность источника Dc, дБ	Dc	DΩ + Di	**3**	3	3	3	3	3	3	3	3		
Затухание из-за геометрической дивергенции, Adiv, дБ	расстояние = 1297.25 м	ф-ла (7) [10]	**73,3**										
Коэффициент затухания звука в атмосфере α, дБ/км	Ta=20,°C Pa=101.33,кПа hотн.=70%	ф-ла (5) [9]	0,02	0,09	0,33	1,12	2,79	4,98	9,04	23,09	77,63		
Учет затухания звука в атмосфере Aatm, дБ		ф-ла (8) [10]	0	0,1	0,4	1,5	3,6	6,5	11,7	29,9	100,7		
Снижение поверхностью земли возле источника As, дБ	Gs = 0 hs = 1м	ф-лы таб.3 [10]	-1,5	-1,5	-1,5	-1,5	-1,5	-1,5	-1,5	-1,5	-1,5		
Снижение поверхностью земли возле приёмника Ar, дБ	Gr = 1 hr = 1.5м	ф-лы таб.3 [10]	-1,5	-1,5	5,3	7	5	0,7	0	0	0		
Снижение поверхностью земли в средней зоне, Am дБ	Gm = 1	ф-лы таб.3 [10]	-2,8	-2,8	0	0	0	0	0	0	0		
Суммарное снижение поверхностью земли на траектории распространения звука Agr, дБ		ф-ла (9) [10]	-5,8	-5,8	3,8	5,5	3,5	-0,8	-1,5	-1,5	-1,5		
Уровни звукового давления от источника ИШ-9-24 в расчётной точке днём, дБ		**ф-ла(3)[10]**	**0**	**28,7**	**20,2**	**18,8**	**18,9**	**20**	**12,1**	**0**	**0**	**22,4**	**22,4**
Уровни звукового давления от источника ИШ-9-24 в расчётной точке ночью, дБ		**ф-ла(3)[10]**	**0**	**28,7**	**20,2**	**18,8**	**18,9**	**20**	**12,1**	**0**	**0**	**22,4**	**22,4**
Источник шума: ИШ-9-25, координаты источника (x,y,z), м =[683.46,-239.16,1.00]													

1		2	3	4	5	6	7	8	9	10	11	12	13
Уровни звуковой мощности источника днём, Lw, дБ		**исходные данные**	**77**	**75**	**67**	**66**	**63**	**55**	**53**	**48**	**51**		
Уровни звуковой мощности источника ночью, Lw, дБ		**исходные данные**	**77**	**75**	**67**	**66**	**63**	**55**	**53**	**48**	**51**		
Поправка на телесный угол DΩ, дБ	Ω = 6.28	10Lg(4π/Ω)	**3**	3	3	3	3	3	3	3	3		
Показатель направленности источника Di, дБ		исходные данные	**0**	0	0	0	0	0	0	0	0		
Поправка на направленность источника Dc, дБ	Dc	DΩ + Di	**3**	3	3	3	3	3	3	3	3		
Затухание из-за геометрической дивергенции, Adiv, дБ	расстояние = 1349.22 м	ф-ла (7) [10]	**73,6**										
Коэффициент затухания звука в атмосфере α, дБ/км	Ta=20,°C Pa=101.33,кПа hотн.=70%	ф-ла (5) [9]	0,02	0,09	0,33	1,12	2,79	4,98	9,04	23,09	77,63		
Учет затухания звука в атмосфере Aatm, дБ		ф-ла (8) [10]	0	0,1	0,5	1,5	3,8	6,7	12,2	31,1	104,7		
Снижение поверхностью земли возле источника As, дБ	Gs = 0 hs = 1м	ф-лы таб.3 [10]	-1,5	-1,5	-1,5	-1,5	-1,5	-1,5	-1,5	-1,5	-1,5		
Снижение поверхностью земли возле приёмника Ar, дБ	Gr = 1 hr = 1.5м	ф-лы таб.3 [10]	-1,5	-1,5	5,3	7	5	0,7	0	0	0		
Снижение поверхностью земли в средней зоне, Am дБ	Gm = 1	ф-лы таб.3 [10]	-2,8	-2,8	0	0	0	0	0	0	0		
Суммарное снижение поверхностью земли на траектории распространения звука Agr, дБ		ф-ла (9) [10]	-5,8	-5,8	3,8	5,5	3,5	-0,8	-1,5	-1,5	-1,5		
Уровни звукового давления от источника ИШ-9-25 в расчётной точке днём, дБ		**ф-ла(3)[10]**	**12,2**	**10,1**	**0**	**0**	**0**	**0**	**0**	**0**	**0**	**0**	**0**
Уровни звукового давления от источника ИШ-9-25 в расчётной точке ночью, дБ		**ф-ла(3)[10]**	**12,2**	**10,1**	**0**	**0**	**0**	**0**	**0**	**0**	**0**	**0**	**0**
Источник шума: ИШ-9-26, координаты источника (x,y,z), м =[680.09,-249.52,1.00]													
Уровни звуковой мощности источника днём, Lw, дБ		**исходные данные**	**77**	**75**	**67**	**66**	**63**	**55**	**53**	**48**	**51**		

1		2	3	4	5	6	7	8	9	10	11	12	13
Уровни звуковой мощности источника ночью, Lw, дБ		**исходные данные**	**77**	**75**	**67**	**66**	**63**	**55**	**53**	**48**	**51**		
Поправка на телесный угол DΩ, дБ	Ω = 6.28	10Lg(4π/Ω)	**3**	3	3	3	3	3	3	3	3		
Показатель направленности источника Di, дБ		исходные данные	**0**	0	0	0	0	0	0	0	0		
Поправка на направленность источника Dc, дБ	Dc	DΩ + Di	**3**	3	3	3	3	3	3	3	3		
Затухание из-за геометрической дивергенции, Adiv, дБ	расстояние = 1339.07 м	ф-ла (7) [10]	**73,5**										
Коэффициент затухания звука в атмосфере α, дБ/км	Ta=20,°C Pa=101.33,кПа hотн.=70%	ф-ла (5) [9]	0,02	0,09	0,33	1,12	2,79	4,98	9,04	23,09	77,63		
Учет затухания звука в атмосфере Aatm, дБ		ф-ла (8) [10]	0	0,1	0,4	1,5	3,7	6,7	12,1	30,9	104		
Снижение поверхностью земли возле источника As, дБ	Gs = 0 hs = 1м	ф-лы таб.3 [10]	-1,5	-1,5	-1,5	-1,5	-1,5	-1,5	-1,5	-1,5	-1,5		
Снижение поверхностью земли возле приёмника Ar, дБ	Gr = 1 hr = 1.5м	ф-лы таб.3 [10]	-1,5	-1,5	5,3	7	5	0,7	0	0	0		
Снижение поверхностью земли в средней зоне, Am дБ	Gm = 1	ф-лы таб.3 [10]	-2,8	-2,8	0	0	0	0	0	0	0		
Суммарное снижение поверхностью земли на траектории распространения звука Agr, дБ		ф-ла (9) [10]	-5,8	-5,8	3,8	5,5	3,5	-0,8	-1,5	-1,5	-1,5		
Уровни звукового давления от источника ИШ-9-26 в расчётной точке днём, дБ		**ф-ла(3)[10]**	**12,3**	**10,2**	**0**	**0**	**0**	**0**	**0**	**0**	**0**	**0**	**0**
Уровни звукового давления от источника ИШ-9-26 в расчётной точке ночью, дБ		**ф-ла(3)[10]**	**12,3**	**10,2**	**0**	**0**	**0**	**0**	**0**	**0**	**0**	**0**	**0**
Источник шума: ИШ-9-27, координаты источника (x,y,z), м =[676.46,-260.14,1.00]													
Уровни звуковой мощности источника днём, Lw, дБ		**исходные данные**	**77**	**75**	**67**	**66**	**63**	**55**	**53**	**48**	**51**		
Уровни звуковой мощности источника ночью, Lw, дБ		**исходные данные**	**77**	**75**	**67**	**66**	**63**	**55**	**53**	**48**	**51**		

1		2	3	4	5	6	7	8	9	10	11	12	13
Поправка на телесный угол DΩ, дБ	Ω = 6.28	10Lg(4π/Ω)	**3**	3	3	3	3	3	3	3	3		
Показатель направленности источника Di, дБ		исходные данные	**0**	0	0	0	0	0	0	0	0		
Поправка на направленность источника Dc, дБ	Dc	DΩ + Di	**3**	3	3	3	3	3	3	3	3		
Затухание из-за геометрической дивергенции, Adiv, дБ	расстояние = 1328.67 м	ф-ла (7) [10]	**73,5**										
Коэффициент затухания звука в атмосфере α, дБ/км	Ta=20,°C Pa=101.33,кПа hотн.=70%	ф-ла (5) [9]	0,02	0,09	0,33	1,12	2,79	4,98	9,04	23,09	77,63		
Учет затухания звука в атмосфере Aatm, дБ		ф-ла (8) [10]	0	0,1	0,4	1,5	3,7	6,6	12	30,7	103,1		
Снижение поверхностью земли возле источника As, дБ	Gs = 0 hs = 1м	ф-лы таб.3 [10]	-1,5	-1,5	-1,5	-1,5	-1,5	-1,5	-1,5	-1,5	-1,5		
Снижение поверхностью земли возле приёмника Ar, дБ	Gr = 1 hr = 1.5м	ф-лы таб.3 [10]	-1,5	-1,5	5,3	7	5	0,7	0	0	0		
Снижение поверхностью земли в средней зоне, Am дБ	Gm = 1	ф-лы таб.3 [10]	-2,8	-2,8	0	0	0	0	0	0	0		
Суммарное снижение поверхностью земли на траектории распространения звука Agr, дБ		ф-ла (9) [10]	-5,8	-5,8	3,8	5,5	3,5	-0,8	-1,5	-1,5	-1,5		
Уровни звукового давления от источника ИШ-9-27 в расчётной точке днём, дБ		**ф-ла(3)[10]**	**12,3**	**10,3**	**0**	**0**	**0**	**0**	**0**	**0**	**0**	**0**	**0**
Уровни звукового давления от источника ИШ-9-27 в расчётной точке ночью, дБ		**ф-ла(3)[10]**	**12,3**	**10,3**	**0**	**0**	**0**	**0**	**0**	**0**	**0**	**0**	**0**
Источник шума: ИШ-10-1, координаты источника (x,y,z), м =[17.37,413.17,1.00]													
Уровни звуковой мощности источника днём, Lw, дБ		**исходные данные**	**0**	**98,3**	**99,7**	**101**	**101,3**	**100,9**	**97,6**	**93,4**	**88,9**		
Уровни звуковой мощности источника ночью, Lw, дБ		**исходные данные**	**0**	**98,3**	**99,7**	**101**	**101,3**	**100,9**	**97,6**	**93,4**	**88,9**		
Поправка на телесный угол DΩ, дБ	Ω = 6.28	10Lg(4π/Ω)	**3**	3	3	3	3	3	3	3	3		

1		2	3	4	5	6	7	8	9	10	11	12	13
Показатель направленности источника Di, дБ		исходные данные	**0**	0	0	0	0	0	0	0	0		
Поправка на направленность источника Dc, дБ	Dc	DΩ + Di	**3**	3	3	3	3	3	3	3	3		
Затухание из-за геометрической дивергенции, Adiv, дБ	расстояние = 2131.14 м	ф-ла (7) [10]	**77,6**										
Коэффициент затухания звука в атмосфере α, дБ/км	Ta=20,°C Pa=101.33,кПа hотн.=70%	ф-ла (5) [9]	0,02	0,09	0,33	1,12	2,79	4,98	9,04	23,09	77,63		
Учет затухания звука в атмосфере Aatm, дБ		ф-ла (8) [10]	0	0,2	0,7	2,4	5,9	10,6	19,3	49,2	165,4		
Снижение уровня звукового давления из-за влияния застройки между источником шума и расчетной точкой													
Снижение уровня звукового давления на пути над экраном, Dz1, дБ	z = 0.21м (разность путей)	ф-лы (14-18) [10]	4,8	4,8	4,8	4,8	4,8	4,8	4,8	4,8	4,8		
Снижение уровня звукового давления на пути слева от экрана, Dz2, дБ	z = 18.37м (разность путей)	ф-лы (14-18) [10]	20,8	25,2	28,8	32	35,1	38,1	41,1	44,1	47,1		
Снижение уровня звукового давления на пути справа от экрана, Dz3, дБ	z = 5.12м (разность путей)	ф-лы (14-18) [10]	13,4	16,1	18,9	21,9	24,8	27,8	30,8	33,8	36,8		
Общее снижение уровня звука препятствием Dz, дБ		Эн.сумма(-Dzi)	4,1	4,4	4,6	4,7	4,7	4,7	4,8	4,8	4,8		
Уровни звукового давления от источника ИШ-10-1 в расчётной точке днём, дБ		**ф-ла(3)[10]**	**0**	**19,1**	**19,8**	**19,4**	**16,1**	**11**	**0**	**0**	**0**	**16,7**	**16,7**
Уровни звукового давления от источника ИШ-10-1 в расчётной точке ночью, дБ		**ф-ла(3)[10]**	**0**	**19,1**	**19,8**	**19,4**	**16,1**	**11**	**0**	**0**	**0**	**16,7**	**16,7**
Источник шума: ИШ-10-2, координаты источника (x,y,z), м =[27.87,443.46,1.00]													
Уровни звуковой мощности источника днём, Lw, дБ		**исходные данные**	**0**	**98,3**	**99,7**	**101**	**101,3**	**100,9**	**97,6**	**93,4**	**88,9**		
Уровни звуковой мощности источника ночью, Lw, дБ		**исходные данные**	**0**	**98,3**	**99,7**	**101**	**101,3**	**100,9**	**97,6**	**93,4**	**88,9**		
Поправка на телесный угол DΩ, дБ	Ω = 6.28	10Lg(4π/Ω)	**3**	3	3	3	3	3	3	3	3		

1		2	3	4	5	6	7	8	9	10	11	12	13
Показатель направленности источника Di, дБ		исходные данные	**0**	0	0	0	0	0	0	0	0		
Поправка на направленность источника Dc, дБ	Dc	DΩ + Di	**3**	3	3	3	3	3	3	3	3		
Затухание из-за геометрической дивергенции, Adiv, дБ	расстояние = 2156.02 м	ф-ла (7) [10]	**77,7**										
Коэффициент затухания звука в атмосфере α, дБ/км	Ta=20,°C Pa=101.33,кПа hотн.=70%	ф-ла (5) [9]	0,02	0,09	0,33	1,12	2,79	4,98	9,04	23,09	77,63		
Учет затухания звука в атмосфере Aatm, дБ		ф-ла (8) [10]	0	0,2	0,7	2,4	6	10,7	19,5	49,8	167,4		
Снижение уровня звукового давления из-за влияния застройки между источником шума и расчетной точкой													
Снижение уровня звукового давления на пути над экраном, Dz1, дБ	z = 0.17м (разность путей)	ф-лы (14-18) [10]	4,8	4,8	4,8	4,8	4,8	4,8	4,8	4,8	4,8		
Снижение уровня звукового давления на пути слева от экрана, Dz2, дБ	z = 10.69м (разность путей)	ф-лы (14-18) [10]	20,4	23,7	26,7	29,8	32,8	35,8	38,8	41,8	44,8		
Снижение уровня звукового давления на пути справа от экрана, Dz3, дБ	z = 7.31м (разность путей)	ф-лы (14-18) [10]	18,8	22,1	25,1	28,1	31,1	34,1	37,1	40,1	43,1		
Общее снижение уровня звука препятствием Dz, дБ		Эн.сумма(-Dzi)	4,5	4,6	4,7	4,7	4,8	4,8	4,8	4,8	4,8		
Уровни звукового давления прямого звука от источника ИШ-10-2 в расчётной точке днём, дБ		**ф-ла(3)[10]**	**0**	**18,8**	**19,6**	**19,2**	**15,9**	**10,7**	**0**	**0**	**0**	**16,5**	**16,5**
Уровни звукового давления прямого звука от источника ИШ-10-2 в расчётной точке ночью, дБ		**ф-ла(3)[10]**	**0**	**18,8**	**19,6**	**19,2**	**15,9**	**10,7**	**0**	**0**	**0**	**16,5**	**16,5**
Расчёт отражённого звука													
Уровни звукового давления от мнимого источника ИШ-10-2_мн.(1) в расчётной точке днём, дБ		**ф-ла(3)[10]**	**0**	**0**	**0**	**0**	**0**	**0**	**0**	**0**	**0**	**0**	**0**
Уровни звукового давления от мнимого источника ИШ-10-2_мн.(1) в расчётной точке ночью, дБ		**ф-ла(3)[10]**	**0**	**0**	**0**	**0**	**0**	**0**	**0**	**0**	**0**	**0**	**0**
Уровни звукового давления от источника ИШ-10-2 в расчётной точке днём, дБ		**ф-ла(3)[10]**	**0**	**18,8**	**19,6**	**19,2**	**15,9**	**10,7**	**0**	**0**	**0**	**16,5**	**16,5**
Уровни звукового давления от источника ИШ-10-2 в расчётной точке ночью, дБ		**ф-ла(3)[10]**	**0**	**18,8**	**19,6**	**19,2**	**15,9**	**10,7**	**0**	**0**	**0**	**16,5**	**16,5**

1		2	3	4	5	6	7	8	9	10	11	12	13
Уровни звукового давления в расчётной точке													
Суммарные уровни звукового давления в расчётной точке от всех источников шума днём, Lрт, дБ		**ф-ла (19) [1]**	**53,6**	**51,8**	**42,3**	**39,8**	**39,1**	**41**	**33**	**0**	**0**	**43,3**	**43,3**
Суммарные уровни звукового давления в расчётной точке от всех источников шума ночью, Lрт, дБ		**ф-ла (19) [1]**	**48,5**	**50,2**	**41,8**	**39,5**	**38,9**	**40**	**31,5**	**0**	**0**	**42,8**	**42,8**
Допускаемые УЗД днём, Lдоп, дБ	Границы санитарно-защитных зон	Таблица 5.35.[23]	90	75	66	59	54	50	47	45	44	55	70
Допускаемые УЗД ночью, Lдоп, дБ	Границы санитарно-защитных зон	Таблица 5.35.[23]	83	67	57	49	44	40	37	35	33	45	60
Превышение днём, дБ		**Lрт - Lдоп**	**-36,4**	**-23,2**	**-23,7**	**-19,2**	**-14,9**	**-9**	**-14**	**-45**	**-44**	**-11,7**	**-26,7**
Превышение ночью, дБ		**Lрт - Lдоп**	**-34,5**	**-16,8**	**-15,2**	**-9,5**	**-5,1**	**0**	**-5,5**	**-35**	**-33**	**-2,2**	**-17,2**

Определение уровней звукового давления в точке РТ-6 (координаты точки, м: x = -708.37, y = -962.41, z = 1.50)

Наименование величин и их описание		Ссылка	Расчётные уровни в октавных полосах, со среднегеометрическими частотами, Гц									La, дБА	Lмакс, дБА
			31,5	63	125	250	500	1000	2000	4000	8000		
1		2	3	4	5	6	7	8	9	10	11	12	13
Источник шума: ИШ-1-1, координаты источника (x,y,z), м =[271.72,229.68,1.00]													
Уровни звуковой мощности источника днём, Lw, дБ		**исходные данные**	**97**	**97**	**104**	**106**	**105**	**105**	**98**	**87**	**81**		
Уровни звуковой мощности источника ночью, Lw, дБ		**исходные данные**	**97**	**97**	**104**	**106**	**105**	**105**	**98**	**87**	**81**		
Поправка на телесный угол DΩ, дБ	Ω = 6.28	10Lg(4π/Ω)	**3**	3	3	3	3	3	3	3	3		
Показатель направленности источника Di, дБ		исходные данные	**0**	0	0	0	0	0	0	0	0		
Поправка на направленность источника Dc, дБ	Dc	DΩ + Di	**3**	3	3	3	3	3	3	3	3		
Затухание из-за геометрической дивергенции, Adiv, дБ	расстояние = 1543.26 м	ф-ла (7) [10]	**74,8**										
Коэффициент затухания звука в атмосфере α, дБ/км	Ta=20,°C Pa=101.33,кПа hотн.=70%	ф-ла (5) [9]	0,02	0,09	0,33	1,12	2,79	4,98	9,04	23,09	77,63		
Учет затухания звука в атмосфере Aatm, дБ		ф-ла (8) [10]	0	0,1	0,5	1,7	4,3	7,7	14	35,6	119,8		
Снижение уровня звукового давления из-за влияния застройки между источником шума и расчетной точкой													
Снижение уровня звукового давления на пути над экраном, Dz1, дБ	z = 0.22м (разность путей)	ф-лы (14-18) [10]	4,8	4,8	4,8	4,8	4,8	4,8	4,8	4,8	4,8		
Снижение уровня звукового давления на пути слева от экрана, Dz2, дБ	z = 1.04м (разность путей)	ф-лы (14-18) [10]	8,4	10,3	12,6	15,3	18,1	21	23,9	26,9	29,9		
Снижение уровня звукового давления на пути справа от экрана, Dz3, дБ	z = 0.08м (разность путей)	ф-лы (14-18) [10]	5,2	5,6	6,3	7,4	9	11,1	13,6	16,3	19,2		

1		2	3	4	5	6	7	8	9	10	11	12	13
Общее снижение уровня звука препятствием Dz, дБ		Эн.сумма(-Dzi)	1,1	1,5	2,1	2,6	3,2	3,8	4,2	4,5	4,6		
Уровни звукового давления прямого звука от источника ИШ-1-1 в расчётной точке днём, дБ		**ф-ла(3)[10]**	**24,1**	**23,6**	**29,7**	**29,9**	**25,7**	**21,8**	**8,1**	**0**	**0**	**26,9**	**26,9**
Уровни звукового давления прямого звука от источника ИШ-1-1 в расчётной точке ночью, дБ		**ф-ла(3)[10]**	**24,1**	**23,6**	**29,7**	**29,9**	**25,7**	**21,8**	**8,1**	**0**	**0**	**26,9**	**26,9**
Расчёт отражённого звука													
Уровни звукового давления от мнимого источника ИШ-1-1_мн.(1) в расчётной точке днём, дБ		**ф-ла(3)[10]**	**0**	**0**	**0**	**0**	**0**	**0**	**0**	**0**	**0**	**0**	**0**
Уровни звукового давления от мнимого источника ИШ-1-1_мн.(1) в расчётной точке ночью, дБ		**ф-ла(3)[10]**	**0**	**0**	**0**	**0**	**0**	**0**	**0**	**0**	**0**	**0**	**0**
Уровни звукового давления от источника ИШ-1-1 в расчётной точке днём, дБ		**ф-ла(3)[10]**	**24,1**	**23,6**	**29,7**	**29,9**	**25,7**	**21,8**	**8,1**	**0**	**0**	**26,9**	**26,9**
Уровни звукового давления от источника ИШ-1-1 в расчётной точке ночью, дБ		**ф-ла(3)[10]**	**24,1**	**23,6**	**29,7**	**29,9**	**25,7**	**21,8**	**8,1**	**0**	**0**	**26,9**	**26,9**
Источник шума: ИШ-1-2, координаты источника (x,y,z), м =[261.74,199.14,1.00]													
Уровни звуковой мощности источника днём, Lw, дБ		**исходные данные**	**97**	**97**	**104**	**106**	**105**	**105**	**98**	**87**	**81**		
Уровни звуковой мощности источника ночью, Lw, дБ		**исходные данные**	**97**	**97**	**104**	**106**	**105**	**105**	**98**	**87**	**81**		
Поправка на телесный угол DΩ, дБ	Ω = 6.28	10Lg(4π/Ω)	**3**	3	3	3	3	3	3	3	3		
Показатель направленности источника Di, дБ		исходные данные	**0**	0	0	0	0	0	0	0	0		
Поправка на направленность источника Dc, дБ	Dc	DΩ + Di	**3**	3	3	3	3	3	3	3	3		
Затухание из-за геометрической дивергенции, Adiv, дБ	расстояние = 1513.38 м	ф-ла (7) [10]	**74,6**										
Коэффициент затухания звука в атмосфере α, дБ/км	Ta=20,°C Pa=101.33,кПа hотн.=70%	ф-ла (5) [9]	0,02	0,09	0,33	1,12	2,79	4,98	9,04	23,09	77,63		

1		2	3	4	5	6	7	8	9	10	11	12	13
Учет затухания звука в атмосфере Aatm, дБ		ф-ла (8) [10]	0	0,1	0,5	1,7	4,2	7,5	13,7	34,9	117,5		
Снижение уровня звукового давления из-за влияния застройки между источником шума и расчетной точкой													
Снижение уровня звукового давления на пути над экраном, Dz1, дБ	z = 0.24м (разность путей)	ф-лы (14-18) [10]	4,8	4,8	4,8	4,8	4,8	4,8	4,8	4,8	4,8		
Снижение уровня звукового давления на пути слева от экрана, Dz2, дБ	z = 0.32м (разность путей)	ф-лы (14-18) [10]	6,2	7,3	8,9	10,9	13,4	16,1	18,9	21,8	24,8		
Снижение уровня звукового давления на пути справа от экрана, Dz3, дБ	z = 0.79м (разность путей)	ф-лы (14-18) [10]	7,7	9,5	11,6	14,2	16,9	19,8	22,8	25,7	28,7		
Общее снижение уровня звука препятствием Dz, дБ		Эн.сумма(-Dzi)	1,3	2	2,7	3,4	4	4,3	4,5	4,7	4,7		
Уровни звукового давления от источника ИШ-1-2 в расчётной точке днём, дБ		**ф-ла(3)[10]**	**24,1**	**23,3**	**29,2**	**29,3**	**25,2**	**21,5**	**8,2**	**0**	**0**	**26,5**	**26,5**
Уровни звукового давления от источника ИШ-1-2 в расчётной точке ночью, дБ		**ф-ла(3)[10]**	**24,1**	**23,3**	**29,2**	**29,3**	**25,2**	**21,5**	**8,2**	**0**	**0**	**26,5**	**26,5**
Источник шума: ИШ-1-3, координаты источника (x,y,z), м =[251.75,236.44,1.00]													
Уровни звуковой мощности источника днём, Lw, дБ		**исходные данные**	**0**	**91,3**	**92,7**	**94**	**94,3**	**93,9**	**90,6**	**86,4**	**81,9**		
Уровни звуковой мощности источника ночью, Lw, дБ		**исходные данные**	**0**	**91,3**	**92,7**	**94**	**94,3**	**93,9**	**90,6**	**86,4**	**81,9**		
Поправка на телесный угол DΩ, дБ	Ω = 6.28	10Lg(4π/Ω)	**3**	3	3	3	3	3	3	3	3		
Показатель направленности источника Di, дБ		исходные данные	**0**	0	0	0	0	0	0	0	0		
Поправка на направленность источника Dc, дБ	Dc	DΩ + Di	**3**	3	3	3	3	3	3	3	3		
Затухание из-за геометрической дивергенции, Adiv, дБ	расстояние = 1535.93 м	ф-ла (7) [10]	**74,7**										
Коэффициент затухания звука в атмосфере α, дБ/км	Ta=20,°C Pa=101.33,кПа hотн.=70%	ф-ла (5) [9]	0,02	0,09	0,33	1,12	2,79	4,98	9,04	23,09	77,63		

1		2	3	4	5	6	7	8	9	10	11	12	13
Учет затухания звука в атмосфере Aatm, дБ		ф-ла (8) [10]	0	0,1	0,5	1,7	4,3	7,6	13,9	35,5	119,2		
Снижение поверхностью земли возле источника As, дБ	Gs = 0 hs = 1м	ф-лы таб.3 [10]	-1,5	-1,5	-1,5	-1,5	-1,5	-1,5	-1,5	-1,5	-1,5		
Снижение поверхностью земли возле приёмника Ar, дБ	Gr = 1 hr = 1.5м	ф-лы таб.3 [10]	-1,5	-1,5	5,3	7	5	0,7	0	0	0		
Снижение поверхностью земли в средней зоне, Am дБ	Gm = 1	ф-лы таб.3 [10]	-2,9	-2,9	0	0	0	0	0	0	0		
Суммарное снижение поверхностью земли на траектории распространения звука Agr, дБ		ф-ла (9) [10]	-5,9	-5,9	3,8	5,5	3,5	-0,8	-1,5	-1,5	-1,5		
Уровни звукового давления от источника ИШ-1-3 в расчётной точке днём, дБ		**ф-ла(3)[10]**	**0**	**25,3**	**16,6**	**15**	**14,8**	**15,4**	**6,5**	**0**	**0**	**17,9**	**17,9**
Уровни звукового давления от источника ИШ-1-3 в расчётной точке ночью, дБ		**ф-ла(3)[10]**	**0**	**25,3**	**16,6**	**15**	**14,8**	**15,4**	**6,5**	**0**	**0**	**17,9**	**17,9**
Источник шума: ИШ-1-4, координаты источника (x,y,z), м =[290.25,223.25,1.00]													
Уровни звуковой мощности источника днём, Lw, дБ		**исходные данные**	**0**	**91,3**	**92,7**	**94**	**94,3**	**93,9**	**90,6**	**86,4**	**81,9**		
Уровни звуковой мощности источника ночью, Lw, дБ		**исходные данные**	**0**	**91,3**	**92,7**	**94**	**94,3**	**93,9**	**90,6**	**86,4**	**81,9**		
Поправка на телесный угол DΩ, дБ	Ω = 6.28	10Lg(4π/Ω)	**3**	3	3	3	3	3	3	3	3		
Показатель направленности источника Di, дБ		исходные данные	**0**	0	0	0	0	0	0	0	0		
Поправка на направленность источника Dc, дБ	Dc	DΩ + Di	**3**	3	3	3	3	3	3	3	3		
Затухание из-за геометрической дивергенции, Adiv, дБ	расстояние = 1550.17 м	ф-ла (7) [10]	**74,8**										
Коэффициент затухания звука в атмосфере α, дБ/км	Ta=20,°C Pa=101.33,кПа hотн.=70%	ф-ла (5) [9]	0,02	0,09	0,33	1,12	2,79	4,98	9,04	23,09	77,63		
Учет затухания звука в атмосфере Aatm, дБ		ф-ла (8) [10]	0	0,1	0,5	1,7	4,3	7,7	14	35,8	120,3		

1		2	3	4	5	6	7	8	9	10	11	12	13
Снижение уровня звукового давления из-за влияния застройки между источником шума и расчетной точкой													
Снижение уровня звукового давления на пути над экраном, Dz1, дБ	z = 0.19м (разность путей)	ф-лы (14-18) [10]	4,8	4,8	4,8	4,8	4,8	4,8	4,8	4,8	4,8		
Снижение уровня звукового давления на пути слева от экрана, Dz2, дБ	z = 0.07м (разность путей)	ф-лы (14-18) [10]	5,1	5,5	6,1	7,1	8,6	10,7	13,1	15,7	18,6		
Снижение уровня звукового давления на пути справа от экрана, Dz3, дБ	z = 1.22м (разность путей)	ф-лы (14-18) [10]	8,8	10,8	13,2	15,9	18,7	21,7	24,6	27,6	30,6		
Общее снижение уровня звука препятствием Dz, дБ		Эн.сумма(-Dzi)	1,1	1,6	2	2,6	3,2	3,7	4,1	4,4	4,6		
Уровни звукового давления прямого звука от источника ИШ-1-4 в расчётной точке днём, дБ		**ф-ла(3)[10]**	**0**	**17,8**	**18,3**	**17,9**	**15**	**10,7**	**0,6**	**0**	**0**	**15,9**	**15,9**
Уровни звукового давления прямого звука от источника ИШ-1-4 в расчётной точке ночью, дБ		**ф-ла(3)[10]**	**0**	**17,8**	**18,3**	**17,9**	**15**	**10,7**	**0,6**	**0**	**0**	**15,9**	**15,9**
Расчёт отражённого звука													
Уровни звукового давления от мнимого источника ИШ-1-4_мн.(1) в расчётной точке днём, дБ		**ф-ла(3)[10]**	**0**	**0**	**0**	**0**	**0**	**0**	**3,4**	**0**	**0**	**4,6**	**4,6**
Уровни звукового давления от мнимого источника ИШ-1-4_мн.(1) в расчётной точке ночью, дБ		**ф-ла(3)[10]**	**0**	**0**	**0**	**0**	**0**	**0**	**0**	**0**	**0**	**4,6**	**4,6**
Уровни звукового давления от мнимого источника ИШ-1-4_мн.(2) в расчётной точке днём, дБ		**ф-ла(3)[10]**	**0**	**0**	**0**	**0**	**0**	**9,1**	**1,5**	**0**	**0**	**10**	**10**
Уровни звукового давления от мнимого источника ИШ-1-4_мн.(2) в расчётной точке ночью, дБ		**ф-ла(3)[10]**	**0**	**0**	**0**	**0**	**0**	**0**	**0**	**0**	**0**	**10**	**10**
Суммарные уровни звукового давления от мнимых источников в расчётной точке днём, дБ		**ф-ла (19) [1]**	**0**	**0**	**0**	**0**	**0**	**9,1**	**5,6**	**0**	**0**	**0**	**11,1**
Суммарные уровни звукового давления от мнимых источников в расчётной точке ночью, дБ		**ф-ла (19) [1]**	**0**	**0**	**0**	**0**	**0**	**9,1**	**5,6**	**0**	**0**	**0**	**11,1**
Уровни звукового давления от источника ИШ-1-4 в расчётной точке днём, дБ		**ф-ла(3)[10]**	**0**	**17,8**	**18,3**	**17,9**	**15**	**13**	**6,8**	**0**	**0**	**17,1**	**17,1**
Уровни звукового давления от источника ИШ-1-4 в расчётной точке ночью, дБ		**ф-ла(3)[10]**	**0**	**17,8**	**18,3**	**17,9**	**15**	**13**	**6,8**	**0**	**0**	**17,1**	**17,1**
Источник шума: ИШ-1-5, координаты источника (x,y,z), м =[241.49,205.86,1.00]													

1		2	3	4	5	6	7	8	9	10	11	12	13
Уровни звуковой мощности источника днём, Lw, дБ		**исходные данные**	**0**	**91,3**	**92,7**	**94**	**94,3**	**93,9**	**90,6**	**86,4**	**81,9**		
Уровни звуковой мощности источника ночью, Lw, дБ		**исходные данные**	**0**	**91,3**	**92,7**	**94**	**94,3**	**93,9**	**90,6**	**86,4**	**81,9**		
Поправка на телесный угол DΩ, дБ	Ω = 6.28	10Lg(4π/Ω)	**3**	3	3	3	3	3	3	3	3		
Показатель направленности источника Di, дБ		исходные данные	**0**	0	0	0	0	0	0	0	0		
Поправка на направленность источника Dc, дБ	Dc	DΩ + Di	**3**	3	3	3	3	3	3	3	3		
Затухание из-за геометрической дивергенции, Adiv, дБ	расстояние = 1505.68 м	ф-ла (7) [10]	**74,6**										
Коэффициент затухания звука в атмосфере α, дБ/км	Ta=20,°C Pa=101.33,кПа hотн.=70%	ф-ла (5) [9]	0,02	0,09	0,33	1,12	2,79	4,98	9,04	23,09	77,63		
Учет затухания звука в атмосфере Aatm, дБ		ф-ла (8) [10]	0	0,1	0,5	1,7	4,2	7,5	13,6	34,8	116,9		
Снижение уровня звукового давления из-за влияния застройки между источником шума и расчетной точкой													
Снижение уровня звукового давления препятствием слева от трассы ИШ-РТ, Dz2, дБ	z = -0.01м (разность путей)	ф-лы (14-18) [10]	4,7	4,7	4,6	4,3	3,8	2,6	0	NAN	NAN		
* отрицательное значение z означает прохождение траектории вблизи экрана, в этом случае дополнительно производится учёт снижения подстилающей поверхностью (см.ниже)													
Снижение поверхностью земли возле источника As, дБ	Gs = 0 hs = 1м	ф-лы таб.3 [10]	-1,5	-1,5	-1,5	-1,5	-1,5	-1,5	-1,5	-1,5	-1,5		
Снижение поверхностью земли возле приёмника Ar, дБ	Gr = 1 hr = 1.5м	ф-лы таб.3 [10]	-1,5	-1,5	5,3	7	5	0,7	0	0	0		
Снижение поверхностью земли в средней зоне, Am дБ	Gm = 1	ф-лы таб.3 [10]	-2,9	-2,9	0	0	0	0	0	0	0		
Суммарное снижение поверхностью земли на траектории распространения звука Agr, дБ		ф-ла (9) [10]	-5,9	-5,9	3,8	5,5	3,5	-0,8	-1,5	-1,5	-1,5		
Уровни звукового давления от источника ИШ-1-5 в расчётной точке днём, дБ		**ф-ла(3)[10]**	**0**	**20,8**	**12,2**	**10,9**	**11,2**	**13,1**	**6,9**	**0**	**0**	**15,5**	**15,5**
Уровни звукового давления от источника ИШ-1-5 в расчётной точке ночью, дБ		**ф-ла(3)[10]**	**0**	**20,8**	**12,2**	**10,9**	**11,2**	**13,1**	**6,9**	**0**	**0**	**15,5**	**15,5**

1		2	3	4	5	6	7	8	9	10	11	12	13
Источник шума: ИШ-1-6, координаты источника (x,y,z), м =[279.85,192.97,1.00]													
Уровни звуковой мощности источника днём, Lw, дБ		**исходные данные**	**0**	**91,3**	**92,7**	**94**	**94,3**	**93,9**	**90,6**	**86,4**	**81,9**		
Уровни звуковой мощности источника ночью, Lw, дБ		**исходные данные**	**0**	**91,3**	**92,7**	**94**	**94,3**	**93,9**	**90,6**	**86,4**	**81,9**		
Поправка на телесный угол DΩ, дБ	Ω = 6.28	10Lg(4π/Ω)	**3**	3	3	3	3	3	3	3	3		
Показатель направленности источника Di, дБ		исходные данные	**0**	0	0	0	0	0	0	0	0		
Поправка на направленность источника Dc, дБ	Dc	DΩ + Di	**3**	3	3	3	3	3	3	3	3		
Затухание из-за геометрической дивергенции, Adiv, дБ	расстояние = 1520.35 м	ф-ла (7) [10]	**74,6**										
Коэффициент затухания звука в атмосфере α, дБ/км	Ta=20,°C Pa=101.33,кПа hотн.=70%	ф-ла (5) [9]	0,02	0,09	0,33	1,12	2,79	4,98	9,04	23,09	77,63		
Учет затухания звука в атмосфере Aatm, дБ		ф-ла (8) [10]	0	0,1	0,5	1,7	4,2	7,6	13,7	35,1	118		
Снижение уровня звукового давления из-за влияния застройки между источником шума и расчетной точкой													
Снижение уровня звукового давления препятствием справа от трассы ИШ-РТ, Dz3, дБ	z = -0.05м (разность путей)	ф-лы (14-18) [10]	0	0	3,7	2,2	0	NAN	NAN	NAN	NAN		
* отрицательное значение z означает прохождение траектории вблизи экрана, в этом случае дополнительно производится учёт снижения подстилающей поверхностью (см.ниже)													
Снижение поверхностью земли возле источника As, дБ	Gs = 0 hs = 1м	ф-лы таб.3 [10]	-1,5	-1,5	-1,5	-1,5	-1,5	-1,5	-1,5	-1,5	-1,5		
Снижение поверхностью земли возле приёмника Ar, дБ	Gr = 1 hr = 1.5м	ф-лы таб.3 [10]	-1,5	-1,5	5,3	7	5	0,7	0	0	0		
Снижение поверхностью земли в средней зоне, Am дБ	Gm = 1	ф-лы таб.3 [10]	-2,9	-2,9	0	0	0	0	0	0	0		
Суммарное снижение поверхностью земли на траектории распространения звука Agr, дБ		ф-ла (9) [10]	-5,9	-5,9	3,8	5,5	3,5	-0,8	-1,5	-1,5	-1,5		
Уровни звукового давления прямого звука от источника ИШ-1-6 в расчётной точке днём, дБ		**ф-ла(3)[10]**	**0**	**25,4**	**13**	**12,9**	**14,9**	**15,5**	**6,7**	**0**	**0**	**17,8**	**17,8**

1		2	3	4	5	6	7	8	9	10	11	12	13
Уровни звукового давления прямого звука от источника ИШ-1-6 в расчётной точке ночью, дБ		**ф-ла(3)[10]**	**0**	**25,4**	**13**	**12,9**	**14,9**	**15,5**	**6,7**	**0**	**0**	**17,8**	**17,8**
Расчёт отражённого звука													
Уровни звукового давления от мнимого источника ИШ-1-6_мн.(1) в расчётной точке днём, дБ		**ф-ла(3)[10]**	**0**	**0**	**0**	**0**	**0**	**0**	**0**	**0**	**0**	**0**	**0**
Уровни звукового давления от мнимого источника ИШ-1-6_мн.(1) в расчётной точке ночью, дБ		**ф-ла(3)[10]**	**0**	**0**	**0**	**0**	**0**	**0**	**0**	**0**	**0**	**0**	**0**
Уровни звукового давления от источника ИШ-1-6 в расчётной точке днём, дБ		**ф-ла(3)[10]**	**0**	**25,4**	**13**	**12,9**	**14,9**	**15,5**	**6,7**	**0**	**0**	**17,8**	**17,8**
Уровни звукового давления от источника ИШ-1-6 в расчётной точке ночью, дБ		**ф-ла(3)[10]**	**0**	**25,4**	**13**	**12,9**	**14,9**	**15,5**	**6,7**	**0**	**0**	**17,8**	**17,8**
Источник шума: ИШ-1-7, координаты источника (x,y,z), м =[451.87,146.66,1.00]													
Уровни звуковой мощности источника днём, Lw, дБ		**исходные данные**	**0**	**93,3**	**94,7**	**96**	**96,3**	**95,9**	**92,6**	**88,4**	**83,9**		
Уровни звуковой мощности источника ночью, Lw, дБ		**исходные данные**	**0**	**93,3**	**94,7**	**96**	**96,3**	**95,9**	**92,6**	**88,4**	**83,9**		
Поправка на телесный угол DΩ, дБ	Ω = 6.28	10Lg(4π/Ω)	**3**	3	3	3	3	3	3	3	3		
Показатель направленности источника Di, дБ		исходные данные	**0**	0	0	0	0	0	0	0	0		
Поправка на направленность источника Dc, дБ	Dc	DΩ + Di	**3**	3	3	3	3	3	3	3	3		
Затухание из-за геометрической дивергенции, Adiv, дБ	расстояние = 1605.05 м	ф-ла (7) [10]	**75,1**										
Коэффициент затухания звука в атмосфере α, дБ/км	Ta=20,°C Pa=101.33,кПа hотн.=70%	ф-ла (5) [9]	0,02	0,09	0,33	1,12	2,79	4,98	9,04	23,09	77,63		
Учет затухания звука в атмосфере Aatm, дБ		ф-ла (8) [10]	0	0,1	0,5	1,8	4,5	8	14,5	37,1	124,6		
Снижение уровня звукового давления из-за влияния застройки между источником шума и расчетной точкой													

1		2	3	4	5	6	7	8	9	10	11	12	13
Снижение уровня звукового давления на пути над экраном, Dz1, дБ	z = 0.73м (разность путей)	ф-лы (14-18) [10]	4,9	5	5,2	5,5	6,2	7,2	8,8	10,8	13,3		
Снижение уровня звукового давления на пути слева от экрана, Dz2, дБ	z = 40.50м (разность путей)	ф-лы (14-18) [10]	26,3	29,5	32,5	35,5	38,5	41,6	44,6	47,6	50,6		
Снижение уровня звукового давления на пути справа от экрана, Dz3, дБ	z = 101.95м (разность путей)	ф-лы (14-18) [10]	26,1	29,8	34,2	38,6	42,3	45,5	48,6	51,6	54,6		
Общее снижение уровня звука препятствием Dz, дБ		Эн.сумма(-Dzi)	4,8	4,9	5,1	5,5	6,2	7,2	8,8	10,8	13,3		
Уровни звукового давления прямого звука от источника ИШ-1-7 в расчётной точке днём, дБ		**ф-ла(3)[10]**	**0**	**16,1**	**16,9**	**16,6**	**13,5**	**8,6**	**0**	**0**	**0**	**14,1**	**14,1**
Уровни звукового давления прямого звука от источника ИШ-1-7 в расчётной точке ночью, дБ		**ф-ла(3)[10]**	**0**	**16,1**	**16,9**	**16,6**	**13,5**	**8,6**	**0**	**0**	**0**	**14,1**	**14,1**
Расчёт отражённого звука													
Уровни звукового давления от мнимого источника ИШ-1-7_мн.(1) в расчётной точке днём, дБ		**ф-ла(3)[10]**	**0**	**0**	**0**	**0**	**0**	**0**	**0**	**0**	**0**	**0**	**0**
Уровни звукового давления от мнимого источника ИШ-1-7_мн.(1) в расчётной точке ночью, дБ		**ф-ла(3)[10]**	**0**	**0**	**0**	**0**	**0**	**0**	**0**	**0**	**0**	**0**	**0**
Уровни звукового давления от источника ИШ-1-7 в расчётной точке днём, дБ		**ф-ла(3)[10]**	**0**	**16,1**	**16,9**	**16,6**	**13,5**	**8,6**	**0**	**0**	**0**	**14,1**	**14,1**
Уровни звукового давления от источника ИШ-1-7 в расчётной точке ночью, дБ		**ф-ла(3)[10]**	**0**	**16,1**	**16,9**	**16,6**	**13,5**	**8,6**	**0**	**0**	**0**	**14,1**	**14,1**
Источник шума: ИШ-1-8, координаты источника (x,y,z), м =[454.99,145.29,1.00]													
Уровни звуковой мощности источника днём, Lw, дБ		**исходные данные**	**0**	**93,3**	**94,7**	**96**	**96,3**	**95,9**	**92,6**	**88,4**	**83,9**		
Уровни звуковой мощности источника ночью, Lw, дБ		**исходные данные**	**0**	**93,3**	**94,7**	**96**	**96,3**	**95,9**	**92,6**	**88,4**	**83,9**		
Поправка на телесный угол DΩ, дБ	Ω = 6.28	10Lg(4π/Ω)	**3**	3	3	3	3	3	3	3	3		
Показатель направленности источника Di, дБ		исходные данные	**0**	0	0	0	0	0	0	0	0		
Поправка на направленность источника Dc, дБ	Dc	DΩ + Di	**3**	3	3	3	3	3	3	3	3		

1		2	3	4	5	6	7	8	9	10	11	12	13
Затухание из-за геометрической дивергенции, Adiv, дБ	расстояние = 1606.37 м	ф-ла (7) [10]	**75,1**										
Коэффициент затухания звука в атмосфере α, дБ/км	Та=20,°С Ра=101.33,кПа hотн.=70%	ф-ла (5) [9]	0,02	0,09	0,33	1,12	2,79	4,98	9,04	23,09	77,63		
Учет затухания звука в атмосфере Aatm, дБ		ф-ла (8) [10]	0	0,1	0,5	1,8	4,5	8	14,5	37,1	124,7		
Снижение уровня звукового давления из-за влияния застройки между источником шума и расчетной точкой													
Снижение уровня звукового давления на пути над экраном, Dz1, дБ	z = 0.65м (разность путей)	ф-лы (14-18) [10]	4,8	4,9	5	5,2	5,5	6,2	7,3	8,9	10,9		
Снижение уровня звукового давления на пути слева от экрана, Dz2, дБ	z = 38.47м (разность путей)	ф-лы (14-18) [10]	26,1	29,3	32,3	35,3	38,3	41,3	44,3	47,3	50,4		
Снижение уровня звукового давления на пути справа от экрана, Dz3, дБ	z = 102.53м (разность путей)	ф-лы (14-18) [10]	26,1	29,8	34,2	38,6	42,3	45,5	48,6	51,6	54,6		
Общее снижение уровня звука препятствием Dz, дБ		Эн.сумма(-Dzi)	4,8	4,8	5	5,2	5,5	6,2	7,3	8,9	10,9		
Уровни звукового давления прямого звука от источника ИШ-1-8 в расчётной точке днём, дБ		**ф-ла(3)[10]**	**0**	**16,2**	**17,1**	**16,9**	**14,1**	**9,6**	**0**	**0**	**0**	**14,7**	**14,7**
Уровни звукового давления прямого звука от источника ИШ-1-8 в расчётной точке ночью, дБ		**ф-ла(3)[10]**	**0**	**16,2**	**17,1**	**16,9**	**14,1**	**9,6**	**0**	**0**	**0**	**14,7**	**14,7**
Расчёт отражённого звука													
Уровни звукового давления от мнимого источника ИШ-1-8_мн.(1) в расчётной точке днём, дБ		**ф-ла(3)[10]**	**0**	**0**	**0**	**0**	**0**	**0**	**0**	**0**	**0**	**0**	**0**
Уровни звукового давления от мнимого источника ИШ-1-8_мн.(1) в расчётной точке ночью, дБ		**ф-ла(3)[10]**	**0**	**0**	**0**	**0**	**0**	**0**	**0**	**0**	**0**	**0**	**0**
Уровни звукового давления от источника ИШ-1-8 в расчётной точке днём, дБ		**ф-ла(3)[10]**	**0**	**16,2**	**17,1**	**16,9**	**14,1**	**9,6**	**0**	**0**	**0**	**14,7**	**14,7**
Уровни звукового давления от источника ИШ-1-8 в расчётной точке ночью, дБ		**ф-ла(3)[10]**	**0**	**16,2**	**17,1**	**16,9**	**14,1**	**9,6**	**0**	**0**	**0**	**14,7**	**14,7**
Источник шума: ИШ-1-9, координаты источника (x,y,z), м =[458.12,144.31,1.00]													

1		2	3	4	5	6	7	8	9	10	11	12	13
Уровни звуковой мощности источника днём, Lw, дБ		**исходные данные**	**0**	**93,3**	**94,7**	**96**	**96,3**	**95,9**	**92,6**	**88,4**	**83,9**		
Уровни звуковой мощности источника ночью, Lw, дБ		**исходные данные**	**0**	**93,3**	**94,7**	**96**	**96,3**	**95,9**	**92,6**	**88,4**	**83,9**		
Поправка на телесный угол DΩ, дБ	Ω = 6.28	10Lg(4π/Ω)	**3**	3	3	3	3	3	3	3	3		
Показатель направленности источника Di, дБ		исходные данные	**0**	0	0	0	0	0	0	0	0		
Поправка на направленность источника Dc, дБ	Dc	DΩ + Di	**3**	3	3	3	3	3	3	3	3		
Затухание из-за геометрической дивергенции, Adiv, дБ	расстояние = 1607.96 м	ф-ла (7) [10]	**75,1**										
Коэффициент затухания звука в атмосфере α, дБ/км	Ta=20,°C Pa=101.33,кПа hотн.=70%	ф-ла (5) [9]	0,02	0,09	0,33	1,12	2,79	4,98	9,04	23,09	77,63		
Учет затухания звука в атмосфере Aatm, дБ		ф-ла (8) [10]	0	0,1	0,5	1,8	4,5	8	14,5	37,1	124,8		
Снижение уровня звукового давления из-за влияния застройки между источником шума и расчетной точкой													
Снижение уровня звукового давления на пути над экраном, Dz1, дБ	z = 0.59м (разность путей)	ф-лы (14-18) [10]	4,8	4,8	4,9	5	5,2	5,6	6,3	7,4	9		
Снижение уровня звукового давления на пути слева от экрана, Dz2, дБ	z = 36.65м (разность путей)	ф-лы (14-18) [10]	25,9	29,1	32,1	35,1	38,1	41,1	44,1	47,1	50,1		
Снижение уровня звукового давления на пути справа от экрана, Dz3, дБ	z = 102.60м (разность путей)	ф-лы (14-18) [10]	26,1	29,8	34,2	38,6	42,3	45,5	48,6	51,6	54,6		
Общее снижение уровня звука препятствием Dz, дБ		Эн.сумма(-Dzi)	4,7	4,8	4,9	5	5,2	5,6	6,3	7,4	9		
Уровни звукового давления прямого звука от источника ИШ-1-9 в расчётной точке днём, дБ		**ф-ла(3)[10]**	**0**	**16,2**	**17,2**	**17,1**	**14,5**	**10,2**	**0**	**0**	**0**	**15,1**	**15,1**
Уровни звукового давления прямого звука от источника ИШ-1-9 в расчётной точке ночью, дБ		**ф-ла(3)[10]**	**0**	**16,2**	**17,2**	**17,1**	**14,5**	**10,2**	**0**	**0**	**0**	**15,1**	**15,1**
Расчёт отражённого звука													
Уровни звукового давления от мнимого источника ИШ-1-9_мн.(1) в расчётной точке днём, дБ		**ф-ла(3)[10]**	**0**	**0**	**0**	**0**	**0**	**0**	**0**	**0**	**0**	**0**	**0**

1		2	3	4	5	6	7	8	9	10	11	12	13
Уровни звукового давления от мнимого источника ИШ-1-9_мн.(1) в расчётной точке ночью, дБ		**ф-ла(3)[10]**	**0**	**0**	**0**	**0**	**0**	**0**	**0**	**0**	**0**	**0**	**0**
Уровни звукового давления от источника ИШ-1-9 в расчётной точке днём, дБ		**ф-ла(3)[10]**	**0**	**16,2**	**17,2**	**17,1**	**14,5**	**10,2**	**0**	**0**	**0**	**15,1**	**15,1**
Уровни звукового давления от источника ИШ-1-9 в расчётной точке ночью, дБ		**ф-ла(3)[10]**	**0**	**16,2**	**17,2**	**17,1**	**14,5**	**10,2**	**0**	**0**	**0**	**15,1**	**15,1**
Источник шума: ИШ-1-10, координаты источника (x,y,z), м =[461.05,143.53,1.00]													
Уровни звуковой мощности источника днём, Lw, дБ		**исходные данные**	**0**	**93,3**	**94,7**	**96**	**96,3**	**95,9**	**92,6**	**88,4**	**83,9**		
Уровни звуковой мощности источника ночью, Lw, дБ		**исходные данные**	**0**	**93,3**	**94,7**	**96**	**96,3**	**95,9**	**92,6**	**88,4**	**83,9**		
Поправка на телесный угол DΩ, дБ	Ω = 6.28	10Lg(4π/Ω)	**3**	3	3	3	3	3	3	3	3		
Показатель направленности источника Di, дБ		исходные данные	**0**	0	0	0	0	0	0	0	0		
Поправка на направленность источника Dc, дБ	Dc	DΩ + Di	**3**	3	3	3	3	3	3	3	3		
Затухание из-за геометрической дивергенции, Adiv, дБ	расстояние = 1609.55 м	ф-ла (7) [10]	**75,1**										
Коэффициент затухания звука в атмосфере α, дБ/км	Ta=20,°C Pa=101.33,кПа hотн.=70%	ф-ла (5) [9]	0,02	0,09	0,33	1,12	2,79	4,98	9,04	23,09	77,63		
Учет затухания звука в атмосфере Aatm, дБ		ф-ла (8) [10]	0	0,1	0,5	1,8	4,5	8	14,5	37,2	125		
Снижение уровня звукового давления из-за влияния застройки между источником шума и расчетной точкой													
Снижение уровня звукового давления на пути над экраном, Dz1, дБ	z = 0.55м (разность путей)	ф-лы (14-18) [10]	4,8	4,8	4,8	4,9	5	5,2	5,7	6,4	7,6		
Снижение уровня звукового давления на пути слева от экрана, Dz2, дБ	z = 35.06м (разность путей)	ф-лы (14-18) [10]	25,7	28,9	31,9	34,9	37,9	40,9	43,9	46,9	50		
Снижение уровня звукового давления на пути справа от экрана, Dz3, дБ	z = 102.54м (разность путей)	ф-лы (14-18) [10]	26,1	29,8	34,2	38,6	42,3	45,5	48,6	51,6	54,6		

1		2	3	4	5	6	7	8	9	10	11	12	13
Общее снижение уровня звука препятствием Dz, дБ		Эн.сумма(-Dzi)	4,7	4,8	4,8	4,9	5	5,2	5,7	6,4	7,6		
Уровни звукового давления прямого звука от источника ИШ-1-10 в расчётной точке днём, дБ		**ф-ла(3)[10]**	**0**	**16,2**	**17,2**	**17,2**	**14,7**	**10,5**	**0,2**	**0**	**0**	**15,5**	**15,5**
Уровни звукового давления прямого звука от источника ИШ-1-10 в расчётной точке ночью, дБ		**ф-ла(3)[10]**	**0**	**16,2**	**17,2**	**17,2**	**14,7**	**10,5**	**0,2**	**0**	**0**	**15,5**	**15,5**
Расчёт отражённого звука													
Уровни звукового давления от мнимого источника ИШ-1-10_мн.(1) в расчётной точке днём, дБ		**ф-ла(3)[10]**	**0**	**0**	**0**	**0**	**0**	**0**	**0**	**0**	**0**	**0**	**0**
Уровни звукового давления от мнимого источника ИШ-1-10_мн.(1) в расчётной точке ночью, дБ		**ф-ла(3)[10]**	**0**	**0**	**0**	**0**	**0**	**0**	**0**	**0**	**0**	**0**	**0**
Уровни звукового давления от источника ИШ-1-10 в расчётной точке днём, дБ		**ф-ла(3)[10]**	**0**	**16,2**	**17,2**	**17,2**	**14,7**	**10,5**	**0,2**	**0**	**0**	**15,5**	**15,5**
Уровни звукового давления от источника ИШ-1-10 в расчётной точке ночью, дБ		**ф-ла(3)[10]**	**0**	**16,2**	**17,2**	**17,2**	**14,7**	**10,5**	**0,2**	**0**	**0**	**15,5**	**15,5**
Источник шума: ИШ-1-11, координаты источника (x,y,z), м =[464.18,142.55,1.00]													
Уровни звуковой мощности источника днём, Lw, дБ		**исходные данные**	**0**	**93,3**	**94,7**	**96**	**96,3**	**95,9**	**92,6**	**88,4**	**83,9**		
Уровни звуковой мощности источника ночью, Lw, дБ		**исходные данные**	**0**	**93,3**	**94,7**	**96**	**96,3**	**95,9**	**92,6**	**88,4**	**83,9**		
Поправка на телесный угол DΩ, дБ	Ω = 6.28	10Lg(4π/Ω)	**3**	3	3	3	3	3	3	3	3		
Показатель направленности источника Di, дБ		исходные данные	**0**	0	0	0	0	0	0	0	0		
Поправка на направленность источника Dc, дБ	Dc	DΩ + Di	**3**	3	3	3	3	3	3	3	3		
Затухание из-за геометрической дивергенции, Adiv, дБ	расстояние = 1611.15 м	ф-ла (7) [10]	**75,1**										
Коэффициент затухания звука в атмосфере α, дБ/км	Ta=20,°C Pa=101.33,кПа hотн.=70%	ф-ла (5) [9]	0,02	0,09	0,33	1,12	2,79	4,98	9,04	23,09	77,63		

1		2	3	4	5	6	7	8	9	10	11	12	13
Учет затухания звука в атмосфере Aatm, дБ		ф-ла (8) [10]	0	0,1	0,5	1,8	4,5	8	14,6	37,2	125,1		
Снижение уровня звукового давления из-за влияния застройки между источником шума и расчетной точкой													
Снижение уровня звукового давления на пути над экраном, Dz1, дБ	z = 0.51м (разность путей)	ф-лы (14-18) [10]	4,8	4,8	4,8	4,8	4,9	5	5,3	5,7	6,5		
Снижение уровня звукового давления на пути слева от экрана, Dz2, дБ	z = 33.41м (разность путей)	ф-лы (14-18) [10]	25,5	28,7	31,7	34,7	37,7	40,7	43,7	46,7	49,7		
Снижение уровня звукового давления на пути справа от экрана, Dz3, дБ	z = 102.83м (разность путей)	ф-лы (14-18) [10]	26,1	29,8	34,2	38,6	42,3	45,5	48,6	51,6	54,6		
Общее снижение уровня звука препятствием Dz, дБ		Эн.сумма(-Dzi)	4,7	4,8	4,8	4,8	4,9	5	5,3	5,7	6,5		
Уровни звукового давления прямого звука от источника ИШ-1-11 в расчётной точке днём, дБ		**ф-ла(3)[10]**	**0**	**16,2**	**17,2**	**17,2**	**14,7**	**10,7**	**0,6**	**0**	**0**	**15,6**	**15,6**
Уровни звукового давления прямого звука от источника ИШ-1-11 в расчётной точке ночью, дБ		**ф-ла(3)[10]**	**0**	**16,2**	**17,2**	**17,2**	**14,7**	**10,7**	**0,6**	**0**	**0**	**15,6**	**15,6**
Расчёт отражённого звука													
Уровни звукового давления от мнимого источника ИШ-1-11_мн.(1) в расчётной точке днём, дБ		**ф-ла(3)[10]**	**0**	**0**	**0**	**0**	**0**	**0**	**0**	**0**	**0**	**0**	**0**
Уровни звукового давления от мнимого источника ИШ-1-11_мн.(1) в расчётной точке ночью, дБ		**ф-ла(3)[10]**	**0**	**0**	**0**	**0**	**0**	**0**	**0**	**0**	**0**	**0**	**0**
Уровни звукового давления от источника ИШ-1-11 в расчётной точке днём, дБ		**ф-ла(3)[10]**	**0**	**16,2**	**17,2**	**17,2**	**14,7**	**10,7**	**0,6**	**0**	**0**	**15,6**	**15,6**
Уровни звукового давления от источника ИШ-1-11 в расчётной точке ночью, дБ		**ф-ла(3)[10]**	**0**	**16,2**	**17,2**	**17,2**	**14,7**	**10,7**	**0,6**	**0**	**0**	**15,6**	**15,6**
Источник шума: ИШ-1-12, координаты источника (x,y,z), м =[435.45,97.79,1.00]													
Уровни звуковой мощности источника днём, Lw, дБ		**исходные данные**	**0**	**93,3**	**94,7**	**96**	**96,3**	**95,9**	**92,6**	**88,4**	**83,9**		
Уровни звуковой мощности источника ночью, Lw, дБ		**исходные данные**	**0**	**93,3**	**94,7**	**96**	**96,3**	**95,9**	**92,6**	**88,4**	**83,9**		
Поправка на телесный угол DΩ, дБ	Ω = 6.28	10Lg(4π/Ω)	**3**	3	3	3	3	3	3	3	3		

1		2	3	4	5	6	7	8	9	10	11	12	13
Показатель направленности источника Di, дБ		исходные данные	**0**	0	0	0	0	0	0	0	0		
Поправка на направленность источника Dc, дБ	Dc	DΩ + Di	**3**	3	3	3	3	3	3	3	3		
Затухание из-за геометрической дивергенции, Adiv, дБ	расстояние = 1559.60 м	ф-ла (7) [10]	**74,9**										
Коэффициент затухания звука в атмосфере α, дБ/км	Ta=20,°C Pa=101.33,кПа hотн.=70%	ф-ла (5) [9]	0,02	0,09	0,33	1,12	2,79	4,98	9,04	23,09	77,63		
Учет затухания звука в атмосфере Aatm, дБ		ф-ла (8) [10]	0	0,1	0,5	1,8	4,4	7,8	14,1	36	121,1		
Снижение уровня звукового давления из-за влияния застройки между источником шума и расчетной точкой													
Снижение уровня звукового давления на пути над экраном, Dz1, дБ	z = 0.58м (разность путей)	ф-лы (14-18) [10]	4,8	4,8	4,9	5	5,2	5,5	6,2	7,2	8,8		
Снижение уровня звукового давления на пути слева от экрана, Dz2, дБ	z = 35.22м (разность путей)	ф-лы (14-18) [10]	25,7	28,9	31,9	34,9	37,9	40,9	44	47	50		
Снижение уровня звукового давления на пути справа от экрана, Dz3, дБ	z = 195.84м (разность путей)	ф-лы (14-18) [10]	28,9	32,6	37	41,4	45,1	48,3	51,4	54,4	57,4		
Общее снижение уровня звука препятствием Dz, дБ		Эн.сумма(-Dzi)	4,7	4,8	4,9	5	5,2	5,5	6,2	7,2	8,8		
Уровни звукового давления от источника ИШ-1-12 в расчётной точке днём, дБ		**ф-ла(3)[10]**	**0**	**16,5**	**17,5**	**17,4**	**14,9**	**10,8**	**0,5**	**0**	**0**	**15,7**	**15,7**
Уровни звукового давления от источника ИШ-1-12 в расчётной точке ночью, дБ		**ф-ла(3)[10]**	**0**	**16,5**	**17,5**	**17,4**	**14,9**	**10,8**	**0,5**	**0**	**0**	**15,7**	**15,7**
Источник шума: ИШ-1-13, координаты источника (x,y,z), м =[438.77,96.82,1.00]													
Уровни звуковой мощности источника днём, Lw, дБ		**исходные данные**	**0**	**93,3**	**94,7**	**96**	**96,3**	**95,9**	**92,6**	**88,4**	**83,9**		
Уровни звуковой мощности источника ночью, Lw, дБ		**исходные данные**	**0**	**93,3**	**94,7**	**96**	**96,3**	**95,9**	**92,6**	**88,4**	**83,9**		
Поправка на телесный угол DΩ, дБ	Ω = 6.28	10Lg(4π/Ω)	**3**	3	3	3	3	3	3	3	3		

1		2	3	4	5	6	7	8	9	10	11	12	13
Показатель направленности источника Di, дБ		исходные данные	**0**	0	0	0	0	0	0	0	0		
Поправка на направленность источника Dc, дБ	Dc	DΩ + Di	**3**	3	3	3	3	3	3	3	3		
Затухание из-за геометрической дивергенции, Adiv, дБ	расстояние = 1561.37 м	ф-ла (7) [10]	**74,9**										
Коэффициент затухания звука в атмосфере α, дБ/км	Ta=20,°C Pa=101.33,кПа hотн.=70%	ф-ла (5) [9]	0,02	0,09	0,33	1,12	2,79	4,98	9,04	23,09	77,63		
Учет затухания звука в атмосфере Aatm, дБ		ф-ла (8) [10]	0	0,1	0,5	1,8	4,4	7,8	14,1	36	121,2		
Снижение уровня звукового давления из-за влияния застройки между источником шума и расчетной точкой													
Снижение уровня звукового давления на пути над экраном, Dz1, дБ	z = 0.58м (разность путей)	ф-лы (14-18) [10]	4,8	4,8	4,8	4,9	5,1	5,4	6	6,9	8,4		
Снижение уровня звукового давления на пути слева от экрана, Dz2, дБ	z = 32.84м (разность путей)	ф-лы (14-18) [10]	25,4	28,6	31,6	34,6	37,6	40,6	43,7	46,7	49,7		
Снижение уровня звукового давления на пути справа от экрана, Dz3, дБ	z = 194.86м (разность путей)	ф-лы (14-18) [10]	28,9	32,6	37	41,4	45,1	48,3	51,4	54,4	57,4		
Общее снижение уровня звука препятствием Dz, дБ		Эн.сумма(-Dzi)	4,7	4,8	4,8	4,9	5,1	5,4	6	6,9	8,4		
Уровни звукового давления от источника ИШ-1-13 в расчётной точке днём, дБ		**ф-ла(3)[10]**	**0**	**16,5**	**17,5**	**17,4**	**15**	**10,8**	**0,6**	**0**	**0**	**15,8**	**15,8**
Уровни звукового давления от источника ИШ-1-13 в расчётной точке ночью, дБ		**ф-ла(3)[10]**	**0**	**16,5**	**17,5**	**17,4**	**15**	**10,8**	**0,6**	**0**	**0**	**15,8**	**15,8**
Источник шума: ИШ-1-14, координаты источника (x,y,z), м =[441.70,96.03,1.00]													
Уровни звуковой мощности источника днём, Lw, дБ		**исходные данные**	**0**	**93,3**	**94,7**	**96**	**96,3**	**95,9**	**92,6**	**88,4**	**83,9**		
Уровни звуковой мощности источника ночью, Lw, дБ		**исходные данные**	**0**	**93,3**	**94,7**	**96**	**96,3**	**95,9**	**92,6**	**88,4**	**83,9**		
Поправка на телесный угол DΩ, дБ	Ω = 6.28	10Lg(4π/Ω)	**3**	3	3	3	3	3	3	3	3		

1		2	3	4	5	6	7	8	9	10	11	12	13
Показатель направленности источника Di, дБ		исходные данные	**0**	0	0	0	0	0	0	0	0		
Поправка на направленность источника Dc, дБ	Dc	DΩ + Di	**3**	3	3	3	3	3	3	3	3		
Затухание из-за геометрической дивергенции, Adiv, дБ	расстояние = 1563.00 м	ф-ла (7) [10]	**74,9**										
Коэффициент затухания звука в атмосфере α, дБ/км	Ta=20,°C Pa=101.33,кПа hотн.=70%	ф-ла (5) [9]	0,02	0,09	0,33	1,12	2,79	4,98	9,04	23,09	77,63		
Учет затухания звука в атмосфере Aatm, дБ		ф-ла (8) [10]	0	0,1	0,5	1,8	4,4	7,8	14,1	36,1	121,3		
Снижение уровня звукового давления из-за влияния застройки между источником шума и расчетной точкой													
Снижение уровня звукового давления на пути над экраном, Dz1, дБ	z = 0.58м (разность путей)	ф-лы (14-18) [10]	4,8	4,8	4,9	5	5,2	5,6	6,3	7,4	9		
Снижение уровня звукового давления на пути слева от экрана, Dz2, дБ	z = 30.91м (разность путей)	ф-лы (14-18) [10]	25,1	28,3	31,3	34,4	37,4	40,4	43,4	46,4	49,4		
Снижение уровня звукового давления на пути справа от экрана, Dz3, дБ	z = 193.94м (разность путей)	ф-лы (14-18) [10]	28,9	32,6	37	41,4	45,1	48,3	51,3	54,4	57,4		
Общее снижение уровня звука препятствием Dz, дБ		Эн.сумма(-Dzi)	4,7	4,8	4,9	5	5,2	5,6	6,3	7,4	9		
Уровни звукового давления от источника ИШ-1-14 в расчётной точке днём, дБ		**ф-ла(3)[10]**	**0**	**16,5**	**17,4**	**17,4**	**14,9**	**10,7**	**0,3**	**0**	**0**	**15,6**	**15,6**
Уровни звукового давления от источника ИШ-1-14 в расчётной точке ночью, дБ		**ф-ла(3)[10]**	**0**	**16,5**	**17,4**	**17,4**	**14,9**	**10,7**	**0,3**	**0**	**0**	**15,6**	**15,6**
Источник шума: ИШ-1-15, координаты источника (x,y,z), м =[445.03,95.25,1.00]													
Уровни звуковой мощности источника днём, Lw, дБ		**исходные данные**	**0**	**93,3**	**94,7**	**96**	**96,3**	**95,9**	**92,6**	**88,4**	**83,9**		
Уровни звуковой мощности источника ночью, Lw, дБ		**исходные данные**	**0**	**93,3**	**94,7**	**96**	**96,3**	**95,9**	**92,6**	**88,4**	**83,9**		
Поправка на телесный угол DΩ, дБ	Ω = 6.28	10Lg(4π/Ω)	**3**	3	3	3	3	3	3	3	3		

1		2	3	4	5	6	7	8	9	10	11	12	13
Показатель направленности источника Di, дБ		исходные данные	**0**	0	0	0	0	0	0	0	0		
Поправка на направленность источника Dc, дБ	Dc	DΩ + Di	**3**	3	3	3	3	3	3	3	3		
Затухание из-за геометрической дивергенции, Adiv, дБ	расстояние = 1564.92 м	ф-ла (7) [10]	**74,9**										
Коэффициент затухания звука в атмосфере α, дБ/км	Ta=20,°C Pa=101.33,кПа hотн.=70%	ф-ла (5) [9]	0,02	0,09	0,33	1,12	2,79	4,98	9,04	23,09	77,63		
Учет затухания звука в атмосфере Aatm, дБ		ф-ла (8) [10]	0	0,1	0,5	1,8	4,4	7,8	14,1	36,1	121,5		
Снижение уровня звукового давления из-за влияния застройки между источником шума и расчетной точкой													
Снижение уровня звукового давления на пути над экраном, Dz1, дБ	z = 0.57м (разность путей)	ф-лы (14-18) [10]	4,8	4,8	4,9	5	5,2	5,6	6,2	7,3	8,9		
Снижение уровня звукового давления на пути слева от экрана, Dz2, дБ	z = 28.92м (разность путей)	ф-лы (14-18) [10]	24,9	28	31,1	34,1	37,1	40,1	43,1	46,1	49,1		
Снижение уровня звукового давления на пути справа от экрана, Dz3, дБ	z = 192.81м (разность путей)	ф-лы (14-18) [10]	28,9	32,6	36,9	41,3	45	48,3	51,3	54,3	57,4		
Общее снижение уровня звука препятствием Dz, дБ		Эн.сумма(-Dzi)	4,7	4,8	4,9	5	5,2	5,6	6,2	7,3	8,9		
Уровни звукового давления от источника ИШ-1-15 в расчётной точке днём, дБ		**ф-ла(3)[10]**	**0**	**16,5**	**17,4**	**17,4**	**14,9**	**10,7**	**0,3**	**0**	**0**	**15,6**	**15,6**
Уровни звукового давления от источника ИШ-1-15 в расчётной точке ночью, дБ		**ф-ла(3)[10]**	**0**	**16,5**	**17,4**	**17,4**	**14,9**	**10,7**	**0,3**	**0**	**0**	**15,6**	**15,6**
Источник шума: ИШ-1-16, координаты источника (x,y,z), м =[447.96,94.28,1.00]													
Уровни звуковой мощности источника днём, Lw, дБ		**исходные данные**	**0**	**93,3**	**94,7**	**96**	**96,3**	**95,9**	**92,6**	**88,4**	**83,9**		
Уровни звуковой мощности источника ночью, Lw, дБ		**исходные данные**	**0**	**93,3**	**94,7**	**96**	**96,3**	**95,9**	**92,6**	**88,4**	**83,9**		
Поправка на телесный угол DΩ, дБ	Ω = 6.28	10Lg(4π/Ω)	**3**	3	3	3	3	3	3	3	3		

1		2	3	4	5	6	7	8	9	10	11	12	13
Показатель направленности источника Di, дБ		исходные данные	**0**	0	0	0	0	0	0	0	0		
Поправка на направленность источника Dc, дБ	Dc	DΩ + Di	**3**	3	3	3	3	3	3	3	3		
Затухание из-за геометрической дивергенции, Adiv, дБ	расстояние = 1566.42 м	ф-ла (7) [10]	**74,9**										
Коэффициент затухания звука в атмосфере α, дБ/км	Ta=20,°C Pa=101.33,кПа hотн.=70%	ф-ла (5) [9]	0,02	0,09	0,33	1,12	2,79	4,98	9,04	23,09	77,63		
Учет затухания звука в атмосфере Aatm, дБ		ф-ла (8) [10]	0	0,1	0,5	1,8	4,4	7,8	14,2	36,2	121,6		
Снижение уровня звукового давления из-за влияния застройки между источником шума и расчетной точкой													
Снижение уровня звукового давления на пути над экраном, Dz1, дБ	z = 0.57м (разность путей)	ф-лы (14-18) [10]	4,8	4,8	4,9	5	5,2	5,6	6,2	7,3	8,9		
Снижение уровня звукового давления на пути слева от экрана, Dz2, дБ	z = 27.23м (разность путей)	ф-лы (14-18) [10]	24,6	27,8	30,8	33,8	36,8	39,8	42,8	45,8	48,9		
Снижение уровня звукового давления на пути справа от экрана, Dz3, дБ	z = 192.38м (разность путей)	ф-лы (14-18) [10]	28,8	32,5	36,9	41,3	45	48,2	51,3	54,3	57,3		
Общее снижение уровня звука препятствием Dz, дБ		Эн.сумма(-Dzi)	4,7	4,8	4,9	5	5,2	5,6	6,2	7,3	8,9		
Уровни звукового давления от источника ИШ-1-16 в расчётной точке днём, дБ		**ф-ла(3)[10]**	**0**	**16,5**	**17,4**	**17,4**	**14,8**	**10,6**	**0,3**	**0**	**0**	**15,6**	**15,6**
Уровни звукового давления от источника ИШ-1-16 в расчётной точке ночью, дБ		**ф-ла(3)[10]**	**0**	**16,5**	**17,4**	**17,4**	**14,8**	**10,6**	**0,3**	**0**	**0**	**15,6**	**15,6**
Источник шума: ИШ-1-17, координаты источника (x,y,z), м =[540.99,141.77,1.00]													
Уровни звуковой мощности источника днём, Lw, дБ		**исходные данные**	**0**	**93,3**	**94,7**	**96**	**96,3**	**95,9**	**92,6**	**88,4**	**83,9**		
Уровни звуковой мощности источника ночью, Lw, дБ		**исходные данные**	**0**	**93,3**	**94,7**	**96**	**96,3**	**95,9**	**92,6**	**88,4**	**83,9**		
Поправка на телесный угол DΩ, дБ	Ω = 6.28	10Lg(4π/Ω)	**3**	3	3	3	3	3	3	3	3		

1		2	3	4	5	6	7	8	9	10	11	12	13
Показатель направленности источника Di, дБ		исходные данные	**0**	0	0	0	0	0	0	0	0		
Поправка на направленность источника Dc, дБ	Dc	DΩ + Di	**3**	3	3	3	3	3	3	3	3		
Затухание из-за геометрической дивергенции, Adiv, дБ	расстояние = 1667.37 м	ф-ла (7) [10]	**75,4**										
Коэффициент затухания звука в атмосфере α, дБ/км	Ta=20,°C Pa=101.33,кПа hотн.=70%	ф-ла (5) [9]	0,02	0,09	0,33	1,12	2,79	4,98	9,04	23,09	77,63		
Учет затухания звука в атмосфере Aatm, дБ		ф-ла (8) [10]	0	0,1	0,6	1,9	4,7	8,3	15,1	38,5	129,4		
Снижение уровня звукового давления из-за влияния застройки между источником шума и расчетной точкой													
Снижение уровня звукового давления на пути над экраном, Dz1, дБ	z = 0.78м (разность путей)	ф-лы (14-18) [10]	5	5,2	5,5	6,1	7,2	8,7	10,8	13,2	15,9		
Снижение уровня звукового давления на пути слева от экрана, Dz2, дБ	z = 14.86м (разность путей)	ф-лы (14-18) [10]	22,1	25,2	28,2	31,2	34,2	37,2	40,2	43,2	46,2		
Снижение уровня звукового давления на пути справа от экрана, Dz3, дБ	z = 106.18м (разность путей)	ф-лы (14-18) [10]	29,2	33,2	36,6	39,7	42,7	45,7	48,7	51,8	54,8		
Общее снижение уровня звука препятствием Dz, дБ		Эн.сумма(-Dzi)	4,9	5,1	5,5	6,1	7,2	8,7	10,8	13,2	15,9		
Уровни звукового давления от источника ИШ-1-17 в расчётной точке днём, дБ		**ф-ла(3)[10]**	**0**	**15,6**	**16,2**	**15,6**	**12**	**6,4**	**0**	**0**	**0**	**12,6**	**12,6**
Уровни звукового давления от источника ИШ-1-17 в расчётной точке ночью, дБ		**ф-ла(3)[10]**	**0**	**15,6**	**16,2**	**15,6**	**12**	**6,4**	**0**	**0**	**0**	**12,6**	**12,6**
Источник шума: ИШ-1-18, координаты источника (x,y,z), м =[543.53,140.79,1.00]													
Уровни звуковой мощности источника днём, Lw, дБ		**исходные данные**	**0**	**93,3**	**94,7**	**96**	**96,3**	**95,9**	**92,6**	**88,4**	**83,9**		
Уровни звуковой мощности источника ночью, Lw, дБ		**исходные данные**	**0**	**93,3**	**94,7**	**96**	**96,3**	**95,9**	**92,6**	**88,4**	**83,9**		
Поправка на телесный угол DΩ, дБ	Ω = 6.28	10Lg(4π/Ω)	**3**	3	3	3	3	3	3	3	3		

1		2	3	4	5	6	7	8	9	10	11	12	13
Показатель направленности источника Di, дБ		исходные данные	**0**	0	0	0	0	0	0	0	0		
Поправка на направленность источника Dc, дБ	Dc	DΩ + Di	**3**	3	3	3	3	3	3	3	3		
Затухание из-за геометрической дивергенции, Adiv, дБ	расстояние = 1668.63 м	ф-ла (7) [10]	**75,4**										
Коэффициент затухания звука в атмосфере α, дБ/км	Ta=20,°C Pa=101.33,кПа hотн.=70%	ф-ла (5) [9]	0,02	0,09	0,33	1,12	2,79	4,98	9,04	23,09	77,63		
Учет затухания звука в атмосфере Aatm, дБ		ф-ла (8) [10]	0	0,1	0,6	1,9	4,7	8,3	15,1	38,5	129,5		
Снижение уровня звукового давления из-за влияния застройки между источником шума и расчетной точкой													
Снижение уровня звукового давления на пути над экраном, Dz1, дБ	z = 0.72м (разность путей)	ф-лы (14-18) [10]	4,9	5	5,2	5,7	6,4	7,6	9,3	11,5	14		
Снижение уровня звукового давления на пути слева от экрана, Dz2, дБ	z = 14.19м (разность путей)	ф-лы (14-18) [10]	21,9	25	28	31	34	37	40	43	46		
Снижение уровня звукового давления на пути справа от экрана, Dz3, дБ	z = 106.93м (разность путей)	ф-лы (14-18) [10]	29,2	33,3	36,6	39,7	42,7	45,8	48,8	51,8	54,8		
Общее снижение уровня звука препятствием Dz, дБ		Эн.сумма(-Dzi)	4,8	5	5,2	5,7	6,4	7,6	9,3	11,5	14		
Уровни звукового давления от источника ИШ-1-18 в расчётной точке днём, дБ		**ф-ла(3)[10]**	**0**	**15,7**	**16,5**	**16**	**12,8**	**7,5**	**0**	**0**	**0**	**13,3**	**13,3**
Уровни звукового давления от источника ИШ-1-18 в расчётной точке ночью, дБ		**ф-ла(3)[10]**	**0**	**15,7**	**16,5**	**16**	**12,8**	**7,5**	**0**	**0**	**0**	**13,3**	**13,3**
Источник шума: ИШ-1-19, координаты источника (x,y,z), м =[547.25,139.62,1.00]													
Уровни звуковой мощности источника днём, Lw, дБ		**исходные данные**	**0**	**93,3**	**94,7**	**96**	**96,3**	**95,9**	**92,6**	**88,4**	**83,9**		
Уровни звуковой мощности источника ночью, Lw, дБ		**исходные данные**	**0**	**93,3**	**94,7**	**96**	**96,3**	**95,9**	**92,6**	**88,4**	**83,9**		
Поправка на телесный угол DΩ, дБ	Ω = 6.28	10Lg(4π/Ω)	**3**	3	3	3	3	3	3	3	3		

1		2	3	4	5	6	7	8	9	10	11	12	13
Показатель направленности источника Di, дБ		исходные данные	**0**	0	0	0	0	0	0	0	0		
Поправка на направленность источника Dc, дБ	Dc	DΩ + Di	**3**	3	3	3	3	3	3	3	3		
Затухание из-за геометрической дивергенции, Adiv, дБ	расстояние = 1670.64 м	ф-ла (7) [10]	**75,5**										
Коэффициент затухания звука в атмосфере α, дБ/км	Ta=20,°C Pa=101.33,кПа hотн.=70%	ф-ла (5) [9]	0,02	0,09	0,33	1,12	2,79	4,98	9,04	23,09	77,63		
Учет затухания звука в атмосфере Aatm, дБ		ф-ла (8) [10]	0	0,1	0,6	1,9	4,7	8,3	15,1	38,6	129,7		
Снижение уровня звукового давления из-за влияния застройки между источником шума и расчетной точкой													
Снижение уровня звукового давления на пути над экраном, Dz1, дБ	z = 0.64м (разность путей)	ф-лы (14-18) [10]	4,8	4,9	5	5,3	5,7	6,5	7,7	9,4	11,6		
Снижение уровня звукового давления на пути слева от экрана, Dz2, дБ	z = 13.36м (разность путей)	ф-лы (14-18) [10]	21,6	24,7	27,7	30,7	33,7	36,7	39,7	42,8	45,8		
Снижение уровня звукового давления на пути справа от экрана, Dz3, дБ	z = 107.79м (разность путей)	ф-лы (14-18) [10]	29,3	33,3	36,6	39,7	42,8	45,8	48,8	51,8	54,8		
Общее снижение уровня звука препятствием Dz, дБ		Эн.сумма(-Dzi)	4,7	4,8	5	5,2	5,7	6,5	7,7	9,4	11,6		
Уровни звукового давления от источника ИШ-1-19 в расчётной точке днём, дБ		**ф-ла(3)[10]**	**0**	**15,8**	**16,7**	**16,4**	**13,5**	**8,7**	**0**	**0**	**0**	**14**	**14**
Уровни звукового давления от источника ИШ-1-19 в расчётной точке ночью, дБ		**ф-ла(3)[10]**	**0**	**15,8**	**16,7**	**16,4**	**13,5**	**8,7**	**0**	**0**	**0**	**14**	**14**
Источник шума: ИШ-1-20, координаты источника (x,y,z), м =[550.38,138.64,1.00]													
Уровни звуковой мощности источника днём, Lw, дБ		**исходные данные**	**0**	**93,3**	**94,7**	**96**	**96,3**	**95,9**	**92,6**	**88,4**	**83,9**		
Уровни звуковой мощности источника ночью, Lw, дБ		**исходные данные**	**0**	**93,3**	**94,7**	**96**	**96,3**	**95,9**	**92,6**	**88,4**	**83,9**		
Поправка на телесный угол DΩ, дБ	Ω = 6.28	10Lg(4π/Ω)	**3**	3	3	3	3	3	3	3	3		

1		2	3	4	5	6	7	8	9	10	11	12	13
Показатель направленности источника Di, дБ		исходные данные	**0**	0	0	0	0	0	0	0	0		
Поправка на направленность источника Dc, дБ	Dc	DΩ + Di	**3**	3	3	3	3	3	3	3	3		
Затухание из-за геометрической дивергенции, Adiv, дБ	расстояние = 1672.35 м	ф-ла (7) [10]	**75,5**										
Коэффициент затухания звука в атмосфере α, дБ/км	Ta=20,°C Pa=101.33,кПа hотн.=70%	ф-ла (5) [9]	0,02	0,09	0,33	1,12	2,79	4,98	9,04	23,09	77,63		
Учет затухания звука в атмосфере Aatm, дБ		ф-ла (8) [10]	0	0,1	0,6	1,9	4,7	8,3	15,1	38,6	129,8		
Снижение уровня звукового давления из-за влияния застройки между источником шума и расчетной точкой													
Снижение уровня звукового давления на пути над экраном, Dz1, дБ	z = 0.59м (разность путей)	ф-лы (14-18) [10]	4,8	4,8	4,9	5,1	5,3	5,8	6,7	8	9,8		
Снижение уровня звукового давления на пути слева от экрана, Dz2, дБ	z = 12.75м (разность путей)	ф-лы (14-18) [10]	17	19,9	22,8	25,8	28,8	31,8	34,8	37,8	40,8		
Снижение уровня звукового давления на пути справа от экрана, Dz3, дБ	z = 108.60м (разность путей)	ф-лы (14-18) [10]	29,3	33,3	36,7	39,8	42,8	45,8	48,8	51,9	54,9		
Общее снижение уровня звука препятствием Dz, дБ		Эн.сумма(-Dzi)	4,5	4,7	4,8	5	5,3	5,8	6,7	8	9,8		
Уровни звукового давления от источника ИШ-1-20 в расчётной точке днём, дБ		**ф-ла(3)[10]**	**0**	**16**	**16,8**	**16,6**	**13,8**	**9,3**	**0**	**0**	**0**	**14,4**	**14,4**
Уровни звукового давления от источника ИШ-1-20 в расчётной точке ночью, дБ		**ф-ла(3)[10]**	**0**	**16**	**16,8**	**16,6**	**13,8**	**9,3**	**0**	**0**	**0**	**14,4**	**14,4**
Источник шума: ИШ-1-21, координаты источника (x,y,z), м =[553.31,137.67,1.00]													
Уровни звуковой мощности источника днём, Lw, дБ		**исходные данные**	**0**	**93,3**	**94,7**	**96**	**96,3**	**95,9**	**92,6**	**88,4**	**83,9**		
Уровни звуковой мощности источника ночью, Lw, дБ		**исходные данные**	**0**	**93,3**	**94,7**	**96**	**96,3**	**95,9**	**92,6**	**88,4**	**83,9**		
Поправка на телесный угол DΩ, дБ	Ω = 6.28	10Lg(4π/Ω)	**3**	3	3	3	3	3	3	3	3		

1		2	3	4	5	6	7	8	9	10	11	12	13
Показатель направленности источника Di, дБ		исходные данные	**0**	0	0	0	0	0	0	0	0		
Поправка на направленность источника Dc, дБ	Dc	DΩ + Di	**3**	3	3	3	3	3	3	3	3		
Затухание из-за геометрической дивергенции, Adiv, дБ	расстояние = 1673.92 м	ф-ла (7) [10]	**75,5**										
Коэффициент затухания звука в атмосфере α, дБ/км	Ta=20,°C Pa=101.33,кПа hотн.=70%	ф-ла (5) [9]	0,02	0,09	0,33	1,12	2,79	4,98	9,04	23,09	77,63		
Учет затухания звука в атмосфере Aatm, дБ		ф-ла (8) [10]	0	0,1	0,6	1,9	4,7	8,3	15,1	38,6	130		
Снижение уровня звукового давления из-за влияния застройки между источником шума и расчетной точкой													
Снижение уровня звукового давления на пути над экраном, Dz1, дБ	z = 0.54м (разность путей)	ф-лы (14-18) [10]	4,8	4,8	4,9	4,9	5,1	5,4	6	7	8,4		
Снижение уровня звукового давления на пути слева от экрана, Dz2, дБ	z = 12.20м (разность путей)	ф-лы (14-18) [10]	16,8	19,7	22,6	25,6	28,6	31,6	34,6	37,6	40,6		
Снижение уровня звукового давления на пути справа от экрана, Dz3, дБ	z = 109.53м (разность путей)	ф-лы (14-18) [10]	29,3	33,4	36,7	39,8	42,9	45,9	48,9	51,9	54,9		
Общее снижение уровня звука препятствием Dz, дБ		Эн.сумма(-Dzi)	4,5	4,7	4,8	4,9	5,1	5,4	6	7	8,4		
Уровни звукового давления от источника ИШ-1-21 в расчётной точке днём, дБ		**ф-ла(3)[10]**	**0**	**16**	**16,9**	**16,7**	**14**	**9,7**	**0**	**0**	**0**	**14,7**	**14,7**
Уровни звукового давления от источника ИШ-1-21 в расчётной точке ночью, дБ		**ф-ла(3)[10]**	**0**	**16**	**16,9**	**16,7**	**14**	**9,7**	**0**	**0**	**0**	**14,7**	**14,7**
Источник шума: ИШ-1-22, координаты источника (x,y,z), м =[522.03,85.28,1.00]													
Уровни звуковой мощности источника днём, Lw, дБ		**исходные данные**	**0**	**93,3**	**94,7**	**96**	**96,3**	**95,9**	**92,6**	**88,4**	**83,9**		
Уровни звуковой мощности источника ночью, Lw, дБ		**исходные данные**	**0**	**93,3**	**94,7**	**96**	**96,3**	**95,9**	**92,6**	**88,4**	**83,9**		
Поправка на телесный угол DΩ, дБ	Ω = 6.28	10Lg(4π/Ω)	**3**	3	3	3	3	3	3	3	3		

1		2	3	4	5	6	7	8	9	10	11	12	13
Показатель направленности источника Di, дБ		исходные данные	**0**	0	0	0	0	0	0	0	0		
Поправка на направленность источника Dc, дБ	Dc	DΩ + Di	**3**	3	3	3	3	3	3	3	3		
Затухание из-за геометрической дивергенции, Adiv, дБ	расстояние = 1616.03 м	ф-ла (7) [10]	**75,2**										
Коэффициент затухания звука в атмосфере α, дБ/км	Ta=20,°C Pa=101.33,кПа hотн.=70%	ф-ла (5) [9]	0,02	0,09	0,33	1,12	2,79	4,98	9,04	23,09	77,63		
Учет затухания звука в атмосфере Aatm, дБ		ф-ла (8) [10]	0	0,1	0,5	1,8	4,5	8	14,6	37,3	125,5		
Снижение уровня звукового давления из-за влияния застройки между источником шума и расчетной точкой													
Снижение уровня звукового давления на пути над экраном, Dz1, дБ	z = 0.81м (разность путей)	ф-лы (14-18) [10]	5	5,2	5,7	6,4	7,6	9,3	11,5	14	16,7		
Снижение уровня звукового давления на пути слева от экрана, Dz2, дБ	z = 9.57м (разность путей)	ф-лы (14-18) [10]	15,9	18,7	21,6	24,5	27,5	30,5	33,5	36,5	39,5		
Снижение уровня звукового давления на пути справа от экрана, Dz3, дБ	z = 210.31м (разность путей)	ф-лы (14-18) [10]	32,2	36,2	39,5	42,6	45,7	48,7	51,7	54,7	57,7		
Общее снижение уровня звука препятствием Dz, дБ		Эн.сумма(-Dzi)	4,7	5	5,6	6,4	7,6	9,3	11,5	14	16,7		
Уровни звукового давления от источника ИШ-1-22 в расчётной точке днём, дБ		**ф-ла(3)[10]**	**0**	**15,9**	**16,4**	**15,7**	**12**	**6,4**	**0**	**0**	**0**	**12,6**	**12,6**
Уровни звукового давления от источника ИШ-1-22 в расчётной точке ночью, дБ		**ф-ла(3)[10]**	**0**	**15,9**	**16,4**	**15,7**	**12**	**6,4**	**0**	**0**	**0**	**12,6**	**12,6**
Источник шума: ИШ-1-23, координаты источника (x,y,z), м =[525.16,84.11,1.00]													
Уровни звуковой мощности источника днём, Lw, дБ		**исходные данные**	**0**	**93,3**	**94,7**	**96**	**96,3**	**95,9**	**92,6**	**88,4**	**83,9**		
Уровни звуковой мощности источника ночью, Lw, дБ		**исходные данные**	**0**	**93,3**	**94,7**	**96**	**96,3**	**95,9**	**92,6**	**88,4**	**83,9**		
Поправка на телесный угол DΩ, дБ	Ω = 6.28	10Lg(4π/Ω)	**3**	3	3	3	3	3	3	3	3		

1		2	3	4	5	6	7	8	9	10	11	12	13
Показатель направленности источника Di, дБ		исходные данные	**0**	0	0	0	0	0	0	0	0		
Поправка на направленность источника Dc, дБ	Dc	DΩ + Di	**3**	3	3	3	3	3	3	3	3		
Затухание из-за геометрической дивергенции, Adiv, дБ	расстояние = 1617.65 м	ф-ла (7) [10]	**75,2**										
Коэффициент затухания звука в атмосфере α, дБ/км	Ta=20,°C Pa=101.33,кПа hотн.=70%	ф-ла (5) [9]	0,02	0,09	0,33	1,12	2,79	4,98	9,04	23,09	77,63		
Учет затухания звука в атмосфере Aatm, дБ		ф-ла (8) [10]	0	0,1	0,5	1,8	4,5	8,1	14,6	37,3	125,6		
Снижение уровня звукового давления из-за влияния застройки между источником шума и расчетной точкой													
Снижение уровня звукового давления на пути над экраном, Dz1, дБ	z = 0.21м (разность путей)	ф-лы (14-18) [10]	4,8	4,8	4,8	4,8	4,8	4,8	4,8	4,8	4,8		
Снижение уровня звукового давления на пути слева от экрана, Dz2, дБ	z = 9.00м (разность путей)	ф-лы (14-18) [10]	15,6	18,4	21,3	24,3	27,3	30,3	33,3	36,3	39,3		
Снижение уровня звукового давления на пути справа от экрана, Dz3, дБ	z = 209.83м (разность путей)	ф-лы (14-18) [10]	32,2	36,2	39,5	42,6	45,7	48,7	51,7	54,7	57,7		
Общее снижение уровня звука препятствием Dz, дБ		Эн.сумма(-Dzi)	4,4	4,6	4,7	4,7	4,7	4,8	4,8	4,8	4,8		
Уровни звукового давления от источника ИШ-1-23 в расчётной точке днём, дБ		**ф-ла(3)[10]**	**0**	**16,4**	**17,3**	**17,3**	**14,9**	**10,9**	**1**	**0**	**0**	**15,7**	**15,7**
Уровни звукового давления от источника ИШ-1-23 в расчётной точке ночью, дБ		**ф-ла(3)[10]**	**0**	**16,4**	**17,3**	**17,3**	**14,9**	**10,9**	**1**	**0**	**0**	**15,7**	**15,7**
Источник шума: ИШ-1-24, координаты источника (x,y,z), м =[528.48,82.94,1.00]													
Уровни звуковой мощности источника днём, Lw, дБ		**исходные данные**	**0**	**93,3**	**94,7**	**96**	**96,3**	**95,9**	**92,6**	**88,4**	**83,9**		
Уровни звуковой мощности источника ночью, Lw, дБ		**исходные данные**	**0**	**93,3**	**94,7**	**96**	**96,3**	**95,9**	**92,6**	**88,4**	**83,9**		
Поправка на телесный угол DΩ, дБ	Ω = 6.28	10Lg(4π/Ω)	**3**	3	3	3	3	3	3	3	3		

1		2	3	4	5	6	7	8	9	10	11	12	13
Показатель направленности источника Di, дБ		исходные данные	**0**	0	0	0	0	0	0	0	0		
Поправка на направленность источника Dc, дБ	Dc	DΩ + Di	**3**	3	3	3	3	3	3	3	3		
Затухание из-за геометрической дивергенции, Adiv, дБ	расстояние = 1619.43 м	ф-ла (7) [10]	**75,2**										
Коэффициент затухания звука в атмосфере α, дБ/км	Ta=20,°C Pa=101.33,кПа hотн.=70%	ф-ла (5) [9]	0,02	0,09	0,33	1,12	2,79	4,98	9,04	23,09	77,63		
Учет затухания звука в атмосфере Aatm, дБ		ф-ла (8) [10]	0	0,1	0,5	1,8	4,5	8,1	14,6	37,4	125,7		
Снижение уровня звукового давления из-за влияния застройки между источником шума и расчетной точкой													
Снижение уровня звукового давления на пути над экраном, Dz1, дБ	z = 0.21м (разность путей)	ф-лы (14-18) [10]	4,8	4,8	4,8	4,8	4,8	4,8	4,8	4,8	4,8		
Снижение уровня звукового давления на пути слева от экрана, Dz2, дБ	z = 8.43м (разность путей)	ф-лы (14-18) [10]	15,3	18,2	21	24	27	30	33	36	39		
Снижение уровня звукового давления на пути справа от экрана, Dz3, дБ	z = 209.31м (разность путей)	ф-лы (14-18) [10]	32,1	36,2	39,5	42,6	45,7	48,7	51,7	54,7	57,7		
Общее снижение уровня звука препятствием Dz, дБ		Эн.сумма(-Dzi)	4,4	4,6	4,7	4,7	4,7	4,8	4,8	4,8	4,8		
Уровни звукового давления от источника ИШ-1-24 в расчётной точке днём, дБ		**ф-ла(3)[10]**	**0**	**16,4**	**17,3**	**17,3**	**14,8**	**10,9**	**1**	**0**	**0**	**15,7**	**15,7**
Уровни звукового давления от источника ИШ-1-24 в расчётной точке ночью, дБ		**ф-ла(3)[10]**	**0**	**16,4**	**17,3**	**17,3**	**14,8**	**10,9**	**1**	**0**	**0**	**15,7**	**15,7**
Источник шума: ИШ-1-25, координаты источника (x,y,z), м =[531.22,82.16,1.00]													
Уровни звуковой мощности источника днём, Lw, дБ		**исходные данные**	**0**	**93,3**	**94,7**	**96**	**96,3**	**95,9**	**92,6**	**88,4**	**83,9**		
Уровни звуковой мощности источника ночью, Lw, дБ		**исходные данные**	**0**	**93,3**	**94,7**	**96**	**96,3**	**95,9**	**92,6**	**88,4**	**83,9**		
Поправка на телесный угол DΩ, дБ	Ω = 6.28	10Lg(4π/Ω)	**3**	3	3	3	3	3	3	3	3		

1		2	3	4	5	6	7	8	9	10	11	12	13
Показатель направленности источника Di, дБ		исходные данные	**0**	0	0	0	0	0	0	0	0		
Поправка на направленность источника Dc, дБ	Dc	DΩ + Di	**3**	3	3	3	3	3	3	3	3		
Затухание из-за геометрической дивергенции, Adiv, дБ	расстояние = 1621.02 м	ф-ла (7) [10]	**75,2**										
Коэффициент затухания звука в атмосфере α, дБ/км	Ta=20,°C Pa=101.33,кПа hотн.=70%	ф-ла (5) [9]	0,02	0,09	0,33	1,12	2,79	4,98	9,04	23,09	77,63		
Учет затухания звука в атмосфере Aatm, дБ		ф-ла (8) [10]	0	0,1	0,5	1,8	4,5	8,1	14,7	37,4	125,8		
Снижение уровня звукового давления из-за влияния застройки между источником шума и расчетной точкой													
Снижение уровня звукового давления на пути над экраном, Dz1, дБ	z = 0.20м (разность путей)	ф-лы (14-18) [10]	4,8	4,8	4,8	4,8	4,8	4,8	4,8	4,8	4,8		
Снижение уровня звукового давления на пути слева от экрана, Dz2, дБ	z = 7.99м (разность путей)	ф-лы (14-18) [10]	15,1	17,9	20,8	23,8	26,8	29,7	32,8	35,8	38,8		
Снижение уровня звукового давления на пути справа от экрана, Dz3, дБ	z = 208.66м (разность путей)	ф-лы (14-18) [10]	32,1	36,2	39,5	42,6	45,7	48,7	51,7	54,7	57,7		
Общее снижение уровня звука препятствием Dz, дБ		Эн.сумма(-Dzi)	4,4	4,6	4,7	4,7	4,7	4,8	4,8	4,8	4,8		
Уровни звукового давления прямого звука от источника ИШ-1-25 в расчётной точке днём, дБ		**ф-ла(3)[10]**	**0**	**16,4**	**17,3**	**17,3**	**14,8**	**10,9**	**1**	**0**	**0**	**15,7**	**15,7**
Уровни звукового давления прямого звука от источника ИШ-1-25 в расчётной точке ночью, дБ		**ф-ла(3)[10]**	**0**	**16,4**	**17,3**	**17,3**	**14,8**	**10,9**	**1**	**0**	**0**	**15,7**	**15,7**
Расчёт отражённого звука													
Уровни звукового давления от мнимого источника ИШ-1-25_мн.(1) в расчётной точке днём, дБ		**ф-ла(3)[10]**	**0**	**0**	**0**	**0**	**0**	**0**	**0**	**0**	**0**	**0**	**0**
Уровни звукового давления от мнимого источника ИШ-1-25_мн.(1) в расчётной точке ночью, дБ		**ф-ла(3)[10]**	**0**	**0**	**0**	**0**	**0**	**0**	**0**	**0**	**0**	**0**	**0**
Уровни звукового давления от источника ИШ-1-25 в расчётной точке днём, дБ		**ф-ла(3)[10]**	**0**	**16,4**	**17,3**	**17,3**	**14,8**	**10,9**	**1**	**0**	**0**	**15,7**	**15,7**
Уровни звукового давления от источника ИШ-1-25 в расчётной точке ночью, дБ		**ф-ла(3)[10]**	**0**	**16,4**	**17,3**	**17,3**	**14,8**	**10,9**	**1**	**0**	**0**	**15,7**	**15,7**

1		2	3	4	5	6	7	8	9	10	11	12	13
Источник шума: ИШ-1-26, координаты источника (x,y,z), м =[534.15,80.79,1.00]													
Уровни звуковой мощности источника днём, Lw, дБ		**исходные данные**	**0**	**93,3**	**94,7**	**96**	**96,3**	**95,9**	**92,6**	**88,4**	**83,9**		
Уровни звуковой мощности источника ночью, Lw, дБ		**исходные данные**	**0**	**93,3**	**94,7**	**96**	**96,3**	**95,9**	**92,6**	**88,4**	**83,9**		
Поправка на телесный угол DΩ, дБ	Ω = 6.28	10Lg(4π/Ω)	**3**	3	3	3	3	3	3	3	3		
Показатель направленности источника Di, дБ		исходные данные	**0**	0	0	0	0	0	0	0	0		
Поправка на направленность источника Dc, дБ	Dc	DΩ + Di	**3**	3	3	3	3	3	3	3	3		
Затухание из-за геометрической дивергенции, Adiv, дБ	расстояние = 1622.38 м	ф-ла (7) [10]	**75,2**										
Коэффициент затухания звука в атмосфере α, дБ/км	Ta=20,°C Pa=101.33,кПа hотн.=70%	ф-ла (5) [9]	0,02	0,09	0,33	1,12	2,79	4,98	9,04	23,09	77,63		
Учет затухания звука в атмосфере Aatm, дБ		ф-ла (8) [10]	0	0,1	0,5	1,8	4,5	8,1	14,7	37,5	126		
Снижение уровня звукового давления из-за влияния застройки между источником шума и расчетной точкой													
Снижение уровня звукового давления на пути над экраном, Dz1, дБ	z = 0.20м (разность путей)	ф-лы (14-18) [10]	4,8	4,8	4,8	4,8	4,8	4,8	4,8	4,8	4,8		
Снижение уровня звукового давления на пути слева от экрана, Dz2, дБ	z = 7.48м (разность путей)	ф-лы (14-18) [10]	14,9	17,7	20,5	23,5	26,5	29,5	32,5	35,5	38,5		
Снижение уровня звукового давления на пути справа от экрана, Dz3, дБ	z = 208.91м (разность путей)	ф-лы (14-18) [10]	32,1	36,2	39,5	42,6	45,7	48,7	51,7	54,7	57,7		
Общее снижение уровня звука препятствием Dz, дБ		Эн.сумма(-Dzi)	4,4	4,6	4,7	4,7	4,7	4,8	4,8	4,8	4,8		
Уровни звукового давления прямого звука от источника ИШ-1-26 в расчётной точке днём, дБ		**ф-ла(3)[10]**	**0**	**16,4**	**17,3**	**17,3**	**14,8**	**10,9**	**1**	**0**	**0**	**15,7**	**15,7**
Уровни звукового давления прямого звука от источника ИШ-1-26 в расчётной точке ночью, дБ		**ф-ла(3)[10]**	**0**	**16,4**	**17,3**	**17,3**	**14,8**	**10,9**	**1**	**0**	**0**	**15,7**	**15,7**

1		2	3	4	5	6	7	8	9	10	11	12	13
Расчёт отражённого звука													
Уровни звукового давления от мнимого источника ИШ-1-26_мн.(1) в расчётной точке днём, дБ		**ф-ла(3)[10]**	**0**	**0**	**0**	**0**	**0**	**0**	**0**	**0**	**0**	**0**	**0**
Уровни звукового давления от мнимого источника ИШ-1-26_мн.(1) в расчётной точке ночью, дБ		**ф-ла(3)[10]**	**0**	**0**	**0**	**0**	**0**	**0**	**0**	**0**	**0**	**0**	**0**
Уровни звукового давления от источника ИШ-1-26 в расчётной точке днём, дБ		**ф-ла(3)[10]**	**0**	**16,4**	**17,3**	**17,3**	**14,8**	**10,9**	**1**	**0**	**0**	**15,7**	**15,7**
Уровни звукового давления от источника ИШ-1-26 в расчётной точке ночью, дБ		**ф-ла(3)[10]**	**0**	**16,4**	**17,3**	**17,3**	**14,8**	**10,9**	**1**	**0**	**0**	**15,7**	**15,7**
Источник шума: ИШ-1-27, координаты источника (x,y,z), м =[469.65,197.67,1.00]													
Уровни звуковой мощности источника днём, Lw, дБ		**исходные данные**	**0**	**93,3**	**94,7**	**96**	**96,3**	**95,9**	**92,6**	**88,4**	**83,9**		
Уровни звуковой мощности источника ночью, Lw, дБ		**исходные данные**	**0**	**93,3**	**94,7**	**96**	**96,3**	**95,9**	**92,6**	**88,4**	**83,9**		
Поправка на телесный угол DΩ, дБ	Ω = 6.28	10Lg(4π/Ω)	**3**	3	3	3	3	3	3	3	3		
Показатель направленности источника Di, дБ		исходные данные	**0**	0	0	0	0	0	0	0	0		
Поправка на направленность источника Dc, дБ	Dc	DΩ + Di	**3**	3	3	3	3	3	3	3	3		
Затухание из-за геометрической дивергенции, Adiv, дБ	расстояние = 1653.34 м	ф-ла (7) [10]	**75,4**										
Коэффициент затухания звука в атмосфере α, дБ/км	Ta=20,°C Pa=101.33,кПа hотн.=70%	ф-ла (5) [9]	0,02	0,09	0,33	1,12	2,79	4,98	9,04	23,09	77,63		
Учет затухания звука в атмосфере Aatm, дБ		ф-ла (8) [10]	0	0,1	0,6	1,9	4,6	8,2	14,9	38,2	128,4		
Снижение уровня звукового давления из-за влияния застройки между источником шума и расчетной точкой													
Снижение уровня звукового давления на пути над экраном, Dz1, дБ	z = 0.69м (разность путей)	ф-лы (14-18) [10]	4,8	4,9	5	5,3	5,7	6,5	7,7	9,5	11,7		

1		2	3	4	5	6	7	8	9	10	11	12	13
Снижение уровня звукового давления на пути слева от экрана, Dz2, дБ	z = 45.84м (разность путей)	ф-лы (14-18) [10]	26,8	30	33	36,1	39,1	42,1	45,1	48,1	51,1		
Снижение уровня звукового давления на пути справа от экрана, Dz3, дБ	z = 23.08м (разность путей)	ф-лы (14-18) [10]	19,5	22,4	25,3	28,3	31,3	34,3	37,4	40,4	43,4		
Общее снижение уровня звука препятствием Dz, дБ		Эн.сумма(-Dzi)	4,7	4,8	5	5,2	5,7	6,5	7,7	9,5	11,7		
Уровни звукового давления прямого звука от источника ИШ-1-27 в расчётной точке днём, дБ		**ф-ла(3)[10]**	**0**	**16**	**16,8**	**16,5**	**13,6**	**8,8**	**0**	**0**	**0**	**14,2**	**14,2**
Уровни звукового давления прямого звука от источника ИШ-1-27 в расчётной точке ночью, дБ		**ф-ла(3)[10]**	**0**	**16**	**16,8**	**16,5**	**13,6**	**8,8**	**0**	**0**	**0**	**14,2**	**14,2**
Расчёт отражённого звука													
Уровни звукового давления от мнимого источника ИШ-1-27_мн.(1) в расчётной точке днём, дБ		**ф-ла(3)[10]**	**0**	**0**	**0**	**0**	**0**	**0**	**0**	**0**	**0**	**0**	**0**
Уровни звукового давления от мнимого источника ИШ-1-27_мн.(1) в расчётной точке ночью, дБ		**ф-ла(3)[10]**	**0**	**0**	**0**	**0**	**0**	**0**	**0**	**0**	**0**	**0**	**0**
Уровни звукового давления от источника ИШ-1-27 в расчётной точке днём, дБ		**ф-ла(3)[10]**	**0**	**16**	**16,8**	**16,5**	**13,6**	**8,8**	**0**	**0**	**0**	**14,2**	**14,2**
Уровни звукового давления от источника ИШ-1-27 в расчётной точке ночью, дБ		**ф-ла(3)[10]**	**0**	**16**	**16,8**	**16,5**	**13,6**	**8,8**	**0**	**0**	**0**	**14,2**	**14,2**
Источник шума: ИШ-1-28, координаты источника (x,y,z), м =[472.78,196.69,1.00]													
Уровни звуковой мощности источника днём, Lw, дБ		**исходные данные**	**0**	**93,3**	**94,7**	**96**	**96,3**	**95,9**	**92,6**	**88,4**	**83,9**		
Уровни звуковой мощности источника ночью, Lw, дБ		**исходные данные**	**0**	**93,3**	**94,7**	**96**	**96,3**	**95,9**	**92,6**	**88,4**	**83,9**		
Поправка на телесный угол DΩ, дБ	Ω = 6.28	10Lg(4π/Ω)	**3**	3	3	3	3	3	3	3	3		
Показатель направленности источника Di, дБ		исходные данные	**0**	0	0	0	0	0	0	0	0		
Поправка на направленность источника Dc, дБ	Dc	DΩ + Di	**3**	3	3	3	3	3	3	3	3		
Затухание из-за геометрической дивергенции, Adiv, дБ	расстояние = 1654.88 м	ф-ла (7) [10]	**75,4**										

1		2	3	4	5	6	7	8	9	10	11	12	13
Коэффициент затухания звука в атмосфере α, дБ/км	Та=20,°С Ра=101.33,кПа hотн.=70%	ф-ла (5) [9]	0,02	0,09	0,33	1,12	2,79	4,98	9,04	23,09	77,63		
Учет затухания звука в атмосфере Aatm, дБ		ф-ла (8) [10]	0	0,1	0,6	1,9	4,6	8,2	15	38,2	128,5		
Снижение уровня звукового давления из-за влияния застройки между источником шума и расчетной точкой													
Снижение уровня звукового давления на пути над экраном, Dz1, дБ	z = 0.62м (разность путей)	ф-лы (14-18) [10]	4,8	4,8	4,9	5	5,3	5,7	6,5	7,8	9,5		
Снижение уровня звукового давления на пути слева от экрана, Dz2, дБ	z = 44.11м (разность путей)	ф-лы (14-18) [10]	26,7	29,9	32,9	35,9	38,9	41,9	44,9	47,9	51		
Снижение уровня звукового давления на пути справа от экрана, Dz3, дБ	z = 24.81м (разность путей)	ф-лы (14-18) [10]	19,8	22,7	25,7	28,6	31,7	34,7	37,7	40,7	43,7		
Общее снижение уровня звука препятствием Dz, дБ		Эн.сумма(-Dzi)	4,6	4,8	4,9	5	5,3	5,7	6,5	7,8	9,5		
Уровни звукового давления прямого звука от источника ИШ-1-28 в расчётной точке днём, дБ		**ф-ла(3)[10]**	**0**	**16**	**16,9**	**16,7**	**14**	**9,5**	**0**	**0**	**0**	**14,6**	**14,6**
Уровни звукового давления прямого звука от источника ИШ-1-28 в расчётной точке ночью, дБ		**ф-ла(3)[10]**	**0**	**16**	**16,9**	**16,7**	**14**	**9,5**	**0**	**0**	**0**	**14,6**	**14,6**
Расчёт отражённого звука													
Уровни звукового давления от мнимого источника ИШ-1-28_мн.(1) в расчётной точке днём, дБ		**ф-ла(3)[10]**	**0**	**0**	**0**	**0**	**0**	**0**	**0**	**0**	**0**	**0**	**0**
Уровни звукового давления от мнимого источника ИШ-1-28_мн.(1) в расчётной точке ночью, дБ		**ф-ла(3)[10]**	**0**	**0**	**0**	**0**	**0**	**0**	**0**	**0**	**0**	**0**	**0**
Уровни звукового давления от источника ИШ-1-28 в расчётной точке днём, дБ		**ф-ла(3)[10]**	**0**	**16**	**16,9**	**16,7**	**14**	**9,5**	**0**	**0**	**0**	**14,6**	**14,6**
Уровни звукового давления от источника ИШ-1-28 в расчётной точке ночью, дБ		**ф-ла(3)[10]**	**0**	**16**	**16,9**	**16,7**	**14**	**9,5**	**0**	**0**	**0**	**14,6**	**14,6**
Источник шума: ИШ-1-29, координаты источника (x,y,z), м =[475.52,195.72,1.00]													
Уровни звуковой мощности источника днём, Lw, дБ		**исходные данные**	**0**	**93,3**	**94,7**	**96**	**96,3**	**95,9**	**92,6**	**88,4**	**83,9**		

1		2	3	4	5	6	7	8	9	10	11	12	13
Уровни звуковой мощности источника ночью, Lw, дБ		**исходные данные**	**0**	**93,3**	**94,7**	**96**	**96,3**	**95,9**	**92,6**	**88,4**	**83,9**		
Поправка на телесный угол DΩ, дБ	Ω = 6.28	10Lg(4π/Ω)	**3**	3	3	3	3	3	3	3	3		
Показатель направленности источника Di, дБ		исходные данные	**0**	0	0	0	0	0	0	0	0		
Поправка на направленность источника Dc, дБ	Dc	DΩ + Di	**3**	3	3	3	3	3	3	3	3		
Затухание из-за геометрической дивергенции, Adiv, дБ	расстояние = 1656.15 м	ф-ла (7) [10]	**75,4**										
Коэффициент затухания звука в атмосфере α, дБ/км	Ta=20,°C Pa=101.33,кПа hотн.=70%	ф-ла (5) [9]	0,02	0,09	0,33	1,12	2,79	4,98	9,04	23,09	77,63		
Учет затухания звука в атмосфере Aatm, дБ		ф-ла (8) [10]	0	0,1	0,6	1,9	4,6	8,2	15	38,2	128,6		
Снижение уровня звукового давления из-за влияния застройки между источником шума и расчетной точкой													
Снижение уровня звукового давления на пути над экраном, Dz1, дБ	z = 0.57м (разность путей)	ф-лы (14-18) [10]	4,8	4,8	4,8	4,9	5,1	5,3	5,8	6,7	8		
Снижение уровня звукового давления на пути слева от экрана, Dz2, дБ	z = 42.61м (разность путей)	ф-лы (14-18) [10]	26,5	29,7	32,7	35,8	38,8	41,8	44,8	47,8	50,8		
Снижение уровня звукового давления на пути справа от экрана, Dz3, дБ	z = 26.44м (разность путей)	ф-лы (14-18) [10]	20	23	25,9	28,9	31,9	34,9	37,9	40,9	44		
Общее снижение уровня звука препятствием Dz, дБ		Эн.сумма(-Dzi)	4,6	4,7	4,8	4,9	5,1	5,3	5,8	6,7	8		
Уровни звукового давления прямого звука от источника ИШ-1-29 в расчётной точке днём, дБ		**ф-ла(3)[10]**	**0**	**16**	**17**	**16,8**	**14,2**	**9,9**	**0**	**0**	**0**	**14,8**	**14,8**
Уровни звукового давления прямого звука от источника ИШ-1-29 в расчётной точке ночью, дБ		**ф-ла(3)[10]**	**0**	**16**	**17**	**16,8**	**14,2**	**9,9**	**0**	**0**	**0**	**14,8**	**14,8**
Расчёт отражённого звука													
Уровни звукового давления от мнимого источника ИШ-1-29_мн.(1) в расчётной точке днём, дБ		**ф-ла(3)[10]**	**0**	**0**	**0**	**0**	**0**	**0**	**0**	**0**	**0**	**0**	**0**
Уровни звукового давления от мнимого источника ИШ-1-29_мн.(1) в расчётной точке ночью, дБ		**ф-ла(3)[10]**	**0**	**0**	**0**	**0**	**0**	**0**	**0**	**0**	**0**	**0**	**0**

1		2	3	4	5	6	7	8	9	10	11	12	13
Уровни звукового давления от источника ИШ-1-29 в расчётной точке днём, дБ		**ф-ла(3)[10]**	**0**	**16**	**17**	**16,8**	**14,2**	**9,9**	**0**	**0**	**0**	**14,8**	**14,8**
Уровни звукового давления от источника ИШ-1-29 в расчётной точке ночью, дБ		**ф-ла(3)[10]**	**0**	**16**	**17**	**16,8**	**14,2**	**9,9**	**0**	**0**	**0**	**14,8**	**14,8**
Источник шума: ИШ-1-30, координаты источника (x,y,z), м =[478.45,194.54,1.00]													
Уровни звуковой мощности источника днём, Lw, дБ		**исходные данные**	**0**	**93,3**	**94,7**	**96**	**96,3**	**95,9**	**92,6**	**88,4**	**83,9**		
Уровни звуковой мощности источника ночью, Lw, дБ		**исходные данные**	**0**	**93,3**	**94,7**	**96**	**96,3**	**95,9**	**92,6**	**88,4**	**83,9**		
Поправка на телесный угол DΩ, дБ	Ω = 6.28	10Lg(4π/Ω)	**3**	3	3	3	3	3	3	3	3		
Показатель направленности источника Di, дБ		исходные данные	**0**	0	0	0	0	0	0	0	0		
Поправка на направленность источника Dc, дБ	Dc	DΩ + Di	**3**	3	3	3	3	3	3	3	3		
Затухание из-за геометрической дивергенции, Adiv, дБ	расстояние = 1657.43 м	ф-ла (7) [10]	**75,4**										
Коэффициент затухания звука в атмосфере α, дБ/км	Ta=20,°C Pa=101.33,кПа hотн.=70%	ф-ла (5) [9]	0,02	0,09	0,33	1,12	2,79	4,98	9,04	23,09	77,63		
Учет затухания звука в атмосфере Aatm, дБ		ф-ла (8) [10]	0	0,1	0,6	1,9	4,6	8,3	15	38,3	128,7		
Снижение уровня звукового давления из-за влияния застройки между источником шума и расчетной точкой													
Снижение уровня звукового давления на пути над экраном, Dz1, дБ	z = 0.53м (разность путей)	ф-лы (14-18) [10]	4,8	4,8	4,8	4,9	4,9	5,1	5,4	5,9	6,8		
Снижение уровня звукового давления на пути слева от экрана, Dz2, дБ	z = 41.02м (разность путей)	ф-лы (14-18) [10]	26,4	29,5	32,6	35,6	38,6	41,6	44,6	47,6	50,6		
Снижение уровня звукового давления на пути справа от экрана, Dz3, дБ	z = 28.30м (разность путей)	ф-лы (14-18) [10]	20,3	23,3	26,2	29,2	32,2	35,2	38,2	41,2	44,3		
Общее снижение уровня звука препятствием Dz, дБ		Эн.сумма(-Dzi)	4,6	4,7	4,8	4,8	4,9	5,1	5,4	5,9	6,8		

1		2	3	4	5	6	7	8	9	10	11	12	13
Уровни звукового давления прямого звука от источника ИШ-1-30 в расчётной точке днём, дБ		**ф-ла(3)[10]**	**0**	**16**	**17**	**16,9**	**14,4**	**10,2**	**0**	**0**	**0**	**15**	**15**
Уровни звукового давления прямого звука от источника ИШ-1-30 в расчётной точке ночью, дБ		**ф-ла(3)[10]**	**0**	**16**	**17**	**16,9**	**14,4**	**10,2**	**0**	**0**	**0**	**15**	**15**
Расчёт отражённого звука													
Уровни звукового давления от мнимого источника ИШ-1-30_мн.(1) в расчётной точке днём, дБ		**ф-ла(3)[10]**	**0**	**0**	**0**	**0**	**0**	**0**	**0**	**0**	**0**	**0**	**0**
Уровни звукового давления от мнимого источника ИШ-1-30_мн.(1) в расчётной точке ночью, дБ		**ф-ла(3)[10]**	**0**	**0**	**0**	**0**	**0**	**0**	**0**	**0**	**0**	**0**	**0**
Уровни звукового давления от источника ИШ-1-30 в расчётной точке днём, дБ		**ф-ла(3)[10]**	**0**	**16**	**17**	**16,9**	**14,4**	**10,2**	**0**	**0**	**0**	**15**	**15**
Уровни звукового давления от источника ИШ-1-30 в расчётной точке ночью, дБ		**ф-ла(3)[10]**	**0**	**16**	**17**	**16,9**	**14,4**	**10,2**	**0**	**0**	**0**	**15**	**15**
Источник шума: ИШ-1-31, координаты источника (x,y,z), м =[481.58,193.96,1.00]													
Уровни звуковой мощности источника днём, Lw, дБ		**исходные данные**	**0**	**93,3**	**94,7**	**96**	**96,3**	**95,9**	**92,6**	**88,4**	**83,9**		
Уровни звуковой мощности источника ночью, Lw, дБ		**исходные данные**	**0**	**93,3**	**94,7**	**96**	**96,3**	**95,9**	**92,6**	**88,4**	**83,9**		
Поправка на телесный угол DΩ, дБ	Ω = 6.28	10Lg(4π/Ω)	**3**	3	3	3	3	3	3	3	3		
Показатель направленности источника Di, дБ		исходные данные	**0**	0	0	0	0	0	0	0	0		
Поправка на направленность источника Dc, дБ	Dc	DΩ + Di	**3**	3	3	3	3	3	3	3	3		
Затухание из-за геометрической дивергенции, Adiv, дБ	расстояние = 1659.26 м	ф-ла (7) [10]	**75,4**										
Коэффициент затухания звука в атмосфере α, дБ/км	Ta=20,°C Pa=101.33,кПа hотн.=70%	ф-ла (5) [9]	0,02	0,09	0,33	1,12	2,79	4,98	9,04	23,09	77,63		
Учет затухания звука в атмосфере Aatm, дБ		ф-ла (8) [10]	0	0,1	0,6	1,9	4,6	8,3	15	38,3	128,8		

1		2	3	4	5	6	7	8	9	10	11	12	13
Снижение уровня звукового давления из-за влияния застройки между источником шума и расчетной точкой													
Снижение уровня звукового давления на пути над экраном, Dz1, дБ	z = 0.49м (разность путей)	ф-лы (14-18) [10]	4,8	4,8	4,8	4,8	4,9	4,9	5,1	5,4	6		
Снижение уровня звукового давления на пути слева от экрана, Dz2, дБ	z = 39.56м (разность путей)	ф-лы (14-18) [10]	26,2	29,4	32,4	35,4	38,4	41,4	44,5	47,5	50,5		
Снижение уровня звукового давления на пути справа от экрана, Dz3, дБ	z = 29.64м (разность путей)	ф-лы (14-18) [10]	20,5	23,5	26,4	29,4	32,4	35,4	38,4	41,4	44,5		
Общее снижение уровня звука препятствием Dz, дБ		Эн.сумма(-Dzi)	4,6	4,7	4,8	4,8	4,9	4,9	5,1	5,4	6		
Уровни звукового давления прямого звука от источника ИШ-1-31 в расчётной точке днём, дБ		**ф-ла(3)[10]**	**0**	**16**	**17**	**16,9**	**14,4**	**10,3**	**0,1**	**0**	**0**	**15,2**	**15,2**
Уровни звукового давления прямого звука от источника ИШ-1-31 в расчётной точке ночью, дБ		**ф-ла(3)[10]**	**0**	**16**	**17**	**16,9**	**14,4**	**10,3**	**0,1**	**0**	**0**	**15,2**	**15,2**
Расчёт отражённого звука													
Уровни звукового давления от мнимого источника ИШ-1-31_мн.(1) в расчётной точке днём, дБ		**ф-ла(3)[10]**	**0**	**0**	**0**	**0**	**0**	**0**	**0**	**0**	**0**	**0**	**0**
Уровни звукового давления от мнимого источника ИШ-1-31_мн.(1) в расчётной точке ночью, дБ		**ф-ла(3)[10]**	**0**	**0**	**0**	**0**	**0**	**0**	**0**	**0**	**0**	**0**	**0**
Уровни звукового давления от источника ИШ-1-31 в расчётной точке днём, дБ		**ф-ла(3)[10]**	**0**	**16**	**17**	**16,9**	**14,4**	**10,3**	**0,1**	**0**	**0**	**15,2**	**15,2**
Уровни звукового давления от источника ИШ-1-31 в расчётной точке ночью, дБ		**ф-ла(3)[10]**	**0**	**16**	**17**	**16,9**	**14,4**	**10,3**	**0,1**	**0**	**0**	**15,2**	**15,2**
Источник шума: ИШ-1-32, координаты источника (x,y,z), м =[871.21,281.99,50.00]													
Уровни звуковой мощности источника днём, Lw, дБ		**исходные данные**	**125**	**119,6**	**113,4**	**111,4**	**110,8**	**112,7**	**113,8**	**109,2**	**97,4**		
Уровни звуковой мощности источника ночью, Lw, дБ		**исходные данные**	**0**	**0**	**0**	**0**	**0**	**0**	**0**	**0**	**0**		
Поправка на телесный угол DΩ, дБ	Ω = 12.57	10Lg(4π/Ω)	**0**	0	0	0	0	0	0	0	0		
Показатель направленности источника Di, дБ		исходные данные	**0**	0	0	0	0	0	0	0	0		

1		2	3	4	5	6	7	8	9	10	11	12	13
Поправка на направленность источника Dc, дБ	Dc	DΩ + Di	**0**	0	0	0	0	0	0	0	0		
Затухание из-за геометрической дивергенции, Adiv, дБ	расстояние = 2011.45 м	ф-ла (7) [10]	**77,1**										
Коэффициент затухания звука в атмосфере α, дБ/км	Ta=20,°C Pa=101.33,кПа hотн.=70%	ф-ла (5) [9]	0,02	0,09	0,33	1,12	2,79	4,98	9,04	23,09	77,63		
Учет затухания звука в атмосфере Aatm, дБ		ф-ла (8) [10]	0	0,2	0,7	2,3	5,6	10	18,2	46,4	156,2		
Снижение поверхностью земли возле источника As, дБ	Gs = 0 hs = 50м	ф-лы таб.3 [10]	-1,5	-1,5	-1,5	-1,5	-1,5	-1,5	-1,5	-1,5	-1,5		
Снижение поверхностью земли возле приёмника Ar, дБ	Gr = 1 hr = 1.5м	ф-лы таб.3 [10]	-1,5	-1,5	5,3	7	5	0,7	0	0	0		
Снижение поверхностью земли в средней зоне, Am дБ	Gm = 1	ф-лы таб.3 [10]	-0,7	-0,7	0	0	0	0	0	0	0		
Суммарное снижение поверхностью земли на траектории распространения звука Agr, дБ		ф-ла (9) [10]	-3,7	-3,7	3,8	5,5	3,5	-0,8	-1,5	-1,5	-1,5		
Уровни звукового давления от источника ИШ-1-32 в расчётной точке днём, дБ		**ф-ла(3)[10]**	**51,6**	**46,1**	**31,8**	**26,6**	**24,7**	**26,5**	**20,1**	**0**	**0**	**29,7**	**29,7**
Уровни звукового давления от источника ИШ-1-32 в расчётной точке ночью, дБ		**ф-ла(3)[10]**	**0**	**0**	**0**	**0**	**0**	**0**	**0**	**0**	**0**	**0**	**0**
Источник шума: ИШ-1-33, координаты источника (x,y,z), м =[743.42,374.85,1.00]													
Уровни звуковой мощности источника днём, Lw, дБ		**исходные данные**	**0**	**88,7**	**90,1**	**93,1**	**96,4**	**103**	**112**	**108**	**99,2**		
Уровни звуковой мощности источника ночью, Lw, дБ		**исходные данные**	**0**	**0**	**0**	**0**	**0**	**0**	**0**	**0**	**0**		
Поправка на телесный угол DΩ, дБ	Ω = 6.28	10Lg(4π/Ω)	**3**	3	3	3	3	3	3	3	3		
Показатель направленности источника Di, дБ		исходные данные	**0**	0	0	0	0	0	0	0	0		
Поправка на направленность источника Dc, дБ	Dc	DΩ + Di	**3**	3	3	3	3	3	3	3	3		

1		2	3	4	5	6	7	8	9	10	11	12	13
Затухание из-за геометрической дивергенции, Adiv, дБ	расстояние = 1973.82 м	ф-ла (7) [10]	**76,9**										
Коэффициент затухания звука в атмосфере α, дБ/км	Ta=20,°C Pa=101.33,кПа hотн.=70%	ф-ла (5) [9]	0,02	0,09	0,33	1,12	2,79	4,98	9,04	23,09	77,63		
Учет затухания звука в атмосфере Aatm, дБ		ф-ла (8) [10]	0	0,2	0,7	2,2	5,5	9,8	17,8	45,6	153,2		
Снижение уровня звукового давления из-за влияния застройки между источником шума и расчетной точкой													
Снижение уровня звукового давления на пути над экраном, Dz1, дБ	z = 0.16м (разность путей)	ф-лы (14-18) [10]	4,8	4,8	4,8	4,8	4,8	4,8	4,8	4,8	4,8		
Снижение уровня звукового давления на пути слева от экрана, Dz2, дБ	z = 16.24м (разность путей)	ф-лы (14-18) [10]	18	20,9	23,8	26,8	29,8	32,8	35,8	38,8	41,8		
Снижение уровня звукового давления на пути справа от экрана, Dz3, дБ	z = 15.15м (разность путей)	ф-лы (14-18) [10]	17,7	20,6	23,5	26,5	29,5	32,5	35,5	38,5	41,5		
Общее снижение уровня звука препятствием Dz, дБ		Эн.сумма(-Dzi)	4,4	4,6	4,7	4,7	4,7	4,8	4,8	4,8	4,8		
Уровни звукового давления от источника ИШ-1-33 в расчётной точке днём, дБ		**ф-ла(3)[10]**	**0**	**10,1**	**10,9**	**12,3**	**12,3**	**14,5**	**15,5**	**0**	**0**	**19,3**	**19,3**
Уровни звукового давления от источника ИШ-1-33 в расчётной точке ночью, дБ		**ф-ла(3)[10]**	**0**	**0**	**0**	**0**	**0**	**0**	**0**	**0**	**0**	**0**	**0**
Источник шума: ИШ-1-34, координаты источника (x,y,z), м =[1042.35,199.07,1.00]													
Уровни звуковой мощности источника днём, Lw, дБ		**исходные данные**	**0**	**88,7**	**90,1**	**93,1**	**96,4**	**103**	**112**	**108**	**99,2**		
Уровни звуковой мощности источника ночью, Lw, дБ		**исходные данные**	**0**	**0**	**0**	**0**	**0**	**0**	**0**	**0**	**0**		
Поправка на телесный угол DΩ, дБ	Ω = 6.28	10Lg(4π/Ω)	**3**	3	3	3	3	3	3	3	3		
Показатель направленности источника Di, дБ		исходные данные	**0**	0	0	0	0	0	0	0	0		
Поправка на направленность источника Dc, дБ	Dc	DΩ + Di	**3**	3	3	3	3	3	3	3	3		

1		2	3	4	5	6	7	8	9	10	11	12	13
Затухание из-за геометрической дивергенции, Adiv, дБ	расстояние = 2100.96 м	ф-ла (7) [10]	**77,4**										
Коэффициент затухания звука в атмосфере α, дБ/км	Ta=20,°C Pa=101.33,кПа hотн.=70%	ф-ла (5) [9]	0,02	0,09	0,33	1,12	2,79	4,98	9,04	23,09	77,63		
Учет затухания звука в атмосфере Aatm, дБ		ф-ла (8) [10]	0	0,2	0,7	2,4	5,9	10,5	19	48,5	163,1		
Снижение поверхностью земли возле источника As, дБ	Gs = 0 hs = 1м	ф-лы таб.3 [10]	-1,5	-1,5	-1,5	-1,5	-1,5	-1,5	-1,5	-1,5	-1,5		
Снижение поверхностью земли возле приёмника Ar, дБ	Gr = 1 hr = 1.5м	ф-лы таб.3 [10]	-1,5	-1,5	5,3	7	5	0,7	0	0	0		
Снижение поверхностью земли в средней зоне, Am дБ	Gm = 1	ф-лы таб.3 [10]	-2,9	-2,9	0	0	0	0	0	0	0		
Суммарное снижение поверхностью земли на траектории распространения звука Agr, дБ		ф-ла (9) [10]	-5,9	-5,9	3,8	5,5	3,5	-0,8	-1,5	-1,5	-1,5		
Уровни звукового давления от источника ИШ-1-34 в расчётной точке днём, дБ		**ф-ла(3)[10]**	**0**	**20**	**11,1**	**10,8**	**12,6**	**18,9**	**20,1**	**0**	**0**	**23,5**	**23,5**
Уровни звукового давления от источника ИШ-1-34 в расчётной точке ночью, дБ		**ф-ла(3)[10]**	**0**	**0**	**0**	**0**	**0**	**0**	**0**	**0**	**0**	**0**	**0**
Источник шума: ИШ-2-1, координаты источника (x,y,z), м =[696.50,124.40,3.00]													
Уровни звуковой мощности источника днём, Lw, дБ		**исходные данные**	**105**	**104**	**104**	**101**	**102**	**106**	**101**	**95**	**87**		
Уровни звуковой мощности источника ночью, Lw, дБ		**исходные данные**	**105**	**104**	**104**	**101**	**102**	**106**	**101**	**95**	**87**		
Поправка на телесный угол DΩ, дБ	Ω = 6.28	10Lg(4π/Ω)	**3**	3	3	3	3	3	3	3	3		
Показатель направленности источника Di, дБ		исходные данные	**0**	0	0	0	0	0	0	0	0		
Поправка на направленность источника Dc, дБ	Dc	DΩ + Di	**3**	3	3	3	3	3	3	3	3		
Затухание из-за геометрической дивергенции, Adiv, дБ	расстояние = 1776.18 м	ф-ла (7) [10]	**76**										

1		2	3	4	5	6	7	8	9	10	11	12	13
Коэффициент затухания звука в атмосфере α, дБ/км	Та=20,°С Ра=101.33,кПа hотн.=70%	ф-ла (5) [9]	0,02	0,09	0,33	1,12	2,79	4,98	9,04	23,09	77,63		
Учет затухания звука в атмосфере Aatm, дБ		ф-ла (8) [10]	0	0,2	0,6	2	5	8,8	16,1	41	137,9		
Снижение уровня звукового давления из-за влияния застройки между источником шума и расчетной точкой													
Снижение уровня звукового давления на пути над экраном, Dz1, дБ	z = 0.07м (разность путей)	ф-лы (14-18) [10]	4,8	4,8	4,8	4,8	4,8	4,8	4,8	4,8	4,8		
Снижение уровня звукового давления на пути слева от экрана, Dz2, дБ	z = 2.96м (разность путей)	ф-лы (14-18) [10]	11,4	14	16,7	19,5	22,5	25,5	28,4	31,4	34,4		
Снижение уровня звукового давления на пути справа от экрана, Dz3, дБ	z = 19.73м (разность путей)	ф-лы (14-18) [10]	18,8	21,7	24,7	27,7	30,7	33,7	36,7	39,7	42,7		
Общее снижение уровня звука препятствием Dz, дБ		Эн.сумма(-Dzi)	3,8	4,2	4,5	4,6	4,7	4,7	4,7	4,8	4,8		
Уровни звукового давления от источника ИШ-2-1 в расчётной точке днём, дБ		**ф-ла(3)[10]**	**28,2**	**26,7**	**26**	**21,4**	**19,4**	**19,5**	**7,2**	**0**	**0**	**22,2**	**22,2**
Уровни звукового давления от источника ИШ-2-1 в расчётной точке ночью, дБ		**ф-ла(3)[10]**	**28,2**	**26,7**	**26**	**21,4**	**19,4**	**19,5**	**7,2**	**0**	**0**	**22,2**	**22,2**
Источник шума: ИШ-2-2, координаты источника (x,y,z), м =[682.20,81.60,3.00]													
Уровни звуковой мощности источника днём, Lw, дБ		**исходные данные**	**105**	**104**	**104**	**101**	**102**	**106**	**101**	**95**	**87**		
Уровни звуковой мощности источника ночью, Lw, дБ		**исходные данные**	**105**	**104**	**104**	**101**	**102**	**106**	**101**	**95**	**87**		
Поправка на телесный угол DΩ, дБ	Ω = 6.28	10Lg(4π/Ω)	**3**	3	3	3	3	3	3	3	3		
Показатель направленности источника Di, дБ		исходные данные	**0**	0	0	0	0	0	0	0	0		
Поправка на направленность источника Dc, дБ	Dc	DΩ + Di	**3**	3	3	3	3	3	3	3	3		
Затухание из-за геометрической дивергенции, Adiv, дБ	расстояние = 1738.86 м	ф-ла (7) [10]	**75,8**										

1		2	3	4	5	6	7	8	9	10	11	12	13
Коэффициент затухания звука в атмосфере α, дБ/км	Ta=20,°C Pa=101.33,кПа hотн.=70%	ф-ла (5) [9]	0,02	0,09	0,33	1,12	2,79	4,98	9,04	23,09	77,63		
Учет затухания звука в атмосфере Aatm, дБ		ф-ла (8) [10]	0	0,2	0,6	2	4,9	8,7	15,7	40,1	135		
Снижение уровня звукового давления из-за влияния застройки между источником шума и расчетной точкой													
Снижение уровня звукового давления на пути над экраном, Dz1, дБ	z = 0.09м (разность путей)	ф-лы (14-18) [10]	4,8	4,8	4,8	4,8	4,8	4,8	4,8	4,8	4,8		
Снижение уровня звукового давления на пути слева от экрана, Dz2, дБ	z = 4.51м (разность путей)	ф-лы (14-18) [10]	16	19,7	22,9	26	29	32	35	38	41,1		
Снижение уровня звукового давления на пути справа от экрана, Dz3, дБ	z = 28.48м (разность путей)	ф-лы (14-18) [10]	20,4	23,3	26,3	29,2	32,2	35,3	38,3	41,3	44,3		
Общее снижение уровня звука препятствием Dz, дБ		Эн.сумма(-Dzi)	4,3	4,6	4,7	4,7	4,7	4,8	4,8	4,8	4,8		
Уровни звукового давления от источника ИШ-2-2 в расчётной точке днём, дБ		**ф-ла(3)[10]**	**27,8**	**26,5**	**25,9**	**21,5**	**19,6**	**19,8**	**7,7**	**0**	**0**	**22,5**	**22,5**
Уровни звукового давления от источника ИШ-2-2 в расчётной точке ночью, дБ		**ф-ла(3)[10]**	**27,8**	**26,5**	**25,9**	**21,5**	**19,6**	**19,8**	**7,7**	**0**	**0**	**22,5**	**22,5**
Источник шума: ИШ-2-3, координаты источника (x,y,z), м =[667.80,38.90,3.00]													
Уровни звуковой мощности источника днём, Lw, дБ		**исходные данные**	**105**	**104**	**104**	**101**	**102**	**106**	**101**	**95**	**87**		
Уровни звуковой мощности источника ночью, Lw, дБ		**исходные данные**	**105**	**104**	**104**	**101**	**102**	**106**	**101**	**95**	**87**		
Поправка на телесный угол DΩ, дБ	Ω = 6.28	10Lg(4π/Ω)	**3**	3	3	3	3	3	3	3	3		
Показатель направленности источника Di, дБ		исходные данные	**0**	0	0	0	0	0	0	0	0		
Поправка на направленность источника Dc, дБ	Dc	DΩ + Di	**3**	3	3	3	3	3	3	3	3		
Затухание из-за геометрической дивергенции, Adiv, дБ	расстояние = 1701.90 м	ф-ла (7) [10]	**75,6**										

1		2	3	4	5	6	7	8	9	10	11	12	13
Коэффициент затухания звука в атмосфере α, дБ/км	Ta=20,°C Pa=101.33,кПа hотн.=70%	ф-ла (5) [9]	0,02	0,09	0,33	1,12	2,79	4,98	9,04	23,09	77,63		
Учет затухания звука в атмосфере Aatm, дБ		ф-ла (8) [10]	0	0,2	0,6	1,9	4,8	8,5	15,4	39,3	132,1		
Снижение уровня звукового давления из-за влияния застройки между источником шума и расчетной точкой													
Снижение уровня звукового давления на пути над экраном, Dz1, дБ	z = 0.12м (разность путей)	ф-лы (14-18) [10]	4,8	4,8	4,8	4,8	4,8	4,8	4,8	4,8	4,8		
Снижение уровня звукового давления на пути слева от экрана, Dz2, дБ	z = 5.22м (разность путей)	ф-лы (14-18) [10]	13,5	16,2	19	21,9	24,9	27,9	30,9	33,9	36,9		
Снижение уровня звукового давления на пути справа от экрана, Dz3, дБ	z = 18.59м (разность путей)	ф-лы (14-18) [10]	22,5	26	29,1	32,1	35,2	38,2	41,2	44,2	47,2		
Общее снижение уровня звука препятствием Dz, дБ		Эн.сумма(-Dzi)	4,2	4,4	4,6	4,7	4,7	4,7	4,8	4,8	4,8		
Уровни звукового давления прямого звука от источника ИШ-2-3 в расчётной точке днём, дБ		**ф-ла(3)[10]**	**28,2**	**26,8**	**26,2**	**21,8**	**19,9**	**20,2**	**8,2**	**0**	**0**	**22,8**	**22,8**
Уровни звукового давления прямого звука от источника ИШ-2-3 в расчётной точке ночью, дБ		**ф-ла(3)[10]**	**28,2**	**26,8**	**26,2**	**21,8**	**19,9**	**20,2**	**8,2**	**0**	**0**	**22,8**	**22,8**
Расчёт отражённого звука													
Уровни звукового давления от мнимого источника ИШ-2-3_мн.(1) в расчётной точке днём, дБ		**ф-ла(3)[10]**	**0**	**0**	**0**	**0**	**0**	**0**	**0**	**0**	**0**	**0**	**0**
Уровни звукового давления от мнимого источника ИШ-2-3_мн.(1) в расчётной точке ночью, дБ		**ф-ла(3)[10]**	**0**	**0**	**0**	**0**	**0**	**0**	**0**	**0**	**0**	**0**	**0**
Уровни звукового давления от источника ИШ-2-3 в расчётной точке днём, дБ		**ф-ла(3)[10]**	**28,2**	**26,8**	**26,2**	**21,8**	**19,9**	**20,2**	**8,2**	**0**	**0**	**22,8**	**22,8**
Уровни звукового давления от источника ИШ-2-3 в расчётной точке ночью, дБ		**ф-ла(3)[10]**	**28,2**	**26,8**	**26,2**	**21,8**	**19,9**	**20,2**	**8,2**	**0**	**0**	**22,8**	**22,8**
Источник шума: ИШ-2-6, координаты источника (x,y,z), м =[765.97,112.43,1.00]													
Уровни звуковой мощности источника днём, Lw, дБ		**исходные данные**	**0**	**93,3**	**94,7**	**96**	**96,3**	**95,9**	**92,6**	**88,4**	**83,9**		

1		2	3	4	5	6	7	8	9	10	11	12	13
Уровни звуковой мощности источника ночью, Lw, дБ		**исходные данные**	**0**	**93,3**	**94,7**	**96**	**96,3**	**95,9**	**92,6**	**88,4**	**83,9**		
Поправка на телесный угол DΩ, дБ	Ω = 6.28	10Lg(4π/Ω)	**3**	3	3	3	3	3	3	3	3		
Показатель направленности источника Di, дБ		исходные данные	**0**	0	0	0	0	0	0	0	0		
Поправка на направленность источника Dc, дБ	Dc	DΩ + Di	**3**	3	3	3	3	3	3	3	3		
Затухание из-за геометрической дивергенции, Adiv, дБ	расстояние = 1824.54 м	ф-ла (7) [10]	**76,2**										
Коэффициент затухания звука в атмосфере α, дБ/км	Ta=20,°C Pa=101.33,кПа hотн.=70%	ф-ла (5) [9]	0,02	0,09	0,33	1,12	2,79	4,98	9,04	23,09	77,63		
Учет затухания звука в атмосфере Aatm, дБ		ф-ла (8) [10]	0	0,2	0,6	2,1	5,1	9,1	16,5	42,1	141,6		
Снижение уровня звукового давления из-за влияния застройки между источником шума и расчетной точкой													
Снижение уровня звукового давления на пути над экраном, Dz1, дБ	z = 0.08м (разность путей)	ф-лы (14-18) [10]	4,8	4,8	4,8	4,8	4,8	4,8	4,8	4,8	4,8		
Снижение уровня звукового давления на пути слева от экрана, Dz2, дБ	z = 3.23м (разность путей)	ф-лы (14-18) [10]	11,8	14,3	17	19,9	22,9	25,8	28,8	31,8	34,8		
Снижение уровня звукового давления на пути справа от экрана, Dz3, дБ	z = 32.02м (разность путей)	ф-лы (14-18) [10]	20,9	23,8	26,8	29,8	32,8	35,8	38,8	41,8	44,8		
Общее снижение уровня звука препятствием Dz, дБ		Эн.сумма(-Dzi)	3,9	4,3	4,5	4,6	4,7	4,7	4,8	4,8	4,8		
Уровни звукового давления от источника ИШ-2-6 в расчётной точке днём, дБ		**ф-ла(3)[10]**	**0**	**15,6**	**16,4**	**16,1**	**13,3**	**8,9**	**0**	**0**	**0**	**13,9**	**13,9**
Уровни звукового давления от источника ИШ-2-6 в расчётной точке ночью, дБ		**ф-ла(3)[10]**	**0**	**15,6**	**16,4**	**16,1**	**13,3**	**8,9**	**0**	**0**	**0**	**13,9**	**13,9**
Источник шума: ИШ-2-7, координаты источника (x,y,z), м =[764.91,109.54,1.00]													
Уровни звуковой мощности источника днём, Lw, дБ		**исходные данные**	**0**	**93,3**	**94,7**	**96**	**96,3**	**95,9**	**92,6**	**88,4**	**83,9**		

1		2	3	4	5	6	7	8	9	10	11	12	13
Уровни звуковой мощности источника ночью, Lw, дБ		**исходные данные**	**0**	**93,3**	**94,7**	**96**	**96,3**	**95,9**	**92,6**	**88,4**	**83,9**		
Поправка на телесный угол DΩ, дБ	Ω = 6.28	10Lg(4π/Ω)	**3**	3	3	3	3	3	3	3	3		
Показатель направленности источника Di, дБ		исходные данные	**0**	0	0	0	0	0	0	0	0		
Поправка на направленность источника Dc, дБ	Dc	DΩ + Di	**3**	3	3	3	3	3	3	3	3		
Затухание из-за геометрической дивергенции, Adiv, дБ	расстояние = 1821.98 м	ф-ла (7) [10]	**76,2**										
Коэффициент затухания звука в атмосфере α, дБ/км	Ta=20,°C Pa=101.33,кПа hотн.=70%	ф-ла (5) [9]	0,02	0,09	0,33	1,12	2,79	4,98	9,04	23,09	77,63		
Учет затухания звука в атмосфере Aatm, дБ		ф-ла (8) [10]	0	0,2	0,6	2	5,1	9,1	16,5	42,1	141,4		
Снижение уровня звукового давления из-за влияния застройки между источником шума и расчетной точкой													
Снижение уровня звукового давления на пути над экраном, Dz1, дБ	z = 0.13м (разность путей)	ф-лы (14-18) [10]	4,8	4,8	4,8	4,8	4,8	4,8	4,8	4,8	4,8		
Снижение уровня звукового давления на пути слева от экрана, Dz2, дБ	z = 3.01м (разность путей)	ф-лы (14-18) [10]	11,5	14	16,7	19,6	22,6	25,5	28,5	31,5	34,5		
Снижение уровня звукового давления на пути справа от экрана, Dz3, дБ	z = 32.65м (разность путей)	ф-лы (14-18) [10]	20,9	23,9	26,8	29,8	32,8	35,8	38,9	41,9	44,9		
Общее снижение уровня звука препятствием Dz, дБ		Эн.сумма(-Dzi)	3,9	4,2	4,5	4,6	4,7	4,7	4,8	4,8	4,8		
Уровни звукового давления от источника ИШ-2-7 в расчётной точке днём, дБ		**ф-ла(3)[10]**	**0**	**15,7**	**16,4**	**16,1**	**13,3**	**8,9**	**0**	**0**	**0**	**13,9**	**13,9**
Уровни звукового давления от источника ИШ-2-7 в расчётной точке ночью, дБ		**ф-ла(3)[10]**	**0**	**15,7**	**16,4**	**16,1**	**13,3**	**8,9**	**0**	**0**	**0**	**13,9**	**13,9**
Источник шума: ИШ-2-8, координаты источника (x,y,z), м =[764.03,106.58,1.00]													
Уровни звуковой мощности источника днём, Lw, дБ		**исходные данные**	**0**	**93,3**	**94,7**	**96**	**96,3**	**95,9**	**92,6**	**88,4**	**83,9**		

1		2	3	4	5	6	7	8	9	10	11	12	13
Уровни звуковой мощности источника ночью, Lw, дБ		**исходные данные**	**0**	**93,3**	**94,7**	**96**	**96,3**	**95,9**	**92,6**	**88,4**	**83,9**		
Поправка на телесный угол DΩ, дБ	Ω = 6.28	10Lg(4π/Ω)	**3**	3	3	3	3	3	3	3	3		
Показатель направленности источника Di, дБ		исходные данные	**0**	0	0	0	0	0	0	0	0		
Поправка на направленность источника Dc, дБ	Dc	DΩ + Di	**3**	3	3	3	3	3	3	3	3		
Затухание из-за геометрической дивергенции, Adiv, дБ	расстояние = 1819.53 м	ф-ла (7) [10]	**76,2**										
Коэффициент затухания звука в атмосфере α, дБ/км	Ta=20,°C Pa=101.33,кПа hотн.=70%	ф-ла (5) [9]	0,02	0,09	0,33	1,12	2,79	4,98	9,04	23,09	77,63		
Учет затухания звука в атмосфере Aatm, дБ		ф-ла (8) [10]	0	0,2	0,6	2	5,1	9,1	16,4	42	141,3		
Снижение уровня звукового давления из-за влияния застройки между источником шума и расчетной точкой													
Снижение уровня звукового давления на пути над экраном, Dz1, дБ	z = 0.15м (разность путей)	ф-лы (14-18) [10]	4,8	4,8	4,8	4,8	4,8	4,8	4,8	4,8	4,8		
Снижение уровня звукового давления на пути слева от экрана, Dz2, дБ	z = 2.77м (разность путей)	ф-лы (14-18) [10]	11,2	13,7	16,4	19,3	22,2	25,2	28,2	31,2	34,2		
Снижение уровня звукового давления на пути справа от экрана, Dz3, дБ	z = 33.34м (разность путей)	ф-лы (14-18) [10]	21	24	26,9	29,9	32,9	35,9	38,9	42	45		
Общее снижение уровня звука препятствием Dz, дБ		Эн.сумма(-Dzi)	3,8	4,2	4,5	4,6	4,7	4,7	4,7	4,8	4,8		
Уровни звукового давления от источника ИШ-2-8 в расчётной точке днём, дБ		**ф-ла(3)[10]**	**0**	**15,7**	**16,4**	**16,1**	**13,3**	**8,9**	**0**	**0**	**0**	**14**	**14**
Уровни звукового давления от источника ИШ-2-8 в расчётной точке ночью, дБ		**ф-ла(3)[10]**	**0**	**15,7**	**16,4**	**16,1**	**13,3**	**8,9**	**0**	**0**	**0**	**14**	**14**
Источник шума: ИШ-2-9, координаты источника (x,y,z), м =[763.26,103.71,1.00]													
Уровни звуковой мощности источника днём, Lw, дБ		**исходные данные**	**0**	**93,3**	**94,7**	**96**	**96,3**	**95,9**	**92,6**	**88,4**	**83,9**		

1		2	3	4	5	6	7	8	9	10	11	12	13
Уровни звуковой мощности источника ночью, Lw, дБ		**исходные данные**	**0**	**93,3**	**94,7**	**96**	**96,3**	**95,9**	**92,6**	**88,4**	**83,9**		
Поправка на телесный угол DΩ, дБ	Ω = 6.28	10Lg(4π/Ω)	**3**	3	3	3	3	3	3	3	3		
Показатель направленности источника Di, дБ		исходные данные	**0**	0	0	0	0	0	0	0	0		
Поправка на направленность источника Dc, дБ	Dc	DΩ + Di	**3**	3	3	3	3	3	3	3	3		
Затухание из-за геометрической дивергенции, Adiv, дБ	расстояние = 1817.22 м	ф-ла (7) [10]	**76,2**										
Коэффициент затухания звука в атмосфере α, дБ/км	Ta=20,°C Pa=101.33,кПа hотн.=70%	ф-ла (5) [9]	0,02	0,09	0,33	1,12	2,79	4,98	9,04	23,09	77,63		
Учет затухания звука в атмосфере Aatm, дБ		ф-ла (8) [10]	0	0,2	0,6	2	5,1	9	16,4	42	141,1		
Снижение уровня звукового давления из-за влияния застройки между источником шума и расчетной точкой													
Снижение уровня звукового давления на пути над экраном, Dz1, дБ	z = 0.15м (разность путей)	ф-лы (14-18) [10]	4,8	4,8	4,8	4,8	4,8	4,8	4,8	4,8	4,8		
Снижение уровня звукового давления на пути слева от экрана, Dz2, дБ	z = 2.54м (разность путей)	ф-лы (14-18) [10]	10,9	13,4	16,1	18,9	21,8	24,8	27,8	30,8	33,8		
Снижение уровня звукового давления на пути справа от экрана, Dz3, дБ	z = 34.02м (разность путей)	ф-лы (14-18) [10]	23,4	27,8	31,5	34,7	37,8	40,8	43,8	46,8	49,8		
Общее снижение уровня звука препятствием Dz, дБ		Эн.сумма(-Dzi)	3,8	4,2	4,5	4,6	4,7	4,7	4,7	4,8	4,8		
Уровни звукового давления от источника ИШ-2-9 в расчётной точке днём, дБ		**ф-ла(3)[10]**	**0**	**15,7**	**16,4**	**16,2**	**13,3**	**8,9**	**0**	**0**	**0**	**14**	**14**
Уровни звукового давления от источника ИШ-2-9 в расчётной точке ночью, дБ		**ф-ла(3)[10]**	**0**	**15,7**	**16,4**	**16,2**	**13,3**	**8,9**	**0**	**0**	**0**	**14**	**14**
Источник шума: ИШ-2-10, координаты источника (x,y,z), м =[762.14,100.75,1.00]													
Уровни звуковой мощности источника днём, Lw, дБ		**исходные данные**	**0**	**93,3**	**94,7**	**96**	**96,3**	**95,9**	**92,6**	**88,4**	**83,9**		

1		2	3	4	5	6	7	8	9	10	11	12	13
Уровни звуковой мощности источника ночью, Lw, дБ		**исходные данные**	**0**	**93,3**	**94,7**	**96**	**96,3**	**95,9**	**92,6**	**88,4**	**83,9**		
Поправка на телесный угол DΩ, дБ	Ω = 6.28	10Lg(4π/Ω)	**3**	3	3	3	3	3	3	3	3		
Показатель направленности источника Di, дБ		исходные данные	**0**	0	0	0	0	0	0	0	0		
Поправка на направленность источника Dc, дБ	Dc	DΩ + Di	**3**	3	3	3	3	3	3	3	3		
Затухание из-за геометрической дивергенции, Adiv, дБ	расстояние = 1814.58 м	ф-ла (7) [10]	**76,2**										
Коэффициент затухания звука в атмосфере α, дБ/км	Ta=20,°C Pa=101.33,кПа hотн.=70%	ф-ла (5) [9]	0,02	0,09	0,33	1,12	2,79	4,98	9,04	23,09	77,63		
Учет затухания звука в атмосфере Aatm, дБ		ф-ла (8) [10]	0	0,2	0,6	2	5,1	9	16,4	41,9	140,9		
Снижение уровня звукового давления из-за влияния застройки между источником шума и расчетной точкой													
Снижение уровня звукового давления на пути над экраном, Dz1, дБ	z = 0.15м (разность путей)	ф-лы (14-18) [10]	4,8	4,8	4,8	4,8	4,8	4,8	4,8	4,8	4,8		
Снижение уровня звукового давления на пути слева от экрана, Dz2, дБ	z = 2.34м (разность путей)	ф-лы (14-18) [10]	10,7	13,1	15,7	18,6	21,5	24,4	27,4	30,4	33,4		
Снижение уровня звукового давления на пути справа от экрана, Dz3, дБ	z = 34.70м (разность путей)	ф-лы (14-18) [10]	23,5	27,9	31,5	34,8	37,9	40,9	43,9	46,9	49,9		
Общее снижение уровня звука препятствием Dz, дБ		Эн.сумма(-Dzi)	3,7	4,2	4,4	4,6	4,7	4,7	4,7	4,8	4,8		
Уровни звукового давления от источника ИШ-2-10 в расчётной точке днём, дБ		**ф-ла(3)[10]**	**0**	**15,8**	**16,5**	**16,2**	**13,4**	**9**	**0**	**0**	**0**	**14**	**14**
Уровни звукового давления от источника ИШ-2-10 в расчётной точке ночью, дБ		**ф-ла(3)[10]**	**0**	**15,8**	**16,5**	**16,2**	**13,4**	**9**	**0**	**0**	**0**	**14**	**14**
Источник шума: ИШ-2-11, координаты источника (x,y,z), м =[761.13,97.90,1.00]													
Уровни звуковой мощности источника днём, Lw, дБ		**исходные данные**	**0**	**93,3**	**94,7**	**96**	**96,3**	**95,9**	**92,6**	**88,4**	**83,9**		

1		2	3	4	5	6	7	8	9	10	11	12	13
Уровни звуковой мощности источника ночью, Lw, дБ		**исходные данные**	**0**	**93,3**	**94,7**	**96**	**96,3**	**95,9**	**92,6**	**88,4**	**83,9**		
Поправка на телесный угол DΩ, дБ	Ω = 6.28	10Lg(4π/Ω)	**3**	3	3	3	3	3	3	3	3		
Показатель направленности источника Di, дБ		исходные данные	**0**	0	0	0	0	0	0	0	0		
Поправка на направленность источника Dc, дБ	Dc	DΩ + Di	**3**	3	3	3	3	3	3	3	3		
Затухание из-за геометрической дивергенции, Adiv, дБ	расстояние = 1812.09 м	ф-ла (7) [10]	**76,2**										
Коэффициент затухания звука в атмосфере α, дБ/км	Ta=20,°C Pa=101.33,кПа hотн.=70%	ф-ла (5) [9]	0,02	0,09	0,33	1,12	2,79	4,98	9,04	23,09	77,63		
Учет затухания звука в атмосфере Aatm, дБ		ф-ла (8) [10]	0	0,2	0,6	2	5,1	9	16,4	41,8	140,7		
Снижение уровня звукового давления из-за влияния застройки между источником шума и расчетной точкой													
Снижение уровня звукового давления на пути над экраном, Dz1, дБ	z = 0.15м (разность путей)	ф-лы (14-18) [10]	4,8	4,8	4,8	4,8	4,8	4,8	4,8	4,8	4,8		
Снижение уровня звукового давления на пути слева от экрана, Dz2, дБ	z = 2.15м (разность путей)	ф-лы (14-18) [10]	10,4	12,8	15,4	18,2	21,1	24,1	27,1	30,1	33,1		
Снижение уровня звукового давления на пути справа от экрана, Dz3, дБ	z = 35.36м (разность путей)	ф-лы (14-18) [10]	23,6	28	31,6	34,9	37,9	41	44	47	50		
Общее снижение уровня звука препятствием Dz, дБ		Эн.сумма(-Dzi)	3,7	4,1	4,4	4,6	4,7	4,7	4,7	4,8	4,8		
Уровни звукового давления от источника ИШ-2-11 в расчётной точке днём, дБ		**ф-ла(3)[10]**	**0**	**15,9**	**16,5**	**16,2**	**13,4**	**9**	**0**	**0**	**0**	**14**	**14**
Уровни звукового давления от источника ИШ-2-11 в расчётной точке ночью, дБ		**ф-ла(3)[10]**	**0**	**15,9**	**16,5**	**16,2**	**13,4**	**9**	**0**	**0**	**0**	**14**	**14**
Источник шума: ИШ-2-12, координаты источника (x,y,z), м =[760.25,95.02,1.00]													
Уровни звуковой мощности источника днём, Lw, дБ		**исходные данные**	**0**	**93,3**	**94,7**	**96**	**96,3**	**95,9**	**92,6**	**88,4**	**83,9**		

1		2	3	4	5	6	7	8	9	10	11	12	13
Уровни звуковой мощности источника ночью, Lw, дБ		**исходные данные**	**0**	**93,3**	**94,7**	**96**	**96,3**	**95,9**	**92,6**	**88,4**	**83,9**		
Поправка на телесный угол DΩ, дБ	Ω = 6.28	10Lg(4π/Ω)	**3**	3	3	3	3	3	3	3	3		
Показатель направленности источника Di, дБ		исходные данные	**0**	0	0	0	0	0	0	0	0		
Поправка на направленность источника Dc, дБ	Dc	DΩ + Di	**3**	3	3	3	3	3	3	3	3		
Затухание из-за геометрической дивергенции, Adiv, дБ	расстояние = 1809.70 м	ф-ла (7) [10]	**76,2**										
Коэффициент затухания звука в атмосфере α, дБ/км	Ta=20,°C Pa=101.33,кПа hотн.=70%	ф-ла (5) [9]	0,02	0,09	0,33	1,12	2,79	4,98	9,04	23,09	77,63		
Учет затухания звука в атмосфере Aatm, дБ		ф-ла (8) [10]	0	0,2	0,6	2	5,1	9	16,4	41,8	140,5		
Снижение уровня звукового давления из-за влияния застройки между источником шума и расчетной точкой													
Снижение уровня звукового давления на пути над экраном, Dz1, дБ	z = 0.15м (разность путей)	ф-лы (14-18) [10]	4,8	4,8	4,8	4,8	4,8	4,8	4,8	4,8	4,8		
Снижение уровня звукового давления на пути слева от экрана, Dz2, дБ	z = 1.95м (разность путей)	ф-лы (14-18) [10]	10,1	12,4	15	17,8	20,7	23,7	26,6	29,6	32,6		
Снижение уровня звукового давления на пути справа от экрана, Dz3, дБ	z = 36.07м (разность путей)	ф-лы (14-18) [10]	23,6	28	31,7	34,9	38	41	44,1	47,1	50,1		
Общее снижение уровня звука препятствием Dz, дБ		Эн.сумма(-Dzi)	3,6	4,1	4,4	4,6	4,7	4,7	4,7	4,8	4,8		
Уровни звукового давления от источника ИШ-2-12 в расчётной точке днём, дБ		**ф-ла(3)[10]**	**0**	**15,9**	**16,6**	**16,2**	**13,4**	**9**	**0**	**0**	**0**	**14,1**	**14,1**
Уровни звукового давления от источника ИШ-2-12 в расчётной точке ночью, дБ		**ф-ла(3)[10]**	**0**	**15,9**	**16,6**	**16,2**	**13,4**	**9**	**0**	**0**	**0**	**14,1**	**14,1**
Источник шума: ИШ-2-13, координаты источника (x,y,z), м =[759.28,92.25,1.00]													
Уровни звуковой мощности источника днём, Lw, дБ		**исходные данные**	**0**	**93,3**	**94,7**	**96**	**96,3**	**95,9**	**92,6**	**88,4**	**83,9**		

1		2	3	4	5	6	7	8	9	10	11	12	13
Уровни звуковой мощности источника ночью, Lw, дБ		**исходные данные**	**0**	**93,3**	**94,7**	**96**	**96,3**	**95,9**	**92,6**	**88,4**	**83,9**		
Поправка на телесный угол DΩ, дБ	Ω = 6.28	10Lg(4π/Ω)	**3**	3	3	3	3	3	3	3	3		
Показатель направленности источника Di, дБ		исходные данные	**0**	0	0	0	0	0	0	0	0		
Поправка на направленность источника Dc, дБ	Dc	DΩ + Di	**3**	3	3	3	3	3	3	3	3		
Затухание из-за геометрической дивергенции, Adiv, дБ	расстояние = 1807.29 м	ф-ла (7) [10]	**76,1**										
Коэффициент затухания звука в атмосфере α, дБ/км	Ta=20,°C Pa=101.33,кПа hотн.=70%	ф-ла (5) [9]	0,02	0,09	0,33	1,12	2,79	4,98	9,04	23,09	77,63		
Учет затухания звука в атмосфере Aatm, дБ		ф-ла (8) [10]	0	0,2	0,6	2	5	9	16,3	41,7	140,3		
Снижение уровня звукового давления из-за влияния застройки между источником шума и расчетной точкой													
Снижение уровня звукового давления на пути над экраном, Dz1, дБ	z = 0.16м (разность путей)	ф-лы (14-18) [10]	4,8	4,8	4,8	4,8	4,8	4,8	4,8	4,8	4,8		
Снижение уровня звукового давления на пути слева от экрана, Dz2, дБ	z = 1.77м (разность путей)	ф-лы (14-18) [10]	9,8	12,1	14,6	17,4	20,3	23,3	26,2	29,2	32,2		
Снижение уровня звукового давления на пути справа от экрана, Dz3, дБ	z = 36.74м (разность путей)	ф-лы (14-18) [10]	23,7	28,1	31,8	35	38,1	41,1	44,1	47,1	50,2		
Общее снижение уровня звука препятствием Dz, дБ		Эн.сумма(-Dzi)	3,5	4	4,3	4,5	4,6	4,7	4,7	4,8	4,8		
Уровни звукового давления от источника ИШ-2-13 в расчётной точке днём, дБ		**ф-ла(3)[10]**	**0**	**16**	**16,6**	**16,3**	**13,5**	**9**	**0**	**0**	**0**	**14,1**	**14,1**
Уровни звукового давления от источника ИШ-2-13 в расчётной точке ночью, дБ		**ф-ла(3)[10]**	**0**	**16**	**16,6**	**16,3**	**13,5**	**9**	**0**	**0**	**0**	**14,1**	**14,1**
Источник шума: ИШ-2-14, координаты источника (x,y,z), м =[751.62,69.73,1.00]													
Уровни звуковой мощности источника днём, Lw, дБ		**исходные данные**	**0**	**93,3**	**94,7**	**96**	**96,3**	**95,9**	**92,6**	**88,4**	**83,9**		

1		2	3	4	5	6	7	8	9	10	11	12	13
Уровни звуковой мощности источника ночью, Lw, дБ		**исходные данные**	**0**	**93,3**	**94,7**	**96**	**96,3**	**95,9**	**92,6**	**88,4**	**83,9**		
Поправка на телесный угол DΩ, дБ	Ω = 6.28	10Lg(4π/Ω)	**3**	3	3	3	3	3	3	3	3		
Показатель направленности источника Di, дБ		исходные данные	**0**	0	0	0	0	0	0	0	0		
Поправка на направленность источника Dc, дБ	Dc	DΩ + Di	**3**	3	3	3	3	3	3	3	3		
Затухание из-за геометрической дивергенции, Adiv, дБ	расстояние = 1787.98 м	ф-ла (7) [10]	**76**										
Коэффициент затухания звука в атмосфере α, дБ/км	Ta=20,°C Pa=101.33,кПа hотн.=70%	ф-ла (5) [9]	0,02	0,09	0,33	1,12	2,79	4,98	9,04	23,09	77,63		
Учет затухания звука в атмосфере Aatm, дБ		ф-ла (8) [10]	0	0,2	0,6	2	5	8,9	16,2	41,3	138,8		
Снижение уровня звукового давления из-за влияния застройки между источником шума и расчетной точкой													
Снижение уровня звукового давления на пути над экраном, Dz1, дБ	z = 0.16м (разность путей)	ф-лы (14-18) [10]	4,8	4,8	4,8	4,8	4,8	4,8	4,8	4,8	4,8		
Снижение уровня звукового давления на пути слева от экрана, Dz2, дБ	z = 0.59м (разность путей)	ф-лы (14-18) [10]	7,2	8,7	10,7	13,1	15,8	18,6	21,5	24,5	27,5		
Снижение уровня звукового давления на пути справа от экрана, Dz3, дБ	z = 21.79м (разность путей)	ф-лы (14-18) [10]	23,2	26,7	29,8	32,8	35,8	38,9	41,9	44,9	47,9		
Общее снижение уровня звука препятствием Dz, дБ		Эн.сумма(-Dzi)	2,8	3,3	3,8	4,2	4,4	4,6	4,7	4,7	4,7		
Уровни звукового давления от источника ИШ-2-14 в расчётной точке днём, дБ		**ф-ла(3)[10]**	**0**	**16,8**	**17,3**	**16,8**	**13,8**	**9,4**	**0**	**0**	**0**	**14,5**	**14,5**
Уровни звукового давления от источника ИШ-2-14 в расчётной точке ночью, дБ		**ф-ла(3)[10]**	**0**	**16,8**	**17,3**	**16,8**	**13,8**	**9,4**	**0**	**0**	**0**	**14,5**	**14,5**
Источник шума: ИШ-2-15, координаты источника (x,y,z), м =[750.74,66.89,1.00]													
Уровни звуковой мощности источника днём, Lw, дБ		**исходные данные**	**0**	**93,3**	**94,7**	**96**	**96,3**	**95,9**	**92,6**	**88,4**	**83,9**		

1		2	3	4	5	6	7	8	9	10	11	12	13
Уровни звуковой мощности источника ночью, Lw, дБ		**исходные данные**	**0**	**93,3**	**94,7**	**96**	**96,3**	**95,9**	**92,6**	**88,4**	**83,9**		
Поправка на телесный угол DΩ, дБ	Ω = 6.28	10Lg(4π/Ω)	**3**	3	3	3	3	3	3	3	3		
Показатель направленности источника Di, дБ		исходные данные	**0**	0	0	0	0	0	0	0	0		
Поправка на направленность источника Dc, дБ	Dc	DΩ + Di	**3**	3	3	3	3	3	3	3	3		
Затухание из-за геометрической дивергенции, Adiv, дБ	расстояние = 1785.63 м	ф-ла (7) [10]	**76**										
Коэффициент затухания звука в атмосфере α, дБ/км	Ta=20,°C Pa=101.33,кПа hотн.=70%	ф-ла (5) [9]	0,02	0,09	0,33	1,12	2,79	4,98	9,04	23,09	77,63		
Учет затухания звука в атмосфере Aatm, дБ		ф-ла (8) [10]	0	0,2	0,6	2	5	8,9	16,1	41,2	138,6		
Снижение уровня звукового давления из-за влияния застройки между источником шума и расчетной точкой													
Снижение уровня звукового давления на пути над экраном, Dz1, дБ	z = 0.16м (разность путей)	ф-лы (14-18) [10]	4,8	4,8	4,8	4,8	4,8	4,8	4,8	4,8	4,8		
Снижение уровня звукового давления на пути слева от экрана, Dz2, дБ	z = 0.48м (разность путей)	ф-лы (14-18) [10]	6,8	8,2	10	12,3	14,9	17,7	20,6	23,6	26,6		
Снижение уровня звукового давления на пути справа от экрана, Dz3, дБ	z = 22.30м (разность путей)	ф-лы (14-18) [10]	23,3	26,8	29,9	32,9	35,9	39	42	45	48		
Общее снижение уровня звука препятствием Dz, дБ		Эн.сумма(-Dzi)	2,6	3,1	3,6	4,1	4,4	4,6	4,7	4,7	4,7		
Уровни звукового давления от источника ИШ-2-15 в расчётной точке днём, дБ		**ф-ла(3)[10]**	**0**	**17**	**17,4**	**16,9**	**13,9**	**9,4**	**0**	**0**	**0**	**14,6**	**14,6**
Уровни звукового давления от источника ИШ-2-15 в расчётной точке ночью, дБ		**ф-ла(3)[10]**	**0**	**17**	**17,4**	**16,9**	**13,9**	**9,4**	**0**	**0**	**0**	**14,6**	**14,6**
Источник шума: ИШ-2-16, координаты источника (x,y,z), м =[749.73,64.02,1.00]													
Уровни звуковой мощности источника днём, Lw, дБ		**исходные данные**	**0**	**93,3**	**94,7**	**96**	**96,3**	**95,9**	**92,6**	**88,4**	**83,9**		

1		2	3	4	5	6	7	8	9	10	11	12	13
Уровни звуковой мощности источника ночью, Lw, дБ		**исходные данные**	**0**	**93,3**	**94,7**	**96**	**96,3**	**95,9**	**92,6**	**88,4**	**83,9**		
Поправка на телесный угол DΩ, дБ	Ω = 6.28	10Lg(4π/Ω)	**3**	3	3	3	3	3	3	3	3		
Показатель направленности источника Di, дБ		исходные данные	**0**	0	0	0	0	0	0	0	0		
Поправка на направленность источника Dc, дБ	Dc	DΩ + Di	**3**	3	3	3	3	3	3	3	3		
Затухание из-за геометрической дивергенции, Adiv, дБ	расстояние = 1783.15 м	ф-ла (7) [10]	**76**										
Коэффициент затухания звука в атмосфере α, дБ/км	Ta=20,°C Pa=101.33,кПа hотн.=70%	ф-ла (5) [9]	0,02	0,09	0,33	1,12	2,79	4,98	9,04	23,09	77,63		
Учет затухания звука в атмосфере Aatm, дБ		ф-ла (8) [10]	0	0,2	0,6	2	5	8,9	16,1	41,2	138,4		
Снижение уровня звукового давления из-за влияния застройки между источником шума и расчетной точкой													
Снижение уровня звукового давления на пути над экраном, Dz1, дБ	z = 0.16м (разность путей)	ф-лы (14-18) [10]	4,8	4,8	4,8	4,8	4,8	4,8	4,8	4,8	4,8		
Снижение уровня звукового давления на пути слева от экрана, Dz2, дБ	z = 0.38м (разность путей)	ф-лы (14-18) [10]	6,4	7,6	9,3	11,5	14	16,8	19,7	22,6	25,6		
Снижение уровня звукового давления на пути справа от экрана, Dz3, дБ	z = 22.81м (разность путей)	ф-лы (14-18) [10]	23,4	26,9	30	33	36	39,1	42,1	45,1	48,1		
Общее снижение уровня звука препятствием Dz, дБ		Эн.сумма(-Dzi)	2,5	2,9	3,5	3,9	4,3	4,5	4,6	4,7	4,7		
Уровни звукового давления от источника ИШ-2-16 в расчётной точке днём, дБ		**ф-ла(3)[10]**	**0**	**17,2**	**17,6**	**17**	**14**	**9,5**	**0**	**0**	**0**	**14,7**	**14,7**
Уровни звукового давления от источника ИШ-2-16 в расчётной точке ночью, дБ		**ф-ла(3)[10]**	**0**	**17,2**	**17,6**	**17**	**14**	**9,5**	**0**	**0**	**0**	**14,7**	**14,7**
Источник шума: ИШ-2-17, координаты источника (x,y,z), м =[748.87,61.06,1.00]													
Уровни звуковой мощности источника днём, Lw, дБ		**исходные данные**	**0**	**93,3**	**94,7**	**96**	**96,3**	**95,9**	**92,6**	**88,4**	**83,9**		

1		2	3	4	5	6	7	8	9	10	11	12	13
Уровни звуковой мощности источника ночью, Lw, дБ		**исходные данные**	**0**	**93,3**	**94,7**	**96**	**96,3**	**95,9**	**92,6**	**88,4**	**83,9**		
Поправка на телесный угол DΩ, дБ	Ω = 6.28	10Lg(4π/Ω)	**3**	3	3	3	3	3	3	3	3		
Показатель направленности источника Di, дБ		исходные данные	**0**	0	0	0	0	0	0	0	0		
Поправка на направленность источника Dc, дБ	Dc	DΩ + Di	**3**	3	3	3	3	3	3	3	3		
Затухание из-за геометрической дивергенции, Adiv, дБ	расстояние = 1780.74 м	ф-ла (7) [10]	**76**										
Коэффициент затухания звука в атмосфере α, дБ/км	Ta=20,°C Pa=101.33,кПа hотн.=70%	ф-ла (5) [9]	0,02	0,09	0,33	1,12	2,79	4,98	9,04	23,09	77,63		
Учет затухания звука в атмосфере Aatm, дБ		ф-ла (8) [10]	0	0,2	0,6	2	5	8,9	16,1	41,1	138,2		
Снижение уровня звукового давления из-за влияния застройки между источником шума и расчетной точкой													
Снижение уровня звукового давления на пути над экраном, Dz1, дБ	z = 0.16м (разность путей)	ф-лы (14-18) [10]	4,8	4,8	4,8	4,8	4,8	4,8	4,8	4,8	4,8		
Снижение уровня звукового давления на пути слева от экрана, Dz2, дБ	z = 0.28м (разность путей)	ф-лы (14-18) [10]	6,1	7,1	8,6	10,5	12,9	15,6	18,4	21,3	24,3		
Снижение уровня звукового давления на пути справа от экрана, Dz3, дБ	z = 23.37м (разность путей)	ф-лы (14-18) [10]	23,5	27	30,1	33,1	36,2	39,2	42,2	45,2	48,2		
Общее снижение уровня звука препятствием Dz, дБ		Эн.сумма(-Dzi)	2,3	2,7	3,2	3,7	4,2	4,4	4,6	4,7	4,7		
Уровни звукового давления от источника ИШ-2-17 в расчётной точке днём, дБ		**ф-ла(3)[10]**	**0**	**17,4**	**17,8**	**17,2**	**14,2**	**9,6**	**0**	**0**	**0**	**14,8**	**14,8**
Уровни звукового давления от источника ИШ-2-17 в расчётной точке ночью, дБ		**ф-ла(3)[10]**	**0**	**17,4**	**17,8**	**17,2**	**14,2**	**9,6**	**0**	**0**	**0**	**14,8**	**14,8**
Источник шума: ИШ-2-18, координаты источника (x,y,z), м =[747.72,58.17,1.00]													
Уровни звуковой мощности источника днём, Lw, дБ		**исходные данные**	**0**	**93,3**	**94,7**	**96**	**96,3**	**95,9**	**92,6**	**88,4**	**83,9**		

1		2	3	4	5	6	7	8	9	10	11	12	13
Уровни звуковой мощности источника ночью, Lw, дБ		**исходные данные**	**0**	**93,3**	**94,7**	**96**	**96,3**	**95,9**	**92,6**	**88,4**	**83,9**		
Поправка на телесный угол DΩ, дБ	Ω = 6.28	10Lg(4π/Ω)	**3**	3	3	3	3	3	3	3	3		
Показатель направленности источника Di, дБ		исходные данные	**0**	0	0	0	0	0	0	0	0		
Поправка на направленность источника Dc, дБ	Dc	DΩ + Di	**3**	3	3	3	3	3	3	3	3		
Затухание из-за геометрической дивергенции, Adiv, дБ	расстояние = 1778.14 м	ф-ла (7) [10]	**76**										
Коэффициент затухания звука в атмосфере α, дБ/км	Ta=20,°C Pa=101.33,кПа hотн.=70%	ф-ла (5) [9]	0,02	0,09	0,33	1,12	2,79	4,98	9,04	23,09	77,63		
Учет затухания звука в атмосфере Aatm, дБ		ф-ла (8) [10]	0	0,2	0,6	2	5	8,9	16,1	41	138		
Снижение уровня звукового давления из-за влияния застройки между источником шума и расчетной точкой													
Снижение уровня звукового давления на пути над экраном, Dz1, дБ	z = 0.16м (разность путей)	ф-лы (14-18) [10]	4,8	4,8	4,8	4,8	4,8	4,8	4,8	4,8	4,8		
Снижение уровня звукового давления на пути слева от экрана, Dz2, дБ	z = 0.21м (разность путей)	ф-лы (14-18) [10]	5,8	6,6	7,8	9,6	11,9	14,4	17,2	20,1	23		
Снижение уровня звукового давления на пути справа от экрана, Dz3, дБ	z = 22.89м (разность путей)	ф-лы (14-18) [10]	24	27,1	30	33,1	36,1	39,1	42,1	45,1	48,1		
Общее снижение уровня звука препятствием Dz, дБ		Эн.сумма(-Dzi)	2,2	2,6	3	3,5	4	4,3	4,5	4,6	4,7		
Уровни звукового давления от источника ИШ-2-18 в расчётной точке днём, дБ		**ф-ла(3)[10]**	**0**	**17,6**	**18,1**	**17,5**	**14,3**	**9,7**	**0**	**0**	**0**	**15**	**15**
Уровни звукового давления от источника ИШ-2-18 в расчётной точке ночью, дБ		**ф-ла(3)[10]**	**0**	**17,6**	**18,1**	**17,5**	**14,3**	**9,7**	**0**	**0**	**0**	**15**	**15**
Источник шума: ИШ-2-19, координаты источника (x,y,z), м =[746.80,55.25,1.00]													
Уровни звуковой мощности источника днём, Lw, дБ		**исходные данные**	**0**	**93,3**	**94,7**	**96**	**96,3**	**95,9**	**92,6**	**88,4**	**83,9**		

1		2	3	4	5	6	7	8	9	10	11	12	13
Уровни звуковой мощности источника ночью, Lw, дБ		**исходные данные**	**0**	**93,3**	**94,7**	**96**	**96,3**	**95,9**	**92,6**	**88,4**	**83,9**		
Поправка на телесный угол DΩ, дБ	Ω = 6.28	10Lg(4π/Ω)	**3**	3	3	3	3	3	3	3	3		
Показатель направленности источника Di, дБ		исходные данные	**0**	0	0	0	0	0	0	0	0		
Поправка на направленность источника Dc, дБ	Dc	DΩ + Di	**3**	3	3	3	3	3	3	3	3		
Затухание из-за геометрической дивергенции, Adiv, дБ	расстояние = 1775.71 м	ф-ла (7) [10]	**76**										
Коэффициент затухания звука в атмосфере α, дБ/км	Ta=20,°C Pa=101.33,кПа hотн.=70%	ф-ла (5) [9]	0,02	0,09	0,33	1,12	2,79	4,98	9,04	23,09	77,63		
Учет затухания звука в атмосфере Aatm, дБ		ф-ла (8) [10]	0	0,2	0,6	2	5	8,8	16,1	41	137,9		
Снижение уровня звукового давления из-за влияния застройки между источником шума и расчетной точкой													
Снижение уровня звукового давления на пути над экраном, Dz1, дБ	z = 0.14м (разность путей)	ф-лы (14-18) [10]	4,8	4,8	4,8	4,8	4,8	4,8	4,8	4,8	4,8		
Снижение уровня звукового давления на пути слева от экрана, Dz2, дБ	z = 0.14м (разность путей)	ф-лы (14-18) [10]	5,5	6,1	7	8,5	10,5	12,9	15,6	18,4	21,3		
Снижение уровня звукового давления на пути справа от экрана, Dz3, дБ	z = 23.47м (разность путей)	ф-лы (14-18) [10]	24,1	27,2	30,2	33,2	36,2	39,2	42,2	45,2	48,2		
Общее снижение уровня звука препятствием Dz, дБ		Эн.сумма(-Dzi)	2,1	2,3	2,7	3,2	3,7	4,1	4,4	4,6	4,7		
Уровни звукового давления от источника ИШ-2-19 в расчётной точке днём, дБ		**ф-ла(3)[10]**	**0**	**17,8**	**18,4**	**17,8**	**14,6**	**9,9**	**0**	**0**	**0**	**15,3**	**15,3**
Уровни звукового давления от источника ИШ-2-19 в расчётной точке ночью, дБ		**ф-ла(3)[10]**	**0**	**17,8**	**18,4**	**17,8**	**14,6**	**9,9**	**0**	**0**	**0**	**15,3**	**15,3**
Источник шума: ИШ-2-20, координаты источника (x,y,z), м =[745.71,52.44,1.00]													
Уровни звуковой мощности источника днём, Lw, дБ		**исходные данные**	**0**	**93,3**	**94,7**	**96**	**96,3**	**95,9**	**92,6**	**88,4**	**83,9**		

1		2	3	4	5	6	7	8	9	10	11	12	13
Уровни звуковой мощности источника ночью, Lw, дБ		**исходные данные**	**0**	**93,3**	**94,7**	**96**	**96,3**	**95,9**	**92,6**	**88,4**	**83,9**		
Поправка на телесный угол DΩ, дБ	Ω = 6.28	10Lg(4π/Ω)	**3**	3	3	3	3	3	3	3	3		
Показатель направленности источника Di, дБ		исходные данные	**0**	0	0	0	0	0	0	0	0		
Поправка на направленность источника Dc, дБ	Dc	DΩ + Di	**3**	3	3	3	3	3	3	3	3		
Затухание из-за геометрической дивергенции, Adiv, дБ	расстояние = 1773.21 м	ф-ла (7) [10]	**76**										
Коэффициент затухания звука в атмосфере α, дБ/км	Ta=20,°C Pa=101.33,кПа hотн.=70%	ф-ла (5) [9]	0,02	0,09	0,33	1,12	2,79	4,98	9,04	23,09	77,63		
Учет затухания звука в атмосфере Aatm, дБ		ф-ла (8) [10]	0	0,2	0,6	2	4,9	8,8	16	40,9	137,7		
Снижение уровня звукового давления из-за влияния застройки между источником шума и расчетной точкой													
Снижение уровня звукового давления на пути над экраном, Dz1, дБ	z = 0.14м (разность путей)	ф-лы (14-18) [10]	4,8	4,8	4,8	4,8	4,8	4,8	4,8	4,8	4,8		
Снижение уровня звукового давления на пути слева от экрана, Dz2, дБ	z = 0.09м (разность путей)	ф-лы (14-18) [10]	5,2	5,6	6,4	7,5	9,2	11,3	13,8	16,6	19,4		
Снижение уровня звукового давления на пути справа от экрана, Dz3, дБ	z = 24.03м (разность путей)	ф-лы (14-18) [10]	24,2	27,3	30,3	33,3	36,3	39,3	42,3	45,3	48,3		
Общее снижение уровня звука препятствием Dz, дБ		Эн.сумма(-Dzi)	2	2,2	2,5	2,9	3,4	3,9	4,3	4,5	4,6		
Уровни звукового давления от источника ИШ-2-20 в расчётной точке днём, дБ		**ф-ла(3)[10]**	**0**	**18**	**18,6**	**18,1**	**14,9**	**10,2**	**0**	**0**	**0**	**15,6**	**15,6**
Уровни звукового давления от источника ИШ-2-20 в расчётной точке ночью, дБ		**ф-ла(3)[10]**	**0**	**18**	**18,6**	**18,1**	**14,9**	**10,2**	**0**	**0**	**0**	**15,6**	**15,6**
Источник шума: ИШ-2-21, координаты источника (x,y,z), м =[744.89,49.62,1.00]													
Уровни звуковой мощности источника днём, Lw, дБ		**исходные данные**	**0**	**93,3**	**94,7**	**96**	**96,3**	**95,9**	**92,6**	**88,4**	**83,9**		

1		2	3	4	5	6	7	8	9	10	11	12	13
Уровни звуковой мощности источника ночью, Lw, дБ		**исходные данные**	**0**	**93,3**	**94,7**	**96**	**96,3**	**95,9**	**92,6**	**88,4**	**83,9**		
Поправка на телесный угол DΩ, дБ	Ω = 6.28	10Lg(4π/Ω)	**3**	3	3	3	3	3	3	3	3		
Показатель направленности источника Di, дБ		исходные данные	**0**	0	0	0	0	0	0	0	0		
Поправка на направленность источника Dc, дБ	Dc	DΩ + Di	**3**	3	3	3	3	3	3	3	3		
Затухание из-за геометрической дивергенции, Adiv, дБ	расстояние = 1770.93 м	ф-ла (7) [10]	**76**										
Коэффициент затухания звука в атмосфере α, дБ/км	Ta=20,°C Pa=101.33,кПа hотн.=70%	ф-ла (5) [9]	0,02	0,09	0,33	1,12	2,79	4,98	9,04	23,09	77,63		
Учет затухания звука в атмосфере Aatm, дБ		ф-ла (8) [10]	0	0,2	0,6	2	4,9	8,8	16	40,9	137,5		
Снижение уровня звукового давления из-за влияния застройки между источником шума и расчетной точкой													
Снижение уровня звукового давления на пути над экраном, Dz1, дБ	z = 0.14м (разность путей)	ф-лы (14-18) [10]	4,8	4,8	4,8	4,8	4,8	4,8	4,8	4,8	4,8		
Снижение уровня звукового давления на пути слева от экрана, Dz2, дБ	z = 0.05м (разность путей)	ф-лы (14-18) [10]	5	5,2	5,7	6,4	7,6	9,3	11,4	13,9	16,7		
Снижение уровня звукового давления на пути справа от экрана, Dz3, дБ	z = 24.65м (разность путей)	ф-лы (14-18) [10]	24,3	27,4	30,4	33,4	36,4	39,4	42,4	45,4	48,4		
Общее снижение уровня звука препятствием Dz, дБ		Эн.сумма(-Dzi)	1,9	2	2,2	2,5	2,9	3,5	3,9	4,3	4,5		
Уровни звукового давления от источника ИШ-2-21 в расчётной точке днём, дБ		**ф-ла(3)[10]**	**0**	**18,2**	**19**	**18,5**	**15,4**	**10,7**	**0**	**0**	**0**	**16,1**	**16,1**
Уровни звукового давления от источника ИШ-2-21 в расчётной точке ночью, дБ		**ф-ла(3)[10]**	**0**	**18,2**	**19**	**18,5**	**15,4**	**10,7**	**0**	**0**	**0**	**16,1**	**16,1**
Источник шума: ИШ-2-22, координаты источника (x,y,z), м =[737.40,27.07,1.00]													
Уровни звуковой мощности источника днём, Lw, дБ		**исходные данные**	**0**	**93,3**	**94,7**	**96**	**96,3**	**95,9**	**92,6**	**88,4**	**83,9**		

1		2	3	4	5	6	7	8	9	10	11	12	13
Уровни звуковой мощности источника ночью, Lw, дБ		**исходные данные**	**0**	**93,3**	**94,7**	**96**	**96,3**	**95,9**	**92,6**	**88,4**	**83,9**		
Поправка на телесный угол DΩ, дБ	Ω = 6.28	10Lg(4π/Ω)	**3**	3	3	3	3	3	3	3	3		
Показатель направленности источника Di, дБ		исходные данные	**0**	0	0	0	0	0	0	0	0		
Поправка на направленность источника Dc, дБ	Dc	DΩ + Di	**3**	3	3	3	3	3	3	3	3		
Затухание из-за геометрической дивергенции, Adiv, дБ	расстояние = 1751.95 м	ф-ла (7) [10]	**75,9**										
Коэффициент затухания звука в атмосфере α, дБ/км	Ta=20,°C Pa=101.33,кПа hотн.=70%	ф-ла (5) [9]	0,02	0,09	0,33	1,12	2,79	4,98	9,04	23,09	77,63		
Учет затухания звука в атмосфере Aatm, дБ		ф-ла (8) [10]	0	0,2	0,6	2	4,9	8,7	15,8	40,4	136		
Снижение уровня звукового давления из-за влияния застройки между источником шума и расчетной точкой													
Снижение уровня звукового давления препятствием справа от трассы ИШ-РТ, Dz3, дБ	z = -0.22м (разность путей)	ф-лы (14-18) [10]	0	1,3	NAN	NAN	NAN	NAN	NAN	NAN	NAN		
* отрицательное значение z означает прохождение траектории вблизи экрана, в этом случае дополнительно производится учёт снижения подстилающей поверхностью (см.ниже)													
Снижение поверхностью земли возле источника As, дБ	Gs = 0 hs = 1м	ф-лы таб.3 [10]	-1,5	-1,5	-1,5	-1,5	-1,5	-1,5	-1,5	-1,5	-1,5		
Снижение поверхностью земли возле приёмника Ar, дБ	Gr = 1 hr = 1.5м	ф-лы таб.3 [10]	-1,5	-1,5	5,3	7	5	0,7	0	0	0		
Снижение поверхностью земли в средней зоне, Am дБ	Gm = 1	ф-лы таб.3 [10]	-2,9	-2,9	0	0	0	0	0	0	0		
Суммарное снижение поверхностью земли на траектории распространения звука Agr, дБ		ф-ла (9) [10]	-5,9	-5,9	3,8	5,5	3,5	-0,8	-1,5	-1,5	-1,5		
Уровни звукового давления от источника ИШ-2-22 в расчётной точке днём, дБ		**ф-ла(3)[10]**	**0**	**24,8**	**17,4**	**15,6**	**15,1**	**15,1**	**5,4**	**0**	**0**	**17,8**	**17,8**
Уровни звукового давления от источника ИШ-2-22 в расчётной точке ночью, дБ		**ф-ла(3)[10]**	**0**	**24,8**	**17,4**	**15,6**	**15,1**	**15,1**	**5,4**	**0**	**0**	**17,8**	**17,8**
Источник шума: ИШ-2-23, координаты источника (x,y,z), м =[736.46,24.18,1.00]													

1		2	3	4	5	6	7	8	9	10	11	12	13
Уровни звуковой мощности источника днём, Lw, дБ		**исходные данные**	**0**	**93,3**	**94,7**	**96**	**96,3**	**95,9**	**92,6**	**88,4**	**83,9**		
Уровни звуковой мощности источника ночью, Lw, дБ		**исходные данные**	**0**	**93,3**	**94,7**	**96**	**96,3**	**95,9**	**92,6**	**88,4**	**83,9**		
Поправка на телесный угол DΩ, дБ	Ω = 6.28	10Lg(4π/Ω)	**3**	3	3	3	3	3	3	3	3		
Показатель направленности источника Di, дБ		исходные данные	**0**	0	0	0	0	0	0	0	0		
Поправка на направленность источника Dc, дБ	Dc	DΩ + Di	**3**	3	3	3	3	3	3	3	3		
Затухание из-за геометрической дивергенции, Adiv, дБ	расстояние = 1749.54 м	ф-ла (7) [10]	**75,9**										
Коэффициент затухания звука в атмосфере α, дБ/км	Ta=20,°C Pa=101.33,кПа hотн.=70%	ф-ла (5) [9]	0,02	0,09	0,33	1,12	2,79	4,98	9,04	23,09	77,63		
Учет затухания звука в атмосфере Aatm, дБ		ф-ла (8) [10]	0	0,2	0,6	2	4,9	8,7	15,8	40,4	135,8		
Снижение поверхностью земли возле источника As, дБ	Gs = 0 hs = 1м	ф-лы таб.3 [10]	-1,5	-1,5	-1,5	-1,5	-1,5	-1,5	-1,5	-1,5	-1,5		
Снижение поверхностью земли возле приёмника Ar, дБ	Gr = 1 hr = 1.5м	ф-лы таб.3 [10]	-1,5	-1,5	5,3	7	5	0,7	0	0	0		
Снижение поверхностью земли в средней зоне, Am дБ	Gm = 1	ф-лы таб.3 [10]	-2,9	-2,9	0	0	0	0	0	0	0		
Суммарное снижение поверхностью земли на траектории распространения звука Agr, дБ		ф-ла (9) [10]	-5,9	-5,9	3,8	5,5	3,5	-0,8	-1,5	-1,5	-1,5		
Уровни звукового давления от источника ИШ-2-23 в расчётной точке днём, дБ		**ф-ла(3)[10]**	**0**	**26,1**	**17,4**	**15,6**	**15,1**	**15,2**	**5,4**	**0**	**0**	**17,8**	**17,8**
Уровни звукового давления от источника ИШ-2-23 в расчётной точке ночью, дБ		**ф-ла(3)[10]**	**0**	**26,1**	**17,4**	**15,6**	**15,1**	**15,2**	**5,4**	**0**	**0**	**17,8**	**17,8**
Источник шума: ИШ-2-24, координаты источника (x,y,z), м =[735.45,21.21,1.00]													
Уровни звуковой мощности источника днём, Lw, дБ		**исходные данные**	**0**	**93,3**	**94,7**	**96**	**96,3**	**95,9**	**92,6**	**88,4**	**83,9**		

1		2	3	4	5	6	7	8	9	10	11	12	13
Уровни звуковой мощности источника ночью, Lw, дБ		**исходные данные**	**0**	**93,3**	**94,7**	**96**	**96,3**	**95,9**	**92,6**	**88,4**	**83,9**		
Поправка на телесный угол DΩ, дБ	Ω = 6.28	10Lg(4π/Ω)	**3**	3	3	3	3	3	3	3	3		
Показатель направленности источника Di, дБ		исходные данные	**0**	0	0	0	0	0	0	0	0		
Поправка на направленность источника Dc, дБ	Dc	DΩ + Di	**3**	3	3	3	3	3	3	3	3		
Затухание из-за геометрической дивергенции, Adiv, дБ	расстояние = 1747.03 м	ф-ла (7) [10]	**75,8**										
Коэффициент затухания звука в атмосфере α, дБ/км	Ta=20,°C Pa=101.33,кПа hотн.=70%	ф-ла (5) [9]	0,02	0,09	0,33	1,12	2,79	4,98	9,04	23,09	77,63		
Учет затухания звука в атмосфере Aatm, дБ		ф-ла (8) [10]	0	0,2	0,6	2	4,9	8,7	15,8	40,3	135,6		
Снижение поверхностью земли возле источника As, дБ	Gs = 0 hs = 1м	ф-лы таб.3 [10]	-1,5	-1,5	-1,5	-1,5	-1,5	-1,5	-1,5	-1,5	-1,5		
Снижение поверхностью земли возле приёмника Ar, дБ	Gr = 1 hr = 1.5м	ф-лы таб.3 [10]	-1,5	-1,5	5,3	7	5	0,7	0	0	0		
Снижение поверхностью земли в средней зоне, Am дБ	Gm = 1	ф-лы таб.3 [10]	-2,9	-2,9	0	0	0	0	0	0	0		
Суммарное снижение поверхностью земли на траектории распространения звука Agr, дБ		ф-ла (9) [10]	-5,9	-5,9	3,8	5,5	3,5	-0,8	-1,5	-1,5	-1,5		
Уровни звукового давления от источника ИШ-2-24 в расчётной точке днём, дБ		**ф-ла(3)[10]**	**0**	**26,2**	**17,4**	**15,7**	**15,1**	**15,2**	**5,5**	**0**	**0**	**17,8**	**17,8**
Уровни звукового давления от источника ИШ-2-24 в расчётной точке ночью, дБ		**ф-ла(3)[10]**	**0**	**26,2**	**17,4**	**15,7**	**15,1**	**15,2**	**5,5**	**0**	**0**	**17,8**	**17,8**
Источник шума: ИШ-2-25, координаты источника (x,y,z), м =[734.58,18.32,1.00]													
Уровни звуковой мощности источника днём, Lw, дБ		**исходные данные**	**0**	**93,3**	**94,7**	**96**	**96,3**	**95,9**	**92,6**	**88,4**	**83,9**		
Уровни звуковой мощности источника ночью, Lw, дБ		**исходные данные**	**0**	**93,3**	**94,7**	**96**	**96,3**	**95,9**	**92,6**	**88,4**	**83,9**		

1		2	3	4	5	6	7	8	9	10	11	12	13
Поправка на телесный угол DΩ, дБ	Ω = 6.28	10Lg(4π/Ω)	**3**	3	3	3	3	3	3	3	3		
Показатель направленности источника Di, дБ		исходные данные	**0**	0	0	0	0	0	0	0	0		
Поправка на направленность источника Dc, дБ	Dc	DΩ + Di	**3**	3	3	3	3	3	3	3	3		
Затухание из-за геометрической дивергенции, Adiv, дБ	расстояние = 1744.69 м	ф-ла (7) [10]	**75,8**										
Коэффициент затухания звука в атмосфере α, дБ/км	Ta=20,°C Pa=101.33,кПа hотн.=70%	ф-ла (5) [9]	0,02	0,09	0,33	1,12	2,79	4,98	9,04	23,09	77,63		
Учет затухания звука в атмосфере Aatm, дБ		ф-ла (8) [10]	0	0,2	0,6	2	4,9	8,7	15,8	40,3	135,4		
Снижение поверхностью земли возле источника As, дБ	Gs = 0 hs = 1м	ф-лы таб.3 [10]	-1,5	-1,5	-1,5	-1,5	-1,5	-1,5	-1,5	-1,5	-1,5		
Снижение поверхностью земли возле приёмника Ar, дБ	Gr = 1 hr = 1.5м	ф-лы таб.3 [10]	-1,5	-1,5	5,3	7	5	0,7	0	0	0		
Снижение поверхностью земли в средней зоне, Am дБ	Gm = 1	ф-лы таб.3 [10]	-2,9	-2,9	0	0	0	0	0	0	0		
Суммарное снижение поверхностью земли на траектории распространения звука Agr, дБ		ф-ла (9) [10]	-5,9	-5,9	3,8	5,5	3,5	-0,8	-1,5	-1,5	-1,5		
Уровни звукового давления от источника ИШ-2-25 в расчётной точке днём, дБ		**ф-ла(3)[10]**	**0**	**26,2**	**17,4**	**15,7**	**15,1**	**15,2**	**5,5**	**0**	**0**	**17,8**	**17,8**
Уровни звукового давления от источника ИШ-2-25 в расчётной точке ночью, дБ		**ф-ла(3)[10]**	**0**	**26,2**	**17,4**	**15,7**	**15,1**	**15,2**	**5,5**	**0**	**0**	**17,8**	**17,8**
Источник шума: ИШ-2-26, координаты источника (x,y,z), м =[733.57,15.41,1.00]													
Уровни звуковой мощности источника днём, Lw, дБ		**исходные данные**	**0**	**93,3**	**94,7**	**96**	**96,3**	**95,9**	**92,6**	**88,4**	**83,9**		
Уровни звуковой мощности источника ночью, Lw, дБ		**исходные данные**	**0**	**93,3**	**94,7**	**96**	**96,3**	**95,9**	**92,6**	**88,4**	**83,9**		
Поправка на телесный угол DΩ, дБ	Ω = 6.28	10Lg(4π/Ω)	**3**	3	3	3	3	3	3	3	3		

1		2	3	4	5	6	7	8	9	10	11	12	13
Показатель направленности источника Di, дБ		исходные данные	**0**	0	0	0	0	0	0	0	0		
Поправка на направленность источника Dc, дБ	Dc	DΩ + Di	**3**	3	3	3	3	3	3	3	3		
Затухание из-за геометрической дивергенции, Adiv, дБ	расстояние = 1742.21 м	ф-ла (7) [10]	**75,8**										
Коэффициент затухания звука в атмосфере α, дБ/км	Ta=20,°C Pa=101.33,кПа hотн.=70%	ф-ла (5) [9]	0,02	0,09	0,33	1,12	2,79	4,98	9,04	23,09	77,63		
Учет затухания звука в атмосфере Aatm, дБ		ф-ла (8) [10]	0	0,2	0,6	2	4,9	8,7	15,7	40,2	135,3		
Снижение поверхностью земли возле источника As, дБ	Gs = 0 hs = 1м	ф-лы таб.3 [10]	-1,5	-1,5	-1,5	-1,5	-1,5	-1,5	-1,5	-1,5	-1,5		
Снижение поверхностью земли возле приёмника Ar, дБ	Gr = 1 hr = 1.5м	ф-лы таб.3 [10]	-1,5	-1,5	5,3	7	5	0,7	0	0	0		
Снижение поверхностью земли в средней зоне, Am дБ	Gm = 1	ф-лы таб.3 [10]	-2,9	-2,9	0	0	0	0	0	0	0		
Суммарное снижение поверхностью земли на траектории распространения звука Agr, дБ		ф-ла (9) [10]	-5,9	-5,9	3,8	5,5	3,5	-0,8	-1,5	-1,5	-1,5		
Уровни звукового давления от источника ИШ-2-26 в расчётной точке днём, дБ		**ф-ла(3)[10]**	**0**	**26,2**	**17,4**	**15,7**	**15,1**	**15,2**	**5,5**	**0**	**0**	**17,9**	**17,9**
Уровни звукового давления от источника ИШ-2-26 в расчётной точке ночью, дБ		**ф-ла(3)[10]**	**0**	**26,2**	**17,4**	**15,7**	**15,1**	**15,2**	**5,5**	**0**	**0**	**17,9**	**17,9**
Источник шума: ИШ-2-27, координаты источника (x,y,z), м =[732.43,12.66,1.00]													
Уровни звуковой мощности источника днём, Lw, дБ		**исходные данные**	**0**	**93,3**	**94,7**	**96**	**96,3**	**95,9**	**92,6**	**88,4**	**83,9**		
Уровни звуковой мощности источника ночью, Lw, дБ		**исходные данные**	**0**	**93,3**	**94,7**	**96**	**96,3**	**95,9**	**92,6**	**88,4**	**83,9**		
Поправка на телесный угол DΩ, дБ	Ω = 6.28	10Lg(4π/Ω)	**3**	3	3	3	3	3	3	3	3		
Показатель направленности источника Di, дБ		исходные данные	**0**	0	0	0	0	0	0	0	0		

1		2	3	4	5	6	7	8	9	10	11	12	13
Поправка на направленность источника Dc, дБ	Dc	DΩ + Di	**3**	3	3	3	3	3	3	3	3		
Затухание из-за геометрической дивергенции, Adiv, дБ	расстояние = 1739.73 м	ф-ла (7) [10]	**75,8**										
Коэффициент затухания звука в атмосфере α, дБ/км	Ta=20,°C Pa=101.33,кПа hотн.=70%	ф-ла (5) [9]	0,02	0,09	0,33	1,12	2,79	4,98	9,04	23,09	77,63		
Учет затухания звука в атмосфере Aatm, дБ		ф-ла (8) [10]	0	0,2	0,6	2	4,9	8,7	15,7	40,2	135,1		
Снижение поверхностью земли возле источника As, дБ	Gs = 0 hs = 1м	ф-лы таб.3 [10]	-1,5	-1,5	-1,5	-1,5	-1,5	-1,5	-1,5	-1,5	-1,5		
Снижение поверхностью земли возле приёмника Ar, дБ	Gr = 1 hr = 1.5м	ф-лы таб.3 [10]	-1,5	-1,5	5,3	7	5	0,7	0	0	0		
Снижение поверхностью земли в средней зоне, Am дБ	Gm = 1	ф-лы таб.3 [10]	-2,9	-2,9	0	0	0	0	0	0	0		
Суммарное снижение поверхностью земли на траектории распространения звука Agr, дБ		ф-ла (9) [10]	-5,9	-5,9	3,8	5,5	3,5	-0,8	-1,5	-1,5	-1,5		
Уровни звукового давления от источника ИШ-2-27 в расчётной точке днём, дБ		**ф-ла(3)[10]**	**0**	**26,2**	**17,5**	**15,7**	**15,2**	**15,3**	**5,6**	**0**	**0**	**17,9**	**17,9**
Уровни звукового давления от источника ИШ-2-27 в расчётной точке ночью, дБ		**ф-ла(3)[10]**	**0**	**26,2**	**17,5**	**15,7**	**15,2**	**15,3**	**5,6**	**0**	**0**	**17,9**	**17,9**
Источник шума: ИШ-2-28, координаты источника (x,y,z), м =[731.54,9.78,1.00]													
Уровни звуковой мощности источника днём, Lw, дБ		**исходные данные**	**0**	**93,3**	**94,7**	**96**	**96,3**	**95,9**	**92,6**	**88,4**	**83,9**		
Уровни звуковой мощности источника ночью, Lw, дБ		**исходные данные**	**0**	**93,3**	**94,7**	**96**	**96,3**	**95,9**	**92,6**	**88,4**	**83,9**		
Поправка на телесный угол DΩ, дБ	Ω = 6.28	10Lg(4π/Ω)	**3**	3	3	3	3	3	3	3	3		
Показатель направленности источника Di, дБ		исходные данные	**0**	0	0	0	0	0	0	0	0		
Поправка на направленность источника Dc, дБ	Dc	DΩ + Di	**3**	3	3	3	3	3	3	3	3		

1		2	3	4	5	6	7	8	9	10	11	12	13
Затухание из-за геометрической дивергенции, Adiv, дБ	расстояние = 1737.38 м	ф-ла (7) [10]	**75,8**										
Коэффициент затухания звука в атмосфере α, дБ/км	Ta=20,°C Pa=101.33,кПа hотн.=70%	ф-ла (5) [9]	0,02	0,09	0,33	1,12	2,79	4,98	9,04	23,09	77,63		
Учет затухания звука в атмосфере Aatm, дБ		ф-ла (8) [10]	0	0,2	0,6	2	4,8	8,6	15,7	40,1	134,9		
Снижение поверхностью земли возле источника As, дБ	Gs = 0 hs = 1м	ф-лы таб.3 [10]	-1,5	-1,5	-1,5	-1,5	-1,5	-1,5	-1,5	-1,5	-1,5		
Снижение поверхностью земли возле приёмника Ar, дБ	Gr = 1 hr = 1.5м	ф-лы таб.3 [10]	-1,5	-1,5	5,3	7	5	0,7	0	0	0		
Снижение поверхностью земли в средней зоне, Am дБ	Gm = 1	ф-лы таб.3 [10]	-2,9	-2,9	0	0	0	0	0	0	0		
Суммарное снижение поверхностью земли на траектории распространения звука Agr, дБ		ф-ла (9) [10]	-5,9	-5,9	3,8	5,5	3,5	-0,8	-1,5	-1,5	-1,5		
Уровни звукового давления от источника ИШ-2-28 в расчётной точке днём, дБ		**ф-ла(3)[10]**	**0**	**26,2**	**17,5**	**15,7**	**15,2**	**15,3**	**5,6**	**0**	**0**	**17,9**	**17,9**
Уровни звукового давления от источника ИШ-2-28 в расчётной точке ночью, дБ		**ф-ла(3)[10]**	**0**	**26,2**	**17,5**	**15,7**	**15,2**	**15,3**	**5,6**	**0**	**0**	**17,9**	**17,9**
Источник шума: ИШ-2-29, координаты источника (x,y,z), м =[730.57,6.88,1.00]													
Уровни звуковой мощности источника днём, Lw, дБ		**исходные данные**	**0**	**93,3**	**94,7**	**96**	**96,3**	**95,9**	**92,6**	**88,4**	**83,9**		
Уровни звуковой мощности источника ночью, Lw, дБ		**исходные данные**	**0**	**93,3**	**94,7**	**96**	**96,3**	**95,9**	**92,6**	**88,4**	**83,9**		
Поправка на телесный угол DΩ, дБ	Ω = 6.28	10Lg(4π/Ω)	**3**	3	3	3	3	3	3	3	3		
Показатель направленности источника Di, дБ		исходные данные	**0**	0	0	0	0	0	0	0	0		
Поправка на направленность источника Dc, дБ	Dc	DΩ + Di	**3**	3	3	3	3	3	3	3	3		
Затухание из-за геометрической дивергенции, Adiv, дБ	расстояние = 1734.96 м	ф-ла (7) [10]	**75,8**										

1		2	3	4	5	6	7	8	9	10	11	12	13
Коэффициент затухания звука в атмосфере α, дБ/км	Ta=20,°C Pa=101.33,кПа hотн.=70%	ф-ла (5) [9]	0,02	0,09	0,33	1,12	2,79	4,98	9,04	23,09	77,63		
Учет затухания звука в атмосфере Aatm, дБ		ф-ла (8) [10]	0	0,2	0,6	2	4,8	8,6	15,7	40,1	134,7		
Снижение поверхностью земли возле источника As, дБ	Gs = 0 hs = 1м	ф-лы таб.3 [10]	-1,5	-1,5	-1,5	-1,5	-1,5	-1,5	-1,5	-1,5	-1,5		
Снижение поверхностью земли возле приёмника Ar, дБ	Gr = 1 hr = 1.5м	ф-лы таб.3 [10]	-1,5	-1,5	5,3	7	5	0,7	0	0	0		
Снижение поверхностью земли в средней зоне, Am дБ	Gm = 1	ф-лы таб.3 [10]	-2,9	-2,9	0	0	0	0	0	0	0		
Суммарное снижение поверхностью земли на траектории распространения звука Agr, дБ		ф-ла (9) [10]	-5,9	-5,9	3,8	5,5	3,5	-0,8	-1,5	-1,5	-1,5		
Уровни звукового давления от источника ИШ-2-29 в расчётной точке днём, дБ		**ф-ла(3)[10]**	**0**	**26,2**	**17,5**	**15,7**	**15,2**	**15,3**	**5,6**	**0**	**0**	**17,9**	**17,9**
Уровни звукового давления от источника ИШ-2-29 в расчётной точке ночью, дБ		**ф-ла(3)[10]**	**0**	**26,2**	**17,5**	**15,7**	**15,2**	**15,3**	**5,6**	**0**	**0**	**17,9**	**17,9**
Источник шума: ИШ-2-4, координаты источника (x,y,z), м =[632.70,-65.30,3.00]													
Уровни звуковой мощности источника днём, Lw, дБ		**исходные данные**	**105**	**104**	**104**	**101**	**102**	**106**	**101**	**95**	**87**		
Уровни звуковой мощности источника ночью, Lw, дБ		**исходные данные**	**105**	**104**	**104**	**101**	**102**	**106**	**101**	**95**	**87**		
Поправка на телесный угол DΩ, дБ	Ω = 6.28	10Lg(4π/Ω)	**3**	3	3	3	3	3	3	3	3		
Показатель направленности источника Di, дБ		исходные данные	**0**	0	0	0	0	0	0	0	0		
Поправка на направленность источника Dc, дБ	Dc	DΩ + Di	**3**	3	3	3	3	3	3	3	3		
Затухание из-за геометрической дивергенции, Adiv, дБ	расстояние = 1613.47 м	ф-ла (7) [10]	**75,2**										
Коэффициент затухания звука в атмосфере α, дБ/км	Ta=20,°C Pa=101.33,кПа hотн.=70%	ф-ла (5) [9]	0,02	0,09	0,33	1,12	2,79	4,98	9,04	23,09	77,63		

1		2	3	4	5	6	7	8	9	10	11	12	13
Учет затухания звука в атмосфере Aatm, дБ		ф-ла (8) [10]	0	0,1	0,5	1,8	4,5	8	14,6	37,2	125,3		
Снижение поверхностью земли возле источника As, дБ	Gs = 0 hs = 3м	ф-лы таб.3 [10]	-1,5	-1,5	-1,5	-1,5	-1,5	-1,5	-1,5	-1,5	-1,5		
Снижение поверхностью земли возле приёмника Ar, дБ	Gr = 1 hr = 1.5м	ф-лы таб.3 [10]	-1,5	-1,5	5,3	7	5	0,7	0	0	0		
Снижение поверхностью земли в средней зоне, Am дБ	Gm = 1	ф-лы таб.3 [10]	-2,7	-2,7	0	0	0	0	0	0	0		
Суммарное снижение поверхностью земли на траектории распространения звука Agr, дБ		ф-ла (9) [10]	-5,7	-5,7	3,8	5,5	3,5	-0,8	-1,5	-1,5	-1,5		
Уровни звукового давления от источника ИШ-2-4 в расчётной точке днём, дБ		**ф-ла(3)[10]**	**38,6**	**37,5**	**27,5**	**21,5**	**21,9**	**26,7**	**15,8**	**0**	**0**	**28**	**28**
Уровни звукового давления от источника ИШ-2-4 в расчётной точке ночью, дБ		**ф-ла(3)[10]**	**38,6**	**37,5**	**27,5**	**21,5**	**21,9**	**26,7**	**15,8**	**0**	**0**	**28**	**28**
Источник шума: ИШ-2-30, координаты источника (x,y,z), м =[702.44,-77.23,1.00]													
Уровни звуковой мощности источника днём, Lw, дБ		**исходные данные**	**0**	**93,3**	**94,7**	**96**	**96,3**	**95,9**	**92,6**	**88,4**	**83,9**		
Уровни звуковой мощности источника ночью, Lw, дБ		**исходные данные**	**0**	**93,3**	**94,7**	**96**	**96,3**	**95,9**	**92,6**	**88,4**	**83,9**		
Поправка на телесный угол DΩ, дБ	Ω = 6.28	10Lg(4π/Ω)	**3**	3	3	3	3	3	3	3	3		
Показатель направленности источника Di, дБ		исходные данные	**0**	0	0	0	0	0	0	0	0		
Поправка на направленность источника Dc, дБ	Dc	DΩ + Di	**3**	3	3	3	3	3	3	3	3		
Затухание из-за геометрической дивергенции, Adiv, дБ	расстояние = 1665.51 м	ф-ла (7) [10]	**75,4**										
Коэффициент затухания звука в атмосфере α, дБ/км	Ta=20,°C Pa=101.33,кПа hотн.=70%	ф-ла (5) [9]	0,02	0,09	0,33	1,12	2,79	4,98	9,04	23,09	77,63		
Учет затухания звука в атмосфере Aatm, дБ		ф-ла (8) [10]	0	0,1	0,6	1,9	4,6	8,3	15,1	38,4	129,3		

1		2	3	4	5	6	7	8	9	10	11	12	13
Снижение уровня звукового давления из-за влияния застройки между источником шума и расчетной точкой													
Снижение уровня звукового давления препятствием слева от трассы ИШ-РТ, Dz2, дБ	z = -0.05м (разность путей)	ф-лы (14-18) [10]	4,5	4,2	3,6	2,1	0	NAN	NAN	NAN	NAN		
* отрицательное значение z означает прохождение траектории вблизи экрана, в этом случае дополнительно производится учёт снижения подстилающей поверхностью (см.ниже)													
Снижение поверхностью земли возле источника As, дБ	Gs = 0 hs = 1м	ф-лы таб.3 [10]	-1,5	-1,5	-1,5	-1,5	-1,5	-1,5	-1,5	-1,5	-1,5		
Снижение поверхностью земли возле приёмника Ar, дБ	Gr = 1 hr = 1.5м	ф-лы таб.3 [10]	-1,5	-1,5	5,3	7	5	0,7	0	0	0		
Снижение поверхностью земли в средней зоне, Am дБ	Gm = 1	ф-лы таб.3 [10]	-2,9	-2,9	0	0	0	0	0	0	0		
Суммарное снижение поверхностью земли на траектории распространения звука Agr, дБ		ф-ла (9) [10]	-5,9	-5,9	3,8	5,5	3,5	-0,8	-1,5	-1,5	-1,5		
Уровни звукового давления прямого звука от источника ИШ-2-30 в расчётной точке днём, дБ		**ф-ла(3)[10]**	**0**	**22,3**	**14,2**	**14**	**15,7**	**16**	**6,6**	**0**	**0**	**18,4**	**18,4**
Уровни звукового давления прямого звука от источника ИШ-2-30 в расчётной точке ночью, дБ		**ф-ла(3)[10]**	**0**	**22,3**	**14,2**	**14**	**15,7**	**16**	**6,6**	**0**	**0**	**18,4**	**18,4**
Расчёт отражённого звука													
Уровни звукового давления от мнимого источника ИШ-2-30_мн.(1) в расчётной точке днём, дБ		**ф-ла(3)[10]**	**0**	**0**	**0**	**0**	**0**	**0**	**0**	**0**	**0**	**0**	**0**
Уровни звукового давления от мнимого источника ИШ-2-30_мн.(1) в расчётной точке ночью, дБ		**ф-ла(3)[10]**	**0**	**0**	**0**	**0**	**0**	**0**	**0**	**0**	**0**	**0**	**0**
Уровни звукового давления от источника ИШ-2-30 в расчётной точке днём, дБ		**ф-ла(3)[10]**	**0**	**22,3**	**14,2**	**14**	**15,7**	**16**	**6,6**	**0**	**0**	**18,4**	**18,4**
Уровни звукового давления от источника ИШ-2-30 в расчётной точке ночью, дБ		**ф-ла(3)[10]**	**0**	**22,3**	**14,2**	**14**	**15,7**	**16**	**6,6**	**0**	**0**	**18,4**	**18,4**
Источник шума: ИШ-2-31, координаты источника (x,y,z), м =[701.42,-80.17,1.00]													
Уровни звуковой мощности источника днём, Lw, дБ		**исходные данные**	**0**	**93,3**	**94,7**	**96**	**96,3**	**95,9**	**92,6**	**88,4**	**83,9**		
Уровни звуковой мощности источника ночью, Lw, дБ		**исходные данные**	**0**	**93,3**	**94,7**	**96**	**96,3**	**95,9**	**92,6**	**88,4**	**83,9**		
Поправка на телесный угол DΩ, дБ	Ω = 6.28	10Lg(4π/Ω)	**3**	3	3	3	3	3	3	3	3		

1		2	3	4	5	6	7	8	9	10	11	12	13
Показатель направленности источника Di, дБ		исходные данные	**0**	0	0	0	0	0	0	0	0		
Поправка на направленность источника Dc, дБ	Dc	DΩ + Di	**3**	3	3	3	3	3	3	3	3		
Затухание из-за геометрической дивергенции, Adiv, дБ	расстояние = 1663.09 м	ф-ла (7) [10]	**75,4**										
Коэффициент затухания звука в атмосфере α, дБ/км	Ta=20,°C Pa=101.33,кПа hотн.=70%	ф-ла (5) [9]	0,02	0,09	0,33	1,12	2,79	4,98	9,04	23,09	77,63		
Учет затухания звука в атмосфере Aatm, дБ		ф-ла (8) [10]	0	0,1	0,6	1,9	4,6	8,3	15	38,4	129,1		
Снижение уровня звукового давления из-за влияния застройки между источником шума и расчетной точкой													
Снижение уровня звукового давления препятствием слева от трассы ИШ-РТ, Dz2, дБ	z = -0.01м (разность путей)	ф-лы (14-18) [10]	4,7	4,7	4,5	4,3	3,7	2,3	0	NAN	NAN		
* отрицательное значение z означает прохождение траектории вблизи экрана, в этом случае дополнительно производится учёт снижения подстилающей поверхностью (см.ниже)													
Снижение поверхностью земли возле источника As, дБ	Gs = 0 hs = 1м	ф-лы таб.3 [10]	-1,5	-1,5	-1,5	-1,5	-1,5	-1,5	-1,5	-1,5	-1,5		
Снижение поверхностью земли возле приёмника Ar, дБ	Gr = 1 hr = 1.5м	ф-лы таб.3 [10]	-1,5	-1,5	5,3	7	5	0,7	0	0	0		
Снижение поверхностью земли в средней зоне, Am дБ	Gm = 1	ф-лы таб.3 [10]	-2,9	-2,9	0	0	0	0	0	0	0		
Суммарное снижение поверхностью земли на траектории распространения звука Agr, дБ		ф-ла (9) [10]	-5,9	-5,9	3,8	5,5	3,5	-0,8	-1,5	-1,5	-1,5		
Уровни звукового давления прямого звука от источника ИШ-2-31 в расчётной точке днём, дБ		**ф-ла(3)[10]**	**0**	**21,9**	**13,3**	**11,9**	**12,1**	**13,8**	**6,6**	**0**	**0**	**16,1**	**16,1**
Уровни звукового давления прямого звука от источника ИШ-2-31 в расчётной точке ночью, дБ		**ф-ла(3)[10]**	**0**	**21,9**	**13,3**	**11,9**	**12,1**	**13,8**	**6,6**	**0**	**0**	**16,1**	**16,1**
Расчёт отражённого звука													
Уровни звукового давления от мнимого источника ИШ-2-31_мн.(1) в расчётной точке днём, дБ		**ф-ла(3)[10]**	**0**	**0**	**0**	**0**	**0**	**0**	**0**	**0**	**0**	**0**	**0**
Уровни звукового давления от мнимого источника ИШ-2-31_мн.(1) в расчётной точке ночью, дБ		**ф-ла(3)[10]**	**0**	**0**	**0**	**0**	**0**	**0**	**0**	**0**	**0**	**0**	**0**
Уровни звукового давления от источника ИШ-2-31 в расчётной точке днём, дБ		**ф-ла(3)[10]**	**0**	**21,9**	**13,3**	**11,9**	**12,1**	**13,8**	**6,6**	**0**	**0**	**16,1**	**16,1**

1		2	3	4	5	6	7	8	9	10	11	12	13
Уровни звукового давления от источника ИШ-2-31 в расчётной точке ночью, дБ		**ф-ла(3)[10]**	**0**	**21,9**	**13,3**	**11,9**	**12,1**	**13,8**	**6,6**	**0**	**0**	**16,1**	**16,1**
Источник шума: ИШ-2-32, координаты источника (x,y,z), м =[700.38,-83.01,1.00]													
Уровни звуковой мощности источника днём, Lw, дБ		**исходные данные**	**0**	**93,3**	**94,7**	**96**	**96,3**	**95,9**	**92,6**	**88,4**	**83,9**		
Уровни звуковой мощности источника ночью, Lw, дБ		**исходные данные**	**0**	**93,3**	**94,7**	**96**	**96,3**	**95,9**	**92,6**	**88,4**	**83,9**		
Поправка на телесный угол DΩ, дБ	Ω = 6.28	10Lg(4π/Ω)	**3**	3	3	3	3	3	3	3	3		
Показатель направленности источника Di, дБ		исходные данные	**0**	0	0	0	0	0	0	0	0		
Поправка на направленность источника Dc, дБ	Dc	DΩ + Di	**3**	3	3	3	3	3	3	3	3		
Затухание из-за геометрической дивергенции, Adiv, дБ	расстояние = 1660.70 м	ф-ла (7) [10]	**75,4**										
Коэффициент затухания звука в атмосфере α, дБ/км	Ta=20,°C Pa=101.33,кПа hотн.=70%	ф-ла (5) [9]	0,02	0,09	0,33	1,12	2,79	4,98	9,04	23,09	77,63		
Учет затухания звука в атмосфере Aatm, дБ		ф-ла (8) [10]	0	0,1	0,6	1,9	4,6	8,3	15	38,3	128,9		
Снижение уровня звукового давления из-за влияния застройки между источником шума и расчетной точкой													
Снижение уровня звукового давления на пути над экраном, Dz1, дБ	z = 0.03м (разность путей)	ф-лы (14-18) [10]	4,8	4,8	4,8	4,8	4,8	4,8	4,8	4,8	4,8		
Снижение уровня звукового давления на пути слева от экрана, Dz2, дБ	z = 1.75м (разность путей)	ф-лы (14-18) [10]	9,8	12	14,6	17,4	20,3	23,2	26,2	29,2	32,2		
Снижение уровня звукового давления на пути справа от экрана, Dz3, дБ	z = 0.00м (разность путей)	ф-лы (14-18) [10]	4,8	4,8	4,8	4,8	4,8	4,8	4,8	4,8	4,8		
Общее снижение уровня звука препятствием Dz, дБ		Эн.сумма(-Dzi)	1,1	1,4	1,5	1,6	1,7	1,7	1,7	1,8	1,8		
Уровни звукового давления от источника ИШ-2-32 в расчётной точке днём, дБ		**ф-ла(3)[10]**	**0**	**19,4**	**20,2**	**20,1**	**17,6**	**13,5**	**3,4**	**0**	**0**	**18,4**	**18,4**

1		2	3	4	5	6	7	8	9	10	11	12	13
Уровни звукового давления от источника ИШ-2-32 в расчётной точке ночью, дБ		**ф-ла(3)[10]**	**0**	**19,4**	**20,2**	**20,1**	**17,6**	**13,5**	**3,4**	**0**	**0**	**18,4**	**18,4**
Источник шума: ИШ-2-33, координаты источника (x,y,z), м =[699.52,-85.98,1.00]													
Уровни звуковой мощности источника днём, Lw, дБ		**исходные данные**	**0**	**93,3**	**94,7**	**96**	**96,3**	**95,9**	**92,6**	**88,4**	**83,9**		
Уровни звуковой мощности источника ночью, Lw, дБ		**исходные данные**	**0**	**93,3**	**94,7**	**96**	**96,3**	**95,9**	**92,6**	**88,4**	**83,9**		
Поправка на телесный угол DΩ, дБ	Ω = 6.28	10Lg(4π/Ω)	**3**	3	3	3	3	3	3	3	3		
Показатель направленности источника Di, дБ		исходные данные	**0**	0	0	0	0	0	0	0	0		
Поправка на направленность источника Dc, дБ	Dc	DΩ + Di	**3**	3	3	3	3	3	3	3	3		
Затухание из-за геометрической дивергенции, Adiv, дБ	расстояние = 1658.40 м	ф-ла (7) [10]	**75,4**										
Коэффициент затухания звука в атмосфере α, дБ/км	Ta=20,°C Pa=101.33,кПа hотн.=70%	ф-ла (5) [9]	0,02	0,09	0,33	1,12	2,79	4,98	9,04	23,09	77,63		
Учет затухания звука в атмосфере Aatm, дБ		ф-ла (8) [10]	0	0,1	0,6	1,9	4,6	8,3	15	38,3	128,7		
Снижение уровня звукового давления из-за влияния застройки между источником шума и расчетной точкой													
Снижение уровня звукового давления на пути над экраном, Dz1, дБ	z = 0.04м (разность путей)	ф-лы (14-18) [10]	4,8	4,8	4,8	4,8	4,8	4,8	4,8	4,8	4,8		
Снижение уровня звукового давления на пути слева от экрана, Dz2, дБ	z = 1.49м (разность путей)	ф-лы (14-18) [10]	9,3	11,5	14	16,7	19,6	22,5	25,5	28,5	31,5		
Снижение уровня звукового давления на пути справа от экрана, Dz3, дБ	z = 0.01м (разность путей)	ф-лы (14-18) [10]	4,8	4,9	5,1	5,4	5,9	6,7	8,1	10	12,2		
Общее снижение уровня звука препятствием Dz, дБ		Эн.сумма(-Dzi)	1,1	1,4	1,6	1,9	2,2	2,6	3,1	3,6	4		
Уровни звукового давления прямого звука от источника ИШ-2-33 в расчётной точке днём, дБ		**ф-ла(3)[10]**	**0**	**19,4**	**20,1**	**19,8**	**17,1**	**12,7**	**2,1**	**0**	**0**	**17,9**	**17,9**

1		2	3	4	5	6	7	8	9	10	11	12	13
Уровни звукового давления прямого звука от источника ИШ-2-33 в расчётной точке ночью, дБ		**ф-ла(3)[10]**	**0**	**19,4**	**20,1**	**19,8**	**17,1**	**12,7**	**2,1**	**0**	**0**	**17,9**	**17,9**
Расчёт отражённого звука													
Уровни звукового давления от мнимого источника ИШ-2-33_мн.(1) в расчётной точке днём, дБ		**ф-ла(3)[10]**	**0**	**0**	**0**	**0**	**0**	**0**	**0**	**0**	**0**	**0**	**0**
Уровни звукового давления от мнимого источника ИШ-2-33_мн.(1) в расчётной точке ночью, дБ		**ф-ла(3)[10]**	**0**	**0**	**0**	**0**	**0**	**0**	**0**	**0**	**0**	**0**	**0**
Уровни звукового давления от источника ИШ-2-33 в расчётной точке днём, дБ		**ф-ла(3)[10]**	**0**	**19,4**	**20,1**	**19,8**	**17,1**	**12,7**	**2,1**	**0**	**0**	**17,9**	**17,9**
Уровни звукового давления от источника ИШ-2-33 в расчётной точке ночью, дБ		**ф-ла(3)[10]**	**0**	**19,4**	**20,1**	**19,8**	**17,1**	**12,7**	**2,1**	**0**	**0**	**17,9**	**17,9**
Источник шума: ИШ-2-34, координаты источника (x,y,z), м =[698.43,-88.85,1.00]													
Уровни звуковой мощности источника днём, Lw, дБ		**исходные данные**	**0**	**93,3**	**94,7**	**96**	**96,3**	**95,9**	**92,6**	**88,4**	**83,9**		
Уровни звуковой мощности источника ночью, Lw, дБ		**исходные данные**	**0**	**93,3**	**94,7**	**96**	**96,3**	**95,9**	**92,6**	**88,4**	**83,9**		
Поправка на телесный угол DΩ, дБ	Ω = 6.28	10Lg(4π/Ω)	**3**	3	3	3	3	3	3	3	3		
Показатель направленности источника Di, дБ		исходные данные	**0**	0	0	0	0	0	0	0	0		
Поправка на направленность источника Dc, дБ	Dc	DΩ + Di	**3**	3	3	3	3	3	3	3	3		
Затухание из-за геометрической дивергенции, Adiv, дБ	расстояние = 1655.96 м	ф-ла (7) [10]	**75,4**										
Коэффициент затухания звука в атмосфере α, дБ/км	Ta=20,°C Pa=101.33,кПа hотн.=70%	ф-ла (5) [9]	0,02	0,09	0,33	1,12	2,79	4,98	9,04	23,09	77,63		
Учет затухания звука в атмосфере Aatm, дБ		ф-ла (8) [10]	0	0,1	0,6	1,9	4,6	8,2	15	38,2	128,6		
Снижение уровня звукового давления из-за влияния застройки между источником шума и расчетной точкой													

1		2	3	4	5	6	7	8	9	10	11	12	13
Снижение уровня звукового давления на пути над экраном, Dz1, дБ	z = 0.04м (разность путей)	ф-лы (14-18) [10]	4,8	4,8	4,8	4,8	4,8	4,8	4,8	4,8	4,8		
Снижение уровня звукового давления на пути слева от экрана, Dz2, дБ	z = 1.27м (разность путей)	ф-лы (14-18) [10]	8,9	10,9	13,4	16,1	18,9	21,8	24,8	27,8	30,8		
Снижение уровня звукового давления на пути справа от экрана, Dz3, дБ	z = 0.05м (разность путей)	ф-лы (14-18) [10]	5	5,3	5,8	6,6	7,9	9,7	11,9	14,5	17,3		
Общее снижение уровня звука препятствием Dz, дБ		Эн.сумма(-Dzi)	1,1	1,5	1,9	2,4	2,9	3,5	4	4,3	4,5		
Уровни звукового давления прямого звука от источника ИШ-2-34 в расчётной точке днём, дБ		**ф-ла(3)[10]**	**0**	**19,3**	**19,8**	**19,4**	**16,4**	**11,8**	**1,3**	**0**	**0**	**17,2**	**17,2**
Уровни звукового давления прямого звука от источника ИШ-2-34 в расчётной точке ночью, дБ		**ф-ла(3)[10]**	**0**	**19,3**	**19,8**	**19,4**	**16,4**	**11,8**	**1,3**	**0**	**0**	**17,2**	**17,2**
Расчёт отражённого звука													
Уровни звукового давления от мнимого источника ИШ-2-34_мн.(1) в расчётной точке днём, дБ		**ф-ла(3)[10]**	**0**	**0**	**0**	**0**	**0**	**0**	**0**	**0**	**0**	**0**	**0**
Уровни звукового давления от мнимого источника ИШ-2-34_мн.(1) в расчётной точке ночью, дБ		**ф-ла(3)[10]**	**0**	**0**	**0**	**0**	**0**	**0**	**0**	**0**	**0**	**0**	**0**
Уровни звукового давления от источника ИШ-2-34 в расчётной точке днём, дБ		**ф-ла(3)[10]**	**0**	**19,3**	**19,8**	**19,4**	**16,4**	**11,8**	**1,3**	**0**	**0**	**17,2**	**17,2**
Уровни звукового давления от источника ИШ-2-34 в расчётной точке ночью, дБ		**ф-ла(3)[10]**	**0**	**19,3**	**19,8**	**19,4**	**16,4**	**11,8**	**1,3**	**0**	**0**	**17,2**	**17,2**
Источник шума: ИШ-2-35, координаты источника (x,y,z), м =[697.52,-91.66,1.00]													
Уровни звуковой мощности источника днём, Lw, дБ		**исходные данные**	**0**	**93,3**	**94,7**	**96**	**96,3**	**95,9**	**92,6**	**88,4**	**83,9**		
Уровни звуковой мощности источника ночью, Lw, дБ		**исходные данные**	**0**	**93,3**	**94,7**	**96**	**96,3**	**95,9**	**92,6**	**88,4**	**83,9**		
Поправка на телесный угол DΩ, дБ	Ω = 6.28	10Lg(4π/Ω)	**3**	3	3	3	3	3	3	3	3		
Показатель направленности источника Di, дБ		исходные данные	**0**	0	0	0	0	0	0	0	0		
Поправка на направленность источника Dc, дБ	Dc	DΩ + Di	**3**	3	3	3	3	3	3	3	3		

1		2	3	4	5	6	7	8	9	10	11	12	13
Затухание из-за геометрической дивергенции, Adiv, дБ	расстояние = 1653.70 м	ф-ла (7) [10]	**75,4**										
Коэффициент затухания звука в атмосфере α, дБ/км	Ta=20,°C Pa=101.33,кПа hотн.=70%	ф-ла (5) [9]	0,02	0,09	0,33	1,12	2,79	4,98	9,04	23,09	77,63		
Учет затухания звука в атмосфере Aatm, дБ		ф-ла (8) [10]	0	0,1	0,6	1,9	4,6	8,2	14,9	38,2	128,4		
Снижение уровня звукового давления из-за влияния застройки между источником шума и расчетной точкой													
Снижение уровня звукового давления на пути над экраном, Dz1, дБ	z = 0.04м (разность путей)	ф-лы (14-18) [10]	4,8	4,8	4,8	4,8	4,8	4,8	4,8	4,8	4,8		
Снижение уровня звукового давления на пути слева от экрана, Dz2, дБ	z = 1.06м (разность путей)	ф-лы (14-18) [10]	8,4	10,4	12,7	15,3	18,1	21,1	24	27	30		
Снижение уровня звукового давления на пути справа от экрана, Dz3, дБ	z = 0.12м (разность путей)	ф-лы (14-18) [10]	5,4	5,9	6,8	8,2	10	12,3	14,9	17,7	20,6		
Общее снижение уровня звука препятствием Dz, дБ		Эн.сумма(-Dzi)	1,1	1,7	2,2	2,9	3,5	4	4,3	4,5	4,6		
Уровни звукового давления прямого звука от источника ИШ-2-35 в расчётной точке днём, дБ		**ф-ла(3)[10]**	**0**	**19,1**	**19,5**	**18,9**	**15,8**	**11,3**	**0,9**	**0**	**0**	**16,7**	**16,7**
Уровни звукового давления прямого звука от источника ИШ-2-35 в расчётной точке ночью, дБ		**ф-ла(3)[10]**	**0**	**19,1**	**19,5**	**18,9**	**15,8**	**11,3**	**0,9**	**0**	**0**	**16,7**	**16,7**
Расчёт отражённого звука													
Уровни звукового давления от мнимого источника ИШ-2-35_мн.(1) в расчётной точке днём, дБ		**ф-ла(3)[10]**	**0**	**0**	**0**	**0**	**0**	**0**	**0**	**0**	**0**	**0**	**0**
Уровни звукового давления от мнимого источника ИШ-2-35_мн.(1) в расчётной точке ночью, дБ		**ф-ла(3)[10]**	**0**	**0**	**0**	**0**	**0**	**0**	**0**	**0**	**0**	**0**	**0**
Уровни звукового давления от источника ИШ-2-35 в расчётной точке днём, дБ		**ф-ла(3)[10]**	**0**	**19,1**	**19,5**	**18,9**	**15,8**	**11,3**	**0,9**	**0**	**0**	**16,7**	**16,7**
Уровни звукового давления от источника ИШ-2-35 в расчётной точке ночью, дБ		**ф-ла(3)[10]**	**0**	**19,1**	**19,5**	**18,9**	**15,8**	**11,3**	**0,9**	**0**	**0**	**16,7**	**16,7**
Источник шума: ИШ-2-36, координаты источника (x,y,z), м =[696.58,-94.55,1.00]													

1		2	3	4	5	6	7	8	9	10	11	12	13
Уровни звуковой мощности источника днём, Lw, дБ		**исходные данные**	**0**	**93,3**	**94,7**	**96**	**96,3**	**95,9**	**92,6**	**88,4**	**83,9**		
Уровни звуковой мощности источника ночью, Lw, дБ		**исходные данные**	**0**	**93,3**	**94,7**	**96**	**96,3**	**95,9**	**92,6**	**88,4**	**83,9**		
Поправка на телесный угол DΩ, дБ	Ω = 6.28	10Lg(4π/Ω)	**3**	3	3	3	3	3	3	3	3		
Показатель направленности источника Di, дБ		исходные данные	**0**	0	0	0	0	0	0	0	0		
Поправка на направленность источника Dc, дБ	Dc	DΩ + Di	**3**	3	3	3	3	3	3	3	3		
Затухание из-за геометрической дивергенции, Adiv, дБ	расстояние = 1651.38 м	ф-ла (7) [10]	**75,4**										
Коэффициент затухания звука в атмосфере α, дБ/км	Ta=20,°C Pa=101.33,кПа hотн.=70%	ф-ла (5) [9]	0,02	0,09	0,33	1,12	2,79	4,98	9,04	23,09	77,63		
Учет затухания звука в атмосфере Aatm, дБ		ф-ла (8) [10]	0	0,1	0,6	1,9	4,6	8,2	14,9	38,1	128,2		
Снижение уровня звукового давления из-за влияния застройки между источником шума и расчетной точкой													
Снижение уровня звукового давления на пути над экраном, Dz1, дБ	z = 0.04м (разность путей)	ф-лы (14-18) [10]	4,8	4,8	4,8	4,8	4,8	4,8	4,8	4,8	4,8		
Снижение уровня звукового давления на пути слева от экрана, Dz2, дБ	z = 0.86м (разность путей)	ф-лы (14-18) [10]	7,9	9,7	11,9	14,5	17,3	20,2	23,1	26,1	29,1		
Снижение уровня звукового давления на пути справа от экрана, Dz3, дБ	z = 0.22м (разность путей)	ф-лы (14-18) [10]	5,8	6,6	7,9	9,7	12	14,6	17,4	20,2	23,2		
Общее снижение уровня звука препятствием Dz, дБ		Эн.сумма(-Dzi)	1,2	1,8	2,5	3,2	3,8	4,2	4,5	4,6	4,7		
Уровни звукового давления прямого звука от источника ИШ-2-36 в расчётной точке днём, дБ		**ф-ла(3)[10]**	**0**	**19**	**19,3**	**18,5**	**15,5**	**11,1**	**0,8**	**0**	**0**	**16,4**	**16,4**
Уровни звукового давления прямого звука от источника ИШ-2-36 в расчётной точке ночью, дБ		**ф-ла(3)[10]**	**0**	**19**	**19,3**	**18,5**	**15,5**	**11,1**	**0,8**	**0**	**0**	**16,4**	**16,4**
Расчёт отражённого звука													
Уровни звукового давления от мнимого источника ИШ-2-36_мн.(1) в расчётной точке днём, дБ		**ф-ла(3)[10]**	**0**	**0**	**0**	**0**	**0**	**0**	**0**	**0**	**0**	**0**	**0**

1		2	3	4	5	6	7	8	9	10	11	12	13
Уровни звукового давления от мнимого источника ИШ-2-36_мн.(1) в расчётной точке ночью, дБ		**ф-ла(3)[10]**	**0**	**0**	**0**	**0**	**0**	**0**	**0**	**0**	**0**	**0**	**0**
Уровни звукового давления от источника ИШ-2-36 в расчётной точке днём, дБ		**ф-ла(3)[10]**	**0**	**19**	**19,3**	**18,5**	**15,5**	**11,1**	**0,8**	**0**	**0**	**16,4**	**16,4**
Уровни звукового давления от источника ИШ-2-36 в расчётной точке ночью, дБ		**ф-ла(3)[10]**	**0**	**19**	**19,3**	**18,5**	**15,5**	**11,1**	**0,8**	**0**	**0**	**16,4**	**16,4**
Источник шума: ИШ-2-37, координаты источника (x,y,z), м =[695.57,-97.37,1.00]													
Уровни звуковой мощности источника днём, Lw, дБ		**исходные данные**	**0**	**93,3**	**94,7**	**96**	**96,3**	**95,9**	**92,6**	**88,4**	**83,9**		
Уровни звуковой мощности источника ночью, Lw, дБ		**исходные данные**	**0**	**93,3**	**94,7**	**96**	**96,3**	**95,9**	**92,6**	**88,4**	**83,9**		
Поправка на телесный угол DΩ, дБ	Ω = 6.28	10Lg(4π/Ω)	**3**	3	3	3	3	3	3	3	3		
Показатель направленности источника Di, дБ		исходные данные	**0**	0	0	0	0	0	0	0	0		
Поправка на направленность источника Dc, дБ	Dc	DΩ + Di	**3**	3	3	3	3	3	3	3	3		
Затухание из-за геометрической дивергенции, Adiv, дБ	расстояние = 1649.04 м	ф-ла (7) [10]	**75,3**										
Коэффициент затухания звука в атмосфере α, дБ/км	Ta=20,°C Pa=101.33,кПа hотн.=70%	ф-ла (5) [9]	0,02	0,09	0,33	1,12	2,79	4,98	9,04	23,09	77,63		
Учет затухания звука в атмосфере Aatm, дБ		ф-ла (8) [10]	0	0,1	0,6	1,9	4,6	8,2	14,9	38,1	128		
Снижение уровня звукового давления из-за влияния застройки между источником шума и расчетной точкой													
Снижение уровня звукового давления на пути над экраном, Dz1, дБ	z = 0.04м (разность путей)	ф-лы (14-18) [10]	4,8	4,8	4,8	4,8	4,8	4,8	4,8	4,8	4,8		
Снижение уровня звукового давления на пути слева от экрана, Dz2, дБ	z = 0.68м (разность путей)	ф-лы (14-18) [10]	7,4	9,1	11,2	13,6	16,4	19,2	22,1	25,1	28,1		
Снижение уровня звукового давления на пути справа от экрана, Dz3, дБ	z = 0.34м (разность путей)	ф-лы (14-18) [10]	6,3	7,4	9	11,1	13,6	16,3	19,2	22,1	25,1		

1		2	3	4	5	6	7	8	9	10	11	12	13
Общее снижение уровня звука препятствием Dz, дБ		Эн.сумма(-Dzi)	1,3	1,9	2,7	3,4	4	4,3	4,5	4,7	4,7		
Уровни звукового давления от источника ИШ-2-37 в расчётной точке днём, дБ		**ф-ла(3)[10]**	**0**	**18,9**	**19,1**	**18,4**	**15,4**	**11**	**0,8**	**0**	**0**	**16,3**	**16,3**
Уровни звукового давления от источника ИШ-2-37 в расчётной точке ночью, дБ		**ф-ла(3)[10]**	**0**	**18,9**	**19,1**	**18,4**	**15,4**	**11**	**0,8**	**0**	**0**	**16,3**	**16,3**
Источник шума: ИШ-2-5, координаты источника (x,y,z), м =[618.60,-108.00,3.00]													
Уровни звуковой мощности источника днём, Lw, дБ		**исходные данные**	**105**	**104**	**104**	**101**	**102**	**106**	**101**	**95**	**87**		
Уровни звуковой мощности источника ночью, Lw, дБ		**исходные данные**	**105**	**104**	**104**	**101**	**102**	**106**	**101**	**95**	**87**		
Поправка на телесный угол DΩ, дБ	Ω = 6.28	10Lg(4π/Ω)	**3**	3	3	3	3	3	3	3	3		
Показатель направленности источника Di, дБ		исходные данные	**0**	0	0	0	0	0	0	0	0		
Поправка на направленность источника Dc, дБ	Dc	DΩ + Di	**3**	3	3	3	3	3	3	3	3		
Затухание из-за геометрической дивергенции, Adiv, дБ	расстояние = 1578.25 м	ф-ла (7) [10]	**75**										
Коэффициент затухания звука в атмосфере α, дБ/км	Ta=20,°C Pa=101.33,кПа hотн.=70%	ф-ла (5) [9]	0,02	0,09	0,33	1,12	2,79	4,98	9,04	23,09	77,63		
Учет затухания звука в атмосфере Aatm, дБ		ф-ла (8) [10]	0	0,1	0,5	1,8	4,4	7,9	14,3	36,4	122,5		
Снижение поверхностью земли возле источника As, дБ	Gs = 0 hs = 3м	ф-лы таб.3 [10]	-1,5	-1,5	-1,5	-1,5	-1,5	-1,5	-1,5	-1,5	-1,5		
Снижение поверхностью земли возле приёмника Ar, дБ	Gr = 1 hr = 1.5м	ф-лы таб.3 [10]	-1,5	-1,5	5,3	7	5	0,7	0	0	0		
Снижение поверхностью земли в средней зоне, Am дБ	Gm = 1	ф-лы таб.3 [10]	-2,7	-2,7	0	0	0	0	0	0	0		
Суммарное снижение поверхностью земли на траектории распространения звука Agr, дБ		ф-ла (9) [10]	-5,7	-5,7	3,8	5,5	3,5	-0,8	-1,5	-1,5	-1,5		

1		2	3	4	5	6	7	8	9	10	11	12	13
Уровни звукового давления прямого звука от источника ИШ-2-5 в расчётной точке днём, дБ		**ф-ла(3)[10]**	**38,8**	**37,7**	**27,7**	**21,8**	**22,2**	**27**	**16,3**	**0**	**0**	**28,4**	**28,4**
Уровни звукового давления прямого звука от источника ИШ-2-5 в расчётной точке ночью, дБ		**ф-ла(3)[10]**	**38,8**	**37,7**	**27,7**	**21,8**	**22,2**	**27**	**16,3**	**0**	**0**	**28,4**	**28,4**
Расчёт отражённого звука													
Уровни звукового давления от мнимого источника ИШ-2-5_мн.(1) в расчётной точке днём, дБ		**ф-ла(3)[10]**	**0**	**0**	**0**	**0**	**0**	**0**	**0**	**0**	**0**	**0**	**0**
Уровни звукового давления от мнимого источника ИШ-2-5_мн.(1) в расчётной точке ночью, дБ		**ф-ла(3)[10]**	**0**	**0**	**0**	**0**	**0**	**0**	**0**	**0**	**0**	**0**	**0**
Уровни звукового давления от источника ИШ-2-5 в расчётной точке днём, дБ		**ф-ла(3)[10]**	**38,8**	**37,7**	**27,7**	**21,8**	**22,2**	**27**	**16,3**	**0**	**0**	**28,4**	**28,4**
Уровни звукового давления от источника ИШ-2-5 в расчётной точке ночью, дБ		**ф-ла(3)[10]**	**38,8**	**37,7**	**27,7**	**21,8**	**22,2**	**27**	**16,3**	**0**	**0**	**28,4**	**28,4**
Источник шума: ИШ-2-38, координаты источника (x,y,z), м =[688.13,-119.94,1.00]													
Уровни звуковой мощности источника днём, Lw, дБ		**исходные данные**	**0**	**93,3**	**94,7**	**96**	**96,3**	**95,9**	**92,6**	**88,4**	**83,9**		
Уровни звуковой мощности источника ночью, Lw, дБ		**исходные данные**	**0**	**93,3**	**94,7**	**96**	**96,3**	**95,9**	**92,6**	**88,4**	**83,9**		
Поправка на телесный угол DΩ, дБ	Ω = 6.28	10Lg(4π/Ω)	**3**	3	3	3	3	3	3	3	3		
Показатель направленности источника Di, дБ		исходные данные	**0**	0	0	0	0	0	0	0	0		
Поправка на направленность источника Dc, дБ	Dc	DΩ + Di	**3**	3	3	3	3	3	3	3	3		
Затухание из-за геометрической дивергенции, Adiv, дБ	расстояние = 1630.94 м	ф-ла (7) [10]	**75,2**										
Коэффициент затухания звука в атмосфере α, дБ/км	Ta=20,°C Pa=101.33,кПа hотн.=70%	ф-ла (5) [9]	0,02	0,09	0,33	1,12	2,79	4,98	9,04	23,09	77,63		
Учет затухания звука в атмосфере Aatm, дБ		ф-ла (8) [10]	0	0,1	0,5	1,8	4,6	8,1	14,7	37,7	126,6		

1		2	3	4	5	6	7	8	9	10	11	12	13
Снижение уровня звукового давления из-за влияния застройки между источником шума и расчетной точкой													
Снижение уровня звукового давления препятствием справа от трассы ИШ-РТ, Dz3, дБ	z = 0.00м (разность путей)	ф-лы (14-18) [10]	0	0	0	0	4,4	4,1	3,2	0,7	NAN		
* отрицательное значение z означает прохождение траектории вблизи экрана, в этом случае дополнительно производится учёт снижения подстилающей поверхностью (см.ниже)													
Снижение поверхностью земли возле источника As, дБ	Gs = 0 hs = 1м	ф-лы таб.3 [10]	-1,5	-1,5	-1,5	-1,5	-1,5	-1,5	-1,5	-1,5	-1,5		
Снижение поверхностью земли возле приёмника Ar, дБ	Gr = 1 hr = 1.5м	ф-лы таб.3 [10]	-1,5	-1,5	5,3	7	5	0,7	0	0	0		
Снижение поверхностью земли в средней зоне, Am дБ	Gm = 1	ф-лы таб.3 [10]	-2,9	-2,9	0	0	0	0	0	0	0		
Суммарное снижение поверхностью земли на траектории распространения звука Agr, дБ		ф-ла (9) [10]	-5,9	-5,9	3,8	5,5	3,5	-0,8	-1,5	-1,5	-1,5		
Уровни звукового давления от источника ИШ-2-38 в расчётной точке днём, дБ		**ф-ла(3)[10]**	**0**	**26,8**	**18,1**	**16,4**	**11,6**	**12,3**	**3,9**	**0**	**0**	**15,5**	**15,5**
Уровни звукового давления от источника ИШ-2-38 в расчётной точке ночью, дБ		**ф-ла(3)[10]**	**0**	**26,8**	**18,1**	**16,4**	**11,6**	**12,3**	**3,9**	**0**	**0**	**15,5**	**15,5**
Источник шума: ИШ-2-39, координаты источника (x,y,z), м =[687.11,-122.83,1.00]													
Уровни звуковой мощности источника днём, Lw, дБ		**исходные данные**	**0**	**93,3**	**94,7**	**96**	**96,3**	**95,9**	**92,6**	**88,4**	**83,9**		
Уровни звуковой мощности источника ночью, Lw, дБ		**исходные данные**	**0**	**93,3**	**94,7**	**96**	**96,3**	**95,9**	**92,6**	**88,4**	**83,9**		
Поправка на телесный угол DΩ, дБ	Ω = 6.28	10Lg(4π/Ω)	**3**	3	3	3	3	3	3	3	3		
Показатель направленности источника Di, дБ		исходные данные	**0**	0	0	0	0	0	0	0	0		
Поправка на направленность источника Dc, дБ	Dc	DΩ + Di	**3**	3	3	3	3	3	3	3	3		
Затухание из-за геометрической дивергенции, Adiv, дБ	расстояние = 1628.58 м	ф-ла (7) [10]	**75,2**										
Коэффициент затухания звука в атмосфере α, дБ/км	Ta=20,°C Pa=101.33,кПа hотн.=70%	ф-ла (5) [9]	0,02	0,09	0,33	1,12	2,79	4,98	9,04	23,09	77,63		

1		2	3	4	5	6	7	8	9	10	11	12	13
Учет затухания звука в атмосфере Aatm, дБ		ф-ла (8) [10]	0	0,1	0,5	1,8	4,5	8,1	14,7	37,6	126,4		
Снижение уровня звукового давления из-за влияния застройки между источником шума и расчетной точкой													
Снижение уровня звукового давления препятствием справа от трассы ИШ-РТ, Dz3, дБ	z = -0.03м (разность путей)	ф-лы (14-18) [10]	0	0	4	3	0	NAN	NAN	NAN	NAN		
* отрицательное значение z означает прохождение траектории вблизи экрана, в этом случае дополнительно производится учёт снижения подстилающей поверхностью (см.ниже)													
Снижение поверхностью земли возле источника As, дБ	Gs = 0 hs = 1м	ф-лы таб.3 [10]	-1,5	-1,5	-1,5	-1,5	-1,5	-1,5	-1,5	-1,5	-1,5		
Снижение поверхностью земли возле приёмника Ar, дБ	Gr = 1 hr = 1.5м	ф-лы таб.3 [10]	-1,5	-1,5	5,3	7	5	0,7	0	0	0		
Снижение поверхностью земли в средней зоне, Am дБ	Gm = 1	ф-лы таб.3 [10]	-2,9	-2,9	0	0	0	0	0	0	0		
Суммарное снижение поверхностью земли на траектории распространения звука Agr, дБ		ф-ла (9) [10]	-5,9	-5,9	3,8	5,5	3,5	-0,8	-1,5	-1,5	-1,5		
Уровни звукового давления от источника ИШ-2-39 в расчётной точке днём, дБ		**ф-ла(3)[10]**	**0**	**26,8**	**14,1**	**13,4**	**16**	**16,4**	**7,1**	**0**	**0**	**18,7**	**18,7**
Уровни звукового давления от источника ИШ-2-39 в расчётной точке ночью, дБ		**ф-ла(3)[10]**	**0**	**26,8**	**14,1**	**13,4**	**16**	**16,4**	**7,1**	**0**	**0**	**18,7**	**18,7**
Источник шума: ИШ-2-40, координаты источника (x,y,z), м =[686.10,-125.67,1.00]													
Уровни звуковой мощности источника днём, Lw, дБ		**исходные данные**	**0**	**93,3**	**94,7**	**96**	**96,3**	**95,9**	**92,6**	**88,4**	**83,9**		
Уровни звуковой мощности источника ночью, Lw, дБ		**исходные данные**	**0**	**93,3**	**94,7**	**96**	**96,3**	**95,9**	**92,6**	**88,4**	**83,9**		
Поправка на телесный угол DΩ, дБ	Ω = 6.28	10Lg(4π/Ω)	**3**	3	3	3	3	3	3	3	3		
Показатель направленности источника Di, дБ		исходные данные	**0**	0	0	0	0	0	0	0	0		
Поправка на направленность источника Dc, дБ	Dc	DΩ + Di	**3**	3	3	3	3	3	3	3	3		
Затухание из-за геометрической дивергенции, Adiv, дБ	расстояние = 1626.25 м	ф-ла (7) [10]	**75,2**										

1		2	3	4	5	6	7	8	9	10	11	12	13
Коэффициент затухания звука в атмосфере α, дБ/км	Ta=20,°C Pa=101.33,кПа hотн.=70%	ф-ла (5) [9]	0,02	0,09	0,33	1,12	2,79	4,98	9,04	23,09	77,63		
Учет затухания звука в атмосфере Aatm, дБ		ф-ла (8) [10]	0	0,1	0,5	1,8	4,5	8,1	14,7	37,5	126,3		
Снижение уровня звукового давления из-за влияния застройки между источником шума и расчетной точкой													
Снижение уровня звукового давления препятствием справа от трассы ИШ-РТ, Dz3, дБ	z = -0.09м (разность путей)	ф-лы (14-18) [10]	0	0	2,1	0	NAN	NAN	NAN	NAN	NAN		
* отрицательное значение z означает прохождение траектории вблизи экрана, в этом случае дополнительно производится учёт снижения подстилающей поверхностью (см.ниже)													
Снижение поверхностью земли возле источника As, дБ	Gs = 0 hs = 1м	ф-лы таб.3 [10]	-1,5	-1,5	-1,5	-1,5	-1,5	-1,5	-1,5	-1,5	-1,5		
Снижение поверхностью земли возле приёмника Ar, дБ	Gr = 1 hr = 1.5м	ф-лы таб.3 [10]	-1,5	-1,5	5,3	7	5	0,7	0	0	0		
Снижение поверхностью земли в средней зоне, Am дБ	Gm = 1	ф-лы таб.3 [10]	-2,9	-2,9	0	0	0	0	0	0	0		
Суммарное снижение поверхностью земли на траектории распространения звука Agr, дБ		ф-ла (9) [10]	-5,9	-5,9	3,8	5,5	3,5	-0,8	-1,5	-1,5	-1,5		
Уровни звукового давления от источника ИШ-2-40 в расчётной точке днём, дБ		**ф-ла(3)[10]**	**0**	**26,8**	**16**	**16,4**	**16,1**	**16,4**	**7,2**	**0**	**0**	**18,9**	**18,9**
Уровни звукового давления от источника ИШ-2-40 в расчётной точке ночью, дБ		**ф-ла(3)[10]**	**0**	**26,8**	**16**	**16,4**	**16,1**	**16,4**	**7,2**	**0**	**0**	**18,9**	**18,9**
Источник шума: ИШ-2-41, координаты источника (x,y,z), м =[685.14,-128.64,1.00]													
Уровни звуковой мощности источника днём, Lw, дБ		**исходные данные**	**0**	**93,3**	**94,7**	**96**	**96,3**	**95,9**	**92,6**	**88,4**	**83,9**		
Уровни звуковой мощности источника ночью, Lw, дБ		**исходные данные**	**0**	**93,3**	**94,7**	**96**	**96,3**	**95,9**	**92,6**	**88,4**	**83,9**		
Поправка на телесный угол DΩ, дБ	Ω = 6.28	10Lg(4π/Ω)	**3**	3	3	3	3	3	3	3	3		
Показатель направленности источника Di, дБ		исходные данные	**0**	0	0	0	0	0	0	0	0		
Поправка на направленность источника Dc, дБ	Dc	DΩ + Di	**3**	3	3	3	3	3	3	3	3		

1		2	3	4	5	6	7	8	9	10	11	12	13
Затухание из-за геометрической дивергенции, Adiv, дБ	расстояние = 1623.90 м	ф-ла (7) [10]	**75,2**										
Коэффициент затухания звука в атмосфере α, дБ/км	Ta=20,°C Pa=101.33,кПа hотн.=70%	ф-ла (5) [9]	0,02	0,09	0,33	1,12	2,79	4,98	9,04	23,09	77,63		
Учет затухания звука в атмосфере Aatm, дБ		ф-ла (8) [10]	0	0,1	0,5	1,8	4,5	8,1	14,7	37,5	126,1		
Снижение уровня звукового давления из-за влияния застройки между источником шума и расчетной точкой													
Снижение уровня звукового давления препятствием справа от трассы ИШ-РТ, Dz3, дБ	z = -0.19м (разность путей)	ф-лы (14-18) [10]	0	1,9	0	NAN	NAN	NAN	NAN	NAN	NAN		
* отрицательное значение z означает прохождение траектории вблизи экрана, в этом случае дополнительно производится учёт снижения подстилающей поверхностью (см.ниже)													
Снижение поверхностью земли возле источника As, дБ	Gs = 0 hs = 1м	ф-лы таб.3 [10]	-1,5	-1,5	-1,5	-1,5	-1,5	-1,5	-1,5	-1,5	-1,5		
Снижение поверхностью земли возле приёмника Ar, дБ	Gr = 1 hr = 1.5м	ф-лы таб.3 [10]	-1,5	-1,5	5,3	7	5	0,7	0	0	0		
Снижение поверхностью земли в средней зоне, Am дБ	Gm = 1	ф-лы таб.3 [10]	-2,9	-2,9	0	0	0	0	0	0	0		
Суммарное снижение поверхностью земли на траектории распространения звука Agr, дБ		ф-ла (9) [10]	-5,9	-5,9	3,8	5,5	3,5	-0,8	-1,5	-1,5	-1,5		
Уровни звукового давления от источника ИШ-2-41 в расчётной точке днём, дБ		**ф-ла(3)[10]**	**0**	**24,9**	**18,1**	**16,4**	**16,1**	**16,4**	**7,2**	**0**	**0**	**19**	**19**
Уровни звукового давления от источника ИШ-2-41 в расчётной точке ночью, дБ		**ф-ла(3)[10]**	**0**	**24,9**	**18,1**	**16,4**	**16,1**	**16,4**	**7,2**	**0**	**0**	**19**	**19**
Источник шума: ИШ-2-42, координаты источника (x,y,z), м =[684.20,-131.46,1.00]													
Уровни звуковой мощности источника днём, Lw, дБ		**исходные данные**	**0**	**93,3**	**94,7**	**96**	**96,3**	**95,9**	**92,6**	**88,4**	**83,9**		
Уровни звуковой мощности источника ночью, Lw, дБ		**исходные данные**	**0**	**93,3**	**94,7**	**96**	**96,3**	**95,9**	**92,6**	**88,4**	**83,9**		
Поправка на телесный угол DΩ, дБ	Ω = 6.28	10Lg(4π/Ω)	**3**	3	3	3	3	3	3	3	3		
Показатель направленности источника Di, дБ		исходные данные	**0**	0	0	0	0	0	0	0	0		

1		2	3	4	5	6	7	8	9	10	11	12	13
Поправка на направленность источника Dc, дБ	Dc	DΩ + Di	**3**	3	3	3	3	3	3	3	3		
Затухание из-за геометрической дивергенции, Adiv, дБ	расстояние = 1621.65 м	ф-ла (7) [10]	**75,2**										
Коэффициент затухания звука в атмосфере α, дБ/км	Ta=20,°C Pa=101.33,кПа hотн.=70%	ф-ла (5) [9]	0,02	0,09	0,33	1,12	2,79	4,98	9,04	23,09	77,63		
Учет затухания звука в атмосфере Aatm, дБ		ф-ла (8) [10]	0	0,1	0,5	1,8	4,5	8,1	14,7	37,4	125,9		
Снижение поверхностью земли возле источника As, дБ	Gs = 0 hs = 1м	ф-лы таб.3 [10]	-1,5	-1,5	-1,5	-1,5	-1,5	-1,5	-1,5	-1,5	-1,5		
Снижение поверхностью земли возле приёмника Ar, дБ	Gr = 1 hr = 1.5м	ф-лы таб.3 [10]	-1,5	-1,5	5,3	7	5	0,7	0	0	0		
Снижение поверхностью земли в средней зоне, Am дБ	Gm = 1	ф-лы таб.3 [10]	-2,9	-2,9	0	0	0	0	0	0	0		
Суммарное снижение поверхностью земли на траектории распространения звука Agr, дБ		ф-ла (9) [10]	-5,9	-5,9	3,8	5,5	3,5	-0,8	-1,5	-1,5	-1,5		
Уровни звукового давления от источника ИШ-2-42 в расчётной точке днём, дБ		**ф-ла(3)[10]**	**0**	**26,8**	**18,1**	**16,4**	**16,1**	**16,5**	**7,2**	**0**	**0**	**19**	**19**
Уровни звукового давления от источника ИШ-2-42 в расчётной точке ночью, дБ		**ф-ла(3)[10]**	**0**	**26,8**	**18,1**	**16,4**	**16,1**	**16,5**	**7,2**	**0**	**0**	**19**	**19**
Источник шума: ИШ-2-43, координаты источника (x,y,z), м =[683.13,-134.37,1.00]													
Уровни звуковой мощности источника днём, Lw, дБ		**исходные данные**	**0**	**93,3**	**94,7**	**96**	**96,3**	**95,9**	**92,6**	**88,4**	**83,9**		
Уровни звуковой мощности источника ночью, Lw, дБ		**исходные данные**	**0**	**93,3**	**94,7**	**96**	**96,3**	**95,9**	**92,6**	**88,4**	**83,9**		
Поправка на телесный угол DΩ, дБ	Ω = 6.28	10Lg(4π/Ω)	**3**	3	3	3	3	3	3	3	3		
Показатель направленности источника Di, дБ		исходные данные	**0**	0	0	0	0	0	0	0	0		
Поправка на направленность источника Dc, дБ	Dc	DΩ + Di	**3**	3	3	3	3	3	3	3	3		

1		2	3	4	5	6	7	8	9	10	11	12	13
Затухание из-за геометрической дивергенции, Adiv, дБ	расстояние = 1619.24 м	ф-ла (7) [10]	**75,2**										
Коэффициент затухания звука в атмосфере α, дБ/км	Ta=20,°C Pa=101.33,кПа hотн.=70%	ф-ла (5) [9]	0,02	0,09	0,33	1,12	2,79	4,98	9,04	23,09	77,63		
Учет затухания звука в атмосфере Aatm, дБ		ф-ла (8) [10]	0	0,1	0,5	1,8	4,5	8,1	14,6	37,4	125,7		
Снижение поверхностью земли возле источника As, дБ	Gs = 0 hs = 1м	ф-лы таб.3 [10]	-1,5	-1,5	-1,5	-1,5	-1,5	-1,5	-1,5	-1,5	-1,5		
Снижение поверхностью земли возле приёмника Ar, дБ	Gr = 1 hr = 1.5м	ф-лы таб.3 [10]	-1,5	-1,5	5,3	7	5	0,7	0	0	0		
Снижение поверхностью земли в средней зоне, Am дБ	Gm = 1	ф-лы таб.3 [10]	-2,9	-2,9	0	0	0	0	0	0	0		
Суммарное снижение поверхностью земли на траектории распространения звука Agr, дБ		ф-ла (9) [10]	-5,9	-5,9	3,8	5,5	3,5	-0,8	-1,5	-1,5	-1,5		
Уровни звукового давления от источника ИШ-2-43 в расчётной точке днём, дБ		**ф-ла(3)[10]**	**0**	**26,8**	**18,1**	**16,5**	**16,1**	**16,5**	**7,3**	**0**	**0**	**19**	**19**
Уровни звукового давления от источника ИШ-2-43 в расчётной точке ночью, дБ		**ф-ла(3)[10]**	**0**	**26,8**	**18,1**	**16,5**	**16,1**	**16,5**	**7,3**	**0**	**0**	**19**	**19**
Источник шума: ИШ-2-44, координаты источника (x,y,z), м =[682.20,-137.16,1.00]													
Уровни звуковой мощности источника днём, Lw, дБ		**исходные данные**	**0**	**93,3**	**94,7**	**96**	**96,3**	**95,9**	**92,6**	**88,4**	**83,9**		
Уровни звуковой мощности источника ночью, Lw, дБ		**исходные данные**	**0**	**93,3**	**94,7**	**96**	**96,3**	**95,9**	**92,6**	**88,4**	**83,9**		
Поправка на телесный угол DΩ, дБ	Ω = 6.28	10Lg(4π/Ω)	**3**	3	3	3	3	3	3	3	3		
Показатель направленности источника Di, дБ		исходные данные	**0**	0	0	0	0	0	0	0	0		
Поправка на направленность источника Dc, дБ	Dc	DΩ + Di	**3**	3	3	3	3	3	3	3	3		
Затухание из-за геометрической дивергенции, Adiv, дБ	расстояние = 1617.01 м	ф-ла (7) [10]	**75,2**										

1		2	3	4	5	6	7	8	9	10	11	12	13
Коэффициент затухания звука в атмосфере α, дБ/км	Ta=20,°C Pa=101.33,кПа hотн.=70%	ф-ла (5) [9]	0,02	0,09	0,33	1,12	2,79	4,98	9,04	23,09	77,63		
Учет затухания звука в атмосфере Aatm, дБ		ф-ла (8) [10]	0	0,1	0,5	1,8	4,5	8	14,6	37,3	125,5		
Снижение поверхностью земли возле источника As, дБ	Gs = 0 hs = 1м	ф-лы таб.3 [10]	-1,5	-1,5	-1,5	-1,5	-1,5	-1,5	-1,5	-1,5	-1,5		
Снижение поверхностью земли возле приёмника Ar, дБ	Gr = 1 hr = 1.5м	ф-лы таб.3 [10]	-1,5	-1,5	5,3	7	5	0,7	0	0	0		
Снижение поверхностью земли в средней зоне, Am дБ	Gm = 1	ф-лы таб.3 [10]	-2,9	-2,9	0	0	0	0	0	0	0		
Суммарное снижение поверхностью земли на траектории распространения звука Agr, дБ		ф-ла (9) [10]	-5,9	-5,9	3,8	5,5	3,5	-0,8	-1,5	-1,5	-1,5		
Уровни звукового давления от источника ИШ-2-44 в расчётной точке днём, дБ		**ф-ла(3)[10]**	**0**	**26,8**	**18,1**	**16,5**	**16,1**	**16,5**	**7,3**	**0**	**0**	**19,1**	**19,1**
Уровни звукового давления от источника ИШ-2-44 в расчётной точке ночью, дБ		**ф-ла(3)[10]**	**0**	**26,8**	**18,1**	**16,5**	**16,1**	**16,5**	**7,3**	**0**	**0**	**19,1**	**19,1**
Источник шума: ИШ-2-45, координаты источника (x,y,z), м =[681.26,-139.98,1.00]													
Уровни звуковой мощности источника днём, Lw, дБ		**исходные данные**	**0**	**93,3**	**94,7**	**96**	**96,3**	**95,9**	**92,6**	**88,4**	**83,9**		
Уровни звуковой мощности источника ночью, Lw, дБ		**исходные данные**	**0**	**93,3**	**94,7**	**96**	**96,3**	**95,9**	**92,6**	**88,4**	**83,9**		
Поправка на телесный угол DΩ, дБ	Ω = 6.28	10Lg(4π/Ω)	**3**	3	3	3	3	3	3	3	3		
Показатель направленности источника Di, дБ		исходные данные	**0**	0	0	0	0	0	0	0	0		
Поправка на направленность источника Dc, дБ	Dc	DΩ + Di	**3**	3	3	3	3	3	3	3	3		
Затухание из-за геометрической дивергенции, Adiv, дБ	расстояние = 1614.77 м	ф-ла (7) [10]	**75,2**										
Коэффициент затухания звука в атмосфере α, дБ/км	Ta=20,°C Pa=101.33,кПа hотн.=70%	ф-ла (5) [9]	0,02	0,09	0,33	1,12	2,79	4,98	9,04	23,09	77,63		

1		2	3	4	5	6	7	8	9	10	11	12	13
Учет затухания звука в атмосфере Aatm, дБ		ф-ла (8) [10]	0	0,1	0,5	1,8	4,5	8	14,6	37,3	125,4		
Снижение поверхностью земли возле источника As, дБ	Gs = 0 hs = 1м	ф-лы таб.3 [10]	-1,5	-1,5	-1,5	-1,5	-1,5	-1,5	-1,5	-1,5	-1,5		
Снижение поверхностью земли возле приёмника Ar, дБ	Gr = 1 hr = 1.5м	ф-лы таб.3 [10]	-1,5	-1,5	5,3	7	5	0,7	0	0	0		
Снижение поверхностью земли в средней зоне, Am дБ	Gm = 1	ф-лы таб.3 [10]	-2,9	-2,9	0	0	0	0	0	0	0		
Суммарное снижение поверхностью земли на траектории распространения звука Agr, дБ		ф-ла (9) [10]	-5,9	-5,9	3,8	5,5	3,5	-0,8	-1,5	-1,5	-1,5		
Уровни звукового давления от источника ИШ-2-45 в расчётной точке днём, дБ		**ф-ла(3)[10]**	**0**	**26,8**	**18,1**	**16,5**	**16,1**	**16,5**	**7,3**	**0**	**0**	**19,1**	**19,1**
Уровни звукового давления от источника ИШ-2-45 в расчётной точке ночью, дБ		**ф-ла(3)[10]**	**0**	**26,8**	**18,1**	**16,5**	**16,1**	**16,5**	**7,3**	**0**	**0**	**19,1**	**19,1**
Источник шума: ИШ-4-1, координаты источника (x,y,z), м =[141.82,201.03,1.00]													
Уровни звуковой мощности источника днём, Lw, дБ		**исходные данные**	**0**	**90,3**	**91,7**	**93**	**93,3**	**92,9**	**89,6**	**85,4**	**80,9**		
Уровни звуковой мощности источника ночью, Lw, дБ		**исходные данные**	**0**	**90,3**	**91,7**	**93**	**93,3**	**92,9**	**89,6**	**85,4**	**80,9**		
Поправка на телесный угол DΩ, дБ	Ω = 6.28	10Lg(4π/Ω)	**3**	3	3	3	3	3	3	3	3		
Показатель направленности источника Di, дБ		исходные данные	**0**	0	0	0	0	0	0	0	0		
Поправка на направленность источника Dc, дБ	Dc	DΩ + Di	**3**	3	3	3	3	3	3	3	3		
Затухание из-за геометрической дивергенции, Adiv, дБ	расстояние = 1440.98 м	ф-ла (7) [10]	**74,2**										
Коэффициент затухания звука в атмосфере α, дБ/км	Ta=20,°C Pa=101.33,кПа hотн.=70%	ф-ла (5) [9]	0,02	0,09	0,33	1,12	2,79	4,98	9,04	23,09	77,63		
Учет затухания звука в атмосфере Aatm, дБ		ф-ла (8) [10]	0	0,1	0,5	1,6	4	7,2	13	33,3	111,9		

1		2	3	4	5	6	7	8	9	10	11	12	13
Снижение поверхностью земли возле источника As, дБ	Gs = 0 hs = 1м	ф-лы таб.3 [10]	-1,5	-1,5	-1,5	-1,5	-1,5	-1,5	-1,5	-1,5	-1,5		
Снижение поверхностью земли возле приёмника Ar, дБ	Gr = 1 hr = 1.5м	ф-лы таб.3 [10]	-1,5	-1,5	5,3	7	5	0,7	0	0	0		
Снижение поверхностью земли в средней зоне, Am дБ	Gm = 1	ф-лы таб.3 [10]	-2,8	-2,8	0	0	0	0	0	0	0		
Суммарное снижение поверхностью земли на траектории распространения звука Agr, дБ		ф-ла (9) [10]	-5,8	-5,8	3,8	5,5	3,5	-0,8	-1,5	-1,5	-1,5		
Уровни звукового давления от источника ИШ-4-1 в расчётной точке днём, дБ		**ф-ла(3)[10]**	**0**	**24,8**	**16,2**	**14,7**	**14,6**	**15,4**	**6,9**	**0**	**0**	**17,8**	**17,8**
Уровни звукового давления от источника ИШ-4-1 в расчётной точке ночью, дБ		**ф-ла(3)[10]**	**0**	**24,8**	**16,2**	**14,7**	**14,6**	**15,4**	**6,9**	**0**	**0**	**17,8**	**17,8**
Источник шума: ИШ-4-2, координаты источника (x,y,z), м =[133.85,183.21,1.00]													
Уровни звуковой мощности источника днём, Lw, дБ		**исходные данные**	**0**	**90,3**	**91,7**	**93**	**93,3**	**92,9**	**89,6**	**85,4**	**80,9**		
Уровни звуковой мощности источника ночью, Lw, дБ		**исходные данные**	**0**	**90,3**	**91,7**	**93**	**93,3**	**92,9**	**89,6**	**85,4**	**80,9**		
Поправка на телесный угол DΩ, дБ	Ω = 6.28	10Lg(4π/Ω)	**3**	3	3	3	3	3	3	3	3		
Показатель направленности источника Di, дБ		исходные данные	**0**	0	0	0	0	0	0	0	0		
Поправка на направленность источника Dc, дБ	Dc	DΩ + Di	**3**	3	3	3	3	3	3	3	3		
Затухание из-за геометрической дивергенции, Adiv, дБ	расстояние = 1421.89 м	ф-ла (7) [10]	**74,1**										
Коэффициент затухания звука в атмосфере α, дБ/км	Ta=20,°C Pa=101.33,кПа hотн.=70%	ф-ла (5) [9]	0,02	0,09	0,33	1,12	2,79	4,98	9,04	23,09	77,63		
Учет затухания звука в атмосфере Aatm, дБ		ф-ла (8) [10]	0	0,1	0,5	1,6	4	7,1	12,9	32,8	110,4		
Снижение уровня звукового давления из-за влияния застройки между источником шума и расчетной точкой													

1		2	3	4	5	6	7	8	9	10	11	12	13
Снижение уровня звукового давления на пути над экраном, Dz1, дБ	z = 0.36м (разность путей)	ф-лы (14-18) [10]	4,8	4,8	4,8	4,8	4,8	4,8	4,8	4,9	5		
Снижение уровня звукового давления на пути слева от экрана, Dz2, дБ	z = 1.51м (разность путей)	ф-лы (14-18) [10]	9,4	11,5	14	16,8	19,6	22,6	25,6	28,5	31,5		
Снижение уровня звукового давления на пути справа от экрана, Dz3, дБ	z = 0.06м (разность путей)	ф-лы (14-18) [10]	5,1	5,4	5,9	6,8	8,2	10,1	12,4	15	17,8		
Общее снижение уровня звука препятствием Dz, дБ		Эн.сумма(-Dzi)	1,2	1,6	2	2,5	3,1	3,6	4,1	4,5	4,8		
Уровни звукового давления от источника ИШ-4-2 в расчётной точке днём, дБ		**ф-ла(3)[10]**	**0**	**17,5**	**18,1**	**17,8**	**15,2**	**11,1**	**1,6**	**0**	**0**	**16,1**	**16,1**
Уровни звукового давления от источника ИШ-4-2 в расчётной точке ночью, дБ		**ф-ла(3)[10]**	**0**	**17,5**	**18,1**	**17,8**	**15,2**	**11,1**	**1,6**	**0**	**0**	**16,1**	**16,1**
Источник шума: ИШ-4-3, координаты источника (x,y,z), м =[152.61,172.66,1.00]													
Уровни звуковой мощности источника днём, Lw, дБ		**исходные данные**	**0**	**90,3**	**91,7**	**93**	**93,3**	**92,9**	**89,6**	**85,4**	**80,9**		
Уровни звуковой мощности источника ночью, Lw, дБ		**исходные данные**	**0**	**90,3**	**91,7**	**93**	**93,3**	**92,9**	**89,6**	**85,4**	**80,9**		
Поправка на телесный угол DΩ, дБ	Ω = 6.28	10Lg(4π/Ω)	**3**	3	3	3	3	3	3	3	3		
Показатель направленности источника Di, дБ		исходные данные	**0**	0	0	0	0	0	0	0	0		
Поправка на направленность источника Dc, дБ	Dc	DΩ + Di	**3**	3	3	3	3	3	3	3	3		
Затухание из-за геометрической дивергенции, Adiv, дБ	расстояние = 1424.66 м	ф-ла (7) [10]	**74,1**										
Коэффициент затухания звука в атмосфере α, дБ/км	Ta=20,°C Pa=101.33,кПа hотн.=70%	ф-ла (5) [9]	0,02	0,09	0,33	1,12	2,79	4,98	9,04	23,09	77,63		
Учет затухания звука в атмосфере Aatm, дБ		ф-ла (8) [10]	0	0,1	0,5	1,6	4	7,1	12,9	32,9	110,6		
Снижение уровня звукового давления из-за влияния застройки между источником шума и расчетной точкой													

1		2	3	4	5	6	7	8	9	10	11	12	13
Снижение уровня звукового давления на пути над экраном, Dz1, дБ	z = 0.29м (разность путей)	ф-лы (14-18) [10]	4,8	4,8	4,8	4,8	4,8	4,8	4,8	4,8	4,8		
Снижение уровня звукового давления на пути слева от экрана, Dz2, дБ	z = 0.01м (разность путей)	ф-лы (14-18) [10]	4,8	4,9	5	5,1	5,5	6,1	7,1	8,6	10,7		
Снижение уровня звукового давления на пути справа от экрана, Dz3, дБ	z = 2.33м (разность путей)	ф-лы (14-18) [10]	10,7	13,1	15,7	18,5	21,5	24,4	27,4	30,4	33,4		
Общее снижение уровня звука препятствием Dz, дБ		Эн.сумма(-Dzi)	1,3	1,5	1,7	1,9	2,1	2,4	2,8	3,3	3,8		
Уровни звукового давления от источника ИШ-4-3 в расчётной точке днём, дБ		**ф-ла(3)[10]**	**0**	**17,6**	**18,5**	**18,5**	**16,2**	**12,4**	**2,9**	**0**	**0**	**17,1**	**17,1**
Уровни звукового давления от источника ИШ-4-3 в расчётной точке ночью, дБ		**ф-ла(3)[10]**	**0**	**17,6**	**18,5**	**18,5**	**16,2**	**12,4**	**2,9**	**0**	**0**	**17,1**	**17,1**
Источник шума: ИШ-4-4, координаты источника (x,y,z), м =[156.83,171.25,1.00]													
Уровни звуковой мощности источника днём, Lw, дБ		**исходные данные**	**0**	**90,3**	**91,7**	**93**	**93,3**	**92,9**	**89,6**	**85,4**	**80,9**		
Уровни звуковой мощности источника ночью, Lw, дБ		**исходные данные**	**0**	**90,3**	**91,7**	**93**	**93,3**	**92,9**	**89,6**	**85,4**	**80,9**		
Поправка на телесный угол DΩ, дБ	Ω = 6.28	10Lg(4π/Ω)	**3**	3	3	3	3	3	3	3	3		
Показатель направленности источника Di, дБ		исходные данные	**0**	0	0	0	0	0	0	0	0		
Поправка на направленность источника Dc, дБ	Dc	DΩ + Di	**3**	3	3	3	3	3	3	3	3		
Затухание из-за геометрической дивергенции, Adiv, дБ	расстояние = 1426.10 м	ф-ла (7) [10]	**74,1**										
Коэффициент затухания звука в атмосфере α, дБ/км	Ta=20,°C Pa=101.33,кПа hотн.=70%	ф-ла (5) [9]	0,02	0,09	0,33	1,12	2,79	4,98	9,04	23,09	77,63		
Учет затухания звука в атмосфере Aatm, дБ		ф-ла (8) [10]	0	0,1	0,5	1,6	4	7,1	12,9	32,9	110,7		
Снижение уровня звукового давления из-за влияния застройки между источником шума и расчетной точкой													

1		2	3	4	5	6	7	8	9	10	11	12	13
Снижение уровня звукового давления препятствием справа от трассы ИШ-РТ, Dz3, дБ	z = -0.02м (разность путей)	ф-лы (14-18) [10]	0	0	0	4	3,2	0,5	NAN	NAN	NAN		
* отрицательное значение z означает прохождение траектории вблизи экрана, в этом случае дополнительно производится учёт снижения подстилающей поверхностью (см.ниже)													
Снижение поверхностью земли возле источника As, дБ	Gs = 0 hs = 1м	ф-лы таб.3 [10]	-1,5	-1,5	-1,5	-1,5	-1,5	-1,5	-1,5	-1,5	-1,5		
Снижение поверхностью земли возле приёмника Ar, дБ	Gr = 1 hr = 1.5м	ф-лы таб.3 [10]	-1,5	-1,5	5,3	7	5	0,7	0	0	0		
Снижение поверхностью земли в средней зоне, Am дБ	Gm = 1	ф-лы таб.3 [10]	-2,8	-2,8	0	0	0	0	0	0	0		
Суммарное снижение поверхностью земли на траектории распространения звука Agr, дБ		ф-ла (9) [10]	-5,8	-5,8	3,8	5,5	3,5	-0,8	-1,5	-1,5	-1,5		
Уровни звукового давления от источника ИШ-4-4 в расчётной точке днём, дБ		**ф-ла(3)[10]**	**0**	**24,9**	**16,3**	**10,7**	**11,6**	**15**	**7,1**	**0**	**0**	**16,9**	**16,9**
Уровни звукового давления от источника ИШ-4-4 в расчётной точке ночью, дБ		**ф-ла(3)[10]**	**0**	**24,9**	**16,3**	**10,7**	**11,6**	**15**	**7,1**	**0**	**0**	**16,9**	**16,9**
Источник шума: ИШ-4-5, координаты источника (x,y,z), м =[126.48,222.66,11.00]													
Уровни звуковой мощности источника днём, Lw, дБ		**исходные данные**	**0**	**90,3**	**91,7**	**93**	**93,3**	**92,9**	**89,6**	**85,4**	**80,9**		
Уровни звуковой мощности источника ночью, Lw, дБ		**исходные данные**	**0**	**90,3**	**91,7**	**93**	**93,3**	**92,9**	**89,6**	**85,4**	**80,9**		
Поправка на телесный угол DΩ, дБ	Ω = 6.28	10Lg(4π/Ω)	**3**	3	3	3	3	3	3	3	3		
Показатель направленности источника Di, дБ		исходные данные	**0**	0	0	0	0	0	0	0	0		
Поправка на направленность источника Dc, дБ	Dc	DΩ + Di	**3**	3	3	3	3	3	3	3	3		
Затухание из-за геометрической дивергенции, Adiv, дБ	расстояние = 1449.64 м	ф-ла (7) [10]	**74,2**										
Коэффициент затухания звука в атмосфере α, дБ/км	Ta=20,°C Pa=101.33,кПа hотн.=70%	ф-ла (5) [9]	0,02	0,09	0,33	1,12	2,79	4,98	9,04	23,09	77,63		
Учет затухания звука в атмосфере Aatm, дБ		ф-ла (8) [10]	0	0,1	0,5	1,6	4	7,2	13,1	33,5	112,5		

1		2	3	4	5	6	7	8	9	10	11	12	13
Снижение поверхностью земли возле источника As, дБ	Gs = 0 hs = 1м	ф-лы таб.3 [10]	-1,5	-1,5	-1,5	-1,5	-1,5	-1,5	-1,5	-1,5	-1,5		
Снижение поверхностью земли возле приёмника Ar, дБ	Gr = 1 hr = 1.5м	ф-лы таб.3 [10]	-1,5	-1,5	5,3	7	5	0,7	0	0	0		
Снижение поверхностью земли в средней зоне, Am дБ	Gm = 1	ф-лы таб.3 [10]	-2,8	-2,8	0	0	0	0	0	0	0		
Суммарное снижение поверхностью земли на траектории распространения звука Agr, дБ		ф-ла (9) [10]	-5,8	-5,8	3,8	5,5	3,5	-0,8	-1,5	-1,5	-1,5		
Уровни звукового давления прямого звука от источника ИШ-4-5 в расчётной точке днём, дБ		**ф-ла(3)[10]**	**0**	**24,8**	**16,1**	**14,6**	**14,5**	**15,3**	**6,8**	**0**	**0**	**17,7**	**17,7**
Уровни звукового давления прямого звука от источника ИШ-4-5 в расчётной точке ночью, дБ		**ф-ла(3)[10]**	**0**	**24,8**	**16,1**	**14,6**	**14,5**	**15,3**	**6,8**	**0**	**0**	**17,7**	**17,7**
Расчёт отражённого звука													
Уровни звукового давления от мнимого источника ИШ-4-5_мн.(1) в расчётной точке днём, дБ		**ф-ла(3)[10]**	**0**	**0**	**0**	**0**	**0**	**0**	**3,8**	**0**	**0**	**5**	**5**
Уровни звукового давления от мнимого источника ИШ-4-5_мн.(1) в расчётной точке ночью, дБ		**ф-ла(3)[10]**	**0**	**0**	**0**	**0**	**0**	**0**	**0**	**0**	**0**	**5**	**5**
Уровни звукового давления от источника ИШ-4-5 в расчётной точке днём, дБ		**ф-ла(3)[10]**	**0**	**24,8**	**16,1**	**14,6**	**14,5**	**15,3**	**8,5**	**0**	**0**	**18**	**18**
Уровни звукового давления от источника ИШ-4-5 в расчётной точке ночью, дБ		**ф-ла(3)[10]**	**0**	**24,8**	**16,1**	**14,6**	**14,5**	**15,3**	**8,5**	**0**	**0**	**18**	**18**
Источник шума: ИШ-4-6, координаты источника (x,y,z), м =[125.17,218.57,11.00]													
Уровни звуковой мощности источника днём, Lw, дБ		**исходные данные**	**0**	**90,3**	**91,7**	**93**	**93,3**	**92,9**	**89,6**	**85,4**	**80,9**		
Уровни звуковой мощности источника ночью, Lw, дБ		**исходные данные**	**0**	**90,3**	**91,7**	**93**	**93,3**	**92,9**	**89,6**	**85,4**	**80,9**		
Поправка на телесный угол DΩ, дБ	Ω = 6.28	10Lg(4π/Ω)	**3**	3	3	3	3	3	3	3	3		
Показатель направленности источника Di, дБ		исходные данные	**0**	0	0	0	0	0	0	0	0		
Поправка на направленность источника Dc, дБ	Dc	DΩ + Di	**3**	3	3	3	3	3	3	3	3		

1		2	3	4	5	6	7	8	9	10	11	12	13
Затухание из-за геометрической дивергенции, Adiv, дБ	расстояние = 1445.55 м	ф-ла (7) [10]	**74,2**										
Коэффициент затухания звука в атмосфере α, дБ/км	Ta=20,°C Pa=101.33,кПа hотн.=70%	ф-ла (5) [9]	0,02	0,09	0,33	1,12	2,79	4,98	9,04	23,09	77,63		
Учет затухания звука в атмосфере Aatm, дБ		ф-ла (8) [10]	0	0,1	0,5	1,6	4	7,2	13,1	33,4	112,2		
Снижение поверхностью земли возле источника As, дБ	Gs = 0 hs = 1м	ф-лы таб.3 [10]	-1,5	-1,5	-1,5	-1,5	-1,5	-1,5	-1,5	-1,5	-1,5		
Снижение поверхностью земли возле приёмника Ar, дБ	Gr = 1 hr = 1.5м	ф-лы таб.3 [10]	-1,5	-1,5	5,3	7	5	0,7	0	0	0		
Снижение поверхностью земли в средней зоне, Am дБ	Gm = 1	ф-лы таб.3 [10]	-2,8	-2,8	0	0	0	0	0	0	0		
Суммарное снижение поверхностью земли на траектории распространения звука Agr, дБ		ф-ла (9) [10]	-5,8	-5,8	3,8	5,5	3,5	-0,8	-1,5	-1,5	-1,5		
Уровни звукового давления прямого звука от источника ИШ-4-6 в расчётной точке днём, дБ		**ф-ла(3)[10]**	**0**	**24,8**	**16,2**	**14,6**	**14,6**	**15,3**	**6,8**	**0**	**0**	**17,8**	**17,8**
Уровни звукового давления прямого звука от источника ИШ-4-6 в расчётной точке ночью, дБ		**ф-ла(3)[10]**	**0**	**24,8**	**16,2**	**14,6**	**14,6**	**15,3**	**6,8**	**0**	**0**	**17,8**	**17,8**
Расчёт отражённого звука													
Уровни звукового давления от мнимого источника ИШ-4-6_мн.(1) в расчётной точке днём, дБ		**ф-ла(3)[10]**	**0**	**0**	**0**	**0**	**0**	**0**	**3,8**	**0**	**0**	**5**	**5**
Уровни звукового давления от мнимого источника ИШ-4-6_мн.(1) в расчётной точке ночью, дБ		**ф-ла(3)[10]**	**0**	**0**	**0**	**0**	**0**	**0**	**0**	**0**	**0**	**5**	**5**
Уровни звукового давления от источника ИШ-4-6 в расчётной точке днём, дБ		**ф-ла(3)[10]**	**0**	**24,8**	**16,2**	**14,6**	**14,6**	**15,3**	**8,6**	**0**	**0**	**18**	**18**
Уровни звукового давления от источника ИШ-4-6 в расчётной точке ночью, дБ		**ф-ла(3)[10]**	**0**	**24,8**	**16,2**	**14,6**	**14,6**	**15,3**	**8,6**	**0**	**0**	**18**	**18**
Источник шума: ИШ-4-7, координаты источника (x,y,z), м =[177.91,257.92,11.00]													
Уровни звуковой мощности источника днём, Lw, дБ		**исходные данные**	**0**	**90,3**	**91,7**	**93**	**93,3**	**92,9**	**89,6**	**85,4**	**80,9**		

1		2	3	4	5	6	7	8	9	10	11	12	13
Уровни звуковой мощности источника ночью, Lw, дБ		**исходные данные**	**0**	**90,3**	**91,7**	**93**	**93,3**	**92,9**	**89,6**	**85,4**	**80,9**		
Поправка на телесный угол DΩ, дБ	Ω = 6.28	10Lg(4π/Ω)	**3**	3	3	3	3	3	3	3	3		
Показатель направленности источника Di, дБ		исходные данные	**0**	0	0	0	0	0	0	0	0		
Поправка на направленность источника Dc, дБ	Dc	DΩ + Di	**3**	3	3	3	3	3	3	3	3		
Затухание из-за геометрической дивергенции, Adiv, дБ	расстояние = 1508.24 м	ф-ла (7) [10]	**74,6**										
Коэффициент затухания звука в атмосфере α, дБ/км	Ta=20,°C Pa=101.33,кПа hотн.=70%	ф-ла (5) [9]	0,02	0,09	0,33	1,12	2,79	4,98	9,04	23,09	77,63		
Учет затухания звука в атмосфере Aatm, дБ		ф-ла (8) [10]	0	0,1	0,5	1,7	4,2	7,5	13,6	34,8	117,1		
Снижение уровня звукового давления из-за влияния застройки между источником шума и расчетной точкой													
Снижение уровня звукового давления препятствием слева от трассы ИШ-РТ, Dz2, дБ	z = -0.04м (разность путей)	ф-лы (14-18) [10]	4,5	4,3	3,8	2,5	0	NAN	NAN	NAN	NAN		
* отрицательное значение z означает прохождение траектории вблизи экрана, в этом случае дополнительно производится учёт снижения подстилающей поверхностью (см.ниже)													
Снижение поверхностью земли возле источника As, дБ	Gs = 0 hs = 3м	ф-лы таб.3 [10]	-1,5	-1,5	-1,5	-1,5	-1,5	-1,5	-1,5	-1,5	-1,5		
Снижение поверхностью земли возле приёмника Ar, дБ	Gr = 1 hr = 1.5м	ф-лы таб.3 [10]	-1,5	-1,5	5,3	7	5	0,7	0	0	0		
Снижение поверхностью земли в средней зоне, Am дБ	Gm = 1	ф-лы таб.3 [10]	-2,7	-2,7	0	0	0	0	0	0	0		
Суммарное снижение поверхностью земли на траектории распространения звука Agr, дБ		ф-ла (9) [10]	-5,7	-5,7	3,8	5,5	3,5	-0,8	-1,5	-1,5	-1,5		
Уровни звукового давления от источника ИШ-4-7 в расчётной точке днём, дБ		**ф-ла(3)[10]**	**0**	**20**	**12**	**11,7**	**14**	**14,7**	**5,9**	**0**	**0**	**16,9**	**16,9**
Уровни звукового давления от источника ИШ-4-7 в расчётной точке ночью, дБ		**ф-ла(3)[10]**	**0**	**20**	**12**	**11,7**	**14**	**14,7**	**5,9**	**0**	**0**	**16,9**	**16,9**

Источник шума: ИШ-4-8, координаты источника (x,y,z), м =[178.24,257.77,13.00]

1		2	3	4	5	6	7	8	9	10	11	12	13
Уровни звуковой мощности источника днём, Lw, дБ		**исходные данные**	**0**	**90,3**	**91,7**	**93**	**93,3**	**92,9**	**89,6**	**85,4**	**80,9**		
Уровни звуковой мощности источника ночью, Lw, дБ		**исходные данные**	**0**	**90,3**	**91,7**	**93**	**93,3**	**92,9**	**89,6**	**85,4**	**80,9**		
Поправка на телесный угол DΩ, дБ	Ω = 6.28	10Lg(4π/Ω)	**3**	3	3	3	3	3	3	3	3		
Показатель направленности источника Di, дБ		исходные данные	**0**	0	0	0	0	0	0	0	0		
Поправка на направленность источника Dc, дБ	Dc	DΩ + Di	**3**	3	3	3	3	3	3	3	3		
Затухание из-за геометрической дивергенции, Adiv, дБ	расстояние = 1508.33 м	ф-ла (7) [10]	**74,6**										
Коэффициент затухания звука в атмосфере α, дБ/км	Ta=20,°C Pa=101.33,кПа hотн.=70%	ф-ла (5) [9]	0,02	0,09	0,33	1,12	2,79	4,98	9,04	23,09	77,63		
Учет затухания звука в атмосфере Aatm, дБ		ф-ла (8) [10]	0	0,1	0,5	1,7	4,2	7,5	13,6	34,8	117,1		
Снижение поверхностью земли возле источника As, дБ	Gs = 0 hs = 5м	ф-лы таб.3 [10]	-1,5	-1,5	-1,5	-1,5	-1,5	-1,5	-1,5	-1,5	-1,5		
Снижение поверхностью земли возле приёмника Ar, дБ	Gr = 1 hr = 1.5м	ф-лы таб.3 [10]	-1,5	-1,5	5,3	7	5	0,7	0	0	0		
Снижение поверхностью земли в средней зоне, Am дБ	Gm = 1	ф-лы таб.3 [10]	-2,6	-2,6	0	0	0	0	0	0	0		
Суммарное снижение поверхностью земли на траектории распространения звука Agr, дБ		ф-ла (9) [10]	-5,6	-5,6	3,8	5,5	3,5	-0,8	-1,5	-1,5	-1,5		
Уровни звукового давления от источника ИШ-4-8 в расчётной точке днём, дБ		**ф-ла(3)[10]**	**0**	**24,2**	**15,8**	**14,2**	**14**	**14,7**	**5,9**	**0**	**0**	**17,1**	**17,1**
Уровни звукового давления от источника ИШ-4-8 в расчётной точке ночью, дБ		**ф-ла(3)[10]**	**0**	**24,2**	**15,8**	**14,2**	**14**	**14,7**	**5,9**	**0**	**0**	**17,1**	**17,1**
Источник шума: ИШ-4-9, координаты источника (x,y,z), м =[178.68,257.63,15.50]													
Уровни звуковой мощности источника днём, Lw, дБ		**исходные данные**	**0**	**90,3**	**91,7**	**93**	**93,3**	**92,9**	**89,6**	**85,4**	**80,9**		

1		2	3	4	5	6	7	8	9	10	11	12	13
Уровни звуковой мощности источника ночью, Lw, дБ		**исходные данные**	**0**	**90,3**	**91,7**	**93**	**93,3**	**92,9**	**89,6**	**85,4**	**80,9**		
Поправка на телесный угол DΩ, дБ	Ω = 6.28	10Lg(4π/Ω)	**3**	3	3	3	3	3	3	3	3		
Показатель направленности источника Di, дБ		исходные данные	**0**	0	0	0	0	0	0	0	0		
Поправка на направленность источника Dc, дБ	Dc	DΩ + Di	**3**	3	3	3	3	3	3	3	3		
Затухание из-за геометрической дивергенции, Adiv, дБ	расстояние = 1508.49 м	ф-ла (7) [10]	**74,6**										
Коэффициент затухания звука в атмосфере α, дБ/км	Ta=20,°C Pa=101.33,кПа hотн.=70%	ф-ла (5) [9]	0,02	0,09	0,33	1,12	2,79	4,98	9,04	23,09	77,63		
Учет затухания звука в атмосфере Aatm, дБ		ф-ла (8) [10]	0	0,1	0,5	1,7	4,2	7,5	13,6	34,8	117,1		
Снижение поверхностью земли возле источника As, дБ	Gs = 0 hs = 7.5м	ф-лы таб.3 [10]	-1,5	-1,5	-1,5	-1,5	-1,5	-1,5	-1,5	-1,5	-1,5		
Снижение поверхностью земли возле приёмника Ar, дБ	Gr = 1 hr = 1.5м	ф-лы таб.3 [10]	-1,5	-1,5	5,3	7	5	0,7	0	0	0		
Снижение поверхностью земли в средней зоне, Am дБ	Gm = 1	ф-лы таб.3 [10]	-2,5	-2,5	0	0	0	0	0	0	0		
Суммарное снижение поверхностью земли на траектории распространения звука Agr, дБ		ф-ла (9) [10]	-5,5	-5,5	3,8	5,5	3,5	-0,8	-1,5	-1,5	-1,5		
Уровни звукового давления от источника ИШ-4-9 в расчётной точке днём, дБ		**ф-ла(3)[10]**	**0**	**24**	**15,8**	**14,2**	**14**	**14,7**	**5,9**	**0**	**0**	**17,1**	**17,1**
Уровни звукового давления от источника ИШ-4-9 в расчётной точке ночью, дБ		**ф-ла(3)[10]**	**0**	**24**	**15,8**	**14,2**	**14**	**14,7**	**5,9**	**0**	**0**	**17,1**	**17,1**
Источник шума: ИШ-4-10, координаты источника (x,y,z), м =[185.65,255.31,11.00]													
Уровни звуковой мощности источника днём, Lw, дБ		**исходные данные**	**0**	**90,3**	**91,7**	**93**	**93,3**	**92,9**	**89,6**	**85,4**	**80,9**		
Уровни звуковой мощности источника ночью, Lw, дБ		**исходные данные**	**0**	**90,3**	**91,7**	**93**	**93,3**	**92,9**	**89,6**	**85,4**	**80,9**		

1		2	3	4	5	6	7	8	9	10	11	12	13
Поправка на телесный угол DΩ, дБ	Ω = 6.28	10Lg(4π/Ω)	**3**	3	3	3	3	3	3	3	3		
Показатель направленности источника Di, дБ		исходные данные	**0**	0	0	0	0	0	0	0	0		
Поправка на направленность источника Dc, дБ	Dc	DΩ + Di	**3**	3	3	3	3	3	3	3	3		
Затухание из-за геометрической дивергенции, Adiv, дБ	расстояние = 1510.69 м	ф-ла (7) [10]	**74,6**										
Коэффициент затухания звука в атмосфере α, дБ/км	Ta=20,°C Pa=101.33,кПа hотн.=70%	ф-ла (5) [9]	0,02	0,09	0,33	1,12	2,79	4,98	9,04	23,09	77,63		
Учет затухания звука в атмосфере Aatm, дБ		ф-ла (8) [10]	0	0,1	0,5	1,7	4,2	7,5	13,7	34,9	117,3		
Снижение уровня звукового давления из-за влияния застройки между источником шума и расчетной точкой													
Снижение уровня звукового давления на пути над экраном, Dz1, дБ	z = 0.00м (разность путей)	ф-лы (14-18) [10]	4,8	4,8	4,8	4,8	4,8	4,8	4,8	4,8	4,8		
Снижение уровня звукового давления на пути слева от экрана, Dz2, дБ	z = 1.11м (разность путей)	ф-лы (14-18) [10]	8,5	10,5	12,9	15,5	18,4	21,3	24,2	27,2	30,2		
Снижение уровня звукового давления на пути справа от экрана, Dz3, дБ	z = 0.02м (разность путей)	ф-лы (14-18) [10]	4,9	5	5,2	5,6	6,4	7,5	9,2	11,3	13,8		
Общее снижение уровня звука препятствием Dz, дБ		Эн.сумма(-Dzi)	1	1,3	1,6	2	2,4	2,9	3,4	3,9	4,3		
Уровни звукового давления от источника ИШ-4-10 в расчётной точке днём, дБ		**ф-ла(3)[10]**	**0**	**17,3**	**18**	**17,7**	**15,1**	**10,9**	**1**	**0**	**0**	**16**	**16**
Уровни звукового давления от источника ИШ-4-10 в расчётной точке ночью, дБ		**ф-ла(3)[10]**	**0**	**17,3**	**18**	**17,7**	**15,1**	**10,9**	**1**	**0**	**0**	**16**	**16**
Источник шума: ИШ-4-11, координаты источника (x,y,z), м =[185.89,255.16,13.00]													
Уровни звуковой мощности источника днём, Lw, дБ		**исходные данные**	**0**	**90,3**	**91,7**	**93**	**93,3**	**92,9**	**89,6**	**85,4**	**80,9**		
Уровни звуковой мощности источника ночью, Lw, дБ		**исходные данные**	**0**	**90,3**	**91,7**	**93**	**93,3**	**92,9**	**89,6**	**85,4**	**80,9**		

1		2	3	4	5	6	7	8	9	10	11	12	13
Поправка на телесный угол DΩ, дБ	Ω = 6.28	10Lg(4π/Ω)	**3**	3	3	3	3	3	3	3	3		
Показатель направленности источника Di, дБ		исходные данные	**0**	0	0	0	0	0	0	0	0		
Поправка на направленность источника Dc, дБ	Dc	DΩ + Di	**3**	3	3	3	3	3	3	3	3		
Затухание из-за геометрической дивергенции, Adiv, дБ	расстояние = 1510.73 м	ф-ла (7) [10]	**74,6**										
Коэффициент затухания звука в атмосфере α, дБ/км	Ta=20,°C Pa=101.33,кПа hотн.=70%	ф-ла (5) [9]	0,02	0,09	0,33	1,12	2,79	4,98	9,04	23,09	77,63		
Учет затухания звука в атмосфере Aatm, дБ		ф-ла (8) [10]	0	0,1	0,5	1,7	4,2	7,5	13,7	34,9	117,3		
Снижение уровня звукового давления из-за влияния застройки между источником шума и расчетной точкой													
Снижение уровня звукового давления препятствием снизу от трассы ИШ-РТ, Dz4, дБ	z = 0.00м (разность путей)	ф-лы (14-18) [10]	4,7	4,7	4,7	4,6	4,4	3,9	2,8	0	NAN		
* отрицательное значение z означает прохождение траектории вблизи экрана, в этом случае дополнительно производится учёт снижения подстилающей поверхностью (см.ниже)													
Снижение поверхностью земли возле источника As, дБ	Gs = 0 hs = 5м	ф-лы таб.3 [10]	-1,5	-1,5	-1,5	-1,5	-1,5	-1,5	-1,5	-1,5	-1,5		
Снижение поверхностью земли возле приёмника Ar, дБ	Gr = 1 hr = 1.5м	ф-лы таб.3 [10]	-1,5	-1,5	5,3	7	5	0,7	0	0	0		
Снижение поверхностью земли в средней зоне, Am дБ	Gm = 1	ф-лы таб.3 [10]	-2,6	-2,6	0	0	0	0	0	0	0		
Суммарное снижение поверхностью земли на траектории распространения звука Agr, дБ		ф-ла (9) [10]	-5,6	-5,6	3,8	5,5	3,5	-0,8	-1,5	-1,5	-1,5		
Уровни звукового давления от источника ИШ-4-11 в расчётной точке днём, дБ		**ф-ла(3)[10]**	**0**	**19,5**	**11,1**	**9,6**	**9,7**	**10,7**	**3**	**0**	**0**	**13,1**	**13,1**
Уровни звукового давления от источника ИШ-4-11 в расчётной точке ночью, дБ		**ф-ла(3)[10]**	**0**	**19,5**	**11,1**	**9,6**	**9,7**	**10,7**	**3**	**0**	**0**	**13,1**	**13,1**
Источник шума: ИШ-4-12, координаты источника (x,y,z), м =[186.18,255.02,15.50]													
Уровни звуковой мощности источника днём, Lw, дБ		**исходные данные**	**0**	**90,3**	**91,7**	**93**	**93,3**	**92,9**	**89,6**	**85,4**	**80,9**		

1		2	3	4	5	6	7	8	9	10	11	12	13
Уровни звуковой мощности источника ночью, Lw, дБ		**исходные данные**	**0**	**90,3**	**91,7**	**93**	**93,3**	**92,9**	**89,6**	**85,4**	**80,9**		
Поправка на телесный угол DΩ, дБ	Ω = 6.28	10Lg(4π/Ω)	**3**	3	3	3	3	3	3	3	3		
Показатель направленности источника Di, дБ		исходные данные	**0**	0	0	0	0	0	0	0	0		
Поправка на направленность источника Dc, дБ	Dc	DΩ + Di	**3**	3	3	3	3	3	3	3	3		
Затухание из-за геометрической дивергенции, Adiv, дБ	расстояние = 1510.81 м	ф-ла (7) [10]	**74,6**										
Коэффициент затухания звука в атмосфере α, дБ/км	Ta=20,°C Pa=101.33,кПа hотн.=70%	ф-ла (5) [9]	0,02	0,09	0,33	1,12	2,79	4,98	9,04	23,09	77,63		
Учет затухания звука в атмосфере Aatm, дБ		ф-ла (8) [10]	0	0,1	0,5	1,7	4,2	7,5	13,7	34,9	117,3		
Снижение уровня звукового давления из-за влияния застройки между источником шума и расчетной точкой													
Снижение уровня звукового давления препятствием снизу от трассы ИШ-РТ, Dz4, дБ	z = -0.03м (разность путей)	ф-лы (14-18) [10]	4,6	4,4	4	3,2	0,6	NAN	NAN	NAN	NAN		
* отрицательное значение z означает прохождение траектории вблизи экрана, в этом случае дополнительно производится учёт снижения подстилающей поверхностью (см.ниже)													
Снижение поверхностью земли возле источника As, дБ	Gs = 0 hs = 7.5м	ф-лы таб.3 [10]	-1,5	-1,5	-1,5	-1,5	-1,5	-1,5	-1,5	-1,5	-1,5		
Снижение поверхностью земли возле приёмника Ar, дБ	Gr = 1 hr = 1.5м	ф-лы таб.3 [10]	-1,5	-1,5	5,3	7	5	0,7	0	0	0		
Снижение поверхностью земли в средней зоне, Am дБ	Gm = 1	ф-лы таб.3 [10]	-2,5	-2,5	0	0	0	0	0	0	0		
Суммарное снижение поверхностью земли на траектории распространения звука Agr, дБ		ф-ла (9) [10]	-5,5	-5,5	3,8	5,5	3,5	-0,8	-1,5	-1,5	-1,5		
Уровни звукового давления от источника ИШ-4-12 в расчётной точке днём, дБ		**ф-ла(3)[10]**	**0**	**19,6**	**11,7**	**11**	**13,4**	**14,6**	**5,9**	**0**	**0**	**16,7**	**16,7**
Уровни звукового давления от источника ИШ-4-12 в расчётной точке ночью, дБ		**ф-ла(3)[10]**	**0**	**19,6**	**11,7**	**11**	**13,4**	**14,6**	**5,9**	**0**	**0**	**16,7**	**16,7**

Источник шума: ИШ-4-13, координаты источника (x,y,z), м =[94.56,229.10,1.00]

1		2	3	4	5	6	7	8	9	10	11	12	13
Уровни звуковой мощности источника днём, Lw, дБ		**исходные данные**	**0**	**81,3**	**82,7**	**84**	**84,3**	**83,9**	**80,6**	**76,4**	**71,9**		
Уровни звуковой мощности источника ночью, Lw, дБ		**исходные данные**	**0**	**81,3**	**82,7**	**84**	**84,3**	**83,9**	**80,6**	**76,4**	**71,9**		
Поправка на телесный угол DΩ, дБ	Ω = 6.28	10Lg(4π/Ω)	**3**	3	3	3	3	3	3	3	3		
Показатель направленности источника Di, дБ		исходные данные	**0**	0	0	0	0	0	0	0	0		
Поправка на направленность источника Dc, дБ	Dc	DΩ + Di	**3**	3	3	3	3	3	3	3	3		
Затухание из-за геометрической дивергенции, Adiv, дБ	расстояние = 1436.80 м	ф-ла (7) [10]	**74,1**										
Коэффициент затухания звука в атмосфере α, дБ/км	Ta=20,°C Pa=101.33,кПа hотн.=70%	ф-ла (5) [9]	0,02	0,09	0,33	1,12	2,79	4,98	9,04	23,09	77,63		
Учет затухания звука в атмосфере Aatm, дБ		ф-ла (8) [10]	0	0,1	0,5	1,6	4	7,2	13	33,2	111,5		
Снижение поверхностью земли возле источника As, дБ	Gs = 0 hs = 1м	ф-лы таб.3 [10]	-1,5	-1,5	-1,5	-1,5	-1,5	-1,5	-1,5	-1,5	-1,5		
Снижение поверхностью земли возле приёмника Ar, дБ	Gr = 1 hr = 1.5м	ф-лы таб.3 [10]	-1,5	-1,5	5,3	7	5	0,7	0	0	0		
Снижение поверхностью земли в средней зоне, Am дБ	Gm = 1	ф-лы таб.3 [10]	-2,8	-2,8	0	0	0	0	0	0	0		
Суммарное снижение поверхностью земли на траектории распространения звука Agr, дБ		ф-ла (9) [10]	-5,8	-5,8	3,8	5,5	3,5	-0,8	-1,5	-1,5	-1,5		
Уровни звукового давления прямого звука от источника ИШ-4-13 в расчётной точке днём, дБ		**ф-ла(3)[10]**	**0**	**15,9**	**7,2**	**5,7**	**5,7**	**6,4**	**0**	**0**	**0**	**8,4**	**8,4**
Уровни звукового давления прямого звука от источника ИШ-4-13 в расчётной точке ночью, дБ		**ф-ла(3)[10]**	**0**	**15,9**	**7,2**	**5,7**	**5,7**	**6,4**	**0**	**0**	**0**	**8,4**	**8,4**
Расчёт отражённого звука													
Уровни звукового давления от мнимого источника ИШ-4-13_мн.(1) в расчётной точке днём, дБ		**ф-ла(3)[10]**	**0**	**0**	**0**	**0**	**0**	**1,9**	**0**	**0**	**0**	**1,9**	**1,9**
Уровни звукового давления от мнимого источника ИШ-4-13_мн.(1) в расчётной точке ночью, дБ		**ф-ла(3)[10]**	**0**	**0**	**0**	**0**	**0**	**0**	**0**	**0**	**0**	**1,9**	**1,9**

1		2	3	4	5	6	7	8	9	10	11	12	13
Уровни звукового давления от источника ИШ-4-13 в расчётной точке днём, дБ		**ф-ла(3)[10]**	**0**	**15,9**	**7,2**	**5,7**	**5,7**	**7,7**	**0**	**0**	**0**	**9,3**	**9,3**
Уровни звукового давления от источника ИШ-4-13 в расчётной точке ночью, дБ		**ф-ла(3)[10]**	**0**	**15,9**	**7,2**	**5,7**	**5,7**	**7,7**	**0**	**0**	**0**	**9,3**	**9,3**
Источник шума: ИШ-4-14, координаты источника (x,y,z), м =[91.88,221.30,1.00]													
Уровни звуковой мощности источника днём, Lw, дБ		**исходные данные**	**0**	**81,3**	**82,7**	**84**	**84,3**	**83,9**	**80,6**	**76,4**	**71,9**		
Уровни звуковой мощности источника ночью, Lw, дБ		**исходные данные**	**0**	**81,3**	**82,7**	**84**	**84,3**	**83,9**	**80,6**	**76,4**	**71,9**		
Поправка на телесный угол DΩ, дБ	Ω = 6.28	10Lg(4π/Ω)	**3**	3	3	3	3	3	3	3	3		
Показатель направленности источника Di, дБ		исходные данные	**0**	0	0	0	0	0	0	0	0		
Поправка на направленность источника Dc, дБ	Dc	DΩ + Di	**3**	3	3	3	3	3	3	3	3		
Затухание из-за геометрической дивергенции, Adiv, дБ	расстояние = 1428.84 м	ф-ла (7) [10]	**74,1**										
Коэффициент затухания звука в атмосфере α, дБ/км	Ta=20,°C Pa=101.33,кПа hотн.=70%	ф-ла (5) [9]	0,02	0,09	0,33	1,12	2,79	4,98	9,04	23,09	77,63		
Учет затухания звука в атмосфере Aatm, дБ		ф-ла (8) [10]	0	0,1	0,5	1,6	4	7,1	12,9	33	110,9		
Снижение поверхностью земли возле источника As, дБ	Gs = 0 hs = 1м	ф-лы таб.3 [10]	-1,5	-1,5	-1,5	-1,5	-1,5	-1,5	-1,5	-1,5	-1,5		
Снижение поверхностью земли возле приёмника Ar, дБ	Gr = 1 hr = 1.5м	ф-лы таб.3 [10]	-1,5	-1,5	5,3	7	5	0,7	0	0	0		
Снижение поверхностью земли в средней зоне, Am дБ	Gm = 1	ф-лы таб.3 [10]	-2,8	-2,8	0	0	0	0	0	0	0		
Суммарное снижение поверхностью земли на траектории распространения звука Agr, дБ		ф-ла (9) [10]	-5,8	-5,8	3,8	5,5	3,5	-0,8	-1,5	-1,5	-1,5		
Уровни звукового давления прямого звука от источника ИШ-4-14 в расчётной точке днём, дБ		**ф-ла(3)[10]**	**0**	**15,9**	**7,3**	**5,8**	**5,7**	**6,5**	**0**	**0**	**0**	**8,5**	**8,5**

1		2	3	4	5	6	7	8	9	10	11	12	13
Уровни звукового давления прямого звука от источника ИШ-4-14 в расчётной точке ночью, дБ		**ф-ла(3)[10]**	**0**	**15,9**	**7,3**	**5,8**	**5,7**	**6,5**	**0**	**0**	**0**	**8,5**	**8,5**
Расчёт отражённого звука													
Уровни звукового давления от мнимого источника ИШ-4-14_мн.(1) в расчётной точке днём, дБ		**ф-ла(3)[10]**	**0**	**0**	**0**	**0**	**0**	**2**	**0**	**0**	**0**	**2**	**2**
Уровни звукового давления от мнимого источника ИШ-4-14_мн.(1) в расчётной точке ночью, дБ		**ф-ла(3)[10]**	**0**	**0**	**0**	**0**	**0**	**0**	**0**	**0**	**0**	**2**	**2**
Уровни звукового давления от источника ИШ-4-14 в расчётной точке днём, дБ		**ф-ла(3)[10]**	**0**	**15,9**	**7,3**	**5,8**	**5,7**	**7,8**	**0**	**0**	**0**	**9,3**	**9,3**
Уровни звукового давления от источника ИШ-4-14 в расчётной точке ночью, дБ		**ф-ла(3)[10]**	**0**	**15,9**	**7,3**	**5,8**	**5,7**	**7,8**	**0**	**0**	**0**	**9,3**	**9,3**
Источник шума: ИШ-5-1, координаты источника (x,y,z), м =[626.70,162.36,1.00]													
Уровни звуковой мощности источника днём, Lw, дБ		**исходные данные**	**0**	**93,3**	**94,7**	**96**	**96,3**	**95,9**	**92,6**	**88,4**	**83,9**		
Уровни звуковой мощности источника ночью, Lw, дБ		**исходные данные**	**0**	**93,3**	**94,7**	**96**	**96,3**	**95,9**	**92,6**	**88,4**	**83,9**		
Поправка на телесный угол DΩ, дБ	Ω = 6.28	10Lg(4π/Ω)	**3**	3	3	3	3	3	3	3	3		
Показатель направленности источника Di, дБ		исходные данные	**0**	0	0	0	0	0	0	0	0		
Поправка на направленность источника Dc, дБ	Dc	DΩ + Di	**3**	3	3	3	3	3	3	3	3		
Затухание из-за геометрической дивергенции, Adiv, дБ	расстояние = 1745.71 м	ф-ла (7) [10]	**75,8**										
Коэффициент затухания звука в атмосфере α, дБ/км	Ta=20,°C Pa=101.33,кПа hотн.=70%	ф-ла (5) [9]	0,02	0,09	0,33	1,12	2,79	4,98	9,04	23,09	77,63		
Учет затухания звука в атмосфере Aatm, дБ		ф-ла (8) [10]	0	0,2	0,6	2	4,9	8,7	15,8	40,3	135,5		
Снижение уровня звукового давления из-за влияния застройки между источником шума и расчетной точкой													

1		2	3	4	5	6	7	8	9	10	11	12	13
Снижение уровня звукового давления на пути над экраном, Dz1, дБ	z = 0.14м (разность путей)	ф-лы (14-18) [10]	4,8	4,8	4,8	4,8	4,8	4,8	4,8	4,8	4,8		
Снижение уровня звукового давления на пути слева от экрана, Dz2, дБ	z = 13.79м (разность путей)	ф-лы (14-18) [10]	21,8	24,9	27,9	30,9	33,9	36,9	39,9	42,9	45,9		
Снижение уровня звукового давления на пути справа от экрана, Dz3, дБ	z = 91.63м (разность путей)	ф-лы (14-18) [10]	25,3	28,3	31,3	34,3	37,3	40,3	43,3	46,3	49,4		
Общее снижение уровня звука препятствием Dz, дБ		Эн.сумма(-Dzi)	4,6	4,7	4,7	4,8	4,8	4,8	4,8	4,8	4,8		
Уровни звукового давления от источника ИШ-5-1 в расчётной точке днём, дБ		**ф-ла(3)[10]**	**0**	**15,6**	**16,5**	**16,4**	**13,8**	**9,6**	**0**	**0**	**0**	**14,5**	**14,5**
Уровни звукового давления от источника ИШ-5-1 в расчётной точке ночью, дБ		**ф-ла(3)[10]**	**0**	**15,6**	**16,5**	**16,4**	**13,8**	**9,6**	**0**	**0**	**0**	**14,5**	**14,5**
Источник шума: ИШ-5-2, координаты источника (x,y,z), м =[625.81,159.52,1.00]													
Уровни звуковой мощности источника днём, Lw, дБ		**исходные данные**	**0**	**93,3**	**94,7**	**96**	**96,3**	**95,9**	**92,6**	**88,4**	**83,9**		
Уровни звуковой мощности источника ночью, Lw, дБ		**исходные данные**	**0**	**93,3**	**94,7**	**96**	**96,3**	**95,9**	**92,6**	**88,4**	**83,9**		
Поправка на телесный угол DΩ, дБ	Ω = 6.28	10Lg(4π/Ω)	**3**	3	3	3	3	3	3	3	3		
Показатель направленности источника Di, дБ		исходные данные	**0**	0	0	0	0	0	0	0	0		
Поправка на направленность источника Dc, дБ	Dc	DΩ + Di	**3**	3	3	3	3	3	3	3	3		
Затухание из-за геометрической дивергенции, Adiv, дБ	расстояние = 1743.20 м	ф-ла (7) [10]	**75,8**										
Коэффициент затухания звука в атмосфере α, дБ/км	Ta=20,°C Pa=101.33,кПа hотн.=70%	ф-ла (5) [9]	0,02	0,09	0,33	1,12	2,79	4,98	9,04	23,09	77,63		
Учет затухания звука в атмосфере Aatm, дБ		ф-ла (8) [10]	0	0,2	0,6	2	4,9	8,7	15,8	40,2	135,3		
Снижение уровня звукового давления из-за влияния застройки между источником шума и расчетной точкой													

1		2	3	4	5	6	7	8	9	10	11	12	13
Снижение уровня звукового давления на пути над экраном, Dz1, дБ	z = 0.14м (разность путей)	ф-лы (14-18) [10]	4,8	4,8	4,8	4,8	4,8	4,8	4,8	4,8	4,8		
Снижение уровня звукового давления на пути слева от экрана, Dz2, дБ	z = 13.46м (разность путей)	ф-лы (14-18) [10]	21,7	24,8	27,7	30,8	33,8	36,8	39,8	42,8	45,8		
Снижение уровня звукового давления на пути справа от экрана, Dz3, дБ	z = 93.95м (разность путей)	ф-лы (14-18) [10]	25,5	28,4	31,4	34,4	37,4	40,4	43,4	46,5	49,5		
Общее снижение уровня звука препятствием Dz, дБ		Эн.сумма(-Dzi)	4,6	4,7	4,7	4,8	4,8	4,8	4,8	4,8	4,8		
Уровни звукового давления от источника ИШ-5-2 в расчётной точке днём, дБ		**ф-ла(3)[10]**	**0**	**15,6**	**16,5**	**16,5**	**13,8**	**9,6**	**0**	**0**	**0**	**14,5**	**14,5**
Уровни звукового давления от источника ИШ-5-2 в расчётной точке ночью, дБ		**ф-ла(3)[10]**	**0**	**15,6**	**16,5**	**16,5**	**13,8**	**9,6**	**0**	**0**	**0**	**14,5**	**14,5**
Источник шума: ИШ-5-3, координаты источника (x,y,z), м =[624.84,156.69,1.00]													
Уровни звуковой мощности источника днём, Lw, дБ		**исходные данные**	**0**	**93,3**	**94,7**	**96**	**96,3**	**95,9**	**92,6**	**88,4**	**83,9**		
Уровни звуковой мощности источника ночью, Lw, дБ		**исходные данные**	**0**	**93,3**	**94,7**	**96**	**96,3**	**95,9**	**92,6**	**88,4**	**83,9**		
Поправка на телесный угол DΩ, дБ	Ω = 6.28	10Lg(4π/Ω)	**3**	3	3	3	3	3	3	3	3		
Показатель направленности источника Di, дБ		исходные данные	**0**	0	0	0	0	0	0	0	0		
Поправка на направленность источника Dc, дБ	Dc	DΩ + Di	**3**	3	3	3	3	3	3	3	3		
Затухание из-за геометрической дивергенции, Adiv, дБ	расстояние = 1740.64 м	ф-ла (7) [10]	**75,8**										
Коэффициент затухания звука в атмосфере α, дБ/км	Ta=20,°C Pa=101.33,кПа hотн.=70%	ф-ла (5) [9]	0,02	0,09	0,33	1,12	2,79	4,98	9,04	23,09	77,63		
Учет затухания звука в атмосфере Aatm, дБ		ф-ла (8) [10]	0	0,2	0,6	2	4,9	8,7	15,7	40,2	135,1		
Снижение уровня звукового давления из-за влияния застройки между источником шума и расчетной точкой													

1		2	3	4	5	6	7	8	9	10	11	12	13
Снижение уровня звукового давления на пути над экраном, Dz1, дБ	z = 0.14м (разность путей)	ф-лы (14-18) [10]	4,8	4,8	4,8	4,8	4,8	4,8	4,8	4,8	4,8		
Снижение уровня звукового давления на пути слева от экрана, Dz2, дБ	z = 13.15м (разность путей)	ф-лы (14-18) [10]	21,6	24,7	27,6	30,7	33,7	36,7	39,7	42,7	45,7		
Снижение уровня звукового давления на пути справа от экрана, Dz3, дБ	z = 96.28м (разность путей)	ф-лы (14-18) [10]	25,6	28,6	31,5	34,5	37,5	40,5	43,6	46,6	49,6		
Общее снижение уровня звука препятствием Dz, дБ		Эн.сумма(-Dzi)	4,6	4,7	4,7	4,8	4,8	4,8	4,8	4,8	4,8		
Уровни звукового давления прямого звука от источника ИШ-5-3 в расчётной точке днём, дБ		**ф-ла(3)[10]**	**0**	**15,6**	**16,6**	**16,5**	**13,9**	**9,6**	**0**	**0**	**0**	**14,5**	**14,5**
Уровни звукового давления прямого звука от источника ИШ-5-3 в расчётной точке ночью, дБ		**ф-ла(3)[10]**	**0**	**15,6**	**16,6**	**16,5**	**13,9**	**9,6**	**0**	**0**	**0**	**14,5**	**14,5**
Расчёт отражённого звука													
Уровни звукового давления от мнимого источника ИШ-5-3_мн.(1) в расчётной точке днём, дБ		**ф-ла(3)[10]**	**0**	**0**	**0**	**0**	**0**	**0**	**0**	**0**	**0**	**0**	**0**
Уровни звукового давления от мнимого источника ИШ-5-3_мн.(1) в расчётной точке ночью, дБ		**ф-ла(3)[10]**	**0**	**0**	**0**	**0**	**0**	**0**	**0**	**0**	**0**	**0**	**0**
Уровни звукового давления от источника ИШ-5-3 в расчётной точке днём, дБ		**ф-ла(3)[10]**	**0**	**15,6**	**16,6**	**16,5**	**13,9**	**9,6**	**0**	**0**	**0**	**14,5**	**14,5**
Уровни звукового давления от источника ИШ-5-3 в расчётной точке ночью, дБ		**ф-ла(3)[10]**	**0**	**15,6**	**16,6**	**16,5**	**13,9**	**9,6**	**0**	**0**	**0**	**14,5**	**14,5**
Источник шума: ИШ-6-1, координаты источника (x,y,z), м =[836.30,122.24,1.00]													
Уровни звуковой мощности источника днём, Lw, дБ		**исходные данные**	**0**	**96,3**	**97,7**	**99**	**99,3**	**98,9**	**95,6**	**91,4**	**86,9**		
Уровни звуковой мощности источника ночью, Lw, дБ		**исходные данные**	**0**	**96,3**	**97,7**	**99**	**99,3**	**98,9**	**95,6**	**91,4**	**86,9**		
Поправка на телесный угол DΩ, дБ	Ω = 12.57	10Lg(4π/Ω)	**0**	0	0	0	0	0	0	0	0		
Показатель направленности источника Di, дБ		исходные данные	**0**	0	0	0	0	0	0	0	0		
Поправка на направленность источника Dc, дБ	Dc	DΩ + Di	**0**	0	0	0	0	0	0	0	0		

1		2	3	4	5	6	7	8	9	10	11	12	13
Затухание из-за геометрической дивергенции, Adiv, дБ	расстояние = 1887.45 м	ф-ла (7) [10]	**76,5**										
Коэффициент затухания звука в атмосфере α, дБ/км	Та=20,°С Ра=101.33,кПа hотн.=70%	ф-ла (5) [9]	0,02	0,09	0,33	1,12	2,79	4,98	9,04	23,09	77,63		
Учет затухания звука в атмосфере Aatm, дБ		ф-ла (8) [10]	0	0,2	0,6	2,1	5,3	9,4	17,1	43,6	146,5		
Снижение уровня звукового давления из-за влияния застройки между источником шума и расчетной точкой													
Снижение уровня звукового давления на пути над экраном, Dz1, дБ	z = 0.12м (разность путей)	ф-лы (14-18) [10]	4,8	4,8	4,8	4,8	4,8	4,8	4,8	4,8	4,8		
Снижение уровня звукового давления на пути слева от экрана, Dz2, дБ	z = 0.19м (разность путей)	ф-лы (14-18) [10]	5,7	6,5	7,7	9,4	11,6	14,1	16,9	19,8	22,7		
Снижение уровня звукового давления на пути справа от экрана, Dz3, дБ	z = 39.02м (разность путей)	ф-лы (14-18) [10]	24	28,4	32,1	35,3	38,4	41,4	44,4	47,4	50,4		
Общее снижение уровня звука препятствием Dz, дБ		Эн.сумма(-Dzi)	2,2	2,5	3	3,5	4	4,3	4,5	4,6	4,7		
Уровни звукового давления от источника ИШ-6-1 в расчётной точке днём, дБ		**ф-ла(3)[10]**	**0**	**17,1**	**17,6**	**16,9**	**13,6**	**8,7**	**0**	**0**	**0**	**14,2**	**14,2**
Уровни звукового давления от источника ИШ-6-1 в расчётной точке ночью, дБ		**ф-ла(3)[10]**	**0**	**17,1**	**17,6**	**16,9**	**13,6**	**8,7**	**0**	**0**	**0**	**14,2**	**14,2**
Источник шума: ИШ-6-2, координаты источника (x,y,z), м =[835.37,119.30,1.00]													
Уровни звуковой мощности источника днём, Lw, дБ		**исходные данные**	**0**	**96,3**	**97,7**	**99**	**99,3**	**98,9**	**95,6**	**91,4**	**86,9**		
Уровни звуковой мощности источника ночью, Lw, дБ		**исходные данные**	**0**	**96,3**	**97,7**	**99**	**99,3**	**98,9**	**95,6**	**91,4**	**86,9**		
Поправка на телесный угол DΩ, дБ	Ω = 12.57	10Lg($4\pi/\Omega$)	**0**	0	0	0	0	0	0	0	0		
Показатель направленности источника Di, дБ		исходные данные	**0**	0	0	0	0	0	0	0	0		
Поправка на направленность источника Dc, дБ	Dc	DΩ + Di	**0**	0	0	0	0	0	0	0	0		

1		2	3	4	5	6	7	8	9	10	11	12	13
Затухание из-за геометрической дивергенции, Adiv, дБ	расстояние = 1885.00 м	ф-ла (7) [10]	**76,5**										
Коэффициент затухания звука в атмосфере α, дБ/км	Та=20,°С Ра=101.33,кПа hотн.=70%	ф-ла (5) [9]	0,02	0,09	0,33	1,12	2,79	4,98	9,04	23,09	77,63		
Учет затухания звука в атмосфере Aatm, дБ		ф-ла (8) [10]	0	0,2	0,6	2,1	5,3	9,4	17	43,5	146,3		
Снижение уровня звукового давления из-за влияния застройки между источником шума и расчетной точкой													
Снижение уровня звукового давления на пути над экраном, Dz1, дБ	z = 0.12м (разность путей)	ф-лы (14-18) [10]	4,8	4,8	4,8	4,8	4,8	4,8	4,8	4,8	4,8		
Снижение уровня звукового давления на пути слева от экрана, Dz2, дБ	z = 0.14м (разность путей)	ф-лы (14-18) [10]	5,5	6,1	7,1	8,5	10,5	12,9	15,6	18,4	21,3		
Снижение уровня звукового давления на пути справа от экрана, Dz3, дБ	z = 39.70м (разность путей)	ф-лы (14-18) [10]	24,1	28,5	32,1	35,4	38,4	41,5	44,5	47,5	50,5		
Общее снижение уровня звука препятствием Dz, дБ		Эн.сумма(-Dzi)	2,1	2,4	2,7	3,2	3,7	4,2	4,4	4,6	4,7		
Уровни звукового давления от источника ИШ-6-2 в расчётной точке днём, дБ		**ф-ла(3)[10]**	**0**	**17,3**	**17,8**	**17,1**	**13,8**	**8,9**	**0**	**0**	**0**	**14,4**	**14,4**
Уровни звукового давления от источника ИШ-6-2 в расчётной точке ночью, дБ		**ф-ла(3)[10]**	**0**	**17,3**	**17,8**	**17,1**	**13,8**	**8,9**	**0**	**0**	**0**	**14,4**	**14,4**
Источник шума: ИШ-6-3, координаты источника (x,y,z), м =[834.03,116.36,1.00]													
Уровни звуковой мощности источника днём, Lw, дБ		**исходные данные**	**0**	**96,3**	**97,7**	**99**	**99,3**	**98,9**	**95,6**	**91,4**	**86,9**		
Уровни звуковой мощности источника ночью, Lw, дБ		**исходные данные**	**0**	**96,3**	**97,7**	**99**	**99,3**	**98,9**	**95,6**	**91,4**	**86,9**		
Поправка на телесный угол DΩ, дБ	Ω = 12.57	10Lg($4\pi/\Omega$)	**0**	0	0	0	0	0	0	0	0		
Показатель направленности источника Di, дБ		исходные данные	**0**	0	0	0	0	0	0	0	0		
Поправка на направленность источника Dc, дБ	Dc	DΩ + Di	**0**	0	0	0	0	0	0	0	0		

1		2	3	4	5	6	7	8	9	10	11	12	13
Затухание из-за геометрической дивергенции, Adiv, дБ	расстояние = 1882.22 м	ф-ла (7) [10]	**76,5**										
Коэффициент затухания звука в атмосфере α, дБ/км	Ta=20,°C Pa=101.33,кПа hотн.=70%	ф-ла (5) [9]	0,02	0,09	0,33	1,12	2,79	4,98	9,04	23,09	77,63		
Учет затухания звука в атмосфере Aatm, дБ		ф-ла (8) [10]	0	0,2	0,6	2,1	5,3	9,4	17	43,5	146,1		
Снижение уровня звукового давления из-за влияния застройки между источником шума и расчетной точкой													
Снижение уровня звукового давления на пути над экраном, Dz1, дБ	z = 0.09м (разность путей)	ф-лы (14-18) [10]	4,8	4,8	4,8	4,8	4,8	4,8	4,8	4,8	4,8		
Снижение уровня звукового давления на пути слева от экрана, Dz2, дБ	z = 0.10м (разность путей)	ф-лы (14-18) [10]	5,3	5,7	6,5	7,8	9,5	11,7	14,3	17	19,9		
Снижение уровня звукового давления на пути справа от экрана, Dz3, дБ	z = 40.35м (разность путей)	ф-лы (14-18) [10]	24,1	28,5	32,2	35,4	38,5	41,5	44,5	47,6	50,6		
Общее снижение уровня звука препятствием Dz, дБ		Эн.сумма(-Dzi)	2	2,2	2,5	3	3,5	4	4,3	4,5	4,6		
Уровни звукового давления от источника ИШ-6-3 в расчётной точке днём, дБ		**ф-ла(3)[10]**	**0**	**17,4**	**18**	**17,4**	**14**	**9,1**	**0**	**0**	**0**	**14,7**	**14,7**
Уровни звукового давления от источника ИШ-6-3 в расчётной точке ночью, дБ		**ф-ла(3)[10]**	**0**	**17,4**	**18**	**17,4**	**14**	**9,1**	**0**	**0**	**0**	**14,7**	**14,7**
Источник шума: ИШ-6-4, координаты источника (x,y,z), м =[833.23,113.30,1.00]													
Уровни звуковой мощности источника днём, Lw, дБ		**исходные данные**	**0**	**96,3**	**97,7**	**99**	**99,3**	**98,9**	**95,6**	**91,4**	**86,9**		
Уровни звуковой мощности источника ночью, Lw, дБ		**исходные данные**	**0**	**96,3**	**97,7**	**99**	**99,3**	**98,9**	**95,6**	**91,4**	**86,9**		
Поправка на телесный угол DΩ, дБ	Ω = 12.57	10Lg($4\pi/\Omega$)	**0**	0	0	0	0	0	0	0	0		
Показатель направленности источника Di, дБ		исходные данные	**0**	0	0	0	0	0	0	0	0		
Поправка на направленность источника Dc, дБ	Dc	DΩ + Di	**0**	0	0	0	0	0	0	0	0		

1		2	3	4	5	6	7	8	9	10	11	12	13
Затухание из-за геометрической дивергенции, Adiv, дБ	расстояние = 1879.81 м	ф-ла (7) [10]	**76,5**										
Коэффициент затухания звука в атмосфере α, дБ/км	Та=20,°С Ра=101.33,кПа hотн.=70%	ф-ла (5) [9]	0,02	0,09	0,33	1,12	2,79	4,98	9,04	23,09	77,63		
Учет затухания звука в атмосфере Aatm, дБ		ф-ла (8) [10]	0	0,2	0,6	2,1	5,2	9,4	17	43,4	145,9		
Снижение уровня звукового давления из-за влияния застройки между источником шума и расчетной точкой													
Снижение уровня звукового давления на пути над экраном, Dz1, дБ	z = 0.09м (разность путей)	ф-лы (14-18) [10]	4,8	4,8	4,8	4,8	4,8	4,8	4,8	4,8	4,8		
Снижение уровня звукового давления на пути слева от экрана, Dz2, дБ	z = 0.06м (разность путей)	ф-лы (14-18) [10]	5,1	5,4	5,9	6,8	8,1	10	12,3	14,9	17,7		
Снижение уровня звукового давления на пути справа от экрана, Dz3, дБ	z = 41.11м (разность путей)	ф-лы (14-18) [10]	24,2	28,6	32,3	35,5	38,6	41,6	44,6	47,6	50,6		
Общее снижение уровня звука препятствием Dz, дБ		Эн.сумма(-Dzi)	1,9	2	2,3	2,6	3,1	3,6	4,1	4,4	4,6		
Уровни звукового давления от источника ИШ-6-4 в расчётной точке днём, дБ		**ф-ла(3)[10]**	**0**	**17,6**	**18,3**	**17,8**	**14,4**	**9,4**	**0**	**0**	**0**	**15,1**	**15,1**
Уровни звукового давления от источника ИШ-6-4 в расчётной точке ночью, дБ		**ф-ла(3)[10]**	**0**	**17,6**	**18,3**	**17,8**	**14,4**	**9,4**	**0**	**0**	**0**	**15,1**	**15,1**
Источник шума: ИШ-6-5, координаты источника (x,y,z), м =[832.03,110.36,1.00]													
Уровни звуковой мощности источника днём, Lw, дБ		**исходные данные**	**0**	**96,3**	**97,7**	**99**	**99,3**	**98,9**	**95,6**	**91,4**	**86,9**		
Уровни звуковой мощности источника ночью, Lw, дБ		**исходные данные**	**0**	**96,3**	**97,7**	**99**	**99,3**	**98,9**	**95,6**	**91,4**	**86,9**		
Поправка на телесный угол DΩ, дБ	Ω = 12.57	10Lg($4\pi/\Omega$)	**0**	0	0	0	0	0	0	0	0		
Показатель направленности источника Di, дБ		исходные данные	**0**	0	0	0	0	0	0	0	0		
Поправка на направленность источника Dc, дБ	Dc	DΩ + Di	**0**	0	0	0	0	0	0	0	0		

1		2	3	4	5	6	7	8	9	10	11	12	13
Затухание из-за геометрической дивергенции, Adiv, дБ	расстояние = 1877.15 м	ф-ла (7) [10]	**76,5**										
Коэффициент затухания звука в атмосфере α, дБ/км	Та=20,°С Ра=101.33,кПа hотн.=70%	ф-ла (5) [9]	0,02	0,09	0,33	1,12	2,79	4,98	9,04	23,09	77,63		
Учет затухания звука в атмосфере Aatm, дБ		ф-ла (8) [10]	0	0,2	0,6	2,1	5,2	9,3	17	43,3	145,7		
Снижение уровня звукового давления из-за влияния застройки между источником шума и расчетной точкой													
Снижение уровня звукового давления на пути над экраном, Dz1, дБ	z = 0.09м (разность путей)	ф-лы (14-18) [10]	4,8	4,8	4,8	4,8	4,8	4,8	4,8	4,8	4,8		
Снижение уровня звукового давления на пути слева от экрана, Dz2, дБ	z = 0.03м (разность путей)	ф-лы (14-18) [10]	4,9	5,1	5,4	6	6,9	8,4	10,3	12,7	15,3		
Снижение уровня звукового давления на пути справа от экрана, Dz3, дБ	z = 41.79м (разность путей)	ф-лы (14-18) [10]	24,3	28,7	32,4	35,6	38,7	41,7	44,7	47,7	50,7		
Общее снижение уровня звука препятствием Dz, дБ		Эн.сумма(-Dzi)	1,8	1,9	2,1	2,3	2,7	3,2	3,7	4,1	4,4		
Уровни звукового давления от источника ИШ-6-5 в расчётной точке днём, дБ		**ф-ла(3)[10]**	**0**	**17,7**	**18,5**	**18,1**	**14,9**	**9,9**	**0**	**0**	**0**	**15,5**	**15,5**
Уровни звукового давления от источника ИШ-6-5 в расчётной точке ночью, дБ		**ф-ла(3)[10]**	**0**	**17,7**	**18,5**	**18,1**	**14,9**	**9,9**	**0**	**0**	**0**	**15,5**	**15,5**
Источник шума: ИШ-6-6, координаты источника (x,y,z), м =[830.97,107.42,1.00]													
Уровни звуковой мощности источника днём, Lw, дБ		**исходные данные**	**0**	**96,3**	**97,7**	**99**	**99,3**	**98,9**	**95,6**	**91,4**	**86,9**		
Уровни звуковой мощности источника ночью, Lw, дБ		**исходные данные**	**0**	**96,3**	**97,7**	**99**	**99,3**	**98,9**	**95,6**	**91,4**	**86,9**		
Поправка на телесный угол DΩ, дБ	Ω = 12.57	10Lg($4\pi/\Omega$)	**0**	0	0	0	0	0	0	0	0		
Показатель направленности источника Di, дБ		исходные данные	**0**	0	0	0	0	0	0	0	0		
Поправка на направленность источника Dc, дБ	Dc	DΩ + Di	**0**	0	0	0	0	0	0	0	0		

1		2	3	4	5	6	7	8	9	10	11	12	13
Затухание из-за геометрической дивергенции, Adiv, дБ	расстояние = 1874.59 м	ф-ла (7) [10]	**76,5**										
Коэффициент затухания звука в атмосфере α, дБ/км	Та=20,°С Ра=101.33,кПа hотн.=70%	ф-ла (5) [9]	0,02	0,09	0,33	1,12	2,79	4,98	9,04	23,09	77,63		
Учет затухания звука в атмосфере Aatm, дБ		ф-ла (8) [10]	0	0,2	0,6	2,1	5,2	9,3	16,9	43,3	145,5		
Снижение уровня звукового давления из-за влияния застройки между источником шума и расчетной точкой													
Снижение уровня звукового давления на пути над экраном, Dz1, дБ	z = 0.09м (разность путей)	ф-лы (14-18) [10]	4,8	4,8	4,8	4,8	4,8	4,8	4,8	4,8	4,8		
Снижение уровня звукового давления на пути слева от экрана, Dz2, дБ	z = 0.01м (разность путей)	ф-лы (14-18) [10]	4,8	4,9	5	5,3	5,8	6,6	7,9	9,7	12		
Снижение уровня звукового давления на пути справа от экрана, Dz3, дБ	z = 42.51м (разность путей)	ф-лы (14-18) [10]	24,3	28,8	32,4	35,7	38,7	41,8	44,8	47,8	50,8		
Общее снижение уровня звука препятствием Dz, дБ		Эн.сумма(-Dzi)	1,8	1,8	1,9	2	2,2	2,6	3,1	3,6	4		
Уровни звукового давления от источника ИШ-6-6 в расчётной точке днём, дБ		**ф-ла(3)[10]**	**0**	**17,8**	**18,7**	**18,4**	**15,4**	**10,5**	**0**	**0**	**0**	**15,9**	**15,9**
Уровни звукового давления от источника ИШ-6-6 в расчётной точке ночью, дБ		**ф-ла(3)[10]**	**0**	**17,8**	**18,7**	**18,4**	**15,4**	**10,5**	**0**	**0**	**0**	**15,9**	**15,9**
Источник шума: ИШ-6-7, координаты источника (x,y,z), м =[830.30,104.49,1.00]													
Уровни звуковой мощности источника днём, Lw, дБ		**исходные данные**	**0**	**96,3**	**97,7**	**99**	**99,3**	**98,9**	**95,6**	**91,4**	**86,9**		
Уровни звуковой мощности источника ночью, Lw, дБ		**исходные данные**	**0**	**96,3**	**97,7**	**99**	**99,3**	**98,9**	**95,6**	**91,4**	**86,9**		
Поправка на телесный угол DΩ, дБ	Ω = 12.57	10Lg($4\pi/\Omega$)	**0**	0	0	0	0	0	0	0	0		
Показатель направленности источника Di, дБ		исходные данные	**0**	0	0	0	0	0	0	0	0		
Поправка на направленность источника Dc, дБ	Dc	DΩ + Di	**0**	0	0	0	0	0	0	0	0		

1		2	3	4	5	6	7	8	9	10	11	12	13
Затухание из-за геометрической дивергенции, Adiv, дБ	расстояние = 1872.37 м	ф-ла (7) [10]	**76,4**										
Коэффициент затухания звука в атмосфере α, дБ/км	Та=20,°С Ра=101.33,кПа hотн.=70%	ф-ла (5) [9]	0,02	0,09	0,33	1,12	2,79	4,98	9,04	23,09	77,63		
Учет затухания звука в атмосфере Aatm, дБ		ф-ла (8) [10]	0	0,2	0,6	2,1	5,2	9,3	16,9	43,2	145,4		
Снижение уровня звукового давления из-за влияния застройки между источником шума и расчетной точкой													
Снижение уровня звукового давления на пути над экраном, Dz1, дБ	z = 0.09м (разность путей)	ф-лы (14-18) [10]	4,8	4,8	4,8	4,8	4,8	4,8	4,8	4,8	4,8		
Снижение уровня звукового давления на пути слева от экрана, Dz2, дБ	z = 0.00м (разность путей)	ф-лы (14-18) [10]	4,8	4,8	4,8	4,8	4,9	5,1	5,3	5,8	6,7		
Снижение уровня звукового давления на пути справа от экрана, Dz3, дБ	z = 23.35м (разность путей)	ф-лы (14-18) [10]	23,5	27	30,1	33,1	36,1	39,2	42,2	45,2	48,2		
Общее снижение уровня звука препятствием Dz, дБ		Эн.сумма(-Dzi)	1,7	1,8	1,8	1,8	1,8	1,9	2	2,3	2,6		
Уровни звукового давления от источника ИШ-6-7 в расчётной точке днём, дБ		**ф-ла(3)[10]**	**0**	**17,9**	**18,8**	**18,6**	**15,8**	**11,2**	**0,2**	**0**	**0**	**16,5**	**16,5**
Уровни звукового давления от источника ИШ-6-7 в расчётной точке ночью, дБ		**ф-ла(3)[10]**	**0**	**17,9**	**18,8**	**18,6**	**15,8**	**11,2**	**0,2**	**0**	**0**	**16,5**	**16,5**
Источник шума: ИШ-6-8, координаты источника (x,y,z), м =[829.36,101.42,1.00]													
Уровни звуковой мощности источника днём, Lw, дБ		**исходные данные**	**0**	**96,3**	**97,7**	**99**	**99,3**	**98,9**	**95,6**	**91,4**	**86,9**		
Уровни звуковой мощности источника ночью, Lw, дБ		**исходные данные**	**0**	**96,3**	**97,7**	**99**	**99,3**	**98,9**	**95,6**	**91,4**	**86,9**		
Поправка на телесный угол DΩ, дБ	Ω = 12.57	10Lg($4\pi/\Omega$)	**0**	0	0	0	0	0	0	0	0		
Показатель направленности источника Di, дБ		исходные данные	**0**	0	0	0	0	0	0	0	0		
Поправка на направленность источника Dc, дБ	Dc	DΩ + Di	**0**	0	0	0	0	0	0	0	0		

1		2	3	4	5	6	7	8	9	10	11	12	13
Затухание из-за геометрической дивергенции, Adiv, дБ	расстояние = 1869.86 м	ф-ла (7) [10]	**76,4**										
Коэффициент затухания звука в атмосфере α, дБ/км	Ta=20,°C Pa=101.33,кПа hотн.=70%	ф-ла (5) [9]	0,02	0,09	0,33	1,12	2,79	4,98	9,04	23,09	77,63		
Учет затухания звука в атмосфере Aatm, дБ		ф-ла (8) [10]	0	0,2	0,6	2,1	5,2	9,3	16,9	43,2	145,2		
Снижение уровня звукового давления из-за влияния застройки между источником шума и расчетной точкой													
Снижение уровня звукового давления препятствием справа от трассы ИШ-РТ, Dz3, дБ	z = 0.00м (разность путей)	ф-лы (14-18) [10]	0	0	0	0	4,7	4,6	4,4	4	3,1		
* отрицательное значение z означает прохождение траектории вблизи экрана, в этом случае дополнительно производится учёт снижения подстилающей поверхностью (см.ниже)													
Снижение поверхностью земли возле источника As, дБ	Gs = 0 hs = 1м	ф-лы таб.3 [10]	-1,5	-1,5	-1,5	-1,5	-1,5	-1,5	-1,5	-1,5	-1,5		
Снижение поверхностью земли возле приёмника Ar, дБ	Gr = 1 hr = 1.5м	ф-лы таб.3 [10]	-1,5	-1,5	5,3	7	5	0,7	0	0	0		
Снижение поверхностью земли в средней зоне, Am дБ	Gm = 1	ф-лы таб.3 [10]	-2,9	-2,9	0	0	0	0	0	0	0		
Суммарное снижение поверхностью земли на траектории распространения звука Agr, дБ		ф-ла (9) [10]	-5,9	-5,9	3,8	5,5	3,5	-0,8	-1,5	-1,5	-1,5		
Уровни звукового давления от источника ИШ-6-8 в расчётной точке днём, дБ		**ф-ла(3)[10]**	**0**	**25,6**	**16,8**	**14,9**	**9,5**	**9,4**	**0**	**0**	**0**	**12,9**	**12,9**
Уровни звукового давления от источника ИШ-6-8 в расчётной точке ночью, дБ		**ф-ла(3)[10]**	**0**	**25,6**	**16,8**	**14,9**	**9,5**	**9,4**	**0**	**0**	**0**	**12,9**	**12,9**
Источник шума: ИШ-6-9, координаты источника (x,y,z), м =[828.03,98.62,1.00]													
Уровни звуковой мощности источника днём, Lw, дБ		**исходные данные**	**0**	**96,3**	**97,7**	**99**	**99,3**	**98,9**	**95,6**	**91,4**	**86,9**		
Уровни звуковой мощности источника ночью, Lw, дБ		**исходные данные**	**0**	**96,3**	**97,7**	**99**	**99,3**	**98,9**	**95,6**	**91,4**	**86,9**		
Поправка на телесный угол DΩ, дБ	Ω = 12.57	10Lg(4π/Ω)	**0**	0	0	0	0	0	0	0	0		
Показатель направленности источника Di, дБ		исходные данные	**0**	0	0	0	0	0	0	0	0		

1		2	3	4	5	6	7	8	9	10	11	12	13
Поправка на направленность источника Dc, дБ	Dc	DΩ + Di	**0**	0	0	0	0	0	0	0	0		
Затухание из-за геометрической дивергенции, Adiv, дБ	расстояние = 1867.16 м	ф-ла (7) [10]	**76,4**										
Коэффициент затухания звука в атмосфере α, дБ/км	Ta=20,°C Pa=101.33,кПа hотн.=70%	ф-ла (5) [9]	0,02	0,09	0,33	1,12	2,79	4,98	9,04	23,09	77,63		
Учет затухания звука в атмосфере Aatm, дБ		ф-ла (8) [10]	0	0,2	0,6	2,1	5,2	9,3	16,9	43,1	145		
Снижение уровня звукового давления из-за влияния застройки между источником шума и расчетной точкой													
Снижение уровня звукового давления препятствием справа от трассы ИШ-РТ, Dz3, дБ	z = -0.01м (разность путей)	ф-лы (14-18) [10]	0	0	0	4,4	4	3,1	0,4	NAN	NAN		
* отрицательное значение z означает прохождение траектории вблизи экрана, в этом случае дополнительно производится учёт снижения подстилающей поверхностью (см.ниже)													
Снижение поверхностью земли возле источника As, дБ	Gs = 0 hs = 1м	ф-лы таб.3 [10]	-1,5	-1,5	-1,5	-1,5	-1,5	-1,5	-1,5	-1,5	-1,5		
Снижение поверхностью земли возле приёмника Ar, дБ	Gr = 1 hr = 1.5м	ф-лы таб.3 [10]	-1,5	-1,5	5,3	7	5	0,7	0	0	0		
Снижение поверхностью земли в средней зоне, Am дБ	Gm = 1	ф-лы таб.3 [10]	-2,9	-2,9	0	0	0	0	0	0	0		
Суммарное снижение поверхностью земли на траектории распространения звука Agr, дБ		ф-ла (9) [10]	-5,9	-5,9	3,8	5,5	3,5	-0,8	-1,5	-1,5	-1,5		
Уровни звукового давления от источника ИШ-6-9 в расчётной точке днём, дБ		**ф-ла(3)[10]**	**0**	**25,6**	**16,8**	**10,5**	**10,2**	**10,9**	**3,4**	**0**	**0**	**13,7**	**13,7**
Уровни звукового давления от источника ИШ-6-9 в расчётной точке ночью, дБ		**ф-ла(3)[10]**	**0**	**25,6**	**16,8**	**10,5**	**10,2**	**10,9**	**3,4**	**0**	**0**	**13,7**	**13,7**
Источник шума: ИШ-6-10, координаты источника (x,y,z), м =[827.23,95.55,1.00]													
Уровни звуковой мощности источника днём, Lw, дБ		**исходные данные**	**0**	**96,3**	**97,7**	**99**	**99,3**	**98,9**	**95,6**	**91,4**	**86,9**		
Уровни звуковой мощности источника ночью, Lw, дБ		**исходные данные**	**0**	**96,3**	**97,7**	**99**	**99,3**	**98,9**	**95,6**	**91,4**	**86,9**		
Поправка на телесный угол DΩ, дБ	Ω = 12.57	10Lg(4π/Ω)	**0**	0	0	0	0	0	0	0	0		

1		2	3	4	5	6	7	8	9	10	11	12	13
Показатель направленности источника Di, дБ		исходные данные	**0**	0	0	0	0	0	0	0	0		
Поправка на направленность источника Dc, дБ	Dc	DΩ + Di	**0**	0	0	0	0	0	0	0	0		
Затухание из-за геометрической дивергенции, Adiv, дБ	расстояние = 1864.76 м	ф-ла (7) [10]	**76,4**										
Коэффициент затухания звука в атмосфере α, дБ/км	Ta=20,°C Pa=101.33,кПа hотн.=70%	ф-ла (5) [9]	0,02	0,09	0,33	1,12	2,79	4,98	9,04	23,09	77,63		
Учет затухания звука в атмосфере Aatm, дБ		ф-ла (8) [10]	0	0,2	0,6	2,1	5,2	9,3	16,9	43	144,8		
Снижение уровня звукового давления из-за влияния застройки между источником шума и расчетной точкой													
Снижение уровня звукового давления препятствием справа от трассы ИШ-РТ, Dz3, дБ	z = -0.03м (разность путей)	ф-лы (14-18) [10]	0	0	4,1	3,4	1,3	NAN	NAN	NAN	NAN		
* отрицательное значение z означает прохождение траектории вблизи экрана, в этом случае дополнительно производится учёт снижения подстилающей поверхностью (см.ниже)													
Снижение поверхностью земли возле источника As, дБ	Gs = 0 hs = 1м	ф-лы таб.3 [10]	-1,5	-1,5	-1,5	-1,5	-1,5	-1,5	-1,5	-1,5	-1,5		
Снижение поверхностью земли возле приёмника Ar, дБ	Gr = 1 hr = 1.5м	ф-лы таб.3 [10]	-1,5	-1,5	5,3	7	5	0,7	0	0	0		
Снижение поверхностью земли в средней зоне, Am дБ	Gm = 1	ф-лы таб.3 [10]	-2,9	-2,9	0	0	0	0	0	0	0		
Суммарное снижение поверхностью земли на траектории распространения звука Agr, дБ		ф-ла (9) [10]	-5,9	-5,9	3,8	5,5	3,5	-0,8	-1,5	-1,5	-1,5		
Уровни звукового давления от источника ИШ-6-10 в расчётной точке днём, дБ		**ф-ла(3)[10]**	**0**	**25,6**	**12,7**	**11,6**	**12,9**	**14**	**3,8**	**0**	**0**	**16,1**	**16,1**
Уровни звукового давления от источника ИШ-6-10 в расчётной точке ночью, дБ		**ф-ла(3)[10]**	**0**	**25,6**	**12,7**	**11,6**	**12,9**	**14**	**3,8**	**0**	**0**	**16,1**	**16,1**
Источник шума: ИШ-6-11, координаты источника (x,y,z), м =[826.30,92.48,1.00]													
Уровни звуковой мощности источника днём, Lw, дБ		**исходные данные**	**0**	**96,3**	**97,7**	**99**	**99,3**	**98,9**	**95,6**	**91,4**	**86,9**		
Уровни звуковой мощности источника ночью, Lw, дБ		**исходные данные**	**0**	**96,3**	**97,7**	**99**	**99,3**	**98,9**	**95,6**	**91,4**	**86,9**		

1		2	3	4	5	6	7	8	9	10	11	12	13
Поправка на телесный угол DΩ, дБ	Ω = 12.57	10Lg(4π/Ω)	**0**	0	0	0	0	0	0	0	0		
Показатель направленности источника Di, дБ		исходные данные	**0**	0	0	0	0	0	0	0	0		
Поправка на направленность источника Dc, дБ	Dc	DΩ + Di	**0**	0	0	0	0	0	0	0	0		
Затухание из-за геометрической дивергенции, Adiv, дБ	расстояние = 1862.25 м	ф-ла (7) [10]	**76,4**										
Коэффициент затухания звука в атмосфере α, дБ/км	Ta=20,°C Pa=101.33,кПа hотн.=70%	ф-ла (5) [9]	0,02	0,09	0,33	1,12	2,79	4,98	9,04	23,09	77,63		
Учет затухания звука в атмосфере Aatm, дБ		ф-ла (8) [10]	0	0,2	0,6	2,1	5,2	9,3	16,8	43	144,6		
Снижение уровня звукового давления из-за влияния застройки между источником шума и расчетной точкой													
Снижение уровня звукового давления препятствием справа от трассы ИШ-РТ, Dz3, дБ	z = -0.06м (разность путей)	ф-лы (14-18) [10]	0	4,1	3,3	1	NAN	NAN	NAN	NAN	NAN		
* отрицательное значение z означает прохождение траектории вблизи экрана, в этом случае дополнительно производится учёт снижения подстилающей поверхностью (см.ниже)													
Снижение поверхностью земли возле источника As, дБ	Gs = 0 hs = 1м	ф-лы таб.3 [10]	-1,5	-1,5	-1,5	-1,5	-1,5	-1,5	-1,5	-1,5	-1,5		
Снижение поверхностью земли возле приёмника Ar, дБ	Gr = 1 hr = 1.5м	ф-лы таб.3 [10]	-1,5	-1,5	5,3	7	5	0,7	0	0	0		
Снижение поверхностью земли в средней зоне, Am дБ	Gm = 1	ф-лы таб.3 [10]	-2,9	-2,9	0	0	0	0	0	0	0		
Суммарное снижение поверхностью земли на траектории распространения звука Agr, дБ		ф-ла (9) [10]	-5,9	-5,9	3,8	5,5	3,5	-0,8	-1,5	-1,5	-1,5		
Уровни звукового давления от источника ИШ-6-11 в расчётной точке днём, дБ		**ф-ла(3)[10]**	**0**	**21,5**	**13,5**	**14**	**14,2**	**14,1**	**3,9**	**0**	**0**	**16,6**	**16,6**
Уровни звукового давления от источника ИШ-6-11 в расчётной точке ночью, дБ		**ф-ла(3)[10]**	**0**	**21,5**	**13,5**	**14**	**14,2**	**14,1**	**3,9**	**0**	**0**	**16,6**	**16,6**
Источник шума: ИШ-6-12, координаты источника (x,y,z), м =[825.09,89.54,1.00]													
Уровни звуковой мощности источника днём, Lw, дБ		**исходные данные**	**0**	**96,3**	**97,7**	**99**	**99,3**	**98,9**	**95,6**	**91,4**	**86,9**		

1		2	3	4	5	6	7	8	9	10	11	12	13
Уровни звуковой мощности источника ночью, Lw, дБ		**исходные данные**	**0**	**96,3**	**97,7**	**99**	**99,3**	**98,9**	**95,6**	**91,4**	**86,9**		
Поправка на телесный угол DΩ, дБ	Ω = 12.57	10Lg(4π/Ω)	**0**	0	0	0	0	0	0	0	0		
Показатель направленности источника Di, дБ		исходные данные	**0**	0	0	0	0	0	0	0	0		
Поправка на направленность источника Dc, дБ	Dc	DΩ + Di	**0**	0	0	0	0	0	0	0	0		
Затухание из-за геометрической дивергенции, Adiv, дБ	расстояние = 1859.60 м	ф-ла (7) [10]	**76,4**										
Коэффициент затухания звука в атмосфере α, дБ/км	Ta=20,°C Pa=101.33,кПа hотн.=70%	ф-ла (5) [9]	0,02	0,09	0,33	1,12	2,79	4,98	9,04	23,09	77,63		
Учет затухания звука в атмосфере Aatm, дБ		ф-ла (8) [10]	0	0,2	0,6	2,1	5,2	9,3	16,8	42,9	144,4		
Снижение уровня звукового давления из-за влияния застройки между источником шума и расчетной точкой													
Снижение уровня звукового давления препятствием справа от трассы ИШ-РТ, Dz3, дБ	z = -0.10м (разность путей)	ф-лы (14-18) [10]	0	3,6	2	0	NAN	NAN	NAN	NAN	NAN		
* отрицательное значение z означает прохождение траектории вблизи экрана, в этом случае дополнительно производится учёт снижения подстилающей поверхностью (см.ниже)													
Снижение поверхностью земли возле источника As, дБ	Gs = 0 hs = 1м	ф-лы таб.3 [10]	-1,5	-1,5	-1,5	-1,5	-1,5	-1,5	-1,5	-1,5	-1,5		
Снижение поверхностью земли возле приёмника Ar, дБ	Gr = 1 hr = 1.5м	ф-лы таб.3 [10]	-1,5	-1,5	5,3	7	5	0,7	0	0	0		
Снижение поверхностью земли в средней зоне, Am дБ	Gm = 1	ф-лы таб.3 [10]	-2,9	-2,9	0	0	0	0	0	0	0		
Суммарное снижение поверхностью земли на траектории распространения звука Agr, дБ		ф-ла (9) [10]	-5,9	-5,9	3,8	5,5	3,5	-0,8	-1,5	-1,5	-1,5		
Уровни звукового давления от источника ИШ-6-12 в расчётной точке днём, дБ		**ф-ла(3)[10]**	**0**	**22**	**14,8**	**15**	**14,2**	**14,1**	**3,9**	**0**	**0**	**16,7**	**16,7**
Уровни звукового давления от источника ИШ-6-12 в расчётной точке ночью, дБ		**ф-ла(3)[10]**	**0**	**22**	**14,8**	**15**	**14,2**	**14,1**	**3,9**	**0**	**0**	**16,7**	**16,7**

Источник шума: ИШ-6-13, координаты источника (x,y,z), м =[767.76,-114.15,1.00]

1		2	3	4	5	6	7	8	9	10	11	12	13
Уровни звуковой мощности источника днём, Lw, дБ		**исходные данные**	**0**	**96,3**	**97,7**	**99**	**99,3**	**98,9**	**95,6**	**91,4**	**86,9**		
Уровни звуковой мощности источника ночью, Lw, дБ		**исходные данные**	**0**	**96,3**	**97,7**	**99**	**99,3**	**98,9**	**95,6**	**91,4**	**86,9**		
Поправка на телесный угол DΩ, дБ	Ω = 12.57	10Lg(4π/Ω)	**0**	0	0	0	0	0	0	0	0		
Показатель направленности источника Di, дБ		исходные данные	**0**	0	0	0	0	0	0	0	0		
Поправка на направленность источника Dc, дБ	Dc	DΩ + Di	**0**	0	0	0	0	0	0	0	0		
Затухание из-за геометрической дивергенции, Adiv, дБ	расстояние = 1702.50 м	ф-ла (7) [10]	**75,6**										
Коэффициент затухания звука в атмосфере α, дБ/км	Ta=20,°C Pa=101.33,кПа hотн.=70%	ф-ла (5) [9]	0,02	0,09	0,33	1,12	2,79	4,98	9,04	23,09	77,63		
Учет затухания звука в атмосфере Aatm, дБ		ф-ла (8) [10]	0	0,2	0,6	1,9	4,8	8,5	15,4	39,3	132,2		
Снижение поверхностью земли возле источника As, дБ	Gs = 0 hs = 1м	ф-лы таб.3 [10]	-1,5	-1,5	-1,5	-1,5	-1,5	-1,5	-1,5	-1,5	-1,5		
Снижение поверхностью земли возле приёмника Ar, дБ	Gr = 1 hr = 1.5м	ф-лы таб.3 [10]	-1,5	-1,5	5,3	7	5	0,7	0	0	0		
Снижение поверхностью земли в средней зоне, Am дБ	Gm = 1	ф-лы таб.3 [10]	-2,9	-2,9	0	0	0	0	0	0	0		
Суммарное снижение поверхностью земли на траектории распространения звука Agr, дБ		ф-ла (9) [10]	-5,9	-5,9	3,8	5,5	3,5	-0,8	-1,5	-1,5	-1,5		
Уровни звукового давления от источника ИШ-6-13 в расчётной точке днём, дБ		**ф-ла(3)[10]**	**0**	**26,4**	**17,7**	**15,9**	**15,4**	**15,6**	**6,1**	**0**	**0**	**18,2**	**18,2**
Уровни звукового давления от источника ИШ-6-13 в расчётной точке ночью, дБ		**ф-ла(3)[10]**	**0**	**26,4**	**17,7**	**15,9**	**15,4**	**15,6**	**6,1**	**0**	**0**	**18,2**	**18,2**
Источник шума: ИШ-6-14, координаты источника (x,y,z), м =[766.82,-117.10,1.00]													
Уровни звуковой мощности источника днём, Lw, дБ		**исходные данные**	**0**	**96,3**	**97,7**	**99**	**99,3**	**98,9**	**95,6**	**91,4**	**86,9**		

1		2	3	4	5	6	7	8	9	10	11	12	13
Уровни звуковой мощности источника ночью, Lw, дБ		**исходные данные**	**0**	**96,3**	**97,7**	**99**	**99,3**	**98,9**	**95,6**	**91,4**	**86,9**		
Поправка на телесный угол DΩ, дБ	Ω = 12.57	10Lg(4π/Ω)	**0**	0	0	0	0	0	0	0	0		
Показатель направленности источника Di, дБ		исходные данные	**0**	0	0	0	0	0	0	0	0		
Поправка на направленность источника Dc, дБ	Dc	DΩ + Di	**0**	0	0	0	0	0	0	0	0		
Затухание из-за геометрической дивергенции, Adiv, дБ	расстояние = 1700.21 м	ф-ла (7) [10]	**75,6**										
Коэффициент затухания звука в атмосфере α, дБ/км	Ta=20,°C Pa=101.33,кПа hотн.=70%	ф-ла (5) [9]	0,02	0,09	0,33	1,12	2,79	4,98	9,04	23,09	77,63		
Учет затухания звука в атмосфере Aatm, дБ		ф-ла (8) [10]	0	0,2	0,6	1,9	4,7	8,5	15,4	39,3	132		
Снижение поверхностью земли возле источника As, дБ	Gs = 0 hs = 1м	ф-лы таб.3 [10]	-1,5	-1,5	-1,5	-1,5	-1,5	-1,5	-1,5	-1,5	-1,5		
Снижение поверхностью земли возле приёмника Ar, дБ	Gr = 1 hr = 1.5м	ф-лы таб.3 [10]	-1,5	-1,5	5,3	7	5	0,7	0	0	0		
Снижение поверхностью земли в средней зоне, Am дБ	Gm = 1	ф-лы таб.3 [10]	-2,9	-2,9	0	0	0	0	0	0	0		
Суммарное снижение поверхностью земли на траектории распространения звука Agr, дБ		ф-ла (9) [10]	-5,9	-5,9	3,8	5,5	3,5	-0,8	-1,5	-1,5	-1,5		
Уровни звукового давления от источника ИШ-6-14 в расчётной точке днём, дБ		**ф-ла(3)[10]**	**0**	**26,4**	**17,7**	**15,9**	**15,5**	**15,7**	**6,1**	**0**	**0**	**18,3**	**18,3**
Уровни звукового давления от источника ИШ-6-14 в расчётной точке ночью, дБ		**ф-ла(3)[10]**	**0**	**26,4**	**17,7**	**15,9**	**15,5**	**15,7**	**6,1**	**0**	**0**	**18,3**	**18,3**
Источник шума: ИШ-6-15, координаты источника (x,y,z), м =[765.71,-120.27,1.00]													
Уровни звуковой мощности источника днём, Lw, дБ		**исходные данные**	**0**	**96,3**	**97,7**	**99**	**99,3**	**98,9**	**95,6**	**91,4**	**86,9**		
Уровни звуковой мощности источника ночью, Lw, дБ		**исходные данные**	**0**	**96,3**	**97,7**	**99**	**99,3**	**98,9**	**95,6**	**91,4**	**86,9**		

1		2	3	4	5	6	7	8	9	10	11	12	13
Поправка на телесный угол DΩ, дБ	Ω = 12.57	10Lg(4π/Ω)	**0**	0	0	0	0	0	0	0	0		
Показатель направленности источника Di, дБ		исходные данные	**0**	0	0	0	0	0	0	0	0		
Поправка на направленность источника Dc, дБ	Dc	DΩ + Di	**0**	0	0	0	0	0	0	0	0		
Затухание из-за геометрической дивергенции, Adiv, дБ	расстояние = 1697.68 м	ф-ла (7) [10]	**75,6**										
Коэффициент затухания звука в атмосфере α, дБ/км	Ta=20,°C Pa=101.33,кПа hотн.=70%	ф-ла (5) [9]	0,02	0,09	0,33	1,12	2,79	4,98	9,04	23,09	77,63		
Учет затухания звука в атмосфере Aatm, дБ		ф-ла (8) [10]	0	0,2	0,6	1,9	4,7	8,5	15,3	39,2	131,8		
Снижение поверхностью земли возле источника As, дБ	Gs = 0 hs = 1м	ф-лы таб.3 [10]	-1,5	-1,5	-1,5	-1,5	-1,5	-1,5	-1,5	-1,5	-1,5		
Снижение поверхностью земли возле приёмника Ar, дБ	Gr = 1 hr = 1.5м	ф-лы таб.3 [10]	-1,5	-1,5	5,3	7	5	0,7	0	0	0		
Снижение поверхностью земли в средней зоне, Am дБ	Gm = 1	ф-лы таб.3 [10]	-2,9	-2,9	0	0	0	0	0	0	0		
Суммарное снижение поверхностью земли на траектории распространения звука Agr, дБ		ф-ла (9) [10]	-5,9	-5,9	3,8	5,5	3,5	-0,8	-1,5	-1,5	-1,5		
Уровни звукового давления от источника ИШ-6-15 в расчётной точке днём, дБ		**ф-ла(3)[10]**	**0**	**26,4**	**17,7**	**16**	**15,5**	**15,7**	**6,1**	**0**	**0**	**18,3**	**18,3**
Уровни звукового давления от источника ИШ-6-15 в расчётной точке ночью, дБ		**ф-ла(3)[10]**	**0**	**26,4**	**17,7**	**16**	**15,5**	**15,7**	**6,1**	**0**	**0**	**18,3**	**18,3**
Источник шума: ИШ-6-16, координаты источника (x,y,z), м =[764.57,-123.22,1.00]													
Уровни звуковой мощности источника днём, Lw, дБ		**исходные данные**	**0**	**96,3**	**97,7**	**99**	**99,3**	**98,9**	**95,6**	**91,4**	**86,9**		
Уровни звуковой мощности источника ночью, Lw, дБ		**исходные данные**	**0**	**96,3**	**97,7**	**99**	**99,3**	**98,9**	**95,6**	**91,4**	**86,9**		
Поправка на телесный угол DΩ, дБ	Ω = 12.57	10Lg(4π/Ω)	**0**	0	0	0	0	0	0	0	0		

1		2	3	4	5	6	7	8	9	10	11	12	13
Показатель направленности источника Di, дБ		исходные данные	**0**	0	0	0	0	0	0	0	0		
Поправка на направленность источника Dc, дБ	Dc	DΩ + Di	**0**	0	0	0	0	0	0	0	0		
Затухание из-за геометрической дивергенции, Adiv, дБ	расстояние = 1695.23 м	ф-ла (7) [10]	**75,6**										
Коэффициент затухания звука в атмосфере α, дБ/км	Ta=20,°C Pa=101.33,кПа hотн.=70%	ф-ла (5) [9]	0,02	0,09	0,33	1,12	2,79	4,98	9,04	23,09	77,63		
Учет затухания звука в атмосфере Aatm, дБ		ф-ла (8) [10]	0	0,2	0,6	1,9	4,7	8,4	15,3	39,1	131,6		
Снижение поверхностью земли возле источника As, дБ	Gs = 0 hs = 1м	ф-лы таб.3 [10]	-1,5	-1,5	-1,5	-1,5	-1,5	-1,5	-1,5	-1,5	-1,5		
Снижение поверхностью земли возле приёмника Ar, дБ	Gr = 1 hr = 1.5м	ф-лы таб.3 [10]	-1,5	-1,5	5,3	7	5	0,7	0	0	0		
Снижение поверхностью земли в средней зоне, Am дБ	Gm = 1	ф-лы таб.3 [10]	-2,9	-2,9	0	0	0	0	0	0	0		
Суммарное снижение поверхностью земли на траектории распространения звука Agr, дБ		ф-ла (9) [10]	-5,9	-5,9	3,8	5,5	3,5	-0,8	-1,5	-1,5	-1,5		
Уровни звукового давления от источника ИШ-6-16 в расчётной точке днём, дБ		**ф-ла(3)[10]**	**0**	**26,4**	**17,7**	**16**	**15,5**	**15,7**	**6,2**	**0**	**0**	**18,3**	**18,3**
Уровни звукового давления от источника ИШ-6-16 в расчётной точке ночью, дБ		**ф-ла(3)[10]**	**0**	**26,4**	**17,7**	**16**	**15,5**	**15,7**	**6,2**	**0**	**0**	**18,3**	**18,3**
Источник шума: ИШ-6-17, координаты источника (x,y,z), м =[763.57,-126.18,1.00]													
Уровни звуковой мощности источника днём, Lw, дБ		**исходные данные**	**0**	**96,3**	**97,7**	**99**	**99,3**	**98,9**	**95,6**	**91,4**	**86,9**		
Уровни звуковой мощности источника ночью, Lw, дБ		**исходные данные**	**0**	**96,3**	**97,7**	**99**	**99,3**	**98,9**	**95,6**	**91,4**	**86,9**		
Поправка на телесный угол DΩ, дБ	Ω = 12.57	10Lg(4π/Ω)	**0**	0	0	0	0	0	0	0	0		
Показатель направленности источника Di, дБ		исходные данные	**0**	0	0	0	0	0	0	0	0		

1		2	3	4	5	6	7	8	9	10	11	12	13
Поправка на направленность источника Dc, дБ	Dc	DΩ + Di	**0**	0	0	0	0	0	0	0	0		
Затухание из-за геометрической дивергенции, Adiv, дБ	расстояние = 1692.89 м	ф-ла (7) [10]	**75,6**										
Коэффициент затухания звука в атмосфере α, дБ/км	Ta=20,°C Pa=101.33,кПа hотн.=70%	ф-ла (5) [9]	0,02	0,09	0,33	1,12	2,79	4,98	9,04	23,09	77,63		
Учет затухания звука в атмосфере Aatm, дБ		ф-ла (8) [10]	0	0,2	0,6	1,9	4,7	8,4	15,3	39,1	131,4		
Снижение поверхностью земли возле источника As, дБ	Gs = 0 hs = 1м	ф-лы таб.3 [10]	-1,5	-1,5	-1,5	-1,5	-1,5	-1,5	-1,5	-1,5	-1,5		
Снижение поверхностью земли возле приёмника Ar, дБ	Gr = 1 hr = 1.5м	ф-лы таб.3 [10]	-1,5	-1,5	5,3	7	5	0,7	0	0	0		
Снижение поверхностью земли в средней зоне, Am дБ	Gm = 1	ф-лы таб.3 [10]	-2,9	-2,9	0	0	0	0	0	0	0		
Суммарное снижение поверхностью земли на траектории распространения звука Agr, дБ		ф-ла (9) [10]	-5,9	-5,9	3,8	5,5	3,5	-0,8	-1,5	-1,5	-1,5		
Уровни звукового давления от источника ИШ-6-17 в расчётной точке днём, дБ		**ф-ла(3)[10]**	**0**	**26,4**	**17,7**	**16**	**15,5**	**15,7**	**6,2**	**0**	**0**	**18,3**	**18,3**
Уровни звукового давления от источника ИШ-6-17 в расчётной точке ночью, дБ		**ф-ла(3)[10]**	**0**	**26,4**	**17,7**	**16**	**15,5**	**15,7**	**6,2**	**0**	**0**	**18,3**	**18,3**
Источник шума: ИШ-6-18, координаты источника (x,y,z), м =[804.77,-126.28,1.00]													
Уровни звуковой мощности источника днём, Lw, дБ		**исходные данные**	**0**	**96,3**	**97,7**	**99**	**99,3**	**98,9**	**95,6**	**91,4**	**86,9**		
Уровни звуковой мощности источника ночью, Lw, дБ		**исходные данные**	**0**	**96,3**	**97,7**	**99**	**99,3**	**98,9**	**95,6**	**91,4**	**86,9**		
Поправка на телесный угол DΩ, дБ	Ω = 12.57	10Lg(4π/Ω)	**0**	0	0	0	0	0	0	0	0		
Показатель направленности источника Di, дБ		исходные данные	**0**	0	0	0	0	0	0	0	0		
Поправка на направленность источника Dc, дБ	Dc	DΩ + Di	**0**	0	0	0	0	0	0	0	0		

1		2	3	4	5	6	7	8	9	10	11	12	13
Затухание из-за геометрической дивергенции, Adiv, дБ	расстояние = 1728.79 м	ф-ла (7) [10]	**75,8**										
Коэффициент затухания звука в атмосфере α, дБ/км	Ta=20,°C Pa=101.33,кПа hотн.=70%	ф-ла (5) [9]	0,02	0,09	0,33	1,12	2,79	4,98	9,04	23,09	77,63		
Учет затухания звука в атмосфере Aatm, дБ		ф-ла (8) [10]	0	0,2	0,6	1,9	4,8	8,6	15,6	39,9	134,2		
Снижение поверхностью земли возле источника As, дБ	Gs = 0 hs = 1м	ф-лы таб.3 [10]	-1,5	-1,5	-1,5	-1,5	-1,5	-1,5	-1,5	-1,5	-1,5		
Снижение поверхностью земли возле приёмника Ar, дБ	Gr = 1 hr = 1.5м	ф-лы таб.3 [10]	-1,5	-1,5	5,3	7	5	0,7	0	0	0		
Снижение поверхностью земли в средней зоне, Am дБ	Gm = 1	ф-лы таб.3 [10]	-2,9	-2,9	0	0	0	0	0	0	0		
Суммарное снижение поверхностью земли на траектории распространения звука Agr, дБ		ф-ла (9) [10]	-5,9	-5,9	3,8	5,5	3,5	-0,8	-1,5	-1,5	-1,5		
Уровни звукового давления от источника ИШ-6-18 в расчётной точке днём, дБ		**ф-ла(3)[10]**	**0**	**26,3**	**17,5**	**15,8**	**15,2**	**15,4**	**5,7**	**0**	**0**	**18**	**18**
Уровни звукового давления от источника ИШ-6-18 в расчётной точке ночью, дБ		**ф-ла(3)[10]**	**0**	**26,3**	**17,5**	**15,8**	**15,2**	**15,4**	**5,7**	**0**	**0**	**18**	**18**
Источник шума: ИШ-6-19, координаты источника (x,y,z), м =[803.81,-129.30,1.00]													
Уровни звуковой мощности источника днём, Lw, дБ		**исходные данные**	**0**	**96,3**	**97,7**	**99**	**99,3**	**98,9**	**95,6**	**91,4**	**86,9**		
Уровни звуковой мощности источника ночью, Lw, дБ		**исходные данные**	**0**	**96,3**	**97,7**	**99**	**99,3**	**98,9**	**95,6**	**91,4**	**86,9**		
Поправка на телесный угол DΩ, дБ	Ω = 12.57	10Lg(4π/Ω)	**0**	0	0	0	0	0	0	0	0		
Показатель направленности источника Di, дБ		исходные данные	**0**	0	0	0	0	0	0	0	0		
Поправка на направленность источника Dc, дБ	Dc	DΩ + Di	**0**	0	0	0	0	0	0	0	0		
Затухание из-за геометрической дивергенции, Adiv, дБ	расстояние = 1726.49 м	ф-ла (7) [10]	**75,7**										

1		2	3	4	5	6	7	8	9	10	11	12	13
Коэффициент затухания звука в атмосфере α, дБ/км	Ta=20,°C Pa=101.33,кПа hотн.=70%	ф-ла (5) [9]	0,02	0,09	0,33	1,12	2,79	4,98	9,04	23,09	77,63		
Учет затухания звука в атмосфере Aatm, дБ		ф-ла (8) [10]	0	0,2	0,6	1,9	4,8	8,6	15,6	39,9	134		
Снижение поверхностью земли возле источника As, дБ	Gs = 0 hs = 1м	ф-лы таб.3 [10]	-1,5	-1,5	-1,5	-1,5	-1,5	-1,5	-1,5	-1,5	-1,5		
Снижение поверхностью земли возле приёмника Ar, дБ	Gr = 1 hr = 1.5м	ф-лы таб.3 [10]	-1,5	-1,5	5,3	7	5	0,7	0	0	0		
Снижение поверхностью земли в средней зоне, Am дБ	Gm = 1	ф-лы таб.3 [10]	-2,9	-2,9	0	0	0	0	0	0	0		
Суммарное снижение поверхностью земли на траектории распространения звука Agr, дБ		ф-ла (9) [10]	-5,9	-5,9	3,8	5,5	3,5	-0,8	-1,5	-1,5	-1,5		
Уровни звукового давления от источника ИШ-6-19 в расчётной точке днём, дБ		**ф-ла(3)[10]**	**0**	**26,3**	**17,5**	**15,8**	**15,3**	**15,4**	**5,7**	**0**	**0**	**18**	**18**
Уровни звукового давления от источника ИШ-6-19 в расчётной точке ночью, дБ		**ф-ла(3)[10]**	**0**	**26,3**	**17,5**	**15,8**	**15,3**	**15,4**	**5,7**	**0**	**0**	**18**	**18**
Источник шума: ИШ-6-20, координаты источника (x,y,z), м =[802.67,-132.35,1.00]													
Уровни звуковой мощности источника днём, Lw, дБ		**исходные данные**	**0**	**96,3**	**97,7**	**99**	**99,3**	**98,9**	**95,6**	**91,4**	**86,9**		
Уровни звуковой мощности источника ночью, Lw, дБ		**исходные данные**	**0**	**96,3**	**97,7**	**99**	**99,3**	**98,9**	**95,6**	**91,4**	**86,9**		
Поправка на телесный угол DΩ, дБ	Ω = 12.57	10Lg(4π/Ω)	**0**	0	0	0	0	0	0	0	0		
Показатель направленности источника Di, дБ		исходные данные	**0**	0	0	0	0	0	0	0	0		
Поправка на направленность источника Dc, дБ	Dc	DΩ + Di	**0**	0	0	0	0	0	0	0	0		
Затухание из-за геометрической дивергенции, Adiv, дБ	расстояние = 1724.02 м	ф-ла (7) [10]	**75,7**										
Коэффициент затухания звука в атмосфере α, дБ/км	Ta=20,°C Pa=101.33,кПа hотн.=70%	ф-ла (5) [9]	0,02	0,09	0,33	1,12	2,79	4,98	9,04	23,09	77,63		

1		2	3	4	5	6	7	8	9	10	11	12	13
Учет затухания звука в атмосфере Aatm, дБ		ф-ла (8) [10]	0	0,2	0,6	1,9	4,8	8,6	15,6	39,8	133,8		
Снижение поверхностью земли возле источника As, дБ	Gs = 0 hs = 1м	ф-лы таб.3 [10]	-1,5	-1,5	-1,5	-1,5	-1,5	-1,5	-1,5	-1,5	-1,5		
Снижение поверхностью земли возле приёмника Ar, дБ	Gr = 1 hr = 1.5м	ф-лы таб.3 [10]	-1,5	-1,5	5,3	7	5	0,7	0	0	0		
Снижение поверхностью земли в средней зоне, Am дБ	Gm = 1	ф-лы таб.3 [10]	-2,9	-2,9	0	0	0	0	0	0	0		
Суммарное снижение поверхностью земли на траектории распространения звука Agr, дБ		ф-ла (9) [10]	-5,9	-5,9	3,8	5,5	3,5	-0,8	-1,5	-1,5	-1,5		
Уровни звукового давления от источника ИШ-6-20 в расчётной точке днём, дБ		**ф-ла(3)[10]**	**0**	**26,3**	**17,5**	**15,8**	**15,3**	**15,4**	**5,8**	**0**	**0**	**18**	**18**
Уровни звукового давления от источника ИШ-6-20 в расчётной точке ночью, дБ		**ф-ла(3)[10]**	**0**	**26,3**	**17,5**	**15,8**	**15,3**	**15,4**	**5,8**	**0**	**0**	**18**	**18**
Источник шума: ИШ-6-21, координаты источника (x,y,z), м =[801.69,-135.42,1.00]													
Уровни звуковой мощности источника днём, Lw, дБ		**исходные данные**	**0**	**96,3**	**97,7**	**99**	**99,3**	**98,9**	**95,6**	**91,4**	**86,9**		
Уровни звуковой мощности источника ночью, Lw, дБ		**исходные данные**	**0**	**96,3**	**97,7**	**99**	**99,3**	**98,9**	**95,6**	**91,4**	**86,9**		
Поправка на телесный угол DΩ, дБ	Ω = 12.57	10Lg(4π/Ω)	**0**	0	0	0	0	0	0	0	0		
Показатель направленности источника Di, дБ		исходные данные	**0**	0	0	0	0	0	0	0	0		
Поправка на направленность источника Dc, дБ	Dc	DΩ + Di	**0**	0	0	0	0	0	0	0	0		
Затухание из-за геометрической дивергенции, Adiv, дБ	расстояние = 1721.68 м	ф-ла (7) [10]	**75,7**										
Коэффициент затухания звука в атмосфере α, дБ/км	Ta=20,°C Pa=101.33,кПа hотн.=70%	ф-ла (5) [9]	0,02	0,09	0,33	1,12	2,79	4,98	9,04	23,09	77,63		
Учет затухания звука в атмосфере Aatm, дБ		ф-ла (8) [10]	0	0,2	0,6	1,9	4,8	8,6	15,6	39,7	133,7		

1		2	3	4	5	6	7	8	9	10	11	12	13
Снижение поверхностью земли возле источника As, дБ	Gs = 0 hs = 1м	ф-лы таб.3 [10]	-1,5	-1,5	-1,5	-1,5	-1,5	-1,5	-1,5	-1,5	-1,5		
Снижение поверхностью земли возле приёмника Ar, дБ	Gr = 1 hr = 1.5м	ф-лы таб.3 [10]	-1,5	-1,5	5,3	7	5	0,7	0	0	0		
Снижение поверхностью земли в средней зоне, Am дБ	Gm = 1	ф-лы таб.3 [10]	-2,9	-2,9	0	0	0	0	0	0	0		
Суммарное снижение поверхностью земли на траектории распространения звука Agr, дБ		ф-ла (9) [10]	-5,9	-5,9	3,8	5,5	3,5	-0,8	-1,5	-1,5	-1,5		
Уровни звукового давления от источника ИШ-6-21 в расчётной точке днём, дБ		**ф-ла(3)[10]**	**0**	**26,3**	**17,6**	**15,8**	**15,3**	**15,4**	**5,8**	**0**	**0**	**18,1**	**18,1**
Уровни звукового давления от источника ИШ-6-21 в расчётной точке ночью, дБ		**ф-ла(3)[10]**	**0**	**26,3**	**17,6**	**15,8**	**15,3**	**15,4**	**5,8**	**0**	**0**	**18,1**	**18,1**
Источник шума: ИШ-6-22, координаты источника (x,y,z), м =[800.65,-138.47,1.00]													
Уровни звуковой мощности источника днём, Lw, дБ		**исходные данные**	**0**	**96,3**	**97,7**	**99**	**99,3**	**98,9**	**95,6**	**91,4**	**86,9**		
Уровни звуковой мощности источника ночью, Lw, дБ		**исходные данные**	**0**	**96,3**	**97,7**	**99**	**99,3**	**98,9**	**95,6**	**91,4**	**86,9**		
Поправка на телесный угол DΩ, дБ	Ω = 12.57	10Lg(4π/Ω)	**0**	0	0	0	0	0	0	0	0		
Показатель направленности источника Di, дБ		исходные данные	**0**	0	0	0	0	0	0	0	0		
Поправка на направленность источника Dc, дБ	Dc	DΩ + Di	**0**	0	0	0	0	0	0	0	0		
Затухание из-за геометрической дивергенции, Adiv, дБ	расстояние = 1719.31 м	ф-ла (7) [10]	**75,7**										
Коэффициент затухания звука в атмосфере α, дБ/км	Ta=20,°C Pa=101.33,кПа hотн.=70%	ф-ла (5) [9]	0,02	0,09	0,33	1,12	2,79	4,98	9,04	23,09	77,63		
Учет затухания звука в атмосфере Aatm, дБ		ф-ла (8) [10]	0	0,2	0,6	1,9	4,8	8,6	15,5	39,7	133,5		
Снижение поверхностью земли возле источника As, дБ	Gs = 0 hs = 1м	ф-лы таб.3 [10]	-1,5	-1,5	-1,5	-1,5	-1,5	-1,5	-1,5	-1,5	-1,5		

1		2	3	4	5	6	7	8	9	10	11	12	13
Снижение поверхностью земли возле приёмника Ar, дБ	Gr = 1 hr = 1.5м	ф-лы таб.3 [10]	-1,5	-1,5	5,3	7	5	0,7	0	0	0		
Снижение поверхностью земли в средней зоне, Am дБ	Gm = 1	ф-лы таб.3 [10]	-2,9	-2,9	0	0	0	0	0	0	0		
Суммарное снижение поверхностью земли на траектории распространения звука Agr, дБ		ф-ла (9) [10]	-5,9	-5,9	3,8	5,5	3,5	-0,8	-1,5	-1,5	-1,5		
Уровни звукового давления от источника ИШ-6-22 в расчётной точке днём, дБ		**ф-ла(3)[10]**	**0**	**26,3**	**17,6**	**15,8**	**15,3**	**15,5**	**5,8**	**0**	**0**	**18,1**	**18,1**
Уровни звукового давления от источника ИШ-6-22 в расчётной точке ночью, дБ		**ф-ла(3)[10]**	**0**	**26,3**	**17,6**	**15,8**	**15,3**	**15,5**	**5,8**	**0**	**0**	**18,1**	**18,1**
Источник шума: ИШ-7-1, координаты источника (x,y,z), м =[821.44,63.31,1.00]													
Уровни звуковой мощности источника днём, Lw, дБ		**исходные данные**	**77**	**75**	**67**	**66**	**63**	**55**	**53**	**48**	**51**		
Уровни звуковой мощности источника ночью, Lw, дБ		**исходные данные**	**77**	**75**	**67**	**66**	**63**	**55**	**53**	**48**	**51**		
Поправка на телесный угол DΩ, дБ	Ω = 12.57	10Lg(4π/Ω)	**0**	0	0	0	0	0	0	0	0		
Показатель направленности источника Di, дБ		исходные данные	**0**	0	0	0	0	0	0	0	0		
Поправка на направленность источника Dc, дБ	Dc	DΩ + Di	**0**	0	0	0	0	0	0	0	0		
Затухание из-за геометрической дивергенции, Adiv, дБ	расстояние = 1841.85 м	ф-ла (7) [10]	**76,3**										
Коэффициент затухания звука в атмосфере α, дБ/км	Ta=20,°C Pa=101.33,кПа hотн.=70%	ф-ла (5) [9]	0,02	0,09	0,33	1,12	2,79	4,98	9,04	23,09	77,63		
Учет затухания звука в атмосфере Aatm, дБ		ф-ла (8) [10]	0	0,2	0,6	2,1	5,1	9,2	16,6	42,5	143		
Снижение поверхностью земли возле источника As, дБ	Gs = 0 hs = 1м	ф-лы таб.3 [10]	-1,5	-1,5	-1,5	-1,5	-1,5	-1,5	-1,5	-1,5	-1,5		
Снижение поверхностью земли возле приёмника Ar, дБ	Gr = 1 hr = 1.5м	ф-лы таб.3 [10]	-1,5	-1,5	5,3	7	5	0,7	0	0	0		

1		2	3	4	5	6	7	8	9	10	11	12	13
Снижение поверхностью земли в средней зоне, Am дБ	Gm = 1	ф-лы таб.3 [10]	-2,9	-2,9	0	0	0	0	0	0	0		
Суммарное снижение поверхностью земли на траектории распространения звука Agr, дБ		ф-ла (9) [10]	-5,9	-5,9	3,8	5,5	3,5	-0,8	-1,5	-1,5	-1,5		
Уровни звукового давления от источника ИШ-7-1 в расчётной точке днём, дБ		**ф-ла(3)[10]**	**6,5**	**0**	**0**	**0**	**0**	**0**	**0**	**0**	**0**	**0**	**0**
Уровни звукового давления от источника ИШ-7-1 в расчётной точке ночью, дБ		**ф-ла(3)[10]**	**6,5**	**0**	**0**	**0**	**0**	**0**	**0**	**0**	**0**	**0**	**0**
Источник шума: ИШ-7-2, координаты источника (x,y,z), м =[768.90,-86.75,1.00]													
Уровни звуковой мощности источника днём, Lw, дБ		**исходные данные**	**77**	**75**	**67**	**66**	**63**	**55**	**53**	**48**	**51**		
Уровни звуковой мощности источника ночью, Lw, дБ		**исходные данные**	**77**	**75**	**67**	**66**	**63**	**55**	**53**	**48**	**51**		
Поправка на телесный угол DΩ, дБ	Ω = 12.57	10Lg(4π/Ω)	**0**	0	0	0	0	0	0	0	0		
Показатель направленности источника Di, дБ		исходные данные	**0**	0	0	0	0	0	0	0	0		
Поправка на направленность источника Dc, дБ	Dc	DΩ + Di	**0**	0	0	0	0	0	0	0	0		
Затухание из-за геометрической дивергенции, Adiv, дБ	расстояние = 1717.29 м	ф-ла (7) [10]	**75,7**										
Коэффициент затухания звука в атмосфере α, дБ/км	Ta=20,°C Pa=101.33,кПа hотн.=70%	ф-ла (5) [9]	0,02	0,09	0,33	1,12	2,79	4,98	9,04	23,09	77,63		
Учет затухания звука в атмосфере Aatm, дБ		ф-ла (8) [10]	0	0,2	0,6	1,9	4,8	8,5	15,5	39,6	133,3		
Снижение поверхностью земли возле источника As, дБ	Gs = 0 hs = 1м	ф-лы таб.3 [10]	-1,5	-1,5	-1,5	-1,5	-1,5	-1,5	-1,5	-1,5	-1,5		
Снижение поверхностью земли возле приёмника Ar, дБ	Gr = 1 hr = 1.5м	ф-лы таб.3 [10]	-1,5	-1,5	5,3	7	5	0,7	0	0	0		
Снижение поверхностью земли в средней зоне, Am дБ	Gm = 1	ф-лы таб.3 [10]	-2,9	-2,9	0	0	0	0	0	0	0		

1		2	3	4	5	6	7	8	9	10	11	12	13
Суммарное снижение поверхностью земли на траектории распространения звука Agr, дБ		ф-ла (9) [10]	-5,9	-5,9	3,8	5,5	3,5	-0,8	-1,5	-1,5	-1,5		
Уровни звукового давления от источника ИШ-7-2 в расчётной точке днём, дБ		**ф-ла(3)[10]**	**7,1**	**0**	**0**	**0**	**0**	**0**	**0**	**0**	**0**	**0**	**0**
Уровни звукового давления от источника ИШ-7-2 в расчётной точке ночью, дБ		**ф-ла(3)[10]**	**7,1**	**0**	**0**	**0**	**0**	**0**	**0**	**0**	**0**	**0**	**0**
Источник шума: ИШ-7-3, координаты источника (x,y,z), м =[766.80,-93.20,1.00]													
Уровни звуковой мощности источника днём, Lw, дБ		**исходные данные**	**77**	**75**	**67**	**66**	**63**	**55**	**53**	**48**	**51**		
Уровни звуковой мощности источника ночью, Lw, дБ		**исходные данные**	**77**	**75**	**67**	**66**	**63**	**55**	**53**	**48**	**51**		
Поправка на телесный угол DΩ, дБ	Ω = 12.57	10Lg(4π/Ω)	**0**	0	0	0	0	0	0	0	0		
Показатель направленности источника Di, дБ		исходные данные	**0**	0	0	0	0	0	0	0	0		
Поправка на направленность источника Dc, дБ	Dc	DΩ + Di	**0**	0	0	0	0	0	0	0	0		
Затухание из-за геометрической дивергенции, Adiv, дБ	расстояние = 1712.21 м	ф-ла (7) [10]	**75,7**										
Коэффициент затухания звука в атмосфере α, дБ/км	Ta=20,°C Pa=101.33,кПа hотн.=70%	ф-ла (5) [9]	0,02	0,09	0,33	1,12	2,79	4,98	9,04	23,09	77,63		
Учет затухания звука в атмосфере Aatm, дБ		ф-ла (8) [10]	0	0,2	0,6	1,9	4,8	8,5	15,5	39,5	132,9		
Снижение поверхностью земли возле источника As, дБ	Gs = 0 hs = 1м	ф-лы таб.3 [10]	-1,5	-1,5	-1,5	-1,5	-1,5	-1,5	-1,5	-1,5	-1,5		
Снижение поверхностью земли возле приёмника Ar, дБ	Gr = 1 hr = 1.5м	ф-лы таб.3 [10]	-1,5	-1,5	5,3	7	5	0,7	0	0	0		
Снижение поверхностью земли в средней зоне, Am дБ	Gm = 1	ф-лы таб.3 [10]	-2,9	-2,9	0	0	0	0	0	0	0		
Суммарное снижение поверхностью земли на траектории распространения звука Agr, дБ		ф-ла (9) [10]	-5,9	-5,9	3,8	5,5	3,5	-0,8	-1,5	-1,5	-1,5		

1		2	3	4	5	6	7	8	9	10	11	12	13
Уровни звукового давления от источника ИШ-7-3 в расчётной точке днём, дБ		**ф-ла(3)[10]**	**7,2**	**0**	**0**	**0**	**0**	**0**	**0**	**0**	**0**	**0**	**0**
Уровни звукового давления от источника ИШ-7-3 в расчётной точке ночью, дБ		**ф-ла(3)[10]**	**7,2**	**0**	**0**	**0**	**0**	**0**	**0**	**0**	**0**	**0**	**0**
Источник шума: ИШ-7-4, координаты источника (x,y,z), м =[866.76,37.18,1.00]													
Уровни звуковой мощности источника днём, Lw, дБ		**исходные данные**	**77**	**75**	**67**	**66**	**63**	**55**	**53**	**48**	**51**		
Уровни звуковой мощности источника ночью, Lw, дБ		**исходные данные**	**77**	**75**	**67**	**66**	**63**	**55**	**53**	**48**	**51**		
Поправка на телесный угол DΩ, дБ	Ω = 12.57	10Lg(4π/Ω)	**0**	0	0	0	0	0	0	0	0		
Показатель направленности источника Di, дБ		исходные данные	**0**	0	0	0	0	0	0	0	0		
Поправка на направленность источника Dc, дБ	Dc	DΩ + Di	**0**	0	0	0	0	0	0	0	0		
Затухание из-за геометрической дивергенции, Adiv, дБ	расстояние = 1865.54 м	ф-ла (7) [10]	**76,4**										
Коэффициент затухания звука в атмосфере α, дБ/км	Ta=20,°C Pa=101.33,кПа hотн.=70%	ф-ла (5) [9]	0,02	0,09	0,33	1,12	2,79	4,98	9,04	23,09	77,63		
Учет затухания звука в атмосфере Aatm, дБ		ф-ла (8) [10]	0	0,2	0,6	2,1	5,2	9,3	16,9	43,1	144,8		
Снижение поверхностью земли возле источника As, дБ	Gs = 0 hs = 1м	ф-лы таб.3 [10]	-1,5	-1,5	-1,5	-1,5	-1,5	-1,5	-1,5	-1,5	-1,5		
Снижение поверхностью земли возле приёмника Ar, дБ	Gr = 1 hr = 1.5м	ф-лы таб.3 [10]	-1,5	-1,5	5,3	7	5	0,7	0	0	0		
Снижение поверхностью земли в средней зоне, Am дБ	Gm = 1	ф-лы таб.3 [10]	-2,9	-2,9	0	0	0	0	0	0	0		
Суммарное снижение поверхностью земли на траектории распространения звука Agr, дБ		ф-ла (9) [10]	-5,9	-5,9	3,8	5,5	3,5	-0,8	-1,5	-1,5	-1,5		
Уровни звукового давления от источника ИШ-7-4 в расчётной точке днём, дБ		**ф-ла(3)[10]**	**6,4**	**0**	**0**	**0**	**0**	**0**	**0**	**0**	**0**	**0**	**0**

1		2	3	4	5	6	7	8	9	10	11	12	13
Уровни звукового давления от источника ИШ-7-4 в расчётной точке ночью, дБ		**ф-ла(3)[10]**	**6,4**	**0**	**0**	**0**	**0**	**0**	**0**	**0**	**0**	**0**	**0**
Источник шума: ИШ-7-5, координаты источника (x,y,z), м =[861.80,21.34,1.00]													
Уровни звуковой мощности источника днём, Lw, дБ		**исходные данные**	**77**	**75**	**67**	**66**	**63**	**55**	**53**	**48**	**51**		
Уровни звуковой мощности источника ночью, Lw, дБ		**исходные данные**	**77**	**75**	**67**	**66**	**63**	**55**	**53**	**48**	**51**		
Поправка на телесный угол DΩ, дБ	Ω = 12.57	10Lg(4π/Ω)	**0**	0	0	0	0	0	0	0	0		
Показатель направленности источника Di, дБ		исходные данные	**0**	0	0	0	0	0	0	0	0		
Поправка на направленность источника Dc, дБ	Dc	DΩ + Di	**0**	0	0	0	0	0	0	0	0		
Затухание из-за геометрической дивергенции, Adiv, дБ	расстояние = 1852.89 м	ф-ла (7) [10]	**76,4**										
Коэффициент затухания звука в атмосфере α, дБ/км	Ta=20,°C Pa=101.33,кПа hотн.=70%	ф-ла (5) [9]	0,02	0,09	0,33	1,12	2,79	4,98	9,04	23,09	77,63		
Учет затухания звука в атмосфере Aatm, дБ		ф-ла (8) [10]	0	0,2	0,6	2,1	5,2	9,2	16,7	42,8	143,8		
Снижение уровня звукового давления из-за влияния застройки между источником шума и расчетной точкой													
Снижение уровня звукового давления препятствием слева от трассы ИШ-РТ, Dz2, дБ	z = -0.01м (разность путей)	ф-лы (14-18) [10]	4,7	4,6	4,5	4,3	3,7	2,2	0	NAN	NAN		
* отрицательное значение z означает прохождение траектории вблизи экрана, в этом случае дополнительно производится учёт снижения подстилающей поверхностью (см.ниже)													
Снижение поверхностью земли возле источника As, дБ	Gs = 0 hs = 1м	ф-лы таб.3 [10]	-1,5	-1,5	-1,5	-1,5	-1,5	-1,5	-1,5	-1,5	-1,5		
Снижение поверхностью земли возле приёмника Ar, дБ	Gr = 1 hr = 1.5м	ф-лы таб.3 [10]	-1,5	-1,5	5,3	7	5	0,7	0	0	0		
Снижение поверхностью земли в средней зоне, Am дБ	Gm = 1	ф-лы таб.3 [10]	-2,9	-2,9	0	0	0	0	0	0	0		
Суммарное снижение поверхностью земли на траектории распространения звука Agr, дБ		ф-ла (9) [10]	-5,9	-5,9	3,8	5,5	3,5	-0,8	-1,5	-1,5	-1,5		

1		2	3	4	5	6	7	8	9	10	11	12	13
Уровни звукового давления от источника ИШ-7-5 в расчётной точке днём, дБ		**ф-ла(3)[10]**	**0**	**0**	**0**	**0**	**0**	**0**	**0**	**0**	**0**	**0**	**0**
Уровни звукового давления от источника ИШ-7-5 в расчётной точке ночью, дБ		**ф-ла(3)[10]**	**0**	**0**	**0**	**0**	**0**	**0**	**0**	**0**	**0**	**0**	**0**
Источник шума: ИШ-7-6, координаты источника (x,y,z), м =[856.52,5.94,1.00]													
Уровни звуковой мощности источника днём, Lw, дБ		**исходные данные**	**77**	**75**	**67**	**66**	**63**	**55**	**53**	**48**	**51**		
Уровни звуковой мощности источника ночью, Lw, дБ		**исходные данные**	**77**	**75**	**67**	**66**	**63**	**55**	**53**	**48**	**51**		
Поправка на телесный угол DΩ, дБ	Ω = 12.57	10Lg(4π/Ω)	**0**	0	0	0	0	0	0	0	0		
Показатель направленности источника Di, дБ		исходные данные	**0**	0	0	0	0	0	0	0	0		
Поправка на направленность источника Dc, дБ	Dc	DΩ + Di	**0**	0	0	0	0	0	0	0	0		
Затухание из-за геометрической дивергенции, Adiv, дБ	расстояние = 1840.26 м	ф-ла (7) [10]	**76,3**										
Коэффициент затухания звука в атмосфере α, дБ/км	Ta=20,°C Pa=101.33,кПа hотн.=70%	ф-ла (5) [9]	0,02	0,09	0,33	1,12	2,79	4,98	9,04	23,09	77,63		
Учет затухания звука в атмосфере Aatm, дБ		ф-ла (8) [10]	0	0,2	0,6	2,1	5,1	9,2	16,6	42,5	142,9		
Снижение уровня звукового давления из-за влияния застройки между источником шума и расчетной точкой													
Снижение уровня звукового давления на пути над экраном, Dz1, дБ	z = 0.02м (разность путей)	ф-лы (14-18) [10]	4,8	4,8	4,8	4,8	4,8	4,8	4,8	4,8	4,8		
Уровни звукового давления от источника ИШ-7-6 в расчётной точке днём, дБ		**ф-ла(3)[10]**	**0**	**0**	**0**	**0**	**0**	**0**	**0**	**0**	**0**	**0**	**0**
Уровни звукового давления от источника ИШ-7-6 в расчётной точке ночью, дБ		**ф-ла(3)[10]**	**0**	**0**	**0**	**0**	**0**	**0**	**0**	**0**	**0**	**0**	**0**
Источник шума: ИШ-7-7, координаты источника (x,y,z), м =[851.06,-9.89,1.00]													

1		2	3	4	5	6	7	8	9	10	11	12	13
Уровни звуковой мощности источника днём, Lw, дБ		**исходные данные**	**77**	**75**	**67**	**66**	**63**	**55**	**53**	**48**	**51**		
Уровни звуковой мощности источника ночью, Lw, дБ		**исходные данные**	**77**	**75**	**67**	**66**	**63**	**55**	**53**	**48**	**51**		
Поправка на телесный угол DΩ, дБ	Ω = 12.57	10Lg(4π/Ω)	**0**	0	0	0	0	0	0	0	0		
Показатель направленности источника Di, дБ		исходные данные	**0**	0	0	0	0	0	0	0	0		
Поправка на направленность источника Dc, дБ	Dc	DΩ + Di	**0**	0	0	0	0	0	0	0	0		
Затухание из-за геометрической дивергенции, Adiv, дБ	расстояние = 1827.32 м	ф-ла (7) [10]	**76,2**										
Коэффициент затухания звука в атмосфере α, дБ/км	Ta=20,°C Pa=101.33,кПа hотн.=70%	ф-ла (5) [9]	0,02	0,09	0,33	1,12	2,79	4,98	9,04	23,09	77,63		
Учет затухания звука в атмосфере Aatm, дБ		ф-ла (8) [10]	0	0,2	0,6	2,1	5,1	9,1	16,5	42,2	141,9		
Снижение уровня звукового давления из-за влияния застройки между источником шума и расчетной точкой													
Снижение уровня звукового давления на пути над экраном, Dz1, дБ	z = 0.02м (разность путей)	ф-лы (14-18) [10]	4,8	4,8	4,8	4,8	4,8	4,8	4,8	4,8	4,8		
Уровни звукового давления от источника ИШ-7-7 в расчётной точке днём, дБ		**ф-ла(3)[10]**	**0**	**0**	**0**	**0**	**0**	**0**	**0**	**0**	**0**	**0**	**0**
Уровни звукового давления от источника ИШ-7-7 в расчётной точке ночью, дБ		**ф-ла(3)[10]**	**0**	**0**	**0**	**0**	**0**	**0**	**0**	**0**	**0**	**0**	**0**
Источник шума: ИШ-7-8, координаты источника (x,y,z), м =[821.90,-104.30,1.00]													
Уровни звуковой мощности источника днём, Lw, дБ		**исходные данные**	**77**	**75**	**67**	**66**	**63**	**55**	**53**	**48**	**51**		
Уровни звуковой мощности источника ночью, Lw, дБ		**исходные данные**	**77**	**75**	**67**	**66**	**63**	**55**	**53**	**48**	**51**		
Поправка на телесный угол DΩ, дБ	Ω = 12.57	10Lg(4π/Ω)	**0**	0	0	0	0	0	0	0	0		

1		2	3	4	5	6	7	8	9	10	11	12	13
Показатель направленности источника Di, дБ		исходные данные	**0**	0	0	0	0	0	0	0	0		
Поправка на направленность источника Dc, дБ	Dc	DΩ + Di	**0**	0	0	0	0	0	0	0	0		
Затухание из-за геометрической дивергенции, Adiv, дБ	расстояние = 1754.44 м	ф-ла (7) [10]	**75,9**										
Коэффициент затухания звука в атмосфере α, дБ/км	Ta=20,°C Pa=101.33,кПа hотн.=70%	ф-ла (5) [9]	0,02	0,09	0,33	1,12	2,79	4,98	9,04	23,09	77,63		
Учет затухания звука в атмосфере Aatm, дБ		ф-ла (8) [10]	0	0,2	0,6	2	4,9	8,7	15,9	40,5	136,2		
Снижение поверхностью земли возле источника As, дБ	Gs = 0 hs = 1м	ф-лы таб.3 [10]	-1,5	-1,5	-1,5	-1,5	-1,5	-1,5	-1,5	-1,5	-1,5		
Снижение поверхностью земли возле приёмника Ar, дБ	Gr = 1 hr = 1.5м	ф-лы таб.3 [10]	-1,5	-1,5	5,3	7	5	0,7	0	0	0		
Снижение поверхностью земли в средней зоне, Am дБ	Gm = 1	ф-лы таб.3 [10]	-2,9	-2,9	0	0	0	0	0	0	0		
Суммарное снижение поверхностью земли на траектории распространения звука Agr, дБ		ф-ла (9) [10]	-5,9	-5,9	3,8	5,5	3,5	-0,8	-1,5	-1,5	-1,5		
Уровни звукового давления от источника ИШ-7-8 в расчётной точке днём, дБ		**ф-ла(3)[10]**	**6,9**	**0**	**0**	**0**	**0**	**0**	**0**	**0**	**0**	**0**	**0**
Уровни звукового давления от источника ИШ-7-8 в расчётной точке ночью, дБ		**ф-ла(3)[10]**	**6,9**	**0**	**0**	**0**	**0**	**0**	**0**	**0**	**0**	**0**	**0**
Источник шума: ИШ-7-9, координаты источника (x,y,z), м =[819.93,-110.97,1.00]													
Уровни звуковой мощности источника днём, Lw, дБ		**исходные данные**	**77**	**75**	**67**	**66**	**63**	**55**	**53**	**48**	**51**		
Уровни звуковой мощности источника ночью, Lw, дБ		**исходные данные**	**77**	**75**	**67**	**66**	**63**	**55**	**53**	**48**	**51**		
Поправка на телесный угол DΩ, дБ	Ω = 12.57	10Lg(4π/Ω)	**0**	0	0	0	0	0	0	0	0		
Показатель направленности источника Di, дБ		исходные данные	**0**	0	0	0	0	0	0	0	0		

1		2	3	4	5	6	7	8	9	10	11	12	13
Поправка на направленность источника Dc, дБ	Dc	DΩ + Di	**0**	0	0	0	0	0	0	0	0		
Затухание из-за геометрической дивергенции, Adiv, дБ	расстояние = 1749.47 м	ф-ла (7) [10]	**75,9**										
Коэффициент затухания звука в атмосфере α, дБ/км	Ta=20,°C Pa=101.33,кПа hотн.=70%	ф-ла (5) [9]	0,02	0,09	0,33	1,12	2,79	4,98	9,04	23,09	77,63		
Учет затухания звука в атмосфере Aatm, дБ		ф-ла (8) [10]	0	0,2	0,6	2	4,9	8,7	15,8	40,4	135,8		
Снижение поверхностью земли возле источника As, дБ	Gs = 0 hs = 1м	ф-лы таб.3 [10]	-1,5	-1,5	-1,5	-1,5	-1,5	-1,5	-1,5	-1,5	-1,5		
Снижение поверхностью земли возле приёмника Ar, дБ	Gr = 1 hr = 1.5м	ф-лы таб.3 [10]	-1,5	-1,5	5,3	7	5	0,7	0	0	0		
Снижение поверхностью земли в средней зоне, Am дБ	Gm = 1	ф-лы таб.3 [10]	-2,9	-2,9	0	0	0	0	0	0	0		
Суммарное снижение поверхностью земли на траектории распространения звука Agr, дБ		ф-ла (9) [10]	-5,9	-5,9	3,8	5,5	3,5	-0,8	-1,5	-1,5	-1,5		
Уровни звукового давления от источника ИШ-7-9 в расчётной точке днём, дБ		**ф-ла(3)[10]**	**7**	**0**	**0**	**0**	**0**	**0**	**0**	**0**	**0**	**0**	**0**
Уровни звукового давления от источника ИШ-7-9 в расчётной точке ночью, дБ		**ф-ла(3)[10]**	**7**	**0**	**0**	**0**	**0**	**0**	**0**	**0**	**0**	**0**	**0**
Источник шума: ИШ-7-10, координаты источника (x,y,z), м =[868.68,92.66,1.00]													
Уровни звуковой мощности источника днём, Lw, дБ		**исходные данные**	**77**	**75**	**67**	**66**	**63**	**55**	**53**	**48**	**51**		
Уровни звуковой мощности источника ночью, Lw, дБ		**исходные данные**	**77**	**75**	**67**	**66**	**63**	**55**	**53**	**48**	**51**		
Поправка на телесный угол DΩ, дБ	Ω = 12.57	10Lg(4π/Ω)	**0**	0	0	0	0	0	0	0	0		
Показатель направленности источника Di, дБ		исходные данные	**0**	0	0	0	0	0	0	0	0		
Поправка на направленность источника Dc, дБ	Dc	DΩ + Di	**0**	0	0	0	0	0	0	0	0		

1		2	3	4	5	6	7	8	9	10	11	12	13
Затухание из-за геометрической дивергенции, Adiv, дБ	расстояние = 1897.43 м	ф-ла (7) [10]	**76,6**										
Коэффициент затухания звука в атмосфере α, дБ/км	Ta=20,°C Pa=101.33,кПа hотн.=70%	ф-ла (5) [9]	0,02	0,09	0,33	1,12	2,79	4,98	9,04	23,09	77,63		
Учет затухания звука в атмосфере Aatm, дБ		ф-ла (8) [10]	0	0,2	0,6	2,1	5,3	9,4	17,2	43,8	147,3		
Снижение поверхностью земли возле источника As, дБ	Gs = 0 hs = 1м	ф-лы таб.3 [10]	-1,5	-1,5	-1,5	-1,5	-1,5	-1,5	-1,5	-1,5	-1,5		
Снижение поверхностью земли возле приёмника Ar, дБ	Gr = 1 hr = 1.5м	ф-лы таб.3 [10]	-1,5	-1,5	5,3	7	5	0,7	0	0	0		
Снижение поверхностью земли в средней зоне, Am дБ	Gm = 1	ф-лы таб.3 [10]	-2,9	-2,9	0	0	0	0	0	0	0		
Суммарное снижение поверхностью земли на траектории распространения звука Agr, дБ		ф-ла (9) [10]	-5,9	-5,9	3,8	5,5	3,5	-0,8	-1,5	-1,5	-1,5		
Уровни звукового давления от источника ИШ-7-10 в расчётной точке днём, дБ		**ф-ла(3)[10]**	**6,3**	**0**	**0**	**0**	**0**	**0**	**0**	**0**	**0**	**0**	**0**
Уровни звукового давления от источника ИШ-7-10 в расчётной точке ночью, дБ		**ф-ла(3)[10]**	**6,3**	**0**	**0**	**0**	**0**	**0**	**0**	**0**	**0**	**0**	**0**
Источник шума: ИШ-7-11, координаты источника (x,y,z), м =[877.95,88.75,1.00]													
Уровни звуковой мощности источника днём, Lw, дБ		**исходные данные**	**77**	**75**	**67**	**66**	**63**	**55**	**53**	**48**	**51**		
Уровни звуковой мощности источника ночью, Lw, дБ		**исходные данные**	**77**	**75**	**67**	**66**	**63**	**55**	**53**	**48**	**51**		
Поправка на телесный угол DΩ, дБ	Ω = 12.57	10Lg(4π/Ω)	**0**	0	0	0	0	0	0	0	0		
Показатель направленности источника Di, дБ		исходные данные	**0**	0	0	0	0	0	0	0	0		
Поправка на направленность источника Dc, дБ	Dc	DΩ + Di	**0**	0	0	0	0	0	0	0	0		
Затухание из-за геометрической дивергенции, Adiv, дБ	расстояние = 1902.98 м	ф-ла (7) [10]	**76,6**										

1		2	3	4	5	6	7	8	9	10	11	12	13
Коэффициент затухания звука в атмосфере α, дБ/км	Ta=20,°C Pa=101.33,кПа hотн.=70%	ф-ла (5) [9]	0,02	0,09	0,33	1,12	2,79	4,98	9,04	23,09	77,63		
Учет затухания звука в атмосфере Aatm, дБ		ф-ла (8) [10]	0	0,2	0,6	2,1	5,3	9,5	17,2	43,9	147,7		
Снижение поверхностью земли возле источника As, дБ	Gs = 0 hs = 1м	ф-лы таб.3 [10]	-1,5	-1,5	-1,5	-1,5	-1,5	-1,5	-1,5	-1,5	-1,5		
Снижение поверхностью земли возле приёмника Ar, дБ	Gr = 1 hr = 1.5м	ф-лы таб.3 [10]	-1,5	-1,5	5,3	7	5	0,7	0	0	0		
Снижение поверхностью земли в средней зоне, Am дБ	Gm = 1	ф-лы таб.3 [10]	-2,9	-2,9	0	0	0	0	0	0	0		
Суммарное снижение поверхностью земли на траектории распространения звука Agr, дБ		ф-ла (9) [10]	-5,9	-5,9	3,8	5,5	3,5	-0,8	-1,5	-1,5	-1,5		
Уровни звукового давления от источника ИШ-7-11 в расчётной точке днём, дБ		**ф-ла(3)[10]**	**6,2**	**0**	**0**	**0**	**0**	**0**	**0**	**0**	**0**	**0**	**0**
Уровни звукового давления от источника ИШ-7-11 в расчётной точке ночью, дБ		**ф-ла(3)[10]**	**6,2**	**0**	**0**	**0**	**0**	**0**	**0**	**0**	**0**	**0**	**0**
Источник шума: ИШ-7-12, координаты источника (x,y,z), м =[887.42,85.45,1.00]													
Уровни звуковой мощности источника днём, Lw, дБ		**исходные данные**	**77**	**75**	**67**	**66**	**63**	**55**	**53**	**48**	**51**		
Уровни звуковой мощности источника ночью, Lw, дБ		**исходные данные**	**77**	**75**	**67**	**66**	**63**	**55**	**53**	**48**	**51**		
Поправка на телесный угол DΩ, дБ	Ω = 12.57	10Lg(4π/Ω)	**0**	0	0	0	0	0	0	0	0		
Показатель направленности источника Di, дБ		исходные данные	**0**	0	0	0	0	0	0	0	0		
Поправка на направленность источника Dc, дБ	Dc	DΩ + Di	**0**	0	0	0	0	0	0	0	0		
Затухание из-за геометрической дивергенции, Adiv, дБ	расстояние = 1909.07 м	ф-ла (7) [10]	**76,6**										
Коэффициент затухания звука в атмосфере α, дБ/км	Ta=20,°C Pa=101.33,кПа hотн.=70%	ф-ла (5) [9]	0,02	0,09	0,33	1,12	2,79	4,98	9,04	23,09	77,63		

1		2	3	4	5	6	7	8	9	10	11	12	13
Учет затухания звука в атмосфере Aatm, дБ		ф-ла (8) [10]	0	0,2	0,6	2,1	5,3	9,5	17,3	44,1	148,2		
Снижение поверхностью земли возле источника As, дБ	Gs = 0 hs = 1м	ф-лы таб.3 [10]	-1,5	-1,5	-1,5	-1,5	-1,5	-1,5	-1,5	-1,5	-1,5		
Снижение поверхностью земли возле приёмника Ar, дБ	Gr = 1 hr = 1.5м	ф-лы таб.3 [10]	-1,5	-1,5	5,3	7	5	0,7	0	0	0		
Снижение поверхностью земли в средней зоне, Am дБ	Gm = 1	ф-лы таб.3 [10]	-2,9	-2,9	0	0	0	0	0	0	0		
Суммарное снижение поверхностью земли на траектории распространения звука Agr, дБ		ф-ла (9) [10]	-5,9	-5,9	3,8	5,5	3,5	-0,8	-1,5	-1,5	-1,5		
Уровни звукового давления от источника ИШ-7-12 в расчётной точке днём, дБ		**ф-ла(3)[10]**	**6,2**	**0**	**0**	**0**	**0**	**0**	**0**	**0**	**0**	**0**	**0**
Уровни звукового давления от источника ИШ-7-12 в расчётной точке ночью, дБ		**ф-ла(3)[10]**	**6,2**	**0**	**0**	**0**	**0**	**0**	**0**	**0**	**0**	**0**	**0**
Источник шума: ИШ-6-23, координаты источника (x,y,z), м =[756.16,-136.23,3.00]													
Уровни звуковой мощности источника днём, Lw, дБ		**исходные данные**	**91**	**91**	**91**	**91**	**91**	**91**	**91**	**91**	**91**		
Уровни звуковой мощности источника ночью, Lw, дБ		**исходные данные**	**91**	**91**	**91**	**91**	**91**	**91**	**91**	**91**	**91**		
Поправка на телесный угол DΩ, дБ	Ω = 12.57	10Lg(4π/Ω)	**0**	0	0	0	0	0	0	0	0		
Показатель направленности источника Di, дБ		исходные данные	**0**	0	0	0	0	0	0	0	0		
Поправка на направленность источника Dc, дБ	Dc	DΩ + Di	**0**	0	0	0	0	0	0	0	0		
Затухание из-за геометрической дивергенции, Adiv, дБ	расстояние = 1681.49 м	ф-ла (7) [10]	**75,5**										
Коэффициент затухания звука в атмосфере α, дБ/км	Ta=20,°C Pa=101.33,кПа hотн.=70%	ф-ла (5) [9]	0,02	0,09	0,33	1,12	2,79	4,98	9,04	23,09	77,63		
Учет затухания звука в атмосфере Aatm, дБ		ф-ла (8) [10]	0	0,2	0,6	1,9	4,7	8,4	15,2	38,8	130,5		

1		2	3	4	5	6	7	8	9	10	11	12	13
Снижение поверхностью земли возле источника As, дБ	Gs = 0 hs = 3м	ф-лы таб.3 [10]	-1,5	-1,5	-1,5	-1,5	-1,5	-1,5	-1,5	-1,5	-1,5		
Снижение поверхностью земли возле приёмника Ar, дБ	Gr = 1 hr = 1.5м	ф-лы таб.3 [10]	-1,5	-1,5	5,3	7	5	0,7	0	0	0		
Снижение поверхностью земли в средней зоне, Am дБ	Gm = 1	ф-лы таб.3 [10]	-2,8	-2,8	0	0	0	0	0	0	0		
Суммарное снижение поверхностью земли на траектории распространения звука Agr, дБ		ф-ла (9) [10]	-5,8	-5,8	3,8	5,5	3,5	-0,8	-1,5	-1,5	-1,5		
Уровни звукового давления прямого звука от источника ИШ-6-23 в расчётной точке днём, дБ		**ф-ла(3)[10]**	**21,2**	**21,1**	**11,1**	**8,1**	**7,3**	**7,9**	**1,8**	**0**	**0**	**10,9**	**10,9**
Уровни звукового давления прямого звука от источника ИШ-6-23 в расчётной точке ночью, дБ		**ф-ла(3)[10]**	**21,2**	**21,1**	**11,1**	**8,1**	**7,3**	**7,9**	**1,8**	**0**	**0**	**10,9**	**10,9**
Расчёт отражённого звука													
Уровни звукового давления от мнимого источника ИШ-6-23_мн.(1) в расчётной точке днём, дБ		**ф-ла(3)[10]**	**0**	**0**	**0**	**0**	**0**	**0**	**0**	**0**	**0**	**0**	**0**
Уровни звукового давления от мнимого источника ИШ-6-23_мн.(1) в расчётной точке ночью, дБ		**ф-ла(3)[10]**	**0**	**0**	**0**	**0**	**0**	**0**	**0**	**0**	**0**	**0**	**0**
Уровни звукового давления от источника ИШ-6-23 в расчётной точке днём, дБ		**ф-ла(3)[10]**	**21,2**	**21,1**	**11,1**	**8,1**	**7,3**	**7,9**	**1,8**	**0**	**0**	**10,9**	**10,9**
Уровни звукового давления от источника ИШ-6-23 в расчётной точке ночью, дБ		**ф-ла(3)[10]**	**21,2**	**21,1**	**11,1**	**8,1**	**7,3**	**7,9**	**1,8**	**0**	**0**	**10,9**	**10,9**
Источник шума: ИШ-6-24, координаты источника (x,y,z), м =[800.98,-151.27,3.00]													
Уровни звуковой мощности источника днём, Lw, дБ		**исходные данные**	**91**	**91**	**91**	**91**	**91**	**91**	**91**	**91**	**91**		
Уровни звуковой мощности источника ночью, Lw, дБ		**исходные данные**	**91**	**91**	**91**	**91**	**91**	**91**	**91**	**91**	**91**		
Поправка на телесный угол DΩ, дБ	Ω = 12.57	10Lg(4π/Ω)	**0**	0	0	0	0	0	0	0	0		
Показатель направленности источника Di, дБ		исходные данные	**0**	0	0	0	0	0	0	0	0		
Поправка на направленность источника Dc, дБ	Dc	DΩ + Di	**0**	0	0	0	0	0	0	0	0		

1		2	3	4	5	6	7	8	9	10	11	12	13
Затухание из-за геометрической дивергенции, Adiv, дБ	расстояние = 1713.50 м	ф-ла (7) [10]	**75,7**										
Коэффициент затухания звука в атмосфере α, дБ/км	Ta=20,°C Pa=101.33,кПа hотн.=70%	ф-ла (5) [9]	0,02	0,09	0,33	1,12	2,79	4,98	9,04	23,09	77,63		
Учет затухания звука в атмосфере Aatm, дБ		ф-ла (8) [10]	0	0,2	0,6	1,9	4,8	8,5	15,5	39,6	133		
Снижение уровня звукового давления из-за влияния застройки между источником шума и расчетной точкой													
Снижение уровня звукового давления препятствием слева от трассы ИШ-РТ, Dz2, дБ	z = -0.13м (разность путей)	ф-лы (14-18) [10]	4	3,2	0,6	NAN	NAN	NAN	NAN	NAN	NAN		
* отрицательное значение z означает прохождение траектории вблизи экрана, в этом случае дополнительно производится учёт снижения подстилающей поверхностью (см.ниже)													
Снижение поверхностью земли возле источника As, дБ	Gs = 0 hs = 3м	ф-лы таб.3 [10]	-1,5	-1,5	-1,5	-1,5	-1,5	-1,5	-1,5	-1,5	-1,5		
Снижение поверхностью земли возле приёмника Ar, дБ	Gr = 1 hr = 1.5м	ф-лы таб.3 [10]	-1,5	-1,5	5,3	7	5	0,7	0	0	0		
Снижение поверхностью земли в средней зоне, Am дБ	Gm = 1	ф-лы таб.3 [10]	-2,8	-2,8	0	0	0	0	0	0	0		
Суммарное снижение поверхностью земли на траектории распространения звука Agr, дБ		ф-ла (9) [10]	-5,8	-5,8	3,8	5,5	3,5	-0,8	-1,5	-1,5	-1,5		
Уровни звукового давления от источника ИШ-6-24 в расчётной точке днём, дБ		**ф-ла(3)[10]**	**17**	**17,8**	**10,3**	**7,9**	**7,1**	**7,6**	**0**	**0**	**0**	**9,8**	**9,8**
Уровни звукового давления от источника ИШ-6-24 в расчётной точке ночью, дБ		**ф-ла(3)[10]**	**17**	**17,8**	**10,3**	**7,9**	**7,1**	**7,6**	**0**	**0**	**0**	**9,8**	**9,8**
Источник шума: ИШ-8-1, координаты источника (x,y,z), м =[612.60,-227.70,3.00]													
Уровни звуковой мощности источника днём, Lw, дБ		**исходные данные**	**105**	**104**	**104**	**101**	**102**	**106**	**101**	**95**	**87**		
Уровни звуковой мощности источника ночью, Lw, дБ		**исходные данные**	**105**	**104**	**104**	**101**	**102**	**106**	**101**	**95**	**87**		
Поправка на телесный угол DΩ, дБ	Ω = 6.28	10Lg(4π/Ω)	**3**	3	3	3	3	3	3	3	3		
Показатель направленности источника Di, дБ		исходные данные	**0**	0	0	0	0	0	0	0	0		

1		2	3	4	5	6	7	8	9	10	11	12	13
Поправка на направленность источника Dc, дБ	Dc	DΩ + Di	**3**	3	3	3	3	3	3	3	3		
Затухание из-за геометрической дивергенции, Adiv, дБ	расстояние = 1511.54 м	ф-ла (7) [10]	**74,6**										
Коэффициент затухания звука в атмосфере α, дБ/км	Ta=20,°C Pa=101.33,кПа hотн.=70%	ф-ла (5) [9]	0,02	0,09	0,33	1,12	2,79	4,98	9,04	23,09	77,63		
Учет затухания звука в атмосфере Aatm, дБ		ф-ла (8) [10]	0	0,1	0,5	1,7	4,2	7,5	13,7	34,9	117,3		
Снижение поверхностью земли возле источника As, дБ	Gs = 0 hs = 3м	ф-лы таб.3 [10]	-1,5	-1,5	-1,5	-1,5	-1,5	-1,5	-1,5	-1,5	-1,5		
Снижение поверхностью земли возле приёмника Ar, дБ	Gr = 1 hr = 1.5м	ф-лы таб.3 [10]	-1,5	-1,5	5,3	7	5	0,7	0	0	0		
Снижение поверхностью земли в средней зоне, Am дБ	Gm = 1	ф-лы таб.3 [10]	-2,7	-2,7	0	0	0	0	0	0	0		
Суммарное снижение поверхностью земли на траектории распространения звука Agr, дБ		ф-ла (9) [10]	-5,7	-5,7	3,8	5,5	3,5	-0,8	-1,5	-1,5	-1,5		
Уровни звукового давления от источника ИШ-8-1 в расчётной точке днём, дБ		**ф-ла(3)[10]**	**39,1**	**38**	**28,1**	**22,2**	**22,7**	**27,7**	**17,3**	**0**	**0**	**29,1**	**29,1**
Уровни звукового давления от источника ИШ-8-1 в расчётной точке ночью, дБ		**ф-ла(3)[10]**	**39,1**	**38**	**28,1**	**22,2**	**22,7**	**27,7**	**17,3**	**0**	**0**	**29,1**	**29,1**
Источник шума: ИШ-8-2, координаты источника (x,y,z), м =[596.60,-275.00,3.00]													
Уровни звуковой мощности источника днём, Lw, дБ		**исходные данные**	**105**	**104**	**104**	**101**	**102**	**106**	**101**	**95**	**87**		
Уровни звуковой мощности источника ночью, Lw, дБ		**исходные данные**	**105**	**104**	**104**	**101**	**102**	**106**	**101**	**95**	**87**		
Поправка на телесный угол DΩ, дБ	Ω = 6.28	10Lg(4π/Ω)	**3**	3	3	3	3	3	3	3	3		
Показатель направленности источника Di, дБ		исходные данные	**0**	0	0	0	0	0	0	0	0		
Поправка на направленность источника Dc, дБ	Dc	DΩ + Di	**3**	3	3	3	3	3	3	3	3		

1		2	3	4	5	6	7	8	9	10	11	12	13
Затухание из-за геометрической дивергенции, Adiv, дБ	расстояние = 1474.95 м	ф-ла (7) [10]	**74,4**										
Коэффициент затухания звука в атмосфере α, дБ/км	Та=20,°С Ра=101.33,кПа hотн.=70%	ф-ла (5) [9]	0,02	0,09	0,33	1,12	2,79	4,98	9,04	23,09	77,63		
Учет затухания звука в атмосфере Aatm, дБ		ф-ла (8) [10]	0	0,1	0,5	1,7	4,1	7,3	13,3	34,1	114,5		
Снижение уровня звукового давления из-за влияния застройки между источником шума и расчетной точкой													
Снижение уровня звукового давления на пути над экраном, Dz1, дБ	z = 0.01м (разность путей)	ф-лы (14-18) [10]	4,8	4,8	4,8	4,8	4,8	4,8	4,8	4,8	4,8		
Снижение уровня звукового давления на пути слева от экрана, Dz2, дБ	z = 2.26м (разность путей)	ф-лы (14-18) [10]	10,6	12,9	15,6	18,4	21,3	24,3	27,3	30,3	33,3		
Снижение уровня звукового давления на пути справа от экрана, Dz3, дБ	z = 0.09м (разность путей)	ф-лы (14-18) [10]	5,3	5,7	6,4	7,6	9,3	11,5	14	16,8	19,7		
Общее снижение уровня звука препятствием Dz, дБ		Эн.сумма(-Dzi)	1,4	1,8	2,3	2,8	3,4	3,9	4,3	4,5	4,6		
Уровни звукового давления от источника ИШ-8-2 в расчётной точке днём, дБ		**ф-ла(3)[10]**	**32,2**	**30,7**	**29,8**	**25,1**	**23,1**	**23,4**	**12**	**0**	**0**	**26,1**	**26,1**
Уровни звукового давления от источника ИШ-8-2 в расчётной точке ночью, дБ		**ф-ла(3)[10]**	**32,2**	**30,7**	**29,8**	**25,1**	**23,1**	**23,4**	**12**	**0**	**0**	**26,1**	**26,1**
Источник шума: ИШ-8-3, координаты источника (x,y,z), м =[564.90,-369.90,3.00]													
Уровни звуковой мощности источника днём, Lw, дБ		**исходные данные**	**105**	**104**	**104**	**101**	**102**	**106**	**101**	**95**	**87**		
Уровни звуковой мощности источника ночью, Lw, дБ		**исходные данные**	**105**	**104**	**104**	**101**	**102**	**106**	**101**	**95**	**87**		
Поправка на телесный угол DΩ, дБ	Ω = 6.28	10Lg(4π/Ω)	**3**	3	3	3	3	3	3	3	3		
Показатель направленности источника Di, дБ		исходные данные	**0**	0	0	0	0	0	0	0	0		
Поправка на направленность источника Dc, дБ	Dc	DΩ + Di	**3**	3	3	3	3	3	3	3	3		

1		2	3	4	5	6	7	8	9	10	11	12	13
Затухание из-за геометрической дивергенции, Adiv, дБ	расстояние = 1404.38 м	ф-ла (7) [10]	**73,9**										
Коэффициент затухания звука в атмосфере α, дБ/км	Ta=20,°C Pa=101.33,кПа hотн.=70%	ф-ла (5) [9]	0,02	0,09	0,33	1,12	2,79	4,98	9,04	23,09	77,63		
Учет затухания звука в атмосфере Aatm, дБ		ф-ла (8) [10]	0	0,1	0,5	1,6	3,9	7	12,7	32,4	109		
Снижение поверхностью земли возле источника As, дБ	Gs = 0 hs = 3м	ф-лы таб.3 [10]	-1,5	-1,5	-1,5	-1,5	-1,5	-1,5	-1,5	-1,5	-1,5		
Снижение поверхностью земли возле приёмника Ar, дБ	Gr = 1 hr = 1.5м	ф-лы таб.3 [10]	-1,5	-1,5	5,3	7	5	0,7	0	0	0		
Снижение поверхностью земли в средней зоне, Am дБ	Gm = 1	ф-лы таб.3 [10]	-2,7	-2,7	0	0	0	0	0	0	0		
Суммарное снижение поверхностью земли на траектории распространения звука Agr, дБ		ф-ла (9) [10]	-5,7	-5,7	3,8	5,5	3,5	-0,8	-1,5	-1,5	-1,5		
Уровни звукового давления прямого звука от источника ИШ-8-3 в расчётной точке днём, дБ		**ф-ла(3)[10]**	**39,7**	**38,6**	**28,8**	**23**	**23,7**	**28,9**	**18,9**	**0**	**0**	**30,2**	**30,2**
Уровни звукового давления прямого звука от источника ИШ-8-3 в расчётной точке ночью, дБ		**ф-ла(3)[10]**	**39,7**	**38,6**	**28,8**	**23**	**23,7**	**28,9**	**18,9**	**0**	**0**	**30,2**	**30,2**
Расчёт отражённого звука													
Уровни звукового давления от мнимого источника ИШ-8-3_мн.(1) в расчётной точке днём, дБ		**ф-ла(3)[10]**	**0**	**0**	**0**	**0**	**0**	**0**	**0**	**0**	**0**	**0**	**0**
Уровни звукового давления от мнимого источника ИШ-8-3_мн.(1) в расчётной точке ночью, дБ		**ф-ла(3)[10]**	**0**	**0**	**0**	**0**	**0**	**0**	**0**	**0**	**0**	**0**	**0**
Уровни звукового давления от источника ИШ-8-3 в расчётной точке днём, дБ		**ф-ла(3)[10]**	**39,7**	**38,6**	**28,8**	**23**	**23,7**	**28,9**	**18,9**	**0**	**0**	**30,2**	**30,2**
Уровни звукового давления от источника ИШ-8-3 в расчётной точке ночью, дБ		**ф-ла(3)[10]**	**39,7**	**38,6**	**28,8**	**23**	**23,7**	**28,9**	**18,9**	**0**	**0**	**30,2**	**30,2**
Источник шума: ИШ-9-1, координаты источника (x,y,z), м =[642.94,-357.54,1.00]													
Уровни звуковой мощности источника днём, Lw, дБ		**исходные данные**	**0**	**93,3**	**94,7**	**96**	**96,3**	**95,9**	**92,6**	**88,4**	**83,9**		

1		2	3	4	5	6	7	8	9	10	11	12	13
Уровни звуковой мощности источника ночью, Lw, дБ		**исходные данные**	**0**	**93,3**	**94,7**	**96**	**96,3**	**95,9**	**92,6**	**88,4**	**83,9**		
Поправка на телесный угол DΩ, дБ	Ω = 6.28	10Lg(4π/Ω)	**3**	3	3	3	3	3	3	3	3		
Показатель направленности источника Di, дБ		исходные данные	**0**	0	0	0	0	0	0	0	0		
Поправка на направленность источника Dc, дБ	Dc	DΩ + Di	**3**	3	3	3	3	3	3	3	3		
Затухание из-за геометрической дивергенции, Adiv, дБ	расстояние = 1480.51 м	ф-ла (7) [10]	**74,4**										
Коэффициент затухания звука в атмосфере α, дБ/км	Ta=20,°C Pa=101.33,кПа hотн.=70%	ф-ла (5) [9]	0,02	0,09	0,33	1,12	2,79	4,98	9,04	23,09	77,63		
Учет затухания звука в атмосфере Aatm, дБ		ф-ла (8) [10]	0	0,1	0,5	1,7	4,1	7,4	13,4	34,2	114,9		
Снижение поверхностью земли возле источника As, дБ	Gs = 0 hs = 1м	ф-лы таб.3 [10]	-1,5	-1,5	-1,5	-1,5	-1,5	-1,5	-1,5	-1,5	-1,5		
Снижение поверхностью земли возле приёмника Ar, дБ	Gr = 1 hr = 1.5м	ф-лы таб.3 [10]	-1,5	-1,5	5,3	7	5	0,7	0	0	0		
Снижение поверхностью земли в средней зоне, Am дБ	Gm = 1	ф-лы таб.3 [10]	-2,8	-2,8	0	0	0	0	0	0	0		
Суммарное снижение поверхностью земли на траектории распространения звука Agr, дБ		ф-ла (9) [10]	-5,8	-5,8	3,8	5,5	3,5	-0,8	-1,5	-1,5	-1,5		
Уровни звукового давления от источника ИШ-9-1 в расчётной точке днём, дБ		**ф-ла(3)[10]**	**0**	**27,6**	**19**	**17,4**	**17,3**	**18**	**9,3**	**0**	**0**	**20,4**	**20,4**
Уровни звукового давления от источника ИШ-9-1 в расчётной точке ночью, дБ		**ф-ла(3)[10]**	**0**	**27,6**	**19**	**17,4**	**17,3**	**18**	**9,3**	**0**	**0**	**20,4**	**20,4**
Источник шума: ИШ-9-2, координаты источника (x,y,z), м =[644.14,-354.83,1.00]													
Уровни звуковой мощности источника днём, Lw, дБ		**исходные данные**	**0**	**93,3**	**94,7**	**96**	**96,3**	**95,9**	**92,6**	**88,4**	**83,9**		
Уровни звуковой мощности источника ночью, Lw, дБ		**исходные данные**	**0**	**93,3**	**94,7**	**96**	**96,3**	**95,9**	**92,6**	**88,4**	**83,9**		

1		2	3	4	5	6	7	8	9	10	11	12	13
Поправка на телесный угол DΩ, дБ	Ω = 6.28	10Lg(4π/Ω)	**3**	3	3	3	3	3	3	3	3		
Показатель направленности источника Di, дБ		исходные данные	**0**	0	0	0	0	0	0	0	0		
Поправка на направленность источника Dc, дБ	Dc	DΩ + Di	**3**	3	3	3	3	3	3	3	3		
Затухание из-за геометрической дивергенции, Adiv, дБ	расстояние = 1482.72 м	ф-ла (7) [10]	**74,4**										
Коэффициент затухания звука в атмосфере α, дБ/км	Ta=20,°C Pa=101.33,кПа hотн.=70%	ф-ла (5) [9]	0,02	0,09	0,33	1,12	2,79	4,98	9,04	23,09	77,63		
Учет затухания звука в атмосфере Aatm, дБ		ф-ла (8) [10]	0	0,1	0,5	1,7	4,1	7,4	13,4	34,2	115,1		
Снижение поверхностью земли возле источника As, дБ	Gs = 0 hs = 1м	ф-лы таб.3 [10]	-1,5	-1,5	-1,5	-1,5	-1,5	-1,5	-1,5	-1,5	-1,5		
Снижение поверхностью земли возле приёмника Ar, дБ	Gr = 1 hr = 1.5м	ф-лы таб.3 [10]	-1,5	-1,5	5,3	7	5	0,7	0	0	0		
Снижение поверхностью земли в средней зоне, Am дБ	Gm = 1	ф-лы таб.3 [10]	-2,8	-2,8	0	0	0	0	0	0	0		
Суммарное снижение поверхностью земли на траектории распространения звука Agr, дБ		ф-ла (9) [10]	-5,8	-5,8	3,8	5,5	3,5	-0,8	-1,5	-1,5	-1,5		
Уровни звукового давления от источника ИШ-9-2 в расчётной точке днём, дБ		**ф-ла(3)[10]**	**0**	**27,6**	**18,9**	**17,4**	**17,3**	**17,9**	**9,3**	**0**	**0**	**20,4**	**20,4**
Уровни звукового давления от источника ИШ-9-2 в расчётной точке ночью, дБ		**ф-ла(3)[10]**	**0**	**27,6**	**18,9**	**17,4**	**17,3**	**17,9**	**9,3**	**0**	**0**	**20,4**	**20,4**
Источник шума: ИШ-9-3, координаты источника (x,y,z), м =[644.98,-351.85,1.00]													
Уровни звуковой мощности источника днём, Lw, дБ		**исходные данные**	**0**	**93,3**	**94,7**	**96**	**96,3**	**95,9**	**92,6**	**88,4**	**83,9**		
Уровни звуковой мощности источника ночью, Lw, дБ		**исходные данные**	**0**	**93,3**	**94,7**	**96**	**96,3**	**95,9**	**92,6**	**88,4**	**83,9**		
Поправка на телесный угол DΩ, дБ	Ω = 6.28	10Lg(4π/Ω)	**3**	3	3	3	3	3	3	3	3		

1		2	3	4	5	6	7	8	9	10	11	12	13
Показатель направленности источника Di, дБ		исходные данные	**0**	0	0	0	0	0	0	0	0		
Поправка на направленность источника Dc, дБ	Dc	DΩ + Di	**3**	3	3	3	3	3	3	3	3		
Затухание из-за геометрической дивергенции, Adiv, дБ	расстояние = 1484.70 м	ф-ла (7) [10]	**74,4**										
Коэффициент затухания звука в атмосфере α, дБ/км	Ta=20,°C Pa=101.33,кПа hотн.=70%	ф-ла (5) [9]	0,02	0,09	0,33	1,12	2,79	4,98	9,04	23,09	77,63		
Учет затухания звука в атмосфере Aatm, дБ		ф-ла (8) [10]	0	0,1	0,5	1,7	4,1	7,4	13,4	34,3	115,3		
Снижение поверхностью земли возле источника As, дБ	Gs = 0 hs = 1м	ф-лы таб.3 [10]	-1,5	-1,5	-1,5	-1,5	-1,5	-1,5	-1,5	-1,5	-1,5		
Снижение поверхностью земли возле приёмника Ar, дБ	Gr = 1 hr = 1.5м	ф-лы таб.3 [10]	-1,5	-1,5	5,3	7	5	0,7	0	0	0		
Снижение поверхностью земли в средней зоне, Am дБ	Gm = 1	ф-лы таб.3 [10]	-2,8	-2,8	0	0	0	0	0	0	0		
Суммарное снижение поверхностью земли на траектории распространения звука Agr, дБ		ф-ла (9) [10]	-5,8	-5,8	3,8	5,5	3,5	-0,8	-1,5	-1,5	-1,5		
Уровни звукового давления прямого звука от источника ИШ-9-3 в расчётной точке днём, дБ		**ф-ла(3)[10]**	**0**	**27,6**	**18,9**	**17,4**	**17,2**	**17,9**	**9,2**	**0**	**0**	**20,4**	**20,4**
Уровни звукового давления прямого звука от источника ИШ-9-3 в расчётной точке ночью, дБ		**ф-ла(3)[10]**	**0**	**27,6**	**18,9**	**17,4**	**17,2**	**17,9**	**9,2**	**0**	**0**	**20,4**	**20,4**
Расчёт отражённого звука													
Уровни звукового давления от мнимого источника ИШ-9-3_мн.(1) в расчётной точке днём, дБ		**ф-ла(3)[10]**	**0**	**0**	**0**	**0**	**0**	**0**	**0**	**0**	**0**	**0**	**0**
Уровни звукового давления от мнимого источника ИШ-9-3_мн.(1) в расчётной точке ночью, дБ		**ф-ла(3)[10]**	**0**	**0**	**0**	**0**	**0**	**0**	**0**	**0**	**0**	**0**	**0**
Уровни звукового давления от источника ИШ-9-3 в расчётной точке днём, дБ		**ф-ла(3)[10]**	**0**	**27,6**	**18,9**	**17,4**	**17,2**	**17,9**	**9,2**	**0**	**0**	**20,4**	**20,4**
Уровни звукового давления от источника ИШ-9-3 в расчётной точке ночью, дБ		**ф-ла(3)[10]**	**0**	**27,6**	**18,9**	**17,4**	**17,2**	**17,9**	**9,2**	**0**	**0**	**20,4**	**20,4**

1		2	3	4	5	6	7	8	9	10	11	12	13
Источник шума: ИШ-9-4, координаты источника (x,y,z), м =[646.01,-349.15,1.00]													
Уровни звуковой мощности источника днём, Lw, дБ		**исходные данные**	**0**	**93,3**	**94,7**	**96**	**96,3**	**95,9**	**92,6**	**88,4**	**83,9**		
Уровни звуковой мощности источника ночью, Lw, дБ		**исходные данные**	**0**	**93,3**	**94,7**	**96**	**96,3**	**95,9**	**92,6**	**88,4**	**83,9**		
Поправка на телесный угол DΩ, дБ	Ω = 6.28	10Lg(4π/Ω)	**3**	3	3	3	3	3	3	3	3		
Показатель направленности источника Di, дБ		исходные данные	**0**	0	0	0	0	0	0	0	0		
Поправка на направленность источника Dc, дБ	Dc	DΩ + Di	**3**	3	3	3	3	3	3	3	3		
Затухание из-за геометрической дивергенции, Adiv, дБ	расстояние = 1486.75 м	ф-ла (7) [10]	**74,4**										
Коэффициент затухания звука в атмосфере α, дБ/км	Ta=20,°C Pa=101.33,кПа hотн.=70%	ф-ла (5) [9]	0,02	0,09	0,33	1,12	2,79	4,98	9,04	23,09	77,63		
Учет затухания звука в атмосфере Aatm, дБ		ф-ла (8) [10]	0	0,1	0,5	1,7	4,1	7,4	13,4	34,3	115,4		
Снижение поверхностью земли возле источника As, дБ	Gs = 0 hs = 1м	ф-лы таб.3 [10]	-1,5	-1,5	-1,5	-1,5	-1,5	-1,5	-1,5	-1,5	-1,5		
Снижение поверхностью земли возле приёмника Ar, дБ	Gr = 1 hr = 1.5м	ф-лы таб.3 [10]	-1,5	-1,5	5,3	7	5	0,7	0	0	0		
Снижение поверхностью земли в средней зоне, Am дБ	Gm = 1	ф-лы таб.3 [10]	-2,8	-2,8	0	0	0	0	0	0	0		
Суммарное снижение поверхностью земли на траектории распространения звука Agr, дБ		ф-ла (9) [10]	-5,8	-5,8	3,8	5,5	3,5	-0,8	-1,5	-1,5	-1,5		
Уровни звукового давления прямого звука от источника ИШ-9-4 в расчётной точке днём, дБ		**ф-ла(3)[10]**	**0**	**27,6**	**18,9**	**17,4**	**17,2**	**17,9**	**9,2**	**0**	**0**	**20,4**	**20,4**
Уровни звукового давления прямого звука от источника ИШ-9-4 в расчётной точке ночью, дБ		**ф-ла(3)[10]**	**0**	**27,6**	**18,9**	**17,4**	**17,2**	**17,9**	**9,2**	**0**	**0**	**20,4**	**20,4**
Расчёт отражённого звука													

1		2	3	4	5	6	7	8	9	10	11	12	13
Уровни звукового давления от мнимого источника ИШ-9-4_мн.(1) в расчётной точке днём, дБ		**ф-ла(3)[10]**	**0**	**0**	**0**	**0**	**0**	**0**	**0**	**0**	**0**	**0**	**0**
Уровни звукового давления от мнимого источника ИШ-9-4_мн.(1) в расчётной точке ночью, дБ		**ф-ла(3)[10]**	**0**	**0**	**0**	**0**	**0**	**0**	**0**	**0**	**0**	**0**	**0**
Уровни звукового давления от источника ИШ-9-4 в расчётной точке днём, дБ		**ф-ла(3)[10]**	**0**	**27,6**	**18,9**	**17,4**	**17,2**	**17,9**	**9,2**	**0**	**0**	**20,4**	**20,4**
Уровни звукового давления от источника ИШ-9-4 в расчётной точке ночью, дБ		**ф-ла(3)[10]**	**0**	**27,6**	**18,9**	**17,4**	**17,2**	**17,9**	**9,2**	**0**	**0**	**20,4**	**20,4**
Источник шума: ИШ-9-5, координаты источника (x,y,z), м =[646.84,-346.17,1.00]													
Уровни звуковой мощности источника днём, Lw, дБ		**исходные данные**	**0**	**93,3**	**94,7**	**96**	**96,3**	**95,9**	**92,6**	**88,4**	**83,9**		
Уровни звуковой мощности источника ночью, Lw, дБ		**исходные данные**	**0**	**93,3**	**94,7**	**96**	**96,3**	**95,9**	**92,6**	**88,4**	**83,9**		
Поправка на телесный угол DΩ, дБ	Ω = 6.28	10Lg(4π/Ω)	**3**	3	3	3	3	3	3	3	3		
Показатель направленности источника Di, дБ		исходные данные	**0**	0	0	0	0	0	0	0	0		
Поправка на направленность источника Dc, дБ	Dc	DΩ + Di	**3**	3	3	3	3	3	3	3	3		
Затухание из-за геометрической дивергенции, Adiv, дБ	расстояние = 1488.74 м	ф-ла (7) [10]	**74,5**										
Коэффициент затухания звука в атмосфере α, дБ/км	Ta=20,°C Pa=101.33,кПа hотн.=70%	ф-ла (5) [9]	0,02	0,09	0,33	1,12	2,79	4,98	9,04	23,09	77,63		
Учет затухания звука в атмосфере Aatm, дБ		ф-ла (8) [10]	0	0,1	0,5	1,7	4,2	7,4	13,5	34,4	115,6		
Снижение поверхностью земли возле источника As, дБ	Gs = 0 hs = 1м	ф-лы таб.3 [10]	-1,5	-1,5	-1,5	-1,5	-1,5	-1,5	-1,5	-1,5	-1,5		
Снижение поверхностью земли возле приёмника Ar, дБ	Gr = 1 hr = 1.5м	ф-лы таб.3 [10]	-1,5	-1,5	5,3	7	5	0,7	0	0	0		
Снижение поверхностью земли в средней зоне, Am дБ	Gm = 1	ф-лы таб.3 [10]	-2,8	-2,8	0	0	0	0	0	0	0		

1		2	3	4	5	6	7	8	9	10	11	12	13
Суммарное снижение поверхностью земли на траектории распространения звука Agr, дБ		ф-ла (9) [10]	-5,8	-5,8	3,8	5,5	3,5	-0,8	-1,5	-1,5	-1,5		
Уровни звукового давления прямого звука от источника ИШ-9-5 в расчётной точке днём, дБ		**ф-ла(3)[10]**	**0**	**27,6**	**18,9**	**17,3**	**17,2**	**17,9**	**9,2**	**0**	**0**	**20,3**	**20,3**
Уровни звукового давления прямого звука от источника ИШ-9-5 в расчётной точке ночью, дБ		**ф-ла(3)[10]**	**0**	**27,6**	**18,9**	**17,3**	**17,2**	**17,9**	**9,2**	**0**	**0**	**20,3**	**20,3**
Расчёт отражённого звука													
Уровни звукового давления от мнимого источника ИШ-9-5_мн.(1) в расчётной точке днём, дБ		**ф-ла(3)[10]**	**0**	**0**	**0**	**0**	**0**	**0**	**0**	**0**	**0**	**0**	**0**
Уровни звукового давления от мнимого источника ИШ-9-5_мн.(1) в расчётной точке ночью, дБ		**ф-ла(3)[10]**	**0**	**0**	**0**	**0**	**0**	**0**	**0**	**0**	**0**	**0**	**0**
Уровни звукового давления от источника ИШ-9-5 в расчётной точке днём, дБ		**ф-ла(3)[10]**	**0**	**27,6**	**18,9**	**17,3**	**17,2**	**17,9**	**9,2**	**0**	**0**	**20,3**	**20,3**
Уровни звукового давления от источника ИШ-9-5 в расчётной точке ночью, дБ		**ф-ла(3)[10]**	**0**	**27,6**	**18,9**	**17,3**	**17,2**	**17,9**	**9,2**	**0**	**0**	**20,3**	**20,3**
Источник шума: ИШ-9-6, координаты источника (x,y,z), м =[647.87,-343.47,1.00]													
Уровни звуковой мощности источника днём, Lw, дБ		**исходные данные**	**0**	**93,3**	**94,7**	**96**	**96,3**	**95,9**	**92,6**	**88,4**	**83,9**		
Уровни звуковой мощности источника ночью, Lw, дБ		**исходные данные**	**0**	**93,3**	**94,7**	**96**	**96,3**	**95,9**	**92,6**	**88,4**	**83,9**		
Поправка на телесный угол DΩ, дБ	Ω = 6.28	10Lg(4π/Ω)	**3**	3	3	3	3	3	3	3	3		
Показатель направленности источника Di, дБ		исходные данные	**0**	0	0	0	0	0	0	0	0		
Поправка на направленность источника Dc, дБ	Dc	DΩ + Di	**3**	3	3	3	3	3	3	3	3		
Затухание из-за геометрической дивергенции, Adiv, дБ	расстояние = 1490.79 м	ф-ла (7) [10]	**74,5**										
Коэффициент затухания звука в атмосфере α, дБ/км	Ta=20,°C Pa=101.33,кПа hотн.=70%	ф-ла (5) [9]	0,02	0,09	0,33	1,12	2,79	4,98	9,04	23,09	77,63		

1		2	3	4	5	6	7	8	9	10	11	12	13
Учет затухания звука в атмосфере Aatm, дБ		ф-ла (8) [10]	0	0,1	0,5	1,7	4,2	7,4	13,5	34,4	115,7		
Снижение поверхностью земли возле источника As, дБ	Gs = 0 hs = 1м	ф-лы таб.3 [10]	-1,5	-1,5	-1,5	-1,5	-1,5	-1,5	-1,5	-1,5	-1,5		
Снижение поверхностью земли возле приёмника Ar, дБ	Gr = 1 hr = 1.5м	ф-лы таб.3 [10]	-1,5	-1,5	5,3	7	5	0,7	0	0	0		
Снижение поверхностью земли в средней зоне, Am дБ	Gm = 1	ф-лы таб.3 [10]	-2,8	-2,8	0	0	0	0	0	0	0		
Суммарное снижение поверхностью земли на траектории распространения звука Agr, дБ		ф-ла (9) [10]	-5,8	-5,8	3,8	5,5	3,5	-0,8	-1,5	-1,5	-1,5		
Уровни звукового давления от источника ИШ-9-6 в расчётной точке днём, дБ		**ф-ла(3)[10]**	**0**	**27,5**	**18,9**	**17,3**	**17,2**	**17,8**	**9,1**	**0**	**0**	**20,3**	**20,3**
Уровни звукового давления от источника ИШ-9-6 в расчётной точке ночью, дБ		**ф-ла(3)[10]**	**0**	**27,5**	**18,9**	**17,3**	**17,2**	**17,8**	**9,1**	**0**	**0**	**20,3**	**20,3**
Источник шума: ИШ-9-7, координаты источника (x,y,z), м =[648.71,-340.49,1.00]													
Уровни звуковой мощности источника днём, Lw, дБ		**исходные данные**	**0**	**93,3**	**94,7**	**96**	**96,3**	**95,9**	**92,6**	**88,4**	**83,9**		
Уровни звуковой мощности источника ночью, Lw, дБ		**исходные данные**	**0**	**93,3**	**94,7**	**96**	**96,3**	**95,9**	**92,6**	**88,4**	**83,9**		
Поправка на телесный угол DΩ, дБ	Ω = 6.28	10Lg(4π/Ω)	**3**	3	3	3	3	3	3	3	3		
Показатель направленности источника Di, дБ		исходные данные	**0**	0	0	0	0	0	0	0	0		
Поправка на направленность источника Dc, дБ	Dc	DΩ + Di	**3**	3	3	3	3	3	3	3	3		
Затухание из-за геометрической дивергенции, Adiv, дБ	расстояние = 1492.80 м	ф-ла (7) [10]	**74,5**										
Коэффициент затухания звука в атмосфере α, дБ/км	Ta=20,°C Pa=101.33,кПа hотн.=70%	ф-ла (5) [9]	0,02	0,09	0,33	1,12	2,79	4,98	9,04	23,09	77,63		
Учет затухания звука в атмосфере Aatm, дБ		ф-ла (8) [10]	0	0,1	0,5	1,7	4,2	7,4	13,5	34,5	115,9		

1		2	3	4	5	6	7	8	9	10	11	12	13
Снижение поверхностью земли возле источника As, дБ	Gs = 0 hs = 1м	ф-лы таб.3 [10]	-1,5	-1,5	-1,5	-1,5	-1,5	-1,5	-1,5	-1,5	-1,5		
Снижение поверхностью земли возле приёмника Ar, дБ	Gr = 1 hr = 1.5м	ф-лы таб.3 [10]	-1,5	-1,5	5,3	7	5	0,7	0	0	0		
Снижение поверхностью земли в средней зоне, Am дБ	Gm = 1	ф-лы таб.3 [10]	-2,8	-2,8	0	0	0	0	0	0	0		
Суммарное снижение поверхностью земли на траектории распространения звука Agr, дБ		ф-ла (9) [10]	-5,8	-5,8	3,8	5,5	3,5	-0,8	-1,5	-1,5	-1,5		
Уровни звукового давления от источника ИШ-9-7 в расчётной точке днём, дБ		**ф-ла(3)[10]**	**0**	**27,5**	**18,9**	**17,3**	**17,2**	**17,8**	**9,1**	**0**	**0**	**20,3**	**20,3**
Уровни звукового давления от источника ИШ-9-7 в расчётной точке ночью, дБ		**ф-ла(3)[10]**	**0**	**27,5**	**18,9**	**17,3**	**17,2**	**17,8**	**9,1**	**0**	**0**	**20,3**	**20,3**
Источник шума: ИШ-9-8, координаты источника (x,y,z), м =[649.92,-337.69,1.00]													
Уровни звуковой мощности источника днём, Lw, дБ		**исходные данные**	**0**	**93,3**	**94,7**	**96**	**96,3**	**95,9**	**92,6**	**88,4**	**83,9**		
Уровни звуковой мощности источника ночью, Lw, дБ		**исходные данные**	**0**	**93,3**	**94,7**	**96**	**96,3**	**95,9**	**92,6**	**88,4**	**83,9**		
Поправка на телесный угол DΩ, дБ	Ω = 6.28	10Lg(4π/Ω)	**3**	3	3	3	3	3	3	3	3		
Показатель направленности источника Di, дБ		исходные данные	**0**	0	0	0	0	0	0	0	0		
Поправка на направленность источника Dc, дБ	Dc	DΩ + Di	**3**	3	3	3	3	3	3	3	3		
Затухание из-за геометрической дивергенции, Adiv, дБ	расстояние = 1495.06 м	ф-ла (7) [10]	**74,5**										
Коэффициент затухания звука в атмосфере α, дБ/км	Ta=20,°C Pa=101.33,кПа hотн.=70%	ф-ла (5) [9]	0,02	0,09	0,33	1,12	2,79	4,98	9,04	23,09	77,63		
Учет затухания звука в атмосфере Aatm, дБ		ф-ла (8) [10]	0	0,1	0,5	1,7	4,2	7,4	13,5	34,5	116,1		
Снижение поверхностью земли возле источника As, дБ	Gs = 0 hs = 1м	ф-лы таб.3 [10]	-1,5	-1,5	-1,5	-1,5	-1,5	-1,5	-1,5	-1,5	-1,5		

1		2	3	4	5	6	7	8	9	10	11	12	13
Снижение поверхностью земли возле приёмника Ar, дБ	Gr = 1 hr = 1.5м	ф-лы таб.3 [10]	-1,5	-1,5	5,3	7	5	0,7	0	0	0		
Снижение поверхностью земли в средней зоне, Am дБ	Gm = 1	ф-лы таб.3 [10]	-2,8	-2,8	0	0	0	0	0	0	0		
Суммарное снижение поверхностью земли на траектории распространения звука Agr, дБ		ф-ла (9) [10]	-5,8	-5,8	3,8	5,5	3,5	-0,8	-1,5	-1,5	-1,5		
Уровни звукового давления от источника ИШ-9-8 в расчётной точке днём, дБ		**ф-ла(3)[10]**	**0**	**27,5**	**18,9**	**17,3**	**17,2**	**17,8**	**9,1**	**0**	**0**	**20,3**	**20,3**
Уровни звукового давления от источника ИШ-9-8 в расчётной точке ночью, дБ		**ф-ла(3)[10]**	**0**	**27,5**	**18,9**	**17,3**	**17,2**	**17,8**	**9,1**	**0**	**0**	**20,3**	**20,3**
Источник шума: ИШ-9-9, координаты источника (x,y,z), м =[650.66,-334.90,1.00]													
Уровни звуковой мощности источника днём, Lw, дБ		**исходные данные**	**0**	**93,3**	**94,7**	**96**	**96,3**	**95,9**	**92,6**	**88,4**	**83,9**		
Уровни звуковой мощности источника ночью, Lw, дБ		**исходные данные**	**0**	**93,3**	**94,7**	**96**	**96,3**	**95,9**	**92,6**	**88,4**	**83,9**		
Поправка на телесный угол DΩ, дБ	Ω = 6.28	10Lg(4π/Ω)	**3**	3	3	3	3	3	3	3	3		
Показатель направленности источника Di, дБ		исходные данные	**0**	0	0	0	0	0	0	0	0		
Поправка на направленность источника Dc, дБ	Dc	DΩ + Di	**3**	3	3	3	3	3	3	3	3		
Затухание из-за геометрической дивергенции, Adiv, дБ	расстояние = 1496.91 м	ф-ла (7) [10]	**74,5**										
Коэффициент затухания звука в атмосфере α, дБ/км	Ta=20,°C Pa=101.33,кПа hотн.=70%	ф-ла (5) [9]	0,02	0,09	0,33	1,12	2,79	4,98	9,04	23,09	77,63		
Учет затухания звука в атмосфере Aatm, дБ		ф-ла (8) [10]	0	0,1	0,5	1,7	4,2	7,5	13,5	34,6	116,2		
Снижение поверхностью земли возле источника As, дБ	Gs = 0 hs = 1м	ф-лы таб.3 [10]	-1,5	-1,5	-1,5	-1,5	-1,5	-1,5	-1,5	-1,5	-1,5		
Снижение поверхностью земли возле приёмника Ar, дБ	Gr = 1 hr = 1.5м	ф-лы таб.3 [10]	-1,5	-1,5	5,3	7	5	0,7	0	0	0		

1		2	3	4	5	6	7	8	9	10	11	12	13
Снижение поверхностью земли в средней зоне, Am дБ	Gm = 1	ф-лы таб.3 [10]	-2,8	-2,8	0	0	0	0	0	0	0		
Суммарное снижение поверхностью земли на траектории распространения звука Agr, дБ		ф-ла (9) [10]	-5,8	-5,8	3,8	5,5	3,5	-0,8	-1,5	-1,5	-1,5		
Уровни звукового давления от источника ИШ-9-9 в расчётной точке днём, дБ		**ф-ла(3)[10]**	**0**	**27,5**	**18,9**	**17,3**	**17,1**	**17,8**	**9,1**	**0**	**0**	**20,2**	**20,2**
Уровни звукового давления от источника ИШ-9-9 в расчётной точке ночью, дБ		**ф-ла(3)[10]**	**0**	**27,5**	**18,9**	**17,3**	**17,1**	**17,8**	**9,1**	**0**	**0**	**20,2**	**20,2**
Источник шума: ИШ-9-10, координаты источника (x,y,z), м =[651.59,-332.01,1.00]													
Уровни звуковой мощности источника днём, Lw, дБ		**исходные данные**	**0**	**93,3**	**94,7**	**96**	**96,3**	**95,9**	**92,6**	**88,4**	**83,9**		
Уровни звуковой мощности источника ночью, Lw, дБ		**исходные данные**	**0**	**93,3**	**94,7**	**96**	**96,3**	**95,9**	**92,6**	**88,4**	**83,9**		
Поправка на телесный угол DΩ, дБ	Ω = 6.28	10Lg(4π/Ω)	**3**	3	3	3	3	3	3	3	3		
Показатель направленности источника Di, дБ		исходные данные	**0**	0	0	0	0	0	0	0	0		
Поправка на направленность источника Dc, дБ	Dc	DΩ + Di	**3**	3	3	3	3	3	3	3	3		
Затухание из-за геометрической дивергенции, Adiv, дБ	расстояние = 1498.97 м	ф-ла (7) [10]	**74,5**										
Коэффициент затухания звука в атмосфере α, дБ/км	Ta=20,°C Pa=101.33,кПа hотн.=70%	ф-ла (5) [9]	0,02	0,09	0,33	1,12	2,79	4,98	9,04	23,09	77,63		
Учет затухания звука в атмосфере Aatm, дБ		ф-ла (8) [10]	0	0,1	0,5	1,7	4,2	7,5	13,5	34,6	116,4		
Снижение поверхностью земли возле источника As, дБ	Gs = 0 hs = 1м	ф-лы таб.3 [10]	-1,5	-1,5	-1,5	-1,5	-1,5	-1,5	-1,5	-1,5	-1,5		
Снижение поверхностью земли возле приёмника Ar, дБ	Gr = 1 hr = 1.5м	ф-лы таб.3 [10]	-1,5	-1,5	5,3	7	5	0,7	0	0	0		
Снижение поверхностью земли в средней зоне, Am дБ	Gm = 1	ф-лы таб.3 [10]	-2,8	-2,8	0	0	0	0	0	0	0		

1		2	3	4	5	6	7	8	9	10	11	12	13
Суммарное снижение поверхностью земли на траектории распространения звука Agr, дБ		ф-ла (9) [10]	-5,8	-5,8	3,8	5,5	3,5	-0,8	-1,5	-1,5	-1,5		
Уровни звукового давления от источника ИШ-9-10 в расчётной точке днём, дБ		**ф-ла(3)[10]**	**0**	**27,5**	**18,8**	**17,3**	**17,1**	**17,8**	**9**	**0**	**0**	**20,2**	**20,2**
Уровни звукового давления от источника ИШ-9-10 в расчётной точке ночью, дБ		**ф-ла(3)[10]**	**0**	**27,5**	**18,8**	**17,3**	**17,1**	**17,8**	**9**	**0**	**0**	**20,2**	**20,2**
Источник шума: ИШ-9-11, координаты источника (x,y,z), м =[652.71,-329.22,1.00]													
Уровни звуковой мощности источника днём, Lw, дБ		**исходные данные**	**0**	**93,3**	**94,7**	**96**	**96,3**	**95,9**	**92,6**	**88,4**	**83,9**		
Уровни звуковой мощности источника ночью, Lw, дБ		**исходные данные**	**0**	**93,3**	**94,7**	**96**	**96,3**	**95,9**	**92,6**	**88,4**	**83,9**		
Поправка на телесный угол DΩ, дБ	Ω = 6.28	10Lg(4π/Ω)	**3**	3	3	3	3	3	3	3	3		
Показатель направленности источника Di, дБ		исходные данные	**0**	0	0	0	0	0	0	0	0		
Поправка на направленность источника Dc, дБ	Dc	DΩ + Di	**3**	3	3	3	3	3	3	3	3		
Затухание из-за геометрической дивергенции, Adiv, дБ	расстояние = 1501.16 м	ф-ла (7) [10]	**74,5**										
Коэффициент затухания звука в атмосфере α, дБ/км	Ta=20,°C Pa=101.33,кПа hотн.=70%	ф-ла (5) [9]	0,02	0,09	0,33	1,12	2,79	4,98	9,04	23,09	77,63		
Учет затухания звука в атмосфере Aatm, дБ		ф-ла (8) [10]	0	0,1	0,5	1,7	4,2	7,5	13,6	34,7	116,5		
Снижение поверхностью земли возле источника As, дБ	Gs = 0 hs = 1м	ф-лы таб.3 [10]	-1,5	-1,5	-1,5	-1,5	-1,5	-1,5	-1,5	-1,5	-1,5		
Снижение поверхностью земли возле приёмника Ar, дБ	Gr = 1 hr = 1.5м	ф-лы таб.3 [10]	-1,5	-1,5	5,3	7	5	0,7	0	0	0		
Снижение поверхностью земли в средней зоне, Am дБ	Gm = 1	ф-лы таб.3 [10]	-2,9	-2,9	0	0	0	0	0	0	0		
Суммарное снижение поверхностью земли на траектории распространения звука Agr, дБ		ф-ла (9) [10]	-5,9	-5,9	3,8	5,5	3,5	-0,8	-1,5	-1,5	-1,5		

1		2	3	4	5	6	7	8	9	10	11	12	13
Уровни звукового давления прямого звука от источника ИШ-9-11 в расчётной точке днём, дБ		**ф-ла(3)[10]**	**0**	**27,5**	**18,8**	**17,3**	**17,1**	**17,7**	**9**	**0**	**0**	**20,2**	**20,2**
Уровни звукового давления прямого звука от источника ИШ-9-11 в расчётной точке ночью, дБ		**ф-ла(3)[10]**	**0**	**27,5**	**18,8**	**17,3**	**17,1**	**17,7**	**9**	**0**	**0**	**20,2**	**20,2**
Расчёт отражённого звука													
Уровни звукового давления от мнимого источника ИШ-9-11_мн.(1) в расчётной точке днём, дБ		**ф-ла(3)[10]**	**0**	**0**	**0**	**0**	**0**	**0**	**0**	**0**	**0**	**0**	**0**
Уровни звукового давления от мнимого источника ИШ-9-11_мн.(1) в расчётной точке ночью, дБ		**ф-ла(3)[10]**	**0**	**0**	**0**	**0**	**0**	**0**	**0**	**0**	**0**	**0**	**0**
Уровни звукового давления от источника ИШ-9-11 в расчётной точке днём, дБ		**ф-ла(3)[10]**	**0**	**27,5**	**18,8**	**17,3**	**17,1**	**17,7**	**9**	**0**	**0**	**20,2**	**20,2**
Уровни звукового давления от источника ИШ-9-11 в расчётной точке ночью, дБ		**ф-ла(3)[10]**	**0**	**27,5**	**18,8**	**17,3**	**17,1**	**17,7**	**9**	**0**	**0**	**20,2**	**20,2**
Источник шума: ИШ-9-12, координаты источника (x,y,z), м =[653.46,-326.33,1.00]													
Уровни звуковой мощности источника днём, Lw, дБ		**исходные данные**	**0**	**93,3**	**94,7**	**96**	**96,3**	**95,9**	**92,6**	**88,4**	**83,9**		
Уровни звуковой мощности источника ночью, Lw, дБ		**исходные данные**	**0**	**93,3**	**94,7**	**96**	**96,3**	**95,9**	**92,6**	**88,4**	**83,9**		
Поправка на телесный угол DΩ, дБ	Ω = 6.28	10Lg(4π/Ω)	**3**	3	3	3	3	3	3	3	3		
Показатель направленности источника Di, дБ		исходные данные	**0**	0	0	0	0	0	0	0	0		
Поправка на направленность источника Dc, дБ	Dc	DΩ + Di	**3**	3	3	3	3	3	3	3	3		
Затухание из-за геометрической дивергенции, Adiv, дБ	расстояние = 1503.05 м	ф-ла (7) [10]	**74,5**										
Коэффициент затухания звука в атмосфере α, дБ/км	Ta=20,°C Pa=101.33,кПа hотн.=70%	ф-ла (5) [9]	0,02	0,09	0,33	1,12	2,79	4,98	9,04	23,09	77,63		
Учет затухания звука в атмосфере Aatm, дБ		ф-ла (8) [10]	0	0,1	0,5	1,7	4,2	7,5	13,6	34,7	116,7		

1		2	3	4	5	6	7	8	9	10	11	12	13
Снижение поверхностью земли возле источника As, дБ	Gs = 0 hs = 1м	ф-лы таб.3 [10]	-1,5	-1,5	-1,5	-1,5	-1,5	-1,5	-1,5	-1,5	-1,5		
Снижение поверхностью земли возле приёмника Ar, дБ	Gr = 1 hr = 1.5м	ф-лы таб.3 [10]	-1,5	-1,5	5,3	7	5	0,7	0	0	0		
Снижение поверхностью земли в средней зоне, Am дБ	Gm = 1	ф-лы таб.3 [10]	-2,9	-2,9	0	0	0	0	0	0	0		
Суммарное снижение поверхностью земли на траектории распространения звука Agr, дБ		ф-ла (9) [10]	-5,9	-5,9	3,8	5,5	3,5	-0,8	-1,5	-1,5	-1,5		
Уровни звукового давления прямого звука от источника ИШ-9-12 в расчётной точке днём, дБ		**ф-ла(3)[10]**	**0**	**27,5**	**18,8**	**17,2**	**17,1**	**17,7**	**9**	**0**	**0**	**20,2**	**20,2**
Уровни звукового давления прямого звука от источника ИШ-9-12 в расчётной точке ночью, дБ		**ф-ла(3)[10]**	**0**	**27,5**	**18,8**	**17,2**	**17,1**	**17,7**	**9**	**0**	**0**	**20,2**	**20,2**
Расчёт отражённого звука													
Уровни звукового давления от мнимого источника ИШ-9-12_мн.(1) в расчётной точке днём, дБ		**ф-ла(3)[10]**	**0**	**0**	**0**	**0**	**0**	**0**	**0**	**0**	**0**	**0**	**0**
Уровни звукового давления от мнимого источника ИШ-9-12_мн.(1) в расчётной точке ночью, дБ		**ф-ла(3)[10]**	**0**	**0**	**0**	**0**	**0**	**0**	**0**	**0**	**0**	**0**	**0**
Уровни звукового давления от источника ИШ-9-12 в расчётной точке днём, дБ		**ф-ла(3)[10]**	**0**	**27,5**	**18,8**	**17,2**	**17,1**	**17,7**	**9**	**0**	**0**	**20,2**	**20,2**
Уровни звукового давления от источника ИШ-9-12 в расчётной точке ночью, дБ		**ф-ла(3)[10]**	**0**	**27,5**	**18,8**	**17,2**	**17,1**	**17,7**	**9**	**0**	**0**	**20,2**	**20,2**
Источник шума: ИШ-9-13, координаты источника (x,y,z), м =[654.48,-323.54,1.00]													
Уровни звуковой мощности источника днём, Lw, дБ		**исходные данные**	**0**	**93,3**	**94,7**	**96**	**96,3**	**95,9**	**92,6**	**88,4**	**83,9**		
Уровни звуковой мощности источника ночью, Lw, дБ		**исходные данные**	**0**	**93,3**	**94,7**	**96**	**96,3**	**95,9**	**92,6**	**88,4**	**83,9**		
Поправка на телесный угол DΩ, дБ	Ω = 6.28	10Lg(4π/Ω)	**3**	3	3	3	3	3	3	3	3		
Показатель направленности источника Di, дБ		исходные данные	**0**	0	0	0	0	0	0	0	0		
Поправка на направленность источника Dc, дБ	Dc	DΩ + Di	**3**	3	3	3	3	3	3	3	3		

1		2	3	4	5	6	7	8	9	10	11	12	13
Затухание из-за геометрической дивергенции, Adiv, дБ	расстояние = 1505.16 м	ф-ла (7) [10]	**74,6**										
Коэффициент затухания звука в атмосфере α, дБ/км	Ta=20,°C Pa=101.33,кПа hотн.=70%	ф-ла (5) [9]	0,02	0,09	0,33	1,12	2,79	4,98	9,04	23,09	77,63		
Учет затухания звука в атмосфере Aatm, дБ		ф-ла (8) [10]	0	0,1	0,5	1,7	4,2	7,5	13,6	34,7	116,9		
Снижение поверхностью земли возле источника As, дБ	Gs = 0 hs = 1м	ф-лы таб.3 [10]	-1,5	-1,5	-1,5	-1,5	-1,5	-1,5	-1,5	-1,5	-1,5		
Снижение поверхностью земли возле приёмника Ar, дБ	Gr = 1 hr = 1.5м	ф-лы таб.3 [10]	-1,5	-1,5	5,3	7	5	0,7	0	0	0		
Снижение поверхностью земли в средней зоне, Am дБ	Gm = 1	ф-лы таб.3 [10]	-2,9	-2,9	0	0	0	0	0	0	0		
Суммарное снижение поверхностью земли на траектории распространения звука Agr, дБ		ф-ла (9) [10]	-5,9	-5,9	3,8	5,5	3,5	-0,8	-1,5	-1,5	-1,5		
Уровни звукового давления прямого звука от источника ИШ-9-13 в расчётной точке днём, дБ		**ф-ла(3)[10]**	**0**	**27,5**	**18,8**	**17,2**	**17,1**	**17,7**	**8,9**	**0**	**0**	**20,2**	**20,2**
Уровни звукового давления прямого звука от источника ИШ-9-13 в расчётной точке ночью, дБ		**ф-ла(3)[10]**	**0**	**27,5**	**18,8**	**17,2**	**17,1**	**17,7**	**8,9**	**0**	**0**	**20,2**	**20,2**
Расчёт отражённого звука													
Уровни звукового давления от мнимого источника ИШ-9-13_мн.(1) в расчётной точке днём, дБ		**ф-ла(3)[10]**	**0**	**0**	**0**	**0**	**0**	**0**	**0**	**0**	**0**	**0**	**0**
Уровни звукового давления от мнимого источника ИШ-9-13_мн.(1) в расчётной точке ночью, дБ		**ф-ла(3)[10]**	**0**	**0**	**0**	**0**	**0**	**0**	**0**	**0**	**0**	**0**	**0**
Уровни звукового давления от источника ИШ-9-13 в расчётной точке днём, дБ		**ф-ла(3)[10]**	**0**	**27,5**	**18,8**	**17,2**	**17,1**	**17,7**	**8,9**	**0**	**0**	**20,2**	**20,2**
Уровни звукового давления от источника ИШ-9-13 в расчётной точке ночью, дБ		**ф-ла(3)[10]**	**0**	**27,5**	**18,8**	**17,2**	**17,1**	**17,7**	**8,9**	**0**	**0**	**20,2**	**20,2**
Источник шума: ИШ-9-14, координаты источника (x,y,z), м =[655.60,-320.74,1.00]													
Уровни звуковой мощности источника днём, Lw, дБ		**исходные данные**	**0**	**93,3**	**94,7**	**96**	**96,3**	**95,9**	**92,6**	**88,4**	**83,9**		

1		2	3	4	5	6	7	8	9	10	11	12	13
Уровни звуковой мощности источника ночью, Lw, дБ		**исходные данные**	**0**	**93,3**	**94,7**	**96**	**96,3**	**95,9**	**92,6**	**88,4**	**83,9**		
Поправка на телесный угол DΩ, дБ	Ω = 6.28	10Lg(4π/Ω)	**3**	3	3	3	3	3	3	3	3		
Показатель направленности источника Di, дБ		исходные данные	**0**	0	0	0	0	0	0	0	0		
Поправка на направленность источника Dc, дБ	Dc	DΩ + Di	**3**	3	3	3	3	3	3	3	3		
Затухание из-за геометрической дивергенции, Adiv, дБ	расстояние = 1507.36 м	ф-ла (7) [10]	**74,6**										
Коэффициент затухания звука в атмосфере α, дБ/км	Ta=20,°C Pa=101.33,кПа hотн.=70%	ф-ла (5) [9]	0,02	0,09	0,33	1,12	2,79	4,98	9,04	23,09	77,63		
Учет затухания звука в атмосфере Aatm, дБ		ф-ла (8) [10]	0	0,1	0,5	1,7	4,2	7,5	13,6	34,8	117		
Снижение поверхностью земли возле источника As, дБ	Gs = 0 hs = 1м	ф-лы таб.3 [10]	-1,5	-1,5	-1,5	-1,5	-1,5	-1,5	-1,5	-1,5	-1,5		
Снижение поверхностью земли возле приёмника Ar, дБ	Gr = 1 hr = 1.5м	ф-лы таб.3 [10]	-1,5	-1,5	5,3	7	5	0,7	0	0	0		
Снижение поверхностью земли в средней зоне, Am дБ	Gm = 1	ф-лы таб.3 [10]	-2,9	-2,9	0	0	0	0	0	0	0		
Суммарное снижение поверхностью земли на траектории распространения звука Agr, дБ		ф-ла (9) [10]	-5,9	-5,9	3,8	5,5	3,5	-0,8	-1,5	-1,5	-1,5		
Уровни звукового давления прямого звука от источника ИШ-9-14 в расчётной точке днём, дБ		**ф-ла(3)[10]**	**0**	**27,4**	**18,8**	**17,2**	**17**	**17,7**	**8,9**	**0**	**0**	**20,1**	**20,1**
Уровни звукового давления прямого звука от источника ИШ-9-14 в расчётной точке ночью, дБ		**ф-ла(3)[10]**	**0**	**27,4**	**18,8**	**17,2**	**17**	**17,7**	**8,9**	**0**	**0**	**20,1**	**20,1**
Расчёт отражённого звука													
Уровни звукового давления от мнимого источника ИШ-9-14_мн.(1) в расчётной точке днём, дБ		**ф-ла(3)[10]**	**0**	**0**	**0**	**0**	**0**	**0**	**0**	**0**	**0**	**0**	**0**
Уровни звукового давления от мнимого источника ИШ-9-14_мн.(1) в расчётной точке ночью, дБ		**ф-ла(3)[10]**	**0**	**0**	**0**	**0**	**0**	**0**	**0**	**0**	**0**	**0**	**0**
Уровни звукового давления от источника ИШ-9-14 в расчётной точке днём, дБ		**ф-ла(3)[10]**	**0**	**27,4**	**18,8**	**17,2**	**17**	**17,7**	**8,9**	**0**	**0**	**20,1**	**20,1**

1		2	3	4	5	6	7	8	9	10	11	12	13
Уровни звукового давления от источника ИШ-9-14 в расчётной точке ночью, дБ		**ф-ла(3)[10]**	**0**	**27,4**	**18,8**	**17,2**	**17**	**17,7**	**8,9**	**0**	**0**	**20,1**	**20,1**
Источник шума: ИШ-9-15, координаты источника (x,y,z), м =[656.44,-317.86,1.00]													
Уровни звуковой мощности источника днём, Lw, дБ		**исходные данные**	**0**	**93,3**	**94,7**	**96**	**96,3**	**95,9**	**92,6**	**88,4**	**83,9**		
Уровни звуковой мощности источника ночью, Lw, дБ		**исходные данные**	**0**	**93,3**	**94,7**	**96**	**96,3**	**95,9**	**92,6**	**88,4**	**83,9**		
Поправка на телесный угол DΩ, дБ	Ω = 6.28	10Lg(4π/Ω)	**3**	3	3	3	3	3	3	3	3		
Показатель направленности источника Di, дБ		исходные данные	**0**	0	0	0	0	0	0	0	0		
Поправка на направленность источника Dc, дБ	Dc	DΩ + Di	**3**	3	3	3	3	3	3	3	3		
Затухание из-за геометрической дивергенции, Adiv, дБ	расстояние = 1509.35 м	ф-ла (7) [10]	**74,6**										
Коэффициент затухания звука в атмосфере α, дБ/км	Ta=20,°C Pa=101.33,кПа hотн.=70%	ф-ла (5) [9]	0,02	0,09	0,33	1,12	2,79	4,98	9,04	23,09	77,63		
Учет затухания звука в атмосфере Aatm, дБ		ф-ла (8) [10]	0	0,1	0,5	1,7	4,2	7,5	13,6	34,8	117,2		
Снижение поверхностью земли возле источника As, дБ	Gs = 0 hs = 1м	ф-лы таб.3 [10]	-1,5	-1,5	-1,5	-1,5	-1,5	-1,5	-1,5	-1,5	-1,5		
Снижение поверхностью земли возле приёмника Ar, дБ	Gr = 1 hr = 1.5м	ф-лы таб.3 [10]	-1,5	-1,5	5,3	7	5	0,7	0	0	0		
Снижение поверхностью земли в средней зоне, Am дБ	Gm = 1	ф-лы таб.3 [10]	-2,9	-2,9	0	0	0	0	0	0	0		
Суммарное снижение поверхностью земли на траектории распространения звука Agr, дБ		ф-ла (9) [10]	-5,9	-5,9	3,8	5,5	3,5	-0,8	-1,5	-1,5	-1,5		
Уровни звукового давления прямого звука от источника ИШ-9-15 в расчётной точке днём, дБ		**ф-ла(3)[10]**	**0**	**27,4**	**18,8**	**17,2**	**17**	**17,6**	**8,9**	**0**	**0**	**20,1**	**20,1**
Уровни звукового давления прямого звука от источника ИШ-9-15 в расчётной точке ночью, дБ		**ф-ла(3)[10]**	**0**	**27,4**	**18,8**	**17,2**	**17**	**17,6**	**8,9**	**0**	**0**	**20,1**	**20,1**

1		2	3	4	5	6	7	8	9	10	11	12	13
Расчёт отражённого звука													
Уровни звукового давления от мнимого источника ИШ-9-15_мн.(1) в расчётной точке днём, дБ		**ф-ла(3)[10]**	**0**	**0**	**0**	**0**	**0**	**0**	**0**	**0**	**0**	**0**	**0**
Уровни звукового давления от мнимого источника ИШ-9-15_мн.(1) в расчётной точке ночью, дБ		**ф-ла(3)[10]**	**0**	**0**	**0**	**0**	**0**	**0**	**0**	**0**	**0**	**0**	**0**
Уровни звукового давления от источника ИШ-9-15 в расчётной точке днём, дБ		**ф-ла(3)[10]**	**0**	**27,4**	**18,8**	**17,2**	**17**	**17,6**	**8,9**	**0**	**0**	**20,1**	**20,1**
Уровни звукового давления от источника ИШ-9-15 в расчётной точке ночью, дБ		**ф-ла(3)[10]**	**0**	**27,4**	**18,8**	**17,2**	**17**	**17,6**	**8,9**	**0**	**0**	**20,1**	**20,1**
Источник шума: ИШ-9-16, координаты источника (x,y,z), м =[657.46,-314.97,1.00]													
Уровни звуковой мощности источника днём, Lw, дБ		**исходные данные**	**0**	**93,3**	**94,7**	**96**	**96,3**	**95,9**	**92,6**	**88,4**	**83,9**		
Уровни звуковой мощности источника ночью, Lw, дБ		**исходные данные**	**0**	**93,3**	**94,7**	**96**	**96,3**	**95,9**	**92,6**	**88,4**	**83,9**		
Поправка на телесный угол DΩ, дБ	Ω = 6.28	10Lg(4π/Ω)	**3**	3	3	3	3	3	3	3	3		
Показатель направленности источника Di, дБ		исходные данные	**0**	0	0	0	0	0	0	0	0		
Поправка на направленность источника Dc, дБ	Dc	DΩ + Di	**3**	3	3	3	3	3	3	3	3		
Затухание из-за геометрической дивергенции, Adiv, дБ	расстояние = 1511.51 м	ф-ла (7) [10]	**74,6**										
Коэффициент затухания звука в атмосфере α, дБ/км	Ta=20,°C Pa=101.33,кПа hотн.=70%	ф-ла (5) [9]	0,02	0,09	0,33	1,12	2,79	4,98	9,04	23,09	77,63		
Учет затухания звука в атмосфере Aatm, дБ		ф-ла (8) [10]	0	0,1	0,5	1,7	4,2	7,5	13,7	34,9	117,3		
Снижение поверхностью земли возле источника As, дБ	Gs = 0 hs = 1м	ф-лы таб.3 [10]	-1,5	-1,5	-1,5	-1,5	-1,5	-1,5	-1,5	-1,5	-1,5		
Снижение поверхностью земли возле приёмника Ar, дБ	Gr = 1 hr = 1.5м	ф-лы таб.3 [10]	-1,5	-1,5	5,3	7	5	0,7	0	0	0		

1		2	3	4	5	6	7	8	9	10	11	12	13
Снижение поверхностью земли в средней зоне, Am дБ	Gm = 1	ф-лы таб.3 [10]	-2,9	-2,9	0	0	0	0	0	0	0		
Суммарное снижение поверхностью земли на траектории распространения звука Agr, дБ		ф-ла (9) [10]	-5,9	-5,9	3,8	5,5	3,5	-0,8	-1,5	-1,5	-1,5		
Уровни звукового давления прямого звука от источника ИШ-9-16 в расчётной точке днём, дБ		**ф-ла(3)[10]**	**0**	**27,4**	**18,8**	**17,2**	**17**	**17,6**	**8,8**	**0**	**0**	**20,1**	**20,1**
Уровни звукового давления прямого звука от источника ИШ-9-16 в расчётной точке ночью, дБ		**ф-ла(3)[10]**	**0**	**27,4**	**18,8**	**17,2**	**17**	**17,6**	**8,8**	**0**	**0**	**20,1**	**20,1**
Расчёт отражённого звука													
Уровни звукового давления от мнимого источника ИШ-9-16_мн.(1) в расчётной точке днём, дБ		**ф-ла(3)[10]**	**0**	**0**	**0**	**0**	**0**	**0**	**0**	**0**	**0**	**0**	**0**
Уровни звукового давления от мнимого источника ИШ-9-16_мн.(1) в расчётной точке ночью, дБ		**ф-ла(3)[10]**	**0**	**0**	**0**	**0**	**0**	**0**	**0**	**0**	**0**	**0**	**0**
Уровни звукового давления от источника ИШ-9-16 в расчётной точке днём, дБ		**ф-ла(3)[10]**	**0**	**27,4**	**18,8**	**17,2**	**17**	**17,6**	**8,8**	**0**	**0**	**20,1**	**20,1**
Уровни звукового давления от источника ИШ-9-16 в расчётной точке ночью, дБ		**ф-ла(3)[10]**	**0**	**27,4**	**18,8**	**17,2**	**17**	**17,6**	**8,8**	**0**	**0**	**20,1**	**20,1**
Источник шума: ИШ-9-17, координаты источника (x,y,z), м =[658.49,-312.18,1.00]													
Уровни звуковой мощности источника днём, Lw, дБ		**исходные данные**	**0**	**93,3**	**94,7**	**96**	**96,3**	**95,9**	**92,6**	**88,4**	**83,9**		
Уровни звуковой мощности источника ночью, Lw, дБ		**исходные данные**	**0**	**93,3**	**94,7**	**96**	**96,3**	**95,9**	**92,6**	**88,4**	**83,9**		
Поправка на телесный угол DΩ, дБ	Ω = 6.28	10Lg(4π/Ω)	**3**	3	3	3	3	3	3	3	3		
Показатель направленности источника Di, дБ		исходные данные	**0**	0	0	0	0	0	0	0	0		
Поправка на направленность источника Dc, дБ	Dc	DΩ + Di	**3**	3	3	3	3	3	3	3	3		
Затухание из-за геометрической дивергенции, Adiv, дБ	расстояние = 1513.64 м	ф-ла (7) [10]	**74,6**										
Коэффициент затухания звука в атмосфере α, дБ/км	Ta=20,°C Pa=101.33,кПа hотн.=70%	ф-ла (5) [9]	0,02	0,09	0,33	1,12	2,79	4,98	9,04	23,09	77,63		

1		2	3	4	5	6	7	8	9	10	11	12	13
Учет затухания звука в атмосфере Aatm, дБ		ф-ла (8) [10]	0	0,1	0,5	1,7	4,2	7,5	13,7	34,9	117,5		
Снижение поверхностью земли возле источника As, дБ	Gs = 0 hs = 1м	ф-лы таб.3 [10]	-1,5	-1,5	-1,5	-1,5	-1,5	-1,5	-1,5	-1,5	-1,5		
Снижение поверхностью земли возле приёмника Ar, дБ	Gr = 1 hr = 1.5м	ф-лы таб.3 [10]	-1,5	-1,5	5,3	7	5	0,7	0	0	0		
Снижение поверхностью земли в средней зоне, Am дБ	Gm = 1	ф-лы таб.3 [10]	-2,9	-2,9	0	0	0	0	0	0	0		
Суммарное снижение поверхностью земли на траектории распространения звука Agr, дБ		ф-ла (9) [10]	-5,9	-5,9	3,8	5,5	3,5	-0,8	-1,5	-1,5	-1,5		
Уровни звукового давления от источника ИШ-9-17 в расчётной точке днём, дБ		**ф-ла(3)[10]**	**0**	**27,4**	**18,7**	**17,2**	**17**	**17,6**	**8,8**	**0**	**0**	**20,1**	**20,1**
Уровни звукового давления от источника ИШ-9-17 в расчётной точке ночью, дБ		**ф-ла(3)[10]**	**0**	**27,4**	**18,7**	**17,2**	**17**	**17,6**	**8,8**	**0**	**0**	**20,1**	**20,1**
Источник шума: ИШ-9-18, координаты источника (x,y,z), м =[659.42,-309.20,1.00]													
Уровни звуковой мощности источника днём, Lw, дБ		**исходные данные**	**0**	**93,3**	**94,7**	**96**	**96,3**	**95,9**	**92,6**	**88,4**	**83,9**		
Уровни звуковой мощности источника ночью, Lw, дБ		**исходные данные**	**0**	**93,3**	**94,7**	**96**	**96,3**	**95,9**	**92,6**	**88,4**	**83,9**		
Поправка на телесный угол DΩ, дБ	Ω = 6.28	10Lg(4π/Ω)	**3**	3	3	3	3	3	3	3	3		
Показатель направленности источника Di, дБ		исходные данные	**0**	0	0	0	0	0	0	0	0		
Поправка на направленность источника Dc, дБ	Dc	DΩ + Di	**3**	3	3	3	3	3	3	3	3		
Затухание из-за геометрической дивергенции, Adiv, дБ	расстояние = 1515.76 м	ф-ла (7) [10]	**74,6**										
Коэффициент затухания звука в атмосфере α, дБ/км	Ta=20,°C Pa=101.33,кПа hотн.=70%	ф-ла (5) [9]	0,02	0,09	0,33	1,12	2,79	4,98	9,04	23,09	77,63		
Учет затухания звука в атмосфере Aatm, дБ		ф-ла (8) [10]	0	0,1	0,5	1,7	4,2	7,5	13,7	35	117,7		

1		2	3	4	5	6	7	8	9	10	11	12	13
Снижение поверхностью земли возле источника As, дБ	Gs = 0 hs = 1м	ф-лы таб.3 [10]	-1,5	-1,5	-1,5	-1,5	-1,5	-1,5	-1,5	-1,5	-1,5		
Снижение поверхностью земли возле приёмника Ar, дБ	Gr = 1 hr = 1.5м	ф-лы таб.3 [10]	-1,5	-1,5	5,3	7	5	0,7	0	0	0		
Снижение поверхностью земли в средней зоне, Am дБ	Gm = 1	ф-лы таб.3 [10]	-2,9	-2,9	0	0	0	0	0	0	0		
Суммарное снижение поверхностью земли на траектории распространения звука Agr, дБ		ф-ла (9) [10]	-5,9	-5,9	3,8	5,5	3,5	-0,8	-1,5	-1,5	-1,5		
Уровни звукового давления от источника ИШ-9-18 в расчётной точке днём, дБ		**ф-ла(3)[10]**	**0**	**27,4**	**18,7**	**17,2**	**17**	**17,6**	**8,8**	**0**	**0**	**20,1**	**20,1**
Уровни звукового давления от источника ИШ-9-18 в расчётной точке ночью, дБ		**ф-ла(3)[10]**	**0**	**27,4**	**18,7**	**17,2**	**17**	**17,6**	**8,8**	**0**	**0**	**20,1**	**20,1**
Источник шума: ИШ-9-19, координаты источника (x,y,z), м =[660.44,-306.50,1.00]													
Уровни звуковой мощности источника днём, Lw, дБ		**исходные данные**	**0**	**93,3**	**94,7**	**96**	**96,3**	**95,9**	**92,6**	**88,4**	**83,9**		
Уровни звуковой мощности источника ночью, Lw, дБ		**исходные данные**	**0**	**93,3**	**94,7**	**96**	**96,3**	**95,9**	**92,6**	**88,4**	**83,9**		
Поправка на телесный угол DΩ, дБ	Ω = 6.28	10Lg(4π/Ω)	**3**	3	3	3	3	3	3	3	3		
Показатель направленности источника Di, дБ		исходные данные	**0**	0	0	0	0	0	0	0	0		
Поправка на направленность источника Dc, дБ	Dc	DΩ + Di	**3**	3	3	3	3	3	3	3	3		
Затухание из-за геометрической дивергенции, Adiv, дБ	расстояние = 1517.85 м	ф-ла (7) [10]	**74,6**										
Коэффициент затухания звука в атмосфере α, дБ/км	Ta=20,°C Pa=101.33,кПа hотн.=70%	ф-ла (5) [9]	0,02	0,09	0,33	1,12	2,79	4,98	9,04	23,09	77,63		
Учет затухания звука в атмосфере Aatm, дБ		ф-ла (8) [10]	0	0,1	0,5	1,7	4,2	7,6	13,7	35	117,8		
Снижение поверхностью земли возле источника As, дБ	Gs = 0 hs = 1м	ф-лы таб.3 [10]	-1,5	-1,5	-1,5	-1,5	-1,5	-1,5	-1,5	-1,5	-1,5		

1		2	3	4	5	6	7	8	9	10	11	12	13
Снижение поверхностью земли возле приёмника Ar, дБ	Gr = 1 hr = 1.5м	ф-лы таб.3 [10]	-1,5	-1,5	5,3	7	5	0,7	0	0	0		
Снижение поверхностью земли в средней зоне, Am дБ	Gm = 1	ф-лы таб.3 [10]	-2,9	-2,9	0	0	0	0	0	0	0		
Суммарное снижение поверхностью земли на траектории распространения звука Agr, дБ		ф-ла (9) [10]	-5,9	-5,9	3,8	5,5	3,5	-0,8	-1,5	-1,5	-1,5		
Уровни звукового давления от источника ИШ-9-19 в расчётной точке днём, дБ		**ф-ла(3)[10]**	**0**	**27,4**	**18,7**	**17,1**	**17**	**17,6**	**8,7**	**0**	**0**	**20**	**20**
Уровни звукового давления от источника ИШ-9-19 в расчётной точке ночью, дБ		**ф-ла(3)[10]**	**0**	**27,4**	**18,7**	**17,1**	**17**	**17,6**	**8,7**	**0**	**0**	**20**	**20**
Источник шума: ИШ-9-20, координаты источника (x,y,z), м =[661.28,-303.61,1.00]													
Уровни звуковой мощности источника днём, Lw, дБ		**исходные данные**	**0**	**93,3**	**94,7**	**96**	**96,3**	**95,9**	**92,6**	**88,4**	**83,9**		
Уровни звуковой мощности источника ночью, Lw, дБ		**исходные данные**	**0**	**93,3**	**94,7**	**96**	**96,3**	**95,9**	**92,6**	**88,4**	**83,9**		
Поправка на телесный угол DΩ, дБ	Ω = 6.28	10Lg(4π/Ω)	**3**	3	3	3	3	3	3	3	3		
Показатель направленности источника Di, дБ		исходные данные	**0**	0	0	0	0	0	0	0	0		
Поправка на направленность источника Dc, дБ	Dc	DΩ + Di	**3**	3	3	3	3	3	3	3	3		
Затухание из-за геометрической дивергенции, Adiv, дБ	расстояние = 1519.85 м	ф-ла (7) [10]	**74,6**										
Коэффициент затухания звука в атмосфере α, дБ/км	Ta=20,°C Pa=101.33,кПа hотн.=70%	ф-ла (5) [9]	0,02	0,09	0,33	1,12	2,79	4,98	9,04	23,09	77,63		
Учет затухания звука в атмосфере Aatm, дБ		ф-ла (8) [10]	0	0,1	0,5	1,7	4,2	7,6	13,7	35,1	118		
Снижение поверхностью земли возле источника As, дБ	Gs = 0 hs = 1м	ф-лы таб.3 [10]	-1,5	-1,5	-1,5	-1,5	-1,5	-1,5	-1,5	-1,5	-1,5		
Снижение поверхностью земли возле приёмника Ar, дБ	Gr = 1 hr = 1.5м	ф-лы таб.3 [10]	-1,5	-1,5	5,3	7	5	0,7	0	0	0		

1		2	3	4	5	6	7	8	9	10	11	12	13
Снижение поверхностью земли в средней зоне, Am дБ	Gm = 1	ф-лы таб.3 [10]	-2,9	-2,9	0	0	0	0	0	0	0		
Суммарное снижение поверхностью земли на траектории распространения звука Agr, дБ		ф-ла (9) [10]	-5,9	-5,9	3,8	5,5	3,5	-0,8	-1,5	-1,5	-1,5		
Уровни звукового давления от источника ИШ-9-20 в расчётной точке днём, дБ		**ф-ла(3)[10]**	**0**	**27,4**	**18,7**	**17,1**	**16,9**	**17,5**	**8,7**	**0**	**0**	**20**	**20**
Уровни звукового давления от источника ИШ-9-20 в расчётной точке ночью, дБ		**ф-ла(3)[10]**	**0**	**27,4**	**18,7**	**17,1**	**16,9**	**17,5**	**8,7**	**0**	**0**	**20**	**20**
Источник шума: ИШ-9-21, координаты источника (x,y,z), м =[661.93,-300.72,1.00]													
Уровни звуковой мощности источника днём, Lw, дБ		**исходные данные**	**0**	**93,3**	**94,7**	**96**	**96,3**	**95,9**	**92,6**	**88,4**	**83,9**		
Уровни звуковой мощности источника ночью, Lw, дБ		**исходные данные**	**0**	**93,3**	**94,7**	**96**	**96,3**	**95,9**	**92,6**	**88,4**	**83,9**		
Поправка на телесный угол DΩ, дБ	Ω = 6.28	10Lg(4π/Ω)	**3**	3	3	3	3	3	3	3	3		
Показатель направленности источника Di, дБ		исходные данные	**0**	0	0	0	0	0	0	0	0		
Поправка на направленность источника Dc, дБ	Dc	DΩ + Di	**3**	3	3	3	3	3	3	3	3		
Затухание из-за геометрической дивергенции, Adiv, дБ	расстояние = 1521.70 м	ф-ла (7) [10]	**74,6**										
Коэффициент затухания звука в атмосфере α, дБ/км	Ta=20,°C Pa=101.33,кПа hотн.=70%	ф-ла (5) [9]	0,02	0,09	0,33	1,12	2,79	4,98	9,04	23,09	77,63		
Учет затухания звука в атмосфере Aatm, дБ		ф-ла (8) [10]	0	0,1	0,5	1,7	4,2	7,6	13,8	35,1	118,1		
Снижение поверхностью земли возле источника As, дБ	Gs = 0 hs = 1м	ф-лы таб.3 [10]	-1,5	-1,5	-1,5	-1,5	-1,5	-1,5	-1,5	-1,5	-1,5		
Снижение поверхностью земли возле приёмника Ar, дБ	Gr = 1 hr = 1.5м	ф-лы таб.3 [10]	-1,5	-1,5	5,3	7	5	0,7	0	0	0		
Снижение поверхностью земли в средней зоне, Am дБ	Gm = 1	ф-лы таб.3 [10]	-2,9	-2,9	0	0	0	0	0	0	0		

1		2	3	4	5	6	7	8	9	10	11	12	13
Суммарное снижение поверхностью земли на траектории распространения звука Agr, дБ		ф-ла (9) [10]	-5,9	-5,9	3,8	5,5	3,5	-0,8	-1,5	-1,5	-1,5		
Уровни звукового давления прямого звука от источника ИШ-9-21 в расчётной точке днём, дБ		**ф-ла(3)[10]**	**0**	**27,4**	**18,7**	**17,1**	**16,9**	**17,5**	**8,7**	**0**	**0**	**20**	**20**
Уровни звукового давления прямого звука от источника ИШ-9-21 в расчётной точке ночью, дБ		**ф-ла(3)[10]**	**0**	**27,4**	**18,7**	**17,1**	**16,9**	**17,5**	**8,7**	**0**	**0**	**20**	**20**
Расчёт отражённого звука													
Уровни звукового давления от мнимого источника ИШ-9-21_мн.(1) в расчётной точке днём, дБ		**ф-ла(3)[10]**	**0**	**0**	**0**	**0**	**0**	**0**	**0**	**0**	**0**	**0**	**0**
Уровни звукового давления от мнимого источника ИШ-9-21_мн.(1) в расчётной точке ночью, дБ		**ф-ла(3)[10]**	**0**	**0**	**0**	**0**	**0**	**0**	**0**	**0**	**0**	**0**	**0**
Уровни звукового давления от источника ИШ-9-21 в расчётной точке днём, дБ		**ф-ла(3)[10]**	**0**	**27,4**	**18,7**	**17,1**	**16,9**	**17,5**	**8,7**	**0**	**0**	**20**	**20**
Уровни звукового давления от источника ИШ-9-21 в расчётной точке ночью, дБ		**ф-ла(3)[10]**	**0**	**27,4**	**18,7**	**17,1**	**16,9**	**17,5**	**8,7**	**0**	**0**	**20**	**20**
Источник шума: ИШ-9-22, координаты источника (x,y,z), м =[663.14,-297.83,1.00]													
Уровни звуковой мощности источника днём, Lw, дБ		**исходные данные**	**0**	**93,3**	**94,7**	**96**	**96,3**	**95,9**	**92,6**	**88,4**	**83,9**		
Уровни звуковой мощности источника ночью, Lw, дБ		**исходные данные**	**0**	**93,3**	**94,7**	**96**	**96,3**	**95,9**	**92,6**	**88,4**	**83,9**		
Поправка на телесный угол DΩ, дБ	Ω = 6.28	10Lg(4π/Ω)	**3**	3	3	3	3	3	3	3	3		
Показатель направленности источника Di, дБ		исходные данные	**0**	0	0	0	0	0	0	0	0		
Поправка на направленность источника Dc, дБ	Dc	DΩ + Di	**3**	3	3	3	3	3	3	3	3		
Затухание из-за геометрической дивергенции, Adiv, дБ	расстояние = 1524.04 м	ф-ла (7) [10]	**74,7**										
Коэффициент затухания звука в атмосфере α, дБ/км	Ta=20,°C Pa=101.33,кПа hотн.=70%	ф-ла (5) [9]	0,02	0,09	0,33	1,12	2,79	4,98	9,04	23,09	77,63		

1		2	3	4	5	6	7	8	9	10	11	12	13
Учет затухания звука в атмосфере Aatm, дБ		ф-ла (8) [10]	0	0,1	0,5	1,7	4,3	7,6	13,8	35,2	118,3		
Снижение поверхностью земли возле источника As, дБ	Gs = 0 hs = 1м	ф-лы таб.3 [10]	-1,5	-1,5	-1,5	-1,5	-1,5	-1,5	-1,5	-1,5	-1,5		
Снижение поверхностью земли возле приёмника Ar, дБ	Gr = 1 hr = 1.5м	ф-лы таб.3 [10]	-1,5	-1,5	5,3	7	5	0,7	0	0	0		
Снижение поверхностью земли в средней зоне, Am дБ	Gm = 1	ф-лы таб.3 [10]	-2,9	-2,9	0	0	0	0	0	0	0		
Суммарное снижение поверхностью земли на траектории распространения звука Agr, дБ		ф-ла (9) [10]	-5,9	-5,9	3,8	5,5	3,5	-0,8	-1,5	-1,5	-1,5		
Уровни звукового давления прямого звука от источника ИШ-9-22 в расчётной точке днём, дБ		**ф-ла(3)[10]**	**0**	**27,3**	**18,7**	**17,1**	**16,9**	**17,5**	**8,7**	**0**	**0**	**20**	**20**
Уровни звукового давления прямого звука от источника ИШ-9-22 в расчётной точке ночью, дБ		**ф-ла(3)[10]**	**0**	**27,3**	**18,7**	**17,1**	**16,9**	**17,5**	**8,7**	**0**	**0**	**20**	**20**
Расчёт отражённого звука													
Уровни звукового давления от мнимого источника ИШ-9-22_мн.(1) в расчётной точке днём, дБ		**ф-ла(3)[10]**	**0**	**0**	**0**	**0**	**0**	**0**	**0**	**0**	**0**	**0**	**0**
Уровни звукового давления от мнимого источника ИШ-9-22_мн.(1) в расчётной точке ночью, дБ		**ф-ла(3)[10]**	**0**	**0**	**0**	**0**	**0**	**0**	**0**	**0**	**0**	**0**	**0**
Уровни звукового давления от источника ИШ-9-22 в расчётной точке днём, дБ		**ф-ла(3)[10]**	**0**	**27,3**	**18,7**	**17,1**	**16,9**	**17,5**	**8,7**	**0**	**0**	**20**	**20**
Уровни звукового давления от источника ИШ-9-22 в расчётной точке ночью, дБ		**ф-ла(3)[10]**	**0**	**27,3**	**18,7**	**17,1**	**16,9**	**17,5**	**8,7**	**0**	**0**	**20**	**20**
Источник шума: ИШ-9-23, координаты источника (x,y,z), м =[664.07,-295.13,1.00]													
Уровни звуковой мощности источника днём, Lw, дБ		**исходные данные**	**0**	**93,3**	**94,7**	**96**	**96,3**	**95,9**	**92,6**	**88,4**	**83,9**		
Уровни звуковой мощности источника ночью, Lw, дБ		**исходные данные**	**0**	**93,3**	**94,7**	**96**	**96,3**	**95,9**	**92,6**	**88,4**	**83,9**		
Поправка на телесный угол DΩ, дБ	Ω = 6.28	10Lg(4π/Ω)	**3**	3	3	3	3	3	3	3	3		
Показатель направленности источника Di, дБ		исходные данные	**0**	0	0	0	0	0	0	0	0		

1		2	3	4	5	6	7	8	9	10	11	12	13
Поправка на направленность источника Dc, дБ	Dc	DΩ + Di	**3**	3	3	3	3	3	3	3	3		
Затухание из-за геометрической дивергенции, Adiv, дБ	расстояние = 1526.06 м	ф-ла (7) [10]	**74,7**										
Коэффициент затухания звука в атмосфере α, дБ/км	Ta=20,°C Pa=101.33,кПа hотн.=70%	ф-ла (5) [9]	0,02	0,09	0,33	1,12	2,79	4,98	9,04	23,09	77,63		
Учет затухания звука в атмосфере Aatm, дБ		ф-ла (8) [10]	0	0,1	0,5	1,7	4,3	7,6	13,8	35,2	118,5		
Снижение поверхностью земли возле источника As, дБ	Gs = 0 hs = 1м	ф-лы таб.3 [10]	-1,5	-1,5	-1,5	-1,5	-1,5	-1,5	-1,5	-1,5	-1,5		
Снижение поверхностью земли возле приёмника Ar, дБ	Gr = 1 hr = 1.5м	ф-лы таб.3 [10]	-1,5	-1,5	5,3	7	5	0,7	0	0	0		
Снижение поверхностью земли в средней зоне, Am дБ	Gm = 1	ф-лы таб.3 [10]	-2,9	-2,9	0	0	0	0	0	0	0		
Суммарное снижение поверхностью земли на траектории распространения звука Agr, дБ		ф-ла (9) [10]	-5,9	-5,9	3,8	5,5	3,5	-0,8	-1,5	-1,5	-1,5		
Уровни звукового давления прямого звука от источника ИШ-9-23 в расчётной точке днём, дБ		**ф-ла(3)[10]**	**0**	**27,3**	**18,7**	**17,1**	**16,9**	**17,5**	**8,6**	**0**	**0**	**20**	**20**
Уровни звукового давления прямого звука от источника ИШ-9-23 в расчётной точке ночью, дБ		**ф-ла(3)[10]**	**0**	**27,3**	**18,7**	**17,1**	**16,9**	**17,5**	**8,6**	**0**	**0**	**20**	**20**
Расчёт отражённого звука													
Уровни звукового давления от мнимого источника ИШ-9-23_мн.(1) в расчётной точке днём, дБ		**ф-ла(3)[10]**	**0**	**0**	**0**	**0**	**0**	**0**	**0**	**0**	**0**	**0**	**0**
Уровни звукового давления от мнимого источника ИШ-9-23_мн.(1) в расчётной точке ночью, дБ		**ф-ла(3)[10]**	**0**	**0**	**0**	**0**	**0**	**0**	**0**	**0**	**0**	**0**	**0**
Уровни звукового давления от источника ИШ-9-23 в расчётной точке днём, дБ		**ф-ла(3)[10]**	**0**	**27,3**	**18,7**	**17,1**	**16,9**	**17,5**	**8,6**	**0**	**0**	**20**	**20**
Уровни звукового давления от источника ИШ-9-23 в расчётной точке ночью, дБ		**ф-ла(3)[10]**	**0**	**27,3**	**18,7**	**17,1**	**16,9**	**17,5**	**8,6**	**0**	**0**	**20**	**20**
Источник шума: ИШ-9-24, координаты источника (x,y,z), м =[665.19,-292.34,1.00]													

1		2	3	4	5	6	7	8	9	10	11	12	13
Уровни звуковой мощности источника днём, Lw, дБ		**исходные данные**	**0**	**93,3**	**94,7**	**96**	**96,3**	**95,9**	**92,6**	**88,4**	**83,9**		
Уровни звуковой мощности источника ночью, Lw, дБ		**исходные данные**	**0**	**93,3**	**94,7**	**96**	**96,3**	**95,9**	**92,6**	**88,4**	**83,9**		
Поправка на телесный угол DΩ, дБ	Ω = 6.28	10Lg(4π/Ω)	**3**	3	3	3	3	3	3	3	3		
Показатель направленности источника Di, дБ		исходные данные	**0**	0	0	0	0	0	0	0	0		
Поправка на направленность источника Dc, дБ	Dc	DΩ + Di	**3**	3	3	3	3	3	3	3	3		
Затухание из-за геометрической дивергенции, Adiv, дБ	расстояние = 1528.29 м	ф-ла (7) [10]	**74,7**										
Коэффициент затухания звука в атмосфере α, дБ/км	Ta=20,°C Pa=101.33,кПа hотн.=70%	ф-ла (5) [9]	0,02	0,09	0,33	1,12	2,79	4,98	9,04	23,09	77,63		
Учет затухания звука в атмосфере Aatm, дБ		ф-ла (8) [10]	0	0,1	0,5	1,7	4,3	7,6	13,8	35,3	118,6		
Снижение поверхностью земли возле источника As, дБ	Gs = 0 hs = 1м	ф-лы таб.3 [10]	-1,5	-1,5	-1,5	-1,5	-1,5	-1,5	-1,5	-1,5	-1,5		
Снижение поверхностью земли возле приёмника Ar, дБ	Gr = 1 hr = 1.5м	ф-лы таб.3 [10]	-1,5	-1,5	5,3	7	5	0,7	0	0	0		
Снижение поверхностью земли в средней зоне, Am дБ	Gm = 1	ф-лы таб.3 [10]	-2,9	-2,9	0	0	0	0	0	0	0		
Суммарное снижение поверхностью земли на траектории распространения звука Agr, дБ		ф-ла (9) [10]	-5,9	-5,9	3,8	5,5	3,5	-0,8	-1,5	-1,5	-1,5		
Уровни звукового давления прямого звука от источника ИШ-9-24 в расчётной точке днём, дБ		**ф-ла(3)[10]**	**0**	**27,3**	**18,7**	**17,1**	**16,9**	**17,4**	**8,6**	**0**	**0**	**19,9**	**19,9**
Уровни звукового давления прямого звука от источника ИШ-9-24 в расчётной точке ночью, дБ		**ф-ла(3)[10]**	**0**	**27,3**	**18,7**	**17,1**	**16,9**	**17,4**	**8,6**	**0**	**0**	**19,9**	**19,9**
Расчёт отражённого звука													
Уровни звукового давления от мнимого источника ИШ-9-24_мн.(1) в расчётной точке днём, дБ		**ф-ла(3)[10]**	**0**	**0**	**0**	**0**	**0**	**0**	**0**	**0**	**0**	**0**	**0**
Уровни звукового давления от мнимого источника ИШ-9-24_мн.(1) в расчётной точке ночью, дБ		**ф-ла(3)[10]**	**0**	**0**	**0**	**0**	**0**	**0**	**0**	**0**	**0**	**0**	**0**

1		2	3	4	5	6	7	8	9	10	11	12	13
Уровни звукового давления от источника ИШ-9-24 в расчётной точке днём, дБ		**ф-ла(3)[10]**	**0**	**27,3**	**18,7**	**17,1**	**16,9**	**17,4**	**8,6**	**0**	**0**	**19,9**	**19,9**
Уровни звукового давления от источника ИШ-9-24 в расчётной точке ночью, дБ		**ф-ла(3)[10]**	**0**	**27,3**	**18,7**	**17,1**	**16,9**	**17,4**	**8,6**	**0**	**0**	**19,9**	**19,9**
Источник шума: ИШ-9-25, координаты источника (x,y,z), м =[683.46,-239.16,1.00]													
Уровни звуковой мощности источника днём, Lw, дБ		**исходные данные**	**77**	**75**	**67**	**66**	**63**	**55**	**53**	**48**	**51**		
Уровни звуковой мощности источника ночью, Lw, дБ		**исходные данные**	**77**	**75**	**67**	**66**	**63**	**55**	**53**	**48**	**51**		
Поправка на телесный угол DΩ, дБ	Ω = 6.28	10Lg(4π/Ω)	**3**	3	3	3	3	3	3	3	3		
Показатель направленности источника Di, дБ		исходные данные	**0**	0	0	0	0	0	0	0	0		
Поправка на направленность источника Dc, дБ	Dc	DΩ + Di	**3**	3	3	3	3	3	3	3	3		
Затухание из-за геометрической дивергенции, Adiv, дБ	расстояние = 1568.52 м	ф-ла (7) [10]	**74,9**										
Коэффициент затухания звука в атмосфере α, дБ/км	Ta=20,°C Pa=101.33,кПа hотн.=70%	ф-ла (5) [9]	0,02	0,09	0,33	1,12	2,79	4,98	9,04	23,09	77,63		
Учет затухания звука в атмосфере Aatm, дБ		ф-ла (8) [10]	0	0,1	0,5	1,8	4,4	7,8	14,2	36,2	121,8		
Снижение уровня звукового давления из-за влияния застройки между источником шума и расчетной точкой													
Снижение уровня звукового давления на пути над экраном, Dz1, дБ	z = 0.03м (разность путей)	ф-лы (14-18) [10]	4,8	4,8	4,8	4,8	4,8	4,8	4,8	4,8	4,8		
Уровни звукового давления от источника ИШ-9-25 в расчётной точке днём, дБ		**ф-ла(3)[10]**	**0,3**	**0**	**0**	**0**	**0**	**0**	**0**	**0**	**0**	**0**	**0**
Уровни звукового давления от источника ИШ-9-25 в расчётной точке ночью, дБ		**ф-ла(3)[10]**	**0,3**	**0**	**0**	**0**	**0**	**0**	**0**	**0**	**0**	**0**	**0**
Источник шума: ИШ-9-26, координаты источника (x,y,z), м =[680.09,-249.52,1.00]													

1		2	3	4	5	6	7	8	9	10	11	12	13
Уровни звуковой мощности источника днём, Lw, дБ		**исходные данные**	**77**	**75**	**67**	**66**	**63**	**55**	**53**	**48**	**51**		
Уровни звуковой мощности источника ночью, Lw, дБ		**исходные данные**	**77**	**75**	**67**	**66**	**63**	**55**	**53**	**48**	**51**		
Поправка на телесный угол DΩ, дБ	Ω = 6.28	10Lg(4π/Ω)	**3**	3	3	3	3	3	3	3	3		
Показатель направленности источника Di, дБ		исходные данные	**0**	0	0	0	0	0	0	0	0		
Поправка на направленность источника Dc, дБ	Dc	DΩ + Di	**3**	3	3	3	3	3	3	3	3		
Затухание из-за геометрической дивергенции, Adiv, дБ	расстояние = 1560.78 м	ф-ла (7) [10]	**74,9**										
Коэффициент затухания звука в атмосфере α, дБ/км	Ta=20,°C Pa=101.33,кПа hотн.=70%	ф-ла (5) [9]	0,02	0,09	0,33	1,12	2,79	4,98	9,04	23,09	77,63		
Учет затухания звука в атмосфере Aatm, дБ		ф-ла (8) [10]	0	0,1	0,5	1,8	4,4	7,8	14,1	36	121,2		
Снижение уровня звукового давления из-за влияния застройки между источником шума и расчетной точкой													
Снижение уровня звукового давления на пути над экраном, Dz1, дБ	z = 0.03м (разность путей)	ф-лы (14-18) [10]	4,8	4,8	4,8	4,8	4,8	4,8	4,8	4,8	4,8		
Уровни звукового давления от источника ИШ-9-26 в расчётной точке днём, дБ		**ф-ла(3)[10]**	**0,3**	**0**	**0**	**0**	**0**	**0**	**0**	**0**	**0**	**0**	**0**
Уровни звукового давления от источника ИШ-9-26 в расчётной точке ночью, дБ		**ф-ла(3)[10]**	**0,3**	**0**	**0**	**0**	**0**	**0**	**0**	**0**	**0**	**0**	**0**
Источник шума: ИШ-9-27, координаты источника (x,y,z), м =[676.46,-260.14,1.00]													
Уровни звуковой мощности источника днём, Lw, дБ		**исходные данные**	**77**	**75**	**67**	**66**	**63**	**55**	**53**	**48**	**51**		
Уровни звуковой мощности источника ночью, Lw, дБ		**исходные данные**	**77**	**75**	**67**	**66**	**63**	**55**	**53**	**48**	**51**		
Поправка на телесный угол DΩ, дБ	Ω = 6.28	10Lg(4π/Ω)	**3**	3	3	3	3	3	3	3	3		

1		2	3	4	5	6	7	8	9	10	11	12	13
Показатель направленности источника Di, дБ		исходные данные	**0**	0	0	0	0	0	0	0	0		
Поправка на направленность источника Dc, дБ	Dc	DΩ + Di	**3**	3	3	3	3	3	3	3	3		
Затухание из-за геометрической дивергенции, Adiv, дБ	расстояние = 1552.72 м	ф-ла (7) [10]	**74,8**										
Коэффициент затухания звука в атмосфере α, дБ/км	Ta=20,°C Pa=101.33,кПа hотн.=70%	ф-ла (5) [9]	0,02	0,09	0,33	1,12	2,79	4,98	9,04	23,09	77,63		
Учет затухания звука в атмосфере Aatm, дБ		ф-ла (8) [10]	0	0,1	0,5	1,7	4,3	7,7	14	35,8	120,5		
Снижение уровня звукового давления из-за влияния застройки между источником шума и расчетной точкой													
Снижение уровня звукового давления препятствием справа от трассы ИШ-РТ, Dz3, дБ	z = -0.02м (разность путей)	ф-лы (14-18) [10]	0	0	0	3,8	2,4	0	NAN	NAN	NAN		
* отрицательное значение z означает прохождение траектории вблизи экрана, в этом случае дополнительно производится учёт снижения подстилающей поверхностью (см.ниже)													
Снижение поверхностью земли возле источника As, дБ	Gs = 0 hs = 1м	ф-лы таб.3 [10]	-1,5	-1,5	-1,5	-1,5	-1,5	-1,5	-1,5	-1,5	-1,5		
Снижение поверхностью земли возле приёмника Ar, дБ	Gr = 1 hr = 1.5м	ф-лы таб.3 [10]	-1,5	-1,5	5,3	7	5	0,7	0	0	0		
Снижение поверхностью земли в средней зоне, Am дБ	Gm = 1	ф-лы таб.3 [10]	-2,9	-2,9	0	0	0	0	0	0	0		
Суммарное снижение поверхностью земли на траектории распространения звука Agr, дБ		ф-ла (9) [10]	-5,9	-5,9	3,8	5,5	3,5	-0,8	-1,5	-1,5	-1,5		
Уровни звукового давления от источника ИШ-9-27 в расчётной точке днём, дБ		**ф-ла(3)[10]**	**11**	**8,9**	**0**	**0**	**0**	**0**	**0**	**0**	**0**	**0**	**0**
Уровни звукового давления от источника ИШ-9-27 в расчётной точке ночью, дБ		**ф-ла(3)[10]**	**11**	**8,9**	**0**	**0**	**0**	**0**	**0**	**0**	**0**	**0**	**0**
Источник шума: ИШ-10-1, координаты источника (x,y,z), м =[17.37,413.17,1.00]													
Уровни звуковой мощности источника днём, Lw, дБ		**исходные данные**	**0**	**98,3**	**99,7**	**101**	**101,3**	**100,9**	**97,6**	**93,4**	**88,9**		
Уровни звуковой мощности источника ночью, Lw, дБ		**исходные данные**	**0**	**98,3**	**99,7**	**101**	**101,3**	**100,9**	**97,6**	**93,4**	**88,9**		

1		2	3	4	5	6	7	8	9	10	11	12	13
Поправка на телесный угол DΩ, дБ	Ω = 6.28	10Lg(4π/Ω)	**3**	3	3	3	3	3	3	3	3		
Показатель направленности источника Di, дБ		исходные данные	**0**	0	0	0	0	0	0	0	0		
Поправка на направленность источника Dc, дБ	Dc	DΩ + Di	**3**	3	3	3	3	3	3	3	3		
Затухание из-за геометрической дивергенции, Adiv, дБ	расстояние = 1555.29 м	ф-ла (7) [10]	**74,8**										
Коэффициент затухания звука в атмосфере α, дБ/км	Ta=20,°C Pa=101.33,кПа hотн.=70%	ф-ла (5) [9]	0,02	0,09	0,33	1,12	2,79	4,98	9,04	23,09	77,63		
Учет затухания звука в атмосфере Aatm, дБ		ф-ла (8) [10]	0	0,1	0,5	1,7	4,3	7,7	14,1	35,9	120,7		
Снижение поверхностью земли возле источника As, дБ	Gs = 0 hs = 1м	ф-лы таб.3 [10]	-1,5	-1,5	-1,5	-1,5	-1,5	-1,5	-1,5	-1,5	-1,5		
Снижение поверхностью земли возле приёмника Ar, дБ	Gr = 1 hr = 1.5м	ф-лы таб.3 [10]	-1,5	-1,5	5,3	7	5	0,7	0	0	0		
Снижение поверхностью земли в средней зоне, Am дБ	Gm = 1	ф-лы таб.3 [10]	-2,9	-2,9	0	0	0	0	0	0	0		
Суммарное снижение поверхностью земли на траектории распространения звука Agr, дБ		ф-ла (9) [10]	-5,9	-5,9	3,8	5,5	3,5	-0,8	-1,5	-1,5	-1,5		
Уровни звукового давления от источника ИШ-10-1 в расчётной точке днём, дБ		**ф-ла(3)[10]**	**0**	**32,2**	**23,5**	**21,9**	**21,7**	**22,2**	**13,2**	**0**	**0**	**24,7**	**24,7**
Уровни звукового давления от источника ИШ-10-1 в расчётной точке ночью, дБ		**ф-ла(3)[10]**	**0**	**32,2**	**23,5**	**21,9**	**21,7**	**22,2**	**13,2**	**0**	**0**	**24,7**	**24,7**
Источник шума: ИШ-10-2, координаты источника (x,y,z), м =[27.87,443.46,1.00]													
Уровни звуковой мощности источника днём, Lw, дБ		**исходные данные**	**0**	**98,3**	**99,7**	**101**	**101,3**	**100,9**	**97,6**	**93,4**	**88,9**		
Уровни звуковой мощности источника ночью, Lw, дБ		**исходные данные**	**0**	**98,3**	**99,7**	**101**	**101,3**	**100,9**	**97,6**	**93,4**	**88,9**		
Поправка на телесный угол DΩ, дБ	Ω = 6.28	10Lg(4π/Ω)	**3**	3	3	3	3	3	3	3	3		

1		2	3	4	5	6	7	8	9	10	11	12	13
Показатель направленности источника Di, дБ		исходные данные	**0**	0	0	0	0	0	0	0	0		
Поправка на направленность источника Dc, дБ	Dc	DΩ + Di	**3**	3	3	3	3	3	3	3	3		
Затухание из-за геометрической дивергенции, Adiv, дБ	расстояние = 1586.98 м	ф-ла (7) [10]	**75**										
Коэффициент затухания звука в атмосфере α, дБ/км	Ta=20,°C Pa=101.33,кПа hотн.=70%	ф-ла (5) [9]	0,02	0,09	0,33	1,12	2,79	4,98	9,04	23,09	77,63		
Учет затухания звука в атмосфере Aatm, дБ		ф-ла (8) [10]	0	0,1	0,5	1,8	4,4	7,9	14,3	36,6	123,2		
Снижение поверхностью земли возле источника As, дБ	Gs = 0 hs = 1м	ф-лы таб.3 [10]	-1,5	-1,5	-1,5	-1,5	-1,5	-1,5	-1,5	-1,5	-1,5		
Снижение поверхностью земли возле приёмника Ar, дБ	Gr = 1 hr = 1.5м	ф-лы таб.3 [10]	-1,5	-1,5	5,3	7	5	0,7	0	0	0		
Снижение поверхностью земли в средней зоне, Am дБ	Gm = 1	ф-лы таб.3 [10]	-2,9	-2,9	0	0	0	0	0	0	0		
Суммарное снижение поверхностью земли на траектории распространения звука Agr, дБ		ф-ла (9) [10]	-5,9	-5,9	3,8	5,5	3,5	-0,8	-1,5	-1,5	-1,5		
Уровни звукового давления от источника ИШ-10-2 в расчётной точке днём, дБ		**ф-ла(3)[10]**	**0**	**32**	**23,3**	**21,7**	**21,4**	**21,8**	**12,8**	**0**	**0**	**24,4**	**24,4**
Уровни звукового давления от источника ИШ-10-2 в расчётной точке ночью, дБ		**ф-ла(3)[10]**	**0**	**32**	**23,3**	**21,7**	**21,4**	**21,8**	**12,8**	**0**	**0**	**24,4**	**24,4**
Уровни звукового давления в расчётной точке													
Суммарные уровни звукового давления в расчётной точке от всех источников шума днём, Lрт, дБ		**ф-ла (19) [1]**	**52,6**	**50,2**	**42**	**40**	**38,4**	**38,8**	**29,7**	**0**	**0**	**41,5**	**41,5**
Суммарные уровни звукового давления в расчётной точке от всех источников шума ночью, Lрт, дБ		**ф-ла (19) [1]**	**45,6**	**48**	**41,6**	**39,8**	**38,1**	**38,4**	**28,5**	**0**	**0**	**41,1**	**41,1**
Допускаемые УЗД днём, Lдоп, дБ	Границы санитарно-защитных зон	Таблица 5.35.[23]	90	75	66	59	54	50	47	45	44	55	70

1		2	3	4	5	6	7	8	9	10	11	12	13
Допускаемые УЗД ночью, Lдоп, дБ	Границы санитарно-защитных зон	Таблица 5.35.[23]	83	67	57	49	44	40	37	35	33	45	60
Превышение днём, дБ		**Lрт - Lдоп**	**-37,4**	**-24,8**	**-24**	**-19**	**-15,6**	**-11,2**	**-17,3**	**-45**	**-44**	**-13,5**	**-28,5**
Превышение ночью, дБ		**Lрт - Lдоп**	**-37,4**	**-19**	**-15,4**	**-9,2**	**-5,9**	**-1,6**	**-8,5**	**-35**	**-33**	**-3,9**	**-18,9**

Определение уровней звукового давления в точке РТ-7 (координаты точки, м: x = -1119.10, y = 21.10, z = 1.50)													
Наименование величин и их описание		**Ссылка**	**Расчётные уровни в октавных полосах, со среднегеометрическими частотами, Гц**									**La, дБА**	**Lмакс, дБА**
			31,5	**63**	**125**	**250**	**500**	**1000**	**2000**	**4000**	**8000**		
1		**2**	**3**	**4**	**5**	**6**	**7**	**8**	**9**	**10**	**11**	**12**	**13**
Источник шума: ИШ-1-1, координаты источника (x,y,z), м =[271.72,229.68,1.00]													
Уровни звуковой мощности источника днём, Lw, дБ		**исходные данные**	**97**	**97**	**104**	**106**	**105**	**105**	**98**	**87**	**81**		
Уровни звуковой мощности источника ночью, Lw, дБ		**исходные данные**	**97**	**97**	**104**	**106**	**105**	**105**	**98**	**87**	**81**		
Поправка на телесный угол DΩ, дБ	Ω = 6.28	10Lg(4π/Ω)	**3**	3	3	3	3	3	3	3	3		
Показатель направленности источника Di, дБ		исходные данные	**0**	0	0	0	0	0	0	0	0		
Поправка на направленность источника Dc, дБ	Dc	DΩ + Di	**3**	3	3	3	3	3	3	3	3		
Затухание из-за геометрической дивергенции, Adiv, дБ	расстояние = 1406.37 м	ф-ла (7) [10]	**74**										
Коэффициент затухания звука в атмосфере α, дБ/км	Ta=20,°C Pa=101.33,кПа hотн.=70%	ф-ла (5) [9]	0,02	0,09	0,33	1,12	2,79	4,98	9,04	23,09	77,63		
Учет затухания звука в атмосфере Aatm, дБ		ф-ла (8) [10]	0	0,1	0,5	1,6	3,9	7	12,7	32,5	109,2		
Снижение уровня звукового давления из-за влияния застройки между источником шума и расчетной точкой													
Снижение уровня звукового давления на пути над экраном, Dz1, дБ	z = 0.30м (разность путей)	ф-лы (14-18) [10]	4,8	4,8	4,8	4,8	4,8	4,8	4,8	4,9	5		
Снижение уровня звукового давления на пути слева от экрана, Dz2, дБ	z = 2.08м (разность путей)	ф-лы (14-18) [10]	11,8	15,7	19,4	22,6	25,7	28,7	31,7	34,7	37,7		
Снижение уровня звукового давления на пути справа от экрана, Dz3, дБ	z = 29.42м (разность путей)	ф-лы (14-18) [10]	23,5	27,6	31	34,1	37,1	40,2	43,2	46,2	49,2		

1		2	3	4	5	6	7	8	9	10	11	12	13
Общее снижение уровня звука препятствием Dz, дБ		Эн.сумма(-Dzi)	3,9	4,4	4,6	4,7	4,7	4,8	4,8	4,9	5		
Уровни звукового давления прямого звука от источника ИШ-1-1 в расчётной точке днём, дБ		**ф-ла(3)[10]**	**22,1**	**21,5**	**28**	**28,8**	**25,4**	**22,3**	**9,5**	**0**	**0**	**26,7**	**26,7**
Уровни звукового давления прямого звука от источника ИШ-1-1 в расчётной точке ночью, дБ		**ф-ла(3)[10]**	**22,1**	**21,5**	**28**	**28,8**	**25,4**	**22,3**	**9,5**	**0**	**0**	**26,7**	**26,7**
Расчёт отражённого звука													
Уровни звукового давления от мнимого источника ИШ-1-1_мн.(1) в расчётной точке днём, дБ		**ф-ла(3)[10]**	**0**	**0**	**0**	**0**	**0**	**22,3**	**11,8**	**0**	**0**	**22,8**	**22,8**
Уровни звукового давления от мнимого источника ИШ-1-1_мн.(1) в расчётной точке ночью, дБ		**ф-ла(3)[10]**	**0**	**0**	**0**	**0**	**0**	**0**	**0**	**0**	**0**	**22,8**	**22,8**
Уровни звукового давления от источника ИШ-1-1 в расчётной точке днём, дБ		**ф-ла(3)[10]**	**22,1**	**21,5**	**28**	**28,8**	**25,4**	**25,3**	**13,8**	**0**	**0**	**28,2**	**28,2**
Уровни звукового давления от источника ИШ-1-1 в расчётной точке ночью, дБ		**ф-ла(3)[10]**	**22,1**	**21,5**	**28**	**28,8**	**25,4**	**25,3**	**13,8**	**0**	**0**	**28,2**	**28,2**
Источник шума: ИШ-1-2, координаты источника (x,y,z), м =[261.74,199.14,1.00]													
Уровни звуковой мощности источника днём, Lw, дБ		**исходные данные**	**97**	**97**	**104**	**106**	**105**	**105**	**98**	**87**	**81**		
Уровни звуковой мощности источника ночью, Lw, дБ		**исходные данные**	**97**	**97**	**104**	**106**	**105**	**105**	**98**	**87**	**81**		
Поправка на телесный угол DΩ, дБ	Ω = 6.28	10Lg(4π/Ω)	**3**	3	3	3	3	3	3	3	3		
Показатель направленности источника Di, дБ		исходные данные	**0**	0	0	0	0	0	0	0	0		
Поправка на направленность источника Dc, дБ	Dc	DΩ + Di	**3**	3	3	3	3	3	3	3	3		
Затухание из-за геометрической дивергенции, Adiv, дБ	расстояние = 1392.27 м	ф-ла (7) [10]	**73,9**										
Коэффициент затухания звука в атмосфере α, дБ/км	Ta=20,°C Pa=101.33,кПа hотн.=70%	ф-ла (5) [9]	0,02	0,09	0,33	1,12	2,79	4,98	9,04	23,09	77,63		

1		2	3	4	5	6	7	8	9	10	11	12	13
Учет затухания звука в атмосфере Aatm, дБ		ф-ла (8) [10]	0	0,1	0,5	1,6	3,9	6,9	12,6	32,1	108,1		
Снижение уровня звукового давления из-за влияния застройки между источником шума и расчетной точкой													
Снижение уровня звукового давления препятствием справа от трассы ИШ-РТ, Dz3, дБ	z = -0.05м (разность путей)	ф-лы (14-18) [10]	0	0	3,7	2,2	0	NAN	NAN	NAN	NAN		
* отрицательное значение z означает прохождение траектории вблизи экрана, в этом случае дополнительно производится учёт снижения подстилающей поверхностью (см.ниже)													
Снижение поверхностью земли возле источника As, дБ	Gs = 0 hs = 1м	ф-лы таб.3 [10]	-1,5	-1,5	-1,5	-1,5	-1,5	-1,5	-1,5	-1,5	-1,5		
Снижение поверхностью земли возле приёмника Ar, дБ	Gr = 1 hr = 1.5м	ф-лы таб.3 [10]	-1,5	-1,5	5,3	7	5	0,7	0	0	0		
Снижение поверхностью земли в средней зоне, Am дБ	Gm = 1	ф-лы таб.3 [10]	-2,8	-2,8	0	0	0	0	0	0	0		
Суммарное снижение поверхностью земли на траектории распространения звука Agr, дБ		ф-ла (9) [10]	-5,8	-5,8	3,8	5,5	3,5	-0,8	-1,5	-1,5	-1,5		
Уровни звукового давления прямого звука от источника ИШ-1-2 в расчётной точке днём, дБ		**ф-ла(3)[10]**	**31,9**	**31,9**	**25,2**	**25,9**	**26,8**	**28**	**16,1**	**0**	**0**	**29,9**	**29,9**
Уровни звукового давления прямого звука от источника ИШ-1-2 в расчётной точке ночью, дБ		**ф-ла(3)[10]**	**31,9**	**31,9**	**25,2**	**25,9**	**26,8**	**28**	**16,1**	**0**	**0**	**29,9**	**29,9**
Расчёт отражённого звука													
Уровни звукового давления от мнимого источника ИШ-1-2_мн.(1) в расчётной точке днём, дБ		**ф-ла(3)[10]**	**0**	**0**	**0**	**0**	**0**	**17,7**	**7,5**	**0**	**0**	**18,3**	**18,3**
Уровни звукового давления от мнимого источника ИШ-1-2_мн.(1) в расчётной точке ночью, дБ		**ф-ла(3)[10]**	**0**	**0**	**0**	**0**	**0**	**0**	**0**	**0**	**0**	**18,3**	**18,3**
Уровни звукового давления от источника ИШ-1-2 в расчётной точке днём, дБ		**ф-ла(3)[10]**	**31,9**	**31,9**	**25,2**	**25,9**	**26,8**	**28,4**	**16,6**	**0**	**0**	**30,2**	**30,2**
Уровни звукового давления от источника ИШ-1-2 в расчётной точке ночью, дБ		**ф-ла(3)[10]**	**31,9**	**31,9**	**25,2**	**25,9**	**26,8**	**28,4**	**16,6**	**0**	**0**	**30,2**	**30,2**
Источник шума: ИШ-1-3, координаты источника (x,y,z), м =[251.75,236.44,1.00]													
Уровни звуковой мощности источника днём, Lw, дБ		**исходные данные**	**0**	**91,3**	**92,7**	**94**	**94,3**	**93,9**	**90,6**	**86,4**	**81,9**		

1		2	3	4	5	6	7	8	9	10	11	12	13
Уровни звуковой мощности источника ночью, Lw, дБ		**исходные данные**	**0**	**91,3**	**92,7**	**94**	**94,3**	**93,9**	**90,6**	**86,4**	**81,9**		
Поправка на телесный угол DΩ, дБ	Ω = 6.28	10Lg(4π/Ω)	**3**	3	3	3	3	3	3	3	3		
Показатель направленности источника Di, дБ		исходные данные	**0**	0	0	0	0	0	0	0	0		
Поправка на направленность источника Dc, дБ	Dc	DΩ + Di	**3**	3	3	3	3	3	3	3	3		
Затухание из-за геометрической дивергенции, Adiv, дБ	расстояние = 1387.66 м	ф-ла (7) [10]	**73,8**										
Коэффициент затухания звука в атмосфере α, дБ/км	Ta=20,°C Pa=101.33,кПа hотн.=70%	ф-ла (5) [9]	0,02	0,09	0,33	1,12	2,79	4,98	9,04	23,09	77,63		
Учет затухания звука в атмосфере Aatm, дБ		ф-ла (8) [10]	0	0,1	0,5	1,6	3,9	6,9	12,5	32	107,7		
Снижение уровня звукового давления из-за влияния застройки между источником шума и расчетной точкой													
Снижение уровня звукового давления на пути над экраном, Dz1, дБ	z = 0.36м (разность путей)	ф-лы (14-18) [10]	4,8	4,8	4,8	4,8	4,8	4,8	4,8	4,9	5		
Снижение уровня звукового давления на пути слева от экрана, Dz2, дБ	z = 5.17м (разность путей)	ф-лы (14-18) [10]	15,2	19,5	23,2	26,5	29,6	32,6	35,6	38,6	41,6		
Снижение уровня звукового давления на пути справа от экрана, Dz3, дБ	z = 22.62м (разность путей)	ф-лы (14-18) [10]	21,9	26,2	29,7	32,9	36	39	42	45	48,1		
Общее снижение уровня звука препятствием Dz, дБ		Эн.сумма(-Dzi)	4,3	4,6	4,7	4,7	4,8	4,8	4,8	4,9	5		
Уровни звукового давления прямого звука от источника ИШ-1-3 в расчётной точке днём, дБ		**ф-ла(3)[10]**	**0**	**15,7**	**16,7**	**16,8**	**14,8**	**11,3**	**2,4**	**0**	**0**	**15,8**	**15,8**
Уровни звукового давления прямого звука от источника ИШ-1-3 в расчётной точке ночью, дБ		**ф-ла(3)[10]**	**0**	**15,7**	**16,7**	**16,8**	**14,8**	**11,3**	**2,4**	**0**	**0**	**15,8**	**15,8**
Расчёт отражённого звука													
Уровни звукового давления от мнимого источника ИШ-1-3_мн.(1) в расчётной точке днём, дБ		**ф-ла(3)[10]**	**0**	**0**	**0**	**0**	**0**	**0**	**4,1**	**0**	**0**	**5,3**	**5,3**
Уровни звукового давления от мнимого источника ИШ-1-3_мн.(1) в расчётной точке ночью, дБ		**ф-ла(3)[10]**	**0**	**0**	**0**	**0**	**0**	**0**	**0**	**0**	**0**	**5,3**	**5,3**

1		2	3	4	5	6	7	8	9	10	11	12	13
Уровни звукового давления от источника ИШ-1-3 в расчётной точке днём, дБ		**ф-ла(3)[10]**	**0**	**15,7**	**16,7**	**16,8**	**14,8**	**11,3**	**6,4**	**0**	**0**	**16,2**	**16,2**
Уровни звукового давления от источника ИШ-1-3 в расчётной точке ночью, дБ		**ф-ла(3)[10]**	**0**	**15,7**	**16,7**	**16,8**	**14,8**	**11,3**	**6,4**	**0**	**0**	**16,2**	**16,2**
Источник шума: ИШ-1-4, координаты источника (x,y,z), м =[290.25,223.25,1.00]													
Уровни звуковой мощности источника днём, Lw, дБ		**исходные данные**	**0**	**91,3**	**92,7**	**94**	**94,3**	**93,9**	**90,6**	**86,4**	**81,9**		
Уровни звуковой мощности источника ночью, Lw, дБ		**исходные данные**	**0**	**91,3**	**92,7**	**94**	**94,3**	**93,9**	**90,6**	**86,4**	**81,9**		
Поправка на телесный угол DΩ, дБ	Ω = 6.28	10Lg(4π/Ω)	**3**	3	3	3	3	3	3	3	3		
Показатель направленности источника Di, дБ		исходные данные	**0**	0	0	0	0	0	0	0	0		
Поправка на направленность источника Dc, дБ	Dc	DΩ + Di	**3**	3	3	3	3	3	3	3	3		
Затухание из-за геометрической дивергенции, Adiv, дБ	расстояние = 1423.78 м	ф-ла (7) [10]	**74,1**										
Коэффициент затухания звука в атмосфере α, дБ/км	Ta=20,°C Pa=101.33,кПа hотн.=70%	ф-ла (5) [9]	0,02	0,09	0,33	1,12	2,79	4,98	9,04	23,09	77,63		
Учет затухания звука в атмосфере Aatm, дБ		ф-ла (8) [10]	0	0,1	0,5	1,6	4	7,1	12,9	32,9	110,5		
Снижение уровня звукового давления из-за влияния застройки между источником шума и расчетной точкой													
Снижение уровня звукового давления на пути над экраном, Dz1, дБ	z = 0.27м (разность путей)	ф-лы (14-18) [10]	4,8	4,8	4,8	4,8	4,8	4,8	4,8	4,8	4,9		
Снижение уровня звукового давления на пути слева от экрана, Dz2, дБ	z = 0.68м (разность путей)	ф-лы (14-18) [10]	8,4	11,5	14,8	17,9	20,9	23,8	26,8	29,8	32,8		
Снижение уровня звукового давления на пути справа от экрана, Dz3, дБ	z = 30.70м (разность путей)	ф-лы (14-18) [10]	23,7	27,8	31,2	34,3	37,3	40,3	43,4	46,4	49,4		
Общее снижение уровня звука препятствием Dz, дБ		Эн.сумма(-Dzi)	3,2	3,9	4,4	4,6	4,7	4,7	4,8	4,8	4,8		

1		2	3	4	5	6	7	8	9	10	11	12	13
Уровни звукового давления прямого звука от источника ИШ-1-4 в расчётной точке днём, дБ		**ф-ла(3)[10]**	**0**	**16,2**	**16,8**	**16,8**	**14,6**	**11**	**1,9**	**0**	**0**	**15,6**	**15,6**
Уровни звукового давления прямого звука от источника ИШ-1-4 в расчётной точке ночью, дБ		**ф-ла(3)[10]**	**0**	**16,2**	**16,8**	**16,8**	**14,6**	**11**	**1,9**	**0**	**0**	**15,6**	**15,6**
Расчёт отражённого звука													
Уровни звукового давления от мнимого источника ИШ-1-4_мн.(1) в расчётной точке днём, дБ		**ф-ла(3)[10]**	**0**	**0**	**0**	**0**	**0**	**11,4**	**4,7**	**0**	**0**	**12,4**	**12,4**
Уровни звукового давления от мнимого источника ИШ-1-4_мн.(1) в расчётной точке ночью, дБ		**ф-ла(3)[10]**	**0**	**0**	**0**	**0**	**0**	**0**	**0**	**0**	**0**	**12,4**	**12,4**
Уровни звукового давления от источника ИШ-1-4 в расчётной точке днём, дБ		**ф-ла(3)[10]**	**0**	**16,2**	**16,8**	**16,8**	**14,6**	**14,2**	**6,5**	**0**	**0**	**17,3**	**17,3**
Уровни звукового давления от источника ИШ-1-4 в расчётной точке ночью, дБ		**ф-ла(3)[10]**	**0**	**16,2**	**16,8**	**16,8**	**14,6**	**14,2**	**6,5**	**0**	**0**	**17,3**	**17,3**
Источник шума: ИШ-1-5, координаты источника (x,y,z), м =[241.49,205.86,1.00]													
Уровни звуковой мощности источника днём, Lw, дБ		**исходные данные**	**0**	**91,3**	**92,7**	**94**	**94,3**	**93,9**	**90,6**	**86,4**	**81,9**		
Уровни звуковой мощности источника ночью, Lw, дБ		**исходные данные**	**0**	**91,3**	**92,7**	**94**	**94,3**	**93,9**	**90,6**	**86,4**	**81,9**		
Поправка на телесный угол DΩ, дБ	Ω = 6.28	10Lg(4π/Ω)	**3**	3	3	3	3	3	3	3	3		
Показатель направленности источника Di, дБ		исходные данные	**0**	0	0	0	0	0	0	0	0		
Поправка на направленность источника Dc, дБ	Dc	DΩ + Di	**3**	3	3	3	3	3	3	3	3		
Затухание из-за геометрической дивергенции, Adiv, дБ	расстояние = 1373.07 м	ф-ла (7) [10]	**73,8**										
Коэффициент затухания звука в атмосфере α, дБ/км	Ta=20,°C Pa=101.33,кПа hотн.=70%	ф-ла (5) [9]	0,02	0,09	0,33	1,12	2,79	4,98	9,04	23,09	77,63		
Учет затухания звука в атмосфере Aatm, дБ		ф-ла (8) [10]	0	0,1	0,5	1,5	3,8	6,8	12,4	31,7	106,6		

1		2	3	4	5	6	7	8	9	10	11	12	13
Снижение уровня звукового давления из-за влияния застройки между источником шума и расчетной точкой													
Снижение уровня звукового давления на пути над экраном, Dz1, дБ	z = 0.43м (разность путей)	ф-лы (14-18) [10]	4,8	4,8	4,9	4,9	5,1	5,4	6	7	8,4		
Снижение уровня звукового давления на пути слева от экрана, Dz2, дБ	z = 0.11м (разность путей)	ф-лы (14-18) [10]	5,3	5,8	6,6	7,9	9,7	11,9	14,5	17,3	20,2		
Снижение уровня звукового давления на пути справа от экрана, Dz3, дБ	z = 51.02м (разность путей)	ф-лы (14-18) [10]	25,4	29,7	33,3	36,5	39,5	42,6	45,6	48,6	51,6		
Общее снижение уровня звука препятствием Dz, дБ		Эн.сумма(-Dzi)	2	2,3	2,6	3,2	3,8	4,6	5,4	6,6	8,2		
Уровни звукового давления прямого звука от источника ИШ-1-5 в расчётной точке днём, дБ		**ф-ла(3)[10]**	**0**	**18,2**	**18,8**	**18,5**	**15,9**	**11,7**	**2**	**0**	**0**	**16,8**	**16,8**
Уровни звукового давления прямого звука от источника ИШ-1-5 в расчётной точке ночью, дБ		**ф-ла(3)[10]**	**0**	**18,2**	**18,8**	**18,5**	**15,9**	**11,7**	**2**	**0**	**0**	**16,8**	**16,8**
Расчёт отражённого звука													
Уровни звукового давления от мнимого источника ИШ-1-5_мн.(1) в расчётной точке днём, дБ		**ф-ла(3)[10]**	**0**	**0**	**0**	**0**	**0**	**0**	**0,5**	**0**	**0**	**1,7**	**1,7**
Уровни звукового давления от мнимого источника ИШ-1-5_мн.(1) в расчётной точке ночью, дБ		**ф-ла(3)[10]**	**0**	**0**	**0**	**0**	**0**	**0**	**0**	**0**	**0**	**1,7**	**1,7**
Уровни звукового давления от источника ИШ-1-5 в расчётной точке днём, дБ		**ф-ла(3)[10]**	**0**	**18,2**	**18,8**	**18,5**	**15,9**	**11,7**	**4,3**	**0**	**0**	**16,9**	**16,9**
Уровни звукового давления от источника ИШ-1-5 в расчётной точке ночью, дБ		**ф-ла(3)[10]**	**0**	**18,2**	**18,8**	**18,5**	**15,9**	**11,7**	**4,3**	**0**	**0**	**16,9**	**16,9**
Источник шума: ИШ-1-6, координаты источника (x,y,z), м =[279.85,192.97,1.00]													
Уровни звуковой мощности источника днём, Lw, дБ		**исходные данные**	**0**	**91,3**	**92,7**	**94**	**94,3**	**93,9**	**90,6**	**86,4**	**81,9**		
Уровни звуковой мощности источника ночью, Lw, дБ		**исходные данные**	**0**	**91,3**	**92,7**	**94**	**94,3**	**93,9**	**90,6**	**86,4**	**81,9**		
Поправка на телесный угол DΩ, дБ	Ω = 6.28	10Lg(4π/Ω)	**3**	3	3	3	3	3	3	3	3		
Показатель направленности источника Di, дБ		исходные данные	**0**	0	0	0	0	0	0	0	0		

1		2	3	4	5	6	7	8	9	10	11	12	13
Поправка на направленность источника Dc, дБ	Dc	DΩ + Di	**3**	3	3	3	3	3	3	3	3		
Затухание из-за геометрической дивергенции, Adiv, дБ	расстояние = 1409.46 м	ф-ла (7) [10]	**74**										
Коэффициент затухания звука в атмосфере α, дБ/км	Ta=20,°C Pa=101.33,кПа hотн.=70%	ф-ла (5) [9]	0,02	0,09	0,33	1,12	2,79	4,98	9,04	23,09	77,63		
Учет затухания звука в атмосфере Aatm, дБ		ф-ла (8) [10]	0	0,1	0,5	1,6	3,9	7	12,7	32,5	109,4		
Снижение уровня звукового давления из-за влияния застройки между источником шума и расчетной точкой													
Снижение уровня звукового давления препятствием справа от трассы ИШ-РТ, Dz3, дБ	z = -0.42м (разность путей)	ф-лы (14-18) [10]	1,6	NAN	NAN	NAN	NAN	NAN	NAN	NAN	NAN		
* отрицательное значение z означает прохождение траектории вблизи экрана, в этом случае дополнительно производится учёт снижения подстилающей поверхностью (см.ниже)													
Снижение поверхностью земли возле источника As, дБ	Gs = 0 hs = 1м	ф-лы таб.3 [10]	-1,5	-1,5	-1,5	-1,5	-1,5	-1,5	-1,5	-1,5	-1,5		
Снижение поверхностью земли возле приёмника Ar, дБ	Gr = 1 hr = 1.5м	ф-лы таб.3 [10]	-1,5	-1,5	5,3	7	5	0,7	0	0	0		
Снижение поверхностью земли в средней зоне, Am дБ	Gm = 1	ф-лы таб.3 [10]	-2,8	-2,8	0	0	0	0	0	0	0		
Суммарное снижение поверхностью земли на траектории распространения звука Agr, дБ		ф-ла (9) [10]	-5,8	-5,8	3,8	5,5	3,5	-0,8	-1,5	-1,5	-1,5		
Уровни звукового давления прямого звука от источника ИШ-1-6 в расчётной точке днём, дБ		**ф-ла(3)[10]**	**0**	**26**	**17,4**	**15,9**	**15,9**	**16,7**	**8,4**	**0**	**0**	**19,2**	**19,2**
Уровни звукового давления прямого звука от источника ИШ-1-6 в расчётной точке ночью, дБ		**ф-ла(3)[10]**	**0**	**26**	**17,4**	**15,9**	**15,9**	**16,7**	**8,4**	**0**	**0**	**19,2**	**19,2**
Расчёт отражённого звука													
Уровни звукового давления от мнимого источника ИШ-1-6_мн.(1) в расчётной точке днём, дБ		**ф-ла(3)[10]**	**0**	**0**	**0**	**0**	**0**	**11,5**	**4,9**	**0**	**0**	**12,6**	**12,6**
Уровни звукового давления от мнимого источника ИШ-1-6_мн.(1) в расчётной точке ночью, дБ		**ф-ла(3)[10]**	**0**	**0**	**0**	**0**	**0**	**0**	**0**	**0**	**0**	**12,6**	**12,6**
Уровни звукового давления от источника ИШ-1-6 в расчётной точке днём, дБ		**ф-ла(3)[10]**	**0**	**26**	**17,4**	**15,9**	**15,9**	**17,9**	**10**	**0**	**0**	**20**	**20**
Уровни звукового давления от источника ИШ-1-6 в расчётной точке ночью, дБ		**ф-ла(3)[10]**	**0**	**26**	**17,4**	**15,9**	**15,9**	**17,9**	**10**	**0**	**0**	**20**	**20**

1		2	3	4	5	6	7	8	9	10	11	12	13
Источник шума: ИШ-1-7, координаты источника (x,y,z), м =[451.87,146.66,1.00]													
Уровни звуковой мощности источника днём, Lw, дБ		**исходные данные**	**0**	**93,3**	**94,7**	**96**	**96,3**	**95,9**	**92,6**	**88,4**	**83,9**		
Уровни звуковой мощности источника ночью, Lw, дБ		**исходные данные**	**0**	**93,3**	**94,7**	**96**	**96,3**	**95,9**	**92,6**	**88,4**	**83,9**		
Поправка на телесный угол DΩ, дБ	Ω = 6.28	10Lg(4π/Ω)	**3**	3	3	3	3	3	3	3	3		
Показатель направленности источника Di, дБ		исходные данные	**0**	0	0	0	0	0	0	0	0		
Поправка на направленность источника Dc, дБ	Dc	DΩ + Di	**3**	3	3	3	3	3	3	3	3		
Затухание из-за геометрической дивергенции, Adiv, дБ	расстояние = 1575.98 м	ф-ла (7) [10]	**75**										
Коэффициент затухания звука в атмосфере α, дБ/км	Ta=20,°C Pa=101.33,кПа hотн.=70%	ф-ла (5) [9]	0,02	0,09	0,33	1,12	2,79	4,98	9,04	23,09	77,63		
Учет затухания звука в атмосфере Aatm, дБ		ф-ла (8) [10]	0	0,1	0,5	1,8	4,4	7,8	14,2	36,4	122,3		
Снижение уровня звукового давления из-за влияния застройки между источником шума и расчетной точкой													
Снижение уровня звукового давления на пути над экраном, Dz1, дБ	z = 1.39м (разность путей)	ф-лы (14-18) [10]	6	7,3	9	11,2	13,7	16,5	19,3	22,2	25,2		
Снижение уровня звукового давления на пути слева от экрана, Dz2, дБ	z = 34.96м (разность путей)	ф-лы (14-18) [10]	25,6	28,8	31,9	34,9	37,9	40,9	43,9	46,9	49,9		
Снижение уровня звукового давления на пути справа от экрана, Dz3, дБ	z = 82.37м (разность путей)	ф-лы (14-18) [10]	29,4	32,6	35,6	38,6	41,6	44,6	47,6	50,7	53,7		
Общее снижение уровня звука препятствием Dz, дБ		Эн.сумма(-Dzi)	5,9	7,3	9	11,2	13,7	16,4	19,3	22,2	25,2		
Общее снижение уровня звука препятствием с учётом ограничения (25 дБ) для октавных полос Dz, дБ		Раздел 7.4 [10]	5,9	7,3	9	11,2	13,7	16,4	19,3	22,2	25		
Уровни звукового давления прямого звука от источника ИШ-1-7 в расчётной точке днём, дБ		**ф-ла(3)[10]**	**0**	**13,9**	**13,2**	**11,1**	**6,2**	**0**	**0**	**0**	**0**	**6,4**	**6,4**

1		2	3	4	5	6	7	8	9	10	11	12	13
Уровни звукового давления прямого звука от источника ИШ-1-7 в расчётной точке ночью, дБ		**ф-ла(3)[10]**	**0**	**13,9**	**13,2**	**11,1**	**6,2**	**0**	**0**	**0**	**0**	**6,4**	**6,4**
Расчёт отражённого звука													
Уровни звукового давления от мнимого источника ИШ-1-7_мн.(1) в расчётной точке днём, дБ		**ф-ла(3)[10]**	**0**	**0**	**0**	**0**	**0**	**9,1**	**0**	**0**	**0**	**9,1**	**9,1**
Уровни звукового давления от мнимого источника ИШ-1-7_мн.(1) в расчётной точке ночью, дБ		**ф-ла(3)[10]**	**0**	**0**	**0**	**0**	**0**	**0**	**0**	**0**	**0**	**9,1**	**9,1**
Уровни звукового давления от источника ИШ-1-7 в расчётной точке днём, дБ		**ф-ла(3)[10]**	**0**	**13,9**	**13,2**	**11,1**	**6,2**	**9,1**	**0**	**0**	**0**	**10,9**	**10,9**
Уровни звукового давления от источника ИШ-1-7 в расчётной точке ночью, дБ		**ф-ла(3)[10]**	**0**	**13,9**	**13,2**	**11,1**	**6,2**	**9,1**	**0**	**0**	**0**	**10,9**	**10,9**
Источник шума: ИШ-1-8, координаты источника (x,y,z), м =[454.99,145.29,1.00]													
Уровни звуковой мощности источника днём, Lw, дБ		**исходные данные**	**0**	**93,3**	**94,7**	**96**	**96,3**	**95,9**	**92,6**	**88,4**	**83,9**		
Уровни звуковой мощности источника ночью, Lw, дБ		**исходные данные**	**0**	**93,3**	**94,7**	**96**	**96,3**	**95,9**	**92,6**	**88,4**	**83,9**		
Поправка на телесный угол DΩ, дБ	Ω = 6.28	10Lg(4π/Ω)	**3**	3	3	3	3	3	3	3	3		
Показатель направленности источника Di, дБ		исходные данные	**0**	0	0	0	0	0	0	0	0		
Поправка на направленность источника Dc, дБ	Dc	DΩ + Di	**3**	3	3	3	3	3	3	3	3		
Затухание из-за геометрической дивергенции, Adiv, дБ	расстояние = 1578.98 м	ф-ла (7) [10]	**75**										
Коэффициент затухания звука в атмосфере α, дБ/км	Ta=20,°C Pa=101.33,кПа hотн.=70%	ф-ла (5) [9]	0,02	0,09	0,33	1,12	2,79	4,98	9,04	23,09	77,63		
Учет затухания звука в атмосфере Aatm, дБ		ф-ла (8) [10]	0	0,1	0,5	1,8	4,4	7,9	14,3	36,5	122,6		
Снижение уровня звукового давления из-за влияния застройки между источником шума и расчетной точкой													

1		2	3	4	5	6	7	8	9	10	11	12	13
Снижение уровня звукового давления на пути над экраном, Dz1, дБ	z = 1.24м (разность путей)	ф-лы (14-18) [10]	5,6	6,6	8	9,9	12,2	14,8	17,6	20,5	23,5		
Снижение уровня звукового давления на пути слева от экрана, Dz2, дБ	z = 32.79м (разность путей)	ф-лы (14-18) [10]	25,4	28,6	31,6	34,6	37,6	40,6	43,6	46,7	49,7		
Снижение уровня звукового давления на пути справа от экрана, Dz3, дБ	z = 81.26м (разность путей)	ф-лы (14-18) [10]	29,4	32,5	35,5	38,6	41,6	44,6	47,6	50,6	53,6		
Общее снижение уровня звука препятствием Dz, дБ		Эн.сумма(-Dzi)	5,6	6,6	8	9,9	12,2	14,8	17,6	20,5	23,5		
Уровни звукового давления прямого звука от источника ИШ-1-8 в расчётной точке днём, дБ		**ф-ла(3)[10]**	**0**	**14,6**	**14,2**	**12,3**	**7,7**	**1,2**	**0**	**0**	**0**	**8,6**	**8,6**
Уровни звукового давления прямого звука от источника ИШ-1-8 в расчётной точке ночью, дБ		**ф-ла(3)[10]**	**0**	**14,6**	**14,2**	**12,3**	**7,7**	**1,2**	**0**	**0**	**0**	**8,6**	**8,6**
Расчёт отражённого звука													
Уровни звукового давления от мнимого источника ИШ-1-8_мн.(1) в расчётной точке днём, дБ		**ф-ла(3)[10]**	**0**	**0**	**0**	**0**	**0**	**9**	**0**	**0**	**0**	**9**	**9**
Уровни звукового давления от мнимого источника ИШ-1-8_мн.(1) в расчётной точке ночью, дБ		**ф-ла(3)[10]**	**0**	**0**	**0**	**0**	**0**	**0**	**0**	**0**	**0**	**9**	**9**
Уровни звукового давления от источника ИШ-1-8 в расчётной точке днём, дБ		**ф-ла(3)[10]**	**0**	**14,6**	**14,2**	**12,3**	**7,7**	**9,7**	**0**	**0**	**0**	**11,8**	**11,8**
Уровни звукового давления от источника ИШ-1-8 в расчётной точке ночью, дБ		**ф-ла(3)[10]**	**0**	**14,6**	**14,2**	**12,3**	**7,7**	**9,7**	**0**	**0**	**0**	**11,8**	**11,8**
Источник шума: ИШ-1-9, координаты источника (x,y,z), м =[458.12,144.31,1.00]													
Уровни звуковой мощности источника днём, Lw, дБ		**исходные данные**	**0**	**93,3**	**94,7**	**96**	**96,3**	**95,9**	**92,6**	**88,4**	**83,9**		
Уровни звуковой мощности источника ночью, Lw, дБ		**исходные данные**	**0**	**93,3**	**94,7**	**96**	**96,3**	**95,9**	**92,6**	**88,4**	**83,9**		
Поправка на телесный угол DΩ, дБ	Ω = 6.28	10Lg(4π/Ω)	**3**	3	3	3	3	3	3	3	3		
Показатель направленности источника Di, дБ		исходные данные	**0**	0	0	0	0	0	0	0	0		
Поправка на направленность источника Dc, дБ	Dc	DΩ + Di	**3**	3	3	3	3	3	3	3	3		

1		2	3	4	5	6	7	8	9	10	11	12	13
Затухание из-за геометрической дивергенции, Adiv, дБ	расстояние = 1582.03 м	ф-ла (7) [10]	**75**										
Коэффициент затухания звука в атмосфере α, дБ/км	Та=20,°С Ра=101.33,кПа hотн.=70%	ф-ла (5) [9]	0,02	0,09	0,33	1,12	2,79	4,98	9,04	23,09	77,63		
Учет затухания звука в атмосфере Aatm, дБ		ф-ла (8) [10]	0	0,1	0,5	1,8	4,4	7,9	14,3	36,5	122,8		
Снижение уровня звукового давления из-за влияния застройки между источником шума и расчетной точкой													
Снижение уровня звукового давления на пути над экраном, Dz1, дБ	z = 1.13м (разность путей)	ф-лы (14-18) [10]	5,4	6,1	7,2	8,8	10,9	13,4	16,1	18,9	21,8		
Снижение уровня звукового давления на пути слева от экрана, Dz2, дБ	z = 31.01м (разность путей)	ф-лы (14-18) [10]	25,1	28,3	31,4	34,4	37,4	40,4	43,4	46,4	49,4		
Снижение уровня звукового давления на пути справа от экрана, Dz3, дБ	z = 79.87м (разность путей)	ф-лы (14-18) [10]	29,3	32,4	35,5	38,5	41,5	44,5	47,5	50,5	53,5		
Общее снижение уровня звука препятствием Dz, дБ		Эн.сумма(-Dzi)	5,3	6,1	7,2	8,8	10,9	13,4	16,1	18,9	21,8		
Уровни звукового давления прямого звука от источника ИШ-1-9 в расчётной точке днём, дБ		**ф-ла(3)[10]**	**0**	**15,1**	**15**	**13,4**	**9**	**2,7**	**0**	**0**	**0**	**9,8**	**9,8**
Уровни звукового давления прямого звука от источника ИШ-1-9 в расчётной точке ночью, дБ		**ф-ла(3)[10]**	**0**	**15,1**	**15**	**13,4**	**9**	**2,7**	**0**	**0**	**0**	**9,8**	**9,8**
Расчёт отражённого звука													
Уровни звукового давления от мнимого источника ИШ-1-9_мн.(1) в расчётной точке днём, дБ		**ф-ла(3)[10]**	**0**	**0**	**0**	**0**	**13,3**	**9**	**0**	**0**	**0**	**12,6**	**12,6**
Уровни звукового давления от мнимого источника ИШ-1-9_мн.(1) в расчётной точке ночью, дБ		**ф-ла(3)[10]**	**0**	**0**	**0**	**0**	**0**	**0**	**0**	**0**	**0**	**12,6**	**12,6**
Уровни звукового давления от источника ИШ-1-9 в расчётной точке днём, дБ		**ф-ла(3)[10]**	**0**	**15,1**	**15**	**13,4**	**14,7**	**9,9**	**0**	**0**	**0**	**14,4**	**14,4**
Уровни звукового давления от источника ИШ-1-9 в расчётной точке ночью, дБ		**ф-ла(3)[10]**	**0**	**15,1**	**15**	**13,4**	**14,7**	**9,9**	**0**	**0**	**0**	**14,4**	**14,4**
Источник шума: ИШ-1-10, координаты источника (x,y,z), м =[461.05,143.53,1.00]													

1		2	3	4	5	6	7	8	9	10	11	12	13
Уровни звуковой мощности источника днём, Lw, дБ		**исходные данные**	**0**	**93,3**	**94,7**	**96**	**96,3**	**95,9**	**92,6**	**88,4**	**83,9**		
Уровни звуковой мощности источника ночью, Lw, дБ		**исходные данные**	**0**	**93,3**	**94,7**	**96**	**96,3**	**95,9**	**92,6**	**88,4**	**83,9**		
Поправка на телесный угол DΩ, дБ	Ω = 6.28	10Lg(4π/Ω)	**3**	3	3	3	3	3	3	3	3		
Показатель направленности источника Di, дБ		исходные данные	**0**	0	0	0	0	0	0	0	0		
Поправка на направленность источника Dc, дБ	Dc	DΩ + Di	**3**	3	3	3	3	3	3	3	3		
Затухание из-за геометрической дивергенции, Adiv, дБ	расстояние = 1584.89 м	ф-ла (7) [10]	**75**										
Коэффициент затухания звука в атмосфере α, дБ/км	Ta=20,°C Pa=101.33,кПа hотн.=70%	ф-ла (5) [9]	0,02	0,09	0,33	1,12	2,79	4,98	9,04	23,09	77,63		
Учет затухания звука в атмосфере Aatm, дБ		ф-ла (8) [10]	0	0,1	0,5	1,8	4,4	7,9	14,3	36,6	123		
Снижение уровня звукового давления из-за влияния застройки между источником шума и расчетной точкой													
Снижение уровня звукового давления на пути над экраном, Dz1, дБ	z = 1.04м (разность путей)	ф-лы (14-18) [10]	5,2	5,8	6,6	8	9,8	12,1	14,7	17,5	20,4		
Снижение уровня звукового давления на пути слева от экрана, Dz2, дБ	z = 29.53м (разность путей)	ф-лы (14-18) [10]	24,9	28,1	31,1	34,2	37,2	40,2	43,2	46,2	49,2		
Снижение уровня звукового давления на пути справа от экрана, Dz3, дБ	z = 78.55м (разность путей)	ф-лы (14-18) [10]	29,2	32,4	35,4	38,4	41,4	44,4	47,4	50,4	53,5		
Общее снижение уровня звука препятствием Dz, дБ		Эн.сумма(-Dzi)	5,1	5,7	6,6	8	9,8	12,1	14,7	17,5	20,4		
Уровни звукового давления прямого звука от источника ИШ-1-10 в расчётной точке днём, дБ		**ф-ла(3)[10]**	**0**	**15,4**	**15,5**	**14,2**	**10**	**3,9**	**0**	**0**	**0**	**10,8**	**10,8**
Уровни звукового давления прямого звука от источника ИШ-1-10 в расчётной точке ночью, дБ		**ф-ла(3)[10]**	**0**	**15,4**	**15,5**	**14,2**	**10**	**3,9**	**0**	**0**	**0**	**10,8**	**10,8**
Расчёт отражённого звука													
Уровни звукового давления от мнимого источника ИШ-1-10_мн.(1) в расчётной точке днём, дБ		**ф-ла(3)[10]**	**0**	**0**	**0**	**0**	**13,3**	**9**	**0**	**0**	**0**	**12,6**	**12,6**

1		2	3	4	5	6	7	8	9	10	11	12	13
Уровни звукового давления от мнимого источника ИШ-1-10_мн.(1) в расчётной точке ночью, дБ		**ф-ла(3)[10]**	**0**	**0**	**0**	**0**	**0**	**0**	**0**	**0**	**0**	**12,6**	**12,6**
Уровни звукового давления от источника ИШ-1-10 в расчётной точке днём, дБ		**ф-ла(3)[10]**	**0**	**15,4**	**15,5**	**14,2**	**15**	**10,2**	**0**	**0**	**0**	**14,8**	**14,8**
Уровни звукового давления от источника ИШ-1-10 в расчётной точке ночью, дБ		**ф-ла(3)[10]**	**0**	**15,4**	**15,5**	**14,2**	**15**	**10,2**	**0**	**0**	**0**	**14,8**	**14,8**
Источник шума: ИШ-1-11, координаты источника (x,y,z), м =[464.18,142.55,1.00]													
Уровни звуковой мощности источника днём, Lw, дБ		**исходные данные**	**0**	**93,3**	**94,7**	**96**	**96,3**	**95,9**	**92,6**	**88,4**	**83,9**		
Уровни звуковой мощности источника ночью, Lw, дБ		**исходные данные**	**0**	**93,3**	**94,7**	**96**	**96,3**	**95,9**	**92,6**	**88,4**	**83,9**		
Поправка на телесный угол DΩ, дБ	Ω = 6.28	10Lg(4π/Ω)	**3**	3	3	3	3	3	3	3	3		
Показатель направленности источника Di, дБ		исходные данные	**0**	0	0	0	0	0	0	0	0		
Поправка на направленность источника Dc, дБ	Dc	DΩ + Di	**3**	3	3	3	3	3	3	3	3		
Затухание из-за геометрической дивергенции, Adiv, дБ	расстояние = 1587.93 м	ф-ла (7) [10]	**75**										
Коэффициент затухания звука в атмосфере α, дБ/км	Ta=20,°C Pa=101.33,кПа hотн.=70%	ф-ла (5) [9]	0,02	0,09	0,33	1,12	2,79	4,98	9,04	23,09	77,63		
Учет затухания звука в атмосфере Aatm, дБ		ф-ла (8) [10]	0	0,1	0,5	1,8	4,4	7,9	14,4	36,7	123,3		
Снижение уровня звукового давления из-за влияния застройки между источником шума и расчетной точкой													
Снижение уровня звукового давления на пути над экраном, Dz1, дБ	z = 0.96м (разность путей)	ф-лы (14-18) [10]	5,1	5,5	6,1	7,2	8,8	10,9	13,3	16	18,8		
Снижение уровня звукового давления на пути слева от экрана, Dz2, дБ	z = 27.94м (разность путей)	ф-лы (14-18) [10]	24,7	27,9	30,9	33,9	36,9	39,9	43	46	49		
Снижение уровня звукового давления на пути справа от экрана, Dz3, дБ	z = 77.39м (разность путей)	ф-лы (14-18) [10]	29,1	32,3	35,3	38,3	41,4	44,4	47,4	50,4	53,4		

1		2	3	4	5	6	7	8	9	10	11	12	13
Общее снижение уровня звука препятствием Dz, дБ		Эн.сумма(-Dzi)	5	5,4	6,1	7,2	8,8	10,8	13,3	16	18,8		
Уровни звукового давления прямого звука от источника ИШ-1-11 в расчётной точке днём, дБ		**ф-ла(3)[10]**	**0**	**15,7**	**16**	**15**	**11,1**	**5,1**	**0**	**0**	**0**	**11,7**	**11,7**
Уровни звукового давления прямого звука от источника ИШ-1-11 в расчётной точке ночью, дБ		**ф-ла(3)[10]**	**0**	**15,7**	**16**	**15**	**11,1**	**5,1**	**0**	**0**	**0**	**11,7**	**11,7**
Расчёт отражённого звука													
Уровни звукового давления от мнимого источника ИШ-1-11_мн.(1) в расчётной точке днём, дБ		**ф-ла(3)[10]**	**0**	**0**	**0**	**0**	**13,4**	**9,1**	**0**	**0**	**0**	**12,7**	**12,7**
Уровни звукового давления от мнимого источника ИШ-1-11_мн.(1) в расчётной точке ночью, дБ		**ф-ла(3)[10]**	**0**	**0**	**0**	**0**	**0**	**0**	**0**	**0**	**0**	**12,7**	**12,7**
Уровни звукового давления от источника ИШ-1-11 в расчётной точке днём, дБ		**ф-ла(3)[10]**	**0**	**15,7**	**16**	**15**	**15,4**	**10,5**	**0**	**0**	**0**	**15,2**	**15,2**
Уровни звукового давления от источника ИШ-1-11 в расчётной точке ночью, дБ		**ф-ла(3)[10]**	**0**	**15,7**	**16**	**15**	**15,4**	**10,5**	**0**	**0**	**0**	**15,2**	**15,2**
Источник шума: ИШ-1-12, координаты источника (x,y,z), м =[435.45,97.79,1.00]													
Уровни звуковой мощности источника днём, Lw, дБ		**исходные данные**	**0**	**93,3**	**94,7**	**96**	**96,3**	**95,9**	**92,6**	**88,4**	**83,9**		
Уровни звуковой мощности источника ночью, Lw, дБ		**исходные данные**	**0**	**93,3**	**94,7**	**96**	**96,3**	**95,9**	**92,6**	**88,4**	**83,9**		
Поправка на телесный угол DΩ, дБ	Ω = 6.28	10Lg(4π/Ω)	**3**	3	3	3	3	3	3	3	3		
Показатель направленности источника Di, дБ		исходные данные	**0**	0	0	0	0	0	0	0	0		
Поправка на направленность источника Dc, дБ	Dc	DΩ + Di	**3**	3	3	3	3	3	3	3	3		
Затухание из-за геометрической дивергенции, Adiv, дБ	расстояние = 1556.44 м	ф-ла (7) [10]	**74,8**										
Коэффициент затухания звука в атмосфере α, дБ/км	Ta=20,°C Pa=101.33,кПа hотн.=70%	ф-ла (5) [9]	0,02	0,09	0,33	1,12	2,79	4,98	9,04	23,09	77,63		

1		2	3	4	5	6	7	8	9	10	11	12	13
Учет затухания звука в атмосфере Aatm, дБ		ф-ла (8) [10]	0	0,1	0,5	1,7	4,3	7,7	14,1	35,9	120,8		
Снижение уровня звукового давления из-за влияния застройки между источником шума и расчетной точкой													
Снижение уровня звукового давления на пути над экраном, Dz1, дБ	z = 1.41м (разность путей)	ф-лы (14-18) [10]	6,7	8,1	9,9	12,2	14,8	17,6	20,5	23,5	26,5		
Снижение уровня звукового давления на пути слева от экрана, Dz2, дБ	z = 8.98м (разность путей)	ф-лы (14-18) [10]	19,8	23	26	29	32	35	38	41	44		
Снижение уровня звукового давления на пути справа от экрана, Dz3, дБ	z = 150.34м (разность путей)	ф-лы (14-18) [10]	32	35,2	38,2	41,2	44,2	47,2	50,3	53,3	56,3		
Общее снижение уровня звука препятствием Dz, дБ		Эн.сумма(-Dzi)	6,5	7,9	9,8	12,1	14,7	17,5	20,4	23,4	26,4		
Общее снижение уровня звука препятствием с учётом ограничения (25 дБ) для октавных полос Dz, дБ		Раздел 7.4 [10]	6,5	7,9	9,8	12,1	14,7	17,5	20,4	23,4	25		
Уровни звукового давления прямого звука от источника ИШ-1-12 в расчётной точке днём, дБ		**ф-ла(3)[10]**	**0**	**13,4**	**12,5**	**10,3**	**5,4**	**0**	**0**	**0**	**0**	**5,6**	**5,6**
Уровни звукового давления прямого звука от источника ИШ-1-12 в расчётной точке ночью, дБ		**ф-ла(3)[10]**	**0**	**13,4**	**12,5**	**10,3**	**5,4**	**0**	**0**	**0**	**0**	**5,6**	**5,6**
Расчёт отражённого звука													
Уровни звукового давления от мнимого источника ИШ-1-12_мн.(1) в расчётной точке днём, дБ		**ф-ла(3)[10]**	**0**	**0**	**0**	**0**	**0**	**9,8**	**0**	**0**	**0**	**9,8**	**9,8**
Уровни звукового давления от мнимого источника ИШ-1-12_мн.(1) в расчётной точке ночью, дБ		**ф-ла(3)[10]**	**0**	**0**	**0**	**0**	**0**	**0**	**0**	**0**	**0**	**9,8**	**9,8**
Уровни звукового давления от источника ИШ-1-12 в расчётной точке днём, дБ		**ф-ла(3)[10]**	**0**	**13,4**	**12,5**	**10,3**	**5,4**	**9,8**	**0**	**0**	**0**	**11,2**	**11,2**
Уровни звукового давления от источника ИШ-1-12 в расчётной точке ночью, дБ		**ф-ла(3)[10]**	**0**	**13,4**	**12,5**	**10,3**	**5,4**	**9,8**	**0**	**0**	**0**	**11,2**	**11,2**
Источник шума: ИШ-1-13, координаты источника (x,y,z), м =[438.77,96.82,1.00]													
Уровни звуковой мощности источника днём, Lw, дБ		**исходные данные**	**0**	**93,3**	**94,7**	**96**	**96,3**	**95,9**	**92,6**	**88,4**	**83,9**		
Уровни звуковой мощности источника ночью, Lw, дБ		**исходные данные**	**0**	**93,3**	**94,7**	**96**	**96,3**	**95,9**	**92,6**	**88,4**	**83,9**		

1		2	3	4	5	6	7	8	9	10	11	12	13
Поправка на телесный угол DΩ, дБ	Ω = 6.28	10Lg(4π/Ω)	**3**	3	3	3	3	3	3	3	3		
Показатель направленности источника Di, дБ		исходные данные	**0**	0	0	0	0	0	0	0	0		
Поправка на направленность источника Dc, дБ	Dc	DΩ + Di	**3**	3	3	3	3	3	3	3	3		
Затухание из-за геометрической дивергенции, Adiv, дБ	расстояние = 1559.71 м	ф-ла (7) [10]	**74,9**										
Коэффициент затухания звука в атмосфере α, дБ/км	Ta=20,°C Pa=101.33,кПа hотн.=70%	ф-ла (5) [9]	0,02	0,09	0,33	1,12	2,79	4,98	9,04	23,09	77,63		
Учет затухания звука в атмосфере Aatm, дБ		ф-ла (8) [10]	0	0,1	0,5	1,8	4,4	7,8	14,1	36	121,1		
Снижение уровня звукового давления из-за влияния застройки между источником шума и расчетной точкой													
Снижение уровня звукового давления на пути над экраном, Dz1, дБ	z = 1.26м (разность путей)	ф-лы (14-18) [10]	6,2	7,3	8,8	10,9	13,4	16,1	18,9	21,8	24,8		
Снижение уровня звукового давления на пути слева от экрана, Dz2, дБ	z = 8.21м (разность путей)	ф-лы (14-18) [10]	19,4	22,6	25,6	28,6	31,6	34,6	37,6	40,6	43,6		
Снижение уровня звукового давления на пути справа от экрана, Dz3, дБ	z = 147.86м (разность путей)	ф-лы (14-18) [10]	32	35,1	38,1	41,2	44,2	47,2	50,2	53,2	56,2		
Общее снижение уровня звука препятствием Dz, дБ		Эн.сумма(-Dzi)	5,9	7,1	8,8	10,8	13,3	16	18,9	21,8	24,8		
Уровни звукового давления прямого звука от источника ИШ-1-13 в расчётной точке днём, дБ		**ф-ла(3)[10]**	**0**	**14,2**	**13,6**	**11,5**	**6,8**	**0,3**	**0**	**0**	**0**	**7,7**	**7,7**
Уровни звукового давления прямого звука от источника ИШ-1-13 в расчётной точке ночью, дБ		**ф-ла(3)[10]**	**0**	**14,2**	**13,6**	**11,5**	**6,8**	**0,3**	**0**	**0**	**0**	**7,7**	**7,7**
Расчёт отражённого звука													
Уровни звукового давления от мнимого источника ИШ-1-13_мн.(1) в расчётной точке днём, дБ		**ф-ла(3)[10]**	**0**	**0**	**0**	**0**	**13,9**	**9,9**	**0**	**0**	**0**	**13,3**	**13,3**
Уровни звукового давления от мнимого источника ИШ-1-13_мн.(1) в расчётной точке ночью, дБ		**ф-ла(3)[10]**	**0**	**0**	**0**	**0**	**0**	**0**	**0**	**0**	**0**	**13,3**	**13,3**
Уровни звукового давления от источника ИШ-1-13 в расчётной точке днём, дБ		**ф-ла(3)[10]**	**0**	**14,2**	**13,6**	**11,5**	**14,7**	**10,3**	**0**	**0**	**0**	**14,4**	**14,4**

1		2	3	4	5	6	7	8	9	10	11	12	13
Уровни звукового давления от источника ИШ-1-13 в расчётной точке ночью, дБ		**ф-ла(3)[10]**	**0**	**14,2**	**13,6**	**11,5**	**14,7**	**10,3**	**0**	**0**	**0**	**14,4**	**14,4**
Источник шума: ИШ-1-14, координаты источника (x,y,z), м =[441.70,96.03,1.00]													
Уровни звуковой мощности источника днём, Lw, дБ		**исходные данные**	**0**	**93,3**	**94,7**	**96**	**96,3**	**95,9**	**92,6**	**88,4**	**83,9**		
Уровни звуковой мощности источника ночью, Lw, дБ		**исходные данные**	**0**	**93,3**	**94,7**	**96**	**96,3**	**95,9**	**92,6**	**88,4**	**83,9**		
Поправка на телесный угол DΩ, дБ	Ω = 6.28	10Lg(4π/Ω)	**3**	3	3	3	3	3	3	3	3		
Показатель направленности источника Di, дБ		исходные данные	**0**	0	0	0	0	0	0	0	0		
Поправка на направленность источника Dc, дБ	Dc	DΩ + Di	**3**	3	3	3	3	3	3	3	3		
Затухание из-за геометрической дивергенции, Adiv, дБ	расстояние = 1562.60 м	ф-ла (7) [10]	**74,9**										
Коэффициент затухания звука в атмосфере α, дБ/км	Ta=20,°C Pa=101.33,кПа hотн.=70%	ф-ла (5) [9]	0,02	0,09	0,33	1,12	2,79	4,98	9,04	23,09	77,63		
Учет затухания звука в атмосфере Aatm, дБ		ф-ла (8) [10]	0	0,1	0,5	1,8	4,4	7,8	14,1	36,1	121,3		
Снижение уровня звукового давления из-за влияния застройки между источником шума и расчетной точкой													
Снижение уровня звукового давления на пути над экраном, Dz1, дБ	z = 1.15м (разность путей)	ф-лы (14-18) [10]	5,8	6,7	8	9,9	12,2	14,8	17,6	20,5	23,4		
Снижение уровня звукового давления на пути слева от экрана, Dz2, дБ	z = 7.66м (разность путей)	ф-лы (14-18) [10]	19,2	22,3	25,3	28,3	31,3	34,3	37,3	40,3	43,4		
Снижение уровня звукового давления на пути справа от экрана, Dz3, дБ	z = 145.68м (разность путей)	ф-лы (14-18) [10]	31,9	35,1	38,1	41,1	44,1	47,1	50,1	53,1	56,1		
Общее снижение уровня звука препятствием Dz, дБ		Эн.сумма(-Dzi)	5,6	6,6	8	9,8	12,1	14,7	17,5	20,4	23,4		
Уровни звукового давления прямого звука от источника ИШ-1-14 в расчётной точке днём, дБ		**ф-ла(3)[10]**	**0**	**14,7**	**14,3**	**12,5**	**7,9**	**1,5**	**0**	**0**	**0**	**8,8**	**8,8**

1		2	3	4	5	6	7	8	9	10	11	12	13
Уровни звукового давления прямого звука от источника ИШ-1-14 в расчётной точке ночью, дБ		**ф-ла(3)[10]**	**0**	**14,7**	**14,3**	**12,5**	**7,9**	**1,5**	**0**	**0**	**0**	**8,8**	**8,8**
Расчёт отражённого звука													
Уровни звукового давления от мнимого источника ИШ-1-14_мн.(1) в расчётной точке днём, дБ		**ф-ла(3)[10]**	**0**	**0**	**0**	**0**	**14**	**9,9**	**0**	**0**	**0**	**13,4**	**13,4**
Уровни звукового давления от мнимого источника ИШ-1-14_мн.(1) в расчётной точке ночью, дБ		**ф-ла(3)[10]**	**0**	**0**	**0**	**0**	**0**	**0**	**0**	**0**	**0**	**13,4**	**13,4**
Уровни звукового давления от источника ИШ-1-14 в расчётной точке днём, дБ		**ф-ла(3)[10]**	**0**	**14,7**	**14,3**	**12,5**	**14,9**	**10,5**	**0**	**0**	**0**	**14,7**	**14,7**
Уровни звукового давления от источника ИШ-1-14 в расчётной точке ночью, дБ		**ф-ла(3)[10]**	**0**	**14,7**	**14,3**	**12,5**	**14,9**	**10,5**	**0**	**0**	**0**	**14,7**	**14,7**
Источник шума: ИШ-1-15, координаты источника (x,y,z), м =[445.03,95.25,1.00]													
Уровни звуковой мощности источника днём, Lw, дБ		**исходные данные**	**0**	**93,3**	**94,7**	**96**	**96,3**	**95,9**	**92,6**	**88,4**	**83,9**		
Уровни звуковой мощности источника ночью, Lw, дБ		**исходные данные**	**0**	**93,3**	**94,7**	**96**	**96,3**	**95,9**	**92,6**	**88,4**	**83,9**		
Поправка на телесный угол DΩ, дБ	Ω = 6.28	10Lg(4π/Ω)	**3**	3	3	3	3	3	3	3	3		
Показатель направленности источника Di, дБ		исходные данные	**0**	0	0	0	0	0	0	0	0		
Поправка на направленность источника Dc, дБ	Dc	DΩ + Di	**3**	3	3	3	3	3	3	3	3		
Затухание из-за геометрической дивергенции, Adiv, дБ	расстояние = 1565.88 м	ф-ла (7) [10]	**74,9**										
Коэффициент затухания звука в атмосфере α, дБ/км	Ta=20,°C Pa=101.33,кПа hотн.=70%	ф-ла (5) [9]	0,02	0,09	0,33	1,12	2,79	4,98	9,04	23,09	77,63		
Учет затухания звука в атмосфере Aatm, дБ		ф-ла (8) [10]	0	0,1	0,5	1,8	4,4	7,8	14,2	36,1	121,6		
Снижение уровня звукового давления из-за влияния застройки между источником шума и расчетной точкой													

1		2	3	4	5	6	7	8	9	10	11	12	13
Снижение уровня звукового давления на пути над экраном, Dz1, дБ	z = 1.05м (разность путей)	ф-лы (14-18) [10]	5,5	6,2	7,3	8,9	11	13,4	16,1	19	21,9		
Снижение уровня звукового давления на пути слева от экрана, Dz2, дБ	z = 7.17м (разность путей)	ф-лы (14-18) [10]	18,9	22	25	28	31	34	37	40,1	43,1		
Снижение уровня звукового давления на пути справа от экрана, Dz3, дБ	z = 143.19м (разность путей)	ф-лы (14-18) [10]	31,8	35	38	41	44	47	50	53,1	56,1		
Общее снижение уровня звука препятствием Dz, дБ		Эн.сумма(-Dzi)	5,3	6,1	7,2	8,8	10,9	13,4	16,1	18,9	21,9		
Уровни звукового давления прямого звука от источника ИШ-1-15 в расчётной точке днём, дБ		**ф-ла(3)[10]**	**0**	**15,2**	**15,1**	**13,5**	**9,1**	**2,8**	**0**	**0**	**0**	**9,9**	**9,9**
Уровни звукового давления прямого звука от источника ИШ-1-15 в расчётной точке ночью, дБ		**ф-ла(3)[10]**	**0**	**15,2**	**15,1**	**13,5**	**9,1**	**2,8**	**0**	**0**	**0**	**9,9**	**9,9**
Расчёт отражённого звука													
Уровни звукового давления от мнимого источника ИШ-1-15_мн.(1) в расчётной точке днём, дБ		**ф-ла(3)[10]**	**0**	**0**	**0**	**0**	**14**	**9,9**	**0**	**0**	**0**	**13,7**	**13,7**
Уровни звукового давления от мнимого источника ИШ-1-15_мн.(1) в расчётной точке ночью, дБ		**ф-ла(3)[10]**	**0**	**0**	**0**	**0**	**0**	**0**	**0**	**0**	**0**	**13,7**	**13,7**
Уровни звукового давления от источника ИШ-1-15 в расчётной точке днём, дБ		**ф-ла(3)[10]**	**0**	**15,2**	**15,1**	**13,5**	**15,2**	**10,7**	**0**	**0**	**0**	**15,2**	**15,2**
Уровни звукового давления от источника ИШ-1-15 в расчётной точке ночью, дБ		**ф-ла(3)[10]**	**0**	**15,2**	**15,1**	**13,5**	**15,2**	**10,7**	**0**	**0**	**0**	**15,2**	**15,2**
Источник шума: ИШ-1-16, координаты источника (x,y,z), м =[447.96,94.28,1.00]													
Уровни звуковой мощности источника днём, Lw, дБ		**исходные данные**	**0**	**93,3**	**94,7**	**96**	**96,3**	**95,9**	**92,6**	**88,4**	**83,9**		
Уровни звуковой мощности источника ночью, Lw, дБ		**исходные данные**	**0**	**93,3**	**94,7**	**96**	**96,3**	**95,9**	**92,6**	**88,4**	**83,9**		
Поправка на телесный угол DΩ, дБ	Ω = 6.28	10Lg(4π/Ω)	**3**	3	3	3	3	3	3	3	3		
Показатель направленности источника Di, дБ		исходные данные	**0**	0	0	0	0	0	0	0	0		
Поправка на направленность источника Dc, дБ	Dc	DΩ + Di	**3**	3	3	3	3	3	3	3	3		

1		2	3	4	5	6	7	8	9	10	11	12	13
Затухание из-за геометрической дивергенции, Adiv, дБ	расстояние = 1568.76 м	ф-ла (7) [10]	**74,9**										
Коэффициент затухания звука в атмосфере α, дБ/км	Ta=20,°C Pa=101.33,кПа hотн.=70%	ф-ла (5) [9]	0,02	0,09	0,33	1,12	2,79	4,98	9,04	23,09	77,63		
Учет затухания звука в атмосфере Aatm, дБ		ф-ла (8) [10]	0	0,1	0,5	1,8	4,4	7,8	14,2	36,2	121,8		
Снижение уровня звукового давления из-за влияния застройки между источником шума и расчетной точкой													
Снижение уровня звукового давления на пути над экраном, Dz1, дБ	z = 0.97м (разность путей)	ф-лы (14-18) [10]	5,3	5,9	6,7	8,1	10	12,3	14,9	17,7	20,6		
Снижение уровня звукового давления на пути слева от экрана, Dz2, дБ	z = 6.72м (разность путей)	ф-лы (14-18) [10]	18,6	21,8	24,7	27,7	30,7	33,8	36,8	39,8	42,8		
Снижение уровня звукового давления на пути справа от экрана, Dz3, дБ	z = 141.38м (разность путей)	ф-лы (14-18) [10]	31,8	34,9	37,9	41	44	47	50	53	56		
Общее снижение уровня звука препятствием Dz, дБ		Эн.сумма(-Dzi)	5,1	5,8	6,7	8,1	9,9	12,2	14,8	17,6	20,5		
Уровни звукового давления прямого звука от источника ИШ-1-16 в расчётной точке днём, дБ		**ф-ла(3)[10]**	**0**	**15,5**	**15,6**	**14,3**	**10,1**	**3,9**	**0**	**0**	**0**	**10,8**	**10,8**
Уровни звукового давления прямого звука от источника ИШ-1-16 в расчётной точке ночью, дБ		**ф-ла(3)[10]**	**0**	**15,5**	**15,6**	**14,3**	**10,1**	**3,9**	**0**	**0**	**0**	**10,8**	**10,8**
Расчёт отражённого звука													
Уровни звукового давления от мнимого источника ИШ-1-16_мн.(1) в расчётной точке днём, дБ		**ф-ла(3)[10]**	**0**	**0**	**0**	**0**	**14**	**10**	**0**	**0**	**0**	**13,7**	**13,7**
Уровни звукового давления от мнимого источника ИШ-1-16_мн.(1) в расчётной точке ночью, дБ		**ф-ла(3)[10]**	**0**	**0**	**0**	**0**	**0**	**0**	**0**	**0**	**0**	**13,7**	**13,7**
Уровни звукового давления от источника ИШ-1-16 в расчётной точке днём, дБ		**ф-ла(3)[10]**	**0**	**15,5**	**15,6**	**14,3**	**15,5**	**10,9**	**0**	**0**	**0**	**15,5**	**15,5**
Уровни звукового давления от источника ИШ-1-16 в расчётной точке ночью, дБ		**ф-ла(3)[10]**	**0**	**15,5**	**15,6**	**14,3**	**15,5**	**10,9**	**0**	**0**	**0**	**15,5**	**15,5**
Источник шума: ИШ-1-17, координаты источника (x,y,z), м =[540.99,141.77,1.00]													

1		2	3	4	5	6	7	8	9	10	11	12	13
Уровни звуковой мощности источника днём, Lw, дБ		**исходные данные**	**0**	**93,3**	**94,7**	**96**	**96,3**	**95,9**	**92,6**	**88,4**	**83,9**		
Уровни звуковой мощности источника ночью, Lw, дБ		**исходные данные**	**0**	**93,3**	**94,7**	**96**	**96,3**	**95,9**	**92,6**	**88,4**	**83,9**		
Поправка на телесный угол DΩ, дБ	Ω = 6.28	10Lg(4π/Ω)	**3**	3	3	3	3	3	3	3	3		
Показатель направленности источника Di, дБ		исходные данные	**0**	0	0	0	0	0	0	0	0		
Поправка на направленность источника Dc, дБ	Dc	DΩ + Di	**3**	3	3	3	3	3	3	3	3		
Затухание из-за геометрической дивергенции, Adiv, дБ	расстояние = 1664.47 м	ф-ла (7) [10]	**75,4**										
Коэффициент затухания звука в атмосфере α, дБ/км	Ta=20,°C Pa=101.33,кПа hотн.=70%	ф-ла (5) [9]	0,02	0,09	0,33	1,12	2,79	4,98	9,04	23,09	77,63		
Учет затухания звука в атмосфере Aatm, дБ		ф-ла (8) [10]	0	0,1	0,6	1,9	4,6	8,3	15	38,4	129,2		
Снижение уровня звукового давления из-за влияния застройки между источником шума и расчетной точкой													
Снижение уровня звукового давления на пути над экраном, Dz1, дБ	z = 1.39м (разность путей)	ф-лы (14-18) [10]	6,1	7,3	8,9	11	13,5	16,2	19,1	22	25		
Снижение уровня звукового давления на пути слева от экрана, Dz2, дБ	z = 57.01м (разность путей)	ф-лы (14-18) [10]	27,3	30,8	34	37	40	43	46	49,1	52,1		
Снижение уровня звукового давления на пути справа от экрана, Dz3, дБ	z = 60.23м (разность путей)	ф-лы (14-18) [10]	28,1	31,2	34,2	37,3	40,3	43,3	46,3	49,3	52,3		
Общее снижение уровня звука препятствием Dz, дБ		Эн.сумма(-Dzi)	6,1	7,3	8,9	11	13,5	16,2	19	22	24,9		
Уровни звукового давления прямого звука от источника ИШ-1-17 в расчётной точке днём, дБ		**ф-ла(3)[10]**	**0**	**13,5**	**12,8**	**10,7**	**5,7**	**0**	**0**	**0**	**0**	**5,9**	**5,9**
Уровни звукового давления прямого звука от источника ИШ-1-17 в расчётной точке ночью, дБ		**ф-ла(3)[10]**	**0**	**13,5**	**12,8**	**10,7**	**5,7**	**0**	**0**	**0**	**0**	**5,9**	**5,9**
Расчёт отражённого звука													
Уровни звукового давления от мнимого источника ИШ-1-17_мн.(1) в расчётной точке днём, дБ		**ф-ла(3)[10]**	**0**	**0**	**0**	**0**	**0**	**0**	**0**	**0**	**0**	**0**	**0**

1		2	3	4	5	6	7	8	9	10	11	12	13
Уровни звукового давления от мнимого источника ИШ-1-17_мн.(1) в расчётной точке ночью, дБ		**ф-ла(3)[10]**	**0**	**0**	**0**	**0**	**0**	**0**	**0**	**0**	**0**	**0**	**0**
Уровни звукового давления от источника ИШ-1-17 в расчётной точке днём, дБ		**ф-ла(3)[10]**	**0**	**13,5**	**12,8**	**10,7**	**5,7**	**0**	**0**	**0**	**0**	**5,9**	**5,9**
Уровни звукового давления от источника ИШ-1-17 в расчётной точке ночью, дБ		**ф-ла(3)[10]**	**0**	**13,5**	**12,8**	**10,7**	**5,7**	**0**	**0**	**0**	**0**	**5,9**	**5,9**
Источник шума: ИШ-1-18, координаты источника (x,y,z), м =[543.53,140.79,1.00]													
Уровни звуковой мощности источника днём, Lw, дБ		**исходные данные**	**0**	**93,3**	**94,7**	**96**	**96,3**	**95,9**	**92,6**	**88,4**	**83,9**		
Уровни звуковой мощности источника ночью, Lw, дБ		**исходные данные**	**0**	**93,3**	**94,7**	**96**	**96,3**	**95,9**	**92,6**	**88,4**	**83,9**		
Поправка на телесный угол DΩ, дБ	Ω = 6.28	10Lg(4π/Ω)	**3**	3	3	3	3	3	3	3	3		
Показатель направленности источника Di, дБ		исходные данные	**0**	0	0	0	0	0	0	0	0		
Поправка на направленность источника Dc, дБ	Dc	DΩ + Di	**3**	3	3	3	3	3	3	3	3		
Затухание из-за геометрической дивергенции, Adiv, дБ	расстояние = 1666.94 м	ф-ла (7) [10]	**75,4**										
Коэффициент затухания звука в атмосфере α, дБ/км	Ta=20,°C Pa=101.33,кПа hотн.=70%	ф-ла (5) [9]	0,02	0,09	0,33	1,12	2,79	4,98	9,04	23,09	77,63		
Учет затухания звука в атмосфере Aatm, дБ		ф-ла (8) [10]	0	0,1	0,6	1,9	4,7	8,3	15,1	38,5	129,4		
Снижение уровня звукового давления из-за влияния застройки между источником шума и расчетной точкой													
Снижение уровня звукового давления на пути над экраном, Dz1, дБ	z = 1.27м (разность путей)	ф-лы (14-18) [10]	5,8	6,7	8,1	10	12,3	14,9	17,7	20,6	23,5		
Снижение уровня звукового давления на пути слева от экрана, Dz2, дБ	z = 55.14м (разность путей)	ф-лы (14-18) [10]	27,2	30,7	33,8	36,9	39,9	42,9	45,9	48,9	51,9		
Снижение уровня звукового давления на пути справа от экрана, Dz3, дБ	z = 59.78м (разность путей)	ф-лы (14-18) [10]	28,1	31,2	34,2	37,2	40,2	43,2	46,3	49,3	52,3		

1		2	3	4	5	6	7	8	9	10	11	12	13
Общее снижение уровня звука препятствием Dz, дБ		Эн.сумма(-Dzi)	5,7	6,7	8,1	10	12,3	14,9	17,7	20,6	23,5		
Уровни звукового давления прямого звука от источника ИШ-1-18 в расчётной точке днём, дБ		**ф-ла(3)[10]**	**0**	**14**	**13,6**	**11,7**	**6,9**	**0,3**	**0**	**0**	**0**	**7,9**	**7,9**
Уровни звукового давления прямого звука от источника ИШ-1-18 в расчётной точке ночью, дБ		**ф-ла(3)[10]**	**0**	**14**	**13,6**	**11,7**	**6,9**	**0,3**	**0**	**0**	**0**	**7,9**	**7,9**
Расчёт отражённого звука													
Уровни звукового давления от мнимого источника ИШ-1-18_мн.(1) в расчётной точке днём, дБ		**ф-ла(3)[10]**	**0**	**0**	**0**	**0**	**0**	**0**	**0**	**0**	**0**	**0**	**0**
Уровни звукового давления от мнимого источника ИШ-1-18_мн.(1) в расчётной точке ночью, дБ		**ф-ла(3)[10]**	**0**	**0**	**0**	**0**	**0**	**0**	**0**	**0**	**0**	**0**	**0**
Уровни звукового давления от источника ИШ-1-18 в расчётной точке днём, дБ		**ф-ла(3)[10]**	**0**	**14**	**13,6**	**11,7**	**6,9**	**0,3**	**0**	**0**	**0**	**7,9**	**7,9**
Уровни звукового давления от источника ИШ-1-18 в расчётной точке ночью, дБ		**ф-ла(3)[10]**	**0**	**14**	**13,6**	**11,7**	**6,9**	**0,3**	**0**	**0**	**0**	**7,9**	**7,9**
Источник шума: ИШ-1-19, координаты источника (x,y,z), м =[547.25,139.62,1.00]													
Уровни звуковой мощности источника днём, Lw, дБ		**исходные данные**	**0**	**93,3**	**94,7**	**96**	**96,3**	**95,9**	**92,6**	**88,4**	**83,9**		
Уровни звуковой мощности источника ночью, Lw, дБ		**исходные данные**	**0**	**93,3**	**94,7**	**96**	**96,3**	**95,9**	**92,6**	**88,4**	**83,9**		
Поправка на телесный угол DΩ, дБ	Ω = 6.28	10Lg(4π/Ω)	**3**	3	3	3	3	3	3	3	3		
Показатель направленности источника Di, дБ		исходные данные	**0**	0	0	0	0	0	0	0	0		
Поправка на направленность источника Dc, дБ	Dc	DΩ + Di	**3**	3	3	3	3	3	3	3	3		
Затухание из-за геометрической дивергенции, Adiv, дБ	расстояние = 1670.56 м	ф-ла (7) [10]	**75,5**										
Коэффициент затухания звука в атмосфере α, дБ/км	Ta=20,°C Pa=101.33,кПа hотн.=70%	ф-ла (5) [9]	0,02	0,09	0,33	1,12	2,79	4,98	9,04	23,09	77,63		

1		2	3	4	5	6	7	8	9	10	11	12	13
Учет затухания звука в атмосфере Aatm, дБ		ф-ла (8) [10]	0	0,1	0,6	1,9	4,7	8,3	15,1	38,6	129,7		
Снижение уровня звукового давления из-за влияния застройки между источником шума и расчетной точкой													
Снижение уровня звукового давления на пути над экраном, Dz1, дБ	z = 1.13м (разность путей)	ф-лы (14-18) [10]	5,4	6,1	7,1	8,7	10,7	13,1	15,8	18,6	21,6		
Снижение уровня звукового давления на пути слева от экрана, Dz2, дБ	z = 52.70м (разность путей)	ф-лы (14-18) [10]	27	30,5	33,6	36,7	39,7	42,7	45,7	48,7	51,7		
Снижение уровня звукового давления на пути справа от экрана, Dz3, дБ	z = 59.03м (разность путей)	ф-лы (14-18) [10]	28,1	31,2	34,2	37,2	40,2	43,2	46,2	49,2	52,2		
Общее снижение уровня звука препятствием Dz, дБ		Эн.сумма(-Dzi)	5,4	6,1	7,1	8,7	10,7	13,1	15,8	18,6	21,6		
Уровни звукового давления прямого звука от источника ИШ-1-19 в расчётной точке днём, дБ		**ф-ла(3)[10]**	**0**	**14,6**	**14,6**	**13**	**8,5**	**2**	**0**	**0**	**0**	**9,3**	**9,3**
Уровни звукового давления прямого звука от источника ИШ-1-19 в расчётной точке ночью, дБ		**ф-ла(3)[10]**	**0**	**14,6**	**14,6**	**13**	**8,5**	**2**	**0**	**0**	**0**	**9,3**	**9,3**
Расчёт отражённого звука													
Уровни звукового давления от мнимого источника ИШ-1-19_мн.(1) в расчётной точке днём, дБ		**ф-ла(3)[10]**	**0**	**0**	**0**	**0**	**0**	**0**	**0**	**0**	**0**	**0**	**0**
Уровни звукового давления от мнимого источника ИШ-1-19_мн.(1) в расчётной точке ночью, дБ		**ф-ла(3)[10]**	**0**	**0**	**0**	**0**	**0**	**0**	**0**	**0**	**0**	**0**	**0**
Уровни звукового давления от источника ИШ-1-19 в расчётной точке днём, дБ		**ф-ла(3)[10]**	**0**	**14,6**	**14,6**	**13**	**8,5**	**2**	**0**	**0**	**0**	**9,3**	**9,3**
Уровни звукового давления от источника ИШ-1-19 в расчётной точке ночью, дБ		**ф-ла(3)[10]**	**0**	**14,6**	**14,6**	**13**	**8,5**	**2**	**0**	**0**	**0**	**9,3**	**9,3**
Источник шума: ИШ-1-20, координаты источника (x,y,z), м =[550.38,138.64,1.00]													
Уровни звуковой мощности источника днём, Lw, дБ		**исходные данные**	**0**	**93,3**	**94,7**	**96**	**96,3**	**95,9**	**92,6**	**88,4**	**83,9**		
Уровни звуковой мощности источника ночью, Lw, дБ		**исходные данные**	**0**	**93,3**	**94,7**	**96**	**96,3**	**95,9**	**92,6**	**88,4**	**83,9**		
Поправка на телесный угол DΩ, дБ	Ω = 6.28	10Lg(4π/Ω)	**3**	3	3	3	3	3	3	3	3		

1		2	3	4	5	6	7	8	9	10	11	12	13
Показатель направленности источника Di, дБ		исходные данные	**0**	0	0	0	0	0	0	0	0		
Поправка на направленность источника Dc, дБ	Dc	DΩ + Di	**3**	3	3	3	3	3	3	3	3		
Затухание из-за геометрической дивергенции, Adiv, дБ	расстояние = 1673.61 м	ф-ла (7) [10]	**75,5**										
Коэффициент затухания звука в атмосфере α, дБ/км	Ta=20,°C Pa=101.33,кПа hотн.=70%	ф-ла (5) [9]	0,02	0,09	0,33	1,12	2,79	4,98	9,04	23,09	77,63		
Учет затухания звука в атмосфере Aatm, дБ		ф-ла (8) [10]	0	0,1	0,6	1,9	4,7	8,3	15,1	38,6	129,9		
Снижение уровня звукового давления из-за влияния застройки между источником шума и расчетной точкой													
Снижение уровня звукового давления на пути над экраном, Dz1, дБ	z = 1.03м (разность путей)	ф-лы (14-18) [10]	5,2	5,7	6,5	7,8	9,5	11,8	14,3	17,1	20		
Снижение уровня звукового давления на пути слева от экрана, Dz2, дБ	z = 50.76м (разность путей)	ф-лы (14-18) [10]	26,8	30,3	33,5	36,5	39,5	42,5	45,5	48,6	51,6		
Снижение уровня звукового давления на пути справа от экрана, Dz3, дБ	z = 58.50м (разность путей)	ф-лы (14-18) [10]	28	31,1	34,1	37,1	40,1	43,1	46,2	49,2	52,2		
Общее снижение уровня звука препятствием Dz, дБ		Эн.сумма(-Dzi)	5,2	5,7	6,5	7,8	9,5	11,7	14,3	17,1	19,9		
Уровни звукового давления прямого звука от источника ИШ-1-20 в расчётной точке днём, дБ		**ф-ла(3)[10]**	**0**	**15**	**15,2**	**13,9**	**9,6**	**3,3**	**0**	**0**	**0**	**10,3**	**10,3**
Уровни звукового давления прямого звука от источника ИШ-1-20 в расчётной точке ночью, дБ		**ф-ла(3)[10]**	**0**	**15**	**15,2**	**13,9**	**9,6**	**3,3**	**0**	**0**	**0**	**10,3**	**10,3**
Расчёт отражённого звука													
Уровни звукового давления от мнимого источника ИШ-1-20_мн.(1) в расчётной точке днём, дБ		**ф-ла(3)[10]**	**0**	**0**	**0**	**0**	**0**	**0**	**0**	**0**	**0**	**0**	**0**
Уровни звукового давления от мнимого источника ИШ-1-20_мн.(1) в расчётной точке ночью, дБ		**ф-ла(3)[10]**	**0**	**0**	**0**	**0**	**0**	**0**	**0**	**0**	**0**	**0**	**0**
Уровни звукового давления от источника ИШ-1-20 в расчётной точке днём, дБ		**ф-ла(3)[10]**	**0**	**15**	**15,2**	**13,9**	**9,6**	**3,3**	**0**	**0**	**0**	**10,3**	**10,3**
Уровни звукового давления от источника ИШ-1-20 в расчётной точке ночью, дБ		**ф-ла(3)[10]**	**0**	**15**	**15,2**	**13,9**	**9,6**	**3,3**	**0**	**0**	**0**	**10,3**	**10,3**

1		2	3	4	5	6	7	8	9	10	11	12	13
Источник шума: ИШ-1-21, координаты источника (x,y,z), м =[553.31,137.67,1.00]													
Уровни звуковой мощности источника днём, Lw, дБ		**исходные данные**	**0**	**93,3**	**94,7**	**96**	**96,3**	**95,9**	**92,6**	**88,4**	**83,9**		
Уровни звуковой мощности источника ночью, Lw, дБ		**исходные данные**	**0**	**93,3**	**94,7**	**96**	**96,3**	**95,9**	**92,6**	**88,4**	**83,9**		
Поправка на телесный угол DΩ, дБ	Ω = 6.28	10Lg(4π/Ω)	**3**	3	3	3	3	3	3	3	3		
Показатель направленности источника Di, дБ		исходные данные	**0**	0	0	0	0	0	0	0	0		
Поправка на направленность источника Dc, дБ	Dc	DΩ + Di	**3**	3	3	3	3	3	3	3	3		
Затухание из-за геометрической дивергенции, Adiv, дБ	расстояние = 1676.46 м	ф-ла (7) [10]	**75,5**										
Коэффициент затухания звука в атмосфере α, дБ/км	Ta=20,°C Pa=101.33,кПа hотн.=70%	ф-ла (5) [9]	0,02	0,09	0,33	1,12	2,79	4,98	9,04	23,09	77,63		
Учет затухания звука в атмосфере Aatm, дБ		ф-ла (8) [10]	0	0,1	0,6	1,9	4,7	8,3	15,2	38,7	130,1		
Снижение уровня звукового давления из-за влияния застройки между источником шума и расчетной точкой													
Снижение уровня звукового давления на пути над экраном, Dz1, дБ	z = 0.96м (разность путей)	ф-лы (14-18) [10]	5,1	5,5	6,1	7,1	8,6	10,6	13	15,6	18,5		
Снижение уровня звукового давления на пути слева от экрана, Dz2, дБ	z = 48.97м (разность путей)	ф-лы (14-18) [10]	26,7	30,2	33,3	36,3	39,4	42,4	45,4	48,4	51,4		
Снижение уровня звукового давления на пути справа от экрана, Dz3, дБ	z = 58.14м (разность путей)	ф-лы (14-18) [10]	28	31,1	34,1	37,1	40,1	43,1	46,1	49,1	52,2		
Общее снижение уровня звука препятствием Dz, дБ		Эн.сумма(-Dzi)	5	5,4	6,1	7,1	8,6	10,6	13	15,6	18,5		
Уровни звукового давления прямого звука от источника ИШ-1-21 в расчётной точке днём, дБ		**ф-ла(3)[10]**	**0**	**15,2**	**15,6**	**14,6**	**10,6**	**4,5**	**0**	**0**	**0**	**11,2**	**11,2**
Уровни звукового давления прямого звука от источника ИШ-1-21 в расчётной точке ночью, дБ		**ф-ла(3)[10]**	**0**	**15,2**	**15,6**	**14,6**	**10,6**	**4,5**	**0**	**0**	**0**	**11,2**	**11,2**

1		2	3	4	5	6	7	8	9	10	11	12	13
Расчёт отражённого звука													
Уровни звукового давления от мнимого источника ИШ-1-21_мн.(1) в расчётной точке днём, дБ		**ф-ла(3)[10]**	**0**	**0**	**0**	**0**	**0**	**0**	**0**	**0**	**0**	**0**	**0**
Уровни звукового давления от мнимого источника ИШ-1-21_мн.(1) в расчётной точке ночью, дБ		**ф-ла(3)[10]**	**0**	**0**	**0**	**0**	**0**	**0**	**0**	**0**	**0**	**0**	**0**
Уровни звукового давления от источника ИШ-1-21 в расчётной точке днём, дБ		**ф-ла(3)[10]**	**0**	**15,2**	**15,6**	**14,6**	**10,6**	**4,5**	**0**	**0**	**0**	**11,2**	**11,2**
Уровни звукового давления от источника ИШ-1-21 в расчётной точке ночью, дБ		**ф-ла(3)[10]**	**0**	**15,2**	**15,6**	**14,6**	**10,6**	**4,5**	**0**	**0**	**0**	**11,2**	**11,2**
Источник шума: ИШ-1-22, координаты источника (x,y,z), м =[522.03,85.28,1.00]													
Уровни звуковой мощности источника днём, Lw, дБ		**исходные данные**	**0**	**93,3**	**94,7**	**96**	**96,3**	**95,9**	**92,6**	**88,4**	**83,9**		
Уровни звуковой мощности источника ночью, Lw, дБ		**исходные данные**	**0**	**93,3**	**94,7**	**96**	**96,3**	**95,9**	**92,6**	**88,4**	**83,9**		
Поправка на телесный угол DΩ, дБ	Ω = 6.28	10Lg(4π/Ω)	**3**	3	3	3	3	3	3	3	3		
Показатель направленности источника Di, дБ		исходные данные	**0**	0	0	0	0	0	0	0	0		
Поправка на направленность источника Dc, дБ	Dc	DΩ + Di	**3**	3	3	3	3	3	3	3	3		
Затухание из-за геометрической дивергенции, Adiv, дБ	расстояние = 1642.39 м	ф-ла (7) [10]	**75,3**										
Коэффициент затухания звука в атмосфере α, дБ/км	Ta=20,°C Pa=101.33,кПа hотн.=70%	ф-ла (5) [9]	0,02	0,09	0,33	1,12	2,79	4,98	9,04	23,09	77,63		
Учет затухания звука в атмосфере Aatm, дБ		ф-ла (8) [10]	0	0,1	0,6	1,8	4,6	8,2	14,8	37,9	127,5		
Снижение уровня звукового давления из-за влияния застройки между источником шума и расчетной точкой													
Снижение уровня звукового давления на пути над экраном, Dz1, дБ	z = 1.41м (разность путей)	ф-лы (14-18) [10]	6,6	8	9,8	12	14,6	17,4	20,3	23,3	26,2		

1		2	3	4	5	6	7	8	9	10	11	12	13
Снижение уровня звукового давления на пути слева от экрана, Dz2, дБ	z = 23.49м (разность путей)	ф-лы (14-18) [10]	23,5	27	30,1	33,2	36,2	39,2	42,2	45,2	48,2		
Снижение уровня звукового давления на пути справа от экрана, Dz3, дБ	z = 135.11м (разность путей)	ф-лы (14-18) [10]	31,6	34,7	37,7	40,8	43,8	46,8	49,8	52,8	55,8		
Общее снижение уровня звука препятствием Dz, дБ		Эн.сумма(-Dzi)	6,5	7,9	9,7	12	14,6	17,4	20,3	23,2	26,2		
Общее снижение уровня звука препятствием с учётом ограничения (25 дБ) для октавных полос Dz, дБ		Раздел 7.4 [10]	6,5	7,9	9,7	12	14,6	17,4	20,3	23,2	25		
Уровни звукового давления от источника ИШ-1-22 в расчётной точке днём, дБ		**ф-ла(3)[10]**	**0**	**12,9**	**12,1**	**9,8**	**4,8**	**0**	**0**	**0**	**0**	**5,1**	**5,1**
Уровни звукового давления от источника ИШ-1-22 в расчётной точке ночью, дБ		**ф-ла(3)[10]**	**0**	**12,9**	**12,1**	**9,8**	**4,8**	**0**	**0**	**0**	**0**	**5,1**	**5,1**
Источник шума: ИШ-1-23, координаты источника (x,y,z), м =[525.16,84.11,1.00]													
Уровни звуковой мощности источника днём, Lw, дБ		**исходные данные**	**0**	**93,3**	**94,7**	**96**	**96,3**	**95,9**	**92,6**	**88,4**	**83,9**		
Уровни звуковой мощности источника ночью, Lw, дБ		**исходные данные**	**0**	**93,3**	**94,7**	**96**	**96,3**	**95,9**	**92,6**	**88,4**	**83,9**		
Поправка на телесный угол DΩ, дБ	Ω = 6.28	10Lg(4π/Ω)	**3**	3	3	3	3	3	3	3	3		
Показатель направленности источника Di, дБ		исходные данные	**0**	0	0	0	0	0	0	0	0		
Поправка на направленность источника Dc, дБ	Dc	DΩ + Di	**3**	3	3	3	3	3	3	3	3		
Затухание из-за геометрической дивергенции, Adiv, дБ	расстояние = 1645.47 м	ф-ла (7) [10]	**75,3**										
Коэффициент затухания звука в атмосфере α, дБ/км	Ta=20,°C Pa=101.33,кПа hотн.=70%	ф-ла (5) [9]	0,02	0,09	0,33	1,12	2,79	4,98	9,04	23,09	77,63		
Учет затухания звука в атмосфере Aatm, дБ		ф-ла (8) [10]	0	0,1	0,6	1,8	4,6	8,2	14,9	38	127,7		
Снижение уровня звукового давления из-за влияния застройки между источником шума и расчетной точкой													

1		2	3	4	5	6	7	8	9	10	11	12	13
Снижение уровня звукового давления на пути над экраном, Dz1, дБ	z = 1.27м (разность путей)	ф-лы (14-18) [10]	6,1	7,2	8,7	10,8	13,2	15,9	18,7	21,7	24,6		
Снижение уровня звукового давления на пути слева от экрана, Dz2, дБ	z = 22.10м (разность путей)	ф-лы (14-18) [10]	23,3	26,7	29,8	32,9	35,9	38,9	41,9	44,9	48		
Снижение уровня звукового давления на пути справа от экрана, Dz3, дБ	z = 133.17м (разность путей)	ф-лы (14-18) [10]	31,6	34,7	37,7	40,7	43,7	46,7	49,7	52,7	55,8		
Общее снижение уровня звука препятствием Dz, дБ		Эн.сумма(-Dzi)	6	7,1	8,7	10,8	13,2	15,9	18,7	21,6	24,6		
Уровни звукового давления от источника ИШ-1-23 в расчётной точке днём, дБ		**ф-ла(3)[10]**	**0**	**13,7**	**13,1**	**11,1**	**6,2**	**0**	**0**	**0**	**0**	**6,3**	**6,3**
Уровни звукового давления от источника ИШ-1-23 в расчётной точке ночью, дБ		**ф-ла(3)[10]**	**0**	**13,7**	**13,1**	**11,1**	**6,2**	**0**	**0**	**0**	**0**	**6,3**	**6,3**
Источник шума: ИШ-1-24, координаты источника (x,y,z), м =[528.48,82.94,1.00]													
Уровни звуковой мощности источника днём, Lw, дБ		**исходные данные**	**0**	**93,3**	**94,7**	**96**	**96,3**	**95,9**	**92,6**	**88,4**	**83,9**		
Уровни звуковой мощности источника ночью, Lw, дБ		**исходные данные**	**0**	**93,3**	**94,7**	**96**	**96,3**	**95,9**	**92,6**	**88,4**	**83,9**		
Поправка на телесный угол DΩ, дБ	Ω = 6.28	10Lg(4π/Ω)	**3**	3	3	3	3	3	3	3	3		
Показатель направленности источника Di, дБ		исходные данные	**0**	0	0	0	0	0	0	0	0		
Поправка на направленность источника Dc, дБ	Dc	DΩ + Di	**3**	3	3	3	3	3	3	3	3		
Затухание из-за геометрической дивергенции, Adiv, дБ	расстояние = 1648.74 м	ф-ла (7) [10]	**75,3**										
Коэффициент затухания звука в атмосфере α, дБ/км	Ta=20,°C Pa=101.33,кПа hотн.=70%	ф-ла (5) [9]	0,02	0,09	0,33	1,12	2,79	4,98	9,04	23,09	77,63		
Учет затухания звука в атмосфере Aatm, дБ		ф-ла (8) [10]	0	0,1	0,6	1,9	4,6	8,2	14,9	38,1	128		
Снижение уровня звукового давления из-за влияния застройки между источником шума и расчетной точкой													

1		2	3	4	5	6	7	8	9	10	11	12	13
Снижение уровня звукового давления на пути над экраном, Dz1, дБ	z = 1.14м (разность путей)	ф-лы (14-18) [10]	5,7	6,6	7,8	9,6	11,8	14,4	17,2	20	23		
Снижение уровня звукового давления на пути слева от экрана, Dz2, дБ	z = 24.42м (разность путей)	ф-лы (14-18) [10]	22,8	26,8	30,2	33,3	36,3	39,4	42,4	45,4	48,4		
Снижение уровня звукового давления на пути справа от экрана, Dz3, дБ	z = 131.15м (разность путей)	ф-лы (14-18) [10]	31,5	34,6	37,6	40,6	43,6	46,7	49,7	52,7	55,7		
Общее снижение уровня звука препятствием Dz, дБ		Эн.сумма(-Dzi)	5,6	6,5	7,8	9,6	11,8	14,4	17,1	20	23		
Уровни звукового давления от источника ИШ-1-24 в расчётной точке днём, дБ		**ф-ла(3)[10]**	**0**	**14,3**	**14**	**12,2**	**7,5**	**1**	**0**	**0**	**0**	**8,4**	**8,4**
Уровни звукового давления от источника ИШ-1-24 в расчётной точке ночью, дБ		**ф-ла(3)[10]**	**0**	**14,3**	**14**	**12,2**	**7,5**	**1**	**0**	**0**	**0**	**8,4**	**8,4**
Источник шума: ИШ-1-25, координаты источника (x,y,z), м =[531.22,82.16,1.00]													
Уровни звуковой мощности источника днём, Lw, дБ		**исходные данные**	**0**	**93,3**	**94,7**	**96**	**96,3**	**95,9**	**92,6**	**88,4**	**83,9**		
Уровни звуковой мощности источника ночью, Lw, дБ		**исходные данные**	**0**	**93,3**	**94,7**	**96**	**96,3**	**95,9**	**92,6**	**88,4**	**83,9**		
Поправка на телесный угол DΩ, дБ	Ω = 6.28	10Lg(4π/Ω)	**3**	3	3	3	3	3	3	3	3		
Показатель направленности источника Di, дБ		исходные данные	**0**	0	0	0	0	0	0	0	0		
Поправка на направленность источника Dc, дБ	Dc	DΩ + Di	**3**	3	3	3	3	3	3	3	3		
Затухание из-за геометрической дивергенции, Adiv, дБ	расстояние = 1651.45 м	ф-ла (7) [10]	**75,4**										
Коэффициент затухания звука в атмосфере α, дБ/км	Ta=20,°C Pa=101.33,кПа hотн.=70%	ф-ла (5) [9]	0,02	0,09	0,33	1,12	2,79	4,98	9,04	23,09	77,63		
Учет затухания звука в атмосфере Aatm, дБ		ф-ла (8) [10]	0	0,1	0,6	1,9	4,6	8,2	14,9	38,1	128,2		
Снижение уровня звукового давления из-за влияния застройки между источником шума и расчетной точкой													

1		2	3	4	5	6	7	8	9	10	11	12	13
Снижение уровня звукового давления на пути над экраном, Dz1, дБ	z = 1.06м (разность путей)	ф-лы (14-18) [10]	5,5	6,2	7,2	8,8	10,8	13,3	15,9	18,8	21,7		
Снижение уровня звукового давления на пути слева от экрана, Dz2, дБ	z = 23.54м (разность путей)	ф-лы (14-18) [10]	22,7	26,7	30	33,1	36,2	39,2	42,2	45,2	48,2		
Снижение уровня звукового давления на пути справа от экрана, Dz3, дБ	z = 129.38м (разность путей)	ф-лы (14-18) [10]	31,4	34,6	37,6	40,6	43,6	46,6	49,6	52,6	55,6		
Общее снижение уровня звука препятствием Dz, дБ		Эн.сумма(-Dzi)	5,4	6,1	7,2	8,8	10,8	13,2	15,9	18,8	21,7		
Уровни звукового давления от источника ИШ-1-25 в расчётной точке днём, дБ		**ф-ла(3)[10]**	**0**	**14,7**	**14,6**	**13**	**8,5**	**2,1**	**0**	**0**	**0**	**9,3**	**9,3**
Уровни звукового давления от источника ИШ-1-25 в расчётной точке ночью, дБ		**ф-ла(3)[10]**	**0**	**14,7**	**14,6**	**13**	**8,5**	**2,1**	**0**	**0**	**0**	**9,3**	**9,3**
Источник шума: ИШ-1-26, координаты источника (x,y,z), м =[534.15,80.79,1.00]													
Уровни звуковой мощности источника днём, Lw, дБ		**исходные данные**	**0**	**93,3**	**94,7**	**96**	**96,3**	**95,9**	**92,6**	**88,4**	**83,9**		
Уровни звуковой мощности источника ночью, Lw, дБ		**исходные данные**	**0**	**93,3**	**94,7**	**96**	**96,3**	**95,9**	**92,6**	**88,4**	**83,9**		
Поправка на телесный угол DΩ, дБ	Ω = 6.28	10Lg(4π/Ω)	**3**	3	3	3	3	3	3	3	3		
Показатель направленности источника Di, дБ		исходные данные	**0**	0	0	0	0	0	0	0	0		
Поправка на направленность источника Dc, дБ	Dc	DΩ + Di	**3**	3	3	3	3	3	3	3	3		
Затухание из-за геометрической дивергенции, Adiv, дБ	расстояние = 1654.33 м	ф-ла (7) [10]	**75,4**										
Коэффициент затухания звука в атмосфере α, дБ/км	Ta=20,°C Pa=101.33,кПа hотн.=70%	ф-ла (5) [9]	0,02	0,09	0,33	1,12	2,79	4,98	9,04	23,09	77,63		
Учет затухания звука в атмосфере Aatm, дБ		ф-ла (8) [10]	0	0,1	0,6	1,9	4,6	8,2	15	38,2	128,4		
Снижение уровня звукового давления из-за влияния застройки между источником шума и расчетной точкой													

1		2	3	4	5	6	7	8	9	10	11	12	13
Снижение уровня звукового давления на пути над экраном, Dz1, дБ	z = 0.98м (разность путей)	ф-лы (14-18) [10]	5,3	5,8	6,6	8	9,8	12	14,6	17,4	20,3		
Снижение уровня звукового давления на пути слева от экрана, Dz2, дБ	z = 22.36м (разность путей)	ф-лы (14-18) [10]	22,5	26,5	29,8	32,9	36	39	42	45	48		
Снижение уровня звукового давления на пути справа от экрана, Dz3, дБ	z = 128.12м (разность путей)	ф-лы (14-18) [10]	31,4	34,5	37,5	40,5	43,5	46,6	49,6	52,6	55,6		
Общее снижение уровня звука препятствием Dz, дБ		Эн.сумма(-Dzi)	5,2	5,8	6,6	7,9	9,8	12	14,6	17,4	20,3		
Уровни звукового давления от источника ИШ-1-26 в расчётной точке днём, дБ		**ф-ла(3)[10]**	**0**	**15**	**15,1**	**13,8**	**9,5**	**3,3**	**0**	**0**	**0**	**10,3**	**10,3**
Уровни звукового давления от источника ИШ-1-26 в расчётной точке ночью, дБ		**ф-ла(3)[10]**	**0**	**15**	**15,1**	**13,8**	**9,5**	**3,3**	**0**	**0**	**0**	**10,3**	**10,3**
Источник шума: ИШ-1-27, координаты источника (x,y,z), м =[469.65,197.67,1.00]													
Уровни звуковой мощности источника днём, Lw, дБ		**исходные данные**	**0**	**93,3**	**94,7**	**96**	**96,3**	**95,9**	**92,6**	**88,4**	**83,9**		
Уровни звуковой мощности источника ночью, Lw, дБ		**исходные данные**	**0**	**93,3**	**94,7**	**96**	**96,3**	**95,9**	**92,6**	**88,4**	**83,9**		
Поправка на телесный угол DΩ, дБ	Ω = 6.28	10Lg(4π/Ω)	**3**	3	3	3	3	3	3	3	3		
Показатель направленности источника Di, дБ		исходные данные	**0**	0	0	0	0	0	0	0	0		
Поправка на направленность источника Dc, дБ	Dc	DΩ + Di	**3**	3	3	3	3	3	3	3	3		
Затухание из-за геометрической дивергенции, Adiv, дБ	расстояние = 1598.53 м	ф-ла (7) [10]	**75,1**										
Коэффициент затухания звука в атмосфере α, дБ/км	Ta=20,°C Pa=101.33,кПа hотн.=70%	ф-ла (5) [9]	0,02	0,09	0,33	1,12	2,79	4,98	9,04	23,09	77,63		
Учет затухания звука в атмосфере Aatm, дБ		ф-ла (8) [10]	0	0,1	0,5	1,8	4,5	8	14,4	36,9	124,1		
Снижение уровня звукового давления из-за влияния застройки между источником шума и расчетной точкой													

1		2	3	4	5	6	7	8	9	10	11	12	13
Снижение уровня звукового давления на пути над экраном, Dz1, дБ	z = 1.34м (разность путей)	ф-лы (14-18) [10]	5,8	7	8,6	10,7	13,1	15,8	18,7	21,6	24,5		
Снижение уровня звукового давления на пути слева от экрана, Dz2, дБ	z = 64.87м (разность путей)	ф-лы (14-18) [10]	28,3	31,5	34,6	37,6	40,6	43,6	46,6	49,6	52,6		
Снижение уровня звукового давления на пути справа от экрана, Dz3, дБ	z = 30.98м (разность путей)	ф-лы (14-18) [10]	25	28,3	31,3	34,4	37,4	40,4	43,4	46,4	49,4		
Общее снижение уровня звука препятствием Dz, дБ		Эн.сумма(-Dzi)	5,8	7	8,6	10,7	13,1	15,8	18,6	21,6	24,5		
Уровни звукового давления прямого звука от источника ИШ-1-27 в расчётной точке днём, дБ		**ф-ла(3)[10]**	**0**	**14,1**	**13,5**	**11,4**	**6,6**	**0,1**	**0**	**0**	**0**	**7,6**	**7,6**
Уровни звукового давления прямого звука от источника ИШ-1-27 в расчётной точке ночью, дБ		**ф-ла(3)[10]**	**0**	**14,1**	**13,5**	**11,4**	**6,6**	**0,1**	**0**	**0**	**0**	**7,6**	**7,6**
Расчёт отражённого звука													
Уровни звукового давления от мнимого источника ИШ-1-27_мн.(1) в расчётной точке днём, дБ		**ф-ла(3)[10]**	**0**	**0**	**0**	**0**	**0**	**8,8**	**0**	**0**	**0**	**8,8**	**8,8**
Уровни звукового давления от мнимого источника ИШ-1-27_мн.(1) в расчётной точке ночью, дБ		**ф-ла(3)[10]**	**0**	**0**	**0**	**0**	**0**	**0**	**0**	**0**	**0**	**8,8**	**8,8**
Уровни звукового давления от мнимого источника ИШ-1-27_мн.(2) в расчётной точке днём, дБ		**ф-ла(3)[10]**	**0**	**0**	**0**	**0**	**0**	**0**	**0**	**0**	**0**	**0**	**0**
Уровни звукового давления от мнимого источника ИШ-1-27_мн.(2) в расчётной точке ночью, дБ		**ф-ла(3)[10]**	**0**	**0**	**0**	**0**	**0**	**0**	**0**	**0**	**0**	**0**	**0**
Суммарные уровни звукового давления от мнимых источников в расчётной точке днём, дБ		**ф-ла (19) [1]**	**0**	**0**	**0**	**0**	**0**	**8,8**	**0**	**0**	**0**	**0**	**8,8**
Суммарные уровни звукового давления от мнимых источников в расчётной точке ночью, дБ		**ф-ла (19) [1]**	**0**	**0**	**0**	**0**	**0**	**8,8**	**0**	**0**	**0**	**0**	**8,8**
Уровни звукового давления от источника ИШ-1-27 в расчётной точке днём, дБ		**ф-ла(3)[10]**	**0**	**14,1**	**13,5**	**11,4**	**6,6**	**9,3**	**0**	**0**	**0**	**11,3**	**11,3**
Уровни звукового давления от источника ИШ-1-27 в расчётной точке ночью, дБ		**ф-ла(3)[10]**	**0**	**14,1**	**13,5**	**11,4**	**6,6**	**9,3**	**0**	**0**	**0**	**11,3**	**11,3**
Источник шума: ИШ-1-28, координаты источника (x,y,z), м =[472.78,196.69,1.00]													
Уровни звуковой мощности источника днём, Lw, дБ		**исходные данные**	**0**	**93,3**	**94,7**	**96**	**96,3**	**95,9**	**92,6**	**88,4**	**83,9**		

1		2	3	4	5	6	7	8	9	10	11	12	13
Уровни звуковой мощности источника ночью, Lw, дБ		**исходные данные**	**0**	**93,3**	**94,7**	**96**	**96,3**	**95,9**	**92,6**	**88,4**	**83,9**		
Поправка на телесный угол DΩ, дБ	Ω = 6.28	10Lg(4π/Ω)	**3**	3	3	3	3	3	3	3	3		
Показатель направленности источника Di, дБ		исходные данные	**0**	0	0	0	0	0	0	0	0		
Поправка на направленность источника Dc, дБ	Dc	DΩ + Di	**3**	3	3	3	3	3	3	3	3		
Затухание из-за геометрической дивергенции, Adiv, дБ	расстояние = 1601.53 м	ф-ла (7) [10]	**75,1**										
Коэффициент затухания звука в атмосфере α, дБ/км	Ta=20,°C Pa=101.33,кПа hотн.=70%	ф-ла (5) [9]	0,02	0,09	0,33	1,12	2,79	4,98	9,04	23,09	77,63		
Учет затухания звука в атмосфере Aatm, дБ		ф-ла (8) [10]	0	0,1	0,5	1,8	4,5	8	14,5	37	124,3		
Снижение уровня звукового давления из-за влияния застройки между источником шума и расчетной точкой													
Снижение уровня звукового давления на пути над экраном, Dz1, дБ	z = 1.21м (разность путей)	ф-лы (14-18) [10]	5,5	6,4	7,7	9,5	11,7	14,3	17	19,9	22,8		
Снижение уровня звукового давления на пути слева от экрана, Dz2, дБ	z = 62.62м (разность путей)	ф-лы (14-18) [10]	28,1	31,4	34,4	37,4	40,4	43,4	46,5	49,5	52,5		
Снижение уровня звукового давления на пути справа от экрана, Dz3, дБ	z = 31.24м (разность путей)	ф-лы (14-18) [10]	25,1	28,3	31,4	34,4	37,4	40,4	43,4	46,4	49,5		
Общее снижение уровня звука препятствием Dz, дБ		Эн.сумма(-Dzi)	5,5	6,4	7,7	9,5	11,7	14,2	17	19,9	22,8		
Уровни звукового давления прямого звука от источника ИШ-1-28 в расчётной точке днём, дБ		**ф-ла(3)[10]**	**0**	**14,7**	**14,4**	**12,6**	**8**	**1,6**	**0**	**0**	**0**	**8,9**	**8,9**
Уровни звукового давления прямого звука от источника ИШ-1-28 в расчётной точке ночью, дБ		**ф-ла(3)[10]**	**0**	**14,7**	**14,4**	**12,6**	**8**	**1,6**	**0**	**0**	**0**	**8,9**	**8,9**
Расчёт отражённого звука													
Уровни звукового давления от мнимого источника ИШ-1-28_мн.(1) в расчётной точке днём, дБ		**ф-ла(3)[10]**	**0**	**0**	**0**	**0**	**0**	**8,8**	**0**	**0**	**0**	**8,8**	**8,8**
Уровни звукового давления от мнимого источника ИШ-1-28_мн.(1) в расчётной точке ночью, дБ		**ф-ла(3)[10]**	**0**	**0**	**0**	**0**	**0**	**0**	**0**	**0**	**0**	**8,8**	**8,8**

1		2	3	4	5	6	7	8	9	10	11	12	13
Уровни звукового давления от мнимого источника ИШ-1-28_мн.(2) в расчётной точке днём, дБ		**ф-ла(3)[10]**	**0**	**0**	**0**	**0**	**0**	**0**	**0**	**0**	**0**	**0**	**0**
Уровни звукового давления от мнимого источника ИШ-1-28_мн.(2) в расчётной точке ночью, дБ		**ф-ла(3)[10]**	**0**	**0**	**0**	**0**	**0**	**0**	**0**	**0**	**0**	**0**	**0**
Суммарные уровни звукового давления от мнимых источников в расчётной точке днём, дБ		**ф-ла (19) [1]**	**0**	**0**	**0**	**0**	**0**	**8,8**	**0**	**0**	**0**	**0**	**8,8**
Суммарные уровни звукового давления от мнимых источников в расчётной точке ночью, дБ		**ф-ла (19) [1]**	**0**	**0**	**0**	**0**	**0**	**8,8**	**0**	**0**	**0**	**0**	**8,8**
Уровни звукового давления от источника ИШ-1-28 в расчётной точке днём, дБ		**ф-ла(3)[10]**	**0**	**14,7**	**14,4**	**12,6**	**8**	**9,6**	**0**	**0**	**0**	**11,9**	**11,9**
Уровни звукового давления от источника ИШ-1-28 в расчётной точке ночью, дБ		**ф-ла(3)[10]**	**0**	**14,7**	**14,4**	**12,6**	**8**	**9,6**	**0**	**0**	**0**	**11,9**	**11,9**
Источник шума: ИШ-1-29, координаты источника (x,y,z), м =[475.52,195.72,1.00]													
Уровни звуковой мощности источника днём, Lw, дБ		**исходные данные**	**0**	**93,3**	**94,7**	**96**	**96,3**	**95,9**	**92,6**	**88,4**	**83,9**		
Уровни звуковой мощности источника ночью, Lw, дБ		**исходные данные**	**0**	**93,3**	**94,7**	**96**	**96,3**	**95,9**	**92,6**	**88,4**	**83,9**		
Поправка на телесный угол DΩ, дБ	Ω = 6.28	10Lg(4π/Ω)	**3**	3	3	3	3	3	3	3	3		
Показатель направленности источника Di, дБ		исходные данные	**0**	0	0	0	0	0	0	0	0		
Поправка на направленность источника Dc, дБ	Dc	DΩ + Di	**3**	3	3	3	3	3	3	3	3		
Затухание из-за геометрической дивергенции, Adiv, дБ	расстояние = 1604.15 м	ф-ла (7) [10]	**75,1**										
Коэффициент затухания звука в атмосфере α, дБ/км	Ta=20,°C Pa=101.33,кПа hотн.=70%	ф-ла (5) [9]	0,02	0,09	0,33	1,12	2,79	4,98	9,04	23,09	77,63		
Учет затухания звука в атмосфере Aatm, дБ		ф-ла (8) [10]	0	0,1	0,5	1,8	4,5	8	14,5	37	124,5		
Снижение уровня звукового давления из-за влияния застройки между источником шума и расчетной точкой													

1		2	3	4	5	6	7	8	9	10	11	12	13
Снижение уровня звукового давления на пути над экраном, Dz1, дБ	z = 1.11м (разность путей)	ф-лы (14-18) [10]	5,3	6	7	8,6	10,6	13	15,6	18,5	21,4		
Снижение уровня звукового давления на пути слева от экрана, Dz2, дБ	z = 60.62м (разность путей)	ф-лы (14-18) [10]	28	31,2	34,3	37,3	40,3	43,3	46,3	49,3	52,3		
Снижение уровня звукового давления на пути справа от экрана, Dz3, дБ	z = 31.53м (разность путей)	ф-лы (14-18) [10]	25,1	28,4	31,4	34,4	37,5	40,5	43,5	46,5	49,5		
Общее снижение уровня звука препятствием Dz, дБ		Эн.сумма(-Dzi)	5,2	5,9	7	8,5	10,5	12,9	15,6	18,4	21,4		
Уровни звукового давления прямого звука от источника ИШ-1-29 в расчётной точке днём, дБ		**ф-ла(3)[10]**	**0**	**15,1**	**15**	**13,6**	**9,2**	**2,9**	**0**	**0**	**0**	**9,9**	**9,9**
Уровни звукового давления прямого звука от источника ИШ-1-29 в расчётной точке ночью, дБ		**ф-ла(3)[10]**	**0**	**15,1**	**15**	**13,6**	**9,2**	**2,9**	**0**	**0**	**0**	**9,9**	**9,9**
Расчёт отражённого звука													
Уровни звукового давления от мнимого источника ИШ-1-29_мн.(1) в расчётной точке днём, дБ		**ф-ла(3)[10]**	**0**	**0**	**0**	**0**	**0**	**8,9**	**0**	**0**	**0**	**8,9**	**8,9**
Уровни звукового давления от мнимого источника ИШ-1-29_мн.(1) в расчётной точке ночью, дБ		**ф-ла(3)[10]**	**0**	**0**	**0**	**0**	**0**	**0**	**0**	**0**	**0**	**8,9**	**8,9**
Уровни звукового давления от источника ИШ-1-29 в расчётной точке днём, дБ		**ф-ла(3)[10]**	**0**	**15,1**	**15**	**13,6**	**9,2**	**9,8**	**0**	**0**	**0**	**12,4**	**12,4**
Уровни звукового давления от источника ИШ-1-29 в расчётной точке ночью, дБ		**ф-ла(3)[10]**	**0**	**15,1**	**15**	**13,6**	**9,2**	**9,8**	**0**	**0**	**0**	**12,4**	**12,4**
Источник шума: ИШ-1-30, координаты источника (x,y,z), м =[478.45,194.54,1.00]													
Уровни звуковой мощности источника днём, Lw, дБ		**исходные данные**	**0**	**93,3**	**94,7**	**96**	**96,3**	**95,9**	**92,6**	**88,4**	**83,9**		
Уровни звуковой мощности источника ночью, Lw, дБ		**исходные данные**	**0**	**93,3**	**94,7**	**96**	**96,3**	**95,9**	**92,6**	**88,4**	**83,9**		
Поправка на телесный угол DΩ, дБ	Ω = 6.28	10Lg(4π/Ω)	**3**	3	3	3	3	3	3	3	3		
Показатель направленности источника Di, дБ		исходные данные	**0**	0	0	0	0	0	0	0	0		
Поправка на направленность источника Dc, дБ	Dc	DΩ + Di	**3**	3	3	3	3	3	3	3	3		

1		2	3	4	5	6	7	8	9	10	11	12	13
Затухание из-за геометрической дивергенции, Adiv, дБ	расстояние = 1606.94 м	ф-ла (7) [10]	**75,1**										
Коэффициент затухания звука в атмосфере α, дБ/км	Ta=20,°C Pa=101.33,кПа hотн.=70%	ф-ла (5) [9]	0,02	0,09	0,33	1,12	2,79	4,98	9,04	23,09	77,63		
Учет затухания звука в атмосфере Aatm, дБ		ф-ла (8) [10]	0	0,1	0,5	1,8	4,5	8	14,5	37,1	124,8		
Снижение уровня звукового давления из-за влияния застройки между источником шума и расчетной точкой													
Снижение уровня звукового давления на пути над экраном, Dz1, дБ	z = 1.02м (разность путей)	ф-лы (14-18) [10]	5,2	5,6	6,5	7,7	9,4	11,6	14,2	16,9	19,8		
Снижение уровня звукового давления на пути слева от экрана, Dz2, дБ	z = 58.46м (разность путей)	ф-лы (14-18) [10]	27,8	31,1	34,1	37,1	40,1	43,1	46,2	49,2	52,2		
Снижение уровня звукового давления на пути справа от экрана, Dz3, дБ	z = 31.90м (разность путей)	ф-лы (14-18) [10]	25,1	28,4	31,5	34,5	37,5	40,5	43,5	46,5	49,5		
Общее снижение уровня звука препятствием Dz, дБ		Эн.сумма(-Dzi)	5,1	5,6	6,4	7,7	9,4	11,6	14,2	16,9	19,8		
Уровни звукового давления прямого звука от источника ИШ-1-30 в расчётной точке днём, дБ		**ф-ла(3)[10]**	**0**	**15,4**	**15,6**	**14,4**	**10,3**	**4,1**	**0**	**0**	**0**	**10,9**	**10,9**
Уровни звукового давления прямого звука от источника ИШ-1-30 в расчётной точке ночью, дБ		**ф-ла(3)[10]**	**0**	**15,4**	**15,6**	**14,4**	**10,3**	**4,1**	**0**	**0**	**0**	**10,9**	**10,9**
Расчёт отражённого звука													
Уровни звукового давления от мнимого источника ИШ-1-30_мн.(1) в расчётной точке днём, дБ		**ф-ла(3)[10]**	**0**	**0**	**0**	**0**	**0**	**8,9**	**0**	**0**	**0**	**8,9**	**8,9**
Уровни звукового давления от мнимого источника ИШ-1-30_мн.(1) в расчётной точке ночью, дБ		**ф-ла(3)[10]**	**0**	**0**	**0**	**0**	**0**	**0**	**0**	**0**	**0**	**8,9**	**8,9**
Уровни звукового давления от источника ИШ-1-30 в расчётной точке днём, дБ		**ф-ла(3)[10]**	**0**	**15,4**	**15,6**	**14,4**	**10,3**	**10,1**	**0**	**0**	**0**	**13,1**	**13,1**
Уровни звукового давления от источника ИШ-1-30 в расчётной точке ночью, дБ		**ф-ла(3)[10]**	**0**	**15,4**	**15,6**	**14,4**	**10,3**	**10,1**	**0**	**0**	**0**	**13,1**	**13,1**
Источник шума: ИШ-1-31, координаты источника (x,y,z), м =[481.58,193.96,1.00]													

1		2	3	4	5	6	7	8	9	10	11	12	13
Уровни звуковой мощности источника днём, Lw, дБ		**исходные данные**	**0**	**93,3**	**94,7**	**96**	**96,3**	**95,9**	**92,6**	**88,4**	**83,9**		
Уровни звуковой мощности источника ночью, Lw, дБ		**исходные данные**	**0**	**93,3**	**94,7**	**96**	**96,3**	**95,9**	**92,6**	**88,4**	**83,9**		
Поправка на телесный угол DΩ, дБ	Ω = 6.28	10Lg(4π/Ω)	**3**	3	3	3	3	3	3	3	3		
Показатель направленности источника Di, дБ		исходные данные	**0**	0	0	0	0	0	0	0	0		
Поправка на направленность источника Dc, дБ	Dc	DΩ + Di	**3**	3	3	3	3	3	3	3	3		
Затухание из-за геометрической дивергенции, Adiv, дБ	расстояние = 1609.98 м	ф-ла (7) [10]	**75,1**										
Коэффициент затухания звука в атмосфере α, дБ/км	Ta=20,°C Pa=101.33,кПа hотн.=70%	ф-ла (5) [9]	0,02	0,09	0,33	1,12	2,79	4,98	9,04	23,09	77,63		
Учет затухания звука в атмосфере Aatm, дБ		ф-ла (8) [10]	0	0,1	0,5	1,8	4,5	8	14,6	37,2	125		
Снижение уровня звукового давления из-за влияния застройки между источником шума и расчетной точкой													
Снижение уровня звукового давления на пути над экраном, Dz1, дБ	z = 0.94м (разность путей)	ф-лы (14-18) [10]	5	5,4	6	7	8,5	10,4	12,8	15,5	18,3		
Снижение уровня звукового давления на пути слева от экрана, Dz2, дБ	z = 56.69м (разность путей)	ф-лы (14-18) [10]	27,7	30,9	34	37	40	43	46	49	52		
Снижение уровня звукового давления на пути справа от экрана, Dz3, дБ	z = 31.98м (разность путей)	ф-лы (14-18) [10]	25,2	28,4	31,5	34,5	37,5	40,5	43,5	46,5	49,6		
Общее снижение уровня звука препятствием Dz, дБ		Эн.сумма(-Dzi)	5	5,4	6	7	8,5	10,4	12,8	15,5	18,3		
Уровни звукового давления прямого звука от источника ИШ-1-31 в расчётной точке днём, дБ		**ф-ла(3)[10]**	**0**	**15,6**	**16**	**15,1**	**11,2**	**5,3**	**0**	**0**	**0**	**11,8**	**11,8**
Уровни звукового давления прямого звука от источника ИШ-1-31 в расчётной точке ночью, дБ		**ф-ла(3)[10]**	**0**	**15,6**	**16**	**15,1**	**11,2**	**5,3**	**0**	**0**	**0**	**11,8**	**11,8**
Расчёт отражённого звука													
Уровни звукового давления от мнимого источника ИШ-1-31_мн.(1) в расчётной точке днём, дБ		**ф-ла(3)[10]**	**0**	**0**	**0**	**0**	**13,2**	**8,9**	**0**	**0**	**0**	**12,5**	**12,5**

1		2	3	4	5	6	7	8	9	10	11	12	13
Уровни звукового давления от мнимого источника ИШ-1-31_мн.(1) в расчётной точке ночью, дБ		**ф-ла(3)[10]**	**0**	**0**	**0**	**0**	**0**	**0**	**0**	**0**	**0**	**12,5**	**12,5**
Уровни звукового давления от источника ИШ-1-31 в расчётной точке днём, дБ		**ф-ла(3)[10]**	**0**	**15,6**	**16**	**15,1**	**15,3**	**10,5**	**0**	**0**	**0**	**15,2**	**15,2**
Уровни звукового давления от источника ИШ-1-31 в расчётной точке ночью, дБ		**ф-ла(3)[10]**	**0**	**15,6**	**16**	**15,1**	**15,3**	**10,5**	**0**	**0**	**0**	**15,2**	**15,2**
Источник шума: ИШ-1-32, координаты источника (x,y,z), м =[871.21,281.99,50.00]													
Уровни звуковой мощности источника днём, Lw, дБ		**исходные данные**	**125**	**119,6**	**113,4**	**111,4**	**110,8**	**112,7**	**113,8**	**109,2**	**97,4**		
Уровни звуковой мощности источника ночью, Lw, дБ		**исходные данные**	**0**	**0**	**0**	**0**	**0**	**0**	**0**	**0**	**0**		
Поправка на телесный угол DΩ, дБ	Ω = 12.57	10Lg(4π/Ω)	**0**	0	0	0	0	0	0	0	0		
Показатель направленности источника Di, дБ		исходные данные	**0**	0	0	0	0	0	0	0	0		
Поправка на направленность источника Dc, дБ	Dc	DΩ + Di	**0**	0	0	0	0	0	0	0	0		
Затухание из-за геометрической дивергенции, Adiv, дБ	расстояние = 2007.92 м	ф-ла (7) [10]	**77,1**										
Коэффициент затухания звука в атмосфере α, дБ/км	Ta=20,°C Pa=101.33,кПа hотн.=70%	ф-ла (5) [9]	0,02	0,09	0,33	1,12	2,79	4,98	9,04	23,09	77,63		
Учет затухания звука в атмосфере Aatm, дБ		ф-ла (8) [10]	0	0,2	0,7	2,3	5,6	10	18,2	46,4	155,9		
Снижение поверхностью земли возле источника As, дБ	Gs = 0 hs = 50м	ф-лы таб.3 [10]	-1,5	-1,5	-1,5	-1,5	-1,5	-1,5	-1,5	-1,5	-1,5		
Снижение поверхностью земли возле приёмника Ar, дБ	Gr = 1 hr = 1.5м	ф-лы таб.3 [10]	-1,5	-1,5	5,3	7	5	0,7	0	0	0		
Снижение поверхностью земли в средней зоне, Am дБ	Gm = 1	ф-лы таб.3 [10]	-0,7	-0,7	0	0	0	0	0	0	0		
Суммарное снижение поверхностью земли на траектории распространения звука Agr, дБ		ф-ла (9) [10]	-3,7	-3,7	3,8	5,5	3,5	-0,8	-1,5	-1,5	-1,5		

1		2	3	4	5	6	7	8	9	10	11	12	13
Уровни звукового давления от источника ИШ-1-32 в расчётной точке днём, дБ		**ф-ла(3)[10]**	**51,6**	**46,1**	**31,9**	**26,6**	**24,7**	**26,5**	**20,1**	**0**	**0**	**29,7**	**29,7**
Уровни звукового давления от источника ИШ-1-32 в расчётной точке ночью, дБ		**ф-ла(3)[10]**	**0**	**0**	**0**	**0**	**0**	**0**	**0**	**0**	**0**	**0**	**0**
Источник шума: ИШ-1-33, координаты источника (x,y,z), м =[743.42,374.85,1.00]													
Уровни звуковой мощности источника днём, Lw, дБ		**исходные данные**	**0**	**88,7**	**90,1**	**93,1**	**96,4**	**103**	**112**	**108**	**99,2**		
Уровни звуковой мощности источника ночью, Lw, дБ		**исходные данные**	**0**	**0**	**0**	**0**	**0**	**0**	**0**	**0**	**0**		
Поправка на телесный угол DΩ, дБ	Ω = 6.28	10Lg(4π/Ω)	**3**	3	3	3	3	3	3	3	3		
Показатель направленности источника Di, дБ		исходные данные	**0**	0	0	0	0	0	0	0	0		
Поправка на направленность источника Dc, дБ	Dc	DΩ + Di	**3**	3	3	3	3	3	3	3	3		
Затухание из-за геометрической дивергенции, Adiv, дБ	расстояние = 1895.82 м	ф-ла (7) [10]	**76,6**										
Коэффициент затухания звука в атмосфере α, дБ/км	Ta=20,°C Pa=101.33,кПа hотн.=70%	ф-ла (5) [9]	0,02	0,09	0,33	1,12	2,79	4,98	9,04	23,09	77,63		
Учет затухания звука в атмосфере Aatm, дБ		ф-ла (8) [10]	0	0,2	0,6	2,1	5,3	9,4	17,1	43,8	147,2		
Снижение уровня звукового давления из-за влияния застройки между источником шума и расчетной точкой													
Снижение уровня звукового давления на пути над экраном, Dz1, дБ	z = 0.13м (разность путей)	ф-лы (14-18) [10]	4,8	4,8	4,8	4,8	4,8	4,8	4,8	4,8	4,8		
Снижение уровня звукового давления на пути слева от экрана, Dz2, дБ	z = 133.58м (разность путей)	ф-лы (14-18) [10]	31	34,5	37,7	40,7	43,7	46,7	49,7	52,8	55,8		
Снижение уровня звукового давления на пути справа от экрана, Dz3, дБ	z = 2.18м (разность путей)	ф-лы (14-18) [10]	10,5	12,8	15,5	18,3	21,2	24,1	27,1	30,1	33,1		
Общее снижение уровня звука препятствием Dz, дБ		Эн.сумма(-Dzi)	3,7	4,1	4,4	4,6	4,7	4,7	4,7	4,8	4,8		

1		2	3	4	5	6	7	8	9	10	11	12	13
Уровни звукового давления от источника ИШ-1-33 в расчётной точке днём, дБ		**ф-ла(3)[10]**	**0**	**10,9**	**11,5**	**12,8**	**12,9**	**15,3**	**16,6**	**0**	**0**	**20,3**	**20,3**
Уровни звукового давления от источника ИШ-1-33 в расчётной точке ночью, дБ		**ф-ла(3)[10]**	**0**	**0**	**0**	**0**	**0**	**0**	**0**	**0**	**0**	**0**	**0**
Источник шума: ИШ-1-34, координаты источника (x,y,z), м =[1042.35,199.07,1.00]													
Уровни звуковой мощности источника днём, Lw, дБ		**исходные данные**	**0**	**88,7**	**90,1**	**93,1**	**96,4**	**103**	**112**	**108**	**99,2**		
Уровни звуковой мощности источника ночью, Lw, дБ		**исходные данные**	**0**	**0**	**0**	**0**	**0**	**0**	**0**	**0**	**0**		
Поправка на телесный угол DΩ, дБ	Ω = 6.28	10Lg(4π/Ω)	**3**	3	3	3	3	3	3	3	3		
Показатель направленности источника Di, дБ		исходные данные	**0**	0	0	0	0	0	0	0	0		
Поправка на направленность источника Dc, дБ	Dc	DΩ + Di	**3**	3	3	3	3	3	3	3	3		
Затухание из-за геометрической дивергенции, Adiv, дБ	расстояние = 2168.76 м	ф-ла (7) [10]	**77,7**										
Коэффициент затухания звука в атмосфере α, дБ/км	Ta=20,°C Pa=101.33,кПа hотн.=70%	ф-ла (5) [9]	0,02	0,09	0,33	1,12	2,79	4,98	9,04	23,09	77,63		
Учет затухания звука в атмосфере Aatm, дБ		ф-ла (8) [10]	0	0,2	0,7	2,4	6,1	10,8	19,6	50,1	168,4		
Снижение уровня звукового давления из-за влияния застройки между источником шума и расчетной точкой													
Снижение уровня звукового давления на пути над экраном, Dz1, дБ	z = 0.10м (разность путей)	ф-лы (14-18) [10]	4,8	4,8	4,8	4,8	4,8	4,8	4,8	4,8	4,8		
Снижение уровня звукового давления на пути слева от экрана, Dz2, дБ	z = 23.56м (разность путей)	ф-лы (14-18) [10]	22,7	26,7	30	33,1	36,2	39,2	42,2	45,2	48,2		
Снижение уровня звукового давления на пути справа от экрана, Dz3, дБ	z = 24.82м (разность путей)	ф-лы (14-18) [10]	22,6	26,8	30,2	33,4	36,4	39,4	42,4	45,4	48,5		
Общее снижение уровня звука препятствием Dz, дБ		Эн.сумма(-Dzi)	4,6	4,7	4,7	4,8	4,8	4,8	4,8	4,8	4,8		

1		2	3	4	5	6	7	8	9	10	11	12	13
Уровни звукового давления от источника ИШ-1-34 в расчётной точке днём, дБ		**ф-ла(3)[10]**	**0**	**9,1**	**9,9**	**11,2**	**10,9**	**12,7**	**12,9**	**0**	**0**	**17,2**	**17,2**
Уровни звукового давления от источника ИШ-1-34 в расчётной точке ночью, дБ		**ф-ла(3)[10]**	**0**	**0**	**0**	**0**	**0**	**0**	**0**	**0**	**0**	**0**	**0**
Источник шума: ИШ-2-1, координаты источника (x,y,z), м =[696.50,124.40,3.00]													
Уровни звуковой мощности источника днём, Lw, дБ		**исходные данные**	**105**	**104**	**104**	**101**	**102**	**106**	**101**	**95**	**87**		
Уровни звуковой мощности источника ночью, Lw, дБ		**исходные данные**	**105**	**104**	**104**	**101**	**102**	**106**	**101**	**95**	**87**		
Поправка на телесный угол DΩ, дБ	Ω = 6.28	10Lg(4π/Ω)	**3**	3	3	3	3	3	3	3	3		
Показатель направленности источника Di, дБ		исходные данные	**0**	0	0	0	0	0	0	0	0		
Поправка на направленность источника Dc, дБ	Dc	DΩ + Di	**3**	3	3	3	3	3	3	3	3		
Затухание из-за геометрической дивергенции, Adiv, дБ	расстояние = 1818.54 м	ф-ла (7) [10]	**76,2**										
Коэффициент затухания звука в атмосфере α, дБ/км	Ta=20,°C Pa=101.33,кПа hотн.=70%	ф-ла (5) [9]	0,02	0,09	0,33	1,12	2,79	4,98	9,04	23,09	77,63		
Учет затухания звука в атмосфере Aatm, дБ		ф-ла (8) [10]	0	0,2	0,6	2	5,1	9,1	16,4	42	141,2		
Снижение уровня звукового давления из-за влияния застройки между источником шума и расчетной точкой													
Снижение уровня звукового давления на пути над экраном, Dz1, дБ	z = 0.15м (разность путей)	ф-лы (14-18) [10]	4,8	4,8	4,8	4,8	4,8	4,8	4,8	4,8	4,8		
Снижение уровня звукового давления на пути слева от экрана, Dz2, дБ	z = 22.75м (разность путей)	ф-лы (14-18) [10]	22,5	26,5	29,9	33	36	39	42,1	45,1	48,1		
Снижение уровня звукового давления на пути справа от экрана, Dz3, дБ	z = 48.56м (разность путей)	ф-лы (14-18) [10]	27,3	30,3	33,3	36,3	39,3	42,3	45,4	48,4	51,4		
Общее снижение уровня звука препятствием Dz, дБ		Эн.сумма(-Dzi)	4,7	4,7	4,8	4,8	4,8	4,8	4,8	4,8	4,8		

1		2	3	4	5	6	7	8	9	10	11	12	13
Уровни звукового давления от источника ИШ-2-1 в расчётной точке днём, дБ		**ф-ла(3)[10]**	**27,1**	**25,9**	**25,5**	**21**	**19**	**19**	**6,6**	**0**	**0**	**21,8**	**21,8**
Уровни звукового давления от источника ИШ-2-1 в расчётной точке ночью, дБ		**ф-ла(3)[10]**	**27,1**	**25,9**	**25,5**	**21**	**19**	**19**	**6,6**	**0**	**0**	**21,8**	**21,8**
Источник шума: ИШ-2-2, координаты источника (x,y,z), м =[682.20,81.60,3.00]													
Уровни звуковой мощности источника днём, Lw, дБ		**исходные данные**	**105**	**104**	**104**	**101**	**102**	**106**	**101**	**95**	**87**		
Уровни звуковой мощности источника ночью, Lw, дБ		**исходные данные**	**105**	**104**	**104**	**101**	**102**	**106**	**101**	**95**	**87**		
Поправка на телесный угол DΩ, дБ	Ω = 6.28	10Lg(4π/Ω)	**3**	3	3	3	3	3	3	3	3		
Показатель направленности источника Di, дБ		исходные данные	**0**	0	0	0	0	0	0	0	0		
Поправка на направленность источника Dc, дБ	Dc	DΩ + Di	**3**	3	3	3	3	3	3	3	3		
Затухание из-за геометрической дивергенции, Adiv, дБ	расстояние = 1802.32 м	ф-ла (7) [10]	**76,1**										
Коэффициент затухания звука в атмосфере α, дБ/км	Ta=20,°C Pa=101.33,кПа hотн.=70%	ф-ла (5) [9]	0,02	0,09	0,33	1,12	2,79	4,98	9,04	23,09	77,63		
Учет затухания звука в атмосфере Aatm, дБ		ф-ла (8) [10]	0	0,2	0,6	2	5	9	16,3	41,6	139,9		
Снижение уровня звукового давления из-за влияния застройки между источником шума и расчетной точкой													
Снижение уровня звукового давления на пути над экраном, Dz1, дБ	z = 0.16м (разность путей)	ф-лы (14-18) [10]	4,8	4,8	4,8	4,8	4,8	4,8	4,8	4,8	4,8		
Снижение уровня звукового давления на пути слева от экрана, Dz2, дБ	z = 11.33м (разность путей)	ф-лы (14-18) [10]	19,6	23,5	26,9	30	33	36	39	42	45,1		
Снижение уровня звукового давления на пути справа от экрана, Dz3, дБ	z = 66.83м (разность путей)	ф-лы (14-18) [10]	28,6	31,7	34,7	37,7	40,7	43,7	46,7	49,7	52,8		
Общее снижение уровня звука препятствием Dz, дБ		Эн.сумма(-Dzi)	4,6	4,7	4,7	4,8	4,8	4,8	4,8	4,8	4,8		

1		2	3	4	5	6	7	8	9	10	11	12	13
Уровни звукового давления от источника ИШ-2-2 в расчётной точке днём, дБ		**ф-ла(3)[10]**	**27,2**	**26**	**25,6**	**21,1**	**19,1**	**19,2**	**6,8**	**0**	**0**	**21,9**	**21,9**
Уровни звукового давления от источника ИШ-2-2 в расчётной точке ночью, дБ		**ф-ла(3)[10]**	**27,2**	**26**	**25,6**	**21,1**	**19,1**	**19,2**	**6,8**	**0**	**0**	**21,9**	**21,9**
Источник шума: ИШ-2-3, координаты источника (x,y,z), м =[667.80,38.90,3.00]													
Уровни звуковой мощности источника днём, Lw, дБ		**исходные данные**	**105**	**104**	**104**	**101**	**102**	**106**	**101**	**95**	**87**		
Уровни звуковой мощности источника ночью, Lw, дБ		**исходные данные**	**105**	**104**	**104**	**101**	**102**	**106**	**101**	**95**	**87**		
Поправка на телесный угол DΩ, дБ	Ω = 6.28	10Lg(4π/Ω)	**3**	3	3	3	3	3	3	3	3		
Показатель направленности источника Di, дБ		исходные данные	**0**	0	0	0	0	0	0	0	0		
Поправка на направленность источника Dc, дБ	Dc	DΩ + Di	**3**	3	3	3	3	3	3	3	3		
Затухание из-за геометрической дивергенции, Adiv, дБ	расстояние = 1786.99 м	ф-ла (7) [10]	**76**										
Коэффициент затухания звука в атмосфере α, дБ/км	Ta=20,°C Pa=101.33,кПа hотн.=70%	ф-ла (5) [9]	0,02	0,09	0,33	1,12	2,79	4,98	9,04	23,09	77,63		
Учет затухания звука в атмосфере Aatm, дБ		ф-ла (8) [10]	0	0,2	0,6	2	5	8,9	16,2	41,3	138,7		
Снижение уровня звукового давления из-за влияния застройки между источником шума и расчетной точкой													
Снижение уровня звукового давления на пути над экраном, Dz1, дБ	z = 0.13м (разность путей)	ф-лы (14-18) [10]	4,8	4,8	4,8	4,8	4,8	4,8	4,8	4,8	4,8		
Снижение уровня звукового давления на пути слева от экрана, Dz2, дБ	z = 3.90м (разность путей)	ф-лы (14-18) [10]	12,4	15	17,8	20,7	23,7	26,6	29,6	32,6	35,7		
Снижение уровня звукового давления на пути справа от экрана, Dz3, дБ	z = 87.87м (разность путей)	ф-лы (14-18) [10]	29,8	32,9	35,9	38,9	41,9	44,9	47,9	50,9	53,9		
Общее снижение уровня звука препятствием Dz, дБ		Эн.сумма(-Dzi)	4,1	4,4	4,6	4,7	4,7	4,7	4,8	4,8	4,8		

1		2	3	4	5	6	7	8	9	10	11	12	13
Уровни звукового давления от источника ИШ-2-3 в расчётной точке днём, дБ		**ф-ла(3)[10]**	**27,9**	**26,4**	**25,8**	**21,3**	**19,3**	**19,3**	**7,1**	**0**	**0**	**22,1**	**22,1**
Уровни звукового давления от источника ИШ-2-3 в расчётной точке ночью, дБ		**ф-ла(3)[10]**	**27,9**	**26,4**	**25,8**	**21,3**	**19,3**	**19,3**	**7,1**	**0**	**0**	**22,1**	**22,1**
Источник шума: ИШ-2-6, координаты источника (x,y,z), м =[765.97,112.43,1.00]													
Уровни звуковой мощности источника днём, Lw, дБ		**исходные данные**	**0**	**93,3**	**94,7**	**96**	**96,3**	**95,9**	**92,6**	**88,4**	**83,9**		
Уровни звуковой мощности источника ночью, Lw, дБ		**исходные данные**	**0**	**93,3**	**94,7**	**96**	**96,3**	**95,9**	**92,6**	**88,4**	**83,9**		
Поправка на телесный угол DΩ, дБ	Ω = 6.28	10Lg(4π/Ω)	**3**	3	3	3	3	3	3	3	3		
Показатель направленности источника Di, дБ		исходные данные	**0**	0	0	0	0	0	0	0	0		
Поправка на направленность источника Dc, дБ	Dc	DΩ + Di	**3**	3	3	3	3	3	3	3	3		
Затухание из-за геометрической дивергенции, Adiv, дБ	расстояние = 1887.28 м	ф-ла (7) [10]	**76,5**										
Коэффициент затухания звука в атмосфере α, дБ/км	Ta=20,°C Pa=101.33,кПа hотн.=70%	ф-ла (5) [9]	0,02	0,09	0,33	1,12	2,79	4,98	9,04	23,09	77,63		
Учет затухания звука в атмосфере Aatm, дБ		ф-ла (8) [10]	0	0,2	0,6	2,1	5,3	9,4	17,1	43,6	146,5		
Снижение уровня звукового давления из-за влияния застройки между источником шума и расчетной точкой													
Снижение уровня звукового давления на пути над экраном, Dz1, дБ	z = 0.18м (разность путей)	ф-лы (14-18) [10]	4,8	4,8	4,8	4,8	4,8	4,8	4,8	4,8	4,8		
Снижение уровня звукового давления на пути слева от экрана, Dz2, дБ	z = 15.41м (разность путей)	ф-лы (14-18) [10]	20,9	24,9	28,2	31,3	34,3	37,4	40,4	43,4	46,4		
Снижение уровня звукового давления на пути справа от экрана, Dz3, дБ	z = 50.32м (разность путей)	ф-лы (14-18) [10]	27	30,4	33,4	36,5	39,5	42,5	45,5	48,5	51,5		
Общее снижение уровня звука препятствием Dz, дБ		Эн.сумма(-Dzi)	4,6	4,7	4,7	4,8	4,8	4,8	4,8	4,8	4,8		

1		2	3	4	5	6	7	8	9	10	11	12	13
Уровни звукового давления от источника ИШ-2-6 в расчётной точке днём, дБ		**ф-ла(3)[10]**	**0**	**14,9**	**15,8**	**15,6**	**12,7**	**8,2**	**0**	**0**	**0**	**13,4**	**13,4**
Уровни звукового давления от источника ИШ-2-6 в расчётной точке ночью, дБ		**ф-ла(3)[10]**	**0**	**14,9**	**15,8**	**15,6**	**12,7**	**8,2**	**0**	**0**	**0**	**13,4**	**13,4**
Источник шума: ИШ-2-7, координаты источника (x,y,z), м =[764.91,109.54,1.00]													
Уровни звуковой мощности источника днём, Lw, дБ		**исходные данные**	**0**	**93,3**	**94,7**	**96**	**96,3**	**95,9**	**92,6**	**88,4**	**83,9**		
Уровни звуковой мощности источника ночью, Lw, дБ		**исходные данные**	**0**	**93,3**	**94,7**	**96**	**96,3**	**95,9**	**92,6**	**88,4**	**83,9**		
Поправка на телесный угол DΩ, дБ	Ω = 6.28	10Lg(4π/Ω)	**3**	3	3	3	3	3	3	3	3		
Показатель направленности источника Di, дБ		исходные данные	**0**	0	0	0	0	0	0	0	0		
Поправка на направленность источника Dc, дБ	Dc	DΩ + Di	**3**	3	3	3	3	3	3	3	3		
Затухание из-за геометрической дивергенции, Adiv, дБ	расстояние = 1886.08 м	ф-ла (7) [10]	**76,5**										
Коэффициент затухания звука в атмосфере α, дБ/км	Ta=20,°C Pa=101.33,кПа hотн.=70%	ф-ла (5) [9]	0,02	0,09	0,33	1,12	2,79	4,98	9,04	23,09	77,63		
Учет затухания звука в атмосфере Aatm, дБ		ф-ла (8) [10]	0	0,2	0,6	2,1	5,3	9,4	17	43,5	146,4		
Снижение уровня звукового давления из-за влияния застройки между источником шума и расчетной точкой													
Снижение уровня звукового давления на пути над экраном, Dz1, дБ	z = 0.18м (разность путей)	ф-лы (14-18) [10]	4,8	4,8	4,8	4,8	4,8	4,8	4,8	4,8	4,8		
Снижение уровня звукового давления на пути слева от экрана, Dz2, дБ	z = 14.77м (разность путей)	ф-лы (14-18) [10]	20,7	24,7	28	31,1	34,2	37,2	40,2	43,2	46,2		
Снижение уровня звукового давления на пути справа от экрана, Dz3, дБ	z = 49.93м (разность путей)	ф-лы (14-18) [10]	27,4	30,4	33,4	36,4	39,5	42,5	45,5	48,5	51,5		
Общее снижение уровня звука препятствием Dz, дБ		Эн.сумма(-Dzi)	4,6	4,7	4,7	4,8	4,8	4,8	4,8	4,8	4,8		

1		2	3	4	5	6	7	8	9	10	11	12	13
Уровни звукового давления от источника ИШ-2-7 в расчётной точке днём, дБ		**ф-ла(3)[10]**	**0**	**14,9**	**15,8**	**15,6**	**12,8**	**8,2**	**0**	**0**	**0**	**13,4**	**13,4**
Уровни звукового давления от источника ИШ-2-7 в расчётной точке ночью, дБ		**ф-ла(3)[10]**	**0**	**14,9**	**15,8**	**15,6**	**12,8**	**8,2**	**0**	**0**	**0**	**13,4**	**13,4**
Источник шума: ИШ-2-8, координаты источника (x,y,z), м =[764.03,106.58,1.00]													
Уровни звуковой мощности источника днём, Lw, дБ		**исходные данные**	**0**	**93,3**	**94,7**	**96**	**96,3**	**95,9**	**92,6**	**88,4**	**83,9**		
Уровни звуковой мощности источника ночью, Lw, дБ		**исходные данные**	**0**	**93,3**	**94,7**	**96**	**96,3**	**95,9**	**92,6**	**88,4**	**83,9**		
Поправка на телесный угол DΩ, дБ	Ω = 6.28	10Lg(4π/Ω)	**3**	3	3	3	3	3	3	3	3		
Показатель направленности источника Di, дБ		исходные данные	**0**	0	0	0	0	0	0	0	0		
Поправка на направленность источника Dc, дБ	Dc	DΩ + Di	**3**	3	3	3	3	3	3	3	3		
Затухание из-за геометрической дивергенции, Adiv, дБ	расстояние = 1885.07 м	ф-ла (7) [10]	**76,5**										
Коэффициент затухания звука в атмосфере α, дБ/км	Ta=20,°C Pa=101.33,кПа hотн.=70%	ф-ла (5) [9]	0,02	0,09	0,33	1,12	2,79	4,98	9,04	23,09	77,63		
Учет затухания звука в атмосфере Aatm, дБ		ф-ла (8) [10]	0	0,2	0,6	2,1	5,3	9,4	17	43,5	146,3		
Снижение уровня звукового давления из-за влияния застройки между источником шума и расчетной точкой													
Снижение уровня звукового давления на пути над экраном, Dz1, дБ	z = 0.18м (разность путей)	ф-лы (14-18) [10]	4,8	4,8	4,8	4,8	4,8	4,8	4,8	4,8	4,8		
Снижение уровня звукового давления на пути слева от экрана, Dz2, дБ	z = 14.11м (разность путей)	ф-лы (14-18) [10]	20,5	24,5	27,8	30,9	34	37	40	43	46		
Снижение уровня звукового давления на пути справа от экрана, Dz3, дБ	z = 51.10м (разность путей)	ф-лы (14-18) [10]	27,5	30,5	33,5	36,5	39,6	42,6	45,6	48,6	51,6		
Общее снижение уровня звука препятствием Dz, дБ		Эн.сумма(-Dzi)	4,6	4,7	4,7	4,8	4,8	4,8	4,8	4,8	4,8		

1		2	3	4	5	6	7	8	9	10	11	12	13
Уровни звукового давления от источника ИШ-2-8 в расчётной точке днём, дБ		**ф-ла(3)[10]**	**0**	**14,9**	**15,8**	**15,6**	**12,8**	**8,2**	**0**	**0**	**0**	**13,4**	**13,4**
Уровни звукового давления от источника ИШ-2-8 в расчётной точке ночью, дБ		**ф-ла(3)[10]**	**0**	**14,9**	**15,8**	**15,6**	**12,8**	**8,2**	**0**	**0**	**0**	**13,4**	**13,4**
Источник шума: ИШ-2-9, координаты источника (x,y,z), м =[763.26,103.71,1.00]													
Уровни звуковой мощности источника днём, Lw, дБ		**исходные данные**	**0**	**93,3**	**94,7**	**96**	**96,3**	**95,9**	**92,6**	**88,4**	**83,9**		
Уровни звуковой мощности источника ночью, Lw, дБ		**исходные данные**	**0**	**93,3**	**94,7**	**96**	**96,3**	**95,9**	**92,6**	**88,4**	**83,9**		
Поправка на телесный угол DΩ, дБ	Ω = 6.28	10Lg(4π/Ω)	**3**	3	3	3	3	3	3	3	3		
Показатель направленности источника Di, дБ		исходные данные	**0**	0	0	0	0	0	0	0	0		
Поправка на направленность источника Dc, дБ	Dc	DΩ + Di	**3**	3	3	3	3	3	3	3	3		
Затухание из-за геометрической дивергенции, Adiv, дБ	расстояние = 1884.17 м	ф-ла (7) [10]	**76,5**										
Коэффициент затухания звука в атмосфере α, дБ/км	Ta=20,°C Pa=101.33,кПа hотн.=70%	ф-ла (5) [9]	0,02	0,09	0,33	1,12	2,79	4,98	9,04	23,09	77,63		
Учет затухания звука в атмосфере Aatm, дБ		ф-ла (8) [10]	0	0,2	0,6	2,1	5,3	9,4	17	43,5	146,3		
Снижение уровня звукового давления из-за влияния застройки между источником шума и расчетной точкой													
Снижение уровня звукового давления на пути над экраном, Dz1, дБ	z = 0.18м (разность путей)	ф-лы (14-18) [10]	4,8	4,8	4,8	4,8	4,8	4,8	4,8	4,8	4,8		
Снижение уровня звукового давления на пути слева от экрана, Dz2, дБ	z = 13.49м (разность путей)	ф-лы (14-18) [10]	20,3	24,3	27,6	30,7	33,8	36,8	39,8	42,8	45,8		
Снижение уровня звукового давления на пути справа от экрана, Dz3, дБ	z = 52.30м (разность путей)	ф-лы (14-18) [10]	27,6	30,6	33,6	36,6	39,7	42,7	45,7	48,7	51,7		
Общее снижение уровня звука препятствием Dz, дБ		Эн.сумма(-Dzi)	4,6	4,7	4,7	4,8	4,8	4,8	4,8	4,8	4,8		

1		2	3	4	5	6	7	8	9	10	11	12	13
Уровни звукового давления от источника ИШ-2-9 в расчётной точке днём, дБ		**ф-ла(3)[10]**	**0**	**14,9**	**15,8**	**15,6**	**12,8**	**8,2**	**0**	**0**	**0**	**13,4**	**13,4**
Уровни звукового давления от источника ИШ-2-9 в расчётной точке ночью, дБ		**ф-ла(3)[10]**	**0**	**14,9**	**15,8**	**15,6**	**12,8**	**8,2**	**0**	**0**	**0**	**13,4**	**13,4**
Источник шума: ИШ-2-10, координаты источника (x,y,z), м =[762.14,100.75,1.00]													
Уровни звуковой мощности источника днём, Lw, дБ		**исходные данные**	**0**	**93,3**	**94,7**	**96**	**96,3**	**95,9**	**92,6**	**88,4**	**83,9**		
Уровни звуковой мощности источника ночью, Lw, дБ		**исходные данные**	**0**	**93,3**	**94,7**	**96**	**96,3**	**95,9**	**92,6**	**88,4**	**83,9**		
Поправка на телесный угол DΩ, дБ	Ω = 6.28	10Lg(4π/Ω)	**3**	3	3	3	3	3	3	3	3		
Показатель направленности источника Di, дБ		исходные данные	**0**	0	0	0	0	0	0	0	0		
Поправка на направленность источника Dc, дБ	Dc	DΩ + Di	**3**	3	3	3	3	3	3	3	3		
Затухание из-за геометрической дивергенции, Adiv, дБ	расстояние = 1882.93 м	ф-ла (7) [10]	**76,5**										
Коэффициент затухания звука в атмосфере α, дБ/км	Ta=20,°C Pa=101.33,кПа hотн.=70%	ф-ла (5) [9]	0,02	0,09	0,33	1,12	2,79	4,98	9,04	23,09	77,63		
Учет затухания звука в атмосфере Aatm, дБ		ф-ла (8) [10]	0	0,2	0,6	2,1	5,3	9,4	17	43,5	146,2		
Снижение уровня звукового давления из-за влияния застройки между источником шума и расчетной точкой													
Снижение уровня звукового давления на пути над экраном, Dz1, дБ	z = 0.18м (разность путей)	ф-лы (14-18) [10]	4,8	4,8	4,8	4,8	4,8	4,8	4,8	4,8	4,8		
Снижение уровня звукового давления на пути слева от экрана, Dz2, дБ	z = 12.88м (разность путей)	ф-лы (14-18) [10]	20,1	24,1	27,4	30,5	33,6	36,6	39,6	42,6	45,6		
Снижение уровня звукового давления на пути справа от экрана, Dz3, дБ	z = 53.64м (разность путей)	ф-лы (14-18) [10]	27,7	30,8	33,7	36,8	39,8	42,8	45,8	48,8	51,8		
Общее снижение уровня звука препятствием Dz, дБ		Эн.сумма(-Dzi)	4,6	4,7	4,7	4,8	4,8	4,8	4,8	4,8	4,8		

1		2	3	4	5	6	7	8	9	10	11	12	13
Уровни звукового давления от источника ИШ-2-10 в расчётной точке днём, дБ		**ф-ла(3)[10]**	**0**	**14,9**	**15,8**	**15,6**	**12,8**	**8,3**	**0**	**0**	**0**	**13,4**	**13,4**
Уровни звукового давления от источника ИШ-2-10 в расчётной точке ночью, дБ		**ф-ла(3)[10]**	**0**	**14,9**	**15,8**	**15,6**	**12,8**	**8,3**	**0**	**0**	**0**	**13,4**	**13,4**
Источник шума: ИШ-2-11, координаты источника (x,y,z), м =[761.13,97.90,1.00]													
Уровни звуковой мощности источника днём, Lw, дБ		**исходные данные**	**0**	**93,3**	**94,7**	**96**	**96,3**	**95,9**	**92,6**	**88,4**	**83,9**		
Уровни звуковой мощности источника ночью, Lw, дБ		**исходные данные**	**0**	**93,3**	**94,7**	**96**	**96,3**	**95,9**	**92,6**	**88,4**	**83,9**		
Поправка на телесный угол DΩ, дБ	Ω = 6.28	10Lg(4π/Ω)	**3**	3	3	3	3	3	3	3	3		
Показатель направленности источника Di, дБ		исходные данные	**0**	0	0	0	0	0	0	0	0		
Поправка на направленность источника Dc, дБ	Dc	DΩ + Di	**3**	3	3	3	3	3	3	3	3		
Затухание из-за геометрической дивергенции, Adiv, дБ	расстояние = 1881.79 м	ф-ла (7) [10]	**76,5**										
Коэффициент затухания звука в атмосфере α, дБ/км	Ta=20,°C Pa=101.33,кПа hотн.=70%	ф-ла (5) [9]	0,02	0,09	0,33	1,12	2,79	4,98	9,04	23,09	77,63		
Учет затухания звука в атмосфере Aatm, дБ		ф-ла (8) [10]	0	0,2	0,6	2,1	5,3	9,4	17	43,4	146,1		
Снижение уровня звукового давления из-за влияния застройки между источником шума и расчетной точкой													
Снижение уровня звукового давления на пути над экраном, Dz1, дБ	z = 0.18м (разность путей)	ф-лы (14-18) [10]	4,8	4,8	4,8	4,8	4,8	4,8	4,8	4,8	4,8		
Снижение уровня звукового давления на пути слева от экрана, Dz2, дБ	z = 12.30м (разность путей)	ф-лы (14-18) [10]	19,9	23,9	27,2	30,3	33,4	36,4	39,4	42,4	45,4		
Снижение уровня звукового давления на пути справа от экрана, Dz3, дБ	z = 55.00м (разность путей)	ф-лы (14-18) [10]	27,8	30,9	33,9	36,9	39,9	42,9	45,9	48,9	51,9		
Общее снижение уровня звука препятствием Dz, дБ		Эн.сумма(-Dzi)	4,6	4,7	4,7	4,8	4,8	4,8	4,8	4,8	4,8		

1		2	3	4	5	6	7	8	9	10	11	12	13
Уровни звукового давления от источника ИШ-2-11 в расчётной точке днём, дБ		**ф-ла(3)[10]**	**0**	**14,9**	**15,8**	**15,6**	**12,8**	**8,3**	**0**	**0**	**0**	**13,4**	**13,4**
Уровни звукового давления от источника ИШ-2-11 в расчётной точке ночью, дБ		**ф-ла(3)[10]**	**0**	**14,9**	**15,8**	**15,6**	**12,8**	**8,3**	**0**	**0**	**0**	**13,4**	**13,4**
Источник шума: ИШ-2-12, координаты источника (x,y,z), м =[760.25,95.02,1.00]													
Уровни звуковой мощности источника днём, Lw, дБ		**исходные данные**	**0**	**93,3**	**94,7**	**96**	**96,3**	**95,9**	**92,6**	**88,4**	**83,9**		
Уровни звуковой мощности источника ночью, Lw, дБ		**исходные данные**	**0**	**93,3**	**94,7**	**96**	**96,3**	**95,9**	**92,6**	**88,4**	**83,9**		
Поправка на телесный угол DΩ, дБ	Ω = 6.28	10Lg(4π/Ω)	**3**	3	3	3	3	3	3	3	3		
Показатель направленности источника Di, дБ		исходные данные	**0**	0	0	0	0	0	0	0	0		
Поправка на направленность источника Dc, дБ	Dc	DΩ + Di	**3**	3	3	3	3	3	3	3	3		
Затухание из-за геометрической дивергенции, Adiv, дБ	расстояние = 1880.81 м	ф-ла (7) [10]	**76,5**										
Коэффициент затухания звука в атмосфере α, дБ/км	Ta=20,°C Pa=101.33,кПа hотн.=70%	ф-ла (5) [9]	0,02	0,09	0,33	1,12	2,79	4,98	9,04	23,09	77,63		
Учет затухания звука в атмосфере Aatm, дБ		ф-ла (8) [10]	0	0,2	0,6	2,1	5,2	9,4	17	43,4	146		
Снижение уровня звукового давления из-за влияния застройки между источником шума и расчетной точкой													
Снижение уровня звукового давления на пути над экраном, Dz1, дБ	z = 0.18м (разность путей)	ф-лы (14-18) [10]	4,8	4,8	4,8	4,8	4,8	4,8	4,8	4,8	4,8		
Снижение уровня звукового давления на пути слева от экрана, Dz2, дБ	z = 11.72м (разность путей)	ф-лы (14-18) [10]	19,7	23,7	27	30,1	33,2	36,2	39,2	42,2	45,2		
Снижение уровня звукового давления на пути справа от экрана, Dz3, дБ	z = 56.44м (разность путей)	ф-лы (14-18) [10]	27,9	31	34	37	40	43	46	49	52		
Общее снижение уровня звука препятствием Dz, дБ		Эн.сумма(-Dzi)	4,6	4,7	4,7	4,8	4,8	4,8	4,8	4,8	4,8		

1		2	3	4	5	6	7	8	9	10	11	12	13
Уровни звукового давления от источника ИШ-2-12 в расчётной точке днём, дБ		**ф-ла(3)[10]**	**0**	**14,9**	**15,8**	**15,6**	**12,8**	**8,3**	**0**	**0**	**0**	**13,4**	**13,4**
Уровни звукового давления от источника ИШ-2-12 в расчётной точке ночью, дБ		**ф-ла(3)[10]**	**0**	**14,9**	**15,8**	**15,6**	**12,8**	**8,3**	**0**	**0**	**0**	**13,4**	**13,4**
Источник шума: ИШ-2-13, координаты источника (x,y,z), м =[759.28,92.25,1.00]													
Уровни звуковой мощности источника днём, Lw, дБ		**исходные данные**	**0**	**93,3**	**94,7**	**96**	**96,3**	**95,9**	**92,6**	**88,4**	**83,9**		
Уровни звуковой мощности источника ночью, Lw, дБ		**исходные данные**	**0**	**93,3**	**94,7**	**96**	**96,3**	**95,9**	**92,6**	**88,4**	**83,9**		
Поправка на телесный угол DΩ, дБ	Ω = 6.28	10Lg(4π/Ω)	**3**	3	3	3	3	3	3	3	3		
Показатель направленности источника Di, дБ		исходные данные	**0**	0	0	0	0	0	0	0	0		
Поправка на направленность источника Dc, дБ	Dc	DΩ + Di	**3**	3	3	3	3	3	3	3	3		
Затухание из-за геометрической дивергенции, Adiv, дБ	расстояние = 1879.72 м	ф-ла (7) [10]	**76,5**										
Коэффициент затухания звука в атмосфере α, дБ/км	Ta=20,°C Pa=101.33,кПа hотн.=70%	ф-ла (5) [9]	0,02	0,09	0,33	1,12	2,79	4,98	9,04	23,09	77,63		
Учет затухания звука в атмосфере Aatm, дБ		ф-ла (8) [10]	0	0,2	0,6	2,1	5,2	9,4	17	43,4	145,9		
Снижение уровня звукового давления из-за влияния застройки между источником шума и расчетной точкой													
Снижение уровня звукового давления на пути над экраном, Dz1, дБ	z = 0.18м (разность путей)	ф-лы (14-18) [10]	4,8	4,8	4,8	4,8	4,8	4,8	4,8	4,8	4,8		
Снижение уровня звукового давления на пути слева от экрана, Dz2, дБ	z = 11.18м (разность путей)	ф-лы (14-18) [10]	19,5	23,5	26,8	29,9	32,9	36	39	42	45		
Снижение уровня звукового давления на пути справа от экрана, Dz3, дБ	z = 57.90м (разность путей)	ф-лы (14-18) [10]	28	31,1	34,1	37,1	40,1	43,1	46,1	49,1	52,1		
Общее снижение уровня звука препятствием Dz, дБ		Эн.сумма(-Dzi)	4,6	4,7	4,7	4,8	4,8	4,8	4,8	4,8	4,8		

1		2	3	4	5	6	7	8	9	10	11	12	13
Уровни звукового давления от источника ИШ-2-13 в расчётной точке днём, дБ		**ф-ла(3)[10]**	**0**	**14,9**	**15,8**	**15,6**	**12,8**	**8,3**	**0**	**0**	**0**	**13,4**	**13,4**
Уровни звукового давления от источника ИШ-2-13 в расчётной точке ночью, дБ		**ф-ла(3)[10]**	**0**	**14,9**	**15,8**	**15,6**	**12,8**	**8,3**	**0**	**0**	**0**	**13,4**	**13,4**
Источник шума: ИШ-2-14, координаты источника (x,y,z), м =[751.62,69.73,1.00]													
Уровни звуковой мощности источника днём, Lw, дБ		**исходные данные**	**0**	**93,3**	**94,7**	**96**	**96,3**	**95,9**	**92,6**	**88,4**	**83,9**		
Уровни звуковой мощности источника ночью, Lw, дБ		**исходные данные**	**0**	**93,3**	**94,7**	**96**	**96,3**	**95,9**	**92,6**	**88,4**	**83,9**		
Поправка на телесный угол DΩ, дБ	Ω = 6.28	10Lg(4π/Ω)	**3**	3	3	3	3	3	3	3	3		
Показатель направленности источника Di, дБ		исходные данные	**0**	0	0	0	0	0	0	0	0		
Поправка на направленность источника Dc, дБ	Dc	DΩ + Di	**3**	3	3	3	3	3	3	3	3		
Затухание из-за геометрической дивергенции, Adiv, дБ	расстояние = 1871.35 м	ф-ла (7) [10]	**76,4**										
Коэффициент затухания звука в атмосфере α, дБ/км	Ta=20,°C Pa=101.33,кПа hотн.=70%	ф-ла (5) [9]	0,02	0,09	0,33	1,12	2,79	4,98	9,04	23,09	77,63		
Учет затухания звука в атмосфере Aatm, дБ		ф-ла (8) [10]	0	0,2	0,6	2,1	5,2	9,3	16,9	43,2	145,3		
Снижение уровня звукового давления из-за влияния застройки между источником шума и расчетной точкой													
Снижение уровня звукового давления на пути над экраном, Dz1, дБ	z = 0.18м (разность путей)	ф-лы (14-18) [10]	4,8	4,8	4,8	4,8	4,8	4,8	4,8	4,8	4,8		
Снижение уровня звукового давления на пути слева от экрана, Dz2, дБ	z = 7.31м (разность путей)	ф-лы (14-18) [10]	14,8	17,6	20,4	23,4	26,4	29,4	32,4	35,4	38,4		
Снижение уровня звукового давления на пути справа от экрана, Dz3, дБ	z = 65.85м (разность путей)	ф-лы (14-18) [10]	28,5	31,6	34,6	37,6	40,7	43,7	46,7	49,7	52,7		
Общее снижение уровня звука препятствием Dz, дБ		Эн.сумма(-Dzi)	4,3	4,5	4,7	4,7	4,7	4,8	4,8	4,8	4,8		

1		2	3	4	5	6	7	8	9	10	11	12	13
Уровни звукового давления от источника ИШ-2-14 в расчётной точке днём, дБ		**ф-ла(3)[10]**	**0**	**15,1**	**16**	**15,7**	**12,9**	**8,4**	**0**	**0**	**0**	**13,5**	**13,5**
Уровни звукового давления от источника ИШ-2-14 в расчётной точке ночью, дБ		**ф-ла(3)[10]**	**0**	**15,1**	**16**	**15,7**	**12,9**	**8,4**	**0**	**0**	**0**	**13,5**	**13,5**
Источник шума: ИШ-2-15, координаты источника (x,y,z), м =[750.74,66.89,1.00]													
Уровни звуковой мощности источника днём, Lw, дБ		**исходные данные**	**0**	**93,3**	**94,7**	**96**	**96,3**	**95,9**	**92,6**	**88,4**	**83,9**		
Уровни звуковой мощности источника ночью, Lw, дБ		**исходные данные**	**0**	**93,3**	**94,7**	**96**	**96,3**	**95,9**	**92,6**	**88,4**	**83,9**		
Поправка на телесный угол DΩ, дБ	Ω = 6.28	10Lg(4π/Ω)	**3**	3	3	3	3	3	3	3	3		
Показатель направленности источника Di, дБ		исходные данные	**0**	0	0	0	0	0	0	0	0		
Поправка на направленность источника Dc, дБ	Dc	DΩ + Di	**3**	3	3	3	3	3	3	3	3		
Затухание из-за геометрической дивергенции, Adiv, дБ	расстояние = 1870.40 м	ф-ла (7) [10]	**76,4**										
Коэффициент затухания звука в атмосфере α, дБ/км	Ta=20,°C Pa=101.33,кПа hотн.=70%	ф-ла (5) [9]	0,02	0,09	0,33	1,12	2,79	4,98	9,04	23,09	77,63		
Учет затухания звука в атмосфере Aatm, дБ		ф-ла (8) [10]	0	0,2	0,6	2,1	5,2	9,3	16,9	43,2	145,2		
Снижение уровня звукового давления из-за влияния застройки между источником шума и расчетной точкой													
Снижение уровня звукового давления на пути над экраном, Dz1, дБ	z = 0.18м (разность путей)	ф-лы (14-18) [10]	4,8	4,8	4,8	4,8	4,8	4,8	4,8	4,8	4,8		
Снижение уровня звукового давления на пути слева от экрана, Dz2, дБ	z = 6.87м (разность путей)	ф-лы (14-18) [10]	14,5	17,3	20,2	23,1	26,1	29,1	32,1	35,1	38,1		
Снижение уровня звукового давления на пути справа от экрана, Dz3, дБ	z = 67.23м (разность путей)	ф-лы (14-18) [10]	28,6	31,7	34,7	37,7	40,7	43,8	46,8	49,8	52,8		
Общее снижение уровня звука препятствием Dz, дБ		Эн.сумма(-Dzi)	4,3	4,5	4,6	4,7	4,7	4,8	4,8	4,8	4,8		

1		2	3	4	5	6	7	8	9	10	11	12	13
Уровни звукового давления от источника ИШ-2-15 в расчётной точке днём, дБ		**ф-ла(3)[10]**	**0**	**15,2**	**16**	**15,7**	**12,9**	**8,4**	**0**	**0**	**0**	**13,5**	**13,5**
Уровни звукового давления от источника ИШ-2-15 в расчётной точке ночью, дБ		**ф-ла(3)[10]**	**0**	**15,2**	**16**	**15,7**	**12,9**	**8,4**	**0**	**0**	**0**	**13,5**	**13,5**
Источник шума: ИШ-2-16, координаты источника (x,y,z), м =[749.73,64.02,1.00]													
Уровни звуковой мощности источника днём, Lw, дБ		**исходные данные**	**0**	**93,3**	**94,7**	**96**	**96,3**	**95,9**	**92,6**	**88,4**	**83,9**		
Уровни звуковой мощности источника ночью, Lw, дБ		**исходные данные**	**0**	**93,3**	**94,7**	**96**	**96,3**	**95,9**	**92,6**	**88,4**	**83,9**		
Поправка на телесный угол DΩ, дБ	Ω = 6.28	10Lg(4π/Ω)	**3**	3	3	3	3	3	3	3	3		
Показатель направленности источника Di, дБ		исходные данные	**0**	0	0	0	0	0	0	0	0		
Поправка на направленность источника Dc, дБ	Dc	DΩ + Di	**3**	3	3	3	3	3	3	3	3		
Затухание из-за геометрической дивергенции, Adiv, дБ	расстояние = 1869.32 м	ф-ла (7) [10]	**76,4**										
Коэффициент затухания звука в атмосфере α, дБ/км	Ta=20,°C Pa=101.33,кПа hотн.=70%	ф-ла (5) [9]	0,02	0,09	0,33	1,12	2,79	4,98	9,04	23,09	77,63		
Учет затухания звука в атмосфере Aatm, дБ		ф-ла (8) [10]	0	0,2	0,6	2,1	5,2	9,3	16,9	43,2	145,1		
Снижение уровня звукового давления из-за влияния застройки между источником шума и расчетной точкой													
Снижение уровня звукового давления на пути над экраном, Dz1, дБ	z = 0.18м (разность путей)	ф-лы (14-18) [10]	4,8	4,8	4,8	4,8	4,8	4,8	4,8	4,8	4,8		
Снижение уровня звукового давления на пути слева от экрана, Dz2, дБ	z = 6.45м (разность путей)	ф-лы (14-18) [10]	14,3	17,1	19,9	22,9	25,8	28,8	31,8	34,8	37,8		
Снижение уровня звукового давления на пути справа от экрана, Dz3, дБ	z = 68.67м (разность путей)	ф-лы (14-18) [10]	28,7	31,8	34,8	37,8	40,8	43,8	46,9	49,9	52,9		
Общее снижение уровня звука препятствием Dz, дБ		Эн.сумма(-Dzi)	4,3	4,5	4,6	4,7	4,7	4,8	4,8	4,8	4,8		

1		2	3	4	5	6	7	8	9	10	11	12	13
Уровни звукового давления от источника ИШ-2-16 в расчётной точке днём, дБ		**ф-ла(3)[10]**	**0**	**15,2**	**16**	**15,8**	**12,9**	**8,4**	**0**	**0**	**0**	**13,5**	**13,5**
Уровни звукового давления от источника ИШ-2-16 в расчётной точке ночью, дБ		**ф-ла(3)[10]**	**0**	**15,2**	**16**	**15,8**	**12,9**	**8,4**	**0**	**0**	**0**	**13,5**	**13,5**
Источник шума: ИШ-2-17, координаты источника (x,y,z), м =[748.87,61.06,1.00]													
Уровни звуковой мощности источника днём, Lw, дБ		**исходные данные**	**0**	**93,3**	**94,7**	**96**	**96,3**	**95,9**	**92,6**	**88,4**	**83,9**		
Уровни звуковой мощности источника ночью, Lw, дБ		**исходные данные**	**0**	**93,3**	**94,7**	**96**	**96,3**	**95,9**	**92,6**	**88,4**	**83,9**		
Поправка на телесный угол DΩ, дБ	Ω = 6.28	10Lg(4π/Ω)	**3**	3	3	3	3	3	3	3	3		
Показатель направленности источника Di, дБ		исходные данные	**0**	0	0	0	0	0	0	0	0		
Поправка на направленность источника Dc, дБ	Dc	DΩ + Di	**3**	3	3	3	3	3	3	3	3		
Затухание из-за геометрической дивергенции, Adiv, дБ	расстояние = 1868.40 м	ф-ла (7) [10]	**76,4**										
Коэффициент затухания звука в атмосфере α, дБ/км	Ta=20,°C Pa=101.33,кПа hотн.=70%	ф-ла (5) [9]	0,02	0,09	0,33	1,12	2,79	4,98	9,04	23,09	77,63		
Учет затухания звука в атмосфере Aatm, дБ		ф-ла (8) [10]	0	0,2	0,6	2,1	5,2	9,3	16,9	43,1	145		
Снижение уровня звукового давления из-за влияния застройки между источником шума и расчетной точкой													
Снижение уровня звукового давления на пути над экраном, Dz1, дБ	z = 0.18м (разность путей)	ф-лы (14-18) [10]	4,8	4,8	4,8	4,8	4,8	4,8	4,8	4,8	4,8		
Снижение уровня звукового давления на пути слева от экрана, Dz2, дБ	z = 6.03м (разность путей)	ф-лы (14-18) [10]	14	16,8	19,6	22,6	25,5	28,5	31,5	34,5	37,5		
Снижение уровня звукового давления на пути справа от экрана, Dz3, дБ	z = 68.35м (разность путей)	ф-лы (14-18) [10]	28,7	31,8	34,8	37,8	40,8	43,8	46,8	49,8	52,9		
Общее снижение уровня звука препятствием Dz, дБ		Эн.сумма(-Dzi)	4,3	4,5	4,6	4,7	4,7	4,8	4,8	4,8	4,8		

1		2	3	4	5	6	7	8	9	10	11	12	13
Уровни звукового давления от источника ИШ-2-17 в расчётной точке днём, дБ		**ф-ла(3)[10]**	**0**	**15,2**	**16**	**15,8**	**12,9**	**8,4**	**0**	**0**	**0**	**13,5**	**13,5**
Уровни звукового давления от источника ИШ-2-17 в расчётной точке ночью, дБ		**ф-ла(3)[10]**	**0**	**15,2**	**16**	**15,8**	**12,9**	**8,4**	**0**	**0**	**0**	**13,5**	**13,5**
Источник шума: ИШ-2-18, координаты источника (x,y,z), м =[747.72,58.17,1.00]													
Уровни звуковой мощности источника днём, Lw, дБ		**исходные данные**	**0**	**93,3**	**94,7**	**96**	**96,3**	**95,9**	**92,6**	**88,4**	**83,9**		
Уровни звуковой мощности источника ночью, Lw, дБ		**исходные данные**	**0**	**93,3**	**94,7**	**96**	**96,3**	**95,9**	**92,6**	**88,4**	**83,9**		
Поправка на телесный угол DΩ, дБ	Ω = 6.28	10Lg(4π/Ω)	**3**	3	3	3	3	3	3	3	3		
Показатель направленности источника Di, дБ		исходные данные	**0**	0	0	0	0	0	0	0	0		
Поправка на направленность источника Dc, дБ	Dc	DΩ + Di	**3**	3	3	3	3	3	3	3	3		
Затухание из-за геометрической дивергенции, Adiv, дБ	расстояние = 1867.19 м	ф-ла (7) [10]	**76,4**										
Коэффициент затухания звука в атмосфере α, дБ/км	Ta=20,°C Pa=101.33,кПа hотн.=70%	ф-ла (5) [9]	0,02	0,09	0,33	1,12	2,79	4,98	9,04	23,09	77,63		
Учет затухания звука в атмосфере Aatm, дБ		ф-ла (8) [10]	0	0,2	0,6	2,1	5,2	9,3	16,9	43,1	145		
Снижение уровня звукового давления из-за влияния застройки между источником шума и расчетной точкой													
Снижение уровня звукового давления на пути над экраном, Dz1, дБ	z = 0.18м (разность путей)	ф-лы (14-18) [10]	4,8	4,8	4,8	4,8	4,8	4,8	4,8	4,8	4,8		
Снижение уровня звукового давления на пути слева от экрана, Dz2, дБ	z = 5.63м (разность путей)	ф-лы (14-18) [10]	13,8	16,5	19,3	22,3	25,2	28,2	31,2	34,2	37,2		
Снижение уровня звукового давления на пути справа от экрана, Dz3, дБ	z = 69.90м (разность путей)	ф-лы (14-18) [10]	28,8	31,9	34,9	37,9	40,9	43,9	46,9	49,9	53		
Общее снижение уровня звука препятствием Dz, дБ		Эн.сумма(-Dzi)	4,2	4,5	4,6	4,7	4,7	4,8	4,8	4,8	4,8		

1		2	3	4	5	6	7	8	9	10	11	12	13
Уровни звукового давления от источника ИШ-2-18 в расчётной точке днём, дБ		**ф-ла(3)[10]**	**0**	**15,2**	**16**	**15,8**	**12,9**	**8,4**	**0**	**0**	**0**	**13,5**	**13,5**
Уровни звукового давления от источника ИШ-2-18 в расчётной точке ночью, дБ		**ф-ла(3)[10]**	**0**	**15,2**	**16**	**15,8**	**12,9**	**8,4**	**0**	**0**	**0**	**13,5**	**13,5**
Источник шума: ИШ-2-19, координаты источника (x,y,z), м =[746.80,55.25,1.00]													
Уровни звуковой мощности источника днём, Lw, дБ		**исходные данные**	**0**	**93,3**	**94,7**	**96**	**96,3**	**95,9**	**92,6**	**88,4**	**83,9**		
Уровни звуковой мощности источника ночью, Lw, дБ		**исходные данные**	**0**	**93,3**	**94,7**	**96**	**96,3**	**95,9**	**92,6**	**88,4**	**83,9**		
Поправка на телесный угол DΩ, дБ	Ω = 6.28	10Lg(4π/Ω)	**3**	3	3	3	3	3	3	3	3		
Показатель направленности источника Di, дБ		исходные данные	**0**	0	0	0	0	0	0	0	0		
Поправка на направленность источника Dc, дБ	Dc	DΩ + Di	**3**	3	3	3	3	3	3	3	3		
Затухание из-за геометрической дивергенции, Adiv, дБ	расстояние = 1866.22 м	ф-ла (7) [10]	**76,4**										
Коэффициент затухания звука в атмосфере α, дБ/км	Ta=20,°C Pa=101.33,кПа hотн.=70%	ф-ла (5) [9]	0,02	0,09	0,33	1,12	2,79	4,98	9,04	23,09	77,63		
Учет затухания звука в атмосфере Aatm, дБ		ф-ла (8) [10]	0	0,2	0,6	2,1	5,2	9,3	16,9	43,1	144,9		
Снижение уровня звукового давления из-за влияния застройки между источником шума и расчетной точкой													
Снижение уровня звукового давления на пути над экраном, Dz1, дБ	z = 0.14м (разность путей)	ф-лы (14-18) [10]	4,8	4,8	4,8	4,8	4,8	4,8	4,8	4,8	4,8		
Снижение уровня звукового давления на пути слева от экрана, Dz2, дБ	z = 5.23м (разность путей)	ф-лы (14-18) [10]	13,5	16,2	19	22	24,9	27,9	30,9	33,9	36,9		
Снижение уровня звукового давления на пути справа от экрана, Dz3, дБ	z = 71.50м (разность путей)	ф-лы (14-18) [10]	28,9	32	35	38	41	44	47	50	53,1		
Общее снижение уровня звука препятствием Dz, дБ		Эн.сумма(-Dzi)	4,2	4,5	4,6	4,7	4,7	4,7	4,8	4,8	4,8		

1		2	3	4	5	6	7	8	9	10	11	12	13
Уровни звукового давления от источника ИШ-2-19 в расчётной точке днём, дБ		**ф-ла(3)[10]**	**0**	**15,2**	**16**	**15,8**	**12,9**	**8,4**	**0**	**0**	**0**	**13,6**	**13,6**
Уровни звукового давления от источника ИШ-2-19 в расчётной точке ночью, дБ		**ф-ла(3)[10]**	**0**	**15,2**	**16**	**15,8**	**12,9**	**8,4**	**0**	**0**	**0**	**13,6**	**13,6**
Источник шума: ИШ-2-20, координаты источника (x,y,z), м =[745.71,52.44,1.00]													
Уровни звуковой мощности источника днём, Lw, дБ		**исходные данные**	**0**	**93,3**	**94,7**	**96**	**96,3**	**95,9**	**92,6**	**88,4**	**83,9**		
Уровни звуковой мощности источника ночью, Lw, дБ		**исходные данные**	**0**	**93,3**	**94,7**	**96**	**96,3**	**95,9**	**92,6**	**88,4**	**83,9**		
Поправка на телесный угол DΩ, дБ	Ω = 6.28	10Lg(4π/Ω)	**3**	3	3	3	3	3	3	3	3		
Показатель направленности источника Di, дБ		исходные данные	**0**	0	0	0	0	0	0	0	0		
Поправка на направленность источника Dc, дБ	Dc	DΩ + Di	**3**	3	3	3	3	3	3	3	3		
Затухание из-за геометрической дивергенции, Adiv, дБ	расстояние = 1865.07 м	ф-ла (7) [10]	**76,4**										
Коэффициент затухания звука в атмосфере α, дБ/км	Ta=20,°C Pa=101.33,кПа hотн.=70%	ф-ла (5) [9]	0,02	0,09	0,33	1,12	2,79	4,98	9,04	23,09	77,63		
Учет затухания звука в атмосфере Aatm, дБ		ф-ла (8) [10]	0	0,2	0,6	2,1	5,2	9,3	16,9	43,1	144,8		
Снижение уровня звукового давления из-за влияния застройки между источником шума и расчетной точкой													
Снижение уровня звукового давления на пути над экраном, Dz1, дБ	z = 0.14м (разность путей)	ф-лы (14-18) [10]	4,8	4,8	4,8	4,8	4,8	4,8	4,8	4,8	4,8		
Снижение уровня звукового давления на пути слева от экрана, Dz2, дБ	z = 4.87м (разность путей)	ф-лы (14-18) [10]	13,2	15,9	18,7	21,6	24,6	27,6	30,6	33,6	36,6		
Снижение уровня звукового давления на пути справа от экрана, Dz3, дБ	z = 73.13м (разность путей)	ф-лы (14-18) [10]	29	32,1	35,1	38,1	41,1	44,1	47,1	50,1	53,1		
Общее снижение уровня звука препятствием Dz, дБ		Эн.сумма(-Dzi)	4,2	4,4	4,6	4,7	4,7	4,7	4,8	4,8	4,8		

1		2	3	4	5	6	7	8	9	10	11	12	13
Уровни звукового давления от источника ИШ-2-20 в расчётной точке днём, дБ		**ф-ла(3)[10]**	**0**	**15,3**	**16,1**	**15,8**	**12,9**	**8,4**	**0**	**0**	**0**	**13,6**	**13,6**
Уровни звукового давления от источника ИШ-2-20 в расчётной точке ночью, дБ		**ф-ла(3)[10]**	**0**	**15,3**	**16,1**	**15,8**	**12,9**	**8,4**	**0**	**0**	**0**	**13,6**	**13,6**
Источник шума: ИШ-2-21, координаты источника (x,y,z), м =[744.89,49.62,1.00]													
Уровни звуковой мощности источника днём, Lw, дБ		**исходные данные**	**0**	**93,3**	**94,7**	**96**	**96,3**	**95,9**	**92,6**	**88,4**	**83,9**		
Уровни звуковой мощности источника ночью, Lw, дБ		**исходные данные**	**0**	**93,3**	**94,7**	**96**	**96,3**	**95,9**	**92,6**	**88,4**	**83,9**		
Поправка на телесный угол DΩ, дБ	Ω = 6.28	10Lg(4π/Ω)	**3**	3	3	3	3	3	3	3	3		
Показатель направленности источника Di, дБ		исходные данные	**0**	0	0	0	0	0	0	0	0		
Поправка на направленность источника Dc, дБ	Dc	DΩ + Di	**3**	3	3	3	3	3	3	3	3		
Затухание из-за геометрической дивергенции, Adiv, дБ	расстояние = 1864.21 м	ф-ла (7) [10]	**76,4**										
Коэффициент затухания звука в атмосфере α, дБ/км	Ta=20,°C Pa=101.33,кПа hотн.=70%	ф-ла (5) [9]	0,02	0,09	0,33	1,12	2,79	4,98	9,04	23,09	77,63		
Учет затухания звука в атмосфере Aatm, дБ		ф-ла (8) [10]	0	0,2	0,6	2,1	5,2	9,3	16,9	43	144,7		
Снижение уровня звукового давления из-за влияния застройки между источником шума и расчетной точкой													
Снижение уровня звукового давления на пути над экраном, Dz1, дБ	z = 0.14м (разность путей)	ф-лы (14-18) [10]	4,8	4,8	4,8	4,8	4,8	4,8	4,8	4,8	4,8		
Снижение уровня звукового давления на пути слева от экрана, Dz2, дБ	z = 4.51м (разность путей)	ф-лы (14-18) [10]	12,9	15,6	18,4	21,3	24,3	27,3	30,3	33,3	36,3		
Снижение уровня звукового давления на пути справа от экрана, Dz3, дБ	z = 74.77м (разность путей)	ф-лы (14-18) [10]	29,1	32,2	35,2	38,2	41,2	44,2	47,2	50,2	53,2		
Общее снижение уровня звука препятствием Dz, дБ		Эн.сумма(-Dzi)	4,1	4,4	4,6	4,7	4,7	4,7	4,8	4,8	4,8		

1		2	3	4	5	6	7	8	9	10	11	12	13
Уровни звукового давления от источника ИШ-2-21 в расчётной точке днём, дБ		**ф-ла(3)[10]**	**0**	**15,3**	**16,1**	**15,8**	**13**	**8,5**	**0**	**0**	**0**	**13,6**	**13,6**
Уровни звукового давления от источника ИШ-2-21 в расчётной точке ночью, дБ		**ф-ла(3)[10]**	**0**	**15,3**	**16,1**	**15,8**	**13**	**8,5**	**0**	**0**	**0**	**13,6**	**13,6**
Источник шума: ИШ-2-22, координаты источника (x,y,z), м =[737.40,27.07,1.00]													
Уровни звуковой мощности источника днём, Lw, дБ		**исходные данные**	**0**	**93,3**	**94,7**	**96**	**96,3**	**95,9**	**92,6**	**88,4**	**83,9**		
Уровни звуковой мощности источника ночью, Lw, дБ		**исходные данные**	**0**	**93,3**	**94,7**	**96**	**96,3**	**95,9**	**92,6**	**88,4**	**83,9**		
Поправка на телесный угол DΩ, дБ	Ω = 6.28	10Lg(4π/Ω)	**3**	3	3	3	3	3	3	3	3		
Показатель направленности источника Di, дБ		исходные данные	**0**	0	0	0	0	0	0	0	0		
Поправка на направленность источника Dc, дБ	Dc	DΩ + Di	**3**	3	3	3	3	3	3	3	3		
Затухание из-за геометрической дивергенции, Adiv, дБ	расстояние = 1856.50 м	ф-ла (7) [10]	**76,4**										
Коэффициент затухания звука в атмосфере α, дБ/км	Ta=20,°C Pa=101.33,кПа hотн.=70%	ф-ла (5) [9]	0,02	0,09	0,33	1,12	2,79	4,98	9,04	23,09	77,63		
Учет затухания звука в атмосфере Aatm, дБ		ф-ла (8) [10]	0	0,2	0,6	2,1	5,2	9,2	16,8	42,9	144,1		
Снижение уровня звукового давления из-за влияния застройки между источником шума и расчетной точкой													
Снижение уровня звукового давления на пути над экраном, Dz1, дБ	z = 0.16м (разность путей)	ф-лы (14-18) [10]	4,8	4,8	4,8	4,8	4,8	4,8	4,8	4,8	4,8		
Снижение уровня звукового давления на пути слева от экрана, Dz2, дБ	z = 2.12м (разность путей)	ф-лы (14-18) [10]	10,4	12,7	15,3	18,2	21,1	24	27	30	33		
Снижение уровня звукового давления на пути справа от экрана, Dz3, дБ	z = 4.41м (разность путей)	ф-лы (14-18) [10]	12,9	15,5	18,3	21,2	24,2	27,2	30,2	33,2	36,2		
Общее снижение уровня звука препятствием Dz, дБ		Эн.сумма(-Dzi)	3,2	3,8	4,2	4,5	4,6	4,7	4,7	4,8	4,8		

1		2	3	4	5	6	7	8	9	10	11	12	13
Уровни звукового давления от источника ИШ-2-22 в расчётной точке днём, дБ		**ф-ла(3)[10]**	**0**	**15,9**	**16,5**	**16**	**13,1**	**8,6**	**0**	**0**	**0**	**13,8**	**13,8**
Уровни звукового давления от источника ИШ-2-22 в расчётной точке ночью, дБ		**ф-ла(3)[10]**	**0**	**15,9**	**16,5**	**16**	**13,1**	**8,6**	**0**	**0**	**0**	**13,8**	**13,8**
Источник шума: ИШ-2-23, координаты источника (x,y,z), м =[736.46,24.18,1.00]													
Уровни звуковой мощности источника днём, Lw, дБ		**исходные данные**	**0**	**93,3**	**94,7**	**96**	**96,3**	**95,9**	**92,6**	**88,4**	**83,9**		
Уровни звуковой мощности источника ночью, Lw, дБ		**исходные данные**	**0**	**93,3**	**94,7**	**96**	**96,3**	**95,9**	**92,6**	**88,4**	**83,9**		
Поправка на телесный угол DΩ, дБ	Ω = 6.28	10Lg(4π/Ω)	**3**	3	3	3	3	3	3	3	3		
Показатель направленности источника Di, дБ		исходные данные	**0**	0	0	0	0	0	0	0	0		
Поправка на направленность источника Dc, дБ	Dc	DΩ + Di	**3**	3	3	3	3	3	3	3	3		
Затухание из-за геометрической дивергенции, Adiv, дБ	расстояние = 1855.56 м	ф-ла (7) [10]	**76,4**										
Коэффициент затухания звука в атмосфере α, дБ/км	Ta=20,°C Pa=101.33,кПа hотн.=70%	ф-ла (5) [9]	0,02	0,09	0,33	1,12	2,79	4,98	9,04	23,09	77,63		
Учет затухания звука в атмосфере Aatm, дБ		ф-ла (8) [10]	0	0,2	0,6	2,1	5,2	9,2	16,8	42,8	144,1		
Снижение уровня звукового давления из-за влияния застройки между источником шума и расчетной точкой													
Снижение уровня звукового давления на пути над экраном, Dz1, дБ	z = 0.16м (разность путей)	ф-лы (14-18) [10]	4,8	4,8	4,8	4,8	4,8	4,8	4,8	4,8	4,8		
Снижение уровня звукового давления на пути слева от экрана, Dz2, дБ	z = 1.88м (разность путей)	ф-лы (14-18) [10]	10	12,3	14,9	17,7	20,6	23,5	26,5	29,5	32,5		
Снижение уровня звукового давления на пути справа от экрана, Dz3, дБ	z = 4.68м (разность путей)	ф-лы (14-18) [10]	13,1	15,8	18,6	21,5	24,4	27,4	30,4	33,4	36,4		
Общее снижение уровня звука препятствием Dz, дБ		Эн.сумма(-Dzi)	3,2	3,8	4,2	4,5	4,6	4,7	4,7	4,8	4,8		

1		2	3	4	5	6	7	8	9	10	11	12	13
Уровни звукового давления от источника ИШ-2-23 в расчётной точке днём, дБ		**ф-ла(3)[10]**	**0**	**16**	**16,5**	**16,1**	**13,1**	**8,6**	**0**	**0**	**0**	**13,8**	**13,8**
Уровни звукового давления от источника ИШ-2-23 в расчётной точке ночью, дБ		**ф-ла(3)[10]**	**0**	**16**	**16,5**	**16,1**	**13,1**	**8,6**	**0**	**0**	**0**	**13,8**	**13,8**
Источник шума: ИШ-2-24, координаты источника (x,y,z), м =[735.45,21.21,1.00]													
Уровни звуковой мощности источника днём, Lw, дБ		**исходные данные**	**0**	**93,3**	**94,7**	**96**	**96,3**	**95,9**	**92,6**	**88,4**	**83,9**		
Уровни звуковой мощности источника ночью, Lw, дБ		**исходные данные**	**0**	**93,3**	**94,7**	**96**	**96,3**	**95,9**	**92,6**	**88,4**	**83,9**		
Поправка на телесный угол DΩ, дБ	Ω = 6.28	10Lg(4π/Ω)	**3**	3	3	3	3	3	3	3	3		
Показатель направленности источника Di, дБ		исходные данные	**0**	0	0	0	0	0	0	0	0		
Поправка на направленность источника Dc, дБ	Dc	DΩ + Di	**3**	3	3	3	3	3	3	3	3		
Затухание из-за геометрической дивергенции, Adiv, дБ	расстояние = 1854.55 м	ф-ла (7) [10]	**76,4**										
Коэффициент затухания звука в атмосфере α, дБ/км	Ta=20,°C Pa=101.33,кПа hотн.=70%	ф-ла (5) [9]	0,02	0,09	0,33	1,12	2,79	4,98	9,04	23,09	77,63		
Учет затухания звука в атмосфере Aatm, дБ		ф-ла (8) [10]	0	0,2	0,6	2,1	5,2	9,2	16,8	42,8	144		
Снижение уровня звукового давления из-за влияния застройки между источником шума и расчетной точкой													
Снижение уровня звукового давления на пути над экраном, Dz1, дБ	z = 0.16м (разность путей)	ф-лы (14-18) [10]	4,8	4,8	4,8	4,8	4,8	4,8	4,8	4,8	4,8		
Снижение уровня звукового давления на пути слева от экрана, Dz2, дБ	z = 1.64м (разность путей)	ф-лы (14-18) [10]	9,6	11,8	14,3	17,1	20	22,9	25,9	28,9	31,9		
Снижение уровня звукового давления на пути справа от экрана, Dz3, дБ	z = 4.96м (разность путей)	ф-лы (14-18) [10]	13,3	16	18,8	21,7	24,7	27,7	30,7	33,7	36,7		
Общее снижение уровня звука препятствием Dz, дБ		Эн.сумма(-Dzi)	3,1	3,7	4,2	4,4	4,6	4,7	4,7	4,7	4,8		

1		2	3	4	5	6	7	8	9	10	11	12	13
Уровни звукового давления от источника ИШ-2-24 в расчётной точке днём, дБ		**ф-ла(3)[10]**	**0**	**16**	**16,5**	**16,1**	**13,2**	**8,6**	**0**	**0**	**0**	**13,8**	**13,8**
Уровни звукового давления от источника ИШ-2-24 в расчётной точке ночью, дБ		**ф-ла(3)[10]**	**0**	**16**	**16,5**	**16,1**	**13,2**	**8,6**	**0**	**0**	**0**	**13,8**	**13,8**
Источник шума: ИШ-2-25, координаты источника (x,y,z), м =[734.58,18.32,1.00]													
Уровни звуковой мощности источника днём, Lw, дБ		**исходные данные**	**0**	**93,3**	**94,7**	**96**	**96,3**	**95,9**	**92,6**	**88,4**	**83,9**		
Уровни звуковой мощности источника ночью, Lw, дБ		**исходные данные**	**0**	**93,3**	**94,7**	**96**	**96,3**	**95,9**	**92,6**	**88,4**	**83,9**		
Поправка на телесный угол DΩ, дБ	Ω = 6.28	10Lg(4π/Ω)	**3**	3	3	3	3	3	3	3	3		
Показатель направленности источника Di, дБ		исходные данные	**0**	0	0	0	0	0	0	0	0		
Поправка на направленность источника Dc, дБ	Dc	DΩ + Di	**3**	3	3	3	3	3	3	3	3		
Затухание из-за геометрической дивергенции, Adiv, дБ	расстояние = 1853.68 м	ф-ла (7) [10]	**76,4**										
Коэффициент затухания звука в атмосфере α, дБ/км	Ta=20,°C Pa=101.33,кПа hотн.=70%	ф-ла (5) [9]	0,02	0,09	0,33	1,12	2,79	4,98	9,04	23,09	77,63		
Учет затухания звука в атмосфере Aatm, дБ		ф-ла (8) [10]	0	0,2	0,6	2,1	5,2	9,2	16,8	42,8	143,9		
Снижение уровня звукового давления из-за влияния застройки между источником шума и расчетной точкой													
Снижение уровня звукового давления на пути над экраном, Dz1, дБ	z = 0.16м (разность путей)	ф-лы (14-18) [10]	4,8	4,8	4,8	4,8	4,8	4,8	4,8	4,8	4,8		
Снижение уровня звукового давления на пути слева от экрана, Dz2, дБ	z = 1.43м (разность путей)	ф-лы (14-18) [10]	9,2	11,3	13,8	16,5	19,4	22,3	25,3	28,3	31,3		
Снижение уровня звукового давления на пути справа от экрана, Dz3, дБ	z = 5.25м (разность путей)	ф-лы (14-18) [10]	13,5	16,2	19	22	24,9	27,9	30,9	33,9	36,9		
Общее снижение уровня звука препятствием Dz, дБ		Эн.сумма(-Dzi)	3	3,7	4,1	4,4	4,6	4,7	4,7	4,7	4,8		

1		2	3	4	5	6	7	8	9	10	11	12	13
Уровни звукового давления от источника ИШ-2-25 в расчётной точке днём, дБ		**ф-ла(3)[10]**	**0**	**16,1**	**16,6**	**16,1**	**13,2**	**8,6**	**0**	**0**	**0**	**13,8**	**13,8**
Уровни звукового давления от источника ИШ-2-25 в расчётной точке ночью, дБ		**ф-ла(3)[10]**	**0**	**16,1**	**16,6**	**16,1**	**13,2**	**8,6**	**0**	**0**	**0**	**13,8**	**13,8**
Источник шума: ИШ-2-26, координаты источника (x,y,z), м =[733.57,15.41,1.00]													
Уровни звуковой мощности источника днём, Lw, дБ		**исходные данные**	**0**	**93,3**	**94,7**	**96**	**96,3**	**95,9**	**92,6**	**88,4**	**83,9**		
Уровни звуковой мощности источника ночью, Lw, дБ		**исходные данные**	**0**	**93,3**	**94,7**	**96**	**96,3**	**95,9**	**92,6**	**88,4**	**83,9**		
Поправка на телесный угол DΩ, дБ	Ω = 6.28	10Lg(4π/Ω)	**3**	3	3	3	3	3	3	3	3		
Показатель направленности источника Di, дБ		исходные данные	**0**	0	0	0	0	0	0	0	0		
Поправка на направленность источника Dc, дБ	Dc	DΩ + Di	**3**	3	3	3	3	3	3	3	3		
Затухание из-за геометрической дивергенции, Adiv, дБ	расстояние = 1852.68 м	ф-ла (7) [10]	**76,4**										
Коэффициент затухания звука в атмосфере α, дБ/км	Ta=20,°C Pa=101.33,кПа hотн.=70%	ф-ла (5) [9]	0,02	0,09	0,33	1,12	2,79	4,98	9,04	23,09	77,63		
Учет затухания звука в атмосфере Aatm, дБ		ф-ла (8) [10]	0	0,2	0,6	2,1	5,2	9,2	16,7	42,8	143,8		
Снижение уровня звукового давления из-за влияния застройки между источником шума и расчетной точкой													
Снижение уровня звукового давления на пути над экраном, Dz1, дБ	z = 0.16м (разность путей)	ф-лы (14-18) [10]	4,8	4,8	4,8	4,8	4,8	4,8	4,8	4,8	4,8		
Снижение уровня звукового давления на пути слева от экрана, Dz2, дБ	z = 1.22м (разность путей)	ф-лы (14-18) [10]	8,8	10,8	13,2	15,9	18,7	21,7	24,6	27,6	30,6		
Снижение уровня звукового давления на пути справа от экрана, Dz3, дБ	z = 5.55м (разность путей)	ф-лы (14-18) [10]	13,7	16,4	19,3	22,2	25,2	28,2	31,2	34,2	37,2		
Общее снижение уровня звука препятствием Dz, дБ		Эн.сумма(-Dzi)	2,9	3,6	4,1	4,4	4,6	4,7	4,7	4,7	4,8		

1		2	3	4	5	6	7	8	9	10	11	12	13
Уровни звукового давления прямого звука от источника ИШ-2-26 в расчётной точке днём, дБ		**ф-ла(3)[10]**	**0**	**16,2**	**16,7**	**16,2**	**13,2**	**8,6**	**0**	**0**	**0**	**13,9**	**13,9**
Уровни звукового давления прямого звука от источника ИШ-2-26 в расчётной точке ночью, дБ		**ф-ла(3)[10]**	**0**	**16,2**	**16,7**	**16,2**	**13,2**	**8,6**	**0**	**0**	**0**	**13,9**	**13,9**
Расчёт отражённого звука													
Уровни звукового давления от мнимого источника ИШ-2-26_мн.(1) в расчётной точке днём, дБ		**ф-ла(3)[10]**	**0**	**0**	**0**	**0**	**0**	**0**	**0**	**0**	**0**	**0**	**0**
Уровни звукового давления от мнимого источника ИШ-2-26_мн.(1) в расчётной точке ночью, дБ		**ф-ла(3)[10]**	**0**	**0**	**0**	**0**	**0**	**0**	**0**	**0**	**0**	**0**	**0**
Уровни звукового давления от источника ИШ-2-26 в расчётной точке днём, дБ		**ф-ла(3)[10]**	**0**	**16,2**	**16,7**	**16,2**	**13,2**	**8,6**	**0**	**0**	**0**	**13,9**	**13,9**
Уровни звукового давления от источника ИШ-2-26 в расчётной точке ночью, дБ		**ф-ла(3)[10]**	**0**	**16,2**	**16,7**	**16,2**	**13,2**	**8,6**	**0**	**0**	**0**	**13,9**	**13,9**
Источник шума: ИШ-2-27, координаты источника (x,y,z), м =[732.43,12.66,1.00]													
Уровни звуковой мощности источника днём, Lw, дБ		**исходные данные**	**0**	**93,3**	**94,7**	**96**	**96,3**	**95,9**	**92,6**	**88,4**	**83,9**		
Уровни звуковой мощности источника ночью, Lw, дБ		**исходные данные**	**0**	**93,3**	**94,7**	**96**	**96,3**	**95,9**	**92,6**	**88,4**	**83,9**		
Поправка на телесный угол DΩ, дБ	Ω = 6.28	10Lg(4π/Ω)	**3**	3	3	3	3	3	3	3	3		
Показатель направленности источника Di, дБ		исходные данные	**0**	0	0	0	0	0	0	0	0		
Поправка на направленность источника Dc, дБ	Dc	DΩ + Di	**3**	3	3	3	3	3	3	3	3		
Затухание из-за геометрической дивергенции, Adiv, дБ	расстояние = 1851.54 м	ф-ла (7) [10]	**76,4**										
Коэффициент затухания звука в атмосфере α, дБ/км	Ta=20,°C Pa=101.33,кПа hотн.=70%	ф-ла (5) [9]	0,02	0,09	0,33	1,12	2,79	4,98	9,04	23,09	77,63		
Учет затухания звука в атмосфере Aatm, дБ		ф-ла (8) [10]	0	0,2	0,6	2,1	5,2	9,2	16,7	42,7	143,7		

1		2	3	4	5	6	7	8	9	10	11	12	13
Снижение уровня звукового давления из-за влияния застройки между источником шума и расчетной точкой													
Снижение уровня звукового давления на пути над экраном, Dz1, дБ	z = 0.16м (разность путей)	ф-лы (14-18) [10]	4,8	4,8	4,8	4,8	4,8	4,8	4,8	4,8	4,8		
Снижение уровня звукового давления на пути слева от экрана, Dz2, дБ	z = 1.05м (разность путей)	ф-лы (14-18) [10]	8,4	10,3	12,6	15,3	18,1	21	24	26,9	29,9		
Снижение уровня звукового давления на пути справа от экрана, Dz3, дБ	z = 5.84м (разность путей)	ф-лы (14-18) [10]	13,9	16,7	19,5	22,4	25,4	28,4	31,4	34,4	37,4		
Общее снижение уровня звука препятствием Dz, дБ		Эн.сумма(-Dzi)	2,8	3,5	4	4,3	4,5	4,7	4,7	4,7	4,8		
Уровни звукового давления прямого звука от источника ИШ-2-27 в расчётной точке днём, дБ		**ф-ла(3)[10]**	**0**	**16,3**	**16,7**	**16,2**	**13,2**	**8,7**	**0**	**0**	**0**	**13,9**	**13,9**
Уровни звукового давления прямого звука от источника ИШ-2-27 в расчётной точке ночью, дБ		**ф-ла(3)[10]**	**0**	**16,3**	**16,7**	**16,2**	**13,2**	**8,7**	**0**	**0**	**0**	**13,9**	**13,9**
Расчёт отражённого звука													
Уровни звукового давления от мнимого источника ИШ-2-27_мн.(1) в расчётной точке днём, дБ		**ф-ла(3)[10]**	**0**	**0**	**0**	**0**	**0**	**0**	**0**	**0**	**0**	**0**	**0**
Уровни звукового давления от мнимого источника ИШ-2-27_мн.(1) в расчётной точке ночью, дБ		**ф-ла(3)[10]**	**0**	**0**	**0**	**0**	**0**	**0**	**0**	**0**	**0**	**0**	**0**
Уровни звукового давления от источника ИШ-2-27 в расчётной точке днём, дБ		**ф-ла(3)[10]**	**0**	**16,3**	**16,7**	**16,2**	**13,2**	**8,7**	**0**	**0**	**0**	**13,9**	**13,9**
Уровни звукового давления от источника ИШ-2-27 в расчётной точке ночью, дБ		**ф-ла(3)[10]**	**0**	**16,3**	**16,7**	**16,2**	**13,2**	**8,7**	**0**	**0**	**0**	**13,9**	**13,9**
Источник шума: ИШ-2-28, координаты источника (x,y,z), м =[731.54,9.78,1.00]													
Уровни звуковой мощности источника днём, Lw, дБ		**исходные данные**	**0**	**93,3**	**94,7**	**96**	**96,3**	**95,9**	**92,6**	**88,4**	**83,9**		
Уровни звуковой мощности источника ночью, Lw, дБ		**исходные данные**	**0**	**93,3**	**94,7**	**96**	**96,3**	**95,9**	**92,6**	**88,4**	**83,9**		
Поправка на телесный угол DΩ, дБ	Ω = 6.28	10Lg(4π/Ω)	**3**	3	3	3	3	3	3	3	3		
Показатель направленности источника Di, дБ		исходные данные	**0**	0	0	0	0	0	0	0	0		

1		2	3	4	5	6	7	8	9	10	11	12	13
Поправка на направленность источника Dc, дБ	Dc	DΩ + Di	**3**	3	3	3	3	3	3	3	3		
Затухание из-за геометрической дивергенции, Adiv, дБ	расстояние = 1850.67 м	ф-ла (7) [10]	**76,3**										
Коэффициент затухания звука в атмосфере α, дБ/км	Ta=20,°C Pa=101.33,кПа hотн.=70%	ф-ла (5) [9]	0,02	0,09	0,33	1,12	2,79	4,98	9,04	23,09	77,63		
Учет затухания звука в атмосфере Aatm, дБ		ф-ла (8) [10]	0	0,2	0,6	2,1	5,2	9,2	16,7	42,7	143,7		
Снижение уровня звукового давления из-за влияния застройки между источником шума и расчетной точкой													
Снижение уровня звукового давления на пути над экраном, Dz1, дБ	z = 0.16м (разность путей)	ф-лы (14-18) [10]	4,8	4,8	4,8	4,8	4,8	4,8	4,8	4,8	4,8		
Снижение уровня звукового давления на пути слева от экрана, Dz2, дБ	z = 0.87м (разность путей)	ф-лы (14-18) [10]	7,9	9,8	12	14,6	17,4	20,2	23,2	26,2	29,2		
Снижение уровня звукового давления на пути справа от экрана, Dz3, дБ	z = 6.15м (разность путей)	ф-лы (14-18) [10]	18,3	21,4	24,4	27,4	30,4	33,4	36,4	39,4	42,4		
Общее снижение уровня звука препятствием Dz, дБ		Эн.сумма(-Dzi)	2,9	3,5	4	4,3	4,5	4,6	4,7	4,7	4,8		
Уровни звукового давления от источника ИШ-2-28 в расчётной точке днём, дБ		**ф-ла(3)[10]**	**0**	**16,3**	**16,7**	**16,2**	**13,3**	**8,7**	**0**	**0**	**0**	**13,9**	**13,9**
Уровни звукового давления от источника ИШ-2-28 в расчётной точке ночью, дБ		**ф-ла(3)[10]**	**0**	**16,3**	**16,7**	**16,2**	**13,3**	**8,7**	**0**	**0**	**0**	**13,9**	**13,9**
Источник шума: ИШ-2-29, координаты источника (x,y,z), м =[730.57,6.88,1.00]													
Уровни звуковой мощности источника днём, Lw, дБ		**исходные данные**	**0**	**93,3**	**94,7**	**96**	**96,3**	**95,9**	**92,6**	**88,4**	**83,9**		
Уровни звуковой мощности источника ночью, Lw, дБ		**исходные данные**	**0**	**93,3**	**94,7**	**96**	**96,3**	**95,9**	**92,6**	**88,4**	**83,9**		
Поправка на телесный угол DΩ, дБ	Ω = 6.28	10Lg(4π/Ω)	**3**	3	3	3	3	3	3	3	3		
Показатель направленности источника Di, дБ		исходные данные	**0**	0	0	0	0	0	0	0	0		

1		2	3	4	5	6	7	8	9	10	11	12	13
Поправка на направленность источника Dc, дБ	Dc	DΩ + Di	**3**	3	3	3	3	3	3	3	3		
Затухание из-за геометрической дивергенции, Adiv, дБ	расстояние = 1849.73 м	ф-ла (7) [10]	**76,3**										
Коэффициент затухания звука в атмосфере α, дБ/км	Ta=20,°C Pa=101.33,кПа hотн.=70%	ф-ла (5) [9]	0,02	0,09	0,33	1,12	2,79	4,98	9,04	23,09	77,63		
Учет затухания звука в атмосфере Aatm, дБ		ф-ла (8) [10]	0	0,2	0,6	2,1	5,2	9,2	16,7	42,7	143,6		
Снижение уровня звукового давления из-за влияния застройки между источником шума и расчетной точкой													
Снижение уровня звукового давления на пути над экраном, Dz1, дБ	z = 0.16м (разность путей)	ф-лы (14-18) [10]	4,8	4,8	4,8	4,8	4,8	4,8	4,8	4,8	4,8		
Снижение уровня звукового давления на пути слева от экрана, Dz2, дБ	z = 0.72м (разность путей)	ф-лы (14-18) [10]	7,5	9,2	11,3	13,8	16,5	19,4	22,3	25,3	28,3		
Снижение уровня звукового давления на пути справа от экрана, Dz3, дБ	z = 6.48м (разность путей)	ф-лы (14-18) [10]	18,5	21,6	24,6	27,6	30,6	33,6	36,6	39,6	42,6		
Общее снижение уровня звука препятствием Dz, дБ		Эн.сумма(-Dzi)	2,8	3,4	3,9	4,2	4,5	4,6	4,7	4,7	4,8		
Уровни звукового давления от источника ИШ-2-29 в расчётной точке днём, дБ		**ф-ла(3)[10]**	**0**	**16,4**	**16,9**	**16,3**	**13,3**	**8,7**	**0**	**0**	**0**	**14**	**14**
Уровни звукового давления от источника ИШ-2-29 в расчётной точке ночью, дБ		**ф-ла(3)[10]**	**0**	**16,4**	**16,9**	**16,3**	**13,3**	**8,7**	**0**	**0**	**0**	**14**	**14**
Источник шума: ИШ-2-4, координаты источника (x,y,z), м =[632.70,-65.30,3.00]													
Уровни звуковой мощности источника днём, Lw, дБ		**исходные данные**	**105**	**104**	**104**	**101**	**102**	**106**	**101**	**95**	**87**		
Уровни звуковой мощности источника ночью, Lw, дБ		**исходные данные**	**105**	**104**	**104**	**101**	**102**	**106**	**101**	**95**	**87**		
Поправка на телесный угол DΩ, дБ	Ω = 6.28	10Lg(4π/Ω)	**3**	3	3	3	3	3	3	3	3		
Показатель направленности источника Di, дБ		исходные данные	**0**	0	0	0	0	0	0	0	0		

1		2	3	4	5	6	7	8	9	10	11	12	13
Поправка на направленность источника Dc, дБ	Dc	DΩ + Di	**3**	3	3	3	3	3	3	3	3		
Затухание из-за геометрической дивергенции, Adiv, дБ	расстояние = 1753.93 м	ф-ла (7) [10]	**75,9**										
Коэффициент затухания звука в атмосфере α, дБ/км	Ta=20,°C Pa=101.33,кПа hотн.=70%	ф-ла (5) [9]	0,02	0,09	0,33	1,12	2,79	4,98	9,04	23,09	77,63		
Учет затухания звука в атмосфере Aatm, дБ		ф-ла (8) [10]	0	0,2	0,6	2	4,9	8,7	15,9	40,5	136,2		
Снижение уровня звукового давления из-за влияния застройки между источником шума и расчетной точкой													
Снижение уровня звукового давления на пути над экраном, Dz1, дБ	z = 0.28м (разность путей)	ф-лы (14-18) [10]	4,8	4,8	4,8	4,8	4,8	4,8	4,9	5	5,2		
Снижение уровня звукового давления на пути слева от экрана, Dz2, дБ	z = 3.07м (разность путей)	ф-лы (14-18) [10]	15,3	18,4	21,4	24,4	27,4	30,4	33,4	36,4	39,4		
Снижение уровня звукового давления на пути справа от экрана, Dz3, дБ	z = 26.22м (разность путей)	ф-лы (14-18) [10]	24,6	27,7	30,6	33,6	36,7	39,7	42,7	45,7	48,7		
Общее снижение уровня звука препятствием Dz, дБ		Эн.сумма(-Dzi)	4,4	4,6	4,7	4,7	4,8	4,8	4,9	5	5,2		
Уровни звукового давления от источника ИШ-2-4 в расчётной точке днём, дБ		**ф-ла(3)[10]**	**27,7**	**26,4**	**25,9**	**21,4**	**19,5**	**19,6**	**7,4**	**0**	**0**	**22,3**	**22,3**
Уровни звукового давления от источника ИШ-2-4 в расчётной точке ночью, дБ		**ф-ла(3)[10]**	**27,7**	**26,4**	**25,9**	**21,4**	**19,5**	**19,6**	**7,4**	**0**	**0**	**22,3**	**22,3**
Источник шума: ИШ-2-30, координаты источника (x,y,z), м =[702.44,-77.23,1.00]													
Уровни звуковой мощности источника днём, Lw, дБ		**исходные данные**	**0**	**93,3**	**94,7**	**96**	**96,3**	**95,9**	**92,6**	**88,4**	**83,9**		
Уровни звуковой мощности источника ночью, Lw, дБ		**исходные данные**	**0**	**93,3**	**94,7**	**96**	**96,3**	**95,9**	**92,6**	**88,4**	**83,9**		
Поправка на телесный угол DΩ, дБ	Ω = 6.28	10Lg(4π/Ω)	**3**	3	3	3	3	3	3	3	3		
Показатель направленности источника Di, дБ		исходные данные	**0**	0	0	0	0	0	0	0	0		

1		2	3	4	5	6	7	8	9	10	11	12	13
Поправка на направленность источника Dc, дБ	Dc	DΩ + Di	**3**	3	3	3	3	3	3	3	3		
Затухание из-за геометрической дивергенции, Adiv, дБ	расстояние = 1824.19 м	ф-ла (7) [10]	**76,2**										
Коэффициент затухания звука в атмосфере α, дБ/км	Ta=20,°C Pa=101.33,кПа hотн.=70%	ф-ла (5) [9]	0,02	0,09	0,33	1,12	2,79	4,98	9,04	23,09	77,63		
Учет затухания звука в атмосфере Aatm, дБ		ф-ла (8) [10]	0	0,2	0,6	2,1	5,1	9,1	16,5	42,1	141,6		
Снижение уровня звукового давления из-за влияния застройки между источником шума и расчетной точкой													
Снижение уровня звукового давления на пути над экраном, Dz1, дБ	z = 0.23м (разность путей)	ф-лы (14-18) [10]	4,8	4,8	4,8	4,8	4,8	4,8	4,8	4,8	4,8		
Снижение уровня звукового давления на пути слева от экрана, Dz2, дБ	z = 1.72м (разность путей)	ф-лы (14-18) [10]	9,7	12	14,5	17,3	20,2	23,1	26,1	29,1	32,1		
Снижение уровня звукового давления на пути справа от экрана, Dz3, дБ	z = 21.71м (разность путей)	ф-лы (14-18) [10]	23,8	26,8	29,8	32,8	35,8	38,8	41,9	44,9	47,9		
Общее снижение уровня звука препятствием Dz, дБ		Эн.сумма(-Dzi)	3,5	4	4,3	4,5	4,6	4,7	4,7	4,8	4,8		
Уровни звукового давления от источника ИШ-2-30 в расчётной точке днём, дБ		**ф-ла(3)[10]**	**0**	**15,9**	**16,5**	**16,2**	**13,3**	**8,9**	**0**	**0**	**0**	**14**	**14**
Уровни звукового давления от источника ИШ-2-30 в расчётной точке ночью, дБ		**ф-ла(3)[10]**	**0**	**15,9**	**16,5**	**16,2**	**13,3**	**8,9**	**0**	**0**	**0**	**14**	**14**
Источник шума: ИШ-2-31, координаты источника (x,y,z), м =[701.42,-80.17,1.00]													
Уровни звуковой мощности источника днём, Lw, дБ		**исходные данные**	**0**	**93,3**	**94,7**	**96**	**96,3**	**95,9**	**92,6**	**88,4**	**83,9**		
Уровни звуковой мощности источника ночью, Lw, дБ		**исходные данные**	**0**	**93,3**	**94,7**	**96**	**96,3**	**95,9**	**92,6**	**88,4**	**83,9**		
Поправка на телесный угол DΩ, дБ	Ω = 6.28	10Lg(4π/Ω)	**3**	3	3	3	3	3	3	3	3		
Показатель направленности источника Di, дБ		исходные данные	**0**	0	0	0	0	0	0	0	0		

1		2	3	4	5	6	7	8	9	10	11	12	13
Поправка на направленность источника Dc, дБ	Dc	DΩ + Di	**3**	3	3	3	3	3	3	3	3		
Затухание из-за геометрической дивергенции, Adiv, дБ	расстояние = 1823.34 м	ф-ла (7) [10]	**76,2**										
Коэффициент затухания звука в атмосфере α, дБ/км	Ta=20,°C Pa=101.33,кПа hотн.=70%	ф-ла (5) [9]	0,02	0,09	0,33	1,12	2,79	4,98	9,04	23,09	77,63		
Учет затухания звука в атмосфере Aatm, дБ		ф-ла (8) [10]	0	0,2	0,6	2	5,1	9,1	16,5	42,1	141,6		
Снижение уровня звукового давления из-за влияния застройки между источником шума и расчетной точкой													
Снижение уровня звукового давления на пути над экраном, Dz1, дБ	z = 0.14м (разность путей)	ф-лы (14-18) [10]	4,8	4,8	4,8	4,8	4,8	4,8	4,8	4,8	4,8		
Снижение уровня звукового давления на пути слева от экрана, Dz2, дБ	z = 1.47м (разность путей)	ф-лы (14-18) [10]	9,3	11,4	13,9	16,7	19,5	22,5	25,4	28,4	31,4		
Снижение уровня звукового давления на пути справа от экрана, Dz3, дБ	z = 22.86м (разность путей)	ф-лы (14-18) [10]	24	27,1	30	33,1	36,1	39,1	42,1	45,1	48,1		
Общее снижение уровня звука препятствием Dz, дБ		Эн.сумма(-Dzi)	3,4	3,9	4,3	4,5	4,6	4,7	4,7	4,8	4,8		
Уровни звукового давления от источника ИШ-2-31 в расчётной точке днём, дБ		**ф-ла(3)[10]**	**0**	**16**	**16,6**	**16,2**	**13,4**	**8,9**	**0**	**0**	**0**	**14**	**14**
Уровни звукового давления от источника ИШ-2-31 в расчётной точке ночью, дБ		**ф-ла(3)[10]**	**0**	**16**	**16,6**	**16,2**	**13,4**	**8,9**	**0**	**0**	**0**	**14**	**14**
Источник шума: ИШ-2-32, координаты источника (x,y,z), м =[700.38,-83.01,1.00]													
Уровни звуковой мощности источника днём, Lw, дБ		**исходные данные**	**0**	**93,3**	**94,7**	**96**	**96,3**	**95,9**	**92,6**	**88,4**	**83,9**		
Уровни звуковой мощности источника ночью, Lw, дБ		**исходные данные**	**0**	**93,3**	**94,7**	**96**	**96,3**	**95,9**	**92,6**	**88,4**	**83,9**		
Поправка на телесный угол DΩ, дБ	Ω = 6.28	10Lg(4π/Ω)	**3**	3	3	3	3	3	3	3	3		
Показатель направленности источника Di, дБ		исходные данные	**0**	0	0	0	0	0	0	0	0		

1		2	3	4	5	6	7	8	9	10	11	12	13
Поправка на направленность источника Dc, дБ	Dc	DΩ + Di	**3**	3	3	3	3	3	3	3	3		
Затухание из-за геометрической дивергенции, Adiv, дБ	расстояние = 1822.46 м	ф-ла (7) [10]	**76,2**										
Коэффициент затухания звука в атмосфере α, дБ/км	Ta=20,°C Pa=101.33,кПа hотн.=70%	ф-ла (5) [9]	0,02	0,09	0,33	1,12	2,79	4,98	9,04	23,09	77,63		
Учет затухания звука в атмосфере Aatm, дБ		ф-ла (8) [10]	0	0,2	0,6	2	5,1	9,1	16,5	42,1	141,5		
Снижение уровня звукового давления из-за влияния застройки между источником шума и расчетной точкой													
Снижение уровня звукового давления на пути над экраном, Dz1, дБ	z = 0.14м (разность путей)	ф-лы (14-18) [10]	4,8	4,8	4,8	4,8	4,8	4,8	4,8	4,8	4,8		
Снижение уровня звукового давления на пути слева от экрана, Dz2, дБ	z = 1.25м (разность путей)	ф-лы (14-18) [10]	8,8	10,9	13,3	16	18,8	21,8	24,7	27,7	30,7		
Снижение уровня звукового давления на пути справа от экрана, Dz3, дБ	z = 24.06м (разность путей)	ф-лы (14-18) [10]	24,2	27,3	30,3	33,3	36,3	39,3	42,3	45,3	48,3		
Общее снижение уровня звука препятствием Dz, дБ		Эн.сумма(-Dzi)	3,3	3,8	4,2	4,4	4,6	4,7	4,7	4,7	4,8		
Уровни звукового давления от источника ИШ-2-32 в расчётной точке днём, дБ		**ф-ла(3)[10]**	**0**	**16,1**	**16,7**	**16,3**	**13,4**	**8,9**	**0**	**0**	**0**	**14**	**14**
Уровни звукового давления от источника ИШ-2-32 в расчётной точке ночью, дБ		**ф-ла(3)[10]**	**0**	**16,1**	**16,7**	**16,3**	**13,4**	**8,9**	**0**	**0**	**0**	**14**	**14**
Источник шума: ИШ-2-33, координаты источника (x,y,z), м =[699.52,-85.98,1.00]													
Уровни звуковой мощности источника днём, Lw, дБ		**исходные данные**	**0**	**93,3**	**94,7**	**96**	**96,3**	**95,9**	**92,6**	**88,4**	**83,9**		
Уровни звуковой мощности источника ночью, Lw, дБ		**исходные данные**	**0**	**93,3**	**94,7**	**96**	**96,3**	**95,9**	**92,6**	**88,4**	**83,9**		
Поправка на телесный угол DΩ, дБ	Ω = 6.28	10Lg(4π/Ω)	**3**	3	3	3	3	3	3	3	3		
Показатель направленности источника Di, дБ		исходные данные	**0**	0	0	0	0	0	0	0	0		

1		2	3	4	5	6	7	8	9	10	11	12	13
Поправка на направленность источника Dc, дБ	Dc	DΩ + Di	**3**	3	3	3	3	3	3	3	3		
Затухание из-за геометрической дивергенции, Adiv, дБ	расстояние = 1821.77 м	ф-ла (7) [10]	**76,2**										
Коэффициент затухания звука в атмосфере α, дБ/км	Ta=20,°C Pa=101.33,кПа hотн.=70%	ф-ла (5) [9]	0,02	0,09	0,33	1,12	2,79	4,98	9,04	23,09	77,63		
Учет затухания звука в атмосфере Aatm, дБ		ф-ла (8) [10]	0	0,2	0,6	2	5,1	9,1	16,5	42,1	141,4		
Снижение уровня звукового давления из-за влияния застройки между источником шума и расчетной точкой													
Снижение уровня звукового давления на пути над экраном, Dz1, дБ	z = 0.14м (разность путей)	ф-лы (14-18) [10]	4,8	4,8	4,8	4,8	4,8	4,8	4,8	4,8	4,8		
Снижение уровня звукового давления на пути слева от экрана, Dz2, дБ	z = 1.03м (разность путей)	ф-лы (14-18) [10]	8,3	10,3	12,6	15,2	18,1	21	23,9	26,9	29,9		
Снижение уровня звукового давления на пути справа от экрана, Dz3, дБ	z = 25.35м (разность путей)	ф-лы (14-18) [10]	24,5	27,5	30,5	33,5	36,5	39,5	42,5	45,5	48,5		
Общее снижение уровня звука препятствием Dz, дБ		Эн.сумма(-Dzi)	3,2	3,7	4,1	4,4	4,6	4,7	4,7	4,7	4,8		
Уровни звукового давления от источника ИШ-2-33 в расчётной точке днём, дБ		**ф-ла(3)[10]**	**0**	**16,2**	**16,8**	**16,3**	**13,4**	**8,9**	**0**	**0**	**0**	**14,1**	**14,1**
Уровни звукового давления от источника ИШ-2-33 в расчётной точке ночью, дБ		**ф-ла(3)[10]**	**0**	**16,2**	**16,8**	**16,3**	**13,4**	**8,9**	**0**	**0**	**0**	**14,1**	**14,1**
Источник шума: ИШ-2-34, координаты источника (x,y,z), м =[698.43,-88.85,1.00]													
Уровни звуковой мощности источника днём, Lw, дБ		**исходные данные**	**0**	**93,3**	**94,7**	**96**	**96,3**	**95,9**	**92,6**	**88,4**	**83,9**		
Уровни звуковой мощности источника ночью, Lw, дБ		**исходные данные**	**0**	**93,3**	**94,7**	**96**	**96,3**	**95,9**	**92,6**	**88,4**	**83,9**		
Поправка на телесный угол DΩ, дБ	Ω = 6.28	10Lg(4π/Ω)	**3**	3	3	3	3	3	3	3	3		
Показатель направленности источника Di, дБ		исходные данные	**0**	0	0	0	0	0	0	0	0		

1		2	3	4	5	6	7	8	9	10	11	12	13
Поправка на направленность источника Dc, дБ	Dc	DΩ + Di	**3**	3	3	3	3	3	3	3	3		
Затухание из-за геометрической дивергенции, Adiv, дБ	расстояние = 1820.86 м	ф-ла (7) [10]	**76,2**										
Коэффициент затухания звука в атмосфере α, дБ/км	Ta=20,°C Pa=101.33,кПа hотн.=70%	ф-ла (5) [9]	0,02	0,09	0,33	1,12	2,79	4,98	9,04	23,09	77,63		
Учет затухания звука в атмосфере Aatm, дБ		ф-ла (8) [10]	0	0,2	0,6	2	5,1	9,1	16,5	42	141,4		
Снижение уровня звукового давления из-за влияния застройки между источником шума и расчетной точкой													
Снижение уровня звукового давления на пути над экраном, Dz1, дБ	z = 0.14м (разность путей)	ф-лы (14-18) [10]	4,8	4,8	4,8	4,8	4,8	4,8	4,8	4,8	4,8		
Снижение уровня звукового давления на пути слева от экрана, Dz2, дБ	z = 0.85м (разность путей)	ф-лы (14-18) [10]	7,9	9,7	11,9	14,5	17,2	20,1	23,1	26	29		
Снижение уровня звукового давления на пути справа от экрана, Dz3, дБ	z = 26.70м (разность путей)	ф-лы (14-18) [10]	24,7	27,7	30,7	33,7	36,7	39,7	42,8	45,8	48,8		
Общее снижение уровня звука препятствием Dz, дБ		Эн.сумма(-Dzi)	3	3,5	4	4,3	4,5	4,6	4,7	4,7	4,8		
Уровни звукового давления от источника ИШ-2-34 в расчётной точке днём, дБ		**ф-ла(3)[10]**	**0**	**16,4**	**16,9**	**16,4**	**13,5**	**9**	**0**	**0**	**0**	**14,1**	**14,1**
Уровни звукового давления от источника ИШ-2-34 в расчётной точке ночью, дБ		**ф-ла(3)[10]**	**0**	**16,4**	**16,9**	**16,4**	**13,5**	**9**	**0**	**0**	**0**	**14,1**	**14,1**
Источник шума: ИШ-2-35, координаты источника (x,y,z), м =[697.52,-91.66,1.00]													
Уровни звуковой мощности источника днём, Lw, дБ		**исходные данные**	**0**	**93,3**	**94,7**	**96**	**96,3**	**95,9**	**92,6**	**88,4**	**83,9**		
Уровни звуковой мощности источника ночью, Lw, дБ		**исходные данные**	**0**	**93,3**	**94,7**	**96**	**96,3**	**95,9**	**92,6**	**88,4**	**83,9**		
Поправка на телесный угол DΩ, дБ	Ω = 6.28	10Lg(4π/Ω)	**3**	3	3	3	3	3	3	3	3		
Показатель направленности источника Di, дБ		исходные данные	**0**	0	0	0	0	0	0	0	0		

1		2	3	4	5	6	7	8	9	10	11	12	13
Поправка на направленность источника Dc, дБ	Dc	DΩ + Di	**3**	3	3	3	3	3	3	3	3		
Затухание из-за геометрической дивергенции, Adiv, дБ	расстояние = 1820.11 м	ф-ла (7) [10]	**76,2**										
Коэффициент затухания звука в атмосфере α, дБ/км	Ta=20,°C Pa=101.33,кПа hотн.=70%	ф-ла (5) [9]	0,02	0,09	0,33	1,12	2,79	4,98	9,04	23,09	77,63		
Учет затухания звука в атмосфере Aatm, дБ		ф-ла (8) [10]	0	0,2	0,6	2	5,1	9,1	16,5	42	141,3		
Снижение уровня звукового давления из-за влияния застройки между источником шума и расчетной точкой													
Снижение уровня звукового давления на пути над экраном, Dz1, дБ	z = 0.14м (разность путей)	ф-лы (14-18) [10]	4,8	4,8	4,8	4,8	4,8	4,8	4,8	4,8	4,8		
Снижение уровня звукового давления на пути слева от экрана, Dz2, дБ	z = 0.68м (разность путей)	ф-лы (14-18) [10]	7,4	9	11,1	13,6	16,3	19,2	22,1	25,1	28,1		
Снижение уровня звукового давления на пути справа от экрана, Dz3, дБ	z = 2.48м (разность путей)	ф-лы (14-18) [10]	10,9	13,3	16	18,8	21,7	24,7	27,7	30,7	33,7		
Общее снижение уровня звука препятствием Dz, дБ		Эн.сумма(-Dzi)	2,2	3	3,6	4,1	4,4	4,6	4,7	4,7	4,7		
Уровни звукового давления от источника ИШ-2-35 в расчётной точке днём, дБ		**ф-ла(3)[10]**	**0**	**17**	**17,3**	**16,7**	**13,6**	**9,1**	**0**	**0**	**0**	**14,3**	**14,3**
Уровни звукового давления от источника ИШ-2-35 в расчётной точке ночью, дБ		**ф-ла(3)[10]**	**0**	**17**	**17,3**	**16,7**	**13,6**	**9,1**	**0**	**0**	**0**	**14,3**	**14,3**
Источник шума: ИШ-2-36, координаты источника (x,y,z), м =[696.58,-94.55,1.00]													
Уровни звуковой мощности источника днём, Lw, дБ		**исходные данные**	**0**	**93,3**	**94,7**	**96**	**96,3**	**95,9**	**92,6**	**88,4**	**83,9**		
Уровни звуковой мощности источника ночью, Lw, дБ		**исходные данные**	**0**	**93,3**	**94,7**	**96**	**96,3**	**95,9**	**92,6**	**88,4**	**83,9**		
Поправка на телесный угол DΩ, дБ	Ω = 6.28	10Lg(4π/Ω)	**3**	3	3	3	3	3	3	3	3		
Показатель направленности источника Di, дБ		исходные данные	**0**	0	0	0	0	0	0	0	0		

1		2	3	4	5	6	7	8	9	10	11	12	13
Поправка на направленность источника Dc, дБ	Dc	DΩ + Di	**3**	3	3	3	3	3	3	3	3		
Затухание из-за геометрической дивергенции, Adiv, дБ	расстояние = 1819.36 м	ф-ла (7) [10]	**76,2**										
Коэффициент затухания звука в атмосфере α, дБ/км	Ta=20,°C Pa=101.33,кПа hотн.=70%	ф-ла (5) [9]	0,02	0,09	0,33	1,12	2,79	4,98	9,04	23,09	77,63		
Учет затухания звука в атмосфере Aatm, дБ		ф-ла (8) [10]	0	0,2	0,6	2	5,1	9,1	16,4	42	141,2		
Снижение уровня звукового давления из-за влияния застройки между источником шума и расчетной точкой													
Снижение уровня звукового давления на пути над экраном, Dz1, дБ	z = 0.14м (разность путей)	ф-лы (14-18) [10]	4,8	4,8	4,8	4,8	4,8	4,8	4,8	4,8	4,8		
Снижение уровня звукового давления на пути слева от экрана, Dz2, дБ	z = 0.53м (разность путей)	ф-лы (14-18) [10]	6,9	8,4	10,3	12,7	15,3	18,1	21	24	27		
Снижение уровня звукового давления на пути справа от экрана, Dz3, дБ	z = 2.81м (разность путей)	ф-лы (14-18) [10]	11,3	13,8	16,5	19,3	22,3	25,2	28,2	31,2	34,2		
Общее снижение уровня звука препятствием Dz, дБ		Эн.сумма(-Dzi)	2,1	2,8	3,5	4	4,3	4,5	4,7	4,7	4,7		
Уровни звукового давления от источника ИШ-2-36 в расчётной точке днём, дБ		**ф-ла(3)[10]**	**0**	**17,1**	**17,4**	**16,8**	**13,7**	**9,1**	**0**	**0**	**0**	**14,4**	**14,4**
Уровни звукового давления от источника ИШ-2-36 в расчётной точке ночью, дБ		**ф-ла(3)[10]**	**0**	**17,1**	**17,4**	**16,8**	**13,7**	**9,1**	**0**	**0**	**0**	**14,4**	**14,4**
Источник шума: ИШ-2-37, координаты источника (x,y,z), м =[695.57,-97.37,1.00]													
Уровни звуковой мощности источника днём, Lw, дБ		**исходные данные**	**0**	**93,3**	**94,7**	**96**	**96,3**	**95,9**	**92,6**	**88,4**	**83,9**		
Уровни звуковой мощности источника ночью, Lw, дБ		**исходные данные**	**0**	**93,3**	**94,7**	**96**	**96,3**	**95,9**	**92,6**	**88,4**	**83,9**		
Поправка на телесный угол DΩ, дБ	Ω = 6.28	10Lg(4π/Ω)	**3**	3	3	3	3	3	3	3	3		
Показатель направленности источника Di, дБ		исходные данные	**0**	0	0	0	0	0	0	0	0		

1		2	3	4	5	6	7	8	9	10	11	12	13
Поправка на направленность источника Dc, дБ	Dc	DΩ + Di	**3**	3	3	3	3	3	3	3	3		
Затухание из-за геометрической дивергенции, Adiv, дБ	расстояние = 1818.53 м	ф-ла (7) [10]	**76,2**										
Коэффициент затухания звука в атмосфере α, дБ/км	Ta=20,°C Pa=101.33,кПа hотн.=70%	ф-ла (5) [9]	0,02	0,09	0,33	1,12	2,79	4,98	9,04	23,09	77,63		
Учет затухания звука в атмосфере Aatm, дБ		ф-ла (8) [10]	0	0,2	0,6	2	5,1	9,1	16,4	42	141,2		
Снижение уровня звукового давления из-за влияния застройки между источником шума и расчетной точкой													
Снижение уровня звукового давления на пути над экраном, Dz1, дБ	z = 0.14м (разность путей)	ф-лы (14-18) [10]	4,8	4,8	4,8	4,8	4,8	4,8	4,8	4,8	4,8		
Снижение уровня звукового давления на пути слева от экрана, Dz2, дБ	z = 0.39м (разность путей)	ф-лы (14-18) [10]	6,5	7,7	9,4	11,6	14,2	16,9	19,8	22,8	25,7		
Снижение уровня звукового давления на пути справа от экрана, Dz3, дБ	z = 3.15м (разность путей)	ф-лы (14-18) [10]	11,7	14,2	16,9	19,8	22,7	25,7	28,7	31,7	34,7		
Общее снижение уровня звука препятствием Dz, дБ		Эн.сумма(-Dzi)	2	2,7	3,3	3,8	4,2	4,5	4,6	4,7	4,7		
Уровни звукового давления от источника ИШ-2-37 в расчётной точке днём, дБ		**ф-ла(3)[10]**	**0**	**17,3**	**17,6**	**16,9**	**13,8**	**9,2**	**0**	**0**	**0**	**14,5**	**14,5**
Уровни звукового давления от источника ИШ-2-37 в расчётной точке ночью, дБ		**ф-ла(3)[10]**	**0**	**17,3**	**17,6**	**16,9**	**13,8**	**9,2**	**0**	**0**	**0**	**14,5**	**14,5**
Источник шума: ИШ-2-5, координаты источника (x,y,z), м =[618.60,-108.00,3.00]													
Уровни звуковой мощности источника днём, Lw, дБ		**исходные данные**	**105**	**104**	**104**	**101**	**102**	**106**	**101**	**95**	**87**		
Уровни звуковой мощности источника ночью, Lw, дБ		**исходные данные**	**105**	**104**	**104**	**101**	**102**	**106**	**101**	**95**	**87**		
Поправка на телесный угол DΩ, дБ	Ω = 6.28	10Lg(4π/Ω)	**3**	3	3	3	3	3	3	3	3		
Показатель направленности источника Di, дБ		исходные данные	**0**	0	0	0	0	0	0	0	0		

1		2	3	4	5	6	7	8	9	10	11	12	13
Поправка на направленность источника Dc, дБ	Dc	DΩ + Di	**3**	3	3	3	3	3	3	3	3		
Затухание из-за геометрической дивергенции, Adiv, дБ	расстояние = 1742.49 м	ф-ла (7) [10]	**75,8**										
Коэффициент затухания звука в атмосфере α, дБ/км	Ta=20,°C Pa=101.33,кПа hотн.=70%	ф-ла (5) [9]	0,02	0,09	0,33	1,12	2,79	4,98	9,04	23,09	77,63		
Учет затухания звука в атмосфере Aatm, дБ		ф-ла (8) [10]	0	0,2	0,6	2	4,9	8,7	15,8	40,2	135,3		
Снижение уровня звукового давления из-за влияния застройки между источником шума и расчетной точкой													
Снижение уровня звукового давления на пути над экраном, Dz1, дБ	z = 0.11м (разность путей)	ф-лы (14-18) [10]	4,8	4,8	4,8	4,8	4,8	4,8	4,8	4,8	4,8		
Снижение уровня звукового давления на пути слева от экрана, Dz2, дБ	z = 0.01м (разность путей)	ф-лы (14-18) [10]	4,8	4,8	4,9	5,1	5,3	5,8	6,6	7,9	9,8		
Снижение уровня звукового давления на пути справа от экрана, Dz3, дБ	z = 6.53м (разность путей)	ф-лы (14-18) [10]	14,3	17,1	20	22,9	25,9	28,9	31,9	34,9	37,9		
Общее снижение уровня звука препятствием Dz, дБ		Эн.сумма(-Dzi)	1,5	1,7	1,8	1,9	2	2,2	2,6	3,1	3,6		
Уровни звукового давления прямого звука от источника ИШ-2-5 в расчётной точке днём, дБ		**ф-ла(3)[10]**	**30,6**	**29,4**	**28,8**	**24,4**	**22,3**	**22,3**	**9,8**	**0**	**0**	**25,1**	**25,1**
Уровни звукового давления прямого звука от источника ИШ-2-5 в расчётной точке ночью, дБ		**ф-ла(3)[10]**	**30,6**	**29,4**	**28,8**	**24,4**	**22,3**	**22,3**	**9,8**	**0**	**0**	**25,1**	**25,1**
Расчёт отражённого звука													
Уровни звукового давления от мнимого источника ИШ-2-5_мн.(1) в расчётной точке днём, дБ		**ф-ла(3)[10]**	**0**	**0**	**0**	**0**	**0**	**0**	**6,6**	**0**	**0**	**7,8**	**7,8**
Уровни звукового давления от мнимого источника ИШ-2-5_мн.(1) в расчётной точке ночью, дБ		**ф-ла(3)[10]**	**0**	**0**	**0**	**0**	**0**	**0**	**0**	**0**	**0**	**7,8**	**7,8**
Уровни звукового давления от источника ИШ-2-5 в расчётной точке днём, дБ		**ф-ла(3)[10]**	**30,6**	**29,4**	**28,8**	**24,4**	**22,3**	**22,3**	**11,5**	**0**	**0**	**25,2**	**25,2**
Уровни звукового давления от источника ИШ-2-5 в расчётной точке ночью, дБ		**ф-ла(3)[10]**	**30,6**	**29,4**	**28,8**	**24,4**	**22,3**	**22,3**	**11,5**	**0**	**0**	**25,2**	**25,2**

1		2	3	4	5	6	7	8	9	10	11	12	13
Источник шума: ИШ-2-38, координаты источника (x,y,z), м =[688.13,-119.94,1.00]													
Уровни звуковой мощности источника днём, Lw, дБ		**исходные данные**	**0**	**93,3**	**94,7**	**96**	**96,3**	**95,9**	**92,6**	**88,4**	**83,9**		
Уровни звуковой мощности источника ночью, Lw, дБ		**исходные данные**	**0**	**93,3**	**94,7**	**96**	**96,3**	**95,9**	**92,6**	**88,4**	**83,9**		
Поправка на телесный угол DΩ, дБ	Ω = 6.28	10Lg(4π/Ω)	**3**	3	3	3	3	3	3	3	3		
Показатель направленности источника Di, дБ		исходные данные	**0**	0	0	0	0	0	0	0	0		
Поправка на направленность источника Dc, дБ	Dc	DΩ + Di	**3**	3	3	3	3	3	3	3	3		
Затухание из-за геометрической дивергенции, Adiv, дБ	расстояние = 1812.72 м	ф-ла (7) [10]	**76,2**										
Коэффициент затухания звука в атмосфере α, дБ/км	Ta=20,°C Pa=101.33,кПа hотн.=70%	ф-ла (5) [9]	0,02	0,09	0,33	1,12	2,79	4,98	9,04	23,09	77,63		
Учет затухания звука в атмосфере Aatm, дБ		ф-ла (8) [10]	0	0,2	0,6	2	5,1	9	16,4	41,8	140,7		
Снижение уровня звукового давления из-за влияния застройки между источником шума и расчетной точкой													
Снижение уровня звукового давления препятствием слева от трассы ИШ-РТ, Dz2, дБ	z = -0.08м (разность путей)	ф-лы (14-18) [10]	0	0	2,4	0	NAN	NAN	NAN	NAN	NAN		
Снижение уровня звукового давления препятствием справа от трассы ИШ-РТ, Dz3, дБ	z = -0.02м (разность путей)	ф-лы (14-18) [10]	0	0	4,2	3,6	1,9	0	NAN	NAN	NAN		
Общее снижение уровня звука препятствием Dz, дБ		Эн.сумма(-Dzi)	0	0	0,2	0	0	0	0	0	0		
* отрицательное значение z означает прохождение траектории вблизи экрана, в этом случае дополнительно производится учёт снижения подстилающей поверхностью (см.ниже)													
Снижение поверхностью земли возле источника As, дБ	Gs = 0 hs = 1м	ф-лы таб.3 [10]	-1,5	-1,5	-1,5	-1,5	-1,5	-1,5	-1,5	-1,5	-1,5		
Снижение поверхностью земли возле приёмника Ar, дБ	Gr = 1 hr = 1.5м	ф-лы таб.3 [10]	-1,5	-1,5	5,3	7	5	0,7	0	0	0		
Снижение поверхностью земли в средней зоне, Am дБ	Gm = 1	ф-лы таб.3 [10]	-2,9	-2,9	0	0	0	0	0	0	0		

1		2	3	4	5	6	7	8	9	10	11	12	13
Суммарное снижение поверхностью земли на траектории распространения звука Agr, дБ		ф-ла (9) [10]	-5,9	-5,9	3,8	5,5	3,5	-0,8	-1,5	-1,5	-1,5		
Уровни звукового давления от источника ИШ-2-38 в расчётной точке днём, дБ		**ф-ла(3)[10]**	**0**	**25,8**	**16,8**	**15,3**	**14,6**	**14,5**	**4,5**	**0**	**0**	**17,2**	**17,2**
Уровни звукового давления от источника ИШ-2-38 в расчётной точке ночью, дБ		**ф-ла(3)[10]**	**0**	**25,8**	**16,8**	**15,3**	**14,6**	**14,5**	**4,5**	**0**	**0**	**17,2**	**17,2**
Источник шума: ИШ-2-39, координаты источника (x,y,z), м =[687.11,-122.83,1.00]													
Уровни звуковой мощности источника днём, Lw, дБ		**исходные данные**	**0**	**93,3**	**94,7**	**96**	**96,3**	**95,9**	**92,6**	**88,4**	**83,9**		
Уровни звуковой мощности источника ночью, Lw, дБ		**исходные данные**	**0**	**93,3**	**94,7**	**96**	**96,3**	**95,9**	**92,6**	**88,4**	**83,9**		
Поправка на телесный угол DΩ, дБ	Ω = 6.28	10Lg(4π/Ω)	**3**	3	3	3	3	3	3	3	3		
Показатель направленности источника Di, дБ		исходные данные	**0**	0	0	0	0	0	0	0	0		
Поправка на направленность источника Dc, дБ	Dc	DΩ + Di	**3**	3	3	3	3	3	3	3	3		
Затухание из-за геометрической дивергенции, Adiv, дБ	расстояние = 1811.94 м	ф-ла (7) [10]	**76,2**										
Коэффициент затухания звука в атмосфере α, дБ/км	Ta=20,°C Pa=101.33,кПа hотн.=70%	ф-ла (5) [9]	0,02	0,09	0,33	1,12	2,79	4,98	9,04	23,09	77,63		
Учет затухания звука в атмосфере Aatm, дБ		ф-ла (8) [10]	0	0,2	0,6	2	5,1	9	16,4	41,8	140,7		
Снижение уровня звукового давления из-за влияния застройки между источником шума и расчетной точкой													
Снижение уровня звукового давления препятствием слева от трассы ИШ-РТ, Dz2, дБ	z = -0.04м (разность путей)	ф-лы (14-18) [10]	0	0	3,9	2,8	0	NAN	NAN	NAN	NAN		
Снижение уровня звукового давления препятствием справа от трассы ИШ-РТ, Dz3, дБ	z = -0.07м (разность путей)	ф-лы (14-18) [10]	0	0	3,1	0,2	NAN	NAN	NAN	NAN	NAN		
Общее снижение уровня звука препятствием Dz, дБ		Эн.сумма(-Dzi)	0	0	0,4	-1,7	0	0	0	0	0		

* отрицательное значение z означает прохождение траектории вблизи экрана, в этом случае дополнительно производится учёт снижения подстилающей поверхностью (см.ниже)

1		2	3	4	5	6	7	8	9	10	11	12	13
Снижение поверхностью земли возле источника As, дБ	Gs = 0 hs = 1м	ф-лы таб.3 [10]	-1,5	-1,5	-1,5	-1,5	-1,5	-1,5	-1,5	-1,5	-1,5		
Снижение поверхностью земли возле приёмника Ar, дБ	Gr = 1 hr = 1.5м	ф-лы таб.3 [10]	-1,5	-1,5	5,3	7	5	0,7	0	0	0		
Снижение поверхностью земли в средней зоне, Am дБ	Gm = 1	ф-лы таб.3 [10]	-2,9	-2,9	0	0	0	0	0	0	0		
Суммарное снижение поверхностью земли на траектории распространения звука Agr, дБ		ф-ла (9) [10]	-5,9	-5,9	3,8	5,5	3,5	-0,8	-1,5	-1,5	-1,5		
Уровни звукового давления прямого звука от источника ИШ-2-39 в расчётной точке днём, дБ		**ф-ла(3)[10]**	**0**	**25,8**	**16,6**	**17**	**14,6**	**14,5**	**4,6**	**0**	**0**	**17,4**	**17,4**
Уровни звукового давления прямого звука от источника ИШ-2-39 в расчётной точке ночью, дБ		**ф-ла(3)[10]**	**0**	**25,8**	**16,6**	**17**	**14,6**	**14,5**	**4,6**	**0**	**0**	**17,4**	**17,4**
Расчёт отражённого звука													
Уровни звукового давления от мнимого источника ИШ-2-39_мн.(1) в расчётной точке днём, дБ		**ф-ла(3)[10]**	**0**	**0**	**0**	**0**	**0**	**0**	**0**	**0**	**0**	**0**	**0**
Уровни звукового давления от мнимого источника ИШ-2-39_мн.(1) в расчётной точке ночью, дБ		**ф-ла(3)[10]**	**0**	**0**	**0**	**0**	**0**	**0**	**0**	**0**	**0**	**0**	**0**
Уровни звукового давления от источника ИШ-2-39 в расчётной точке днём, дБ		**ф-ла(3)[10]**	**0**	**25,8**	**16,6**	**17**	**14,6**	**14,5**	**4,6**	**0**	**0**	**17,4**	**17,4**
Уровни звукового давления от источника ИШ-2-39 в расчётной точке ночью, дБ		**ф-ла(3)[10]**	**0**	**25,8**	**16,6**	**17**	**14,6**	**14,5**	**4,6**	**0**	**0**	**17,4**	**17,4**
Источник шума: ИШ-2-40, координаты источника (x,y,z), м =[686.10,-125.67,1.00]													
Уровни звуковой мощности источника днём, Lw, дБ		**исходные данные**	**0**	**93,3**	**94,7**	**96**	**96,3**	**95,9**	**92,6**	**88,4**	**83,9**		
Уровни звуковой мощности источника ночью, Lw, дБ		**исходные данные**	**0**	**93,3**	**94,7**	**96**	**96,3**	**95,9**	**92,6**	**88,4**	**83,9**		
Поправка на телесный угол DΩ, дБ	Ω = 6.28	10Lg(4π/Ω)	**3**	3	3	3	3	3	3	3	3		
Показатель направленности источника Di, дБ		исходные данные	**0**	0	0	0	0	0	0	0	0		
Поправка на направленность источника Dc, дБ	Dc	DΩ + Di	**3**	3	3	3	3	3	3	3	3		

1		2	3	4	5	6	7	8	9	10	11	12	13
Затухание из-за геометрической дивергенции, Adiv, дБ	расстояние = 1811.16 м	ф-ла (7) [10]	**76,2**										
Коэффициент затухания звука в атмосфере α, дБ/км	Ta=20,°C Pa=101.33,кПа hотн.=70%	ф-ла (5) [9]	0,02	0,09	0,33	1,12	2,79	4,98	9,04	23,09	77,63		
Учет затухания звука в атмосфере Aatm, дБ		ф-ла (8) [10]	0	0,2	0,6	2	5,1	9	16,4	41,8	140,6		
Снижение поверхностью земли возле источника As, дБ	Gs = 0 hs = 1м	ф-лы таб.3 [10]	-1,5	-1,5	-1,5	-1,5	-1,5	-1,5	-1,5	-1,5	-1,5		
Снижение поверхностью земли возле приёмника Ar, дБ	Gr = 1 hr = 1.5м	ф-лы таб.3 [10]	-1,5	-1,5	5,3	7	5	0,7	0	0	0		
Снижение поверхностью земли в средней зоне, Am дБ	Gm = 1	ф-лы таб.3 [10]	-2,9	-2,9	0	0	0	0	0	0	0		
Суммарное снижение поверхностью земли на траектории распространения звука Agr, дБ		ф-ла (9) [10]	-5,9	-5,9	3,8	5,5	3,5	-0,8	-1,5	-1,5	-1,5		
Уровни звукового давления прямого звука от источника ИШ-2-40 в расчётной точке днём, дБ		**ф-ла(3)[10]**	**0**	**25,8**	**17,1**	**15,3**	**14,6**	**14,6**	**4,6**	**0**	**0**	**17,2**	**17,2**
Уровни звукового давления прямого звука от источника ИШ-2-40 в расчётной точке ночью, дБ		**ф-ла(3)[10]**	**0**	**25,8**	**17,1**	**15,3**	**14,6**	**14,6**	**4,6**	**0**	**0**	**17,2**	**17,2**
Расчёт отражённого звука													
Уровни звукового давления от мнимого источника ИШ-2-40_мн.(1) в расчётной точке днём, дБ		**ф-ла(3)[10]**	**0**	**0**	**0**	**0**	**0**	**0**	**0**	**0**	**0**	**0**	**0**
Уровни звукового давления от мнимого источника ИШ-2-40_мн.(1) в расчётной точке ночью, дБ		**ф-ла(3)[10]**	**0**	**0**	**0**	**0**	**0**	**0**	**0**	**0**	**0**	**0**	**0**
Уровни звукового давления от источника ИШ-2-40 в расчётной точке днём, дБ		**ф-ла(3)[10]**	**0**	**25,8**	**17,1**	**15,3**	**14,6**	**14,6**	**4,6**	**0**	**0**	**17,2**	**17,2**
Уровни звукового давления от источника ИШ-2-40 в расчётной точке ночью, дБ		**ф-ла(3)[10]**	**0**	**25,8**	**17,1**	**15,3**	**14,6**	**14,6**	**4,6**	**0**	**0**	**17,2**	**17,2**
Источник шума: ИШ-2-41, координаты источника (x,y,z), м =[685.14,-128.64,1.00]													
Уровни звуковой мощности источника днём, Lw, дБ		**исходные данные**	**0**	**93,3**	**94,7**	**96**	**96,3**	**95,9**	**92,6**	**88,4**	**83,9**		

1		2	3	4	5	6	7	8	9	10	11	12	13
Уровни звуковой мощности источника ночью, Lw, дБ		**исходные данные**	**0**	**93,3**	**94,7**	**96**	**96,3**	**95,9**	**92,6**	**88,4**	**83,9**		
Поправка на телесный угол DΩ, дБ	Ω = 6.28	10Lg(4π/Ω)	**3**	3	3	3	3	3	3	3	3		
Показатель направленности источника Di, дБ		исходные данные	**0**	0	0	0	0	0	0	0	0		
Поправка на направленность источника Dc, дБ	Dc	DΩ + Di	**3**	3	3	3	3	3	3	3	3		
Затухание из-за геометрической дивергенции, Adiv, дБ	расстояние = 1810.44 м	ф-ла (7) [10]	**76,2**										
Коэффициент затухания звука в атмосфере α, дБ/км	Ta=20,°C Pa=101.33,кПа hотн.=70%	ф-ла (5) [9]	0,02	0,09	0,33	1,12	2,79	4,98	9,04	23,09	77,63		
Учет затухания звука в атмосфере Aatm, дБ		ф-ла (8) [10]	0	0,2	0,6	2	5,1	9	16,4	41,8	140,6		
Снижение уровня звукового давления из-за влияния застройки между источником шума и расчетной точкой													
Снижение уровня звукового давления на пути над экраном, Dz1, дБ	z = 0.14м (разность путей)	ф-лы (14-18) [10]	4,8	4,8	4,8	4,8	4,8	4,8	4,8	4,8	4,8		
Снижение уровня звукового давления на пути слева от экрана, Dz2, дБ	z = 1.91м (разность путей)	ф-лы (14-18) [10]	10	12,4	14,9	17,7	20,6	23,6	26,6	29,6	32,6		
Снижение уровня звукового давления на пути справа от экрана, Dz3, дБ	z = 0.00м (разность путей)	ф-лы (14-18) [10]	4,8	4,8	4,8	4,8	4,8	4,8	4,8	4,8	4,8		
Общее снижение уровня звука препятствием Dz, дБ		Эн.сумма(-Dzi)	1,2	1,4	1,6	1,7	1,7	1,7	1,7	1,8	1,8		
Уровни звукового давления прямого звука от источника ИШ-2-41 в расчётной точке днём, дБ		**ф-ла(3)[10]**	**0**	**18,6**	**19,4**	**19,1**	**16,4**	**12**	**1,3**	**0**	**0**	**17,2**	**17,2**
Уровни звукового давления прямого звука от источника ИШ-2-41 в расчётной точке ночью, дБ		**ф-ла(3)[10]**	**0**	**18,6**	**19,4**	**19,1**	**16,4**	**12**	**1,3**	**0**	**0**	**17,2**	**17,2**
Расчёт отражённого звука													
Уровни звукового давления от мнимого источника ИШ-2-41_мн.(1) в расчётной точке днём, дБ		**ф-ла(3)[10]**	**0**	**0**	**0**	**0**	**0**	**0**	**0**	**0**	**0**	**0**	**0**
Уровни звукового давления от мнимого источника ИШ-2-41_мн.(1) в расчётной точке ночью, дБ		**ф-ла(3)[10]**	**0**	**0**	**0**	**0**	**0**	**0**	**0**	**0**	**0**	**0**	**0**

1		2	3	4	5	6	7	8	9	10	11	12	13
Уровни звукового давления от источника ИШ-2-41 в расчётной точке днём, дБ		**ф-ла(3)[10]**	**0**	**18,6**	**19,4**	**19,1**	**16,4**	**12**	**1,3**	**0**	**0**	**17,2**	**17,2**
Уровни звукового давления от источника ИШ-2-41 в расчётной точке ночью, дБ		**ф-ла(3)[10]**	**0**	**18,6**	**19,4**	**19,1**	**16,4**	**12**	**1,3**	**0**	**0**	**17,2**	**17,2**
Источник шума: ИШ-2-42, координаты источника (x,y,z), м =[684.20,-131.46,1.00]													
Уровни звуковой мощности источника днём, Lw, дБ		**исходные данные**	**0**	**93,3**	**94,7**	**96**	**96,3**	**95,9**	**92,6**	**88,4**	**83,9**		
Уровни звуковой мощности источника ночью, Lw, дБ		**исходные данные**	**0**	**93,3**	**94,7**	**96**	**96,3**	**95,9**	**92,6**	**88,4**	**83,9**		
Поправка на телесный угол DΩ, дБ	Ω = 6.28	10Lg(4π/Ω)	**3**	3	3	3	3	3	3	3	3		
Показатель направленности источника Di, дБ		исходные данные	**0**	0	0	0	0	0	0	0	0		
Поправка на направленность источника Dc, дБ	Dc	DΩ + Di	**3**	3	3	3	3	3	3	3	3		
Затухание из-за геометрической дивергенции, Adiv, дБ	расстояние = 1809.74 м	ф-ла (7) [10]	**76,2**										
Коэффициент затухания звука в атмосфере α, дБ/км	Ta=20,°C Pa=101.33,кПа hотн.=70%	ф-ла (5) [9]	0,02	0,09	0,33	1,12	2,79	4,98	9,04	23,09	77,63		
Учет затухания звука в атмосфере Aatm, дБ		ф-ла (8) [10]	0	0,2	0,6	2	5,1	9	16,4	41,8	140,5		
Снижение уровня звукового давления из-за влияния застройки между источником шума и расчетной точкой													
Снижение уровня звукового давления на пути над экраном, Dz1, дБ	z = 0.14м (разность путей)	ф-лы (14-18) [10]	4,8	4,8	4,8	4,8	4,8	4,8	4,8	4,8	4,8		
Снижение уровня звукового давления на пути слева от экрана, Dz2, дБ	z = 1.58м (разность путей)	ф-лы (14-18) [10]	9,5	11,7	14,2	16,9	19,8	22,7	25,7	28,7	31,7		
Снижение уровня звукового давления на пути справа от экрана, Dz3, дБ	z = 0.01м (разность путей)	ф-лы (14-18) [10]	4,8	4,9	5	5,2	5,5	6,2	7,2	8,8	10,8		
Общее снижение уровня звука препятствием Dz, дБ		Эн.сумма(-Dzi)	1,1	1,4	1,6	1,8	2	2,4	2,8	3,3	3,8		

1		2	3	4	5	6	7	8	9	10	11	12	13
Уровни звукового давления прямого звука от источника ИШ-2-42 в расчётной точке днём, дБ		**ф-ла(3)[10]**	**0**	**18,6**	**19,3**	**19**	**16**	**11,4**	**0,3**	**0**	**0**	**16,8**	**16,8**
Уровни звукового давления прямого звука от источника ИШ-2-42 в расчётной точке ночью, дБ		**ф-ла(3)[10]**	**0**	**18,6**	**19,3**	**19**	**16**	**11,4**	**0,3**	**0**	**0**	**16,8**	**16,8**
Расчёт отражённого звука													
Уровни звукового давления от мнимого источника ИШ-2-42_мн.(1) в расчётной точке днём, дБ		**ф-ла(3)[10]**	**0**	**0**	**0**	**0**	**0**	**0**	**0**	**0**	**0**	**0**	**0**
Уровни звукового давления от мнимого источника ИШ-2-42_мн.(1) в расчётной точке ночью, дБ		**ф-ла(3)[10]**	**0**	**0**	**0**	**0**	**0**	**0**	**0**	**0**	**0**	**0**	**0**
Уровни звукового давления от источника ИШ-2-42 в расчётной точке днём, дБ		**ф-ла(3)[10]**	**0**	**18,6**	**19,3**	**19**	**16**	**11,4**	**0,3**	**0**	**0**	**16,8**	**16,8**
Уровни звукового давления от источника ИШ-2-42 в расчётной точке ночью, дБ		**ф-ла(3)[10]**	**0**	**18,6**	**19,3**	**19**	**16**	**11,4**	**0,3**	**0**	**0**	**16,8**	**16,8**
Источник шума: ИШ-2-43, координаты источника (x,y,z), м =[683.13,-134.37,1.00]													
Уровни звуковой мощности источника днём, Lw, дБ		**исходные данные**	**0**	**93,3**	**94,7**	**96**	**96,3**	**95,9**	**92,6**	**88,4**	**83,9**		
Уровни звуковой мощности источника ночью, Lw, дБ		**исходные данные**	**0**	**93,3**	**94,7**	**96**	**96,3**	**95,9**	**92,6**	**88,4**	**83,9**		
Поправка на телесный угол DΩ, дБ	Ω = 6.28	10Lg(4π/Ω)	**3**	3	3	3	3	3	3	3	3		
Показатель направленности источника Di, дБ		исходные данные	**0**	0	0	0	0	0	0	0	0		
Поправка на направленность источника Dc, дБ	Dc	DΩ + Di	**3**	3	3	3	3	3	3	3	3		
Затухание из-за геометрической дивергенции, Adiv, дБ	расстояние = 1808.93 м	ф-ла (7) [10]	**76,1**										
Коэффициент затухания звука в атмосфере α, дБ/км	Ta=20,°C Pa=101.33,кПа hотн.=70%	ф-ла (5) [9]	0,02	0,09	0,33	1,12	2,79	4,98	9,04	23,09	77,63		
Учет затухания звука в атмосфере Aatm, дБ		ф-ла (8) [10]	0	0,2	0,6	2	5	9	16,4	41,8	140,4		

1		2	3	4	5	6	7	8	9	10	11	12	13
Снижение уровня звукового давления из-за влияния застройки между источником шума и расчетной точкой													
Снижение уровня звукового давления на пути над экраном, Dz1, дБ	z = 0.14м (разность путей)	ф-лы (14-18) [10]	4,8	4,8	4,8	4,8	4,8	4,8	4,8	4,8	4,8		
Снижение уровня звукового давления на пути слева от экрана, Dz2, дБ	z = 1.26м (разность путей)	ф-лы (14-18) [10]	8,8	10,9	13,3	16	18,9	21,8	24,8	27,7	30,7		
Снижение уровня звукового давления на пути справа от экрана, Dz3, дБ	z = 0.04м (разность путей)	ф-лы (14-18) [10]	5	5,2	5,5	6,2	7,2	8,8	10,9	13,3	16		
Общее снижение уровня звука препятствием Dz, дБ		Эн.сумма(-Dzi)	1,1	1,4	1,8	2,2	2,7	3,3	3,8	4,2	4,4		
Уровни звукового давления от источника ИШ-2-43 в расчётной точке днём, дБ		**ф-ла(3)[10]**	**0**	**18,5**	**19,1**	**18,6**	**15,4**	**10,5**	**0**	**0**	**0**	**16**	**16**
Уровни звукового давления от источника ИШ-2-43 в расчётной точке ночью, дБ		**ф-ла(3)[10]**	**0**	**18,5**	**19,1**	**18,6**	**15,4**	**10,5**	**0**	**0**	**0**	**16**	**16**
Источник шума: ИШ-2-44, координаты источника (x,y,z), м =[682.20,-137.16,1.00]													
Уровни звуковой мощности источника днём, Lw, дБ		**исходные данные**	**0**	**93,3**	**94,7**	**96**	**96,3**	**95,9**	**92,6**	**88,4**	**83,9**		
Уровни звуковой мощности источника ночью, Lw, дБ		**исходные данные**	**0**	**93,3**	**94,7**	**96**	**96,3**	**95,9**	**92,6**	**88,4**	**83,9**		
Поправка на телесный угол DΩ, дБ	Ω = 6.28	10Lg(4π/Ω)	**3**	3	3	3	3	3	3	3	3		
Показатель направленности источника Di, дБ		исходные данные	**0**	0	0	0	0	0	0	0	0		
Поправка на направленность источника Dc, дБ	Dc	DΩ + Di	**3**	3	3	3	3	3	3	3	3		
Затухание из-за геометрической дивергенции, Adiv, дБ	расстояние = 1808.24 м	ф-ла (7) [10]	**76,1**										
Коэффициент затухания звука в атмосфере α, дБ/км	Ta=20,°C Pa=101.33,кПа hотн.=70%	ф-ла (5) [9]	0,02	0,09	0,33	1,12	2,79	4,98	9,04	23,09	77,63		
Учет затухания звука в атмосфере Aatm, дБ		ф-ла (8) [10]	0	0,2	0,6	2	5	9	16,3	41,7	140,4		

1		2	3	4	5	6	7	8	9	10	11	12	13
Снижение уровня звукового давления из-за влияния застройки между источником шума и расчетной точкой													
Снижение уровня звукового давления на пути над экраном, Dz1, дБ	z = 0.14м (разность путей)	ф-лы (14-18) [10]	4,8	4,8	4,8	4,8	4,8	4,8	4,8	4,8	4,8		
Снижение уровня звукового давления на пути слева от экрана, Dz2, дБ	z = 0.99м (разность путей)	ф-лы (14-18) [10]	8,2	10,1	12,4	15,1	17,9	20,8	23,7	26,7	29,7		
Снижение уровня звукового давления на пути справа от экрана, Dz3, дБ	z = 0.09м (разность путей)	ф-лы (14-18) [10]	5,2	5,6	6,3	7,4	9,1	11,2	13,7	16,4	19,2		
Общее снижение уровня звука препятствием Dz, дБ		Эн.сумма(-Dzi)	1,1	1,5	2	2,6	3,2	3,8	4,2	4,5	4,6		
Уровни звукового давления от источника ИШ-2-44 в расчётной точке днём, дБ		**ф-ла(3)[10]**	**0**	**18,5**	**18,9**	**18,2**	**14,9**	**10**	**0**	**0**	**0**	**15,5**	**15,5**
Уровни звукового давления от источника ИШ-2-44 в расчётной точке ночью, дБ		**ф-ла(3)[10]**	**0**	**18,5**	**18,9**	**18,2**	**14,9**	**10**	**0**	**0**	**0**	**15,5**	**15,5**
Источник шума: ИШ-2-45, координаты источника (x,y,z), м =[681.26,-139.98,1.00]													
Уровни звуковой мощности источника днём, Lw, дБ		**исходные данные**	**0**	**93,3**	**94,7**	**96**	**96,3**	**95,9**	**92,6**	**88,4**	**83,9**		
Уровни звуковой мощности источника ночью, Lw, дБ		**исходные данные**	**0**	**93,3**	**94,7**	**96**	**96,3**	**95,9**	**92,6**	**88,4**	**83,9**		
Поправка на телесный угол DΩ, дБ	Ω = 6.28	10Lg(4π/Ω)	**3**	3	3	3	3	3	3	3	3		
Показатель направленности источника Di, дБ		исходные данные	**0**	0	0	0	0	0	0	0	0		
Поправка на направленность источника Dc, дБ	Dc	DΩ + Di	**3**	3	3	3	3	3	3	3	3		
Затухание из-за геометрической дивергенции, Adiv, дБ	расстояние = 1807.55 м	ф-ла (7) [10]	**76,1**										
Коэффициент затухания звука в атмосфере α, дБ/км	Ta=20,°C Pa=101.33,кПа hотн.=70%	ф-ла (5) [9]	0,02	0,09	0,33	1,12	2,79	4,98	9,04	23,09	77,63		
Учет затухания звука в атмосфере Aatm, дБ		ф-ла (8) [10]	0	0,2	0,6	2	5	9	16,3	41,7	140,3		

1		2	3	4	5	6	7	8	9	10	11	12	13
Снижение уровня звукового давления из-за влияния застройки между источником шума и расчетной точкой													
Снижение уровня звукового давления на пути над экраном, Dz1, дБ	z = 0.20м (разность путей)	ф-лы (14-18) [10]	4,8	4,8	4,8	4,8	4,8	4,8	4,8	4,8	4,8		
Снижение уровня звукового давления на пути слева от экрана, Dz2, дБ	z = 0.74м (разность путей)	ф-лы (14-18) [10]	7,6	9,3	11,4	14	16,7	19,6	22,5	25,5	28,5		
Снижение уровня звукового давления на пути справа от экрана, Dz3, дБ	z = 0.15м (разность путей)	ф-лы (14-18) [10]	5,5	6,2	7,2	8,7	10,8	13,2	15,9	18,7	21,6		
Общее снижение уровня звука препятствием Dz, дБ		Эн.сумма(-Dzi)	1	1,6	2,2	2,9	3,6	4,1	4,4	4,6	4,7		
Уровни звукового давления от источника ИШ-2-45 в расчётной точке днём, дБ		**ф-ла(3)[10]**	**0**	**18,4**	**18,7**	**17,9**	**14,5**	**9,7**	**0**	**0**	**0**	**15,2**	**15,2**
Уровни звукового давления от источника ИШ-2-45 в расчётной точке ночью, дБ		**ф-ла(3)[10]**	**0**	**18,4**	**18,7**	**17,9**	**14,5**	**9,7**	**0**	**0**	**0**	**15,2**	**15,2**
Источник шума: ИШ-4-1, координаты источника (x,y,z), м =[141.82,201.03,1.00]													
Уровни звуковой мощности источника днём, Lw, дБ		**исходные данные**	**0**	**90,3**	**91,7**	**93**	**93,3**	**92,9**	**89,6**	**85,4**	**80,9**		
Уровни звуковой мощности источника ночью, Lw, дБ		**исходные данные**	**0**	**90,3**	**91,7**	**93**	**93,3**	**92,9**	**89,6**	**85,4**	**80,9**		
Поправка на телесный угол DΩ, дБ	Ω = 6.28	10Lg(4π/Ω)	**3**	3	3	3	3	3	3	3	3		
Показатель направленности источника Di, дБ		исходные данные	**0**	0	0	0	0	0	0	0	0		
Поправка на направленность источника Dc, дБ	Dc	DΩ + Di	**3**	3	3	3	3	3	3	3	3		
Затухание из-за геометрической дивергенции, Adiv, дБ	расстояние = 1273.70 м	ф-ла (7) [10]	**73,1**										
Коэффициент затухания звука в атмосфере α, дБ/км	Ta=20,°C Pa=101.33,кПа hотн.=70%	ф-ла (5) [9]	0,02	0,09	0,33	1,12	2,79	4,98	9,04	23,09	77,63		
Учет затухания звука в атмосфере Aatm, дБ		ф-ла (8) [10]	0	0,1	0,4	1,4	3,6	6,3	11,5	29,4	98,9		

1		2	3	4	5	6	7	8	9	10	11	12	13
Снижение уровня звукового давления из-за влияния застройки между источником шума и расчетной точкой													
Снижение уровня звукового давления на пути над экраном, Dz1, дБ	z = 2.03м (разность путей)	ф-лы (14-18) [10]	7,2	9,6	13	16,3	19,4	22,4	25,4	28,4	31,4		
Снижение уровня звукового давления на пути слева от экрана, Dz2, дБ	z = 3.33м (разность путей)	ф-лы (14-18) [10]	11,9	14,4	17,2	20	23	26	29	32	35		
Снижение уровня звукового давления на пути справа от экрана, Dz3, дБ	z = 99.76м (разность путей)	ф-лы (14-18) [10]	26,5	30,7	35,2	39,1	42,4	45,4	48,5	51,5	54,5		
Общее снижение уровня звука препятствием Dz, дБ		Эн.сумма(-Dzi)	5,9	8,3	11,6	14,8	17,8	20,8	23,8	26,8	29,8		
Общее снижение уровня звука препятствием с учётом ограничения (25 дБ) для октавных полос Dz, дБ		Раздел 7.4 [10]	5,9	8,3	11,6	14,8	17,8	20,8	23,8	25	25		
Уровни звукового давления прямого звука от источника ИШ-4-1 в расчётной точке днём, дБ		**ф-ла(3)[10]**	**0**	**11,8**	**9,6**	**6,7**	**1,8**	**0**	**0**	**0**	**0**	**2,1**	**2,1**
Уровни звукового давления прямого звука от источника ИШ-4-1 в расчётной точке ночью, дБ		**ф-ла(3)[10]**	**0**	**11,8**	**9,6**	**6,7**	**1,8**	**0**	**0**	**0**	**0**	**2,1**	**2,1**
Расчёт отражённого звука													
Уровни звукового давления от мнимого источника ИШ-4-1_мн.(1) в расчётной точке днём, дБ		**ф-ла(3)[10]**	**0**	**0**	**0**	**0**	**0**	**0**	**0**	**0**	**0**	**0**	**0**
Уровни звукового давления от мнимого источника ИШ-4-1_мн.(1) в расчётной точке ночью, дБ		**ф-ла(3)[10]**	**0**	**0**	**0**	**0**	**0**	**0**	**0**	**0**	**0**	**0**	**0**
Уровни звукового давления от источника ИШ-4-1 в расчётной точке днём, дБ		**ф-ла(3)[10]**	**0**	**11,8**	**9,6**	**6,7**	**1,8**	**0**	**0**	**0**	**0**	**2,1**	**2,1**
Уровни звукового давления от источника ИШ-4-1 в расчётной точке ночью, дБ		**ф-ла(3)[10]**	**0**	**11,8**	**9,6**	**6,7**	**1,8**	**0**	**0**	**0**	**0**	**2,1**	**2,1**
Источник шума: ИШ-4-2, координаты источника (x,y,z), м =[133.85,183.21,1.00]													
Уровни звуковой мощности источника днём, Lw, дБ		**исходные данные**	**0**	**90,3**	**91,7**	**93**	**93,3**	**92,9**	**89,6**	**85,4**	**80,9**		
Уровни звуковой мощности источника ночью, Lw, дБ		**исходные данные**	**0**	**90,3**	**91,7**	**93**	**93,3**	**92,9**	**89,6**	**85,4**	**80,9**		
Поправка на телесный угол DΩ, дБ	Ω = 6.28	10Lg(4π/Ω)	**3**	3	3	3	3	3	3	3	3		

1		2	3	4	5	6	7	8	9	10	11	12	13
Показатель направленности источника Di, дБ		исходные данные	**0**	0	0	0	0	0	0	0	0		
Поправка на направленность источника Dc, дБ	Dc	DΩ + Di	**3**	3	3	3	3	3	3	3	3		
Затухание из-за геометрической дивергенции, Adiv, дБ	расстояние = 1263.40 м	ф-ла (7) [10]	**73**										
Коэффициент затухания звука в атмосфере α, дБ/км	Ta=20,°C Pa=101.33,кПа hотн.=70%	ф-ла (5) [9]	0,02	0,09	0,33	1,12	2,79	4,98	9,04	23,09	77,63		
Учет затухания звука в атмосфере Aatm, дБ		ф-ла (8) [10]	0	0,1	0,4	1,4	3,5	6,3	11,4	29,2	98,1		
Снижение поверхностью земли возле источника As, дБ	Gs = 0 hs = 1м	ф-лы таб.3 [10]	-1,5	-1,5	-1,5	-1,5	-1,5	-1,5	-1,5	-1,5	-1,5		
Снижение поверхностью земли возле приёмника Ar, дБ	Gr = 1 hr = 1.5м	ф-лы таб.3 [10]	-1,5	-1,5	5,3	7	5	0,7	0	0	0		
Снижение поверхностью земли в средней зоне, Am дБ	Gm = 1	ф-лы таб.3 [10]	-2,8	-2,8	0	0	0	0	0	0	0		
Суммарное снижение поверхностью земли на траектории распространения звука Agr, дБ		ф-ла (9) [10]	-5,8	-5,8	3,8	5,5	3,5	-0,8	-1,5	-1,5	-1,5		
Уровни звукового давления прямого звука от источника ИШ-4-2 в расчётной точке днём, дБ		**ф-ла(3)[10]**	**0**	**26**	**17,4**	**16**	**16,3**	**17,4**	**9,6**	**0**	**0**	**19,8**	**19,8**
Уровни звукового давления прямого звука от источника ИШ-4-2 в расчётной точке ночью, дБ		**ф-ла(3)[10]**	**0**	**26**	**17,4**	**16**	**16,3**	**17,4**	**9,6**	**0**	**0**	**19,8**	**19,8**
Расчёт отражённого звука													
Уровни звукового давления от мнимого источника ИШ-4-2_мн.(1) в расчётной точке днём, дБ		**ф-ла(3)[10]**	**0**	**0**	**0**	**0**	**0**	**0**	**0**	**0**	**0**	**0**	**0**
Уровни звукового давления от мнимого источника ИШ-4-2_мн.(1) в расчётной точке ночью, дБ		**ф-ла(3)[10]**	**0**	**0**	**0**	**0**	**0**	**0**	**0**	**0**	**0**	**0**	**0**
Уровни звукового давления от источника ИШ-4-2 в расчётной точке днём, дБ		**ф-ла(3)[10]**	**0**	**26**	**17,4**	**16**	**16,3**	**17,4**	**9,6**	**0**	**0**	**19,8**	**19,8**
Уровни звукового давления от источника ИШ-4-2 в расчётной точке ночью, дБ		**ф-ла(3)[10]**	**0**	**26**	**17,4**	**16**	**16,3**	**17,4**	**9,6**	**0**	**0**	**19,8**	**19,8**

1		2	3	4	5	6	7	8	9	10	11	12	13
Источник шума: ИШ-4-3, координаты источника (x,y,z), м =[152.61,172.66,1.00]													
Уровни звуковой мощности источника днём, Lw, дБ		**исходные данные**	**0**	**90,3**	**91,7**	**93**	**93,3**	**92,9**	**89,6**	**85,4**	**80,9**		
Уровни звуковой мощности источника ночью, Lw, дБ		**исходные данные**	**0**	**90,3**	**91,7**	**93**	**93,3**	**92,9**	**89,6**	**85,4**	**80,9**		
Поправка на телесный угол DΩ, дБ	Ω = 6.28	10Lg(4π/Ω)	**3**	3	3	3	3	3	3	3	3		
Показатель направленности источника Di, дБ		исходные данные	**0**	0	0	0	0	0	0	0	0		
Поправка на направленность источника Dc, дБ	Dc	DΩ + Di	**3**	3	3	3	3	3	3	3	3		
Затухание из-за геометрической дивергенции, Adiv, дБ	расстояние = 1280.71 м	ф-ла (7) [10]	**73,1**										
Коэффициент затухания звука в атмосфере α, дБ/км	Ta=20,°C Pa=101.33,кПа hотн.=70%	ф-ла (5) [9]	0,02	0,09	0,33	1,12	2,79	4,98	9,04	23,09	77,63		
Учет затухания звука в атмосфере Aatm, дБ		ф-ла (8) [10]	0	0,1	0,4	1,4	3,6	6,4	11,6	29,6	99,4		
Снижение поверхностью земли возле источника As, дБ	Gs = 0 hs = 1м	ф-лы таб.3 [10]	-1,5	-1,5	-1,5	-1,5	-1,5	-1,5	-1,5	-1,5	-1,5		
Снижение поверхностью земли возле приёмника Ar, дБ	Gr = 1 hr = 1.5м	ф-лы таб.3 [10]	-1,5	-1,5	5,3	7	5	0,7	0	0	0		
Снижение поверхностью земли в средней зоне, Am дБ	Gm = 1	ф-лы таб.3 [10]	-2,8	-2,8	0	0	0	0	0	0	0		
Суммарное снижение поверхностью земли на траектории распространения звука Agr, дБ		ф-ла (9) [10]	-5,8	-5,8	3,8	5,5	3,5	-0,8	-1,5	-1,5	-1,5		
Уровни звукового давления прямого звука от источника ИШ-4-3 в расчётной точке днём, дБ		**ф-ла(3)[10]**	**0**	**25,9**	**17,3**	**15,9**	**16,1**	**17,2**	**9,4**	**0**	**0**	**19,6**	**19,6**
Уровни звукового давления прямого звука от источника ИШ-4-3 в расчётной точке ночью, дБ		**ф-ла(3)[10]**	**0**	**25,9**	**17,3**	**15,9**	**16,1**	**17,2**	**9,4**	**0**	**0**	**19,6**	**19,6**
Расчёт отражённого звука													

1		2	3	4	5	6	7	8	9	10	11	12	13
Уровни звукового давления от мнимого источника ИШ-4-3_мн.(1) в расчётной точке днём, дБ		**ф-ла(3)[10]**	**0**	**0**	**0**	**0**	**0**	**0**	**0**	**0**	**0**	**0**	**0**
Уровни звукового давления от мнимого источника ИШ-4-3_мн.(1) в расчётной точке ночью, дБ		**ф-ла(3)[10]**	**0**	**0**	**0**	**0**	**0**	**0**	**0**	**0**	**0**	**0**	**0**
Уровни звукового давления от источника ИШ-4-3 в расчётной точке днём, дБ		**ф-ла(3)[10]**	**0**	**25,9**	**17,3**	**15,9**	**16,1**	**17,2**	**9,4**	**0**	**0**	**19,6**	**19,6**
Уровни звукового давления от источника ИШ-4-3 в расчётной точке ночью, дБ		**ф-ла(3)[10]**	**0**	**25,9**	**17,3**	**15,9**	**16,1**	**17,2**	**9,4**	**0**	**0**	**19,6**	**19,6**
Источник шума: ИШ-4-4, координаты источника (x,y,z), м =[156.83,171.25,1.00]													
Уровни звуковой мощности источника днём, Lw, дБ		**исходные данные**	**0**	**90,3**	**91,7**	**93**	**93,3**	**92,9**	**89,6**	**85,4**	**80,9**		
Уровни звуковой мощности источника ночью, Lw, дБ		**исходные данные**	**0**	**90,3**	**91,7**	**93**	**93,3**	**92,9**	**89,6**	**85,4**	**80,9**		
Поправка на телесный угол DΩ, дБ	Ω = 6.28	10Lg(4π/Ω)	**3**	3	3	3	3	3	3	3	3		
Показатель направленности источника Di, дБ		исходные данные	**0**	0	0	0	0	0	0	0	0		
Поправка на направленность источника Dc, дБ	Dc	DΩ + Di	**3**	3	3	3	3	3	3	3	3		
Затухание из-за геометрической дивергенции, Adiv, дБ	расстояние = 1284.73 м	ф-ла (7) [10]	**73,2**										
Коэффициент затухания звука в атмосфере α, дБ/км	Ta=20,°C Pa=101.33,кПа hотн.=70%	ф-ла (5) [9]	0,02	0,09	0,33	1,12	2,79	4,98	9,04	23,09	77,63		
Учет затухания звука в атмосфере Aatm, дБ		ф-ла (8) [10]	0	0,1	0,4	1,4	3,6	6,4	11,6	29,7	99,7		
Снижение поверхностью земли возле источника As, дБ	Gs = 0 hs = 1м	ф-лы таб.3 [10]	-1,5	-1,5	-1,5	-1,5	-1,5	-1,5	-1,5	-1,5	-1,5		
Снижение поверхностью земли возле приёмника Ar, дБ	Gr = 1 hr = 1.5м	ф-лы таб.3 [10]	-1,5	-1,5	5,3	7	5	0,7	0	0	0		
Снижение поверхностью земли в средней зоне, Am дБ	Gm = 1	ф-лы таб.3 [10]	-2,8	-2,8	0	0	0	0	0	0	0		

1		2	3	4	5	6	7	8	9	10	11	12	13
Суммарное снижение поверхностью земли на траектории распространения звука Agr, дБ		ф-ла (9) [10]	-5,8	-5,8	3,8	5,5	3,5	-0,8	-1,5	-1,5	-1,5		
Уровни звукового давления прямого звука от источника ИШ-4-4 в расчётной точке днём, дБ		**ф-ла(3)[10]**	**0**	**25,8**	**17,3**	**15,8**	**16,1**	**17,2**	**9,3**	**0**	**0**	**19,5**	**19,5**
Уровни звукового давления прямого звука от источника ИШ-4-4 в расчётной точке ночью, дБ		**ф-ла(3)[10]**	**0**	**25,8**	**17,3**	**15,8**	**16,1**	**17,2**	**9,3**	**0**	**0**	**19,5**	**19,5**
Расчёт отражённого звука													
Уровни звукового давления от мнимого источника ИШ-4-4_мн.(1) в расчётной точке днём, дБ		**ф-ла(3)[10]**	**0**	**0**	**0**	**0**	**0**	**0**	**0**	**0**	**0**	**0**	**0**
Уровни звукового давления от мнимого источника ИШ-4-4_мн.(1) в расчётной точке ночью, дБ		**ф-ла(3)[10]**	**0**	**0**	**0**	**0**	**0**	**0**	**0**	**0**	**0**	**0**	**0**
Уровни звукового давления от источника ИШ-4-4 в расчётной точке днём, дБ		**ф-ла(3)[10]**	**0**	**25,8**	**17,3**	**15,8**	**16,1**	**17,2**	**9,3**	**0**	**0**	**19,5**	**19,5**
Уровни звукового давления от источника ИШ-4-4 в расчётной точке ночью, дБ		**ф-ла(3)[10]**	**0**	**25,8**	**17,3**	**15,8**	**16,1**	**17,2**	**9,3**	**0**	**0**	**19,5**	**19,5**
Источник шума: ИШ-4-5, координаты источника (x,y,z), м =[126.48,222.66,11.00]													
Уровни звуковой мощности источника днём, Lw, дБ		**исходные данные**	**0**	**90,3**	**91,7**	**93**	**93,3**	**92,9**	**89,6**	**85,4**	**80,9**		
Уровни звуковой мощности источника ночью, Lw, дБ		**исходные данные**	**0**	**90,3**	**91,7**	**93**	**93,3**	**92,9**	**89,6**	**85,4**	**80,9**		
Поправка на телесный угол DΩ, дБ	Ω = 6.28	10Lg(4π/Ω)	**3**	3	3	3	3	3	3	3	3		
Показатель направленности источника Di, дБ		исходные данные	**0**	0	0	0	0	0	0	0	0		
Поправка на направленность источника Dc, дБ	Dc	DΩ + Di	**3**	3	3	3	3	3	3	3	3		
Затухание из-за геометрической дивергенции, Adiv, дБ	расстояние = 1261.82 м	ф-ла (7) [10]	**73**										
Коэффициент затухания звука в атмосфере α, дБ/км	Ta=20,°C Pa=101.33,кПа hотн.=70%	ф-ла (5) [9]	0,02	0,09	0,33	1,12	2,79	4,98	9,04	23,09	77,63		

1		2	3	4	5	6	7	8	9	10	11	12	13
Учет затухания звука в атмосфере Aatm, дБ		ф-ла (8) [10]	0	0,1	0,4	1,4	3,5	6,3	11,4	29,1	98		
Снижение поверхностью земли возле источника As, дБ	Gs = 0 hs = 1м	ф-лы таб.3 [10]	-1,5	-1,5	-1,5	-1,5	-1,5	-1,5	-1,5	-1,5	-1,5		
Снижение поверхностью земли возле приёмника Ar, дБ	Gr = 1 hr = 1.5м	ф-лы таб.3 [10]	-1,5	-1,5	5,3	7	5	0,7	0	0	0		
Снижение поверхностью земли в средней зоне, Am дБ	Gm = 1	ф-лы таб.3 [10]	-2,8	-2,8	0	0	0	0	0	0	0		
Суммарное снижение поверхностью земли на траектории распространения звука Agr, дБ		ф-ла (9) [10]	-5,8	-5,8	3,8	5,5	3,5	-0,8	-1,5	-1,5	-1,5		
Уровни звукового давления прямого звука от источника ИШ-4-5 в расчётной точке днём, дБ		**ф-ла(3)[10]**	**0**	**26**	**17,5**	**16**	**16,3**	**17,4**	**9,7**	**0**	**0**	**19,8**	**19,8**
Уровни звукового давления прямого звука от источника ИШ-4-5 в расчётной точке ночью, дБ		**ф-ла(3)[10]**	**0**	**26**	**17,5**	**16**	**16,3**	**17,4**	**9,7**	**0**	**0**	**19,8**	**19,8**
Расчёт отражённого звука													
Уровни звукового давления от мнимого источника ИШ-4-5_мн.(1) в расчётной точке днём, дБ		**ф-ла(3)[10]**	**0**	**0**	**0**	**0**	**0**	**0**	**0**	**0**	**0**	**0**	**0**
Уровни звукового давления от мнимого источника ИШ-4-5_мн.(1) в расчётной точке ночью, дБ		**ф-ла(3)[10]**	**0**	**0**	**0**	**0**	**0**	**0**	**0**	**0**	**0**	**0**	**0**
Уровни звукового давления от источника ИШ-4-5 в расчётной точке днём, дБ		**ф-ла(3)[10]**	**0**	**26**	**17,5**	**16**	**16,3**	**17,4**	**9,7**	**0**	**0**	**19,8**	**19,8**
Уровни звукового давления от источника ИШ-4-5 в расчётной точке ночью, дБ		**ф-ла(3)[10]**	**0**	**26**	**17,5**	**16**	**16,3**	**17,4**	**9,7**	**0**	**0**	**19,8**	**19,8**
Источник шума: ИШ-4-6, координаты источника (x,y,z), м =[125.17,218.57,11.00]													
Уровни звуковой мощности источника днём, Lw, дБ		**исходные данные**	**0**	**90,3**	**91,7**	**93**	**93,3**	**92,9**	**89,6**	**85,4**	**80,9**		
Уровни звуковой мощности источника ночью, Lw, дБ		**исходные данные**	**0**	**90,3**	**91,7**	**93**	**93,3**	**92,9**	**89,6**	**85,4**	**80,9**		
Поправка на телесный угол DΩ, дБ	Ω = 6.28	10Lg(4π/Ω)	**3**	3	3	3	3	3	3	3	3		
Показатель направленности источника Di, дБ		исходные данные	**0**	0	0	0	0	0	0	0	0		

1		2	3	4	5	6	7	8	9	10	11	12	13
Поправка на направленность источника Dc, дБ	Dc	DΩ + Di	**3**	3	3	3	3	3	3	3	3		
Затухание из-за геометрической дивергенции, Adiv, дБ	расстояние = 1259.88 м	ф-ла (7) [10]	**73**										
Коэффициент затухания звука в атмосфере α, дБ/км	Ta=20,°C Pa=101.33,кПа hотн.=70%	ф-ла (5) [9]	0,02	0,09	0,33	1,12	2,79	4,98	9,04	23,09	77,63		
Учет затухания звука в атмосфере Aatm, дБ		ф-ла (8) [10]	0	0,1	0,4	1,4	3,5	6,3	11,4	29,1	97,8		
Снижение поверхностью земли возле источника As, дБ	Gs = 0 hs = 1м	ф-лы таб.3 [10]	-1,5	-1,5	-1,5	-1,5	-1,5	-1,5	-1,5	-1,5	-1,5		
Снижение поверхностью земли возле приёмника Ar, дБ	Gr = 1 hr = 1.5м	ф-лы таб.3 [10]	-1,5	-1,5	5,3	7	5	0,7	0	0	0		
Снижение поверхностью земли в средней зоне, Am дБ	Gm = 1	ф-лы таб.3 [10]	-2,8	-2,8	0	0	0	0	0	0	0		
Суммарное снижение поверхностью земли на траектории распространения звука Agr, дБ		ф-ла (9) [10]	-5,8	-5,8	3,8	5,5	3,5	-0,8	-1,5	-1,5	-1,5		
Уровни звукового давления прямого звука от источника ИШ-4-6 в расчётной точке днём, дБ		**ф-ла(3)[10]**	**0**	**26**	**17,5**	**16**	**16,3**	**17,5**	**9,7**	**0**	**0**	**19,8**	**19,8**
Уровни звукового давления прямого звука от источника ИШ-4-6 в расчётной точке ночью, дБ		**ф-ла(3)[10]**	**0**	**26**	**17,5**	**16**	**16,3**	**17,5**	**9,7**	**0**	**0**	**19,8**	**19,8**
Расчёт отражённого звука													
Уровни звукового давления от мнимого источника ИШ-4-6_мн.(1) в расчётной точке днём, дБ		**ф-ла(3)[10]**	**0**	**0**	**0**	**0**	**0**	**0**	**0**	**0**	**0**	**0**	**0**
Уровни звукового давления от мнимого источника ИШ-4-6_мн.(1) в расчётной точке ночью, дБ		**ф-ла(3)[10]**	**0**	**0**	**0**	**0**	**0**	**0**	**0**	**0**	**0**	**0**	**0**
Уровни звукового давления от источника ИШ-4-6 в расчётной точке днём, дБ		**ф-ла(3)[10]**	**0**	**26**	**17,5**	**16**	**16,3**	**17,5**	**9,7**	**0**	**0**	**19,8**	**19,8**
Уровни звукового давления от источника ИШ-4-6 в расчётной точке ночью, дБ		**ф-ла(3)[10]**	**0**	**26**	**17,5**	**16**	**16,3**	**17,5**	**9,7**	**0**	**0**	**19,8**	**19,8**
Источник шума: ИШ-4-7, координаты источника (x,y,z), м =[177.91,257.92,11.00]													

1		2	3	4	5	6	7	8	9	10	11	12	13
Уровни звуковой мощности источника днём, Lw, дБ		**исходные данные**	**0**	**90,3**	**91,7**	**93**	**93,3**	**92,9**	**89,6**	**85,4**	**80,9**		
Уровни звуковой мощности источника ночью, Lw, дБ		**исходные данные**	**0**	**90,3**	**91,7**	**93**	**93,3**	**92,9**	**89,6**	**85,4**	**80,9**		
Поправка на телесный угол DΩ, дБ	Ω = 6.28	10Lg(4π/Ω)	**3**	3	3	3	3	3	3	3	3		
Показатель направленности источника Di, дБ		исходные данные	**0**	0	0	0	0	0	0	0	0		
Поправка на направленность источника Dc, дБ	Dc	DΩ + Di	**3**	3	3	3	3	3	3	3	3		
Затухание из-за геометрической дивергенции, Adiv, дБ	расстояние = 1318.48 м	ф-ла (7) [10]	**73,4**										
Коэффициент затухания звука в атмосфере α, дБ/км	Ta=20,°C Pa=101.33,кПа hотн.=70%	ф-ла (5) [9]	0,02	0,09	0,33	1,12	2,79	4,98	9,04	23,09	77,63		
Учет затухания звука в атмосфере Aatm, дБ		ф-ла (8) [10]	0	0,1	0,4	1,5	3,7	6,6	11,9	30,4	102,4		
Снижение поверхностью земли возле источника As, дБ	Gs = 0 hs = 3м	ф-лы таб.3 [10]	-1,5	-1,5	-1,5	-1,5	-1,5	-1,5	-1,5	-1,5	-1,5		
Снижение поверхностью земли возле приёмника Ar, дБ	Gr = 1 hr = 1.5м	ф-лы таб.3 [10]	-1,5	-1,5	5,3	7	5	0,7	0	0	0		
Снижение поверхностью земли в средней зоне, Am дБ	Gm = 1	ф-лы таб.3 [10]	-2,7	-2,7	0	0	0	0	0	0	0		
Суммарное снижение поверхностью земли на траектории распространения звука Agr, дБ		ф-ла (9) [10]	-5,7	-5,7	3,8	5,5	3,5	-0,8	-1,5	-1,5	-1,5		
Уровни звукового давления прямого звука от источника ИШ-4-7 в расчётной точке днём, дБ		**ф-ла(3)[10]**	**0**	**25,5**	**17**	**15,6**	**15,7**	**16,8**	**8,8**	**0**	**0**	**19,2**	**19,2**
Уровни звукового давления прямого звука от источника ИШ-4-7 в расчётной точке ночью, дБ		**ф-ла(3)[10]**	**0**	**25,5**	**17**	**15,6**	**15,7**	**16,8**	**8,8**	**0**	**0**	**19,2**	**19,2**
Расчёт отражённого звука													
Уровни звукового давления от мнимого источника ИШ-4-7_мн.(1) в расчётной точке днём, дБ		**ф-ла(3)[10]**	**0**	**0**	**0**	**0**	**0**	**0**	**0**	**0**	**0**	**0**	**0**
Уровни звукового давления от мнимого источника ИШ-4-7_мн.(1) в расчётной точке ночью, дБ		**ф-ла(3)[10]**	**0**	**0**	**0**	**0**	**0**	**0**	**0**	**0**	**0**	**0**	**0**

1		2	3	4	5	6	7	8	9	10	11	12	13
Уровни звукового давления от источника ИШ-4-7 в расчётной точке днём, дБ		**ф-ла(3)[10]**	**0**	**25,5**	**17**	**15,6**	**15,7**	**16,8**	**8,8**	**0**	**0**	**19,2**	**19,2**
Уровни звукового давления от источника ИШ-4-7 в расчётной точке ночью, дБ		**ф-ла(3)[10]**	**0**	**25,5**	**17**	**15,6**	**15,7**	**16,8**	**8,8**	**0**	**0**	**19,2**	**19,2**
Источник шума: ИШ-4-8, координаты источника (x,y,z), м =[178.24,257.77,13.00]													
Уровни звуковой мощности источника днём, Lw, дБ		**исходные данные**	**0**	**90,3**	**91,7**	**93**	**93,3**	**92,9**	**89,6**	**85,4**	**80,9**		
Уровни звуковой мощности источника ночью, Lw, дБ		**исходные данные**	**0**	**90,3**	**91,7**	**93**	**93,3**	**92,9**	**89,6**	**85,4**	**80,9**		
Поправка на телесный угол DΩ, дБ	Ω = 6.28	10Lg(4π/Ω)	**3**	3	3	3	3	3	3	3	3		
Показатель направленности источника Di, дБ		исходные данные	**0**	0	0	0	0	0	0	0	0		
Поправка на направленность источника Dc, дБ	Dc	DΩ + Di	**3**	3	3	3	3	3	3	3	3		
Затухание из-за геометрической дивергенции, Adiv, дБ	расстояние = 1318.80 м	ф-ла (7) [10]	**73,4**										
Коэффициент затухания звука в атмосфере α, дБ/км	Ta=20,°C Pa=101.33,кПа hотн.=70%	ф-ла (5) [9]	0,02	0,09	0,33	1,12	2,79	4,98	9,04	23,09	77,63		
Учет затухания звука в атмосфере Aatm, дБ		ф-ла (8) [10]	0	0,1	0,4	1,5	3,7	6,6	11,9	30,4	102,4		
Снижение уровня звукового давления из-за влияния застройки между источником шума и расчетной точкой													
Снижение уровня звукового давления препятствием снизу от трассы ИШ-РТ, Dz4, дБ	z = -0.04м (разность путей)	ф-лы (14-18) [10]	4,6	4,3	3,8	2,6	0	NAN	NAN	NAN	NAN		
* отрицательное значение z означает прохождение траектории вблизи экрана, в этом случае дополнительно производится учёт снижения подстилающей поверхностью (см.ниже)													
Снижение поверхностью земли возле источника As, дБ	Gs = 0 hs = 5м	ф-лы таб.3 [10]	-1,5	-1,5	-1,5	-1,5	-1,5	-1,5	-1,5	-1,5	-1,5		
Снижение поверхностью земли возле приёмника Ar, дБ	Gr = 1 hr = 1.5м	ф-лы таб.3 [10]	-1,5	-1,5	5,3	7	5	0,7	0	0	0		
Снижение поверхностью земли в средней зоне, Am дБ	Gm = 1	ф-лы таб.3 [10]	-2,6	-2,6	0	0	0	0	0	0	0		

1		2	3	4	5	6	7	8	9	10	11	12	13
Суммарное снижение поверхностью земли на траектории распространения звука Agr, дБ		ф-ла (9) [10]	-5,6	-5,6	3,8	5,5	3,5	-0,8	-1,5	-1,5	-1,5		
Уровни звукового давления от источника ИШ-4-8 в расчётной точке днём, дБ		**ф-ла(3)[10]**	**0**	**21**	**13,2**	**13**	**15,7**	**16,8**	**8,8**	**0**	**0**	**19**	**19**
Уровни звукового давления от источника ИШ-4-8 в расчётной точке ночью, дБ		**ф-ла(3)[10]**	**0**	**21**	**13,2**	**13**	**15,7**	**16,8**	**8,8**	**0**	**0**	**19**	**19**
Источник шума: ИШ-4-9, координаты источника (x,y,z), м =[178.68,257.63,15.50]													
Уровни звуковой мощности источника днём, Lw, дБ		**исходные данные**	**0**	**90,3**	**91,7**	**93**	**93,3**	**92,9**	**89,6**	**85,4**	**80,9**		
Уровни звуковой мощности источника ночью, Lw, дБ		**исходные данные**	**0**	**90,3**	**91,7**	**93**	**93,3**	**92,9**	**89,6**	**85,4**	**80,9**		
Поправка на телесный угол DΩ, дБ	Ω = 6.28	10Lg(4π/Ω)	**3**	3	3	3	3	3	3	3	3		
Показатель направленности источника Di, дБ		исходные данные	**0**	0	0	0	0	0	0	0	0		
Поправка на направленность источника Dc, дБ	Dc	DΩ + Di	**3**	3	3	3	3	3	3	3	3		
Затухание из-за геометрической дивергенции, Adiv, дБ	расстояние = 1319.23 м	ф-ла (7) [10]	**73,4**										
Коэффициент затухания звука в атмосфере α, дБ/км	Ta=20,°C Pa=101.33,кПа hотн.=70%	ф-ла (5) [9]	0,02	0,09	0,33	1,12	2,79	4,98	9,04	23,09	77,63		
Учет затухания звука в атмосфере Aatm, дБ		ф-ла (8) [10]	0	0,1	0,4	1,5	3,7	6,6	11,9	30,5	102,4		
Снижение уровня звукового давления из-за влияния застройки между источником шума и расчетной точкой													
Снижение уровня звукового давления препятствием снизу от трассы ИШ-РТ, Dz4, дБ	z = -0.16м (разность путей)	ф-лы (14-18) [10]	3,8	2,6	0	NAN	NAN	NAN	NAN	NAN	NAN		
* отрицательное значение z означает прохождение траектории вблизи экрана, в этом случае дополнительно производится учёт снижения подстилающей поверхностью (см.ниже)													
Снижение поверхностью земли возле источника As, дБ	Gs = 0 hs = 7.5м	ф-лы таб.3 [10]	-1,5	-1,5	-1,5	-1,5	-1,5	-1,5	-1,5	-1,5	-1,5		
Снижение поверхностью земли возле приёмника Ar, дБ	Gr = 1 hr = 1.5м	ф-лы таб.3 [10]	-1,5	-1,5	5,3	7	5	0,7	0	0	0		

1		2	3	4	5	6	7	8	9	10	11	12	13
Снижение поверхностью земли в средней зоне, Am дБ	Gm = 1	ф-лы таб.3 [10]	-2,4	-2,4	0	0	0	0	0	0	0		
Суммарное снижение поверхностью земли на траектории распространения звука Agr, дБ		ф-ла (9) [10]	-5,4	-5,4	3,8	5,5	3,5	-0,8	-1,5	-1,5	-1,5		
Уровни звукового давления от источника ИШ-4-9 в расчётной точке днём, дБ		**ф-ла(3)[10]**	**0**	**22,5**	**17**	**15,6**	**15,7**	**16,8**	**8,8**	**0**	**0**	**19,1**	**19,1**
Уровни звукового давления от источника ИШ-4-9 в расчётной точке ночью, дБ		**ф-ла(3)[10]**	**0**	**22,5**	**17**	**15,6**	**15,7**	**16,8**	**8,8**	**0**	**0**	**19,1**	**19,1**
Источник шума: ИШ-4-10, координаты источника (x,y,z), м =[185.65,255.31,11.00]													
Уровни звуковой мощности источника днём, Lw, дБ		**исходные данные**	**0**	**90,3**	**91,7**	**93**	**93,3**	**92,9**	**89,6**	**85,4**	**80,9**		
Уровни звуковой мощности источника ночью, Lw, дБ		**исходные данные**	**0**	**90,3**	**91,7**	**93**	**93,3**	**92,9**	**89,6**	**85,4**	**80,9**		
Поправка на телесный угол DΩ, дБ	Ω = 6.28	10Lg(4π/Ω)	**3**	3	3	3	3	3	3	3	3		
Показатель направленности источника Di, дБ		исходные данные	**0**	0	0	0	0	0	0	0	0		
Поправка на направленность источника Dc, дБ	Dc	DΩ + Di	**3**	3	3	3	3	3	3	3	3		
Затухание из-за геометрической дивергенции, Adiv, дБ	расстояние = 1325.64 м	ф-ла (7) [10]	**73,4**										
Коэффициент затухания звука в атмосфере α, дБ/км	Ta=20,°C Pa=101.33,кПа hотн.=70%	ф-ла (5) [9]	0,02	0,09	0,33	1,12	2,79	4,98	9,04	23,09	77,63		
Учет затухания звука в атмосфере Aatm, дБ		ф-ла (8) [10]	0	0,1	0,4	1,5	3,7	6,6	12	30,6	102,9		
Снижение поверхностью земли возле источника As, дБ	Gs = 0 hs = 3м	ф-лы таб.3 [10]	-1,5	-1,5	-1,5	-1,5	-1,5	-1,5	-1,5	-1,5	-1,5		
Снижение поверхностью земли возле приёмника Ar, дБ	Gr = 1 hr = 1.5м	ф-лы таб.3 [10]	-1,5	-1,5	5,3	7	5	0,7	0	0	0		
Снижение поверхностью земли в средней зоне, Am дБ	Gm = 1	ф-лы таб.3 [10]	-2,7	-2,7	0	0	0	0	0	0	0		

1		2	3	4	5	6	7	8	9	10	11	12	13
Суммарное снижение поверхностью земли на траектории распространения звука Agr, дБ		ф-ла (9) [10]	-5,7	-5,7	3,8	5,5	3,5	-0,8	-1,5	-1,5	-1,5		
Уровни звукового давления прямого звука от источника ИШ-4-10 в расчётной точке днём, дБ		**ф-ла(3)[10]**	**0**	**25,4**	**17**	**15,5**	**15,7**	**16,7**	**8,7**	**0**	**0**	**19,1**	**19,1**
Уровни звукового давления прямого звука от источника ИШ-4-10 в расчётной точке ночью, дБ		**ф-ла(3)[10]**	**0**	**25,4**	**17**	**15,5**	**15,7**	**16,7**	**8,7**	**0**	**0**	**19,1**	**19,1**
Расчёт отражённого звука													
Уровни звукового давления от мнимого источника ИШ-4-10_мн.(1) в расчётной точке днём, дБ		**ф-ла(3)[10]**	**0**	**0**	**0**	**0**	**0**	**0**	**0**	**0**	**0**	**0**	**0**
Уровни звукового давления от мнимого источника ИШ-4-10_мн.(1) в расчётной точке ночью, дБ		**ф-ла(3)[10]**	**0**	**0**	**0**	**0**	**0**	**0**	**0**	**0**	**0**	**0**	**0**
Уровни звукового давления от источника ИШ-4-10 в расчётной точке днём, дБ		**ф-ла(3)[10]**	**0**	**25,4**	**17**	**15,5**	**15,7**	**16,7**	**8,7**	**0**	**0**	**19,1**	**19,1**
Уровни звукового давления от источника ИШ-4-10 в расчётной точке ночью, дБ		**ф-ла(3)[10]**	**0**	**25,4**	**17**	**15,5**	**15,7**	**16,7**	**8,7**	**0**	**0**	**19,1**	**19,1**
Источник шума: ИШ-4-11, координаты источника (x,y,z), м =[185.89,255.16,13.00]													
Уровни звуковой мощности источника днём, Lw, дБ		**исходные данные**	**0**	**90,3**	**91,7**	**93**	**93,3**	**92,9**	**89,6**	**85,4**	**80,9**		
Уровни звуковой мощности источника ночью, Lw, дБ		**исходные данные**	**0**	**90,3**	**91,7**	**93**	**93,3**	**92,9**	**89,6**	**85,4**	**80,9**		
Поправка на телесный угол DΩ, дБ	Ω = 6.28	10Lg(4π/Ω)	**3**	3	3	3	3	3	3	3	3		
Показатель направленности источника Di, дБ		исходные данные	**0**	0	0	0	0	0	0	0	0		
Поправка на направленность источника Dc, дБ	Dc	DΩ + Di	**3**	3	3	3	3	3	3	3	3		
Затухание из-за геометрической дивергенции, Adiv, дБ	расстояние = 1325.86 м	ф-ла (7) [10]	**73,4**										
Коэффициент затухания звука в атмосфере α, дБ/км	Ta=20,°C Pa=101.33,кПа hотн.=70%	ф-ла (5) [9]	0,02	0,09	0,33	1,12	2,79	4,98	9,04	23,09	77,63		

1		2	3	4	5	6	7	8	9	10	11	12	13
Учет затухания звука в атмосфере Aatm, дБ		ф-ла (8) [10]	0	0,1	0,4	1,5	3,7	6,6	12	30,6	102,9		
Снижение уровня звукового давления из-за влияния застройки между источником шума и расчетной точкой													
Снижение уровня звукового давления препятствием снизу от трассы ИШ-РТ, Dz4, дБ	z = -0.03м (разность путей)	ф-лы (14-18) [10]	4,6	4,4	4	3	0,1	NAN	NAN	NAN	NAN		
* отрицательное значение z означает прохождение траектории вблизи экрана, в этом случае дополнительно производится учёт снижения подстилающей поверхностью (см.ниже)													
Снижение поверхностью земли возле источника As, дБ	Gs = 0 hs = 5м	ф-лы таб.3 [10]	-1,5	-1,5	-1,5	-1,5	-1,5	-1,5	-1,5	-1,5	-1,5		
Снижение поверхностью земли возле приёмника Ar, дБ	Gr = 1 hr = 1.5м	ф-лы таб.3 [10]	-1,5	-1,5	5,3	7	5	0,7	0	0	0		
Снижение поверхностью земли в средней зоне, Am дБ	Gm = 1	ф-лы таб.3 [10]	-2,6	-2,6	0	0	0	0	0	0	0		
Суммарное снижение поверхностью земли на траектории распространения звука Agr, дБ		ф-ла (9) [10]	-5,6	-5,6	3,8	5,5	3,5	-0,8	-1,5	-1,5	-1,5		
Уровни звукового давления от источника ИШ-4-11 в расчётной точке днём, дБ		**ф-ла(3)[10]**	**0**	**20,9**	**13**	**12,5**	**15,6**	**16,7**	**8,7**	**0**	**0**	**18,9**	**18,9**
Уровни звукового давления от источника ИШ-4-11 в расчётной точке ночью, дБ		**ф-ла(3)[10]**	**0**	**20,9**	**13**	**12,5**	**15,6**	**16,7**	**8,7**	**0**	**0**	**18,9**	**18,9**
Источник шума: ИШ-4-12, координаты источника (x,y,z), м =[186.18,255.02,15.50]													
Уровни звуковой мощности источника днём, Lw, дБ		**исходные данные**	**0**	**90,3**	**91,7**	**93**	**93,3**	**92,9**	**89,6**	**85,4**	**80,9**		
Уровни звуковой мощности источника ночью, Lw, дБ		**исходные данные**	**0**	**90,3**	**91,7**	**93**	**93,3**	**92,9**	**89,6**	**85,4**	**80,9**		
Поправка на телесный угол DΩ, дБ	Ω = 6.28	10Lg(4π/Ω)	**3**	3	3	3	3	3	3	3	3		
Показатель направленности источника Di, дБ		исходные данные	**0**	0	0	0	0	0	0	0	0		
Поправка на направленность источника Dc, дБ	Dc	DΩ + Di	**3**	3	3	3	3	3	3	3	3		
Затухание из-за геометрической дивергенции, Adiv, дБ	расстояние = 1326.15 м	ф-ла (7) [10]	**73,5**										

1		2	3	4	5	6	7	8	9	10	11	12	13
Коэффициент затухания звука в атмосфере α, дБ/км	Ta=20,°C Pa=101.33,кПа hотн.=70%	ф-ла (5) [9]	0,02	0,09	0,33	1,12	2,79	4,98	9,04	23,09	77,63		
Учет затухания звука в атмосфере Aatm, дБ		ф-ла (8) [10]	0	0,1	0,4	1,5	3,7	6,6	12	30,6	103		
Снижение уровня звукового давления из-за влияния застройки между источником шума и расчетной точкой													
Снижение уровня звукового давления препятствием снизу от трассы ИШ-РТ, Dz4, дБ	z = -0.14м (разность путей)	ф-лы (14-18) [10]	4	3	0	NAN	NAN	NAN	NAN	NAN	NAN		
* отрицательное значение z означает прохождение траектории вблизи экрана, в этом случае дополнительно производится учёт снижения подстилающей поверхностью (см.ниже)													
Снижение поверхностью земли возле источника As, дБ	Gs = 0 hs = 7.5м	ф-лы таб.3 [10]	-1,5	-1,5	-1,5	-1,5	-1,5	-1,5	-1,5	-1,5	-1,5		
Снижение поверхностью земли возле приёмника Ar, дБ	Gr = 1 hr = 1.5м	ф-лы таб.3 [10]	-1,5	-1,5	5,3	7	5	0,7	0	0	0		
Снижение поверхностью земли в средней зоне, Am дБ	Gm = 1	ф-лы таб.3 [10]	-2,4	-2,4	0	0	0	0	0	0	0		
Суммарное снижение поверхностью земли на траектории распространения звука Agr, дБ		ф-ла (9) [10]	-5,4	-5,4	3,8	5,5	3,5	-0,8	-1,5	-1,5	-1,5		
Уровни звукового давления от источника ИШ-4-12 в расчётной точке днём, дБ		**ф-ла(3)[10]**	**0**	**22,1**	**17**	**15,5**	**15,7**	**16,7**	**8,7**	**0**	**0**	**19,1**	**19,1**
Уровни звукового давления от источника ИШ-4-12 в расчётной точке ночью, дБ		**ф-ла(3)[10]**	**0**	**22,1**	**17**	**15,5**	**15,7**	**16,7**	**8,7**	**0**	**0**	**19,1**	**19,1**
Источник шума: ИШ-4-13, координаты источника (x,y,z), м =[94.56,229.10,1.00]													
Уровни звуковой мощности источника днём, Lw, дБ		**исходные данные**	**0**	**81,3**	**82,7**	**84**	**84,3**	**83,9**	**80,6**	**76,4**	**71,9**		
Уровни звуковой мощности источника ночью, Lw, дБ		**исходные данные**	**0**	**81,3**	**82,7**	**84**	**84,3**	**83,9**	**80,6**	**76,4**	**71,9**		
Поправка на телесный угол DΩ, дБ	Ω = 6.28	10Lg(4π/Ω)	**3**	3	3	3	3	3	3	3	3		
Показатель направленности источника Di, дБ		исходные данные	**0**	0	0	0	0	0	0	0	0		
Поправка на направленность источника Dc, дБ	Dc	DΩ + Di	**3**	3	3	3	3	3	3	3	3		

1		2	3	4	5	6	7	8	9	10	11	12	13
Затухание из-за геометрической дивергенции, Adiv, дБ	расстояние = 1231.36 м	ф-ла (7) [10]	**72,8**										
Коэффициент затухания звука в атмосфере α, дБ/км	Ta=20,°C Pa=101.33,кПа hотн.=70%	ф-ла (5) [9]	0,02	0,09	0,33	1,12	2,79	4,98	9,04	23,09	77,63		
Учет затухания звука в атмосфере Aatm, дБ		ф-ла (8) [10]	0	0,1	0,4	1,4	3,4	6,1	11,1	28,4	95,6		
Снижение поверхностью земли возле источника As, дБ	Gs = 0 hs = 1м	ф-лы таб.3 [10]	-1,5	-1,5	-1,5	-1,5	-1,5	-1,5	-1,5	-1,5	-1,5		
Снижение поверхностью земли возле приёмника Ar, дБ	Gr = 1 hr = 1.5м	ф-лы таб.3 [10]	-1,5	-1,5	5,3	7	5	0,7	0	0	0		
Снижение поверхностью земли в средней зоне, Am дБ	Gm = 1	ф-лы таб.3 [10]	-2,8	-2,8	0	0	0	0	0	0	0		
Суммарное снижение поверхностью земли на траектории распространения звука Agr, дБ		ф-ла (9) [10]	-5,8	-5,8	3,8	5,5	3,5	-0,8	-1,5	-1,5	-1,5		
Уровни звукового давления прямого звука от источника ИШ-4-13 в расчётной точке днём, дБ		**ф-ла(3)[10]**	**0**	**17,2**	**8,7**	**7,3**	**7,6**	**8,8**	**0**	**0**	**0**	**10,6**	**10,6**
Уровни звукового давления прямого звука от источника ИШ-4-13 в расчётной точке ночью, дБ		**ф-ла(3)[10]**	**0**	**17,2**	**8,7**	**7,3**	**7,6**	**8,8**	**0**	**0**	**0**	**10,6**	**10,6**
Расчёт отражённого звука													
Уровни звукового давления от мнимого источника ИШ-4-13_мн.(1) в расчётной точке днём, дБ		**ф-ла(3)[10]**	**0**	**0**	**0**	**0**	**0**	**4,2**	**0**	**0**	**0**	**4,2**	**4,2**
Уровни звукового давления от мнимого источника ИШ-4-13_мн.(1) в расчётной точке ночью, дБ		**ф-ла(3)[10]**	**0**	**0**	**0**	**0**	**0**	**0**	**0**	**0**	**0**	**4,2**	**4,2**
Уровни звукового давления от источника ИШ-4-13 в расчётной точке днём, дБ		**ф-ла(3)[10]**	**0**	**17,2**	**8,7**	**7,3**	**7,6**	**10,1**	**0**	**0**	**0**	**11,5**	**11,5**
Уровни звукового давления от источника ИШ-4-13 в расчётной точке ночью, дБ		**ф-ла(3)[10]**	**0**	**17,2**	**8,7**	**7,3**	**7,6**	**10,1**	**0**	**0**	**0**	**11,5**	**11,5**
Источник шума: ИШ-4-14, координаты источника (x,y,z), м =[91.88,221.30,1.00]													
Уровни звуковой мощности источника днём, Lw, дБ		**исходные данные**	**0**	**81,3**	**82,7**	**84**	**84,3**	**83,9**	**80,6**	**76,4**	**71,9**		

1		2	3	4	5	6	7	8	9	10	11	12	13
Уровни звуковой мощности источника ночью, Lw, дБ		**исходные данные**	**0**	**81,3**	**82,7**	**84**	**84,3**	**83,9**	**80,6**	**76,4**	**71,9**		
Поправка на телесный угол DΩ, дБ	Ω = 6.28	10Lg(4π/Ω)	**3**	3	3	3	3	3	3	3	3		
Показатель направленности источника Di, дБ		исходные данные	**0**	0	0	0	0	0	0	0	0		
Поправка на направленность источника Dc, дБ	Dc	DΩ + Di	**3**	3	3	3	3	3	3	3	3		
Затухание из-за геометрической дивергенции, Adiv, дБ	расстояние = 1227.42 м	ф-ла (7) [10]	**72,8**										
Коэффициент затухания звука в атмосфере α, дБ/км	Ta=20,°C Pa=101.33,кПа hотн.=70%	ф-ла (5) [9]	0,02	0,09	0,33	1,12	2,79	4,98	9,04	23,09	77,63		
Учет затухания звука в атмосфере Aatm, дБ		ф-ла (8) [10]	0	0,1	0,4	1,4	3,4	6,1	11,1	28,3	95,3		
Снижение поверхностью земли возле источника As, дБ	Gs = 0 hs = 1м	ф-лы таб.3 [10]	-1,5	-1,5	-1,5	-1,5	-1,5	-1,5	-1,5	-1,5	-1,5		
Снижение поверхностью земли возле приёмника Ar, дБ	Gr = 1 hr = 1.5м	ф-лы таб.3 [10]	-1,5	-1,5	5,3	7	5	0,7	0	0	0		
Снижение поверхностью земли в средней зоне, Am дБ	Gm = 1	ф-лы таб.3 [10]	-2,8	-2,8	0	0	0	0	0	0	0		
Суммарное снижение поверхностью земли на траектории распространения звука Agr, дБ		ф-ла (9) [10]	-5,8	-5,8	3,8	5,5	3,5	-0,8	-1,5	-1,5	-1,5		
Уровни звукового давления прямого звука от источника ИШ-4-14 в расчётной точке днём, дБ		**ф-ла(3)[10]**	**0**	**17,2**	**8,7**	**7,3**	**7,6**	**8,8**	**0**	**0**	**0**	**10,6**	**10,6**
Уровни звукового давления прямого звука от источника ИШ-4-14 в расчётной точке ночью, дБ		**ф-ла(3)[10]**	**0**	**17,2**	**8,7**	**7,3**	**7,6**	**8,8**	**0**	**0**	**0**	**10,6**	**10,6**
Расчёт отражённого звука													
Уровни звукового давления от мнимого источника ИШ-4-14_мн.(1) в расчётной точке днём, дБ		**ф-ла(3)[10]**	**0**	**0**	**0**	**0**	**0**	**4,2**	**0**	**0**	**0**	**4,2**	**4,2**
Уровни звукового давления от мнимого источника ИШ-4-14_мн.(1) в расчётной точке ночью, дБ		**ф-ла(3)[10]**	**0**	**0**	**0**	**0**	**0**	**0**	**0**	**0**	**0**	**4,2**	**4,2**
Уровни звукового давления от источника ИШ-4-14 в расчётной точке днём, дБ		**ф-ла(3)[10]**	**0**	**17,2**	**8,7**	**7,3**	**7,6**	**10,1**	**0**	**0**	**0**	**11,5**	**11,5**

1		2	3	4	5	6	7	8	9	10	11	12	13
Уровни звукового давления от источника ИШ-4-14 в расчётной точке ночью, дБ		**ф-ла(3)[10]**	**0**	**17,2**	**8,7**	**7,3**	**7,6**	**10,1**	**0**	**0**	**0**	**11,5**	**11,5**
Источник шума: ИШ-5-1, координаты источника (x,y,z), м =[626.70,162.36,1.00]													
Уровни звуковой мощности источника днём, Lw, дБ		**исходные данные**	**0**	**93,3**	**94,7**	**96**	**96,3**	**95,9**	**92,6**	**88,4**	**83,9**		
Уровни звуковой мощности источника ночью, Lw, дБ		**исходные данные**	**0**	**93,3**	**94,7**	**96**	**96,3**	**95,9**	**92,6**	**88,4**	**83,9**		
Поправка на телесный угол DΩ, дБ	Ω = 6.28	10Lg(4π/Ω)	**3**	3	3	3	3	3	3	3	3		
Показатель направленности источника Di, дБ		исходные данные	**0**	0	0	0	0	0	0	0	0		
Поправка на направленность источника Dc, дБ	Dc	DΩ + Di	**3**	3	3	3	3	3	3	3	3		
Затухание из-за геометрической дивергенции, Adiv, дБ	расстояние = 1751.51 м	ф-ла (7) [10]	**75,9**										
Коэффициент затухания звука в атмосфере α, дБ/км	Ta=20,°C Pa=101.33,кПа hотн.=70%	ф-ла (5) [9]	0,02	0,09	0,33	1,12	2,79	4,98	9,04	23,09	77,63		
Учет затухания звука в атмосфере Aatm, дБ		ф-ла (8) [10]	0	0,2	0,6	2	4,9	8,7	15,8	40,4	136		
Снижение уровня звукового давления из-за влияния застройки между источником шума и расчетной точкой													
Снижение уровня звукового давления на пути над экраном, Dz1, дБ	z = 0.39м (разность путей)	ф-лы (14-18) [10]	4,8	4,8	4,8	4,8	4,8	4,8	4,8	4,8	4,9		
Снижение уровня звукового давления на пути слева от экрана, Dz2, дБ	z = 44.25м (разность путей)	ф-лы (14-18) [10]	26,2	29,7	32,9	35,9	38,9	41,9	44,9	48	51		
Снижение уровня звукового давления на пути справа от экрана, Dz3, дБ	z = 38.27м (разность путей)	ф-лы (14-18) [10]	25,9	29,2	32,3	35,3	38,3	41,3	44,3	47,3	50,3		
Общее снижение уровня звука препятствием Dz, дБ		Эн.сумма(-Dzi)	4,7	4,7	4,8	4,8	4,8	4,8	4,8	4,8	4,9		
Уровни звукового давления прямого звука от источника ИШ-5-1 в расчётной точке днём, дБ		**ф-ла(3)[10]**	**0**	**15,5**	**16,5**	**16,4**	**13,8**	**9,5**	**0**	**0**	**0**	**14,4**	**14,4**

1		2	3	4	5	6	7	8	9	10	11	12	13
Уровни звукового давления прямого звука от источника ИШ-5-1 в расчётной точке ночью, дБ		**ф-ла(3)[10]**	**0**	**15,5**	**16,5**	**16,4**	**13,8**	**9,5**	**0**	**0**	**0**	**14,4**	**14,4**
Расчёт отражённого звука													
Уровни звукового давления от мнимого источника ИШ-5-1_мн.(1) в расчётной точке днём, дБ		**ф-ла(3)[10]**	**0**	**0**	**0**	**0**	**0**	**0**	**0**	**0**	**0**	**0**	**0**
Уровни звукового давления от мнимого источника ИШ-5-1_мн.(1) в расчётной точке ночью, дБ		**ф-ла(3)[10]**	**0**	**0**	**0**	**0**	**0**	**0**	**0**	**0**	**0**	**0**	**0**
Уровни звукового давления от источника ИШ-5-1 в расчётной точке днём, дБ		**ф-ла(3)[10]**	**0**	**15,5**	**16,5**	**16,4**	**13,8**	**9,5**	**0**	**0**	**0**	**14,4**	**14,4**
Уровни звукового давления от источника ИШ-5-1 в расчётной точке ночью, дБ		**ф-ла(3)[10]**	**0**	**15,5**	**16,5**	**16,4**	**13,8**	**9,5**	**0**	**0**	**0**	**14,4**	**14,4**
Источник шума: ИШ-5-2, координаты источника (x,y,z), м =[625.81,159.52,1.00]													
Уровни звуковой мощности источника днём, Lw, дБ		**исходные данные**	**0**	**93,3**	**94,7**	**96**	**96,3**	**95,9**	**92,6**	**88,4**	**83,9**		
Уровни звуковой мощности источника ночью, Lw, дБ		**исходные данные**	**0**	**93,3**	**94,7**	**96**	**96,3**	**95,9**	**92,6**	**88,4**	**83,9**		
Поправка на телесный угол DΩ, дБ	Ω = 6.28	10Lg(4π/Ω)	**3**	3	3	3	3	3	3	3	3		
Показатель направленности источника Di, дБ		исходные данные	**0**	0	0	0	0	0	0	0	0		
Поправка на направленность источника Dc, дБ	Dc	DΩ + Di	**3**	3	3	3	3	3	3	3	3		
Затухание из-за геометрической дивергенции, Adiv, дБ	расстояние = 1750.39 м	ф-ла (7) [10]	**75,9**										
Коэффициент затухания звука в атмосфере α, дБ/км	Ta=20,°C Pa=101.33,кПа hотн.=70%	ф-ла (5) [9]	0,02	0,09	0,33	1,12	2,79	4,98	9,04	23,09	77,63		
Учет затухания звука в атмосфере Aatm, дБ		ф-ла (8) [10]	0	0,2	0,6	2	4,9	8,7	15,8	40,4	135,9		
Снижение уровня звукового давления из-за влияния застройки между источником шума и расчетной точкой													

1		2	3	4	5	6	7	8	9	10	11	12	13
Снижение уровня звукового давления на пути над экраном, Dz1, дБ	z = 0.39м (разность путей)	ф-лы (14-18) [10]	4,8	4,8	4,8	4,8	4,8	4,8	4,8	4,8	4,9		
Снижение уровня звукового давления на пути слева от экрана, Dz2, дБ	z = 42.93м (разность путей)	ф-лы (14-18) [10]	26,1	29,6	32,7	35,8	38,8	41,8	44,8	47,8	50,8		
Снижение уровня звукового давления на пути справа от экрана, Dz3, дБ	z = 39.37м (разность путей)	ф-лы (14-18) [10]	26	29,3	32,4	35,4	38,4	41,4	44,4	47,4	50,5		
Общее снижение уровня звука препятствием Dz, дБ		Эн.сумма(-Dzi)	4,7	4,7	4,8	4,8	4,8	4,8	4,8	4,8	4,9		
Уровни звукового давления прямого звука от источника ИШ-5-2 в расчётной точке днём, дБ		**ф-ла(3)[10]**	**0**	**15,5**	**16,5**	**16,4**	**13,8**	**9,5**	**0**	**0**	**0**	**14,4**	**14,4**
Уровни звукового давления прямого звука от источника ИШ-5-2 в расчётной точке ночью, дБ		**ф-ла(3)[10]**	**0**	**15,5**	**16,5**	**16,4**	**13,8**	**9,5**	**0**	**0**	**0**	**14,4**	**14,4**
Расчёт отражённого звука													
Уровни звукового давления от мнимого источника ИШ-5-2_мн.(1) в расчётной точке днём, дБ		**ф-ла(3)[10]**	**0**	**0**	**0**	**0**	**0**	**0**	**0**	**0**	**0**	**0**	**0**
Уровни звукового давления от мнимого источника ИШ-5-2_мн.(1) в расчётной точке ночью, дБ		**ф-ла(3)[10]**	**0**	**0**	**0**	**0**	**0**	**0**	**0**	**0**	**0**	**0**	**0**
Уровни звукового давления от источника ИШ-5-2 в расчётной точке днём, дБ		**ф-ла(3)[10]**	**0**	**15,5**	**16,5**	**16,4**	**13,8**	**9,5**	**0**	**0**	**0**	**14,4**	**14,4**
Уровни звукового давления от источника ИШ-5-2 в расчётной точке ночью, дБ		**ф-ла(3)[10]**	**0**	**15,5**	**16,5**	**16,4**	**13,8**	**9,5**	**0**	**0**	**0**	**14,4**	**14,4**
Источник шума: ИШ-5-3, координаты источника (x,y,z), м =[624.84,156.69,1.00]													
Уровни звуковой мощности источника днём, Lw, дБ		**исходные данные**	**0**	**93,3**	**94,7**	**96**	**96,3**	**95,9**	**92,6**	**88,4**	**83,9**		
Уровни звуковой мощности источника ночью, Lw, дБ		**исходные данные**	**0**	**93,3**	**94,7**	**96**	**96,3**	**95,9**	**92,6**	**88,4**	**83,9**		
Поправка на телесный угол DΩ, дБ	Ω = 6.28	10Lg(4π/Ω)	**3**	3	3	3	3	3	3	3	3		
Показатель направленности источника Di, дБ		исходные данные	**0**	0	0	0	0	0	0	0	0		
Поправка на направленность источника Dc, дБ	Dc	DΩ + Di	**3**	3	3	3	3	3	3	3	3		

1		2	3	4	5	6	7	8	9	10	11	12	13
Затухание из-за геометрической дивергенции, Adiv, дБ	расстояние = 1749.20 м	ф-ла (7) [10]	**75,9**										
Коэффициент затухания звука в атмосфере α, дБ/км	Ta=20,°C Pa=101.33,кПа hотн.=70%	ф-ла (5) [9]	0,02	0,09	0,33	1,12	2,79	4,98	9,04	23,09	77,63		
Учет затухания звука в атмосфере Aatm, дБ		ф-ла (8) [10]	0	0,2	0,6	2	4,9	8,7	15,8	40,4	135,8		
Снижение уровня звукового давления из-за влияния застройки между источником шума и расчетной точкой													
Снижение уровня звукового давления на пути над экраном, Dz1, дБ	z = 0.39м (разность путей)	ф-лы (14-18) [10]	4,8	4,8	4,8	4,8	4,8	4,8	4,8	4,8	4,9		
Снижение уровня звукового давления на пути слева от экрана, Dz2, дБ	z = 41.65м (разность путей)	ф-лы (14-18) [10]	26	29,5	32,6	35,6	38,7	41,7	44,7	47,7	50,7		
Снижение уровня звукового давления на пути справа от экрана, Dz3, дБ	z = 40.50м (разность путей)	ф-лы (14-18) [10]	26,1	29,4	32,5	35,5	38,5	41,6	44,6	47,6	50,6		
Общее снижение уровня звука препятствием Dz, дБ		Эн.сумма(-Dzi)	4,7	4,7	4,8	4,8	4,8	4,8	4,8	4,8	4,9		
Уровни звукового давления прямого звука от источника ИШ-5-3 в расчётной точке днём, дБ		**ф-ла(3)[10]**	**0**	**15,5**	**16,5**	**16,4**	**13,8**	**9,5**	**0**	**0**	**0**	**14,4**	**14,4**
Уровни звукового давления прямого звука от источника ИШ-5-3 в расчётной точке ночью, дБ		**ф-ла(3)[10]**	**0**	**15,5**	**16,5**	**16,4**	**13,8**	**9,5**	**0**	**0**	**0**	**14,4**	**14,4**
Расчёт отражённого звука													
Уровни звукового давления от мнимого источника ИШ-5-3_мн.(1) в расчётной точке днём, дБ		**ф-ла(3)[10]**	**0**	**0**	**0**	**0**	**0**	**0**	**0**	**0**	**0**	**0**	**0**
Уровни звукового давления от мнимого источника ИШ-5-3_мн.(1) в расчётной точке ночью, дБ		**ф-ла(3)[10]**	**0**	**0**	**0**	**0**	**0**	**0**	**0**	**0**	**0**	**0**	**0**
Уровни звукового давления от источника ИШ-5-3 в расчётной точке днём, дБ		**ф-ла(3)[10]**	**0**	**15,5**	**16,5**	**16,4**	**13,8**	**9,5**	**0**	**0**	**0**	**14,4**	**14,4**
Уровни звукового давления от источника ИШ-5-3 в расчётной точке ночью, дБ		**ф-ла(3)[10]**	**0**	**15,5**	**16,5**	**16,4**	**13,8**	**9,5**	**0**	**0**	**0**	**14,4**	**14,4**
Источник шума: ИШ-6-1, координаты источника (x,y,z), м =[836.30,122.24,1.00]													

1		2	3	4	5	6	7	8	9	10	11	12	13
Уровни звуковой мощности источника днём, Lw, дБ		**исходные данные**	**0**	**96,3**	**97,7**	**99**	**99,3**	**98,9**	**95,6**	**91,4**	**86,9**		
Уровни звуковой мощности источника ночью, Lw, дБ		**исходные данные**	**0**	**96,3**	**97,7**	**99**	**99,3**	**98,9**	**95,6**	**91,4**	**86,9**		
Поправка на телесный угол DΩ, дБ	Ω = 12.57	10Lg(4π/Ω)	**0**	0	0	0	0	0	0	0	0		
Показатель направленности источника Di, дБ		исходные данные	**0**	0	0	0	0	0	0	0	0		
Поправка на направленность источника Dc, дБ	Dc	DΩ + Di	**0**	0	0	0	0	0	0	0	0		
Затухание из-за геометрической дивергенции, Adiv, дБ	расстояние = 1958.02 м	ф-ла (7) [10]	**76,8**										
Коэффициент затухания звука в атмосфере α, дБ/км	Ta=20,°C Pa=101.33,кПа hотн.=70%	ф-ла (5) [9]	0,02	0,09	0,33	1,12	2,79	4,98	9,04	23,09	77,63		
Учет затухания звука в атмосфере Aatm, дБ		ф-ла (8) [10]	0	0,2	0,7	2,2	5,5	9,7	17,7	45,2	152		
Снижение уровня звукового давления из-за влияния застройки между источником шума и расчетной точкой													
Снижение уровня звукового давления на пути над экраном, Dz1, дБ	z = 0.15м (разность путей)	ф-лы (14-18) [10]	4,8	4,8	4,8	4,8	4,8	4,8	4,8	4,8	4,8		
Снижение уровня звукового давления на пути слева от экрана, Dz2, дБ	z = 14.99м (разность путей)	ф-лы (14-18) [10]	20,8	24,7	28,1	31,2	34,2	37,2	40,2	43,3	46,3		
Снижение уровня звукового давления на пути справа от экрана, Dz3, дБ	z = 44.49м (разность путей)	ф-лы (14-18) [10]	26,5	29,8	32,9	35,9	38,9	42	45	48	51		
Общее снижение уровня звука препятствием Dz, дБ		Эн.сумма(-Dzi)	4,6	4,7	4,7	4,8	4,8	4,8	4,8	4,8	4,8		
Уровни звукового давления от источника ИШ-6-1 в расчётной точке днём, дБ		**ф-ла(3)[10]**	**0**	**14,6**	**15,5**	**15,2**	**12,2**	**7,5**	**0**	**0**	**0**	**12,8**	**12,8**
Уровни звукового давления от источника ИШ-6-1 в расчётной точке ночью, дБ		**ф-ла(3)[10]**	**0**	**14,6**	**15,5**	**15,2**	**12,2**	**7,5**	**0**	**0**	**0**	**12,8**	**12,8**
Источник шума: ИШ-6-2, координаты источника (x,y,z), м =[835.37,119.30,1.00]													

1		2	3	4	5	6	7	8	9	10	11	12	13
Уровни звуковой мощности источника днём, Lw, дБ		**исходные данные**	**0**	**96,3**	**97,7**	**99**	**99,3**	**98,9**	**95,6**	**91,4**	**86,9**		
Уровни звуковой мощности источника ночью, Lw, дБ		**исходные данные**	**0**	**96,3**	**97,7**	**99**	**99,3**	**98,9**	**95,6**	**91,4**	**86,9**		
Поправка на телесный угол DΩ, дБ	Ω = 12.57	10Lg(4π/Ω)	**0**	0	0	0	0	0	0	0	0		
Показатель направленности источника Di, дБ		исходные данные	**0**	0	0	0	0	0	0	0	0		
Поправка на направленность источника Dc, дБ	Dc	DΩ + Di	**0**	0	0	0	0	0	0	0	0		
Затухание из-за геометрической дивергенции, Adiv, дБ	расстояние = 1956.93 м	ф-ла (7) [10]	**76,8**										
Коэффициент затухания звука в атмосфере α, дБ/км	Ta=20,°C Pa=101.33,кПа hотн.=70%	ф-ла (5) [9]	0,02	0,09	0,33	1,12	2,79	4,98	9,04	23,09	77,63		
Учет затухания звука в атмосфере Aatm, дБ		ф-ла (8) [10]	0	0,2	0,7	2,2	5,5	9,7	17,7	45,2	151,9		
Снижение уровня звукового давления из-за влияния застройки между источником шума и расчетной точкой													
Снижение уровня звукового давления на пути над экраном, Dz1, дБ	z = 0.15м (разность путей)	ф-лы (14-18) [10]	4,8	4,8	4,8	4,8	4,8	4,8	4,8	4,8	4,8		
Снижение уровня звукового давления на пути слева от экрана, Dz2, дБ	z = 14.40м (разность путей)	ф-лы (14-18) [10]	20,6	24,6	27,9	31	34	37,1	40,1	43,1	46,1		
Снижение уровня звукового давления на пути справа от экрана, Dz3, дБ	z = 45.40м (разность путей)	ф-лы (14-18) [10]	26,6	29,9	33	36	39	42	45,1	48,1	51,1		
Общее снижение уровня звука препятствием Dz, дБ		Эн.сумма(-Dzi)	4,6	4,7	4,7	4,8	4,8	4,8	4,8	4,8	4,8		
Уровни звукового давления от источника ИШ-6-2 в расчётной точке днём, дБ		**ф-ла(3)[10]**	**0**	**14,6**	**15,5**	**15,2**	**12,2**	**7,6**	**0**	**0**	**0**	**12,8**	**12,8**
Уровни звукового давления от источника ИШ-6-2 в расчётной точке ночью, дБ		**ф-ла(3)[10]**	**0**	**14,6**	**15,5**	**15,2**	**12,2**	**7,6**	**0**	**0**	**0**	**12,8**	**12,8**
Источник шума: ИШ-6-3, координаты источника (x,y,z), м =[834.03,116.36,1.00]													

1		2	3	4	5	6	7	8	9	10	11	12	13
Уровни звуковой мощности источника днём, Lw, дБ		**исходные данные**	**0**	**96,3**	**97,7**	**99**	**99,3**	**98,9**	**95,6**	**91,4**	**86,9**		
Уровни звуковой мощности источника ночью, Lw, дБ		**исходные данные**	**0**	**96,3**	**97,7**	**99**	**99,3**	**98,9**	**95,6**	**91,4**	**86,9**		
Поправка на телесный угол DΩ, дБ	Ω = 12.57	10Lg(4π/Ω)	**0**	0	0	0	0	0	0	0	0		
Показатель направленности источника Di, дБ		исходные данные	**0**	0	0	0	0	0	0	0	0		
Поправка на направленность источника Dc, дБ	Dc	DΩ + Di	**0**	0	0	0	0	0	0	0	0		
Затухание из-за геометрической дивергенции, Adiv, дБ	расстояние = 1955.46 м	ф-ла (7) [10]	**76,8**										
Коэффициент затухания звука в атмосфере α, дБ/км	Ta=20,°C Pa=101.33,кПа hотн.=70%	ф-ла (5) [9]	0,02	0,09	0,33	1,12	2,79	4,98	9,04	23,09	77,63		
Учет затухания звука в атмосфере Aatm, дБ		ф-ла (8) [10]	0	0,2	0,7	2,2	5,5	9,7	17,7	45,1	151,8		
Снижение уровня звукового давления из-за влияния застройки между источником шума и расчетной точкой													
Снижение уровня звукового давления на пути над экраном, Dz1, дБ	z = 0.15м (разность путей)	ф-лы (14-18) [10]	4,8	4,8	4,8	4,8	4,8	4,8	4,8	4,8	4,8		
Снижение уровня звукового давления на пути слева от экрана, Dz2, дБ	z = 13.84м (разность путей)	ф-лы (14-18) [10]	20,4	24,4	27,7	30,8	33,9	36,9	39,9	42,9	45,9		
Снижение уровня звукового давления на пути справа от экрана, Dz3, дБ	z = 46.34м (разность путей)	ф-лы (14-18) [10]	26,7	30	33,1	36,1	39,1	42,1	45,1	48,2	51,2		
Общее снижение уровня звука препятствием Dz, дБ		Эн.сумма(-Dzi)	4,6	4,7	4,7	4,8	4,8	4,8	4,8	4,8	4,8		
Уровни звукового давления от источника ИШ-6-3 в расчётной точке днём, дБ		**ф-ла(3)[10]**	**0**	**14,6**	**15,5**	**15,2**	**12,2**	**7,6**	**0**	**0**	**0**	**12,8**	**12,8**
Уровни звукового давления от источника ИШ-6-3 в расчётной точке ночью, дБ		**ф-ла(3)[10]**	**0**	**14,6**	**15,5**	**15,2**	**12,2**	**7,6**	**0**	**0**	**0**	**12,8**	**12,8**
Источник шума: ИШ-6-4, координаты источника (x,y,z), м =[833.23,113.30,1.00]													

1		2	3	4	5	6	7	8	9	10	11	12	13
Уровни звуковой мощности источника днём, Lw, дБ		**исходные данные**	**0**	**96,3**	**97,7**	**99**	**99,3**	**98,9**	**95,6**	**91,4**	**86,9**		
Уровни звуковой мощности источника ночью, Lw, дБ		**исходные данные**	**0**	**96,3**	**97,7**	**99**	**99,3**	**98,9**	**95,6**	**91,4**	**86,9**		
Поправка на телесный угол DΩ, дБ	Ω = 12.57	10Lg(4π/Ω)	**0**	0	0	0	0	0	0	0	0		
Показатель направленности источника Di, дБ		исходные данные	**0**	0	0	0	0	0	0	0	0		
Поправка на направленность источника Dc, дБ	Dc	DΩ + Di	**0**	0	0	0	0	0	0	0	0		
Затухание из-за геометрической дивергенции, Adiv, дБ	расстояние = 1954.51 м	ф-ла (7) [10]	**76,8**										
Коэффициент затухания звука в атмосфере α, дБ/км	Ta=20,°C Pa=101.33,кПа hотн.=70%	ф-ла (5) [9]	0,02	0,09	0,33	1,12	2,79	4,98	9,04	23,09	77,63		
Учет затухания звука в атмосфере Aatm, дБ		ф-ла (8) [10]	0	0,2	0,7	2,2	5,5	9,7	17,7	45,1	151,7		
Снижение уровня звукового давления из-за влияния застройки между источником шума и расчетной точкой													
Снижение уровня звукового давления на пути над экраном, Dz1, дБ	z = 0.15м (разность путей)	ф-лы (14-18) [10]	4,8	4,8	4,8	4,8	4,8	4,8	4,8	4,8	4,8		
Снижение уровня звукового давления на пути слева от экрана, Dz2, дБ	z = 13.25м (разность путей)	ф-лы (14-18) [10]	20,2	24,2	27,5	30,7	33,7	36,7	39,7	42,7	45,7		
Снижение уровня звукового давления на пути справа от экрана, Dz3, дБ	z = 47.32м (разность путей)	ф-лы (14-18) [10]	26,8	30,1	33,2	36,2	39,2	42,2	45,2	48,2	51,3		
Общее снижение уровня звука препятствием Dz, дБ		Эн.сумма(-Dzi)	4,6	4,7	4,7	4,8	4,8	4,8	4,8	4,8	4,8		
Уровни звукового давления от источника ИШ-6-4 в расчётной точке днём, дБ		**ф-ла(3)[10]**	**0**	**14,6**	**15,5**	**15,2**	**12,3**	**7,6**	**0**	**0**	**0**	**12,9**	**12,9**
Уровни звукового давления от источника ИШ-6-4 в расчётной точке ночью, дБ		**ф-ла(3)[10]**	**0**	**14,6**	**15,5**	**15,2**	**12,3**	**7,6**	**0**	**0**	**0**	**12,9**	**12,9**
Источник шума: ИШ-6-5, координаты источника (x,y,z), м =[832.03,110.36,1.00]													

1		2	3	4	5	6	7	8	9	10	11	12	13
Уровни звуковой мощности источника днём, Lw, дБ		**исходные данные**	**0**	**96,3**	**97,7**	**99**	**99,3**	**98,9**	**95,6**	**91,4**	**86,9**		
Уровни звуковой мощности источника ночью, Lw, дБ		**исходные данные**	**0**	**96,3**	**97,7**	**99**	**99,3**	**98,9**	**95,6**	**91,4**	**86,9**		
Поправка на телесный угол DΩ, дБ	Ω = 12.57	10Lg(4π/Ω)	**0**	0	0	0	0	0	0	0	0		
Показатель направленности источника Di, дБ		исходные данные	**0**	0	0	0	0	0	0	0	0		
Поправка на направленность источника Dc, дБ	Dc	DΩ + Di	**0**	0	0	0	0	0	0	0	0		
Затухание из-за геометрической дивергенции, Adiv, дБ	расстояние = 1953.17 м	ф-ла (7) [10]	**76,8**										
Коэффициент затухания звука в атмосфере α, дБ/км	Ta=20,°C Pa=101.33,кПа hотн.=70%	ф-ла (5) [9]	0,02	0,09	0,33	1,12	2,79	4,98	9,04	23,09	77,63		
Учет затухания звука в атмосфере Aatm, дБ		ф-ла (8) [10]	0	0,2	0,7	2,2	5,5	9,7	17,7	45,1	151,6		
Снижение уровня звукового давления из-за влияния застройки между источником шума и расчетной точкой													
Снижение уровня звукового давления на пути над экраном, Dz1, дБ	z = 0.15м (разность путей)	ф-лы (14-18) [10]	4,8	4,8	4,8	4,8	4,8	4,8	4,8	4,8	4,8		
Снижение уровня звукового давления на пути слева от экрана, Dz2, дБ	z = 12.71м (разность путей)	ф-лы (14-18) [10]	20,1	24	27,4	30,5	33,5	36,5	39,5	42,5	45,5		
Снижение уровня звукового давления на пути справа от экрана, Dz3, дБ	z = 48.29м (разность путей)	ф-лы (14-18) [10]	26,9	30,2	33,3	36,3	39,3	42,3	45,3	48,3	51,3		
Общее снижение уровня звука препятствием Dz, дБ		Эн.сумма(-Dzi)	4,6	4,7	4,7	4,8	4,8	4,8	4,8	4,8	4,8		
Уровни звукового давления от источника ИШ-6-5 в расчётной точке днём, дБ		**ф-ла(3)[10]**	**0**	**14,6**	**15,5**	**15,2**	**12,3**	**7,6**	**0**	**0**	**0**	**12,9**	**12,9**
Уровни звукового давления от источника ИШ-6-5 в расчётной точке ночью, дБ		**ф-ла(3)[10]**	**0**	**14,6**	**15,5**	**15,2**	**12,3**	**7,6**	**0**	**0**	**0**	**12,9**	**12,9**

Источник шума: ИШ-6-6, координаты источника (x,y,z), м =[830.97,107.42,1.00]

1		2	3	4	5	6	7	8	9	10	11	12	13
Уровни звуковой мощности источника днём, Lw, дБ		**исходные данные**	**0**	**96,3**	**97,7**	**99**	**99,3**	**98,9**	**95,6**	**91,4**	**86,9**		
Уровни звуковой мощности источника ночью, Lw, дБ		**исходные данные**	**0**	**96,3**	**97,7**	**99**	**99,3**	**98,9**	**95,6**	**91,4**	**86,9**		
Поправка на телесный угол DΩ, дБ	Ω = 12.57	10Lg(4π/Ω)	**0**	0	0	0	0	0	0	0	0		
Показатель направленности источника Di, дБ		исходные данные	**0**	0	0	0	0	0	0	0	0		
Поправка на направленность источника Dc, дБ	Dc	DΩ + Di	**0**	0	0	0	0	0	0	0	0		
Затухание из-за геометрической дивергенции, Adiv, дБ	расстояние = 1951.97 м	ф-ла (7) [10]	**76,8**										
Коэффициент затухания звука в атмосфере α, дБ/км	Ta=20,°C Pa=101.33,кПа hотн.=70%	ф-ла (5) [9]	0,02	0,09	0,33	1,12	2,79	4,98	9,04	23,09	77,63		
Учет затухания звука в атмосфере Aatm, дБ		ф-ла (8) [10]	0	0,2	0,7	2,2	5,4	9,7	17,6	45,1	151,5		
Снижение уровня звукового давления из-за влияния застройки между источником шума и расчетной точкой													
Снижение уровня звукового давления на пути над экраном, Dz1, дБ	z = 0.15м (разность путей)	ф-лы (14-18) [10]	4,8	4,8	4,8	4,8	4,8	4,8	4,8	4,8	4,8		
Снижение уровня звукового давления на пути слева от экрана, Dz2, дБ	z = 12.17м (разность путей)	ф-лы (14-18) [10]	19,9	23,8	27,2	30,3	33,3	36,3	39,3	42,4	45,4		
Снижение уровня звукового давления на пути справа от экрана, Dz3, дБ	z = 49.27м (разность путей)	ф-лы (14-18) [10]	26,9	30,3	33,3	36,4	39,4	42,4	45,4	48,4	51,4		
Общее снижение уровня звука препятствием Dz, дБ		Эн.сумма(-Dzi)	4,6	4,7	4,7	4,8	4,8	4,8	4,8	4,8	4,8		
Уровни звукового давления от источника ИШ-6-6 в расчётной точке днём, дБ		**ф-ла(3)[10]**	**0**	**14,6**	**15,5**	**15,2**	**12,3**	**7,6**	**0**	**0**	**0**	**12,9**	**12,9**
Уровни звукового давления от источника ИШ-6-6 в расчётной точке ночью, дБ		**ф-ла(3)[10]**	**0**	**14,6**	**15,5**	**15,2**	**12,3**	**7,6**	**0**	**0**	**0**	**12,9**	**12,9**
Источник шума: ИШ-6-7, координаты источника (x,y,z), м =[830.30,104.49,1.00]													

1		2	3	4	5	6	7	8	9	10	11	12	13
Уровни звуковой мощности источника днём, Lw, дБ		**исходные данные**	**0**	**96,3**	**97,7**	**99**	**99,3**	**98,9**	**95,6**	**91,4**	**86,9**		
Уровни звуковой мощности источника ночью, Lw, дБ		**исходные данные**	**0**	**96,3**	**97,7**	**99**	**99,3**	**98,9**	**95,6**	**91,4**	**86,9**		
Поправка на телесный угол DΩ, дБ	Ω = 12.57	10Lg(4π/Ω)	**0**	0	0	0	0	0	0	0	0		
Показатель направленности источника Di, дБ		исходные данные	**0**	0	0	0	0	0	0	0	0		
Поправка на направленность источника Dc, дБ	Dc	DΩ + Di	**0**	0	0	0	0	0	0	0	0		
Затухание из-за геометрической дивергенции, Adiv, дБ	расстояние = 1951.18 м	ф-ла (7) [10]	**76,8**										
Коэффициент затухания звука в атмосфере α, дБ/км	Ta=20,°C Pa=101.33,кПа hотн.=70%	ф-ла (5) [9]	0,02	0,09	0,33	1,12	2,79	4,98	9,04	23,09	77,63		
Учет затухания звука в атмосфере Aatm, дБ		ф-ла (8) [10]	0	0,2	0,7	2,2	5,4	9,7	17,6	45	151,5		
Снижение уровня звукового давления из-за влияния застройки между источником шума и расчетной точкой													
Снижение уровня звукового давления на пути над экраном, Dz1, дБ	z = 0.15м (разность путей)	ф-лы (14-18) [10]	4,8	4,8	4,8	4,8	4,8	4,8	4,8	4,8	4,8		
Снижение уровня звукового давления на пути слева от экрана, Dz2, дБ	z = 11.64м (разность путей)	ф-лы (14-18) [10]	19,7	23,7	27	30,1	33,1	36,1	39,1	42,2	45,2		
Снижение уровня звукового давления на пути справа от экрана, Dz3, дБ	z = 50.24м (разность путей)	ф-лы (14-18) [10]	27	30,4	33,4	36,5	39,5	42,5	45,5	48,5	51,5		
Общее снижение уровня звука препятствием Dz, дБ		Эн.сумма(-Dzi)	4,6	4,7	4,7	4,8	4,8	4,8	4,8	4,8	4,8		
Уровни звукового давления от источника ИШ-6-7 в расчётной точке днём, дБ		**ф-ла(3)[10]**	**0**	**14,6**	**15,5**	**15,2**	**12,3**	**7,6**	**0**	**0**	**0**	**12,9**	**12,9**
Уровни звукового давления от источника ИШ-6-7 в расчётной точке ночью, дБ		**ф-ла(3)[10]**	**0**	**14,6**	**15,5**	**15,2**	**12,3**	**7,6**	**0**	**0**	**0**	**12,9**	**12,9**

Источник шума: ИШ-6-8, координаты источника (x,y,z), м =[829.36,101.42,1.00]

1		2	3	4	5	6	7	8	9	10	11	12	13
Уровни звуковой мощности источника днём, Lw, дБ		**исходные данные**	**0**	**96,3**	**97,7**	**99**	**99,3**	**98,9**	**95,6**	**91,4**	**86,9**		
Уровни звуковой мощности источника ночью, Lw, дБ		**исходные данные**	**0**	**96,3**	**97,7**	**99**	**99,3**	**98,9**	**95,6**	**91,4**	**86,9**		
Поправка на телесный угол DΩ, дБ	Ω = 12.57	10Lg(4π/Ω)	**0**	0	0	0	0	0	0	0	0		
Показатель направленности источника Di, дБ		исходные данные	**0**	0	0	0	0	0	0	0	0		
Поправка на направленность источника Dc, дБ	Dc	DΩ + Di	**0**	0	0	0	0	0	0	0	0		
Затухание из-за геометрической дивергенции, Adiv, дБ	расстояние = 1950.12 м	ф-ла (7) [10]	**76,8**										
Коэффициент затухания звука в атмосфере α, дБ/км	Ta=20,°C Pa=101.33,кПа hотн.=70%	ф-ла (5) [9]	0,02	0,09	0,33	1,12	2,79	4,98	9,04	23,09	77,63		
Учет затухания звука в атмосфере Aatm, дБ		ф-ла (8) [10]	0	0,2	0,7	2,2	5,4	9,7	17,6	45	151,4		
Снижение уровня звукового давления из-за влияния застройки между источником шума и расчетной точкой													
Снижение уровня звукового давления на пути над экраном, Dz1, дБ	z = 0.15м (разность путей)	ф-лы (14-18) [10]	4,8	4,8	4,8	4,8	4,8	4,8	4,8	4,8	4,8		
Снижение уровня звукового давления на пути слева от экрана, Dz2, дБ	z = 11.10м (разность путей)	ф-лы (14-18) [10]	19,5	23,5	26,8	29,9	32,9	35,9	38,9	42	45		
Снижение уровня звукового давления на пути справа от экрана, Dz3, дБ	z = 51.29м (разность путей)	ф-лы (14-18) [10]	27,1	30,5	33,5	36,6	39,6	42,6	45,6	48,6	51,6		
Общее снижение уровня звука препятствием Dz, дБ		Эн.сумма(-Dzi)	4,6	4,7	4,7	4,8	4,8	4,8	4,8	4,8	4,8		
Уровни звукового давления от источника ИШ-6-8 в расчётной точке днём, дБ		**ф-ла(3)[10]**	**0**	**14,6**	**15,5**	**15,2**	**12,3**	**7,6**	**0**	**0**	**0**	**12,9**	**12,9**
Уровни звукового давления от источника ИШ-6-8 в расчётной точке ночью, дБ		**ф-ла(3)[10]**	**0**	**14,6**	**15,5**	**15,2**	**12,3**	**7,6**	**0**	**0**	**0**	**12,9**	**12,9**

Источник шума: ИШ-6-9, координаты источника (x,y,z), м =[828.03,98.62,1.00]

1		2	3	4	5	6	7	8	9	10	11	12	13
Уровни звуковой мощности источника днём, Lw, дБ		**исходные данные**	**0**	**96,3**	**97,7**	**99**	**99,3**	**98,9**	**95,6**	**91,4**	**86,9**		
Уровни звуковой мощности источника ночью, Lw, дБ		**исходные данные**	**0**	**96,3**	**97,7**	**99**	**99,3**	**98,9**	**95,6**	**91,4**	**86,9**		
Поправка на телесный угол DΩ, дБ	Ω = 12.57	10Lg(4π/Ω)	**0**	0	0	0	0	0	0	0	0		
Показатель направленности источника Di, дБ		исходные данные	**0**	0	0	0	0	0	0	0	0		
Поправка на направленность источника Dc, дБ	Dc	DΩ + Di	**0**	0	0	0	0	0	0	0	0		
Затухание из-за геометрической дивергенции, Adiv, дБ	расстояние = 1948.67 м	ф-ла (7) [10]	**76,8**										
Коэффициент затухания звука в атмосфере α, дБ/км	Ta=20,°C Pa=101.33,кПа hотн.=70%	ф-ла (5) [9]	0,02	0,09	0,33	1,12	2,79	4,98	9,04	23,09	77,63		
Учет затухания звука в атмосфере Aatm, дБ		ф-ла (8) [10]	0	0,2	0,7	2,2	5,4	9,7	17,6	45	151,3		
Снижение уровня звукового давления из-за влияния застройки между источником шума и расчетной точкой													
Снижение уровня звукового давления на пути над экраном, Dz1, дБ	z = 0.15м (разность путей)	ф-лы (14-18) [10]	4,8	4,8	4,8	4,8	4,8	4,8	4,8	4,8	4,8		
Снижение уровня звукового давления на пути слева от экрана, Dz2, дБ	z = 10.63м (разность путей)	ф-лы (14-18) [10]	19,3	23,3	26,6	29,7	32,7	35,7	38,8	41,8	44,8		
Снижение уровня звукового давления на пути справа от экрана, Dz3, дБ	z = 52.28м (разность путей)	ф-лы (14-18) [10]	27,2	30,5	33,6	36,6	39,6	42,7	45,7	48,7	51,7		
Общее снижение уровня звука препятствием Dz, дБ		Эн.сумма(-Dzi)	4,6	4,7	4,7	4,8	4,8	4,8	4,8	4,8	4,8		
Уровни звукового давления от источника ИШ-6-9 в расчётной точке днём, дБ		**ф-ла(3)[10]**	**0**	**14,6**	**15,5**	**15,3**	**12,3**	**7,6**	**0**	**0**	**0**	**12,9**	**12,9**
Уровни звукового давления от источника ИШ-6-9 в расчётной точке ночью, дБ		**ф-ла(3)[10]**	**0**	**14,6**	**15,5**	**15,3**	**12,3**	**7,6**	**0**	**0**	**0**	**12,9**	**12,9**

Источник шума: ИШ-6-10, координаты источника (x,y,z), м =[827.23,95.55,1.00]

1		2	3	4	5	6	7	8	9	10	11	12	13
Уровни звуковой мощности источника днём, Lw, дБ		**исходные данные**	**0**	**96,3**	**97,7**	**99**	**99,3**	**98,9**	**95,6**	**91,4**	**86,9**		
Уровни звуковой мощности источника ночью, Lw, дБ		**исходные данные**	**0**	**96,3**	**97,7**	**99**	**99,3**	**98,9**	**95,6**	**91,4**	**86,9**		
Поправка на телесный угол DΩ, дБ	Ω = 12.57	10Lg(4π/Ω)	**0**	0	0	0	0	0	0	0	0		
Показатель направленности источника Di, дБ		исходные данные	**0**	0	0	0	0	0	0	0	0		
Поправка на направленность источника Dc, дБ	Dc	DΩ + Di	**0**	0	0	0	0	0	0	0	0		
Затухание из-за геометрической дивергенции, Adiv, дБ	расстояние = 1947.75 м	ф-ла (7) [10]	**76,8**										
Коэффициент затухания звука в атмосфере α, дБ/км	Ta=20,°C Pa=101.33,кПа hотн.=70%	ф-ла (5) [9]	0,02	0,09	0,33	1,12	2,79	4,98	9,04	23,09	77,63		
Учет затухания звука в атмосфере Aatm, дБ		ф-ла (8) [10]	0	0,2	0,7	2,2	5,4	9,7	17,6	45	151,2		
Снижение уровня звукового давления из-за влияния застройки между источником шума и расчетной точкой													
Снижение уровня звукового давления на пути над экраном, Dz1, дБ	z = 0.15м (разность путей)	ф-лы (14-18) [10]	4,8	4,8	4,8	4,8	4,8	4,8	4,8	4,8	4,8		
Снижение уровня звукового давления на пути слева от экрана, Dz2, дБ	z = 10.12м (разность путей)	ф-лы (14-18) [10]	19,1	23,1	26,4	29,5	32,5	35,5	38,5	41,5	44,6		
Снижение уровня звукового давления на пути справа от экрана, Dz3, дБ	z = 53.35м (разность путей)	ф-лы (14-18) [10]	27,3	30,6	33,7	36,7	39,7	42,7	45,8	48,8	51,8		
Общее снижение уровня звука препятствием Dz, дБ		Эн.сумма(-Dzi)	4,6	4,7	4,7	4,8	4,8	4,8	4,8	4,8	4,8		
Уровни звукового давления от источника ИШ-6-10 в расчётной точке днём, дБ		**ф-ла(3)[10]**	**0**	**14,6**	**15,5**	**15,3**	**12,3**	**7,6**	**0**	**0**	**0**	**12,9**	**12,9**
Уровни звукового давления от источника ИШ-6-10 в расчётной точке ночью, дБ		**ф-ла(3)[10]**	**0**	**14,6**	**15,5**	**15,3**	**12,3**	**7,6**	**0**	**0**	**0**	**12,9**	**12,9**

Источник шума: ИШ-6-11, координаты источника (x,y,z), м =[826.30,92.48,1.00]

1		2	3	4	5	6	7	8	9	10	11	12	13
Уровни звуковой мощности источника днём, Lw, дБ		**исходные данные**	**0**	**96,3**	**97,7**	**99**	**99,3**	**98,9**	**95,6**	**91,4**	**86,9**		
Уровни звуковой мощности источника ночью, Lw, дБ		**исходные данные**	**0**	**96,3**	**97,7**	**99**	**99,3**	**98,9**	**95,6**	**91,4**	**86,9**		
Поправка на телесный угол DΩ, дБ	Ω = 12.57	10Lg(4π/Ω)	**0**	0	0	0	0	0	0	0	0		
Показатель направленности источника Di, дБ		исходные данные	**0**	0	0	0	0	0	0	0	0		
Поправка на направленность источника Dc, дБ	Dc	DΩ + Di	**0**	0	0	0	0	0	0	0	0		
Затухание из-за геометрической дивергенции, Adiv, дБ	расстояние = 1946.70 м	ф-ла (7) [10]	**76,8**										
Коэффициент затухания звука в атмосфере α, дБ/км	Ta=20,°C Pa=101.33,кПа hотн.=70%	ф-ла (5) [9]	0,02	0,09	0,33	1,12	2,79	4,98	9,04	23,09	77,63		
Учет затухания звука в атмосфере Aatm, дБ		ф-ла (8) [10]	0	0,2	0,7	2,2	5,4	9,7	17,6	44,9	151,1		
Снижение уровня звукового давления из-за влияния застройки между источником шума и расчетной точкой													
Снижение уровня звукового давления на пути над экраном, Dz1, дБ	z = 0.15м (разность путей)	ф-лы (14-18) [10]	4,8	4,8	4,8	4,8	4,8	4,8	4,8	4,8	4,8		
Снижение уровня звукового давления на пути слева от экрана, Dz2, дБ	z = 9.62м (разность путей)	ф-лы (14-18) [10]	18,9	22,8	26,2	29,3	32,3	35,3	38,3	41,3	44,3		
Снижение уровня звукового давления на пути справа от экрана, Dz3, дБ	z = 54.44м (разность путей)	ф-лы (14-18) [10]	27,4	30,7	33,8	36,8	39,8	42,8	45,8	48,9	51,9		
Общее снижение уровня звука препятствием Dz, дБ		Эн.сумма(-Dzi)	4,6	4,7	4,7	4,8	4,8	4,8	4,8	4,8	4,8		
Уровни звукового давления от источника ИШ-6-11 в расчётной точке днём, дБ		**ф-ла(3)[10]**	**0**	**14,6**	**15,5**	**15,3**	**12,3**	**7,6**	**0**	**0**	**0**	**12,9**	**12,9**
Уровни звукового давления от источника ИШ-6-11 в расчётной точке ночью, дБ		**ф-ла(3)[10]**	**0**	**14,6**	**15,5**	**15,3**	**12,3**	**7,6**	**0**	**0**	**0**	**12,9**	**12,9**

Источник шума: ИШ-6-12, координаты источника (x,y,z), м =[825.09,89.54,1.00]

1		2	3	4	5	6	7	8	9	10	11	12	13
Уровни звуковой мощности источника днём, Lw, дБ		**исходные данные**	**0**	**96,3**	**97,7**	**99**	**99,3**	**98,9**	**95,6**	**91,4**	**86,9**		
Уровни звуковой мощности источника ночью, Lw, дБ		**исходные данные**	**0**	**96,3**	**97,7**	**99**	**99,3**	**98,9**	**95,6**	**91,4**	**86,9**		
Поправка на телесный угол DΩ, дБ	Ω = 12.57	10Lg(4π/Ω)	**0**	0	0	0	0	0	0	0	0		
Показатель направленности источника Di, дБ		исходные данные	**0**	0	0	0	0	0	0	0	0		
Поправка на направленность источника Dc, дБ	Dc	DΩ + Di	**0**	0	0	0	0	0	0	0	0		
Затухание из-за геометрической дивергенции, Adiv, дБ	расстояние = 1945.40 м	ф-ла (7) [10]	**76,8**										
Коэффициент затухания звука в атмосфере α, дБ/км	Ta=20,°C Pa=101.33,кПа hотн.=70%	ф-ла (5) [9]	0,02	0,09	0,33	1,12	2,79	4,98	9,04	23,09	77,63		
Учет затухания звука в атмосфере Aatm, дБ		ф-ла (8) [10]	0	0,2	0,7	2,2	5,4	9,7	17,6	44,9	151		
Снижение уровня звукового давления из-за влияния застройки между источником шума и расчетной точкой													
Снижение уровня звукового давления на пути над экраном, Dz1, дБ	z = 0.15м (разность путей)	ф-лы (14-18) [10]	4,8	4,8	4,8	4,8	4,8	4,8	4,8	4,8	4,8		
Снижение уровня звукового давления на пути слева от экрана, Dz2, дБ	z = 9.17м (разность путей)	ф-лы (14-18) [10]	15,7	18,5	21,4	24,4	27,3	30,3	33,3	36,4	39,4		
Снижение уровня звукового давления на пути справа от экрана, Dz3, дБ	z = 54.06м (разность путей)	ф-лы (14-18) [10]	27,7	30,8	33,8	36,8	39,8	42,8	45,8	48,8	51,8		
Общее снижение уровня звука препятствием Dz, дБ		Эн.сумма(-Dzi)	4,4	4,6	4,7	4,7	4,7	4,8	4,8	4,8	4,8		
Уровни звукового давления от источника ИШ-6-12 в расчётной точке днём, дБ		**ф-ла(3)[10]**	**0**	**14,8**	**15,6**	**15,3**	**12,3**	**7,7**	**0**	**0**	**0**	**12,9**	**12,9**
Уровни звукового давления от источника ИШ-6-12 в расчётной точке ночью, дБ		**ф-ла(3)[10]**	**0**	**14,8**	**15,6**	**15,3**	**12,3**	**7,7**	**0**	**0**	**0**	**12,9**	**12,9**

Источник шума: ИШ-6-13, координаты источника (x,y,z), м =[767.76,-114.15,1.00]

1		2	3	4	5	6	7	8	9	10	11	12	13
Уровни звуковой мощности источника днём, Lw, дБ		**исходные данные**	**0**	**96,3**	**97,7**	**99**	**99,3**	**98,9**	**95,6**	**91,4**	**86,9**		
Уровни звуковой мощности источника ночью, Lw, дБ		**исходные данные**	**0**	**96,3**	**97,7**	**99**	**99,3**	**98,9**	**95,6**	**91,4**	**86,9**		
Поправка на телесный угол DΩ, дБ	Ω = 12.57	10Lg(4π/Ω)	**0**	0	0	0	0	0	0	0	0		
Показатель направленности источника Di, дБ		исходные данные	**0**	0	0	0	0	0	0	0	0		
Поправка на направленность источника Dc, дБ	Dc	DΩ + Di	**0**	0	0	0	0	0	0	0	0		
Затухание из-за геометрической дивергенции, Adiv, дБ	расстояние = 1891.70 м	ф-ла (7) [10]	**76,5**										
Коэффициент затухания звука в атмосфере α, дБ/км	Ta=20,°C Pa=101.33,кПа hотн.=70%	ф-ла (5) [9]	0,02	0,09	0,33	1,12	2,79	4,98	9,04	23,09	77,63		
Учет затухания звука в атмосфере Aatm, дБ		ф-ла (8) [10]	0	0,2	0,6	2,1	5,3	9,4	17,1	43,7	146,9		
Снижение уровня звукового давления из-за влияния застройки между источником шума и расчетной точкой													
Снижение уровня звукового давления на пути над экраном, Dz1, дБ	z = 0.12м (разность путей)	ф-лы (14-18) [10]	4,8	4,8	4,8	4,8	4,8	4,8	4,8	4,8	4,8		
Снижение уровня звукового давления на пути слева от экрана, Dz2, дБ	z = 0.05м (разность путей)	ф-лы (14-18) [10]	5	5,3	5,7	6,4	7,6	9,3	11,5	14	16,8		
Снижение уровня звукового давления на пути справа от экрана, Dz3, дБ	z = 4.03м (разность путей)	ф-лы (14-18) [10]	12,5	15,2	17,9	20,8	23,8	26,8	29,8	32,8	35,8		
Общее снижение уровня звука препятствием Dz, дБ		Эн.сумма(-Dzi)	1,5	1,8	2,1	2,4	2,9	3,5	3,9	4,3	4,5		
Уровни звукового давления от источника ИШ-6-13 в расчётной точке днём, дБ		**ф-ла(3)[10]**	**0**	**17,8**	**18,4**	**17,9**	**14,6**	**9,5**	**0**	**0**	**0**	**15,2**	**15,2**
Уровни звукового давления от источника ИШ-6-13 в расчётной точке ночью, дБ		**ф-ла(3)[10]**	**0**	**17,8**	**18,4**	**17,9**	**14,6**	**9,5**	**0**	**0**	**0**	**15,2**	**15,2**
Источник шума: ИШ-6-14, координаты источника (x,y,z), м =[766.82,-117.10,1.00]													

1		2	3	4	5	6	7	8	9	10	11	12	13
Уровни звуковой мощности источника днём, Lw, дБ		**исходные данные**	**0**	**96,3**	**97,7**	**99**	**99,3**	**98,9**	**95,6**	**91,4**	**86,9**		
Уровни звуковой мощности источника ночью, Lw, дБ		**исходные данные**	**0**	**96,3**	**97,7**	**99**	**99,3**	**98,9**	**95,6**	**91,4**	**86,9**		
Поправка на телесный угол DΩ, дБ	Ω = 12.57	10Lg(4π/Ω)	**0**	0	0	0	0	0	0	0	0		
Показатель направленности источника Di, дБ		исходные данные	**0**	0	0	0	0	0	0	0	0		
Поправка на направленность источника Dc, дБ	Dc	DΩ + Di	**0**	0	0	0	0	0	0	0	0		
Затухание из-за геометрической дивергенции, Adiv, дБ	расстояние = 1890.97 м	ф-ла (7) [10]	**76,5**										
Коэффициент затухания звука в атмосфере α, дБ/км	Ta=20,°C Pa=101.33,кПа hотн.=70%	ф-ла (5) [9]	0,02	0,09	0,33	1,12	2,79	4,98	9,04	23,09	77,63		
Учет затухания звука в атмосфере Aatm, дБ		ф-ла (8) [10]	0	0,2	0,6	2,1	5,3	9,4	17,1	43,7	146,8		
Снижение уровня звукового давления из-за влияния застройки между источником шума и расчетной точкой													
Снижение уровня звукового давления на пути над экраном, Dz1, дБ	z = 0.12м (разность путей)	ф-лы (14-18) [10]	4,8	4,8	4,8	4,8	4,8	4,8	4,8	4,8	4,8		
Снижение уровня звукового давления на пути слева от экрана, Dz2, дБ	z = 0.02м (разность путей)	ф-лы (14-18) [10]	4,9	4,9	5,1	5,4	6	6,9	8,3	10,3	12,6		
Снижение уровня звукового давления на пути справа от экрана, Dz3, дБ	z = 4.41м (разность путей)	ф-лы (14-18) [10]	12,9	15,5	18,3	21,2	24,2	27,2	30,2	33,2	36,2		
Общее снижение уровня звука препятствием Dz, дБ		Эн.сумма(-Dzi)	1,5	1,7	1,8	2	2,3	2,7	3,2	3,7	4,1		
Уровни звукового давления от источника ИШ-6-14 в расчётной точке днём, дБ		**ф-ла(3)[10]**	**0**	**17,9**	**18,7**	**18,3**	**15,2**	**10,3**	**0**	**0**	**0**	**15,8**	**15,8**
Уровни звукового давления от источника ИШ-6-14 в расчётной точке ночью, дБ		**ф-ла(3)[10]**	**0**	**17,9**	**18,7**	**18,3**	**15,2**	**10,3**	**0**	**0**	**0**	**15,8**	**15,8**

Источник шума: ИШ-6-15, координаты источника (x,y,z), м =[765.71,-120.27,1.00]

1		2	3	4	5	6	7	8	9	10	11	12	13
Уровни звуковой мощности источника днём, Lw, дБ		**исходные данные**	**0**	**96,3**	**97,7**	**99**	**99,3**	**98,9**	**95,6**	**91,4**	**86,9**		
Уровни звуковой мощности источника ночью, Lw, дБ		**исходные данные**	**0**	**96,3**	**97,7**	**99**	**99,3**	**98,9**	**95,6**	**91,4**	**86,9**		
Поправка на телесный угол DΩ, дБ	Ω = 12.57	10Lg(4π/Ω)	**0**	0	0	0	0	0	0	0	0		
Показатель направленности источника Di, дБ		исходные данные	**0**	0	0	0	0	0	0	0	0		
Поправка на направленность источника Dc, дБ	Dc	DΩ + Di	**0**	0	0	0	0	0	0	0	0		
Затухание из-за геометрической дивергенции, Adiv, дБ	расстояние = 1890.11 м	ф-ла (7) [10]	**76,5**										
Коэффициент затухания звука в атмосфере α, дБ/км	Ta=20,°C Pa=101.33,кПа hотн.=70%	ф-ла (5) [9]	0,02	0,09	0,33	1,12	2,79	4,98	9,04	23,09	77,63		
Учет затухания звука в атмосфере Aatm, дБ		ф-ла (8) [10]	0	0,2	0,6	2,1	5,3	9,4	17,1	43,6	146,7		
Снижение уровня звукового давления из-за влияния застройки между источником шума и расчетной точкой													
Снижение уровня звукового давления на пути над экраном, Dz1, дБ	z = 0.12м (разность путей)	ф-лы (14-18) [10]	4,8	4,8	4,8	4,8	4,8	4,8	4,8	4,8	4,8		
Снижение уровня звукового давления на пути слева от экрана, Dz2, дБ	z = 0.00м (разность путей)	ф-лы (14-18) [10]	4,8	4,8	4,8	4,8	4,8	4,9	5	5,3	5,8		
Снижение уровня звукового давления на пути справа от экрана, Dz3, дБ	z = 4.83м (разность путей)	ф-лы (14-18) [10]	13,2	15,9	18,7	21,6	24,6	27,6	30,6	33,6	36,6		
Общее снижение уровня звука препятствием Dz, дБ		Эн.сумма(-Dzi)	1,5	1,6	1,7	1,7	1,8	1,8	1,9	2	2,2		
Уровни звукового давления от источника ИШ-6-15 в расчётной точке днём, дБ		**ф-ла(3)[10]**	**0**	**18**	**18,8**	**18,6**	**15,7**	**11,1**	**0,1**	**0**	**0**	**16,5**	**16,5**
Уровни звукового давления от источника ИШ-6-15 в расчётной точке ночью, дБ		**ф-ла(3)[10]**	**0**	**18**	**18,8**	**18,6**	**15,7**	**11,1**	**0,1**	**0**	**0**	**16,5**	**16,5**

Источник шума: ИШ-6-16, координаты источника (x,y,z), м =[764.57,-123.22,1.00]

1		2	3	4	5	6	7	8	9	10	11	12	13
Уровни звуковой мощности источника днём, Lw, дБ		**исходные данные**	**0**	**96,3**	**97,7**	**99**	**99,3**	**98,9**	**95,6**	**91,4**	**86,9**		
Уровни звуковой мощности источника ночью, Lw, дБ		**исходные данные**	**0**	**96,3**	**97,7**	**99**	**99,3**	**98,9**	**95,6**	**91,4**	**86,9**		
Поправка на телесный угол DΩ, дБ	Ω = 12.57	10Lg(4π/Ω)	**0**	0	0	0	0	0	0	0	0		
Показатель направленности источника Di, дБ		исходные данные	**0**	0	0	0	0	0	0	0	0		
Поправка на направленность источника Dc, дБ	Dc	DΩ + Di	**0**	0	0	0	0	0	0	0	0		
Затухание из-за геометрической дивергенции, Adiv, дБ	расстояние = 1889.19 м	ф-ла (7) [10]	**76,5**										
Коэффициент затухания звука в атмосфере α, дБ/км	Ta=20,°C Pa=101.33,кПа hотн.=70%	ф-ла (5) [9]	0,02	0,09	0,33	1,12	2,79	4,98	9,04	23,09	77,63		
Учет затухания звука в атмосфере Aatm, дБ		ф-ла (8) [10]	0	0,2	0,6	2,1	5,3	9,4	17,1	43,6	146,7		
Снижение поверхностью земли возле источника As, дБ	Gs = 0 hs = 1м	ф-лы таб.3 [10]	-1,5	-1,5	-1,5	-1,5	-1,5	-1,5	-1,5	-1,5	-1,5		
Снижение поверхностью земли возле приёмника Ar, дБ	Gr = 1 hr = 1.5м	ф-лы таб.3 [10]	-1,5	-1,5	5,3	7	5	0,7	0	0	0		
Снижение поверхностью земли в средней зоне, Am дБ	Gm = 1	ф-лы таб.3 [10]	-2,9	-2,9	0	0	0	0	0	0	0		
Суммарное снижение поверхностью земли на траектории распространения звука Agr, дБ		ф-ла (9) [10]	-5,9	-5,9	3,8	5,5	3,5	-0,8	-1,5	-1,5	-1,5		
Уровни звукового давления от источника ИШ-6-16 в расчётной точке днём, дБ		**ф-ла(3)[10]**	**0**	**25,5**	**16,7**	**14,8**	**14**	**13,8**	**3,5**	**0**	**0**	**16,6**	**16,6**
Уровни звукового давления от источника ИШ-6-16 в расчётной точке ночью, дБ		**ф-ла(3)[10]**	**0**	**25,5**	**16,7**	**14,8**	**14**	**13,8**	**3,5**	**0**	**0**	**16,6**	**16,6**
Источник шума: ИШ-6-17, координаты источника (x,y,z), м =[763.57,-126.18,1.00]													
Уровни звуковой мощности источника днём, Lw, дБ		**исходные данные**	**0**	**96,3**	**97,7**	**99**	**99,3**	**98,9**	**95,6**	**91,4**	**86,9**		

1		2	3	4	5	6	7	8	9	10	11	12	13
Уровни звуковой мощности источника ночью, Lw, дБ		**исходные данные**	**0**	**96,3**	**97,7**	**99**	**99,3**	**98,9**	**95,6**	**91,4**	**86,9**		
Поправка на телесный угол DΩ, дБ	Ω = 12.57	10Lg(4π/Ω)	**0**	0	0	0	0	0	0	0	0		
Показатель направленности источника Di, дБ		исходные данные	**0**	0	0	0	0	0	0	0	0		
Поправка на направленность источника Dc, дБ	Dc	DΩ + Di	**0**	0	0	0	0	0	0	0	0		
Затухание из-за геометрической дивергенции, Adiv, дБ	расстояние = 1888.42 м	ф-ла (7) [10]	**76,5**										
Коэффициент затухания звука в атмосфере α, дБ/км	Ta=20,°C Pa=101.33,кПа hотн.=70%	ф-ла (5) [9]	0,02	0,09	0,33	1,12	2,79	4,98	9,04	23,09	77,63		
Учет затухания звука в атмосфере Aatm, дБ		ф-ла (8) [10]	0	0,2	0,6	2,1	5,3	9,4	17,1	43,6	146,6		
Снижение уровня звукового давления из-за влияния застройки между источником шума и расчетной точкой													
Снижение уровня звукового давления препятствием слева от трассы ИШ-РТ, Dz2, дБ	z = -0.07м (разность путей)	ф-лы (14-18) [10]	0	0	3	0	NAN	NAN	NAN	NAN	NAN		
Снижение уровня звукового давления препятствием справа от трассы ИШ-РТ, Dz3, дБ	z = -0.02м (разность путей)	ф-лы (14-18) [10]	0	0	4,2	3,6	2	0	NAN	NAN	NAN		
Общее снижение уровня звука препятствием Dz, дБ		Эн.сумма(-Dzi)	0	0	0,6	-1,5	0	0	0	0	0		
* отрицательное значение z означает прохождение траектории вблизи экрана, в этом случае дополнительно производится учёт снижения подстилающей поверхностью (см.ниже)													
Снижение поверхностью земли возле источника As, дБ	Gs = 0 hs = 1м	ф-лы таб.3 [10]	-1,5	-1,5	-1,5	-1,5	-1,5	-1,5	-1,5	-1,5	-1,5		
Снижение поверхностью земли возле приёмника Ar, дБ	Gr = 1 hr = 1.5м	ф-лы таб.3 [10]	-1,5	-1,5	5,3	7	5	0,7	0	0	0		
Снижение поверхностью земли в средней зоне, Am дБ	Gm = 1	ф-лы таб.3 [10]	-2,9	-2,9	0	0	0	0	0	0	0		
Суммарное снижение поверхностью земли на траектории распространения звука Agr, дБ		ф-ла (9) [10]	-5,9	-5,9	3,8	5,5	3,5	-0,8	-1,5	-1,5	-1,5		
Уровни звукового давления от источника ИШ-6-17 в расчётной точке днём, дБ		**ф-ла(3)[10]**	**0**	**25,5**	**16,1**	**16,4**	**14**	**13,8**	**3,5**	**0**	**0**	**16,7**	**16,7**
Уровни звукового давления от источника ИШ-6-17 в расчётной точке ночью, дБ		**ф-ла(3)[10]**	**0**	**25,5**	**16,1**	**16,4**	**14**	**13,8**	**3,5**	**0**	**0**	**16,7**	**16,7**

1		2	3	4	5	6	7	8	9	10	11	12	13
Источник шума: ИШ-6-18, координаты источника (x,y,z), м =[804.77,-126.28,1.00]													
Уровни звуковой мощности источника днём, Lw, дБ		**исходные данные**	**0**	**96,3**	**97,7**	**99**	**99,3**	**98,9**	**95,6**	**91,4**	**86,9**		
Уровни звуковой мощности источника ночью, Lw, дБ		**исходные данные**	**0**	**96,3**	**97,7**	**99**	**99,3**	**98,9**	**95,6**	**91,4**	**86,9**		
Поправка на телесный угол DΩ, дБ	Ω = 12.57	10Lg(4π/Ω)	**0**	0	0	0	0	0	0	0	0		
Показатель направленности источника Di, дБ		исходные данные	**0**	0	0	0	0	0	0	0	0		
Поправка на направленность источника Dc, дБ	Dc	DΩ + Di	**0**	0	0	0	0	0	0	0	0		
Затухание из-за геометрической дивергенции, Adiv, дБ	расстояние = 1929.51 м	ф-ла (7) [10]	**76,7**										
Коэффициент затухания звука в атмосфере α, дБ/км	Ta=20,°C Pa=101.33,кПа hотн.=70%	ф-ла (5) [9]	0,02	0,09	0,33	1,12	2,79	4,98	9,04	23,09	77,63		
Учет затухания звука в атмосфере Aatm, дБ		ф-ла (8) [10]	0	0,2	0,6	2,2	5,4	9,6	17,4	44,5	149,8		
Снижение поверхностью земли возле источника As, дБ	Gs = 0 hs = 1м	ф-лы таб.3 [10]	-1,5	-1,5	-1,5	-1,5	-1,5	-1,5	-1,5	-1,5	-1,5		
Снижение поверхностью земли возле приёмника Ar, дБ	Gr = 1 hr = 1.5м	ф-лы таб.3 [10]	-1,5	-1,5	5,3	7	5	0,7	0	0	0		
Снижение поверхностью земли в средней зоне, Am дБ	Gm = 1	ф-лы таб.3 [10]	-2,9	-2,9	0	0	0	0	0	0	0		
Суммарное снижение поверхностью земли на траектории распространения звука Agr, дБ		ф-ла (9) [10]	-5,9	-5,9	3,8	5,5	3,5	-0,8	-1,5	-1,5	-1,5		
Уровни звукового давления от источника ИШ-6-18 в расчётной точке днём, дБ		**ф-ла(3)[10]**	**0**	**25,3**	**16,5**	**14,6**	**13,7**	**13,4**	**2,9**	**0**	**0**	**16,2**	**16,2**
Уровни звукового давления от источника ИШ-6-18 в расчётной точке ночью, дБ		**ф-ла(3)[10]**	**0**	**25,3**	**16,5**	**14,6**	**13,7**	**13,4**	**2,9**	**0**	**0**	**16,2**	**16,2**
Источник шума: ИШ-6-19, координаты источника (x,y,z), м =[803.81,-129.30,1.00]													

1		2	3	4	5	6	7	8	9	10	11	12	13
Уровни звуковой мощности источника днём, Lw, дБ		**исходные данные**	**0**	**96,3**	**97,7**	**99**	**99,3**	**98,9**	**95,6**	**91,4**	**86,9**		
Уровни звуковой мощности источника ночью, Lw, дБ		**исходные данные**	**0**	**96,3**	**97,7**	**99**	**99,3**	**98,9**	**95,6**	**91,4**	**86,9**		
Поправка на телесный угол DΩ, дБ	Ω = 12.57	10Lg(4π/Ω)	**0**	0	0	0	0	0	0	0	0		
Показатель направленности источника Di, дБ		исходные данные	**0**	0	0	0	0	0	0	0	0		
Поправка на направленность источника Dc, дБ	Dc	DΩ + Di	**0**	0	0	0	0	0	0	0	0		
Затухание из-за геометрической дивергенции, Adiv, дБ	расстояние = 1928.79 м	ф-ла (7) [10]	**76,7**										
Коэффициент затухания звука в атмосфере α, дБ/км	Ta=20,°C Pa=101.33,кПа hотн.=70%	ф-ла (5) [9]	0,02	0,09	0,33	1,12	2,79	4,98	9,04	23,09	77,63		
Учет затухания звука в атмосфере Aatm, дБ		ф-ла (8) [10]	0	0,2	0,6	2,2	5,4	9,6	17,4	44,5	149,7		
Снижение уровня звукового давления из-за влияния застройки между источником шума и расчетной точкой													
Снижение уровня звукового давления препятствием слева от трассы ИШ-РТ, Dz2, дБ	z = -0.06м (разность путей)	ф-лы (14-18) [10]	0	0	3,1	0,5	NAN	NAN	NAN	NAN	NAN		
Снижение уровня звукового давления препятствием справа от трассы ИШ-РТ, Dz3, дБ	z = -0.02м (разность путей)	ф-лы (14-18) [10]	0	0	4,3	3,7	2,3	0	NAN	NAN	NAN		
Общее снижение уровня звука препятствием Dz, дБ		Эн.сумма(-Dzi)	0	0	0,7	-1,2	0	0	0	0	0		
* отрицательное значение z означает прохождение траектории вблизи экрана, в этом случае дополнительно производится учёт снижения подстилающей поверхностью (см.ниже)													
Снижение поверхностью земли возле источника As, дБ	Gs = 0 hs = 1м	ф-лы таб.3 [10]	-1,5	-1,5	-1,5	-1,5	-1,5	-1,5	-1,5	-1,5	-1,5		
Снижение поверхностью земли возле приёмника Ar, дБ	Gr = 1 hr = 1.5м	ф-лы таб.3 [10]	-1,5	-1,5	5,3	7	5	0,7	0	0	0		
Снижение поверхностью земли в средней зоне, Am дБ	Gm = 1	ф-лы таб.3 [10]	-2,9	-2,9	0	0	0	0	0	0	0		
Суммарное снижение поверхностью земли на траектории распространения звука Agr, дБ		ф-ла (9) [10]	-5,9	-5,9	3,8	5,5	3,5	-0,8	-1,5	-1,5	-1,5		
Уровни звукового давления от источника ИШ-6-19 в расчётной точке днём, дБ		**ф-ла(3)[10]**	**0**	**25,3**	**15,8**	**15,8**	**13,7**	**13,4**	**3**	**0**	**0**	**16,3**	**16,3**

1		2	3	4	5	6	7	8	9	10	11	12	13
Уровни звукового давления от источника ИШ-6-19 в расчётной точке ночью, дБ		**ф-ла(3)[10]**	**0**	**25,3**	**15,8**	**15,8**	**13,7**	**13,4**	**3**	**0**	**0**	**16,3**	**16,3**
Источник шума: ИШ-6-20, координаты источника (x,y,z), м =[802.67,-132.35,1.00]													
Уровни звуковой мощности источника днём, Lw, дБ		**исходные данные**	**0**	**96,3**	**97,7**	**99**	**99,3**	**98,9**	**95,6**	**91,4**	**86,9**		
Уровни звуковой мощности источника ночью, Lw, дБ		**исходные данные**	**0**	**96,3**	**97,7**	**99**	**99,3**	**98,9**	**95,6**	**91,4**	**86,9**		
Поправка на телесный угол DΩ, дБ	Ω = 12.57	10Lg(4π/Ω)	**0**	0	0	0	0	0	0	0	0		
Показатель направленности источника Di, дБ		исходные данные	**0**	0	0	0	0	0	0	0	0		
Поправка на направленность источника Dc, дБ	Dc	DΩ + Di	**0**	0	0	0	0	0	0	0	0		
Затухание из-за геометрической дивергенции, Adiv, дБ	расстояние = 1927.89 м	ф-ла (7) [10]	**76,7**										
Коэффициент затухания звука в атмосфере α, дБ/км	Ta=20,°C Pa=101.33,кПа hотн.=70%	ф-ла (5) [9]	0,02	0,09	0,33	1,12	2,79	4,98	9,04	23,09	77,63		
Учет затухания звука в атмосфере Aatm, дБ		ф-ла (8) [10]	0	0,2	0,6	2,2	5,4	9,6	17,4	44,5	149,7		
Снижение уровня звукового давления из-за влияния застройки между источником шума и расчетной точкой													
Снижение уровня звукового давления препятствием слева от трассы ИШ-РТ, Dz2, дБ	z = -0.03м (разность путей)	ф-лы (14-18) [10]	0	0	4,1	3,4	1,4	NAN	NAN	NAN	NAN		
Снижение уровня звукового давления препятствием справа от трассы ИШ-РТ, Dz3, дБ	z = -0.06м (разность путей)	ф-лы (14-18) [10]	0	0	3,3	1,2	NAN	NAN	NAN	NAN	NAN		
Общее снижение уровня звука препятствием Dz, дБ		Эн.сумма(-Dzi)	0	0	0,7	-0,8	0	0	0	0	0		
* отрицательное значение z означает прохождение траектории вблизи экрана, в этом случае дополнительно производится учёт снижения подстилающей поверхностью (см.ниже)													
Снижение поверхностью земли возле источника As, дБ	Gs = 0 hs = 1м	ф-лы таб.3 [10]	-1,5	-1,5	-1,5	-1,5	-1,5	-1,5	-1,5	-1,5	-1,5		
Снижение поверхностью земли возле приёмника Ar, дБ	Gr = 1 hr = 1.5м	ф-лы таб.3 [10]	-1,5	-1,5	5,3	7	5	0,7	0	0	0		

1		2	3	4	5	6	7	8	9	10	11	12	13
Снижение поверхностью земли в средней зоне, Am дБ	Gm = 1	ф-лы таб.3 [10]	-2,9	-2,9	0	0	0	0	0	0	0		
Суммарное снижение поверхностью земли на траектории распространения звука Agr, дБ		ф-ла (9) [10]	-5,9	-5,9	3,8	5,5	3,5	-0,8	-1,5	-1,5	-1,5		
Уровни звукового давления от источника ИШ-6-20 в расчётной точке днём, дБ		**ф-ла(3)[10]**	**0**	**25,3**	**15,8**	**15,4**	**13,7**	**13,4**	**3**	**0**	**0**	**16,3**	**16,3**
Уровни звукового давления от источника ИШ-6-20 в расчётной точке ночью, дБ		**ф-ла(3)[10]**	**0**	**25,3**	**15,8**	**15,4**	**13,7**	**13,4**	**3**	**0**	**0**	**16,3**	**16,3**
Источник шума: ИШ-6-21, координаты источника (x,y,z), м =[801.69,-135.42,1.00]													
Уровни звуковой мощности источника днём, Lw, дБ		**исходные данные**	**0**	**96,3**	**97,7**	**99**	**99,3**	**98,9**	**95,6**	**91,4**	**86,9**		
Уровни звуковой мощности источника ночью, Lw, дБ		**исходные данные**	**0**	**96,3**	**97,7**	**99**	**99,3**	**98,9**	**95,6**	**91,4**	**86,9**		
Поправка на телесный угол DΩ, дБ	Ω = 12.57	10Lg(4π/Ω)	**0**	0	0	0	0	0	0	0	0		
Показатель направленности источника Di, дБ		исходные данные	**0**	0	0	0	0	0	0	0	0		
Поправка на направленность источника Dc, дБ	Dc	DΩ + Di	**0**	0	0	0	0	0	0	0	0		
Затухание из-за геометрической дивергенции, Adiv, дБ	расстояние = 1927.15 м	ф-ла (7) [10]	**76,7**										
Коэффициент затухания звука в атмосфере α, дБ/км	Ta=20,°C Pa=101.33,кПа hотн.=70%	ф-ла (5) [9]	0,02	0,09	0,33	1,12	2,79	4,98	9,04	23,09	77,63		
Учет затухания звука в атмосфере Aatm, дБ		ф-ла (8) [10]	0	0,2	0,6	2,2	5,4	9,6	17,4	44,5	149,6		
Снижение поверхностью земли возле источника As, дБ	Gs = 0 hs = 1м	ф-лы таб.3 [10]	-1,5	-1,5	-1,5	-1,5	-1,5	-1,5	-1,5	-1,5	-1,5		
Снижение поверхностью земли возле приёмника Ar, дБ	Gr = 1 hr = 1.5м	ф-лы таб.3 [10]	-1,5	-1,5	5,3	7	5	0,7	0	0	0		
Снижение поверхностью земли в средней зоне, Am дБ	Gm = 1	ф-лы таб.3 [10]	-2,9	-2,9	0	0	0	0	0	0	0		

1		2	3	4	5	6	7	8	9	10	11	12	13
Суммарное снижение поверхностью земли на траектории распространения звука Agr, дБ		ф-ла (9) [10]	-5,9	-5,9	3,8	5,5	3,5	-0,8	-1,5	-1,5	-1,5		
Уровни звукового давления от источника ИШ-6-21 в расчётной точке днём, дБ		**ф-ла(3)[10]**	**0**	**25,3**	**16,5**	**14,6**	**13,7**	**13,4**	**3**	**0**	**0**	**16,2**	**16,2**
Уровни звукового давления от источника ИШ-6-21 в расчётной точке ночью, дБ		**ф-ла(3)[10]**	**0**	**25,3**	**16,5**	**14,6**	**13,7**	**13,4**	**3**	**0**	**0**	**16,2**	**16,2**
Источник шума: ИШ-6-22, координаты источника (x,y,z), м =[800.65,-138.47,1.00]													
Уровни звуковой мощности источника днём, Lw, дБ		**исходные данные**	**0**	**96,3**	**97,7**	**99**	**99,3**	**98,9**	**95,6**	**91,4**	**86,9**		
Уровни звуковой мощности источника ночью, Lw, дБ		**исходные данные**	**0**	**96,3**	**97,7**	**99**	**99,3**	**98,9**	**95,6**	**91,4**	**86,9**		
Поправка на телесный угол DΩ, дБ	Ω = 12.57	10Lg(4π/Ω)	**0**	0	0	0	0	0	0	0	0		
Показатель направленности источника Di, дБ		исходные данные	**0**	0	0	0	0	0	0	0	0		
Поправка на направленность источника Dc, дБ	Dc	DΩ + Di	**0**	0	0	0	0	0	0	0	0		
Затухание из-за геометрической дивергенции, Adiv, дБ	расстояние = 1926.36 м	ф-ла (7) [10]	**76,7**										
Коэффициент затухания звука в атмосфере α, дБ/км	Ta=20,°C Pa=101.33,кПа hотн.=70%	ф-ла (5) [9]	0,02	0,09	0,33	1,12	2,79	4,98	9,04	23,09	77,63		
Учет затухания звука в атмосфере Aatm, дБ		ф-ла (8) [10]	0	0,2	0,6	2,2	5,4	9,6	17,4	44,5	149,5		
Снижение уровня звукового давления из-за влияния застройки между источником шума и расчетной точкой													
Снижение уровня звукового давления на пути над экраном, Dz1, дБ	z = 0.11м (разность путей)	ф-лы (14-18) [10]	4,8	4,8	4,8	4,8	4,8	4,8	4,8	4,8	4,8		
Снижение уровня звукового давления на пути слева от экрана, Dz2, дБ	z = 1.31м (разность путей)	ф-лы (14-18) [10]	8,9	11	13,5	16,2	19	21,9	24,9	27,9	30,9		
Снижение уровня звукового давления на пути справа от экрана, Dz3, дБ	z = 0.00м (разность путей)	ф-лы (14-18) [10]	4,8	4,8	4,8	4,8	4,8	4,8	4,8	4,8	4,9		

1		2	3	4	5	6	7	8	9	10	11	12	13
Общее снижение уровня звука препятствием Dz, дБ		Эн.сумма(-Dzi)	1	1,3	1,5	1,6	1,7	1,7	1,8	1,8	1,8		
Уровни звукового давления от источника ИШ-6-22 в расчётной точке днём, дБ		**ф-ла(3)[10]**	**0**	**18,1**	**18,9**	**18,5**	**15,5**	**10,9**	**0**	**0**	**0**	**16,2**	**16,2**
Уровни звукового давления от источника ИШ-6-22 в расчётной точке ночью, дБ		**ф-ла(3)[10]**	**0**	**18,1**	**18,9**	**18,5**	**15,5**	**10,9**	**0**	**0**	**0**	**16,2**	**16,2**
Источник шума: ИШ-7-1, координаты источника (x,y,z), м =[821.44,63.31,1.00]													
Уровни звуковой мощности источника днём, Lw, дБ		**исходные данные**	**77**	**75**	**67**	**66**	**63**	**55**	**53**	**48**	**51**		
Уровни звуковой мощности источника ночью, Lw, дБ		**исходные данные**	**77**	**75**	**67**	**66**	**63**	**55**	**53**	**48**	**51**		
Поправка на телесный угол DΩ, дБ	Ω = 12.57	10Lg(4π/Ω)	**0**	0	0	0	0	0	0	0	0		
Показатель направленности источника Di, дБ		исходные данные	**0**	0	0	0	0	0	0	0	0		
Поправка на направленность источника Dc, дБ	Dc	DΩ + Di	**0**	0	0	0	0	0	0	0	0		
Затухание из-за геометрической дивергенции, Adiv, дБ	расстояние = 1941.00 м	ф-ла (7) [10]	**76,8**										
Коэффициент затухания звука в атмосфере α, дБ/км	Ta=20,°C Pa=101.33,кПа hотн.=70%	ф-ла (5) [9]	0,02	0,09	0,33	1,12	2,79	4,98	9,04	23,09	77,63		
Учет затухания звука в атмосфере Aatm, дБ		ф-ла (8) [10]	0	0,2	0,7	2,2	5,4	9,7	17,5	44,8	150,7		
Снижение уровня звукового давления из-за влияния застройки между источником шума и расчетной точкой													
Снижение уровня звукового давления на пути над экраном, Dz1, дБ	z = 0.15м (разность путей)	ф-лы (14-18) [10]	4,8	4,8	4,8	4,8	4,8	4,8	4,8	4,8	4,8		
Уровни звукового давления от источника ИШ-7-1 в расчётной точке днём, дБ		**ф-ла(3)[10]**	**0**	**0**	**0**	**0**	**0**	**0**	**0**	**0**	**0**	**0**	**0**
Уровни звукового давления от источника ИШ-7-1 в расчётной точке ночью, дБ		**ф-ла(3)[10]**	**0**	**0**	**0**	**0**	**0**	**0**	**0**	**0**	**0**	**0**	**0**

1		2	3	4	5	6	7	8	9	10	11	12	13
Источник шума: ИШ-7-2, координаты источника (x,y,z), м =[768.90,-86.75,1.00]													
Уровни звуковой мощности источника днём, Lw, дБ		**исходные данные**	**77**	**75**	**67**	**66**	**63**	**55**	**53**	**48**	**51**		
Уровни звуковой мощности источника ночью, Lw, дБ		**исходные данные**	**77**	**75**	**67**	**66**	**63**	**55**	**53**	**48**	**51**		
Поправка на телесный угол DΩ, дБ	Ω = 12.57	10Lg(4π/Ω)	**0**	0	0	0	0	0	0	0	0		
Показатель направленности источника Di, дБ		исходные данные	**0**	0	0	0	0	0	0	0	0		
Поправка на направленность источника Dc, дБ	Dc	DΩ + Di	**0**	0	0	0	0	0	0	0	0		
Затухание из-за геометрической дивергенции, Adiv, дБ	расстояние = 1891.07 м	ф-ла (7) [10]	**76,5**										
Коэффициент затухания звука в атмосфере α, дБ/км	Ta=20,°C Pa=101.33,кПа hотн.=70%	ф-ла (5) [9]	0,02	0,09	0,33	1,12	2,79	4,98	9,04	23,09	77,63		
Учет затухания звука в атмосфере Aatm, дБ		ф-ла (8) [10]	0	0,2	0,6	2,1	5,3	9,4	17,1	43,7	146,8		
Снижение уровня звукового давления из-за влияния застройки между источником шума и расчетной точкой													
Снижение уровня звукового давления на пути над экраном, Dz1, дБ	z = 0.12м (разность путей)	ф-лы (14-18) [10]	4,8	4,8	4,8	4,8	4,8	4,8	4,8	4,8	4,8		
Уровни звукового давления от источника ИШ-7-2 в расчётной точке днём, дБ		**ф-ла(3)[10]**	**0**	**0**	**0**	**0**	**0**	**0**	**0**	**0**	**0**	**0**	**0**
Уровни звукового давления от источника ИШ-7-2 в расчётной точке ночью, дБ		**ф-ла(3)[10]**	**0**	**0**	**0**	**0**	**0**	**0**	**0**	**0**	**0**	**0**	**0**
Источник шума: ИШ-7-3, координаты источника (x,y,z), м =[766.80,-93.20,1.00]													
Уровни звуковой мощности источника днём, Lw, дБ		**исходные данные**	**77**	**75**	**67**	**66**	**63**	**55**	**53**	**48**	**51**		
Уровни звуковой мощности источника ночью, Lw, дБ		**исходные данные**	**77**	**75**	**67**	**66**	**63**	**55**	**53**	**48**	**51**		

1		2	3	4	5	6	7	8	9	10	11	12	13
Поправка на телесный угол DΩ, дБ	Ω = 12.57	10Lg(4π/Ω)	**0**	0	0	0	0	0	0	0	0		
Показатель направленности источника Di, дБ		исходные данные	**0**	0	0	0	0	0	0	0	0		
Поправка на направленность источника Dc, дБ	Dc	DΩ + Di	**0**	0	0	0	0	0	0	0	0		
Затухание из-за геометрической дивергенции, Adiv, дБ	расстояние = 1889.36 м	ф-ла (7) [10]	**76,5**										
Коэффициент затухания звука в атмосфере α, дБ/км	Ta=20,°C Pa=101.33,кПа hотн.=70%	ф-ла (5) [9]	0,02	0,09	0,33	1,12	2,79	4,98	9,04	23,09	77,63		
Учет затухания звука в атмосфере Aatm, дБ		ф-ла (8) [10]	0	0,2	0,6	2,1	5,3	9,4	17,1	43,6	146,7		
Снижение уровня звукового давления из-за влияния застройки между источником шума и расчетной точкой													
Снижение уровня звукового давления на пути над экраном, Dz1, дБ	z = 0.12м (разность путей)	ф-лы (14-18) [10]	4,8	4,8	4,8	4,8	4,8	4,8	4,8	4,8	4,8		
Уровни звукового давления от источника ИШ-7-3 в расчётной точке днём, дБ		**ф-ла(3)[10]**	**0**	**0**	**0**	**0**	**0**	**0**	**0**	**0**	**0**	**0**	**0**
Уровни звукового давления от источника ИШ-7-3 в расчётной точке ночью, дБ		**ф-ла(3)[10]**	**0**	**0**	**0**	**0**	**0**	**0**	**0**	**0**	**0**	**0**	**0**
Источник шума: ИШ-7-4, координаты источника (x,y,z), м =[866.76,37.18,1.00]													
Уровни звуковой мощности источника днём, Lw, дБ		**исходные данные**	**77**	**75**	**67**	**66**	**63**	**55**	**53**	**48**	**51**		
Уровни звуковой мощности источника ночью, Lw, дБ		**исходные данные**	**77**	**75**	**67**	**66**	**63**	**55**	**53**	**48**	**51**		
Поправка на телесный угол DΩ, дБ	Ω = 12.57	10Lg(4π/Ω)	**0**	0	0	0	0	0	0	0	0		
Показатель направленности источника Di, дБ		исходные данные	**0**	0	0	0	0	0	0	0	0		
Поправка на направленность источника Dc, дБ	Dc	DΩ + Di	**0**	0	0	0	0	0	0	0	0		

1		2	3	4	5	6	7	8	9	10	11	12	13
Затухание из-за геометрической дивергенции, Adiv, дБ	расстояние = 1985.93 м	ф-ла (7) [10]	**77**										
Коэффициент затухания звука в атмосфере α, дБ/км	Ta=20,°C Pa=101.33,кПа hотн.=70%	ф-ла (5) [9]	0,02	0,09	0,33	1,12	2,79	4,98	9,04	23,09	77,63		
Учет затухания звука в атмосфере Aatm, дБ		ф-ла (8) [10]	0	0,2	0,7	2,2	5,5	9,9	18	45,8	154,2		
Снижение уровня звукового давления из-за влияния застройки между источником шума и расчетной точкой													
Снижение уровня звукового давления на пути над экраном, Dz1, дБ	z = 0.12м (разность путей)	ф-лы (14-18) [10]	4,8	4,8	4,8	4,8	4,8	4,8	4,8	4,8	4,8		
Уровни звукового давления от источника ИШ-7-4 в расчётной точке днём, дБ		**ф-ла(3)[10]**	**0**	**0**	**0**	**0**	**0**	**0**	**0**	**0**	**0**	**0**	**0**
Уровни звукового давления от источника ИШ-7-4 в расчётной точке ночью, дБ		**ф-ла(3)[10]**	**0**	**0**	**0**	**0**	**0**	**0**	**0**	**0**	**0**	**0**	**0**
Источник шума: ИШ-7-5, координаты источника (x,y,z), м =[861.80,21.34,1.00]													
Уровни звуковой мощности источника днём, Lw, дБ		**исходные данные**	**77**	**75**	**67**	**66**	**63**	**55**	**53**	**48**	**51**		
Уровни звуковой мощности источника ночью, Lw, дБ		**исходные данные**	**77**	**75**	**67**	**66**	**63**	**55**	**53**	**48**	**51**		
Поправка на телесный угол DΩ, дБ	Ω = 12.57	10Lg(4π/Ω)	**0**	0	0	0	0	0	0	0	0		
Показатель направленности источника Di, дБ		исходные данные	**0**	0	0	0	0	0	0	0	0		
Поправка на направленность источника Dc, дБ	Dc	DΩ + Di	**0**	0	0	0	0	0	0	0	0		
Затухание из-за геометрической дивергенции, Adiv, дБ	расстояние = 1980.90 м	ф-ла (7) [10]	**76,9**										
Коэффициент затухания звука в атмосфере α, дБ/км	Ta=20,°C Pa=101.33,кПа hотн.=70%	ф-ла (5) [9]	0,02	0,09	0,33	1,12	2,79	4,98	9,04	23,09	77,63		
Учет затухания звука в атмосфере Aatm, дБ		ф-ла (8) [10]	0	0,2	0,7	2,2	5,5	9,9	17,9	45,7	153,8		

1		2	3	4	5	6	7	8	9	10	11	12	13
Снижение уровня звукового давления из-за влияния застройки между источником шума и расчетной точкой													
Снижение уровня звукового давления на пути над экраном, Dz1, дБ	z = 0.12м (разность путей)	ф-лы (14-18) [10]	4,8	4,8	4,8	4,8	4,8	4,8	4,8	4,8	4,8		
Уровни звукового давления от источника ИШ-7-5 в расчётной точке днём, дБ		**ф-ла(3)[10]**	**0**	**0**	**0**	**0**	**0**	**0**	**0**	**0**	**0**	**0**	**0**
Уровни звукового давления от источника ИШ-7-5 в расчётной точке ночью, дБ		**ф-ла(3)[10]**	**0**	**0**	**0**	**0**	**0**	**0**	**0**	**0**	**0**	**0**	**0**
Источник шума: ИШ-7-6, координаты источника (x,y,z), м =[856.52,5.94,1.00]													
Уровни звуковой мощности источника днём, Lw, дБ		**исходные данные**	**77**	**75**	**67**	**66**	**63**	**55**	**53**	**48**	**51**		
Уровни звуковой мощности источника ночью, Lw, дБ		**исходные данные**	**77**	**75**	**67**	**66**	**63**	**55**	**53**	**48**	**51**		
Поправка на телесный угол DΩ, дБ	Ω = 12.57	10Lg(4π/Ω)	**0**	0	0	0	0	0	0	0	0		
Показатель направленности источника Di, дБ		исходные данные	**0**	0	0	0	0	0	0	0	0		
Поправка на направленность источника Dc, дБ	Dc	DΩ + Di	**0**	0	0	0	0	0	0	0	0		
Затухание из-за геометрической дивергенции, Adiv, дБ	расстояние = 1975.68 м	ф-ла (7) [10]	**76,9**										
Коэффициент затухания звука в атмосфере α, дБ/км	Ta=20,°C Pa=101.33,кПа hотн.=70%	ф-ла (5) [9]	0,02	0,09	0,33	1,12	2,79	4,98	9,04	23,09	77,63		
Учет затухания звука в атмосфере Aatm, дБ		ф-ла (8) [10]	0	0,2	0,7	2,2	5,5	9,8	17,9	45,6	153,4		
Снижение уровня звукового давления из-за влияния застройки между источником шума и расчетной точкой													
Снижение уровня звукового давления на пути над экраном, Dz1, дБ	z = 0.12м (разность путей)	ф-лы (14-18) [10]	4,8	4,8	4,8	4,8	4,8	4,8	4,8	4,8	4,8		
Уровни звукового давления от источника ИШ-7-6 в расчётной точке днём, дБ		**ф-ла(3)[10]**	**0**	**0**	**0**	**0**	**0**	**0**	**0**	**0**	**0**	**0**	**0**

1		2	3	4	5	6	7	8	9	10	11	12	13
Уровни звукового давления от источника ИШ-7-6 в расчётной точке ночью, дБ		**ф-ла(3)[10]**	**0**	**0**	**0**	**0**	**0**	**0**	**0**	**0**	**0**	**0**	**0**
Источник шума: ИШ-7-7, координаты источника (x,y,z), м =[851.06,-9.89,1.00]													
Уровни звуковой мощности источника днём, Lw, дБ		**исходные данные**	**77**	**75**	**67**	**66**	**63**	**55**	**53**	**48**	**51**		
Уровни звуковой мощности источника ночью, Lw, дБ		**исходные данные**	**77**	**75**	**67**	**66**	**63**	**55**	**53**	**48**	**51**		
Поправка на телесный угол DΩ, дБ	Ω = 12.57	10Lg(4π/Ω)	**0**	0	0	0	0	0	0	0	0		
Показатель направленности источника Di, дБ		исходные данные	**0**	0	0	0	0	0	0	0	0		
Поправка на направленность источника Dc, дБ	Dc	DΩ + Di	**0**	0	0	0	0	0	0	0	0		
Затухание из-за геометрической дивергенции, Adiv, дБ	расстояние = 1970.40 м	ф-ла (7) [10]	**76,9**										
Коэффициент затухания звука в атмосфере α, дБ/км	Ta=20,°C Pa=101.33,кПа hотн.=70%	ф-ла (5) [9]	0,02	0,09	0,33	1,12	2,79	4,98	9,04	23,09	77,63		
Учет затухания звука в атмосфере Aatm, дБ		ф-ла (8) [10]	0	0,2	0,7	2,2	5,5	9,8	17,8	45,5	153		
Снижение уровня звукового давления из-за влияния застройки между источником шума и расчетной точкой													
Снижение уровня звукового давления на пути над экраном, Dz1, дБ	z = 0.10м (разность путей)	ф-лы (14-18) [10]	4,8	4,8	4,8	4,8	4,8	4,8	4,8	4,8	4,8		
Уровни звукового давления от источника ИШ-7-7 в расчётной точке днём, дБ		**ф-ла(3)[10]**	**0**	**0**	**0**	**0**	**0**	**0**	**0**	**0**	**0**	**0**	**0**
Уровни звукового давления от источника ИШ-7-7 в расчётной точке ночью, дБ		**ф-ла(3)[10]**	**0**	**0**	**0**	**0**	**0**	**0**	**0**	**0**	**0**	**0**	**0**
Источник шума: ИШ-7-8, координаты источника (x,y,z), м =[821.90,-104.30,1.00]													
Уровни звуковой мощности источника днём, Lw, дБ		**исходные данные**	**77**	**75**	**67**	**66**	**63**	**55**	**53**	**48**	**51**		

1		2	3	4	5	6	7	8	9	10	11	12	13
Уровни звуковой мощности источника ночью, Lw, дБ		**исходные данные**	**77**	**75**	**67**	**66**	**63**	**55**	**53**	**48**	**51**		
Поправка на телесный угол DΩ, дБ	Ω = 12.57	10Lg(4π/Ω)	**0**	0	0	0	0	0	0	0	0		
Показатель направленности источника Di, дБ		исходные данные	**0**	0	0	0	0	0	0	0	0		
Поправка на направленность источника Dc, дБ	Dc	DΩ + Di	**0**	0	0	0	0	0	0	0	0		
Затухание из-за геометрической дивергенции, Adiv, дБ	расстояние = 1945.04 м	ф-ла (7) [10]	**76,8**										
Коэффициент затухания звука в атмосфере α, дБ/км	Ta=20,°C Pa=101.33,кПа hотн.=70%	ф-ла (5) [9]	0,02	0,09	0,33	1,12	2,79	4,98	9,04	23,09	77,63		
Учет затухания звука в атмосфере Aatm, дБ		ф-ла (8) [10]	0	0,2	0,7	2,2	5,4	9,7	17,6	44,9	151		
Снижение уровня звукового давления из-за влияния застройки между источником шума и расчетной точкой													
Снижение уровня звукового давления на пути над экраном, Dz1, дБ	z = 0.11м (разность путей)	ф-лы (14-18) [10]	4,8	4,8	4,8	4,8	4,8	4,8	4,8	4,8	4,8		
Уровни звукового давления от источника ИШ-7-8 в расчётной точке днём, дБ		**ф-ла(3)[10]**	**0**	**0**	**0**	**0**	**0**	**0**	**0**	**0**	**0**	**0**	**0**
Уровни звукового давления от источника ИШ-7-8 в расчётной точке ночью, дБ		**ф-ла(3)[10]**	**0**	**0**	**0**	**0**	**0**	**0**	**0**	**0**	**0**	**0**	**0**
Источник шума: ИШ-7-9, координаты источника (x,y,z), м =[819.93,-110.97,1.00]													
Уровни звуковой мощности источника днём, Lw, дБ		**исходные данные**	**77**	**75**	**67**	**66**	**63**	**55**	**53**	**48**	**51**		
Уровни звуковой мощности источника ночью, Lw, дБ		**исходные данные**	**77**	**75**	**67**	**66**	**63**	**55**	**53**	**48**	**51**		
Поправка на телесный угол DΩ, дБ	Ω = 12.57	10Lg(4π/Ω)	**0**	0	0	0	0	0	0	0	0		
Показатель направленности источника Di, дБ		исходные данные	**0**	0	0	0	0	0	0	0	0		

1		2	3	4	5	6	7	8	9	10	11	12	13
Поправка на направленность источника Dc, дБ	Dc	DΩ + Di	**0**	0	0	0	0	0	0	0	0		
Затухание из-за геометрической дивергенции, Adiv, дБ	расстояние = 1943.52 м	ф-ла (7) [10]	**76,8**										
Коэффициент затухания звука в атмосфере α, дБ/км	Ta=20,°C Pa=101.33,кПа hотн.=70%	ф-ла (5) [9]	0,02	0,09	0,33	1,12	2,79	4,98	9,04	23,09	77,63		
Учет затухания звука в атмосфере Aatm, дБ		ф-ла (8) [10]	0	0,2	0,7	2,2	5,4	9,7	17,6	44,9	150,9		
Снижение уровня звукового давления из-за влияния застройки между источником шума и расчетной точкой													
Снижение уровня звукового давления на пути над экраном, Dz1, дБ	z = 0.11м (разность путей)	ф-лы (14-18) [10]	4,8	4,8	4,8	4,8	4,8	4,8	4,8	4,8	4,8		
Уровни звукового давления от источника ИШ-7-9 в расчётной точке днём, дБ		**ф-ла(3)[10]**	**0**	**0**	**0**	**0**	**0**	**0**	**0**	**0**	**0**	**0**	**0**
Уровни звукового давления от источника ИШ-7-9 в расчётной точке ночью, дБ		**ф-ла(3)[10]**	**0**	**0**	**0**	**0**	**0**	**0**	**0**	**0**	**0**	**0**	**0**
Источник шума: ИШ-7-10, координаты источника (x,y,z), м =[868.68,92.66,1.00]													
Уровни звуковой мощности источника днём, Lw, дБ		**исходные данные**	**77**	**75**	**67**	**66**	**63**	**55**	**53**	**48**	**51**		
Уровни звуковой мощности источника ночью, Lw, дБ		**исходные данные**	**77**	**75**	**67**	**66**	**63**	**55**	**53**	**48**	**51**		
Поправка на телесный угол DΩ, дБ	Ω = 12.57	10Lg(4π/Ω)	**0**	0	0	0	0	0	0	0	0		
Показатель направленности источника Di, дБ		исходные данные	**0**	0	0	0	0	0	0	0	0		
Поправка на направленность источника Dc, дБ	Dc	DΩ + Di	**0**	0	0	0	0	0	0	0	0		
Затухание из-за геометрической дивергенции, Adiv, дБ	расстояние = 1989.06 м	ф-ла (7) [10]	**77**										
Коэффициент затухания звука в атмосфере α, дБ/км	Ta=20,°C Pa=101.33,кПа hотн.=70%	ф-ла (5) [9]	0,02	0,09	0,33	1,12	2,79	4,98	9,04	23,09	77,63		

1		2	3	4	5	6	7	8	9	10	11	12	13
Учет затухания звука в атмосфере Aatm, дБ		ф-ла (8) [10]	0	0,2	0,7	2,2	5,6	9,9	18	45,9	154,4		
Снижение уровня звукового давления из-за влияния застройки между источником шума и расчетной точкой													
Снижение уровня звукового давления на пути над экраном, Dz1, дБ	z = 0.14м (разность путей)	ф-лы (14-18) [10]	4,8	4,8	4,8	4,8	4,8	4,8	4,8	4,8	4,8		
Уровни звукового давления от источника ИШ-7-10 в расчётной точке днём, дБ		**ф-ла(3)[10]**	**0**	**0**	**0**	**0**	**0**	**0**	**0**	**0**	**0**	**0**	**0**
Уровни звукового давления от источника ИШ-7-10 в расчётной точке ночью, дБ		**ф-ла(3)[10]**	**0**	**0**	**0**	**0**	**0**	**0**	**0**	**0**	**0**	**0**	**0**
Источник шума: ИШ-7-11, координаты источника (x,y,z), м =[877.95,88.75,1.00]													
Уровни звуковой мощности источника днём, Lw, дБ		**исходные данные**	**77**	**75**	**67**	**66**	**63**	**55**	**53**	**48**	**51**		
Уровни звуковой мощности источника ночью, Lw, дБ		**исходные данные**	**77**	**75**	**67**	**66**	**63**	**55**	**53**	**48**	**51**		
Поправка на телесный угол DΩ, дБ	Ω = 12.57	10Lg(4π/Ω)	**0**	0	0	0	0	0	0	0	0		
Показатель направленности источника Di, дБ		исходные данные	**0**	0	0	0	0	0	0	0	0		
Поправка на направленность источника Dc, дБ	Dc	DΩ + Di	**0**	0	0	0	0	0	0	0	0		
Затухание из-за геометрической дивергенции, Adiv, дБ	расстояние = 1998.19 м	ф-ла (7) [10]	**77**										
Коэффициент затухания звука в атмосфере α, дБ/км	Ta=20,°C Pa=101.33,кПа hотн.=70%	ф-ла (5) [9]	0,02	0,09	0,33	1,12	2,79	4,98	9,04	23,09	77,63		
Учет затухания звука в атмосфере Aatm, дБ		ф-ла (8) [10]	0	0,2	0,7	2,2	5,6	9,9	18,1	46,1	155,1		
Снижение уровня звукового давления из-за влияния застройки между источником шума и расчетной точкой													
Снижение уровня звукового давления на пути над экраном, Dz1, дБ	z = 0.14м (разность путей)	ф-лы (14-18) [10]	4,8	4,8	4,8	4,8	4,8	4,8	4,8	4,8	4,8		

1		2	3	4	5	6	7	8	9	10	11	12	13
Уровни звукового давления от источника ИШ-7-11 в расчётной точке днём, дБ		**ф-ла(3)[10]**	**0**	**0**	**0**	**0**	**0**	**0**	**0**	**0**	**0**	**0**	**0**
Уровни звукового давления от источника ИШ-7-11 в расчётной точке ночью, дБ		**ф-ла(3)[10]**	**0**	**0**	**0**	**0**	**0**	**0**	**0**	**0**	**0**	**0**	**0**
Источник шума: ИШ-7-12, координаты источника (x,y,z), м =[887.42,85.45,1.00]													
Уровни звуковой мощности источника днём, Lw, дБ		**исходные данные**	**77**	**75**	**67**	**66**	**63**	**55**	**53**	**48**	**51**		
Уровни звуковой мощности источника ночью, Lw, дБ		**исходные данные**	**77**	**75**	**67**	**66**	**63**	**55**	**53**	**48**	**51**		
Поправка на телесный угол DΩ, дБ	Ω = 12.57	10Lg(4π/Ω)	**0**	0	0	0	0	0	0	0	0		
Показатель направленности источника Di, дБ		исходные данные	**0**	0	0	0	0	0	0	0	0		
Поправка на направленность источника Dc, дБ	Dc	DΩ + Di	**0**	0	0	0	0	0	0	0	0		
Затухание из-за геометрической дивергенции, Adiv, дБ	расстояние = 2007.55 м	ф-ла (7) [10]	**77,1**										
Коэффициент затухания звука в атмосфере α, дБ/км	Ta=20,°C Pa=101.33,кПа hотн.=70%	ф-ла (5) [9]	0,02	0,09	0,33	1,12	2,79	4,98	9,04	23,09	77,63		
Учет затухания звука в атмосфере Aatm, дБ		ф-ла (8) [10]	0	0,2	0,7	2,3	5,6	10	18,1	46,3	155,9		
Снижение уровня звукового давления из-за влияния застройки между источником шума и расчетной точкой													
Снижение уровня звукового давления на пути над экраном, Dz1, дБ	z = 0.13м (разность путей)	ф-лы (14-18) [10]	4,8	4,8	4,8	4,8	4,8	4,8	4,8	4,8	4,8		
Уровни звукового давления от источника ИШ-7-12 в расчётной точке днём, дБ		**ф-ла(3)[10]**	**0**	**0**	**0**	**0**	**0**	**0**	**0**	**0**	**0**	**0**	**0**
Уровни звукового давления от источника ИШ-7-12 в расчётной точке ночью, дБ		**ф-ла(3)[10]**	**0**	**0**	**0**	**0**	**0**	**0**	**0**	**0**	**0**	**0**	**0**
Источник шума: ИШ-6-23, координаты источника (x,y,z), м =[756.16,-136.23,3.00]													

1		2	3	4	5	6	7	8	9	10	11	12	13
Уровни звуковой мощности источника днём, Lw, дБ		**исходные данные**	**91**	**91**	**91**	**91**	**91**	**91**	**91**	**91**	**91**		
Уровни звуковой мощности источника ночью, Lw, дБ		**исходные данные**	**91**	**91**	**91**	**91**	**91**	**91**	**91**	**91**	**91**		
Поправка на телесный угол DΩ, дБ	Ω = 12.57	10Lg(4π/Ω)	**0**	0	0	0	0	0	0	0	0		
Показатель направленности источника Di, дБ		исходные данные	**0**	0	0	0	0	0	0	0	0		
Поправка на направленность источника Dc, дБ	Dc	DΩ + Di	**0**	0	0	0	0	0	0	0	0		
Затухание из-за геометрической дивергенции, Adiv, дБ	расстояние = 1881.85 м	ф-ла (7) [10]	**76,5**										
Коэффициент затухания звука в атмосфере α, дБ/км	Та=20,°С Ра=101.33,кПа hотн.=70%	ф-ла (5) [9]	0,02	0,09	0,33	1,12	2,79	4,98	9,04	23,09	77,63		
Учет затухания звука в атмосфере Aatm, дБ		ф-ла (8) [10]	0	0,2	0,6	2,1	5,3	9,4	17	43,4	146,1		
Снижение уровня звукового давления из-за влияния застройки между источником шума и расчетной точкой													
Снижение уровня звукового давления на пути над экраном, Dz1, дБ	z = 0.08м (разность путей)	ф-лы (14-18) [10]	4,8	4,8	4,8	4,8	4,8	4,8	4,8	4,8	4,8		
Снижение уровня звукового давления на пути слева от экрана, Dz2, дБ	z = 1.34м (разность путей)	ф-лы (14-18) [10]	9	11,1	13,6	16,3	19,1	22,1	25	28	31		
Снижение уровня звукового давления на пути справа от экрана, Dz3, дБ	z = 0.00м (разность путей)	ф-лы (14-18) [10]	4,8	4,8	4,8	4,9	5	5,2	5,6	6,4	7,5		
Общее снижение уровня звука препятствием Dz, дБ		Эн.сумма(-Dzi)	1	1,3	1,5	1,7	1,8	1,9	2,1	2,5	2,9		
Уровни звукового давления от источника ИШ-6-23 в расчётной точке днём, дБ		**ф-ла(3)[10]**	**13,4**	**13**	**12,4**	**10,7**	**7,5**	**3,2**	**0**	**0**	**0**	**8,4**	**8,4**
Уровни звукового давления от источника ИШ-6-23 в расчётной точке ночью, дБ		**ф-ла(3)[10]**	**13,4**	**13**	**12,4**	**10,7**	**7,5**	**3,2**	**0**	**0**	**0**	**8,4**	**8,4**

Источник шума: ИШ-6-24, координаты источника (x,y,z), м =[800.98,-151.27,3.00]

1		2	3	4	5	6	7	8	9	10	11	12	13
Уровни звуковой мощности источника днём, Lw, дБ		**исходные данные**	**91**	**91**	**91**	**91**	**91**	**91**	**91**	**91**	**91**		
Уровни звуковой мощности источника ночью, Lw, дБ		**исходные данные**	**91**	**91**	**91**	**91**	**91**	**91**	**91**	**91**	**91**		
Поправка на телесный угол DΩ, дБ	Ω = 12.57	10Lg(4π/Ω)	**0**	0	0	0	0	0	0	0	0		
Показатель направленности источника Di, дБ		исходные данные	**0**	0	0	0	0	0	0	0	0		
Поправка на направленность источника Dc, дБ	Dc	DΩ + Di	**0**	0	0	0	0	0	0	0	0		
Затухание из-за геометрической дивергенции, Adiv, дБ	расстояние = 1927.80 м	ф-ла (7) [10]	**76,7**										
Коэффициент затухания звука в атмосфере α, дБ/км	Та=20,°С Ра=101.33,кПа hотн.=70%	ф-ла (5) [9]	0,02	0,09	0,33	1,12	2,79	4,98	9,04	23,09	77,63		
Учет затухания звука в атмосфере Aatm, дБ		ф-ла (8) [10]	0	0,2	0,6	2,2	5,4	9,6	17,4	44,5	149,7		
Снижение уровня звукового давления из-за влияния застройки между источником шума и расчетной точкой													
Снижение уровня звукового давления на пути над экраном, Dz1, дБ	z = 0.09м (разность путей)	ф-лы (14-18) [10]	4,8	4,8	4,8	4,8	4,8	4,8	4,8	4,8	4,8		
Снижение уровня звукового давления на пути слева от экрана, Dz2, дБ	z = 0.48м (разность путей)	ф-лы (14-18) [10]	6,8	8,2	10	12,3	14,9	17,7	20,6	23,6	26,6		
Снижение уровня звукового давления на пути справа от экрана, Dz3, дБ	z = 0.13м (разность путей)	ф-лы (14-18) [10]	5,4	6	7	8,4	10,3	12,7	15,4	18,2	21,1		
Общее снижение уровня звука препятствием Dz, дБ		Эн.сумма(-Dzi)	0,8	1,3	2	2,7	3,4	3,9	4,3	4,5	4,6		
Уровни звукового давления от источника ИШ-6-24 в расчётной точке днём, дБ		**ф-ла(3)[10]**	**13,4**	**12,8**	**11,7**	**9,4**	**5,5**	**0,8**	**0**	**0**	**0**	**6,5**	**6,5**
Уровни звукового давления от источника ИШ-6-24 в расчётной точке ночью, дБ		**ф-ла(3)[10]**	**13,4**	**12,8**	**11,7**	**9,4**	**5,5**	**0,8**	**0**	**0**	**0**	**6,5**	**6,5**

Источник шума: ИШ-8-1, координаты источника (x,y,z), м =[612.60,-227.70,3.00]

1		2	3	4	5	6	7	8	9	10	11	12	13
Уровни звуковой мощности источника днём, Lw, дБ		**исходные данные**	**105**	**104**	**104**	**101**	**102**	**106**	**101**	**95**	**87**		
Уровни звуковой мощности источника ночью, Lw, дБ		**исходные данные**	**105**	**104**	**104**	**101**	**102**	**106**	**101**	**95**	**87**		
Поправка на телесный угол DΩ, дБ	Ω = 6.28	10Lg(4π/Ω)	**3**	3	3	3	3	3	3	3	3		
Показатель направленности источника Di, дБ		исходные данные	**0**	0	0	0	0	0	0	0	0		
Поправка на направленность источника Dc, дБ	Dc	DΩ + Di	**3**	3	3	3	3	3	3	3	3		
Затухание из-за геометрической дивергенции, Adiv, дБ	расстояние = 1749.48 м	ф-ла (7) [10]	**75,9**										
Коэффициент затухания звука в атмосфере α, дБ/км	Ta=20,°C Pa=101.33,кПа hотн.=70%	ф-ла (5) [9]	0,02	0,09	0,33	1,12	2,79	4,98	9,04	23,09	77,63		
Учет затухания звука в атмосфере Aatm, дБ		ф-ла (8) [10]	0	0,2	0,6	2	4,9	8,7	15,8	40,4	135,8		
Снижение поверхностью земли возле источника As, дБ	Gs = 0 hs = 3м	ф-лы таб.3 [10]	-1,5	-1,5	-1,5	-1,5	-1,5	-1,5	-1,5	-1,5	-1,5		
Снижение поверхностью земли возле приёмника Ar, дБ	Gr = 1 hr = 1.5м	ф-лы таб.3 [10]	-1,5	-1,5	5,3	7	5	0,7	0	0	0		
Снижение поверхностью земли в средней зоне, Am дБ	Gm = 1	ф-лы таб.3 [10]	-2,8	-2,8	0	0	0	0	0	0	0		
Суммарное снижение поверхностью земли на траектории распространения звука Agr, дБ		ф-ла (9) [10]	-5,8	-5,8	3,8	5,5	3,5	-0,8	-1,5	-1,5	-1,5		
Уровни звукового давления прямого звука от источника ИШ-8-1 в расчётной точке днём, дБ		**ф-ла(3)[10]**	**37,9**	**36,8**	**26,7**	**20,7**	**20,8**	**25,3**	**13,8**	**0**	**0**	**26,7**	**26,7**
Уровни звукового давления прямого звука от источника ИШ-8-1 в расчётной точке ночью, дБ		**ф-ла(3)[10]**	**37,9**	**36,8**	**26,7**	**20,7**	**20,8**	**25,3**	**13,8**	**0**	**0**	**26,7**	**26,7**
Расчёт отражённого звука													
Уровни звукового давления от мнимого источника ИШ-8-1_мн.(1) в расчётной точке днём, дБ		**ф-ла(3)[10]**	**0**	**0**	**0**	**0**	**0**	**0**	**11,1**	**0**	**0**	**12,3**	**12,3**
Уровни звукового давления от мнимого источника ИШ-8-1_мн.(1) в расчётной точке ночью, дБ		**ф-ла(3)[10]**	**0**	**0**	**0**	**0**	**0**	**0**	**0**	**0**	**0**	**12,3**	**12,3**

1		2	3	4	5	6	7	8	9	10	11	12	13
Уровни звукового давления от источника ИШ-8-1 в расчётной точке днём, дБ		**ф-ла(3)[10]**	**37,9**	**36,8**	**26,7**	**20,7**	**20,8**	**25,3**	**15,7**	**0**	**0**	**26,8**	**26,8**
Уровни звукового давления от источника ИШ-8-1 в расчётной точке ночью, дБ		**ф-ла(3)[10]**	**37,9**	**36,8**	**26,7**	**20,7**	**20,8**	**25,3**	**15,7**	**0**	**0**	**26,8**	**26,8**
Источник шума: ИШ-8-2, координаты источника (x,y,z), м =[596.60,-275.00,3.00]													
Уровни звуковой мощности источника днём, Lw, дБ		**исходные данные**	**105**	**104**	**104**	**101**	**102**	**106**	**101**	**95**	**87**		
Уровни звуковой мощности источника ночью, Lw, дБ		**исходные данные**	**105**	**104**	**104**	**101**	**102**	**106**	**101**	**95**	**87**		
Поправка на телесный угол DΩ, дБ	Ω = 6.28	10Lg(4π/Ω)	**3**	3	3	3	3	3	3	3	3		
Показатель направленности источника Di, дБ		исходные данные	**0**	0	0	0	0	0	0	0	0		
Поправка на направленность источника Dc, дБ	Dc	DΩ + Di	**3**	3	3	3	3	3	3	3	3		
Затухание из-за геометрической дивергенции, Adiv, дБ	расстояние = 1741.06 м	ф-ла (7) [10]	**75,8**										
Коэффициент затухания звука в атмосфере α, дБ/км	Ta=20,°C Pa=101.33,кПа hотн.=70%	ф-ла (5) [9]	0,02	0,09	0,33	1,12	2,79	4,98	9,04	23,09	77,63		
Учет затухания звука в атмосфере Aatm, дБ		ф-ла (8) [10]	0	0,2	0,6	2	4,9	8,7	15,7	40,2	135,2		
Снижение уровня звукового давления из-за влияния застройки между источником шума и расчетной точкой													
Снижение уровня звукового давления на пути над экраном, Dz1, дБ	z = 0.10м (разность путей)	ф-лы (14-18) [10]	4,8	4,8	4,8	4,8	4,8	4,8	4,8	4,8	4,8		
Снижение уровня звукового давления на пути слева от экрана, Dz2, дБ	z = 0.44м (разность путей)	ф-лы (14-18) [10]	6,7	8	9,8	12	14,6	17,4	20,3	23,2	26,2		
Снижение уровня звукового давления на пути справа от экрана, Dz3, дБ	z = 1.05м (разность путей)	ф-лы (14-18) [10]	10,7	13,9	16,8	19,8	22,7	25,7	28,7	31,7	34,7		
Общее снижение уровня звука препятствием Dz, дБ		Эн.сумма(-Dzi)	2	2,7	3,4	3,9	4,3	4,5	4,6	4,7	4,7		

1		2	3	4	5	6	7	8	9	10	11	12	13
Уровни звукового давления прямого звука от источника ИШ-8-2 в расчётной точке днём, дБ		**ф-ла(3)[10]**	**30,2**	**28,3**	**27,2**	**22,3**	**20,1**	**20**	**7,8**	**0**	**0**	**22,9**	**22,9**
Уровни звукового давления прямого звука от источника ИШ-8-2 в расчётной точке ночью, дБ		**ф-ла(3)[10]**	**30,2**	**28,3**	**27,2**	**22,3**	**20,1**	**20**	**7,8**	**0**	**0**	**22,9**	**22,9**
Расчёт отражённого звука													
Уровни звукового давления от мнимого источника ИШ-8-2_мн.(1) в расчётной точке днём, дБ		**ф-ла(3)[10]**	**0**	**0**	**0**	**0**	**0**	**0**	**0**	**0**	**0**	**0**	**0**
Уровни звукового давления от мнимого источника ИШ-8-2_мн.(1) в расчётной точке ночью, дБ		**ф-ла(3)[10]**	**0**	**0**	**0**	**0**	**0**	**0**	**0**	**0**	**0**	**0**	**0**
Уровни звукового давления от источника ИШ-8-2 в расчётной точке днём, дБ		**ф-ла(3)[10]**	**30,2**	**28,3**	**27,2**	**22,3**	**20,1**	**20**	**7,8**	**0**	**0**	**22,9**	**22,9**
Уровни звукового давления от источника ИШ-8-2 в расчётной точке ночью, дБ		**ф-ла(3)[10]**	**30,2**	**28,3**	**27,2**	**22,3**	**20,1**	**20**	**7,8**	**0**	**0**	**22,9**	**22,9**
Источник шума: ИШ-8-3, координаты источника (x,y,z), м =[564.90,-369.90,3.00]													
Уровни звуковой мощности источника днём, Lw, дБ		**исходные данные**	**105**	**104**	**104**	**101**	**102**	**106**	**101**	**95**	**87**		
Уровни звуковой мощности источника ночью, Lw, дБ		**исходные данные**	**105**	**104**	**104**	**101**	**102**	**106**	**101**	**95**	**87**		
Поправка на телесный угол DΩ, дБ	Ω = 6.28	10Lg(4π/Ω)	**3**	3	3	3	3	3	3	3	3		
Показатель направленности источника Di, дБ		исходные данные	**0**	0	0	0	0	0	0	0	0		
Поправка на направленность источника Dc, дБ	Dc	DΩ + Di	**3**	3	3	3	3	3	3	3	3		
Затухание из-за геометрической дивергенции, Adiv, дБ	расстояние = 1728.80 м	ф-ла (7) [10]	**75,8**										
Коэффициент затухания звука в атмосфере α, дБ/км	Ta=20,°C Pa=101.33,кПа hотн.=70%	ф-ла (5) [9]	0,02	0,09	0,33	1,12	2,79	4,98	9,04	23,09	77,63		
Учет затухания звука в атмосфере Aatm, дБ		ф-ла (8) [10]	0	0,2	0,6	1,9	4,8	8,6	15,6	39,9	134,2		

1		2	3	4	5	6	7	8	9	10	11	12	13
Снижение поверхностью земли возле источника As, дБ	Gs = 0 hs = 3м	ф-лы таб.3 [10]	-1,5	-1,5	-1,5	-1,5	-1,5	-1,5	-1,5	-1,5	-1,5		
Снижение поверхностью земли возле приёмника Ar, дБ	Gr = 1 hr = 1.5м	ф-лы таб.3 [10]	-1,5	-1,5	5,3	7	5	0,7	0	0	0		
Снижение поверхностью земли в средней зоне, Am дБ	Gm = 1	ф-лы таб.3 [10]	-2,8	-2,8	0	0	0	0	0	0	0		
Суммарное снижение поверхностью земли на траектории распространения звука Agr, дБ		ф-ла (9) [10]	-5,8	-5,8	3,8	5,5	3,5	-0,8	-1,5	-1,5	-1,5		
Уровни звукового давления прямого звука от источника ИШ-8-3 в расчётной точке днём, дБ		**ф-ла(3)[10]**	**38**	**36,9**	**26,8**	**20,8**	**21**	**25,5**	**14,1**	**0**	**0**	**26,9**	**26,9**
Уровни звукового давления прямого звука от источника ИШ-8-3 в расчётной точке ночью, дБ		**ф-ла(3)[10]**	**38**	**36,9**	**26,8**	**20,8**	**21**	**25,5**	**14,1**	**0**	**0**	**26,9**	**26,9**
Расчёт отражённого звука													
Уровни звукового давления от мнимого источника ИШ-8-3_мн.(1) в расчётной точке днём, дБ		**ф-ла(3)[10]**	**0**	**0**	**0**	**0**	**0**	**0**	**0**	**0**	**0**	**0**	**0**
Уровни звукового давления от мнимого источника ИШ-8-3_мн.(1) в расчётной точке ночью, дБ		**ф-ла(3)[10]**	**0**	**0**	**0**	**0**	**0**	**0**	**0**	**0**	**0**	**0**	**0**
Уровни звукового давления от источника ИШ-8-3 в расчётной точке днём, дБ		**ф-ла(3)[10]**	**38**	**36,9**	**26,8**	**20,8**	**21**	**25,5**	**14,1**	**0**	**0**	**26,9**	**26,9**
Уровни звукового давления от источника ИШ-8-3 в расчётной точке ночью, дБ		**ф-ла(3)[10]**	**38**	**36,9**	**26,8**	**20,8**	**21**	**25,5**	**14,1**	**0**	**0**	**26,9**	**26,9**
Источник шума: ИШ-9-1, координаты источника (x,y,z), м =[642.94,-357.54,1.00]													
Уровни звуковой мощности источника днём, Lw, дБ		**исходные данные**	**0**	**93,3**	**94,7**	**96**	**96,3**	**95,9**	**92,6**	**88,4**	**83,9**		
Уровни звуковой мощности источника ночью, Lw, дБ		**исходные данные**	**0**	**93,3**	**94,7**	**96**	**96,3**	**95,9**	**92,6**	**88,4**	**83,9**		
Поправка на телесный угол DΩ, дБ	Ω = 6.28	10Lg(4π/Ω)	**3**	3	3	3	3	3	3	3	3		
Показатель направленности источника Di, дБ		исходные данные	**0**	0	0	0	0	0	0	0	0		
Поправка на направленность источника Dc, дБ	Dc	DΩ + Di	**3**	3	3	3	3	3	3	3	3		

1		2	3	4	5	6	7	8	9	10	11	12	13
Затухание из-за геометрической дивергенции, Adiv, дБ	расстояние = 1802.26 м	ф-ла (7) [10]	**76,1**										
Коэффициент затухания звука в атмосфере α, дБ/км	Ta=20,°C Pa=101.33,кПа hотн.=70%	ф-ла (5) [9]	0,02	0,09	0,33	1,12	2,79	4,98	9,04	23,09	77,63		
Учет затухания звука в атмосфере Aatm, дБ		ф-ла (8) [10]	0	0,2	0,6	2	5	9	16,3	41,6	139,9		
Снижение уровня звукового давления из-за влияния застройки между источником шума и расчетной точкой													
Снижение уровня звукового давления препятствием справа от трассы ИШ-РТ, Dz3, дБ	z = -0.02м (разность путей)	ф-лы (14-18) [10]	0	0	0	3,8	2,6	0	NAN	NAN	NAN		
* отрицательное значение z означает прохождение траектории вблизи экрана, в этом случае дополнительно производится учёт снижения подстилающей поверхностью (см.ниже)													
Снижение поверхностью земли возле источника As, дБ	Gs = 0 hs = 1м	ф-лы таб.3 [10]	-1,5	-1,5	-1,5	-1,5	-1,5	-1,5	-1,5	-1,5	-1,5		
Снижение поверхностью земли возле приёмника Ar, дБ	Gr = 1 hr = 1.5м	ф-лы таб.3 [10]	-1,5	-1,5	5,3	7	5	0,7	0	0	0		
Снижение поверхностью земли в средней зоне, Am дБ	Gm = 1	ф-лы таб.3 [10]	-2,9	-2,9	0	0	0	0	0	0	0		
Суммарное снижение поверхностью земли на траектории распространения звука Agr, дБ		ф-ла (9) [10]	-5,9	-5,9	3,8	5,5	3,5	-0,8	-1,5	-1,5	-1,5		
Уровни звукового давления от источника ИШ-9-1 в расчётной точке днём, дБ		**ф-ла(3)[10]**	**0**	**25,9**	**17,1**	**11,5**	**12**	**14,6**	**4,7**	**0**	**0**	**16,5**	**16,5**
Уровни звукового давления от источника ИШ-9-1 в расчётной точке ночью, дБ		**ф-ла(3)[10]**	**0**	**25,9**	**17,1**	**11,5**	**12**	**14,6**	**4,7**	**0**	**0**	**16,5**	**16,5**
Источник шума: ИШ-9-2, координаты источника (x,y,z), м =[644.14,-354.83,1.00]													
Уровни звуковой мощности источника днём, Lw, дБ		**исходные данные**	**0**	**93,3**	**94,7**	**96**	**96,3**	**95,9**	**92,6**	**88,4**	**83,9**		
Уровни звуковой мощности источника ночью, Lw, дБ		**исходные данные**	**0**	**93,3**	**94,7**	**96**	**96,3**	**95,9**	**92,6**	**88,4**	**83,9**		
Поправка на телесный угол DΩ, дБ	Ω = 6.28	10Lg(4π/Ω)	**3**	3	3	3	3	3	3	3	3		
Показатель направленности источника Di, дБ		исходные данные	**0**	0	0	0	0	0	0	0	0		

1		2	3	4	5	6	7	8	9	10	11	12	13
Поправка на направленность источника Dc, дБ	Dc	DΩ + Di	**3**	3	3	3	3	3	3	3	3		
Затухание из-за геометрической дивергенции, Adiv, дБ	расстояние = 1802.87 м	ф-ла (7) [10]	**76,1**										
Коэффициент затухания звука в атмосфере α, дБ/км	Ta=20,°C Pa=101.33,кПа hотн.=70%	ф-ла (5) [9]	0,02	0,09	0,33	1,12	2,79	4,98	9,04	23,09	77,63		
Учет затухания звука в атмосфере Aatm, дБ		ф-ла (8) [10]	0	0,2	0,6	2	5	9	16,3	41,6	140		
Снижение уровня звукового давления из-за влияния застройки между источником шума и расчетной точкой													
Снижение уровня звукового давления на пути над экраном, Dz1, дБ	z = 0.04м (разность путей)	ф-лы (14-18) [10]	4,8	4,8	4,8	4,8	4,8	4,8	4,8	4,8	4,8		
Снижение уровня звукового давления на пути слева от экрана, Dz2, дБ	z = 0.00м (разность путей)	ф-лы (14-18) [10]	4,8	4,8	4,8	4,9	4,9	5,1	5,4	5,9	6,9		
Снижение уровня звукового давления на пути справа от экрана, Dz3, дБ	z = 2.58м (разность путей)	ф-лы (14-18) [10]	11	13,7	17	21,2	25,6	29,3	32,5	35,6	38,6		
Общее снижение уровня звука препятствием Dz, дБ		Эн.сумма(-Dzi)	1,3	1,5	1,7	1,8	1,8	1,9	2,1	2,3	2,7		
Уровни звукового давления от источника ИШ-9-2 в расчётной точке днём, дБ		**ф-ла(3)[10]**	**0**	**18,5**	**19,3**	**19,1**	**16,3**	**11,9**	**1,1**	**0**	**0**	**17,1**	**17,1**
Уровни звукового давления от источника ИШ-9-2 в расчётной точке ночью, дБ		**ф-ла(3)[10]**	**0**	**18,5**	**19,3**	**19,1**	**16,3**	**11,9**	**1,1**	**0**	**0**	**17,1**	**17,1**
Источник шума: ИШ-9-3, координаты источника (x,y,z), м =[644.98,-351.85,1.00]													
Уровни звуковой мощности источника днём, Lw, дБ		**исходные данные**	**0**	**93,3**	**94,7**	**96**	**96,3**	**95,9**	**92,6**	**88,4**	**83,9**		
Уровни звуковой мощности источника ночью, Lw, дБ		**исходные данные**	**0**	**93,3**	**94,7**	**96**	**96,3**	**95,9**	**92,6**	**88,4**	**83,9**		
Поправка на телесный угол DΩ, дБ	Ω = 6.28	10Lg(4π/Ω)	**3**	3	3	3	3	3	3	3	3		
Показатель направленности источника Di, дБ		исходные данные	**0**	0	0	0	0	0	0	0	0		

1		2	3	4	5	6	7	8	9	10	11	12	13
Поправка на направленность источника Dc, дБ	Dc	DΩ + Di	**3**	3	3	3	3	3	3	3	3		
Затухание из-за геометрической дивергенции, Adiv, дБ	расстояние = 1803.07 м	ф-ла (7) [10]	**76,1**										
Коэффициент затухания звука в атмосфере α, дБ/км	Ta=20,°C Pa=101.33,кПа hотн.=70%	ф-ла (5) [9]	0,02	0,09	0,33	1,12	2,79	4,98	9,04	23,09	77,63		
Учет затухания звука в атмосфере Aatm, дБ		ф-ла (8) [10]	0	0,2	0,6	2	5	9	16,3	41,6	140		
Снижение уровня звукового давления из-за влияния застройки между источником шума и расчетной точкой													
Снижение уровня звукового давления на пути над экраном, Dz1, дБ	z = 0.04м (разность путей)	ф-лы (14-18) [10]	4,8	4,8	4,8	4,8	4,8	4,8	4,8	4,8	4,8		
Снижение уровня звукового давления на пути слева от экрана, Dz2, дБ	z = 0.06м (разность путей)	ф-лы (14-18) [10]	5,1	5,4	5,9	6,7	8,1	9,9	12,2	14,8	17,6		
Снижение уровня звукового давления на пути справа от экрана, Dz3, дБ	z = 1.99м (разность путей)	ф-лы (14-18) [10]	10,2	12,7	15,9	20,1	24,5	28,2	31,4	34,5	37,5		
Общее снижение уровня звука препятствием Dz, дБ		Эн.сумма(-Dzi)	1,3	1,7	2,1	2,5	3,1	3,6	4	4,4	4,5		
Уровни звукового давления от источника ИШ-9-3 в расчётной точке днём, дБ		**ф-ла(3)[10]**	**0**	**18,3**	**18,9**	**18,3**	**15,1**	**10,2**	**0**	**0**	**0**	**15,7**	**15,7**
Уровни звукового давления от источника ИШ-9-3 в расчётной точке ночью, дБ		**ф-ла(3)[10]**	**0**	**18,3**	**18,9**	**18,3**	**15,1**	**10,2**	**0**	**0**	**0**	**15,7**	**15,7**
Источник шума: ИШ-9-4, координаты источника (x,y,z), м =[646.01,-349.15,1.00]													
Уровни звуковой мощности источника днём, Lw, дБ		**исходные данные**	**0**	**93,3**	**94,7**	**96**	**96,3**	**95,9**	**92,6**	**88,4**	**83,9**		
Уровни звуковой мощности источника ночью, Lw, дБ		**исходные данные**	**0**	**93,3**	**94,7**	**96**	**96,3**	**95,9**	**92,6**	**88,4**	**83,9**		
Поправка на телесный угол DΩ, дБ	Ω = 6.28	10Lg(4π/Ω)	**3**	3	3	3	3	3	3	3	3		
Показатель направленности источника Di, дБ		исходные данные	**0**	0	0	0	0	0	0	0	0		

1		2	3	4	5	6	7	8	9	10	11	12	13
Поправка на направленность источника Dc, дБ	Dc	DΩ + Di	**3**	3	3	3	3	3	3	3	3		
Затухание из-за геометрической дивергенции, Adiv, дБ	расстояние = 1803.52 м	ф-ла (7) [10]	**76,1**										
Коэффициент затухания звука в атмосфере α, дБ/км	Ta=20,°C Pa=101.33,кПа hотн.=70%	ф-ла (5) [9]	0,02	0,09	0,33	1,12	2,79	4,98	9,04	23,09	77,63		
Учет затухания звука в атмосфере Aatm, дБ		ф-ла (8) [10]	0	0,2	0,6	2	5	9	16,3	41,6	140		
Снижение уровня звукового давления из-за влияния застройки между источником шума и расчетной точкой													
Снижение уровня звукового давления на пути над экраном, Dz1, дБ	z = 0.04м (разность путей)	ф-лы (14-18) [10]	4,8	4,8	4,8	4,8	4,8	4,8	4,8	4,8	4,8		
Снижение уровня звукового давления на пути слева от экрана, Dz2, дБ	z = 0.18м (разность путей)	ф-лы (14-18) [10]	5,6	6,3	7,5	9,1	11,3	13,8	16,5	19,4	22,3		
Снижение уровня звукового давления на пути справа от экрана, Dz3, дБ	z = 1.52м (разность путей)	ф-лы (14-18) [10]	9,4	11,8	14,8	18,9	23,3	27	30,2	33,3	36,3		
Общее снижение уровня звука препятствием Dz, дБ		Эн.сумма(-Dzi)	1,4	2	2,6	3,3	3,8	4,2	4,5	4,6	4,7		
Уровни звукового давления от источника ИШ-9-4 в расчётной точке днём, дБ		**ф-ла(3)[10]**	**0**	**18**	**18,3**	**17,5**	**14,3**	**9,6**	**0**	**0**	**0**	**15**	**15**
Уровни звукового давления от источника ИШ-9-4 в расчётной точке ночью, дБ		**ф-ла(3)[10]**	**0**	**18**	**18,3**	**17,5**	**14,3**	**9,6**	**0**	**0**	**0**	**15**	**15**
Источник шума: ИШ-9-5, координаты источника (x,y,z), м =[646.84,-346.17,1.00]													
Уровни звуковой мощности источника днём, Lw, дБ		**исходные данные**	**0**	**93,3**	**94,7**	**96**	**96,3**	**95,9**	**92,6**	**88,4**	**83,9**		
Уровни звуковой мощности источника ночью, Lw, дБ		**исходные данные**	**0**	**93,3**	**94,7**	**96**	**96,3**	**95,9**	**92,6**	**88,4**	**83,9**		
Поправка на телесный угол DΩ, дБ	Ω = 6.28	10Lg(4π/Ω)	**3**	3	3	3	3	3	3	3	3		
Показатель направленности источника Di, дБ		исходные данные	**0**	0	0	0	0	0	0	0	0		

1		2	3	4	5	6	7	8	9	10	11	12	13
Поправка на направленность источника Dc, дБ	Dc	DΩ + Di	**3**	3	3	3	3	3	3	3	3		
Затухание из-за геометрической дивергенции, Adiv, дБ	расстояние = 1803.73 м	ф-ла (7) [10]	**76,1**										
Коэффициент затухания звука в атмосфере α, дБ/км	Ta=20,°C Pa=101.33,кПа hотн.=70%	ф-ла (5) [9]	0,02	0,09	0,33	1,12	2,79	4,98	9,04	23,09	77,63		
Учет затухания звука в атмосфере Aatm, дБ		ф-ла (8) [10]	0	0,2	0,6	2	5	9	16,3	41,6	140		
Снижение уровня звукового давления из-за влияния застройки между источником шума и расчетной точкой													
Снижение уровня звукового давления на пути над экраном, Dz1, дБ	z = 0.04м (разность путей)	ф-лы (14-18) [10]	4,8	4,8	4,8	4,8	4,8	4,8	4,8	4,8	4,8		
Снижение уровня звукового давления на пути слева от экрана, Dz2, дБ	z = 0.38м (разность путей)	ф-лы (14-18) [10]	6,4	7,6	9,3	11,5	14	16,8	19,6	22,6	25,6		
Снижение уровня звукового давления на пути справа от экрана, Dz3, дБ	z = 1.08м (разность путей)	ф-лы (14-18) [10]	8,5	10,6	13,5	17,5	21,8	25,5	28,8	31,8	34,8		
Общее снижение уровня звука препятствием Dz, дБ		Эн.сумма(-Dzi)	1,5	2,3	3,1	3,7	4,2	4,5	4,6	4,7	4,7		
Уровни звукового давления от источника ИШ-9-5 в расчётной точке днём, дБ		**ф-ла(3)[10]**	**0**	**17,7**	**17,9**	**17,1**	**13,9**	**9,3**	**0**	**0**	**0**	**14,6**	**14,6**
Уровни звукового давления от источника ИШ-9-5 в расчётной точке ночью, дБ		**ф-ла(3)[10]**	**0**	**17,7**	**17,9**	**17,1**	**13,9**	**9,3**	**0**	**0**	**0**	**14,6**	**14,6**
Источник шума: ИШ-9-6, координаты источника (x,y,z), м =[647.87,-343.47,1.00]													
Уровни звуковой мощности источника днём, Lw, дБ		**исходные данные**	**0**	**93,3**	**94,7**	**96**	**96,3**	**95,9**	**92,6**	**88,4**	**83,9**		
Уровни звуковой мощности источника ночью, Lw, дБ		**исходные данные**	**0**	**93,3**	**94,7**	**96**	**96,3**	**95,9**	**92,6**	**88,4**	**83,9**		
Поправка на телесный угол DΩ, дБ	Ω = 6.28	10Lg(4π/Ω)	**3**	3	3	3	3	3	3	3	3		
Показатель направленности источника Di, дБ		исходные данные	**0**	0	0	0	0	0	0	0	0		

1		2	3	4	5	6	7	8	9	10	11	12	13
Поправка на направленность источника Dc, дБ	Dc	DΩ + Di	**3**	3	3	3	3	3	3	3	3		
Затухание из-за геометрической дивергенции, Adiv, дБ	расстояние = 1804.19 м	ф-ла (7) [10]	**76,1**										
Коэффициент затухания звука в атмосфере α, дБ/км	Ta=20,°C Pa=101.33,кПа hотн.=70%	ф-ла (5) [9]	0,02	0,09	0,33	1,12	2,79	4,98	9,04	23,09	77,63		
Учет затухания звука в атмосфере Aatm, дБ		ф-ла (8) [10]	0	0,2	0,6	2	5	9	16,3	41,7	140,1		
Снижение уровня звукового давления из-за влияния застройки между источником шума и расчетной точкой													
Снижение уровня звукового давления на пути над экраном, Dz1, дБ	z = 0.04м (разность путей)	ф-лы (14-18) [10]	4,8	4,8	4,8	4,8	4,8	4,8	4,8	4,8	4,8		
Снижение уровня звукового давления на пути слева от экрана, Dz2, дБ	z = 0.63м (разность путей)	ф-лы (14-18) [10]	7,3	8,8	10,9	13,3	16	18,9	21,8	24,8	27,8		
Снижение уровня звукового давления на пути справа от экрана, Dz3, дБ	z = 0.75м (разность путей)	ф-лы (14-18) [10]	7,6	9,3	11,4	14	16,7	19,6	22,5	25,5	28,5		
Общее снижение уровня звука препятствием Dz, дБ		Эн.сумма(-Dzi)	1,6	2,4	3,1	3,8	4,2	4,5	4,6	4,7	4,7		
Уровни звукового давления от источника ИШ-9-6 в расчётной точке днём, дБ		**ф-ла(3)[10]**	**0**	**17,6**	**17,8**	**17,1**	**13,9**	**9,3**	**0**	**0**	**0**	**14,6**	**14,6**
Уровни звукового давления от источника ИШ-9-6 в расчётной точке ночью, дБ		**ф-ла(3)[10]**	**0**	**17,6**	**17,8**	**17,1**	**13,9**	**9,3**	**0**	**0**	**0**	**14,6**	**14,6**
Источник шума: ИШ-9-7, координаты источника (x,y,z), м =[648.71,-340.49,1.00]													
Уровни звуковой мощности источника днём, Lw, дБ		**исходные данные**	**0**	**93,3**	**94,7**	**96**	**96,3**	**95,9**	**92,6**	**88,4**	**83,9**		
Уровни звуковой мощности источника ночью, Lw, дБ		**исходные данные**	**0**	**93,3**	**94,7**	**96**	**96,3**	**95,9**	**92,6**	**88,4**	**83,9**		
Поправка на телесный угол DΩ, дБ	Ω = 6.28	10Lg(4π/Ω)	**3**	3	3	3	3	3	3	3	3		
Показатель направленности источника Di, дБ		исходные данные	**0**	0	0	0	0	0	0	0	0		

1		2	3	4	5	6	7	8	9	10	11	12	13
Поправка на направленность источника Dc, дБ	Dc	DΩ + Di	**3**	3	3	3	3	3	3	3	3		
Затухание из-за геометрической дивергенции, Adiv, дБ	расстояние = 1804.41 м	ф-ла (7) [10]	**76,1**										
Коэффициент затухания звука в атмосфере α, дБ/км	Ta=20,°C Pa=101.33,кПа hотн.=70%	ф-ла (5) [9]	0,02	0,09	0,33	1,12	2,79	4,98	9,04	23,09	77,63		
Учет затухания звука в атмосфере Aatm, дБ		ф-ла (8) [10]	0	0,2	0,6	2	5	9	16,3	41,7	140,1		
Снижение уровня звукового давления из-за влияния застройки между источником шума и расчетной точкой													
Снижение уровня звукового давления на пути над экраном, Dz1, дБ	z = 0.04м (разность путей)	ф-лы (14-18) [10]	4,8	4,8	4,8	4,8	4,8	4,8	4,8	4,8	4,8		
Снижение уровня звукового давления на пути слева от экрана, Dz2, дБ	z = 0.97м (разность путей)	ф-лы (14-18) [10]	8,2	10,1	12,4	15	17,8	20,7	23,7	26,6	29,6		
Снижение уровня звукового давления на пути справа от экрана, Dz3, дБ	z = 0.45м (разность путей)	ф-лы (14-18) [10]	6,7	8	9,8	12,1	14,7	17,5	20,4	23,3	26,3		
Общее снижение уровня звука препятствием Dz, дБ		Эн.сумма(-Dzi)	1,6	2,3	3,1	3,7	4,2	4,4	4,6	4,7	4,7		
Уровни звукового давления от источника ИШ-9-7 в расчётной точке днём, дБ		**ф-ла(3)[10]**	**0**	**17,7**	**17,9**	**17,1**	**14**	**9,3**	**0**	**0**	**0**	**14,7**	**14,7**
Уровни звукового давления от источника ИШ-9-7 в расчётной точке ночью, дБ		**ф-ла(3)[10]**	**0**	**17,7**	**17,9**	**17,1**	**14**	**9,3**	**0**	**0**	**0**	**14,7**	**14,7**
Источник шума: ИШ-9-8, координаты источника (x,y,z), м =[649.92,-337.69,1.00]													
Уровни звуковой мощности источника днём, Lw, дБ		**исходные данные**	**0**	**93,3**	**94,7**	**96**	**96,3**	**95,9**	**92,6**	**88,4**	**83,9**		
Уровни звуковой мощности источника ночью, Lw, дБ		**исходные данные**	**0**	**93,3**	**94,7**	**96**	**96,3**	**95,9**	**92,6**	**88,4**	**83,9**		
Поправка на телесный угол DΩ, дБ	Ω = 6.28	10Lg(4π/Ω)	**3**	3	3	3	3	3	3	3	3		
Показатель направленности источника Di, дБ		исходные данные	**0**	0	0	0	0	0	0	0	0		

1		2	3	4	5	6	7	8	9	10	11	12	13
Поправка на направленность источника Dc, дБ	Dc	DΩ + Di	**3**	3	3	3	3	3	3	3	3		
Затухание из-за геометрической дивергенции, Adiv, дБ	расстояние = 1805.04 м	ф-ла (7) [10]	**76,1**										
Коэффициент затухания звука в атмосфере α, дБ/км	Ta=20,°C Pa=101.33,кПа hотн.=70%	ф-ла (5) [9]	0,02	0,09	0,33	1,12	2,79	4,98	9,04	23,09	77,63		
Учет затухания звука в атмосфере Aatm, дБ		ф-ла (8) [10]	0	0,2	0,6	2	5	9	16,3	41,7	140,1		
Снижение уровня звукового давления из-за влияния застройки между источником шума и расчетной точкой													
Снижение уровня звукового давления на пути над экраном, Dz1, дБ	z = 0.04м (разность путей)	ф-лы (14-18) [10]	4,8	4,8	4,8	4,8	4,8	4,8	4,8	4,8	4,8		
Снижение уровня звукового давления на пути слева от экрана, Dz2, дБ	z = 1.37м (разность путей)	ф-лы (14-18) [10]	9,1	11,2	13,6	16,4	19,2	22,2	25,1	28,1	31,1		
Снижение уровня звукового давления на пути справа от экрана, Dz3, дБ	z = 0.24м (разность путей)	ф-лы (14-18) [10]	5,9	6,8	8,1	10	12,3	14,9	17,7	20,6	23,6		
Общее снижение уровня звука препятствием Dz, дБ		Эн.сумма(-Dzi)	1,5	2,1	2,8	3,4	3,9	4,3	4,5	4,6	4,7		
Уровни звукового давления от источника ИШ-9-8 в расчётной точке днём, дБ		**ф-ла(3)[10]**	**0**	**17,9**	**18,2**	**17,4**	**14,2**	**9,5**	**0**	**0**	**0**	**14,9**	**14,9**
Уровни звукового давления от источника ИШ-9-8 в расчётной точке ночью, дБ		**ф-ла(3)[10]**	**0**	**17,9**	**18,2**	**17,4**	**14,2**	**9,5**	**0**	**0**	**0**	**14,9**	**14,9**
Источник шума: ИШ-9-9, координаты источника (x,y,z), м =[650.66,-334.90,1.00]													
Уровни звуковой мощности источника днём, Lw, дБ		**исходные данные**	**0**	**93,3**	**94,7**	**96**	**96,3**	**95,9**	**92,6**	**88,4**	**83,9**		
Уровни звуковой мощности источника ночью, Lw, дБ		**исходные данные**	**0**	**93,3**	**94,7**	**96**	**96,3**	**95,9**	**92,6**	**88,4**	**83,9**		
Поправка на телесный угол DΩ, дБ	Ω = 6.28	10Lg(4π/Ω)	**3**	3	3	3	3	3	3	3	3		
Показатель направленности источника Di, дБ		исходные данные	**0**	0	0	0	0	0	0	0	0		

1		2	3	4	5	6	7	8	9	10	11	12	13
Поправка на направленность источника Dc, дБ	Dc	DΩ + Di	**3**	3	3	3	3	3	3	3	3		
Затухание из-за геометрической дивергенции, Adiv, дБ	расстояние = 1805.21 м	ф-ла (7) [10]	**76,1**										
Коэффициент затухания звука в атмосфере α, дБ/км	Ta=20,°C Pa=101.33,кПа hотн.=70%	ф-ла (5) [9]	0,02	0,09	0,33	1,12	2,79	4,98	9,04	23,09	77,63		
Учет затухания звука в атмосфере Aatm, дБ		ф-ла (8) [10]	0	0,2	0,6	2	5	9	16,3	41,7	140,1		
Снижение уровня звукового давления из-за влияния застройки между источником шума и расчетной точкой													
Снижение уровня звукового давления на пути над экраном, Dz1, дБ	z = 0.04м (разность путей)	ф-лы (14-18) [10]	4,8	4,8	4,8	4,8	4,8	4,8	4,8	4,8	4,8		
Снижение уровня звукового давления на пути слева от экрана, Dz2, дБ	z = 1.82м (разность путей)	ф-лы (14-18) [10]	9,9	12,2	14,7	17,5	20,4	23,4	26,4	29,3	32,3		
Снижение уровня звукового давления на пути справа от экрана, Dz3, дБ	z = 0.10м (разность путей)	ф-лы (14-18) [10]	5,3	5,7	6,5	7,7	9,4	11,6	14,1	16,9	19,8		
Общее снижение уровня звука препятствием Dz, дБ		Эн.сумма(-Dzi)	1,3	1,8	2,3	2,8	3,4	3,9	4,3	4,5	4,6		
Уровни звукового давления от источника ИШ-9-9 в расчётной точке днём, дБ		**ф-ла(3)[10]**	**0**	**18,2**	**18,7**	**18**	**14,7**	**9,9**	**0**	**0**	**0**	**15,4**	**15,4**
Уровни звукового давления от источника ИШ-9-9 в расчётной точке ночью, дБ		**ф-ла(3)[10]**	**0**	**18,2**	**18,7**	**18**	**14,7**	**9,9**	**0**	**0**	**0**	**15,4**	**15,4**
Источник шума: ИШ-9-10, координаты источника (x,y,z), м =[651.59,-332.01,1.00]													
Уровни звуковой мощности источника днём, Lw, дБ		**исходные данные**	**0**	**93,3**	**94,7**	**96**	**96,3**	**95,9**	**92,6**	**88,4**	**83,9**		
Уровни звуковой мощности источника ночью, Lw, дБ		**исходные данные**	**0**	**93,3**	**94,7**	**96**	**96,3**	**95,9**	**92,6**	**88,4**	**83,9**		
Поправка на телесный угол DΩ, дБ	Ω = 6.28	10Lg(4π/Ω)	**3**	3	3	3	3	3	3	3	3		
Показатель направленности источника Di, дБ		исходные данные	**0**	0	0	0	0	0	0	0	0		

1		2	3	4	5	6	7	8	9	10	11	12	13
Поправка на направленность источника Dc, дБ	Dc	DΩ + Di	**3**	3	3	3	3	3	3	3	3		
Затухание из-за геометрической дивергенции, Adiv, дБ	расстояние = 1805.56 м	ф-ла (7) [10]	**76,1**										
Коэффициент затухания звука в атмосфере α, дБ/км	Ta=20,°C Pa=101.33,кПа hотн.=70%	ф-ла (5) [9]	0,02	0,09	0,33	1,12	2,79	4,98	9,04	23,09	77,63		
Учет затухания звука в атмосфере Aatm, дБ		ф-ла (8) [10]	0	0,2	0,6	2	5	9	16,3	41,7	140,2		
Снижение уровня звукового давления из-за влияния застройки между источником шума и расчетной точкой													
Снижение уровня звукового давления на пути над экраном, Dz1, дБ	z = 0.04м (разность путей)	ф-лы (14-18) [10]	4,8	4,8	4,8	4,8	4,8	4,8	4,8	4,8	4,8		
Снижение уровня звукового давления на пути слева от экрана, Dz2, дБ	z = 2.35м (разность путей)	ф-лы (14-18) [10]	10,7	13,1	15,8	18,6	21,5	24,5	27,5	30,5	33,5		
Снижение уровня звукового давления на пути справа от экрана, Dz3, дБ	z = 0.02м (разность путей)	ф-лы (14-18) [10]	4,9	4,9	5,1	5,4	6	6,9	8,3	10,2	12,6		
Общее снижение уровня звука препятствием Dz, дБ		Эн.сумма(-Dzi)	1,3	1,5	1,7	2	2,3	2,7	3,2	3,7	4,1		
Уровни звукового давления от источника ИШ-9-10 в расчётной точке днём, дБ		**ф-ла(3)[10]**	**0**	**18,5**	**19,2**	**18,9**	**15,9**	**11,1**	**0**	**0**	**0**	**16,5**	**16,5**
Уровни звукового давления от источника ИШ-9-10 в расчётной точке ночью, дБ		**ф-ла(3)[10]**	**0**	**18,5**	**19,2**	**18,9**	**15,9**	**11,1**	**0**	**0**	**0**	**16,5**	**16,5**
Источник шума: ИШ-9-11, координаты источника (x,y,z), м =[652.71,-329.22,1.00]													
Уровни звуковой мощности источника днём, Lw, дБ		**исходные данные**	**0**	**93,3**	**94,7**	**96**	**96,3**	**95,9**	**92,6**	**88,4**	**83,9**		
Уровни звуковой мощности источника ночью, Lw, дБ		**исходные данные**	**0**	**93,3**	**94,7**	**96**	**96,3**	**95,9**	**92,6**	**88,4**	**83,9**		
Поправка на телесный угол DΩ, дБ	Ω = 6.28	10Lg(4π/Ω)	**3**	3	3	3	3	3	3	3	3		
Показатель направленности источника Di, дБ		исходные данные	**0**	0	0	0	0	0	0	0	0		

1		2	3	4	5	6	7	8	9	10	11	12	13
Поправка на направленность источника Dc, дБ	Dc	DΩ + Di	**3**	3	3	3	3	3	3	3	3		
Затухание из-за геометрической дивергенции, Adiv, дБ	расстояние = 1806.11 м	ф-ла (7) [10]	**76,1**										
Коэффициент затухания звука в атмосфере α, дБ/км	Ta=20,°C Pa=101.33,кПа hотн.=70%	ф-ла (5) [9]	0,02	0,09	0,33	1,12	2,79	4,98	9,04	23,09	77,63		
Учет затухания звука в атмосфере Aatm, дБ		ф-ла (8) [10]	0	0,2	0,6	2	5	9	16,3	41,7	140,2		
Снижение уровня звукового давления из-за влияния застройки между источником шума и расчетной точкой													
Снижение уровня звукового давления препятствием слева от трассы ИШ-РТ, Dz2, дБ	z = 0.00м (разность путей)	ф-лы (14-18) [10]	4,8	4,7	4,7	4,6	4,5	4,2	3,6	2,1	0		
* отрицательное значение z означает прохождение траектории вблизи экрана, в этом случае дополнительно производится учёт снижения подстилающей поверхностью (см.ниже)													
Снижение поверхностью земли возле источника As, дБ	Gs = 0 hs = 1м	ф-лы таб.3 [10]	-1,5	-1,5	-1,5	-1,5	-1,5	-1,5	-1,5	-1,5	-1,5		
Снижение поверхностью земли возле приёмника Ar, дБ	Gr = 1 hr = 1.5м	ф-лы таб.3 [10]	-1,5	-1,5	5,3	7	5	0,7	0	0	0		
Снижение поверхностью земли в средней зоне, Am дБ	Gm = 1	ф-лы таб.3 [10]	-2,9	-2,9	0	0	0	0	0	0	0		
Суммарное снижение поверхностью земли на траектории распространения звука Agr, дБ		ф-ла (9) [10]	-5,9	-5,9	3,8	5,5	3,5	-0,8	-1,5	-1,5	-1,5		
Уровни звукового давления от источника ИШ-9-11 в расчётной точке днём, дБ		**ф-ла(3)[10]**	**0**	**21,1**	**12,4**	**10,7**	**10,1**	**10,4**	**0**	**0**	**0**	**12,6**	**12,6**
Уровни звукового давления от источника ИШ-9-11 в расчётной точке ночью, дБ		**ф-ла(3)[10]**	**0**	**21,1**	**12,4**	**10,7**	**10,1**	**10,4**	**0**	**0**	**0**	**12,6**	**12,6**
Источник шума: ИШ-9-12, координаты источника (x,y,z), м =[653.46,-326.33,1.00]													
Уровни звуковой мощности источника днём, Lw, дБ		**исходные данные**	**0**	**93,3**	**94,7**	**96**	**96,3**	**95,9**	**92,6**	**88,4**	**83,9**		
Уровни звуковой мощности источника ночью, Lw, дБ		**исходные данные**	**0**	**93,3**	**94,7**	**96**	**96,3**	**95,9**	**92,6**	**88,4**	**83,9**		
Поправка на телесный угол DΩ, дБ	Ω = 6.28	10Lg(4π/Ω)	**3**	3	3	3	3	3	3	3	3		

1		2	3	4	5	6	7	8	9	10	11	12	13
Показатель направленности источника Di, дБ		исходные данные	**0**	0	0	0	0	0	0	0	0		
Поправка на направленность источника Dc, дБ	Dc	DΩ + Di	**3**	3	3	3	3	3	3	3	3		
Затухание из-за геометрической дивергенции, Adiv, дБ	расстояние = 1806.28 м	ф-ла (7) [10]	**76,1**										
Коэффициент затухания звука в атмосфере α, дБ/км	Ta=20,°C Pa=101.33,кПа hотн.=70%	ф-ла (5) [9]	0,02	0,09	0,33	1,12	2,79	4,98	9,04	23,09	77,63		
Учет затухания звука в атмосфере Aatm, дБ		ф-ла (8) [10]	0	0,2	0,6	2	5	9	16,3	41,7	140,2		
Снижение уровня звукового давления из-за влияния застройки между источником шума и расчетной точкой													
Снижение уровня звукового давления препятствием слева от трассы ИШ-РТ, Dz2, дБ	z = -0.06м (разность путей)	ф-лы (14-18) [10]	4,5	4,1	3,4	1,3	NAN	NAN	NAN	NAN	NAN		
* отрицательное значение z означает прохождение траектории вблизи экрана, в этом случае дополнительно производится учёт снижения подстилающей поверхностью (см.ниже)													
Снижение поверхностью земли возле источника As, дБ	Gs = 0 hs = 1м	ф-лы таб.3 [10]	-1,5	-1,5	-1,5	-1,5	-1,5	-1,5	-1,5	-1,5	-1,5		
Снижение поверхностью земли возле приёмника Ar, дБ	Gr = 1 hr = 1.5м	ф-лы таб.3 [10]	-1,5	-1,5	5,3	7	5	0,7	0	0	0		
Снижение поверхностью земли в средней зоне, Am дБ	Gm = 1	ф-лы таб.3 [10]	-2,9	-2,9	0	0	0	0	0	0	0		
Суммарное снижение поверхностью земли на траектории распространения звука Agr, дБ		ф-ла (9) [10]	-5,9	-5,9	3,8	5,5	3,5	-0,8	-1,5	-1,5	-1,5		
Уровни звукового давления от источника ИШ-9-12 в расчётной точке днём, дБ		**ф-ла(3)[10]**	**0**	**21,7**	**13,7**	**14**	**14,6**	**14,6**	**4,6**	**0**	**0**	**17,1**	**17,1**
Уровни звукового давления от источника ИШ-9-12 в расчётной точке ночью, дБ		**ф-ла(3)[10]**	**0**	**21,7**	**13,7**	**14**	**14,6**	**14,6**	**4,6**	**0**	**0**	**17,1**	**17,1**
Источник шума: ИШ-9-13, координаты источника (x,y,z), м =[654.48,-323.54,1.00]													
Уровни звуковой мощности источника днём, Lw, дБ		**исходные данные**	**0**	**93,3**	**94,7**	**96**	**96,3**	**95,9**	**92,6**	**88,4**	**83,9**		
Уровни звуковой мощности источника ночью, Lw, дБ		**исходные данные**	**0**	**93,3**	**94,7**	**96**	**96,3**	**95,9**	**92,6**	**88,4**	**83,9**		

1		2	3	4	5	6	7	8	9	10	11	12	13
Поправка на телесный угол DΩ, дБ	Ω = 6.28	10Lg(4π/Ω)	**3**	3	3	3	3	3	3	3	3		
Показатель направленности источника Di, дБ		исходные данные	**0**	0	0	0	0	0	0	0	0		
Поправка на направленность источника Dc, дБ	Dc	DΩ + Di	**3**	3	3	3	3	3	3	3	3		
Затухание из-за геометрической дивергенции, Adiv, дБ	расстояние = 1806.75 м	ф-ла (7) [10]	**76,1**										
Коэффициент затухания звука в атмосфере α, дБ/км	Ta=20,°C Pa=101.33,кПа hотн.=70%	ф-ла (5) [9]	0,02	0,09	0,33	1,12	2,79	4,98	9,04	23,09	77,63		
Учет затухания звука в атмосфере Aatm, дБ		ф-ла (8) [10]	0	0,2	0,6	2	5	9	16,3	41,7	140,3		
Снижение уровня звукового давления из-за влияния застройки между источником шума и расчетной точкой													
Снижение уровня звукового давления препятствием слева от трассы ИШ-РТ, Dz2, дБ	z = -0.17м (разность путей)	ф-лы (14-18) [10]	3,7	2,4	0	NAN	NAN	NAN	NAN	NAN	NAN		
* отрицательное значение z означает прохождение траектории вблизи экрана, в этом случае дополнительно производится учёт снижения подстилающей поверхностью (см.ниже)													
Снижение поверхностью земли возле источника As, дБ	Gs = 0 hs = 1м	ф-лы таб.3 [10]	-1,5	-1,5	-1,5	-1,5	-1,5	-1,5	-1,5	-1,5	-1,5		
Снижение поверхностью земли возле приёмника Ar, дБ	Gr = 1 hr = 1.5м	ф-лы таб.3 [10]	-1,5	-1,5	5,3	7	5	0,7	0	0	0		
Снижение поверхностью земли в средней зоне, Am дБ	Gm = 1	ф-лы таб.3 [10]	-2,9	-2,9	0	0	0	0	0	0	0		
Суммарное снижение поверхностью земли на траектории распространения звука Agr, дБ		ф-ла (9) [10]	-5,9	-5,9	3,8	5,5	3,5	-0,8	-1,5	-1,5	-1,5		
Уровни звукового давления от источника ИШ-9-13 в расчётной точке днём, дБ		**ф-ла(3)[10]**	**0**	**23,5**	**17,1**	**15,3**	**14,6**	**14,6**	**4,6**	**0**	**0**	**17,2**	**17,2**
Уровни звукового давления от источника ИШ-9-13 в расчётной точке ночью, дБ		**ф-ла(3)[10]**	**0**	**23,5**	**17,1**	**15,3**	**14,6**	**14,6**	**4,6**	**0**	**0**	**17,2**	**17,2**
Источник шума: ИШ-9-14, координаты источника (x,y,z), м =[655.60,-320.74,1.00]													
Уровни звуковой мощности источника днём, Lw, дБ		**исходные данные**	**0**	**93,3**	**94,7**	**96**	**96,3**	**95,9**	**92,6**	**88,4**	**83,9**		

1		2	3	4	5	6	7	8	9	10	11	12	13
Уровни звуковой мощности источника ночью, Lw, дБ		**исходные данные**	**0**	**93,3**	**94,7**	**96**	**96,3**	**95,9**	**92,6**	**88,4**	**83,9**		
Поправка на телесный угол DΩ, дБ	Ω = 6.28	10Lg(4π/Ω)	**3**	3	3	3	3	3	3	3	3		
Показатель направленности источника Di, дБ		исходные данные	**0**	0	0	0	0	0	0	0	0		
Поправка на направленность источника Dc, дБ	Dc	DΩ + Di	**3**	3	3	3	3	3	3	3	3		
Затухание из-за геометрической дивергенции, Adiv, дБ	расстояние = 1807.32 м	ф-ла (7) [10]	**76,1**										
Коэффициент затухания звука в атмосфере α, дБ/км	Ta=20,°C Pa=101.33,кПа hотн.=70%	ф-ла (5) [9]	0,02	0,09	0,33	1,12	2,79	4,98	9,04	23,09	77,63		
Учет затухания звука в атмосфере Aatm, дБ		ф-ла (8) [10]	0	0,2	0,6	2	5	9	16,3	41,7	140,3		
Снижение уровня звукового давления из-за влияния застройки между источником шума и расчетной точкой													
Снижение уровня звукового давления препятствием слева от трассы ИШ-РТ, Dz2, дБ	z = -0.35м (разность путей)	ф-лы (14-18) [10]	2,3	0	NAN	NAN	NAN	NAN	NAN	NAN	NAN		
* отрицательное значение z означает прохождение траектории вблизи экрана, в этом случае дополнительно производится учёт снижения подстилающей поверхностью (см.ниже)													
Снижение поверхностью земли возле источника As, дБ	Gs = 0 hs = 1м	ф-лы таб.3 [10]	-1,5	-1,5	-1,5	-1,5	-1,5	-1,5	-1,5	-1,5	-1,5		
Снижение поверхностью земли возле приёмника Ar, дБ	Gr = 1 hr = 1.5м	ф-лы таб.3 [10]	-1,5	-1,5	5,3	7	5	0,7	0	0	0		
Снижение поверхностью земли в средней зоне, Am дБ	Gm = 1	ф-лы таб.3 [10]	-2,9	-2,9	0	0	0	0	0	0	0		
Суммарное снижение поверхностью земли на траектории распространения звука Agr, дБ		ф-ла (9) [10]	-5,9	-5,9	3,8	5,5	3,5	-0,8	-1,5	-1,5	-1,5		
Уровни звукового давления от источника ИШ-9-14 в расчётной точке днём, дБ		**ф-ла(3)[10]**	**0**	**25,9**	**17,1**	**15,3**	**14,6**	**14,6**	**4,6**	**0**	**0**	**17,3**	**17,3**
Уровни звукового давления от источника ИШ-9-14 в расчётной точке ночью, дБ		**ф-ла(3)[10]**	**0**	**25,9**	**17,1**	**15,3**	**14,6**	**14,6**	**4,6**	**0**	**0**	**17,3**	**17,3**

Источник шума: ИШ-9-15, координаты источника (x,y,z), м =[656.44,-317.86,1.00]

1		2	3	4	5	6	7	8	9	10	11	12	13
Уровни звуковой мощности источника днём, Lw, дБ		**исходные данные**	**0**	**93,3**	**94,7**	**96**	**96,3**	**95,9**	**92,6**	**88,4**	**83,9**		
Уровни звуковой мощности источника ночью, Lw, дБ		**исходные данные**	**0**	**93,3**	**94,7**	**96**	**96,3**	**95,9**	**92,6**	**88,4**	**83,9**		
Поправка на телесный угол DΩ, дБ	Ω = 6.28	10Lg(4π/Ω)	**3**	3	3	3	3	3	3	3	3		
Показатель направленности источника Di, дБ		исходные данные	**0**	0	0	0	0	0	0	0	0		
Поправка на направленность источника Dc, дБ	Dc	DΩ + Di	**3**	3	3	3	3	3	3	3	3		
Затухание из-за геометрической дивергенции, Adiv, дБ	расстояние = 1807.60 м	ф-ла (7) [10]	**76,1**										
Коэффициент затухания звука в атмосфере α, дБ/км	Ta=20,°C Pa=101.33,кПа hотн.=70%	ф-ла (5) [9]	0,02	0,09	0,33	1,12	2,79	4,98	9,04	23,09	77,63		
Учет затухания звука в атмосфере Aatm, дБ		ф-ла (8) [10]	0	0,2	0,6	2	5	9	16,3	41,7	140,3		
Снижение уровня звукового давления из-за влияния застройки между источником шума и расчетной точкой													
Снижение уровня звукового давления препятствием справа от трассы ИШ-РТ, Dz3, дБ	z = -0.21м (разность путей)	ф-лы (14-18) [10]	3,5	1,6	NAN	NAN	NAN	NAN	NAN	NAN	NAN		
* отрицательное значение z означает прохождение траектории вблизи экрана, в этом случае дополнительно производится учёт снижения подстилающей поверхностью (см.ниже)													
Снижение поверхностью земли возле источника As, дБ	Gs = 0 hs = 1м	ф-лы таб.3 [10]	-1,5	-1,5	-1,5	-1,5	-1,5	-1,5	-1,5	-1,5	-1,5		
Снижение поверхностью земли возле приёмника Ar, дБ	Gr = 1 hr = 1.5м	ф-лы таб.3 [10]	-1,5	-1,5	5,3	7	5	0,7	0	0	0		
Снижение поверхностью земли в средней зоне, Am дБ	Gm = 1	ф-лы таб.3 [10]	-2,9	-2,9	0	0	0	0	0	0	0		
Суммарное снижение поверхностью земли на траектории распространения звука Agr, дБ		ф-ла (9) [10]	-5,9	-5,9	3,8	5,5	3,5	-0,8	-1,5	-1,5	-1,5		
Уровни звукового давления прямого звука от источника ИШ-9-15 в расчётной точке днём, дБ		**ф-ла(3)[10]**	**0**	**24,2**	**17,1**	**15,3**	**14,6**	**14,6**	**4,6**	**0**	**0**	**17,2**	**17,2**
Уровни звукового давления прямого звука от источника ИШ-9-15 в расчётной точке ночью, дБ		**ф-ла(3)[10]**	**0**	**24,2**	**17,1**	**15,3**	**14,6**	**14,6**	**4,6**	**0**	**0**	**17,2**	**17,2**
Расчёт отражённого звука													

1		2	3	4	5	6	7	8	9	10	11	12	13
Уровни звукового давления от мнимого источника ИШ-9-15_мн.(1) в расчётной точке днём, дБ		**ф-ла(3)[10]**	**0**	**0**	**0**	**0**	**0**	**0**	**0**	**0**	**0**	**0**	**0**
Уровни звукового давления от мнимого источника ИШ-9-15_мн.(1) в расчётной точке ночью, дБ		**ф-ла(3)[10]**	**0**	**0**	**0**	**0**	**0**	**0**	**0**	**0**	**0**	**0**	**0**
Уровни звукового давления от источника ИШ-9-15 в расчётной точке днём, дБ		**ф-ла(3)[10]**	**0**	**24,2**	**17,1**	**15,3**	**14,6**	**14,6**	**4,6**	**0**	**0**	**17,2**	**17,2**
Уровни звукового давления от источника ИШ-9-15 в расчётной точке ночью, дБ		**ф-ла(3)[10]**	**0**	**24,2**	**17,1**	**15,3**	**14,6**	**14,6**	**4,6**	**0**	**0**	**17,2**	**17,2**
Источник шума: ИШ-9-16, координаты источника (x,y,z), м =[657.46,-314.97,1.00]													
Уровни звуковой мощности источника днём, Lw, дБ		**исходные данные**	**0**	**93,3**	**94,7**	**96**	**96,3**	**95,9**	**92,6**	**88,4**	**83,9**		
Уровни звуковой мощности источника ночью, Lw, дБ		**исходные данные**	**0**	**93,3**	**94,7**	**96**	**96,3**	**95,9**	**92,6**	**88,4**	**83,9**		
Поправка на телесный угол DΩ, дБ	Ω = 6.28	10Lg(4π/Ω)	**3**	3	3	3	3	3	3	3	3		
Показатель направленности источника Di, дБ		исходные данные	**0**	0	0	0	0	0	0	0	0		
Поправка на направленность источника Dc, дБ	Dc	DΩ + Di	**3**	3	3	3	3	3	3	3	3		
Затухание из-за геометрической дивергенции, Adiv, дБ	расстояние = 1808.07 м	ф-ла (7) [10]	**76,1**										
Коэффициент затухания звука в атмосфере α, дБ/км	Ta=20,°C Pa=101.33,кПа hотн.=70%	ф-ла (5) [9]	0,02	0,09	0,33	1,12	2,79	4,98	9,04	23,09	77,63		
Учет затухания звука в атмосфере Aatm, дБ		ф-ла (8) [10]	0	0,2	0,6	2	5	9	16,3	41,7	140,4		
Снижение уровня звукового давления из-за влияния застройки между источником шума и расчетной точкой													
Снижение уровня звукового давления препятствием справа от трассы ИШ-РТ, Dz3, дБ	z = -0.13м (разность путей)	ф-лы (14-18) [10]	0	3,2	0,6	NAN	NAN	NAN	NAN	NAN	NAN		
* отрицательное значение z означает прохождение траектории вблизи экрана, в этом случае дополнительно производится учёт снижения подстилающей поверхностью (см.ниже)													
Снижение поверхностью земли возле источника As, дБ	Gs = 0 hs = 1м	ф-лы таб.3 [10]	-1,5	-1,5	-1,5	-1,5	-1,5	-1,5	-1,5	-1,5	-1,5		

1		2	3	4	5	6	7	8	9	10	11	12	13
Снижение поверхностью земли возле приёмника Ar, дБ	Gr = 1 hr = 1.5м	ф-лы таб.3 [10]	-1,5	-1,5	5,3	7	5	0,7	0	0	0		
Снижение поверхностью земли в средней зоне, Am дБ	Gm = 1	ф-лы таб.3 [10]	-2,9	-2,9	0	0	0	0	0	0	0		
Суммарное снижение поверхностью земли на траектории распространения звука Agr, дБ		ф-ла (9) [10]	-5,9	-5,9	3,8	5,5	3,5	-0,8	-1,5	-1,5	-1,5		
Уровни звукового давления прямого звука от источника ИШ-9-16 в расчётной точке днём, дБ		**ф-ла(3)[10]**	**0**	**22,7**	**16,5**	**15,3**	**14,6**	**14,6**	**4,6**	**0**	**0**	**17,2**	**17,2**
Уровни звукового давления прямого звука от источника ИШ-9-16 в расчётной точке ночью, дБ		**ф-ла(3)[10]**	**0**	**22,7**	**16,5**	**15,3**	**14,6**	**14,6**	**4,6**	**0**	**0**	**17,2**	**17,2**
Расчёт отражённого звука													
Уровни звукового давления от мнимого источника ИШ-9-16_мн.(1) в расчётной точке днём, дБ		**ф-ла(3)[10]**	**0**	**0**	**0**	**0**	**0**	**0**	**0**	**0**	**0**	**0**	**0**
Уровни звукового давления от мнимого источника ИШ-9-16_мн.(1) в расчётной точке ночью, дБ		**ф-ла(3)[10]**	**0**	**0**	**0**	**0**	**0**	**0**	**0**	**0**	**0**	**0**	**0**
Уровни звукового давления от источника ИШ-9-16 в расчётной точке днём, дБ		**ф-ла(3)[10]**	**0**	**22,7**	**16,5**	**15,3**	**14,6**	**14,6**	**4,6**	**0**	**0**	**17,2**	**17,2**
Уровни звукового давления от источника ИШ-9-16 в расчётной точке ночью, дБ		**ф-ла(3)[10]**	**0**	**22,7**	**16,5**	**15,3**	**14,6**	**14,6**	**4,6**	**0**	**0**	**17,2**	**17,2**
Источник шума: ИШ-9-17, координаты источника (x,y,z), м =[658.49,-312.18,1.00]													
Уровни звуковой мощности источника днём, Lw, дБ		**исходные данные**	**0**	**93,3**	**94,7**	**96**	**96,3**	**95,9**	**92,6**	**88,4**	**83,9**		
Уровни звуковой мощности источника ночью, Lw, дБ		**исходные данные**	**0**	**93,3**	**94,7**	**96**	**96,3**	**95,9**	**92,6**	**88,4**	**83,9**		
Поправка на телесный угол DΩ, дБ	Ω = 6.28	10Lg(4π/Ω)	**3**	3	3	3	3	3	3	3	3		
Показатель направленности источника Di, дБ		исходные данные	**0**	0	0	0	0	0	0	0	0		
Поправка на направленность источника Dc, дБ	Dc	DΩ + Di	**3**	3	3	3	3	3	3	3	3		
Затухание из-за геометрической дивергенции, Adiv, дБ	расстояние = 1808.56 м	ф-ла (7) [10]	**76,1**										

1		2	3	4	5	6	7	8	9	10	11	12	13
Коэффициент затухания звука в атмосфере α, дБ/км	Ta=20,°C Pa=101.33,кПа hотн.=70%	ф-ла (5) [9]	0,02	0,09	0,33	1,12	2,79	4,98	9,04	23,09	77,63		
Учет затухания звука в атмосфере Aatm, дБ		ф-ла (8) [10]	0	0,2	0,6	2	5	9	16,3	41,8	140,4		
Снижение уровня звукового давления из-за влияния застройки между источником шума и расчетной точкой													
Снижение уровня звукового давления препятствием справа от трассы ИШ-РТ, Dz3, дБ	z = -0.07м (разность путей)	ф-лы (14-18) [10]	0	4	3,1	0,2	NAN	NAN	NAN	NAN	NAN		
* отрицательное значение z означает прохождение траектории вблизи экрана, в этом случае дополнительно производится учёт снижения подстилающей поверхностью (см.ниже)													
Снижение поверхностью земли возле источника As, дБ	Gs = 0 hs = 1м	ф-лы таб.3 [10]	-1,5	-1,5	-1,5	-1,5	-1,5	-1,5	-1,5	-1,5	-1,5		
Снижение поверхностью земли возле приёмника Ar, дБ	Gr = 1 hr = 1.5м	ф-лы таб.3 [10]	-1,5	-1,5	5,3	7	5	0,7	0	0	0		
Снижение поверхностью земли в средней зоне, Am дБ	Gm = 1	ф-лы таб.3 [10]	-2,9	-2,9	0	0	0	0	0	0	0		
Суммарное снижение поверхностью земли на траектории распространения звука Agr, дБ		ф-ла (9) [10]	-5,9	-5,9	3,8	5,5	3,5	-0,8	-1,5	-1,5	-1,5		
Уровни звукового давления прямого звука от источника ИШ-9-17 в расчётной точке днём, дБ		**ф-ла(3)[10]**	**0**	**21,9**	**14**	**15,1**	**14,6**	**14,6**	**4,6**	**0**	**0**	**17,1**	**17,1**
Уровни звукового давления прямого звука от источника ИШ-9-17 в расчётной точке ночью, дБ		**ф-ла(3)[10]**	**0**	**21,9**	**14**	**15,1**	**14,6**	**14,6**	**4,6**	**0**	**0**	**17,1**	**17,1**
Расчёт отражённого звука													
Уровни звукового давления от мнимого источника ИШ-9-17_мн.(1) в расчётной точке днём, дБ		**ф-ла(3)[10]**	**0**	**0**	**0**	**0**	**0**	**0**	**0**	**0**	**0**	**0**	**0**
Уровни звукового давления от мнимого источника ИШ-9-17_мн.(1) в расчётной точке ночью, дБ		**ф-ла(3)[10]**	**0**	**0**	**0**	**0**	**0**	**0**	**0**	**0**	**0**	**0**	**0**
Уровни звукового давления от источника ИШ-9-17 в расчётной точке днём, дБ		**ф-ла(3)[10]**	**0**	**21,9**	**14**	**15,1**	**14,6**	**14,6**	**4,6**	**0**	**0**	**17,1**	**17,1**
Уровни звукового давления от источника ИШ-9-17 в расчётной точке ночью, дБ		**ф-ла(3)[10]**	**0**	**21,9**	**14**	**15,1**	**14,6**	**14,6**	**4,6**	**0**	**0**	**17,1**	**17,1**
Источник шума: ИШ-9-18, координаты источника (x,y,z), м =[659.42,-309.20,1.00]													

1		2	3	4	5	6	7	8	9	10	11	12	13
Уровни звуковой мощности источника днём, Lw, дБ		**исходные данные**	**0**	**93,3**	**94,7**	**96**	**96,3**	**95,9**	**92,6**	**88,4**	**83,9**		
Уровни звуковой мощности источника ночью, Lw, дБ		**исходные данные**	**0**	**93,3**	**94,7**	**96**	**96,3**	**95,9**	**92,6**	**88,4**	**83,9**		
Поправка на телесный угол DΩ, дБ	Ω = 6.28	10Lg(4π/Ω)	**3**	3	3	3	3	3	3	3	3		
Показатель направленности источника Di, дБ		исходные данные	**0**	0	0	0	0	0	0	0	0		
Поправка на направленность источника Dc, дБ	Dc	DΩ + Di	**3**	3	3	3	3	3	3	3	3		
Затухание из-за геометрической дивергенции, Adiv, дБ	расстояние = 1808.93 м	ф-ла (7) [10]	**76,1**										
Коэффициент затухания звука в атмосфере α, дБ/км	Ta=20,°C Pa=101.33,кПа hотн.=70%	ф-ла (5) [9]	0,02	0,09	0,33	1,12	2,79	4,98	9,04	23,09	77,63		
Учет затухания звука в атмосфере Aatm, дБ		ф-ла (8) [10]	0	0,2	0,6	2	5	9	16,4	41,8	140,4		
Снижение уровня звукового давления из-за влияния застройки между источником шума и расчетной точкой													
Снижение уровня звукового давления препятствием справа от трассы ИШ-РТ, Dz3, дБ	z = -0.02м (разность путей)	ф-лы (14-18) [10]	0	0	4,2	3,6	2	0	NAN	NAN	NAN		
* отрицательное значение z означает прохождение траектории вблизи экрана, в этом случае дополнительно производится учёт снижения подстилающей поверхностью (см.ниже)													
Снижение поверхностью земли возле источника As, дБ	Gs = 0 hs = 1м	ф-лы таб.3 [10]	-1,5	-1,5	-1,5	-1,5	-1,5	-1,5	-1,5	-1,5	-1,5		
Снижение поверхностью земли возле приёмника Ar, дБ	Gr = 1 hr = 1.5м	ф-лы таб.3 [10]	-1,5	-1,5	5,3	7	5	0,7	0	0	0		
Снижение поверхностью земли в средней зоне, Am дБ	Gm = 1	ф-лы таб.3 [10]	-2,9	-2,9	0	0	0	0	0	0	0		
Суммарное снижение поверхностью земли на траектории распространения звука Agr, дБ		ф-ла (9) [10]	-5,9	-5,9	3,8	5,5	3,5	-0,8	-1,5	-1,5	-1,5		
Уровни звукового давления от источника ИШ-9-18 в расчётной точке днём, дБ		**ф-ла(3)[10]**	**0**	**25,9**	**12,9**	**11,7**	**12,6**	**14,6**	**4,6**	**0**	**0**	**16,5**	**16,5**
Уровни звукового давления от источника ИШ-9-18 в расчётной точке ночью, дБ		**ф-ла(3)[10]**	**0**	**25,9**	**12,9**	**11,7**	**12,6**	**14,6**	**4,6**	**0**	**0**	**16,5**	**16,5**

1		2	3	4	5	6	7	8	9	10	11	12	13
Источник шума: ИШ-9-19, координаты источника (x,y,z), м =[660.44,-306.50,1.00]													
Уровни звуковой мощности источника днём, Lw, дБ		**исходные данные**	**0**	**93,3**	**94,7**	**96**	**96,3**	**95,9**	**92,6**	**88,4**	**83,9**		
Уровни звуковой мощности источника ночью, Lw, дБ		**исходные данные**	**0**	**93,3**	**94,7**	**96**	**96,3**	**95,9**	**92,6**	**88,4**	**83,9**		
Поправка на телесный угол DΩ, дБ	Ω = 6.28	10Lg(4π/Ω)	**3**	3	3	3	3	3	3	3	3		
Показатель направленности источника Di, дБ		исходные данные	**0**	0	0	0	0	0	0	0	0		
Поправка на направленность источника Dc, дБ	Dc	DΩ + Di	**3**	3	3	3	3	3	3	3	3		
Затухание из-за геометрической дивергенции, Adiv, дБ	расстояние = 1809.44 м	ф-ла (7) [10]	**76,2**										
Коэффициент затухания звука в атмосфере α, дБ/км	Ta=20,°C Pa=101.33,кПа hотн.=70%	ф-ла (5) [9]	0,02	0,09	0,33	1,12	2,79	4,98	9,04	23,09	77,63		
Учет затухания звука в атмосфере Aatm, дБ		ф-ла (8) [10]	0	0,2	0,6	2	5,1	9	16,4	41,8	140,5		
Снижение уровня звукового давления из-за влияния застройки между источником шума и расчетной точкой													
Снижение уровня звукового давления препятствием справа от трассы ИШ-РТ, Dz3, дБ	z = 0.00м (разность путей)	ф-лы (14-18) [10]	0	0	0	4,6	4,5	4,1	3,3	1,1	NAN		
* отрицательное значение z означает прохождение траектории вблизи экрана, в этом случае дополнительно производится учёт снижения подстилающей поверхностью (см.ниже)													
Снижение поверхностью земли возле источника As, дБ	Gs = 0 hs = 1м	ф-лы таб.3 [10]	-1,5	-1,5	-1,5	-1,5	-1,5	-1,5	-1,5	-1,5	-1,5		
Снижение поверхностью земли возле приёмника Ar, дБ	Gr = 1 hr = 1.5м	ф-лы таб.3 [10]	-1,5	-1,5	5,3	7	5	0,7	0	0	0		
Снижение поверхностью земли в средней зоне, Am дБ	Gm = 1	ф-лы таб.3 [10]	-2,9	-2,9	0	0	0	0	0	0	0		
Суммарное снижение поверхностью земли на траектории распространения звука Agr, дБ		ф-ла (9) [10]	-5,9	-5,9	3,8	5,5	3,5	-0,8	-1,5	-1,5	-1,5		
Уровни звукового давления от источника ИШ-9-19 в расчётной точке днём, дБ		**ф-ла(3)[10]**	**0**	**25,9**	**17,1**	**10,7**	**10,2**	**10,5**	**0**	**0**	**0**	**13**	**13**

1		2	3	4	5	6	7	8	9	10	11	12	13
Уровни звукового давления от источника ИШ-9-19 в расчётной точке ночью, дБ		**ф-ла(3)[10]**	**0**	**25,9**	**17,1**	**10,7**	**10,2**	**10,5**	**0**	**0**	**0**	**13**	**13**
Источник шума: ИШ-9-20, координаты источника (x,y,z), м =[661.28,-303.61,1.00]													
Уровни звуковой мощности источника днём, Lw, дБ		**исходные данные**	**0**	**93,3**	**94,7**	**96**	**96,3**	**95,9**	**92,6**	**88,4**	**83,9**		
Уровни звуковой мощности источника ночью, Lw, дБ		**исходные данные**	**0**	**93,3**	**94,7**	**96**	**96,3**	**95,9**	**92,6**	**88,4**	**83,9**		
Поправка на телесный угол DΩ, дБ	Ω = 6.28	10Lg(4π/Ω)	**3**	3	3	3	3	3	3	3	3		
Показатель направленности источника Di, дБ		исходные данные	**0**	0	0	0	0	0	0	0	0		
Поправка на направленность источника Dc, дБ	Dc	DΩ + Di	**3**	3	3	3	3	3	3	3	3		
Затухание из-за геометрической дивергенции, Adiv, дБ	расстояние = 1809.75 м	ф-ла (7) [10]	**76,2**										
Коэффициент затухания звука в атмосфере α, дБ/км	Ta=20,°C Pa=101.33,кПа hотн.=70%	ф-ла (5) [9]	0,02	0,09	0,33	1,12	2,79	4,98	9,04	23,09	77,63		
Учет затухания звука в атмосфере Aatm, дБ		ф-ла (8) [10]	0	0,2	0,6	2	5,1	9	16,4	41,8	140,5		
Снижение уровня звукового давления из-за влияния застройки между источником шума и расчетной точкой													
Снижение уровня звукового давления на пути над экраном, Dz1, дБ	z = 0.01м (разность путей)	ф-лы (14-18) [10]	4,8	4,8	4,8	4,8	4,8	4,8	4,8	4,8	4,8		
Снижение уровня звукового давления на пути слева от экрана, Dz2, дБ	z = 0.00м (разность путей)	ф-лы (14-18) [10]	4,8	4,8	4,8	4,8	4,9	5	5,3	5,7	6,5		
Снижение уровня звукового давления на пути справа от экрана, Dz3, дБ	z = 2.24м (разность путей)	ф-лы (14-18) [10]	13,4	16,9	20	23	26	29	32	35	38		
Общее снижение уровня звука препятствием Dz, дБ		Эн.сумма(-Dzi)	1,5	1,6	1,7	1,8	1,8	1,9	2	2,2	2,5		
Уровни звукового давления от источника ИШ-9-20 в расчётной точке днём, дБ		**ф-ла(3)[10]**	**0**	**18,3**	**19,2**	**19**	**16,3**	**11,9**	**1,1**	**0**	**0**	**17**	**17**

1		2	3	4	5	6	7	8	9	10	11	12	13
Уровни звукового давления от источника ИШ-9-20 в расчётной точке ночью, дБ		**ф-ла(3)[10]**	**0**	**18,3**	**19,2**	**19**	**16,3**	**11,9**	**1,1**	**0**	**0**	**17**	**17**
Источник шума: ИШ-9-21, координаты источника (x,y,z), м =[661.93,-300.72,1.00]													
Уровни звуковой мощности источника днём, Lw, дБ		**исходные данные**	**0**	**93,3**	**94,7**	**96**	**96,3**	**95,9**	**92,6**	**88,4**	**83,9**		
Уровни звуковой мощности источника ночью, Lw, дБ		**исходные данные**	**0**	**93,3**	**94,7**	**96**	**96,3**	**95,9**	**92,6**	**88,4**	**83,9**		
Поправка на телесный угол DΩ, дБ	Ω = 6.28	10Lg(4π/Ω)	**3**	3	3	3	3	3	3	3	3		
Показатель направленности источника Di, дБ		исходные данные	**0**	0	0	0	0	0	0	0	0		
Поправка на направленность источника Dc, дБ	Dc	DΩ + Di	**3**	3	3	3	3	3	3	3	3		
Затухание из-за геометрической дивергенции, Adiv, дБ	расстояние = 1809.87 м	ф-ла (7) [10]	**76,2**										
Коэффициент затухания звука в атмосфере α, дБ/км	Ta=20,°C Pa=101.33,кПа hотн.=70%	ф-ла (5) [9]	0,02	0,09	0,33	1,12	2,79	4,98	9,04	23,09	77,63		
Учет затухания звука в атмосфере Aatm, дБ		ф-ла (8) [10]	0	0,2	0,6	2	5,1	9	16,4	41,8	140,5		
Снижение уровня звукового давления из-за влияния застройки между источником шума и расчетной точкой													
Снижение уровня звукового давления на пути над экраном, Dz1, дБ	z = 0.01м (разность путей)	ф-лы (14-18) [10]	4,8	4,8	4,8	4,8	4,8	4,8	4,8	4,8	4,8		
Снижение уровня звукового давления на пути слева от экрана, Dz2, дБ	z = 0.02м (разность путей)	ф-лы (14-18) [10]	4,9	5	5,2	5,5	6,1	7,2	8,7	10,7	13,2		
Снижение уровня звукового давления на пути справа от экрана, Dz3, дБ	z = 1.96м (разность путей)	ф-лы (14-18) [10]	12,9	16,3	19,4	22,4	25,4	28,4	31,4	34,4	37,4		
Общее снижение уровня звука препятствием Dz, дБ		Эн.сумма(-Dzi)	1,5	1,7	1,9	2,1	2,4	2,8	3,3	3,8	4,2		
Уровни звукового давления прямого звука от источника ИШ-9-21 в расчётной точке днём, дБ		**ф-ла(3)[10]**	**0**	**18,3**	**19,1**	**18,7**	**15,7**	**10,9**	**0**	**0**	**0**	**16,3**	**16,3**

1		2	3	4	5	6	7	8	9	10	11	12	13
Уровни звукового давления прямого звука от источника ИШ-9-21 в расчётной точке ночью, дБ		**ф-ла(3)[10]**	**0**	**18,3**	**19,1**	**18,7**	**15,7**	**10,9**	**0**	**0**	**0**	**16,3**	**16,3**
Расчёт отражённого звука													
Уровни звукового давления от мнимого источника ИШ-9-21_мн.(1) в расчётной точке днём, дБ		**ф-ла(3)[10]**	**0**	**0**	**0**	**0**	**0**	**0**	**0**	**0**	**0**	**0**	**0**
Уровни звукового давления от мнимого источника ИШ-9-21_мн.(1) в расчётной точке ночью, дБ		**ф-ла(3)[10]**	**0**	**0**	**0**	**0**	**0**	**0**	**0**	**0**	**0**	**0**	**0**
Уровни звукового давления от источника ИШ-9-21 в расчётной точке днём, дБ		**ф-ла(3)[10]**	**0**	**18,3**	**19,1**	**18,7**	**15,7**	**10,9**	**0**	**0**	**0**	**16,3**	**16,3**
Уровни звукового давления от источника ИШ-9-21 в расчётной точке ночью, дБ		**ф-ла(3)[10]**	**0**	**18,3**	**19,1**	**18,7**	**15,7**	**10,9**	**0**	**0**	**0**	**16,3**	**16,3**
Источник шума: ИШ-9-22, координаты источника (x,y,z), м =[663.14,-297.83,1.00]													
Уровни звуковой мощности источника днём, Lw, дБ		**исходные данные**	**0**	**93,3**	**94,7**	**96**	**96,3**	**95,9**	**92,6**	**88,4**	**83,9**		
Уровни звуковой мощности источника ночью, Lw, дБ		**исходные данные**	**0**	**93,3**	**94,7**	**96**	**96,3**	**95,9**	**92,6**	**88,4**	**83,9**		
Поправка на телесный угол DΩ, дБ	Ω = 6.28	10Lg(4π/Ω)	**3**	3	3	3	3	3	3	3	3		
Показатель направленности источника Di, дБ		исходные данные	**0**	0	0	0	0	0	0	0	0		
Поправка на направленность источника Dc, дБ	Dc	DΩ + Di	**3**	3	3	3	3	3	3	3	3		
Затухание из-за геометрической дивергенции, Adiv, дБ	расстояние = 1810.55 м	ф-ла (7) [10]	**76,2**										
Коэффициент затухания звука в атмосфере α, дБ/км	Ta=20,°C Pa=101.33,кПа hотн.=70%	ф-ла (5) [9]	0,02	0,09	0,33	1,12	2,79	4,98	9,04	23,09	77,63		
Учет затухания звука в атмосфере Aatm, дБ		ф-ла (8) [10]	0	0,2	0,6	2	5,1	9	16,4	41,8	140,6		
Снижение уровня звукового давления из-за влияния застройки между источником шума и расчетной точкой													

1		2	3	4	5	6	7	8	9	10	11	12	13
Снижение уровня звукового давления на пути над экраном, Dz1, дБ	z = 0.13м (разность путей)	ф-лы (14-18) [10]	4,8	4,8	4,8	4,8	4,8	4,8	4,8	4,8	4,8		
Снижение уровня звукового давления на пути слева от экрана, Dz2, дБ	z = 0.06м (разность путей)	ф-лы (14-18) [10]	5,1	5,3	5,8	6,7	8	9,9	12,1	14,7	17,5		
Снижение уровня звукового давления на пути справа от экрана, Dz3, дБ	z = 1.70м (разность путей)	ф-лы (14-18) [10]	12,4	15,7	18,8	21,8	24,8	27,8	30,8	33,8	36,8		
Общее снижение уровня звука препятствием Dz, дБ		Эн.сумма(-Dzi)	1,5	1,9	2,2	2,6	3,1	3,6	4	4,3	4,5		
Уровни звукового давления прямого звука от источника ИШ-9-22 в расчётной точке днём, дБ		**ф-ла(3)[10]**	**0**	**18,1**	**18,8**	**18,2**	**15**	**10,1**	**0**	**0**	**0**	**15,7**	**15,7**
Уровни звукового давления прямого звука от источника ИШ-9-22 в расчётной точке ночью, дБ		**ф-ла(3)[10]**	**0**	**18,1**	**18,8**	**18,2**	**15**	**10,1**	**0**	**0**	**0**	**15,7**	**15,7**
Расчёт отражённого звука													
Уровни звукового давления от мнимого источника ИШ-9-22_мн.(1) в расчётной точке днём, дБ		**ф-ла(3)[10]**	**0**	**0**	**0**	**0**	**0**	**0**	**0**	**0**	**0**	**0**	**0**
Уровни звукового давления от мнимого источника ИШ-9-22_мн.(1) в расчётной точке ночью, дБ		**ф-ла(3)[10]**	**0**	**0**	**0**	**0**	**0**	**0**	**0**	**0**	**0**	**0**	**0**
Уровни звукового давления от источника ИШ-9-22 в расчётной точке днём, дБ		**ф-ла(3)[10]**	**0**	**18,1**	**18,8**	**18,2**	**15**	**10,1**	**0**	**0**	**0**	**15,7**	**15,7**
Уровни звукового давления от источника ИШ-9-22 в расчётной точке ночью, дБ		**ф-ла(3)[10]**	**0**	**18,1**	**18,8**	**18,2**	**15**	**10,1**	**0**	**0**	**0**	**15,7**	**15,7**
Источник шума: ИШ-9-23, координаты источника (x,y,z), м =[664.07,-295.13,1.00]													
Уровни звуковой мощности источника днём, Lw, дБ		**исходные данные**	**0**	**93,3**	**94,7**	**96**	**96,3**	**95,9**	**92,6**	**88,4**	**83,9**		
Уровни звуковой мощности источника ночью, Lw, дБ		**исходные данные**	**0**	**93,3**	**94,7**	**96**	**96,3**	**95,9**	**92,6**	**88,4**	**83,9**		
Поправка на телесный угол DΩ, дБ	Ω = 6.28	10Lg(4π/Ω)	**3**	3	3	3	3	3	3	3	3		
Показатель направленности источника Di, дБ		исходные данные	**0**	0	0	0	0	0	0	0	0		
Поправка на направленность источника Dc, дБ	Dc	DΩ + Di	**3**	3	3	3	3	3	3	3	3		

1		2	3	4	5	6	7	8	9	10	11	12	13
Затухание из-за геометрической дивергенции, Adiv, дБ	расстояние = 1811.00 м	ф-ла (7) [10]	**76,2**										
Коэффициент затухания звука в атмосфере α, дБ/км	Та=20,°С Ра=101.33,кПа hотн.=70%	ф-ла (5) [9]	0,02	0,09	0,33	1,12	2,79	4,98	9,04	23,09	77,63		
Учет затухания звука в атмосфере Aatm, дБ		ф-ла (8) [10]	0	0,2	0,6	2	5,1	9	16,4	41,8	140,6		
Снижение уровня звукового давления из-за влияния застройки между источником шума и расчетной точкой													
Снижение уровня звукового давления на пути над экраном, Dz1, дБ	z = 0.13м (разность путей)	ф-лы (14-18) [10]	4,8	4,8	4,8	4,8	4,8	4,8	4,8	4,8	4,8		
Снижение уровня звукового давления на пути слева от экрана, Dz2, дБ	z = 0.11м (разность путей)	ф-лы (14-18) [10]	5,3	5,8	6,6	7,9	9,8	12	14,6	17,4	20,3		
Снижение уровня звукового давления на пути справа от экрана, Dz3, дБ	z = 1.47м (разность путей)	ф-лы (14-18) [10]	11,9	15,2	18,2	21,2	24,2	27,2	30,2	33,2	36,2		
Общее снижение уровня звука препятствием Dz, дБ		Эн.сумма(-Dzi)	1,6	2	2,5	3	3,5	4	4,3	4,5	4,6		
Уровни звукового давления от источника ИШ-9-23 в расчётной точке днём, дБ		**ф-ла(3)[10]**	**0**	**17,9**	**18,4**	**17,8**	**14,5**	**9,7**	**0**	**0**	**0**	**15,2**	**15,2**
Уровни звукового давления от источника ИШ-9-23 в расчётной точке ночью, дБ		**ф-ла(3)[10]**	**0**	**17,9**	**18,4**	**17,8**	**14,5**	**9,7**	**0**	**0**	**0**	**15,2**	**15,2**
Источник шума: ИШ-9-24, координаты источника (x,y,z), м =[665.19,-292.34,1.00]													
Уровни звуковой мощности источника днём, Lw, дБ		**исходные данные**	**0**	**93,3**	**94,7**	**96**	**96,3**	**95,9**	**92,6**	**88,4**	**83,9**		
Уровни звуковой мощности источника ночью, Lw, дБ		**исходные данные**	**0**	**93,3**	**94,7**	**96**	**96,3**	**95,9**	**92,6**	**88,4**	**83,9**		
Поправка на телесный угол DΩ, дБ	Ω = 6.28	10Lg($4\pi/\Omega$)	**3**	3	3	3	3	3	3	3	3		
Показатель направленности источника Di, дБ		исходные данные	**0**	0	0	0	0	0	0	0	0		
Поправка на направленность источника Dc, дБ	Dc	DΩ + Di	**3**	3	3	3	3	3	3	3	3		

1		2	3	4	5	6	7	8	9	10	11	12	13
Затухание из-за геометрической дивергенции, Adiv, дБ	расстояние = 1811.61 м	ф-ла (7) [10]	**76,2**										
Коэффициент затухания звука в атмосфере α, дБ/км	Та=20,°С Ра=101.33,кПа hотн.=70%	ф-ла (5) [9]	0,02	0,09	0,33	1,12	2,79	4,98	9,04	23,09	77,63		
Учет затухания звука в атмосфере Aatm, дБ		ф-ла (8) [10]	0	0,2	0,6	2	5,1	9	16,4	41,8	140,6		
Снижение уровня звукового давления из-за влияния застройки между источником шума и расчетной точкой													
Снижение уровня звукового давления на пути над экраном, Dz1, дБ	z = 0.13м (разность путей)	ф-лы (14-18) [10]	4,8	4,8	4,8	4,8	4,8	4,8	4,8	4,8	4,8		
Снижение уровня звукового давления на пути слева от экрана, Dz2, дБ	z = 0.18м (разность путей)	ф-лы (14-18) [10]	5,7	6,4	7,6	9,2	11,4	13,9	16,6	19,5	22,4		
Снижение уровня звукового давления на пути справа от экрана, Dz3, дБ	z = 1.25м (разность путей)	ф-лы (14-18) [10]	11,3	14,5	17,5	20,5	23,5	26,5	29,5	32,5	35,5		
Общее снижение уровня звука препятствием Dz, дБ		Эн.сумма(-Dzi)	1,7	2,2	2,8	3,4	3,9	4,2	4,5	4,6	4,7		
Уровни звукового давления от источника ИШ-9-24 в расчётной точке днём, дБ		**ф-ла(3)[10]**	**0**	**17,7**	**18,1**	**17,4**	**14,2**	**9,5**	**0**	**0**	**0**	**14,9**	**14,9**
Уровни звукового давления от источника ИШ-9-24 в расчётной точке ночью, дБ		**ф-ла(3)[10]**	**0**	**17,7**	**18,1**	**17,4**	**14,2**	**9,5**	**0**	**0**	**0**	**14,9**	**14,9**
Источник шума: ИШ-9-25, координаты источника (x,y,z), м =[683.46,-239.16,1.00]													
Уровни звуковой мощности источника днём, Lw, дБ		**исходные данные**	**77**	**75**	**67**	**66**	**63**	**55**	**53**	**48**	**51**		
Уровни звуковой мощности источника ночью, Lw, дБ		**исходные данные**	**77**	**75**	**67**	**66**	**63**	**55**	**53**	**48**	**51**		
Поправка на телесный угол DΩ, дБ	Ω = 6.28	10Lg(4π/Ω)	**3**	3	3	3	3	3	3	3	3		
Показатель направленности источника Di, дБ		исходные данные	**0**	0	0	0	0	0	0	0	0		
Поправка на направленность источника Dc, дБ	Dc	DΩ + Di	**3**	3	3	3	3	3	3	3	3		

1		2	3	4	5	6	7	8	9	10	11	12	13
Затухание из-за геометрической дивергенции, Adiv, дБ	расстояние = 1821.25 м	ф-ла (7) [10]	**76,2**										
Коэффициент затухания звука в атмосфере α, дБ/км	Ta=20,°C Pa=101.33,кПа hотн.=70%	ф-ла (5) [9]	0,02	0,09	0,33	1,12	2,79	4,98	9,04	23,09	77,63		
Учет затухания звука в атмосфере Aatm, дБ		ф-ла (8) [10]	0	0,2	0,6	2	5,1	9,1	16,5	42	141,4		
Снижение поверхностью земли возле источника As, дБ	Gs = 0 hs = 1м	ф-лы таб.3 [10]	-1,5	-1,5	-1,5	-1,5	-1,5	-1,5	-1,5	-1,5	-1,5		
Снижение поверхностью земли возле приёмника Ar, дБ	Gr = 1 hr = 1.5м	ф-лы таб.3 [10]	-1,5	-1,5	5,3	7	5	0,7	0	0	0		
Снижение поверхностью земли в средней зоне, Am дБ	Gm = 1	ф-лы таб.3 [10]	-2,9	-2,9	0	0	0	0	0	0	0		
Суммарное снижение поверхностью земли на траектории распространения звука Agr, дБ		ф-ла (9) [10]	-5,9	-5,9	3,8	5,5	3,5	-0,8	-1,5	-1,5	-1,5		
Уровни звукового давления от источника ИШ-9-25 в расчётной точке днём, дБ		**ф-ла(3)[10]**	**9,6**	**7,5**	**0**	**0**	**0**	**0**	**0**	**0**	**0**	**0**	**0**
Уровни звукового давления от источника ИШ-9-25 в расчётной точке ночью, дБ		**ф-ла(3)[10]**	**9,6**	**7,5**	**0**	**0**	**0**	**0**	**0**	**0**	**0**	**0**	**0**
Источник шума: ИШ-9-26, координаты источника (x,y,z), м =[680.09,-249.52,1.00]													
Уровни звуковой мощности источника днём, Lw, дБ		**исходные данные**	**77**	**75**	**67**	**66**	**63**	**55**	**53**	**48**	**51**		
Уровни звуковой мощности источника ночью, Lw, дБ		**исходные данные**	**77**	**75**	**67**	**66**	**63**	**55**	**53**	**48**	**51**		
Поправка на телесный угол DΩ, дБ	Ω = 6.28	10Lg(4π/Ω)	**3**	3	3	3	3	3	3	3	3		
Показатель направленности источника Di, дБ		исходные данные	**0**	0	0	0	0	0	0	0	0		
Поправка на направленность источника Dc, дБ	Dc	DΩ + Di	**3**	3	3	3	3	3	3	3	3		
Затухание из-за геометрической дивергенции, Adiv, дБ	расстояние = 1819.43 м	ф-ла (7) [10]	**76,2**										

1		2	3	4	5	6	7	8	9	10	11	12	13
Коэффициент затухания звука в атмосфере α, дБ/км	Та=20,°С Ра=101.33,кПа hотн.=70%	ф-ла (5) [9]	0,02	0,09	0,33	1,12	2,79	4,98	9,04	23,09	77,63		
Учет затухания звука в атмосфере Aatm, дБ		ф-ла (8) [10]	0	0,2	0,6	2	5,1	9,1	16,4	42	141,2		
Снижение уровня звукового давления из-за влияния застройки между источником шума и расчетной точкой													
Снижение уровня звукового давления препятствием слева от трассы ИШ-РТ, Dz2, дБ	z = -0.03м (разность путей)	ф-лы (14-18) [10]	4,6	4,4	4,1	3,3	0,9	NAN	NAN	NAN	NAN		
* отрицательное значение z означает прохождение траектории вблизи экрана, в этом случае дополнительно производится учёт снижения подстилающей поверхностью (см.ниже)													
Снижение поверхностью земли возле источника As, дБ	Gs = 0 hs = 1м	ф-лы таб.3 [10]	-1,5	-1,5	-1,5	-1,5	-1,5	-1,5	-1,5	-1,5	-1,5		
Снижение поверхностью земли возле приёмника Ar, дБ	Gr = 1 hr = 1.5м	ф-лы таб.3 [10]	-1,5	-1,5	5,3	7	5	0,7	0	0	0		
Снижение поверхностью земли в средней зоне, Am дБ	Gm = 1	ф-лы таб.3 [10]	-2,9	-2,9	0	0	0	0	0	0	0		
Суммарное снижение поверхностью земли на траектории распространения звука Agr, дБ		ф-ла (9) [10]	-5,9	-5,9	3,8	5,5	3,5	-0,8	-1,5	-1,5	-1,5		
Уровни звукового давления от источника ИШ-9-26 в расчётной точке днём, дБ		**ф-ла(3)[10]**	**0**	**0**	**0**	**0**	**0**	**0**	**0**	**0**	**0**	**0**	**0**
Уровни звукового давления от источника ИШ-9-26 в расчётной точке ночью, дБ		**ф-ла(3)[10]**	**0**	**0**	**0**	**0**	**0**	**0**	**0**	**0**	**0**	**0**	**0**
Источник шума: ИШ-9-27, координаты источника (x,y,z), м =[676.46,-260.14,1.00]													
Уровни звуковой мощности источника днём, Lw, дБ		**исходные данные**	**77**	**75**	**67**	**66**	**63**	**55**	**53**	**48**	**51**		
Уровни звуковой мощности источника ночью, Lw, дБ		**исходные данные**	**77**	**75**	**67**	**66**	**63**	**55**	**53**	**48**	**51**		
Поправка на телесный угол DΩ, дБ	Ω = 6.28	10Lg(4π/Ω)	**3**	3	3	3	3	3	3	3	3		
Показатель направленности источника Di, дБ		исходные данные	**0**	0	0	0	0	0	0	0	0		
Поправка на направленность источника Dc, дБ	Dc	DΩ + Di	**3**	3	3	3	3	3	3	3	3		

1		2	3	4	5	6	7	8	9	10	11	12	13
Затухание из-за геометрической дивергенции, Adiv, дБ	расстояние = 1817.46 м	ф-ла (7) [10]	**76,2**										
Коэффициент затухания звука в атмосфере α, дБ/км	Ta=20,°C Pa=101.33,кПа hотн.=70%	ф-ла (5) [9]	0,02	0,09	0,33	1,12	2,79	4,98	9,04	23,09	77,63		
Учет затухания звука в атмосфере Aatm, дБ		ф-ла (8) [10]	0	0,2	0,6	2	5,1	9	16,4	42	141,1		
Снижение уровня звукового давления из-за влияния застройки между источником шума и расчетной точкой													
Снижение уровня звукового давления на пути над экраном, Dz1, дБ	z = 0.11м (разность путей)	ф-лы (14-18) [10]	4,8	4,8	4,8	4,8	4,8	4,8	4,8	4,8	4,8		
Уровни звукового давления от источника ИШ-9-27 в расчётной точке днём, дБ		**ф-ла(3)[10]**	**0**	**0**	**0**	**0**	**0**	**0**	**0**	**0**	**0**	**0**	**0**
Уровни звукового давления от источника ИШ-9-27 в расчётной точке ночью, дБ		**ф-ла(3)[10]**	**0**	**0**	**0**	**0**	**0**	**0**	**0**	**0**	**0**	**0**	**0**
Источник шума: ИШ-10-1, координаты источника (x,y,z), м =[17.37,413.17,1.00]													
Уровни звуковой мощности источника днём, Lw, дБ		**исходные данные**	**0**	**98,3**	**99,7**	**101**	**101,3**	**100,9**	**97,6**	**93,4**	**88,9**		
Уровни звуковой мощности источника ночью, Lw, дБ		**исходные данные**	**0**	**98,3**	**99,7**	**101**	**101,3**	**100,9**	**97,6**	**93,4**	**88,9**		
Поправка на телесный угол DΩ, дБ	Ω = 6.28	10Lg(4π/Ω)	**3**	3	3	3	3	3	3	3	3		
Показатель направленности источника Di, дБ		исходные данные	**0**	0	0	0	0	0	0	0	0		
Поправка на направленность источника Dc, дБ	Dc	DΩ + Di	**3**	3	3	3	3	3	3	3	3		
Затухание из-за геометрической дивергенции, Adiv, дБ	расстояние = 1202.20 м	ф-ла (7) [10]	**72,6**										
Коэффициент затухания звука в атмосфере α, дБ/км	Ta=20,°C Pa=101.33,кПа hотн.=70%	ф-ла (5) [9]	0,02	0,09	0,33	1,12	2,79	4,98	9,04	23,09	77,63		
Учет затухания звука в атмосфере Aatm, дБ		ф-ла (8) [10]	0	0,1	0,4	1,4	3,4	6	10,9	27,8	93,3		

1		2	3	4	5	6	7	8	9	10	11	12	13
Снижение поверхностью земли возле источника As, дБ	Gs = 0 hs = 1м	ф-лы таб.3 [10]	-1,5	-1,5	-1,5	-1,5	-1,5	-1,5	-1,5	-1,5	-1,5		
Снижение поверхностью земли возле приёмника Ar, дБ	Gr = 1 hr = 1.5м	ф-лы таб.3 [10]	-1,5	-1,5	5,3	7	5	0,7	0	0	0		
Снижение поверхностью земли в средней зоне, Am дБ	Gm = 1	ф-лы таб.3 [10]	-2,8	-2,8	0	0	0	0	0	0	0		
Суммарное снижение поверхностью земли на траектории распространения звука Agr, дБ		ф-ла (9) [10]	-5,8	-5,8	3,8	5,5	3,5	-0,8	-1,5	-1,5	-1,5		
Уровни звукового давления от источника ИШ-10-1 в расчётной точке днём, дБ		**ф-ла(3)[10]**	**0**	**34,4**	**25,9**	**24,5**	**24,9**	**26,2**	**18,6**	**0**	**0**	**28,5**	**28,5**
Уровни звукового давления от источника ИШ-10-1 в расчётной точке ночью, дБ		**ф-ла(3)[10]**	**0**	**34,4**	**25,9**	**24,5**	**24,9**	**26,2**	**18,6**	**0**	**0**	**28,5**	**28,5**
Источник шума: ИШ-10-2, координаты источника (x,y,z), м =[27.87,443.46,1.00]													
Уровни звуковой мощности источника днём, Lw, дБ		**исходные данные**	**0**	**98,3**	**99,7**	**101**	**101,3**	**100,9**	**97,6**	**93,4**	**88,9**		
Уровни звуковой мощности источника ночью, Lw, дБ		**исходные данные**	**0**	**98,3**	**99,7**	**101**	**101,3**	**100,9**	**97,6**	**93,4**	**88,9**		
Поправка на телесный угол DΩ, дБ	Ω = 6.28	10Lg(4π/Ω)	**3**	3	3	3	3	3	3	3	3		
Показатель направленности источника Di, дБ		исходные данные	**0**	0	0	0	0	0	0	0	0		
Поправка на направленность источника Dc, дБ	Dc	DΩ + Di	**3**	3	3	3	3	3	3	3	3		
Затухание из-за геометрической дивергенции, Adiv, дБ	расстояние = 1222.26 м	ф-ла (7) [10]	**72,7**										
Коэффициент затухания звука в атмосфере α, дБ/км	Ta=20,°C Pa=101.33,кПа hотн.=70%	ф-ла (5) [9]	0,02	0,09	0,33	1,12	2,79	4,98	9,04	23,09	77,63		
Учет затухания звука в атмосфере Aatm, дБ		ф-ла (8) [10]	0	0,1	0,4	1,4	3,4	6,1	11	28,2	94,9		
Снижение поверхностью земли возле источника As, дБ	Gs = 0 hs = 1м	ф-лы таб.3 [10]	-1,5	-1,5	-1,5	-1,5	-1,5	-1,5	-1,5	-1,5	-1,5		

1		2	3	4	5	6	7	8	9	10	11	12	13
Снижение поверхностью земли возле приёмника Ar, дБ	Gr = 1 hr = 1.5м	ф-лы таб.3 [10]	-1,5	-1,5	5,3	7	5	0,7	0	0	0		
Снижение поверхностью земли в средней зоне, Am дБ	Gm = 1	ф-лы таб.3 [10]	-2,8	-2,8	0	0	0	0	0	0	0		
Суммарное снижение поверхностью земли на траектории распространения звука Agr, дБ		ф-ла (9) [10]	-5,8	-5,8	3,8	5,5	3,5	-0,8	-1,5	-1,5	-1,5		
Уровни звукового давления от источника ИШ-10-2 в расчётной точке днём, дБ		**ф-ла(3)[10]**	**0**	**34,3**	**25,8**	**25,9**	**24,7**	**25,9**	**18,3**	**0**	**0**	**28,4**	**28,4**
Уровни звукового давления от источника ИШ-10-2 в расчётной точке ночью, дБ		**ф-ла(3)[10]**	**0**	**34,3**	**25,8**	**25,9**	**24,7**	**25,9**	**18,3**	**0**	**0**	**28,4**	**28,4**
Уровни звукового давления в расчётной точке													
Суммарные уровни звукового давления в расчётной точке от всех источников шума днём, Lрт, дБ		**ф-ла (19) [1]**	**52,1**	**48,7**	**41,1**	**39,3**	**37,6**	**37,4**	**28,1**	**0**	**0**	**40,3**	**40,3**
Суммарные уровни звукового давления в расчётной точке от всех источников шума ночью, Lрт, дБ		**ф-ла (19) [1]**	**42,7**	**45,3**	**40,6**	**39,1**	**37,3**	**37**	**26,8**	**0**	**0**	**39,9**	**39,9**
Допускаемые УЗД днём, Lдоп, дБ	Границы санитарно-защитных зон	Таблица 5.35.[23]	90	75	66	59	54	50	47	45	44	55	70
Допускаемые УЗД ночью, Lдоп, дБ	Границы санитарно-защитных зон	Таблица 5.35.[23]	83	67	57	49	44	40	37	35	33	45	60
Превышение днём, дБ		**Lрт - Lдоп**	**-37,9**	**-26,3**	**-24,9**	**-19,7**	**-16,4**	**-12,6**	**-18,9**	**-45**	**-44**	**-14,7**	**-29,7**
Превышение ночью, дБ		**Lрт - Lдоп**	**-40,3**	**-21,7**	**-16,4**	**-9,9**	**-6,7**	**-3**	**-10,2**	**-35**	**-33**	**-5,1**	**-20,1**

Определение уровней звукового давления в точке РТ-8 (координаты точки, м: x = -754.46, y = 966.87, z = 1.50)													
Наименование величин и их описание		**Ссылка**	**Расчётные уровни в октавных полосах, со среднегеометрическими частотами, Гц**									**La, дБА**	**Lмакс, дБА**
			31,5	**63**	**125**	**250**	**500**	**1000**	**2000**	**4000**	**8000**		
1		**2**	**3**	**4**	**5**	**6**	**7**	**8**	**9**	**10**	**11**	**12**	**13**
Источник шума: ИШ-1-1, координаты источника (x,y,z), м =[271.72,229.68,1.00]													
Уровни звуковой мощности источника днём, Lw, дБ		**исходные данные**	**97**	**97**	**104**	**106**	**105**	**105**	**98**	**87**	**81**		
Уровни звуковой мощности источника ночью, Lw, дБ		**исходные данные**	**97**	**97**	**104**	**106**	**105**	**105**	**98**	**87**	**81**		
Поправка на телесный угол DΩ, дБ	Ω = 6.28	10Lg(4π/Ω)	**3**	3	3	3	3	3	3	3	3		
Показатель направленности источника Di, дБ		исходные данные	**0**	0	0	0	0	0	0	0	0		
Поправка на направленность источника Dc, дБ	Dc	DΩ + Di	**3**	3	3	3	3	3	3	3	3		
Затухание из-за геометрической дивергенции, Adiv, дБ	расстояние = 1263.52 м	ф-ла (7) [10]	**73**										
Коэффициент затухания звука в атмосфере α, дБ/км	Ta=20,°C Pa=101.33,кПа hотн.=70%	ф-ла (5) [9]	0,02	0,09	0,33	1,12	2,79	4,98	9,04	23,09	77,63		
Учет затухания звука в атмосфере Aatm, дБ		ф-ла (8) [10]	0	0,1	0,4	1,4	3,5	6,3	11,4	29,2	98,1		
Снижение уровня звукового давления из-за влияния застройки между источником шума и расчетной точкой													
Снижение уровня звукового давления на пути над экраном, Dz1, дБ	z = 0.12м (разность путей)	ф-лы (14-18) [10]	4,8	4,8	4,8	4,8	4,8	4,8	4,8	4,8	4,8		
Снижение уровня звукового давления на пути слева от экрана, Dz2, дБ	z = 0.96м (разность путей)	ф-лы (14-18) [10]	11,1	13,8	16,5	19,4	22,3	25,3	28,3	31,3	34,3		
Снижение уровня звукового давления на пути справа от экрана, Dz3, дБ	z = 1.16м (разность путей)	ф-лы (14-18) [10]	10,8	14,1	17,2	20,2	23,2	26,2	29,2	32,2	35,2		

1		2	3	4	5	6	7	8	9	10	11	12	13
Общее снижение уровня звука препятствием Dz, дБ		Эн.сумма(-Dzi)	3,1	3,8	4,3	4,5	4,6	4,7	4,7	4,8	4,8		
Уровни звукового давления прямого звука от источника ИШ-1-1 в расчётной точке днём, дБ		**ф-ла(3)[10]**	**23,9**	**23**	**29,3**	**30,1**	**26,8**	**24**	**11,8**	**0**	**0**	**28,2**	**28,2**
Уровни звукового давления прямого звука от источника ИШ-1-1 в расчётной точке ночью, дБ		**ф-ла(3)[10]**	**23,9**	**23**	**29,3**	**30,1**	**26,8**	**24**	**11,8**	**0**	**0**	**28,2**	**28,2**
Расчёт отражённого звука													
Уровни звукового давления от мнимого источника ИШ-1-1_мн.(1) в расчётной точке днём, дБ		**ф-ла(3)[10]**	**0**	**0**	**0**	**0**	**0**	**24,6**	**11,9**	**0**	**0**	**24,9**	**24,9**
Уровни звукового давления от мнимого источника ИШ-1-1_мн.(1) в расчётной точке ночью, дБ		**ф-ла(3)[10]**	**0**	**0**	**0**	**0**	**0**	**0**	**0**	**0**	**0**	**24,9**	**24,9**
Уровни звукового давления от источника ИШ-1-1 в расчётной точке днём, дБ		**ф-ла(3)[10]**	**23,9**	**23**	**29,3**	**30,1**	**26,8**	**27,3**	**14,9**	**0**	**0**	**29,9**	**29,9**
Уровни звукового давления от источника ИШ-1-1 в расчётной точке ночью, дБ		**ф-ла(3)[10]**	**23,9**	**23**	**29,3**	**30,1**	**26,8**	**27,3**	**14,9**	**0**	**0**	**29,9**	**29,9**
Источник шума: ИШ-1-2, координаты источника (x,y,z), м =[261.74,199.14,1.00]													
Уровни звуковой мощности источника днём, Lw, дБ		**исходные данные**	**97**	**97**	**104**	**106**	**105**	**105**	**98**	**87**	**81**		
Уровни звуковой мощности источника ночью, Lw, дБ		**исходные данные**	**97**	**97**	**104**	**106**	**105**	**105**	**98**	**87**	**81**		
Поправка на телесный угол DΩ, дБ	Ω = 6.28	10Lg(4π/Ω)	**3**	3	3	3	3	3	3	3	3		
Показатель направленности источника Di, дБ		исходные данные	**0**	0	0	0	0	0	0	0	0		
Поправка на направленность источника Dc, дБ	Dc	DΩ + Di	**3**	3	3	3	3	3	3	3	3		
Затухание из-за геометрической дивергенции, Adiv, дБ	расстояние = 1273.60 м	ф-ла (7) [10]	**73,1**										
Коэффициент затухания звука в атмосфере α, дБ/км	Ta=20,°C Pa=101.33,кПа hотн.=70%	ф-ла (5) [9]	0,02	0,09	0,33	1,12	2,79	4,98	9,04	23,09	77,63		

1		2	3	4	5	6	7	8	9	10	11	12	13
Учет затухания звука в атмосфере Aatm, дБ		ф-ла (8) [10]	0	0,1	0,4	1,4	3,6	6,3	11,5	29,4	98,9		
Снижение уровня звукового давления из-за влияния застройки между источником шума и расчетной точкой													
Снижение уровня звукового давления на пути над экраном, Dz1, дБ	z = 0.29м (разность путей)	ф-лы (14-18) [10]	4,8	4,8	4,8	4,8	4,8	4,8	4,9	5	5,3		
Снижение уровня звукового давления на пути слева от экрана, Dz2, дБ	z = 45.63м (разность путей)	ф-лы (14-18) [10]	23,1	27,4	31,8	35,7	39	42	45,1	48,1	51,1		
Снижение уровня звукового давления на пути справа от экрана, Dz3, дБ	z = 1.82м (разность путей)	ф-лы (14-18) [10]	13,4	16,3	19,2	22,1	25,1	28,1	31,1	34,1	37,1		
Общее снижение уровня звука препятствием Dz, дБ		Эн.сумма(-Dzi)	4,2	4,5	4,6	4,7	4,8	4,8	4,9	5	5,3		
Уровни звукового давления прямого звука от источника ИШ-1-2 в расчётной точке днём, дБ		**ф-ла(3)[10]**	**22,7**	**22,3**	**28,9**	**29,8**	**26,6**	**23,8**	**11,5**	**0**	**0**	**28**	**28**
Уровни звукового давления прямого звука от источника ИШ-1-2 в расчётной точке ночью, дБ		**ф-ла(3)[10]**	**22,7**	**22,3**	**28,9**	**29,8**	**26,6**	**23,8**	**11,5**	**0**	**0**	**28**	**28**
Расчёт отражённого звука													
Уровни звукового давления от мнимого источника ИШ-1-2_мн.(1) в расчётной точке днём, дБ		**ф-ла(3)[10]**	**0**	**0**	**0**	**0**	**0**	**21,7**	**9**	**0**	**0**	**22**	**22**
Уровни звукового давления от мнимого источника ИШ-1-2_мн.(1) в расчётной точке ночью, дБ		**ф-ла(3)[10]**	**0**	**0**	**0**	**0**	**0**	**0**	**0**	**0**	**0**	**22**	**22**
Уровни звукового давления от источника ИШ-1-2 в расчётной точке днём, дБ		**ф-ла(3)[10]**	**22,7**	**22,3**	**28,9**	**29,8**	**26,6**	**25,9**	**13,5**	**0**	**0**	**28,9**	**28,9**
Уровни звукового давления от источника ИШ-1-2 в расчётной точке ночью, дБ		**ф-ла(3)[10]**	**22,7**	**22,3**	**28,9**	**29,8**	**26,6**	**25,9**	**13,5**	**0**	**0**	**28,9**	**28,9**
Источник шума: ИШ-1-3, координаты источника (x,y,z), м =[251.75,236.44,1.00]													
Уровни звуковой мощности источника днём, Lw, дБ		**исходные данные**	**0**	**91,3**	**92,7**	**94**	**94,3**	**93,9**	**90,6**	**86,4**	**81,9**		
Уровни звуковой мощности источника ночью, Lw, дБ		**исходные данные**	**0**	**91,3**	**92,7**	**94**	**94,3**	**93,9**	**90,6**	**86,4**	**81,9**		
Поправка на телесный угол DΩ, дБ	Ω = 6.28	10Lg(4π/Ω)	**3**	3	3	3	3	3	3	3	3		

1		2	3	4	5	6	7	8	9	10	11	12	13
Показатель направленности источника Di, дБ		исходные данные	**0**	0	0	0	0	0	0	0	0		
Поправка на направленность источника Dc, дБ	Dc	DΩ + Di	**3**	3	3	3	3	3	3	3	3		
Затухание из-за геометрической дивергенции, Adiv, дБ	расстояние = 1243.38 м	ф-ла (7) [10]	**72,9**										
Коэффициент затухания звука в атмосфере α, дБ/км	Ta=20,°C Pa=101.33,кПа hотн.=70%	ф-ла (5) [9]	0,02	0,09	0,33	1,12	2,79	4,98	9,04	23,09	77,63		
Учет затухания звука в атмосфере Aatm, дБ		ф-ла (8) [10]	0	0,1	0,4	1,4	3,5	6,2	11,2	28,7	96,5		
Снижение уровня звукового давления из-за влияния застройки между источником шума и расчетной точкой													
Снижение уровня звукового давления на пути над экраном, Dz1, дБ	z = 0.17м (разность путей)	ф-лы (14-18) [10]	4,8	4,8	4,8	4,8	4,8	4,8	4,9	5	5,2		
Снижение уровня звукового давления на пути слева от экрана, Dz2, дБ	z = 0.43м (разность путей)	ф-лы (14-18) [10]	8,8	11	13,4	16,1	19	21,9	24,9	27,9	30,9		
Снижение уровня звукового давления на пути справа от экрана, Dz3, дБ	z = 1.87м (разность путей)	ф-лы (14-18) [10]	13,5	16,4	19,3	22,3	25,2	28,2	31,2	34,2	37,2		
Общее снижение уровня звука препятствием Dz, дБ		Эн.сумма(-Dzi)	2,9	3,6	4,1	4,4	4,6	4,7	4,8	4,9	5,1		
Уровни звукового давления прямого звука от источника ИШ-1-3 в расчётной точке днём, дБ		**ф-ла(3)[10]**	**0**	**17,7**	**18,3**	**18,3**	**16,3**	**13,1**	**4,6**	**0**	**0**	**17,5**	**17,5**
Уровни звукового давления прямого звука от источника ИШ-1-3 в расчётной точке ночью, дБ		**ф-ла(3)[10]**	**0**	**17,7**	**18,3**	**18,3**	**16,3**	**13,1**	**4,6**	**0**	**0**	**17,5**	**17,5**
Расчёт отражённого звука													
Уровни звукового давления от мнимого источника ИШ-1-3_мн.(1) в расчётной точке днём, дБ		**ф-ла(3)[10]**	**0**	**0**	**0**	**0**	**0**	**12,4**	**6,2**	**0**	**0**	**13,6**	**13,6**
Уровни звукового давления от мнимого источника ИШ-1-3_мн.(1) в расчётной точке ночью, дБ		**ф-ла(3)[10]**	**0**	**0**	**0**	**0**	**0**	**0**	**0**	**0**	**0**	**13,6**	**13,6**
Уровни звукового давления от источника ИШ-1-3 в расчётной точке днём, дБ		**ф-ла(3)[10]**	**0**	**17,7**	**18,3**	**18,3**	**16,3**	**15,8**	**8,5**	**0**	**0**	**19**	**19**
Уровни звукового давления от источника ИШ-1-3 в расчётной точке ночью, дБ		**ф-ла(3)[10]**	**0**	**17,7**	**18,3**	**18,3**	**16,3**	**15,8**	**8,5**	**0**	**0**	**19**	**19**

1		2	3	4	5	6	7	8	9	10	11	12	13
Источник шума: ИШ-1-4, координаты источника (x,y,z), м =[290.25,223.25,1.00]													
Уровни звуковой мощности источника днём, Lw, дБ		**исходные данные**	**0**	**91,3**	**92,7**	**94**	**94,3**	**93,9**	**90,6**	**86,4**	**81,9**		
Уровни звуковой мощности источника ночью, Lw, дБ		**исходные данные**	**0**	**91,3**	**92,7**	**94**	**94,3**	**93,9**	**90,6**	**86,4**	**81,9**		
Поправка на телесный угол DΩ, дБ	Ω = 6.28	10Lg(4π/Ω)	**3**	3	3	3	3	3	3	3	3		
Показатель направленности источника Di, дБ		исходные данные	**0**	0	0	0	0	0	0	0	0		
Поправка на направленность источника Dc, дБ	Dc	DΩ + Di	**3**	3	3	3	3	3	3	3	3		
Затухание из-за геометрической дивергенции, Adiv, дБ	расстояние = 1282.34 м	ф-ла (7) [10]	**73,2**										
Коэффициент затухания звука в атмосфере α, дБ/км	Ta=20,°C Pa=101.33,кПа hотн.=70%	ф-ла (5) [9]	0,02	0,09	0,33	1,12	2,79	4,98	9,04	23,09	77,63		
Учет затухания звука в атмосфере Aatm, дБ		ф-ла (8) [10]	0	0,1	0,4	1,4	3,6	6,4	11,6	29,6	99,6		
Снижение уровня звукового давления из-за влияния застройки между источником шума и расчетной точкой													
Снижение уровня звукового давления на пути над экраном, Dz1, дБ	z = 0.02м (разность путей)	ф-лы (14-18) [10]	4,8	4,8	4,8	4,8	4,8	4,8	4,8	4,8	4,8		
Снижение уровня звукового давления на пути слева от экрана, Dz2, дБ	z = 0.01м (разность путей)	ф-лы (14-18) [10]	4,8	4,9	5	5,3	5,8	6,6	7,8	9,6	11,8		
Снижение уровня звукового давления на пути справа от экрана, Dz3, дБ	z = 0.72м (разность путей)	ф-лы (14-18) [10]	9,4	12,4	15,3	18,2	21,2	24,1	27,1	30,1	33,1		
Общее снижение уровня звука препятствием Dz, дБ		Эн.сумма(-Dzi)	1,1	1,5	1,7	1,9	2,2	2,5	3	3,5	4		
Уровни звукового давления прямого звука от источника ИШ-1-4 в расчётной точке днём, дБ		**ф-ла(3)[10]**	**0**	**19,6**	**20,4**	**20,5**	**18,4**	**14,8**	**5,8**	**0**	**0**	**19,4**	**19,4**
Уровни звукового давления прямого звука от источника ИШ-1-4 в расчётной точке ночью, дБ		**ф-ла(3)[10]**	**0**	**19,6**	**20,4**	**20,5**	**18,4**	**14,8**	**5,8**	**0**	**0**	**19,4**	**19,4**

1		2	3	4	5	6	7	8	9	10	11	12	13
Расчёт отражённого звука													
Уровни звукового давления от мнимого источника ИШ-1-4_мн.(1) в расчётной точке днём, дБ		**ф-ла(3)[10]**	**0**	**0**	**0**	**0**	**16,3**	**12,4**	**3,1**	**0**	**0**	**16,1**	**16,1**
Уровни звукового давления от мнимого источника ИШ-1-4_мн.(1) в расчётной точке ночью, дБ		**ф-ла(3)[10]**	**0**	**0**	**0**	**0**	**0**	**0**	**0**	**0**	**0**	**16,1**	**16,1**
Уровни звукового давления от источника ИШ-1-4 в расчётной точке днём, дБ		**ф-ла(3)[10]**	**0**	**19,6**	**20,4**	**20,5**	**20,5**	**16,8**	**7,7**	**0**	**0**	**21,1**	**21,1**
Уровни звукового давления от источника ИШ-1-4 в расчётной точке ночью, дБ		**ф-ла(3)[10]**	**0**	**19,6**	**20,4**	**20,5**	**20,5**	**16,8**	**7,7**	**0**	**0**	**21,1**	**21,1**
Источник шума: ИШ-1-5, координаты источника (x,y,z), м =[241.49,205.86,1.00]													
Уровни звуковой мощности источника днём, Lw, дБ		**исходные данные**	**0**	**91,3**	**92,7**	**94**	**94,3**	**93,9**	**90,6**	**86,4**	**81,9**		
Уровни звуковой мощности источника ночью, Lw, дБ		**исходные данные**	**0**	**91,3**	**92,7**	**94**	**94,3**	**93,9**	**90,6**	**86,4**	**81,9**		
Поправка на телесный угол DΩ, дБ	Ω = 6.28	10Lg(4π/Ω)	**3**	3	3	3	3	3	3	3	3		
Показатель направленности источника Di, дБ		исходные данные	**0**	0	0	0	0	0	0	0	0		
Поправка на направленность источника Dc, дБ	Dc	DΩ + Di	**3**	3	3	3	3	3	3	3	3		
Затухание из-за геометрической дивергенции, Adiv, дБ	расстояние = 1253.42 м	ф-ла (7) [10]	**73**										
Коэффициент затухания звука в атмосфере α, дБ/км	Ta=20,°C Pa=101.33,кПа hотн.=70%	ф-ла (5) [9]	0,02	0,09	0,33	1,12	2,79	4,98	9,04	23,09	77,63		
Учет затухания звука в атмосфере Aatm, дБ		ф-ла (8) [10]	0	0,1	0,4	1,4	3,5	6,2	11,3	28,9	97,3		
Снижение уровня звукового давления из-за влияния застройки между источником шума и расчетной точкой													
Снижение уровня звукового давления на пути над экраном, Dz1, дБ	z = 0.38м (разность путей)	ф-лы (14-18) [10]	4,8	4,8	4,8	4,9	5	5,3	5,8	6,7	8		

1		2	3	4	5	6	7	8	9	10	11	12	13
Снижение уровня звукового давления на пути слева от экрана, Dz2, дБ	z = 46.68м (разность путей)	ф-лы (14-18) [10]	23,2	27,5	31,9	35,8	39,1	42,1	45,2	48,2	51,2		
Снижение уровня звукового давления на пути справа от экрана, Dz3, дБ	z = 4.03м (разность путей)	ф-лы (14-18) [10]	16,5	19,6	22,6	25,5	28,5	31,5	34,5	37,6	40,6		
Общее снижение уровня звука препятствием Dz, дБ		Эн.сумма(-Dzi)	4,4	4,6	4,7	4,8	5	5,3	5,8	6,7	8		
Уровни звукового давления прямого звука от источника ИШ-1-5 в расчётной точке днём, дБ		**ф-ла(3)[10]**	**0**	**16,6**	**17,6**	**17,8**	**15,8**	**12,4**	**3,5**	**0**	**0**	**16,8**	**16,8**
Уровни звукового давления прямого звука от источника ИШ-1-5 в расчётной точке ночью, дБ		**ф-ла(3)[10]**	**0**	**16,6**	**17,6**	**17,8**	**15,8**	**12,4**	**3,5**	**0**	**0**	**16,8**	**16,8**
Расчёт отражённого звука													
Уровни звукового давления от мнимого источника ИШ-1-5_мн.(1) в расчётной точке днём, дБ		**ф-ла(3)[10]**	**0**	**0**	**0**	**0**	**0**	**11,8**	**2,3**	**0**	**0**	**12,4**	**12,4**
Уровни звукового давления от мнимого источника ИШ-1-5_мн.(1) в расчётной точке ночью, дБ		**ф-ла(3)[10]**	**0**	**0**	**0**	**0**	**0**	**0**	**0**	**0**	**0**	**12,4**	**12,4**
Уровни звукового давления от источника ИШ-1-5 в расчётной точке днём, дБ		**ф-ла(3)[10]**	**0**	**16,6**	**17,6**	**17,8**	**15,8**	**15,1**	**5,9**	**0**	**0**	**18,2**	**18,2**
Уровни звукового давления от источника ИШ-1-5 в расчётной точке ночью, дБ		**ф-ла(3)[10]**	**0**	**16,6**	**17,6**	**17,8**	**15,8**	**15,1**	**5,9**	**0**	**0**	**18,2**	**18,2**
Источник шума: ИШ-1-6, координаты источника (x,y,z), м =[279.85,192.97,1.00]													
Уровни звуковой мощности источника днём, Lw, дБ		**исходные данные**	**0**	**91,3**	**92,7**	**94**	**94,3**	**93,9**	**90,6**	**86,4**	**81,9**		
Уровни звуковой мощности источника ночью, Lw, дБ		**исходные данные**	**0**	**91,3**	**92,7**	**94**	**94,3**	**93,9**	**90,6**	**86,4**	**81,9**		
Поправка на телесный угол DΩ, дБ	Ω = 6.28	10Lg(4π/Ω)	**3**	3	3	3	3	3	3	3	3		
Показатель направленности источника Di, дБ		исходные данные	**0**	0	0	0	0	0	0	0	0		
Поправка на направленность источника Dc, дБ	Dc	DΩ + Di	**3**	3	3	3	3	3	3	3	3		
Затухание из-за геометрической дивергенции, Adiv, дБ	расстояние = 1291.79 м	ф-ла (7) [10]	**73,2**										

1		2	3	4	5	6	7	8	9	10	11	12	13
Коэффициент затухания звука в атмосфере α, дБ/км	Та=20,°С Ра=101.33,кПа hотн.=70%	ф-ла (5) [9]	0,02	0,09	0,33	1,12	2,79	4,98	9,04	23,09	77,63		
Учет затухания звука в атмосфере Aatm, дБ		ф-ла (8) [10]	0	0,1	0,4	1,5	3,6	6,4	11,7	29,8	100,3		
Снижение уровня звукового давления из-за влияния застройки между источником шума и расчетной точкой													
Снижение уровня звукового давления на пути над экраном, Dz1, дБ	z = 0.24м (разность путей)	ф-лы (14-18) [10]	4,8	4,8	4,8	4,8	4,8	4,8	4,8	4,8	4,9		
Снижение уровня звукового давления на пути слева от экрана, Dz2, дБ	z = 45.01м (разность путей)	ф-лы (14-18) [10]	23,1	27,3	31,8	35,6	38,9	42	45	48	51		
Снижение уровня звукового давления на пути справа от экрана, Dz3, дБ	z = 0.79м (разность путей)	ф-лы (14-18) [10]	10,5	13,1	15,8	18,6	21,6	24,5	27,5	30,5	33,5		
Общее снижение уровня звука препятствием Dz, дБ		Эн.сумма(-Dzi)	3,7	4,2	4,4	4,6	4,7	4,7	4,8	4,8	4,9		
Уровни звукового давления прямого звука от источника ИШ-1-6 в расчётной точке днём, дБ		**ф-ла(3)[10]**	**0**	**16,8**	**17,6**	**17,7**	**15,8**	**12,5**	**3,9**	**0**	**0**	**16,9**	**16,9**
Уровни звукового давления прямого звука от источника ИШ-1-6 в расчётной точке ночью, дБ		**ф-ла(3)[10]**	**0**	**16,8**	**17,6**	**17,7**	**15,8**	**12,5**	**3,9**	**0**	**0**	**16,9**	**16,9**
Расчёт отражённого звука													
Уровни звукового давления от мнимого источника ИШ-1-6_мн.(1) в расчётной точке днём, дБ		**ф-ла(3)[10]**	**0**	**0**	**0**	**0**	**14,3**	**10,8**	**1,9**	**0**	**0**	**14,3**	**14,3**
Уровни звукового давления от мнимого источника ИШ-1-6_мн.(1) в расчётной точке ночью, дБ		**ф-ла(3)[10]**	**0**	**0**	**0**	**0**	**0**	**0**	**0**	**0**	**0**	**14,3**	**14,3**
Уровни звукового давления от источника ИШ-1-6 в расчётной точке днём, дБ		**ф-ла(3)[10]**	**0**	**16,8**	**17,6**	**17,7**	**18,1**	**14,7**	**6**	**0**	**0**	**18,8**	**18,8**
Уровни звукового давления от источника ИШ-1-6 в расчётной точке ночью, дБ		**ф-ла(3)[10]**	**0**	**16,8**	**17,6**	**17,7**	**18,1**	**14,7**	**6**	**0**	**0**	**18,8**	**18,8**
Источник шума: ИШ-1-7, координаты источника (x,y,z), м =[451.87,146.66,1.00]													
Уровни звуковой мощности источника днём, Lw, дБ		**исходные данные**	**0**	**93,3**	**94,7**	**96**	**96,3**	**95,9**	**92,6**	**88,4**	**83,9**		

1		2	3	4	5	6	7	8	9	10	11	12	13
Уровни звуковой мощности источника ночью, Lw, дБ		**исходные данные**	**0**	**93,3**	**94,7**	**96**	**96,3**	**95,9**	**92,6**	**88,4**	**83,9**		
Поправка на телесный угол DΩ, дБ	Ω = 6.28	10Lg(4π/Ω)	**3**	3	3	3	3	3	3	3	3		
Показатель направленности источника Di, дБ		исходные данные	**0**	0	0	0	0	0	0	0	0		
Поправка на направленность источника Dc, дБ	Dc	DΩ + Di	**3**	3	3	3	3	3	3	3	3		
Затухание из-за геометрической дивергенции, Adiv, дБ	расстояние = 1458.76 м	ф-ла (7) [10]	**74,3**										
Коэффициент затухания звука в атмосфере α, дБ/км	Ta=20,°C Pa=101.33,кПа hотн.=70%	ф-ла (5) [9]	0,02	0,09	0,33	1,12	2,79	4,98	9,04	23,09	77,63		
Учет затухания звука в атмосфере Aatm, дБ		ф-ла (8) [10]	0	0,1	0,5	1,6	4,1	7,3	13,2	33,7	113,2		
Снижение уровня звукового давления из-за влияния застройки между источником шума и расчетной точкой													
Снижение уровня звукового давления на пути над экраном, Dz1, дБ	z = 1.45м (разность путей)	ф-лы (14-18) [10]	6,4	8	10	12,4	15	17,8	20,7	23,7	26,6		
Снижение уровня звукового давления на пути слева от экрана, Dz2, дБ	z = 102.98м (разность путей)	ф-лы (14-18) [10]	30,4	33,5	36,6	39,6	42,6	45,6	48,6	51,6	54,6		
Снижение уровня звукового давления на пути справа от экрана, Dz3, дБ	z = 19.02м (разность путей)	ф-лы (14-18) [10]	18,7	21,6	24,5	27,5	30,5	33,5	36,5	39,5	42,5		
Общее снижение уровня звука препятствием Dz, дБ		Эн.сумма(-Dzi)	6,1	7,8	9,8	12,2	14,9	17,7	20,6	23,5	26,5		
Общее снижение уровня звука препятствием с учётом ограничения (25 дБ) для октавных полос Dz, дБ		Раздел 7.4 [10]	6,1	7,8	9,8	12,2	14,9	17,7	20,6	23,5	25		
Уровни звукового давления прямого звука от источника ИШ-1-7 в расчётной точке днём, дБ		**ф-ла(3)[10]**	**0**	**14,1**	**13,1**	**10,8**	**6,1**	**0**	**0**	**0**	**0**	**6,2**	**6,2**
Уровни звукового давления прямого звука от источника ИШ-1-7 в расчётной точке ночью, дБ		**ф-ла(3)[10]**	**0**	**14,1**	**13,1**	**10,8**	**6,1**	**0**	**0**	**0**	**0**	**6,2**	**6,2**
Расчёт отражённого звука													
Уровни звукового давления от мнимого источника ИШ-1-7_мн.(1) в расчётной точке днём, дБ		**ф-ла(3)[10]**	**0**	**0**	**0**	**0**	**13,9**	**9,6**	**0**	**0**	**0**	**13,2**	**13,2**

1		2	3	4	5	6	7	8	9	10	11	12	13
Уровни звукового давления от мнимого источника ИШ-1-7_мн.(1) в расчётной точке ночью, дБ		**ф-ла(3)[10]**	**0**	**0**	**0**	**0**	**0**	**0**	**0**	**0**	**0**	**13,2**	**13,2**
Уровни звукового давления от источника ИШ-1-7 в расчётной точке днём, дБ		**ф-ла(3)[10]**	**0**	**14,1**	**13,1**	**10,8**	**14,6**	**9,6**	**0**	**0**	**0**	**14**	**14**
Уровни звукового давления от источника ИШ-1-7 в расчётной точке ночью, дБ		**ф-ла(3)[10]**	**0**	**14,1**	**13,1**	**10,8**	**14,6**	**9,6**	**0**	**0**	**0**	**14**	**14**
Источник шума: ИШ-1-8, координаты источника (x,y,z), м =[454.99,145.29,1.00]													
Уровни звуковой мощности источника днём, Lw, дБ		**исходные данные**	**0**	**93,3**	**94,7**	**96**	**96,3**	**95,9**	**92,6**	**88,4**	**83,9**		
Уровни звуковой мощности источника ночью, Lw, дБ		**исходные данные**	**0**	**93,3**	**94,7**	**96**	**96,3**	**95,9**	**92,6**	**88,4**	**83,9**		
Поправка на телесный угол DΩ, дБ	Ω = 6.28	10Lg(4π/Ω)	**3**	3	3	3	3	3	3	3	3		
Показатель направленности источника Di, дБ		исходные данные	**0**	0	0	0	0	0	0	0	0		
Поправка на направленность источника Dc, дБ	Dc	DΩ + Di	**3**	3	3	3	3	3	3	3	3		
Затухание из-за геометрической дивергенции, Adiv, дБ	расстояние = 1462.11 м	ф-ла (7) [10]	**74,3**										
Коэффициент затухания звука в атмосфере α, дБ/км	Ta=20,°C Pa=101.33,кПа hотн.=70%	ф-ла (5) [9]	0,02	0,09	0,33	1,12	2,79	4,98	9,04	23,09	77,63		
Учет затухания звука в атмосфере Aatm, дБ		ф-ла (8) [10]	0	0,1	0,5	1,6	4,1	7,3	13,2	33,8	113,5		
Снижение уровня звукового давления из-за влияния застройки между источником шума и расчетной точкой													
Снижение уровня звукового давления на пути над экраном, Dz1, дБ	z = 1.30м (разность путей)	ф-лы (14-18) [10]	5,9	7,2	8,9	11,1	13,6	16,3	19,1	22,1	25		
Снижение уровня звукового давления на пути слева от экрана, Dz2, дБ	z = 100.47м (разность путей)	ф-лы (14-18) [10]	30,3	33,4	36,5	39,5	42,5	45,5	48,5	51,5	54,5		
Снижение уровня звукового давления на пути справа от экрана, Dz3, дБ	z = 17.56м (разность путей)	ф-лы (14-18) [10]	18,3	21,2	24,2	27,2	30,2	33,2	36,2	39,2	42,2		

1		2	3	4	5	6	7	8	9	10	11	12	13
Общее снижение уровня звука препятствием Dz, дБ		Эн.сумма(-Dzi)	5,7	7	8,8	11	13,5	16,2	19	22	24,9		
Уровни звукового давления прямого звука от источника ИШ-1-8 в расчётной точке днём, дБ		**ф-ла(3)[10]**	**0**	**14,8**	**14,1**	**12,1**	**7,4**	**1,1**	**0**	**0**	**0**	**8,4**	**8,4**
Уровни звукового давления прямого звука от источника ИШ-1-8 в расчётной точке ночью, дБ		**ф-ла(3)[10]**	**0**	**14,8**	**14,1**	**12,1**	**7,4**	**1,1**	**0**	**0**	**0**	**8,4**	**8,4**
Расчёт отражённого звука													
Уровни звукового давления от мнимого источника ИШ-1-8_мн.(1) в расчётной точке днём, дБ		**ф-ла(3)[10]**	**0**	**0**	**0**	**0**	**14**	**9,6**	**0**	**0**	**0**	**13,2**	**13,2**
Уровни звукового давления от мнимого источника ИШ-1-8_мн.(1) в расчётной точке ночью, дБ		**ф-ла(3)[10]**	**0**	**0**	**0**	**0**	**0**	**0**	**0**	**0**	**0**	**13,2**	**13,2**
Уровни звукового давления от источника ИШ-1-8 в расчётной точке днём, дБ		**ф-ла(3)[10]**	**0**	**14,8**	**14,1**	**12,1**	**14,8**	**10,2**	**0**	**0**	**0**	**14,5**	**14,5**
Уровни звукового давления от источника ИШ-1-8 в расчётной точке ночью, дБ		**ф-ла(3)[10]**	**0**	**14,8**	**14,1**	**12,1**	**14,8**	**10,2**	**0**	**0**	**0**	**14,5**	**14,5**
Источник шума: ИШ-1-9, координаты источника (x,y,z), м =[458.12,144.31,1.00]													
Уровни звуковой мощности источника днём, Lw, дБ		**исходные данные**	**0**	**93,3**	**94,7**	**96**	**96,3**	**95,9**	**92,6**	**88,4**	**83,9**		
Уровни звуковой мощности источника ночью, Lw, дБ		**исходные данные**	**0**	**93,3**	**94,7**	**96**	**96,3**	**95,9**	**92,6**	**88,4**	**83,9**		
Поправка на телесный угол DΩ, дБ	Ω = 6.28	10Lg(4π/Ω)	**3**	3	3	3	3	3	3	3	3		
Показатель направленности источника Di, дБ		исходные данные	**0**	0	0	0	0	0	0	0	0		
Поправка на направленность источника Dc, дБ	Dc	DΩ + Di	**3**	3	3	3	3	3	3	3	3		
Затухание из-за геометрической дивергенции, Adiv, дБ	расстояние = 1465.25 м	ф-ла (7) [10]	**74,3**										
Коэффициент затухания звука в атмосфере α, дБ/км	Ta=20,°C Pa=101.33,кПа hотн.=70%	ф-ла (5) [9]	0,02	0,09	0,33	1,12	2,79	4,98	9,04	23,09	77,63		

1		2	3	4	5	6	7	8	9	10	11	12	13
Учет затухания звука в атмосфере Aatm, дБ		ф-ла (8) [10]	0	0,1	0,5	1,6	4,1	7,3	13,2	33,8	113,8		
Снижение уровня звукового давления из-за влияния застройки между источником шума и расчетной точкой													
Снижение уровня звукового давления на пути над экраном, Dz1, дБ	z = 1.18м (разность путей)	ф-лы (14-18) [10]	5,6	6,6	8,1	10	12,3	14,9	17,7	20,6	23,5		
Снижение уровня звукового давления на пути слева от экрана, Dz2, дБ	z = 98.59м (разность путей)	ф-лы (14-18) [10]	30,2	33,4	36,4	39,4	42,4	45,4	48,4	51,4	54,4		
Снижение уровня звукового давления на пути справа от экрана, Dz3, дБ	z = 16.08м (разность путей)	ф-лы (14-18) [10]	18	20,9	23,8	26,8	29,8	32,8	35,8	38,8	41,8		
Общее снижение уровня звука препятствием Dz, дБ		Эн.сумма(-Dzi)	5,4	6,5	7,9	9,9	12,2	14,8	17,6	20,5	23,5		
Уровни звукового давления прямого звука от источника ИШ-1-9 в расчётной точке днём, дБ		**ф-ла(3)[10]**	**0**	**15,4**	**14,9**	**13,2**	**8,7**	**2,5**	**0**	**0**	**0**	**9,5**	**9,5**
Уровни звукового давления прямого звука от источника ИШ-1-9 в расчётной точке ночью, дБ		**ф-ла(3)[10]**	**0**	**15,4**	**14,9**	**13,2**	**8,7**	**2,5**	**0**	**0**	**0**	**9,5**	**9,5**
Расчёт отражённого звука													
Уровни звукового давления от мнимого источника ИШ-1-9_мн.(1) в расчётной точке днём, дБ		**ф-ла(3)[10]**	**0**	**0**	**0**	**0**	**14**	**9,6**	**0**	**0**	**0**	**13,3**	**13,3**
Уровни звукового давления от мнимого источника ИШ-1-9_мн.(1) в расчётной точке ночью, дБ		**ф-ла(3)[10]**	**0**	**0**	**0**	**0**	**0**	**0**	**0**	**0**	**0**	**13,3**	**13,3**
Уровни звукового давления от источника ИШ-1-9 в расчётной точке днём, дБ		**ф-ла(3)[10]**	**0**	**15,4**	**14,9**	**13,2**	**15,1**	**10,4**	**0**	**0**	**0**	**14,8**	**14,8**
Уровни звукового давления от источника ИШ-1-9 в расчётной точке ночью, дБ		**ф-ла(3)[10]**	**0**	**15,4**	**14,9**	**13,2**	**15,1**	**10,4**	**0**	**0**	**0**	**14,8**	**14,8**
Источник шума: ИШ-1-10, координаты источника (x,y,z), м =[461.05,143.53,1.00]													
Уровни звуковой мощности источника днём, Lw, дБ		**исходные данные**	**0**	**93,3**	**94,7**	**96**	**96,3**	**95,9**	**92,6**	**88,4**	**83,9**		
Уровни звуковой мощности источника ночью, Lw, дБ		**исходные данные**	**0**	**93,3**	**94,7**	**96**	**96,3**	**95,9**	**92,6**	**88,4**	**83,9**		
Поправка на телесный угол DΩ, дБ	Ω = 6.28	10Lg(4π/Ω)	**3**	3	3	3	3	3	3	3	3		

1		2	3	4	5	6	7	8	9	10	11	12	13
Показатель направленности источника Di, дБ		исходные данные	**0**	0	0	0	0	0	0	0	0		
Поправка на направленность источника Dc, дБ	Dc	DΩ + Di	**3**	3	3	3	3	3	3	3	3		
Затухание из-за геометрической дивергенции, Adiv, дБ	расстояние = 1468.11 м	ф-ла (7) [10]	**74,3**										
Коэффициент затухания звука в атмосфере α, дБ/км	Ta=20,°C Pa=101.33,кПа hотн.=70%	ф-ла (5) [9]	0,02	0,09	0,33	1,12	2,79	4,98	9,04	23,09	77,63		
Учет затухания звука в атмосфере Aatm, дБ		ф-ла (8) [10]	0	0,1	0,5	1,7	4,1	7,3	13,3	33,9	114		
Снижение уровня звукового давления из-за влияния застройки между источником шума и расчетной точкой													
Снижение уровня звукового давления на пути над экраном, Dz1, дБ	z = 1.08м (разность путей)	ф-лы (14-18) [10]	5,4	6,2	7,4	9,1	11,2	13,7	16,4	19,3	22,2		
Снижение уровня звукового давления на пути слева от экрана, Dz2, дБ	z = 97.10м (разность путей)	ф-лы (14-18) [10]	30,1	33,3	36,3	39,3	42,3	45,3	48,4	51,4	54,4		
Снижение уровня звукового давления на пути справа от экрана, Dz3, дБ	z = 14.75м (разность путей)	ф-лы (14-18) [10]	17,6	20,5	23,4	26,4	29,4	32,4	35,4	38,4	41,4		
Общее снижение уровня звука препятствием Dz, дБ		Эн.сумма(-Dzi)	5,1	6	7,3	9	11,1	13,6	16,3	19,2	22,1		
Уровни звукового давления прямого звука от источника ИШ-1-10 в расчётной точке днём, дБ		**ф-ла(3)[10]**	**0**	**15,8**	**15,6**	**14**	**9,7**	**3,6**	**0**	**0**	**0**	**10,5**	**10,5**
Уровни звукового давления прямого звука от источника ИШ-1-10 в расчётной точке ночью, дБ		**ф-ла(3)[10]**	**0**	**15,8**	**15,6**	**14**	**9,7**	**3,6**	**0**	**0**	**0**	**10,5**	**10,5**
Расчёт отражённого звука													
Уровни звукового давления от мнимого источника ИШ-1-10_мн.(1) в расчётной точке днём, дБ		**ф-ла(3)[10]**	**0**	**0**	**0**	**0**	**14**	**9,7**	**0**	**0**	**0**	**13,3**	**13,3**
Уровни звукового давления от мнимого источника ИШ-1-10_мн.(1) в расчётной точке ночью, дБ		**ф-ла(3)[10]**	**0**	**0**	**0**	**0**	**0**	**0**	**0**	**0**	**0**	**13,3**	**13,3**
Уровни звукового давления от источника ИШ-1-10 в расчётной точке днём, дБ		**ф-ла(3)[10]**	**0**	**15,8**	**15,6**	**14**	**15,4**	**10,6**	**0**	**0**	**0**	**15,1**	**15,1**
Уровни звукового давления от источника ИШ-1-10 в расчётной точке ночью, дБ		**ф-ла(3)[10]**	**0**	**15,8**	**15,6**	**14**	**15,4**	**10,6**	**0**	**0**	**0**	**15,1**	**15,1**

1		2	3	4	5	6	7	8	9	10	11	12	13
Источник шума: ИШ-1-11, координаты источника (x,y,z), м =[464.18,142.55,1.00]													
Уровни звуковой мощности источника днём, Lw, дБ		**исходные данные**	**0**	**93,3**	**94,7**	**96**	**96,3**	**95,9**	**92,6**	**88,4**	**83,9**		
Уровни звуковой мощности источника ночью, Lw, дБ		**исходные данные**	**0**	**93,3**	**94,7**	**96**	**96,3**	**95,9**	**92,6**	**88,4**	**83,9**		
Поправка на телесный угол DΩ, дБ	Ω = 6.28	10Lg(4π/Ω)	**3**	3	3	3	3	3	3	3	3		
Показатель направленности источника Di, дБ		исходные данные	**0**	0	0	0	0	0	0	0	0		
Поправка на направленность источника Dc, дБ	Dc	DΩ + Di	**3**	3	3	3	3	3	3	3	3		
Затухание из-за геометрической дивергенции, Adiv, дБ	расстояние = 1471.25 м	ф-ла (7) [10]	**74,4**										
Коэффициент затухания звука в атмосфере α, дБ/км	Ta=20,°C Pa=101.33,кПа hотн.=70%	ф-ла (5) [9]	0,02	0,09	0,33	1,12	2,79	4,98	9,04	23,09	77,63		
Учет затухания звука в атмосфере Aatm, дБ		ф-ла (8) [10]	0	0,1	0,5	1,7	4,1	7,3	13,3	34	114,2		
Снижение уровня звукового давления из-за влияния застройки между источником шума и расчетной точкой													
Снижение уровня звукового давления на пути над экраном, Dz1, дБ	z = 1.00м (разность путей)	ф-лы (14-18) [10]	5,2	5,8	6,8	8,2	10,1	12,4	15,1	17,9	20,8		
Снижение уровня звукового давления на пути слева от экрана, Dz2, дБ	z = 95.42м (разность путей)	ф-лы (14-18) [10]	30,1	33,2	36,2	39,3	42,3	45,3	48,3	51,3	54,3		
Снижение уровня звукового давления на пути справа от экрана, Dz3, дБ	z = 13.50м (разность путей)	ф-лы (14-18) [10]	17,2	20,1	23	26	29	32	35	38	41		
Общее снижение уровня звука препятствием Dz, дБ		Эн.сумма(-Dzi)	5	5,7	6,7	8,1	10,1	12,4	15	17,8	20,7		
Уровни звукового давления прямого звука от источника ИШ-1-11 в расчётной точке днём, дБ		**ф-ла(3)[10]**	**0**	**16,1**	**16,2**	**14,9**	**10,8**	**4,8**	**0**	**0**	**0**	**11,5**	**11,5**
Уровни звукового давления прямого звука от источника ИШ-1-11 в расчётной точке ночью, дБ		**ф-ла(3)[10]**	**0**	**16,1**	**16,2**	**14,9**	**10,8**	**4,8**	**0**	**0**	**0**	**11,5**	**11,5**

1		2	3	4	5	6	7	8	9	10	11	12	13
Расчёт отражённого звука													
Уровни звукового давления от мнимого источника ИШ-1-11_мн.(1) в расчётной точке днём, дБ		**ф-ла(3)[10]**	**0**	**0**	**0**	**0**	**14**	**9,7**	**0**	**0**	**0**	**13,3**	**13,3**
Уровни звукового давления от мнимого источника ИШ-1-11_мн.(1) в расчётной точке ночью, дБ		**ф-ла(3)[10]**	**0**	**0**	**0**	**0**	**0**	**0**	**0**	**0**	**0**	**13,3**	**13,3**
Уровни звукового давления от источника ИШ-1-11 в расчётной точке днём, дБ		**ф-ла(3)[10]**	**0**	**16,1**	**16,2**	**14,9**	**15,7**	**10,9**	**0**	**0**	**0**	**15,5**	**15,5**
Уровни звукового давления от источника ИШ-1-11 в расчётной точке ночью, дБ		**ф-ла(3)[10]**	**0**	**16,1**	**16,2**	**14,9**	**15,7**	**10,9**	**0**	**0**	**0**	**15,5**	**15,5**
Источник шума: ИШ-1-12, координаты источника (x,y,z), м =[435.45,97.79,1.00]													
Уровни звуковой мощности источника днём, Lw, дБ		**исходные данные**	**0**	**93,3**	**94,7**	**96**	**96,3**	**95,9**	**92,6**	**88,4**	**83,9**		
Уровни звуковой мощности источника ночью, Lw, дБ		**исходные данные**	**0**	**93,3**	**94,7**	**96**	**96,3**	**95,9**	**92,6**	**88,4**	**83,9**		
Поправка на телесный угол DΩ, дБ	Ω = 6.28	10Lg(4π/Ω)	**3**	3	3	3	3	3	3	3	3		
Показатель направленности источника Di, дБ		исходные данные	**0**	0	0	0	0	0	0	0	0		
Поправка на направленность источника Dc, дБ	Dc	DΩ + Di	**3**	3	3	3	3	3	3	3	3		
Затухание из-за геометрической дивергенции, Adiv, дБ	расстояние = 1473.49 м	ф-ла (7) [10]	**74,4**										
Коэффициент затухания звука в атмосфере α, дБ/км	Ta=20,°C Pa=101.33,кПа hотн.=70%	ф-ла (5) [9]	0,02	0,09	0,33	1,12	2,79	4,98	9,04	23,09	77,63		
Учет затухания звука в атмосфере Aatm, дБ		ф-ла (8) [10]	0	0,1	0,5	1,7	4,1	7,3	13,3	34	114,4		
Снижение уровня звукового давления из-за влияния застройки между источником шума и расчетной точкой													
Снижение уровня звукового давления на пути над экраном, Dz1, дБ	z = 1.44м (разность путей)	ф-лы (14-18) [10]	6,3	7,9	9,8	12,2	14,8	17,6	20,5	23,4	26,4		

1		2	3	4	5	6	7	8	9	10	11	12	13
Снижение уровня звукового давления на пути слева от экрана, Dz2, дБ	z = 42.73м (разность путей)	ф-лы (14-18) [10]	26,6	29,7	32,7	35,8	38,8	41,8	44,8	47,8	50,8		
Снижение уровня звукового давления на пути справа от экрана, Dz3, дБ	z = 52.72м (разность путей)	ф-лы (14-18) [10]	23	26	28,9	31,9	34,9	37,9	40,9	43,9	47		
Общее снижение уровня звука препятствием Dz, дБ		Эн.сумма(-Dzi)	6,2	7,8	9,8	12,1	14,7	17,5	20,4	23,4	26,4		
Общее снижение уровня звука препятствием с учётом ограничения (25 дБ) для октавных полос Dz, дБ		Раздел 7.4 [10]	6,2	7,8	9,8	12,1	14,7	17,5	20,4	23,4	25		
Уровни звукового давления прямого звука от источника ИШ-1-12 в расчётной точке днём, дБ		**ф-ла(3)[10]**	**0**	**14**	**13,1**	**10,9**	**6,1**	**0**	**0**	**0**	**0**	**6,2**	**6,2**
Уровни звукового давления прямого звука от источника ИШ-1-12 в расчётной точке ночью, дБ		**ф-ла(3)[10]**	**0**	**14**	**13,1**	**10,9**	**6,1**	**0**	**0**	**0**	**0**	**6,2**	**6,2**
Расчёт отражённого звука													
Уровни звукового давления от мнимого источника ИШ-1-12_мн.(1) в расчётной точке днём, дБ		**ф-ла(3)[10]**	**0**	**0**	**0**	**0**	**13,8**	**9,5**	**0**	**0**	**0**	**13,1**	**13,1**
Уровни звукового давления от мнимого источника ИШ-1-12_мн.(1) в расчётной точке ночью, дБ		**ф-ла(3)[10]**	**0**	**0**	**0**	**0**	**0**	**0**	**0**	**0**	**0**	**13,1**	**13,1**
Уровни звукового давления от источника ИШ-1-12 в расчётной точке днём, дБ		**ф-ла(3)[10]**	**0**	**14**	**13,1**	**10,9**	**14,5**	**9,5**	**0**	**0**	**0**	**13,9**	**13,9**
Уровни звукового давления от источника ИШ-1-12 в расчётной точке ночью, дБ		**ф-ла(3)[10]**	**0**	**14**	**13,1**	**10,9**	**14,5**	**9,5**	**0**	**0**	**0**	**13,9**	**13,9**
Источник шума: ИШ-1-13, координаты источника (x,y,z), м =[438.77,96.82,1.00]													
Уровни звуковой мощности источника днём, Lw, дБ		**исходные данные**	**0**	**93,3**	**94,7**	**96**	**96,3**	**95,9**	**92,6**	**88,4**	**83,9**		
Уровни звуковой мощности источника ночью, Lw, дБ		**исходные данные**	**0**	**93,3**	**94,7**	**96**	**96,3**	**95,9**	**92,6**	**88,4**	**83,9**		
Поправка на телесный угол DΩ, дБ	Ω = 6.28	10Lg(4π/Ω)	**3**	3	3	3	3	3	3	3	3		
Показатель направленности источника Di, дБ		исходные данные	**0**	0	0	0	0	0	0	0	0		
Поправка на направленность источника Dc, дБ	Dc	DΩ + Di	**3**	3	3	3	3	3	3	3	3		

1		2	3	4	5	6	7	8	9	10	11	12	13
Затухание из-за геометрической дивергенции, Adiv, дБ	расстояние = 1476.75 м	ф-ла (7) [10]	**74,4**										
Коэффициент затухания звука в атмосфере α, дБ/км	Ta=20,°C Pa=101.33,кПа hотн.=70%	ф-ла (5) [9]	0,02	0,09	0,33	1,12	2,79	4,98	9,04	23,09	77,63		
Учет затухания звука в атмосфере Aatm, дБ		ф-ла (8) [10]	0	0,1	0,5	1,7	4,1	7,4	13,3	34,1	114,6		
Снижение уровня звукового давления из-за влияния застройки между источником шума и расчетной точкой													
Снижение уровня звукового давления на пути над экраном, Dz1, дБ	z = 1.28м (разность путей)	ф-лы (14-18) [10]	5,9	7,1	8,8	10,9	13,3	16	18,9	21,8	24,8		
Снижение уровня звукового давления на пути слева от экрана, Dz2, дБ	z = 41.97м (разность путей)	ф-лы (14-18) [10]	26,5	29,7	32,7	35,7	38,7	41,7	44,7	47,7	50,7		
Снижение уровня звукового давления на пути справа от экрана, Dz3, дБ	z = 50.25м (разность путей)	ф-лы (14-18) [10]	22,8	25,7	28,7	31,7	34,7	37,7	40,7	43,7	46,7		
Общее снижение уровня звука препятствием Dz, дБ		Эн.сумма(-Dzi)	5,8	7	8,7	10,8	13,3	16	18,8	21,8	24,7		
Уровни звукового давления прямого звука от источника ИШ-1-13 в расчётной точке днём, дБ		**ф-ла(3)[10]**	**0**	**14,8**	**14,1**	**12,1**	**7,5**	**1,2**	**0**	**0**	**0**	**8,4**	**8,4**
Уровни звукового давления прямого звука от источника ИШ-1-13 в расчётной точке ночью, дБ		**ф-ла(3)[10]**	**0**	**14,8**	**14,1**	**12,1**	**7,5**	**1,2**	**0**	**0**	**0**	**8,4**	**8,4**
Расчёт отражённого звука													
Уровни звукового давления от мнимого источника ИШ-1-13_мн.(1) в расчётной точке днём, дБ		**ф-ла(3)[10]**	**0**	**0**	**0**	**0**	**13,8**	**9,5**	**0**	**0**	**0**	**13,1**	**13,1**
Уровни звукового давления от мнимого источника ИШ-1-13_мн.(1) в расчётной точке ночью, дБ		**ф-ла(3)[10]**	**0**	**0**	**0**	**0**	**0**	**0**	**0**	**0**	**0**	**13,1**	**13,1**
Уровни звукового давления от источника ИШ-1-13 в расчётной точке днём, дБ		**ф-ла(3)[10]**	**0**	**14,8**	**14,1**	**12,1**	**14,8**	**10,1**	**0**	**0**	**0**	**14,4**	**14,4**
Уровни звукового давления от источника ИШ-1-13 в расчётной точке ночью, дБ		**ф-ла(3)[10]**	**0**	**14,8**	**14,1**	**12,1**	**14,8**	**10,1**	**0**	**0**	**0**	**14,4**	**14,4**
Источник шума: ИШ-1-14, координаты источника (x,y,z), м =[441.70,96.03,1.00]													

1		2	3	4	5	6	7	8	9	10	11	12	13
Уровни звуковой мощности источника днём, Lw, дБ		**исходные данные**	**0**	**93,3**	**94,7**	**96**	**96,3**	**95,9**	**92,6**	**88,4**	**83,9**		
Уровни звуковой мощности источника ночью, Lw, дБ		**исходные данные**	**0**	**93,3**	**94,7**	**96**	**96,3**	**95,9**	**92,6**	**88,4**	**83,9**		
Поправка на телесный угол DΩ, дБ	Ω = 6.28	10Lg(4π/Ω)	**3**	3	3	3	3	3	3	3	3		
Показатель направленности источника Di, дБ		исходные данные	**0**	0	0	0	0	0	0	0	0		
Поправка на направленность источника Dc, дБ	Dc	DΩ + Di	**3**	3	3	3	3	3	3	3	3		
Затухание из-за геометрической дивергенции, Adiv, дБ	расстояние = 1479.58 м	ф-ла (7) [10]	**74,4**										
Коэффициент затухания звука в атмосфере α, дБ/км	Ta=20,°C Pa=101.33,кПа hотн.=70%	ф-ла (5) [9]	0,02	0,09	0,33	1,12	2,79	4,98	9,04	23,09	77,63		
Учет затухания звука в атмосфере Aatm, дБ		ф-ла (8) [10]	0	0,1	0,5	1,7	4,1	7,4	13,4	34,2	114,9		
Снижение уровня звукового давления из-за влияния застройки между источником шума и расчетной точкой													
Снижение уровня звукового давления на пути над экраном, Dz1, дБ	z = 1.17м (разность путей)	ф-лы (14-18) [10]	5,6	6,6	8	9,8	12,1	14,7	17,5	20,4	23,4		
Снижение уровня звукового давления на пути слева от экрана, Dz2, дБ	z = 41.48м (разность путей)	ф-лы (14-18) [10]	26,5	29,6	32,6	35,6	38,6	41,7	44,7	47,7	50,7		
Снижение уровня звукового давления на пути справа от экрана, Dz3, дБ	z = 48.13м (разность путей)	ф-лы (14-18) [10]	22,6	25,6	28,5	31,5	34,5	37,5	40,5	43,6	46,6		
Общее снижение уровня звука препятствием Dz, дБ		Эн.сумма(-Dzi)	5,5	6,5	7,9	9,8	12,1	14,7	17,5	20,4	23,3		
Уровни звукового давления прямого звука от источника ИШ-1-14 в расчётной точке днём, дБ		**ф-ла(3)[10]**	**0**	**15,3**	**14,9**	**13,1**	**8,7**	**2,4**	**0**	**0**	**0**	**9,5**	**9,5**
Уровни звукового давления прямого звука от источника ИШ-1-14 в расчётной точке ночью, дБ		**ф-ла(3)[10]**	**0**	**15,3**	**14,9**	**13,1**	**8,7**	**2,4**	**0**	**0**	**0**	**9,5**	**9,5**
Расчёт отражённого звука													
Уровни звукового давления от мнимого источника ИШ-1-14_мн.(1) в расчётной точке днём, дБ		**ф-ла(3)[10]**	**0**	**0**	**0**	**0**	**13,9**	**9,6**	**0**	**0**	**0**	**13,2**	**13,2**

1		2	3	4	5	6	7	8	9	10	11	12	13
Уровни звукового давления от мнимого источника ИШ-1-14_мн.(1) в расчётной точке ночью, дБ		**ф-ла(3)[10]**	**0**	**0**	**0**	**0**	**0**	**0**	**0**	**0**	**0**	**13,2**	**13,2**
Уровни звукового давления от источника ИШ-1-14 в расчётной точке днём, дБ		**ф-ла(3)[10]**	**0**	**15,3**	**14,9**	**13,1**	**15**	**10,3**	**0**	**0**	**0**	**14,7**	**14,7**
Уровни звукового давления от источника ИШ-1-14 в расчётной точке ночью, дБ		**ф-ла(3)[10]**	**0**	**15,3**	**14,9**	**13,1**	**15**	**10,3**	**0**	**0**	**0**	**14,7**	**14,7**
Источник шума: ИШ-1-15, координаты источника (x,y,z), м =[445.03,95.25,1.00]													
Уровни звуковой мощности источника днём, Lw, дБ		**исходные данные**	**0**	**93,3**	**94,7**	**96**	**96,3**	**95,9**	**92,6**	**88,4**	**83,9**		
Уровни звуковой мощности источника ночью, Lw, дБ		**исходные данные**	**0**	**93,3**	**94,7**	**96**	**96,3**	**95,9**	**92,6**	**88,4**	**83,9**		
Поправка на телесный угол DΩ, дБ	Ω = 6.28	10Lg(4π/Ω)	**3**	3	3	3	3	3	3	3	3		
Показатель направленности источника Di, дБ		исходные данные	**0**	0	0	0	0	0	0	0	0		
Поправка на направленность источника Dc, дБ	Dc	DΩ + Di	**3**	3	3	3	3	3	3	3	3		
Затухание из-за геометрической дивергенции, Adiv, дБ	расстояние = 1482.73 м	ф-ла (7) [10]	**74,4**										
Коэффициент затухания звука в атмосфере α, дБ/км	Ta=20,°C Pa=101.33,кПа hотн.=70%	ф-ла (5) [9]	0,02	0,09	0,33	1,12	2,79	4,98	9,04	23,09	77,63		
Учет затухания звука в атмосфере Aatm, дБ		ф-ла (8) [10]	0	0,1	0,5	1,7	4,1	7,4	13,4	34,2	115,1		
Снижение уровня звукового давления из-за влияния застройки между источником шума и расчетной точкой													
Снижение уровня звукового давления на пути над экраном, Dz1, дБ	z = 1.07м (разность путей)	ф-лы (14-18) [10]	5,4	6,1	7,2	8,8	10,9	13,4	16,1	18,9	21,8		
Снижение уровня звукового давления на пути слева от экрана, Dz2, дБ	z = 41.12м (разность путей)	ф-лы (14-18) [10]	26,4	29,6	32,6	35,6	38,6	41,6	44,6	47,6	50,6		
Снижение уровня звукового давления на пути справа от экрана, Dz3, дБ	z = 45.78м (разность путей)	ф-лы (14-18) [10]	22,4	25,3	28,3	31,3	34,3	37,3	40,3	43,3	46,3		

1		2	3	4	5	6	7	8	9	10	11	12	13
Общее снижение уровня звука препятствием Dz, дБ		Эн.сумма(-Dzi)	5,2	6	7,2	8,8	10,9	13,3	16	18,9	21,8		
Уровни звукового давления прямого звука от источника ИШ-1-15 в расчётной точке днём, дБ		**ф-ла(3)[10]**	**0**	**15,7**	**15,6**	**14,1**	**9,9**	**3,8**	**0**	**0**	**0**	**10,6**	**10,6**
Уровни звукового давления прямого звука от источника ИШ-1-15 в расчётной точке ночью, дБ		**ф-ла(3)[10]**	**0**	**15,7**	**15,6**	**14,1**	**9,9**	**3,8**	**0**	**0**	**0**	**10,6**	**10,6**
Расчёт отражённого звука													
Уровни звукового давления от мнимого источника ИШ-1-15_мн.(1) в расчётной точке днём, дБ		**ф-ла(3)[10]**	**0**	**0**	**0**	**0**	**13,9**	**9,6**	**0**	**0**	**0**	**13,2**	**13,2**
Уровни звукового давления от мнимого источника ИШ-1-15_мн.(1) в расчётной точке ночью, дБ		**ф-ла(3)[10]**	**0**	**0**	**0**	**0**	**0**	**0**	**0**	**0**	**0**	**13,2**	**13,2**
Уровни звукового давления от источника ИШ-1-15 в расчётной точке днём, дБ		**ф-ла(3)[10]**	**0**	**15,7**	**15,6**	**14,1**	**15,3**	**10,6**	**0**	**0**	**0**	**15,1**	**15,1**
Уровни звукового давления от источника ИШ-1-15 в расчётной точке ночью, дБ		**ф-ла(3)[10]**	**0**	**15,7**	**15,6**	**14,1**	**15,3**	**10,6**	**0**	**0**	**0**	**15,1**	**15,1**
Источник шума: ИШ-1-16, координаты источника (x,y,z), м =[447.96,94.28,1.00]													
Уровни звуковой мощности источника днём, Lw, дБ		**исходные данные**	**0**	**93,3**	**94,7**	**96**	**96,3**	**95,9**	**92,6**	**88,4**	**83,9**		
Уровни звуковой мощности источника ночью, Lw, дБ		**исходные данные**	**0**	**93,3**	**94,7**	**96**	**96,3**	**95,9**	**92,6**	**88,4**	**83,9**		
Поправка на телесный угол DΩ, дБ	Ω = 6.28	10Lg(4π/Ω)	**3**	3	3	3	3	3	3	3	3		
Показатель направленности источника Di, дБ		исходные данные	**0**	0	0	0	0	0	0	0	0		
Поправка на направленность источника Dc, дБ	Dc	DΩ + Di	**3**	3	3	3	3	3	3	3	3		
Затухание из-за геометрической дивергенции, Adiv, дБ	расстояние = 1485.67 м	ф-ла (7) [10]	**74,4**										
Коэффициент затухания звука в атмосфере α, дБ/км	Ta=20,°C Pa=101.33,кПа hотн.=70%	ф-ла (5) [9]	0,02	0,09	0,33	1,12	2,79	4,98	9,04	23,09	77,63		

1		2	3	4	5	6	7	8	9	10	11	12	13
Учет затухания звука в атмосфере Aatm, дБ		ф-ла (8) [10]	0	0,1	0,5	1,7	4,1	7,4	13,4	34,3	115,3		
Снижение уровня звукового давления из-за влияния застройки между источником шума и расчетной точкой													
Снижение уровня звукового давления на пути над экраном, Dz1, дБ	z = 0.99м (разность путей)	ф-лы (14-18) [10]	5,2	5,8	6,7	8	9,9	12,2	14,8	17,6	20,5		
Снижение уровня звукового давления на пути слева от экрана, Dz2, дБ	z = 40.61м (разность путей)	ф-лы (14-18) [10]	26,4	29,5	32,5	35,5	38,6	41,6	44,6	47,6	50,6		
Снижение уровня звукового давления на пути справа от экрана, Dz3, дБ	z = 43.90м (разность путей)	ф-лы (14-18) [10]	22,2	25,2	28,1	31,1	34,1	37,1	40,1	43,2	46,2		
Общее снижение уровня звука препятствием Dz, дБ		Эн.сумма(-Dzi)	5,1	5,7	6,6	8	9,9	12,2	14,8	17,6	20,5		
Уровни звукового давления прямого звука от источника ИШ-1-16 в расчётной точке днём, дБ		**ф-ла(3)[10]**	**0**	**16**	**16,1**	**14,9**	**10,8**	**4,9**	**0**	**0**	**0**	**11,5**	**11,5**
Уровни звукового давления прямого звука от источника ИШ-1-16 в расчётной точке ночью, дБ		**ф-ла(3)[10]**	**0**	**16**	**16,1**	**14,9**	**10,8**	**4,9**	**0**	**0**	**0**	**11,5**	**11,5**
Расчёт отражённого звука													
Уровни звукового давления от мнимого источника ИШ-1-16_мн.(1) в расчётной точке днём, дБ		**ф-ла(3)[10]**	**0**	**0**	**0**	**0**	**13,9**	**9,6**	**0**	**0**	**0**	**13,2**	**13,2**
Уровни звукового давления от мнимого источника ИШ-1-16_мн.(1) в расчётной точке ночью, дБ		**ф-ла(3)[10]**	**0**	**0**	**0**	**0**	**0**	**0**	**0**	**0**	**0**	**13,2**	**13,2**
Уровни звукового давления от источника ИШ-1-16 в расчётной точке днём, дБ		**ф-ла(3)[10]**	**0**	**16**	**16,1**	**14,9**	**15,7**	**10,9**	**0**	**0**	**0**	**15,5**	**15,5**
Уровни звукового давления от источника ИШ-1-16 в расчётной точке ночью, дБ		**ф-ла(3)[10]**	**0**	**16**	**16,1**	**14,9**	**15,7**	**10,9**	**0**	**0**	**0**	**15,5**	**15,5**
Источник шума: ИШ-1-17, координаты источника (x,y,z), м =[540.99,141.77,1.00]													
Уровни звуковой мощности источника днём, Lw, дБ		**исходные данные**	**0**	**93,3**	**94,7**	**96**	**96,3**	**95,9**	**92,6**	**88,4**	**83,9**		
Уровни звуковой мощности источника ночью, Lw, дБ		**исходные данные**	**0**	**93,3**	**94,7**	**96**	**96,3**	**95,9**	**92,6**	**88,4**	**83,9**		
Поправка на телесный угол DΩ, дБ	Ω = 6.28	10Lg(4π/Ω)	**3**	3	3	3	3	3	3	3	3		

1		2	3	4	5	6	7	8	9	10	11	12	13
Показатель направленности источника Di, дБ		исходные данные	**0**	0	0	0	0	0	0	0	0		
Поправка на направленность источника Dc, дБ	Dc	DΩ + Di	**3**	3	3	3	3	3	3	3	3		
Затухание из-за геометрической дивергенции, Adiv, дБ	расстояние = 1535.90 м	ф-ла (7) [10]	**74,7**										
Коэффициент затухания звука в атмосфере α, дБ/км	Ta=20,°C Pa=101.33,кПа hотн.=70%	ф-ла (5) [9]	0,02	0,09	0,33	1,12	2,79	4,98	9,04	23,09	77,63		
Учет затухания звука в атмосфере Aatm, дБ		ф-ла (8) [10]	0	0,1	0,5	1,7	4,3	7,6	13,9	35,5	119,2		
Снижение уровня звукового давления из-за влияния застройки между источником шума и расчетной точкой													
Снижение уровня звукового давления на пути над экраном, Dz1, дБ	z = 1.46м (разность путей)	ф-лы (14-18) [10]	5,5	6,3	8,1	11	14	17	19,9	22,8	25,8		
Снижение уровня звукового давления на пути слева от экрана, Dz2, дБ	z = 134.61м (разность путей)	ф-лы (14-18) [10]	31,6	34,7	37,7	40,7	43,8	46,8	49,8	52,8	55,8		
Снижение уровня звукового давления на пути справа от экрана, Dz3, дБ	z = 9.95м (разность путей)	ф-лы (14-18) [10]	19,8	23,3	26,4	29,4	32,5	35,5	38,5	41,5	44,5		
Общее снижение уровня звука препятствием Dz, дБ		Эн.сумма(-Dzi)	5,3	6,2	8	10,9	14	16,9	19,8	22,8	25,8		
Общее снижение уровня звука препятствием с учётом ограничения (25 дБ) для октавных полос Dz, дБ		Раздел 7.4 [10]	5,3	6,2	8	10,9	14	16,9	19,8	22,8	25		
Уровни звукового давления прямого звука от источника ИШ-1-17 в расчётной точке днём, дБ		**ф-ла(3)[10]**	**0**	**15,2**	**14,4**	**11,6**	**6,3**	**0**	**0**	**0**	**0**	**6,8**	**6,8**
Уровни звукового давления прямого звука от источника ИШ-1-17 в расчётной точке ночью, дБ		**ф-ла(3)[10]**	**0**	**15,2**	**14,4**	**11,6**	**6,3**	**0**	**0**	**0**	**0**	**6,8**	**6,8**
Расчёт отражённого звука													
Уровни звукового давления от мнимого источника ИШ-1-17_мн.(1) в расчётной точке днём, дБ		**ф-ла(3)[10]**	**0**	**0**	**0**	**0**	**0**	**0**	**0**	**0**	**0**	**0**	**0**
Уровни звукового давления от мнимого источника ИШ-1-17_мн.(1) в расчётной точке ночью, дБ		**ф-ла(3)[10]**	**0**	**0**	**0**	**0**	**0**	**0**	**0**	**0**	**0**	**0**	**0**
Уровни звукового давления от источника ИШ-1-17 в расчётной точке днём, дБ		**ф-ла(3)[10]**	**0**	**15,2**	**14,4**	**11,6**	**6,3**	**0**	**0**	**0**	**0**	**6,8**	**6,8**

1		2	3	4	5	6	7	8	9	10	11	12	13
Уровни звукового давления от источника ИШ-1-17 в расчётной точке ночью, дБ		**ф-ла(3)[10]**	**0**	**15,2**	**14,4**	**11,6**	**6,3**	**0**	**0**	**0**	**0**	**6,8**	**6,8**
Источник шума: ИШ-1-18, координаты источника (x,y,z), м =[543.53,140.79,1.00]													
Уровни звуковой мощности источника днём, Lw, дБ		**исходные данные**	**0**	**93,3**	**94,7**	**96**	**96,3**	**95,9**	**92,6**	**88,4**	**83,9**		
Уровни звуковой мощности источника ночью, Lw, дБ		**исходные данные**	**0**	**93,3**	**94,7**	**96**	**96,3**	**95,9**	**92,6**	**88,4**	**83,9**		
Поправка на телесный угол DΩ, дБ	Ω = 6.28	10Lg(4π/Ω)	**3**	3	3	3	3	3	3	3	3		
Показатель направленности источника Di, дБ		исходные данные	**0**	0	0	0	0	0	0	0	0		
Поправка на направленность источника Dc, дБ	Dc	DΩ + Di	**3**	3	3	3	3	3	3	3	3		
Затухание из-за геометрической дивергенции, Adiv, дБ	расстояние = 1538.57 м	ф-ла (7) [10]	**74,7**										
Коэффициент затухания звука в атмосфере α, дБ/км	Ta=20,°C Pa=101.33,кПа hотн.=70%	ф-ла (5) [9]	0,02	0,09	0,33	1,12	2,79	4,98	9,04	23,09	77,63		
Учет затухания звука в атмосфере Aatm, дБ		ф-ла (8) [10]	0	0,1	0,5	1,7	4,3	7,7	13,9	35,5	119,4		
Снижение уровня звукового давления из-за влияния застройки между источником шума и расчетной точкой													
Снижение уровня звукового давления на пути над экраном, Dz1, дБ	z = 1.33м (разность путей)	ф-лы (14-18) [10]	5,3	5,9	7,4	10	12,8	15,7	18,6	21,5	24,5		
Снижение уровня звукового давления на пути слева от экрана, Dz2, дБ	z = 132.53м (разность путей)	ф-лы (14-18) [10]	31,6	34,7	37,7	40,7	43,7	46,7	49,7	52,7	55,7		
Снижение уровня звукового давления на пути справа от экрана, Dz3, дБ	z = 9.30м (разность путей)	ф-лы (14-18) [10]	19,5	23	26,1	29,1	32,2	35,2	38,2	41,2	44,2		
Общее снижение уровня звука препятствием Dz, дБ		Эн.сумма(-Dzi)	5,1	5,8	7,4	9,9	12,8	15,6	18,5	21,4	24,4		
Уровни звукового давления прямого звука от источника ИШ-1-18 в расчётной точке днём, дБ		**ф-ла(3)[10]**	**0**	**15,6**	**15,1**	**12,6**	**7,5**	**0,9**	**0**	**0**	**0**	**8,6**	**8,6**

1		2	3	4	5	6	7	8	9	10	11	12	13
Уровни звукового давления прямого звука от источника ИШ-1-18 в расчётной точке ночью, дБ		**ф-ла(3)[10]**	**0**	**15,6**	**15,1**	**12,6**	**7,5**	**0,9**	**0**	**0**	**0**	**8,6**	**8,6**
Расчёт отражённого звука													
Уровни звукового давления от мнимого источника ИШ-1-18_мн.(1) в расчётной точке днём, дБ		**ф-ла(3)[10]**	**0**	**0**	**0**	**0**	**0**	**0**	**0**	**0**	**0**	**0**	**0**
Уровни звукового давления от мнимого источника ИШ-1-18_мн.(1) в расчётной точке ночью, дБ		**ф-ла(3)[10]**	**0**	**0**	**0**	**0**	**0**	**0**	**0**	**0**	**0**	**0**	**0**
Уровни звукового давления от источника ИШ-1-18 в расчётной точке днём, дБ		**ф-ла(3)[10]**	**0**	**15,6**	**15,1**	**12,6**	**7,5**	**0,9**	**0**	**0**	**0**	**8,6**	**8,6**
Уровни звукового давления от источника ИШ-1-18 в расчётной точке ночью, дБ		**ф-ла(3)[10]**	**0**	**15,6**	**15,1**	**12,6**	**7,5**	**0,9**	**0**	**0**	**0**	**8,6**	**8,6**
Источник шума: ИШ-1-19, координаты источника (x,y,z), м =[547.25,139.62,1.00]													
Уровни звуковой мощности источника днём, Lw, дБ		**исходные данные**	**0**	**93,3**	**94,7**	**96**	**96,3**	**95,9**	**92,6**	**88,4**	**83,9**		
Уровни звуковой мощности источника ночью, Lw, дБ		**исходные данные**	**0**	**93,3**	**94,7**	**96**	**96,3**	**95,9**	**92,6**	**88,4**	**83,9**		
Поправка на телесный угол DΩ, дБ	Ω = 6.28	10Lg(4π/Ω)	**3**	3	3	3	3	3	3	3	3		
Показатель направленности источника Di, дБ		исходные данные	**0**	0	0	0	0	0	0	0	0		
Поправка на направленность источника Dc, дБ	Dc	DΩ + Di	**3**	3	3	3	3	3	3	3	3		
Затухание из-за геометрической дивергенции, Adiv, дБ	расстояние = 1542.33 м	ф-ла (7) [10]	**74,8**										
Коэффициент затухания звука в атмосфере α, дБ/км	Ta=20,°C Pa=101.33,кПа hотн.=70%	ф-ла (5) [9]	0,02	0,09	0,33	1,12	2,79	4,98	9,04	23,09	77,63		
Учет затухания звука в атмосфере Aatm, дБ		ф-ла (8) [10]	0	0,1	0,5	1,7	4,3	7,7	13,9	35,6	119,7		
Снижение уровня звукового давления из-за влияния застройки между источником шума и расчетной точкой													

1		2	3	4	5	6	7	8	9	10	11	12	13
Снижение уровня звукового давления на пути над экраном, Dz1, дБ	z = 1.18м (разность путей)	ф-лы (14-18) [10]	5,1	5,6	6,7	8,7	11,3	13,9	16,7	19,6	22,6		
Снижение уровня звукового давления на пути слева от экрана, Dz2, дБ	z = 129.96м (разность путей)	ф-лы (14-18) [10]	31,5	34,6	37,6	40,6	43,6	46,6	49,6	52,6	55,6		
Снижение уровня звукового давления на пути справа от экрана, Dz3, дБ	z = 8.41м (разность путей)	ф-лы (14-18) [10]	19,1	22,6	25,7	28,7	31,7	34,7	37,7	40,7	43,8		
Общее снижение уровня звука препятствием Dz, дБ		Эн.сумма(-Dzi)	4,9	5,5	6,6	8,7	11,2	13,9	16,7	19,6	22,5		
Уровни звукового давления прямого звука от источника ИШ-1-19 в расчётной точке днём, дБ		**ф-ла(3)[10]**	**0**	**15,9**	**15,8**	**13,8**	**9**	**2,5**	**0**	**0**	**0**	**10**	**10**
Уровни звукового давления прямого звука от источника ИШ-1-19 в расчётной точке ночью, дБ		**ф-ла(3)[10]**	**0**	**15,9**	**15,8**	**13,8**	**9**	**2,5**	**0**	**0**	**0**	**10**	**10**
Расчёт отражённого звука													
Уровни звукового давления от мнимого источника ИШ-1-19_мн.(1) в расчётной точке днём, дБ		**ф-ла(3)[10]**	**0**	**0**	**0**	**0**	**0**	**0**	**0**	**0**	**0**	**0**	**0**
Уровни звукового давления от мнимого источника ИШ-1-19_мн.(1) в расчётной точке ночью, дБ		**ф-ла(3)[10]**	**0**	**0**	**0**	**0**	**0**	**0**	**0**	**0**	**0**	**0**	**0**
Уровни звукового давления от источника ИШ-1-19 в расчётной точке днём, дБ		**ф-ла(3)[10]**	**0**	**15,9**	**15,8**	**13,8**	**9**	**2,5**	**0**	**0**	**0**	**10**	**10**
Уровни звукового давления от источника ИШ-1-19 в расчётной точке ночью, дБ		**ф-ла(3)[10]**	**0**	**15,9**	**15,8**	**13,8**	**9**	**2,5**	**0**	**0**	**0**	**10**	**10**
Источник шума: ИШ-1-20, координаты источника (x,y,z), м =[550.38,138.64,1.00]													
Уровни звуковой мощности источника днём, Lw, дБ		**исходные данные**	**0**	**93,3**	**94,7**	**96**	**96,3**	**95,9**	**92,6**	**88,4**	**83,9**		
Уровни звуковой мощности источника ночью, Lw, дБ		**исходные данные**	**0**	**93,3**	**94,7**	**96**	**96,3**	**95,9**	**92,6**	**88,4**	**83,9**		
Поправка на телесный угол DΩ, дБ	Ω = 6.28	10Lg(4π/Ω)	**3**	3	3	3	3	3	3	3	3		
Показатель направленности источника Di, дБ		исходные данные	**0**	0	0	0	0	0	0	0	0		
Поправка на направленность источника Dc, дБ	Dc	DΩ + Di	**3**	3	3	3	3	3	3	3	3		

1		2	3	4	5	6	7	8	9	10	11	12	13
Затухание из-за геометрической дивергенции, Adiv, дБ	расстояние = 1545.49 м	ф-ла (7) [10]	**74,8**										
Коэффициент затухания звука в атмосфере α, дБ/км	Ta=20,°C Pa=101.33,кПа hотн.=70%	ф-ла (5) [9]	0,02	0,09	0,33	1,12	2,79	4,98	9,04	23,09	77,63		
Учет затухания звука в атмосфере Aatm, дБ		ф-ла (8) [10]	0	0,1	0,5	1,7	4,3	7,7	14	35,7	120		
Снижение уровня звукового давления из-за влияния застройки между источником шума и расчетной точкой													
Снижение уровня звукового давления на пути над экраном, Dz1, дБ	z = 1.08м (разность путей)	ф-лы (14-18) [10]	5	5,3	6,2	7,9	10,1	12,6	15,3	18,1	21		
Снижение уровня звукового давления на пути слева от экрана, Dz2, дБ	z = 127.90м (разность путей)	ф-лы (14-18) [10]	31,4	34,5	37,5	40,5	43,5	46,5	49,6	52,6	55,6		
Снижение уровня звукового давления на пути справа от экрана, Dz3, дБ	z = 7.77м (разность путей)	ф-лы (14-18) [10]	18,8	22,2	25,3	28,4	31,4	34,4	37,4	40,4	43,4		
Общее снижение уровня звука препятствием Dz, дБ		Эн.сумма(-Dzi)	4,8	5,2	6,1	7,8	10,1	12,6	15,3	18,1	21		
Уровни звукового давления прямого звука от источника ИШ-1-20 в расчётной точке днём, дБ		**ф-ла(3)[10]**	**0**	**16,1**	**16,3**	**14,6**	**10,1**	**3,9**	**0**	**0**	**0**	**11**	**11**
Уровни звукового давления прямого звука от источника ИШ-1-20 в расчётной точке ночью, дБ		**ф-ла(3)[10]**	**0**	**16,1**	**16,3**	**14,6**	**10,1**	**3,9**	**0**	**0**	**0**	**11**	**11**
Расчёт отражённого звука													
Уровни звукового давления от мнимого источника ИШ-1-20_мн.(1) в расчётной точке днём, дБ		**ф-ла(3)[10]**	**0**	**0**	**0**	**0**	**0**	**0**	**0**	**0**	**0**	**0**	**0**
Уровни звукового давления от мнимого источника ИШ-1-20_мн.(1) в расчётной точке ночью, дБ		**ф-ла(3)[10]**	**0**	**0**	**0**	**0**	**0**	**0**	**0**	**0**	**0**	**0**	**0**
Уровни звукового давления от источника ИШ-1-20 в расчётной точке днём, дБ		**ф-ла(3)[10]**	**0**	**16,1**	**16,3**	**14,6**	**10,1**	**3,9**	**0**	**0**	**0**	**11**	**11**
Уровни звукового давления от источника ИШ-1-20 в расчётной точке ночью, дБ		**ф-ла(3)[10]**	**0**	**16,1**	**16,3**	**14,6**	**10,1**	**3,9**	**0**	**0**	**0**	**11**	**11**
Источник шума: ИШ-1-21, координаты источника (x,y,z), м =[553.31,137.67,1.00]													

1		2	3	4	5	6	7	8	9	10	11	12	13
Уровни звуковой мощности источника днём, Lw, дБ		**исходные данные**	**0**	**93,3**	**94,7**	**96**	**96,3**	**95,9**	**92,6**	**88,4**	**83,9**		
Уровни звуковой мощности источника ночью, Lw, дБ		**исходные данные**	**0**	**93,3**	**94,7**	**96**	**96,3**	**95,9**	**92,6**	**88,4**	**83,9**		
Поправка на телесный угол DΩ, дБ	Ω = 6.28	10Lg(4π/Ω)	**3**	3	3	3	3	3	3	3	3		
Показатель направленности источника Di, дБ		исходные данные	**0**	0	0	0	0	0	0	0	0		
Поправка на направленность источника Dc, дБ	Dc	DΩ + Di	**3**	3	3	3	3	3	3	3	3		
Затухание из-за геометрической дивергенции, Adiv, дБ	расстояние = 1548.49 м	ф-ла (7) [10]	**74,8**										
Коэффициент затухания звука в атмосфере α, дБ/км	Ta=20,°C Pa=101.33,кПа hотн.=70%	ф-ла (5) [9]	0,02	0,09	0,33	1,12	2,79	4,98	9,04	23,09	77,63		
Учет затухания звука в атмосфере Aatm, дБ		ф-ла (8) [10]	0	0,1	0,5	1,7	4,3	7,7	14	35,7	120,2		
Снижение уровня звукового давления из-за влияния застройки между источником шума и расчетной точкой													
Снижение уровня звукового давления на пути над экраном, Dz1, дБ	z = 1.00м (разность путей)	ф-лы (14-18) [10]	4,9	5,2	5,8	7,2	9,1	11,4	14	16,7	19,6		
Снижение уровня звукового давления на пути слева от экрана, Dz2, дБ	z = 125.96м (разность путей)	ф-лы (14-18) [10]	31,3	34,4	37,4	40,5	43,5	46,5	49,5	52,5	55,5		
Снижение уровня звукового давления на пути справа от экрана, Dz3, дБ	z = 7.26м (разность путей)	ф-лы (14-18) [10]	18,5	21,9	25	28,1	31,1	34,1	37,1	40,1	43,1		
Общее снижение уровня звука препятствием Dz, дБ		Эн.сумма(-Dzi)	4,8	5,1	5,8	7,1	9,1	11,4	13,9	16,7	19,6		
Уровни звукового давления прямого звука от источника ИШ-1-21 в расчётной точке днём, дБ		**ф-ла(3)[10]**	**0**	**16,3**	**16,6**	**15,3**	**11,1**	**5**	**0**	**0**	**0**	**11,8**	**11,8**
Уровни звукового давления прямого звука от источника ИШ-1-21 в расчётной точке ночью, дБ		**ф-ла(3)[10]**	**0**	**16,3**	**16,6**	**15,3**	**11,1**	**5**	**0**	**0**	**0**	**11,8**	**11,8**
Расчёт отражённого звука													
Уровни звукового давления от мнимого источника ИШ-1-21_мн.(1) в расчётной точке днём, дБ		**ф-ла(3)[10]**	**0**	**0**	**0**	**0**	**0**	**0**	**0**	**0**	**0**	**0**	**0**

1		2	3	4	5	6	7	8	9	10	11	12	13
Уровни звукового давления от мнимого источника ИШ-1-21_мн.(1) в расчётной точке ночью, дБ		**ф-ла(3)[10]**	**0**	**0**	**0**	**0**	**0**	**0**	**0**	**0**	**0**	**0**	**0**
Уровни звукового давления от источника ИШ-1-21 в расчётной точке днём, дБ		**ф-ла(3)[10]**	**0**	**16,3**	**16,6**	**15,3**	**11,1**	**5**	**0**	**0**	**0**	**11,8**	**11,8**
Уровни звукового давления от источника ИШ-1-21 в расчётной точке ночью, дБ		**ф-ла(3)[10]**	**0**	**16,3**	**16,6**	**15,3**	**11,1**	**5**	**0**	**0**	**0**	**11,8**	**11,8**
Источник шума: ИШ-1-22, координаты источника (x,y,z), м =[522.03,85.28,1.00]													
Уровни звуковой мощности источника днём, Lw, дБ		**исходные данные**	**0**	**93,3**	**94,7**	**96**	**96,3**	**95,9**	**92,6**	**88,4**	**83,9**		
Уровни звуковой мощности источника ночью, Lw, дБ		**исходные данные**	**0**	**93,3**	**94,7**	**96**	**96,3**	**95,9**	**92,6**	**88,4**	**83,9**		
Поправка на телесный угол DΩ, дБ	Ω = 6.28	10Lg(4π/Ω)	**3**	3	3	3	3	3	3	3	3		
Показатель направленности источника Di, дБ		исходные данные	**0**	0	0	0	0	0	0	0	0		
Поправка на направленность источника Dc, дБ	Dc	DΩ + Di	**3**	3	3	3	3	3	3	3	3		
Затухание из-за геометрической дивергенции, Adiv, дБ	расстояние = 1551.33 м	ф-ла (7) [10]	**74,8**										
Коэффициент затухания звука в атмосфере α, дБ/км	Ta=20,°C Pa=101.33,кПа hотн.=70%	ф-ла (5) [9]	0,02	0,09	0,33	1,12	2,79	4,98	9,04	23,09	77,63		
Учет затухания звука в атмосфере Aatm, дБ		ф-ла (8) [10]	0	0,1	0,5	1,7	4,3	7,7	14	35,8	120,4		
Снижение уровня звукового давления из-за влияния застройки между источником шума и расчетной точкой													
Снижение уровня звукового давления на пути над экраном, Dz1, дБ	z = 1.45м (разность путей)	ф-лы (14-18) [10]	6,5	7,9	9,8	12,1	14,7	17,5	20,4	23,3	26,3		
Снижение уровня звукового давления на пути слева от экрана, Dz2, дБ	z = 63.57м (разность путей)	ф-лы (14-18) [10]	28,4	31,5	34,5	37,5	40,5	43,5	46,5	49,5	52,5		
Снижение уровня звукового давления на пути справа от экрана, Dz3, дБ	z = 47.32м (разность путей)	ф-лы (14-18) [10]	26,5	30	33,1	36,2	39,2	42,2	45,2	48,2	51,3		

1		2	3	4	5	6	7	8	9	10	11	12	13
Общее снижение уровня звука препятствием Dz, дБ		Эн.сумма(-Dzi)	6,4	7,9	9,8	12,1	14,6	17,4	20,3	23,3	26,3		
Общее снижение уровня звука препятствием с учётом ограничения (25 дБ) для октавных полос Dz, дБ		Раздел 7.4 [10]	6,4	7,9	9,8	12,1	14,6	17,4	20,3	23,3	25		
Уровни звукового давления от источника ИШ-1-22 в расчётной точке днём, дБ		**ф-ла(3)[10]**	**0**	**13,5**	**12,6**	**10,4**	**5,5**	**0**	**0**	**0**	**0**	**5,7**	**5,7**
Уровни звукового давления от источника ИШ-1-22 в расчётной точке ночью, дБ		**ф-ла(3)[10]**	**0**	**13,5**	**12,6**	**10,4**	**5,5**	**0**	**0**	**0**	**0**	**5,7**	**5,7**
Источник шума: ИШ-1-23, координаты источника (x,y,z), м =[525.16,84.11,1.00]													
Уровни звуковой мощности источника днём, Lw, дБ		**исходные данные**	**0**	**93,3**	**94,7**	**96**	**96,3**	**95,9**	**92,6**	**88,4**	**83,9**		
Уровни звуковой мощности источника ночью, Lw, дБ		**исходные данные**	**0**	**93,3**	**94,7**	**96**	**96,3**	**95,9**	**92,6**	**88,4**	**83,9**		
Поправка на телесный угол DΩ, дБ	Ω = 6.28	10Lg(4π/Ω)	**3**	3	3	3	3	3	3	3	3		
Показатель направленности источника Di, дБ		исходные данные	**0**	0	0	0	0	0	0	0	0		
Поправка на направленность источника Dc, дБ	Dc	DΩ + Di	**3**	3	3	3	3	3	3	3	3		
Затухание из-за геометрической дивергенции, Adiv, дБ	расстояние = 1554.57 м	ф-ла (7) [10]	**74,8**										
Коэффициент затухания звука в атмосфере α, дБ/км	Ta=20,°C Pa=101.33,кПа hотн.=70%	ф-ла (5) [9]	0,02	0,09	0,33	1,12	2,79	4,98	9,04	23,09	77,63		
Учет затухания звука в атмосфере Aatm, дБ		ф-ла (8) [10]	0	0,1	0,5	1,7	4,3	7,7	14,1	35,9	120,7		
Снижение уровня звукового давления из-за влияния застройки между источником шума и расчетной точкой													
Снижение уровня звукового давления на пути над экраном, Dz1, дБ	z = 1.30м (разность путей)	ф-лы (14-18) [10]	6	7,2	8,7	10,8	13,2	15,9	18,8	21,7	24,7		
Снижение уровня звукового давления на пути слева от экрана, Dz2, дБ	z = 62.02м (разность путей)	ф-лы (14-18) [10]	28,3	31,4	34,4	37,4	40,4	43,4	46,4	49,4	52,4		

1		2	3	4	5	6	7	8	9	10	11	12	13
Снижение уровня звукового давления на пути справа от экрана, Dz3, дБ	z = 45.22м (разность путей)	ф-лы (14-18) [10]	26,3	29,8	32,9	36	39	42	45	48,1	51,1		
Общее снижение уровня звука препятствием Dz, дБ		Эн.сумма(-Dzi)	6	7,1	8,7	10,8	13,2	15,9	18,8	21,7	24,7		
Уровни звукового давления от источника ИШ-1-23 в расчётной точке днём, дБ		**ф-ла(3)[10]**	**0**	**14,2**	**13,6**	**11,6**	**6,9**	**0,4**	**0**	**0**	**0**	**7,8**	**7,8**
Уровни звукового давления от источника ИШ-1-23 в расчётной точке ночью, дБ		**ф-ла(3)[10]**	**0**	**14,2**	**13,6**	**11,6**	**6,9**	**0,4**	**0**	**0**	**0**	**7,8**	**7,8**
Источник шума: ИШ-1-24, координаты источника (x,y,z), м =[528.48,82.94,1.00]													
Уровни звуковой мощности источника днём, Lw, дБ		**исходные данные**	**0**	**93,3**	**94,7**	**96**	**96,3**	**95,9**	**92,6**	**88,4**	**83,9**		
Уровни звуковой мощности источника ночью, Lw, дБ		**исходные данные**	**0**	**93,3**	**94,7**	**96**	**96,3**	**95,9**	**92,6**	**88,4**	**83,9**		
Поправка на телесный угол DΩ, дБ	Ω = 6.28	10Lg(4π/Ω)	**3**	3	3	3	3	3	3	3	3		
Показатель направленности источника Di, дБ		исходные данные	**0**	0	0	0	0	0	0	0	0		
Поправка на направленность источника Dc, дБ	Dc	DΩ + Di	**3**	3	3	3	3	3	3	3	3		
Затухание из-за геометрической дивергенции, Adiv, дБ	расстояние = 1557.97 м	ф-ла (7) [10]	**74,9**										
Коэффициент затухания звука в атмосфере α, дБ/км	Ta=20,°C Pa=101.33,кПа hотн.=70%	ф-ла (5) [9]	0,02	0,09	0,33	1,12	2,79	4,98	9,04	23,09	77,63		
Учет затухания звука в атмосфере Aatm, дБ		ф-ла (8) [10]	0	0,1	0,5	1,8	4,3	7,8	14,1	36	121		
Снижение уровня звукового давления из-за влияния застройки между источником шума и расчетной точкой													
Снижение уровня звукового давления на пути над экраном, Dz1, дБ	z = 1.17м (разность путей)	ф-лы (14-18) [10]	5,7	6,5	7,8	9,6	11,9	14,4	17,2	20,1	23		
Снижение уровня звукового давления на пути слева от экрана, Dz2, дБ	z = 60.61м (разность путей)	ф-лы (14-18) [10]	28,2	31,3	34,3	37,3	40,3	43,3	46,3	49,3	52,3		

1		2	3	4	5	6	7	8	9	10	11	12	13
Снижение уровня звукового давления на пути справа от экрана, Dz3, дБ	z = 43.07м (разность путей)	ф-лы (14-18) [10]	26,1	29,6	32,7	35,8	38,8	41,8	44,8	47,8	50,9		
Общее снижение уровня звука препятствием Dz, дБ		Эн.сумма(-Dzi)	5,6	6,5	7,8	9,6	11,8	14,4	17,2	20,1	23		
Уровни звукового давления от источника ИШ-1-24 в расчётной точке днём, дБ		**ф-ла(3)[10]**	**0**	**14,8**	**14,5**	**12,8**	**8,2**	**1,9**	**0**	**0**	**0**	**9,1**	**9,1**
Уровни звукового давления от источника ИШ-1-24 в расчётной точке ночью, дБ		**ф-ла(3)[10]**	**0**	**14,8**	**14,5**	**12,8**	**8,2**	**1,9**	**0**	**0**	**0**	**9,1**	**9,1**
Источник шума: ИШ-1-25, координаты источника (x,y,z), м =[531.22,82.16,1.00]													
Уровни звуковой мощности источника днём, Lw, дБ		**исходные данные**	**0**	**93,3**	**94,7**	**96**	**96,3**	**95,9**	**92,6**	**88,4**	**83,9**		
Уровни звуковой мощности источника ночью, Lw, дБ		**исходные данные**	**0**	**93,3**	**94,7**	**96**	**96,3**	**95,9**	**92,6**	**88,4**	**83,9**		
Поправка на телесный угол DΩ, дБ	Ω = 6.28	10Lg(4π/Ω)	**3**	3	3	3	3	3	3	3	3		
Показатель направленности источника Di, дБ		исходные данные	**0**	0	0	0	0	0	0	0	0		
Поправка на направленность источника Dc, дБ	Dc	DΩ + Di	**3**	3	3	3	3	3	3	3	3		
Затухание из-за геометрической дивергенции, Adiv, дБ	расстояние = 1560.67 м	ф-ла (7) [10]	**74,9**										
Коэффициент затухания звука в атмосфере α, дБ/км	Ta=20,°C Pa=101.33,кПа hотн.=70%	ф-ла (5) [9]	0,02	0,09	0,33	1,12	2,79	4,98	9,04	23,09	77,63		
Учет затухания звука в атмосфере Aatm, дБ		ф-ла (8) [10]	0	0,1	0,5	1,8	4,4	7,8	14,1	36	121,2		
Снижение уровня звукового давления из-за влияния застройки между источником шума и расчетной точкой													
Снижение уровня звукового давления на пути над экраном, Dz1, дБ	z = 1.08м (разность путей)	ф-лы (14-18) [10]	5,5	6,1	7,2	8,8	10,8	13,3	16	18,8	21,7		
Снижение уровня звукового давления на пути слева от экрана, Dz2, дБ	z = 59.77м (разность путей)	ф-лы (14-18) [10]	28,1	31,2	34,2	37,2	40,2	43,2	46,3	49,3	52,3		

1		2	3	4	5	6	7	8	9	10	11	12	13
Снижение уровня звукового давления на пути справа от экрана, Dz3, дБ	z = 41.31м (разность путей)	ф-лы (14-18) [10]	25,9	29,4	32,6	35,6	38,6	41,6	44,6	47,7	50,7		
Общее снижение уровня звука препятствием Dz, дБ		Эн.сумма(-Dzi)	5,4	6,1	7,2	8,8	10,8	13,3	16	18,8	21,7		
Уровни звукового давления от источника ИШ-1-25 в расчётной точке днём, дБ		**ф-ла(3)[10]**	**0**	**15,2**	**15,1**	**13,6**	**9,2**	**3**	**0**	**0**	**0**	**10**	**10**
Уровни звукового давления от источника ИШ-1-25 в расчётной точке ночью, дБ		**ф-ла(3)[10]**	**0**	**15,2**	**15,1**	**13,6**	**9,2**	**3**	**0**	**0**	**0**	**10**	**10**
Источник шума: ИШ-1-26, координаты источника (x,y,z), м =[534.15,80.79,1.00]													
Уровни звуковой мощности источника днём, Lw, дБ		**исходные данные**	**0**	**93,3**	**94,7**	**96**	**96,3**	**95,9**	**92,6**	**88,4**	**83,9**		
Уровни звуковой мощности источника ночью, Lw, дБ		**исходные данные**	**0**	**93,3**	**94,7**	**96**	**96,3**	**95,9**	**92,6**	**88,4**	**83,9**		
Поправка на телесный угол DΩ, дБ	Ω = 6.28	10Lg(4π/Ω)	**3**	3	3	3	3	3	3	3	3		
Показатель направленности источника Di, дБ		исходные данные	**0**	0	0	0	0	0	0	0	0		
Поправка на направленность источника Dc, дБ	Dc	DΩ + Di	**3**	3	3	3	3	3	3	3	3		
Затухание из-за геометрической дивергенции, Adiv, дБ	расстояние = 1563.86 м	ф-ла (7) [10]	**74,9**										
Коэффициент затухания звука в атмосфере α, дБ/км	Ta=20,°C Pa=101.33,кПа hотн.=70%	ф-ла (5) [9]	0,02	0,09	0,33	1,12	2,79	4,98	9,04	23,09	77,63		
Учет затухания звука в атмосфере Aatm, дБ		ф-ла (8) [10]	0	0,1	0,5	1,8	4,4	7,8	14,1	36,1	121,4		
Снижение уровня звукового давления из-за влияния застройки между источником шума и расчетной точкой													
Снижение уровня звукового давления на пути над экраном, Dz1, дБ	z = 1.00м (разность путей)	ф-лы (14-18) [10]	5,3	5,8	6,6	8	9,8	12	14,6	17,4	20,3		
Снижение уровня звукового давления на пути слева от экрана, Dz2, дБ	z = 58.38м (разность путей)	ф-лы (14-18) [10]	28	31,1	34,1	37,1	40,1	43,1	46,2	49,2	52,2		

1		2	3	4	5	6	7	8	9	10	11	12	13
Снижение уровня звукового давления на пути справа от экрана, Dz3, дБ	z = 39.74м (разность путей)	ф-лы (14-18) [10]	25,7	29,3	32,4	35,4	38,5	41,5	44,5	47,5	50,5		
Общее снижение уровня звука препятствием Dz, дБ		Эн.сумма(-Dzi)	5,2	5,8	6,6	7,9	9,8	12	14,6	17,4	20,3		
Уровни звукового давления от источника ИШ-1-26 в расчётной точке днём, дБ		**ф-ла(3)[10]**	**0**	**15,5**	**15,7**	**14,4**	**10,3**	**4,2**	**0**	**0**	**0**	**11**	**11**
Уровни звукового давления от источника ИШ-1-26 в расчётной точке ночью, дБ		**ф-ла(3)[10]**	**0**	**15,5**	**15,7**	**14,4**	**10,3**	**4,2**	**0**	**0**	**0**	**11**	**11**
Источник шума: ИШ-1-27, координаты источника (x,y,z), м =[469.65,197.67,1.00]													
Уровни звуковой мощности источника днём, Lw, дБ		**исходные данные**	**0**	**93,3**	**94,7**	**96**	**96,3**	**95,9**	**92,6**	**88,4**	**83,9**		
Уровни звуковой мощности источника ночью, Lw, дБ		**исходные данные**	**0**	**93,3**	**94,7**	**96**	**96,3**	**95,9**	**92,6**	**88,4**	**83,9**		
Поправка на телесный угол DΩ, дБ	Ω = 6.28	10Lg(4π/Ω)	**3**	3	3	3	3	3	3	3	3		
Показатель направленности источника Di, дБ		исходные данные	**0**	0	0	0	0	0	0	0	0		
Поправка на направленность источника Dc, дБ	Dc	DΩ + Di	**3**	3	3	3	3	3	3	3	3		
Затухание из-за геометрической дивергенции, Adiv, дБ	расстояние = 1445.72 м	ф-ла (7) [10]	**74,2**										
Коэффициент затухания звука в атмосфере α, дБ/км	Ta=20,°C Pa=101.33,кПа hотн.=70%	ф-ла (5) [9]	0,02	0,09	0,33	1,12	2,79	4,98	9,04	23,09	77,63		
Учет затухания звука в атмосфере Aatm, дБ		ф-ла (8) [10]	0	0,1	0,5	1,6	4	7,2	13,1	33,4	112,2		
Снижение поверхностью земли возле источника As, дБ	Gs = 0 hs = 1м	ф-лы таб.3 [10]	-1,5	-1,5	-1,5	-1,5	-1,5	-1,5	-1,5	-1,5	-1,5		
Снижение поверхностью земли возле приёмника Ar, дБ	Gr = 1 hr = 1.5м	ф-лы таб.3 [10]	-1,5	-1,5	5,3	7	5	0,7	0	0	0		
Снижение поверхностью земли в средней зоне, Am дБ	Gm = 1	ф-лы таб.3 [10]	-2,8	-2,8	0	0	0	0	0	0	0		

1		2	3	4	5	6	7	8	9	10	11	12	13
Суммарное снижение поверхностью земли на траектории распространения звука Agr, дБ		ф-ла (9) [10]	-5,8	-5,8	3,8	5,5	3,5	-0,8	-1,5	-1,5	-1,5		
Уровни звукового давления от источника ИШ-1-27 в расчётной точке днём, дБ		**ф-ла(3)[10]**	**0**	**27,8**	**19,2**	**17,6**	**17,6**	**18,3**	**9,8**	**0**	**0**	**20,8**	**20,8**
Уровни звукового давления от источника ИШ-1-27 в расчётной точке ночью, дБ		**ф-ла(3)[10]**	**0**	**27,8**	**19,2**	**17,6**	**17,6**	**18,3**	**9,8**	**0**	**0**	**20,8**	**20,8**
Источник шума: ИШ-1-28, координаты источника (x,y,z), м =[472.78,196.69,1.00]													
Уровни звуковой мощности источника днём, Lw, дБ		**исходные данные**	**0**	**93,3**	**94,7**	**96**	**96,3**	**95,9**	**92,6**	**88,4**	**83,9**		
Уровни звуковой мощности источника ночью, Lw, дБ		**исходные данные**	**0**	**93,3**	**94,7**	**96**	**96,3**	**95,9**	**92,6**	**88,4**	**83,9**		
Поправка на телесный угол DΩ, дБ	Ω = 6.28	10Lg(4π/Ω)	**3**	3	3	3	3	3	3	3	3		
Показатель направленности источника Di, дБ		исходные данные	**0**	0	0	0	0	0	0	0	0		
Поправка на направленность источника Dc, дБ	Dc	DΩ + Di	**3**	3	3	3	3	3	3	3	3		
Затухание из-за геометрической дивергенции, Adiv, дБ	расстояние = 1448.89 м	ф-ла (7) [10]	**74,2**										
Коэффициент затухания звука в атмосфере α, дБ/км	Ta=20,°C Pa=101.33,кПа hотн.=70%	ф-ла (5) [9]	0,02	0,09	0,33	1,12	2,79	4,98	9,04	23,09	77,63		
Учет затухания звука в атмосфере Aatm, дБ		ф-ла (8) [10]	0	0,1	0,5	1,6	4	7,2	13,1	33,4	112,5		
Снижение уровня звукового давления из-за влияния застройки между источником шума и расчетной точкой													
Снижение уровня звукового давления на пути над экраном, Dz1, дБ	z = 0.22м (разность путей)	ф-лы (14-18) [10]	4,8	4,8	4,8	4,8	4,8	4,8	4,8	4,8	4,8		
Снижение уровня звукового давления на пути слева от экрана, Dz2, дБ	z = 0.00м (разность путей)	ф-лы (14-18) [10]	4,8	4,8	4,8	4,8	4,8	4,9	5	5,3	5,8		
Снижение уровня звукового давления на пути справа от экрана, Dz3, дБ	z = 9.03м (разность путей)	ф-лы (14-18) [10]	15,6	18,4	21,3	24,3	27,3	30,3	33,3	36,3	39,3		

1		2	3	4	5	6	7	8	9	10	11	12	13
Общее снижение уровня звука препятствием Dz, дБ		Эн.сумма(-Dzi)	1,6	1,7	1,7	1,8	1,8	1,8	1,9	2	2,2		
Уровни звукового давления от источника ИШ-1-28 в расчётной точке днём, дБ		**ф-ла(3)[10]**	**0**	**20,3**	**21,3**	**21,4**	**19,2**	**15,6**	**6,4**	**0**	**0**	**20,2**	**20,2**
Уровни звукового давления от источника ИШ-1-28 в расчётной точке ночью, дБ		**ф-ла(3)[10]**	**0**	**20,3**	**21,3**	**21,4**	**19,2**	**15,6**	**6,4**	**0**	**0**	**20,2**	**20,2**
Источник шума: ИШ-1-29, координаты источника (x,y,z), м =[475.52,195.72,1.00]													
Уровни звуковой мощности источника днём, Lw, дБ		**исходные данные**	**0**	**93,3**	**94,7**	**96**	**96,3**	**95,9**	**92,6**	**88,4**	**83,9**		
Уровни звуковой мощности источника ночью, Lw, дБ		**исходные данные**	**0**	**93,3**	**94,7**	**96**	**96,3**	**95,9**	**92,6**	**88,4**	**83,9**		
Поправка на телесный угол DΩ, дБ	Ω = 6.28	10Lg(4π/Ω)	**3**	3	3	3	3	3	3	3	3		
Показатель направленности источника Di, дБ		исходные данные	**0**	0	0	0	0	0	0	0	0		
Поправка на направленность источника Dc, дБ	Dc	DΩ + Di	**3**	3	3	3	3	3	3	3	3		
Затухание из-за геометрической дивергенции, Adiv, дБ	расстояние = 1451.73 м	ф-ла (7) [10]	**74,2**										
Коэффициент затухания звука в атмосфере α, дБ/км	Ta=20,°C Pa=101.33,кПа hотн.=70%	ф-ла (5) [9]	0,02	0,09	0,33	1,12	2,79	4,98	9,04	23,09	77,63		
Учет затухания звука в атмосфере Aatm, дБ		ф-ла (8) [10]	0	0,1	0,5	1,6	4,1	7,2	13,1	33,5	112,7		
Снижение уровня звукового давления из-за влияния застройки между источником шума и расчетной точкой													
Снижение уровня звукового давления на пути над экраном, Dz1, дБ	z = 0.21м (разность путей)	ф-лы (14-18) [10]	4,8	4,8	4,8	4,8	4,8	4,8	4,8	4,8	4,8		
Снижение уровня звукового давления на пути слева от экрана, Dz2, дБ	z = 0.00м (разность путей)	ф-лы (14-18) [10]	4,8	4,8	4,8	4,9	5	5,3	5,7	6,5	7,8		
Снижение уровня звукового давления на пути справа от экрана, Dz3, дБ	z = 8.60м (разность путей)	ф-лы (14-18) [10]	15,4	18,2	21,1	24,1	27,1	30,1	33,1	36,1	39,1		

1		2	3	4	5	6	7	8	9	10	11	12	13
Общее снижение уровня звука препятствием Dz, дБ		Эн.сумма(-Dzi)	1,6	1,7	1,7	1,8	1,9	2	2,2	2,5	3		
Уровни звукового давления от источника ИШ-1-29 в расчётной точке днём, дБ		**ф-ла(3)[10]**	**0**	**20,2**	**21,2**	**21,3**	**19,1**	**15,4**	**6**	**0**	**0**	**20,1**	**20,1**
Уровни звукового давления от источника ИШ-1-29 в расчётной точке ночью, дБ		**ф-ла(3)[10]**	**0**	**20,2**	**21,2**	**21,3**	**19,1**	**15,4**	**6**	**0**	**0**	**20,1**	**20,1**
Источник шума: ИШ-1-30, координаты источника (x,y,z), м =[478.45,194.54,1.00]													
Уровни звуковой мощности источника днём, Lw, дБ		**исходные данные**	**0**	**93,3**	**94,7**	**96**	**96,3**	**95,9**	**92,6**	**88,4**	**83,9**		
Уровни звуковой мощности источника ночью, Lw, дБ		**исходные данные**	**0**	**93,3**	**94,7**	**96**	**96,3**	**95,9**	**92,6**	**88,4**	**83,9**		
Поправка на телесный угол DΩ, дБ	Ω = 6.28	10Lg(4π/Ω)	**3**	3	3	3	3	3	3	3	3		
Показатель направленности источника Di, дБ		исходные данные	**0**	0	0	0	0	0	0	0	0		
Поправка на направленность источника Dc, дБ	Dc	DΩ + Di	**3**	3	3	3	3	3	3	3	3		
Затухание из-за геометрической дивергенции, Adiv, дБ	расстояние = 1454.84 м	ф-ла (7) [10]	**74,3**										
Коэффициент затухания звука в атмосфере α, дБ/км	Ta=20,°C Pa=101.33,кПа hотн.=70%	ф-ла (5) [9]	0,02	0,09	0,33	1,12	2,79	4,98	9,04	23,09	77,63		
Учет затухания звука в атмосфере Aatm, дБ		ф-ла (8) [10]	0	0,1	0,5	1,6	4,1	7,2	13,2	33,6	112,9		
Снижение уровня звукового давления из-за влияния застройки между источником шума и расчетной точкой													
Снижение уровня звукового давления на пути над экраном, Dz1, дБ	z = 0.21м (разность путей)	ф-лы (14-18) [10]	4,8	4,8	4,8	4,8	4,8	4,8	4,8	4,8	4,8		
Снижение уровня звукового давления на пути слева от экрана, Dz2, дБ	z = 0.01м (разность путей)	ф-лы (14-18) [10]	4,8	4,8	4,9	5	5,3	5,7	6,5	7,8	9,6		
Снижение уровня звукового давления на пути справа от экрана, Dz3, дБ	z = 8.20м (разность путей)	ф-лы (14-18) [10]	15,2	18	20,9	23,9	26,9	29,9	32,9	35,9	38,9		

1		2	3	4	5	6	7	8	9	10	11	12	13
Общее снижение уровня звука препятствием Dz, дБ		Эн.сумма(-Dzi)	1,6	1,7	1,8	1,9	2	2,2	2,6	3	3,5		
Уровни звукового давления от источника ИШ-1-30 в расчётной точке днём, дБ		**ф-ла(3)[10]**	**0**	**20,2**	**21,2**	**21,2**	**19**	**15,2**	**5,6**	**0**	**0**	**19,9**	**19,9**
Уровни звукового давления от источника ИШ-1-30 в расчётной точке ночью, дБ		**ф-ла(3)[10]**	**0**	**20,2**	**21,2**	**21,2**	**19**	**15,2**	**5,6**	**0**	**0**	**19,9**	**19,9**
Источник шума: ИШ-1-31, координаты источника (x,y,z), м =[481.58,193.96,1.00]													
Уровни звуковой мощности источника днём, Lw, дБ		**исходные данные**	**0**	**93,3**	**94,7**	**96**	**96,3**	**95,9**	**92,6**	**88,4**	**83,9**		
Уровни звуковой мощности источника ночью, Lw, дБ		**исходные данные**	**0**	**93,3**	**94,7**	**96**	**96,3**	**95,9**	**92,6**	**88,4**	**83,9**		
Поправка на телесный угол DΩ, дБ	Ω = 6.28	10Lg(4π/Ω)	**3**	3	3	3	3	3	3	3	3		
Показатель направленности источника Di, дБ		исходные данные	**0**	0	0	0	0	0	0	0	0		
Поправка на направленность источника Dc, дБ	Dc	DΩ + Di	**3**	3	3	3	3	3	3	3	3		
Затухание из-за геометрической дивергенции, Adiv, дБ	расстояние = 1457.80 м	ф-ла (7) [10]	**74,3**										
Коэффициент затухания звука в атмосфере α, дБ/км	Ta=20,°C Pa=101.33,кПа hотн.=70%	ф-ла (5) [9]	0,02	0,09	0,33	1,12	2,79	4,98	9,04	23,09	77,63		
Учет затухания звука в атмосфере Aatm, дБ		ф-ла (8) [10]	0	0,1	0,5	1,6	4,1	7,3	13,2	33,7	113,2		
Снижение уровня звукового давления из-за влияния застройки между источником шума и расчетной точкой													
Снижение уровня звукового давления на пути над экраном, Dz1, дБ	z = 0.21м (разность путей)	ф-лы (14-18) [10]	4,8	4,8	4,8	4,8	4,8	4,8	4,8	4,8	4,8		
Снижение уровня звукового давления на пути слева от экрана, Dz2, дБ	z = 0.02м (разность путей)	ф-лы (14-18) [10]	4,9	4,9	5,1	5,4	6	7	8,4	10,4	12,7		
Снижение уровня звукового давления на пути справа от экрана, Dz3, дБ	z = 7.63м (разность путей)	ф-лы (14-18) [10]	15	17,7	20,6	23,6	26,5	29,5	32,5	35,6	38,6		

1		2	3	4	5	6	7	8	9	10	11	12	13
Общее снижение уровня звука препятствием Dz, дБ		Эн.сумма(-Dzi)	1,6	1,7	1,9	2	2,3	2,7	3,2	3,7	4,1		
Уровни звукового давления от источника ИШ-1-31 в расчётной точке днём, дБ		**ф-ла(3)[10]**	**0**	**20,1**	**21,1**	**21**	**18,6**	**14,6**	**4,9**	**0**	**0**	**19,5**	**19,5**
Уровни звукового давления от источника ИШ-1-31 в расчётной точке ночью, дБ		**ф-ла(3)[10]**	**0**	**20,1**	**21,1**	**21**	**18,6**	**14,6**	**4,9**	**0**	**0**	**19,5**	**19,5**
Источник шума: ИШ-1-32, координаты источника (x,y,z), м =[871.21,281.99,50.00]													
Уровни звуковой мощности источника днём, Lw, дБ		**исходные данные**	**125**	**119,6**	**113,4**	**111,4**	**110,8**	**112,7**	**113,8**	**109,2**	**97,4**		
Уровни звуковой мощности источника ночью, Lw, дБ		**исходные данные**	**0**	**0**	**0**	**0**	**0**	**0**	**0**	**0**	**0**		
Поправка на телесный угол DΩ, дБ	Ω = 12.57	10Lg(4π/Ω)	**0**	0	0	0	0	0	0	0	0		
Показатель направленности источника Di, дБ		исходные данные	**0**	0	0	0	0	0	0	0	0		
Поправка на направленность источника Dc, дБ	Dc	DΩ + Di	**0**	0	0	0	0	0	0	0	0		
Затухание из-за геометрической дивергенции, Adiv, дБ	расстояние = 1764.72 м	ф-ла (7) [10]	**75,9**										
Коэффициент затухания звука в атмосфере α, дБ/км	Ta=20,°C Pa=101.33,кПа hотн.=70%	ф-ла (5) [9]	0,02	0,09	0,33	1,12	2,79	4,98	9,04	23,09	77,63		
Учет затухания звука в атмосфере Aatm, дБ		ф-ла (8) [10]	0	0,2	0,6	2	4,9	8,8	16	40,7	137		
Снижение поверхностью земли возле источника As, дБ	Gs = 0 hs = 50м	ф-лы таб.3 [10]	-1,5	-1,5	-1,5	-1,5	-1,5	-1,5	-1,5	-1,5	-1,5		
Снижение поверхностью земли возле приёмника Ar, дБ	Gr = 1 hr = 1.5м	ф-лы таб.3 [10]	-1,5	-1,5	5,3	7	5	0,7	0	0	0		
Снижение поверхностью земли в средней зоне, Am дБ	Gm = 1	ф-лы таб.3 [10]	-0,4	-0,4	0	0	0	0	0	0	0		
Суммарное снижение поверхностью земли на траектории распространения звука Agr, дБ		ф-ла (9) [10]	-3,4	-3,4	3,8	5,5	3,5	-0,8	-1,5	-1,5	-1,5		

1		2	3	4	5	6	7	8	9	10	11	12	13
Уровни звукового давления от источника ИШ-1-32 в расчётной точке днём, дБ		**ф-ла(3)[10]**	**52,4**	**46,9**	**33,1**	**28**	**26,5**	**28,9**	**23,4**	**0**	**0**	**31,9**	**31,9**
Уровни звукового давления от источника ИШ-1-32 в расчётной точке ночью, дБ		**ф-ла(3)[10]**	**0**	**0**	**0**	**0**	**0**	**0**	**0**	**0**	**0**	**0**	**0**
Источник шума: ИШ-1-33, координаты источника (x,y,z), м =[743.42,374.85,1.00]													
Уровни звуковой мощности источника днём, Lw, дБ		**исходные данные**	**0**	**88,7**	**90,1**	**93,1**	**96,4**	**103**	**112**	**108**	**99,2**		
Уровни звуковой мощности источника ночью, Lw, дБ		**исходные данные**	**0**	**0**	**0**	**0**	**0**	**0**	**0**	**0**	**0**		
Поправка на телесный угол DΩ, дБ	Ω = 6.28	10Lg(4π/Ω)	**3**	3	3	3	3	3	3	3	3		
Показатель направленности источника Di, дБ		исходные данные	**0**	0	0	0	0	0	0	0	0		
Поправка на направленность источника Dc, дБ	Dc	DΩ + Di	**3**	3	3	3	3	3	3	3	3		
Затухание из-за геометрической дивергенции, Adiv, дБ	расстояние = 1610.64 м	ф-ла (7) [10]	**75,1**										
Коэффициент затухания звука в атмосфере α, дБ/км	Ta=20,°C Pa=101.33,кПа hотн.=70%	ф-ла (5) [9]	0,02	0,09	0,33	1,12	2,79	4,98	9,04	23,09	77,63		
Учет затухания звука в атмосфере Aatm, дБ		ф-ла (8) [10]	0	0,1	0,5	1,8	4,5	8	14,6	37,2	125		
Снижение поверхностью земли возле источника As, дБ	Gs = 0 hs = 1м	ф-лы таб.3 [10]	-1,5	-1,5	-1,5	-1,5	-1,5	-1,5	-1,5	-1,5	-1,5		
Снижение поверхностью земли возле приёмника Ar, дБ	Gr = 1 hr = 1.5м	ф-лы таб.3 [10]	-1,5	-1,5	5,3	7	5	0,7	0	0	0		
Снижение поверхностью земли в средней зоне, Am дБ	Gm = 1	ф-лы таб.3 [10]	-2,9	-2,9	0	0	0	0	0	0	0		
Суммарное снижение поверхностью земли на траектории распространения звука Agr, дБ		ф-ла (9) [10]	-5,9	-5,9	3,8	5,5	3,5	-0,8	-1,5	-1,5	-1,5		
Уровни звукового давления прямого звука от источника ИШ-1-33 в расчётной точке днём, дБ		**ф-ла(3)[10]**	**0**	**22,3**	**13,6**	**13,6**	**16,3**	**23,7**	**26,8**	**0**	**0**	**29,5**	**29,5**

1		2	3	4	5	6	7	8	9	10	11	12	13
Уровни звукового давления прямого звука от источника ИШ-1-33 в расчётной точке ночью, дБ		**ф-ла(3)[10]**	**0**	**0**	**0**	**0**	**0**	**0**	**0**	**0**	**0**	**0**	**0**
Расчёт отражённого звука													
Уровни звукового давления от мнимого источника ИШ-1-33_мн.(1) в расчётной точке днём, дБ		**ф-ла(3)[10]**	**0**	**0**	**0**	**0**	**0**	**0**	**0**	**0**	**0**	**0**	**0**
Уровни звукового давления от мнимого источника ИШ-1-33_мн.(1) в расчётной точке ночью, дБ		**ф-ла(3)[10]**	**0**	**0**	**0**	**0**	**0**	**0**	**0**	**0**	**0**	**0**	**0**
Уровни звукового давления от источника ИШ-1-33 в расчётной точке днём, дБ		**ф-ла(3)[10]**	**0**	**22,3**	**13,6**	**13,6**	**16,3**	**23,7**	**26,8**	**0**	**0**	**29,5**	**29,5**
Уровни звукового давления от источника ИШ-1-33 в расчётной точке ночью, дБ		**ф-ла(3)[10]**	**0**	**0**	**0**	**0**	**0**	**0**	**0**	**0**	**0**	**0**	**0**
Источник шума: ИШ-1-34, координаты источника (x,y,z), м =[1042.35,199.07,1.00]													
Уровни звуковой мощности источника днём, Lw, дБ		**исходные данные**	**0**	**88,7**	**90,1**	**93,1**	**96,4**	**103**	**112**	**108**	**99,2**		
Уровни звуковой мощности источника ночью, Lw, дБ		**исходные данные**	**0**	**0**	**0**	**0**	**0**	**0**	**0**	**0**	**0**		
Поправка на телесный угол DΩ, дБ	Ω = 6.28	10Lg(4π/Ω)	**3**	3	3	3	3	3	3	3	3		
Показатель направленности источника Di, дБ		исходные данные	**0**	0	0	0	0	0	0	0	0		
Поправка на направленность источника Dc, дБ	Dc	DΩ + Di	**3**	3	3	3	3	3	3	3	3		
Затухание из-за геометрической дивергенции, Adiv, дБ	расстояние = 1953.98 м	ф-ла (7) [10]	**76,8**										
Коэффициент затухания звука в атмосфере α, дБ/км	Ta=20,°C Pa=101.33,кПа hотн.=70%	ф-ла (5) [9]	0,02	0,09	0,33	1,12	2,79	4,98	9,04	23,09	77,63		
Учет затухания звука в атмосфере Aatm, дБ		ф-ла (8) [10]	0	0,2	0,7	2,2	5,5	9,7	17,7	45,1	151,7		
Снижение поверхностью земли возле источника As, дБ	Gs = 0 hs = 1м	ф-лы таб.3 [10]	-1,5	-1,5	-1,5	-1,5	-1,5	-1,5	-1,5	-1,5	-1,5		

1		2	3	4	5	6	7	8	9	10	11	12	13
Снижение поверхностью земли возле приёмника Ar, дБ	Gr = 1 hr = 1.5м	ф-лы таб.3 [10]	-1,5	-1,5	5,3	7	5	0,7	0	0	0		
Снижение поверхностью земли в средней зоне, Am дБ	Gm = 1	ф-лы таб.3 [10]	-2,9	-2,9	0	0	0	0	0	0	0		
Суммарное снижение поверхностью земли на траектории распространения звука Agr, дБ		ф-ла (9) [10]	-5,9	-5,9	3,8	5,5	3,5	-0,8	-1,5	-1,5	-1,5		
Уровни звукового давления прямого звука от источника ИШ-1-34 в расчётной точке днём, дБ		**ф-ла(3)[10]**	**0**	**20,6**	**11,8**	**11,6**	**13,7**	**20,3**	**22**	**0**	**0**	**25,2**	**25,2**
Уровни звукового давления прямого звука от источника ИШ-1-34 в расчётной точке ночью, дБ		**ф-ла(3)[10]**	**0**	**0**	**0**	**0**	**0**	**0**	**0**	**0**	**0**	**0**	**0**
Расчёт отражённого звука													
Уровни звукового давления от мнимого источника ИШ-1-34_мн.(1) в расчётной точке днём, дБ		**ф-ла(3)[10]**	**0**	**0**	**0**	**0**	**0**	**0**	**0**	**0**	**0**	**0**	**0**
Уровни звукового давления от мнимого источника ИШ-1-34_мн.(1) в расчётной точке ночью, дБ		**ф-ла(3)[10]**	**0**	**0**	**0**	**0**	**0**	**0**	**0**	**0**	**0**	**0**	**0**
Уровни звукового давления от источника ИШ-1-34 в расчётной точке днём, дБ		**ф-ла(3)[10]**	**0**	**20,6**	**11,8**	**11,6**	**13,7**	**20,3**	**22**	**0**	**0**	**25,2**	**25,2**
Уровни звукового давления от источника ИШ-1-34 в расчётной точке ночью, дБ		**ф-ла(3)[10]**	**0**	**0**	**0**	**0**	**0**	**0**	**0**	**0**	**0**	**0**	**0**
Источник шума: ИШ-2-1, координаты источника (x,y,z), м =[696.50,124.40,3.00]													
Уровни звуковой мощности источника днём, Lw, дБ		**исходные данные**	**105**	**104**	**104**	**101**	**102**	**106**	**101**	**95**	**87**		
Уровни звуковой мощности источника ночью, Lw, дБ		**исходные данные**	**105**	**104**	**104**	**101**	**102**	**106**	**101**	**95**	**87**		
Поправка на телесный угол DΩ, дБ	Ω = 6.28	10Lg(4π/Ω)	**3**	3	3	3	3	3	3	3	3		
Показатель направленности источника Di, дБ		исходные данные	**0**	0	0	0	0	0	0	0	0		
Поправка на направленность источника Dc, дБ	Dc	DΩ + Di	**3**	3	3	3	3	3	3	3	3		
Затухание из-за геометрической дивергенции, Adiv, дБ	расстояние = 1677.81 м	ф-ла (7) [10]	**75,5**										

1		2	3	4	5	6	7	8	9	10	11	12	13
Коэффициент затухания звука в атмосфере α, дБ/км	Та=20,°С Ра=101.33,кПа hотн.=70%	ф-ла (5) [9]	0,02	0,09	0,33	1,12	2,79	4,98	9,04	23,09	77,63		
Учет затухания звука в атмосфере Aatm, дБ		ф-ла (8) [10]	0	0,2	0,6	1,9	4,7	8,4	15,2	38,7	130,3		
Снижение уровня звукового давления из-за влияния застройки между источником шума и расчетной точкой													
Снижение уровня звукового давления препятствием слева от трассы ИШ-РТ, Dz2, дБ	z = -0.03м (разность путей)	ф-лы (14-18) [10]	4,6	4,5	4,2	3,5	1,8	0	NAN	NAN	NAN		
* отрицательное значение z означает прохождение траектории вблизи экрана, в этом случае дополнительно производится учёт снижения подстилающей поверхностью (см.ниже)													
Снижение поверхностью земли возле источника As, дБ	Gs = 0 hs = 3м	ф-лы таб.3 [10]	-1,5	-1,5	-1,5	-1,5	-1,5	-1,5	-1,5	-1,5	-1,5		
Снижение поверхностью земли возле приёмника Ar, дБ	Gr = 1 hr = 1.5м	ф-лы таб.3 [10]	-1,5	-1,5	5,3	7	5	0,7	0	0	0		
Снижение поверхностью земли в средней зоне, Am дБ	Gm = 1	ф-лы таб.3 [10]	-2,8	-2,8	0	0	0	0	0	0	0		
Суммарное снижение поверхностью земли на траектории распространения звука Agr, дБ		ф-ла (9) [10]	-5,8	-5,8	3,8	5,5	3,5	-0,8	-1,5	-1,5	-1,5		
Уровни звукового давления от источника ИШ-2-1 в расчётной точке днём, дБ		**ф-ла(3)[10]**	**33,6**	**32,6**	**22,9**	**17,6**	**19,6**	**26**	**14,9**	**0**	**0**	**27**	**27**
Уровни звукового давления от источника ИШ-2-1 в расчётной точке ночью, дБ		**ф-ла(3)[10]**	**33,6**	**32,6**	**22,9**	**17,6**	**19,6**	**26**	**14,9**	**0**	**0**	**27**	**27**
Источник шума: ИШ-2-2, координаты источника (x,y,z), м =[682.20,81.60,3.00]													
Уровни звуковой мощности источника днём, Lw, дБ		**исходные данные**	**105**	**104**	**104**	**101**	**102**	**106**	**101**	**95**	**87**		
Уровни звуковой мощности источника ночью, Lw, дБ		**исходные данные**	**105**	**104**	**104**	**101**	**102**	**106**	**101**	**95**	**87**		
Поправка на телесный угол DΩ, дБ	Ω = 6.28	10Lg(4π/Ω)	**3**	3	3	3	3	3	3	3	3		
Показатель направленности источника Di, дБ		исходные данные	**0**	0	0	0	0	0	0	0	0		
Поправка на направленность источника Dc, дБ	Dc	DΩ + Di	**3**	3	3	3	3	3	3	3	3		

1		2	3	4	5	6	7	8	9	10	11	12	13
Затухание из-за геометрической дивергенции, Adiv, дБ	расстояние = 1687.51 м	ф-ла (7) [10]	**75,5**										
Коэффициент затухания звука в атмосфере α, дБ/км	Ta=20,°C Pa=101.33,кПа hотн.=70%	ф-ла (5) [9]	0,02	0,09	0,33	1,12	2,79	4,98	9,04	23,09	77,63		
Учет затухания звука в атмосфере Aatm, дБ		ф-ла (8) [10]	0	0,2	0,6	1,9	4,7	8,4	15,3	39	131		
Снижение уровня звукового давления из-за влияния застройки между источником шума и расчетной точкой													
Снижение уровня звукового давления на пути над экраном, Dz1, дБ	z = 0.09м (разность путей)	ф-лы (14-18) [10]	4,8	4,8	4,8	4,8	4,8	4,8	4,8	4,8	4,8		
Снижение уровня звукового давления на пути слева от экрана, Dz2, дБ	z = 77.20м (разность путей)	ф-лы (14-18) [10]	29,2	32,3	35,3	38,3	41,3	44,4	47,4	50,4	53,4		
Снижение уровня звукового давления на пути справа от экрана, Dz3, дБ	z = 1.87м (разность путей)	ф-лы (14-18) [10]	10	12,3	14,8	17,6	20,5	23,5	26,5	29,5	32,5		
Общее снижение уровня звука препятствием Dz, дБ		Эн.сумма(-Dzi)	3,6	4,1	4,4	4,6	4,7	4,7	4,7	4,8	4,8		
Уровни звукового давления от источника ИШ-2-2 в расчётной точке днём, дБ		**ф-ла(3)[10]**	**28,8**	**27,3**	**26,5**	**22**	**20,1**	**20,4**	**8,5**	**0**	**0**	**23**	**23**
Уровни звукового давления от источника ИШ-2-2 в расчётной точке ночью, дБ		**ф-ла(3)[10]**	**28,8**	**27,3**	**26,5**	**22**	**20,1**	**20,4**	**8,5**	**0**	**0**	**23**	**23**
Источник шума: ИШ-2-3, координаты источника (x,y,z), м =[667.80,38.90,3.00]													
Уровни звуковой мощности источника днём, Lw, дБ		**исходные данные**	**105**	**104**	**104**	**101**	**102**	**106**	**101**	**95**	**87**		
Уровни звуковой мощности источника ночью, Lw, дБ		**исходные данные**	**105**	**104**	**104**	**101**	**102**	**106**	**101**	**95**	**87**		
Поправка на телесный угол DΩ, дБ	Ω = 6.28	10Lg($4\pi/\Omega$)	**3**	3	3	3	3	3	3	3	3		
Показатель направленности источника Di, дБ		исходные данные	**0**	0	0	0	0	0	0	0	0		
Поправка на направленность источника Dc, дБ	Dc	DΩ + Di	**3**	3	3	3	3	3	3	3	3		

1		2	3	4	5	6	7	8	9	10	11	12	13
Затухание из-за геометрической дивергенции, Adiv, дБ	расстояние = 1698.22 м	ф-ла (7) [10]	**75,6**										
Коэффициент затухания звука в атмосфере α, дБ/км	Та=20,°С Ра=101.33,кПа hотн.=70%	ф-ла (5) [9]	0,02	0,09	0,33	1,12	2,79	4,98	9,04	23,09	77,63		
Учет затухания звука в атмосфере Aatm, дБ		ф-ла (8) [10]	0	0,2	0,6	1,9	4,7	8,5	15,4	39,2	131,8		
Снижение уровня звукового давления из-за влияния застройки между источником шума и расчетной точкой													
Снижение уровня звукового давления на пути над экраном, Dz1, дБ	z = 0.16м (разность путей)	ф-лы (14-18) [10]	4,8	4,8	4,8	4,8	4,8	4,8	4,8	4,8	4,8		
Снижение уровня звукового давления на пути слева от экрана, Dz2, дБ	z = 50.18м (разность путей)	ф-лы (14-18) [10]	27,3	30,5	33,4	36,5	39,5	42,5	45,5	48,5	51,5		
Снижение уровня звукового давления на пути справа от экрана, Dz3, дБ	z = 7.93м (разность путей)	ф-лы (14-18) [10]	19,3	22,5	25,5	28,5	31,5	34,5	37,5	40,5	43,5		
Общее снижение уровня звука препятствием Dz, дБ		Эн.сумма(-Dzi)	4,6	4,7	4,7	4,7	4,8	4,8	4,8	4,8	4,8		
Уровни звукового давления прямого звука от источника ИШ-2-3 в расчётной точке днём, дБ		**ф-ла(3)[10]**	**27,8**	**26,6**	**26,1**	**21,8**	**19,9**	**20,2**	**8,3**	**0**	**0**	**22,8**	**22,8**
Уровни звукового давления прямого звука от источника ИШ-2-3 в расчётной точке ночью, дБ		**ф-ла(3)[10]**	**27,8**	**26,6**	**26,1**	**21,8**	**19,9**	**20,2**	**8,3**	**0**	**0**	**22,8**	**22,8**
Расчёт отражённого звука													
Уровни звукового давления от мнимого источника ИШ-2-3_мн.(1) в расчётной точке днём, дБ		**ф-ла(3)[10]**	**0**	**0**	**0**	**0**	**0**	**0**	**0**	**0**	**0**	**0**	**0**
Уровни звукового давления от мнимого источника ИШ-2-3_мн.(1) в расчётной точке ночью, дБ		**ф-ла(3)[10]**	**0**	**0**	**0**	**0**	**0**	**0**	**0**	**0**	**0**	**0**	**0**
Уровни звукового давления от источника ИШ-2-3 в расчётной точке днём, дБ		**ф-ла(3)[10]**	**27,8**	**26,6**	**26,1**	**21,8**	**19,9**	**20,2**	**8,3**	**0**	**0**	**22,8**	**22,8**
Уровни звукового давления от источника ИШ-2-3 в расчётной точке ночью, дБ		**ф-ла(3)[10]**	**27,8**	**26,6**	**26,1**	**21,8**	**19,9**	**20,2**	**8,3**	**0**	**0**	**22,8**	**22,8**
Источник шума: ИШ-2-6, координаты источника (x,y,z), м =[765.97,112.43,1.00]													

1		2	3	4	5	6	7	8	9	10	11	12	13
Уровни звуковой мощности источника днём, Lw, дБ		**исходные данные**	**0**	**93,3**	**94,7**	**96**	**96,3**	**95,9**	**92,6**	**88,4**	**83,9**		
Уровни звуковой мощности источника ночью, Lw, дБ		**исходные данные**	**0**	**93,3**	**94,7**	**96**	**96,3**	**95,9**	**92,6**	**88,4**	**83,9**		
Поправка на телесный угол DΩ, дБ	Ω = 6.28	10Lg(4π/Ω)	**3**	3	3	3	3	3	3	3	3		
Показатель направленности источника Di, дБ		исходные данные	**0**	0	0	0	0	0	0	0	0		
Поправка на направленность источника Dc, дБ	Dc	DΩ + Di	**3**	3	3	3	3	3	3	3	3		
Затухание из-за геометрической дивергенции, Adiv, дБ	расстояние = 1744.07 м	ф-ла (7) [10]	**75,8**										
Коэффициент затухания звука в атмосфере α, дБ/км	Ta=20,°C Pa=101.33,кПа hотн.=70%	ф-ла (5) [9]	0,02	0,09	0,33	1,12	2,79	4,98	9,04	23,09	77,63		
Учет затухания звука в атмосфере Aatm, дБ		ф-ла (8) [10]	0	0,2	0,6	2	4,9	8,7	15,8	40,3	135,4		
Снижение поверхностью земли возле источника As, дБ	Gs = 0 hs = 1м	ф-лы таб.3 [10]	-1,5	-1,5	-1,5	-1,5	-1,5	-1,5	-1,5	-1,5	-1,5		
Снижение поверхностью земли возле приёмника Ar, дБ	Gr = 1 hr = 1.5м	ф-лы таб.3 [10]	-1,5	-1,5	5,3	7	5	0,7	0	0	0		
Снижение поверхностью земли в средней зоне, Am дБ	Gm = 1	ф-лы таб.3 [10]	-2,9	-2,9	0	0	0	0	0	0	0		
Суммарное снижение поверхностью земли на траектории распространения звука Agr, дБ		ф-ла (9) [10]	-5,9	-5,9	3,8	5,5	3,5	-0,8	-1,5	-1,5	-1,5		
Уровни звукового давления от источника ИШ-2-6 в расчётной точке днём, дБ		**ф-ла(3)[10]**	**0**	**26,2**	**17,4**	**15,7**	**15,1**	**15,2**	**5,5**	**0**	**0**	**17,8**	**17,8**
Уровни звукового давления от источника ИШ-2-6 в расчётной точке ночью, дБ		**ф-ла(3)[10]**	**0**	**26,2**	**17,4**	**15,7**	**15,1**	**15,2**	**5,5**	**0**	**0**	**17,8**	**17,8**
Источник шума: ИШ-2-7, координаты источника (x,y,z), м =[764.91,109.54,1.00]													
Уровни звуковой мощности источника днём, Lw, дБ		**исходные данные**	**0**	**93,3**	**94,7**	**96**	**96,3**	**95,9**	**92,6**	**88,4**	**83,9**		

1		2	3	4	5	6	7	8	9	10	11	12	13
Уровни звуковой мощности источника ночью, Lw, дБ		**исходные данные**	**0**	**93,3**	**94,7**	**96**	**96,3**	**95,9**	**92,6**	**88,4**	**83,9**		
Поправка на телесный угол DΩ, дБ	Ω = 6.28	10Lg(4π/Ω)	**3**	3	3	3	3	3	3	3	3		
Показатель направленности источника Di, дБ		исходные данные	**0**	0	0	0	0	0	0	0	0		
Поправка на направленность источника Dc, дБ	Dc	DΩ + Di	**3**	3	3	3	3	3	3	3	3		
Затухание из-за геометрической дивергенции, Adiv, дБ	расстояние = 1744.56 м	ф-ла (7) [10]	**75,8**										
Коэффициент затухания звука в атмосфере α, дБ/км	Ta=20,°C Pa=101.33,кПа hотн.=70%	ф-ла (5) [9]	0,02	0,09	0,33	1,12	2,79	4,98	9,04	23,09	77,63		
Учет затухания звука в атмосфере Aatm, дБ		ф-ла (8) [10]	0	0,2	0,6	2	4,9	8,7	15,8	40,3	135,4		
Снижение поверхностью земли возле источника As, дБ	Gs = 0 hs = 1м	ф-лы таб.3 [10]	-1,5	-1,5	-1,5	-1,5	-1,5	-1,5	-1,5	-1,5	-1,5		
Снижение поверхностью земли возле приёмника Ar, дБ	Gr = 1 hr = 1.5м	ф-лы таб.3 [10]	-1,5	-1,5	5,3	7	5	0,7	0	0	0		
Снижение поверхностью земли в средней зоне, Am дБ	Gm = 1	ф-лы таб.3 [10]	-2,9	-2,9	0	0	0	0	0	0	0		
Суммарное снижение поверхностью земли на траектории распространения звука Agr, дБ		ф-ла (9) [10]	-5,9	-5,9	3,8	5,5	3,5	-0,8	-1,5	-1,5	-1,5		
Уровни звукового давления от источника ИШ-2-7 в расчётной точке днём, дБ		**ф-ла(3)[10]**	**0**	**26,2**	**17,4**	**15,7**	**15,1**	**15,2**	**5,5**	**0**	**0**	**17,8**	**17,8**
Уровни звукового давления от источника ИШ-2-7 в расчётной точке ночью, дБ		**ф-ла(3)[10]**	**0**	**26,2**	**17,4**	**15,7**	**15,1**	**15,2**	**5,5**	**0**	**0**	**17,8**	**17,8**
Источник шума: ИШ-2-8, координаты источника (x,y,z), м =[764.03,106.58,1.00]													
Уровни звуковой мощности источника днём, Lw, дБ		**исходные данные**	**0**	**93,3**	**94,7**	**96**	**96,3**	**95,9**	**92,6**	**88,4**	**83,9**		
Уровни звуковой мощности источника ночью, Lw, дБ		**исходные данные**	**0**	**93,3**	**94,7**	**96**	**96,3**	**95,9**	**92,6**	**88,4**	**83,9**		

1		2	3	4	5	6	7	8	9	10	11	12	13
Поправка на телесный угол DΩ, дБ	Ω = 6.28	10Lg(4π/Ω)	**3**	3	3	3	3	3	3	3	3		
Показатель направленности источника Di, дБ		исходные данные	**0**	0	0	0	0	0	0	0	0		
Поправка на направленность источника Dc, дБ	Dc	DΩ + Di	**3**	3	3	3	3	3	3	3	3		
Затухание из-за геометрической дивергенции, Adiv, дБ	расстояние = 1745.26 м	ф-ла (7) [10]	**75,8**										
Коэффициент затухания звука в атмосфере α, дБ/км	Ta=20,°C Pa=101.33,кПа hотн.=70%	ф-ла (5) [9]	0,02	0,09	0,33	1,12	2,79	4,98	9,04	23,09	77,63		
Учет затухания звука в атмосфере Aatm, дБ		ф-ла (8) [10]	0	0,2	0,6	2	4,9	8,7	15,8	40,3	135,5		
Снижение поверхностью земли возле источника As, дБ	Gs = 0 hs = 1м	ф-лы таб.3 [10]	-1,5	-1,5	-1,5	-1,5	-1,5	-1,5	-1,5	-1,5	-1,5		
Снижение поверхностью земли возле приёмника Ar, дБ	Gr = 1 hr = 1.5м	ф-лы таб.3 [10]	-1,5	-1,5	5,3	7	5	0,7	0	0	0		
Снижение поверхностью земли в средней зоне, Am дБ	Gm = 1	ф-лы таб.3 [10]	-2,9	-2,9	0	0	0	0	0	0	0		
Суммарное снижение поверхностью земли на траектории распространения звука Agr, дБ		ф-ла (9) [10]	-5,9	-5,9	3,8	5,5	3,5	-0,8	-1,5	-1,5	-1,5		
Уровни звукового давления от источника ИШ-2-8 в расчётной точке днём, дБ		**ф-ла(3)[10]**	**0**	**26,2**	**17,4**	**15,7**	**15,1**	**15,2**	**5,5**	**0**	**0**	**17,8**	**17,8**
Уровни звукового давления от источника ИШ-2-8 в расчётной точке ночью, дБ		**ф-ла(3)[10]**	**0**	**26,2**	**17,4**	**15,7**	**15,1**	**15,2**	**5,5**	**0**	**0**	**17,8**	**17,8**
Источник шума: ИШ-2-9, координаты источника (x,y,z), м =[763.26,103.71,1.00]													
Уровни звуковой мощности источника днём, Lw, дБ		**исходные данные**	**0**	**93,3**	**94,7**	**96**	**96,3**	**95,9**	**92,6**	**88,4**	**83,9**		
Уровни звуковой мощности источника ночью, Lw, дБ		**исходные данные**	**0**	**93,3**	**94,7**	**96**	**96,3**	**95,9**	**92,6**	**88,4**	**83,9**		
Поправка на телесный угол DΩ, дБ	Ω = 6.28	10Lg(4π/Ω)	**3**	3	3	3	3	3	3	3	3		

1		2	3	4	5	6	7	8	9	10	11	12	13
Показатель направленности источника Di, дБ		исходные данные	**0**	0	0	0	0	0	0	0	0		
Поправка на направленность источника Dc, дБ	Dc	DΩ + Di	**3**	3	3	3	3	3	3	3	3		
Затухание из-за геометрической дивергенции, Adiv, дБ	расстояние = 1746.00 м	ф-ла (7) [10]	**75,8**										
Коэффициент затухания звука в атмосфере α, дБ/км	Ta=20,°C Pa=101.33,кПа hотн.=70%	ф-ла (5) [9]	0,02	0,09	0,33	1,12	2,79	4,98	9,04	23,09	77,63		
Учет затухания звука в атмосфере Aatm, дБ		ф-ла (8) [10]	0	0,2	0,6	2	4,9	8,7	15,8	40,3	135,5		
Снижение поверхностью земли возле источника As, дБ	Gs = 0 hs = 1м	ф-лы таб.3 [10]	-1,5	-1,5	-1,5	-1,5	-1,5	-1,5	-1,5	-1,5	-1,5		
Снижение поверхностью земли возле приёмника Ar, дБ	Gr = 1 hr = 1.5м	ф-лы таб.3 [10]	-1,5	-1,5	5,3	7	5	0,7	0	0	0		
Снижение поверхностью земли в средней зоне, Am дБ	Gm = 1	ф-лы таб.3 [10]	-2,9	-2,9	0	0	0	0	0	0	0		
Суммарное снижение поверхностью земли на траектории распространения звука Agr, дБ		ф-ла (9) [10]	-5,9	-5,9	3,8	5,5	3,5	-0,8	-1,5	-1,5	-1,5		
Уровни звукового давления от источника ИШ-2-9 в расчётной точке днём, дБ		**ф-ла(3)[10]**	**0**	**26,2**	**17,4**	**15,7**	**15,1**	**15,2**	**5,5**	**0**	**0**	**17,8**	**17,8**
Уровни звукового давления от источника ИШ-2-9 в расчётной точке ночью, дБ		**ф-ла(3)[10]**	**0**	**26,2**	**17,4**	**15,7**	**15,1**	**15,2**	**5,5**	**0**	**0**	**17,8**	**17,8**
Источник шума: ИШ-2-10, координаты источника (x,y,z), м =[762.14,100.75,1.00]													
Уровни звуковой мощности источника днём, Lw, дБ		**исходные данные**	**0**	**93,3**	**94,7**	**96**	**96,3**	**95,9**	**92,6**	**88,4**	**83,9**		
Уровни звуковой мощности источника ночью, Lw, дБ		**исходные данные**	**0**	**93,3**	**94,7**	**96**	**96,3**	**95,9**	**92,6**	**88,4**	**83,9**		
Поправка на телесный угол DΩ, дБ	Ω = 6.28	10Lg(4π/Ω)	**3**	3	3	3	3	3	3	3	3		
Показатель направленности источника Di, дБ		исходные данные	**0**	0	0	0	0	0	0	0	0		

1		2	3	4	5	6	7	8	9	10	11	12	13
Поправка на направленность источника Dc, дБ	Dc	DΩ + Di	**3**	3	3	3	3	3	3	3	3		
Затухание из-за геометрической дивергенции, Adiv, дБ	расстояние = 1746.50 м	ф-ла (7) [10]	**75,8**										
Коэффициент затухания звука в атмосфере α, дБ/км	Ta=20,°C Pa=101.33,кПа hотн.=70%	ф-ла (5) [9]	0,02	0,09	0,33	1,12	2,79	4,98	9,04	23,09	77,63		
Учет затухания звука в атмосфере Aatm, дБ		ф-ла (8) [10]	0	0,2	0,6	2	4,9	8,7	15,8	40,3	135,6		
Снижение поверхностью земли возле источника As, дБ	Gs = 0 hs = 1м	ф-лы таб.3 [10]	-1,5	-1,5	-1,5	-1,5	-1,5	-1,5	-1,5	-1,5	-1,5		
Снижение поверхностью земли возле приёмника Ar, дБ	Gr = 1 hr = 1.5м	ф-лы таб.3 [10]	-1,5	-1,5	5,3	7	5	0,7	0	0	0		
Снижение поверхностью земли в средней зоне, Am дБ	Gm = 1	ф-лы таб.3 [10]	-2,9	-2,9	0	0	0	0	0	0	0		
Суммарное снижение поверхностью земли на траектории распространения звука Agr, дБ		ф-ла (9) [10]	-5,9	-5,9	3,8	5,5	3,5	-0,8	-1,5	-1,5	-1,5		
Уровни звукового давления от источника ИШ-2-10 в расчётной точке днём, дБ		**ф-ла(3)[10]**	**0**	**26,2**	**17,4**	**15,7**	**15,1**	**15,2**	**5,5**	**0**	**0**	**17,8**	**17,8**
Уровни звукового давления от источника ИШ-2-10 в расчётной точке ночью, дБ		**ф-ла(3)[10]**	**0**	**26,2**	**17,4**	**15,7**	**15,1**	**15,2**	**5,5**	**0**	**0**	**17,8**	**17,8**
Источник шума: ИШ-2-11, координаты источника (x,y,z), м =[761.13,97.90,1.00]													
Уровни звуковой мощности источника днём, Lw, дБ		**исходные данные**	**0**	**93,3**	**94,7**	**96**	**96,3**	**95,9**	**92,6**	**88,4**	**83,9**		
Уровни звуковой мощности источника ночью, Lw, дБ		**исходные данные**	**0**	**93,3**	**94,7**	**96**	**96,3**	**95,9**	**92,6**	**88,4**	**83,9**		
Поправка на телесный угол DΩ, дБ	Ω = 6.28	10Lg(4π/Ω)	**3**	3	3	3	3	3	3	3	3		
Показатель направленности источника Di, дБ		исходные данные	**0**	0	0	0	0	0	0	0	0		
Поправка на направленность источника Dc, дБ	Dc	DΩ + Di	**3**	3	3	3	3	3	3	3	3		

1		2	3	4	5	6	7	8	9	10	11	12	13
Затухание из-за геометрической дивергенции, Adiv, дБ	расстояние = 1747.03 м	ф-ла (7) [10]	**75,8**										
Коэффициент затухания звука в атмосфере α, дБ/км	Ta=20,°C Pa=101.33,кПа hотн.=70%	ф-ла (5) [9]	0,02	0,09	0,33	1,12	2,79	4,98	9,04	23,09	77,63		
Учет затухания звука в атмосфере Aatm, дБ		ф-ла (8) [10]	0	0,2	0,6	2	4,9	8,7	15,8	40,3	135,6		
Снижение уровня звукового давления из-за влияния застройки между источником шума и расчетной точкой													
Снижение уровня звукового давления препятствием слева от трассы ИШ-РТ, Dz2, дБ	z = -0.17м (разность путей)	ф-лы (14-18) [10]	3,7	2,4	0	NAN	NAN	NAN	NAN	NAN	NAN		
* отрицательное значение z означает прохождение траектории вблизи экрана, в этом случае дополнительно производится учёт снижения подстилающей поверхностью (см.ниже)													
Снижение поверхностью земли возле источника As, дБ	Gs = 0 hs = 1м	ф-лы таб.3 [10]	-1,5	-1,5	-1,5	-1,5	-1,5	-1,5	-1,5	-1,5	-1,5		
Снижение поверхностью земли возле приёмника Ar, дБ	Gr = 1 hr = 1.5м	ф-лы таб.3 [10]	-1,5	-1,5	5,3	7	5	0,7	0	0	0		
Снижение поверхностью земли в средней зоне, Am дБ	Gm = 1	ф-лы таб.3 [10]	-2,9	-2,9	0	0	0	0	0	0	0		
Суммарное снижение поверхностью земли на траектории распространения звука Agr, дБ		ф-ла (9) [10]	-5,9	-5,9	3,8	5,5	3,5	-0,8	-1,5	-1,5	-1,5		
Уровни звукового давления от источника ИШ-2-11 в расчётной точке днём, дБ		**ф-ла(3)[10]**	**0**	**23,8**	**17,4**	**15,7**	**15,1**	**15,2**	**5,5**	**0**	**0**	**17,8**	**17,8**
Уровни звукового давления от источника ИШ-2-11 в расчётной точке ночью, дБ		**ф-ла(3)[10]**	**0**	**23,8**	**17,4**	**15,7**	**15,1**	**15,2**	**5,5**	**0**	**0**	**17,8**	**17,8**
Источник шума: ИШ-2-12, координаты источника (x,y,z), м =[760.25,95.02,1.00]													
Уровни звуковой мощности источника днём, Lw, дБ		**исходные данные**	**0**	**93,3**	**94,7**	**96**	**96,3**	**95,9**	**92,6**	**88,4**	**83,9**		
Уровни звуковой мощности источника ночью, Lw, дБ		**исходные данные**	**0**	**93,3**	**94,7**	**96**	**96,3**	**95,9**	**92,6**	**88,4**	**83,9**		
Поправка на телесный угол DΩ, дБ	Ω = 6.28	10Lg(4π/Ω)	**3**	3	3	3	3	3	3	3	3		
Показатель направленности источника Di, дБ		исходные данные	**0**	0	0	0	0	0	0	0	0		

1		2	3	4	5	6	7	8	9	10	11	12	13
Поправка на направленность источника Dc, дБ	Dc	DΩ + Di	**3**	3	3	3	3	3	3	3	3		
Затухание из-за геометрической дивергенции, Adiv, дБ	расстояние = 1747.71 м	ф-ла (7) [10]	**75,8**										
Коэффициент затухания звука в атмосфере α, дБ/км	Ta=20,°C Pa=101.33,кПа hотн.=70%	ф-ла (5) [9]	0,02	0,09	0,33	1,12	2,79	4,98	9,04	23,09	77,63		
Учет затухания звука в атмосфере Aatm, дБ		ф-ла (8) [10]	0	0,2	0,6	2	4,9	8,7	15,8	40,3	135,7		
Снижение уровня звукового давления из-за влияния застройки между источником шума и расчетной точкой													
Снижение уровня звукового давления препятствием слева от трассы ИШ-РТ, Dz2, дБ	z = -0.27м (разность путей)	ф-лы (14-18) [10]	3	0	NAN	NAN	NAN	NAN	NAN	NAN	NAN		
* отрицательное значение z означает прохождение траектории вблизи экрана, в этом случае дополнительно производится учёт снижения подстилающей поверхностью (см.ниже)													
Снижение поверхностью земли возле источника As, дБ	Gs = 0 hs = 1м	ф-лы таб.3 [10]	-1,5	-1,5	-1,5	-1,5	-1,5	-1,5	-1,5	-1,5	-1,5		
Снижение поверхностью земли возле приёмника Ar, дБ	Gr = 1 hr = 1.5м	ф-лы таб.3 [10]	-1,5	-1,5	5,3	7	5	0,7	0	0	0		
Снижение поверхностью земли в средней зоне, Am дБ	Gm = 1	ф-лы таб.3 [10]	-2,9	-2,9	0	0	0	0	0	0	0		
Суммарное снижение поверхностью земли на траектории распространения звука Agr, дБ		ф-ла (9) [10]	-5,9	-5,9	3,8	5,5	3,5	-0,8	-1,5	-1,5	-1,5		
Уровни звукового давления от источника ИШ-2-12 в расчётной точке днём, дБ		**ф-ла(3)[10]**	**0**	**26,2**	**17,4**	**15,7**	**15,1**	**15,2**	**5,4**	**0**	**0**	**17,8**	**17,8**
Уровни звукового давления от источника ИШ-2-12 в расчётной точке ночью, дБ		**ф-ла(3)[10]**	**0**	**26,2**	**17,4**	**15,7**	**15,1**	**15,2**	**5,4**	**0**	**0**	**17,8**	**17,8**
Источник шума: ИШ-2-13, координаты источника (x,y,z), м =[759.28,92.25,1.00]													
Уровни звуковой мощности источника днём, Lw, дБ		**исходные данные**	**0**	**93,3**	**94,7**	**96**	**96,3**	**95,9**	**92,6**	**88,4**	**83,9**		
Уровни звуковой мощности источника ночью, Lw, дБ		**исходные данные**	**0**	**93,3**	**94,7**	**96**	**96,3**	**95,9**	**92,6**	**88,4**	**83,9**		
Поправка на телесный угол DΩ, дБ	Ω = 6.28	10Lg(4π/Ω)	**3**	3	3	3	3	3	3	3	3		

1		2	3	4	5	6	7	8	9	10	11	12	13
Показатель направленности источника Di, дБ		исходные данные	**0**	0	0	0	0	0	0	0	0		
Поправка на направленность источника Dc, дБ	Dc	DΩ + Di	**3**	3	3	3	3	3	3	3	3		
Затухание из-за геометрической дивергенции, Adiv, дБ	расстояние = 1748.24 м	ф-ла (7) [10]	**75,9**										
Коэффициент затухания звука в атмосфере α, дБ/км	Ta=20,°C Pa=101.33,кПа hотн.=70%	ф-ла (5) [9]	0,02	0,09	0,33	1,12	2,79	4,98	9,04	23,09	77,63		
Учет затухания звука в атмосфере Aatm, дБ		ф-ла (8) [10]	0	0,2	0,6	2	4,9	8,7	15,8	40,4	135,7		
Снижение уровня звукового давления из-за влияния застройки между источником шума и расчетной точкой													
Снижение уровня звукового давления препятствием слева от трассы ИШ-РТ, Dz2, дБ	z = -0.11м (разность путей)	ф-лы (14-18) [10]	4,1	3,3	1,2	NAN	NAN	NAN	NAN	NAN	NAN		
* отрицательное значение z означает прохождение траектории вблизи экрана, в этом случае дополнительно производится учёт снижения подстилающей поверхностью (см.ниже)													
Снижение поверхностью земли возле источника As, дБ	Gs = 0 hs = 1м	ф-лы таб.3 [10]	-1,5	-1,5	-1,5	-1,5	-1,5	-1,5	-1,5	-1,5	-1,5		
Снижение поверхностью земли возле приёмника Ar, дБ	Gr = 1 hr = 1.5м	ф-лы таб.3 [10]	-1,5	-1,5	5,3	7	5	0,7	0	0	0		
Снижение поверхностью земли в средней зоне, Am дБ	Gm = 1	ф-лы таб.3 [10]	-2,9	-2,9	0	0	0	0	0	0	0		
Суммарное снижение поверхностью земли на траектории распространения звука Agr, дБ		ф-ла (9) [10]	-5,9	-5,9	3,8	5,5	3,5	-0,8	-1,5	-1,5	-1,5		
Уровни звукового давления прямого звука от источника ИШ-2-13 в расчётной точке днём, дБ		**ф-ла(3)[10]**	**0**	**22,8**	**16,2**	**15,7**	**15,1**	**15,2**	**5,4**	**0**	**0**	**17,7**	**17,7**
Уровни звукового давления прямого звука от источника ИШ-2-13 в расчётной точке ночью, дБ		**ф-ла(3)[10]**	**0**	**22,8**	**16,2**	**15,7**	**15,1**	**15,2**	**5,4**	**0**	**0**	**17,7**	**17,7**
Расчёт отражённого звука													
Уровни звукового давления от мнимого источника ИШ-2-13_мн.(1) в расчётной точке днём, дБ		**ф-ла(3)[10]**	**0**	**0**	**0**	**0**	**0**	**0**	**0**	**0**	**0**	**0**	**0**
Уровни звукового давления от мнимого источника ИШ-2-13_мн.(1) в расчётной точке ночью, дБ		**ф-ла(3)[10]**	**0**	**0**	**0**	**0**	**0**	**0**	**0**	**0**	**0**	**0**	**0**
Уровни звукового давления от источника ИШ-2-13 в расчётной точке днём, дБ		**ф-ла(3)[10]**	**0**	**22,8**	**16,2**	**15,7**	**15,1**	**15,2**	**5,4**	**0**	**0**	**17,7**	**17,7**

1		2	3	4	5	6	7	8	9	10	11	12	13
Уровни звукового давления от источника ИШ-2-13 в расчётной точке ночью, дБ		**ф-ла(3)[10]**	**0**	**22,8**	**16,2**	**15,7**	**15,1**	**15,2**	**5,4**	**0**	**0**	**17,7**	**17,7**
Источник шума: ИШ-2-14, координаты источника (x,y,z), м =[751.62,69.73,1.00]													
Уровни звуковой мощности источника днём, Lw, дБ		**исходные данные**	**0**	**93,3**	**94,7**	**96**	**96,3**	**95,9**	**92,6**	**88,4**	**83,9**		
Уровни звуковой мощности источника ночью, Lw, дБ		**исходные данные**	**0**	**93,3**	**94,7**	**96**	**96,3**	**95,9**	**92,6**	**88,4**	**83,9**		
Поправка на телесный угол DΩ, дБ	Ω = 6.28	10Lg(4π/Ω)	**3**	3	3	3	3	3	3	3	3		
Показатель направленности источника Di, дБ		исходные данные	**0**	0	0	0	0	0	0	0	0		
Поправка на направленность источника Dc, дБ	Dc	DΩ + Di	**3**	3	3	3	3	3	3	3	3		
Затухание из-за геометрической дивергенции, Adiv, дБ	расстояние = 1753.03 м	ф-ла (7) [10]	**75,9**										
Коэффициент затухания звука в атмосфере α, дБ/км	Ta=20,°C Pa=101.33,кПа hотн.=70%	ф-ла (5) [9]	0,02	0,09	0,33	1,12	2,79	4,98	9,04	23,09	77,63		
Учет затухания звука в атмосфере Aatm, дБ		ф-ла (8) [10]	0	0,2	0,6	2	4,9	8,7	15,8	40,5	136,1		
Снижение уровня звукового давления из-за влияния застройки между источником шума и расчетной точкой													
Снижение уровня звукового давления на пути над экраном, Dz1, дБ	z = 0.13м (разность путей)	ф-лы (14-18) [10]	4,8	4,8	4,8	4,8	4,8	4,8	4,8	4,8	4,8		
Снижение уровня звукового давления на пути слева от экрана, Dz2, дБ	z = 1.18м (разность путей)	ф-лы (14-18) [10]	12	14,6	17,4	20,3	23,3	26,2	29,2	32,2	35,2		
Снижение уровня звукового давления на пути справа от экрана, Dz3, дБ	z = 1.23м (разность путей)	ф-лы (14-18) [10]	8,8	10,8	13,2	15,9	18,8	21,7	24,7	27,7	30,7		
Общее снижение уровня звука препятствием Dz, дБ		Эн.сумма(-Dzi)	2,8	3,5	4	4,3	4,5	4,7	4,7	4,7	4,8		
Уровни звукового давления от источника ИШ-2-14 в расчётной точке днём, дБ		**ф-ла(3)[10]**	**0**	**16,8**	**17,2**	**16,8**	**14**	**9,6**	**0**	**0**	**0**	**14,7**	**14,7**

1		2	3	4	5	6	7	8	9	10	11	12	13
Уровни звукового давления от источника ИШ-2-14 в расчётной точке ночью, дБ		**ф-ла(3)[10]**	**0**	**16,8**	**17,2**	**16,8**	**14**	**9,6**	**0**	**0**	**0**	**14,7**	**14,7**
Источник шума: ИШ-2-15, координаты источника (x,y,z), м =[750.74,66.89,1.00]													
Уровни звуковой мощности источника днём, Lw, дБ		**исходные данные**	**0**	**93,3**	**94,7**	**96**	**96,3**	**95,9**	**92,6**	**88,4**	**83,9**		
Уровни звуковой мощности источника ночью, Lw, дБ		**исходные данные**	**0**	**93,3**	**94,7**	**96**	**96,3**	**95,9**	**92,6**	**88,4**	**83,9**		
Поправка на телесный угол DΩ, дБ	Ω = 6.28	10Lg(4π/Ω)	**3**	3	3	3	3	3	3	3	3		
Показатель направленности источника Di, дБ		исходные данные	**0**	0	0	0	0	0	0	0	0		
Поправка на направленность источника Dc, дБ	Dc	DΩ + Di	**3**	3	3	3	3	3	3	3	3		
Затухание из-за геометрической дивергенции, Adiv, дБ	расстояние = 1753.74 м	ф-ла (7) [10]	**75,9**										
Коэффициент затухания звука в атмосфере α, дБ/км	Ta=20,°C Pa=101.33,кПа hотн.=70%	ф-ла (5) [9]	0,02	0,09	0,33	1,12	2,79	4,98	9,04	23,09	77,63		
Учет затухания звука в атмосфере Aatm, дБ		ф-ла (8) [10]	0	0,2	0,6	2	4,9	8,7	15,9	40,5	136,1		
Снижение уровня звукового давления из-за влияния застройки между источником шума и расчетной точкой													
Снижение уровня звукового давления на пути над экраном, Dz1, дБ	z = 0.13м (разность путей)	ф-лы (14-18) [10]	4,8	4,8	4,8	4,8	4,8	4,8	4,8	4,8	4,8		
Снижение уровня звукового давления на пути слева от экрана, Dz2, дБ	z = 0.99м (разность путей)	ф-лы (14-18) [10]	11,4	14	16,7	19,6	22,5	25,5	28,5	31,5	34,5		
Снижение уровня звукового давления на пути справа от экрана, Dz3, дБ	z = 1.65м (разность путей)	ф-лы (14-18) [10]	9,6	11,8	14,3	17,1	20	22,9	25,9	28,9	31,9		
Общее снижение уровня звука препятствием Dz, дБ		Эн.сумма(-Dzi)	2,9	3,6	4,1	4,4	4,6	4,7	4,7	4,7	4,8		
Уровни звукового давления от источника ИШ-2-15 в расчётной точке днём, дБ		**ф-ла(3)[10]**	**0**	**16,7**	**17,2**	**16,8**	**13,9**	**9,6**	**0**	**0**	**0**	**14,6**	**14,6**

1		2	3	4	5	6	7	8	9	10	11	12	13
Уровни звукового давления от источника ИШ-2-15 в расчётной точке ночью, дБ		**ф-ла(3)[10]**	**0**	**16,7**	**17,2**	**16,8**	**13,9**	**9,6**	**0**	**0**	**0**	**14,6**	**14,6**
Источник шума: ИШ-2-16, координаты источника (x,y,z), м =[749.73,64.02,1.00]													
Уровни звуковой мощности источника днём, Lw, дБ		**исходные данные**	**0**	**93,3**	**94,7**	**96**	**96,3**	**95,9**	**92,6**	**88,4**	**83,9**		
Уровни звуковой мощности источника ночью, Lw, дБ		**исходные данные**	**0**	**93,3**	**94,7**	**96**	**96,3**	**95,9**	**92,6**	**88,4**	**83,9**		
Поправка на телесный угол DΩ, дБ	Ω = 6.28	10Lg(4π/Ω)	**3**	3	3	3	3	3	3	3	3		
Показатель направленности источника Di, дБ		исходные данные	**0**	0	0	0	0	0	0	0	0		
Поправка на направленность источника Dc, дБ	Dc	DΩ + Di	**3**	3	3	3	3	3	3	3	3		
Затухание из-за геометрической дивергенции, Adiv, дБ	расстояние = 1754.34 м	ф-ла (7) [10]	**75,9**										
Коэффициент затухания звука в атмосфере α, дБ/км	Ta=20,°C Pa=101.33,кПа hотн.=70%	ф-ла (5) [9]	0,02	0,09	0,33	1,12	2,79	4,98	9,04	23,09	77,63		
Учет затухания звука в атмосфере Aatm, дБ		ф-ла (8) [10]	0	0,2	0,6	2	4,9	8,7	15,9	40,5	136,2		
Снижение уровня звукового давления из-за влияния застройки между источником шума и расчетной точкой													
Снижение уровня звукового давления на пути над экраном, Dz1, дБ	z = 0.13м (разность путей)	ф-лы (14-18) [10]	4,8	4,8	4,8	4,8	4,8	4,8	4,8	4,8	4,8		
Снижение уровня звукового давления на пути слева от экрана, Dz2, дБ	z = 0.85м (разность путей)	ф-лы (14-18) [10]	7,9	9,7	11,9	14,5	17,2	20,1	23,1	26	29		
Снижение уровня звукового давления на пути справа от экрана, Dz3, дБ	z = 2.14м (разность путей)	ф-лы (14-18) [10]	10,4	12,8	15,4	18,2	21,1	24,1	27	30	33		
Общее снижение уровня звука препятствием Dz, дБ		Эн.сумма(-Dzi)	2,3	3,1	3,7	4,2	4,4	4,6	4,7	4,7	4,7		
Уровни звукового давления от источника ИШ-2-16 в расчётной точке днём, дБ		**ф-ла(3)[10]**	**0**	**17,2**	**17,5**	**17**	**14,1**	**9,7**	**0**	**0**	**0**	**14,8**	**14,8**

1		2	3	4	5	6	7	8	9	10	11	12	13
Уровни звукового давления от источника ИШ-2-16 в расчётной точке ночью, дБ		**ф-ла(3)[10]**	**0**	**17,2**	**17,5**	**17**	**14,1**	**9,7**	**0**	**0**	**0**	**14,8**	**14,8**
Источник шума: ИШ-2-17, координаты источника (x,y,z), м =[748.87,61.06,1.00]													
Уровни звуковой мощности источника днём, Lw, дБ		**исходные данные**	**0**	**93,3**	**94,7**	**96**	**96,3**	**95,9**	**92,6**	**88,4**	**83,9**		
Уровни звуковой мощности источника ночью, Lw, дБ		**исходные данные**	**0**	**93,3**	**94,7**	**96**	**96,3**	**95,9**	**92,6**	**88,4**	**83,9**		
Поправка на телесный угол DΩ, дБ	Ω = 6.28	10Lg(4π/Ω)	**3**	3	3	3	3	3	3	3	3		
Показатель направленности источника Di, дБ		исходные данные	**0**	0	0	0	0	0	0	0	0		
Поправка на направленность источника Dc, дБ	Dc	DΩ + Di	**3**	3	3	3	3	3	3	3	3		
Затухание из-за геометрической дивергенции, Adiv, дБ	расстояние = 1755.14 м	ф-ла (7) [10]	**75,9**										
Коэффициент затухания звука в атмосфере α, дБ/км	Ta=20,°C Pa=101.33,кПа hотн.=70%	ф-ла (5) [9]	0,02	0,09	0,33	1,12	2,79	4,98	9,04	23,09	77,63		
Учет затухания звука в атмосфере Aatm, дБ		ф-ла (8) [10]	0	0,2	0,6	2	4,9	8,7	15,9	40,5	136,3		
Снижение уровня звукового давления из-за влияния застройки между источником шума и расчетной точкой													
Снижение уровня звукового давления на пути над экраном, Dz1, дБ	z = 0.13м (разность путей)	ф-лы (14-18) [10]	4,8	4,8	4,8	4,8	4,8	4,8	4,8	4,8	4,8		
Снижение уровня звукового давления на пути слева от экрана, Dz2, дБ	z = 0.71м (разность путей)	ф-лы (14-18) [10]	7,5	9,2	11,3	13,8	16,5	19,4	22,3	25,3	28,3		
Снижение уровня звукового давления на пути справа от экрана, Dz3, дБ	z = 2.68м (разность путей)	ф-лы (14-18) [10]	11,1	13,6	16,3	19,1	22,1	25	28	31	34		
Общее снижение уровня звука препятствием Dz, дБ		Эн.сумма(-Dzi)	2,3	3	3,7	4,1	4,4	4,6	4,7	4,7	4,7		
Уровни звукового давления от источника ИШ-2-17 в расчётной точке днём, дБ		**ф-ла(3)[10]**	**0**	**17,2**	**17,6**	**17**	**14,1**	**9,7**	**0**	**0**	**0**	**14,8**	**14,8**

1		2	3	4	5	6	7	8	9	10	11	12	13
Уровни звукового давления от источника ИШ-2-17 в расчётной точке ночью, дБ		**ф-ла(3)[10]**	**0**	**17,2**	**17,6**	**17**	**14,1**	**9,7**	**0**	**0**	**0**	**14,8**	**14,8**
Источник шума: ИШ-2-18, координаты источника (x,y,z), м =[747.72,58.17,1.00]													
Уровни звуковой мощности источника днём, Lw, дБ		**исходные данные**	**0**	**93,3**	**94,7**	**96**	**96,3**	**95,9**	**92,6**	**88,4**	**83,9**		
Уровни звуковой мощности источника ночью, Lw, дБ		**исходные данные**	**0**	**93,3**	**94,7**	**96**	**96,3**	**95,9**	**92,6**	**88,4**	**83,9**		
Поправка на телесный угол DΩ, дБ	Ω = 6.28	10Lg(4π/Ω)	**3**	3	3	3	3	3	3	3	3		
Показатель направленности источника Di, дБ		исходные данные	**0**	0	0	0	0	0	0	0	0		
Поправка на направленность источника Dc, дБ	Dc	DΩ + Di	**3**	3	3	3	3	3	3	3	3		
Затухание из-за геометрической дивергенции, Adiv, дБ	расстояние = 1755.64 м	ф-ла (7) [10]	**75,9**										
Коэффициент затухания звука в атмосфере α, дБ/км	Ta=20,°C Pa=101.33,кПа hотн.=70%	ф-ла (5) [9]	0,02	0,09	0,33	1,12	2,79	4,98	9,04	23,09	77,63		
Учет затухания звука в атмосфере Aatm, дБ		ф-ла (8) [10]	0	0,2	0,6	2	4,9	8,7	15,9	40,5	136,3		
Снижение уровня звукового давления из-за влияния застройки между источником шума и расчетной точкой													
Снижение уровня звукового давления на пути над экраном, Dz1, дБ	z = 0.12м (разность путей)	ф-лы (14-18) [10]	4,8	4,8	4,8	4,8	4,8	4,8	4,8	4,8	4,8		
Снижение уровня звукового давления на пути слева от экрана, Dz2, дБ	z = 0.58м (разность путей)	ф-лы (14-18) [10]	7,1	8,6	10,6	13	15,7	18,5	21,5	24,4	27,4		
Снижение уровня звукового давления на пути справа от экрана, Dz3, дБ	z = 3.31м (разность путей)	ф-лы (14-18) [10]	11,8	14,4	17,1	20	23	25,9	28,9	31,9	34,9		
Общее снижение уровня звука препятствием Dz, дБ		Эн.сумма(-Dzi)	2,3	3	3,6	4,1	4,4	4,6	4,7	4,7	4,7		
Уровни звукового давления прямого звука от источника ИШ-2-18 в расчётной точке днём, дБ		**ф-ла(3)[10]**	**0**	**17,3**	**17,6**	**17,1**	**14,1**	**9,7**	**0**	**0**	**0**	**14,8**	**14,8**

1		2	3	4	5	6	7	8	9	10	11	12	13
Уровни звукового давления прямого звука от источника ИШ-2-18 в расчётной точке ночью, дБ		**ф-ла(3)[10]**	**0**	**17,3**	**17,6**	**17,1**	**14,1**	**9,7**	**0**	**0**	**0**	**14,8**	**14,8**
Расчёт отражённого звука													
Уровни звукового давления от мнимого источника ИШ-2-18_мн.(1) в расчётной точке днём, дБ		**ф-ла(3)[10]**	**0**	**0**	**0**	**0**	**0**	**0**	**0**	**0**	**0**	**0**	**0**
Уровни звукового давления от мнимого источника ИШ-2-18_мн.(1) в расчётной точке ночью, дБ		**ф-ла(3)[10]**	**0**	**0**	**0**	**0**	**0**	**0**	**0**	**0**	**0**	**0**	**0**
Уровни звукового давления от источника ИШ-2-18 в расчётной точке днём, дБ		**ф-ла(3)[10]**	**0**	**17,3**	**17,6**	**17,1**	**14,1**	**9,7**	**0**	**0**	**0**	**14,8**	**14,8**
Уровни звукового давления от источника ИШ-2-18 в расчётной точке ночью, дБ		**ф-ла(3)[10]**	**0**	**17,3**	**17,6**	**17,1**	**14,1**	**9,7**	**0**	**0**	**0**	**14,8**	**14,8**
Источник шума: ИШ-2-19, координаты источника (x,y,z), м =[746.80,55.25,1.00]													
Уровни звуковой мощности источника днём, Lw, дБ		**исходные данные**	**0**	**93,3**	**94,7**	**96**	**96,3**	**95,9**	**92,6**	**88,4**	**83,9**		
Уровни звуковой мощности источника ночью, Lw, дБ		**исходные данные**	**0**	**93,3**	**94,7**	**96**	**96,3**	**95,9**	**92,6**	**88,4**	**83,9**		
Поправка на телесный угол DΩ, дБ	Ω = 6.28	10Lg(4π/Ω)	**3**	3	3	3	3	3	3	3	3		
Показатель направленности источника Di, дБ		исходные данные	**0**	0	0	0	0	0	0	0	0		
Поправка на направленность источника Dc, дБ	Dc	DΩ + Di	**3**	3	3	3	3	3	3	3	3		
Затухание из-за геометрической дивергенции, Adiv, дБ	расстояние = 1756.37 м	ф-ла (7) [10]	**75,9**										
Коэффициент затухания звука в атмосфере α, дБ/км	Ta=20,°C Pa=101.33,кПа hотн.=70%	ф-ла (5) [9]	0,02	0,09	0,33	1,12	2,79	4,98	9,04	23,09	77,63		
Учет затухания звука в атмосфере Aatm, дБ		ф-ла (8) [10]	0	0,2	0,6	2	4,9	8,7	15,9	40,5	136,4		
Снижение уровня звукового давления из-за влияния застройки между источником шума и расчетной точкой													

1		2	3	4	5	6	7	8	9	10	11	12	13
Снижение уровня звукового давления на пути над экраном, Dz1, дБ	z = 0.12м (разность путей)	ф-лы (14-18) [10]	4,8	4,8	4,8	4,8	4,8	4,8	4,8	4,8	4,8		
Снижение уровня звукового давления на пути слева от экрана, Dz2, дБ	z = 70.66м (разность путей)	ф-лы (14-18) [10]	28,8	31,9	34,9	37,9	41	44	47	50	53		
Снижение уровня звукового давления на пути справа от экрана, Dz3, дБ	z = 3.97м (разность путей)	ф-лы (14-18) [10]	12,5	15,1	17,9	20,8	23,7	26,7	29,7	32,7	35,7		
Общее снижение уровня звука препятствием Dz, дБ		Эн.сумма(-Dzi)	4,1	4,4	4,6	4,7	4,7	4,7	4,8	4,8	4,8		
Уровни звукового давления прямого звука от источника ИШ-2-19 в расчётной точке днём, дБ		**ф-ла(3)[10]**	**0**	**15,9**	**16,7**	**16,5**	**13,8**	**9,5**	**0**	**0**	**0**	**14,4**	**14,4**
Уровни звукового давления прямого звука от источника ИШ-2-19 в расчётной точке ночью, дБ		**ф-ла(3)[10]**	**0**	**15,9**	**16,7**	**16,5**	**13,8**	**9,5**	**0**	**0**	**0**	**14,4**	**14,4**
Расчёт отражённого звука													
Уровни звукового давления от мнимого источника ИШ-2-19_мн.(1) в расчётной точке днём, дБ		**ф-ла(3)[10]**	**0**	**0**	**0**	**0**	**0**	**0**	**0**	**0**	**0**	**0**	**0**
Уровни звукового давления от мнимого источника ИШ-2-19_мн.(1) в расчётной точке ночью, дБ		**ф-ла(3)[10]**	**0**	**0**	**0**	**0**	**0**	**0**	**0**	**0**	**0**	**0**	**0**
Уровни звукового давления от источника ИШ-2-19 в расчётной точке днём, дБ		**ф-ла(3)[10]**	**0**	**15,9**	**16,7**	**16,5**	**13,8**	**9,5**	**0**	**0**	**0**	**14,4**	**14,4**
Уровни звукового давления от источника ИШ-2-19 в расчётной точке ночью, дБ		**ф-ла(3)[10]**	**0**	**15,9**	**16,7**	**16,5**	**13,8**	**9,5**	**0**	**0**	**0**	**14,4**	**14,4**
Источник шума: ИШ-2-20, координаты источника (x,y,z), м =[745.71,52.44,1.00]													
Уровни звуковой мощности источника днём, Lw, дБ		**исходные данные**	**0**	**93,3**	**94,7**	**96**	**96,3**	**95,9**	**92,6**	**88,4**	**83,9**		
Уровни звуковой мощности источника ночью, Lw, дБ		**исходные данные**	**0**	**93,3**	**94,7**	**96**	**96,3**	**95,9**	**92,6**	**88,4**	**83,9**		
Поправка на телесный угол DΩ, дБ	Ω = 6.28	10Lg(4π/Ω)	**3**	3	3	3	3	3	3	3	3		
Показатель направленности источника Di, дБ		исходные данные	**0**	0	0	0	0	0	0	0	0		
Поправка на направленность источника Dc, дБ	Dc	DΩ + Di	**3**	3	3	3	3	3	3	3	3		

1		2	3	4	5	6	7	8	9	10	11	12	13
Затухание из-за геометрической дивергенции, Adiv, дБ	расстояние = 1756.90 м	ф-ла (7) [10]	**75,9**										
Коэффициент затухания звука в атмосфере α, дБ/км	Та=20,°С Ра=101.33,кПа hотн.=70%	ф-ла (5) [9]	0,02	0,09	0,33	1,12	2,79	4,98	9,04	23,09	77,63		
Учет затухания звука в атмосфере Aatm, дБ		ф-ла (8) [10]	0	0,2	0,6	2	4,9	8,7	15,9	40,6	136,4		
Снижение уровня звукового давления из-за влияния застройки между источником шума и расчетной точкой													
Снижение уровня звукового давления на пути над экраном, Dz1, дБ	z = 0.12м (разность путей)	ф-лы (14-18) [10]	4,8	4,8	4,8	4,8	4,8	4,8	4,8	4,8	4,8		
Снижение уровня звукового давления на пути слева от экрана, Dz2, дБ	z = 69.02м (разность путей)	ф-лы (14-18) [10]	28,7	31,8	34,8	37,8	40,9	43,9	46,9	49,9	52,9		
Снижение уровня звукового давления на пути справа от экрана, Dz3, дБ	z = 4.68м (разность путей)	ф-лы (14-18) [10]	13,1	15,8	18,6	21,5	24,4	27,4	30,4	33,4	36,4		
Общее снижение уровня звука препятствием Dz, дБ		Эн.сумма(-Dzi)	4,2	4,4	4,6	4,7	4,7	4,7	4,8	4,8	4,8		
Уровни звукового давления прямого звука от источника ИШ-2-20 в расчётной точке днём, дБ		**ф-ла(3)[10]**	**0**	**15,8**	**16,6**	**16,4**	**13,8**	**9,5**	**0**	**0**	**0**	**14,4**	**14,4**
Уровни звукового давления прямого звука от источника ИШ-2-20 в расчётной точке ночью, дБ		**ф-ла(3)[10]**	**0**	**15,8**	**16,6**	**16,4**	**13,8**	**9,5**	**0**	**0**	**0**	**14,4**	**14,4**
Расчёт отражённого звука													
Уровни звукового давления от мнимого источника ИШ-2-20_мн.(1) в расчётной точке днём, дБ		**ф-ла(3)[10]**	**0**	**0**	**0**	**0**	**0**	**0**	**0**	**0**	**0**	**0**	**0**
Уровни звукового давления от мнимого источника ИШ-2-20_мн.(1) в расчётной точке ночью, дБ		**ф-ла(3)[10]**	**0**	**0**	**0**	**0**	**0**	**0**	**0**	**0**	**0**	**0**	**0**
Уровни звукового давления от источника ИШ-2-20 в расчётной точке днём, дБ		**ф-ла(3)[10]**	**0**	**15,8**	**16,6**	**16,4**	**13,8**	**9,5**	**0**	**0**	**0**	**14,4**	**14,4**
Уровни звукового давления от источника ИШ-2-20 в расчётной точке ночью, дБ		**ф-ла(3)[10]**	**0**	**15,8**	**16,6**	**16,4**	**13,8**	**9,5**	**0**	**0**	**0**	**14,4**	**14,4**
Источник шума: ИШ-2-21, координаты источника (x,y,z), м =[744.89,49.62,1.00]													

1		2	3	4	5	6	7	8	9	10	11	12	13
Уровни звуковой мощности источника днём, Lw, дБ		**исходные данные**	**0**	**93,3**	**94,7**	**96**	**96,3**	**95,9**	**92,6**	**88,4**	**83,9**		
Уровни звуковой мощности источника ночью, Lw, дБ		**исходные данные**	**0**	**93,3**	**94,7**	**96**	**96,3**	**95,9**	**92,6**	**88,4**	**83,9**		
Поправка на телесный угол DΩ, дБ	Ω = 6.28	10Lg(4π/Ω)	**3**	3	3	3	3	3	3	3	3		
Показатель направленности источника Di, дБ		исходные данные	**0**	0	0	0	0	0	0	0	0		
Поправка на направленность источника Dc, дБ	Dc	DΩ + Di	**3**	3	3	3	3	3	3	3	3		
Затухание из-за геометрической дивергенции, Adiv, дБ	расстояние = 1757.67 м	ф-ла (7) [10]	**75,9**										
Коэффициент затухания звука в атмосфере α, дБ/км	Ta=20,°C Pa=101.33,кПа hотн.=70%	ф-ла (5) [9]	0,02	0,09	0,33	1,12	2,79	4,98	9,04	23,09	77,63		
Учет затухания звука в атмосфере Aatm, дБ		ф-ла (8) [10]	0	0,2	0,6	2	4,9	8,7	15,9	40,6	136,5		
Снижение уровня звукового давления из-за влияния застройки между источником шума и расчетной точкой													
Снижение уровня звукового давления на пути над экраном, Dz1, дБ	z = 0.11м (разность путей)	ф-лы (14-18) [10]	4,8	4,8	4,8	4,8	4,8	4,8	4,8	4,8	4,8		
Снижение уровня звукового давления на пути слева от экрана, Dz2, дБ	z = 67.43м (разность путей)	ф-лы (14-18) [10]	28,6	31,7	34,7	37,7	40,8	43,8	46,8	49,8	52,8		
Снижение уровня звукового давления на пути справа от экрана, Dz3, дБ	z = 1.22м (разность путей)	ф-лы (14-18) [10]	8,8	10,8	13,2	15,9	18,7	21,6	24,6	27,6	30,6		
Общее снижение уровня звука препятствием Dz, дБ		Эн.сумма(-Dzi)	3,3	3,8	4,2	4,4	4,6	4,7	4,7	4,7	4,8		
Уровни звукового давления прямого звука от источника ИШ-2-21 в расчётной точке днём, дБ		**ф-ла(3)[10]**	**0**	**16,4**	**17**	**16,7**	**13,9**	**9,6**	**0**	**0**	**0**	**14,6**	**14,6**
Уровни звукового давления прямого звука от источника ИШ-2-21 в расчётной точке ночью, дБ		**ф-ла(3)[10]**	**0**	**16,4**	**17**	**16,7**	**13,9**	**9,6**	**0**	**0**	**0**	**14,6**	**14,6**
Расчёт отражённого звука													
Уровни звукового давления от мнимого источника ИШ-2-21_мн.(1) в расчётной точке днём, дБ		**ф-ла(3)[10]**	**0**	**0**	**0**	**0**	**0**	**0**	**0**	**0**	**0**	**0**	**0**

1		2	3	4	5	6	7	8	9	10	11	12	13
Уровни звукового давления от мнимого источника ИШ-2-21_мн.(1) в расчётной точке ночью, дБ		**ф-ла(3)[10]**	**0**	**0**	**0**	**0**	**0**	**0**	**0**	**0**	**0**	**0**	**0**
Уровни звукового давления от источника ИШ-2-21 в расчётной точке днём, дБ		**ф-ла(3)[10]**	**0**	**16,4**	**17**	**16,7**	**13,9**	**9,6**	**0**	**0**	**0**	**14,6**	**14,6**
Уровни звукового давления от источника ИШ-2-21 в расчётной точке ночью, дБ		**ф-ла(3)[10]**	**0**	**16,4**	**17**	**16,7**	**13,9**	**9,6**	**0**	**0**	**0**	**14,6**	**14,6**
Источник шума: ИШ-2-22, координаты источника (x,y,z), м =[737.40,27.07,1.00]													
Уровни звуковой мощности источника днём, Lw, дБ		**исходные данные**	**0**	**93,3**	**94,7**	**96**	**96,3**	**95,9**	**92,6**	**88,4**	**83,9**		
Уровни звуковой мощности источника ночью, Lw, дБ		**исходные данные**	**0**	**93,3**	**94,7**	**96**	**96,3**	**95,9**	**92,6**	**88,4**	**83,9**		
Поправка на телесный угол DΩ, дБ	Ω = 6.28	10Lg(4π/Ω)	**3**	3	3	3	3	3	3	3	3		
Показатель направленности источника Di, дБ		исходные данные	**0**	0	0	0	0	0	0	0	0		
Поправка на направленность источника Dc, дБ	Dc	DΩ + Di	**3**	3	3	3	3	3	3	3	3		
Затухание из-за геометрической дивергенции, Adiv, дБ	расстояние = 1763.19 м	ф-ла (7) [10]	**75,9**										
Коэффициент затухания звука в атмосфере α, дБ/км	Ta=20,°C Pa=101.33,кПа hотн.=70%	ф-ла (5) [9]	0,02	0,09	0,33	1,12	2,79	4,98	9,04	23,09	77,63		
Учет затухания звука в атмосфере Aatm, дБ		ф-ла (8) [10]	0	0,2	0,6	2	4,9	8,8	15,9	40,7	136,9		
Снижение уровня звукового давления из-за влияния застройки между источником шума и расчетной точкой													
Снижение уровня звукового давления на пути над экраном, Dz1, дБ	z = 0.18м (разность путей)	ф-лы (14-18) [10]	4,8	4,8	4,8	4,8	4,8	4,8	4,8	4,8	4,8		
Снижение уровня звукового давления на пути слева от экрана, Dz2, дБ	z = 55.54м (разность путей)	ф-лы (14-18) [10]	27,8	30,9	33,9	36,9	39,9	42,9	45,9	48,9	52		
Снижение уровня звукового давления на пути справа от экрана, Dz3, дБ	z = 3.43м (разность путей)	ф-лы (14-18) [10]	15,8	18,9	21,9	24,8	27,8	30,8	33,8	36,9	39,9		

1		2	3	4	5	6	7	8	9	10	11	12	13
Общее снижение уровня звука препятствием Dz, дБ		Эн.сумма(-Dzi)	4,4	4,6	4,7	4,7	4,7	4,8	4,8	4,8	4,8		
Уровни звукового давления от источника ИШ-2-22 в расчётной точке днём, дБ		**ф-ла(3)[10]**	**0**	**15,6**	**16,5**	**16,4**	**13,7**	**9,4**	**0**	**0**	**0**	**14,3**	**14,3**
Уровни звукового давления от источника ИШ-2-22 в расчётной точке ночью, дБ		**ф-ла(3)[10]**	**0**	**15,6**	**16,5**	**16,4**	**13,7**	**9,4**	**0**	**0**	**0**	**14,3**	**14,3**
Источник шума: ИШ-2-23, координаты источника (x,y,z), м =[736.46,24.18,1.00]													
Уровни звуковой мощности источника днём, Lw, дБ		**исходные данные**	**0**	**93,3**	**94,7**	**96**	**96,3**	**95,9**	**92,6**	**88,4**	**83,9**		
Уровни звуковой мощности источника ночью, Lw, дБ		**исходные данные**	**0**	**93,3**	**94,7**	**96**	**96,3**	**95,9**	**92,6**	**88,4**	**83,9**		
Поправка на телесный угол DΩ, дБ	Ω = 6.28	10Lg(4π/Ω)	**3**	3	3	3	3	3	3	3	3		
Показатель направленности источника Di, дБ		исходные данные	**0**	0	0	0	0	0	0	0	0		
Поправка на направленность источника Dc, дБ	Dc	DΩ + Di	**3**	3	3	3	3	3	3	3	3		
Затухание из-за геометрической дивергенции, Adiv, дБ	расстояние = 1763.94 м	ф-ла (7) [10]	**75,9**										
Коэффициент затухания звука в атмосфере α, дБ/км	Ta=20,°C Pa=101.33,кПа hотн.=70%	ф-ла (5) [9]	0,02	0,09	0,33	1,12	2,79	4,98	9,04	23,09	77,63		
Учет затухания звука в атмосфере Aatm, дБ		ф-ла (8) [10]	0	0,2	0,6	2	4,9	8,8	15,9	40,7	136,9		
Снижение уровня звукового давления из-за влияния застройки между источником шума и расчетной точкой													
Снижение уровня звукового давления на пути над экраном, Dz1, дБ	z = 0.18м (разность путей)	ф-лы (14-18) [10]	4,8	4,8	4,8	4,8	4,8	4,8	4,8	4,8	4,8		
Снижение уровня звукового давления на пути слева от экрана, Dz2, дБ	z = 54.14м (разность путей)	ф-лы (14-18) [10]	27,7	30,8	33,8	36,8	39,8	42,8	45,8	48,8	51,8		
Снижение уровня звукового давления на пути справа от экрана, Dz3, дБ	z = 3.88м (разность путей)	ф-лы (14-18) [10]	16,3	19,4	22,4	25,4	28,4	31,4	34,4	37,4	40,4		

1		2	3	4	5	6	7	8	9	10	11	12	13
Общее снижение уровня звука препятствием Dz, дБ		Эн.сумма(-Dzi)	4,5	4,6	4,7	4,7	4,8	4,8	4,8	4,8	4,8		
Уровни звукового давления от источника ИШ-2-23 в расчётной точке днём, дБ		**ф-ла(3)[10]**	**0**	**15,6**	**16,5**	**16,3**	**13,7**	**9,4**	**0**	**0**	**0**	**14,3**	**14,3**
Уровни звукового давления от источника ИШ-2-23 в расчётной точке ночью, дБ		**ф-ла(3)[10]**	**0**	**15,6**	**16,5**	**16,3**	**13,7**	**9,4**	**0**	**0**	**0**	**14,3**	**14,3**
Источник шума: ИШ-2-24, координаты источника (x,y,z), м =[735.45,21.21,1.00]													
Уровни звуковой мощности источника днём, Lw, дБ		**исходные данные**	**0**	**93,3**	**94,7**	**96**	**96,3**	**95,9**	**92,6**	**88,4**	**83,9**		
Уровни звуковой мощности источника ночью, Lw, дБ		**исходные данные**	**0**	**93,3**	**94,7**	**96**	**96,3**	**95,9**	**92,6**	**88,4**	**83,9**		
Поправка на телесный угол DΩ, дБ	Ω = 6.28	10Lg(4π/Ω)	**3**	3	3	3	3	3	3	3	3		
Показатель направленности источника Di, дБ		исходные данные	**0**	0	0	0	0	0	0	0	0		
Поправка на направленность источника Dc, дБ	Dc	DΩ + Di	**3**	3	3	3	3	3	3	3	3		
Затухание из-за геометрической дивергенции, Adiv, дБ	расстояние = 1764.68 м	ф-ла (7) [10]	**75,9**										
Коэффициент затухания звука в атмосфере α, дБ/км	Ta=20,°C Pa=101.33,кПа hотн.=70%	ф-ла (5) [9]	0,02	0,09	0,33	1,12	2,79	4,98	9,04	23,09	77,63		
Учет затухания звука в атмосфере Aatm, дБ		ф-ла (8) [10]	0	0,2	0,6	2	4,9	8,8	16	40,7	137		
Снижение уровня звукового давления из-за влияния застройки между источником шума и расчетной точкой													
Снижение уровня звукового давления на пути над экраном, Dz1, дБ	z = 0.18м (разность путей)	ф-лы (14-18) [10]	4,8	4,8	4,8	4,8	4,8	4,8	4,8	4,8	4,8		
Снижение уровня звукового давления на пути слева от экрана, Dz2, дБ	z = 52.73м (разность путей)	ф-лы (14-18) [10]	27,6	30,7	33,7	36,7	39,7	42,7	45,7	48,7	51,7		
Снижение уровня звукового давления на пути справа от экрана, Dz3, дБ	z = 4.41м (разность путей)	ф-лы (14-18) [10]	16,9	20	22,9	25,9	28,9	31,9	34,9	37,9	40,9		

1		2	3	4	5	6	7	8	9	10	11	12	13
Общее снижение уровня звука препятствием Dz, дБ		Эн.сумма(-Dzi)	4,5	4,6	4,7	4,7	4,8	4,8	4,8	4,8	4,8		
Уровни звукового давления от источника ИШ-2-24 в расчётной точке днём, дБ		**ф-ла(3)[10]**	**0**	**15,6**	**16,5**	**16,3**	**13,7**	**9,4**	**0**	**0**	**0**	**14,3**	**14,3**
Уровни звукового давления от источника ИШ-2-24 в расчётной точке ночью, дБ		**ф-ла(3)[10]**	**0**	**15,6**	**16,5**	**16,3**	**13,7**	**9,4**	**0**	**0**	**0**	**14,3**	**14,3**
Источник шума: ИШ-2-25, координаты источника (x,y,z), м =[734.58,18.32,1.00]													
Уровни звуковой мощности источника днём, Lw, дБ		**исходные данные**	**0**	**93,3**	**94,7**	**96**	**96,3**	**95,9**	**92,6**	**88,4**	**83,9**		
Уровни звуковой мощности источника ночью, Lw, дБ		**исходные данные**	**0**	**93,3**	**94,7**	**96**	**96,3**	**95,9**	**92,6**	**88,4**	**83,9**		
Поправка на телесный угол DΩ, дБ	Ω = 6.28	10Lg(4π/Ω)	**3**	3	3	3	3	3	3	3	3		
Показатель направленности источника Di, дБ		исходные данные	**0**	0	0	0	0	0	0	0	0		
Поправка на направленность источника Dc, дБ	Dc	DΩ + Di	**3**	3	3	3	3	3	3	3	3		
Затухание из-за геометрической дивергенции, Adiv, дБ	расстояние = 1765.50 м	ф-ла (7) [10]	**75,9**										
Коэффициент затухания звука в атмосфере α, дБ/км	Ta=20,°C Pa=101.33,кПа hотн.=70%	ф-ла (5) [9]	0,02	0,09	0,33	1,12	2,79	4,98	9,04	23,09	77,63		
Учет затухания звука в атмосфере Aatm, дБ		ф-ла (8) [10]	0	0,2	0,6	2	4,9	8,8	16	40,8	137,1		
Снижение уровня звукового давления из-за влияния застройки между источником шума и расчетной точкой													
Снижение уровня звукового давления на пути над экраном, Dz1, дБ	z = 0.18м (разность путей)	ф-лы (14-18) [10]	4,8	4,8	4,8	4,8	4,8	4,8	4,8	4,8	4,8		
Снижение уровня звукового давления на пути слева от экрана, Dz2, дБ	z = 51.41м (разность путей)	ф-лы (14-18) [10]	27,5	30,6	33,6	36,6	39,6	42,6	45,6	48,6	51,6		
Снижение уровня звукового давления на пути справа от экрана, Dz3, дБ	z = 4.94м (разность путей)	ф-лы (14-18) [10]	17,3	20,4	23,4	26,4	29,4	32,4	35,4	38,4	41,4		

1		2	3	4	5	6	7	8	9	10	11	12	13
Общее снижение уровня звука препятствием Dz, дБ		Эн.сумма(-Dzi)	4,5	4,6	4,7	4,7	4,8	4,8	4,8	4,8	4,8		
Уровни звукового давления от источника ИШ-2-25 в расчётной точке днём, дБ		**ф-ла(3)[10]**	**0**	**15,6**	**16,5**	**16,3**	**13,7**	**9,4**	**0**	**0**	**0**	**14,3**	**14,3**
Уровни звукового давления от источника ИШ-2-25 в расчётной точке ночью, дБ		**ф-ла(3)[10]**	**0**	**15,6**	**16,5**	**16,3**	**13,7**	**9,4**	**0**	**0**	**0**	**14,3**	**14,3**
Источник шума: ИШ-2-26, координаты источника (x,y,z), м =[733.57,15.41,1.00]													
Уровни звуковой мощности источника днём, Lw, дБ		**исходные данные**	**0**	**93,3**	**94,7**	**96**	**96,3**	**95,9**	**92,6**	**88,4**	**83,9**		
Уровни звуковой мощности источника ночью, Lw, дБ		**исходные данные**	**0**	**93,3**	**94,7**	**96**	**96,3**	**95,9**	**92,6**	**88,4**	**83,9**		
Поправка на телесный угол DΩ, дБ	Ω = 6.28	10Lg(4π/Ω)	**3**	3	3	3	3	3	3	3	3		
Показатель направленности источника Di, дБ		исходные данные	**0**	0	0	0	0	0	0	0	0		
Поправка на направленность источника Dc, дБ	Dc	DΩ + Di	**3**	3	3	3	3	3	3	3	3		
Затухание из-за геометрической дивергенции, Adiv, дБ	расстояние = 1766.21 м	ф-ла (7) [10]	**75,9**										
Коэффициент затухания звука в атмосфере α, дБ/км	Ta=20,°C Pa=101.33,кПа hотн.=70%	ф-ла (5) [9]	0,02	0,09	0,33	1,12	2,79	4,98	9,04	23,09	77,63		
Учет затухания звука в атмосфере Aatm, дБ		ф-ла (8) [10]	0	0,2	0,6	2	4,9	8,8	16	40,8	137,1		
Снижение уровня звукового давления из-за влияния застройки между источником шума и расчетной точкой													
Снижение уровня звукового давления на пути над экраном, Dz1, дБ	z = 0.18м (разность путей)	ф-лы (14-18) [10]	4,8	4,8	4,8	4,8	4,8	4,8	4,8	4,8	4,8		
Снижение уровня звукового давления на пути слева от экрана, Dz2, дБ	z = 50.08м (разность путей)	ф-лы (14-18) [10]	27,3	30,4	33,4	36,5	39,5	42,5	45,5	48,5	51,5		
Снижение уровня звукового давления на пути справа от экрана, Dz3, дБ	z = 5.55м (разность путей)	ф-лы (14-18) [10]	17,8	20,9	23,9	26,9	29,9	32,9	35,9	38,9	41,9		

1		2	3	4	5	6	7	8	9	10	11	12	13
Общее снижение уровня звука препятствием Dz, дБ		Эн.сумма(-Dzi)	4,5	4,7	4,7	4,7	4,8	4,8	4,8	4,8	4,8		
Уровни звукового давления от источника ИШ-2-26 в расчётной точке днём, дБ		**ф-ла(3)[10]**	**0**	**15,5**	**16,4**	**16,3**	**13,7**	**9,4**	**0**	**0**	**0**	**14,3**	**14,3**
Уровни звукового давления от источника ИШ-2-26 в расчётной точке ночью, дБ		**ф-ла(3)[10]**	**0**	**15,5**	**16,4**	**16,3**	**13,7**	**9,4**	**0**	**0**	**0**	**14,3**	**14,3**
Источник шума: ИШ-2-27, координаты источника (x,y,z), м =[732.43,12.66,1.00]													
Уровни звуковой мощности источника днём, Lw, дБ		**исходные данные**	**0**	**93,3**	**94,7**	**96**	**96,3**	**95,9**	**92,6**	**88,4**	**83,9**		
Уровни звуковой мощности источника ночью, Lw, дБ		**исходные данные**	**0**	**93,3**	**94,7**	**96**	**96,3**	**95,9**	**92,6**	**88,4**	**83,9**		
Поправка на телесный угол DΩ, дБ	Ω = 6.28	10Lg(4π/Ω)	**3**	3	3	3	3	3	3	3	3		
Показатель направленности источника Di, дБ		исходные данные	**0**	0	0	0	0	0	0	0	0		
Поправка на направленность источника Dc, дБ	Dc	DΩ + Di	**3**	3	3	3	3	3	3	3	3		
Затухание из-за геометрической дивергенции, Adiv, дБ	расстояние = 1766.73 м	ф-ла (7) [10]	**75,9**										
Коэффициент затухания звука в атмосфере α, дБ/км	Ta=20,°C Pa=101.33,кПа hотн.=70%	ф-ла (5) [9]	0,02	0,09	0,33	1,12	2,79	4,98	9,04	23,09	77,63		
Учет затухания звука в атмосфере Aatm, дБ		ф-ла (8) [10]	0	0,2	0,6	2	4,9	8,8	16	40,8	137,2		
Снижение уровня звукового давления из-за влияния застройки между источником шума и расчетной точкой													
Снижение уровня звукового давления на пути над экраном, Dz1, дБ	z = 0.18м (разность путей)	ф-лы (14-18) [10]	4,8	4,8	4,8	4,8	4,8	4,8	4,8	4,8	4,8		
Снижение уровня звукового давления на пути слева от экрана, Dz2, дБ	z = 48.84м (разность путей)	ф-лы (14-18) [10]	27,2	30,3	33,3	36,3	39,4	42,4	45,4	48,4	51,4		
Снижение уровня звукового давления на пути справа от экрана, Dz3, дБ	z = 4.95м (разность путей)	ф-лы (14-18) [10]	13,3	16	18,8	21,7	24,7	27,7	30,7	33,7	36,7		

1		2	3	4	5	6	7	8	9	10	11	12	13
Общее снижение уровня звука препятствием Dz, дБ		Эн.сумма(-Dzi)	4,2	4,4	4,6	4,7	4,7	4,7	4,8	4,8	4,8		
Уровни звукового давления от источника ИШ-2-27 в расчётной точке днём, дБ		**ф-ла(3)[10]**	**0**	**15,7**	**16,6**	**16,4**	**13,7**	**9,4**	**0**	**0**	**0**	**14,3**	**14,3**
Уровни звукового давления от источника ИШ-2-27 в расчётной точке ночью, дБ		**ф-ла(3)[10]**	**0**	**15,7**	**16,6**	**16,4**	**13,7**	**9,4**	**0**	**0**	**0**	**14,3**	**14,3**
Источник шума: ИШ-2-28, координаты источника (x,y,z), м =[731.54,9.78,1.00]													
Уровни звуковой мощности источника днём, Lw, дБ		**исходные данные**	**0**	**93,3**	**94,7**	**96**	**96,3**	**95,9**	**92,6**	**88,4**	**83,9**		
Уровни звуковой мощности источника ночью, Lw, дБ		**исходные данные**	**0**	**93,3**	**94,7**	**96**	**96,3**	**95,9**	**92,6**	**88,4**	**83,9**		
Поправка на телесный угол DΩ, дБ	Ω = 6.28	10Lg(4π/Ω)	**3**	3	3	3	3	3	3	3	3		
Показатель направленности источника Di, дБ		исходные данные	**0**	0	0	0	0	0	0	0	0		
Поправка на направленность источника Dc, дБ	Dc	DΩ + Di	**3**	3	3	3	3	3	3	3	3		
Затухание из-за геометрической дивергенции, Adiv, дБ	расстояние = 1767.54 м	ф-ла (7) [10]	**75,9**										
Коэффициент затухания звука в атмосфере α, дБ/км	Ta=20,°C Pa=101.33,кПа hотн.=70%	ф-ла (5) [9]	0,02	0,09	0,33	1,12	2,79	4,98	9,04	23,09	77,63		
Учет затухания звука в атмосфере Aatm, дБ		ф-ла (8) [10]	0	0,2	0,6	2	4,9	8,8	16	40,8	137,2		
Снижение уровня звукового давления из-за влияния застройки между источником шума и расчетной точкой													
Снижение уровня звукового давления на пути над экраном, Dz1, дБ	z = 0.18м (разность путей)	ф-лы (14-18) [10]	4,8	4,8	4,8	4,8	4,8	4,8	4,8	4,8	4,8		
Снижение уровня звукового давления на пути слева от экрана, Dz2, дБ	z = 47.60м (разность путей)	ф-лы (14-18) [10]	27,1	30,2	33,2	36,2	39,2	42,3	45,3	48,3	51,3		
Снижение уровня звукового давления на пути справа от экрана, Dz3, дБ	z = 5.34м (разность путей)	ф-лы (14-18) [10]	13,6	16,3	19,1	22	25	28	31	34	37		

1		2	3	4	5	6	7	8	9	10	11	12	13
Общее снижение уровня звука препятствием Dz, дБ		Эн.сумма(-Dzi)	4,2	4,5	4,6	4,7	4,7	4,7	4,8	4,8	4,8		
Уровни звукового давления от источника ИШ-2-28 в расчётной точке днём, дБ		**ф-ла(3)[10]**	**0**	**15,7**	**16,5**	**16,4**	**13,7**	**9,4**	**0**	**0**	**0**	**14,3**	**14,3**
Уровни звукового давления от источника ИШ-2-28 в расчётной точке ночью, дБ		**ф-ла(3)[10]**	**0**	**15,7**	**16,5**	**16,4**	**13,7**	**9,4**	**0**	**0**	**0**	**14,3**	**14,3**
Источник шума: ИШ-2-29, координаты источника (x,y,z), м =[730.57,6.88,1.00]													
Уровни звуковой мощности источника днём, Lw, дБ		**исходные данные**	**0**	**93,3**	**94,7**	**96**	**96,3**	**95,9**	**92,6**	**88,4**	**83,9**		
Уровни звуковой мощности источника ночью, Lw, дБ		**исходные данные**	**0**	**93,3**	**94,7**	**96**	**96,3**	**95,9**	**92,6**	**88,4**	**83,9**		
Поправка на телесный угол DΩ, дБ	Ω = 6.28	10Lg(4π/Ω)	**3**	3	3	3	3	3	3	3	3		
Показатель направленности источника Di, дБ		исходные данные	**0**	0	0	0	0	0	0	0	0		
Поправка на направленность источника Dc, дБ	Dc	DΩ + Di	**3**	3	3	3	3	3	3	3	3		
Затухание из-за геометрической дивергенции, Adiv, дБ	расстояние = 1768.30 м	ф-ла (7) [10]	**76**										
Коэффициент затухания звука в атмосфере α, дБ/км	Ta=20,°C Pa=101.33,кПа hотн.=70%	ф-ла (5) [9]	0,02	0,09	0,33	1,12	2,79	4,98	9,04	23,09	77,63		
Учет затухания звука в атмосфере Aatm, дБ		ф-ла (8) [10]	0	0,2	0,6	2	4,9	8,8	16	40,8	137,3		
Снижение уровня звукового давления из-за влияния застройки между источником шума и расчетной точкой													
Снижение уровня звукового давления на пути над экраном, Dz1, дБ	z = 0.18м (разность путей)	ф-лы (14-18) [10]	4,8	4,8	4,8	4,8	4,8	4,8	4,8	4,8	4,8		
Снижение уровня звукового давления на пути слева от экрана, Dz2, дБ	z = 46.38м (разность путей)	ф-лы (14-18) [10]	27	30,1	33,1	36,1	39,1	42,1	45,2	48,2	51,2		
Снижение уровня звукового давления на пути справа от экрана, Dz3, дБ	z = 5.74м (разность путей)	ф-лы (14-18) [10]	13,9	16,6	19,4	22,4	25,3	28,3	31,3	34,3	37,3		

1		2	3	4	5	6	7	8	9	10	11	12	13
Общее снижение уровня звука препятствием Dz, дБ		Эн.сумма(-Dzi)	4,2	4,5	4,6	4,7	4,7	4,8	4,8	4,8	4,8		
Уровни звукового давления от источника ИШ-2-29 в расчётной точке днём, дБ		**ф-ла(3)[10]**	**0**	**15,7**	**16,5**	**16,4**	**13,7**	**9,4**	**0**	**0**	**0**	**14,3**	**14,3**
Уровни звукового давления от источника ИШ-2-29 в расчётной точке ночью, дБ		**ф-ла(3)[10]**	**0**	**15,7**	**16,5**	**16,4**	**13,7**	**9,4**	**0**	**0**	**0**	**14,3**	**14,3**
Источник шума: ИШ-2-4, координаты источника (x,y,z), м =[632.70,-65.30,3.00]													
Уровни звуковой мощности источника днём, Lw, дБ		**исходные данные**	**105**	**104**	**104**	**101**	**102**	**106**	**101**	**95**	**87**		
Уровни звуковой мощности источника ночью, Lw, дБ		**исходные данные**	**105**	**104**	**104**	**101**	**102**	**106**	**101**	**95**	**87**		
Поправка на телесный угол DΩ, дБ	Ω = 6.28	10Lg(4π/Ω)	**3**	3	3	3	3	3	3	3	3		
Показатель направленности источника Di, дБ		исходные данные	**0**	0	0	0	0	0	0	0	0		
Поправка на направленность источника Dc, дБ	Dc	DΩ + Di	**3**	3	3	3	3	3	3	3	3		
Затухание из-за геометрической дивергенции, Adiv, дБ	расстояние = 1729.04 м	ф-ла (7) [10]	**75,8**										
Коэффициент затухания звука в атмосфере α, дБ/км	Ta=20,°C Pa=101.33,кПа hотн.=70%	ф-ла (5) [9]	0,02	0,09	0,33	1,12	2,79	4,98	9,04	23,09	77,63		
Учет затухания звука в атмосфере Aatm, дБ		ф-ла (8) [10]	0	0,2	0,6	1,9	4,8	8,6	15,6	39,9	134,2		
Снижение уровня звукового давления из-за влияния застройки между источником шума и расчетной точкой													
Снижение уровня звукового давления на пути над экраном, Dz1, дБ	z = 0.27м (разность путей)	ф-лы (14-18) [10]	4,8	4,8	4,8	4,8	4,8	4,9	4,9	5,1	5,4		
Снижение уровня звукового давления на пути слева от экрана, Dz2, дБ	z = 45.44м (разность путей)	ф-лы (14-18) [10]	26,8	30	33	36	39	42,1	45,1	48,1	51,1		
Снижение уровня звукового давления на пути справа от экрана, Dz3, дБ	z = 43.27м (разность путей)	ф-лы (14-18) [10]	26,1	29,6	32,8	35,8	38,8	41,8	44,8	47,9	50,9		

1		2	3	4	5	6	7	8	9	10	11	12	13
Общее снижение уровня звука препятствием Dz, дБ		Эн.сумма(-Dzi)	4,7	4,7	4,8	4,8	4,8	4,9	4,9	5,1	5,4		
Уровни звукового давления от источника ИШ-2-4 в расчётной точке днём, дБ		**ф-ла(3)[10]**	**27,5**	**26,4**	**25,9**	**21,5**	**19,6**	**19,8**	**7,7**	**0**	**0**	**22,5**	**22,5**
Уровни звукового давления от источника ИШ-2-4 в расчётной точке ночью, дБ		**ф-ла(3)[10]**	**27,5**	**26,4**	**25,9**	**21,5**	**19,6**	**19,8**	**7,7**	**0**	**0**	**22,5**	**22,5**
Источник шума: ИШ-2-30, координаты источника (x,y,z), м =[702.44,-77.23,1.00]													
Уровни звуковой мощности источника днём, Lw, дБ		**исходные данные**	**0**	**93,3**	**94,7**	**96**	**96,3**	**95,9**	**92,6**	**88,4**	**83,9**		
Уровни звуковой мощности источника ночью, Lw, дБ		**исходные данные**	**0**	**93,3**	**94,7**	**96**	**96,3**	**95,9**	**92,6**	**88,4**	**83,9**		
Поправка на телесный угол DΩ, дБ	Ω = 6.28	10Lg(4π/Ω)	**3**	3	3	3	3	3	3	3	3		
Показатель направленности источника Di, дБ		исходные данные	**0**	0	0	0	0	0	0	0	0		
Поправка на направленность источника Dc, дБ	Dc	DΩ + Di	**3**	3	3	3	3	3	3	3	3		
Затухание из-за геометрической дивергенции, Adiv, дБ	расстояние = 1792.40 м	ф-ла (7) [10]	**76,1**										
Коэффициент затухания звука в атмосфере α, дБ/км	Ta=20,°C Pa=101.33,кПа hотн.=70%	ф-ла (5) [9]	0,02	0,09	0,33	1,12	2,79	4,98	9,04	23,09	77,63		
Учет затухания звука в атмосфере Aatm, дБ		ф-ла (8) [10]	0	0,2	0,6	2	5	8,9	16,2	41,4	139,1		
Снижение уровня звукового давления из-за влияния застройки между источником шума и расчетной точкой													
Снижение уровня звукового давления на пути над экраном, Dz1, дБ	z = 0.18м (разность путей)	ф-лы (14-18) [10]	4,8	4,8	4,8	4,8	4,8	4,8	4,8	4,8	4,8		
Снижение уровня звукового давления на пути слева от экрана, Dz2, дБ	z = 51.66м (разность путей)	ф-лы (14-18) [10]	27,3	30,5	33,6	36,6	39,6	42,6	45,6	48,6	51,6		
Снижение уровня звукового давления на пути справа от экрана, Dz3, дБ	z = 24.39м (разность путей)	ф-лы (14-18) [10]	24	27,3	30,3	33,3	36,3	39,4	42,4	45,4	48,4		

1		2	3	4	5	6	7	8	9	10	11	12	13
Общее снижение уровня звука препятствием Dz, дБ		Эн.сумма(-Dzi)	4,7	4,7	4,8	4,8	4,8	4,8	4,8	4,8	4,8		
Уровни звукового давления от источника ИШ-2-30 в расчётной точке днём, дБ		**ф-ла(3)[10]**	**0**	**15,3**	**16,3**	**16,1**	**13,5**	**9,1**	**0**	**0**	**0**	**14,1**	**14,1**
Уровни звукового давления от источника ИШ-2-30 в расчётной точке ночью, дБ		**ф-ла(3)[10]**	**0**	**15,3**	**16,3**	**16,1**	**13,5**	**9,1**	**0**	**0**	**0**	**14,1**	**14,1**
Источник шума: ИШ-2-31, координаты источника (x,y,z), м =[701.42,-80.17,1.00]													
Уровни звуковой мощности источника днём, Lw, дБ		**исходные данные**	**0**	**93,3**	**94,7**	**96**	**96,3**	**95,9**	**92,6**	**88,4**	**83,9**		
Уровни звуковой мощности источника ночью, Lw, дБ		**исходные данные**	**0**	**93,3**	**94,7**	**96**	**96,3**	**95,9**	**92,6**	**88,4**	**83,9**		
Поправка на телесный угол DΩ, дБ	Ω = 6.28	10Lg(4π/Ω)	**3**	3	3	3	3	3	3	3	3		
Показатель направленности источника Di, дБ		исходные данные	**0**	0	0	0	0	0	0	0	0		
Поправка на направленность источника Dc, дБ	Dc	DΩ + Di	**3**	3	3	3	3	3	3	3	3		
Затухание из-за геометрической дивергенции, Adiv, дБ	расстояние = 1793.29 м	ф-ла (7) [10]	**76,1**										
Коэффициент затухания звука в атмосфере α, дБ/км	Ta=20,°C Pa=101.33,кПа hотн.=70%	ф-ла (5) [9]	0,02	0,09	0,33	1,12	2,79	4,98	9,04	23,09	77,63		
Учет затухания звука в атмосфере Aatm, дБ		ф-ла (8) [10]	0	0,2	0,6	2	5	8,9	16,2	41,4	139,2		
Снижение уровня звукового давления из-за влияния застройки между источником шума и расчетной точкой													
Снижение уровня звукового давления на пути над экраном, Dz1, дБ	z = 0.18м (разность путей)	ф-лы (14-18) [10]	4,8	4,8	4,8	4,8	4,8	4,8	4,8	4,8	4,8		
Снижение уровня звукового давления на пути слева от экрана, Dz2, дБ	z = 49.94м (разность путей)	ф-лы (14-18) [10]	27,2	30,4	33,4	36,4	39,5	42,5	45,5	48,5	51,5		
Снижение уровня звукового давления на пути справа от экрана, Dz3, дБ	z = 25.39м (разность путей)	ф-лы (14-18) [10]	24,2	27,4	30,5	33,5	36,5	39,5	42,5	45,5	48,6		

1		2	3	4	5	6	7	8	9	10	11	12	13
Общее снижение уровня звука препятствием Dz, дБ		Эн.сумма(-Dzi)	4,7	4,7	4,8	4,8	4,8	4,8	4,8	4,8	4,8		
Уровни звукового давления от источника ИШ-2-31 в расчётной точке днём, дБ		**ф-ла(3)[10]**	**0**	**15,3**	**16,3**	**16,1**	**13,4**	**9,1**	**0**	**0**	**0**	**14,1**	**14,1**
Уровни звукового давления от источника ИШ-2-31 в расчётной точке ночью, дБ		**ф-ла(3)[10]**	**0**	**15,3**	**16,3**	**16,1**	**13,4**	**9,1**	**0**	**0**	**0**	**14,1**	**14,1**
Источник шума: ИШ-2-32, координаты источника (x,y,z), м =[700.38,-83.01,1.00]													
Уровни звуковой мощности источника днём, Lw, дБ		**исходные данные**	**0**	**93,3**	**94,7**	**96**	**96,3**	**95,9**	**92,6**	**88,4**	**83,9**		
Уровни звуковой мощности источника ночью, Lw, дБ		**исходные данные**	**0**	**93,3**	**94,7**	**96**	**96,3**	**95,9**	**92,6**	**88,4**	**83,9**		
Поправка на телесный угол DΩ, дБ	Ω = 6.28	10Lg(4π/Ω)	**3**	3	3	3	3	3	3	3	3		
Показатель направленности источника Di, дБ		исходные данные	**0**	0	0	0	0	0	0	0	0		
Поправка на направленность источника Dc, дБ	Dc	DΩ + Di	**3**	3	3	3	3	3	3	3	3		
Затухание из-за геометрической дивергенции, Adiv, дБ	расстояние = 1794.11 м	ф-ла (7) [10]	**76,1**										
Коэффициент затухания звука в атмосфере α, дБ/км	Ta=20,°C Pa=101.33,кПа hотн.=70%	ф-ла (5) [9]	0,02	0,09	0,33	1,12	2,79	4,98	9,04	23,09	77,63		
Учет затухания звука в атмосфере Aatm, дБ		ф-ла (8) [10]	0	0,2	0,6	2	5	8,9	16,2	41,4	139,3		
Снижение уровня звукового давления из-за влияния застройки между источником шума и расчетной точкой													
Снижение уровня звукового давления на пути над экраном, Dz1, дБ	z = 0.18м (разность путей)	ф-лы (14-18) [10]	4,8	4,8	4,8	4,8	4,8	4,8	4,8	4,8	4,8		
Снижение уровня звукового давления на пути слева от экрана, Dz2, дБ	z = 48.33м (разность путей)	ф-лы (14-18) [10]	27	30,2	33,3	36,3	39,3	42,3	45,3	48,3	51,3		
Снижение уровня звукового давления на пути справа от экрана, Dz3, дБ	z = 26.40м (разность путей)	ф-лы (14-18) [10]	24,4	27,6	30,6	33,7	36,7	39,7	42,7	45,7	48,7		

1		2	3	4	5	6	7	8	9	10	11	12	13
Общее снижение уровня звука препятствием Dz, дБ		Эн.сумма(-Dzi)	4,7	4,7	4,8	4,8	4,8	4,8	4,8	4,8	4,8		
Уровни звукового давления от источника ИШ-2-32 в расчётной точке днём, дБ		**ф-ла(3)[10]**	**0**	**15,3**	**16,3**	**16,1**	**13,4**	**9,1**	**0**	**0**	**0**	**14,1**	**14,1**
Уровни звукового давления от источника ИШ-2-32 в расчётной точке ночью, дБ		**ф-ла(3)[10]**	**0**	**15,3**	**16,3**	**16,1**	**13,4**	**9,1**	**0**	**0**	**0**	**14,1**	**14,1**
Источник шума: ИШ-2-33, координаты источника (x,y,z), м =[699.52,-85.98,1.00]													
Уровни звуковой мощности источника днём, Lw, дБ		**исходные данные**	**0**	**93,3**	**94,7**	**96**	**96,3**	**95,9**	**92,6**	**88,4**	**83,9**		
Уровни звуковой мощности источника ночью, Lw, дБ		**исходные данные**	**0**	**93,3**	**94,7**	**96**	**96,3**	**95,9**	**92,6**	**88,4**	**83,9**		
Поправка на телесный угол DΩ, дБ	Ω = 6.28	10Lg(4π/Ω)	**3**	3	3	3	3	3	3	3	3		
Показатель направленности источника Di, дБ		исходные данные	**0**	0	0	0	0	0	0	0	0		
Поправка на направленность источника Dc, дБ	Dc	DΩ + Di	**3**	3	3	3	3	3	3	3	3		
Затухание из-за геометрической дивергенции, Adiv, дБ	расстояние = 1795.15 м	ф-ла (7) [10]	**76,1**										
Коэффициент затухания звука в атмосфере α, дБ/км	Ta=20,°C Pa=101.33,кПа hотн.=70%	ф-ла (5) [9]	0,02	0,09	0,33	1,12	2,79	4,98	9,04	23,09	77,63		
Учет затухания звука в атмосфере Aatm, дБ		ф-ла (8) [10]	0	0,2	0,6	2	5	8,9	16,2	41,4	139,4		
Снижение уровня звукового давления из-за влияния застройки между источником шума и расчетной точкой													
Снижение уровня звукового давления на пути над экраном, Dz1, дБ	z = 0.18м (разность путей)	ф-лы (14-18) [10]	4,8	4,8	4,8	4,8	4,8	4,8	4,8	4,8	4,8		
Снижение уровня звукового давления на пути слева от экрана, Dz2, дБ	z = 46.76м (разность путей)	ф-лы (14-18) [10]	26,9	30,1	33,1	36,2	39,2	42,2	45,2	48,2	51,2		
Снижение уровня звукового давления на пути справа от экрана, Dz3, дБ	z = 27.41м (разность путей)	ф-лы (14-18) [10]	24,5	27,8	30,8	33,8	36,8	39,9	42,9	45,9	48,9		

1		2	3	4	5	6	7	8	9	10	11	12	13
Общее снижение уровня звука препятствием Dz, дБ		Эн.сумма(-Dzi)	4,7	4,7	4,8	4,8	4,8	4,8	4,8	4,8	4,8		
Уровни звукового давления прямого звука от источника ИШ-2-33 в расчётной точке днём, дБ		**ф-ла(3)[10]**	**0**	**15,3**	**16,3**	**16,1**	**13,4**	**9,1**	**0**	**0**	**0**	**14,1**	**14,1**
Уровни звукового давления прямого звука от источника ИШ-2-33 в расчётной точке ночью, дБ		**ф-ла(3)[10]**	**0**	**15,3**	**16,3**	**16,1**	**13,4**	**9,1**	**0**	**0**	**0**	**14,1**	**14,1**
Расчёт отражённого звука													
Уровни звукового давления от мнимого источника ИШ-2-33_мн.(1) в расчётной точке днём, дБ		**ф-ла(3)[10]**	**0**	**0**	**0**	**0**	**0**	**0**	**0**	**0**	**0**	**0**	**0**
Уровни звукового давления от мнимого источника ИШ-2-33_мн.(1) в расчётной точке ночью, дБ		**ф-ла(3)[10]**	**0**	**0**	**0**	**0**	**0**	**0**	**0**	**0**	**0**	**0**	**0**
Уровни звукового давления от источника ИШ-2-33 в расчётной точке днём, дБ		**ф-ла(3)[10]**	**0**	**15,3**	**16,3**	**16,1**	**13,4**	**9,1**	**0**	**0**	**0**	**14,1**	**14,1**
Уровни звукового давления от источника ИШ-2-33 в расчётной точке ночью, дБ		**ф-ла(3)[10]**	**0**	**15,3**	**16,3**	**16,1**	**13,4**	**9,1**	**0**	**0**	**0**	**14,1**	**14,1**
Источник шума: ИШ-2-34, координаты источника (x,y,z), м =[698.43,-88.85,1.00]													
Уровни звуковой мощности источника днём, Lw, дБ		**исходные данные**	**0**	**93,3**	**94,7**	**96**	**96,3**	**95,9**	**92,6**	**88,4**	**83,9**		
Уровни звуковой мощности источника ночью, Lw, дБ		**исходные данные**	**0**	**93,3**	**94,7**	**96**	**96,3**	**95,9**	**92,6**	**88,4**	**83,9**		
Поправка на телесный угол DΩ, дБ	Ω = 6.28	10Lg(4π/Ω)	**3**	3	3	3	3	3	3	3	3		
Показатель направленности источника Di, дБ		исходные данные	**0**	0	0	0	0	0	0	0	0		
Поправка на направленность источника Dc, дБ	Dc	DΩ + Di	**3**	3	3	3	3	3	3	3	3		
Затухание из-за геометрической дивергенции, Adiv, дБ	расстояние = 1795.95 м	ф-ла (7) [10]	**76,1**										
Коэффициент затухания звука в атмосфере α, дБ/км	Ta=20,°C Pa=101.33,кПа hотн.=70%	ф-ла (5) [9]	0,02	0,09	0,33	1,12	2,79	4,98	9,04	23,09	77,63		

1		2	3	4	5	6	7	8	9	10	11	12	13
Учет затухания звука в атмосфере Aatm, дБ		ф-ла (8) [10]	0	0,2	0,6	2	5	8,9	16,2	41,5	139,4		
Снижение уровня звукового давления из-за влияния застройки между источником шума и расчетной точкой													
Снижение уровня звукового давления на пути над экраном, Dz1, дБ	z = 0.18м (разность путей)	ф-лы (14-18) [10]	4,8	4,8	4,8	4,8	4,8	4,8	4,8	4,8	4,8		
Снижение уровня звукового давления на пути слева от экрана, Dz2, дБ	z = 45.26м (разность путей)	ф-лы (14-18) [10]	26,8	30	33	36	39	42	45	48,1	51,1		
Снижение уровня звукового давления на пути справа от экрана, Dz3, дБ	z = 28.47м (разность путей)	ф-лы (14-18) [10]	24,7	27,9	31	34	37	40	43	46	49,1		
Общее снижение уровня звука препятствием Dz, дБ		Эн.сумма(-Dzi)	4,7	4,7	4,8	4,8	4,8	4,8	4,8	4,8	4,8		
Уровни звукового давления прямого звука от источника ИШ-2-34 в расчётной точке днём, дБ		**ф-ла(3)[10]**	**0**	**15,3**	**16,3**	**16,1**	**13,4**	**9,1**	**0**	**0**	**0**	**14,1**	**14,1**
Уровни звукового давления прямого звука от источника ИШ-2-34 в расчётной точке ночью, дБ		**ф-ла(3)[10]**	**0**	**15,3**	**16,3**	**16,1**	**13,4**	**9,1**	**0**	**0**	**0**	**14,1**	**14,1**
Расчёт отражённого звука													
Уровни звукового давления от мнимого источника ИШ-2-34_мн.(1) в расчётной точке днём, дБ		**ф-ла(3)[10]**	**0**	**0**	**0**	**0**	**0**	**0**	**0**	**0**	**0**	**0**	**0**
Уровни звукового давления от мнимого источника ИШ-2-34_мн.(1) в расчётной точке ночью, дБ		**ф-ла(3)[10]**	**0**	**0**	**0**	**0**	**0**	**0**	**0**	**0**	**0**	**0**	**0**
Уровни звукового давления от источника ИШ-2-34 в расчётной точке днём, дБ		**ф-ла(3)[10]**	**0**	**15,3**	**16,3**	**16,1**	**13,4**	**9,1**	**0**	**0**	**0**	**14,1**	**14,1**
Уровни звукового давления от источника ИШ-2-34 в расчётной точке ночью, дБ		**ф-ла(3)[10]**	**0**	**15,3**	**16,3**	**16,1**	**13,4**	**9,1**	**0**	**0**	**0**	**14,1**	**14,1**
Источник шума: ИШ-2-35, координаты источника (x,y,z), м =[697.52,-91.66,1.00]													
Уровни звуковой мощности источника днём, Lw, дБ		**исходные данные**	**0**	**93,3**	**94,7**	**96**	**96,3**	**95,9**	**92,6**	**88,4**	**83,9**		
Уровни звуковой мощности источника ночью, Lw, дБ		**исходные данные**	**0**	**93,3**	**94,7**	**96**	**96,3**	**95,9**	**92,6**	**88,4**	**83,9**		
Поправка на телесный угол DΩ, дБ	Ω = 6.28	10Lg(4π/Ω)	**3**	3	3	3	3	3	3	3	3		

1		2	3	4	5	6	7	8	9	10	11	12	13
Показатель направленности источника Di, дБ		исходные данные	**0**	0	0	0	0	0	0	0	0		
Поправка на направленность источника Dc, дБ	Dc	DΩ + Di	**3**	3	3	3	3	3	3	3	3		
Затухание из-за геометрической дивергенции, Adiv, дБ	расстояние = 1796.86 м	ф-ла (7) [10]	**76,1**										
Коэффициент затухания звука в атмосфере α, дБ/км	Ta=20,°C Pa=101.33,кПа hотн.=70%	ф-ла (5) [9]	0,02	0,09	0,33	1,12	2,79	4,98	9,04	23,09	77,63		
Учет затухания звука в атмосфере Aatm, дБ		ф-ла (8) [10]	0	0,2	0,6	2	5	8,9	16,2	41,5	139,5		
Снижение уровня звукового давления из-за влияния застройки между источником шума и расчетной точкой													
Снижение уровня звукового давления на пути над экраном, Dz1, дБ	z = 0.18м (разность путей)	ф-лы (14-18) [10]	4,8	4,8	4,8	4,8	4,8	4,8	4,8	4,8	4,8		
Снижение уровня звукового давления на пути слева от экрана, Dz2, дБ	z = 43.88м (разность путей)	ф-лы (14-18) [10]	26,6	29,8	32,9	35,9	38,9	41,9	44,9	47,9	50,9		
Снижение уровня звукового давления на пути справа от экрана, Dz3, дБ	z = 29.50м (разность путей)	ф-лы (14-18) [10]	24,9	28,1	31,1	34,2	37,2	40,2	43,2	46,2	49,2		
Общее снижение уровня звука препятствием Dz, дБ		Эн.сумма(-Dzi)	4,7	4,7	4,8	4,8	4,8	4,8	4,8	4,8	4,8		
Уровни звукового давления прямого звука от источника ИШ-2-35 в расчётной точке днём, дБ		**ф-ла(3)[10]**	**0**	**15,3**	**16,2**	**16,1**	**13,4**	**9,1**	**0**	**0**	**0**	**14**	**14**
Уровни звукового давления прямого звука от источника ИШ-2-35 в расчётной точке ночью, дБ		**ф-ла(3)[10]**	**0**	**15,3**	**16,2**	**16,1**	**13,4**	**9,1**	**0**	**0**	**0**	**14**	**14**
Расчёт отражённого звука													
Уровни звукового давления от мнимого источника ИШ-2-35_мн.(1) в расчётной точке днём, дБ		**ф-ла(3)[10]**	**0**	**0**	**0**	**0**	**0**	**0**	**0**	**0**	**0**	**0**	**0**
Уровни звукового давления от мнимого источника ИШ-2-35_мн.(1) в расчётной точке ночью, дБ		**ф-ла(3)[10]**	**0**	**0**	**0**	**0**	**0**	**0**	**0**	**0**	**0**	**0**	**0**
Уровни звукового давления от источника ИШ-2-35 в расчётной точке днём, дБ		**ф-ла(3)[10]**	**0**	**15,3**	**16,2**	**16,1**	**13,4**	**9,1**	**0**	**0**	**0**	**14**	**14**
Уровни звукового давления от источника ИШ-2-35 в расчётной точке ночью, дБ		**ф-ла(3)[10]**	**0**	**15,3**	**16,2**	**16,1**	**13,4**	**9,1**	**0**	**0**	**0**	**14**	**14**

1		2	3	4	5	6	7	8	9	10	11	12	13
Источник шума: ИШ-2-36, координаты источника (x,y,z), м =[696.58,-94.55,1.00]													
Уровни звуковой мощности источника днём, Lw, дБ		**исходные данные**	**0**	**93,3**	**94,7**	**96**	**96,3**	**95,9**	**92,6**	**88,4**	**83,9**		
Уровни звуковой мощности источника ночью, Lw, дБ		**исходные данные**	**0**	**93,3**	**94,7**	**96**	**96,3**	**95,9**	**92,6**	**88,4**	**83,9**		
Поправка на телесный угол DΩ, дБ	Ω = 6.28	10Lg(4π/Ω)	**3**	3	3	3	3	3	3	3	3		
Показатель направленности источника Di, дБ		исходные данные	**0**	0	0	0	0	0	0	0	0		
Поправка на направленность источника Dc, дБ	Dc	DΩ + Di	**3**	3	3	3	3	3	3	3	3		
Затухание из-за геометрической дивергенции, Adiv, дБ	расстояние = 1797.81 м	ф-ла (7) [10]	**76,1**										
Коэффициент затухания звука в атмосфере α, дБ/км	Ta=20,°C Pa=101.33,кПа hотн.=70%	ф-ла (5) [9]	0,02	0,09	0,33	1,12	2,79	4,98	9,04	23,09	77,63		
Учет затухания звука в атмосфере Aatm, дБ		ф-ла (8) [10]	0	0,2	0,6	2	5	8,9	16,3	41,5	139,6		
Снижение уровня звукового давления из-за влияния застройки между источником шума и расчетной точкой													
Снижение уровня звукового давления на пути над экраном, Dz1, дБ	z = 0.18м (разность путей)	ф-лы (14-18) [10]	4,8	4,8	4,8	4,8	4,8	4,8	4,8	4,8	4,8		
Снижение уровня звукового давления на пути слева от экрана, Dz2, дБ	z = 42.54м (разность путей)	ф-лы (14-18) [10]	26,5	29,7	32,7	35,7	38,8	41,8	44,8	47,8	50,8		
Снижение уровня звукового давления на пути справа от экрана, Dz3, дБ	z = 30.57м (разность путей)	ф-лы (14-18) [10]	25	28,2	31,3	34,3	37,3	40,3	43,3	46,4	49,4		
Общее снижение уровня звука препятствием Dz, дБ		Эн.сумма(-Dzi)	4,7	4,7	4,8	4,8	4,8	4,8	4,8	4,8	4,8		
Уровни звукового давления прямого звука от источника ИШ-2-36 в расчётной точке днём, дБ		**ф-ла(3)[10]**	**0**	**15,3**	**16,2**	**16,1**	**13,4**	**9,1**	**0**	**0**	**0**	**14**	**14**
Уровни звукового давления прямого звука от источника ИШ-2-36 в расчётной точке ночью, дБ		**ф-ла(3)[10]**	**0**	**15,3**	**16,2**	**16,1**	**13,4**	**9,1**	**0**	**0**	**0**	**14**	**14**

1		2	3	4	5	6	7	8	9	10	11	12	13
Расчёт отражённого звука													
Уровни звукового давления от мнимого источника ИШ-2-36_мн.(1) в расчётной точке днём, дБ		**ф-ла(3)[10]**	**0**	**0**	**0**	**0**	**0**	**0**	**0**	**0**	**0**	**0**	**0**
Уровни звукового давления от мнимого источника ИШ-2-36_мн.(1) в расчётной точке ночью, дБ		**ф-ла(3)[10]**	**0**	**0**	**0**	**0**	**0**	**0**	**0**	**0**	**0**	**0**	**0**
Уровни звукового давления от источника ИШ-2-36 в расчётной точке днём, дБ		**ф-ла(3)[10]**	**0**	**15,3**	**16,2**	**16,1**	**13,4**	**9,1**	**0**	**0**	**0**	**14**	**14**
Уровни звукового давления от источника ИШ-2-36 в расчётной точке ночью, дБ		**ф-ла(3)[10]**	**0**	**15,3**	**16,2**	**16,1**	**13,4**	**9,1**	**0**	**0**	**0**	**14**	**14**
Источник шума: ИШ-2-37, координаты источника (x,y,z), м =[695.57,-97.37,1.00]													
Уровни звуковой мощности источника днём, Lw, дБ		**исходные данные**	**0**	**93,3**	**94,7**	**96**	**96,3**	**95,9**	**92,6**	**88,4**	**83,9**		
Уровни звуковой мощности источника ночью, Lw, дБ		**исходные данные**	**0**	**93,3**	**94,7**	**96**	**96,3**	**95,9**	**92,6**	**88,4**	**83,9**		
Поправка на телесный угол DΩ, дБ	Ω = 6.28	10Lg(4π/Ω)	**3**	3	3	3	3	3	3	3	3		
Показатель направленности источника Di, дБ		исходные данные	**0**	0	0	0	0	0	0	0	0		
Поправка на направленность источника Dc, дБ	Dc	DΩ + Di	**3**	3	3	3	3	3	3	3	3		
Затухание из-за геометрической дивергенции, Adiv, дБ	расстояние = 1798.66 м	ф-ла (7) [10]	**76,1**										
Коэффициент затухания звука в атмосфере α, дБ/км	Ta=20,°C Pa=101.33,кПа hотн.=70%	ф-ла (5) [9]	0,02	0,09	0,33	1,12	2,79	4,98	9,04	23,09	77,63		
Учет затухания звука в атмосфере Aatm, дБ		ф-ла (8) [10]	0	0,2	0,6	2	5	9	16,3	41,5	139,6		
Снижение уровня звукового давления из-за влияния застройки между источником шума и расчетной точкой													
Снижение уровня звукового давления на пути над экраном, Dz1, дБ	z = 0.18м (разность путей)	ф-лы (14-18) [10]	4,8	4,8	4,8	4,8	4,8	4,8	4,8	4,8	4,8		

1		2	3	4	5	6	7	8	9	10	11	12	13
Снижение уровня звукового давления на пути слева от экрана, Dz2, дБ	z = 41.29м (разность путей)	ф-лы (14-18) [10]	26,4	29,6	32,6	35,6	38,6	41,6	44,6	47,7	50,7		
Снижение уровня звукового давления на пути справа от экрана, Dz3, дБ	z = 31.66м (разность путей)	ф-лы (14-18) [10]	25,2	28,4	31,4	34,5	37,5	40,5	43,5	46,5	49,5		
Общее снижение уровня звука препятствием Dz, дБ		Эн.сумма(-Dzi)	4,7	4,7	4,8	4,8	4,8	4,8	4,8	4,8	4,8		
Уровни звукового давления прямого звука от источника ИШ-2-37 в расчётной точке днём, дБ		**ф-ла(3)[10]**	**0**	**15,3**	**16,2**	**16,1**	**13,4**	**9,1**	**0**	**0**	**0**	**14**	**14**
Уровни звукового давления прямого звука от источника ИШ-2-37 в расчётной точке ночью, дБ		**ф-ла(3)[10]**	**0**	**15,3**	**16,2**	**16,1**	**13,4**	**9,1**	**0**	**0**	**0**	**14**	**14**
Расчёт отражённого звука													
Уровни звукового давления от мнимого источника ИШ-2-37_мн.(1) в расчётной точке днём, дБ		**ф-ла(3)[10]**	**0**	**0**	**0**	**0**	**0**	**0**	**0**	**0**	**0**	**0**	**0**
Уровни звукового давления от мнимого источника ИШ-2-37_мн.(1) в расчётной точке ночью, дБ		**ф-ла(3)[10]**	**0**	**0**	**0**	**0**	**0**	**0**	**0**	**0**	**0**	**0**	**0**
Уровни звукового давления от источника ИШ-2-37 в расчётной точке днём, дБ		**ф-ла(3)[10]**	**0**	**15,3**	**16,2**	**16,1**	**13,4**	**9,1**	**0**	**0**	**0**	**14**	**14**
Уровни звукового давления от источника ИШ-2-37 в расчётной точке ночью, дБ		**ф-ла(3)[10]**	**0**	**15,3**	**16,2**	**16,1**	**13,4**	**9,1**	**0**	**0**	**0**	**14**	**14**
Источник шума: ИШ-2-5, координаты источника (x,y,z), м =[618.60,-108.00,3.00]													
Уровни звуковой мощности источника днём, Lw, дБ		**исходные данные**	**105**	**104**	**104**	**101**	**102**	**106**	**101**	**95**	**87**		
Уровни звуковой мощности источника ночью, Lw, дБ		**исходные данные**	**105**	**104**	**104**	**101**	**102**	**106**	**101**	**95**	**87**		
Поправка на телесный угол DΩ, дБ	Ω = 6.28	10Lg(4π/Ω)	**3**	3	3	3	3	3	3	3	3		
Показатель направленности источника Di, дБ		исходные данные	**0**	0	0	0	0	0	0	0	0		
Поправка на направленность источника Dc, дБ	Dc	DΩ + Di	**3**	3	3	3	3	3	3	3	3		
Затухание из-за геометрической дивергенции, Adiv, дБ	расстояние = 1743.74 м	ф-ла (7) [10]	**75,8**										

1		2	3	4	5	6	7	8	9	10	11	12	13
Коэффициент затухания звука в атмосфере α, дБ/км	Ta=20,°C Pa=101.33,кПа hотн.=70%	ф-ла (5) [9]	0,02	0,09	0,33	1,12	2,79	4,98	9,04	23,09	77,63		
Учет затухания звука в атмосфере Aatm, дБ		ф-ла (8) [10]	0	0,2	0,6	2	4,9	8,7	15,8	40,3	135,4		
Снижение уровня звукового давления из-за влияния застройки между источником шума и расчетной точкой													
Снижение уровня звукового давления на пути над экраном, Dz1, дБ	z = 0.13м (разность путей)	ф-лы (14-18) [10]	4,8	4,8	4,8	4,8	4,8	4,8	4,8	4,8	4,8		
Снижение уровня звукового давления на пути слева от экрана, Dz2, дБ	z = 24.91м (разность путей)	ф-лы (14-18) [10]	20,3	24,3	28,7	32,8	36,3	39,4	42,4	45,5	48,5		
Снижение уровня звукового давления на пути справа от экрана, Dz3, дБ	z = 52.18м (разность путей)	ф-лы (14-18) [10]	27,5	30,6	33,6	36,6	39,6	42,7	45,7	48,7	51,7		
Общее снижение уровня звука препятствием Dz, дБ		Эн.сумма(-Dzi)	4,6	4,7	4,7	4,8	4,8	4,8	4,8	4,8	4,8		
Уровни звукового давления прямого звука от источника ИШ-2-5 в расчётной точке днём, дБ		**ф-ла(3)[10]**	**27,5**	**26,3**	**25,9**	**21,5**	**19,5**	**19,7**	**7,6**	**0**	**0**	**22,4**	**22,4**
Уровни звукового давления прямого звука от источника ИШ-2-5 в расчётной точке ночью, дБ		**ф-ла(3)[10]**	**27,5**	**26,3**	**25,9**	**21,5**	**19,5**	**19,7**	**7,6**	**0**	**0**	**22,4**	**22,4**
Расчёт отражённого звука													
Уровни звукового давления от мнимого источника ИШ-2-5_мн.(1) в расчётной точке днём, дБ		**ф-ла(3)[10]**	**0**	**0**	**0**	**0**	**0**	**0**	**0**	**0**	**0**	**0**	**0**
Уровни звукового давления от мнимого источника ИШ-2-5_мн.(1) в расчётной точке ночью, дБ		**ф-ла(3)[10]**	**0**	**0**	**0**	**0**	**0**	**0**	**0**	**0**	**0**	**0**	**0**
Уровни звукового давления от мнимого источника ИШ-2-5_мн.(2) в расчётной точке днём, дБ		**ф-ла(3)[10]**	**0**	**0**	**0**	**0**	**0**	**0**	**0**	**0**	**0**	**0**	**0**
Уровни звукового давления от мнимого источника ИШ-2-5_мн.(2) в расчётной точке ночью, дБ		**ф-ла(3)[10]**	**0**	**0**	**0**	**0**	**0**	**0**	**0**	**0**	**0**	**0**	**0**
Суммарные уровни звукового давления от мнимых источников в расчётной точке днём, дБ		**ф-ла (19) [1]**	**0**	**0**	**0**	**0**	**0**	**0**	**0**	**0**	**0**	**0**	**0**
Суммарные уровни звукового давления от мнимых источников в расчётной точке ночью, дБ		**ф-ла (19) [1]**	**0**	**0**	**0**	**0**	**0**	**0**	**0**	**0**	**0**	**0**	**0**
Уровни звукового давления от источника ИШ-2-5 в расчётной точке днём, дБ		**ф-ла(3)[10]**	**27,5**	**26,3**	**25,9**	**21,5**	**19,5**	**19,7**	**7,6**	**0**	**0**	**22,4**	**22,4**

1		2	3	4	5	6	7	8	9	10	11	12	13
Уровни звукового давления от источника ИШ-2-5 в расчётной точке ночью, дБ		**ф-ла(3)[10]**	**27,5**	**26,3**	**25,9**	**21,5**	**19,5**	**19,7**	**7,6**	**0**	**0**	**22,4**	**22,4**
Источник шума: ИШ-2-38, координаты источника (x,y,z), м =[688.13,-119.94,1.00]													
Уровни звуковой мощности источника днём, Lw, дБ		**исходные данные**	**0**	**93,3**	**94,7**	**96**	**96,3**	**95,9**	**92,6**	**88,4**	**83,9**		
Уровни звуковой мощности источника ночью, Lw, дБ		**исходные данные**	**0**	**93,3**	**94,7**	**96**	**96,3**	**95,9**	**92,6**	**88,4**	**83,9**		
Поправка на телесный угол DΩ, дБ	Ω = 6.28	10Lg(4π/Ω)	**3**	3	3	3	3	3	3	3	3		
Показатель направленности источника Di, дБ		исходные данные	**0**	0	0	0	0	0	0	0	0		
Поправка на направленность источника Dc, дБ	Dc	DΩ + Di	**3**	3	3	3	3	3	3	3	3		
Затухание из-за геометрической дивергенции, Adiv, дБ	расстояние = 1806.16 м	ф-ла (7) [10]	**76,1**										
Коэффициент затухания звука в атмосфере α, дБ/км	Ta=20,°C Pa=101.33,кПа hотн.=70%	ф-ла (5) [9]	0,02	0,09	0,33	1,12	2,79	4,98	9,04	23,09	77,63		
Учет затухания звука в атмосфере Aatm, дБ		ф-ла (8) [10]	0	0,2	0,6	2	5	9	16,3	41,7	140,2		
Снижение уровня звукового давления из-за влияния застройки между источником шума и расчетной точкой													
Снижение уровня звукового давления на пути над экраном, Dz1, дБ	z = 0.23м (разность путей)	ф-лы (14-18) [10]	4,8	4,8	4,8	4,8	4,8	4,8	4,8	4,8	4,8		
Снижение уровня звукового давления на пути слева от экрана, Dz2, дБ	z = 32.43м (разность путей)	ф-лы (14-18) [10]	21,4	25,4	29,9	34	37,4	40,5	43,6	46,6	49,6		
Снижение уровня звукового давления на пути справа от экрана, Dz3, дБ	z = 40.73м (разность путей)	ф-лы (14-18) [10]	26,2	29,5	32,5	35,6	38,6	41,6	44,6	47,6	50,6		
Общее снижение уровня звука препятствием Dz, дБ		Эн.сумма(-Dzi)	4,6	4,7	4,8	4,8	4,8	4,8	4,8	4,8	4,8		
Уровни звукового давления от источника ИШ-2-38 в расчётной точке днём, дБ		**ф-ла(3)[10]**	**0**	**15,3**	**16,2**	**16,1**	**13,3**	**9**	**0**	**0**	**0**	**14**	**14**

1		2	3	4	5	6	7	8	9	10	11	12	13
Уровни звукового давления от источника ИШ-2-38 в расчётной точке ночью, дБ		**ф-ла(3)[10]**	**0**	**15,3**	**16,2**	**16,1**	**13,3**	**9**	**0**	**0**	**0**	**14**	**14**
Источник шума: ИШ-2-39, координаты источника (x,y,z), м =[687.11,-122.83,1.00]													
Уровни звуковой мощности источника днём, Lw, дБ		**исходные данные**	**0**	**93,3**	**94,7**	**96**	**96,3**	**95,9**	**92,6**	**88,4**	**83,9**		
Уровни звуковой мощности источника ночью, Lw, дБ		**исходные данные**	**0**	**93,3**	**94,7**	**96**	**96,3**	**95,9**	**92,6**	**88,4**	**83,9**		
Поправка на телесный угол DΩ, дБ	Ω = 6.28	10Lg(4π/Ω)	**3**	3	3	3	3	3	3	3	3		
Показатель направленности источника Di, дБ		исходные данные	**0**	0	0	0	0	0	0	0	0		
Поправка на направленность источника Dc, дБ	Dc	DΩ + Di	**3**	3	3	3	3	3	3	3	3		
Затухание из-за геометрической дивергенции, Adiv, дБ	расстояние = 1807.09 м	ф-ла (7) [10]	**76,1**										
Коэффициент затухания звука в атмосфере α, дБ/км	Ta=20,°C Pa=101.33,кПа hотн.=70%	ф-ла (5) [9]	0,02	0,09	0,33	1,12	2,79	4,98	9,04	23,09	77,63		
Учет затухания звука в атмосфере Aatm, дБ		ф-ла (8) [10]	0	0,2	0,6	2	5	9	16,3	41,7	140,3		
Снижение уровня звукового давления из-за влияния застройки между источником шума и расчетной точкой													
Снижение уровня звукового давления на пути над экраном, Dz1, дБ	z = 0.23м (разность путей)	ф-лы (14-18) [10]	4,8	4,8	4,8	4,8	4,8	4,8	4,8	4,8	4,8		
Снижение уровня звукового давления на пути слева от экрана, Dz2, дБ	z = 31.36м (разность путей)	ф-лы (14-18) [10]	21,3	25,3	29,7	33,8	37,3	40,4	43,4	46,5	49,5		
Снижение уровня звукового давления на пути справа от экрана, Dz3, дБ	z = 41.98м (разность путей)	ф-лы (14-18) [10]	26,4	29,6	32,7	35,7	38,7	41,7	44,7	47,7	50,7		
Общее снижение уровня звука препятствием Dz, дБ		Эн.сумма(-Dzi)	4,6	4,7	4,8	4,8	4,8	4,8	4,8	4,8	4,8		
Уровни звукового давления от источника ИШ-2-39 в расчётной точке днём, дБ		**ф-ла(3)[10]**	**0**	**15,3**	**16,2**	**16,1**	**13,3**	**9**	**0**	**0**	**0**	**14**	**14**

1		2	3	4	5	6	7	8	9	10	11	12	13
Уровни звукового давления от источника ИШ-2-39 в расчётной точке ночью, дБ		**ф-ла(3)[10]**	**0**	**15,3**	**16,2**	**16,1**	**13,3**	**9**	**0**	**0**	**0**	**14**	**14**
Источник шума: ИШ-2-40, координаты источника (x,y,z), м =[686.10,-125.67,1.00]													
Уровни звуковой мощности источника днём, Lw, дБ		**исходные данные**	**0**	**93,3**	**94,7**	**96**	**96,3**	**95,9**	**92,6**	**88,4**	**83,9**		
Уровни звуковой мощности источника ночью, Lw, дБ		**исходные данные**	**0**	**93,3**	**94,7**	**96**	**96,3**	**95,9**	**92,6**	**88,4**	**83,9**		
Поправка на телесный угол DΩ, дБ	Ω = 6.28	10Lg(4π/Ω)	**3**	3	3	3	3	3	3	3	3		
Показатель направленности источника Di, дБ		исходные данные	**0**	0	0	0	0	0	0	0	0		
Поправка на направленность источника Dc, дБ	Dc	DΩ + Di	**3**	3	3	3	3	3	3	3	3		
Затухание из-за геометрической дивергенции, Adiv, дБ	расстояние = 1808.00 м	ф-ла (7) [10]	**76,1**										
Коэффициент затухания звука в атмосфере α, дБ/км	Ta=20,°C Pa=101.33,кПа hотн.=70%	ф-ла (5) [9]	0,02	0,09	0,33	1,12	2,79	4,98	9,04	23,09	77,63		
Учет затухания звука в атмосфере Aatm, дБ		ф-ла (8) [10]	0	0,2	0,6	2	5	9	16,3	41,7	140,4		
Снижение уровня звукового давления из-за влияния застройки между источником шума и расчетной точкой													
Снижение уровня звукового давления на пути над экраном, Dz1, дБ	z = 0.23м (разность путей)	ф-лы (14-18) [10]	4,8	4,8	4,8	4,8	4,8	4,8	4,8	4,8	4,8		
Снижение уровня звукового давления на пути слева от экрана, Dz2, дБ	z = 30.33м (разность путей)	ф-лы (14-18) [10]	21,1	25,1	29,6	33,7	37,1	40,3	43,3	46,3	49,3		
Снижение уровня звукового давления на пути справа от экрана, Dz3, дБ	z = 43.23м (разность путей)	ф-лы (14-18) [10]	26,5	29,7	32,8	35,8	38,8	41,8	44,8	47,9	50,9		
Общее снижение уровня звука препятствием Dz, дБ		Эн.сумма(-Dzi)	4,6	4,7	4,8	4,8	4,8	4,8	4,8	4,8	4,8		
Уровни звукового давления от источника ИШ-2-40 в расчётной точке днём, дБ		**ф-ла(3)[10]**	**0**	**15,3**	**16,2**	**16,1**	**13,3**	**9**	**0**	**0**	**0**	**14**	**14**

1		2	3	4	5	6	7	8	9	10	11	12	13
Уровни звукового давления от источника ИШ-2-40 в расчётной точке ночью, дБ		**ф-ла(3)[10]**	**0**	**15,3**	**16,2**	**16,1**	**13,3**	**9**	**0**	**0**	**0**	**14**	**14**
Источник шума: ИШ-2-41, координаты источника (x,y,z), м =[685.14,-128.64,1.00]													
Уровни звуковой мощности источника днём, Lw, дБ		**исходные данные**	**0**	**93,3**	**94,7**	**96**	**96,3**	**95,9**	**92,6**	**88,4**	**83,9**		
Уровни звуковой мощности источника ночью, Lw, дБ		**исходные данные**	**0**	**93,3**	**94,7**	**96**	**96,3**	**95,9**	**92,6**	**88,4**	**83,9**		
Поправка на телесный угол DΩ, дБ	Ω = 6.28	10Lg(4π/Ω)	**3**	3	3	3	3	3	3	3	3		
Показатель направленности источника Di, дБ		исходные данные	**0**	0	0	0	0	0	0	0	0		
Поправка на направленность источника Dc, дБ	Dc	DΩ + Di	**3**	3	3	3	3	3	3	3	3		
Затухание из-за геометрической дивергенции, Adiv, дБ	расстояние = 1809.03 м	ф-ла (7) [10]	**76,1**										
Коэффициент затухания звука в атмосфере α, дБ/км	Ta=20,°C Pa=101.33,кПа hотн.=70%	ф-ла (5) [9]	0,02	0,09	0,33	1,12	2,79	4,98	9,04	23,09	77,63		
Учет затухания звука в атмосфере Aatm, дБ		ф-ла (8) [10]	0	0,2	0,6	2	5	9	16,4	41,8	140,4		
Снижение уровня звукового давления из-за влияния застройки между источником шума и расчетной точкой													
Снижение уровня звукового давления на пути над экраном, Dz1, дБ	z = 0.23м (разность путей)	ф-лы (14-18) [10]	4,8	4,8	4,8	4,8	4,8	4,8	4,8	4,8	4,8		
Снижение уровня звукового давления на пути слева от экрана, Dz2, дБ	z = 29.28м (разность путей)	ф-лы (14-18) [10]	21	25	29,4	33,5	37	40,1	43,1	46,2	49,2		
Снижение уровня звукового давления на пути справа от экрана, Dz3, дБ	z = 43.22м (разность путей)	ф-лы (14-18) [10]	26,1	29,6	32,8	35,8	38,8	41,8	44,8	47,9	50,9		
Общее снижение уровня звука препятствием Dz, дБ		Эн.сумма(-Dzi)	4,6	4,7	4,7	4,8	4,8	4,8	4,8	4,8	4,8		
Уровни звукового давления прямого звука от источника ИШ-2-41 в расчётной точке днём, дБ		**ф-ла(3)[10]**	**0**	**15,3**	**16,2**	**16**	**13,3**	**9**	**0**	**0**	**0**	**14**	**14**

1		2	3	4	5	6	7	8	9	10	11	12	13
Уровни звукового давления прямого звука от источника ИШ-2-41 в расчётной точке ночью, дБ		**ф-ла(3)[10]**	**0**	**15,3**	**16,2**	**16**	**13,3**	**9**	**0**	**0**	**0**	**14**	**14**
Расчёт отражённого звука													
Уровни звукового давления от мнимого источника ИШ-2-41_мн.(1) в расчётной точке днём, дБ		**ф-ла(3)[10]**	**0**	**0**	**0**	**0**	**0**	**0**	**0**	**0**	**0**	**0**	**0**
Уровни звукового давления от мнимого источника ИШ-2-41_мн.(1) в расчётной точке ночью, дБ		**ф-ла(3)[10]**	**0**	**0**	**0**	**0**	**0**	**0**	**0**	**0**	**0**	**0**	**0**
Уровни звукового давления от источника ИШ-2-41 в расчётной точке днём, дБ		**ф-ла(3)[10]**	**0**	**15,3**	**16,2**	**16**	**13,3**	**9**	**0**	**0**	**0**	**14**	**14**
Уровни звукового давления от источника ИШ-2-41 в расчётной точке ночью, дБ		**ф-ла(3)[10]**	**0**	**15,3**	**16,2**	**16**	**13,3**	**9**	**0**	**0**	**0**	**14**	**14**
Источник шума: ИШ-2-42, координаты источника (x,y,z), м =[684.20,-131.46,1.00]													
Уровни звуковой мощности источника днём, Lw, дБ		**исходные данные**	**0**	**93,3**	**94,7**	**96**	**96,3**	**95,9**	**92,6**	**88,4**	**83,9**		
Уровни звуковой мощности источника ночью, Lw, дБ		**исходные данные**	**0**	**93,3**	**94,7**	**96**	**96,3**	**95,9**	**92,6**	**88,4**	**83,9**		
Поправка на телесный угол DΩ, дБ	Ω = 6.28	10Lg(4π/Ω)	**3**	3	3	3	3	3	3	3	3		
Показатель направленности источника Di, дБ		исходные данные	**0**	0	0	0	0	0	0	0	0		
Поправка на направленность источника Dc, дБ	Dc	DΩ + Di	**3**	3	3	3	3	3	3	3	3		
Затухание из-за геометрической дивергенции, Adiv, дБ	расстояние = 1809.99 м	ф-ла (7) [10]	**76,2**										
Коэффициент затухания звука в атмосфере α, дБ/км	Ta=20,°C Pa=101.33,кПа hотн.=70%	ф-ла (5) [9]	0,02	0,09	0,33	1,12	2,79	4,98	9,04	23,09	77,63		
Учет затухания звука в атмосфере Aatm, дБ		ф-ла (8) [10]	0	0,2	0,6	2	5,1	9	16,4	41,8	140,5		
Снижение уровня звукового давления из-за влияния застройки между источником шума и расчетной точкой													

1		2	3	4	5	6	7	8	9	10	11	12	13
Снижение уровня звукового давления на пути над экраном, Dz1, дБ	z = 0.23м (разность путей)	ф-лы (14-18) [10]	4,8	4,8	4,8	4,8	4,8	4,8	4,8	4,8	4,8		
Снижение уровня звукового давления на пути слева от экрана, Dz2, дБ	z = 28.30м (разность путей)	ф-лы (14-18) [10]	20,8	24,8	29,3	33,4	36,8	40	43	46	49		
Снижение уровня звукового давления на пути справа от экрана, Dz3, дБ	z = 44.32м (разность путей)	ф-лы (14-18) [10]	26,2	29,7	32,9	35,9	38,9	41,9	45	48	51		
Общее снижение уровня звука препятствием Dz, дБ		Эн.сумма(-Dzi)	4,6	4,7	4,7	4,8	4,8	4,8	4,8	4,8	4,8		
Уровни звукового давления прямого звука от источника ИШ-2-42 в расчётной точке днём, дБ		**ф-ла(3)[10]**	**0**	**15,3**	**16,2**	**16**	**13,3**	**9**	**0**	**0**	**0**	**13,9**	**13,9**
Уровни звукового давления прямого звука от источника ИШ-2-42 в расчётной точке ночью, дБ		**ф-ла(3)[10]**	**0**	**15,3**	**16,2**	**16**	**13,3**	**9**	**0**	**0**	**0**	**13,9**	**13,9**
Расчёт отражённого звука													
Уровни звукового давления от мнимого источника ИШ-2-42_мн.(1) в расчётной точке днём, дБ		**ф-ла(3)[10]**	**0**	**0**	**0**	**0**	**0**	**0**	**0**	**0**	**0**	**0**	**0**
Уровни звукового давления от мнимого источника ИШ-2-42_мн.(1) в расчётной точке ночью, дБ		**ф-ла(3)[10]**	**0**	**0**	**0**	**0**	**0**	**0**	**0**	**0**	**0**	**0**	**0**
Уровни звукового давления от источника ИШ-2-42 в расчётной точке днём, дБ		**ф-ла(3)[10]**	**0**	**15,3**	**16,2**	**16**	**13,3**	**9**	**0**	**0**	**0**	**13,9**	**13,9**
Уровни звукового давления от источника ИШ-2-42 в расчётной точке ночью, дБ		**ф-ла(3)[10]**	**0**	**15,3**	**16,2**	**16**	**13,3**	**9**	**0**	**0**	**0**	**13,9**	**13,9**
Источник шума: ИШ-2-43, координаты источника (x,y,z), м =[683.13,-134.37,1.00]													
Уровни звуковой мощности источника днём, Lw, дБ		**исходные данные**	**0**	**93,3**	**94,7**	**96**	**96,3**	**95,9**	**92,6**	**88,4**	**83,9**		
Уровни звуковой мощности источника ночью, Lw, дБ		**исходные данные**	**0**	**93,3**	**94,7**	**96**	**96,3**	**95,9**	**92,6**	**88,4**	**83,9**		
Поправка на телесный угол DΩ, дБ	Ω = 6.28	10Lg(4π/Ω)	**3**	3	3	3	3	3	3	3	3		
Показатель направленности источника Di, дБ		исходные данные	**0**	0	0	0	0	0	0	0	0		
Поправка на направленность источника Dc, дБ	Dc	DΩ + Di	**3**	3	3	3	3	3	3	3	3		

1		2	3	4	5	6	7	8	9	10	11	12	13
Затухание из-за геометрической дивергенции, Adiv, дБ	расстояние = 1810.91 м	ф-ла (7) [10]	**76,2**										
Коэффициент затухания звука в атмосфере α, дБ/км	Та=20,°С Ра=101.33,кПа hотн.=70%	ф-ла (5) [9]	0,02	0,09	0,33	1,12	2,79	4,98	9,04	23,09	77,63		
Учет затухания звука в атмосфере Aatm, дБ		ф-ла (8) [10]	0	0,2	0,6	2	5,1	9	16,4	41,8	140,6		
Снижение уровня звукового давления из-за влияния застройки между источником шума и расчетной точкой													
Снижение уровня звукового давления на пути над экраном, Dz1, дБ	z = 0.23м (разность путей)	ф-лы (14-18) [10]	4,8	4,8	4,8	4,8	4,8	4,8	4,8	4,8	4,8		
Снижение уровня звукового давления на пути слева от экрана, Dz2, дБ	z = 27.30м (разность путей)	ф-лы (14-18) [10]	20,2	23,1	26,1	29,1	32,1	35,1	38,1	41,1	44,1		
Снижение уровня звукового давления на пути справа от экрана, Dz3, дБ	z = 45.50м (разность путей)	ф-лы (14-18) [10]	26,3	29,8	33	36	39	42,1	45,1	48,1	51,1		
Общее снижение уровня звука препятствием Dz, дБ		Эн.сумма(-Dzi)	4,6	4,7	4,7	4,8	4,8	4,8	4,8	4,8	4,8		
Уровни звукового давления прямого звука от источника ИШ-2-43 в расчётной точке днём, дБ		**ф-ла(3)[10]**	**0**	**15,3**	**16,2**	**16**	**13,3**	**9**	**0**	**0**	**0**	**13,9**	**13,9**
Уровни звукового давления прямого звука от источника ИШ-2-43 в расчётной точке ночью, дБ		**ф-ла(3)[10]**	**0**	**15,3**	**16,2**	**16**	**13,3**	**9**	**0**	**0**	**0**	**13,9**	**13,9**
Расчёт отражённого звука													
Уровни звукового давления от мнимого источника ИШ-2-43_мн.(1) в расчётной точке днём, дБ		**ф-ла(3)[10]**	**0**	**0**	**0**	**0**	**0**	**0**	**0**	**0**	**0**	**0**	**0**
Уровни звукового давления от мнимого источника ИШ-2-43_мн.(1) в расчётной точке ночью, дБ		**ф-ла(3)[10]**	**0**	**0**	**0**	**0**	**0**	**0**	**0**	**0**	**0**	**0**	**0**
Уровни звукового давления от источника ИШ-2-43 в расчётной точке днём, дБ		**ф-ла(3)[10]**	**0**	**15,3**	**16,2**	**16**	**13,3**	**9**	**0**	**0**	**0**	**13,9**	**13,9**
Уровни звукового давления от источника ИШ-2-43 в расчётной точке ночью, дБ		**ф-ла(3)[10]**	**0**	**15,3**	**16,2**	**16**	**13,3**	**9**	**0**	**0**	**0**	**13,9**	**13,9**
Источник шума: ИШ-2-44, координаты источника (x,y,z), м =[682.20,-137.16,1.00]													

1		2	3	4	5	6	7	8	9	10	11	12	13
Уровни звуковой мощности источника днём, Lw, дБ		**исходные данные**	**0**	**93,3**	**94,7**	**96**	**96,3**	**95,9**	**92,6**	**88,4**	**83,9**		
Уровни звуковой мощности источника ночью, Lw, дБ		**исходные данные**	**0**	**93,3**	**94,7**	**96**	**96,3**	**95,9**	**92,6**	**88,4**	**83,9**		
Поправка на телесный угол DΩ, дБ	Ω = 6.28	10Lg(4π/Ω)	**3**	3	3	3	3	3	3	3	3		
Показатель направленности источника Di, дБ		исходные данные	**0**	0	0	0	0	0	0	0	0		
Поправка на направленность источника Dc, дБ	Dc	DΩ + Di	**3**	3	3	3	3	3	3	3	3		
Затухание из-за геометрической дивергенции, Adiv, дБ	расстояние = 1811.87 м	ф-ла (7) [10]	**76,2**										
Коэффициент затухания звука в атмосфере α, дБ/км	Ta=20,°C Pa=101.33,кПа hотн.=70%	ф-ла (5) [9]	0,02	0,09	0,33	1,12	2,79	4,98	9,04	23,09	77,63		
Учет затухания звука в атмосфере Aatm, дБ		ф-ла (8) [10]	0	0,2	0,6	2	5,1	9	16,4	41,8	140,7		
Снижение уровня звукового давления из-за влияния застройки между источником шума и расчетной точкой													
Снижение уровня звукового давления на пути над экраном, Dz1, дБ	z = 0.23м (разность путей)	ф-лы (14-18) [10]	4,8	4,8	4,8	4,8	4,8	4,8	4,8	4,8	4,8		
Снижение уровня звукового давления на пути слева от экрана, Dz2, дБ	z = 26.36м (разность путей)	ф-лы (14-18) [10]	20	23	25,9	28,9	31,9	34,9	37,9	40,9	43,9		
Снижение уровня звукового давления на пути справа от экрана, Dz3, дБ	z = 46.61м (разность путей)	ф-лы (14-18) [10]	26,4	29,9	33,1	36,1	39,1	42,2	45,2	48,2	51,2		
Общее снижение уровня звука препятствием Dz, дБ		Эн.сумма(-Dzi)	4,6	4,7	4,7	4,8	4,8	4,8	4,8	4,8	4,8		
Уровни звукового давления прямого звука от источника ИШ-2-44 в расчётной точке днём, дБ		**ф-ла(3)[10]**	**0**	**15,3**	**16,2**	**16**	**13,3**	**8,9**	**0**	**0**	**0**	**13,9**	**13,9**
Уровни звукового давления прямого звука от источника ИШ-2-44 в расчётной точке ночью, дБ		**ф-ла(3)[10]**	**0**	**15,3**	**16,2**	**16**	**13,3**	**8,9**	**0**	**0**	**0**	**13,9**	**13,9**
Расчёт отражённого звука													
Уровни звукового давления от мнимого источника ИШ-2-44_мн.(1) в расчётной точке днём, дБ		**ф-ла(3)[10]**	**0**	**0**	**0**	**0**	**0**	**0**	**0**	**0**	**0**	**0**	**0**

1		2	3	4	5	6	7	8	9	10	11	12	13
Уровни звукового давления от мнимого источника ИШ-2-44_мн.(1) в расчётной точке ночью, дБ		**ф-ла(3)[10]**	**0**	**0**	**0**	**0**	**0**	**0**	**0**	**0**	**0**	**0**	**0**
Уровни звукового давления от источника ИШ-2-44 в расчётной точке днём, дБ		**ф-ла(3)[10]**	**0**	**15,3**	**16,2**	**16**	**13,3**	**8,9**	**0**	**0**	**0**	**13,9**	**13,9**
Уровни звукового давления от источника ИШ-2-44 в расчётной точке ночью, дБ		**ф-ла(3)[10]**	**0**	**15,3**	**16,2**	**16**	**13,3**	**8,9**	**0**	**0**	**0**	**13,9**	**13,9**
Источник шума: ИШ-2-45, координаты источника (x,y,z), м =[681.26,-139.98,1.00]													
Уровни звуковой мощности источника днём, Lw, дБ		**исходные данные**	**0**	**93,3**	**94,7**	**96**	**96,3**	**95,9**	**92,6**	**88,4**	**83,9**		
Уровни звуковой мощности источника ночью, Lw, дБ		**исходные данные**	**0**	**93,3**	**94,7**	**96**	**96,3**	**95,9**	**92,6**	**88,4**	**83,9**		
Поправка на телесный угол DΩ, дБ	Ω = 6.28	10Lg(4π/Ω)	**3**	3	3	3	3	3	3	3	3		
Показатель направленности источника Di, дБ		исходные данные	**0**	0	0	0	0	0	0	0	0		
Поправка на направленность источника Dc, дБ	Dc	DΩ + Di	**3**	3	3	3	3	3	3	3	3		
Затухание из-за геометрической дивергенции, Adiv, дБ	расстояние = 1812.84 м	ф-ла (7) [10]	**76,2**										
Коэффициент затухания звука в атмосфере α, дБ/км	Ta=20,°C Pa=101.33,кПа hотн.=70%	ф-ла (5) [9]	0,02	0,09	0,33	1,12	2,79	4,98	9,04	23,09	77,63		
Учет затухания звука в атмосфере Aatm, дБ		ф-ла (8) [10]	0	0,2	0,6	2	5,1	9	16,4	41,9	140,7		
Снижение уровня звукового давления из-за влияния застройки между источником шума и расчетной точкой													
Снижение уровня звукового давления на пути над экраном, Dz1, дБ	z = 0.23м (разность путей)	ф-лы (14-18) [10]	4,8	4,8	4,8	4,8	4,8	4,8	4,8	4,8	4,8		
Снижение уровня звукового давления на пути слева от экрана, Dz2, дБ	z = 25.44м (разность путей)	ф-лы (14-18) [10]	19,9	22,8	25,8	28,8	31,8	34,8	37,8	40,8	43,8		
Снижение уровня звукового давления на пути справа от экрана, Dz3, дБ	z = 47.74м (разность путей)	ф-лы (14-18) [10]	26,5	30,1	33,2	36,2	39,3	42,3	45,3	48,3	51,3		

1		2	3	4	5	6	7	8	9	10	11	12	13
Общее снижение уровня звука препятствием Dz, дБ		Эн.сумма(-Dzi)	4,6	4,7	4,7	4,8	4,8	4,8	4,8	4,8	4,8		
Уровни звукового давления от источника ИШ-2-45 в расчётной точке днём, дБ		**ф-ла(3)[10]**	**0**	**15,3**	**16,2**	**16**	**13,3**	**8,9**	**0**	**0**	**0**	**13,9**	**13,9**
Уровни звукового давления от источника ИШ-2-45 в расчётной точке ночью, дБ		**ф-ла(3)[10]**	**0**	**15,3**	**16,2**	**16**	**13,3**	**8,9**	**0**	**0**	**0**	**13,9**	**13,9**
Источник шума: ИШ-4-1, координаты источника (x,y,z), м =[141.82,201.03,1.00]													
Уровни звуковой мощности источника днём, Lw, дБ		**исходные данные**	**0**	**90,3**	**91,7**	**93**	**93,3**	**92,9**	**89,6**	**85,4**	**80,9**		
Уровни звуковой мощности источника ночью, Lw, дБ		**исходные данные**	**0**	**90,3**	**91,7**	**93**	**93,3**	**92,9**	**89,6**	**85,4**	**80,9**		
Поправка на телесный угол DΩ, дБ	Ω = 6.28	10Lg(4π/Ω)	**3**	3	3	3	3	3	3	3	3		
Показатель направленности источника Di, дБ		исходные данные	**0**	0	0	0	0	0	0	0	0		
Поправка на направленность источника Dc, дБ	Dc	DΩ + Di	**3**	3	3	3	3	3	3	3	3		
Затухание из-за геометрической дивергенции, Adiv, дБ	расстояние = 1178.91 м	ф-ла (7) [10]	**72,4**										
Коэффициент затухания звука в атмосфере α, дБ/км	Ta=20,°C Pa=101.33,кПа hотн.=70%	ф-ла (5) [9]	0,02	0,09	0,33	1,12	2,79	4,98	9,04	23,09	77,63		
Учет затухания звука в атмосфере Aatm, дБ		ф-ла (8) [10]	0	0,1	0,4	1,3	3,3	5,9	10,7	27,2	91,5		
Снижение уровня звукового давления из-за влияния застройки между источником шума и расчетной точкой													
Снижение уровня звукового давления на пути над экраном, Dz1, дБ	z = 2.10м (разность путей)	ф-лы (14-18) [10]	7,5	10,1	13,6	17,1	20,2	23,2	26,2	29,2	32,2		
Снижение уровня звукового давления на пути слева от экрана, Dz2, дБ	z = 25.03м (разность путей)	ф-лы (14-18) [10]	20,6	24,8	29,2	33,1	36,4	39,4	42,5	45,5	48,5		
Снижение уровня звукового давления на пути справа от экрана, Dz3, дБ	z = 33.91м (разность путей)	ф-лы (14-18) [10]	21,1	24,1	27	30	33	36	39	42	45		

1		2	3	4	5	6	7	8	9	10	11	12	13
Общее снижение уровня звука препятствием Dz, дБ		Эн.сумма(-Dzi)	7,1	9,8	13,3	16,8	19,9	22,9	25,9	28,9	31,9		
Общее снижение уровня звука препятствием с учётом ограничения (25 дБ) для октавных полос Dz, дБ		Раздел 7.4 [10]	7,1	9,8	13,3	16,8	19,9	22,9	25	25	25		
Уровни звукового давления прямого звука от источника ИШ-4-1 в расчётной точке днём, дБ		**ф-ла(3)[10]**	**0**	**11**	**8,5**	**5,5**	**0,7**	**0**	**0**	**0**	**0**	**1**	**1**
Уровни звукового давления прямого звука от источника ИШ-4-1 в расчётной точке ночью, дБ		**ф-ла(3)[10]**	**0**	**11**	**8,5**	**5,5**	**0,7**	**0**	**0**	**0**	**0**	**1**	**1**
Расчёт отражённого звука													
Уровни звукового давления от мнимого источника ИШ-4-1_мн.(1) в расчётной точке днём, дБ		**ф-ла(3)[10]**	**0**	**0**	**0**	**0**	**7,4**	**1,7**	**0**	**0**	**0**	**6,1**	**6,1**
Уровни звукового давления от мнимого источника ИШ-4-1_мн.(1) в расчётной точке ночью, дБ		**ф-ла(3)[10]**	**0**	**0**	**0**	**0**	**0**	**0**	**0**	**0**	**0**	**6,1**	**6,1**
Уровни звукового давления от источника ИШ-4-1 в расчётной точке днём, дБ		**ф-ла(3)[10]**	**0**	**11**	**8,5**	**5,5**	**8,2**	**1,7**	**0**	**0**	**0**	**7,3**	**7,3**
Уровни звукового давления от источника ИШ-4-1 в расчётной точке ночью, дБ		**ф-ла(3)[10]**	**0**	**11**	**8,5**	**5,5**	**8,2**	**1,7**	**0**	**0**	**0**	**7,3**	**7,3**
Источник шума: ИШ-4-2, координаты источника (x,y,z), м =[133.85,183.21,1.00]													
Уровни звуковой мощности источника днём, Lw, дБ		**исходные данные**	**0**	**90,3**	**91,7**	**93**	**93,3**	**92,9**	**89,6**	**85,4**	**80,9**		
Уровни звуковой мощности источника ночью, Lw, дБ		**исходные данные**	**0**	**90,3**	**91,7**	**93**	**93,3**	**92,9**	**89,6**	**85,4**	**80,9**		
Поправка на телесный угол DΩ, дБ	Ω = 6.28	10Lg(4π/Ω)	**3**	3	3	3	3	3	3	3	3		
Показатель направленности источника Di, дБ		исходные данные	**0**	0	0	0	0	0	0	0	0		
Поправка на направленность источника Dc, дБ	Dc	DΩ + Di	**3**	3	3	3	3	3	3	3	3		
Затухание из-за геометрической дивергенции, Adiv, дБ	расстояние = 1184.58 м	ф-ла (7) [10]	**72,5**										
Коэффициент затухания звука в атмосфере α, дБ/км	Ta=20,°C Pa=101.33,кПа hотн.=70%	ф-ла (5) [9]	0,02	0,09	0,33	1,12	2,79	4,98	9,04	23,09	77,63		

1		2	3	4	5	6	7	8	9	10	11	12	13
Учет затухания звука в атмосфере Aatm, дБ		ф-ла (8) [10]	0	0,1	0,4	1,3	3,3	5,9	10,7	27,3	92		
Снижение уровня звукового давления из-за влияния застройки между источником шума и расчетной точкой													
Снижение уровня звукового давления на пути над экраном, Dz1, дБ	z = 2.32м (разность путей)	ф-лы (14-18) [10]	8	10,8	14,4	17,9	21,1	24,1	27,1	30,1	33,1		
Снижение уровня звукового давления на пути слева от экрана, Dz2, дБ	z = 6.01м (разность путей)	ф-лы (14-18) [10]	14,7	18,7	23,1	26,9	30,2	33,2	36,3	39,3	42,3		
Снижение уровня звукового давления на пути справа от экрана, Dz3, дБ	z = 46.95м (разность путей)	ф-лы (14-18) [10]	22,5	25,5	28,4	31,4	34,4	37,4	40,4	43,4	46,5		
Общее снижение уровня звука препятствием Dz, дБ		Эн.сумма(-Dzi)	7	10	13,7	17,2	20,4	23,4	26,4	29,4	32,4		
Общее снижение уровня звука препятствием с учётом ограничения (25 дБ) для октавных полос Dz, дБ		Раздел 7.4 [10]	7	10	13,7	17,2	20,4	23,4	25	25	25		
Уровни звукового давления прямого звука от источника ИШ-4-2 в расчётной точке днём, дБ		**ф-ла(3)[10]**	**0**	**10,7**	**8,1**	**5**	**0,1**	**0**	**0**	**0**	**0**	**0,5**	**0,5**
Уровни звукового давления прямого звука от источника ИШ-4-2 в расчётной точке ночью, дБ		**ф-ла(3)[10]**	**0**	**10,7**	**8,1**	**5**	**0,1**	**0**	**0**	**0**	**0**	**0,5**	**0,5**
Расчёт отражённого звука													
Уровни звукового давления от мнимого источника ИШ-4-2_мн.(1) в расчётной точке днём, дБ		**ф-ла(3)[10]**	**0**	**0**	**0**	**0**	**0**	**0**	**0**	**0**	**0**	**0**	**0**
Уровни звукового давления от мнимого источника ИШ-4-2_мн.(1) в расчётной точке ночью, дБ		**ф-ла(3)[10]**	**0**	**0**	**0**	**0**	**0**	**0**	**0**	**0**	**0**	**0**	**0**
Уровни звукового давления от источника ИШ-4-2 в расчётной точке днём, дБ		**ф-ла(3)[10]**	**0**	**10,7**	**8,1**	**5**	**0,1**	**0**	**0**	**0**	**0**	**0,5**	**0,5**
Уровни звукового давления от источника ИШ-4-2 в расчётной точке ночью, дБ		**ф-ла(3)[10]**	**0**	**10,7**	**8,1**	**5**	**0,1**	**0**	**0**	**0**	**0**	**0,5**	**0,5**
Источник шума: ИШ-4-3, координаты источника (x,y,z), м =[152.61,172.66,1.00]													
Уровни звуковой мощности источника днём, Lw, дБ		**исходные данные**	**0**	**90,3**	**91,7**	**93**	**93,3**	**92,9**	**89,6**	**85,4**	**80,9**		
Уровни звуковой мощности источника ночью, Lw, дБ		**исходные данные**	**0**	**90,3**	**91,7**	**93**	**93,3**	**92,9**	**89,6**	**85,4**	**80,9**		

1		2	3	4	5	6	7	8	9	10	11	12	13
Поправка на телесный угол DΩ, дБ	Ω = 6.28	10Lg(4π/Ω)	**3**	3	3	3	3	3	3	3	3		
Показатель направленности источника Di, дБ		исходные данные	**0**	0	0	0	0	0	0	0	0		
Поправка на направленность источника Dc, дБ	Dc	DΩ + Di	**3**	3	3	3	3	3	3	3	3		
Затухание из-за геометрической дивергенции, Adiv, дБ	расстояние = 1205.63 м	ф-ла (7) [10]	**72,6**										
Коэффициент затухания звука в атмосфере α, дБ/км	Ta=20,°C Pa=101.33,кПа hотн.=70%	ф-ла (5) [9]	0,02	0,09	0,33	1,12	2,79	4,98	9,04	23,09	77,63		
Учет затухания звука в атмосфере Aatm, дБ		ф-ла (8) [10]	0	0,1	0,4	1,4	3,4	6	10,9	27,8	93,6		
Снижение уровня звукового давления из-за влияния застройки между источником шума и расчетной точкой													
Снижение уровня звукового давления на пути над экраном, Dz1, дБ	z = 1.05м (разность путей)	ф-лы (14-18) [10]	5,3	6	7,6	9,8	12,3	14,9	17,7	20,6	23,6		
Снижение уровня звукового давления на пути слева от экрана, Dz2, дБ	z = 5.53м (разность путей)	ф-лы (14-18) [10]	14,4	18,4	22,7	26,5	29,8	32,9	35,9	38,9	41,9		
Снижение уровня звукового давления на пути справа от экрана, Dz3, дБ	z = 35.28м (разность путей)	ф-лы (14-18) [10]	21,3	24,2	27,2	30,2	33,2	36,2	39,2	42,2	45,2		
Общее снижение уровня звука препятствием Dz, дБ		Эн.сумма(-Dzi)	4,7	5,7	7,4	9,7	12,1	14,8	17,6	20,5	23,5		
Уровни звукового давления прямого звука от источника ИШ-4-3 в расчётной точке днём, дБ		**ф-ла(3)[10]**	**0**	**14,9**	**14,3**	**12,4**	**8,2**	**2,4**	**0**	**0**	**0**	**9**	**9**
Уровни звукового давления прямого звука от источника ИШ-4-3 в расчётной точке ночью, дБ		**ф-ла(3)[10]**	**0**	**14,9**	**14,3**	**12,4**	**8,2**	**2,4**	**0**	**0**	**0**	**9**	**9**
Расчёт отражённого звука													
Уровни звукового давления от мнимого источника ИШ-4-3_мн.(1) в расчётной точке днём, дБ		**ф-ла(3)[10]**	**0**	**0**	**0**	**0**	**0**	**0**	**0**	**0**	**0**	**0**	**0**
Уровни звукового давления от мнимого источника ИШ-4-3_мн.(1) в расчётной точке ночью, дБ		**ф-ла(3)[10]**	**0**	**0**	**0**	**0**	**0**	**0**	**0**	**0**	**0**	**0**	**0**
Уровни звукового давления от источника ИШ-4-3 в расчётной точке днём, дБ		**ф-ла(3)[10]**	**0**	**14,9**	**14,3**	**12,4**	**8,2**	**2,4**	**0**	**0**	**0**	**9**	**9**

1		2	3	4	5	6	7	8	9	10	11	12	13
Уровни звукового давления от источника ИШ-4-3 в расчётной точке ночью, дБ		**ф-ла(3)[10]**	**0**	**14,9**	**14,3**	**12,4**	**8,2**	**2,4**	**0**	**0**	**0**	**9**	**9**
Источник шума: ИШ-4-4, координаты источника (x,y,z), м =[156.83,171.25,1.00]													
Уровни звуковой мощности источника днём, Lw, дБ		**исходные данные**	**0**	**90,3**	**91,7**	**93**	**93,3**	**92,9**	**89,6**	**85,4**	**80,9**		
Уровни звуковой мощности источника ночью, Lw, дБ		**исходные данные**	**0**	**90,3**	**91,7**	**93**	**93,3**	**92,9**	**89,6**	**85,4**	**80,9**		
Поправка на телесный угол DΩ, дБ	Ω = 6.28	10Lg(4π/Ω)	**3**	3	3	3	3	3	3	3	3		
Показатель направленности источника Di, дБ		исходные данные	**0**	0	0	0	0	0	0	0	0		
Поправка на направленность источника Dc, дБ	Dc	DΩ + Di	**3**	3	3	3	3	3	3	3	3		
Затухание из-за геометрической дивергенции, Adiv, дБ	расстояние = 1209.73 м	ф-ла (7) [10]	**72,7**										
Коэффициент затухания звука в атмосфере α, дБ/км	Ta=20,°C Pa=101.33,кПа hотн.=70%	ф-ла (5) [9]	0,02	0,09	0,33	1,12	2,79	4,98	9,04	23,09	77,63		
Учет затухания звука в атмосфере Aatm, дБ		ф-ла (8) [10]	0	0,1	0,4	1,4	3,4	6	10,9	27,9	93,9		
Снижение уровня звукового давления из-за влияния застройки между источником шума и расчетной точкой													
Снижение уровня звукового давления на пути над экраном, Dz1, дБ	z = 0.94м (разность путей)	ф-лы (14-18) [10]	5,1	5,6	6,8	8,7	10,9	13,4	16,1	18,9	21,8		
Снижение уровня звукового давления на пути слева от экрана, Dz2, дБ	z = 5.87м (разность путей)	ф-лы (14-18) [10]	14,6	18,6	23	26,8	30,1	33,1	36,2	39,2	42,2		
Снижение уровня звукового давления на пути справа от экрана, Dz3, дБ	z = 32.82м (разность путей)	ф-лы (14-18) [10]	21	23,9	26,9	29,9	32,9	35,9	38,9	41,9	44,9		
Общее снижение уровня звука препятствием Dz, дБ		Эн.сумма(-Dzi)	4,5	5,4	6,7	8,6	10,8	13,3	16	18,9	21,8		
Уровни звукового давления прямого звука от источника ИШ-4-4 в расчётной точке днём, дБ		**ф-ла(3)[10]**	**0**	**15,2**	**14,9**	**13,4**	**9,5**	**3,9**	**0**	**0**	**0**	**10,3**	**10,3**

1		2	3	4	5	6	7	8	9	10	11	12	13
Уровни звукового давления прямого звука от источника ИШ-4-4 в расчётной точке ночью, дБ		**ф-ла(3)[10]**	**0**	**15,2**	**14,9**	**13,4**	**9,5**	**3,9**	**0**	**0**	**0**	**10,3**	**10,3**
Расчёт отражённого звука													
Уровни звукового давления от мнимого источника ИШ-4-4_мн.(1) в расчётной точке днём, дБ		**ф-ла(3)[10]**	**0**	**0**	**0**	**0**	**0**	**0**	**0**	**0**	**0**	**0**	**0**
Уровни звукового давления от мнимого источника ИШ-4-4_мн.(1) в расчётной точке ночью, дБ		**ф-ла(3)[10]**	**0**	**0**	**0**	**0**	**0**	**0**	**0**	**0**	**0**	**0**	**0**
Уровни звукового давления от источника ИШ-4-4 в расчётной точке днём, дБ		**ф-ла(3)[10]**	**0**	**15,2**	**14,9**	**13,4**	**9,5**	**3,9**	**0**	**0**	**0**	**10,3**	**10,3**
Уровни звукового давления от источника ИШ-4-4 в расчётной точке ночью, дБ		**ф-ла(3)[10]**	**0**	**15,2**	**14,9**	**13,4**	**9,5**	**3,9**	**0**	**0**	**0**	**10,3**	**10,3**
Источник шума: ИШ-4-5, координаты источника (x,y,z), м =[126.48,222.66,11.00]													
Уровни звуковой мощности источника днём, Lw, дБ		**исходные данные**	**0**	**90,3**	**91,7**	**93**	**93,3**	**92,9**	**89,6**	**85,4**	**80,9**		
Уровни звуковой мощности источника ночью, Lw, дБ		**исходные данные**	**0**	**90,3**	**91,7**	**93**	**93,3**	**92,9**	**89,6**	**85,4**	**80,9**		
Поправка на телесный угол DΩ, дБ	Ω = 6.28	10Lg(4π/Ω)	**3**	3	3	3	3	3	3	3	3		
Показатель направленности источника Di, дБ		исходные данные	**0**	0	0	0	0	0	0	0	0		
Поправка на направленность источника Dc, дБ	Dc	DΩ + Di	**3**	3	3	3	3	3	3	3	3		
Затухание из-за геометрической дивергенции, Adiv, дБ	расстояние = 1153.25 м	ф-ла (7) [10]	**72,2**										
Коэффициент затухания звука в атмосфере α, дБ/км	Ta=20,°C Pa=101.33,кПа hотн.=70%	ф-ла (5) [9]	0,02	0,09	0,33	1,12	2,79	4,98	9,04	23,09	77,63		
Учет затухания звука в атмосфере Aatm, дБ		ф-ла (8) [10]	0	0,1	0,4	1,3	3,2	5,7	10,4	26,6	89,5		
Снижение поверхностью земли возле источника As, дБ	Gs = 0 hs = 1м	ф-лы таб.3 [10]	-1,5	-1,5	-1,5	-1,5	-1,5	-1,5	-1,5	-1,5	-1,5		

1		2	3	4	5	6	7	8	9	10	11	12	13
Снижение поверхностью земли возле приёмника Ar, дБ	Gr = 1 hr = 1.5м	ф-лы таб.3 [10]	-1,5	-1,5	5,2	7	5	0,7	0	0	0		
Снижение поверхностью земли в средней зоне, Am дБ	Gm = 1	ф-лы таб.3 [10]	-2,8	-2,8	0	0	0	0	0	0	0		
Суммарное снижение поверхностью земли на траектории распространения звука Agr, дБ		ф-ла (9) [10]	-5,8	-5,8	3,7	5,5	3,5	-0,8	-1,5	-1,5	-1,5		
Уровни звукового давления прямого звука от источника ИШ-4-5 в расчётной точке днём, дБ		**ф-ла(3)[10]**	**0**	**26,8**	**18,3**	**16,9**	**17,4**	**18,8**	**11,4**	**0**	**0**	**21,1**	**21,1**
Уровни звукового давления прямого звука от источника ИШ-4-5 в расчётной точке ночью, дБ		**ф-ла(3)[10]**	**0**	**26,8**	**18,3**	**16,9**	**17,4**	**18,8**	**11,4**	**0**	**0**	**21,1**	**21,1**
Расчёт отражённого звука													
Уровни звукового давления от мнимого источника ИШ-4-5_мн.(1) в расчётной точке днём, дБ		**ф-ла(3)[10]**	**0**	**0**	**0**	**0**	**0**	**0**	**3,3**	**0**	**0**	**4,5**	**4,5**
Уровни звукового давления от мнимого источника ИШ-4-5_мн.(1) в расчётной точке ночью, дБ		**ф-ла(3)[10]**	**0**	**0**	**0**	**0**	**0**	**0**	**0**	**0**	**0**	**4,5**	**4,5**
Уровни звукового давления от источника ИШ-4-5 в расчётной точке днём, дБ		**ф-ла(3)[10]**	**0**	**26,8**	**18,3**	**16,9**	**17,4**	**18,8**	**12**	**0**	**0**	**21,2**	**21,2**
Уровни звукового давления от источника ИШ-4-5 в расчётной точке ночью, дБ		**ф-ла(3)[10]**	**0**	**26,8**	**18,3**	**16,9**	**17,4**	**18,8**	**12**	**0**	**0**	**21,2**	**21,2**
Источник шума: ИШ-4-6, координаты источника (x,y,z), м =[125.17,218.57,11.00]													
Уровни звуковой мощности источника днём, Lw, дБ		**исходные данные**	**0**	**90,3**	**91,7**	**93**	**93,3**	**92,9**	**89,6**	**85,4**	**80,9**		
Уровни звуковой мощности источника ночью, Lw, дБ		**исходные данные**	**0**	**90,3**	**91,7**	**93**	**93,3**	**92,9**	**89,6**	**85,4**	**80,9**		
Поправка на телесный угол DΩ, дБ	Ω = 6.28	10Lg(4π/Ω)	**3**	3	3	3	3	3	3	3	3		
Показатель направленности источника Di, дБ		исходные данные	**0**	0	0	0	0	0	0	0	0		
Поправка на направленность источника Dc, дБ	Dc	DΩ + Di	**3**	3	3	3	3	3	3	3	3		
Затухание из-за геометрической дивергенции, Adiv, дБ	расстояние = 1154.90 м	ф-ла (7) [10]	**72,3**										

1		2	3	4	5	6	7	8	9	10	11	12	13
Коэффициент затухания звука в атмосфере α, дБ/км	Та=20,°С Ра=101.33,кПа hотн.=70%	ф-ла (5) [9]	0,02	0,09	0,33	1,12	2,79	4,98	9,04	23,09	77,63		
Учет затухания звука в атмосфере Aatm, дБ		ф-ла (8) [10]	0	0,1	0,4	1,3	3,2	5,7	10,4	26,7	89,7		
Снижение поверхностью земли возле источника As, дБ	Gs = 0 hs = 1м	ф-лы таб.3 [10]	-1,5	-1,5	-1,5	-1,5	-1,5	-1,5	-1,5	-1,5	-1,5		
Снижение поверхностью земли возле приёмника Ar, дБ	Gr = 1 hr = 1.5м	ф-лы таб.3 [10]	-1,5	-1,5	5,2	7	5	0,7	0	0	0		
Снижение поверхностью земли в средней зоне, Am дБ	Gm = 1	ф-лы таб.3 [10]	-2,8	-2,8	0	0	0	0	0	0	0		
Суммарное снижение поверхностью земли на траектории распространения звука Agr, дБ		ф-ла (9) [10]	-5,8	-5,8	3,7	5,5	3,5	-0,8	-1,5	-1,5	-1,5		
Уровни звукового давления прямого звука от источника ИШ-4-6 в расчётной точке днём, дБ		**ф-ла(3)[10]**	**0**	**26,7**	**18,3**	**16,9**	**17,3**	**18,7**	**11,4**	**0**	**0**	**21,1**	**21,1**
Уровни звукового давления прямого звука от источника ИШ-4-6 в расчётной точке ночью, дБ		**ф-ла(3)[10]**	**0**	**26,7**	**18,3**	**16,9**	**17,3**	**18,7**	**11,4**	**0**	**0**	**21,1**	**21,1**
Расчёт отражённого звука													
Уровни звукового давления от мнимого источника ИШ-4-6_мн.(1) в расчётной точке днём, дБ		**ф-ла(3)[10]**	**0**	**0**	**0**	**0**	**0**	**0**	**3,3**	**0**	**0**	**4,5**	**4,5**
Уровни звукового давления от мнимого источника ИШ-4-6_мн.(1) в расчётной точке ночью, дБ		**ф-ла(3)[10]**	**0**	**0**	**0**	**0**	**0**	**0**	**0**	**0**	**0**	**4,5**	**4,5**
Уровни звукового давления от источника ИШ-4-6 в расчётной точке днём, дБ		**ф-ла(3)[10]**	**0**	**26,7**	**18,3**	**16,9**	**17,3**	**18,7**	**12**	**0**	**0**	**21,2**	**21,2**
Уровни звукового давления от источника ИШ-4-6 в расчётной точке ночью, дБ		**ф-ла(3)[10]**	**0**	**26,7**	**18,3**	**16,9**	**17,3**	**18,7**	**12**	**0**	**0**	**21,2**	**21,2**
Источник шума: ИШ-4-7, координаты источника (x,y,z), м =[177.91,257.92,11.00]													
Уровни звуковой мощности источника днём, Lw, дБ		**исходные данные**	**0**	**90,3**	**91,7**	**93**	**93,3**	**92,9**	**89,6**	**85,4**	**80,9**		
Уровни звуковой мощности источника ночью, Lw, дБ		**исходные данные**	**0**	**90,3**	**91,7**	**93**	**93,3**	**92,9**	**89,6**	**85,4**	**80,9**		

1		2	3	4	5	6	7	8	9	10	11	12	13
Поправка на телесный угол DΩ, дБ	Ω = 6.28	10Lg(4π/Ω)	**3**	3	3	3	3	3	3	3	3		
Показатель направленности источника Di, дБ		исходные данные	**0**	0	0	0	0	0	0	0	0		
Поправка на направленность источника Dc, дБ	Dc	DΩ + Di	**3**	3	3	3	3	3	3	3	3		
Затухание из-за геометрической дивергенции, Adiv, дБ	расстояние = 1171.33 м	ф-ла (7) [10]	**72,4**										
Коэффициент затухания звука в атмосфере α, дБ/км	Ta=20,°C Pa=101.33,кПа hотн.=70%	ф-ла (5) [9]	0,02	0,09	0,33	1,12	2,79	4,98	9,04	23,09	77,63		
Учет затухания звука в атмосфере Aatm, дБ		ф-ла (8) [10]	0	0,1	0,4	1,3	3,3	5,8	10,6	27	90,9		
Снижение поверхностью земли возле источника As, дБ	Gs = 0 hs = 3м	ф-лы таб.3 [10]	-1,5	-1,5	-1,5	-1,5	-1,5	-1,5	-1,5	-1,5	-1,5		
Снижение поверхностью земли возле приёмника Ar, дБ	Gr = 1 hr = 1.5м	ф-лы таб.3 [10]	-1,5	-1,5	5,2	7	5	0,7	0	0	0		
Снижение поверхностью земли в средней зоне, Am дБ	Gm = 1	ф-лы таб.3 [10]	-2,7	-2,7	0	0	0	0	0	0	0		
Суммарное снижение поверхностью земли на траектории распространения звука Agr, дБ		ф-ла (9) [10]	-5,7	-5,7	3,7	5,5	3,5	-0,8	-1,5	-1,5	-1,5		
Уровни звукового давления прямого звука от источника ИШ-4-7 в расчётной точке днём, дБ		**ф-ла(3)[10]**	**0**	**26,5**	**18,2**	**16,8**	**17,2**	**18,5**	**11,1**	**0**	**0**	**20,9**	**20,9**
Уровни звукового давления прямого звука от источника ИШ-4-7 в расчётной точке ночью, дБ		**ф-ла(3)[10]**	**0**	**26,5**	**18,2**	**16,8**	**17,2**	**18,5**	**11,1**	**0**	**0**	**20,9**	**20,9**
Расчёт отражённого звука													
Уровни звукового давления от мнимого источника ИШ-4-7_мн.(1) в расчётной точке днём, дБ		**ф-ла(3)[10]**	**0**	**0**	**0**	**0**	**0**	**0**	**4**	**0**	**0**	**5,2**	**5,2**
Уровни звукового давления от мнимого источника ИШ-4-7_мн.(1) в расчётной точке ночью, дБ		**ф-ла(3)[10]**	**0**	**0**	**0**	**0**	**0**	**0**	**0**	**0**	**0**	**5,2**	**5,2**
Уровни звукового давления от источника ИШ-4-7 в расчётной точке днём, дБ		**ф-ла(3)[10]**	**0**	**26,5**	**18,2**	**16,8**	**17,2**	**18,5**	**11,9**	**0**	**0**	**21**	**21**
Уровни звукового давления от источника ИШ-4-7 в расчётной точке ночью, дБ		**ф-ла(3)[10]**	**0**	**26,5**	**18,2**	**16,8**	**17,2**	**18,5**	**11,9**	**0**	**0**	**21**	**21**

1		2	3	4	5	6	7	8	9	10	11	12	13
Источник шума: ИШ-4-8, координаты источника (x,y,z), м =[178.24,257.77,13.00]													
Уровни звуковой мощности источника днём, Lw, дБ		**исходные данные**	**0**	**90,3**	**91,7**	**93**	**93,3**	**92,9**	**89,6**	**85,4**	**80,9**		
Уровни звуковой мощности источника ночью, Lw, дБ		**исходные данные**	**0**	**90,3**	**91,7**	**93**	**93,3**	**92,9**	**89,6**	**85,4**	**80,9**		
Поправка на телесный угол DΩ, дБ	Ω = 6.28	10Lg(4π/Ω)	**3**	3	3	3	3	3	3	3	3		
Показатель направленности источника Di, дБ		исходные данные	**0**	0	0	0	0	0	0	0	0		
Поправка на направленность источника Dc, дБ	Dc	DΩ + Di	**3**	3	3	3	3	3	3	3	3		
Затухание из-за геометрической дивергенции, Adiv, дБ	расстояние = 1171.70 м	ф-ла (7) [10]	**72,4**										
Коэффициент затухания звука в атмосфере α, дБ/км	Ta=20,°C Pa=101.33,кПа hотн.=70%	ф-ла (5) [9]	0,02	0,09	0,33	1,12	2,79	4,98	9,04	23,09	77,63		
Учет затухания звука в атмосфере Aatm, дБ		ф-ла (8) [10]	0	0,1	0,4	1,3	3,3	5,8	10,6	27	91		
Снижение поверхностью земли возле источника As, дБ	Gs = 0 hs = 5м	ф-лы таб.3 [10]	-1,5	-1,5	-1,5	-1,5	-1,5	-1,5	-1,5	-1,5	-1,5		
Снижение поверхностью земли возле приёмника Ar, дБ	Gr = 1 hr = 1.5м	ф-лы таб.3 [10]	-1,5	-1,5	5,2	7	5	0,7	0	0	0		
Снижение поверхностью земли в средней зоне, Am дБ	Gm = 1	ф-лы таб.3 [10]	-2,5	-2,5	0	0	0	0	0	0	0		
Суммарное снижение поверхностью земли на траектории распространения звука Agr, дБ		ф-ла (9) [10]	-5,5	-5,5	3,7	5,5	3,5	-0,8	-1,5	-1,5	-1,5		
Уровни звукового давления от источника ИШ-4-8 в расчётной точке днём, дБ		**ф-ла(3)[10]**	**0**	**26,3**	**18,2**	**16,8**	**17,2**	**18,5**	**11,1**	**0**	**0**	**20,9**	**20,9**
Уровни звукового давления от источника ИШ-4-8 в расчётной точке ночью, дБ		**ф-ла(3)[10]**	**0**	**26,3**	**18,2**	**16,8**	**17,2**	**18,5**	**11,1**	**0**	**0**	**20,9**	**20,9**
Источник шума: ИШ-4-9, координаты источника (x,y,z), м =[178.68,257.63,15.50]													

1		2	3	4	5	6	7	8	9	10	11	12	13
Уровни звуковой мощности источника днём, Lw, дБ		**исходные данные**	**0**	**90,3**	**91,7**	**93**	**93,3**	**92,9**	**89,6**	**85,4**	**80,9**		
Уровни звуковой мощности источника ночью, Lw, дБ		**исходные данные**	**0**	**90,3**	**91,7**	**93**	**93,3**	**92,9**	**89,6**	**85,4**	**80,9**		
Поправка на телесный угол DΩ, дБ	Ω = 6.28	10Lg(4π/Ω)	**3**	3	3	3	3	3	3	3	3		
Показатель направленности источника Di, дБ		исходные данные	**0**	0	0	0	0	0	0	0	0		
Поправка на направленность источника Dc, дБ	Dc	DΩ + Di	**3**	3	3	3	3	3	3	3	3		
Затухание из-за геометрической дивергенции, Adiv, дБ	расстояние = 1172.16 м	ф-ла (7) [10]	**72,4**										
Коэффициент затухания звука в атмосфере α, дБ/км	Ta=20,°C Pa=101.33,кПа hотн.=70%	ф-ла (5) [9]	0,02	0,09	0,33	1,12	2,79	4,98	9,04	23,09	77,63		
Учет затухания звука в атмосфере Aatm, дБ		ф-ла (8) [10]	0	0,1	0,4	1,3	3,3	5,8	10,6	27,1	91		
Снижение поверхностью земли возле источника As, дБ	Gs = 0 hs = 7.5м	ф-лы таб.3 [10]	-1,5	-1,5	-1,5	-1,5	-1,5	-1,5	-1,5	-1,5	-1,5		
Снижение поверхностью земли возле приёмника Ar, дБ	Gr = 1 hr = 1.5м	ф-лы таб.3 [10]	-1,5	-1,5	5,2	7	5	0,7	0	0	0		
Снижение поверхностью земли в средней зоне, Am дБ	Gm = 1	ф-лы таб.3 [10]	-2,3	-2,3	0	0	0	0	0	0	0		
Суммарное снижение поверхностью земли на траектории распространения звука Agr, дБ		ф-ла (9) [10]	-5,3	-5,3	3,7	5,5	3,5	-0,8	-1,5	-1,5	-1,5		
Уровни звукового давления от источника ИШ-4-9 в расчётной точке днём, дБ		**ф-ла(3)[10]**	**0**	**26,1**	**18,2**	**16,8**	**17,2**	**18,5**	**11,1**	**0**	**0**	**20,9**	**20,9**
Уровни звукового давления от источника ИШ-4-9 в расчётной точке ночью, дБ		**ф-ла(3)[10]**	**0**	**26,1**	**18,2**	**16,8**	**17,2**	**18,5**	**11,1**	**0**	**0**	**20,9**	**20,9**
Источник шума: ИШ-4-10, координаты источника (x,y,z), м =[185.65,255.31,11.00]													
Уровни звуковой мощности источника днём, Lw, дБ		**исходные данные**	**0**	**90,3**	**91,7**	**93**	**93,3**	**92,9**	**89,6**	**85,4**	**80,9**		

1		2	3	4	5	6	7	8	9	10	11	12	13
Уровни звуковой мощности источника ночью, Lw, дБ		**исходные данные**	**0**	**90,3**	**91,7**	**93**	**93,3**	**92,9**	**89,6**	**85,4**	**80,9**		
Поправка на телесный угол DΩ, дБ	Ω = 6.28	10Lg(4π/Ω)	**3**	3	3	3	3	3	3	3	3		
Показатель направленности источника Di, дБ		исходные данные	**0**	0	0	0	0	0	0	0	0		
Поправка на направленность источника Dc, дБ	Dc	DΩ + Di	**3**	3	3	3	3	3	3	3	3		
Затухание из-за геометрической дивергенции, Adiv, дБ	расстояние = 1179.07 м	ф-ла (7) [10]	**72,4**										
Коэффициент затухания звука в атмосфере α, дБ/км	Ta=20,°C Pa=101.33,кПа hотн.=70%	ф-ла (5) [9]	0,02	0,09	0,33	1,12	2,79	4,98	9,04	23,09	77,63		
Учет затухания звука в атмосфере Aatm, дБ		ф-ла (8) [10]	0	0,1	0,4	1,3	3,3	5,9	10,7	27,2	91,5		
Снижение поверхностью земли возле источника As, дБ	Gs = 0 hs = 3м	ф-лы таб.3 [10]	-1,5	-1,5	-1,5	-1,5	-1,5	-1,5	-1,5	-1,5	-1,5		
Снижение поверхностью земли возле приёмника Ar, дБ	Gr = 1 hr = 1.5м	ф-лы таб.3 [10]	-1,5	-1,5	5,2	7	5	0,7	0	0	0		
Снижение поверхностью земли в средней зоне, Am дБ	Gm = 1	ф-лы таб.3 [10]	-2,7	-2,7	0	0	0	0	0	0	0		
Суммарное снижение поверхностью земли на траектории распространения звука Agr, дБ		ф-ла (9) [10]	-5,7	-5,7	3,7	5,5	3,5	-0,8	-1,5	-1,5	-1,5		
Уровни звукового давления от источника ИШ-4-10 в расчётной точке днём, дБ		**ф-ла(3)[10]**	**0**	**26,4**	**18,1**	**16,7**	**17,1**	**18,4**	**11**	**0**	**0**	**20,8**	**20,8**
Уровни звукового давления от источника ИШ-4-10 в расчётной точке ночью, дБ		**ф-ла(3)[10]**	**0**	**26,4**	**18,1**	**16,7**	**17,1**	**18,4**	**11**	**0**	**0**	**20,8**	**20,8**
Источник шума: ИШ-4-11, координаты источника (x,y,z), м =[185.89,255.16,13.00]													
Уровни звуковой мощности источника днём, Lw, дБ		**исходные данные**	**0**	**90,3**	**91,7**	**93**	**93,3**	**92,9**	**89,6**	**85,4**	**80,9**		
Уровни звуковой мощности источника ночью, Lw, дБ		**исходные данные**	**0**	**90,3**	**91,7**	**93**	**93,3**	**92,9**	**89,6**	**85,4**	**80,9**		

1		2	3	4	5	6	7	8	9	10	11	12	13
Поправка на телесный угол DΩ, дБ	Ω = 6.28	10Lg(4π/Ω)	**3**	3	3	3	3	3	3	3	3		
Показатель направленности источника Di, дБ		исходные данные	**0**	0	0	0	0	0	0	0	0		
Поправка на направленность источника Dc, дБ	Dc	DΩ + Di	**3**	3	3	3	3	3	3	3	3		
Затухание из-за геометрической дивергенции, Adiv, дБ	расстояние = 1179.37 м	ф-ла (7) [10]	**72,4**										
Коэффициент затухания звука в атмосфере α, дБ/км	Ta=20,°C Pa=101.33,кПа hотн.=70%	ф-ла (5) [9]	0,02	0,09	0,33	1,12	2,79	4,98	9,04	23,09	77,63		
Учет затухания звука в атмосфере Aatm, дБ		ф-ла (8) [10]	0	0,1	0,4	1,3	3,3	5,9	10,7	27,2	91,6		
Снижение поверхностью земли возле источника As, дБ	Gs = 0 hs = 5м	ф-лы таб.3 [10]	-1,5	-1,5	-1,5	-1,5	-1,5	-1,5	-1,5	-1,5	-1,5		
Снижение поверхностью земли возле приёмника Ar, дБ	Gr = 1 hr = 1.5м	ф-лы таб.3 [10]	-1,5	-1,5	5,3	7	5	0,7	0	0	0		
Снижение поверхностью земли в средней зоне, Am дБ	Gm = 1	ф-лы таб.3 [10]	-2,5	-2,5	0	0	0	0	0	0	0		
Суммарное снижение поверхностью земли на траектории распространения звука Agr, дБ		ф-ла (9) [10]	-5,5	-5,5	3,8	5,5	3,5	-0,8	-1,5	-1,5	-1,5		
Уровни звукового давления от источника ИШ-4-11 в расчётной точке днём, дБ		**ф-ла(3)[10]**	**0**	**26,3**	**18,1**	**16,7**	**17,1**	**18,4**	**11**	**0**	**0**	**20,8**	**20,8**
Уровни звукового давления от источника ИШ-4-11 в расчётной точке ночью, дБ		**ф-ла(3)[10]**	**0**	**26,3**	**18,1**	**16,7**	**17,1**	**18,4**	**11**	**0**	**0**	**20,8**	**20,8**
Источник шума: ИШ-4-12, координаты источника (x,y,z), м =[186.18,255.02,15.50]													
Уровни звуковой мощности источника днём, Lw, дБ		**исходные данные**	**0**	**90,3**	**91,7**	**93**	**93,3**	**92,9**	**89,6**	**85,4**	**80,9**		
Уровни звуковой мощности источника ночью, Lw, дБ		**исходные данные**	**0**	**90,3**	**91,7**	**93**	**93,3**	**92,9**	**89,6**	**85,4**	**80,9**		
Поправка на телесный угол DΩ, дБ	Ω = 6.28	10Lg(4π/Ω)	**3**	3	3	3	3	3	3	3	3		

1		2	3	4	5	6	7	8	9	10	11	12	13
Показатель направленности источника Di, дБ		исходные данные	**0**	0	0	0	0	0	0	0	0		
Поправка на направленность источника Dc, дБ	Dc	DΩ + Di	**3**	3	3	3	3	3	3	3	3		
Затухание из-за геометрической дивергенции, Adiv, дБ	расстояние = 1179.72 м	ф-ла (7) [10]	**72,4**										
Коэффициент затухания звука в атмосфере α, дБ/км	Ta=20,°C Pa=101.33,кПа hотн.=70%	ф-ла (5) [9]	0,02	0,09	0,33	1,12	2,79	4,98	9,04	23,09	77,63		
Учет затухания звука в атмосфере Aatm, дБ		ф-ла (8) [10]	0	0,1	0,4	1,3	3,3	5,9	10,7	27,2	91,6		
Снижение поверхностью земли возле источника As, дБ	Gs = 0 hs = 7.5м	ф-лы таб.3 [10]	-1,5	-1,5	-1,5	-1,5	-1,5	-1,5	-1,5	-1,5	-1,5		
Снижение поверхностью земли возле приёмника Ar, дБ	Gr = 1 hr = 1.5м	ф-лы таб.3 [10]	-1,5	-1,5	5,3	7	5	0,7	0	0	0		
Снижение поверхностью земли в средней зоне, Am дБ	Gm = 1	ф-лы таб.3 [10]	-2,3	-2,3	0	0	0	0	0	0	0		
Суммарное снижение поверхностью земли на траектории распространения звука Agr, дБ		ф-ла (9) [10]	-5,3	-5,3	3,8	5,5	3,5	-0,8	-1,5	-1,5	-1,5		
Уровни звукового давления от источника ИШ-4-12 в расчётной точке днём, дБ		**ф-ла(3)[10]**	**0**	**26,1**	**18,1**	**16,7**	**17,1**	**18,4**	**11**	**0**	**0**	**20,8**	**20,8**
Уровни звукового давления от источника ИШ-4-12 в расчётной точке ночью, дБ		**ф-ла(3)[10]**	**0**	**26,1**	**18,1**	**16,7**	**17,1**	**18,4**	**11**	**0**	**0**	**20,8**	**20,8**
Источник шума: ИШ-4-13, координаты источника (x,y,z), м =[94.56,229.10,1.00]													
Уровни звуковой мощности источника днём, Lw, дБ		**исходные данные**	**0**	**81,3**	**82,7**	**84**	**84,3**	**83,9**	**80,6**	**76,4**	**71,9**		
Уровни звуковой мощности источника ночью, Lw, дБ		**исходные данные**	**0**	**81,3**	**82,7**	**84**	**84,3**	**83,9**	**80,6**	**76,4**	**71,9**		
Поправка на телесный угол DΩ, дБ	Ω = 6.28	10Lg(4π/Ω)	**3**	3	3	3	3	3	3	3	3		
Показатель направленности источника Di, дБ		исходные данные	**0**	0	0	0	0	0	0	0	0		

1		2	3	4	5	6	7	8	9	10	11	12	13
Поправка на направленность источника Dc, дБ	Dc	DΩ + Di	**3**	3	3	3	3	3	3	3	3		
Затухание из-за геометрической дивергенции, Adiv, дБ	расстояние = 1124.79 м	ф-ла (7) [10]	**72**										
Коэффициент затухания звука в атмосфере α, дБ/км	Ta=20,°C Pa=101.33,кПа hотн.=70%	ф-ла (5) [9]	0,02	0,09	0,33	1,12	2,79	4,98	9,04	23,09	77,63		
Учет затухания звука в атмосфере Aatm, дБ		ф-ла (8) [10]	0	0,1	0,4	1,3	3,1	5,6	10,2	26	87,3		
Снижение поверхностью земли возле источника As, дБ	Gs = 0 hs = 1м	ф-лы таб.3 [10]	-1,5	-1,5	-1,5	-1,5	-1,5	-1,5	-1,5	-1,5	-1,5		
Снижение поверхностью земли возле приёмника Ar, дБ	Gr = 1 hr = 1.5м	ф-лы таб.3 [10]	-1,5	-1,5	5,2	7	5	0,7	0	0	0		
Снижение поверхностью земли в средней зоне, Am дБ	Gm = 1	ф-лы таб.3 [10]	-2,8	-2,8	0	0	0	0	0	0	0		
Суммарное снижение поверхностью земли на траектории распространения звука Agr, дБ		ф-ла (9) [10]	-5,8	-5,8	3,7	5,5	3,5	-0,8	-1,5	-1,5	-1,5		
Уровни звукового давления прямого звука от источника ИШ-4-13 в расчётной точке днём, дБ		**ф-ла(3)[10]**	**0**	**18**	**9,6**	**8,2**	**8,7**	**10,1**	**2,9**	**0**	**0**	**12,5**	**12,5**
Уровни звукового давления прямого звука от источника ИШ-4-13 в расчётной точке ночью, дБ		**ф-ла(3)[10]**	**0**	**18**	**9,6**	**8,2**	**8,7**	**10,1**	**2,9**	**0**	**0**	**12,5**	**12,5**
Расчёт отражённого звука													
Уровни звукового давления от мнимого источника ИШ-4-13_мн.(1) в расчётной точке днём, дБ		**ф-ла(3)[10]**	**0**	**0**	**9,8**	**9,4**	**6,4**	**1,3**	**0**	**0**	**0**	**6,9**	**6,9**
Уровни звукового давления от мнимого источника ИШ-4-13_мн.(1) в расчётной точке ночью, дБ		**ф-ла(3)[10]**	**0**	**0**	**0**	**0**	**0**	**0**	**0**	**0**	**0**	**6,9**	**6,9**
Уровни звукового давления от источника ИШ-4-13 в расчётной точке днём, дБ		**ф-ла(3)[10]**	**0**	**18**	**12,7**	**11,9**	**10,7**	**10,7**	**2,9**	**0**	**0**	**13,5**	**13,5**
Уровни звукового давления от источника ИШ-4-13 в расчётной точке ночью, дБ		**ф-ла(3)[10]**	**0**	**18**	**12,7**	**11,9**	**10,7**	**10,7**	**2,9**	**0**	**0**	**13,5**	**13,5**
Источник шума: ИШ-4-14, координаты источника (x,y,z), м =[91.88,221.30,1.00]													

1		2	3	4	5	6	7	8	9	10	11	12	13
Уровни звуковой мощности источника днём, Lw, дБ		**исходные данные**	**0**	**81,3**	**82,7**	**84**	**84,3**	**83,9**	**80,6**	**76,4**	**71,9**		
Уровни звуковой мощности источника ночью, Lw, дБ		**исходные данные**	**0**	**81,3**	**82,7**	**84**	**84,3**	**83,9**	**80,6**	**76,4**	**71,9**		
Поправка на телесный угол DΩ, дБ	Ω = 6.28	10Lg(4π/Ω)	**3**	3	3	3	3	3	3	3	3		
Показатель направленности источника Di, дБ		исходные данные	**0**	0	0	0	0	0	0	0	0		
Поправка на направленность источника Dc, дБ	Dc	DΩ + Di	**3**	3	3	3	3	3	3	3	3		
Затухание из-за геометрической дивергенции, Adiv, дБ	расстояние = 1127.91 м	ф-ла (7) [10]	**72**										
Коэффициент затухания звука в атмосфере α, дБ/км	Ta=20,°C Pa=101.33,кПа hотн.=70%	ф-ла (5) [9]	0,02	0,09	0,33	1,12	2,79	4,98	9,04	23,09	77,63		
Учет затухания звука в атмосфере Aatm, дБ		ф-ла (8) [10]	0	0,1	0,4	1,3	3,1	5,6	10,2	26	87,6		
Снижение поверхностью земли возле источника As, дБ	Gs = 0 hs = 1м	ф-лы таб.3 [10]	-1,5	-1,5	-1,5	-1,5	-1,5	-1,5	-1,5	-1,5	-1,5		
Снижение поверхностью земли возле приёмника Ar, дБ	Gr = 1 hr = 1.5м	ф-лы таб.3 [10]	-1,5	-1,5	5,2	7	5	0,7	0	0	0		
Снижение поверхностью земли в средней зоне, Am дБ	Gm = 1	ф-лы таб.3 [10]	-2,8	-2,8	0	0	0	0	0	0	0		
Суммарное снижение поверхностью земли на траектории распространения звука Agr, дБ		ф-ла (9) [10]	-5,8	-5,8	3,7	5,5	3,5	-0,8	-1,5	-1,5	-1,5		
Уровни звукового давления прямого звука от источника ИШ-4-14 в расчётной точке днём, дБ		**ф-ла(3)[10]**	**0**	**17,9**	**9,6**	**8,2**	**8,6**	**10,1**	**2,9**	**0**	**0**	**12,4**	**12,4**
Уровни звукового давления прямого звука от источника ИШ-4-14 в расчётной точке ночью, дБ		**ф-ла(3)[10]**	**0**	**17,9**	**9,6**	**8,2**	**8,6**	**10,1**	**2,9**	**0**	**0**	**12,4**	**12,4**
Расчёт отражённого звука													
Уровни звукового давления от мнимого источника ИШ-4-14_мн.(1) в расчётной точке днём, дБ		**ф-ла(3)[10]**	**0**	**0**	**1,5**	**0**	**0**	**5,4**	**0,2**	**0**	**0**	**6,9**	**6,9**
Уровни звукового давления от мнимого источника ИШ-4-14_мн.(1) в расчётной точке ночью, дБ		**ф-ла(3)[10]**	**0**	**0**	**0**	**0**	**0**	**0**	**0**	**0**	**0**	**6,9**	**6,9**

1		2	3	4	5	6	7	8	9	10	11	12	13
Уровни звукового давления от источника ИШ-4-14 в расчётной точке днём, дБ		**ф-ла(3)[10]**	**0**	**17,9**	**10,2**	**8,2**	**8,6**	**11,4**	**4,7**	**0**	**0**	**13,5**	**13,5**
Уровни звукового давления от источника ИШ-4-14 в расчётной точке ночью, дБ		**ф-ла(3)[10]**	**0**	**17,9**	**10,2**	**8,2**	**8,6**	**11,4**	**4,7**	**0**	**0**	**13,5**	**13,5**
Источник шума: ИШ-5-1, координаты источника (x,y,z), м =[626.70,162.36,1.00]													
Уровни звуковой мощности источника днём, Lw, дБ		**исходные данные**	**0**	**93,3**	**94,7**	**96**	**96,3**	**95,9**	**92,6**	**88,4**	**83,9**		
Уровни звуковой мощности источника ночью, Lw, дБ		**исходные данные**	**0**	**93,3**	**94,7**	**96**	**96,3**	**95,9**	**92,6**	**88,4**	**83,9**		
Поправка на телесный угол DΩ, дБ	Ω = 6.28	10Lg(4π/Ω)	**3**	3	3	3	3	3	3	3	3		
Показатель направленности источника Di, дБ		исходные данные	**0**	0	0	0	0	0	0	0	0		
Поправка на направленность источника Dc, дБ	Dc	DΩ + Di	**3**	3	3	3	3	3	3	3	3		
Затухание из-за геометрической дивергенции, Adiv, дБ	расстояние = 1598.39 м	ф-ла (7) [10]	**75,1**										
Коэффициент затухания звука в атмосфере α, дБ/км	Ta=20,°C Pa=101.33,кПа hотн.=70%	ф-ла (5) [9]	0,02	0,09	0,33	1,12	2,79	4,98	9,04	23,09	77,63		
Учет затухания звука в атмосфере Aatm, дБ		ф-ла (8) [10]	0	0,1	0,5	1,8	4,5	8	14,4	36,9	124,1		
Снижение уровня звукового давления из-за влияния застройки между источником шума и расчетной точкой													
Снижение уровня звукового давления препятствием слева от трассы ИШ-РТ, Dz2, дБ	z = 0.00м (разность путей)	ф-лы (14-18) [10]	4,8	4,7	4,7	4,6	4,5	4,2	3,5	1,7	NAN		
* отрицательное значение z означает прохождение траектории вблизи экрана, в этом случае дополнительно производится учёт снижения подстилающей поверхностью (см.ниже)													
Снижение поверхностью земли возле источника As, дБ	Gs = 0 hs = 1м	ф-лы таб.3 [10]	-1,5	-1,5	-1,5	-1,5	-1,5	-1,5	-1,5	-1,5	-1,5		
Снижение поверхностью земли возле приёмника Ar, дБ	Gr = 1 hr = 1.5м	ф-лы таб.3 [10]	-1,5	-1,5	5,3	7	5	0,7	0	0	0		
Снижение поверхностью земли в средней зоне, Am дБ	Gm = 1	ф-лы таб.3 [10]	-2,9	-2,9	0	0	0	0	0	0	0		

1		2	3	4	5	6	7	8	9	10	11	12	13
Суммарное снижение поверхностью земли на траектории распространения звука Agr, дБ		ф-ла (9) [10]	-5,9	-5,9	3,8	5,5	3,5	-0,8	-1,5	-1,5	-1,5		
Уровни звукового давления от источника ИШ-5-1 в расчётной точке днём, дБ		**ф-ла(3)[10]**	**0**	**22,2**	**13,5**	**12**	**11,8**	**12,5**	**4,1**	**0**	**0**	**15**	**15**
Уровни звукового давления от источника ИШ-5-1 в расчётной точке ночью, дБ		**ф-ла(3)[10]**	**0**	**22,2**	**13,5**	**12**	**11,8**	**12,5**	**4,1**	**0**	**0**	**15**	**15**
Источник шума: ИШ-5-2, координаты источника (x,y,z), м =[625.81,159.52,1.00]													
Уровни звуковой мощности источника днём, Lw, дБ		**исходные данные**	**0**	**93,3**	**94,7**	**96**	**96,3**	**95,9**	**92,6**	**88,4**	**83,9**		
Уровни звуковой мощности источника ночью, Lw, дБ		**исходные данные**	**0**	**93,3**	**94,7**	**96**	**96,3**	**95,9**	**92,6**	**88,4**	**83,9**		
Поправка на телесный угол DΩ, дБ	Ω = 6.28	10Lg(4π/Ω)	**3**	3	3	3	3	3	3	3	3		
Показатель направленности источника Di, дБ		исходные данные	**0**	0	0	0	0	0	0	0	0		
Поправка на направленность источника Dc, дБ	Dc	DΩ + Di	**3**	3	3	3	3	3	3	3	3		
Затухание из-за геометрической дивергенции, Adiv, дБ	расстояние = 1599.05 м	ф-ла (7) [10]	**75,1**										
Коэффициент затухания звука в атмосфере α, дБ/км	Ta=20,°C Pa=101.33,кПа hотн.=70%	ф-ла (5) [9]	0,02	0,09	0,33	1,12	2,79	4,98	9,04	23,09	77,63		
Учет затухания звука в атмосфере Aatm, дБ		ф-ла (8) [10]	0	0,1	0,5	1,8	4,5	8	14,5	36,9	124,1		
Снижение уровня звукового давления из-за влияния застройки между источником шума и расчетной точкой													
Снижение уровня звукового давления на пути над экраном, Dz1, дБ	z = 0.18м (разность путей)	ф-лы (14-18) [10]	4,8	4,8	4,8	4,8	4,8	4,8	4,8	4,8	4,8		
Снижение уровня звукового давления на пути слева от экрана, Dz2, дБ	z = 2.65м (разность путей)	ф-лы (14-18) [10]	11,1	13,5	16,2	19,1	22	25	28	31	34		
Снижение уровня звукового давления на пути справа от экрана, Dz3, дБ	z = 0.00м (разность путей)	ф-лы (14-18) [10]	4,8	4,8	4,8	4,9	5,1	5,4	5,9	6,8	8,1		

1		2	3	4	5	6	7	8	9	10	11	12	13
Общее снижение уровня звука препятствием Dz, дБ		Эн.сумма(-Dzi)	1,3	1,5	1,6	1,8	1,9	2	2,3	2,6	3,1		
Уровни звукового давления от источника ИШ-5-2 в расчётной точке днём, дБ		**ф-ла(3)[10]**	**0**	**19,6**	**20,4**	**20,4**	**17,9**	**13,8**	**3,8**	**0**	**0**	**18,7**	**18,7**
Уровни звукового давления от источника ИШ-5-2 в расчётной точке ночью, дБ		**ф-ла(3)[10]**	**0**	**19,6**	**20,4**	**20,4**	**17,9**	**13,8**	**3,8**	**0**	**0**	**18,7**	**18,7**
Источник шума: ИШ-5-3, координаты источника (x,y,z), м =[624.84,156.69,1.00]													
Уровни звуковой мощности источника днём, Lw, дБ		**исходные данные**	**0**	**93,3**	**94,7**	**96**	**96,3**	**95,9**	**92,6**	**88,4**	**83,9**		
Уровни звуковой мощности источника ночью, Lw, дБ		**исходные данные**	**0**	**93,3**	**94,7**	**96**	**96,3**	**95,9**	**92,6**	**88,4**	**83,9**		
Поправка на телесный угол DΩ, дБ	Ω = 6.28	10Lg(4π/Ω)	**3**	3	3	3	3	3	3	3	3		
Показатель направленности источника Di, дБ		исходные данные	**0**	0	0	0	0	0	0	0	0		
Поправка на направленность источника Dc, дБ	Dc	DΩ + Di	**3**	3	3	3	3	3	3	3	3		
Затухание из-за геометрической дивергенции, Adiv, дБ	расстояние = 1599.64 м	ф-ла (7) [10]	**75,1**										
Коэффициент затухания звука в атмосфере α, дБ/км	Ta=20,°C Pa=101.33,кПа hотн.=70%	ф-ла (5) [9]	0,02	0,09	0,33	1,12	2,79	4,98	9,04	23,09	77,63		
Учет затухания звука в атмосфере Aatm, дБ		ф-ла (8) [10]	0	0,1	0,5	1,8	4,5	8	14,5	36,9	124,2		
Снижение уровня звукового давления из-за влияния застройки между источником шума и расчетной точкой													
Снижение уровня звукового давления на пути над экраном, Dz1, дБ	z = 0.18м (разность путей)	ф-лы (14-18) [10]	4,8	4,8	4,8	4,8	4,8	4,8	4,8	4,8	4,8		
Снижение уровня звукового давления на пути слева от экрана, Dz2, дБ	z = 2.35м (разность путей)	ф-лы (14-18) [10]	10,7	13,1	15,7	18,6	21,5	24,5	27,4	30,4	33,4		
Снижение уровня звукового давления на пути справа от экрана, Dz3, дБ	z = 0.03м (разность путей)	ф-лы (14-18) [10]	4,9	5,1	5,4	6	6,9	8,3	10,2	12,6	15,2		

1		2	3	4	5	6	7	8	9	10	11	12	13
Общее снижение уровня звука препятствием Dz, дБ		Эн.сумма(-Dzi)	1,3	1,6	1,9	2,2	2,6	3,1	3,7	4,1	4,4		
Уровни звукового давления от источника ИШ-5-3 в расчётной точке днём, дБ		**ф-ла(3)[10]**	**0**	**19,5**	**20,2**	**19,9**	**17,1**	**12,7**	**2,4**	**0**	**0**	**17,9**	**17,9**
Уровни звукового давления от источника ИШ-5-3 в расчётной точке ночью, дБ		**ф-ла(3)[10]**	**0**	**19,5**	**20,2**	**19,9**	**17,1**	**12,7**	**2,4**	**0**	**0**	**17,9**	**17,9**
Источник шума: ИШ-6-1, координаты источника (x,y,z), м =[836.30,122.24,1.00]													
Уровни звуковой мощности источника днём, Lw, дБ		**исходные данные**	**0**	**96,3**	**97,7**	**99**	**99,3**	**98,9**	**95,6**	**91,4**	**86,9**		
Уровни звуковой мощности источника ночью, Lw, дБ		**исходные данные**	**0**	**96,3**	**97,7**	**99**	**99,3**	**98,9**	**95,6**	**91,4**	**86,9**		
Поправка на телесный угол DΩ, дБ	Ω = 12.57	10Lg(4π/Ω)	**0**	0	0	0	0	0	0	0	0		
Показатель направленности источника Di, дБ		исходные данные	**0**	0	0	0	0	0	0	0	0		
Поправка на направленность источника Dc, дБ	Dc	DΩ + Di	**0**	0	0	0	0	0	0	0	0		
Затухание из-за геометрической дивергенции, Adiv, дБ	расстояние = 1801.09 м	ф-ла (7) [10]	**76,1**										
Коэффициент затухания звука в атмосфере α, дБ/км	Ta=20,°C Pa=101.33,кПа hотн.=70%	ф-ла (5) [9]	0,02	0,09	0,33	1,12	2,79	4,98	9,04	23,09	77,63		
Учет затухания звука в атмосфере Aatm, дБ		ф-ла (8) [10]	0	0,2	0,6	2	5	9	16,3	41,6	139,8		
Снижение поверхностью земли возле источника As, дБ	Gs = 0 hs = 1м	ф-лы таб.3 [10]	-1,5	-1,5	-1,5	-1,5	-1,5	-1,5	-1,5	-1,5	-1,5		
Снижение поверхностью земли возле приёмника Ar, дБ	Gr = 1 hr = 1.5м	ф-лы таб.3 [10]	-1,5	-1,5	5,3	7	5	0,7	0	0	0		
Снижение поверхностью земли в средней зоне, Am дБ	Gm = 1	ф-лы таб.3 [10]	-2,9	-2,9	0	0	0	0	0	0	0		
Суммарное снижение поверхностью земли на траектории распространения звука Agr, дБ		ф-ла (9) [10]	-5,9	-5,9	3,8	5,5	3,5	-0,8	-1,5	-1,5	-1,5		

1		2	3	4	5	6	7	8	9	10	11	12	13
Уровни звукового давления от источника ИШ-6-1 в расчётной точке днём, дБ		**ф-ла(3)[10]**	**0**	**25,9**	**17,1**	**15,3**	**14,7**	**14,7**	**4,7**	**0**	**0**	**17,3**	**17,3**
Уровни звукового давления от источника ИШ-6-1 в расчётной точке ночью, дБ		**ф-ла(3)[10]**	**0**	**25,9**	**17,1**	**15,3**	**14,7**	**14,7**	**4,7**	**0**	**0**	**17,3**	**17,3**
Источник шума: ИШ-6-2, координаты источника (x,y,z), м =[835.37,119.30,1.00]													
Уровни звуковой мощности источника днём, Lw, дБ		**исходные данные**	**0**	**96,3**	**97,7**	**99**	**99,3**	**98,9**	**95,6**	**91,4**	**86,9**		
Уровни звуковой мощности источника ночью, Lw, дБ		**исходные данные**	**0**	**96,3**	**97,7**	**99**	**99,3**	**98,9**	**95,6**	**91,4**	**86,9**		
Поправка на телесный угол DΩ, дБ	Ω = 12.57	10Lg(4π/Ω)	**0**	0	0	0	0	0	0	0	0		
Показатель направленности источника Di, дБ		исходные данные	**0**	0	0	0	0	0	0	0	0		
Поправка на направленность источника Dc, дБ	Dc	DΩ + Di	**0**	0	0	0	0	0	0	0	0		
Затухание из-за геометрической дивергенции, Adiv, дБ	расстояние = 1801.65 м	ф-ла (7) [10]	**76,1**										
Коэффициент затухания звука в атмосфере α, дБ/км	Ta=20,°C Pa=101.33,кПа hотн.=70%	ф-ла (5) [9]	0,02	0,09	0,33	1,12	2,79	4,98	9,04	23,09	77,63		
Учет затухания звука в атмосфере Aatm, дБ		ф-ла (8) [10]	0	0,2	0,6	2	5	9	16,3	41,6	139,9		
Снижение поверхностью земли возле источника As, дБ	Gs = 0 hs = 1м	ф-лы таб.3 [10]	-1,5	-1,5	-1,5	-1,5	-1,5	-1,5	-1,5	-1,5	-1,5		
Снижение поверхностью земли возле приёмника Ar, дБ	Gr = 1 hr = 1.5м	ф-лы таб.3 [10]	-1,5	-1,5	5,3	7	5	0,7	0	0	0		
Снижение поверхностью земли в средней зоне, Am дБ	Gm = 1	ф-лы таб.3 [10]	-2,9	-2,9	0	0	0	0	0	0	0		
Суммарное снижение поверхностью земли на траектории распространения звука Agr, дБ		ф-ла (9) [10]	-5,9	-5,9	3,8	5,5	3,5	-0,8	-1,5	-1,5	-1,5		
Уровни звукового давления от источника ИШ-6-2 в расчётной точке днём, дБ		**ф-ла(3)[10]**	**0**	**25,9**	**17,1**	**15,3**	**14,7**	**14,7**	**4,7**	**0**	**0**	**17,3**	**17,3**

1		2	3	4	5	6	7	8	9	10	11	12	13
Уровни звукового давления от источника ИШ-6-2 в расчётной точке ночью, дБ		**ф-ла(3)[10]**	**0**	**25,9**	**17,1**	**15,3**	**14,7**	**14,7**	**4,7**	**0**	**0**	**17,3**	**17,3**
Источник шума: ИШ-6-3, координаты источника (x,y,z), м =[834.03,116.36,1.00]													
Уровни звуковой мощности источника днём, Lw, дБ		**исходные данные**	**0**	**96,3**	**97,7**	**99**	**99,3**	**98,9**	**95,6**	**91,4**	**86,9**		
Уровни звуковой мощности источника ночью, Lw, дБ		**исходные данные**	**0**	**96,3**	**97,7**	**99**	**99,3**	**98,9**	**95,6**	**91,4**	**86,9**		
Поправка на телесный угол DΩ, дБ	Ω = 12.57	10Lg(4π/Ω)	**0**	0	0	0	0	0	0	0	0		
Показатель направленности источника Di, дБ		исходные данные	**0**	0	0	0	0	0	0	0	0		
Поправка на направленность источника Dc, дБ	Dc	DΩ + Di	**0**	0	0	0	0	0	0	0	0		
Затухание из-за геометрической дивергенции, Adiv, дБ	расстояние = 1801.85 м	ф-ла (7) [10]	**76,1**										
Коэффициент затухания звука в атмосфере α, дБ/км	Ta=20,°C Pa=101.33,кПа hотн.=70%	ф-ла (5) [9]	0,02	0,09	0,33	1,12	2,79	4,98	9,04	23,09	77,63		
Учет затухания звука в атмосфере Aatm, дБ		ф-ла (8) [10]	0	0,2	0,6	2	5	9	16,3	41,6	139,9		
Снижение поверхностью земли возле источника As, дБ	Gs = 0 hs = 1м	ф-лы таб.3 [10]	-1,5	-1,5	-1,5	-1,5	-1,5	-1,5	-1,5	-1,5	-1,5		
Снижение поверхностью земли возле приёмника Ar, дБ	Gr = 1 hr = 1.5м	ф-лы таб.3 [10]	-1,5	-1,5	5,3	7	5	0,7	0	0	0		
Снижение поверхностью земли в средней зоне, Am дБ	Gm = 1	ф-лы таб.3 [10]	-2,9	-2,9	0	0	0	0	0	0	0		
Суммарное снижение поверхностью земли на траектории распространения звука Agr, дБ		ф-ла (9) [10]	-5,9	-5,9	3,8	5,5	3,5	-0,8	-1,5	-1,5	-1,5		
Уровни звукового давления от источника ИШ-6-3 в расчётной точке днём, дБ		**ф-ла(3)[10]**	**0**	**25,9**	**17,1**	**15,3**	**14,7**	**14,6**	**4,7**	**0**	**0**	**17,3**	**17,3**
Уровни звукового давления от источника ИШ-6-3 в расчётной точке ночью, дБ		**ф-ла(3)[10]**	**0**	**25,9**	**17,1**	**15,3**	**14,7**	**14,6**	**4,7**	**0**	**0**	**17,3**	**17,3**

1		2	3	4	5	6	7	8	9	10	11	12	13
Источник шума: ИШ-6-4, координаты источника (x,y,z), м =[833.23,113.30,1.00]													
Уровни звуковой мощности источника днём, Lw, дБ		**исходные данные**	**0**	**96,3**	**97,7**	**99**	**99,3**	**98,9**	**95,6**	**91,4**	**86,9**		
Уровни звуковой мощности источника ночью, Lw, дБ		**исходные данные**	**0**	**96,3**	**97,7**	**99**	**99,3**	**98,9**	**95,6**	**91,4**	**86,9**		
Поправка на телесный угол DΩ, дБ	Ω = 12.57	10Lg(4π/Ω)	**0**	0	0	0	0	0	0	0	0		
Показатель направленности источника Di, дБ		исходные данные	**0**	0	0	0	0	0	0	0	0		
Поправка на направленность источника Dc, дБ	Dc	DΩ + Di	**0**	0	0	0	0	0	0	0	0		
Затухание из-за геометрической дивергенции, Adiv, дБ	расстояние = 1802.60 м	ф-ла (7) [10]	**76,1**										
Коэффициент затухания звука в атмосфере α, дБ/км	Ta=20,°C Pa=101.33,кПа hотн.=70%	ф-ла (5) [9]	0,02	0,09	0,33	1,12	2,79	4,98	9,04	23,09	77,63		
Учет затухания звука в атмосфере Aatm, дБ		ф-ла (8) [10]	0	0,2	0,6	2	5	9	16,3	41,6	139,9		
Снижение поверхностью земли возле источника As, дБ	Gs = 0 hs = 1м	ф-лы таб.3 [10]	-1,5	-1,5	-1,5	-1,5	-1,5	-1,5	-1,5	-1,5	-1,5		
Снижение поверхностью земли возле приёмника Ar, дБ	Gr = 1 hr = 1.5м	ф-лы таб.3 [10]	-1,5	-1,5	5,3	7	5	0,7	0	0	0		
Снижение поверхностью земли в средней зоне, Am дБ	Gm = 1	ф-лы таб.3 [10]	-2,9	-2,9	0	0	0	0	0	0	0		
Суммарное снижение поверхностью земли на траектории распространения звука Agr, дБ		ф-ла (9) [10]	-5,9	-5,9	3,8	5,5	3,5	-0,8	-1,5	-1,5	-1,5		
Уровни звукового давления от источника ИШ-6-4 в расчётной точке днём, дБ		**ф-ла(3)[10]**	**0**	**25,9**	**17,1**	**15,3**	**14,7**	**14,6**	**4,7**	**0**	**0**	**17,3**	**17,3**
Уровни звукового давления от источника ИШ-6-4 в расчётной точке ночью, дБ		**ф-ла(3)[10]**	**0**	**25,9**	**17,1**	**15,3**	**14,7**	**14,6**	**4,7**	**0**	**0**	**17,3**	**17,3**
Источник шума: ИШ-6-5, координаты источника (x,y,z), м =[832.03,110.36,1.00]													

1		2	3	4	5	6	7	8	9	10	11	12	13
Уровни звуковой мощности источника днём, Lw, дБ		**исходные данные**	**0**	**96,3**	**97,7**	**99**	**99,3**	**98,9**	**95,6**	**91,4**	**86,9**		
Уровни звуковой мощности источника ночью, Lw, дБ		**исходные данные**	**0**	**96,3**	**97,7**	**99**	**99,3**	**98,9**	**95,6**	**91,4**	**86,9**		
Поправка на телесный угол DΩ, дБ	Ω = 12.57	10Lg(4π/Ω)	**0**	0	0	0	0	0	0	0	0		
Показатель направленности источника Di, дБ		исходные данные	**0**	0	0	0	0	0	0	0	0		
Поправка на направленность источника Dc, дБ	Dc	DΩ + Di	**0**	0	0	0	0	0	0	0	0		
Затухание из-за геометрической дивергенции, Adiv, дБ	расстояние = 1802.93 м	ф-ла (7) [10]	**76,1**										
Коэффициент затухания звука в атмосфере α, дБ/км	Ta=20,°C Pa=101.33,кПа hотн.=70%	ф-ла (5) [9]	0,02	0,09	0,33	1,12	2,79	4,98	9,04	23,09	77,63		
Учет затухания звука в атмосфере Aatm, дБ		ф-ла (8) [10]	0	0,2	0,6	2	5	9	16,3	41,6	140		
Снижение поверхностью земли возле источника As, дБ	Gs = 0 hs = 1м	ф-лы таб.3 [10]	-1,5	-1,5	-1,5	-1,5	-1,5	-1,5	-1,5	-1,5	-1,5		
Снижение поверхностью земли возле приёмника Ar, дБ	Gr = 1 hr = 1.5м	ф-лы таб.3 [10]	-1,5	-1,5	5,3	7	5	0,7	0	0	0		
Снижение поверхностью земли в средней зоне, Am дБ	Gm = 1	ф-лы таб.3 [10]	-2,9	-2,9	0	0	0	0	0	0	0		
Суммарное снижение поверхностью земли на траектории распространения звука Agr, дБ		ф-ла (9) [10]	-5,9	-5,9	3,8	5,5	3,5	-0,8	-1,5	-1,5	-1,5		
Уровни звукового давления от источника ИШ-6-5 в расчётной точке днём, дБ		**ф-ла(3)[10]**	**0**	**25,9**	**17,1**	**15,3**	**14,7**	**14,6**	**4,7**	**0**	**0**	**17,3**	**17,3**
Уровни звукового давления от источника ИШ-6-5 в расчётной точке ночью, дБ		**ф-ла(3)[10]**	**0**	**25,9**	**17,1**	**15,3**	**14,7**	**14,6**	**4,7**	**0**	**0**	**17,3**	**17,3**
Источник шума: ИШ-6-6, координаты источника (x,y,z), м =[830.97,107.42,1.00]													
Уровни звуковой мощности источника днём, Lw, дБ		**исходные данные**	**0**	**96,3**	**97,7**	**99**	**99,3**	**98,9**	**95,6**	**91,4**	**86,9**		

1		2	3	4	5	6	7	8	9	10	11	12	13
Уровни звуковой мощности источника ночью, Lw, дБ		**исходные данные**	**0**	**96,3**	**97,7**	**99**	**99,3**	**98,9**	**95,6**	**91,4**	**86,9**		
Поправка на телесный угол DΩ, дБ	Ω = 12.57	10Lg(4π/Ω)	**0**	0	0	0	0	0	0	0	0		
Показатель направленности источника Di, дБ		исходные данные	**0**	0	0	0	0	0	0	0	0		
Поправка на направленность источника Dc, дБ	Dc	DΩ + Di	**0**	0	0	0	0	0	0	0	0		
Затухание из-за геометрической дивергенции, Adiv, дБ	расстояние = 1803.39 м	ф-ла (7) [10]	**76,1**										
Коэффициент затухания звука в атмосфере α, дБ/км	Ta=20,°C Pa=101.33,кПа hотн.=70%	ф-ла (5) [9]	0,02	0,09	0,33	1,12	2,79	4,98	9,04	23,09	77,63		
Учет затухания звука в атмосфере Aatm, дБ		ф-ла (8) [10]	0	0,2	0,6	2	5	9	16,3	41,6	140		
Снижение поверхностью земли возле источника As, дБ	Gs = 0 hs = 1м	ф-лы таб.3 [10]	-1,5	-1,5	-1,5	-1,5	-1,5	-1,5	-1,5	-1,5	-1,5		
Снижение поверхностью земли возле приёмника Ar, дБ	Gr = 1 hr = 1.5м	ф-лы таб.3 [10]	-1,5	-1,5	5,3	7	5	0,7	0	0	0		
Снижение поверхностью земли в средней зоне, Am дБ	Gm = 1	ф-лы таб.3 [10]	-2,9	-2,9	0	0	0	0	0	0	0		
Суммарное снижение поверхностью земли на траектории распространения звука Agr, дБ		ф-ла (9) [10]	-5,9	-5,9	3,8	5,5	3,5	-0,8	-1,5	-1,5	-1,5		
Уровни звукового давления от источника ИШ-6-6 в расчётной точке днём, дБ		**ф-ла(3)[10]**	**0**	**25,9**	**17,1**	**15,3**	**14,7**	**14,6**	**4,7**	**0**	**0**	**17,3**	**17,3**
Уровни звукового давления от источника ИШ-6-6 в расчётной точке ночью, дБ		**ф-ла(3)[10]**	**0**	**25,9**	**17,1**	**15,3**	**14,7**	**14,6**	**4,7**	**0**	**0**	**17,3**	**17,3**
Источник шума: ИШ-6-7, координаты источника (x,y,z), м =[830.30,104.49,1.00]													
Уровни звуковой мощности источника днём, Lw, дБ		**исходные данные**	**0**	**96,3**	**97,7**	**99**	**99,3**	**98,9**	**95,6**	**91,4**	**86,9**		
Уровни звуковой мощности источника ночью, Lw, дБ		**исходные данные**	**0**	**96,3**	**97,7**	**99**	**99,3**	**98,9**	**95,6**	**91,4**	**86,9**		

1		2	3	4	5	6	7	8	9	10	11	12	13
Поправка на телесный угол DΩ, дБ	Ω = 12.57	10Lg(4π/Ω)	**0**	0	0	0	0	0	0	0	0		
Показатель направленности источника Di, дБ		исходные данные	**0**	0	0	0	0	0	0	0	0		
Поправка на направленность источника Dc, дБ	Dc	DΩ + Di	**0**	0	0	0	0	0	0	0	0		
Затухание из-за геометрической дивергенции, Adiv, дБ	расстояние = 1804.21 м	ф-ла (7) [10]	**76,1**										
Коэффициент затухания звука в атмосфере α, дБ/км	Ta=20,°C Pa=101.33,кПа hотн.=70%	ф-ла (5) [9]	0,02	0,09	0,33	1,12	2,79	4,98	9,04	23,09	77,63		
Учет затухания звука в атмосфере Aatm, дБ		ф-ла (8) [10]	0	0,2	0,6	2	5	9	16,3	41,7	140,1		
Снижение поверхностью земли возле источника As, дБ	Gs = 0 hs = 1м	ф-лы таб.3 [10]	-1,5	-1,5	-1,5	-1,5	-1,5	-1,5	-1,5	-1,5	-1,5		
Снижение поверхностью земли возле приёмника Ar, дБ	Gr = 1 hr = 1.5м	ф-лы таб.3 [10]	-1,5	-1,5	5,3	7	5	0,7	0	0	0		
Снижение поверхностью земли в средней зоне, Am дБ	Gm = 1	ф-лы таб.3 [10]	-2,9	-2,9	0	0	0	0	0	0	0		
Суммарное снижение поверхностью земли на траектории распространения звука Agr, дБ		ф-ла (9) [10]	-5,9	-5,9	3,8	5,5	3,5	-0,8	-1,5	-1,5	-1,5		
Уровни звукового давления от источника ИШ-6-7 в расчётной точке днём, дБ		**ф-ла(3)[10]**	**0**	**25,9**	**17,1**	**15,3**	**14,7**	**14,6**	**4,7**	**0**	**0**	**17,3**	**17,3**
Уровни звукового давления от источника ИШ-6-7 в расчётной точке ночью, дБ		**ф-ла(3)[10]**	**0**	**25,9**	**17,1**	**15,3**	**14,7**	**14,6**	**4,7**	**0**	**0**	**17,3**	**17,3**
Источник шума: ИШ-6-8, координаты источника (x,y,z), м =[829.36,101.42,1.00]													
Уровни звуковой мощности источника днём, Lw, дБ		**исходные данные**	**0**	**96,3**	**97,7**	**99**	**99,3**	**98,9**	**95,6**	**91,4**	**86,9**		
Уровни звуковой мощности источника ночью, Lw, дБ		**исходные данные**	**0**	**96,3**	**97,7**	**99**	**99,3**	**98,9**	**95,6**	**91,4**	**86,9**		
Поправка на телесный угол DΩ, дБ	Ω = 12.57	10Lg(4π/Ω)	**0**	0	0	0	0	0	0	0	0		

1		2	3	4	5	6	7	8	9	10	11	12	13
Показатель направленности источника Di, дБ		исходные данные	**0**	0	0	0	0	0	0	0	0		
Поправка на направленность источника Dc, дБ	Dc	DΩ + Di	**0**	0	0	0	0	0	0	0	0		
Затухание из-за геометрической дивергенции, Adiv, дБ	расстояние = 1804.86 м	ф-ла (7) [10]	**76,1**										
Коэффициент затухания звука в атмосфере α, дБ/км	Ta=20,°C Pa=101.33,кПа hотн.=70%	ф-ла (5) [9]	0,02	0,09	0,33	1,12	2,79	4,98	9,04	23,09	77,63		
Учет затухания звука в атмосфере Aatm, дБ		ф-ла (8) [10]	0	0,2	0,6	2	5	9	16,3	41,7	140,1		
Снижение поверхностью земли возле источника As, дБ	Gs = 0 hs = 1м	ф-лы таб.3 [10]	-1,5	-1,5	-1,5	-1,5	-1,5	-1,5	-1,5	-1,5	-1,5		
Снижение поверхностью земли возле приёмника Ar, дБ	Gr = 1 hr = 1.5м	ф-лы таб.3 [10]	-1,5	-1,5	5,3	7	5	0,7	0	0	0		
Снижение поверхностью земли в средней зоне, Am дБ	Gm = 1	ф-лы таб.3 [10]	-2,9	-2,9	0	0	0	0	0	0	0		
Суммарное снижение поверхностью земли на траектории распространения звука Agr, дБ		ф-ла (9) [10]	-5,9	-5,9	3,8	5,5	3,5	-0,8	-1,5	-1,5	-1,5		
Уровни звукового давления от источника ИШ-6-8 в расчётной точке днём, дБ		**ф-ла(3)[10]**	**0**	**25,9**	**17,1**	**15,3**	**14,7**	**14,6**	**4,6**	**0**	**0**	**17,3**	**17,3**
Уровни звукового давления от источника ИШ-6-8 в расчётной точке ночью, дБ		**ф-ла(3)[10]**	**0**	**25,9**	**17,1**	**15,3**	**14,7**	**14,6**	**4,6**	**0**	**0**	**17,3**	**17,3**
Источник шума: ИШ-6-9, координаты источника (x,y,z), м =[828.03,98.62,1.00]													
Уровни звуковой мощности источника днём, Lw, дБ		**исходные данные**	**0**	**96,3**	**97,7**	**99**	**99,3**	**98,9**	**95,6**	**91,4**	**86,9**		
Уровни звуковой мощности источника ночью, Lw, дБ		**исходные данные**	**0**	**96,3**	**97,7**	**99**	**99,3**	**98,9**	**95,6**	**91,4**	**86,9**		
Поправка на телесный угол DΩ, дБ	Ω = 12.57	10Lg(4π/Ω)	**0**	0	0	0	0	0	0	0	0		
Показатель направленности источника Di, дБ		исходные данные	**0**	0	0	0	0	0	0	0	0		

1		2	3	4	5	6	7	8	9	10	11	12	13
Поправка на направленность источника Dc, дБ	Dc	DΩ + Di	**0**	0	0	0	0	0	0	0	0		
Затухание из-за геометрической дивергенции, Adiv, дБ	расстояние = 1805.03 м	ф-ла (7) [10]	**76,1**										
Коэффициент затухания звука в атмосфере α, дБ/км	Ta=20,°C Pa=101.33,кПа hотн.=70%	ф-ла (5) [9]	0,02	0,09	0,33	1,12	2,79	4,98	9,04	23,09	77,63		
Учет затухания звука в атмосфере Aatm, дБ		ф-ла (8) [10]	0	0,2	0,6	2	5	9	16,3	41,7	140,1		
Снижение поверхностью земли возле источника As, дБ	Gs = 0 hs = 1м	ф-лы таб.3 [10]	-1,5	-1,5	-1,5	-1,5	-1,5	-1,5	-1,5	-1,5	-1,5		
Снижение поверхностью земли возле приёмника Ar, дБ	Gr = 1 hr = 1.5м	ф-лы таб.3 [10]	-1,5	-1,5	5,3	7	5	0,7	0	0	0		
Снижение поверхностью земли в средней зоне, Am дБ	Gm = 1	ф-лы таб.3 [10]	-2,9	-2,9	0	0	0	0	0	0	0		
Суммарное снижение поверхностью земли на траектории распространения звука Agr, дБ		ф-ла (9) [10]	-5,9	-5,9	3,8	5,5	3,5	-0,8	-1,5	-1,5	-1,5		
Уровни звукового давления от источника ИШ-6-9 в расчётной точке днём, дБ		**ф-ла(3)[10]**	**0**	**25,9**	**17,1**	**15,3**	**14,7**	**14,6**	**4,6**	**0**	**0**	**17,3**	**17,3**
Уровни звукового давления от источника ИШ-6-9 в расчётной точке ночью, дБ		**ф-ла(3)[10]**	**0**	**25,9**	**17,1**	**15,3**	**14,7**	**14,6**	**4,6**	**0**	**0**	**17,3**	**17,3**
Источник шума: ИШ-6-10, координаты источника (x,y,z), м =[827.23,95.55,1.00]													
Уровни звуковой мощности источника днём, Lw, дБ		**исходные данные**	**0**	**96,3**	**97,7**	**99**	**99,3**	**98,9**	**95,6**	**91,4**	**86,9**		
Уровни звуковой мощности источника ночью, Lw, дБ		**исходные данные**	**0**	**96,3**	**97,7**	**99**	**99,3**	**98,9**	**95,6**	**91,4**	**86,9**		
Поправка на телесный угол DΩ, дБ	Ω = 12.57	10Lg(4π/Ω)	**0**	0	0	0	0	0	0	0	0		
Показатель направленности источника Di, дБ		исходные данные	**0**	0	0	0	0	0	0	0	0		
Поправка на направленность источника Dc, дБ	Dc	DΩ + Di	**0**	0	0	0	0	0	0	0	0		

1		2	3	4	5	6	7	8	9	10	11	12	13
Затухание из-за геометрической дивергенции, Adiv, дБ	расстояние = 1805.81 м	ф-ла (7) [10]	**76,1**										
Коэффициент затухания звука в атмосфере α, дБ/км	Ta=20,°C Pa=101.33,кПа hотн.=70%	ф-ла (5) [9]	0,02	0,09	0,33	1,12	2,79	4,98	9,04	23,09	77,63		
Учет затухания звука в атмосфере Aatm, дБ		ф-ла (8) [10]	0	0,2	0,6	2	5	9	16,3	41,7	140,2		
Снижение поверхностью земли возле источника As, дБ	Gs = 0 hs = 1м	ф-лы таб.3 [10]	-1,5	-1,5	-1,5	-1,5	-1,5	-1,5	-1,5	-1,5	-1,5		
Снижение поверхностью земли возле приёмника Ar, дБ	Gr = 1 hr = 1.5м	ф-лы таб.3 [10]	-1,5	-1,5	5,3	7	5	0,7	0	0	0		
Снижение поверхностью земли в средней зоне, Am дБ	Gm = 1	ф-лы таб.3 [10]	-2,9	-2,9	0	0	0	0	0	0	0		
Суммарное снижение поверхностью земли на траектории распространения звука Agr, дБ		ф-ла (9) [10]	-5,9	-5,9	3,8	5,5	3,5	-0,8	-1,5	-1,5	-1,5		
Уровни звукового давления от источника ИШ-6-10 в расчётной точке днём, дБ		**ф-ла(3)[10]**	**0**	**25,9**	**17,1**	**15,3**	**14,6**	**14,6**	**4,6**	**0**	**0**	**17,3**	**17,3**
Уровни звукового давления от источника ИШ-6-10 в расчётной точке ночью, дБ		**ф-ла(3)[10]**	**0**	**25,9**	**17,1**	**15,3**	**14,6**	**14,6**	**4,6**	**0**	**0**	**17,3**	**17,3**
Источник шума: ИШ-6-11, координаты источника (x,y,z), м =[826.30,92.48,1.00]													
Уровни звуковой мощности источника днём, Lw, дБ		**исходные данные**	**0**	**96,3**	**97,7**	**99**	**99,3**	**98,9**	**95,6**	**91,4**	**86,9**		
Уровни звуковой мощности источника ночью, Lw, дБ		**исходные данные**	**0**	**96,3**	**97,7**	**99**	**99,3**	**98,9**	**95,6**	**91,4**	**86,9**		
Поправка на телесный угол DΩ, дБ	Ω = 12.57	10Lg(4π/Ω)	**0**	0	0	0	0	0	0	0	0		
Показатель направленности источника Di, дБ		исходные данные	**0**	0	0	0	0	0	0	0	0		
Поправка на направленность источника Dc, дБ	Dc	DΩ + Di	**0**	0	0	0	0	0	0	0	0		
Затухание из-за геометрической дивергенции, Adiv, дБ	расстояние = 1806.47 м	ф-ла (7) [10]	**76,1**										

1		2	3	4	5	6	7	8	9	10	11	12	13
Коэффициент затухания звука в атмосфере α, дБ/км	Ta=20,°C Pa=101.33,кПа hотн.=70%	ф-ла (5) [9]	0,02	0,09	0,33	1,12	2,79	4,98	9,04	23,09	77,63		
Учет затухания звука в атмосфере Aatm, дБ		ф-ла (8) [10]	0	0,2	0,6	2	5	9	16,3	41,7	140,2		
Снижение поверхностью земли возле источника As, дБ	Gs = 0 hs = 1м	ф-лы таб.3 [10]	-1,5	-1,5	-1,5	-1,5	-1,5	-1,5	-1,5	-1,5	-1,5		
Снижение поверхностью земли возле приёмника Ar, дБ	Gr = 1 hr = 1.5м	ф-лы таб.3 [10]	-1,5	-1,5	5,3	7	5	0,7	0	0	0		
Снижение поверхностью земли в средней зоне, Am дБ	Gm = 1	ф-лы таб.3 [10]	-2,9	-2,9	0	0	0	0	0	0	0		
Суммарное снижение поверхностью земли на траектории распространения звука Agr, дБ		ф-ла (9) [10]	-5,9	-5,9	3,8	5,5	3,5	-0,8	-1,5	-1,5	-1,5		
Уровни звукового давления от источника ИШ-6-11 в расчётной точке днём, дБ		**ф-ла(3)[10]**	**0**	**25,9**	**17,1**	**15,3**	**14,6**	**14,6**	**4,6**	**0**	**0**	**17,3**	**17,3**
Уровни звукового давления от источника ИШ-6-11 в расчётной точке ночью, дБ		**ф-ла(3)[10]**	**0**	**25,9**	**17,1**	**15,3**	**14,6**	**14,6**	**4,6**	**0**	**0**	**17,3**	**17,3**
Источник шума: ИШ-6-12, координаты источника (x,y,z), м =[825.09,89.54,1.00]													
Уровни звуковой мощности источника днём, Lw, дБ		**исходные данные**	**0**	**96,3**	**97,7**	**99**	**99,3**	**98,9**	**95,6**	**91,4**	**86,9**		
Уровни звуковой мощности источника ночью, Lw, дБ		**исходные данные**	**0**	**96,3**	**97,7**	**99**	**99,3**	**98,9**	**95,6**	**91,4**	**86,9**		
Поправка на телесный угол DΩ, дБ	Ω = 12.57	10Lg(4π/Ω)	**0**	0	0	0	0	0	0	0	0		
Показатель направленности источника Di, дБ		исходные данные	**0**	0	0	0	0	0	0	0	0		
Поправка на направленность источника Dc, дБ	Dc	DΩ + Di	**0**	0	0	0	0	0	0	0	0		
Затухание из-за геометрической дивергенции, Adiv, дБ	расстояние = 1806.85 м	ф-ла (7) [10]	**76,1**										
Коэффициент затухания звука в атмосфере α, дБ/км	Ta=20,°C Pa=101.33,кПа hотн.=70%	ф-ла (5) [9]	0,02	0,09	0,33	1,12	2,79	4,98	9,04	23,09	77,63		

1		2	3	4	5	6	7	8	9	10	11	12	13
Учет затухания звука в атмосфере Aatm, дБ		ф-ла (8) [10]	0	0,2	0,6	2	5	9	16,3	41,7	140,3		
Снижение поверхностью земли возле источника As, дБ	Gs = 0 hs = 1м	ф-лы таб.3 [10]	-1,5	-1,5	-1,5	-1,5	-1,5	-1,5	-1,5	-1,5	-1,5		
Снижение поверхностью земли возле приёмника Ar, дБ	Gr = 1 hr = 1.5м	ф-лы таб.3 [10]	-1,5	-1,5	5,3	7	5	0,7	0	0	0		
Снижение поверхностью земли в средней зоне, Am дБ	Gm = 1	ф-лы таб.3 [10]	-2,9	-2,9	0	0	0	0	0	0	0		
Суммарное снижение поверхностью земли на траектории распространения звука Agr, дБ		ф-ла (9) [10]	-5,9	-5,9	3,8	5,5	3,5	-0,8	-1,5	-1,5	-1,5		
Уровни звукового давления от источника ИШ-6-12 в расчётной точке днём, дБ		**ф-ла(3)[10]**	**0**	**25,9**	**17,1**	**15,3**	**14,6**	**14,6**	**4,6**	**0**	**0**	**17,3**	**17,3**
Уровни звукового давления от источника ИШ-6-12 в расчётной точке ночью, дБ		**ф-ла(3)[10]**	**0**	**25,9**	**17,1**	**15,3**	**14,6**	**14,6**	**4,6**	**0**	**0**	**17,3**	**17,3**
Источник шума: ИШ-6-13, координаты источника (x,y,z), м =[767.76,-114.15,1.00]													
Уровни звуковой мощности источника днём, Lw, дБ		**исходные данные**	**0**	**96,3**	**97,7**	**99**	**99,3**	**98,9**	**95,6**	**91,4**	**86,9**		
Уровни звуковой мощности источника ночью, Lw, дБ		**исходные данные**	**0**	**96,3**	**97,7**	**99**	**99,3**	**98,9**	**95,6**	**91,4**	**86,9**		
Поправка на телесный угол DΩ, дБ	Ω = 12.57	10Lg(4π/Ω)	**0**	0	0	0	0	0	0	0	0		
Показатель направленности источника Di, дБ		исходные данные	**0**	0	0	0	0	0	0	0	0		
Поправка на направленность источника Dc, дБ	Dc	DΩ + Di	**0**	0	0	0	0	0	0	0	0		
Затухание из-за геометрической дивергенции, Adiv, дБ	расстояние = 1867.02 м	ф-ла (7) [10]	**76,4**										
Коэффициент затухания звука в атмосфере α, дБ/км	Ta=20,°C Pa=101.33,кПа hотн.=70%	ф-ла (5) [9]	0,02	0,09	0,33	1,12	2,79	4,98	9,04	23,09	77,63		
Учет затухания звука в атмосфере Aatm, дБ		ф-ла (8) [10]	0	0,2	0,6	2,1	5,2	9,3	16,9	43,1	144,9		

1		2	3	4	5	6	7	8	9	10	11	12	13
Снижение уровня звукового давления из-за влияния застройки между источником шума и расчетной точкой													
Снижение уровня звукового давления на пути над экраном, Dz1, дБ	z = 0.15м (разность путей)	ф-лы (14-18) [10]	4,8	4,8	4,8	4,8	4,8	4,8	4,8	4,8	4,8		
Снижение уровня звукового давления на пути слева от экрана, Dz2, дБ	z = 47.05м (разность путей)	ф-лы (14-18) [10]	26,9	30,1	33,2	36,2	39,2	42,2	45,2	48,2	51,2		
Снижение уровня звукового давления на пути справа от экрана, Dz3, дБ	z = 20.89м (разность путей)	ф-лы (14-18) [10]	23,4	26,6	29,6	32,7	35,7	38,7	41,7	44,7	47,7		
Общее снижение уровня звука препятствием Dz, дБ		Эн.сумма(-Dzi)	4,7	4,7	4,8	4,8	4,8	4,8	4,8	4,8	4,8		
Уровни звукового давления прямого звука от источника ИШ-6-13 в расчётной точке днём, дБ		**ф-ла(3)[10]**	**0**	**15**	**15,9**	**15,7**	**12,9**	**8,4**	**0**	**0**	**0**	**13,5**	**13,5**
Уровни звукового давления прямого звука от источника ИШ-6-13 в расчётной точке ночью, дБ		**ф-ла(3)[10]**	**0**	**15**	**15,9**	**15,7**	**12,9**	**8,4**	**0**	**0**	**0**	**13,5**	**13,5**
Расчёт отражённого звука													
Уровни звукового давления от мнимого источника ИШ-6-13_мн.(1) в расчётной точке днём, дБ		**ф-ла(3)[10]**	**0**	**0**	**0**	**0**	**0**	**0**	**0**	**0**	**0**	**0**	**0**
Уровни звукового давления от мнимого источника ИШ-6-13_мн.(1) в расчётной точке ночью, дБ		**ф-ла(3)[10]**	**0**	**0**	**0**	**0**	**0**	**0**	**0**	**0**	**0**	**0**	**0**
Уровни звукового давления от источника ИШ-6-13 в расчётной точке днём, дБ		**ф-ла(3)[10]**	**0**	**15**	**15,9**	**15,7**	**12,9**	**8,4**	**0**	**0**	**0**	**13,5**	**13,5**
Уровни звукового давления от источника ИШ-6-13 в расчётной точке ночью, дБ		**ф-ла(3)[10]**	**0**	**15**	**15,9**	**15,7**	**12,9**	**8,4**	**0**	**0**	**0**	**13,5**	**13,5**
Источник шума: ИШ-6-14, координаты источника (x,y,z), м =[766.82,-117.10,1.00]													
Уровни звуковой мощности источника днём, Lw, дБ		**исходные данные**	**0**	**96,3**	**97,7**	**99**	**99,3**	**98,9**	**95,6**	**91,4**	**86,9**		
Уровни звуковой мощности источника ночью, Lw, дБ		**исходные данные**	**0**	**96,3**	**97,7**	**99**	**99,3**	**98,9**	**95,6**	**91,4**	**86,9**		
Поправка на телесный угол DΩ, дБ	Ω = 12.57	10Lg(4π/Ω)	**0**	0	0	0	0	0	0	0	0		
Показатель направленности источника Di, дБ		исходные данные	**0**	0	0	0	0	0	0	0	0		

1		2	3	4	5	6	7	8	9	10	11	12	13
Поправка на направленность источника Dc, дБ	Dc	DΩ + Di	**0**	0	0	0	0	0	0	0	0		
Затухание из-за геометрической дивергенции, Adiv, дБ	расстояние = 1867.96 м	ф-ла (7) [10]	**76,4**										
Коэффициент затухания звука в атмосфере α, дБ/км	Ta=20,°C Pa=101.33,кПа hотн.=70%	ф-ла (5) [9]	0,02	0,09	0,33	1,12	2,79	4,98	9,04	23,09	77,63		
Учет затухания звука в атмосфере Aatm, дБ		ф-ла (8) [10]	0	0,2	0,6	2,1	5,2	9,3	16,9	43,1	145		
Снижение уровня звукового давления из-за влияния застройки между источником шума и расчетной точкой													
Снижение уровня звукового давления на пути над экраном, Dz1, дБ	z = 0.15м (разность путей)	ф-лы (14-18) [10]	4,8	4,8	4,8	4,8	4,8	4,8	4,8	4,8	4,8		
Снижение уровня звукового давления на пути слева от экрана, Dz2, дБ	z = 45.96м (разность путей)	ф-лы (14-18) [10]	22,9	26,9	31,4	35,5	38,9	42,1	45,1	48,1	51,1		
Снижение уровня звукового давления на пути справа от экрана, Dz3, дБ	z = 20.13м (разность путей)	ф-лы (14-18) [10]	22,8	26,3	29,4	32,5	35,5	38,5	41,5	44,5	47,5		
Общее снижение уровня звука препятствием Dz, дБ		Эн.сумма(-Dzi)	4,6	4,7	4,7	4,8	4,8	4,8	4,8	4,8	4,8		
Уровни звукового давления прямого звука от источника ИШ-6-14 в расчётной точке днём, дБ		**ф-ла(3)[10]**	**0**	**15**	**15,9**	**15,7**	**12,9**	**8,4**	**0**	**0**	**0**	**13,5**	**13,5**
Уровни звукового давления прямого звука от источника ИШ-6-14 в расчётной точке ночью, дБ		**ф-ла(3)[10]**	**0**	**15**	**15,9**	**15,7**	**12,9**	**8,4**	**0**	**0**	**0**	**13,5**	**13,5**
Расчёт отражённого звука													
Уровни звукового давления от мнимого источника ИШ-6-14_мн.(1) в расчётной точке днём, дБ		**ф-ла(3)[10]**	**0**	**0**	**0**	**0**	**0**	**0**	**0**	**0**	**0**	**0**	**0**
Уровни звукового давления от мнимого источника ИШ-6-14_мн.(1) в расчётной точке ночью, дБ		**ф-ла(3)[10]**	**0**	**0**	**0**	**0**	**0**	**0**	**0**	**0**	**0**	**0**	**0**
Уровни звукового давления от источника ИШ-6-14 в расчётной точке днём, дБ		**ф-ла(3)[10]**	**0**	**15**	**15,9**	**15,7**	**12,9**	**8,4**	**0**	**0**	**0**	**13,5**	**13,5**
Уровни звукового давления от источника ИШ-6-14 в расчётной точке ночью, дБ		**ф-ла(3)[10]**	**0**	**15**	**15,9**	**15,7**	**12,9**	**8,4**	**0**	**0**	**0**	**13,5**	**13,5**

1		2	3	4	5	6	7	8	9	10	11	12	13
Источник шума: ИШ-6-15, координаты источника (x,y,z), м =[765.71,-120.27,1.00]													
Уровни звуковой мощности источника днём, Lw, дБ		**исходные данные**	**0**	**96,3**	**97,7**	**99**	**99,3**	**98,9**	**95,6**	**91,4**	**86,9**		
Уровни звуковой мощности источника ночью, Lw, дБ		**исходные данные**	**0**	**96,3**	**97,7**	**99**	**99,3**	**98,9**	**95,6**	**91,4**	**86,9**		
Поправка на телесный угол DΩ, дБ	Ω = 12.57	10Lg(4π/Ω)	**0**	0	0	0	0	0	0	0	0		
Показатель направленности источника Di, дБ		исходные данные	**0**	0	0	0	0	0	0	0	0		
Поправка на направленность источника Dc, дБ	Dc	DΩ + Di	**0**	0	0	0	0	0	0	0	0		
Затухание из-за геометрической дивергенции, Adiv, дБ	расстояние = 1868.90 м	ф-ла (7) [10]	**76,4**										
Коэффициент затухания звука в атмосфере α, дБ/км	Ta=20,°C Pa=101.33,кПа hотн.=70%	ф-ла (5) [9]	0,02	0,09	0,33	1,12	2,79	4,98	9,04	23,09	77,63		
Учет затухания звука в атмосфере Aatm, дБ		ф-ла (8) [10]	0	0,2	0,6	2,1	5,2	9,3	16,9	43,1	145,1		
Снижение уровня звукового давления из-за влияния застройки между источником шума и расчетной точкой													
Снижение уровня звукового давления на пути над экраном, Dz1, дБ	z = 0.15м (разность путей)	ф-лы (14-18) [10]	4,8	4,8	4,8	4,8	4,8	4,8	4,8	4,8	4,8		
Снижение уровня звукового давления на пути слева от экрана, Dz2, дБ	z = 44.69м (разность путей)	ф-лы (14-18) [10]	22,8	26,8	31,3	35,4	38,8	41,9	45	48	51		
Снижение уровня звукового давления на пути справа от экрана, Dz3, дБ	z = 20.94м (разность путей)	ф-лы (14-18) [10]	23	26,5	29,6	32,7	35,7	38,7	41,7	44,7	47,7		
Общее снижение уровня звука препятствием Dz, дБ		Эн.сумма(-Dzi)	4,6	4,7	4,7	4,8	4,8	4,8	4,8	4,8	4,8		
Уровни звукового давления прямого звука от источника ИШ-6-15 в расчётной точке днём, дБ		**ф-ла(3)[10]**	**0**	**15**	**15,9**	**15,7**	**12,9**	**8,4**	**0**	**0**	**0**	**13,5**	**13,5**
Уровни звукового давления прямого звука от источника ИШ-6-15 в расчётной точке ночью, дБ		**ф-ла(3)[10]**	**0**	**15**	**15,9**	**15,7**	**12,9**	**8,4**	**0**	**0**	**0**	**13,5**	**13,5**

1		2	3	4	5	6	7	8	9	10	11	12	13
Расчёт отражённого звука													
Уровни звукового давления от мнимого источника ИШ-6-15_мн.(1) в расчётной точке днём, дБ		**ф-ла(3)[10]**	**0**	**0**	**0**	**0**	**0**	**0**	**0**	**0**	**0**	**0**	**0**
Уровни звукового давления от мнимого источника ИШ-6-15_мн.(1) в расчётной точке ночью, дБ		**ф-ла(3)[10]**	**0**	**0**	**0**	**0**	**0**	**0**	**0**	**0**	**0**	**0**	**0**
Уровни звукового давления от источника ИШ-6-15 в расчётной точке днём, дБ		**ф-ла(3)[10]**	**0**	**15**	**15,9**	**15,7**	**12,9**	**8,4**	**0**	**0**	**0**	**13,5**	**13,5**
Уровни звукового давления от источника ИШ-6-15 в расчётной точке ночью, дБ		**ф-ла(3)[10]**	**0**	**15**	**15,9**	**15,7**	**12,9**	**8,4**	**0**	**0**	**0**	**13,5**	**13,5**
Источник шума: ИШ-6-16, координаты источника (x,y,z), м =[764.57,-123.22,1.00]													
Уровни звуковой мощности источника днём, Lw, дБ		**исходные данные**	**0**	**96,3**	**97,7**	**99**	**99,3**	**98,9**	**95,6**	**91,4**	**86,9**		
Уровни звуковой мощности источника ночью, Lw, дБ		**исходные данные**	**0**	**96,3**	**97,7**	**99**	**99,3**	**98,9**	**95,6**	**91,4**	**86,9**		
Поправка на телесный угол DΩ, дБ	Ω = 12.57	10Lg(4π/Ω)	**0**	0	0	0	0	0	0	0	0		
Показатель направленности источника Di, дБ		исходные данные	**0**	0	0	0	0	0	0	0	0		
Поправка на направленность источника Dc, дБ	Dc	DΩ + Di	**0**	0	0	0	0	0	0	0	0		
Затухание из-за геометрической дивергенции, Adiv, дБ	расстояние = 1869.69 м	ф-ла (7) [10]	**76,4**										
Коэффициент затухания звука в атмосфере α, дБ/км	Ta=20,°C Pa=101.33,кПа hотн.=70%	ф-ла (5) [9]	0,02	0,09	0,33	1,12	2,79	4,98	9,04	23,09	77,63		
Учет затухания звука в атмосфере Aatm, дБ		ф-ла (8) [10]	0	0,2	0,6	2,1	5,2	9,3	16,9	43,2	145,1		
Снижение уровня звукового давления из-за влияния застройки между источником шума и расчетной точкой													
Снижение уровня звукового давления на пути над экраном, Dz1, дБ	z = 0.15м (разность путей)	ф-лы (14-18) [10]	4,8	4,8	4,8	4,8	4,8	4,8	4,8	4,8	4,8		

1		2	3	4	5	6	7	8	9	10	11	12	13
Снижение уровня звукового давления на пути слева от экрана, Dz2, дБ	z = 43.50м (разность путей)	ф-лы (14-18) [10]	22,7	26,7	31,2	35,3	38,7	41,8	44,9	47,9	50,9		
Снижение уровня звукового давления на пути справа от экрана, Dz3, дБ	z = 21.72м (разность путей)	ф-лы (14-18) [10]	23,1	26,6	29,8	32,8	35,8	38,8	41,9	44,9	47,9		
Общее снижение уровня звука препятствием Dz, дБ		Эн.сумма(-Dzi)	4,6	4,7	4,7	4,8	4,8	4,8	4,8	4,8	4,8		
Уровни звукового давления от источника ИШ-6-16 в расчётной точке днём, дБ		**ф-ла(3)[10]**	**0**	**15**	**15,9**	**15,7**	**12,9**	**8,4**	**0**	**0**	**0**	**13,5**	**13,5**
Уровни звукового давления от источника ИШ-6-16 в расчётной точке ночью, дБ		**ф-ла(3)[10]**	**0**	**15**	**15,9**	**15,7**	**12,9**	**8,4**	**0**	**0**	**0**	**13,5**	**13,5**
Источник шума: ИШ-6-17, координаты источника (x,y,z), м =[763.57,-126.18,1.00]													
Уровни звуковой мощности источника днём, Lw, дБ		**исходные данные**	**0**	**96,3**	**97,7**	**99**	**99,3**	**98,9**	**95,6**	**91,4**	**86,9**		
Уровни звуковой мощности источника ночью, Lw, дБ		**исходные данные**	**0**	**96,3**	**97,7**	**99**	**99,3**	**98,9**	**95,6**	**91,4**	**86,9**		
Поправка на телесный угол DΩ, дБ	Ω = 12.57	10Lg(4π/Ω)	**0**	0	0	0	0	0	0	0	0		
Показатель направленности источника Di, дБ		исходные данные	**0**	0	0	0	0	0	0	0	0		
Поправка на направленность источника Dc, дБ	Dc	DΩ + Di	**0**	0	0	0	0	0	0	0	0		
Затухание из-за геометрической дивергенции, Adiv, дБ	расстояние = 1870.61 м	ф-ла (7) [10]	**76,4**										
Коэффициент затухания звука в атмосфере α, дБ/км	Ta=20,°C Pa=101.33,кПа hотн.=70%	ф-ла (5) [9]	0,02	0,09	0,33	1,12	2,79	4,98	9,04	23,09	77,63		
Учет затухания звука в атмосфере Aatm, дБ		ф-ла (8) [10]	0	0,2	0,6	2,1	5,2	9,3	16,9	43,2	145,2		
Снижение уровня звукового давления из-за влияния застройки между источником шума и расчетной точкой													
Снижение уровня звукового давления на пути над экраном, Dz1, дБ	z = 0.15м (разность путей)	ф-лы (14-18) [10]	4,8	4,8	4,8	4,8	4,8	4,8	4,8	4,8	4,8		

1		2	3	4	5	6	7	8	9	10	11	12	13
Снижение уровня звукового давления на пути слева от экрана, Dz2, дБ	z = 42.35м (разность путей)	ф-лы (14-18) [10]	22,6	26,5	31	35,1	38,6	41,7	44,7	47,8	50,8		
Снижение уровня звукового давления на пути справа от экрана, Dz3, дБ	z = 22.51м (разность путей)	ф-лы (14-18) [10]	23,3	26,8	29,9	33	36	39	42	45	48		
Общее снижение уровня звука препятствием Dz, дБ		Эн.сумма(-Dzi)	4,6	4,7	4,7	4,8	4,8	4,8	4,8	4,8	4,8		
Уровни звукового давления от источника ИШ-6-17 в расчётной точке днём, дБ		**ф-ла(3)[10]**	**0**	**15**	**15,9**	**15,7**	**12,9**	**8,4**	**0**	**0**	**0**	**13,5**	**13,5**
Уровни звукового давления от источника ИШ-6-17 в расчётной точке ночью, дБ		**ф-ла(3)[10]**	**0**	**15**	**15,9**	**15,7**	**12,9**	**8,4**	**0**	**0**	**0**	**13,5**	**13,5**
Источник шума: ИШ-6-18, координаты источника (x,y,z), м =[804.77,-126.28,1.00]													
Уровни звуковой мощности источника днём, Lw, дБ		**исходные данные**	**0**	**96,3**	**97,7**	**99**	**99,3**	**98,9**	**95,6**	**91,4**	**86,9**		
Уровни звуковой мощности источника ночью, Lw, дБ		**исходные данные**	**0**	**96,3**	**97,7**	**99**	**99,3**	**98,9**	**95,6**	**91,4**	**86,9**		
Поправка на телесный угол DΩ, дБ	Ω = 12.57	10Lg(4π/Ω)	**0**	0	0	0	0	0	0	0	0		
Показатель направленности источника Di, дБ		исходные данные	**0**	0	0	0	0	0	0	0	0		
Поправка на направленность источника Dc, дБ	Dc	DΩ + Di	**0**	0	0	0	0	0	0	0	0		
Затухание из-за геометрической дивергенции, Adiv, дБ	расстояние = 1904.25 м	ф-ла (7) [10]	**76,6**										
Коэффициент затухания звука в атмосфере α, дБ/км	Ta=20,°C Pa=101.33,кПа hотн.=70%	ф-ла (5) [9]	0,02	0,09	0,33	1,12	2,79	4,98	9,04	23,09	77,63		
Учет затухания звука в атмосфере Aatm, дБ		ф-ла (8) [10]	0	0,2	0,6	2,1	5,3	9,5	17,2	44	147,8		
Снижение уровня звукового давления из-за влияния застройки между источником шума и расчетной точкой													
Снижение уровня звукового давления на пути над экраном, Dz1, дБ	z = 0.13м (разность путей)	ф-лы (14-18) [10]	4,8	4,8	4,8	4,8	4,8	4,8	4,8	4,8	4,8		

1		2	3	4	5	6	7	8	9	10	11	12	13
Снижение уровня звукового давления на пути слева от экрана, Dz2, дБ	z = 48.72м (разность путей)	ф-лы (14-18) [10]	23,2	27,2	31,6	35,8	39,2	42,3	45,4	48,4	51,4		
Снижение уровня звукового давления на пути справа от экрана, Dz3, дБ	z = 16.30м (разность путей)	ф-лы (14-18) [10]	22,4	25,5	28,6	31,6	34,6	37,6	40,6	43,6	46,6		
Общее снижение уровня звука препятствием Dz, дБ		Эн.сумма(-Dzi)	4,6	4,7	4,7	4,8	4,8	4,8	4,8	4,8	4,8		
Уровни звукового давления от источника ИШ-6-18 в расчётной точке днём, дБ		**ф-ла(3)[10]**	**0**	**14,8**	**15,7**	**15,5**	**12,6**	**8,1**	**0**	**0**	**0**	**13,2**	**13,2**
Уровни звукового давления от источника ИШ-6-18 в расчётной точке ночью, дБ		**ф-ла(3)[10]**	**0**	**14,8**	**15,7**	**15,5**	**12,6**	**8,1**	**0**	**0**	**0**	**13,2**	**13,2**
Источник шума: ИШ-6-19, координаты источника (x,y,z), м =[803.81,-129.30,1.00]													
Уровни звуковой мощности источника днём, Lw, дБ		**исходные данные**	**0**	**96,3**	**97,7**	**99**	**99,3**	**98,9**	**95,6**	**91,4**	**86,9**		
Уровни звуковой мощности источника ночью, Lw, дБ		**исходные данные**	**0**	**96,3**	**97,7**	**99**	**99,3**	**98,9**	**95,6**	**91,4**	**86,9**		
Поправка на телесный угол DΩ, дБ	Ω = 12.57	10Lg(4π/Ω)	**0**	0	0	0	0	0	0	0	0		
Показатель направленности источника Di, дБ		исходные данные	**0**	0	0	0	0	0	0	0	0		
Поправка на направленность источника Dc, дБ	Dc	DΩ + Di	**0**	0	0	0	0	0	0	0	0		
Затухание из-за геометрической дивергенции, Adiv, дБ	расстояние = 1905.21 м	ф-ла (7) [10]	**76,6**										
Коэффициент затухания звука в атмосфере α, дБ/км	Ta=20,°C Pa=101.33,кПа hотн.=70%	ф-ла (5) [9]	0,02	0,09	0,33	1,12	2,79	4,98	9,04	23,09	77,63		
Учет затухания звука в атмосфере Aatm, дБ		ф-ла (8) [10]	0	0,2	0,6	2,1	5,3	9,5	17,2	44	147,9		
Снижение уровня звукового давления из-за влияния застройки между источником шума и расчетной точкой													
Снижение уровня звукового давления на пути над экраном, Dz1, дБ	z = 0.13м (разность путей)	ф-лы (14-18) [10]	4,8	4,8	4,8	4,8	4,8	4,8	4,8	4,8	4,8		

1		2	3	4	5	6	7	8	9	10	11	12	13
Снижение уровня звукового давления на пути слева от экрана, Dz2, дБ	z = 47.54м (разность путей)	ф-лы (14-18) [10]	23	27	31,5	35,6	39,1	42,2	45,2	48,3	51,3		
Снижение уровня звукового давления на пути справа от экрана, Dz3, дБ	z = 17.01м (разность путей)	ф-лы (14-18) [10]	22,5	25,7	28,8	31,8	34,8	37,8	40,8	43,8	46,8		
Общее снижение уровня звука препятствием Dz, дБ		Эн.сумма(-Dzi)	4,6	4,7	4,7	4,8	4,8	4,8	4,8	4,8	4,8		
Уровни звукового давления от источника ИШ-6-19 в расчётной точке днём, дБ		**ф-ла(3)[10]**	**0**	**14,8**	**15,7**	**15,5**	**12,6**	**8**	**0**	**0**	**0**	**13,2**	**13,2**
Уровни звукового давления от источника ИШ-6-19 в расчётной точке ночью, дБ		**ф-ла(3)[10]**	**0**	**14,8**	**15,7**	**15,5**	**12,6**	**8**	**0**	**0**	**0**	**13,2**	**13,2**
Источник шума: ИШ-6-20, координаты источника (x,y,z), м =[802.67,-132.35,1.00]													
Уровни звуковой мощности источника днём, Lw, дБ		**исходные данные**	**0**	**96,3**	**97,7**	**99**	**99,3**	**98,9**	**95,6**	**91,4**	**86,9**		
Уровни звуковой мощности источника ночью, Lw, дБ		**исходные данные**	**0**	**96,3**	**97,7**	**99**	**99,3**	**98,9**	**95,6**	**91,4**	**86,9**		
Поправка на телесный угол DΩ, дБ	Ω = 12.57	10Lg(4π/Ω)	**0**	0	0	0	0	0	0	0	0		
Показатель направленности источника Di, дБ		исходные данные	**0**	0	0	0	0	0	0	0	0		
Поправка на направленность источника Dc, дБ	Dc	DΩ + Di	**0**	0	0	0	0	0	0	0	0		
Затухание из-за геометрической дивергенции, Adiv, дБ	расстояние = 1906.03 м	ф-ла (7) [10]	**76,6**										
Коэффициент затухания звука в атмосфере α, дБ/км	Ta=20,°C Pa=101.33,кПа hотн.=70%	ф-ла (5) [9]	0,02	0,09	0,33	1,12	2,79	4,98	9,04	23,09	77,63		
Учет затухания звука в атмосфере Aatm, дБ		ф-ла (8) [10]	0	0,2	0,6	2,1	5,3	9,5	17,2	44	148		
Снижение уровня звукового давления из-за влияния застройки между источником шума и расчетной точкой													
Снижение уровня звукового давления на пути над экраном, Dz1, дБ	z = 0.13м (разность путей)	ф-лы (14-18) [10]	4,8	4,8	4,8	4,8	4,8	4,8	4,8	4,8	4,8		

1		2	3	4	5	6	7	8	9	10	11	12	13
Снижение уровня звукового давления на пути слева от экрана, Dz2, дБ	z = 46.34м (разность путей)	ф-лы (14-18) [10]	22,9	26,9	31,4	35,5	39	42,1	45,1	48,2	51,2		
Снижение уровня звукового давления на пути справа от экрана, Dz3, дБ	z = 17.79м (разность путей)	ф-лы (14-18) [10]	22,7	25,9	28,9	32	35	38	41	44	47		
Общее снижение уровня звука препятствием Dz, дБ		Эн.сумма(-Dzi)	4,6	4,7	4,7	4,8	4,8	4,8	4,8	4,8	4,8		
Уровни звукового давления от источника ИШ-6-20 в расчётной точке днём, дБ		**ф-ла(3)[10]**	**0**	**14,8**	**15,7**	**15,5**	**12,6**	**8**	**0**	**0**	**0**	**13,2**	**13,2**
Уровни звукового давления от источника ИШ-6-20 в расчётной точке ночью, дБ		**ф-ла(3)[10]**	**0**	**14,8**	**15,7**	**15,5**	**12,6**	**8**	**0**	**0**	**0**	**13,2**	**13,2**
Источник шума: ИШ-6-21, координаты источника (x,y,z), м =[801.69,-135.42,1.00]													
Уровни звуковой мощности источника днём, Lw, дБ		**исходные данные**	**0**	**96,3**	**97,7**	**99**	**99,3**	**98,9**	**95,6**	**91,4**	**86,9**		
Уровни звуковой мощности источника ночью, Lw, дБ		**исходные данные**	**0**	**96,3**	**97,7**	**99**	**99,3**	**98,9**	**95,6**	**91,4**	**86,9**		
Поправка на телесный угол DΩ, дБ	Ω = 12.57	10Lg(4π/Ω)	**0**	0	0	0	0	0	0	0	0		
Показатель направленности источника Di, дБ		исходные данные	**0**	0	0	0	0	0	0	0	0		
Поправка на направленность источника Dc, дБ	Dc	DΩ + Di	**0**	0	0	0	0	0	0	0	0		
Затухание из-за геометрической дивергенции, Adiv, дБ	расстояние = 1907.00 м	ф-ла (7) [10]	**76,6**										
Коэффициент затухания звука в атмосфере α, дБ/км	Ta=20,°C Pa=101.33,кПа hотн.=70%	ф-ла (5) [9]	0,02	0,09	0,33	1,12	2,79	4,98	9,04	23,09	77,63		
Учет затухания звука в атмосфере Aatm, дБ		ф-ла (8) [10]	0	0,2	0,6	2,1	5,3	9,5	17,2	44	148		
Снижение уровня звукового давления из-за влияния застройки между источником шума и расчетной точкой													
Снижение уровня звукового давления на пути над экраном, Dz1, дБ	z = 0.13м (разность путей)	ф-лы (14-18) [10]	4,8	4,8	4,8	4,8	4,8	4,8	4,8	4,8	4,8		

1		2	3	4	5	6	7	8	9	10	11	12	13
Снижение уровня звукового давления на пути слева от экрана, Dz2, дБ	z = 45.18м (разность путей)	ф-лы (14-18) [10]	22,8	26,8	31,3	35,4	38,9	42	45	48	51,1		
Снижение уровня звукового давления на пути справа от экрана, Dz3, дБ	z = 18.56м (разность путей)	ф-лы (14-18) [10]	22,9	26,1	29,1	32,1	35,2	38,2	41,2	44,2	47,2		
Общее снижение уровня звука препятствием Dz, дБ		Эн.сумма(-Dzi)	4,6	4,7	4,7	4,8	4,8	4,8	4,8	4,8	4,8		
Уровни звукового давления от источника ИШ-6-21 в расчётной точке днём, дБ		**ф-ла(3)[10]**	**0**	**14,8**	**15,7**	**15,5**	**12,6**	**8**	**0**	**0**	**0**	**13,2**	**13,2**
Уровни звукового давления от источника ИШ-6-21 в расчётной точке ночью, дБ		**ф-ла(3)[10]**	**0**	**14,8**	**15,7**	**15,5**	**12,6**	**8**	**0**	**0**	**0**	**13,2**	**13,2**
Источник шума: ИШ-6-22, координаты источника (x,y,z), м =[800.65,-138.47,1.00]													
Уровни звуковой мощности источника днём, Lw, дБ		**исходные данные**	**0**	**96,3**	**97,7**	**99**	**99,3**	**98,9**	**95,6**	**91,4**	**86,9**		
Уровни звуковой мощности источника ночью, Lw, дБ		**исходные данные**	**0**	**96,3**	**97,7**	**99**	**99,3**	**98,9**	**95,6**	**91,4**	**86,9**		
Поправка на телесный угол DΩ, дБ	Ω = 12.57	10Lg(4π/Ω)	**0**	0	0	0	0	0	0	0	0		
Показатель направленности источника Di, дБ		исходные данные	**0**	0	0	0	0	0	0	0	0		
Поправка на направленность источника Dc, дБ	Dc	DΩ + Di	**0**	0	0	0	0	0	0	0	0		
Затухание из-за геометрической дивергенции, Adiv, дБ	расстояние = 1907.91 м	ф-ла (7) [10]	**76,6**										
Коэффициент затухания звука в атмосфере α, дБ/км	Ta=20,°C Pa=101.33,кПа hотн.=70%	ф-ла (5) [9]	0,02	0,09	0,33	1,12	2,79	4,98	9,04	23,09	77,63		
Учет затухания звука в атмосфере Aatm, дБ		ф-ла (8) [10]	0	0,2	0,6	2,1	5,3	9,5	17,2	44	148,1		
Снижение уровня звукового давления из-за влияния застройки между источником шума и расчетной точкой													
Снижение уровня звукового давления на пути над экраном, Dz1, дБ	z = 0.13м (разность путей)	ф-лы (14-18) [10]	4,8	4,8	4,8	4,8	4,8	4,8	4,8	4,8	4,8		

1		2	3	4	5	6	7	8	9	10	11	12	13
Снижение уровня звукового давления на пути слева от экрана, Dz2, дБ	z = 44.03м (разность путей)	ф-лы (14-18) [10]	22,7	26,7	31,2	35,3	38,7	41,9	44,9	47,9	50,9		
Снижение уровня звукового давления на пути справа от экрана, Dz3, дБ	z = 19.35м (разность путей)	ф-лы (14-18) [10]	23,1	26,3	29,3	32,3	35,3	38,3	41,4	44,4	47,4		
Общее снижение уровня звука препятствием Dz, дБ		Эн.сумма(-Dzi)	4,6	4,7	4,7	4,8	4,8	4,8	4,8	4,8	4,8		
Уровни звукового давления от источника ИШ-6-22 в расчётной точке днём, дБ		**ф-ла(3)[10]**	**0**	**14,8**	**15,7**	**15,5**	**12,6**	**8**	**0**	**0**	**0**	**13,2**	**13,2**
Уровни звукового давления от источника ИШ-6-22 в расчётной точке ночью, дБ		**ф-ла(3)[10]**	**0**	**14,8**	**15,7**	**15,5**	**12,6**	**8**	**0**	**0**	**0**	**13,2**	**13,2**
Источник шума: ИШ-7-1, координаты источника (x,y,z), м =[821.44,63.31,1.00]													
Уровни звуковой мощности источника днём, Lw, дБ		**исходные данные**	**77**	**75**	**67**	**66**	**63**	**55**	**53**	**48**	**51**		
Уровни звуковой мощности источника ночью, Lw, дБ		**исходные данные**	**77**	**75**	**67**	**66**	**63**	**55**	**53**	**48**	**51**		
Поправка на телесный угол DΩ, дБ	Ω = 12.57	10Lg(4π/Ω)	**0**	0	0	0	0	0	0	0	0		
Показатель направленности источника Di, дБ		исходные данные	**0**	0	0	0	0	0	0	0	0		
Поправка на направленность источника Dc, дБ	Dc	DΩ + Di	**0**	0	0	0	0	0	0	0	0		
Затухание из-за геометрической дивергенции, Adiv, дБ	расстояние = 1816.56 м	ф-ла (7) [10]	**76,2**										
Коэффициент затухания звука в атмосфере α, дБ/км	Ta=20,°C Pa=101.33,кПа hотн.=70%	ф-ла (5) [9]	0,02	0,09	0,33	1,12	2,79	4,98	9,04	23,09	77,63		
Учет затухания звука в атмосфере Aatm, дБ		ф-ла (8) [10]	0	0,2	0,6	2	5,1	9	16,4	41,9	141		
Снижение уровня звукового давления из-за влияния застройки между источником шума и расчетной точкой													
Снижение уровня звукового давления препятствием слева от трассы ИШ-РТ, Dz2, дБ	z = -0.15м (разность путей)	ф-лы (14-18) [10]	3,9	2,7	0	NAN	NAN	NAN	NAN	NAN	NAN		
* отрицательное значение z означает прохождение траектории вблизи экрана, в этом случае дополнительно производится учёт снижения подстилающей поверхностью (см.ниже)													

1		2	3	4	5	6	7	8	9	10	11	12	13
Снижение поверхностью земли возле источника As, дБ	Gs = 0 hs = 1м	ф-лы таб.3 [10]	-1,5	-1,5	-1,5	-1,5	-1,5	-1,5	-1,5	-1,5	-1,5		
Снижение поверхностью земли возле приёмника Ar, дБ	Gr = 1 hr = 1.5м	ф-лы таб.3 [10]	-1,5	-1,5	5,3	7	5	0,7	0	0	0		
Снижение поверхностью земли в средней зоне, Am дБ	Gm = 1	ф-лы таб.3 [10]	-2,9	-2,9	0	0	0	0	0	0	0		
Суммарное снижение поверхностью земли на траектории распространения звука Agr, дБ		ф-ла (9) [10]	-5,9	-5,9	3,8	5,5	3,5	-0,8	-1,5	-1,5	-1,5		
Уровни звукового давления от источника ИШ-7-1 в расчётной точке днём, дБ		**ф-ла(3)[10]**	**0**	**0**	**0**	**0**	**0**	**0**	**0**	**0**	**0**	**0**	**0**
Уровни звукового давления от источника ИШ-7-1 в расчётной точке ночью, дБ		**ф-ла(3)[10]**	**0**	**0**	**0**	**0**	**0**	**0**	**0**	**0**	**0**	**0**	**0**
Источник шума: ИШ-7-2, координаты источника (x,y,z), м =[768.90,-86.75,1.00]													
Уровни звуковой мощности источника днём, Lw, дБ		**исходные данные**	**77**	**75**	**67**	**66**	**63**	**55**	**53**	**48**	**51**		
Уровни звуковой мощности источника ночью, Lw, дБ		**исходные данные**	**77**	**75**	**67**	**66**	**63**	**55**	**53**	**48**	**51**		
Поправка на телесный угол DΩ, дБ	Ω = 12.57	10Lg(4π/Ω)	**0**	0	0	0	0	0	0	0	0		
Показатель направленности источника Di, дБ		исходные данные	**0**	0	0	0	0	0	0	0	0		
Поправка на направленность источника Dc, дБ	Dc	DΩ + Di	**0**	0	0	0	0	0	0	0	0		
Затухание из-за геометрической дивергенции, Adiv, дБ	расстояние = 1852.22 м	ф-ла (7) [10]	**76,4**										
Коэффициент затухания звука в атмосфере α, дБ/км	Ta=20,°C Pa=101.33,кПа hотн.=70%	ф-ла (5) [9]	0,02	0,09	0,33	1,12	2,79	4,98	9,04	23,09	77,63		
Учет затухания звука в атмосфере Aatm, дБ		ф-ла (8) [10]	0	0,2	0,6	2,1	5,2	9,2	16,7	42,8	143,8		
Снижение уровня звукового давления из-за влияния застройки между источником шума и расчетной точкой													

1		2	3	4	5	6	7	8	9	10	11	12	13
Снижение уровня звукового давления на пути над экраном, Dz1, дБ	z = 0.15м (разность путей)	ф-лы (14-18) [10]	4,8	4,8	4,8	4,8	4,8	4,8	4,8	4,8	4,8		
Уровни звукового давления от источника ИШ-7-2 в расчётной точке днём, дБ		**ф-ла(3)[10]**	**0**	**0**	**0**	**0**	**0**	**0**	**0**	**0**	**0**	**0**	**0**
Уровни звукового давления от источника ИШ-7-2 в расчётной точке ночью, дБ		**ф-ла(3)[10]**	**0**	**0**	**0**	**0**	**0**	**0**	**0**	**0**	**0**	**0**	**0**
Источник шума: ИШ-7-3, координаты источника (x,y,z), м =[766.80,-93.20,1.00]													
Уровни звуковой мощности источника днём, Lw, дБ		**исходные данные**	**77**	**75**	**67**	**66**	**63**	**55**	**53**	**48**	**51**		
Уровни звуковой мощности источника ночью, Lw, дБ		**исходные данные**	**77**	**75**	**67**	**66**	**63**	**55**	**53**	**48**	**51**		
Поправка на телесный угол DΩ, дБ	Ω = 12.57	10Lg(4π/Ω)	**0**	0	0	0	0	0	0	0	0		
Показатель направленности источника Di, дБ		исходные данные	**0**	0	0	0	0	0	0	0	0		
Поправка на направленность источника Dc, дБ	Dc	DΩ + Di	**0**	0	0	0	0	0	0	0	0		
Затухание из-за геометрической дивергенции, Adiv, дБ	расстояние = 1854.18 м	ф-ла (7) [10]	**76,4**										
Коэффициент затухания звука в атмосфере α, дБ/км	Ta=20,°C Pa=101.33,кПа hотн.=70%	ф-ла (5) [9]	0,02	0,09	0,33	1,12	2,79	4,98	9,04	23,09	77,63		
Учет затухания звука в атмосфере Aatm, дБ		ф-ла (8) [10]	0	0,2	0,6	2,1	5,2	9,2	16,8	42,8	143,9		
Снижение уровня звукового давления из-за влияния застройки между источником шума и расчетной точкой													
Снижение уровня звукового давления на пути над экраном, Dz1, дБ	z = 0.15м (разность путей)	ф-лы (14-18) [10]	4,8	4,8	4,8	4,8	4,8	4,8	4,8	4,8	4,8		
Уровни звукового давления от источника ИШ-7-3 в расчётной точке днём, дБ		**ф-ла(3)[10]**	**0**	**0**	**0**	**0**	**0**	**0**	**0**	**0**	**0**	**0**	**0**
Уровни звукового давления от источника ИШ-7-3 в расчётной точке ночью, дБ		**ф-ла(3)[10]**	**0**	**0**	**0**	**0**	**0**	**0**	**0**	**0**	**0**	**0**	**0**

1		2	3	4	5	6	7	8	9	10	11	12	13
Источник шума: ИШ-7-4, координаты источника (x,y,z), м =[866.76,37.18,1.00]													
Уровни звуковой мощности источника днём, Lw, дБ		**исходные данные**	**77**	**75**	**67**	**66**	**63**	**55**	**53**	**48**	**51**		
Уровни звуковой мощности источника ночью, Lw, дБ		**исходные данные**	**77**	**75**	**67**	**66**	**63**	**55**	**53**	**48**	**51**		
Поправка на телесный угол DΩ, дБ	Ω = 12.57	10Lg(4π/Ω)	**0**	0	0	0	0	0	0	0	0		
Показатель направленности источника Di, дБ		исходные данные	**0**	0	0	0	0	0	0	0	0		
Поправка на направленность источника Dc, дБ	Dc	DΩ + Di	**0**	0	0	0	0	0	0	0	0		
Затухание из-за геометрической дивергенции, Adiv, дБ	расстояние = 1868.87 м	ф-ла (7) [10]	**76,4**										
Коэффициент затухания звука в атмосфере α, дБ/км	Ta=20,°C Pa=101.33,кПа hотн.=70%	ф-ла (5) [9]	0,02	0,09	0,33	1,12	2,79	4,98	9,04	23,09	77,63		
Учет затухания звука в атмосфере Aatm, дБ		ф-ла (8) [10]	0	0,2	0,6	2,1	5,2	9,3	16,9	43,1	145,1		
Снижение уровня звукового давления из-за влияния застройки между источником шума и расчетной точкой													
Снижение уровня звукового давления препятствием слева от трассы ИШ-РТ, Dz2, дБ	z = -0.14м (разность путей)	ф-лы (14-18) [10]	4	2,9	0	NAN	NAN	NAN	NAN	NAN	NAN		
* отрицательное значение z означает прохождение траектории вблизи экрана, в этом случае дополнительно производится учёт снижения подстилающей поверхностью (см.ниже)													
Снижение поверхностью земли возле источника As, дБ	Gs = 0 hs = 1м	ф-лы таб.3 [10]	-1,5	-1,5	-1,5	-1,5	-1,5	-1,5	-1,5	-1,5	-1,5		
Снижение поверхностью земли возле приёмника Ar, дБ	Gr = 1 hr = 1.5м	ф-лы таб.3 [10]	-1,5	-1,5	5,3	7	5	0,7	0	0	0		
Снижение поверхностью земли в средней зоне, Am дБ	Gm = 1	ф-лы таб.3 [10]	-2,9	-2,9	0	0	0	0	0	0	0		
Суммарное снижение поверхностью земли на траектории распространения звука Agr, дБ		ф-ла (9) [10]	-5,9	-5,9	3,8	5,5	3,5	-0,8	-1,5	-1,5	-1,5		
Уровни звукового давления от источника ИШ-7-4 в расчётной точке днём, дБ		**ф-ла(3)[10]**	**0**	**0**	**0**	**0**	**0**	**0**	**0**	**0**	**0**	**0**	**0**

1		2	3	4	5	6	7	8	9	10	11	12	13
Уровни звукового давления от источника ИШ-7-4 в расчётной точке ночью, дБ		**ф-ла(3)[10]**	**0**	**0**	**0**	**0**	**0**	**0**	**0**	**0**	**0**	**0**	**0**
Источник шума: ИШ-7-5, координаты источника (x,y,z), м =[861.80,21.34,1.00]													
Уровни звуковой мощности источника днём, Lw, дБ		**исходные данные**	**77**	**75**	**67**	**66**	**63**	**55**	**53**	**48**	**51**		
Уровни звуковой мощности источника ночью, Lw, дБ		**исходные данные**	**77**	**75**	**67**	**66**	**63**	**55**	**53**	**48**	**51**		
Поправка на телесный угол DΩ, дБ	Ω = 12.57	10Lg(4π/Ω)	**0**	0	0	0	0	0	0	0	0		
Показатель направленности источника Di, дБ		исходные данные	**0**	0	0	0	0	0	0	0	0		
Поправка на направленность источника Dc, дБ	Dc	DΩ + Di	**0**	0	0	0	0	0	0	0	0		
Затухание из-за геометрической дивергенции, Adiv, дБ	расстояние = 1872.52 м	ф-ла (7) [10]	**76,4**										
Коэффициент затухания звука в атмосфере α, дБ/км	Ta=20,°C Pa=101.33,кПа hотн.=70%	ф-ла (5) [9]	0,02	0,09	0,33	1,12	2,79	4,98	9,04	23,09	77,63		
Учет затухания звука в атмосфере Aatm, дБ		ф-ла (8) [10]	0	0,2	0,6	2,1	5,2	9,3	16,9	43,2	145,4		
Снижение уровня звукового давления из-за влияния застройки между источником шума и расчетной точкой													
Снижение уровня звукового давления на пути над экраном, Dz1, дБ	z = 0.10м (разность путей)	ф-лы (14-18) [10]	4,8	4,8	4,8	4,8	4,8	4,8	4,8	4,8	4,8		
Уровни звукового давления от источника ИШ-7-5 в расчётной точке днём, дБ		**ф-ла(3)[10]**	**0**	**0**	**0**	**0**	**0**	**0**	**0**	**0**	**0**	**0**	**0**
Уровни звукового давления от источника ИШ-7-5 в расчётной точке ночью, дБ		**ф-ла(3)[10]**	**0**	**0**	**0**	**0**	**0**	**0**	**0**	**0**	**0**	**0**	**0**
Источник шума: ИШ-7-6, координаты источника (x,y,z), м =[856.52,5.94,1.00]													
Уровни звуковой мощности источника днём, Lw, дБ		**исходные данные**	**77**	**75**	**67**	**66**	**63**	**55**	**53**	**48**	**51**		

1		2	3	4	5	6	7	8	9	10	11	12	13
Уровни звуковой мощности источника ночью, Lw, дБ		**исходные данные**	**77**	**75**	**67**	**66**	**63**	**55**	**53**	**48**	**51**		
Поправка на телесный угол DΩ, дБ	Ω = 12.57	10Lg(4π/Ω)	**0**	0	0	0	0	0	0	0	0		
Показатель направленности источника Di, дБ		исходные данные	**0**	0	0	0	0	0	0	0	0		
Поправка на направленность источника Dc, дБ	Dc	DΩ + Di	**0**	0	0	0	0	0	0	0	0		
Затухание из-за геометрической дивергенции, Adiv, дБ	расстояние = 1875.80 м	ф-ла (7) [10]	**76,5**										
Коэффициент затухания звука в атмосфере α, дБ/км	Ta=20,°C Pa=101.33,кПа hотн.=70%	ф-ла (5) [9]	0,02	0,09	0,33	1,12	2,79	4,98	9,04	23,09	77,63		
Учет затухания звука в атмосфере Aatm, дБ		ф-ла (8) [10]	0	0,2	0,6	2,1	5,2	9,3	17	43,3	145,6		
Снижение уровня звукового давления из-за влияния застройки между источником шума и расчетной точкой													
Снижение уровня звукового давления на пути над экраном, Dz1, дБ	z = 0.10м (разность путей)	ф-лы (14-18) [10]	4,8	4,8	4,8	4,8	4,8	4,8	4,8	4,8	4,8		
Уровни звукового давления от источника ИШ-7-6 в расчётной точке днём, дБ		**ф-ла(3)[10]**	**0**	**0**	**0**	**0**	**0**	**0**	**0**	**0**	**0**	**0**	**0**
Уровни звукового давления от источника ИШ-7-6 в расчётной точке ночью, дБ		**ф-ла(3)[10]**	**0**	**0**	**0**	**0**	**0**	**0**	**0**	**0**	**0**	**0**	**0**
Источник шума: ИШ-7-7, координаты источника (x,y,z), м =[851.06,-9.89,1.00]													
Уровни звуковой мощности источника днём, Lw, дБ		**исходные данные**	**77**	**75**	**67**	**66**	**63**	**55**	**53**	**48**	**51**		
Уровни звуковой мощности источника ночью, Lw, дБ		**исходные данные**	**77**	**75**	**67**	**66**	**63**	**55**	**53**	**48**	**51**		
Поправка на телесный угол DΩ, дБ	Ω = 12.57	10Lg(4π/Ω)	**0**	0	0	0	0	0	0	0	0		
Показатель направленности источника Di, дБ		исходные данные	**0**	0	0	0	0	0	0	0	0		

1		2	3	4	5	6	7	8	9	10	11	12	13
Поправка на направленность источника Dc, дБ	Dc	DΩ + Di	**0**	0	0	0	0	0	0	0	0		
Затухание из-за геометрической дивергенции, Adiv, дБ	расстояние = 1879.30 м	ф-ла (7) [10]	**76,5**										
Коэффициент затухания звука в атмосфере α, дБ/км	Ta=20,°C Pa=101.33,кПа hотн.=70%	ф-ла (5) [9]	0,02	0,09	0,33	1,12	2,79	4,98	9,04	23,09	77,63		
Учет затухания звука в атмосфере Aatm, дБ		ф-ла (8) [10]	0	0,2	0,6	2,1	5,2	9,4	17	43,4	145,9		
Снижение уровня звукового давления из-за влияния застройки между источником шума и расчетной точкой													
Снижение уровня звукового давления на пути над экраном, Dz1, дБ	z = 0.10м (разность путей)	ф-лы (14-18) [10]	4,8	4,8	4,8	4,8	4,8	4,8	4,8	4,8	4,8		
Уровни звукового давления от источника ИШ-7-7 в расчётной точке днём, дБ		**ф-ла(3)[10]**	**0**	**0**	**0**	**0**	**0**	**0**	**0**	**0**	**0**	**0**	**0**
Уровни звукового давления от источника ИШ-7-7 в расчётной точке ночью, дБ		**ф-ла(3)[10]**	**0**	**0**	**0**	**0**	**0**	**0**	**0**	**0**	**0**	**0**	**0**
Источник шума: ИШ-7-8, координаты источника (x,y,z), м =[821.90,-104.30,1.00]													
Уровни звуковой мощности источника днём, Lw, дБ		**исходные данные**	**77**	**75**	**67**	**66**	**63**	**55**	**53**	**48**	**51**		
Уровни звуковой мощности источника ночью, Lw, дБ		**исходные данные**	**77**	**75**	**67**	**66**	**63**	**55**	**53**	**48**	**51**		
Поправка на телесный угол DΩ, дБ	Ω = 12.57	10Lg(4π/Ω)	**0**	0	0	0	0	0	0	0	0		
Показатель направленности источника Di, дБ		исходные данные	**0**	0	0	0	0	0	0	0	0		
Поправка на направленность источника Dc, дБ	Dc	DΩ + Di	**0**	0	0	0	0	0	0	0	0		
Затухание из-за геометрической дивергенции, Adiv, дБ	расстояние = 1905.86 м	ф-ла (7) [10]	**76,6**										
Коэффициент затухания звука в атмосфере α, дБ/км	Ta=20,°C Pa=101.33,кПа hотн.=70%	ф-ла (5) [9]	0,02	0,09	0,33	1,12	2,79	4,98	9,04	23,09	77,63		

1		2	3	4	5	6	7	8	9	10	11	12	13
Учет затухания звука в атмосфере Aatm, дБ		ф-ла (8) [10]	0	0,2	0,6	2,1	5,3	9,5	17,2	44	148		
Снижение уровня звукового давления из-за влияния застройки между источником шума и расчетной точкой													
Снижение уровня звукового давления на пути над экраном, Dz1, дБ	z = 0.13м (разность путей)	ф-лы (14-18) [10]	4,8	4,8	4,8	4,8	4,8	4,8	4,8	4,8	4,8		
Уровни звукового давления от источника ИШ-7-8 в расчётной точке днём, дБ		**ф-ла(3)[10]**	**0**	**0**	**0**	**0**	**0**	**0**	**0**	**0**	**0**	**0**	**0**
Уровни звукового давления от источника ИШ-7-8 в расчётной точке ночью, дБ		**ф-ла(3)[10]**	**0**	**0**	**0**	**0**	**0**	**0**	**0**	**0**	**0**	**0**	**0**
Источник шума: ИШ-7-9, координаты источника (x,y,z), м =[819.93,-110.97,1.00]													
Уровни звуковой мощности источника днём, Lw, дБ		**исходные данные**	**77**	**75**	**67**	**66**	**63**	**55**	**53**	**48**	**51**		
Уровни звуковой мощности источника ночью, Lw, дБ		**исходные данные**	**77**	**75**	**67**	**66**	**63**	**55**	**53**	**48**	**51**		
Поправка на телесный угол DΩ, дБ	Ω = 12.57	10Lg(4π/Ω)	**0**	0	0	0	0	0	0	0	0		
Показатель направленности источника Di, дБ		исходные данные	**0**	0	0	0	0	0	0	0	0		
Поправка на направленность источника Dc, дБ	Dc	DΩ + Di	**0**	0	0	0	0	0	0	0	0		
Затухание из-за геометрической дивергенции, Adiv, дБ	расстояние = 1907.99 м	ф-ла (7) [10]	**76,6**										
Коэффициент затухания звука в атмосфере α, дБ/км	Ta=20,°C Pa=101.33,кПа hотн.=70%	ф-ла (5) [9]	0,02	0,09	0,33	1,12	2,79	4,98	9,04	23,09	77,63		
Учет затухания звука в атмосфере Aatm, дБ		ф-ла (8) [10]	0	0,2	0,6	2,1	5,3	9,5	17,2	44	148,1		
Снижение уровня звукового давления из-за влияния застройки между источником шума и расчетной точкой													
Снижение уровня звукового давления на пути над экраном, Dz1, дБ	z = 0.13м (разность путей)	ф-лы (14-18) [10]	4,8	4,8	4,8	4,8	4,8	4,8	4,8	4,8	4,8		

1		2	3	4	5	6	7	8	9	10	11	12	13
Уровни звукового давления от источника ИШ-7-9 в расчётной точке днём, дБ		**ф-ла(3)[10]**	**0**	**0**	**0**	**0**	**0**	**0**	**0**	**0**	**0**	**0**	**0**
Уровни звукового давления от источника ИШ-7-9 в расчётной точке ночью, дБ		**ф-ла(3)[10]**	**0**	**0**	**0**	**0**	**0**	**0**	**0**	**0**	**0**	**0**	**0**
Источник шума: ИШ-7-10, координаты источника (x,y,z), м =[868.68,92.66,1.00]													
Уровни звуковой мощности источника днём, Lw, дБ		**исходные данные**	**77**	**75**	**67**	**66**	**63**	**55**	**53**	**48**	**51**		
Уровни звуковой мощности источника ночью, Lw, дБ		**исходные данные**	**77**	**75**	**67**	**66**	**63**	**55**	**53**	**48**	**51**		
Поправка на телесный угол DΩ, дБ	Ω = 12.57	10Lg(4π/Ω)	**0**	0	0	0	0	0	0	0	0		
Показатель направленности источника Di, дБ		исходные данные	**0**	0	0	0	0	0	0	0	0		
Поправка на направленность источника Dc, дБ	Dc	DΩ + Di	**0**	0	0	0	0	0	0	0	0		
Затухание из-за геометрической дивергенции, Adiv, дБ	расстояние = 1843.59 м	ф-ла (7) [10]	**76,3**										
Коэффициент затухания звука в атмосфере α, дБ/км	Ta=20,°C Pa=101.33,кПа hотн.=70%	ф-ла (5) [9]	0,02	0,09	0,33	1,12	2,79	4,98	9,04	23,09	77,63		
Учет затухания звука в атмосфере Aatm, дБ		ф-ла (8) [10]	0	0,2	0,6	2,1	5,1	9,2	16,7	42,6	143,1		
Снижение поверхностью земли возле источника As, дБ	Gs = 0 hs = 1м	ф-лы таб.3 [10]	-1,5	-1,5	-1,5	-1,5	-1,5	-1,5	-1,5	-1,5	-1,5		
Снижение поверхностью земли возле приёмника Ar, дБ	Gr = 1 hr = 1.5м	ф-лы таб.3 [10]	-1,5	-1,5	5,3	7	5	0,7	0	0	0		
Снижение поверхностью земли в средней зоне, Am дБ	Gm = 1	ф-лы таб.3 [10]	-2,9	-2,9	0	0	0	0	0	0	0		
Суммарное снижение поверхностью земли на траектории распространения звука Agr, дБ		ф-ла (9) [10]	-5,9	-5,9	3,8	5,5	3,5	-0,8	-1,5	-1,5	-1,5		
Уровни звукового давления от источника ИШ-7-10 в расчётной точке днём, дБ		**ф-ла(3)[10]**	**6,5**	**0**	**0**	**0**	**0**	**0**	**0**	**0**	**0**	**0**	**0**

1		2	3	4	5	6	7	8	9	10	11	12	13
Уровни звукового давления от источника ИШ-7-10 в расчётной точке ночью, дБ		**ф-ла(3)[10]**	**6,5**	**0**	**0**	**0**	**0**	**0**	**0**	**0**	**0**	**0**	**0**
Источник шума: ИШ-7-11, координаты источника (x,y,z), м =[877.95,88.75,1.00]													
Уровни звуковой мощности источника днём, Lw, дБ		**исходные данные**	**77**	**75**	**67**	**66**	**63**	**55**	**53**	**48**	**51**		
Уровни звуковой мощности источника ночью, Lw, дБ		**исходные данные**	**77**	**75**	**67**	**66**	**63**	**55**	**53**	**48**	**51**		
Поправка на телесный угол DΩ, дБ	Ω = 12.57	10Lg(4π/Ω)	**0**	0	0	0	0	0	0	0	0		
Показатель направленности источника Di, дБ		исходные данные	**0**	0	0	0	0	0	0	0	0		
Поправка на направленность источника Dc, дБ	Dc	DΩ + Di	**0**	0	0	0	0	0	0	0	0		
Затухание из-за геометрической дивергенции, Adiv, дБ	расстояние = 1853.60 м	ф-ла (7) [10]	**76,4**										
Коэффициент затухания звука в атмосфере α, дБ/км	Ta=20,°C Pa=101.33,кПа hотн.=70%	ф-ла (5) [9]	0,02	0,09	0,33	1,12	2,79	4,98	9,04	23,09	77,63		
Учет затухания звука в атмосфере Aatm, дБ		ф-ла (8) [10]	0	0,2	0,6	2,1	5,2	9,2	16,8	42,8	143,9		
Снижение поверхностью земли возле источника As, дБ	Gs = 0 hs = 1м	ф-лы таб.3 [10]	-1,5	-1,5	-1,5	-1,5	-1,5	-1,5	-1,5	-1,5	-1,5		
Снижение поверхностью земли возле приёмника Ar, дБ	Gr = 1 hr = 1.5м	ф-лы таб.3 [10]	-1,5	-1,5	5,3	7	5	0,7	0	0	0		
Снижение поверхностью земли в средней зоне, Am дБ	Gm = 1	ф-лы таб.3 [10]	-2,9	-2,9	0	0	0	0	0	0	0		
Суммарное снижение поверхностью земли на траектории распространения звука Agr, дБ		ф-ла (9) [10]	-5,9	-5,9	3,8	5,5	3,5	-0,8	-1,5	-1,5	-1,5		
Уровни звукового давления от источника ИШ-7-11 в расчётной точке днём, дБ		**ф-ла(3)[10]**	**6,5**	**0**	**0**	**0**	**0**	**0**	**0**	**0**	**0**	**0**	**0**
Уровни звукового давления от источника ИШ-7-11 в расчётной точке ночью, дБ		**ф-ла(3)[10]**	**6,5**	**0**	**0**	**0**	**0**	**0**	**0**	**0**	**0**	**0**	**0**

1		2	3	4	5	6	7	8	9	10	11	12	13
Источник шума: ИШ-7-12, координаты источника (x,y,z), м =[887.42,85.45,1.00]													
Уровни звуковой мощности источника днём, Lw, дБ		**исходные данные**	**77**	**75**	**67**	**66**	**63**	**55**	**53**	**48**	**51**		
Уровни звуковой мощности источника ночью, Lw, дБ		**исходные данные**	**77**	**75**	**67**	**66**	**63**	**55**	**53**	**48**	**51**		
Поправка на телесный угол DΩ, дБ	Ω = 12.57	10Lg(4π/Ω)	**0**	0	0	0	0	0	0	0	0		
Показатель направленности источника Di, дБ		исходные данные	**0**	0	0	0	0	0	0	0	0		
Поправка на направленность источника Dc, дБ	Dc	DΩ + Di	**0**	0	0	0	0	0	0	0	0		
Затухание из-за геометрической дивергенции, Adiv, дБ	расстояние = 1863.51 м	ф-ла (7) [10]	**76,4**										
Коэффициент затухания звука в атмосфере α, дБ/км	Ta=20,°C Pa=101.33,кПа hотн.=70%	ф-ла (5) [9]	0,02	0,09	0,33	1,12	2,79	4,98	9,04	23,09	77,63		
Учет затухания звука в атмосфере Aatm, дБ		ф-ла (8) [10]	0	0,2	0,6	2,1	5,2	9,3	16,8	43	144,7		
Снижение поверхностью земли возле источника As, дБ	Gs = 0 hs = 1м	ф-лы таб.3 [10]	-1,5	-1,5	-1,5	-1,5	-1,5	-1,5	-1,5	-1,5	-1,5		
Снижение поверхностью земли возле приёмника Ar, дБ	Gr = 1 hr = 1.5м	ф-лы таб.3 [10]	-1,5	-1,5	5,3	7	5	0,7	0	0	0		
Снижение поверхностью земли в средней зоне, Am дБ	Gm = 1	ф-лы таб.3 [10]	-2,9	-2,9	0	0	0	0	0	0	0		
Суммарное снижение поверхностью земли на траектории распространения звука Agr, дБ		ф-ла (9) [10]	-5,9	-5,9	3,8	5,5	3,5	-0,8	-1,5	-1,5	-1,5		
Уровни звукового давления от источника ИШ-7-12 в расчётной точке днём, дБ		**ф-ла(3)[10]**	**6,4**	**0**	**0**	**0**	**0**	**0**	**0**	**0**	**0**	**0**	**0**
Уровни звукового давления от источника ИШ-7-12 в расчётной точке ночью, дБ		**ф-ла(3)[10]**	**6,4**	**0**	**0**	**0**	**0**	**0**	**0**	**0**	**0**	**0**	**0**
Источник шума: ИШ-6-23, координаты источника (x,y,z), м =[756.16,-136.23,3.00]													

1		2	3	4	5	6	7	8	9	10	11	12	13
Уровни звуковой мощности источника днём, Lw, дБ		**исходные данные**	**91**	**91**	**91**	**91**	**91**	**91**	**91**	**91**	**91**		
Уровни звуковой мощности источника ночью, Lw, дБ		**исходные данные**	**91**	**91**	**91**	**91**	**91**	**91**	**91**	**91**	**91**		
Поправка на телесный угол DΩ, дБ	Ω = 12.57	10Lg(4π/Ω)	**0**	0	0	0	0	0	0	0	0		
Показатель направленности источника Di, дБ		исходные данные	**0**	0	0	0	0	0	0	0	0		
Поправка на направленность источника Dc, дБ	Dc	DΩ + Di	**0**	0	0	0	0	0	0	0	0		
Затухание из-за геометрической дивергенции, Adiv, дБ	расстояние = 1870.51 м	ф-ла (7) [10]	**76,4**										
Коэффициент затухания звука в атмосфере α, дБ/км	Ta=20,°C Pa=101.33,кПа hотн.=70%	ф-ла (5) [9]	0,02	0,09	0,33	1,12	2,79	4,98	9,04	23,09	77,63		
Учет затухания звука в атмосфере Aatm, дБ		ф-ла (8) [10]	0	0,2	0,6	2,1	5,2	9,3	16,9	43,2	145,2		
Снижение уровня звукового давления из-за влияния застройки между источником шума и расчетной точкой													
Снижение уровня звукового давления на пути над экраном, Dz1, дБ	z = 0.10м (разность путей)	ф-лы (14-18) [10]	4,8	4,8	4,8	4,8	4,8	4,8	4,8	4,8	4,8		
Снижение уровня звукового давления на пути слева от экрана, Dz2, дБ	z = 37.96м (разность путей)	ф-лы (14-18) [10]	22,1	26,1	30,6	34,7	38,1	41,2	44,3	47,3	50,3		
Снижение уровня звукового давления на пути справа от экрана, Dz3, дБ	z = 25.44м (разность путей)	ф-лы (14-18) [10]	24,2	27,5	30,5	33,5	36,5	39,5	42,5	45,6	48,6		
Общее снижение уровня звука препятствием Dz, дБ		Эн.сумма(-Dzi)	4,6	4,7	4,7	4,8	4,8	4,8	4,8	4,8	4,8		
Уровни звукового давления от источника ИШ-6-23 в расчётной точке днём, дБ		**ф-ла(3)[10]**	**9,9**	**9,7**	**9,2**	**7,7**	**4,6**	**0,5**	**0**	**0**	**0**	**5,5**	**5,5**
Уровни звукового давления от источника ИШ-6-23 в расчётной точке ночью, дБ		**ф-ла(3)[10]**	**9,9**	**9,7**	**9,2**	**7,7**	**4,6**	**0,5**	**0**	**0**	**0**	**5,5**	**5,5**
Источник шума: ИШ-6-24, координаты источника (x,y,z), м =[800.98,-151.27,3.00]													

1		2	3	4	5	6	7	8	9	10	11	12	13
Уровни звуковой мощности источника днём, Lw, дБ		**исходные данные**	**91**	**91**	**91**	**91**	**91**	**91**	**91**	**91**	**91**		
Уровни звуковой мощности источника ночью, Lw, дБ		**исходные данные**	**91**	**91**	**91**	**91**	**91**	**91**	**91**	**91**	**91**		
Поправка на телесный угол DΩ, дБ	Ω = 12.57	10Lg(4π/Ω)	**0**	0	0	0	0	0	0	0	0		
Показатель направленности источника Di, дБ		исходные данные	**0**	0	0	0	0	0	0	0	0		
Поправка на направленность источника Dc, дБ	Dc	DΩ + Di	**0**	0	0	0	0	0	0	0	0		
Затухание из-за геометрической дивергенции, Adiv, дБ	расстояние = 1915.63 м	ф-ла (7) [10]	**76,6**										
Коэффициент затухания звука в атмосфере α, дБ/км	Ta=20,°C Pa=101.33,кПа hотн.=70%	ф-ла (5) [9]	0,02	0,09	0,33	1,12	2,79	4,98	9,04	23,09	77,63		
Учет затухания звука в атмосфере Aatm, дБ		ф-ла (8) [10]	0	0,2	0,6	2,2	5,3	9,5	17,3	44,2	148,7		
Снижение уровня звукового давления из-за влияния застройки между источником шума и расчетной точкой													
Снижение уровня звукового давления на пути над экраном, Dz1, дБ	z = 0.09м (разность путей)	ф-лы (14-18) [10]	4,8	4,8	4,8	4,8	4,8	4,8	4,8	4,8	4,8		
Снижение уровня звукового давления на пути слева от экрана, Dz2, дБ	z = 40.07м (разность путей)	ф-лы (14-18) [10]	22,3	26,3	30,8	34,9	38,3	41,5	44,5	47,5	50,5		
Снижение уровня звукового давления на пути справа от экрана, Dz3, дБ	z = 21.92м (разность путей)	ф-лы (14-18) [10]	23,6	26,8	29,8	32,9	35,9	38,9	41,9	44,9	47,9		
Общее снижение уровня звука препятствием Dz, дБ		Эн.сумма(-Dzi)	4,6	4,7	4,7	4,8	4,8	4,8	4,8	4,8	4,8		
Уровни звукового давления от источника ИШ-6-24 в расчётной точке днём, дБ		**ф-ла(3)[10]**	**9,7**	**9,5**	**9**	**7,4**	**4,2**	**0**	**0**	**0**	**0**	**5,1**	**5,1**
Уровни звукового давления от источника ИШ-6-24 в расчётной точке ночью, дБ		**ф-ла(3)[10]**	**9,7**	**9,5**	**9**	**7,4**	**4,2**	**0**	**0**	**0**	**0**	**5,1**	**5,1**

Источник шума: ИШ-8-1, координаты источника (x,y,z), м =[612.60,-227.70,3.00]

1		2	3	4	5	6	7	8	9	10	11	12	13
Уровни звуковой мощности источника днём, Lw, дБ		**исходные данные**	**105**	**104**	**104**	**101**	**102**	**106**	**101**	**95**	**87**		
Уровни звуковой мощности источника ночью, Lw, дБ		**исходные данные**	**105**	**104**	**104**	**101**	**102**	**106**	**101**	**95**	**87**		
Поправка на телесный угол DΩ, дБ	Ω = 6.28	10Lg(4π/Ω)	**3**	3	3	3	3	3	3	3	3		
Показатель направленности источника Di, дБ		исходные данные	**0**	0	0	0	0	0	0	0	0		
Поправка на направленность источника Dc, дБ	Dc	DΩ + Di	**3**	3	3	3	3	3	3	3	3		
Затухание из-за геометрической дивергенции, Adiv, дБ	расстояние = 1815.45 м	ф-ла (7) [10]	**76,2**										
Коэффициент затухания звука в атмосфере α, дБ/км	Ta=20,°C Pa=101.33,кПа hотн.=70%	ф-ла (5) [9]	0,02	0,09	0,33	1,12	2,79	4,98	9,04	23,09	77,63		
Учет затухания звука в атмосфере Aatm, дБ		ф-ла (8) [10]	0	0,2	0,6	2	5,1	9	16,4	41,9	140,9		
Снижение уровня звукового давления из-за влияния застройки между источником шума и расчетной точкой													
Снижение уровня звукового давления на пути над экраном, Dz1, дБ	z = 0.10м (разность путей)	ф-лы (14-18) [10]	4,8	4,8	4,8	4,8	4,8	4,8	4,8	4,8	4,8		
Снижение уровня звукового давления на пути слева от экрана, Dz2, дБ	z = 33.16м (разность путей)	ф-лы (14-18) [10]	25,3	28,6	31,6	34,7	37,7	40,7	43,7	46,7	49,7		
Снижение уровня звукового давления на пути справа от экрана, Dz3, дБ	z = 97.10м (разность путей)	ф-лы (14-18) [10]	30,2	33,3	36,3	39,3	42,3	45,3	48,4	51,4	54,4		
Общее снижение уровня звука препятствием Dz, дБ		Эн.сумма(-Dzi)	4,7	4,7	4,8	4,8	4,8	4,8	4,8	4,8	4,8		
Уровни звукового давления от источника ИШ-8-1 в расчётной точке днём, дБ		**ф-ла(3)[10]**	**27,1**	**25,9**	**25,5**	**21**	**19**	**19**	**6,7**	**0**	**0**	**21,8**	**21,8**
Уровни звукового давления от источника ИШ-8-1 в расчётной точке ночью, дБ		**ф-ла(3)[10]**	**27,1**	**25,9**	**25,5**	**21**	**19**	**19**	**6,7**	**0**	**0**	**21,8**	**21,8**

Источник шума: ИШ-8-2, координаты источника (x,y,z), м =[596.60,-275.00,3.00]

1		2	3	4	5	6	7	8	9	10	11	12	13
Уровни звуковой мощности источника днём, Lw, дБ		**исходные данные**	**105**	**104**	**104**	**101**	**102**	**106**	**101**	**95**	**87**		
Уровни звуковой мощности источника ночью, Lw, дБ		**исходные данные**	**105**	**104**	**104**	**101**	**102**	**106**	**101**	**95**	**87**		
Поправка на телесный угол DΩ, дБ	Ω = 6.28	10Lg(4π/Ω)	**3**	3	3	3	3	3	3	3	3		
Показатель направленности источника Di, дБ		исходные данные	**0**	0	0	0	0	0	0	0	0		
Поправка на направленность источника Dc, дБ	Dc	DΩ + Di	**3**	3	3	3	3	3	3	3	3		
Затухание из-за геометрической дивергенции, Adiv, дБ	расстояние = 1835.10 м	ф-ла (7) [10]	**76,3**										
Коэффициент затухания звука в атмосфере α, дБ/км	Ta=20,°C Pa=101.33,кПа hотн.=70%	ф-ла (5) [9]	0,02	0,09	0,33	1,12	2,79	4,98	9,04	23,09	77,63		
Учет затухания звука в атмосфере Aatm, дБ		ф-ла (8) [10]	0	0,2	0,6	2,1	5,1	9,1	16,6	42,4	142,5		
Снижение уровня звукового давления из-за влияния застройки между источником шума и расчетной точкой													
Снижение уровня звукового давления на пути над экраном, Dz1, дБ	z = 0.10м (разность путей)	ф-лы (14-18) [10]	4,8	4,8	4,8	4,8	4,8	4,8	4,8	4,8	4,8		
Снижение уровня звукового давления на пути слева от экрана, Dz2, дБ	z = 21.75м (разность путей)	ф-лы (14-18) [10]	19,2	22,2	25,1	28,1	31,1	34,1	37,1	40,1	43,1		
Снижение уровня звукового давления на пути справа от экрана, Dz3, дБ	z = 12.24м (разность путей)	ф-лы (14-18) [10]	21,2	24,3	27,3	30,3	33,3	36,4	39,4	42,4	45,4		
Общее снижение уровня звука препятствием Dz, дБ		Эн.сумма(-Dzi)	4,5	4,6	4,7	4,7	4,8	4,8	4,8	4,8	4,8		
Уровни звукового давления от источника ИШ-8-2 в расчётной точке днём, дБ		**ф-ла(3)[10]**	**27,2**	**25,9**	**25,4**	**20,9**	**18,9**	**18,8**	**6,4**	**0**	**0**	**21,6**	**21,6**
Уровни звукового давления от источника ИШ-8-2 в расчётной точке ночью, дБ		**ф-ла(3)[10]**	**27,2**	**25,9**	**25,4**	**20,9**	**18,9**	**18,8**	**6,4**	**0**	**0**	**21,6**	**21,6**
Источник шума: ИШ-8-3, координаты источника (x,y,z), м =[564.90,-369.90,3.00]													

1		2	3	4	5	6	7	8	9	10	11	12	13
Уровни звуковой мощности источника днём, Lw, дБ		**исходные данные**	**105**	**104**	**104**	**101**	**102**	**106**	**101**	**95**	**87**		
Уровни звуковой мощности источника ночью, Lw, дБ		**исходные данные**	**105**	**104**	**104**	**101**	**102**	**106**	**101**	**95**	**87**		
Поправка на телесный угол DΩ, дБ	Ω = 6.28	10Lg(4π/Ω)	**3**	3	3	3	3	3	3	3	3		
Показатель направленности источника Di, дБ		исходные данные	**0**	0	0	0	0	0	0	0	0		
Поправка на направленность источника Dc, дБ	Dc	DΩ + Di	**3**	3	3	3	3	3	3	3	3		
Затухание из-за геометрической дивергенции, Adiv, дБ	расстояние = 1878.21 м	ф-ла (7) [10]	**76,5**										
Коэффициент затухания звука в атмосфере α, дБ/км	Та=20,°С Ра=101.33,кПа hотн.=70%	ф-ла (5) [9]	0,02	0,09	0,33	1,12	2,79	4,98	9,04	23,09	77,63		
Учет затухания звука в атмосфере Aatm, дБ		ф-ла (8) [10]	0	0,2	0,6	2,1	5,2	9,3	17	43,4	145,8		
Снижение уровня звукового давления из-за влияния застройки между источником шума и расчетной точкой													
Снижение уровня звукового давления на пути над экраном, Dz1, дБ	z = 0.07м (разность путей)	ф-лы (14-18) [10]	4,8	4,8	4,8	4,8	4,8	4,8	4,8	4,8	4,8		
Снижение уровня звукового давления на пути слева от экрана, Dz2, дБ	z = 6.62м (разность путей)	ф-лы (14-18) [10]	14,4	17,2	20	23	25,9	28,9	31,9	34,9	38		
Снижение уровня звукового давления на пути справа от экрана, Dz3, дБ	z = 28.41м (разность путей)	ф-лы (14-18) [10]	25	28	31	34	37	40	43	46	49		
Общее снижение уровня звука препятствием Dz, дБ		Эн.сумма(-Dzi)	4,3	4,5	4,6	4,7	4,7	4,8	4,8	4,8	4,8		
Уровни звукового давления от источника ИШ-8-3 в расчётной точке днём, дБ		**ф-ла(3)[10]**	**27,2**	**25,9**	**25,3**	**20,7**	**18,6**	**18,4**	**5,8**	**0**	**0**	**21,3**	**21,3**
Уровни звукового давления от источника ИШ-8-3 в расчётной точке ночью, дБ		**ф-ла(3)[10]**	**27,2**	**25,9**	**25,3**	**20,7**	**18,6**	**18,4**	**5,8**	**0**	**0**	**21,3**	**21,3**
Источник шума: ИШ-9-1, координаты источника (x,y,z), м =[642.94,-357.54,1.00]													

1		2	3	4	5	6	7	8	9	10	11	12	13
Уровни звуковой мощности источника днём, Lw, дБ		**исходные данные**	**0**	**93,3**	**94,7**	**96**	**96,3**	**95,9**	**92,6**	**88,4**	**83,9**		
Уровни звуковой мощности источника ночью, Lw, дБ		**исходные данные**	**0**	**93,3**	**94,7**	**96**	**96,3**	**95,9**	**92,6**	**88,4**	**83,9**		
Поправка на телесный угол DΩ, дБ	Ω = 6.28	10Lg(4π/Ω)	**3**	3	3	3	3	3	3	3	3		
Показатель направленности источника Di, дБ		исходные данные	**0**	0	0	0	0	0	0	0	0		
Поправка на направленность источника Dc, дБ	Dc	DΩ + Di	**3**	3	3	3	3	3	3	3	3		
Затухание из-за геометрической дивергенции, Adiv, дБ	расстояние = 1925.30 м	ф-ла (7) [10]	**76,7**										
Коэффициент затухания звука в атмосфере α, дБ/км	Ta=20,°C Pa=101.33,кПа hотн.=70%	ф-ла (5) [9]	0,02	0,09	0,33	1,12	2,79	4,98	9,04	23,09	77,63		
Учет затухания звука в атмосфере Aatm, дБ		ф-ла (8) [10]	0	0,2	0,6	2,2	5,4	9,6	17,4	44,4	149,5		
Снижение уровня звукового давления из-за влияния застройки между источником шума и расчетной точкой													
Снижение уровня звукового давления на пути над экраном, Dz1, дБ	z = 0.12м (разность путей)	ф-лы (14-18) [10]	4,8	4,8	4,8	4,8	4,8	4,8	4,8	4,8	4,8		
Снижение уровня звукового давления на пути слева от экрана, Dz2, дБ	z = 14.90м (разность путей)	ф-лы (14-18) [10]	17,7	20,5	23,5	26,4	29,4	32,4	35,5	38,5	41,5		
Снижение уровня звукового давления на пути справа от экрана, Dz3, дБ	z = 15.63м (разность путей)	ф-лы (14-18) [10]	22,4	25,4	28,4	31,4	34,4	37,4	40,4	43,4	46,4		
Общее снижение уровня звука препятствием Dz, дБ		Эн.сумма(-Dzi)	4,5	4,6	4,7	4,7	4,8	4,8	4,8	4,8	4,8		
Уровни звукового давления от источника ИШ-9-1 в расчётной точке днём, дБ		**ф-ла(3)[10]**	**0**	**14,8**	**15,7**	**15,4**	**12,5**	**7,9**	**0**	**0**	**0**	**13,1**	**13,1**
Уровни звукового давления от источника ИШ-9-1 в расчётной точке ночью, дБ		**ф-ла(3)[10]**	**0**	**14,8**	**15,7**	**15,4**	**12,5**	**7,9**	**0**	**0**	**0**	**13,1**	**13,1**

Источник шума: ИШ-9-2, координаты источника (x,y,z), м =[644.14,-354.83,1.00]

1		2	3	4	5	6	7	8	9	10	11	12	13
Уровни звуковой мощности источника днём, Lw, дБ		**исходные данные**	**0**	**93,3**	**94,7**	**96**	**96,3**	**95,9**	**92,6**	**88,4**	**83,9**		
Уровни звуковой мощности источника ночью, Lw, дБ		**исходные данные**	**0**	**93,3**	**94,7**	**96**	**96,3**	**95,9**	**92,6**	**88,4**	**83,9**		
Поправка на телесный угол DΩ, дБ	Ω = 6.28	10Lg(4π/Ω)	**3**	3	3	3	3	3	3	3	3		
Показатель направленности источника Di, дБ		исходные данные	**0**	0	0	0	0	0	0	0	0		
Поправка на направленность источника Dc, дБ	Dc	DΩ + Di	**3**	3	3	3	3	3	3	3	3		
Затухание из-за геометрической дивергенции, Adiv, дБ	расстояние = 1924.31 м	ф-ла (7) [10]	**76,7**										
Коэффициент затухания звука в атмосфере α, дБ/км	Ta=20,°C Pa=101.33,кПа hотн.=70%	ф-ла (5) [9]	0,02	0,09	0,33	1,12	2,79	4,98	9,04	23,09	77,63		
Учет затухания звука в атмосфере Aatm, дБ		ф-ла (8) [10]	0	0,2	0,6	2,2	5,4	9,6	17,4	44,4	149,4		
Снижение уровня звукового давления из-за влияния застройки между источником шума и расчетной точкой													
Снижение уровня звукового давления на пути над экраном, Dz1, дБ	z = 0.12м (разность путей)	ф-лы (14-18) [10]	4,8	4,8	4,8	4,8	4,8	4,8	4,8	4,8	4,8		
Снижение уровня звукового давления на пути слева от экрана, Dz2, дБ	z = 15.37м (разность путей)	ф-лы (14-18) [10]	17,8	20,7	23,6	26,6	29,6	32,6	35,6	38,6	41,6		
Снижение уровня звукового давления на пути справа от экрана, Dz3, дБ	z = 15.16м (разность путей)	ф-лы (14-18) [10]	22,3	25,3	28,3	31,3	34,3	37,3	40,3	43,3	46,3		
Общее снижение уровня звука препятствием Dz, дБ		Эн.сумма(-Dzi)	4,5	4,6	4,7	4,7	4,8	4,8	4,8	4,8	4,8		
Уровни звукового давления от источника ИШ-9-2 в расчётной точке днём, дБ		**ф-ла(3)[10]**	**0**	**14,8**	**15,7**	**15,4**	**12,5**	**7,9**	**0**	**0**	**0**	**13,1**	**13,1**
Уровни звукового давления от источника ИШ-9-2 в расчётной точке ночью, дБ		**ф-ла(3)[10]**	**0**	**14,8**	**15,7**	**15,4**	**12,5**	**7,9**	**0**	**0**	**0**	**13,1**	**13,1**
Источник шума: ИШ-9-3, координаты источника (x,y,z), м =[644.98,-351.85,1.00]													

1		2	3	4	5	6	7	8	9	10	11	12	13
Уровни звуковой мощности источника днём, Lw, дБ		**исходные данные**	**0**	**93,3**	**94,7**	**96**	**96,3**	**95,9**	**92,6**	**88,4**	**83,9**		
Уровни звуковой мощности источника ночью, Lw, дБ		**исходные данные**	**0**	**93,3**	**94,7**	**96**	**96,3**	**95,9**	**92,6**	**88,4**	**83,9**		
Поправка на телесный угол DΩ, дБ	Ω = 6.28	10Lg(4π/Ω)	**3**	3	3	3	3	3	3	3	3		
Показатель направленности источника Di, дБ		исходные данные	**0**	0	0	0	0	0	0	0	0		
Поправка на направленность источника Dc, дБ	Dc	DΩ + Di	**3**	3	3	3	3	3	3	3	3		
Затухание из-за геометрической дивергенции, Adiv, дБ	расстояние = 1922.88 м	ф-ла (7) [10]	**76,7**										
Коэффициент затухания звука в атмосфере α, дБ/км	Ta=20,°C Pa=101.33,кПа hотн.=70%	ф-ла (5) [9]	0,02	0,09	0,33	1,12	2,79	4,98	9,04	23,09	77,63		
Учет затухания звука в атмосфере Aatm, дБ		ф-ла (8) [10]	0	0,2	0,6	2,2	5,4	9,6	17,4	44,4	149,3		
Снижение уровня звукового давления из-за влияния застройки между источником шума и расчетной точкой													
Снижение уровня звукового давления на пути над экраном, Dz1, дБ	z = 0.12м (разность путей)	ф-лы (14-18) [10]	4,8	4,8	4,8	4,8	4,8	4,8	4,8	4,8	4,8		
Снижение уровня звукового давления на пути слева от экрана, Dz2, дБ	z = 15.84м (разность путей)	ф-лы (14-18) [10]	17,9	20,8	23,7	26,7	29,7	32,7	35,7	38,7	41,7		
Снижение уровня звукового давления на пути справа от экрана, Dz3, дБ	z = 14.72м (разность путей)	ф-лы (14-18) [10]	22,1	25,2	28,1	31,1	34,2	37,2	40,2	43,2	46,2		
Общее снижение уровня звука препятствием Dz, дБ		Эн.сумма(-Dzi)	4,5	4,6	4,7	4,7	4,8	4,8	4,8	4,8	4,8		
Уровни звукового давления от источника ИШ-9-3 в расчётной точке днём, дБ		**ф-ла(3)[10]**	**0**	**14,8**	**15,7**	**15,4**	**12,5**	**7,9**	**0**	**0**	**0**	**13,1**	**13,1**
Уровни звукового давления от источника ИШ-9-3 в расчётной точке ночью, дБ		**ф-ла(3)[10]**	**0**	**14,8**	**15,7**	**15,4**	**12,5**	**7,9**	**0**	**0**	**0**	**13,1**	**13,1**
Источник шума: ИШ-9-4, координаты источника (x,y,z), м =[646.01,-349.15,1.00]													

1		2	3	4	5	6	7	8	9	10	11	12	13
Уровни звуковой мощности источника днём, Lw, дБ		**исходные данные**	**0**	**93,3**	**94,7**	**96**	**96,3**	**95,9**	**92,6**	**88,4**	**83,9**		
Уровни звуковой мощности источника ночью, Lw, дБ		**исходные данные**	**0**	**93,3**	**94,7**	**96**	**96,3**	**95,9**	**92,6**	**88,4**	**83,9**		
Поправка на телесный угол DΩ, дБ	Ω = 6.28	10Lg(4π/Ω)	**3**	3	3	3	3	3	3	3	3		
Показатель направленности источника Di, дБ		исходные данные	**0**	0	0	0	0	0	0	0	0		
Поправка на направленность источника Dc, дБ	Dc	DΩ + Di	**3**	3	3	3	3	3	3	3	3		
Затухание из-за геометрической дивергенции, Adiv, дБ	расстояние = 1921.77 м	ф-ла (7) [10]	**76,7**										
Коэффициент затухания звука в атмосфере α, дБ/км	Та=20,°С Ра=101.33,кПа hотн.=70%	ф-ла (5) [9]	0,02	0,09	0,33	1,12	2,79	4,98	9,04	23,09	77,63		
Учет затухания звука в атмосфере Aatm, дБ		ф-ла (8) [10]	0	0,2	0,6	2,2	5,4	9,6	17,4	44,4	149,2		
Снижение уровня звукового давления из-за влияния застройки между источником шума и расчетной точкой													
Снижение уровня звукового давления на пути над экраном, Dz1, дБ	z = 0.12м (разность путей)	ф-лы (14-18) [10]	4,8	4,8	4,8	4,8	4,8	4,8	4,8	4,8	4,8		
Снижение уровня звукового давления на пути слева от экрана, Dz2, дБ	z = 16.30м (разность путей)	ф-лы (14-18) [10]	18	20,9	23,9	26,8	29,8	32,8	35,8	38,9	41,9		
Снижение уровня звукового давления на пути справа от экрана, Dz3, дБ	z = 14.41м (разность путей)	ф-лы (14-18) [10]	21,9	25	28	31	34,1	37,1	40,1	43,1	46,1		
Общее снижение уровня звука препятствием Dz, дБ		Эн.сумма(-Dzi)	4,5	4,6	4,7	4,7	4,8	4,8	4,8	4,8	4,8		
Уровни звукового давления от источника ИШ-9-4 в расчётной точке днём, дБ		**ф-ла(3)[10]**	**0**	**14,8**	**15,7**	**15,4**	**12,5**	**7,9**	**0**	**0**	**0**	**13,1**	**13,1**
Уровни звукового давления от источника ИШ-9-4 в расчётной точке ночью, дБ		**ф-ла(3)[10]**	**0**	**14,8**	**15,7**	**15,4**	**12,5**	**7,9**	**0**	**0**	**0**	**13,1**	**13,1**

Источник шума: ИШ-9-5, координаты источника (x,y,z), м =[646.84,-346.17,1.00]

1		2	3	4	5	6	7	8	9	10	11	12	13
Уровни звуковой мощности источника днём, Lw, дБ		**исходные данные**	**0**	**93,3**	**94,7**	**96**	**96,3**	**95,9**	**92,6**	**88,4**	**83,9**		
Уровни звуковой мощности источника ночью, Lw, дБ		**исходные данные**	**0**	**93,3**	**94,7**	**96**	**96,3**	**95,9**	**92,6**	**88,4**	**83,9**		
Поправка на телесный угол DΩ, дБ	Ω = 6.28	10Lg(4π/Ω)	**3**	3	3	3	3	3	3	3	3		
Показатель направленности источника Di, дБ		исходные данные	**0**	0	0	0	0	0	0	0	0		
Поправка на направленность источника Dc, дБ	Dc	DΩ + Di	**3**	3	3	3	3	3	3	3	3		
Затухание из-за геометрической дивергенции, Adiv, дБ	расстояние = 1920.34 м	ф-ла (7) [10]	**76,7**										
Коэффициент затухания звука в атмосфере α, дБ/км	Та=20,°С Ра=101.33,кПа hотн.=70%	ф-ла (5) [9]	0,02	0,09	0,33	1,12	2,79	4,98	9,04	23,09	77,63		
Учет затухания звука в атмосфере Aatm, дБ		ф-ла (8) [10]	0	0,2	0,6	2,2	5,4	9,6	17,4	44,3	149,1		
Снижение уровня звукового давления из-за влияния застройки между источником шума и расчетной точкой													
Снижение уровня звукового давления на пути над экраном, Dz1, дБ	z = 0.12м (разность путей)	ф-лы (14-18) [10]	4,8	4,8	4,8	4,8	4,8	4,8	4,8	4,8	4,8		
Снижение уровня звукового давления на пути слева от экрана, Dz2, дБ	z = 16.79м (разность путей)	ф-лы (14-18) [10]	18,1	21,1	24	27	30	33	36	39	42		
Снижение уровня звукового давления на пути справа от экрана, Dz3, дБ	z = 13.99м (разность путей)	ф-лы (14-18) [10]	21,7	24,9	27,9	30,9	33,9	36,9	39,9	43	46		
Общее снижение уровня звука препятствием Dz, дБ		Эн.сумма(-Dzi)	4,5	4,6	4,7	4,7	4,8	4,8	4,8	4,8	4,8		
Уровни звукового давления от источника ИШ-9-5 в расчётной точке днём, дБ		**ф-ла(3)[10]**	**0**	**14,8**	**15,7**	**15,4**	**12,5**	**7,9**	**0**	**0**	**0**	**13,1**	**13,1**
Уровни звукового давления от источника ИШ-9-5 в расчётной точке ночью, дБ		**ф-ла(3)[10]**	**0**	**14,8**	**15,7**	**15,4**	**12,5**	**7,9**	**0**	**0**	**0**	**13,1**	**13,1**
Источник шума: ИШ-9-6, координаты источника (x,y,z), м =[647.87,-343.47,1.00]													

1		2	3	4	5	6	7	8	9	10	11	12	13
Уровни звуковой мощности источника днём, Lw, дБ		**исходные данные**	**0**	**93,3**	**94,7**	**96**	**96,3**	**95,9**	**92,6**	**88,4**	**83,9**		
Уровни звуковой мощности источника ночью, Lw, дБ		**исходные данные**	**0**	**93,3**	**94,7**	**96**	**96,3**	**95,9**	**92,6**	**88,4**	**83,9**		
Поправка на телесный угол DΩ, дБ	Ω = 6.28	10Lg(4π/Ω)	**3**	3	3	3	3	3	3	3	3		
Показатель направленности источника Di, дБ		исходные данные	**0**	0	0	0	0	0	0	0	0		
Поправка на направленность источника Dc, дБ	Dc	DΩ + Di	**3**	3	3	3	3	3	3	3	3		
Затухание из-за геометрической дивергенции, Adiv, дБ	расстояние = 1919.25 м	ф-ла (7) [10]	**76,7**										
Коэффициент затухания звука в атмосфере α, дБ/км	Ta=20,°C Pa=101.33,кПа hотн.=70%	ф-ла (5) [9]	0,02	0,09	0,33	1,12	2,79	4,98	9,04	23,09	77,63		
Учет затухания звука в атмосфере Aatm, дБ		ф-ла (8) [10]	0	0,2	0,6	2,2	5,4	9,6	17,3	44,3	149		
Снижение уровня звукового давления из-за влияния застройки между источником шума и расчетной точкой													
Снижение уровня звукового давления на пути над экраном, Dz1, дБ	z = 0.12м (разность путей)	ф-лы (14-18) [10]	4,8	4,8	4,8	4,8	4,8	4,8	4,8	4,8	4,8		
Снижение уровня звукового давления на пути слева от экрана, Dz2, дБ	z = 17.26м (разность путей)	ф-лы (14-18) [10]	18,3	21,2	24,1	27,1	30,1	33,1	36,1	39,1	42,1		
Снижение уровня звукового давления на пути справа от экрана, Dz3, дБ	z = 13.60м (разность путей)	ф-лы (14-18) [10]	21,6	24,8	27,8	30,8	33,8	36,8	39,8	42,8	45,8		
Общее снижение уровня звука препятствием Dz, дБ		Эн.сумма(-Dzi)	4,5	4,6	4,7	4,7	4,8	4,8	4,8	4,8	4,8		
Уровни звукового давления от источника ИШ-9-6 в расчётной точке днём, дБ		**ф-ла(3)[10]**	**0**	**14,8**	**15,7**	**15,4**	**12,5**	**7,9**	**0**	**0**	**0**	**13,1**	**13,1**
Уровни звукового давления от источника ИШ-9-6 в расчётной точке ночью, дБ		**ф-ла(3)[10]**	**0**	**14,8**	**15,7**	**15,4**	**12,5**	**7,9**	**0**	**0**	**0**	**13,1**	**13,1**
Источник шума: ИШ-9-7, координаты источника (x,y,z), м =[648.71,-340.49,1.00]													

1		2	3	4	5	6	7	8	9	10	11	12	13
Уровни звуковой мощности источника днём, Lw, дБ		**исходные данные**	**0**	**93,3**	**94,7**	**96**	**96,3**	**95,9**	**92,6**	**88,4**	**83,9**		
Уровни звуковой мощности источника ночью, Lw, дБ		**исходные данные**	**0**	**93,3**	**94,7**	**96**	**96,3**	**95,9**	**92,6**	**88,4**	**83,9**		
Поправка на телесный угол DΩ, дБ	Ω = 6.28	10Lg(4π/Ω)	**3**	3	3	3	3	3	3	3	3		
Показатель направленности источника Di, дБ		исходные данные	**0**	0	0	0	0	0	0	0	0		
Поправка на направленность источника Dc, дБ	Dc	DΩ + Di	**3**	3	3	3	3	3	3	3	3		
Затухание из-за геометрической дивергенции, Adiv, дБ	расстояние = 1917.83 м	ф-ла (7) [10]	**76,7**										
Коэффициент затухания звука в атмосфере α, дБ/км	Ta=20,°C Pa=101.33,кПа hотн.=70%	ф-ла (5) [9]	0,02	0,09	0,33	1,12	2,79	4,98	9,04	23,09	77,63		
Учет затухания звука в атмосфере Aatm, дБ		ф-ла (8) [10]	0	0,2	0,6	2,2	5,4	9,5	17,3	44,3	148,9		
Снижение уровня звукового давления из-за влияния застройки между источником шума и расчетной точкой													
Снижение уровня звукового давления на пути над экраном, Dz1, дБ	z = 0.12м (разность путей)	ф-лы (14-18) [10]	4,8	4,8	4,8	4,8	4,8	4,8	4,8	4,8	4,8		
Снижение уровня звукового давления на пути слева от экрана, Dz2, дБ	z = 17.76м (разность путей)	ф-лы (14-18) [10]	18,4	21,3	24,2	27,2	30,2	33,2	36,2	39,2	42,2		
Снижение уровня звукового давления на пути справа от экрана, Dz3, дБ	z = 13.20м (разность путей)	ф-лы (14-18) [10]	21,5	24,7	27,7	30,7	33,7	36,7	39,7	42,7	45,7		
Общее снижение уровня звука препятствием Dz, дБ		Эн.сумма(-Dzi)	4,5	4,6	4,7	4,7	4,8	4,8	4,8	4,8	4,8		
Уровни звукового давления от источника ИШ-9-7 в расчётной точке днём, дБ		**ф-ла(3)[10]**	**0**	**14,8**	**15,7**	**15,4**	**12,5**	**7,9**	**0**	**0**	**0**	**13,1**	**13,1**
Уровни звукового давления от источника ИШ-9-7 в расчётной точке ночью, дБ		**ф-ла(3)[10]**	**0**	**14,8**	**15,7**	**15,4**	**12,5**	**7,9**	**0**	**0**	**0**	**13,1**	**13,1**

Источник шума: ИШ-9-8, координаты источника (x,y,z), м =[649.92,-337.69,1.00]

1		2	3	4	5	6	7	8	9	10	11	12	13
Уровни звуковой мощности источника днём, Lw, дБ		**исходные данные**	**0**	**93,3**	**94,7**	**96**	**96,3**	**95,9**	**92,6**	**88,4**	**83,9**		
Уровни звуковой мощности источника ночью, Lw, дБ		**исходные данные**	**0**	**93,3**	**94,7**	**96**	**96,3**	**95,9**	**92,6**	**88,4**	**83,9**		
Поправка на телесный угол DΩ, дБ	Ω = 6.28	10Lg(4π/Ω)	**3**	3	3	3	3	3	3	3	3		
Показатель направленности источника Di, дБ		исходные данные	**0**	0	0	0	0	0	0	0	0		
Поправка на направленность источника Dc, дБ	Dc	DΩ + Di	**3**	3	3	3	3	3	3	3	3		
Затухание из-за геометрической дивергенции, Adiv, дБ	расстояние = 1916.81 м	ф-ла (7) [10]	**76,7**										
Коэффициент затухания звука в атмосфере α, дБ/км	Ta=20,°C Pa=101.33,кПа hотн.=70%	ф-ла (5) [9]	0,02	0,09	0,33	1,12	2,79	4,98	9,04	23,09	77,63		
Учет затухания звука в атмосфере Aatm, дБ		ф-ла (8) [10]	0	0,2	0,6	2,2	5,3	9,5	17,3	44,3	148,8		
Снижение уровня звукового давления из-за влияния застройки между источником шума и расчетной точкой													
Снижение уровня звукового давления на пути над экраном, Dz1, дБ	z = 0.12м (разность путей)	ф-лы (14-18) [10]	4,8	4,8	4,8	4,8	4,8	4,8	4,8	4,8	4,8		
Снижение уровня звукового давления на пути слева от экрана, Dz2, дБ	z = 18.29м (разность путей)	ф-лы (14-18) [10]	18,5	21,4	24,3	27,3	30,3	33,3	36,3	39,3	42,4		
Снижение уровня звукового давления на пути справа от экрана, Dz3, дБ	z = 12.80м (разность путей)	ф-лы (14-18) [10]	21,4	24,5	27,5	30,5	33,5	36,6	39,6	42,6	45,6		
Общее снижение уровня звука препятствием Dz, дБ		Эн.сумма(-Dzi)	4,5	4,6	4,7	4,7	4,8	4,8	4,8	4,8	4,8		
Уровни звукового давления от источника ИШ-9-8 в расчётной точке днём, дБ		**ф-ла(3)[10]**	**0**	**14,8**	**15,7**	**15,5**	**12,5**	**7,9**	**0**	**0**	**0**	**13,1**	**13,1**
Уровни звукового давления от источника ИШ-9-8 в расчётной точке ночью, дБ		**ф-ла(3)[10]**	**0**	**14,8**	**15,7**	**15,5**	**12,5**	**7,9**	**0**	**0**	**0**	**13,1**	**13,1**

Источник шума: ИШ-9-9, координаты источника (x,y,z), м =[650.66,-334.90,1.00]

1		2	3	4	5	6	7	8	9	10	11	12	13
Уровни звуковой мощности источника днём, Lw, дБ		**исходные данные**	**0**	**93,3**	**94,7**	**96**	**96,3**	**95,9**	**92,6**	**88,4**	**83,9**		
Уровни звуковой мощности источника ночью, Lw, дБ		**исходные данные**	**0**	**93,3**	**94,7**	**96**	**96,3**	**95,9**	**92,6**	**88,4**	**83,9**		
Поправка на телесный угол DΩ, дБ	Ω = 6.28	10Lg(4π/Ω)	**3**	3	3	3	3	3	3	3	3		
Показатель направленности источника Di, дБ		исходные данные	**0**	0	0	0	0	0	0	0	0		
Поправка на направленность источника Dc, дБ	Dc	DΩ + Di	**3**	3	3	3	3	3	3	3	3		
Затухание из-за геометрической дивергенции, Adiv, дБ	расстояние = 1915.46 м	ф-ла (7) [10]	**76,6**										
Коэффициент затухания звука в атмосфере α, дБ/км	Ta=20,°C Pa=101.33,кПа hотн.=70%	ф-ла (5) [9]	0,02	0,09	0,33	1,12	2,79	4,98	9,04	23,09	77,63		
Учет затухания звука в атмосфере Aatm, дБ		ф-ла (8) [10]	0	0,2	0,6	2,2	5,3	9,5	17,3	44,2	148,7		
Снижение уровня звукового давления из-за влияния застройки между источником шума и расчетной точкой													
Снижение уровня звукового давления на пути над экраном, Dz1, дБ	z = 0.12м (разность путей)	ф-лы (14-18) [10]	4,8	4,8	4,8	4,8	4,8	4,8	4,8	4,8	4,8		
Снижение уровня звукового давления на пути слева от экрана, Dz2, дБ	z = 18.77м (разность путей)	ф-лы (14-18) [10]	18,6	21,5	24,5	27,4	30,4	33,4	36,5	39,5	42,5		
Снижение уровня звукового давления на пути справа от экрана, Dz3, дБ	z = 12.45м (разность путей)	ф-лы (14-18) [10]	21,2	24,4	27,4	30,4	33,4	36,4	39,4	42,4	45,5		
Общее снижение уровня звука препятствием Dz, дБ		Эн.сумма(-Dzi)	4,5	4,6	4,7	4,7	4,8	4,8	4,8	4,8	4,8		
Уровни звукового давления от источника ИШ-9-9 в расчётной точке днём, дБ		**ф-ла(3)[10]**	**0**	**14,8**	**15,7**	**15,5**	**12,5**	**7,9**	**0**	**0**	**0**	**13,2**	**13,2**
Уровни звукового давления от источника ИШ-9-9 в расчётной точке ночью, дБ		**ф-ла(3)[10]**	**0**	**14,8**	**15,7**	**15,5**	**12,5**	**7,9**	**0**	**0**	**0**	**13,2**	**13,2**

Источник шума: ИШ-9-10, координаты источника (x,y,z), м =[651.59,-332.01,1.00]

1		2	3	4	5	6	7	8	9	10	11	12	13
Уровни звуковой мощности источника днём, Lw, дБ		**исходные данные**	**0**	**93,3**	**94,7**	**96**	**96,3**	**95,9**	**92,6**	**88,4**	**83,9**		
Уровни звуковой мощности источника ночью, Lw, дБ		**исходные данные**	**0**	**93,3**	**94,7**	**96**	**96,3**	**95,9**	**92,6**	**88,4**	**83,9**		
Поправка на телесный угол DΩ, дБ	Ω = 6.28	10Lg(4π/Ω)	**3**	3	3	3	3	3	3	3	3		
Показатель направленности источника Di, дБ		исходные данные	**0**	0	0	0	0	0	0	0	0		
Поправка на направленность источника Dc, дБ	Dc	DΩ + Di	**3**	3	3	3	3	3	3	3	3		
Затухание из-за геометрической дивергенции, Adiv, дБ	расстояние = 1914.18 м	ф-ла (7) [10]	**76,6**										
Коэффициент затухания звука в атмосфере α, дБ/км	Ta=20,°C Pa=101.33,кПа hотн.=70%	ф-ла (5) [9]	0,02	0,09	0,33	1,12	2,79	4,98	9,04	23,09	77,63		
Учет затухания звука в атмосфере Aatm, дБ		ф-ла (8) [10]	0	0,2	0,6	2,2	5,3	9,5	17,3	44,2	148,6		
Снижение уровня звукового давления из-за влияния застройки между источником шума и расчетной точкой													
Снижение уровня звукового давления на пути над экраном, Dz1, дБ	z = 0.12м (разность путей)	ф-лы (14-18) [10]	4,8	4,8	4,8	4,8	4,8	4,8	4,8	4,8	4,8		
Снижение уровня звукового давления на пути слева от экрана, Dz2, дБ	z = 19.29м (разность путей)	ф-лы (14-18) [10]	18,7	21,6	24,6	27,6	30,6	33,6	36,6	39,6	42,6		
Снижение уровня звукового давления на пути справа от экрана, Dz3, дБ	z = 12.08м (разность путей)	ф-лы (14-18) [10]	21,1	24,3	27,3	30,3	33,3	36,3	39,3	42,3	45,3		
Общее снижение уровня звука препятствием Dz, дБ		Эн.сумма(-Dzi)	4,5	4,6	4,7	4,7	4,8	4,8	4,8	4,8	4,8		
Уровни звукового давления от источника ИШ-9-10 в расчётной точке днём, дБ		**ф-ла(3)[10]**	**0**	**14,8**	**15,7**	**15,5**	**12,6**	**8**	**0**	**0**	**0**	**13,2**	**13,2**
Уровни звукового давления от источника ИШ-9-10 в расчётной точке ночью, дБ		**ф-ла(3)[10]**	**0**	**14,8**	**15,7**	**15,5**	**12,6**	**8**	**0**	**0**	**0**	**13,2**	**13,2**
Источник шума: ИШ-9-11, координаты источника (x,y,z), м =[652.71,-329.22,1.00]													

1		2	3	4	5	6	7	8	9	10	11	12	13
Уровни звуковой мощности источника днём, Lw, дБ		**исходные данные**	**0**	**93,3**	**94,7**	**96**	**96,3**	**95,9**	**92,6**	**88,4**	**83,9**		
Уровни звуковой мощности источника ночью, Lw, дБ		**исходные данные**	**0**	**93,3**	**94,7**	**96**	**96,3**	**95,9**	**92,6**	**88,4**	**83,9**		
Поправка на телесный угол DΩ, дБ	Ω = 6.28	10Lg(4π/Ω)	**3**	3	3	3	3	3	3	3	3		
Показатель направленности источника Di, дБ		исходные данные	**0**	0	0	0	0	0	0	0	0		
Поправка на направленность источника Dc, дБ	Dc	DΩ + Di	**3**	3	3	3	3	3	3	3	3		
Затухание из-за геометрической дивергенции, Adiv, дБ	расстояние = 1913.11 м	ф-ла (7) [10]	**76,6**										
Коэффициент затухания звука в атмосфере α, дБ/км	Ta=20,°C Pa=101.33,кПа hотн.=70%	ф-ла (5) [9]	0,02	0,09	0,33	1,12	2,79	4,98	9,04	23,09	77,63		
Учет затухания звука в атмосфере Aatm, дБ		ф-ла (8) [10]	0	0,2	0,6	2,2	5,3	9,5	17,3	44,2	148,5		
Снижение уровня звукового давления из-за влияния застройки между источником шума и расчетной точкой													
Снижение уровня звукового давления на пути над экраном, Dz1, дБ	z = 0.13м (разность путей)	ф-лы (14-18) [10]	4,8	4,8	4,8	4,8	4,8	4,8	4,8	4,8	4,8		
Снижение уровня звукового давления на пути слева от экрана, Dz2, дБ	z = 19.83м (разность путей)	ф-лы (14-18) [10]	18,8	21,8	24,7	27,7	30,7	33,7	36,7	39,7	42,7		
Снижение уровня звукового давления на пути справа от экрана, Dz3, дБ	z = 11.71м (разность путей)	ф-лы (14-18) [10]	21	24,1	27,1	30,2	33,2	36,2	39,2	42,2	45,2		
Общее снижение уровня звука препятствием Dz, дБ		Эн.сумма(-Dzi)	4,5	4,6	4,7	4,7	4,8	4,8	4,8	4,8	4,8		
Уровни звукового давления от источника ИШ-9-11 в расчётной точке днём, дБ		**ф-ла(3)[10]**	**0**	**14,9**	**15,7**	**15,5**	**12,6**	**8**	**0**	**0**	**0**	**13,2**	**13,2**
Уровни звукового давления от источника ИШ-9-11 в расчётной точке ночью, дБ		**ф-ла(3)[10]**	**0**	**14,9**	**15,7**	**15,5**	**12,6**	**8**	**0**	**0**	**0**	**13,2**	**13,2**

Источник шума: ИШ-9-12, координаты источника (x,y,z), м =[653.46,-326.33,1.00]

1		2	3	4	5	6	7	8	9	10	11	12	13
Уровни звуковой мощности источника днём, Lw, дБ		**исходные данные**	**0**	**93,3**	**94,7**	**96**	**96,3**	**95,9**	**92,6**	**88,4**	**83,9**		
Уровни звуковой мощности источника ночью, Lw, дБ		**исходные данные**	**0**	**93,3**	**94,7**	**96**	**96,3**	**95,9**	**92,6**	**88,4**	**83,9**		
Поправка на телесный угол DΩ, дБ	Ω = 6.28	10Lg(4π/Ω)	**3**	3	3	3	3	3	3	3	3		
Показатель направленности источника Di, дБ		исходные данные	**0**	0	0	0	0	0	0	0	0		
Поправка на направленность источника Dc, дБ	Dc	DΩ + Di	**3**	3	3	3	3	3	3	3	3		
Затухание из-за геометрической дивергенции, Adiv, дБ	расстояние = 1911.70 м	ф-ла (7) [10]	**76,6**										
Коэффициент затухания звука в атмосфере α, дБ/км	Ta=20,°C Pa=101.33,кПа hотн.=70%	ф-ла (5) [9]	0,02	0,09	0,33	1,12	2,79	4,98	9,04	23,09	77,63		
Учет затухания звука в атмосфере Aatm, дБ		ф-ла (8) [10]	0	0,2	0,6	2,1	5,3	9,5	17,3	44,1	148,4		
Снижение уровня звукового давления из-за влияния застройки между источником шума и расчетной точкой													
Снижение уровня звукового давления на пути над экраном, Dz1, дБ	z = 0.13м (разность путей)	ф-лы (14-18) [10]	4,8	4,8	4,8	4,8	4,8	4,8	4,8	4,8	4,8		
Снижение уровня звукового давления на пути слева от экрана, Dz2, дБ	z = 20.35м (разность путей)	ф-лы (14-18) [10]	18,9	21,9	24,8	27,8	30,8	33,8	36,8	39,8	42,8		
Снижение уровня звукового давления на пути справа от экрана, Dz3, дБ	z = 11.38м (разность путей)	ф-лы (14-18) [10]	16,5	19,4	22,3	25,3	28,3	31,3	34,3	37,3	40,3		
Общее снижение уровня звука препятствием Dz, дБ		Эн.сумма(-Dzi)	4,3	4,5	4,7	4,7	4,7	4,8	4,8	4,8	4,8		
Уровни звукового давления от источника ИШ-9-12 в расчётной точке днём, дБ		**ф-ла(3)[10]**	**0**	**14,9**	**15,8**	**15,5**	**12,6**	**8**	**0**	**0**	**0**	**13,2**	**13,2**
Уровни звукового давления от источника ИШ-9-12 в расчётной точке ночью, дБ		**ф-ла(3)[10]**	**0**	**14,9**	**15,8**	**15,5**	**12,6**	**8**	**0**	**0**	**0**	**13,2**	**13,2**

Источник шума: ИШ-9-13, координаты источника (x,y,z), м =[654.48,-323.54,1.00]

1		2	3	4	5	6	7	8	9	10	11	12	13
Уровни звуковой мощности источника днём, Lw, дБ		**исходные данные**	**0**	**93,3**	**94,7**	**96**	**96,3**	**95,9**	**92,6**	**88,4**	**83,9**		
Уровни звуковой мощности источника ночью, Lw, дБ		**исходные данные**	**0**	**93,3**	**94,7**	**96**	**96,3**	**95,9**	**92,6**	**88,4**	**83,9**		
Поправка на телесный угол DΩ, дБ	Ω = 6.28	10Lg(4π/Ω)	**3**	3	3	3	3	3	3	3	3		
Показатель направленности источника Di, дБ		исходные данные	**0**	0	0	0	0	0	0	0	0		
Поправка на направленность источника Dc, дБ	Dc	DΩ + Di	**3**	3	3	3	3	3	3	3	3		
Затухание из-за геометрической дивергенции, Adiv, дБ	расстояние = 1910.57 м	ф-ла (7) [10]	**76,6**										
Коэффициент затухания звука в атмосфере α, дБ/км	Ta=20,°C Pa=101.33,кПа hотн.=70%	ф-ла (5) [9]	0,02	0,09	0,33	1,12	2,79	4,98	9,04	23,09	77,63		
Учет затухания звука в атмосфере Aatm, дБ		ф-ла (8) [10]	0	0,2	0,6	2,1	5,3	9,5	17,3	44,1	148,3		
Снижение уровня звукового давления из-за влияния застройки между источником шума и расчетной точкой													
Снижение уровня звукового давления на пути над экраном, Dz1, дБ	z = 0.13м (разность путей)	ф-лы (14-18) [10]	4,8	4,8	4,8	4,8	4,8	4,8	4,8	4,8	4,8		
Снижение уровня звукового давления на пути слева от экрана, Dz2, дБ	z = 20.89м (разность путей)	ф-лы (14-18) [10]	19,1	22	24,9	27,9	30,9	33,9	36,9	39,9	42,9		
Снижение уровня звукового давления на пути справа от экрана, Dz3, дБ	z = 11.03м (разность путей)	ф-лы (14-18) [10]	16,4	19,3	22,2	25,2	28,1	31,1	34,1	37,2	40,2		
Общее снижение уровня звука препятствием Dz, дБ		Эн.сумма(-Dzi)	4,3	4,5	4,7	4,7	4,7	4,8	4,8	4,8	4,8		
Уровни звукового давления от источника ИШ-9-13 в расчётной точке днём, дБ		**ф-ла(3)[10]**	**0**	**15**	**15,8**	**15,5**	**12,6**	**8**	**0**	**0**	**0**	**13,2**	**13,2**
Уровни звукового давления от источника ИШ-9-13 в расчётной точке ночью, дБ		**ф-ла(3)[10]**	**0**	**15**	**15,8**	**15,5**	**12,6**	**8**	**0**	**0**	**0**	**13,2**	**13,2**
Источник шума: ИШ-9-14, координаты источника (x,y,z), м =[655.60,-320.74,1.00]													

1		2	3	4	5	6	7	8	9	10	11	12	13
Уровни звуковой мощности источника днём, Lw, дБ		**исходные данные**	**0**	**93,3**	**94,7**	**96**	**96,3**	**95,9**	**92,6**	**88,4**	**83,9**		
Уровни звуковой мощности источника ночью, Lw, дБ		**исходные данные**	**0**	**93,3**	**94,7**	**96**	**96,3**	**95,9**	**92,6**	**88,4**	**83,9**		
Поправка на телесный угол DΩ, дБ	Ω = 6.28	10Lg(4π/Ω)	**3**	3	3	3	3	3	3	3	3		
Показатель направленности источника Di, дБ		исходные данные	**0**	0	0	0	0	0	0	0	0		
Поправка на направленность источника Dc, дБ	Dc	DΩ + Di	**3**	3	3	3	3	3	3	3	3		
Затухание из-за геометрической дивергенции, Adiv, дБ	расстояние = 1909.51 м	ф-ла (7) [10]	**76,6**										
Коэффициент затухания звука в атмосфере α, дБ/км	Ta=20,°C Pa=101.33,кПа hотн.=70%	ф-ла (5) [9]	0,02	0,09	0,33	1,12	2,79	4,98	9,04	23,09	77,63		
Учет затухания звука в атмосфере Aatm, дБ		ф-ла (8) [10]	0	0,2	0,6	2,1	5,3	9,5	17,3	44,1	148,2		
Снижение уровня звукового давления из-за влияния застройки между источником шума и расчетной точкой													
Снижение уровня звукового давления на пути над экраном, Dz1, дБ	z = 0.17м (разность путей)	ф-лы (14-18) [10]	4,8	4,8	4,8	4,8	4,8	4,8	4,8	4,8	4,8		
Снижение уровня звукового давления на пути слева от экрана, Dz2, дБ	z = 21.46м (разность путей)	ф-лы (14-18) [10]	19,2	22,1	25	28	31	34	37	40	43,1		
Снижение уровня звукового давления на пути справа от экрана, Dz3, дБ	z = 10.68м (разность путей)	ф-лы (14-18) [10]	16,3	19,1	22	25	28	31	34	37	40		
Общее снижение уровня звука препятствием Dz, дБ		Эн.сумма(-Dzi)	4,3	4,5	4,7	4,7	4,7	4,8	4,8	4,8	4,8		
Уровни звукового давления от источника ИШ-9-14 в расчётной точке днём, дБ		**ф-ла(3)[10]**	**0**	**15**	**15,8**	**15,5**	**12,6**	**8**	**0**	**0**	**0**	**13,2**	**13,2**
Уровни звукового давления от источника ИШ-9-14 в расчётной точке ночью, дБ		**ф-ла(3)[10]**	**0**	**15**	**15,8**	**15,5**	**12,6**	**8**	**0**	**0**	**0**	**13,2**	**13,2**
Источник шума: ИШ-9-15, координаты источника (x,y,z), м =[656.44,-317.86,1.00]													

1		2	3	4	5	6	7	8	9	10	11	12	13
Уровни звуковой мощности источника днём, Lw, дБ		**исходные данные**	**0**	**93,3**	**94,7**	**96**	**96,3**	**95,9**	**92,6**	**88,4**	**83,9**		
Уровни звуковой мощности источника ночью, Lw, дБ		**исходные данные**	**0**	**93,3**	**94,7**	**96**	**96,3**	**95,9**	**92,6**	**88,4**	**83,9**		
Поправка на телесный угол DΩ, дБ	Ω = 6.28	10Lg(4π/Ω)	**3**	3	3	3	3	3	3	3	3		
Показатель направленности источника Di, дБ		исходные данные	**0**	0	0	0	0	0	0	0	0		
Поправка на направленность источника Dc, дБ	Dc	DΩ + Di	**3**	3	3	3	3	3	3	3	3		
Затухание из-за геометрической дивергенции, Adiv, дБ	расстояние = 1908.18 м	ф-ла (7) [10]	**76,6**										
Коэффициент затухания звука в атмосфере α, дБ/км	Ta=20,°C Pa=101.33,кПа hотн.=70%	ф-ла (5) [9]	0,02	0,09	0,33	1,12	2,79	4,98	9,04	23,09	77,63		
Учет затухания звука в атмосфере Aatm, дБ		ф-ла (8) [10]	0	0,2	0,6	2,1	5,3	9,5	17,2	44,1	148,1		
Снижение уровня звукового давления из-за влияния застройки между источником шума и расчетной точкой													
Снижение уровня звукового давления на пути над экраном, Dz1, дБ	z = 0.18м (разность путей)	ф-лы (14-18) [10]	4,8	4,8	4,8	4,8	4,8	4,8	4,8	4,8	4,8		
Снижение уровня звукового давления на пути слева от экрана, Dz2, дБ	z = 22.01м (разность путей)	ф-лы (14-18) [10]	19,3	22,2	25,1	28,1	31,1	34,1	37,1	40,2	43,2		
Снижение уровня звукового давления на пути справа от экрана, Dz3, дБ	z = 100.44м (разность путей)	ф-лы (14-18) [10]	30,3	33,4	36,5	39,5	42,5	45,5	48,5	51,5	54,5		
Общее снижение уровня звука препятствием Dz, дБ		Эн.сумма(-Dzi)	4,6	4,7	4,7	4,7	4,8	4,8	4,8	4,8	4,8		
Уровни звукового давления от источника ИШ-9-15 в расчётной точке днём, дБ		**ф-ла(3)[10]**	**0**	**14,8**	**15,7**	**15,5**	**12,6**	**8**	**0**	**0**	**0**	**13,2**	**13,2**
Уровни звукового давления от источника ИШ-9-15 в расчётной точке ночью, дБ		**ф-ла(3)[10]**	**0**	**14,8**	**15,7**	**15,5**	**12,6**	**8**	**0**	**0**	**0**	**13,2**	**13,2**
Источник шума: ИШ-9-16, координаты источника (x,y,z), м =[657.46,-314.97,1.00]													

1		2	3	4	5	6	7	8	9	10	11	12	13
Уровни звуковой мощности источника днём, Lw, дБ		**исходные данные**	**0**	**93,3**	**94,7**	**96**	**96,3**	**95,9**	**92,6**	**88,4**	**83,9**		
Уровни звуковой мощности источника ночью, Lw, дБ		**исходные данные**	**0**	**93,3**	**94,7**	**96**	**96,3**	**95,9**	**92,6**	**88,4**	**83,9**		
Поправка на телесный угол DΩ, дБ	Ω = 6.28	10Lg(4π/Ω)	**3**	3	3	3	3	3	3	3	3		
Показатель направленности источника Di, дБ		исходные данные	**0**	0	0	0	0	0	0	0	0		
Поправка на направленность источника Dc, дБ	Dc	DΩ + Di	**3**	3	3	3	3	3	3	3	3		
Затухание из-за геометрической дивергенции, Adiv, дБ	расстояние = 1907.00 м	ф-ла (7) [10]	**76,6**										
Коэффициент затухания звука в атмосфере α, дБ/км	Ta=20,°C Pa=101.33,кПа hотн.=70%	ф-ла (5) [9]	0,02	0,09	0,33	1,12	2,79	4,98	9,04	23,09	77,63		
Учет затухания звука в атмосфере Aatm, дБ		ф-ла (8) [10]	0	0,2	0,6	2,1	5,3	9,5	17,2	44	148		
Снижение уровня звукового давления из-за влияния застройки между источником шума и расчетной точкой													
Снижение уровня звукового давления на пути над экраном, Dz1, дБ	z = 0.18м (разность путей)	ф-лы (14-18) [10]	4,8	4,8	4,8	4,8	4,8	4,8	4,8	4,8	4,8		
Снижение уровня звукового давления на пути слева от экрана, Dz2, дБ	z = 22.59м (разность путей)	ф-лы (14-18) [10]	19,4	22,3	25,3	28,2	31,2	34,3	37,3	40,3	43,3		
Снижение уровня звукового давления на пути справа от экрана, Dz3, дБ	z = 99.03м (разность путей)	ф-лы (14-18) [10]	30,3	33,4	36,4	39,4	42,4	45,4	48,4	51,5	54,5		
Общее снижение уровня звука препятствием Dz, дБ		Эн.сумма(-Dzi)	4,6	4,7	4,7	4,8	4,8	4,8	4,8	4,8	4,8		
Уровни звукового давления от источника ИШ-9-16 в расчётной точке днём, дБ		**ф-ла(3)[10]**	**0**	**14,8**	**15,7**	**15,5**	**12,6**	**8**	**0**	**0**	**0**	**13,2**	**13,2**
Уровни звукового давления от источника ИШ-9-16 в расчётной точке ночью, дБ		**ф-ла(3)[10]**	**0**	**14,8**	**15,7**	**15,5**	**12,6**	**8**	**0**	**0**	**0**	**13,2**	**13,2**

Источник шума: ИШ-9-17, координаты источника (x,y,z), м =[658.49,-312.18,1.00]

1		2	3	4	5	6	7	8	9	10	11	12	13
Уровни звуковой мощности источника днём, Lw, дБ		**исходные данные**	**0**	**93,3**	**94,7**	**96**	**96,3**	**95,9**	**92,6**	**88,4**	**83,9**		
Уровни звуковой мощности источника ночью, Lw, дБ		**исходные данные**	**0**	**93,3**	**94,7**	**96**	**96,3**	**95,9**	**92,6**	**88,4**	**83,9**		
Поправка на телесный угол DΩ, дБ	Ω = 6.28	10Lg(4π/Ω)	**3**	3	3	3	3	3	3	3	3		
Показатель направленности источника Di, дБ		исходные данные	**0**	0	0	0	0	0	0	0	0		
Поправка на направленность источника Dc, дБ	Dc	DΩ + Di	**3**	3	3	3	3	3	3	3	3		
Затухание из-за геометрической дивергенции, Adiv, дБ	расстояние = 1905.88 м	ф-ла (7) [10]	**76,6**										
Коэффициент затухания звука в атмосфере α, дБ/км	Ta=20,°C Pa=101.33,кПа hотн.=70%	ф-ла (5) [9]	0,02	0,09	0,33	1,12	2,79	4,98	9,04	23,09	77,63		
Учет затухания звука в атмосфере Aatm, дБ		ф-ла (8) [10]	0	0,2	0,6	2,1	5,3	9,5	17,2	44	148		
Снижение уровня звукового давления из-за влияния застройки между источником шума и расчетной точкой													
Снижение уровня звукового давления на пути над экраном, Dz1, дБ	z = 0.19м (разность путей)	ф-лы (14-18) [10]	4,8	4,8	4,8	4,8	4,8	4,8	4,8	4,8	4,8		
Снижение уровня звукового давления на пути слева от экрана, Dz2, дБ	z = 23.17м (разность путей)	ф-лы (14-18) [10]	19,5	22,4	25,4	28,4	31,4	34,4	37,4	40,4	43,4		
Снижение уровня звукового давления на пути справа от экрана, Dz3, дБ	z = 97.65м (разность путей)	ф-лы (14-18) [10]	30,2	33,3	36,3	39,4	42,4	45,4	48,4	51,4	54,4		
Общее снижение уровня звука препятствием Dz, дБ		Эн.сумма(-Dzi)	4,6	4,7	4,7	4,8	4,8	4,8	4,8	4,8	4,8		
Уровни звукового давления от источника ИШ-9-17 в расчётной точке днём, дБ		**ф-ла(3)[10]**	**0**	**14,8**	**15,7**	**15,5**	**12,6**	**8**	**0**	**0**	**0**	**13,2**	**13,2**
Уровни звукового давления от источника ИШ-9-17 в расчётной точке ночью, дБ		**ф-ла(3)[10]**	**0**	**14,8**	**15,7**	**15,5**	**12,6**	**8**	**0**	**0**	**0**	**13,2**	**13,2**

Источник шума: ИШ-9-18, координаты источника (x,y,z), м =[659.42,-309.20,1.00]

1		2	3	4	5	6	7	8	9	10	11	12	13
Уровни звуковой мощности источника днём, Lw, дБ		**исходные данные**	**0**	**93,3**	**94,7**	**96**	**96,3**	**95,9**	**92,6**	**88,4**	**83,9**		
Уровни звуковой мощности источника ночью, Lw, дБ		**исходные данные**	**0**	**93,3**	**94,7**	**96**	**96,3**	**95,9**	**92,6**	**88,4**	**83,9**		
Поправка на телесный угол DΩ, дБ	Ω = 6.28	10Lg(4π/Ω)	**3**	3	3	3	3	3	3	3	3		
Показатель направленности источника Di, дБ		исходные данные	**0**	0	0	0	0	0	0	0	0		
Поправка на направленность источника Dc, дБ	Dc	DΩ + Di	**3**	3	3	3	3	3	3	3	3		
Затухание из-за геометрической дивергенции, Adiv, дБ	расстояние = 1904.57 м	ф-ла (7) [10]	**76,6**										
Коэффициент затухания звука в атмосфере α, дБ/км	Ta=20,°C Pa=101.33,кПа hотн.=70%	ф-ла (5) [9]	0,02	0,09	0,33	1,12	2,79	4,98	9,04	23,09	77,63		
Учет затухания звука в атмосфере Aatm, дБ		ф-ла (8) [10]	0	0,2	0,6	2,1	5,3	9,5	17,2	44	147,9		
Снижение уровня звукового давления из-за влияния застройки между источником шума и расчетной точкой													
Снижение уровня звукового давления на пути над экраном, Dz1, дБ	z = 0.19м (разность путей)	ф-лы (14-18) [10]	4,8	4,8	4,8	4,8	4,8	4,8	4,8	4,8	4,8		
Снижение уровня звукового давления на пути слева от экрана, Dz2, дБ	z = 23.77м (разность путей)	ф-лы (14-18) [10]	24	27,2	30,2	33,2	36,2	39,2	42,2	45,3	48,3		
Снижение уровня звукового давления на пути справа от экрана, Dz3, дБ	z = 96.27м (разность путей)	ф-лы (14-18) [10]	30,1	33,3	36,3	39,3	42,3	45,3	48,3	51,3	54,3		
Общее снижение уровня звука препятствием Dz, дБ		Эн.сумма(-Dzi)	4,7	4,7	4,8	4,8	4,8	4,8	4,8	4,8	4,8		
Уровни звукового давления от источника ИШ-9-18 в расчётной точке днём, дБ		**ф-ла(3)[10]**	**0**	**14,8**	**15,7**	**15,5**	**12,6**	**8**	**0**	**0**	**0**	**13,2**	**13,2**
Уровни звукового давления от источника ИШ-9-18 в расчётной точке ночью, дБ		**ф-ла(3)[10]**	**0**	**14,8**	**15,7**	**15,5**	**12,6**	**8**	**0**	**0**	**0**	**13,2**	**13,2**

Источник шума: ИШ-9-19, координаты источника (x,y,z), м =[660.44,-306.50,1.00]

1		2	3	4	5	6	7	8	9	10	11	12	13
Уровни звуковой мощности источника днём, Lw, дБ		**исходные данные**	**0**	**93,3**	**94,7**	**96**	**96,3**	**95,9**	**92,6**	**88,4**	**83,9**		
Уровни звуковой мощности источника ночью, Lw, дБ		**исходные данные**	**0**	**93,3**	**94,7**	**96**	**96,3**	**95,9**	**92,6**	**88,4**	**83,9**		
Поправка на телесный угол DΩ, дБ	Ω = 6.28	10Lg(4π/Ω)	**3**	3	3	3	3	3	3	3	3		
Показатель направленности источника Di, дБ		исходные данные	**0**	0	0	0	0	0	0	0	0		
Поправка на направленность источника Dc, дБ	Dc	DΩ + Di	**3**	3	3	3	3	3	3	3	3		
Затухание из-за геометрической дивергенции, Adiv, дБ	расстояние = 1903.52 м	ф-ла (7) [10]	**76,6**										
Коэффициент затухания звука в атмосфере α, дБ/км	Ta=20,°C Pa=101.33,кПа hотн.=70%	ф-ла (5) [9]	0,02	0,09	0,33	1,12	2,79	4,98	9,04	23,09	77,63		
Учет затухания звука в атмосфере Aatm, дБ		ф-ла (8) [10]	0	0,2	0,6	2,1	5,3	9,5	17,2	43,9	147,8		
Снижение уровня звукового давления из-за влияния застройки между источником шума и расчетной точкой													
Снижение уровня звукового давления на пути над экраном, Dz1, дБ	z = 0.19м (разность путей)	ф-лы (14-18) [10]	4,8	4,8	4,8	4,8	4,8	4,8	4,8	4,8	4,8		
Снижение уровня звукового давления на пути слева от экрана, Dz2, дБ	z = 24.36м (разность путей)	ф-лы (14-18) [10]	24,1	27,3	30,3	33,3	36,3	39,3	42,4	45,4	48,4		
Снижение уровня звукового давления на пути справа от экрана, Dz3, дБ	z = 94.93м (разность путей)	ф-лы (14-18) [10]	30,1	33,2	36,2	39,2	42,2	45,3	48,3	51,3	54,3		
Общее снижение уровня звука препятствием Dz, дБ		Эн.сумма(-Dzi)	4,7	4,7	4,8	4,8	4,8	4,8	4,8	4,8	4,8		
Уровни звукового давления от источника ИШ-9-19 в расчётной точке днём, дБ		**ф-ла(3)[10]**	**0**	**14,8**	**15,7**	**15,5**	**12,6**	**8,1**	**0**	**0**	**0**	**13,2**	**13,2**
Уровни звукового давления от источника ИШ-9-19 в расчётной точке ночью, дБ		**ф-ла(3)[10]**	**0**	**14,8**	**15,7**	**15,5**	**12,6**	**8,1**	**0**	**0**	**0**	**13,2**	**13,2**

Источник шума: ИШ-9-20, координаты источника (x,y,z), м =[661.28,-303.61,1.00]

1		2	3	4	5	6	7	8	9	10	11	12	13
Уровни звуковой мощности источника днём, Lw, дБ		**исходные данные**	**0**	**93,3**	**94,7**	**96**	**96,3**	**95,9**	**92,6**	**88,4**	**83,9**		
Уровни звуковой мощности источника ночью, Lw, дБ		**исходные данные**	**0**	**93,3**	**94,7**	**96**	**96,3**	**95,9**	**92,6**	**88,4**	**83,9**		
Поправка на телесный угол DΩ, дБ	Ω = 6.28	10Lg(4π/Ω)	**3**	3	3	3	3	3	3	3	3		
Показатель направленности источника Di, дБ		исходные данные	**0**	0	0	0	0	0	0	0	0		
Поправка на направленность источника Dc, дБ	Dc	DΩ + Di	**3**	3	3	3	3	3	3	3	3		
Затухание из-за геометрической дивергенции, Adiv, дБ	расстояние = 1902.22 м	ф-ла (7) [10]	**76,6**										
Коэффициент затухания звука в атмосфере α, дБ/км	Та=20,°С Ра=101.33,кПа hотн.=70%	ф-ла (5) [9]	0,02	0,09	0,33	1,12	2,79	4,98	9,04	23,09	77,63		
Учет затухания звука в атмосфере Aatm, дБ		ф-ла (8) [10]	0	0,2	0,6	2,1	5,3	9,5	17,2	43,9	147,7		
Снижение уровня звукового давления из-за влияния застройки между источником шума и расчетной точкой													
Снижение уровня звукового давления на пути над экраном, Dz1, дБ	z = 0.19м (разность путей)	ф-лы (14-18) [10]	4,8	4,8	4,8	4,8	4,8	4,8	4,8	4,8	4,8		
Снижение уровня звукового давления на пути слева от экрана, Dz2, дБ	z = 24.96м (разность путей)	ф-лы (14-18) [10]	24,2	27,4	30,4	33,4	36,4	39,5	42,5	45,5	48,5		
Снижение уровня звукового давления на пути справа от экрана, Dz3, дБ	z = 93.63м (разность путей)	ф-лы (14-18) [10]	30	33,1	36,2	39,2	42,2	45,2	48,2	51,2	54,2		
Общее снижение уровня звука препятствием Dz, дБ		Эн.сумма(-Dzi)	4,7	4,7	4,8	4,8	4,8	4,8	4,8	4,8	4,8		
Уровни звукового давления от источника ИШ-9-20 в расчётной точке днём, дБ		**ф-ла(3)[10]**	**0**	**14,8**	**15,7**	**15,5**	**12,6**	**8,1**	**0**	**0**	**0**	**13,2**	**13,2**
Уровни звукового давления от источника ИШ-9-20 в расчётной точке ночью, дБ		**ф-ла(3)[10]**	**0**	**14,8**	**15,7**	**15,5**	**12,6**	**8,1**	**0**	**0**	**0**	**13,2**	**13,2**

Источник шума: ИШ-9-21, координаты источника (x,y,z), м =[661.93,-300.72,1.00]

1		2	3	4	5	6	7	8	9	10	11	12	13
Уровни звуковой мощности источника днём, Lw, дБ		**исходные данные**	**0**	**93,3**	**94,7**	**96**	**96,3**	**95,9**	**92,6**	**88,4**	**83,9**		
Уровни звуковой мощности источника ночью, Lw, дБ		**исходные данные**	**0**	**93,3**	**94,7**	**96**	**96,3**	**95,9**	**92,6**	**88,4**	**83,9**		
Поправка на телесный угол DΩ, дБ	Ω = 6.28	10Lg(4π/Ω)	**3**	3	3	3	3	3	3	3	3		
Показатель направленности источника Di, дБ		исходные данные	**0**	0	0	0	0	0	0	0	0		
Поправка на направленность источника Dc, дБ	Dc	DΩ + Di	**3**	3	3	3	3	3	3	3	3		
Затухание из-за геометрической дивергенции, Adiv, дБ	расстояние = 1900.78 м	ф-ла (7) [10]	**76,6**										
Коэффициент затухания звука в атмосфере α, дБ/км	Ta=20,°C Pa=101.33,кПа hотн.=70%	ф-ла (5) [9]	0,02	0,09	0,33	1,12	2,79	4,98	9,04	23,09	77,63		
Учет затухания звука в атмосфере Aatm, дБ		ф-ла (8) [10]	0	0,2	0,6	2,1	5,3	9,5	17,2	43,9	147,6		
Снижение уровня звукового давления из-за влияния застройки между источником шума и расчетной точкой													
Снижение уровня звукового давления на пути над экраном, Dz1, дБ	z = 0.19м (разность путей)	ф-лы (14-18) [10]	4,8	4,8	4,8	4,8	4,8	4,8	4,8	4,8	4,8		
Снижение уровня звукового давления на пути слева от экрана, Dz2, дБ	z = 25.56м (разность путей)	ф-лы (14-18) [10]	24,3	27,5	30,5	33,5	36,5	39,6	42,6	45,6	48,6		
Снижение уровня звукового давления на пути справа от экрана, Dz3, дБ	z = 92.43м (разность путей)	ф-лы (14-18) [10]	30	33,1	36,1	39,1	42,1	45,1	48,1	51,2	54,2		
Общее снижение уровня звука препятствием Dz, дБ		Эн.сумма(-Dzi)	4,7	4,7	4,8	4,8	4,8	4,8	4,8	4,8	4,8		
Уровни звукового давления от источника ИШ-9-21 в расчётной точке днём, дБ		**ф-ла(3)[10]**	**0**	**14,8**	**15,7**	**15,5**	**12,6**	**8,1**	**0**	**0**	**0**	**13,2**	**13,2**
Уровни звукового давления от источника ИШ-9-21 в расчётной точке ночью, дБ		**ф-ла(3)[10]**	**0**	**14,8**	**15,7**	**15,5**	**12,6**	**8,1**	**0**	**0**	**0**	**13,2**	**13,2**

Источник шума: ИШ-9-22, координаты источника (x,y,z), м =[663.14,-297.83,1.00]

1		2	3	4	5	6	7	8	9	10	11	12	13
Уровни звуковой мощности источника днём, Lw, дБ		**исходные данные**	**0**	**93,3**	**94,7**	**96**	**96,3**	**95,9**	**92,6**	**88,4**	**83,9**		
Уровни звуковой мощности источника ночью, Lw, дБ		**исходные данные**	**0**	**93,3**	**94,7**	**96**	**96,3**	**95,9**	**92,6**	**88,4**	**83,9**		
Поправка на телесный угол DΩ, дБ	Ω = 6.28	10Lg(4π/Ω)	**3**	3	3	3	3	3	3	3	3		
Показатель направленности источника Di, дБ		исходные данные	**0**	0	0	0	0	0	0	0	0		
Поправка на направленность источника Dc, дБ	Dc	DΩ + Di	**3**	3	3	3	3	3	3	3	3		
Затухание из-за геометрической дивергенции, Adiv, дБ	расстояние = 1899.76 м	ф-ла (7) [10]	**76,6**										
Коэффициент затухания звука в атмосфере α, дБ/км	Ta=20,°C Pa=101.33,кПа hотн.=70%	ф-ла (5) [9]	0,02	0,09	0,33	1,12	2,79	4,98	9,04	23,09	77,63		
Учет затухания звука в атмосфере Aatm, дБ		ф-ла (8) [10]	0	0,2	0,6	2,1	5,3	9,5	17,2	43,9	147,5		
Снижение уровня звукового давления из-за влияния застройки между источником шума и расчетной точкой													
Снижение уровня звукового давления на пути над экраном, Dz1, дБ	z = 0.19м (разность путей)	ф-лы (14-18) [10]	4,8	4,8	4,8	4,8	4,8	4,8	4,8	4,8	4,8		
Снижение уровня звукового давления на пути слева от экрана, Dz2, дБ	z = 26.26м (разность путей)	ф-лы (14-18) [10]	24,5	27,6	30,6	33,7	36,7	39,7	42,7	45,7	48,7		
Снижение уровня звукового давления на пути справа от экрана, Dz3, дБ	z = 90.96м (разность путей)	ф-лы (14-18) [10]	29,9	33	36	39	42,1	45,1	48,1	51,1	54,1		
Общее снижение уровня звука препятствием Dz, дБ		Эн.сумма(-Dzi)	4,7	4,7	4,8	4,8	4,8	4,8	4,8	4,8	4,8		
Уровни звукового давления от источника ИШ-9-22 в расчётной точке днём, дБ		**ф-ла(3)[10]**	**0**	**14,8**	**15,7**	**15,5**	**12,6**	**8,1**	**0**	**0**	**0**	**13,3**	**13,3**
Уровни звукового давления от источника ИШ-9-22 в расчётной точке ночью, дБ		**ф-ла(3)[10]**	**0**	**14,8**	**15,7**	**15,5**	**12,6**	**8,1**	**0**	**0**	**0**	**13,3**	**13,3**

Источник шума: ИШ-9-23, координаты источника (x,y,z), м =[664.07,-295.13,1.00]

1		2	3	4	5	6	7	8	9	10	11	12	13
Уровни звуковой мощности источника днём, Lw, дБ		**исходные данные**	**0**	**93,3**	**94,7**	**96**	**96,3**	**95,9**	**92,6**	**88,4**	**83,9**		
Уровни звуковой мощности источника ночью, Lw, дБ		**исходные данные**	**0**	**93,3**	**94,7**	**96**	**96,3**	**95,9**	**92,6**	**88,4**	**83,9**		
Поправка на телесный угол DΩ, дБ	Ω = 6.28	10Lg(4π/Ω)	**3**	3	3	3	3	3	3	3	3		
Показатель направленности источника Di, дБ		исходные данные	**0**	0	0	0	0	0	0	0	0		
Поправка на направленность источника Dc, дБ	Dc	DΩ + Di	**3**	3	3	3	3	3	3	3	3		
Затухание из-за геометрической дивергенции, Adiv, дБ	расстояние = 1898.65 м	ф-ла (7) [10]	**76,6**										
Коэффициент затухания звука в атмосфере α, дБ/км	Ta=20,°C Pa=101.33,кПа hотн.=70%	ф-ла (5) [9]	0,02	0,09	0,33	1,12	2,79	4,98	9,04	23,09	77,63		
Учет затухания звука в атмосфере Aatm, дБ		ф-ла (8) [10]	0	0,2	0,6	2,1	5,3	9,5	17,2	43,8	147,4		
Снижение уровня звукового давления из-за влияния застройки между источником шума и расчетной точкой													
Снижение уровня звукового давления на пути над экраном, Dz1, дБ	z = 0.12м (разность путей)	ф-лы (14-18) [10]	4,8	4,8	4,8	4,8	4,8	4,8	4,8	4,8	4,8		
Снижение уровня звукового давления на пути слева от экрана, Dz2, дБ	z = 26.90м (разность путей)	ф-лы (14-18) [10]	24,6	27,7	30,7	33,8	36,8	39,8	42,8	45,8	48,8		
Снижение уровня звукового давления на пути справа от экрана, Dz3, дБ	z = 89.69м (разность путей)	ф-лы (14-18) [10]	29,8	33	36	39	42	45	48	51	54		
Общее снижение уровня звука препятствием Dz, дБ		Эн.сумма(-Dzi)	4,7	4,7	4,8	4,8	4,8	4,8	4,8	4,8	4,8		
Уровни звукового давления от источника ИШ-9-23 в расчётной точке днём, дБ		**ф-ла(3)[10]**	**0**	**14,8**	**15,7**	**15,5**	**12,7**	**8,1**	**0**	**0**	**0**	**13,3**	**13,3**
Уровни звукового давления от источника ИШ-9-23 в расчётной точке ночью, дБ		**ф-ла(3)[10]**	**0**	**14,8**	**15,7**	**15,5**	**12,7**	**8,1**	**0**	**0**	**0**	**13,3**	**13,3**
Источник шума: ИШ-9-24, координаты источника (x,y,z), м =[665.19,-292.34,1.00]													

1		2	3	4	5	6	7	8	9	10	11	12	13
Уровни звуковой мощности источника днём, Lw, дБ		**исходные данные**	**0**	**93,3**	**94,7**	**96**	**96,3**	**95,9**	**92,6**	**88,4**	**83,9**		
Уровни звуковой мощности источника ночью, Lw, дБ		**исходные данные**	**0**	**93,3**	**94,7**	**96**	**96,3**	**95,9**	**92,6**	**88,4**	**83,9**		
Поправка на телесный угол DΩ, дБ	Ω = 6.28	10Lg(4π/Ω)	**3**	3	3	3	3	3	3	3	3		
Показатель направленности источника Di, дБ		исходные данные	**0**	0	0	0	0	0	0	0	0		
Поправка на направленность источника Dc, дБ	Dc	DΩ + Di	**3**	3	3	3	3	3	3	3	3		
Затухание из-за геометрической дивергенции, Adiv, дБ	расстояние = 1897.63 м	ф-ла (7) [10]	**76,6**										
Коэффициент затухания звука в атмосфере α, дБ/км	Ta=20,°C Pa=101.33,кПа hотн.=70%	ф-ла (5) [9]	0,02	0,09	0,33	1,12	2,79	4,98	9,04	23,09	77,63		
Учет затухания звука в атмосфере Aatm, дБ		ф-ла (8) [10]	0	0,2	0,6	2,1	5,3	9,4	17,2	43,8	147,3		
Снижение уровня звукового давления из-за влияния застройки между источником шума и расчетной точкой													
Снижение уровня звукового давления на пути над экраном, Dz1, дБ	z = 0.12м (разность путей)	ф-лы (14-18) [10]	4,8	4,8	4,8	4,8	4,8	4,8	4,8	4,8	4,8		
Снижение уровня звукового давления на пути слева от экрана, Dz2, дБ	z = 27.60м (разность путей)	ф-лы (14-18) [10]	24,7	27,8	30,8	33,9	36,9	39,9	42,9	45,9	48,9		
Снижение уровня звукового давления на пути справа от экрана, Dz3, дБ	z = 88.30м (разность путей)	ф-лы (14-18) [10]	29,8	32,9	35,9	38,9	41,9	44,9	47,9	51	54		
Общее снижение уровня звука препятствием Dz, дБ		Эн.сумма(-Dzi)	4,7	4,7	4,8	4,8	4,8	4,8	4,8	4,8	4,8		
Уровни звукового давления от источника ИШ-9-24 в расчётной точке днём, дБ		**ф-ла(3)[10]**	**0**	**14,8**	**15,7**	**15,5**	**12,7**	**8,1**	**0**	**0**	**0**	**13,3**	**13,3**
Уровни звукового давления от источника ИШ-9-24 в расчётной точке ночью, дБ		**ф-ла(3)[10]**	**0**	**14,8**	**15,7**	**15,5**	**12,7**	**8,1**	**0**	**0**	**0**	**13,3**	**13,3**

Источник шума: ИШ-9-25, координаты источника (x,y,z), м =[683.46,-239.16,1.00]

1		2	3	4	5	6	7	8	9	10	11	12	13
Уровни звуковой мощности источника днём, Lw, дБ		**исходные данные**	**77**	**75**	**67**	**66**	**63**	**55**	**53**	**48**	**51**		
Уровни звуковой мощности источника ночью, Lw, дБ		**исходные данные**	**77**	**75**	**67**	**66**	**63**	**55**	**53**	**48**	**51**		
Поправка на телесный угол DΩ, дБ	Ω = 6.28	10Lg(4π/Ω)	**3**	3	3	3	3	3	3	3	3		
Показатель направленности источника Di, дБ		исходные данные	**0**	0	0	0	0	0	0	0	0		
Поправка на направленность источника Dc, дБ	Dc	DΩ + Di	**3**	3	3	3	3	3	3	3	3		
Затухание из-за геометрической дивергенции, Adiv, дБ	расстояние = 1876.73 м	ф-ла (7) [10]	**76,5**										
Коэффициент затухания звука в атмосфере α, дБ/км	Ta=20,°C Pa=101.33,кПа hотн.=70%	ф-ла (5) [9]	0,02	0,09	0,33	1,12	2,79	4,98	9,04	23,09	77,63		
Учет затухания звука в атмосфере Aatm, дБ		ф-ла (8) [10]	0	0,2	0,6	2,1	5,2	9,3	17	43,3	145,7		
Снижение уровня звукового давления из-за влияния застройки между источником шума и расчетной точкой													
Снижение уровня звукового давления на пути над экраном, Dz1, дБ	z = 0.10м (разность путей)	ф-лы (14-18) [10]	4,8	4,8	4,8	4,8	4,8	4,8	4,8	4,8	4,8		
Уровни звукового давления от источника ИШ-9-25 в расчётной точке днём, дБ		**ф-ла(3)[10]**	**0**	**0**	**0**	**0**	**0**	**0**	**0**	**0**	**0**	**0**	**0**
Уровни звукового давления от источника ИШ-9-25 в расчётной точке ночью, дБ		**ф-ла(3)[10]**	**0**	**0**	**0**	**0**	**0**	**0**	**0**	**0**	**0**	**0**	**0**
Источник шума: ИШ-9-26, координаты источника (x,y,z), м =[680.09,-249.52,1.00]													
Уровни звуковой мощности источника днём, Lw, дБ		**исходные данные**	**77**	**75**	**67**	**66**	**63**	**55**	**53**	**48**	**51**		
Уровни звуковой мощности источника ночью, Lw, дБ		**исходные данные**	**77**	**75**	**67**	**66**	**63**	**55**	**53**	**48**	**51**		
Поправка на телесный угол DΩ, дБ	Ω = 6.28	10Lg(4π/Ω)	**3**	3	3	3	3	3	3	3	3		

1		2	3	4	5	6	7	8	9	10	11	12	13
Показатель направленности источника Di, дБ		исходные данные	**0**	0	0	0	0	0	0	0	0		
Поправка на направленность источника Dc, дБ	Dc	DΩ + Di	**3**	3	3	3	3	3	3	3	3		
Затухание из-за геометрической дивергенции, Adiv, дБ	расстояние = 1880.84 м	ф-ла (7) [10]	**76,5**										
Коэффициент затухания звука в атмосфере α, дБ/км	Ta=20,°C Pa=101.33,кПа hотн.=70%	ф-ла (5) [9]	0,02	0,09	0,33	1,12	2,79	4,98	9,04	23,09	77,63		
Учет затухания звука в атмосфере Aatm, дБ		ф-ла (8) [10]	0	0,2	0,6	2,1	5,2	9,4	17	43,4	146		
Снижение уровня звукового давления из-за влияния застройки между источником шума и расчетной точкой													
Снижение уровня звукового давления на пути над экраном, Dz1, дБ	z = 0.10м (разность путей)	ф-лы (14-18) [10]	4,8	4,8	4,8	4,8	4,8	4,8	4,8	4,8	4,8		
Уровни звукового давления от источника ИШ-9-26 в расчётной точке днём, дБ		**ф-ла(3)[10]**	**0**	**0**	**0**	**0**	**0**	**0**	**0**	**0**	**0**	**0**	**0**
Уровни звукового давления от источника ИШ-9-26 в расчётной точке ночью, дБ		**ф-ла(3)[10]**	**0**	**0**	**0**	**0**	**0**	**0**	**0**	**0**	**0**	**0**	**0**
Источник шума: ИШ-9-27, координаты источника (x,y,z), м =[676.46,-260.14,1.00]													
Уровни звуковой мощности источника днём, Lw, дБ		**исходные данные**	**77**	**75**	**67**	**66**	**63**	**55**	**53**	**48**	**51**		
Уровни звуковой мощности источника ночью, Lw, дБ		**исходные данные**	**77**	**75**	**67**	**66**	**63**	**55**	**53**	**48**	**51**		
Поправка на телесный угол DΩ, дБ	Ω = 6.28	10Lg(4π/Ω)	**3**	3	3	3	3	3	3	3	3		
Показатель направленности источника Di, дБ		исходные данные	**0**	0	0	0	0	0	0	0	0		
Поправка на направленность источника Dc, дБ	Dc	DΩ + Di	**3**	3	3	3	3	3	3	3	3		
Затухание из-за геометрической дивергенции, Adiv, дБ	расстояние = 1884.97 м	ф-ла (7) [10]	**76,5**										

1		2	3	4	5	6	7	8	9	10	11	12	13
Коэффициент затухания звука в атмосфере α, дБ/км	Ta=20,°C Pa=101.33,кПа hотн.=70%	ф-ла (5) [9]	0,02	0,09	0,33	1,12	2,79	4,98	9,04	23,09	77,63		
Учет затухания звука в атмосфере Aatm, дБ		ф-ла (8) [10]	0	0,2	0,6	2,1	5,3	9,4	17	43,5	146,3		
Снижение уровня звукового давления из-за влияния застройки между источником шума и расчетной точкой													
Снижение уровня звукового давления на пути над экраном, Dz1, дБ	z = 0.10м (разность путей)	ф-лы (14-18) [10]	4,8	4,8	4,8	4,8	4,8	4,8	4,8	4,8	4,8		
Уровни звукового давления от источника ИШ-9-27 в расчётной точке днём, дБ		**ф-ла(3)[10]**	**0**	**0**	**0**	**0**	**0**	**0**	**0**	**0**	**0**	**0**	**0**
Уровни звукового давления от источника ИШ-9-27 в расчётной точке ночью, дБ		**ф-ла(3)[10]**	**0**	**0**	**0**	**0**	**0**	**0**	**0**	**0**	**0**	**0**	**0**
Источник шума: ИШ-10-1, координаты источника (x,y,z), м =[17.37,413.17,1.00]													
Уровни звуковой мощности источника днём, Lw, дБ		**исходные данные**	**0**	**98,3**	**99,7**	**101**	**101,3**	**100,9**	**97,6**	**93,4**	**88,9**		
Уровни звуковой мощности источника ночью, Lw, дБ		**исходные данные**	**0**	**98,3**	**99,7**	**101**	**101,3**	**100,9**	**97,6**	**93,4**	**88,9**		
Поправка на телесный угол DΩ, дБ	Ω = 6.28	10Lg(4π/Ω)	**3**	3	3	3	3	3	3	3	3		
Показатель направленности источника Di, дБ		исходные данные	**0**	0	0	0	0	0	0	0	0		
Поправка на направленность источника Dc, дБ	Dc	DΩ + Di	**3**	3	3	3	3	3	3	3	3		
Затухание из-за геометрической дивергенции, Adiv, дБ	расстояние = 949.89 м	ф-ла (7) [10]	**70,6**										
Коэффициент затухания звука в атмосфере α, дБ/км	Ta=20,°C Pa=101.33,кПа hотн.=70%	ф-ла (5) [9]	0,02	0,09	0,33	1,12	2,79	4,98	9,04	23,09	77,63		
Учет затухания звука в атмосфере Aatm, дБ		ф-ла (8) [10]	0	0,1	0,3	1,1	2,7	4,7	8,6	21,9	73,7		
Снижение поверхностью земли возле источника As, дБ	Gs = 0 hs = 1м	ф-лы таб.3 [10]	-1,5	-1,5	-1,5	-1,5	-1,5	-1,5	-1,5	-1,5	-1,5		

1		2	3	4	5	6	7	8	9	10	11	12	13
Снижение поверхностью земли возле приёмника Ar, дБ	Gr = 1 hr = 1.5м	ф-лы таб.3 [10]	-1,5	-1,5	5	7	5	0,7	0	0	0		
Снижение поверхностью земли в средней зоне, Am дБ	Gm = 1	ф-лы таб.3 [10]	-2,8	-2,8	0	0	0	0	0	0	0		
Суммарное снижение поверхностью земли на траектории распространения звука Agr, дБ		ф-ла (9) [10]	-5,8	-5,8	3,5	5,5	3,5	-0,8	-1,5	-1,5	-1,5		
Уровни звукового давления прямого звука от источника ИШ-10-1 в расчётной точке днём, дБ		**ф-ла(3)[10]**	**0**	**36,4**	**28,4**	**26,9**	**27,6**	**29,5**	**23**	**5,4**	**0**	**31,8**	**31,8**
Уровни звукового давления прямого звука от источника ИШ-10-1 в расчётной точке ночью, дБ		**ф-ла(3)[10]**	**0**	**36,4**	**28,4**	**26,9**	**27,6**	**29,5**	**23**	**5,4**	**0**	**31,8**	**31,8**
Расчёт отражённого звука													
Уровни звукового давления от мнимого источника ИШ-10-1_мн.(1) в расчётной точке днём, дБ		**ф-ла(3)[10]**	**0**	**0**	**0**	**0**	**0**	**0**	**0**	**2,6**	**0**	**3,6**	**3,6**
Уровни звукового давления от мнимого источника ИШ-10-1_мн.(1) в расчётной точке ночью, дБ		**ф-ла(3)[10]**	**0**	**0**	**0**	**0**	**0**	**0**	**0**	**0**	**0**	**3,6**	**3,6**
Уровни звукового давления от источника ИШ-10-1 в расчётной точке днём, дБ		**ф-ла(3)[10]**	**0**	**36,4**	**28,4**	**26,9**	**27,6**	**29,5**	**23**	**7,2**	**0**	**31,8**	**31,8**
Уровни звукового давления от источника ИШ-10-1 в расчётной точке ночью, дБ		**ф-ла(3)[10]**	**0**	**36,4**	**28,4**	**26,9**	**27,6**	**29,5**	**23**	**7,2**	**0**	**31,8**	**31,8**
Источник шума: ИШ-10-2, координаты источника (x,y,z), м =[27.87,443.46,1.00]													
Уровни звуковой мощности источника днём, Lw, дБ		**исходные данные**	**0**	**98,3**	**99,7**	**101**	**101,3**	**100,9**	**97,6**	**93,4**	**88,9**		
Уровни звуковой мощности источника ночью, Lw, дБ		**исходные данные**	**0**	**98,3**	**99,7**	**101**	**101,3**	**100,9**	**97,6**	**93,4**	**88,9**		
Поправка на телесный угол DΩ, дБ	Ω = 6.28	10Lg(4π/Ω)	**3**	3	3	3	3	3	3	3	3		
Показатель направленности источника Di, дБ		исходные данные	**0**	0	0	0	0	0	0	0	0		
Поправка на направленность источника Dc, дБ	Dc	DΩ + Di	**3**	3	3	3	3	3	3	3	3		
Затухание из-за геометрической дивергенции, Adiv, дБ	расстояние = 941.28 м	ф-ла (7) [10]	**70,5**										

1		2	3	4	5	6	7	8	9	10	11	12	13
Коэффициент затухания звука в атмосфере α, дБ/км	Ta=20,°C Pa=101.33,кПа hотн.=70%	ф-ла (5) [9]	0,02	0,09	0,33	1,12	2,79	4,98	9,04	23,09	77,63		
Учет затухания звука в атмосфере Aatm, дБ		ф-ла (8) [10]	0	0,1	0,3	1,1	2,6	4,7	8,5	21,7	73,1		
Снижение поверхностью земли возле источника As, дБ	Gs = 0 hs = 1м	ф-лы таб.3 [10]	-1,5	-1,5	-1,5	-1,5	-1,5	-1,5	-1,5	-1,5	-1,5		
Снижение поверхностью земли возле приёмника Ar, дБ	Gr = 1 hr = 1.5м	ф-лы таб.3 [10]	-1,5	-1,5	5	7	5	0,7	0	0	0		
Снижение поверхностью земли в средней зоне, Am дБ	Gm = 1	ф-лы таб.3 [10]	-2,8	-2,8	0	0	0	0	0	0	0		
Суммарное снижение поверхностью земли на траектории распространения звука Agr, дБ		ф-ла (9) [10]	-5,8	-5,8	3,5	5,5	3,5	-0,8	-1,5	-1,5	-1,5		
Уровни звукового давления от источника ИШ-10-2 в расчётной точке днём, дБ		**ф-ла(3)[10]**	**0**	**36,5**	**28,5**	**27**	**27,7**	**29,6**	**23,1**	**5,7**	**0**	**32**	**32**
Уровни звукового давления от источника ИШ-10-2 в расчётной точке ночью, дБ		**ф-ла(3)[10]**	**0**	**36,5**	**28,5**	**27**	**27,7**	**29,6**	**23,1**	**5,7**	**0**	**32**	**32**
Уровни звукового давления в расчётной точке													
Суммарные уровни звукового давления в расчётной точке от всех источников шума днём, Lрт, дБ		**ф-ла (19) [1]**	**52,6**	**49**	**41,5**	**40**	**38,4**	**38,5**	**32,1**	**9,6**	**0**	**41,6**	**41,6**
Суммарные уровни звукового давления в расчётной точке от всех источников шума ночью, Lрт, дБ		**ф-ла (19) [1]**	**38,3**	**44,8**	**40,8**	**39,7**	**38,1**	**37,8**	**28,8**	**9,6**	**0**	**40,7**	**40,7**
Допускаемые УЗД днём, Lдоп, дБ	Границы санитарно-защитных зон	Таблица 5.35.[23]	90	75	66	59	54	50	47	45	44	55	70
Допускаемые УЗД ночью, Lдоп, дБ	Границы санитарно-защитных зон	Таблица 5.35.[23]	83	67	57	49	44	40	37	35	33	45	60
Превышение днём, дБ		**Lрт - Lдоп**	**-37,4**	**-26**	**-24,5**	**-19**	**-15,6**	**-11,5**	**-14,9**	**-35,4**	**-44**	**-13,4**	**-28,4**
Превышение ночью, дБ		**Lрт - Lдоп**	**-44,7**	**-22,2**	**-16,2**	**-9,3**	**-5,9**	**-2,2**	**-8,2**	**-25,4**	**-33**	**-4,3**	**-19,3**

Расчетные точки

возле зданий с наличием постоянных рабочих мест

РТ-1-1 ÷ РТ-1-4 (здание СЭБ)

РТ-2-1 ÷ РТ-2-2 (здание ПЭБ)

РТ-3-1 ÷ РТ-3-4 (здания РЭБ)

Определение уровней звукового давления в точке РТ-1-1 (координаты точки, м: x = 333.85, y = -56.41, z = 1.50)

Наименование величин и их описание		Ссылка	Расчётные уровни в октавных полосах, со среднегеометрическими частотами, Гц									La, дБА	Lмакс, дБА
			31,5	63	125	250	500	1000	2000	4000	8000		
1		2	3	4	5	6	7	8	9	10	11	12	13
Источник шума: ИШ-1-1, координаты источника (x,y,z), м =[271.72,229.68,1.00]													
Уровни звуковой мощности источника днём, Lw, дБ		**исходные данные**	**97**	**97**	**104**	**106**	**105**	**105**	**98**	**87**	**81**		
Поправка на телесный угол DΩ, дБ	Ω = 6.28	10Lg(4π/Ω)	**3**	3	3	3	3	3	3	3	3		
Показатель направленности источника Di, дБ		исходные данные	**0**	0	0	0	0	0	0	0	0		
Поправка на направленность источника Dc, дБ	Dc	DΩ + Di	**3**	3	3	3	3	3	3	3	3		
Затухание из-за геометрической дивергенции, Adiv, дБ	расстояние = 292.76 м	ф-ла (7) [10]	**60,3**										
Коэффициент затухания звука в атмосфере α, дБ/км	Ta=20,°C Pa=101.33,кПа hотн.=70%	ф-ла (5) [9]	0,02	0,09	0,33	1,12	2,79	4,98	9,04	23,09	77,63		
Учет затухания звука в атмосфере Aatm, дБ		ф-ла (8) [10]	0	0	0,1	0,3	0,8	1,5	2,6	6,8	22,7		
Снижение уровня звукового давления из-за влияния застройки между источником шума и расчетной точкой													
Снижение уровня звукового давления на пути над экраном, Dz1, дБ	z = 1.07м (разность путей)	ф-лы (14-18) [10]	9,5	12,4	15,2	18	21	23,9	26,9	29,9	32,9		
Снижение уровня звукового давления на пути слева от экрана, Dz2, дБ	z = 97.92м (разность путей)	ф-лы (14-18) [10]	26	29,9	34,3	38,6	42,2	45,3	48,4	51,4	54,4		
Снижение уровня звукового давления на пути справа от экрана, Dz3, дБ	z = 5.60м (разность путей)	ф-лы (14-18) [10]	13,8	16,5	19,3	22,2	25,2	28,2	31,2	34,2	37,2		
Общее снижение уровня звука препятствием Dz, дБ		Эн.сумма(-Dzi)	8,1	10,9	13,7	16,6	19,6	22,5	25,5	28,5	31,5		

1		2	3	4	5	6	7	8	9	10	11	12	13
Общее снижение уровня звука препятствием с учётом ограничения (25 дБ) для октавных полос Dz, дБ		Раздел 7.4 [10]	8,1	10,9	13,7	16,6	19,6	22,5	25	25	25		
Уровни звукового давления прямого звука от источника ИШ-1-1 в расчётной точке днём, дБ		**ф-ла(3)[10]**	**31,6**	**28,8**	**32,9**	**31,7**	**27,3**	**23,7**	**13**	**0**	**0**	**28,9**	**28,9**
Расчёт отражённого звука													
Уровни звукового давления от мнимого источника ИШ-1-1_мн.(1) в расчётной точке днём, дБ		**ф-ла(3)[10]**	**0**	**0**	**0**	**0**	**0**	**18,7**	**7,1**	**0**	**0**	**19,1**	**19,1**
Уровни звукового давления от мнимого источника ИШ-1-1_мн.(2) в расчётной точке днём, дБ		**ф-ла(3)[10]**	**0**	**0**	**0**	**0**	**0**	**0**	**28**	**8,5**	**0**	**29,2**	**29,2**
Суммарные уровни звукового давления от мнимых источников в расчётной точке днём, дБ		**ф-ла (19) [1]**	**0**	**0**	**0**	**0**	**0**	**18,7**	**28**	**8,5**	**0**	**0**	**29,6**
Уровни звукового давления от источника ИШ-1-1 в расчётной точке днём, дБ		**ф-ла(3)[10]**	**31,6**	**28,8**	**32,9**	**31,7**	**27,3**	**24,9**	**28,2**	**8,5**	**0**	**32,3**	**32,3**
Источник шума: ИШ-1-2, координаты источника (x,y,z), м =[261.74,199.14,1.00]													
Уровни звуковой мощности источника днём, Lw, дБ		**исходные данные**	**97**	**97**	**104**	**106**	**105**	**105**	**98**	**87**	**81**		
Поправка на телесный угол DΩ, дБ	Ω = 6.28	10Lg(4π/Ω)	**3**	3	3	3	3	3	3	3	3		
Показатель направленности источника Di, дБ		исходные данные	**0**	0	0	0	0	0	0	0	0		
Поправка на направленность источника Dc, дБ	Dc	DΩ + Di	**3**	3	3	3	3	3	3	3	3		
Затухание из-за геометрической дивергенции, Adiv, дБ	расстояние = 265.53 м	ф-ла (7) [10]	**59,5**										
Коэффициент затухания звука в атмосфере α, дБ/км	Ta=20,°C Pa=101.33,кПа hотн.=70%	ф-ла (5) [9]	0,02	0,09	0,33	1,12	2,79	4,98	9,04	23,09	77,63		
Учет затухания звука в атмосфере Aatm, дБ		ф-ла (8) [10]	0	0	0,1	0,3	0,7	1,3	2,4	6,1	20,6		
Снижение уровня звукового давления из-за влияния застройки между источником шума и расчетной точкой													

1		2	3	4	5	6	7	8	9	10	11	12	13
Снижение уровня звукового давления на пути над экраном, Dz1, дБ	z = 0.99м (разность путей)	ф-лы (14-18) [10]	7,7	10,5	13,9	17,2	20,2	23,2	26,2	29,2	32,2		
Снижение уровня звукового давления на пути слева от экрана, Dz2, дБ	z = 147.40м (разность путей)	ф-лы (14-18) [10]	27,8	31,7	36,1	40,4	43,9	47,1	50,2	53,2	56,2		
Снижение уровня звукового давления на пути справа от экрана, Dz3, дБ	z = 4.07м (разность путей)	ф-лы (14-18) [10]	12,6	15,2	18	20,9	23,8	26,8	29,8	32,8	35,8		
Общее снижение уровня звука препятствием Dz, дБ		Эн.сумма(-Dzi)	6,4	9,2	12,5	15,6	18,6	21,6	24,6	27,6	30,6		
Общее снижение уровня звука препятствием с учётом ограничения (25 дБ) для октавных полос Dz, дБ		Раздел 7.4 [10]	6,4	9,2	12,5	15,6	18,6	21,6	24,6	25	25		
Уровни звукового давления прямого звука от источника ИШ-1-2 в расчётной точке днём, дБ		**ф-ла(3)[10]**	**34,1**	**31,3**	**35**	**33,6**	**29,2**	**25,6**	**14,5**	**0**	**0**	**30,8**	**30,8**
Расчёт отражённого звука													
Уровни звукового давления от мнимого источника ИШ-1-2_мн.(1) в расчётной точке днём, дБ		**ф-ла(3)[10]**	**0**	**0**	**0**	**0**	**0**	**17,5**	**6,2**	**0**	**0**	**17,9**	**17,9**
Уровни звукового давления от мнимого источника ИШ-1-2_мн.(2) в расчётной точке днём, дБ		**ф-ла(3)[10]**	**0**	**0**	**0**	**0**	**0**	**0**	**28,7**	**9,7**	**0**	**30**	**30**
Суммарные уровни звукового давления от мнимых источников в расчётной точке днём, дБ		**ф-ла (19) [1]**	**0**	**0**	**0**	**0**	**0**	**17,5**	**28,8**	**9,7**	**0**	**0**	**30,3**
Уровни звукового давления от источника ИШ-1-2 в расчётной точке днём, дБ		**ф-ла(3)[10]**	**34,1**	**31,3**	**35**	**33,6**	**29,2**	**26,2**	**28,9**	**9,7**	**0**	**33,5**	**33,5**
Источник шума: ИШ-1-3, координаты источника (x,y,z), м =[251.75,236.44,1.00]													
Уровни звуковой мощности источника днём, Lw, дБ		**исходные данные**	**0**	**91,3**	**92,7**	**94**	**94,3**	**93,9**	**90,6**	**86,4**	**81,9**		
Поправка на телесный угол DΩ, дБ	Ω = 6.28	10Lg(4π/Ω)	**3**	3	3	3	3	3	3	3	3		
Показатель направленности источника Di, дБ		исходные данные	**0**	0	0	0	0	0	0	0	0		
Поправка на направленность источника Dc, дБ	Dc	DΩ + Di	**3**	3	3	3	3	3	3	3	3		
Затухание из-за геометрической дивергенции, Adiv, дБ	расстояние = 304.13 м	ф-ла (7) [10]	**60,7**										

1		2	3	4	5	6	7	8	9	10	11	12	13
Коэффициент затухания звука в атмосфере α, дБ/км	Та=20,°С Ра=101.33,кПа hотн.=70%	ф-ла (5) [9]	0,02	0,09	0,33	1,12	2,79	4,98	9,04	23,09	77,63		
Учет затухания звука в атмосфере Aatm, дБ		ф-ла (8) [10]	0	0	0,1	0,3	0,8	1,5	2,7	7	23,6		
Снижение уровня звукового давления из-за влияния застройки между источником шума и расчетной точкой													
Снижение уровня звукового давления на пути над экраном, Dz1, дБ	z = 0.95м (разность путей)	ф-лы (14-18) [10]	7,4	10	13,4	16,5	19,6	22,5	25,5	28,5	31,5		
Снижение уровня звукового давления на пути слева от экрана, Dz2, дБ	z = 104.57м (разность путей)	ф-лы (14-18) [10]	26,3	30,2	34,6	38,9	42,4	45,6	48,7	51,7	54,7		
Снижение уровня звукового давления на пути справа от экрана, Dz3, дБ	z = 3.96м (разность путей)	ф-лы (14-18) [10]	12,5	15,1	17,9	20,8	23,7	26,7	29,7	32,7	35,7		
Общее снижение уровня звука препятствием Dz, дБ		Эн.сумма(-Dzi)	6,2	8,8	12	15,1	18,1	21,1	24,1	27,1	30,1		
Общее снижение уровня звука препятствием с учётом ограничения (25 дБ) для октавных полос Dz, дБ		Раздел 7.4 [10]	6,2	8,8	12	15,1	18,1	21,1	24,1	25	25		
Уровни звукового давления прямого звука от источника ИШ-1-3 в расчётной точке днём, дБ		**ф-ла(3)[10]**	**0**	**24,8**	**22,9**	**20,9**	**17,6**	**13,6**	**6,1**	**0**	**0**	**18,9**	**18,9**
Расчёт отражённого звука													
Уровни звукового давления от мнимого источника ИШ-1-3_мн.(1) в расчётной точке днём, дБ		**ф-ла(3)[10]**	**0**	**0**	**0**	**0**	**0**	**7,9**	**0**	**0**	**0**	**7,9**	**7,9**
Уровни звукового давления от мнимого источника ИШ-1-3_мн.(2) в расчётной точке днём, дБ		**ф-ла(3)[10]**	**0**	**0**	**0**	**0**	**0**	**0**	**0**	**0**	**0**	**0**	**0**
Уровни звукового давления от мнимого источника ИШ-1-3_мн.(3) в расчётной точке днём, дБ		**ф-ла(3)[10]**	**0**	**0**	**0**	**0**	**0**	**0**	**20,4**	**7,7**	**0**	**21,9**	**21,9**
Суммарные уровни звукового давления от мнимых источников в расчётной точке днём, дБ		**ф-ла (19) [1]**	**0**	**0**	**0**	**0**	**0**	**7,9**	**20,4**	**7,7**	**0**	**0**	**22**
Уровни звукового давления от источника ИШ-1-3 в расчётной точке днём, дБ		**ф-ла(3)[10]**	**0**	**24,8**	**22,9**	**20,9**	**17,6**	**14,6**	**20,6**	**7,7**	**0**	**23,8**	**23,8**
Источник шума: ИШ-1-4, координаты источника (x,y,z), м =[290.25,223.25,1.00]													

1		2	3	4	5	6	7	8	9	10	11	12	13
Уровни звуковой мощности источника днём, Lw, дБ		**исходные данные**	**0**	**91,3**	**92,7**	**94**	**94,3**	**93,9**	**90,6**	**86,4**	**81,9**		
Поправка на телесный угол DΩ, дБ	Ω = 6.28	10Lg(4π/Ω)	**3**	3	3	3	3	3	3	3	3		
Показатель направленности источника Di, дБ		исходные данные	**0**	0	0	0	0	0	0	0	0		
Поправка на направленность источника Dc, дБ	Dc	DΩ + Di	**3**	3	3	3	3	3	3	3	3		
Затухание из-за геометрической дивергенции, Adiv, дБ	расстояние = 283.03 м	ф-ла (7) [10]	**60**										
Коэффициент затухания звука в атмосфере α, дБ/км	Ta=20,°C Pa=101.33,кПа hотн.=70%	ф-ла (5) [9]	0,02	0,09	0,33	1,12	2,79	4,98	9,04	23,09	77,63		
Учет затухания звука в атмосфере Aatm, дБ		ф-ла (8) [10]	0	0	0,1	0,3	0,8	1,4	2,6	6,5	22		
Снижение уровня звукового давления из-за влияния застройки между источником шума и расчетной точкой													
Снижение уровня звукового давления на пути над экраном, Dz1, дБ	z = 1.14м (разность путей)	ф-лы (14-18) [10]	10	12,9	15,7	18,6	21,5	24,5	27,4	30,4	33,5		
Снижение уровня звукового давления на пути слева от экрана, Dz2, дБ	z = 92.98м (разность путей)	ф-лы (14-18) [10]	25,8	29,7	34,1	38,4	41,9	45,1	48,2	51,2	54,2		
Снижение уровня звукового давления на пути справа от экрана, Dz3, дБ	z = 7.53м (разность путей)	ф-лы (14-18) [10]	18,1	21,9	25,1	28,2	31,2	34,2	37,3	40,3	43,3		
Общее снижение уровня звука препятствием Dz, дБ		Эн.сумма(-Dzi)	9,3	12,3	15,2	18,1	21	24	27	30	33		
Общее снижение уровня звука препятствием с учётом ограничения (25 дБ) для октавных полос Dz, дБ		Раздел 7.4 [10]	9,3	12,3	15,2	18,1	21	24	25	25	25		
Уровни звукового давления прямого звука от источника ИШ-1-4 в расчётной точке днём, дБ		**ф-ла(3)[10]**	**0**	**22**	**20,4**	**18,6**	**15,4**	**11,5**	**6**	**0**	**0**	**16,9**	**16,9**
Расчёт отражённого звука													
Уровни звукового давления от мнимого источника ИШ-1-4_мн.(1) в расчётной точке днём, дБ		**ф-ла(3)[10]**	**0**	**0**	**0**	**0**	**0**	**7,6**	**0**	**0**	**0**	**7,6**	**7,6**
Уровни звукового давления от мнимого источника ИШ-1-4_мн.(2) в расчётной точке днём, дБ		**ф-ла(3)[10]**	**0**	**0**	**0**	**0**	**0**	**0**	**20,7**	**8,1**	**0**	**22,1**	**22,1**

1		2	3	4	5	6	7	8	9	10	11	12	13
Суммарные уровни звукового давления от мнимых источников в расчётной точке днём, дБ		**ф-ла (19) [1]**	**0**	**0**	**0**	**0**	**0**	**7,6**	**20,7**	**8,1**	**0**	**0**	**22,3**
Уровни звукового давления от источника ИШ-1-4 в расчётной точке днём, дБ		**ф-ла(3)[10]**	**0**	**22**	**20,4**	**18,6**	**15,4**	**12,9**	**20,8**	**8,1**	**0**	**23,4**	**23,4**
Источник шума: ИШ-1-5, координаты источника (x,y,z), м =[241.49,205.86,1.00]													
Уровни звуковой мощности источника днём, Lw, дБ		**исходные данные**	**0**	**91,3**	**92,7**	**94**	**94,3**	**93,9**	**90,6**	**86,4**	**81,9**		
Поправка на телесный угол DΩ, дБ	Ω = 6.28	10Lg(4π/Ω)	**3**	3	3	3	3	3	3	3	3		
Показатель направленности источника Di, дБ		исходные данные	**0**	0	0	0	0	0	0	0	0		
Поправка на направленность источника Dc, дБ	Dc	DΩ + Di	**3**	3	3	3	3	3	3	3	3		
Затухание из-за геометрической дивергенции, Adiv, дБ	расстояние = 278.05 м	ф-ла (7) [10]	**59,9**										
Коэффициент затухания звука в атмосфере α, дБ/км	Ta=20,°C Pa=101.33,кПа hотн.=70%	ф-ла (5) [9]	0,02	0,09	0,33	1,12	2,79	4,98	9,04	23,09	77,63		
Учет затухания звука в атмосфере Aatm, дБ		ф-ла (8) [10]	0	0	0,1	0,3	0,8	1,4	2,5	6,4	21,6		
Снижение уровня звукового давления из-за влияния застройки между источником шума и расчетной точкой													
Снижение уровня звукового давления на пути над экраном, Dz1, дБ	z = 0.93м (разность путей)	ф-лы (14-18) [10]	7,2	9,7	13,1	16,5	19,6	22,6	25,6	28,6	31,6		
Снижение уровня звукового давления на пути слева от экрана, Dz2, дБ	z = 149.39м (разность путей)	ф-лы (14-18) [10]	27,9	31,7	36,2	40,4	44	47,2	50,2	53,2	56,3		
Снижение уровня звукового давления на пути справа от экрана, Dz3, дБ	z = 2.57м (разность путей)	ф-лы (14-18) [10]	11	13,4	16,1	19	21,9	24,8	27,8	30,8	33,8		
Общее снижение уровня звука препятствием Dz, дБ		Эн.сумма(-Dzi)	5,7	8,1	11,3	14,5	17,6	20,6	23,6	26,6	29,6		
Общее снижение уровня звука препятствием с учётом ограничения (25 дБ) для октавных полос Dz, дБ		Раздел 7.4 [10]	5,7	8,1	11,3	14,5	17,6	20,6	23,6	25	25		

1		2	3	4	5	6	7	8	9	10	11	12	13
Уровни звукового давления прямого звука от источника ИШ-1-5 в расчётной точке днём, дБ		**ф-ла(3)[10]**	**0**	**26,3**	**24,4**	**22,3**	**19,1**	**15,1**	**7,6**	**0**	**0**	**20,4**	**20,4**
Расчёт отражённого звука													
Уровни звукового давления от мнимого источника ИШ-1-5_мн.(1) в расчётной точке днём, дБ		**ф-ла(3)[10]**	**0**	**0**	**0**	**0**	**0**	**0**	**0**	**0**	**0**	**0**	**0**
Уровни звукового давления от мнимого источника ИШ-1-5_мн.(2) в расчётной точке днём, дБ		**ф-ла(3)[10]**	**0**	**0**	**0**	**0**	**0**	**0**	**21,2**	**8,9**	**0**	**22,6**	**22,6**
Суммарные уровни звукового давления от мнимых источников в расчётной точке днём, дБ		**ф-ла (19) [1]**	**0**	**0**	**0**	**0**	**0**	**0**	**21,2**	**8,9**	**0**	**0**	**22,6**
Уровни звукового давления от источника ИШ-1-5 в расчётной точке днём, дБ		**ф-ла(3)[10]**	**0**	**26,3**	**24,4**	**22,3**	**19,1**	**15,1**	**21,4**	**8,9**	**0**	**24,7**	**24,7**
Источник шума: ИШ-1-6, координаты источника (x,y,z), м =[279.85,192.97,1.00]													
Уровни звуковой мощности источника днём, Lw, дБ		**исходные данные**	**0**	**91,3**	**92,7**	**94**	**94,3**	**93,9**	**90,6**	**86,4**	**81,9**		
Поправка на телесный угол DΩ, дБ	Ω = 6.28	10Lg(4π/Ω)	**3**	3	3	3	3	3	3	3	3		
Показатель направленности источника Di, дБ		исходные данные	**0**	0	0	0	0	0	0	0	0		
Поправка на направленность источника Dc, дБ	Dc	DΩ + Di	**3**	3	3	3	3	3	3	3	3		
Затухание из-за геометрической дивергенции, Adiv, дБ	расстояние = 255.15 м	ф-ла (7) [10]	**59,1**										
Коэффициент затухания звука в атмосфере α, дБ/км	Ta=20,°C Pa=101.33,кПа hотн.=70%	ф-ла (5) [9]	0,02	0,09	0,33	1,12	2,79	4,98	9,04	23,09	77,63		
Учет затухания звука в атмосфере Aatm, дБ		ф-ла (8) [10]	0	0	0,1	0,3	0,7	1,3	2,3	5,9	19,8		
Снижение уровня звукового давления из-за влияния застройки между источником шума и расчетной точкой													
Снижение уровня звукового давления на пути над экраном, Dz1, дБ	z = 1.26м (разность путей)	ф-лы (14-18) [10]	10,4	13,4	16,3	19,3	22,2	25,2	28,2	31,2	34,2		

1		2	3	4	5	6	7	8	9	10	11	12	13
Снижение уровня звукового давления на пути слева от экрана, Dz2, дБ	z = 147.51м (разность путей)	ф-лы (14-18) [10]	27,8	31,7	36,1	40,4	43,9	47,1	50,2	53,2	56,2		
Снижение уровня звукового давления на пути справа от экрана, Dz3, дБ	z = 5.84м (разность путей)	ф-лы (14-18) [10]	13,9	16,7	19,5	22,4	25,4	28,4	31,4	34,4	37,4		
Общее снижение уровня звука препятствием Dz, дБ		Эн.сумма(-Dzi)	8,8	11,7	14,6	17,5	20,5	23,5	26,5	29,5	32,5		
Общее снижение уровня звука препятствием с учётом ограничения (25 дБ) для октавных полос Dz, дБ		Раздел 7.4 [10]	8,8	11,7	14,6	17,5	20,5	23,5	25	25	25		
Уровни звукового давления прямого звука от источника ИШ-1-6 в расчётной точке днём, дБ		**ф-ла(3)[10]**	**0**	**23,4**	**21,9**	**20**	**16,9**	**13**	**7,1**	**0**	**0**	**18,4**	**18,4**
Расчёт отражённого звука													
Уровни звукового давления от мнимого источника ИШ-1-6_мн.(1) в расчётной точке днём, дБ		**ф-ла(3)[10]**	**0**	**0**	**0**	**0**	**0**	**8,6**	**0,4**	**0**	**0**	**9,4**	**9,4**
Уровни звукового давления от мнимого источника ИШ-1-6_мн.(2) в расчётной точке днём, дБ		**ф-ла(3)[10]**	**0**	**0**	**0**	**0**	**0**	**0**	**21,4**	**9,3**	**0**	**22,9**	**22,9**
Суммарные уровни звукового давления от мнимых источников в расчётной точке днём, дБ		**ф-ла (19) [1]**	**0**	**0**	**0**	**0**	**0**	**8,6**	**21,5**	**9,3**	**0**	**0**	**23,1**
Уровни звукового давления от источника ИШ-1-6 в расчётной точке днём, дБ		**ф-ла(3)[10]**	**0**	**23,4**	**21,9**	**20**	**16,9**	**14,4**	**21,6**	**9,3**	**0**	**24,3**	**24,3**
Источник шума: ИШ-1-7, координаты источника (x,y,z), м =[451.87,146.66,1.00]													
Уровни звуковой мощности источника днём, Lw, дБ		**исходные данные**	**0**	**93,3**	**94,7**	**96**	**96,3**	**95,9**	**92,6**	**88,4**	**83,9**		
Поправка на телесный угол DΩ, дБ	Ω = 6.28	10Lg(4π/Ω)	**3**	3	3	3	3	3	3	3	3		
Показатель направленности источника Di, дБ		исходные данные	**0**	0	0	0	0	0	0	0	0		
Поправка на направленность источника Dc, дБ	Dc	DΩ + Di	**3**	3	3	3	3	3	3	3	3		
Затухание из-за геометрической дивергенции, Adiv, дБ	расстояние = 234.87 м	ф-ла (7) [10]	**58,4**										
Коэффициент затухания звука в атмосфере α, дБ/км	Ta=20,°C Pa=101.33,кПа hотн.=70%	ф-ла (5) [9]	0,02	0,09	0,33	1,12	2,79	4,98	9,04	23,09	77,63		

1		2	3	4	5	6	7	8	9	10	11	12	13
Учет затухания звука в атмосфере Aatm, дБ		ф-ла (8) [10]	0	0	0,1	0,3	0,7	1,2	2,1	5,4	18,2		
Снижение уровня звукового давления из-за влияния застройки между источником шума и расчетной точкой													
Снижение уровня звукового давления на пути над экраном, Dz1, дБ	z = 3.12м (разность путей)	ф-лы (14-18) [10]	13,9	17,6	20,8	23,9	26,9	29,9	32,9	35,9	38,9		
Снижение уровня звукового давления на пути слева от экрана, Dz2, дБ	z = 64.36м (разность путей)	ф-лы (14-18) [10]	27,7	31,3	34,5	37,5	40,6	43,6	46,6	49,6	52,6		
Снижение уровня звукового давления на пути справа от экрана, Dz3, дБ	z = 122.63м (разность путей)	ф-лы (14-18) [10]	26,9	30,6	35	39,4	43,1	46,3	49,4	52,4	55,4		
Общее снижение уровня звука препятствием Dz, дБ		Эн.сумма(-Dzi)	13,5	17,2	20,5	23,6	26,6	29,6	32,6	35,6	38,6		
Общее снижение уровня звука препятствием с учётом ограничения (25 дБ) для октавных полос Dz, дБ		Раздел 7.4 [10]	13,5	17,2	20,5	23,6	25	25	25	25	25		
Уровни звукового давления прямого звука от источника ИШ-1-7 в расчётной точке днём, дБ		**ф-ла(3)[10]**	**0**	**20,6**	**18,7**	**16,7**	**15,2**	**14,3**	**10,1**	**2,6**	**0**	**18,3**	**18,3**
Расчёт отражённого звука													
Уровни звукового давления от мнимого источника ИШ-1-7_мн.(1) в расчётной точке днём, дБ		**ф-ла(3)[10]**	**0**	**0**	**0**	**0**	**0**	**0**	**7,8**	**0**	**0**	**9**	**9**
Уровни звукового давления от источника ИШ-1-7 в расчётной точке днём, дБ		**ф-ла(3)[10]**	**0**	**20,6**	**18,7**	**16,7**	**15,2**	**14,3**	**12,1**	**2,6**	**0**	**18,8**	**18,8**
Источник шума: ИШ-1-8, координаты источника (x,y,z), м =[454.99,145.29,1.00]													
Уровни звуковой мощности источника днём, Lw, дБ		**исходные данные**	**0**	**93,3**	**94,7**	**96**	**96,3**	**95,9**	**92,6**	**88,4**	**83,9**		
Поправка на телесный угол DΩ, дБ	Ω = 6.28	10Lg(4π/Ω)	**3**	3	3	3	3	3	3	3	3		
Показатель направленности источника Di, дБ		исходные данные	**0**	0	0	0	0	0	0	0	0		
Поправка на направленность источника Dc, дБ	Dc	DΩ + Di	**3**	3	3	3	3	3	3	3	3		
Затухание из-за геометрической дивергенции, Adiv, дБ	расстояние = 235.28 м	ф-ла (7) [10]	**58,4**										

1		2	3	4	5	6	7	8	9	10	11	12	13
Коэффициент затухания звука в атмосфере α, дБ/км	Та=20,°С Ра=101.33,кПа hотн.=70%	ф-ла (5) [9]	0,02	0,09	0,33	1,12	2,79	4,98	9,04	23,09	77,63		
Учет затухания звука в атмосфере Aatm, дБ		ф-ла (8) [10]	0	0	0,1	0,3	0,7	1,2	2,1	5,4	18,3		
Снижение уровня звукового давления из-за влияния застройки между источником шума и расчетной точкой													
Снижение уровня звукового давления на пути над экраном, Dz1, дБ	z = 3.28м (разность путей)	ф-лы (14-18) [10]	14,1	17,8	21	24,1	27,1	30,1	33,1	36,1	39,1		
Снижение уровня звукового давления на пути слева от экрана, Dz2, дБ	z = 63.25м (разность путей)	ф-лы (14-18) [10]	27,6	31,2	34,4	37,5	40,5	43,5	46,5	49,5	52,5		
Снижение уровня звукового давления на пути справа от экрана, Dz3, дБ	z = 124.12м (разность путей)	ф-лы (14-18) [10]	27	30,6	35	39,4	43,1	46,3	49,4	52,4	55,4		
Общее снижение уровня звука препятствием Dz, дБ		Эн.сумма(-Dzi)	13,7	17,4	20,7	23,8	26,8	29,8	32,8	35,8	38,8		
Общее снижение уровня звука препятствием с учётом ограничения (25 дБ) для октавных полос Dz, дБ		Раздел 7.4 [10]	13,7	17,4	20,7	23,8	25	25	25	25	25		
Уровни звукового давления прямого звука от источника ИШ-1-8 в расчётной точке днём, дБ		**ф-ла(3)[10]**	**0**	**20,4**	**18,5**	**16,5**	**15,2**	**14,3**	**10**	**2,5**	**0**	**18,2**	**18,2**
Расчёт отражённого звука													
Уровни звукового давления от мнимого источника ИШ-1-8_мн.(1) в расчётной точке днём, дБ		**ф-ла(3)[10]**	**0**	**0**	**0**	**0**	**0**	**0**	**7,9**	**0**	**0**	**9,1**	**9,1**
Уровни звукового давления от источника ИШ-1-8 в расчётной точке днём, дБ		**ф-ла(3)[10]**	**0**	**20,4**	**18,5**	**16,5**	**15,2**	**14,3**	**12,1**	**2,5**	**0**	**18,7**	**18,7**
Источник шума: ИШ-1-9, координаты источника (x,y,z), м =[458.12,144.31,1.00]													
Уровни звуковой мощности источника днём, Lw, дБ		**исходные данные**	**0**	**93,3**	**94,7**	**96**	**96,3**	**95,9**	**92,6**	**88,4**	**83,9**		
Поправка на телесный угол DΩ, дБ	Ω = 6.28	10Lg(4π/Ω)	**3**	3	3	3	3	3	3	3	3		
Показатель направленности источника Di, дБ		исходные данные	**0**	0	0	0	0	0	0	0	0		

1		2	3	4	5	6	7	8	9	10	11	12	13
Поправка на направленность источника Dc, дБ	Dc	DΩ + Di	**3**	3	3	3	3	3	3	3	3		
Затухание из-за геометрической дивергенции, Adiv, дБ	расстояние = 236.07 м	ф-ла (7) [10]	**58,5**										
Коэффициент затухания звука в атмосфере α, дБ/км	Ta=20,°C Pa=101.33,кПа hотн.=70%	ф-ла (5) [9]	0,02	0,09	0,33	1,12	2,79	4,98	9,04	23,09	77,63		
Учет затухания звука в атмосфере Aatm, дБ		ф-ла (8) [10]	0	0	0,1	0,3	0,7	1,2	2,1	5,4	18,3		
Снижение уровня звукового давления из-за влияния застройки между источником шума и расчетной точкой													
Снижение уровня звукового давления на пути над экраном, Dz1, дБ	z = 3.41м (разность путей)	ф-лы (14-18) [10]	14,3	18	21,2	24,3	27,3	30,3	33,3	36,3	39,3		
Снижение уровня звукового давления на пути слева от экрана, Dz2, дБ	z = 62.22м (разность путей)	ф-лы (14-18) [10]	27,6	31,2	34,3	37,4	40,4	43,4	46,4	49,4	52,4		
Снижение уровня звукового давления на пути справа от экрана, Dz3, дБ	z = 124.98м (разность путей)	ф-лы (14-18) [10]	27	30,7	35	39,5	43,1	46,4	49,4	52,5	55,5		
Общее снижение уровня звука препятствием Dz, дБ		Эн.сумма(-Dzi)	13,9	17,6	20,9	24	27	30	33	36	39		
Общее снижение уровня звука препятствием с учётом ограничения (25 дБ) для октавных полос Dz, дБ		Раздел 7.4 [10]	13,9	17,6	20,9	24	25	25	25	25	25		
Уровни звукового давления прямого звука от источника ИШ-1-9 в расчётной точке днём, дБ		**ф-ла(3)[10]**	**0**	**20,2**	**18,3**	**16,3**	**15,2**	**14,3**	**10**	**2,5**	**0**	**18,2**	**18,2**
Расчёт отражённого звука													
Уровни звукового давления от мнимого источника ИШ-1-9_мн.(1) в расчётной точке днём, дБ		**ф-ла(3)[10]**	**0**	**0**	**0**	**0**	**0**	**0**	**7,9**	**0,1**	**0**	**9,8**	**9,8**
Уровни звукового давления от источника ИШ-1-9 в расчётной точке днём, дБ		**ф-ла(3)[10]**	**0**	**20,2**	**18,3**	**16,3**	**15,2**	**14,3**	**12,1**	**4,5**	**0**	**18,8**	**18,8**
Источник шума: ИШ-1-10, координаты источника (x,y,z), м =[461.05,143.53,1.00]													
Уровни звуковой мощности источника днём, Lw, дБ		**исходные данные**	**0**	**93,3**	**94,7**	**96**	**96,3**	**95,9**	**92,6**	**88,4**	**83,9**		

1		2	3	4	5	6	7	8	9	10	11	12	13
Поправка на телесный угол DΩ, дБ	Ω = 6.28	10Lg(4π/Ω)	**3**	3	3	3	3	3	3	3	3		
Показатель направленности источника Di, дБ		исходные данные	**0**	0	0	0	0	0	0	0	0		
Поправка на направленность источника Dc, дБ	Dc	DΩ + Di	**3**	3	3	3	3	3	3	3	3		
Затухание из-за геометрической дивергенции, Adiv, дБ	расстояние = 236.97 м	ф-ла (7) [10]	**58,5**										
Коэффициент затухания звука в атмосфере α, дБ/км	Ta=20,°C Pa=101.33,кПа hотн.=70%	ф-ла (5) [9]	0,02	0,09	0,33	1,12	2,79	4,98	9,04	23,09	77,63		
Учет затухания звука в атмосфере Aatm, дБ		ф-ла (8) [10]	0	0	0,1	0,3	0,7	1,2	2,1	5,5	18,4		
Снижение уровня звукового давления из-за влияния застройки между источником шума и расчетной точкой													
Снижение уровня звукового давления на пути над экраном, Dz1, дБ	z = 3.53м (разность путей)	ф-лы (14-18) [10]	14,5	18,2	21,4	24,5	27,5	30,5	33,5	36,5	39,5		
Снижение уровня звукового давления на пути слева от экрана, Dz2, дБ	z = 61.33м (разность путей)	ф-лы (14-18) [10]	27,5	31,1	34,3	37,3	40,3	43,4	46,4	49,4	52,4		
Снижение уровня звукового давления на пути справа от экрана, Dz3, дБ	z = 125.62м (разность путей)	ф-лы (14-18) [10]	27	30,7	35,1	39,5	43,2	46,4	49,5	52,5	55,5		
Общее снижение уровня звука препятствием Dz, дБ		Эн.сумма(-Dzi)	14	17,7	21	24,1	27,1	30,2	33,2	36,2	39,2		
Общее снижение уровня звука препятствием с учётом ограничения (25 дБ) для октавных полос Dz, дБ		Раздел 7.4 [10]	14	17,7	21	24,1	25	25	25	25	25		
Уровни звукового давления прямого звука от источника ИШ-1-10 в расчётной точке днём, дБ		**ф-ла(3)[10]**	**0**	**20**	**18,1**	**16,1**	**15,1**	**14,2**	**10**	**2,4**	**0**	**18,1**	**18,1**
Расчёт отражённого звука													
Уровни звукового давления от мнимого источника ИШ-1-10_мн.(1) в расчётной точке днём, дБ		**ф-ла(3)[10]**	**0**	**0**	**0**	**0**	**0**	**0**	**8**	**0,2**	**0**	**9,8**	**9,8**
Уровни звукового давления от источника ИШ-1-10 в расчётной точке днём, дБ		**ф-ла(3)[10]**	**0**	**20**	**18,1**	**16,1**	**15,1**	**14,2**	**12,1**	**4,4**	**0**	**18,7**	**18,7**

1		2	3	4	5	6	7	8	9	10	11	12	13
Источник шума: ИШ-1-11, координаты источника (x,y,z), м =[464.18,142.55,1.00]													
Уровни звуковой мощности источника днём, Lw, дБ		**исходные данные**	**0**	**93,3**	**94,7**	**96**	**96,3**	**95,9**	**92,6**	**88,4**	**83,9**		
Поправка на телесный угол DΩ, дБ	Ω = 6.28	10Lg(4π/Ω)	**3**	3	3	3	3	3	3	3	3		
Показатель направленности источника Di, дБ		исходные данные	**0**	0	0	0	0	0	0	0	0		
Поправка на направленность источника Dc, дБ	Dc	DΩ + Di	**3**	3	3	3	3	3	3	3	3		
Затухание из-за геометрической дивергенции, Adiv, дБ	расстояние = 237.84 м	ф-ла (7) [10]	**58,5**										
Коэффициент затухания звука в атмосфере α, дБ/км	Ta=20,°C Pa=101.33,кПа hотн.=70%	ф-ла (5) [9]	0,02	0,09	0,33	1,12	2,79	4,98	9,04	23,09	77,63		
Учет затухания звука в атмосфере Aatm, дБ		ф-ла (8) [10]	0	0	0,1	0,3	0,7	1,2	2,1	5,5	18,5		
Снижение уровня звукового давления из-за влияния застройки между источником шума и расчетной точкой													
Снижение уровня звукового давления на пути над экраном, Dz1, дБ	z = 3.66м (разность путей)	ф-лы (14-18) [10]	14,6	18,3	21,6	24,6	27,6	30,6	33,6	36,7	39,7		
Снижение уровня звукового давления на пути слева от экрана, Dz2, дБ	z = 60.40м (разность путей)	ф-лы (14-18) [10]	27,4	31	34,2	37,3	40,3	43,3	46,3	49,3	52,3		
Снижение уровня звукового давления на пути справа от экрана, Dz3, дБ	z = 126.64м (разность путей)	ф-лы (14-18) [10]	27	30,7	35,1	39,5	43,2	46,4	49,5	52,5	55,5		
Общее снижение уровня звука препятствием Dz, дБ		Эн.сумма(-Dzi)	14,2	17,9	21,2	24,3	27,3	30,3	33,3	36,3	39,3		
Общее снижение уровня звука препятствием с учётом ограничения (25 дБ) для октавных полос Dz, дБ		Раздел 7.4 [10]	14,2	17,9	21,2	24,3	25	25	25	25	25		
Уровни звукового давления прямого звука от источника ИШ-1-11 в расчётной точке днём, дБ		**ф-ла(3)[10]**	**0**	**19,9**	**17,9**	**15,9**	**15,1**	**14,2**	**9,9**	**2,4**	**0**	**18,1**	**18,1**
Расчёт отражённого звука													

1		2	3	4	5	6	7	8	9	10	11	12	13
Уровни звукового давления от мнимого источника ИШ-1-11_мн.(1) в расчётной точке днём, дБ		**ф-ла(3)[10]**	**0**	**0**	**0**	**0**	**0**	**12,4**	**8,1**	**0,2**	**0**	**14,3**	**14,3**
Уровни звукового давления от источника ИШ-1-11 в расчётной точке днём, дБ		**ф-ла(3)[10]**	**0**	**19,9**	**17,9**	**15,9**	**15,1**	**16,4**	**12,1**	**4,4**	**0**	**19,6**	**19,6**
Источник шума: ИШ-1-12, координаты источника (x,y,z), м =[435.45,97.79,1.00]													
Уровни звуковой мощности источника днём, Lw, дБ		**исходные данные**	**0**	**93,3**	**94,7**	**96**	**96,3**	**95,9**	**92,6**	**88,4**	**83,9**		
Поправка на телесный угол DΩ, дБ	Ω = 6.28	10Lg(4π/Ω)	**3**	3	3	3	3	3	3	3	3		
Показатель направленности источника Di, дБ		исходные данные	**0**	0	0	0	0	0	0	0	0		
Поправка на направленность источника Dc, дБ	Dc	DΩ + Di	**3**	3	3	3	3	3	3	3	3		
Затухание из-за геометрической дивергенции, Adiv, дБ	расстояние = 184.66 м	ф-ла (7) [10]	**56,3**										
Коэффициент затухания звука в атмосфере α, дБ/км	Ta=20,°C Pa=101.33,кПа hотн.=70%	ф-ла (5) [9]	0,02	0,09	0,33	1,12	2,79	4,98	9,04	23,09	77,63		
Учет затухания звука в атмосфере Aatm, дБ		ф-ла (8) [10]	0	0	0,1	0,2	0,5	0,9	1,7	4,3	14,3		
Снижение уровня звукового давления из-за влияния застройки между источником шума и расчетной точкой													
Снижение уровня звукового давления на пути над экраном, Dz1, дБ	z = 3.95м (разность путей)	ф-лы (14-18) [10]	15,1	18,8	22,1	25,1	28,1	31,2	34,2	37,2	40,2		
Снижение уровня звукового давления на пути слева от экрана, Dz2, дБ	z = 63.84м (разность путей)	ф-лы (14-18) [10]	27,7	31,3	34,4	37,5	40,5	43,5	46,5	49,5	52,6		
Снижение уровня звукового давления на пути справа от экрана, Dz3, дБ	z = 8.04м (разность путей)	ф-лы (14-18) [10]	15,2	18	20,8	23,8	26,8	29,8	32,8	35,8	38,8		
Общее снижение уровня звука препятствием Dz, дБ		Эн.сумма(-Dzi)	12	15,3	18,3	21,3	24,3	27,3	30,3	33,3	36,3		
Общее снижение уровня звука препятствием с учётом ограничения (25 дБ) для октавных полос Dz, дБ		Раздел 7.4 [10]	12	15,3	18,3	21,3	24,3	25	25	25	25		

1		2	3	4	5	6	7	8	9	10	11	12	13
Уровни звукового давления от источника ИШ-1-12 в расчётной точке днём, дБ		**ф-ла(3)[10]**	**0**	**24,7**	**23**	**21,2**	**18,2**	**16,6**	**12,6**	**5,8**	**0**	**21,1**	**21,1**
Источник шума: ИШ-1-13, координаты источника (x,y,z), м =[438.77,96.82,1.00]													
Уровни звуковой мощности источника днём, Lw, дБ		**исходные данные**	**0**	**93,3**	**94,7**	**96**	**96,3**	**95,9**	**92,6**	**88,4**	**83,9**		
Поправка на телесный угол DΩ, дБ	Ω = 6.28	10Lg(4π/Ω)	**3**	3	3	3	3	3	3	3	3		
Показатель направленности источника Di, дБ		исходные данные	**0**	0	0	0	0	0	0	0	0		
Поправка на направленность источника Dc, дБ	Dc	DΩ + Di	**3**	3	3	3	3	3	3	3	3		
Затухание из-за геометрической дивергенции, Adiv, дБ	расстояние = 185.70 м	ф-ла (7) [10]	**56,4**										
Коэффициент затухания звука в атмосфере α, дБ/км	Ta=20,°C Pa=101.33,кПа hотн.=70%	ф-ла (5) [9]	0,02	0,09	0,33	1,12	2,79	4,98	9,04	23,09	77,63		
Учет затухания звука в атмосфере Aatm, дБ		ф-ла (8) [10]	0	0	0,1	0,2	0,5	0,9	1,7	4,3	14,4		
Снижение уровня звукового давления из-за влияния застройки между источником шума и расчетной точкой													
Снижение уровня звукового давления на пути над экраном, Dz1, дБ	z = 4.11м (разность путей)	ф-лы (14-18) [10]	15,3	19	22,2	25,3	28,3	31,3	34,3	37,3	40,4		
Снижение уровня звукового давления на пути слева от экрана, Dz2, дБ	z = 62.20м (разность путей)	ф-лы (14-18) [10]	27,6	31,2	34,3	37,4	40,4	43,4	46,4	49,4	52,4		
Снижение уровня звукового давления на пути справа от экрана, Dz3, дБ	z = 9.14м (разность путей)	ф-лы (14-18) [10]	15,7	18,5	21,4	24,3	27,3	30,3	33,3	36,3	39,3		
Общее снижение уровня звука препятствием Dz, дБ		Эн.сумма(-Dzi)	12,3	15,6	18,7	21,7	24,7	27,7	30,7	33,7	36,7		
Общее снижение уровня звука препятствием с учётом ограничения (25 дБ) для октавных полос Dz, дБ		Раздел 7.4 [10]	12,3	15,6	18,7	21,7	24,7	25	25	25	25		
Уровни звукового давления от источника ИШ-1-13 в расчётной точке днём, дБ		**ф-ла(3)[10]**	**0**	**24,3**	**22,6**	**20,7**	**17,7**	**16,6**	**12,5**	**5,7**	**0**	**20,9**	**20,9**

1		2	3	4	5	6	7	8	9	10	11	12	13
Источник шума: ИШ-1-14, координаты источника (x,y,z), м =[441.70,96.03,1.00]													
Уровни звуковой мощности источника днём, Lw, дБ		**исходные данные**	**0**	**93,3**	**94,7**	**96**	**96,3**	**95,9**	**92,6**	**88,4**	**83,9**		
Поправка на телесный угол DΩ, дБ	Ω = 6.28	10Lg(4π/Ω)	**3**	3	3	3	3	3	3	3	3		
Показатель направленности источника Di, дБ		исходные данные	**0**	0	0	0	0	0	0	0	0		
Поправка на направленность источника Dc, дБ	Dc	DΩ + Di	**3**	3	3	3	3	3	3	3	3		
Затухание из-за геометрической дивергенции, Adiv, дБ	расстояние = 186.74 м	ф-ла (7) [10]	**56,4**										
Коэффициент затухания звука в атмосфере α, дБ/км	Ta=20,°C Pa=101.33,кПа hотн.=70%	ф-ла (5) [9]	0,02	0,09	0,33	1,12	2,79	4,98	9,04	23,09	77,63		
Учет затухания звука в атмосфере Aatm, дБ		ф-ла (8) [10]	0	0	0,1	0,2	0,5	0,9	1,7	4,3	14,5		
Снижение уровня звукового давления из-за влияния застройки между источником шума и расчетной точкой													
Снижение уровня звукового давления на пути над экраном, Dz1, дБ	z = 4.24м (разность путей)	ф-лы (14-18) [10]	15,4	19,2	22,4	25,4	28,5	31,5	34,5	37,5	40,5		
Снижение уровня звукового давления на пути слева от экрана, Dz2, дБ	z = 60.86м (разность путей)	ф-лы (14-18) [10]	27,5	31,1	34,2	37,3	40,3	43,3	46,3	49,3	52,4		
Снижение уровня звукового давления на пути справа от экрана, Dz3, дБ	z = 10.11м (разность путей)	ф-лы (14-18) [10]	16,1	18,9	21,8	24,8	27,8	30,8	33,8	36,8	39,8		
Общее снижение уровня звука препятствием Dz, дБ		Эн.сумма(-Dzi)	12,6	15,9	18,9	22	25	28	31	34	37		
Общее снижение уровня звука препятствием с учётом ограничения (25 дБ) для октавных полос Dz, дБ		Раздел 7.4 [10]	12,6	15,9	18,9	22	25	25	25	25	25		
Уровни звукового давления от источника ИШ-1-14 в расчётной точке днём, дБ		**ф-ла(3)[10]**	**0**	**24**	**22,3**	**20,4**	**17,4**	**16,5**	**12,5**	**5,7**	**0**	**20,8**	**20,8**
Источник шума: ИШ-1-15, координаты источника (x,y,z), м =[445.03,95.25,1.00]													

1		2	3	4	5	6	7	8	9	10	11	12	13
Уровни звуковой мощности источника днём, Lw, дБ		**исходные данные**	**0**	**93,3**	**94,7**	**96**	**96,3**	**95,9**	**92,6**	**88,4**	**83,9**		
Поправка на телесный угол DΩ, дБ	Ω = 6.28	10Lg(4π/Ω)	**3**	3	3	3	3	3	3	3	3		
Показатель направленности источника Di, дБ		исходные данные	**0**	0	0	0	0	0	0	0	0		
Поправка на направленность источника Dc, дБ	Dc	DΩ + Di	**3**	3	3	3	3	3	3	3	3		
Затухание из-за геометрической дивергенции, Adiv, дБ	расстояние = 188.04 м	ф-ла (7) [10]	**56,5**										
Коэффициент затухания звука в атмосфере α, дБ/км	Ta=20,°C Pa=101.33,кПа hотн.=70%	ф-ла (5) [9]	0,02	0,09	0,33	1,12	2,79	4,98	9,04	23,09	77,63		
Учет затухания звука в атмосфере Aatm, дБ		ф-ла (8) [10]	0	0	0,1	0,2	0,5	0,9	1,7	4,3	14,6		
Снижение уровня звукового давления из-за влияния застройки между источником шума и расчетной точкой													
Снижение уровня звукового давления на пути над экраном, Dz1, дБ	z = 4.37м (разность путей)	ф-лы (14-18) [10]	15,6	19,3	22,5	25,6	28,6	31,6	34,6	37,6	40,6		
Снижение уровня звукового давления на пути слева от экрана, Dz2, дБ	z = 59.49м (разность путей)	ф-лы (14-18) [10]	27,4	31	34,1	37,2	40,2	43,2	46,2	49,2	52,3		
Снижение уровня звукового давления на пути справа от экрана, Dz3, дБ	z = 11.21м (разность путей)	ф-лы (14-18) [10]	16,5	19,3	22,2	25,2	28,2	31,2	34,2	37,2	40,2		
Общее снижение уровня звука препятствием Dz, дБ		Эн.сумма(-Dzi)	12,8	16,2	19,2	22,2	25,2	28,3	31,3	34,3	37,3		
Общее снижение уровня звука препятствием с учётом ограничения (25 дБ) для октавных полос Dz, дБ		Раздел 7.4 [10]	12,8	16,2	19,2	22,2	25	25	25	25	25		
Уровни звукового давления от источника ИШ-1-15 в расчётной точке днём, дБ		**ф-ла(3)[10]**	**0**	**23,6**	**21,9**	**20,1**	**17,3**	**16,5**	**12,4**	**5,6**	**0**	**20,6**	**20,6**
Источник шума: ИШ-1-16, координаты источника (x,y,z), м =[447.96,94.28,1.00]													
Уровни звуковой мощности источника днём, Lw, дБ		**исходные данные**	**0**	**93,3**	**94,7**	**96**	**96,3**	**95,9**	**92,6**	**88,4**	**83,9**		

1		2	3	4	5	6	7	8	9	10	11	12	13
Поправка на телесный угол DΩ, дБ	Ω = 6.28	10Lg(4π/Ω)	**3**	3	3	3	3	3	3	3	3		
Показатель направленности источника Di, дБ		исходные данные	**0**	0	0	0	0	0	0	0	0		
Поправка на направленность источника Dc, дБ	Dc	DΩ + Di	**3**	3	3	3	3	3	3	3	3		
Затухание из-за геометрической дивергенции, Adiv, дБ	расстояние = 189.01 м	ф-ла (7) [10]	**56,5**										
Коэффициент затухания звука в атмосфере α, дБ/км	Ta=20,°C Pa=101.33,кПа hотн.=70%	ф-ла (5) [9]	0,02	0,09	0,33	1,12	2,79	4,98	9,04	23,09	77,63		
Учет затухания звука в атмосфере Aatm, дБ		ф-ла (8) [10]	0	0	0,1	0,2	0,5	0,9	1,7	4,4	14,7		
Снижение уровня звукового давления из-за влияния застройки между источником шума и расчетной точкой													
Снижение уровня звукового давления на пути над экраном, Dz1, дБ	z = 4.49м (разность путей)	ф-лы (14-18) [10]	15,7	19,4	22,6	25,7	28,7	31,7	34,7	37,7	40,7		
Снижение уровня звукового давления на пути слева от экрана, Dz2, дБ	z = 58.33м (разность путей)	ф-лы (14-18) [10]	27,3	30,9	34	37,1	40,1	43,1	46,1	49,2	52,2		
Снижение уровня звукового давления на пути справа от экрана, Dz3, дБ	z = 12.27м (разность путей)	ф-лы (14-18) [10]	16,9	19,7	22,6	25,6	28,6	31,6	34,6	37,6	40,6		
Общее снижение уровня звука препятствием Dz, дБ		Эн.сумма(-Dzi)	13,1	16,4	19,5	22,5	25,5	28,5	31,5	34,5	37,5		
Общее снижение уровня звука препятствием с учётом ограничения (25 дБ) для октавных полос Dz, дБ		Раздел 7.4 [10]	13,1	16,4	19,5	22,5	25	25	25	25	25		
Уровни звукового давления от источника ИШ-1-16 в расчётной точке днём, дБ		**ф-ла(3)[10]**	**0**	**23,3**	**21,6**	**19,8**	**17,2**	**16,4**	**12,4**	**5,5**	**0**	**20,5**	**20,5**
Источник шума: ИШ-1-17, координаты источника (x,y,z), м =[540.99,141.77,1.00]													
Уровни звуковой мощности источника днём, Lw, дБ		**исходные данные**	**0**	**93,3**	**94,7**	**96**	**96,3**	**95,9**	**92,6**	**88,4**	**83,9**		
Поправка на телесный угол DΩ, дБ	Ω = 6.28	10Lg(4π/Ω)	**3**	3	3	3	3	3	3	3	3		

1		2	3	4	5	6	7	8	9	10	11	12	13
Показатель направленности источника Di, дБ		исходные данные	**0**	0	0	0	0	0	0	0	0		
Поправка на направленность источника Dc, дБ	Dc	DΩ + Di	**3**	3	3	3	3	3	3	3	3		
Затухание из-за геометрической дивергенции, Adiv, дБ	расстояние = 286.67 м	ф-ла (7) [10]	**60,1**										
Коэффициент затухания звука в атмосфере α, дБ/км	Ta=20,°C Pa=101.33,кПа hотн.=70%	ф-ла (5) [9]	0,02	0,09	0,33	1,12	2,79	4,98	9,04	23,09	77,63		
Учет затухания звука в атмосфере Aatm, дБ		ф-ла (8) [10]	0	0	0,1	0,3	0,8	1,4	2,6	6,6	22,3		
Снижение уровня звукового давления из-за влияния застройки между источником шума и расчетной точкой													
Снижение уровня звукового давления на пути над экраном, Dz1, дБ	z = 5.55м (разность путей)	ф-лы (14-18) [10]	17,4	20,6	23,7	26,7	29,7	32,7	35,7	38,7	41,7		
Снижение уровня звукового давления на пути слева от экрана, Dz2, дБ	z = 54.70м (разность путей)	ф-лы (14-18) [10]	27,3	30,7	33,8	36,8	39,8	42,9	45,9	48,9	51,9		
Снижение уровня звукового давления на пути справа от экрана, Dz3, дБ	z = 137.37м (разность путей)	ф-лы (14-18) [10]	30,3	34,3	37,7	40,8	43,8	46,9	49,9	52,9	55,9		
Общее снижение уровня звука препятствием Dz, дБ		Эн.сумма(-Dzi)	16,8	20,1	23,1	26,1	29,1	32,1	35,1	38,1	41,1		
Общее снижение уровня звука препятствием с учётом ограничения (25 дБ) для октавных полос Dz, дБ		Раздел 7.4 [10]	16,8	20,1	23,1	25	25	25	25	25	25		
Уровни звукового давления от источника ИШ-1-17 в расчётной точке днём, дБ		**ф-ла(3)[10]**	**0**	**16**	**14,4**	**13,5**	**13,3**	**12,3**	**7,9**	**0**	**0**	**15,9**	**15,9**
Источник шума: ИШ-1-18, координаты источника (x,y,z), м =[543.53,140.79,1.00]													
Уровни звуковой мощности источника днём, Lw, дБ		**исходные данные**	**0**	**93,3**	**94,7**	**96**	**96,3**	**95,9**	**92,6**	**88,4**	**83,9**		
Поправка на телесный угол DΩ, дБ	Ω = 6.28	10Lg(4π/Ω)	**3**	3	3	3	3	3	3	3	3		
Показатель направленности источника Di, дБ		исходные данные	**0**	0	0	0	0	0	0	0	0		

1		2	3	4	5	6	7	8	9	10	11	12	13
Поправка на направленность источника Dc, дБ	Dc	DΩ + Di	**3**	3	3	3	3	3	3	3	3		
Затухание из-за геометрической дивергенции, Adiv, дБ	расстояние = 287.84 м	ф-ла (7) [10]	**60,2**										
Коэффициент затухания звука в атмосфере α, дБ/км	Ta=20,°C Pa=101.33,кПа hотн.=70%	ф-ла (5) [9]	0,02	0,09	0,33	1,12	2,79	4,98	9,04	23,09	77,63		
Учет затухания звука в атмосфере Aatm, дБ		ф-ла (8) [10]	0	0	0,1	0,3	0,8	1,4	2,6	6,6	22,3		
Снижение уровня звукового давления из-за влияния застройки между источником шума и расчетной точкой													
Снижение уровня звукового давления на пути над экраном, Dz1, дБ	z = 5.54м (разность путей)	ф-лы (14-18) [10]	17,4	20,6	23,6	26,6	29,6	32,6	35,6	38,7	41,7		
Снижение уровня звукового давления на пути слева от экрана, Dz2, дБ	z = 54.12м (разность путей)	ф-лы (14-18) [10]	27,3	30,7	33,7	36,8	39,8	42,8	45,8	48,8	51,8		
Снижение уровня звукового давления на пути справа от экрана, Dz3, дБ	z = 138.22м (разность путей)	ф-лы (14-18) [10]	30,3	34,4	37,7	40,8	43,9	46,9	49,9	52,9	55,9		
Общее снижение уровня звука препятствием Dz, дБ		Эн.сумма(-Dzi)	16,8	20	23,1	26,1	29,1	32,1	35,1	38,1	41,1		
Общее снижение уровня звука препятствием с учётом ограничения (25 дБ) для октавных полос Dz, дБ		Раздел 7.4 [10]	16,8	20	23,1	25	25	25	25	25	25		
Уровни звукового давления от источника ИШ-1-18 в расчётной точке днём, дБ		**ф-ла(3)[10]**	**0**	**16**	**14,3**	**13,5**	**13,3**	**12,3**	**7,8**	**0**	**0**	**15,9**	**15,9**
Источник шума: ИШ-1-19, координаты источника (x,y,z), м =[547.25,139.62,1.00]													
Уровни звуковой мощности источника днём, Lw, дБ		**исходные данные**	**0**	**93,3**	**94,7**	**96**	**96,3**	**95,9**	**92,6**	**88,4**	**83,9**		
Поправка на телесный угол DΩ, дБ	Ω = 6.28	10Lg(4π/Ω)	**3**	3	3	3	3	3	3	3	3		
Показатель направленности источника Di, дБ		исходные данные	**0**	0	0	0	0	0	0	0	0		
Поправка на направленность источника Dc, дБ	Dc	DΩ + Di	**3**	3	3	3	3	3	3	3	3		

1		2	3	4	5	6	7	8	9	10	11	12	13
Затухание из-за геометрической дивергенции, Adiv, дБ	расстояние = 289.77 м	ф-ла (7) [10]	**60,2**										
Коэффициент затухания звука в атмосфере α, дБ/км	Ta=20,°C Pa=101.33,кПа hотн.=70%	ф-ла (5) [9]	0,02	0,09	0,33	1,12	2,79	4,98	9,04	23,09	77,63		
Учет затухания звука в атмосфере Aatm, дБ		ф-ла (8) [10]	0	0	0,1	0,3	0,8	1,4	2,6	6,7	22,5		
Снижение уровня звукового давления из-за влияния застройки между источником шума и расчетной точкой													
Снижение уровня звукового давления на пути над экраном, Dz1, дБ	z = 5.53м (разность путей)	ф-лы (14-18) [10]	17,4	20,6	23,6	26,6	29,6	32,6	35,6	38,6	41,6		
Снижение уровня звукового давления на пути слева от экрана, Dz2, дБ	z = 53.39м (разность путей)	ф-лы (14-18) [10]	27,2	30,6	33,7	36,7	39,7	42,8	45,8	48,8	51,8		
Снижение уровня звукового давления на пути справа от экрана, Dz3, дБ	z = 139.16м (разность путей)	ф-лы (14-18) [10]	30,4	34,4	37,7	40,9	43,9	46,9	49,9	52,9	55,9		
Общее снижение уровня звука препятствием Dz, дБ		Эн.сумма(-Dzi)	16,7	20	23	26,1	29,1	32,1	35,1	38,1	41,1		
Общее снижение уровня звука препятствием с учётом ограничения (25 дБ) для октавных полос Dz, дБ		Раздел 7.4 [10]	16,7	20	23	25	25	25	25	25	25		
Уровни звукового давления от источника ИШ-1-19 в расчётной точке днём, дБ		**ф-ла(3)[10]**	**0**	**16**	**14,3**	**13,4**	**13,2**	**12,2**	**7,7**	**0**	**0**	**15,8**	**15,8**
Источник шума: ИШ-1-20, координаты источника (x,y,z), м =[550.38,138.64,1.00]													
Уровни звуковой мощности источника днём, Lw, дБ		**исходные данные**	**0**	**93,3**	**94,7**	**96**	**96,3**	**95,9**	**92,6**	**88,4**	**83,9**		
Поправка на телесный угол DΩ, дБ	Ω = 6.28	10Lg(4π/Ω)	**3**	3	3	3	3	3	3	3	3		
Показатель направленности источника Di, дБ		исходные данные	**0**	0	0	0	0	0	0	0	0		
Поправка на направленность источника Dc, дБ	Dc	DΩ + Di	**3**	3	3	3	3	3	3	3	3		
Затухание из-за геометрической дивергенции, Adiv, дБ	расстояние = 291.42 м	ф-ла (7) [10]	**60,3**										

1		2	3	4	5	6	7	8	9	10	11	12	13
Коэффициент затухания звука в атмосфере α, дБ/км	Ta=20,°C Pa=101.33,кПа hотн.=70%	ф-ла (5) [9]	0,02	0,09	0,33	1,12	2,79	4,98	9,04	23,09	77,63		
Учет затухания звука в атмосфере Aatm, дБ		ф-ла (8) [10]	0	0	0,1	0,3	0,8	1,5	2,6	6,7	22,6		
Снижение уровня звукового давления из-за влияния застройки между источником шума и расчетной точкой													
Снижение уровня звукового давления на пути над экраном, Dz1, дБ	z = 5.53м (разность путей)	ф-лы (14-18) [10]	17,3	20,6	23,6	26,6	29,6	32,6	35,6	38,6	41,6		
Снижение уровня звукового давления на пути слева от экрана, Dz2, дБ	z = 52.84м (разность путей)	ф-лы (14-18) [10]	27,2	30,6	33,6	36,7	39,7	42,7	45,7	48,7	51,7		
Снижение уровня звукового давления на пути справа от экрана, Dz3, дБ	z = 140.03м (разность путей)	ф-лы (14-18) [10]	30,4	34,4	37,8	40,9	43,9	46,9	49,9	53	56		
Общее снижение уровня звука препятствием Dz, дБ		Эн.сумма(-Dzi)	16,7	20	23	26	29,1	32,1	35,1	38,1	41,1		
Общее снижение уровня звука препятствием с учётом ограничения (25 дБ) для октавных полос Dz, дБ		Раздел 7.4 [10]	16,7	20	23	25	25	25	25	25	25		
Уровни звукового давления от источника ИШ-1-20 в расчётной точке днём, дБ		**ф-ла(3)[10]**	**0**	**16**	**14,3**	**13,4**	**13,2**	**12,2**	**7,7**	**0**	**0**	**15,8**	**15,8**
Источник шума: ИШ-1-21, координаты источника (x,y,z), м =[553.31,137.67,1.00]													
Уровни звуковой мощности источника днём, Lw, дБ		**исходные данные**	**0**	**93,3**	**94,7**	**96**	**96,3**	**95,9**	**92,6**	**88,4**	**83,9**		
Поправка на телесный угол DΩ, дБ	Ω = 6.28	10Lg(4π/Ω)	**3**	3	3	3	3	3	3	3	3		
Показатель направленности источника Di, дБ		исходные данные	**0**	0	0	0	0	0	0	0	0		
Поправка на направленность источника Dc, дБ	Dc	DΩ + Di	**3**	3	3	3	3	3	3	3	3		
Затухание из-за геометрической дивергенции, Adiv, дБ	расстояние = 292.96 м	ф-ла (7) [10]	**60,3**										
Коэффициент затухания звука в атмосфере α, дБ/км	Ta=20,°C Pa=101.33,кПа hотн.=70%	ф-ла (5) [9]	0,02	0,09	0,33	1,12	2,79	4,98	9,04	23,09	77,63		

1		2	3	4	5	6	7	8	9	10	11	12	13
Учет затухания звука в атмосфере Aatm, дБ		ф-ла (8) [10]	0	0	0,1	0,3	0,8	1,5	2,6	6,8	22,7		
Снижение уровня звукового давления из-за влияния застройки между источником шума и расчетной точкой													
Снижение уровня звукового давления на пути над экраном, Dz1, дБ	z = 5.53м (разность путей)	ф-лы (14-18) [10]	17,3	20,6	23,6	26,6	29,6	32,6	35,6	38,6	41,6		
Снижение уровня звукового давления на пути слева от экрана, Dz2, дБ	z = 52.37м (разность путей)	ф-лы (14-18) [10]	27,1	30,5	33,6	36,6	39,7	42,7	45,7	48,7	51,7		
Снижение уровня звукового давления на пути справа от экрана, Dz3, дБ	z = 140.99м (разность путей)	ф-лы (14-18) [10]	30,4	34,5	37,8	40,9	43,9	47	50	53	56		
Общее снижение уровня звука препятствием Dz, дБ		Эн.сумма(-Dzi)	16,7	20	23	26	29	32,1	35,1	38,1	41,1		
Общее снижение уровня звука препятствием с учётом ограничения (25 дБ) для октавных полос Dz, дБ		Раздел 7.4 [10]	16,7	20	23	25	25	25	25	25	25		
Уровни звукового давления прямого звука от источника ИШ-1-21 в расчётной точке днём, дБ		**ф-ла(3)[10]**	**0**	**15,9**	**14,2**	**13,3**	**13,1**	**12,1**	**7,6**	**0**	**0**	**15,7**	**15,7**
Расчёт отражённого звука													
Уровни звукового давления от мнимого источника ИШ-1-21_мн.(1) в расчётной точке днём, дБ		**ф-ла(3)[10]**	**0**	**0**	**0**	**0**	**0**	**0**	**0**	**0**	**0**	**0**	**0**
Уровни звукового давления от источника ИШ-1-21 в расчётной точке днём, дБ		**ф-ла(3)[10]**	**0**	**15,9**	**14,2**	**13,3**	**13,1**	**12,1**	**7,6**	**0**	**0**	**15,7**	**15,7**
Источник шума: ИШ-1-22, координаты источника (x,y,z), м =[522.03,85.28,1.00]													
Уровни звуковой мощности источника днём, Lw, дБ		**исходные данные**	**0**	**93,3**	**94,7**	**96**	**96,3**	**95,9**	**92,6**	**88,4**	**83,9**		
Поправка на телесный угол DΩ, дБ	Ω = 6.28	10Lg(4π/Ω)	**3**	3	3	3	3	3	3	3	3		
Показатель направленности источника Di, дБ		исходные данные	**0**	0	0	0	0	0	0	0	0		
Поправка на направленность источника Dc, дБ	Dc	DΩ + Di	**3**	3	3	3	3	3	3	3	3		
Затухание из-за геометрической дивергенции, Adiv, дБ	расстояние = 235.56 м	ф-ла (7) [10]	**58,4**										

1		2	3	4	5	6	7	8	9	10	11	12	13
Коэффициент затухания звука в атмосфере α, дБ/км	Ta=20,°C Pa=101.33,кПа hотн.=70%	ф-ла (5) [9]	0,02	0,09	0,33	1,12	2,79	4,98	9,04	23,09	77,63		
Учет затухания звука в атмосфере Aatm, дБ		ф-ла (8) [10]	0	0	0,1	0,3	0,7	1,2	2,1	5,4	18,3		
Снижение уровня звукового давления из-за влияния застройки между источником шума и расчетной точкой													
Снижение уровня звукового давления на пути над экраном, Dz1, дБ	z = 6.17м (разность путей)	ф-лы (14-18) [10]	17,7	21,1	24,2	27,2	30,2	33,2	36,2	39,2	42,2		
Снижение уровня звукового давления на пути слева от экрана, Dz2, дБ	z = 59.81м (разность путей)	ф-лы (14-18) [10]	23,8	27,5	31,9	36,3	40	43,2	46,2	49,3	52,3		
Снижение уровня звукового давления на пути справа от экрана, Dz3, дБ	z = 241.28м (разность путей)	ф-лы (14-18) [10]	32,8	36,8	40,1	43,2	46,3	49,3	52,3	55,3	58,3		
Общее снижение уровня звука препятствием Dz, дБ		Эн.сумма(-Dzi)	16,7	20,1	23,4	26,6	29,6	32,7	35,7	38,7	41,7		
Общее снижение уровня звука препятствием с учётом ограничения (25 дБ) для октавных полос Dz, дБ		Раздел 7.4 [10]	16,7	20,1	23,4	25	25	25	25	25	25		
Уровни звукового давления от источника ИШ-1-22 в расчётной точке днём, дБ		**ф-ла(3)[10]**	**0**	**17,7**	**15,8**	**15,3**	**15,2**	**14,3**	**10**	**2,5**	**0**	**18**	**18**
Источник шума: ИШ-1-23, координаты источника (x,y,z), м =[525.16,84.11,1.00]													
Уровни звуковой мощности источника днём, Lw, дБ		**исходные данные**	**0**	**93,3**	**94,7**	**96**	**96,3**	**95,9**	**92,6**	**88,4**	**83,9**		
Поправка на телесный угол DΩ, дБ	Ω = 6.28	10Lg(4π/Ω)	**3**	3	3	3	3	3	3	3	3		
Показатель направленности источника Di, дБ		исходные данные	**0**	0	0	0	0	0	0	0	0		
Поправка на направленность источника Dc, дБ	Dc	DΩ + Di	**3**	3	3	3	3	3	3	3	3		
Затухание из-за геометрической дивергенции, Adiv, дБ	расстояние = 237.37 м	ф-ла (7) [10]	**58,5**										
Коэффициент затухания звука в атмосфере α, дБ/км	Ta=20,°C Pa=101.33,кПа hотн.=70%	ф-ла (5) [9]	0,02	0,09	0,33	1,12	2,79	4,98	9,04	23,09	77,63		

1		2	3	4	5	6	7	8	9	10	11	12	13
Учет затухания звука в атмосфере Aatm, дБ		ф-ла (8) [10]	0	0	0,1	0,3	0,7	1,2	2,1	5,5	18,4		
Снижение уровня звукового давления из-за влияния застройки между источником шума и расчетной точкой													
Снижение уровня звукового давления на пути над экраном, Dz1, дБ	z = 6.13м (разность путей)	ф-лы (14-18) [10]	17,7	21,1	24,1	27,1	30,1	33,1	36,2	39,2	42,2		
Снижение уровня звукового давления на пути слева от экрана, Dz2, дБ	z = 59.42м (разность путей)	ф-лы (14-18) [10]	23,8	27,5	31,9	36,3	39,9	43,1	46,2	49,2	52,2		
Снижение уровня звукового давления на пути справа от экрана, Dz3, дБ	z = 240.61м (разность путей)	ф-лы (14-18) [10]	32,7	36,8	40,1	43,2	46,3	49,3	52,3	55,3	58,3		
Общее снижение уровня звука препятствием Dz, дБ		Эн.сумма(-Dzi)	16,6	20,1	23,3	26,5	29,6	32,6	35,6	38,7	41,7		
Общее снижение уровня звука препятствием с учётом ограничения (25 дБ) для октавных полос Dz, дБ		Раздел 7.4 [10]	16,6	20,1	23,3	25	25	25	25	25	25		
Уровни звукового давления от источника ИШ-1-23 в расчётной точке днём, дБ		**ф-ла(3)[10]**	**0**	**17,7**	**15,8**	**15,2**	**15,1**	**14,2**	**9,9**	**2,4**	**0**	**18**	**18**
Источник шума: ИШ-1-24, координаты источника (x,y,z), м =[528.48,82.94,1.00]													
Уровни звуковой мощности источника днём, Lw, дБ		**исходные данные**	**0**	**93,3**	**94,7**	**96**	**96,3**	**95,9**	**92,6**	**88,4**	**83,9**		
Поправка на телесный угол DΩ, дБ	Ω = 6.28	10Lg(4π/Ω)	**3**	3	3	3	3	3	3	3	3		
Показатель направленности источника Di, дБ		исходные данные	**0**	0	0	0	0	0	0	0	0		
Поправка на направленность источника Dc, дБ	Dc	DΩ + Di	**3**	3	3	3	3	3	3	3	3		
Затухание из-за геометрической дивергенции, Adiv, дБ	расстояние = 239.37 м	ф-ла (7) [10]	**58,6**										
Коэффициент затухания звука в атмосфере α, дБ/км	Ta=20,°C Pa=101.33,кПа hотн.=70%	ф-ла (5) [9]	0,02	0,09	0,33	1,12	2,79	4,98	9,04	23,09	77,63		
Учет затухания звука в атмосфере Aatm, дБ		ф-ла (8) [10]	0	0	0,1	0,3	0,7	1,2	2,2	5,5	18,6		

1		2	3	4	5	6	7	8	9	10	11	12	13
Снижение уровня звукового давления из-за влияния застройки между источником шума и расчетной точкой													
Снижение уровня звукового давления на пути над экраном, Dz1, дБ	z = 5.60м (разность путей)	ф-лы (14-18) [10]	14	17,9	22,2	26,1	29,4	32,5	35,5	38,5	41,5		
Снижение уровня звукового давления на пути слева от экрана, Dz2, дБ	z = 59.02м (разность путей)	ф-лы (14-18) [10]	23,8	27,5	31,9	36,2	39,9	43,1	46,2	49,2	52,2		
Снижение уровня звукового давления на пути справа от экрана, Dz3, дБ	z = 239.86м (разность путей)	ф-лы (14-18) [10]	32,7	36,8	40,1	43,2	46,3	49,3	52,3	55,3	58,3		
Общее снижение уровня звука препятствием Dz, дБ		Эн.сумма(-Dzi)	13,5	17,4	21,7	25,6	28,9	32	35,1	38,1	41,1		
Общее снижение уровня звука препятствием с учётом ограничения (25 дБ) для октавных полос Dz, дБ		Раздел 7.4 [10]	13,5	17,4	21,7	25	25	25	25	25	25		
Уровни звукового давления от источника ИШ-1-24 в расчётной точке днём, дБ		**ф-ла(3)[10]**	**0**	**20,3**	**17,3**	**15,1**	**15**	**14,1**	**9,8**	**2,3**	**0**	**17,9**	**17,9**
Источник шума: ИШ-1-25, координаты источника (x,y,z), м =[531.22,82.16,1.00]													
Уровни звуковой мощности источника днём, Lw, дБ		**исходные данные**	**0**	**93,3**	**94,7**	**96**	**96,3**	**95,9**	**92,6**	**88,4**	**83,9**		
Поправка на телесный угол DΩ, дБ	Ω = 6.28	10Lg(4π/Ω)	**3**	3	3	3	3	3	3	3	3		
Показатель направленности источника Di, дБ		исходные данные	**0**	0	0	0	0	0	0	0	0		
Поправка на направленность источника Dc, дБ	Dc	DΩ + Di	**3**	3	3	3	3	3	3	3	3		
Затухание из-за геометрической дивергенции, Adiv, дБ	расстояние = 241.15 м	ф-ла (7) [10]	**58,6**										
Коэффициент затухания звука в атмосфере α, дБ/км	Ta=20,°C Pa=101.33,кПа hотн.=70%	ф-ла (5) [9]	0,02	0,09	0,33	1,12	2,79	4,98	9,04	23,09	77,63		
Учет затухания звука в атмосфере Aatm, дБ		ф-ла (8) [10]	0	0	0,1	0,3	0,7	1,2	2,2	5,6	18,7		
Снижение уровня звукового давления из-за влияния застройки между источником шума и расчетной точкой													

1		2	3	4	5	6	7	8	9	10	11	12	13
Снижение уровня звукового давления на пути над экраном, Dz1, дБ	z = 5.62м (разность путей)	ф-лы (14-18) [10]	14	17,9	22,3	26,1	29,4	32,5	35,5	38,6	41,6		
Снижение уровня звукового давления на пути слева от экрана, Dz2, дБ	z = 58.71м (разность путей)	ф-лы (14-18) [10]	23,7	27,4	31,8	36,2	39,9	43,1	46,2	49,2	52,2		
Снижение уровня звукового давления на пути справа от экрана, Dz3, дБ	z = 239.02м (разность путей)	ф-лы (14-18) [10]	32,7	36,7	40,1	43,2	46,2	49,3	52,3	55,3	58,3		
Общее снижение уровня звука препятствием Dz, дБ		Эн.сумма(-Dzi)	13,5	17,4	21,7	25,6	29	32,1	35,1	38,1	41,1		
Общее снижение уровня звука препятствием с учётом ограничения (25 дБ) для октавных полос Dz, дБ		Раздел 7.4 [10]	13,5	17,4	21,7	25	25	25	25	25	25		
Уровни звукового давления от источника ИШ-1-25 в расчётной точке днём, дБ		**ф-ла(3)[10]**	**0**	**20,2**	**17,2**	**15,1**	**15**	**14**	**9,8**	**2,2**	**0**	**17,9**	**17,9**
Источник шума: ИШ-1-26, координаты источника (x,y,z), м =[534.15,80.79,1.00]													
Уровни звуковой мощности источника днём, Lw, дБ		**исходные данные**	**0**	**93,3**	**94,7**	**96**	**96,3**	**95,9**	**92,6**	**88,4**	**83,9**		
Поправка на телесный угол DΩ, дБ	Ω = 6.28	10Lg(4π/Ω)	**3**	3	3	3	3	3	3	3	3		
Показатель направленности источника Di, дБ		исходные данные	**0**	0	0	0	0	0	0	0	0		
Поправка на направленность источника Dc, дБ	Dc	DΩ + Di	**3**	3	3	3	3	3	3	3	3		
Затухание из-за геометрической дивергенции, Adiv, дБ	расстояние = 242.78 м	ф-ла (7) [10]	**58,7**										
Коэффициент затухания звука в атмосфере α, дБ/км	Ta=20,°C Pa=101.33,кПа hотн.=70%	ф-ла (5) [9]	0,02	0,09	0,33	1,12	2,79	4,98	9,04	23,09	77,63		
Учет затухания звука в атмосфере Aatm, дБ		ф-ла (8) [10]	0	0	0,1	0,3	0,7	1,2	2,2	5,6	18,8		
Снижение уровня звукового давления из-за влияния застройки между источником шума и расчетной точкой													
Снижение уровня звукового давления на пути над экраном, Dz1, дБ	z = 5.66м (разность путей)	ф-лы (14-18) [10]	14	18	22,3	26,2	29,5	32,5	35,6	38,6	41,6		

1		2	3	4	5	6	7	8	9	10	11	12	13
Снижение уровня звукового давления на пути слева от экрана, Dz2, дБ	z = 58.33м (разность путей)	ф-лы (14-18) [10]	23,7	27,4	31,8	36,2	39,9	43,1	46,1	49,2	52,2		
Снижение уровня звукового давления на пути справа от экрана, Dz3, дБ	z = 239.01м (разность путей)	ф-лы (14-18) [10]	32,7	36,7	40,1	43,2	46,2	49,3	52,3	55,3	58,3		
Общее снижение уровня звука препятствием Dz, дБ		Эн.сумма(-Dzi)	13,5	17,4	21,8	25,7	29	32,1	35,1	38,1	41,1		
Общее снижение уровня звука препятствием с учётом ограничения (25 дБ) для октавных полос Dz, дБ		Раздел 7.4 [10]	13,5	17,4	21,8	25	25	25	25	25	25		
Уровни звукового давления от источника ИШ-1-26 в расчётной точке днём, дБ		**ф-ла(3)[10]**	**0**	**20,1**	**17,1**	**15**	**14,9**	**14**	**9,7**	**2,1**	**0**	**17,8**	**17,8**
Источник шума: ИШ-1-27, координаты источника (x,y,z), м =[469.65,197.67,1.00]													
Уровни звуковой мощности источника днём, Lw, дБ		**исходные данные**	**0**	**93,3**	**94,7**	**96**	**96,3**	**95,9**	**92,6**	**88,4**	**83,9**		
Поправка на телесный угол DΩ, дБ	Ω = 6.28	10Lg(4π/Ω)	**3**	3	3	3	3	3	3	3	3		
Показатель направленности источника Di, дБ		исходные данные	**0**	0	0	0	0	0	0	0	0		
Поправка на направленность источника Dc, дБ	Dc	DΩ + Di	**3**	3	3	3	3	3	3	3	3		
Затухание из-за геометрической дивергенции, Adiv, дБ	расстояние = 288.09 м	ф-ла (7) [10]	**60,2**										
Коэффициент затухания звука в атмосфере α, дБ/км	Ta=20,°C Pa=101.33,кПа hотн.=70%	ф-ла (5) [9]	0,02	0,09	0,33	1,12	2,79	4,98	9,04	23,09	77,63		
Учет затухания звука в атмосфере Aatm, дБ		ф-ла (8) [10]	0	0	0,1	0,3	0,8	1,4	2,6	6,7	22,4		
Снижение уровня звукового давления из-за влияния застройки между источником шума и расчетной точкой													
Снижение уровня звукового давления на пути над экраном, Dz1, дБ	z = 2.61м (разность путей)	ф-лы (14-18) [10]	12,9	16,5	19,7	22,8	25,8	28,8	31,8	34,8	37,8		
Снижение уровня звукового давления на пути слева от экрана, Dz2, дБ	z = 64.77м (разность путей)	ф-лы (14-18) [10]	27,7	31,3	34,5	37,6	40,6	43,6	46,6	49,6	52,6		

1		2	3	4	5	6	7	8	9	10	11	12	13
Снижение уровня звукового давления на пути справа от экрана, Dz3, дБ	z = 38.82м (разность путей)	ф-лы (14-18) [10]	21,7	24,6	27,6	30,6	33,6	36,6	39,6	42,6	45,6		
Общее снижение уровня звука препятствием Dz, дБ		Эн.сумма(-Dzi)	12,2	15,8	19	22	25	28	31	34	37		
Общее снижение уровня звука препятствием с учётом ограничения (25 дБ) для октавных полос Dz, дБ		Раздел 7.4 [10]	12,2	15,8	19	22	25	25	25	25	25		
Уровни звукового давления прямого звука от источника ИШ-1-27 в расчётной точке днём, дБ		**ф-ла(3)[10]**	**0**	**20,3**	**18,4**	**16,5**	**13,3**	**12,3**	**7,8**	**0**	**0**	**16,3**	**16,3**
Расчёт отражённого звука													
Уровни звукового давления от мнимого источника ИШ-1-27_мн.(1) в расчётной точке днём, дБ		**ф-ла(3)[10]**	**0**	**0**	**0**	**0**	**0**	**0**	**5,9**	**0**	**0**	**7,1**	**7,1**
Уровни звукового давления от источника ИШ-1-27 в расчётной точке днём, дБ		**ф-ла(3)[10]**	**0**	**20,3**	**18,4**	**16,5**	**13,3**	**12,3**	**10**	**0**	**0**	**16,8**	**16,8**
Источник шума: ИШ-1-28, координаты источника (x,y,z), м =[472.78,196.69,1.00]													
Уровни звуковой мощности источника днём, Lw, дБ		**исходные данные**	**0**	**93,3**	**94,7**	**96**	**96,3**	**95,9**	**92,6**	**88,4**	**83,9**		
Поправка на телесный угол DΩ, дБ	Ω = 6.28	10Lg(4π/Ω)	**3**	3	3	3	3	3	3	3	3		
Показатель направленности источника Di, дБ		исходные данные	**0**	0	0	0	0	0	0	0	0		
Поправка на направленность источника Dc, дБ	Dc	DΩ + Di	**3**	3	3	3	3	3	3	3	3		
Затухание из-за геометрической дивергенции, Adiv, дБ	расстояние = 288.72 м	ф-ла (7) [10]	**60,2**										
Коэффициент затухания звука в атмосфере α, дБ/км	Ta=20,°C Pa=101.33,кПа hотн.=70%	ф-ла (5) [9]	0,02	0,09	0,33	1,12	2,79	4,98	9,04	23,09	77,63		
Учет затухания звука в атмосфере Aatm, дБ		ф-ла (8) [10]	0	0	0,1	0,3	0,8	1,4	2,6	6,7	22,4		
Снижение уровня звукового давления из-за влияния застройки между источником шума и расчетной точкой													

1		2	3	4	5	6	7	8	9	10	11	12	13
Снижение уровня звукового давления на пути над экраном, Dz1, дБ	z = 2.74м (разность путей)	ф-лы (14-18) [10]	13,1	16,8	20	23	26	29	32	35,1	38,1		
Снижение уровня звукового давления на пути слева от экрана, Dz2, дБ	z = 63.96м (разность путей)	ф-лы (14-18) [10]	27,7	31,3	34,4	37,5	40,5	43,5	46,5	49,6	52,6		
Снижение уровня звукового давления на пути справа от экрана, Dz3, дБ	z = 41.47м (разность путей)	ф-лы (14-18) [10]	21,9	24,9	27,9	30,9	33,9	36,9	39,9	42,9	45,9		
Общее снижение уровня звука препятствием Dz, дБ		Эн.сумма(-Dzi)	12,5	16	19,2	22,2	25,3	28,3	31,3	34,3	37,3		
Общее снижение уровня звука препятствием с учётом ограничения (25 дБ) для октавных полос Dz, дБ		Раздел 7.4 [10]	12,5	16	19,2	22,2	25	25	25	25	25		
Уровни звукового давления прямого звука от источника ИШ-1-28 в расчётной точке днём, дБ		**ф-ла(3)[10]**	**0**	**20**	**18,2**	**16,2**	**13,3**	**12,2**	**7,8**	**0**	**0**	**16,3**	**16,3**
Расчёт отражённого звука													
Уровни звукового давления от мнимого источника ИШ-1-28_мн.(1) в расчётной точке днём, дБ		**ф-ла(3)[10]**	**0**	**0**	**0**	**0**	**0**	**10,5**	**6**	**0**	**0**	**12,2**	**12,2**
Уровни звукового давления от источника ИШ-1-28 в расчётной точке днём, дБ		**ф-ла(3)[10]**	**0**	**20**	**18,2**	**16,2**	**13,3**	**14,5**	**10**	**0**	**0**	**17,7**	**17,7**
Источник шума: ИШ-1-29, координаты источника (x,y,z), м =[475.52,195.72,1.00]													
Уровни звуковой мощности источника днём, Lw, дБ		**исходные данные**	**0**	**93,3**	**94,7**	**96**	**96,3**	**95,9**	**92,6**	**88,4**	**83,9**		
Поправка на телесный угол DΩ, дБ	Ω = 6.28	10Lg(4π/Ω)	**3**	3	3	3	3	3	3	3	3		
Показатель направленности источника Di, дБ		исходные данные	**0**	0	0	0	0	0	0	0	0		
Поправка на направленность источника Dc, дБ	Dc	DΩ + Di	**3**	3	3	3	3	3	3	3	3		
Затухание из-за геометрической дивергенции, Adiv, дБ	расстояние = 289.20 м	ф-ла (7) [10]	**60,2**										
Коэффициент затухания звука в атмосфере α, дБ/км	Ta=20,°C Pa=101.33,кПа hотн.=70%	ф-ла (5) [9]	0,02	0,09	0,33	1,12	2,79	4,98	9,04	23,09	77,63		

1		2	3	4	5	6	7	8	9	10	11	12	13
Учет затухания звука в атмосфере Aatm, дБ		ф-ла (8) [10]	0	0	0,1	0,3	0,8	1,4	2,6	6,7	22,5		
Снижение уровня звукового давления из-за влияния застройки между источником шума и расчетной точкой													
Снижение уровня звукового давления на пути над экраном, Dz1, дБ	z = 2.85м (разность путей)	ф-лы (14-18) [10]	13,3	17	20,2	23,2	26,3	29,3	32,3	35,3	38,3		
Снижение уровня звукового давления на пути слева от экрана, Dz2, дБ	z = 63.25м (разность путей)	ф-лы (14-18) [10]	27,6	31,2	34,4	37,5	40,5	43,5	46,5	49,5	52,5		
Снижение уровня звукового давления на пути справа от экрана, Dz3, дБ	z = 43.89м (разность путей)	ф-лы (14-18) [10]	22,2	25,2	28,1	31,1	34,1	37,1	40,1	43,2	46,2		
Общее снижение уровня звука препятствием Dz, дБ		Эн.сумма(-Dzi)	12,7	16,2	19,4	22,4	25,5	28,5	31,5	34,5	37,5		
Общее снижение уровня звука препятствием с учётом ограничения (25 дБ) для октавных полос Dz, дБ		Раздел 7.4 [10]	12,7	16,2	19,4	22,4	25	25	25	25	25		
Уровни звукового давления прямого звука от источника ИШ-1-29 в расчётной точке днём, дБ		**ф-ла(3)[10]**	**0**	**19,8**	**18**	**16**	**13,3**	**12,2**	**7,8**	**0**	**0**	**16,2**	**16,2**
Расчёт отражённого звука													
Уровни звукового давления от мнимого источника ИШ-1-29_мн.(1) в расчётной точке днём, дБ		**ф-ла(3)[10]**	**0**	**0**	**0**	**0**	**0**	**10,6**	**6**	**0**	**0**	**12,2**	**12,2**
Уровни звукового давления от источника ИШ-1-29 в расчётной точке днём, дБ		**ф-ла(3)[10]**	**0**	**19,8**	**18**	**16**	**13,3**	**14,5**	**10**	**0**	**0**	**17,7**	**17,7**
Источник шума: ИШ-1-30, координаты источника (x,y,z), м =[478.45,194.54,1.00]													
Уровни звуковой мощности источника днём, Lw, дБ		**исходные данные**	**0**	**93,3**	**94,7**	**96**	**96,3**	**95,9**	**92,6**	**88,4**	**83,9**		
Поправка на телесный угол DΩ, дБ	Ω = 6.28	10Lg(4π/Ω)	**3**	3	3	3	3	3	3	3	3		
Показатель направленности источника Di, дБ		исходные данные	**0**	0	0	0	0	0	0	0	0		
Поправка на направленность источника Dc, дБ	Dc	DΩ + Di	**3**	3	3	3	3	3	3	3	3		
Затухание из-за геометрической дивергенции, Adiv, дБ	расстояние = 289.63 м	ф-ла (7) [10]	**60,2**										

1		2	3	4	5	6	7	8	9	10	11	12	13
Коэффициент затухания звука в атмосфере α, дБ/км	Та=20,°С Ра=101.33,кПа hотн.=70%	ф-ла (5) [9]	0,02	0,09	0,33	1,12	2,79	4,98	9,04	23,09	77,63		
Учет затухания звука в атмосфере Aatm, дБ		ф-ла (8) [10]	0	0	0,1	0,3	0,8	1,4	2,6	6,7	22,5		
Снижение уровня звукового давления из-за влияния застройки между источником шума и расчетной точкой													
Снижение уровня звукового давления на пути над экраном, Dz1, дБ	z = 2.97м (разность путей)	ф-лы (14-18) [10]	13,5	17,2	20,4	23,5	26,5	29,5	32,5	35,5	38,5		
Снижение уровня звукового давления на пути слева от экрана, Dz2, дБ	z = 62.51м (разность путей)	ф-лы (14-18) [10]	27,6	31,2	34,3	37,4	40,4	43,4	46,4	49,5	52,5		
Снижение уровня звукового давления на пути справа от экрана, Dz3, дБ	z = 46.60м (разность путей)	ф-лы (14-18) [10]	22,4	25,4	28,4	31,4	34,4	37,4	40,4	43,4	46,4		
Общее снижение уровня звука препятствием Dz, дБ		Эн.сумма(-Dzi)	12,9	16,4	19,6	22,7	25,7	28,7	31,7	34,7	37,7		
Общее снижение уровня звука препятствием с учётом ограничения (25 дБ) для октавных полос Dz, дБ		Раздел 7.4 [10]	12,9	16,4	19,6	22,7	25	25	25	25	25		
Уровни звукового давления прямого звука от источника ИШ-1-30 в расчётной точке днём, дБ		**ф-ла(3)[10]**	**0**	**19,6**	**17,8**	**15,8**	**13,2**	**12,2**	**7,7**	**0**	**0**	**16,2**	**16,2**
Расчёт отражённого звука													
Уровни звукового давления от мнимого источника ИШ-1-30_мн.(1) в расчётной точке днём, дБ		**ф-ла(3)[10]**	**0**	**0**	**0**	**0**	**0**	**10,6**	**6,1**	**0**	**0**	**12,3**	**12,3**
Уровни звукового давления от источника ИШ-1-30 в расчётной точке днём, дБ		**ф-ла(3)[10]**	**0**	**19,6**	**17,8**	**15,8**	**13,2**	**14,5**	**10**	**0**	**0**	**17,7**	**17,7**
Источник шума: ИШ-1-31, координаты источника (x,y,z), м =[481.58,193.96,1.00]													
Уровни звуковой мощности источника днём, Lw, дБ		**исходные данные**	**0**	**93,3**	**94,7**	**96**	**96,3**	**95,9**	**92,6**	**88,4**	**83,9**		
Поправка на телесный угол DΩ, дБ	Ω = 6.28	10Lg(4π/Ω)	**3**	3	3	3	3	3	3	3	3		
Показатель направленности источника Di, дБ		исходные данные	**0**	0	0	0	0	0	0	0	0		

1		2	3	4	5	6	7	8	9	10	11	12	13
Поправка на направленность источника Dc, дБ	Dc	DΩ + Di	**3**	3	3	3	3	3	3	3	3		
Затухание из-за геометрической дивергенции, Adiv, дБ	расстояние = 290.70 м	ф-ла (7) [10]	**60,3**										
Коэффициент затухания звука в атмосфере α, дБ/км	Ta=20,°C Pa=101.33,кПа hотн.=70%	ф-ла (5) [9]	0,02	0,09	0,33	1,12	2,79	4,98	9,04	23,09	77,63		
Учет затухания звука в атмосфере Aatm, дБ		ф-ла (8) [10]	0	0	0,1	0,3	0,8	1,4	2,6	6,7	22,6		
Снижение уровня звукового давления из-за влияния застройки между источником шума и расчетной точкой													
Снижение уровня звукового давления на пути над экраном, Dz1, дБ	z = 3.08м (разность путей)	ф-лы (14-18) [10]	13,7	17,4	20,6	23,6	26,6	29,6	32,6	35,7	38,7		
Снижение уровня звукового давления на пути слева от экрана, Dz2, дБ	z = 61.81м (разность путей)	ф-лы (14-18) [10]	27,5	31,1	34,3	37,4	40,4	43,4	46,4	49,4	52,4		
Снижение уровня звукового давления на пути справа от экрана, Dz3, дБ	z = 48.70м (разность путей)	ф-лы (14-18) [10]	22,6	25,6	28,6	31,6	34,6	37,6	40,6	43,6	46,6		
Общее снижение уровня звука препятствием Dz, дБ		Эн.сумма(-Dzi)	13	16,6	19,8	22,8	25,8	28,8	31,8	34,9	37,9		
Общее снижение уровня звука препятствием с учётом ограничения (25 дБ) для октавных полос Dz, дБ		Раздел 7.4 [10]	13	16,6	19,8	22,8	25	25	25	25	25		
Уровни звукового давления прямого звука от источника ИШ-1-31 в расчётной точке днём, дБ		**ф-ла(3)[10]**	**0**	**19,4**	**17,5**	**15,6**	**13,2**	**12,2**	**7,7**	**0**	**0**	**16,1**	**16,1**
Расчёт отражённого звука													
Уровни звукового давления от мнимого источника ИШ-1-31_мн.(1) в расчётной точке днём, дБ		**ф-ла(3)[10]**	**0**	**0**	**0**	**0**	**0**	**10,6**	**6,1**	**0**	**0**	**12,3**	**12,3**
Уровни звукового давления от источника ИШ-1-31 в расчётной точке днём, дБ		**ф-ла(3)[10]**	**0**	**19,4**	**17,5**	**15,6**	**13,2**	**14,5**	**10**	**0**	**0**	**17,6**	**17,6**
Источник шума: ИШ-1-32, координаты источника (x,y,z), м =[871.21,281.99,50.00]													
Уровни звуковой мощности источника днём, Lw, дБ		**исходные данные**	**125**	**119,6**	**113,4**	**111,4**	**110,8**	**112,7**	**113,8**	**109,2**	**97,4**		

1		2	3	4	5	6	7	8	9	10	11	12	13
Поправка на телесный угол DΩ, дБ	Ω = 12.57	10Lg(4π/Ω)	**0**	0	0	0	0	0	0	0	0		
Показатель направленности источника Di, дБ		исходные данные	**0**	0	0	0	0	0	0	0	0		
Поправка на направленность источника Dc, дБ	Dc	DΩ + Di	**0**	0	0	0	0	0	0	0	0		
Затухание из-за геометрической дивергенции, Adiv, дБ	расстояние = 636.88 м	ф-ла (7) [10]	**67,1**										
Коэффициент затухания звука в атмосфере α, дБ/км	Та=20,°С Ра=101.33,кПа hотн.=70%	ф-ла (5) [9]	0,02	0,09	0,33	1,12	2,79	4,98	9,04	23,09	77,63		
Учет затухания звука в атмосфере Aatm, дБ		ф-ла (8) [10]	0	0,1	0,2	0,7	1,8	3,2	5,8	14,7	49,4		
Снижение уровня звукового давления из-за влияния застройки между источником шума и расчетной точкой													
Снижение уровня звукового давления на пути над экраном, Dz1, дБ	z = 4.99м (разность путей)	ф-лы (14-18) [10]	12,2	14,8	17,6	20,5	23,4	26,4	29,4	32,4	35,4		
Снижение уровня звукового давления на пути справа от экрана, Dz3, дБ	z = 28.83м (разность путей)	ф-лы (14-18) [10]	20,4	23,4	26,3	29,3	32,3	35,3	38,3	41,3	44,3		
Общее снижение уровня звука препятствием Dz, дБ		Эн.сумма(-Dzi)	11,6	14,2	17	19,9	22,9	25,9	28,9	31,9	34,9		
Общее снижение уровня звука препятствием с учётом ограничения (20 дБ) для октавных полос Dz, дБ		Раздел 7.4 [10]	11,6	14,2	17	19,9	20	20	20	20	20		
Уровни звукового давления от источника ИШ-1-32 в расчётной точке днём, дБ		**ф-ла(3)[10]**	**46,3**	**38,3**	**29,1**	**23,7**	**22**	**22,5**	**21**	**7,4**	**0**	**27**	**27**
Источник шума: ИШ-1-33, координаты источника (x,y,z), м =[743.42,374.85,1.00]													
Уровни звуковой мощности источника днём, Lw, дБ		**исходные данные**	**0**	**88,7**	**90,1**	**93,1**	**96,4**	**103**	**112**	**108**	**99,2**		
Поправка на телесный угол DΩ, дБ	Ω = 6.28	10Lg(4π/Ω)	**3**	3	3	3	3	3	3	3	3		
Показатель направленности источника Di, дБ		исходные данные	**0**	0	0	0	0	0	0	0	0		

1		2	3	4	5	6	7	8	9	10	11	12	13
Поправка на направленность источника Dc, дБ	Dc	DΩ + Di	**3**	3	3	3	3	3	3	3	3		
Затухание из-за геометрической дивергенции, Adiv, дБ	расстояние = 594.75 м	ф-ла (7) [10]	**66,5**										
Коэффициент затухания звука в атмосфере α, дБ/км	Ta=20,°C Pa=101.33,кПа hотн.=70%	ф-ла (5) [9]	0,02	0,09	0,33	1,12	2,79	4,98	9,04	23,09	77,63		
Учет затухания звука в атмосфере Aatm, дБ		ф-ла (8) [10]	0	0,1	0,2	0,7	1,7	3	5,4	13,7	46,2		
Снижение уровня звукового давления из-за влияния застройки между источником шума и расчетной точкой													
Снижение уровня звукового давления на пути над экраном, Dz1, дБ	z = 4.73м (разность путей)	ф-лы (14-18) [10]	16,1	19,3	22,2	25,2	28,2	31,2	34,2	37,2	40,2		
Снижение уровня звукового давления на пути слева от экрана, Dz2, дБ	z = 54.54м (разность путей)	ф-лы (14-18) [10]	27,3	30,7	33,8	36,8	39,8	42,8	45,9	48,9	51,9		
Снижение уровня звукового давления на пути справа от экрана, Dz3, дБ	z = 44.72м (разность путей)	ф-лы (14-18) [10]	22,3	25,2	28,2	31,2	34,2	37,2	40,2	43,2	46,2		
Общее снижение уровня звука препятствием Dz, дБ		Эн.сумма(-Dzi)	14,9	18	21	24	27	30	33	36	39		
Общее снижение уровня звука препятствием с учётом ограничения (25 дБ) для октавных полос Dz, дБ		Раздел 7.4 [10]	14,9	18	21	24	25	25	25	25	25		
Уровни звукового давления от источника ИШ-1-33 в расчётной точке днём, дБ		**ф-ла(3)[10]**	**0**	**7,1**	**5,4**	**4,9**	**6,3**	**11,6**	**18,1**	**5,8**	**0**	**20,3**	**20,3**
Источник шума: ИШ-1-34, координаты источника (x,y,z), м =[1042.35,199.07,1.00]													
Уровни звуковой мощности источника днём, Lw, дБ		**исходные данные**	**0**	**88,7**	**90,1**	**93,1**	**96,4**	**103**	**112**	**108**	**99,2**		
Поправка на телесный угол DΩ, дБ	Ω = 6.28	10Lg(4π/Ω)	**3**	3	3	3	3	3	3	3	3		
Показатель направленности источника Di, дБ		исходные данные	**0**	0	0	0	0	0	0	0	0		
Поправка на направленность источника Dc, дБ	Dc	DΩ + Di	**3**	3	3	3	3	3	3	3	3		

1		2	3	4	5	6	7	8	9	10	11	12	13
Затухание из-за геометрической дивергенции, Adiv, дБ	расстояние = 753.15 м	ф-ла (7) [10]	**68,5**										
Коэффициент затухания звука в атмосфере α, дБ/км	Ta=20,°C Pa=101.33,кПа hотн.=70%	ф-ла (5) [9]	0,02	0,09	0,33	1,12	2,79	4,98	9,04	23,09	77,63		
Учет затухания звука в атмосфере Aatm, дБ		ф-ла (8) [10]	0	0,1	0,3	0,8	2,1	3,7	6,8	17,4	58,5		
Снижение уровня звукового давления из-за влияния застройки между источником шума и расчетной точкой													
Снижение уровня звукового давления на пути над экраном, Dz1, дБ	z = 6.08м (разность путей)	ф-лы (14-18) [10]	13,3	16,9	21,2	25,3	28,8	31,9	34,9	38	41		
Снижение уровня звукового давления на пути слева от экрана, Dz2, дБ	z = 48.22м (разность путей)	ф-лы (14-18) [10]	22,9	26,6	31	35,4	39	42,2	45,3	48,3	51,3		
Снижение уровня звукового давления на пути справа от экрана, Dz3, дБ	z = 8.61м (разность путей)	ф-лы (14-18) [10]	15,4	18,3	21,1	24,1	27,1	30,1	33,1	36,1	39,1		
Общее снижение уровня звука препятствием Dz, дБ		Эн.сумма(-Dzi)	10,9	14,3	18	21,5	24,7	27,7	30,7	33,8	36,8		
Общее снижение уровня звука препятствием с учётом ограничения (25 дБ) для октавных полос Dz, дБ		Раздел 7.4 [10]	10,9	14,3	18	21,5	24,7	25	25	25	25		
Уровни звукового давления от источника ИШ-1-34 в расчётной точке днём, дБ		**ф-ла(3)[10]**	**0**	**8,9**	**6,4**	**5,3**	**4,1**	**8,7**	**14,7**	**0,1**	**0**	**16,9**	**16,9**
Источник шума: ИШ-2-1, координаты источника (x,y,z), м =[696.50,124.40,3.00]													
Уровни звуковой мощности источника днём, Lw, дБ		**исходные данные**	**105**	**104**	**104**	**101**	**102**	**106**	**101**	**95**	**87**		
Поправка на телесный угол DΩ, дБ	Ω = 6.28	10Lg(4π/Ω)	**3**	3	3	3	3	3	3	3	3		
Показатель направленности источника Di, дБ		исходные данные	**0**	0	0	0	0	0	0	0	0		
Поправка на направленность источника Dc, дБ	Dc	DΩ + Di	**3**	3	3	3	3	3	3	3	3		
Затухание из-за геометрической дивергенции, Adiv, дБ	расстояние = 405.22 м	ф-ла (7) [10]	**63,2**										

1		2	3	4	5	6	7	8	9	10	11	12	13
Коэффициент затухания звука в атмосфере α, дБ/км	Ta=20,°C Pa=101.33,кПа hотн.=70%	ф-ла (5) [9]	0,02	0,09	0,33	1,12	2,79	4,98	9,04	23,09	77,63		
Учет затухания звука в атмосфере Aatm, дБ		ф-ла (8) [10]	0	0	0,1	0,5	1,1	2	3,7	9,4	31,5		
Снижение уровня звукового давления из-за влияния застройки между источником шума и расчетной точкой													
Снижение уровня звукового давления на пути над экраном, Dz1, дБ	z = 5.88м (разность путей)	ф-лы (14-18) [10]	13,8	17,6	21,9	25,9	29,3	32,4	35,4	38,4	41,5		
Снижение уровня звукового давления на пути слева от экрана, Dz2, дБ	z = 52.89м (разность путей)	ф-лы (14-18) [10]	23,3	27	31,4	35,8	39,4	42,6	45,7	48,7	51,7		
Снижение уровня звукового давления на пути справа от экрана, Dz3, дБ	z = 6.61м (разность путей)	ф-лы (14-18) [10]	14,4	17,2	20	23	25,9	28,9	31,9	34,9	37,9		
Общее снижение уровня звука препятствием Dz, дБ		Эн.сумма(-Dzi)	10,8	14,1	17,7	21	24,2	27,2	30,2	33,2	36,2		
Общее снижение уровня звука препятствием с учётом ограничения (25 дБ) для октавных полос Dz, дБ		Раздел 7.4 [10]	10,8	14,1	17,7	21	24,2	25	25	25	25		
Уровни звукового давления от источника ИШ-2-1 в расчётной точке днём, дБ		**ф-ла(3)[10]**	**34**	**29,7**	**26,1**	**19,4**	**16,6**	**18,8**	**12,2**	**0,5**	**0**	**21,6**	**21,6**
Источник шума: ИШ-2-2, координаты источника (x,y,z), м =[682.20,81.60,3.00]													
Уровни звуковой мощности источника днём, Lw, дБ		**исходные данные**	**105**	**104**	**104**	**101**	**102**	**106**	**101**	**95**	**87**		
Поправка на телесный угол DΩ, дБ	Ω = 6.28	10Lg(4π/Ω)	**3**	3	3	3	3	3	3	3	3		
Показатель направленности источника Di, дБ		исходные данные	**0**	0	0	0	0	0	0	0	0		
Поправка на направленность источника Dc, дБ	Dc	DΩ + Di	**3**	3	3	3	3	3	3	3	3		
Затухание из-за геометрической дивергенции, Adiv, дБ	расстояние = 374.69 м	ф-ла (7) [10]	**62,5**										
Коэффициент затухания звука в атмосфере α, дБ/км	Ta=20,°C Pa=101.33,кПа hотн.=70%	ф-ла (5) [9]	0,02	0,09	0,33	1,12	2,79	4,98	9,04	23,09	77,63		

1		2	3	4	5	6	7	8	9	10	11	12	13
Учет затухания звука в атмосфере Aatm, дБ		ф-ла (8) [10]	0	0	0,1	0,4	1	1,9	3,4	8,7	29,1		
Снижение уровня звукового давления из-за влияния застройки между источником шума и расчетной точкой													
Снижение уровня звукового давления на пути над экраном, Dz1, дБ	z = 6.04м (разность путей)	ф-лы (14-18) [10]	13,9	17,6	22	26	29,5	32,6	35,6	38,6	41,6		
Снижение уровня звукового давления на пути слева от экрана, Dz2, дБ	z = 50.09м (разность путей)	ф-лы (14-18) [10]	23,1	26,8	31,1	35,5	39,2	42,4	45,5	48,5	51,5		
Снижение уровня звукового давления на пути справа от экрана, Dz3, дБ	z = 8.26м (разность путей)	ф-лы (14-18) [10]	15,3	18,1	21	23,9	26,9	29,9	32,9	35,9	38,9		
Общее снижение уровня звука препятствием Dz, дБ		Эн.сумма(-Dzi)	11,2	14,6	18,2	21,6	24,8	27,9	30,9	33,9	36,9		
Общее снижение уровня звука препятствием с учётом ограничения (25 дБ) для октавных полос Dz, дБ		Раздел 7.4 [10]	11,2	14,6	18,2	21,6	24,8	25	25	25	25		
Уровни звукового давления от источника ИШ-2-2 в расчётной точке днём, дБ		**ф-ла(3)[10]**	**34,3**	**30**	**26,2**	**19,5**	**16,7**	**19,7**	**13,2**	**1,9**	**0**	**22,3**	**22,3**
Источник шума: ИШ-2-3, координаты источника (x,y,z), м =[667.80,38.90,3.00]													
Уровни звуковой мощности источника днём, Lw, дБ		**исходные данные**	**105**	**104**	**104**	**101**	**102**	**106**	**101**	**95**	**87**		
Поправка на телесный угол DΩ, дБ	Ω = 6.28	10Lg(4π/Ω)	**3**	3	3	3	3	3	3	3	3		
Показатель направленности источника Di, дБ		исходные данные	**0**	0	0	0	0	0	0	0	0		
Поправка на направленность источника Dc, дБ	Dc	DΩ + Di	**3**	3	3	3	3	3	3	3	3		
Затухание из-за геометрической дивергенции, Adiv, дБ	расстояние = 347.29 м	ф-ла (7) [10]	**61,8**										
Коэффициент затухания звука в атмосфере α, дБ/км	Ta=20,°C Pa=101.33,кПа hотн.=70%	ф-ла (5) [9]	0,02	0,09	0,33	1,12	2,79	4,98	9,04	23,09	77,63		
Учет затухания звука в атмосфере Aatm, дБ		ф-ла (8) [10]	0	0	0,1	0,4	1	1,7	3,1	8	27		

1		2	3	4	5	6	7	8	9	10	11	12	13
Снижение уровня звукового давления из-за влияния застройки между источником шума и расчетной точкой													
Снижение уровня звукового давления на пути над экраном, Dz1, дБ	z = 6.20м (разность путей)	ф-лы (14-18) [10]	14	17,6	22	26,1	29,6	32,7	35,8	38,8	41,8		
Снижение уровня звукового давления на пути слева от экрана, Dz2, дБ	z = 46.79м (разность путей)	ф-лы (14-18) [10]	22,8	26,5	30,8	35,2	38,9	42,1	45,2	48,2	51,2		
Снижение уровня звукового давления на пути справа от экрана, Dz3, дБ	z = 10.36м (разность путей)	ф-лы (14-18) [10]	16,2	19	21,9	24,9	27,9	30,9	33,9	36,9	39,9		
Общее снижение уровня звука препятствием Dz, дБ		Эн.сумма(-Dzi)	11,6	14,9	18,7	22,2	25,4	28,5	31,5	34,5	37,5		
Общее снижение уровня звука препятствием с учётом ограничения (25 дБ) для октавных полос Dz, дБ		Раздел 7.4 [10]	11,6	14,9	18,7	22,2	25	25	25	25	25		
Уровни звукового давления от источника ИШ-2-3 в расчётной точке днём, дБ		**ф-ла(3)[10]**	**34,6**	**30,2**	**26,4**	**19,6**	**17,2**	**20,5**	**14,1**	**3,2**	**0**	**23**	**23**
Источник шума: ИШ-2-6, координаты источника (x,y,z), м =[765.97,112.43,1.00]													
Уровни звуковой мощности источника днём, Lw, дБ		**исходные данные**	**0**	**93,3**	**94,7**	**96**	**96,3**	**95,9**	**92,6**	**88,4**	**83,9**		
Поправка на телесный угол DΩ, дБ	Ω = 6.28	10Lg(4π/Ω)	**3**	3	3	3	3	3	3	3	3		
Показатель направленности источника Di, дБ		исходные данные	**0**	0	0	0	0	0	0	0	0		
Поправка на направленность источника Dc, дБ	Dc	DΩ + Di	**3**	3	3	3	3	3	3	3	3		
Затухание из-за геометрической дивергенции, Adiv, дБ	расстояние = 463.93 м	ф-ла (7) [10]	**64,3**										
Коэффициент затухания звука в атмосфере α, дБ/км	Ta=20,°C Pa=101.33,кПа hотн.=70%	ф-ла (5) [9]	0,02	0,09	0,33	1,12	2,79	4,98	9,04	23,09	77,63		
Учет затухания звука в атмосфере Aatm, дБ		ф-ла (8) [10]	0	0	0,2	0,5	1,3	2,3	4,2	10,7	36		
Снижение уровня звукового давления из-за влияния застройки между источником шума и расчетной точкой													

1		2	3	4	5	6	7	8	9	10	11	12	13
Снижение уровня звукового давления на пути над экраном, Dz1, дБ	z = 6.08м (разность путей)	ф-лы (14-18) [10]	13,8	17,5	21,8	25,9	29,3	32,4	35,5	38,5	41,5		
Снижение уровня звукового давления на пути слева от экрана, Dz2, дБ	z = 49.63м (разность путей)	ф-лы (14-18) [10]	23	26,7	31,1	35,5	39,1	42,4	45,4	48,5	51,5		
Снижение уровня звукового давления на пути справа от экрана, Dz3, дБ	z = 8.25м (разность путей)	ф-лы (14-18) [10]	15,3	18,1	20,9	23,9	26,9	29,9	32,9	35,9	38,9		
Общее снижение уровня звука препятствием Dz, дБ		Эн.сумма(-Dzi)	11,2	14,5	18,1	21,6	24,8	27,8	30,8	33,8	36,8		
Общее снижение уровня звука препятствием с учётом ограничения (25 дБ) для октавных полос Dz, дБ		Раздел 7.4 [10]	11,2	14,5	18,1	21,6	24,8	25	25	25	25		
Уровни звукового давления от источника ИШ-2-6 в расчётной точке днём, дБ		**ф-ла(3)[10]**	**0**	**17,4**	**15,1**	**12,5**	**8,9**	**7,3**	**2,1**	**0**	**0**	**11,6**	**11,6**
Источник шума: ИШ-2-7, координаты источника (x,y,z), м =[764.91,109.54,1.00]													
Уровни звуковой мощности источника днём, Lw, дБ		**исходные данные**	**0**	**93,3**	**94,7**	**96**	**96,3**	**95,9**	**92,6**	**88,4**	**83,9**		
Поправка на телесный угол DΩ, дБ	Ω = 6.28	10Lg(4π/Ω)	**3**	3	3	3	3	3	3	3	3		
Показатель направленности источника Di, дБ		исходные данные	**0**	0	0	0	0	0	0	0	0		
Поправка на направленность источника Dc, дБ	Dc	DΩ + Di	**3**	3	3	3	3	3	3	3	3		
Затухание из-за геометрической дивергенции, Adiv, дБ	расстояние = 461.89 м	ф-ла (7) [10]	**64,3**										
Коэффициент затухания звука в атмосфере α, дБ/км	Ta=20,°C Pa=101.33,кПа hотн.=70%	ф-ла (5) [9]	0,02	0,09	0,33	1,12	2,79	4,98	9,04	23,09	77,63		
Учет затухания звука в атмосфере Aatm, дБ		ф-ла (8) [10]	0	0	0,2	0,5	1,3	2,3	4,2	10,7	35,9		
Снижение уровня звукового давления из-за влияния застройки между источником шума и расчетной точкой													
Снижение уровня звукового давления на пути над экраном, Dz1, дБ	z = 6.09м (разность путей)	ф-лы (14-18) [10]	13,8	17,5	21,8	25,9	29,3	32,4	35,5	38,5	41,5		

1		2	3	4	5	6	7	8	9	10	11	12	13
Снижение уровня звукового давления на пути слева от экрана, Dz2, дБ	z = 49.46м (разность путей)	ф-лы (14-18) [10]	23	26,7	31,1	35,5	39,1	42,3	45,4	48,4	51,4		
Снижение уровня звукового давления на пути справа от экрана, Dz3, дБ	z = 8.35м (разность путей)	ф-лы (14-18) [10]	15,3	18,1	21	24	26,9	29,9	32,9	35,9	39		
Общее снижение уровня звука препятствием Dz, дБ		Эн.сумма(-Dzi)	11,2	14,5	18,2	21,6	24,8	27,8	30,9	33,9	36,9		
Общее снижение уровня звука препятствием с учётом ограничения (25 дБ) для октавных полос Dz, дБ		Раздел 7.4 [10]	11,2	14,5	18,2	21,6	24,8	25	25	25	25		
Уровни звукового давления от источника ИШ-2-7 в расчётной точке днём, дБ		**ф-ла(3)[10]**	**0**	**17,5**	**15,1**	**12,6**	**8,9**	**7,3**	**2,1**	**0**	**0**	**11,7**	**11,7**
Источник шума: ИШ-2-8, координаты источника (x,y,z), м =[764.03,106.58,1.00]													
Уровни звуковой мощности источника днём, Lw, дБ		**исходные данные**	**0**	**93,3**	**94,7**	**96**	**96,3**	**95,9**	**92,6**	**88,4**	**83,9**		
Поправка на телесный угол DΩ, дБ	Ω = 6.28	10Lg(4π/Ω)	**3**	3	3	3	3	3	3	3	3		
Показатель направленности источника Di, дБ		исходные данные	**0**	0	0	0	0	0	0	0	0		
Поправка на направленность источника Dc, дБ	Dc	DΩ + Di	**3**	3	3	3	3	3	3	3	3		
Затухание из-за геометрической дивергенции, Adiv, дБ	расстояние = 460.02 м	ф-ла (7) [10]	**64,3**										
Коэффициент затухания звука в атмосфере α, дБ/км	Ta=20,°C Pa=101.33,кПа hотн.=70%	ф-ла (5) [9]	0,02	0,09	0,33	1,12	2,79	4,98	9,04	23,09	77,63		
Учет затухания звука в атмосфере Aatm, дБ		ф-ла (8) [10]	0	0	0,2	0,5	1,3	2,3	4,2	10,6	35,7		
Снижение уровня звукового давления из-за влияния застройки между источником шума и расчетной точкой													
Снижение уровня звукового давления на пути над экраном, Dz1, дБ	z = 6.10м (разность путей)	ф-лы (14-18) [10]	13,8	17,5	21,8	25,9	29,3	32,5	35,5	38,5	41,5		
Снижение уровня звукового давления на пути слева от экрана, Dz2, дБ	z = 49.28м (разность путей)	ф-лы (14-18) [10]	23	26,7	31,1	35,5	39,1	42,3	45,4	48,4	51,4		

1		2	3	4	5	6	7	8	9	10	11	12	13
Снижение уровня звукового давления на пути справа от экрана, Dz3, дБ	z = 8.46м (разность путей)	ф-лы (14-18) [10]	15,4	18,2	21,1	24	27	30	33	36	39		
Общее снижение уровня звука препятствием Dz, дБ		Эн.сумма(-Dzi)	11,2	14,5	18,2	21,7	24,8	27,9	30,9	33,9	36,9		
Общее снижение уровня звука препятствием с учётом ограничения (25 дБ) для октавных полос Dz, дБ		Раздел 7.4 [10]	11,2	14,5	18,2	21,7	24,8	25	25	25	25		
Уровни звукового давления от источника ИШ-2-8 в расчётной точке днём, дБ		**ф-ла(3)[10]**	**0**	**17,5**	**15,1**	**12,6**	**8,9**	**7,3**	**2,2**	**0**	**0**	**11,7**	**11,7**
Источник шума: ИШ-2-9, координаты источника (x,y,z), м =[763.26,103.71,1.00]													
Уровни звуковой мощности источника днём, Lw, дБ		**исходные данные**	**0**	**93,3**	**94,7**	**96**	**96,3**	**95,9**	**92,6**	**88,4**	**83,9**		
Поправка на телесный угол DΩ, дБ	Ω = 6.28	10Lg(4π/Ω)	**3**	3	3	3	3	3	3	3	3		
Показатель направленности источника Di, дБ		исходные данные	**0**	0	0	0	0	0	0	0	0		
Поправка на направленность источника Dc, дБ	Dc	DΩ + Di	**3**	3	3	3	3	3	3	3	3		
Затухание из-за геометрической дивергенции, Adiv, дБ	расстояние = 458.28 м	ф-ла (7) [10]	**64,2**										
Коэффициент затухания звука в атмосфере α, дБ/км	Ta=20,°C Pa=101.33,кПа hотн.=70%	ф-ла (5) [9]	0,02	0,09	0,33	1,12	2,79	4,98	9,04	23,09	77,63		
Учет затухания звука в атмосфере Aatm, дБ		ф-ла (8) [10]	0	0	0,2	0,5	1,3	2,3	4,1	10,6	35,6		
Снижение уровня звукового давления из-за влияния застройки между источником шума и расчетной точкой													
Снижение уровня звукового давления на пути над экраном, Dz1, дБ	z = 6.10м (разность путей)	ф-лы (14-18) [10]	13,8	17,5	21,8	25,9	29,3	32,5	35,5	38,5	41,5		
Снижение уровня звукового давления на пути слева от экрана, Dz2, дБ	z = 49.10м (разность путей)	ф-лы (14-18) [10]	23	26,7	31,1	35,4	39,1	42,3	45,4	48,4	51,4		
Снижение уровня звукового давления на пути справа от экрана, Dz3, дБ	z = 8.57м (разность путей)	ф-лы (14-18) [10]	15,4	18,2	21,1	24,1	27	30	33,1	36,1	39,1		

1		2	3	4	5	6	7	8	9	10	11	12	13
Общее снижение уровня звука препятствием Dz, дБ		Эн.сумма(-Dzi)	11,2	14,5	18,2	21,7	24,9	27,9	30,9	33,9	37		
Общее снижение уровня звука препятствием с учётом ограничения (25 дБ) для октавных полос Dz, дБ		Раздел 7.4 [10]	11,2	14,5	18,2	21,7	24,9	25	25	25	25		
Уровни звукового давления от источника ИШ-2-9 в расчётной точке днём, дБ		**ф-ла(3)[10]**	**0**	**17,5**	**15,1**	**12,6**	**8,9**	**7,4**	**2,2**	**0**	**0**	**11,7**	**11,7**
Источник шума: ИШ-2-10, координаты источника (x,y,z), м =[762.14,100.75,1.00]													
Уровни звуковой мощности источника днём, Lw, дБ		**исходные данные**	**0**	**93,3**	**94,7**	**96**	**96,3**	**95,9**	**92,6**	**88,4**	**83,9**		
Поправка на телесный угол DΩ, дБ	Ω = 6.28	10Lg(4π/Ω)	**3**	3	3	3	3	3	3	3	3		
Показатель направленности источника Di, дБ		исходные данные	**0**	0	0	0	0	0	0	0	0		
Поправка на направленность источника Dc, дБ	Dc	DΩ + Di	**3**	3	3	3	3	3	3	3	3		
Затухание из-за геометрической дивергенции, Adiv, дБ	расстояние = 456.21 м	ф-ла (7) [10]	**64,2**										
Коэффициент затухания звука в атмосфере α, дБ/км	Ta=20,°C Pa=101.33,кПа hотн.=70%	ф-ла (5) [9]	0,02	0,09	0,33	1,12	2,79	4,98	9,04	23,09	77,63		
Учет затухания звука в атмосфере Aatm, дБ		ф-ла (8) [10]	0	0	0,2	0,5	1,3	2,3	4,1	10,5	35,4		
Снижение уровня звукового давления из-за влияния застройки между источником шума и расчетной точкой													
Снижение уровня звукового давления на пути над экраном, Dz1, дБ	z = 6.11м (разность путей)	ф-лы (14-18) [10]	13,8	17,5	21,8	25,9	29,3	32,5	35,5	38,5	41,5		
Снижение уровня звукового давления на пути слева от экрана, Dz2, дБ	z = 48.93м (разность путей)	ф-лы (14-18) [10]	23	26,7	31	35,4	39,1	42,3	45,4	48,4	51,4		
Снижение уровня звукового давления на пути справа от экрана, Dz3, дБ	z = 8.67м (разность путей)	ф-лы (14-18) [10]	15,5	18,3	21,2	24,1	27,1	30,1	33,1	36,1	39,1		
Общее снижение уровня звука препятствием Dz, дБ		Эн.сумма(-Dzi)	11,2	14,6	18,2	21,7	24,9	28	31	34	37		

1		2	3	4	5	6	7	8	9	10	11	12	13
Общее снижение уровня звука препятствием с учётом ограничения (25 дБ) для октавных полос Dz, дБ		Раздел 7.4 [10]	11,2	14,6	18,2	21,7	24,9	25	25	25	25		
Уровни звукового давления от источника ИШ-2-10 в расчётной точке днём, дБ		**ф-ла(3)[10]**	**0**	**17,5**	**15,1**	**12,6**	**8,9**	**7,4**	**2,3**	**0**	**0**	**11,7**	**11,7**
Источник шума: ИШ-2-11, координаты источника (x,y,z), м =[761.13,97.90,1.00]													
Уровни звуковой мощности источника днём, Lw, дБ		**исходные данные**	**0**	**93,3**	**94,7**	**96**	**96,3**	**95,9**	**92,6**	**88,4**	**83,9**		
Поправка на телесный угол DΩ, дБ	Ω = 6.28	10Lg(4π/Ω)	**3**	3	3	3	3	3	3	3	3		
Показатель направленности источника Di, дБ		исходные данные	**0**	0	0	0	0	0	0	0	0		
Поправка на направленность источника Dc, дБ	Dc	DΩ + Di	**3**	3	3	3	3	3	3	3	3		
Затухание из-за геометрической дивергенции, Adiv, дБ	расстояние = 454.28 м	ф-ла (7) [10]	**64,1**										
Коэффициент затухания звука в атмосфере α, дБ/км	Ta=20,°C Pa=101.33,кПа hотн.=70%	ф-ла (5) [9]	0,02	0,09	0,33	1,12	2,79	4,98	9,04	23,09	77,63		
Учет затухания звука в атмосфере Aatm, дБ		ф-ла (8) [10]	0	0	0,2	0,5	1,3	2,3	4,1	10,5	35,3		
Снижение уровня звукового давления из-за влияния застройки между источником шума и расчетной точкой													
Снижение уровня звукового давления на пути над экраном, Dz1, дБ	z = 6.12м (разность путей)	ф-лы (14-18) [10]	13,8	17,5	21,8	25,9	29,4	32,5	35,5	38,5	41,6		
Снижение уровня звукового давления на пути слева от экрана, Dz2, дБ	z = 48.76м (разность путей)	ф-лы (14-18) [10]	23	26,6	31	35,4	39,1	42,3	45,3	48,4	51,4		
Снижение уровня звукового давления на пути справа от экрана, Dz3, дБ	z = 8.78м (разность путей)	ф-лы (14-18) [10]	15,5	18,3	21,2	24,2	27,2	30,2	33,2	36,2	39,2		
Общее снижение уровня звука препятствием Dz, дБ		Эн.сумма(-Dzi)	11,3	14,6	18,3	21,8	24,9	28	31	34	37		
Общее снижение уровня звука препятствием с учётом ограничения (25 дБ) для октавных полос Dz, дБ		Раздел 7.4 [10]	11,3	14,6	18,3	21,8	24,9	25	25	25	25		

1		2	3	4	5	6	7	8	9	10	11	12	13
Уровни звукового давления от источника ИШ-2-11 в расчётной точке днём, дБ		**ф-ла(3)[10]**	**0**	**17,5**	**15,1**	**12,6**	**8,9**	**7,5**	**2,3**	**0**	**0**	**11,8**	**11,8**
Источник шума: ИШ-2-12, координаты источника (x,y,z), м =[760.25,95.02,1.00]													
Уровни звуковой мощности источника днём, Lw, дБ		**исходные данные**	**0**	**93,3**	**94,7**	**96**	**96,3**	**95,9**	**92,6**	**88,4**	**83,9**		
Поправка на телесный угол DΩ, дБ	Ω = 6.28	10Lg(4π/Ω)	**3**	3	3	3	3	3	3	3	3		
Показатель направленности источника Di, дБ		исходные данные	**0**	0	0	0	0	0	0	0	0		
Поправка на направленность источника Dc, дБ	Dc	DΩ + Di	**3**	3	3	3	3	3	3	3	3		
Затухание из-за геометрической дивергенции, Adiv, дБ	расстояние = 452.49 м	ф-ла (7) [10]	**64,1**										
Коэффициент затухания звука в атмосфере α, дБ/км	Ta=20,°C Pa=101.33,кПа hотн.=70%	ф-ла (5) [9]	0,02	0,09	0,33	1,12	2,79	4,98	9,04	23,09	77,63		
Учет затухания звука в атмосфере Aatm, дБ		ф-ла (8) [10]	0	0	0,2	0,5	1,3	2,3	4,1	10,4	35,1		
Снижение уровня звукового давления из-за влияния застройки между источником шума и расчетной точкой													
Снижение уровня звукового давления на пути над экраном, Dz1, дБ	z = 6.13м (разность путей)	ф-лы (14-18) [10]	13,8	17,5	21,8	25,9	29,4	32,5	35,5	38,6	41,6		
Снижение уровня звукового давления на пути слева от экрана, Dz2, дБ	z = 48.58м (разность путей)	ф-лы (14-18) [10]	22,9	26,6	31	35,4	39,1	42,3	45,3	48,4	51,4		
Снижение уровня звукового давления на пути справа от экрана, Dz3, дБ	z = 8.89м (разность путей)	ф-лы (14-18) [10]	15,6	18,4	21,3	24,2	27,2	30,2	33,2	36,2	39,2		
Общее снижение уровня звука препятствием Dz, дБ		Эн.сумма(-Dzi)	11,3	14,6	18,3	21,8	25	28	31	34,1	37,1		
Общее снижение уровня звука препятствием с учётом ограничения (25 дБ) для октавных полос Dz, дБ		Раздел 7.4 [10]	11,3	14,6	18,3	21,8	25	25	25	25	25		
Уровни звукового давления от источника ИШ-2-12 в расчётной точке днём, дБ		**ф-ла(3)[10]**	**0**	**17,5**	**15,1**	**12,6**	**8,9**	**7,5**	**2,4**	**0**	**0**	**11,8**	**11,8**

1		2	3	4	5	6	7	8	9	10	11	12	13
Источник шума: ИШ-2-13, координаты источника (x,y,z), м =[759.28,92.25,1.00]													
Уровни звуковой мощности источника днём, Lw, дБ		**исходные данные**	**0**	**93,3**	**94,7**	**96**	**96,3**	**95,9**	**92,6**	**88,4**	**83,9**		
Поправка на телесный угол DΩ, дБ	Ω = 6.28	10Lg(4π/Ω)	**3**	3	3	3	3	3	3	3	3		
Показатель направленности источника Di, дБ		исходные данные	**0**	0	0	0	0	0	0	0	0		
Поправка на направленность источника Dc, дБ	Dc	DΩ + Di	**3**	3	3	3	3	3	3	3	3		
Затухание из-за геометрической дивергенции, Adiv, дБ	расстояние = 450.65 м	ф-ла (7) [10]	**64,1**										
Коэффициент затухания звука в атмосфере α, дБ/км	Ta=20,°C Pa=101.33,кПа hотн.=70%	ф-ла (5) [9]	0,02	0,09	0,33	1,12	2,79	4,98	9,04	23,09	77,63		
Учет затухания звука в атмосфере Aatm, дБ		ф-ла (8) [10]	0	0	0,2	0,5	1,3	2,2	4,1	10,4	35		
Снижение уровня звукового давления из-за влияния застройки между источником шума и расчетной точкой													
Снижение уровня звукового давления на пути над экраном, Dz1, дБ	z = 6.14м (разность путей)	ф-лы (14-18) [10]	13,8	17,5	21,8	25,9	29,4	32,5	35,5	38,6	41,6		
Снижение уровня звукового давления на пути слева от экрана, Dz2, дБ	z = 48.41м (разность путей)	ф-лы (14-18) [10]	22,9	26,6	31	35,4	39	42,3	45,3	48,3	51,4		
Снижение уровня звукового давления на пути справа от экрана, Dz3, дБ	z = 8.99м (разность путей)	ф-лы (14-18) [10]	15,6	18,4	21,3	24,3	27,3	30,3	33,3	36,3	39,3		
Общее снижение уровня звука препятствием Dz, дБ		Эн.сумма(-Dzi)	11,3	14,6	18,3	21,8	25	28,1	31,1	34,1	37,1		
Общее снижение уровня звука препятствием с учётом ограничения (25 дБ) для октавных полос Dz, дБ		Раздел 7.4 [10]	11,3	14,6	18,3	21,8	25	25	25	25	25		
Уровни звукового давления от источника ИШ-2-13 в расчётной точке днём, дБ		**ф-ла(3)[10]**	**0**	**17,5**	**15,2**	**12,6**	**9**	**7,6**	**2,4**	**0**	**0**	**11,8**	**11,8**
Источник шума: ИШ-2-14, координаты источника (x,y,z), м =[751.62,69.73,1.00]													

1		2	3	4	5	6	7	8	9	10	11	12	13
Уровни звуковой мощности источника днём, Lw, дБ		**исходные данные**	**0**	**93,3**	**94,7**	**96**	**96,3**	**95,9**	**92,6**	**88,4**	**83,9**		
Поправка на телесный угол DΩ, дБ	Ω = 6.28	10Lg(4π/Ω)	**3**	3	3	3	3	3	3	3	3		
Показатель направленности источника Di, дБ		исходные данные	**0**	0	0	0	0	0	0	0	0		
Поправка на направленность источника Dc, дБ	Dc	DΩ + Di	**3**	3	3	3	3	3	3	3	3		
Затухание из-за геометрической дивергенции, Adiv, дБ	расстояние = 436.39 м	ф-ла (7) [10]	**63,8**										
Коэффициент затухания звука в атмосфере α, дБ/км	Ta=20,°C Pa=101.33,кПа hотн.=70%	ф-ла (5) [9]	0,02	0,09	0,33	1,12	2,79	4,98	9,04	23,09	77,63		
Учет затухания звука в атмосфере Aatm, дБ		ф-ла (8) [10]	0	0	0,1	0,5	1,2	2,2	3,9	10,1	33,9		
Снижение уровня звукового давления из-за влияния застройки между источником шума и расчетной точкой													
Снижение уровня звукового давления на пути над экраном, Dz1, дБ	z = 6.21м (разность путей)	ф-лы (14-18) [10]	13,9	17,5	21,8	26	29,4	32,6	35,6	38,6	41,7		
Снижение уровня звукового давления на пути слева от экрана, Dz2, дБ	z = 46.96м (разность путей)	ф-лы (14-18) [10]	22,8	26,5	30,9	35,2	38,9	42,1	45,2	48,2	51,2		
Снижение уровня звукового давления на пути справа от экрана, Dz3, дБ	z = 9.90м (разность путей)	ф-лы (14-18) [10]	16	18,8	21,7	24,7	27,7	30,7	33,7	36,7	39,7		
Общее снижение уровня звука препятствием Dz, дБ		Эн.сумма(-Dzi)	11,5	14,8	18,5	22,1	25,3	28,3	31,3	34,4	37,4		
Общее снижение уровня звука препятствием с учётом ограничения (25 дБ) для октавных полос Dz, дБ		Раздел 7.4 [10]	11,5	14,8	18,5	22,1	25	25	25	25	25		
Уровни звукового давления от источника ИШ-2-14 в расчётной точке днём, дБ		**ф-ла(3)[10]**	**0**	**17,7**	**15,2**	**12,6**	**9,3**	**7,9**	**2,8**	**0**	**0**	**12,1**	**12,1**
Источник шума: ИШ-2-15, координаты источника (x,y,z), м =[750.74,66.89,1.00]													
Уровни звуковой мощности источника днём, Lw, дБ		**исходные данные**	**0**	**93,3**	**94,7**	**96**	**96,3**	**95,9**	**92,6**	**88,4**	**83,9**		

1		2	3	4	5	6	7	8	9	10	11	12	13
Поправка на телесный угол DΩ, дБ	Ω = 6.28	10Lg(4π/Ω)	**3**	3	3	3	3	3	3	3	3		
Показатель направленности источника Di, дБ		исходные данные	**0**	0	0	0	0	0	0	0	0		
Поправка на направленность источника Dc, дБ	Dc	DΩ + Di	**3**	3	3	3	3	3	3	3	3		
Затухание из-за геометрической дивергенции, Adiv, дБ	расстояние = 434.74 м	ф-ла (7) [10]	**63,8**										
Коэффициент затухания звука в атмосфере α, дБ/км	Ta=20,°C Pa=101.33,кПа hотн.=70%	ф-ла (5) [9]	0,02	0,09	0,33	1,12	2,79	4,98	9,04	23,09	77,63		
Учет затухания звука в атмосфере Aatm, дБ		ф-ла (8) [10]	0	0	0,1	0,5	1,2	2,2	3,9	10	33,8		
Снижение уровня звукового давления из-за влияния застройки между источником шума и расчетной точкой													
Снижение уровня звукового давления на пути над экраном, Dz1, дБ	z = 6.21м (разность путей)	ф-лы (14-18) [10]	13,9	17,5	21,8	26	29,4	32,6	35,6	38,7	41,7		
Снижение уровня звукового давления на пути слева от экрана, Dz2, дБ	z = 46.77м (разность путей)	ф-лы (14-18) [10]	22,8	26,5	30,8	35,2	38,9	42,1	45,2	48,2	51,2		
Снижение уровня звукового давления на пути справа от экрана, Dz3, дБ	z = 10.02м (разность путей)	ф-лы (14-18) [10]	16	18,9	21,8	24,7	27,7	30,7	33,7	36,7	39,7		
Общее снижение уровня звука препятствием Dz, дБ		Эн.сумма(-Dzi)	11,5	14,8	18,5	22,1	25,3	28,4	31,4	34,4	37,4		
Общее снижение уровня звука препятствием с учётом ограничения (25 дБ) для октавных полос Dz, дБ		Раздел 7.4 [10]	11,5	14,8	18,5	22,1	25	25	25	25	25		
Уровни звукового давления от источника ИШ-2-15 в расчётной точке днём, дБ		**ф-ла(3)[10]**	**0**	**17,7**	**15,3**	**12,7**	**9,3**	**8**	**2,9**	**0**	**0**	**12,2**	**12,2**
Источник шума: ИШ-2-16, координаты источника (x,y,z), м =[749.73,64.02,1.00]													
Уровни звуковой мощности источника днём, Lw, дБ		**исходные данные**	**0**	**93,3**	**94,7**	**96**	**96,3**	**95,9**	**92,6**	**88,4**	**83,9**		
Поправка на телесный угол DΩ, дБ	Ω = 6.28	10Lg(4π/Ω)	**3**	3	3	3	3	3	3	3	3		

1		2	3	4	5	6	7	8	9	10	11	12	13
Показатель направленности источника Di, дБ		исходные данные	**0**	0	0	0	0	0	0	0	0		
Поправка на направленность источника Dc, дБ	Dc	DΩ + Di	**3**	3	3	3	3	3	3	3	3		
Затухание из-за геометрической дивергенции, Adiv, дБ	расстояние = 432.96 м	ф-ла (7) [10]	**63,7**										
Коэффициент затухания звука в атмосфере α, дБ/км	Ta=20,°C Pa=101.33,кПа hотн.=70%	ф-ла (5) [9]	0,02	0,09	0,33	1,12	2,79	4,98	9,04	23,09	77,63		
Учет затухания звука в атмосфере Aatm, дБ		ф-ла (8) [10]	0	0	0,1	0,5	1,2	2,2	3,9	10	33,6		
Снижение уровня звукового давления из-за влияния застройки между источником шума и расчетной точкой													
Снижение уровня звукового давления на пути над экраном, Dz1, дБ	z = 6.22м (разность путей)	ф-лы (14-18) [10]	13,9	17,5	21,8	26	29,5	32,6	35,6	38,7	41,7		
Снижение уровня звукового давления на пути слева от экрана, Dz2, дБ	z = 46.58м (разность путей)	ф-лы (14-18) [10]	22,8	26,4	30,8	35,2	38,9	42,1	45,2	48,2	51,2		
Снижение уровня звукового давления на пути справа от экрана, Dz3, дБ	z = 10.15м (разность путей)	ф-лы (14-18) [10]	16,1	18,9	21,8	24,8	27,8	30,8	33,8	36,8	39,8		
Общее снижение уровня звука препятствием Dz, дБ		Эн.сумма(-Dzi)	11,5	14,8	18,6	22,1	25,3	28,4	31,4	34,4	37,4		
Общее снижение уровня звука препятствием с учётом ограничения (25 дБ) для октавных полос Dz, дБ		Раздел 7.4 [10]	11,5	14,8	18,6	22,1	25	25	25	25	25		
Уровни звукового давления от источника ИШ-2-16 в расчётной точке днём, дБ		**ф-ла(3)[10]**	**0**	**17,7**	**15,3**	**12,7**	**9,4**	**8**	**2,9**	**0**	**0**	**12,2**	**12,2**
Источник шума: ИШ-2-17, координаты источника (x,y,z), м =[748.87,61.06,1.00]													
Уровни звуковой мощности источника днём, Lw, дБ		**исходные данные**	**0**	**93,3**	**94,7**	**96**	**96,3**	**95,9**	**92,6**	**88,4**	**83,9**		
Поправка на телесный угол DΩ, дБ	Ω = 6.28	10Lg(4π/Ω)	**3**	3	3	3	3	3	3	3	3		
Показатель направленности источника Di, дБ		исходные данные	**0**	0	0	0	0	0	0	0	0		

1		2	3	4	5	6	7	8	9	10	11	12	13
Поправка на направленность источника Dc, дБ	Dc	DΩ + Di	**3**	3	3	3	3	3	3	3	3		
Затухание из-за геометрической дивергенции, Adiv, дБ	расстояние = 431.32 м	ф-ла (7) [10]	**63,7**										
Коэффициент затухания звука в атмосфере α, дБ/км	Ta=20,°C Pa=101.33,кПа hотн.=70%	ф-ла (5) [9]	0,02	0,09	0,33	1,12	2,79	4,98	9,04	23,09	77,63		
Учет затухания звука в атмосфере Aatm, дБ		ф-ла (8) [10]	0	0	0,1	0,5	1,2	2,1	3,9	10	33,5		
Снижение уровня звукового давления из-за влияния застройки между источником шума и расчетной точкой													
Снижение уровня звукового давления на пути над экраном, Dz1, дБ	z = 6.23м (разность путей)	ф-лы (14-18) [10]	13,9	17,5	21,8	26	29,5	32,6	35,7	38,7	41,7		
Снижение уровня звукового давления на пути слева от экрана, Dz2, дБ	z = 46.38м (разность путей)	ф-лы (14-18) [10]	22,7	26,4	30,8	35,2	38,9	42,1	45,1	48,2	51,2		
Снижение уровня звукового давления на пути справа от экрана, Dz3, дБ	z = 10.28м (разность путей)	ф-лы (14-18) [10]	16,1	19	21,9	24,8	27,8	30,8	33,8	36,8	39,9		
Общее снижение уровня звука препятствием Dz, дБ		Эн.сумма(-Dzi)	11,5	14,8	18,6	22,1	25,4	28,4	31,5	34,5	37,5		
Общее снижение уровня звука препятствием с учётом ограничения (25 дБ) для октавных полос Dz, дБ		Раздел 7.4 [10]	11,5	14,8	18,6	22,1	25	25	25	25	25		
Уровни звукового давления от источника ИШ-2-17 в расчётной точке днём, дБ		**ф-ла(3)[10]**	**0**	**17,7**	**15,3**	**12,7**	**9,4**	**8**	**3**	**0**	**0**	**12,2**	**12,2**
Источник шума: ИШ-2-18, координаты источника (x,y,z), м =[747.72,58.17,1.00]													
Уровни звуковой мощности источника днём, Lw, дБ		**исходные данные**	**0**	**93,3**	**94,7**	**96**	**96,3**	**95,9**	**92,6**	**88,4**	**83,9**		
Поправка на телесный угол DΩ, дБ	Ω = 6.28	10Lg(4π/Ω)	**3**	3	3	3	3	3	3	3	3		
Показатель направленности источника Di, дБ		исходные данные	**0**	0	0	0	0	0	0	0	0		
Поправка на направленность источника Dc, дБ	Dc	DΩ + Di	**3**	3	3	3	3	3	3	3	3		

1		2	3	4	5	6	7	8	9	10	11	12	13
Затухание из-за геометрической дивергенции, Adiv, дБ	расстояние = 429.43 м	ф-ла (7) [10]	**63,7**										
Коэффициент затухания звука в атмосфере α, дБ/км	Ta=20,°C Pa=101.33,кПа hотн.=70%	ф-ла (5) [9]	0,02	0,09	0,33	1,12	2,79	4,98	9,04	23,09	77,63		
Учет затухания звука в атмосфере Aatm, дБ		ф-ла (8) [10]	0	0	0,1	0,5	1,2	2,1	3,9	9,9	33,3		
Снижение уровня звукового давления из-за влияния застройки между источником шума и расчетной точкой													
Снижение уровня звукового давления на пути над экраном, Dz1, дБ	z = 6.24м (разность путей)	ф-лы (14-18) [10]	13,9	17,5	21,8	26	29,5	32,6	35,7	38,7	41,7		
Снижение уровня звукового давления на пути слева от экрана, Dz2, дБ	z = 63.13м (разность путей)	ф-лы (14-18) [10]	28,1	31,4	34,4	37,5	40,5	43,5	46,5	49,5	52,5		
Снижение уровня звукового давления на пути справа от экрана, Dz3, дБ	z = 10.40м (разность путей)	ф-лы (14-18) [10]	16,2	19	21,9	24,9	27,9	30,9	33,9	36,9	39,9		
Общее снижение уровня звука препятствием Dz, дБ		Эн.сумма(-Dzi)	11,8	15,1	18,8	22,3	25,5	28,5	31,5	34,5	37,6		
Общее снижение уровня звука препятствием с учётом ограничения (25 дБ) для октавных полос Dz, дБ		Раздел 7.4 [10]	11,8	15,1	18,8	22,3	25	25	25	25	25		
Уровни звукового давления от источника ИШ-2-18 в расчётной точке днём, дБ		**ф-ла(3)[10]**	**0**	**17,5**	**15,1**	**12,6**	**9,4**	**8,1**	**3,1**	**0**	**0**	**12,2**	**12,2**
Источник шума: ИШ-2-19, координаты источника (x,y,z), м =[746.80,55.25,1.00]													
Уровни звуковой мощности источника днём, Lw, дБ		**исходные данные**	**0**	**93,3**	**94,7**	**96**	**96,3**	**95,9**	**92,6**	**88,4**	**83,9**		
Поправка на телесный угол DΩ, дБ	Ω = 6.28	10Lg(4π/Ω)	**3**	3	3	3	3	3	3	3	3		
Показатель направленности источника Di, дБ		исходные данные	**0**	0	0	0	0	0	0	0	0		
Поправка на направленность источника Dc, дБ	Dc	DΩ + Di	**3**	3	3	3	3	3	3	3	3		
Затухание из-за геометрической дивергенции, Adiv, дБ	расстояние = 427.78 м	ф-ла (7) [10]	**63,6**										

1		2	3	4	5	6	7	8	9	10	11	12	13
Коэффициент затухания звука в атмосфере α, дБ/км	Ta=20,°C Pa=101.33,кПа hотн.=70%	ф-ла (5) [9]	0,02	0,09	0,33	1,12	2,79	4,98	9,04	23,09	77,63		
Учет затухания звука в атмосфере Aatm, дБ		ф-ла (8) [10]	0	0	0,1	0,5	1,2	2,1	3,9	9,9	33,2		
Снижение уровня звукового давления из-за влияния застройки между источником шума и расчетной точкой													
Снижение уровня звукового давления на пути над экраном, Dz1, дБ	z = 6.25м (разность путей)	ф-лы (14-18) [10]	13,9	17,5	21,8	26	29,5	32,6	35,7	38,7	41,7		
Снижение уровня звукового давления на пути слева от экрана, Dz2, дБ	z = 62.29м (разность путей)	ф-лы (14-18) [10]	28,1	31,3	34,4	37,4	40,4	43,4	46,4	49,4	52,5		
Снижение уровня звукового давления на пути справа от экрана, Dz3, дБ	z = 10.54м (разность путей)	ф-лы (14-18) [10]	16,2	19,1	22	25	27,9	30,9	33,9	37	40		
Общее снижение уровня звука препятствием Dz, дБ		Эн.сумма(-Dzi)	11,8	15,1	18,8	22,3	25,5	28,5	31,6	34,6	37,6		
Общее снижение уровня звука препятствием с учётом ограничения (25 дБ) для октавных полос Dz, дБ		Раздел 7.4 [10]	11,8	15,1	18,8	22,3	25	25	25	25	25		
Уровни звукового давления от источника ИШ-2-19 в расчётной точке днём, дБ		**ф-ла(3)[10]**	**0**	**17,5**	**15,1**	**12,6**	**9,5**	**8,1**	**3,1**	**0**	**0**	**12,3**	**12,3**
Источник шума: ИШ-2-20, координаты источника (x,y,z), м =[745.71,52.44,1.00]													
Уровни звуковой мощности источника днём, Lw, дБ		**исходные данные**	**0**	**93,3**	**94,7**	**96**	**96,3**	**95,9**	**92,6**	**88,4**	**83,9**		
Поправка на телесный угол DΩ, дБ	Ω = 6.28	10Lg(4π/Ω)	**3**	3	3	3	3	3	3	3	3		
Показатель направленности источника Di, дБ		исходные данные	**0**	0	0	0	0	0	0	0	0		
Поправка на направленность источника Dc, дБ	Dc	DΩ + Di	**3**	3	3	3	3	3	3	3	3		
Затухание из-за геометрической дивергенции, Adiv, дБ	расстояние = 426.00 м	ф-ла (7) [10]	**63,6**										
Коэффициент затухания звука в атмосфере α, дБ/км	Ta=20,°C Pa=101.33,кПа hотн.=70%	ф-ла (5) [9]	0,02	0,09	0,33	1,12	2,79	4,98	9,04	23,09	77,63		

1		2	3	4	5	6	7	8	9	10	11	12	13
Учет затухания звука в атмосфере Aatm, дБ		ф-ла (8) [10]	0	0	0,1	0,5	1,2	2,1	3,9	9,8	33,1		
Снижение уровня звукового давления из-за влияния застройки между источником шума и расчетной точкой													
Снижение уровня звукового давления на пути над экраном, Dz1, дБ	z = 6.25м (разность путей)	ф-лы (14-18) [10]	13,9	17,5	21,8	26	29,5	32,6	35,7	38,7	41,7		
Снижение уровня звукового давления на пути слева от экрана, Dz2, дБ	z = 61.51м (разность путей)	ф-лы (14-18) [10]	28	31,3	34,3	37,3	40,4	43,4	46,4	49,4	52,4		
Снижение уровня звукового давления на пути справа от экрана, Dz3, дБ	z = 10.66м (разность путей)	ф-лы (14-18) [10]	16,3	19,1	22	25	28	31	34	37	40		
Общее снижение уровня звука препятствием Dz, дБ		Эн.сумма(-Dzi)	11,8	15,1	18,8	22,3	25,5	28,6	31,6	34,6	37,6		
Общее снижение уровня звука препятствием с учётом ограничения (25 дБ) для октавных полос Dz, дБ		Раздел 7.4 [10]	11,8	15,1	18,8	22,3	25	25	25	25	25		
Уровни звукового давления от источника ИШ-2-20 в расчётной точке днём, дБ		**ф-ла(3)[10]**	**0**	**17,5**	**15,2**	**12,6**	**9,5**	**8,2**	**3,2**	**0**	**0**	**12,3**	**12,3**
Источник шума: ИШ-2-21, координаты источника (x,y,z), м =[744.89,49.62,1.00]													
Уровни звуковой мощности источника днём, Lw, дБ		**исходные данные**	**0**	**93,3**	**94,7**	**96**	**96,3**	**95,9**	**92,6**	**88,4**	**83,9**		
Поправка на телесный угол DΩ, дБ	Ω = 6.28	10Lg(4π/Ω)	**3**	3	3	3	3	3	3	3	3		
Показатель направленности источника Di, дБ		исходные данные	**0**	0	0	0	0	0	0	0	0		
Поправка на направленность источника Dc, дБ	Dc	DΩ + Di	**3**	3	3	3	3	3	3	3	3		
Затухание из-за геометрической дивергенции, Adiv, дБ	расстояние = 424.50 м	ф-ла (7) [10]	**63,6**										
Коэффициент затухания звука в атмосфере α, дБ/км	Ta=20,°C Pa=101.33,кПа hотн.=70%	ф-ла (5) [9]	0,02	0,09	0,33	1,12	2,79	4,98	9,04	23,09	77,63		
Учет затухания звука в атмосфере Aatm, дБ		ф-ла (8) [10]	0	0	0,1	0,5	1,2	2,1	3,8	9,8	33		

1		2	3	4	5	6	7	8	9	10	11	12	13
Снижение уровня звукового давления из-за влияния застройки между источником шума и расчетной точкой													
Снижение уровня звукового давления на пути над экраном, Dz1, дБ	z = 6.26м (разность путей)	ф-лы (14-18) [10]	13,9	17,5	21,8	26	29,5	32,6	35,7	38,7	41,7		
Снижение уровня звукового давления на пути слева от экрана, Dz2, дБ	z = 60.69м (разность путей)	ф-лы (14-18) [10]	27,9	31,2	34,3	37,3	40,3	43,3	46,3	49,3	52,3		
Снижение уровня звукового давления на пути справа от экрана, Dz3, дБ	z = 10.79м (разность путей)	ф-лы (14-18) [10]	16,3	19,2	22,1	25,1	28	31	34,1	37,1	40,1		
Общее снижение уровня звука препятствием Dz, дБ		Эн.сумма(-Dzi)	11,8	15,1	18,8	22,4	25,6	28,6	31,6	34,6	37,7		
Общее снижение уровня звука препятствием с учётом ограничения (25 дБ) для октавных полос Dz, дБ		Раздел 7.4 [10]	11,8	15,1	18,8	22,4	25	25	25	25	25		
Уровни звукового давления от источника ИШ-2-21 в расчётной точке днём, дБ		**ф-ла(3)[10]**	**0**	**17,6**	**15,2**	**12,6**	**9,5**	**8,2**	**3,2**	**0**	**0**	**12,3**	**12,3**
Источник шума: ИШ-2-22, координаты источника (x,y,z), м =[737.40,27.07,1.00]													
Уровни звуковой мощности источника днём, Lw, дБ		**исходные данные**	**0**	**93,3**	**94,7**	**96**	**96,3**	**95,9**	**92,6**	**88,4**	**83,9**		
Поправка на телесный угол DΩ, дБ	Ω = 6.28	10Lg(4π/Ω)	**3**	3	3	3	3	3	3	3	3		
Показатель направленности источника Di, дБ		исходные данные	**0**	0	0	0	0	0	0	0	0		
Поправка на направленность источника Dc, дБ	Dc	DΩ + Di	**3**	3	3	3	3	3	3	3	3		
Затухание из-за геометрической дивергенции, Adiv, дБ	расстояние = 412.09 м	ф-ла (7) [10]	**63,3**										
Коэффициент затухания звука в атмосфере α, дБ/км	Ta=20,°C Pa=101.33,кПа hотн.=70%	ф-ла (5) [9]	0,02	0,09	0,33	1,12	2,79	4,98	9,04	23,09	77,63		
Учет затухания звука в атмосфере Aatm, дБ		ф-ла (8) [10]	0	0	0,1	0,5	1,2	2,1	3,7	9,5	32		
Снижение уровня звукового давления из-за влияния застройки между источником шума и расчетной точкой													

1		2	3	4	5	6	7	8	9	10	11	12	13
Снижение уровня звукового давления на пути над экраном, Dz1, дБ	z = 6.32м (разность путей)	ф-лы (14-18) [10]	13,9	17,5	21,8	26	29,6	32,7	35,8	38,8	41,8		
Снижение уровня звукового давления на пути слева от экрана, Dz2, дБ	z = 54.29м (разность путей)	ф-лы (14-18) [10]	27,5	30,7	33,8	36,8	39,8	42,8	45,8	48,8	51,9		
Снижение уровня звукового давления на пути справа от экрана, Dz3, дБ	z = 11.89м (разность путей)	ф-лы (14-18) [10]	16,7	19,6	22,5	25,5	28,5	31,5	34,5	37,5	40,5		
Общее снижение уровня звука препятствием Dz, дБ		Эн.сумма(-Dzi)	12	15,3	19	22,6	25,8	28,9	31,9	34,9	37,9		
Общее снижение уровня звука препятствием с учётом ограничения (25 дБ) для октавных полос Dz, дБ		Раздел 7.4 [10]	12	15,3	19	22,6	25	25	25	25	25		
Уровни звукового давления от источника ИШ-2-22 в расчётной точке днём, дБ		**ф-ла(3)[10]**	**0**	**17,7**	**15,3**	**12,7**	**9,8**	**8,5**	**3,6**	**0**	**0**	**12,6**	**12,6**
Источник шума: ИШ-2-23, координаты источника (x,y,z), м =[736.46,24.18,1.00]													
Уровни звуковой мощности источника днём, Lw, дБ		**исходные данные**	**0**	**93,3**	**94,7**	**96**	**96,3**	**95,9**	**92,6**	**88,4**	**83,9**		
Поправка на телесный угол DΩ, дБ	Ω = 6.28	10Lg(4π/Ω)	**3**	3	3	3	3	3	3	3	3		
Показатель направленности источника Di, дБ		исходные данные	**0**	0	0	0	0	0	0	0	0		
Поправка на направленность источника Dc, дБ	Dc	DΩ + Di	**3**	3	3	3	3	3	3	3	3		
Затухание из-за геометрической дивергенции, Adiv, дБ	расстояние = 410.59 м	ф-ла (7) [10]	**63,3**										
Коэффициент затухания звука в атмосфере α, дБ/км	Ta=20,°C Pa=101.33,кПа hотн.=70%	ф-ла (5) [9]	0,02	0,09	0,33	1,12	2,79	4,98	9,04	23,09	77,63		
Учет затухания звука в атмосфере Aatm, дБ		ф-ла (8) [10]	0	0	0,1	0,5	1,1	2	3,7	9,5	31,9		
Снижение уровня звукового давления из-за влияния застройки между источником шума и расчетной точкой													
Снижение уровня звукового давления на пути над экраном, Dz1, дБ	z = 6.33м (разность путей)	ф-лы (14-18) [10]	13,9	17,5	21,8	26	29,6	32,7	35,8	38,8	41,8		

1		2	3	4	5	6	7	8	9	10	11	12	13
Снижение уровня звукового давления на пути слева от экрана, Dz2, дБ	z = 53.48м (разность путей)	ф-лы (14-18) [10]	27,4	30,7	33,7	36,7	39,7	42,8	45,8	48,8	51,8		
Снижение уровня звукового давления на пути справа от экрана, Dz3, дБ	z = 12.04м (разность путей)	ф-лы (14-18) [10]	16,8	19,6	22,6	25,5	28,5	31,5	34,5	37,5	40,5		
Общее снижение уровня звука препятствием Dz, дБ		Эн.сумма(-Dzi)	12	15,3	19	22,6	25,8	28,9	31,9	34,9	37,9		
Общее снижение уровня звука препятствием с учётом ограничения (25 дБ) для октавных полос Dz, дБ		Раздел 7.4 [10]	12	15,3	19	22,6	25	25	25	25	25		
Уровни звукового давления от источника ИШ-2-23 в расчётной точке днём, дБ		**ф-ла(3)[10]**	**0**	**17,7**	**15,3**	**12,7**	**9,9**	**8,6**	**3,6**	**0**	**0**	**12,7**	**12,7**
Источник шума: ИШ-2-24, координаты источника (x,y,z), м =[735.45,21.21,1.00]													
Уровни звуковой мощности источника днём, Lw, дБ		**исходные данные**	**0**	**93,3**	**94,7**	**96**	**96,3**	**95,9**	**92,6**	**88,4**	**83,9**		
Поправка на телесный угол DΩ, дБ	Ω = 6.28	10Lg(4π/Ω)	**3**	3	3	3	3	3	3	3	3		
Показатель направленности источника Di, дБ		исходные данные	**0**	0	0	0	0	0	0	0	0		
Поправка на направленность источника Dc, дБ	Dc	DΩ + Di	**3**	3	3	3	3	3	3	3	3		
Затухание из-за геометрической дивергенции, Adiv, дБ	расстояние = 409.03 м	ф-ла (7) [10]	**63,2**										
Коэффициент затухания звука в атмосфере α, дБ/км	Ta=20,°C Pa=101.33,кПа hотн.=70%	ф-ла (5) [9]	0,02	0,09	0,33	1,12	2,79	4,98	9,04	23,09	77,63		
Учет затухания звука в атмосфере Aatm, дБ		ф-ла (8) [10]	0	0	0,1	0,5	1,1	2	3,7	9,4	31,8		
Снижение уровня звукового давления из-за влияния застройки между источником шума и расчетной точкой													
Снижение уровня звукового давления на пути над экраном, Dz1, дБ	z = 6.35м (разность путей)	ф-лы (14-18) [10]	17,7	21	24	27	30	33	36	39	42		
Снижение уровня звукового давления на пути слева от экрана, Dz2, дБ	z = 52.66м (разность путей)	ф-лы (14-18) [10]	27,3	30,6	33,6	36,7	39,7	42,7	45,7	48,7	51,7		

1		2	3	4	5	6	7	8	9	10	11	12	13
Снижение уровня звукового давления на пути справа от экрана, Dz3, дБ	z = 12.19м (разность путей)	ф-лы (14-18) [10]	16,8	19,7	22,6	25,6	28,6	31,6	34,6	37,6	40,6		
Общее снижение уровня звука препятствием Dz, дБ		Эн.сумма(-Dzi)	14	17,1	20	23	26	29	32	35	38,1		
Общее снижение уровня звука препятствием с учётом ограничения (25 дБ) для октавных полос Dz, дБ		Раздел 7.4 [10]	14	17,1	20	23	25	25	25	25	25		
Уровни звукового давления от источника ИШ-2-24 в расчётной точке днём, дБ		**ф-ла(3)[10]**	**0**	**15,9**	**14,3**	**12,3**	**9,9**	**8,6**	**3,7**	**0**	**0**	**12,6**	**12,6**
Источник шума: ИШ-2-25, координаты источника (x,y,z), м =[734.58,18.32,1.00]													
Уровни звуковой мощности источника днём, Lw, дБ		**исходные данные**	**0**	**93,3**	**94,7**	**96**	**96,3**	**95,9**	**92,6**	**88,4**	**83,9**		
Поправка на телесный угол DΩ, дБ	Ω = 6.28	10Lg(4π/Ω)	**3**	3	3	3	3	3	3	3	3		
Показатель направленности источника Di, дБ		исходные данные	**0**	0	0	0	0	0	0	0	0		
Поправка на направленность источника Dc, дБ	Dc	DΩ + Di	**3**	3	3	3	3	3	3	3	3		
Затухание из-за геометрической дивергенции, Adiv, дБ	расстояние = 407.64 м	ф-ла (7) [10]	**63,2**										
Коэффициент затухания звука в атмосфере α, дБ/км	Ta=20,°C Pa=101.33,кПа hотн.=70%	ф-ла (5) [9]	0,02	0,09	0,33	1,12	2,79	4,98	9,04	23,09	77,63		
Учет затухания звука в атмосфере Aatm, дБ		ф-ла (8) [10]	0	0	0,1	0,5	1,1	2	3,7	9,4	31,6		
Снижение уровня звукового давления из-за влияния застройки между источником шума и расчетной точкой													
Снижение уровня звукового давления на пути над экраном, Dz1, дБ	z = 6.36м (разность путей)	ф-лы (14-18) [10]	17,8	21	24	27	30	33	36	39	42		
Снижение уровня звукового давления на пути слева от экрана, Dz2, дБ	z = 51.84м (разность путей)	ф-лы (14-18) [10]	27,3	30,5	33,6	36,6	39,6	42,6	45,6	48,6	51,7		
Снижение уровня звукового давления на пути справа от экрана, Dz3, дБ	z = 12.34м (разность путей)	ф-лы (14-18) [10]	16,9	19,8	22,7	25,6	28,6	31,6	34,6	37,6	40,7		

1		2	3	4	5	6	7	8	9	10	11	12	13
Общее снижение уровня звука препятствием Dz, дБ		Эн.сумма(-Dzi)	14,1	17,1	20,1	23,1	26,1	29,1	32,1	35,1	38,1		
Общее снижение уровня звука препятствием с учётом ограничения (25 дБ) для октавных полос Dz, дБ		Раздел 7.4 [10]	14,1	17,1	20,1	23,1	25	25	25	25	25		
Уровни звукового давления от источника ИШ-2-25 в расчётной точке днём, дБ		**ф-ла(3)[10]**	**0**	**15,9**	**14,3**	**12,3**	**9,9**	**8,7**	**3,7**	**0**	**0**	**12,6**	**12,6**
Источник шума: ИШ-2-26, координаты источника (x,y,z), м =[733.57,15.41,1.00]													
Уровни звуковой мощности источника днём, Lw, дБ		**исходные данные**	**0**	**93,3**	**94,7**	**96**	**96,3**	**95,9**	**92,6**	**88,4**	**83,9**		
Поправка на телесный угол DΩ, дБ	Ω = 6.28	10Lg(4π/Ω)	**3**	3	3	3	3	3	3	3	3		
Показатель направленности источника Di, дБ		исходные данные	**0**	0	0	0	0	0	0	0	0		
Поправка на направленность источника Dc, дБ	Dc	DΩ + Di	**3**	3	3	3	3	3	3	3	3		
Затухание из-за геометрической дивергенции, Adiv, дБ	расстояние = 406.12 м	ф-ла (7) [10]	**63,2**										
Коэффициент затухания звука в атмосфере α, дБ/км	Ta=20,°C Pa=101.33,кПа hотн.=70%	ф-ла (5) [9]	0,02	0,09	0,33	1,12	2,79	4,98	9,04	23,09	77,63		
Учет затухания звука в атмосфере Aatm, дБ		ф-ла (8) [10]	0	0	0,1	0,5	1,1	2	3,7	9,4	31,5		
Снижение уровня звукового давления из-за влияния застройки между источником шума и расчетной точкой													
Снижение уровня звукового давления на пути над экраном, Dz1, дБ	z = 6.36м (разность путей)	ф-лы (14-18) [10]	17,8	21	24	27	30	33	36	39	42,1		
Снижение уровня звукового давления на пути слева от экрана, Dz2, дБ	z = 51.05м (разность путей)	ф-лы (14-18) [10]	27,2	30,5	33,5	36,5	39,5	42,6	45,6	48,6	51,6		
Снижение уровня звукового давления на пути справа от экрана, Dz3, дБ	z = 12.50м (разность путей)	ф-лы (14-18) [10]	16,9	19,8	22,7	25,7	28,7	31,7	34,7	37,7	40,7		
Общее снижение уровня звука препятствием Dz, дБ		Эн.сумма(-Dzi)	14,1	17,1	20,1	23,1	26,1	29,1	32,1	35,1	38,1		

1		2	3	4	5	6	7	8	9	10	11	12	13
Общее снижение уровня звука препятствием с учётом ограничения (25 дБ) для октавных полос Dz, дБ		Раздел 7.4 [10]	14,1	17,1	20,1	23,1	25	25	25	25	25		
Уровни звукового давления от источника ИШ-2-26 в расчётной точке днём, дБ		**ф-ла(3)[10]**	**0**	**15,9**	**14,3**	**12,3**	**10**	**8,7**	**3,7**	**0**	**0**	**12,6**	**12,6**
Источник шума: ИШ-2-27, координаты источника (x,y,z), м =[732.43,12.66,1.00]													
Уровни звуковой мощности источника днём, Lw, дБ		**исходные данные**	**0**	**93,3**	**94,7**	**96**	**96,3**	**95,9**	**92,6**	**88,4**	**83,9**		
Поправка на телесный угол DΩ, дБ	Ω = 6.28	10Lg(4π/Ω)	**3**	3	3	3	3	3	3	3	3		
Показатель направленности источника Di, дБ		исходные данные	**0**	0	0	0	0	0	0	0	0		
Поправка на направленность источника Dc, дБ	Dc	DΩ + Di	**3**	3	3	3	3	3	3	3	3		
Затухание из-за геометрической дивергенции, Adiv, дБ	расстояние = 404.51 м	ф-ла (7) [10]	**63,1**										
Коэффициент затухания звука в атмосфере α, дБ/км	Ta=20,°C Pa=101.33,кПа hотн.=70%	ф-ла (5) [9]	0,02	0,09	0,33	1,12	2,79	4,98	9,04	23,09	77,63		
Учет затухания звука в атмосфере Aatm, дБ		ф-ла (8) [10]	0	0	0,1	0,5	1,1	2	3,7	9,3	31,4		
Снижение уровня звукового давления из-за влияния застройки между источником шума и расчетной точкой													
Снижение уровня звукового давления на пути над экраном, Dz1, дБ	z = 6.37м (разность путей)	ф-лы (14-18) [10]	17,8	21	24	27	30	33	36	39,1	42,1		
Снижение уровня звукового давления на пути слева от экрана, Dz2, дБ	z = 50.32м (разность путей)	ф-лы (14-18) [10]	27,1	30,4	33,4	36,5	39,5	42,5	45,5	48,5	51,5		
Снижение уровня звукового давления на пути справа от экрана, Dz3, дБ	z = 12.64м (разность путей)	ф-лы (14-18) [10]	17	19,9	22,8	25,7	28,7	31,7	34,7	37,7	40,8		
Общее снижение уровня звука препятствием Dz, дБ		Эн.сумма(-Dzi)	14,1	17,2	20,1	23,1	26,1	29,1	32,1	35,1	38,1		
Общее снижение уровня звука препятствием с учётом ограничения (25 дБ) для октавных полос Dz, дБ		Раздел 7.4 [10]	14,1	17,2	20,1	23,1	25	25	25	25	25		

1		2	3	4	5	6	7	8	9	10	11	12	13
Уровни звукового давления от источника ИШ-2-27 в расчётной точке днём, дБ		**ф-ла(3)[10]**	**0**	**15,9**	**14,3**	**12,3**	**10**	**8,7**	**3,8**	**0**	**0**	**12,7**	**12,7**
Источник шума: ИШ-2-28, координаты источника (x,y,z), м =[731.54,9.78,1.00]													
Уровни звуковой мощности источника днём, Lw, дБ		**исходные данные**	**0**	**93,3**	**94,7**	**96**	**96,3**	**95,9**	**92,6**	**88,4**	**83,9**		
Поправка на телесный угол DΩ, дБ	Ω = 6.28	10Lg(4π/Ω)	**3**	3	3	3	3	3	3	3	3		
Показатель направленности источника Di, дБ		исходные данные	**0**	0	0	0	0	0	0	0	0		
Поправка на направленность источника Dc, дБ	Dc	DΩ + Di	**3**	3	3	3	3	3	3	3	3		
Затухание из-за геометрической дивергенции, Adiv, дБ	расстояние = 403.15 м	ф-ла (7) [10]	**63,1**										
Коэффициент затухания звука в атмосфере α, дБ/км	Ta=20,°C Pa=101.33,кПа hотн.=70%	ф-ла (5) [9]	0,02	0,09	0,33	1,12	2,79	4,98	9,04	23,09	77,63		
Учет затухания звука в атмосфере Aatm, дБ		ф-ла (8) [10]	0	0	0,1	0,5	1,1	2	3,6	9,3	31,3		
Снижение уровня звукового давления из-за влияния застройки между источником шума и расчетной точкой													
Снижение уровня звукового давления на пути над экраном, Dz1, дБ	z = 6.38м (разность путей)	ф-лы (14-18) [10]	17,8	21	24	27	30	33,1	36,1	39,1	42,1		
Снижение уровня звукового давления на пути слева от экрана, Dz2, дБ	z = 49.53м (разность путей)	ф-лы (14-18) [10]	27,1	30,3	33,4	36,4	39,4	42,4	45,4	48,4	51,5		
Снижение уровня звукового давления на пути справа от экрана, Dz3, дБ	z = 12.80м (разность путей)	ф-лы (14-18) [10]	17	19,9	22,8	25,8	28,8	31,8	34,8	37,8	40,8		
Общее снижение уровня звука препятствием Dz, дБ		Эн.сумма(-Dzi)	14,2	17,2	20,2	23,2	26,1	29,2	32,2	35,2	38,2		
Общее снижение уровня звука препятствием с учётом ограничения (25 дБ) для октавных полос Dz, дБ		Раздел 7.4 [10]	14,2	17,2	20,2	23,2	25	25	25	25	25		
Уровни звукового давления от источника ИШ-2-28 в расчётной точке днём, дБ		**ф-ла(3)[10]**	**0**	**15,9**	**14,3**	**12,3**	**10,1**	**8,8**	**3,8**	**0**	**0**	**12,7**	**12,7**

1		2	3	4	5	6	7	8	9	10	11	12	13
Источник шума: ИШ-2-29, координаты источника (x,y,z), м =[730.57,6.88,1.00]													
Уровни звуковой мощности источника днём, Lw, дБ		**исходные данные**	**0**	**93,3**	**94,7**	**96**	**96,3**	**95,9**	**92,6**	**88,4**	**83,9**		
Поправка на телесный угол DΩ, дБ	Ω = 6.28	10Lg(4π/Ω)	**3**	3	3	3	3	3	3	3	3		
Показатель направленности источника Di, дБ		исходные данные	**0**	0	0	0	0	0	0	0	0		
Поправка на направленность источника Dc, дБ	Dc	DΩ + Di	**3**	3	3	3	3	3	3	3	3		
Затухание из-за геометрической дивергенции, Adiv, дБ	расстояние = 401.74 м	ф-ла (7) [10]	**63,1**										
Коэффициент затухания звука в атмосфере α, дБ/км	Ta=20,°C Pa=101.33,кПа hотн.=70%	ф-ла (5) [9]	0,02	0,09	0,33	1,12	2,79	4,98	9,04	23,09	77,63		
Учет затухания звука в атмосфере Aatm, дБ		ф-ла (8) [10]	0	0	0,1	0,5	1,1	2	3,6	9,3	31,2		
Снижение уровня звукового давления из-за влияния застройки между источником шума и расчетной точкой													
Снижение уровня звукового давления на пути над экраном, Dz1, дБ	z = 6.39м (разность путей)	ф-лы (14-18) [10]	17,8	21	24	27	30,1	33,1	36,1	39,1	42,1		
Снижение уровня звукового давления на пути слева от экрана, Dz2, дБ	z = 48.76м (разность путей)	ф-лы (14-18) [10]	27	30,3	33,3	36,3	39,3	42,4	45,4	48,4	51,4		
Снижение уровня звукового давления на пути справа от экрана, Dz3, дБ	z = 12.96м (разность путей)	ф-лы (14-18) [10]	17,1	20	22,9	25,8	28,8	31,8	34,8	37,9	40,9		
Общее снижение уровня звука препятствием Dz, дБ		Эн.сумма(-Dzi)	14,2	17,2	20,2	23,2	26,2	29,2	32,2	35,2	38,2		
Общее снижение уровня звука препятствием с учётом ограничения (25 дБ) для октавных полос Dz, дБ		Раздел 7.4 [10]	14,2	17,2	20,2	23,2	25	25	25	25	25		
Уровни звукового давления от источника ИШ-2-29 в расчётной точке днём, дБ		**ф-ла(3)[10]**	**0**	**15,9**	**14,3**	**12,3**	**10,1**	**8,8**	**3,9**	**0**	**0**	**12,7**	**12,7**
Источник шума: ИШ-2-4, координаты источника (x,y,z), м =[632.70,-65.30,3.00]													

1		2	3	4	5	6	7	8	9	10	11	12	13
Уровни звуковой мощности источника днём, Lw, дБ		**исходные данные**	**105**	**104**	**104**	**101**	**102**	**106**	**101**	**95**	**87**		
Поправка на телесный угол DΩ, дБ	Ω = 6.28	10Lg(4π/Ω)	**3**	3	3	3	3	3	3	3	3		
Показатель направленности источника Di, дБ		исходные данные	**0**	0	0	0	0	0	0	0	0		
Поправка на направленность источника Dc, дБ	Dc	DΩ + Di	**3**	3	3	3	3	3	3	3	3		
Затухание из-за геометрической дивергенции, Adiv, дБ	расстояние = 298.98 м	ф-ла (7) [10]	**60,5**										
Коэффициент затухания звука в атмосфере α, дБ/км	Ta=20,°C Pa=101.33,кПа hотн.=70%	ф-ла (5) [9]	0,02	0,09	0,33	1,12	2,79	4,98	9,04	23,09	77,63		
Учет затухания звука в атмосфере Aatm, дБ		ф-ла (8) [10]	0	0	0,1	0,3	0,8	1,5	2,7	6,9	23,2		
Снижение уровня звукового давления из-за влияния застройки между источником шума и расчетной точкой													
Снижение уровня звукового давления на пути над экраном, Dz1, дБ	z = 6.65м (разность путей)	ф-лы (14-18) [10]	18,3	21,5	24,5	27,5	30,5	33,5	36,5	39,5	42,5		
Снижение уровня звукового давления на пути слева от экрана, Dz2, дБ	z = 35.10м (разность путей)	ф-лы (14-18) [10]	25,6	28,8	31,9	34,9	37,9	40,9	43,9	47	50		
Снижение уровня звукового давления на пути справа от экрана, Dz3, дБ	z = 30.16м (разность путей)	ф-лы (14-18) [10]	24,9	28,2	31,2	34,2	37,3	40,3	43,3	46,3	49,3		
Общее снижение уровня звука препятствием Dz, дБ		Эн.сумма(-Dzi)	16,8	20	23	26	29,1	32,1	35,1	38,1	41,1		
Общее снижение уровня звука препятствием с учётом ограничения (25 дБ) для октавных полос Dz, дБ		Раздел 7.4 [10]	16,8	20	23	25	25	25	25	25	25		
Уровни звукового давления прямого звука от источника ИШ-2-4 в расчётной точке днём, дБ		**ф-ла(3)[10]**	**30,7**	**26,5**	**23,4**	**18,2**	**18,7**	**22**	**15,8**	**5,6**	**0**	**24,2**	**24,2**
Расчёт отражённого звука													
Уровни звукового давления от мнимого источника ИШ-2-4_мн.(1) в расчётной точке днём, дБ		**ф-ла(3)[10]**	**0**	**0**	**0**	**0**	**0**	**0**	**0**	**0**	**0**	**0**	**0**
Уровни звукового давления от источника ИШ-2-4 в расчётной точке днём, дБ		**ф-ла(3)[10]**	**30,7**	**26,5**	**23,4**	**18,2**	**18,7**	**22**	**15,8**	**5,6**	**0**	**24,2**	**24,2**

1		2	3	4	5	6	7	8	9	10	11	12	13
Источник шума: ИШ-2-30, координаты источника (x,y,z), м =[702.44,-77.23,1.00]													
Уровни звуковой мощности источника днём, Lw, дБ		**исходные данные**	**0**	**93,3**	**94,7**	**96**	**96,3**	**95,9**	**92,6**	**88,4**	**83,9**		
Поправка на телесный угол DΩ, дБ	Ω = 6.28	10Lg(4π/Ω)	**3**	3	3	3	3	3	3	3	3		
Показатель направленности источника Di, дБ		исходные данные	**0**	0	0	0	0	0	0	0	0		
Поправка на направленность источника Dc, дБ	Dc	DΩ + Di	**3**	3	3	3	3	3	3	3	3		
Затухание из-за геометрической дивергенции, Adiv, дБ	расстояние = 369.17 м	ф-ла (7) [10]	**62,3**										
Коэффициент затухания звука в атмосфере α, дБ/км	Ta=20,°C Pa=101.33,кПа hотн.=70%	ф-ла (5) [9]	0,02	0,09	0,33	1,12	2,79	4,98	9,04	23,09	77,63		
Учет затухания звука в атмосфере Aatm, дБ		ф-ла (8) [10]	0	0	0,1	0,4	1	1,8	3,3	8,5	28,7		
Снижение уровня звукового давления из-за влияния застройки между источником шума и расчетной точкой													
Снижение уровня звукового давления на пути над экраном, Dz1, дБ	z = 6.62м (разность путей)	ф-лы (14-18) [10]	18,1	21,3	24,3	27,3	30,3	33,3	36,3	39,3	42,3		
Снижение уровня звукового давления на пути слева от экрана, Dz2, дБ	z = 35.19м (разность путей)	ф-лы (14-18) [10]	21,6	25,2	29,6	34	37,7	40,9	43,9	47	50		
Снижение уровня звукового давления на пути справа от экрана, Dz3, дБ	z = 25.71м (разность путей)	ф-лы (14-18) [10]	24,2	27,5	30,5	33,6	36,6	39,6	42,6	45,6	48,6		
Общее снижение уровня звука препятствием Dz, дБ		Эн.сумма(-Dzi)	15,8	19,1	22,4	25,7	28,8	31,8	34,8	37,8	40,9		
Общее снижение уровня звука препятствием с учётом ограничения (25 дБ) для октавных полос Dz, дБ		Раздел 7.4 [10]	15,8	19,1	22,4	25	25	25	25	25	25		
Уровни звукового давления от источника ИШ-2-30 в расчётной точке днём, дБ		**ф-ла(3)[10]**	**0**	**14,8**	**12,8**	**11,2**	**10,9**	**9,7**	**4,9**	**0**	**0**	**13,4**	**13,4**
Источник шума: ИШ-2-31, координаты источника (x,y,z), м =[701.42,-80.17,1.00]													

1		2	3	4	5	6	7	8	9	10	11	12	13
Уровни звуковой мощности источника днём, Lw, дБ		**исходные данные**	**0**	**93,3**	**94,7**	**96**	**96,3**	**95,9**	**92,6**	**88,4**	**83,9**		
Поправка на телесный угол DΩ, дБ	Ω = 6.28	10Lg(4π/Ω)	**3**	3	3	3	3	3	3	3	3		
Показатель направленности источника Di, дБ		исходные данные	**0**	0	0	0	0	0	0	0	0		
Поправка на направленность источника Dc, дБ	Dc	DΩ + Di	**3**	3	3	3	3	3	3	3	3		
Затухание из-за геометрической дивергенции, Adiv, дБ	расстояние = 368.34 м	ф-ла (7) [10]	**62,3**										
Коэффициент затухания звука в атмосфере α, дБ/км	Ta=20,°C Pa=101.33,кПа hотн.=70%	ф-ла (5) [9]	0,02	0,09	0,33	1,12	2,79	4,98	9,04	23,09	77,63		
Учет затухания звука в атмосфере Aatm, дБ		ф-ла (8) [10]	0	0	0,1	0,4	1	1,8	3,3	8,5	28,6		
Снижение уровня звукового давления из-за влияния застройки между источником шума и расчетной точкой													
Снижение уровня звукового давления на пути над экраном, Dz1, дБ	z = 6.54м (разность путей)	ф-лы (14-18) [10]	14,1	17,5	21,8	26,1	29,7	32,9	36	39	42		
Снижение уровня звукового давления на пути слева от экрана, Dz2, дБ	z = 34.92м (разность путей)	ф-лы (14-18) [10]	21,5	25,2	29,6	34	37,6	40,8	43,9	46,9	49,9		
Снижение уровня звукового давления на пути справа от экрана, Dz3, дБ	z = 26.85м (разность путей)	ф-лы (14-18) [10]	24,4	27,7	30,7	33,7	36,8	39,8	42,8	45,8	48,8		
Общее снижение уровня звука препятствием Dz, дБ		Эн.сумма(-Dzi)	13	16,5	20,7	24,9	28,4	31,6	34,6	37,6	40,7		
Общее снижение уровня звука препятствием с учётом ограничения (25 дБ) для октавных полос Dz, дБ		Раздел 7.4 [10]	13	16,5	20,7	24,9	25	25	25	25	25		
Уровни звукового давления от источника ИШ-2-31 в расчётной точке днём, дБ		**ф-ла(3)[10]**	**0**	**17,4**	**14,6**	**11,4**	**10,9**	**9,7**	**4,9**	**0**	**0**	**13,5**	**13,5**
Источник шума: ИШ-2-32, координаты источника (x,y,z), м =[700.38,-83.01,1.00]													
Уровни звуковой мощности источника днём, Lw, дБ		**исходные данные**	**0**	**93,3**	**94,7**	**96**	**96,3**	**95,9**	**92,6**	**88,4**	**83,9**		

1		2	3	4	5	6	7	8	9	10	11	12	13
Поправка на телесный угол DΩ, дБ	Ω = 6.28	10Lg(4π/Ω)	**3**	3	3	3	3	3	3	3	3		
Показатель направленности источника Di, дБ		исходные данные	**0**	0	0	0	0	0	0	0	0		
Поправка на направленность источника Dc, дБ	Dc	DΩ + Di	**3**	3	3	3	3	3	3	3	3		
Затухание из-за геометрической дивергенции, Adiv, дБ	расстояние = 367.50 м	ф-ла (7) [10]	**62,3**										
Коэффициент затухания звука в атмосфере α, дБ/км	Ta=20,°C Pa=101.33,кПа hотн.=70%	ф-ла (5) [9]	0,02	0,09	0,33	1,12	2,79	4,98	9,04	23,09	77,63		
Учет затухания звука в атмосфере Aatm, дБ		ф-ла (8) [10]	0	0	0,1	0,4	1	1,8	3,3	8,5	28,5		
Снижение уровня звукового давления из-за влияния застройки между источником шума и расчетной точкой													
Снижение уровня звукового давления на пути над экраном, Dz1, дБ	z = 6.54м (разность путей)	ф-лы (14-18) [10]	14,1	17,5	21,8	26,1	29,7	32,9	36	39	42		
Снижение уровня звукового давления на пути слева от экрана, Dz2, дБ	z = 34.66м (разность путей)	ф-лы (14-18) [10]	21,5	25,2	29,5	33,9	37,6	40,8	43,9	46,9	49,9		
Снижение уровня звукового давления на пути справа от экрана, Dz3, дБ	z = 28.00м (разность путей)	ф-лы (14-18) [10]	24,6	27,9	30,9	33,9	36,9	39,9	43	46	49		
Общее снижение уровня звука препятствием Dz, дБ		Эн.сумма(-Dzi)	13	16,5	20,7	24,9	28,4	31,6	34,6	37,7	40,7		
Общее снижение уровня звука препятствием с учётом ограничения (25 дБ) для октавных полос Dz, дБ		Раздел 7.4 [10]	13	16,5	20,7	24,9	25	25	25	25	25		
Уровни звукового давления от источника ИШ-2-32 в расчётной точке днём, дБ		**ф-ла(3)[10]**	**0**	**17,4**	**14,6**	**11,4**	**11**	**9,8**	**5**	**0**	**0**	**13,5**	**13,5**
Источник шума: ИШ-2-33, координаты источника (x,y,z), м =[699.52,-85.98,1.00]													
Уровни звуковой мощности источника днём, Lw, дБ		**исходные данные**	**0**	**93,3**	**94,7**	**96**	**96,3**	**95,9**	**92,6**	**88,4**	**83,9**		
Поправка на телесный угол DΩ, дБ	Ω = 6.28	10Lg(4π/Ω)	**3**	3	3	3	3	3	3	3	3		

1		2	3	4	5	6	7	8	9	10	11	12	13
Показатель направленности источника Di, дБ		исходные данные	**0**	0	0	0	0	0	0	0	0		
Поправка на направленность источника Dc, дБ	Dc	DΩ + Di	**3**	3	3	3	3	3	3	3	3		
Затухание из-за геометрической дивергенции, Adiv, дБ	расстояние = 366.86 м	ф-ла (7) [10]	**62,3**										
Коэффициент затухания звука в атмосфере α, дБ/км	Ta=20,°C Pa=101.33,кПа hотн.=70%	ф-ла (5) [9]	0,02	0,09	0,33	1,12	2,79	4,98	9,04	23,09	77,63		
Учет затухания звука в атмосфере Aatm, дБ		ф-ла (8) [10]	0	0	0,1	0,4	1	1,8	3,3	8,5	28,5		
Снижение уровня звукового давления из-за влияния застройки между источником шума и расчетной точкой													
Снижение уровня звукового давления на пути над экраном, Dz1, дБ	z = 6.55м (разность путей)	ф-лы (14-18) [10]	14,1	17,5	21,8	26,1	29,7	32,9	36	39	42		
Снижение уровня звукового давления на пути слева от экрана, Dz2, дБ	z = 34.39м (разность путей)	ф-лы (14-18) [10]	21,5	25,1	29,5	33,9	37,6	40,8	43,8	46,9	49,9		
Снижение уровня звукового давления на пути справа от экрана, Dz3, дБ	z = 29.24м (разность путей)	ф-лы (14-18) [10]	24,8	28,1	31,1	34,1	37,1	40,1	43,1	46,2	49,2		
Общее снижение уровня звука препятствием Dz, дБ		Эн.сумма(-Dzi)	13,1	16,5	20,7	24,9	28,4	31,6	34,7	37,7	40,7		
Общее снижение уровня звука препятствием с учётом ограничения (25 дБ) для октавных полос Dz, дБ		Раздел 7.4 [10]	13,1	16,5	20,7	24,9	25	25	25	25	25		
Уровни звукового давления от источника ИШ-2-33 в расчётной точке днём, дБ		**ф-ла(3)[10]**	**0**	**17,4**	**14,6**	**11,4**	**11**	**9,8**	**5**	**0**	**0**	**13,5**	**13,5**
Источник шума: ИШ-2-34, координаты источника (x,y,z), м =[698.43,-88.85,1.00]													
Уровни звуковой мощности источника днём, Lw, дБ		**исходные данные**	**0**	**93,3**	**94,7**	**96**	**96,3**	**95,9**	**92,6**	**88,4**	**83,9**		
Поправка на телесный угол DΩ, дБ	Ω = 6.28	10Lg(4π/Ω)	**3**	3	3	3	3	3	3	3	3		
Показатель направленности источника Di, дБ		исходные данные	**0**	0	0	0	0	0	0	0	0		

1		2	3	4	5	6	7	8	9	10	11	12	13
Поправка на направленность источника Dc, дБ	Dc	DΩ + Di	**3**	3	3	3	3	3	3	3	3		
Затухание из-за геометрической дивергенции, Adiv, дБ	расстояние = 366.02 м	ф-ла (7) [10]	**62,3**										
Коэффициент затухания звука в атмосфере α, дБ/км	Ta=20,°C Pa=101.33,кПа hотн.=70%	ф-ла (5) [9]	0,02	0,09	0,33	1,12	2,79	4,98	9,04	23,09	77,63		
Учет затухания звука в атмосфере Aatm, дБ		ф-ла (8) [10]	0	0	0,1	0,4	1	1,8	3,3	8,4	28,4		
Снижение уровня звукового давления из-за влияния застройки между источником шума и расчетной точкой													
Снижение уровня звукового давления на пути над экраном, Dz1, дБ	z = 6.55м (разность путей)	ф-лы (14-18) [10]	14,1	17,5	21,8	26,1	29,7	32,9	36	39	42		
Снижение уровня звукового давления на пути слева от экрана, Dz2, дБ	z = 34.13м (разность путей)	ф-лы (14-18) [10]	21,4	25,1	29,5	33,9	37,5	40,7	43,8	46,8	49,8		
Снижение уровня звукового давления на пути справа от экрана, Dz3, дБ	z = 30.52м (разность путей)	ф-лы (14-18) [10]	25	28,2	31,3	34,3	37,3	40,3	43,3	46,3	49,4		
Общее снижение уровня звука препятствием Dz, дБ		Эн.сумма(-Dzi)	13,1	16,5	20,7	24,9	28,5	31,6	34,7	37,7	40,7		
Общее снижение уровня звука препятствием с учётом ограничения (25 дБ) для октавных полос Dz, дБ		Раздел 7.4 [10]	13,1	16,5	20,7	24,9	25	25	25	25	25		
Уровни звукового давления от источника ИШ-2-34 в расчётной точке днём, дБ		**ф-ла(3)[10]**	**0**	**17,4**	**14,6**	**11,4**	**11**	**9,8**	**5**	**0**	**0**	**13,5**	**13,5**
Источник шума: ИШ-2-35, координаты источника (x,y,z), м =[697.52,-91.66,1.00]													
Уровни звуковой мощности источника днём, Lw, дБ		**исходные данные**	**0**	**93,3**	**94,7**	**96**	**96,3**	**95,9**	**92,6**	**88,4**	**83,9**		
Поправка на телесный угол DΩ, дБ	Ω = 6.28	10Lg(4π/Ω)	**3**	3	3	3	3	3	3	3	3		
Показатель направленности источника Di, дБ		исходные данные	**0**	0	0	0	0	0	0	0	0		
Поправка на направленность источника Dc, дБ	Dc	DΩ + Di	**3**	3	3	3	3	3	3	3	3		

1		2	3	4	5	6	7	8	9	10	11	12	13
Затухание из-за геометрической дивергенции, Adiv, дБ	расстояние = 365.37 м	ф-ла (7) [10]	**62,3**										
Коэффициент затухания звука в атмосфере α, дБ/км	Та=20,°С Ра=101.33,кПа hотн.=70%	ф-ла (5) [9]	0,02	0,09	0,33	1,12	2,79	4,98	9,04	23,09	77,63		
Учет затухания звука в атмосфере Aatm, дБ		ф-ла (8) [10]	0	0	0,1	0,4	1	1,8	3,3	8,4	28,4		
Снижение уровня звукового давления из-за влияния застройки между источником шума и расчетной точкой													
Снижение уровня звукового давления на пути над экраном, Dz1, дБ	z = 6.55м (разность путей)	ф-лы (14-18) [10]	14,1	17,5	21,8	26,1	29,7	32,9	36	39	42		
Снижение уровня звукового давления на пути слева от экрана, Dz2, дБ	z = 33.87м (разность путей)	ф-лы (14-18) [10]	21,4	25,1	29,4	33,8	37,5	40,7	43,8	46,8	49,8		
Снижение уровня звукового давления на пути справа от экрана, Dz3, дБ	z = 19.34м (разность путей)	ф-лы (14-18) [10]	18,7	21,7	24,6	27,6	30,6	33,6	36,6	39,6	42,6		
Общее снижение уровня звука препятствием Dz, дБ		Эн.сумма(-Dzi)	12,2	15,6	19,5	23,4	26,7	29,9	32,9	35,9	38,9		
Общее снижение уровня звука препятствием с учётом ограничения (25 дБ) для октавных полос Dz, дБ		Раздел 7.4 [10]	12,2	15,6	19,5	23,4	25	25	25	25	25		
Уровни звукового давления прямого звука от источника ИШ-2-35 в расчётной точке днём, дБ		**ф-ла(3)[10]**	**0**	**18,4**	**15,8**	**13**	**11**	**9,8**	**5**	**0**	**0**	**13,7**	**13,7**
Расчёт отражённого звука													
Уровни звукового давления от мнимого источника ИШ-2-35_мн.(1) в расчётной точке днём, дБ		**ф-ла(3)[10]**	**0**	**0**	**0**	**0**	**0**	**0**	**0**	**0**	**0**	**0**	**0**
Уровни звукового давления от источника ИШ-2-35 в расчётной точке днём, дБ		**ф-ла(3)[10]**	**0**	**18,4**	**15,8**	**13**	**11**	**9,8**	**5**	**0**	**0**	**13,7**	**13,7**
Источник шума: ИШ-2-36, координаты источника (x,y,z), м =[696.58,-94.55,1.00]													
Уровни звуковой мощности источника днём, Lw, дБ		**исходные данные**	**0**	**93,3**	**94,7**	**96**	**96,3**	**95,9**	**92,6**	**88,4**	**83,9**		
Поправка на телесный угол DΩ, дБ	Ω = 6.28	10Lg(4π/Ω)	**3**	3	3	3	3	3	3	3	3		

1		2	3	4	5	6	7	8	9	10	11	12	13
Показатель направленности источника Di, дБ		исходные данные	**0**	0	0	0	0	0	0	0	0		
Поправка на направленность источника Dc, дБ	Dc	DΩ + Di	**3**	3	3	3	3	3	3	3	3		
Затухание из-за геометрической дивергенции, Adiv, дБ	расстояние = 364.73 м	ф-ла (7) [10]	**62,2**										
Коэффициент затухания звука в атмосфере α, дБ/км	Ta=20,°C Pa=101.33,кПа hотн.=70%	ф-ла (5) [9]	0,02	0,09	0,33	1,12	2,79	4,98	9,04	23,09	77,63		
Учет затухания звука в атмосфере Aatm, дБ		ф-ла (8) [10]	0	0	0,1	0,4	1	1,8	3,3	8,4	28,3		
Снижение уровня звукового давления из-за влияния застройки между источником шума и расчетной точкой													
Снижение уровня звукового давления на пути над экраном, Dz1, дБ	z = 6.56м (разность путей)	ф-лы (14-18) [10]	14,1	17,5	21,8	26,1	29,8	33	36	39	42		
Снижение уровня звукового давления на пути слева от экрана, Dz2, дБ	z = 33.61м (разность путей)	ф-лы (14-18) [10]	21,4	25	29,4	33,8	37,5	40,7	43,7	46,8	49,8		
Снижение уровня звукового давления на пути справа от экрана, Dz3, дБ	z = 19.55м (разность путей)	ф-лы (14-18) [10]	18,8	21,7	24,6	27,6	30,6	33,6	36,6	39,6	42,6		
Общее снижение уровня звука препятствием Dz, дБ		Эн.сумма(-Dzi)	12,3	15,6	19,5	23,4	26,8	29,9	32,9	35,9	39		
Общее снижение уровня звука препятствием с учётом ограничения (25 дБ) для октавных полос Dz, дБ		Раздел 7.4 [10]	12,3	15,6	19,5	23,4	25	25	25	25	25		
Уровни звукового давления прямого звука от источника ИШ-2-36 в расчётной точке днём, дБ		**ф-ла(3)[10]**	**0**	**18,4**	**15,8**	**13**	**11**	**9,8**	**5,1**	**0**	**0**	**13,8**	**13,8**
Расчёт отражённого звука													
Уровни звукового давления от мнимого источника ИШ-2-36_мн.(1) в расчётной точке днём, дБ		**ф-ла(3)[10]**	**0**	**0**	**0**	**0**	**0**	**0**	**0**	**0**	**0**	**0**	**0**
Уровни звукового давления от источника ИШ-2-36 в расчётной точке днём, дБ		**ф-ла(3)[10]**	**0**	**18,4**	**15,8**	**13**	**11**	**9,8**	**5,1**	**0**	**0**	**13,8**	**13,8**
Источник шума: ИШ-2-37, координаты источника (x,y,z), м =[695.57,-97.37,1.00]													

1		2	3	4	5	6	7	8	9	10	11	12	13
Уровни звуковой мощности источника днём, Lw, дБ		**исходные данные**	**0**	**93,3**	**94,7**	**96**	**96,3**	**95,9**	**92,6**	**88,4**	**83,9**		
Поправка на телесный угол DΩ, дБ	Ω = 6.28	10Lg(4π/Ω)	**3**	3	3	3	3	3	3	3	3		
Показатель направленности источника Di, дБ		исходные данные	**0**	0	0	0	0	0	0	0	0		
Поправка на направленность источника Dc, дБ	Dc	DΩ + Di	**3**	3	3	3	3	3	3	3	3		
Затухание из-за геометрической дивергенции, Adiv, дБ	расстояние = 364.03 м	ф-ла (7) [10]	**62,2**										
Коэффициент затухания звука в атмосфере α, дБ/км	Ta=20,°C Pa=101.33,кПа hотн.=70%	ф-ла (5) [9]	0,02	0,09	0,33	1,12	2,79	4,98	9,04	23,09	77,63		
Учет затухания звука в атмосфере Aatm, дБ		ф-ла (8) [10]	0	0	0,1	0,4	1	1,8	3,3	8,4	28,3		
Снижение уровня звукового давления из-за влияния застройки между источником шума и расчетной точкой													
Снижение уровня звукового давления на пути над экраном, Dz1, дБ	z = 6.56м (разность путей)	ф-лы (14-18) [10]	14,1	17,5	21,8	26,1	29,8	33	36	39	42		
Снижение уровня звукового давления на пути слева от экрана, Dz2, дБ	z = 33.35м (разность путей)	ф-лы (14-18) [10]	21,3	25	29,4	33,8	37,4	40,6	43,7	46,7	49,7		
Снижение уровня звукового давления на пути справа от экрана, Dz3, дБ	z = 19.76м (разность путей)	ф-лы (14-18) [10]	18,8	21,7	24,7	27,7	30,7	33,7	36,7	39,7	42,7		
Общее снижение уровня звука препятствием Dz, дБ		Эн.сумма(-Dzi)	12,3	15,6	19,5	23,4	26,8	29,9	32,9	36	39		
Общее снижение уровня звука препятствием с учётом ограничения (25 дБ) для октавных полос Dz, дБ		Раздел 7.4 [10]	12,3	15,6	19,5	23,4	25	25	25	25	25		
Уровни звукового давления прямого звука от источника ИШ-2-37 в расчётной точке днём, дБ		**ф-ла(3)[10]**	**0**	**18,4**	**15,8**	**13**	**11,1**	**9,9**	**5,1**	**0**	**0**	**13,8**	**13,8**
Расчёт отражённого звука													
Уровни звукового давления от мнимого источника ИШ-2-37_мн.(1) в расчётной точке днём, дБ		**ф-ла(3)[10]**	**0**	**0**	**0**	**0**	**0**	**0**	**0**	**0**	**0**	**0**	**0**
Уровни звукового давления от источника ИШ-2-37 в расчётной точке днём, дБ		**ф-ла(3)[10]**	**0**	**18,4**	**15,8**	**13**	**11,1**	**9,9**	**5,1**	**0**	**0**	**13,8**	**13,8**

1		2	3	4	5	6	7	8	9	10	11	12	13
Источник шума: ИШ-2-5, координаты источника (x,y,z), м =[618.60,-108.00,3.00]													
Уровни звуковой мощности источника днём, Lw, дБ		**исходные данные**	**105**	**104**	**104**	**101**	**102**	**106**	**101**	**95**	**87**		
Поправка на телесный угол DΩ, дБ	Ω = 6.28	10Lg(4π/Ω)	**3**	3	3	3	3	3	3	3	3		
Показатель направленности источника Di, дБ		исходные данные	**0**	0	0	0	0	0	0	0	0		
Поправка на направленность источника Dc, дБ	Dc	DΩ + Di	**3**	3	3	3	3	3	3	3	3		
Затухание из-за геометрической дивергенции, Adiv, дБ	расстояние = 289.39 м	ф-ла (7) [10]	**60,2**										
Коэффициент затухания звука в атмосфере α, дБ/км	Ta=20,°C Pa=101.33,кПа hотн.=70%	ф-ла (5) [9]	0,02	0,09	0,33	1,12	2,79	4,98	9,04	23,09	77,63		
Учет затухания звука в атмосфере Aatm, дБ		ф-ла (8) [10]	0	0	0,1	0,3	0,8	1,4	2,6	6,7	22,5		
Снижение уровня звукового давления из-за влияния застройки между источником шума и расчетной точкой													
Снижение уровня звукового давления на пути над экраном, Dz1, дБ	z = 6.55м (разность путей)	ф-лы (14-18) [10]	14,2	17,6	21,9	26,2	29,9	33,1	36,1	39,2	42,2		
Снижение уровня звукового давления на пути слева от экрана, Dz2, дБ	z = 31.56м (разность путей)	ф-лы (14-18) [10]	21,1	24,8	29,1	33,5	37,2	40,4	43,5	46,5	49,5		
Снижение уровня звукового давления на пути справа от экрана, Dz3, дБ	z = 21.75м (разность путей)	ф-лы (14-18) [10]	19,2	22,2	25,1	28,1	31,1	34,1	37,1	40,1	43,1		
Общее снижение уровня звука препятствием Dz, дБ		Эн.сумма(-Dzi)	12,4	15,8	19,7	23,6	27	30,1	33,2	36,2	39,2		
Общее снижение уровня звука препятствием с учётом ограничения (25 дБ) для октавных полос Dz, дБ		Раздел 7.4 [10]	12,4	15,8	19,7	23,6	25	25	25	25	25		
Уровни звукового давления от источника ИШ-2-5 в расчётной точке днём, дБ		**ф-ла(3)[10]**	**35,4**	**31**	**27**	**19,9**	**19**	**22,3**	**16,2**	**6,1**	**0**	**24,7**	**24,7**
Источник шума: ИШ-2-38, координаты источника (x,y,z), м =[688.13,-119.94,1.00]													

1		2	3	4	5	6	7	8	9	10	11	12	13
Уровни звуковой мощности источника днём, Lw, дБ		**исходные данные**	**0**	**93,3**	**94,7**	**96**	**96,3**	**95,9**	**92,6**	**88,4**	**83,9**		
Поправка на телесный угол DΩ, дБ	Ω = 6.28	10Lg(4π/Ω)	**3**	3	3	3	3	3	3	3	3		
Показатель направленности источника Di, дБ		исходные данные	**0**	0	0	0	0	0	0	0	0		
Поправка на направленность источника Dc, дБ	Dc	DΩ + Di	**3**	3	3	3	3	3	3	3	3		
Затухание из-за геометрической дивергенции, Adiv, дБ	расстояние = 359.93 м	ф-ла (7) [10]	**62,1**										
Коэффициент затухания звука в атмосфере α, дБ/км	Ta=20,°C Pa=101.33,кПа hотн.=70%	ф-ла (5) [9]	0,02	0,09	0,33	1,12	2,79	4,98	9,04	23,09	77,63		
Учет затухания звука в атмосфере Aatm, дБ		ф-ла (8) [10]	0	0	0,1	0,4	1	1,8	3,3	8,3	27,9		
Снижение уровня звукового давления из-за влияния застройки между источником шума и расчетной точкой													
Снижение уровня звукового давления на пути над экраном, Dz1, дБ	z = 6.58м (разность путей)	ф-лы (14-18) [10]	14,1	17,6	21,8	26,1	29,8	33	36	39,1	42,1		
Снижение уровня звукового давления на пути слева от экрана, Dz2, дБ	z = 31.27м (разность путей)	ф-лы (14-18) [10]	21,1	24,7	29,1	33,5	37,1	40,4	43,4	46,4	49,5		
Снижение уровня звукового давления на пути справа от экрана, Dz3, дБ	z = 21.47м (разность путей)	ф-лы (14-18) [10]	19,2	22,1	25	28	31	34	37	40	43,1		
Общее снижение уровня звука препятствием Dz, дБ		Эн.сумма(-Dzi)	12,3	15,7	19,6	23,5	26,9	30	33,1	36,1	39,1		
Общее снижение уровня звука препятствием с учётом ограничения (25 дБ) для октавных полос Dz, дБ		Раздел 7.4 [10]	12,3	15,7	19,6	23,5	25	25	25	25	25		
Уровни звукового давления прямого звука от источника ИШ-2-38 в расчётной точке днём, дБ		**ф-ла(3)[10]**	**0**	**18,5**	**15,8**	**13**	**11,2**	**10**	**5,2**	**0**	**0**	**13,9**	**13,9**
Расчёт отражённого звука													
Уровни звукового давления от мнимого источника ИШ-2-38_мн.(1) в расчётной точке днём, дБ		**ф-ла(3)[10]**	**0**	**0**	**0**	**0**	**0**	**0**	**18,4**	**3**	**0**	**19,7**	**19,7**
Уровни звукового давления от мнимого источника ИШ-2-38_мн.(2) в расчётной точке днём, дБ		**ф-ла(3)[10]**	**0**	**0**	**0**	**0**	**0**	**0**	**0**	**0**	**0**	**0**	**0**

1		2	3	4	5	6	7	8	9	10	11	12	13
Суммарные уровни звукового давления от мнимых источников в расчётной точке днём, дБ		**ф-ла (19) [1]**	**0**	**0**	**0**	**0**	**0**	**0**	**18,4**	**3**	**0**	**0**	**19,7**
Уровни звукового давления от источника ИШ-2-38 в расчётной точке днём, дБ		**ф-ла(3)[10]**	**0**	**18,5**	**15,8**	**13**	**11,2**	**10**	**18,6**	**3**	**0**	**20,7**	**20,7**
Источник шума: ИШ-2-39, координаты источника (x,y,z), м =[687.11,-122.83,1.00]													
Уровни звуковой мощности источника днём, Lw, дБ		**исходные данные**	**0**	**93,3**	**94,7**	**96**	**96,3**	**95,9**	**92,6**	**88,4**	**83,9**		
Поправка на телесный угол DΩ, дБ	Ω = 6.28	10Lg(4π/Ω)	**3**	3	3	3	3	3	3	3	3		
Показатель направленности источника Di, дБ		исходные данные	**0**	0	0	0	0	0	0	0	0		
Поправка на направленность источника Dc, дБ	Dc	DΩ + Di	**3**	3	3	3	3	3	3	3	3		
Затухание из-за геометрической дивергенции, Adiv, дБ	расстояние = 359.45 м	ф-ла (7) [10]	**62,1**										
Коэффициент затухания звука в атмосфере α, дБ/км	Ta=20,°C Pa=101.33,кПа hотн.=70%	ф-ла (5) [9]	0,02	0,09	0,33	1,12	2,79	4,98	9,04	23,09	77,63		
Учет затухания звука в атмосфере Aatm, дБ		ф-ла (8) [10]	0	0	0,1	0,4	1	1,8	3,2	8,3	27,9		
Снижение уровня звукового давления из-за влияния застройки между источником шума и расчетной точкой													
Снижение уровня звукового давления на пути над экраном, Dz1, дБ	z = 6.58м (разность путей)	ф-лы (14-18) [10]	14,1	17,6	21,8	26,1	29,8	33	36	39,1	42,1		
Снижение уровня звукового давления на пути слева от экрана, Dz2, дБ	z = 31.00м (разность путей)	ф-лы (14-18) [10]	21	24,7	29,1	33,4	37,1	40,3	43,4	46,4	49,4		
Снижение уровня звукового давления на пути справа от экрана, Dz3, дБ	z = 21.69м (разность путей)	ф-лы (14-18) [10]	19,2	22,1	25,1	28,1	31,1	34,1	37,1	40,1	43,1		
Общее снижение уровня звука препятствием Dz, дБ		Эн.сумма(-Dzi)	12,3	15,7	19,6	23,5	26,9	30,1	33,1	36,1	39,1		
Общее снижение уровня звука препятствием с учётом ограничения (25 дБ) для октавных полос Dz, дБ		Раздел 7.4 [10]	12,3	15,7	19,6	23,5	25	25	25	25	25		

1		2	3	4	5	6	7	8	9	10	11	12	13
Уровни звукового давления прямого звука от источника ИШ-2-39 в расчётной точке днём, дБ		**ф-ла(3)[10]**	**0**	**18,5**	**15,9**	**13**	**11,2**	**10**	**5,2**	**0**	**0**	**13,9**	**13,9**
Расчёт отражённого звука													
Уровни звукового давления от мнимого источника ИШ-2-39_мн.(1) в расчётной точке днём, дБ		**ф-ла(3)[10]**	**0**	**0**	**0**	**0**	**0**	**0**	**18,4**	**3**	**0**	**19,7**	**19,7**
Уровни звукового давления от источника ИШ-2-39 в расчётной точке днём, дБ		**ф-ла(3)[10]**	**0**	**18,5**	**15,9**	**13**	**11,2**	**10**	**18,6**	**3**	**0**	**20,7**	**20,7**
Источник шума: ИШ-2-40, координаты источника (x,y,z), м =[686.10,-125.67,1.00]													
Уровни звуковой мощности источника днём, Lw, дБ		**исходные данные**	**0**	**93,3**	**94,7**	**96**	**96,3**	**95,9**	**92,6**	**88,4**	**83,9**		
Поправка на телесный угол DΩ, дБ	Ω = 6.28	10Lg(4π/Ω)	**3**	3	3	3	3	3	3	3	3		
Показатель направленности источника Di, дБ		исходные данные	**0**	0	0	0	0	0	0	0	0		
Поправка на направленность источника Dc, дБ	Dc	DΩ + Di	**3**	3	3	3	3	3	3	3	3		
Затухание из-за геометрической дивергенции, Adiv, дБ	расстояние = 359.00 м	ф-ла (7) [10]	**62,1**										
Коэффициент затухания звука в атмосфере α, дБ/км	Ta=20,°C Pa=101.33,кПа hотн.=70%	ф-ла (5) [9]	0,02	0,09	0,33	1,12	2,79	4,98	9,04	23,09	77,63		
Учет затухания звука в атмосфере Aatm, дБ		ф-ла (8) [10]	0	0	0,1	0,4	1	1,8	3,2	8,3	27,9		
Снижение уровня звукового давления из-за влияния застройки между источником шума и расчетной точкой													
Снижение уровня звукового давления на пути над экраном, Dz1, дБ	z = 6.59м (разность путей)	ф-лы (14-18) [10]	14,1	17,6	21,8	26,1	29,8	33	36	39,1	42,1		
Снижение уровня звукового давления на пути слева от экрана, Dz2, дБ	z = 30.74м (разность путей)	ф-лы (14-18) [10]	21	24,7	29	33,4	37,1	40,3	43,3	46,4	49,4		
Снижение уровня звукового давления на пути справа от экрана, Dz3, дБ	z = 21.91м (разность путей)	ф-лы (14-18) [10]	19,3	22,2	25,1	28,1	31,1	34,1	37,1	40,1	43,1		

1		2	3	4	5	6	7	8	9	10	11	12	13
Общее снижение уровня звука препятствием Dz, дБ		Эн.сумма(-Dzi)	12,3	15,7	19,6	23,5	26,9	30,1	33,1	36,1	39,1		
Общее снижение уровня звука препятствием с учётом ограничения (25 дБ) для октавных полос Dz, дБ		Раздел 7.4 [10]	12,3	15,7	19,6	23,5	25	25	25	25	25		
Уровни звукового давления от источника ИШ-2-40 в расчётной точке днём, дБ		**ф-ла(3)[10]**	**0**	**18,5**	**15,9**	**13**	**11,2**	**10**	**5,2**	**0**	**0**	**13,9**	**13,9**
Источник шума: ИШ-2-41, координаты источника (x,y,z), м =[685.14,-128.64,1.00]													
Уровни звуковой мощности источника днём, Lw, дБ		**исходные данные**	**0**	**93,3**	**94,7**	**96**	**96,3**	**95,9**	**92,6**	**88,4**	**83,9**		
Поправка на телесный угол DΩ, дБ	Ω = 6.28	10Lg(4π/Ω)	**3**	3	3	3	3	3	3	3	3		
Показатель направленности источника Di, дБ		исходные данные	**0**	0	0	0	0	0	0	0	0		
Поправка на направленность источника Dc, дБ	Dc	DΩ + Di	**3**	3	3	3	3	3	3	3	3		
Затухание из-за геометрической дивергенции, Adiv, дБ	расстояние = 358.64 м	ф-ла (7) [10]	**62,1**										
Коэффициент затухания звука в атмосфере α, дБ/км	Ta=20,°C Pa=101.33,кПа hотн.=70%	ф-ла (5) [9]	0,02	0,09	0,33	1,12	2,79	4,98	9,04	23,09	77,63		
Учет затухания звука в атмосфере Aatm, дБ		ф-ла (8) [10]	0	0	0,1	0,4	1	1,8	3,2	8,3	27,8		
Снижение уровня звукового давления из-за влияния застройки между источником шума и расчетной точкой													
Снижение уровня звукового давления на пути над экраном, Dz1, дБ	z = 6.59м (разность путей)	ф-лы (14-18) [10]	14,1	17,6	21,8	26,1	29,8	33	36	39,1	42,1		
Снижение уровня звукового давления на пути слева от экрана, Dz2, дБ	z = 30.47м (разность путей)	ф-лы (14-18) [10]	20,9	24,6	29	33,4	37	40,2	43,3	46,3	49,3		
Снижение уровня звукового давления на пути справа от экрана, Dz3, дБ	z = 22.14м (разность путей)	ф-лы (14-18) [10]	19,3	22,2	25,2	28,2	31,2	34,2	37,2	40,2	43,2		
Общее снижение уровня звука препятствием Dz, дБ		Эн.сумма(-Dzi)	12,3	15,7	19,6	23,5	27	30,1	33,1	36,1	39,2		

1		2	3	4	5	6	7	8	9	10	11	12	13
Общее снижение уровня звука препятствием с учётом ограничения (25 дБ) для октавных полос Dz, дБ		Раздел 7.4 [10]	12,3	15,7	19,6	23,5	25	25	25	25	25		
Уровни звукового давления от источника ИШ-2-41 в расчётной точке днём, дБ		**ф-ла(3)[10]**	**0**	**18,5**	**15,9**	**13**	**11,2**	**10**	**5,3**	**0**	**0**	**13,9**	**13,9**
Источник шума: ИШ-2-42, координаты источника (x,y,z), м =[684.20,-131.46,1.00]													
Уровни звуковой мощности источника днём, Lw, дБ		**исходные данные**	**0**	**93,3**	**94,7**	**96**	**96,3**	**95,9**	**92,6**	**88,4**	**83,9**		
Поправка на телесный угол DΩ, дБ	Ω = 6.28	10Lg(4π/Ω)	**3**	3	3	3	3	3	3	3	3		
Показатель направленности источника Di, дБ		исходные данные	**0**	0	0	0	0	0	0	0	0		
Поправка на направленность источника Dc, дБ	Dc	DΩ + Di	**3**	3	3	3	3	3	3	3	3		
Затухание из-за геометрической дивергенции, Adiv, дБ	расстояние = 358.30 м	ф-ла (7) [10]	**62,1**										
Коэффициент затухания звука в атмосфере α, дБ/км	Ta=20,°C Pa=101.33,кПа hотн.=70%	ф-ла (5) [9]	0,02	0,09	0,33	1,12	2,79	4,98	9,04	23,09	77,63		
Учет затухания звука в атмосфере Aatm, дБ		ф-ла (8) [10]	0	0	0,1	0,4	1	1,8	3,2	8,3	27,8		
Снижение уровня звукового давления из-за влияния застройки между источником шума и расчетной точкой													
Снижение уровня звукового давления на пути над экраном, Dz1, дБ	z = 6.59м (разность путей)	ф-лы (14-18) [10]	14,1	17,6	21,8	26,1	29,8	33	36	39,1	42,1		
Снижение уровня звукового давления на пути слева от экрана, Dz2, дБ	z = 30.21м (разность путей)	ф-лы (14-18) [10]	20,9	24,6	29	33,3	37	40,2	43,3	46,3	49,3		
Снижение уровня звукового давления на пути справа от экрана, Dz3, дБ	z = 22.36м (разность путей)	ф-лы (14-18) [10]	19,3	22,3	25,2	28,2	31,2	34,2	37,2	40,2	43,2		
Общее снижение уровня звука препятствием Dz, дБ		Эн.сумма(-Dzi)	12,3	15,7	19,6	23,6	27	30,1	33,1	36,2	39,2		
Общее снижение уровня звука препятствием с учётом ограничения (25 дБ) для октавных полос Dz, дБ		Раздел 7.4 [10]	12,3	15,7	19,6	23,6	25	25	25	25	25		

1		2	3	4	5	6	7	8	9	10	11	12	13
Уровни звукового давления от источника ИШ-2-42 в расчётной точке днём, дБ		**ф-ла(3)[10]**	**0**	**18,5**	**15,9**	**12,9**	**11,2**	**10**	**5,3**	**0**	**0**	**13,9**	**13,9**
Источник шума: ИШ-2-43, координаты источника (x,y,z), м =[683.13,-134.37,1.00]													
Уровни звуковой мощности источника днём, Lw, дБ		**исходные данные**	**0**	**93,3**	**94,7**	**96**	**96,3**	**95,9**	**92,6**	**88,4**	**83,9**		
Поправка на телесный угол DΩ, дБ	Ω = 6.28	10Lg(4π/Ω)	**3**	3	3	3	3	3	3	3	3		
Показатель направленности источника Di, дБ		исходные данные	**0**	0	0	0	0	0	0	0	0		
Поправка на направленность источника Dc, дБ	Dc	DΩ + Di	**3**	3	3	3	3	3	3	3	3		
Затухание из-за геометрической дивергенции, Adiv, дБ	расстояние = 357.88 м	ф-ла (7) [10]	**62,1**										
Коэффициент затухания звука в атмосфере α, дБ/км	Ta=20,°C Pa=101.33,кПа hотн.=70%	ф-ла (5) [9]	0,02	0,09	0,33	1,12	2,79	4,98	9,04	23,09	77,63		
Учет затухания звука в атмосфере Aatm, дБ		ф-ла (8) [10]	0	0	0,1	0,4	1	1,8	3,2	8,3	27,8		
Снижение уровня звукового давления из-за влияния застройки между источником шума и расчетной точкой													
Снижение уровня звукового давления на пути над экраном, Dz1, дБ	z = 6.59м (разность путей)	ф-лы (14-18) [10]	14,1	17,6	21,8	26,1	29,8	33	36	39,1	42,1		
Снижение уровня звукового давления на пути слева от экрана, Dz2, дБ	z = 29.94м (разность путей)	ф-лы (14-18) [10]	20,9	24,5	28,9	33,3	37	40,2	43,2	46,3	49,3		
Снижение уровня звукового давления на пути справа от экрана, Dz3, дБ	z = 22.59м (разность путей)	ф-лы (14-18) [10]	19,4	22,3	25,3	28,2	31,2	34,2	37,3	40,3	43,3		
Общее снижение уровня звука препятствием Dz, дБ		Эн.сумма(-Dzi)	12,3	15,7	19,6	23,6	27	30,1	33,2	36,2	39,2		
Общее снижение уровня звука препятствием с учётом ограничения (25 дБ) для октавных полос Dz, дБ		Раздел 7.4 [10]	12,3	15,7	19,6	23,6	25	25	25	25	25		
Уровни звукового давления от источника ИШ-2-43 в расчётной точке днём, дБ		**ф-ла(3)[10]**	**0**	**18,5**	**15,9**	**12,9**	**11,2**	**10**	**5,3**	**0**	**0**	**13,9**	**13,9**

1		2	3	4	5	6	7	8	9	10	11	12	13
Источник шума: ИШ-2-44, координаты источника (x,y,z), м =[682.20,-137.16,1.00]													
Уровни звуковой мощности источника днём, Lw, дБ		**исходные данные**	**0**	**93,3**	**94,7**	**96**	**96,3**	**95,9**	**92,6**	**88,4**	**83,9**		
Поправка на телесный угол DΩ, дБ	Ω = 6.28	10Lg(4π/Ω)	**3**	3	3	3	3	3	3	3	3		
Показатель направленности источника Di, дБ		исходные данные	**0**	0	0	0	0	0	0	0	0		
Поправка на направленность источника Dc, дБ	Dc	DΩ + Di	**3**	3	3	3	3	3	3	3	3		
Затухание из-за геометрической дивергенции, Adiv, дБ	расстояние = 357.58 м	ф-ла (7) [10]	**62,1**										
Коэффициент затухания звука в атмосфере α, дБ/км	Ta=20,°C Pa=101.33,кПа hотн.=70%	ф-ла (5) [9]	0,02	0,09	0,33	1,12	2,79	4,98	9,04	23,09	77,63		
Учет затухания звука в атмосфере Aatm, дБ		ф-ла (8) [10]	0	0	0,1	0,4	1	1,8	3,2	8,3	27,8		
Снижение уровня звукового давления из-за влияния застройки между источником шума и расчетной точкой													
Снижение уровня звукового давления на пути над экраном, Dz1, дБ	z = 6.59м (разность путей)	ф-лы (14-18) [10]	14,1	17,6	21,8	26,1	29,8	33	36	39,1	42,1		
Снижение уровня звукового давления на пути слева от экрана, Dz2, дБ	z = 29.69м (разность путей)	ф-лы (14-18) [10]	20,8	24,5	28,9	33,3	36,9	40,1	43,2	46,2	49,2		
Снижение уровня звукового давления на пути справа от экрана, Dz3, дБ	z = 22.81м (разность путей)	ф-лы (14-18) [10]	19,4	22,4	25,3	28,3	31,3	34,3	37,3	40,3	43,3		
Общее снижение уровня звука препятствием Dz, дБ		Эн.сумма(-Dzi)	12,3	15,7	19,6	23,6	27	30,1	33,2	36,2	39,2		
Общее снижение уровня звука препятствием с учётом ограничения (25 дБ) для октавных полос Dz, дБ		Раздел 7.4 [10]	12,3	15,7	19,6	23,6	25	25	25	25	25		
Уровни звукового давления прямого звука от источника ИШ-2-44 в расчётной точке днём, дБ		**ф-ла(3)[10]**	**0**	**18,5**	**15,9**	**12,9**	**11,2**	**10**	**5,3**	**0**	**0**	**13,9**	**13,9**
Расчёт отражённого звука													

1		2	3	4	5	6	7	8	9	10	11	12	13
Уровни звукового давления от мнимого источника ИШ-2-44_мн.(1) в расчётной точке днём, дБ		**ф-ла(3)[10]**	**0**	**0**	**0**	**0**	**0**	**0**	**0**	**0**	**0**	**0**	**0**
Уровни звукового давления от источника ИШ-2-44 в расчётной точке днём, дБ		**ф-ла(3)[10]**	**0**	**18,5**	**15,9**	**12,9**	**11,2**	**10**	**5,3**	**0**	**0**	**13,9**	**13,9**
Источник шума: ИШ-2-45, координаты источника (x,y,z), м =[681.26,-139.98,1.00]													
Уровни звуковой мощности источника днём, Lw, дБ		**исходные данные**	**0**	**93,3**	**94,7**	**96**	**96,3**	**95,9**	**92,6**	**88,4**	**83,9**		
Поправка на телесный угол DΩ, дБ	Ω = 6.28	10Lg(4π/Ω)	**3**	3	3	3	3	3	3	3	3		
Показатель направленности источника Di, дБ		исходные данные	**0**	0	0	0	0	0	0	0	0		
Поправка на направленность источника Dc, дБ	Dc	DΩ + Di	**3**	3	3	3	3	3	3	3	3		
Затухание из-за геометрической дивергенции, Adiv, дБ	расстояние = 357.32 м	ф-ла (7) [10]	**62,1**										
Коэффициент затухания звука в атмосфере α, дБ/км	Ta=20,°C Pa=101.33,кПа hотн.=70%	ф-ла (5) [9]	0,02	0,09	0,33	1,12	2,79	4,98	9,04	23,09	77,63		
Учет затухания звука в атмосфере Aatm, дБ		ф-ла (8) [10]	0	0	0,1	0,4	1	1,8	3,2	8,2	27,7		
Снижение уровня звукового давления из-за влияния застройки между источником шума и расчетной точкой													
Снижение уровня звукового давления на пути над экраном, Dz1, дБ	z = 6.59м (разность путей)	ф-лы (14-18) [10]	14,1	17,6	21,8	26,1	29,8	33	36	39,1	42,1		
Снижение уровня звукового давления на пути слева от экрана, Dz2, дБ	z = 29.43м (разность путей)	ф-лы (14-18) [10]	20,8	24,5	28,8	33,2	36,9	40,1	43,2	46,2	49,2		
Снижение уровня звукового давления на пути справа от экрана, Dz3, дБ	z = 23.03м (разность путей)	ф-лы (14-18) [10]	19,5	22,4	25,3	28,3	31,3	34,3	37,3	40,4	43,4		
Общее снижение уровня звука препятствием Dz, дБ		Эн.сумма(-Dzi)	12,3	15,7	19,7	23,6	27	30,1	33,2	36,2	39,2		
Общее снижение уровня звука препятствием с учётом ограничения (25 дБ) для октавных полос Dz, дБ		Раздел 7.4 [10]	12,3	15,7	19,7	23,6	25	25	25	25	25		

1		2	3	4	5	6	7	8	9	10	11	12	13
Уровни звукового давления прямого звука от источника ИШ-2-45 в расчётной точке днём, дБ		**ф-ла(3)[10]**	**0**	**18,5**	**15,9**	**12,9**	**11,2**	**10,1**	**5,3**	**0**	**0**	**13,9**	**13,9**
Расчёт отражённого звука													
Уровни звукового давления от мнимого источника ИШ-2-45_мн.(1) в расчётной точке днём, дБ		**ф-ла(3)[10]**	**0**	**0**	**0**	**0**	**0**	**0**	**4**	**0**	**0**	**5,2**	**5,2**
Уровни звукового давления от мнимого источника ИШ-2-45_мн.(2) в расчётной точке днём, дБ		**ф-ла(3)[10]**	**0**	**0**	**0**	**0**	**0**	**0**	**0**	**0**	**0**	**0**	**0**
Суммарные уровни звукового давления от мнимых источников в расчётной точке днём, дБ		**ф-ла (19) [1]**	**0**	**0**	**0**	**0**	**0**	**0**	**4**	**0**	**0**	**0**	**5,2**
Уровни звукового давления от источника ИШ-2-45 в расчётной точке днём, дБ		**ф-ла(3)[10]**	**0**	**18,5**	**15,9**	**12,9**	**11,2**	**10,1**	**7,7**	**0**	**0**	**14,5**	**14,5**
Источник шума: ИШ-4-1, координаты источника (x,y,z), м =[141.82,201.03,1.00]													
Уровни звуковой мощности источника днём, Lw, дБ		**исходные данные**	**0**	**90,3**	**91,7**	**93**	**93,3**	**92,9**	**89,6**	**85,4**	**80,9**		
Поправка на телесный угол DΩ, дБ	Ω = 6.28	10Lg(4π/Ω)	**3**	3	3	3	3	3	3	3	3		
Показатель направленности источника Di, дБ		исходные данные	**0**	0	0	0	0	0	0	0	0		
Поправка на направленность источника Dc, дБ	Dc	DΩ + Di	**3**	3	3	3	3	3	3	3	3		
Затухание из-за геометрической дивергенции, Adiv, дБ	расстояние = 321.17 м	ф-ла (7) [10]	**61,1**										
Коэффициент затухания звука в атмосфере α, дБ/км	Ta=20,°C Pa=101.33,кПа hотн.=70%	ф-ла (5) [9]	0,02	0,09	0,33	1,12	2,79	4,98	9,04	23,09	77,63		
Учет затухания звука в атмосфере Aatm, дБ		ф-ла (8) [10]	0	0	0,1	0,4	0,9	1,6	2,9	7,4	24,9		
Снижение уровня звукового давления из-за влияния застройки между источником шума и расчетной точкой													
Снижение уровня звукового давления препятствием слева от трассы ИШ-РТ, Dz2, дБ	z = -0.10м (разность путей)	ф-лы (14-18) [10]	4,2	3,5	1,7	NAN	NAN	NAN	NAN	NAN	NAN		

* отрицательное значение z означает прохождение траектории вблизи экрана, в этом случае дополнительно производится учёт снижения подстилающей поверхностью (см.ниже)

1		2	3	4	5	6	7	8	9	10	11	12	13
Снижение поверхностью земли возле источника As, дБ	Gs = 0 hs = 1м	ф-лы таб.3 [10]	-1,5	-1,5	-1,5	-1,5	-1,5	-1,5	-1,5	-1,5	-1,5		
Снижение поверхностью земли возле приёмника Ar, дБ	Gr = 1 hr = 1.5м	ф-лы таб.3 [10]	-1,5	-1,5	1,9	7	5	0,7	0	0	0		
Снижение поверхностью земли в средней зоне, Am дБ	Gm = 1	ф-лы таб.3 [10]	-2,3	-2,3	0	0	0	0	0	0	0		
Суммарное снижение поверхностью земли на траектории распространения звука Agr, дБ		ф-ла (9) [10]	-5,3	-5,3	0,4	5,5	3,5	-0,8	-1,5	-1,5	-1,5		
Уровни звукового давления прямого звука от источника ИШ-4-1 в расчётной точке днём, дБ		**ф-ла(3)[10]**	**0**	**33,9**	**31,4**	**29**	**30,8**	**34**	**30,1**	**21,3**	**0**	**36,8**	**36,8**
Расчёт отражённого звука													
Уровни звукового давления от мнимого источника ИШ-4-1_мн.(1) в расчётной точке днём, дБ		**ф-ла(3)[10]**	**0**	**0**	**0**	**18,6**	**19,4**	**29,4**	**27,5**	**18,7**	**0**	**32,4**	**32,4**
Уровни звукового давления от мнимого источника ИШ-4-1_мн.(2) в расчётной точке днём, дБ		**ф-ла(3)[10]**	**0**	**0**	**0**	**0**	**0**	**28,6**	**26,6**	**17,5**	**0**	**31,5**	**31,5**
Уровни звукового давления от мнимого источника ИШ-4-1_мн.(3) в расчётной точке днём, дБ		**ф-ла(3)[10]**	**0**	**0**	**0**	**0**	**0**	**0**	**0**	**7,8**	**0**	**8,8**	**8,8**
Суммарные уровни звукового давления от мнимых источников в расчётной точке днём, дБ		**ф-ла (19) [1]**	**0**	**0**	**0**	**18,6**	**19,4**	**32**	**30,1**	**21,3**	**0**	**0**	**35**
Уровни звукового давления от источника ИШ-4-1 в расчётной точке днём, дБ		**ф-ла(3)[10]**	**0**	**33,9**	**31,4**	**29,4**	**31,1**	**36,1**	**33,1**	**24,3**	**0**	**39**	**39**
Источник шума: ИШ-4-2, координаты источника (x,y,z), м =[133.85,183.21,1.00]													
Уровни звуковой мощности источника днём, Lw, дБ		**исходные данные**	**0**	**90,3**	**91,7**	**93**	**93,3**	**92,9**	**89,6**	**85,4**	**80,9**		
Поправка на телесный угол DΩ, дБ	Ω = 6.28	10Lg(4π/Ω)	**3**	3	3	3	3	3	3	3	3		
Показатель направленности источника Di, дБ		исходные данные	**0**	0	0	0	0	0	0	0	0		
Поправка на направленность источника Dc, дБ	Dc	DΩ + Di	**3**	3	3	3	3	3	3	3	3		
Затухание из-за геометрической дивергенции, Adiv, дБ	расстояние = 312.11 м	ф-ла (7) [10]	**60,9**										

1		2	3	4	5	6	7	8	9	10	11	12	13
Коэффициент затухания звука в атмосфере α, дБ/км	Ta=20,°C Pa=101.33,кПа hотн.=70%	ф-ла (5) [9]	0,02	0,09	0,33	1,12	2,79	4,98	9,04	23,09	77,63		
Учет затухания звука в атмосфере Aatm, дБ		ф-ла (8) [10]	0	0	0,1	0,4	0,9	1,6	2,8	7,2	24,2		
Снижение уровня звукового давления из-за влияния застройки между источником шума и расчетной точкой													
Снижение уровня звукового давления препятствием слева от трассы ИШ-РТ, Dz2, дБ	z = -0.45м (разность путей)	ф-лы (14-18) [10]	1,3	NAN	NAN	NAN	NAN	NAN	NAN	NAN	NAN		
* отрицательное значение z означает прохождение траектории вблизи экрана, в этом случае дополнительно производится учёт снижения подстилающей поверхностью (см.ниже)													
Снижение поверхностью земли возле источника As, дБ	Gs = 0 hs = 1м	ф-лы таб.3 [10]	-1,5	-1,5	-1,5	-1,5	-1,5	-1,5	-1,5	-1,5	-1,5		
Снижение поверхностью земли возле приёмника Ar, дБ	Gr = 1 hr = 1.5м	ф-лы таб.3 [10]	-1,5	-1,5	1,8	7	5	0,7	0	0	0		
Снижение поверхностью земли в средней зоне, Am дБ	Gm = 1	ф-лы таб.3 [10]	-2,3	-2,3	0	0	0	0	0	0	0		
Суммарное снижение поверхностью земли на траектории распространения звука Agr, дБ		ф-ла (9) [10]	-5,3	-5,3	0,3	5,5	3,5	-0,8	-1,5	-1,5	-1,5		
Уровни звукового давления прямого звука от источника ИШ-4-2 в расчётной точке днём, дБ		**ф-ла(3)[10]**	**0**	**37,7**	**33,4**	**29,2**	**31,1**	**34,3**	**30,4**	**21,8**	**0**	**37,1**	**37,1**
Расчёт отражённого звука													
Уровни звукового давления от мнимого источника ИШ-4-2_мн.(1) в расчётной точке днём, дБ		**ф-ла(3)[10]**	**0**	**0**	**29,1**	**18,8**	**19,7**	**29,7**	**27,8**	**19,1**	**0**	**32,8**	**32,8**
Уровни звукового давления от мнимого источника ИШ-4-2_мн.(2) в расчётной точке днём, дБ		**ф-ла(3)[10]**	**0**	**0**	**0**	**0**	**0**	**0**	**0**	**0**	**0**	**0**	**0**
Уровни звукового давления от мнимого источника ИШ-4-2_мн.(3) в расчётной точке днём, дБ		**ф-ла(3)[10]**	**0**	**0**	**0**	**0**	**0**	**0**	**0**	**8,4**	**0**	**9,4**	**9,4**
Суммарные уровни звукового давления от мнимых источников в расчётной точке днём, дБ		**ф-ла (19) [1]**	**0**	**0**	**29,1**	**18,8**	**19,7**	**29,7**	**27,8**	**19,5**	**0**	**0**	**32,8**
Уровни звукового давления от источника ИШ-4-2 в расчётной точке днём, дБ		**ф-ла(3)[10]**	**0**	**37,7**	**34,8**	**29,6**	**31,4**	**35,6**	**32,3**	**23,8**	**0**	**38,5**	**38,5**
Источник шума: ИШ-4-3, координаты источника (x,y,z), м =[152.61,172.66,1.00]													

1		2	3	4	5	6	7	8	9	10	11	12	13
Уровни звуковой мощности источника днём, Lw, дБ		**исходные данные**	**0**	**90,3**	**91,7**	**93**	**93,3**	**92,9**	**89,6**	**85,4**	**80,9**		
Поправка на телесный угол DΩ, дБ	Ω = 6.28	10Lg(4π/Ω)	**3**	3	3	3	3	3	3	3	3		
Показатель направленности источника Di, дБ		исходные данные	**0**	0	0	0	0	0	0	0	0		
Поправка на направленность источника Dc, дБ	Dc	DΩ + Di	**3**	3	3	3	3	3	3	3	3		
Затухание из-за геометрической дивергенции, Adiv, дБ	расстояние = 292.10 м	ф-ла (7) [10]	**60,3**										
Коэффициент затухания звука в атмосфере α, дБ/км	Ta=20,°C Pa=101.33,кПа hотн.=70%	ф-ла (5) [9]	0,02	0,09	0,33	1,12	2,79	4,98	9,04	23,09	77,63		
Учет затухания звука в атмосфере Aatm, дБ		ф-ла (8) [10]	0	0	0,1	0,3	0,8	1,5	2,6	6,7	22,7		
Снижение уровня звукового давления из-за влияния застройки между источником шума и расчетной точкой													
Снижение уровня звукового давления препятствием слева от трассы ИШ-РТ, Dz2, дБ	z = -0.26м (разность путей)	ф-лы (14-18) [10]	3,1	0,4	NAN	NAN	NAN	NAN	NAN	NAN	NAN		
* отрицательное значение z означает прохождение траектории вблизи экрана, в этом случае дополнительно производится учёт снижения подстилающей поверхностью (см.ниже)													
Снижение поверхностью земли возле источника As, дБ	Gs = 0 hs = 1м	ф-лы таб.3 [10]	-1,5	-1,5	-1,5	-1,5	-1,5	-1,5	-1,5	-1,5	-1,5		
Снижение поверхностью земли возле приёмника Ar, дБ	Gr = 1 hr = 1.5м	ф-лы таб.3 [10]	-1,5	-1,5	1,7	7	5	0,7	0	0	0		
Снижение поверхностью земли в средней зоне, Am дБ	Gm = 1	ф-лы таб.3 [10]	-2,2	-2,2	0	0	0	0	0	0	0		
Суммарное снижение поверхностью земли на траектории распространения звука Agr, дБ		ф-ла (9) [10]	-5,2	-5,2	0,2	5,5	3,5	-0,8	-1,5	-1,5	-1,5		
Уровни звукового давления прямого звука от источника ИШ-4-3 в расчётной точке днём, дБ		**ф-ла(3)[10]**	**0**	**37,8**	**34,1**	**29,9**	**31,7**	**35**	**31,1**	**22,8**	**2,4**	**37,8**	**37,8**
Расчёт отражённого звука													
Уровни звукового давления от мнимого источника ИШ-4-3_мн.(1) в расчётной точке днём, дБ		**ф-ла(3)[10]**	**0**	**0**	**29,9**	**19,4**	**20,3**	**30,3**	**28,5**	**20,2**	**0**	**33,5**	**33,5**
Уровни звукового давления от мнимого источника ИШ-4-3_мн.(2) в расчётной точке днём, дБ		**ф-ла(3)[10]**	**0**	**0**	**0**	**0**	**0**	**0**	**0**	**9**	**0**	**10**	**10**

1		2	3	4	5	6	7	8	9	10	11	12	13
Суммарные уровни звукового давления от мнимых источников в расчётной точке днём, дБ		**ф-ла (19) [1]**	**0**	**0**	**29,9**	**19,4**	**20,3**	**30,3**	**28,5**	**20,5**	**0**	**0**	**33,5**
Уровни звукового давления от источника ИШ-4-3 в расчётной точке днём, дБ		**ф-ла(3)[10]**	**0**	**37,8**	**35,5**	**30,2**	**32**	**36,3**	**33**	**24,8**	**2,4**	**39,2**	**39,2**
Источник шума: ИШ-4-4, координаты источника (x,y,z), м =[156.83,171.25,1.00]													
Уровни звуковой мощности источника днём, Lw, дБ		**исходные данные**	**0**	**90,3**	**91,7**	**93**	**93,3**	**92,9**	**89,6**	**85,4**	**80,9**		
Поправка на телесный угол DΩ, дБ	Ω = 6.28	10Lg(4π/Ω)	**3**	3	3	3	3	3	3	3	3		
Показатель направленности источника Di, дБ		исходные данные	**0**	0	0	0	0	0	0	0	0		
Поправка на направленность источника Dc, дБ	Dc	DΩ + Di	**3**	3	3	3	3	3	3	3	3		
Затухание из-за геометрической дивергенции, Adiv, дБ	расстояние = 288.38 м	ф-ла (7) [10]	**60,2**										
Коэффициент затухания звука в атмосфере α, дБ/км	Ta=20,°C Pa=101.33,кПа hотн.=70%	ф-ла (5) [9]	0,02	0,09	0,33	1,12	2,79	4,98	9,04	23,09	77,63		
Учет затухания звука в атмосфере Aatm, дБ		ф-ла (8) [10]	0	0	0,1	0,3	0,8	1,4	2,6	6,7	22,4		
Снижение уровня звукового давления из-за влияния застройки между источником шума и расчетной точкой													
Снижение уровня звукового давления препятствием слева от трассы ИШ-РТ, Dz2, дБ	z = -0.21м (разность путей)	ф-лы (14-18) [10]	3,5	1,7	NAN	NAN	NAN	NAN	NAN	NAN	NAN		
* отрицательное значение z означает прохождение траектории вблизи экрана, в этом случае дополнительно производится учёт снижения подстилающей поверхностью (см.ниже)													
Снижение поверхностью земли возле источника As, дБ	Gs = 0 hs = 1м	ф-лы таб.3 [10]	-1,5	-1,5	-1,5	-1,5	-1,5	-1,5	-1,5	-1,5	-1,5		
Снижение поверхностью земли возле приёмника Ar, дБ	Gr = 1 hr = 1.5м	ф-лы таб.3 [10]	-1,5	-1,5	1,7	7	5	0,7	0	0	0		
Снижение поверхностью земли в средней зоне, Am дБ	Gm = 1	ф-лы таб.3 [10]	-2,2	-2,2	0	0	0	0	0	0	0		
Суммарное снижение поверхностью земли на траектории распространения звука Agr, дБ		ф-ла (9) [10]	-5,2	-5,2	0,2	5,5	3,5	-0,8	-1,5	-1,5	-1,5		

1		2	3	4	5	6	7	8	9	10	11	12	13
Уровни звукового давления прямого звука от источника ИШ-4-4 в расчётной точке днём, дБ		**ф-ла(3)[10]**	**0**	**36,6**	**34,2**	**30**	**31,8**	**35,1**	**31,3**	**23**	**2,8**	**37,9**	**37,9**
Расчёт отражённого звука													
Уровни звукового давления от мнимого источника ИШ-4-4_мн.(1) в расчётной точке днём, дБ		**ф-ла(3)[10]**	**0**	**0**	**30,1**	**19,5**	**20,4**	**30,5**	**28,7**	**20,4**	**0**	**33,6**	**33,6**
Уровни звукового давления от мнимого источника ИШ-4-4_мн.(2) в расчётной точке днём, дБ		**ф-ла(3)[10]**	**0**	**0**	**0**	**0**	**0**	**0**	**0**	**0**	**0**	**0**	**0**
Уровни звукового давления от мнимого источника ИШ-4-4_мн.(3) в расчётной точке днём, дБ		**ф-ла(3)[10]**	**0**	**0**	**0**	**0**	**0**	**0**	**0**	**9**	**0**	**10**	**10**
Суммарные уровни звукового давления от мнимых источников в расчётной точке днём, дБ		**ф-ла (19) [1]**	**0**	**0**	**30,1**	**19,5**	**20,4**	**30,5**	**28,7**	**20,7**	**0**	**0**	**33,7**
Уровни звукового давления от источника ИШ-4-4 в расчётной точке днём, дБ		**ф-ла(3)[10]**	**0**	**36,6**	**35,7**	**30,3**	**32,1**	**36,4**	**33,2**	**25**	**2,8**	**39,3**	**39,3**
Источник шума: ИШ-4-5, координаты источника (x,y,z), м =[126.48,222.66,11.00]													
Уровни звуковой мощности источника днём, Lw, дБ		**исходные данные**	**0**	**90,3**	**91,7**	**93**	**93,3**	**92,9**	**89,6**	**85,4**	**80,9**		
Поправка на телесный угол DΩ, дБ	Ω = 6.28	10Lg(4π/Ω)	**3**	3	3	3	3	3	3	3	3		
Показатель направленности источника Di, дБ		исходные данные	**0**	0	0	0	0	0	0	0	0		
Поправка на направленность источника Dc, дБ	Dc	DΩ + Di	**3**	3	3	3	3	3	3	3	3		
Затухание из-за геометрической дивергенции, Adiv, дБ	расстояние = 347.81 м	ф-ла (7) [10]	**61,8**										
Коэффициент затухания звука в атмосфере α, дБ/км	Ta=20,°C Pa=101.33,кПа hотн.=70%	ф-ла (5) [9]	0,02	0,09	0,33	1,12	2,79	4,98	9,04	23,09	77,63		
Учет затухания звука в атмосфере Aatm, дБ		ф-ла (8) [10]	0	0	0,1	0,4	1	1,7	3,1	8	27		
Снижение уровня звукового давления из-за влияния застройки между источником шума и расчетной точкой													

1		2	3	4	5	6	7	8	9	10	11	12	13
Снижение уровня звукового давления препятствием слева от трассы ИШ-РТ, Dz2, дБ	z = -0.09м (разность путей)	ф-лы (14-18) [10]	4,2	3,6	2,1	0	NAN	NAN	NAN	NAN	NAN		
* отрицательное значение z означает прохождение траектории вблизи экрана, в этом случае дополнительно производится учёт снижения подстилающей поверхностью (см.ниже)													
Снижение поверхностью земли возле источника As, дБ	Gs = 0 hs = 1м	ф-лы таб.3 [10]	-1,5	-1,5	-1,5	-1,5	-1,5	-1,5	-1,5	-1,5	-1,5		
Снижение поверхностью земли возле приёмника Ar, дБ	Gr = 1 hr = 1.5м	ф-лы таб.3 [10]	-1,5	-1,5	2	7	5	0,7	0	0	0		
Снижение поверхностью земли в средней зоне, Am дБ	Gm = 1	ф-лы таб.3 [10]	-2,4	-2,4	0	0	0	0	0	0	0		
Суммарное снижение поверхностью земли на траектории распространения звука Agr, дБ		ф-ла (9) [10]	-5,4	-5,4	0,5	5,5	3,5	-0,8	-1,5	-1,5	-1,5		
Уровни звукового давления прямого звука от источника ИШ-4-5 в расчётной точке днём, дБ		**ф-ла(3)[10]**	**0**	**33,2**	**30,2**	**28,3**	**30**	**33,2**	**29,1**	**20**	**0**	**35,9**	**35,9**
Расчёт отражённого звука													
Уровни звукового давления от мнимого источника ИШ-4-5_мн.(1) в расчётной точке днём, дБ		**ф-ла(3)[10]**	**0**	**0**	**0**	**17,8**	**18,6**	**28,6**	**26,5**	**17,4**	**0**	**31,5**	**31,5**
Уровни звукового давления от мнимого источника ИШ-4-5_мн.(2) в расчётной точке днём, дБ		**ф-ла(3)[10]**	**0**	**0**	**0**	**0**	**0**	**0**	**0**	**6,9**	**0**	**7,9**	**7,9**
Суммарные уровни звукового давления от мнимых источников в расчётной точке днём, дБ		**ф-ла (19) [1]**	**0**	**0**	**0**	**17,8**	**18,6**	**28,6**	**26,5**	**17,8**	**0**	**0**	**31,6**
Уровни звукового давления от источника ИШ-4-5 в расчётной точке днём, дБ		**ф-ла(3)[10]**	**0**	**33,2**	**30,2**	**28,6**	**30,3**	**34,5**	**31**	**22,1**	**0**	**37,3**	**37,3**
Источник шума: ИШ-4-6, координаты источника (x,y,z), м =[125.17,218.57,11.00]													
Уровни звуковой мощности источника днём, Lw, дБ		**исходные данные**	**0**	**90,3**	**91,7**	**93**	**93,3**	**92,9**	**89,6**	**85,4**	**80,9**		
Поправка на телесный угол DΩ, дБ	Ω = 6.28	10Lg(4π/Ω)	**3**	3	3	3	3	3	3	3	3		
Показатель направленности источника Di, дБ		исходные данные	**0**	0	0	0	0	0	0	0	0		
Поправка на направленность источника Dc, дБ	Dc	DΩ + Di	**3**	3	3	3	3	3	3	3	3		
Затухание из-за геометрической дивергенции, Adiv, дБ	расстояние = 345.33 м	ф-ла (7) [10]	**61,8**										

1		2	3	4	5	6	7	8	9	10	11	12	13
Коэффициент затухания звука в атмосфере α, дБ/км	Ta=20,°C Pa=101.33,кПа hотн.=70%	ф-ла (5) [9]	0,02	0,09	0,33	1,12	2,79	4,98	9,04	23,09	77,63		
Учет затухания звука в атмосфере Aatm, дБ		ф-ла (8) [10]	0	0	0,1	0,4	1	1,7	3,1	8	26,8		
Снижение уровня звукового давления из-за влияния застройки между источником шума и расчетной точкой													
Снижение уровня звукового давления препятствием слева от трассы ИШ-РТ, Dz2, дБ	z = -0.14м (разность путей)	ф-лы (14-18) [10]	4	3	0	NAN	NAN	NAN	NAN	NAN	NAN		
* отрицательное значение z означает прохождение траектории вблизи экрана, в этом случае дополнительно производится учёт снижения подстилающей поверхностью (см.ниже)													
Снижение поверхностью земли возле источника As, дБ	Gs = 0 hs = 1м	ф-лы таб.3 [10]	-1,5	-1,5	-1,5	-1,5	-1,5	-1,5	-1,5	-1,5	-1,5		
Снижение поверхностью земли возле приёмника Ar, дБ	Gr = 1 hr = 1.5м	ф-лы таб.3 [10]	-1,5	-1,5	2	7	5	0,7	0	0	0		
Снижение поверхностью земли в средней зоне, Am дБ	Gm = 1	ф-лы таб.3 [10]	-2,3	-2,3	0	0	0	0	0	0	0		
Суммарное снижение поверхностью земли на траектории распространения звука Agr, дБ		ф-ла (9) [10]	-5,3	-5,3	0,5	5,5	3,5	-0,8	-1,5	-1,5	-1,5		
Уровни звукового давления прямого звука от источника ИШ-4-6 в расчётной точке днём, дБ		**ф-ла(3)[10]**	**0**	**33,9**	**32,3**	**28,3**	**30,1**	**33,2**	**29,2**	**20,2**	**0**	**36**	**36**
Расчёт отражённого звука													
Уровни звукового давления от мнимого источника ИШ-4-6_мн.(1) в расчётной точке днём, дБ		**ф-ла(3)[10]**	**0**	**0**	**0**	**17,9**	**18,7**	**28,6**	**26,6**	**17,5**	**0**	**31,6**	**31,6**
Уровни звукового давления от мнимого источника ИШ-4-6_мн.(2) в расчётной точке днём, дБ		**ф-ла(3)[10]**	**0**	**0**	**0**	**0**	**0**	**0**	**0**	**7,1**	**0**	**8,1**	**8,1**
Суммарные уровни звукового давления от мнимых источников в расчётной точке днём, дБ		**ф-ла (19) [1]**	**0**	**0**	**0**	**17,9**	**18,7**	**28,6**	**26,6**	**17,9**	**0**	**0**	**31,6**
Уровни звукового давления от источника ИШ-4-6 в расчётной точке днём, дБ		**ф-ла(3)[10]**	**0**	**33,9**	**32,3**	**28,7**	**30,4**	**34,5**	**31,1**	**22,2**	**0**	**37,3**	**37,3**
Источник шума: ИШ-4-7, координаты источника (x,y,z), м =[177.91,257.92,11.00]													
Уровни звуковой мощности источника днём, Lw, дБ		**исходные данные**	**0**	**90,3**	**91,7**	**93**	**93,3**	**92,9**	**89,6**	**85,4**	**80,9**		

1		2	3	4	5	6	7	8	9	10	11	12	13
Поправка на телесный угол DΩ, дБ	Ω = 6.28	10Lg(4π/Ω)	**3**	3	3	3	3	3	3	3	3		
Показатель направленности источника Di, дБ		исходные данные	**0**	0	0	0	0	0	0	0	0		
Поправка на направленность источника Dc, дБ	Dc	DΩ + Di	**3**	3	3	3	3	3	3	3	3		
Затухание из-за геометрической дивергенции, Adiv, дБ	расстояние = 351.01 м	ф-ла (7) [10]	**61,9**										
Коэффициент затухания звука в атмосфере α, дБ/км	Ta=20,°C Pa=101.33,кПа hотн.=70%	ф-ла (5) [9]	0,02	0,09	0,33	1,12	2,79	4,98	9,04	23,09	77,63		
Учет затухания звука в атмосфере Aatm, дБ		ф-ла (8) [10]	0	0	0,1	0,4	1	1,7	3,2	8,1	27,3		
Снижение уровня звукового давления из-за влияния застройки между источником шума и расчетной точкой													
Снижение уровня звукового давления на пути над экраном, Dz1, дБ	z = 0.53м (разность путей)	ф-лы (14-18) [10]	5,6	6,2	7,3	8,9	11	13,5	16,2	19	22		
Снижение уровня звукового давления на пути слева от экрана, Dz2, дБ	z = 19.09м (разность путей)	ф-лы (14-18) [10]	18,7	21,6	24,5	27,5	30,5	33,5	36,5	39,5	42,5		
Снижение уровня звукового давления на пути справа от экрана, Dz3, дБ	z = 0.65м (разность путей)	ф-лы (14-18) [10]	7,3	8,9	11	13,4	16,1	19	21,9	24,9	27,9		
Общее снижение уровня звука препятствием Dz, дБ		Эн.сумма(-Dzi)	3,2	4,3	5,7	7,6	9,8	12,4	15,1	18	20,9		
Общее снижение уровня звука препятствием с учётом ограничения (20 дБ) для октавных полос Dz, дБ		Раздел 7.4 [10]	3,2	4,3	5,7	7,6	9,8	12,4	15,1	18	20		
Уровни звукового давления прямого звука от источника ИШ-4-7 в расчётной точке днём, дБ		**ф-ла(3)[10]**	**0**	**27,1**	**27**	**26,1**	**23,6**	**19,9**	**12,4**	**0,4**	**0**	**24,8**	**24,8**
Расчёт отражённого звука													
Уровни звукового давления от мнимого источника ИШ-4-7_мн.(1) в расчётной точке днём, дБ		**ф-ла(3)[10]**	**0**	**0**	**0**	**0**	**0**	**0**	**0**	**0**	**0**	**0**	**0**
Уровни звукового давления от мнимого источника ИШ-4-7_мн.(2) в расчётной точке днём, дБ		**ф-ла(3)[10]**	**0**	**0**	**0**	**0**	**0**	**0**	**18,9**	**5,9**	**0**	**20,3**	**20,3**
Суммарные уровни звукового давления от мнимых источников в расчётной точке днём, дБ		**ф-ла (19) [1]**	**0**	**0**	**0**	**0**	**0**	**0**	**18,9**	**5,9**	**0**	**0**	**20,3**

1		2	3	4	5	6	7	8	9	10	11	12	13
Уровни звукового давления от источника ИШ-4-7 в расчётной точке днём, дБ		**ф-ла(3)[10]**	**0**	**27,1**	**27**	**26,1**	**23,6**	**19,9**	**19,8**	**6,9**	**0**	**26,1**	**26,1**
Источник шума: ИШ-4-8, координаты источника (x,y,z), м =[178.24,257.77,13.00]													
Уровни звуковой мощности источника днём, Lw, дБ		**исходные данные**	**0**	**90,3**	**91,7**	**93**	**93,3**	**92,9**	**89,6**	**85,4**	**80,9**		
Поправка на телесный угол DΩ, дБ	Ω = 6.28	10Lg(4π/Ω)	**3**	3	3	3	3	3	3	3	3		
Показатель направленности источника Di, дБ		исходные данные	**0**	0	0	0	0	0	0	0	0		
Поправка на направленность источника Dc, дБ	Dc	DΩ + Di	**3**	3	3	3	3	3	3	3	3		
Затухание из-за геометрической дивергенции, Adiv, дБ	расстояние = 350.79 м	ф-ла (7) [10]	**61,9**										
Коэффициент затухания звука в атмосфере α, дБ/км	Ta=20,°C Pa=101.33,кПа hотн.=70%	ф-ла (5) [9]	0,02	0,09	0,33	1,12	2,79	4,98	9,04	23,09	77,63		
Учет затухания звука в атмосфере Aatm, дБ		ф-ла (8) [10]	0	0	0,1	0,4	1	1,7	3,2	8,1	27,2		
Снижение уровня звукового давления из-за влияния застройки между источником шума и расчетной точкой													
Снижение уровня звукового давления на пути над экраном, Dz1, дБ	z = 0.48м (разность путей)	ф-лы (14-18) [10]	5,5	6,1	7,1	8,6	10,5	12,9	15,6	18,4	21,3		
Снижение уровня звукового давления на пути слева от экрана, Dz2, дБ	z = 19.05м (разность путей)	ф-лы (14-18) [10]	18,7	21,6	24,5	27,5	30,5	33,5	36,5	39,5	42,5		
Снижение уровня звукового давления на пути справа от экрана, Dz3, дБ	z = 0.65м (разность путей)	ф-лы (14-18) [10]	7,3	8,9	11	13,5	16,2	19	21,9	24,9	27,9		
Общее снижение уровня звука препятствием Dz, дБ		Эн.сумма(-Dzi)	3,2	4,2	5,5	7,3	9,5	11,9	14,7	17,5	20,5		
Общее снижение уровня звука препятствием с учётом ограничения (20 дБ) для октавных полос Dz, дБ		Раздел 7.4 [10]	3,2	4,2	5,5	7,3	9,5	11,9	14,7	17,5	20		
Уровни звукового давления прямого звука от источника ИШ-4-8 в расчётной точке днём, дБ		**ф-ла(3)[10]**	**0**	**27,2**	**27,1**	**26,4**	**24**	**20,3**	**12,9**	**0,9**	**0**	**25,1**	**25,1**

1		2	3	4	5	6	7	8	9	10	11	12	13
Расчёт отражённого звука													
Уровни звукового давления от мнимого источника ИШ-4-8_мн.(1) в расчётной точке днём, дБ		**ф-ла(3)[10]**	**0**	**0**	**0**	**0**	**0**	**0**	**18,9**	**5,9**	**0**	**20,3**	**20,3**
Уровни звукового давления от источника ИШ-4-8 в расчётной точке днём, дБ		**ф-ла(3)[10]**	**0**	**27,2**	**27,1**	**26,4**	**24**	**20,3**	**19,9**	**7,1**	**0**	**26,4**	**26,4**
Источник шума: ИШ-4-9, координаты источника (x,y,z), м =[178.68,257.63,15.50]													
Уровни звуковой мощности источника днём, Lw, дБ		**исходные данные**	**0**	**90,3**	**91,7**	**93**	**93,3**	**92,9**	**89,6**	**85,4**	**80,9**		
Поправка на телесный угол DΩ, дБ	Ω = 6.28	10Lg(4π/Ω)	**3**	3	3	3	3	3	3	3	3		
Показатель направленности источника Di, дБ		исходные данные	**0**	0	0	0	0	0	0	0	0		
Поправка на направленность источника Dc, дБ	Dc	DΩ + Di	**3**	3	3	3	3	3	3	3	3		
Затухание из-за геометрической дивергенции, Adiv, дБ	расстояние = 350.56 м	ф-ла (7) [10]	**61,9**										
Коэффициент затухания звука в атмосфере α, дБ/км	Ta=20,°C Pa=101.33,кПа hотн.=70%	ф-ла (5) [9]	0,02	0,09	0,33	1,12	2,79	4,98	9,04	23,09	77,63		
Учет затухания звука в атмосфере Aatm, дБ		ф-ла (8) [10]	0	0	0,1	0,4	1	1,7	3,2	8,1	27,2		
Снижение уровня звукового давления из-за влияния застройки между источником шума и расчетной точкой													
Снижение уровня звукового давления на пути над экраном, Dz1, дБ	z = 0.43м (разность путей)	ф-лы (14-18) [10]	5,4	5,9	6,7	8,1	9,9	12,2	14,8	17,6	20,5		
Снижение уровня звукового давления на пути слева от экрана, Dz2, дБ	z = 18.99м (разность путей)	ф-лы (14-18) [10]	18,7	21,6	24,5	27,5	30,5	33,5	36,5	39,5	42,5		
Снижение уровня звукового давления на пути справа от экрана, Dz3, дБ	z = 0.66м (разность путей)	ф-лы (14-18) [10]	7,4	9	11,1	13,5	16,2	19,1	22	25	28		
Общее снижение уровня звука препятствием Dz, дБ		Эн.сумма(-Dzi)	3,1	4,1	5,3	7	9	11,4	14	16,9	19,8		

1		2	3	4	5	6	7	8	9	10	11	12	13
Уровни звукового давления прямого звука от источника ИШ-4-9 в расчётной точке днём, дБ		**ф-ла(3)[10]**	**0**	**27,3**	**27,4**	**26,8**	**24,4**	**20,9**	**13,5**	**1,5**	**0**	**25,6**	**25,6**
Расчёт отражённого звука													
Уровни звукового давления от мнимого источника ИШ-4-9_мн.(1) в расчётной точке днём, дБ		**ф-ла(3)[10]**	**0**	**0**	**0**	**0**	**0**	**0**	**18,9**	**5,9**	**0**	**20,3**	**20,3**
Уровни звукового давления от источника ИШ-4-9 в расчётной точке днём, дБ		**ф-ла(3)[10]**	**0**	**27,3**	**27,4**	**26,8**	**24,4**	**20,9**	**20**	**7,2**	**0**	**26,8**	**26,8**
Источник шума: ИШ-4-10, координаты источника (x,y,z), м =[185.65,255.31,11.00]													
Уровни звуковой мощности источника днём, Lw, дБ		**исходные данные**	**0**	**90,3**	**91,7**	**93**	**93,3**	**92,9**	**89,6**	**85,4**	**80,9**		
Поправка на телесный угол DΩ, дБ	Ω = 6.28	10Lg(4π/Ω)	**3**	3	3	3	3	3	3	3	3		
Показатель направленности источника Di, дБ		исходные данные	**0**	0	0	0	0	0	0	0	0		
Поправка на направленность источника Dc, дБ	Dc	DΩ + Di	**3**	3	3	3	3	3	3	3	3		
Затухание из-за геометрической дивергенции, Adiv, дБ	расстояние = 345.28 м	ф-ла (7) [10]	**61,8**										
Коэффициент затухания звука в атмосфере α, дБ/км	Ta=20,°C Pa=101.33,кПа hотн.=70%	ф-ла (5) [9]	0,02	0,09	0,33	1,12	2,79	4,98	9,04	23,09	77,63		
Учет затухания звука в атмосфере Aatm, дБ		ф-ла (8) [10]	0	0	0,1	0,4	1	1,7	3,1	8	26,8		
Снижение уровня звукового давления из-за влияния застройки между источником шума и расчетной точкой													
Снижение уровня звукового давления на пути над экраном, Dz1, дБ	z = 0.54м (разность путей)	ф-лы (14-18) [10]	5,6	6,3	7,4	9,1	11,2	13,7	16,4	19,3	22,2		
Снижение уровня звукового давления на пути слева от экрана, Dz2, дБ	z = 18.07м (разность путей)	ф-лы (14-18) [10]	18,4	21,4	24,3	27,3	30,3	33,3	36,3	39,3	42,3		
Снижение уровня звукового давления на пути справа от экрана, Dz3, дБ	z = 0.83м (разность путей)	ф-лы (14-18) [10]	7,8	9,6	11,8	14,4	17,1	20	23	25,9	28,9		

1		2	3	4	5	6	7	8	9	10	11	12	13
Общее снижение уровня звука препятствием Dz, дБ		Эн.сумма(-Dzi)	3,4	4,6	6	7,9	10,2	12,7	15,5	18,4	21,3		
Общее снижение уровня звука препятствием с учётом ограничения (20 дБ) для октавных полос Dz, дБ		Раздел 7.4 [10]	3,4	4,6	6	7,9	10,2	12,7	15,5	18,4	20		
Уровни звукового давления прямого звука от источника ИШ-4-10 в расчётной точке днём, дБ		**ф-ла(3)[10]**	**0**	**26,9**	**26,8**	**25,9**	**23,4**	**19,7**	**12,2**	**0,3**	**0**	**24,6**	**24,6**
Расчёт отражённого звука													
Уровни звукового давления от мнимого источника ИШ-4-10_мн.(1) в расчётной точке днём, дБ		**ф-ла(3)[10]**	**0**	**0**	**0**	**0**	**0**	**0**	**0**	**0**	**0**	**0**	**0**
Уровни звукового давления от мнимого источника ИШ-4-10_мн.(2) в расчётной точке днём, дБ		**ф-ла(3)[10]**	**0**	**0**	**0**	**0**	**0**	**0**	**19**	**6**	**0**	**20,4**	**20,4**
Суммарные уровни звукового давления от мнимых источников в расчётной точке днём, дБ		**ф-ла (19) [1]**	**0**	**0**	**0**	**0**	**0**	**0**	**19**	**6**	**0**	**0**	**20,4**
Уровни звукового давления от источника ИШ-4-10 в расчётной точке днём, дБ		**ф-ла(3)[10]**	**0**	**26,9**	**26,8**	**25,9**	**23,4**	**19,7**	**19,8**	**7**	**0**	**26**	**26**
Источник шума: ИШ-4-11, координаты источника (x,y,z), м =[185.89,255.16,13.00]													
Уровни звуковой мощности источника днём, Lw, дБ		**исходные данные**	**0**	**90,3**	**91,7**	**93**	**93,3**	**92,9**	**89,6**	**85,4**	**80,9**		
Поправка на телесный угол DΩ, дБ	Ω = 6.28	10Lg(4π/Ω)	**3**	3	3	3	3	3	3	3	3		
Показатель направленности источника Di, дБ		исходные данные	**0**	0	0	0	0	0	0	0	0		
Поправка на направленность источника Dc, дБ	Dc	DΩ + Di	**3**	3	3	3	3	3	3	3	3		
Затухание из-за геометрической дивергенции, Adiv, дБ	расстояние = 345.11 м	ф-ла (7) [10]	**61,8**										
Коэффициент затухания звука в атмосфере α, дБ/км	Ta=20,°C Pa=101.33,кПа hотн.=70%	ф-ла (5) [9]	0,02	0,09	0,33	1,12	2,79	4,98	9,04	23,09	77,63		
Учет затухания звука в атмосфере Aatm, дБ		ф-ла (8) [10]	0	0	0,1	0,4	1	1,7	3,1	8	26,8		

1		2	3	4	5	6	7	8	9	10	11	12	13
Снижение уровня звукового давления из-за влияния застройки между источником шума и расчетной точкой													
Снижение уровня звукового давления на пути над экраном, Dz1, дБ	z = 0.49м (разность путей)	ф-лы (14-18) [10]	5,5	6,1	7,2	8,7	10,7	13,1	15,8	18,7	21,6		
Снижение уровня звукового давления на пути слева от экрана, Dz2, дБ	z = 18.05м (разность путей)	ф-лы (14-18) [10]	18,4	21,4	24,3	27,3	30,3	33,3	36,3	39,3	42,3		
Снижение уровня звукового давления на пути справа от экрана, Dz3, дБ	z = 0.83м (разность путей)	ф-лы (14-18) [10]	7,8	9,6	11,8	14,4	17,2	20	23	26	29		
Общее снижение уровня звука препятствием Dz, дБ		Эн.сумма(-Dzi)	3,4	4,4	5,8	7,6	9,8	12,3	15	17,9	20,8		
Общее снижение уровня звука препятствием с учётом ограничения (20 дБ) для октавных полос Dz, дБ		Раздел 7.4 [10]	3,4	4,4	5,8	7,6	9,8	12,3	15	17,9	20		
Уровни звукового давления прямого звука от источника ИШ-4-11 в расчётной точке днём, дБ		**ф-ла(3)[10]**	**0**	**27,1**	**27**	**26,2**	**23,8**	**20,1**	**12,7**	**0,8**	**0**	**25**	**25**
Расчёт отражённого звука													
Уровни звукового давления от мнимого источника ИШ-4-11_мн.(1) в расчётной точке днём, дБ		**ф-ла(3)[10]**	**0**	**0**	**0**	**0**	**0**	**0**	**19**	**6**	**0**	**20,4**	**20,4**
Уровни звукового давления от источника ИШ-4-11 в расчётной точке днём, дБ		**ф-ла(3)[10]**	**0**	**27,1**	**27**	**26,2**	**23,8**	**20,1**	**19,9**	**7,1**	**0**	**26,3**	**26,3**
Источник шума: ИШ-4-12, координаты источника (x,y,z), м =[186.18,255.02,15.50]													
Уровни звуковой мощности источника днём, Lw, дБ		**исходные данные**	**0**	**90,3**	**91,7**	**93**	**93,3**	**92,9**	**89,6**	**85,4**	**80,9**		
Поправка на телесный угол DΩ, дБ	Ω = 6.28	10Lg(4π/Ω)	**3**	3	3	3	3	3	3	3	3		
Показатель направленности источника Di, дБ		исходные данные	**0**	0	0	0	0	0	0	0	0		
Поправка на направленность источника Dc, дБ	Dc	DΩ + Di	**3**	3	3	3	3	3	3	3	3		
Затухание из-за геометрической дивергенции, Adiv, дБ	расстояние = 344.94 м	ф-ла (7) [10]	**61,8**										
Коэффициент затухания звука в атмосфере α, дБ/км	Ta=20,°C Pa=101.33,кПа hотн.=70%	ф-ла (5) [9]	0,02	0,09	0,33	1,12	2,79	4,98	9,04	23,09	77,63		

1		2	3	4	5	6	7	8	9	10	11	12	13
Учет затухания звука в атмосфере Aatm, дБ		ф-ла (8) [10]	0	0	0,1	0,4	1	1,7	3,1	8	26,8		
Снижение уровня звукового давления из-за влияния застройки между источником шума и расчетной точкой													
Снижение уровня звукового давления на пути над экраном, Dz1, дБ	z = 0.43м (разность путей)	ф-лы (14-18) [10]	5,4	5,9	6,8	8,2	10,1	12,4	15,1	17,9	20,8		
Снижение уровня звукового давления на пути слева от экрана, Dz2, дБ	z = 18.01м (разность путей)	ф-лы (14-18) [10]	18,4	21,4	24,3	27,3	30,3	33,3	36,3	39,3	42,3		
Снижение уровня звукового давления на пути справа от экрана, Dz3, дБ	z = 0.84м (разность путей)	ф-лы (14-18) [10]	7,9	9,6	11,9	14,4	17,2	20,1	23	26	29		
Общее снижение уровня звука препятствием Dz, дБ		Эн.сумма(-Dzi)	3,3	4,3	5,6	7,2	9,3	11,7	14,4	17,2	20,1		
Общее снижение уровня звука препятствием с учётом ограничения (20 дБ) для октавных полос Dz, дБ		Раздел 7.4 [10]	3,3	4,3	5,6	7,2	9,3	11,7	14,4	17,2	20		
Уровни звукового давления прямого звука от источника ИШ-4-12 в расчётной точке днём, дБ		**ф-ла(3)[10]**	**0**	**27,2**	**27,2**	**26,6**	**24,3**	**20,7**	**13,3**	**1,5**	**0**	**25,5**	**25,5**
Расчёт отражённого звука													
Уровни звукового давления от мнимого источника ИШ-4-12_мн.(1) в расчётной точке днём, дБ		**ф-ла(3)[10]**	**0**	**0**	**0**	**0**	**0**	**0**	**19**	**6**	**0**	**20,4**	**20,4**
Уровни звукового давления от источника ИШ-4-12 в расчётной точке днём, дБ		**ф-ла(3)[10]**	**0**	**27,2**	**27,2**	**26,6**	**24,3**	**20,7**	**20**	**7,3**	**0**	**26,7**	**26,7**
Источник шума: ИШ-4-13, координаты источника (x,y,z), м =[94.56,229.10,1.00]													
Уровни звуковой мощности источника днём, Lw, дБ		**исходные данные**	**0**	**81,3**	**82,7**	**84**	**84,3**	**83,9**	**80,6**	**76,4**	**71,9**		
Поправка на телесный угол DΩ, дБ	Ω = 6.28	10Lg(4π/Ω)	**3**	3	3	3	3	3	3	3	3		
Показатель направленности источника Di, дБ		исходные данные	**0**	0	0	0	0	0	0	0	0		
Поправка на направленность источника Dc, дБ	Dc	DΩ + Di	**3**	3	3	3	3	3	3	3	3		
Затухание из-за геометрической дивергенции, Adiv, дБ	расстояние = 372.52 м	ф-ла (7) [10]	**62,4**										

1		2	3	4	5	6	7	8	9	10	11	12	13
Коэффициент затухания звука в атмосфере α, дБ/км	Ta=20,°C Pa=101.33,кПа hотн.=70%	ф-ла (5) [9]	0,02	0,09	0,33	1,12	2,79	4,98	9,04	23,09	77,63		
Учет затухания звука в атмосфере Aatm, дБ		ф-ла (8) [10]	0	0	0,1	0,4	1	1,9	3,4	8,6	28,9		
Снижение уровня звукового давления из-за влияния застройки между источником шума и расчетной точкой													
Снижение уровня звукового давления на пути над экраном, Dz1, дБ	z = 4.54м (разность путей)	ф-лы (14-18) [10]	13,1	17,1	21,3	24,9	28,1	31,2	34,2	37,2	40,2		
Снижение уровня звукового давления на пути слева от экрана, Dz2, дБ	z = 118.88м (разность путей)	ф-лы (14-18) [10]	31	34,2	37,2	40,2	43,2	46,2	49,2	52,2	55,3		
Снижение уровня звукового давления на пути справа от экрана, Dz3, дБ	z = 13.30м (разность путей)	ф-лы (14-18) [10]	17,2	20,1	23	26	29	32	35	38	41		
Общее снижение уровня звука препятствием Dz, дБ		Эн.сумма(-Dzi)	11,6	15,3	19	22,3	25,4	28,5	31,5	34,5	37,5		
Общее снижение уровня звука препятствием с учётом ограничения (25 дБ) для октавных полос Dz, дБ		Раздел 7.4 [10]	11,6	15,3	19	22,3	25	25	25	25	25		
Уровни звукового давления от источника ИШ-4-13 в расчётной точке днём, дБ		**ф-ла(3)[10]**	**0**	**6,6**	**4,2**	**1,8**	**0**	**0**	**0**	**0**	**0**	**0**	**0**
Источник шума: ИШ-4-14, координаты источника (x,y,z), м =[91.88,221.30,1.00]													
Уровни звуковой мощности источника днём, Lw, дБ		**исходные данные**	**0**	**81,3**	**82,7**	**84**	**84,3**	**83,9**	**80,6**	**76,4**	**71,9**		
Поправка на телесный угол DΩ, дБ	Ω = 6.28	10Lg(4π/Ω)	**3**	3	3	3	3	3	3	3	3		
Показатель направленности источника Di, дБ		исходные данные	**0**	0	0	0	0	0	0	0	0		
Поправка на направленность источника Dc, дБ	Dc	DΩ + Di	**3**	3	3	3	3	3	3	3	3		
Затухание из-за геометрической дивергенции, Adiv, дБ	расстояние = 368.33 м	ф-ла (7) [10]	**62,3**										
Коэффициент затухания звука в атмосфере α, дБ/км	Ta=20,°C Pa=101.33,кПа hотн.=70%	ф-ла (5) [9]	0,02	0,09	0,33	1,12	2,79	4,98	9,04	23,09	77,63		

1		2	3	4	5	6	7	8	9	10	11	12	13
Учет затухания звука в атмосфере Aatm, дБ		ф-ла (8) [10]	0	0	0,1	0,4	1	1,8	3,3	8,5	28,6		
Снижение уровня звукового давления из-за влияния застройки между источником шума и расчетной точкой													
Снижение уровня звукового давления на пути над экраном, Dz1, дБ	z = 4.54м (разность путей)	ф-лы (14-18) [10]	13,1	17,1	21,3	24,9	28,1	31,2	34,2	37,2	40,2		
Снижение уровня звукового давления на пути слева от экрана, Dz2, дБ	z = 131.28м (разность путей)	ф-лы (14-18) [10]	31,4	34,6	37,6	40,6	43,6	46,7	49,7	52,7	55,7		
Снижение уровня звукового давления на пути справа от экрана, Dz3, дБ	z = 9.40м (разность путей)	ф-лы (14-18) [10]	15,8	18,6	21,5	24,5	27,5	30,5	33,5	36,5	39,5		
Общее снижение уровня звука препятствием Dz, дБ		Эн.сумма(-Dzi)	11,2	14,7	18,3	21,6	24,7	27,7	30,8	33,8	36,8		
Общее снижение уровня звука препятствием с учётом ограничения (25 дБ) для октавных полос Dz, дБ		Раздел 7.4 [10]	11,2	14,7	18,3	21,6	24,7	25	25	25	25		
Уровни звукового давления от источника ИШ-4-14 в расчётной точке днём, дБ		**ф-ла(3)[10]**	**0**	**7,2**	**4,9**	**2,6**	**0**	**0**	**0**	**0**	**0**	**0**	**0**
Источник шума: ИШ-5-1, координаты источника (x,y,z), м =[626.70,162.36,1.00]													
Уровни звуковой мощности источника днём, Lw, дБ		**исходные данные**	**0**	**93,3**	**94,7**	**96**	**96,3**	**95,9**	**92,6**	**88,4**	**83,9**		
Поправка на телесный угол DΩ, дБ	Ω = 6.28	10Lg(4π/Ω)	**3**	3	3	3	3	3	3	3	3		
Показатель направленности источника Di, дБ		исходные данные	**0**	0	0	0	0	0	0	0	0		
Поправка на направленность источника Dc, дБ	Dc	DΩ + Di	**3**	3	3	3	3	3	3	3	3		
Затухание из-за геометрической дивергенции, Adiv, дБ	расстояние = 365.54 м	ф-ла (7) [10]	**62,3**										
Коэффициент затухания звука в атмосфере α, дБ/км	Ta=20,°C Pa=101.33,кПа hотн.=70%	ф-ла (5) [9]	0,02	0,09	0,33	1,12	2,79	4,98	9,04	23,09	77,63		
Учет затухания звука в атмосфере Aatm, дБ		ф-ла (8) [10]	0	0	0,1	0,4	1	1,8	3,3	8,4	28,4		

1		2	3	4	5	6	7	8	9	10	11	12	13
Снижение уровня звукового давления из-за влияния застройки между источником шума и расчетной точкой													
Снижение уровня звукового давления на пути над экраном, Dz1, дБ	z = 5.56м (разность путей)	ф-лы (14-18) [10]	17	20,4	23,4	26,4	29,4	32,4	35,4	38,4	41,5		
Снижение уровня звукового давления на пути слева от экрана, Dz2, дБ	z = 58.93м (разность путей)	ф-лы (14-18) [10]	23,8	27,5	31,8	36,2	39,9	43,1	46,2	49,2	52,2		
Снижение уровня звукового давления на пути справа от экрана, Dz3, дБ	z = 122.31м (разность путей)	ф-лы (14-18) [10]	26,6	29,6	32,6	35,6	38,6	41,6	44,6	47,6	50,6		
Общее снижение уровня звука препятствием Dz, дБ		Эн.сумма(-Dzi)	15,8	19,2	22,4	25,5	28,6	31,6	34,6	37,6	40,6		
Общее снижение уровня звука препятствием с учётом ограничения (25 дБ) для октавных полос Dz, дБ		Раздел 7.4 [10]	15,8	19,2	22,4	25	25	25	25	25	25		
Уровни звукового давления прямого звука от источника ИШ-5-1 в расчётной точке днём, дБ		**ф-ла(3)[10]**	**0**	**14,8**	**12,9**	**11,3**	**11**	**9,8**	**5**	**0**	**0**	**13,5**	**13,5**
Расчёт отражённого звука													
Уровни звукового давления от мнимого источника ИШ-5-1_мн.(1) в расчётной точке днём, дБ		**ф-ла(3)[10]**	**0**	**0**	**0**	**0**	**0**	**0**	**0**	**0**	**0**	**0**	**0**
Уровни звукового давления от источника ИШ-5-1 в расчётной точке днём, дБ		**ф-ла(3)[10]**	**0**	**14,8**	**12,9**	**11,3**	**11**	**9,8**	**5**	**0**	**0**	**13,5**	**13,5**
Источник шума: ИШ-5-2, координаты источника (x,y,z), м =[625.81,159.52,1.00]													
Уровни звуковой мощности источника днём, Lw, дБ		**исходные данные**	**0**	**93,3**	**94,7**	**96**	**96,3**	**95,9**	**92,6**	**88,4**	**83,9**		
Поправка на телесный угол DΩ, дБ	Ω = 6.28	10Lg(4π/Ω)	**3**	3	3	3	3	3	3	3	3		
Показатель направленности источника Di, дБ		исходные данные	**0**	0	0	0	0	0	0	0	0		
Поправка на направленность источника Dc, дБ	Dc	DΩ + Di	**3**	3	3	3	3	3	3	3	3		
Затухание из-за геометрической дивергенции, Adiv, дБ	расстояние = 363.13 м	ф-ла (7) [10]	**62,2**										
Коэффициент затухания звука в атмосфере α, дБ/км	Ta=20,°C Pa=101.33,кПа hотн.=70%	ф-ла (5) [9]	0,02	0,09	0,33	1,12	2,79	4,98	9,04	23,09	77,63		

1		2	3	4	5	6	7	8	9	10	11	12	13
Учет затухания звука в атмосфере Aatm, дБ		ф-ла (8) [10]	0	0	0,1	0,4	1	1,8	3,3	8,4	28,2		
Снижение уровня звукового давления из-за влияния застройки между источником шума и расчетной точкой													
Снижение уровня звукового давления на пути над экраном, Dz1, дБ	z = 5.58м (разность путей)	ф-лы (14-18) [10]	17	20,4	23,4	26,4	29,4	32,4	35,5	38,5	41,5		
Снижение уровня звукового давления на пути слева от экрана, Dz2, дБ	z = 58.79м (разность путей)	ф-лы (14-18) [10]	23,8	27,5	31,8	36,2	39,9	43,1	46,2	49,2	52,2		
Снижение уровня звукового давления на пути справа от экрана, Dz3, дБ	z = 124.52м (разность путей)	ф-лы (14-18) [10]	26,7	29,7	32,6	35,6	38,6	41,7	44,7	47,7	50,7		
Общее снижение уровня звука препятствием Dz, дБ		Эн.сумма(-Dzi)	15,8	19,2	22,4	25,6	28,6	31,6	34,6	37,7	40,7		
Общее снижение уровня звука препятствием с учётом ограничения (25 дБ) для октавных полос Dz, дБ		Раздел 7.4 [10]	15,8	19,2	22,4	25	25	25	25	25	25		
Уровни звукового давления от источника ИШ-5-2 в расчётной точке днём, дБ		**ф-ла(3)[10]**	**0**	**14,9**	**13**	**11,4**	**11,1**	**9,9**	**5,1**	**0**	**0**	**13,5**	**13,5**
Источник шума: ИШ-5-3, координаты источника (x,y,z), м =[624.84,156.69,1.00]													
Уровни звуковой мощности источника днём, Lw, дБ		**исходные данные**	**0**	**93,3**	**94,7**	**96**	**96,3**	**95,9**	**92,6**	**88,4**	**83,9**		
Поправка на телесный угол DΩ, дБ	Ω = 6.28	10Lg(4π/Ω)	**3**	3	3	3	3	3	3	3	3		
Показатель направленности источника Di, дБ		исходные данные	**0**	0	0	0	0	0	0	0	0		
Поправка на направленность источника Dc, дБ	Dc	DΩ + Di	**3**	3	3	3	3	3	3	3	3		
Затухание из-за геометрической дивергенции, Adiv, дБ	расстояние = 360.67 м	ф-ла (7) [10]	**62,1**										
Коэффициент затухания звука в атмосфере α, дБ/км	Ta=20,°C Pa=101.33,кПа hотн.=70%	ф-ла (5) [9]	0,02	0,09	0,33	1,12	2,79	4,98	9,04	23,09	77,63		
Учет затухания звука в атмосфере Aatm, дБ		ф-ла (8) [10]	0	0	0,1	0,4	1	1,8	3,3	8,3	28		

1		2	3	4	5	6	7	8	9	10	11	12	13
Снижение уровня звукового давления из-за влияния застройки между источником шума и расчетной точкой													
Снижение уровня звукового давления на пути над экраном, Dz1, дБ	z = 5.60м (разность путей)	ф-лы (14-18) [10]	17	20,4	23,4	26,5	29,5	32,5	35,5	38,5	41,5		
Снижение уровня звукового давления на пути слева от экрана, Dz2, дБ	z = 58.65м (разность путей)	ф-лы (14-18) [10]	23,7	27,4	31,8	36,2	39,9	43,1	46,2	49,2	52,2		
Снижение уровня звукового давления на пути справа от экрана, Dz3, дБ	z = 126.75м (разность путей)	ф-лы (14-18) [10]	26,7	29,7	32,7	35,7	38,7	41,7	44,7	47,8	50,8		
Общее снижение уровня звука препятствием Dz, дБ		Эн.сумма(-Dzi)	15,8	19,2	22,4	25,6	28,6	31,7	34,7	37,7	40,7		
Общее снижение уровня звука препятствием с учётом ограничения (25 дБ) для октавных полос Dz, дБ		Раздел 7.4 [10]	15,8	19,2	22,4	25	25	25	25	25	25		
Уровни звукового давления от источника ИШ-5-3 в расчётной точке днём, дБ		**ф-ла(3)[10]**	**0**	**14,9**	**13**	**11,4**	**11,1**	**10**	**5,2**	**0**	**0**	**13,6**	**13,6**
Источник шума: ИШ-6-1, координаты источника (x,y,z), м =[836.30,122.24,1.00]													
Уровни звуковой мощности источника днём, Lw, дБ		**исходные данные**	**0**	**96,3**	**97,7**	**99**	**99,3**	**98,9**	**95,6**	**91,4**	**86,9**		
Поправка на телесный угол DΩ, дБ	Ω = 12.57	10Lg(4π/Ω)	**0**	0	0	0	0	0	0	0	0		
Показатель направленности источника Di, дБ		исходные данные	**0**	0	0	0	0	0	0	0	0		
Поправка на направленность источника Dc, дБ	Dc	DΩ + Di	**0**	0	0	0	0	0	0	0	0		
Затухание из-за геометрической дивергенции, Adiv, дБ	расстояние = 533.26 м	ф-ла (7) [10]	**65,5**										
Коэффициент затухания звука в атмосфере α, дБ/км	Ta=20,°C Pa=101.33,кПа hотн.=70%	ф-ла (5) [9]	0,02	0,09	0,33	1,12	2,79	4,98	9,04	23,09	77,63		
Учет затухания звука в атмосфере Aatm, дБ		ф-ла (8) [10]	0	0	0,2	0,6	1,5	2,7	4,8	12,3	41,4		
Снижение уровня звукового давления из-за влияния застройки между источником шума и расчетной точкой													

1		2	3	4	5	6	7	8	9	10	11	12	13
Снижение уровня звукового давления на пути над экраном, Dz1, дБ	z = 6.12м (разность путей)	ф-лы (14-18) [10]	13,7	17,3	21,7	25,8	29,2	32,3	35,4	38,4	41,4		
Снижение уровня звукового давления на пути слева от экрана, Dz2, дБ	z = 48.39м (разность путей)	ф-лы (14-18) [10]	22,9	26,6	31	35,4	39	42,3	45,3	48,3	51,4		
Снижение уровня звукового давления на пути справа от экрана, Dz3, дБ	z = 8.81м (разность путей)	ф-лы (14-18) [10]	15,5	18,3	21,2	24,2	27,2	30,2	33,2	36,2	39,2		
Общее снижение уровня звука препятствием Dz, дБ		Эн.сумма(-Dzi)	11,2	14,5	18,2	21,7	24,9	27,9	31	34	37		
Общее снижение уровня звука препятствием с учётом ограничения (25 дБ) для октавных полос Dz, дБ		Раздел 7.4 [10]	11,2	14,5	18,2	21,7	24,9	25	25	25	25		
Уровни звукового давления от источника ИШ-6-1 в расчётной точке днём, дБ		**ф-ла(3)[10]**	**0**	**16,2**	**13,8**	**11,2**	**7,4**	**5,7**	**0,2**	**0**	**0**	**10,1**	**10,1**
Источник шума: ИШ-6-2, координаты источника (x,y,z), м =[835.37,119.30,1.00]													
Уровни звуковой мощности источника днём, Lw, дБ		**исходные данные**	**0**	**96,3**	**97,7**	**99**	**99,3**	**98,9**	**95,6**	**91,4**	**86,9**		
Поправка на телесный угол DΩ, дБ	Ω = 12.57	10Lg(4π/Ω)	**0**	0	0	0	0	0	0	0	0		
Показатель направленности источника Di, дБ		исходные данные	**0**	0	0	0	0	0	0	0	0		
Поправка на направленность источника Dc, дБ	Dc	DΩ + Di	**0**	0	0	0	0	0	0	0	0		
Затухание из-за геометрической дивергенции, Adiv, дБ	расстояние = 531.41 м	ф-ла (7) [10]	**65,5**										
Коэффициент затухания звука в атмосфере α, дБ/км	Ta=20,°C Pa=101.33,кПа hотн.=70%	ф-ла (5) [9]	0,02	0,09	0,33	1,12	2,79	4,98	9,04	23,09	77,63		
Учет затухания звука в атмосфере Aatm, дБ		ф-ла (8) [10]	0	0	0,2	0,6	1,5	2,6	4,8	12,3	41,3		
Снижение уровня звукового давления из-за влияния застройки между источником шума и расчетной точкой													
Снижение уровня звукового давления на пути над экраном, Dz1, дБ	z = 6.12м (разность путей)	ф-лы (14-18) [10]	13,7	17,3	21,7	25,8	29,2	32,3	35,4	38,4	41,4		

1		2	3	4	5	6	7	8	9	10	11	12	13
Снижение уровня звукового давления на пути слева от экрана, Dz2, дБ	z = 48.24м (разность путей)	ф-лы (14-18) [10]	22,9	26,6	31	35,4	39	42,2	45,3	48,3	51,3		
Снижение уровня звукового давления на пути справа от экрана, Dz3, дБ	z = 8.91м (разность путей)	ф-лы (14-18) [10]	15,6	18,4	21,3	24,2	27,2	30,2	33,2	36,2	39,2		
Общее снижение уровня звука препятствием Dz, дБ		Эн.сумма(-Dzi)	11,2	14,5	18,2	21,7	24,9	28	31	34	37		
Общее снижение уровня звука препятствием с учётом ограничения (25 дБ) для октавных полос Dz, дБ		Раздел 7.4 [10]	11,2	14,5	18,2	21,7	24,9	25	25	25	25		
Уровни звукового давления от источника ИШ-6-2 в расчётной точке днём, дБ		**ф-ла(3)[10]**	**0**	**16,2**	**13,8**	**11,2**	**7,4**	**5,7**	**0,3**	**0**	**0**	**10,1**	**10,1**
Источник шума: ИШ-6-3, координаты источника (x,y,z), м =[834.03,116.36,1.00]													
Уровни звуковой мощности источника днём, Lw, дБ		**исходные данные**	**0**	**96,3**	**97,7**	**99**	**99,3**	**98,9**	**95,6**	**91,4**	**86,9**		
Поправка на телесный угол DΩ, дБ	Ω = 12.57	10Lg(4π/Ω)	**0**	0	0	0	0	0	0	0	0		
Показатель направленности источника Di, дБ		исходные данные	**0**	0	0	0	0	0	0	0	0		
Поправка на направленность источника Dc, дБ	Dc	DΩ + Di	**0**	0	0	0	0	0	0	0	0		
Затухание из-за геометрической дивергенции, Adiv, дБ	расстояние = 529.18 м	ф-ла (7) [10]	**65,5**										
Коэффициент затухания звука в атмосфере α, дБ/км	Ta=20,°C Pa=101.33,кПа hотн.=70%	ф-ла (5) [9]	0,02	0,09	0,33	1,12	2,79	4,98	9,04	23,09	77,63		
Учет затухания звука в атмосфере Aatm, дБ		ф-ла (8) [10]	0	0	0,2	0,6	1,5	2,6	4,8	12,2	41,1		
Снижение уровня звукового давления из-за влияния застройки между источником шума и расчетной точкой													
Снижение уровня звукового давления на пути над экраном, Dz1, дБ	z = 6.13м (разность путей)	ф-лы (14-18) [10]	13,7	17,3	21,7	25,8	29,2	32,4	35,4	38,4	41,4		
Снижение уровня звукового давления на пути слева от экрана, Dz2, дБ	z = 48.09м (разность путей)	ф-лы (14-18) [10]	22,9	26,6	31	35,4	39	42,2	45,3	48,3	51,3		

1		2	3	4	5	6	7	8	9	10	11	12	13
Снижение уровня звукового давления на пути справа от экрана, Dz3, дБ	z = 9.00м (разность путей)	ф-лы (14-18) [10]	15,6	18,4	21,3	24,3	27,3	30,3	33,3	36,3	39,3		
Общее снижение уровня звука препятствием Dz, дБ		Эн.сумма(-Dzi)	11,2	14,5	18,2	21,8	24,9	28	31	34	37		
Общее снижение уровня звука препятствием с учётом ограничения (25 дБ) для октавных полос Dz, дБ		Раздел 7.4 [10]	11,2	14,5	18,2	21,8	24,9	25	25	25	25		
Уровни звукового давления от источника ИШ-6-3 в расчётной точке днём, дБ		**ф-ла(3)[10]**	**0**	**16,2**	**13,8**	**11,2**	**7,4**	**5,8**	**0,3**	**0**	**0**	**10,1**	**10,1**
Источник шума: ИШ-6-4, координаты источника (x,y,z), м =[833.23,113.30,1.00]													
Уровни звуковой мощности источника днём, Lw, дБ		**исходные данные**	**0**	**96,3**	**97,7**	**99**	**99,3**	**98,9**	**95,6**	**91,4**	**86,9**		
Поправка на телесный угол DΩ, дБ	Ω = 12.57	10Lg(4π/Ω)	**0**	0	0	0	0	0	0	0	0		
Показатель направленности источника Di, дБ		исходные данные	**0**	0	0	0	0	0	0	0	0		
Поправка на направленность источника Dc, дБ	Dc	DΩ + Di	**0**	0	0	0	0	0	0	0	0		
Затухание из-за геометрической дивергенции, Adiv, дБ	расстояние = 527.43 м	ф-ла (7) [10]	**65,4**										
Коэффициент затухания звука в атмосфере α, дБ/км	Ta=20,°C Pa=101.33,кПа hотн.=70%	ф-ла (5) [9]	0,02	0,09	0,33	1,12	2,79	4,98	9,04	23,09	77,63		
Учет затухания звука в атмосфере Aatm, дБ		ф-ла (8) [10]	0	0	0,2	0,6	1,5	2,6	4,8	12,2	40,9		
Снижение уровня звукового давления из-за влияния застройки между источником шума и расчетной точкой													
Снижение уровня звукового давления на пути над экраном, Dz1, дБ	z = 6.14м (разность путей)	ф-лы (14-18) [10]	13,7	17,3	21,7	25,8	29,2	32,4	35,4	38,4	41,4		
Снижение уровня звукового давления на пути слева от экрана, Dz2, дБ	z = 47.92м (разность путей)	ф-лы (14-18) [10]	22,9	26,6	30,9	35,3	39	42,2	45,3	48,3	51,3		
Снижение уровня звукового давления на пути справа от экрана, Dz3, дБ	z = 9.10м (разность путей)	ф-лы (14-18) [10]	15,7	18,5	21,4	24,3	27,3	30,3	33,3	36,3	39,3		

1		2	3	4	5	6	7	8	9	10	11	12	13
Общее снижение уровня звука препятствием Dz, дБ		Эн.сумма(-Dzi)	11,2	14,6	18,3	21,8	25	28	31,1	34,1	37,1		
Общее снижение уровня звука препятствием с учётом ограничения (25 дБ) для октавных полос Dz, дБ		Раздел 7.4 [10]	11,2	14,6	18,3	21,8	25	25	25	25	25		
Уровни звукового давления от источника ИШ-6-4 в расчётной точке днём, дБ		**ф-ла(3)[10]**	**0**	**16,2**	**13,8**	**11,2**	**7,4**	**5,8**	**0,4**	**0**	**0**	**10,2**	**10,2**
Источник шума: ИШ-6-5, координаты источника (x,y,z), м =[832.03,110.36,1.00]													
Уровни звуковой мощности источника днём, Lw, дБ		**исходные данные**	**0**	**96,3**	**97,7**	**99**	**99,3**	**98,9**	**95,6**	**91,4**	**86,9**		
Поправка на телесный угол DΩ, дБ	Ω = 12.57	10Lg(4π/Ω)	**0**	0	0	0	0	0	0	0	0		
Показатель направленности источника Di, дБ		исходные данные	**0**	0	0	0	0	0	0	0	0		
Поправка на направленность источника Dc, дБ	Dc	DΩ + Di	**0**	0	0	0	0	0	0	0	0		
Затухание из-за геометрической дивергенции, Adiv, дБ	расстояние = 525.35 м	ф-ла (7) [10]	**65,4**										
Коэффициент затухания звука в атмосфере α, дБ/км	Ta=20,°C Pa=101.33,кПа hотн.=70%	ф-ла (5) [9]	0,02	0,09	0,33	1,12	2,79	4,98	9,04	23,09	77,63		
Учет затухания звука в атмосфере Aatm, дБ		ф-ла (8) [10]	0	0	0,2	0,6	1,5	2,6	4,7	12,1	40,8		
Снижение уровня звукового давления из-за влияния застройки между источником шума и расчетной точкой													
Снижение уровня звукового давления на пути над экраном, Dz1, дБ	z = 6.14м (разность путей)	ф-лы (14-18) [10]	13,7	17,3	21,7	25,8	29,2	32,4	35,4	38,4	41,4		
Снижение уровня звукового давления на пути слева от экрана, Dz2, дБ	z = 47.76м (разность путей)	ф-лы (14-18) [10]	22,9	26,6	30,9	35,3	39	42,2	45,3	48,3	51,3		
Снижение уровня звукового давления на пути справа от экрана, Dz3, дБ	z = 9.20м (разность путей)	ф-лы (14-18) [10]	15,7	18,5	21,4	24,4	27,4	30,4	33,4	36,4	39,4		
Общее снижение уровня звука препятствием Dz, дБ		Эн.сумма(-Dzi)	11,3	14,6	18,3	21,8	25	28,1	31,1	34,1	37,1		

1		2	3	4	5	6	7	8	9	10	11	12	13
Общее снижение уровня звука препятствием с учётом ограничения (25 дБ) для октавных полос Dz, дБ		Раздел 7.4 [10]	11,3	14,6	18,3	21,8	25	25	25	25	25		
Уровни звукового давления от источника ИШ-6-5 в расчётной точке днём, дБ		**ф-ла(3)[10]**	**0**	**16,2**	**13,8**	**11,2**	**7,4**	**5,9**	**0,4**	**0**	**0**	**10,2**	**10,2**
Источник шума: ИШ-6-6, координаты источника (x,y,z), м =[830.97,107.42,1.00]													
Уровни звуковой мощности источника днём, Lw, дБ		**исходные данные**	**0**	**96,3**	**97,7**	**99**	**99,3**	**98,9**	**95,6**	**91,4**	**86,9**		
Поправка на телесный угол DΩ, дБ	Ω = 12.57	10Lg(4π/Ω)	**0**	0	0	0	0	0	0	0	0		
Показатель направленности источника Di, дБ		исходные данные	**0**	0	0	0	0	0	0	0	0		
Поправка на направленность источника Dc, дБ	Dc	DΩ + Di	**0**	0	0	0	0	0	0	0	0		
Затухание из-за геометрической дивергенции, Adiv, дБ	расстояние = 523.41 м	ф-ла (7) [10]	**65,4**										
Коэффициент затухания звука в атмосфере α, дБ/км	Ta=20,°C Pa=101.33,кПа hотн.=70%	ф-ла (5) [9]	0,02	0,09	0,33	1,12	2,79	4,98	9,04	23,09	77,63		
Учет затухания звука в атмосфере Aatm, дБ		ф-ла (8) [10]	0	0	0,2	0,6	1,5	2,6	4,7	12,1	40,6		
Снижение уровня звукового давления из-за влияния застройки между источником шума и расчетной точкой													
Снижение уровня звукового давления на пути над экраном, Dz1, дБ	z = 6.15м (разность путей)	ф-лы (14-18) [10]	13,7	17,3	21,7	25,8	29,2	32,4	35,4	38,4	41,5		
Снижение уровня звукового давления на пути слева от экрана, Dz2, дБ	z = 47.61м (разность путей)	ф-лы (14-18) [10]	22,8	26,5	30,9	35,3	39	42,2	45,2	48,3	51,3		
Снижение уровня звукового давления на пути справа от экрана, Dz3, дБ	z = 9.29м (разность путей)	ф-лы (14-18) [10]	15,7	18,6	21,5	24,4	27,4	30,4	33,4	36,4	39,4		
Общее снижение уровня звука препятствием Dz, дБ		Эн.сумма(-Dzi)	11,3	14,6	18,3	21,8	25	28,1	31,1	34,1	37,1		
Общее снижение уровня звука препятствием с учётом ограничения (25 дБ) для октавных полос Dz, дБ		Раздел 7.4 [10]	11,3	14,6	18,3	21,8	25	25	25	25	25		

1		2	3	4	5	6	7	8	9	10	11	12	13
Уровни звукового давления от источника ИШ-6-6 в расчётной точке днём, дБ		**ф-ла(3)[10]**	**0**	**16,3**	**13,8**	**11,2**	**7,5**	**5,9**	**0,5**	**0**	**0**	**10,2**	**10,2**
Источник шума: ИШ-6-7, координаты источника (x,y,z), м =[830.30,104.49,1.00]													
Уровни звуковой мощности источника днём, Lw, дБ		**исходные данные**	**0**	**96,3**	**97,7**	**99**	**99,3**	**98,9**	**95,6**	**91,4**	**86,9**		
Поправка на телесный угол DΩ, дБ	Ω = 12.57	10Lg(4π/Ω)	**0**	0	0	0	0	0	0	0	0		
Показатель направленности источника Di, дБ		исходные данные	**0**	0	0	0	0	0	0	0	0		
Поправка на направленность источника Dc, дБ	Dc	DΩ + Di	**0**	0	0	0	0	0	0	0	0		
Затухание из-за геометрической дивергенции, Adiv, дБ	расстояние = 521.87 м	ф-ла (7) [10]	**65,4**										
Коэффициент затухания звука в атмосфере α, дБ/км	Ta=20,°C Pa=101.33,кПа hотн.=70%	ф-ла (5) [9]	0,02	0,09	0,33	1,12	2,79	4,98	9,04	23,09	77,63		
Учет затухания звука в атмосфере Aatm, дБ		ф-ла (8) [10]	0	0	0,2	0,6	1,5	2,6	4,7	12	40,5		
Снижение уровня звукового давления из-за влияния застройки между источником шума и расчетной точкой													
Снижение уровня звукового давления на пути над экраном, Dz1, дБ	z = 6.16м (разность путей)	ф-лы (14-18) [10]	13,7	17,3	21,7	25,8	29,3	32,4	35,4	38,4	41,5		
Снижение уровня звукового давления на пути слева от экрана, Dz2, дБ	z = 47.44м (разность путей)	ф-лы (14-18) [10]	22,8	26,5	30,9	35,3	39	42,2	45,2	48,3	51,3		
Снижение уровня звукового давления на пути справа от экрана, Dz3, дБ	z = 9.40м (разность путей)	ф-лы (14-18) [10]	15,8	18,6	21,5	24,5	27,4	30,4	33,5	36,5	39,5		
Общее снижение уровня звука препятствием Dz, дБ		Эн.сумма(-Dzi)	11,3	14,6	18,3	21,9	25,1	28,1	31,1	34,2	37,2		
Общее снижение уровня звука препятствием с учётом ограничения (25 дБ) для октавных полос Dz, дБ		Раздел 7.4 [10]	11,3	14,6	18,3	21,9	25	25	25	25	25		
Уровни звукового давления от источника ИШ-6-7 в расчётной точке днём, дБ		**ф-ла(3)[10]**	**0**	**16,3**	**13,8**	**11,2**	**7,5**	**5,9**	**0,5**	**0**	**0**	**10,3**	**10,3**

1		2	3	4	5	6	7	8	9	10	11	12	13
Источник шума: ИШ-6-8, координаты источника (x,y,z), м =[829.36,101.42,1.00]													
Уровни звуковой мощности источника днём, Lw, дБ		**исходные данные**	**0**	**96,3**	**97,7**	**99**	**99,3**	**98,9**	**95,6**	**91,4**	**86,9**		
Поправка на телесный угол DΩ, дБ	Ω = 12.57	10Lg(4π/Ω)	**0**	0	0	0	0	0	0	0	0		
Показатель направленности источника Di, дБ		исходные данные	**0**	0	0	0	0	0	0	0	0		
Поправка на направленность источника Dc, дБ	Dc	DΩ + Di	**0**	0	0	0	0	0	0	0	0		
Затухание из-за геометрической дивергенции, Adiv, дБ	расстояние = 520.04 м	ф-ла (7) [10]	**65,3**										
Коэффициент затухания звука в атмосфере α, дБ/км	Ta=20,°C Pa=101.33,кПа hотн.=70%	ф-ла (5) [9]	0,02	0,09	0,33	1,12	2,79	4,98	9,04	23,09	77,63		
Учет затухания звука в атмосфере Aatm, дБ		ф-ла (8) [10]	0	0	0,2	0,6	1,5	2,6	4,7	12	40,4		
Снижение уровня звукового давления из-за влияния застройки между источником шума и расчетной точкой													
Снижение уровня звукового давления на пути над экраном, Dz1, дБ	z = 6.17м (разность путей)	ф-лы (14-18) [10]	13,7	17,3	21,7	25,8	29,3	32,4	35,4	38,5	41,5		
Снижение уровня звукового давления на пути слева от экрана, Dz2, дБ	z = 47.27м (разность путей)	ф-лы (14-18) [10]	22,8	26,5	30,9	35,3	38,9	42,2	45,2	48,2	51,3		
Снижение уровня звукового давления на пути справа от экрана, Dz3, дБ	z = 9.50м (разность путей)	ф-лы (14-18) [10]	15,8	18,7	21,5	24,5	27,5	30,5	33,5	36,5	39,5		
Общее снижение уровня звука препятствием Dz, дБ		Эн.сумма(-Dzi)	11,3	14,6	18,3	21,9	25,1	28,2	31,2	34,2	37,2		
Общее снижение уровня звука препятствием с учётом ограничения (25 дБ) для октавных полос Dz, дБ		Раздел 7.4 [10]	11,3	14,6	18,3	21,9	25	25	25	25	25		
Уровни звукового давления от источника ИШ-6-8 в расчётной точке днём, дБ		**ф-ла(3)[10]**	**0**	**16,3**	**13,8**	**11,2**	**7,5**	**6**	**0,6**	**0**	**0**	**10,3**	**10,3**
Источник шума: ИШ-6-9, координаты источника (x,y,z), м =[828.03,98.62,1.00]													

1		2	3	4	5	6	7	8	9	10	11	12	13
Уровни звуковой мощности источника днём, Lw, дБ		**исходные данные**	**0**	**96,3**	**97,7**	**99**	**99,3**	**98,9**	**95,6**	**91,4**	**86,9**		
Поправка на телесный угол DΩ, дБ	Ω = 12.57	10Lg(4π/Ω)	**0**	0	0	0	0	0	0	0	0		
Показатель направленности источника Di, дБ		исходные данные	**0**	0	0	0	0	0	0	0	0		
Поправка на направленность источника Dc, дБ	Dc	DΩ + Di	**0**	0	0	0	0	0	0	0	0		
Затухание из-за геометрической дивергенции, Adiv, дБ	расстояние = 517.92 м	ф-ла (7) [10]	**65,3**										
Коэффициент затухания звука в атмосфере α, дБ/км	Ta=20,°C Pa=101.33,кПа hотн.=70%	ф-ла (5) [9]	0,02	0,09	0,33	1,12	2,79	4,98	9,04	23,09	77,63		
Учет затухания звука в атмосфере Aatm, дБ		ф-ла (8) [10]	0	0	0,2	0,6	1,4	2,6	4,7	12	40,2		
Снижение уровня звукового давления из-за влияния застройки между источником шума и расчетной точкой													
Снижение уровня звукового давления на пути над экраном, Dz1, дБ	z = 6.17м (разность путей)	ф-лы (14-18) [10]	13,7	17,3	21,7	25,8	29,3	32,4	35,4	38,5	41,5		
Снижение уровня звукового давления на пути слева от экрана, Dz2, дБ	z = 47.12м (разность путей)	ф-лы (14-18) [10]	22,8	26,5	30,9	35,3	38,9	42,1	45,2	48,2	51,2		
Снижение уровня звукового давления на пути справа от экрана, Dz3, дБ	z = 9.60м (разность путей)	ф-лы (14-18) [10]	15,9	18,7	21,6	24,6	27,5	30,5	33,5	36,6	39,6		
Общее снижение уровня звука препятствием Dz, дБ		Эн.сумма(-Dzi)	11,3	14,7	18,4	21,9	25,1	28,2	31,2	34,2	37,2		
Общее снижение уровня звука препятствием с учётом ограничения (25 дБ) для октавных полос Dz, дБ		Раздел 7.4 [10]	11,3	14,7	18,4	21,9	25	25	25	25	25		
Уровни звукового давления от источника ИШ-6-9 в расчётной точке днём, дБ		**ф-ла(3)[10]**	**0**	**16,3**	**13,9**	**11,2**	**7,6**	**6**	**0,6**	**0**	**0**	**10,3**	**10,3**
Источник шума: ИШ-6-10, координаты источника (x,y,z), м =[827.23,95.55,1.00]													
Уровни звуковой мощности источника днём, Lw, дБ		**исходные данные**	**0**	**96,3**	**97,7**	**99**	**99,3**	**98,9**	**95,6**	**91,4**	**86,9**		

1		2	3	4	5	6	7	8	9	10	11	12	13
Поправка на телесный угол DΩ, дБ	Ω = 12.57	10Lg(4π/Ω)	**0**	0	0	0	0	0	0	0	0		
Показатель направленности источника Di, дБ		исходные данные	**0**	0	0	0	0	0	0	0	0		
Поправка на направленность источника Dc, дБ	Dc	DΩ + Di	**0**	0	0	0	0	0	0	0	0		
Затухание из-за геометрической дивергенции, Adiv, дБ	расстояние = 516.25 м	ф-ла (7) [10]	**65,3**										
Коэффициент затухания звука в атмосфере α, дБ/км	Ta=20,°C Pa=101.33,кПа hотн.=70%	ф-ла (5) [9]	0,02	0,09	0,33	1,12	2,79	4,98	9,04	23,09	77,63		
Учет затухания звука в атмосфере Aatm, дБ		ф-ла (8) [10]	0	0	0,2	0,6	1,4	2,6	4,7	11,9	40,1		
Снижение уровня звукового давления из-за влияния застройки между источником шума и расчетной точкой													
Снижение уровня звукового давления на пути над экраном, Dz1, дБ	z = 6.18м (разность путей)	ф-лы (14-18) [10]	13,7	17,3	21,7	25,8	29,3	32,4	35,5	38,5	41,5		
Снижение уровня звукового давления на пути слева от экрана, Dz2, дБ	z = 46.94м (разность путей)	ф-лы (14-18) [10]	22,8	26,5	30,9	35,2	38,9	42,1	45,2	48,2	51,2		
Снижение уровня звукового давления на пути справа от экрана, Dz3, дБ	z = 9.71м (разность путей)	ф-лы (14-18) [10]	15,9	18,7	21,6	24,6	27,6	30,6	33,6	36,6	39,6		
Общее снижение уровня звука препятствием Dz, дБ		Эн.сумма(-Dzi)	11,3	14,7	18,4	21,9	25,2	28,2	31,2	34,2	37,3		
Общее снижение уровня звука препятствием с учётом ограничения (25 дБ) для октавных полос Dz, дБ		Раздел 7.4 [10]	11,3	14,7	18,4	21,9	25	25	25	25	25		
Уровни звукового давления от источника ИШ-6-10 в расчётной точке днём, дБ		**ф-ла(3)[10]**	**0**	**16,3**	**13,9**	**11,2**	**7,6**	**6,1**	**0,7**	**0**	**0**	**10,4**	**10,4**
Источник шума: ИШ-6-11, координаты источника (x,y,z), м =[826.30,92.48,1.00]													
Уровни звуковой мощности источника днём, Lw, дБ		**исходные данные**	**0**	**96,3**	**97,7**	**99**	**99,3**	**98,9**	**95,6**	**91,4**	**86,9**		
Поправка на телесный угол DΩ, дБ	Ω = 12.57	10Lg(4π/Ω)	**0**	0	0	0	0	0	0	0	0		

1		2	3	4	5	6	7	8	9	10	11	12	13
Показатель направленности источника Di, дБ		исходные данные	**0**	0	0	0	0	0	0	0	0		
Поправка на направленность источника Dc, дБ	Dc	DΩ + Di	**0**	0	0	0	0	0	0	0	0		
Затухание из-за геометрической дивергенции, Adiv, дБ	расстояние = 514.46 м	ф-ла (7) [10]	**65,2**										
Коэффициент затухания звука в атмосфере α, дБ/км	Ta=20,°C Pa=101.33,кПа hотн.=70%	ф-ла (5) [9]	0,02	0,09	0,33	1,12	2,79	4,98	9,04	23,09	77,63		
Учет затухания звука в атмосфере Aatm, дБ		ф-ла (8) [10]	0	0	0,2	0,6	1,4	2,6	4,7	11,9	39,9		
Снижение уровня звукового давления из-за влияния застройки между источником шума и расчетной точкой													
Снижение уровня звукового давления на пути над экраном, Dz1, дБ	z = 6.19м (разность путей)	ф-лы (14-18) [10]	13,7	17,3	21,7	25,8	29,3	32,4	35,5	38,5	41,5		
Снижение уровня звукового давления на пути слева от экрана, Dz2, дБ	z = 46.77м (разность путей)	ф-лы (14-18) [10]	22,8	26,5	30,8	35,2	38,9	42,1	45,2	48,2	51,2		
Снижение уровня звукового давления на пути справа от экрана, Dz3, дБ	z = 9.82м (разность путей)	ф-лы (14-18) [10]	16	18,8	21,7	24,6	27,6	30,6	33,6	36,6	39,7		
Общее снижение уровня звука препятствием Dz, дБ		Эн.сумма(-Dzi)	11,4	14,7	18,4	22	25,2	28,2	31,3	34,3	37,3		
Общее снижение уровня звука препятствием с учётом ограничения (25 дБ) для октавных полос Dz, дБ		Раздел 7.4 [10]	11,4	14,7	18,4	22	25	25	25	25	25		
Уровни звукового давления от источника ИШ-6-11 в расчётной точке днём, дБ		**ф-ла(3)[10]**	**0**	**16,3**	**13,9**	**11,2**	**7,6**	**6,1**	**0,7**	**0**	**0**	**10,4**	**10,4**
Источник шума: ИШ-6-12, координаты источника (x,y,z), м =[825.09,89.54,1.00]													
Уровни звуковой мощности источника днём, Lw, дБ		**исходные данные**	**0**	**96,3**	**97,7**	**99**	**99,3**	**98,9**	**95,6**	**91,4**	**86,9**		
Поправка на телесный угол DΩ, дБ	Ω = 12.57	10Lg(4π/Ω)	**0**	0	0	0	0	0	0	0	0		
Показатель направленности источника Di, дБ		исходные данные	**0**	0	0	0	0	0	0	0	0		

1		2	3	4	5	6	7	8	9	10	11	12	13
Поправка на направленность источника Dc, дБ	Dc	DΩ + Di	**0**	0	0	0	0	0	0	0	0		
Затухание из-за геометрической дивергенции, Adiv, дБ	расстояние = 512.47 м	ф-ла (7) [10]	**65,2**										
Коэффициент затухания звука в атмосфере α, дБ/км	Ta=20,°C Pa=101.33,кПа hотн.=70%	ф-ла (5) [9]	0,02	0,09	0,33	1,12	2,79	4,98	9,04	23,09	77,63		
Учет затухания звука в атмосфере Aatm, дБ		ф-ла (8) [10]	0	0	0,2	0,6	1,4	2,6	4,6	11,8	39,8		
Снижение уровня звукового давления из-за влияния застройки между источником шума и расчетной точкой													
Снижение уровня звукового давления на пути над экраном, Dz1, дБ	z = 6.20м (разность путей)	ф-лы (14-18) [10]	13,7	17,3	21,7	25,8	29,3	32,4	35,5	38,5	41,5		
Снижение уровня звукового давления на пути слева от экрана, Dz2, дБ	z = 46.61м (разность путей)	ф-лы (14-18) [10]	22,8	26,5	30,8	35,2	38,9	42,1	45,2	48,2	51,2		
Снижение уровня звукового давления на пути справа от экрана, Dz3, дБ	z = 9.92м (разность путей)	ф-лы (14-18) [10]	16	18,8	21,7	24,7	27,7	30,7	33,7	36,7	39,7		
Общее снижение уровня звука препятствием Dz, дБ		Эн.сумма(-Dzi)	11,4	14,7	18,4	22	25,2	28,3	31,3	34,3	37,3		
Общее снижение уровня звука препятствием с учётом ограничения (25 дБ) для октавных полос Dz, дБ		Раздел 7.4 [10]	11,4	14,7	18,4	22	25	25	25	25	25		
Уровни звукового давления от источника ИШ-6-12 в расчётной точке днём, дБ		**ф-ла(3)[10]**	**0**	**16,3**	**13,9**	**11,2**	**7,7**	**6,1**	**0,8**	**0**	**0**	**10,4**	**10,4**
Источник шума: ИШ-6-13, координаты источника (x,y,z), м =[767.76,-114.15,1.00]													
Уровни звуковой мощности источника днём, Lw, дБ		**исходные данные**	**0**	**96,3**	**97,7**	**99**	**99,3**	**98,9**	**95,6**	**91,4**	**86,9**		
Поправка на телесный угол DΩ, дБ	Ω = 12.57	10Lg(4π/Ω)	**0**	0	0	0	0	0	0	0	0		
Показатель направленности источника Di, дБ		исходные данные	**0**	0	0	0	0	0	0	0	0		
Поправка на направленность источника Dc, дБ	Dc	DΩ + Di	**0**	0	0	0	0	0	0	0	0		

1		2	3	4	5	6	7	8	9	10	11	12	13
Затухание из-за геометрической дивергенции, Adiv, дБ	расстояние = 437.73 м	ф-ла (7) [10]	**63,8**										
Коэффициент затухания звука в атмосфере α, дБ/км	Ta=20,°C Pa=101.33,кПа hотн.=70%	ф-ла (5) [9]	0,02	0,09	0,33	1,12	2,79	4,98	9,04	23,09	77,63		
Учет затухания звука в атмосфере Aatm, дБ		ф-ла (8) [10]	0	0	0,1	0,5	1,2	2,2	4	10,1	34		
Снижение уровня звукового давления из-за влияния застройки между источником шума и расчетной точкой													
Снижение уровня звукового давления на пути над экраном, Dz1, дБ	z = 6.55м (разность путей)	ф-лы (14-18) [10]	14	17,4	21,7	26	29,6	32,8	35,9	38,9	41,9		
Снижение уровня звукового давления на пути слева от экрана, Dz2, дБ	z = 32.47м (разность путей)	ф-лы (14-18) [10]	21,2	24,9	29,3	33,6	37,3	40,5	43,6	46,6	49,6		
Снижение уровня звукового давления на пути справа от экрана, Dz3, дБ	z = 20.12м (разность путей)	ф-лы (14-18) [10]	18,9	21,8	24,8	27,7	30,7	33,7	36,8	39,8	42,8		
Общее снижение уровня звука препятствием Dz, дБ		Эн.сумма(-Dzi)	12,2	15,5	19,5	23,3	26,7	29,9	32,9	35,9	38,9		
Общее снижение уровня звука препятствием с учётом ограничения (25 дБ) для октавных полос Dz, дБ		Раздел 7.4 [10]	12,2	15,5	19,5	23,3	25	25	25	25	25		
Уровни звукового давления от источника ИШ-6-13 в расчётной точке днём, дБ		**ф-ла(3)[10]**	**0**	**16,9**	**14,3**	**11,3**	**9,2**	**7,9**	**2,8**	**0**	**0**	**11,9**	**11,9**
Источник шума: ИШ-6-14, координаты источника (x,y,z), м =[766.82,-117.10,1.00]													
Уровни звуковой мощности источника днём, Lw, дБ		**исходные данные**	**0**	**96,3**	**97,7**	**99**	**99,3**	**98,9**	**95,6**	**91,4**	**86,9**		
Поправка на телесный угол DΩ, дБ	Ω = 12.57	10Lg(4π/Ω)	**0**	0	0	0	0	0	0	0	0		
Показатель направленности источника Di, дБ		исходные данные	**0**	0	0	0	0	0	0	0	0		
Поправка на направленность источника Dc, дБ	Dc	DΩ + Di	**0**	0	0	0	0	0	0	0	0		
Затухание из-за геометрической дивергенции, Adiv, дБ	расстояние = 437.20 м	ф-ла (7) [10]	**63,8**										

1		2	3	4	5	6	7	8	9	10	11	12	13
Коэффициент затухания звука в атмосфере α, дБ/км	Та=20,°С Ра=101.33,кПа hотн.=70%	ф-ла (5) [9]	0,02	0,09	0,33	1,12	2,79	4,98	9,04	23,09	77,63		
Учет затухания звука в атмосфере Aatm, дБ		ф-ла (8) [10]	0	0	0,1	0,5	1,2	2,2	4	10,1	33,9		
Снижение уровня звукового давления из-за влияния застройки между источником шума и расчетной точкой													
Снижение уровня звукового давления на пути над экраном, Dz1, дБ	z = 6.55м (разность путей)	ф-лы (14-18) [10]	14	17,4	21,7	26	29,6	32,8	35,9	38,9	41,9		
Снижение уровня звукового давления на пути слева от экрана, Dz2, дБ	z = 32.24м (разность путей)	ф-лы (14-18) [10]	21,2	24,9	29,2	33,6	37,3	40,5	43,6	46,6	49,6		
Снижение уровня звукового давления на пути справа от экрана, Dz3, дБ	z = 20.30м (разность путей)	ф-лы (14-18) [10]	18,9	21,9	24,8	27,8	30,8	33,8	36,8	39,8	42,8		
Общее снижение уровня звука препятствием Dz, дБ		Эн.сумма(-Dzi)	12,2	15,5	19,5	23,4	26,7	29,9	32,9	35,9	38,9		
Общее снижение уровня звука препятствием с учётом ограничения (25 дБ) для октавных полос Dz, дБ		Раздел 7.4 [10]	12,2	15,5	19,5	23,4	25	25	25	25	25		
Уровни звукового давления прямого звука от источника ИШ-6-14 в расчётной точке днём, дБ		**ф-ла(3)[10]**	**0**	**16,9**	**14,3**	**11,3**	**9,3**	**7,9**	**2,8**	**0**	**0**	**11,9**	**11,9**
Расчёт отражённого звука													
Уровни звукового давления от мнимого источника ИШ-6-14_мн.(1) в расчётной точке днём, дБ		**ф-ла(3)[10]**	**0**	**0**	**0**	**0**	**0**	**0**	**16,9**	**0,4**	**0**	**18,2**	**18,2**
Уровни звукового давления от источника ИШ-6-14 в расчётной точке днём, дБ		**ф-ла(3)[10]**	**0**	**16,9**	**14,3**	**11,3**	**9,3**	**7,9**	**17,1**	**0,4**	**0**	**19,1**	**19,1**
Источник шума: ИШ-6-15, координаты источника (x,y,z), м =[765.71,-120.27,1.00]													
Уровни звуковой мощности источника днём, Lw, дБ		**исходные данные**	**0**	**96,3**	**97,7**	**99**	**99,3**	**98,9**	**95,6**	**91,4**	**86,9**		
Поправка на телесный угол DΩ, дБ	Ω = 12.57	10Lg(4π/Ω)	**0**	0	0	0	0	0	0	0	0		
Показатель направленности источника Di, дБ		исходные данные	**0**	0	0	0	0	0	0	0	0		

1		2	3	4	5	6	7	8	9	10	11	12	13
Поправка на направленность источника Dc, дБ	Dc	DΩ + Di	**0**	0	0	0	0	0	0	0	0		
Затухание из-за геометрической дивергенции, Adiv, дБ	расстояние = 436.56 м	ф-ла (7) [10]	**63,8**										
Коэффициент затухания звука в атмосфере α, дБ/км	Ta=20,°C Pa=101.33,кПа hотн.=70%	ф-ла (5) [9]	0,02	0,09	0,33	1,12	2,79	4,98	9,04	23,09	77,63		
Учет затухания звука в атмосфере Aatm, дБ		ф-ла (8) [10]	0	0	0,1	0,5	1,2	2,2	3,9	10,1	33,9		
Снижение уровня звукового давления из-за влияния застройки между источником шума и расчетной точкой													
Снижение уровня звукового давления на пути над экраном, Dz1, дБ	z = 6.55м (разность путей)	ф-лы (14-18) [10]	14	17,4	21,7	26	29,6	32,8	35,9	38,9	41,9		
Снижение уровня звукового давления на пути слева от экрана, Dz2, дБ	z = 32.00м (разность путей)	ф-лы (14-18) [10]	21,2	24,8	29,2	33,6	37,2	40,5	43,5	46,5	49,6		
Снижение уровня звукового давления на пути справа от экрана, Dz3, дБ	z = 20.50м (разность путей)	ф-лы (14-18) [10]	19	21,9	24,8	27,8	30,8	33,8	36,8	39,8	42,9		
Общее снижение уровня звука препятствием Dz, дБ		Эн.сумма(-Dzi)	12,2	15,5	19,5	23,4	26,8	29,9	32,9	35,9	39		
Общее снижение уровня звука препятствием с учётом ограничения (25 дБ) для октавных полос Dz, дБ		Раздел 7.4 [10]	12,2	15,5	19,5	23,4	25	25	25	25	25		
Уровни звукового давления прямого звука от источника ИШ-6-15 в расчётной точке днём, дБ		**ф-ла(3)[10]**	**0**	**16,9**	**14,3**	**11,3**	**9,3**	**7,9**	**2,8**	**0**	**0**	**11,9**	**11,9**
Расчёт отражённого звука													
Уровни звукового давления от мнимого источника ИШ-6-15_мн.(1) в расчётной точке днём, дБ		**ф-ла(3)[10]**	**0**	**0**	**0**	**0**	**0**	**0**	**16,9**	**0,4**	**0**	**18,2**	**18,2**
Уровни звукового давления от источника ИШ-6-15 в расчётной точке днём, дБ		**ф-ла(3)[10]**	**0**	**16,9**	**14,3**	**11,3**	**9,3**	**7,9**	**17,1**	**0,4**	**0**	**19,1**	**19,1**
Источник шума: ИШ-6-16, координаты источника (x,y,z), м =[764.57,-123.22,1.00]													
Уровни звуковой мощности источника днём, Lw, дБ		**исходные данные**	**0**	**96,3**	**97,7**	**99**	**99,3**	**98,9**	**95,6**	**91,4**	**86,9**		

1		2	3	4	5	6	7	8	9	10	11	12	13
Поправка на телесный угол DΩ, дБ	Ω = 12.57	10Lg(4π/Ω)	**0**	0	0	0	0	0	0	0	0		
Показатель направленности источника Di, дБ		исходные данные	**0**	0	0	0	0	0	0	0	0		
Поправка на направленность источника Dc, дБ	Dc	DΩ + Di	**0**	0	0	0	0	0	0	0	0		
Затухание из-за геометрической дивергенции, Adiv, дБ	расстояние = 435.87 м	ф-ла (7) [10]	**63,8**										
Коэффициент затухания звука в атмосфере α, дБ/км	Ta=20,°C Pa=101.33,кПа hотн.=70%	ф-ла (5) [9]	0,02	0,09	0,33	1,12	2,79	4,98	9,04	23,09	77,63		
Учет затухания звука в атмосфере Aatm, дБ		ф-ла (8) [10]	0	0	0,1	0,5	1,2	2,2	3,9	10,1	33,8		
Снижение уровня звукового давления из-за влияния застройки между источником шума и расчетной точкой													
Снижение уровня звукового давления на пути над экраном, Dz1, дБ	z = 6.55м (разность путей)	ф-лы (14-18) [10]	14	17,4	21,7	26	29,6	32,8	35,9	38,9	41,9		
Снижение уровня звукового давления на пути слева от экрана, Dz2, дБ	z = 31.78м (разность путей)	ф-лы (14-18) [10]	21,1	24,8	29,2	33,6	37,2	40,4	43,5	46,5	49,5		
Снижение уровня звукового давления на пути справа от экрана, Dz3, дБ	z = 20.68м (разность путей)	ф-лы (14-18) [10]	19	21,9	24,9	27,9	30,9	33,9	36,9	39,9	42,9		
Общее снижение уровня звука препятствием Dz, дБ		Эн.сумма(-Dzi)	12,2	15,5	19,5	23,4	26,8	29,9	32,9	36	39		
Общее снижение уровня звука препятствием с учётом ограничения (25 дБ) для октавных полос Dz, дБ		Раздел 7.4 [10]	12,2	15,5	19,5	23,4	25	25	25	25	25		
Уровни звукового давления прямого звука от источника ИШ-6-16 в расчётной точке днём, дБ		**ф-ла(3)[10]**	**0**	**16,9**	**14,3**	**11,3**	**9,3**	**7,9**	**2,9**	**0**	**0**	**11,9**	**11,9**
Расчёт отражённого звука													
Уровни звукового давления от мнимого источника ИШ-6-16_мн.(1) в расчётной точке днём, дБ		**ф-ла(3)[10]**	**0**	**0**	**0**	**0**	**0**	**0**	**16,9**	**0,5**	**0**	**18,2**	**18,2**
Уровни звукового давления от источника ИШ-6-16 в расчётной точке днём, дБ		**ф-ла(3)[10]**	**0**	**16,9**	**14,3**	**11,3**	**9,3**	**7,9**	**17,1**	**0,5**	**0**	**19,1**	**19,1**

1		2	3	4	5	6	7	8	9	10	11	12	13
Источник шума: ИШ-6-17, координаты источника (x,y,z), м =[763.57,-126.18,1.00]													
Уровни звуковой мощности источника днём, Lw, дБ		**исходные данные**	**0**	**96,3**	**97,7**	**99**	**99,3**	**98,9**	**95,6**	**91,4**	**86,9**		
Поправка на телесный угол DΩ, дБ	Ω = 12.57	10Lg(4π/Ω)	**0**	0	0	0	0	0	0	0	0		
Показатель направленности источника Di, дБ		исходные данные	**0**	0	0	0	0	0	0	0	0		
Поправка на направленность источника Dc, дБ	Dc	DΩ + Di	**0**	0	0	0	0	0	0	0	0		
Затухание из-за геометрической дивергенции, Adiv, дБ	расстояние = 435.34 м	ф-ла (7) [10]	**63,8**										
Коэффициент затухания звука в атмосфере α, дБ/км	Ta=20,°C Pa=101.33,кПа hотн.=70%	ф-ла (5) [9]	0,02	0,09	0,33	1,12	2,79	4,98	9,04	23,09	77,63		
Учет затухания звука в атмосфере Aatm, дБ		ф-ла (8) [10]	0	0	0,1	0,5	1,2	2,2	3,9	10,1	33,8		
Снижение уровня звукового давления из-за влияния застройки между источником шума и расчетной точкой													
Снижение уровня звукового давления на пути над экраном, Dz1, дБ	z = 6.55м (разность путей)	ф-лы (14-18) [10]	14	17,4	21,7	26	29,6	32,8	35,9	38,9	41,9		
Снижение уровня звукового давления на пути слева от экрана, Dz2, дБ	z = 31.55м (разность путей)	ф-лы (14-18) [10]	21,1	24,8	29,1	33,5	37,2	40,4	43,5	46,5	49,5		
Снижение уровня звукового давления на пути справа от экрана, Dz3, дБ	z = 20.87м (разность путей)	ф-лы (14-18) [10]	19	22	24,9	27,9	30,9	33,9	36,9	39,9	42,9		
Общее снижение уровня звука препятствием Dz, дБ		Эн.сумма(-Dzi)	12,2	15,6	19,5	23,4	26,8	29,9	33	36	39		
Общее снижение уровня звука препятствием с учётом ограничения (25 дБ) для октавных полос Dz, дБ		Раздел 7.4 [10]	12,2	15,6	19,5	23,4	25	25	25	25	25		
Уровни звукового давления прямого звука от источника ИШ-6-17 в расчётной точке днём, дБ		**ф-ла(3)[10]**	**0**	**16,9**	**14,3**	**11,3**	**9,3**	**7,9**	**2,9**	**0**	**0**	**11,9**	**11,9**
Расчёт отражённого звука													

1		2	3	4	5	6	7	8	9	10	11	12	13
Уровни звукового давления от мнимого источника ИШ-6-17_мн.(1) в расчётной точке днём, дБ		**ф-ла(3)[10]**	**0**	**0**	**0**	**0**	**0**	**0**	**16,9**	**0,5**	**0**	**18,2**	**18,2**
Уровни звукового давления от источника ИШ-6-17 в расчётной точке днём, дБ		**ф-ла(3)[10]**	**0**	**16,9**	**14,3**	**11,3**	**9,3**	**7,9**	**17,1**	**0,5**	**0**	**19,1**	**19,1**
Источник шума: ИШ-6-18, координаты источника (x,y,z), м =[804.77,-126.28,1.00]													
Уровни звуковой мощности источника днём, Lw, дБ		**исходные данные**	**0**	**96,3**	**97,7**	**99**	**99,3**	**98,9**	**95,6**	**91,4**	**86,9**		
Поправка на телесный угол DΩ, дБ	Ω = 12.57	10Lg(4π/Ω)	**0**	0	0	0	0	0	0	0	0		
Показатель направленности источника Di, дБ		исходные данные	**0**	0	0	0	0	0	0	0	0		
Поправка на направленность источника Dc, дБ	Dc	DΩ + Di	**0**	0	0	0	0	0	0	0	0		
Затухание из-за геометрической дивергенции, Adiv, дБ	расстояние = 476.08 м	ф-ла (7) [10]	**64,6**										
Коэффициент затухания звука в атмосфере α, дБ/км	Ta=20,°C Pa=101.33,кПа hотн.=70%	ф-ла (5) [9]	0,02	0,09	0,33	1,12	2,79	4,98	9,04	23,09	77,63		
Учет затухания звука в атмосфере Aatm, дБ		ф-ла (8) [10]	0	0	0,2	0,5	1,3	2,4	4,3	11	37		
Снижение уровня звукового давления из-за влияния застройки между источником шума и расчетной точкой													
Снижение уровня звукового давления на пути над экраном, Dz1, дБ	z = 6.54м (разность путей)	ф-лы (14-18) [10]	13,9	17,3	21,6	25,9	29,5	32,7	35,8	38,8	41,8		
Снижение уровня звукового давления на пути слева от экрана, Dz2, дБ	z = 31.89м (разность путей)	ф-лы (14-18) [10]	21,1	24,8	29,2	33,6	37,2	40,4	43,5	46,5	49,5		
Снижение уровня звукового давления на пути справа от экрана, Dz3, дБ	z = 20.44м (разность путей)	ф-лы (14-18) [10]	19	21,9	24,8	27,8	30,8	33,8	36,8	39,8	42,8		
Общее снижение уровня звука препятствием Dz, дБ		Эн.сумма(-Dzi)	12,1	15,5	19,4	23,3	26,7	29,8	32,9	35,9	38,9		
Общее снижение уровня звука препятствием с учётом ограничения (25 дБ) для октавных полос Dz, дБ		Раздел 7.4 [10]	12,1	15,5	19,4	23,3	25	25	25	25	25		

1		2	3	4	5	6	7	8	9	10	11	12	13
Уровни звукового давления прямого звука от источника ИШ-6-18 в расчётной точке днём, дБ		**ф-ла(3)[10]**	**0**	**16,2**	**13,6**	**10,6**	**8,4**	**7**	**1,7**	**0**	**0**	**11**	**11**
Расчёт отражённого звука													
Уровни звукового давления от мнимого источника ИШ-6-18_мн.(1) в расчётной точке днём, дБ		**ф-ла(3)[10]**	**0**	**0**	**0**	**0**	**0**	**0**	**16,2**	**0**	**0**	**17,4**	**17,4**
Уровни звукового давления от источника ИШ-6-18 в расчётной точке днём, дБ		**ф-ла(3)[10]**	**0**	**16,2**	**13,6**	**10,6**	**8,4**	**7**	**16,3**	**0**	**0**	**18,3**	**18,3**
Источник шума: ИШ-6-19, координаты источника (x,y,z), м =[803.81,-129.30,1.00]													
Уровни звуковой мощности источника днём, Lw, дБ		**исходные данные**	**0**	**96,3**	**97,7**	**99**	**99,3**	**98,9**	**95,6**	**91,4**	**86,9**		
Поправка на телесный угол DΩ, дБ	Ω = 12.57	10Lg(4π/Ω)	**0**	0	0	0	0	0	0	0	0		
Показатель направленности источника Di, дБ		исходные данные	**0**	0	0	0	0	0	0	0	0		
Поправка на направленность источника Dc, дБ	Dc	DΩ + Di	**0**	0	0	0	0	0	0	0	0		
Затухание из-за геометрической дивергенции, Adiv, дБ	расстояние = 475.58 м	ф-ла (7) [10]	**64,5**										
Коэффициент затухания звука в атмосфере α, дБ/км	Ta=20,°C Pa=101.33,кПа hотн.=70%	ф-ла (5) [9]	0,02	0,09	0,33	1,12	2,79	4,98	9,04	23,09	77,63		
Учет затухания звука в атмосфере Aatm, дБ		ф-ла (8) [10]	0	0	0,2	0,5	1,3	2,4	4,3	11	36,9		
Снижение уровня звукового давления из-за влияния застройки между источником шума и расчетной точкой													
Снижение уровня звукового давления на пути над экраном, Dz1, дБ	z = 6.54м (разность путей)	ф-лы (14-18) [10]	13,9	17,3	21,6	25,9	29,5	32,7	35,8	38,8	41,8		
Снижение уровня звукового давления на пути слева от экрана, Dz2, дБ	z = 31.68м (разность путей)	ф-лы (14-18) [10]	21,1	24,8	29,2	33,5	37,2	40,4	43,5	46,5	49,5		
Снижение уровня звукового давления на пути справа от экрана, Dz3, дБ	z = 20.62м (разность путей)	ф-лы (14-18) [10]	19	21,9	24,9	27,8	30,8	33,9	36,9	39,9	42,9		

1		2	3	4	5	6	7	8	9	10	11	12	13
Общее снижение уровня звука препятствием Dz, дБ		Эн.сумма(-Dzi)	12,1	15,5	19,4	23,3	26,7	29,9	32,9	35,9	38,9		
Общее снижение уровня звука препятствием с учётом ограничения (25 дБ) для октавных полос Dz, дБ		Раздел 7.4 [10]	12,1	15,5	19,4	23,3	25	25	25	25	25		
Уровни звукового давления прямого звука от источника ИШ-6-19 в расчётной точке днём, дБ		**ф-ла(3)[10]**	**0**	**16,2**	**13,6**	**10,6**	**8,4**	**7**	**1,7**	**0**	**0**	**11**	**11**
Расчёт отражённого звука													
Уровни звукового давления от мнимого источника ИШ-6-19_мн.(1) в расчётной точке днём, дБ		**ф-ла(3)[10]**	**0**	**0**	**0**	**0**	**0**	**0**	**16,2**	**0**	**0**	**17,4**	**17,4**
Уровни звукового давления от источника ИШ-6-19 в расчётной точке днём, дБ		**ф-ла(3)[10]**	**0**	**16,2**	**13,6**	**10,6**	**8,4**	**7**	**16,3**	**0**	**0**	**18,3**	**18,3**
Источник шума: ИШ-6-20, координаты источника (x,y,z), м =[802.67,-132.35,1.00]													
Уровни звуковой мощности источника днём, Lw, дБ		**исходные данные**	**0**	**96,3**	**97,7**	**99**	**99,3**	**98,9**	**95,6**	**91,4**	**86,9**		
Поправка на телесный угол DΩ, дБ	Ω = 12.57	10Lg(4π/Ω)	**0**	0	0	0	0	0	0	0	0		
Показатель направленности источника Di, дБ		исходные данные	**0**	0	0	0	0	0	0	0	0		
Поправка на направленность источника Dc, дБ	Dc	DΩ + Di	**0**	0	0	0	0	0	0	0	0		
Затухание из-за геометрической дивергенции, Adiv, дБ	расстояние = 474.93 м	ф-ла (7) [10]	**64,5**										
Коэффициент затухания звука в атмосфере α, дБ/км	Ta=20,°C Pa=101.33,кПа hотн.=70%	ф-ла (5) [9]	0,02	0,09	0,33	1,12	2,79	4,98	9,04	23,09	77,63		
Учет затухания звука в атмосфере Aatm, дБ		ф-ла (8) [10]	0	0	0,2	0,5	1,3	2,4	4,3	11	36,9		
Снижение уровня звукового давления из-за влияния застройки между источником шума и расчетной точкой													
Снижение уровня звукового давления на пути над экраном, Dz1, дБ	z = 6.55м (разность путей)	ф-лы (14-18) [10]	13,9	17,3	21,6	25,9	29,5	32,7	35,8	38,8	41,8		

1		2	3	4	5	6	7	8	9	10	11	12	13
Снижение уровня звукового давления на пути слева от экрана, Dz2, дБ	z = 31.46м (разность путей)	ф-лы (14-18) [10]	21,1	24,8	29,1	33,5	37,2	40,4	43,4	46,5	49,5		
Снижение уровня звукового давления на пути справа от экрана, Dz3, дБ	z = 20.79м (разность путей)	ф-лы (14-18) [10]	19	22	24,9	27,9	30,9	33,9	36,9	39,9	42,9		
Общее снижение уровня звука препятствием Dz, дБ		Эн.сумма(-Dzi)	12,2	15,5	19,4	23,3	26,7	29,9	32,9	35,9	38,9		
Общее снижение уровня звука препятствием с учётом ограничения (25 дБ) для октавных полос Dz, дБ		Раздел 7.4 [10]	12,2	15,5	19,4	23,3	25	25	25	25	25		
Уровни звукового давления прямого звука от источника ИШ-6-20 в расчётной точке днём, дБ		**ф-ла(3)[10]**	**0**	**16,2**	**13,6**	**10,6**	**8,4**	**7**	**1,8**	**0**	**0**	**11**	**11**
Расчёт отражённого звука													
Уровни звукового давления от мнимого источника ИШ-6-20_мн.(1) в расчётной точке днём, дБ		**ф-ла(3)[10]**	**0**	**0**	**0**	**0**	**0**	**0**	**16,2**	**0**	**0**	**17,4**	**17,4**
Уровни звукового давления от источника ИШ-6-20 в расчётной точке днём, дБ		**ф-ла(3)[10]**	**0**	**16,2**	**13,6**	**10,6**	**8,4**	**7**	**16,3**	**0**	**0**	**18,3**	**18,3**
Источник шума: ИШ-6-21, координаты источника (x,y,z), м =[801.69,-135.42,1.00]													
Уровни звуковой мощности источника днём, Lw, дБ		**исходные данные**	**0**	**96,3**	**97,7**	**99**	**99,3**	**98,9**	**95,6**	**91,4**	**86,9**		
Поправка на телесный угол DΩ, дБ	Ω = 12.57	10Lg(4π/Ω)	**0**	0	0	0	0	0	0	0	0		
Показатель направленности источника Di, дБ		исходные данные	**0**	0	0	0	0	0	0	0	0		
Поправка на направленность источника Dc, дБ	Dc	DΩ + Di	**0**	0	0	0	0	0	0	0	0		
Затухание из-за геометрической дивергенции, Adiv, дБ	расстояние = 474.46 м	ф-ла (7) [10]	**64,5**										
Коэффициент затухания звука в атмосфере α, дБ/км	Та=20,°С Ра=101.33,кПа hотн.=70%	ф-ла (5) [9]	0,02	0,09	0,33	1,12	2,79	4,98	9,04	23,09	77,63		
Учет затухания звука в атмосфере Aatm, дБ		ф-ла (8) [10]	0	0	0,2	0,5	1,3	2,4	4,3	11	36,8		

1		2	3	4	5	6	7	8	9	10	11	12	13
Снижение уровня звукового давления из-за влияния застройки между источником шума и расчетной точкой													
Снижение уровня звукового давления на пути над экраном, Dz1, дБ	z = 6.55м (разность путей)	ф-лы (14-18) [10]	13,9	17,3	21,6	25,9	29,5	32,7	35,8	38,8	41,8		
Снижение уровня звукового давления на пути слева от экрана, Dz2, дБ	z = 31.25м (разность путей)	ф-лы (14-18) [10]	21,1	24,7	29,1	33,5	37,1	40,4	43,4	46,4	49,5		
Снижение уровня звукового давления на пути справа от экрана, Dz3, дБ	z = 20.97м (разность путей)	ф-лы (14-18) [10]	19,1	22	24,9	27,9	30,9	33,9	36,9	39,9	43		
Общее снижение уровня звука препятствием Dz, дБ		Эн.сумма(-Dzi)	12,2	15,5	19,4	23,3	26,8	29,9	32,9	35,9	38,9		
Общее снижение уровня звука препятствием с учётом ограничения (25 дБ) для октавных полос Dz, дБ		Раздел 7.4 [10]	12,2	15,5	19,4	23,3	25	25	25	25	25		
Уровни звукового давления прямого звука от источника ИШ-6-21 в расчётной точке днём, дБ		**ф-ла(3)[10]**	**0**	**16,2**	**13,6**	**10,6**	**8,4**	**7**	**1,8**	**0**	**0**	**11**	**11**
Расчёт отражённого звука													
Уровни звукового давления от мнимого источника ИШ-6-21_мн.(1) в расчётной точке днём, дБ		**ф-ла(3)[10]**	**0**	**0**	**0**	**0**	**0**	**0**	**16,2**	**0**	**0**	**17,4**	**17,4**
Уровни звукового давления от источника ИШ-6-21 в расчётной точке днём, дБ		**ф-ла(3)[10]**	**0**	**16,2**	**13,6**	**10,6**	**8,4**	**7**	**16,3**	**0**	**0**	**18,3**	**18,3**
Источник шума: ИШ-6-22, координаты источника (x,y,z), м =[800.65,-138.47,1.00]													
Уровни звуковой мощности источника днём, Lw, дБ		**исходные данные**	**0**	**96,3**	**97,7**	**99**	**99,3**	**98,9**	**95,6**	**91,4**	**86,9**		
Поправка на телесный угол DΩ, дБ	Ω = 12.57	10Lg(4π/Ω)	**0**	0	0	0	0	0	0	0	0		
Показатель направленности источника Di, дБ		исходные данные	**0**	0	0	0	0	0	0	0	0		
Поправка на направленность источника Dc, дБ	Dc	DΩ + Di	**0**	0	0	0	0	0	0	0	0		
Затухание из-за геометрической дивергенции, Adiv, дБ	расстояние = 473.95 м	ф-ла (7) [10]	**64,5**										
Коэффициент затухания звука в атмосфере α, дБ/км	Ta=20,°C Pa=101.33,кПа hотн.=70%	ф-ла (5) [9]	0,02	0,09	0,33	1,12	2,79	4,98	9,04	23,09	77,63		

1		2	3	4	5	6	7	8	9	10	11	12	13
Учет затухания звука в атмосфере Aatm, дБ		ф-ла (8) [10]	0	0	0,2	0,5	1,3	2,4	4,3	10,9	36,8		
Снижение уровня звукового давления из-за влияния застройки между источником шума и расчетной точкой													
Снижение уровня звукового давления на пути над экраном, Dz1, дБ	z = 6.55м (разность путей)	ф-лы (14-18) [10]	13,9	17,3	21,6	25,9	29,5	32,7	35,8	38,8	41,8		
Снижение уровня звукового давления на пути слева от экрана, Dz2, дБ	z = 31.04м (разность путей)	ф-лы (14-18) [10]	21	24,7	29,1	33,5	37,1	40,3	43,4	46,4	49,4		
Снижение уровня звукового давления на пути справа от экрана, Dz3, дБ	z = 21.15м (разность путей)	ф-лы (14-18) [10]	19,1	22	25	28	31	34	37	40	43		
Общее снижение уровня звука препятствием Dz, дБ		Эн.сумма(-Dzi)	12,2	15,5	19,4	23,4	26,8	29,9	32,9	35,9	39		
Общее снижение уровня звука препятствием с учётом ограничения (25 дБ) для октавных полос Dz, дБ		Раздел 7.4 [10]	12,2	15,5	19,4	23,4	25	25	25	25	25		
Уровни звукового давления прямого звука от источника ИШ-6-22 в расчётной точке днём, дБ		**ф-ла(3)[10]**	**0**	**16,2**	**13,6**	**10,6**	**8,5**	**7**	**1,8**	**0**	**0**	**11**	**11**
Расчёт отражённого звука													
Уровни звукового давления от мнимого источника ИШ-6-22_мн.(1) в расчётной точке днём, дБ		**ф-ла(3)[10]**	**0**	**0**	**0**	**0**	**0**	**0**	**16,2**	**0**	**0**	**17,4**	**17,4**
Уровни звукового давления от источника ИШ-6-22 в расчётной точке днём, дБ		**ф-ла(3)[10]**	**0**	**16,2**	**13,6**	**10,6**	**8,5**	**7**	**16,3**	**0**	**0**	**18,3**	**18,3**
Источник шума: ИШ-7-1, координаты источника (x,y,z), м =[821.44,63.31,1.00]													
Уровни звуковой мощности источника днём, Lw, дБ		**исходные данные**	**77**	**75**	**67**	**66**	**63**	**55**	**53**	**48**	**51**		
Поправка на телесный угол DΩ, дБ	Ω = 12.57	10Lg(4π/Ω)	**0**	0	0	0	0	0	0	0	0		
Показатель направленности источника Di, дБ		исходные данные	**0**	0	0	0	0	0	0	0	0		
Поправка на направленность источника Dc, дБ	Dc	DΩ + Di	**0**	0	0	0	0	0	0	0	0		
Затухание из-за геометрической дивергенции, Adiv, дБ	расстояние = 502.07 м	ф-ла (7) [10]	**65**										

1		2	3	4	5	6	7	8	9	10	11	12	13
Коэффициент затухания звука в атмосфере α, дБ/км	Ta=20,°C Pa=101.33,кПа hотн.=70%	ф-ла (5) [9]	0,02	0,09	0,33	1,12	2,79	4,98	9,04	23,09	77,63		
Учет затухания звука в атмосфере Aatm, дБ		ф-ла (8) [10]	0	0	0,2	0,6	1,4	2,5	4,5	11,6	39		
Снижение уровня звукового давления из-за влияния застройки между источником шума и расчетной точкой													
Снижение уровня звукового давления на пути над экраном, Dz1, дБ	z = 6.26м (разность путей)	ф-лы (14-18) [10]	13,8	17,3	21,7	25,9	29,3	32,5	35,5	38,6	41,6		
Общее снижение уровня звука препятствием с учётом ограничения (25 дБ) для октавных полос Dz, дБ		Раздел 7.4 [10]	13,8	17,3	21,7	25	25	25	25	25	25		
Уровни звукового давления от источника ИШ-7-1 в расчётной точке днём, дБ		**ф-ла(3)[10]**	**0**	**0**	**0**	**0**	**0**	**0**	**0**	**0**	**0**	**0**	**0**
Источник шума: ИШ-7-2, координаты источника (x,y,z), м =[768.90,-86.75,1.00]													
Уровни звуковой мощности источника днём, Lw, дБ		**исходные данные**	**77**	**75**	**67**	**66**	**63**	**55**	**53**	**48**	**51**		
Поправка на телесный угол DΩ, дБ	Ω = 12.57	10Lg(4π/Ω)	**0**	0	0	0	0	0	0	0	0		
Показатель направленности источника Di, дБ		исходные данные	**0**	0	0	0	0	0	0	0	0		
Поправка на направленность источника Dc, дБ	Dc	DΩ + Di	**0**	0	0	0	0	0	0	0	0		
Затухание из-за геометрической дивергенции, Adiv, дБ	расстояние = 436.10 м	ф-ла (7) [10]	**63,8**										
Коэффициент затухания звука в атмосфере α, дБ/км	Ta=20,°C Pa=101.33,кПа hотн.=70%	ф-ла (5) [9]	0,02	0,09	0,33	1,12	2,79	4,98	9,04	23,09	77,63		
Учет затухания звука в атмосфере Aatm, дБ		ф-ла (8) [10]	0	0	0,1	0,5	1,2	2,2	3,9	10,1	33,9		
Снижение уровня звукового давления из-за влияния застройки между источником шума и расчетной точкой													
Снижение уровня звукового давления на пути над экраном, Dz1, дБ	z = 6.52м (разность путей)	ф-лы (14-18) [10]	14	17,4	21,7	26	29,6	32,8	35,9	38,9	41,9		

1		2	3	4	5	6	7	8	9	10	11	12	13
Общее снижение уровня звука препятствием с учётом ограничения (25 дБ) для октавных полос Dz, дБ		Раздел 7.4 [10]	14	17,4	21,7	25	25	25	25	25	25		
Уровни звукового давления от источника ИШ-7-2 в расчётной точке днём, дБ		**ф-ла(3)[10]**	**0**	**0**	**0**	**0**	**0**	**0**	**0**	**0**	**0**	**0**	**0**
Источник шума: ИШ-7-3, координаты источника (x,y,z), м =[766.80,-93.20,1.00]													
Уровни звуковой мощности источника днём, Lw, дБ		**исходные данные**	**77**	**75**	**67**	**66**	**63**	**55**	**53**	**48**	**51**		
Поправка на телесный угол DΩ, дБ	Ω = 12.57	10Lg(4π/Ω)	**0**	0	0	0	0	0	0	0	0		
Показатель направленности источника Di, дБ		исходные данные	**0**	0	0	0	0	0	0	0	0		
Поправка на направленность источника Dc, дБ	Dc	DΩ + Di	**0**	0	0	0	0	0	0	0	0		
Затухание из-за геометрической дивергенции, Adiv, дБ	расстояние = 434.51 м	ф-ла (7) [10]	**63,8**										
Коэффициент затухания звука в атмосфере α, дБ/км	Ta=20,°C Pa=101.33,кПа hотн.=70%	ф-ла (5) [9]	0,02	0,09	0,33	1,12	2,79	4,98	9,04	23,09	77,63		
Учет затухания звука в атмосфере Aatm, дБ		ф-ла (8) [10]	0	0	0,1	0,5	1,2	2,2	3,9	10	33,7		
Снижение уровня звукового давления из-за влияния застройки между источником шума и расчетной точкой													
Снижение уровня звукового давления на пути над экраном, Dz1, дБ	z = 6.53м (разность путей)	ф-лы (14-18) [10]	14	17,4	21,7	26	29,6	32,8	35,9	38,9	41,9		
Общее снижение уровня звука препятствием с учётом ограничения (25 дБ) для октавных полос Dz, дБ		Раздел 7.4 [10]	14	17,4	21,7	25	25	25	25	25	25		
Уровни звукового давления от источника ИШ-7-3 в расчётной точке днём, дБ		**ф-ла(3)[10]**	**0**	**0**	**0**	**0**	**0**	**0**	**0**	**0**	**0**	**0**	**0**
Источник шума: ИШ-7-4, координаты источника (x,y,z), м =[866.76,37.18,1.00]													
Уровни звуковой мощности источника днём, Lw, дБ		**исходные данные**	**77**	**75**	**67**	**66**	**63**	**55**	**53**	**48**	**51**		

1		2	3	4	5	6	7	8	9	10	11	12	13
Поправка на телесный угол DΩ, дБ	Ω = 12.57	10Lg(4π/Ω)	**0**	0	0	0	0	0	0	0	0		
Показатель направленности источника Di, дБ		исходные данные	**0**	0	0	0	0	0	0	0	0		
Поправка на направленность источника Dc, дБ	Dc	DΩ + Di	**0**	0	0	0	0	0	0	0	0		
Затухание из-за геометрической дивергенции, Adiv, дБ	расстояние = 541.07 м	ф-ла (7) [10]	**65,7**										
Коэффициент затухания звука в атмосфере α, дБ/км	Ta=20,°C Pa=101.33,кПа hотн.=70%	ф-ла (5) [9]	0,02	0,09	0,33	1,12	2,79	4,98	9,04	23,09	77,63		
Учет затухания звука в атмосфере Aatm, дБ		ф-ла (8) [10]	0	0	0,2	0,6	1,5	2,7	4,9	12,5	42		
Снижение уровня звукового давления из-за влияния застройки между источником шума и расчетной точкой													
Снижение уровня звукового давления на пути над экраном, Dz1, дБ	z = 6.33м (разность путей)	ф-лы (14-18) [10]	17,5	20,7	23,7	26,7	29,7	32,7	35,8	38,8	41,8		
Общее снижение уровня звука препятствием с учётом ограничения (25 дБ) для октавных полос Dz, дБ		Раздел 7.4 [10]	17,5	20,7	23,7	25	25	25	25	25	25		
Уровни звукового давления от источника ИШ-7-4 в расчётной точке днём, дБ		**ф-ла(3)[10]**	**0**	**0**	**0**	**0**	**0**	**0**	**0**	**0**	**0**	**0**	**0**
Источник шума: ИШ-7-5, координаты источника (x,y,z), м =[861.80,21.34,1.00]													
Уровни звуковой мощности источника днём, Lw, дБ		**исходные данные**	**77**	**75**	**67**	**66**	**63**	**55**	**53**	**48**	**51**		
Поправка на телесный угол DΩ, дБ	Ω = 12.57	10Lg(4π/Ω)	**0**	0	0	0	0	0	0	0	0		
Показатель направленности источника Di, дБ		исходные данные	**0**	0	0	0	0	0	0	0	0		
Поправка на направленность источника Dc, дБ	Dc	DΩ + Di	**0**	0	0	0	0	0	0	0	0		
Затухание из-за геометрической дивергенции, Adiv, дБ	расстояние = 533.65 м	ф-ла (7) [10]	**65,5**										

1		2	3	4	5	6	7	8	9	10	11	12	13
Коэффициент затухания звука в атмосфере α, дБ/км	Ta=20,°C Pa=101.33,кПа hотн.=70%	ф-ла (5) [9]	0,02	0,09	0,33	1,12	2,79	4,98	9,04	23,09	77,63		
Учет затухания звука в атмосфере Aatm, дБ		ф-ла (8) [10]	0	0	0,2	0,6	1,5	2,7	4,8	12,3	41,4		
Снижение уровня звукового давления из-за влияния застройки между источником шума и расчетной точкой													
Снижение уровня звукового давления на пути над экраном, Dz1, дБ	z = 6.35м (разность путей)	ф-лы (14-18) [10]	17,5	20,8	23,8	26,8	29,8	32,8	35,8	38,8	41,8		
Общее снижение уровня звука препятствием с учётом ограничения (25 дБ) для октавных полос Dz, дБ		Раздел 7.4 [10]	17,5	20,8	23,8	25	25	25	25	25	25		
Уровни звукового давления от источника ИШ-7-5 в расчётной точке днём, дБ		**ф-ла(3)[10]**	**0**	**0**	**0**	**0**	**0**	**0**	**0**	**0**	**0**	**0**	**0**
Источник шума: ИШ-7-6, координаты источника (x,y,z), м =[856.52,5.94,1.00]													
Уровни звуковой мощности источника днём, Lw, дБ		**исходные данные**	**77**	**75**	**67**	**66**	**63**	**55**	**53**	**48**	**51**		
Поправка на телесный угол DΩ, дБ	Ω = 12.57	10Lg(4π/Ω)	**0**	0	0	0	0	0	0	0	0		
Показатель направленности источника Di, дБ		исходные данные	**0**	0	0	0	0	0	0	0	0		
Поправка на направленность источника Dc, дБ	Dc	DΩ + Di	**0**	0	0	0	0	0	0	0	0		
Затухание из-за геометрической дивергенции, Adiv, дБ	расстояние = 526.37 м	ф-ла (7) [10]	**65,4**										
Коэффициент затухания звука в атмосфере α, дБ/км	Ta=20,°C Pa=101.33,кПа hотн.=70%	ф-ла (5) [9]	0,02	0,09	0,33	1,12	2,79	4,98	9,04	23,09	77,63		
Учет затухания звука в атмосфере Aatm, дБ		ф-ла (8) [10]	0	0	0,2	0,6	1,5	2,6	4,8	12,2	40,9		
Снижение уровня звукового давления из-за влияния застройки между источником шума и расчетной точкой													
Снижение уровня звукового давления на пути над экраном, Dz1, дБ	z = 6.40м (разность путей)	ф-лы (14-18) [10]	17,7	20,9	23,8	26,9	29,9	32,9	35,9	38,9	41,9		

1		2	3	4	5	6	7	8	9	10	11	12	13
Общее снижение уровня звука препятствием с учётом ограничения (25 дБ) для октавных полос Dz, дБ		Раздел 7.4 [10]	17,7	20,9	23,8	25	25	25	25	25	25		
Уровни звукового давления от источника ИШ-7-6 в расчётной точке днём, дБ		**ф-ла(3)[10]**	**0**	**0**	**0**	**0**	**0**	**0**	**0**	**0**	**0**	**0**	**0**
Источник шума: ИШ-7-7, координаты источника (x,y,z), м =[851.06,-9.89,1.00]													
Уровни звуковой мощности источника днём, Lw, дБ		**исходные данные**	**77**	**75**	**67**	**66**	**63**	**55**	**53**	**48**	**51**		
Поправка на телесный угол DΩ, дБ	Ω = 12.57	10Lg(4π/Ω)	**0**	0	0	0	0	0	0	0	0		
Показатель направленности источника Di, дБ		исходные данные	**0**	0	0	0	0	0	0	0	0		
Поправка на направленность источника Dc, дБ	Dc	DΩ + Di	**0**	0	0	0	0	0	0	0	0		
Затухание из-за геометрической дивергенции, Adiv, дБ	расстояние = 519.29 м	ф-ла (7) [10]	**65,3**										
Коэффициент затухания звука в атмосфере α, дБ/км	Ta=20,°C Pa=101.33,кПа hотн.=70%	ф-ла (5) [9]	0,02	0,09	0,33	1,12	2,79	4,98	9,04	23,09	77,63		
Учет затухания звука в атмосфере Aatm, дБ		ф-ла (8) [10]	0	0	0,2	0,6	1,4	2,6	4,7	12	40,3		
Снижение уровня звукового давления из-за влияния застройки между источником шума и расчетной точкой													
Снижение уровня звукового давления на пути над экраном, Dz1, дБ	z = 6.43м (разность путей)	ф-лы (14-18) [10]	17,7	20,9	23,9	26,9	29,9	32,9	35,9	38,9	41,9		
Общее снижение уровня звука препятствием с учётом ограничения (25 дБ) для октавных полос Dz, дБ		Раздел 7.4 [10]	17,7	20,9	23,9	25	25	25	25	25	25		
Уровни звукового давления от источника ИШ-7-7 в расчётной точке днём, дБ		**ф-ла(3)[10]**	**0**	**0**	**0**	**0**	**0**	**0**	**0**	**0**	**0**	**0**	**0**
Источник шума: ИШ-7-8, координаты источника (x,y,z), м =[821.90,-104.30,1.00]													
Уровни звуковой мощности источника днём, Lw, дБ		**исходные данные**	**77**	**75**	**67**	**66**	**63**	**55**	**53**	**48**	**51**		

1		2	3	4	5	6	7	8	9	10	11	12	13
Поправка на телесный угол DΩ, дБ	Ω = 12.57	10Lg(4π/Ω)	**0**	0	0	0	0	0	0	0	0		
Показатель направленности источника Di, дБ		исходные данные	**0**	0	0	0	0	0	0	0	0		
Поправка на направленность источника Dc, дБ	Dc	DΩ + Di	**0**	0	0	0	0	0	0	0	0		
Затухание из-за геометрической дивергенции, Adiv, дБ	расстояние = 490.39 м	ф-ла (7) [10]	**64,8**										
Коэффициент затухания звука в атмосфере α, дБ/км	Ta=20,°C Pa=101.33,кПа hотн.=70%	ф-ла (5) [9]	0,02	0,09	0,33	1,12	2,79	4,98	9,04	23,09	77,63		
Учет затухания звука в атмосфере Aatm, дБ		ф-ла (8) [10]	0	0	0,2	0,6	1,4	2,4	4,4	11,3	38,1		
Снижение уровня звукового давления из-за влияния застройки между источником шума и расчетной точкой													
Снижение уровня звукового давления на пути над экраном, Dz1, дБ	z = 6.52м (разность путей)	ф-лы (14-18) [10]	13,9	17,3	21,6	25,9	29,5	32,7	35,8	38,8	41,8		
Общее снижение уровня звука препятствием с учётом ограничения (25 дБ) для октавных полос Dz, дБ		Раздел 7.4 [10]	13,9	17,3	21,6	25	25	25	25	25	25		
Уровни звукового давления от источника ИШ-7-8 в расчётной точке днём, дБ		**ф-ла(3)[10]**	**0**	**0**	**0**	**0**	**0**	**0**	**0**	**0**	**0**	**0**	**0**
Источник шума: ИШ-7-9, координаты источника (x,y,z), м =[819.93,-110.97,1.00]													
Уровни звуковой мощности источника днём, Lw, дБ		**исходные данные**	**77**	**75**	**67**	**66**	**63**	**55**	**53**	**48**	**51**		
Поправка на телесный угол DΩ, дБ	Ω = 12.57	10Lg(4π/Ω)	**0**	0	0	0	0	0	0	0	0		
Показатель направленности источника Di, дБ		исходные данные	**0**	0	0	0	0	0	0	0	0		
Поправка на направленность источника Dc, дБ	Dc	DΩ + Di	**0**	0	0	0	0	0	0	0	0		
Затухание из-за геометрической дивергенции, Adiv, дБ	расстояние = 489.13 м	ф-ла (7) [10]	**64,8**										

1		2	3	4	5	6	7	8	9	10	11	12	13
Коэффициент затухания звука в атмосфере α, дБ/км	Та=20,°С Ра=101.33,кПа hотн.=70%	ф-ла (5) [9]	0,02	0,09	0,33	1,12	2,79	4,98	9,04	23,09	77,63		
Учет затухания звука в атмосфере Aatm, дБ		ф-ла (8) [10]	0	0	0,2	0,5	1,4	2,4	4,4	11,3	38		
Снижение уровня звукового давления из-за влияния застройки между источником шума и расчетной точкой													
Снижение уровня звукового давления на пути над экраном, Dz1, дБ	z = 6.53м (разность путей)	ф-лы (14-18) [10]	13,9	17,3	21,6	25,9	29,5	32,7	35,8	38,8	41,8		
Общее снижение уровня звука препятствием с учётом ограничения (25 дБ) для октавных полос Dz, дБ		Раздел 7.4 [10]	13,9	17,3	21,6	25	25	25	25	25	25		
Уровни звукового давления от источника ИШ-7-9 в расчётной точке днём, дБ		**ф-ла(3)[10]**	**0**	**0**	**0**	**0**	**0**	**0**	**0**	**0**	**0**	**0**	**0**
Источник шума: ИШ-7-10, координаты источника (x,y,z), м =[868.68,92.66,1.00]													
Уровни звуковой мощности источника днём, Lw, дБ		**исходные данные**	**77**	**75**	**67**	**66**	**63**	**55**	**53**	**48**	**51**		
Поправка на телесный угол DΩ, дБ	Ω = 12.57	10Lg(4π/Ω)	**0**	0	0	0	0	0	0	0	0		
Показатель направленности источника Di, дБ		исходные данные	**0**	0	0	0	0	0	0	0	0		
Поправка на направленность источника Dc, дБ	Dc	DΩ + Di	**0**	0	0	0	0	0	0	0	0		
Затухание из-за геометрической дивергенции, Adiv, дБ	расстояние = 555.21 м	ф-ла (7) [10]	**65,9**										
Коэффициент затухания звука в атмосфере α, дБ/км	Та=20,°С Ра=101.33,кПа hотн.=70%	ф-ла (5) [9]	0,02	0,09	0,33	1,12	2,79	4,98	9,04	23,09	77,63		
Учет затухания звука в атмосфере Aatm, дБ		ф-ла (8) [10]	0	0	0,2	0,6	1,5	2,8	5	12,8	43,1		
Снижение уровня звукового давления из-за влияния застройки между источником шума и расчетной точкой													
Снижение уровня звукового давления на пути над экраном, Dz1, дБ	z = 6.21м (разность путей)	ф-лы (14-18) [10]	13,7	17,3	21,6	25,7	29,2	32,4	35,4	38,4	41,4		

1		2	3	4	5	6	7	8	9	10	11	12	13
Общее снижение уровня звука препятствием с учётом ограничения (25 дБ) для октавных полос Dz, дБ		Раздел 7.4 [10]	13,7	17,3	21,6	25	25	25	25	25	25		
Уровни звукового давления от источника ИШ-7-10 в расчётной точке днём, дБ		**ф-ла(3)[10]**	**0**	**0**	**0**	**0**	**0**	**0**	**0**	**0**	**0**	**0**	**0**
Источник шума: ИШ-7-11, координаты источника (x,y,z), м =[877.95,88.75,1.00]													
Уровни звуковой мощности источника днём, Lw, дБ		**исходные данные**	**77**	**75**	**67**	**66**	**63**	**55**	**53**	**48**	**51**		
Поправка на телесный угол DΩ, дБ	Ω = 12.57	10Lg(4π/Ω)	**0**	0	0	0	0	0	0	0	0		
Показатель направленности источника Di, дБ		исходные данные	**0**	0	0	0	0	0	0	0	0		
Поправка на направленность источника Dc, дБ	Dc	DΩ + Di	**0**	0	0	0	0	0	0	0	0		
Затухание из-за геометрической дивергенции, Adiv, дБ	расстояние = 563.13 м	ф-ла (7) [10]	**66**										
Коэффициент затухания звука в атмосфере α, дБ/км	Ta=20,°C Pa=101.33,кПа hотн.=70%	ф-ла (5) [9]	0,02	0,09	0,33	1,12	2,79	4,98	9,04	23,09	77,63		
Учет затухания звука в атмосфере Aatm, дБ		ф-ла (8) [10]	0	0,1	0,2	0,6	1,6	2,8	5,1	13	43,7		
Снижение уровня звукового давления из-за влияния застройки между источником шума и расчетной точкой													
Снижение уровня звукового давления на пути над экраном, Dz1, дБ	z = 6.22м (разность путей)	ф-лы (14-18) [10]	13,7	17,2	21,6	25,7	29,2	32,4	35,4	38,4	41,4		
Общее снижение уровня звука препятствием с учётом ограничения (25 дБ) для октавных полос Dz, дБ		Раздел 7.4 [10]	13,7	17,2	21,6	25	25	25	25	25	25		
Уровни звукового давления от источника ИШ-7-11 в расчётной точке днём, дБ		**ф-ла(3)[10]**	**0**	**0**	**0**	**0**	**0**	**0**	**0**	**0**	**0**	**0**	**0**
Источник шума: ИШ-7-12, координаты источника (x,y,z), м =[887.42,85.45,1.00]													
Уровни звуковой мощности источника днём, Lw, дБ		**исходные данные**	**77**	**75**	**67**	**66**	**63**	**55**	**53**	**48**	**51**		

1		2	3	4	5	6	7	8	9	10	11	12	13
Поправка на телесный угол DΩ, дБ	Ω = 12.57	10Lg(4π/Ω)	**0**	0	0	0	0	0	0	0	0		
Показатель направленности источника Di, дБ		исходные данные	**0**	0	0	0	0	0	0	0	0		
Поправка на направленность источника Dc, дБ	Dc	DΩ + Di	**0**	0	0	0	0	0	0	0	0		
Затухание из-за геометрической дивергенции, Adiv, дБ	расстояние = 571.46 м	ф-ла (7) [10]	**66,1**										
Коэффициент затухания звука в атмосфере α, дБ/км	Ta=20,°C Pa=101.33,кПа hотн.=70%	ф-ла (5) [9]	0,02	0,09	0,33	1,12	2,79	4,98	9,04	23,09	77,63		
Учет затухания звука в атмосфере Aatm, дБ		ф-ла (8) [10]	0	0,1	0,2	0,6	1,6	2,8	5,2	13,2	44,4		
Снижение уровня звукового давления из-за влияния застройки между источником шума и расчетной точкой													
Снижение уровня звукового давления на пути над экраном, Dz1, дБ	z = 6.24м (разность путей)	ф-лы (14-18) [10]	13,6	17,2	21,5	25,7	29,2	32,4	35,4	38,4	41,4		
Общее снижение уровня звука препятствием с учётом ограничения (25 дБ) для октавных полос Dz, дБ		Раздел 7.4 [10]	13,6	17,2	21,5	25	25	25	25	25	25		
Уровни звукового давления от источника ИШ-7-12 в расчётной точке днём, дБ		**ф-ла(3)[10]**	**0**	**0**	**0**	**0**	**0**	**0**	**0**	**0**	**0**	**0**	**0**
Источник шума: ИШ-6-23, координаты источника (x,y,z), м =[756.16,-136.23,3.00]													
Уровни звуковой мощности источника днём, Lw, дБ		**исходные данные**	**91**	**91**	**91**	**91**	**91**	**91**	**91**	**91**	**91**		
Поправка на телесный угол DΩ, дБ	Ω = 12.57	10Lg(4π/Ω)	**0**	0	0	0	0	0	0	0	0		
Показатель направленности источника Di, дБ		исходные данные	**0**	0	0	0	0	0	0	0	0		
Поправка на направленность источника Dc, дБ	Dc	DΩ + Di	**0**	0	0	0	0	0	0	0	0		
Затухание из-за геометрической дивергенции, Adiv, дБ	расстояние = 429.79 м	ф-ла (7) [10]	**63,7**										

1		2	3	4	5	6	7	8	9	10	11	12	13
Коэффициент затухания звука в атмосфере α, дБ/км	Та=20,°С Ра=101.33,кПа hотн.=70%	ф-ла (5) [9]	0,02	0,09	0,33	1,12	2,79	4,98	9,04	23,09	77,63		
Учет затухания звука в атмосфере Aatm, дБ		ф-ла (8) [10]	0	0	0,1	0,5	1,2	2,1	3,9	9,9	33,4		
Снижение уровня звукового давления из-за влияния застройки между источником шума и расчетной точкой													
Снижение уровня звукового давления на пути над экраном, Dz1, дБ	z = 6.52м (разность путей)	ф-лы (14-18) [10]	14	17,4	21,6	26	29,6	32,8	35,9	38,9	41,9		
Снижение уровня звукового давления на пути слева от экрана, Dz2, дБ	z = 30.74м (разность путей)	ф-лы (14-18) [10]	21	24,7	29	33,4	37,1	40,3	43,3	46,4	49,4		
Снижение уровня звукового давления на пути справа от экрана, Dz3, дБ	z = 21.56м (разность путей)	ф-лы (14-18) [10]	19,2	22,1	25,1	28	31	34	37,1	40,1	43,1		
Общее снижение уровня звука препятствием Dz, дБ		Эн.сумма(-Dzi)	12,2	15,6	19,5	23,4	26,8	30	33	36	39		
Общее снижение уровня звука препятствием с учётом ограничения (25 дБ) для октавных полос Dz, дБ		Раздел 7.4 [10]	12,2	15,6	19,5	23,4	25	25	25	25	25		
Уровни звукового давления прямого звука от источника ИШ-6-23 в расчётной точке днём, дБ		**ф-ла(3)[10]**	**15,1**	**11,7**	**7,7**	**3,4**	**1,1**	**0,2**	**0**	**0**	**0**	**3,3**	**3,3**
Расчёт отражённого звука													
Уровни звукового давления от мнимого источника ИШ-6-23_мн.(1) в расчётной точке днём, дБ		**ф-ла(3)[10]**	**0**	**0**	**0**	**0**	**0**	**0**	**12,4**	**0,2**	**0**	**13,9**	**13,9**
Уровни звукового давления от мнимого источника ИШ-6-23_мн.(2) в расчётной точке днём, дБ		**ф-ла(3)[10]**	**0**	**0**	**0**	**0**	**0**	**0**	**0**	**0**	**0**	**0**	**0**
Суммарные уровни звукового давления от мнимых источников в расчётной точке днём, дБ		**ф-ла (19) [1]**	**0**	**0**	**0**	**0**	**0**	**0**	**12,4**	**0,2**	**0**	**0**	**13,9**
Уровни звукового давления от источника ИШ-6-23 в расчётной точке днём, дБ		**ф-ла(3)[10]**	**15,1**	**11,7**	**7,7**	**3,4**	**1,1**	**0,2**	**12,4**	**0,2**	**0**	**14,2**	**14,2**
Источник шума: ИШ-6-24, координаты источника (x,y,z), м =[800.98,-151.27,3.00]													
Уровни звуковой мощности источника днём, Lw, дБ		**исходные данные**	**91**	**91**	**91**	**91**	**91**	**91**	**91**	**91**	**91**		

1		2	3	4	5	6	7	8	9	10	11	12	13
Поправка на телесный угол DΩ, дБ	Ω = 12.57	10Lg(4π/Ω)	**0**	0	0	0	0	0	0	0	0		
Показатель направленности источника Di, дБ		исходные данные	**0**	0	0	0	0	0	0	0	0		
Поправка на направленность источника Dc, дБ	Dc	DΩ + Di	**0**	0	0	0	0	0	0	0	0		
Затухание из-за геометрической дивергенции, Adiv, дБ	расстояние = 476.66 м	ф-ла (7) [10]	**64,6**										
Коэффициент затухания звука в атмосфере α, дБ/км	Ta=20,°C Pa=101.33,кПа hотн.=70%	ф-ла (5) [9]	0,02	0,09	0,33	1,12	2,79	4,98	9,04	23,09	77,63		
Учет затухания звука в атмосфере Aatm, дБ		ф-ла (8) [10]	0	0	0,2	0,5	1,3	2,4	4,3	11	37		
Снижение уровня звукового давления из-за влияния застройки между источником шума и расчетной точкой													
Снижение уровня звукового давления на пути над экраном, Dz1, дБ	z = 6.52м (разность путей)	ф-лы (14-18) [10]	13,9	17,3	21,6	25,9	29,5	32,7	35,8	38,8	41,8		
Снижение уровня звукового давления на пути слева от экрана, Dz2, дБ	z = 30.21м (разность путей)	ф-лы (14-18) [10]	20,9	24,6	29	33,3	37	40,2	43,3	46,3	49,3		
Снижение уровня звукового давления на пути справа от экрана, Dz3, дБ	z = 21.84м (разность путей)	ф-лы (14-18) [10]	19,2	22,2	25,1	28,1	31,1	34,1	37,1	40,1	43,1		
Общее снижение уровня звука препятствием Dz, дБ		Эн.сумма(-Dzi)	12,2	15,5	19,4	23,4	26,8	29,9	33	36	39		
Общее снижение уровня звука препятствием с учётом ограничения (25 дБ) для октавных полос Dz, дБ		Раздел 7.4 [10]	12,2	15,5	19,4	23,4	25	25	25	25	25		
Уровни звукового давления прямого звука от источника ИШ-6-24 в расчётной точке днём, дБ		**ф-ла(3)[10]**	**14,3**	**10,9**	**6,8**	**2,5**	**0,1**	**0**	**0**	**0**	**0**	**0**	**0**
Расчёт отражённого звука													
Уровни звукового давления от мнимого источника ИШ-6-24_мн.(1) в расчётной точке днём, дБ		**ф-ла(3)[10]**	**0**	**0**	**0**	**0**	**0**	**0**	**11,5**	**0**	**0**	**12,7**	**12,7**
Уровни звукового давления от источника ИШ-6-24 в расчётной точке днём, дБ		**ф-ла(3)[10]**	**14,3**	**10,9**	**6,8**	**2,5**	**0,1**	**0**	**11,5**	**0**	**0**	**12,9**	**12,9**

1		2	3	4	5	6	7	8	9	10	11	12	13
Источник шума: ИШ-8-1, координаты источника (x,y,z), м =[612.60,-227.70,3.00]													
Уровни звуковой мощности источника днём, Lw, дБ		**исходные данные**	**105**	**104**	**104**	**101**	**102**	**106**	**101**	**95**	**87**		
Поправка на телесный угол DΩ, дБ	Ω = 6.28	10Lg(4π/Ω)	**3**	3	3	3	3	3	3	3	3		
Показатель направленности источника Di, дБ		исходные данные	**0**	0	0	0	0	0	0	0	0		
Поправка на направленность источника Dc, дБ	Dc	DΩ + Di	**3**	3	3	3	3	3	3	3	3		
Затухание из-за геометрической дивергенции, Adiv, дБ	расстояние = 327.18 м	ф-ла (7) [10]	**61,3**										
Коэффициент затухания звука в атмосфере α, дБ/км	Ta=20,°C Pa=101.33,кПа hотн.=70%	ф-ла (5) [9]	0,02	0,09	0,33	1,12	2,79	4,98	9,04	23,09	77,63		
Учет затухания звука в атмосфере Aatm, дБ		ф-ла (8) [10]	0	0	0,1	0,4	0,9	1,6	3	7,6	25,4		
Снижение уровня звукового давления из-за влияния застройки между источником шума и расчетной точкой													
Снижение уровня звукового давления на пути над экраном, Dz1, дБ	z = 6.57м (разность путей)	ф-лы (14-18) [10]	17,5	21,1	24,2	27,2	30,2	33,2	36,2	39,2	42,3		
Снижение уровня звукового давления на пути слева от экрана, Dz2, дБ	z = 20.52м (разность путей)	ф-лы (14-18) [10]	19	21,9	24,8	27,8	30,8	33,8	36,8	39,8	42,9		
Снижение уровня звукового давления на пути справа от экрана, Dz3, дБ	z = 32.39м (разность путей)	ф-лы (14-18) [10]	21,2	24,9	29,3	33,6	37,3	40,5	43,6	46,6	49,6		
Общее снижение уровня звука препятствием Dz, дБ		Эн.сумма(-Dzi)	14,2	17,6	20,8	24	27,1	30,1	33,1	36,1	39,1		
Общее снижение уровня звука препятствием с учётом ограничения (25 дБ) для октавных полос Dz, дБ		Раздел 7.4 [10]	14,2	17,6	20,8	24	25	25	25	25	25		
Уровни звукового давления от источника ИШ-8-1 в расчётной точке днём, дБ		**ф-ла(3)[10]**	**32,5**	**28,1**	**24,8**	**18,4**	**17,8**	**21,1**	**14,8**	**4,2**	**0**	**23,4**	**23,4**
Источник шума: ИШ-8-2, координаты источника (x,y,z), м =[596.60,-275.00,3.00]													

1		2	3	4	5	6	7	8	9	10	11	12	13
Уровни звуковой мощности источника днём, Lw, дБ		**исходные данные**	**105**	**104**	**104**	**101**	**102**	**106**	**101**	**95**	**87**		
Поправка на телесный угол DΩ, дБ	Ω = 6.28	10Lg(4π/Ω)	**3**	3	3	3	3	3	3	3	3		
Показатель направленности источника Di, дБ		исходные данные	**0**	0	0	0	0	0	0	0	0		
Поправка на направленность источника Dc, дБ	Dc	DΩ + Di	**3**	3	3	3	3	3	3	3	3		
Затухание из-за геометрической дивергенции, Adiv, дБ	расстояние = 341.79 м	ф-ла (7) [10]	**61,7**										
Коэффициент затухания звука в атмосфере α, дБ/км	Ta=20,°C Pa=101.33,кПа hотн.=70%	ф-ла (5) [9]	0,02	0,09	0,33	1,12	2,79	4,98	9,04	23,09	77,63		
Учет затухания звука в атмосфере Aatm, дБ		ф-ла (8) [10]	0	0	0,1	0,4	1	1,7	3,1	7,9	26,5		
Снижение уровня звукового давления из-за влияния застройки между источником шума и расчетной точкой													
Снижение уровня звукового давления на пути над экраном, Dz1, дБ	z = 6.43м (разность путей)	ф-лы (14-18) [10]	14,1	17,6	21,9	26,1	29,7	32,9	36	39	42		
Снижение уровня звукового давления на пути слева от экрана, Dz2, дБ	z = 16.66м (разность путей)	ф-лы (14-18) [10]	18,1	21	23,9	26,9	29,9	32,9	35,9	38,9	42		
Снижение уровня звукового давления на пути справа от экрана, Dz3, дБ	z = 37.69м (разность путей)	ф-лы (14-18) [10]	25,4	29	32,2	35,2	38,2	41,2	44,2	47,3	50,3		
Общее снижение уровня звука препятствием Dz, дБ		Эн.сумма(-Dzi)	12,4	15,7	19,5	23,2	26,5	29,6	32,6	35,6	38,7		
Общее снижение уровня звука препятствием с учётом ограничения (25 дБ) для октавных полос Dz, дБ		Раздел 7.4 [10]	12,4	15,7	19,5	23,2	25	25	25	25	25		
Уровни звукового давления от источника ИШ-8-2 в расчётной точке днём, дБ		**ф-ла(3)[10]**	**33,9**	**29,6**	**25,7**	**18,7**	**17,4**	**20,6**	**14,2**	**3,4**	**0**	**23**	**23**
Источник шума: ИШ-8-3, координаты источника (x,y,z), м =[564.90,-369.90,3.00]													
Уровни звуковой мощности источника днём, Lw, дБ		**исходные данные**	**105**	**104**	**104**	**101**	**102**	**106**	**101**	**95**	**87**		

1		2	3	4	5	6	7	8	9	10	11	12	13
Поправка на телесный угол DΩ, дБ	Ω = 6.28	10Lg(4π/Ω)	**3**	3	3	3	3	3	3	3	3		
Показатель направленности источника Di, дБ		исходные данные	**0**	0	0	0	0	0	0	0	0		
Поправка на направленность источника Dc, дБ	Dc	DΩ + Di	**3**	3	3	3	3	3	3	3	3		
Затухание из-за геометрической дивергенции, Adiv, дБ	расстояние = 389.44 м	ф-ла (7) [10]	**62,8**										
Коэффициент затухания звука в атмосфере α, дБ/км	Ta=20,°C Pa=101.33,кПа hотн.=70%	ф-ла (5) [9]	0,02	0,09	0,33	1,12	2,79	4,98	9,04	23,09	77,63		
Учет затухания звука в атмосфере Aatm, дБ		ф-ла (8) [10]	0	0	0,1	0,4	1,1	1,9	3,5	9	30,2		
Снижение уровня звукового давления из-за влияния застройки между источником шума и расчетной точкой													
Снижение уровня звукового давления на пути над экраном, Dz1, дБ	z = 6.18м (разность путей)	ф-лы (14-18) [10]	13,9	17,5	21,9	26	29,5	32,6	35,7	38,7	41,7		
Снижение уровня звукового давления на пути слева от экрана, Dz2, дБ	z = 11.05м (разность путей)	ф-лы (14-18) [10]	20,8	23,9	26,9	29,9	32,9	35,9	38,9	41,9	44,9		
Снижение уровня звукового давления на пути справа от экрана, Dz3, дБ	z = 41.87м (разность путей)	ф-лы (14-18) [10]	26,5	29,6	32,7	35,7	38,7	41,7	44,7	47,7	50,7		
Общее снижение уровня звука препятствием Dz, дБ		Эн.сумма(-Dzi)	12,9	16,4	20,4	24,2	27,5	30,6	33,6	36,7	39,7		
Общее снижение уровня звука препятствием с учётом ограничения (25 дБ) для октавных полос Dz, дБ		Раздел 7.4 [10]	12,9	16,4	20,4	24,2	25	25	25	25	25		
Уровни звукового давления прямого звука от источника ИШ-8-3 в расчётной точке днём, дБ		**ф-ла(3)[10]**	**32,3**	**27,7**	**23,6**	**16,5**	**16,1**	**19,3**	**12,7**	**1,2**	**0**	**21,6**	**21,6**
Расчёт отражённого звука													
Уровни звукового давления от мнимого источника ИШ-8-3_мн.(1) в расчётной точке днём, дБ		**ф-ла(3)[10]**	**0**	**0**	**0**	**0**	**0**	**0**	**0**	**0**	**0**	**0**	**0**
Уровни звукового давления от источника ИШ-8-3 в расчётной точке днём, дБ		**ф-ла(3)[10]**	**32,3**	**27,7**	**23,6**	**16,5**	**16,1**	**19,3**	**12,7**	**1,2**	**0**	**21,6**	**21,6**

1		2	3	4	5	6	7	8	9	10	11	12	13
Источник шума: ИШ-9-1, координаты источника (x,y,z), м =[642.94,-357.54,1.00]													
Уровни звуковой мощности источника днём, Lw, дБ		**исходные данные**	**0**	**93,3**	**94,7**	**96**	**96,3**	**95,9**	**92,6**	**88,4**	**83,9**		
Поправка на телесный угол DΩ, дБ	Ω = 6.28	10Lg(4π/Ω)	**3**	3	3	3	3	3	3	3	3		
Показатель направленности источника Di, дБ		исходные данные	**0**	0	0	0	0	0	0	0	0		
Поправка на направленность источника Dc, дБ	Dc	DΩ + Di	**3**	3	3	3	3	3	3	3	3		
Затухание из-за геометрической дивергенции, Adiv, дБ	расстояние = 431.53 м	ф-ла (7) [10]	**63,7**										
Коэффициент затухания звука в атмосфере α, дБ/км	Ta=20,°C Pa=101.33,кПа hотн.=70%	ф-ла (5) [9]	0,02	0,09	0,33	1,12	2,79	4,98	9,04	23,09	77,63		
Учет затухания звука в атмосфере Aatm, дБ		ф-ла (8) [10]	0	0	0,1	0,5	1,2	2,1	3,9	10	33,5		
Снижение уровня звукового давления из-за влияния застройки между источником шума и расчетной точкой													
Снижение уровня звукового давления на пути над экраном, Dz1, дБ	z = 6.39м (разность путей)	ф-лы (14-18) [10]	13,9	17,5	21,8	26	29,6	32,7	35,8	38,8	41,8		
Снижение уровня звукового давления на пути слева от экрана, Dz2, дБ	z = 14.47м (разность путей)	ф-лы (14-18) [10]	17,5	20,4	23,3	26,3	29,3	32,3	35,3	38,3	41,3		
Снижение уровня звукового давления на пути справа от экрана, Dz3, дБ	z = 39.25м (разность путей)	ф-лы (14-18) [10]	22	25,7	30,1	34,5	38,1	41,3	44,4	47,4	50,4		
Общее снижение уровня звука препятствием Dz, дБ		Эн.сумма(-Dzi)	11,9	15,3	19,1	22,8	26,1	29,2	32,3	35,3	38,3		
Общее снижение уровня звука препятствием с учётом ограничения (25 дБ) для октавных полос Dz, дБ		Раздел 7.4 [10]	11,9	15,3	19,1	22,8	25	25	25	25	25		
Уровни звукового давления от источника ИШ-9-1 в расчётной точке днём, дБ		**ф-ла(3)[10]**	**0**	**17,3**	**14,7**	**12**	**9,4**	**8**	**3**	**0**	**0**	**12,1**	**12,1**
Источник шума: ИШ-9-2, координаты источника (x,y,z), м =[644.14,-354.83,1.00]													

1		2	3	4	5	6	7	8	9	10	11	12	13
Уровни звуковой мощности источника днём, Lw, дБ		**исходные данные**	**0**	**93,3**	**94,7**	**96**	**96,3**	**95,9**	**92,6**	**88,4**	**83,9**		
Поправка на телесный угол DΩ, дБ	Ω = 6.28	10Lg(4π/Ω)	**3**	3	3	3	3	3	3	3	3		
Показатель направленности источника Di, дБ		исходные данные	**0**	0	0	0	0	0	0	0	0		
Поправка на направленность источника Dc, дБ	Dc	DΩ + Di	**3**	3	3	3	3	3	3	3	3		
Затухание из-за геометрической дивергенции, Adiv, дБ	расстояние = 430.51 м	ф-ла (7) [10]	**63,7**										
Коэффициент затухания звука в атмосфере α, дБ/км	Ta=20,°C Pa=101.33,кПа hотн.=70%	ф-ла (5) [9]	0,02	0,09	0,33	1,12	2,79	4,98	9,04	23,09	77,63		
Учет затухания звука в атмосфере Aatm, дБ		ф-ла (8) [10]	0	0	0,1	0,5	1,2	2,1	3,9	9,9	33,4		
Снижение уровня звукового давления из-за влияния застройки между источником шума и расчетной точкой													
Снижение уровня звукового давления на пути над экраном, Dz1, дБ	z = 6.40м (разность путей)	ф-лы (14-18) [10]	13,9	17,5	21,8	26	29,6	32,7	35,8	38,8	41,8		
Снижение уровня звукового давления на пути слева от экрана, Dz2, дБ	z = 14.63м (разность путей)	ф-лы (14-18) [10]	17,6	20,5	23,4	26,4	29,4	32,4	35,4	38,4	41,4		
Снижение уровня звукового давления на пути справа от экрана, Dz3, дБ	z = 39.03м (разность путей)	ф-лы (14-18) [10]	22	25,7	30,1	34,4	38,1	41,3	44,4	47,4	50,4		
Общее снижение уровня звука препятствием Dz, дБ		Эн.сумма(-Dzi)	11,9	15,3	19,1	22,9	26,2	29,3	32,3	35,3	38,3		
Общее снижение уровня звука препятствием с учётом ограничения (25 дБ) для октавных полос Dz, дБ		Раздел 7.4 [10]	11,9	15,3	19,1	22,9	25	25	25	25	25		
Уровни звукового давления от источника ИШ-9-2 в расчётной точке днём, дБ		**ф-ла(3)[10]**	**0**	**17,3**	**14,7**	**12**	**9,4**	**8,1**	**3**	**0**	**0**	**12,1**	**12,1**
Источник шума: ИШ-9-3, координаты источника (x,y,z), м =[644.98,-351.85,1.00]													
Уровни звуковой мощности источника днём, Lw, дБ		**исходные данные**	**0**	**93,3**	**94,7**	**96**	**96,3**	**95,9**	**92,6**	**88,4**	**83,9**		

1		2	3	4	5	6	7	8	9	10	11	12	13
Поправка на телесный угол DΩ, дБ	Ω = 6.28	10Lg(4π/Ω)	**3**	3	3	3	3	3	3	3	3		
Показатель направленности источника Di, дБ		исходные данные	**0**	0	0	0	0	0	0	0	0		
Поправка на направленность источника Dc, дБ	Dc	DΩ + Di	**3**	3	3	3	3	3	3	3	3		
Затухание из-за геометрической дивергенции, Adiv, дБ	расстояние = 429.06 м	ф-ла (7) [10]	**63,7**										
Коэффициент затухания звука в атмосфере α, дБ/км	Ta=20,°C Pa=101.33,кПа hотн.=70%	ф-ла (5) [9]	0,02	0,09	0,33	1,12	2,79	4,98	9,04	23,09	77,63		
Учет затухания звука в атмосфере Aatm, дБ		ф-ла (8) [10]	0	0	0,1	0,5	1,2	2,1	3,9	9,9	33,3		
Снижение уровня звукового давления из-за влияния застройки между источником шума и расчетной точкой													
Снижение уровня звукового давления на пути над экраном, Dz1, дБ	z = 6.41м (разность путей)	ф-лы (14-18) [10]	13,9	17,5	21,8	26	29,6	32,7	35,8	38,8	41,8		
Снижение уровня звукового давления на пути слева от экрана, Dz2, дБ	z = 14.79м (разность путей)	ф-лы (14-18) [10]	17,6	20,5	23,4	26,4	29,4	32,4	35,4	38,4	41,4		
Снижение уровня звукового давления на пути справа от экрана, Dz3, дБ	z = 38.83м (разность путей)	ф-лы (14-18) [10]	22	25,7	30	34,4	38,1	41,3	44,4	47,4	50,4		
Общее снижение уровня звука препятствием Dz, дБ		Эн.сумма(-Dzi)	11,9	15,3	19,1	22,9	26,2	29,3	32,3	35,3	38,3		
Общее снижение уровня звука препятствием с учётом ограничения (25 дБ) для октавных полос Dz, дБ		Раздел 7.4 [10]	11,9	15,3	19,1	22,9	25	25	25	25	25		
Уровни звукового давления от источника ИШ-9-3 в расчётной точке днём, дБ		**ф-ла(3)[10]**	**0**	**17,3**	**14,8**	**12**	**9,4**	**8,1**	**3,1**	**0**	**0**	**12,1**	**12,1**
Источник шума: ИШ-9-4, координаты источника (x,y,z), м =[646.01,-349.15,1.00]													
Уровни звуковой мощности источника днём, Lw, дБ		**исходные данные**	**0**	**93,3**	**94,7**	**96**	**96,3**	**95,9**	**92,6**	**88,4**	**83,9**		
Поправка на телесный угол DΩ, дБ	Ω = 6.28	10Lg(4π/Ω)	**3**	3	3	3	3	3	3	3	3		

1		2	3	4	5	6	7	8	9	10	11	12	13
Показатель направленности источника Di, дБ		исходные данные	**0**	0	0	0	0	0	0	0	0		
Поправка на направленность источника Dc, дБ	Dc	DΩ + Di	**3**	3	3	3	3	3	3	3	3		
Затухание из-за геометрической дивергенции, Adiv, дБ	расстояние = 427.95 м	ф-ла (7) [10]	**63,6**										
Коэффициент затухания звука в атмосфере α, дБ/км	Ta=20,°C Pa=101.33,кПа hотн.=70%	ф-ла (5) [9]	0,02	0,09	0,33	1,12	2,79	4,98	9,04	23,09	77,63		
Учет затухания звука в атмосфере Aatm, дБ		ф-ла (8) [10]	0	0	0,1	0,5	1,2	2,1	3,9	9,9	33,2		
Снижение уровня звукового давления из-за влияния застройки между источником шума и расчетной точкой													
Снижение уровня звукового давления на пути над экраном, Dz1, дБ	z = 6.41м (разность путей)	ф-лы (14-18) [10]	13,9	17,5	21,8	26	29,6	32,7	35,8	38,8	41,8		
Снижение уровня звукового давления на пути слева от экрана, Dz2, дБ	z = 14.95м (разность путей)	ф-лы (14-18) [10]	17,7	20,6	23,5	26,5	29,5	32,5	35,5	38,5	41,5		
Снижение уровня звукового давления на пути справа от экрана, Dz3, дБ	z = 38.62м (разность путей)	ф-лы (14-18) [10]	22	25,6	30	34,4	38,1	41,3	44,3	47,4	50,4		
Общее снижение уровня звука препятствием Dz, дБ		Эн.сумма(-Dzi)	11,9	15,3	19,2	22,9	26,2	29,3	32,3	35,3	38,4		
Общее снижение уровня звука препятствием с учётом ограничения (25 дБ) для октавных полос Dz, дБ		Раздел 7.4 [10]	11,9	15,3	19,2	22,9	25	25	25	25	25		
Уровни звукового давления от источника ИШ-9-4 в расчётной точке днём, дБ		**ф-ла(3)[10]**	**0**	**17,3**	**14,8**	**12**	**9,5**	**8,1**	**3,1**	**0**	**0**	**12,2**	**12,2**
Источник шума: ИШ-9-5, координаты источника (x,y,z), м =[646.84,-346.17,1.00]													
Уровни звуковой мощности источника днём, Lw, дБ		**исходные данные**	**0**	**93,3**	**94,7**	**96**	**96,3**	**95,9**	**92,6**	**88,4**	**83,9**		
Поправка на телесный угол DΩ, дБ	Ω = 6.28	10Lg(4π/Ω)	**3**	3	3	3	3	3	3	3	3		
Показатель направленности источника Di, дБ		исходные данные	**0**	0	0	0	0	0	0	0	0		

1		2	3	4	5	6	7	8	9	10	11	12	13
Поправка на направленность источника Dc, дБ	Dc	DΩ + Di	**3**	3	3	3	3	3	3	3	3		
Затухание из-за геометрической дивергенции, Adiv, дБ	расстояние = 426.53 м	ф-ла (7) [10]	**63,6**										
Коэффициент затухания звука в атмосфере α, дБ/км	Та=20,°С Ра=101.33,кПа hотн.=70%	ф-ла (5) [9]	0,02	0,09	0,33	1,12	2,79	4,98	9,04	23,09	77,63		
Учет затухания звука в атмосфере Aatm, дБ		ф-ла (8) [10]	0	0	0,1	0,5	1,2	2,1	3,9	9,8	33,1		
Снижение уровня звукового давления из-за влияния застройки между источником шума и расчетной точкой													
Снижение уровня звукового давления на пути над экраном, Dz1, дБ	z = 6.42м (разность путей)	ф-лы (14-18) [10]	13,9	17,5	21,8	26	29,6	32,7	35,8	38,8	41,8		
Снижение уровня звукового давления на пути слева от экрана, Dz2, дБ	z = 15.12м (разность путей)	ф-лы (14-18) [10]	17,7	20,6	23,5	26,5	29,5	32,5	35,5	38,5	41,5		
Снижение уровня звукового давления на пути справа от экрана, Dz3, дБ	z = 39.88м (разность путей)	ф-лы (14-18) [10]	25,7	29,3	32,4	35,5	38,5	41,5	44,5	47,5	50,5		
Общее снижение уровня звука препятствием Dz, дБ		Эн.сумма(-Dzi)	12,2	15,6	19,3	23	26,3	29,3	32,4	35,4	38,4		
Общее снижение уровня звука препятствием с учётом ограничения (25 дБ) для октавных полос Dz, дБ		Раздел 7.4 [10]	12,2	15,6	19,3	23	25	25	25	25	25		
Уровни звукового давления от источника ИШ-9-5 в расчётной точке днём, дБ		**ф-ла(3)[10]**	**0**	**17,1**	**14,6**	**11,9**	**9,5**	**8,2**	**3,1**	**0**	**0**	**12,2**	**12,2**
Источник шума: ИШ-9-6, координаты источника (x,y,z), м =[647.87,-343.47,1.00]													
Уровни звуковой мощности источника днём, Lw, дБ		**исходные данные**	**0**	**93,3**	**94,7**	**96**	**96,3**	**95,9**	**92,6**	**88,4**	**83,9**		
Поправка на телесный угол DΩ, дБ	Ω = 6.28	10Lg(4π/Ω)	**3**	3	3	3	3	3	3	3	3		
Показатель направленности источника Di, дБ		исходные данные	**0**	0	0	0	0	0	0	0	0		
Поправка на направленность источника Dc, дБ	Dc	DΩ + Di	**3**	3	3	3	3	3	3	3	3		

1		2	3	4	5	6	7	8	9	10	11	12	13
Затухание из-за геометрической дивергенции, Adiv, дБ	расстояние = 425.45 м	ф-ла (7) [10]	**63,6**										
Коэффициент затухания звука в атмосфере α, дБ/км	Ta=20,°C Pa=101.33,кПа hотн.=70%	ф-ла (5) [9]	0,02	0,09	0,33	1,12	2,79	4,98	9,04	23,09	77,63		
Учет затухания звука в атмосфере Aatm, дБ		ф-ла (8) [10]	0	0	0,1	0,5	1,2	2,1	3,8	9,8	33		
Снижение уровня звукового давления из-за влияния застройки между источником шума и расчетной точкой													
Снижение уровня звукового давления на пути над экраном, Dz1, дБ	z = 6.42м (разность путей)	ф-лы (14-18) [10]	13,9	17,5	21,8	26	29,6	32,8	35,8	38,8	41,8		
Снижение уровня звукового давления на пути слева от экрана, Dz2, дБ	z = 15.28м (разность путей)	ф-лы (14-18) [10]	17,8	20,7	23,6	26,6	29,6	32,6	35,6	38,6	41,6		
Снижение уровня звукового давления на пути справа от экрана, Dz3, дБ	z = 39.48м (разность путей)	ф-лы (14-18) [10]	25,6	29,2	32,4	35,4	38,4	41,4	44,5	47,5	50,5		
Общее снижение уровня звука препятствием Dz, дБ		Эн.сумма(-Dzi)	12,2	15,6	19,3	23	26,3	29,4	32,4	35,4	38,4		
Общее снижение уровня звука препятствием с учётом ограничения (25 дБ) для октавных полос Dz, дБ		Раздел 7.4 [10]	12,2	15,6	19,3	23	25	25	25	25	25		
Уровни звукового давления от источника ИШ-9-6 в расчётной точке днём, дБ		**ф-ла(3)[10]**	**0**	**17,1**	**14,6**	**11,9**	**9,5**	**8,2**	**3,2**	**0**	**0**	**12,2**	**12,2**
Источник шума: ИШ-9-7, координаты источника (x,y,z), м =[648.71,-340.49,1.00]													
Уровни звуковой мощности источника днём, Lw, дБ		**исходные данные**	**0**	**93,3**	**94,7**	**96**	**96,3**	**95,9**	**92,6**	**88,4**	**83,9**		
Поправка на телесный угол DΩ, дБ	Ω = 6.28	10Lg(4π/Ω)	**3**	3	3	3	3	3	3	3	3		
Показатель направленности источника Di, дБ		исходные данные	**0**	0	0	0	0	0	0	0	0		
Поправка на направленность источника Dc, дБ	Dc	DΩ + Di	**3**	3	3	3	3	3	3	3	3		
Затухание из-за геометрической дивергенции, Adiv, дБ	расстояние = 424.07 м	ф-ла (7) [10]	**63,5**										

1		2	3	4	5	6	7	8	9	10	11	12	13
Коэффициент затухания звука в атмосфере α, дБ/км	Ta=20,°C Pa=101.33,кПа hотн.=70%	ф-ла (5) [9]	0,02	0,09	0,33	1,12	2,79	4,98	9,04	23,09	77,63		
Учет затухания звука в атмосфере Aatm, дБ		ф-ла (8) [10]	0	0	0,1	0,5	1,2	2,1	3,8	9,8	32,9		
Снижение уровня звукового давления из-за влияния застройки между источником шума и расчетной точкой													
Снижение уровня звукового давления на пути над экраном, Dz1, дБ	z = 6.43м (разность путей)	ф-лы (14-18) [10]	14	17,5	21,8	26	29,6	32,8	35,8	38,8	41,8		
Снижение уровня звукового давления на пути слева от экрана, Dz2, дБ	z = 15.44м (разность путей)	ф-лы (14-18) [10]	17,8	20,7	23,6	26,6	29,6	32,6	35,6	38,6	41,6		
Снижение уровня звукового давления на пути справа от экрана, Dz3, дБ	z = 39.08м (разность путей)	ф-лы (14-18) [10]	25,6	29,2	32,3	35,4	38,4	41,4	44,4	47,4	50,4		
Общее снижение уровня звука препятствием Dz, дБ		Эн.сумма(-Dzi)	12,2	15,6	19,4	23	26,3	29,4	32,4	35,4	38,4		
Общее снижение уровня звука препятствием с учётом ограничения (25 дБ) для октавных полос Dz, дБ		Раздел 7.4 [10]	12,2	15,6	19,4	23	25	25	25	25	25		
Уровни звукового давления от источника ИШ-9-7 в расчётной точке днём, дБ		**ф-ла(3)[10]**	**0**	**17,1**	**14,6**	**11,9**	**9,6**	**8,2**	**3,2**	**0**	**0**	**12,2**	**12,2**
Источник шума: ИШ-9-8, координаты источника (x,y,z), м =[649.92,-337.69,1.00]													
Уровни звуковой мощности источника днём, Lw, дБ		**исходные данные**	**0**	**93,3**	**94,7**	**96**	**96,3**	**95,9**	**92,6**	**88,4**	**83,9**		
Поправка на телесный угол DΩ, дБ	Ω = 6.28	10Lg(4π/Ω)	**3**	3	3	3	3	3	3	3	3		
Показатель направленности источника Di, дБ		исходные данные	**0**	0	0	0	0	0	0	0	0		
Поправка на направленность источника Dc, дБ	Dc	DΩ + Di	**3**	3	3	3	3	3	3	3	3		
Затухание из-за геометрической дивергенции, Adiv, дБ	расстояние = 423.11 м	ф-ла (7) [10]	**63,5**										
Коэффициент затухания звука в атмосфере α, дБ/км	Ta=20,°C Pa=101.33,кПа hотн.=70%	ф-ла (5) [9]	0,02	0,09	0,33	1,12	2,79	4,98	9,04	23,09	77,63		

1		2	3	4	5	6	7	8	9	10	11	12	13
Учет затухания звука в атмосфере Aatm, дБ		ф-ла (8) [10]	0	0	0,1	0,5	1,2	2,1	3,8	9,8	32,8		
Снижение уровня звукового давления из-за влияния застройки между источником шума и расчетной точкой													
Снижение уровня звукового давления на пути над экраном, Dz1, дБ	z = 6.43м (разность путей)	ф-лы (14-18) [10]	14	17,5	21,8	26	29,6	32,8	35,8	38,8	41,9		
Снижение уровня звукового давления на пути слева от экрана, Dz2, дБ	z = 15.62м (разность путей)	ф-лы (14-18) [10]	17,8	20,7	23,7	26,6	29,6	32,6	35,7	38,7	41,7		
Снижение уровня звукового давления на пути справа от экрана, Dz3, дБ	z = 38.66м (разность путей)	ф-лы (14-18) [10]	25,6	29,1	32,3	35,3	38,3	41,3	44,4	47,4	50,4		
Общее снижение уровня звука препятствием Dz, дБ		Эн.сумма(-Dzi)	12,3	15,6	19,4	23	26,3	29,4	32,4	35,5	38,5		
Общее снижение уровня звука препятствием с учётом ограничения (25 дБ) для октавных полос Dz, дБ		Раздел 7.4 [10]	12,3	15,6	19,4	23	25	25	25	25	25		
Уровни звукового давления от источника ИШ-9-8 в расчётной точке днём, дБ		**ф-ла(3)[10]**	**0**	**17,1**	**14,7**	**11,9**	**9,6**	**8,3**	**3,2**	**0**	**0**	**12,3**	**12,3**
Источник шума: ИШ-9-9, координаты источника (x,y,z), м =[650.66,-334.90,1.00]													
Уровни звуковой мощности источника днём, Lw, дБ		**исходные данные**	**0**	**93,3**	**94,7**	**96**	**96,3**	**95,9**	**92,6**	**88,4**	**83,9**		
Поправка на телесный угол DΩ, дБ	Ω = 6.28	10Lg(4π/Ω)	**3**	3	3	3	3	3	3	3	3		
Показатель направленности источника Di, дБ		исходные данные	**0**	0	0	0	0	0	0	0	0		
Поправка на направленность источника Dc, дБ	Dc	DΩ + Di	**3**	3	3	3	3	3	3	3	3		
Затухание из-за геометрической дивергенции, Adiv, дБ	расстояние = 421.82 м	ф-ла (7) [10]	**63,5**										
Коэффициент затухания звука в атмосфере α, дБ/км	Ta=20,°C Pa=101.33,кПа hотн.=70%	ф-ла (5) [9]	0,02	0,09	0,33	1,12	2,79	4,98	9,04	23,09	77,63		
Учет затухания звука в атмосфере Aatm, дБ		ф-ла (8) [10]	0	0	0,1	0,5	1,2	2,1	3,8	9,7	32,7		

1		2	3	4	5	6	7	8	9	10	11	12	13
Снижение уровня звукового давления из-за влияния застройки между источником шума и расчетной точкой													
Снижение уровня звукового давления на пути над экраном, Dz1, дБ	z = 6.44м (разность путей)	ф-лы (14-18) [10]	14	17,5	21,8	26	29,6	32,8	35,8	38,8	41,9		
Снижение уровня звукового давления на пути слева от экрана, Dz2, дБ	z = 15.78м (разность путей)	ф-лы (14-18) [10]	17,9	20,8	23,7	26,7	29,7	32,7	35,7	38,7	41,7		
Снижение уровня звукового давления на пути справа от экрана, Dz3, дБ	z = 38.30м (разность путей)	ф-лы (14-18) [10]	25,5	29,1	32,2	35,3	38,3	41,3	44,3	47,3	50,3		
Общее снижение уровня звука препятствием Dz, дБ		Эн.сумма(-Dzi)	12,3	15,6	19,4	23,1	26,3	29,4	32,5	35,5	38,5		
Общее снижение уровня звука препятствием с учётом ограничения (25 дБ) для октавных полос Dz, дБ		Раздел 7.4 [10]	12,3	15,6	19,4	23,1	25	25	25	25	25		
Уровни звукового давления от источника ИШ-9-9 в расчётной точке днём, дБ		**ф-ла(3)[10]**	**0**	**17,1**	**14,7**	**12**	**9,6**	**8,3**	**3,3**	**0**	**0**	**12,3**	**12,3**
Источник шума: ИШ-9-10, координаты источника (x,y,z), м =[651.59,-332.01,1.00]													
Уровни звуковой мощности источника днём, Lw, дБ		**исходные данные**	**0**	**93,3**	**94,7**	**96**	**96,3**	**95,9**	**92,6**	**88,4**	**83,9**		
Поправка на телесный угол DΩ, дБ	Ω = 6.28	10Lg(4π/Ω)	**3**	3	3	3	3	3	3	3	3		
Показатель направленности источника Di, дБ		исходные данные	**0**	0	0	0	0	0	0	0	0		
Поправка на направленность источника Dc, дБ	Dc	DΩ + Di	**3**	3	3	3	3	3	3	3	3		
Затухание из-за геометрической дивергенции, Adiv, дБ	расстояние = 420.62 м	ф-ла (7) [10]	**63,5**										
Коэффициент затухания звука в атмосфере α, дБ/км	Ta=20,°C Pa=101.33,кПа hотн.=70%	ф-ла (5) [9]	0,02	0,09	0,33	1,12	2,79	4,98	9,04	23,09	77,63		
Учет затухания звука в атмосфере Aatm, дБ		ф-ла (8) [10]	0	0	0,1	0,5	1,2	2,1	3,8	9,7	32,7		
Снижение уровня звукового давления из-за влияния застройки между источником шума и расчетной точкой													

1		2	3	4	5	6	7	8	9	10	11	12	13
Снижение уровня звукового давления на пути над экраном, Dz1, дБ	z = 6.44м (разность путей)	ф-лы (14-18) [10]	14	17,5	21,8	26	29,6	32,8	35,8	38,8	41,9		
Снижение уровня звукового давления на пути слева от экрана, Dz2, дБ	z = 15.95м (разность путей)	ф-лы (14-18) [10]	17,9	20,8	23,8	26,7	29,7	32,7	35,7	38,8	41,8		
Снижение уровня звукового давления на пути справа от экрана, Dz3, дБ	z = 37.92м (разность путей)	ф-лы (14-18) [10]	25,5	29	32,2	35,2	38,3	41,3	44,3	47,3	50,3		
Общее снижение уровня звука препятствием Dz, дБ		Эн.сумма(-Dzi)	12,3	15,6	19,4	23,1	26,4	29,5	32,5	35,5	38,5		
Общее снижение уровня звука препятствием с учётом ограничения (25 дБ) для октавных полос Dz, дБ		Раздел 7.4 [10]	12,3	15,6	19,4	23,1	25	25	25	25	25		
Уровни звукового давления от источника ИШ-9-10 в расчётной точке днём, дБ		**ф-ла(3)[10]**	**0**	**17,2**	**14,7**	**12**	**9,6**	**8,3**	**3,3**	**0**	**0**	**12,3**	**12,3**
Источник шума: ИШ-9-11, координаты источника (x,y,z), м =[652.71,-329.22,1.00]													
Уровни звуковой мощности источника днём, Lw, дБ		**исходные данные**	**0**	**93,3**	**94,7**	**96**	**96,3**	**95,9**	**92,6**	**88,4**	**83,9**		
Поправка на телесный угол DΩ, дБ	Ω = 6.28	10Lg(4π/Ω)	**3**	3	3	3	3	3	3	3	3		
Показатель направленности источника Di, дБ		исходные данные	**0**	0	0	0	0	0	0	0	0		
Поправка на направленность источника Dc, дБ	Dc	DΩ + Di	**3**	3	3	3	3	3	3	3	3		
Затухание из-за геометрической дивергенции, Adiv, дБ	расстояние = 419.64 м	ф-ла (7) [10]	**63,5**										
Коэффициент затухания звука в атмосфере α, дБ/км	Ta=20,°C Pa=101.33,кПа hотн.=70%	ф-ла (5) [9]	0,02	0,09	0,33	1,12	2,79	4,98	9,04	23,09	77,63		
Учет затухания звука в атмосфере Aatm, дБ		ф-ла (8) [10]	0	0	0,1	0,5	1,2	2,1	3,8	9,7	32,6		
Снижение уровня звукового давления из-за влияния застройки между источником шума и расчетной точкой													
Снижение уровня звукового давления на пути над экраном, Dz1, дБ	z = 6.45м (разность путей)	ф-лы (14-18) [10]	14	17,5	21,8	26	29,6	32,8	35,8	38,9	41,9		

1		2	3	4	5	6	7	8	9	10	11	12	13
Снижение уровня звукового давления на пути слева от экрана, Dz2, дБ	z = 16.12м (разность путей)	ф-лы (14-18) [10]	18	20,9	23,8	26,8	29,8	32,8	35,8	38,8	41,8		
Снижение уровня звукового давления на пути справа от экрана, Dz3, дБ	z = 37.53м (разность путей)	ф-лы (14-18) [10]	25,4	29	32,1	35,2	38,2	41,2	44,2	47,2	50,3		
Общее снижение уровня звука препятствием Dz, дБ		Эн.сумма(-Dzi)	12,3	15,6	19,4	23,1	26,4	29,5	32,5	35,5	38,5		
Общее снижение уровня звука препятствием с учётом ограничения (25 дБ) для октавных полос Dz, дБ		Раздел 7.4 [10]	12,3	15,6	19,4	23,1	25	25	25	25	25		
Уровни звукового давления от источника ИШ-9-11 в расчётной точке днём, дБ		**ф-ла(3)[10]**	**0**	**17,2**	**14,7**	**12**	**9,7**	**8,3**	**3,3**	**0**	**0**	**12,3**	**12,3**
Источник шума: ИШ-9-12, координаты источника (x,y,z), м =[653.46,-326.33,1.00]													
Уровни звуковой мощности источника днём, Lw, дБ		**исходные данные**	**0**	**93,3**	**94,7**	**96**	**96,3**	**95,9**	**92,6**	**88,4**	**83,9**		
Поправка на телесный угол DΩ, дБ	Ω = 6.28	10Lg(4π/Ω)	**3**	3	3	3	3	3	3	3	3		
Показатель направленности источника Di, дБ		исходные данные	**0**	0	0	0	0	0	0	0	0		
Поправка на направленность источника Dc, дБ	Dc	DΩ + Di	**3**	3	3	3	3	3	3	3	3		
Затухание из-за геометрической дивергенции, Adiv, дБ	расстояние = 418.34 м	ф-ла (7) [10]	**63,4**										
Коэффициент затухания звука в атмосфере α, дБ/км	Ta=20,°C Pa=101.33,кПа hотн.=70%	ф-ла (5) [9]	0,02	0,09	0,33	1,12	2,79	4,98	9,04	23,09	77,63		
Учет затухания звука в атмосфере Aatm, дБ		ф-ла (8) [10]	0	0	0,1	0,5	1,2	2,1	3,8	9,7	32,5		
Снижение уровня звукового давления из-за влияния застройки между источником шума и расчетной точкой													
Снижение уровня звукового давления на пути над экраном, Dz1, дБ	z = 6.45м (разность путей)	ф-лы (14-18) [10]	14	17,5	21,8	26	29,6	32,8	35,8	38,9	41,9		
Снижение уровня звукового давления на пути слева от экрана, Dz2, дБ	z = 16.29м (разность путей)	ф-лы (14-18) [10]	18	20,9	23,8	26,8	29,8	32,8	35,8	38,8	41,9		

1		2	3	4	5	6	7	8	9	10	11	12	13
Снижение уровня звукового давления на пути справа от экрана, Dz3, дБ	z = 37.18м (разность путей)	ф-лы (14-18) [10]	25,4	29	32,1	35,1	38,2	41,2	44,2	47,2	50,2		
Общее снижение уровня звука препятствием Dz, дБ		Эн.сумма(-Dzi)	12,3	15,6	19,4	23,1	26,4	29,5	32,5	35,5	38,5		
Общее снижение уровня звука препятствием с учётом ограничения (25 дБ) для октавных полос Dz, дБ		Раздел 7.4 [10]	12,3	15,6	19,4	23,1	25	25	25	25	25		
Уровни звукового давления от источника ИШ-9-12 в расчётной точке днём, дБ		**ф-ла(3)[10]**	**0**	**17,2**	**14,7**	**12**	**9,7**	**8,4**	**3,4**	**0**	**0**	**12,4**	**12,4**
Источник шума: ИШ-9-13, координаты источника (x,y,z), м =[654.48,-323.54,1.00]													
Уровни звуковой мощности источника днём, Lw, дБ		**исходные данные**	**0**	**93,3**	**94,7**	**96**	**96,3**	**95,9**	**92,6**	**88,4**	**83,9**		
Поправка на телесный угол DΩ, дБ	Ω = 6.28	10Lg(4π/Ω)	**3**	3	3	3	3	3	3	3	3		
Показатель направленности источника Di, дБ		исходные данные	**0**	0	0	0	0	0	0	0	0		
Поправка на направленность источника Dc, дБ	Dc	DΩ + Di	**3**	3	3	3	3	3	3	3	3		
Затухание из-за геометрической дивергенции, Adiv, дБ	расстояние = 417.33 м	ф-ла (7) [10]	**63,4**										
Коэффициент затухания звука в атмосфере α, дБ/км	Ta=20,°C Pa=101.33,кПа hотн.=70%	ф-ла (5) [9]	0,02	0,09	0,33	1,12	2,79	4,98	9,04	23,09	77,63		
Учет затухания звука в атмосфере Aatm, дБ		ф-ла (8) [10]	0	0	0,1	0,5	1,2	2,1	3,8	9,6	32,4		
Снижение уровня звукового давления из-за влияния застройки между источником шума и расчетной точкой													
Снижение уровня звукового давления на пути над экраном, Dz1, дБ	z = 6.46м (разность путей)	ф-лы (14-18) [10]	14	17,5	21,8	26	29,6	32,8	35,8	38,9	41,9		
Снижение уровня звукового давления на пути слева от экрана, Dz2, дБ	z = 16.47м (разность путей)	ф-лы (14-18) [10]	18,1	21	23,9	26,9	29,9	32,9	35,9	38,9	41,9		
Снижение уровня звукового давления на пути справа от экрана, Dz3, дБ	z = 36.81м (разность путей)	ф-лы (14-18) [10]	25,3	28,9	32,1	35,1	38,1	41,1	44,1	47,2	50,2		

1		2	3	4	5	6	7	8	9	10	11	12	13
Общее снижение уровня звука препятствием Dz, дБ		Эн.сумма(-Dzi)	12,3	15,7	19,4	23,1	26,4	29,5	32,5	35,6	38,6		
Общее снижение уровня звука препятствием с учётом ограничения (25 дБ) для октавных полос Dz, дБ		Раздел 7.4 [10]	12,3	15,7	19,4	23,1	25	25	25	25	25		
Уровни звукового давления от источника ИШ-9-13 в расчётной точке днём, дБ		**ф-ла(3)[10]**	**0**	**17,2**	**14,7**	**12**	**9,7**	**8,4**	**3,4**	**0**	**0**	**12,4**	**12,4**
Источник шума: ИШ-9-14, координаты источника (x,y,z), м =[655.60,-320.74,1.00]													
Уровни звуковой мощности источника днём, Lw, дБ		**исходные данные**	**0**	**93,3**	**94,7**	**96**	**96,3**	**95,9**	**92,6**	**88,4**	**83,9**		
Поправка на телесный угол DΩ, дБ	Ω = 6.28	10Lg(4π/Ω)	**3**	3	3	3	3	3	3	3	3		
Показатель направленности источника Di, дБ		исходные данные	**0**	0	0	0	0	0	0	0	0		
Поправка на направленность источника Dc, дБ	Dc	DΩ + Di	**3**	3	3	3	3	3	3	3	3		
Затухание из-за геометрической дивергенции, Adiv, дБ	расстояние = 416.41 м	ф-ла (7) [10]	**63,4**										
Коэффициент затухания звука в атмосфере α, дБ/км	Ta=20,°C Pa=101.33,кПа hотн.=70%	ф-ла (5) [9]	0,02	0,09	0,33	1,12	2,79	4,98	9,04	23,09	77,63		
Учет затухания звука в атмосфере Aatm, дБ		ф-ла (8) [10]	0	0	0,1	0,5	1,2	2,1	3,8	9,6	32,3		
Снижение уровня звукового давления из-за влияния застройки между источником шума и расчетной точкой													
Снижение уровня звукового давления на пути над экраном, Dz1, дБ	z = 6.46м (разность путей)	ф-лы (14-18) [10]	14	17,5	21,8	26	29,6	32,8	35,9	38,9	41,9		
Снижение уровня звукового давления на пути слева от экрана, Dz2, дБ	z = 16.65м (разность путей)	ф-лы (14-18) [10]	18,1	21	23,9	26,9	29,9	32,9	35,9	38,9	42		
Снижение уровня звукового давления на пути справа от экрана, Dz3, дБ	z = 36.45м (разность путей)	ф-лы (14-18) [10]	25,3	28,9	32	35,1	38,1	41,1	44,1	47,1	50,1		
Общее снижение уровня звука препятствием Dz, дБ		Эн.сумма(-Dzi)	12,3	15,7	19,5	23,2	26,4	29,5	32,6	35,6	38,6		

1		2	3	4	5	6	7	8	9	10	11	12	13
Общее снижение уровня звука препятствием с учётом ограничения (25 дБ) для октавных полос Dz, дБ		Раздел 7.4 [10]	12,3	15,7	19,5	23,2	25	25	25	25	25		
Уровни звукового давления от источника ИШ-9-14 в расчётной точке днём, дБ		**ф-ла(3)[10]**	**0**	**17,2**	**14,7**	**12**	**9,7**	**8,4**	**3,4**	**0**	**0**	**12,4**	**12,4**
Источник шума: ИШ-9-15, координаты источника (x,y,z), м =[656.44,-317.86,1.00]													
Уровни звуковой мощности источника днём, Lw, дБ		**исходные данные**	**0**	**93,3**	**94,7**	**96**	**96,3**	**95,9**	**92,6**	**88,4**	**83,9**		
Поправка на телесный угол DΩ, дБ	Ω = 6.28	10Lg(4π/Ω)	**3**	3	3	3	3	3	3	3	3		
Показатель направленности источника Di, дБ		исходные данные	**0**	0	0	0	0	0	0	0	0		
Поправка на направленность источника Dc, дБ	Dc	DΩ + Di	**3**	3	3	3	3	3	3	3	3		
Затухание из-за геометрической дивергенции, Adiv, дБ	расстояние = 415.23 м	ф-ла (7) [10]	**63,4**										
Коэффициент затухания звука в атмосфере α, дБ/км	Ta=20,°C Pa=101.33,кПа hотн.=70%	ф-ла (5) [9]	0,02	0,09	0,33	1,12	2,79	4,98	9,04	23,09	77,63		
Учет затухания звука в атмосфере Aatm, дБ		ф-ла (8) [10]	0	0	0,1	0,5	1,2	2,1	3,8	9,6	32,2		
Снижение уровня звукового давления из-за влияния застройки между источником шума и расчетной точкой													
Снижение уровня звукового давления на пути над экраном, Dz1, дБ	z = 6.47м (разность путей)	ф-лы (14-18) [10]	14	17,5	21,8	26	29,6	32,8	35,9	38,9	41,9		
Снижение уровня звукового давления на пути слева от экрана, Dz2, дБ	z = 16.82м (разность путей)	ф-лы (14-18) [10]	18,2	21,1	24	27	30	33	36	39	42		
Снижение уровня звукового давления на пути справа от экрана, Dz3, дБ	z = 36.10м (разность путей)	ф-лы (14-18) [10]	25,3	28,8	32	35	38	41,1	44,1	47,1	50,1		
Общее снижение уровня звука препятствием Dz, дБ		Эн.сумма(-Dzi)	12,3	15,7	19,5	23,2	26,5	29,6	32,6	35,6	38,6		
Общее снижение уровня звука препятствием с учётом ограничения (25 дБ) для октавных полос Dz, дБ		Раздел 7.4 [10]	12,3	15,7	19,5	23,2	25	25	25	25	25		

1		2	3	4	5	6	7	8	9	10	11	12	13
Уровни звукового давления от источника ИШ-9-15 в расчётной точке днём, дБ		**ф-ла(3)[10]**	**0**	**17,2**	**14,7**	**12**	**9,8**	**8,5**	**3,5**	**0**	**0**	**12,4**	**12,4**
Источник шума: ИШ-9-16, координаты источника (x,y,z), м =[657.46,-314.97,1.00]													
Уровни звуковой мощности источника днём, Lw, дБ		**исходные данные**	**0**	**93,3**	**94,7**	**96**	**96,3**	**95,9**	**92,6**	**88,4**	**83,9**		
Поправка на телесный угол DΩ, дБ	Ω = 6.28	10Lg(4π/Ω)	**3**	3	3	3	3	3	3	3	3		
Показатель направленности источника Di, дБ		исходные данные	**0**	0	0	0	0	0	0	0	0		
Поправка на направленность источника Dc, дБ	Dc	DΩ + Di	**3**	3	3	3	3	3	3	3	3		
Затухание из-за геометрической дивергенции, Adiv, дБ	расстояние = 414.22 м	ф-ла (7) [10]	**63,3**										
Коэффициент затухания звука в атмосфере α, дБ/км	Ta=20,°C Pa=101.33,кПа hотн.=70%	ф-ла (5) [9]	0,02	0,09	0,33	1,12	2,79	4,98	9,04	23,09	77,63		
Учет затухания звука в атмосфере Aatm, дБ		ф-ла (8) [10]	0	0	0,1	0,5	1,2	2,1	3,7	9,6	32,2		
Снижение уровня звукового давления из-за влияния застройки между источником шума и расчетной точкой													
Снижение уровня звукового давления на пути над экраном, Dz1, дБ	z = 6.47м (разность путей)	ф-лы (14-18) [10]	14	17,5	21,8	26	29,6	32,8	35,9	38,9	41,9		
Снижение уровня звукового давления на пути слева от экрана, Dz2, дБ	z = 17.00м (разность путей)	ф-лы (14-18) [10]	18,2	21,1	24	27	30	33	36	39	42		
Снижение уровня звукового давления на пути справа от экрана, Dz3, дБ	z = 35.75м (разность путей)	ф-лы (14-18) [10]	25,2	28,8	31,9	35	38	41	44	47	50		
Общее снижение уровня звука препятствием Dz, дБ		Эн.сумма(-Dzi)	12,4	15,7	19,5	23,2	26,5	29,6	32,6	35,6	38,6		
Общее снижение уровня звука препятствием с учётом ограничения (25 дБ) для октавных полос Dz, дБ		Раздел 7.4 [10]	12,4	15,7	19,5	23,2	25	25	25	25	25		
Уровни звукового давления от источника ИШ-9-16 в расчётной точке днём, дБ		**ф-ла(3)[10]**	**0**	**17,2**	**14,7**	**12**	**9,8**	**8,5**	**3,5**	**0**	**0**	**12,5**	**12,5**

1		2	3	4	5	6	7	8	9	10	11	12	13
Источник шума: ИШ-9-17, координаты источника (x,y,z), м =[658.49,-312.18,1.00]													
Уровни звуковой мощности источника днём, Lw, дБ		**исходные данные**	**0**	**93,3**	**94,7**	**96**	**96,3**	**95,9**	**92,6**	**88,4**	**83,9**		
Поправка на телесный угол DΩ, дБ	Ω = 6.28	10Lg(4π/Ω)	**3**	3	3	3	3	3	3	3	3		
Показатель направленности источника Di, дБ		исходные данные	**0**	0	0	0	0	0	0	0	0		
Поправка на направленность источника Dc, дБ	Dc	DΩ + Di	**3**	3	3	3	3	3	3	3	3		
Затухание из-за геометрической дивергенции, Adiv, дБ	расстояние = 413.29 м	ф-ла (7) [10]	**63,3**										
Коэффициент затухания звука в атмосфере α, дБ/км	Ta=20,°C Pa=101.33,кПа hотн.=70%	ф-ла (5) [9]	0,02	0,09	0,33	1,12	2,79	4,98	9,04	23,09	77,63		
Учет затухания звука в атмосфере Aatm, дБ		ф-ла (8) [10]	0	0	0,1	0,5	1,2	2,1	3,7	9,5	32,1		
Снижение уровня звукового давления из-за влияния застройки между источником шума и расчетной точкой													
Снижение уровня звукового давления на пути над экраном, Dz1, дБ	z = 6.48м (разность путей)	ф-лы (14-18) [10]	14	17,5	21,8	26	29,6	32,8	35,9	38,9	41,9		
Снижение уровня звукового давления на пути слева от экрана, Dz2, дБ	z = 17.18м (разность путей)	ф-лы (14-18) [10]	18,2	21,2	24,1	27,1	30,1	33,1	36,1	39,1	42,1		
Снижение уровня звукового давления на пути справа от экрана, Dz3, дБ	z = 35.42м (разность путей)	ф-лы (14-18) [10]	25,2	28,7	31,9	34,9	38	41	44	47	50		
Общее снижение уровня звука препятствием Dz, дБ		Эн.сумма(-Dzi)	12,4	15,7	19,5	23,2	26,5	29,6	32,6	35,6	38,7		
Общее снижение уровня звука препятствием с учётом ограничения (25 дБ) для октавных полос Dz, дБ		Раздел 7.4 [10]	12,4	15,7	19,5	23,2	25	25	25	25	25		
Уровни звукового давления от источника ИШ-9-17 в расчётной точке днём, дБ		**ф-ла(3)[10]**	**0**	**17,2**	**14,7**	**12**	**9,8**	**8,5**	**3,5**	**0**	**0**	**12,5**	**12,5**
Источник шума: ИШ-9-18, координаты источника (x,y,z), м =[659.42,-309.20,1.00]													

1		2	3	4	5	6	7	8	9	10	11	12	13
Уровни звуковой мощности источника днём, Lw, дБ		**исходные данные**	**0**	**93,3**	**94,7**	**96**	**96,3**	**95,9**	**92,6**	**88,4**	**83,9**		
Поправка на телесный угол DΩ, дБ	Ω = 6.28	10Lg(4π/Ω)	**3**	3	3	3	3	3	3	3	3		
Показатель направленности источника Di, дБ		исходные данные	**0**	0	0	0	0	0	0	0	0		
Поправка на направленность источника Dc, дБ	Dc	DΩ + Di	**3**	3	3	3	3	3	3	3	3		
Затухание из-за геометрической дивергенции, Adiv, дБ	расстояние = 412.18 м	ф-ла (7) [10]	**63,3**										
Коэффициент затухания звука в атмосфере α, дБ/км	Ta=20,°C Pa=101.33,кПа hотн.=70%	ф-ла (5) [9]	0,02	0,09	0,33	1,12	2,79	4,98	9,04	23,09	77,63		
Учет затухания звука в атмосфере Aatm, дБ		ф-ла (8) [10]	0	0	0,1	0,5	1,2	2,1	3,7	9,5	32		
Снижение уровня звукового давления из-за влияния застройки между источником шума и расчетной точкой													
Снижение уровня звукового давления на пути над экраном, Dz1, дБ	z = 6.48м (разность путей)	ф-лы (14-18) [10]	14	17,5	21,8	26	29,6	32,8	35,9	38,9	41,9		
Снижение уровня звукового давления на пути слева от экрана, Dz2, дБ	z = 17.37м (разность путей)	ф-лы (14-18) [10]	18,3	21,2	24,1	27,1	30,1	33,1	36,1	39,1	42,1		
Снижение уровня звукового давления на пути справа от экрана, Dz3, дБ	z = 35.08м (разность путей)	ф-лы (14-18) [10]	25,1	28,7	31,8	34,9	37,9	40,9	43,9	46,9	50		
Общее снижение уровня звука препятствием Dz, дБ		Эн.сумма(-Dzi)	12,4	15,7	19,5	23,2	26,5	29,6	32,6	35,7	38,7		
Общее снижение уровня звука препятствием с учётом ограничения (25 дБ) для октавных полос Dz, дБ		Раздел 7.4 [10]	12,4	15,7	19,5	23,2	25	25	25	25	25		
Уровни звукового давления от источника ИШ-9-18 в расчётной точке днём, дБ		**ф-ла(3)[10]**	**0**	**17,2**	**14,7**	**12**	**9,8**	**8,5**	**3,6**	**0**	**0**	**12,5**	**12,5**
Источник шума: ИШ-9-19, координаты источника (x,y,z), м =[660.44,-306.50,1.00]													
Уровни звуковой мощности источника днём, Lw, дБ		**исходные данные**	**0**	**93,3**	**94,7**	**96**	**96,3**	**95,9**	**92,6**	**88,4**	**83,9**		

1		2	3	4	5	6	7	8	9	10	11	12	13
Поправка на телесный угол DΩ, дБ	Ω = 6.28	10Lg(4π/Ω)	**3**	3	3	3	3	3	3	3	3		
Показатель направленности источника Di, дБ		исходные данные	**0**	0	0	0	0	0	0	0	0		
Поправка на направленность источника Dc, дБ	Dc	DΩ + Di	**3**	3	3	3	3	3	3	3	3		
Затухание из-за геометрической дивергенции, Adiv, дБ	расстояние = 411.35 м	ф-ла (7) [10]	**63,3**										
Коэффициент затухания звука в атмосфере α, дБ/км	Ta=20,°C Pa=101.33,кПа hотн.=70%	ф-ла (5) [9]	0,02	0,09	0,33	1,12	2,79	4,98	9,04	23,09	77,63		
Учет затухания звука в атмосфере Aatm, дБ		ф-ла (8) [10]	0	0	0,1	0,5	1,1	2	3,7	9,5	31,9		
Снижение уровня звукового давления из-за влияния застройки между источником шума и расчетной точкой													
Снижение уровня звукового давления на пути над экраном, Dz1, дБ	z = 6.49м (разность путей)	ф-лы (14-18) [10]	14	17,5	21,8	26	29,6	32,8	35,9	38,9	41,9		
Снижение уровня звукового давления на пути слева от экрана, Dz2, дБ	z = 17.55м (разность путей)	ф-лы (14-18) [10]	18,3	21,2	24,2	27,2	30,2	33,2	36,2	39,2	42,2		
Снижение уровня звукового давления на пути справа от экрана, Dz3, дБ	z = 34.78м (разность путей)	ф-лы (14-18) [10]	25,1	28,7	31,8	34,9	37,9	40,9	43,9	46,9	49,9		
Общее снижение уровня звука препятствием Dz, дБ		Эн.сумма(-Dzi)	12,4	15,7	19,5	23,2	26,5	29,6	32,7	35,7	38,7		
Общее снижение уровня звука препятствием с учётом ограничения (25 дБ) для октавных полос Dz, дБ		Раздел 7.4 [10]	12,4	15,7	19,5	23,2	25	25	25	25	25		
Уровни звукового давления от источника ИШ-9-19 в расчётной точке днём, дБ		**ф-ла(3)[10]**	**0**	**17,2**	**14,8**	**12**	**9,9**	**8,6**	**3,6**	**0**	**0**	**12,5**	**12,5**
Источник шума: ИШ-9-20, координаты источника (x,y,z), м =[661.28,-303.61,1.00]													
Уровни звуковой мощности источника днём, Lw, дБ		**исходные данные**	**0**	**93,3**	**94,7**	**96**	**96,3**	**95,9**	**92,6**	**88,4**	**83,9**		
Поправка на телесный угол DΩ, дБ	Ω = 6.28	10Lg(4π/Ω)	**3**	3	3	3	3	3	3	3	3		

1		2	3	4	5	6	7	8	9	10	11	12	13
Показатель направленности источника Di, дБ		исходные данные	**0**	0	0	0	0	0	0	0	0		
Поправка на направленность источника Dc, дБ	Dc	DΩ + Di	**3**	3	3	3	3	3	3	3	3		
Затухание из-за геометрической дивергенции, Adiv, дБ	расстояние = 410.27 м	ф-ла (7) [10]	**63,3**										
Коэффициент затухания звука в атмосфере α, дБ/км	Ta=20,°C Pa=101.33,кПа hотн.=70%	ф-ла (5) [9]	0,02	0,09	0,33	1,12	2,79	4,98	9,04	23,09	77,63		
Учет затухания звука в атмосфере Aatm, дБ		ф-ла (8) [10]	0	0	0,1	0,5	1,1	2	3,7	9,5	31,9		
Снижение уровня звукового давления из-за влияния застройки между источником шума и расчетной точкой													
Снижение уровня звукового давления на пути над экраном, Dz1, дБ	z = 6.49м (разность путей)	ф-лы (14-18) [10]	14	17,5	21,8	26	29,6	32,8	35,9	38,9	41,9		
Снижение уровня звукового давления на пути слева от экрана, Dz2, дБ	z = 17.73м (разность путей)	ф-лы (14-18) [10]	18,4	21,3	24,2	27,2	30,2	33,2	36,2	39,2	42,2		
Снижение уровня звукового давления на пути справа от экрана, Dz3, дБ	z = 34.47м (разность путей)	ф-лы (14-18) [10]	25,1	28,6	31,8	34,8	37,8	40,9	43,9	46,9	49,9		
Общее снижение уровня звука препятствием Dz, дБ		Эн.сумма(-Dzi)	12,4	15,7	19,5	23,3	26,6	29,7	32,7	35,7	38,7		
Общее снижение уровня звука препятствием с учётом ограничения (25 дБ) для октавных полос Dz, дБ		Раздел 7.4 [10]	12,4	15,7	19,5	23,3	25	25	25	25	25		
Уровни звукового давления от источника ИШ-9-20 в расчётной точке днём, дБ		**ф-ла(3)[10]**	**0**	**17,3**	**14,8**	**12**	**9,9**	**8,6**	**3,6**	**0**	**0**	**12,5**	**12,5**
Источник шума: ИШ-9-21, координаты источника (x,y,z), м =[661.93,-300.72,1.00]													
Уровни звуковой мощности источника днём, Lw, дБ		**исходные данные**	**0**	**93,3**	**94,7**	**96**	**96,3**	**95,9**	**92,6**	**88,4**	**83,9**		
Поправка на телесный угол DΩ, дБ	Ω = 6.28	10Lg(4π/Ω)	**3**	3	3	3	3	3	3	3	3		
Показатель направленности источника Di, дБ		исходные данные	**0**	0	0	0	0	0	0	0	0		

1		2	3	4	5	6	7	8	9	10	11	12	13
Поправка на направленность источника Dc, дБ	Dc	DΩ + Di	**3**	3	3	3	3	3	3	3	3		
Затухание из-за геометрической дивергенции, Adiv, дБ	расстояние = 409.05 м	ф-ла (7) [10]	**63,2**										
Коэффициент затухания звука в атмосфере α, дБ/км	Ta=20,°C Pa=101.33,кПа hотн.=70%	ф-ла (5) [9]	0,02	0,09	0,33	1,12	2,79	4,98	9,04	23,09	77,63		
Учет затухания звука в атмосфере Aatm, дБ		ф-ла (8) [10]	0	0	0,1	0,5	1,1	2	3,7	9,4	31,8		
Снижение уровня звукового давления из-за влияния застройки между источником шума и расчетной точкой													
Снижение уровня звукового давления на пути над экраном, Dz1, дБ	z = 6.50м (разность путей)	ф-лы (14-18) [10]	14	17,5	21,8	26	29,6	32,8	35,9	38,9	41,9		
Снижение уровня звукового давления на пути слева от экрана, Dz2, дБ	z = 17.91м (разность путей)	ф-лы (14-18) [10]	18,4	21,3	24,3	27,2	30,2	33,2	36,2	39,3	42,3		
Снижение уровня звукового давления на пути справа от экрана, Dz3, дБ	z = 34.19м (разность путей)	ф-лы (14-18) [10]	25	28,6	31,7	34,8	37,8	40,8	43,8	46,8	49,8		
Общее снижение уровня звука препятствием Dz, дБ		Эн.сумма(-Dzi)	12,4	15,7	19,5	23,3	26,6	29,7	32,7	35,7	38,7		
Общее снижение уровня звука препятствием с учётом ограничения (25 дБ) для октавных полос Dz, дБ		Раздел 7.4 [10]	12,4	15,7	19,5	23,3	25	25	25	25	25		
Уровни звукового давления от источника ИШ-9-21 в расчётной точке днём, дБ		**ф-ла(3)[10]**	**0**	**17,3**	**14,8**	**12**	**9,9**	**8,6**	**3,7**	**0**	**0**	**12,6**	**12,6**
Источник шума: ИШ-9-22, координаты источника (x,y,z), м =[663.14,-297.83,1.00]													
Уровни звуковой мощности источника днём, Lw, дБ		**исходные данные**	**0**	**93,3**	**94,7**	**96**	**96,3**	**95,9**	**92,6**	**88,4**	**83,9**		
Поправка на телесный угол DΩ, дБ	Ω = 6.28	10Lg(4π/Ω)	**3**	3	3	3	3	3	3	3	3		
Показатель направленности источника Di, дБ		исходные данные	**0**	0	0	0	0	0	0	0	0		
Поправка на направленность источника Dc, дБ	Dc	DΩ + Di	**3**	3	3	3	3	3	3	3	3		

1		2	3	4	5	6	7	8	9	10	11	12	13
Затухание из-за геометрической дивергенции, Adiv, дБ	расстояние = 408.31 м	ф-ла (7) [10]	**63,2**										
Коэффициент затухания звука в атмосфере α, дБ/км	Ta=20,°C Pa=101.33,кПа hотн.=70%	ф-ла (5) [9]	0,02	0,09	0,33	1,12	2,79	4,98	9,04	23,09	77,63		
Учет затухания звука в атмосфере Aatm, дБ		ф-ла (8) [10]	0	0	0,1	0,5	1,1	2	3,7	9,4	31,7		
Снижение уровня звукового давления из-за влияния застройки между источником шума и расчетной точкой													
Снижение уровня звукового давления на пути над экраном, Dz1, дБ	z = 6.50м (разность путей)	ф-лы (14-18) [10]	14	17,5	21,8	26	29,6	32,8	35,9	38,9	41,9		
Снижение уровня звукового давления на пути слева от экрана, Dz2, дБ	z = 18.11м (разность путей)	ф-лы (14-18) [10]	18,5	21,4	24,3	27,3	30,3	33,3	36,3	39,3	42,3		
Снижение уровня звукового давления на пути справа от экрана, Dz3, дБ	z = 33.88м (разность путей)	ф-лы (14-18) [10]	25	28,6	31,7	34,7	37,8	40,8	43,8	46,8	49,8		
Общее снижение уровня звука препятствием Dz, дБ		Эн.сумма(-Dzi)	12,4	15,8	19,6	23,3	26,6	29,7	32,7	35,7	38,8		
Общее снижение уровня звука препятствием с учётом ограничения (25 дБ) для октавных полос Dz, дБ		Раздел 7.4 [10]	12,4	15,8	19,6	23,3	25	25	25	25	25		
Уровни звукового давления от источника ИШ-9-22 в расчётной точке днём, дБ		**ф-ла(3)[10]**	**0**	**17,3**	**14,8**	**12**	**9,9**	**8,6**	**3,7**	**0**	**0**	**12,6**	**12,6**
Источник шума: ИШ-9-23, координаты источника (x,y,z), м =[664.07,-295.13,1.00]													
Уровни звуковой мощности источника днём, Lw, дБ		**исходные данные**	**0**	**93,3**	**94,7**	**96**	**96,3**	**95,9**	**92,6**	**88,4**	**83,9**		
Поправка на телесный угол DΩ, дБ	Ω = 6.28	10Lg(4π/Ω)	**3**	3	3	3	3	3	3	3	3		
Показатель направленности источника Di, дБ		исходные данные	**0**	0	0	0	0	0	0	0	0		
Поправка на направленность источника Dc, дБ	Dc	DΩ + Di	**3**	3	3	3	3	3	3	3	3		
Затухание из-за геометрической дивергенции, Adiv, дБ	расстояние = 407.48 м	ф-ла (7) [10]	**63,2**										

1		2	3	4	5	6	7	8	9	10	11	12	13
Коэффициент затухания звука в атмосфере α, дБ/км	Ta=20,°C Pa=101.33,кПа hотн.=70%	ф-ла (5) [9]	0,02	0,09	0,33	1,12	2,79	4,98	9,04	23,09	77,63		
Учет затухания звука в атмосфере Aatm, дБ		ф-ла (8) [10]	0	0	0,1	0,5	1,1	2	3,7	9,4	31,6		
Снижение уровня звукового давления из-за влияния застройки между источником шума и расчетной точкой													
Снижение уровня звукового давления на пути над экраном, Dz1, дБ	z = 6.50м (разность путей)	ф-лы (14-18) [10]	14	17,5	21,8	26	29,7	32,8	35,9	38,9	41,9		
Снижение уровня звукового давления на пути слева от экрана, Dz2, дБ	z = 18.28м (разность путей)	ф-лы (14-18) [10]	18,5	21,4	24,3	27,3	30,3	33,3	36,3	39,3	42,4		
Снижение уровня звукового давления на пути справа от экрана, Dz3, дБ	z = 33.61м (разность путей)	ф-лы (14-18) [10]	25	28,5	31,7	34,7	37,7	40,7	43,8	46,8	49,8		
Общее снижение уровня звука препятствием Dz, дБ		Эн.сумма(-Dzi)	12,4	15,8	19,6	23,3	26,6	29,7	32,7	35,8	38,8		
Общее снижение уровня звука препятствием с учётом ограничения (25 дБ) для октавных полос Dz, дБ		Раздел 7.4 [10]	12,4	15,8	19,6	23,3	25	25	25	25	25		
Уровни звукового давления от источника ИШ-9-23 в расчётной точке днём, дБ		**ф-ла(3)[10]**	**0**	**17,3**	**14,8**	**12**	**10**	**8,7**	**3,7**	**0**	**0**	**12,6**	**12,6**
Источник шума: ИШ-9-24, координаты источника (x,y,z), м =[665.19,-292.34,1.00]													
Уровни звуковой мощности источника днём, Lw, дБ		**исходные данные**	**0**	**93,3**	**94,7**	**96**	**96,3**	**95,9**	**92,6**	**88,4**	**83,9**		
Поправка на телесный угол DΩ, дБ	Ω = 6.28	10Lg(4π/Ω)	**3**	3	3	3	3	3	3	3	3		
Показатель направленности источника Di, дБ		исходные данные	**0**	0	0	0	0	0	0	0	0		
Поправка на направленность источника Dc, дБ	Dc	DΩ + Di	**3**	3	3	3	3	3	3	3	3		
Затухание из-за геометрической дивергенции, Adiv, дБ	расстояние = 406.76 м	ф-ла (7) [10]	**63,2**										
Коэффициент затухания звука в атмосфере α, дБ/км	Ta=20,°C Pa=101.33,кПа hотн.=70%	ф-ла (5) [9]	0,02	0,09	0,33	1,12	2,79	4,98	9,04	23,09	77,63		

1		2	3	4	5	6	7	8	9	10	11	12	13
Учет затухания звука в атмосфере Aatm, дБ		ф-ла (8) [10]	0	0	0,1	0,5	1,1	2	3,7	9,4	31,6		
Снижение уровня звукового давления из-за влияния застройки между источником шума и расчетной точкой													
Снижение уровня звукового давления на пути над экраном, Dz1, дБ	z = 6.51м (разность путей)	ф-лы (14-18) [10]	14	17,5	21,7	26	29,7	32,8	35,9	38,9	41,9		
Снижение уровня звукового давления на пути слева от экрана, Dz2, дБ	z = 18.48м (разность путей)	ф-лы (14-18) [10]	18,5	21,5	24,4	27,4	30,4	33,4	36,4	39,4	42,4		
Снижение уровня звукового давления на пути справа от экрана, Dz3, дБ	z = 33.34м (разность путей)	ф-лы (14-18) [10]	24,9	28,5	31,6	34,7	37,7	40,7	43,7	46,7	49,7		
Общее снижение уровня звука препятствием Dz, дБ		Эн.сумма(-Dzi)	12,4	15,8	19,6	23,3	26,6	29,7	32,8	35,8	38,8		
Общее снижение уровня звука препятствием с учётом ограничения (25 дБ) для октавных полос Dz, дБ		Раздел 7.4 [10]	12,4	15,8	19,6	23,3	25	25	25	25	25		
Уровни звукового давления от источника ИШ-9-24 в расчётной точке днём, дБ		**ф-ла(3)[10]**	**0**	**17,3**	**14,8**	**12**	**10**	**8,7**	**3,7**	**0**	**0**	**12,6**	**12,6**
Источник шума: ИШ-9-25, координаты источника (x,y,z), м =[683.46,-239.16,1.00]													
Уровни звуковой мощности источника днём, Lw, дБ		**исходные данные**	**77**	**75**	**67**	**66**	**63**	**55**	**53**	**48**	**51**		
Поправка на телесный угол DΩ, дБ	Ω = 6.28	10Lg(4π/Ω)	**3**	3	3	3	3	3	3	3	3		
Показатель направленности источника Di, дБ		исходные данные	**0**	0	0	0	0	0	0	0	0		
Поправка на направленность источника Dc, дБ	Dc	DΩ + Di	**3**	3	3	3	3	3	3	3	3		
Затухание из-за геометрической дивергенции, Adiv, дБ	расстояние = 394.49 м	ф-ла (7) [10]	**62,9**										
Коэффициент затухания звука в атмосфере α, дБ/км	Ta=20,°C Pa=101.33,кПа hотн.=70%	ф-ла (5) [9]	0,02	0,09	0,33	1,12	2,79	4,98	9,04	23,09	77,63		
Учет затухания звука в атмосфере Aatm, дБ		ф-ла (8) [10]	0	0	0,1	0,4	1,1	2	3,6	9,1	30,6		

1		2	3	4	5	6	7	8	9	10	11	12	13
Снижение уровня звукового давления из-за влияния застройки между источником шума и расчетной точкой													
Снижение уровня звукового давления на пути над экраном, Dz1, дБ	z = 6.63м (разность путей)	ф-лы (14-18) [10]	17,5	21	24,1	27,1	30,1	33,2	36,2	39,2	42,2		
Снижение уровня звукового давления на пути слева от экрана, Dz2, дБ	z = 22.22м (разность путей)	ф-лы (14-18) [10]	19,3	22,2	25,2	28,2	31,2	34,2	37,2	40,2	43,2		
Снижение уровня звукового давления на пути справа от экрана, Dz3, дБ	z = 32.07м (разность путей)	ф-лы (14-18) [10]	25,3	28,5	31,5	34,5	37,5	40,5	43,5	46,6	49,6		
Общее снижение уровня звука препятствием Dz, дБ		Эн.сумма(-Dzi)	14,9	18,1	21,2	24,2	27,2	30,2	33,2	36,2	39,2		
Общее снижение уровня звука препятствием с учётом ограничения (25 дБ) для октавных полос Dz, дБ		Раздел 7.4 [10]	14,9	18,1	21,2	24,2	25	25	25	25	25		
Уровни звукового давления от источника ИШ-9-25 в расчётной точке днём, дБ		**ф-ла(3)[10]**	**2,2**	**0**	**0**	**0**	**0**	**0**	**0**	**0**	**0**	**0**	**0**
Источник шума: ИШ-9-26, координаты источника (x,y,z), м =[680.09,-249.52,1.00]													
Уровни звуковой мощности источника днём, Lw, дБ		**исходные данные**	**77**	**75**	**67**	**66**	**63**	**55**	**53**	**48**	**51**		
Поправка на телесный угол DΩ, дБ	Ω = 6.28	10Lg(4π/Ω)	**3**	3	3	3	3	3	3	3	3		
Показатель направленности источника Di, дБ		исходные данные	**0**	0	0	0	0	0	0	0	0		
Поправка на направленность источника Dc, дБ	Dc	DΩ + Di	**3**	3	3	3	3	3	3	3	3		
Затухание из-за геометрической дивергенции, Adiv, дБ	расстояние = 396.45 м	ф-ла (7) [10]	**63**										
Коэффициент затухания звука в атмосфере α, дБ/км	Ta=20,°C Pa=101.33,кПа hотн.=70%	ф-ла (5) [9]	0,02	0,09	0,33	1,12	2,79	4,98	9,04	23,09	77,63		
Учет затухания звука в атмосфере Aatm, дБ		ф-ла (8) [10]	0	0	0,1	0,4	1,1	2	3,6	9,2	30,8		
Снижение уровня звукового давления из-за влияния застройки между источником шума и расчетной точкой													

1		2	3	4	5	6	7	8	9	10	11	12	13
Снижение уровня звукового давления на пути над экраном, Dz1, дБ	z = 6.62м (разность путей)	ф-лы (14-18) [10]	17,5	21	24,1	27,1	30,1	33,1	36,2	39,2	42,2		
Снижение уровня звукового давления на пути слева от экрана, Dz2, дБ	z = 21.47м (разность путей)	ф-лы (14-18) [10]	19,2	22,1	25	28	31	34	37	40	43,1		
Снижение уровня звукового давления на пути справа от экрана, Dz3, дБ	z = 30.80м (разность путей)	ф-лы (14-18) [10]	21	24,7	29	33,4	37,1	40,3	43,4	46,4	49,4		
Общее снижение уровня звука препятствием Dz, дБ		Эн.сумма(-Dzi)	14,2	17,6	20,8	24	27,1	30,1	33,1	36,1	39,1		
Общее снижение уровня звука препятствием с учётом ограничения (25 дБ) для октавных полос Dz, дБ		Раздел 7.4 [10]	14,2	17,6	20,8	24	25	25	25	25	25		
Уровни звукового давления от источника ИШ-9-26 в расчётной точке днём, дБ		**ф-ла(3)[10]**	**2,8**	**0**	**0**	**0**	**0**	**0**	**0**	**0**	**0**	**0**	**0**
Источник шума: ИШ-9-27, координаты источника (x,y,z), м =[676.46,-260.14,1.00]													
Уровни звуковой мощности источника днём, Lw, дБ		**исходные данные**	**77**	**75**	**67**	**66**	**63**	**55**	**53**	**48**	**51**		
Поправка на телесный угол DΩ, дБ	Ω = 6.28	10Lg(4π/Ω)	**3**	3	3	3	3	3	3	3	3		
Показатель направленности источника Di, дБ		исходные данные	**0**	0	0	0	0	0	0	0	0		
Поправка на направленность источника Dc, дБ	Dc	DΩ + Di	**3**	3	3	3	3	3	3	3	3		
Затухание из-за геометрической дивергенции, Adiv, дБ	расстояние = 398.61 м	ф-ла (7) [10]	**63**										
Коэффициент затухания звука в атмосфере α, дБ/км	Ta=20,°C Pa=101.33,кПа hотн.=70%	ф-ла (5) [9]	0,02	0,09	0,33	1,12	2,79	4,98	9,04	23,09	77,63		
Учет затухания звука в атмосфере Aatm, дБ		ф-ла (8) [10]	0	0	0,1	0,4	1,1	2	3,6	9,2	30,9		
Снижение уровня звукового давления из-за влияния застройки между источником шума и расчетной точкой													
Снижение уровня звукового давления на пути над экраном, Dz1, дБ	z = 6.61м (разность путей)	ф-лы (14-18) [10]	17,5	21	24,1	27,1	30,1	33,1	36,1	39,2	42,2		

1		2	3	4	5	6	7	8	9	10	11	12	13
Снижение уровня звукового давления на пути слева от экрана, Dz2, дБ	z = 20.71м (разность путей)	ф-лы (14-18) [10]	19	21,9	24,9	27,9	30,9	33,9	36,9	39,9	42,9		
Снижение уровня звукового давления на пути справа от экрана, Dz3, дБ	z = 31.66м (разность путей)	ф-лы (14-18) [10]	21,1	24,8	29,2	33,5	37,2	40,4	43,5	46,5	49,5		
Общее снижение уровня звука препятствием Dz, дБ		Эн.сумма(-Dzi)	14,2	17,5	20,8	24	27	30,1	33,1	36,1	39,1		
Общее снижение уровня звука препятствием с учётом ограничения (25 дБ) для октавных полос Dz, дБ		Раздел 7.4 [10]	14,2	17,5	20,8	24	25	25	25	25	25		
Уровни звукового давления от источника ИШ-9-27 в расчётной точке днём, дБ		**ф-ла(3)[10]**	**2,8**	**0**	**0**	**0**	**0**	**0**	**0**	**0**	**0**	**0**	**0**
Источник шума: ИШ-10-1, координаты источника (x,y,z), м =[17.37,413.17,1.00]													
Уровни звуковой мощности источника днём, Lw, дБ		**исходные данные**	**0**	**98,3**	**99,7**	**101**	**101,3**	**100,9**	**97,6**	**93,4**	**88,9**		
Поправка на телесный угол DΩ, дБ	Ω = 6.28	10Lg(4π/Ω)	**3**	3	3	3	3	3	3	3	3		
Показатель направленности источника Di, дБ		исходные данные	**0**	0	0	0	0	0	0	0	0		
Поправка на направленность источника Dc, дБ	Dc	DΩ + Di	**3**	3	3	3	3	3	3	3	3		
Затухание из-за геометрической дивергенции, Adiv, дБ	расстояние = 566.27 м	ф-ла (7) [10]	**66,1**										
Коэффициент затухания звука в атмосфере α, дБ/км	Ta=20,°C Pa=101.33,кПа hотн.=70%	ф-ла (5) [9]	0,02	0,09	0,33	1,12	2,79	4,98	9,04	23,09	77,63		
Учет затухания звука в атмосфере Aatm, дБ		ф-ла (8) [10]	0	0,1	0,2	0,6	1,6	2,8	5,1	13,1	44		
Снижение уровня звукового давления из-за влияния застройки между источником шума и расчетной точкой													
Снижение уровня звукового давления на пути над экраном, Dz1, дБ	z = 0.34м (разность путей)	ф-лы (14-18) [10]	4,8	4,9	5,2	5,7	6,6	7,9	9,7	12	14,6		
Снижение уровня звукового давления на пути слева от экрана, Dz2, дБ	z = 26.03м (разность путей)	ф-лы (14-18) [10]	24,4	27,6	30,6	33,6	36,6	39,6	42,6	45,7	48,7		

1		2	3	4	5	6	7	8	9	10	11	12	13
Снижение уровня звукового давления на пути справа от экрана, Dz3, дБ	z = 14.57м (разность путей)	ф-лы (14-18) [10]	17,6	20,5	23,4	26,4	29,3	32,3	35,4	38,4	41,4		
Общее снижение уровня звука препятствием Dz, дБ		Эн.сумма(-Dzi)	4,6	4,8	5,1	5,7	6,6	7,9	9,7	12	14,6		
Уровни звукового давления прямого звука от источника ИШ-10-1 в расчётной точке днём, дБ		**ф-ла(3)[10]**	**0**	**30,4**	**31,3**	**31,6**	**30,1**	**27,1**	**19,7**	**5,3**	**0**	**31,4**	**31,4**
Расчёт отражённого звука													
Уровни звукового давления от мнимого источника ИШ-10-1_мн.(1) в расчётной точке днём, дБ		**ф-ла(3)[10]**	**0**	**0**	**0**	**0**	**0**	**0**	**0**	**0**	**0**	**0**	**0**
Уровни звукового давления от источника ИШ-10-1 в расчётной точке днём, дБ		**ф-ла(3)[10]**	**0**	**30,4**	**31,3**	**31,6**	**30,1**	**27,1**	**19,7**	**5,3**	**0**	**31,4**	**31,4**
Источник шума: ИШ-10-2, координаты источника (x,y,z), м =[27.87,443.46,1.00]													
Уровни звуковой мощности источника днём, Lw, дБ		**исходные данные**	**0**	**98,3**	**99,7**	**101**	**101,3**	**100,9**	**97,6**	**93,4**	**88,9**		
Поправка на телесный угол DΩ, дБ	Ω = 6.28	10Lg(4π/Ω)	**3**	3	3	3	3	3	3	3	3		
Показатель направленности источника Di, дБ		исходные данные	**0**	0	0	0	0	0	0	0	0		
Поправка на направленность источника Dc, дБ	Dc	DΩ + Di	**3**	3	3	3	3	3	3	3	3		
Затухание из-за геометрической дивергенции, Adiv, дБ	расстояние = 586.08 м	ф-ла (7) [10]	**66,4**										
Коэффициент затухания звука в атмосфере α, дБ/км	Ta=20,°C Pa=101.33,кПа hотн.=70%	ф-ла (5) [9]	0,02	0,09	0,33	1,12	2,79	4,98	9,04	23,09	77,63		
Учет затухания звука в атмосфере Aatm, дБ		ф-ла (8) [10]	0	0,1	0,2	0,7	1,6	2,9	5,3	13,5	45,5		
Снижение уровня звукового давления из-за влияния застройки между источником шума и расчетной точкой													
Снижение уровня звукового давления на пути над экраном, Dz1, дБ	z = 0.74м (разность путей)	ф-лы (14-18) [10]	9	11,1	13,6	16,3	19,2	22,1	25,1	28,1	31,1		

1		2	3	4	5	6	7	8	9	10	11	12	13
Снижение уровня звукового давления на пути слева от экрана, Dz2, дБ	z = 103.27м (разность путей)	ф-лы (14-18) [10]	30,4	33,6	36,6	39,6	42,6	45,6	48,6	51,6	54,6		
Снижение уровня звукового давления на пути справа от экрана, Dz3, дБ	z = 21.03м (разность путей)	ф-лы (14-18) [10]	23,3	26,6	29,7	32,7	35,7	38,7	41,7	44,7	47,7		
Общее снижение уровня звука препятствием Dz, дБ		Эн.сумма(-Dzi)	8,8	11	13,5	16,2	19	22	25	27,9	30,9		
Общее снижение уровня звука препятствием с учётом ограничения (25 дБ) для октавных полос Dz, дБ		Раздел 7.4 [10]	8,8	11	13,5	16,2	19	22	25	25	25		
Уровни звукового давления прямого звука от источника ИШ-10-2 в расчётной точке днём, дБ		**ф-ла(3)[10]**	**0**	**23,9**	**22,7**	**20,8**	**17,3**	**12,7**	**4**	**0**	**0**	**18,4**	**18,4**
Расчёт отражённого звука													
Уровни звукового давления от мнимого источника ИШ-10-2_мн.(1) в расчётной точке днём, дБ		**ф-ла(3)[10]**	**0**	**0**	**0**	**0**	**0**	**0**	**0**	**0**	**0**	**0**	**0**
Уровни звукового давления от источника ИШ-10-2 в расчётной точке днём, дБ		**ф-ла(3)[10]**	**0**	**23,9**	**22,7**	**20,8**	**17,3**	**12,7**	**4**	**0**	**0**	**18,4**	**18,4**
Уровни звукового давления в расчётной точке													
Суммарные уровни звукового давления в расчётной точке от всех источников шума днём, Lрт, дБ		**ф-ла (19) [1]**	**48,2**	**47,2**	**45,2**	**42,4**	**41,6**	**44,2**	**41,6**	**32,1**	**5,6**	**47,6**	**47,6**
Допускаемые УЗД днём, Lдоп, дБ	Территории предприятий с постоянными рабочими местами	Табл. 1[3]	107	95	87	82	78	75	73	71	69	80	95
Превышение днём, дБ		**Lрт - Lдоп**	**-58,8**	**-47,8**	**-41,8**	**-39,6**	**-36,4**	**-30,8**	**-31,4**	**-38,9**	**-63,4**	**-32,4**	**-47,4**

Определение уровней звукового давления в точке РТ-1-2 (координаты точки, м: x = 353.97, y = -32.95, z = 1.50)

Наименование величин и их описание		Ссылка	Расчётные уровни в октавных полосах, со среднегеометрическими частотами, Гц									La, дБА	Lмакс, дБА
			31,5	63	125	250	500	1000	2000	4000	8000		
1		2	3	4	5	6	7	8	9	10	11	12	13
Источник шума: ИШ-1-1, координаты источника (x,y,z), м =[271.72,229.68,1.00]													
Уровни звуковой мощности источника днём, Lw, дБ		**исходные данные**	**97**	**97**	**104**	**106**	**105**	**105**	**98**	**87**	**81**		
Поправка на телесный угол DΩ, дБ	Ω = 6.28	10Lg(4π/Ω)	**3**	3	3	3	3	3	3	3	3		
Показатель направленности источника Di, дБ		исходные данные	**0**	0	0	0	0	0	0	0	0		
Поправка на направленность источника Dc, дБ	Dc	DΩ + Di	**3**	3	3	3	3	3	3	3	3		
Затухание из-за геометрической дивергенции, Adiv, дБ	расстояние = 275.21 м	ф-ла (7) [10]	**59,8**										
Коэффициент затухания звука в атмосфере α, дБ/км	Ta=20,°C Pa=101.33,кПа hотн.=70%	ф-ла (5) [9]	0,02	0,09	0,33	1,12	2,79	4,98	9,04	23,09	77,63		
Учет затухания звука в атмосфере Aatm, дБ		ф-ла (8) [10]	0	0	0,1	0,3	0,8	1,4	2,5	6,4	21,4		
Снижение уровня звукового давления из-за влияния застройки между источником шума и расчетной точкой													
Снижение уровня звукового давления на пути над экраном, Dz1, дБ	z = 0.98м (разность путей)	ф-лы (14-18) [10]	9	11,9	14,7	17,6	20,5	23,4	26,4	29,4	32,4		
Снижение уровня звукового давления на пути слева от экрана, Dz2, дБ	z = 91.07м (разность путей)	ф-лы (14-18) [10]	25,7	29,6	34	38,3	41,8	45	48,1	51,1	54,1		
Снижение уровня звукового давления на пути справа от экрана, Dz3, дБ	z = 22.35м (разность путей)	ф-лы (14-18) [10]	19,3	22,3	25,2	28,2	31,2	34,2	37,2	40,2	43,2		
Общее снижение уровня звука препятствием Dz, дБ		Эн.сумма(-Dzi)	8,6	11,4	14,3	17,2	20,1	23	26	29	32		

1		2	3	4	5	6	7	8	9	10	11	12	13
Общее снижение уровня звука препятствием с учётом ограничения (25 дБ) для октавных полос Dz, дБ		Раздел 7.4 [10]	8,6	11,4	14,3	17,2	20,1	23	25	25	25		
Уровни звукового давления прямого звука от источника ИШ-1-1 в расчётной точке днём, дБ		**ф-ла(3)[10]**	**31,6**	**28,8**	**32,9**	**31,8**	**27,4**	**23,8**	**13,7**	**0**	**0**	**29**	**29**
Расчёт отражённого звука													
Уровни звукового давления от мнимого источника ИШ-1-1_мн.(1) в расчётной точке днём, дБ		**ф-ла(3)[10]**	**0**	**0**	**0**	**0**	**0**	**20,9**	**9,2**	**0**	**0**	**21,2**	**21,2**
Уровни звукового давления от мнимого источника ИШ-1-1_мн.(2) в расчётной точке днём, дБ		**ф-ла(3)[10]**	**0**	**0**	**0**	**0**	**0**	**0**	**0**	**0**	**0**	**0**	**0**
Уровни звукового давления от мнимого источника ИШ-1-1_мн.(3) в расчётной точке днём, дБ		**ф-ла(3)[10]**	**0**	**0**	**0**	**0**	**0**	**0**	**2,3**	**0**	**0**	**3,5**	**3,5**
Суммарные уровни звукового давления от мнимых источников в расчётной точке днём, дБ		**ф-ла (19) [1]**	**0**	**0**	**0**	**0**	**0**	**20,9**	**10**	**0**	**0**	**0**	**21,3**
Уровни звукового давления от источника ИШ-1-1 в расчётной точке днём, дБ		**ф-ла(3)[10]**	**31,6**	**28,8**	**32,9**	**31,8**	**27,4**	**25,6**	**15,3**	**0**	**0**	**29,7**	**29,7**
Источник шума: ИШ-1-2, координаты источника (x,y,z), м =[261.74,199.14,1.00]													
Уровни звуковой мощности источника днём, Lw, дБ		**исходные данные**	**97**	**97**	**104**	**106**	**105**	**105**	**98**	**87**	**81**		
Поправка на телесный угол DΩ, дБ	Ω = 6.28	10Lg(4π/Ω)	**3**	3	3	3	3	3	3	3	3		
Показатель направленности источника Di, дБ		исходные данные	**0**	0	0	0	0	0	0	0	0		
Поправка на направленность источника Dc, дБ	Dc	DΩ + Di	**3**	3	3	3	3	3	3	3	3		
Затухание из-за геометрической дивергенции, Adiv, дБ	расстояние = 249.75 м	ф-ла (7) [10]	**58,9**										
Коэффициент затухания звука в атмосфере α, дБ/км	Ta=20,°C Pa=101.33,кПа hотн.=70%	ф-ла (5) [9]	0,02	0,09	0,33	1,12	2,79	4,98	9,04	23,09	77,63		
Учет затухания звука в атмосфере Aatm, дБ		ф-ла (8) [10]	0	0	0,1	0,3	0,7	1,2	2,3	5,8	19,4		

1		2	3	4	5	6	7	8	9	10	11	12	13
Снижение уровня звукового давления из-за влияния застройки между источником шума и расчетной точкой													
Снижение уровня звукового давления на пути над экраном, Dz1, дБ	z = 1.08м (разность путей)	ф-лы (14-18) [10]	9,4	12,4	15,4	18,3	21,2	24,2	27,2	30,2	33,2		
Снижение уровня звукового давления на пути слева от экрана, Dz2, дБ	z = 138.78м (разность путей)	ф-лы (14-18) [10]	27,5	31,4	35,9	40,1	43,7	46,8	49,9	52,9	55,9		
Снижение уровня звукового давления на пути справа от экрана, Dz3, дБ	z = 19.04м (разность путей)	ф-лы (14-18) [10]	18,7	21,6	24,5	27,5	30,5	33,5	36,5	39,5	42,5		
Общее снижение уровня звука препятствием Dz, дБ		Эн.сумма(-Dzi)	8,9	11,9	14,8	17,8	20,7	23,7	26,7	29,7	32,7		
Общее снижение уровня звука препятствием с учётом ограничения (25 дБ) для октавных полос Dz, дБ		Раздел 7.4 [10]	8,9	11,9	14,8	17,8	20,7	23,7	25	25	25		
Уровни звукового давления прямого звука от источника ИШ-1-2 в расчётной точке днём, дБ		**ф-ла(3)[10]**	**32,2**	**29,1**	**33,1**	**32**	**27,6**	**24,1**	**14,8**	**0,3**	**0**	**29,3**	**29,3**
Расчёт отражённого звука													
Уровни звукового давления от мнимого источника ИШ-1-2_мн.(1) в расчётной точке днём, дБ		**ф-ла(3)[10]**	**0**	**0**	**0**	**0**	**0**	**0**	**8,4**	**0**	**0**	**9,6**	**9,6**
Уровни звукового давления от мнимого источника ИШ-1-2_мн.(2) в расчётной точке днём, дБ		**ф-ла(3)[10]**	**0**	**0**	**0**	**0**	**0**	**0**	**8**	**0**	**0**	**9,2**	**9,2**
Уровни звукового давления от мнимого источника ИШ-1-2_мн.(3) в расчётной точке днём, дБ		**ф-ла(3)[10]**	**0**	**0**	**0**	**0**	**0**	**0**	**3**	**0**	**0**	**4,2**	**4,2**
Суммарные уровни звукового давления от мнимых источников в расчётной точке днём, дБ		**ф-ла (19) [1]**	**0**	**0**	**0**	**0**	**0**	**0**	**11,8**	**0**	**0**	**0**	**13**
Уровни звукового давления от источника ИШ-1-2 в расчётной точке днём, дБ		**ф-ла(3)[10]**	**32,2**	**29,1**	**33,1**	**32**	**27,6**	**24,1**	**16,6**	**0,3**	**0**	**29,4**	**29,4**
Источник шума: ИШ-1-3, координаты источника (x,y,z), м =[251.75,236.44,1.00]													
Уровни звуковой мощности источника днём, Lw, дБ		**исходные данные**	**0**	**91,3**	**92,7**	**94**	**94,3**	**93,9**	**90,6**	**86,4**	**81,9**		
Поправка на телесный угол DΩ, дБ	Ω = 6.28	10Lg(4π/Ω)	**3**	3	3	3	3	3	3	3	3		
Показатель направленности источника Di, дБ		исходные данные	**0**	0	0	0	0	0	0	0	0		

1		2	3	4	5	6	7	8	9	10	11	12	13
Поправка на направленность источника Dc, дБ	Dc	DΩ + Di	**3**	3	3	3	3	3	3	3	3		
Затухание из-за геометрической дивергенции, Adiv, дБ	расстояние = 288.12 м	ф-ла (7) [10]	**60,2**										
Коэффициент затухания звука в атмосфере α, дБ/км	Ta=20,°C Pa=101.33,кПа hотн.=70%	ф-ла (5) [9]	0,02	0,09	0,33	1,12	2,79	4,98	9,04	23,09	77,63		
Учет затухания звука в атмосфере Aatm, дБ		ф-ла (8) [10]	0	0	0,1	0,3	0,8	1,4	2,6	6,7	22,4		
Снижение уровня звукового давления из-за влияния застройки между источником шума и расчетной точкой													
Снижение уровня звукового давления на пути над экраном, Dz1, дБ	z = 0.94м (разность путей)	ф-лы (14-18) [10]	8,7	11,4	14,2	17,1	20	23	25,9	28,9	31,9		
Снижение уровня звукового давления на пути слева от экрана, Dz2, дБ	z = 96.18м (разность путей)	ф-лы (14-18) [10]	26	29,8	34,3	38,5	42,1	45,3	48,3	51,3	54,3		
Снижение уровня звукового давления на пути справа от экрана, Dz3, дБ	z = 19.16м (разность путей)	ф-лы (14-18) [10]	18,7	21,6	24,5	27,5	30,5	33,5	36,5	39,6	42,6		
Общее снижение уровня звука препятствием Dz, дБ		Эн.сумма(-Dzi)	8,2	11	13,8	16,7	19,6	22,6	25,5	28,5	31,5		
Общее снижение уровня звука препятствием с учётом ограничения (25 дБ) для октавных полос Dz, дБ		Раздел 7.4 [10]	8,2	11	13,8	16,7	19,6	22,6	25	25	25		
Уровни звукового давления прямого звука от источника ИШ-1-3 в расчётной точке днём, дБ		**ф-ла(3)[10]**	**0**	**23,1**	**21,6**	**19,8**	**16,7**	**12,7**	**5,8**	**0**	**0**	**18**	**18**
Расчёт отражённого звука													
Уровни звукового давления от мнимого источника ИШ-1-3_мн.(1) в расчётной точке днём, дБ		**ф-ла(3)[10]**	**0**	**0**	**0**	**0**	**0**	**0**	**3,7**	**0**	**0**	**4,9**	**4,9**
Уровни звукового давления от мнимого источника ИШ-1-3_мн.(2) в расчётной точке днём, дБ		**ф-ла(3)[10]**	**0**	**0**	**0**	**0**	**0**	**0**	**0**	**0**	**0**	**0**	**0**
Уровни звукового давления от мнимого источника ИШ-1-3_мн.(3) в расчётной точке днём, дБ		**ф-ла(3)[10]**	**0**	**0**	**0**	**0**	**0**	**0**	**0**	**0**	**0**	**0**	**0**
Суммарные уровни звукового давления от мнимых источников в расчётной точке днём, дБ		**ф-ла (19) [1]**	**0**	**0**	**0**	**0**	**0**	**0**	**3,7**	**0**	**0**	**0**	**4,9**
Уровни звукового давления от источника ИШ-1-3 в расчётной точке днём, дБ		**ф-ла(3)[10]**	**0**	**23,1**	**21,6**	**19,8**	**16,7**	**12,7**	**7,9**	**0**	**0**	**18,2**	**18,2**

1		2	3	4	5	6	7	8	9	10	11	12	13
Источник шума: ИШ-1-4, координаты источника (x,y,z), м =[290.25,223.25,1.00]													
Уровни звуковой мощности источника днём, Lw, дБ		**исходные данные**	**0**	**91,3**	**92,7**	**94**	**94,3**	**93,9**	**90,6**	**86,4**	**81,9**		
Поправка на телесный угол DΩ, дБ	Ω = 6.28	10Lg(4π/Ω)	**3**	3	3	3	3	3	3	3	3		
Показатель направленности источника Di, дБ		исходные данные	**0**	0	0	0	0	0	0	0	0		
Поправка на направленность источника Dc, дБ	Dc	DΩ + Di	**3**	3	3	3	3	3	3	3	3		
Затухание из-за геометрической дивергенции, Adiv, дБ	расстояние = 264.00 м	ф-ла (7) [10]	**59,4**										
Коэффициент затухания звука в атмосфере α, дБ/км	Ta=20,°C Pa=101.33,кПа hотн.=70%	ф-ла (5) [9]	0,02	0,09	0,33	1,12	2,79	4,98	9,04	23,09	77,63		
Учет затухания звука в атмосфере Aatm, дБ		ф-ла (8) [10]	0	0	0,1	0,3	0,7	1,3	2,4	6,1	20,5		
Снижение уровня звукового давления из-за влияния застройки между источником шума и расчетной точкой													
Снижение уровня звукового давления на пути над экраном, Dz1, дБ	z = 1.10м (разность путей)	ф-лы (14-18) [10]	9,7	12,6	15,5	18,4	21,3	24,3	27,3	30,3	33,3		
Снижение уровня звукового давления на пути слева от экрана, Dz2, дБ	z = 87.61м (разность путей)	ф-лы (14-18) [10]	25,5	29,4	33,9	38,1	41,7	44,8	47,9	50,9	53,9		
Снижение уровня звукового давления на пути справа от экрана, Dz3, дБ	z = 25.76м (разность путей)	ф-лы (14-18) [10]	23,3	27,2	30,5	33,5	36,6	39,6	42,6	45,6	48,6		
Общее снижение уровня звука препятствием Dz, дБ		Эн.сумма(-Dzi)	9,4	12,4	15,3	18,2	21,2	24,1	27,1	30,1	33,1		
Общее снижение уровня звука препятствием с учётом ограничения (25 дБ) для октавных полос Dz, дБ		Раздел 7.4 [10]	9,4	12,4	15,3	18,2	21,2	24,1	25	25	25		
Уровни звукового давления прямого звука от источника ИШ-1-4 в расчётной точке днём, дБ		**ф-ла(3)[10]**	**0**	**22,4**	**20,9**	**19**	**16**	**12**	**6,8**	**0**	**0**	**17,4**	**17,4**
Расчёт отражённого звука													

1		2	3	4	5	6	7	8	9	10	11	12	13
Уровни звукового давления от мнимого источника ИШ-1-4_мн.(1) в расчётной точке днём, дБ		**ф-ла(3)[10]**	**0**	**0**	**0**	**0**	**0**	**11,2**	**3,2**	**0**	**0**	**12**	**12**
Уровни звукового давления от мнимого источника ИШ-1-4_мн.(2) в расчётной точке днём, дБ		**ф-ла(3)[10]**	**0**	**0**	**0**	**0**	**0**	**0**	**0**	**0**	**0**	**0**	**0**
Суммарные уровни звукового давления от мнимых источников в расчётной точке днём, дБ		**ф-ла (19) [1]**	**0**	**0**	**0**	**0**	**0**	**11,2**	**3,2**	**0**	**0**	**0**	**12**
Уровни звукового давления от источника ИШ-1-4 в расчётной точке днём, дБ		**ф-ла(3)[10]**	**0**	**22,4**	**20,9**	**19**	**16**	**14,6**	**8,4**	**0**	**0**	**18,5**	**18,5**
Источник шума: ИШ-1-5, координаты источника (x,y,z), м =[241.49,205.86,1.00]													
Уровни звуковой мощности источника днём, Lw, дБ		**исходные данные**	**0**	**91,3**	**92,7**	**94**	**94,3**	**93,9**	**90,6**	**86,4**	**81,9**		
Поправка на телесный угол DΩ, дБ	Ω = 6.28	10Lg(4π/Ω)	**3**	3	3	3	3	3	3	3	3		
Показатель направленности источника Di, дБ		исходные данные	**0**	0	0	0	0	0	0	0	0		
Поправка на направленность источника Dc, дБ	Dc	DΩ + Di	**3**	3	3	3	3	3	3	3	3		
Затухание из-за геометрической дивергенции, Adiv, дБ	расстояние = 263.97 м	ф-ла (7) [10]	**59,4**										
Коэффициент затухания звука в атмосфере α, дБ/км	Ta=20,°C Pa=101.33,кПа hотн.=70%	ф-ла (5) [9]	0,02	0,09	0,33	1,12	2,79	4,98	9,04	23,09	77,63		
Учет затухания звука в атмосфере Aatm, дБ		ф-ла (8) [10]	0	0	0,1	0,3	0,7	1,3	2,4	6,1	20,5		
Снижение уровня звукового давления из-за влияния застройки между источником шума и расчетной точкой													
Снижение уровня звукового давления на пути над экраном, Dz1, дБ	z = 0.89м (разность путей)	ф-лы (14-18) [10]	7,2	9,7	13,1	16,4	19,5	22,5	25,4	28,4	31,4		
Снижение уровня звукового давления на пути слева от экрана, Dz2, дБ	z = 139.07м (разность путей)	ф-лы (14-18) [10]	27,5	31,4	35,9	40,1	43,7	46,9	49,9	52,9	55,9		
Снижение уровня звукового давления на пути справа от экрана, Dz3, дБ	z = 15.85м (разность путей)	ф-лы (14-18) [10]	17,9	20,8	23,7	26,7	29,7	32,7	35,7	38,7	41,7		

1		2	3	4	5	6	7	8	9	10	11	12	13
Общее снижение уровня звука препятствием Dz, дБ		Эн.сумма(-Dzi)	6,8	9,3	12,7	16	19,1	22,1	25	28	31		
Общее снижение уровня звука препятствием с учётом ограничения (25 дБ) для октавных полос Dz, дБ		Раздел 7.4 [10]	6,8	9,3	12,7	16	19,1	22,1	25	25	25		
Уровни звукового давления прямого звука от источника ИШ-1-5 в расчётной точке днём, дБ		**ф-ла(3)[10]**	**0**	**25,5**	**23,5**	**21,3**	**18,1**	**14,1**	**6,8**	**0**	**0**	**19,4**	**19,4**
Расчёт отражённого звука													
Уровни звукового давления от мнимого источника ИШ-1-5_мн.(1) в расчётной точке днём, дБ		**ф-ла(3)[10]**	**0**	**0**	**0**	**0**	**0**	**0**	**1,5**	**0**	**0**	**2,7**	**2,7**
Уровни звукового давления от мнимого источника ИШ-1-5_мн.(2) в расчётной точке днём, дБ		**ф-ла(3)[10]**	**0**	**0**	**0**	**0**	**0**	**0**	**0**	**0**	**0**	**0**	**0**
Суммарные уровни звукового давления от мнимых источников в расчётной точке днём, дБ		**ф-ла (19) [1]**	**0**	**0**	**0**	**0**	**0**	**0**	**1,5**	**0**	**0**	**0**	**2,7**
Уровни звукового давления от источника ИШ-1-5 в расчётной точке днём, дБ		**ф-ла(3)[10]**	**0**	**25,5**	**23,5**	**21,3**	**18,1**	**14,1**	**7,9**	**0**	**0**	**19,5**	**19,5**
Источник шума: ИШ-1-6, координаты источника (x,y,z), м =[279.85,192.97,1.00]													
Уровни звуковой мощности источника днём, Lw, дБ		**исходные данные**	**0**	**91,3**	**92,7**	**94**	**94,3**	**93,9**	**90,6**	**86,4**	**81,9**		
Поправка на телесный угол DΩ, дБ	Ω = 6.28	10Lg(4π/Ω)	**3**	3	3	3	3	3	3	3	3		
Показатель направленности источника Di, дБ		исходные данные	**0**	0	0	0	0	0	0	0	0		
Поправка на направленность источника Dc, дБ	Dc	DΩ + Di	**3**	3	3	3	3	3	3	3	3		
Затухание из-за геометрической дивергенции, Adiv, дБ	расстояние = 237.76 м	ф-ла (7) [10]	**58,5**										
Коэффициент затухания звука в атмосфере α, дБ/км	Ta=20,°C Pa=101.33,кПа hотн.=70%	ф-ла (5) [9]	0,02	0,09	0,33	1,12	2,79	4,98	9,04	23,09	77,63		
Учет затухания звука в атмосфере Aatm, дБ		ф-ла (8) [10]	0	0	0,1	0,3	0,7	1,2	2,1	5,5	18,5		

1		2	3	4	5	6	7	8	9	10	11	12	13
Снижение уровня звукового давления из-за влияния застройки между источником шума и расчетной точкой													
Снижение уровня звукового давления на пути над экраном, Dz1, дБ	z = 1.22м (разность путей)	ф-лы (14-18) [10]	10,1	13,2	16,2	19,1	22,1	25	28	31	34		
Снижение уровня звукового давления на пути слева от экрана, Dz2, дБ	z = 140.50м (разность путей)	ф-лы (14-18) [10]	27,6	31,4	35,9	40,2	43,7	46,9	50	53	56		
Снижение уровня звукового давления на пути справа от экрана, Dz3, дБ	z = 22.43м (разность путей)	ф-лы (14-18) [10]	19,4	22,3	25,2	28,2	31,2	34,2	37,2	40,2	43,2		
Общее снижение уровня звука препятствием Dz, дБ		Эн.сумма(-Dzi)	9,6	12,6	15,6	18,6	21,5	24,5	27,5	30,5	33,5		
Общее снижение уровня звука препятствием с учётом ограничения (25 дБ) для октавных полос Dz, дБ		Раздел 7.4 [10]	9,6	12,6	15,6	18,6	21,5	24,5	25	25	25		
Уровни звукового давления прямого звука от источника ИШ-1-6 в расчётной точке днём, дБ		**ф-ла(3)[10]**	**0**	**23,1**	**21,5**	**19,6**	**16,6**	**12,7**	**7,9**	**0,4**	**0**	**18,2**	**18,2**
Расчёт отражённого звука													
Уровни звукового давления от мнимого источника ИШ-1-6_мн.(1) в расчётной точке днём, дБ		**ф-ла(3)[10]**	**0**	**0**	**0**	**0**	**0**	**15,9**	**7,9**	**0**	**0**	**16,7**	**16,7**
Уровни звукового давления от мнимого источника ИШ-1-6_мн.(2) в расчётной точке днём, дБ		**ф-ла(3)[10]**	**0**	**0**	**0**	**0**	**0**	**0**	**0**	**0**	**0**	**0**	**0**
Суммарные уровни звукового давления от мнимых источников в расчётной точке днём, дБ		**ф-ла (19) [1]**	**0**	**0**	**0**	**0**	**0**	**15,9**	**7,9**	**0**	**0**	**0**	**16,7**
Уровни звукового давления от источника ИШ-1-6 в расчётной точке днём, дБ		**ф-ла(3)[10]**	**0**	**23,1**	**21,5**	**19,6**	**16,6**	**17,6**	**10,9**	**0,4**	**0**	**20,5**	**20,5**
Источник шума: ИШ-1-7, координаты источника (x,y,z), м =[451.87,146.66,1.00]													
Уровни звуковой мощности источника днём, Lw, дБ		**исходные данные**	**0**	**93,3**	**94,7**	**96**	**96,3**	**95,9**	**92,6**	**88,4**	**83,9**		
Поправка на телесный угол DΩ, дБ	Ω = 6.28	10Lg(4π/Ω)	**3**	3	3	3	3	3	3	3	3		
Показатель направленности источника Di, дБ		исходные данные	**0**	0	0	0	0	0	0	0	0		
Поправка на направленность источника Dc, дБ	Dc	DΩ + Di	**3**	3	3	3	3	3	3	3	3		

1		2	3	4	5	6	7	8	9	10	11	12	13
Затухание из-за геометрической дивергенции, Adiv, дБ	расстояние = 204.55 м	ф-ла (7) [10]	**57,2**										
Коэффициент затухания звука в атмосфере α, дБ/км	Ta=20,°C Pa=101.33,кПа hотн.=70%	ф-ла (5) [9]	0,02	0,09	0,33	1,12	2,79	4,98	9,04	23,09	77,63		
Учет затухания звука в атмосфере Aatm, дБ		ф-ла (8) [10]	0	0	0,1	0,2	0,6	1	1,8	4,7	15,9		
Снижение уровня звукового давления из-за влияния застройки между источником шума и расчетной точкой													
Снижение уровня звукового давления на пути над экраном, Dz1, дБ	z = 0.92м (разность путей)	ф-лы (14-18) [10]	7,4	9,7	13,2	16,8	20,1	23,2	26,2	29,2	32,2		
Снижение уровня звукового давления на пути слева от экрана, Dz2, дБ	z = 16.46м (разность путей)	ф-лы (14-18) [10]	18,6	22,5	27	31	34,5	37,6	40,6	43,7	46,7		
Снижение уровня звукового давления на пути справа от экрана, Dz3, дБ	z = 107.85м (разность путей)	ф-лы (14-18) [10]	30,2	33,6	36,7	39,8	42,8	45,8	48,8	51,8	54,8		
Общее снижение уровня звука препятствием Dz, дБ		Эн.сумма(-Dzi)	7	9,4	13	16,7	19,9	23	26	29	32		
Общее снижение уровня звука препятствием с учётом ограничения (25 дБ) для октавных полос Dz, дБ		Раздел 7.4 [10]	7	9,4	13	16,7	19,9	23	25	25	25		
Уровни звукового давления прямого звука от источника ИШ-1-7 в расчётной точке днём, дБ		**ф-ла(3)[10]**	**0**	**29,6**	**27,5**	**24,9**	**21,6**	**17,7**	**11,5**	**4,5**	**0**	**23,2**	**23,2**
Расчёт отражённого звука													
Уровни звукового давления от мнимого источника ИШ-1-7_мн.(1) в расчётной точке днём, дБ		**ф-ла(3)[10]**	**0**	**0**	**0**	**0**	**0**	**0**	**9,4**	**1,7**	**0**	**11,3**	**11,3**
Уровни звукового давления от источника ИШ-1-7 в расчётной точке днём, дБ		**ф-ла(3)[10]**	**0**	**29,6**	**27,5**	**24,9**	**21,6**	**17,7**	**13,6**	**6,3**	**0**	**23,4**	**23,4**
Источник шума: ИШ-1-8, координаты источника (x,y,z), м =[454.99,145.29,1.00]													
Уровни звуковой мощности источника днём, Lw, дБ		**исходные данные**	**0**	**93,3**	**94,7**	**96**	**96,3**	**95,9**	**92,6**	**88,4**	**83,9**		
Поправка на телесный угол DΩ, дБ	Ω = 6.28	10Lg(4π/Ω)	**3**	3	3	3	3	3	3	3	3		

1		2	3	4	5	6	7	8	9	10	11	12	13
Показатель направленности источника Di, дБ		исходные данные	**0**	0	0	0	0	0	0	0	0		
Поправка на направленность источника Dc, дБ	Dc	DΩ + Di	**3**	3	3	3	3	3	3	3	3		
Затухание из-за геометрической дивергенции, Adiv, дБ	расстояние = 204.88 м	ф-ла (7) [10]	**57,2**										
Коэффициент затухания звука в атмосфере α, дБ/км	Ta=20,°C Pa=101.33,кПа hотн.=70%	ф-ла (5) [9]	0,02	0,09	0,33	1,12	2,79	4,98	9,04	23,09	77,63		
Учет затухания звука в атмосфере Aatm, дБ		ф-ла (8) [10]	0	0	0,1	0,2	0,6	1	1,9	4,7	15,9		
Снижение уровня звукового давления из-за влияния застройки между источником шума и расчетной точкой													
Снижение уровня звукового давления на пути над экраном, Dz1, дБ	z = 0.92м (разность путей)	ф-лы (14-18) [10]	7,4	9,7	13,1	16,8	20,1	23,2	26,2	29,2	32,2		
Снижение уровня звукового давления на пути слева от экрана, Dz2, дБ	z = 15.43м (разность путей)	ф-лы (14-18) [10]	18,3	22,2	26,7	30,8	34,2	37,3	40,4	43,4	46,4		
Снижение уровня звукового давления на пути справа от экрана, Dz3, дБ	z = 109.43м (разность путей)	ф-лы (14-18) [10]	30,3	33,7	36,8	39,8	42,9	45,9	48,9	51,9	54,9		
Общее снижение уровня звука препятствием Dz, дБ		Эн.сумма(-Dzi)	7	9,4	12,9	16,6	19,9	23	26	29	32		
Общее снижение уровня звука препятствием с учётом ограничения (25 дБ) для октавных полос Dz, дБ		Раздел 7.4 [10]	7	9,4	12,9	16,6	19,9	23	25	25	25		
Уровни звукового давления прямого звука от источника ИШ-1-8 в расчётной точке днём, дБ		**ф-ла(3)[10]**	**0**	**29,6**	**27,5**	**24,9**	**21,6**	**17,7**	**11,5**	**4,4**	**0**	**23,2**	**23,2**
Расчёт отражённого звука													
Уровни звукового давления от мнимого источника ИШ-1-8_мн.(1) в расчётной точке днём, дБ		**ф-ла(3)[10]**	**0**	**0**	**0**	**0**	**0**	**0**	**9,3**	**1,8**	**0**	**11,2**	**11,2**
Уровни звукового давления от источника ИШ-1-8 в расчётной точке днём, дБ		**ф-ла(3)[10]**	**0**	**29,6**	**27,5**	**24,9**	**21,6**	**17,7**	**13,6**	**6,3**	**0**	**23,4**	**23,4**
Источник шума: ИШ-1-9, координаты источника (x,y,z), м =[458.12,144.31,1.00]													

1		2	3	4	5	6	7	8	9	10	11	12	13
Уровни звуковой мощности источника днём, Lw, дБ		**исходные данные**	**0**	**93,3**	**94,7**	**96**	**96,3**	**95,9**	**92,6**	**88,4**	**83,9**		
Поправка на телесный угол DΩ, дБ	Ω = 6.28	10Lg(4π/Ω)	**3**	3	3	3	3	3	3	3	3		
Показатель направленности источника Di, дБ		исходные данные	**0**	0	0	0	0	0	0	0	0		
Поправка на направленность источника Dc, дБ	Dc	DΩ + Di	**3**	3	3	3	3	3	3	3	3		
Затухание из-за геометрической дивергенции, Adiv, дБ	расстояние = 205.59 м	ф-ла (7) [10]	**57,3**										
Коэффициент затухания звука в атмосфере α, дБ/км	Ta=20,°C Pa=101.33,кПа hотн.=70%	ф-ла (5) [9]	0,02	0,09	0,33	1,12	2,79	4,98	9,04	23,09	77,63		
Учет затухания звука в атмосфере Aatm, дБ		ф-ла (8) [10]	0	0	0,1	0,2	0,6	1	1,9	4,7	16		
Снижение уровня звукового давления из-за влияния застройки между источником шума и расчетной точкой													
Снижение уровня звукового давления на пути над экраном, Dz1, дБ	z = 0.92м (разность путей)	ф-лы (14-18) [10]	7,4	9,6	13,1	16,8	20,1	23,1	26,1	29,1	32,1		
Снижение уровня звукового давления на пути слева от экрана, Dz2, дБ	z = 14.48м (разность путей)	ф-лы (14-18) [10]	18	21,9	26,4	30,5	33,9	37	40,1	43,1	46,1		
Снижение уровня звукового давления на пути справа от экрана, Dz3, дБ	z = 110.36м (разность путей)	ф-лы (14-18) [10]	30,3	33,7	36,8	39,9	42,9	45,9	48,9	51,9	54,9		
Общее снижение уровня звука препятствием Dz, дБ		Эн.сумма(-Dzi)	7	9,4	12,9	16,6	19,9	22,9	25,9	28,9	32		
Общее снижение уровня звука препятствием с учётом ограничения (25 дБ) для октавных полос Dz, дБ		Раздел 7.4 [10]	7	9,4	12,9	16,6	19,9	22,9	25	25	25		
Уровни звукового давления прямого звука от источника ИШ-1-9 в расчётной точке днём, дБ		**ф-ла(3)[10]**	**0**	**29,6**	**27,5**	**24,9**	**21,6**	**17,7**	**11,5**	**4,4**	**0**	**23,2**	**23,2**
Расчёт отражённого звука													
Уровни звукового давления от мнимого источника ИШ-1-9_мн.(1) в расчётной точке днём, дБ		**ф-ла(3)[10]**	**0**	**0**	**0**	**0**	**0**	**0**	**9,3**	**1,9**	**0**	**11,2**	**11,2**
Уровни звукового давления от источника ИШ-1-9 в расчётной точке днём, дБ		**ф-ла(3)[10]**	**0**	**29,6**	**27,5**	**24,9**	**21,6**	**17,7**	**13,5**	**6,3**	**0**	**23,4**	**23,4**

1		2	3	4	5	6	7	8	9	10	11	12	13
Источник шума: ИШ-1-10, координаты источника (x,y,z), м =[461.05,143.53,1.00]													
Уровни звуковой мощности источника днём, Lw, дБ		**исходные данные**	**0**	**93,3**	**94,7**	**96**	**96,3**	**95,9**	**92,6**	**88,4**	**83,9**		
Поправка на телесный угол DΩ, дБ	Ω = 6.28	10Lg(4π/Ω)	**3**	3	3	3	3	3	3	3	3		
Показатель направленности источника Di, дБ		исходные данные	**0**	0	0	0	0	0	0	0	0		
Поправка на направленность источника Dc, дБ	Dc	DΩ + Di	**3**	3	3	3	3	3	3	3	3		
Затухание из-за геометрической дивергенции, Adiv, дБ	расстояние = 206.42 м	ф-ла (7) [10]	**57,3**										
Коэффициент затухания звука в атмосфере α, дБ/км	Ta=20,°C Pa=101.33,кПа hотн.=70%	ф-ла (5) [9]	0,02	0,09	0,33	1,12	2,79	4,98	9,04	23,09	77,63		
Учет затухания звука в атмосфере Aatm, дБ		ф-ла (8) [10]	0	0	0,1	0,2	0,6	1	1,9	4,8	16		
Снижение уровня звукового давления из-за влияния застройки между источником шума и расчетной точкой													
Снижение уровня звукового давления на пути над экраном, Dz1, дБ	z = 0.91м (разность путей)	ф-лы (14-18) [10]	7,3	9,6	13,1	16,8	20	23,1	26,1	29,1	32,1		
Снижение уровня звукового давления на пути слева от экрана, Dz2, дБ	z = 13.65м (разность путей)	ф-лы (14-18) [10]	17,8	21,7	26,1	30,2	33,7	36,8	39,8	42,8	45,9		
Снижение уровня звукового давления на пути справа от экрана, Dz3, дБ	z = 111.07м (разность путей)	ф-лы (14-18) [10]	30,3	33,8	36,9	39,9	42,9	45,9	48,9	52	55		
Общее снижение уровня звука препятствием Dz, дБ		Эн.сумма(-Dzi)	6,9	9,3	12,9	16,6	19,8	22,9	25,9	28,9	31,9		
Общее снижение уровня звука препятствием с учётом ограничения (25 дБ) для октавных полос Dz, дБ		Раздел 7.4 [10]	6,9	9,3	12,9	16,6	19,8	22,9	25	25	25		
Уровни звукового давления прямого звука от источника ИШ-1-10 в расчётной точке днём, дБ		**ф-ла(3)[10]**	**0**	**29,6**	**27,5**	**24,9**	**21,6**	**17,7**	**11,4**	**4,3**	**0**	**23,2**	**23,2**
Расчёт отражённого звука													

1		2	3	4	5	6	7	8	9	10	11	12	13
Уровни звукового давления от мнимого источника ИШ-1-10_мн.(1) в расчётной точке днём, дБ		**ф-ла(3)[10]**	**0**	**0**	**0**	**0**	**0**	**0**	**9,4**	**2**	**0**	**11,3**	**11,3**
Уровни звукового давления от источника ИШ-1-10 в расчётной точке днём, дБ		**ф-ла(3)[10]**	**0**	**29,6**	**27,5**	**24,9**	**21,6**	**17,7**	**13,5**	**6,3**	**0**	**23,4**	**23,4**
Источник шума: ИШ-1-11, координаты источника (x,y,z), м =[464.18,142.55,1.00]													
Уровни звуковой мощности источника днём, Lw, дБ		**исходные данные**	**0**	**93,3**	**94,7**	**96**	**96,3**	**95,9**	**92,6**	**88,4**	**83,9**		
Поправка на телесный угол DΩ, дБ	Ω = 6.28	10Lg(4π/Ω)	**3**	3	3	3	3	3	3	3	3		
Показатель направленности источника Di, дБ		исходные данные	**0**	0	0	0	0	0	0	0	0		
Поправка на направленность источника Dc, дБ	Dc	DΩ + Di	**3**	3	3	3	3	3	3	3	3		
Затухание из-за геометрической дивергенции, Adiv, дБ	расстояние = 207.24 м	ф-ла (7) [10]	**57,3**										
Коэффициент затухания звука в атмосфере α, дБ/км	Ta=20,°C Pa=101.33,кПа hотн.=70%	ф-ла (5) [9]	0,02	0,09	0,33	1,12	2,79	4,98	9,04	23,09	77,63		
Учет затухания звука в атмосфере Aatm, дБ		ф-ла (8) [10]	0	0	0,1	0,2	0,6	1	1,9	4,8	16,1		
Снижение уровня звукового давления из-за влияния застройки между источником шума и расчетной точкой													
Снижение уровня звукового давления на пути над экраном, Dz1, дБ	z = 0.91м (разность путей)	ф-лы (14-18) [10]	7,3	9,6	13,1	16,8	20	23,1	26,1	29,1	32,1		
Снижение уровня звукового давления на пути слева от экрана, Dz2, дБ	z = 12.79м (разность путей)	ф-лы (14-18) [10]	17,5	21,4	25,9	30	33,4	36,5	39,5	42,6	45,6		
Снижение уровня звукового давления на пути справа от экрана, Dz3, дБ	z = 112.15м (разность путей)	ф-лы (14-18) [10]	30,4	33,8	36,9	39,9	43	46	49	52	55		
Общее снижение уровня звука препятствием Dz, дБ		Эн.сумма(-Dzi)	6,9	9,3	12,8	16,5	19,8	22,9	25,9	28,9	31,9		
Общее снижение уровня звука препятствием с учётом ограничения (25 дБ) для октавных полос Dz, дБ		Раздел 7.4 [10]	6,9	9,3	12,8	16,5	19,8	22,9	25	25	25		

1		2	3	4	5	6	7	8	9	10	11	12	13
Уровни звукового давления прямого звука от источника ИШ-1-11 в расчётной точке днём, дБ		**ф-ла(3)[10]**	**0**	**29,6**	**27,5**	**24,9**	**21,6**	**17,7**	**11,4**	**4,3**	**0**	**23,2**	**23,2**
Расчёт отражённого звука													
Уровни звукового давления от мнимого источника ИШ-1-11_мн.(1) в расчётной точке днём, дБ		**ф-ла(3)[10]**	**0**	**0**	**0**	**0**	**0**	**16,5**	**9,4**	**2**	**0**	**17,7**	**17,7**
Уровни звукового давления от источника ИШ-1-11 в расчётной точке днём, дБ		**ф-ла(3)[10]**	**0**	**29,6**	**27,5**	**24,9**	**21,6**	**20,1**	**13,5**	**6,3**	**0**	**24,2**	**24,2**
Источник шума: ИШ-1-12, координаты источника (x,y,z), м =[435.45,97.79,1.00]													
Уровни звуковой мощности источника днём, Lw, дБ		**исходные данные**	**0**	**93,3**	**94,7**	**96**	**96,3**	**95,9**	**92,6**	**88,4**	**83,9**		
Поправка на телесный угол DΩ, дБ	Ω = 6.28	10Lg(4π/Ω)	**3**	3	3	3	3	3	3	3	3		
Показатель направленности источника Di, дБ		исходные данные	**0**	0	0	0	0	0	0	0	0		
Поправка на направленность источника Dc, дБ	Dc	DΩ + Di	**3**	3	3	3	3	3	3	3	3		
Затухание из-за геометрической дивергенции, Adiv, дБ	расстояние = 154.05 м	ф-ла (7) [10]	**54,8**										
Коэффициент затухания звука в атмосфере α, дБ/км	Ta=20,°C Pa=101.33,кПа hотн.=70%	ф-ла (5) [9]	0,02	0,09	0,33	1,12	2,79	4,98	9,04	23,09	77,63		
Учет затухания звука в атмосфере Aatm, дБ		ф-ла (8) [10]	0	0	0,1	0,2	0,4	0,8	1,4	3,6	12		
Снижение уровня звукового давления из-за влияния застройки между источником шума и расчетной точкой													
Снижение уровня звукового давления на пути над экраном, Dz1, дБ	z = 1.18м (разность путей)	ф-лы (14-18) [10]	8,3	11,1	14,9	18,7	22	25,1	28,1	31,1	34,1		
Снижение уровня звукового давления на пути слева от экрана, Dz2, дБ	z = 16.23м (разность путей)	ф-лы (14-18) [10]	18,5	22,4	26,9	31	34,4	37,5	40,6	43,6	46,6		
Снижение уровня звукового давления на пути справа от экрана, Dz3, дБ	z = 10.67м (разность путей)	ф-лы (14-18) [10]	16,8	20,6	25,1	29,2	32,6	35,7	38,8	41,8	44,8		

1		2	3	4	5	6	7	8	9	10	11	12	13
Общее снижение уровня звука препятствием Dz, дБ		Эн.сумма(-Dzi)	7,4	10,3	14,2	18,1	21,4	24,5	27,5	30,5	33,5		
Общее снижение уровня звука препятствием с учётом ограничения (25 дБ) для октавных полос Dz, дБ		Раздел 7.4 [10]	7,4	10,3	14,2	18,1	21,4	24,5	25	25	25		
Уровни звукового давления прямого звука от источника ИШ-1-12 в расчётной точке днём, дБ		**ф-ла(3)[10]**	**0**	**31,2**	**28,7**	**26**	**22,7**	**18,9**	**14,4**	**8,1**	**0**	**24,6**	**24,6**
Расчёт отражённого звука													
Уровни звукового давления от мнимого источника ИШ-1-12_мн.(1) в расчётной точке днём, дБ		**ф-ла(3)[10]**	**0**	**0**	**0**	**0**	**0**	**0**	**0**	**29,7**	**15,1**	**30,8**	**30,8**
Уровни звукового давления от источника ИШ-1-12 в расчётной точке днём, дБ		**ф-ла(3)[10]**	**0**	**31,2**	**28,7**	**26**	**22,7**	**18,9**	**14,4**	**29,8**	**15,1**	**31,7**	**31,7**
Источник шума: ИШ-1-13, координаты источника (x,y,z), м =[438.77,96.82,1.00]													
Уровни звуковой мощности источника днём, Lw, дБ		**исходные данные**	**0**	**93,3**	**94,7**	**96**	**96,3**	**95,9**	**92,6**	**88,4**	**83,9**		
Поправка на телесный угол DΩ, дБ	Ω = 6.28	10Lg(4π/Ω)	**3**	3	3	3	3	3	3	3	3		
Показатель направленности источника Di, дБ		исходные данные	**0**	0	0	0	0	0	0	0	0		
Поправка на направленность источника Dc, дБ	Dc	DΩ + Di	**3**	3	3	3	3	3	3	3	3		
Затухание из-за геометрической дивергенции, Adiv, дБ	расстояние = 155.02 м	ф-ла (7) [10]	**54,8**										
Коэффициент затухания звука в атмосфере α, дБ/км	Ta=20,°C Pa=101.33,кПа hотн.=70%	ф-ла (5) [9]	0,02	0,09	0,33	1,12	2,79	4,98	9,04	23,09	77,63		
Учет затухания звука в атмосфере Aatm, дБ		ф-ла (8) [10]	0	0	0,1	0,2	0,4	0,8	1,4	3,6	12		
Снижение уровня звукового давления из-за влияния застройки между источником шума и расчетной точкой													
Снижение уровня звукового давления на пути над экраном, Dz1, дБ	z = 1.17м (разность путей)	ф-лы (14-18) [10]	8,3	11	14,8	18,6	21,9	25	28	31	34,1		

1		2	3	4	5	6	7	8	9	10	11	12	13
Снижение уровня звукового давления на пути слева от экрана, Dz2, дБ	z = 14.67м (разность путей)	ф-лы (14-18) [10]	18,1	22	26,5	30,5	34	37,1	40,1	43,2	46,2		
Снижение уровня звукового давления на пути справа от экрана, Dz3, дБ	z = 11.85м (разность путей)	ф-лы (14-18) [10]	17,2	21,1	25,5	29,6	33	36,2	39,2	42,2	45,2		
Общее снижение уровня звука препятствием Dz, дБ		Эн.сумма(-Dzi)	7,4	10,3	14,2	18	21,4	24,5	27,5	30,5	33,5		
Общее снижение уровня звука препятствием с учётом ограничения (25 дБ) для октавных полос Dz, дБ		Раздел 7.4 [10]	7,4	10,3	14,2	18	21,4	24,5	25	25	25		
Уровни звукового давления прямого звука от источника ИШ-1-13 в расчётной точке днём, дБ		**ф-ла(3)[10]**	**0**	**31,2**	**28,6**	**26**	**22,7**	**18,9**	**14,4**	**8**	**0**	**24,6**	**24,6**
Расчёт отражённого звука													
Уровни звукового давления от мнимого источника ИШ-1-13_мн.(1) в расчётной точке днём, дБ		**ф-ла(3)[10]**	**0**	**0**	**0**	**0**	**0**	**0**	**0**	**29,6**	**14,8**	**30,7**	**30,7**
Уровни звукового давления от источника ИШ-1-13 в расчётной точке днём, дБ		**ф-ла(3)[10]**	**0**	**31,2**	**28,6**	**26**	**22,7**	**18,9**	**14,4**	**29,6**	**14,8**	**31,6**	**31,6**
Источник шума: ИШ-1-14, координаты источника (x,y,z), м =[441.70,96.03,1.00]													
Уровни звуковой мощности источника днём, Lw, дБ		**исходные данные**	**0**	**93,3**	**94,7**	**96**	**96,3**	**95,9**	**92,6**	**88,4**	**83,9**		
Поправка на телесный угол DΩ, дБ	Ω = 6.28	10Lg(4π/Ω)	**3**	3	3	3	3	3	3	3	3		
Показатель направленности источника Di, дБ		исходные данные	**0**	0	0	0	0	0	0	0	0		
Поправка на направленность источника Dc, дБ	Dc	DΩ + Di	**3**	3	3	3	3	3	3	3	3		
Затухание из-за геометрической дивергенции, Adiv, дБ	расстояние = 155.99 м	ф-ла (7) [10]	**54,9**										
Коэффициент затухания звука в атмосфере α, дБ/км	Ta=20,°C Pa=101.33,кПа hотн.=70%	ф-ла (5) [9]	0,02	0,09	0,33	1,12	2,79	4,98	9,04	23,09	77,63		
Учет затухания звука в атмосфере Aatm, дБ		ф-ла (8) [10]	0	0	0,1	0,2	0,4	0,8	1,4	3,6	12,1		

1		2	3	4	5	6	7	8	9	10	11	12	13
Снижение уровня звукового давления из-за влияния застройки между источником шума и расчетной точкой													
Снижение уровня звукового давления на пути над экраном, Dz1, дБ	z = 1.17м (разность путей)	ф-лы (14-18) [10]	8,3	11	14,8	18,6	21,9	25	28	31	34		
Снижение уровня звукового давления на пути слева от экрана, Dz2, дБ	z = 13.39м (разность путей)	ф-лы (14-18) [10]	17,7	21,6	26,1	30,2	33,6	36,7	39,7	42,8	45,8		
Снижение уровня звукового давления на пути справа от экрана, Dz3, дБ	z = 12.88м (разность путей)	ф-лы (14-18) [10]	17,5	21,4	25,9	30	33,4	36,5	39,6	42,6	45,6		
Общее снижение уровня звука препятствием Dz, дБ		Эн.сумма(-Dzi)	7,4	10,3	14,2	18	21,3	24,4	27,4	30,5	33,5		
Общее снижение уровня звука препятствием с учётом ограничения (25 дБ) для октавных полос Dz, дБ		Раздел 7.4 [10]	7,4	10,3	14,2	18	21,3	24,4	25	25	25		
Уровни звукового давления от источника ИШ-1-14 в расчётной точке днём, дБ		**ф-ла(3)[10]**	**0**	**31,1**	**28,6**	**25,9**	**22,7**	**18,8**	**14,3**	**7,9**	**0**	**24,5**	**24,5**
Источник шума: ИШ-1-15, координаты источника (x,y,z), м =[445.03,95.25,1.00]													
Уровни звуковой мощности источника днём, Lw, дБ		**исходные данные**	**0**	**93,3**	**94,7**	**96**	**96,3**	**95,9**	**92,6**	**88,4**	**83,9**		
Поправка на телесный угол DΩ, дБ	Ω = 6.28	10Lg(4π/Ω)	**3**	3	3	3	3	3	3	3	3		
Показатель направленности источника Di, дБ		исходные данные	**0**	0	0	0	0	0	0	0	0		
Поправка на направленность источника Dc, дБ	Dc	DΩ + Di	**3**	3	3	3	3	3	3	3	3		
Затухание из-за геометрической дивергенции, Adiv, дБ	расстояние = 157.25 м	ф-ла (7) [10]	**54,9**										
Коэффициент затухания звука в атмосфере α, дБ/км	Ta=20,°C Pa=101.33,кПа hотн.=70%	ф-ла (5) [9]	0,02	0,09	0,33	1,12	2,79	4,98	9,04	23,09	77,63		
Учет затухания звука в атмосфере Aatm, дБ		ф-ла (8) [10]	0	0	0,1	0,2	0,4	0,8	1,4	3,6	12,2		
Снижение уровня звукового давления из-за влияния застройки между источником шума и расчетной точкой													

1		2	3	4	5	6	7	8	9	10	11	12	13
Снижение уровня звукового давления на пути над экраном, Dz1, дБ	z = 1.16м (разность путей)	ф-лы (14-18) [10]	8,3	11	14,8	18,5	21,8	24,9	27,9	30,9	34		
Снижение уровня звукового давления на пути слева от экрана, Dz2, дБ	z = 12.06м (разность путей)	ф-лы (14-18) [10]	17,3	21,2	25,6	29,7	33,1	36,3	39,3	42,3	45,3		
Снижение уровня звукового давления на пути справа от экрана, Dz3, дБ	z = 14.03м (разность путей)	ф-лы (14-18) [10]	17,9	21,8	26,3	30,4	33,8	36,9	39,9	43	46		
Общее снижение уровня звука препятствием Dz, дБ		Эн.сумма(-Dzi)	7,4	10,3	14,1	18	21,3	24,4	27,4	30,4	33,4		
Общее снижение уровня звука препятствием с учётом ограничения (25 дБ) для октавных полос Dz, дБ		Раздел 7.4 [10]	7,4	10,3	14,1	18	21,3	24,4	25	25	25		
Уровни звукового давления от источника ИШ-1-15 в расчётной точке днём, дБ		**ф-ла(3)[10]**	**0**	**31,1**	**28,6**	**25,9**	**22,6**	**18,8**	**14,2**	**7,8**	**0**	**24,5**	**24,5**
Источник шума: ИШ-1-16, координаты источника (x,y,z), м =[447.96,94.28,1.00]													
Уровни звуковой мощности источника днём, Lw, дБ		**исходные данные**	**0**	**93,3**	**94,7**	**96**	**96,3**	**95,9**	**92,6**	**88,4**	**83,9**		
Поправка на телесный угол DΩ, дБ	Ω = 6.28	10Lg(4π/Ω)	**3**	3	3	3	3	3	3	3	3		
Показатель направленности источника Di, дБ		исходные данные	**0**	0	0	0	0	0	0	0	0		
Поправка на направленность источника Dc, дБ	Dc	DΩ + Di	**3**	3	3	3	3	3	3	3	3		
Затухание из-за геометрической дивергенции, Adiv, дБ	расстояние = 158.18 м	ф-ла (7) [10]	**55**										
Коэффициент затухания звука в атмосфере α, дБ/км	Ta=20,°C Pa=101.33,кПа hотн.=70%	ф-ла (5) [9]	0,02	0,09	0,33	1,12	2,79	4,98	9,04	23,09	77,63		
Учет затухания звука в атмосфере Aatm, дБ		ф-ла (8) [10]	0	0	0,1	0,2	0,4	0,8	1,4	3,7	12,3		
Снижение уровня звукового давления из-за влияния застройки между источником шума и расчетной точкой													
Снижение уровня звукового давления на пути над экраном, Dz1, дБ	z = 1.15м (разность путей)	ф-лы (14-18) [10]	8,3	11	14,7	18,5	21,8	24,9	27,9	30,9	33,9		

1		2	3	4	5	6	7	8	9	10	11	12	13
Снижение уровня звукового давления на пути слева от экрана, Dz2, дБ	z = 10.94м (разность путей)	ф-лы (14-18) [10]	16,9	20,8	25,2	29,3	32,7	35,8	38,9	41,9	44,9		
Снижение уровня звукового давления на пути справа от экрана, Dz3, дБ	z = 15.14м (разность путей)	ф-лы (14-18) [10]	18,2	22,1	26,6	30,7	34,1	37,2	40,3	43,3	46,3		
Общее снижение уровня звука препятствием Dz, дБ		Эн.сумма(-Dzi)	7,3	10,2	14,1	17,9	21,2	24,3	27,3	30,3	33,4		
Общее снижение уровня звука препятствием с учётом ограничения (25 дБ) для октавных полос Dz, дБ		Раздел 7.4 [10]	7,3	10,2	14,1	17,9	21,2	24,3	25	25	25		
Уровни звукового давления от источника ИШ-1-16 в расчётной точке днём, дБ		**ф-ла(3)[10]**	**0**	**31,1**	**28,5**	**25,9**	**22,6**	**18,8**	**14,2**	**7,8**	**0**	**24,5**	**24,5**
Источник шума: ИШ-1-17, координаты источника (x,y,z), м =[540.99,141.77,1.00]													
Уровни звуковой мощности источника днём, Lw, дБ		**исходные данные**	**0**	**93,3**	**94,7**	**96**	**96,3**	**95,9**	**92,6**	**88,4**	**83,9**		
Поправка на телесный угол DΩ, дБ	Ω = 6.28	10Lg(4π/Ω)	**3**	3	3	3	3	3	3	3	3		
Показатель направленности источника Di, дБ		исходные данные	**0**	0	0	0	0	0	0	0	0		
Поправка на направленность источника Dc, дБ	Dc	DΩ + Di	**3**	3	3	3	3	3	3	3	3		
Затухание из-за геометрической дивергенции, Adiv, дБ	расстояние = 255.94 м	ф-ла (7) [10]	**59,2**										
Коэффициент затухания звука в атмосфере α, дБ/км	Ta=20,°C Pa=101.33,кПа hотн.=70%	ф-ла (5) [9]	0,02	0,09	0,33	1,12	2,79	4,98	9,04	23,09	77,63		
Учет затухания звука в атмосфере Aatm, дБ		ф-ла (8) [10]	0	0	0,1	0,3	0,7	1,3	2,3	5,9	19,9		
Снижение уровня звукового давления из-за влияния застройки между источником шума и расчетной точкой													
Снижение уровня звукового давления на пути над экраном, Dz1, дБ	z = 1.23м (разность путей)	ф-лы (14-18) [10]	10,3	13,3	16,2	19,1	22	25	28	31	34		
Снижение уровня звукового давления на пути слева от экрана, Dz2, дБ	z = 5.55м (разность путей)	ф-лы (14-18) [10]	15,9	20,1	23,7	26,9	29,9	32,9	35,9	38,9	42		

1		2	3	4	5	6	7	8	9	10	11	12	13
Снижение уровня звукового давления на пути справа от экрана, Dz3, дБ	z = 62.67м (разность путей)	ф-лы (14-18) [10]	28	31,3	34,4	37,4	40,4	43,4	46,5	49,5	52,5		
Общее снижение уровня звука препятствием Dz, дБ		Эн.сумма(-Dzi)	9,2	12,4	15,4	18,4	21,3	24,3	27,3	30,3	33,3		
Общее снижение уровня звука препятствием с учётом ограничения (25 дБ) для октавных полос Dz, дБ		Раздел 7.4 [10]	9,2	12,4	15,4	18,4	21,3	24,3	25	25	25		
Уровни звукового давления от источника ИШ-1-17 в расчётной точке днём, дБ		**ф-ла(3)[10]**	**0**	**24,7**	**23**	**21,2**	**18,1**	**14,1**	**9,1**	**1,3**	**0**	**19,7**	**19,7**
Источник шума: ИШ-1-18, координаты источника (x,y,z), м =[543.53,140.79,1.00]													
Уровни звуковой мощности источника днём, Lw, дБ		**исходные данные**	**0**	**93,3**	**94,7**	**96**	**96,3**	**95,9**	**92,6**	**88,4**	**83,9**		
Поправка на телесный угол DΩ, дБ	Ω = 6.28	10Lg(4π/Ω)	**3**	3	3	3	3	3	3	3	3		
Показатель направленности источника Di, дБ		исходные данные	**0**	0	0	0	0	0	0	0	0		
Поправка на направленность источника Dc, дБ	Dc	DΩ + Di	**3**	3	3	3	3	3	3	3	3		
Затухание из-за геометрической дивергенции, Adiv, дБ	расстояние = 257.14 м	ф-ла (7) [10]	**59,2**										
Коэффициент затухания звука в атмосфере α, дБ/км	Ta=20,°C Pa=101.33,кПа hотн.=70%	ф-ла (5) [9]	0,02	0,09	0,33	1,12	2,79	4,98	9,04	23,09	77,63		
Учет затухания звука в атмосфере Aatm, дБ		ф-ла (8) [10]	0	0	0,1	0,3	0,7	1,3	2,3	5,9	20		
Снижение уровня звукового давления из-за влияния застройки между источником шума и расчетной точкой													
Снижение уровня звукового давления на пути над экраном, Dz1, дБ	z = 1.17м (разность путей)	ф-лы (14-18) [10]	10	13	15,9	18,8	21,7	24,7	27,7	30,7	33,7		
Снижение уровня звукового давления на пути слева от экрана, Dz2, дБ	z = 4.94м (разность путей)	ф-лы (14-18) [10]	15,5	19,6	23,2	26,4	29,4	32,4	35,4	38,4	41,4		
Снижение уровня звукового давления на пути справа от экрана, Dz3, дБ	z = 63.48м (разность путей)	ф-лы (14-18) [10]	28	31,4	34,4	37,5	40,5	43,5	46,5	49,5	52,5		

1		2	3	4	5	6	7	8	9	10	11	12	13
Общее снижение уровня звука препятствием Dz, дБ		Эн.сумма(-Dzi)	8,9	12,1	15,1	18,1	21	24	27	30	33		
Общее снижение уровня звука препятствием с учётом ограничения (25 дБ) для октавных полос Dz, дБ		Раздел 7.4 [10]	8,9	12,1	15,1	18,1	21	24	25	25	25		
Уровни звукового давления от источника ИШ-1-18 в расчётной точке днём, дБ		**ф-ла(3)[10]**	**0**	**25**	**23,3**	**21,4**	**18,4**	**14,4**	**9,1**	**1,3**	**0**	**19,9**	**19,9**
Источник шума: ИШ-1-19, координаты источника (x,y,z), м =[547.25,139.62,1.00]													
Уровни звуковой мощности источника днём, Lw, дБ		**исходные данные**	**0**	**93,3**	**94,7**	**96**	**96,3**	**95,9**	**92,6**	**88,4**	**83,9**		
Поправка на телесный угол DΩ, дБ	Ω = 6.28	10Lg(4π/Ω)	**3**	3	3	3	3	3	3	3	3		
Показатель направленности источника Di, дБ		исходные данные	**0**	0	0	0	0	0	0	0	0		
Поправка на направленность источника Dc, дБ	Dc	DΩ + Di	**3**	3	3	3	3	3	3	3	3		
Затухание из-за геометрической дивергенции, Adiv, дБ	расстояние = 259.11 м	ф-ла (7) [10]	**59,3**										
Коэффициент затухания звука в атмосфере α, дБ/км	Ta=20,°C Pa=101.33,кПа hотн.=70%	ф-ла (5) [9]	0,02	0,09	0,33	1,12	2,79	4,98	9,04	23,09	77,63		
Учет затухания звука в атмосфере Aatm, дБ		ф-ла (8) [10]	0	0	0,1	0,3	0,7	1,3	2,3	6	20,1		
Снижение уровня звукового давления из-за влияния застройки между источником шума и расчетной точкой													
Снижение уровня звукового давления на пути над экраном, Dz1, дБ	z = 1.11м (разность путей)	ф-лы (14-18) [10]	9,7	12,7	15,5	18,4	21,4	24,3	27,3	30,3	33,3		
Снижение уровня звукового давления на пути слева от экрана, Dz2, дБ	z = 4.16м (разность путей)	ф-лы (14-18) [10]	14,8	18,9	22,4	25,6	28,7	31,7	34,7	37,7	40,7		
Снижение уровня звукового давления на пути справа от экрана, Dz3, дБ	z = 64.38м (разность путей)	ф-лы (14-18) [10]	28,1	31,4	34,5	37,5	40,6	43,6	46,6	49,6	52,6		
Общее снижение уровня звука препятствием Dz, дБ		Эн.сумма(-Dzi)	8,5	11,7	14,7	17,6	20,6	23,6	26,5	29,5	32,6		

1		2	3	4	5	6	7	8	9	10	11	12	13
Общее снижение уровня звука препятствием с учётом ограничения (25 дБ) для октавных полос Dz, дБ		Раздел 7.4 [10]	8,5	11,7	14,7	17,6	20,6	23,6	25	25	25		
Уровни звукового давления от источника ИШ-1-19 в расчётной точке днём, дБ		**ф-ла(3)[10]**	**0**	**25,3**	**23,7**	**21,8**	**18,7**	**14,8**	**9**	**1,1**	**0**	**20,2**	**20,2**
Источник шума: ИШ-1-20, координаты источника (x,y,z), м =[550.38,138.64,1.00]													
Уровни звуковой мощности источника днём, Lw, дБ		**исходные данные**	**0**	**93,3**	**94,7**	**96**	**96,3**	**95,9**	**92,6**	**88,4**	**83,9**		
Поправка на телесный угол DΩ, дБ	Ω = 6.28	10Lg(4π/Ω)	**3**	3	3	3	3	3	3	3	3		
Показатель направленности источника Di, дБ		исходные данные	**0**	0	0	0	0	0	0	0	0		
Поправка на направленность источника Dc, дБ	Dc	DΩ + Di	**3**	3	3	3	3	3	3	3	3		
Затухание из-за геометрической дивергенции, Adiv, дБ	расстояние = 260.80 м	ф-ла (7) [10]	**59,3**										
Коэффициент затухания звука в атмосфере α, дБ/км	Ta=20,°C Pa=101.33,кПа hотн.=70%	ф-ла (5) [9]	0,02	0,09	0,33	1,12	2,79	4,98	9,04	23,09	77,63		
Учет затухания звука в атмосфере Aatm, дБ		ф-ла (8) [10]	0	0	0,1	0,3	0,7	1,3	2,4	6	20,2		
Снижение уровня звукового давления из-за влияния застройки между источником шума и расчетной точкой													
Снижение уровня звукового давления на пути над экраном, Dz1, дБ	z = 1.06м (разность путей)	ф-лы (14-18) [10]	9,5	12,4	15,3	18,2	21,1	24	27	30	33		
Снижение уровня звукового давления на пути слева от экрана, Dz2, дБ	z = 3.57м (разность путей)	ф-лы (14-18) [10]	14,2	18,3	21,8	24,9	28	31	34	37	40		
Снижение уровня звукового давления на пути справа от экрана, Dz3, дБ	z = 65.21м (разность путей)	ф-лы (14-18) [10]	28,1	31,5	34,6	37,6	40,6	43,6	46,6	49,6	52,7		
Общее снижение уровня звука препятствием Dz, дБ		Эн.сумма(-Dzi)	8,2	11,4	14,3	17,3	20,2	23,2	26,2	29,2	32,2		
Общее снижение уровня звука препятствием с учётом ограничения (25 дБ) для октавных полос Dz, дБ		Раздел 7.4 [10]	8,2	11,4	14,3	17,3	20,2	23,2	25	25	25		

1		2	3	4	5	6	7	8	9	10	11	12	13
Уровни звукового давления прямого звука от источника ИШ-1-20 в расчётной точке днём, дБ		**ф-ла(3)[10]**	**0**	**25,6**	**23,9**	**22,1**	**19**	**15,1**	**8,9**	**1**	**0**	**20,5**	**20,5**
Расчёт отражённого звука													
Уровни звукового давления от мнимого источника ИШ-1-20_мн.(1) в расчётной точке днём, дБ		**ф-ла(3)[10]**	**0**	**0**	**0**	**0**	**0**	**0**	**0**	**0**	**0**	**0**	**0**
Уровни звукового давления от источника ИШ-1-20 в расчётной точке днём, дБ		**ф-ла(3)[10]**	**0**	**25,6**	**23,9**	**22,1**	**19**	**15,1**	**8,9**	**1**	**0**	**20,5**	**20,5**
Источник шума: ИШ-1-21, координаты источника (x,y,z), м =[553.31,137.67,1.00]													
Уровни звуковой мощности источника днём, Lw, дБ		**исходные данные**	**0**	**93,3**	**94,7**	**96**	**96,3**	**95,9**	**92,6**	**88,4**	**83,9**		
Поправка на телесный угол DΩ, дБ	Ω = 6.28	10Lg(4π/Ω)	**3**	3	3	3	3	3	3	3	3		
Показатель направленности источника Di, дБ		исходные данные	**0**	0	0	0	0	0	0	0	0		
Поправка на направленность источника Dc, дБ	Dc	DΩ + Di	**3**	3	3	3	3	3	3	3	3		
Затухание из-за геометрической дивергенции, Adiv, дБ	расстояние = 262.38 м	ф-ла (7) [10]	**59,4**										
Коэффициент затухания звука в атмосфере α, дБ/км	Ta=20,°C Pa=101.33,кПа hотн.=70%	ф-ла (5) [9]	0,02	0,09	0,33	1,12	2,79	4,98	9,04	23,09	77,63		
Учет затухания звука в атмосфере Aatm, дБ		ф-ла (8) [10]	0	0	0,1	0,3	0,7	1,3	2,4	6,1	20,4		
Снижение уровня звукового давления из-за влияния застройки между источником шума и расчетной точкой													
Снижение уровня звукового давления на пути над экраном, Dz1, дБ	z = 1.02м (разность путей)	ф-лы (14-18) [10]	9,3	12,2	15	17,9	20,8	23,8	26,8	29,8	32,8		
Снижение уровня звукового давления на пути слева от экрана, Dz2, дБ	z = 3.06м (разность путей)	ф-лы (14-18) [10]	13,6	17,6	21,1	24,3	27,3	30,3	33,3	36,4	39,4		
Снижение уровня звукового давления на пути справа от экрана, Dz3, дБ	z = 66.12м (разность путей)	ф-лы (14-18) [10]	28,2	31,6	34,6	37,7	40,7	43,7	46,7	49,7	52,7		

1		2	3	4	5	6	7	8	9	10	11	12	13
Общее снижение уровня звука препятствием Dz, дБ		Эн.сумма(-Dzi)	7,9	11	14	17	19,9	22,9	25,9	28,9	31,9		
Общее снижение уровня звука препятствием с учётом ограничения (25 дБ) для октавных полос Dz, дБ		Раздел 7.4 [10]	7,9	11	14	17	19,9	22,9	25	25	25		
Уровни звукового давления прямого звука от источника ИШ-1-21 в расчётной точке днём, дБ		**ф-ла(3)[10]**	**0**	**25,8**	**24,2**	**22,3**	**19,3**	**15,3**	**8,8**	**1**	**0**	**20,7**	**20,7**
Расчёт отражённого звука													
Уровни звукового давления от мнимого источника ИШ-1-21_мн.(1) в расчётной точке днём, дБ		**ф-ла(3)[10]**	**0**	**0**	**0**	**0**	**0**	**0**	**0**	**0**	**0**	**0**	**0**
Уровни звукового давления от источника ИШ-1-21 в расчётной точке днём, дБ		**ф-ла(3)[10]**	**0**	**25,8**	**24,2**	**22,3**	**19,3**	**15,3**	**8,8**	**1**	**0**	**20,7**	**20,7**
Источник шума: ИШ-1-22, координаты источника (x,y,z), м =[522.03,85.28,1.00]													
Уровни звуковой мощности источника днём, Lw, дБ		**исходные данные**	**0**	**93,3**	**94,7**	**96**	**96,3**	**95,9**	**92,6**	**88,4**	**83,9**		
Поправка на телесный угол DΩ, дБ	Ω = 6.28	10Lg(4π/Ω)	**3**	3	3	3	3	3	3	3	3		
Показатель направленности источника Di, дБ		исходные данные	**0**	0	0	0	0	0	0	0	0		
Поправка на направленность источника Dc, дБ	Dc	DΩ + Di	**3**	3	3	3	3	3	3	3	3		
Затухание из-за геометрической дивергенции, Adiv, дБ	расстояние = 205.49 м	ф-ла (7) [10]	**57,3**										
Коэффициент затухания звука в атмосфере α, дБ/км	Ta=20,°C Pa=101.33,кПа hотн.=70%	ф-ла (5) [9]	0,02	0,09	0,33	1,12	2,79	4,98	9,04	23,09	77,63		
Учет затухания звука в атмосфере Aatm, дБ		ф-ла (8) [10]	0	0	0,1	0,2	0,6	1	1,9	4,7	16		
Снижение уровня звукового давления из-за влияния застройки между источником шума и расчетной точкой													
Снижение уровня звукового давления на пути над экраном, Dz1, дБ	z = 1.36м (разность путей)	ф-лы (14-18) [10]	10,2	13,6	16,7	19,8	22,7	25,7	28,7	31,7	34,7		

1		2	3	4	5	6	7	8	9	10	11	12	13
Снижение уровня звукового давления на пути слева от экрана, Dz2, дБ	z = 0.40м (разность путей)	ф-лы (14-18) [10]	7,5	10,1	12,9	15,8	18,7	21,6	24,6	27,5	30,5		
Снижение уровня звукового давления на пути справа от экрана, Dz3, дБ	z = 165.91м (разность путей)	ф-лы (14-18) [10]	32,2	35,5	38,6	41,6	44,7	47,7	50,7	53,7	56,7		
Общее снижение уровня звука препятствием Dz, дБ		Эн.сумма(-Dzi)	5,6	8,5	11,4	14,3	17,2	20,2	23,1	26,1	29,1		
Общее снижение уровня звука препятствием с учётом ограничения (25 дБ) для октавных полос Dz, дБ		Раздел 7.4 [10]	5,6	8,5	11,4	14,3	17,2	20,2	23,1	25	25		
Уровни звукового давления от источника ИШ-1-22 в расчётной точке днём, дБ		**ф-ла(3)[10]**	**0**	**30,6**	**29**	**27,2**	**24,2**	**20,4**	**13,3**	**4,4**	**0**	**25,6**	**25,6**
Источник шума: ИШ-1-23, координаты источника (x,y,z), м =[525.16,84.11,1.00]													
Уровни звуковой мощности источника днём, Lw, дБ		**исходные данные**	**0**	**93,3**	**94,7**	**96**	**96,3**	**95,9**	**92,6**	**88,4**	**83,9**		
Поправка на телесный угол DΩ, дБ	Ω = 6.28	10Lg(4π/Ω)	**3**	3	3	3	3	3	3	3	3		
Показатель направленности источника Di, дБ		исходные данные	**0**	0	0	0	0	0	0	0	0		
Поправка на направленность источника Dc, дБ	Dc	DΩ + Di	**3**	3	3	3	3	3	3	3	3		
Затухание из-за геометрической дивергенции, Adiv, дБ	расстояние = 207.39 м	ф-ла (7) [10]	**57,3**										
Коэффициент затухания звука в атмосфере α, дБ/км	Ta=20,°C Pa=101.33,кПа hотн.=70%	ф-ла (5) [9]	0,02	0,09	0,33	1,12	2,79	4,98	9,04	23,09	77,63		
Учет затухания звука в атмосфере Aatm, дБ		ф-ла (8) [10]	0	0	0,1	0,2	0,6	1	1,9	4,8	16,1		
Снижение уровня звукового давления из-за влияния застройки между источником шума и расчетной точкой													
Снижение уровня звукового давления на пути над экраном, Dz1, дБ	z = 1.27м (разность путей)	ф-лы (14-18) [10]	9,8	13,2	16,3	19,4	22,3	25,3	28,3	31,3	34,3		
Снижение уровня звукового давления на пути слева от экрана, Dz2, дБ	z = 0.18м (разность путей)	ф-лы (14-18) [10]	6,2	8	10,3	12,8	15,5	18,3	21,2	24,2	27,2		

1		2	3	4	5	6	7	8	9	10	11	12	13
Снижение уровня звукового давления на пути справа от экрана, Dz3, дБ	z = 165.15м (разность путей)	ф-лы (14-18) [10]	32,2	35,5	38,6	41,6	44,6	47,7	50,7	53,7	56,7		
Общее снижение уровня звука препятствием Dz, дБ		Эн.сумма(-Dzi)	4,6	6,8	9,3	11,9	14,7	17,5	20,4	23,4	26,4		
Общее снижение уровня звука препятствием с учётом ограничения (25 дБ) для октавных полос Dz, дБ		Раздел 7.4 [10]	4,6	6,8	9,3	11,9	14,7	17,5	20,4	23,4	25		
Уровни звукового давления от источника ИШ-1-23 в расчётной точке днём, дБ		**ф-ла(3)[10]**	**0**	**32,1**	**31**	**29,5**	**26,7**	**23**	**15,9**	**5,9**	**0**	**28,1**	**28,1**
Источник шума: ИШ-1-24, координаты источника (x,y,z), м =[528.48,82.94,1.00]													
Уровни звуковой мощности источника днём, Lw, дБ		**исходные данные**	**0**	**93,3**	**94,7**	**96**	**96,3**	**95,9**	**92,6**	**88,4**	**83,9**		
Поправка на телесный угол DΩ, дБ	Ω = 6.28	10Lg(4π/Ω)	**3**	3	3	3	3	3	3	3	3		
Показатель направленности источника Di, дБ		исходные данные	**0**	0	0	0	0	0	0	0	0		
Поправка на направленность источника Dc, дБ	Dc	DΩ + Di	**3**	3	3	3	3	3	3	3	3		
Затухание из-за геометрической дивергенции, Adiv, дБ	расстояние = 209.49 м	ф-ла (7) [10]	**57,4**										
Коэффициент затухания звука в атмосфере α, дБ/км	Ta=20,°C Pa=101.33,кПа hотн.=70%	ф-ла (5) [9]	0,02	0,09	0,33	1,12	2,79	4,98	9,04	23,09	77,63		
Учет затухания звука в атмосфере Aatm, дБ		ф-ла (8) [10]	0	0	0,1	0,2	0,6	1	1,9	4,8	16,3		
Снижение уровня звукового давления из-за влияния застройки между источником шума и расчетной точкой													
Снижение уровня звукового давления на пути над экраном, Dz1, дБ	z = 1.20м (разность путей)	ф-лы (14-18) [10]	9,5	12,8	16	19	22	25	28	31	34		
Снижение уровня звукового давления на пути слева от экрана, Dz2, дБ	z = 0.08м (разность путей)	ф-лы (14-18) [10]	5,2	5,5	6,2	7,2	8,8	10,8	13,3	15,9	18,8		
Снижение уровня звукового давления на пути справа от экрана, Dz3, дБ	z = 164.31м (разность путей)	ф-лы (14-18) [10]	32,2	35,5	38,6	41,6	44,6	47,6	50,6	53,7	56,7		

1		2	3	4	5	6	7	8	9	10	11	12	13
Общее снижение уровня звука препятствием Dz, дБ		Эн.сумма(-Dzi)	3,8	4,8	5,7	6,9	8,6	10,7	13,1	15,8	18,7		
Уровни звукового давления от источника ИШ-1-24 в расчётной точке днём, дБ		**ф-ла(3)[10]**	**0**	**34,1**	**34,5**	**34,4**	**32,7**	**29,8**	**23,2**	**13,3**	**0**	**34,1**	**34,1**
Источник шума: ИШ-1-25, координаты источника (x,y,z), м =[531.22,82.16,1.00]													
Уровни звуковой мощности источника днём, Lw, дБ		**исходные данные**	**0**	**93,3**	**94,7**	**96**	**96,3**	**95,9**	**92,6**	**88,4**	**83,9**		
Поправка на телесный угол DΩ, дБ	Ω = 6.28	10Lg(4π/Ω)	**3**	3	3	3	3	3	3	3	3		
Показатель направленности источника Di, дБ		исходные данные	**0**	0	0	0	0	0	0	0	0		
Поправка на направленность источника Dc, дБ	Dc	DΩ + Di	**3**	3	3	3	3	3	3	3	3		
Затухание из-за геометрической дивергенции, Adiv, дБ	расстояние = 211.35 м	ф-ла (7) [10]	**57,5**										
Коэффициент затухания звука в атмосфере α, дБ/км	Ta=20,°C Pa=101.33,кПа hотн.=70%	ф-ла (5) [9]	0,02	0,09	0,33	1,12	2,79	4,98	9,04	23,09	77,63		
Учет затухания звука в атмосфере Aatm, дБ		ф-ла (8) [10]	0	0	0,1	0,2	0,6	1,1	1,9	4,9	16,4		
Снижение уровня звукового давления из-за влияния застройки между источником шума и расчетной точкой													
Снижение уровня звукового давления на пути над экраном, Dz1, дБ	z = 0.77м (разность путей)	ф-лы (14-18) [10]	6,6	7,9	9,8	12,6	16,4	20,7	24,5	27,7	30,8		
Снижение уровня звукового давления на пути слева от экрана, Dz2, дБ	z = 0.04м (разность путей)	ф-лы (14-18) [10]	5	5,2	5,5	6,1	7,2	8,7	10,8	13,2	15,9		
Снижение уровня звукового давления на пути справа от экрана, Dz3, дБ	z = 163.39м (разность путей)	ф-лы (14-18) [10]	32,1	35,5	38,5	41,6	44,6	47,6	50,6	53,6	56,6		
Общее снижение уровня звука препятствием Dz, дБ		Эн.сумма(-Dzi)	2,7	3,3	4,1	5,3	6,7	8,5	10,6	13	15,7		
Уровни звукового давления от источника ИШ-1-25 в расчётной точке днём, дБ		**ф-ла(3)[10]**	**0**	**35,5**	**36**	**36**	**34,5**	**31,9**	**25,6**	**16**	**0**	**36,1**	**36,1**

1		2	3	4	5	6	7	8	9	10	11	12	13
Источник шума: ИШ-1-26, координаты источника (x,y,z), м =[534.15,80.79,1.00]													
Уровни звуковой мощности источника днём, Lw, дБ		**исходные данные**	**0**	**93,3**	**94,7**	**96**	**96,3**	**95,9**	**92,6**	**88,4**	**83,9**		
Поправка на телесный угол DΩ, дБ	Ω = 6.28	10Lg(4π/Ω)	**3**	3	3	3	3	3	3	3	3		
Показатель направленности источника Di, дБ		исходные данные	**0**	0	0	0	0	0	0	0	0		
Поправка на направленность источника Dc, дБ	Dc	DΩ + Di	**3**	3	3	3	3	3	3	3	3		
Затухание из-за геометрической дивергенции, Adiv, дБ	расстояние = 213.08 м	ф-ла (7) [10]	**57,6**										
Коэффициент затухания звука в атмосфере α, дБ/км	Ta=20,°C Pa=101.33,кПа hотн.=70%	ф-ла (5) [9]	0,02	0,09	0,33	1,12	2,79	4,98	9,04	23,09	77,63		
Учет затухания звука в атмосфере Aatm, дБ		ф-ла (8) [10]	0	0	0,1	0,2	0,6	1,1	1,9	4,9	16,5		
Снижение уровня звукового давления из-за влияния застройки между источником шума и расчетной точкой													
Снижение уровня звукового давления на пути над экраном, Dz1, дБ	z = 0.76м (разность путей)	ф-лы (14-18) [10]	6,6	7,8	9,6	12	15	19	23,4	27,3	30,6		
Снижение уровня звукового давления на пути слева от экрана, Dz2, дБ	z = 0.01м (разность путей)	ф-лы (14-18) [10]	4,8	4,9	4,9	5,1	5,4	6	7	8,4	10,4		
Снижение уровня звукового давления на пути справа от экрана, Dz3, дБ	z = 163.27м (разность путей)	ф-лы (14-18) [10]	32,1	35,5	38,5	41,6	44,6	47,6	50,6	53,6	56,6		
Общее снижение уровня звука препятствием Dz, дБ		Эн.сумма(-Dzi)	2,6	3,1	3,7	4,3	5	5,8	6,9	8,4	10,3		
Уровни звукового давления прямого звука от источника ИШ-1-26 в расчётной точке днём, дБ		**ф-ла(3)[10]**	**0**	**35,6**	**36,4**	**36,9**	**36,1**	**34,5**	**29,2**	**20,6**	**2,5**	**38,3**	**38,3**
Расчёт отражённого звука													
Уровни звукового давления от мнимого источника ИШ-1-26_мн.(1) в расчётной точке днём, дБ		**ф-ла(3)[10]**	**0**	**0**	**0**	**0**	**26,4**	**36,5**	**35**	**27,7**	**11,5**	**39,8**	**39,8**

1		2	3	4	5	6	7	8	9	10	11	12	13
Уровни звукового давления от источника ИШ-1-26 в расчётной точке днём, дБ		**ф-ла(3)[10]**	**0**	**35,6**	**36,4**	**36,9**	**36,6**	**38,6**	**36**	**28,5**	**12**	**42,1**	**42,1**
Источник шума: ИШ-1-27, координаты источника (x,y,z), м =[469.65,197.67,1.00]													
Уровни звуковой мощности источника днём, Lw, дБ		**исходные данные**	**0**	**93,3**	**94,7**	**96**	**96,3**	**95,9**	**92,6**	**88,4**	**83,9**		
Поправка на телесный угол DΩ, дБ	Ω = 6.28	10Lg(4π/Ω)	**3**	3	3	3	3	3	3	3	3		
Показатель направленности источника Di, дБ		исходные данные	**0**	0	0	0	0	0	0	0	0		
Поправка на направленность источника Dc, дБ	Dc	DΩ + Di	**3**	3	3	3	3	3	3	3	3		
Затухание из-за геометрической дивергенции, Adiv, дБ	расстояние = 258.01 м	ф-ла (7) [10]	**59,2**										
Коэффициент затухания звука в атмосфере α, дБ/км	Ta=20,°C Pa=101.33,кПа hотн.=70%	ф-ла (5) [9]	0,02	0,09	0,33	1,12	2,79	4,98	9,04	23,09	77,63		
Учет затухания звука в атмосфере Aatm, дБ		ф-ла (8) [10]	0	0	0,1	0,3	0,7	1,3	2,3	6	20		
Снижение уровня звукового давления из-за влияния застройки между источником шума и расчетной точкой													
Снижение уровня звукового давления на пути над экраном, Dz1, дБ	z = 0.82м (разность путей)	ф-лы (14-18) [10]	6,8	8,8	12	15,6	18,8	21,8	24,8	27,8	30,8		
Снижение уровня звукового давления на пути слева от экрана, Dz2, дБ	z = 16.64м (разность путей)	ф-лы (14-18) [10]	18,6	22,5	27	31,1	34,5	37,6	40,7	43,7	46,7		
Снижение уровня звукового давления на пути справа от экрана, Dz3, дБ	z = 40.95м (разность путей)	ф-лы (14-18) [10]	26	29,4	32,5	35,6	38,6	41,6	44,6	47,6	50,6		
Общее снижение уровня звука препятствием Dz, дБ		Эн.сумма(-Dzi)	6,5	8,6	11,8	15,4	18,6	21,7	24,7	27,7	30,7		
Общее снижение уровня звука препятствием с учётом ограничения (25 дБ) для октавных полос Dz, дБ		Раздел 7.4 [10]	6,5	8,6	11,8	15,4	18,6	21,7	24,7	25	25		
Уровни звукового давления прямого звука от источника ИШ-1-27 в расчётной точке днём, дБ		**ф-ла(3)[10]**	**0**	**28,5**	**26,6**	**24,1**	**20,7**	**16,7**	**9,4**	**1,2**	**0**	**22,2**	**22,2**

1		2	3	4	5	6	7	8	9	10	11	12	13
Расчёт отражённого звука													
Уровни звукового давления от мнимого источника ИШ-1-27_мн.(1) в расчётной точке днём, дБ		**ф-ла(3)[10]**	**0**	**0**	**0**	**0**	**0**	**0**	**7,1**	**0**	**0**	**8,3**	**8,3**
Уровни звукового давления от источника ИШ-1-27 в расчётной точке днём, дБ		**ф-ла(3)[10]**	**0**	**28,5**	**26,6**	**24,1**	**20,7**	**16,7**	**11,4**	**1,2**	**0**	**22,3**	**22,3**
Источник шума: ИШ-1-28, координаты источника (x,y,z), м =[472.78,196.69,1.00]													
Уровни звуковой мощности источника днём, Lw, дБ		**исходные данные**	**0**	**93,3**	**94,7**	**96**	**96,3**	**95,9**	**92,6**	**88,4**	**83,9**		
Поправка на телесный угол DΩ, дБ	Ω = 6.28	10Lg(4π/Ω)	**3**	3	3	3	3	3	3	3	3		
Показатель направленности источника Di, дБ		исходные данные	**0**	0	0	0	0	0	0	0	0		
Поправка на направленность источника Dc, дБ	Dc	DΩ + Di	**3**	3	3	3	3	3	3	3	3		
Затухание из-за геометрической дивергенции, Adiv, дБ	расстояние = 258.56 м	ф-ла (7) [10]	**59,3**										
Коэффициент затухания звука в атмосфере α, дБ/км	Ta=20,°C Pa=101.33,кПа hотн.=70%	ф-ла (5) [9]	0,02	0,09	0,33	1,12	2,79	4,98	9,04	23,09	77,63		
Учет затухания звука в атмосфере Aatm, дБ		ф-ла (8) [10]	0	0	0,1	0,3	0,7	1,3	2,3	6	20,1		
Снижение уровня звукового давления из-за влияния застройки между источником шума и расчетной точкой													
Снижение уровня звукового давления на пути над экраном, Dz1, дБ	z = 0.81м (разность путей)	ф-лы (14-18) [10]	6,8	8,8	12	15,5	18,8	21,8	24,8	27,8	30,8		
Снижение уровня звукового давления на пути слева от экрана, Dz2, дБ	z = 15.90м (разность путей)	ф-лы (14-18) [10]	18,4	22,3	26,8	30,9	34,3	37,5	40,5	43,5	46,5		
Снижение уровня звукового давления на пути справа от экрана, Dz3, дБ	z = 43.67м (разность путей)	ф-лы (14-18) [10]	26,3	29,7	32,8	35,9	38,9	41,9	44,9	47,9	50,9		
Общее снижение уровня звука препятствием Dz, дБ		Эн.сумма(-Dzi)	6,5	8,5	11,8	15,4	18,6	21,6	24,6	27,6	30,6		

1		2	3	4	5	6	7	8	9	10	11	12	13
Общее снижение уровня звука препятствием с учётом ограничения (25 дБ) для октавных полос Dz, дБ		Раздел 7.4 [10]	6,5	8,5	11,8	15,4	18,6	21,6	24,6	25	25		
Уровни звукового давления прямого звука от источника ИШ-1-28 в расчётной точке днём, дБ		**ф-ла(3)[10]**	**0**	**28,5**	**26,6**	**24,1**	**20,7**	**16,7**	**9,4**	**1,2**	**0**	**22,2**	**22,2**
Расчёт отражённого звука													
Уровни звукового давления от мнимого источника ИШ-1-28_мн.(1) в расчётной точке днём, дБ		**ф-ла(3)[10]**	**0**	**0**	**0**	**0**	**0**	**14,5**	**7,2**	**0**	**0**	**15,5**	**15,5**
Уровни звукового давления от источника ИШ-1-28 в расчётной точке днём, дБ		**ф-ла(3)[10]**	**0**	**28,5**	**26,6**	**24,1**	**20,7**	**18,8**	**11,4**	**1,2**	**0**	**23**	**23**
Источник шума: ИШ-1-29, координаты источника (x,y,z), м =[475.52,195.72,1.00]													
Уровни звуковой мощности источника днём, Lw, дБ		**исходные данные**	**0**	**93,3**	**94,7**	**96**	**96,3**	**95,9**	**92,6**	**88,4**	**83,9**		
Поправка на телесный угол DΩ, дБ	Ω = 6.28	10Lg(4π/Ω)	**3**	3	3	3	3	3	3	3	3		
Показатель направленности источника Di, дБ		исходные данные	**0**	0	0	0	0	0	0	0	0		
Поправка на направленность источника Dc, дБ	Dc	DΩ + Di	**3**	3	3	3	3	3	3	3	3		
Затухание из-за геометрической дивергенции, Adiv, дБ	расстояние = 258.96 м	ф-ла (7) [10]	**59,3**										
Коэффициент затухания звука в атмосфере α, дБ/км	Ta=20,°C Pa=101.33,кПа hотн.=70%	ф-ла (5) [9]	0,02	0,09	0,33	1,12	2,79	4,98	9,04	23,09	77,63		
Учет затухания звука в атмосфере Aatm, дБ		ф-ла (8) [10]	0	0	0,1	0,3	0,7	1,3	2,3	6	20,1		
Снижение уровня звукового давления из-за влияния застройки между источником шума и расчетной точкой													
Снижение уровня звукового давления на пути над экраном, Dz1, дБ	z = 0.81м (разность путей)	ф-лы (14-18) [10]	6,8	8,7	12	15,5	18,7	21,8	24,8	27,8	30,8		
Снижение уровня звукового давления на пути слева от экрана, Dz2, дБ	z = 15.27м (разность путей)	ф-лы (14-18) [10]	18,2	22,2	26,6	30,7	34,1	37,3	40,3	43,3	46,3		

1		2	3	4	5	6	7	8	9	10	11	12	13
Снижение уровня звукового давления на пути справа от экрана, Dz3, дБ	z = 46.17м (разность путей)	ф-лы (14-18) [10]	26,5	30	33,1	36,1	39,1	42,1	45,1	48,1	51,2		
Общее снижение уровня звука препятствием Dz, дБ		Эн.сумма(-Dzi)	6,4	8,5	11,8	15,4	18,6	21,6	24,6	27,6	30,6		
Общее снижение уровня звука препятствием с учётом ограничения (25 дБ) для октавных полос Dz, дБ		Раздел 7.4 [10]	6,4	8,5	11,8	15,4	18,6	21,6	24,6	25	25		
Уровни звукового давления прямого звука от источника ИШ-1-29 в расчётной точке днём, дБ		**ф-ла(3)[10]**	**0**	**28,5**	**26,6**	**24,1**	**20,7**	**16,7**	**9,4**	**1,1**	**0**	**22,2**	**22,2**
Расчёт отражённого звука													
Уровни звукового давления от мнимого источника ИШ-1-29_мн.(1) в расчётной точке днём, дБ		**ф-ла(3)[10]**	**0**	**0**	**0**	**0**	**0**	**14,6**	**7,2**	**0**	**0**	**15,6**	**15,6**
Уровни звукового давления от источника ИШ-1-29 в расчётной точке днём, дБ		**ф-ла(3)[10]**	**0**	**28,5**	**26,6**	**24,1**	**20,7**	**18,8**	**11,4**	**1,1**	**0**	**23**	**23**
Источник шума: ИШ-1-30, координаты источника (x,y,z), м =[478.45,194.54,1.00]													
Уровни звуковой мощности источника днём, Lw, дБ		**исходные данные**	**0**	**93,3**	**94,7**	**96**	**96,3**	**95,9**	**92,6**	**88,4**	**83,9**		
Поправка на телесный угол DΩ, дБ	Ω = 6.28	10Lg(4π/Ω)	**3**	3	3	3	3	3	3	3	3		
Показатель направленности источника Di, дБ		исходные данные	**0**	0	0	0	0	0	0	0	0		
Поправка на направленность источника Dc, дБ	Dc	DΩ + Di	**3**	3	3	3	3	3	3	3	3		
Затухание из-за геометрической дивергенции, Adiv, дБ	расстояние = 259.32 м	ф-ла (7) [10]	**59,3**										
Коэффициент затухания звука в атмосфере α, дБ/км	Ta=20,°C Pa=101.33,кПа hотн.=70%	ф-ла (5) [9]	0,02	0,09	0,33	1,12	2,79	4,98	9,04	23,09	77,63		
Учет затухания звука в атмосфере Aatm, дБ		ф-ла (8) [10]	0	0	0,1	0,3	0,7	1,3	2,3	6	20,1		
Снижение уровня звукового давления из-за влияния застройки между источником шума и расчетной точкой													

1		2	3	4	5	6	7	8	9	10	11	12	13
Снижение уровня звукового давления на пути над экраном, Dz1, дБ	z = 0.81м (разность путей)	ф-лы (14-18) [10]	6,8	8,7	12	15,5	18,7	21,8	24,8	27,8	30,8		
Снижение уровня звукового давления на пути слева от экрана, Dz2, дБ	z = 14.60м (разность путей)	ф-лы (14-18) [10]	18,1	22	26,4	30,5	34	37,1	40,1	43,1	46,2		
Снижение уровня звукового давления на пути справа от экрана, Dz3, дБ	z = 48.95м (разность путей)	ф-лы (14-18) [10]	26,8	30,2	33,3	36,3	39,4	42,4	45,4	48,4	51,4		
Общее снижение уровня звука препятствием Dz, дБ		Эн.сумма(-Dzi)	6,4	8,5	11,8	15,3	18,6	21,6	24,6	27,6	30,6		
Общее снижение уровня звука препятствием с учётом ограничения (25 дБ) для октавных полос Dz, дБ		Раздел 7.4 [10]	6,4	8,5	11,8	15,3	18,6	21,6	24,6	25	25		
Уровни звукового давления прямого звука от источника ИШ-1-30 в расчётной точке днём, дБ		**ф-ла(3)[10]**	**0**	**28,5**	**26,6**	**24,1**	**20,7**	**16,7**	**9,4**	**1,1**	**0**	**22,2**	**22,2**
Расчёт отражённого звука													
Уровни звукового давления от мнимого источника ИШ-1-30_мн.(1) в расчётной точке днём, дБ		**ф-ла(3)[10]**	**0**	**0**	**0**	**0**	**0**	**14,7**	**7,3**	**0**	**0**	**15,7**	**15,7**
Уровни звукового давления от источника ИШ-1-30 в расчётной точке днём, дБ		**ф-ла(3)[10]**	**0**	**28,5**	**26,6**	**24,1**	**20,7**	**18,9**	**11,5**	**1,1**	**0**	**23,1**	**23,1**
Источник шума: ИШ-1-31, координаты источника (x,y,z), м =[481.58,193.96,1.00]													
Уровни звуковой мощности источника днём, Lw, дБ		**исходные данные**	**0**	**93,3**	**94,7**	**96**	**96,3**	**95,9**	**92,6**	**88,4**	**83,9**		
Поправка на телесный угол DΩ, дБ	Ω = 6.28	10Lg(4π/Ω)	**3**	3	3	3	3	3	3	3	3		
Показатель направленности источника Di, дБ		исходные данные	**0**	0	0	0	0	0	0	0	0		
Поправка на направленность источника Dc, дБ	Dc	DΩ + Di	**3**	3	3	3	3	3	3	3	3		
Затухание из-за геометрической дивергенции, Adiv, дБ	расстояние = 260.33 м	ф-ла (7) [10]	**59,3**										
Коэффициент затухания звука в атмосфере α, дБ/км	Ta=20,°C Pa=101.33,кПа hотн.=70%	ф-ла (5) [9]	0,02	0,09	0,33	1,12	2,79	4,98	9,04	23,09	77,63		

1		2	3	4	5	6	7	8	9	10	11	12	13
Учет затухания звука в атмосфере Aatm, дБ		ф-ла (8) [10]	0	0	0,1	0,3	0,7	1,3	2,4	6	20,2		
Снижение уровня звукового давления из-за влияния застройки между источником шума и расчетной точкой													
Снижение уровня звукового давления на пути над экраном, Dz1, дБ	z = 0.81м (разность путей)	ф-лы (14-18) [10]	6,8	8,7	11,9	15,5	18,7	21,7	24,7	27,7	30,7		
Снижение уровня звукового давления на пути слева от экрана, Dz2, дБ	z = 13.96м (разность путей)	ф-лы (14-18) [10]	17,9	21,8	26,2	30,3	33,8	36,9	39,9	42,9	46		
Снижение уровня звукового давления на пути справа от экрана, Dz3, дБ	z = 51.11м (разность путей)	ф-лы (14-18) [10]	27	30,4	33,5	36,5	39,6	42,6	45,6	48,6	51,6		
Общее снижение уровня звука препятствием Dz, дБ		Эн.сумма(-Dzi)	6,4	8,5	11,7	15,3	18,5	21,6	24,6	27,6	30,6		
Общее снижение уровня звука препятствием с учётом ограничения (25 дБ) для октавных полос Dz, дБ		Раздел 7.4 [10]	6,4	8,5	11,7	15,3	18,5	21,6	24,6	25	25		
Уровни звукового давления прямого звука от источника ИШ-1-31 в расчётной точке днём, дБ		**ф-ла(3)[10]**	**0**	**28,5**	**26,5**	**24,1**	**20,7**	**16,7**	**9,4**	**1,1**	**0**	**22,2**	**22,2**
Расчёт отражённого звука													
Уровни звукового давления от мнимого источника ИШ-1-31_мн.(1) в расчётной точке днём, дБ		**ф-ла(3)[10]**	**0**	**0**	**0**	**0**	**0**	**14,9**	**7,4**	**0**	**0**	**15,8**	**15,8**
Уровни звукового давления от источника ИШ-1-31 в расчётной точке днём, дБ		**ф-ла(3)[10]**	**0**	**28,5**	**26,5**	**24,1**	**20,7**	**18,9**	**11,5**	**1,1**	**0**	**23,1**	**23,1**
Источник шума: ИШ-1-32, координаты источника (x,y,z), м =[871.21,281.99,50.00]													
Уровни звуковой мощности источника днём, Lw, дБ		**исходные данные**	**125**	**119,6**	**113,4**	**111,4**	**110,8**	**112,7**	**113,8**	**109,2**	**97,4**		
Поправка на телесный угол DΩ, дБ	Ω = 12.57	10Lg(4π/Ω)	**0**	0	0	0	0	0	0	0	0		
Показатель направленности источника Di, дБ		исходные данные	**0**	0	0	0	0	0	0	0	0		
Поправка на направленность источника Dc, дБ	Dc	DΩ + Di	**0**	0	0	0	0	0	0	0	0		
Затухание из-за геометрической дивергенции, Adiv, дБ	расстояние = 607.52 м	ф-ла (7) [10]	**66,7**										

1		2	3	4	5	6	7	8	9	10	11	12	13
Коэффициент затухания звука в атмосфере α, дБ/км	Ta=20,°C Pa=101.33,кПа hотн.=70%	ф-ла (5) [9]	0,02	0,09	0,33	1,12	2,79	4,98	9,04	23,09	77,63		
Учет затухания звука в атмосфере Aatm, дБ		ф-ла (8) [10]	0	0,1	0,2	0,7	1,7	3	5,5	14	47,2		
Снижение поверхностью земли возле источника As, дБ	Gs = 0 hs = 50м	ф-лы таб.3 [10]	-1,5	-1,5	-1,5	-1,5	-1,5	-1,5	-1,5	-1,5	-1,5		
Снижение поверхностью земли возле приёмника Ar, дБ	Gr = 1 hr = 1.5м	ф-лы таб.3 [10]	-1,5	-1,5	3,7	7	5	0,7	0	0	0		
Снижение поверхностью земли в средней зоне, Am дБ	Gm = 1	ф-лы таб.3 [10]	0	0	0	0	0	0	0	0	0		
Суммарное снижение поверхностью земли на траектории распространения звука Agr, дБ		ф-ла (9) [10]	-3	-3	2,2	5,5	3,5	-0,8	-1,5	-1,5	-1,5		
Уровни звукового давления прямого звука от источника ИШ-1-32 в расчётной точке днём, дБ		**ф-ла(3)[10]**	**61,3**	**55,9**	**44,4**	**38,6**	**39**	**43,9**	**43,2**	**30**	**0**	**47,8**	**47,8**
Расчёт отражённого звука													
Уровни звукового давления от мнимого источника ИШ-1-32_мн.(1) в расчётной точке днём, дБ		**ф-ла(3)[10]**	**0**	**0**	**0**	**0**	**0**	**41,4**	**40,6**	**27,5**	**0**	**44,7**	**44,7**
Уровни звукового давления от источника ИШ-1-32 в расчётной точке днём, дБ		**ф-ла(3)[10]**	**61,3**	**55,9**	**44,4**	**38,6**	**39**	**45,8**	**45,1**	**31,9**	**0**	**49,5**	**49,5**
Источник шума: ИШ-1-33, координаты источника (x,y,z), м =[743.42,374.85,1.00]													
Уровни звуковой мощности источника днём, Lw, дБ		**исходные данные**	**0**	**88,7**	**90,1**	**93,1**	**96,4**	**103**	**112**	**108**	**99,2**		
Поправка на телесный угол DΩ, дБ	Ω = 6.28	10Lg(4π/Ω)	**3**	3	3	3	3	3	3	3	3		
Показатель направленности источника Di, дБ		исходные данные	**0**	0	0	0	0	0	0	0	0		
Поправка на направленность источника Dc, дБ	Dc	DΩ + Di	**3**	3	3	3	3	3	3	3	3		
Затухание из-за геометрической дивергенции, Adiv, дБ	расстояние = 563.89 м	ф-ла (7) [10]	**66**										

1		2	3	4	5	6	7	8	9	10	11	12	13
Коэффициент затухания звука в атмосфере α, дБ/км	Та=20,°С Ра=101.33,кПа hотн.=70%	ф-ла (5) [9]	0,02	0,09	0,33	1,12	2,79	4,98	9,04	23,09	77,63		
Учет затухания звука в атмосфере Aatm, дБ		ф-ла (8) [10]	0	0,1	0,2	0,6	1,6	2,8	5,1	13	43,8		
Снижение уровня звукового давления из-за влияния застройки между источником шума и расчетной точкой													
Снижение уровня звукового давления на пути над экраном, Dz1, дБ	z = 0.65м (разность путей)	ф-лы (14-18) [10]	6,2	7,6	9,4	11,7	14,2	17	19,9	22,8	25,8		
Снижение уровня звукового давления на пути слева от экрана, Dz2, дБ	z = 5.52м (разность путей)	ф-лы (14-18) [10]	15,9	20,1	23,6	26,8	29,9	32,9	35,9	38,9	41,9		
Снижение уровня звукового давления на пути справа от экрана, Dz3, дБ	z = 47.62м (разность путей)	ф-лы (14-18) [10]	26,7	30,1	33,2	36,2	39,2	42,3	45,3	48,3	51,3		
Общее снижение уровня звука препятствием Dz, дБ		Эн.сумма(-Dzi)	5,8	7,4	9,3	11,5	14,1	16,9	19,7	22,7	25,7		
Общее снижение уровня звука препятствием с учётом ограничения (25 дБ) для октавных полос Dz, дБ		Раздел 7.4 [10]	5,8	7,4	9,3	11,5	14,1	16,9	19,7	22,7	25		
Уровни звукового давления прямого звука от источника ИШ-1-33 в расчётной точке днём, дБ		**ф-ла(3)[10]**	**0**	**18,3**	**17,6**	**17,9**	**17,7**	**20,3**	**24,2**	**9,3**	**0**	**27**	**27**
Расчёт отражённого звука													
Уровни звукового давления от мнимого источника ИШ-1-33_мн.(1) в расчётной точке днём, дБ		**ф-ла(3)[10]**	**0**	**0**	**0**	**0**	**0**	**0**	**0**	**0**	**0**	**0**	**0**
Уровни звукового давления от источника ИШ-1-33 в расчётной точке днём, дБ		**ф-ла(3)[10]**	**0**	**18,3**	**17,6**	**17,9**	**17,7**	**20,3**	**24,2**	**9,3**	**0**	**27**	**27**
Источник шума: ИШ-1-34, координаты источника (x,y,z), м =[1042.35,199.07,1.00]													
Уровни звуковой мощности источника днём, Lw, дБ		**исходные данные**	**0**	**88,7**	**90,1**	**93,1**	**96,4**	**103**	**112**	**108**	**99,2**		
Поправка на телесный угол DΩ, дБ	Ω = 6.28	10Lg(4π/Ω)	**3**	3	3	3	3	3	3	3	3		
Показатель направленности источника Di, дБ		исходные данные	**0**	0	0	0	0	0	0	0	0		

1		2	3	4	5	6	7	8	9	10	11	12	13
Поправка на направленность источника Dc, дБ	Dc	DΩ + Di	**3**	3	3	3	3	3	3	3	3		
Затухание из-за геометрической дивергенции, Adiv, дБ	расстояние = 726.43 м	ф-ла (7) [10]	**68,2**										
Коэффициент затухания звука в атмосфере α, дБ/км	Ta=20,°C Pa=101.33,кПа hотн.=70%	ф-ла (5) [9]	0,02	0,09	0,33	1,12	2,79	4,98	9,04	23,09	77,63		
Учет затухания звука в атмосфере Aatm, дБ		ф-ла (8) [10]	0	0,1	0,2	0,8	2	3,6	6,6	16,8	56,4		
Снижение поверхностью земли возле источника As, дБ	Gs = 0 hs = 1м	ф-лы таб.3 [10]	-1,5	-1,5	-1,5	-1,5	-1,5	-1,5	-1,5	-1,5	-1,5		
Снижение поверхностью земли возле приёмника Ar, дБ	Gr = 1 hr = 1.5м	ф-лы таб.3 [10]	-1,5	-1,5	4,3	7	5	0,7	0	0	0		
Снижение поверхностью земли в средней зоне, Am дБ	Gm = 1	ф-лы таб.3 [10]	-2,7	-2,7	0	0	0	0	0	0	0		
Суммарное снижение поверхностью земли на траектории распространения звука Agr, дБ		ф-ла (9) [10]	-5,7	-5,7	2,8	5,5	3,5	-0,8	-1,5	-1,5	-1,5		
Уровни звукового давления прямого звука от источника ИШ-1-34 в расчётной точке днём, дБ		**ф-ла(3)[10]**	**0**	**29,1**	**21,9**	**21,5**	**25,7**	**35**	**41,7**	**27,5**	**0**	**43,7**	**43,7**
Расчёт отражённого звука													
Уровни звукового давления от мнимого источника ИШ-1-34_мн.(1) в расчётной точке днём, дБ		**ф-ла(3)[10]**	**0**	**0**	**0**	**0**	**14,3**	**30,5**	**39,2**	**25**	**0**	**41**	**41**
Уровни звукового давления от источника ИШ-1-34 в расчётной точке днём, дБ		**ф-ла(3)[10]**	**0**	**29,1**	**21,9**	**21,5**	**26**	**36,3**	**43,7**	**29,4**	**0**	**45,6**	**45,6**
Источник шума: ИШ-2-1, координаты источника (x,y,z), м =[696.50,124.40,3.00]													
Уровни звуковой мощности источника днём, Lw, дБ		**исходные данные**	**105**	**104**	**104**	**101**	**102**	**106**	**101**	**95**	**87**		
Поправка на телесный угол DΩ, дБ	Ω = 6.28	10Lg(4π/Ω)	**3**	3	3	3	3	3	3	3	3		
Показатель направленности источника Di, дБ		исходные данные	**0**	0	0	0	0	0	0	0	0		

1		2	3	4	5	6	7	8	9	10	11	12	13
Поправка на направленность источника Dc, дБ	Dc	DΩ + Di	**3**	3	3	3	3	3	3	3	3		
Затухание из-за геометрической дивергенции, Adiv, дБ	расстояние = 376.95 м	ф-ла (7) [10]	**62,5**										
Коэффициент затухания звука в атмосфере α, дБ/км	Ta=20,°C Pa=101.33,кПа hотн.=70%	ф-ла (5) [9]	0,02	0,09	0,33	1,12	2,79	4,98	9,04	23,09	77,63		
Учет затухания звука в атмосфере Aatm, дБ		ф-ла (8) [10]	0	0	0,1	0,4	1,1	1,9	3,4	8,7	29,3		
Снижение поверхностью земли возле источника As, дБ	Gs = 0 hs = 3м	ф-лы таб.3 [10]	-1,5	-1,5	-1,5	-1,5	-1,5	-1,5	-1,5	-1,5	-1,5		
Снижение поверхностью земли возле приёмника Ar, дБ	Gr = 1 hr = 1.5м	ф-лы таб.3 [10]	-1,5	-1,5	2,2	7	5	0,7	0	0	0		
Снижение поверхностью земли в средней зоне, Am дБ	Gm = 1	ф-лы таб.3 [10]	-1,9	-1,9	0	0	0	0	0	0	0		
Суммарное снижение поверхностью земли на траектории распространения звука Agr, дБ		ф-ла (9) [10]	-4,9	-4,9	0,7	5,5	3,5	-0,8	-1,5	-1,5	-1,5		
Уровни звукового давления прямого звука от источника ИШ-2-1 в расчётной точке днём, дБ		**ф-ла(3)[10]**	**50,4**	**49,4**	**43,6**	**35,5**	**38**	**45,5**	**39,6**	**28,3**	**0**	**47,2**	**47,2**
Расчёт отражённого звука													
Уровни звукового давления от мнимого источника ИШ-2-1_мн.(1) в расчётной точке днём, дБ		**ф-ла(3)[10]**	**0**	**0**	**0**	**0**	**0**	**0**	**0**	**25,7**	**0**	**26,7**	**26,7**
Уровни звукового давления от источника ИШ-2-1 в расчётной точке днём, дБ		**ф-ла(3)[10]**	**50,4**	**49,4**	**43,6**	**35,5**	**38**	**45,5**	**39,6**	**30,2**	**0**	**47,2**	**47,2**
Источник шума: ИШ-2-2, координаты источника (x,y,z), м =[682.20,81.60,3.00]													
Уровни звуковой мощности источника днём, Lw, дБ		**исходные данные**	**105**	**104**	**104**	**101**	**102**	**106**	**101**	**95**	**87**		
Поправка на телесный угол DΩ, дБ	Ω = 6.28	10Lg(4π/Ω)	**3**	3	3	3	3	3	3	3	3		
Показатель направленности источника Di, дБ		исходные данные	**0**	0	0	0	0	0	0	0	0		

1		2	3	4	5	6	7	8	9	10	11	12	13
Поправка на направленность источника Dc, дБ	Dc	DΩ + Di	**3**	3	3	3	3	3	3	3	3		
Затухание из-за геометрической дивергенции, Adiv, дБ	расстояние = 347.65 м	ф-ла (7) [10]	**61,8**										
Коэффициент затухания звука в атмосфере α, дБ/км	Ta=20,°C Pa=101.33,кПа hотн.=70%	ф-ла (5) [9]	0,02	0,09	0,33	1,12	2,79	4,98	9,04	23,09	77,63		
Учет затухания звука в атмосфере Aatm, дБ		ф-ла (8) [10]	0	0	0,1	0,4	1	1,7	3,1	8	27		
Снижение поверхностью земли возле источника As, дБ	Gs = 0 hs = 3м	ф-лы таб.3 [10]	-1,5	-1,5	-1,5	-1,5	-1,5	-1,5	-1,5	-1,5	-1,5		
Снижение поверхностью земли возле приёмника Ar, дБ	Gr = 1 hr = 1.5м	ф-лы таб.3 [10]	-1,5	-1,5	2	7	5	0,7	0	0	0		
Снижение поверхностью земли в средней зоне, Am дБ	Gm = 1	ф-лы таб.3 [10]	-1,8	-1,8	0	0	0	0	0	0	0		
Суммарное снижение поверхностью земли на траектории распространения звука Agr, дБ		ф-ла (9) [10]	-4,8	-4,8	0,5	5,5	3,5	-0,8	-1,5	-1,5	-1,5		
Уровни звукового давления прямого звука от источника ИШ-2-2 в расчётной точке днём, дБ		**ф-ла(3)[10]**	**51**	**50**	**44,5**	**36,3**	**38,8**	**46,3**	**40,5**	**29,7**	**2,7**	**48,1**	**48,1**
Расчёт отражённого звука													
Уровни звукового давления от мнимого источника ИШ-2-2_мн.(1) в расчётной точке днём, дБ		**ф-ла(3)[10]**	**0**	**0**	**0**	**0**	**36**	**43,8**	**38**	**27,1**	**0**	**45,4**	**45,4**
Уровни звукового давления от источника ИШ-2-2 в расчётной точке днём, дБ		**ф-ла(3)[10]**	**51**	**50**	**44,5**	**36,3**	**40,6**	**48,2**	**42,5**	**31,6**	**2,7**	**49,9**	**49,9**
Источник шума: ИШ-2-3, координаты источника (x,y,z), м =[667.80,38.90,3.00]													
Уровни звуковой мощности источника днём, Lw, дБ		**исходные данные**	**105**	**104**	**104**	**101**	**102**	**106**	**101**	**95**	**87**		
Поправка на телесный угол DΩ, дБ	Ω = 6.28	10Lg(4π/Ω)	**3**	3	3	3	3	3	3	3	3		
Показатель направленности источника Di, дБ		исходные данные	**0**	0	0	0	0	0	0	0	0		

1		2	3	4	5	6	7	8	9	10	11	12	13
Поправка на направленность источника Dc, дБ	Dc	DΩ + Di	**3**	3	3	3	3	3	3	3	3		
Затухание из-за геометрической дивергенции, Adiv, дБ	расстояние = 321.95 м	ф-ла (7) [10]	**61,2**										
Коэффициент затухания звука в атмосфере α, дБ/км	Ta=20,°C Pa=101.33,кПа hотн.=70%	ф-ла (5) [9]	0,02	0,09	0,33	1,12	2,79	4,98	9,04	23,09	77,63		
Учет затухания звука в атмосфере Aatm, дБ		ф-ла (8) [10]	0	0	0,1	0,4	0,9	1,6	2,9	7,4	25		
Снижение поверхностью земли возле источника As, дБ	Gs = 0 hs = 3м	ф-лы таб.3 [10]	-1,5	-1,5	-1,5	-1,5	-1,5	-1,5	-1,5	-1,5	-1,5		
Снижение поверхностью земли возле приёмника Ar, дБ	Gr = 1 hr = 1.5м	ф-лы таб.3 [10]	-1,5	-1,5	1,9	7	5	0,7	0	0	0		
Снижение поверхностью земли в средней зоне, Am дБ	Gm = 1	ф-лы таб.3 [10]	-1,7	-1,7	0	0	0	0	0	0	0		
Суммарное снижение поверхностью земли на траектории распространения звука Agr, дБ		ф-ла (9) [10]	-4,7	-4,7	0,4	5,5	3,5	-0,8	-1,5	-1,5	-1,5		
Уровни звукового давления прямого звука от источника ИШ-2-3 в расчётной точке днём, дБ		**ф-ла(3)[10]**	**51,6**	**50,6**	**45,4**	**37**	**39,5**	**47,1**	**41,4**	**30,9**	**5,4**	**48,9**	**48,9**
Расчёт отражённого звука													
Уровни звукового давления от мнимого источника ИШ-2-3_мн.(1) в расчётной точке днём, дБ		**ф-ла(3)[10]**	**0**	**0**	**40,4**	**30,6**	**36,7**	**44,6**	**38,9**	**28,4**	**2,7**	**46,3**	**46,3**
Уровни звукового давления от мнимого источника ИШ-2-3_мн.(2) в расчётной точке днём, дБ		**ф-ла(3)[10]**	**0**	**0**	**0**	**0**	**0**	**43**	**36,8**	**25,3**	**0**	**44,2**	**44,2**
Суммарные уровни звукового давления от мнимых источников в расчётной точке днём, дБ		**ф-ла (19) [1]**	**0**	**0**	**40,4**	**30,6**	**36,7**	**46,8**	**41**	**30,1**	**2,7**	**0**	**48,4**
Уровни звукового давления от источника ИШ-2-3 в расчётной точке днём, дБ		**ф-ла(3)[10]**	**51,6**	**50,6**	**46,6**	**37,9**	**41,3**	**50**	**44,2**	**33,5**	**7,2**	**51,6**	**51,6**
Источник шума: ИШ-2-6, координаты источника (x,y,z), м =[765.97,112.43,1.00]													
Уровни звуковой мощности источника днём, Lw, дБ		**исходные данные**	**0**	**93,3**	**94,7**	**96**	**96,3**	**95,9**	**92,6**	**88,4**	**83,9**		

1		2	3	4	5	6	7	8	9	10	11	12	13
Поправка на телесный угол DΩ, дБ	Ω = 6.28	10Lg(4π/Ω)	**3**	3	3	3	3	3	3	3	3		
Показатель направленности источника Di, дБ		исходные данные	**0**	0	0	0	0	0	0	0	0		
Поправка на направленность источника Dc, дБ	Dc	DΩ + Di	**3**	3	3	3	3	3	3	3	3		
Затухание из-за геометрической дивергенции, Adiv, дБ	расстояние = 436.90 м	ф-ла (7) [10]	**63,8**										
Коэффициент затухания звука в атмосфере α, дБ/км	Ta=20,°C Pa=101.33,кПа hотн.=70%	ф-ла (5) [9]	0,02	0,09	0,33	1,12	2,79	4,98	9,04	23,09	77,63		
Учет затухания звука в атмосфере Aatm, дБ		ф-ла (8) [10]	0	0	0,1	0,5	1,2	2,2	3,9	10,1	33,9		
Снижение поверхностью земли возле источника As, дБ	Gs = 0 hs = 1м	ф-лы таб.3 [10]	-1,5	-1,5	-1,5	-1,5	-1,5	-1,5	-1,5	-1,5	-1,5		
Снижение поверхностью земли возле приёмника Ar, дБ	Gr = 1 hr = 1.5м	ф-лы таб.3 [10]	-1,5	-1,5	2,6	7	5	0,7	0	0	0		
Снижение поверхностью земли в средней зоне, Am дБ	Gm = 1	ф-лы таб.3 [10]	-2,5	-2,5	0	0	0	0	0	0	0		
Суммарное снижение поверхностью земли на траектории распространения звука Agr, дБ		ф-ла (9) [10]	-5,5	-5,5	1,1	5,5	3,5	-0,8	-1,5	-1,5	-1,5		
Уровни звукового давления прямого звука от источника ИШ-2-6 в расчётной точке днём, дБ		**ф-ла(3)[10]**	**0**	**37,9**	**32,6**	**29,2**	**30,8**	**33,7**	**29,3**	**19**	**0**	**36,4**	**36,4**
Расчёт отражённого звука													
Уровни звукового давления от мнимого источника ИШ-2-6_мн.(1) в расчётной точке днём, дБ		**ф-ла(3)[10]**	**0**	**0**	**0**	**0**	**19,4**	**29,2**	**26,8**	**16,4**	**0**	**31,9**	**31,9**
Уровни звукового давления от источника ИШ-2-6 в расчётной точке днём, дБ		**ф-ла(3)[10]**	**0**	**37,9**	**32,6**	**29,2**	**31,1**	**35,1**	**31,3**	**20,9**	**0**	**37,7**	**37,7**
Источник шума: ИШ-2-7, координаты источника (x,y,z), м =[764.91,109.54,1.00]													
Уровни звуковой мощности источника днём, Lw, дБ		**исходные данные**	**0**	**93,3**	**94,7**	**96**	**96,3**	**95,9**	**92,6**	**88,4**	**83,9**		

1		2	3	4	5	6	7	8	9	10	11	12	13
Поправка на телесный угол DΩ, дБ	Ω = 6.28	10Lg(4π/Ω)	**3**	3	3	3	3	3	3	3	3		
Показатель направленности источника Di, дБ		исходные данные	**0**	0	0	0	0	0	0	0	0		
Поправка на направленность источника Dc, дБ	Dc	DΩ + Di	**3**	3	3	3	3	3	3	3	3		
Затухание из-за геометрической дивергенции, Adiv, дБ	расстояние = 434.94 м	ф-ла (7) [10]	**63,8**										
Коэффициент затухания звука в атмосфере α, дБ/км	Ta=20,°C Pa=101.33,кПа hотн.=70%	ф-ла (5) [9]	0,02	0,09	0,33	1,12	2,79	4,98	9,04	23,09	77,63		
Учет затухания звука в атмосфере Aatm, дБ		ф-ла (8) [10]	0	0	0,1	0,5	1,2	2,2	3,9	10	33,8		
Снижение поверхностью земли возле источника As, дБ	Gs = 0 hs = 1м	ф-лы таб.3 [10]	-1,5	-1,5	-1,5	-1,5	-1,5	-1,5	-1,5	-1,5	-1,5		
Снижение поверхностью земли возле приёмника Ar, дБ	Gr = 1 hr = 1.5м	ф-лы таб.3 [10]	-1,5	-1,5	2,6	7	5	0,7	0	0	0		
Снижение поверхностью земли в средней зоне, Am дБ	Gm = 1	ф-лы таб.3 [10]	-2,5	-2,5	0	0	0	0	0	0	0		
Суммарное снижение поверхностью земли на траектории распространения звука Agr, дБ		ф-ла (9) [10]	-5,5	-5,5	1,1	5,5	3,5	-0,8	-1,5	-1,5	-1,5		
Уровни звукового давления прямого звука от источника ИШ-2-7 в расчётной точке днём, дБ		**ф-ла(3)[10]**	**0**	**38**	**32,7**	**29,2**	**30,8**	**33,8**	**29,4**	**19,1**	**0**	**36,4**	**36,4**
Расчёт отражённого звука													
Уровни звукового давления от мнимого источника ИШ-2-7_мн.(1) в расчётной точке днём, дБ		**ф-ла(3)[10]**	**0**	**0**	**0**	**0**	**19,5**	**29,2**	**26,9**	**16,5**	**0**	**32**	**32**
Уровни звукового давления от источника ИШ-2-7 в расчётной точке днём, дБ		**ф-ла(3)[10]**	**0**	**38**	**32,7**	**29,2**	**31,1**	**35,1**	**31,3**	**21**	**0**	**37,8**	**37,8**
Источник шума: ИШ-2-8, координаты источника (x,y,z), м =[764.03,106.58,1.00]													
Уровни звуковой мощности источника днём, Lw, дБ		**исходные данные**	**0**	**93,3**	**94,7**	**96**	**96,3**	**95,9**	**92,6**	**88,4**	**83,9**		

1		2	3	4	5	6	7	8	9	10	11	12	13
Поправка на телесный угол DΩ, дБ	Ω = 6.28	10Lg(4π/Ω)	**3**	3	3	3	3	3	3	3	3		
Показатель направленности источника Di, дБ		исходные данные	**0**	0	0	0	0	0	0	0	0		
Поправка на направленность источника Dc, дБ	Dc	DΩ + Di	**3**	3	3	3	3	3	3	3	3		
Затухание из-за геометрической дивергенции, Adiv, дБ	расстояние = 433.15 м	ф-ла (7) [10]	**63,7**										
Коэффициент затухания звука в атмосфере α, дБ/км	Ta=20,°C Pa=101.33,кПа hотн.=70%	ф-ла (5) [9]	0,02	0,09	0,33	1,12	2,79	4,98	9,04	23,09	77,63		
Учет затухания звука в атмосфере Aatm, дБ		ф-ла (8) [10]	0	0	0,1	0,5	1,2	2,2	3,9	10	33,6		
Снижение поверхностью земли возле источника As, дБ	Gs = 0 hs = 1м	ф-лы таб.3 [10]	-1,5	-1,5	-1,5	-1,5	-1,5	-1,5	-1,5	-1,5	-1,5		
Снижение поверхностью земли возле приёмника Ar, дБ	Gr = 1 hr = 1.5м	ф-лы таб.3 [10]	-1,5	-1,5	2,6	7	5	0,7	0	0	0		
Снижение поверхностью земли в средней зоне, Am дБ	Gm = 1	ф-лы таб.3 [10]	-2,5	-2,5	0	0	0	0	0	0	0		
Суммарное снижение поверхностью земли на траектории распространения звука Agr, дБ		ф-ла (9) [10]	-5,5	-5,5	1,1	5,5	3,5	-0,8	-1,5	-1,5	-1,5		
Уровни звукового давления прямого звука от источника ИШ-2-8 в расчётной точке днём, дБ		**ф-ла(3)[10]**	**0**	**38**	**32,7**	**29,3**	**30,9**	**33,8**	**29,4**	**19,2**	**0**	**36,5**	**36,5**
Расчёт отражённого звука													
Уровни звукового давления от мнимого источника ИШ-2-8_мн.(1) в расчётной точке днём, дБ		**ф-ла(3)[10]**	**0**	**0**	**0**	**0**	**19,5**	**29,3**	**26,9**	**16,6**	**0**	**32**	**32**
Уровни звукового давления от источника ИШ-2-8 в расчётной точке днём, дБ		**ф-ла(3)[10]**	**0**	**38**	**32,7**	**29,3**	**31,2**	**35,1**	**31,4**	**21,1**	**0**	**37,8**	**37,8**
Источник шума: ИШ-2-9, координаты источника (x,y,z), м =[763.26,103.71,1.00]													
Уровни звуковой мощности источника днём, Lw, дБ		**исходные данные**	**0**	**93,3**	**94,7**	**96**	**96,3**	**95,9**	**92,6**	**88,4**	**83,9**		

1		2	3	4	5	6	7	8	9	10	11	12	13
Поправка на телесный угол DΩ, дБ	Ω = 6.28	10Lg(4π/Ω)	**3**	3	3	3	3	3	3	3	3		
Показатель направленности источника Di, дБ		исходные данные	**0**	0	0	0	0	0	0	0	0		
Поправка на направленность источника Dc, дБ	Dc	DΩ + Di	**3**	3	3	3	3	3	3	3	3		
Затухание из-за геометрической дивергенции, Adiv, дБ	расстояние = 431.50 м	ф-ла (7) [10]	**63,7**										
Коэффициент затухания звука в атмосфере α, дБ/км	Ta=20,°C Pa=101.33,кПа hотн.=70%	ф-ла (5) [9]	0,02	0,09	0,33	1,12	2,79	4,98	9,04	23,09	77,63		
Учет затухания звука в атмосфере Aatm, дБ		ф-ла (8) [10]	0	0	0,1	0,5	1,2	2,1	3,9	10	33,5		
Снижение поверхностью земли возле источника As, дБ	Gs = 0 hs = 1м	ф-лы таб.3 [10]	-1,5	-1,5	-1,5	-1,5	-1,5	-1,5	-1,5	-1,5	-1,5		
Снижение поверхностью земли возле приёмника Ar, дБ	Gr = 1 hr = 1.5м	ф-лы таб.3 [10]	-1,5	-1,5	2,6	7	5	0,7	0	0	0		
Снижение поверхностью земли в средней зоне, Am дБ	Gm = 1	ф-лы таб.3 [10]	-2,5	-2,5	0	0	0	0	0	0	0		
Суммарное снижение поверхностью земли на траектории распространения звука Agr, дБ		ф-ла (9) [10]	-5,5	-5,5	1,1	5,5	3,5	-0,8	-1,5	-1,5	-1,5		
Уровни звукового давления прямого звука от источника ИШ-2-9 в расчётной точке днём, дБ		**ф-ла(3)[10]**	**0**	**38**	**32,8**	**29,3**	**30,9**	**33,9**	**29,5**	**19,2**	**0**	**36,5**	**36,5**
Расчёт отражённого звука													
Уровни звукового давления от мнимого источника ИШ-2-9_мн.(1) в расчётной точке днём, дБ		**ф-ла(3)[10]**	**0**	**0**	**0**	**0**	**19,6**	**29,3**	**27**	**16,7**	**0**	**32,1**	**32,1**
Уровни звукового давления от источника ИШ-2-9 в расчётной точке днём, дБ		**ф-ла(3)[10]**	**0**	**38**	**32,8**	**29,3**	**31,2**	**35,2**	**31,4**	**21,1**	**0**	**37,9**	**37,9**
Источник шума: ИШ-2-10, координаты источника (x,y,z), м =[762.14,100.75,1.00]													
Уровни звуковой мощности источника днём, Lw, дБ		**исходные данные**	**0**	**93,3**	**94,7**	**96**	**96,3**	**95,9**	**92,6**	**88,4**	**83,9**		

1		2	3	4	5	6	7	8	9	10	11	12	13
Поправка на телесный угол DΩ, дБ	Ω = 6.28	10Lg(4π/Ω)	**3**	3	3	3	3	3	3	3	3		
Показатель направленности источника Di, дБ		исходные данные	**0**	0	0	0	0	0	0	0	0		
Поправка на направленность источника Dc, дБ	Dc	DΩ + Di	**3**	3	3	3	3	3	3	3	3		
Затухание из-за геометрической дивергенции, Adiv, дБ	расстояние = 429.51 м	ф-ла (7) [10]	**63,7**										
Коэффициент затухания звука в атмосфере α, дБ/км	Ta=20,°C Pa=101.33,кПа hотн.=70%	ф-ла (5) [9]	0,02	0,09	0,33	1,12	2,79	4,98	9,04	23,09	77,63		
Учет затухания звука в атмосфере Aatm, дБ		ф-ла (8) [10]	0	0	0,1	0,5	1,2	2,1	3,9	9,9	33,3		
Снижение поверхностью земли возле источника As, дБ	Gs = 0 hs = 1м	ф-лы таб.3 [10]	-1,5	-1,5	-1,5	-1,5	-1,5	-1,5	-1,5	-1,5	-1,5		
Снижение поверхностью земли возле приёмника Ar, дБ	Gr = 1 hr = 1.5м	ф-лы таб.3 [10]	-1,5	-1,5	2,6	7	5	0,7	0	0	0		
Снижение поверхностью земли в средней зоне, Am дБ	Gm = 1	ф-лы таб.3 [10]	-2,5	-2,5	0	0	0	0	0	0	0		
Суммарное снижение поверхностью земли на траектории распространения звука Agr, дБ		ф-ла (9) [10]	-5,5	-5,5	1,1	5,5	3,5	-0,8	-1,5	-1,5	-1,5		
Уровни звукового давления прямого звука от источника ИШ-2-10 в расчётной точке днём, дБ		**ф-ла(3)[10]**	**0**	**38,1**	**32,8**	**29,3**	**31**	**33,9**	**29,6**	**19,3**	**0**	**36,6**	**36,6**
Расчёт отражённого звука													
Уровни звукового давления от мнимого источника ИШ-2-10_мн.(1) в расчётной точке днём, дБ		**ф-ла(3)[10]**	**0**	**0**	**0**	**0**	**19,6**	**29,4**	**27**	**16,7**	**0**	**32,1**	**32,1**
Уровни звукового давления от источника ИШ-2-10 в расчётной точке днём, дБ		**ф-ла(3)[10]**	**0**	**38,1**	**32,8**	**29,3**	**31,3**	**35,2**	**31,5**	**21,2**	**0**	**37,9**	**37,9**
Источник шума: ИШ-2-11, координаты источника (x,y,z), м =[761.13,97.90,1.00]													
Уровни звуковой мощности источника днём, Lw, дБ		**исходные данные**	**0**	**93,3**	**94,7**	**96**	**96,3**	**95,9**	**92,6**	**88,4**	**83,9**		

1		2	3	4	5	6	7	8	9	10	11	12	13
Поправка на телесный угол DΩ, дБ	Ω = 6.28	10Lg(4π/Ω)	**3**	3	3	3	3	3	3	3	3		
Показатель направленности источника Di, дБ		исходные данные	**0**	0	0	0	0	0	0	0	0		
Поправка на направленность источника Dc, дБ	Dc	DΩ + Di	**3**	3	3	3	3	3	3	3	3		
Затухание из-за геометрической дивергенции, Adiv, дБ	расстояние = 427.67 м	ф-ла (7) [10]	**63,6**										
Коэффициент затухания звука в атмосфере α, дБ/км	Ta=20,°C Pa=101.33,кПа hотн.=70%	ф-ла (5) [9]	0,02	0,09	0,33	1,12	2,79	4,98	9,04	23,09	77,63		
Учет затухания звука в атмосфере Aatm, дБ		ф-ла (8) [10]	0	0	0,1	0,5	1,2	2,1	3,9	9,9	33,2		
Снижение поверхностью земли возле источника As, дБ	Gs = 0 hs = 1м	ф-лы таб.3 [10]	-1,5	-1,5	-1,5	-1,5	-1,5	-1,5	-1,5	-1,5	-1,5		
Снижение поверхностью земли возле приёмника Ar, дБ	Gr = 1 hr = 1.5м	ф-лы таб.3 [10]	-1,5	-1,5	2,6	7	5	0,7	0	0	0		
Снижение поверхностью земли в средней зоне, Am дБ	Gm = 1	ф-лы таб.3 [10]	-2,5	-2,5	0	0	0	0	0	0	0		
Суммарное снижение поверхностью земли на траектории распространения звука Agr, дБ		ф-ла (9) [10]	-5,5	-5,5	1,1	5,5	3,5	-0,8	-1,5	-1,5	-1,5		
Уровни звукового давления прямого звука от источника ИШ-2-11 в расчётной точке днём, дБ		**ф-ла(3)[10]**	**0**	**38,1**	**32,9**	**29,4**	**31**	**34**	**29,6**	**19,4**	**0**	**36,6**	**36,6**
Расчёт отражённого звука													
Уровни звукового давления от мнимого источника ИШ-2-11_мн.(1) в расчётной точке днём, дБ		**ф-ла(3)[10]**	**0**	**0**	**0**	**19**	**19,6**	**29,4**	**27,1**	**16,8**	**0**	**32,2**	**32,2**
Уровни звукового давления от источника ИШ-2-11 в расчётной точке днём, дБ		**ф-ла(3)[10]**	**0**	**38,1**	**32,9**	**29,7**	**31,3**	**35,3**	**31,5**	**21,3**	**0**	**38**	**38**
Источник шума: ИШ-2-12, координаты источника (x,y,z), м =[760.25,95.02,1.00]													
Уровни звуковой мощности источника днём, Lw, дБ		**исходные данные**	**0**	**93,3**	**94,7**	**96**	**96,3**	**95,9**	**92,6**	**88,4**	**83,9**		

1		2	3	4	5	6	7	8	9	10	11	12	13
Поправка на телесный угол DΩ, дБ	Ω = 6.28	10Lg(4π/Ω)	**3**	3	3	3	3	3	3	3	3		
Показатель направленности источника Di, дБ		исходные данные	**0**	0	0	0	0	0	0	0	0		
Поправка на направленность источника Dc, дБ	Dc	DΩ + Di	**3**	3	3	3	3	3	3	3	3		
Затухание из-за геометрической дивергенции, Adiv, дБ	расстояние = 425.96 м	ф-ла (7) [10]	**63,6**										
Коэффициент затухания звука в атмосфере α, дБ/км	Ta=20,°C Pa=101.33,кПа hотн.=70%	ф-ла (5) [9]	0,02	0,09	0,33	1,12	2,79	4,98	9,04	23,09	77,63		
Учет затухания звука в атмосфере Aatm, дБ		ф-ла (8) [10]	0	0	0,1	0,5	1,2	2,1	3,9	9,8	33,1		
Снижение поверхностью земли возле источника As, дБ	Gs = 0 hs = 1м	ф-лы таб.3 [10]	-1,5	-1,5	-1,5	-1,5	-1,5	-1,5	-1,5	-1,5	-1,5		
Снижение поверхностью земли возле приёмника Ar, дБ	Gr = 1 hr = 1.5м	ф-лы таб.3 [10]	-1,5	-1,5	2,5	7	5	0,7	0	0	0		
Снижение поверхностью земли в средней зоне, Am дБ	Gm = 1	ф-лы таб.3 [10]	-2,5	-2,5	0	0	0	0	0	0	0		
Суммарное снижение поверхностью земли на траектории распространения звука Agr, дБ		ф-ла (9) [10]	-5,5	-5,5	1	5,5	3,5	-0,8	-1,5	-1,5	-1,5		
Уровни звукового давления прямого звука от источника ИШ-2-12 в расчётной точке днём, дБ		**ф-ла(3)[10]**	**0**	**38,1**	**32,9**	**29,4**	**31**	**34**	**29,7**	**19,5**	**0**	**36,7**	**36,7**
Расчёт отражённого звука													
Уровни звукового давления от мнимого источника ИШ-2-12_мн.(1) в расчётной точке днём, дБ		**ф-ла(3)[10]**	**0**	**0**	**0**	**19**	**19,7**	**29,5**	**27,1**	**16,9**	**0**	**32,3**	**32,3**
Уровни звукового давления от источника ИШ-2-12 в расчётной точке днём, дБ		**ф-ла(3)[10]**	**0**	**38,1**	**32,9**	**29,8**	**31,4**	**35,3**	**31,6**	**21,4**	**0**	**38**	**38**
Источник шума: ИШ-2-13, координаты источника (x,y,z), м =[759.28,92.25,1.00]													
Уровни звуковой мощности источника днём, Lw, дБ		**исходные данные**	**0**	**93,3**	**94,7**	**96**	**96,3**	**95,9**	**92,6**	**88,4**	**83,9**		

1		2	3	4	5	6	7	8	9	10	11	12	13
Поправка на телесный угол DΩ, дБ	Ω = 6.28	10Lg(4π/Ω)	**3**	3	3	3	3	3	3	3	3		
Показатель направленности источника Di, дБ		исходные данные	**0**	0	0	0	0	0	0	0	0		
Поправка на направленность источника Dc, дБ	Dc	DΩ + Di	**3**	3	3	3	3	3	3	3	3		
Затухание из-за геометрической дивергенции, Adiv, дБ	расстояние = 424.20 м	ф-ла (7) [10]	**63,6**										
Коэффициент затухания звука в атмосфере α, дБ/км	Ta=20,°C Pa=101.33,кПа hотн.=70%	ф-ла (5) [9]	0,02	0,09	0,33	1,12	2,79	4,98	9,04	23,09	77,63		
Учет затухания звука в атмосфере Aatm, дБ		ф-ла (8) [10]	0	0	0,1	0,5	1,2	2,1	3,8	9,8	32,9		
Снижение поверхностью земли возле источника As, дБ	Gs = 0 hs = 1м	ф-лы таб.3 [10]	-1,5	-1,5	-1,5	-1,5	-1,5	-1,5	-1,5	-1,5	-1,5		
Снижение поверхностью земли возле приёмника Ar, дБ	Gr = 1 hr = 1.5м	ф-лы таб.3 [10]	-1,5	-1,5	2,5	7	5	0,7	0	0	0		
Снижение поверхностью земли в средней зоне, Am дБ	Gm = 1	ф-лы таб.3 [10]	-2,5	-2,5	0	0	0	0	0	0	0		
Суммарное снижение поверхностью земли на траектории распространения звука Agr, дБ		ф-ла (9) [10]	-5,5	-5,5	1	5,5	3,5	-0,8	-1,5	-1,5	-1,5		
Уровни звукового давления прямого звука от источника ИШ-2-13 в расчётной точке днём, дБ		**ф-ла(3)[10]**	**0**	**38,2**	**33**	**29,4**	**31,1**	**34,1**	**29,7**	**19,5**	**0**	**36,7**	**36,7**
Расчёт отражённого звука													
Уровни звукового давления от мнимого источника ИШ-2-13_мн.(1) в расчётной точке днём, дБ		**ф-ла(3)[10]**	**0**	**0**	**0**	**19,1**	**19,7**	**29,5**	**27,2**	**17**	**0**	**32,3**	**32,3**
Уровни звукового давления от источника ИШ-2-13 в расчётной точке днём, дБ		**ф-ла(3)[10]**	**0**	**38,2**	**33**	**29,8**	**31,4**	**35,4**	**31,6**	**21,5**	**0**	**38,1**	**38,1**
Источник шума: ИШ-2-14, координаты источника (x,y,z), м =[751.62,69.73,1.00]													
Уровни звуковой мощности источника днём, Lw, дБ		**исходные данные**	**0**	**93,3**	**94,7**	**96**	**96,3**	**95,9**	**92,6**	**88,4**	**83,9**		

1		2	3	4	5	6	7	8	9	10	11	12	13
Поправка на телесный угол DΩ, дБ	Ω = 6.28	10Lg(4π/Ω)	**3**	3	3	3	3	3	3	3	3		
Показатель направленности источника Di, дБ		исходные данные	**0**	0	0	0	0	0	0	0	0		
Поправка на направленность источника Dc, дБ	Dc	DΩ + Di	**3**	3	3	3	3	3	3	3	3		
Затухание из-за геометрической дивергенции, Adiv, дБ	расстояние = 410.69 м	ф-ла (7) [10]	**63,3**										
Коэффициент затухания звука в атмосфере α, дБ/км	Ta=20,°C Pa=101.33,кПа hотн.=70%	ф-ла (5) [9]	0,02	0,09	0,33	1,12	2,79	4,98	9,04	23,09	77,63		
Учет затухания звука в атмосфере Aatm, дБ		ф-ла (8) [10]	0	0	0,1	0,5	1,1	2	3,7	9,5	31,9		
Снижение поверхностью земли возле источника As, дБ	Gs = 0 hs = 1м	ф-лы таб.3 [10]	-1,5	-1,5	-1,5	-1,5	-1,5	-1,5	-1,5	-1,5	-1,5		
Снижение поверхностью земли возле приёмника Ar, дБ	Gr = 1 hr = 1.5м	ф-лы таб.3 [10]	-1,5	-1,5	2,4	7	5	0,7	0	0	0		
Снижение поверхностью земли в средней зоне, Am дБ	Gm = 1	ф-лы таб.3 [10]	-2,5	-2,5	0	0	0	0	0	0	0		
Суммарное снижение поверхностью земли на траектории распространения звука Agr, дБ		ф-ла (9) [10]	-5,5	-5,5	0,9	5,5	3,5	-0,8	-1,5	-1,5	-1,5		
Уровни звукового давления прямого звука от источника ИШ-2-14 в расчётной точке днём, дБ		**ф-ла(3)[10]**	**0**	**38,4**	**33,3**	**29,7**	**31,4**	**34,4**	**30,1**	**20,1**	**0**	**37,1**	**37,1**
Расчёт отражённого звука													
Уровни звукового давления от мнимого источника ИШ-2-14_мн.(1) в расчётной точке днём, дБ		**ф-ла(3)[10]**	**0**	**0**	**0**	**19,4**	**20**	**29,9**	**27,6**	**17,6**	**0**	**32,7**	**32,7**
Уровни звукового давления от источника ИШ-2-14 в расчётной точке днём, дБ		**ф-ла(3)[10]**	**0**	**38,4**	**33,3**	**30,1**	**31,7**	**35,7**	**32**	**22,1**	**0**	**38,4**	**38,4**
Источник шума: ИШ-2-15, координаты источника (x,y,z), м =[750.74,66.89,1.00]													
Уровни звуковой мощности источника днём, Lw, дБ		**исходные данные**	**0**	**93,3**	**94,7**	**96**	**96,3**	**95,9**	**92,6**	**88,4**	**83,9**		

1		2	3	4	5	6	7	8	9	10	11	12	13
Поправка на телесный угол DΩ, дБ	Ω = 6.28	10Lg(4π/Ω)	**3**	3	3	3	3	3	3	3	3		
Показатель направленности источника Di, дБ		исходные данные	**0**	0	0	0	0	0	0	0	0		
Поправка на направленность источника Dc, дБ	Dc	DΩ + Di	**3**	3	3	3	3	3	3	3	3		
Затухание из-за геометрической дивергенции, Adiv, дБ	расстояние = 409.14 м	ф-ла (7) [10]	**63,2**										
Коэффициент затухания звука в атмосфере α, дБ/км	Ta=20,°C Pa=101.33,кПа hотн.=70%	ф-ла (5) [9]	0,02	0,09	0,33	1,12	2,79	4,98	9,04	23,09	77,63		
Учет затухания звука в атмосфере Aatm, дБ		ф-ла (8) [10]	0	0	0,1	0,5	1,1	2	3,7	9,4	31,8		
Снижение поверхностью земли возле источника As, дБ	Gs = 0 hs = 1м	ф-лы таб.3 [10]	-1,5	-1,5	-1,5	-1,5	-1,5	-1,5	-1,5	-1,5	-1,5		
Снижение поверхностью земли возле приёмника Ar, дБ	Gr = 1 hr = 1.5м	ф-лы таб.3 [10]	-1,5	-1,5	2,4	7	5	0,7	0	0	0		
Снижение поверхностью земли в средней зоне, Am дБ	Gm = 1	ф-лы таб.3 [10]	-2,5	-2,5	0	0	0	0	0	0	0		
Суммарное снижение поверхностью земли на траектории распространения звука Agr, дБ		ф-ла (9) [10]	-5,5	-5,5	0,9	5,5	3,5	-0,8	-1,5	-1,5	-1,5		
Уровни звукового давления прямого звука от источника ИШ-2-15 в расчётной точке днём, дБ		**ф-ла(3)[10]**	**0**	**38,5**	**33,4**	**29,8**	**31,4**	**34,5**	**30,2**	**20,2**	**0**	**37,1**	**37,1**
Расчёт отражённого звука													
Уровни звукового давления от мнимого источника ИШ-2-15_мн.(1) в расчётной точке днём, дБ		**ф-ла(3)[10]**	**0**	**0**	**0**	**19,4**	**20,1**	**29,9**	**27,6**	**17,6**	**0**	**32,7**	**32,7**
Уровни звукового давления от источника ИШ-2-15 в расчётной точке днём, дБ		**ф-ла(3)[10]**	**0**	**38,5**	**33,4**	**30,2**	**31,7**	**35,8**	**32,1**	**22,1**	**0**	**38,5**	**38,5**
Источник шума: ИШ-2-16, координаты источника (x,y,z), м =[749.73,64.02,1.00]													
Уровни звуковой мощности источника днём, Lw, дБ		**исходные данные**	**0**	**93,3**	**94,7**	**96**	**96,3**	**95,9**	**92,6**	**88,4**	**83,9**		

1		2	3	4	5	6	7	8	9	10	11	12	13
Поправка на телесный угол DΩ, дБ	Ω = 6.28	10Lg(4π/Ω)	**3**	3	3	3	3	3	3	3	3		
Показатель направленности источника Di, дБ		исходные данные	**0**	0	0	0	0	0	0	0	0		
Поправка на направленность источника Dc, дБ	Dc	DΩ + Di	**3**	3	3	3	3	3	3	3	3		
Затухание из-за геометрической дивергенции, Adiv, дБ	расстояние = 407.47 м	ф-ла (7) [10]	**63,2**										
Коэффициент затухания звука в атмосфере α, дБ/км	Ta=20,°C Pa=101.33,кПа hотн.=70%	ф-ла (5) [9]	0,02	0,09	0,33	1,12	2,79	4,98	9,04	23,09	77,63		
Учет затухания звука в атмосфере Aatm, дБ		ф-ла (8) [10]	0	0	0,1	0,5	1,1	2	3,7	9,4	31,6		
Снижение поверхностью земли возле источника As, дБ	Gs = 0 hs = 1м	ф-лы таб.3 [10]	-1,5	-1,5	-1,5	-1,5	-1,5	-1,5	-1,5	-1,5	-1,5		
Снижение поверхностью земли возле приёмника Ar, дБ	Gr = 1 hr = 1.5м	ф-лы таб.3 [10]	-1,5	-1,5	2,4	7	5	0,7	0	0	0		
Снижение поверхностью земли в средней зоне, Am дБ	Gm = 1	ф-лы таб.3 [10]	-2,4	-2,4	0	0	0	0	0	0	0		
Суммарное снижение поверхностью земли на траектории распространения звука Agr, дБ		ф-ла (9) [10]	-5,4	-5,4	0,9	5,5	3,5	-0,8	-1,5	-1,5	-1,5		
Уровни звукового давления прямого звука от источника ИШ-2-16 в расчётной точке днём, дБ		**ф-ла(3)[10]**	**0**	**38,5**	**33,4**	**29,8**	**31,5**	**34,5**	**30,2**	**20,3**	**0**	**37,2**	**37,2**
Расчёт отражённого звука													
Уровни звукового давления от мнимого источника ИШ-2-16_мн.(1) в расчётной точке днём, дБ		**ф-ла(3)[10]**	**0**	**0**	**0**	**19,4**	**20,1**	**29,9**	**27,7**	**17,7**	**0**	**32,8**	**32,8**
Уровни звукового давления от источника ИШ-2-16 в расчётной точке днём, дБ		**ф-ла(3)[10]**	**0**	**38,5**	**33,4**	**30,2**	**31,8**	**35,8**	**32,1**	**22,2**	**0**	**38,5**	**38,5**
Источник шума: ИШ-2-17, координаты источника (x,y,z), м =[748.87,61.06,1.00]													
Уровни звуковой мощности источника днём, Lw, дБ		**исходные данные**	**0**	**93,3**	**94,7**	**96**	**96,3**	**95,9**	**92,6**	**88,4**	**83,9**		

1		2	3	4	5	6	7	8	9	10	11	12	13
Поправка на телесный угол DΩ, дБ	Ω = 6.28	10Lg(4π/Ω)	**3**	3	3	3	3	3	3	3	3		
Показатель направленности источника Di, дБ		исходные данные	**0**	0	0	0	0	0	0	0	0		
Поправка на направленность источника Dc, дБ	Dc	DΩ + Di	**3**	3	3	3	3	3	3	3	3		
Затухание из-за геометрической дивергенции, Adiv, дБ	расстояние = 405.94 м	ф-ла (7) [10]	**63,2**										
Коэффициент затухания звука в атмосфере α, дБ/км	Ta=20,°C Pa=101.33,кПа hотн.=70%	ф-ла (5) [9]	0,02	0,09	0,33	1,12	2,79	4,98	9,04	23,09	77,63		
Учет затухания звука в атмосфере Aatm, дБ		ф-ла (8) [10]	0	0	0,1	0,5	1,1	2	3,7	9,4	31,5		
Снижение поверхностью земли возле источника As, дБ	Gs = 0 hs = 1м	ф-лы таб.3 [10]	-1,5	-1,5	-1,5	-1,5	-1,5	-1,5	-1,5	-1,5	-1,5		
Снижение поверхностью земли возле приёмника Ar, дБ	Gr = 1 hr = 1.5м	ф-лы таб.3 [10]	-1,5	-1,5	2,4	7	5	0,7	0	0	0		
Снижение поверхностью земли в средней зоне, Am дБ	Gm = 1	ф-лы таб.3 [10]	-2,4	-2,4	0	0	0	0	0	0	0		
Суммарное снижение поверхностью земли на траектории распространения звука Agr, дБ		ф-ла (9) [10]	-5,4	-5,4	0,9	5,5	3,5	-0,8	-1,5	-1,5	-1,5		
Уровни звукового давления прямого звука от источника ИШ-2-17 в расчётной точке днём, дБ		**ф-ла(3)[10]**	**0**	**38,5**	**33,5**	**29,8**	**31,5**	**34,5**	**30,3**	**20,4**	**0**	**37,2**	**37,2**
Расчёт отражённого звука													
Уровни звукового давления от мнимого источника ИШ-2-17_мн.(1) в расчётной точке днём, дБ		**ф-ла(3)[10]**	**0**	**0**	**0**	**19,5**	**20,2**	**30**	**27,7**	**17,8**	**0**	**32,8**	**32,8**
Уровни звукового давления от источника ИШ-2-17 в расчётной точке днём, дБ		**ф-ла(3)[10]**	**0**	**38,5**	**33,5**	**30,2**	**31,8**	**35,8**	**32,2**	**22,3**	**0**	**38,6**	**38,6**
Источник шума: ИШ-2-18, координаты источника (x,y,z), м =[747.72,58.17,1.00]													
Уровни звуковой мощности источника днём, Lw, дБ		**исходные данные**	**0**	**93,3**	**94,7**	**96**	**96,3**	**95,9**	**92,6**	**88,4**	**83,9**		

1		2	3	4	5	6	7	8	9	10	11	12	13
Поправка на телесный угол DΩ, дБ	Ω = 6.28	10Lg(4π/Ω)	**3**	3	3	3	3	3	3	3	3		
Показатель направленности источника Di, дБ		исходные данные	**0**	0	0	0	0	0	0	0	0		
Поправка на направленность источника Dc, дБ	Dc	DΩ + Di	**3**	3	3	3	3	3	3	3	3		
Затухание из-за геометрической дивергенции, Adiv, дБ	расстояние = 404.16 м	ф-ла (7) [10]	**63,1**										
Коэффициент затухания звука в атмосфере α, дБ/км	Ta=20,°C Pa=101.33,кПа hотн.=70%	ф-ла (5) [9]	0,02	0,09	0,33	1,12	2,79	4,98	9,04	23,09	77,63		
Учет затухания звука в атмосфере Aatm, дБ		ф-ла (8) [10]	0	0	0,1	0,5	1,1	2	3,7	9,3	31,4		
Снижение поверхностью земли возле источника As, дБ	Gs = 0 hs = 1м	ф-лы таб.3 [10]	-1,5	-1,5	-1,5	-1,5	-1,5	-1,5	-1,5	-1,5	-1,5		
Снижение поверхностью земли возле приёмника Ar, дБ	Gr = 1 hr = 1.5м	ф-лы таб.3 [10]	-1,5	-1,5	2,4	7	5	0,7	0	0	0		
Снижение поверхностью земли в средней зоне, Am дБ	Gm = 1	ф-лы таб.3 [10]	-2,4	-2,4	0	0	0	0	0	0	0		
Суммарное снижение поверхностью земли на траектории распространения звука Agr, дБ		ф-ла (9) [10]	-5,4	-5,4	0,9	5,5	3,5	-0,8	-1,5	-1,5	-1,5		
Уровни звукового давления прямого звука от источника ИШ-2-18 в расчётной точке днём, дБ		**ф-ла(3)[10]**	**0**	**38,6**	**33,5**	**29,9**	**31,6**	**34,6**	**30,3**	**20,4**	**0**	**37,3**	**37,3**
Расчёт отражённого звука													
Уровни звукового давления от мнимого источника ИШ-2-18_мн.(1) в расчётной точке днём, дБ		**ф-ла(3)[10]**	**0**	**0**	**28,6**	**19,5**	**20,2**	**30**	**27,8**	**17,9**	**0**	**32,9**	**32,9**
Уровни звукового давления от источника ИШ-2-18 в расчётной точке днём, дБ		**ф-ла(3)[10]**	**0**	**38,6**	**34,7**	**30,3**	**31,9**	**35,9**	**32,2**	**22,3**	**0**	**38,6**	**38,6**
Источник шума: ИШ-2-19, координаты источника (x,y,z), м =[746.80,55.25,1.00]													
Уровни звуковой мощности источника днём, Lw, дБ		**исходные данные**	**0**	**93,3**	**94,7**	**96**	**96,3**	**95,9**	**92,6**	**88,4**	**83,9**		

1		2	3	4	5	6	7	8	9	10	11	12	13
Поправка на телесный угол DΩ, дБ	Ω = 6.28	10Lg(4π/Ω)	**3**	3	3	3	3	3	3	3	3		
Показатель направленности источника Di, дБ		исходные данные	**0**	0	0	0	0	0	0	0	0		
Поправка на направленность источника Dc, дБ	Dc	DΩ + Di	**3**	3	3	3	3	3	3	3	3		
Затухание из-за геометрической дивергенции, Adiv, дБ	расстояние = 402.61 м	ф-ла (7) [10]	**63,1**										
Коэффициент затухания звука в атмосфере α, дБ/км	Ta=20,°C Pa=101.33,кПа hотн.=70%	ф-ла (5) [9]	0,02	0,09	0,33	1,12	2,79	4,98	9,04	23,09	77,63		
Учет затухания звука в атмосфере Aatm, дБ		ф-ла (8) [10]	0	0	0,1	0,5	1,1	2	3,6	9,3	31,3		
Снижение поверхностью земли возле источника As, дБ	Gs = 0 hs = 1м	ф-лы таб.3 [10]	-1,5	-1,5	-1,5	-1,5	-1,5	-1,5	-1,5	-1,5	-1,5		
Снижение поверхностью земли возле приёмника Ar, дБ	Gr = 1 hr = 1.5м	ф-лы таб.3 [10]	-1,5	-1,5	2,4	7	5	0,7	0	0	0		
Снижение поверхностью земли в средней зоне, Am дБ	Gm = 1	ф-лы таб.3 [10]	-2,4	-2,4	0	0	0	0	0	0	0		
Суммарное снижение поверхностью земли на траектории распространения звука Agr, дБ		ф-ла (9) [10]	-5,4	-5,4	0,9	5,5	3,5	-0,8	-1,5	-1,5	-1,5		
Уровни звукового давления прямого звука от источника ИШ-2-19 в расчётной точке днём, дБ		**ф-ла(3)[10]**	**0**	**38,6**	**33,6**	**29,9**	**31,6**	**34,6**	**30,4**	**20,5**	**0**	**37,3**	**37,3**
Расчёт отражённого звука													
Уровни звукового давления от мнимого источника ИШ-2-19_мн.(1) в расчётной точке днём, дБ		**ф-ла(3)[10]**	**0**	**0**	**28,7**	**19,5**	**20,2**	**30,1**	**27,8**	**17,9**	**0**	**33**	**33**
Уровни звукового давления от источника ИШ-2-19 в расчётной точке днём, дБ		**ф-ла(3)[10]**	**0**	**38,6**	**34,8**	**30,3**	**31,9**	**35,9**	**32,3**	**22,4**	**0**	**38,7**	**38,7**
Источник шума: ИШ-2-20, координаты источника (x,y,z), м =[745.71,52.44,1.00]													
Уровни звуковой мощности источника днём, Lw, дБ		**исходные данные**	**0**	**93,3**	**94,7**	**96**	**96,3**	**95,9**	**92,6**	**88,4**	**83,9**		

1		2	3	4	5	6	7	8	9	10	11	12	13
Поправка на телесный угол DΩ, дБ	Ω = 6.28	10Lg(4π/Ω)	**3**	3	3	3	3	3	3	3	3		
Показатель направленности источника Di, дБ		исходные данные	**0**	0	0	0	0	0	0	0	0		
Поправка на направленность источника Dc, дБ	Dc	DΩ + Di	**3**	3	3	3	3	3	3	3	3		
Затухание из-за геометрической дивергенции, Adiv, дБ	расстояние = 400.94 м	ф-ла (7) [10]	**63,1**										
Коэффициент затухания звука в атмосфере α, дБ/км	Ta=20,°C Pa=101.33,кПа hотн.=70%	ф-ла (5) [9]	0,02	0,09	0,33	1,12	2,79	4,98	9,04	23,09	77,63		
Учет затухания звука в атмосфере Aatm, дБ		ф-ла (8) [10]	0	0	0,1	0,5	1,1	2	3,6	9,3	31,1		
Снижение поверхностью земли возле источника As, дБ	Gs = 0 hs = 1м	ф-лы таб.3 [10]	-1,5	-1,5	-1,5	-1,5	-1,5	-1,5	-1,5	-1,5	-1,5		
Снижение поверхностью земли возле приёмника Ar, дБ	Gr = 1 hr = 1.5м	ф-лы таб.3 [10]	-1,5	-1,5	2,4	7	5	0,7	0	0	0		
Снижение поверхностью земли в средней зоне, Am дБ	Gm = 1	ф-лы таб.3 [10]	-2,4	-2,4	0	0	0	0	0	0	0		
Суммарное снижение поверхностью земли на траектории распространения звука Agr, дБ		ф-ла (9) [10]	-5,4	-5,4	0,9	5,5	3,5	-0,8	-1,5	-1,5	-1,5		
Уровни звукового давления прямого звука от источника ИШ-2-20 в расчётной точке днём, дБ		**ф-ла(3)[10]**	**0**	**38,6**	**33,6**	**30**	**31,6**	**34,7**	**30,4**	**20,6**	**0**	**37,4**	**37,4**
Расчёт отражённого звука													
Уровни звукового давления от мнимого источника ИШ-2-20_мн.(1) в расчётной точке днём, дБ		**ф-ла(3)[10]**	**0**	**0**	**28,8**	**19,6**	**20,3**	**30,1**	**27,9**	**18**	**0**	**33**	**33**
Уровни звукового давления от источника ИШ-2-20 в расчётной точке днём, дБ		**ф-ла(3)[10]**	**0**	**38,6**	**34,8**	**30,3**	**31,9**	**36**	**32,3**	**22,5**	**0**	**38,7**	**38,7**
Источник шума: ИШ-2-21, координаты источника (x,y,z), м =[744.89,49.62,1.00]													
Уровни звуковой мощности источника днём, Lw, дБ		**исходные данные**	**0**	**93,3**	**94,7**	**96**	**96,3**	**95,9**	**92,6**	**88,4**	**83,9**		

1		2	3	4	5	6	7	8	9	10	11	12	13
Поправка на телесный угол DΩ, дБ	Ω = 6.28	10Lg(4π/Ω)	**3**	3	3	3	3	3	3	3	3		
Показатель направленности источника Di, дБ		исходные данные	**0**	0	0	0	0	0	0	0	0		
Поправка на направленность источника Dc, дБ	Dc	DΩ + Di	**3**	3	3	3	3	3	3	3	3		
Затухание из-за геометрической дивергенции, Adiv, дБ	расстояние = 399.55 м	ф-ла (7) [10]	**63**										
Коэффициент затухания звука в атмосфере α, дБ/км	Ta=20,°C Pa=101.33,кПа hотн.=70%	ф-ла (5) [9]	0,02	0,09	0,33	1,12	2,79	4,98	9,04	23,09	77,63		
Учет затухания звука в атмосфере Aatm, дБ		ф-ла (8) [10]	0	0	0,1	0,4	1,1	2	3,6	9,2	31		
Снижение поверхностью земли возле источника As, дБ	Gs = 0 hs = 1м	ф-лы таб.3 [10]	-1,5	-1,5	-1,5	-1,5	-1,5	-1,5	-1,5	-1,5	-1,5		
Снижение поверхностью земли возле приёмника Ar, дБ	Gr = 1 hr = 1.5м	ф-лы таб.3 [10]	-1,5	-1,5	2,4	7	5	0,7	0	0	0		
Снижение поверхностью земли в средней зоне, Am дБ	Gm = 1	ф-лы таб.3 [10]	-2,4	-2,4	0	0	0	0	0	0	0		
Суммарное снижение поверхностью земли на траектории распространения звука Agr, дБ		ф-ла (9) [10]	-5,4	-5,4	0,9	5,5	3,5	-0,8	-1,5	-1,5	-1,5		
Уровни звукового давления прямого звука от источника ИШ-2-21 в расчётной точке днём, дБ		**ф-ла(3)[10]**	**0**	**38,7**	**33,7**	**30**	**31,7**	**34,7**	**30,4**	**20,6**	**0**	**37,4**	**37,4**
Расчёт отражённого звука													
Уровни звукового давления от мнимого источника ИШ-2-21_мн.(1) в расчётной точке днём, дБ		**ф-ла(3)[10]**	**0**	**0**	**28,8**	**19,6**	**20,3**	**30,2**	**27,9**	**18,1**	**0**	**33**	**33**
Уровни звукового давления от мнимого источника ИШ-2-21_мн.(2) в расчётной точке днём, дБ		**ф-ла(3)[10]**	**0**	**0**	**0**	**0**	**0**	**29,7**	**26,1**	**15,3**	**0**	**31,8**	**31,8**
Суммарные уровни звукового давления от мнимых источников в расчётной точке днём, дБ		**ф-ла (19) [1]**	**0**	**0**	**28,8**	**19,6**	**20,3**	**33**	**30,1**	**19,9**	**0**	**0**	**35,5**
Уровни звукового давления от источника ИШ-2-21 в расчётной точке днём, дБ		**ф-ла(3)[10]**	**0**	**38,7**	**34,9**	**30,4**	**32**	**36,9**	**33,3**	**23,3**	**0**	**39,5**	**39,5**

1		2	3	4	5	6	7	8	9	10	11	12	13
Источник шума: ИШ-2-22, координаты источника (x,y,z), м =[737.40,27.07,1.00]													
Уровни звуковой мощности источника днём, Lw, дБ		**исходные данные**	**0**	**93,3**	**94,7**	**96**	**96,3**	**95,9**	**92,6**	**88,4**	**83,9**		
Поправка на телесный угол DΩ, дБ	Ω = 6.28	10Lg(4π/Ω)	**3**	3	3	3	3	3	3	3	3		
Показатель направленности источника Di, дБ		исходные данные	**0**	0	0	0	0	0	0	0	0		
Поправка на направленность источника Dc, дБ	Dc	DΩ + Di	**3**	3	3	3	3	3	3	3	3		
Затухание из-за геометрической дивергенции, Adiv, дБ	расстояние = 388.10 м	ф-ла (7) [10]	**62,8**										
Коэффициент затухания звука в атмосфере α, дБ/км	Ta=20,°C Pa=101.33,кПа hотн.=70%	ф-ла (5) [9]	0,02	0,09	0,33	1,12	2,79	4,98	9,04	23,09	77,63		
Учет затухания звука в атмосфере Aatm, дБ		ф-ла (8) [10]	0	0	0,1	0,4	1,1	1,9	3,5	9	30,1		
Снижение поверхностью земли возле источника As, дБ	Gs = 0 hs = 1м	ф-лы таб.3 [10]	-1,5	-1,5	-1,5	-1,5	-1,5	-1,5	-1,5	-1,5	-1,5		
Снижение поверхностью земли возле приёмника Ar, дБ	Gr = 1 hr = 1.5м	ф-лы таб.3 [10]	-1,5	-1,5	2,3	7	5	0,7	0	0	0		
Снижение поверхностью земли в средней зоне, Am дБ	Gm = 1	ф-лы таб.3 [10]	-2,4	-2,4	0	0	0	0	0	0	0		
Суммарное снижение поверхностью земли на траектории распространения звука Agr, дБ		ф-ла (9) [10]	-5,4	-5,4	0,8	5,5	3,5	-0,8	-1,5	-1,5	-1,5		
Уровни звукового давления прямого звука от источника ИШ-2-22 в расчётной точке днём, дБ		**ф-ла(3)[10]**	**0**	**38,9**	**34**	**30,3**	**32**	**35**	**30,8**	**21,2**	**0**	**37,7**	**37,7**
Расчёт отражённого звука													
Уровни звукового давления от мнимого источника ИШ-2-22_мн.(1) в расчётной точке днём, дБ		**ф-ла(3)[10]**	**0**	**0**	**29,2**	**19,9**	**20,6**	**30,5**	**28,3**	**18,6**	**0**	**33,4**	**33,4**
Уровни звукового давления от мнимого источника ИШ-2-22_мн.(2) в расчётной точке днём, дБ		**ф-ла(3)[10]**	**0**	**0**	**0**	**0**	**0**	**30**	**26,3**	**15,7**	**0**	**32,1**	**32,1**

1		2	3	4	5	6	7	8	9	10	11	12	13
Суммарные уровни звукового давления от мнимых источников в расчётной точке днём, дБ		**ф-ла (19) [1]**	**0**	**0**	**29,2**	**19,9**	**20,6**	**33,2**	**30,4**	**20,4**	**0**	**0**	**35,8**
Уровни звукового давления от источника ИШ-2-22 в расчётной точке днём, дБ		**ф-ла(3)[10]**	**0**	**38,9**	**35,2**	**30,6**	**32,3**	**37,2**	**33,6**	**23,8**	**0**	**39,9**	**39,9**
Источник шума: ИШ-2-23, координаты источника (x,y,z), м =[736.46,24.18,1.00]													
Уровни звуковой мощности источника днём, Lw, дБ		**исходные данные**	**0**	**93,3**	**94,7**	**96**	**96,3**	**95,9**	**92,6**	**88,4**	**83,9**		
Поправка на телесный угол DΩ, дБ	Ω = 6.28	10Lg(4π/Ω)	**3**	3	3	3	3	3	3	3	3		
Показатель направленности источника Di, дБ		исходные данные	**0**	0	0	0	0	0	0	0	0		
Поправка на направленность источника Dc, дБ	Dc	DΩ + Di	**3**	3	3	3	3	3	3	3	3		
Затухание из-за геометрической дивергенции, Adiv, дБ	расстояние = 386.73 м	ф-ла (7) [10]	**62,7**										
Коэффициент затухания звука в атмосфере α, дБ/км	Ta=20,°C Pa=101.33,кПа hотн.=70%	ф-ла (5) [9]	0,02	0,09	0,33	1,12	2,79	4,98	9,04	23,09	77,63		
Учет затухания звука в атмосфере Aatm, дБ		ф-ла (8) [10]	0	0	0,1	0,4	1,1	1,9	3,5	8,9	30		
Снижение поверхностью земли возле источника As, дБ	Gs = 0 hs = 1м	ф-лы таб.3 [10]	-1,5	-1,5	-1,5	-1,5	-1,5	-1,5	-1,5	-1,5	-1,5		
Снижение поверхностью земли возле приёмника Ar, дБ	Gr = 1 hr = 1.5м	ф-лы таб.3 [10]	-1,5	-1,5	2,3	7	5	0,7	0	0	0		
Снижение поверхностью земли в средней зоне, Am дБ	Gm = 1	ф-лы таб.3 [10]	-2,4	-2,4	0	0	0	0	0	0	0		
Суммарное снижение поверхностью земли на траектории распространения звука Agr, дБ		ф-ла (9) [10]	-5,4	-5,4	0,8	5,5	3,5	-0,8	-1,5	-1,5	-1,5		
Уровни звукового давления прямого звука от источника ИШ-2-23 в расчётной точке днём, дБ		**ф-ла(3)[10]**	**0**	**38,9**	**34**	**30,3**	**32**	**35,1**	**30,8**	**21,2**	**0**	**37,8**	**37,8**
Расчёт отражённого звука													

1		2	3	4	5	6	7	8	9	10	11	12	13
Уровни звукового давления от мнимого источника ИШ-2-23_мн.(1) в расчётной точке днём, дБ		**ф-ла(3)[10]**	**0**	**0**	**29,3**	**19,9**	**20,6**	**30,5**	**28,3**	**18,7**	**0**	**33,4**	**33,4**
Уровни звукового давления от мнимого источника ИШ-2-23_мн.(2) в расчётной точке днём, дБ		**ф-ла(3)[10]**	**0**	**0**	**0**	**0**	**0**	**30**	**26,4**	**15,8**	**0**	**32,1**	**32,1**
Суммарные уровни звукового давления от мнимых источников в расчётной точке днём, дБ		**ф-ла (19) [1]**	**0**	**0**	**29,3**	**19,9**	**20,6**	**33,3**	**30,5**	**20,5**	**0**	**0**	**35,8**
Уровни звукового давления от источника ИШ-2-23 в расчётной точке днём, дБ		**ф-ла(3)[10]**	**0**	**38,9**	**35,3**	**30,7**	**32,3**	**37,3**	**33,7**	**23,9**	**0**	**39,9**	**39,9**
Источник шума: ИШ-2-24, координаты источника (x,y,z), м =[735.45,21.21,1.00]													
Уровни звуковой мощности источника днём, Lw, дБ		**исходные данные**	**0**	**93,3**	**94,7**	**96**	**96,3**	**95,9**	**92,6**	**88,4**	**83,9**		
Поправка на телесный угол DΩ, дБ	Ω = 6.28	10Lg(4π/Ω)	**3**	3	3	3	3	3	3	3	3		
Показатель направленности источника Di, дБ		исходные данные	**0**	0	0	0	0	0	0	0	0		
Поправка на направленность источника Dc, дБ	Dc	DΩ + Di	**3**	3	3	3	3	3	3	3	3		
Затухание из-за геометрической дивергенции, Adiv, дБ	расстояние = 385.30 м	ф-ла (7) [10]	**62,7**										
Коэффициент затухания звука в атмосфере α, дБ/км	Ta=20,°C Pa=101.33,кПа hотн.=70%	ф-ла (5) [9]	0,02	0,09	0,33	1,12	2,79	4,98	9,04	23,09	77,63		
Учет затухания звука в атмосфере Aatm, дБ		ф-ла (8) [10]	0	0	0,1	0,4	1,1	1,9	3,5	8,9	29,9		
Снижение поверхностью земли возле источника As, дБ	Gs = 0 hs = 1м	ф-лы таб.3 [10]	-1,5	-1,5	-1,5	-1,5	-1,5	-1,5	-1,5	-1,5	-1,5		
Снижение поверхностью земли возле приёмника Ar, дБ	Gr = 1 hr = 1.5м	ф-лы таб.3 [10]	-1,5	-1,5	2,3	7	5	0,7	0	0	0		
Снижение поверхностью земли в средней зоне, Am дБ	Gm = 1	ф-лы таб.3 [10]	-2,4	-2,4	0	0	0	0	0	0	0		
Суммарное снижение поверхностью земли на траектории распространения звука Agr, дБ		ф-ла (9) [10]	-5,4	-5,4	0,8	5,5	3,5	-0,8	-1,5	-1,5	-1,5		

1		2	3	4	5	6	7	8	9	10	11	12	13
Уровни звукового давления прямого звука от источника ИШ-2-24 в расчётной точке днём, дБ		**ф-ла(3)[10]**	**0**	**39**	**34,1**	**30,3**	**32**	**35,1**	**30,9**	**21,3**	**0**	**37,8**	**37,8**
Расчёт отражённого звука													
Уровни звукового давления от мнимого источника ИШ-2-24_мн.(1) в расчётной точке днём, дБ		**ф-ла(3)[10]**	**0**	**0**	**29,3**	**20**	**20,7**	**30,5**	**28,4**	**18,7**	**0**	**33,5**	**33,5**
Уровни звукового давления от мнимого источника ИШ-2-24_мн.(2) в расчётной точке днём, дБ		**ф-ла(3)[10]**	**0**	**0**	**0**	**0**	**25,3**	**30**	**26,4**	**15,8**	**0**	**32,5**	**32,5**
Суммарные уровни звукового давления от мнимых источников в расчётной точке днём, дБ		**ф-ла (19) [1]**	**0**	**0**	**29,3**	**20**	**26,6**	**33,3**	**30,5**	**20,5**	**0**	**0**	**36**
Уровни звукового давления от источника ИШ-2-24 в расчётной точке днём, дБ		**ф-ла(3)[10]**	**0**	**39**	**35,3**	**30,7**	**33,1**	**37,3**	**33,7**	**23,9**	**0**	**40**	**40**
Источник шума: ИШ-2-25, координаты источника (x,y,z), м =[734.58,18.32,1.00]													
Уровни звуковой мощности источника днём, Lw, дБ		**исходные данные**	**0**	**93,3**	**94,7**	**96**	**96,3**	**95,9**	**92,6**	**88,4**	**83,9**		
Поправка на телесный угол DΩ, дБ	Ω = 6.28	10Lg(4π/Ω)	**3**	3	3	3	3	3	3	3	3		
Показатель направленности источника Di, дБ		исходные данные	**0**	0	0	0	0	0	0	0	0		
Поправка на направленность источника Dc, дБ	Dc	DΩ + Di	**3**	3	3	3	3	3	3	3	3		
Затухание из-за геометрической дивергенции, Adiv, дБ	расстояние = 384.05 м	ф-ла (7) [10]	**62,7**										
Коэффициент затухания звука в атмосфере α, дБ/км	Ta=20,°C Pa=101.33,кПа hотн.=70%	ф-ла (5) [9]	0,02	0,09	0,33	1,12	2,79	4,98	9,04	23,09	77,63		
Учет затухания звука в атмосфере Aatm, дБ		ф-ла (8) [10]	0	0	0,1	0,4	1,1	1,9	3,5	8,9	29,8		
Снижение поверхностью земли возле источника As, дБ	Gs = 0 hs = 1м	ф-лы таб.3 [10]	-1,5	-1,5	-1,5	-1,5	-1,5	-1,5	-1,5	-1,5	-1,5		
Снижение поверхностью земли возле приёмника Ar, дБ	Gr = 1 hr = 1.5м	ф-лы таб.3 [10]	-1,5	-1,5	2,3	7	5	0,7	0	0	0		

1		2	3	4	5	6	7	8	9	10	11	12	13
Снижение поверхностью земли в средней зоне, Am дБ	Gm = 1	ф-лы таб.3 [10]	-2,4	-2,4	0	0	0	0	0	0	0		
Суммарное снижение поверхностью земли на траектории распространения звука Agr, дБ		ф-ла (9) [10]	-5,4	-5,4	0,8	5,5	3,5	-0,8	-1,5	-1,5	-1,5		
Уровни звукового давления прямого звука от источника ИШ-2-25 в расчётной точке днём, дБ		**ф-ла(3)[10]**	**0**	**39**	**34,1**	**30,4**	**32,1**	**35,1**	**30,9**	**21,3**	**0**	**37,8**	**37,8**
Расчёт отражённого звука													
Уровни звукового давления от мнимого источника ИШ-2-25_мн.(1) в расчётной точке днём, дБ		**ф-ла(3)[10]**	**0**	**0**	**29,4**	**20**	**20,7**	**30,6**	**28,4**	**18,8**	**0**	**33,5**	**33,5**
Уровни звукового давления от мнимого источника ИШ-2-25_мн.(2) в расчётной точке днём, дБ		**ф-ла(3)[10]**	**0**	**0**	**0**	**0**	**25,3**	**30,1**	**26,4**	**15,9**	**0**	**32,6**	**32,6**
Суммарные уровни звукового давления от мнимых источников в расчётной точке днём, дБ		**ф-ла (19) [1]**	**0**	**0**	**29,4**	**20**	**26,6**	**33,3**	**30,5**	**20,6**	**0**	**0**	**36,1**
Уровни звукового давления от источника ИШ-2-25 в расчётной точке днём, дБ		**ф-ла(3)[10]**	**0**	**39**	**35,4**	**30,7**	**33,1**	**37,3**	**33,8**	**24**	**0**	**40,1**	**40,1**
Источник шума: ИШ-2-26, координаты источника (x,y,z), м =[733.57,15.41,1.00]													
Уровни звуковой мощности источника днём, Lw, дБ		**исходные данные**	**0**	**93,3**	**94,7**	**96**	**96,3**	**95,9**	**92,6**	**88,4**	**83,9**		
Поправка на телесный угол DΩ, дБ	Ω = 6.28	10Lg(4π/Ω)	**3**	3	3	3	3	3	3	3	3		
Показатель направленности источника Di, дБ		исходные данные	**0**	0	0	0	0	0	0	0	0		
Поправка на направленность источника Dc, дБ	Dc	DΩ + Di	**3**	3	3	3	3	3	3	3	3		
Затухание из-за геометрической дивергенции, Adiv, дБ	расстояние = 382.67 м	ф-ла (7) [10]	**62,7**										
Коэффициент затухания звука в атмосфере α, дБ/км	Ta=20,°C Pa=101.33,кПа hотн.=70%	ф-ла (5) [9]	0,02	0,09	0,33	1,12	2,79	4,98	9,04	23,09	77,63		
Учет затухания звука в атмосфере Aatm, дБ		ф-ла (8) [10]	0	0	0,1	0,4	1,1	1,9	3,5	8,8	29,7		

1		2	3	4	5	6	7	8	9	10	11	12	13
Снижение поверхностью земли возле источника As, дБ	Gs = 0 hs = 1м	ф-лы таб.3 [10]	-1,5	-1,5	-1,5	-1,5	-1,5	-1,5	-1,5	-1,5	-1,5		
Снижение поверхностью земли возле приёмника Ar, дБ	Gr = 1 hr = 1.5м	ф-лы таб.3 [10]	-1,5	-1,5	2,3	7	5	0,7	0	0	0		
Снижение поверхностью земли в средней зоне, Am дБ	Gm = 1	ф-лы таб.3 [10]	-2,4	-2,4	0	0	0	0	0	0	0		
Суммарное снижение поверхностью земли на траектории распространения звука Agr, дБ		ф-ла (9) [10]	-5,4	-5,4	0,8	5,5	3,5	-0,8	-1,5	-1,5	-1,5		
Уровни звукового давления прямого звука от источника ИШ-2-26 в расчётной точке днём, дБ		**ф-ла(3)[10]**	**0**	**39**	**34,2**	**30,4**	**32,1**	**35,2**	**31**	**21,4**	**0**	**37,9**	**37,9**
Расчёт отражённого звука													
Уровни звукового давления от мнимого источника ИШ-2-26_мн.(1) в расчётной точке днём, дБ		**ф-ла(3)[10]**	**0**	**0**	**29,4**	**20**	**20,8**	**30,6**	**28,5**	**18,9**	**0**	**33,6**	**33,6**
Уровни звукового давления от мнимого источника ИШ-2-26_мн.(2) в расчётной точке днём, дБ		**ф-ла(3)[10]**	**0**	**0**	**0**	**0**	**25,3**	**30,1**	**26,5**	**15,9**	**0**	**32,6**	**32,6**
Суммарные уровни звукового давления от мнимых источников в расчётной точке днём, дБ		**ф-ла (19) [1]**	**0**	**0**	**29,4**	**20**	**26,6**	**33,4**	**30,6**	**20,6**	**0**	**0**	**36,1**
Уровни звукового давления от источника ИШ-2-26 в расчётной точке днём, дБ		**ф-ла(3)[10]**	**0**	**39**	**35,4**	**30,8**	**33,2**	**37,4**	**33,8**	**24**	**0**	**40,1**	**40,1**
Источник шума: ИШ-2-27, координаты источника (x,y,z), м =[732.43,12.66,1.00]													
Уровни звуковой мощности источника днём, Lw, дБ		**исходные данные**	**0**	**93,3**	**94,7**	**96**	**96,3**	**95,9**	**92,6**	**88,4**	**83,9**		
Поправка на телесный угол DΩ, дБ	Ω = 6.28	10Lg(4π/Ω)	**3**	3	3	3	3	3	3	3	3		
Показатель направленности источника Di, дБ		исходные данные	**0**	0	0	0	0	0	0	0	0		
Поправка на направленность источника Dc, дБ	Dc	DΩ + Di	**3**	3	3	3	3	3	3	3	3		
Затухание из-за геометрической дивергенции, Adiv, дБ	расстояние = 381.20 м	ф-ла (7) [10]	**62,6**										
Коэффициент затухания звука в атмосфере α, дБ/км	Ta=20,°C Pa=101.33,кПа hотн.=70%	ф-ла (5) [9]	0,02	0,09	0,33	1,12	2,79	4,98	9,04	23,09	77,63		

1		2	3	4	5	6	7	8	9	10	11	12	13
Учет затухания звука в атмосфере Aatm, дБ		ф-ла (8) [10]	0	0	0,1	0,4	1,1	1,9	3,4	8,8	29,6		
Снижение уровня звукового давления из-за влияния застройки между источником шума и расчетной точкой													
Снижение уровня звукового давления препятствием слева от трассы ИШ-РТ, Dz2, дБ	z = -0.11м (разность путей)	ф-лы (14-18) [10]	4,1	3,4	1,4	NAN	NAN	NAN	NAN	NAN	NAN		
* отрицательное значение z означает прохождение траектории вблизи экрана, в этом случае дополнительно производится учёт снижения подстилающей поверхностью (см.ниже)													
Снижение поверхностью земли возле источника As, дБ	Gs = 0 hs = 1м	ф-лы таб.3 [10]	-1,5	-1,5	-1,5	-1,5	-1,5	-1,5	-1,5	-1,5	-1,5		
Снижение поверхностью земли возле приёмника Ar, дБ	Gr = 1 hr = 1.5м	ф-лы таб.3 [10]	-1,5	-1,5	2,2	7	5	0,7	0	0	0		
Снижение поверхностью земли в средней зоне, Am дБ	Gm = 1	ф-лы таб.3 [10]	-2,4	-2,4	0	0	0	0	0	0	0		
Суммарное снижение поверхностью земли на траектории распространения звука Agr, дБ		ф-ла (9) [10]	-5,4	-5,4	0,7	5,5	3,5	-0,8	-1,5	-1,5	-1,5		
Уровни звукового давления прямого звука от источника ИШ-2-27 в расчётной точке днём, дБ		**ф-ла(3)[10]**	**0**	**35,6**	**32,8**	**30,4**	**32,1**	**35,2**	**31**	**21,5**	**0**	**37,9**	**37,9**
Расчёт отражённого звука													
Уровни звукового давления от мнимого источника ИШ-2-27_мн.(1) в расчётной точке днём, дБ		**ф-ла(3)[10]**	**0**	**0**	**29,5**	**20,1**	**20,8**	**30,7**	**28,5**	**18,9**	**0**	**33,6**	**33,6**
Уровни звукового давления от мнимого источника ИШ-2-27_мн.(2) в расчётной точке днём, дБ		**ф-ла(3)[10]**	**0**	**0**	**0**	**0**	**25,4**	**30,1**	**26,5**	**16**	**0**	**32,6**	**32,6**
Суммарные уровни звукового давления от мнимых источников в расчётной точке днём, дБ		**ф-ла (19) [1]**	**0**	**0**	**29,5**	**20,1**	**26,7**	**33,4**	**30,6**	**20,7**	**0**	**0**	**36,2**
Уровни звукового давления от источника ИШ-2-27 в расчётной точке днём, дБ		**ф-ла(3)[10]**	**0**	**35,6**	**34,4**	**30,8**	**33,2**	**37,4**	**33,8**	**24,1**	**0**	**40,1**	**40,1**
Источник шума: ИШ-2-28, координаты источника (x,y,z), м =[731.54,9.78,1.00]													
Уровни звуковой мощности источника днём, Lw, дБ		**исходные данные**	**0**	**93,3**	**94,7**	**96**	**96,3**	**95,9**	**92,6**	**88,4**	**83,9**		
Поправка на телесный угол DΩ, дБ	Ω = 6.28	10Lg(4π/Ω)	**3**	3	3	3	3	3	3	3	3		

1		2	3	4	5	6	7	8	9	10	11	12	13
Показатель направленности источника Di, дБ		исходные данные	**0**	0	0	0	0	0	0	0	0		
Поправка на направленность источника Dc, дБ	Dc	DΩ + Di	**3**	3	3	3	3	3	3	3	3		
Затухание из-за геометрической дивергенции, Adiv, дБ	расстояние = 379.98 м	ф-ла (7) [10]	**62,6**										
Коэффициент затухания звука в атмосфере α, дБ/км	Ta=20,°C Pa=101.33,кПа hотн.=70%	ф-ла (5) [9]	0,02	0,09	0,33	1,12	2,79	4,98	9,04	23,09	77,63		
Учет затухания звука в атмосфере Aatm, дБ		ф-ла (8) [10]	0	0	0,1	0,4	1,1	1,9	3,4	8,8	29,5		
Снижение уровня звукового давления из-за влияния застройки между источником шума и расчетной точкой													
Снижение уровня звукового давления препятствием слева от трассы ИШ-РТ, Dz2, дБ	z = -0.05м (разность путей)	ф-лы (14-18) [10]	4,5	4,2	3,5	1,7	NAN	NAN	NAN	NAN	NAN		
* отрицательное значение z означает прохождение траектории вблизи экрана, в этом случае дополнительно производится учёт снижения подстилающей поверхностью (см.ниже)													
Снижение поверхностью земли возле источника As, дБ	Gs = 0 hs = 1м	ф-лы таб.3 [10]	-1,5	-1,5	-1,5	-1,5	-1,5	-1,5	-1,5	-1,5	-1,5		
Снижение поверхностью земли возле приёмника Ar, дБ	Gr = 1 hr = 1.5м	ф-лы таб.3 [10]	-1,5	-1,5	2,2	7	5	0,7	0	0	0		
Снижение поверхностью земли в средней зоне, Am дБ	Gm = 1	ф-лы таб.3 [10]	-2,4	-2,4	0	0	0	0	0	0	0		
Суммарное снижение поверхностью земли на траектории распространения звука Agr, дБ		ф-ла (9) [10]	-5,4	-5,4	0,7	5,5	3,5	-0,8	-1,5	-1,5	-1,5		
Уровни звукового давления прямого звука от источника ИШ-2-28 в расчётной точке днём, дБ		**ф-ла(3)[10]**	**0**	**34,9**	**30,7**	**28,8**	**32,2**	**35,2**	**31,1**	**21,5**	**0**	**37,9**	**37,9**
Расчёт отражённого звука													
Уровни звукового давления от мнимого источника ИШ-2-28_мн.(1) в расчётной точке днём, дБ		**ф-ла(3)[10]**	**0**	**0**	**29,5**	**20,1**	**20,8**	**30,7**	**28,5**	**19**	**0**	**33,6**	**33,6**
Уровни звукового давления от мнимого источника ИШ-2-28_мн.(2) в расчётной точке днём, дБ		**ф-ла(3)[10]**	**0**	**0**	**0**	**0**	**25,4**	**30,2**	**26,5**	**16**	**0**	**32,7**	**32,7**
Суммарные уровни звукового давления от мнимых источников в расчётной точке днём, дБ		**ф-ла (19) [1]**	**0**	**0**	**29,5**	**20,1**	**26,7**	**33,4**	**30,7**	**20,8**	**0**	**0**	**36,2**
Уровни звукового давления от источника ИШ-2-28 в расчётной точке днём, дБ		**ф-ла(3)[10]**	**0**	**34,9**	**33,2**	**29,3**	**33,3**	**37,4**	**33,9**	**24,2**	**0**	**40,1**	**40,1**

1		2	3	4	5	6	7	8	9	10	11	12	13
Источник шума: ИШ-2-29, координаты источника (x,y,z), м =[730.57,6.88,1.00]													
Уровни звуковой мощности источника днём, Lw, дБ		**исходные данные**	**0**	**93,3**	**94,7**	**96**	**96,3**	**95,9**	**92,6**	**88,4**	**83,9**		
Поправка на телесный угол DΩ, дБ	Ω = 6.28	10Lg(4π/Ω)	**3**	3	3	3	3	3	3	3	3		
Показатель направленности источника Di, дБ		исходные данные	**0**	0	0	0	0	0	0	0	0		
Поправка на направленность источника Dc, дБ	Dc	DΩ + Di	**3**	3	3	3	3	3	3	3	3		
Затухание из-за геометрической дивергенции, Adiv, дБ	расстояние = 378.70 м	ф-ла (7) [10]	**62,6**										
Коэффициент затухания звука в атмосфере α, дБ/км	Ta=20,°C Pa=101.33,кПа hотн.=70%	ф-ла (5) [9]	0,02	0,09	0,33	1,12	2,79	4,98	9,04	23,09	77,63		
Учет затухания звука в атмосфере Aatm, дБ		ф-ла (8) [10]	0	0	0,1	0,4	1,1	1,9	3,4	8,7	29,4		
Снижение уровня звукового давления из-за влияния застройки между источником шума и расчетной точкой													
Снижение уровня звукового давления препятствием слева от трассы ИШ-РТ, Dz2, дБ	z = -0.02м (разность путей)	ф-лы (14-18) [10]	4,7	4,6	4,4	4,1	3,2	0,7	NAN	NAN	NAN		
* отрицательное значение z означает прохождение траектории вблизи экрана, в этом случае дополнительно производится учёт снижения подстилающей поверхностью (см.ниже)													
Снижение поверхностью земли возле источника As, дБ	Gs = 0 hs = 1м	ф-лы таб.3 [10]	-1,5	-1,5	-1,5	-1,5	-1,5	-1,5	-1,5	-1,5	-1,5		
Снижение поверхностью земли возле приёмника Ar, дБ	Gr = 1 hr = 1.5м	ф-лы таб.3 [10]	-1,5	-1,5	2,2	7	5	0,7	0	0	0		
Снижение поверхностью земли в средней зоне, Am дБ	Gm = 1	ф-лы таб.3 [10]	-2,4	-2,4	0	0	0	0	0	0	0		
Суммарное снижение поверхностью земли на траектории распространения звука Agr, дБ		ф-ла (9) [10]	-5,4	-5,4	0,7	5,5	3,5	-0,8	-1,5	-1,5	-1,5		
Уровни звукового давления прямого звука от источника ИШ-2-29 в расчётной точке днём, дБ		**ф-ла(3)[10]**	**0**	**34,5**	**29,8**	**26,4**	**29**	**34,5**	**31,1**	**21,6**	**0**	**37,2**	**37,2**
Расчёт отражённого звука													

1		2	3	4	5	6	7	8	9	10	11	12	13
Уровни звукового давления от мнимого источника ИШ-2-29_мн.(1) в расчётной точке днём, дБ		**ф-ла(3)[10]**	**0**	**0**	**0**	**0**	**25,4**	**30,2**	**26,6**	**16,1**	**0**	**32,7**	**32,7**
Уровни звукового давления от источника ИШ-2-29 в расчётной точке днём, дБ		**ф-ла(3)[10]**	**0**	**34,5**	**29,8**	**26,4**	**30,6**	**35,9**	**32,4**	**22,7**	**0**	**38,5**	**38,5**
Источник шума: ИШ-2-4, координаты источника (x,y,z), м =[632.70,-65.30,3.00]													
Уровни звуковой мощности источника днём, Lw, дБ		**исходные данные**	**105**	**104**	**104**	**101**	**102**	**106**	**101**	**95**	**87**		
Поправка на телесный угол DΩ, дБ	Ω = 6.28	10Lg(4π/Ω)	**3**	3	3	3	3	3	3	3	3		
Показатель направленности источника Di, дБ		исходные данные	**0**	0	0	0	0	0	0	0	0		
Поправка на направленность источника Dc, дБ	Dc	DΩ + Di	**3**	3	3	3	3	3	3	3	3		
Затухание из-за геометрической дивергенции, Adiv, дБ	расстояние = 280.61 м	ф-ла (7) [10]	**60**										
Коэффициент затухания звука в атмосфере α, дБ/км	Ta=20,°C Pa=101.33,кПа hотн.=70%	ф-ла (5) [9]	0,02	0,09	0,33	1,12	2,79	4,98	9,04	23,09	77,63		
Учет затухания звука в атмосфере Aatm, дБ		ф-ла (8) [10]	0	0	0,1	0,3	0,8	1,4	2,5	6,5	21,8		
Снижение уровня звукового давления из-за влияния застройки между источником шума и расчетной точкой													
Снижение уровня звукового давления на пути над экраном, Dz1, дБ	z = 0.34м (разность путей)	ф-лы (14-18) [10]	5,6	6,9	8,9	11,3	14	16,7	19,6	22,6	25,5		
Снижение уровня звукового давления на пути слева от экрана, Dz2, дБ	z = 1.66м (разность путей)	ф-лы (14-18) [10]	9,6	11,8	14,4	17,1	20	23	25,9	28,9	31,9		
Снижение уровня звукового давления на пути справа от экрана, Dz3, дБ	z = 15.69м (разность путей)	ф-лы (14-18) [10]	19,2	23,7	27,8	31,2	34,4	37,4	40,4	43,5	46,5		
Общее снижение уровня звука препятствием Dz, дБ		Эн.сумма(-Dzi)	4	5,6	7,8	10,3	13	15,8	18,7	21,6	24,6		
Уровни звукового давления прямого звука от источника ИШ-2-4 в расчётной точке днём, дБ		**ф-ла(3)[10]**	**44**	**41,4**	**39,2**	**33,4**	**31,3**	**31,9**	**22,8**	**9,9**	**0**	**34,8**	**34,8**

1		2	3	4	5	6	7	8	9	10	11	12	13
Расчёт отражённого звука													
Уровни звукового давления от мнимого источника ИШ-2-4_мн.(1) в расчётной точке днём, дБ		**ф-ла(3)[10]**	**0**	**0**	**0**	**0**	**0**	**0**	**0**	**0**	**0**	**0**	**0**
Уровни звукового давления от источника ИШ-2-4 в расчётной точке днём, дБ		**ф-ла(3)[10]**	**44**	**41,4**	**39,2**	**33,4**	**31,3**	**31,9**	**22,8**	**9,9**	**0**	**34,8**	**34,8**
Источник шума: ИШ-2-30, координаты источника (x,y,z), м =[702.44,-77.23,1.00]													
Уровни звуковой мощности источника днём, Lw, дБ		**исходные данные**	**0**	**93,3**	**94,7**	**96**	**96,3**	**95,9**	**92,6**	**88,4**	**83,9**		
Поправка на телесный угол DΩ, дБ	Ω = 6.28	10Lg(4π/Ω)	**3**	3	3	3	3	3	3	3	3		
Показатель направленности источника Di, дБ		исходные данные	**0**	0	0	0	0	0	0	0	0		
Поправка на направленность источника Dc, дБ	Dc	DΩ + Di	**3**	3	3	3	3	3	3	3	3		
Затухание из-за геометрической дивергенции, Adiv, дБ	расстояние = 351.27 м	ф-ла (7) [10]	**61,9**										
Коэффициент затухания звука в атмосфере α, дБ/км	Ta=20,°C Pa=101.33,кПа hотн.=70%	ф-ла (5) [9]	0,02	0,09	0,33	1,12	2,79	4,98	9,04	23,09	77,63		
Учет затухания звука в атмосфере Aatm, дБ		ф-ла (8) [10]	0	0	0,1	0,4	1	1,7	3,2	8,1	27,3		
Снижение уровня звукового давления из-за влияния застройки между источником шума и расчетной точкой													
Снижение уровня звукового давления на пути над экраном, Dz1, дБ	z = 0.30м (разность путей)	ф-лы (14-18) [10]	5	5,2	5,9	7,4	9,7	12,3	15	17,9	20,8		
Снижение уровня звукового давления на пути слева от экрана, Dz2, дБ	z = 0.57м (разность путей)	ф-лы (14-18) [10]	7,1	8,6	10,5	12,9	15,6	18,4	21,3	24,3	27,3		
Снижение уровня звукового давления на пути справа от экрана, Dz3, дБ	z = 10.77м (разность путей)	ф-лы (14-18) [10]	17,7	22,1	26,2	29,6	32,7	35,8	38,8	41,8	44,8		
Общее снижение уровня звука препятствием Dz, дБ		Эн.сумма(-Dzi)	2,8	3,5	4,6	6,3	8,7	11,4	14,1	17	19,9		

1		2	3	4	5	6	7	8	9	10	11	12	13
Уровни звукового давления от источника ИШ-2-30 в расчётной точке днём, дБ		**ф-ла(3)[10]**	**0**	**30,8**	**31,1**	**30,4**	**27,7**	**23,9**	**16,4**	**4,4**	**0**	**28,9**	**28,9**
Источник шума: ИШ-2-31, координаты источника (x,y,z), м =[701.42,-80.17,1.00]													
Уровни звуковой мощности источника днём, Lw, дБ		**исходные данные**	**0**	**93,3**	**94,7**	**96**	**96,3**	**95,9**	**92,6**	**88,4**	**83,9**		
Поправка на телесный угол DΩ, дБ	Ω = 6.28	10Lg(4π/Ω)	**3**	3	3	3	3	3	3	3	3		
Показатель направленности источника Di, дБ		исходные данные	**0**	0	0	0	0	0	0	0	0		
Поправка на направленность источника Dc, дБ	Dc	DΩ + Di	**3**	3	3	3	3	3	3	3	3		
Затухание из-за геометрической дивергенции, Adiv, дБ	расстояние = 350.65 м	ф-ла (7) [10]	**61,9**										
Коэффициент затухания звука в атмосфере α, дБ/км	Ta=20,°C Pa=101.33,кПа hотн.=70%	ф-ла (5) [9]	0,02	0,09	0,33	1,12	2,79	4,98	9,04	23,09	77,63		
Учет затухания звука в атмосфере Aatm, дБ		ф-ла (8) [10]	0	0	0,1	0,4	1	1,7	3,2	8,1	27,2		
Снижение уровня звукового давления из-за влияния застройки между источником шума и расчетной точкой													
Снижение уровня звукового давления на пути над экраном, Dz1, дБ	z = 0.30м (разность путей)	ф-лы (14-18) [10]	5	5,2	5,9	7,4	9,7	12,3	15,1	17,9	20,8		
Снижение уровня звукового давления на пути слева от экрана, Dz2, дБ	z = 0.36м (разность путей)	ф-лы (14-18) [10]	6,4	7,5	9,2	11,3	13,8	16,5	19,4	22,3	25,3		
Снижение уровня звукового давления на пути справа от экрана, Dz3, дБ	z = 11.69м (разность путей)	ф-лы (14-18) [10]	18	22,4	26,5	30	33,1	36,1	39,2	42,2	45,2		
Общее снижение уровня звука препятствием Dz, дБ		Эн.сумма(-Dzi)	2,5	3,2	4,2	5,9	8,3	10,9	13,7	16,6	19,5		
Уровни звукового давления прямого звука от источника ИШ-2-31 в расчётной точке днём, дБ		**ф-ла(3)[10]**	**0**	**31,2**	**31,5**	**30,8**	**28,1**	**24,3**	**16,8**	**4,8**	**0**	**29,3**	**29,3**
Расчёт отражённого звука													

1		2	3	4	5	6	7	8	9	10	11	12	13
Уровни звукового давления от мнимого источника ИШ-2-31_мн.(1) в расчётной точке днём, дБ		**ф-ла(3)[10]**	**0**	**0**	**0**	**0**	**0**	**0**	**0**	**0**	**0**	**0**	**0**
Уровни звукового давления от источника ИШ-2-31 в расчётной точке днём, дБ		**ф-ла(3)[10]**	**0**	**31,2**	**31,5**	**30,8**	**28,1**	**24,3**	**16,8**	**4,8**	**0**	**29,3**	**29,3**
Источник шума: ИШ-2-32, координаты источника (x,y,z), м =[700.38,-83.01,1.00]													
Уровни звуковой мощности источника днём, Lw, дБ		**исходные данные**	**0**	**93,3**	**94,7**	**96**	**96,3**	**95,9**	**92,6**	**88,4**	**83,9**		
Поправка на телесный угол DΩ, дБ	Ω = 6.28	10Lg(4π/Ω)	**3**	3	3	3	3	3	3	3	3		
Показатель направленности источника Di, дБ		исходные данные	**0**	0	0	0	0	0	0	0	0		
Поправка на направленность источника Dc, дБ	Dc	DΩ + Di	**3**	3	3	3	3	3	3	3	3		
Затухание из-за геометрической дивергенции, Adiv, дБ	расстояние = 350.01 м	ф-ла (7) [10]	**61,9**										
Коэффициент затухания звука в атмосфере α, дБ/км	Ta=20,°C Pa=101.33,кПа hотн.=70%	ф-ла (5) [9]	0,02	0,09	0,33	1,12	2,79	4,98	9,04	23,09	77,63		
Учет затухания звука в атмосфере Aatm, дБ		ф-ла (8) [10]	0	0	0,1	0,4	1	1,7	3,2	8,1	27,2		
Снижение уровня звукового давления из-за влияния застройки между источником шума и расчетной точкой													
Снижение уровня звукового давления на пути над экраном, Dz1, дБ	z = 0.30м (разность путей)	ф-лы (14-18) [10]	5	5,3	5,9	7,4	9,8	12,4	15,1	17,9	20,9		
Снижение уровня звукового давления на пути слева от экрана, Dz2, дБ	z = 0.20м (разность путей)	ф-лы (14-18) [10]	5,7	6,5	7,7	9,5	11,7	14,2	17	19,9	22,8		
Снижение уровня звукового давления на пути справа от экрана, Dz3, дБ	z = 12.64м (разность путей)	ф-лы (14-18) [10]	18,3	22,8	26,9	30,3	33,4	36,5	39,5	42,5	45,5		
Общее снижение уровня звука препятствием Dz, дБ		Эн.сумма(-Dzi)	2,2	2,8	3,7	5,3	7,6	10,2	12,9	15,8	18,7		
Уровни звукового давления прямого звука от источника ИШ-2-32 в расчётной точке днём, дБ		**ф-ла(3)[10]**	**0**	**31,6**	**32**	**31,4**	**28,8**	**25,1**	**17,6**	**5,7**	**0**	**30**	**30**

1		2	3	4	5	6	7	8	9	10	11	12	13
Расчёт отражённого звука													
Уровни звукового давления от мнимого источника ИШ-2-32_мн.(1) в расчётной точке днём, дБ		**ф-ла(3)[10]**	**0**	**0**	**0**	**0**	**0**	**0**	**0**	**0**	**0**	**0**	**0**
Уровни звукового давления от источника ИШ-2-32 в расчётной точке днём, дБ		**ф-ла(3)[10]**	**0**	**31,6**	**32**	**31,4**	**28,8**	**25,1**	**17,6**	**5,7**	**0**	**30**	**30**
Источник шума: ИШ-2-33, координаты источника (x,y,z), м =[699.52,-85.98,1.00]													
Уровни звуковой мощности источника днём, Lw, дБ		**исходные данные**	**0**	**93,3**	**94,7**	**96**	**96,3**	**95,9**	**92,6**	**88,4**	**83,9**		
Поправка на телесный угол DΩ, дБ	Ω = 6.28	10Lg(4π/Ω)	**3**	3	3	3	3	3	3	3	3		
Показатель направленности источника Di, дБ		исходные данные	**0**	0	0	0	0	0	0	0	0		
Поправка на направленность источника Dc, дБ	Dc	DΩ + Di	**3**	3	3	3	3	3	3	3	3		
Затухание из-за геометрической дивергенции, Adiv, дБ	расстояние = 349.60 м	ф-ла (7) [10]	**61,9**										
Коэффициент затухания звука в атмосфере α, дБ/км	Ta=20,°C Pa=101.33,кПа hотн.=70%	ф-ла (5) [9]	0,02	0,09	0,33	1,12	2,79	4,98	9,04	23,09	77,63		
Учет затухания звука в атмосфере Aatm, дБ		ф-ла (8) [10]	0	0	0,1	0,4	1	1,7	3,2	8,1	27,1		
Снижение уровня звукового давления из-за влияния застройки между источником шума и расчетной точкой													
Снижение уровня звукового давления на пути над экраном, Dz1, дБ	z = 0.30м (разность путей)	ф-лы (14-18) [10]	5	5,3	5,9	7,4	9,8	12,4	15,1	18	20,9		
Снижение уровня звукового давления на пути слева от экрана, Dz2, дБ	z = 0.08м (разность путей)	ф-лы (14-18) [10]	5,2	5,6	6,3	7,4	9	11,1	13,5	16,3	19,1		
Снижение уровня звукового давления на пути справа от экрана, Dz3, дБ	z = 13.67м (разность путей)	ф-лы (14-18) [10]	18,7	23,1	27,2	30,6	33,8	36,8	39,8	42,9	45,9		
Общее снижение уровня звука препятствием Dz, дБ		Эн.сумма(-Dzi)	2	2,4	3	4,4	6,3	8,7	11,2	14	16,9		

1		2	3	4	5	6	7	8	9	10	11	12	13
Уровни звукового давления прямого звука от источника ИШ-2-33 в расчётной точке днём, дБ		**ф-ла(3)[10]**	**0**	**32**	**32,7**	**32,4**	**30,1**	**26,6**	**19,3**	**7,4**	**0**	**31,3**	**31,3**
Расчёт отражённого звука													
Уровни звукового давления от мнимого источника ИШ-2-33_мн.(1) в расчётной точке днём, дБ		**ф-ла(3)[10]**	**0**	**0**	**0**	**0**	**0**	**0**	**0**	**0**	**0**	**0**	**0**
Уровни звукового давления от источника ИШ-2-33 в расчётной точке днём, дБ		**ф-ла(3)[10]**	**0**	**32**	**32,7**	**32,4**	**30,1**	**26,6**	**19,3**	**7,4**	**0**	**31,3**	**31,3**
Источник шума: ИШ-2-34, координаты источника (x,y,z), м =[698.43,-88.85,1.00]													
Уровни звуковой мощности источника днём, Lw, дБ		**исходные данные**	**0**	**93,3**	**94,7**	**96**	**96,3**	**95,9**	**92,6**	**88,4**	**83,9**		
Поправка на телесный угол DΩ, дБ	Ω = 6.28	10Lg(4π/Ω)	**3**	3	3	3	3	3	3	3	3		
Показатель направленности источника Di, дБ		исходные данные	**0**	0	0	0	0	0	0	0	0		
Поправка на направленность источника Dc, дБ	Dc	DΩ + Di	**3**	3	3	3	3	3	3	3	3		
Затухание из-за геометрической дивергенции, Adiv, дБ	расстояние = 348.97 м	ф-ла (7) [10]	**61,9**										
Коэффициент затухания звука в атмосфере α, дБ/км	Ta=20,°C Pa=101.33,кПа hотн.=70%	ф-ла (5) [9]	0,02	0,09	0,33	1,12	2,79	4,98	9,04	23,09	77,63		
Учет затухания звука в атмосфере Aatm, дБ		ф-ла (8) [10]	0	0	0,1	0,4	1	1,7	3,2	8,1	27,1		
Снижение уровня звукового давления из-за влияния застройки между источником шума и расчетной точкой													
Снижение уровня звукового давления на пути над экраном, Dz1, дБ	z = 0.30м (разность путей)	ф-лы (14-18) [10]	5	5,2	5,8	7,3	9,7	12,4	15,1	18	20,9		
Снижение уровня звукового давления на пути слева от экрана, Dz2, дБ	z = 0.02м (разность путей)	ф-лы (14-18) [10]	4,9	5	5,1	5,5	6,1	7,1	8,6	10,6	13		
Снижение уровня звукового давления на пути справа от экрана, Dz3, дБ	z = 14.73м (разность путей)	ф-лы (14-18) [10]	19	23,4	27,5	31	34,1	37,1	40,2	43,2	46,2		

1		2	3	4	5	6	7	8	9	10	11	12	13
Общее снижение уровня звука препятствием Dz, дБ		Эн.сумма(-Dzi)	1,8	2,1	2,4	3,3	4,5	5,9	7,7	9,8	12,3		
Уровни звукового давления прямого звука от источника ИШ-2-34 в расчётной точке днём, дБ		**ф-ла(3)[10]**	**0**	**32,3**	**33,3**	**33,5**	**32**	**29,4**	**22,9**	**11,6**	**0**	**33,5**	**33,5**
Расчёт отражённого звука													
Уровни звукового давления от мнимого источника ИШ-2-34_мн.(1) в расчётной точке днём, дБ		**ф-ла(3)[10]**	**0**	**0**	**0**	**0**	**0**	**0**	**0**	**0**	**0**	**0**	**0**
Уровни звукового давления от источника ИШ-2-34 в расчётной точке днём, дБ		**ф-ла(3)[10]**	**0**	**32,3**	**33,3**	**33,5**	**32**	**29,4**	**22,9**	**11,6**	**0**	**33,5**	**33,5**
Источник шума: ИШ-2-35, координаты источника (x,y,z), м =[697.52,-91.66,1.00]													
Уровни звуковой мощности источника днём, Lw, дБ		**исходные данные**	**0**	**93,3**	**94,7**	**96**	**96,3**	**95,9**	**92,6**	**88,4**	**83,9**		
Поправка на телесный угол DΩ, дБ	Ω = 6.28	10Lg(4π/Ω)	**3**	3	3	3	3	3	3	3	3		
Показатель направленности источника Di, дБ		исходные данные	**0**	0	0	0	0	0	0	0	0		
Поправка на направленность источника Dc, дБ	Dc	DΩ + Di	**3**	3	3	3	3	3	3	3	3		
Затухание из-за геометрической дивергенции, Adiv, дБ	расстояние = 348.53 м	ф-ла (7) [10]	**61,8**										
Коэффициент затухания звука в атмосфере α, дБ/км	Ta=20,°C Pa=101.33,кПа hотн.=70%	ф-ла (5) [9]	0,02	0,09	0,33	1,12	2,79	4,98	9,04	23,09	77,63		
Учет затухания звука в атмосфере Aatm, дБ		ф-ла (8) [10]	0	0	0,1	0,4	1	1,7	3,2	8	27,1		
Снижение поверхностью земли возле источника As, дБ	Gs = 0 hs = 1м	ф-лы таб.3 [10]	-1,5	-1,5	-1,5	-1,5	-1,5	-1,5	-1,5	-1,5	-1,5		
Снижение поверхностью земли возле приёмника Ar, дБ	Gr = 1 hr = 1.5м	ф-лы таб.3 [10]	-1,5	-1,5	2	7	5	0,7	0	0	0		
Снижение поверхностью земли в средней зоне, Am дБ	Gm = 1	ф-лы таб.3 [10]	-2,4	-2,4	0	0	0	0	0	0	0		

1		2	3	4	5	6	7	8	9	10	11	12	13
Суммарное снижение поверхностью земли на траектории распространения звука Agr, дБ		ф-ла (9) [10]	-5,4	-5,4	0,5	5,5	3,5	-0,8	-1,5	-1,5	-1,5		
Уровни звукового давления прямого звука от источника ИШ-2-35 в расчётной точке днём, дБ		**ф-ла(3)[10]**	**0**	**39,8**	**35,2**	**31,2**	**33**	**36,2**	**32,1**	**23**	**0**	**38,9**	**38,9**
Расчёт отражённого звука													
Уровни звукового давления от мнимого источника ИШ-2-35_мн.(1) в расчётной точке днём, дБ		**ф-ла(3)[10]**	**0**	**0**	**0**	**0**	**0**	**0**	**0**	**0**	**0**	**0**	**0**
Уровни звукового давления от мнимого источника ИШ-2-35_мн.(2) в расчётной точке днём, дБ		**ф-ла(3)[10]**	**0**	**0**	**0**	**0**	**0**	**0**	**0**	**0**	**0**	**0**	**0**
Суммарные уровни звукового давления от мнимых источников в расчётной точке днём, дБ		**ф-ла (19) [1]**	**0**	**0**	**0**	**0**	**0**	**0**	**0**	**0**	**0**	**0**	**0**
Уровни звукового давления от источника ИШ-2-35 в расчётной точке днём, дБ		**ф-ла(3)[10]**	**0**	**39,8**	**35,2**	**31,2**	**33**	**36,2**	**32,1**	**23**	**0**	**38,9**	**38,9**
Источник шума: ИШ-2-36, координаты источника (x,y,z), м =[696.58,-94.55,1.00]													
Уровни звуковой мощности источника днём, Lw, дБ		**исходные данные**	**0**	**93,3**	**94,7**	**96**	**96,3**	**95,9**	**92,6**	**88,4**	**83,9**		
Поправка на телесный угол DΩ, дБ	Ω = 6.28	10Lg(4π/Ω)	**3**	3	3	3	3	3	3	3	3		
Показатель направленности источника Di, дБ		исходные данные	**0**	0	0	0	0	0	0	0	0		
Поправка на направленность источника Dc, дБ	Dc	DΩ + Di	**3**	3	3	3	3	3	3	3	3		
Затухание из-за геометрической дивергенции, Adiv, дБ	расстояние = 348.10 м	ф-ла (7) [10]	**61,8**										
Коэффициент затухания звука в атмосфере α, дБ/км	Ta=20,°C Pa=101.33,кПа hотн.=70%	ф-ла (5) [9]	0,02	0,09	0,33	1,12	2,79	4,98	9,04	23,09	77,63		
Учет затухания звука в атмосфере Aatm, дБ		ф-ла (8) [10]	0	0	0,1	0,4	1	1,7	3,1	8	27		
Снижение поверхностью земли возле источника As, дБ	Gs = 0 hs = 1м	ф-лы таб.3 [10]	-1,5	-1,5	-1,5	-1,5	-1,5	-1,5	-1,5	-1,5	-1,5		

1		2	3	4	5	6	7	8	9	10	11	12	13
Снижение поверхностью земли возле приёмника Ar, дБ	Gr = 1 hr = 1.5м	ф-лы таб.3 [10]	-1,5	-1,5	2	7	5	0,7	0	0	0		
Снижение поверхностью земли в средней зоне, Am дБ	Gm = 1	ф-лы таб.3 [10]	-2,4	-2,4	0	0	0	0	0	0	0		
Суммарное снижение поверхностью земли на траектории распространения звука Agr, дБ		ф-ла (9) [10]	-5,4	-5,4	0,5	5,5	3,5	-0,8	-1,5	-1,5	-1,5		
Уровни звукового давления прямого звука от источника ИШ-2-36 в расчётной точке днём, дБ		**ф-ла(3)[10]**	**0**	**39,8**	**35,2**	**31,2**	**33**	**36,2**	**32,1**	**23**	**0**	**38,9**	**38,9**
Расчёт отражённого звука													
Уровни звукового давления от мнимого источника ИШ-2-36_мн.(1) в расчётной точке днём, дБ		**ф-ла(3)[10]**	**0**	**0**	**0**	**0**	**0**	**0**	**0**	**0**	**0**	**0**	**0**
Уровни звукового давления от мнимого источника ИШ-2-36_мн.(2) в расчётной точке днём, дБ		**ф-ла(3)[10]**	**0**	**0**	**0**	**0**	**0**	**0**	**0**	**0**	**0**	**0**	**0**
Суммарные уровни звукового давления от мнимых источников в расчётной точке днём, дБ		**ф-ла (19) [1]**	**0**	**0**	**0**	**0**	**0**	**0**	**0**	**0**	**0**	**0**	**0**
Уровни звукового давления от источника ИШ-2-36 в расчётной точке днём, дБ		**ф-ла(3)[10]**	**0**	**39,8**	**35,2**	**31,2**	**33**	**36,2**	**32,1**	**23**	**0**	**38,9**	**38,9**
Источник шума: ИШ-2-37, координаты источника (x,y,z), м =[695.57,-97.37,1.00]													
Уровни звуковой мощности источника днём, Lw, дБ		**исходные данные**	**0**	**93,3**	**94,7**	**96**	**96,3**	**95,9**	**92,6**	**88,4**	**83,9**		
Поправка на телесный угол DΩ, дБ	Ω = 6.28	10Lg(4π/Ω)	**3**	3	3	3	3	3	3	3	3		
Показатель направленности источника Di, дБ		исходные данные	**0**	0	0	0	0	0	0	0	0		
Поправка на направленность источника Dc, дБ	Dc	DΩ + Di	**3**	3	3	3	3	3	3	3	3		
Затухание из-за геометрической дивергенции, Adiv, дБ	расстояние = 347.62 м	ф-ла (7) [10]	**61,8**										
Коэффициент затухания звука в атмосфере α, дБ/км	Ta=20,°C Pa=101.33,кПа hотн.=70%	ф-ла (5) [9]	0,02	0,09	0,33	1,12	2,79	4,98	9,04	23,09	77,63		

1		2	3	4	5	6	7	8	9	10	11	12	13
Учет затухания звука в атмосфере Aatm, дБ		ф-ла (8) [10]	0	0	0,1	0,4	1	1,7	3,1	8	27		
Снижение поверхностью земли возле источника As, дБ	Gs = 0 hs = 1м	ф-лы таб.3 [10]	-1,5	-1,5	-1,5	-1,5	-1,5	-1,5	-1,5	-1,5	-1,5		
Снижение поверхностью земли возле приёмника Ar, дБ	Gr = 1 hr = 1.5м	ф-лы таб.3 [10]	-1,5	-1,5	2	7	5	0,7	0	0	0		
Снижение поверхностью земли в средней зоне, Am дБ	Gm = 1	ф-лы таб.3 [10]	-2,4	-2,4	0	0	0	0	0	0	0		
Суммарное снижение поверхностью земли на траектории распространения звука Agr, дБ		ф-ла (9) [10]	-5,4	-5,4	0,5	5,5	3,5	-0,8	-1,5	-1,5	-1,5		
Уровни звукового давления прямого звука от источника ИШ-2-37 в расчётной точке днём, дБ		**ф-ла(3)[10]**	**0**	**39,8**	**35,2**	**31,3**	**33**	**36,2**	**32,1**	**23**	**0**	**38,9**	**38,9**
Расчёт отражённого звука													
Уровни звукового давления от мнимого источника ИШ-2-37_мн.(1) в расчётной точке днём, дБ		**ф-ла(3)[10]**	**0**	**0**	**0**	**0**	**0**	**0**	**0**	**0**	**0**	**0**	**0**
Уровни звукового давления от мнимого источника ИШ-2-37_мн.(2) в расчётной точке днём, дБ		**ф-ла(3)[10]**	**0**	**0**	**0**	**0**	**0**	**0**	**0**	**0**	**0**	**0**	**0**
Суммарные уровни звукового давления от мнимых источников в расчётной точке днём, дБ		**ф-ла (19) [1]**	**0**	**0**	**0**	**0**	**0**	**0**	**0**	**0**	**0**	**0**	**0**
Уровни звукового давления от источника ИШ-2-37 в расчётной точке днём, дБ		**ф-ла(3)[10]**	**0**	**39,8**	**35,2**	**31,3**	**33**	**36,2**	**32,1**	**23**	**0**	**38,9**	**38,9**
Источник шума: ИШ-2-5, координаты источника (x,y,z), м =[618.60,-108.00,3.00]													
Уровни звуковой мощности источника днём, Lw, дБ		**исходные данные**	**105**	**104**	**104**	**101**	**102**	**106**	**101**	**95**	**87**		
Поправка на телесный угол DΩ, дБ	Ω = 6.28	10Lg(4π/Ω)	**3**	3	3	3	3	3	3	3	3		
Показатель направленности источника Di, дБ		исходные данные	**0**	0	0	0	0	0	0	0	0		
Поправка на направленность источника Dc, дБ	Dc	DΩ + Di	**3**	3	3	3	3	3	3	3	3		
Затухание из-за геометрической дивергенции, Adiv, дБ	расстояние = 275.07 м	ф-ла (7) [10]	**59,8**										

1		2	3	4	5	6	7	8	9	10	11	12	13
Коэффициент затухания звука в атмосфере α, дБ/км	Ta=20,°C Pa=101.33,кПа hотн.=70%	ф-ла (5) [9]	0,02	0,09	0,33	1,12	2,79	4,98	9,04	23,09	77,63		
Учет затухания звука в атмосфере Aatm, дБ		ф-ла (8) [10]	0	0	0,1	0,3	0,8	1,4	2,5	6,4	21,4		
Снижение уровня звукового давления из-за влияния застройки между источником шума и расчетной точкой													
Снижение уровня звукового давления препятствием слева от трассы ИШ-РТ, Dz2, дБ	z = -0.34м (разность путей)	ф-лы (14-18) [10]	2,4	0	NAN	NAN	NAN	NAN	NAN	NAN	NAN		
* отрицательное значение z означает прохождение траектории вблизи экрана, в этом случае дополнительно производится учёт снижения подстилающей поверхностью (см.ниже)													
Снижение поверхностью земли возле источника As, дБ	Gs = 0 hs = 3м	ф-лы таб.3 [10]	-1,5	-1,5	-1,5	-1,5	-1,5	-1,5	-1,5	-1,5	-1,5		
Снижение поверхностью земли возле приёмника Ar, дБ	Gr = 1 hr = 1.5м	ф-лы таб.3 [10]	-1,5	-1,5	1,6	7	5	0,7	0	0	0		
Снижение поверхностью земли в средней зоне, Am дБ	Gm = 1	ф-лы таб.3 [10]	-1,5	-1,5	0	0	0	0	0	0	0		
Суммарное снижение поверхностью земли на траектории распространения звука Agr, дБ		ф-ла (9) [10]	-4,5	-4,5	0,1	5,5	3,5	-0,8	-1,5	-1,5	-1,5		
Уровни звукового давления прямого звука от источника ИШ-2-5 в расчётной точке днём, дБ		**ф-ла(3)[10]**	**50,4**	**51,7**	**47,1**	**38,4**	**41**	**48,7**	**43,2**	**33,4**	**10,4**	**50,5**	**50,5**
Расчёт отражённого звука													
Уровни звукового давления от мнимого источника ИШ-2-5_мн.(1) в расчётной точке днём, дБ		**ф-ла(3)[10]**	**0**	**0**	**0**	**0**	**0**	**0**	**23,9**	**10,9**	**0**	**25,3**	**25,3**
Уровни звукового давления от источника ИШ-2-5 в расчётной точке днём, дБ		**ф-ла(3)[10]**	**50,4**	**51,7**	**47,1**	**38,4**	**41**	**48,7**	**43,3**	**33,4**	**10,4**	**50,6**	**50,6**
Источник шума: ИШ-2-38, координаты источника (x,y,z), м =[688.13,-119.94,1.00]													
Уровни звуковой мощности источника днём, Lw, дБ		**исходные данные**	**0**	**93,3**	**94,7**	**96**	**96,3**	**95,9**	**92,6**	**88,4**	**83,9**		
Поправка на телесный угол DΩ, дБ	Ω = 6.28	10Lg(4π/Ω)	**3**	3	3	3	3	3	3	3	3		
Показатель направленности источника Di, дБ		исходные данные	**0**	0	0	0	0	0	0	0	0		

1		2	3	4	5	6	7	8	9	10	11	12	13
Поправка на направленность источника Dc, дБ	Dc	DΩ + Di	**3**	3	3	3	3	3	3	3	3		
Затухание из-за геометрической дивергенции, Adiv, дБ	расстояние = 345.30 м	ф-ла (7) [10]	**61,8**										
Коэффициент затухания звука в атмосфере α, дБ/км	Ta=20,°C Pa=101.33,кПа hотн.=70%	ф-ла (5) [9]	0,02	0,09	0,33	1,12	2,79	4,98	9,04	23,09	77,63		
Учет затухания звука в атмосфере Aatm, дБ		ф-ла (8) [10]	0	0	0,1	0,4	1	1,7	3,1	8	26,8		
Снижение уровня звукового давления из-за влияния застройки между источником шума и расчетной точкой													
Снижение уровня звукового давления препятствием слева от трассы ИШ-РТ, Dz2, дБ	z = -0.40м (разность путей)	ф-лы (14-18) [10]	1,9	0	NAN	NAN	NAN	NAN	NAN	NAN	NAN		
* отрицательное значение z означает прохождение траектории вблизи экрана, в этом случае дополнительно производится учёт снижения подстилающей поверхностью (см.ниже)													
Снижение поверхностью земли возле источника As, дБ	Gs = 0 hs = 1м	ф-лы таб.3 [10]	-1,5	-1,5	-1,5	-1,5	-1,5	-1,5	-1,5	-1,5	-1,5		
Снижение поверхностью земли возле приёмника Ar, дБ	Gr = 1 hr = 1.5м	ф-лы таб.3 [10]	-1,5	-1,5	2	7	5	0,7	0	0	0		
Снижение поверхностью земли в средней зоне, Am дБ	Gm = 1	ф-лы таб.3 [10]	-2,3	-2,3	0	0	0	0	0	0	0		
Суммарное снижение поверхностью земли на траектории распространения звука Agr, дБ		ф-ла (9) [10]	-5,3	-5,3	0,5	5,5	3,5	-0,8	-1,5	-1,5	-1,5		
Уровни звукового давления прямого звука от источника ИШ-2-38 в расчётной точке днём, дБ		**ф-ла(3)[10]**	**0**	**39,8**	**35,3**	**31,3**	**33,1**	**36,3**	**32,2**	**23,2**	**0**	**39**	**39**
Расчёт отражённого звука													
Уровни звукового давления от мнимого источника ИШ-2-38_мн.(1) в расчётной точке днём, дБ		**ф-ла(3)[10]**	**0**	**0**	**0**	**0**	**0**	**0**	**15,5**	**3,4**	**0**	**16,9**	**16,9**
Уровни звукового давления от мнимого источника ИШ-2-38_мн.(2) в расчётной точке днём, дБ		**ф-ла(3)[10]**	**0**	**0**	**0**	**0**	**0**	**0**	**0**	**0**	**0**	**0**	**0**
Суммарные уровни звукового давления от мнимых источников в расчётной точке днём, дБ		**ф-ла (19) [1]**	**0**	**0**	**0**	**0**	**0**	**0**	**15,5**	**3,4**	**0**	**0**	**16,9**
Уровни звукового давления от источника ИШ-2-38 в расчётной точке днём, дБ		**ф-ла(3)[10]**	**0**	**39,8**	**35,3**	**31,3**	**33,1**	**36,3**	**32,3**	**23,2**	**0**	**39**	**39**

1		2	3	4	5	6	7	8	9	10	11	12	13
Источник шума: ИШ-2-39, координаты источника (x,y,z), м =[687.11,-122.83,1.00]													
Уровни звуковой мощности источника днём, Lw, дБ		**исходные данные**	**0**	**93,3**	**94,7**	**96**	**96,3**	**95,9**	**92,6**	**88,4**	**83,9**		
Поправка на телесный угол DΩ, дБ	Ω = 6.28	10Lg(4π/Ω)	**3**	3	3	3	3	3	3	3	3		
Показатель направленности источника Di, дБ		исходные данные	**0**	0	0	0	0	0	0	0	0		
Поправка на направленность источника Dc, дБ	Dc	DΩ + Di	**3**	3	3	3	3	3	3	3	3		
Затухание из-за геометрической дивергенции, Adiv, дБ	расстояние = 345.06 м	ф-ла (7) [10]	**61,8**										
Коэффициент затухания звука в атмосфере α, дБ/км	Ta=20,°C Pa=101.33,кПа hотн.=70%	ф-ла (5) [9]	0,02	0,09	0,33	1,12	2,79	4,98	9,04	23,09	77,63		
Учет затухания звука в атмосфере Aatm, дБ		ф-ла (8) [10]	0	0	0,1	0,4	1	1,7	3,1	8	26,8		
Снижение уровня звукового давления из-за влияния застройки между источником шума и расчетной точкой													
Снижение уровня звукового давления препятствием слева от трассы ИШ-РТ, Dz2, дБ	z = -0.37м (разность путей)	ф-лы (14-18) [10]	2,1	0	NAN	NAN	NAN	NAN	NAN	NAN	NAN		
* отрицательное значение z означает прохождение траектории вблизи экрана, в этом случае дополнительно производится учёт снижения подстилающей поверхностью (см.ниже)													
Снижение поверхностью земли возле источника As, дБ	Gs = 0 hs = 1м	ф-лы таб.3 [10]	-1,5	-1,5	-1,5	-1,5	-1,5	-1,5	-1,5	-1,5	-1,5		
Снижение поверхностью земли возле приёмника Ar, дБ	Gr = 1 hr = 1.5м	ф-лы таб.3 [10]	-1,5	-1,5	2	7	5	0,7	0	0	0		
Снижение поверхностью земли в средней зоне, Am дБ	Gm = 1	ф-лы таб.3 [10]	-2,3	-2,3	0	0	0	0	0	0	0		
Суммарное снижение поверхностью земли на траектории распространения звука Agr, дБ		ф-ла (9) [10]	-5,3	-5,3	0,5	5,5	3,5	-0,8	-1,5	-1,5	-1,5		
Уровни звукового давления от источника ИШ-2-39 в расчётной точке днём, дБ		**ф-ла(3)[10]**	**0**	**39,9**	**35,3**	**31,3**	**33,1**	**36,3**	**32,2**	**23,2**	**0**	**39**	**39**

1		2	3	4	5	6	7	8	9	10	11	12	13
Источник шума: ИШ-2-40, координаты источника (x,y,z), м =[686.10,-125.67,1.00]													
Уровни звуковой мощности источника днём, Lw, дБ		**исходные данные**	**0**	**93,3**	**94,7**	**96**	**96,3**	**95,9**	**92,6**	**88,4**	**83,9**		
Поправка на телесный угол DΩ, дБ	Ω = 6.28	10Lg(4π/Ω)	**3**	3	3	3	3	3	3	3	3		
Показатель направленности источника Di, дБ		исходные данные	**0**	0	0	0	0	0	0	0	0		
Поправка на направленность источника Dc, дБ	Dc	DΩ + Di	**3**	3	3	3	3	3	3	3	3		
Затухание из-за геометрической дивергенции, Adiv, дБ	расстояние = 344.83 м	ф-ла (7) [10]	**61,8**										
Коэффициент затухания звука в атмосфере α, дБ/км	Ta=20,°C Pa=101.33,кПа hотн.=70%	ф-ла (5) [9]	0,02	0,09	0,33	1,12	2,79	4,98	9,04	23,09	77,63		
Учет затухания звука в атмосфере Aatm, дБ		ф-ла (8) [10]	0	0	0,1	0,4	1	1,7	3,1	8	26,8		
Снижение уровня звукового давления из-за влияния застройки между источником шума и расчетной точкой													
Снижение уровня звукового давления препятствием слева от трассы ИШ-РТ, Dz2, дБ	z = -0.35м (разность путей)	ф-лы (14-18) [10]	2,3	0	NAN	NAN	NAN	NAN	NAN	NAN	NAN		
* отрицательное значение z означает прохождение траектории вблизи экрана, в этом случае дополнительно производится учёт снижения подстилающей поверхностью (см.ниже)													
Снижение поверхностью земли возле источника As, дБ	Gs = 0 hs = 1м	ф-лы таб.3 [10]	-1,5	-1,5	-1,5	-1,5	-1,5	-1,5	-1,5	-1,5	-1,5		
Снижение поверхностью земли возле приёмника Ar, дБ	Gr = 1 hr = 1.5м	ф-лы таб.3 [10]	-1,5	-1,5	2	7	5	0,7	0	0	0		
Снижение поверхностью земли в средней зоне, Am дБ	Gm = 1	ф-лы таб.3 [10]	-2,3	-2,3	0	0	0	0	0	0	0		
Суммарное снижение поверхностью земли на траектории распространения звука Agr, дБ		ф-ла (9) [10]	-5,3	-5,3	0,5	5,5	3,5	-0,8	-1,5	-1,5	-1,5		
Уровни звукового давления от источника ИШ-2-40 в расчётной точке днём, дБ		**ф-ла(3)[10]**	**0**	**39,9**	**35,3**	**31,3**	**33,1**	**36,3**	**32,2**	**23,2**	**0**	**39**	**39**

1		2	3	4	5	6	7	8	9	10	11	12	13
Источник шума: ИШ-2-41, координаты источника (x,y,z), м =[685.14,-128.64,1.00]													
Уровни звуковой мощности источника днём, Lw, дБ		**исходные данные**	**0**	**93,3**	**94,7**	**96**	**96,3**	**95,9**	**92,6**	**88,4**	**83,9**		
Поправка на телесный угол DΩ, дБ	Ω = 6.28	10Lg(4π/Ω)	**3**	3	3	3	3	3	3	3	3		
Показатель направленности источника Di, дБ		исходные данные	**0**	0	0	0	0	0	0	0	0		
Поправка на направленность источника Dc, дБ	Dc	DΩ + Di	**3**	3	3	3	3	3	3	3	3		
Затухание из-за геометрической дивергенции, Adiv, дБ	расстояние = 344.72 м	ф-ла (7) [10]	**61,7**										
Коэффициент затухания звука в атмосфере α, дБ/км	Ta=20,°C Pa=101.33,кПа hотн.=70%	ф-ла (5) [9]	0,02	0,09	0,33	1,12	2,79	4,98	9,04	23,09	77,63		
Учет затухания звука в атмосфере Aatm, дБ		ф-ла (8) [10]	0	0	0,1	0,4	1	1,7	3,1	8	26,8		
Снижение уровня звукового давления из-за влияния застройки между источником шума и расчетной точкой													
Снижение уровня звукового давления препятствием слева от трассы ИШ-РТ, Dz2, дБ	z = -0.33м (разность путей)	ф-лы (14-18) [10]	2,5	0	NAN	NAN	NAN	NAN	NAN	NAN	NAN		
* отрицательное значение z означает прохождение траектории вблизи экрана, в этом случае дополнительно производится учёт снижения подстилающей поверхностью (см.ниже)													
Снижение поверхностью земли возле источника As, дБ	Gs = 0 hs = 1м	ф-лы таб.3 [10]	-1,5	-1,5	-1,5	-1,5	-1,5	-1,5	-1,5	-1,5	-1,5		
Снижение поверхностью земли возле приёмника Ar, дБ	Gr = 1 hr = 1.5м	ф-лы таб.3 [10]	-1,5	-1,5	2	7	5	0,7	0	0	0		
Снижение поверхностью земли в средней зоне, Am дБ	Gm = 1	ф-лы таб.3 [10]	-2,3	-2,3	0	0	0	0	0	0	0		
Суммарное снижение поверхностью земли на траектории распространения звука Agr, дБ		ф-ла (9) [10]	-5,3	-5,3	0,5	5,5	3,5	-0,8	-1,5	-1,5	-1,5		
Уровни звукового давления прямого звука от источника ИШ-2-41 в расчётной точке днём, дБ		**ф-ла(3)[10]**	**0**	**39,9**	**35,3**	**31,3**	**33,1**	**36,3**	**32,2**	**23,2**	**0**	**39**	**39**
Расчёт отражённого звука													

1		2	3	4	5	6	7	8	9	10	11	12	13
Уровни звукового давления от мнимого источника ИШ-2-41_мн.(1) в расчётной точке днём, дБ		**ф-ла(3)[10]**	**0**	**0**	**0**	**0**	**0**	**31,7**	**29,6**	**20,5**	**0**	**34,5**	**34,5**
Уровни звукового давления от источника ИШ-2-41 в расчётной точке днём, дБ		**ф-ла(3)[10]**	**0**	**39,9**	**35,3**	**31,3**	**33,1**	**37,6**	**34,1**	**25,1**	**0**	**40,3**	**40,3**
Источник шума: ИШ-2-42, координаты источника (x,y,z), м =[684.20,-131.46,1.00]													
Уровни звуковой мощности источника днём, Lw, дБ		**исходные данные**	**0**	**93,3**	**94,7**	**96**	**96,3**	**95,9**	**92,6**	**88,4**	**83,9**		
Поправка на телесный угол DΩ, дБ	Ω = 6.28	10Lg(4π/Ω)	**3**	3	3	3	3	3	3	3	3		
Показатель направленности источника Di, дБ		исходные данные	**0**	0	0	0	0	0	0	0	0		
Поправка на направленность источника Dc, дБ	Dc	DΩ + Di	**3**	3	3	3	3	3	3	3	3		
Затухание из-за геометрической дивергенции, Adiv, дБ	расстояние = 344.61 м	ф-ла (7) [10]	**61,7**										
Коэффициент затухания звука в атмосфере α, дБ/км	Ta=20,°C Pa=101.33,кПа hотн.=70%	ф-ла (5) [9]	0,02	0,09	0,33	1,12	2,79	4,98	9,04	23,09	77,63		
Учет затухания звука в атмосфере Aatm, дБ		ф-ла (8) [10]	0	0	0,1	0,4	1	1,7	3,1	8	26,8		
Снижение уровня звукового давления из-за влияния застройки между источником шума и расчетной точкой													
Снижение уровня звукового давления препятствием слева от трассы ИШ-РТ, Dz2, дБ	z = -0.31м (разность путей)	ф-лы (14-18) [10]	2,7	0	NAN	NAN	NAN	NAN	NAN	NAN	NAN		
* отрицательное значение z означает прохождение траектории вблизи экрана, в этом случае дополнительно производится учёт снижения подстилающей поверхностью (см.ниже)													
Снижение поверхностью земли возле источника As, дБ	Gs = 0 hs = 1м	ф-лы таб.3 [10]	-1,5	-1,5	-1,5	-1,5	-1,5	-1,5	-1,5	-1,5	-1,5		
Снижение поверхностью земли возле приёмника Ar, дБ	Gr = 1 hr = 1.5м	ф-лы таб.3 [10]	-1,5	-1,5	2	7	5	0,7	0	0	0		
Снижение поверхностью земли в средней зоне, Am дБ	Gm = 1	ф-лы таб.3 [10]	-2,3	-2,3	0	0	0	0	0	0	0		
Суммарное снижение поверхностью земли на траектории распространения звука Agr, дБ		ф-ла (9) [10]	-5,3	-5,3	0,5	5,5	3,5	-0,8	-1,5	-1,5	-1,5		

1		2	3	4	5	6	7	8	9	10	11	12	13
Уровни звукового давления прямого звука от источника ИШ-2-42 в расчётной точке днём, дБ		**ф-ла(3)[10]**	**0**	**39,9**	**35,3**	**31,3**	**33,1**	**36,3**	**32,2**	**23,2**	**0**	**39**	**39**
Расчёт отражённого звука													
Уровни звукового давления от мнимого источника ИШ-2-42_мн.(1) в расчётной точке днём, дБ		**ф-ла(3)[10]**	**0**	**0**	**0**	**0**	**0**	**0**	**18,2**	**2,6**	**0**	**19,5**	**19,5**
Уровни звукового давления от источника ИШ-2-42 в расчётной точке днём, дБ		**ф-ла(3)[10]**	**0**	**39,9**	**35,3**	**31,3**	**33,1**	**36,3**	**32,4**	**23,2**	**0**	**39,1**	**39,1**
Источник шума: ИШ-2-43, координаты источника (x,y,z), м =[683.13,-134.37,1.00]													
Уровни звуковой мощности источника днём, Lw, дБ		**исходные данные**	**0**	**93,3**	**94,7**	**96**	**96,3**	**95,9**	**92,6**	**88,4**	**83,9**		
Поправка на телесный угол DΩ, дБ	Ω = 6.28	10Lg(4π/Ω)	**3**	3	3	3	3	3	3	3	3		
Показатель направленности источника Di, дБ		исходные данные	**0**	0	0	0	0	0	0	0	0		
Поправка на направленность источника Dc, дБ	Dc	DΩ + Di	**3**	3	3	3	3	3	3	3	3		
Затухание из-за геометрической дивергенции, Adiv, дБ	расстояние = 344.44 м	ф-ла (7) [10]	**61,7**										
Коэффициент затухания звука в атмосфере α, дБ/км	Ta=20,°C Pa=101.33,кПа hотн.=70%	ф-ла (5) [9]	0,02	0,09	0,33	1,12	2,79	4,98	9,04	23,09	77,63		
Учет затухания звука в атмосфере Aatm, дБ		ф-ла (8) [10]	0	0	0,1	0,4	1	1,7	3,1	8	26,7		
Снижение уровня звукового давления из-за влияния застройки между источником шума и расчетной точкой													
Снижение уровня звукового давления препятствием слева от трассы ИШ-РТ, Dz2, дБ	z = -0.28м (разность путей)	ф-лы (14-18) [10]	2,9	0	NAN	NAN	NAN	NAN	NAN	NAN	NAN		
* отрицательное значение z означает прохождение траектории вблизи экрана, в этом случае дополнительно производится учёт снижения подстилающей поверхностью (см.ниже)													
Снижение поверхностью земли возле источника As, дБ	Gs = 0 hs = 1м	ф-лы таб.3 [10]	-1,5	-1,5	-1,5	-1,5	-1,5	-1,5	-1,5	-1,5	-1,5		
Снижение поверхностью земли возле приёмника Ar, дБ	Gr = 1 hr = 1.5м	ф-лы таб.3 [10]	-1,5	-1,5	2	7	5	0,7	0	0	0		

1		2	3	4	5	6	7	8	9	10	11	12	13
Снижение поверхностью земли в средней зоне, Am дБ	Gm = 1	ф-лы таб.3 [10]	-2,3	-2,3	0	0	0	0	0	0	0		
Суммарное снижение поверхностью земли на траектории распространения звука Agr, дБ		ф-ла (9) [10]	-5,3	-5,3	0,5	5,5	3,5	-0,8	-1,5	-1,5	-1,5		
Уровни звукового давления прямого звука от источника ИШ-2-43 в расчётной точке днём, дБ		**ф-ла(3)[10]**	**0**	**39,9**	**35,3**	**31,3**	**33,1**	**36,3**	**32,2**	**23,2**	**0**	**39**	**39**
Расчёт отражённого звука													
Уровни звукового давления от мнимого источника ИШ-2-43_мн.(1) в расчётной точке днём, дБ		**ф-ла(3)[10]**	**0**	**0**	**0**	**0**	**0**	**0**	**18,2**	**2,6**	**0**	**19,5**	**19,5**
Уровни звукового давления от источника ИШ-2-43 в расчётной точке днём, дБ		**ф-ла(3)[10]**	**0**	**39,9**	**35,3**	**31,3**	**33,1**	**36,3**	**32,4**	**23,2**	**0**	**39,1**	**39,1**
Источник шума: ИШ-2-44, координаты источника (x,y,z), м =[682.20,-137.16,1.00]													
Уровни звуковой мощности источника днём, Lw, дБ		**исходные данные**	**0**	**93,3**	**94,7**	**96**	**96,3**	**95,9**	**92,6**	**88,4**	**83,9**		
Поправка на телесный угол DΩ, дБ	Ω = 6.28	10Lg(4π/Ω)	**3**	3	3	3	3	3	3	3	3		
Показатель направленности источника Di, дБ		исходные данные	**0**	0	0	0	0	0	0	0	0		
Поправка на направленность источника Dc, дБ	Dc	DΩ + Di	**3**	3	3	3	3	3	3	3	3		
Затухание из-за геометрической дивергенции, Adiv, дБ	расстояние = 344.38 м	ф-ла (7) [10]	**61,7**										
Коэффициент затухания звука в атмосфере α, дБ/км	Ta=20,°C Pa=101.33,кПа hотн.=70%	ф-ла (5) [9]	0,02	0,09	0,33	1,12	2,79	4,98	9,04	23,09	77,63		
Учет затухания звука в атмосфере Aatm, дБ		ф-ла (8) [10]	0	0	0,1	0,4	1	1,7	3,1	8	26,7		
Снижение уровня звукового давления из-за влияния застройки между источником шума и расчетной точкой													
Снижение уровня звукового давления препятствием слева от трассы ИШ-РТ, Dz2, дБ	z = -0.26м (разность путей)	ф-лы (14-18) [10]	3,1	0,2	NAN	NAN	NAN	NAN	NAN	NAN	NAN		

* отрицательное значение z означает прохождение траектории вблизи экрана, в этом случае дополнительно производится учёт снижения подстилающей поверхностью (см.ниже)

1		2	3	4	5	6	7	8	9	10	11	12	13
Снижение поверхностью земли возле источника As, дБ	Gs = 0 hs = 1м	ф-лы таб.3 [10]	-1,5	-1,5	-1,5	-1,5	-1,5	-1,5	-1,5	-1,5	-1,5		
Снижение поверхностью земли возле приёмника Ar, дБ	Gr = 1 hr = 1.5м	ф-лы таб.3 [10]	-1,5	-1,5	2	7	5	0,7	0	0	0		
Снижение поверхностью земли в средней зоне, Am дБ	Gm = 1	ф-лы таб.3 [10]	-2,3	-2,3	0	0	0	0	0	0	0		
Суммарное снижение поверхностью земли на траектории распространения звука Agr, дБ		ф-ла (9) [10]	-5,3	-5,3	0,5	5,5	3,5	-0,8	-1,5	-1,5	-1,5		
Уровни звукового давления прямого звука от источника ИШ-2-44 в расчётной точке днём, дБ		**ф-ла(3)[10]**	**0**	**39,7**	**35,3**	**31,3**	**33,1**	**36,3**	**32,2**	**23,2**	**0**	**39**	**39**
Расчёт отражённого звука													
Уровни звукового давления от мнимого источника ИШ-2-44_мн.(1) в расчётной точке днём, дБ		**ф-ла(3)[10]**	**0**	**0**	**0**	**0**	**0**	**0**	**18,2**	**2,6**	**0**	**19,5**	**19,5**
Уровни звукового давления от мнимого источника ИШ-2-44_мн.(2) в расчётной точке днём, дБ		**ф-ла(3)[10]**	**0**	**0**	**0**	**0**	**0**	**0**	**29,5**	**20,4**	**0**	**31,2**	**31,2**
Суммарные уровни звукового давления от мнимых источников в расчётной точке днём, дБ		**ф-ла (19) [1]**	**0**	**0**	**0**	**0**	**0**	**0**	**29,8**	**20,5**	**0**	**0**	**31,5**
Уровни звукового давления от источника ИШ-2-44 в расчётной точке днём, дБ		**ф-ла(3)[10]**	**0**	**39,7**	**35,3**	**31,3**	**33,1**	**36,3**	**34,2**	**25,1**	**0**	**39,7**	**39,7**
Источник шума: ИШ-2-45, координаты источника (x,y,z), м =[681.26,-139.98,1.00]													
Уровни звуковой мощности источника днём, Lw, дБ		**исходные данные**	**0**	**93,3**	**94,7**	**96**	**96,3**	**95,9**	**92,6**	**88,4**	**83,9**		
Поправка на телесный угол DΩ, дБ	Ω = 6.28	10Lg(4π/Ω)	**3**	3	3	3	3	3	3	3	3		
Показатель направленности источника Di, дБ		исходные данные	**0**	0	0	0	0	0	0	0	0		
Поправка на направленность источника Dc, дБ	Dc	DΩ + Di	**3**	3	3	3	3	3	3	3	3		
Затухание из-за геометрической дивергенции, Adiv, дБ	расстояние = 344.35 м	ф-ла (7) [10]	**61,7**										
Коэффициент затухания звука в атмосфере α, дБ/км	Ta=20,°C Pa=101.33,кПа hотн.=70%	ф-ла (5) [9]	0,02	0,09	0,33	1,12	2,79	4,98	9,04	23,09	77,63		

1		2	3	4	5	6	7	8	9	10	11	12	13
Учет затухания звука в атмосфере Aatm, дБ		ф-ла (8) [10]	0	0	0,1	0,4	1	1,7	3,1	7,9	26,7		
Снижение уровня звукового давления из-за влияния застройки между источником шума и расчетной точкой													
Снижение уровня звукового давления препятствием слева от трассы ИШ-РТ, Dz2, дБ	z = -0.25м (разность путей)	ф-лы (14-18) [10]	3,2	0,7	NAN	NAN	NAN	NAN	NAN	NAN	NAN		
* отрицательное значение z означает прохождение траектории вблизи экрана, в этом случае дополнительно производится учёт снижения подстилающей поверхностью (см.ниже)													
Снижение поверхностью земли возле источника As, дБ	Gs = 0 hs = 1м	ф-лы таб.3 [10]	-1,5	-1,5	-1,5	-1,5	-1,5	-1,5	-1,5	-1,5	-1,5		
Снижение поверхностью земли возле приёмника Ar, дБ	Gr = 1 hr = 1.5м	ф-лы таб.3 [10]	-1,5	-1,5	2	7	5	0,7	0	0	0		
Снижение поверхностью земли в средней зоне, Am дБ	Gm = 1	ф-лы таб.3 [10]	-2,3	-2,3	0	0	0	0	0	0	0		
Суммарное снижение поверхностью земли на траектории распространения звука Agr, дБ		ф-ла (9) [10]	-5,3	-5,3	0,5	5,5	3,5	-0,8	-1,5	-1,5	-1,5		
Уровни звукового давления прямого звука от источника ИШ-2-45 в расчётной точке днём, дБ		**ф-ла(3)[10]**	**0**	**39,2**	**35,3**	**31,3**	**33,1**	**36,3**	**32,2**	**23,2**	**0**	**39**	**39**
Расчёт отражённого звука													
Уровни звукового давления от мнимого источника ИШ-2-45_мн.(1) в расчётной точке днём, дБ		**ф-ла(3)[10]**	**0**	**0**	**0**	**0**	**0**	**0**	**18,2**	**2,6**	**0**	**19,5**	**19,5**
Уровни звукового давления от источника ИШ-2-45 в расчётной точке днём, дБ		**ф-ла(3)[10]**	**0**	**39,2**	**35,3**	**31,3**	**33,1**	**36,3**	**32,4**	**23,2**	**0**	**39,1**	**39,1**
Источник шума: ИШ-4-1, координаты источника (x,y,z), м =[141.82,201.03,1.00]													
Уровни звуковой мощности источника днём, Lw, дБ		**исходные данные**	**0**	**90,3**	**91,7**	**93**	**93,3**	**92,9**	**89,6**	**85,4**	**80,9**		
Поправка на телесный угол DΩ, дБ	Ω = 6.28	10Lg(4π/Ω)	**3**	3	3	3	3	3	3	3	3		
Показатель направленности источника Di, дБ		исходные данные	**0**	0	0	0	0	0	0	0	0		
Поправка на направленность источника Dc, дБ	Dc	DΩ + Di	**3**	3	3	3	3	3	3	3	3		

1		2	3	4	5	6	7	8	9	10	11	12	13
Затухание из-за геометрической дивергенции, Adiv, дБ	расстояние = 315.83 м	ф-ла (7) [10]	**61**										
Коэффициент затухания звука в атмосфере α, дБ/км	Ta=20,°C Pa=101.33,кПа hотн.=70%	ф-ла (5) [9]	0,02	0,09	0,33	1,12	2,79	4,98	9,04	23,09	77,63		
Учет затухания звука в атмосфере Aatm, дБ		ф-ла (8) [10]	0	0	0,1	0,4	0,9	1,6	2,9	7,3	24,5		
Снижение уровня звукового давления из-за влияния застройки между источником шума и расчетной точкой													
Снижение уровня звукового давления на пути над экраном, Dz1, дБ	z = 1.00м (разность путей)	ф-лы (14-18) [10]	7,2	9,5	12,9	16,5	19,6	22,7	25,7	28,7	31,7		
Снижение уровня звукового давления на пути слева от экрана, Dz2, дБ	z = 16.49м (разность путей)	ф-лы (14-18) [10]	18,1	21	23,9	26,9	29,9	32,9	35,9	38,9	41,9		
Снижение уровня звукового давления на пути справа от экрана, Dz3, дБ	z = 4.63м (разность путей)	ф-лы (14-18) [10]	13	15,7	18,5	21,4	24,4	27,4	30,4	33,4	36,4		
Общее снижение уровня звука препятствием Dz, дБ		Эн.сумма(-Dzi)	5,9	8,3	11,6	15	18,1	21,1	24,1	27,1	30,1		
Общее снижение уровня звука препятствием с учётом ограничения (25 дБ) для октавных полос Dz, дБ		Раздел 7.4 [10]	5,9	8,3	11,6	15	18,1	21,1	24,1	25	25		
Уровни звукового давления прямого звука от источника ИШ-4-1 в расчётной точке днём, дБ		**ф-ла(3)[10]**	**0**	**24**	**22**	**19,7**	**16,3**	**12,2**	**4,6**	**0**	**0**	**17,7**	**17,7**
Расчёт отражённого звука													
Уровни звукового давления от мнимого источника ИШ-4-1_мн.(1) в расчётной точке днём, дБ		**ф-ла(3)[10]**	**0**	**0**	**0**	**0**	**0**	**0**	**0**	**0**	**0**	**0**	**0**
Уровни звукового давления от мнимого источника ИШ-4-1_мн.(2) в расчётной точке днём, дБ		**ф-ла(3)[10]**	**0**	**0**	**0**	**0**	**14,8**	**10,6**	**2,9**	**0**	**0**	**14,6**	**14,6**
Уровни звукового давления от мнимого источника ИШ-4-1_мн.(3) в расчётной точке днём, дБ		**ф-ла(3)[10]**	**0**	**0**	**0**	**0**	**0**	**0**	**0**	**0**	**0**	**0**	**0**
Суммарные уровни звукового давления от мнимых источников в расчётной точке днём, дБ		**ф-ла (19) [1]**	**0**	**0**	**0**	**0**	**14,8**	**10,6**	**2,9**	**0**	**0**	**0**	**14,6**
Уровни звукового давления от источника ИШ-4-1 в расчётной точке днём, дБ		**ф-ла(3)[10]**	**0**	**24**	**22**	**19,7**	**18,6**	**14,5**	**6,9**	**0**	**0**	**19,4**	**19,4**

1		2	3	4	5	6	7	8	9	10	11	12	13
Источник шума: ИШ-4-2, координаты источника (x,y,z), м =[133.85,183.21,1.00]													
Уровни звуковой мощности источника днём, Lw, дБ		**исходные данные**	**0**	**90,3**	**91,7**	**93**	**93,3**	**92,9**	**89,6**	**85,4**	**80,9**		
Поправка на телесный угол DΩ, дБ	Ω = 6.28	10Lg(4π/Ω)	**3**	3	3	3	3	3	3	3	3		
Показатель направленности источника Di, дБ		исходные данные	**0**	0	0	0	0	0	0	0	0		
Поправка на направленность источника Dc, дБ	Dc	DΩ + Di	**3**	3	3	3	3	3	3	3	3		
Затухание из-за геометрической дивергенции, Adiv, дБ	расстояние = 308.50 м	ф-ла (7) [10]	**60,8**										
Коэффициент затухания звука в атмосфере α, дБ/км	Ta=20,°C Pa=101.33,кПа hотн.=70%	ф-ла (5) [9]	0,02	0,09	0,33	1,12	2,79	4,98	9,04	23,09	77,63		
Учет затухания звука в атмосфере Aatm, дБ		ф-ла (8) [10]	0	0	0,1	0,3	0,9	1,5	2,8	7,1	24		
Снижение уровня звукового давления из-за влияния застройки между источником шума и расчетной точкой													
Снижение уровня звукового давления на пути над экраном, Dz1, дБ	z = 1.03м (разность путей)	ф-лы (14-18) [10]	7,3	9,6	13,1	16,7	19,9	22,9	25,9	28,9	31,9		
Снижение уровня звукового давления на пути слева от экрана, Dz2, дБ	z = 19.88м (разность путей)	ф-лы (14-18) [10]	18,8	21,8	24,7	27,7	30,7	33,7	36,7	39,7	42,7		
Снижение уровня звукового давления на пути справа от экрана, Dz3, дБ	z = 3.25м (разность путей)	ф-лы (14-18) [10]	11,8	14,3	17,1	19,9	22,9	25,9	28,9	31,9	34,9		
Общее снижение уровня звука препятствием Dz, дБ		Эн.сумма(-Dzi)	5,8	8,2	11,4	14,8	17,9	20,9	23,9	26,9	29,9		
Общее снижение уровня звука препятствием с учётом ограничения (25 дБ) для октавных полос Dz, дБ		Раздел 7.4 [10]	5,8	8,2	11,4	14,8	17,9	20,9	23,9	25	25		
Уровни звукового давления прямого звука от источника ИШ-4-2 в расчётной точке днём, дБ		**ф-ла(3)[10]**	**0**	**24,3**	**22,4**	**20,1**	**16,8**	**12,7**	**5,1**	**0**	**0**	**18,1**	**18,1**
Расчёт отражённого звука													

1		2	3	4	5	6	7	8	9	10	11	12	13
Уровни звукового давления от мнимого источника ИШ-4-2_мн.(1) в расчётной точке днём, дБ		**ф-ла(3)[10]**	**0**	**0**	**0**	**0**	**0**	**0**	**0**	**0**	**0**	**0**	**0**
Уровни звукового давления от мнимого источника ИШ-4-2_мн.(2) в расчётной точке днём, дБ		**ф-ла(3)[10]**	**0**	**0**	**0**	**0**	**0**	**0**	**0**	**0**	**0**	**0**	**0**
Суммарные уровни звукового давления от мнимых источников в расчётной точке днём, дБ		**ф-ла (19) [1]**	**0**	**0**	**0**	**0**	**0**	**0**	**0**	**0**	**0**	**0**	**0**
Уровни звукового давления от источника ИШ-4-2 в расчётной точке днём, дБ		**ф-ла(3)[10]**	**0**	**24,3**	**22,4**	**20,1**	**16,8**	**12,7**	**5,1**	**0**	**0**	**18,1**	**18,1**
Источник шума: ИШ-4-3, координаты источника (x,y,z), м =[152.61,172.66,1.00]													
Уровни звуковой мощности источника днём, Lw, дБ		**исходные данные**	**0**	**90,3**	**91,7**	**93**	**93,3**	**92,9**	**89,6**	**85,4**	**80,9**		
Поправка на телесный угол DΩ, дБ	Ω = 6.28	10Lg(4π/Ω)	**3**	3	3	3	3	3	3	3	3		
Показатель направленности источника Di, дБ		исходные данные	**0**	0	0	0	0	0	0	0	0		
Поправка на направленность источника Dc, дБ	Dc	DΩ + Di	**3**	3	3	3	3	3	3	3	3		
Затухание из-за геометрической дивергенции, Adiv, дБ	расстояние = 287.78 м	ф-ла (7) [10]	**60,2**										
Коэффициент затухания звука в атмосфере α, дБ/км	Ta=20,°C Pa=101.33,кПа hотн.=70%	ф-ла (5) [9]	0,02	0,09	0,33	1,12	2,79	4,98	9,04	23,09	77,63		
Учет затухания звука в атмосфере Aatm, дБ		ф-ла (8) [10]	0	0	0,1	0,3	0,8	1,4	2,6	6,6	22,3		
Снижение уровня звукового давления из-за влияния застройки между источником шума и расчетной точкой													
Снижение уровня звукового давления на пути над экраном, Dz1, дБ	z = 1.03м (разность путей)	ф-лы (14-18) [10]	7,4	9,8	13,3	16,9	20,1	23,2	26,2	29,2	32,2		
Снижение уровня звукового давления на пути слева от экрана, Dz2, дБ	z = 19.14м (разность путей)	ф-лы (14-18) [10]	18,7	21,6	24,5	27,5	30,5	33,5	36,5	39,5	42,6		
Снижение уровня звукового давления на пути справа от экрана, Dz3, дБ	z = 3.76м (разность путей)	ф-лы (14-18) [10]	12,3	14,9	17,7	20,6	23,5	26,5	29,5	32,5	35,5		

1		2	3	4	5	6	7	8	9	10	11	12	13
Общее снижение уровня звука препятствием Dz, дБ		Эн.сумма(-Dzi)	5,9	8,4	11,7	15,1	18,2	21,2	24,2	27,2	30,3		
Общее снижение уровня звука препятствием с учётом ограничения (25 дБ) для октавных полос Dz, дБ		Раздел 7.4 [10]	5,9	8,4	11,7	15,1	18,2	21,2	24,2	25	25		
Уровни звукового давления прямого звука от источника ИШ-4-3 в расчётной точке днём, дБ		**ф-ла(3)[10]**	**0**	**24,7**	**22,7**	**20,4**	**17,1**	**13**	**5,6**	**0**	**0**	**18,4**	**18,4**
Расчёт отражённого звука													
Уровни звукового давления от мнимого источника ИШ-4-3_мн.(1) в расчётной точке днём, дБ		**ф-ла(3)[10]**	**0**	**0**	**0**	**0**	**0**	**0**	**0**	**0**	**0**	**0**	**0**
Уровни звукового давления от мнимого источника ИШ-4-3_мн.(2) в расчётной точке днём, дБ		**ф-ла(3)[10]**	**0**	**0**	**0**	**0**	**0**	**0**	**0**	**0**	**0**	**0**	**0**
Уровни звукового давления от мнимого источника ИШ-4-3_мн.(3) в расчётной точке днём, дБ		**ф-ла(3)[10]**	**0**	**0**	**0**	**0**	**0**	**0**	**0**	**0**	**0**	**0**	**0**
Суммарные уровни звукового давления от мнимых источников в расчётной точке днём, дБ		**ф-ла (19) [1]**	**0**	**0**	**0**	**0**	**0**	**0**	**0**	**0**	**0**	**0**	**0**
Уровни звукового давления от источника ИШ-4-3 в расчётной точке днём, дБ		**ф-ла(3)[10]**	**0**	**24,7**	**22,7**	**20,4**	**17,1**	**13**	**5,6**	**0**	**0**	**18,4**	**18,4**
Источник шума: ИШ-4-4, координаты источника (x,y,z), м =[156.83,171.25,1.00]													
Уровни звуковой мощности источника днём, Lw, дБ		**исходные данные**	**0**	**90,3**	**91,7**	**93**	**93,3**	**92,9**	**89,6**	**85,4**	**80,9**		
Поправка на телесный угол DΩ, дБ	Ω = 6.28	10Lg(4π/Ω)	**3**	3	3	3	3	3	3	3	3		
Показатель направленности источника Di, дБ		исходные данные	**0**	0	0	0	0	0	0	0	0		
Поправка на направленность источника Dc, дБ	Dc	DΩ + Di	**3**	3	3	3	3	3	3	3	3		
Затухание из-за геометрической дивергенции, Adiv, дБ	расстояние = 283.83 м	ф-ла (7) [10]	**60,1**										
Коэффициент затухания звука в атмосфере α, дБ/км	Ta=20,°C Pa=101.33,кПа hотн.=70%	ф-ла (5) [9]	0,02	0,09	0,33	1,12	2,79	4,98	9,04	23,09	77,63		

1		2	3	4	5	6	7	8	9	10	11	12	13
Учет затухания звука в атмосфере Aatm, дБ		ф-ла (8) [10]	0	0	0,1	0,3	0,8	1,4	2,6	6,6	22		
Снижение уровня звукового давления из-за влияния застройки между источником шума и расчетной точкой													
Снижение уровня звукового давления на пути над экраном, Dz1, дБ	z = 1.03м (разность путей)	ф-лы (14-18) [10]	7,4	9,8	13,4	17	20,2	23,2	26,2	29,2	32,2		
Снижение уровня звукового давления на пути слева от экрана, Dz2, дБ	z = 18.81м (разность путей)	ф-лы (14-18) [10]	18,6	21,5	24,5	27,5	30,5	33,5	36,5	39,5	42,5		
Снижение уровня звукового давления на пути справа от экрана, Dz3, дБ	z = 3.95м (разность путей)	ф-лы (14-18) [10]	12,5	15,1	17,9	20,8	23,7	26,7	29,7	32,7	35,7		
Общее снижение уровня звука препятствием Dz, дБ		Эн.сумма(-Dzi)	6	8,5	11,8	15,2	18,3	21,3	24,3	27,3	30,3		
Общее снижение уровня звука препятствием с учётом ограничения (25 дБ) для октавных полос Dz, дБ		Раздел 7.4 [10]	6	8,5	11,8	15,2	18,3	21,3	24,3	25	25		
Уровни звукового давления прямого звука от источника ИШ-4-4 в расчётной точке днём, дБ		**ф-ла(3)[10]**	**0**	**24,7**	**22,7**	**20,4**	**17,1**	**13,1**	**5,6**	**0**	**0**	**18,5**	**18,5**
Расчёт отражённого звука													
Уровни звукового давления от мнимого источника ИШ-4-4_мн.(1) в расчётной точке днём, дБ		**ф-ла(3)[10]**	**0**	**0**	**0**	**0**	**0**	**0**	**0**	**0**	**0**	**0**	**0**
Уровни звукового давления от мнимого источника ИШ-4-4_мн.(2) в расчётной точке днём, дБ		**ф-ла(3)[10]**	**0**	**0**	**0**	**0**	**0**	**0**	**0**	**0**	**0**	**0**	**0**
Уровни звукового давления от мнимого источника ИШ-4-4_мн.(3) в расчётной точке днём, дБ		**ф-ла(3)[10]**	**0**	**0**	**0**	**0**	**0**	**0**	**0**	**0**	**0**	**0**	**0**
Суммарные уровни звукового давления от мнимых источников в расчётной точке днём, дБ		**ф-ла (19) [1]**	**0**	**0**	**0**	**0**	**0**	**0**	**0**	**0**	**0**	**0**	**0**
Уровни звукового давления от источника ИШ-4-4 в расчётной точке днём, дБ		**ф-ла(3)[10]**	**0**	**24,7**	**22,7**	**20,4**	**17,1**	**13,1**	**5,6**	**0**	**0**	**18,5**	**18,5**
Источник шума: ИШ-4-5, координаты источника (x,y,z), м =[126.48,222.66,11.00]													
Уровни звуковой мощности источника днём, Lw, дБ		**исходные данные**	**0**	**90,3**	**91,7**	**93**	**93,3**	**92,9**	**89,6**	**85,4**	**80,9**		
Поправка на телесный угол DΩ, дБ	Ω = 6.28	10Lg(4π/Ω)	**3**	3	3	3	3	3	3	3	3		

1		2	3	4	5	6	7	8	9	10	11	12	13
Показатель направленности источника Di, дБ		исходные данные	**0**	0	0	0	0	0	0	0	0		
Поправка на направленность источника Dc, дБ	Dc	DΩ + Di	**3**	3	3	3	3	3	3	3	3		
Затухание из-за геометрической дивергенции, Adiv, дБ	расстояние = 342.31 м	ф-ла (7) [10]	**61,7**										
Коэффициент затухания звука в атмосфере α, дБ/км	Ta=20,°C Pa=101.33,кПа hотн.=70%	ф-ла (5) [9]	0,02	0,09	0,33	1,12	2,79	4,98	9,04	23,09	77,63		
Учет затухания звука в атмосфере Aatm, дБ		ф-ла (8) [10]	0	0	0,1	0,4	1	1,7	3,1	7,9	26,6		
Снижение уровня звукового давления из-за влияния застройки между источником шума и расчетной точкой													
Снижение уровня звукового давления на пути над экраном, Dz1, дБ	z = 0.70м (разность путей)	ф-лы (14-18) [10]	6,1	7,1	8,6	10,6	12,9	15,6	18,4	21,4	24,3		
Снижение уровня звукового давления на пути слева от экрана, Dz2, дБ	z = 15.64м (разность путей)	ф-лы (14-18) [10]	17,9	20,8	23,7	26,7	29,7	32,7	35,7	38,7	41,7		
Снижение уровня звукового давления на пути справа от экрана, Dz3, дБ	z = 4.79м (разность путей)	ф-лы (14-18) [10]	13,2	15,9	18,7	21,6	24,5	27,5	30,5	33,5	36,5		
Общее снижение уровня звука препятствием Dz, дБ		Эн.сумма(-Dzi)	5,1	6,4	8	10,1	12,6	15,3	18,1	21	24		
Общее снижение уровня звука препятствием с учётом ограничения (20 дБ) для октавных полос Dz, дБ		Раздел 7.4 [10]	5,1	6,4	8	10,1	12,6	15,3	18,1	20	20		
Уровни звукового давления прямого звука от источника ИШ-4-5 в расчётной точке днём, дБ		**ф-ла(3)[10]**	**0**	**25,2**	**24,9**	**23,8**	**21,1**	**17,2**	**9,7**	**0**	**0**	**22,3**	**22,3**
Расчёт отражённого звука													
Уровни звукового давления от мнимого источника ИШ-4-5_мн.(1) в расчётной точке днём, дБ		**ф-ла(3)[10]**	**0**	**0**	**0**	**0**	**0**	**0**	**0**	**0**	**0**	**0**	**0**
Уровни звукового давления от мнимого источника ИШ-4-5_мн.(2) в расчётной точке днём, дБ		**ф-ла(3)[10]**	**0**	**0**	**0**	**0**	**0**	**0**	**0**	**0**	**0**	**0**	**0**
Суммарные уровни звукового давления от мнимых источников в расчётной точке днём, дБ		**ф-ла (19) [1]**	**0**	**0**	**0**	**0**	**0**	**0**	**0**	**0**	**0**	**0**	**0**
Уровни звукового давления от источника ИШ-4-5 в расчётной точке днём, дБ		**ф-ла(3)[10]**	**0**	**25,2**	**24,9**	**23,8**	**21,1**	**17,2**	**9,7**	**0**	**0**	**22,3**	**22,3**

1		2	3	4	5	6	7	8	9	10	11	12	13
Источник шума: ИШ-4-6, координаты источника (x,y,z), м =[125.17,218.57,11.00]													
Уровни звуковой мощности источника днём, Lw, дБ		**исходные данные**	**0**	**90,3**	**91,7**	**93**	**93,3**	**92,9**	**89,6**	**85,4**	**80,9**		
Поправка на телесный угол DΩ, дБ	Ω = 6.28	10Lg(4π/Ω)	**3**	3	3	3	3	3	3	3	3		
Показатель направленности источника Di, дБ		исходные данные	**0**	0	0	0	0	0	0	0	0		
Поправка на направленность источника Dc, дБ	Dc	DΩ + Di	**3**	3	3	3	3	3	3	3	3		
Затухание из-за геометрической дивергенции, Adiv, дБ	расстояние = 340.15 м	ф-ла (7) [10]	**61,6**										
Коэффициент затухания звука в атмосфере α, дБ/км	Ta=20,°C Pa=101.33,кПа hотн.=70%	ф-ла (5) [9]	0,02	0,09	0,33	1,12	2,79	4,98	9,04	23,09	77,63		
Учет затухания звука в атмосфере Aatm, дБ		ф-ла (8) [10]	0	0	0,1	0,4	0,9	1,7	3,1	7,9	26,4		
Снижение уровня звукового давления из-за влияния застройки между источником шума и расчетной точкой													
Снижение уровня звукового давления на пути над экраном, Dz1, дБ	z = 0.70м (разность путей)	ф-лы (14-18) [10]	6,1	7,1	8,6	10,6	13	15,7	18,5	21,4	24,4		
Снижение уровня звукового давления на пути слева от экрана, Dz2, дБ	z = 16.24м (разность путей)	ф-лы (14-18) [10]	18	20,9	23,8	26,8	29,8	32,8	35,8	38,8	41,8		
Снижение уровня звукового давления на пути справа от экрана, Dz3, дБ	z = 4.51м (разность путей)	ф-лы (14-18) [10]	12,9	15,6	18,4	21,3	24,3	27,3	30,3	33,3	36,3		
Общее снижение уровня звука препятствием Dz, дБ		Эн.сумма(-Dzi)	5,1	6,4	8,1	10,2	12,6	15,3	18,2	21,1	24		
Общее снижение уровня звука препятствием с учётом ограничения (20 дБ) для октавных полос Dz, дБ		Раздел 7.4 [10]	5,1	6,4	8,1	10,2	12,6	15,3	18,2	20	20		
Уровни звукового давления прямого звука от источника ИШ-4-6 в расчётной точке днём, дБ		**ф-ла(3)[10]**	**0**	**25,2**	**24,9**	**23,8**	**21,1**	**17,3**	**9,7**	**0**	**0**	**22,3**	**22,3**
Расчёт отражённого звука													

1		2	3	4	5	6	7	8	9	10	11	12	13
Уровни звукового давления от мнимого источника ИШ-4-6_мн.(1) в расчётной точке днём, дБ		**ф-ла(3)[10]**	**0**	**0**	**0**	**0**	**0**	**0**	**0**	**0**	**0**	**0**	**0**
Уровни звукового давления от мнимого источника ИШ-4-6_мн.(2) в расчётной точке днём, дБ		**ф-ла(3)[10]**	**0**	**0**	**0**	**0**	**0**	**0**	**0**	**0**	**0**	**0**	**0**
Суммарные уровни звукового давления от мнимых источников в расчётной точке днём, дБ		**ф-ла (19) [1]**	**0**	**0**	**0**	**0**	**0**	**0**	**0**	**0**	**0**	**0**	**0**
Уровни звукового давления от источника ИШ-4-6 в расчётной точке днём, дБ		**ф-ла(3)[10]**	**0**	**25,2**	**24,9**	**23,8**	**21,1**	**17,3**	**9,7**	**0**	**0**	**22,3**	**22,3**
Источник шума: ИШ-4-7, координаты источника (x,y,z), м =[177.91,257.92,11.00]													
Уровни звуковой мощности источника днём, Lw, дБ		**исходные данные**	**0**	**90,3**	**91,7**	**93**	**93,3**	**92,9**	**89,6**	**85,4**	**80,9**		
Поправка на телесный угол DΩ, дБ	Ω = 6.28	10Lg(4π/Ω)	**3**	3	3	3	3	3	3	3	3		
Показатель направленности источника Di, дБ		исходные данные	**0**	0	0	0	0	0	0	0	0		
Поправка на направленность источника Dc, дБ	Dc	DΩ + Di	**3**	3	3	3	3	3	3	3	3		
Затухание из-за геометрической дивергенции, Adiv, дБ	расстояние = 340.13 м	ф-ла (7) [10]	**61,6**										
Коэффициент затухания звука в атмосфере α, дБ/км	Ta=20,°C Pa=101.33,кПа hотн.=70%	ф-ла (5) [9]	0,02	0,09	0,33	1,12	2,79	4,98	9,04	23,09	77,63		
Учет затухания звука в атмосфере Aatm, дБ		ф-ла (8) [10]	0	0	0,1	0,4	0,9	1,7	3,1	7,9	26,4		
Снижение уровня звукового давления из-за влияния застройки между источником шума и расчетной точкой													
Снижение уровня звукового давления на пути над экраном, Dz1, дБ	z = 0.60м (разность путей)	ф-лы (14-18) [10]	5,8	6,6	7,9	9,7	12	14,5	17,3	20,2	23,2		
Снижение уровня звукового давления на пути слева от экрана, Dz2, дБ	z = 7.36м (разность путей)	ф-лы (14-18) [10]	14,8	17,6	20,5	23,4	26,4	29,4	32,4	35,4	38,4		
Снижение уровня звукового давления на пути справа от экрана, Dz3, дБ	z = 10.72м (разность путей)	ф-лы (14-18) [10]	16,3	19,2	22,1	25	28	31	34	37	40		

1		2	3	4	5	6	7	8	9	10	11	12	13
Общее снижение уровня звука препятствием Dz, дБ		Эн.сумма(-Dzi)	5	6,1	7,5	9,4	11,7	14,3	17,1	20	22,9		
Общее снижение уровня звука препятствием с учётом ограничения (20 дБ) для октавных полос Dz, дБ		Раздел 7.4 [10]	5	6,1	7,5	9,4	11,7	14,3	17,1	20	20		
Уровни звукового давления прямого звука от источника ИШ-4-7 в расчётной точке днём, дБ		**ф-ла(3)[10]**	**0**	**25,5**	**25,4**	**24,6**	**22**	**18,3**	**10,8**	**0**	**0**	**23,2**	**23,2**
Расчёт отражённого звука													
Уровни звукового давления от мнимого источника ИШ-4-7_мн.(1) в расчётной точке днём, дБ		**ф-ла(3)[10]**	**0**	**0**	**0**	**0**	**0**	**0**	**0**	**0**	**0**	**0**	**0**
Уровни звукового давления от источника ИШ-4-7 в расчётной точке днём, дБ		**ф-ла(3)[10]**	**0**	**25,5**	**25,4**	**24,6**	**22**	**18,3**	**10,8**	**0**	**0**	**23,2**	**23,2**
Источник шума: ИШ-4-8, координаты источника (x,y,z), м =[178.24,257.77,13.00]													
Уровни звуковой мощности источника днём, Lw, дБ		**исходные данные**	**0**	**90,3**	**91,7**	**93**	**93,3**	**92,9**	**89,6**	**85,4**	**80,9**		
Поправка на телесный угол DΩ, дБ	Ω = 6.28	10Lg(4π/Ω)	**3**	3	3	3	3	3	3	3	3		
Показатель направленности источника Di, дБ		исходные данные	**0**	0	0	0	0	0	0	0	0		
Поправка на направленность источника Dc, дБ	Dc	DΩ + Di	**3**	3	3	3	3	3	3	3	3		
Затухание из-за геометрической дивергенции, Adiv, дБ	расстояние = 339.90 м	ф-ла (7) [10]	**61,6**										
Коэффициент затухания звука в атмосфере α, дБ/км	Ta=20,°C Pa=101.33,кПа hотн.=70%	ф-ла (5) [9]	0,02	0,09	0,33	1,12	2,79	4,98	9,04	23,09	77,63		
Учет затухания звука в атмосфере Aatm, дБ		ф-ла (8) [10]	0	0	0,1	0,4	0,9	1,7	3,1	7,8	26,4		
Снижение уровня звукового давления из-за влияния застройки между источником шума и расчетной точкой													
Снижение уровня звукового давления на пути над экраном, Dz1, дБ	z = 0.55м (разность путей)	ф-лы (14-18) [10]	5,7	6,4	7,6	9,3	11,5	14,1	16,8	19,7	22,6		

1		2	3	4	5	6	7	8	9	10	11	12	13
Снижение уровня звукового давления на пути слева от экрана, Dz2, дБ	z = 7.33м (разность путей)	ф-лы (14-18) [10]	14,8	17,6	20,4	23,4	26,4	29,4	32,4	35,4	38,4		
Снижение уровня звукового давления на пути справа от экрана, Dz3, дБ	z = 10.74м (разность путей)	ф-лы (14-18) [10]	16,3	19,2	22,1	25	28	31	34	37	40		
Общее снижение уровня звука препятствием Dz, дБ		Эн.сумма(-Dzi)	4,9	5,9	7,3	9,1	11,3	13,8	16,6	19,5	22,4		
Общее снижение уровня звука препятствием с учётом ограничения (20 дБ) для октавных полос Dz, дБ		Раздел 7.4 [10]	4,9	5,9	7,3	9,1	11,3	13,8	16,6	19,5	20		
Уровни звукового давления прямого звука от источника ИШ-4-8 в расчётной точке днём, дБ		**ф-ла(3)[10]**	**0**	**25,7**	**25,7**	**24,9**	**22,4**	**18,7**	**11,3**	**0**	**0**	**23,6**	**23,6**
Расчёт отражённого звука													
Уровни звукового давления от мнимого источника ИШ-4-8_мн.(1) в расчётной точке днём, дБ		**ф-ла(3)[10]**	**0**	**0**	**0**	**0**	**0**	**0**	**0**	**0**	**0**	**0**	**0**
Уровни звукового давления от источника ИШ-4-8 в расчётной точке днём, дБ		**ф-ла(3)[10]**	**0**	**25,7**	**25,7**	**24,9**	**22,4**	**18,7**	**11,3**	**0**	**0**	**23,6**	**23,6**
Источник шума: ИШ-4-9, координаты источника (x,y,z), м =[178.68,257.63,15.50]													
Уровни звуковой мощности источника днём, Lw, дБ		**исходные данные**	**0**	**90,3**	**91,7**	**93**	**93,3**	**92,9**	**89,6**	**85,4**	**80,9**		
Поправка на телесный угол DΩ, дБ	Ω = 6.28	10Lg(4π/Ω)	**3**	3	3	3	3	3	3	3	3		
Показатель направленности источника Di, дБ		исходные данные	**0**	0	0	0	0	0	0	0	0		
Поправка на направленность источника Dc, дБ	Dc	DΩ + Di	**3**	3	3	3	3	3	3	3	3		
Затухание из-за геометрической дивергенции, Adiv, дБ	расстояние = 339.64 м	ф-ла (7) [10]	**61,6**										
Коэффициент затухания звука в атмосфере α, дБ/км	Ta=20,°C Pa=101.33,кПа hотн.=70%	ф-ла (5) [9]	0,02	0,09	0,33	1,12	2,79	4,98	9,04	23,09	77,63		
Учет затухания звука в атмосфере Aatm, дБ		ф-ла (8) [10]	0	0	0,1	0,4	0,9	1,7	3,1	7,8	26,4		

1		2	3	4	5	6	7	8	9	10	11	12	13
Снижение уровня звукового давления из-за влияния застройки между источником шума и расчетной точкой													
Снижение уровня звукового давления на пути над экраном, Dz1, дБ	z = 0.49м (разность путей)	ф-лы (14-18) [10]	5,6	6,2	7,3	8,9	11	13,4	16,1	19	21,9		
Снижение уровня звукового давления на пути слева от экрана, Dz2, дБ	z = 7.30м (разность путей)	ф-лы (14-18) [10]	14,8	17,6	20,4	23,4	26,4	29,4	32,4	35,4	38,4		
Снижение уровня звукового давления на пути справа от экрана, Dz3, дБ	z = 10.77м (разность путей)	ф-лы (14-18) [10]	16,3	19,2	22,1	25,1	28	31	34	37,1	40,1		
Общее снижение уровня звука препятствием Dz, дБ		Эн.сумма(-Dzi)	4,8	5,7	7	8,6	10,7	13,2	15,9	18,8	21,7		
Общее снижение уровня звука препятствием с учётом ограничения (20 дБ) для октавных полос Dz, дБ		Раздел 7.4 [10]	4,8	5,7	7	8,6	10,7	13,2	15,9	18,8	20		
Уровни звукового давления прямого звука от источника ИШ-4-9 в расчётной точке днём, дБ		**ф-ла(3)[10]**	**0**	**25,9**	**26**	**25,4**	**23**	**19,4**	**12**	**0,1**	**0**	**24,2**	**24,2**
Расчёт отражённого звука													
Уровни звукового давления от мнимого источника ИШ-4-9_мн.(1) в расчётной точке днём, дБ		**ф-ла(3)[10]**	**0**	**0**	**0**	**0**	**0**	**0**	**0**	**0**	**0**	**0**	**0**
Уровни звукового давления от источника ИШ-4-9 в расчётной точке днём, дБ		**ф-ла(3)[10]**	**0**	**25,9**	**26**	**25,4**	**23**	**19,4**	**12**	**0,1**	**0**	**24,2**	**24,2**
Источник шума: ИШ-4-10, координаты источника (x,y,z), м =[185.65,255.31,11.00]													
Уровни звуковой мощности источника днём, Lw, дБ		**исходные данные**	**0**	**90,3**	**91,7**	**93**	**93,3**	**92,9**	**89,6**	**85,4**	**80,9**		
Поправка на телесный угол DΩ, дБ	Ω = 6.28	10Lg(4π/Ω)	**3**	3	3	3	3	3	3	3	3		
Показатель направленности источника Di, дБ		исходные данные	**0**	0	0	0	0	0	0	0	0		
Поправка на направленность источника Dc, дБ	Dc	DΩ + Di	**3**	3	3	3	3	3	3	3	3		
Затухание из-за геометрической дивергенции, Adiv, дБ	расстояние = 333.93 м	ф-ла (7) [10]	**61,5**										
Коэффициент затухания звука в атмосфере α, дБ/км	Ta=20,°C Pa=101.33,кПа hотн.=70%	ф-ла (5) [9]	0,02	0,09	0,33	1,12	2,79	4,98	9,04	23,09	77,63		

1		2	3	4	5	6	7	8	9	10	11	12	13
Учет затухания звука в атмосфере Aatm, дБ		ф-ла (8) [10]	0	0	0,1	0,4	0,9	1,7	3	7,7	25,9		
Снижение уровня звукового давления из-за влияния застройки между источником шума и расчетной точкой													
Снижение уровня звукового давления на пути над экраном, Dz1, дБ	z = 0.59м (разность путей)	ф-лы (14-18) [10]	5,8	6,6	7,9	9,7	11,9	14,5	17,3	20,1	23,1		
Снижение уровня звукового давления на пути слева от экрана, Dz2, дБ	z = 6.81м (разность путей)	ф-лы (14-18) [10]	14,5	17,3	20,1	23,1	26,1	29,1	32,1	35,1	38,1		
Снижение уровня звукового давления на пути справа от экрана, Dz3, дБ	z = 11.37м (разность путей)	ф-лы (14-18) [10]	16,5	19,4	22,3	25,3	28,3	31,3	34,3	37,3	40,3		
Общее снижение уровня звука препятствием Dz, дБ		Эн.сумма(-Dzi)	4,9	6	7,5	9,4	11,7	14,2	17	19,9	22,9		
Общее снижение уровня звука препятствием с учётом ограничения (20 дБ) для октавных полос Dz, дБ		Раздел 7.4 [10]	4,9	6	7,5	9,4	11,7	14,2	17	19,9	20		
Уровни звукового давления прямого звука от источника ИШ-4-10 в расчётной точке днём, дБ		**ф-ла(3)[10]**	**0**	**25,7**	**25,6**	**24,8**	**22,2**	**18,5**	**11,1**	**0**	**0**	**23,4**	**23,4**
Расчёт отражённого звука													
Уровни звукового давления от мнимого источника ИШ-4-10_мн.(1) в расчётной точке днём, дБ		**ф-ла(3)[10]**	**0**	**0**	**0**	**0**	**0**	**0**	**2,7**	**0**	**0**	**3,9**	**3,9**
Уровни звукового давления от мнимого источника ИШ-4-10_мн.(2) в расчётной точке днём, дБ		**ф-ла(3)[10]**	**0**	**0**	**0**	**0**	**0**	**0**	**0**	**0**	**0**	**0**	**0**
Суммарные уровни звукового давления от мнимых источников в расчётной точке днём, дБ		**ф-ла (19) [1]**	**0**	**0**	**0**	**0**	**0**	**0**	**2,7**	**0**	**0**	**0**	**3,9**
Уровни звукового давления от источника ИШ-4-10 в расчётной точке днём, дБ		**ф-ла(3)[10]**	**0**	**25,7**	**25,6**	**24,8**	**22,2**	**18,5**	**11,7**	**0**	**0**	**23,5**	**23,5**
Источник шума: ИШ-4-11, координаты источника (x,y,z), м =[185.89,255.16,13.00]													
Уровни звуковой мощности источника днём, Lw, дБ		**исходные данные**	**0**	**90,3**	**91,7**	**93**	**93,3**	**92,9**	**89,6**	**85,4**	**80,9**		
Поправка на телесный угол DΩ, дБ	Ω = 6.28	10Lg(4π/Ω)	**3**	3	3	3	3	3	3	3	3		
Показатель направленности источника Di, дБ		исходные данные	**0**	0	0	0	0	0	0	0	0		

1		2	3	4	5	6	7	8	9	10	11	12	13
Поправка на направленность источника Dc, дБ	Dc	DΩ + Di	**3**	3	3	3	3	3	3	3	3		
Затухание из-за геометрической дивергенции, Adiv, дБ	расстояние = 333.75 м	ф-ла (7) [10]	**61,5**										
Коэффициент затухания звука в атмосфере α, дБ/км	Ta=20,°C Pa=101.33,кПа hотн.=70%	ф-ла (5) [9]	0,02	0,09	0,33	1,12	2,79	4,98	9,04	23,09	77,63		
Учет затухания звука в атмосфере Aatm, дБ		ф-ла (8) [10]	0	0	0,1	0,4	0,9	1,7	3	7,7	25,9		
Снижение уровня звукового давления из-за влияния застройки между источником шума и расчетной точкой													
Снижение уровня звукового давления на пути над экраном, Dz1, дБ	z = 0.54м (разность путей)	ф-лы (14-18) [10]	5,7	6,4	7,6	9,3	11,5	14	16,7	19,6	22,5		
Снижение уровня звукового давления на пути слева от экрана, Dz2, дБ	z = 6.79м (разность путей)	ф-лы (14-18) [10]	14,5	17,3	20,1	23,1	26	29	32	35,1	38,1		
Снижение уровня звукового давления на пути справа от экрана, Dz3, дБ	z = 11.38м (разность путей)	ф-лы (14-18) [10]	16,5	19,4	22,3	25,3	28,3	31,3	34,3	37,3	40,3		
Общее снижение уровня звука препятствием Dz, дБ		Эн.сумма(-Dzi)	4,8	5,9	7,2	9	11,2	13,8	16,5	19,4	22,3		
Общее снижение уровня звука препятствием с учётом ограничения (20 дБ) для октавных полос Dz, дБ		Раздел 7.4 [10]	4,8	5,9	7,2	9	11,2	13,8	16,5	19,4	20		
Уровни звукового давления прямого звука от источника ИШ-4-11 в расчётной точке днём, дБ		**ф-ла(3)[10]**	**0**	**25,9**	**25,9**	**25,1**	**22,7**	**19**	**11,6**	**0**	**0**	**23,8**	**23,8**
Расчёт отражённого звука													
Уровни звукового давления от мнимого источника ИШ-4-11_мн.(1) в расчётной точке днём, дБ		**ф-ла(3)[10]**	**0**	**0**	**0**	**0**	**0**	**0**	**0**	**0**	**0**	**0**	**0**
Уровни звукового давления от источника ИШ-4-11 в расчётной точке днём, дБ		**ф-ла(3)[10]**	**0**	**25,9**	**25,9**	**25,1**	**22,7**	**19**	**11,6**	**0**	**0**	**23,8**	**23,8**
Источник шума: ИШ-4-12, координаты источника (x,y,z), м =[186.18,255.02,15.50]													
Уровни звуковой мощности источника днём, Lw, дБ		**исходные данные**	**0**	**90,3**	**91,7**	**93**	**93,3**	**92,9**	**89,6**	**85,4**	**80,9**		

1		2	3	4	5	6	7	8	9	10	11	12	13
Поправка на телесный угол DΩ, дБ	Ω = 6.28	10Lg(4π/Ω)	**3**	3	3	3	3	3	3	3	3		
Показатель направленности источника Di, дБ		исходные данные	**0**	0	0	0	0	0	0	0	0		
Поправка на направленность источника Dc, дБ	Dc	DΩ + Di	**3**	3	3	3	3	3	3	3	3		
Затухание из-за геометрической дивергенции, Adiv, дБ	расстояние = 333.57 м	ф-ла (7) [10]	**61,5**										
Коэффициент затухания звука в атмосфере α, дБ/км	Ta=20,°C Pa=101.33,кПа hотн.=70%	ф-ла (5) [9]	0,02	0,09	0,33	1,12	2,79	4,98	9,04	23,09	77,63		
Учет затухания звука в атмосфере Aatm, дБ		ф-ла (8) [10]	0	0	0,1	0,4	0,9	1,7	3	7,7	25,9		
Снижение уровня звукового давления из-за влияния застройки между источником шума и расчетной точкой													
Снижение уровня звукового давления на пути над экраном, Dz1, дБ	z = 0.48м (разность путей)	ф-лы (14-18) [10]	5,5	6,2	7,2	8,8	10,9	13,3	16	18,8	21,8		
Снижение уровня звукового давления на пути слева от экрана, Dz2, дБ	z = 6.77м (разность путей)	ф-лы (14-18) [10]	14,5	17,3	20,1	23,1	26	29	32	35	38		
Снижение уровня звукового давления на пути справа от экрана, Dz3, дБ	z = 11.40м (разность путей)	ф-лы (14-18) [10]	16,6	19,4	22,3	25,3	28,3	31,3	34,3	37,3	40,3		
Общее снижение уровня звука препятствием Dz, дБ		Эн.сумма(-Dzi)	4,7	5,7	6,9	8,6	10,7	13,1	15,8	18,7	21,6		
Общее снижение уровня звука препятствием с учётом ограничения (20 дБ) для октавных полос Dz, дБ		Раздел 7.4 [10]	4,7	5,7	6,9	8,6	10,7	13,1	15,8	18,7	20		
Уровни звукового давления прямого звука от источника ИШ-4-12 в расчётной точке днём, дБ		**ф-ла(3)[10]**	**0**	**26,1**	**26,2**	**25,6**	**23,2**	**19,6**	**12,3**	**0,5**	**0**	**24,4**	**24,4**
Расчёт отражённого звука													
Уровни звукового давления от мнимого источника ИШ-4-12_мн.(1) в расчётной точке днём, дБ		**ф-ла(3)[10]**	**0**	**0**	**0**	**0**	**0**	**0**	**0**	**0**	**0**	**0**	**0**
Уровни звукового давления от источника ИШ-4-12 в расчётной точке днём, дБ		**ф-ла(3)[10]**	**0**	**26,1**	**26,2**	**25,6**	**23,2**	**19,6**	**12,3**	**0,5**	**0**	**24,4**	**24,4**

1		2	3	4	5	6	7	8	9	10	11	12	13
Источник шума: ИШ-4-13, координаты источника (x,y,z), м =[94.56,229.10,1.00]													
Уровни звуковой мощности источника днём, Lw, дБ		**исходные данные**	**0**	**81,3**	**82,7**	**84**	**84,3**	**83,9**	**80,6**	**76,4**	**71,9**		
Поправка на телесный угол DΩ, дБ	Ω = 6.28	10Lg(4π/Ω)	**3**	3	3	3	3	3	3	3	3		
Показатель направленности источника Di, дБ		исходные данные	**0**	0	0	0	0	0	0	0	0		
Поправка на направленность источника Dc, дБ	Dc	DΩ + Di	**3**	3	3	3	3	3	3	3	3		
Затухание из-за геометрической дивергенции, Adiv, дБ	расстояние = 368.72 м	ф-ла (7) [10]	**62,3**										
Коэффициент затухания звука в атмосфере α, дБ/км	Ta=20,°C Pa=101.33,кПа hотн.=70%	ф-ла (5) [9]	0,02	0,09	0,33	1,12	2,79	4,98	9,04	23,09	77,63		
Учет затухания звука в атмосфере Aatm, дБ		ф-ла (8) [10]	0	0	0,1	0,4	1	1,8	3,3	8,5	28,6		
Снижение уровня звукового давления из-за влияния застройки между источником шума и расчетной точкой													
Снижение уровня звукового давления на пути над экраном, Dz1, дБ	z = 5.40м (разность путей)	ф-лы (14-18) [10]	17,5	20,6	23,5	26,5	29,5	32,5	35,5	38,5	41,6		
Снижение уровня звукового давления на пути слева от экрана, Dz2, дБ	z = 100.05м (разность путей)	ф-лы (14-18) [10]	30,2	33,4	36,4	39,5	42,5	45,5	48,5	51,5	54,5		
Снижение уровня звукового давления на пути справа от экрана, Dz3, дБ	z = 17.61м (разность путей)	ф-лы (14-18) [10]	22,7	25,9	28,9	31,9	34,9	37,9	40,9	44	47		
Общее снижение уровня звука препятствием Dz, дБ		Эн.сумма(-Dzi)	16,2	19,3	22,3	25,3	28,3	31,3	34,3	37,3	40,3		
Общее снижение уровня звука препятствием с учётом ограничения (25 дБ) для октавных полос Dz, дБ		Раздел 7.4 [10]	16,2	19,3	22,3	25	25	25	25	25	25		
Уровни звукового давления от источника ИШ-4-13 в расчётной точке днём, дБ		**ф-ла(3)[10]**	**0**	**2,6**	**1**	**0**	**0**	**0**	**0**	**0**	**0**	**0**	**0**
Источник шума: ИШ-4-14, координаты источника (x,y,z), м =[91.88,221.30,1.00]													

1		2	3	4	5	6	7	8	9	10	11	12	13
Уровни звуковой мощности источника днём, Lw, дБ		**исходные данные**	**0**	**81,3**	**82,7**	**84**	**84,3**	**83,9**	**80,6**	**76,4**	**71,9**		
Поправка на телесный угол DΩ, дБ	Ω = 6.28	10Lg(4π/Ω)	**3**	3	3	3	3	3	3	3	3		
Показатель направленности источника Di, дБ		исходные данные	**0**	0	0	0	0	0	0	0	0		
Поправка на направленность источника Dc, дБ	Dc	DΩ + Di	**3**	3	3	3	3	3	3	3	3		
Затухание из-за геометрической дивергенции, Adiv, дБ	расстояние = 365.15 м	ф-ла (7) [10]	**62,2**										
Коэффициент затухания звука в атмосфере α, дБ/км	Ta=20,°C Pa=101.33,кПа hотн.=70%	ф-ла (5) [9]	0,02	0,09	0,33	1,12	2,79	4,98	9,04	23,09	77,63		
Учет затухания звука в атмосфере Aatm, дБ		ф-ла (8) [10]	0	0	0,1	0,4	1	1,8	3,3	8,4	28,3		
Снижение уровня звукового давления из-за влияния застройки между источником шума и расчетной точкой													
Снижение уровня звукового давления на пути над экраном, Dz1, дБ	z = 5.41м (разность путей)	ф-лы (14-18) [10]	17,5	20,6	23,5	26,5	29,5	32,5	35,5	38,6	41,6		
Снижение уровня звукового давления на пути слева от экрана, Dz2, дБ	z = 111.85м (разность путей)	ф-лы (14-18) [10]	30,7	33,9	36,9	39,9	43	46	49	52	55		
Снижение уровня звукового давления на пути справа от экрана, Dz3, дБ	z = 13.11м (разность путей)	ф-лы (14-18) [10]	21,4	24,6	27,6	30,6	33,6	36,7	39,7	42,7	45,7		
Общее снижение уровня звука препятствием Dz, дБ		Эн.сумма(-Dzi)	15,9	19	22	25	28	31	34	37	40		
Общее снижение уровня звука препятствием с учётом ограничения (25 дБ) для октавных полос Dz, дБ		Раздел 7.4 [10]	15,9	19	22	25	25	25	25	25	25		
Уровни звукового давления от источника ИШ-4-14 в расчётной точке днём, дБ		**ф-ла(3)[10]**	**0**	**3**	**1,3**	**0**	**0**	**0**	**0**	**0**	**0**	**0**	**0**
Источник шума: ИШ-5-1, координаты источника (x,y,z), м =[626.70,162.36,1.00]													
Уровни звуковой мощности источника днём, Lw, дБ		**исходные данные**	**0**	**93,3**	**94,7**	**96**	**96,3**	**95,9**	**92,6**	**88,4**	**83,9**		

1		2	3	4	5	6	7	8	9	10	11	12	13
Поправка на телесный угол DΩ, дБ	Ω = 6.28	10Lg(4π/Ω)	**3**	3	3	3	3	3	3	3	3		
Показатель направленности источника Di, дБ		исходные данные	**0**	0	0	0	0	0	0	0	0		
Поправка на направленность источника Dc, дБ	Dc	DΩ + Di	**3**	3	3	3	3	3	3	3	3		
Затухание из-за геометрической дивергенции, Adiv, дБ	расстояние = 335.45 м	ф-ла (7) [10]	**61,5**										
Коэффициент затухания звука в атмосфере α, дБ/км	Ta=20,°C Pa=101.33,кПа hотн.=70%	ф-ла (5) [9]	0,02	0,09	0,33	1,12	2,79	4,98	9,04	23,09	77,63		
Учет затухания звука в атмосфере Aatm, дБ		ф-ла (8) [10]	0	0	0,1	0,4	0,9	1,7	3	7,7	26		
Снижение уровня звукового давления из-за влияния застройки между источником шума и расчетной точкой													
Снижение уровня звукового давления на пути над экраном, Dz1, дБ	z = 0.71м (разность путей)	ф-лы (14-18) [10]	7,1	9,3	11,9	14,6	17,4	20,3	23,2	26,2	29,2		
Снижение уровня звукового давления на пути слева от экрана, Dz2, дБ	z = 0.31м (разность путей)	ф-лы (14-18) [10]	7	9,3	12	14,8	17,6	20,5	23,5	26,5	29,5		
Снижение уровня звукового давления на пути справа от экрана, Dz3, дБ	z = 124.43м (разность путей)	ф-лы (14-18) [10]	30,8	34,3	37,4	40,4	43,4	46,4	49,4	52,4	55,5		
Общее снижение уровня звука препятствием Dz, дБ		Эн.сумма(-Dzi)	4	6,3	8,9	11,6	14,5	17,4	20,3	23,3	26,3		
Общее снижение уровня звука препятствием с учётом ограничения (25 дБ) для октавных полос Dz, дБ		Раздел 7.4 [10]	4	6,3	8,9	11,6	14,5	17,4	20,3	23,3	25		
Уровни звукового давления прямого звука от источника ИШ-5-1 в расчётной точке днём, дБ		**ф-ла(3)[10]**	**0**	**28,4**	**27,2**	**25,5**	**22,4**	**18,3**	**10,7**	**0**	**0**	**23,6**	**23,6**
Расчёт отражённого звука													
Уровни звукового давления от мнимого источника ИШ-5-1_мн.(1) в расчётной точке днём, дБ		**ф-ла(3)[10]**	**0**	**0**	**0**	**0**	**0**	**0**	**0**	**0**	**0**	**0**	**0**
Уровни звукового давления от источника ИШ-5-1 в расчётной точке днём, дБ		**ф-ла(3)[10]**	**0**	**28,4**	**27,2**	**25,5**	**22,4**	**18,3**	**10,7**	**0**	**0**	**23,6**	**23,6**

1		2	3	4	5	6	7	8	9	10	11	12	13
Источник шума: ИШ-5-2, координаты источника (x,y,z), м =[625.81,159.52,1.00]													
Уровни звуковой мощности источника днём, Lw, дБ		**исходные данные**	**0**	**93,3**	**94,7**	**96**	**96,3**	**95,9**	**92,6**	**88,4**	**83,9**		
Поправка на телесный угол DΩ, дБ	Ω = 6.28	10Lg(4π/Ω)	**3**	3	3	3	3	3	3	3	3		
Показатель направленности источника Di, дБ		исходные данные	**0**	0	0	0	0	0	0	0	0		
Поправка на направленность источника Dc, дБ	Dc	DΩ + Di	**3**	3	3	3	3	3	3	3	3		
Затухание из-за геометрической дивергенции, Adiv, дБ	расстояние = 333.08 м	ф-ла (7) [10]	**61,5**										
Коэффициент затухания звука в атмосфере α, дБ/км	Ta=20,°C Pa=101.33,кПа hотн.=70%	ф-ла (5) [9]	0,02	0,09	0,33	1,12	2,79	4,98	9,04	23,09	77,63		
Учет затухания звука в атмосфере Aatm, дБ		ф-ла (8) [10]	0	0	0,1	0,4	0,9	1,7	3	7,7	25,9		
Снижение уровня звукового давления из-за влияния застройки между источником шума и расчетной точкой													
Снижение уровня звукового давления на пути над экраном, Dz1, дБ	z = 0.71м (разность путей)	ф-лы (14-18) [10]	7,1	9,3	11,9	14,6	17,4	20,3	23,2	26,2	29,2		
Снижение уровня звукового давления на пути слева от экрана, Dz2, дБ	z = 0.25м (разность путей)	ф-лы (14-18) [10]	6,7	8,8	11,3	14	16,8	19,7	22,6	25,6	28,6		
Снижение уровня звукового давления на пути справа от экрана, Dz3, дБ	z = 126.61м (разность путей)	ф-лы (14-18) [10]	30,9	34,3	37,4	40,5	43,5	46,5	49,5	52,5	55,5		
Общее снижение уровня звука препятствием Dz, дБ		Эн.сумма(-Dzi)	3,8	6	8,6	11,2	14	16,9	19,9	22,9	25,9		
Общее снижение уровня звука препятствием с учётом ограничения (25 дБ) для октавных полос Dz, дБ		Раздел 7.4 [10]	3,8	6	8,6	11,2	14	16,9	19,9	22,9	25		
Уровни звукового давления прямого звука от источника ИШ-5-2 в расчётной точке днём, дБ		**ф-ла(3)[10]**	**0**	**28,8**	**27,6**	**25,9**	**22,9**	**18,8**	**11,2**	**0**	**0**	**24,1**	**24,1**
Расчёт отражённого звука													

1		2	3	4	5	6	7	8	9	10	11	12	13
Уровни звукового давления от мнимого источника ИШ-5-2_мн.(1) в расчётной точке днём, дБ		**ф-ла(3)[10]**	**0**	**0**	**0**	**0**	**0**	**0**	**0**	**0**	**0**	**0**	**0**
Уровни звукового давления от источника ИШ-5-2 в расчётной точке днём, дБ		**ф-ла(3)[10]**	**0**	**28,8**	**27,6**	**25,9**	**22,9**	**18,8**	**11,2**	**0**	**0**	**24,1**	**24,1**
Источник шума: ИШ-5-3, координаты источника (x,y,z), м =[624.84,156.69,1.00]													
Уровни звуковой мощности источника днём, Lw, дБ		**исходные данные**	**0**	**93,3**	**94,7**	**96**	**96,3**	**95,9**	**92,6**	**88,4**	**83,9**		
Поправка на телесный угол DΩ, дБ	Ω = 6.28	10Lg(4π/Ω)	**3**	3	3	3	3	3	3	3	3		
Показатель направленности источника Di, дБ		исходные данные	**0**	0	0	0	0	0	0	0	0		
Поправка на направленность источника Dc, дБ	Dc	DΩ + Di	**3**	3	3	3	3	3	3	3	3		
Затухание из-за геометрической дивергенции, Adiv, дБ	расстояние = 330.66 м	ф-ла (7) [10]	**61,4**										
Коэффициент затухания звука в атмосфере α, дБ/км	Ta=20,°C Pa=101.33,кПа hотн.=70%	ф-ла (5) [9]	0,02	0,09	0,33	1,12	2,79	4,98	9,04	23,09	77,63		
Учет затухания звука в атмосфере Aatm, дБ		ф-ла (8) [10]	0	0	0,1	0,4	0,9	1,6	3	7,6	25,7		
Снижение уровня звукового давления из-за влияния застройки между источником шума и расчетной точкой													
Снижение уровня звукового давления на пути над экраном, Dz1, дБ	z = 0.71м (разность путей)	ф-лы (14-18) [10]	7	9,3	11,9	14,6	17,4	20,3	23,3	26,2	29,2		
Снижение уровня звукового давления на пути слева от экрана, Dz2, дБ	z = 0.20м (разность путей)	ф-лы (14-18) [10]	6,4	8,2	10,6	13,2	15,9	18,7	21,7	24,6	27,6		
Снижение уровня звукового давления на пути справа от экрана, Dz3, дБ	z = 128.80м (разность путей)	ф-лы (14-18) [10]	31	34,4	37,5	40,5	43,6	46,6	49,6	52,6	55,6		
Общее снижение уровня звука препятствием Dz, дБ		Эн.сумма(-Dzi)	3,7	5,7	8,2	10,8	13,6	16,4	19,4	22,3	25,3		
Общее снижение уровня звука препятствием с учётом ограничения (25 дБ) для октавных полос Dz, дБ		Раздел 7.4 [10]	3,7	5,7	8,2	10,8	13,6	16,4	19,4	22,3	25		

1		2	3	4	5	6	7	8	9	10	11	12	13
Уровни звукового давления от источника ИШ-5-3 в расчётной точке днём, дБ		**ф-ла(3)[10]**	**0**	**29,2**	**28**	**26,4**	**23,4**	**19,4**	**11,8**	**0**	**0**	**24,7**	**24,7**
Источник шума: ИШ-6-1, координаты источника (x,y,z), м =[836.30,122.24,1.00]													
Уровни звуковой мощности источника днём, Lw, дБ		**исходные данные**	**0**	**96,3**	**97,7**	**99**	**99,3**	**98,9**	**95,6**	**91,4**	**86,9**		
Поправка на телесный угол DΩ, дБ	Ω = 12.57	10Lg(4π/Ω)	**0**	0	0	0	0	0	0	0	0		
Показатель направленности источника Di, дБ		исходные данные	**0**	0	0	0	0	0	0	0	0		
Поправка на направленность источника Dc, дБ	Dc	DΩ + Di	**0**	0	0	0	0	0	0	0	0		
Затухание из-за геометрической дивергенции, Adiv, дБ	расстояние = 506.68 м	ф-ла (7) [10]	**65,1**										
Коэффициент затухания звука в атмосфере α, дБ/км	Ta=20,°C Pa=101.33,кПа hотн.=70%	ф-ла (5) [9]	0,02	0,09	0,33	1,12	2,79	4,98	9,04	23,09	77,63		
Учет затухания звука в атмосфере Aatm, дБ		ф-ла (8) [10]	0	0	0,2	0,6	1,4	2,5	4,6	11,7	39,3		
Снижение поверхностью земли возле источника As, дБ	Gs = 0 hs = 1м	ф-лы таб.3 [10]	-1,5	-1,5	-1,5	-1,5	-1,5	-1,5	-1,5	-1,5	-1,5		
Снижение поверхностью земли возле приёмника Ar, дБ	Gr = 1 hr = 1.5м	ф-лы таб.3 [10]	-1,5	-1,5	3,1	7	5	0,7	0	0	0		
Снижение поверхностью земли в средней зоне, Am дБ	Gm = 1	ф-лы таб.3 [10]	-2,6	-2,6	0	0	0	0	0	0	0		
Суммарное снижение поверхностью земли на траектории распространения звука Agr, дБ		ф-ла (9) [10]	-5,6	-5,6	1,6	5,5	3,5	-0,8	-1,5	-1,5	-1,5		
Уровни звукового давления прямого звука от источника ИШ-6-1 в расчётной точке днём, дБ		**ф-ла(3)[10]**	**0**	**36,7**	**30,9**	**27,8**	**29,3**	**32,1**	**27,4**	**16,1**	**0**	**34,7**	**34,7**
Расчёт отражённого звука													
Уровни звукового давления от мнимого источника ИШ-6-1_мн.(1) в расчётной точке днём, дБ		**ф-ла(3)[10]**	**0**	**0**	**0**	**17,4**	**18**	**27,6**	**24,9**	**13,5**	**0**	**30,2**	**30,2**

1		2	3	4	5	6	7	8	9	10	11	12	13
Уровни звукового давления от источника ИШ-6-1 в расчётной точке днём, дБ		**ф-ла(3)[10]**	**0**	**36,7**	**30,9**	**28,2**	**29,6**	**33,4**	**29,3**	**18**	**0**	**36**	**36**
Источник шума: ИШ-6-2, координаты источника (x,y,z), м =[835.37,119.30,1.00]													
Уровни звуковой мощности источника днём, Lw, дБ		**исходные данные**	**0**	**96,3**	**97,7**	**99**	**99,3**	**98,9**	**95,6**	**91,4**	**86,9**		
Поправка на телесный угол DΩ, дБ	Ω = 12.57	10Lg(4π/Ω)	**0**	0	0	0	0	0	0	0	0		
Показатель направленности источника Di, дБ		исходные данные	**0**	0	0	0	0	0	0	0	0		
Поправка на направленность источника Dc, дБ	Dc	DΩ + Di	**0**	0	0	0	0	0	0	0	0		
Затухание из-за геометрической дивергенции, Adiv, дБ	расстояние = 504.90 м	ф-ла (7) [10]	**65,1**										
Коэффициент затухания звука в атмосфере α, дБ/км	Ta=20,°C Pa=101.33,кПа hотн.=70%	ф-ла (5) [9]	0,02	0,09	0,33	1,12	2,79	4,98	9,04	23,09	77,63		
Учет затухания звука в атмосфере Aatm, дБ		ф-ла (8) [10]	0	0	0,2	0,6	1,4	2,5	4,6	11,7	39,2		
Снижение поверхностью земли возле источника As, дБ	Gs = 0 hs = 1м	ф-лы таб.3 [10]	-1,5	-1,5	-1,5	-1,5	-1,5	-1,5	-1,5	-1,5	-1,5		
Снижение поверхностью земли возле приёмника Ar, дБ	Gr = 1 hr = 1.5м	ф-лы таб.3 [10]	-1,5	-1,5	3,1	7	5	0,7	0	0	0		
Снижение поверхностью земли в средней зоне, Am дБ	Gm = 1	ф-лы таб.3 [10]	-2,6	-2,6	0	0	0	0	0	0	0		
Суммарное снижение поверхностью земли на траектории распространения звука Agr, дБ		ф-ла (9) [10]	-5,6	-5,6	1,6	5,5	3,5	-0,8	-1,5	-1,5	-1,5		
Уровни звукового давления прямого звука от источника ИШ-6-2 в расчётной точке днём, дБ		**ф-ла(3)[10]**	**0**	**36,7**	**30,9**	**27,8**	**29,3**	**32,2**	**27,5**	**16,2**	**0**	**34,7**	**34,7**
Расчёт отражённого звука													
Уровни звукового давления от мнимого источника ИШ-6-2_мн.(1) в расчётной точке днём, дБ		**ф-ла(3)[10]**	**0**	**0**	**0**	**17,5**	**18**	**27,6**	**24,9**	**13,6**	**0**	**30,2**	**30,2**

1		2	3	4	5	6	7	8	9	10	11	12	13
Уровни звукового давления от источника ИШ-6-2 в расчётной точке днём, дБ		**ф-ла(3)[10]**	**0**	**36,7**	**30,9**	**28,2**	**29,7**	**33,5**	**29,4**	**18,1**	**0**	**36**	**36**
Источник шума: ИШ-6-3, координаты источника (x,y,z), м =[834.03,116.36,1.00]													
Уровни звуковой мощности источника днём, Lw, дБ		**исходные данные**	**0**	**96,3**	**97,7**	**99**	**99,3**	**98,9**	**95,6**	**91,4**	**86,9**		
Поправка на телесный угол DΩ, дБ	Ω = 12.57	10Lg(4π/Ω)	**0**	0	0	0	0	0	0	0	0		
Показатель направленности источника Di, дБ		исходные данные	**0**	0	0	0	0	0	0	0	0		
Поправка на направленность источника Dc, дБ	Dc	DΩ + Di	**0**	0	0	0	0	0	0	0	0		
Затухание из-за геометрической дивергенции, Adiv, дБ	расстояние = 502.75 м	ф-ла (7) [10]	**65**										
Коэффициент затухания звука в атмосфере α, дБ/км	Ta=20,°C Pa=101.33,кПа hотн.=70%	ф-ла (5) [9]	0,02	0,09	0,33	1,12	2,79	4,98	9,04	23,09	77,63		
Учет затухания звука в атмосфере Aatm, дБ		ф-ла (8) [10]	0	0	0,2	0,6	1,4	2,5	4,5	11,6	39		
Снижение поверхностью земли возле источника As, дБ	Gs = 0 hs = 1м	ф-лы таб.3 [10]	-1,5	-1,5	-1,5	-1,5	-1,5	-1,5	-1,5	-1,5	-1,5		
Снижение поверхностью земли возле приёмника Ar, дБ	Gr = 1 hr = 1.5м	ф-лы таб.3 [10]	-1,5	-1,5	3,1	7	5	0,7	0	0	0		
Снижение поверхностью земли в средней зоне, Am дБ	Gm = 1	ф-лы таб.3 [10]	-2,6	-2,6	0	0	0	0	0	0	0		
Суммарное снижение поверхностью земли на траектории распространения звука Agr, дБ		ф-ла (9) [10]	-5,6	-5,6	1,6	5,5	3,5	-0,8	-1,5	-1,5	-1,5		
Уровни звукового давления прямого звука от источника ИШ-6-3 в расчётной точке днём, дБ		**ф-ла(3)[10]**	**0**	**36,8**	**30,9**	**27,9**	**29,4**	**32,2**	**27,5**	**16,3**	**0**	**34,8**	**34,8**
Расчёт отражённого звука													
Уровни звукового давления от мнимого источника ИШ-6-3_мн.(1) в расчётной точке днём, дБ		**ф-ла(3)[10]**	**0**	**0**	**0**	**17,5**	**18**	**27,7**	**25**	**13,7**	**0**	**30,3**	**30,3**

1		2	3	4	5	6	7	8	9	10	11	12	13
Уровни звукового давления от источника ИШ-6-3 в расчётной точке днём, дБ		**ф-ла(3)[10]**	**0**	**36,8**	**30,9**	**28,3**	**29,7**	**33,5**	**29,4**	**18,2**	**0**	**36,1**	**36,1**
Источник шума: ИШ-6-4, координаты источника (x,y,z), м =[833.23,113.30,1.00]													
Уровни звуковой мощности источника днём, Lw, дБ		**исходные данные**	**0**	**96,3**	**97,7**	**99**	**99,3**	**98,9**	**95,6**	**91,4**	**86,9**		
Поправка на телесный угол DΩ, дБ	Ω = 12.57	10Lg(4π/Ω)	**0**	0	0	0	0	0	0	0	0		
Показатель направленности источника Di, дБ		исходные данные	**0**	0	0	0	0	0	0	0	0		
Поправка на направленность источника Dc, дБ	Dc	DΩ + Di	**0**	0	0	0	0	0	0	0	0		
Затухание из-за геометрической дивергенции, Adiv, дБ	расстояние = 501.08 м	ф-ла (7) [10]	**65**										
Коэффициент затухания звука в атмосфере α, дБ/км	Ta=20,°C Pa=101.33,кПа hотн.=70%	ф-ла (5) [9]	0,02	0,09	0,33	1,12	2,79	4,98	9,04	23,09	77,63		
Учет затухания звука в атмосфере Aatm, дБ		ф-ла (8) [10]	0	0	0,2	0,6	1,4	2,5	4,5	11,6	38,9		
Снижение поверхностью земли возле источника As, дБ	Gs = 0 hs = 1м	ф-лы таб.3 [10]	-1,5	-1,5	-1,5	-1,5	-1,5	-1,5	-1,5	-1,5	-1,5		
Снижение поверхностью земли возле приёмника Ar, дБ	Gr = 1 hr = 1.5м	ф-лы таб.3 [10]	-1,5	-1,5	3	7	5	0,7	0	0	0		
Снижение поверхностью земли в средней зоне, Am дБ	Gm = 1	ф-лы таб.3 [10]	-2,6	-2,6	0	0	0	0	0	0	0		
Суммарное снижение поверхностью земли на траектории распространения звука Agr, дБ		ф-ла (9) [10]	-5,6	-5,6	1,5	5,5	3,5	-0,8	-1,5	-1,5	-1,5		
Уровни звукового давления прямого звука от источника ИШ-6-4 в расчётной точке днём, дБ		**ф-ла(3)[10]**	**0**	**36,8**	**31**	**27,9**	**29,4**	**32,2**	**27,6**	**16,3**	**0**	**34,8**	**34,8**
Расчёт отражённого звука													
Уровни звукового давления от мнимого источника ИШ-6-4_мн.(1) в расчётной точке днём, дБ		**ф-ла(3)[10]**	**0**	**0**	**0**	**17,5**	**18,1**	**27,7**	**25**	**13,8**	**0**	**30,3**	**30,3**

1		2	3	4	5	6	7	8	9	10	11	12	13
Уровни звукового давления от источника ИШ-6-4 в расчётной точке днём, дБ		**ф-ла(3)[10]**	**0**	**36,8**	**31**	**28,3**	**29,7**	**33,5**	**29,5**	**18,2**	**0**	**36,1**	**36,1**
Источник шума: ИШ-6-5, координаты источника (x,y,z), м =[832.03,110.36,1.00]													
Уровни звуковой мощности источника днём, Lw, дБ		**исходные данные**	**0**	**96,3**	**97,7**	**99**	**99,3**	**98,9**	**95,6**	**91,4**	**86,9**		
Поправка на телесный угол DΩ, дБ	Ω = 12.57	10Lg(4π/Ω)	**0**	0	0	0	0	0	0	0	0		
Показатель направленности источника Di, дБ		исходные данные	**0**	0	0	0	0	0	0	0	0		
Поправка на направленность источника Dc, дБ	Dc	DΩ + Di	**0**	0	0	0	0	0	0	0	0		
Затухание из-за геометрической дивергенции, Adiv, дБ	расстояние = 499.08 м	ф-ла (7) [10]	**65**										
Коэффициент затухания звука в атмосфере α, дБ/км	Ta=20,°C Pa=101.33,кПа hотн.=70%	ф-ла (5) [9]	0,02	0,09	0,33	1,12	2,79	4,98	9,04	23,09	77,63		
Учет затухания звука в атмосфере Aatm, дБ		ф-ла (8) [10]	0	0	0,2	0,6	1,4	2,5	4,5	11,5	38,7		
Снижение поверхностью земли возле источника As, дБ	Gs = 0 hs = 1м	ф-лы таб.3 [10]	-1,5	-1,5	-1,5	-1,5	-1,5	-1,5	-1,5	-1,5	-1,5		
Снижение поверхностью земли возле приёмника Ar, дБ	Gr = 1 hr = 1.5м	ф-лы таб.3 [10]	-1,5	-1,5	3	7	5	0,7	0	0	0		
Снижение поверхностью земли в средней зоне, Am дБ	Gm = 1	ф-лы таб.3 [10]	-2,5	-2,5	0	0	0	0	0	0	0		
Суммарное снижение поверхностью земли на траектории распространения звука Agr, дБ		ф-ла (9) [10]	-5,5	-5,5	1,5	5,5	3,5	-0,8	-1,5	-1,5	-1,5		
Уровни звукового давления прямого звука от источника ИШ-6-5 в расчётной точке днём, дБ		**ф-ла(3)[10]**	**0**	**36,8**	**31**	**27,9**	**29,5**	**32,3**	**27,6**	**16,4**	**0**	**34,9**	**34,9**
Расчёт отражённого звука													
Уровни звукового давления от мнимого источника ИШ-6-5_мн.(1) в расчётной точке днём, дБ		**ф-ла(3)[10]**	**0**	**0**	**0**	**17,6**	**18,1**	**27,7**	**25,1**	**13,8**	**0**	**30,4**	**30,4**

1		2	3	4	5	6	7	8	9	10	11	12	13
Уровни звукового давления от источника ИШ-6-5 в расчётной точке днём, дБ		**ф-ла(3)[10]**	**0**	**36,8**	**31**	**28,3**	**29,8**	**33,6**	**29,5**	**18,3**	**0**	**36,2**	**36,2**
Источник шума: ИШ-6-6, координаты источника (x,y,z), м =[830.97,107.42,1.00]													
Уровни звуковой мощности источника днём, Lw, дБ		**исходные данные**	**0**	**96,3**	**97,7**	**99**	**99,3**	**98,9**	**95,6**	**91,4**	**86,9**		
Поправка на телесный угол DΩ, дБ	Ω = 12.57	10Lg(4π/Ω)	**0**	0	0	0	0	0	0	0	0		
Показатель направленности источника Di, дБ		исходные данные	**0**	0	0	0	0	0	0	0	0		
Поправка на направленность источника Dc, дБ	Dc	DΩ + Di	**0**	0	0	0	0	0	0	0	0		
Затухание из-за геометрической дивергенции, Adiv, дБ	расстояние = 497.22 м	ф-ла (7) [10]	**64,9**										
Коэффициент затухания звука в атмосфере α, дБ/км	Ta=20,°C Pa=101.33,кПа hотн.=70%	ф-ла (5) [9]	0,02	0,09	0,33	1,12	2,79	4,98	9,04	23,09	77,63		
Учет затухания звука в атмосфере Aatm, дБ		ф-ла (8) [10]	0	0	0,2	0,6	1,4	2,5	4,5	11,5	38,6		
Снижение поверхностью земли возле источника As, дБ	Gs = 0 hs = 1м	ф-лы таб.3 [10]	-1,5	-1,5	-1,5	-1,5	-1,5	-1,5	-1,5	-1,5	-1,5		
Снижение поверхностью земли возле приёмника Ar, дБ	Gr = 1 hr = 1.5м	ф-лы таб.3 [10]	-1,5	-1,5	3	7	5	0,7	0	0	0		
Снижение поверхностью земли в средней зоне, Am дБ	Gm = 1	ф-лы таб.3 [10]	-2,5	-2,5	0	0	0	0	0	0	0		
Суммарное снижение поверхностью земли на траектории распространения звука Agr, дБ		ф-ла (9) [10]	-5,5	-5,5	1,5	5,5	3,5	-0,8	-1,5	-1,5	-1,5		
Уровни звукового давления прямого звука от источника ИШ-6-6 в расчётной точке днём, дБ		**ф-ла(3)[10]**	**0**	**36,9**	**31,1**	**28**	**29,5**	**32,3**	**27,7**	**16,5**	**0**	**34,9**	**34,9**
Расчёт отражённого звука													
Уровни звукового давления от мнимого источника ИШ-6-6_мн.(1) в расчётной точке днём, дБ		**ф-ла(3)[10]**	**0**	**0**	**0**	**17,6**	**18,1**	**27,8**	**25,1**	**13,9**	**0**	**30,4**	**30,4**

1		2	3	4	5	6	7	8	9	10	11	12	13
Уровни звукового давления от источника ИШ-6-6 в расчётной точке днём, дБ		**ф-ла(3)[10]**	**0**	**36,9**	**31,1**	**28,4**	**29,8**	**33,6**	**29,6**	**18,4**	**0**	**36,2**	**36,2**
Источник шума: ИШ-6-7, координаты источника (x,y,z), м =[830.30,104.49,1.00]													
Уровни звуковой мощности источника днём, Lw, дБ		**исходные данные**	**0**	**96,3**	**97,7**	**99**	**99,3**	**98,9**	**95,6**	**91,4**	**86,9**		
Поправка на телесный угол DΩ, дБ	Ω = 12.57	10Lg(4π/Ω)	**0**	0	0	0	0	0	0	0	0		
Показатель направленности источника Di, дБ		исходные данные	**0**	0	0	0	0	0	0	0	0		
Поправка на направленность источника Dc, дБ	Dc	DΩ + Di	**0**	0	0	0	0	0	0	0	0		
Затухание из-за геометрической дивергенции, Adiv, дБ	расстояние = 495.76 м	ф-ла (7) [10]	**64,9**										
Коэффициент затухания звука в атмосфере α, дБ/км	Ta=20,°C Pa=101.33,кПа hотн.=70%	ф-ла (5) [9]	0,02	0,09	0,33	1,12	2,79	4,98	9,04	23,09	77,63		
Учет затухания звука в атмосфере Aatm, дБ		ф-ла (8) [10]	0	0	0,2	0,6	1,4	2,5	4,5	11,4	38,5		
Снижение поверхностью земли возле источника As, дБ	Gs = 0 hs = 1м	ф-лы таб.3 [10]	-1,5	-1,5	-1,5	-1,5	-1,5	-1,5	-1,5	-1,5	-1,5		
Снижение поверхностью земли возле приёмника Ar, дБ	Gr = 1 hr = 1.5м	ф-лы таб.3 [10]	-1,5	-1,5	3	7	5	0,7	0	0	0		
Снижение поверхностью земли в средней зоне, Am дБ	Gm = 1	ф-лы таб.3 [10]	-2,5	-2,5	0	0	0	0	0	0	0		
Суммарное снижение поверхностью земли на траектории распространения звука Agr, дБ		ф-ла (9) [10]	-5,5	-5,5	1,5	5,5	3,5	-0,8	-1,5	-1,5	-1,5		
Уровни звукового давления прямого звука от источника ИШ-6-7 в расчётной точке днём, дБ		**ф-ла(3)[10]**	**0**	**36,9**	**31,1**	**28**	**29,5**	**32,4**	**27,7**	**16,5**	**0**	**34,9**	**34,9**
Расчёт отражённого звука													
Уровни звукового давления от мнимого источника ИШ-6-7_мн.(1) в расчётной точке днём, дБ		**ф-ла(3)[10]**	**0**	**0**	**0**	**17,6**	**18,2**	**27,8**	**25,2**	**14**	**0**	**30,4**	**30,4**

1		2	3	4	5	6	7	8	9	10	11	12	13
Уровни звукового давления от источника ИШ-6-7 в расчётной точке днём, дБ		**ф-ла(3)[10]**	**0**	**36,9**	**31,1**	**28,4**	**29,8**	**33,7**	**29,6**	**18,5**	**0**	**36,3**	**36,3**
Источник шума: ИШ-6-8, координаты источника (x,y,z), м =[829.36,101.42,1.00]													
Уровни звуковой мощности источника днём, Lw, дБ		**исходные данные**	**0**	**96,3**	**97,7**	**99**	**99,3**	**98,9**	**95,6**	**91,4**	**86,9**		
Поправка на телесный угол DΩ, дБ	Ω = 12.57	10Lg(4π/Ω)	**0**	0	0	0	0	0	0	0	0		
Показатель направленности источника Di, дБ		исходные данные	**0**	0	0	0	0	0	0	0	0		
Поправка на направленность источника Dc, дБ	Dc	DΩ + Di	**0**	0	0	0	0	0	0	0	0		
Затухание из-за геометрической дивергенции, Adiv, дБ	расстояние = 494.02 м	ф-ла (7) [10]	**64,9**										
Коэффициент затухания звука в атмосфере α, дБ/км	Ta=20,°C Pa=101.33,кПа hотн.=70%	ф-ла (5) [9]	0,02	0,09	0,33	1,12	2,79	4,98	9,04	23,09	77,63		
Учет затухания звука в атмосфере Aatm, дБ		ф-ла (8) [10]	0	0	0,2	0,6	1,4	2,5	4,5	11,4	38,4		
Снижение поверхностью земли возле источника As, дБ	Gs = 0 hs = 1м	ф-лы таб.3 [10]	-1,5	-1,5	-1,5	-1,5	-1,5	-1,5	-1,5	-1,5	-1,5		
Снижение поверхностью земли возле приёмника Ar, дБ	Gr = 1 hr = 1.5м	ф-лы таб.3 [10]	-1,5	-1,5	3	7	5	0,7	0	0	0		
Снижение поверхностью земли в средней зоне, Am дБ	Gm = 1	ф-лы таб.3 [10]	-2,5	-2,5	0	0	0	0	0	0	0		
Суммарное снижение поверхностью земли на траектории распространения звука Agr, дБ		ф-ла (9) [10]	-5,5	-5,5	1,5	5,5	3,5	-0,8	-1,5	-1,5	-1,5		
Уровни звукового давления прямого звука от источника ИШ-6-8 в расчётной точке днём, дБ		**ф-ла(3)[10]**	**0**	**36,9**	**31,2**	**28**	**29,6**	**32,4**	**27,8**	**16,6**	**0**	**35**	**35**
Расчёт отражённого звука													
Уровни звукового давления от мнимого источника ИШ-6-8_мн.(1) в расчётной точке днём, дБ		**ф-ла(3)[10]**	**0**	**0**	**0**	**17,7**	**18,2**	**27,8**	**25,2**	**14,1**	**0**	**30,5**	**30,5**

1		2	3	4	5	6	7	8	9	10	11	12	13
Уровни звукового давления от источника ИШ-6-8 в расчётной точке днём, дБ		**ф-ла(3)[10]**	**0**	**36,9**	**31,2**	**28,4**	**29,9**	**33,7**	**29,7**	**18,5**	**0**	**36,3**	**36,3**
Источник шума: ИШ-6-9, координаты источника (x,y,z), м =[828.03,98.62,1.00]													
Уровни звуковой мощности источника днём, Lw, дБ		**исходные данные**	**0**	**96,3**	**97,7**	**99**	**99,3**	**98,9**	**95,6**	**91,4**	**86,9**		
Поправка на телесный угол DΩ, дБ	Ω = 12.57	10Lg(4π/Ω)	**0**	0	0	0	0	0	0	0	0		
Показатель направленности источника Di, дБ		исходные данные	**0**	0	0	0	0	0	0	0	0		
Поправка на направленность источника Dc, дБ	Dc	DΩ + Di	**0**	0	0	0	0	0	0	0	0		
Затухание из-за геометрической дивергенции, Adiv, дБ	расстояние = 491.98 м	ф-ла (7) [10]	**64,8**										
Коэффициент затухания звука в атмосфере α, дБ/км	Ta=20,°C Pa=101.33,кПа hотн.=70%	ф-ла (5) [9]	0,02	0,09	0,33	1,12	2,79	4,98	9,04	23,09	77,63		
Учет затухания звука в атмосфере Aatm, дБ		ф-ла (8) [10]	0	0	0,2	0,6	1,4	2,4	4,4	11,4	38,2		
Снижение поверхностью земли возле источника As, дБ	Gs = 0 hs = 1м	ф-лы таб.3 [10]	-1,5	-1,5	-1,5	-1,5	-1,5	-1,5	-1,5	-1,5	-1,5		
Снижение поверхностью земли возле приёмника Ar, дБ	Gr = 1 hr = 1.5м	ф-лы таб.3 [10]	-1,5	-1,5	3	7	5	0,7	0	0	0		
Снижение поверхностью земли в средней зоне, Am дБ	Gm = 1	ф-лы таб.3 [10]	-2,5	-2,5	0	0	0	0	0	0	0		
Суммарное снижение поверхностью земли на траектории распространения звука Agr, дБ		ф-ла (9) [10]	-5,5	-5,5	1,5	5,5	3,5	-0,8	-1,5	-1,5	-1,5		
Уровни звукового давления прямого звука от источника ИШ-6-9 в расчётной точке днём, дБ		**ф-ла(3)[10]**	**0**	**37**	**31,2**	**28,1**	**29,6**	**32,4**	**27,8**	**16,7**	**0**	**35**	**35**
Расчёт отражённого звука													
Уровни звукового давления от мнимого источника ИШ-6-9_мн.(1) в расчётной точке днём, дБ		**ф-ла(3)[10]**	**0**	**0**	**0**	**17,7**	**18,3**	**27,9**	**25,3**	**14,1**	**0**	**30,5**	**30,5**

1		2	3	4	5	6	7	8	9	10	11	12	13
Уровни звукового давления от источника ИШ-6-9 в расчётной точке днём, дБ		**ф-ла(3)[10]**	**0**	**37**	**31,2**	**28,5**	**29,9**	**33,7**	**29,7**	**18,6**	**0**	**36,3**	**36,3**
Источник шума: ИШ-6-10, координаты источника (x,y,z), м =[827.23,95.55,1.00]													
Уровни звуковой мощности источника днём, Lw, дБ		**исходные данные**	**0**	**96,3**	**97,7**	**99**	**99,3**	**98,9**	**95,6**	**91,4**	**86,9**		
Поправка на телесный угол DΩ, дБ	Ω = 12.57	10Lg(4π/Ω)	**0**	0	0	0	0	0	0	0	0		
Показатель направленности источника Di, дБ		исходные данные	**0**	0	0	0	0	0	0	0	0		
Поправка на направленность источника Dc, дБ	Dc	DΩ + Di	**0**	0	0	0	0	0	0	0	0		
Затухание из-за геометрической дивергенции, Adiv, дБ	расстояние = 490.40 м	ф-ла (7) [10]	**64,8**										
Коэффициент затухания звука в атмосфере α, дБ/км	Ta=20,°C Pa=101.33,кПа hотн.=70%	ф-ла (5) [9]	0,02	0,09	0,33	1,12	2,79	4,98	9,04	23,09	77,63		
Учет затухания звука в атмосфере Aatm, дБ		ф-ла (8) [10]	0	0	0,2	0,6	1,4	2,4	4,4	11,3	38,1		
Снижение поверхностью земли возле источника As, дБ	Gs = 0 hs = 1м	ф-лы таб.3 [10]	-1,5	-1,5	-1,5	-1,5	-1,5	-1,5	-1,5	-1,5	-1,5		
Снижение поверхностью земли возле приёмника Ar, дБ	Gr = 1 hr = 1.5м	ф-лы таб.3 [10]	-1,5	-1,5	3	7	5	0,7	0	0	0		
Снижение поверхностью земли в средней зоне, Am дБ	Gm = 1	ф-лы таб.3 [10]	-2,5	-2,5	0	0	0	0	0	0	0		
Суммарное снижение поверхностью земли на траектории распространения звука Agr, дБ		ф-ла (9) [10]	-5,5	-5,5	1,5	5,5	3,5	-0,8	-1,5	-1,5	-1,5		
Уровни звукового давления прямого звука от источника ИШ-6-10 в расчётной точке днём, дБ		**ф-ла(3)[10]**	**0**	**37**	**31,2**	**28,1**	**29,6**	**32,5**	**27,8**	**16,8**	**0**	**35,1**	**35,1**
Расчёт отражённого звука													
Уровни звукового давления от мнимого источника ИШ-6-10_мн.(1) в расчётной точке днём, дБ		**ф-ла(3)[10]**	**0**	**0**	**0**	**17,7**	**18,3**	**27,9**	**25,3**	**14,2**	**0**	**30,6**	**30,6**

1		2	3	4	5	6	7	8	9	10	11	12	13
Уровни звукового давления от источника ИШ-6-10 в расчётной точке днём, дБ		**ф-ла(3)[10]**	**0**	**37**	**31,2**	**28,5**	**29,9**	**33,8**	**29,8**	**18,7**	**0**	**36,4**	**36,4**
Источник шума: ИШ-6-11, координаты источника (x,y,z), м =[826.30,92.48,1.00]													
Уровни звуковой мощности источника днём, Lw, дБ		**исходные данные**	**0**	**96,3**	**97,7**	**99**	**99,3**	**98,9**	**95,6**	**91,4**	**86,9**		
Поправка на телесный угол DΩ, дБ	Ω = 12.57	10Lg(4π/Ω)	**0**	0	0	0	0	0	0	0	0		
Показатель направленности источника Di, дБ		исходные данные	**0**	0	0	0	0	0	0	0	0		
Поправка на направленность источника Dc, дБ	Dc	DΩ + Di	**0**	0	0	0	0	0	0	0	0		
Затухание из-за геометрической дивергенции, Adiv, дБ	расстояние = 488.70 м	ф-ла (7) [10]	**64,8**										
Коэффициент затухания звука в атмосфере α, дБ/км	Ta=20,°C Pa=101.33,кПа hотн.=70%	ф-ла (5) [9]	0,02	0,09	0,33	1,12	2,79	4,98	9,04	23,09	77,63		
Учет затухания звука в атмосфере Aatm, дБ		ф-ла (8) [10]	0	0	0,2	0,5	1,4	2,4	4,4	11,3	37,9		
Снижение поверхностью земли возле источника As, дБ	Gs = 0 hs = 1м	ф-лы таб.3 [10]	-1,5	-1,5	-1,5	-1,5	-1,5	-1,5	-1,5	-1,5	-1,5		
Снижение поверхностью земли возле приёмника Ar, дБ	Gr = 1 hr = 1.5м	ф-лы таб.3 [10]	-1,5	-1,5	3	7	5	0,7	0	0	0		
Снижение поверхностью земли в средней зоне, Am дБ	Gm = 1	ф-лы таб.3 [10]	-2,5	-2,5	0	0	0	0	0	0	0		
Суммарное снижение поверхностью земли на траектории распространения звука Agr, дБ		ф-ла (9) [10]	-5,5	-5,5	1,5	5,5	3,5	-0,8	-1,5	-1,5	-1,5		
Уровни звукового давления прямого звука от источника ИШ-6-11 в расчётной точке днём, дБ		**ф-ла(3)[10]**	**0**	**37**	**31,3**	**28,1**	**29,7**	**32,5**	**27,9**	**16,8**	**0**	**35,1**	**35,1**
Расчёт отражённого звука													
Уровни звукового давления от мнимого источника ИШ-6-11_мн.(1) в расчётной точке днём, дБ		**ф-ла(3)[10]**	**0**	**0**	**0**	**17,8**	**18,3**	**28**	**25,4**	**14,3**	**0**	**30,6**	**30,6**

1		2	3	4	5	6	7	8	9	10	11	12	13
Уровни звукового давления от источника ИШ-6-11 в расчётной точке днём, дБ		**ф-ла(3)[10]**	**0**	**37**	**31,3**	**28,5**	**30**	**33,8**	**29,8**	**18,7**	**0**	**36,4**	**36,4**
Источник шума: ИШ-6-12, координаты источника (x,y,z), м =[825.09,89.54,1.00]													
Уровни звуковой мощности источника днём, Lw, дБ		**исходные данные**	**0**	**96,3**	**97,7**	**99**	**99,3**	**98,9**	**95,6**	**91,4**	**86,9**		
Поправка на телесный угол DΩ, дБ	Ω = 12.57	10Lg(4π/Ω)	**0**	0	0	0	0	0	0	0	0		
Показатель направленности источника Di, дБ		исходные данные	**0**	0	0	0	0	0	0	0	0		
Поправка на направленность источника Dc, дБ	Dc	DΩ + Di	**0**	0	0	0	0	0	0	0	0		
Затухание из-за геометрической дивергенции, Adiv, дБ	расстояние = 486.79 м	ф-ла (7) [10]	**64,7**										
Коэффициент затухания звука в атмосфере α, дБ/км	Ta=20,°C Pa=101.33,кПа hотн.=70%	ф-ла (5) [9]	0,02	0,09	0,33	1,12	2,79	4,98	9,04	23,09	77,63		
Учет затухания звука в атмосфере Aatm, дБ		ф-ла (8) [10]	0	0	0,2	0,5	1,4	2,4	4,4	11,2	37,8		
Снижение поверхностью земли возле источника As, дБ	Gs = 0 hs = 1м	ф-лы таб.3 [10]	-1,5	-1,5	-1,5	-1,5	-1,5	-1,5	-1,5	-1,5	-1,5		
Снижение поверхностью земли возле приёмника Ar, дБ	Gr = 1 hr = 1.5м	ф-лы таб.3 [10]	-1,5	-1,5	2,9	7	5	0,7	0	0	0		
Снижение поверхностью земли в средней зоне, Am дБ	Gm = 1	ф-лы таб.3 [10]	-2,5	-2,5	0	0	0	0	0	0	0		
Суммарное снижение поверхностью земли на траектории распространения звука Agr, дБ		ф-ла (9) [10]	-5,5	-5,5	1,4	5,5	3,5	-0,8	-1,5	-1,5	-1,5		
Уровни звукового давления прямого звука от источника ИШ-6-12 в расчётной точке днём, дБ		**ф-ла(3)[10]**	**0**	**37**	**31,3**	**28,2**	**29,7**	**32,6**	**27,9**	**16,9**	**0**	**35,1**	**35,1**
Расчёт отражённого звука													
Уровни звукового давления от мнимого источника ИШ-6-12_мн.(1) в расчётной точке днём, дБ		**ф-ла(3)[10]**	**0**	**0**	**0**	**17,8**	**18,4**	**28**	**25,4**	**14,4**	**0**	**30,7**	**30,7**

1		2	3	4	5	6	7	8	9	10	11	12	13
Уровни звукового давления от источника ИШ-6-12 в расчётной точке днём, дБ		**ф-ла(3)[10]**	**0**	**37**	**31,3**	**28,6**	**30**	**33,9**	**29,9**	**18,8**	**0**	**36,5**	**36,5**
Источник шума: ИШ-6-13, координаты источника (x,y,z), м =[767.76,-114.15,1.00]													
Уровни звуковой мощности источника днём, Lw, дБ		**исходные данные**	**0**	**96,3**	**97,7**	**99**	**99,3**	**98,9**	**95,6**	**91,4**	**86,9**		
Поправка на телесный угол DΩ, дБ	Ω = 12.57	10Lg(4π/Ω)	**0**	0	0	0	0	0	0	0	0		
Показатель направленности источника Di, дБ		исходные данные	**0**	0	0	0	0	0	0	0	0		
Поправка на направленность источника Dc, дБ	Dc	DΩ + Di	**0**	0	0	0	0	0	0	0	0		
Затухание из-за геометрической дивергенции, Adiv, дБ	расстояние = 421.68 м	ф-ла (7) [10]	**63,5**										
Коэффициент затухания звука в атмосфере α, дБ/км	Ta=20,°C Pa=101.33,кПа hотн.=70%	ф-ла (5) [9]	0,02	0,09	0,33	1,12	2,79	4,98	9,04	23,09	77,63		
Учет затухания звука в атмосфере Aatm, дБ		ф-ла (8) [10]	0	0	0,1	0,5	1,2	2,1	3,8	9,7	32,7		
Снижение поверхностью земли возле источника As, дБ	Gs = 0 hs = 1м	ф-лы таб.3 [10]	-1,5	-1,5	-1,5	-1,5	-1,5	-1,5	-1,5	-1,5	-1,5		
Снижение поверхностью земли возле приёмника Ar, дБ	Gr = 1 hr = 1.5м	ф-лы таб.3 [10]	-1,5	-1,5	2,5	7	5	0,7	0	0	0		
Снижение поверхностью земли в средней зоне, Am дБ	Gm = 1	ф-лы таб.3 [10]	-2,5	-2,5	0	0	0	0	0	0	0		
Суммарное снижение поверхностью земли на траектории распространения звука Agr, дБ		ф-ла (9) [10]	-5,5	-5,5	1	5,5	3,5	-0,8	-1,5	-1,5	-1,5		
Уровни звукового давления прямого звука от источника ИШ-6-13 в расчётной точке днём, дБ		**ф-ла(3)[10]**	**0**	**38,2**	**33**	**29,5**	**31,1**	**34,1**	**29,8**	**19,7**	**0**	**36,8**	**36,8**
Расчёт отражённого звука													
Уровни звукового давления от мнимого источника ИШ-6-13_мн.(1) в расчётной точке днём, дБ		**ф-ла(3)[10]**	**0**	**0**	**0**	**0**	**0**	**0**	**12,5**	**0**	**0**	**13,7**	**13,7**

1		2	3	4	5	6	7	8	9	10	11	12	13
Уровни звукового давления от источника ИШ-6-13 в расчётной точке днём, дБ		**ф-ла(3)[10]**	**0**	**38,2**	**33**	**29,5**	**31,1**	**34,1**	**29,9**	**19,7**	**0**	**36,8**	**36,8**
Источник шума: ИШ-6-14, координаты источника (x,y,z), м =[766.82,-117.10,1.00]													
Уровни звуковой мощности источника днём, Lw, дБ		**исходные данные**	**0**	**96,3**	**97,7**	**99**	**99,3**	**98,9**	**95,6**	**91,4**	**86,9**		
Поправка на телесный угол DΩ, дБ	Ω = 12.57	10Lg(4π/Ω)	**0**	0	0	0	0	0	0	0	0		
Показатель направленности источника Di, дБ		исходные данные	**0**	0	0	0	0	0	0	0	0		
Поправка на направленность источника Dc, дБ	Dc	DΩ + Di	**0**	0	0	0	0	0	0	0	0		
Затухание из-за геометрической дивергенции, Adiv, дБ	расстояние = 421.34 м	ф-ла (7) [10]	**63,5**										
Коэффициент затухания звука в атмосфере α, дБ/км	Ta=20,°C Pa=101.33,кПа hотн.=70%	ф-ла (5) [9]	0,02	0,09	0,33	1,12	2,79	4,98	9,04	23,09	77,63		
Учет затухания звука в атмосфере Aatm, дБ		ф-ла (8) [10]	0	0	0,1	0,5	1,2	2,1	3,8	9,7	32,7		
Снижение поверхностью земли возле источника As, дБ	Gs = 0 hs = 1м	ф-лы таб.3 [10]	-1,5	-1,5	-1,5	-1,5	-1,5	-1,5	-1,5	-1,5	-1,5		
Снижение поверхностью земли возле приёмника Ar, дБ	Gr = 1 hr = 1.5м	ф-лы таб.3 [10]	-1,5	-1,5	2,5	7	5	0,7	0	0	0		
Снижение поверхностью земли в средней зоне, Am дБ	Gm = 1	ф-лы таб.3 [10]	-2,5	-2,5	0	0	0	0	0	0	0		
Суммарное снижение поверхностью земли на траектории распространения звука Agr, дБ		ф-ла (9) [10]	-5,5	-5,5	1	5,5	3,5	-0,8	-1,5	-1,5	-1,5		
Уровни звукового давления прямого звука от источника ИШ-6-14 в расчётной точке днём, дБ		**ф-ла(3)[10]**	**0**	**38,2**	**33**	**29,5**	**31,2**	**34,1**	**29,8**	**19,7**	**0**	**36,8**	**36,8**
Расчёт отражённого звука													
Уровни звукового давления от мнимого источника ИШ-6-14_мн.(1) в расчётной точке днём, дБ		**ф-ла(3)[10]**	**0**	**0**	**0**	**0**	**0**	**0**	**12,9**	**0**	**0**	**14,1**	**14,1**

1		2	3	4	5	6	7	8	9	10	11	12	13
Уровни звукового давления от источника ИШ-6-14 в расчётной точке днём, дБ		**ф-ла(3)[10]**	**0**	**38,2**	**33**	**29,5**	**31,2**	**34,1**	**29,9**	**19,7**	**0**	**36,8**	**36,8**
Источник шума: ИШ-6-15, координаты источника (x,y,z), м =[765.71,-120.27,1.00]													
Уровни звуковой мощности источника днём, Lw, дБ		**исходные данные**	**0**	**96,3**	**97,7**	**99**	**99,3**	**98,9**	**95,6**	**91,4**	**86,9**		
Поправка на телесный угол DΩ, дБ	Ω = 12.57	10Lg(4π/Ω)	**0**	0	0	0	0	0	0	0	0		
Показатель направленности источника Di, дБ		исходные данные	**0**	0	0	0	0	0	0	0	0		
Поправка на направленность источника Dc, дБ	Dc	DΩ + Di	**0**	0	0	0	0	0	0	0	0		
Затухание из-за геометрической дивергенции, Adiv, дБ	расстояние = 420.90 м	ф-ла (7) [10]	**63,5**										
Коэффициент затухания звука в атмосфере α, дБ/км	Ta=20,°C Pa=101.33,кПа hотн.=70%	ф-ла (5) [9]	0,02	0,09	0,33	1,12	2,79	4,98	9,04	23,09	77,63		
Учет затухания звука в атмосфере Aatm, дБ		ф-ла (8) [10]	0	0	0,1	0,5	1,2	2,1	3,8	9,7	32,7		
Снижение поверхностью земли возле источника As, дБ	Gs = 0 hs = 1м	ф-лы таб.3 [10]	-1,5	-1,5	-1,5	-1,5	-1,5	-1,5	-1,5	-1,5	-1,5		
Снижение поверхностью земли возле приёмника Ar, дБ	Gr = 1 hr = 1.5м	ф-лы таб.3 [10]	-1,5	-1,5	2,5	7	5	0,7	0	0	0		
Снижение поверхностью земли в средней зоне, Am дБ	Gm = 1	ф-лы таб.3 [10]	-2,5	-2,5	0	0	0	0	0	0	0		
Суммарное снижение поверхностью земли на траектории распространения звука Agr, дБ		ф-ла (9) [10]	-5,5	-5,5	1	5,5	3,5	-0,8	-1,5	-1,5	-1,5		
Уровни звукового давления прямого звука от источника ИШ-6-15 в расчётной точке днём, дБ		**ф-ла(3)[10]**	**0**	**38,2**	**33,1**	**29,5**	**31,2**	**34,2**	**29,8**	**19,7**	**0**	**36,8**	**36,8**
Расчёт отражённого звука													
Уровни звукового давления от мнимого источника ИШ-6-15_мн.(1) в расчётной точке днём, дБ		**ф-ла(3)[10]**	**0**	**0**	**0**	**0**	**0**	**0**	**13,4**	**0,3**	**0**	**14,8**	**14,8**

1		2	3	4	5	6	7	8	9	10	11	12	13
Уровни звукового давления от источника ИШ-6-15 в расчётной точке днём, дБ		**ф-ла(3)[10]**	**0**	**38,2**	**33,1**	**29,5**	**31,2**	**34,2**	**29,9**	**19,7**	**0**	**36,8**	**36,8**
Источник шума: ИШ-6-16, координаты источника (x,y,z), м =[764.57,-123.22,1.00]													
Уровни звуковой мощности источника днём, Lw, дБ		**исходные данные**	**0**	**96,3**	**97,7**	**99**	**99,3**	**98,9**	**95,6**	**91,4**	**86,9**		
Поправка на телесный угол DΩ, дБ	Ω = 12.57	10Lg(4π/Ω)	**0**	0	0	0	0	0	0	0	0		
Показатель направленности источника Di, дБ		исходные данные	**0**	0	0	0	0	0	0	0	0		
Поправка на направленность источника Dc, дБ	Dc	DΩ + Di	**0**	0	0	0	0	0	0	0	0		
Затухание из-за геометрической дивергенции, Adiv, дБ	расстояние = 420.41 м	ф-ла (7) [10]	**63,5**										
Коэффициент затухания звука в атмосфере α, дБ/км	Ta=20,°C Pa=101.33,кПа hотн.=70%	ф-ла (5) [9]	0,02	0,09	0,33	1,12	2,79	4,98	9,04	23,09	77,63		
Учет затухания звука в атмосфере Aatm, дБ		ф-ла (8) [10]	0	0	0,1	0,5	1,2	2,1	3,8	9,7	32,6		
Снижение поверхностью земли возле источника As, дБ	Gs = 0 hs = 1м	ф-лы таб.3 [10]	-1,5	-1,5	-1,5	-1,5	-1,5	-1,5	-1,5	-1,5	-1,5		
Снижение поверхностью земли возле приёмника Ar, дБ	Gr = 1 hr = 1.5м	ф-лы таб.3 [10]	-1,5	-1,5	2,5	7	5	0,7	0	0	0		
Снижение поверхностью земли в средней зоне, Am дБ	Gm = 1	ф-лы таб.3 [10]	-2,5	-2,5	0	0	0	0	0	0	0		
Суммарное снижение поверхностью земли на траектории распространения звука Agr, дБ		ф-ла (9) [10]	-5,5	-5,5	1	5,5	3,5	-0,8	-1,5	-1,5	-1,5		
Уровни звукового давления от источника ИШ-6-16 в расчётной точке днём, дБ		**ф-ла(3)[10]**	**0**	**38,2**	**33,1**	**29,5**	**31,2**	**34,2**	**29,8**	**19,7**	**0**	**36,8**	**36,8**
Источник шума: ИШ-6-17, координаты источника (x,y,z), м =[763.57,-126.18,1.00]													
Уровни звуковой мощности источника днём, Lw, дБ		**исходные данные**	**0**	**96,3**	**97,7**	**99**	**99,3**	**98,9**	**95,6**	**91,4**	**86,9**		

1		2	3	4	5	6	7	8	9	10	11	12	13
Поправка на телесный угол DΩ, дБ	Ω = 12.57	10Lg(4π/Ω)	**0**	0	0	0	0	0	0	0	0		
Показатель направленности источника Di, дБ		исходные данные	**0**	0	0	0	0	0	0	0	0		
Поправка на направленность источника Dc, дБ	Dc	DΩ + Di	**0**	0	0	0	0	0	0	0	0		
Затухание из-за геометрической дивергенции, Adiv, дБ	расстояние = 420.08 м	ф-ла (7) [10]	**63,5**										
Коэффициент затухания звука в атмосфере α, дБ/км	Ta=20,°C Pa=101.33,кПа hотн.=70%	ф-ла (5) [9]	0,02	0,09	0,33	1,12	2,79	4,98	9,04	23,09	77,63		
Учет затухания звука в атмосфере Aatm, дБ		ф-ла (8) [10]	0	0	0,1	0,5	1,2	2,1	3,8	9,7	32,6		
Снижение уровня звукового давления из-за влияния застройки между источником шума и расчетной точкой													
Снижение уровня звукового давления препятствием слева от трассы ИШ-РТ, Dz2, дБ	z = -0.48м (разность путей)	ф-лы (14-18) [10]	0,8	NAN	NAN	NAN	NAN	NAN	NAN	NAN	NAN		
* отрицательное значение z означает прохождение траектории вблизи экрана, в этом случае дополнительно производится учёт снижения подстилающей поверхностью (см.ниже)													
Снижение поверхностью земли возле источника As, дБ	Gs = 0 hs = 1м	ф-лы таб.3 [10]	-1,5	-1,5	-1,5	-1,5	-1,5	-1,5	-1,5	-1,5	-1,5		
Снижение поверхностью земли возле приёмника Ar, дБ	Gr = 1 hr = 1.5м	ф-лы таб.3 [10]	-1,5	-1,5	2,5	7	5	0,7	0	0	0		
Снижение поверхностью земли в средней зоне, Am дБ	Gm = 1	ф-лы таб.3 [10]	-2,5	-2,5	0	0	0	0	0	0	0		
Суммарное снижение поверхностью земли на траектории распространения звука Agr, дБ		ф-ла (9) [10]	-5,5	-5,5	1	5,5	3,5	-0,8	-1,5	-1,5	-1,5		
Уровни звукового давления прямого звука от источника ИШ-6-17 в расчётной точке днём, дБ		**ф-ла(3)[10]**	**0**	**38,3**	**33,1**	**29,5**	**31,2**	**34,2**	**29,8**	**19,7**	**0**	**36,8**	**36,8**
Расчёт отражённого звука													
Уровни звукового давления от мнимого источника ИШ-6-17_мн.(1) в расчётной точке днём, дБ		**ф-ла(3)[10]**	**0**	**0**	**0**	**0**	**0**	**0**	**0**	**0**	**0**	**0**	**0**
Уровни звукового давления от источника ИШ-6-17 в расчётной точке днём, дБ		**ф-ла(3)[10]**	**0**	**38,3**	**33,1**	**29,5**	**31,2**	**34,2**	**29,8**	**19,7**	**0**	**36,8**	**36,8**

1		2	3	4	5	6	7	8	9	10	11	12	13
Источник шума: ИШ-6-18, координаты источника (x,y,z), м =[804.77,-126.28,1.00]													
Уровни звуковой мощности источника днём, Lw, дБ		**исходные данные**	**0**	**96,3**	**97,7**	**99**	**99,3**	**98,9**	**95,6**	**91,4**	**86,9**		
Поправка на телесный угол DΩ, дБ	Ω = 12.57	10Lg(4π/Ω)	**0**	0	0	0	0	0	0	0	0		
Показатель направленности источника Di, дБ		исходные данные	**0**	0	0	0	0	0	0	0	0		
Поправка на направленность источника Dc, дБ	Dc	DΩ + Di	**0**	0	0	0	0	0	0	0	0		
Затухание из-за геометрической дивергенции, Adiv, дБ	расстояние = 460.37 м	ф-ла (7) [10]	**64,3**										
Коэффициент затухания звука в атмосфере α, дБ/км	Ta=20,°C Pa=101.33,кПа hотн.=70%	ф-ла (5) [9]	0,02	0,09	0,33	1,12	2,79	4,98	9,04	23,09	77,63		
Учет затухания звука в атмосфере Aatm, дБ		ф-ла (8) [10]	0	0	0,2	0,5	1,3	2,3	4,2	10,6	35,7		
Снижение поверхностью земли возле источника As, дБ	Gs = 0 hs = 1м	ф-лы таб.3 [10]	-1,5	-1,5	-1,5	-1,5	-1,5	-1,5	-1,5	-1,5	-1,5		
Снижение поверхностью земли возле приёмника Ar, дБ	Gr = 1 hr = 1.5м	ф-лы таб.3 [10]	-1,5	-1,5	2,8	7	5	0,7	0	0	0		
Снижение поверхностью земли в средней зоне, Am дБ	Gm = 1	ф-лы таб.3 [10]	-2,5	-2,5	0	0	0	0	0	0	0		
Суммарное снижение поверхностью земли на траектории распространения звука Agr, дБ		ф-ла (9) [10]	-5,5	-5,5	1,3	5,5	3,5	-0,8	-1,5	-1,5	-1,5		
Уровни звукового давления от источника ИШ-6-18 в расчётной точке днём, дБ		**ф-ла(3)[10]**	**0**	**37,5**	**32**	**28,7**	**30,3**	**33,2**	**28,7**	**18**	**0**	**35,8**	**35,8**
Источник шума: ИШ-6-19, координаты источника (x,y,z), м =[803.81,-129.30,1.00]													
Уровни звуковой мощности источника днём, Lw, дБ		**исходные данные**	**0**	**96,3**	**97,7**	**99**	**99,3**	**98,9**	**95,6**	**91,4**	**86,9**		
Поправка на телесный угол DΩ, дБ	Ω = 12.57	10Lg(4π/Ω)	**0**	0	0	0	0	0	0	0	0		

1		2	3	4	5	6	7	8	9	10	11	12	13
Показатель направленности источника Di, дБ		исходные данные	**0**	0	0	0	0	0	0	0	0		
Поправка на направленность источника Dc, дБ	Dc	DΩ + Di	**0**	0	0	0	0	0	0	0	0		
Затухание из-за геометрической дивергенции, Adiv, дБ	расстояние = 460.05 м	ф-ла (7) [10]	**64,3**										
Коэффициент затухания звука в атмосфере α, дБ/км	Ta=20,°C Pa=101.33,кПа hотн.=70%	ф-ла (5) [9]	0,02	0,09	0,33	1,12	2,79	4,98	9,04	23,09	77,63		
Учет затухания звука в атмосфере Aatm, дБ		ф-ла (8) [10]	0	0	0,2	0,5	1,3	2,3	4,2	10,6	35,7		
Снижение поверхностью земли возле источника As, дБ	Gs = 0 hs = 1м	ф-лы таб.3 [10]	-1,5	-1,5	-1,5	-1,5	-1,5	-1,5	-1,5	-1,5	-1,5		
Снижение поверхностью земли возле приёмника Ar, дБ	Gr = 1 hr = 1.5м	ф-лы таб.3 [10]	-1,5	-1,5	2,8	7	5	0,7	0	0	0		
Снижение поверхностью земли в средней зоне, Am дБ	Gm = 1	ф-лы таб.3 [10]	-2,5	-2,5	0	0	0	0	0	0	0		
Суммарное снижение поверхностью земли на траектории распространения звука Agr, дБ		ф-ла (9) [10]	-5,5	-5,5	1,3	5,5	3,5	-0,8	-1,5	-1,5	-1,5		
Уровни звукового давления от источника ИШ-6-19 в расчётной точке днём, дБ		**ф-ла(3)[10]**	**0**	**37,5**	**32**	**28,7**	**30,3**	**33,2**	**28,7**	**18**	**0**	**35,8**	**35,8**
Источник шума: ИШ-6-20, координаты источника (x,y,z), м =[802.67,-132.35,1.00]													
Уровни звуковой мощности источника днём, Lw, дБ		**исходные данные**	**0**	**96,3**	**97,7**	**99**	**99,3**	**98,9**	**95,6**	**91,4**	**86,9**		
Поправка на телесный угол DΩ, дБ	Ω = 12.57	10Lg(4π/Ω)	**0**	0	0	0	0	0	0	0	0		
Показатель направленности источника Di, дБ		исходные данные	**0**	0	0	0	0	0	0	0	0		
Поправка на направленность источника Dc, дБ	Dc	DΩ + Di	**0**	0	0	0	0	0	0	0	0		
Затухание из-за геометрической дивергенции, Adiv, дБ	расстояние = 459.58 м	ф-ла (7) [10]	**64,2**										

1		2	3	4	5	6	7	8	9	10	11	12	13
Коэффициент затухания звука в атмосфере α, дБ/км	Ta=20,°C Pa=101.33,кПа hотн.=70%	ф-ла (5) [9]	0,02	0,09	0,33	1,12	2,79	4,98	9,04	23,09	77,63		
Учет затухания звука в атмосфере Aatm, дБ		ф-ла (8) [10]	0	0	0,2	0,5	1,3	2,3	4,2	10,6	35,7		
Снижение уровня звукового давления из-за влияния застройки между источником шума и расчетной точкой													
Снижение уровня звукового давления препятствием слева от трассы ИШ-РТ, Dz2, дБ	z = -0.50м (разность путей)	ф-лы (14-18) [10]	0,6	NAN	NAN	NAN	NAN	NAN	NAN	NAN	NAN		
* отрицательное значение z означает прохождение траектории вблизи экрана, в этом случае дополнительно производится учёт снижения подстилающей поверхностью (см.ниже)													
Снижение поверхностью земли возле источника As, дБ	Gs = 0 hs = 1м	ф-лы таб.3 [10]	-1,5	-1,5	-1,5	-1,5	-1,5	-1,5	-1,5	-1,5	-1,5		
Снижение поверхностью земли возле приёмника Ar, дБ	Gr = 1 hr = 1.5м	ф-лы таб.3 [10]	-1,5	-1,5	2,8	7	5	0,7	0	0	0		
Снижение поверхностью земли в средней зоне, Am дБ	Gm = 1	ф-лы таб.3 [10]	-2,5	-2,5	0	0	0	0	0	0	0		
Суммарное снижение поверхностью земли на траектории распространения звука Agr, дБ		ф-ла (9) [10]	-5,5	-5,5	1,3	5,5	3,5	-0,8	-1,5	-1,5	-1,5		
Уровни звукового давления от источника ИШ-6-20 в расчётной точке днём, дБ		**ф-ла(3)[10]**	**0**	**37,5**	**32**	**28,7**	**30,3**	**33,2**	**28,7**	**18**	**0**	**35,8**	**35,8**
Источник шума: ИШ-6-21, координаты источника (x,y,z), м =[801.69,-135.42,1.00]													
Уровни звуковой мощности источника днём, Lw, дБ		**исходные данные**	**0**	**96,3**	**97,7**	**99**	**99,3**	**98,9**	**95,6**	**91,4**	**86,9**		
Поправка на телесный угол DΩ, дБ	Ω = 12.57	10Lg($4\pi/\Omega$)	**0**	0	0	0	0	0	0	0	0		
Показатель направленности источника Di, дБ		исходные данные	**0**	0	0	0	0	0	0	0	0		
Поправка на направленность источника Dc, дБ	Dc	DΩ + Di	**0**	0	0	0	0	0	0	0	0		
Затухание из-за геометрической дивергенции, Adiv, дБ	расстояние = 459.30 м	ф-ла (7) [10]	**64,2**										
Коэффициент затухания звука в атмосфере α, дБ/км	Ta=20,°C Pa=101.33,кПа hотн.=70%	ф-ла (5) [9]	0,02	0,09	0,33	1,12	2,79	4,98	9,04	23,09	77,63		

1		2	3	4	5	6	7	8	9	10	11	12	13
Учет затухания звука в атмосфере Aatm, дБ		ф-ла (8) [10]	0	0	0,2	0,5	1,3	2,3	4,2	10,6	35,7		
Снижение уровня звукового давления из-за влияния застройки между источником шума и расчетной точкой													
Снижение уровня звукового давления препятствием слева от трассы ИШ-РТ, Dz2, дБ	z = -0.48м (разность путей)	ф-лы (14-18) [10]	0,9	NAN	NAN	NAN	NAN	NAN	NAN	NAN	NAN		
* отрицательное значение z означает прохождение траектории вблизи экрана, в этом случае дополнительно производится учёт снижения подстилающей поверхностью (см.ниже)													
Снижение поверхностью земли возле источника As, дБ	Gs = 0 hs = 1м	ф-лы таб.3 [10]	-1,5	-1,5	-1,5	-1,5	-1,5	-1,5	-1,5	-1,5	-1,5		
Снижение поверхностью земли возле приёмника Ar, дБ	Gr = 1 hr = 1.5м	ф-лы таб.3 [10]	-1,5	-1,5	2,8	7	5	0,7	0	0	0		
Снижение поверхностью земли в средней зоне, Am дБ	Gm = 1	ф-лы таб.3 [10]	-2,5	-2,5	0	0	0	0	0	0	0		
Суммарное снижение поверхностью земли на траектории распространения звука Agr, дБ		ф-ла (9) [10]	-5,5	-5,5	1,3	5,5	3,5	-0,8	-1,5	-1,5	-1,5		
Уровни звукового давления от источника ИШ-6-21 в расчётной точке днём, дБ		**ф-ла(3)[10]**	**0**	**37,5**	**32**	**28,7**	**30,3**	**33,2**	**28,7**	**18**	**0**	**35,8**	**35,8**
Источник шума: ИШ-6-22, координаты источника (x,y,z), м =[800.65,-138.47,1.00]													
Уровни звуковой мощности источника днём, Lw, дБ		**исходные данные**	**0**	**96,3**	**97,7**	**99**	**99,3**	**98,9**	**95,6**	**91,4**	**86,9**		
Поправка на телесный угол DΩ, дБ	Ω = 12.57	10Lg(4π/Ω)	**0**	0	0	0	0	0	0	0	0		
Показатель направленности источника Di, дБ		исходные данные	**0**	0	0	0	0	0	0	0	0		
Поправка на направленность источника Dc, дБ	Dc	DΩ + Di	**0**	0	0	0	0	0	0	0	0		
Затухание из-за геометрической дивергенции, Adiv, дБ	расстояние = 458.97 м	ф-ла (7) [10]	**64,2**										
Коэффициент затухания звука в атмосфере α, дБ/км	Ta=20,°C Pa=101.33,кПа hотн.=70%	ф-ла (5) [9]	0,02	0,09	0,33	1,12	2,79	4,98	9,04	23,09	77,63		
Учет затухания звука в атмосфере Aatm, дБ		ф-ла (8) [10]	0	0	0,2	0,5	1,3	2,3	4,1	10,6	35,6		

1		2	3	4	5	6	7	8	9	10	11	12	13
Снижение уровня звукового давления из-за влияния застройки между источником шума и расчетной точкой													
Снижение уровня звукового давления препятствием слева от трассы ИШ-РТ, Dz2, дБ	z = -0.46м (разность путей)	ф-лы (14-18) [10]	1,2	NAN	NAN	NAN	NAN	NAN	NAN	NAN	NAN		
* отрицательное значение z означает прохождение траектории вблизи экрана, в этом случае дополнительно производится учёт снижения подстилающей поверхностью (см.ниже)													
Снижение поверхностью земли возле источника As, дБ	Gs = 0 hs = 1м	ф-лы таб.3 [10]	-1,5	-1,5	-1,5	-1,5	-1,5	-1,5	-1,5	-1,5	-1,5		
Снижение поверхностью земли возле приёмника Ar, дБ	Gr = 1 hr = 1.5м	ф-лы таб.3 [10]	-1,5	-1,5	2,8	7	5	0,7	0	0	0		
Снижение поверхностью земли в средней зоне, Am дБ	Gm = 1	ф-лы таб.3 [10]	-2,5	-2,5	0	0	0	0	0	0	0		
Суммарное снижение поверхностью земли на траектории распространения звука Agr, дБ		ф-ла (9) [10]	-5,5	-5,5	1,3	5,5	3,5	-0,8	-1,5	-1,5	-1,5		
Уровни звукового давления от источника ИШ-6-22 в расчётной точке днём, дБ		**ф-ла(3)[10]**	**0**	**37,5**	**32**	**28,7**	**30,3**	**33,2**	**28,7**	**18,1**	**0**	**35,8**	**35,8**
Источник шума: ИШ-7-1, координаты источника (x,y,z), м =[821.44,63.31,1.00]													
Уровни звуковой мощности источника днём, Lw, дБ		**исходные данные**	**77**	**75**	**67**	**66**	**63**	**55**	**53**	**48**	**51**		
Поправка на телесный угол DΩ, дБ	Ω = 12.57	10Lg(4π/Ω)	**0**	0	0	0	0	0	0	0	0		
Показатель направленности источника Di, дБ		исходные данные	**0**	0	0	0	0	0	0	0	0		
Поправка на направленность источника Dc, дБ	Dc	DΩ + Di	**0**	0	0	0	0	0	0	0	0		
Затухание из-за геометрической дивергенции, Adiv, дБ	расстояние = 477.28 м	ф-ла (7) [10]	**64,6**										
Коэффициент затухания звука в атмосфере α, дБ/км	Ta=20,°C Pa=101.33,кПа hотн.=70%	ф-ла (5) [9]	0,02	0,09	0,33	1,12	2,79	4,98	9,04	23,09	77,63		
Учет затухания звука в атмосфере Aatm, дБ		ф-ла (8) [10]	0	0	0,2	0,5	1,3	2,4	4,3	11	37,1		
Снижение поверхностью земли возле источника As, дБ	Gs = 0 hs = 1м	ф-лы таб.3 [10]	-1,5	-1,5	-1,5	-1,5	-1,5	-1,5	-1,5	-1,5	-1,5		

1		2	3	4	5	6	7	8	9	10	11	12	13
Снижение поверхностью земли возле приёмника Ar, дБ	Gr = 1 hr = 1.5м	ф-лы таб.3 [10]	-1,5	-1,5	2,9	7	5	0,7	0	0	0		
Снижение поверхностью земли в средней зоне, Am дБ	Gm = 1	ф-лы таб.3 [10]	-2,5	-2,5	0	0	0	0	0	0	0		
Суммарное снижение поверхностью земли на траектории распространения звука Agr, дБ		ф-ла (9) [10]	-5,5	-5,5	1,4	5,5	3,5	-0,8	-1,5	-1,5	-1,5		
Уровни звукового давления от источника ИШ-7-1 в расчётной точке днём, дБ		**ф-ла(3)[10]**	**17,9**	**15,9**	**0,9**	**0**	**0**	**0**	**0**	**0**	**0**	**0**	**0**
Источник шума: ИШ-7-2, координаты источника (x,y,z), м =[768.90,-86.75,1.00]													
Уровни звуковой мощности источника днём, Lw, дБ		**исходные данные**	**77**	**75**	**67**	**66**	**63**	**55**	**53**	**48**	**51**		
Поправка на телесный угол DΩ, дБ	Ω = 12.57	10Lg(4π/Ω)	**0**	0	0	0	0	0	0	0	0		
Показатель направленности источника Di, дБ		исходные данные	**0**	0	0	0	0	0	0	0	0		
Поправка на направленность источника Dc, дБ	Dc	DΩ + Di	**0**	0	0	0	0	0	0	0	0		
Затухание из-за геометрической дивергенции, Adiv, дБ	расстояние = 418.40 м	ф-ла (7) [10]	**63,4**										
Коэффициент затухания звука в атмосфере α, дБ/км	Ta=20,°C Pa=101.33,кПа hотн.=70%	ф-ла (5) [9]	0,02	0,09	0,33	1,12	2,79	4,98	9,04	23,09	77,63		
Учет затухания звука в атмосфере Aatm, дБ		ф-ла (8) [10]	0	0	0,1	0,5	1,2	2,1	3,8	9,7	32,5		
Снижение уровня звукового давления из-за влияния застройки между источником шума и расчетной точкой													
Снижение уровня звукового давления на пути над экраном, Dz1, дБ	z = 0.23м (разность путей)	ф-лы (14-18) [10]	4,8	4,9	5,1	5,6	6,6	8,2	10,1	12,5	15,1		
Снижение уровня звукового давления на пути слева от экрана, Dz2, дБ	z = 0.39м (разность путей)	ф-лы (14-18) [10]	6,5	7,7	9,4	11,6	14,1	16,8	19,7	22,7	25,6		
Снижение уровня звукового давления на пути справа от экрана, Dz3, дБ	z = 9.16м (разность путей)	ф-лы (14-18) [10]	15,7	18,5	21,4	24,4	27,3	30,3	33,3	36,3	39,4		

1		2	3	4	5	6	7	8	9	10	11	12	13
Общее снижение уровня звука препятствием Dz, дБ		Эн.сумма(-Dzi)	2,4	2,9	3,6	4,6	5,9	7,6	9,6	12,1	14,7		
Уровни звукового давления от источника ИШ-7-2 в расчётной точке днём, дБ		**ф-ла(3)[10]**	**11,2**	**8,6**	**0**	**0**	**0**	**0**	**0**	**0**	**0**	**0**	**0**
Источник шума: ИШ-7-3, координаты источника (x,y,z), м =[766.80,-93.20,1.00]													
Уровни звуковой мощности источника днём, Lw, дБ		**исходные данные**	**77**	**75**	**67**	**66**	**63**	**55**	**53**	**48**	**51**		
Поправка на телесный угол DΩ, дБ	Ω = 12.57	10Lg(4π/Ω)	**0**	0	0	0	0	0	0	0	0		
Показатель направленности источника Di, дБ		исходные данные	**0**	0	0	0	0	0	0	0	0		
Поправка на направленность источника Dc, дБ	Dc	DΩ + Di	**0**	0	0	0	0	0	0	0	0		
Затухание из-за геометрической дивергенции, Adiv, дБ	расстояние = 417.21 м	ф-ла (7) [10]	**63,4**										
Коэффициент затухания звука в атмосфере α, дБ/км	Ta=20,°C Pa=101.33,кПа hотн.=70%	ф-ла (5) [9]	0,02	0,09	0,33	1,12	2,79	4,98	9,04	23,09	77,63		
Учет затухания звука в атмосфере Aatm, дБ		ф-ла (8) [10]	0	0	0,1	0,5	1,2	2,1	3,8	9,6	32,4		
Снижение уровня звукового давления из-за влияния застройки между источником шума и расчетной точкой													
Снижение уровня звукового давления на пути над экраном, Dz1, дБ	z = 0.23м (разность путей)	ф-лы (14-18) [10]	4,8	4,9	5,1	5,6	6,7	8,2	10,2	12,5	15,2		
Снижение уровня звукового давления на пути слева от экрана, Dz2, дБ	z = 0.14м (разность путей)	ф-лы (14-18) [10]	5,4	6	7	8,5	10,4	12,8	15,5	18,3	21,2		
Снижение уровня звукового давления на пути справа от экрана, Dz3, дБ	z = 10.51м (разность путей)	ф-лы (14-18) [10]	17,6	22	26,1	29,5	32,6	35,7	38,7	41,7	44,7		
Общее снижение уровня звука препятствием Dz, дБ		Эн.сумма(-Dzi)	2	2,4	2,9	3,8	5,1	6,9	9	11,5	14,2		
Уровни звукового давления от источника ИШ-7-3 в расчётной точке днём, дБ		**ф-ла(3)[10]**	**11,6**	**9,2**	**0,5**	**0**	**0**	**0**	**0**	**0**	**0**	**0**	**0**

1		2	3	4	5	6	7	8	9	10	11	12	13
Источник шума: ИШ-7-4, координаты источника (x,y,z), м =[866.76,37.18,1.00]													
Уровни звуковой мощности источника днём, Lw, дБ		**исходные данные**	**77**	**75**	**67**	**66**	**63**	**55**	**53**	**48**	**51**		
Поправка на телесный угол DΩ, дБ	Ω = 12.57	10Lg(4π/Ω)	**0**	0	0	0	0	0	0	0	0		
Показатель направленности источника Di, дБ		исходные данные	**0**	0	0	0	0	0	0	0	0		
Поправка на направленность источника Dc, дБ	Dc	DΩ + Di	**0**	0	0	0	0	0	0	0	0		
Затухание из-за геометрической дивергенции, Adiv, дБ	расстояние = 517.57 м	ф-ла (7) [10]	**65,3**										
Коэффициент затухания звука в атмосфере α, дБ/км	Ta=20,°C Pa=101.33,кПа hотн.=70%	ф-ла (5) [9]	0,02	0,09	0,33	1,12	2,79	4,98	9,04	23,09	77,63		
Учет затухания звука в атмосфере Aatm, дБ		ф-ла (8) [10]	0	0	0,2	0,6	1,4	2,6	4,7	11,9	40,2		
Снижение поверхностью земли возле источника As, дБ	Gs = 0 hs = 1м	ф-лы таб.3 [10]	-1,5	-1,5	-1,5	-1,5	-1,5	-1,5	-1,5	-1,5	-1,5		
Снижение поверхностью земли возле приёмника Ar, дБ	Gr = 1 hr = 1.5м	ф-лы таб.3 [10]	-1,5	-1,5	3,1	7	5	0,7	0	0	0		
Снижение поверхностью земли в средней зоне, Am дБ	Gm = 1	ф-лы таб.3 [10]	-2,6	-2,6	0	0	0	0	0	0	0		
Суммарное снижение поверхностью земли на траектории распространения звука Agr, дБ		ф-ла (9) [10]	-5,6	-5,6	1,6	5,5	3,5	-0,8	-1,5	-1,5	-1,5		
Уровни звукового давления от источника ИШ-7-4 в расчётной точке днём, дБ		**ф-ла(3)[10]**	**17,3**	**15,2**	**0**	**0**	**0**	**0**	**0**	**0**	**0**	**0**	**0**
Источник шума: ИШ-7-5, координаты источника (x,y,z), м =[861.80,21.34,1.00]													
Уровни звуковой мощности источника днём, Lw, дБ		**исходные данные**	**77**	**75**	**67**	**66**	**63**	**55**	**53**	**48**	**51**		
Поправка на телесный угол DΩ, дБ	Ω = 12.57	10Lg(4π/Ω)	**0**	0	0	0	0	0	0	0	0		

1		2	3	4	5	6	7	8	9	10	11	12	13
Показатель направленности источника Di, дБ		исходные данные	**0**	0	0	0	0	0	0	0	0		
Поправка на направленность источника Dc, дБ	Dc	DΩ + Di	**0**	0	0	0	0	0	0	0	0		
Затухание из-за геометрической дивергенции, Adiv, дБ	расстояние = 510.73 м	ф-ла (7) [10]	**65,2**										
Коэффициент затухания звука в атмосфере α, дБ/км	Ta=20,°C Pa=101.33,кПа hотн.=70%	ф-ла (5) [9]	0,02	0,09	0,33	1,12	2,79	4,98	9,04	23,09	77,63		
Учет затухания звука в атмосфере Aatm, дБ		ф-ла (8) [10]	0	0	0,2	0,6	1,4	2,5	4,6	11,8	39,6		
Снижение уровня звукового давления из-за влияния застройки между источником шума и расчетной точкой													
Снижение уровня звукового давления препятствием слева от трассы ИШ-РТ, Dz2, дБ	z = -0.02м (разность путей)	ф-лы (14-18) [10]	4,7	4,6	4,4	4,1	3,2	0,7	NAN	NAN	NAN		
* отрицательное значение z означает прохождение траектории вблизи экрана, в этом случае дополнительно производится учёт снижения подстилающей поверхностью (см.ниже)													
Снижение поверхностью земли возле источника As, дБ	Gs = 0 hs = 1м	ф-лы таб.3 [10]	-1,5	-1,5	-1,5	-1,5	-1,5	-1,5	-1,5	-1,5	-1,5		
Снижение поверхностью земли возле приёмника Ar, дБ	Gr = 1 hr = 1.5м	ф-лы таб.3 [10]	-1,5	-1,5	3,1	7	5	0,7	0	0	0		
Снижение поверхностью земли в средней зоне, Am дБ	Gm = 1	ф-лы таб.3 [10]	-2,6	-2,6	0	0	0	0	0	0	0		
Суммарное снижение поверхностью земли на траектории распространения звука Agr, дБ		ф-ла (9) [10]	-5,6	-5,6	1,6	5,5	3,5	-0,8	-1,5	-1,5	-1,5		
Уровни звукового давления от источника ИШ-7-5 в расчётной точке днём, дБ		**ф-ла(3)[10]**	**12,7**	**10,7**	**0**	**0**	**0**	**0**	**0**	**0**	**0**	**0**	**0**
Источник шума: ИШ-7-6, координаты источника (x,y,z), м =[856.52,5.94,1.00]													
Уровни звуковой мощности источника днём, Lw, дБ		**исходные данные**	**77**	**75**	**67**	**66**	**63**	**55**	**53**	**48**	**51**		
Поправка на телесный угол DΩ, дБ	Ω = 12.57	10Lg(4π/Ω)	**0**	0	0	0	0	0	0	0	0		
Показатель направленности источника Di, дБ		исходные данные	**0**	0	0	0	0	0	0	0	0		

1		2	3	4	5	6	7	8	9	10	11	12	13
Поправка на направленность источника Dc, дБ	Dc	DΩ + Di	**0**	0	0	0	0	0	0	0	0		
Затухание из-за геометрической дивергенции, Adiv, дБ	расстояние = 504.05 м	ф-ла (7) [10]	**65**										
Коэффициент затухания звука в атмосфере α, дБ/км	Ta=20,°C Pa=101.33,кПа hотн.=70%	ф-ла (5) [9]	0,02	0,09	0,33	1,12	2,79	4,98	9,04	23,09	77,63		
Учет затухания звука в атмосфере Aatm, дБ		ф-ла (8) [10]	0	0	0,2	0,6	1,4	2,5	4,6	11,6	39,1		
Снижение уровня звукового давления из-за влияния застройки между источником шума и расчетной точкой													
Снижение уровня звукового давления на пути над экраном, Dz1, дБ	z = 0.14м (разность путей)	ф-лы (14-18) [10]	4,8	4,8	4,8	4,8	4,9	5,1	5,5	6,1	7,2		
Уровни звукового давления от источника ИШ-7-6 в расчётной точке днём, дБ		**ф-ла(3)[10]**	**7,2**	**5,1**	**0**	**0**	**0**	**0**	**0**	**0**	**0**	**0**	**0**
Источник шума: ИШ-7-7, координаты источника (x,y,z), м =[851.06,-9.89,1.00]													
Уровни звуковой мощности источника днём, Lw, дБ		**исходные данные**	**77**	**75**	**67**	**66**	**63**	**55**	**53**	**48**	**51**		
Поправка на телесный угол DΩ, дБ	Ω = 12.57	10Lg(4π/Ω)	**0**	0	0	0	0	0	0	0	0		
Показатель направленности источника Di, дБ		исходные данные	**0**	0	0	0	0	0	0	0	0		
Поправка на направленность источника Dc, дБ	Dc	DΩ + Di	**0**	0	0	0	0	0	0	0	0		
Затухание из-за геометрической дивергенции, Adiv, дБ	расстояние = 497.62 м	ф-ла (7) [10]	**64,9**										
Коэффициент затухания звука в атмосфере α, дБ/км	Ta=20,°C Pa=101.33,кПа hотн.=70%	ф-ла (5) [9]	0,02	0,09	0,33	1,12	2,79	4,98	9,04	23,09	77,63		
Учет затухания звука в атмосфере Aatm, дБ		ф-ла (8) [10]	0	0	0,2	0,6	1,4	2,5	4,5	11,5	38,6		
Снижение уровня звукового давления из-за влияния застройки между источником шума и расчетной точкой													

1		2	3	4	5	6	7	8	9	10	11	12	13
Снижение уровня звукового давления на пути над экраном, Dz1, дБ	z = 0.14м (разность путей)	ф-лы (14-18) [10]	4,8	4,8	4,8	4,9	5	5,2	5,6	6,4	7,5		
Уровни звукового давления от источника ИШ-7-7 в расчётной точке днём, дБ		**ф-ла(3)[10]**	**7,3**	**5,2**	**0**	**0**	**0**	**0**	**0**	**0**	**0**	**0**	**0**
Источник шума: ИШ-7-8, координаты источника (x,y,z), м =[821.90,-104.30,1.00]													
Уровни звуковой мощности источника днём, Lw, дБ		**исходные данные**	**77**	**75**	**67**	**66**	**63**	**55**	**53**	**48**	**51**		
Поправка на телесный угол DΩ, дБ	Ω = 12.57	10Lg(4π/Ω)	**0**	0	0	0	0	0	0	0	0		
Показатель направленности источника Di, дБ		исходные данные	**0**	0	0	0	0	0	0	0	0		
Поправка на направленность источника Dc, дБ	Dc	DΩ + Di	**0**	0	0	0	0	0	0	0	0		
Затухание из-за геометрической дивергенции, Adiv, дБ	расстояние = 473.34 м	ф-ла (7) [10]	**64,5**										
Коэффициент затухания звука в атмосфере α, дБ/км	Ta=20,°C Pa=101.33,кПа hотн.=70%	ф-ла (5) [9]	0,02	0,09	0,33	1,12	2,79	4,98	9,04	23,09	77,63		
Учет затухания звука в атмосфере Aatm, дБ		ф-ла (8) [10]	0	0	0,2	0,5	1,3	2,4	4,3	10,9	36,7		
Снижение уровня звукового давления из-за влияния застройки между источником шума и расчетной точкой													
Снижение уровня звукового давления на пути над экраном, Dz1, дБ	z = 0.20м (разность путей)	ф-лы (14-18) [10]	4,8	4,8	4,9	5,1	5,5	6,3	7,5	9,1	11,3		
Уровни звукового давления от источника ИШ-7-8 в расчётной точке днём, дБ		**ф-ла(3)[10]**	**7,7**	**5,6**	**0**	**0**	**0**	**0**	**0**	**0**	**0**	**0**	**0**
Источник шума: ИШ-7-9, координаты источника (x,y,z), м =[819.93,-110.97,1.00]													
Уровни звуковой мощности источника днём, Lw, дБ		**исходные данные**	**77**	**75**	**67**	**66**	**63**	**55**	**53**	**48**	**51**		
Поправка на телесный угол DΩ, дБ	Ω = 12.57	10Lg(4π/Ω)	**0**	0	0	0	0	0	0	0	0		

1		2	3	4	5	6	7	8	9	10	11	12	13
Показатель направленности источника Di, дБ		исходные данные	**0**	0	0	0	0	0	0	0	0		
Поправка на направленность источника Dc, дБ	Dc	DΩ + Di	**0**	0	0	0	0	0	0	0	0		
Затухание из-за геометрической дивергенции, Adiv, дБ	расстояние = 472.45 м	ф-ла (7) [10]	**64,5**										
Коэффициент затухания звука в атмосфере α, дБ/км	Ta=20,°C Pa=101.33,кПа hотн.=70%	ф-ла (5) [9]	0,02	0,09	0,33	1,12	2,79	4,98	9,04	23,09	77,63		
Учет затухания звука в атмосфере Aatm, дБ		ф-ла (8) [10]	0	0	0,2	0,5	1,3	2,4	4,3	10,9	36,7		
Снижение уровня звукового давления из-за влияния застройки между источником шума и расчетной точкой													
Снижение уровня звукового давления на пути над экраном, Dz1, дБ	z = 0.19м (разность путей)	ф-лы (14-18) [10]	4,8	4,8	4,8	4,9	5,2	5,8	7	8,7	10,8		
Уровни звукового давления от источника ИШ-7-9 в расчётной точке днём, дБ		**ф-ла(3)[10]**	**7,7**	**5,7**	**0**	**0**	**0**	**0**	**0**	**0**	**0**	**0**	**0**
Источник шума: ИШ-7-10, координаты источника (x,y,z), м =[868.68,92.66,1.00]													
Уровни звуковой мощности источника днём, Lw, дБ		**исходные данные**	**77**	**75**	**67**	**66**	**63**	**55**	**53**	**48**	**51**		
Поправка на телесный угол DΩ, дБ	Ω = 12.57	10Lg(4π/Ω)	**0**	0	0	0	0	0	0	0	0		
Показатель направленности источника Di, дБ		исходные данные	**0**	0	0	0	0	0	0	0	0		
Поправка на направленность источника Dc, дБ	Dc	DΩ + Di	**0**	0	0	0	0	0	0	0	0		
Затухание из-за геометрической дивергенции, Adiv, дБ	расстояние = 529.81 м	ф-ла (7) [10]	**65,5**										
Коэффициент затухания звука в атмосфере α, дБ/км	Ta=20,°C Pa=101.33,кПа hотн.=70%	ф-ла (5) [9]	0,02	0,09	0,33	1,12	2,79	4,98	9,04	23,09	77,63		
Учет затухания звука в атмосфере Aatm, дБ		ф-ла (8) [10]	0	0	0,2	0,6	1,5	2,6	4,8	12,2	41,1		

1		2	3	4	5	6	7	8	9	10	11	12	13
Снижение поверхностью земли возле источника As, дБ	Gs = 0 hs = 1м	ф-лы таб.3 [10]	-1,5	-1,5	-1,5	-1,5	-1,5	-1,5	-1,5	-1,5	-1,5		
Снижение поверхностью земли возле приёмника Ar, дБ	Gr = 1 hr = 1.5м	ф-лы таб.3 [10]	-1,5	-1,5	3,2	7	5	0,7	0	0	0		
Снижение поверхностью земли в средней зоне, Am дБ	Gm = 1	ф-лы таб.3 [10]	-2,6	-2,6	0	0	0	0	0	0	0		
Суммарное снижение поверхностью земли на траектории распространения звука Agr, дБ		ф-ла (9) [10]	-5,6	-5,6	1,7	5,5	3,5	-0,8	-1,5	-1,5	-1,5		
Уровни звукового давления от источника ИШ-7-10 в расчётной точке днём, дБ		**ф-ла(3)[10]**	**17,1**	**15**	**0**	**0**	**0**	**0**	**0**	**0**	**0**	**0**	**0**
Источник шума: ИШ-7-11, координаты источника (x,y,z), м =[877.95,88.75,1.00]													
Уровни звуковой мощности источника днём, Lw, дБ		**исходные данные**	**77**	**75**	**67**	**66**	**63**	**55**	**53**	**48**	**51**		
Поправка на телесный угол DΩ, дБ	Ω = 12.57	10Lg(4π/Ω)	**0**	0	0	0	0	0	0	0	0		
Показатель направленности источника Di, дБ		исходные данные	**0**	0	0	0	0	0	0	0	0		
Поправка на направленность источника Dc, дБ	Dc	DΩ + Di	**0**	0	0	0	0	0	0	0	0		
Затухание из-за геометрической дивергенции, Adiv, дБ	расстояние = 537.93 м	ф-ла (7) [10]	**65,6**										
Коэффициент затухания звука в атмосфере α, дБ/км	Ta=20,°C Pa=101.33,кПа hотн.=70%	ф-ла (5) [9]	0,02	0,09	0,33	1,12	2,79	4,98	9,04	23,09	77,63		
Учет затухания звука в атмосфере Aatm, дБ		ф-ла (8) [10]	0	0	0,2	0,6	1,5	2,7	4,9	12,4	41,8		
Снижение поверхностью земли возле источника As, дБ	Gs = 0 hs = 1м	ф-лы таб.3 [10]	-1,5	-1,5	-1,5	-1,5	-1,5	-1,5	-1,5	-1,5	-1,5		
Снижение поверхностью земли возле приёмника Ar, дБ	Gr = 1 hr = 1.5м	ф-лы таб.3 [10]	-1,5	-1,5	3,3	7	5	0,7	0	0	0		
Снижение поверхностью земли в средней зоне, Am дБ	Gm = 1	ф-лы таб.3 [10]	-2,6	-2,6	0	0	0	0	0	0	0		

1		2	3	4	5	6	7	8	9	10	11	12	13
Суммарное снижение поверхностью земли на траектории распространения звука Agr, дБ		ф-ла (9) [10]	-5,6	-5,6	1,8	5,5	3,5	-0,8	-1,5	-1,5	-1,5		
Уровни звукового давления от источника ИШ-7-11 в расчётной точке днём, дБ		**ф-ла(3)[10]**	**17**	**14,9**	**0**	**0**	**0**	**0**	**0**	**0**	**0**	**0**	**0**
Источник шума: ИШ-7-12, координаты источника (x,y,z), м =[887.42,85.45,1.00]													
Уровни звуковой мощности источника днём, Lw, дБ		**исходные данные**	**77**	**75**	**67**	**66**	**63**	**55**	**53**	**48**	**51**		
Поправка на телесный угол DΩ, дБ	Ω = 12.57	10Lg(4π/Ω)	**0**	0	0	0	0	0	0	0	0		
Показатель направленности источника Di, дБ		исходные данные	**0**	0	0	0	0	0	0	0	0		
Поправка на направленность источника Dc, дБ	Dc	DΩ + Di	**0**	0	0	0	0	0	0	0	0		
Затухание из-за геометрической дивергенции, Adiv, дБ	расстояние = 546.43 м	ф-ла (7) [10]	**65,8**										
Коэффициент затухания звука в атмосфере α, дБ/км	Ta=20,°C Pa=101.33,кПа hотн.=70%	ф-ла (5) [9]	0,02	0,09	0,33	1,12	2,79	4,98	9,04	23,09	77,63		
Учет затухания звука в атмосфере Aatm, дБ		ф-ла (8) [10]	0	0	0,2	0,6	1,5	2,7	4,9	12,6	42,4		
Снижение поверхностью земли возле источника As, дБ	Gs = 0 hs = 1м	ф-лы таб.3 [10]	-1,5	-1,5	-1,5	-1,5	-1,5	-1,5	-1,5	-1,5	-1,5		
Снижение поверхностью земли возле приёмника Ar, дБ	Gr = 1 hr = 1.5м	ф-лы таб.3 [10]	-1,5	-1,5	3,3	7	5	0,7	0	0	0		
Снижение поверхностью земли в средней зоне, Am дБ	Gm = 1	ф-лы таб.3 [10]	-2,6	-2,6	0	0	0	0	0	0	0		
Суммарное снижение поверхностью земли на траектории распространения звука Agr, дБ		ф-ла (9) [10]	-5,6	-5,6	1,8	5,5	3,5	-0,8	-1,5	-1,5	-1,5		
Уровни звукового давления от источника ИШ-7-12 в расчётной точке днём, дБ		**ф-ла(3)[10]**	**16,8**	**14,8**	**0**	**0**	**0**	**0**	**0**	**0**	**0**	**0**	**0**
Источник шума: ИШ-6-23, координаты источника (x,y,z), м =[756.16,-136.23,3.00]													

1		2	3	4	5	6	7	8	9	10	11	12	13
Уровни звуковой мощности источника днём, Lw, дБ		**исходные данные**	**91**	**91**	**91**	**91**	**91**	**91**	**91**	**91**	**91**		
Поправка на телесный угол DΩ, дБ	Ω = 12.57	10Lg(4π/Ω)	**0**	0	0	0	0	0	0	0	0		
Показатель направленности источника Di, дБ		исходные данные	**0**	0	0	0	0	0	0	0	0		
Поправка на направленность источника Dc, дБ	Dc	DΩ + Di	**0**	0	0	0	0	0	0	0	0		
Затухание из-за геометрической дивергенции, Adiv, дБ	расстояние = 415.24 м	ф-ла (7) [10]	**63,4**										
Коэффициент затухания звука в атмосфере α, дБ/км	Ta=20,°C Pa=101.33,кПа hотн.=70%	ф-ла (5) [9]	0,02	0,09	0,33	1,12	2,79	4,98	9,04	23,09	77,63		
Учет затухания звука в атмосфере Aatm, дБ		ф-ла (8) [10]	0	0	0,1	0,5	1,2	2,1	3,8	9,6	32,2		
Снижение уровня звукового давления из-за влияния застройки между источником шума и расчетной точкой													
Снижение уровня звукового давления препятствием слева от трассы ИШ-РТ, Dz2, дБ	z = -0.40м (разность путей)	ф-лы (14-18) [10]	1,8	0	NAN	NAN	NAN	NAN	NAN	NAN	NAN		
* отрицательное значение z означает прохождение траектории вблизи экрана, в этом случае дополнительно производится учёт снижения подстилающей поверхностью (см.ниже)													
Снижение поверхностью земли возле источника As, дБ	Gs = 0 hs = 3м	ф-лы таб.3 [10]	-1,5	-1,5	-1,5	-1,5	-1,5	-1,5	-1,5	-1,5	-1,5		
Снижение поверхностью земли возле приёмника Ar, дБ	Gr = 1 hr = 1.5м	ф-лы таб.3 [10]	-1,5	-1,5	2,5	7	5	0,7	0	0	0		
Снижение поверхностью земли в средней зоне, Am дБ	Gm = 1	ф-лы таб.3 [10]	-2	-2	0	0	0	0	0	0	0		
Суммарное снижение поверхностью земли на траектории распространения звука Agr, дБ		ф-ла (9) [10]	-5	-5	1	5,5	3,5	-0,8	-1,5	-1,5	-1,5		
Уровни звукового давления прямого звука от источника ИШ-6-23 в расчётной точке днём, дБ		**ф-ла(3)[10]**	**30,9**	**32,6**	**26,5**	**21,6**	**23**	**26,4**	**25,4**	**19,5**	**0**	**30,5**	**30,5**
Расчёт отражённого звука													
Уровни звукового давления от мнимого источника ИШ-6-23_мн.(1) в расчётной точке днём, дБ		**ф-ла(3)[10]**	**0**	**0**	**0**	**0**	**0**	**0**	**0**	**0**	**0**	**0**	**0**
Уровни звукового давления от источника ИШ-6-23 в расчётной точке днём, дБ		**ф-ла(3)[10]**	**30,9**	**32,6**	**26,5**	**21,6**	**23**	**26,4**	**25,4**	**19,5**	**0**	**30,5**	**30,5**

1		2	3	4	5	6	7	8	9	10	11	12	13
Источник шума: ИШ-6-24, координаты источника (x,y,z), м =[800.98,-151.27,3.00]													
Уровни звуковой мощности источника днём, Lw, дБ		**исходные данные**	**91**	**91**	**91**	**91**	**91**	**91**	**91**	**91**	**91**		
Поправка на телесный угол DΩ, дБ	Ω = 12.57	10Lg(4π/Ω)	**0**	0	0	0	0	0	0	0	0		
Показатель направленности источника Di, дБ		исходные данные	**0**	0	0	0	0	0	0	0	0		
Поправка на направленность источника Dc, дБ	Dc	DΩ + Di	**0**	0	0	0	0	0	0	0	0		
Затухание из-за геометрической дивергенции, Adiv, дБ	расстояние = 462.41 м	ф-ла (7) [10]	**64,3**										
Коэффициент затухания звука в атмосфере α, дБ/км	Ta=20,°C Pa=101.33,кПа hотн.=70%	ф-ла (5) [9]	0,02	0,09	0,33	1,12	2,79	4,98	9,04	23,09	77,63		
Учет затухания звука в атмосфере Aatm, дБ		ф-ла (8) [10]	0	0	0,2	0,5	1,3	2,3	4,2	10,7	35,9		
Снижение уровня звукового давления из-за влияния застройки между источником шума и расчетной точкой													
Снижение уровня звукового давления препятствием слева от трассы ИШ-РТ, Dz2, дБ	z = -0.38м (разность путей)	ф-лы (14-18) [10]	2	0	NAN	NAN	NAN	NAN	NAN	NAN	NAN		
* отрицательное значение z означает прохождение траектории вблизи экрана, в этом случае дополнительно производится учёт снижения подстилающей поверхностью (см.ниже)													
Снижение поверхностью земли возле источника As, дБ	Gs = 0 hs = 3м	ф-лы таб.3 [10]	-1,5	-1,5	-1,5	-1,5	-1,5	-1,5	-1,5	-1,5	-1,5		
Снижение поверхностью земли возле приёмника Ar, дБ	Gr = 1 hr = 1.5м	ф-лы таб.3 [10]	-1,5	-1,5	2,8	7	5	0,7	0	0	0		
Снижение поверхностью земли в средней зоне, Am дБ	Gm = 1	ф-лы таб.3 [10]	-2,1	-2,1	0	0	0	0	0	0	0		
Суммарное снижение поверхностью земли на траектории распространения звука Agr, дБ		ф-ла (9) [10]	-5,1	-5,1	1,3	5,5	3,5	-0,8	-1,5	-1,5	-1,5		
Уровни звукового давления прямого звука от источника ИШ-6-24 в расчётной точке днём, дБ		**ф-ла(3)[10]**	**29,8**	**31,8**	**25,2**	**20,6**	**21,9**	**25,2**	**24**	**17,5**	**0**	**29,2**	**29,2**
Расчёт отражённого звука													

1		2	3	4	5	6	7	8	9	10	11	12	13
Уровни звукового давления от мнимого источника ИШ-6-24_мн.(1) в расчётной точке днём, дБ		**ф-ла(3)[10]**	**0**	**0**	**0**	**0**	**0**	**0**	**0**	**0**	**0**	**0**	**0**
Уровни звукового давления от источника ИШ-6-24 в расчётной точке днём, дБ		**ф-ла(3)[10]**	**29,8**	**31,8**	**25,2**	**20,6**	**21,9**	**25,2**	**24**	**17,5**	**0**	**29,2**	**29,2**
Источник шума: ИШ-8-1, координаты источника (x,y,z), м =[612.60,-227.70,3.00]													
Уровни звуковой мощности источника днём, Lw, дБ		**исходные данные**	**105**	**104**	**104**	**101**	**102**	**106**	**101**	**95**	**87**		
Поправка на телесный угол DΩ, дБ	Ω = 6.28	10Lg(4π/Ω)	**3**	3	3	3	3	3	3	3	3		
Показатель направленности источника Di, дБ		исходные данные	**0**	0	0	0	0	0	0	0	0		
Поправка на направленность источника Dc, дБ	Dc	DΩ + Di	**3**	3	3	3	3	3	3	3	3		
Затухание из-за геометрической дивергенции, Adiv, дБ	расстояние = 323.76 м	ф-ла (7) [10]	**61,2**										
Коэффициент затухания звука в атмосфере α, дБ/км	Ta=20,°C Pa=101.33,кПа hотн.=70%	ф-ла (5) [9]	0,02	0,09	0,33	1,12	2,79	4,98	9,04	23,09	77,63		
Учет затухания звука в атмосфере Aatm, дБ		ф-ла (8) [10]	0	0	0,1	0,4	0,9	1,6	2,9	7,5	25,1		
Снижение уровня звукового давления из-за влияния застройки между источником шума и расчетной точкой													
Снижение уровня звукового давления на пути над экраном, Dz1, дБ	z = 4.30м (разность путей)	ф-лы (14-18) [10]	12,1	14,8	17,6	20,9	25	29,5	33,5	36,9	40		
Снижение уровня звукового давления на пути слева от экрана, Dz2, дБ	z = 59.93м (разность путей)	ф-лы (14-18) [10]	25,3	29,8	33,7	37,1	40,2	43,2	46,3	49,3	52,3		
Снижение уровня звукового давления на пути справа от экрана, Dz3, дБ	z = 0.05м (разность путей)	ф-лы (14-18) [10]	5	5,3	5,8	6,6	7,8	9,6	11,8	14,4	17,2		
Общее снижение уровня звука препятствием Dz, дБ		Эн.сумма(-Dzi)	4,2	4,8	5,5	6,4	7,7	9,5	11,8	14,4	17,1		
Уровни звукового давления от источника ИШ-8-1 в расчётной точке днём, дБ		**ф-ла(3)[10]**	**42,6**	**41**	**40,2**	**36**	**35,2**	**36,6**	**28,1**	**15**	**0**	**39**	**39**

1		2	3	4	5	6	7	8	9	10	11	12	13
Источник шума: ИШ-8-2, координаты источника (x,y,z), м =[596.60,-275.00,3.00]													
Уровни звуковой мощности источника днём, Lw, дБ		**исходные данные**	**105**	**104**	**104**	**101**	**102**	**106**	**101**	**95**	**87**		
Поправка на телесный угол DΩ, дБ	Ω = 6.28	10Lg(4π/Ω)	**3**	3	3	3	3	3	3	3	3		
Показатель направленности источника Di, дБ		исходные данные	**0**	0	0	0	0	0	0	0	0		
Поправка на направленность источника Dc, дБ	Dc	DΩ + Di	**3**	3	3	3	3	3	3	3	3		
Затухание из-за геометрической дивергенции, Adiv, дБ	расстояние = 342.73 м	ф-ла (7) [10]	**61,7**										
Коэффициент затухания звука в атмосфере α, дБ/км	Ta=20,°C Pa=101.33,кПа hотн.=70%	ф-ла (5) [9]	0,02	0,09	0,33	1,12	2,79	4,98	9,04	23,09	77,63		
Учет затухания звука в атмосфере Aatm, дБ		ф-ла (8) [10]	0	0	0,1	0,4	1	1,7	3,1	7,9	26,6		
Снижение уровня звукового давления из-за влияния застройки между источником шума и расчетной точкой													
Снижение уровня звукового давления на пути над экраном, Dz1, дБ	z = 5.19м (разность путей)	ф-лы (14-18) [10]	16,3	19,9	23	26,1	29,1	32,1	35,1	38,1	41,1		
Снижение уровня звукового давления на пути слева от экрана, Dz2, дБ	z = 51.73м (разность путей)	ф-лы (14-18) [10]	24,7	29,2	33,1	36,5	39,6	42,6	45,6	48,6	51,6		
Снижение уровня звукового давления на пути справа от экрана, Dz3, дБ	z = 1.99м (разность путей)	ф-лы (14-18) [10]	13,1	16,5	19,5	22,5	25,5	28,5	31,5	34,5	37,5		
Общее снижение уровня звука препятствием Dz, дБ		Эн.сумма(-Dzi)	11,2	14,7	17,8	20,8	23,8	26,8	29,8	32,8	35,8		
Общее снижение уровня звука препятствием с учётом ограничения (25 дБ) для октавных полос Dz, дБ		Раздел 7.4 [10]	11,2	14,7	17,8	20,8	23,8	25	25	25	25		
Уровни звукового давления прямого звука от источника ИШ-8-2 в расчётной точке днём, дБ		**ф-ла(3)[10]**	**35,1**	**30,6**	**27,4**	**21,1**	**18,6**	**20,6**	**14,2**	**3,4**	**0**	**23,5**	**23,5**
Расчёт отражённого звука													

1		2	3	4	5	6	7	8	9	10	11	12	13
Уровни звукового давления от мнимого источника ИШ-8-2_мн.(1) в расчётной точке днём, дБ		**ф-ла(3)[10]**	**0**	**0**	**0**	**0**	**0**	**0**	**0**	**0**	**0**	**0**	**0**
Уровни звукового давления от источника ИШ-8-2 в расчётной точке днём, дБ		**ф-ла(3)[10]**	**35,1**	**30,6**	**27,4**	**21,1**	**18,6**	**20,6**	**14,2**	**3,4**	**0**	**23,5**	**23,5**
Источник шума: ИШ-8-3, координаты источника (x,y,z), м =[564.90,-369.90,3.00]													
Уровни звуковой мощности источника днём, Lw, дБ		**исходные данные**	**105**	**104**	**104**	**101**	**102**	**106**	**101**	**95**	**87**		
Поправка на телесный угол DΩ, дБ	Ω = 6.28	10Lg(4π/Ω)	**3**	3	3	3	3	3	3	3	3		
Показатель направленности источника Di, дБ		исходные данные	**0**	0	0	0	0	0	0	0	0		
Поправка на направленность источника Dc, дБ	Dc	DΩ + Di	**3**	3	3	3	3	3	3	3	3		
Затухание из-за геометрической дивергенции, Adiv, дБ	расстояние = 397.53 м	ф-ла (7) [10]	**63**										
Коэффициент затухания звука в атмосфере α, дБ/км	Ta=20,°C Pa=101.33,кПа hотн.=70%	ф-ла (5) [9]	0,02	0,09	0,33	1,12	2,79	4,98	9,04	23,09	77,63		
Учет затухания звука в атмосфере Aatm, дБ		ф-ла (8) [10]	0	0	0,1	0,4	1,1	2	3,6	9,2	30,9		
Снижение уровня звукового давления из-за влияния застройки между источником шума и расчетной точкой													
Снижение уровня звукового давления на пути над экраном, Dz1, дБ	z = 5.94м (разность путей)	ф-лы (14-18) [10]	13,4	16,3	19,7	24	28,5	32,2	35,4	38,5	41,5		
Снижение уровня звукового давления на пути слева от экрана, Dz2, дБ	z = 17.09м (разность путей)	ф-лы (14-18) [10]	22,7	25,8	28,8	31,8	34,8	37,8	40,8	43,8	46,8		
Снижение уровня звукового давления на пути справа от экрана, Dz3, дБ	z = 1.82м (разность путей)	ф-лы (14-18) [10]	13,5	16,3	19,2	22,1	25,1	28,1	31,1	34,1	37,1		
Общее снижение уровня звука препятствием Dz, дБ		Эн.сумма(-Dzi)	10,2	13,1	16,2	19,7	23,2	26,3	29,4	32,4	35,4		
Общее снижение уровня звука препятствием с учётом ограничения (25 дБ) для октавных полос Dz, дБ		Раздел 7.4 [10]	10,2	13,1	16,2	19,7	23,2	25	25	25	25		

1		2	3	4	5	6	7	8	9	10	11	12	13
Уровни звукового давления от источника ИШ-8-3 в расчётной точке днём, дБ		**ф-ла(3)[10]**	**34,8**	**30,9**	**27,7**	**20,9**	**17,8**	**19**	**12,4**	**0,8**	**0**	**22,3**	**22,3**
Источник шума: ИШ-9-1, координаты источника (x,y,z), м =[642.94,-357.54,1.00]													
Уровни звуковой мощности источника днём, Lw, дБ		**исходные данные**	**0**	**93,3**	**94,7**	**96**	**96,3**	**95,9**	**92,6**	**88,4**	**83,9**		
Поправка на телесный угол DΩ, дБ	Ω = 6.28	10Lg(4π/Ω)	**3**	3	3	3	3	3	3	3	3		
Показатель направленности источника Di, дБ		исходные данные	**0**	0	0	0	0	0	0	0	0		
Поправка на направленность источника Dc, дБ	Dc	DΩ + Di	**3**	3	3	3	3	3	3	3	3		
Затухание из-за геометрической дивергенции, Adiv, дБ	расстояние = 434.59 м	ф-ла (7) [10]	**63,8**										
Коэффициент затухания звука в атмосфере α, дБ/км	Ta=20,°C Pa=101.33,кПа hотн.=70%	ф-ла (5) [9]	0,02	0,09	0,33	1,12	2,79	4,98	9,04	23,09	77,63		
Учет затухания звука в атмосфере Aatm, дБ		ф-ла (8) [10]	0	0	0,1	0,5	1,2	2,2	3,9	10	33,7		
Снижение уровня звукового давления из-за влияния застройки между источником шума и расчетной точкой													
Снижение уровня звукового давления на пути над экраном, Dz1, дБ	z = 5.43м (разность путей)	ф-лы (14-18) [10]	12,9	15,7	18,9	22,9	27,4	31,4	34,8	37,9	41		
Снижение уровня звукового давления на пути слева от экрана, Dz2, дБ	z = 47.41м (разность путей)	ф-лы (14-18) [10]	24,3	28,8	32,7	36,1	39,2	42,2	45,2	48,3	51,3		
Снижение уровня звукового давления на пути справа от экрана, Dz3, дБ	z = 0.43м (разность путей)	ф-лы (14-18) [10]	6,6	7,9	9,7	12	14,6	17,3	20,2	23,2	26,1		
Общее снижение уровня звука препятствием Dz, дБ		Эн.сумма(-Dzi)	5,7	7,2	9,2	11,6	14,3	17,1	20,1	23	26		
Общее снижение уровня звука препятствием с учётом ограничения (25 дБ) для октавных полос Dz, дБ		Раздел 7.4 [10]	5,7	7,2	9,2	11,6	14,3	17,1	20,1	23	25		
Уровни звукового давления от источника ИШ-9-1 в расчётной точке днём, дБ		**ф-ла(3)[10]**	**0**	**25,3**	**24,6**	**23,1**	**20**	**15,8**	**7,8**	**0**	**0**	**21,1**	**21,1**

1		2	3	4	5	6	7	8	9	10	11	12	13
Источник шума: ИШ-9-2, координаты источника (x,y,z), м =[644.14,-354.83,1.00]													
Уровни звуковой мощности источника днём, Lw, дБ		**исходные данные**	**0**	**93,3**	**94,7**	**96**	**96,3**	**95,9**	**92,6**	**88,4**	**83,9**		
Поправка на телесный угол DΩ, дБ	Ω = 6.28	10Lg(4π/Ω)	**3**	3	3	3	3	3	3	3	3		
Показатель направленности источника Di, дБ		исходные данные	**0**	0	0	0	0	0	0	0	0		
Поправка на направленность источника Dc, дБ	Dc	DΩ + Di	**3**	3	3	3	3	3	3	3	3		
Затухание из-за геометрической дивергенции, Adiv, дБ	расстояние = 433.37 м	ф-ла (7) [10]	**63,7**										
Коэффициент затухания звука в атмосфере α, дБ/км	Ta=20,°C Pa=101.33,кПа hотн.=70%	ф-ла (5) [9]	0,02	0,09	0,33	1,12	2,79	4,98	9,04	23,09	77,63		
Учет затухания звука в атмосфере Aatm, дБ		ф-ла (8) [10]	0	0	0,1	0,5	1,2	2,2	3,9	10	33,6		
Снижение уровня звукового давления из-за влияния застройки между источником шума и расчетной точкой													
Снижение уровня звукового давления на пути над экраном, Dz1, дБ	z = 5.41м (разность путей)	ф-лы (14-18) [10]	12,9	15,7	18,9	22,8	27,4	31,4	34,8	37,9	41		
Снижение уровня звукового давления на пути слева от экрана, Dz2, дБ	z = 47.77м (разность путей)	ф-лы (14-18) [10]	24,3	28,8	32,8	36,1	39,2	42,3	45,3	48,3	51,3		
Снижение уровня звукового давления на пути справа от экрана, Dz3, дБ	z = 0.42м (разность путей)	ф-лы (14-18) [10]	6,6	7,8	9,6	11,8	14,4	17,2	20	23	26		
Общее снижение уровня звука препятствием Dz, дБ		Эн.сумма(-Dzi)	5,6	7,2	9,1	11,5	14,2	17	19,9	22,8	25,8		
Общее снижение уровня звука препятствием с учётом ограничения (25 дБ) для октавных полос Dz, дБ		Раздел 7.4 [10]	5,6	7,2	9,1	11,5	14,2	17	19,9	22,8	25		
Уровни звукового давления от источника ИШ-9-2 в расчётной точке днём, дБ		**ф-ла(3)[10]**	**0**	**25,4**	**24,7**	**23,3**	**20,2**	**16**	**8,1**	**0**	**0**	**21,3**	**21,3**
Источник шума: ИШ-9-3, координаты источника (x,y,z), м =[644.98,-351.85,1.00]													

1		2	3	4	5	6	7	8	9	10	11	12	13
Уровни звуковой мощности источника днём, Lw, дБ		**исходные данные**	**0**	**93,3**	**94,7**	**96**	**96,3**	**95,9**	**92,6**	**88,4**	**83,9**		
Поправка на телесный угол DΩ, дБ	Ω = 6.28	10Lg(4π/Ω)	**3**	3	3	3	3	3	3	3	3		
Показатель направленности источника Di, дБ		исходные данные	**0**	0	0	0	0	0	0	0	0		
Поправка на направленность источника Dc, дБ	Dc	DΩ + Di	**3**	3	3	3	3	3	3	3	3		
Затухание из-за геометрической дивергенции, Adiv, дБ	расстояние = 431.73 м	ф-ла (7) [10]	**63,7**										
Коэффициент затухания звука в атмосфере α, дБ/км	Ta=20,°C Pa=101.33,кПа hотн.=70%	ф-ла (5) [9]	0,02	0,09	0,33	1,12	2,79	4,98	9,04	23,09	77,63		
Учет затухания звука в атмосфере Aatm, дБ		ф-ла (8) [10]	0	0	0,1	0,5	1,2	2,1	3,9	10	33,5		
Снижение уровня звукового давления из-за влияния застройки между источником шума и расчетной точкой													
Снижение уровня звукового давления на пути над экраном, Dz1, дБ	z = 5.38м (разность путей)	ф-лы (14-18) [10]	12,9	15,7	18,8	22,8	27,3	31,4	34,8	37,9	40,9		
Снижение уровня звукового давления на пути слева от экрана, Dz2, дБ	z = 48.12м (разность путей)	ф-лы (14-18) [10]	24,3	28,9	32,8	36,2	39,3	42,3	45,3	48,3	51,3		
Снижение уровня звукового давления на пути справа от экрана, Dz3, дБ	z = 0.40м (разность путей)	ф-лы (14-18) [10]	6,5	7,8	9,5	11,7	14,2	17	19,9	22,8	25,8		
Общее снижение уровня звука препятствием Dz, дБ		Эн.сумма(-Dzi)	5,6	7,1	9	11,4	14	16,8	19,7	22,7	25,6		
Общее снижение уровня звука препятствием с учётом ограничения (25 дБ) для октавных полос Dz, дБ		Раздел 7.4 [10]	5,6	7,1	9	11,4	14	16,8	19,7	22,7	25		
Уровни звукового давления от источника ИШ-9-3 в расчётной точке днём, дБ		**ф-ла(3)[10]**	**0**	**25,5**	**24,9**	**23,5**	**20,4**	**16,2**	**8,3**	**0**	**0**	**21,5**	**21,5**
Источник шума: ИШ-9-4, координаты источника (x,y,z), м =[646.01,-349.15,1.00]													
Уровни звуковой мощности источника днём, Lw, дБ		**исходные данные**	**0**	**93,3**	**94,7**	**96**	**96,3**	**95,9**	**92,6**	**88,4**	**83,9**		

1		2	3	4	5	6	7	8	9	10	11	12	13
Поправка на телесный угол DΩ, дБ	Ω = 6.28	10Lg(4π/Ω)	**3**	3	3	3	3	3	3	3	3		
Показатель направленности источника Di, дБ		исходные данные	**0**	0	0	0	0	0	0	0	0		
Поправка на направленность источника Dc, дБ	Dc	DΩ + Di	**3**	3	3	3	3	3	3	3	3		
Затухание из-за геометрической дивергенции, Adiv, дБ	расстояние = 430.43 м	ф-ла (7) [10]	**63,7**										
Коэффициент затухания звука в атмосфере α, дБ/км	Та=20,°С Ра=101.33,кПа hотн.=70%	ф-ла (5) [9]	0,02	0,09	0,33	1,12	2,79	4,98	9,04	23,09	77,63		
Учет затухания звука в атмосфере Aatm, дБ		ф-ла (8) [10]	0	0	0,1	0,5	1,2	2,1	3,9	9,9	33,4		
Снижение уровня звукового давления из-за влияния застройки между источником шума и расчетной точкой													
Снижение уровня звукового давления на пути над экраном, Dz1, дБ	z = 5.36м (разность путей)	ф-лы (14-18) [10]	12,9	15,6	18,8	22,8	27,3	31,3	34,8	37,9	40,9		
Снижение уровня звукового давления на пути слева от экрана, Dz2, дБ	z = 48.47м (разность путей)	ф-лы (14-18) [10]	24,4	28,9	32,8	36,2	39,3	42,3	45,3	48,4	51,4		
Снижение уровня звукового давления на пути справа от экрана, Dz3, дБ	z = 0.38м (разность путей)	ф-лы (14-18) [10]	6,5	7,7	9,4	11,5	14,1	16,8	19,7	22,6	25,6		
Общее снижение уровня звука препятствием Dz, дБ		Эн.сумма(-Dzi)	5,5	7	8,9	11,2	13,9	16,7	19,5	22,5	25,5		
Общее снижение уровня звука препятствием с учётом ограничения (25 дБ) для октавных полос Dz, дБ		Раздел 7.4 [10]	5,5	7	8,9	11,2	13,9	16,7	19,5	22,5	25		
Уровни звукового давления от источника ИШ-9-4 в расчётной точке днём, дБ		**ф-ла(3)[10]**	**0**	**25,6**	**25**	**23,6**	**20,6**	**16,4**	**8,5**	**0**	**0**	**21,7**	**21,7**
Источник шума: ИШ-9-5, координаты источника (x,y,z), м =[646.84,-346.17,1.00]													
Уровни звуковой мощности источника днём, Lw, дБ		**исходные данные**	**0**	**93,3**	**94,7**	**96**	**96,3**	**95,9**	**92,6**	**88,4**	**83,9**		
Поправка на телесный угол DΩ, дБ	Ω = 6.28	10Lg(4π/Ω)	**3**	3	3	3	3	3	3	3	3		

1		2	3	4	5	6	7	8	9	10	11	12	13
Показатель направленности источника Di, дБ		исходные данные	**0**	0	0	0	0	0	0	0	0		
Поправка на направленность источника Dc, дБ	Dc	DΩ + Di	**3**	3	3	3	3	3	3	3	3		
Затухание из-за геометрической дивергенции, Adiv, дБ	расстояние = 428.82 м	ф-ла (7) [10]	**63,6**										
Коэффициент затухания звука в атмосфере α, дБ/км	Ta=20,°C Pa=101.33,кПа hотн.=70%	ф-ла (5) [9]	0,02	0,09	0,33	1,12	2,79	4,98	9,04	23,09	77,63		
Учет затухания звука в атмосфере Aatm, дБ		ф-ла (8) [10]	0	0	0,1	0,5	1,2	2,1	3,9	9,9	33,3		
Снижение уровня звукового давления из-за влияния застройки между источником шума и расчетной точкой													
Снижение уровня звукового давления на пути над экраном, Dz1, дБ	z = 5.33м (разность путей)	ф-лы (14-18) [10]	12,9	15,6	18,8	22,7	27,2	31,3	34,7	37,9	40,9		
Снижение уровня звукового давления на пути слева от экрана, Dz2, дБ	z = 48.83м (разность путей)	ф-лы (14-18) [10]	24,4	28,9	32,9	36,2	39,3	42,4	45,4	48,4	51,4		
Снижение уровня звукового давления на пути справа от экрана, Dz3, дБ	z = 2.82м (разность путей)	ф-лы (14-18) [10]	14,5	17,9	21	24	27	30	33	36	39		
Общее снижение уровня звука препятствием Dz, дБ		Эн.сумма(-Dzi)	10,4	13,5	16,6	20,2	24	27,5	30,6	33,7	36,7		
Общее снижение уровня звука препятствием с учётом ограничения (25 дБ) для октавных полос Dz, дБ		Раздел 7.4 [10]	10,4	13,5	16,6	20,2	24	25	25	25	25		
Уровни звукового давления от источника ИШ-9-5 в расчётной точке днём, дБ		**ф-ла(3)[10]**	**0**	**19,1**	**17,3**	**14,7**	**10,5**	**8,1**	**3,1**	**0**	**0**	**13**	**13**
Источник шума: ИШ-9-6, координаты источника (x,y,z), м =[647.87,-343.47,1.00]													
Уровни звуковой мощности источника днём, Lw, дБ		**исходные данные**	**0**	**93,3**	**94,7**	**96**	**96,3**	**95,9**	**92,6**	**88,4**	**83,9**		
Поправка на телесный угол DΩ, дБ	Ω = 6.28	10Lg(4π/Ω)	**3**	3	3	3	3	3	3	3	3		
Показатель направленности источника Di, дБ		исходные данные	**0**	0	0	0	0	0	0	0	0		

1		2	3	4	5	6	7	8	9	10	11	12	13
Поправка на направленность источника Dc, дБ	Dc	DΩ + Di	**3**	3	3	3	3	3	3	3	3		
Затухание из-за геометрической дивергенции, Adiv, дБ	расстояние = 427.55 м	ф-ла (7) [10]	**63,6**										
Коэффициент затухания звука в атмосфере α, дБ/км	Ta=20,°C Pa=101.33,кПа hотн.=70%	ф-ла (5) [9]	0,02	0,09	0,33	1,12	2,79	4,98	9,04	23,09	77,63		
Учет затухания звука в атмосфере Aatm, дБ		ф-ла (8) [10]	0	0	0,1	0,5	1,2	2,1	3,9	9,9	33,2		
Снижение уровня звукового давления из-за влияния застройки между источником шума и расчетной точкой													
Снижение уровня звукового давления на пути над экраном, Dz1, дБ	z = 5.30м (разность путей)	ф-лы (14-18) [10]	12,8	15,6	18,7	22,7	27,2	31,3	34,7	37,8	40,9		
Снижение уровня звукового давления на пути слева от экрана, Dz2, дБ	z = 49.18м (разность путей)	ф-лы (14-18) [10]	24,4	29	32,9	36,2	39,4	42,4	45,4	48,4	51,4		
Снижение уровня звукового давления на пути справа от экрана, Dz3, дБ	z = 2.62м (разность путей)	ф-лы (14-18) [10]	14,2	17,6	20,7	23,7	26,7	29,7	32,7	35,7	38,7		
Общее снижение уровня звука препятствием Dz, дБ		Эн.сумма(-Dzi)	10,3	13,3	16,5	20	23,8	27,3	30,4	33,5	36,5		
Общее снижение уровня звука препятствием с учётом ограничения (25 дБ) для октавных полос Dz, дБ		Раздел 7.4 [10]	10,3	13,3	16,5	20	23,8	25	25	25	25		
Уровни звукового давления от источника ИШ-9-6 в расчётной точке днём, дБ		**ф-ла(3)[10]**	**0**	**19,3**	**17,4**	**14,9**	**10,7**	**8,1**	**3,1**	**0**	**0**	**13,1**	**13,1**
Источник шума: ИШ-9-7, координаты источника (x,y,z), м =[648.71,-340.49,1.00]													
Уровни звуковой мощности источника днём, Lw, дБ		**исходные данные**	**0**	**93,3**	**94,7**	**96**	**96,3**	**95,9**	**92,6**	**88,4**	**83,9**		
Поправка на телесный угол DΩ, дБ	Ω = 6.28	10Lg(4π/Ω)	**3**	3	3	3	3	3	3	3	3		
Показатель направленности источника Di, дБ		исходные данные	**0**	0	0	0	0	0	0	0	0		
Поправка на направленность источника Dc, дБ	Dc	DΩ + Di	**3**	3	3	3	3	3	3	3	3		

1		2	3	4	5	6	7	8	9	10	11	12	13
Затухание из-за геометрической дивергенции, Adiv, дБ	расстояние = 425.97 м	ф-ла (7) [10]	**63,6**										
Коэффициент затухания звука в атмосфере α, дБ/км	Ta=20,°C Pa=101.33,кПа hотн.=70%	ф-ла (5) [9]	0,02	0,09	0,33	1,12	2,79	4,98	9,04	23,09	77,63		
Учет затухания звука в атмосфере Aatm, дБ		ф-ла (8) [10]	0	0	0,1	0,5	1,2	2,1	3,9	9,8	33,1		
Снижение уровня звукового давления из-за влияния застройки между источником шума и расчетной точкой													
Снижение уровня звукового давления на пути над экраном, Dz1, дБ	z = 5.32м (разность путей)	ф-лы (14-18) [10]	16,2	19,8	23	26	29	32	35	38	41		
Снижение уровня звукового давления на пути слева от экрана, Dz2, дБ	z = 49.54м (разность путей)	ф-лы (14-18) [10]	24,5	29	32,9	36,3	39,4	42,4	45,4	48,4	51,5		
Снижение уровня звукового давления на пути справа от экрана, Dz3, дБ	z = 2.41м (разность путей)	ф-лы (14-18) [10]	13,9	17,3	20,3	23,3	26,3	29,3	32,3	35,3	38,3		
Общее снижение уровня звука препятствием Dz, дБ		Эн.сумма(-Dzi)	11,6	15,2	18,3	21,3	24,3	27,3	30,3	33,3	36,3		
Общее снижение уровня звука препятствием с учётом ограничения (25 дБ) для октавных полос Dz, дБ		Раздел 7.4 [10]	11,6	15,2	18,3	21,3	24,3	25	25	25	25		
Уровни звукового давления от источника ИШ-9-7 в расчётной точке днём, дБ		**ф-ла(3)[10]**	**0**	**17,5**	**15,7**	**13,6**	**10,2**	**8,2**	**3,2**	**0**	**0**	**12,7**	**12,7**
Источник шума: ИШ-9-8, координаты источника (x,y,z), м =[649.92,-337.69,1.00]													
Уровни звуковой мощности источника днём, Lw, дБ		**исходные данные**	**0**	**93,3**	**94,7**	**96**	**96,3**	**95,9**	**92,6**	**88,4**	**83,9**		
Поправка на телесный угол DΩ, дБ	Ω = 6.28	10Lg(4π/Ω)	**3**	3	3	3	3	3	3	3	3		
Показатель направленности источника Di, дБ		исходные данные	**0**	0	0	0	0	0	0	0	0		
Поправка на направленность источника Dc, дБ	Dc	DΩ + Di	**3**	3	3	3	3	3	3	3	3		
Затухание из-за геометрической дивергенции, Adiv, дБ	расстояние = 424.80 м	ф-ла (7) [10]	**63,6**										

1		2	3	4	5	6	7	8	9	10	11	12	13
Коэффициент затухания звука в атмосфере α, дБ/км	Ta=20,°C Pa=101.33,кПа hотн.=70%	ф-ла (5) [9]	0,02	0,09	0,33	1,12	2,79	4,98	9,04	23,09	77,63		
Учет затухания звука в атмосфере Aatm, дБ		ф-ла (8) [10]	0	0	0,1	0,5	1,2	2,1	3,8	9,8	33		
Снижение уровня звукового давления из-за влияния застройки между источником шума и расчетной точкой													
Снижение уровня звукового давления на пути над экраном, Dz1, дБ	z = 5.29м (разность путей)	ф-лы (14-18) [10]	16,2	19,8	22,9	26	29	32	35	38	41		
Снижение уровня звукового давления на пути слева от экрана, Dz2, дБ	z = 49.92м (разность путей)	ф-лы (14-18) [10]	24,5	29	33	36,3	39,4	42,5	45,5	48,5	51,5		
Снижение уровня звукового давления на пути справа от экрана, Dz3, дБ	z = 2.20м (разность путей)	ф-лы (14-18) [10]	13,5	16,9	19,9	22,9	25,9	28,9	31,9	34,9	37,9		
Общее снижение уровня звука препятствием Dz, дБ		Эн.сумма(-Dzi)	11,4	14,9	18	21,1	24,1	27,1	30,1	33,1	36,1		
Общее снижение уровня звука препятствием с учётом ограничения (25 дБ) для октавных полос Dz, дБ		Раздел 7.4 [10]	11,4	14,9	18	21,1	24,1	25	25	25	25		
Уровни звукового давления от источника ИШ-9-8 в расчётной точке днём, дБ		**ф-ла(3)[10]**	**0**	**17,8**	**16**	**13,9**	**10,5**	**8,2**	**3,2**	**0**	**0**	**12,8**	**12,8**
Источник шума: ИШ-9-9, координаты источника (x,y,z), м =[650.66,-334.90,1.00]													
Уровни звуковой мощности источника днём, Lw, дБ		**исходные данные**	**0**	**93,3**	**94,7**	**96**	**96,3**	**95,9**	**92,6**	**88,4**	**83,9**		
Поправка на телесный угол DΩ, дБ	Ω = 6.28	10Lg(4π/Ω)	**3**	3	3	3	3	3	3	3	3		
Показатель направленности источника Di, дБ		исходные данные	**0**	0	0	0	0	0	0	0	0		
Поправка на направленность источника Dc, дБ	Dc	DΩ + Di	**3**	3	3	3	3	3	3	3	3		
Затухание из-за геометрической дивергенции, Adiv, дБ	расстояние = 423.32 м	ф-ла (7) [10]	**63,5**										
Коэффициент затухания звука в атмосфере α, дБ/км	Ta=20,°C Pa=101.33,кПа hотн.=70%	ф-ла (5) [9]	0,02	0,09	0,33	1,12	2,79	4,98	9,04	23,09	77,63		

1		2	3	4	5	6	7	8	9	10	11	12	13
Учет затухания звука в атмосфере Aatm, дБ		ф-ла (8) [10]	0	0	0,1	0,5	1,2	2,1	3,8	9,8	32,9		
Снижение уровня звукового давления из-за влияния застройки между источником шума и расчетной точкой													
Снижение уровня звукового давления на пути над экраном, Dz1, дБ	z = 5.26м (разность путей)	ф-лы (14-18) [10]	16,2	19,8	22,9	26	29	32	35	38	41		
Снижение уровня звукового давления на пути слева от экрана, Dz2, дБ	z = 50.27м (разность путей)	ф-лы (14-18) [10]	24,5	29,1	33	36,3	39,4	42,5	45,5	48,5	51,5		
Снижение уровня звукового давления на пути справа от экрана, Dz3, дБ	z = 2.03м (разность путей)	ф-лы (14-18) [10]	13,2	16,5	19,6	22,6	25,6	28,6	31,6	34,6	37,6		
Общее снижение уровня звука препятствием Dz, дБ		Эн.сумма(-Dzi)	11,2	14,7	17,8	20,8	23,8	26,8	29,8	32,8	35,8		
Общее снижение уровня звука препятствием с учётом ограничения (25 дБ) для октавных полос Dz, дБ		Раздел 7.4 [10]	11,2	14,7	17,8	20,8	23,8	25	25	25	25		
Уровни звукового давления от источника ИШ-9-9 в расчётной точке днём, дБ		**ф-ла(3)[10]**	**0**	**18**	**16,2**	**14,2**	**10,8**	**8,3**	**3,2**	**0**	**0**	**13**	**13**
Источник шума: ИШ-9-10, координаты источника (x,y,z), м =[651.59,-332.01,1.00]													
Уровни звуковой мощности источника днём, Lw, дБ		**исходные данные**	**0**	**93,3**	**94,7**	**96**	**96,3**	**95,9**	**92,6**	**88,4**	**83,9**		
Поправка на телесный угол DΩ, дБ	Ω = 6.28	10Lg(4π/Ω)	**3**	3	3	3	3	3	3	3	3		
Показатель направленности источника Di, дБ		исходные данные	**0**	0	0	0	0	0	0	0	0		
Поправка на направленность источника Dc, дБ	Dc	DΩ + Di	**3**	3	3	3	3	3	3	3	3		
Затухание из-за геометрической дивергенции, Adiv, дБ	расстояние = 421.93 м	ф-ла (7) [10]	**63,5**										
Коэффициент затухания звука в атмосфере α, дБ/км	Ta=20,°C Pa=101.33,кПа hотн.=70%	ф-ла (5) [9]	0,02	0,09	0,33	1,12	2,79	4,98	9,04	23,09	77,63		
Учет затухания звука в атмосфере Aatm, дБ		ф-ла (8) [10]	0	0	0,1	0,5	1,2	2,1	3,8	9,7	32,8		

1		2	3	4	5	6	7	8	9	10	11	12	13
Снижение уровня звукового давления из-за влияния застройки между источником шума и расчетной точкой													
Снижение уровня звукового давления на пути над экраном, Dz1, дБ	z = 5.23м (разность путей)	ф-лы (14-18) [10]	16,2	19,8	22,9	25,9	28,9	32	35	38	41		
Снижение уровня звукового давления на пути слева от экрана, Dz2, дБ	z = 50.64м (разность путей)	ф-лы (14-18) [10]	24,6	29,1	33	36,4	39,5	42,5	45,5	48,5	51,6		
Снижение уровня звукового давления на пути справа от экрана, Dz3, дБ	z = 1.84м (разность путей)	ф-лы (14-18) [10]	12,9	16,2	19,2	22,2	25,2	28,2	31,2	34,2	37,2		
Общее снижение уровня звука препятствием Dz, дБ		Эн.сумма(-Dzi)	11	14,4	17,5	20,5	23,5	26,5	29,5	32,5	35,5		
Общее снижение уровня звука препятствием с учётом ограничения (25 дБ) для октавных полос Dz, дБ		Раздел 7.4 [10]	11	14,4	17,5	20,5	23,5	25	25	25	25		
Уровни звукового давления от источника ИШ-9-10 в расчётной точке днём, дБ		**ф-ла(3)[10]**	**0**	**18,3**	**16,5**	**14,5**	**11,1**	**8,3**	**3,3**	**0**	**0**	**13,2**	**13,2**
Источник шума: ИШ-9-11, координаты источника (x,y,z), м =[652.71,-329.22,1.00]													
Уровни звуковой мощности источника днём, Lw, дБ		**исходные данные**	**0**	**93,3**	**94,7**	**96**	**96,3**	**95,9**	**92,6**	**88,4**	**83,9**		
Поправка на телесный угол DΩ, дБ	Ω = 6.28	10Lg(4π/Ω)	**3**	3	3	3	3	3	3	3	3		
Показатель направленности источника Di, дБ		исходные данные	**0**	0	0	0	0	0	0	0	0		
Поправка на направленность источника Dc, дБ	Dc	DΩ + Di	**3**	3	3	3	3	3	3	3	3		
Затухание из-за геометрической дивергенции, Adiv, дБ	расстояние = 420.74 м	ф-ла (7) [10]	**63,5**										
Коэффициент затухания звука в атмосфере α, дБ/км	Ta=20,°C Pa=101.33,кПа hотн.=70%	ф-ла (5) [9]	0,02	0,09	0,33	1,12	2,79	4,98	9,04	23,09	77,63		
Учет затухания звука в атмосфере Aatm, дБ		ф-ла (8) [10]	0	0	0,1	0,5	1,2	2,1	3,8	9,7	32,7		
Снижение уровня звукового давления из-за влияния застройки между источником шума и расчетной точкой													

1		2	3	4	5	6	7	8	9	10	11	12	13
Снижение уровня звукового давления на пути над экраном, Dz1, дБ	z = 5.20м (разность путей)	ф-лы (14-18) [10]	16,2	19,7	22,9	25,9	28,9	31,9	34,9	37,9	41		
Снижение уровня звукового давления на пути слева от экрана, Dz2, дБ	z = 51.02м (разность путей)	ф-лы (14-18) [10]	24,6	29,1	33	36,4	39,5	42,5	45,6	48,6	51,6		
Снижение уровня звукового давления на пути справа от экрана, Dz3, дБ	z = 1.66м (разность путей)	ф-лы (14-18) [10]	12,5	15,7	18,8	21,7	24,7	27,7	30,7	33,7	36,7		
Общее снижение уровня звука препятствием Dz, дБ		Эн.сумма(-Dzi)	10,8	14,2	17,2	20,2	23,2	26,2	29,2	32,2	35,2		
Общее снижение уровня звука препятствием с учётом ограничения (25 дБ) для октавных полос Dz, дБ		Раздел 7.4 [10]	10,8	14,2	17,2	20,2	23,2	25	25	25	25		
Уровни звукового давления от источника ИШ-9-11 в расчётной точке днём, дБ		**ф-ла(3)[10]**	**0**	**18,6**	**16,9**	**14,8**	**11,4**	**8,3**	**3,3**	**0**	**0**	**13,4**	**13,4**
Источник шума: ИШ-9-12, координаты источника (x,y,z), м =[653.46,-326.33,1.00]													
Уровни звуковой мощности источника днём, Lw, дБ		**исходные данные**	**0**	**93,3**	**94,7**	**96**	**96,3**	**95,9**	**92,6**	**88,4**	**83,9**		
Поправка на телесный угол DΩ, дБ	Ω = 6.28	10Lg(4π/Ω)	**3**	3	3	3	3	3	3	3	3		
Показатель направленности источника Di, дБ		исходные данные	**0**	0	0	0	0	0	0	0	0		
Поправка на направленность источника Dc, дБ	Dc	DΩ + Di	**3**	3	3	3	3	3	3	3	3		
Затухание из-за геометрической дивергенции, Adiv, дБ	расстояние = 419.25 м	ф-ла (7) [10]	**63,4**										
Коэффициент затухания звука в атмосфере α, дБ/км	Ta=20,°C Pa=101.33,кПа hотн.=70%	ф-ла (5) [9]	0,02	0,09	0,33	1,12	2,79	4,98	9,04	23,09	77,63		
Учет затухания звука в атмосфере Aatm, дБ		ф-ла (8) [10]	0	0	0,1	0,5	1,2	2,1	3,8	9,7	32,5		
Снижение уровня звукового давления из-за влияния застройки между источником шума и расчетной точкой													
Снижение уровня звукового давления на пути над экраном, Dz1, дБ	z = 5.17м (разность путей)	ф-лы (14-18) [10]	16,2	19,7	22,9	25,9	28,9	31,9	34,9	37,9	40,9		

1		2	3	4	5	6	7	8	9	10	11	12	13
Снижение уровня звукового давления на пути слева от экрана, Dz2, дБ	z = 51.38м (разность путей)	ф-лы (14-18) [10]	24,6	29,2	33,1	36,4	39,5	42,6	45,6	48,6	51,6		
Снижение уровня звукового давления на пути справа от экрана, Dz3, дБ	z = 1.50м (разность путей)	ф-лы (14-18) [10]	12,1	15,3	18,3	21,3	24,3	27,3	30,3	33,3	36,3		
Общее снижение уровня звука препятствием Dz, дБ		Эн.сумма(-Dzi)	10,5	13,9	16,9	19,9	22,9	25,9	28,9	31,9	34,9		
Общее снижение уровня звука препятствием с учётом ограничения (25 дБ) для октавных полос Dz, дБ		Раздел 7.4 [10]	10,5	13,9	16,9	19,9	22,9	25	25	25	25		
Уровни звукового давления от источника ИШ-9-12 в расчётной точке днём, дБ		**ф-ла(3)[10]**	**0**	**18,9**	**17,2**	**15,2**	**11,8**	**8,4**	**3,4**	**0**	**0**	**13,6**	**13,6**
Источник шума: ИШ-9-13, координаты источника (x,y,z), м =[654.48,-323.54,1.00]													
Уровни звуковой мощности источника днём, Lw, дБ		**исходные данные**	**0**	**93,3**	**94,7**	**96**	**96,3**	**95,9**	**92,6**	**88,4**	**83,9**		
Поправка на телесный угол DΩ, дБ	Ω = 6.28	10Lg(4π/Ω)	**3**	3	3	3	3	3	3	3	3		
Показатель направленности источника Di, дБ		исходные данные	**0**	0	0	0	0	0	0	0	0		
Поправка на направленность источника Dc, дБ	Dc	DΩ + Di	**3**	3	3	3	3	3	3	3	3		
Затухание из-за геометрической дивергенции, Adiv, дБ	расстояние = 418.03 м	ф-ла (7) [10]	**63,4**										
Коэффициент затухания звука в атмосфере α, дБ/км	Ta=20,°C Pa=101.33,кПа hотн.=70%	ф-ла (5) [9]	0,02	0,09	0,33	1,12	2,79	4,98	9,04	23,09	77,63		
Учет затухания звука в атмосфере Aatm, дБ		ф-ла (8) [10]	0	0	0,1	0,5	1,2	2,1	3,8	9,7	32,5		
Снижение уровня звукового давления из-за влияния застройки между источником шума и расчетной точкой													
Снижение уровня звукового давления на пути над экраном, Dz1, дБ	z = 5.14м (разность путей)	ф-лы (14-18) [10]	16,2	19,7	22,8	25,9	28,9	31,9	34,9	37,9	40,9		
Снижение уровня звукового давления на пути слева от экрана, Dz2, дБ	z = 51.76м (разность путей)	ф-лы (14-18) [10]	24,7	29,2	33,1	36,5	39,6	42,6	45,6	48,6	51,6		

1		2	3	4	5	6	7	8	9	10	11	12	13
Снижение уровня звукового давления на пути справа от экрана, Dz3, дБ	z = 1.34м (разность путей)	ф-лы (14-18) [10]	11,7	14,9	17,9	20,8	23,8	26,8	29,8	32,8	35,8		
Общее снижение уровня звука препятствием Dz, дБ		Эн.сумма(-Dzi)	10,2	13,5	16,6	19,6	22,5	25,5	28,5	31,5	34,5		
Общее снижение уровня звука препятствием с учётом ограничения (25 дБ) для октавных полос Dz, дБ		Раздел 7.4 [10]	10,2	13,5	16,6	19,6	22,5	25	25	25	25		
Уровни звукового давления от источника ИШ-9-13 в расчётной точке днём, дБ		**ф-ла(3)[10]**	**0**	**19,3**	**17,6**	**15,5**	**12,2**	**8,4**	**3,4**	**0**	**0**	**13,8**	**13,8**
Источник шума: ИШ-9-14, координаты источника (x,y,z), м =[655.60,-320.74,1.00]													
Уровни звуковой мощности источника днём, Lw, дБ		**исходные данные**	**0**	**93,3**	**94,7**	**96**	**96,3**	**95,9**	**92,6**	**88,4**	**83,9**		
Поправка на телесный угол DΩ, дБ	Ω = 6.28	10Lg(4π/Ω)	**3**	3	3	3	3	3	3	3	3		
Показатель направленности источника Di, дБ		исходные данные	**0**	0	0	0	0	0	0	0	0		
Поправка на направленность источника Dc, дБ	Dc	DΩ + Di	**3**	3	3	3	3	3	3	3	3		
Затухание из-за геометрической дивергенции, Adiv, дБ	расстояние = 416.90 м	ф-ла (7) [10]	**63,4**										
Коэффициент затухания звука в атмосфере α, дБ/км	Ta=20,°C Pa=101.33,кПа hотн.=70%	ф-ла (5) [9]	0,02	0,09	0,33	1,12	2,79	4,98	9,04	23,09	77,63		
Учет затухания звука в атмосфере Aatm, дБ		ф-ла (8) [10]	0	0	0,1	0,5	1,2	2,1	3,8	9,6	32,4		
Снижение уровня звукового давления из-за влияния застройки между источником шума и расчетной точкой													
Снижение уровня звукового давления на пути над экраном, Dz1, дБ	z = 5.11м (разность путей)	ф-лы (14-18) [10]	16,2	19,7	22,8	25,8	28,9	31,9	34,9	37,9	40,9		
Снижение уровня звукового давления на пути слева от экрана, Dz2, дБ	z = 52.15м (разность путей)	ф-лы (14-18) [10]	24,7	29,2	33,1	36,5	39,6	42,6	45,7	48,7	51,7		
Снижение уровня звукового давления на пути справа от экрана, Dz3, дБ	z = 1.19м (разность путей)	ф-лы (14-18) [10]	11,3	14,4	17,4	20,3	23,3	26,2	29,2	32,2	35,3		

1		2	3	4	5	6	7	8	9	10	11	12	13
Общее снижение уровня звука препятствием Dz, дБ		Эн.сумма(-Dzi)	9,9	13,2	16,2	19,2	22,1	25,1	28,1	31,1	34,1		
Общее снижение уровня звука препятствием с учётом ограничения (25 дБ) для октавных полос Dz, дБ		Раздел 7.4 [10]	9,9	13,2	16,2	19,2	22,1	25	25	25	25		
Уровни звукового давления от источника ИШ-9-14 в расчётной точке днём, дБ		**ф-ла(3)[10]**	**0**	**19,7**	**18**	**16**	**12,6**	**8,4**	**3,4**	**0**	**0**	**14,1**	**14,1**
Источник шума: ИШ-9-15, координаты источника (x,y,z), м =[656.44,-317.86,1.00]													
Уровни звуковой мощности источника днём, Lw, дБ		**исходные данные**	**0**	**93,3**	**94,7**	**96**	**96,3**	**95,9**	**92,6**	**88,4**	**83,9**		
Поправка на телесный угол DΩ, дБ	Ω = 6.28	10Lg(4π/Ω)	**3**	3	3	3	3	3	3	3	3		
Показатель направленности источника Di, дБ		исходные данные	**0**	0	0	0	0	0	0	0	0		
Поправка на направленность источника Dc, дБ	Dc	DΩ + Di	**3**	3	3	3	3	3	3	3	3		
Затухание из-за геометрической дивергенции, Adiv, дБ	расстояние = 415.52 м	ф-ла (7) [10]	**63,4**										
Коэффициент затухания звука в атмосфере α, дБ/км	Ta=20,°C Pa=101.33,кПа hотн.=70%	ф-ла (5) [9]	0,02	0,09	0,33	1,12	2,79	4,98	9,04	23,09	77,63		
Учет затухания звука в атмосфере Aatm, дБ		ф-ла (8) [10]	0	0	0,1	0,5	1,2	2,1	3,8	9,6	32,3		
Снижение уровня звукового давления из-за влияния застройки между источником шума и расчетной точкой													
Снижение уровня звукового давления на пути над экраном, Dz1, дБ	z = 5.08м (разность путей)	ф-лы (14-18) [10]	16,2	19,7	22,8	25,8	28,8	31,8	34,8	37,8	40,9		
Снижение уровня звукового давления на пути слева от экрана, Dz2, дБ	z = 52.53м (разность путей)	ф-лы (14-18) [10]	24,7	29,2	33,2	36,5	39,6	42,7	45,7	48,7	51,7		
Снижение уровня звукового давления на пути справа от экрана, Dz3, дБ	z = 1.05м (разность путей)	ф-лы (14-18) [10]	10,9	13,9	16,8	19,8	22,7	25,7	28,7	31,7	34,7		
Общее снижение уровня звука препятствием Dz, дБ		Эн.сумма(-Dzi)	9,6	12,8	15,8	18,7	21,7	24,7	27,7	30,7	33,7		

1		2	3	4	5	6	7	8	9	10	11	12	13
Общее снижение уровня звука препятствием с учётом ограничения (25 дБ) для октавных полос Dz, дБ		Раздел 7.4 [10]	9,6	12,8	15,8	18,7	21,7	24,7	25	25	25		
Уровни звукового давления от источника ИШ-9-15 в расчётной точке днём, дБ		**ф-ла(3)[10]**	**0**	**20,1**	**18,4**	**16,4**	**13,1**	**8,8**	**3,5**	**0**	**0**	**14,5**	**14,5**
Источник шума: ИШ-9-16, координаты источника (x,y,z), м =[657.46,-314.97,1.00]													
Уровни звуковой мощности источника днём, Lw, дБ		**исходные данные**	**0**	**93,3**	**94,7**	**96**	**96,3**	**95,9**	**92,6**	**88,4**	**83,9**		
Поправка на телесный угол DΩ, дБ	Ω = 6.28	10Lg(4π/Ω)	**3**	3	3	3	3	3	3	3	3		
Показатель направленности источника Di, дБ		исходные данные	**0**	0	0	0	0	0	0	0	0		
Поправка на направленность источника Dc, дБ	Dc	DΩ + Di	**3**	3	3	3	3	3	3	3	3		
Затухание из-за геометрической дивергенции, Adiv, дБ	расстояние = 414.30 м	ф-ла (7) [10]	**63,3**										
Коэффициент затухания звука в атмосфере α, дБ/км	Ta=20,°C Pa=101.33,кПа hотн.=70%	ф-ла (5) [9]	0,02	0,09	0,33	1,12	2,79	4,98	9,04	23,09	77,63		
Учет затухания звука в атмосфере Aatm, дБ		ф-ла (8) [10]	0	0	0,1	0,5	1,2	2,1	3,7	9,6	32,2		
Снижение уровня звукового давления из-за влияния застройки между источником шума и расчетной точкой													
Снижение уровня звукового давления на пути над экраном, Dz1, дБ	z = 5.05м (разность путей)	ф-лы (14-18) [10]	16,2	19,7	22,8	25,8	28,8	31,8	34,8	37,8	40,8		
Снижение уровня звукового давления на пути слева от экрана, Dz2, дБ	z = 52.92м (разность путей)	ф-лы (14-18) [10]	24,7	29,3	33,2	36,6	39,7	42,7	45,7	48,7	51,7		
Снижение уровня звукового давления на пути справа от экрана, Dz3, дБ	z = 0.91м (разность путей)	ф-лы (14-18) [10]	10,4	13,4	16,3	19,2	22,1	25,1	28,1	31,1	34,1		
Общее снижение уровня звука препятствием Dz, дБ		Эн.сумма(-Dzi)	9,3	12,4	15,3	18,3	21,2	24,2	27,2	30,2	33,2		
Общее снижение уровня звука препятствием с учётом ограничения (25 дБ) для октавных полос Dz, дБ		Раздел 7.4 [10]	9,3	12,4	15,3	18,3	21,2	24,2	25	25	25		

1		2	3	4	5	6	7	8	9	10	11	12	13
Уровни звукового давления от источника ИШ-9-16 в расчётной точке днём, дБ		**ф-ла(3)[10]**	**0**	**20,5**	**18,9**	**16,9**	**13,6**	**9,3**	**3,5**	**0**	**0**	**15**	**15**
Источник шума: ИШ-9-17, координаты источника (x,y,z), м =[658.49,-312.18,1.00]													
Уровни звуковой мощности источника днём, Lw, дБ		**исходные данные**	**0**	**93,3**	**94,7**	**96**	**96,3**	**95,9**	**92,6**	**88,4**	**83,9**		
Поправка на телесный угол DΩ, дБ	Ω = 6.28	10Lg(4π/Ω)	**3**	3	3	3	3	3	3	3	3		
Показатель направленности источника Di, дБ		исходные данные	**0**	0	0	0	0	0	0	0	0		
Поправка на направленность источника Dc, дБ	Dc	DΩ + Di	**3**	3	3	3	3	3	3	3	3		
Затухание из-за геометрической дивергенции, Adiv, дБ	расстояние = 413.16 м	ф-ла (7) [10]	**63,3**										
Коэффициент затухания звука в атмосфере α, дБ/км	Ta=20,°C Pa=101.33,кПа hотн.=70%	ф-ла (5) [9]	0,02	0,09	0,33	1,12	2,79	4,98	9,04	23,09	77,63		
Учет затухания звука в атмосфере Aatm, дБ		ф-ла (8) [10]	0	0	0,1	0,5	1,2	2,1	3,7	9,5	32,1		
Снижение уровня звукового давления из-за влияния застройки между источником шума и расчетной точкой													
Снижение уровня звукового давления на пути над экраном, Dz1, дБ	z = 5.01м (разность путей)	ф-лы (14-18) [10]	16,2	19,6	22,7	25,8	28,8	31,8	34,8	37,8	40,8		
Снижение уровня звукового давления на пути слева от экрана, Dz2, дБ	z = 53.31м (разность путей)	ф-лы (14-18) [10]	24,8	29,3	33,2	36,6	39,7	42,7	45,8	48,8	51,8		
Снижение уровня звукового давления на пути справа от экрана, Dz3, дБ	z = 0.78м (разность путей)	ф-лы (14-18) [10]	10	12,8	15,7	18,6	21,5	24,5	27,4	30,4	33,4		
Общее снижение уровня звука препятствием Dz, дБ		Эн.сумма(-Dzi)	8,9	11,9	14,8	17,7	20,7	23,7	26,7	29,7	32,7		
Общее снижение уровня звука препятствием с учётом ограничения (25 дБ) для октавных полос Dz, дБ		Раздел 7.4 [10]	8,9	11,9	14,8	17,7	20,7	23,7	25	25	25		
Уровни звукового давления от источника ИШ-9-17 в расчётной точке днём, дБ		**ф-ла(3)[10]**	**0**	**21**	**19,4**	**17,5**	**14,1**	**9,8**	**3,5**	**0**	**0**	**15,5**	**15,5**

1		2	3	4	5	6	7	8	9	10	11	12	13
Источник шума: ИШ-9-18, координаты источника (x,y,z), м =[659.42,-309.20,1.00]													
Уровни звуковой мощности источника днём, Lw, дБ		**исходные данные**	**0**	**93,3**	**94,7**	**96**	**96,3**	**95,9**	**92,6**	**88,4**	**83,9**		
Поправка на телесный угол DΩ, дБ	Ω = 6.28	10Lg(4π/Ω)	**3**	3	3	3	3	3	3	3	3		
Показатель направленности источника Di, дБ		исходные данные	**0**	0	0	0	0	0	0	0	0		
Поправка на направленность источника Dc, дБ	Dc	DΩ + Di	**3**	3	3	3	3	3	3	3	3		
Затухание из-за геометрической дивергенции, Adiv, дБ	расстояние = 411.84 м	ф-ла (7) [10]	**63,3**										
Коэффициент затухания звука в атмосфере α, дБ/км	Ta=20,°C Pa=101.33,кПа hотн.=70%	ф-ла (5) [9]	0,02	0,09	0,33	1,12	2,79	4,98	9,04	23,09	77,63		
Учет затухания звука в атмосфере Aatm, дБ		ф-ла (8) [10]	0	0	0,1	0,5	1,1	2,1	3,7	9,5	32		
Снижение уровня звукового давления из-за влияния застройки между источником шума и расчетной точкой													
Снижение уровня звукового давления на пути над экраном, Dz1, дБ	z = 4.97м (разность путей)	ф-лы (14-18) [10]	16,2	19,6	22,7	25,7	28,7	31,7	34,8	37,8	40,8		
Снижение уровня звукового давления на пути слева от экрана, Dz2, дБ	z = 53.71м (разность путей)	ф-лы (14-18) [10]	24,8	29,3	33,3	36,6	39,7	42,8	45,8	48,8	51,8		
Снижение уровня звукового давления на пути справа от экрана, Dz3, дБ	z = 0.66м (разность путей)	ф-лы (14-18) [10]	9,5	12,2	15	17,9	20,8	23,7	26,7	29,7	32,7		
Общее снижение уровня звука препятствием Dz, дБ		Эн.сумма(-Dzi)	8,5	11,4	14,3	17,2	20,1	23,1	26	29	32,1		
Общее снижение уровня звука препятствием с учётом ограничения (25 дБ) для октавных полос Dz, дБ		Раздел 7.4 [10]	8,5	11,4	14,3	17,2	20,1	23,1	25	25	25		
Уровни звукового давления от источника ИШ-9-18 в расчётной точке днём, дБ		**ф-ла(3)[10]**	**0**	**21,5**	**20**	**18,1**	**14,8**	**10,5**	**3,6**	**0**	**0**	**16**	**16**
Источник шума: ИШ-9-19, координаты источника (x,y,z), м =[660.44,-306.50,1.00]													

1		2	3	4	5	6	7	8	9	10	11	12	13
Уровни звуковой мощности источника днём, Lw, дБ		**исходные данные**	**0**	**93,3**	**94,7**	**96**	**96,3**	**95,9**	**92,6**	**88,4**	**83,9**		
Поправка на телесный угол DΩ, дБ	Ω = 6.28	10Lg(4π/Ω)	**3**	3	3	3	3	3	3	3	3		
Показатель направленности источника Di, дБ		исходные данные	**0**	0	0	0	0	0	0	0	0		
Поправка на направленность источника Dc, дБ	Dc	DΩ + Di	**3**	3	3	3	3	3	3	3	3		
Затухание из-за геометрической дивергенции, Adiv, дБ	расстояние = 410.80 м	ф-ла (7) [10]	**63,3**										
Коэффициент затухания звука в атмосфере α, дБ/км	Ta=20,°C Pa=101.33,кПа hотн.=70%	ф-ла (5) [9]	0,02	0,09	0,33	1,12	2,79	4,98	9,04	23,09	77,63		
Учет затухания звука в атмосфере Aatm, дБ		ф-ла (8) [10]	0	0	0,1	0,5	1,1	2	3,7	9,5	31,9		
Снижение уровня звукового давления из-за влияния застройки между источником шума и расчетной точкой													
Снижение уровня звукового давления на пути над экраном, Dz1, дБ	z = 4.94м (разность путей)	ф-лы (14-18) [10]	16,1	19,6	22,7	25,7	28,7	31,7	34,7	37,7	40,7		
Снижение уровня звукового давления на пути слева от экрана, Dz2, дБ	z = 54.10м (разность путей)	ф-лы (14-18) [10]	24,8	29,4	33,3	36,7	39,8	42,8	45,8	48,8	51,8		
Снижение уровня звукового давления на пути справа от экрана, Dz3, дБ	z = 0.56м (разность путей)	ф-лы (14-18) [10]	9	11,7	14,4	17,2	20,1	23	26	29	32		
Общее снижение уровня звука препятствием Dz, дБ		Эн.сумма(-Dzi)	8,1	10,9	13,7	16,6	19,5	22,4	25,4	28,4	31,4		
Общее снижение уровня звука препятствием с учётом ограничения (25 дБ) для октавных полос Dz, дБ		Раздел 7.4 [10]	8,1	10,9	13,7	16,6	19,5	22,4	25	25	25		
Уровни звукового давления от источника ИШ-9-19 в расчётной точке днём, дБ		**ф-ла(3)[10]**	**0**	**22**	**20,6**	**18,7**	**15,4**	**11,1**	**3,6**	**0**	**0**	**16,6**	**16,6**
Источник шума: ИШ-9-20, координаты источника (x,y,z), м =[661.28,-303.61,1.00]													
Уровни звуковой мощности источника днём, Lw, дБ		**исходные данные**	**0**	**93,3**	**94,7**	**96**	**96,3**	**95,9**	**92,6**	**88,4**	**83,9**		

1		2	3	4	5	6	7	8	9	10	11	12	13
Поправка на телесный угол DΩ, дБ	Ω = 6.28	10Lg(4π/Ω)	**3**	3	3	3	3	3	3	3	3		
Показатель направленности источника Di, дБ		исходные данные	**0**	0	0	0	0	0	0	0	0		
Поправка на направленность источника Dc, дБ	Dc	DΩ + Di	**3**	3	3	3	3	3	3	3	3		
Затухание из-за геометрической дивергенции, Adiv, дБ	расстояние = 409.51 м	ф-ла (7) [10]	**63,2**										
Коэффициент затухания звука в атмосфере α, дБ/км	Ta=20,°C Pa=101.33,кПа hотн.=70%	ф-ла (5) [9]	0,02	0,09	0,33	1,12	2,79	4,98	9,04	23,09	77,63		
Учет затухания звука в атмосфере Aatm, дБ		ф-ла (8) [10]	0	0	0,1	0,5	1,1	2	3,7	9,5	31,8		
Снижение уровня звукового давления из-за влияния застройки между источником шума и расчетной точкой													
Снижение уровня звукового давления на пути над экраном, Dz1, дБ	z = 4.90м (разность путей)	ф-лы (14-18) [10]	16,1	19,5	22,6	25,7	28,7	31,7	34,7	37,7	40,7		
Снижение уровня звукового давления на пути слева от экрана, Dz2, дБ	z = 54.49м (разность путей)	ф-лы (14-18) [10]	24,9	29,4	33,3	36,7	39,8	42,8	45,8	48,9	51,9		
Снижение уровня звукового давления на пути справа от экрана, Dz3, дБ	z = 0.46м (разность путей)	ф-лы (14-18) [10]	8,5	11	13,6	16,4	19,3	22,2	25,2	28,2	31,2		
Общее снижение уровня звука препятствием Dz, дБ		Эн.сумма(-Dzi)	7,7	10,4	13,1	15,9	18,8	21,7	24,7	27,7	30,7		
Общее снижение уровня звука препятствием с учётом ограничения (25 дБ) для октавных полос Dz, дБ		Раздел 7.4 [10]	7,7	10,4	13,1	15,9	18,8	21,7	24,7	25	25		
Уровни звукового давления от источника ИШ-9-20 в расчётной точке днём, дБ		**ф-ла(3)[10]**	**0**	**22,6**	**21,2**	**19,4**	**16,1**	**11,9**	**3,9**	**0**	**0**	**17,3**	**17,3**
Источник шума: ИШ-9-21, координаты источника (x,y,z), м =[661.93,-300.72,1.00]													
Уровни звуковой мощности источника днём, Lw, дБ		**исходные данные**	**0**	**93,3**	**94,7**	**96**	**96,3**	**95,9**	**92,6**	**88,4**	**83,9**		
Поправка на телесный угол DΩ, дБ	Ω = 6.28	10Lg(4π/Ω)	**3**	3	3	3	3	3	3	3	3		

1		2	3	4	5	6	7	8	9	10	11	12	13
Показатель направленности источника Di, дБ		исходные данные	**0**	0	0	0	0	0	0	0	0		
Поправка на направленность источника Dc, дБ	Dc	DΩ + Di	**3**	3	3	3	3	3	3	3	3		
Затухание из-за геометрической дивергенции, Adiv, дБ	расстояние = 408.10 м	ф-ла (7) [10]	**63,2**										
Коэффициент затухания звука в атмосфере α, дБ/км	Ta=20,°C Pa=101.33,кПа hотн.=70%	ф-ла (5) [9]	0,02	0,09	0,33	1,12	2,79	4,98	9,04	23,09	77,63		
Учет затухания звука в атмосфере Aatm, дБ		ф-ла (8) [10]	0	0	0,1	0,5	1,1	2	3,7	9,4	31,7		
Снижение уровня звукового давления из-за влияния застройки между источником шума и расчетной точкой													
Снижение уровня звукового давления на пути над экраном, Dz1, дБ	z = 4.86м (разность путей)	ф-лы (14-18) [10]	16	19,5	22,6	25,6	28,6	31,6	34,6	37,7	40,7		
Снижение уровня звукового давления на пути слева от экрана, Dz2, дБ	z = 54.86м (разность путей)	ф-лы (14-18) [10]	24,9	29,4	33,4	36,7	39,8	42,9	45,9	48,9	51,9		
Снижение уровня звукового давления на пути справа от экрана, Dz3, дБ	z = 0.38м (разность путей)	ф-лы (14-18) [10]	8,1	10,4	12,9	15,6	18,5	21,4	24,4	27,4	30,4		
Общее снижение уровня звука препятствием Dz, дБ		Эн.сумма(-Dzi)	7,3	9,9	12,4	15,2	18,1	21	24	26,9	29,9		
Общее снижение уровня звука препятствием с учётом ограничения (25 дБ) для октавных полос Dz, дБ		Раздел 7.4 [10]	7,3	9,9	12,4	15,2	18,1	21	24	25	25		
Уровни звукового давления от источника ИШ-9-21 в расчётной точке днём, дБ		**ф-ла(3)[10]**	**0**	**23,2**	**21,9**	**20,1**	**16,9**	**12,7**	**4,7**	**0**	**0**	**18,1**	**18,1**
Источник шума: ИШ-9-22, координаты источника (x,y,z), м =[663.14,-297.83,1.00]													
Уровни звуковой мощности источника днём, Lw, дБ		**исходные данные**	**0**	**93,3**	**94,7**	**96**	**96,3**	**95,9**	**92,6**	**88,4**	**83,9**		
Поправка на телесный угол DΩ, дБ	Ω = 6.28	10Lg(4π/Ω)	**3**	3	3	3	3	3	3	3	3		
Показатель направленности источника Di, дБ		исходные данные	**0**	0	0	0	0	0	0	0	0		

1		2	3	4	5	6	7	8	9	10	11	12	13
Поправка на направленность источника Dc, дБ	Dc	DΩ + Di	**3**	3	3	3	3	3	3	3	3		
Затухание из-за геометрической дивергенции, Adiv, дБ	расстояние = 407.13 м	ф-ла (7) [10]	**63,2**										
Коэффициент затухания звука в атмосфере α, дБ/км	Ta=20,°C Pa=101.33,кПа hотн.=70%	ф-ла (5) [9]	0,02	0,09	0,33	1,12	2,79	4,98	9,04	23,09	77,63		
Учет затухания звука в атмосфере Aatm, дБ		ф-ла (8) [10]	0	0	0,1	0,5	1,1	2	3,7	9,4	31,6		
Снижение уровня звукового давления из-за влияния застройки между источником шума и расчетной точкой													
Снижение уровня звукового давления на пути над экраном, Dz1, дБ	z = 4.82м (разность путей)	ф-лы (14-18) [10]	16	19,5	22,6	25,6	28,6	31,6	34,6	37,6	40,6		
Снижение уровня звукового давления на пути слева от экрана, Dz2, дБ	z = 55.29м (разность путей)	ф-лы (14-18) [10]	24,9	29,5	33,4	36,8	39,9	42,9	45,9	48,9	51,9		
Снижение уровня звукового давления на пути справа от экрана, Dz3, дБ	z = 0.30м (разность путей)	ф-лы (14-18) [10]	7,5	9,7	12,1	14,7	17,5	20,4	23,3	26,3	29,3		
Общее снижение уровня звука препятствием Dz, дБ		Эн.сумма(-Dzi)	6,9	9,2	11,7	14,3	17,1	20	23	26	29		
Общее снижение уровня звука препятствием с учётом ограничения (25 дБ) для октавных полос Dz, дБ		Раздел 7.4 [10]	6,9	9,2	11,7	14,3	17,1	20	23	25	25		
Уровни звукового давления от источника ИШ-9-22 в расчётной точке днём, дБ		**ф-ла(3)[10]**	**0**	**23,9**	**22,7**	**21**	**17,8**	**13,6**	**5,7**	**0**	**0**	**19**	**19**
Источник шума: ИШ-9-23, координаты источника (x,y,z), м =[664.07,-295.13,1.00]													
Уровни звуковой мощности источника днём, Lw, дБ		**исходные данные**	**0**	**93,3**	**94,7**	**96**	**96,3**	**95,9**	**92,6**	**88,4**	**83,9**		
Поправка на телесный угол DΩ, дБ	Ω = 6.28	10Lg(4π/Ω)	**3**	3	3	3	3	3	3	3	3		
Показатель направленности источника Di, дБ		исходные данные	**0**	0	0	0	0	0	0	0	0		
Поправка на направленность источника Dc, дБ	Dc	DΩ + Di	**3**	3	3	3	3	3	3	3	3		

1		2	3	4	5	6	7	8	9	10	11	12	13
Затухание из-за геометрической дивергенции, Adiv, дБ	расстояние = 406.09 м	ф-ла (7) [10]	**63,2**										
Коэффициент затухания звука в атмосфере α, дБ/км	Ta=20,°C Pa=101.33,кПа hотн.=70%	ф-ла (5) [9]	0,02	0,09	0,33	1,12	2,79	4,98	9,04	23,09	77,63		
Учет затухания звука в атмосфере Aatm, дБ		ф-ла (8) [10]	0	0	0,1	0,5	1,1	2	3,7	9,4	31,5		
Снижение уровня звукового давления из-за влияния застройки между источником шума и расчетной точкой													
Снижение уровня звукового давления на пути над экраном, Dz1, дБ	z = 4.78м (разность путей)	ф-лы (14-18) [10]	16	19,4	22,5	25,5	28,6	31,6	34,6	37,6	40,6		
Снижение уровня звукового давления на пути слева от экрана, Dz2, дБ	z = 55.67м (разность путей)	ф-лы (14-18) [10]	25	29,5	33,4	36,8	39,9	42,9	45,9	49	52		
Снижение уровня звукового давления на пути справа от экрана, Dz3, дБ	z = 0.24м (разность путей)	ф-лы (14-18) [10]	7,1	9	11,3	13,8	16,5	19,4	22,3	25,3	28,3		
Общее снижение уровня звука препятствием Dz, дБ		Эн.сумма(-Dzi)	6,5	8,6	10,9	13,5	16,3	19,1	22,1	25	28		
Общее снижение уровня звука препятствием с учётом ограничения (25 дБ) для октавных полос Dz, дБ		Раздел 7.4 [10]	6,5	8,6	10,9	13,5	16,3	19,1	22,1	25	25		
Уровни звукового давления от источника ИШ-9-23 в расчётной точке днём, дБ		**ф-ла(3)[10]**	**0**	**24,5**	**23,5**	**21,9**	**18,7**	**14,6**	**6,7**	**0**	**0**	**19,9**	**19,9**
Источник шума: ИШ-9-24, координаты источника (x,y,z), м =[665.19,-292.34,1.00]													
Уровни звуковой мощности источника днём, Lw, дБ		**исходные данные**	**0**	**93,3**	**94,7**	**96**	**96,3**	**95,9**	**92,6**	**88,4**	**83,9**		
Поправка на телесный угол DΩ, дБ	Ω = 6.28	10Lg(4π/Ω)	**3**	3	3	3	3	3	3	3	3		
Показатель направленности источника Di, дБ		исходные данные	**0**	0	0	0	0	0	0	0	0		
Поправка на направленность источника Dc, дБ	Dc	DΩ + Di	**3**	3	3	3	3	3	3	3	3		
Затухание из-за геометрической дивергенции, Adiv, дБ	расстояние = 405.15 м	ф-ла (7) [10]	**63,2**										

1		2	3	4	5	6	7	8	9	10	11	12	13
Коэффициент затухания звука в атмосфере α, дБ/км	Та=20,°С Ра=101.33,кПа hотн.=70%	ф-ла (5) [9]	0,02	0,09	0,33	1,12	2,79	4,98	9,04	23,09	77,63		
Учет затухания звука в атмосфере Aatm, дБ		ф-ла (8) [10]	0	0	0,1	0,5	1,1	2	3,7	9,4	31,5		
Снижение уровня звукового давления из-за влияния застройки между источником шума и расчетной точкой													
Снижение уровня звукового давления на пути над экраном, Dz1, дБ	z = 4.73м (разность путей)	ф-лы (14-18) [10]	15,9	19,4	22,5	25,5	28,5	31,5	34,5	37,5	40,5		
Снижение уровня звукового давления на пути слева от экрана, Dz2, дБ	z = 56.08м (разность путей)	ф-лы (14-18) [10]	25	29,5	33,5	36,8	39,9	43	46	49	52		
Снижение уровня звукового давления на пути справа от экрана, Dz3, дБ	z = 0.18м (разность путей)	ф-лы (14-18) [10]	6,6	8,3	10,4	12,8	15,5	18,3	21,2	24,2	27,1		
Общее снижение уровня звука препятствием Dz, дБ		Эн.сумма(-Dzi)	6,1	8	10,1	12,5	15,2	18,1	21	23,9	26,9		
Общее снижение уровня звука препятствием с учётом ограничения (25 дБ) для октавных полос Dz, дБ		Раздел 7.4 [10]	6,1	8	10,1	12,5	15,2	18,1	21	23,9	25		
Уровни звукового давления от источника ИШ-9-24 в расчётной точке днём, дБ		**ф-ла(3)[10]**	**0**	**25,1**	**24,3**	**22,8**	**19,8**	**15,7**	**7,8**	**0**	**0**	**20,9**	**20,9**
Источник шума: ИШ-9-25, координаты источника (x,y,z), м =[683.46,-239.16,1.00]													
Уровни звуковой мощности источника днём, Lw, дБ		**исходные данные**	**77**	**75**	**67**	**66**	**63**	**55**	**53**	**48**	**51**		
Поправка на телесный угол DΩ, дБ	Ω = 6.28	10Lg(4π/Ω)	**3**	3	3	3	3	3	3	3	3		
Показатель направленности источника Di, дБ		исходные данные	**0**	0	0	0	0	0	0	0	0		
Поправка на направленность источника Dc, дБ	Dc	DΩ + Di	**3**	3	3	3	3	3	3	3	3		
Затухание из-за геометрической дивергенции, Adiv, дБ	расстояние = 388.70 м	ф-ла (7) [10]	**62,8**										
Коэффициент затухания звука в атмосфере α, дБ/км	Та=20,°С Ра=101.33,кПа hотн.=70%	ф-ла (5) [9]	0,02	0,09	0,33	1,12	2,79	4,98	9,04	23,09	77,63		

1		2	3	4	5	6	7	8	9	10	11	12	13
Учет затухания звука в атмосфере Aatm, дБ		ф-ла (8) [10]	0	0	0,1	0,4	1,1	1,9	3,5	9	30,2		
Снижение уровня звукового давления из-за влияния застройки между источником шума и расчетной точкой													
Снижение уровня звукового давления на пути над экраном, Dz1, дБ	z = 3.56м (разность путей)	ф-лы (14-18) [10]	15,4	18,5	21,4	24,4	27,4	30,4	33,4	36,4	39,4		
Снижение уровня звукового давления на пути слева от экрана, Dz2, дБ	z = 64.01м (разность путей)	ф-лы (14-18) [10]	25,6	30,1	34	37,4	40,5	43,5	46,5	49,6	52,6		
Снижение уровня звукового давления на пути справа от экрана, Dz3, дБ	z = 2.31м (разность путей)	ф-лы (14-18) [10]	10,6	13	15,7	18,5	21,4	24,4	27,4	30,4	33,4		
Общее снижение уровня звука препятствием Dz, дБ		Эн.сумма(-Dzi)	9,3	11,9	14,6	17,5	20,4	23,4	26,4	29,4	32,4		
Общее снижение уровня звука препятствием с учётом ограничения (25 дБ) для октавных полос Dz, дБ		Раздел 7.4 [10]	9,3	11,9	14,6	17,5	20,4	23,4	25	25	25		
Уровни звукового давления от источника ИШ-9-25 в расчётной точке днём, дБ		**ф-ла(3)[10]**	**7,9**	**3,3**	**0**	**0**	**0**	**0**	**0**	**0**	**0**	**0**	**0**
Источник шума: ИШ-9-26, координаты источника (x,y,z), м =[680.09,-249.52,1.00]													
Уровни звуковой мощности источника днём, Lw, дБ		**исходные данные**	**77**	**75**	**67**	**66**	**63**	**55**	**53**	**48**	**51**		
Поправка на телесный угол DΩ, дБ	Ω = 6.28	10Lg(4π/Ω)	**3**	3	3	3	3	3	3	3	3		
Показатель направленности источника Di, дБ		исходные данные	**0**	0	0	0	0	0	0	0	0		
Поправка на направленность источника Dc, дБ	Dc	DΩ + Di	**3**	3	3	3	3	3	3	3	3		
Затухание из-за геометрической дивергенции, Adiv, дБ	расстояние = 391.49 м	ф-ла (7) [10]	**62,9**										
Коэффициент затухания звука в атмосфере α, дБ/км	Ta=20,°C Pa=101.33,кПа hотн.=70%	ф-ла (5) [9]	0,02	0,09	0,33	1,12	2,79	4,98	9,04	23,09	77,63		
Учет затухания звука в атмосфере Aatm, дБ		ф-ла (8) [10]	0	0	0,1	0,4	1,1	1,9	3,5	9	30,4		

1		2	3	4	5	6	7	8	9	10	11	12	13
Снижение уровня звукового давления из-за влияния застройки между источником шума и расчетной точкой													
Снижение уровня звукового давления на пути над экраном, Dz1, дБ	z = 3.82м (разность путей)	ф-лы (14-18) [10]	11,5	14	16,8	19,8	23,2	27,2	31,8	35,8	39,2		
Снижение уровня звукового давления на пути слева от экрана, Dz2, дБ	z = 62.44м (разность путей)	ф-лы (14-18) [10]	25,5	30	33,9	37,3	40,4	43,4	46,4	49,5	52,5		
Снижение уровня звукового давления на пути справа от экрана, Dz3, дБ	z = 0.01м (разность путей)	ф-лы (14-18) [10]	4,8	4,9	5	5,2	5,5	6,1	7,2	8,7	10,8		
Общее снижение уровня звука препятствием Dz, дБ		Эн.сумма(-Dzi)	3,9	4,4	4,7	5	5,4	6,1	7,2	8,7	10,8		
Уровни звукового давления от источника ИШ-9-26 в расчётной точке днём, дБ		**ф-ла(3)[10]**	**13,2**	**10,8**	**2,3**	**0,7**	**0**	**0**	**0**	**0**	**0**	**0**	**0**
Источник шума: ИШ-9-27, координаты источника (x,y,z), м =[676.46,-260.14,1.00]													
Уровни звуковой мощности источника днём, Lw, дБ		**исходные данные**	**77**	**75**	**67**	**66**	**63**	**55**	**53**	**48**	**51**		
Поправка на телесный угол DΩ, дБ	Ω = 6.28	10Lg(4π/Ω)	**3**	3	3	3	3	3	3	3	3		
Показатель направленности источника Di, дБ		исходные данные	**0**	0	0	0	0	0	0	0	0		
Поправка на направленность источника Dc, дБ	Dc	DΩ + Di	**3**	3	3	3	3	3	3	3	3		
Затухание из-за геометрической дивергенции, Adiv, дБ	расстояние = 394.49 м	ф-ла (7) [10]	**62,9**										
Коэффициент затухания звука в атмосфере α, дБ/км	Ta=20,°C Pa=101.33,кПа hотн.=70%	ф-ла (5) [9]	0,02	0,09	0,33	1,12	2,79	4,98	9,04	23,09	77,63		
Учет затухания звука в атмосфере Aatm, дБ		ф-ла (8) [10]	0	0	0,1	0,4	1,1	2	3,6	9,1	30,6		
Снижение уровня звукового давления из-за влияния застройки между источником шума и расчетной точкой													
Снижение уровня звукового давления на пути над экраном, Dz1, дБ	z = 4.07м (разность путей)	ф-лы (14-18) [10]	11,8	14,3	17,1	20,3	24	28,4	32,8	36,4	39,6		

1		2	3	4	5	6	7	8	9	10	11	12	13
Снижение уровня звукового давления на пути слева от экрана, Dz2, дБ	z = 60.83м (разность путей)	ф-лы (14-18) [10]	25,3	29,9	33,8	37,2	40,3	43,3	46,3	49,3	52,3		
Снижение уровня звукового давления на пути справа от экрана, Dz3, дБ	z = 0.02м (разность путей)	ф-лы (14-18) [10]	4,9	5	5,3	5,7	6,5	7,7	9,5	11,7	14,2		
Общее снижение уровня звука препятствием Dz, дБ		Эн.сумма(-Dzi)	4,1	4,5	5	5,6	6,4	7,7	9,5	11,7	14,2		
Уровни звукового давления прямого звука от источника ИШ-9-27 в расчётной точке днём, дБ		**ф-ла(3)[10]**	**13**	**10,5**	**2**	**0,1**	**0**	**0**	**0**	**0**	**0**	**0**	**0**
Расчёт отражённого звука													
Уровни звукового давления от мнимого источника ИШ-9-27_мн.(1) в расчётной точке днём, дБ		**ф-ла(3)[10]**	**0**	**0**	**0**	**0**	**0**	**0**	**0**	**0**	**0**	**0**	**0**
Уровни звукового давления от источника ИШ-9-27 в расчётной точке днём, дБ		**ф-ла(3)[10]**	**13**	**10,5**	**2**	**0,1**	**0**	**0**	**0**	**0**	**0**	**0**	**0**
Источник шума: ИШ-10-1, координаты источника (x,y,z), м =[17.37,413.17,1.00]													
Уровни звуковой мощности источника днём, Lw, дБ		**исходные данные**	**0**	**98,3**	**99,7**	**101**	**101,3**	**100,9**	**97,6**	**93,4**	**88,9**		
Поправка на телесный угол DΩ, дБ	Ω = 6.28	10Lg(4π/Ω)	**3**	3	3	3	3	3	3	3	3		
Показатель направленности источника Di, дБ		исходные данные	**0**	0	0	0	0	0	0	0	0		
Поправка на направленность источника Dc, дБ	Dc	DΩ + Di	**3**	3	3	3	3	3	3	3	3		
Затухание из-за геометрической дивергенции, Adiv, дБ	расстояние = 558.86 м	ф-ла (7) [10]	**65,9**										
Коэффициент затухания звука в атмосфере α, дБ/км	Ta=20,°C Pa=101.33,кПа hотн.=70%	ф-ла (5) [9]	0,02	0,09	0,33	1,12	2,79	4,98	9,04	23,09	77,63		
Учет затухания звука в атмосфере Aatm, дБ		ф-ла (8) [10]	0	0	0,2	0,6	1,6	2,8	5,1	12,9	43,4		
Снижение уровня звукового давления из-за влияния застройки между источником шума и расчетной точкой													

1		2	3	4	5	6	7	8	9	10	11	12	13
Снижение уровня звукового давления на пути над экраном, Dz1, дБ	z = 1.03м (разность путей)	ф-лы (14-18) [10]	9,2	11,5	14	16,7	19,6	22,5	25,5	28,5	31,5		
Снижение уровня звукового давления на пути слева от экрана, Dz2, дБ	z = 10.82м (разность путей)	ф-лы (14-18) [10]	20,7	23,8	26,8	29,8	32,8	35,8	38,8	41,8	44,9		
Снижение уровня звукового давления на пути справа от экрана, Dz3, дБ	z = 22.50м (разность путей)	ф-лы (14-18) [10]	23,8	26,9	30	33	36	39	42	45	48		
Общее снижение уровня звука препятствием Dz, дБ		Эн.сумма(-Dzi)	8,8	11,1	13,6	16,4	19,3	22,2	25,2	28,2	31,2		
Общее снижение уровня звука препятствием с учётом ограничения (25 дБ) для октавных полос Dz, дБ		Раздел 7.4 [10]	8,8	11,1	13,6	16,4	19,3	22,2	25	25	25		
Уровни звукового давления прямого звука от источника ИШ-10-1 в расчётной точке днём, дБ		**ф-ла(3)[10]**	**0**	**24,2**	**22,9**	**21**	**17,5**	**12,9**	**4,6**	**0**	**0**	**18,7**	**18,7**
Расчёт отражённого звука													
Уровни звукового давления от мнимого источника ИШ-10-1_мн.(1) в расчётной точке днём, дБ		**ф-ла(3)[10]**	**0**	**0**	**0**	**0**	**0**	**0**	**0**	**0**	**0**	**0**	**0**
Уровни звукового давления от источника ИШ-10-1 в расчётной точке днём, дБ		**ф-ла(3)[10]**	**0**	**24,2**	**22,9**	**21**	**17,5**	**12,9**	**4,6**	**0**	**0**	**18,7**	**18,7**
Источник шума: ИШ-10-2, координаты источника (x,y,z), м =[27.87,443.46,1.00]													
Уровни звуковой мощности источника днём, Lw, дБ		**исходные данные**	**0**	**98,3**	**99,7**	**101**	**101,3**	**100,9**	**97,6**	**93,4**	**88,9**		
Поправка на телесный угол DΩ, дБ	Ω = 6.28	10Lg(4π/Ω)	**3**	3	3	3	3	3	3	3	3		
Показатель направленности источника Di, дБ		исходные данные	**0**	0	0	0	0	0	0	0	0		
Поправка на направленность источника Dc, дБ	Dc	DΩ + Di	**3**	3	3	3	3	3	3	3	3		
Затухание из-за геометрической дивергенции, Adiv, дБ	расстояние = 577.32 м	ф-ла (7) [10]	**66,2**										
Коэффициент затухания звука в атмосфере α, дБ/км	Ta=20,°C Pa=101.33,кПа hотн.=70%	ф-ла (5) [9]	0,02	0,09	0,33	1,12	2,79	4,98	9,04	23,09	77,63		

1		2	3	4	5	6	7	8	9	10	11	12	13
Учет затухания звука в атмосфере Aatm, дБ		ф-ла (8) [10]	0	0,1	0,2	0,6	1,6	2,9	5,2	13,3	44,8		
Снижение уровня звукового давления из-за влияния застройки между источником шума и расчетной точкой													
Снижение уровня звукового давления на пути над экраном, Dz1, дБ	z = 0.90м (разность путей)	ф-лы (14-18) [10]	9,8	12,1	14,7	17,5	20,4	23,3	26,3	29,3	32,3		
Снижение уровня звукового давления на пути слева от экрана, Dz2, дБ	z = 87.62м (разность путей)	ф-лы (14-18) [10]	29,7	32,9	35,9	38,9	41,9	44,9	47,9	50,9	53,9		
Снижение уровня звукового давления на пути справа от экрана, Dz3, дБ	z = 10.37м (разность путей)	ф-лы (14-18) [10]	20,6	23,7	26,6	29,6	32,6	35,6	38,6	41,7	44,7		
Общее снижение уровня звука препятствием Dz, дБ		Эн.сумма(-Dzi)	9,4	11,8	14,4	17,2	20,1	23	26	29	32		
Общее снижение уровня звука препятствием с учётом ограничения (25 дБ) для октавных полос Dz, дБ		Раздел 7.4 [10]	9,4	11,8	14,4	17,2	20,1	23	25	25	25		
Уровни звукового давления прямого звука от источника ИШ-10-2 в расчётной точке днём, дБ		**ф-ла(3)[10]**	**0**	**23,3**	**21,9**	**20**	**16,4**	**11,8**	**4,2**	**0**	**0**	**17,6**	**17,6**
Расчёт отражённого звука													
Уровни звукового давления от мнимого источника ИШ-10-2_мн.(1) в расчётной точке днём, дБ		**ф-ла(3)[10]**	**0**	**0**	**0**	**0**	**0**	**0**	**0**	**0**	**0**	**0**	**0**
Уровни звукового давления от источника ИШ-10-2 в расчётной точке днём, дБ		**ф-ла(3)[10]**	**0**	**23,3**	**21,9**	**20**	**16,4**	**11,8**	**4,2**	**0**	**0**	**17,6**	**17,6**
Уровни звукового давления в расчётной точке													
Суммарные уровни звукового давления в расчётной точке от всех источников шума днём, Lрт, дБ		**ф-ла (19) [1]**	**62,8**	**61,1**	**55,7**	**51**	**52,1**	**57,3**	**53,4**	**43,2**	**19,8**	**59,8**	**59,8**
Допускаемые УЗД днём, Lдоп, дБ	Территории предприятий с постоянными рабочими местами	Табл. 1[3]	107	95	87	82	78	75	73	71	69	80	95
Превышение днём, дБ		**Lрт - Lдоп**	**-44,2**	**-33,9**	**-31,3**	**-31**	**-25,9**	**-17,7**	**-19,6**	**-27,8**	**-49,2**	**-20,2**	**-35,2**

Определение уровней звукового давления в точке РТ-1-3 (координаты точки, м: x = 355.27, y = -63.71, z = 1.50)

Наименование величин и их описание		Ссылка	Расчётные уровни в октавных полосах, со среднегеометрическими частотами, Гц									La, дБА	Lмакс, дБА
			31,5	63	125	250	500	1000	2000	4000	8000		
1		2	3	4	5	6	7	8	9	10	11	12	13
Источник шума: ИШ-1-1, координаты источника (x,y,z), м =[271.72,229.68,1.00]													
Уровни звуковой мощности источника днём, Lw, дБ		**исходные данные**	**97**	**97**	**104**	**106**	**105**	**105**	**98**	**87**	**81**		
Поправка на телесный угол DΩ, дБ	Ω = 6.28	10Lg(4π/Ω)	**3**	3	3	3	3	3	3	3	3		
Показатель направленности источника Di, дБ		исходные данные	**0**	0	0	0	0	0	0	0	0		
Поправка на направленность источника Dc, дБ	Dc	DΩ + Di	**3**	3	3	3	3	3	3	3	3		
Затухание из-за геометрической дивергенции, Adiv, дБ	расстояние = 305.05 м	ф-ла (7) [10]	**60,7**										
Коэффициент затухания звука в атмосфере α, дБ/км	Ta=20,°C Pa=101.33,кПа hотн.=70%	ф-ла (5) [9]	0,02	0,09	0,33	1,12	2,79	4,98	9,04	23,09	77,63		
Учет затухания звука в атмосфере Aatm, дБ		ф-ла (8) [10]	0	0	0,1	0,3	0,9	1,5	2,8	7	23,7		
Снижение уровня звукового давления из-за влияния застройки между источником шума и расчетной точкой													
Снижение уровня звукового давления на пути над экраном, Dz1, дБ	z = 6.26м (разность путей)	ф-лы (14-18) [10]	17,8	21,1	24,1	27,1	30,1	33,1	36,1	39,1	42,2		
Снижение уровня звукового давления на пути слева от экрана, Dz2, дБ	z = 79.50м (разность путей)	ф-лы (14-18) [10]	29,2	32,4	35,4	38,5	41,5	44,5	47,5	50,5	53,5		
Снижение уровня звукового давления на пути справа от экрана, Dz3, дБ	z = 55.06м (разность путей)	ф-лы (14-18) [10]	26,2	30,3	33,7	36,8	39,9	42,9	45,9	48,9	51,9		
Общее снижение уровня звука препятствием Dz, дБ		Эн.сумма(-Dzi)	16,9	20,3	23,4	26,4	29,4	32,4	35,4	38,4	41,4		

1		2	3	4	5	6	7	8	9	10	11	12	13
Общее снижение уровня звука препятствием с учётом ограничения (25 дБ) для октавных полос Dz, дБ		Раздел 7.4 [10]	16,9	20,3	23,4	25	25	25	25	25	25		
Уровни звукового давления прямого звука от источника ИШ-1-1 в расчётной точке днём, дБ		**ф-ла(3)[10]**	**22,4**	**19**	**22,9**	**23**	**21,5**	**20,8**	**12,6**	**0**	**0**	**23,9**	**23,9**
Расчёт отражённого звука													
Уровни звукового давления от мнимого источника ИШ-1-1_мн.(1) в расчётной точке днём, дБ		**ф-ла(3)[10]**	**0**	**0**	**0**	**0**	**0**	**15,7**	**6,8**	**0**	**0**	**16,4**	**16,4**
Уровни звукового давления от мнимого источника ИШ-1-1_мн.(2) в расчётной точке днём, дБ		**ф-ла(3)[10]**	**0**	**0**	**0**	**0**	**0**	**0**	**0**	**0**	**0**	**0**	**0**
Уровни звукового давления от мнимого источника ИШ-1-1_мн.(3) в расчётной точке днём, дБ		**ф-ла(3)[10]**	**0**	**0**	**0**	**0**	**0**	**0**	**2,9**	**0**	**0**	**4,1**	**4,1**
Суммарные уровни звукового давления от мнимых источников в расчётной точке днём, дБ		**ф-ла (19) [1]**	**0**	**0**	**0**	**0**	**0**	**15,7**	**8,3**	**0**	**0**	**0**	**16,6**
Уровни звукового давления от источника ИШ-1-1 в расчётной точке днём, дБ		**ф-ла(3)[10]**	**22,4**	**19**	**22,9**	**23**	**21,5**	**22**	**13,9**	**0**	**0**	**24,6**	**24,6**
Источник шума: ИШ-1-2, координаты источника (x,y,z), м =[261.74,199.14,1.00]													
Уровни звуковой мощности источника днём, Lw, дБ		**исходные данные**	**97**	**97**	**104**	**106**	**105**	**105**	**98**	**87**	**81**		
Поправка на телесный угол DΩ, дБ	Ω = 6.28	10Lg(4π/Ω)	**3**	3	3	3	3	3	3	3	3		
Показатель направленности источника Di, дБ		исходные данные	**0**	0	0	0	0	0	0	0	0		
Поправка на направленность источника Dc, дБ	Dc	DΩ + Di	**3**	3	3	3	3	3	3	3	3		
Затухание из-за геометрической дивергенции, Adiv, дБ	расстояние = 279.00 м	ф-ла (7) [10]	**59,9**										
Коэффициент затухания звука в атмосфере α, дБ/км	Ta=20,°C Pa=101.33,кПа hотн.=70%	ф-ла (5) [9]	0,02	0,09	0,33	1,12	2,79	4,98	9,04	23,09	77,63		
Учет затухания звука в атмосфере Aatm, дБ		ф-ла (8) [10]	0	0	0,1	0,3	0,8	1,4	2,5	6,4	21,7		

1		2	3	4	5	6	7	8	9	10	11	12	13
Снижение уровня звукового давления из-за влияния застройки между источником шума и расчетной точкой													
Снижение уровня звукового давления на пути над экраном, Dz1, дБ	z = 6.29м (разность путей)	ф-лы (14-18) [10]	17	20,7	24	27	30,1	33,1	36,1	39,1	42,1		
Снижение уровня звукового давления на пути слева от экрана, Dz2, дБ	z = 127.81м (разность путей)	ф-лы (14-18) [10]	31,3	34,5	37,5	40,5	43,5	46,5	49,6	52,6	55,6		
Снижение уровня звукового давления на пути справа от экрана, Dz3, дБ	z = 52.35м (разность путей)	ф-лы (14-18) [10]	26	30,1	33,5	36,6	39,6	42,7	45,7	48,7	51,7		
Общее снижение уровня звука препятствием Dz, дБ		Эн.сумма(-Dzi)	16,3	20,1	23,3	26,4	29,4	32,5	35,5	38,5	41,5		
Общее снижение уровня звука препятствием с учётом ограничения (25 дБ) для октавных полос Dz, дБ		Раздел 7.4 [10]	16,3	20,1	23,3	25	25	25	25	25	25		
Уровни звукового давления прямого звука от источника ИШ-1-2 в расчётной точке днём, дБ		**ф-ла(3)[10]**	**23,8**	**20**	**23,7**	**23,8**	**22,3**	**21,7**	**13,6**	**0**	**0**	**24,8**	**24,8**
Расчёт отражённого звука													
Уровни звукового давления от мнимого источника ИШ-1-2_мн.(1) в расчётной точке днём, дБ		**ф-ла(3)[10]**	**0**	**0**	**0**	**0**	**0**	**0**	**6**	**0**	**0**	**7,2**	**7,2**
Уровни звукового давления от мнимого источника ИШ-1-2_мн.(2) в расчётной точке днём, дБ		**ф-ла(3)[10]**	**0**	**0**	**0**	**0**	**0**	**0**	**3,6**	**0**	**0**	**4,8**	**4,8**
Суммарные уровни звукового давления от мнимых источников в расчётной точке днём, дБ		**ф-ла (19) [1]**	**0**	**0**	**0**	**0**	**0**	**0**	**8**	**0**	**0**	**0**	**9,2**
Уровни звукового давления от источника ИШ-1-2 в расчётной точке днём, дБ		**ф-ла(3)[10]**	**23,8**	**20**	**23,7**	**23,8**	**22,3**	**21,7**	**14,6**	**0**	**0**	**24,9**	**24,9**
Источник шума: ИШ-1-3, координаты источника (x,y,z), м =[251.75,236.44,1.00]													
Уровни звуковой мощности источника днём, Lw, дБ		**исходные данные**	**0**	**91,3**	**92,7**	**94**	**94,3**	**93,9**	**90,6**	**86,4**	**81,9**		
Поправка на телесный угол DΩ, дБ	Ω = 6.28	10Lg(4π/Ω)	**3**	3	3	3	3	3	3	3	3		
Показатель направленности источника Di, дБ		исходные данные	**0**	0	0	0	0	0	0	0	0		
Поправка на направленность источника Dc, дБ	Dc	DΩ + Di	**3**	3	3	3	3	3	3	3	3		

1		2	3	4	5	6	7	8	9	10	11	12	13
Затухание из-за геометрической дивергенции, Adiv, дБ	расстояние = 317.49 м	ф-ла (7) [10]	**61**										
Коэффициент затухания звука в атмосфере α, дБ/км	Ta=20,°C Pa=101.33,кПа hотн.=70%	ф-ла (5) [9]	0,02	0,09	0,33	1,12	2,79	4,98	9,04	23,09	77,63		
Учет затухания звука в атмосфере Aatm, дБ		ф-ла (8) [10]	0	0	0,1	0,4	0,9	1,6	2,9	7,3	24,6		
Снижение уровня звукового давления из-за влияния застройки между источником шума и расчетной точкой													
Снижение уровня звукового давления на пути над экраном, Dz1, дБ	z = 6.33м (разность путей)	ф-лы (14-18) [10]	17,7	21	24,1	27,1	30,1	33,1	36,1	39,1	42,2		
Снижение уровня звукового давления на пути слева от экрана, Dz2, дБ	z = 85.09м (разность путей)	ф-лы (14-18) [10]	29,5	32,7	35,7	38,8	41,8	44,8	47,8	50,8	53,8		
Снижение уровня звукового давления на пути справа от экрана, Dz3, дБ	z = 52.35м (разность путей)	ф-лы (14-18) [10]	26	30,1	33,5	36,6	39,6	42,7	45,7	48,7	51,7		
Общее снижение уровня звука препятствием Dz, дБ		Эн.сумма(-Dzi)	16,9	20,3	23,4	26,4	29,4	32,4	35,4	38,4	41,4		
Общее снижение уровня звука препятствием с учётом ограничения (25 дБ) для октавных полос Dz, дБ		Раздел 7.4 [10]	16,9	20,3	23,4	25	25	25	25	25	25		
Уровни звукового давления прямого звука от источника ИШ-1-3 в расчётной точке днём, дБ		**ф-ла(3)[10]**	**0**	**12,9**	**11,2**	**10,6**	**10,4**	**9,3**	**4,7**	**0**	**0**	**12,9**	**12,9**
Расчёт отражённого звука													
Уровни звукового давления от мнимого источника ИШ-1-3_мн.(1) в расчётной точке днём, дБ		**ф-ла(3)[10]**	**0**	**0**	**0**	**0**	**0**	**0**	**0**	**0**	**0**	**0**	**0**
Уровни звукового давления от мнимого источника ИШ-1-3_мн.(2) в расчётной точке днём, дБ		**ф-ла(3)[10]**	**0**	**0**	**0**	**0**	**0**	**0**	**0**	**0**	**0**	**0**	**0**
Уровни звукового давления от мнимого источника ИШ-1-3_мн.(3) в расчётной точке днём, дБ		**ф-ла(3)[10]**	**0**	**0**	**0**	**0**	**0**	**0**	**0**	**0**	**0**	**0**	**0**
Уровни звукового давления от мнимого источника ИШ-1-3_мн.(4) в расчётной точке днём, дБ		**ф-ла(3)[10]**	**0**	**0**	**0**	**0**	**0**	**0**	**0**	**0**	**0**	**0**	**0**
Суммарные уровни звукового давления от мнимых источников в расчётной точке днём, дБ		**ф-ла (19) [1]**	**0**	**0**	**0**	**0**	**0**	**0**	**0**	**0**	**0**	**0**	**0**
Уровни звукового давления от источника ИШ-1-3 в расчётной точке днём, дБ		**ф-ла(3)[10]**	**0**	**12,9**	**11,2**	**10,6**	**10,4**	**9,3**	**4,7**	**0**	**0**	**12,9**	**12,9**

1		2	3	4	5	6	7	8	9	10	11	12	13
Источник шума: ИШ-1-4, координаты источника (x,y,z), м =[290.25,223.25,1.00]													
Уровни звуковой мощности источника днём, Lw, дБ		**исходные данные**	**0**	**91,3**	**92,7**	**94**	**94,3**	**93,9**	**90,6**	**86,4**	**81,9**		
Поправка на телесный угол DΩ, дБ	Ω = 6.28	10Lg(4π/Ω)	**3**	3	3	3	3	3	3	3	3		
Показатель направленности источника Di, дБ		исходные данные	**0**	0	0	0	0	0	0	0	0		
Поправка на направленность источника Dc, дБ	Dc	DΩ + Di	**3**	3	3	3	3	3	3	3	3		
Затухание из-за геометрической дивергенции, Adiv, дБ	расстояние = 294.23 м	ф-ла (7) [10]	**60,4**										
Коэффициент затухания звука в атмосфере α, дБ/км	Ta=20,°C Pa=101.33,кПа hотн.=70%	ф-ла (5) [9]	0,02	0,09	0,33	1,12	2,79	4,98	9,04	23,09	77,63		
Учет затухания звука в атмосфере Aatm, дБ		ф-ла (8) [10]	0	0	0,1	0,3	0,8	1,5	2,7	6,8	22,8		
Снижение уровня звукового давления из-за влияния застройки между источником шума и расчетной точкой													
Снижение уровня звукового давления на пути над экраном, Dz1, дБ	z = 6.25м (разность путей)	ф-лы (14-18) [10]	17,9	21,1	24,1	27,2	30,2	33,2	36,2	39,2	42,2		
Снижение уровня звукового давления на пути слева от экрана, Dz2, дБ	z = 75.67м (разность путей)	ф-лы (14-18) [10]	29	32,2	35,2	38,2	41,3	44,3	47,3	50,3	53,3		
Снижение уровня звукового давления на пути справа от экрана, Dz3, дБ	z = 52.80м (разность путей)	ф-лы (14-18) [10]	27,2	30,6	33,6	36,7	39,7	42,7	45,7	48,7	51,7		
Общее снижение уровня звука препятствием Dz, дБ		Эн.сумма(-Dzi)	17,1	20,4	23,4	26,4	29,4	32,4	35,4	38,4	41,4		
Общее снижение уровня звука препятствием с учётом ограничения (25 дБ) для октавных полос Dz, дБ		Раздел 7.4 [10]	17,1	20,4	23,4	25	25	25	25	25	25		
Уровни звукового давления прямого звука от источника ИШ-1-4 в расчётной точке днём, дБ		**ф-ла(3)[10]**	**0**	**13,5**	**11,8**	**11,3**	**11,1**	**10,1**	**5,6**	**0**	**0**	**13,7**	**13,7**
Расчёт отражённого звука													

1		2	3	4	5	6	7	8	9	10	11	12	13
Уровни звукового давления от мнимого источника ИШ-1-4_мн.(1) в расчётной точке днём, дБ		**ф-ла(3)[10]**	**0**	**0**	**0**	**0**	**0**	**4,7**	**0**	**0**	**0**	**4,7**	**4,7**
Уровни звукового давления от мнимого источника ИШ-1-4_мн.(2) в расчётной точке днём, дБ		**ф-ла(3)[10]**	**0**	**0**	**0**	**0**	**0**	**0**	**0**	**0**	**0**	**0**	**0**
Суммарные уровни звукового давления от мнимых источников в расчётной точке днём, дБ		**ф-ла (19) [1]**	**0**	**0**	**0**	**0**	**0**	**4,7**	**0**	**0**	**0**	**0**	**4,7**
Уровни звукового давления от источника ИШ-1-4 в расчётной точке днём, дБ		**ф-ла(3)[10]**	**0**	**13,5**	**11,8**	**11,3**	**11,1**	**11,2**	**5,6**	**0**	**0**	**14,2**	**14,2**
Источник шума: ИШ-1-5, координаты источника (x,y,z), м =[241.49,205.86,1.00]													
Уровни звуковой мощности источника днём, Lw, дБ		**исходные данные**	**0**	**91,3**	**92,7**	**94**	**94,3**	**93,9**	**90,6**	**86,4**	**81,9**		
Поправка на телесный угол DΩ, дБ	Ω = 6.28	10Lg(4π/Ω)	**3**	3	3	3	3	3	3	3	3		
Показатель направленности источника Di, дБ		исходные данные	**0**	0	0	0	0	0	0	0	0		
Поправка на направленность источника Dc, дБ	Dc	DΩ + Di	**3**	3	3	3	3	3	3	3	3		
Затухание из-за геометрической дивергенции, Adiv, дБ	расстояние = 292.59 м	ф-ла (7) [10]	**60,3**										
Коэффициент затухания звука в атмосфере α, дБ/км	Ta=20,°C Pa=101.33,кПа hотн.=70%	ф-ла (5) [9]	0,02	0,09	0,33	1,12	2,79	4,98	9,04	23,09	77,63		
Учет затухания звука в атмосфере Aatm, дБ		ф-ла (8) [10]	0	0	0,1	0,3	0,8	1,5	2,6	6,8	22,7		
Снижение уровня звукового давления из-за влияния застройки между источником шума и расчетной точкой													
Снижение уровня звукового давления на пути над экраном, Dz1, дБ	z = 6.39м (разность путей)	ф-лы (14-18) [10]	16,9	20,7	24	27,1	30,1	33,1	36,1	39,1	42,1		
Снижение уровня звукового давления на пути слева от экрана, Dz2, дБ	z = 128.73м (разность путей)	ф-лы (14-18) [10]	31,3	34,5	37,5	40,5	43,6	46,6	49,6	52,6	55,6		
Снижение уровня звукового давления на пути справа от экрана, Dz3, дБ	z = 49.78м (разность путей)	ф-лы (14-18) [10]	25,8	29,9	33,3	36,4	39,4	42,4	45,5	48,5	51,5		

1		2	3	4	5	6	7	8	9	10	11	12	13
Общее снижение уровня звука препятствием Dz, дБ		Эн.сумма(-Dzi)	16,2	20,1	23,3	26,4	29,5	32,5	35,5	38,5	41,5		
Общее снижение уровня звука препятствием с учётом ограничения (25 дБ) для октавных полос Dz, дБ		Раздел 7.4 [10]	16,2	20,1	23,3	25	25	25	25	25	25		
Уровни звукового давления прямого звука от источника ИШ-1-5 в расчётной точке днём, дБ		**ф-ла(3)[10]**	**0**	**13,9**	**11,9**	**11,3**	**11,2**	**10,1**	**5,6**	**0**	**0**	**13,7**	**13,7**
Расчёт отражённого звука													
Уровни звукового давления от мнимого источника ИШ-1-5_мн.(1) в расчётной точке днём, дБ		**ф-ла(3)[10]**	**0**	**0**	**0**	**0**	**0**	**0**	**0**	**0**	**0**	**0**	**0**
Уровни звукового давления от мнимого источника ИШ-1-5_мн.(2) в расчётной точке днём, дБ		**ф-ла(3)[10]**	**0**	**0**	**0**	**0**	**0**	**0**	**0**	**0**	**0**	**0**	**0**
Уровни звукового давления от мнимого источника ИШ-1-5_мн.(3) в расчётной точке днём, дБ		**ф-ла(3)[10]**	**0**	**0**	**0**	**0**	**0**	**0**	**0**	**0**	**0**	**0**	**0**
Суммарные уровни звукового давления от мнимых источников в расчётной точке днём, дБ		**ф-ла (19) [1]**	**0**	**0**	**0**	**0**	**0**	**0**	**0**	**0**	**0**	**0**	**0**
Уровни звукового давления от источника ИШ-1-5 в расчётной точке днём, дБ		**ф-ла(3)[10]**	**0**	**13,9**	**11,9**	**11,3**	**11,2**	**10,1**	**5,6**	**0**	**0**	**13,7**	**13,7**
Источник шума: ИШ-1-6, координаты источника (x,y,z), м =[279.85,192.97,1.00]													
Уровни звуковой мощности источника днём, Lw, дБ		**исходные данные**	**0**	**91,3**	**92,7**	**94**	**94,3**	**93,9**	**90,6**	**86,4**	**81,9**		
Поправка на телесный угол DΩ, дБ	Ω = 6.28	10Lg(4π/Ω)	**3**	3	3	3	3	3	3	3	3		
Показатель направленности источника Di, дБ		исходные данные	**0**	0	0	0	0	0	0	0	0		
Поправка на направленность источника Dc, дБ	Dc	DΩ + Di	**3**	3	3	3	3	3	3	3	3		
Затухание из-за геометрической дивергенции, Adiv, дБ	расстояние = 267.52 м	ф-ла (7) [10]	**59,5**										
Коэффициент затухания звука в атмосфере α, дБ/км	Ta=20,°C Pa=101.33,кПа hотн.=70%	ф-ла (5) [9]	0,02	0,09	0,33	1,12	2,79	4,98	9,04	23,09	77,63		

1		2	3	4	5	6	7	8	9	10	11	12	13
Учет затухания звука в атмосфере Aatm, дБ		ф-ла (8) [10]	0	0	0,1	0,3	0,7	1,3	2,4	6,2	20,8		
Снижение уровня звукового давления из-за влияния застройки между источником шума и расчетной точкой													
Снижение уровня звукового давления на пути над экраном, Dz1, дБ	z = 6.51м (разность путей)	ф-лы (14-18) [10]	18	21,3	24,3	27,4	30,4	33,4	36,4	39,4	42,4		
Снижение уровня звукового давления на пути слева от экрана, Dz2, дБ	z = 129.02м (разность путей)	ф-лы (14-18) [10]	31,3	34,5	37,5	40,6	43,6	46,6	49,6	52,6	55,6		
Снижение уровня звукового давления на пути справа от экрана, Dz3, дБ	z = 55.22м (разность путей)	ф-лы (14-18) [10]	26,2	30,3	33,7	36,8	39,9	42,9	45,9	48,9	51,9		
Общее снижение уровня звука препятствием Dz, дБ		Эн.сумма(-Dzi)	17,2	20,6	23,7	26,7	29,7	32,7	35,7	38,8	41,8		
Общее снижение уровня звука препятствием с учётом ограничения (25 дБ) для октавных полос Dz, дБ		Раздел 7.4 [10]	17,2	20,6	23,7	25	25	25	25	25	25		
Уровни звукового давления прямого звука от источника ИШ-1-6 в расчётной точке днём, дБ		**ф-ла(3)[10]**	**0**	**14,1**	**12,4**	**12,1**	**12**	**11**	**6,6**	**0**	**0**	**14,6**	**14,6**
Расчёт отражённого звука													
Уровни звукового давления от мнимого источника ИШ-1-6_мн.(1) в расчётной точке днём, дБ		**ф-ла(3)[10]**	**0**	**0**	**0**	**0**	**0**	**4,1**	**0**	**0**	**0**	**4,1**	**4,1**
Уровни звукового давления от мнимого источника ИШ-1-6_мн.(2) в расчётной точке днём, дБ		**ф-ла(3)[10]**	**0**	**0**	**0**	**0**	**0**	**0**	**0**	**0**	**0**	**0**	**0**
Суммарные уровни звукового давления от мнимых источников в расчётной точке днём, дБ		**ф-ла (19) [1]**	**0**	**0**	**0**	**0**	**0**	**4,1**	**0**	**0**	**0**	**0**	**4,1**
Уровни звукового давления от источника ИШ-1-6 в расчётной точке днём, дБ		**ф-ла(3)[10]**	**0**	**14,1**	**12,4**	**12,1**	**12**	**11,8**	**6,6**	**0**	**0**	**15**	**15**
Источник шума: ИШ-1-7, координаты источника (x,y,z), м =[451.87,146.66,1.00]													
Уровни звуковой мощности источника днём, Lw, дБ		**исходные данные**	**0**	**93,3**	**94,7**	**96**	**96,3**	**95,9**	**92,6**	**88,4**	**83,9**		
Поправка на телесный угол DΩ, дБ	Ω = 6.28	10Lg(4π/Ω)	**3**	3	3	3	3	3	3	3	3		
Показатель направленности источника Di, дБ		исходные данные	**0**	0	0	0	0	0	0	0	0		

1		2	3	4	5	6	7	8	9	10	11	12	13
Поправка на направленность источника Dc, дБ	Dc	DΩ + Di	**3**	3	3	3	3	3	3	3	3		
Затухание из-за геометрической дивергенции, Adiv, дБ	расстояние = 231.48 м	ф-ла (7) [10]	**58,3**										
Коэффициент затухания звука в атмосфере α, дБ/км	Ta=20,°C Pa=101.33,кПа hотн.=70%	ф-ла (5) [9]	0,02	0,09	0,33	1,12	2,79	4,98	9,04	23,09	77,63		
Учет затухания звука в атмосфере Aatm, дБ		ф-ла (8) [10]	0	0	0,1	0,3	0,6	1,2	2,1	5,3	18		
Снижение уровня звукового давления из-за влияния застройки между источником шума и расчетной точкой													
Снижение уровня звукового давления на пути над экраном, Dz1, дБ	z = 0.75м (разность путей)	ф-лы (14-18) [10]	6,7	8,6	11,7	15,2	18,4	21,5	24,5	27,5	30,5		
Снижение уровня звукового давления на пути слева от экрана, Dz2, дБ	z = 8.27м (разность путей)	ф-лы (14-18) [10]	15,7	19,6	24	28,1	31,5	34,6	37,7	40,7	43,7		
Снижение уровня звукового давления на пути справа от экрана, Dz3, дБ	z = 163.68м (разность путей)	ф-лы (14-18) [10]	32,4	35,5	38,6	41,6	44,6	47,6	50,6	53,6	56,6		
Общее снижение уровня звука препятствием Dz, дБ		Эн.сумма(-Dzi)	6,1	8,2	11,4	15	18,2	21,2	24,2	27,2	30,2		
Общее снижение уровня звука препятствием с учётом ограничения (25 дБ) для октавных полос Dz, дБ		Раздел 7.4 [10]	6,1	8,2	11,4	15	18,2	21,2	24,2	25	25		
Уровни звукового давления от источника ИШ-1-7 в расчётной точке днём, дБ		**ф-ла(3)[10]**	**0**	**29,8**	**27,9**	**25,4**	**22,1**	**18,2**	**11**	**2,8**	**0**	**23,6**	**23,6**
Источник шума: ИШ-1-8, координаты источника (x,y,z), м =[454.99,145.29,1.00]													
Уровни звуковой мощности источника днём, Lw, дБ		**исходные данные**	**0**	**93,3**	**94,7**	**96**	**96,3**	**95,9**	**92,6**	**88,4**	**83,9**		
Поправка на телесный угол DΩ, дБ	Ω = 6.28	10Lg(4π/Ω)	**3**	3	3	3	3	3	3	3	3		
Показатель направленности источника Di, дБ		исходные данные	**0**	0	0	0	0	0	0	0	0		
Поправка на направленность источника Dc, дБ	Dc	DΩ + Di	**3**	3	3	3	3	3	3	3	3		

1		2	3	4	5	6	7	8	9	10	11	12	13
Затухание из-за геометрической дивергенции, Adiv, дБ	расстояние = 231.57 м	ф-ла (7) [10]	**58,3**										
Коэффициент затухания звука в атмосфере α, дБ/км	Ta=20,°C Pa=101.33,кПа hотн.=70%	ф-ла (5) [9]	0,02	0,09	0,33	1,12	2,79	4,98	9,04	23,09	77,63		
Учет затухания звука в атмосфере Aatm, дБ		ф-ла (8) [10]	0	0	0,1	0,3	0,6	1,2	2,1	5,3	18		
Снижение уровня звукового давления из-за влияния застройки между источником шума и расчетной точкой													
Снижение уровня звукового давления на пути над экраном, Dz1, дБ	z = 0.74м (разность путей)	ф-лы (14-18) [10]	6,7	8,6	11,7	15,2	18,4	21,5	24,5	27,4	30,4		
Снижение уровня звукового давления на пути слева от экрана, Dz2, дБ	z = 7.48м (разность путей)	ф-лы (14-18) [10]	15,3	19,2	23,6	27,6	31,1	34,2	37,2	40,2	43,2		
Снижение уровня звукового давления на пути справа от экрана, Dz3, дБ	z = 165.49м (разность путей)	ф-лы (14-18) [10]	32,4	35,6	38,6	41,6	44,7	47,7	50,7	53,7	56,7		
Общее снижение уровня звука препятствием Dz, дБ		Эн.сумма(-Dzi)	6,1	8,2	11,4	15	18,2	21,2	24,2	27,2	30,2		
Общее снижение уровня звука препятствием с учётом ограничения (25 дБ) для октавных полос Dz, дБ		Раздел 7.4 [10]	6,1	8,2	11,4	15	18,2	21,2	24,2	25	25		
Уровни звукового давления от источника ИШ-1-8 в расчётной точке днём, дБ		**ф-ла(3)[10]**	**0**	**29,8**	**27,9**	**25,5**	**22,2**	**18,2**	**11**	**2,8**	**0**	**23,6**	**23,6**
Источник шума: ИШ-1-9, координаты источника (x,y,z), м =[458.12,144.31,1.00]													
Уровни звуковой мощности источника днём, Lw, дБ		**исходные данные**	**0**	**93,3**	**94,7**	**96**	**96,3**	**95,9**	**92,6**	**88,4**	**83,9**		
Поправка на телесный угол DΩ, дБ	Ω = 6.28	10Lg(4π/Ω)	**3**	3	3	3	3	3	3	3	3		
Показатель направленности источника Di, дБ		исходные данные	**0**	0	0	0	0	0	0	0	0		
Поправка на направленность источника Dc, дБ	Dc	DΩ + Di	**3**	3	3	3	3	3	3	3	3		
Затухание из-за геометрической дивергенции, Adiv, дБ	расстояние = 232.05 м	ф-ла (7) [10]	**58,3**										

1		2	3	4	5	6	7	8	9	10	11	12	13
Коэффициент затухания звука в атмосфере α, дБ/км	Та=20,°С Ра=101.33,кПа hотн.=70%	ф-ла (5) [9]	0,02	0,09	0,33	1,12	2,79	4,98	9,04	23,09	77,63		
Учет затухания звука в атмосфере Aatm, дБ		ф-ла (8) [10]	0	0	0,1	0,3	0,6	1,2	2,1	5,4	18		
Снижение уровня звукового давления из-за влияния застройки между источником шума и расчетной точкой													
Снижение уровня звукового давления на пути над экраном, Dz1, дБ	z = 0.74м (разность путей)	ф-лы (14-18) [10]	6,7	8,5	11,7	15,2	18,4	21,4	24,4	27,4	30,4		
Снижение уровня звукового давления на пути слева от экрана, Dz2, дБ	z = 6.77м (разность путей)	ф-лы (14-18) [10]	15	18,7	23,1	27,2	30,6	33,7	36,8	39,8	42,8		
Снижение уровня звукового давления на пути справа от экрана, Dz3, дБ	z = 166.66м (разность путей)	ф-лы (14-18) [10]	32,4	35,6	38,6	41,7	44,7	47,7	50,7	53,7	56,7		
Общее снижение уровня звука препятствием Dz, дБ		Эн.сумма(-Dzi)	6	8,1	11,4	14,9	18,1	21,2	24,2	27,2	30,2		
Общее снижение уровня звука препятствием с учётом ограничения (25 дБ) для октавных полос Dz, дБ		Раздел 7.4 [10]	6	8,1	11,4	14,9	18,1	21,2	24,2	25	25		
Уровни звукового давления прямого звука от источника ИШ-1-9 в расчётной точке днём, дБ		**ф-ла(3)[10]**	**0**	**29,8**	**27,9**	**25,5**	**22,2**	**18,2**	**11**	**2,7**	**0**	**23,6**	**23,6**
Расчёт отражённого звука													
Уровни звукового давления от мнимого источника ИШ-1-9_мн.(1) в расчётной точке днём, дБ		**ф-ла(3)[10]**	**0**	**0**	**0**	**0**	**0**	**32**	**26,8**	**17,7**	**0**	**33,6**	**33,6**
Уровни звукового давления от источника ИШ-1-9 в расчётной точке днём, дБ		**ф-ла(3)[10]**	**0**	**29,8**	**27,9**	**25,5**	**22,2**	**32,2**	**26,9**	**17,8**	**0**	**34**	**34**
Источник шума: ИШ-1-10, координаты источника (x,y,z), м =[461.05,143.53,1.00]													
Уровни звуковой мощности источника днём, Lw, дБ		**исходные данные**	**0**	**93,3**	**94,7**	**96**	**96,3**	**95,9**	**92,6**	**88,4**	**83,9**		
Поправка на телесный угол DΩ, дБ	Ω = 6.28	10Lg(4π/Ω)	**3**	3	3	3	3	3	3	3	3		
Показатель направленности источника Di, дБ		исходные данные	**0**	0	0	0	0	0	0	0	0		

1		2	3	4	5	6	7	8	9	10	11	12	13
Поправка на направленность источника Dc, дБ	Dc	DΩ + Di	**3**	3	3	3	3	3	3	3	3		
Затухание из-за геометрической дивергенции, Adiv, дБ	расстояние = 232.67 м	ф-ла (7) [10]	**58,3**										
Коэффициент затухания звука в атмосфере α, дБ/км	Ta=20,°C Pa=101.33,кПа hотн.=70%	ф-ла (5) [9]	0,02	0,09	0,33	1,12	2,79	4,98	9,04	23,09	77,63		
Учет затухания звука в атмосфере Aatm, дБ		ф-ла (8) [10]	0	0	0,1	0,3	0,6	1,2	2,1	5,4	18,1		
Снижение уровня звукового давления из-за влияния застройки между источником шума и расчетной точкой													
Снижение уровня звукового давления на пути над экраном, Dz1, дБ	z = 0.74м (разность путей)	ф-лы (14-18) [10]	6,6	8,5	11,7	15,2	18,4	21,4	24,4	27,4	30,4		
Снижение уровня звукового давления на пути слева от экрана, Dz2, дБ	z = 6.15м (разность путей)	ф-лы (14-18) [10]	14,6	18,3	22,7	26,8	30,2	33,3	36,4	39,4	42,4		
Снижение уровня звукового давления на пути справа от экрана, Dz3, дБ	z = 167.58м (разность путей)	ф-лы (14-18) [10]	32,5	35,7	38,7	41,7	44,7	47,7	50,7	53,7	56,8		
Общее снижение уровня звука препятствием Dz, дБ		Эн.сумма(-Dzi)	6	8,1	11,3	14,9	18,1	21,1	24,1	27,1	30,1		
Общее снижение уровня звука препятствием с учётом ограничения (25 дБ) для октавных полос Dz, дБ		Раздел 7.4 [10]	6	8,1	11,3	14,9	18,1	21,1	24,1	25	25		
Уровни звукового давления прямого звука от источника ИШ-1-10 в расчётной точке днём, дБ		**ф-ла(3)[10]**	**0**	**29,8**	**28**	**25,5**	**22,2**	**18,3**	**11**	**2,7**	**0**	**23,7**	**23,7**
Расчёт отражённого звука													
Уровни звукового давления от мнимого источника ИШ-1-10_мн.(1) в расчётной точке днём, дБ		**ф-ла(3)[10]**	**0**	**0**	**0**	**0**	**0**	**28,9**	**22,4**	**12,2**	**0**	**30,1**	**30,1**
Уровни звукового давления от источника ИШ-1-10 в расчётной точке днём, дБ		**ф-ла(3)[10]**	**0**	**29,8**	**28**	**25,5**	**22,2**	**29,2**	**22,7**	**12,7**	**0**	**31**	**31**
Источник шума: ИШ-1-11, координаты источника (x,y,z), м =[464.18,142.55,1.00]													
Уровни звуковой мощности источника днём, Lw, дБ		**исходные данные**	**0**	**93,3**	**94,7**	**96**	**96,3**	**95,9**	**92,6**	**88,4**	**83,9**		

1		2	3	4	5	6	7	8	9	10	11	12	13
Поправка на телесный угол DΩ, дБ	Ω = 6.28	10Lg(4π/Ω)	**3**	3	3	3	3	3	3	3	3		
Показатель направленности источника Di, дБ		исходные данные	**0**	0	0	0	0	0	0	0	0		
Поправка на направленность источника Dc, дБ	Dc	DΩ + Di	**3**	3	3	3	3	3	3	3	3		
Затухание из-за геометрической дивергенции, Adiv, дБ	расстояние = 233.25 м	ф-ла (7) [10]	**58,4**										
Коэффициент затухания звука в атмосфере α, дБ/км	Ta=20,°C Pa=101.33,кПа hотн.=70%	ф-ла (5) [9]	0,02	0,09	0,33	1,12	2,79	4,98	9,04	23,09	77,63		
Учет затухания звука в атмосфере Aatm, дБ		ф-ла (8) [10]	0	0	0,1	0,3	0,7	1,2	2,1	5,4	18,1		
Снижение уровня звукового давления из-за влияния застройки между источником шума и расчетной точкой													
Снижение уровня звукового давления на пути над экраном, Dz1, дБ	z = 0.74м (разность путей)	ф-лы (14-18) [10]	6,6	8,5	11,6	15,2	18,4	21,4	24,4	27,4	30,4		
Снижение уровня звукового давления на пути слева от экрана, Dz2, дБ	z = 5.52м (разность путей)	ф-лы (14-18) [10]	14,2	17,9	22,3	26,3	29,7	32,9	35,9	38,9	41,9		
Снижение уровня звукового давления на пути справа от экрана, Dz3, дБ	z = 168.90м (разность путей)	ф-лы (14-18) [10]	32,5	35,7	38,7	41,7	44,7	47,8	50,8	53,8	56,8		
Общее снижение уровня звука препятствием Dz, дБ		Эн.сумма(-Dzi)	5,9	8	11,3	14,8	18	21,1	24,1	27,1	30,1		
Общее снижение уровня звука препятствием с учётом ограничения (25 дБ) для октавных полос Dz, дБ		Раздел 7.4 [10]	5,9	8	11,3	14,8	18	21,1	24,1	25	25		
Уровни звукового давления прямого звука от источника ИШ-1-11 в расчётной точке днём, дБ		**ф-ла(3)[10]**	**0**	**29,9**	**28**	**25,5**	**22,2**	**18,3**	**11**	**2,7**	**0**	**23,7**	**23,7**
Расчёт отражённого звука													
Уровни звукового давления от мнимого источника ИШ-1-11_мн.(1) в расчётной точке днём, дБ		**ф-ла(3)[10]**	**0**	**0**	**0**	**0**	**0**	**26**	**19,1**	**8,6**	**0**	**27,2**	**27,2**
Уровни звукового давления от источника ИШ-1-11 в расчётной точке днём, дБ		**ф-ла(3)[10]**	**0**	**29,9**	**28**	**25,5**	**22,2**	**26,7**	**19,7**	**9,6**	**0**	**28,8**	**28,8**

1		2	3	4	5	6	7	8	9	10	11	12	13
Источник шума: ИШ-1-12, координаты источника (x,y,z), м =[435.45,97.79,1.00]													
Уровни звуковой мощности источника днём, Lw, дБ		**исходные данные**	**0**	**93,3**	**94,7**	**96**	**96,3**	**95,9**	**92,6**	**88,4**	**83,9**		
Поправка на телесный угол DΩ, дБ	Ω = 6.28	10Lg(4π/Ω)	**3**	3	3	3	3	3	3	3	3		
Показатель направленности источника Di, дБ		исходные данные	**0**	0	0	0	0	0	0	0	0		
Поправка на направленность источника Dc, дБ	Dc	DΩ + Di	**3**	3	3	3	3	3	3	3	3		
Затухание из-за геометрической дивергенции, Adiv, дБ	расстояние = 180.31 м	ф-ла (7) [10]	**56,1**										
Коэффициент затухания звука в атмосфере α, дБ/км	Ta=20,°C Pa=101.33,кПа hотн.=70%	ф-ла (5) [9]	0,02	0,09	0,33	1,12	2,79	4,98	9,04	23,09	77,63		
Учет затухания звука в атмосфере Aatm, дБ		ф-ла (8) [10]	0	0	0,1	0,2	0,5	0,9	1,6	4,2	14		
Снижение уровня звукового давления из-за влияния застройки между источником шума и расчетной точкой													
Снижение уровня звукового давления на пути над экраном, Dz1, дБ	z = 1.02м (разность путей)	ф-лы (14-18) [10]	7,8	10,2	13,9	17,6	20,9	24	27	30	33		
Снижение уровня звукового давления на пути слева от экрана, Dz2, дБ	z = 8.72м (разность путей)	ф-лы (14-18) [10]	16	19,8	24,2	28,3	31,7	34,8	37,9	40,9	43,9		
Снижение уровня звукового давления на пути справа от экрана, Dz3, дБ	z = 69.23м (разность путей)	ф-лы (14-18) [10]	27,9	31,6	34,8	37,8	40,9	43,9	46,9	49,9	52,9		
Общее снижение уровня звука препятствием Dz, дБ		Эн.сумма(-Dzi)	7,1	9,7	13,4	17,2	20,5	23,6	26,6	29,6	32,6		
Общее снижение уровня звука препятствием с учётом ограничения (25 дБ) для октавных полос Dz, дБ		Раздел 7.4 [10]	7,1	9,7	13,4	17,2	20,5	23,6	25	25	25		
Уровни звукового давления от источника ИШ-1-12 в расчётной точке днём, дБ		**ф-ла(3)[10]**	**0**	**30,4**	**28,1**	**25,4**	**22,1**	**18,3**	**12,8**	**6,1**	**0**	**23,8**	**23,8**
Источник шума: ИШ-1-13, координаты источника (x,y,z), м =[438.77,96.82,1.00]													

1		2	3	4	5	6	7	8	9	10	11	12	13
Уровни звуковой мощности источника днём, Lw, дБ		**исходные данные**	**0**	**93,3**	**94,7**	**96**	**96,3**	**95,9**	**92,6**	**88,4**	**83,9**		
Поправка на телесный угол DΩ, дБ	Ω = 6.28	10Lg(4π/Ω)	**3**	3	3	3	3	3	3	3	3		
Показатель направленности источника Di, дБ		исходные данные	**0**	0	0	0	0	0	0	0	0		
Поправка на направленность источника Dc, дБ	Dc	DΩ + Di	**3**	3	3	3	3	3	3	3	3		
Затухание из-за геометрической дивергенции, Adiv, дБ	расстояние = 180.94 м	ф-ла (7) [10]	**56,2**										
Коэффициент затухания звука в атмосфере α, дБ/км	Ta=20,°C Pa=101.33,кПа hотн.=70%	ф-ла (5) [9]	0,02	0,09	0,33	1,12	2,79	4,98	9,04	23,09	77,63		
Учет затухания звука в атмосфере Aatm, дБ		ф-ла (8) [10]	0	0	0,1	0,2	0,5	0,9	1,6	4,2	14		
Снижение уровня звукового давления из-за влияния застройки между источником шума и расчетной точкой													
Снижение уровня звукового давления на пути над экраном, Dz1, дБ	z = 1.01м (разность путей)	ф-лы (14-18) [10]	7,7	10,2	13,8	17,6	20,9	24	27	30	33		
Снижение уровня звукового давления на пути слева от экрана, Dz2, дБ	z = 7.48м (разность путей)	ф-лы (14-18) [10]	15,4	19,2	23,6	27,6	31,1	34,2	37,2	40,2	43,2		
Снижение уровня звукового давления на пути справа от экрана, Dz3, дБ	z = 70.74м (разность путей)	ф-лы (14-18) [10]	28	31,7	34,9	37,9	41	44	47	50	53		
Общее снижение уровня звука препятствием Dz, дБ		Эн.сумма(-Dzi)	7	9,7	13,4	17,1	20,5	23,5	26,5	29,6	32,6		
Общее снижение уровня звука препятствием с учётом ограничения (25 дБ) для октавных полос Dz, дБ		Раздел 7.4 [10]	7	9,7	13,4	17,1	20,5	23,5	25	25	25		
Уровни звукового давления от источника ИШ-1-13 в расчётной точке днём, дБ		**ф-ла(3)[10]**	**0**	**30,5**	**28,1**	**25,5**	**22,2**	**18,3**	**12,8**	**6,1**	**0**	**23,9**	**23,9**
Источник шума: ИШ-1-14, координаты источника (x,y,z), м =[441.70,96.03,1.00]													
Уровни звуковой мощности источника днём, Lw, дБ		**исходные данные**	**0**	**93,3**	**94,7**	**96**	**96,3**	**95,9**	**92,6**	**88,4**	**83,9**		

1		2	3	4	5	6	7	8	9	10	11	12	13
Поправка на телесный угол DΩ, дБ	Ω = 6.28	10Lg(4π/Ω)	**3**	3	3	3	3	3	3	3	3		
Показатель направленности источника Di, дБ		исходные данные	**0**	0	0	0	0	0	0	0	0		
Поправка на направленность источника Dc, дБ	Dc	DΩ + Di	**3**	3	3	3	3	3	3	3	3		
Затухание из-за геометрической дивергенции, Adiv, дБ	расстояние = 181.62 м	ф-ла (7) [10]	**56,2**										
Коэффициент затухания звука в атмосфере α, дБ/км	Ta=20,°C Pa=101.33,кПа hотн.=70%	ф-ла (5) [9]	0,02	0,09	0,33	1,12	2,79	4,98	9,04	23,09	77,63		
Учет затухания звука в атмосфере Aatm, дБ		ф-ла (8) [10]	0	0	0,1	0,2	0,5	0,9	1,6	4,2	14,1		
Снижение уровня звукового давления из-за влияния застройки между источником шума и расчетной точкой													
Снижение уровня звукового давления на пути над экраном, Dz1, дБ	z = 1.01м (разность путей)	ф-лы (14-18) [10]	7,7	10,2	13,8	17,6	20,9	23,9	26,9	29,9	33		
Снижение уровня звукового давления на пути слева от экрана, Dz2, дБ	z = 6.50м (разность путей)	ф-лы (14-18) [10]	14,8	18,6	23	27	30,4	33,6	36,6	39,6	42,6		
Снижение уровня звукового давления на пути справа от экрана, Dz3, дБ	z = 72.06м (разность путей)	ф-лы (14-18) [10]	28,1	31,8	35	38	41	44,1	47,1	50,1	53,1		
Общее снижение уровня звука препятствием Dz, дБ		Эн.сумма(-Dzi)	6,9	9,6	13,3	17,1	20,4	23,4	26,5	29,5	32,5		
Общее снижение уровня звука препятствием с учётом ограничения (25 дБ) для октавных полос Dz, дБ		Раздел 7.4 [10]	6,9	9,6	13,3	17,1	20,4	23,4	25	25	25		
Уровни звукового давления от источника ИШ-1-14 в расчётной точке днём, дБ		**ф-ла(3)[10]**	**0**	**30,5**	**28,2**	**25,5**	**22,2**	**18,4**	**12,8**	**6**	**0**	**23,9**	**23,9**
Источник шума: ИШ-1-15, координаты источника (x,y,z), м =[445.03,95.25,1.00]													
Уровни звуковой мощности источника днём, Lw, дБ		**исходные данные**	**0**	**93,3**	**94,7**	**96**	**96,3**	**95,9**	**92,6**	**88,4**	**83,9**		
Поправка на телесный угол DΩ, дБ	Ω = 6.28	10Lg(4π/Ω)	**3**	3	3	3	3	3	3	3	3		

1		2	3	4	5	6	7	8	9	10	11	12	13
Показатель направленности источника Di, дБ		исходные данные	**0**	0	0	0	0	0	0	0	0		
Поправка на направленность источника Dc, дБ	Dc	DΩ + Di	**3**	3	3	3	3	3	3	3	3		
Затухание из-за геометрической дивергенции, Adiv, дБ	расстояние = 182.55 м	ф-ла (7) [10]	**56,2**										
Коэффициент затухания звука в атмосфере α, дБ/км	Ta=20,°C Pa=101.33,кПа hотн.=70%	ф-ла (5) [9]	0,02	0,09	0,33	1,12	2,79	4,98	9,04	23,09	77,63		
Учет затухания звука в атмосфере Aatm, дБ		ф-ла (8) [10]	0	0	0,1	0,2	0,5	0,9	1,7	4,2	14,2		
Снижение уровня звукового давления из-за влияния застройки между источником шума и расчетной точкой													
Снижение уровня звукового давления на пути над экраном, Dz1, дБ	z = 1.00м (разность путей)	ф-лы (14-18) [10]	7,7	10,2	13,8	17,5	20,8	23,9	26,9	29,9	32,9		
Снижение уровня звукового давления на пути слева от экрана, Dz2, дБ	z = 5.50м (разность путей)	ф-лы (14-18) [10]	14,2	17,9	22,2	26,3	29,7	32,8	35,9	38,9	41,9		
Снижение уровня звукового давления на пути справа от экрана, Dz3, дБ	z = 73.54м (разность путей)	ф-лы (14-18) [10]	28,2	31,9	35	38,1	41,1	44,1	47,2	50,2	53,2		
Общее снижение уровня звука препятствием Dz, дБ		Эн.сумма(-Dzi)	6,8	9,5	13,2	17	20,3	23,3	26,3	29,4	32,4		
Общее снижение уровня звука препятствием с учётом ограничения (25 дБ) для октавных полос Dz, дБ		Раздел 7.4 [10]	6,8	9,5	13,2	17	20,3	23,3	25	25	25		
Уровни звукового давления от источника ИШ-1-15 в расчётной точке днём, дБ		**ф-ла(3)[10]**	**0**	**30,6**	**28,2**	**25,6**	**22,3**	**18,4**	**12,7**	**6**	**0**	**24**	**24**
Источник шума: ИШ-1-16, координаты источника (x,y,z), м =[447.96,94.28,1.00]													
Уровни звуковой мощности источника днём, Lw, дБ		**исходные данные**	**0**	**93,3**	**94,7**	**96**	**96,3**	**95,9**	**92,6**	**88,4**	**83,9**		
Поправка на телесный угол DΩ, дБ	Ω = 6.28	10Lg(4π/Ω)	**3**	3	3	3	3	3	3	3	3		
Показатель направленности источника Di, дБ		исходные данные	**0**	0	0	0	0	0	0	0	0		

1		2	3	4	5	6	7	8	9	10	11	12	13
Поправка на направленность источника Dc, дБ	Dc	DΩ + Di	**3**	3	3	3	3	3	3	3	3		
Затухание из-за геометрической дивергенции, Adiv, дБ	расстояние = 183.16 м	ф-ла (7) [10]	**56,3**										
Коэффициент затухания звука в атмосфере α, дБ/км	Ta=20,°C Pa=101.33,кПа hотн.=70%	ф-ла (5) [9]	0,02	0,09	0,33	1,12	2,79	4,98	9,04	23,09	77,63		
Учет затухания звука в атмосфере Aatm, дБ		ф-ла (8) [10]	0	0	0,1	0,2	0,5	0,9	1,7	4,2	14,2		
Снижение уровня звукового давления из-за влияния застройки между источником шума и расчетной точкой													
Снижение уровня звукового давления на пути над экраном, Dz1, дБ	z = 1.00м (разность путей)	ф-лы (14-18) [10]	7,7	10,2	13,8	17,5	20,8	23,9	26,9	29,9	32,9		
Снижение уровня звукового давления на пути слева от экрана, Dz2, дБ	z = 4.70м (разность путей)	ф-лы (14-18) [10]	13,5	17,2	21,6	25,6	29	32,2	35,2	38,2	41,2		
Снижение уровня звукового давления на пути справа от экрана, Dz3, дБ	z = 74.96м (разность путей)	ф-лы (14-18) [10]	28,3	31,9	35,1	38,2	41,2	44,2	47,2	50,2	53,3		
Общее снижение уровня звука препятствием Dz, дБ		Эн.сумма(-Dzi)	6,7	9,3	13,1	16,8	20,2	23,2	26,2	29,2	32,3		
Общее снижение уровня звука препятствием с учётом ограничения (25 дБ) для октавных полос Dz, дБ		Раздел 7.4 [10]	6,7	9,3	13,1	16,8	20,2	23,2	25	25	25		
Уровни звукового давления от источника ИШ-1-16 в расчётной точке днём, дБ		**ф-ла(3)[10]**	**0**	**30,7**	**28,3**	**25,7**	**22,4**	**18,5**	**12,7**	**5,9**	**0**	**24**	**24**
Источник шума: ИШ-1-17, координаты источника (x,y,z), м =[540.99,141.77,1.00]													
Уровни звуковой мощности источника днём, Lw, дБ		**исходные данные**	**0**	**93,3**	**94,7**	**96**	**96,3**	**95,9**	**92,6**	**88,4**	**83,9**		
Поправка на телесный угол DΩ, дБ	Ω = 6.28	10Lg(4π/Ω)	**3**	3	3	3	3	3	3	3	3		
Показатель направленности источника Di, дБ		исходные данные	**0**	0	0	0	0	0	0	0	0		
Поправка на направленность источника Dc, дБ	Dc	DΩ + Di	**3**	3	3	3	3	3	3	3	3		

1		2	3	4	5	6	7	8	9	10	11	12	13
Затухание из-за геометрической дивергенции, Adiv, дБ	расстояние = 276.97 м	ф-ла (7) [10]	**59,8**										
Коэффициент затухания звука в атмосфере α, дБ/км	Ta=20,°C Pa=101.33,кПа hотн.=70%	ф-ла (5) [9]	0,02	0,09	0,33	1,12	2,79	4,98	9,04	23,09	77,63		
Учет затухания звука в атмосфере Aatm, дБ		ф-ла (8) [10]	0	0	0,1	0,3	0,8	1,4	2,5	6,4	21,5		
Снижение уровня звукового давления из-за влияния застройки между источником шума и расчетной точкой													
Снижение уровня звукового давления на пути над экраном, Dz1, дБ	z = 0.97м (разность путей)	ф-лы (14-18) [10]	8,9	11,7	14,5	17,4	20,3	23,3	26,3	29,3	32,3		
Снижение уровня звукового давления на пути слева от экрана, Dz2, дБ	z = 2.27м (разность путей)	ф-лы (14-18) [10]	10,6	13	15,6	18,4	21,3	24,3	27,3	30,3	33,3		
Снижение уровня звукового давления на пути справа от экрана, Dz3, дБ	z = 110.40м (разность путей)	ф-лы (14-18) [10]	30,7	33,8	36,9	39,9	42,9	45,9	48,9	51,9	54,9		
Общее снижение уровня звука препятствием Dz, дБ		Эн.сумма(-Dzi)	6,6	9,3	12	14,9	17,8	20,7	23,7	26,7	29,7		
Общее снижение уровня звука препятствием с учётом ограничения (25 дБ) для октавных полос Dz, дБ		Раздел 7.4 [10]	6,6	9,3	12	14,9	17,8	20,7	23,7	25	25		
Уровни звукового давления от источника ИШ-1-17 в расчётной точке днём, дБ		**ф-ла(3)[10]**	**0**	**27,1**	**25,7**	**24**	**20,9**	**16,9**	**9,5**	**0,1**	**0**	**22,2**	**22,2**
Источник шума: ИШ-1-18, координаты источника (x,y,z), м =[543.53,140.79,1.00]													
Уровни звуковой мощности источника днём, Lw, дБ		**исходные данные**	**0**	**93,3**	**94,7**	**96**	**96,3**	**95,9**	**92,6**	**88,4**	**83,9**		
Поправка на телесный угол DΩ, дБ	Ω = 6.28	10Lg(4π/Ω)	**3**	3	3	3	3	3	3	3	3		
Показатель направленности источника Di, дБ		исходные данные	**0**	0	0	0	0	0	0	0	0		
Поправка на направленность источника Dc, дБ	Dc	DΩ + Di	**3**	3	3	3	3	3	3	3	3		
Затухание из-за геометрической дивергенции, Adiv, дБ	расстояние = 277.96 м	ф-ла (7) [10]	**59,9**										

1		2	3	4	5	6	7	8	9	10	11	12	13
Коэффициент затухания звука в атмосфере α, дБ/км	Ta=20,°C Pa=101.33,кПа hотн.=70%	ф-ла (5) [9]	0,02	0,09	0,33	1,12	2,79	4,98	9,04	23,09	77,63		
Учет затухания звука в атмосфере Aatm, дБ		ф-ла (8) [10]	0	0	0,1	0,3	0,8	1,4	2,5	6,4	21,6		
Снижение уровня звукового давления из-за влияния застройки между источником шума и расчетной точкой													
Снижение уровня звукового давления на пути над экраном, Dz1, дБ	z = 0.78м (разность путей)	ф-лы (14-18) [10]	6,9	9,2	12,3	15,4	18,4	21,3	24,3	27,3	30,3		
Снижение уровня звукового давления на пути слева от экрана, Dz2, дБ	z = 1.87м (разность путей)	ф-лы (14-18) [10]	10	12,3	14,8	17,6	20,5	23,5	26,5	29,5	32,5		
Снижение уровня звукового давления на пути справа от экрана, Dz3, дБ	z = 111.43м (разность путей)	ф-лы (14-18) [10]	30,7	33,9	36,9	39,9	42,9	45,9	49	52	55		
Общее снижение уровня звука препятствием Dz, дБ		Эн.сумма(-Dzi)	5,1	7,4	10,4	13,3	16,3	19,2	22,2	25,2	28,2		
Общее снижение уровня звука препятствием с учётом ограничения (25 дБ) для октавных полос Dz, дБ		Раздел 7.4 [10]	5,1	7,4	10,4	13,3	16,3	19,2	22,2	25	25		
Уровни звукового давления от источника ИШ-1-18 в расчётной точке днём, дБ		**ф-ла(3)[10]**	**0**	**29**	**27,4**	**25,5**	**22,4**	**18,4**	**11**	**0,1**	**0**	**23,7**	**23,7**
Источник шума: ИШ-1-19, координаты источника (x,y,z), м =[547.25,139.62,1.00]													
Уровни звуковой мощности источника днём, Lw, дБ		**исходные данные**	**0**	**93,3**	**94,7**	**96**	**96,3**	**95,9**	**92,6**	**88,4**	**83,9**		
Поправка на телесный угол DΩ, дБ	Ω = 6.28	10Lg(4π/Ω)	**3**	3	3	3	3	3	3	3	3		
Показатель направленности источника Di, дБ		исходные данные	**0**	0	0	0	0	0	0	0	0		
Поправка на направленность источника Dc, дБ	Dc	DΩ + Di	**3**	3	3	3	3	3	3	3	3		
Затухание из-за геометрической дивергенции, Adiv, дБ	расстояние = 279.64 м	ф-ла (7) [10]	**59,9**										
Коэффициент затухания звука в атмосфере α, дБ/км	Ta=20,°C Pa=101.33,кПа hотн.=70%	ф-ла (5) [9]	0,02	0,09	0,33	1,12	2,79	4,98	9,04	23,09	77,63		

1		2	3	4	5	6	7	8	9	10	11	12	13
Учет затухания звука в атмосфере Aatm, дБ		ф-ла (8) [10]	0	0	0,1	0,3	0,8	1,4	2,5	6,5	21,7		
Снижение уровня звукового давления из-за влияния застройки между источником шума и расчетной точкой													
Снижение уровня звукового давления на пути над экраном, Dz1, дБ	z = 0.73м (разность путей)	ф-лы (14-18) [10]	6,6	8,6	11,6	14,8	17,8	20,7	23,7	26,7	29,7		
Снижение уровня звукового давления на пути слева от экрана, Dz2, дБ	z = 1.38м (разность путей)	ф-лы (14-18) [10]	9,1	11,2	13,7	16,4	19,3	22,2	25,2	28,1	31,1		
Снижение уровня звукового давления на пути справа от экрана, Dz3, дБ	z = 112.62м (разность путей)	ф-лы (14-18) [10]	30,8	33,9	36,9	40	43	46	49	52	55		
Общее снижение уровня звука препятствием Dz, дБ		Эн.сумма(-Dzi)	4,6	6,7	9,5	12,5	15,4	18,4	21,3	24,3	27,3		
Общее снижение уровня звука препятствием с учётом ограничения (25 дБ) для октавных полос Dz, дБ		Раздел 7.4 [10]	4,6	6,7	9,5	12,5	15,4	18,4	21,3	24,3	25		
Уровни звукового давления от источника ИШ-1-19 в расчётной точке днём, дБ		**ф-ла(3)[10]**	**0**	**29,7**	**28,2**	**26,3**	**23,1**	**19,2**	**11,8**	**0,7**	**0**	**24,5**	**24,5**
Источник шума: ИШ-1-20, координаты источника (x,y,z), м =[550.38,138.64,1.00]													
Уровни звуковой мощности источника днём, Lw, дБ		**исходные данные**	**0**	**93,3**	**94,7**	**96**	**96,3**	**95,9**	**92,6**	**88,4**	**83,9**		
Поправка на телесный угол DΩ, дБ	Ω = 6.28	10Lg(4π/Ω)	**3**	3	3	3	3	3	3	3	3		
Показатель направленности источника Di, дБ		исходные данные	**0**	0	0	0	0	0	0	0	0		
Поправка на направленность источника Dc, дБ	Dc	DΩ + Di	**3**	3	3	3	3	3	3	3	3		
Затухание из-за геометрической дивергенции, Adiv, дБ	расстояние = 281.09 м	ф-ла (7) [10]	**60**										
Коэффициент затухания звука в атмосфере α, дБ/км	Ta=20,°C Pa=101.33,кПа hотн.=70%	ф-ла (5) [9]	0,02	0,09	0,33	1,12	2,79	4,98	9,04	23,09	77,63		
Учет затухания звука в атмосфере Aatm, дБ		ф-ла (8) [10]	0	0	0,1	0,3	0,8	1,4	2,5	6,5	21,8		

1		2	3	4	5	6	7	8	9	10	11	12	13
Снижение уровня звукового давления из-за влияния застройки между источником шума и расчетной точкой													
Снижение уровня звукового давления на пути над экраном, Dz1, дБ	z = 0.69м (разность путей)	ф-лы (14-18) [10]	6,3	8,1	11,1	14,3	17,3	20,3	23,2	26,2	29,2		
Снижение уровня звукового давления на пути слева от экрана, Dz2, дБ	z = 1.03м (разность путей)	ф-лы (14-18) [10]	8,3	10,3	12,6	15,2	18	21	23,9	26,9	29,9		
Снижение уровня звукового давления на пути справа от экрана, Dz3, дБ	z = 113.69м (разность путей)	ф-лы (14-18) [10]	30,8	34	37	40	43	46	49	52,1	55,1		
Общее снижение уровня звука препятствием Dz, дБ		Эн.сумма(-Dzi)	4,2	6	8,7	11,7	14,6	17,6	20,5	23,5	26,5		
Общее снижение уровня звука препятствием с учётом ограничения (25 дБ) для октавных полос Dz, дБ		Раздел 7.4 [10]	4,2	6	8,7	11,7	14,6	17,6	20,5	23,5	25		
Уровни звукового давления от источника ИШ-1-20 в расчётной точке днём, дБ		**ф-ла(3)[10]**	**0**	**30,2**	**28,9**	**27**	**23,9**	**19,9**	**12,5**	**1,4**	**0**	**25,2**	**25,2**
Источник шума: ИШ-1-21, координаты источника (x,y,z), м =[553.31,137.67,1.00]													
Уровни звуковой мощности источника днём, Lw, дБ		**исходные данные**	**0**	**93,3**	**94,7**	**96**	**96,3**	**95,9**	**92,6**	**88,4**	**83,9**		
Поправка на телесный угол DΩ, дБ	Ω = 6.28	10Lg(4π/Ω)	**3**	3	3	3	3	3	3	3	3		
Показатель направленности источника Di, дБ		исходные данные	**0**	0	0	0	0	0	0	0	0		
Поправка на направленность источника Dc, дБ	Dc	DΩ + Di	**3**	3	3	3	3	3	3	3	3		
Затухание из-за геометрической дивергенции, Adiv, дБ	расстояние = 282.43 м	ф-ла (7) [10]	**60**										
Коэффициент затухания звука в атмосфере α, дБ/км	Ta=20,°C Pa=101.33,кПа hотн.=70%	ф-ла (5) [9]	0,02	0,09	0,33	1,12	2,79	4,98	9,04	23,09	77,63		
Учет затухания звука в атмосфере Aatm, дБ		ф-ла (8) [10]	0	0	0,1	0,3	0,8	1,4	2,6	6,5	21,9		
Снижение уровня звукового давления из-за влияния застройки между источником шума и расчетной точкой													

1		2	3	4	5	6	7	8	9	10	11	12	13
Снижение уровня звукового давления на пути над экраном, Dz1, дБ	z = 0.66м (разность путей)	ф-лы (14-18) [10]	6,2	7,7	10,5	13,8	16,9	19,9	22,9	25,8	28,8		
Снижение уровня звукового давления на пути слева от экрана, Dz2, дБ	z = 0.75м (разность путей)	ф-лы (14-18) [10]	7,6	9,3	11,5	14	16,8	19,6	22,6	25,5	28,5		
Снижение уровня звукового давления на пути справа от экрана, Dz3, дБ	z = 114.85м (разность путей)	ф-лы (14-18) [10]	30,8	34	37	40,1	43,1	46,1	49,1	52,1	55,1		
Общее снижение уровня звука препятствием Dz, дБ		Эн.сумма(-Dzi)	3,8	5,4	8	10,9	13,8	16,7	19,7	22,7	25,7		
Общее снижение уровня звука препятствием с учётом ограничения (25 дБ) для октавных полос Dz, дБ		Раздел 7.4 [10]	3,8	5,4	8	10,9	13,8	16,7	19,7	22,7	25		
Уровни звукового давления от источника ИШ-1-21 в расчётной точке днём, дБ		**ф-ла(3)[10]**	**0**	**30,8**	**29,6**	**27,8**	**24,7**	**20,7**	**13,3**	**2,2**	**0**	**26**	**26**
Источник шума: ИШ-1-22, координаты источника (x,y,z), м =[522.03,85.28,1.00]													
Уровни звуковой мощности источника днём, Lw, дБ		**исходные данные**	**0**	**93,3**	**94,7**	**96**	**96,3**	**95,9**	**92,6**	**88,4**	**83,9**		
Поправка на телесный угол DΩ, дБ	Ω = 6.28	10Lg(4π/Ω)	**3**	3	3	3	3	3	3	3	3		
Показатель направленности источника Di, дБ		исходные данные	**0**	0	0	0	0	0	0	0	0		
Поправка на направленность источника Dc, дБ	Dc	DΩ + Di	**3**	3	3	3	3	3	3	3	3		
Затухание из-за геометрической дивергенции, Adiv, дБ	расстояние = 223.63 м	ф-ла (7) [10]	**58**										
Коэффициент затухания звука в атмосфере α, дБ/км	Ta=20,°C Pa=101.33,кПа hотн.=70%	ф-ла (5) [9]	0,02	0,09	0,33	1,12	2,79	4,98	9,04	23,09	77,63		
Учет затухания звука в атмосфере Aatm, дБ		ф-ла (8) [10]	0	0	0,1	0,3	0,6	1,1	2	5,2	17,4		
Снижение уровня звукового давления из-за влияния застройки между источником шума и расчетной точкой													
Снижение уровня звукового давления препятствием справа от трассы ИШ-РТ, Dz3, дБ	z = -0.01м (разность путей)	ф-лы (14-18) [10]	0	0	0	0	3,6	2,1	0	NAN	NAN		

* отрицательное значение z означает прохождение траектории вблизи экрана, в этом случае дополнительно производится учёт снижения подстилающей поверхностью (см.ниже)

1		2	3	4	5	6	7	8	9	10	11	12	13
Снижение поверхностью земли возле источника As, дБ	Gs = 0 hs = 1м	ф-лы таб.3 [10]	-1,5	-1,5	-1,5	-1,5	-1,5	-1,5	-1,5	-1,5	-1,5		
Снижение поверхностью земли возле приёмника Ar, дБ	Gr = 1 hr = 1.5м	ф-лы таб.3 [10]	-1,5	-1,5	1,3	6,9	4,9	0,7	0	0	0		
Снижение поверхностью земли в средней зоне, Am дБ	Gm = 1	ф-лы таб.3 [10]	-2	-2	0	0	0	0	0	0	0		
Суммарное снижение поверхностью земли на траектории распространения звука Agr, дБ		ф-ла (9) [10]	-5	-5	-0,2	5,4	3,4	-0,8	-1,5	-1,5	-1,5		
Уровни звукового давления прямого звука от источника ИШ-1-22 в расчётной точке днём, дБ		**ф-ла(3)[10]**	**0**	**43,3**	**39,8**	**35,3**	**33,6**	**38,5**	**37,1**	**29,7**	**13**	**42,3**	**42,3**
Расчёт отражённого звука													
Уровни звукового давления от мнимого источника ИШ-1-22_мн.(1) в расчётной точке днём, дБ		**ф-ла(3)[10]**	**0**	**0**	**36,2**	**25**	**26**	**36,1**	**34,5**	**27,2**	**10,4**	**39,4**	**39,4**
Уровни звукового давления от источника ИШ-1-22 в расчётной точке днём, дБ		**ф-ла(3)[10]**	**0**	**43,3**	**41,4**	**35,7**	**34,3**	**40,5**	**39**	**31,6**	**14,9**	**44,1**	**44,1**
Источник шума: ИШ-1-23, координаты источника (x,y,z), м =[525.16,84.11,1.00]													
Уровни звуковой мощности источника днём, Lw, дБ		**исходные данные**	**0**	**93,3**	**94,7**	**96**	**96,3**	**95,9**	**92,6**	**88,4**	**83,9**		
Поправка на телесный угол DΩ, дБ	Ω = 6.28	10Lg(4π/Ω)	**3**	3	3	3	3	3	3	3	3		
Показатель направленности источника Di, дБ		исходные данные	**0**	0	0	0	0	0	0	0	0		
Поправка на направленность источника Dc, дБ	Dc	DΩ + Di	**3**	3	3	3	3	3	3	3	3		
Затухание из-за геометрической дивергенции, Adiv, дБ	расстояние = 225.20 м	ф-ла (7) [10]	**58,1**										
Коэффициент затухания звука в атмосфере α, дБ/км	Ta=20,°C Pa=101.33,кПа hотн.=70%	ф-ла (5) [9]	0,02	0,09	0,33	1,12	2,79	4,98	9,04	23,09	77,63		
Учет затухания звука в атмосфере Aatm, дБ		ф-ла (8) [10]	0	0	0,1	0,3	0,6	1,1	2	5,2	17,5		

1		2	3	4	5	6	7	8	9	10	11	12	13
Снижение уровня звукового давления из-за влияния застройки между источником шума и расчетной точкой													
Снижение уровня звукового давления препятствием справа от трассы ИШ-РТ, Dz3, дБ	z = -0.13м (разность путей)	ф-лы (14-18) [10]	0	0	0,6	NAN	NAN	NAN	NAN	NAN	NAN		
* отрицательное значение z означает прохождение траектории вблизи экрана, в этом случае дополнительно производится учёт снижения подстилающей поверхностью (см.ниже)													
Снижение поверхностью земли возле источника As, дБ	Gs = 0 hs = 1м	ф-лы таб.3 [10]	-1,5	-1,5	-1,5	-1,5	-1,5	-1,5	-1,5	-1,5	-1,5		
Снижение поверхностью земли возле приёмника Ar, дБ	Gr = 1 hr = 1.5м	ф-лы таб.3 [10]	-1,5	-1,5	1,3	6,9	4,9	0,7	0	0	0		
Снижение поверхностью земли в средней зоне, Am дБ	Gm = 1	ф-лы таб.3 [10]	-2	-2	0	0	0	0	0	0	0		
Суммарное снижение поверхностью земли на траектории распространения звука Agr, дБ		ф-ла (9) [10]	-5	-5	-0,2	5,4	3,4	-0,8	-1,5	-1,5	-1,5		
Уровни звукового давления прямого звука от источника ИШ-1-23 в расчётной точке днём, дБ		**ф-ла(3)[10]**	**0**	**43,2**	**39,2**	**35,2**	**37,2**	**40,6**	**37**	**29,6**	**12,9**	**43,5**	**43,5**
Расчёт отражённого звука													
Уровни звукового давления от мнимого источника ИШ-1-23_мн.(1) в расчётной точке днём, дБ		**ф-ла(3)[10]**	**0**	**0**	**36,1**	**24,9**	**25,9**	**36**	**34,5**	**27,1**	**10,2**	**39,4**	**39,4**
Уровни звукового давления от источника ИШ-1-23 в расчётной точке днём, дБ		**ф-ла(3)[10]**	**0**	**43,2**	**40,9**	**35,6**	**37,5**	**41,9**	**38,9**	**31,6**	**14,7**	**44,9**	**44,9**
Источник шума: ИШ-1-24, координаты источника (x,y,z), м =[528.48,82.94,1.00]													
Уровни звуковой мощности источника днём, Lw, дБ		**исходные данные**	**0**	**93,3**	**94,7**	**96**	**96,3**	**95,9**	**92,6**	**88,4**	**83,9**		
Поправка на телесный угол DΩ, дБ	Ω = 6.28	10Lg(4π/Ω)	**3**	3	3	3	3	3	3	3	3		
Показатель направленности источника Di, дБ		исходные данные	**0**	0	0	0	0	0	0	0	0		
Поправка на направленность источника Dc, дБ	Dc	DΩ + Di	**3**	3	3	3	3	3	3	3	3		
Затухание из-за геометрической дивергенции, Adiv, дБ	расстояние = 226.95 м	ф-ла (7) [10]	**58,1**										

1		2	3	4	5	6	7	8	9	10	11	12	13
Коэффициент затухания звука в атмосфере α, дБ/км	Ta=20,°C Pa=101.33,кПа hотн.=70%	ф-ла (5) [9]	0,02	0,09	0,33	1,12	2,79	4,98	9,04	23,09	77,63		
Учет затухания звука в атмосфере Aatm, дБ		ф-ла (8) [10]	0	0	0,1	0,3	0,6	1,1	2,1	5,2	17,6		
Снижение поверхностью земли возле источника As, дБ	Gs = 0 hs = 1м	ф-лы таб.3 [10]	-1,5	-1,5	-1,5	-1,5	-1,5	-1,5	-1,5	-1,5	-1,5		
Снижение поверхностью земли возле приёмника Ar, дБ	Gr = 1 hr = 1.5м	ф-лы таб.3 [10]	-1,5	-1,5	1,3	6,9	4,9	0,7	0	0	0		
Снижение поверхностью земли в средней зоне, Am дБ	Gm = 1	ф-лы таб.3 [10]	-2	-2	0	0	0	0	0	0	0		
Суммарное снижение поверхностью земли на траектории распространения звука Agr, дБ		ф-ла (9) [10]	-5	-5	-0,2	5,4	3,4	-0,8	-1,5	-1,5	-1,5		
Уровни звукового давления прямого звука от источника ИШ-1-24 в расчётной точке днём, дБ		**ф-ла(3)[10]**	**0**	**43,2**	**39,7**	**35,2**	**37,1**	**40,5**	**36,9**	**29,5**	**12,7**	**43,4**	**43,4**
Расчёт отражённого звука													
Уровни звукового давления от мнимого источника ИШ-1-24_мн.(1) в расчётной точке днём, дБ		**ф-ла(3)[10]**	**0**	**0**	**36**	**24,8**	**25,8**	**35,9**	**34,4**	**27**	**10**	**39,3**	**39,3**
Уровни звукового давления от источника ИШ-1-24 в расчётной точке днём, дБ		**ф-ла(3)[10]**	**0**	**43,2**	**41,2**	**35,6**	**37,4**	**41,8**	**38,8**	**31,4**	**14,5**	**44,8**	**44,8**
Источник шума: ИШ-1-25, координаты источника (x,y,z), м =[531.22,82.16,1.00]													
Уровни звуковой мощности источника днём, Lw, дБ		**исходные данные**	**0**	**93,3**	**94,7**	**96**	**96,3**	**95,9**	**92,6**	**88,4**	**83,9**		
Поправка на телесный угол DΩ, дБ	Ω = 6.28	10Lg(4π/Ω)	**3**	3	3	3	3	3	3	3	3		
Показатель направленности источника Di, дБ		исходные данные	**0**	0	0	0	0	0	0	0	0		
Поправка на направленность источника Dc, дБ	Dc	DΩ + Di	**3**	3	3	3	3	3	3	3	3		
Затухание из-за геометрической дивергенции, Adiv, дБ	расстояние = 228.55 м	ф-ла (7) [10]	**58,2**										

1		2	3	4	5	6	7	8	9	10	11	12	13
Коэффициент затухания звука в атмосфере α, дБ/км	Ta=20,°C Pa=101.33,кПа hотн.=70%	ф-ла (5) [9]	0,02	0,09	0,33	1,12	2,79	4,98	9,04	23,09	77,63		
Учет затухания звука в атмосфере Aatm, дБ		ф-ла (8) [10]	0	0	0,1	0,3	0,6	1,1	2,1	5,3	17,7		
Снижение поверхностью земли возле источника As, дБ	Gs = 0 hs = 1м	ф-лы таб.3 [10]	-1,5	-1,5	-1,5	-1,5	-1,5	-1,5	-1,5	-1,5	-1,5		
Снижение поверхностью земли возле приёмника Ar, дБ	Gr = 1 hr = 1.5м	ф-лы таб.3 [10]	-1,5	-1,5	1,3	7	4,9	0,7	0	0	0		
Снижение поверхностью земли в средней зоне, Am дБ	Gm = 1	ф-лы таб.3 [10]	-2	-2	0	0	0	0	0	0	0		
Суммарное снижение поверхностью земли на траектории распространения звука Agr, дБ		ф-ла (9) [10]	-5	-5	-0,2	5,5	3,4	-0,8	-1,5	-1,5	-1,5		
Уровни звукового давления прямого звука от источника ИШ-1-25 в расчётной точке днём, дБ		**ф-ла(3)[10]**	**0**	**43,1**	**39,6**	**35,1**	**37,1**	**40,4**	**36,8**	**29,4**	**12,5**	**43,4**	**43,4**
Расчёт отражённого звука													
Уровни звукового давления от мнимого источника ИШ-1-25_мн.(1) в расчётной точке днём, дБ		**ф-ла(3)[10]**	**0**	**0**	**35,9**	**24,8**	**25,8**	**35,9**	**34,3**	**26,9**	**9,8**	**39,2**	**39,2**
Уровни звукового давления от источника ИШ-1-25 в расчётной точке днём, дБ		**ф-ла(3)[10]**	**0**	**43,1**	**41,2**	**35,5**	**37,4**	**41,7**	**38,8**	**31,3**	**14,3**	**44,8**	**44,8**
Источник шума: ИШ-1-26, координаты источника (x,y,z), м =[534.15,80.79,1.00]													
Уровни звуковой мощности источника днём, Lw, дБ		**исходные данные**	**0**	**93,3**	**94,7**	**96**	**96,3**	**95,9**	**92,6**	**88,4**	**83,9**		
Поправка на телесный угол DΩ, дБ	Ω = 6.28	10Lg(4π/Ω)	**3**	3	3	3	3	3	3	3	3		
Показатель направленности источника Di, дБ		исходные данные	**0**	0	0	0	0	0	0	0	0		
Поправка на направленность источника Dc, дБ	Dc	DΩ + Di	**3**	3	3	3	3	3	3	3	3		
Затухание из-за геометрической дивергенции, Adiv, дБ	расстояние = 229.95 м	ф-ла (7) [10]	**58,2**										

1		2	3	4	5	6	7	8	9	10	11	12	13
Коэффициент затухания звука в атмосфере α, дБ/км	Ta=20,°C Pa=101.33,кПа hотн.=70%	ф-ла (5) [9]	0,02	0,09	0,33	1,12	2,79	4,98	9,04	23,09	77,63		
Учет затухания звука в атмосфере Aatm, дБ		ф-ла (8) [10]	0	0	0,1	0,3	0,6	1,1	2,1	5,3	17,9		
Снижение поверхностью земли возле источника As, дБ	Gs = 0 hs = 1м	ф-лы таб.3 [10]	-1,5	-1,5	-1,5	-1,5	-1,5	-1,5	-1,5	-1,5	-1,5		
Снижение поверхностью земли возле приёмника Ar, дБ	Gr = 1 hr = 1.5м	ф-лы таб.3 [10]	-1,5	-1,5	1,3	7	4,9	0,7	0	0	0		
Снижение поверхностью земли в средней зоне, Am дБ	Gm = 1	ф-лы таб.3 [10]	-2	-2	0	0	0	0	0	0	0		
Суммарное снижение поверхностью земли на траектории распространения звука Agr, дБ		ф-ла (9) [10]	-5	-5	-0,2	5,5	3,4	-0,8	-1,5	-1,5	-1,5		
Уровни звукового давления прямого звука от источника ИШ-1-26 в расчётной точке днём, дБ		**ф-ла(3)[10]**	**0**	**43,1**	**39,6**	**35**	**37**	**40,4**	**36,8**	**29,4**	**12,3**	**43,3**	**43,3**
Расчёт отражённого звука													
Уровни звукового давления от мнимого источника ИШ-1-26_мн.(1) в расчётной точке днём, дБ		**ф-ла(3)[10]**	**0**	**0**	**35,8**	**24,7**	**25,7**	**35,8**	**34,2**	**26,8**	**9,6**	**39,1**	**39,1**
Уровни звукового давления от источника ИШ-1-26 в расчётной точке днём, дБ		**ф-ла(3)[10]**	**0**	**43,1**	**41,1**	**35,4**	**37,3**	**41,7**	**38,7**	**31,3**	**14,2**	**44,7**	**44,7**
Источник шума: ИШ-1-27, координаты источника (x,y,z), м =[469.65,197.67,1.00]													
Уровни звуковой мощности источника днём, Lw, дБ		**исходные данные**	**0**	**93,3**	**94,7**	**96**	**96,3**	**95,9**	**92,6**	**88,4**	**83,9**		
Поправка на телесный угол DΩ, дБ	Ω = 6.28	10Lg(4π/Ω)	**3**	3	3	3	3	3	3	3	3		
Показатель направленности источника Di, дБ		исходные данные	**0**	0	0	0	0	0	0	0	0		
Поправка на направленность источника Dc, дБ	Dc	DΩ + Di	**3**	3	3	3	3	3	3	3	3		
Затухание из-за геометрической дивергенции, Adiv, дБ	расстояние = 285.31 м	ф-ла (7) [10]	**60,1**										

1		2	3	4	5	6	7	8	9	10	11	12	13
Коэффициент затухания звука в атмосфере α, дБ/км	Та=20,°С Ра=101.33,кПа hотн.=70%	ф-ла (5) [9]	0,02	0,09	0,33	1,12	2,79	4,98	9,04	23,09	77,63		
Учет затухания звука в атмосфере Aatm, дБ		ф-ла (8) [10]	0	0	0,1	0,3	0,8	1,4	2,6	6,6	22,1		
Снижение уровня звукового давления из-за влияния застройки между источником шума и расчетной точкой													
Снижение уровня звукового давления на пути над экраном, Dz1, дБ	z = 0.64м (разность путей)	ф-лы (14-18) [10]	6,1	7,5	10,2	13,5	16,6	19,6	22,5	25,5	28,5		
Снижение уровня звукового давления на пути слева от экрана, Dz2, дБ	z = 8.08м (разность путей)	ф-лы (14-18) [10]	15,7	19,5	23,9	28	31,4	34,5	37,6	40,6	43,6		
Снижение уровня звукового давления на пути справа от экрана, Dz3, дБ	z = 97.81м (разность путей)	ф-лы (14-18) [10]	30,1	33,3	36,3	39,4	42,4	45,4	48,4	51,4	54,4		
Общее снижение уровня звука препятствием Dz, дБ		Эн.сумма(-Dzi)	5,6	7,2	10	13,3	16,4	19,4	22,4	25,4	28,4		
Общее снижение уровня звука препятствием с учётом ограничения (25 дБ) для октавных полос Dz, дБ		Раздел 7.4 [10]	5,6	7,2	10	13,3	16,4	19,4	22,4	25	25		
Уровни звукового давления прямого звука от источника ИШ-1-27 в расчётной точке днём, дБ		**ф-ла(3)[10]**	**0**	**28,9**	**27,5**	**25,2**	**22**	**17,9**	**10,5**	**0**	**0**	**23,3**	**23,3**
Расчёт отражённого звука													
Уровни звукового давления от мнимого источника ИШ-1-27_мн.(1) в расчётной точке днём, дБ		**ф-ла(3)[10]**	**0**	**0**	**0**	**0**	**0**	**19,9**	**12,4**	**1**	**0**	**20,8**	**20,8**
Уровни звукового давления от источника ИШ-1-27 в расчётной точке днём, дБ		**ф-ла(3)[10]**	**0**	**28,9**	**27,5**	**25,2**	**22**	**22**	**14,6**	**1**	**0**	**25,3**	**25,3**
Источник шума: ИШ-1-28, координаты источника (x,y,z), м =[472.78,196.69,1.00]													
Уровни звуковой мощности источника днём, Lw, дБ		**исходные данные**	**0**	**93,3**	**94,7**	**96**	**96,3**	**95,9**	**92,6**	**88,4**	**83,9**		
Поправка на телесный угол DΩ, дБ	Ω = 6.28	10Lg(4π/Ω)	**3**	3	3	3	3	3	3	3	3		
Показатель направленности источника Di, дБ		исходные данные	**0**	0	0	0	0	0	0	0	0		

1		2	3	4	5	6	7	8	9	10	11	12	13
Поправка на направленность источника Dc, дБ	Dc	DΩ + Di	**3**	3	3	3	3	3	3	3	3		
Затухание из-за геометрической дивергенции, Adiv, дБ	расстояние = 285.69 м	ф-ла (7) [10]	**60,1**										
Коэффициент затухания звука в атмосфере α, дБ/км	Ta=20,°C Pa=101.33,кПа hотн.=70%	ф-ла (5) [9]	0,02	0,09	0,33	1,12	2,79	4,98	9,04	23,09	77,63		
Учет затухания звука в атмосфере Aatm, дБ		ф-ла (8) [10]	0	0	0,1	0,3	0,8	1,4	2,6	6,6	22,2		
Снижение уровня звукового давления из-за влияния застройки между источником шума и расчетной точкой													
Снижение уровня звукового давления на пути над экраном, Dz1, дБ	z = 0.63м (разность путей)	ф-лы (14-18) [10]	6,1	7,5	10,2	13,5	16,6	19,6	22,5	25,5	28,5		
Снижение уровня звукового давления на пути слева от экрана, Dz2, дБ	z = 7.52м (разность путей)	ф-лы (14-18) [10]	15,4	19,2	23,6	27,7	31,1	34,2	37,2	40,3	43,3		
Снижение уровня звукового давления на пути справа от экрана, Dz3, дБ	z = 100.70м (разность путей)	ф-лы (14-18) [10]	30,3	33,4	36,5	39,5	42,5	45,5	48,5	51,5	54,5		
Общее снижение уровня звука препятствием Dz, дБ		Эн.сумма(-Dzi)	5,6	7,2	10	13,3	16,4	19,4	22,4	25,3	28,3		
Общее снижение уровня звука препятствием с учётом ограничения (25 дБ) для октавных полос Dz, дБ		Раздел 7.4 [10]	5,6	7,2	10	13,3	16,4	19,4	22,4	25	25		
Уровни звукового давления прямого звука от источника ИШ-1-28 в расчётной точке днём, дБ		**ф-ла(3)[10]**	**0**	**28,9**	**27,5**	**25,3**	**22**	**18**	**10,5**	**0**	**0**	**23,3**	**23,3**
Расчёт отражённого звука													
Уровни звукового давления от мнимого источника ИШ-1-28_мн.(1) в расчётной точке днём, дБ		**ф-ла(3)[10]**	**0**	**0**	**0**	**0**	**0**	**19**	**11,5**	**0,1**	**0**	**20**	**20**
Уровни звукового давления от источника ИШ-1-28 в расчётной точке днём, дБ		**ф-ла(3)[10]**	**0**	**28,9**	**27,5**	**25,3**	**22**	**21,5**	**14,1**	**0,1**	**0**	**25**	**25**
Источник шума: ИШ-1-29, координаты источника (x,y,z), м =[475.52,195.72,1.00]													
Уровни звуковой мощности источника днём, Lw, дБ		**исходные данные**	**0**	**93,3**	**94,7**	**96**	**96,3**	**95,9**	**92,6**	**88,4**	**83,9**		

1		2	3	4	5	6	7	8	9	10	11	12	13
Поправка на телесный угол DΩ, дБ	Ω = 6.28	10Lg(4π/Ω)	**3**	3	3	3	3	3	3	3	3		
Показатель направленности источника Di, дБ		исходные данные	**0**	0	0	0	0	0	0	0	0		
Поправка на направленность источника Dc, дБ	Dc	DΩ + Di	**3**	3	3	3	3	3	3	3	3		
Затухание из-за геометрической дивергенции, Adiv, дБ	расстояние = 285.94 м	ф-ла (7) [10]	**60,1**										
Коэффициент затухания звука в атмосфере α, дБ/км	Ta=20,°C Pa=101.33,кПа hотн.=70%	ф-ла (5) [9]	0,02	0,09	0,33	1,12	2,79	4,98	9,04	23,09	77,63		
Учет затухания звука в атмосфере Aatm, дБ		ф-ла (8) [10]	0	0	0,1	0,3	0,8	1,4	2,6	6,6	22,2		
Снижение уровня звукового давления из-за влияния застройки между источником шума и расчетной точкой													
Снижение уровня звукового давления на пути над экраном, Dz1, дБ	z = 0.63м (разность путей)	ф-лы (14-18) [10]	6,1	7,5	10,2	13,5	16,6	19,5	22,5	25,5	28,5		
Снижение уровня звукового давления на пути слева от экрана, Dz2, дБ	z = 7.04м (разность путей)	ф-лы (14-18) [10]	15,1	18,9	23,3	27,4	30,8	33,9	37	40	43		
Снижение уровня звукового давления на пути справа от экрана, Dz3, дБ	z = 103.35м (разность путей)	ф-лы (14-18) [10]	30,4	33,6	36,6	39,6	42,6	45,6	48,6	51,6	54,7		
Общее снижение уровня звука препятствием Dz, дБ		Эн.сумма(-Dzi)	5,5	7,2	10	13,3	16,4	19,4	22,3	25,3	28,3		
Общее снижение уровня звука препятствием с учётом ограничения (25 дБ) для октавных полос Dz, дБ		Раздел 7.4 [10]	5,5	7,2	10	13,3	16,4	19,4	22,3	25	25		
Уровни звукового давления прямого звука от источника ИШ-1-29 в расчётной точке днём, дБ		**ф-ла(3)[10]**	**0**	**28,9**	**27,5**	**25,3**	**22**	**18**	**10,5**	**0**	**0**	**23,3**	**23,3**
Расчёт отражённого звука													
Уровни звукового давления от мнимого источника ИШ-1-29_мн.(1) в расчётной точке днём, дБ		**ф-ла(3)[10]**	**0**	**0**	**0**	**0**	**0**	**18,4**	**10,9**	**0**	**0**	**19,3**	**19,3**
Уровни звукового давления от источника ИШ-1-29 в расчётной точке днём, дБ		**ф-ла(3)[10]**	**0**	**28,9**	**27,5**	**25,3**	**22**	**21,2**	**13,8**	**0**	**0**	**24,8**	**24,8**

1		2	3	4	5	6	7	8	9	10	11	12	13
Источник шума: ИШ-1-30, координаты источника (x,y,z), м =[478.45,194.54,1.00]													
Уровни звуковой мощности источника днём, Lw, дБ		**исходные данные**	**0**	**93,3**	**94,7**	**96**	**96,3**	**95,9**	**92,6**	**88,4**	**83,9**		
Поправка на телесный угол DΩ, дБ	Ω = 6.28	10Lg(4π/Ω)	**3**	3	3	3	3	3	3	3	3		
Показатель направленности источника Di, дБ		исходные данные	**0**	0	0	0	0	0	0	0	0		
Поправка на направленность источника Dc, дБ	Dc	DΩ + Di	**3**	3	3	3	3	3	3	3	3		
Затухание из-за геометрической дивергенции, Adiv, дБ	расстояние = 286.12 м	ф-ла (7) [10]	**60,1**										
Коэффициент затухания звука в атмосфере α, дБ/км	Ta=20,°C Pa=101.33,кПа hотн.=70%	ф-ла (5) [9]	0,02	0,09	0,33	1,12	2,79	4,98	9,04	23,09	77,63		
Учет затухания звука в атмосфере Aatm, дБ		ф-ла (8) [10]	0	0	0,1	0,3	0,8	1,4	2,6	6,6	22,2		
Снижение уровня звукового давления из-за влияния застройки между источником шума и расчетной точкой													
Снижение уровня звукового давления на пути над экраном, Dz1, дБ	z = 0.63м (разность путей)	ф-лы (14-18) [10]	6,1	7,5	10,2	13,5	16,6	19,5	22,5	25,5	28,5		
Снижение уровня звукового давления на пути слева от экрана, Dz2, дБ	z = 6.54м (разность путей)	ф-лы (14-18) [10]	14,8	18,6	23	27,1	30,5	33,6	36,6	39,7	42,7		
Снижение уровня звукового давления на пути справа от экрана, Dz3, дБ	z = 106.31м (разность путей)	ф-лы (14-18) [10]	30,5	33,7	36,7	39,7	42,7	45,7	48,8	51,8	54,8		
Общее снижение уровня звука препятствием Dz, дБ		Эн.сумма(-Dzi)	5,5	7,2	10	13,3	16,4	19,4	22,3	25,3	28,3		
Общее снижение уровня звука препятствием с учётом ограничения (25 дБ) для октавных полос Dz, дБ		Раздел 7.4 [10]	5,5	7,2	10	13,3	16,4	19,4	22,3	25	25		
Уровни звукового давления прямого звука от источника ИШ-1-30 в расчётной точке днём, дБ		**ф-ла(3)[10]**	**0**	**29**	**27,5**	**25,3**	**22**	**18**	**10,6**	**0**	**0**	**23,3**	**23,3**
Расчёт отражённого звука													

1		2	3	4	5	6	7	8	9	10	11	12	13
Уровни звукового давления от мнимого источника ИШ-1-30_мн.(1) в расчётной точке днём, дБ		**ф-ла(3)[10]**	**0**	**0**	**0**	**0**	**0**	**18**	**10,5**	**0**	**0**	**18,9**	**18,9**
Уровни звукового давления от источника ИШ-1-30 в расчётной точке днём, дБ		**ф-ла(3)[10]**	**0**	**29**	**27,5**	**25,3**	**22**	**21**	**13,5**	**0**	**0**	**24,7**	**24,7**
Источник шума: ИШ-1-31, координаты источника (x,y,z), м =[481.58,193.96,1.00]													
Уровни звуковой мощности источника днём, Lw, дБ		**исходные данные**	**0**	**93,3**	**94,7**	**96**	**96,3**	**95,9**	**92,6**	**88,4**	**83,9**		
Поправка на телесный угол DΩ, дБ	Ω = 6.28	10Lg(4π/Ω)	**3**	3	3	3	3	3	3	3	3		
Показатель направленности источника Di, дБ		исходные данные	**0**	0	0	0	0	0	0	0	0		
Поправка на направленность источника Dc, дБ	Dc	DΩ + Di	**3**	3	3	3	3	3	3	3	3		
Затухание из-за геометрической дивергенции, Adiv, дБ	расстояние = 286.96 м	ф-ла (7) [10]	**60,2**										
Коэффициент затухания звука в атмосфере α, дБ/км	Ta=20,°C Pa=101.33,кПа hотн.=70%	ф-ла (5) [9]	0,02	0,09	0,33	1,12	2,79	4,98	9,04	23,09	77,63		
Учет затухания звука в атмосфере Aatm, дБ		ф-ла (8) [10]	0	0	0,1	0,3	0,8	1,4	2,6	6,6	22,3		
Снижение уровня звукового давления из-за влияния застройки между источником шума и расчетной точкой													
Снижение уровня звукового давления на пути над экраном, Dz1, дБ	z = 0.63м (разность путей)	ф-лы (14-18) [10]	6,1	7,5	10,2	13,4	16,5	19,5	22,5	25,4	28,4		
Снижение уровня звукового давления на пути слева от экрана, Dz2, дБ	z = 6.07м (разность путей)	ф-лы (14-18) [10]	14,5	18,3	22,7	26,7	30,2	33,3	36,3	39,3	42,3		
Снижение уровня звукового давления на пути справа от экрана, Dz3, дБ	z = 108.64м (разность путей)	ф-лы (14-18) [10]	30,6	33,8	36,8	39,8	42,8	45,8	48,8	51,9	54,9		
Общее снижение уровня звука препятствием Dz, дБ		Эн.сумма(-Dzi)	5,5	7,1	9,9	13,2	16,3	19,3	22,3	25,3	28,3		
Общее снижение уровня звука препятствием с учётом ограничения (25 дБ) для октавных полос Dz, дБ		Раздел 7.4 [10]	5,5	7,1	9,9	13,2	16,3	19,3	22,3	25	25		

1		2	3	4	5	6	7	8	9	10	11	12	13
Уровни звукового давления прямого звука от источника ИШ-1-31 в расчётной точке днём, дБ		**ф-ла(3)[10]**	**0**	**29**	**27,5**	**25,3**	**22**	**18**	**10,6**	**0**	**0**	**23,4**	**23,4**
Расчёт отражённого звука													
Уровни звукового давления от мнимого источника ИШ-1-31_мн.(1) в расчётной точке днём, дБ		**ф-ла(3)[10]**	**0**	**0**	**0**	**0**	**0**	**17,6**	**10,1**	**0**	**0**	**18,5**	**18,5**
Уровни звукового давления от источника ИШ-1-31 в расчётной точке днём, дБ		**ф-ла(3)[10]**	**0**	**29**	**27,5**	**25,3**	**22**	**20,8**	**13,3**	**0**	**0**	**24,6**	**24,6**
Источник шума: ИШ-1-32, координаты источника (x,y,z), м =[871.21,281.99,50.00]													
Уровни звуковой мощности источника днём, Lw, дБ		**исходные данные**	**125**	**119,6**	**113,4**	**111,4**	**110,8**	**112,7**	**113,8**	**109,2**	**97,4**		
Поправка на телесный угол DΩ, дБ	Ω = 12.57	10Lg(4π/Ω)	**0**	0	0	0	0	0	0	0	0		
Показатель направленности источника Di, дБ		исходные данные	**0**	0	0	0	0	0	0	0	0		
Поправка на направленность источника Dc, дБ	Dc	DΩ + Di	**0**	0	0	0	0	0	0	0	0		
Затухание из-за геометрической дивергенции, Adiv, дБ	расстояние = 622.94 м	ф-ла (7) [10]	**66,9**										
Коэффициент затухания звука в атмосфере α, дБ/км	Ta=20,°C Pa=101.33,кПа hотн.=70%	ф-ла (5) [9]	0,02	0,09	0,33	1,12	2,79	4,98	9,04	23,09	77,63		
Учет затухания звука в атмосфере Aatm, дБ		ф-ла (8) [10]	0	0,1	0,2	0,7	1,7	3,1	5,6	14,4	48,4		
Снижение поверхностью земли возле источника As, дБ	Gs = 0 hs = 50м	ф-лы таб.3 [10]	-1,5	-1,5	-1,5	-1,5	-1,5	-1,5	-1,5	-1,5	-1,5		
Снижение поверхностью земли возле приёмника Ar, дБ	Gr = 1 hr = 1.5м	ф-лы таб.3 [10]	-1,5	-1,5	3,8	7	5	0,7	0	0	0		
Снижение поверхностью земли в средней зоне, Am дБ	Gm = 1	ф-лы таб.3 [10]	0	0	0	0	0	0	0	0	0		
Суммарное снижение поверхностью земли на траектории распространения звука Agr, дБ		ф-ла (9) [10]	-3	-3	2,3	5,5	3,5	-0,8	-1,5	-1,5	-1,5		

1		2	3	4	5	6	7	8	9	10	11	12	13
Уровни звукового давления прямого звука от источника ИШ-1-32 в расчётной точке днём, дБ		**ф-ла(3)[10]**	**61,1**	**55,7**	**44,1**	**38,3**	**38,7**	**43,6**	**42,8**	**29,5**	**0**	**47,4**	**47,4**
Расчёт отражённого звука													
Уровни звукового давления от мнимого источника ИШ-1-32_мн.(1) в расчётной точке днём, дБ		**ф-ла(3)[10]**	**0**	**0**	**0**	**0**	**36,2**	**41,1**	**40,3**	**26,9**	**0**	**44,7**	**44,7**
Уровни звукового давления от мнимого источника ИШ-1-32_мн.(2) в расчётной точке днём, дБ		**ф-ла(3)[10]**	**0**	**0**	**0**	**0**	**0**	**0**	**0**	**0**	**0**	**0**	**0**
Суммарные уровни звукового давления от мнимых источников в расчётной точке днём, дБ		**ф-ла (19) [1]**	**0**	**0**	**0**	**0**	**36,2**	**41,1**	**40,3**	**26,9**	**0**	**0**	**44,7**
Уровни звукового давления от источника ИШ-1-32 в расчётной точке днём, дБ		**ф-ла(3)[10]**	**61,1**	**55,7**	**44,1**	**38,3**	**40,7**	**45,5**	**44,7**	**31,4**	**0**	**49,3**	**49,3**
Источник шума: ИШ-1-33, координаты источника (x,y,z), м =[743.42,374.85,1.00]													
Уровни звуковой мощности источника днём, Lw, дБ		**исходные данные**	**0**	**88,7**	**90,1**	**93,1**	**96,4**	**103**	**112**	**108**	**99,2**		
Поправка на телесный угол DΩ, дБ	Ω = 6.28	10Lg(4π/Ω)	**3**	3	3	3	3	3	3	3	3		
Показатель направленности источника Di, дБ		исходные данные	**0**	0	0	0	0	0	0	0	0		
Поправка на направленность источника Dc, дБ	Dc	DΩ + Di	**3**	3	3	3	3	3	3	3	3		
Затухание из-за геометрической дивергенции, Adiv, дБ	расстояние = 585.65 м	ф-ла (7) [10]	**66,4**										
Коэффициент затухания звука в атмосфере α, дБ/км	Ta=20,°C Pa=101.33,кПа hотн.=70%	ф-ла (5) [9]	0,02	0,09	0,33	1,12	2,79	4,98	9,04	23,09	77,63		
Учет затухания звука в атмосфере Aatm, дБ		ф-ла (8) [10]	0	0,1	0,2	0,7	1,6	2,9	5,3	13,5	45,5		
Снижение уровня звукового давления из-за влияния застройки между источником шума и расчетной точкой													
Снижение уровня звукового давления на пути над экраном, Dz1, дБ	z = 0.48м (разность путей)	ф-лы (14-18) [10]	5,3	5,9	6,9	8,4	10,4	12,8	15,4	18,2	21,1		

1		2	3	4	5	6	7	8	9	10	11	12	13
Снижение уровня звукового давления на пути слева от экрана, Dz2, дБ	z = 1.50м (разность путей)	ф-лы (14-18) [10]	9,3	11,5	14	16,7	19,6	22,5	25,5	28,5	31,5		
Снижение уровня звукового давления на пути справа от экрана, Dz3, дБ	z = 110.02м (разность путей)	ф-лы (14-18) [10]	30,6	33,8	36,8	39,9	42,9	45,9	48,9	51,9	54,9		
Общее снижение уровня звука препятствием Dz, дБ		Эн.сумма(-Dzi)	3,8	4,9	6,1	7,8	9,9	12,3	15	17,8	20,8		
Уровни звукового давления от источника ИШ-1-33 в расчётной точке днём, дБ		**ф-ла(3)[10]**	**0**	**20,5**	**20,4**	**21,3**	**21,5**	**24,4**	**28,4**	**13,3**	**0**	**31,1**	**31,1**
Источник шума: ИШ-1-34, координаты источника (x,y,z), м =[1042.35,199.07,1.00]													
Уровни звуковой мощности источника днём, Lw, дБ		**исходные данные**	**0**	**88,7**	**90,1**	**93,1**	**96,4**	**103**	**112**	**108**	**99,2**		
Поправка на телесный угол DΩ, дБ	Ω = 6.28	10Lg(4π/Ω)	**3**	3	3	3	3	3	3	3	3		
Показатель направленности источника Di, дБ		исходные данные	**0**	0	0	0	0	0	0	0	0		
Поправка на направленность источника Dc, дБ	Dc	DΩ + Di	**3**	3	3	3	3	3	3	3	3		
Затухание из-за геометрической дивергенции, Adiv, дБ	расстояние = 735.61 м	ф-ла (7) [10]	**68,3**										
Коэффициент затухания звука в атмосфере α, дБ/км	Ta=20,°C Pa=101.33,кПа hотн.=70%	ф-ла (5) [9]	0,02	0,09	0,33	1,12	2,79	4,98	9,04	23,09	77,63		
Учет затухания звука в атмосфере Aatm, дБ		ф-ла (8) [10]	0	0,1	0,2	0,8	2,1	3,7	6,6	17	57,1		
Снижение поверхностью земли возле источника As, дБ	Gs = 0 hs = 1м	ф-лы таб.3 [10]	-1,5	-1,5	-1,5	-1,5	-1,5	-1,5	-1,5	-1,5	-1,5		
Снижение поверхностью земли возле приёмника Ar, дБ	Gr = 1 hr = 1.5м	ф-лы таб.3 [10]	-1,5	-1,5	4,3	7	5	0,7	0	0	0		
Снижение поверхностью земли в средней зоне, Am дБ	Gm = 1	ф-лы таб.3 [10]	-2,7	-2,7	0	0	0	0	0	0	0		
Суммарное снижение поверхностью земли на траектории распространения звука Agr, дБ		ф-ла (9) [10]	-5,7	-5,7	2,8	5,5	3,5	-0,8	-1,5	-1,5	-1,5		

1		2	3	4	5	6	7	8	9	10	11	12	13
Уровни звукового давления прямого звука от источника ИШ-1-34 в расчётной точке днём, дБ		**ф-ла(3)[10]**	**0**	**29**	**21,7**	**21,4**	**25,6**	**34,9**	**41,5**	**27,2**	**0**	**43,6**	**43,6**
Расчёт отражённого звука													
Уровни звукового давления от мнимого источника ИШ-1-34_мн.(1) в расчётной точке днём, дБ		**ф-ла(3)[10]**	**0**	**0**	**0**	**0**	**0**	**30,3**	**39**	**24,6**	**0**	**40,8**	**40,8**
Уровни звукового давления от источника ИШ-1-34 в расчётной точке днём, дБ		**ф-ла(3)[10]**	**0**	**29**	**21,7**	**21,4**	**25,6**	**36,2**	**43,5**	**29,1**	**0**	**45,4**	**45,4**
Источник шума: ИШ-2-1, координаты источника (x,y,z), м =[696.50,124.40,3.00]													
Уровни звуковой мощности источника днём, Lw, дБ		**исходные данные**	**105**	**104**	**104**	**101**	**102**	**106**	**101**	**95**	**87**		
Поправка на телесный угол DΩ, дБ	Ω = 6.28	10Lg(4π/Ω)	**3**	3	3	3	3	3	3	3	3		
Показатель направленности источника Di, дБ		исходные данные	**0**	0	0	0	0	0	0	0	0		
Поправка на направленность источника Dc, дБ	Dc	DΩ + Di	**3**	3	3	3	3	3	3	3	3		
Затухание из-за геометрической дивергенции, Adiv, дБ	расстояние = 389.65 м	ф-ла (7) [10]	**62,8**										
Коэффициент затухания звука в атмосфере α, дБ/км	Ta=20,°C Pa=101.33,кПа hотн.=70%	ф-ла (5) [9]	0,02	0,09	0,33	1,12	2,79	4,98	9,04	23,09	77,63		
Учет затухания звука в атмосфере Aatm, дБ		ф-ла (8) [10]	0	0	0,1	0,4	1,1	1,9	3,5	9	30,2		
Снижение поверхностью земли возле источника As, дБ	Gs = 0 hs = 3м	ф-лы таб.3 [10]	-1,5	-1,5	-1,5	-1,5	-1,5	-1,5	-1,5	-1,5	-1,5		
Снижение поверхностью земли возле приёмника Ar, дБ	Gr = 1 hr = 1.5м	ф-лы таб.3 [10]	-1,5	-1,5	2,3	7	5	0,7	0	0	0		
Снижение поверхностью земли в средней зоне, Am дБ	Gm = 1	ф-лы таб.3 [10]	-2	-2	0	0	0	0	0	0	0		
Суммарное снижение поверхностью земли на траектории распространения звука Agr, дБ		ф-ла (9) [10]	-5	-5	0,8	5,5	3,5	-0,8	-1,5	-1,5	-1,5		

1		2	3	4	5	6	7	8	9	10	11	12	13
Уровни звукового давления прямого звука от источника ИШ-2-1 в расчётной точке днём, дБ		**ф-ла(3)[10]**	**50,2**	**49,1**	**43,3**	**35,2**	**37,6**	**45,1**	**39,2**	**27,7**	**0**	**46,8**	**46,8**
Расчёт отражённого звука													
Уровни звукового давления от мнимого источника ИШ-2-1_мн.(1) в расчётной точке днём, дБ		**ф-ла(3)[10]**	**0**	**0**	**0**	**0**	**0**	**0**	**36,6**	**25,1**	**0**	**38,1**	**38,1**
Уровни звукового давления от источника ИШ-2-1 в расчётной точке днём, дБ		**ф-ла(3)[10]**	**50,2**	**49,1**	**43,3**	**35,2**	**37,6**	**45,1**	**41,1**	**29,6**	**0**	**47,4**	**47,4**
Источник шума: ИШ-2-2, координаты источника (x,y,z), м =[682.20,81.60,3.00]													
Уровни звуковой мощности источника днём, Lw, дБ		**исходные данные**	**105**	**104**	**104**	**101**	**102**	**106**	**101**	**95**	**87**		
Поправка на телесный угол DΩ, дБ	Ω = 6.28	10Lg(4π/Ω)	**3**	3	3	3	3	3	3	3	3		
Показатель направленности источника Di, дБ		исходные данные	**0**	0	0	0	0	0	0	0	0		
Поправка на направленность источника Dc, дБ	Dc	DΩ + Di	**3**	3	3	3	3	3	3	3	3		
Затухание из-за геометрической дивергенции, Adiv, дБ	расстояние = 357.77 м	ф-ла (7) [10]	**62,1**										
Коэффициент затухания звука в атмосфере α, дБ/км	Ta=20,°C Pa=101.33,кПа hотн.=70%	ф-ла (5) [9]	0,02	0,09	0,33	1,12	2,79	4,98	9,04	23,09	77,63		
Учет затухания звука в атмосфере Aatm, дБ		ф-ла (8) [10]	0	0	0,1	0,4	1	1,8	3,2	8,3	27,8		
Снижение поверхностью земли возле источника As, дБ	Gs = 0 hs = 3м	ф-лы таб.3 [10]	-1,5	-1,5	-1,5	-1,5	-1,5	-1,5	-1,5	-1,5	-1,5		
Снижение поверхностью земли возле приёмника Ar, дБ	Gr = 1 hr = 1.5м	ф-лы таб.3 [10]	-1,5	-1,5	2,1	7	5	0,7	0	0	0		
Снижение поверхностью земли в средней зоне, Am дБ	Gm = 1	ф-лы таб.3 [10]	-1,9	-1,9	0	0	0	0	0	0	0		
Суммарное снижение поверхностью земли на траектории распространения звука Agr, дБ		ф-ла (9) [10]	-4,9	-4,9	0,6	5,5	3,5	-0,8	-1,5	-1,5	-1,5		

1		2	3	4	5	6	7	8	9	10	11	12	13
Уровни звукового давления прямого звука от источника ИШ-2-2 в расчётной точке днём, дБ		**ф-ла(3)[10]**	**50,8**	**49,8**	**44,2**	**36**	**38,5**	**46**	**40,2**	**29,2**	**1,7**	**47,7**	**47,7**
Расчёт отражённого звука													
Уровни звукового давления от мнимого источника ИШ-2-2_мн.(1) в расчётной точке днём, дБ		**ф-ла(3)[10]**	**0**	**0**	**0**	**0**	**0**	**0**	**0**	**26,6**	**0**	**27,6**	**27,6**
Уровни звукового давления от источника ИШ-2-2 в расчётной точке днём, дБ		**ф-ла(3)[10]**	**50,8**	**49,8**	**44,2**	**36**	**38,5**	**46**	**40,2**	**31,1**	**1,7**	**47,8**	**47,8**
Источник шума: ИШ-2-3, координаты источника (x,y,z), м =[667.80,38.90,3.00]													
Уровни звуковой мощности источника днём, Lw, дБ		**исходные данные**	**105**	**104**	**104**	**101**	**102**	**106**	**101**	**95**	**87**		
Поправка на телесный угол DΩ, дБ	Ω = 6.28	10Lg(4π/Ω)	**3**	3	3	3	3	3	3	3	3		
Показатель направленности источника Di, дБ		исходные данные	**0**	0	0	0	0	0	0	0	0		
Поправка на направленность источника Dc, дБ	Dc	DΩ + Di	**3**	3	3	3	3	3	3	3	3		
Затухание из-за геометрической дивергенции, Adiv, дБ	расстояние = 328.94 м	ф-ла (7) [10]	**61,3**										
Коэффициент затухания звука в атмосфере α, дБ/км	Ta=20,°C Pa=101.33,кПа hотн.=70%	ф-ла (5) [9]	0,02	0,09	0,33	1,12	2,79	4,98	9,04	23,09	77,63		
Учет затухания звука в атмосфере Aatm, дБ		ф-ла (8) [10]	0	0	0,1	0,4	0,9	1,6	3	7,6	25,5		
Снижение поверхностью земли возле источника As, дБ	Gs = 0 hs = 3м	ф-лы таб.3 [10]	-1,5	-1,5	-1,5	-1,5	-1,5	-1,5	-1,5	-1,5	-1,5		
Снижение поверхностью земли возле приёмника Ar, дБ	Gr = 1 hr = 1.5м	ф-лы таб.3 [10]	-1,5	-1,5	1,9	7	5	0,7	0	0	0		
Снижение поверхностью земли в средней зоне, Am дБ	Gm = 1	ф-лы таб.3 [10]	-1,8	-1,8	0	0	0	0	0	0	0		
Суммарное снижение поверхностью земли на траектории распространения звука Agr, дБ		ф-ла (9) [10]	-4,8	-4,8	0,4	5,5	3,5	-0,8	-1,5	-1,5	-1,5		

1		2	3	4	5	6	7	8	9	10	11	12	13
Уровни звукового давления прямого звука от источника ИШ-2-3 в расчётной точке днём, дБ		**ф-ла(3)[10]**	**51,4**	**50,4**	**45,2**	**36,8**	**39,3**	**46,9**	**41,2**	**30,6**	**4,6**	**48,7**	**48,7**
Расчёт отражённого звука													
Уровни звукового давления от мнимого источника ИШ-2-3_мн.(1) в расчётной точке днём, дБ		**ф-ла(3)[10]**	**0**	**0**	**0**	**30,4**	**36,5**	**44,3**	**38,6**	**28**	**1,9**	**46**	**46**
Уровни звукового давления от источника ИШ-2-3 в расчётной точке днём, дБ		**ф-ла(3)[10]**	**51,4**	**50,4**	**45,2**	**37,7**	**41,1**	**48,8**	**43,1**	**32,5**	**6,5**	**50,5**	**50,5**
Источник шума: ИШ-2-6, координаты источника (x,y,z), м =[765.97,112.43,1.00]													
Уровни звуковой мощности источника днём, Lw, дБ		**исходные данные**	**0**	**93,3**	**94,7**	**96**	**96,3**	**95,9**	**92,6**	**88,4**	**83,9**		
Поправка на телесный угол DΩ, дБ	Ω = 6.28	10Lg(4π/Ω)	**3**	3	3	3	3	3	3	3	3		
Показатель направленности источника Di, дБ		исходные данные	**0**	0	0	0	0	0	0	0	0		
Поправка на направленность источника Dc, дБ	Dc	DΩ + Di	**3**	3	3	3	3	3	3	3	3		
Затухание из-за геометрической дивергенции, Adiv, дБ	расстояние = 446.88 м	ф-ла (7) [10]	**64**										
Коэффициент затухания звука в атмосфере α, дБ/км	Ta=20,°C Pa=101.33,кПа hотн.=70%	ф-ла (5) [9]	0,02	0,09	0,33	1,12	2,79	4,98	9,04	23,09	77,63		
Учет затухания звука в атмосфере Aatm, дБ		ф-ла (8) [10]	0	0	0,1	0,5	1,2	2,2	4	10,3	34,7		
Снижение поверхностью земли возле источника As, дБ	Gs = 0 hs = 1м	ф-лы таб.3 [10]	-1,5	-1,5	-1,5	-1,5	-1,5	-1,5	-1,5	-1,5	-1,5		
Снижение поверхностью земли возле приёмника Ar, дБ	Gr = 1 hr = 1.5м	ф-лы таб.3 [10]	-1,5	-1,5	2,7	7	5	0,7	0	0	0		
Снижение поверхностью земли в средней зоне, Am дБ	Gm = 1	ф-лы таб.3 [10]	-2,5	-2,5	0	0	0	0	0	0	0		
Суммарное снижение поверхностью земли на траектории распространения звука Agr, дБ		ф-ла (9) [10]	-5,5	-5,5	1,2	5,5	3,5	-0,8	-1,5	-1,5	-1,5		

1		2	3	4	5	6	7	8	9	10	11	12	13
Уровни звукового давления прямого звука от источника ИШ-2-6 в расчётной точке днём, дБ		**ф-ла(3)[10]**	**0**	**37,7**	**32,4**	**29**	**30,6**	**33,5**	**29**	**18,6**	**0**	**36,1**	**36,1**
Расчёт отражённого звука													
Уровни звукового давления от мнимого источника ИШ-2-6_мн.(1) в расчётной точке днём, дБ		**ф-ла(3)[10]**	**0**	**0**	**0**	**0**	**0**	**0**	**26,5**	**16**	**0**	**28,1**	**28,1**
Уровни звукового давления от источника ИШ-2-6 в расчётной точке днём, дБ		**ф-ла(3)[10]**	**0**	**37,7**	**32,4**	**29**	**30,6**	**33,5**	**31**	**20,5**	**0**	**36,8**	**36,8**
Источник шума: ИШ-2-7, координаты источника (x,y,z), м =[764.91,109.54,1.00]													
Уровни звуковой мощности источника днём, Lw, дБ		**исходные данные**	**0**	**93,3**	**94,7**	**96**	**96,3**	**95,9**	**92,6**	**88,4**	**83,9**		
Поправка на телесный угол DΩ, дБ	Ω = 6.28	10Lg(4π/Ω)	**3**	3	3	3	3	3	3	3	3		
Показатель направленности источника Di, дБ		исходные данные	**0**	0	0	0	0	0	0	0	0		
Поправка на направленность источника Dc, дБ	Dc	DΩ + Di	**3**	3	3	3	3	3	3	3	3		
Затухание из-за геометрической дивергенции, Adiv, дБ	расстояние = 444.76 м	ф-ла (7) [10]	**64**										
Коэффициент затухания звука в атмосфере α, дБ/км	Ta=20,°C Pa=101.33,кПа hотн.=70%	ф-ла (5) [9]	0,02	0,09	0,33	1,12	2,79	4,98	9,04	23,09	77,63		
Учет затухания звука в атмосфере Aatm, дБ		ф-ла (8) [10]	0	0	0,1	0,5	1,2	2,2	4	10,3	34,5		
Снижение поверхностью земли возле источника As, дБ	Gs = 0 hs = 1м	ф-лы таб.3 [10]	-1,5	-1,5	-1,5	-1,5	-1,5	-1,5	-1,5	-1,5	-1,5		
Снижение поверхностью земли возле приёмника Ar, дБ	Gr = 1 hr = 1.5м	ф-лы таб.3 [10]	-1,5	-1,5	2,7	7	5	0,7	0	0	0		
Снижение поверхностью земли в средней зоне, Am дБ	Gm = 1	ф-лы таб.3 [10]	-2,5	-2,5	0	0	0	0	0	0	0		
Суммарное снижение поверхностью земли на траектории распространения звука Agr, дБ		ф-ла (9) [10]	-5,5	-5,5	1,2	5,5	3,5	-0,8	-1,5	-1,5	-1,5		

1		2	3	4	5	6	7	8	9	10	11	12	13
Уровни звукового давления прямого звука от источника ИШ-2-7 в расчётной точке днём, дБ		**ф-ла(3)[10]**	**0**	**37,8**	**32,4**	**29**	**30,6**	**33,6**	**29,1**	**18,7**	**0**	**36,2**	**36,2**
Расчёт отражённого звука													
Уровни звукового давления от мнимого источника ИШ-2-7_мн.(1) в расчётной точке днём, дБ		**ф-ла(3)[10]**	**0**	**0**	**0**	**0**	**0**	**0**	**26,6**	**16,1**	**0**	**28,1**	**28,1**
Уровни звукового давления от источника ИШ-2-7 в расчётной точке днём, дБ		**ф-ла(3)[10]**	**0**	**37,8**	**32,4**	**29**	**30,6**	**33,6**	**31**	**20,6**	**0**	**36,8**	**36,8**
Источник шума: ИШ-2-8, координаты источника (x,y,z), м =[764.03,106.58,1.00]													
Уровни звуковой мощности источника днём, Lw, дБ		**исходные данные**	**0**	**93,3**	**94,7**	**96**	**96,3**	**95,9**	**92,6**	**88,4**	**83,9**		
Поправка на телесный угол DΩ, дБ	Ω = 6.28	10Lg(4π/Ω)	**3**	3	3	3	3	3	3	3	3		
Показатель направленности источника Di, дБ		исходные данные	**0**	0	0	0	0	0	0	0	0		
Поправка на направленность источника Dc, дБ	Dc	DΩ + Di	**3**	3	3	3	3	3	3	3	3		
Затухание из-за геометрической дивергенции, Adiv, дБ	расстояние = 442.81 м	ф-ла (7) [10]	**63,9**										
Коэффициент затухания звука в атмосфере α, дБ/км	Ta=20,°C Pa=101.33,кПа hотн.=70%	ф-ла (5) [9]	0,02	0,09	0,33	1,12	2,79	4,98	9,04	23,09	77,63		
Учет затухания звука в атмосфере Aatm, дБ		ф-ла (8) [10]	0	0	0,1	0,5	1,2	2,2	4	10,2	34,4		
Снижение поверхностью земли возле источника As, дБ	Gs = 0 hs = 1м	ф-лы таб.3 [10]	-1,5	-1,5	-1,5	-1,5	-1,5	-1,5	-1,5	-1,5	-1,5		
Снижение поверхностью земли возле приёмника Ar, дБ	Gr = 1 hr = 1.5м	ф-лы таб.3 [10]	-1,5	-1,5	2,7	7	5	0,7	0	0	0		
Снижение поверхностью земли в средней зоне, Am дБ	Gm = 1	ф-лы таб.3 [10]	-2,5	-2,5	0	0	0	0	0	0	0		
Суммарное снижение поверхностью земли на траектории распространения звука Agr, дБ		ф-ла (9) [10]	-5,5	-5,5	1,2	5,5	3,5	-0,8	-1,5	-1,5	-1,5		

1		2	3	4	5	6	7	8	9	10	11	12	13
Уровни звукового давления прямого звука от источника ИШ-2-8 в расчётной точке днём, дБ		**ф-ла(3)[10]**	**0**	**37,8**	**32,5**	**29**	**30,7**	**33,6**	**29,2**	**18,7**	**0**	**36,2**	**36,2**
Расчёт отражённого звука													
Уровни звукового давления от мнимого источника ИШ-2-8_мн.(1) в расчётной точке днём, дБ		**ф-ла(3)[10]**	**0**	**0**	**0**	**0**	**0**	**0**	**26,6**	**16,2**	**0**	**28,2**	**28,2**
Уровни звукового давления от источника ИШ-2-8 в расчётной точке днём, дБ		**ф-ла(3)[10]**	**0**	**37,8**	**32,5**	**29**	**30,7**	**33,6**	**31,1**	**20,7**	**0**	**36,9**	**36,9**
Источник шума: ИШ-2-9, координаты источника (x,y,z), м =[763.26,103.71,1.00]													
Уровни звуковой мощности источника днём, Lw, дБ		**исходные данные**	**0**	**93,3**	**94,7**	**96**	**96,3**	**95,9**	**92,6**	**88,4**	**83,9**		
Поправка на телесный угол DΩ, дБ	Ω = 6.28	10Lg(4π/Ω)	**3**	3	3	3	3	3	3	3	3		
Показатель направленности источника Di, дБ		исходные данные	**0**	0	0	0	0	0	0	0	0		
Поправка на направленность источника Dc, дБ	Dc	DΩ + Di	**3**	3	3	3	3	3	3	3	3		
Затухание из-за геометрической дивергенции, Adiv, дБ	расстояние = 441.00 м	ф-ла (7) [10]	**63,9**										
Коэффициент затухания звука в атмосфере α, дБ/км	Ta=20,°C Pa=101.33,кПа hотн.=70%	ф-ла (5) [9]	0,02	0,09	0,33	1,12	2,79	4,98	9,04	23,09	77,63		
Учет затухания звука в атмосфере Aatm, дБ		ф-ла (8) [10]	0	0	0,1	0,5	1,2	2,2	4	10,2	34,2		
Снижение поверхностью земли возле источника As, дБ	Gs = 0 hs = 1м	ф-лы таб.3 [10]	-1,5	-1,5	-1,5	-1,5	-1,5	-1,5	-1,5	-1,5	-1,5		
Снижение поверхностью земли возле приёмника Ar, дБ	Gr = 1 hr = 1.5м	ф-лы таб.3 [10]	-1,5	-1,5	2,6	7	5	0,7	0	0	0		
Снижение поверхностью земли в средней зоне, Am дБ	Gm = 1	ф-лы таб.3 [10]	-2,5	-2,5	0	0	0	0	0	0	0		
Суммарное снижение поверхностью земли на траектории распространения звука Agr, дБ		ф-ла (9) [10]	-5,5	-5,5	1,1	5,5	3,5	-0,8	-1,5	-1,5	-1,5		

1		2	3	4	5	6	7	8	9	10	11	12	13
Уровни звукового давления прямого звука от источника ИШ-2-9 в расчётной точке днём, дБ		**ф-ла(3)[10]**	**0**	**37,9**	**32,5**	**29,1**	**30,7**	**33,6**	**29,2**	**18,8**	**0**	**36,3**	**36,3**
Расчёт отражённого звука													
Уровни звукового давления от мнимого источника ИШ-2-9_мн.(1) в расчётной точке днём, дБ		**ф-ла(3)[10]**	**0**	**0**	**0**	**0**	**0**	**29,1**	**26,7**	**16,2**	**0**	**31,7**	**31,7**
Уровни звукового давления от источника ИШ-2-9 в расчётной точке днём, дБ		**ф-ла(3)[10]**	**0**	**37,9**	**32,5**	**29,1**	**30,7**	**34,9**	**31,1**	**20,7**	**0**	**37,6**	**37,6**
Источник шума: ИШ-2-10, координаты источника (x,y,z), м =[762.14,100.75,1.00]													
Уровни звуковой мощности источника днём, Lw, дБ		**исходные данные**	**0**	**93,3**	**94,7**	**96**	**96,3**	**95,9**	**92,6**	**88,4**	**83,9**		
Поправка на телесный угол DΩ, дБ	Ω = 6.28	10Lg(4π/Ω)	**3**	3	3	3	3	3	3	3	3		
Показатель направленности источника Di, дБ		исходные данные	**0**	0	0	0	0	0	0	0	0		
Поправка на направленность источника Dc, дБ	Dc	DΩ + Di	**3**	3	3	3	3	3	3	3	3		
Затухание из-за геометрической дивергенции, Adiv, дБ	расстояние = 438.85 м	ф-ла (7) [10]	**63,8**										
Коэффициент затухания звука в атмосфере α, дБ/км	Ta=20,°C Pa=101.33,кПа hотн.=70%	ф-ла (5) [9]	0,02	0,09	0,33	1,12	2,79	4,98	9,04	23,09	77,63		
Учет затухания звука в атмосфере Aatm, дБ		ф-ла (8) [10]	0	0	0,1	0,5	1,2	2,2	4	10,1	34,1		
Снижение поверхностью земли возле источника As, дБ	Gs = 0 hs = 1м	ф-лы таб.3 [10]	-1,5	-1,5	-1,5	-1,5	-1,5	-1,5	-1,5	-1,5	-1,5		
Снижение поверхностью земли возле приёмника Ar, дБ	Gr = 1 hr = 1.5м	ф-лы таб.3 [10]	-1,5	-1,5	2,6	7	5	0,7	0	0	0		
Снижение поверхностью земли в средней зоне, Am дБ	Gm = 1	ф-лы таб.3 [10]	-2,5	-2,5	0	0	0	0	0	0	0		
Суммарное снижение поверхностью земли на траектории распространения звука Agr, дБ		ф-ла (9) [10]	-5,5	-5,5	1,1	5,5	3,5	-0,8	-1,5	-1,5	-1,5		

1		2	3	4	5	6	7	8	9	10	11	12	13
Уровни звукового давления прямого звука от источника ИШ-2-10 в расчётной точке днём, дБ		**ф-ла(3)[10]**	**0**	**37,9**	**32,6**	**29,1**	**30,7**	**33,7**	**29,3**	**18,9**	**0**	**36,3**	**36,3**
Расчёт отражённого звука													
Уровни звукового давления от мнимого источника ИШ-2-10_мн.(1) в расчётной точке днём, дБ		**ф-ла(3)[10]**	**0**	**0**	**0**	**0**	**0**	**29,1**	**26,7**	**16,3**	**0**	**31,7**	**31,7**
Уровни звукового давления от источника ИШ-2-10 в расчётной точке днём, дБ		**ф-ла(3)[10]**	**0**	**37,9**	**32,6**	**29,1**	**30,7**	**35**	**31,2**	**20,8**	**0**	**37,6**	**37,6**
Источник шума: ИШ-2-11, координаты источника (x,y,z), м =[761.13,97.90,1.00]													
Уровни звуковой мощности источника днём, Lw, дБ		**исходные данные**	**0**	**93,3**	**94,7**	**96**	**96,3**	**95,9**	**92,6**	**88,4**	**83,9**		
Поправка на телесный угол DΩ, дБ	Ω = 6.28	10Lg(4π/Ω)	**3**	3	3	3	3	3	3	3	3		
Показатель направленности источника Di, дБ		исходные данные	**0**	0	0	0	0	0	0	0	0		
Поправка на направленность источника Dc, дБ	Dc	DΩ + Di	**3**	3	3	3	3	3	3	3	3		
Затухание из-за геометрической дивергенции, Adiv, дБ	расстояние = 436.85 м	ф-ла (7) [10]	**63,8**										
Коэффициент затухания звука в атмосфере α, дБ/км	Ta=20,°C Pa=101.33,кПа hотн.=70%	ф-ла (5) [9]	0,02	0,09	0,33	1,12	2,79	4,98	9,04	23,09	77,63		
Учет затухания звука в атмосфере Aatm, дБ		ф-ла (8) [10]	0	0	0,1	0,5	1,2	2,2	3,9	10,1	33,9		
Снижение поверхностью земли возле источника As, дБ	Gs = 0 hs = 1м	ф-лы таб.3 [10]	-1,5	-1,5	-1,5	-1,5	-1,5	-1,5	-1,5	-1,5	-1,5		
Снижение поверхностью земли возле приёмника Ar, дБ	Gr = 1 hr = 1.5м	ф-лы таб.3 [10]	-1,5	-1,5	2,6	7	5	0,7	0	0	0		
Снижение поверхностью земли в средней зоне, Am дБ	Gm = 1	ф-лы таб.3 [10]	-2,5	-2,5	0	0	0	0	0	0	0		
Суммарное снижение поверхностью земли на траектории распространения звука Agr, дБ		ф-ла (9) [10]	-5,5	-5,5	1,1	5,5	3,5	-0,8	-1,5	-1,5	-1,5		

1		2	3	4	5	6	7	8	9	10	11	12	13
Уровни звукового давления прямого звука от источника ИШ-2-11 в расчётной точке днём, дБ		**ф-ла(3)[10]**	**0**	**37,9**	**32,6**	**29,2**	**30,8**	**33,8**	**29,3**	**19**	**0**	**36,4**	**36,4**
Расчёт отражённого звука													
Уровни звукового давления от мнимого источника ИШ-2-11_мн.(1) в расчётной точке днём, дБ		**ф-ла(3)[10]**	**0**	**0**	**0**	**0**	**0**	**29,2**	**26,8**	**16,4**	**0**	**31,8**	**31,8**
Уровни звукового давления от источника ИШ-2-11 в расчётной точке днём, дБ		**ф-ла(3)[10]**	**0**	**37,9**	**32,6**	**29,2**	**30,8**	**35,1**	**31,3**	**20,9**	**0**	**37,7**	**37,7**
Источник шума: ИШ-2-12, координаты источника (x,y,z), м =[760.25,95.02,1.00]													
Уровни звуковой мощности источника днём, Lw, дБ		**исходные данные**	**0**	**93,3**	**94,7**	**96**	**96,3**	**95,9**	**92,6**	**88,4**	**83,9**		
Поправка на телесный угол DΩ, дБ	Ω = 6.28	10Lg(4π/Ω)	**3**	3	3	3	3	3	3	3	3		
Показатель направленности источника Di, дБ		исходные данные	**0**	0	0	0	0	0	0	0	0		
Поправка на направленность источника Dc, дБ	Dc	DΩ + Di	**3**	3	3	3	3	3	3	3	3		
Затухание из-за геометрической дивергенции, Adiv, дБ	расстояние = 434.97 м	ф-ла (7) [10]	**63,8**										
Коэффициент затухания звука в атмосфере α, дБ/км	Ta=20,°C Pa=101.33,кПа hотн.=70%	ф-ла (5) [9]	0,02	0,09	0,33	1,12	2,79	4,98	9,04	23,09	77,63		
Учет затухания звука в атмосфере Aatm, дБ		ф-ла (8) [10]	0	0	0,1	0,5	1,2	2,2	3,9	10	33,8		
Снижение поверхностью земли возле источника As, дБ	Gs = 0 hs = 1м	ф-лы таб.3 [10]	-1,5	-1,5	-1,5	-1,5	-1,5	-1,5	-1,5	-1,5	-1,5		
Снижение поверхностью земли возле приёмника Ar, дБ	Gr = 1 hr = 1.5м	ф-лы таб.3 [10]	-1,5	-1,5	2,6	7	5	0,7	0	0	0		
Снижение поверхностью земли в средней зоне, Am дБ	Gm = 1	ф-лы таб.3 [10]	-2,5	-2,5	0	0	0	0	0	0	0		
Суммарное снижение поверхностью земли на траектории распространения звука Agr, дБ		ф-ла (9) [10]	-5,5	-5,5	1,1	5,5	3,5	-0,8	-1,5	-1,5	-1,5		

1		2	3	4	5	6	7	8	9	10	11	12	13
Уровни звукового давления прямого звука от источника ИШ-2-12 в расчётной точке днём, дБ		**ф-ла(3)[10]**	**0**	**38**	**32,7**	**29,2**	**30,8**	**33,8**	**29,4**	**19,1**	**0**	**36,4**	**36,4**
Расчёт отражённого звука													
Уровни звукового давления от мнимого источника ИШ-2-12_мн.(1) в расчётной точке днём, дБ		**ф-ла(3)[10]**	**0**	**0**	**0**	**0**	**0**	**29,2**	**26,8**	**16,5**	**0**	**31,9**	**31,9**
Уровни звукового давления от источника ИШ-2-12 в расчётной точке днём, дБ		**ф-ла(3)[10]**	**0**	**38**	**32,7**	**29,2**	**30,8**	**35,1**	**31,3**	**21**	**0**	**37,7**	**37,7**
Источник шума: ИШ-2-13, координаты источника (x,y,z), м =[759.28,92.25,1.00]													
Уровни звуковой мощности источника днём, Lw, дБ		**исходные данные**	**0**	**93,3**	**94,7**	**96**	**96,3**	**95,9**	**92,6**	**88,4**	**83,9**		
Поправка на телесный угол DΩ, дБ	Ω = 6.28	10Lg(4π/Ω)	**3**	3	3	3	3	3	3	3	3		
Показатель направленности источника Di, дБ		исходные данные	**0**	0	0	0	0	0	0	0	0		
Поправка на направленность источника Dc, дБ	Dc	DΩ + Di	**3**	3	3	3	3	3	3	3	3		
Затухание из-за геометрической дивергенции, Adiv, дБ	расстояние = 433.06 м	ф-ла (7) [10]	**63,7**										
Коэффициент затухания звука в атмосфере α, дБ/км	Ta=20,°C Pa=101.33,кПа hотн.=70%	ф-ла (5) [9]	0,02	0,09	0,33	1,12	2,79	4,98	9,04	23,09	77,63		
Учет затухания звука в атмосфере Aatm, дБ		ф-ла (8) [10]	0	0	0,1	0,5	1,2	2,2	3,9	10	33,6		
Снижение поверхностью земли возле источника As, дБ	Gs = 0 hs = 1м	ф-лы таб.3 [10]	-1,5	-1,5	-1,5	-1,5	-1,5	-1,5	-1,5	-1,5	-1,5		
Снижение поверхностью земли возле приёмника Ar, дБ	Gr = 1 hr = 1.5м	ф-лы таб.3 [10]	-1,5	-1,5	2,6	7	5	0,7	0	0	0		
Снижение поверхностью земли в средней зоне, Am дБ	Gm = 1	ф-лы таб.3 [10]	-2,5	-2,5	0	0	0	0	0	0	0		
Суммарное снижение поверхностью земли на траектории распространения звука Agr, дБ		ф-ла (9) [10]	-5,5	-5,5	1,1	5,5	3,5	-0,8	-1,5	-1,5	-1,5		

1		2	3	4	5	6	7	8	9	10	11	12	13
Уровни звукового давления прямого звука от источника ИШ-2-13 в расчётной точке днём, дБ		**ф-ла(3)[10]**	**0**	**38**	**32,7**	**29,3**	**30,9**	**33,8**	**29,4**	**19,2**	**0**	**36,5**	**36,5**
Расчёт отражённого звука													
Уровни звукового давления от мнимого источника ИШ-2-13_мн.(1) в расчётной точке днём, дБ		**ф-ла(3)[10]**	**0**	**0**	**0**	**0**	**0**	**29,3**	**26,9**	**16,6**	**0**	**31,9**	**31,9**
Уровни звукового давления от источника ИШ-2-13 в расчётной точке днём, дБ		**ф-ла(3)[10]**	**0**	**38**	**32,7**	**29,3**	**30,9**	**35,1**	**31,4**	**21,1**	**0**	**37,8**	**37,8**
Источник шума: ИШ-2-14, координаты источника (x,y,z), м =[751.62,69.73,1.00]													
Уровни звуковой мощности источника днём, Lw, дБ		**исходные данные**	**0**	**93,3**	**94,7**	**96**	**96,3**	**95,9**	**92,6**	**88,4**	**83,9**		
Поправка на телесный угол DΩ, дБ	Ω = 6.28	10Lg(4π/Ω)	**3**	3	3	3	3	3	3	3	3		
Показатель направленности источника Di, дБ		исходные данные	**0**	0	0	0	0	0	0	0	0		
Поправка на направленность источника Dc, дБ	Dc	DΩ + Di	**3**	3	3	3	3	3	3	3	3		
Затухание из-за геометрической дивергенции, Adiv, дБ	расстояние = 418.21 м	ф-ла (7) [10]	**63,4**										
Коэффициент затухания звука в атмосфере α, дБ/км	Ta=20,°C Pa=101.33,кПа hотн.=70%	ф-ла (5) [9]	0,02	0,09	0,33	1,12	2,79	4,98	9,04	23,09	77,63		
Учет затухания звука в атмосфере Aatm, дБ		ф-ла (8) [10]	0	0	0,1	0,5	1,2	2,1	3,8	9,7	32,5		
Снижение поверхностью земли возле источника As, дБ	Gs = 0 hs = 1м	ф-лы таб.3 [10]	-1,5	-1,5	-1,5	-1,5	-1,5	-1,5	-1,5	-1,5	-1,5		
Снижение поверхностью земли возле приёмника Ar, дБ	Gr = 1 hr = 1.5м	ф-лы таб.3 [10]	-1,5	-1,5	2,5	7	5	0,7	0	0	0		
Снижение поверхностью земли в средней зоне, Am дБ	Gm = 1	ф-лы таб.3 [10]	-2,5	-2,5	0	0	0	0	0	0	0		
Суммарное снижение поверхностью земли на траектории распространения звука Agr, дБ		ф-ла (9) [10]	-5,5	-5,5	1	5,5	3,5	-0,8	-1,5	-1,5	-1,5		

1		2	3	4	5	6	7	8	9	10	11	12	13
Уровни звукового давления прямого звука от источника ИШ-2-14 в расчётной точке днём, дБ		**ф-ла(3)[10]**	**0**	**38,3**	**33,1**	**29,6**	**31,2**	**34,2**	**29,9**	**19,8**	**0**	**36,9**	**36,9**
Расчёт отражённого звука													
Уровни звукового давления от мнимого источника ИШ-2-14_мн.(1) в расчётной точке днём, дБ		**ф-ла(3)[10]**	**0**	**0**	**0**	**19,2**	**19,9**	**29,7**	**27,3**	**17,2**	**0**	**32,5**	**32,5**
Уровни звукового давления от источника ИШ-2-14 в расчётной точке днём, дБ		**ф-ла(3)[10]**	**0**	**38,3**	**33,1**	**30**	**31,5**	**35,5**	**31,8**	**21,7**	**0**	**38,2**	**38,2**
Источник шума: ИШ-2-15, координаты источника (x,y,z), м =[750.74,66.89,1.00]													
Уровни звуковой мощности источника днём, Lw, дБ		**исходные данные**	**0**	**93,3**	**94,7**	**96**	**96,3**	**95,9**	**92,6**	**88,4**	**83,9**		
Поправка на телесный угол DΩ, дБ	Ω = 6.28	10Lg(4π/Ω)	**3**	3	3	3	3	3	3	3	3		
Показатель направленности источника Di, дБ		исходные данные	**0**	0	0	0	0	0	0	0	0		
Поправка на направленность источника Dc, дБ	Dc	DΩ + Di	**3**	3	3	3	3	3	3	3	3		
Затухание из-за геометрической дивергенции, Adiv, дБ	расстояние = 416.47 м	ф-ла (7) [10]	**63,4**										
Коэффициент затухания звука в атмосфере α, дБ/км	Ta=20,°C Pa=101.33,кПа hотн.=70%	ф-ла (5) [9]	0,02	0,09	0,33	1,12	2,79	4,98	9,04	23,09	77,63		
Учет затухания звука в атмосфере Aatm, дБ		ф-ла (8) [10]	0	0	0,1	0,5	1,2	2,1	3,8	9,6	32,3		
Снижение поверхностью земли возле источника As, дБ	Gs = 0 hs = 1м	ф-лы таб.3 [10]	-1,5	-1,5	-1,5	-1,5	-1,5	-1,5	-1,5	-1,5	-1,5		
Снижение поверхностью земли возле приёмника Ar, дБ	Gr = 1 hr = 1.5м	ф-лы таб.3 [10]	-1,5	-1,5	2,5	7	5	0,7	0	0	0		
Снижение поверхностью земли в средней зоне, Am дБ	Gm = 1	ф-лы таб.3 [10]	-2,5	-2,5	0	0	0	0	0	0	0		
Суммарное снижение поверхностью земли на траектории распространения звука Agr, дБ		ф-ла (9) [10]	-5,5	-5,5	1	5,5	3,5	-0,8	-1,5	-1,5	-1,5		

1		2	3	4	5	6	7	8	9	10	11	12	13
Уровни звукового давления прямого звука от источника ИШ-2-15 в расчётной точке днём, дБ		**ф-ла(3)[10]**	**0**	**38,3**	**33,2**	**29,6**	**31,3**	**34,3**	**29,9**	**19,9**	**0**	**36,9**	**36,9**
Расчёт отражённого звука													
Уровни звукового давления от мнимого источника ИШ-2-15_мн.(1) в расчётной точке днём, дБ		**ф-ла(3)[10]**	**0**	**0**	**0**	**19,2**	**19,9**	**29,7**	**27,4**	**17,3**	**0**	**32,5**	**32,5**
Уровни звукового давления от источника ИШ-2-15 в расчётной точке днём, дБ		**ф-ла(3)[10]**	**0**	**38,3**	**33,2**	**30**	**31,6**	**35,6**	**31,9**	**21,8**	**0**	**38,3**	**38,3**
Источник шума: ИШ-2-16, координаты источника (x,y,z), м =[749.73,64.02,1.00]													
Уровни звуковой мощности источника днём, Lw, дБ		**исходные данные**	**0**	**93,3**	**94,7**	**96**	**96,3**	**95,9**	**92,6**	**88,4**	**83,9**		
Поправка на телесный угол DΩ, дБ	Ω = 6.28	10Lg(4π/Ω)	**3**	3	3	3	3	3	3	3	3		
Показатель направленности источника Di, дБ		исходные данные	**0**	0	0	0	0	0	0	0	0		
Поправка на направленность источника Dc, дБ	Dc	DΩ + Di	**3**	3	3	3	3	3	3	3	3		
Затухание из-за геометрической дивергенции, Adiv, дБ	расстояние = 414.62 м	ф-ла (7) [10]	**63,4**										
Коэффициент затухания звука в атмосфере α, дБ/км	Ta=20,°C Pa=101.33,кПа hотн.=70%	ф-ла (5) [9]	0,02	0,09	0,33	1,12	2,79	4,98	9,04	23,09	77,63		
Учет затухания звука в атмосфере Aatm, дБ		ф-ла (8) [10]	0	0	0,1	0,5	1,2	2,1	3,7	9,6	32,2		
Снижение поверхностью земли возле источника As, дБ	Gs = 0 hs = 1м	ф-лы таб.3 [10]	-1,5	-1,5	-1,5	-1,5	-1,5	-1,5	-1,5	-1,5	-1,5		
Снижение поверхностью земли возле приёмника Ar, дБ	Gr = 1 hr = 1.5м	ф-лы таб.3 [10]	-1,5	-1,5	2,5	7	5	0,7	0	0	0		
Снижение поверхностью земли в средней зоне, Am дБ	Gm = 1	ф-лы таб.3 [10]	-2,5	-2,5	0	0	0	0	0	0	0		
Суммарное снижение поверхностью земли на траектории распространения звука Agr, дБ		ф-ла (9) [10]	-5,5	-5,5	1	5,5	3,5	-0,8	-1,5	-1,5	-1,5		

1		2	3	4	5	6	7	8	9	10	11	12	13
Уровни звукового давления прямого звука от источника ИШ-2-16 в расчётной точке днём, дБ		**ф-ла(3)[10]**	**0**	**38,4**	**33,2**	**29,7**	**31,3**	**34,3**	**30**	**20**	**0**	**37**	**37**
Расчёт отражённого звука													
Уровни звукового давления от мнимого источника ИШ-2-16_мн.(1) в расчётной точке днём, дБ		**ф-ла(3)[10]**	**0**	**0**	**0**	**19,3**	**19,9**	**29,7**	**27,4**	**17,4**	**0**	**32,6**	**32,6**
Уровни звукового давления от источника ИШ-2-16 в расчётной точке днём, дБ		**ф-ла(3)[10]**	**0**	**38,4**	**33,2**	**30**	**31,6**	**35,6**	**31,9**	**21,9**	**0**	**38,3**	**38,3**
Источник шума: ИШ-2-17, координаты источника (x,y,z), м =[748.87,61.06,1.00]													
Уровни звуковой мощности источника днём, Lw, дБ		**исходные данные**	**0**	**93,3**	**94,7**	**96**	**96,3**	**95,9**	**92,6**	**88,4**	**83,9**		
Поправка на телесный угол DΩ, дБ	Ω = 6.28	10Lg(4π/Ω)	**3**	3	3	3	3	3	3	3	3		
Показатель направленности источника Di, дБ		исходные данные	**0**	0	0	0	0	0	0	0	0		
Поправка на направленность источника Dc, дБ	Dc	DΩ + Di	**3**	3	3	3	3	3	3	3	3		
Затухание из-за геометрической дивергенции, Adiv, дБ	расстояние = 412.90 м	ф-ла (7) [10]	**63,3**										
Коэффициент затухания звука в атмосфере α, дБ/км	Ta=20,°C Pa=101.33,кПа hотн.=70%	ф-ла (5) [9]	0,02	0,09	0,33	1,12	2,79	4,98	9,04	23,09	77,63		
Учет затухания звука в атмосфере Aatm, дБ		ф-ла (8) [10]	0	0	0,1	0,5	1,2	2,1	3,7	9,5	32,1		
Снижение поверхностью земли возле источника As, дБ	Gs = 0 hs = 1м	ф-лы таб.3 [10]	-1,5	-1,5	-1,5	-1,5	-1,5	-1,5	-1,5	-1,5	-1,5		
Снижение поверхностью земли возле приёмника Ar, дБ	Gr = 1 hr = 1.5м	ф-лы таб.3 [10]	-1,5	-1,5	2,5	7	5	0,7	0	0	0		
Снижение поверхностью земли в средней зоне, Am дБ	Gm = 1	ф-лы таб.3 [10]	-2,5	-2,5	0	0	0	0	0	0	0		
Суммарное снижение поверхностью земли на траектории распространения звука Agr, дБ		ф-ла (9) [10]	-5,5	-5,5	1	5,5	3,5	-0,8	-1,5	-1,5	-1,5		

1		2	3	4	5	6	7	8	9	10	11	12	13
Уровни звукового давления прямого звука от источника ИШ-2-17 в расчётной точке днём, дБ		**ф-ла(3)[10]**	**0**	**38,4**	**33,3**	**29,7**	**31,4**	**34,4**	**30**	**20**	**0**	**37**	**37**
Расчёт отражённого звука													
Уровни звукового давления от мнимого источника ИШ-2-17_мн.(1) в расчётной точке днём, дБ		**ф-ла(3)[10]**	**0**	**0**	**0**	**19,3**	**20**	**29,8**	**27,5**	**17,5**	**0**	**32,6**	**32,6**
Уровни звукового давления от источника ИШ-2-17 в расчётной точке днём, дБ		**ф-ла(3)[10]**	**0**	**38,4**	**33,3**	**30,1**	**31,7**	**35,7**	**32**	**21,9**	**0**	**38,4**	**38,4**
Источник шума: ИШ-2-18, координаты источника (x,y,z), м =[747.72,58.17,1.00]													
Уровни звуковой мощности источника днём, Lw, дБ		**исходные данные**	**0**	**93,3**	**94,7**	**96**	**96,3**	**95,9**	**92,6**	**88,4**	**83,9**		
Поправка на телесный угол DΩ, дБ	Ω = 6.28	10Lg(4π/Ω)	**3**	3	3	3	3	3	3	3	3		
Показатель направленности источника Di, дБ		исходные данные	**0**	0	0	0	0	0	0	0	0		
Поправка на направленность источника Dc, дБ	Dc	DΩ + Di	**3**	3	3	3	3	3	3	3	3		
Затухание из-за геометрической дивергенции, Adiv, дБ	расстояние = 410.94 м	ф-ла (7) [10]	**63,3**										
Коэффициент затухания звука в атмосфере α, дБ/км	Ta=20,°C Pa=101.33,кПа hотн.=70%	ф-ла (5) [9]	0,02	0,09	0,33	1,12	2,79	4,98	9,04	23,09	77,63		
Учет затухания звука в атмосфере Aatm, дБ		ф-ла (8) [10]	0	0	0,1	0,5	1,1	2	3,7	9,5	31,9		
Снижение поверхностью земли возле источника As, дБ	Gs = 0 hs = 1м	ф-лы таб.3 [10]	-1,5	-1,5	-1,5	-1,5	-1,5	-1,5	-1,5	-1,5	-1,5		
Снижение поверхностью земли возле приёмника Ar, дБ	Gr = 1 hr = 1.5м	ф-лы таб.3 [10]	-1,5	-1,5	2,4	7	5	0,7	0	0	0		
Снижение поверхностью земли в средней зоне, Am дБ	Gm = 1	ф-лы таб.3 [10]	-2,5	-2,5	0	0	0	0	0	0	0		
Суммарное снижение поверхностью земли на траектории распространения звука Agr, дБ		ф-ла (9) [10]	-5,5	-5,5	0,9	5,5	3,5	-0,8	-1,5	-1,5	-1,5		

1		2	3	4	5	6	7	8	9	10	11	12	13
Уровни звукового давления прямого звука от источника ИШ-2-18 в расчётной точке днём, дБ		**ф-ла(3)[10]**	**0**	**38,4**	**33,3**	**29,7**	**31,4**	**34,4**	**30,1**	**20,1**	**0**	**37,1**	**37,1**
Расчёт отражённого звука													
Уровни звукового давления от мнимого источника ИШ-2-18_мн.(1) в расчётной точке днём, дБ		**ф-ла(3)[10]**	**0**	**0**	**0**	**19,3**	**20**	**29,8**	**27,5**	**17,5**	**0**	**32,7**	**32,7**
Уровни звукового давления от источника ИШ-2-18 в расчётной точке днём, дБ		**ф-ла(3)[10]**	**0**	**38,4**	**33,3**	**30,1**	**31,7**	**35,7**	**32**	**22**	**0**	**38,4**	**38,4**
Источник шума: ИШ-2-19, координаты источника (x,y,z), м =[746.80,55.25,1.00]													
Уровни звуковой мощности источника днём, Lw, дБ		**исходные данные**	**0**	**93,3**	**94,7**	**96**	**96,3**	**95,9**	**92,6**	**88,4**	**83,9**		
Поправка на телесный угол DΩ, дБ	Ω = 6.28	10Lg(4π/Ω)	**3**	3	3	3	3	3	3	3	3		
Показатель направленности источника Di, дБ		исходные данные	**0**	0	0	0	0	0	0	0	0		
Поправка на направленность источника Dc, дБ	Dc	DΩ + Di	**3**	3	3	3	3	3	3	3	3		
Затухание из-за геометрической дивергенции, Adiv, дБ	расстояние = 409.20 м	ф-ла (7) [10]	**63,2**										
Коэффициент затухания звука в атмосфере α, дБ/км	Ta=20,°C Pa=101.33,кПа hотн.=70%	ф-ла (5) [9]	0,02	0,09	0,33	1,12	2,79	4,98	9,04	23,09	77,63		
Учет затухания звука в атмосфере Aatm, дБ		ф-ла (8) [10]	0	0	0,1	0,5	1,1	2	3,7	9,4	31,8		
Снижение поверхностью земли возле источника As, дБ	Gs = 0 hs = 1м	ф-лы таб.3 [10]	-1,5	-1,5	-1,5	-1,5	-1,5	-1,5	-1,5	-1,5	-1,5		
Снижение поверхностью земли возле приёмника Ar, дБ	Gr = 1 hr = 1.5м	ф-лы таб.3 [10]	-1,5	-1,5	2,4	7	5	0,7	0	0	0		
Снижение поверхностью земли в средней зоне, Am дБ	Gm = 1	ф-лы таб.3 [10]	-2,5	-2,5	0	0	0	0	0	0	0		
Суммарное снижение поверхностью земли на траектории распространения звука Agr, дБ		ф-ла (9) [10]	-5,5	-5,5	0,9	5,5	3,5	-0,8	-1,5	-1,5	-1,5		

1		2	3	4	5	6	7	8	9	10	11	12	13
Уровни звукового давления прямого звука от источника ИШ-2-19 в расчётной точке днём, дБ		**ф-ла(3)[10]**	**0**	**38,5**	**33,4**	**29,8**	**31,4**	**34,5**	**30,2**	**20,2**	**0**	**37,1**	**37,1**
Расчёт отражённого звука													
Уровни звукового давления от мнимого источника ИШ-2-19_мн.(1) в расчётной точке днём, дБ		**ф-ла(3)[10]**	**0**	**0**	**0**	**19,4**	**20,1**	**29,9**	**27,6**	**17,6**	**0**	**32,7**	**32,7**
Уровни звукового давления от источника ИШ-2-19 в расчётной точке днём, дБ		**ф-ла(3)[10]**	**0**	**38,5**	**33,4**	**30,2**	**31,7**	**35,8**	**32,1**	**22,1**	**0**	**38,5**	**38,5**
Источник шума: ИШ-2-20, координаты источника (x,y,z), м =[745.71,52.44,1.00]													
Уровни звуковой мощности источника днём, Lw, дБ		**исходные данные**	**0**	**93,3**	**94,7**	**96**	**96,3**	**95,9**	**92,6**	**88,4**	**83,9**		
Поправка на телесный угол DΩ, дБ	Ω = 6.28	10Lg(4π/Ω)	**3**	3	3	3	3	3	3	3	3		
Показатель направленности источника Di, дБ		исходные данные	**0**	0	0	0	0	0	0	0	0		
Поправка на направленность источника Dc, дБ	Dc	DΩ + Di	**3**	3	3	3	3	3	3	3	3		
Затухание из-за геометрической дивергенции, Adiv, дБ	расстояние = 407.35 м	ф-ла (7) [10]	**63,2**										
Коэффициент затухания звука в атмосфере α, дБ/км	Ta=20,°C Pa=101.33,кПа hотн.=70%	ф-ла (5) [9]	0,02	0,09	0,33	1,12	2,79	4,98	9,04	23,09	77,63		
Учет затухания звука в атмосфере Aatm, дБ		ф-ла (8) [10]	0	0	0,1	0,5	1,1	2	3,7	9,4	31,6		
Снижение поверхностью земли возле источника As, дБ	Gs = 0 hs = 1м	ф-лы таб.3 [10]	-1,5	-1,5	-1,5	-1,5	-1,5	-1,5	-1,5	-1,5	-1,5		
Снижение поверхностью земли возле приёмника Ar, дБ	Gr = 1 hr = 1.5м	ф-лы таб.3 [10]	-1,5	-1,5	2,4	7	5	0,7	0	0	0		
Снижение поверхностью земли в средней зоне, Am дБ	Gm = 1	ф-лы таб.3 [10]	-2,4	-2,4	0	0	0	0	0	0	0		
Суммарное снижение поверхностью земли на траектории распространения звука Agr, дБ		ф-ла (9) [10]	-5,4	-5,4	0,9	5,5	3,5	-0,8	-1,5	-1,5	-1,5		

1		2	3	4	5	6	7	8	9	10	11	12	13
Уровни звукового давления прямого звука от источника ИШ-2-20 в расчётной точке днём, дБ		**ф-ла(3)[10]**	**0**	**38,5**	**33,4**	**29,8**	**31,5**	**34,5**	**30,2**	**20,3**	**0**	**37,2**	**37,2**
Расчёт отражённого звука													
Уровни звукового давления от мнимого источника ИШ-2-20_мн.(1) в расчётной точке днём, дБ		**ф-ла(3)[10]**	**0**	**0**	**0**	**19,4**	**20,1**	**29,9**	**27,7**	**17,7**	**0**	**32,8**	**32,8**
Уровни звукового давления от источника ИШ-2-20 в расчётной точке днём, дБ		**ф-ла(3)[10]**	**0**	**38,5**	**33,4**	**30,2**	**31,8**	**35,8**	**32,1**	**22,2**	**0**	**38,5**	**38,5**
Источник шума: ИШ-2-21, координаты источника (x,y,z), м =[744.89,49.62,1.00]													
Уровни звуковой мощности источника днём, Lw, дБ		**исходные данные**	**0**	**93,3**	**94,7**	**96**	**96,3**	**95,9**	**92,6**	**88,4**	**83,9**		
Поправка на телесный угол DΩ, дБ	Ω = 6.28	10Lg(4π/Ω)	**3**	3	3	3	3	3	3	3	3		
Показатель направленности источника Di, дБ		исходные данные	**0**	0	0	0	0	0	0	0	0		
Поправка на направленность источника Dc, дБ	Dc	DΩ + Di	**3**	3	3	3	3	3	3	3	3		
Затухание из-за геометрической дивергенции, Adiv, дБ	расстояние = 405.77 м	ф-ла (7) [10]	**63,2**										
Коэффициент затухания звука в атмосфере α, дБ/км	Ta=20,°C Pa=101.33,кПа hотн.=70%	ф-ла (5) [9]	0,02	0,09	0,33	1,12	2,79	4,98	9,04	23,09	77,63		
Учет затухания звука в атмосфере Aatm, дБ		ф-ла (8) [10]	0	0	0,1	0,5	1,1	2	3,7	9,4	31,5		
Снижение поверхностью земли возле источника As, дБ	Gs = 0 hs = 1м	ф-лы таб.3 [10]	-1,5	-1,5	-1,5	-1,5	-1,5	-1,5	-1,5	-1,5	-1,5		
Снижение поверхностью земли возле приёмника Ar, дБ	Gr = 1 hr = 1.5м	ф-лы таб.3 [10]	-1,5	-1,5	2,4	7	5	0,7	0	0	0		
Снижение поверхностью земли в средней зоне, Am дБ	Gm = 1	ф-лы таб.3 [10]	-2,4	-2,4	0	0	0	0	0	0	0		
Суммарное снижение поверхностью земли на траектории распространения звука Agr, дБ		ф-ла (9) [10]	-5,4	-5,4	0,9	5,5	3,5	-0,8	-1,5	-1,5	-1,5		

1		2	3	4	5	6	7	8	9	10	11	12	13
Уровни звукового давления прямого звука от источника ИШ-2-21 в расчётной точке днём, дБ		**ф-ла(3)[10]**	**0**	**38,5**	**33,5**	**29,8**	**31,5**	**34,5**	**30,3**	**20,4**	**0**	**37,2**	**37,2**
Расчёт отражённого звука													
Уровни звукового давления от мнимого источника ИШ-2-21_мн.(1) в расчётной точке днём, дБ		**ф-ла(3)[10]**	**0**	**0**	**0**	**19,5**	**20,1**	**30**	**27,7**	**17,8**	**0**	**32,8**	**32,8**
Уровни звукового давления от источника ИШ-2-21 в расчётной точке днём, дБ		**ф-ла(3)[10]**	**0**	**38,5**	**33,5**	**30,2**	**31,8**	**35,8**	**32,2**	**22,3**	**0**	**38,6**	**38,6**
Источник шума: ИШ-2-22, координаты источника (x,y,z), м =[737.40,27.07,1.00]													
Уровни звуковой мощности источника днём, Lw, дБ		**исходные данные**	**0**	**93,3**	**94,7**	**96**	**96,3**	**95,9**	**92,6**	**88,4**	**83,9**		
Поправка на телесный угол DΩ, дБ	Ω = 6.28	10Lg(4π/Ω)	**3**	3	3	3	3	3	3	3	3		
Показатель направленности источника Di, дБ		исходные данные	**0**	0	0	0	0	0	0	0	0		
Поправка на направленность источника Dc, дБ	Dc	DΩ + Di	**3**	3	3	3	3	3	3	3	3		
Затухание из-за геометрической дивергенции, Adiv, дБ	расстояние = 392.76 м	ф-ла (7) [10]	**62,9**										
Коэффициент затухания звука в атмосфере α, дБ/км	Ta=20,°C Pa=101.33,кПа hотн.=70%	ф-ла (5) [9]	0,02	0,09	0,33	1,12	2,79	4,98	9,04	23,09	77,63		
Учет затухания звука в атмосфере Aatm, дБ		ф-ла (8) [10]	0	0	0,1	0,4	1,1	2	3,6	9,1	30,5		
Снижение уровня звукового давления из-за влияния застройки между источником шума и расчетной точкой													
Снижение уровня звукового давления на пути над экраном, Dz1, дБ	z = 0.17м (разность путей)	ф-лы (14-18) [10]	4,8	4,8	4,9	5,2	5,9	7,1	8,8	10,9	13,4		
Снижение уровня звукового давления на пути слева от экрана, Dz2, дБ	z = 17.41м (разность путей)	ф-лы (14-18) [10]	18,3	21,2	24,1	27,1	30,1	33,1	36,1	39,1	42,1		
Снижение уровня звукового давления на пути справа от экрана, Dz3, дБ	z = 0.06м (разность путей)	ф-лы (14-18) [10]	5,1	5,4	6	6,9	8,3	10,2	12,6	15,2	18		

1		2	3	4	5	6	7	8	9	10	11	12	13
Общее снижение уровня звука препятствием Dz, дБ		Эн.сумма(-Dzi)	1,8	2,1	2,4	2,9	3,9	5,4	7,3	9,5	12,1		
Уровни звукового давления от источника ИШ-2-22 в расчётной точке днём, дБ		**ф-ла(3)[10]**	**0**	**31,3**	**32,3**	**32,7**	**31,4**	**28,7**	**21,9**	**9,9**	**0**	**32,8**	**32,8**
Источник шума: ИШ-2-23, координаты источника (x,y,z), м =[736.46,24.18,1.00]													
Уровни звуковой мощности источника днём, Lw, дБ		**исходные данные**	**0**	**93,3**	**94,7**	**96**	**96,3**	**95,9**	**92,6**	**88,4**	**83,9**		
Поправка на телесный угол DΩ, дБ	Ω = 6.28	10Lg(4π/Ω)	**3**	3	3	3	3	3	3	3	3		
Показатель направленности источника Di, дБ		исходные данные	**0**	0	0	0	0	0	0	0	0		
Поправка на направленность источника Dc, дБ	Dc	DΩ + Di	**3**	3	3	3	3	3	3	3	3		
Затухание из-за геометрической дивергенции, Adiv, дБ	расстояние = 391.19 м	ф-ла (7) [10]	**62,8**										
Коэффициент затухания звука в атмосфере α, дБ/км	Ta=20,°C Pa=101.33,кПа hотн.=70%	ф-ла (5) [9]	0,02	0,09	0,33	1,12	2,79	4,98	9,04	23,09	77,63		
Учет затухания звука в атмосфере Aatm, дБ		ф-ла (8) [10]	0	0	0,1	0,4	1,1	1,9	3,5	9	30,4		
Снижение уровня звукового давления из-за влияния застройки между источником шума и расчетной точкой													
Снижение уровня звукового давления на пути над экраном, Dz1, дБ	z = 0.17м (разность путей)	ф-лы (14-18) [10]	4,8	4,9	5	5,3	6,1	7,4	9,1	11,2	13,7		
Снижение уровня звукового давления на пути слева от экрана, Dz2, дБ	z = 16.67м (разность путей)	ф-лы (14-18) [10]	18,1	21	23,9	26,9	29,9	32,9	35,9	38,9	42		
Снижение уровня звукового давления на пути справа от экрана, Dz3, дБ	z = 0.12м (разность путей)	ф-лы (14-18) [10]	5,4	5,9	6,8	8,2	10,1	12,4	15	17,8	20,7		
Общее снижение уровня звука препятствием Dz, дБ		Эн.сумма(-Dzi)	2	2,3	2,7	3,5	4,6	6,2	8,1	10,3	12,9		
Уровни звукового давления от источника ИШ-2-23 в расчётной точке днём, дБ		**ф-ла(3)[10]**	**0**	**31,1**	**32**	**32,2**	**30,7**	**27,9**	**21,1**	**9,2**	**0**	**32,2**	**32,2**

1		2	3	4	5	6	7	8	9	10	11	12	13
Источник шума: ИШ-2-24, координаты источника (x,y,z), м =[735.45,21.21,1.00]													
Уровни звуковой мощности источника днём, Lw, дБ		**исходные данные**	**0**	**93,3**	**94,7**	**96**	**96,3**	**95,9**	**92,6**	**88,4**	**83,9**		
Поправка на телесный угол DΩ, дБ	Ω = 6.28	10Lg(4π/Ω)	**3**	3	3	3	3	3	3	3	3		
Показатель направленности источника Di, дБ		исходные данные	**0**	0	0	0	0	0	0	0	0		
Поправка на направленность источника Dc, дБ	Dc	DΩ + Di	**3**	3	3	3	3	3	3	3	3		
Затухание из-за геометрической дивергенции, Adiv, дБ	расстояние = 389.54 м	ф-ла (7) [10]	**62,8**										
Коэффициент затухания звука в атмосфере α, дБ/км	Ta=20,°C Pa=101.33,кПа hотн.=70%	ф-ла (5) [9]	0,02	0,09	0,33	1,12	2,79	4,98	9,04	23,09	77,63		
Учет затухания звука в атмосфере Aatm, дБ		ф-ла (8) [10]	0	0	0,1	0,4	1,1	1,9	3,5	9	30,2		
Снижение уровня звукового давления из-за влияния застройки между источником шума и расчетной точкой													
Снижение уровня звукового давления на пути над экраном, Dz1, дБ	z = 0.18м (разность путей)	ф-лы (14-18) [10]	4,8	4,9	5	5,4	6,3	7,6	9,3	11,5	14		
Снижение уровня звукового давления на пути слева от экрана, Dz2, дБ	z = 15.93м (разность путей)	ф-лы (14-18) [10]	17,9	20,8	23,8	26,7	29,7	32,7	35,7	38,7	41,8		
Снижение уровня звукового давления на пути справа от экрана, Dz3, дБ	z = 0.20м (разность путей)	ф-лы (14-18) [10]	5,7	6,5	7,7	9,5	11,7	14,2	17	19,9	22,8		
Общее снижение уровня звука препятствием Dz, дБ		Эн.сумма(-Dzi)	2,1	2,5	3,1	4	5,2	6,7	8,6	10,9	13,5		
Уровни звукового давления от источника ИШ-2-24 в расчётной точке днём, дБ		**ф-ла(3)[10]**	**0**	**30,9**	**31,6**	**31,8**	**30,2**	**27,4**	**20,6**	**8,7**	**0**	**31,7**	**31,7**
Источник шума: ИШ-2-25, координаты источника (x,y,z), м =[734.58,18.32,1.00]													
Уровни звуковой мощности источника днём, Lw, дБ		**исходные данные**	**0**	**93,3**	**94,7**	**96**	**96,3**	**95,9**	**92,6**	**88,4**	**83,9**		

1		2	3	4	5	6	7	8	9	10	11	12	13
Поправка на телесный угол DΩ, дБ	Ω = 6.28	10Lg(4π/Ω)	**3**	3	3	3	3	3	3	3	3		
Показатель направленности источника Di, дБ		исходные данные	**0**	0	0	0	0	0	0	0	0		
Поправка на направленность источника Dc, дБ	Dc	DΩ + Di	**3**	3	3	3	3	3	3	3	3		
Затухание из-за геометрической дивергенции, Adiv, дБ	расстояние = 388.08 м	ф-ла (7) [10]	**62,8**										
Коэффициент затухания звука в атмосфере α, дБ/км	Ta=20,°C Pa=101.33,кПа hотн.=70%	ф-ла (5) [9]	0,02	0,09	0,33	1,12	2,79	4,98	9,04	23,09	77,63		
Учет затухания звука в атмосфере Aatm, дБ		ф-ла (8) [10]	0	0	0,1	0,4	1,1	1,9	3,5	9	30,1		
Снижение уровня звукового давления из-за влияния застройки между источником шума и расчетной точкой													
Снижение уровня звукового давления на пути над экраном, Dz1, дБ	z = 0.18м (разность путей)	ф-лы (14-18) [10]	4,8	4,9	5	5,5	6,3	7,6	9,4	11,6	14,1		
Снижение уровня звукового давления на пути слева от экрана, Dz2, дБ	z = 15.19м (разность путей)	ф-лы (14-18) [10]	17,7	20,6	23,5	26,5	29,5	32,5	35,5	38,5	41,6		
Снижение уровня звукового давления на пути справа от экрана, Dz3, дБ	z = 0.30м (разность путей)	ф-лы (14-18) [10]	6,1	7,2	8,7	10,7	13,1	15,8	18,6	21,5	24,5		
Общее снижение уровня звука препятствием Dz, дБ		Эн.сумма(-Dzi)	2,3	2,8	3,4	4,3	5,5	7	8,9	11,2	13,7		
Уровни звукового давления от источника ИШ-2-25 в расчётной точке днём, дБ		**ф-ла(3)[10]**	**0**	**30,7**	**31,4**	**31,5**	**30**	**27,2**	**20,4**	**8,5**	**0**	**31,4**	**31,4**
Источник шума: ИШ-2-26, координаты источника (x,y,z), м =[733.57,15.41,1.00]													
Уровни звуковой мощности источника днём, Lw, дБ		**исходные данные**	**0**	**93,3**	**94,7**	**96**	**96,3**	**95,9**	**92,6**	**88,4**	**83,9**		
Поправка на телесный угол DΩ, дБ	Ω = 6.28	10Lg(4π/Ω)	**3**	3	3	3	3	3	3	3	3		
Показатель направленности источника Di, дБ		исходные данные	**0**	0	0	0	0	0	0	0	0		

1		2	3	4	5	6	7	8	9	10	11	12	13
Поправка на направленность источника Dc, дБ	Dc	DΩ + Di	**3**	3	3	3	3	3	3	3	3		
Затухание из-за геометрической дивергенции, Adiv, дБ	расстояние = 386.48 м	ф-ла (7) [10]	**62,7**										
Коэффициент затухания звука в атмосфере α, дБ/км	Ta=20,°C Pa=101.33,кПа hотн.=70%	ф-ла (5) [9]	0,02	0,09	0,33	1,12	2,79	4,98	9,04	23,09	77,63		
Учет затухания звука в атмосфере Aatm, дБ		ф-ла (8) [10]	0	0	0,1	0,4	1,1	1,9	3,5	8,9	30		
Снижение уровня звукового давления из-за влияния застройки между источником шума и расчетной точкой													
Снижение уровня звукового давления на пути над экраном, Dz1, дБ	z = 0.18м (разность путей)	ф-лы (14-18) [10]	4,8	4,9	5	5,5	6,4	7,7	9,5	11,7	14,2		
Снижение уровня звукового давления на пути слева от экрана, Dz2, дБ	z = 14.47м (разность путей)	ф-лы (14-18) [10]	17,5	20,4	23,3	26,3	29,3	32,3	35,3	38,3	41,3		
Снижение уровня звукового давления на пути справа от экрана, Dz3, дБ	z = 0.41м (разность путей)	ф-лы (14-18) [10]	6,6	7,8	9,6	11,8	14,4	17,1	20	23	26		
Общее снижение уровня звука препятствием Dz, дБ		Эн.сумма(-Dzi)	2,5	3	3,7	4,5	5,7	7,2	9,1	11,4	13,9		
Уровни звукового давления от источника ИШ-2-26 в расчётной точке днём, дБ		**ф-ла(3)[10]**	**0**	**30,5**	**31,1**	**31,3**	**29,8**	**27**	**20,3**	**8,4**	**0**	**31,2**	**31,2**
Источник шума: ИШ-2-27, координаты источника (x,y,z), м =[732.43,12.66,1.00]													
Уровни звуковой мощности источника днём, Lw, дБ		**исходные данные**	**0**	**93,3**	**94,7**	**96**	**96,3**	**95,9**	**92,6**	**88,4**	**83,9**		
Поправка на телесный угол DΩ, дБ	Ω = 6.28	10Lg(4π/Ω)	**3**	3	3	3	3	3	3	3	3		
Показатель направленности источника Di, дБ		исходные данные	**0**	0	0	0	0	0	0	0	0		
Поправка на направленность источника Dc, дБ	Dc	DΩ + Di	**3**	3	3	3	3	3	3	3	3		
Затухание из-за геометрической дивергенции, Adiv, дБ	расстояние = 384.81 м	ф-ла (7) [10]	**62,7**										

1		2	3	4	5	6	7	8	9	10	11	12	13
Коэффициент затухания звука в атмосфере α, дБ/км	Ta=20,°C Pa=101.33,кПа hотн.=70%	ф-ла (5) [9]	0,02	0,09	0,33	1,12	2,79	4,98	9,04	23,09	77,63		
Учет затухания звука в атмосфере Aatm, дБ		ф-ла (8) [10]	0	0	0,1	0,4	1,1	1,9	3,5	8,9	29,9		
Снижение уровня звукового давления из-за влияния застройки между источником шума и расчетной точкой													
Снижение уровня звукового давления на пути над экраном, Dz1, дБ	z = 0.18м (разность путей)	ф-лы (14-18) [10]	4,8	4,9	5	5,5	6,4	7,7	9,6	11,8	14,4		
Снижение уровня звукового давления на пути слева от экрана, Dz2, дБ	z = 13.82м (разность путей)	ф-лы (14-18) [10]	17,3	20,2	23,1	26,1	29,1	32,1	35,1	38,1	41,1		
Снижение уровня звукового давления на пути справа от экрана, Dz3, дБ	z = 0.54м (разность путей)	ф-лы (14-18) [10]	7	8,5	10,4	12,8	15,4	18,3	21,2	24,1	27,1		
Общее снижение уровня звука препятствием Dz, дБ		Эн.сумма(-Dzi)	2,6	3,2	3,9	4,7	5,9	7,4	9,3	11,5	14,1		
Уровни звукового давления от источника ИШ-2-27 в расчётной точке днём, дБ		**ф-ла(3)[10]**	**0**	**30,3**	**31**	**31,1**	**29,6**	**26,9**	**20,2**	**8,3**	**0**	**31,1**	**31,1**
Источник шума: ИШ-2-28, координаты источника (x,y,z), м =[731.54,9.78,1.00]													
Уровни звуковой мощности источника днём, Lw, дБ		**исходные данные**	**0**	**93,3**	**94,7**	**96**	**96,3**	**95,9**	**92,6**	**88,4**	**83,9**		
Поправка на телесный угол DΩ, дБ	Ω = 6.28	10Lg(4π/Ω)	**3**	3	3	3	3	3	3	3	3		
Показатель направленности источника Di, дБ		исходные данные	**0**	0	0	0	0	0	0	0	0		
Поправка на направленность источника Dc, дБ	Dc	DΩ + Di	**3**	3	3	3	3	3	3	3	3		
Затухание из-за геометрической дивергенции, Adiv, дБ	расстояние = 383.37 м	ф-ла (7) [10]	**62,7**										
Коэффициент затухания звука в атмосфере α, дБ/км	Ta=20,°C Pa=101.33,кПа hотн.=70%	ф-ла (5) [9]	0,02	0,09	0,33	1,12	2,79	4,98	9,04	23,09	77,63		
Учет затухания звука в атмосфере Aatm, дБ		ф-ла (8) [10]	0	0	0,1	0,4	1,1	1,9	3,5	8,9	29,8		

1		2	3	4	5	6	7	8	9	10	11	12	13
Снижение уровня звукового давления из-за влияния застройки между источником шума и расчетной точкой													
Снижение уровня звукового давления на пути над экраном, Dz1, дБ	z = 0.18м (разность путей)	ф-лы (14-18) [10]	4,8	4,9	5	5,5	6,4	7,8	9,6	11,9	14,5		
Снижение уровня звукового давления на пути слева от экрана, Dz2, дБ	z = 13.10м (разность путей)	ф-лы (14-18) [10]	17,1	20	22,9	25,9	28,9	31,9	34,9	37,9	40,9		
Снижение уровня звукового давления на пути справа от экрана, Dz3, дБ	z = 0.70м (разность путей)	ф-лы (14-18) [10]	7,5	9,1	11,3	13,7	16,5	19,3	22,3	25,2	28,2		
Общее снижение уровня звука препятствием Dz, дБ		Эн.сумма(-Dzi)	2,8	3,4	4,1	4,9	6	7,5	9,4	11,7	14,3		
Уровни звукового давления от источника ИШ-2-28 в расчётной точке днём, дБ		**ф-ла(3)[10]**	**0**	**30,2**	**30,8**	**31**	**29,5**	**26,8**	**20,1**	**8,2**	**0**	**31**	**31**
Источник шума: ИШ-2-29, координаты источника (x,y,z), м =[730.57,6.88,1.00]													
Уровни звуковой мощности источника днём, Lw, дБ		**исходные данные**	**0**	**93,3**	**94,7**	**96**	**96,3**	**95,9**	**92,6**	**88,4**	**83,9**		
Поправка на телесный угол DΩ, дБ	Ω = 6.28	10Lg(4π/Ω)	**3**	3	3	3	3	3	3	3	3		
Показатель направленности источника Di, дБ		исходные данные	**0**	0	0	0	0	0	0	0	0		
Поправка на направленность источника Dc, дБ	Dc	DΩ + Di	**3**	3	3	3	3	3	3	3	3		
Затухание из-за геометрической дивергенции, Adiv, дБ	расстояние = 381.88 м	ф-ла (7) [10]	**62,6**										
Коэффициент затухания звука в атмосфере α, дБ/км	Ta=20,°C Pa=101.33,кПа hотн.=70%	ф-ла (5) [9]	0,02	0,09	0,33	1,12	2,79	4,98	9,04	23,09	77,63		
Учет затухания звука в атмосфере Aatm, дБ		ф-ла (8) [10]	0	0	0,1	0,4	1,1	1,9	3,5	8,8	29,6		
Снижение уровня звукового давления из-за влияния застройки между источником шума и расчетной точкой													
Снижение уровня звукового давления на пути над экраном, Dz1, дБ	z = 0.18м (разность путей)	ф-лы (14-18) [10]	4,8	4,9	5,1	5,5	6,5	7,9	9,7	12	14,6		

1		2	3	4	5	6	7	8	9	10	11	12	13
Снижение уровня звукового давления на пути слева от экрана, Dz2, дБ	z = 12.40м (разность путей)	ф-лы (14-18) [10]	16,9	19,8	22,7	25,7	28,6	31,6	34,7	37,7	40,7		
Снижение уровня звукового давления на пути справа от экрана, Dz3, дБ	z = 0.89м (разность путей)	ф-лы (14-18) [10]	8	9,8	12	14,6	17,4	20,3	23,2	26,2	29,2		
Общее снижение уровня звука препятствием Dz, дБ		Эн.сумма(-Dzi)	2,9	3,6	4,2	5	6,1	7,6	9,5	11,8	14,4		
Уровни звукового давления от источника ИШ-2-29 в расчётной точке днём, дБ		**ф-ла(3)[10]**	**0**	**30,1**	**30,7**	**30,9**	**29,5**	**26,7**	**20**	**8,1**	**0**	**30,9**	**30,9**
Источник шума: ИШ-2-4, координаты источника (x,y,z), м =[632.70,-65.30,3.00]													
Уровни звуковой мощности источника днём, Lw, дБ		**исходные данные**	**105**	**104**	**104**	**101**	**102**	**106**	**101**	**95**	**87**		
Поправка на телесный угол DΩ, дБ	Ω = 6.28	10Lg(4π/Ω)	**3**	3	3	3	3	3	3	3	3		
Показатель направленности источника Di, дБ		исходные данные	**0**	0	0	0	0	0	0	0	0		
Поправка на направленность источника Dc, дБ	Dc	DΩ + Di	**3**	3	3	3	3	3	3	3	3		
Затухание из-за геометрической дивергенции, Adiv, дБ	расстояние = 277.44 м	ф-ла (7) [10]	**59,9**										
Коэффициент затухания звука в атмосфере α, дБ/км	Ta=20,°C Pa=101.33,кПа hотн.=70%	ф-ла (5) [9]	0,02	0,09	0,33	1,12	2,79	4,98	9,04	23,09	77,63		
Учет затухания звука в атмосфере Aatm, дБ		ф-ла (8) [10]	0	0	0,1	0,3	0,8	1,4	2,5	6,4	21,5		
Снижение уровня звукового давления из-за влияния застройки между источником шума и расчетной точкой													
Снижение уровня звукового давления на пути над экраном, Dz1, дБ	z = 0.34м (разность путей)	ф-лы (14-18) [10]	5,4	6	7,4	10	13,2	16,2	19,2	22,2	25,1		
Снижение уровня звукового давления на пути слева от экрана, Dz2, дБ	z = 0.43м (разность путей)	ф-лы (14-18) [10]	6,6	7,9	9,7	11,9	14,5	17,3	20,2	23,1	26,1		
Снижение уровня звукового давления на пути справа от экрана, Dz3, дБ	z = 22.91м (разность путей)	ф-лы (14-18) [10]	20,8	25,3	29,4	32,9	36	39,1	42,1	45,1	48,1		

1		2	3	4	5	6	7	8	9	10	11	12	13
Общее снижение уровня звука препятствием Dz, дБ		Эн.сумма(-Dzi)	2,9	3,8	5,3	7,8	10,8	13,7	16,6	19,6	22,6		
Уровни звукового давления от источника ИШ-2-4 в расчётной точке днём, дБ		**ф-ла(3)[10]**	**45,3**	**43,3**	**41,7**	**36**	**33,6**	**34,1**	**25**	**12,1**	**0**	**37**	**37**
Источник шума: ИШ-2-30, координаты источника (x,y,z), м =[702.44,-77.23,1.00]													
Уровни звуковой мощности источника днём, Lw, дБ		**исходные данные**	**0**	**93,3**	**94,7**	**96**	**96,3**	**95,9**	**92,6**	**88,4**	**83,9**		
Поправка на телесный угол DΩ, дБ	Ω = 6.28	10Lg(4π/Ω)	**3**	3	3	3	3	3	3	3	3		
Показатель направленности источника Di, дБ		исходные данные	**0**	0	0	0	0	0	0	0	0		
Поправка на направленность источника Dc, дБ	Dc	DΩ + Di	**3**	3	3	3	3	3	3	3	3		
Затухание из-за геометрической дивергенции, Adiv, дБ	расстояние = 347.43 м	ф-ла (7) [10]	**61,8**										
Коэффициент затухания звука в атмосфере α, дБ/км	Ta=20,°C Pa=101.33,кПа hотн.=70%	ф-ла (5) [9]	0,02	0,09	0,33	1,12	2,79	4,98	9,04	23,09	77,63		
Учет затухания звука в атмосфере Aatm, дБ		ф-ла (8) [10]	0	0	0,1	0,4	1	1,7	3,1	8	27		
Снижение уровня звукового давления из-за влияния застройки между источником шума и расчетной точкой													
Снижение уровня звукового давления препятствием справа от трассы ИШ-РТ, Dz3, дБ	z = -0.01м (разность путей)	ф-лы (14-18) [10]	0	0	0	0	3,8	2,5	0	NAN	NAN		
* отрицательное значение z означает прохождение траектории вблизи экрана, в этом случае дополнительно производится учёт снижения подстилающей поверхностью (см.ниже)													
Снижение поверхностью земли возле источника As, дБ	Gs = 0 hs = 1м	ф-лы таб.3 [10]	-1,5	-1,5	-1,5	-1,5	-1,5	-1,5	-1,5	-1,5	-1,5		
Снижение поверхностью земли возле приёмника Ar, дБ	Gr = 1 hr = 1.5м	ф-лы таб.3 [10]	-1,5	-1,5	2	7	5	0,7	0	0	0		
Снижение поверхностью земли в средней зоне, Am дБ	Gm = 1	ф-лы таб.3 [10]	-2,4	-2,4	0	0	0	0	0	0	0		
Суммарное снижение поверхностью земли на траектории распространения звука Agr, дБ		ф-ла (9) [10]	-5,4	-5,4	0,5	5,5	3,5	-0,8	-1,5	-1,5	-1,5		

1		2	3	4	5	6	7	8	9	10	11	12	13
Уровни звукового давления прямого звука от источника ИШ-2-30 в расчётной точке днём, дБ		**ф-ла(3)[10]**	**0**	**39,8**	**35,2**	**31,3**	**29,3**	**33,7**	**32,1**	**23,1**	**0**	**37,4**	**37,4**
Расчёт отражённого звука													
Уровни звукового давления от мнимого источника ИШ-2-30_мн.(1) в расчётной точке днём, дБ		**ф-ла(3)[10]**	**0**	**38,8**	**30,7**	**20,9**	**21,6**	**31,6**	**29,6**	**20,4**	**0**	**34,6**	**34,6**
Уровни звукового давления от источника ИШ-2-30 в расчётной точке днём, дБ		**ф-ла(3)[10]**	**0**	**42,3**	**36,5**	**31,6**	**30**	**35,8**	**34**	**24,9**	**0**	**39,2**	**39,2**
Источник шума: ИШ-2-31, координаты источника (x,y,z), м =[701.42,-80.17,1.00]													
Уровни звуковой мощности источника днём, Lw, дБ		**исходные данные**	**0**	**93,3**	**94,7**	**96**	**96,3**	**95,9**	**92,6**	**88,4**	**83,9**		
Поправка на телесный угол DΩ, дБ	Ω = 6.28	10Lg(4π/Ω)	**3**	3	3	3	3	3	3	3	3		
Показатель направленности источника Di, дБ		исходные данные	**0**	0	0	0	0	0	0	0	0		
Поправка на направленность источника Dc, дБ	Dc	DΩ + Di	**3**	3	3	3	3	3	3	3	3		
Затухание из-за геометрической дивергенции, Adiv, дБ	расстояние = 346.54 м	ф-ла (7) [10]	**61,8**										
Коэффициент затухания звука в атмосфере α, дБ/км	Ta=20,°C Pa=101.33,кПа hотн.=70%	ф-ла (5) [9]	0,02	0,09	0,33	1,12	2,79	4,98	9,04	23,09	77,63		
Учет затухания звука в атмосфере Aatm, дБ		ф-ла (8) [10]	0	0	0,1	0,4	1	1,7	3,1	8	26,9		
Снижение уровня звукового давления из-за влияния застройки между источником шума и расчетной точкой													
Снижение уровня звукового давления препятствием справа от трассы ИШ-РТ, Dz3, дБ	z = -0.07м (разность путей)	ф-лы (14-18) [10]	0	0	3,1	0,4	NAN	NAN	NAN	NAN	NAN		
* отрицательное значение z означает прохождение траектории вблизи экрана, в этом случае дополнительно производится учёт снижения подстилающей поверхностью (см.ниже)													
Снижение поверхностью земли возле источника As, дБ	Gs = 0 hs = 1м	ф-лы таб.3 [10]	-1,5	-1,5	-1,5	-1,5	-1,5	-1,5	-1,5	-1,5	-1,5		
Снижение поверхностью земли возле приёмника Ar, дБ	Gr = 1 hr = 1.5м	ф-лы таб.3 [10]	-1,5	-1,5	2	7	5	0,7	0	0	0		

1		2	3	4	5	6	7	8	9	10	11	12	13
Снижение поверхностью земли в средней зоне, Am дБ	Gm = 1	ф-лы таб.3 [10]	-2,4	-2,4	0	0	0	0	0	0	0		
Суммарное снижение поверхностью земли на траектории распространения звука Agr, дБ		ф-ла (9) [10]	-5,4	-5,4	0,5	5,5	3,5	-0,8	-1,5	-1,5	-1,5		
Уровни звукового давления прямого звука от источника ИШ-2-31 в расчётной точке днём, дБ		**ф-ла(3)[10]**	**0**	**39,8**	**32,2**	**30,9**	**33,1**	**36,2**	**32,2**	**23,1**	**0**	**38,9**	**38,9**
Расчёт отражённого звука													
Уровни звукового давления от мнимого источника ИШ-2-31_мн.(1) в расчётной точке днём, дБ		**ф-ла(3)[10]**	**0**	**38,8**	**30,7**	**20,9**	**21,7**	**31,6**	**29,6**	**20,5**	**0**	**34,7**	**34,7**
Уровни звукового давления от источника ИШ-2-31 в расчётной точке днём, дБ		**ф-ла(3)[10]**	**0**	**42,3**	**34,5**	**31,3**	**33,4**	**37,5**	**34,1**	**25**	**0**	**40,3**	**40,3**
Источник шума: ИШ-2-32, координаты источника (x,y,z), м =[700.38,-83.01,1.00]													
Уровни звуковой мощности источника днём, Lw, дБ		**исходные данные**	**0**	**93,3**	**94,7**	**96**	**96,3**	**95,9**	**92,6**	**88,4**	**83,9**		
Поправка на телесный угол DΩ, дБ	Ω = 6.28	10Lg(4π/Ω)	**3**	3	3	3	3	3	3	3	3		
Показатель направленности источника Di, дБ		исходные данные	**0**	0	0	0	0	0	0	0	0		
Поправка на направленность источника Dc, дБ	Dc	DΩ + Di	**3**	3	3	3	3	3	3	3	3		
Затухание из-за геометрической дивергенции, Adiv, дБ	расстояние = 345.65 м	ф-ла (7) [10]	**61,8**										
Коэффициент затухания звука в атмосфере α, дБ/км	Ta=20,°C Pa=101.33,кПа hотн.=70%	ф-ла (5) [9]	0,02	0,09	0,33	1,12	2,79	4,98	9,04	23,09	77,63		
Учет затухания звука в атмосфере Aatm, дБ		ф-ла (8) [10]	0	0	0,1	0,4	1	1,7	3,1	8	26,8		
Снижение поверхностью земли возле источника As, дБ	Gs = 0 hs = 1м	ф-лы таб.3 [10]	-1,5	-1,5	-1,5	-1,5	-1,5	-1,5	-1,5	-1,5	-1,5		
Снижение поверхностью земли возле приёмника Ar, дБ	Gr = 1 hr = 1.5м	ф-лы таб.3 [10]	-1,5	-1,5	2	7	5	0,7	0	0	0		

1		2	3	4	5	6	7	8	9	10	11	12	13
Снижение поверхностью земли в средней зоне, Am дБ	Gm = 1	ф-лы таб.3 [10]	-2,3	-2,3	0	0	0	0	0	0	0		
Суммарное снижение поверхностью земли на траектории распространения звука Agr, дБ		ф-ла (9) [10]	-5,3	-5,3	0,5	5,5	3,5	-0,8	-1,5	-1,5	-1,5		
Уровни звукового давления прямого звука от источника ИШ-2-32 в расчётной точке днём, дБ		**ф-ла(3)[10]**	**0**	**39,8**	**35,3**	**31,3**	**33,1**	**36,2**	**32,2**	**23,1**	**0**	**39**	**39**
Расчёт отражённого звука													
Уровни звукового давления от мнимого источника ИШ-2-32_мн.(1) в расчётной точке днём, дБ		**ф-ла(3)[10]**	**0**	**38,8**	**30,8**	**20,9**	**21,7**	**31,6**	**29,6**	**20,5**	**0**	**34,7**	**34,7**
Уровни звукового давления от источника ИШ-2-32 в расчётной точке днём, дБ		**ф-ла(3)[10]**	**0**	**42,4**	**36,6**	**31,7**	**33,4**	**37,5**	**34,1**	**25**	**0**	**40,4**	**40,4**
Источник шума: ИШ-2-33, координаты источника (x,y,z), м =[699.52,-85.98,1.00]													
Уровни звуковой мощности источника днём, Lw, дБ		**исходные данные**	**0**	**93,3**	**94,7**	**96**	**96,3**	**95,9**	**92,6**	**88,4**	**83,9**		
Поправка на телесный угол DΩ, дБ	Ω = 6.28	10Lg(4π/Ω)	**3**	3	3	3	3	3	3	3	3		
Показатель направленности источника Di, дБ		исходные данные	**0**	0	0	0	0	0	0	0	0		
Поправка на направленность источника Dc, дБ	Dc	DΩ + Di	**3**	3	3	3	3	3	3	3	3		
Затухание из-за геометрической дивергенции, Adiv, дБ	расстояние = 344.97 м	ф-ла (7) [10]	**61,8**										
Коэффициент затухания звука в атмосфере α, дБ/км	Ta=20,°C Pa=101.33,кПа hотн.=70%	ф-ла (5) [9]	0,02	0,09	0,33	1,12	2,79	4,98	9,04	23,09	77,63		
Учет затухания звука в атмосфере Aatm, дБ		ф-ла (8) [10]	0	0	0,1	0,4	1	1,7	3,1	8	26,8		
Снижение поверхностью земли возле источника As, дБ	Gs = 0 hs = 1м	ф-лы таб.3 [10]	-1,5	-1,5	-1,5	-1,5	-1,5	-1,5	-1,5	-1,5	-1,5		
Снижение поверхностью земли возле приёмника Ar, дБ	Gr = 1 hr = 1.5м	ф-лы таб.3 [10]	-1,5	-1,5	2	7	5	0,7	0	0	0		

1		2	3	4	5	6	7	8	9	10	11	12	13
Снижение поверхностью земли в средней зоне, Am дБ	Gm = 1	ф-лы таб.3 [10]	-2,3	-2,3	0	0	0	0	0	0	0		
Суммарное снижение поверхностью земли на траектории распространения звука Agr, дБ		ф-ла (9) [10]	-5,3	-5,3	0,5	5,5	3,5	-0,8	-1,5	-1,5	-1,5		
Уровни звукового давления прямого звука от источника ИШ-2-33 в расчётной точке днём, дБ		**ф-ла(3)[10]**	**0**	**39,9**	**35,3**	**31,3**	**33,1**	**36,3**	**32,2**	**23,2**	**0**	**39**	**39**
Расчёт отражённого звука													
Уровни звукового давления от мнимого источника ИШ-2-33_мн.(1) в расчётной точке днём, дБ		**ф-ла(3)[10]**	**0**	**38,8**	**30,8**	**20,9**	**21,7**	**31,7**	**29,6**	**20,5**	**0**	**34,7**	**34,7**
Уровни звукового давления от источника ИШ-2-33 в расчётной точке днём, дБ		**ф-ла(3)[10]**	**0**	**42,4**	**36,6**	**31,7**	**33,4**	**37,6**	**34,1**	**25,1**	**0**	**40,4**	**40,4**
Источник шума: ИШ-2-34, координаты источника (x,y,z), м =[698.43,-88.85,1.00]													
Уровни звуковой мощности источника днём, Lw, дБ		**исходные данные**	**0**	**93,3**	**94,7**	**96**	**96,3**	**95,9**	**92,6**	**88,4**	**83,9**		
Поправка на телесный угол DΩ, дБ	Ω = 6.28	10Lg(4π/Ω)	**3**	3	3	3	3	3	3	3	3		
Показатель направленности источника Di, дБ		исходные данные	**0**	0	0	0	0	0	0	0	0		
Поправка на направленность источника Dc, дБ	Dc	DΩ + Di	**3**	3	3	3	3	3	3	3	3		
Затухание из-за геометрической дивергенции, Adiv, дБ	расстояние = 344.08 м	ф-ла (7) [10]	**61,7**										
Коэффициент затухания звука в атмосфере α, дБ/км	Ta=20,°C Pa=101.33,кПа hотн.=70%	ф-ла (5) [9]	0,02	0,09	0,33	1,12	2,79	4,98	9,04	23,09	77,63		
Учет затухания звука в атмосфере Aatm, дБ		ф-ла (8) [10]	0	0	0,1	0,4	1	1,7	3,1	7,9	26,7		
Снижение поверхностью земли возле источника As, дБ	Gs = 0 hs = 1м	ф-лы таб.3 [10]	-1,5	-1,5	-1,5	-1,5	-1,5	-1,5	-1,5	-1,5	-1,5		
Снижение поверхностью земли возле приёмника Ar, дБ	Gr = 1 hr = 1.5м	ф-лы таб.3 [10]	-1,5	-1,5	2	7	5	0,7	0	0	0		

1		2	3	4	5	6	7	8	9	10	11	12	13
Снижение поверхностью земли в средней зоне, Am дБ	Gm = 1	ф-лы таб.3 [10]	-2,3	-2,3	0	0	0	0	0	0	0		
Суммарное снижение поверхностью земли на траектории распространения звука Agr, дБ		ф-ла (9) [10]	-5,3	-5,3	0,5	5,5	3,5	-0,8	-1,5	-1,5	-1,5		
Уровни звукового давления прямого звука от источника ИШ-2-34 в расчётной точке днём, дБ		**ф-ла(3)[10]**	**0**	**39,9**	**35,3**	**31,4**	**33,1**	**36,3**	**32,2**	**23,2**	**0**	**39**	**39**
Расчёт отражённого звука													
Уровни звукового давления от мнимого источника ИШ-2-34_мн.(1) в расчётной точке днём, дБ		**ф-ла(3)[10]**	**0**	**38,8**	**30,8**	**20,9**	**21,7**	**31,7**	**29,7**	**20,6**	**0**	**34,7**	**34,7**
Уровни звукового давления от источника ИШ-2-34 в расчётной точке днём, дБ		**ф-ла(3)[10]**	**0**	**42,4**	**36,7**	**31,7**	**33,4**	**37,6**	**34,2**	**25,1**	**0**	**40,4**	**40,4**
Источник шума: ИШ-2-35, координаты источника (x,y,z), м =[697.52,-91.66,1.00]													
Уровни звуковой мощности источника днём, Lw, дБ		**исходные данные**	**0**	**93,3**	**94,7**	**96**	**96,3**	**95,9**	**92,6**	**88,4**	**83,9**		
Поправка на телесный угол DΩ, дБ	Ω = 6.28	10Lg(4π/Ω)	**3**	3	3	3	3	3	3	3	3		
Показатель направленности источника Di, дБ		исходные данные	**0**	0	0	0	0	0	0	0	0		
Поправка на направленность источника Dc, дБ	Dc	DΩ + Di	**3**	3	3	3	3	3	3	3	3		
Затухание из-за геометрической дивергенции, Adiv, дБ	расстояние = 343.38 м	ф-ла (7) [10]	**61,7**										
Коэффициент затухания звука в атмосфере α, дБ/км	Ta=20,°C Pa=101.33,кПа hотн.=70%	ф-ла (5) [9]	0,02	0,09	0,33	1,12	2,79	4,98	9,04	23,09	77,63		
Учет затухания звука в атмосфере Aatm, дБ		ф-ла (8) [10]	0	0	0,1	0,4	1	1,7	3,1	7,9	26,7		
Снижение поверхностью земли возле источника As, дБ	Gs = 0 hs = 1м	ф-лы таб.3 [10]	-1,5	-1,5	-1,5	-1,5	-1,5	-1,5	-1,5	-1,5	-1,5		
Снижение поверхностью земли возле приёмника Ar, дБ	Gr = 1 hr = 1.5м	ф-лы таб.3 [10]	-1,5	-1,5	2	7	5	0,7	0	0	0		

1		2	3	4	5	6	7	8	9	10	11	12	13
Снижение поверхностью земли в средней зоне, Am дБ	Gm = 1	ф-лы таб.3 [10]	-2,3	-2,3	0	0	0	0	0	0	0		
Суммарное снижение поверхностью земли на траектории распространения звука Agr, дБ		ф-ла (9) [10]	-5,3	-5,3	0,5	5,5	3,5	-0,8	-1,5	-1,5	-1,5		
Уровни звукового давления прямого звука от источника ИШ-2-35 в расчётной точке днём, дБ		**ф-ла(3)[10]**	**0**	**39,9**	**35,4**	**31,4**	**33,2**	**36,3**	**32,3**	**23,2**	**0**	**39,1**	**39,1**
Расчёт отражённого звука													
Уровни звукового давления от мнимого источника ИШ-2-35_мн.(1) в расчётной точке днём, дБ		**ф-ла(3)[10]**	**0**	**38,8**	**30,9**	**21**	**21,8**	**31,7**	**29,7**	**20,6**	**0**	**34,8**	**34,8**
Уровни звукового давления от источника ИШ-2-35 в расчётной точке днём, дБ		**ф-ла(3)[10]**	**0**	**42,4**	**36,7**	**31,8**	**33,5**	**37,6**	**34,2**	**25,1**	**0**	**40,4**	**40,4**
Источник шума: ИШ-2-36, координаты источника (x,y,z), м =[696.58,-94.55,1.00]													
Уровни звуковой мощности источника днём, Lw, дБ		**исходные данные**	**0**	**93,3**	**94,7**	**96**	**96,3**	**95,9**	**92,6**	**88,4**	**83,9**		
Поправка на телесный угол DΩ, дБ	Ω = 6.28	10Lg(4π/Ω)	**3**	3	3	3	3	3	3	3	3		
Показатель направленности источника Di, дБ		исходные данные	**0**	0	0	0	0	0	0	0	0		
Поправка на направленность источника Dc, дБ	Dc	DΩ + Di	**3**	3	3	3	3	3	3	3	3		
Затухание из-за геометрической дивергенции, Adiv, дБ	расстояние = 342.70 м	ф-ла (7) [10]	**61,7**										
Коэффициент затухания звука в атмосфере α, дБ/км	Ta=20,°C Pa=101.33,кПа hотн.=70%	ф-ла (5) [9]	0,02	0,09	0,33	1,12	2,79	4,98	9,04	23,09	77,63		
Учет затухания звука в атмосфере Aatm, дБ		ф-ла (8) [10]	0	0	0,1	0,4	1	1,7	3,1	7,9	26,6		
Снижение поверхностью земли возле источника As, дБ	Gs = 0 hs = 1м	ф-лы таб.3 [10]	-1,5	-1,5	-1,5	-1,5	-1,5	-1,5	-1,5	-1,5	-1,5		
Снижение поверхностью земли возле приёмника Ar, дБ	Gr = 1 hr = 1.5м	ф-лы таб.3 [10]	-1,5	-1,5	2	7	5	0,7	0	0	0		

1		2	3	4	5	6	7	8	9	10	11	12	13
Снижение поверхностью земли в средней зоне, Am дБ	Gm = 1	ф-лы таб.3 [10]	-2,3	-2,3	0	0	0	0	0	0	0		
Суммарное снижение поверхностью земли на траектории распространения звука Agr, дБ		ф-ла (9) [10]	-5,3	-5,3	0,5	5,5	3,5	-0,8	-1,5	-1,5	-1,5		
Уровни звукового давления прямого звука от источника ИШ-2-36 в расчётной точке днём, дБ		**ф-ла(3)[10]**	**0**	**39,9**	**35,4**	**31,4**	**33,2**	**36,3**	**32,3**	**23,3**	**0**	**39,1**	**39,1**
Расчёт отражённого звука													
Уровни звукового давления от мнимого источника ИШ-2-36_мн.(1) в расчётной точке днём, дБ		**ф-ла(3)[10]**	**0**	**38,9**	**30,9**	**21**	**21,8**	**31,7**	**29,7**	**20,7**	**0**	**34,8**	**34,8**
Уровни звукового давления от источника ИШ-2-36 в расчётной точке днём, дБ		**ф-ла(3)[10]**	**0**	**42,4**	**36,7**	**31,8**	**33,5**	**37,6**	**34,2**	**25,2**	**0**	**40,5**	**40,5**
Источник шума: ИШ-2-37, координаты источника (x,y,z), м =[695.57,-97.37,1.00]													
Уровни звуковой мощности источника днём, Lw, дБ		**исходные данные**	**0**	**93,3**	**94,7**	**96**	**96,3**	**95,9**	**92,6**	**88,4**	**83,9**		
Поправка на телесный угол DΩ, дБ	Ω = 6.28	10Lg(4π/Ω)	**3**	3	3	3	3	3	3	3	3		
Показатель направленности источника Di, дБ		исходные данные	**0**	0	0	0	0	0	0	0	0		
Поправка на направленность источника Dc, дБ	Dc	DΩ + Di	**3**	3	3	3	3	3	3	3	3		
Затухание из-за геометрической дивергенции, Adiv, дБ	расстояние = 341.95 м	ф-ла (7) [10]	**61,7**										
Коэффициент затухания звука в атмосфере α, дБ/км	Ta=20,°C Pa=101.33,кПа hотн.=70%	ф-ла (5) [9]	0,02	0,09	0,33	1,12	2,79	4,98	9,04	23,09	77,63		
Учет затухания звука в атмосфере Aatm, дБ		ф-ла (8) [10]	0	0	0,1	0,4	1	1,7	3,1	7,9	26,5		
Снижение поверхностью земли возле источника As, дБ	Gs = 0 hs = 1м	ф-лы таб.3 [10]	-1,5	-1,5	-1,5	-1,5	-1,5	-1,5	-1,5	-1,5	-1,5		
Снижение поверхностью земли возле приёмника Ar, дБ	Gr = 1 hr = 1.5м	ф-лы таб.3 [10]	-1,5	-1,5	2	7	5	0,7	0	0	0		

1		2	3	4	5	6	7	8	9	10	11	12	13
Снижение поверхностью земли в средней зоне, Am дБ	Gm = 1	ф-лы таб.3 [10]	-2,3	-2,3	0	0	0	0	0	0	0		
Суммарное снижение поверхностью земли на траектории распространения звука Agr, дБ		ф-ла (9) [10]	-5,3	-5,3	0,5	5,5	3,5	-0,8	-1,5	-1,5	-1,5		
Уровни звукового давления прямого звука от источника ИШ-2-37 в расчётной точке днём, дБ		**ф-ла(3)[10]**	**0**	**39,9**	**35,4**	**31,4**	**33,2**	**36,4**	**32,3**	**23,3**	**0**	**39,1**	**39,1**
Расчёт отражённого звука													
Уровни звукового давления от мнимого источника ИШ-2-37_мн.(1) в расчётной точке днём, дБ		**ф-ла(3)[10]**	**0**	**38,9**	**30,9**	**21**	**21,8**	**31,7**	**29,7**	**20,7**	**0**	**34,8**	**34,8**
Уровни звукового давления от источника ИШ-2-37 в расчётной точке днём, дБ		**ф-ла(3)[10]**	**0**	**42,4**	**36,7**	**31,8**	**33,5**	**37,6**	**34,2**	**25,2**	**0**	**40,5**	**40,5**
Источник шума: ИШ-2-5, координаты источника (x,y,z), м =[618.60,-108.00,3.00]													
Уровни звуковой мощности источника днём, Lw, дБ		**исходные данные**	**105**	**104**	**104**	**101**	**102**	**106**	**101**	**95**	**87**		
Поправка на телесный угол DΩ, дБ	Ω = 6.28	10Lg(4π/Ω)	**3**	3	3	3	3	3	3	3	3		
Показатель направленности источника Di, дБ		исходные данные	**0**	0	0	0	0	0	0	0	0		
Поправка на направленность источника Dc, дБ	Dc	DΩ + Di	**3**	3	3	3	3	3	3	3	3		
Затухание из-за геометрической дивергенции, Adiv, дБ	расстояние = 267.03 м	ф-ла (7) [10]	**59,5**										
Коэффициент затухания звука в атмосфере α, дБ/км	Ta=20,°C Pa=101.33,кПа hотн.=70%	ф-ла (5) [9]	0,02	0,09	0,33	1,12	2,79	4,98	9,04	23,09	77,63		
Учет затухания звука в атмосфере Aatm, дБ		ф-ла (8) [10]	0	0	0,1	0,3	0,7	1,3	2,4	6,2	20,7		
Снижение поверхностью земли возле источника As, дБ	Gs = 0 hs = 3м	ф-лы таб.3 [10]	-1,5	-1,5	-1,5	-1,5	-1,5	-1,5	-1,5	-1,5	-1,5		
Снижение поверхностью земли возле приёмника Ar, дБ	Gr = 1 hr = 1.5м	ф-лы таб.3 [10]	-1,5	-1,5	1,5	7	4,9	0,7	0	0	0		

1		2	3	4	5	6	7	8	9	10	11	12	13
Снижение поверхностью земли в средней зоне, Am дБ	Gm = 1	ф-лы таб.3 [10]	-1,5	-1,5	0	0	0	0	0	0	0		
Суммарное снижение поверхностью земли на траектории распространения звука Agr, дБ		ф-ла (9) [10]	-4,5	-4,5	0	5,5	3,4	-0,8	-1,5	-1,5	-1,5		
Уровни звукового давления прямого звука от источника ИШ-2-5 в расчётной точке днём, дБ		**ф-ла(3)[10]**	**53**	**51,9**	**47,4**	**38,7**	**41,3**	**49**	**43,6**	**33,8**	**11,3**	**50,8**	**50,8**
Расчёт отражённого звука													
Уровни звукового давления от мнимого источника ИШ-2-5_мн.(1) в расчётной точке днём, дБ		**ф-ла(3)[10]**	**51,9**	**50,9**	**42,4**	**32,3**	**38,5**	**46,4**	**41**	**31,2**	**8,4**	**48,2**	**48,2**
Уровни звукового давления от источника ИШ-2-5 в расчётной точке днём, дБ		**ф-ла(3)[10]**	**55,5**	**54,5**	**48,6**	**39,6**	**43,1**	**50,9**	**45,5**	**35,7**	**13,1**	**52,7**	**52,7**
Источник шума: ИШ-2-38, координаты источника (x,y,z), м =[688.13,-119.94,1.00]													
Уровни звуковой мощности источника днём, Lw, дБ		**исходные данные**	**0**	**93,3**	**94,7**	**96**	**96,3**	**95,9**	**92,6**	**88,4**	**83,9**		
Поправка на телесный угол DΩ, дБ	Ω = 6.28	10Lg(4π/Ω)	**3**	3	3	3	3	3	3	3	3		
Показатель направленности источника Di, дБ		исходные данные	**0**	0	0	0	0	0	0	0	0		
Поправка на направленность источника Dc, дБ	Dc	DΩ + Di	**3**	3	3	3	3	3	3	3	3		
Затухание из-за геометрической дивергенции, Adiv, дБ	расстояние = 337.57 м	ф-ла (7) [10]	**61,6**										
Коэффициент затухания звука в атмосфере α, дБ/км	Ta=20,°C Pa=101.33,кПа hотн.=70%	ф-ла (5) [9]	0,02	0,09	0,33	1,12	2,79	4,98	9,04	23,09	77,63		
Учет затухания звука в атмосфере Aatm, дБ		ф-ла (8) [10]	0	0	0,1	0,4	0,9	1,7	3,1	7,8	26,2		
Снижение поверхностью земли возле источника As, дБ	Gs = 0 hs = 1м	ф-лы таб.3 [10]	-1,5	-1,5	-1,5	-1,5	-1,5	-1,5	-1,5	-1,5	-1,5		
Снижение поверхностью земли возле приёмника Ar, дБ	Gr = 1 hr = 1.5м	ф-лы таб.3 [10]	-1,5	-1,5	2	7	5	0,7	0	0	0		

1		2	3	4	5	6	7	8	9	10	11	12	13
Снижение поверхностью земли в средней зоне, Am дБ	Gm = 1	ф-лы таб.3 [10]	-2,3	-2,3	0	0	0	0	0	0	0		
Суммарное снижение поверхностью земли на траектории распространения звука Agr, дБ		ф-ла (9) [10]	-5,3	-5,3	0,5	5,5	3,5	-0,8	-1,5	-1,5	-1,5		
Уровни звукового давления прямого звука от источника ИШ-2-38 в расчётной точке днём, дБ		**ф-ла(3)[10]**	**0**	**40**	**35,6**	**31,5**	**33,3**	**36,5**	**32,5**	**23,5**	**0**	**39,2**	**39,2**
Расчёт отражённого звука													
Уровни звукового давления от мнимого источника ИШ-2-38_мн.(1) в расчётной точке днём, дБ		**ф-ла(3)[10]**	**0**	**39**	**31,1**	**21,1**	**21,9**	**31,9**	**29,9**	**20,9**	**0**	**34,9**	**34,9**
Уровни звукового давления от мнимого источника ИШ-2-38_мн.(2) в расчётной точке днём, дБ		**ф-ла(3)[10]**	**0**	**0**	**0**	**0**	**0**	**0**	**0**	**0**	**0**	**0**	**0**
Уровни звукового давления от мнимого источника ИШ-2-38_мн.(3) в расчётной точке днём, дБ		**ф-ла(3)[10]**	**0**	**0**	**0**	**0**	**0**	**0**	**0**	**0**	**0**	**0**	**0**
Уровни звукового давления от мнимого источника ИШ-2-38_мн.(4) в расчётной точке днём, дБ		**ф-ла(3)[10]**	**0**	**0**	**0**	**0**	**0**	**0**	**0**	**0**	**0**	**0**	**0**
Суммарные уровни звукового давления от мнимых источников в расчётной точке днём, дБ		**ф-ла (19) [1]**	**0**	**39**	**31,1**	**21,1**	**21,9**	**31,9**	**29,9**	**20,9**	**0**	**0**	**34,9**
Уровни звукового давления от источника ИШ-2-38 в расчётной точке днём, дБ		**ф-ла(3)[10]**	**0**	**42,5**	**36,9**	**31,9**	**33,6**	**37,8**	**34,4**	**25,4**	**0**	**40,6**	**40,6**
Источник шума: ИШ-2-39, координаты источника (x,y,z), м =[687.11,-122.83,1.00]													
Уровни звуковой мощности источника днём, Lw, дБ		**исходные данные**	**0**	**93,3**	**94,7**	**96**	**96,3**	**95,9**	**92,6**	**88,4**	**83,9**		
Поправка на телесный угол DΩ, дБ	Ω = 6.28	10Lg(4π/Ω)	**3**	3	3	3	3	3	3	3	3		
Показатель направленности источника Di, дБ		исходные данные	**0**	0	0	0	0	0	0	0	0		
Поправка на направленность источника Dc, дБ	Dc	DΩ + Di	**3**	3	3	3	3	3	3	3	3		
Затухание из-за геометрической дивергенции, Adiv, дБ	расстояние = 337.07 м	ф-ла (7) [10]	**61,6**										
Коэффициент затухания звука в атмосфере α, дБ/км	Ta=20,°C Pa=101.33,кПа hотн.=70%	ф-ла (5) [9]	0,02	0,09	0,33	1,12	2,79	4,98	9,04	23,09	77,63		

1		2	3	4	5	6	7	8	9	10	11	12	13
Учет затухания звука в атмосфере Aatm, дБ		ф-ла (8) [10]	0	0	0,1	0,4	0,9	1,7	3	7,8	26,2		
Снижение поверхностью земли возле источника As, дБ	Gs = 0 hs = 1м	ф-лы таб.3 [10]	-1,5	-1,5	-1,5	-1,5	-1,5	-1,5	-1,5	-1,5	-1,5		
Снижение поверхностью земли возле приёмника Ar, дБ	Gr = 1 hr = 1.5м	ф-лы таб.3 [10]	-1,5	-1,5	2	7	5	0,7	0	0	0		
Снижение поверхностью земли в средней зоне, Am дБ	Gm = 1	ф-лы таб.3 [10]	-2,3	-2,3	0	0	0	0	0	0	0		
Суммарное снижение поверхностью земли на траектории распространения звука Agr, дБ		ф-ла (9) [10]	-5,3	-5,3	0,5	5,5	3,5	-0,8	-1,5	-1,5	-1,5		
Уровни звукового давления прямого звука от источника ИШ-2-39 в расчётной точке днём, дБ		**ф-ла(3)[10]**	**0**	**40**	**35,6**	**31,5**	**33,3**	**36,5**	**32,5**	**23,6**	**0**	**39,3**	**39,3**
Расчёт отражённого звука													
Уровни звукового давления от мнимого источника ИШ-2-39_мн.(1) в расчётной точке днём, дБ		**ф-ла(3)[10]**	**0**	**39**	**31,1**	**21,1**	**21,9**	**31,9**	**29,9**	**20,9**	**0**	**35**	**35**
Уровни звукового давления от мнимого источника ИШ-2-39_мн.(2) в расчётной точке днём, дБ		**ф-ла(3)[10]**	**0**	**0**	**0**	**0**	**0**	**0**	**0**	**0**	**0**	**0**	**0**
Уровни звукового давления от мнимого источника ИШ-2-39_мн.(3) в расчётной точке днём, дБ		**ф-ла(3)[10]**	**0**	**0**	**0**	**0**	**0**	**0**	**0**	**0**	**0**	**0**	**0**
Уровни звукового давления от мнимого источника ИШ-2-39_мн.(4) в расчётной точке днём, дБ		**ф-ла(3)[10]**	**0**	**0**	**0**	**0**	**0**	**0**	**0**	**0**	**0**	**0**	**0**
Суммарные уровни звукового давления от мнимых источников в расчётной точке днём, дБ		**ф-ла (19) [1]**	**0**	**39**	**31,1**	**21,1**	**21,9**	**31,9**	**29,9**	**20,9**	**0**	**0**	**35**
Уровни звукового давления от источника ИШ-2-39 в расчётной точке днём, дБ		**ф-ла(3)[10]**	**0**	**42,6**	**36,9**	**31,9**	**33,6**	**37,8**	**34,4**	**25,4**	**0**	**40,6**	**40,6**
Источник шума: ИШ-2-40, координаты источника (x,y,z), м =[686.10,-125.67,1.00]													
Уровни звуковой мощности источника днём, Lw, дБ		**исходные данные**	**0**	**93,3**	**94,7**	**96**	**96,3**	**95,9**	**92,6**	**88,4**	**83,9**		
Поправка на телесный угол DΩ, дБ	Ω = 6.28	10Lg(4π/Ω)	**3**	3	3	3	3	3	3	3	3		
Показатель направленности источника Di, дБ		исходные данные	**0**	0	0	0	0	0	0	0	0		

1		2	3	4	5	6	7	8	9	10	11	12	13
Поправка на направленность источника Dc, дБ	Dc	DΩ + Di	**3**	3	3	3	3	3	3	3	3		
Затухание из-за геометрической дивергенции, Adiv, дБ	расстояние = 336.58 м	ф-ла (7) [10]	**61,5**										
Коэффициент затухания звука в атмосфере α, дБ/км	Ta=20,°C Pa=101.33,кПа hотн.=70%	ф-ла (5) [9]	0,02	0,09	0,33	1,12	2,79	4,98	9,04	23,09	77,63		
Учет затухания звука в атмосфере Aatm, дБ		ф-ла (8) [10]	0	0	0,1	0,4	0,9	1,7	3	7,8	26,1		
Снижение поверхностью земли возле источника As, дБ	Gs = 0 hs = 1м	ф-лы таб.3 [10]	-1,5	-1,5	-1,5	-1,5	-1,5	-1,5	-1,5	-1,5	-1,5		
Снижение поверхностью земли возле приёмника Ar, дБ	Gr = 1 hr = 1.5м	ф-лы таб.3 [10]	-1,5	-1,5	2	7	5	0,7	0	0	0		
Снижение поверхностью земли в средней зоне, Am дБ	Gm = 1	ф-лы таб.3 [10]	-2,3	-2,3	0	0	0	0	0	0	0		
Суммарное снижение поверхностью земли на траектории распространения звука Agr, дБ		ф-ла (9) [10]	-5,3	-5,3	0,5	5,5	3,5	-0,8	-1,5	-1,5	-1,5		
Уровни звукового давления прямого звука от источника ИШ-2-40 в расчётной точке днём, дБ		**ф-ла(3)[10]**	**0**	**40,1**	**35,6**	**31,6**	**33,3**	**36,5**	**32,5**	**23,6**	**0**	**39,3**	**39,3**
Расчёт отражённого звука													
Уровни звукового давления от мнимого источника ИШ-2-40_мн.(1) в расчётной точке днём, дБ		**ф-ла(3)[10]**	**0**	**39**	**31,1**	**21,1**	**21,9**	**31,9**	**29,9**	**20,9**	**0**	**35**	**35**
Уровни звукового давления от мнимого источника ИШ-2-40_мн.(2) в расчётной точке днём, дБ		**ф-ла(3)[10]**	**0**	**0**	**0**	**0**	**0**	**0**	**0**	**0**	**0**	**0**	**0**
Уровни звукового давления от мнимого источника ИШ-2-40_мн.(3) в расчётной точке днём, дБ		**ф-ла(3)[10]**	**0**	**0**	**0**	**0**	**0**	**0**	**0**	**0**	**0**	**0**	**0**
Суммарные уровни звукового давления от мнимых источников в расчётной точке днём, дБ		**ф-ла (19) [1]**	**0**	**39**	**31,1**	**21,1**	**21,9**	**31,9**	**29,9**	**20,9**	**0**	**0**	**35**
Уровни звукового давления от источника ИШ-2-40 в расчётной точке днём, дБ		**ф-ла(3)[10]**	**0**	**42,6**	**36,9**	**31,9**	**33,6**	**37,8**	**34,4**	**25,5**	**0**	**40,6**	**40,6**
Источник шума: ИШ-2-41, координаты источника (x,y,z), м =[685.14,-128.64,1.00]													

1		2	3	4	5	6	7	8	9	10	11	12	13
Уровни звуковой мощности источника днём, Lw, дБ		**исходные данные**	**0**	**93,3**	**94,7**	**96**	**96,3**	**95,9**	**92,6**	**88,4**	**83,9**		
Поправка на телесный угол DΩ, дБ	Ω = 6.28	10Lg(4π/Ω)	**3**	3	3	3	3	3	3	3	3		
Показатель направленности источника Di, дБ		исходные данные	**0**	0	0	0	0	0	0	0	0		
Поправка на направленность источника Dc, дБ	Dc	DΩ + Di	**3**	3	3	3	3	3	3	3	3		
Затухание из-за геометрической дивергенции, Adiv, дБ	расстояние = 336.20 м	ф-ла (7) [10]	**61,5**										
Коэффициент затухания звука в атмосфере α, дБ/км	Ta=20,°C Pa=101.33,кПа hотн.=70%	ф-ла (5) [9]	0,02	0,09	0,33	1,12	2,79	4,98	9,04	23,09	77,63		
Учет затухания звука в атмосфере Aatm, дБ		ф-ла (8) [10]	0	0	0,1	0,4	0,9	1,7	3	7,8	26,1		
Снижение поверхностью земли возле источника As, дБ	Gs = 0 hs = 1м	ф-лы таб.3 [10]	-1,5	-1,5	-1,5	-1,5	-1,5	-1,5	-1,5	-1,5	-1,5		
Снижение поверхностью земли возле приёмника Ar, дБ	Gr = 1 hr = 1.5м	ф-лы таб.3 [10]	-1,5	-1,5	2	7	5	0,7	0	0	0		
Снижение поверхностью земли в средней зоне, Am дБ	Gm = 1	ф-лы таб.3 [10]	-2,3	-2,3	0	0	0	0	0	0	0		
Суммарное снижение поверхностью земли на траектории распространения звука Agr, дБ		ф-ла (9) [10]	-5,3	-5,3	0,5	5,5	3,5	-0,8	-1,5	-1,5	-1,5		
Уровни звукового давления прямого звука от источника ИШ-2-41 в расчётной точке днём, дБ		**ф-ла(3)[10]**	**0**	**40,1**	**35,6**	**31,6**	**33,4**	**36,5**	**32,5**	**23,6**	**0**	**39,3**	**39,3**
Расчёт отражённого звука													
Уровни звукового давления от мнимого источника ИШ-2-41_мн.(1) в расчётной точке днём, дБ		**ф-ла(3)[10]**	**0**	**39**	**31,1**	**21,2**	**22**	**31,9**	**29,9**	**21**	**0**	**35**	**35**
Уровни звукового давления от мнимого источника ИШ-2-41_мн.(2) в расчётной точке днём, дБ		**ф-ла(3)[10]**	**0**	**0**	**0**	**0**	**0**	**0**	**0**	**0**	**0**	**0**	**0**
Уровни звукового давления от мнимого источника ИШ-2-41_мн.(3) в расчётной точке днём, дБ		**ф-ла(3)[10]**	**0**	**0**	**0**	**0**	**0**	**0**	**0**	**0**	**0**	**0**	**0**
Суммарные уровни звукового давления от мнимых источников в расчётной точке днём, дБ		**ф-ла (19) [1]**	**0**	**39**	**31,1**	**21,2**	**22**	**31,9**	**29,9**	**21**	**0**	**0**	**35**

1		2	3	4	5	6	7	8	9	10	11	12	13
Уровни звукового давления от источника ИШ-2-41 в расчётной точке днём, дБ		**ф-ла(3)[10]**	**0**	**42,6**	**36,9**	**31,9**	**33,7**	**37,8**	**34,4**	**25,5**	**0**	**40,7**	**40,7**
Источник шума: ИШ-2-42, координаты источника (x,y,z), м =[684.20,-131.46,1.00]													
Уровни звуковой мощности источника днём, Lw, дБ		**исходные данные**	**0**	**93,3**	**94,7**	**96**	**96,3**	**95,9**	**92,6**	**88,4**	**83,9**		
Поправка на телесный угол DΩ, дБ	Ω = 6.28	10Lg(4π/Ω)	**3**	3	3	3	3	3	3	3	3		
Показатель направленности источника Di, дБ		исходные данные	**0**	0	0	0	0	0	0	0	0		
Поправка на направленность источника Dc, дБ	Dc	DΩ + Di	**3**	3	3	3	3	3	3	3	3		
Затухание из-за геометрической дивергенции, Adiv, дБ	расстояние = 335.83 м	ф-ла (7) [10]	**61,5**										
Коэффициент затухания звука в атмосфере α, дБ/км	Ta=20,°C Pa=101.33,кПа hотн.=70%	ф-ла (5) [9]	0,02	0,09	0,33	1,12	2,79	4,98	9,04	23,09	77,63		
Учет затухания звука в атмосфере Aatm, дБ		ф-ла (8) [10]	0	0	0,1	0,4	0,9	1,7	3	7,8	26,1		
Снижение поверхностью земли возле источника As, дБ	Gs = 0 hs = 1м	ф-лы таб.3 [10]	-1,5	-1,5	-1,5	-1,5	-1,5	-1,5	-1,5	-1,5	-1,5		
Снижение поверхностью земли возле приёмника Ar, дБ	Gr = 1 hr = 1.5м	ф-лы таб.3 [10]	-1,5	-1,5	1,9	7	5	0,7	0	0	0		
Снижение поверхностью земли в средней зоне, Am дБ	Gm = 1	ф-лы таб.3 [10]	-2,3	-2,3	0	0	0	0	0	0	0		
Суммарное снижение поверхностью земли на траектории распространения звука Agr, дБ		ф-ла (9) [10]	-5,3	-5,3	0,4	5,5	3,5	-0,8	-1,5	-1,5	-1,5		
Уровни звукового давления прямого звука от источника ИШ-2-42 в расчётной точке днём, дБ		**ф-ла(3)[10]**	**0**	**40,1**	**35,6**	**31,6**	**33,4**	**36,5**	**32,5**	**23,6**	**0**	**39,3**	**39,3**
Расчёт отражённого звука													
Уровни звукового давления от мнимого источника ИШ-2-42_мн.(1) в расчётной точке днём, дБ		**ф-ла(3)[10]**	**0**	**39**	**31,2**	**21,2**	**22**	**31,9**	**29,9**	**21**	**0**	**35**	**35**

1		2	3	4	5	6	7	8	9	10	11	12	13
Уровни звукового давления от мнимого источника ИШ-2-42_мн.(2) в расчётной точке днём, дБ		**ф-ла(3)[10]**	**0**	**0**	**0**	**0**	**0**	**0**	**0**	**0**	**0**	**0**	**0**
Уровни звукового давления от мнимого источника ИШ-2-42_мн.(3) в расчётной точке днём, дБ		**ф-ла(3)[10]**	**0**	**0**	**0**	**0**	**0**	**0**	**0**	**0**	**0**	**0**	**0**
Суммарные уровни звукового давления от мнимых источников в расчётной точке днём, дБ		**ф-ла (19) [1]**	**0**	**39**	**31,2**	**21,2**	**22**	**31,9**	**29,9**	**21**	**0**	**0**	**35**
Уровни звукового давления от источника ИШ-2-42 в расчётной точке днём, дБ		**ф-ла(3)[10]**	**0**	**42,6**	**36,9**	**32**	**33,7**	**37,8**	**34,4**	**25,5**	**0**	**40,7**	**40,7**
Источник шума: ИШ-2-43, координаты источника (x,y,z), м =[683.13,-134.37,1.00]													
Уровни звуковой мощности источника днём, Lw, дБ		**исходные данные**	**0**	**93,3**	**94,7**	**96**	**96,3**	**95,9**	**92,6**	**88,4**	**83,9**		
Поправка на телесный угол DΩ, дБ	Ω = 6.28	10Lg(4π/Ω)	**3**	3	3	3	3	3	3	3	3		
Показатель направленности источника Di, дБ		исходные данные	**0**	0	0	0	0	0	0	0	0		
Поправка на направленность источника Dc, дБ	Dc	DΩ + Di	**3**	3	3	3	3	3	3	3	3		
Затухание из-за геометрической дивергенции, Adiv, дБ	расстояние = 335.39 м	ф-ла (7) [10]	**61,5**										
Коэффициент затухания звука в атмосфере α, дБ/км	Ta=20,°C Pa=101.33,кПа hотн.=70%	ф-ла (5) [9]	0,02	0,09	0,33	1,12	2,79	4,98	9,04	23,09	77,63		
Учет затухания звука в атмосфере Aatm, дБ		ф-ла (8) [10]	0	0	0,1	0,4	0,9	1,7	3	7,7	26		
Снижение поверхностью земли возле источника As, дБ	Gs = 0 hs = 1м	ф-лы таб.3 [10]	-1,5	-1,5	-1,5	-1,5	-1,5	-1,5	-1,5	-1,5	-1,5		
Снижение поверхностью земли возле приёмника Ar, дБ	Gr = 1 hr = 1.5м	ф-лы таб.3 [10]	-1,5	-1,5	1,9	7	5	0,7	0	0	0		
Снижение поверхностью земли в средней зоне, Am дБ	Gm = 1	ф-лы таб.3 [10]	-2,3	-2,3	0	0	0	0	0	0	0		
Суммарное снижение поверхностью земли на траектории распространения звука Agr, дБ		ф-ла (9) [10]	-5,3	-5,3	0,4	5,5	3,5	-0,8	-1,5	-1,5	-1,5		

1		2	3	4	5	6	7	8	9	10	11	12	13
Уровни звукового давления прямого звука от источника ИШ-2-43 в расчётной точке днём, дБ		**ф-ла(3)[10]**	**0**	**40,1**	**35,6**	**31,6**	**33,4**	**36,6**	**32,5**	**23,6**	**0**	**39,3**	**39,3**
Расчёт отражённого звука													
Уровни звукового давления от мнимого источника ИШ-2-43_мн.(1) в расчётной точке днём, дБ		**ф-ла(3)[10]**	**0**	**39**	**31,2**	**21,2**	**22**	**31,9**	**30**	**21**	**0**	**35**	**35**
Уровни звукового давления от мнимого источника ИШ-2-43_мн.(2) в расчётной точке днём, дБ		**ф-ла(3)[10]**	**0**	**0**	**0**	**0**	**0**	**0**	**0**	**0**	**0**	**0**	**0**
Суммарные уровни звукового давления от мнимых источников в расчётной точке днём, дБ		**ф-ла (19) [1]**	**0**	**39**	**31,2**	**21,2**	**22**	**31,9**	**30**	**21**	**0**	**0**	**35**
Уровни звукового давления от источника ИШ-2-43 в расчётной точке днём, дБ		**ф-ла(3)[10]**	**0**	**42,6**	**37**	**32**	**33,7**	**37,8**	**34,5**	**25,5**	**0**	**40,7**	**40,7**
Источник шума: ИШ-2-44, координаты источника (x,y,z), м =[682.20,-137.16,1.00]													
Уровни звуковой мощности источника днём, Lw, дБ		**исходные данные**	**0**	**93,3**	**94,7**	**96**	**96,3**	**95,9**	**92,6**	**88,4**	**83,9**		
Поправка на телесный угол DΩ, дБ	Ω = 6.28	10Lg(4π/Ω)	**3**	3	3	3	3	3	3	3	3		
Показатель направленности источника Di, дБ		исходные данные	**0**	0	0	0	0	0	0	0	0		
Поправка на направленность источника Dc, дБ	Dc	DΩ + Di	**3**	3	3	3	3	3	3	3	3		
Затухание из-за геометрической дивергенции, Adiv, дБ	расстояние = 335.08 м	ф-ла (7) [10]	**61,5**										
Коэффициент затухания звука в атмосфере α, дБ/км	Ta=20,°C Pa=101.33,кПа hотн.=70%	ф-ла (5) [9]	0,02	0,09	0,33	1,12	2,79	4,98	9,04	23,09	77,63		
Учет затухания звука в атмосфере Aatm, дБ		ф-ла (8) [10]	0	0	0,1	0,4	0,9	1,7	3	7,7	26		
Снижение поверхностью земли возле источника As, дБ	Gs = 0 hs = 1м	ф-лы таб.3 [10]	-1,5	-1,5	-1,5	-1,5	-1,5	-1,5	-1,5	-1,5	-1,5		
Снижение поверхностью земли возле приёмника Ar, дБ	Gr = 1 hr = 1.5м	ф-лы таб.3 [10]	-1,5	-1,5	1,9	7	5	0,7	0	0	0		

1		2	3	4	5	6	7	8	9	10	11	12	13
Снижение поверхностью земли в средней зоне, Am дБ	Gm = 1	ф-лы таб.3 [10]	-2,3	-2,3	0	0	0	0	0	0	0		
Суммарное снижение поверхностью земли на траектории распространения звука Agr, дБ		ф-ла (9) [10]	-5,3	-5,3	0,4	5,5	3,5	-0,8	-1,5	-1,5	-1,5		
Уровни звукового давления прямого звука от источника ИШ-2-44 в расчётной точке днём, дБ		**ф-ла(3)[10]**	**0**	**40,1**	**35,6**	**31,6**	**33,4**	**36,6**	**32,6**	**23,7**	**0**	**39,3**	**39,3**
Расчёт отражённого звука													
Уровни звукового давления от мнимого источника ИШ-2-44_мн.(1) в расчётной точке днём, дБ		**ф-ла(3)[10]**	**0**	**39**	**31,2**	**21,2**	**22**	**32**	**30**	**21**	**0**	**35**	**35**
Уровни звукового давления от мнимого источника ИШ-2-44_мн.(2) в расчётной точке днём, дБ		**ф-ла(3)[10]**	**0**	**0**	**0**	**0**	**0**	**0**	**0**	**0**	**0**	**0**	**0**
Уровни звукового давления от мнимого источника ИШ-2-44_мн.(3) в расчётной точке днём, дБ		**ф-ла(3)[10]**	**0**	**0**	**0**	**0**	**0**	**0**	**0**	**0**	**0**	**0**	**0**
Суммарные уровни звукового давления от мнимых источников в расчётной точке днём, дБ		**ф-ла (19) [1]**	**0**	**39**	**31,2**	**21,2**	**22**	**32**	**30**	**21**	**0**	**0**	**35**
Уровни звукового давления от источника ИШ-2-44 в расчётной точке днём, дБ		**ф-ла(3)[10]**	**0**	**42,6**	**37**	**32**	**33,7**	**37,9**	**34,5**	**25,5**	**0**	**40,7**	**40,7**
Источник шума: ИШ-2-45, координаты источника (x,y,z), м =[681.26,-139.98,1.00]													
Уровни звуковой мощности источника днём, Lw, дБ		**исходные данные**	**0**	**93,3**	**94,7**	**96**	**96,3**	**95,9**	**92,6**	**88,4**	**83,9**		
Поправка на телесный угол DΩ, дБ	Ω = 6.28	10Lg(4π/Ω)	**3**	3	3	3	3	3	3	3	3		
Показатель направленности источника Di, дБ		исходные данные	**0**	0	0	0	0	0	0	0	0		
Поправка на направленность источника Dc, дБ	Dc	DΩ + Di	**3**	3	3	3	3	3	3	3	3		
Затухание из-за геометрической дивергенции, Adiv, дБ	расстояние = 334.79 м	ф-ла (7) [10]	**61,5**										
Коэффициент затухания звука в атмосфере α, дБ/км	Ta=20,°C Pa=101.33,кПа hотн.=70%	ф-ла (5) [9]	0,02	0,09	0,33	1,12	2,79	4,98	9,04	23,09	77,63		

1		2	3	4	5	6	7	8	9	10	11	12	13
Учет затухания звука в атмосфере Aatm, дБ		ф-ла (8) [10]	0	0	0,1	0,4	0,9	1,7	3	7,7	26		
Снижение поверхностью земли возле источника As, дБ	Gs = 0 hs = 1м	ф-лы таб.3 [10]	-1,5	-1,5	-1,5	-1,5	-1,5	-1,5	-1,5	-1,5	-1,5		
Снижение поверхностью земли возле приёмника Ar, дБ	Gr = 1 hr = 1.5м	ф-лы таб.3 [10]	-1,5	-1,5	1,9	7	5	0,7	0	0	0		
Снижение поверхностью земли в средней зоне, Am дБ	Gm = 1	ф-лы таб.3 [10]	-2,3	-2,3	0	0	0	0	0	0	0		
Суммарное снижение поверхностью земли на траектории распространения звука Agr, дБ		ф-ла (9) [10]	-5,3	-5,3	0,4	5,5	3,5	-0,8	-1,5	-1,5	-1,5		
Уровни звукового давления прямого звука от источника ИШ-2-45 в расчётной точке днём, дБ		**ф-ла(3)[10]**	**0**	**40,1**	**35,6**	**31,6**	**33,4**	**36,6**	**32,6**	**23,7**	**0**	**39,3**	**39,3**
Расчёт отражённого звука													
Уровни звукового давления от мнимого источника ИШ-2-45_мн.(1) в расчётной точке днём, дБ		**ф-ла(3)[10]**	**0**	**39**	**31,2**	**21,2**	**22**	**32**	**30**	**21**	**0**	**35**	**35**
Уровни звукового давления от мнимого источника ИШ-2-45_мн.(2) в расчётной точке днём, дБ		**ф-ла(3)[10]**	**0**	**0**	**0**	**0**	**0**	**0**	**0**	**0**	**0**	**0**	**0**
Уровни звукового давления от мнимого источника ИШ-2-45_мн.(3) в расчётной точке днём, дБ		**ф-ла(3)[10]**	**0**	**0**	**0**	**0**	**0**	**0**	**0**	**0**	**0**	**0**	**0**
Суммарные уровни звукового давления от мнимых источников в расчётной точке днём, дБ		**ф-ла (19) [1]**	**0**	**39**	**31,2**	**21,2**	**22**	**32**	**30**	**21**	**0**	**0**	**35**
Уровни звукового давления от источника ИШ-2-45 в расчётной точке днём, дБ		**ф-ла(3)[10]**	**0**	**42,6**	**37**	**32**	**33,7**	**37,9**	**34,5**	**25,6**	**0**	**40,7**	**40,7**
Источник шума: ИШ-4-1, координаты источника (x,y,z), м =[141.82,201.03,1.00]													
Уровни звуковой мощности источника днём, Lw, дБ		**исходные данные**	**0**	**90,3**	**91,7**	**93**	**93,3**	**92,9**	**89,6**	**85,4**	**80,9**		
Поправка на телесный угол DΩ, дБ	Ω = 6.28	10Lg(4π/Ω)	**3**	3	3	3	3	3	3	3	3		
Показатель направленности источника Di, дБ		исходные данные	**0**	0	0	0	0	0	0	0	0		
Поправка на направленность источника Dc, дБ	Dc	DΩ + Di	**3**	3	3	3	3	3	3	3	3		

1		2	3	4	5	6	7	8	9	10	11	12	13
Затухание из-за геометрической дивергенции, Adiv, дБ	расстояние = 340.07 м	ф-ла (7) [10]	**61,6**										
Коэффициент затухания звука в атмосфере α, дБ/км	Ta=20,°C Pa=101.33,кПа hотн.=70%	ф-ла (5) [9]	0,02	0,09	0,33	1,12	2,79	4,98	9,04	23,09	77,63		
Учет затухания звука в атмосфере Aatm, дБ		ф-ла (8) [10]	0	0	0,1	0,4	0,9	1,7	3,1	7,9	26,4		
Снижение уровня звукового давления из-за влияния застройки между источником шума и расчетной точкой													
Снижение уровня звукового давления на пути над экраном, Dz1, дБ	z = 6.76м (разность путей)	ф-лы (14-18) [10]	16,6	20,6	24,1	27,2	30,3	33,3	36,3	39,3	42,3		
Снижение уровня звукового давления на пути слева от экрана, Dz2, дБ	z = 25.43м (разность путей)	ф-лы (14-18) [10]	22,7	26,8	30,3	33,5	36,5	39,5	42,5	45,6	48,6		
Снижение уровня звукового давления на пути справа от экрана, Dz3, дБ	z = 45.85м (разность путей)	ф-лы (14-18) [10]	22,7	26,4	30,8	35,1	38,8	42	45,1	48,1	51,1		
Общее снижение уровня звука препятствием Dz, дБ		Эн.сумма(-Dzi)	14,8	18,9	22,4	25,8	28,9	31,9	34,9	37,9	40,9		
Общее снижение уровня звука препятствием с учётом ограничения (25 дБ) для октавных полос Dz, дБ		Раздел 7.4 [10]	14,8	18,9	22,4	25	25	25	25	25	25		
Уровни звукового давления прямого звука от источника ИШ-4-1 в расчётной точке днём, дБ		**ф-ла(3)[10]**	**0**	**12,8**	**10,5**	**9**	**8,7**	**7,6**	**2,9**	**0**	**0**	**11,2**	**11,2**
Расчёт отражённого звука													
Уровни звукового давления от мнимого источника ИШ-4-1_мн.(1) в расчётной точке днём, дБ		**ф-ла(3)[10]**	**0**	**0**	**0**	**0**	**6,9**	**5,7**	**0,9**	**0**	**0**	**8,9**	**8,9**
Уровни звукового давления от мнимого источника ИШ-4-1_мн.(2) в расчётной точке днём, дБ		**ф-ла(3)[10]**	**0**	**0**	**0**	**0**	**0**	**0**	**0**	**0**	**0**	**0**	**0**
Суммарные уровни звукового давления от мнимых источников в расчётной точке днём, дБ		**ф-ла (19) [1]**	**0**	**0**	**0**	**0**	**6,9**	**5,7**	**0,9**	**0**	**0**	**0**	**8,9**
Уровни звукового давления от источника ИШ-4-1 в расчётной точке днём, дБ		**ф-ла(3)[10]**	**0**	**12,8**	**10,5**	**9**	**10,9**	**9,8**	**5**	**0**	**0**	**13,2**	**13,2**
Источник шума: ИШ-4-2, координаты источника (x,y,z), м =[133.85,183.21,1.00]													

1		2	3	4	5	6	7	8	9	10	11	12	13
Уровни звуковой мощности источника днём, Lw, дБ		**исходные данные**	**0**	**90,3**	**91,7**	**93**	**93,3**	**92,9**	**89,6**	**85,4**	**80,9**		
Поправка на телесный угол DΩ, дБ	Ω = 6.28	10Lg(4π/Ω)	**3**	3	3	3	3	3	3	3	3		
Показатель направленности источника Di, дБ		исходные данные	**0**	0	0	0	0	0	0	0	0		
Поправка на направленность источника Dc, дБ	Dc	DΩ + Di	**3**	3	3	3	3	3	3	3	3		
Затухание из-за геометрической дивергенции, Adiv, дБ	расстояние = 331.65 м	ф-ла (7) [10]	**61,4**										
Коэффициент затухания звука в атмосфере α, дБ/км	Ta=20,°C Pa=101.33,кПа hотн.=70%	ф-ла (5) [9]	0,02	0,09	0,33	1,12	2,79	4,98	9,04	23,09	77,63		
Учет затухания звука в атмосфере Aatm, дБ		ф-ла (8) [10]	0	0	0,1	0,4	0,9	1,7	3	7,7	25,7		
Снижение уровня звукового давления из-за влияния застройки между источником шума и расчетной точкой													
Снижение уровня звукового давления на пути над экраном, Dz1, дБ	z = 6.82м (разность путей)	ф-лы (14-18) [10]	16,5	20,6	24,1	27,3	30,3	33,3	36,3	39,3	42,3		
Снижение уровня звукового давления на пути слева от экрана, Dz2, дБ	z = 29.91м (разность путей)	ф-лы (14-18) [10]	23,3	27,5	31	34,2	37,2	40,2	43,2	46,3	49,3		
Снижение уровня звукового давления на пути справа от экрана, Dz3, дБ	z = 44.09м (разность путей)	ф-лы (14-18) [10]	22,5	26,2	30,6	35	38,6	41,8	44,9	47,9	51		
Общее снижение уровня звука препятствием Dz, дБ		Эн.сумма(-Dzi)	14,9	18,9	22,6	25,9	29	32	35	38,1	41,1		
Общее снижение уровня звука препятствием с учётом ограничения (25 дБ) для октавных полос Dz, дБ		Раздел 7.4 [10]	14,9	18,9	22,6	25	25	25	25	25	25		
Уровни звукового давления прямого звука от источника ИШ-4-2 в расчётной точке днём, дБ		**ф-ла(3)[10]**	**0**	**12,9**	**10,6**	**9,2**	**9**	**7,8**	**3,2**	**0**	**0**	**11,5**	**11,5**
Расчёт отражённого звука													
Уровни звукового давления от мнимого источника ИШ-4-2_мн.(1) в расчётной точке днём, дБ		**ф-ла(3)[10]**	**0**	**0**	**0**	**0**	**0**	**0**	**0**	**0**	**0**	**0**	**0**
Уровни звукового давления от мнимого источника ИШ-4-2_мн.(2) в расчётной точке днём, дБ		**ф-ла(3)[10]**	**0**	**0**	**0**	**0**	**0**	**0**	**0**	**0**	**0**	**0**	**0**

1		2	3	4	5	6	7	8	9	10	11	12	13
Суммарные уровни звукового давления от мнимых источников в расчётной точке днём, дБ		**ф-ла (19) [1]**	**0**	**0**	**0**	**0**	**0**	**0**	**0**	**0**	**0**	**0**	**0**
Уровни звукового давления от источника ИШ-4-2 в расчётной точке днём, дБ		**ф-ла(3)[10]**	**0**	**12,9**	**10,6**	**9,2**	**9**	**7,8**	**3,2**	**0**	**0**	**11,5**	**11,5**
Источник шума: ИШ-4-3, координаты источника (x,y,z), м =[152.61,172.66,1.00]													
Уровни звуковой мощности источника днём, Lw, дБ		**исходные данные**	**0**	**90,3**	**91,7**	**93**	**93,3**	**92,9**	**89,6**	**85,4**	**80,9**		
Поправка на телесный угол DΩ, дБ	Ω = 6.28	10Lg(4π/Ω)	**3**	3	3	3	3	3	3	3	3		
Показатель направленности источника Di, дБ		исходные данные	**0**	0	0	0	0	0	0	0	0		
Поправка на направленность источника Dc, дБ	Dc	DΩ + Di	**3**	3	3	3	3	3	3	3	3		
Затухание из-за геометрической дивергенции, Adiv, дБ	расстояние = 311.35 м	ф-ла (7) [10]	**60,9**										
Коэффициент затухания звука в атмосфере α, дБ/км	Ta=20,°C Pa=101.33,кПа hотн.=70%	ф-ла (5) [9]	0,02	0,09	0,33	1,12	2,79	4,98	9,04	23,09	77,63		
Учет затухания звука в атмосфере Aatm, дБ		ф-ла (8) [10]	0	0	0,1	0,3	0,9	1,5	2,8	7,2	24,2		
Снижение уровня звукового давления из-за влияния застройки между источником шума и расчетной точкой													
Снижение уровня звукового давления на пути над экраном, Dz1, дБ	z = 6.81м (разность путей)	ф-лы (14-18) [10]	16,6	20,7	24,1	27,3	30,3	33,3	36,4	39,4	42,4		
Снижение уровня звукового давления на пути слева от экрана, Dz2, дБ	z = 28.75м (разность путей)	ф-лы (14-18) [10]	23,2	27,4	30,8	34	37	40,1	43,1	46,1	49,1		
Снижение уровня звукового давления на пути справа от экрана, Dz3, дБ	z = 44.97м (разность путей)	ф-лы (14-18) [10]	22,6	26,3	30,7	35,1	38,7	41,9	45	48	51		
Общее снижение уровня звука препятствием Dz, дБ		Эн.сумма(-Dzi)	14,9	19	22,6	25,9	29	32	35,1	38,1	41,1		
Общее снижение уровня звука препятствием с учётом ограничения (25 дБ) для октавных полос Dz, дБ		Раздел 7.4 [10]	14,9	19	22,6	25	25	25	25	25	25		

1		2	3	4	5	6	7	8	9	10	11	12	13
Уровни звукового давления прямого звука от источника ИШ-4-3 в расчётной точке днём, дБ		**ф-ла(3)[10]**	**0**	**13,4**	**11,2**	**9,8**	**9,6**	**8,5**	**3,9**	**0**	**0**	**12,1**	**12,1**
Расчёт отражённого звука													
Уровни звукового давления от мнимого источника ИШ-4-3_мн.(1) в расчётной точке днём, дБ		**ф-ла(3)[10]**	**0**	**0**	**0**	**0**	**0**	**0**	**0**	**0**	**0**	**0**	**0**
Уровни звукового давления от мнимого источника ИШ-4-3_мн.(2) в расчётной точке днём, дБ		**ф-ла(3)[10]**	**0**	**0**	**0**	**0**	**0**	**0**	**0**	**0**	**0**	**0**	**0**
Суммарные уровни звукового давления от мнимых источников в расчётной точке днём, дБ		**ф-ла (19) [1]**	**0**	**0**	**0**	**0**	**0**	**0**	**0**	**0**	**0**	**0**	**0**
Уровни звукового давления от источника ИШ-4-3 в расчётной точке днём, дБ		**ф-ла(3)[10]**	**0**	**13,4**	**11,2**	**9,8**	**9,6**	**8,5**	**3,9**	**0**	**0**	**12,1**	**12,1**
Источник шума: ИШ-4-4, координаты источника (x,y,z), м =[156.83,171.25,1.00]													
Уровни звуковой мощности источника днём, Lw, дБ		**исходные данные**	**0**	**90,3**	**91,7**	**93**	**93,3**	**92,9**	**89,6**	**85,4**	**80,9**		
Поправка на телесный угол DΩ, дБ	Ω = 6.28	10Lg(4π/Ω)	**3**	3	3	3	3	3	3	3	3		
Показатель направленности источника Di, дБ		исходные данные	**0**	0	0	0	0	0	0	0	0		
Поправка на направленность источника Dc, дБ	Dc	DΩ + Di	**3**	3	3	3	3	3	3	3	3		
Затухание из-за геометрической дивергенции, Adiv, дБ	расстояние = 307.55 м	ф-ла (7) [10]	**60,8**										
Коэффициент затухания звука в атмосфере α, дБ/км	Ta=20,°C Pa=101.33,кПа hотн.=70%	ф-ла (5) [9]	0,02	0,09	0,33	1,12	2,79	4,98	9,04	23,09	77,63		
Учет затухания звука в атмосфере Aatm, дБ		ф-ла (8) [10]	0	0	0,1	0,3	0,9	1,5	2,8	7,1	23,9		
Снижение уровня звукового давления из-за влияния застройки между источником шума и расчетной точкой													
Снижение уровня звукового давления на пути над экраном, Dz1, дБ	z = 6.81м (разность путей)	ф-лы (14-18) [10]	16,6	20,7	24,1	27,3	30,3	33,4	36,4	39,4	42,4		

1		2	3	4	5	6	7	8	9	10	11	12	13
Снижение уровня звукового давления на пути слева от экрана, Dz2, дБ	z = 28.28м (разность путей)	ф-лы (14-18) [10]	23,1	27,3	30,8	33,9	37	40	43	46	49		
Снижение уровня звукового давления на пути справа от экрана, Dz3, дБ	z = 45.25м (разность путей)	ф-лы (14-18) [10]	22,6	26,3	30,7	35,1	38,7	42	45	48	51,1		
Общее снижение уровня звука препятствием Dz, дБ		Эн.сумма(-Dzi)	14,9	19	22,6	25,9	29	32	35	38,1	41,1		
Общее снижение уровня звука препятствием с учётом ограничения (25 дБ) для октавных полос Dz, дБ		Раздел 7.4 [10]	14,9	19	22,6	25	25	25	25	25	25		
Уровни звукового давления прямого звука от источника ИШ-4-4 в расчётной точке днём, дБ		**ф-ла(3)[10]**	**0**	**13,5**	**11,3**	**9,9**	**9,7**	**8,6**	**4,1**	**0**	**0**	**12,2**	**12,2**
Расчёт отражённого звука													
Уровни звукового давления от мнимого источника ИШ-4-4_мн.(1) в расчётной точке днём, дБ		**ф-ла(3)[10]**	**0**	**0**	**0**	**0**	**0**	**0**	**0**	**0**	**0**	**0**	**0**
Уровни звукового давления от мнимого источника ИШ-4-4_мн.(2) в расчётной точке днём, дБ		**ф-ла(3)[10]**	**0**	**0**	**0**	**0**	**0**	**0**	**0**	**0**	**0**	**0**	**0**
Суммарные уровни звукового давления от мнимых источников в расчётной точке днём, дБ		**ф-ла (19) [1]**	**0**	**0**	**0**	**0**	**0**	**0**	**0**	**0**	**0**	**0**	**0**
Уровни звукового давления от источника ИШ-4-4 в расчётной точке днём, дБ		**ф-ла(3)[10]**	**0**	**13,5**	**11,3**	**9,9**	**9,7**	**8,6**	**4,1**	**0**	**0**	**12,2**	**12,2**
Источник шума: ИШ-4-5, координаты источника (x,y,z), м =[126.48,222.66,11.00]													
Уровни звуковой мощности источника днём, Lw, дБ		**исходные данные**	**0**	**90,3**	**91,7**	**93**	**93,3**	**92,9**	**89,6**	**85,4**	**80,9**		
Поправка на телесный угол DΩ, дБ	Ω = 6.28	10Lg(4π/Ω)	**3**	3	3	3	3	3	3	3	3		
Показатель направленности источника Di, дБ		исходные данные	**0**	0	0	0	0	0	0	0	0		
Поправка на направленность источника Dc, дБ	Dc	DΩ + Di	**3**	3	3	3	3	3	3	3	3		
Затухание из-за геометрической дивергенции, Adiv, дБ	расстояние = 366.66 м	ф-ла (7) [10]	**62,3**										
Коэффициент затухания звука в атмосфере α, дБ/км	Ta=20,°C Pa=101.33,кПа hотн.=70%	ф-ла (5) [9]	0,02	0,09	0,33	1,12	2,79	4,98	9,04	23,09	77,63		

1		2	3	4	5	6	7	8	9	10	11	12	13
Учет затухания звука в атмосфере Aatm, дБ		ф-ла (8) [10]	0	0	0,1	0,4	1	1,8	3,3	8,5	28,5		
Снижение уровня звукового давления из-за влияния застройки между источником шума и расчетной точкой													
Снижение уровня звукового давления на пути над экраном, Dz1, дБ	z = 6.47м (разность путей)	ф-лы (14-18) [10]	13,7	16,5	19,3	22,2	25,2	28,2	31,2	34,2	37,2		
Снижение уровня звукового давления на пути слева от экрана, Dz2, дБ	z = 24.46м (разность путей)	ф-лы (14-18) [10]	22,5	26,7	30,1	33,3	36,3	39,4	42,4	45,4	48,4		
Снижение уровня звукового давления на пути справа от экрана, Dz3, дБ	z = 45.88м (разность путей)	ф-лы (14-18) [10]	22,7	26,4	30,8	35,1	38,8	42	45,1	48,1	51,1		
Общее снижение уровня звука препятствием Dz, дБ		Эн.сумма(-Dzi)	12,7	15,7	18,7	21,7	24,7	27,7	30,7	33,7	36,7		
Общее снижение уровня звука препятствием с учётом ограничения (25 дБ) для октавных полос Dz, дБ		Раздел 7.4 [10]	12,7	15,7	18,7	21,7	24,7	25	25	25	25		
Уровни звукового давления прямого звука от источника ИШ-4-5 в расчётной точке днём, дБ		**ф-ла(3)[10]**	**0**	**15,3**	**13,6**	**11,6**	**8,3**	**6,8**	**2**	**0**	**0**	**11**	**11**
Расчёт отражённого звука													
Уровни звукового давления от мнимого источника ИШ-4-5_мн.(1) в расчётной точке днём, дБ		**ф-ла(3)[10]**	**0**	**0**	**0**	**0**	**0**	**0**	**0**	**0**	**0**	**0**	**0**
Уровни звукового давления от источника ИШ-4-5 в расчётной точке днём, дБ		**ф-ла(3)[10]**	**0**	**15,3**	**13,6**	**11,6**	**8,3**	**6,8**	**2**	**0**	**0**	**11**	**11**
Источник шума: ИШ-4-6, координаты источника (x,y,z), м =[125.17,218.57,11.00]													
Уровни звуковой мощности источника днём, Lw, дБ		**исходные данные**	**0**	**90,3**	**91,7**	**93**	**93,3**	**92,9**	**89,6**	**85,4**	**80,9**		
Поправка на телесный угол DΩ, дБ	Ω = 6.28	10Lg(4π/Ω)	**3**	3	3	3	3	3	3	3	3		
Показатель направленности источника Di, дБ		исходные данные	**0**	0	0	0	0	0	0	0	0		
Поправка на направленность источника Dc, дБ	Dc	DΩ + Di	**3**	3	3	3	3	3	3	3	3		
Затухание из-за геометрической дивергенции, Adiv, дБ	расстояние = 364.30 м	ф-ла (7) [10]	**62,2**										

1		2	3	4	5	6	7	8	9	10	11	12	13
Коэффициент затухания звука в атмосфере α, дБ/км	Та=20,°С Ра=101.33,кПа hотн.=70%	ф-ла (5) [9]	0,02	0,09	0,33	1,12	2,79	4,98	9,04	23,09	77,63		
Учет затухания звука в атмосфере Aatm, дБ		ф-ла (8) [10]	0	0	0,1	0,4	1	1,8	3,3	8,4	28,3		
Снижение уровня звукового давления из-за влияния застройки между источником шума и расчетной точкой													
Снижение уровня звукового давления на пути над экраном, Dz1, дБ	z = 6.48м (разность путей)	ф-лы (14-18) [10]	13,7	16,5	19,3	22,2	25,2	28,2	31,2	34,2	37,2		
Снижение уровня звукового давления на пути слева от экрана, Dz2, дБ	z = 25.25м (разность путей)	ф-лы (14-18) [10]	22,6	26,8	30,3	33,4	36,5	39,5	42,5	45,5	48,5		
Снижение уровня звукового давления на пути справа от экрана, Dz3, дБ	z = 45.56м (разность путей)	ф-лы (14-18) [10]	22,7	26,4	30,7	35,1	38,8	42	45,1	48,1	51,1		
Общее снижение уровня звука препятствием Dz, дБ		Эн.сумма(-Dzi)	12,7	15,7	18,7	21,7	24,7	27,7	30,7	33,7	36,7		
Общее снижение уровня звука препятствием с учётом ограничения (25 дБ) для октавных полос Dz, дБ		Раздел 7.4 [10]	12,7	15,7	18,7	21,7	24,7	25	25	25	25		
Уровни звукового давления прямого звука от источника ИШ-4-6 в расчётной точке днём, дБ		**ф-ла(3)[10]**	**0**	**15,3**	**13,7**	**11,6**	**8,3**	**6,8**	**2,1**	**0**	**0**	**11,1**	**11,1**
Расчёт отражённого звука													
Уровни звукового давления от мнимого источника ИШ-4-6_мн.(1) в расчётной точке днём, дБ		**ф-ла(3)[10]**	**0**	**0**	**0**	**0**	**0**	**0**	**0**	**0**	**0**	**0**	**0**
Уровни звукового давления от источника ИШ-4-6 в расчётной точке днём, дБ		**ф-ла(3)[10]**	**0**	**15,3**	**13,7**	**11,6**	**8,3**	**6,8**	**2,1**	**0**	**0**	**11,1**	**11,1**
Источник шума: ИШ-4-7, координаты источника (x,y,z), м =[177.91,257.92,11.00]													
Уровни звуковой мощности источника днём, Lw, дБ		**исходные данные**	**0**	**90,3**	**91,7**	**93**	**93,3**	**92,9**	**89,6**	**85,4**	**80,9**		
Поправка на телесный угол DΩ, дБ	Ω = 6.28	10Lg(4π/Ω)	**3**	3	3	3	3	3	3	3	3		
Показатель направленности источника Di, дБ		исходные данные	**0**	0	0	0	0	0	0	0	0		

1		2	3	4	5	6	7	8	9	10	11	12	13
Поправка на направленность источника Dc, дБ	Dc	DΩ + Di	**3**	3	3	3	3	3	3	3	3		
Затухание из-за геометрической дивергенции, Adiv, дБ	расстояние = 367.41 м	ф-ла (7) [10]	**62,3**										
Коэффициент затухания звука в атмосфере α, дБ/км	Ta=20,°C Pa=101.33,кПа hотн.=70%	ф-ла (5) [9]	0,02	0,09	0,33	1,12	2,79	4,98	9,04	23,09	77,63		
Учет затухания звука в атмосфере Aatm, дБ		ф-ла (8) [10]	0	0	0,1	0,4	1	1,8	3,3	8,5	28,5		
Снижение уровня звукового давления из-за влияния застройки между источником шума и расчетной точкой													
Снижение уровня звукового давления на пути над экраном, Dz1, дБ	z = 6.25м (разность путей)	ф-лы (14-18) [10]	13,6	16,3	19,1	22,1	25	28	31	34	37		
Снижение уровня звукового давления на пути слева от экрана, Dz2, дБ	z = 13.25м (разность путей)	ф-лы (14-18) [10]	19,9	24	27,5	30,6	33,7	36,7	39,7	42,7	45,7		
Снижение уровня звукового давления на пути справа от экрана, Dz3, дБ	z = 51.68м (разность путей)	ф-лы (14-18) [10]	23,2	26,9	31,3	35,7	39,3	42,5	45,6	48,6	51,6		
Общее снижение уровня звука препятствием Dz, дБ		Эн.сумма(-Dzi)	12,3	15,3	18,3	21,3	24,3	27,3	30,3	33,3	36,3		
Общее снижение уровня звука препятствием с учётом ограничения (25 дБ) для октавных полос Dz, дБ		Раздел 7.4 [10]	12,3	15,3	18,3	21,3	24,3	25	25	25	25		
Уровни звукового давления прямого звука от источника ИШ-4-7 в расчётной точке днём, дБ		**ф-ла(3)[10]**	**0**	**15,6**	**14**	**11,9**	**8,6**	**6,8**	**2**	**0**	**0**	**11,2**	**11,2**
Расчёт отражённого звука													
Уровни звукового давления от мнимого источника ИШ-4-7_мн.(1) в расчётной точке днём, дБ		**ф-ла(3)[10]**	**0**	**0**	**0**	**0**	**0**	**0**	**0**	**0**	**0**	**0**	**0**
Уровни звукового давления от источника ИШ-4-7 в расчётной точке днём, дБ		**ф-ла(3)[10]**	**0**	**15,6**	**14**	**11,9**	**8,6**	**6,8**	**2**	**0**	**0**	**11,2**	**11,2**
Источник шума: ИШ-4-8, координаты источника (x,y,z), м =[178.24,257.77,13.00]													
Уровни звуковой мощности источника днём, Lw, дБ		**исходные данные**	**0**	**90,3**	**91,7**	**93**	**93,3**	**92,9**	**89,6**	**85,4**	**80,9**		

1		2	3	4	5	6	7	8	9	10	11	12	13
Поправка на телесный угол DΩ, дБ	Ω = 6.28	10Lg(4π/Ω)	**3**	3	3	3	3	3	3	3	3		
Показатель направленности источника Di, дБ		исходные данные	**0**	0	0	0	0	0	0	0	0		
Поправка на направленность источника Dc, дБ	Dc	DΩ + Di	**3**	3	3	3	3	3	3	3	3		
Затухание из-за геометрической дивергенции, Adiv, дБ	расстояние = 367.18 м	ф-ла (7) [10]	**62,3**										
Коэффициент затухания звука в атмосфере α, дБ/км	Ta=20,°C Pa=101.33,кПа hотн.=70%	ф-ла (5) [9]	0,02	0,09	0,33	1,12	2,79	4,98	9,04	23,09	77,63		
Учет затухания звука в атмосфере Aatm, дБ		ф-ла (8) [10]	0	0	0,1	0,4	1	1,8	3,3	8,5	28,5		
Снижение уровня звукового давления из-за влияния застройки между источником шума и расчетной точкой													
Снижение уровня звукового давления на пути над экраном, Dz1, дБ	z = 6.20м (разность путей)	ф-лы (14-18) [10]	13,6	16,3	19,1	22	25	28	31	34	37		
Снижение уровня звукового давления на пути слева от экрана, Dz2, дБ	z = 13.21м (разность путей)	ф-лы (14-18) [10]	19,9	24	27,5	30,6	33,7	36,7	39,7	42,7	45,7		
Снижение уровня звукового давления на пути справа от экрана, Dz3, дБ	z = 51.71м (разность путей)	ф-лы (14-18) [10]	23,2	26,9	31,3	35,7	39,3	42,5	45,6	48,6	51,6		
Общее снижение уровня звука препятствием Dz, дБ		Эн.сумма(-Dzi)	12,3	15,3	18,3	21,3	24,3	27,3	30,3	33,3	36,3		
Общее снижение уровня звука препятствием с учётом ограничения (25 дБ) для октавных полос Dz, дБ		Раздел 7.4 [10]	12,3	15,3	18,3	21,3	24,3	25	25	25	25		
Уровни звукового давления прямого звука от источника ИШ-4-8 в расчётной точке днём, дБ		**ф-ла(3)[10]**	**0**	**15,7**	**14**	**12**	**8,7**	**6,8**	**2**	**0**	**0**	**11,2**	**11,2**
Расчёт отражённого звука													
Уровни звукового давления от мнимого источника ИШ-4-8_мн.(1) в расчётной точке днём, дБ		**ф-ла(3)[10]**	**0**	**0**	**0**	**0**	**0**	**0**	**0**	**0**	**0**	**0**	**0**
Уровни звукового давления от источника ИШ-4-8 в расчётной точке днём, дБ		**ф-ла(3)[10]**	**0**	**15,7**	**14**	**12**	**8,7**	**6,8**	**2**	**0**	**0**	**11,2**	**11,2**

1		2	3	4	5	6	7	8	9	10	11	12	13
Источник шума: ИШ-4-9, координаты источника (x,y,z), м =[178.68,257.63,15.50]													
Уровни звуковой мощности источника днём, Lw, дБ		**исходные данные**	**0**	**90,3**	**91,7**	**93**	**93,3**	**92,9**	**89,6**	**85,4**	**80,9**		
Поправка на телесный угол DΩ, дБ	Ω = 6.28	10Lg(4π/Ω)	**3**	3	3	3	3	3	3	3	3		
Показатель направленности источника Di, дБ		исходные данные	**0**	0	0	0	0	0	0	0	0		
Поправка на направленность источника Dc, дБ	Dc	DΩ + Di	**3**	3	3	3	3	3	3	3	3		
Затухание из-за геометрической дивергенции, Adiv, дБ	расстояние = 366.93 м	ф-ла (7) [10]	**62,3**										
Коэффициент затухания звука в атмосфере α, дБ/км	Ta=20,°C Pa=101.33,кПа hотн.=70%	ф-ла (5) [9]	0,02	0,09	0,33	1,12	2,79	4,98	9,04	23,09	77,63		
Учет затухания звука в атмосфере Aatm, дБ		ф-ла (8) [10]	0	0	0,1	0,4	1	1,8	3,3	8,5	28,5		
Снижение уровня звукового давления из-за влияния застройки между источником шума и расчетной точкой													
Снижение уровня звукового давления на пути над экраном, Dz1, дБ	z = 6.14м (разность путей)	ф-лы (14-18) [10]	13,5	16,2	19	22	24,9	27,9	30,9	33,9	36,9		
Снижение уровня звукового давления на пути слева от экрана, Dz2, дБ	z = 13.17м (разность путей)	ф-лы (14-18) [10]	19,9	24	27,5	30,6	33,7	36,7	39,7	42,7	45,7		
Снижение уровня звукового давления на пути справа от экрана, Dz3, дБ	z = 51.75м (разность путей)	ф-лы (14-18) [10]	23,2	26,9	31,3	35,7	39,3	42,5	45,6	48,6	51,6		
Общее снижение уровня звука препятствием Dz, дБ		Эн.сумма(-Dzi)	12,2	15,3	18,2	21,3	24,3	27,3	30,3	33,3	36,3		
Общее снижение уровня звука препятствием с учётом ограничения (25 дБ) для октавных полос Dz, дБ		Раздел 7.4 [10]	12,2	15,3	18,2	21,3	24,3	25	25	25	25		
Уровни звукового давления прямого звука от источника ИШ-4-9 в расчётной точке днём, дБ		**ф-ла(3)[10]**	**0**	**15,7**	**14**	**12**	**8,7**	**6,8**	**2**	**0**	**0**	**11,2**	**11,2**
Расчёт отражённого звука													

1		2	3	4	5	6	7	8	9	10	11	12	13
Уровни звукового давления от мнимого источника ИШ-4-9_мн.(1) в расчётной точке днём, дБ		**ф-ла(3)[10]**	**0**	**0**	**0**	**0**	**0**	**0**	**0**	**0**	**0**	**0**	**0**
Уровни звукового давления от мнимого источника ИШ-4-9_мн.(2) в расчётной точке днём, дБ		**ф-ла(3)[10]**	**0**	**0**	**0**	**0**	**0**	**0**	**0**	**5**	**0**	**6**	**6**
Суммарные уровни звукового давления от мнимых источников в расчётной точке днём, дБ		**ф-ла (19) [1]**	**0**	**0**	**0**	**0**	**0**	**0**	**0**	**5**	**0**	**0**	**6**
Уровни звукового давления от источника ИШ-4-9 в расчётной точке днём, дБ		**ф-ла(3)[10]**	**0**	**15,7**	**14**	**12**	**8,7**	**6,8**	**2**	**5**	**0**	**12,4**	**12,4**
Источник шума: ИШ-4-10, координаты источника (x,y,z), м =[185.65,255.31,11.00]													
Уровни звуковой мощности источника днём, Lw, дБ		**исходные данные**	**0**	**90,3**	**91,7**	**93**	**93,3**	**92,9**	**89,6**	**85,4**	**80,9**		
Поправка на телесный угол DΩ, дБ	Ω = 6.28	10Lg(4π/Ω)	**3**	3	3	3	3	3	3	3	3		
Показатель направленности источника Di, дБ		исходные данные	**0**	0	0	0	0	0	0	0	0		
Поправка на направленность источника Dc, дБ	Dc	DΩ + Di	**3**	3	3	3	3	3	3	3	3		
Затухание из-за геометрической дивергенции, Adiv, дБ	расстояние = 361.43 м	ф-ла (7) [10]	**62,2**										
Коэффициент затухания звука в атмосфере α, дБ/км	Ta=20,°C Pa=101.33,кПа hотн.=70%	ф-ла (5) [9]	0,02	0,09	0,33	1,12	2,79	4,98	9,04	23,09	77,63		
Учет затухания звука в атмосфере Aatm, дБ		ф-ла (8) [10]	0	0	0,1	0,4	1	1,8	3,3	8,3	28,1		
Снижение уровня звукового давления из-за влияния застройки между источником шума и расчетной точкой													
Снижение уровня звукового давления на пути над экраном, Dz1, дБ	z = 6.22м (разность путей)	ф-лы (14-18) [10]	13,6	16,3	19,1	22	25	28	31	34	37		
Снижение уровня звукового давления на пути слева от экрана, Dz2, дБ	z = 12.48м (разность путей)	ф-лы (14-18) [10]	19,6	23,8	27,2	30,4	33,4	36,4	39,5	42,5	45,5		
Снижение уровня звукового давления на пути справа от экрана, Dz3, дБ	z = 52.22м (разность путей)	ф-лы (14-18) [10]	23,2	26,9	31,3	35,7	39,4	42,6	45,6	48,7	51,7		

1		2	3	4	5	6	7	8	9	10	11	12	13
Общее снижение уровня звука препятствием Dz, дБ		Эн.сумма(-Dzi)	12,3	15,3	18,3	21,3	24,3	27,3	30,3	33,3	36,3		
Общее снижение уровня звука препятствием с учётом ограничения (25 дБ) для октавных полос Dz, дБ		Раздел 7.4 [10]	12,3	15,3	18,3	21,3	24,3	25	25	25	25		
Уровни звукового давления прямого звука от источника ИШ-4-10 в расчётной точке днём, дБ		**ф-ла(3)[10]**	**0**	**15,8**	**14,1**	**12,1**	**8,8**	**6,9**	**2,2**	**0**	**0**	**11,4**	**11,4**
Расчёт отражённого звука													
Уровни звукового давления от мнимого источника ИШ-4-10_мн.(1) в расчётной точке днём, дБ		**ф-ла(3)[10]**	**0**	**0**	**0**	**0**	**0**	**0**	**0**	**0**	**0**	**0**	**0**
Уровни звукового давления от мнимого источника ИШ-4-10_мн.(2) в расчётной точке днём, дБ		**ф-ла(3)[10]**	**0**	**0**	**0**	**0**	**0**	**0**	**0**	**0**	**0**	**0**	**0**
Суммарные уровни звукового давления от мнимых источников в расчётной точке днём, дБ		**ф-ла (19) [1]**	**0**	**0**	**0**	**0**	**0**	**0**	**0**	**0**	**0**	**0**	**0**
Уровни звукового давления от источника ИШ-4-10 в расчётной точке днём, дБ		**ф-ла(3)[10]**	**0**	**15,8**	**14,1**	**12,1**	**8,8**	**6,9**	**2,2**	**0**	**0**	**11,4**	**11,4**
Источник шума: ИШ-4-11, координаты источника (x,y,z), м =[185.89,255.16,13.00]													
Уровни звуковой мощности источника днём, Lw, дБ		**исходные данные**	**0**	**90,3**	**91,7**	**93**	**93,3**	**92,9**	**89,6**	**85,4**	**80,9**		
Поправка на телесный угол DΩ, дБ	Ω = 6.28	10Lg(4π/Ω)	**3**	3	3	3	3	3	3	3	3		
Показатель направленности источника Di, дБ		исходные данные	**0**	0	0	0	0	0	0	0	0		
Поправка на направленность источника Dc, дБ	Dc	DΩ + Di	**3**	3	3	3	3	3	3	3	3		
Затухание из-за геометрической дивергенции, Adiv, дБ	расстояние = 361.25 м	ф-ла (7) [10]	**62,2**										
Коэффициент затухания звука в атмосфере α, дБ/км	Ta=20,°C Pa=101.33,кПа hотн.=70%	ф-ла (5) [9]	0,02	0,09	0,33	1,12	2,79	4,98	9,04	23,09	77,63		
Учет затухания звука в атмосфере Aatm, дБ		ф-ла (8) [10]	0	0	0,1	0,4	1	1,8	3,3	8,3	28		

1		2	3	4	5	6	7	8	9	10	11	12	13
Снижение уровня звукового давления из-за влияния застройки между источником шума и расчетной точкой													
Снижение уровня звукового давления на пути над экраном, Dz1, дБ	z = 6.17м (разность путей)	ф-лы (14-18) [10]	13,5	16,3	19,1	22	25	28	31	34	37		
Снижение уровня звукового давления на пути слева от экрана, Dz2, дБ	z = 12.46м (разность путей)	ф-лы (14-18) [10]	19,6	23,8	27,2	30,4	33,4	36,4	39,4	42,5	45,5		
Снижение уровня звукового давления на пути справа от экрана, Dz3, дБ	z = 52.24м (разность путей)	ф-лы (14-18) [10]	23,2	26,9	31,3	35,7	39,4	42,6	45,6	48,7	51,7		
Общее снижение уровня звука препятствием Dz, дБ		Эн.сумма(-Dzi)	12,2	15,2	18,2	21,3	24,3	27,3	30,3	33,3	36,3		
Общее снижение уровня звука препятствием с учётом ограничения (25 дБ) для октавных полос Dz, дБ		Раздел 7.4 [10]	12,2	15,2	18,2	21,3	24,3	25	25	25	25		
Уровни звукового давления прямого звука от источника ИШ-4-11 в расчётной точке днём, дБ		**ф-ла(3)[10]**	**0**	**15,9**	**14,2**	**12,2**	**8,9**	**6,9**	**2,2**	**0**	**0**	**11,4**	**11,4**
Расчёт отражённого звука													
Уровни звукового давления от мнимого источника ИШ-4-11_мн.(1) в расчётной точке днём, дБ		**ф-ла(3)[10]**	**0**	**0**	**0**	**0**	**0**	**0**	**0**	**0**	**0**	**0**	**0**
Уровни звукового давления от источника ИШ-4-11 в расчётной точке днём, дБ		**ф-ла(3)[10]**	**0**	**15,9**	**14,2**	**12,2**	**8,9**	**6,9**	**2,2**	**0**	**0**	**11,4**	**11,4**
Источник шума: ИШ-4-12, координаты источника (x,y,z), м =[186.18,255.02,15.50]													
Уровни звуковой мощности источника днём, Lw, дБ		**исходные данные**	**0**	**90,3**	**91,7**	**93**	**93,3**	**92,9**	**89,6**	**85,4**	**80,9**		
Поправка на телесный угол DΩ, дБ	Ω = 6.28	10Lg(4π/Ω)	**3**	3	3	3	3	3	3	3	3		
Показатель направленности источника Di, дБ		исходные данные	**0**	0	0	0	0	0	0	0	0		
Поправка на направленность источника Dc, дБ	Dc	DΩ + Di	**3**	3	3	3	3	3	3	3	3		
Затухание из-за геометрической дивергенции, Adiv, дБ	расстояние = 361.07 м	ф-ла (7) [10]	**62,2**										
Коэффициент затухания звука в атмосфере α, дБ/км	Ta=20,°C Pa=101.33,кПа hотн.=70%	ф-ла (5) [9]	0,02	0,09	0,33	1,12	2,79	4,98	9,04	23,09	77,63		

1		2	3	4	5	6	7	8	9	10	11	12	13
Учет затухания звука в атмосфере Aatm, дБ		ф-ла (8) [10]	0	0	0,1	0,4	1	1,8	3,3	8,3	28		
Снижение уровня звукового давления из-за влияния застройки между источником шума и расчетной точкой													
Снижение уровня звукового давления на пути над экраном, Dz1, дБ	z = 6.11м (разность путей)	ф-лы (14-18) [10]	13,5	16,2	19	22	24,9	27,9	30,9	33,9	36,9		
Снижение уровня звукового давления на пути слева от экрана, Dz2, дБ	z = 12.43м (разность путей)	ф-лы (14-18) [10]	19,6	23,8	27,2	30,4	33,4	36,4	39,4	42,4	45,5		
Снижение уровня звукового давления на пути справа от экрана, Dz3, дБ	z = 52.27м (разность путей)	ф-лы (14-18) [10]	23,2	26,9	31,3	35,7	39,4	42,6	45,7	48,7	51,7		
Общее снижение уровня звука препятствием Dz, дБ		Эн.сумма(-Dzi)	12,2	15,2	18,2	21,2	24,2	27,2	30,2	33,2	36,2		
Общее снижение уровня звука препятствием с учётом ограничения (25 дБ) для октавных полос Dz, дБ		Раздел 7.4 [10]	12,2	15,2	18,2	21,2	24,2	25	25	25	25		
Уровни звукового давления прямого звука от источника ИШ-4-12 в расчётной точке днём, дБ		**ф-ла(3)[10]**	**0**	**15,9**	**14,2**	**12,2**	**8,9**	**6,9**	**2,2**	**0**	**0**	**11,4**	**11,4**
Расчёт отражённого звука													
Уровни звукового давления от мнимого источника ИШ-4-12_мн.(1) в расчётной точке днём, дБ		**ф-ла(3)[10]**	**0**	**0**	**0**	**0**	**0**	**0**	**0**	**0**	**0**	**0**	**0**
Уровни звукового давления от мнимого источника ИШ-4-12_мн.(2) в расчётной точке днём, дБ		**ф-ла(3)[10]**	**0**	**0**	**0**	**0**	**0**	**0**	**0**	**5,3**	**0**	**6,3**	**6,3**
Суммарные уровни звукового давления от мнимых источников в расчётной точке днём, дБ		**ф-ла (19) [1]**	**0**	**0**	**0**	**0**	**0**	**0**	**0**	**5,3**	**0**	**0**	**6,3**
Уровни звукового давления от источника ИШ-4-12 в расчётной точке днём, дБ		**ф-ла(3)[10]**	**0**	**15,9**	**14,2**	**12,2**	**8,9**	**6,9**	**2,2**	**5,3**	**0**	**12,6**	**12,6**
Источник шума: ИШ-4-13, координаты источника (x,y,z), м =[94.56,229.10,1.00]													
Уровни звуковой мощности источника днём, Lw, дБ		**исходные данные**	**0**	**81,3**	**82,7**	**84**	**84,3**	**83,9**	**80,6**	**76,4**	**71,9**		
Поправка на телесный угол DΩ, дБ	Ω = 6.28	10Lg(4π/Ω)	**3**	3	3	3	3	3	3	3	3		
Показатель направленности источника Di, дБ		исходные данные	**0**	0	0	0	0	0	0	0	0		

1		2	3	4	5	6	7	8	9	10	11	12	13
Поправка на направленность источника Dc, дБ	Dc	DΩ + Di	**3**	3	3	3	3	3	3	3	3		
Затухание из-за геометрической дивергенции, Adiv, дБ	расстояние = 392.05 м	ф-ла (7) [10]	**62,9**										
Коэффициент затухания звука в атмосфере α, дБ/км	Ta=20,°C Pa=101.33,кПа hотн.=70%	ф-ла (5) [9]	0,02	0,09	0,33	1,12	2,79	4,98	9,04	23,09	77,63		
Учет затухания звука в атмосфере Aatm, дБ		ф-ла (8) [10]	0	0	0,1	0,4	1,1	2	3,5	9,1	30,4		
Снижение уровня звукового давления из-за влияния застройки между источником шума и расчетной точкой													
Снижение уровня звукового давления на пути над экраном, Dz1, дБ	z = 11.12м (разность путей)	ф-лы (14-18) [10]	20,8	23,9	26,8	29,8	32,8	35,9	38,9	41,9	44,9		
Снижение уровня звукового давления на пути слева от экрана, Dz2, дБ	z = 101.58м (разность путей)	ф-лы (14-18) [10]	30,4	33,5	36,5	39,5	42,5	45,5	48,6	51,6	54,6		
Снижение уровня звукового давления на пути справа от экрана, Dz3, дБ	z = 53.09м (разность путей)	ф-лы (14-18) [10]	27,6	30,7	33,7	36,7	39,7	42,7	45,7	48,7	51,8		
Общее снижение уровня звука препятствием Dz, дБ		Эн.сумма(-Dzi)	19,6	22,7	25,6	28,7	31,7	34,7	37,7	40,7	43,7		
Общее снижение уровня звука препятствием с учётом ограничения (25 дБ) для октавных полос Dz, дБ		Раздел 7.4 [10]	19,6	22,7	25	25	25	25	25	25	25		
Уровни звукового давления от источника ИШ-4-13 в расчётной точке днём, дБ		**ф-ла(3)[10]**	**0**	**0**	**0**	**0**	**0**	**0**	**0**	**0**	**0**	**0**	**0**
Источник шума: ИШ-4-14, координаты источника (x,y,z), м =[91.88,221.30,1.00]													
Уровни звуковой мощности источника днём, Lw, дБ		**исходные данные**	**0**	**81,3**	**82,7**	**84**	**84,3**	**83,9**	**80,6**	**76,4**	**71,9**		
Поправка на телесный угол DΩ, дБ	Ω = 6.28	10Lg(4π/Ω)	**3**	3	3	3	3	3	3	3	3		
Показатель направленности источника Di, дБ		исходные данные	**0**	0	0	0	0	0	0	0	0		
Поправка на направленность источника Dc, дБ	Dc	DΩ + Di	**3**	3	3	3	3	3	3	3	3		

1		2	3	4	5	6	7	8	9	10	11	12	13
Затухание из-за геометрической дивергенции, Adiv, дБ	расстояние = 388.08 м	ф-ла (7) [10]	**62,8**										
Коэффициент затухания звука в атмосфере α, дБ/км	Ta=20,°C Pa=101.33,кПа hотн.=70%	ф-ла (5) [9]	0,02	0,09	0,33	1,12	2,79	4,98	9,04	23,09	77,63		
Учет затухания звука в атмосфере Aatm, дБ		ф-ла (8) [10]	0	0	0,1	0,4	1,1	1,9	3,5	9	30,1		
Снижение уровня звукового давления из-за влияния застройки между источником шума и расчетной точкой													
Снижение уровня звукового давления на пути над экраном, Dz1, дБ	z = 11.14м (разность путей)	ф-лы (14-18) [10]	20,8	23,9	26,8	29,8	32,9	35,9	38,9	41,9	44,9		
Снижение уровня звукового давления на пути слева от экрана, Dz2, дБ	z = 113.77м (разность путей)	ф-лы (14-18) [10]	30,9	34	37	40	43	46	49	52,1	55,1		
Снижение уровня звукового давления на пути справа от экрана, Dz3, дБ	z = 48.98м (разность путей)	ф-лы (14-18) [10]	27,2	30,3	33,3	36,4	39,4	42,4	45,4	48,4	51,4		
Общее снижение уровня звука препятствием Dz, дБ		Эн.сумма(-Dzi)	19,6	22,6	25,6	28,6	31,6	34,7	37,7	40,7	43,7		
Общее снижение уровня звука препятствием с учётом ограничения (25 дБ) для октавных полос Dz, дБ		Раздел 7.4 [10]	19,6	22,6	25	25	25	25	25	25	25		
Уровни звукового давления от источника ИШ-4-14 в расчётной точке днём, дБ		**ф-ла(3)[10]**	**0**	**0**	**0**	**0**	**0**	**0**	**0**	**0**	**0**	**0**	**0**
Источник шума: ИШ-5-1, координаты источника (x,y,z), м =[626.70,162.36,1.00]													
Уровни звуковой мощности источника днём, Lw, дБ		**исходные данные**	**0**	**93,3**	**94,7**	**96**	**96,3**	**95,9**	**92,6**	**88,4**	**83,9**		
Поправка на телесный угол DΩ, дБ	Ω = 6.28	10Lg(4π/Ω)	**3**	3	3	3	3	3	3	3	3		
Показатель направленности источника Di, дБ		исходные данные	**0**	0	0	0	0	0	0	0	0		
Поправка на направленность источника Dc, дБ	Dc	DΩ + Di	**3**	3	3	3	3	3	3	3	3		
Затухание из-за геометрической дивергенции, Adiv, дБ	расстояние = 353.24 м	ф-ла (7) [10]	**62**										

1		2	3	4	5	6	7	8	9	10	11	12	13
Коэффициент затухания звука в атмосфере α, дБ/км	Ta=20,°C Pa=101.33,кПа hотн.=70%	ф-ла (5) [9]	0,02	0,09	0,33	1,12	2,79	4,98	9,04	23,09	77,63		
Учет затухания звука в атмосфере Aatm, дБ		ф-ла (8) [10]	0	0	0,1	0,4	1	1,8	3,2	8,2	27,4		
Снижение поверхностью земли возле источника As, дБ	Gs = 0 hs = 1м	ф-лы таб.3 [10]	-1,5	-1,5	-1,5	-1,5	-1,5	-1,5	-1,5	-1,5	-1,5		
Снижение поверхностью земли возле приёмника Ar, дБ	Gr = 1 hr = 1.5м	ф-лы таб.3 [10]	-1,5	-1,5	2,1	7	5	0,7	0	0	0		
Снижение поверхностью земли в средней зоне, Am дБ	Gm = 1	ф-лы таб.3 [10]	-2,4	-2,4	0	0	0	0	0	0	0		
Суммарное снижение поверхностью земли на траектории распространения звука Agr, дБ		ф-ла (9) [10]	-5,4	-5,4	0,6	5,5	3,5	-0,8	-1,5	-1,5	-1,5		
Уровни звукового давления прямого звука от источника ИШ-5-1 в расчётной точке днём, дБ		**ф-ла(3)[10]**	**0**	**39,7**	**35,1**	**31,1**	**32,9**	**36**	**31,9**	**22,8**	**0**	**38,7**	**38,7**
Расчёт отражённого звука													
Уровни звукового давления от мнимого источника ИШ-5-1_мн.(1) в расчётной точке днём, дБ		**ф-ла(3)[10]**	**0**	**0**	**30,5**	**20,7**	**21,5**	**31,5**	**29,4**	**20,2**	**0**	**34,5**	**34,5**
Уровни звукового давления от источника ИШ-5-1 в расчётной точке днём, дБ		**ф-ла(3)[10]**	**0**	**39,7**	**36,4**	**31,5**	**33,2**	**37,3**	**33,9**	**24,7**	**0**	**40,1**	**40,1**
Источник шума: ИШ-5-2, координаты источника (x,y,z), м =[625.81,159.52,1.00]													
Уровни звуковой мощности источника днём, Lw, дБ		**исходные данные**	**0**	**93,3**	**94,7**	**96**	**96,3**	**95,9**	**92,6**	**88,4**	**83,9**		
Поправка на телесный угол DΩ, дБ	Ω = 6.28	10Lg(4π/Ω)	**3**	3	3	3	3	3	3	3	3		
Показатель направленности источника Di, дБ		исходные данные	**0**	0	0	0	0	0	0	0	0		
Поправка на направленность источника Dc, дБ	Dc	DΩ + Di	**3**	3	3	3	3	3	3	3	3		
Затухание из-за геометрической дивергенции, Adiv, дБ	расстояние = 350.74 м	ф-ла (7) [10]	**61,9**										

1		2	3	4	5	6	7	8	9	10	11	12	13
Коэффициент затухания звука в атмосфере α, дБ/км	Ta=20,°C Pa=101.33,кПа hотн.=70%	ф-ла (5) [9]	0,02	0,09	0,33	1,12	2,79	4,98	9,04	23,09	77,63		
Учет затухания звука в атмосфере Aatm, дБ		ф-ла (8) [10]	0	0	0,1	0,4	1	1,7	3,2	8,1	27,2		
Снижение поверхностью земли возле источника As, дБ	Gs = 0 hs = 1м	ф-лы таб.3 [10]	-1,5	-1,5	-1,5	-1,5	-1,5	-1,5	-1,5	-1,5	-1,5		
Снижение поверхностью земли возле приёмника Ar, дБ	Gr = 1 hr = 1.5м	ф-лы таб.3 [10]	-1,5	-1,5	2	7	5	0,7	0	0	0		
Снижение поверхностью земли в средней зоне, Am дБ	Gm = 1	ф-лы таб.3 [10]	-2,4	-2,4	0	0	0	0	0	0	0		
Суммарное снижение поверхностью земли на траектории распространения звука Agr, дБ		ф-ла (9) [10]	-5,4	-5,4	0,5	5,5	3,5	-0,8	-1,5	-1,5	-1,5		
Уровни звукового давления прямого звука от источника ИШ-5-2 в расчётной точке днём, дБ		**ф-ла(3)[10]**	**0**	**39,7**	**35,1**	**31,2**	**32,9**	**36,1**	**32**	**22,9**	**0**	**38,8**	**38,8**
Расчёт отражённого звука													
Уровни звукового давления от мнимого источника ИШ-5-2_мн.(1) в расчётной точке днём, дБ		**ф-ла(3)[10]**	**0**	**0**	**30,6**	**20,8**	**21,6**	**31,5**	**29,5**	**20,3**	**0**	**34,5**	**34,5**
Уровни звукового давления от источника ИШ-5-2 в расчётной точке днём, дБ		**ф-ла(3)[10]**	**0**	**39,7**	**36,4**	**31,6**	**33,3**	**37,4**	**33,9**	**24,8**	**0**	**40,2**	**40,2**
Источник шума: ИШ-5-3, координаты источника (x,y,z), м =[624.84,156.69,1.00]													
Уровни звуковой мощности источника днём, Lw, дБ		**исходные данные**	**0**	**93,3**	**94,7**	**96**	**96,3**	**95,9**	**92,6**	**88,4**	**83,9**		
Поправка на телесный угол DΩ, дБ	Ω = 6.28	10Lg(4π/Ω)	**3**	3	3	3	3	3	3	3	3		
Показатель направленности источника Di, дБ		исходные данные	**0**	0	0	0	0	0	0	0	0		
Поправка на направленность источника Dc, дБ	Dc	DΩ + Di	**3**	3	3	3	3	3	3	3	3		
Затухание из-за геометрической дивергенции, Adiv, дБ	расстояние = 348.20 м	ф-ла (7) [10]	**61,8**										

1		2	3	4	5	6	7	8	9	10	11	12	13
Коэффициент затухания звука в атмосфере α, дБ/км	Ta=20,°C Pa=101.33,кПа hотн.=70%	ф-ла (5) [9]	0,02	0,09	0,33	1,12	2,79	4,98	9,04	23,09	77,63		
Учет затухания звука в атмосфере Aatm, дБ		ф-ла (8) [10]	0	0	0,1	0,4	1	1,7	3,1	8	27		
Снижение поверхностью земли возле источника As, дБ	Gs = 0 hs = 1м	ф-лы таб.3 [10]	-1,5	-1,5	-1,5	-1,5	-1,5	-1,5	-1,5	-1,5	-1,5		
Снижение поверхностью земли возле приёмника Ar, дБ	Gr = 1 hr = 1.5м	ф-лы таб.3 [10]	-1,5	-1,5	2	7	5	0,7	0	0	0		
Снижение поверхностью земли в средней зоне, Am дБ	Gm = 1	ф-лы таб.3 [10]	-2,4	-2,4	0	0	0	0	0	0	0		
Суммарное снижение поверхностью земли на траектории распространения звука Agr, дБ		ф-ла (9) [10]	-5,4	-5,4	0,5	5,5	3,5	-0,8	-1,5	-1,5	-1,5		
Уровни звукового давления прямого звука от источника ИШ-5-3 в расчётной точке днём, дБ		**ф-ла(3)[10]**	**0**	**39,8**	**35,2**	**31,2**	**33**	**36,2**	**32,1**	**23**	**0**	**38,9**	**38,9**
Расчёт отражённого звука													
Уровни звукового давления от мнимого источника ИШ-5-3_мн.(1) в расчётной точке днём, дБ		**ф-ла(3)[10]**	**0**	**0**	**30,7**	**20,9**	**21,7**	**31,6**	**29,6**	**20,5**	**0**	**34,6**	**34,6**
Уровни звукового давления от источника ИШ-5-3 в расчётной точке днём, дБ		**ф-ла(3)[10]**	**0**	**39,8**	**36,5**	**31,6**	**33,3**	**37,5**	**34**	**24,9**	**0**	**40,3**	**40,3**
Источник шума: ИШ-6-1, координаты источника (x,y,z), м =[836.30,122.24,1.00]													
Уровни звуковой мощности источника днём, Lw, дБ		**исходные данные**	**0**	**96,3**	**97,7**	**99**	**99,3**	**98,9**	**95,6**	**91,4**	**86,9**		
Поправка на телесный угол DΩ, дБ	Ω = 12.57	10Lg(4π/Ω)	**0**	0	0	0	0	0	0	0	0		
Показатель направленности источника Di, дБ		исходные данные	**0**	0	0	0	0	0	0	0	0		
Поправка на направленность источника Dc, дБ	Dc	DΩ + Di	**0**	0	0	0	0	0	0	0	0		
Затухание из-за геометрической дивергенции, Adiv, дБ	расстояние = 515.72 м	ф-ла (7) [10]	**65,2**										

1		2	3	4	5	6	7	8	9	10	11	12	13
Коэффициент затухания звука в атмосфере α, дБ/км	Ta=20,°C Pa=101.33,кПа hотн.=70%	ф-ла (5) [9]	0,02	0,09	0,33	1,12	2,79	4,98	9,04	23,09	77,63		
Учет затухания звука в атмосфере Aatm, дБ		ф-ла (8) [10]	0	0	0,2	0,6	1,4	2,6	4,7	11,9	40		
Снижение поверхностью земли возле источника As, дБ	Gs = 0 hs = 1м	ф-лы таб.3 [10]	-1,5	-1,5	-1,5	-1,5	-1,5	-1,5	-1,5	-1,5	-1,5		
Снижение поверхностью земли возле приёмника Ar, дБ	Gr = 1 hr = 1.5м	ф-лы таб.3 [10]	-1,5	-1,5	3,1	7	5	0,7	0	0	0		
Снижение поверхностью земли в средней зоне, Am дБ	Gm = 1	ф-лы таб.3 [10]	-2,6	-2,6	0	0	0	0	0	0	0		
Суммарное снижение поверхностью земли на траектории распространения звука Agr, дБ		ф-ла (9) [10]	-5,6	-5,6	1,6	5,5	3,5	-0,8	-1,5	-1,5	-1,5		
Уровни звукового давления прямого звука от источника ИШ-6-1 в расчётной точке днём, дБ		**ф-ла(3)[10]**	**0**	**36,6**	**30,6**	**27,6**	**29,1**	**31,9**	**27,2**	**15,7**	**0**	**34,5**	**34,5**
Расчёт отражённого звука													
Уровни звукового давления от мнимого источника ИШ-6-1_мн.(1) в расчётной точке днём, дБ		**ф-ла(3)[10]**	**0**	**0**	**0**	**0**	**0**	**27,4**	**24,6**	**13,2**	**0**	**29,8**	**29,8**
Уровни звукового давления от источника ИШ-6-1 в расчётной точке днём, дБ		**ф-ла(3)[10]**	**0**	**36,6**	**30,6**	**27,6**	**29,1**	**33,2**	**29,1**	**17,6**	**0**	**35,7**	**35,7**
Источник шума: ИШ-6-2, координаты источника (x,y,z), м =[835.37,119.30,1.00]													
Уровни звуковой мощности источника днём, Lw, дБ		**исходные данные**	**0**	**96,3**	**97,7**	**99**	**99,3**	**98,9**	**95,6**	**91,4**	**86,9**		
Поправка на телесный угол DΩ, дБ	Ω = 12.57	10Lg(4π/Ω)	**0**	0	0	0	0	0	0	0	0		
Показатель направленности источника Di, дБ		исходные данные	**0**	0	0	0	0	0	0	0	0		
Поправка на направленность источника Dc, дБ	Dc	DΩ + Di	**0**	0	0	0	0	0	0	0	0		
Затухание из-за геометрической дивергенции, Adiv, дБ	расстояние = 513.79 м	ф-ла (7) [10]	**65,2**										

1		2	3	4	5	6	7	8	9	10	11	12	13
Коэффициент затухания звука в атмосфере α, дБ/км	Ta=20,°C Pa=101.33,кПа hотн.=70%	ф-ла (5) [9]	0,02	0,09	0,33	1,12	2,79	4,98	9,04	23,09	77,63		
Учет затухания звука в атмосфере Aatm, дБ		ф-ла (8) [10]	0	0	0,2	0,6	1,4	2,6	4,6	11,9	39,9		
Снижение поверхностью земли возле источника As, дБ	Gs = 0 hs = 1м	ф-лы таб.3 [10]	-1,5	-1,5	-1,5	-1,5	-1,5	-1,5	-1,5	-1,5	-1,5		
Снижение поверхностью земли возле приёмника Ar, дБ	Gr = 1 hr = 1.5м	ф-лы таб.3 [10]	-1,5	-1,5	3,1	7	5	0,7	0	0	0		
Снижение поверхностью земли в средней зоне, Am дБ	Gm = 1	ф-лы таб.3 [10]	-2,6	-2,6	0	0	0	0	0	0	0		
Суммарное снижение поверхностью земли на траектории распространения звука Agr, дБ		ф-ла (9) [10]	-5,6	-5,6	1,6	5,5	3,5	-0,8	-1,5	-1,5	-1,5		
Уровни звукового давления прямого звука от источника ИШ-6-2 в расчётной точке днём, дБ		**ф-ла(3)[10]**	**0**	**36,6**	**30,7**	**27,7**	**29,2**	**32**	**27,2**	**15,8**	**0**	**34,5**	**34,5**
Расчёт отражённого звука													
Уровни звукового давления от мнимого источника ИШ-6-2_мн.(1) в расчётной точке днём, дБ		**ф-ла(3)[10]**	**0**	**0**	**0**	**0**	**0**	**27,4**	**24,7**	**13,2**	**0**	**29,8**	**29,8**
Уровни звукового давления от источника ИШ-6-2 в расчётной точке днём, дБ		**ф-ла(3)[10]**	**0**	**36,6**	**30,7**	**27,7**	**29,2**	**33,3**	**29,2**	**17,7**	**0**	**35,8**	**35,8**
Источник шума: ИШ-6-3, координаты источника (x,y,z), м =[834.03,116.36,1.00]													
Уровни звуковой мощности источника днём, Lw, дБ		**исходные данные**	**0**	**96,3**	**97,7**	**99**	**99,3**	**98,9**	**95,6**	**91,4**	**86,9**		
Поправка на телесный угол DΩ, дБ	Ω = 12.57	10Lg(4π/Ω)	**0**	0	0	0	0	0	0	0	0		
Показатель направленности источника Di, дБ		исходные данные	**0**	0	0	0	0	0	0	0	0		
Поправка на направленность источника Dc, дБ	Dc	DΩ + Di	**0**	0	0	0	0	0	0	0	0		
Затухание из-за геометрической дивергенции, Adiv, дБ	расстояние = 511.51 м	ф-ла (7) [10]	**65,2**										

1		2	3	4	5	6	7	8	9	10	11	12	13
Коэффициент затухания звука в атмосфере α, дБ/км	Ta=20,°C Pa=101.33,кПа hотн.=70%	ф-ла (5) [9]	0,02	0,09	0,33	1,12	2,79	4,98	9,04	23,09	77,63		
Учет затухания звука в атмосфере Aatm, дБ		ф-ла (8) [10]	0	0	0,2	0,6	1,4	2,5	4,6	11,8	39,7		
Снижение поверхностью земли возле источника As, дБ	Gs = 0 hs = 1м	ф-лы таб.3 [10]	-1,5	-1,5	-1,5	-1,5	-1,5	-1,5	-1,5	-1,5	-1,5		
Снижение поверхностью земли возле приёмника Ar, дБ	Gr = 1 hr = 1.5м	ф-лы таб.3 [10]	-1,5	-1,5	3,1	7	5	0,7	0	0	0		
Снижение поверхностью земли в средней зоне, Am дБ	Gm = 1	ф-лы таб.3 [10]	-2,6	-2,6	0	0	0	0	0	0	0		
Суммарное снижение поверхностью земли на траектории распространения звука Agr, дБ		ф-ла (9) [10]	-5,6	-5,6	1,6	5,5	3,5	-0,8	-1,5	-1,5	-1,5		
Уровни звукового давления прямого звука от источника ИШ-6-3 в расчётной точке днём, дБ		**ф-ла(3)[10]**	**0**	**36,6**	**30,7**	**27,7**	**29,2**	**32**	**27,3**	**15,9**	**0**	**34,6**	**34,6**
Расчёт отражённого звука													
Уровни звукового давления от мнимого источника ИШ-6-3_мн.(1) в расчётной точке днём, дБ		**ф-ла(3)[10]**	**0**	**0**	**0**	**0**	**17,9**	**27,4**	**24,8**	**13,3**	**0**	**30**	**30**
Уровни звукового давления от источника ИШ-6-3 в расчётной точке днём, дБ		**ф-ла(3)[10]**	**0**	**36,6**	**30,7**	**27,7**	**29,5**	**33,3**	**29,2**	**17,8**	**0**	**35,9**	**35,9**
Источник шума: ИШ-6-4, координаты источника (x,y,z), м =[833.23,113.30,1.00]													
Уровни звуковой мощности источника днём, Lw, дБ		**исходные данные**	**0**	**96,3**	**97,7**	**99**	**99,3**	**98,9**	**95,6**	**91,4**	**86,9**		
Поправка на телесный угол DΩ, дБ	Ω = 12.57	10Lg(4π/Ω)	**0**	0	0	0	0	0	0	0	0		
Показатель направленности источника Di, дБ		исходные данные	**0**	0	0	0	0	0	0	0	0		
Поправка на направленность источника Dc, дБ	Dc	DΩ + Di	**0**	0	0	0	0	0	0	0	0		
Затухание из-за геометрической дивергенции, Adiv, дБ	расстояние = 509.68 м	ф-ла (7) [10]	**65,1**										

1		2	3	4	5	6	7	8	9	10	11	12	13
Коэффициент затухания звука в атмосфере α, дБ/км	Ta=20,°C Pa=101.33,кПа hотн.=70%	ф-ла (5) [9]	0,02	0,09	0,33	1,12	2,79	4,98	9,04	23,09	77,63		
Учет затухания звука в атмосфере Aatm, дБ		ф-ла (8) [10]	0	0	0,2	0,6	1,4	2,5	4,6	11,8	39,6		
Снижение поверхностью земли возле источника As, дБ	Gs = 0 hs = 1м	ф-лы таб.3 [10]	-1,5	-1,5	-1,5	-1,5	-1,5	-1,5	-1,5	-1,5	-1,5		
Снижение поверхностью земли возле приёмника Ar, дБ	Gr = 1 hr = 1.5м	ф-лы таб.3 [10]	-1,5	-1,5	3,1	7	5	0,7	0	0	0		
Снижение поверхностью земли в средней зоне, Am дБ	Gm = 1	ф-лы таб.3 [10]	-2,6	-2,6	0	0	0	0	0	0	0		
Суммарное снижение поверхностью земли на траектории распространения звука Agr, дБ		ф-ла (9) [10]	-5,6	-5,6	1,6	5,5	3,5	-0,8	-1,5	-1,5	-1,5		
Уровни звукового давления прямого звука от источника ИШ-6-4 в расчётной точке днём, дБ		**ф-ла(3)[10]**	**0**	**36,7**	**30,8**	**27,7**	**29,3**	**32**	**27,3**	**16**	**0**	**34,6**	**34,6**
Расчёт отражённого звука													
Уровни звукового давления от мнимого источника ИШ-6-4_мн.(1) в расчётной точке днём, дБ		**ф-ла(3)[10]**	**0**	**0**	**0**	**0**	**17,9**	**27,5**	**24,8**	**13,4**	**0**	**30,1**	**30,1**
Уровни звукового давления от источника ИШ-6-4 в расчётной точке днём, дБ		**ф-ла(3)[10]**	**0**	**36,7**	**30,8**	**27,7**	**29,6**	**33,4**	**29,3**	**17,9**	**0**	**35,9**	**35,9**
Источник шума: ИШ-6-5, координаты источника (x,y,z), м =[832.03,110.36,1.00]													
Уровни звуковой мощности источника днём, Lw, дБ		**исходные данные**	**0**	**96,3**	**97,7**	**99**	**99,3**	**98,9**	**95,6**	**91,4**	**86,9**		
Поправка на телесный угол DΩ, дБ	Ω = 12.57	10Lg(4π/Ω)	**0**	0	0	0	0	0	0	0	0		
Показатель направленности источника Di, дБ		исходные данные	**0**	0	0	0	0	0	0	0	0		
Поправка на направленность источника Dc, дБ	Dc	DΩ + Di	**0**	0	0	0	0	0	0	0	0		
Затухание из-за геометрической дивергенции, Adiv, дБ	расстояние = 507.54 м	ф-ла (7) [10]	**65,1**										

1		2	3	4	5	6	7	8	9	10	11	12	13
Коэффициент затухания звука в атмосфере α, дБ/км	Ta=20,°C Pa=101.33,кПа hотн.=70%	ф-ла (5) [9]	0,02	0,09	0,33	1,12	2,79	4,98	9,04	23,09	77,63		
Учет затухания звука в атмосфере Aatm, дБ		ф-ла (8) [10]	0	0	0,2	0,6	1,4	2,5	4,6	11,7	39,4		
Снижение поверхностью земли возле источника As, дБ	Gs = 0 hs = 1м	ф-лы таб.3 [10]	-1,5	-1,5	-1,5	-1,5	-1,5	-1,5	-1,5	-1,5	-1,5		
Снижение поверхностью земли возле приёмника Ar, дБ	Gr = 1 hr = 1.5м	ф-лы таб.3 [10]	-1,5	-1,5	3,1	7	5	0,7	0	0	0		
Снижение поверхностью земли в средней зоне, Am дБ	Gm = 1	ф-лы таб.3 [10]	-2,6	-2,6	0	0	0	0	0	0	0		
Суммарное снижение поверхностью земли на траектории распространения звука Agr, дБ		ф-ла (9) [10]	-5,6	-5,6	1,6	5,5	3,5	-0,8	-1,5	-1,5	-1,5		
Уровни звукового давления прямого звука от источника ИШ-6-5 в расчётной точке днём, дБ		**ф-ла(3)[10]**	**0**	**36,7**	**30,8**	**27,8**	**29,3**	**32,1**	**27,4**	**16,1**	**0**	**34,7**	**34,7**
Расчёт отражённого звука													
Уровни звукового давления от мнимого источника ИШ-6-5_мн.(1) в расчётной точке днём, дБ		**ф-ла(3)[10]**	**0**	**0**	**0**	**0**	**17,9**	**27,5**	**24,9**	**13,5**	**0**	**30,1**	**30,1**
Уровни звукового давления от источника ИШ-6-5 в расчётной точке днём, дБ		**ф-ла(3)[10]**	**0**	**36,7**	**30,8**	**27,8**	**29,6**	**33,4**	**29,3**	**18**	**0**	**36**	**36**
Источник шума: ИШ-6-6, координаты источника (x,y,z), м =[830.97,107.42,1.00]													
Уровни звуковой мощности источника днём, Lw, дБ		**исходные данные**	**0**	**96,3**	**97,7**	**99**	**99,3**	**98,9**	**95,6**	**91,4**	**86,9**		
Поправка на телесный угол DΩ, дБ	Ω = 12.57	10Lg(4π/Ω)	**0**	0	0	0	0	0	0	0	0		
Показатель направленности источника Di, дБ		исходные данные	**0**	0	0	0	0	0	0	0	0		
Поправка на направленность источника Dc, дБ	Dc	DΩ + Di	**0**	0	0	0	0	0	0	0	0		
Затухание из-за геометрической дивергенции, Adiv, дБ	расстояние = 505.54 м	ф-ла (7) [10]	**65,1**										

1		2	3	4	5	6	7	8	9	10	11	12	13
Коэффициент затухания звука в атмосфере α, дБ/км	Ta=20,°C Pa=101.33,кПа hотн.=70%	ф-ла (5) [9]	0,02	0,09	0,33	1,12	2,79	4,98	9,04	23,09	77,63		
Учет затухания звука в атмосфере Aatm, дБ		ф-ла (8) [10]	0	0	0,2	0,6	1,4	2,5	4,6	11,7	39,2		
Снижение поверхностью земли возле источника As, дБ	Gs = 0 hs = 1м	ф-лы таб.3 [10]	-1,5	-1,5	-1,5	-1,5	-1,5	-1,5	-1,5	-1,5	-1,5		
Снижение поверхностью земли возле приёмника Ar, дБ	Gr = 1 hr = 1.5м	ф-лы таб.3 [10]	-1,5	-1,5	3,1	7	5	0,7	0	0	0		
Снижение поверхностью земли в средней зоне, Am дБ	Gm = 1	ф-лы таб.3 [10]	-2,6	-2,6	0	0	0	0	0	0	0		
Суммарное снижение поверхностью земли на траектории распространения звука Agr, дБ		ф-ла (9) [10]	-5,6	-5,6	1,6	5,5	3,5	-0,8	-1,5	-1,5	-1,5		
Уровни звукового давления прямого звука от источника ИШ-6-6 в расчётной точке днём, дБ		**ф-ла(3)[10]**	**0**	**36,7**	**30,9**	**27,8**	**29,3**	**32,1**	**27,4**	**16,1**	**0**	**34,7**	**34,7**
Расчёт отражённого звука													
Уровни звукового давления от мнимого источника ИШ-6-6_мн.(1) в расчётной точке днём, дБ		**ф-ла(3)[10]**	**0**	**0**	**0**	**0**	**18**	**27,6**	**24,9**	**13,6**	**0**	**30,2**	**30,2**
Уровни звукового давления от источника ИШ-6-6 в расчётной точке днём, дБ		**ф-ла(3)[10]**	**0**	**36,7**	**30,9**	**27,8**	**29,6**	**33,4**	**29,4**	**18,1**	**0**	**36**	**36**
Источник шума: ИШ-6-7, координаты источника (x,y,z), м =[830.30,104.49,1.00]													
Уровни звуковой мощности источника днём, Lw, дБ		**исходные данные**	**0**	**96,3**	**97,7**	**99**	**99,3**	**98,9**	**95,6**	**91,4**	**86,9**		
Поправка на телесный угол DΩ, дБ	Ω = 12.57	10Lg(4π/Ω)	**0**	0	0	0	0	0	0	0	0		
Показатель направленности источника Di, дБ		исходные данные	**0**	0	0	0	0	0	0	0	0		
Поправка на направленность источника Dc, дБ	Dc	DΩ + Di	**0**	0	0	0	0	0	0	0	0		
Затухание из-за геометрической дивергенции, Adiv, дБ	расстояние = 503.93 м	ф-ла (7) [10]	**65**										

1		2	3	4	5	6	7	8	9	10	11	12	13
Коэффициент затухания звука в атмосфере α, дБ/км	Ta=20,°C Pa=101.33,кПа hотн.=70%	ф-ла (5) [9]	0,02	0,09	0,33	1,12	2,79	4,98	9,04	23,09	77,63		
Учет затухания звука в атмосфере Aatm, дБ		ф-ла (8) [10]	0	0	0,2	0,6	1,4	2,5	4,6	11,6	39,1		
Снижение поверхностью земли возле источника As, дБ	Gs = 0 hs = 1м	ф-лы таб.3 [10]	-1,5	-1,5	-1,5	-1,5	-1,5	-1,5	-1,5	-1,5	-1,5		
Снижение поверхностью земли возле приёмника Ar, дБ	Gr = 1 hr = 1.5м	ф-лы таб.3 [10]	-1,5	-1,5	3,1	7	5	0,7	0	0	0		
Снижение поверхностью земли в средней зоне, Am дБ	Gm = 1	ф-лы таб.3 [10]	-2,6	-2,6	0	0	0	0	0	0	0		
Суммарное снижение поверхностью земли на траектории распространения звука Agr, дБ		ф-ла (9) [10]	-5,6	-5,6	1,6	5,5	3,5	-0,8	-1,5	-1,5	-1,5		
Уровни звукового давления прямого звука от источника ИШ-6-7 в расчётной точке днём, дБ		**ф-ла(3)[10]**	**0**	**36,8**	**30,9**	**27,9**	**29,4**	**32,2**	**27,5**	**16,2**	**0**	**34,7**	**34,7**
Расчёт отражённого звука													
Уровни звукового давления от мнимого источника ИШ-6-7_мн.(1) в расчётной точке днём, дБ		**ф-ла(3)[10]**	**0**	**0**	**0**	**0**	**18**	**27,6**	**24,9**	**13,6**	**0**	**30,2**	**30,2**
Уровни звукового давления от источника ИШ-6-7 в расчётной точке днём, дБ		**ф-ла(3)[10]**	**0**	**36,8**	**30,9**	**27,9**	**29,7**	**33,5**	**29,4**	**18,1**	**0**	**36,1**	**36,1**
Источник шума: ИШ-6-8, координаты источника (x,y,z), м =[829.36,101.42,1.00]													
Уровни звуковой мощности источника днём, Lw, дБ		**исходные данные**	**0**	**96,3**	**97,7**	**99**	**99,3**	**98,9**	**95,6**	**91,4**	**86,9**		
Поправка на телесный угол DΩ, дБ	Ω = 12.57	10Lg(4π/Ω)	**0**	0	0	0	0	0	0	0	0		
Показатель направленности источника Di, дБ		исходные данные	**0**	0	0	0	0	0	0	0	0		
Поправка на направленность источника Dc, дБ	Dc	DΩ + Di	**0**	0	0	0	0	0	0	0	0		
Затухание из-за геометрической дивергенции, Adiv, дБ	расстояние = 502.03 м	ф-ла (7) [10]	**65**										

1		2	3	4	5	6	7	8	9	10	11	12	13
Коэффициент затухания звука в атмосфере α, дБ/км	Ta=20,°C Pa=101.33,кПа hотн.=70%	ф-ла (5) [9]	0,02	0,09	0,33	1,12	2,79	4,98	9,04	23,09	77,63		
Учет затухания звука в атмосфере Aatm, дБ		ф-ла (8) [10]	0	0	0,2	0,6	1,4	2,5	4,5	11,6	39		
Снижение поверхностью земли возле источника As, дБ	Gs = 0 hs = 1м	ф-лы таб.3 [10]	-1,5	-1,5	-1,5	-1,5	-1,5	-1,5	-1,5	-1,5	-1,5		
Снижение поверхностью земли возле приёмника Ar, дБ	Gr = 1 hr = 1.5м	ф-лы таб.3 [10]	-1,5	-1,5	3	7	5	0,7	0	0	0		
Снижение поверхностью земли в средней зоне, Am дБ	Gm = 1	ф-лы таб.3 [10]	-2,6	-2,6	0	0	0	0	0	0	0		
Суммарное снижение поверхностью земли на траектории распространения звука Agr, дБ		ф-ла (9) [10]	-5,6	-5,6	1,5	5,5	3,5	-0,8	-1,5	-1,5	-1,5		
Уровни звукового давления прямого звука от источника ИШ-6-8 в расчётной точке днём, дБ		**ф-ла(3)[10]**	**0**	**36,8**	**31**	**27,9**	**29,4**	**32,2**	**27,5**	**16,3**	**0**	**34,8**	**34,8**
Расчёт отражённого звука													
Уровни звукового давления от мнимого источника ИШ-6-8_мн.(1) в расчётной точке днём, дБ		**ф-ла(3)[10]**	**0**	**0**	**0**	**0**	**18**	**27,7**	**25**	**13,7**	**0**	**30,3**	**30,3**
Уровни звукового давления от источника ИШ-6-8 в расчётной точке днём, дБ		**ф-ла(3)[10]**	**0**	**36,8**	**31**	**27,9**	**29,7**	**33,5**	**29,5**	**18,2**	**0**	**36,1**	**36,1**
Источник шума: ИШ-6-9, координаты источника (x,y,z), м =[828.03,98.62,1.00]													
Уровни звуковой мощности источника днём, Lw, дБ		**исходные данные**	**0**	**96,3**	**97,7**	**99**	**99,3**	**98,9**	**95,6**	**91,4**	**86,9**		
Поправка на телесный угол DΩ, дБ	Ω = 12.57	10Lg(4π/Ω)	**0**	0	0	0	0	0	0	0	0		
Показатель направленности источника Di, дБ		исходные данные	**0**	0	0	0	0	0	0	0	0		
Поправка на направленность источника Dc, дБ	Dc	DΩ + Di	**0**	0	0	0	0	0	0	0	0		
Затухание из-за геометрической дивергенции, Adiv, дБ	расстояние = 499.85 м	ф-ла (7) [10]	**65**										

1		2	3	4	5	6	7	8	9	10	11	12	13
Коэффициент затухания звука в атмосфере α, дБ/км	Ta=20,°C Pa=101.33,кПа hотн.=70%	ф-ла (5) [9]	0,02	0,09	0,33	1,12	2,79	4,98	9,04	23,09	77,63		
Учет затухания звука в атмосфере Aatm, дБ		ф-ла (8) [10]	0	0	0,2	0,6	1,4	2,5	4,5	11,5	38,8		
Снижение поверхностью земли возле источника As, дБ	Gs = 0 hs = 1м	ф-лы таб.3 [10]	-1,5	-1,5	-1,5	-1,5	-1,5	-1,5	-1,5	-1,5	-1,5		
Снижение поверхностью земли возле приёмника Ar, дБ	Gr = 1 hr = 1.5м	ф-лы таб.3 [10]	-1,5	-1,5	3	7	5	0,7	0	0	0		
Снижение поверхностью земли в средней зоне, Am дБ	Gm = 1	ф-лы таб.3 [10]	-2,5	-2,5	0	0	0	0	0	0	0		
Суммарное снижение поверхностью земли на траектории распространения звука Agr, дБ		ф-ла (9) [10]	-5,5	-5,5	1,5	5,5	3,5	-0,8	-1,5	-1,5	-1,5		
Уровни звукового давления прямого звука от источника ИШ-6-9 в расчётной точке днём, дБ		**ф-ла(3)[10]**	**0**	**36,8**	**31**	**27,9**	**29,4**	**32,3**	**27,6**	**16,4**	**0**	**34,8**	**34,8**
Расчёт отражённого звука													
Уровни звукового давления от мнимого источника ИШ-6-9_мн.(1) в расчётной точке днём, дБ		**ф-ла(3)[10]**	**0**	**0**	**0**	**0**	**18,1**	**27,7**	**25,1**	**13,8**	**0**	**30,3**	**30,3**
Уровни звукового давления от источника ИШ-6-9 в расчётной точке днём, дБ		**ф-ла(3)[10]**	**0**	**36,8**	**31**	**27,9**	**29,8**	**33,6**	**29,5**	**18,3**	**0**	**36,1**	**36,1**
Источник шума: ИШ-6-10, координаты источника (x,y,z), м =[827.23,95.55,1.00]													
Уровни звуковой мощности источника днём, Lw, дБ		**исходные данные**	**0**	**96,3**	**97,7**	**99**	**99,3**	**98,9**	**95,6**	**91,4**	**86,9**		
Поправка на телесный угол DΩ, дБ	Ω = 12.57	10Lg(4π/Ω)	**0**	0	0	0	0	0	0	0	0		
Показатель направленности источника Di, дБ		исходные данные	**0**	0	0	0	0	0	0	0	0		
Поправка на направленность источника Dc, дБ	Dc	DΩ + Di	**0**	0	0	0	0	0	0	0	0		
Затухание из-за геометрической дивергенции, Adiv, дБ	расстояние = 498.10 м	ф-ла (7) [10]	**64,9**										

1		2	3	4	5	6	7	8	9	10	11	12	13
Коэффициент затухания звука в атмосфере α, дБ/км	Ta=20,°C Pa=101.33,кПа hотн.=70%	ф-ла (5) [9]	0,02	0,09	0,33	1,12	2,79	4,98	9,04	23,09	77,63		
Учет затухания звука в атмосфере Aatm, дБ		ф-ла (8) [10]	0	0	0,2	0,6	1,4	2,5	4,5	11,5	38,7		
Снижение поверхностью земли возле источника As, дБ	Gs = 0 hs = 1м	ф-лы таб.3 [10]	-1,5	-1,5	-1,5	-1,5	-1,5	-1,5	-1,5	-1,5	-1,5		
Снижение поверхностью земли возле приёмника Ar, дБ	Gr = 1 hr = 1.5м	ф-лы таб.3 [10]	-1,5	-1,5	3	7	5	0,7	0	0	0		
Снижение поверхностью земли в средней зоне, Am дБ	Gm = 1	ф-лы таб.3 [10]	-2,5	-2,5	0	0	0	0	0	0	0		
Суммарное снижение поверхностью земли на траектории распространения звука Agr, дБ		ф-ла (9) [10]	-5,5	-5,5	1,5	5,5	3,5	-0,8	-1,5	-1,5	-1,5		
Уровни звукового давления прямого звука от источника ИШ-6-10 в расчётной точке днём, дБ		**ф-ла(3)[10]**	**0**	**36,8**	**31,1**	**28**	**29,5**	**32,3**	**27,6**	**16,4**	**0**	**34,9**	**34,9**
Расчёт отражённого звука													
Уровни звукового давления от мнимого источника ИШ-6-10_мн.(1) в расчётной точке днём, дБ		**ф-ла(3)[10]**	**0**	**0**	**0**	**17,6**	**18,1**	**27,7**	**25,1**	**13,9**	**0**	**30,4**	**30,4**
Уровни звукового давления от источника ИШ-6-10 в расчётной точке днём, дБ		**ф-ла(3)[10]**	**0**	**36,8**	**31,1**	**28,3**	**29,8**	**33,6**	**29,6**	**18,4**	**0**	**36,2**	**36,2**
Источник шума: ИШ-6-11, координаты источника (x,y,z), м =[826.30,92.48,1.00]													
Уровни звуковой мощности источника днём, Lw, дБ		**исходные данные**	**0**	**96,3**	**97,7**	**99**	**99,3**	**98,9**	**95,6**	**91,4**	**86,9**		
Поправка на телесный угол DΩ, дБ	Ω = 12.57	10Lg(4π/Ω)	**0**	0	0	0	0	0	0	0	0		
Показатель направленности источника Di, дБ		исходные данные	**0**	0	0	0	0	0	0	0	0		
Поправка на направленность источника Dc, дБ	Dc	DΩ + Di	**0**	0	0	0	0	0	0	0	0		
Затухание из-за геометрической дивергенции, Adiv, дБ	расстояние = 496.24 м	ф-ла (7) [10]	**64,9**										

1		2	3	4	5	6	7	8	9	10	11	12	13
Коэффициент затухания звука в атмосфере α, дБ/км	Ta=20,°C Pa=101.33,кПа hотн.=70%	ф-ла (5) [9]	0,02	0,09	0,33	1,12	2,79	4,98	9,04	23,09	77,63		
Учет затухания звука в атмосфере Aatm, дБ		ф-ла (8) [10]	0	0	0,2	0,6	1,4	2,5	4,5	11,5	38,5		
Снижение поверхностью земли возле источника As, дБ	Gs = 0 hs = 1м	ф-лы таб.3 [10]	-1,5	-1,5	-1,5	-1,5	-1,5	-1,5	-1,5	-1,5	-1,5		
Снижение поверхностью земли возле приёмника Ar, дБ	Gr = 1 hr = 1.5м	ф-лы таб.3 [10]	-1,5	-1,5	3	7	5	0,7	0	0	0		
Снижение поверхностью земли в средней зоне, Am дБ	Gm = 1	ф-лы таб.3 [10]	-2,5	-2,5	0	0	0	0	0	0	0		
Суммарное снижение поверхностью земли на траектории распространения звука Agr, дБ		ф-ла (9) [10]	-5,5	-5,5	1,5	5,5	3,5	-0,8	-1,5	-1,5	-1,5		
Уровни звукового давления прямого звука от источника ИШ-6-11 в расчётной точке днём, дБ		**ф-ла(3)[10]**	**0**	**36,9**	**31,1**	**28**	**29,5**	**32,3**	**27,7**	**16,5**	**0**	**34,9**	**34,9**
Расчёт отражённого звука													
Уровни звукового давления от мнимого источника ИШ-6-11_мн.(1) в расчётной точке днём, дБ		**ф-ла(3)[10]**	**0**	**0**	**0**	**17,6**	**18,2**	**27,8**	**25,1**	**13,9**	**0**	**30,4**	**30,4**
Уровни звукового давления от источника ИШ-6-11 в расчётной точке днём, дБ		**ф-ла(3)[10]**	**0**	**36,9**	**31,1**	**28,4**	**29,8**	**33,7**	**29,6**	**18,4**	**0**	**36,2**	**36,2**
Источник шума: ИШ-6-12, координаты источника (x,y,z), м =[825.09,89.54,1.00]													
Уровни звуковой мощности источника днём, Lw, дБ		**исходные данные**	**0**	**96,3**	**97,7**	**99**	**99,3**	**98,9**	**95,6**	**91,4**	**86,9**		
Поправка на телесный угол DΩ, дБ	Ω = 12.57	10Lg(4π/Ω)	**0**	0	0	0	0	0	0	0	0		
Показатель направленности источника Di, дБ		исходные данные	**0**	0	0	0	0	0	0	0	0		
Поправка на направленность источника Dc, дБ	Dc	DΩ + Di	**0**	0	0	0	0	0	0	0	0		
Затухание из-за геометрической дивергенции, Adiv, дБ	расстояние = 494.19 м	ф-ла (7) [10]	**64,9**										

1		2	3	4	5	6	7	8	9	10	11	12	13
Коэффициент затухания звука в атмосфере α, дБ/км	Ta=20,°C Pa=101.33,кПа hотн.=70%	ф-ла (5) [9]	0,02	0,09	0,33	1,12	2,79	4,98	9,04	23,09	77,63		
Учет затухания звука в атмосфере Aatm, дБ		ф-ла (8) [10]	0	0	0,2	0,6	1,4	2,5	4,5	11,4	38,4		
Снижение поверхностью земли возле источника As, дБ	Gs = 0 hs = 1м	ф-лы таб.3 [10]	-1,5	-1,5	-1,5	-1,5	-1,5	-1,5	-1,5	-1,5	-1,5		
Снижение поверхностью земли возле приёмника Ar, дБ	Gr = 1 hr = 1.5м	ф-лы таб.3 [10]	-1,5	-1,5	3	7	5	0,7	0	0	0		
Снижение поверхностью земли в средней зоне, Am дБ	Gm = 1	ф-лы таб.3 [10]	-2,5	-2,5	0	0	0	0	0	0	0		
Суммарное снижение поверхностью земли на траектории распространения звука Agr, дБ		ф-ла (9) [10]	-5,5	-5,5	1,5	5,5	3,5	-0,8	-1,5	-1,5	-1,5		
Уровни звукового давления прямого звука от источника ИШ-6-12 в расчётной точке днём, дБ		**ф-ла(3)[10]**	**0**	**36,9**	**31,2**	**28**	**29,6**	**32,4**	**27,7**	**16,6**	**0**	**35**	**35**
Расчёт отражённого звука													
Уровни звукового давления от мнимого источника ИШ-6-12_мн.(1) в расчётной точке днём, дБ		**ф-ла(3)[10]**	**0**	**0**	**0**	**17,7**	**18,2**	**27,8**	**25,2**	**14**	**0**	**30,5**	**30,5**
Уровни звукового давления от источника ИШ-6-12 в расчётной точке днём, дБ		**ф-ла(3)[10]**	**0**	**36,9**	**31,2**	**28,4**	**29,9**	**33,7**	**29,7**	**18,5**	**0**	**36,3**	**36,3**
Источник шума: ИШ-6-13, координаты источника (x,y,z), м =[767.76,-114.15,1.00]													
Уровни звуковой мощности источника днём, Lw, дБ		**исходные данные**	**0**	**96,3**	**97,7**	**99**	**99,3**	**98,9**	**95,6**	**91,4**	**86,9**		
Поправка на телесный угол DΩ, дБ	Ω = 12.57	10Lg(4π/Ω)	**0**	0	0	0	0	0	0	0	0		
Показатель направленности источника Di, дБ		исходные данные	**0**	0	0	0	0	0	0	0	0		
Поправка на направленность источника Dc, дБ	Dc	DΩ + Di	**0**	0	0	0	0	0	0	0	0		
Затухание из-за геометрической дивергенции, Adiv, дБ	расстояние = 415.56 м	ф-ла (7) [10]	**63,4**										

1		2	3	4	5	6	7	8	9	10	11	12	13
Коэффициент затухания звука в атмосфере α, дБ/км	Ta=20,°C Pa=101.33,кПа hотн.=70%	ф-ла (5) [9]	0,02	0,09	0,33	1,12	2,79	4,98	9,04	23,09	77,63		
Учет затухания звука в атмосфере Aatm, дБ		ф-ла (8) [10]	0	0	0,1	0,5	1,2	2,1	3,8	9,6	32,3		
Снижение поверхностью земли возле источника As, дБ	Gs = 0 hs = 1м	ф-лы таб.3 [10]	-1,5	-1,5	-1,5	-1,5	-1,5	-1,5	-1,5	-1,5	-1,5		
Снижение поверхностью земли возле приёмника Ar, дБ	Gr = 1 hr = 1.5м	ф-лы таб.3 [10]	-1,5	-1,5	2,5	7	5	0,7	0	0	0		
Снижение поверхностью земли в средней зоне, Am дБ	Gm = 1	ф-лы таб.3 [10]	-2,5	-2,5	0	0	0	0	0	0	0		
Суммарное снижение поверхностью земли на траектории распространения звука Agr, дБ		ф-ла (9) [10]	-5,5	-5,5	1	5,5	3,5	-0,8	-1,5	-1,5	-1,5		
Уровни звукового давления прямого звука от источника ИШ-6-13 в расчётной точке днём, дБ		**ф-ла(3)[10]**	**0**	**38,3**	**33,2**	**29,6**	**31,3**	**34,3**	**30**	**19,9**	**0**	**37**	**37**
Расчёт отражённого звука													
Уровни звукового давления от мнимого источника ИШ-6-13_мн.(1) в расчётной точке днём, дБ		**ф-ла(3)[10]**	**0**	**37,3**	**28,2**	**19,2**	**19,9**	**29,7**	**27,4**	**17,3**	**0**	**32,6**	**32,6**
Уровни звукового давления от источника ИШ-6-13 в расчётной точке днём, дБ		**ф-ла(3)[10]**	**0**	**40,9**	**34,4**	**30**	**31,6**	**35,6**	**31,9**	**21,8**	**0**	**38,3**	**38,3**
Источник шума: ИШ-6-14, координаты источника (x,y,z), м =[766.82,-117.10,1.00]													
Уровни звуковой мощности источника днём, Lw, дБ		**исходные данные**	**0**	**96,3**	**97,7**	**99**	**99,3**	**98,9**	**95,6**	**91,4**	**86,9**		
Поправка на телесный угол DΩ, дБ	Ω = 12.57	10Lg(4π/Ω)	**0**	0	0	0	0	0	0	0	0		
Показатель направленности источника Di, дБ		исходные данные	**0**	0	0	0	0	0	0	0	0		
Поправка на направленность источника Dc, дБ	Dc	DΩ + Di	**0**	0	0	0	0	0	0	0	0		
Затухание из-за геометрической дивергенции, Adiv, дБ	расстояние = 414.99 м	ф-ла (7) [10]	**63,4**										

1		2	3	4	5	6	7	8	9	10	11	12	13
Коэффициент затухания звука в атмосфере α, дБ/км	Ta=20,°C Pa=101.33,кПа hотн.=70%	ф-ла (5) [9]	0,02	0,09	0,33	1,12	2,79	4,98	9,04	23,09	77,63		
Учет затухания звука в атмосфере Aatm, дБ		ф-ла (8) [10]	0	0	0,1	0,5	1,2	2,1	3,8	9,6	32,2		
Снижение поверхностью земли возле источника As, дБ	Gs = 0 hs = 1м	ф-лы таб.3 [10]	-1,5	-1,5	-1,5	-1,5	-1,5	-1,5	-1,5	-1,5	-1,5		
Снижение поверхностью земли возле приёмника Ar, дБ	Gr = 1 hr = 1.5м	ф-лы таб.3 [10]	-1,5	-1,5	2,5	7	5	0,7	0	0	0		
Снижение поверхностью земли в средней зоне, Am дБ	Gm = 1	ф-лы таб.3 [10]	-2,5	-2,5	0	0	0	0	0	0	0		
Суммарное снижение поверхностью земли на траектории распространения звука Agr, дБ		ф-ла (9) [10]	-5,5	-5,5	1	5,5	3,5	-0,8	-1,5	-1,5	-1,5		
Уровни звукового давления прямого звука от источника ИШ-6-14 в расчётной точке днём, дБ		**ф-ла(3)[10]**	**0**	**38,4**	**33,2**	**29,6**	**31,3**	**34,3**	**30**	**20**	**0**	**37**	**37**
Расчёт отражённого звука													
Уровни звукового давления от мнимого источника ИШ-6-14_мн.(1) в расчётной точке днём, дБ		**ф-ла(3)[10]**	**0**	**37,3**	**28,2**	**19,2**	**19,9**	**29,7**	**27,4**	**17,3**	**0**	**32,6**	**32,6**
Уровни звукового давления от источника ИШ-6-14 в расчётной точке днём, дБ		**ф-ла(3)[10]**	**0**	**40,9**	**34,4**	**30**	**31,6**	**35,6**	**31,9**	**21,8**	**0**	**38,3**	**38,3**
Источник шума: ИШ-6-15, координаты источника (x,y,z), м =[765.71,-120.27,1.00]													
Уровни звуковой мощности источника днём, Lw, дБ		**исходные данные**	**0**	**96,3**	**97,7**	**99**	**99,3**	**98,9**	**95,6**	**91,4**	**86,9**		
Поправка на телесный угол DΩ, дБ	Ω = 12.57	10Lg(4π/Ω)	**0**	0	0	0	0	0	0	0	0		
Показатель направленности источника Di, дБ		исходные данные	**0**	0	0	0	0	0	0	0	0		
Поправка на направленность источника Dc, дБ	Dc	DΩ + Di	**0**	0	0	0	0	0	0	0	0		
Затухание из-за геометрической дивергенции, Adiv, дБ	расстояние = 414.32 м	ф-ла (7) [10]	**63,3**										

1		2	3	4	5	6	7	8	9	10	11	12	13
Коэффициент затухания звука в атмосфере α, дБ/км	Ta=20,°C Pa=101.33,кПа hотн.=70%	ф-ла (5) [9]	0,02	0,09	0,33	1,12	2,79	4,98	9,04	23,09	77,63		
Учет затухания звука в атмосфере Aatm, дБ		ф-ла (8) [10]	0	0	0,1	0,5	1,2	2,1	3,7	9,6	32,2		
Снижение поверхностью земли возле источника As, дБ	Gs = 0 hs = 1м	ф-лы таб.3 [10]	-1,5	-1,5	-1,5	-1,5	-1,5	-1,5	-1,5	-1,5	-1,5		
Снижение поверхностью земли возле приёмника Ar, дБ	Gr = 1 hr = 1.5м	ф-лы таб.3 [10]	-1,5	-1,5	2,5	7	5	0,7	0	0	0		
Снижение поверхностью земли в средней зоне, Am дБ	Gm = 1	ф-лы таб.3 [10]	-2,5	-2,5	0	0	0	0	0	0	0		
Суммарное снижение поверхностью земли на траектории распространения звука Agr, дБ		ф-ла (9) [10]	-5,5	-5,5	1	5,5	3,5	-0,8	-1,5	-1,5	-1,5		
Уровни звукового давления прямого звука от источника ИШ-6-15 в расчётной точке днём, дБ		**ф-ла(3)[10]**	**0**	**38,4**	**33,2**	**29,7**	**31,3**	**34,3**	**30**	**20**	**0**	**37**	**37**
Расчёт отражённого звука													
Уровни звукового давления от мнимого источника ИШ-6-15_мн.(1) в расчётной точке днём, дБ		**ф-ла(3)[10]**	**0**	**37,3**	**28,2**	**19,3**	**19,9**	**29,7**	**27,4**	**17,4**	**0**	**32,6**	**32,6**
Уровни звукового давления от мнимого источника ИШ-6-15_мн.(2) в расчётной точке днём, дБ		**ф-ла(3)[10]**	**0**	**0**	**0**	**0**	**0**	**0**	**0**	**0**	**0**	**0**	**0**
Суммарные уровни звукового давления от мнимых источников в расчётной точке днём, дБ		**ф-ла (19) [1]**	**0**	**37,3**	**28,2**	**19,3**	**19,9**	**29,7**	**27,4**	**17,4**	**0**	**0**	**32,6**
Уровни звукового давления от источника ИШ-6-15 в расчётной точке днём, дБ		**ф-ла(3)[10]**	**0**	**40,9**	**34,4**	**30**	**31,6**	**35,6**	**31,9**	**21,9**	**0**	**38,3**	**38,3**
Источник шума: ИШ-6-16, координаты источника (x,y,z), м =[764.57,-123.22,1.00]													
Уровни звуковой мощности источника днём, Lw, дБ		**исходные данные**	**0**	**96,3**	**97,7**	**99**	**99,3**	**98,9**	**95,6**	**91,4**	**86,9**		
Поправка на телесный угол DΩ, дБ	Ω = 12.57	10Lg(4π/Ω)	**0**	0	0	0	0	0	0	0	0		
Показатель направленности источника Di, дБ		исходные данные	**0**	0	0	0	0	0	0	0	0		

1		2	3	4	5	6	7	8	9	10	11	12	13
Поправка на направленность источника Dc, дБ	Dc	DΩ + Di	**0**	0	0	0	0	0	0	0	0		
Затухание из-за геометрической дивергенции, Adiv, дБ	расстояние = 413.60 м	ф-ла (7) [10]	**63,3**										
Коэффициент затухания звука в атмосфере α, дБ/км	Ta=20,°C Pa=101.33,кПа hотн.=70%	ф-ла (5) [9]	0,02	0,09	0,33	1,12	2,79	4,98	9,04	23,09	77,63		
Учет затухания звука в атмосфере Aatm, дБ		ф-ла (8) [10]	0	0	0,1	0,5	1,2	2,1	3,7	9,5	32,1		
Снижение поверхностью земли возле источника As, дБ	Gs = 0 hs = 1м	ф-лы таб.3 [10]	-1,5	-1,5	-1,5	-1,5	-1,5	-1,5	-1,5	-1,5	-1,5		
Снижение поверхностью земли возле приёмника Ar, дБ	Gr = 1 hr = 1.5м	ф-лы таб.3 [10]	-1,5	-1,5	2,5	7	5	0,7	0	0	0		
Снижение поверхностью земли в средней зоне, Am дБ	Gm = 1	ф-лы таб.3 [10]	-2,5	-2,5	0	0	0	0	0	0	0		
Суммарное снижение поверхностью земли на траектории распространения звука Agr, дБ		ф-ла (9) [10]	-5,5	-5,5	1	5,5	3,5	-0,8	-1,5	-1,5	-1,5		
Уровни звукового давления прямого звука от источника ИШ-6-16 в расчётной точке днём, дБ		**ф-ла(3)[10]**	**0**	**38,4**	**33,3**	**29,7**	**31,3**	**34,3**	**30**	**20**	**0**	**37**	**37**
Расчёт отражённого звука													
Уровни звукового давления от мнимого источника ИШ-6-16_мн.(1) в расчётной точке днём, дБ		**ф-ла(3)[10]**	**0**	**37,3**	**28,2**	**19,3**	**19,9**	**29,8**	**27,5**	**17,4**	**0**	**32,6**	**32,6**
Уровни звукового давления от мнимого источника ИШ-6-16_мн.(2) в расчётной точке днём, дБ		**ф-ла(3)[10]**	**0**	**0**	**0**	**0**	**0**	**0**	**0**	**0**	**0**	**0**	**0**
Суммарные уровни звукового давления от мнимых источников в расчётной точке днём, дБ		**ф-ла (19) [1]**	**0**	**37,3**	**28,2**	**19,3**	**19,9**	**29,8**	**27,5**	**17,4**	**0**	**0**	**32,6**
Уровни звукового давления от источника ИШ-6-16 в расчётной точке днём, дБ		**ф-ла(3)[10]**	**0**	**40,9**	**34,5**	**30,1**	**31,6**	**35,6**	**31,9**	**21,9**	**0**	**38,4**	**38,4**
Источник шума: ИШ-6-17, координаты источника (x,y,z), м =[763.57,-126.18,1.00]													
Уровни звуковой мощности источника днём, Lw, дБ		**исходные данные**	**0**	**96,3**	**97,7**	**99**	**99,3**	**98,9**	**95,6**	**91,4**	**86,9**		

1		2	3	4	5	6	7	8	9	10	11	12	13
Поправка на телесный угол DΩ, дБ	Ω = 12.57	10Lg(4π/Ω)	**0**	0	0	0	0	0	0	0	0		
Показатель направленности источника Di, дБ		исходные данные	**0**	0	0	0	0	0	0	0	0		
Поправка на направленность источника Dc, дБ	Dc	DΩ + Di	**0**	0	0	0	0	0	0	0	0		
Затухание из-за геометрической дивергенции, Adiv, дБ	расстояние = 413.05 м	ф-ла (7) [10]	**63,3**										
Коэффициент затухания звука в атмосфере α, дБ/км	Ta=20,°C Pa=101.33,кПа hотн.=70%	ф-ла (5) [9]	0,02	0,09	0,33	1,12	2,79	4,98	9,04	23,09	77,63		
Учет затухания звука в атмосфере Aatm, дБ		ф-ла (8) [10]	0	0	0,1	0,5	1,2	2,1	3,7	9,5	32,1		
Снижение поверхностью земли возле источника As, дБ	Gs = 0 hs = 1м	ф-лы таб.3 [10]	-1,5	-1,5	-1,5	-1,5	-1,5	-1,5	-1,5	-1,5	-1,5		
Снижение поверхностью земли возле приёмника Ar, дБ	Gr = 1 hr = 1.5м	ф-лы таб.3 [10]	-1,5	-1,5	2,5	7	5	0,7	0	0	0		
Снижение поверхностью земли в средней зоне, Am дБ	Gm = 1	ф-лы таб.3 [10]	-2,5	-2,5	0	0	0	0	0	0	0		
Суммарное снижение поверхностью земли на траектории распространения звука Agr, дБ		ф-ла (9) [10]	-5,5	-5,5	1	5,5	3,5	-0,8	-1,5	-1,5	-1,5		
Уровни звукового давления прямого звука от источника ИШ-6-17 в расчётной точке днём, дБ		**ф-ла(3)[10]**	**0**	**38,4**	**33,3**	**29,7**	**31,3**	**34,4**	**30**	**20**	**0**	**37**	**37**
Расчёт отражённого звука													
Уровни звукового давления от мнимого источника ИШ-6-17_мн.(1) в расчётной точке днём, дБ		**ф-ла(3)[10]**	**0**	**37,4**	**28,3**	**19,3**	**20**	**29,8**	**27,5**	**17,4**	**0**	**32,7**	**32,7**
Уровни звукового давления от мнимого источника ИШ-6-17_мн.(2) в расчётной точке днём, дБ		**ф-ла(3)[10]**	**0**	**0**	**0**	**0**	**0**	**0**	**0**	**0**	**0**	**0**	**0**
Суммарные уровни звукового давления от мнимых источников в расчётной точке днём, дБ		**ф-ла (19) [1]**	**0**	**37,4**	**28,3**	**19,3**	**20**	**29,8**	**27,5**	**17,4**	**0**	**0**	**32,7**
Уровни звукового давления от источника ИШ-6-17 в расчётной точке днём, дБ		**ф-ла(3)[10]**	**0**	**40,9**	**34,5**	**30,1**	**31,7**	**35,7**	**32**	**21,9**	**0**	**38,4**	**38,4**

1		2	3	4	5	6	7	8	9	10	11	12	13
Источник шума: ИШ-6-18, координаты источника (x,y,z), м =[804.77,-126.28,1.00]													
Уровни звуковой мощности источника днём, Lw, дБ		**исходные данные**	**0**	**96,3**	**97,7**	**99**	**99,3**	**98,9**	**95,6**	**91,4**	**86,9**		
Поправка на телесный угол DΩ, дБ	Ω = 12.57	10Lg(4π/Ω)	**0**	0	0	0	0	0	0	0	0		
Показатель направленности источника Di, дБ		исходные данные	**0**	0	0	0	0	0	0	0	0		
Поправка на направленность источника Dc, дБ	Dc	DΩ + Di	**0**	0	0	0	0	0	0	0	0		
Затухание из-за геометрической дивергенции, Adiv, дБ	расстояние = 453.84 м	ф-ла (7) [10]	**64,1**										
Коэффициент затухания звука в атмосфере α, дБ/км	Ta=20,°C Pa=101.33,кПа hотн.=70%	ф-ла (5) [9]	0,02	0,09	0,33	1,12	2,79	4,98	9,04	23,09	77,63		
Учет затухания звука в атмосфере Aatm, дБ		ф-ла (8) [10]	0	0	0,2	0,5	1,3	2,3	4,1	10,5	35,2		
Снижение поверхностью земли возле источника As, дБ	Gs = 0 hs = 1м	ф-лы таб.3 [10]	-1,5	-1,5	-1,5	-1,5	-1,5	-1,5	-1,5	-1,5	-1,5		
Снижение поверхностью земли возле приёмника Ar, дБ	Gr = 1 hr = 1.5м	ф-лы таб.3 [10]	-1,5	-1,5	2,7	7	5	0,7	0	0	0		
Снижение поверхностью земли в средней зоне, Am дБ	Gm = 1	ф-лы таб.3 [10]	-2,5	-2,5	0	0	0	0	0	0	0		
Суммарное снижение поверхностью земли на траектории распространения звука Agr, дБ		ф-ла (9) [10]	-5,5	-5,5	1,2	5,5	3,5	-0,8	-1,5	-1,5	-1,5		
Уровни звукового давления прямого звука от источника ИШ-6-18 в расчётной точке днём, дБ		**ф-ла(3)[10]**	**0**	**37,6**	**32,2**	**28,8**	**30,4**	**33,3**	**28,9**	**18,3**	**0**	**36**	**36**
Расчёт отражённого звука													
Уровни звукового давления от мнимого источника ИШ-6-18_мн.(1) в расчётной точке днём, дБ		**ф-ла(3)[10]**	**0**	**36,6**	**26,9**	**18,4**	**19**	**28,8**	**26,3**	**15,7**	**0**	**31,5**	**31,5**
Уровни звукового давления от источника ИШ-6-18 в расчётной точке днём, дБ		**ф-ла(3)[10]**	**0**	**40,1**	**33,3**	**29,2**	**30,7**	**34,6**	**30,8**	**20,2**	**0**	**37,3**	**37,3**

1		2	3	4	5	6	7	8	9	10	11	12	13
Источник шума: ИШ-6-19, координаты источника (x,y,z), м =[803.81,-129.30,1.00]													
Уровни звуковой мощности источника днём, Lw, дБ		**исходные данные**	**0**	**96,3**	**97,7**	**99**	**99,3**	**98,9**	**95,6**	**91,4**	**86,9**		
Поправка на телесный угол DΩ, дБ	Ω = 12.57	10Lg(4π/Ω)	**0**	0	0	0	0	0	0	0	0		
Показатель направленности источника Di, дБ		исходные данные	**0**	0	0	0	0	0	0	0	0		
Поправка на направленность источника Dc, дБ	Dc	DΩ + Di	**0**	0	0	0	0	0	0	0	0		
Затухание из-за геометрической дивергенции, Adiv, дБ	расстояние = 453.31 м	ф-ла (7) [10]	**64,1**										
Коэффициент затухания звука в атмосфере α, дБ/км	Ta=20,°C Pa=101.33,кПа hотн.=70%	ф-ла (5) [9]	0,02	0,09	0,33	1,12	2,79	4,98	9,04	23,09	77,63		
Учет затухания звука в атмосфере Aatm, дБ		ф-ла (8) [10]	0	0	0,2	0,5	1,3	2,3	4,1	10,5	35,2		
Снижение поверхностью земли возле источника As, дБ	Gs = 0 hs = 1м	ф-лы таб.3 [10]	-1,5	-1,5	-1,5	-1,5	-1,5	-1,5	-1,5	-1,5	-1,5		
Снижение поверхностью земли возле приёмника Ar, дБ	Gr = 1 hr = 1.5м	ф-лы таб.3 [10]	-1,5	-1,5	2,7	7	5	0,7	0	0	0		
Снижение поверхностью земли в средней зоне, Am дБ	Gm = 1	ф-лы таб.3 [10]	-2,5	-2,5	0	0	0	0	0	0	0		
Суммарное снижение поверхностью земли на траектории распространения звука Agr, дБ		ф-ла (9) [10]	-5,5	-5,5	1,2	5,5	3,5	-0,8	-1,5	-1,5	-1,5		
Уровни звукового давления прямого звука от источника ИШ-6-19 в расчётной точке днём, дБ		**ф-ла(3)[10]**	**0**	**37,6**	**32,2**	**28,8**	**30,4**	**33,3**	**28,9**	**18,3**	**0**	**36**	**36**
Расчёт отражённого звука													
Уровни звукового давления от мнимого источника ИШ-6-19_мн.(1) в расчётной точке днём, дБ		**ф-ла(3)[10]**	**0**	**36,6**	**26,9**	**18,4**	**19**	**28,8**	**26,3**	**15,7**	**0**	**31,6**	**31,6**
Уровни звукового давления от мнимого источника ИШ-6-19_мн.(2) в расчётной точке днём, дБ		**ф-ла(3)[10]**	**0**	**0**	**0**	**0**	**0**	**0**	**0**	**0**	**0**	**0**	**0**

1		2	3	4	5	6	7	8	9	10	11	12	13
Суммарные уровни звукового давления от мнимых источников в расчётной точке днём, дБ		**ф-ла (19) [1]**	**0**	**36,6**	**26,9**	**18,4**	**19**	**28,8**	**26,3**	**15,7**	**0**	**0**	**31,6**
Уровни звукового давления от источника ИШ-6-19 в расчётной точке днём, дБ		**ф-ла(3)[10]**	**0**	**40,2**	**33,3**	**29,2**	**30,7**	**34,6**	**30,8**	**20,2**	**0**	**37,3**	**37,3**
Источник шума: ИШ-6-20, координаты источника (x,y,z), м =[802.67,-132.35,1.00]													
Уровни звуковой мощности источника днём, Lw, дБ		**исходные данные**	**0**	**96,3**	**97,7**	**99**	**99,3**	**98,9**	**95,6**	**91,4**	**86,9**		
Поправка на телесный угол DΩ, дБ	Ω = 12.57	10Lg(4π/Ω)	**0**	0	0	0	0	0	0	0	0		
Показатель направленности источника Di, дБ		исходные данные	**0**	0	0	0	0	0	0	0	0		
Поправка на направленность источника Dc, дБ	Dc	DΩ + Di	**0**	0	0	0	0	0	0	0	0		
Затухание из-за геометрической дивергенции, Adiv, дБ	расстояние = 452.63 м	ф-ла (7) [10]	**64,1**										
Коэффициент затухания звука в атмосфере α, дБ/км	Ta=20,°C Pa=101.33,кПа hотн.=70%	ф-ла (5) [9]	0,02	0,09	0,33	1,12	2,79	4,98	9,04	23,09	77,63		
Учет затухания звука в атмосфере Aatm, дБ		ф-ла (8) [10]	0	0	0,2	0,5	1,3	2,3	4,1	10,4	35,1		
Снижение поверхностью земли возле источника As, дБ	Gs = 0 hs = 1м	ф-лы таб.3 [10]	-1,5	-1,5	-1,5	-1,5	-1,5	-1,5	-1,5	-1,5	-1,5		
Снижение поверхностью земли возле приёмника Ar, дБ	Gr = 1 hr = 1.5м	ф-лы таб.3 [10]	-1,5	-1,5	2,7	7	5	0,7	0	0	0		
Снижение поверхностью земли в средней зоне, Am дБ	Gm = 1	ф-лы таб.3 [10]	-2,5	-2,5	0	0	0	0	0	0	0		
Суммарное снижение поверхностью земли на траектории распространения звука Agr, дБ		ф-ла (9) [10]	-5,5	-5,5	1,2	5,5	3,5	-0,8	-1,5	-1,5	-1,5		
Уровни звукового давления прямого звука от источника ИШ-6-20 в расчётной точке днём, дБ		**ф-ла(3)[10]**	**0**	**37,6**	**32,2**	**28,8**	**30,4**	**33,4**	**28,9**	**18,3**	**0**	**36**	**36**
Расчёт отражённого звука													

1		2	3	4	5	6	7	8	9	10	11	12	13
Уровни звукового давления от мнимого источника ИШ-6-20_мн.(1) в расчётной точке днём, дБ		**ф-ла(3)[10]**	**0**	**36,6**	**26,9**	**18,4**	**19,1**	**28,8**	**26,3**	**15,7**	**0**	**31,6**	**31,6**
Уровни звукового давления от мнимого источника ИШ-6-20_мн.(2) в расчётной точке днём, дБ		**ф-ла(3)[10]**	**0**	**0**	**0**	**0**	**0**	**0**	**0**	**0**	**0**	**0**	**0**
Суммарные уровни звукового давления от мнимых источников в расчётной точке днём, дБ		**ф-ла (19) [1]**	**0**	**36,6**	**26,9**	**18,4**	**19,1**	**28,8**	**26,3**	**15,7**	**0**	**0**	**31,6**
Уровни звукового давления от источника ИШ-6-20 в расчётной точке днём, дБ		**ф-ла(3)[10]**	**0**	**40,2**	**33,3**	**29,2**	**30,7**	**34,7**	**30,8**	**20,2**	**0**	**37,3**	**37,3**
Источник шума: ИШ-6-21, координаты источника (x,y,z), м =[801.69,-135.42,1.00]													
Уровни звуковой мощности источника днём, Lw, дБ		**исходные данные**	**0**	**96,3**	**97,7**	**99**	**99,3**	**98,9**	**95,6**	**91,4**	**86,9**		
Поправка на телесный угол DΩ, дБ	Ω = 12.57	10Lg(4π/Ω)	**0**	0	0	0	0	0	0	0	0		
Показатель направленности источника Di, дБ		исходные данные	**0**	0	0	0	0	0	0	0	0		
Поправка на направленность источника Dc, дБ	Dc	DΩ + Di	**0**	0	0	0	0	0	0	0	0		
Затухание из-за геометрической дивергенции, Adiv, дБ	расстояние = 452.14 м	ф-ла (7) [10]	**64,1**										
Коэффициент затухания звука в атмосфере α, дБ/км	Ta=20,°C Pa=101.33,кПа hотн.=70%	ф-ла (5) [9]	0,02	0,09	0,33	1,12	2,79	4,98	9,04	23,09	77,63		
Учет затухания звука в атмосфере Aatm, дБ		ф-ла (8) [10]	0	0	0,2	0,5	1,3	2,3	4,1	10,4	35,1		
Снижение поверхностью земли возле источника As, дБ	Gs = 0 hs = 1м	ф-лы таб.3 [10]	-1,5	-1,5	-1,5	-1,5	-1,5	-1,5	-1,5	-1,5	-1,5		
Снижение поверхностью земли возле приёмника Ar, дБ	Gr = 1 hr = 1.5м	ф-лы таб.3 [10]	-1,5	-1,5	2,7	7	5	0,7	0	0	0		
Снижение поверхностью земли в средней зоне, Am дБ	Gm = 1	ф-лы таб.3 [10]	-2,5	-2,5	0	0	0	0	0	0	0		
Суммарное снижение поверхностью земли на траектории распространения звука Agr, дБ		ф-ла (9) [10]	-5,5	-5,5	1,2	5,5	3,5	-0,8	-1,5	-1,5	-1,5		

1		2	3	4	5	6	7	8	9	10	11	12	13
Уровни звукового давления прямого звука от источника ИШ-6-21 в расчётной точке днём, дБ		**ф-ла(3)[10]**	**0**	**37,6**	**32,2**	**28,9**	**30,5**	**33,4**	**28,9**	**18,3**	**0**	**36**	**36**
Расчёт отражённого звука													
Уровни звукового давления от мнимого источника ИШ-6-21_мн.(1) в расчётной точке днём, дБ		**ф-ла(3)[10]**	**0**	**36,6**	**26,9**	**18,5**	**19,1**	**28,8**	**26,3**	**15,7**	**0**	**31,6**	**31,6**
Уровни звукового давления от мнимого источника ИШ-6-21_мн.(2) в расчётной точке днём, дБ		**ф-ла(3)[10]**	**0**	**0**	**0**	**0**	**0**	**0**	**0**	**0**	**0**	**0**	**0**
Суммарные уровни звукового давления от мнимых источников в расчётной точке днём, дБ		**ф-ла (19) [1]**	**0**	**36,6**	**26,9**	**18,5**	**19,1**	**28,8**	**26,3**	**15,7**	**0**	**0**	**31,6**
Уровни звукового давления от источника ИШ-6-21 в расчётной точке днём, дБ		**ф-ла(3)[10]**	**0**	**40,2**	**33,3**	**29,2**	**30,8**	**34,7**	**30,8**	**20,2**	**0**	**37,3**	**37,3**
Источник шума: ИШ-6-22, координаты источника (x,y,z), м =[800.65,-138.47,1.00]													
Уровни звуковой мощности источника днём, Lw, дБ		**исходные данные**	**0**	**96,3**	**97,7**	**99**	**99,3**	**98,9**	**95,6**	**91,4**	**86,9**		
Поправка на телесный угол DΩ, дБ	Ω = 12.57	10Lg(4π/Ω)	**0**	0	0	0	0	0	0	0	0		
Показатель направленности источника Di, дБ		исходные данные	**0**	0	0	0	0	0	0	0	0		
Поправка на направленность источника Dc, дБ	Dc	DΩ + Di	**0**	0	0	0	0	0	0	0	0		
Затухание из-за геометрической дивергенции, Adiv, дБ	расстояние = 451.60 м	ф-ла (7) [10]	**64,1**										
Коэффициент затухания звука в атмосфере α, дБ/км	Ta=20,°C Pa=101.33,кПа hотн.=70%	ф-ла (5) [9]	0,02	0,09	0,33	1,12	2,79	4,98	9,04	23,09	77,63		
Учет затухания звука в атмосфере Aatm, дБ		ф-ла (8) [10]	0	0	0,2	0,5	1,3	2,2	4,1	10,4	35,1		
Снижение поверхностью земли возле источника As, дБ	Gs = 0 hs = 1м	ф-лы таб.3 [10]	-1,5	-1,5	-1,5	-1,5	-1,5	-1,5	-1,5	-1,5	-1,5		
Снижение поверхностью земли возле приёмника Ar, дБ	Gr = 1 hr = 1.5м	ф-лы таб.3 [10]	-1,5	-1,5	2,7	7	5	0,7	0	0	0		

1		2	3	4	5	6	7	8	9	10	11	12	13
Снижение поверхностью земли в средней зоне, Am дБ	Gm = 1	ф-лы таб.3 [10]	-2,5	-2,5	0	0	0	0	0	0	0		
Суммарное снижение поверхностью земли на траектории распространения звука Agr, дБ		ф-ла (9) [10]	-5,5	-5,5	1,2	5,5	3,5	-0,8	-1,5	-1,5	-1,5		
Уровни звукового давления прямого звука от источника ИШ-6-22 в расчётной точке днём, дБ		**ф-ла(3)[10]**	**0**	**37,7**	**32,2**	**28,9**	**30,5**	**33,4**	**28,9**	**18,4**	**0**	**36**	**36**
Расчёт отражённого звука													
Уровни звукового давления от мнимого источника ИШ-6-22_мн.(1) в расчётной точке днём, дБ		**ф-ла(3)[10]**	**0**	**36,6**	**26,9**	**18,5**	**19,1**	**28,8**	**26,3**	**15,8**	**0**	**31,6**	**31,6**
Уровни звукового давления от мнимого источника ИШ-6-22_мн.(2) в расчётной точке днём, дБ		**ф-ла(3)[10]**	**0**	**0**	**0**	**0**	**0**	**0**	**0**	**0**	**0**	**0**	**0**
Суммарные уровни звукового давления от мнимых источников в расчётной точке днём, дБ		**ф-ла (19) [1]**	**0**	**36,6**	**26,9**	**18,5**	**19,1**	**28,8**	**26,3**	**15,8**	**0**	**0**	**31,6**
Уровни звукового давления от источника ИШ-6-22 в расчётной точке днём, дБ		**ф-ла(3)[10]**	**0**	**40,2**	**33,4**	**29,2**	**30,8**	**34,7**	**30,8**	**20,3**	**0**	**37,4**	**37,4**
Источник шума: ИШ-7-1, координаты источника (x,y,z), м =[821.44,63.31,1.00]													
Уровни звуковой мощности источника днём, Lw, дБ		**исходные данные**	**77**	**75**	**67**	**66**	**63**	**55**	**53**	**48**	**51**		
Поправка на телесный угол DΩ, дБ	Ω = 12.57	10Lg(4π/Ω)	**0**	0	0	0	0	0	0	0	0		
Показатель направленности источника Di, дБ		исходные данные	**0**	0	0	0	0	0	0	0	0		
Поправка на направленность источника Dc, дБ	Dc	DΩ + Di	**0**	0	0	0	0	0	0	0	0		
Затухание из-за геометрической дивергенции, Adiv, дБ	расстояние = 483.17 м	ф-ла (7) [10]	**64,7**										
Коэффициент затухания звука в атмосфере α, дБ/км	Ta=20,°C Pa=101.33,кПа hотн.=70%	ф-ла (5) [9]	0,02	0,09	0,33	1,12	2,79	4,98	9,04	23,09	77,63		
Учет затухания звука в атмосфере Aatm, дБ		ф-ла (8) [10]	0	0	0,2	0,5	1,3	2,4	4,4	11,2	37,5		

1		2	3	4	5	6	7	8	9	10	11	12	13
Снижение поверхностью земли возле источника As, дБ	Gs = 0 hs = 1м	ф-лы таб.3 [10]	-1,5	-1,5	-1,5	-1,5	-1,5	-1,5	-1,5	-1,5	-1,5		
Снижение поверхностью земли возле приёмника Ar, дБ	Gr = 1 hr = 1.5м	ф-лы таб.3 [10]	-1,5	-1,5	2,9	7	5	0,7	0	0	0		
Снижение поверхностью земли в средней зоне, Am дБ	Gm = 1	ф-лы таб.3 [10]	-2,5	-2,5	0	0	0	0	0	0	0		
Суммарное снижение поверхностью земли на траектории распространения звука Agr, дБ		ф-ла (9) [10]	-5,5	-5,5	1,4	5,5	3,5	-0,8	-1,5	-1,5	-1,5		
Уровни звукового давления от источника ИШ-7-1 в расчётной точке днём, дБ		**ф-ла(3)[10]**	**17,8**	**15,8**	**0,7**	**0**	**0**	**0**	**0**	**0**	**0**	**0**	**0**
Источник шума: ИШ-7-2, координаты источника (x,y,z), м =[768.90,-86.75,1.00]													
Уровни звуковой мощности источника днём, Lw, дБ		**исходные данные**	**77**	**75**	**67**	**66**	**63**	**55**	**53**	**48**	**51**		
Поправка на телесный угол DΩ, дБ	Ω = 12.57	10Lg(4π/Ω)	**0**	0	0	0	0	0	0	0	0		
Показатель направленности источника Di, дБ		исходные данные	**0**	0	0	0	0	0	0	0	0		
Поправка на направленность источника Dc, дБ	Dc	DΩ + Di	**0**	0	0	0	0	0	0	0	0		
Затухание из-за геометрической дивергенции, Adiv, дБ	расстояние = 414.27 м	ф-ла (7) [10]	**63,3**										
Коэффициент затухания звука в атмосфере α, дБ/км	Ta=20,°C Pa=101.33,кПа hотн.=70%	ф-ла (5) [9]	0,02	0,09	0,33	1,12	2,79	4,98	9,04	23,09	77,63		
Учет затухания звука в атмосфере Aatm, дБ		ф-ла (8) [10]	0	0	0,1	0,5	1,2	2,1	3,7	9,6	32,2		
Снижение уровня звукового давления из-за влияния застройки между источником шума и расчетной точкой													
Снижение уровня звукового давления препятствием справа от трассы ИШ-РТ, Dz3, дБ	z = -0.12м (разность путей)	ф-лы (14-18) [10]	0	0	0,8	NAN	NAN	NAN	NAN	NAN	NAN		
* отрицательное значение z означает прохождение траектории вблизи экрана, в этом случае дополнительно производится учёт снижения подстилающей поверхностью (см.ниже)													
Снижение поверхностью земли возле источника As, дБ	Gs = 0 hs = 1м	ф-лы таб.3 [10]	-1,5	-1,5	-1,5	-1,5	-1,5	-1,5	-1,5	-1,5	-1,5		

1		2	3	4	5	6	7	8	9	10	11	12	13
Снижение поверхностью земли возле приёмника Ar, дБ	Gr = 1 hr = 1.5м	ф-лы таб.3 [10]	-1,5	-1,5	2,5	7	5	0,7	0	0	0		
Снижение поверхностью земли в средней зоне, Am дБ	Gm = 1	ф-лы таб.3 [10]	-2,5	-2,5	0	0	0	0	0	0	0		
Суммарное снижение поверхностью земли на траектории распространения звука Agr, дБ		ф-ла (9) [10]	-5,5	-5,5	1	5,5	3,5	-0,8	-1,5	-1,5	-1,5		
Уровни звукового давления прямого звука от источника ИШ-7-2 в расчётной точке днём, дБ		**ф-ла(3)[10]**	**19,1**	**17,1**	**1,8**	**0**	**0**	**0**	**0**	**0**	**0**	**0**	**0**
Расчёт отражённого звука													
Уровни звукового давления от мнимого источника ИШ-7-2_мн.(1) в расчётной точке днём, дБ		**ф-ла(3)[10]**	**18,1**	**16**	**0**	**0**	**0**	**0**	**0**	**0**	**0**	**0**	**0**
Уровни звукового давления от источника ИШ-7-2 в расчётной точке днём, дБ		**ф-ла(3)[10]**	**21,6**	**19,6**	**1,8**	**0**	**0**	**0**	**0**	**0**	**0**	**0**	**0**
Источник шума: ИШ-7-3, координаты источника (x,y,z), м =[766.80,-93.20,1.00]													
Уровни звуковой мощности источника днём, Lw, дБ		**исходные данные**	**77**	**75**	**67**	**66**	**63**	**55**	**53**	**48**	**51**		
Поправка на телесный угол DΩ, дБ	Ω = 12.57	10Lg(4π/Ω)	**0**	0	0	0	0	0	0	0	0		
Показатель направленности источника Di, дБ		исходные данные	**0**	0	0	0	0	0	0	0	0		
Поправка на направленность источника Dc, дБ	Dc	DΩ + Di	**0**	0	0	0	0	0	0	0	0		
Затухание из-за геометрической дивергенции, Adiv, дБ	расстояние = 412.59 м	ф-ла (7) [10]	**63,3**										
Коэффициент затухания звука в атмосфере α, дБ/км	Ta=20,°C Pa=101.33,кПа hотн.=70%	ф-ла (5) [9]	0,02	0,09	0,33	1,12	2,79	4,98	9,04	23,09	77,63		
Учет затухания звука в атмосфере Aatm, дБ		ф-ла (8) [10]	0	0	0,1	0,5	1,2	2,1	3,7	9,5	32		
Снижение поверхностью земли возле источника As, дБ	Gs = 0 hs = 1м	ф-лы таб.3 [10]	-1,5	-1,5	-1,5	-1,5	-1,5	-1,5	-1,5	-1,5	-1,5		

1		2	3	4	5	6	7	8	9	10	11	12	13
Снижение поверхностью земли возле приёмника Ar, дБ	Gr = 1 hr = 1.5м	ф-лы таб.3 [10]	-1,5	-1,5	2,5	7	5	0,7	0	0	0		
Снижение поверхностью земли в средней зоне, Am дБ	Gm = 1	ф-лы таб.3 [10]	-2,5	-2,5	0	0	0	0	0	0	0		
Суммарное снижение поверхностью земли на траектории распространения звука Agr, дБ		ф-ла (9) [10]	-5,5	-5,5	1	5,5	3,5	-0,8	-1,5	-1,5	-1,5		
Уровни звукового давления прямого звука от источника ИШ-7-3 в расчётной точке днём, дБ		**ф-ла(3)[10]**	**19,1**	**17,1**	**2,6**	**0**	**0**	**0**	**0**	**0**	**0**	**0**	**0**
Расчёт отражённого звука													
Уровни звукового давления от мнимого источника ИШ-7-3_мн.(1) в расчётной точке днём, дБ		**ф-ла(3)[10]**	**18,1**	**16,1**	**0**	**0**	**0**	**0**	**0**	**0**	**0**	**0**	**0**
Уровни звукового давления от источника ИШ-7-3 в расчётной точке днём, дБ		**ф-ла(3)[10]**	**21,7**	**19,6**	**2,6**	**0**	**0**	**0**	**0**	**0**	**0**	**0**	**0**
Источник шума: ИШ-7-4, координаты источника (x,y,z), м =[866.76,37.18,1.00]													
Уровни звуковой мощности источника днём, Lw, дБ		**исходные данные**	**77**	**75**	**67**	**66**	**63**	**55**	**53**	**48**	**51**		
Поправка на телесный угол DΩ, дБ	Ω = 12.57	10Lg(4π/Ω)	**0**	0	0	0	0	0	0	0	0		
Показатель направленности источника Di, дБ		исходные данные	**0**	0	0	0	0	0	0	0	0		
Поправка на направленность источника Dc, дБ	Dc	DΩ + Di	**0**	0	0	0	0	0	0	0	0		
Затухание из-за геометрической дивергенции, Adiv, дБ	расстояние = 521.35 м	ф-ла (7) [10]	**65,3**										
Коэффициент затухания звука в атмосфере α, дБ/км	Ta=20,°C Pa=101.33,кПа hотн.=70%	ф-ла (5) [9]	0,02	0,09	0,33	1,12	2,79	4,98	9,04	23,09	77,63		
Учет затухания звука в атмосфере Aatm, дБ		ф-ла (8) [10]	0	0	0,2	0,6	1,5	2,6	4,7	12	40,5		
Снижение уровня звукового давления из-за влияния застройки между источником шума и расчетной точкой													

1		2	3	4	5	6	7	8	9	10	11	12	13
Снижение уровня звукового давления на пути над экраном, Dz1, дБ	z = 0.14м (разность путей)	ф-лы (14-18) [10]	4,8	4,8	4,8	4,8	4,9	5,1	5,3	5,9	6,7		
Уровни звукового давления от источника ИШ-7-4 в расчётной точке днём, дБ		**ф-ла(3)[10]**	**6,9**	**4,8**	**0**	**0**	**0**	**0**	**0**	**0**	**0**	**0**	**0**
Источник шума: ИШ-7-5, координаты источника (x,y,z), м =[861.80,21.34,1.00]													
Уровни звуковой мощности источника днём, Lw, дБ		**исходные данные**	**77**	**75**	**67**	**66**	**63**	**55**	**53**	**48**	**51**		
Поправка на телесный угол DΩ, дБ	Ω = 12.57	10Lg(4π/Ω)	**0**	0	0	0	0	0	0	0	0		
Показатель направленности источника Di, дБ		исходные данные	**0**	0	0	0	0	0	0	0	0		
Поправка на направленность источника Dc, дБ	Dc	DΩ + Di	**0**	0	0	0	0	0	0	0	0		
Затухание из-за геометрической дивергенции, Adiv, дБ	расстояние = 513.62 м	ф-ла (7) [10]	**65,2**										
Коэффициент затухания звука в атмосфере α, дБ/км	Ta=20,°C Pa=101.33,кПа hотн.=70%	ф-ла (5) [9]	0,02	0,09	0,33	1,12	2,79	4,98	9,04	23,09	77,63		
Учет затухания звука в атмосфере Aatm, дБ		ф-ла (8) [10]	0	0	0,2	0,6	1,4	2,6	4,6	11,9	39,9		
Снижение уровня звукового давления из-за влияния застройки между источником шума и расчетной точкой													
Снижение уровня звукового давления на пути над экраном, Dz1, дБ	z = 0.18м (разность путей)	ф-лы (14-18) [10]	4,8	4,8	4,9	5	5,3	5,8	6,6	7,8	9,6		
Уровни звукового давления от источника ИШ-7-5 в расчётной точке днём, дБ		**ф-ла(3)[10]**	**7**	**4,9**	**0**	**0**	**0**	**0**	**0**	**0**	**0**	**0**	**0**
Источник шума: ИШ-7-6, координаты источника (x,y,z), м =[856.52,5.94,1.00]													
Уровни звуковой мощности источника днём, Lw, дБ		**исходные данные**	**77**	**75**	**67**	**66**	**63**	**55**	**53**	**48**	**51**		
Поправка на телесный угол DΩ, дБ	Ω = 12.57	10Lg(4π/Ω)	**0**	0	0	0	0	0	0	0	0		

1		2	3	4	5	6	7	8	9	10	11	12	13
Показатель направленности источника Di, дБ		исходные данные	**0**	0	0	0	0	0	0	0	0		
Поправка на направленность источника Dc, дБ	Dc	DΩ + Di	**0**	0	0	0	0	0	0	0	0		
Затухание из-за геометрической дивергенции, Adiv, дБ	расстояние = 506.06 м	ф-ла (7) [10]	**65,1**										
Коэффициент затухания звука в атмосфере α, дБ/км	Ta=20,°C Pa=101.33,кПа hотн.=70%	ф-ла (5) [9]	0,02	0,09	0,33	1,12	2,79	4,98	9,04	23,09	77,63		
Учет затухания звука в атмосфере Aatm, дБ		ф-ла (8) [10]	0	0	0,2	0,6	1,4	2,5	4,6	11,7	39,3		
Снижение уровня звукового давления из-за влияния застройки между источником шума и расчетной точкой													
Снижение уровня звукового давления на пути над экраном, Dz1, дБ	z = 0.18м (разность путей)	ф-лы (14-18) [10]	4,8	4,8	4,9	5,1	5,4	6	7	8,4	10,4		
Уровни звукового давления от источника ИШ-7-6 в расчётной точке днём, дБ		**ф-ла(3)[10]**	**7,1**	**5**	**0**	**0**	**0**	**0**	**0**	**0**	**0**	**0**	**0**
Источник шума: ИШ-7-7, координаты источника (x,y,z), м =[851.06,-9.89,1.00]													
Уровни звуковой мощности источника днём, Lw, дБ		**исходные данные**	**77**	**75**	**67**	**66**	**63**	**55**	**53**	**48**	**51**		
Поправка на телесный угол DΩ, дБ	Ω = 12.57	10Lg(4π/Ω)	**0**	0	0	0	0	0	0	0	0		
Показатель направленности источника Di, дБ		исходные данные	**0**	0	0	0	0	0	0	0	0		
Поправка на направленность источника Dc, дБ	Dc	DΩ + Di	**0**	0	0	0	0	0	0	0	0		
Затухание из-за геометрической дивергенции, Adiv, дБ	расстояние = 498.70 м	ф-ла (7) [10]	**65**										
Коэффициент затухания звука в атмосфере α, дБ/км	Ta=20,°C Pa=101.33,кПа hотн.=70%	ф-ла (5) [9]	0,02	0,09	0,33	1,12	2,79	4,98	9,04	23,09	77,63		
Учет затухания звука в атмосфере Aatm, дБ		ф-ла (8) [10]	0	0	0,2	0,6	1,4	2,5	4,5	11,5	38,7		

1		2	3	4	5	6	7	8	9	10	11	12	13
Снижение уровня звукового давления из-за влияния застройки между источником шума и расчетной точкой													
Снижение уровня звукового давления на пути над экраном, Dz1, дБ	z = 0.18м (разность путей)	ф-лы (14-18) [10]	4,8	4,8	4,9	5,1	5,5	6,2	7,2	8,8	10,8		
Уровни звукового давления от источника ИШ-7-7 в расчётной точке днём, дБ		**ф-ла(3)[10]**	**7,2**	**5,2**	**0**	**0**	**0**	**0**	**0**	**0**	**0**	**0**	**0**
Источник шума: ИШ-7-8, координаты источника (x,y,z), м =[821.90,-104.30,1.00]													
Уровни звуковой мощности источника днём, Lw, дБ		**исходные данные**	**77**	**75**	**67**	**66**	**63**	**55**	**53**	**48**	**51**		
Поправка на телесный угол DΩ, дБ	Ω = 12.57	10Lg(4π/Ω)	**0**	0	0	0	0	0	0	0	0		
Показатель направленности источника Di, дБ		исходные данные	**0**	0	0	0	0	0	0	0	0		
Поправка на направленность источника Dc, дБ	Dc	DΩ + Di	**0**	0	0	0	0	0	0	0	0		
Затухание из-за геометрической дивергенции, Adiv, дБ	расстояние = 468.39 м	ф-ла (7) [10]	**64,4**										
Коэффициент затухания звука в атмосфере α, дБ/км	Ta=20,°C Pa=101.33,кПа hотн.=70%	ф-ла (5) [9]	0,02	0,09	0,33	1,12	2,79	4,98	9,04	23,09	77,63		
Учет затухания звука в атмосфере Aatm, дБ		ф-ла (8) [10]	0	0	0,2	0,5	1,3	2,3	4,2	10,8	36,4		
Снижение поверхностью земли возле источника As, дБ	Gs = 0 hs = 1м	ф-лы таб.3 [10]	-1,5	-1,5	-1,5	-1,5	-1,5	-1,5	-1,5	-1,5	-1,5		
Снижение поверхностью земли возле приёмника Ar, дБ	Gr = 1 hr = 1.5м	ф-лы таб.3 [10]	-1,5	-1,5	2,8	7	5	0,7	0	0	0		
Снижение поверхностью земли в средней зоне, Am дБ	Gm = 1	ф-лы таб.3 [10]	-2,5	-2,5	0	0	0	0	0	0	0		
Суммарное снижение поверхностью земли на траектории распространения звука Agr, дБ		ф-ла (9) [10]	-5,5	-5,5	1,3	5,5	3,5	-0,8	-1,5	-1,5	-1,5		
Уровни звукового давления от источника ИШ-7-8 в расчётной точке днём, дБ		**ф-ла(3)[10]**	**18,1**	**16,1**	**1,1**	**0**	**0**	**0**	**0**	**0**	**0**	**0**	**0**

1		2	3	4	5	6	7	8	9	10	11	12	13
Источник шума: ИШ-7-9, координаты источника (x,y,z), м =[819.93,-110.97,1.00]													
Уровни звуковой мощности источника днём, Lw, дБ		**исходные данные**	**77**	**75**	**67**	**66**	**63**	**55**	**53**	**48**	**51**		
Поправка на телесный угол DΩ, дБ	Ω = 12.57	10Lg(4π/Ω)	**0**	0	0	0	0	0	0	0	0		
Показатель направленности источника Di, дБ		исходные данные	**0**	0	0	0	0	0	0	0	0		
Поправка на направленность источника Dc, дБ	Dc	DΩ + Di	**0**	0	0	0	0	0	0	0	0		
Затухание из-за геометрической дивергенции, Adiv, дБ	расстояние = 467.05 м	ф-ла (7) [10]	**64,4**										
Коэффициент затухания звука в атмосфере α, дБ/км	Ta=20,°C Pa=101.33,кПа hотн.=70%	ф-ла (5) [9]	0,02	0,09	0,33	1,12	2,79	4,98	9,04	23,09	77,63		
Учет затухания звука в атмосфере Aatm, дБ		ф-ла (8) [10]	0	0	0,2	0,5	1,3	2,3	4,2	10,8	36,3		
Снижение поверхностью земли возле источника As, дБ	Gs = 0 hs = 1м	ф-лы таб.3 [10]	-1,5	-1,5	-1,5	-1,5	-1,5	-1,5	-1,5	-1,5	-1,5		
Снижение поверхностью земли возле приёмника Ar, дБ	Gr = 1 hr = 1.5м	ф-лы таб.3 [10]	-1,5	-1,5	2,8	7	5	0,7	0	0	0		
Снижение поверхностью земли в средней зоне, Am дБ	Gm = 1	ф-лы таб.3 [10]	-2,5	-2,5	0	0	0	0	0	0	0		
Суммарное снижение поверхностью земли на траектории распространения звука Agr, дБ		ф-ла (9) [10]	-5,5	-5,5	1,3	5,5	3,5	-0,8	-1,5	-1,5	-1,5		
Уровни звукового давления от источника ИШ-7-9 в расчётной точке днём, дБ		**ф-ла(3)[10]**	**18,1**	**16,1**	**1,1**	**0**	**0**	**0**	**0**	**0**	**0**	**0**	**0**
Источник шума: ИШ-7-10, координаты источника (x,y,z), м =[868.68,92.66,1.00]													
Уровни звуковой мощности источника днём, Lw, дБ		**исходные данные**	**77**	**75**	**67**	**66**	**63**	**55**	**53**	**48**	**51**		
Поправка на телесный угол DΩ, дБ	Ω = 12.57	10Lg(4π/Ω)	**0**	0	0	0	0	0	0	0	0		

1		2	3	4	5	6	7	8	9	10	11	12	13
Показатель направленности источника Di, дБ		исходные данные	**0**	0	0	0	0	0	0	0	0		
Поправка на направленность источника Dc, дБ	Dc	DΩ + Di	**0**	0	0	0	0	0	0	0	0		
Затухание из-за геометрической дивергенции, Adiv, дБ	расстояние = 536.69 м	ф-ла (7) [10]	**65,6**										
Коэффициент затухания звука в атмосфере α, дБ/км	Ta=20,°C Pa=101.33,кПа hотн.=70%	ф-ла (5) [9]	0,02	0,09	0,33	1,12	2,79	4,98	9,04	23,09	77,63		
Учет затухания звука в атмосфере Aatm, дБ		ф-ла (8) [10]	0	0	0,2	0,6	1,5	2,7	4,9	12,4	41,7		
Снижение поверхностью земли возле источника As, дБ	Gs = 0 hs = 1м	ф-лы таб.3 [10]	-1,5	-1,5	-1,5	-1,5	-1,5	-1,5	-1,5	-1,5	-1,5		
Снижение поверхностью земли возле приёмника Ar, дБ	Gr = 1 hr = 1.5м	ф-лы таб.3 [10]	-1,5	-1,5	3,3	7	5	0,7	0	0	0		
Снижение поверхностью земли в средней зоне, Am дБ	Gm = 1	ф-лы таб.3 [10]	-2,6	-2,6	0	0	0	0	0	0	0		
Суммарное снижение поверхностью земли на траектории распространения звука Agr, дБ		ф-ла (9) [10]	-5,6	-5,6	1,8	5,5	3,5	-0,8	-1,5	-1,5	-1,5		
Уровни звукового давления от источника ИШ-7-10 в расчётной точке днём, дБ		**ф-ла(3)[10]**	**17**	**14,9**	**0**	**0**	**0**	**0**	**0**	**0**	**0**	**0**	**0**
Источник шума: ИШ-7-11, координаты источника (x,y,z), м =[877.95,88.75,1.00]													
Уровни звуковой мощности источника днём, Lw, дБ		**исходные данные**	**77**	**75**	**67**	**66**	**63**	**55**	**53**	**48**	**51**		
Поправка на телесный угол DΩ, дБ	Ω = 12.57	10Lg(4π/Ω)	**0**	0	0	0	0	0	0	0	0		
Показатель направленности источника Di, дБ		исходные данные	**0**	0	0	0	0	0	0	0	0		
Поправка на направленность источника Dc, дБ	Dc	DΩ + Di	**0**	0	0	0	0	0	0	0	0		
Затухание из-за геометрической дивергенции, Adiv, дБ	расстояние = 544.46 м	ф-ла (7) [10]	**65,7**										

1		2	3	4	5	6	7	8	9	10	11	12	13
Коэффициент затухания звука в атмосфере α, дБ/км	Ta=20,°C Pa=101.33,кПа hотн.=70%	ф-ла (5) [9]	0,02	0,09	0,33	1,12	2,79	4,98	9,04	23,09	77,63		
Учет затухания звука в атмосфере Aatm, дБ		ф-ла (8) [10]	0	0	0,2	0,6	1,5	2,7	4,9	12,6	42,3		
Снижение поверхностью земли возле источника As, дБ	Gs = 0 hs = 1м	ф-лы таб.3 [10]	-1,5	-1,5	-1,5	-1,5	-1,5	-1,5	-1,5	-1,5	-1,5		
Снижение поверхностью земли возле приёмника Ar, дБ	Gr = 1 hr = 1.5м	ф-лы таб.3 [10]	-1,5	-1,5	3,3	7	5	0,7	0	0	0		
Снижение поверхностью земли в средней зоне, Am дБ	Gm = 1	ф-лы таб.3 [10]	-2,6	-2,6	0	0	0	0	0	0	0		
Суммарное снижение поверхностью земли на траектории распространения звука Agr, дБ		ф-ла (9) [10]	-5,6	-5,6	1,8	5,5	3,5	-0,8	-1,5	-1,5	-1,5		
Уровни звукового давления от источника ИШ-7-11 в расчётной точке днём, дБ		**ф-ла(3)[10]**	**16,9**	**14,8**	**0**	**0**	**0**	**0**	**0**	**0**	**0**	**0**	**0**
Источник шума: ИШ-7-12, координаты источника (x,y,z), м =[887.42,85.45,1.00]													
Уровни звуковой мощности источника днём, Lw, дБ		**исходные данные**	**77**	**75**	**67**	**66**	**63**	**55**	**53**	**48**	**51**		
Поправка на телесный угол DΩ, дБ	Ω = 12.57	10Lg(4π/Ω)	**0**	0	0	0	0	0	0	0	0		
Показатель направленности источника Di, дБ		исходные данные	**0**	0	0	0	0	0	0	0	0		
Поправка на направленность источника Dc, дБ	Dc	DΩ + Di	**0**	0	0	0	0	0	0	0	0		
Затухание из-за геометрической дивергенции, Adiv, дБ	расстояние = 552.66 м	ф-ла (7) [10]	**65,8**										
Коэффициент затухания звука в атмосфере α, дБ/км	Ta=20,°C Pa=101.33,кПа hотн.=70%	ф-ла (5) [9]	0,02	0,09	0,33	1,12	2,79	4,98	9,04	23,09	77,63		
Учет затухания звука в атмосфере Aatm, дБ		ф-ла (8) [10]	0	0	0,2	0,6	1,5	2,8	5	12,8	42,9		
Снижение поверхностью земли возле источника As, дБ	Gs = 0 hs = 1м	ф-лы таб.3 [10]	-1,5	-1,5	-1,5	-1,5	-1,5	-1,5	-1,5	-1,5	-1,5		

1		2	3	4	5	6	7	8	9	10	11	12	13
Снижение поверхностью земли возле приёмника Ar, дБ	Gr = 1 hr = 1.5м	ф-лы таб.3 [10]	-1,5	-1,5	3,4	7	5	0,7	0	0	0		
Снижение поверхностью земли в средней зоне, Am дБ	Gm = 1	ф-лы таб.3 [10]	-2,6	-2,6	0	0	0	0	0	0	0		
Суммарное снижение поверхностью земли на траектории распространения звука Agr, дБ		ф-ла (9) [10]	-5,6	-5,6	1,9	5,5	3,5	-0,8	-1,5	-1,5	-1,5		
Уровни звукового давления от источника ИШ-7-12 в расчётной точке днём, дБ		**ф-ла(3)[10]**	**16,7**	**14,7**	**0**	**0**	**0**	**0**	**0**	**0**	**0**	**0**	**0**
Источник шума: ИШ-6-23, координаты источника (x,y,z), м =[756.16,-136.23,3.00]													
Уровни звуковой мощности источника днём, Lw, дБ		**исходные данные**	**91**	**91**	**91**	**91**	**91**	**91**	**91**	**91**	**91**		
Поправка на телесный угол DΩ, дБ	Ω = 12.57	10Lg(4π/Ω)	**0**	0	0	0	0	0	0	0	0		
Показатель направленности источника Di, дБ		исходные данные	**0**	0	0	0	0	0	0	0	0		
Поправка на направленность источника Dc, дБ	Dc	DΩ + Di	**0**	0	0	0	0	0	0	0	0		
Затухание из-за геометрической дивергенции, Adiv, дБ	расстояние = 407.40 м	ф-ла (7) [10]	**63,2**										
Коэффициент затухания звука в атмосфере α, дБ/км	Ta=20,°C Pa=101.33,кПа hотн.=70%	ф-ла (5) [9]	0,02	0,09	0,33	1,12	2,79	4,98	9,04	23,09	77,63		
Учет затухания звука в атмосфере Aatm, дБ		ф-ла (8) [10]	0	0	0,1	0,5	1,1	2	3,7	9,4	31,6		
Снижение поверхностью земли возле источника As, дБ	Gs = 0 hs = 3м	ф-лы таб.3 [10]	-1,5	-1,5	-1,5	-1,5	-1,5	-1,5	-1,5	-1,5	-1,5		
Снижение поверхностью земли возле приёмника Ar, дБ	Gr = 1 hr = 1.5м	ф-лы таб.3 [10]	-1,5	-1,5	2,4	7	5	0,7	0	0	0		
Снижение поверхностью земли в средней зоне, Am дБ	Gm = 1	ф-лы таб.3 [10]	-2	-2	0	0	0	0	0	0	0		
Суммарное снижение поверхностью земли на траектории распространения звука Agr, дБ		ф-ла (9) [10]	-5	-5	0,9	5,5	3,5	-0,8	-1,5	-1,5	-1,5		

1		2	3	4	5	6	7	8	9	10	11	12	13
Уровни звукового давления прямого звука от источника ИШ-6-23 в расчётной точке днём, дБ		**ф-ла(3)[10]**	**32,8**	**32,8**	**26,7**	**21,8**	**23,2**	**26,6**	**25,6**	**19,9**	**0**	**30,8**	**30,8**
Расчёт отражённого звука													
Уровни звукового давления от мнимого источника ИШ-6-23_мн.(1) в расчётной точке днём, дБ		**ф-ла(3)[10]**	**31,8**	**31,7**	**21,4**	**15,4**	**20,4**	**24**	**23**	**17,3**	**0**	**28,1**	**28,1**
Уровни звукового давления от мнимого источника ИШ-6-23_мн.(2) в расчётной точке днём, дБ		**ф-ла(3)[10]**	**0**	**0**	**0**	**0**	**0**	**0**	**0**	**0**	**0**	**0**	**0**
Суммарные уровни звукового давления от мнимых источников в расчётной точке днём, дБ		**ф-ла (19) [1]**	**31,8**	**31,7**	**21,4**	**15,4**	**20,4**	**24**	**23**	**17,3**	**0**	**0**	**28,1**
Уровни звукового давления от источника ИШ-6-23 в расчётной точке днём, дБ		**ф-ла(3)[10]**	**35,3**	**35,3**	**27,8**	**22,7**	**25**	**28,5**	**27,5**	**21,8**	**0**	**32,7**	**32,7**
Источник шума: ИШ-6-24, координаты источника (x,y,z), м =[800.98,-151.27,3.00]													
Уровни звуковой мощности источника днём, Lw, дБ		**исходные данные**	**91**	**91**	**91**	**91**	**91**	**91**	**91**	**91**	**91**		
Поправка на телесный угол DΩ, дБ	Ω = 12.57	10Lg(4π/Ω)	**0**	0	0	0	0	0	0	0	0		
Показатель направленности источника Di, дБ		исходные данные	**0**	0	0	0	0	0	0	0	0		
Поправка на направленность источника Dc, дБ	Dc	DΩ + Di	**0**	0	0	0	0	0	0	0	0		
Затухание из-за геометрической дивергенции, Adiv, дБ	расстояние = 454.23 м	ф-ла (7) [10]	**64,1**										
Коэффициент затухания звука в атмосфере α, дБ/км	Ta=20,°C Pa=101.33,кПа hотн.=70%	ф-ла (5) [9]	0,02	0,09	0,33	1,12	2,79	4,98	9,04	23,09	77,63		
Учет затухания звука в атмосфере Aatm, дБ		ф-ла (8) [10]	0	0	0,2	0,5	1,3	2,3	4,1	10,5	35,3		
Снижение поверхностью земли возле источника As, дБ	Gs = 0 hs = 3м	ф-лы таб.3 [10]	-1,5	-1,5	-1,5	-1,5	-1,5	-1,5	-1,5	-1,5	-1,5		
Снижение поверхностью земли возле приёмника Ar, дБ	Gr = 1 hr = 1.5м	ф-лы таб.3 [10]	-1,5	-1,5	2,7	7	5	0,7	0	0	0		

1		2	3	4	5	6	7	8	9	10	11	12	13
Снижение поверхностью земли в средней зоне, Am дБ	Gm = 1	ф-лы таб.3 [10]	-2,1	-2,1	0	0	0	0	0	0	0		
Суммарное снижение поверхностью земли на траектории распространения звука Agr, дБ		ф-ла (9) [10]	-5,1	-5,1	1,2	5,5	3,5	-0,8	-1,5	-1,5	-1,5		
Уровни звукового давления прямого звука от источника ИШ-6-24 в расчётной точке днём, дБ		**ф-ла(3)[10]**	**31,9**	**31,9**	**25,5**	**20,8**	**22,1**	**25,4**	**24,2**	**17,9**	**0**	**29,5**	**29,5**
Расчёт отражённого звука													
Уровни звукового давления от мнимого источника ИШ-6-24_мн.(1) в расчётной точке днём, дБ		**ф-ла(3)[10]**	**30,9**	**30,9**	**19,9**	**14,4**	**19,3**	**22,9**	**21,7**	**15,2**	**0**	**26,8**	**26,8**
Уровни звукового давления от мнимого источника ИШ-6-24_мн.(2) в расчётной точке днём, дБ		**ф-ла(3)[10]**	**0**	**0**	**0**	**0**	**0**	**0**	**0**	**0**	**0**	**0**	**0**
Суммарные уровни звукового давления от мнимых источников в расчётной точке днём, дБ		**ф-ла (19) [1]**	**30,9**	**30,9**	**19,9**	**14,4**	**19,3**	**22,9**	**21,7**	**15,2**	**0**	**0**	**26,8**
Уровни звукового давления от источника ИШ-6-24 в расчётной точке днём, дБ		**ф-ла(3)[10]**	**34,5**	**34,4**	**26,5**	**21,7**	**23,9**	**27,3**	**26,2**	**19,8**	**0**	**31,3**	**31,3**
Источник шума: ИШ-8-1, координаты источника (x,y,z), м =[612.60,-227.70,3.00]													
Уровни звуковой мощности источника днём, Lw, дБ		**исходные данные**	**105**	**104**	**104**	**101**	**102**	**106**	**101**	**95**	**87**		
Поправка на телесный угол DΩ, дБ	Ω = 6.28	10Lg(4π/Ω)	**3**	3	3	3	3	3	3	3	3		
Показатель направленности источника Di, дБ		исходные данные	**0**	0	0	0	0	0	0	0	0		
Поправка на направленность источника Dc, дБ	Dc	DΩ + Di	**3**	3	3	3	3	3	3	3	3		
Затухание из-за геометрической дивергенции, Adiv, дБ	расстояние = 305.15 м	ф-ла (7) [10]	**60,7**										
Коэффициент затухания звука в атмосфере α, дБ/км	Ta=20,°C Pa=101.33,кПа hотн.=70%	ф-ла (5) [9]	0,02	0,09	0,33	1,12	2,79	4,98	9,04	23,09	77,63		
Учет затухания звука в атмосфере Aatm, дБ		ф-ла (8) [10]	0	0	0,1	0,3	0,9	1,5	2,8	7	23,7		

1		2	3	4	5	6	7	8	9	10	11	12	13
Снижение уровня звукового давления из-за влияния застройки между источником шума и расчетной точкой													
Снижение уровня звукового давления на пути над экраном, Dz1, дБ	z = 0.47м (разность путей)	ф-лы (14-18) [10]	5,5	6,5	8,5	11,3	14,1	17	19,9	22,8	25,8		
Снижение уровня звукового давления на пути слева от экрана, Dz2, дБ	z = 0.34м (разность путей)	ф-лы (14-18) [10]	6,3	7,4	9	11,2	13,6	16,4	19,2	22,1	25,1		
Снижение уровня звукового давления на пути справа от экрана, Dz3, дБ	z = 0.73м (разность путей)	ф-лы (14-18) [10]	7,6	9,2	11,4	13,9	16,6	19,5	22,4	25,4	28,4		
Общее снижение уровня звука препятствием Dz, дБ		Эн.сумма(-Dzi)	1,6	2,8	4,7	7,2	9,8	12,6	15,5	18,5	21,5		
Уровни звукового давления от источника ИШ-8-1 в расчётной точке днём, дБ		**ф-ла(3)[10]**	**45,7**	**43,5**	**41,5**	**35,8**	**33,6**	**34,2**	**25**	**11,8**	**0**	**37,1**	**37,1**
Источник шума: ИШ-8-2, координаты источника (x,y,z), м =[596.60,-275.00,3.00]													
Уровни звуковой мощности источника днём, Lw, дБ		**исходные данные**	**105**	**104**	**104**	**101**	**102**	**106**	**101**	**95**	**87**		
Поправка на телесный угол DΩ, дБ	Ω = 6.28	10Lg(4π/Ω)	**3**	3	3	3	3	3	3	3	3		
Показатель направленности источника Di, дБ		исходные данные	**0**	0	0	0	0	0	0	0	0		
Поправка на направленность источника Dc, дБ	Dc	DΩ + Di	**3**	3	3	3	3	3	3	3	3		
Затухание из-за геометрической дивергенции, Adiv, дБ	расстояние = 320.76 м	ф-ла (7) [10]	**61,1**										
Коэффициент затухания звука в атмосфере α, дБ/км	Ta=20,°C Pa=101.33,кПа hотн.=70%	ф-ла (5) [9]	0,02	0,09	0,33	1,12	2,79	4,98	9,04	23,09	77,63		
Учет затухания звука в атмосфере Aatm, дБ		ф-ла (8) [10]	0	0	0,1	0,4	0,9	1,6	2,9	7,4	24,9		
Снижение поверхностью земли возле источника As, дБ	Gs = 0 hs = 3м	ф-лы таб.3 [10]	-1,5	-1,5	-1,5	-1,5	-1,5	-1,5	-1,5	-1,5	-1,5		
Снижение поверхностью земли возле приёмника Ar, дБ	Gr = 1 hr = 1.5м	ф-лы таб.3 [10]	-1,5	-1,5	1,9	7	5	0,7	0	0	0		

1		2	3	4	5	6	7	8	9	10	11	12	13
Снижение поверхностью земли в средней зоне, Am дБ	Gm = 1	ф-лы таб.3 [10]	-1,7	-1,7	0	0	0	0	0	0	0		
Суммарное снижение поверхностью земли на траектории распространения звука Agr, дБ		ф-ла (9) [10]	-4,7	-4,7	0,4	5,5	3,5	-0,8	-1,5	-1,5	-1,5		
Уровни звукового давления прямого звука от источника ИШ-8-2 в расчётной точке днём, дБ		**ф-ла(3)[10]**	**51,6**	**50,6**	**45,4**	**37**	**39,5**	**47,1**	**41,5**	**31**	**5,5**	**48,9**	**48,9**
Расчёт отражённого звука													
Уровни звукового давления от мнимого источника ИШ-8-2_мн.(1) в расчётной точке днём, дБ		**ф-ла(3)[10]**	**50,6**	**49,6**	**40,4**	**30,6**	**36,7**	**44,6**	**38,9**	**28,4**	**2,7**	**46,3**	**46,3**
Уровни звукового давления от источника ИШ-8-2 в расчётной точке днём, дБ		**ф-ла(3)[10]**	**54,1**	**53,1**	**46,6**	**37,9**	**41,4**	**49**	**43,4**	**32,9**	**7,3**	**50,8**	**50,8**
Источник шума: ИШ-8-3, координаты источника (x,y,z), м =[564.90,-369.90,3.00]													
Уровни звуковой мощности источника днём, Lw, дБ		**исходные данные**	**105**	**104**	**104**	**101**	**102**	**106**	**101**	**95**	**87**		
Поправка на телесный угол DΩ, дБ	Ω = 6.28	10Lg(4π/Ω)	**3**	3	3	3	3	3	3	3	3		
Показатель направленности источника Di, дБ		исходные данные	**0**	0	0	0	0	0	0	0	0		
Поправка на направленность источника Dc, дБ	Dc	DΩ + Di	**3**	3	3	3	3	3	3	3	3		
Затухание из-за геометрической дивергенции, Adiv, дБ	расстояние = 371.08 м	ф-ла (7) [10]	**62,4**										
Коэффициент затухания звука в атмосфере α, дБ/км	Ta=20,°C Pa=101.33,кПа hотн.=70%	ф-ла (5) [9]	0,02	0,09	0,33	1,12	2,79	4,98	9,04	23,09	77,63		
Учет затухания звука в атмосфере Aatm, дБ		ф-ла (8) [10]	0	0	0,1	0,4	1	1,8	3,4	8,6	28,8		
Снижение уровня звукового давления из-за влияния застройки между источником шума и расчетной точкой													
Снижение уровня звукового давления на пути над экраном, Dz1, дБ	z = 0.02м (разность путей)	ф-лы (14-18) [10]	4,8	4,8	4,8	4,8	4,8	4,8	4,8	4,8	4,8		

1		2	3	4	5	6	7	8	9	10	11	12	13
Снижение уровня звукового давления на пути слева от экрана, Dz2, дБ	z = 1.36м (разность путей)	ф-лы (14-18) [10]	9	11,2	13,6	16,3	19,2	22,1	25,1	28,1	31,1		
Снижение уровня звукового давления на пути справа от экрана, Dz3, дБ	z = 1.48м (разность путей)	ф-лы (14-18) [10]	9,3	11,5	13,9	16,7	19,6	22,5	25,5	28,5	31,5		
Общее снижение уровня звука препятствием Dz, дБ		Эн.сумма(-Dzi)	2,4	3,2	3,8	4,2	4,5	4,6	4,7	4,8	4,8		
Уровни звукового давления от источника ИШ-8-3 в расчётной точке днём, дБ		**ф-ла(3)[10]**	**43,2**	**41,4**	**40,7**	**37**	**37,1**	**40,1**	**33,6**	**22,3**	**0**	**42,3**	**42,3**
Источник шума: ИШ-9-1, координаты источника (x,y,z), м =[642.94,-357.54,1.00]													
Уровни звуковой мощности источника днём, Lw, дБ		**исходные данные**	**0**	**93,3**	**94,7**	**96**	**96,3**	**95,9**	**92,6**	**88,4**	**83,9**		
Поправка на телесный угол DΩ, дБ	Ω = 6.28	10Lg(4π/Ω)	**3**	3	3	3	3	3	3	3	3		
Показатель направленности источника Di, дБ		исходные данные	**0**	0	0	0	0	0	0	0	0		
Поправка на направленность источника Dc, дБ	Dc	DΩ + Di	**3**	3	3	3	3	3	3	3	3		
Затухание из-за геометрической дивергенции, Adiv, дБ	расстояние = 411.21 м	ф-ла (7) [10]	**63,3**										
Коэффициент затухания звука в атмосфере α, дБ/км	Ta=20,°C Pa=101.33,кПа hотн.=70%	ф-ла (5) [9]	0,02	0,09	0,33	1,12	2,79	4,98	9,04	23,09	77,63		
Учет затухания звука в атмосфере Aatm, дБ		ф-ла (8) [10]	0	0	0,1	0,5	1,1	2	3,7	9,5	31,9		
Снижение поверхностью земли возле источника As, дБ	Gs = 0 hs = 1м	ф-лы таб.3 [10]	-1,5	-1,5	-1,5	-1,5	-1,5	-1,5	-1,5	-1,5	-1,5		
Снижение поверхностью земли возле приёмника Ar, дБ	Gr = 1 hr = 1.5м	ф-лы таб.3 [10]	-1,5	-1,5	2,4	7	5	0,7	0	0	0		
Снижение поверхностью земли в средней зоне, Am дБ	Gm = 1	ф-лы таб.3 [10]	-2,5	-2,5	0	0	0	0	0	0	0		
Суммарное снижение поверхностью земли на траектории распространения звука Agr, дБ		ф-ла (9) [10]	-5,5	-5,5	0,9	5,5	3,5	-0,8	-1,5	-1,5	-1,5		

1		2	3	4	5	6	7	8	9	10	11	12	13
Уровни звукового давления прямого звука от источника ИШ-9-1 в расчётной точке днём, дБ		**ф-ла(3)[10]**	**0**	**38,4**	**33,3**	**29,7**	**31,4**	**34,4**	**30,1**	**20,1**	**0**	**37,1**	**37,1**
Расчёт отражённого звука													
Уровни звукового давления от мнимого источника ИШ-9-1_мн.(1) в расчётной точке днём, дБ		**ф-ла(3)[10]**	**0**	**37,4**	**28,3**	**19,3**	**20**	**29,8**	**27,5**	**17,5**	**0**	**32,7**	**32,7**
Уровни звукового давления от мнимого источника ИШ-9-1_мн.(2) в расчётной точке днём, дБ		**ф-ла(3)[10]**	**0**	**0**	**0**	**0**	**0**	**5,5**	**0,1**	**0**	**0**	**6,9**	**6,9**
Суммарные уровни звукового давления от мнимых источников в расчётной точке днём, дБ		**ф-ла (19) [1]**	**0**	**37,4**	**28,3**	**19,3**	**20**	**29,8**	**27,5**	**17,5**	**0**	**0**	**32,7**
Уровни звукового давления от источника ИШ-9-1 в расчётной точке днём, дБ		**ф-ла(3)[10]**	**0**	**41**	**34,5**	**30,1**	**31,7**	**35,7**	**32**	**22**	**0**	**38,4**	**38,4**
Источник шума: ИШ-9-2, координаты источника (x,y,z), м =[644.14,-354.83,1.00]													
Уровни звуковой мощности источника днём, Lw, дБ		**исходные данные**	**0**	**93,3**	**94,7**	**96**	**96,3**	**95,9**	**92,6**	**88,4**	**83,9**		
Поправка на телесный угол DΩ, дБ	Ω = 6.28	10Lg(4π/Ω)	**3**	3	3	3	3	3	3	3	3		
Показатель направленности источника Di, дБ		исходные данные	**0**	0	0	0	0	0	0	0	0		
Поправка на направленность источника Dc, дБ	Dc	DΩ + Di	**3**	3	3	3	3	3	3	3	3		
Затухание из-за геометрической дивергенции, Adiv, дБ	расстояние = 410.12 м	ф-ла (7) [10]	**63,3**										
Коэффициент затухания звука в атмосфере α, дБ/км	Ta=20,°C Pa=101.33,кПа hотн.=70%	ф-ла (5) [9]	0,02	0,09	0,33	1,12	2,79	4,98	9,04	23,09	77,63		
Учет затухания звука в атмосфере Aatm, дБ		ф-ла (8) [10]	0	0	0,1	0,5	1,1	2	3,7	9,5	31,8		
Снижение поверхностью земли возле источника As, дБ	Gs = 0 hs = 1м	ф-лы таб.3 [10]	-1,5	-1,5	-1,5	-1,5	-1,5	-1,5	-1,5	-1,5	-1,5		
Снижение поверхностью земли возле приёмника Ar, дБ	Gr = 1 hr = 1.5м	ф-лы таб.3 [10]	-1,5	-1,5	2,4	7	5	0,7	0	0	0		

1		2	3	4	5	6	7	8	9	10	11	12	13
Снижение поверхностью земли в средней зоне, Am дБ	Gm = 1	ф-лы таб.3 [10]	-2,5	-2,5	0	0	0	0	0	0	0		
Суммарное снижение поверхностью земли на траектории распространения звука Agr, дБ		ф-ла (9) [10]	-5,5	-5,5	0,9	5,5	3,5	-0,8	-1,5	-1,5	-1,5		
Уровни звукового давления прямого звука от источника ИШ-9-2 в расчётной точке днём, дБ		**ф-ла(3)[10]**	**0**	**38,4**	**33,4**	**29,8**	**31,4**	**34,4**	**30,1**	**20,2**	**0**	**37,1**	**37,1**
Расчёт отражённого звука													
Уровни звукового давления от мнимого источника ИШ-9-2_мн.(1) в расчётной точке днём, дБ		**ф-ла(3)[10]**	**0**	**37,4**	**28,4**	**19,4**	**20**	**29,9**	**27,6**	**17,6**	**0**	**32,7**	**32,7**
Уровни звукового давления от мнимого источника ИШ-9-2_мн.(2) в расчётной точке днём, дБ		**ф-ла(3)[10]**	**0**	**0**	**0**	**0**	**0**	**5,5**	**0,2**	**0**	**0**	**6,9**	**6,9**
Суммарные уровни звукового давления от мнимых источников в расчётной точке днём, дБ		**ф-ла (19) [1]**	**0**	**37,4**	**28,4**	**19,4**	**20**	**29,9**	**27,6**	**17,6**	**0**	**0**	**32,8**
Уровни звукового давления от источника ИШ-9-2 в расчётной точке днём, дБ		**ф-ла(3)[10]**	**0**	**41**	**34,6**	**30,1**	**31,7**	**35,7**	**32**	**22,1**	**0**	**38,5**	**38,5**
Источник шума: ИШ-9-3, координаты источника (x,y,z), м =[644.98,-351.85,1.00]													
Уровни звуковой мощности источника днём, Lw, дБ		**исходные данные**	**0**	**93,3**	**94,7**	**96**	**96,3**	**95,9**	**92,6**	**88,4**	**83,9**		
Поправка на телесный угол DΩ, дБ	Ω = 6.28	10Lg(4π/Ω)	**3**	3	3	3	3	3	3	3	3		
Показатель направленности источника Di, дБ		исходные данные	**0**	0	0	0	0	0	0	0	0		
Поправка на направленность источника Dc, дБ	Dc	DΩ + Di	**3**	3	3	3	3	3	3	3	3		
Затухание из-за геометрической дивергенции, Adiv, дБ	расстояние = 408.61 м	ф-ла (7) [10]	**63,2**										
Коэффициент затухания звука в атмосфере α, дБ/км	Ta=20,°C Pa=101.33,кПа hотн.=70%	ф-ла (5) [9]	0,02	0,09	0,33	1,12	2,79	4,98	9,04	23,09	77,63		
Учет затухания звука в атмосфере Aatm, дБ		ф-ла (8) [10]	0	0	0,1	0,5	1,1	2	3,7	9,4	31,7		

1		2	3	4	5	6	7	8	9	10	11	12	13
Снижение поверхностью земли возле источника As, дБ	Gs = 0 hs = 1м	ф-лы таб.3 [10]	-1,5	-1,5	-1,5	-1,5	-1,5	-1,5	-1,5	-1,5	-1,5		
Снижение поверхностью земли возле приёмника Ar, дБ	Gr = 1 hr = 1.5м	ф-лы таб.3 [10]	-1,5	-1,5	2,4	7	5	0,7	0	0	0		
Снижение поверхностью земли в средней зоне, Am дБ	Gm = 1	ф-лы таб.3 [10]	-2,4	-2,4	0	0	0	0	0	0	0		
Суммарное снижение поверхностью земли на траектории распространения звука Agr, дБ		ф-ла (9) [10]	-5,4	-5,4	0,9	5,5	3,5	-0,8	-1,5	-1,5	-1,5		
Уровни звукового давления прямого звука от источника ИШ-9-3 в расчётной точке днём, дБ		**ф-ла(3)[10]**	**0**	**38,5**	**33,4**	**29,8**	**31,5**	**34,5**	**30,2**	**20,2**	**0**	**37,1**	**37,1**
Расчёт отражённого звука													
Уровни звукового давления от мнимого источника ИШ-9-3_мн.(1) в расчётной точке днём, дБ		**ф-ла(3)[10]**	**0**	**37,4**	**28,4**	**19,4**	**20,1**	**29,9**	**27,6**	**17,6**	**0**	**32,8**	**32,8**
Уровни звукового давления от мнимого источника ИШ-9-3_мн.(2) в расчётной точке днём, дБ		**ф-ла(3)[10]**	**0**	**0**	**0**	**0**	**0**	**5,5**	**0,2**	**0**	**0**	**6,9**	**6,9**
Суммарные уровни звукового давления от мнимых источников в расчётной точке днём, дБ		**ф-ла (19) [1]**	**0**	**37,4**	**28,4**	**19,4**	**20,1**	**29,9**	**27,6**	**17,6**	**0**	**0**	**32,8**
Уровни звукового давления от источника ИШ-9-3 в расчётной точке днём, дБ		**ф-ла(3)[10]**	**0**	**41**	**34,6**	**30,2**	**31,8**	**35,8**	**32,1**	**22,1**	**0**	**38,5**	**38,5**
Источник шума: ИШ-9-4, координаты источника (x,y,z), м =[646.01,-349.15,1.00]													
Уровни звуковой мощности источника днём, Lw, дБ		**исходные данные**	**0**	**93,3**	**94,7**	**96**	**96,3**	**95,9**	**92,6**	**88,4**	**83,9**		
Поправка на телесный угол DΩ, дБ	Ω = 6.28	10Lg(4π/Ω)	**3**	3	3	3	3	3	3	3	3		
Показатель направленности источника Di, дБ		исходные данные	**0**	0	0	0	0	0	0	0	0		
Поправка на направленность источника Dc, дБ	Dc	DΩ + Di	**3**	3	3	3	3	3	3	3	3		
Затухание из-за геометрической дивергенции, Adiv, дБ	расстояние = 407.44 м	ф-ла (7) [10]	**63,2**										
Коэффициент затухания звука в атмосфере α, дБ/км	Ta=20,°C Pa=101.33,кПа hотн.=70%	ф-ла (5) [9]	0,02	0,09	0,33	1,12	2,79	4,98	9,04	23,09	77,63		

1		2	3	4	5	6	7	8	9	10	11	12	13
Учет затухания звука в атмосфере Aatm, дБ		ф-ла (8) [10]	0	0	0,1	0,5	1,1	2	3,7	9,4	31,6		
Снижение поверхностью земли возле источника As, дБ	Gs = 0 hs = 1м	ф-лы таб.3 [10]	-1,5	-1,5	-1,5	-1,5	-1,5	-1,5	-1,5	-1,5	-1,5		
Снижение поверхностью земли возле приёмника Ar, дБ	Gr = 1 hr = 1.5м	ф-лы таб.3 [10]	-1,5	-1,5	2,4	7	5	0,7	0	0	0		
Снижение поверхностью земли в средней зоне, Am дБ	Gm = 1	ф-лы таб.3 [10]	-2,4	-2,4	0	0	0	0	0	0	0		
Суммарное снижение поверхностью земли на траектории распространения звука Agr, дБ		ф-ла (9) [10]	-5,4	-5,4	0,9	5,5	3,5	-0,8	-1,5	-1,5	-1,5		
Уровни звукового давления прямого звука от источника ИШ-9-4 в расчётной точке днём, дБ		**ф-ла(3)[10]**	**0**	**38,5**	**33,4**	**29,8**	**31,5**	**34,5**	**30,2**	**20,3**	**0**	**37,2**	**37,2**
Расчёт отражённого звука													
Уровни звукового давления от мнимого источника ИШ-9-4_мн.(1) в расчётной точке днём, дБ		**ф-ла(3)[10]**	**0**	**37,5**	**28,5**	**19,4**	**20,1**	**29,9**	**27,6**	**17,7**	**0**	**32,8**	**32,8**
Уровни звукового давления от мнимого источника ИШ-9-4_мн.(2) в расчётной точке днём, дБ		**ф-ла(3)[10]**	**0**	**0**	**0**	**0**	**0**	**5,5**	**0,2**	**0**	**0**	**6,9**	**6,9**
Суммарные уровни звукового давления от мнимых источников в расчётной точке днём, дБ		**ф-ла (19) [1]**	**0**	**37,5**	**28,5**	**19,4**	**20,1**	**29,9**	**27,7**	**17,7**	**0**	**0**	**32,8**
Уровни звукового давления от источника ИШ-9-4 в расчётной точке днём, дБ		**ф-ла(3)[10]**	**0**	**41**	**34,6**	**30,2**	**31,8**	**35,8**	**32,1**	**22,2**	**0**	**38,5**	**38,5**
Источник шума: ИШ-9-5, координаты источника (x,y,z), м =[646.84,-346.17,1.00]													
Уровни звуковой мощности источника днём, Lw, дБ		**исходные данные**	**0**	**93,3**	**94,7**	**96**	**96,3**	**95,9**	**92,6**	**88,4**	**83,9**		
Поправка на телесный угол DΩ, дБ	Ω = 6.28	10Lg(4π/Ω)	**3**	3	3	3	3	3	3	3	3		
Показатель направленности источника Di, дБ		исходные данные	**0**	0	0	0	0	0	0	0	0		
Поправка на направленность источника Dc, дБ	Dc	DΩ + Di	**3**	3	3	3	3	3	3	3	3		
Затухание из-за геометрической дивергенции, Adiv, дБ	расстояние = 405.96 м	ф-ла (7) [10]	**63,2**										

1		2	3	4	5	6	7	8	9	10	11	12	13
Коэффициент затухания звука в атмосфере α, дБ/км	Ta=20,°C Pa=101.33,кПа hотн.=70%	ф-ла (5) [9]	0,02	0,09	0,33	1,12	2,79	4,98	9,04	23,09	77,63		
Учет затухания звука в атмосфере Aatm, дБ		ф-ла (8) [10]	0	0	0,1	0,5	1,1	2	3,7	9,4	31,5		
Снижение поверхностью земли возле источника As, дБ	Gs = 0 hs = 1м	ф-лы таб.3 [10]	-1,5	-1,5	-1,5	-1,5	-1,5	-1,5	-1,5	-1,5	-1,5		
Снижение поверхностью земли возле приёмника Ar, дБ	Gr = 1 hr = 1.5м	ф-лы таб.3 [10]	-1,5	-1,5	2,4	7	5	0,7	0	0	0		
Снижение поверхностью земли в средней зоне, Am дБ	Gm = 1	ф-лы таб.3 [10]	-2,4	-2,4	0	0	0	0	0	0	0		
Суммарное снижение поверхностью земли на траектории распространения звука Agr, дБ		ф-ла (9) [10]	-5,4	-5,4	0,9	5,5	3,5	-0,8	-1,5	-1,5	-1,5		
Уровни звукового давления прямого звука от источника ИШ-9-5 в расчётной точке днём, дБ		**ф-ла(3)[10]**	**0**	**38,5**	**33,5**	**29,8**	**31,5**	**34,5**	**30,3**	**20,4**	**0**	**37,2**	**37,2**
Расчёт отражённого звука													
Уровни звукового давления от мнимого источника ИШ-9-5_мн.(1) в расчётной точке днём, дБ		**ф-ла(3)[10]**	**0**	**37,5**	**28,5**	**19,4**	**20,1**	**30**	**27,7**	**17,7**	**0**	**32,9**	**32,9**
Уровни звукового давления от мнимого источника ИШ-9-5_мн.(2) в расчётной точке днём, дБ		**ф-ла(3)[10]**	**0**	**0**	**0**	**0**	**0**	**5,6**	**0,2**	**0**	**0**	**7**	**7**
Суммарные уровни звукового давления от мнимых источников в расчётной точке днём, дБ		**ф-ла (19) [1]**	**0**	**37,5**	**28,5**	**19,4**	**20,1**	**30**	**27,7**	**17,7**	**0**	**0**	**32,9**
Уровни звукового давления от источника ИШ-9-5 в расчётной точке днём, дБ		**ф-ла(3)[10]**	**0**	**41,1**	**34,7**	**30,2**	**31,8**	**35,8**	**32,2**	**22,2**	**0**	**38,6**	**38,6**
Источник шума: ИШ-9-6, координаты источника (x,y,z), м =[647.87,-343.47,1.00]													
Уровни звуковой мощности источника днём, Lw, дБ		**исходные данные**	**0**	**93,3**	**94,7**	**96**	**96,3**	**95,9**	**92,6**	**88,4**	**83,9**		
Поправка на телесный угол DΩ, дБ	Ω = 6.28	10Lg(4π/Ω)	**3**	3	3	3	3	3	3	3	3		
Показатель направленности источника Di, дБ		исходные данные	**0**	0	0	0	0	0	0	0	0		

1		2	3	4	5	6	7	8	9	10	11	12	13
Поправка на направленность источника Dc, дБ	Dc	DΩ + Di	**3**	3	3	3	3	3	3	3	3		
Затухание из-за геометрической дивергенции, Adiv, дБ	расстояние = 404.82 м	ф-ла (7) [10]	**63,1**										
Коэффициент затухания звука в атмосфере α, дБ/км	Ta=20,°C Pa=101.33,кПа hотн.=70%	ф-ла (5) [9]	0,02	0,09	0,33	1,12	2,79	4,98	9,04	23,09	77,63		
Учет затухания звука в атмосфере Aatm, дБ		ф-ла (8) [10]	0	0	0,1	0,5	1,1	2	3,7	9,3	31,4		
Снижение поверхностью земли возле источника As, дБ	Gs = 0 hs = 1м	ф-лы таб.3 [10]	-1,5	-1,5	-1,5	-1,5	-1,5	-1,5	-1,5	-1,5	-1,5		
Снижение поверхностью земли возле приёмника Ar, дБ	Gr = 1 hr = 1.5м	ф-лы таб.3 [10]	-1,5	-1,5	2,4	7	5	0,7	0	0	0		
Снижение поверхностью земли в средней зоне, Am дБ	Gm = 1	ф-лы таб.3 [10]	-2,4	-2,4	0	0	0	0	0	0	0		
Суммарное снижение поверхностью земли на траектории распространения звука Agr, дБ		ф-ла (9) [10]	-5,4	-5,4	0,9	5,5	3,5	-0,8	-1,5	-1,5	-1,5		
Уровни звукового давления прямого звука от источника ИШ-9-6 в расчётной точке днём, дБ		**ф-ла(3)[10]**	**0**	**38,6**	**33,5**	**29,9**	**31,5**	**34,6**	**30,3**	**20,4**	**0**	**37,2**	**37,2**
Расчёт отражённого звука													
Уровни звукового давления от мнимого источника ИШ-9-6_мн.(1) в расчётной точке днём, дБ		**ф-ла(3)[10]**	**0**	**37,5**	**28,6**	**19,5**	**20,2**	**30**	**27,7**	**17,8**	**0**	**32,9**	**32,9**
Уровни звукового давления от мнимого источника ИШ-9-6_мн.(2) в расчётной точке днём, дБ		**ф-ла(3)[10]**	**0**	**0**	**0**	**0**	**0**	**5,6**	**0,3**	**0**	**0**	**7**	**7**
Суммарные уровни звукового давления от мнимых источников в расчётной точке днём, дБ		**ф-ла (19) [1]**	**0**	**37,5**	**28,6**	**19,5**	**20,2**	**30**	**27,7**	**17,8**	**0**	**0**	**32,9**
Уровни звукового давления от источника ИШ-9-6 в расчётной точке днём, дБ		**ф-ла(3)[10]**	**0**	**41,1**	**34,7**	**30,2**	**31,9**	**35,9**	**32,2**	**22,3**	**0**	**38,6**	**38,6**
Источник шума: ИШ-9-7, координаты источника (x,y,z), м =[648.71,-340.49,1.00]													
Уровни звуковой мощности источника днём, Lw, дБ		**исходные данные**	**0**	**93,3**	**94,7**	**96**	**96,3**	**95,9**	**92,6**	**88,4**	**83,9**		

1		2	3	4	5	6	7	8	9	10	11	12	13
Поправка на телесный угол DΩ, дБ	Ω = 6.28	10Lg(4π/Ω)	**3**	3	3	3	3	3	3	3	3		
Показатель направленности источника Di, дБ		исходные данные	**0**	0	0	0	0	0	0	0	0		
Поправка на направленность источника Dc, дБ	Dc	DΩ + Di	**3**	3	3	3	3	3	3	3	3		
Затухание из-за геометрической дивергенции, Adiv, дБ	расстояние = 403.38 м	ф-ла (7) [10]	**63,1**										
Коэффициент затухания звука в атмосфере α, дБ/км	Ta=20,°C Pa=101.33,кПа hотн.=70%	ф-ла (5) [9]	0,02	0,09	0,33	1,12	2,79	4,98	9,04	23,09	77,63		
Учет затухания звука в атмосфере Aatm, дБ		ф-ла (8) [10]	0	0	0,1	0,5	1,1	2	3,6	9,3	31,3		
Снижение поверхностью земли возле источника As, дБ	Gs = 0 hs = 1м	ф-лы таб.3 [10]	-1,5	-1,5	-1,5	-1,5	-1,5	-1,5	-1,5	-1,5	-1,5		
Снижение поверхностью земли возле приёмника Ar, дБ	Gr = 1 hr = 1.5м	ф-лы таб.3 [10]	-1,5	-1,5	2,4	7	5	0,7	0	0	0		
Снижение поверхностью земли в средней зоне, Am дБ	Gm = 1	ф-лы таб.3 [10]	-2,4	-2,4	0	0	0	0	0	0	0		
Суммарное снижение поверхностью земли на траектории распространения звука Agr, дБ		ф-ла (9) [10]	-5,4	-5,4	0,9	5,5	3,5	-0,8	-1,5	-1,5	-1,5		
Уровни звукового давления прямого звука от источника ИШ-9-7 в расчётной точке днём, дБ		**ф-ла(3)[10]**	**0**	**38,6**	**33,5**	**29,9**	**31,6**	**34,6**	**30,3**	**20,5**	**0**	**37,3**	**37,3**
Расчёт отражённого звука													
Уровни звукового давления от мнимого источника ИШ-9-7_мн.(1) в расчётной точке днём, дБ		**ф-ла(3)[10]**	**0**	**37,6**	**28,6**	**19,5**	**20,2**	**30**	**27,8**	**17,9**	**0**	**32,9**	**32,9**
Уровни звукового давления от мнимого источника ИШ-9-7_мн.(2) в расчётной точке днём, дБ		**ф-ла(3)[10]**	**0**	**0**	**0**	**0**	**0**	**5,6**	**0,3**	**0**	**0**	**7**	**7**
Суммарные уровни звукового давления от мнимых источников в расчётной точке днём, дБ		**ф-ла (19) [1]**	**0**	**37,6**	**28,6**	**19,5**	**20,2**	**30**	**27,8**	**17,9**	**0**	**0**	**32,9**
Уровни звукового давления от источника ИШ-9-7 в расчётной точке днём, дБ		**ф-ла(3)[10]**	**0**	**41,1**	**34,8**	**30,3**	**31,9**	**35,9**	**32,2**	**22,4**	**0**	**38,6**	**38,6**

1		2	3	4	5	6	7	8	9	10	11	12	13
Источник шума: ИШ-9-8, координаты источника (x,y,z), м =[649.92,-337.69,1.00]													
Уровни звуковой мощности источника днём, Lw, дБ		**исходные данные**	**0**	**93,3**	**94,7**	**96**	**96,3**	**95,9**	**92,6**	**88,4**	**83,9**		
Поправка на телесный угол DΩ, дБ	Ω = 6.28	10Lg(4π/Ω)	**3**	3	3	3	3	3	3	3	3		
Показатель направленности источника Di, дБ		исходные данные	**0**	0	0	0	0	0	0	0	0		
Поправка на направленность источника Dc, дБ	Dc	DΩ + Di	**3**	3	3	3	3	3	3	3	3		
Затухание из-за геометрической дивергенции, Adiv, дБ	расстояние = 402.35 м	ф-ла (7) [10]	**63,1**										
Коэффициент затухания звука в атмосфере α, дБ/км	Ta=20,°C Pa=101.33,кПа hотн.=70%	ф-ла (5) [9]	0,02	0,09	0,33	1,12	2,79	4,98	9,04	23,09	77,63		
Учет затухания звука в атмосфере Aatm, дБ		ф-ла (8) [10]	0	0	0,1	0,5	1,1	2	3,6	9,3	31,2		
Снижение поверхностью земли возле источника As, дБ	Gs = 0 hs = 1м	ф-лы таб.3 [10]	-1,5	-1,5	-1,5	-1,5	-1,5	-1,5	-1,5	-1,5	-1,5		
Снижение поверхностью земли возле приёмника Ar, дБ	Gr = 1 hr = 1.5м	ф-лы таб.3 [10]	-1,5	-1,5	2,4	7	5	0,7	0	0	0		
Снижение поверхностью земли в средней зоне, Am дБ	Gm = 1	ф-лы таб.3 [10]	-2,4	-2,4	0	0	0	0	0	0	0		
Суммарное снижение поверхностью земли на траектории распространения звука Agr, дБ		ф-ла (9) [10]	-5,4	-5,4	0,9	5,5	3,5	-0,8	-1,5	-1,5	-1,5		
Уровни звукового давления прямого звука от источника ИШ-9-8 в расчётной точке днём, дБ		**ф-ла(3)[10]**	**0**	**38,6**	**33,6**	**29,9**	**31,6**	**34,6**	**30,4**	**20,5**	**0**	**37,3**	**37,3**
Расчёт отражённого звука													
Уровни звукового давления от мнимого источника ИШ-9-8_мн.(1) в расчётной точке днём, дБ		**ф-ла(3)[10]**	**0**	**37,6**	**28,7**	**19,5**	**20,2**	**30,1**	**27,8**	**17,9**	**0**	**33**	**33**
Уровни звукового давления от источника ИШ-9-8 в расчётной точке днём, дБ		**ф-ла(3)[10]**	**0**	**41,1**	**34,8**	**30,3**	**31,9**	**35,9**	**32,3**	**22,4**	**0**	**38,7**	**38,7**

1		2	3	4	5	6	7	8	9	10	11	12	13
Источник шума: ИШ-9-9, координаты источника (x,y,z), м =[650.66,-334.90,1.00]													
Уровни звуковой мощности источника днём, Lw, дБ		**исходные данные**	**0**	**93,3**	**94,7**	**96**	**96,3**	**95,9**	**92,6**	**88,4**	**83,9**		
Поправка на телесный угол DΩ, дБ	Ω = 6.28	10Lg(4π/Ω)	**3**	3	3	3	3	3	3	3	3		
Показатель направленности источника Di, дБ		исходные данные	**0**	0	0	0	0	0	0	0	0		
Поправка на направленность источника Dc, дБ	Dc	DΩ + Di	**3**	3	3	3	3	3	3	3	3		
Затухание из-за геометрической дивергенции, Adiv, дБ	расстояние = 401.00 м	ф-ла (7) [10]	**63,1**										
Коэффициент затухания звука в атмосфере α, дБ/км	Ta=20,°C Pa=101.33,кПа hотн.=70%	ф-ла (5) [9]	0,02	0,09	0,33	1,12	2,79	4,98	9,04	23,09	77,63		
Учет затухания звука в атмосфере Aatm, дБ		ф-ла (8) [10]	0	0	0,1	0,5	1,1	2	3,6	9,3	31,1		
Снижение поверхностью земли возле источника As, дБ	Gs = 0 hs = 1м	ф-лы таб.3 [10]	-1,5	-1,5	-1,5	-1,5	-1,5	-1,5	-1,5	-1,5	-1,5		
Снижение поверхностью земли возле приёмника Ar, дБ	Gr = 1 hr = 1.5м	ф-лы таб.3 [10]	-1,5	-1,5	2,4	7	5	0,7	0	0	0		
Снижение поверхностью земли в средней зоне, Am дБ	Gm = 1	ф-лы таб.3 [10]	-2,4	-2,4	0	0	0	0	0	0	0		
Суммарное снижение поверхностью земли на траектории распространения звука Agr, дБ		ф-ла (9) [10]	-5,4	-5,4	0,9	5,5	3,5	-0,8	-1,5	-1,5	-1,5		
Уровни звукового давления прямого звука от источника ИШ-9-9 в расчётной точке днём, дБ		**ф-ла(3)[10]**	**0**	**38,6**	**33,6**	**30**	**31,6**	**34,7**	**30,4**	**20,6**	**0**	**37,3**	**37,3**
Расчёт отражённого звука													
Уровни звукового давления от мнимого источника ИШ-9-9_мн.(1) в расчётной точке днём, дБ		**ф-ла(3)[10]**	**0**	**37,6**	**28,7**	**19,6**	**20,3**	**30,1**	**27,8**	**18**	**0**	**33**	**33**
Уровни звукового давления от источника ИШ-9-9 в расчётной точке днём, дБ		**ф-ла(3)[10]**	**0**	**41,2**	**34,8**	**30,3**	**31,9**	**36**	**32,3**	**22,5**	**0**	**38,7**	**38,7**

1		2	3	4	5	6	7	8	9	10	11	12	13
Источник шума: ИШ-9-10, координаты источника (x,y,z), м =[651.59,-332.01,1.00]													
Уровни звуковой мощности источника днём, Lw, дБ		**исходные данные**	**0**	**93,3**	**94,7**	**96**	**96,3**	**95,9**	**92,6**	**88,4**	**83,9**		
Поправка на телесный угол DΩ, дБ	Ω = 6.28	10Lg(4π/Ω)	**3**	3	3	3	3	3	3	3	3		
Показатель направленности источника Di, дБ		исходные данные	**0**	0	0	0	0	0	0	0	0		
Поправка на направленность источника Dc, дБ	Dc	DΩ + Di	**3**	3	3	3	3	3	3	3	3		
Затухание из-за геометрической дивергенции, Adiv, дБ	расстояние = 399.74 м	ф-ла (7) [10]	**63**										
Коэффициент затухания звука в атмосфере α, дБ/км	Ta=20,°C Pa=101.33,кПа hотн.=70%	ф-ла (5) [9]	0,02	0,09	0,33	1,12	2,79	4,98	9,04	23,09	77,63		
Учет затухания звука в атмосфере Aatm, дБ		ф-ла (8) [10]	0	0	0,1	0,4	1,1	2	3,6	9,2	31		
Снижение поверхностью земли возле источника As, дБ	Gs = 0 hs = 1м	ф-лы таб.3 [10]	-1,5	-1,5	-1,5	-1,5	-1,5	-1,5	-1,5	-1,5	-1,5		
Снижение поверхностью земли возле приёмника Ar, дБ	Gr = 1 hr = 1.5м	ф-лы таб.3 [10]	-1,5	-1,5	2,4	7	5	0,7	0	0	0		
Снижение поверхностью земли в средней зоне, Am дБ	Gm = 1	ф-лы таб.3 [10]	-2,4	-2,4	0	0	0	0	0	0	0		
Суммарное снижение поверхностью земли на траектории распространения звука Agr, дБ		ф-ла (9) [10]	-5,4	-5,4	0,9	5,5	3,5	-0,8	-1,5	-1,5	-1,5		
Уровни звукового давления прямого звука от источника ИШ-9-10 в расчётной точке днём, дБ		**ф-ла(3)[10]**	**0**	**38,7**	**33,7**	**30**	**31,7**	**34,7**	**30,4**	**20,6**	**0**	**37,4**	**37,4**
Расчёт отражённого звука													
Уровни звукового давления от мнимого источника ИШ-9-10_мн.(1) в расчётной точке днём, дБ		**ф-ла(3)[10]**	**0**	**37,6**	**28,8**	**19,6**	**20,3**	**30,1**	**27,9**	**18**	**0**	**33**	**33**
Уровни звукового давления от источника ИШ-9-10 в расчётной точке днём, дБ		**ф-ла(3)[10]**	**0**	**41,2**	**34,9**	**30,4**	**32**	**36**	**32,4**	**22,5**	**0**	**38,7**	**38,7**

1		2	3	4	5	6	7	8	9	10	11	12	13
Источник шума: ИШ-9-11, координаты источника (x,y,z), м =[652.71,-329.22,1.00]													
Уровни звуковой мощности источника днём, Lw, дБ		**исходные данные**	**0**	**93,3**	**94,7**	**96**	**96,3**	**95,9**	**92,6**	**88,4**	**83,9**		
Поправка на телесный угол DΩ, дБ	Ω = 6.28	10Lg(4π/Ω)	**3**	3	3	3	3	3	3	3	3		
Показатель направленности источника Di, дБ		исходные данные	**0**	0	0	0	0	0	0	0	0		
Поправка на направленность источника Dc, дБ	Dc	DΩ + Di	**3**	3	3	3	3	3	3	3	3		
Затухание из-за геометрической дивергенции, Adiv, дБ	расстояние = 398.71 м	ф-ла (7) [10]	**63**										
Коэффициент затухания звука в атмосфере α, дБ/км	Ta=20,°C Pa=101.33,кПа hотн.=70%	ф-ла (5) [9]	0,02	0,09	0,33	1,12	2,79	4,98	9,04	23,09	77,63		
Учет затухания звука в атмосфере Aatm, дБ		ф-ла (8) [10]	0	0	0,1	0,4	1,1	2	3,6	9,2	31		
Снижение поверхностью земли возле источника As, дБ	Gs = 0 hs = 1м	ф-лы таб.3 [10]	-1,5	-1,5	-1,5	-1,5	-1,5	-1,5	-1,5	-1,5	-1,5		
Снижение поверхностью земли возле приёмника Ar, дБ	Gr = 1 hr = 1.5м	ф-лы таб.3 [10]	-1,5	-1,5	2,4	7	5	0,7	0	0	0		
Снижение поверхностью земли в средней зоне, Am дБ	Gm = 1	ф-лы таб.3 [10]	-2,4	-2,4	0	0	0	0	0	0	0		
Суммарное снижение поверхностью земли на траектории распространения звука Agr, дБ		ф-ла (9) [10]	-5,4	-5,4	0,9	5,5	3,5	-0,8	-1,5	-1,5	-1,5		
Уровни звукового давления прямого звука от источника ИШ-9-11 в расчётной точке днём, дБ		**ф-ла(3)[10]**	**0**	**38,7**	**33,7**	**30**	**31,7**	**34,7**	**30,5**	**20,7**	**0**	**37,4**	**37,4**
Расчёт отражённого звука													
Уровни звукового давления от мнимого источника ИШ-9-11_мн.(1) в расчётной точке днём, дБ		**ф-ла(3)[10]**	**0**	**37,6**	**28,8**	**19,6**	**20,3**	**30,1**	**27,9**	**18,1**	**0**	**33,1**	**33,1**
Уровни звукового давления от источника ИШ-9-11 в расчётной точке днём, дБ		**ф-ла(3)[10]**	**0**	**41,2**	**34,9**	**30,4**	**32**	**36**	**32,4**	**22,6**	**0**	**38,8**	**38,8**

1		2	3	4	5	6	7	8	9	10	11	12	13
Источник шума: ИШ-9-12, координаты источника (x,y,z), м =[653.46,-326.33,1.00]													
Уровни звуковой мощности источника днём, Lw, дБ		**исходные данные**	**0**	**93,3**	**94,7**	**96**	**96,3**	**95,9**	**92,6**	**88,4**	**83,9**		
Поправка на телесный угол DΩ, дБ	Ω = 6.28	10Lg(4π/Ω)	**3**	3	3	3	3	3	3	3	3		
Показатель направленности источника Di, дБ		исходные данные	**0**	0	0	0	0	0	0	0	0		
Поправка на направленность источника Dc, дБ	Dc	DΩ + Di	**3**	3	3	3	3	3	3	3	3		
Затухание из-за геометрической дивергенции, Adiv, дБ	расстояние = 397.35 м	ф-ла (7) [10]	**63**										
Коэффициент затухания звука в атмосфере α, дБ/км	Ta=20,°C Pa=101.33,кПа hотн.=70%	ф-ла (5) [9]	0,02	0,09	0,33	1,12	2,79	4,98	9,04	23,09	77,63		
Учет затухания звука в атмосфере Aatm, дБ		ф-ла (8) [10]	0	0	0,1	0,4	1,1	2	3,6	9,2	30,8		
Снижение поверхностью земли возле источника As, дБ	Gs = 0 hs = 1м	ф-лы таб.3 [10]	-1,5	-1,5	-1,5	-1,5	-1,5	-1,5	-1,5	-1,5	-1,5		
Снижение поверхностью земли возле приёмника Ar, дБ	Gr = 1 hr = 1.5м	ф-лы таб.3 [10]	-1,5	-1,5	2,4	7	5	0,7	0	0	0		
Снижение поверхностью земли в средней зоне, Am дБ	Gm = 1	ф-лы таб.3 [10]	-2,4	-2,4	0	0	0	0	0	0	0		
Суммарное снижение поверхностью земли на траектории распространения звука Agr, дБ		ф-ла (9) [10]	-5,4	-5,4	0,9	5,5	3,5	-0,8	-1,5	-1,5	-1,5		
Уровни звукового давления прямого звука от источника ИШ-9-12 в расчётной точке днём, дБ		**ф-ла(3)[10]**	**0**	**38,7**	**33,7**	**30**	**31,7**	**34,8**	**30,5**	**20,7**	**0**	**37,5**	**37,5**
Расчёт отражённого звука													
Уровни звукового давления от мнимого источника ИШ-9-12_мн.(1) в расчётной точке днём, дБ		**ф-ла(3)[10]**	**0**	**37,7**	**28,8**	**19,6**	**20,3**	**30,2**	**27,9**	**18,1**	**0**	**33,1**	**33,1**
Уровни звукового давления от источника ИШ-9-12 в расчётной точке днём, дБ		**ф-ла(3)[10]**	**0**	**41,2**	**34,9**	**30,4**	**32**	**36,1**	**32,4**	**22,6**	**0**	**38,8**	**38,8**

1		2	3	4	5	6	7	8	9	10	11	12	13
Источник шума: ИШ-9-13, координаты источника (x,y,z), м =[654.48,-323.54,1.00]													
Уровни звуковой мощности источника днём, Lw, дБ		**исходные данные**	**0**	**93,3**	**94,7**	**96**	**96,3**	**95,9**	**92,6**	**88,4**	**83,9**		
Поправка на телесный угол DΩ, дБ	Ω = 6.28	10Lg(4π/Ω)	**3**	3	3	3	3	3	3	3	3		
Показатель направленности источника Di, дБ		исходные данные	**0**	0	0	0	0	0	0	0	0		
Поправка на направленность источника Dc, дБ	Dc	DΩ + Di	**3**	3	3	3	3	3	3	3	3		
Затухание из-за геометрической дивергенции, Adiv, дБ	расстояние = 396.28 м	ф-ла (7) [10]	**63**										
Коэффициент затухания звука в атмосфере α, дБ/км	Ta=20,°C Pa=101.33,кПа hотн.=70%	ф-ла (5) [9]	0,02	0,09	0,33	1,12	2,79	4,98	9,04	23,09	77,63		
Учет затухания звука в атмосфере Aatm, дБ		ф-ла (8) [10]	0	0	0,1	0,4	1,1	2	3,6	9,1	30,8		
Снижение поверхностью земли возле источника As, дБ	Gs = 0 hs = 1м	ф-лы таб.3 [10]	-1,5	-1,5	-1,5	-1,5	-1,5	-1,5	-1,5	-1,5	-1,5		
Снижение поверхностью земли возле приёмника Ar, дБ	Gr = 1 hr = 1.5м	ф-лы таб.3 [10]	-1,5	-1,5	2,3	7	5	0,7	0	0	0		
Снижение поверхностью земли в средней зоне, Am дБ	Gm = 1	ф-лы таб.3 [10]	-2,4	-2,4	0	0	0	0	0	0	0		
Суммарное снижение поверхностью земли на траектории распространения звука Agr, дБ		ф-ла (9) [10]	-5,4	-5,4	0,8	5,5	3,5	-0,8	-1,5	-1,5	-1,5		
Уровни звукового давления прямого звука от источника ИШ-9-13 в расчётной точке днём, дБ		**ф-ла(3)[10]**	**0**	**38,7**	**33,8**	**30,1**	**31,8**	**34,8**	**30,5**	**20,8**	**0**	**37,5**	**37,5**
Расчёт отражённого звука													
Уровни звукового давления от мнимого источника ИШ-9-13_мн.(1) в расчётной точке днём, дБ		**ф-ла(3)[10]**	**0**	**37,7**	**28,9**	**19,7**	**20,4**	**30,2**	**28**	**18,2**	**0**	**33,1**	**33,1**
Уровни звукового давления от источника ИШ-9-13 в расчётной точке днём, дБ		**ф-ла(3)[10]**	**0**	**41,3**	**35**	**30,4**	**32,1**	**36,1**	**32,5**	**22,7**	**0**	**38,8**	**38,8**

1		2	3	4	5	6	7	8	9	10	11	12	13
Источник шума: ИШ-9-14, координаты источника (x,y,z), м =[655.60,-320.74,1.00]													
Уровни звуковой мощности источника днём, Lw, дБ		**исходные данные**	**0**	**93,3**	**94,7**	**96**	**96,3**	**95,9**	**92,6**	**88,4**	**83,9**		
Поправка на телесный угол DΩ, дБ	Ω = 6.28	10Lg(4π/Ω)	**3**	3	3	3	3	3	3	3	3		
Показатель направленности источника Di, дБ		исходные данные	**0**	0	0	0	0	0	0	0	0		
Поправка на направленность источника Dc, дБ	Dc	DΩ + Di	**3**	3	3	3	3	3	3	3	3		
Затухание из-за геометрической дивергенции, Adiv, дБ	расстояние = 395.30 м	ф-ла (7) [10]	**62,9**										
Коэффициент затухания звука в атмосфере α, дБ/км	Ta=20,°C Pa=101.33,кПа hотн.=70%	ф-ла (5) [9]	0,02	0,09	0,33	1,12	2,79	4,98	9,04	23,09	77,63		
Учет затухания звука в атмосфере Aatm, дБ		ф-ла (8) [10]	0	0	0,1	0,4	1,1	2	3,6	9,1	30,7		
Снижение поверхностью земли возле источника As, дБ	Gs = 0 hs = 1м	ф-лы таб.3 [10]	-1,5	-1,5	-1,5	-1,5	-1,5	-1,5	-1,5	-1,5	-1,5		
Снижение поверхностью земли возле приёмника Ar, дБ	Gr = 1 hr = 1.5м	ф-лы таб.3 [10]	-1,5	-1,5	2,3	7	5	0,7	0	0	0		
Снижение поверхностью земли в средней зоне, Am дБ	Gm = 1	ф-лы таб.3 [10]	-2,4	-2,4	0	0	0	0	0	0	0		
Суммарное снижение поверхностью земли на траектории распространения звука Agr, дБ		ф-ла (9) [10]	-5,4	-5,4	0,8	5,5	3,5	-0,8	-1,5	-1,5	-1,5		
Уровни звукового давления прямого звука от источника ИШ-9-14 в расчётной точке днём, дБ		**ф-ла(3)[10]**	**0**	**38,7**	**33,8**	**30,1**	**31,8**	**34,8**	**30,6**	**20,8**	**0**	**37,5**	**37,5**
Расчёт отражённого звука													
Уровни звукового давления от мнимого источника ИШ-9-14_мн.(1) в расчётной точке днём, дБ		**ф-ла(3)[10]**	**0**	**37,7**	**28,9**	**19,7**	**20,4**	**30,2**	**28**	**18,2**	**0**	**33,2**	**33,2**
Уровни звукового давления от источника ИШ-9-14 в расчётной точке днём, дБ		**ф-ла(3)[10]**	**0**	**41,3**	**35**	**30,5**	**32,1**	**36,1**	**32,5**	**22,7**	**0**	**38,9**	**38,9**

1		2	3	4	5	6	7	8	9	10	11	12	13
Источник шума: ИШ-9-15, координаты источника (x,y,z), м =[656.44,-317.86,1.00]													
Уровни звуковой мощности источника днём, Lw, дБ		**исходные данные**	**0**	**93,3**	**94,7**	**96**	**96,3**	**95,9**	**92,6**	**88,4**	**83,9**		
Поправка на телесный угол DΩ, дБ	Ω = 6.28	10Lg(4π/Ω)	**3**	3	3	3	3	3	3	3	3		
Показатель направленности источника Di, дБ		исходные данные	**0**	0	0	0	0	0	0	0	0		
Поправка на направленность источника Dc, дБ	Dc	DΩ + Di	**3**	3	3	3	3	3	3	3	3		
Затухание из-за геометрической дивергенции, Adiv, дБ	расстояние = 394.07 м	ф-ла (7) [10]	**62,9**										
Коэффициент затухания звука в атмосфере α, дБ/км	Ta=20,°C Pa=101.33,кПа hотн.=70%	ф-ла (5) [9]	0,02	0,09	0,33	1,12	2,79	4,98	9,04	23,09	77,63		
Учет затухания звука в атмосфере Aatm, дБ		ф-ла (8) [10]	0	0	0,1	0,4	1,1	2	3,6	9,1	30,6		
Снижение поверхностью земли возле источника As, дБ	Gs = 0 hs = 1м	ф-лы таб.3 [10]	-1,5	-1,5	-1,5	-1,5	-1,5	-1,5	-1,5	-1,5	-1,5		
Снижение поверхностью земли возле приёмника Ar, дБ	Gr = 1 hr = 1.5м	ф-лы таб.3 [10]	-1,5	-1,5	2,3	7	5	0,7	0	0	0		
Снижение поверхностью земли в средней зоне, Am дБ	Gm = 1	ф-лы таб.3 [10]	-2,4	-2,4	0	0	0	0	0	0	0		
Суммарное снижение поверхностью земли на траектории распространения звука Agr, дБ		ф-ла (9) [10]	-5,4	-5,4	0,8	5,5	3,5	-0,8	-1,5	-1,5	-1,5		
Уровни звукового давления прямого звука от источника ИШ-9-15 в расчётной точке днём, дБ		**ф-ла(3)[10]**	**0**	**38,8**	**33,8**	**30,1**	**31,8**	**34,9**	**30,6**	**20,9**	**0**	**37,5**	**37,5**
Расчёт отражённого звука													
Уровни звукового давления от мнимого источника ИШ-9-15_мн.(1) в расчётной точке днём, дБ		**ф-ла(3)[10]**	**0**	**37,7**	**29**	**19,7**	**20,4**	**30,3**	**28**	**18,3**	**0**	**33,2**	**33,2**
Уровни звукового давления от источника ИШ-9-15 в расчётной точке днём, дБ		**ф-ла(3)[10]**	**0**	**41,3**	**35**	**30,5**	**32,1**	**36,2**	**32,5**	**22,8**	**0**	**38,9**	**38,9**

1		2	3	4	5	6	7	8	9	10	11	12	13
Источник шума: ИШ-9-16, координаты источника (x,y,z), м =[657.46,-314.97,1.00]													
Уровни звуковой мощности источника днём, Lw, дБ		**исходные данные**	**0**	**93,3**	**94,7**	**96**	**96,3**	**95,9**	**92,6**	**88,4**	**83,9**		
Поправка на телесный угол DΩ, дБ	Ω = 6.28	10Lg(4π/Ω)	**3**	3	3	3	3	3	3	3	3		
Показатель направленности источника Di, дБ		исходные данные	**0**	0	0	0	0	0	0	0	0		
Поправка на направленность источника Dc, дБ	Dc	DΩ + Di	**3**	3	3	3	3	3	3	3	3		
Затухание из-за геометрической дивергенции, Adiv, дБ	расстояние = 393.00 м	ф-ла (7) [10]	**62,9**										
Коэффициент затухания звука в атмосфере α, дБ/км	Ta=20,°C Pa=101.33,кПа hотн.=70%	ф-ла (5) [9]	0,02	0,09	0,33	1,12	2,79	4,98	9,04	23,09	77,63		
Учет затухания звука в атмосфере Aatm, дБ		ф-ла (8) [10]	0	0	0,1	0,4	1,1	2	3,6	9,1	30,5		
Снижение поверхностью земли возле источника As, дБ	Gs = 0 hs = 1м	ф-лы таб.3 [10]	-1,5	-1,5	-1,5	-1,5	-1,5	-1,5	-1,5	-1,5	-1,5		
Снижение поверхностью земли возле приёмника Ar, дБ	Gr = 1 hr = 1.5м	ф-лы таб.3 [10]	-1,5	-1,5	2,3	7	5	0,7	0	0	0		
Снижение поверхностью земли в средней зоне, Am дБ	Gm = 1	ф-лы таб.3 [10]	-2,4	-2,4	0	0	0	0	0	0	0		
Суммарное снижение поверхностью земли на траектории распространения звука Agr, дБ		ф-ла (9) [10]	-5,4	-5,4	0,8	5,5	3,5	-0,8	-1,5	-1,5	-1,5		
Уровни звукового давления прямого звука от источника ИШ-9-16 в расчётной точке днём, дБ		**ф-ла(3)[10]**	**0**	**38,8**	**33,8**	**30,1**	**31,8**	**34,9**	**30,7**	**20,9**	**0**	**37,6**	**37,6**
Расчёт отражённого звука													
Уровни звукового давления от мнимого источника ИШ-9-16_мн.(1) в расчётной точке днём, дБ		**ф-ла(3)[10]**	**0**	**37,8**	**29**	**19,7**	**20,5**	**30,3**	**28,1**	**18,3**	**0**	**33,2**	**33,2**
Уровни звукового давления от источника ИШ-9-16 в расчётной точке днём, дБ		**ф-ла(3)[10]**	**0**	**41,3**	**35,1**	**30,5**	**32,1**	**36,2**	**32,6**	**22,8**	**0**	**38,9**	**38,9**

1		2	3	4	5	6	7	8	9	10	11	12	13
Источник шума: ИШ-9-17, координаты источника (x,y,z), м =[658.49,-312.18,1.00]													
Уровни звуковой мощности источника днём, Lw, дБ		**исходные данные**	**0**	**93,3**	**94,7**	**96**	**96,3**	**95,9**	**92,6**	**88,4**	**83,9**		
Поправка на телесный угол DΩ, дБ	Ω = 6.28	10Lg(4π/Ω)	**3**	3	3	3	3	3	3	3	3		
Показатель направленности источника Di, дБ		исходные данные	**0**	0	0	0	0	0	0	0	0		
Поправка на направленность источника Dc, дБ	Dc	DΩ + Di	**3**	3	3	3	3	3	3	3	3		
Затухание из-за геометрической дивергенции, Adiv, дБ	расстояние = 392.02 м	ф-ла (7) [10]	**62,9**										
Коэффициент затухания звука в атмосфере α, дБ/км	Ta=20,°C Pa=101.33,кПа hотн.=70%	ф-ла (5) [9]	0,02	0,09	0,33	1,12	2,79	4,98	9,04	23,09	77,63		
Учет затухания звука в атмосфере Aatm, дБ		ф-ла (8) [10]	0	0	0,1	0,4	1,1	2	3,5	9	30,4		
Снижение поверхностью земли возле источника As, дБ	Gs = 0 hs = 1м	ф-лы таб.3 [10]	-1,5	-1,5	-1,5	-1,5	-1,5	-1,5	-1,5	-1,5	-1,5		
Снижение поверхностью земли возле приёмника Ar, дБ	Gr = 1 hr = 1.5м	ф-лы таб.3 [10]	-1,5	-1,5	2,3	7	5	0,7	0	0	0		
Снижение поверхностью земли в средней зоне, Am дБ	Gm = 1	ф-лы таб.3 [10]	-2,4	-2,4	0	0	0	0	0	0	0		
Суммарное снижение поверхностью земли на траектории распространения звука Agr, дБ		ф-ла (9) [10]	-5,4	-5,4	0,8	5,5	3,5	-0,8	-1,5	-1,5	-1,5		
Уровни звукового давления прямого звука от источника ИШ-9-17 в расчётной точке днём, дБ		**ф-ла(3)[10]**	**0**	**38,8**	**33,9**	**30,2**	**31,9**	**34,9**	**30,7**	**21**	**0**	**37,6**	**37,6**
Расчёт отражённого звука													
Уровни звукового давления от мнимого источника ИШ-9-17_мн.(1) в расчётной точке днём, дБ		**ф-ла(3)[10]**	**0**	**37,8**	**29**	**19,8**	**20,5**	**30,3**	**28,1**	**18,4**	**0**	**33,3**	**33,3**
Уровни звукового давления от источника ИШ-9-17 в расчётной точке днём, дБ		**ф-ла(3)[10]**	**0**	**41,3**	**35,1**	**30,5**	**32,2**	**36,2**	**32,6**	**22,9**	**0**	**39**	**39**

1		2	3	4	5	6	7	8	9	10	11	12	13
Источник шума: ИШ-9-18, координаты источника (x,y,z), м =[659.42,-309.20,1.00]													
Уровни звуковой мощности источника днём, Lw, дБ		**исходные данные**	**0**	**93,3**	**94,7**	**96**	**96,3**	**95,9**	**92,6**	**88,4**	**83,9**		
Поправка на телесный угол DΩ, дБ	Ω = 6.28	10Lg(4π/Ω)	**3**	3	3	3	3	3	3	3	3		
Показатель направленности источника Di, дБ		исходные данные	**0**	0	0	0	0	0	0	0	0		
Поправка на направленность источника Dc, дБ	Dc	DΩ + Di	**3**	3	3	3	3	3	3	3	3		
Затухание из-за геометрической дивергенции, Adiv, дБ	расстояние = 390.86 м	ф-ла (7) [10]	**62,8**										
Коэффициент затухания звука в атмосфере α, дБ/км	Ta=20,°C Pa=101.33,кПа hотн.=70%	ф-ла (5) [9]	0,02	0,09	0,33	1,12	2,79	4,98	9,04	23,09	77,63		
Учет затухания звука в атмосфере Aatm, дБ		ф-ла (8) [10]	0	0	0,1	0,4	1,1	1,9	3,5	9	30,3		
Снижение поверхностью земли возле источника As, дБ	Gs = 0 hs = 1м	ф-лы таб.3 [10]	-1,5	-1,5	-1,5	-1,5	-1,5	-1,5	-1,5	-1,5	-1,5		
Снижение поверхностью земли возле приёмника Ar, дБ	Gr = 1 hr = 1.5м	ф-лы таб.3 [10]	-1,5	-1,5	2,3	7	5	0,7	0	0	0		
Снижение поверхностью земли в средней зоне, Am дБ	Gm = 1	ф-лы таб.3 [10]	-2,4	-2,4	0	0	0	0	0	0	0		
Суммарное снижение поверхностью земли на траектории распространения звука Agr, дБ		ф-ла (9) [10]	-5,4	-5,4	0,8	5,5	3,5	-0,8	-1,5	-1,5	-1,5		
Уровни звукового давления прямого звука от источника ИШ-9-18 в расчётной точке днём, дБ		**ф-ла(3)[10]**	**0**	**38,8**	**33,9**	**30,2**	**31,9**	**34,9**	**30,7**	**21**	**0**	**37,6**	**37,6**
Расчёт отражённого звука													
Уровни звукового давления от мнимого источника ИШ-9-18_мн.(1) в расчётной точке днём, дБ		**ф-ла(3)[10]**	**0**	**37,8**	**29,1**	**19,8**	**20,5**	**30,4**	**28,1**	**18,4**	**0**	**33,3**	**33,3**
Уровни звукового давления от источника ИШ-9-18 в расчётной точке днём, дБ		**ф-ла(3)[10]**	**0**	**41,4**	**35,1**	**30,6**	**32,2**	**36,2**	**32,6**	**22,9**	**0**	**39**	**39**

1		2	3	4	5	6	7	8	9	10	11	12	13
Источник шума: ИШ-9-19, координаты источника (x,y,z), м =[660.44,-306.50,1.00]													
Уровни звуковой мощности источника днём, Lw, дБ		**исходные данные**	**0**	**93,3**	**94,7**	**96**	**96,3**	**95,9**	**92,6**	**88,4**	**83,9**		
Поправка на телесный угол DΩ, дБ	Ω = 6.28	10Lg(4π/Ω)	**3**	3	3	3	3	3	3	3	3		
Показатель направленности источника Di, дБ		исходные данные	**0**	0	0	0	0	0	0	0	0		
Поправка на направленность источника Dc, дБ	Dc	DΩ + Di	**3**	3	3	3	3	3	3	3	3		
Затухание из-за геометрической дивергенции, Adiv, дБ	расстояние = 389.97 м	ф-ла (7) [10]	**62,8**										
Коэффициент затухания звука в атмосфере α, дБ/км	Ta=20,°C Pa=101.33,кПа hотн.=70%	ф-ла (5) [9]	0,02	0,09	0,33	1,12	2,79	4,98	9,04	23,09	77,63		
Учет затухания звука в атмосфере Aatm, дБ		ф-ла (8) [10]	0	0	0,1	0,4	1,1	1,9	3,5	9	30,3		
Снижение поверхностью земли возле источника As, дБ	Gs = 0 hs = 1м	ф-лы таб.3 [10]	-1,5	-1,5	-1,5	-1,5	-1,5	-1,5	-1,5	-1,5	-1,5		
Снижение поверхностью земли возле приёмника Ar, дБ	Gr = 1 hr = 1.5м	ф-лы таб.3 [10]	-1,5	-1,5	2,3	7	5	0,7	0	0	0		
Снижение поверхностью земли в средней зоне, Am дБ	Gm = 1	ф-лы таб.3 [10]	-2,4	-2,4	0	0	0	0	0	0	0		
Суммарное снижение поверхностью земли на траектории распространения звука Agr, дБ		ф-ла (9) [10]	-5,4	-5,4	0,8	5,5	3,5	-0,8	-1,5	-1,5	-1,5		
Уровни звукового давления прямого звука от источника ИШ-9-19 в расчётной точке днём, дБ		**ф-ла(3)[10]**	**0**	**38,9**	**33,9**	**30,2**	**31,9**	**35**	**30,7**	**21,1**	**0**	**37,7**	**37,7**
Расчёт отражённого звука													
Уровни звукового давления от мнимого источника ИШ-9-19_мн.(1) в расчётной точке днём, дБ		**ф-ла(3)[10]**	**0**	**37,8**	**29,1**	**19,8**	**20,5**	**30,4**	**28,2**	**18,5**	**0**	**33,3**	**33,3**
Уровни звукового давления от источника ИШ-9-19 в расчётной точке днём, дБ		**ф-ла(3)[10]**	**0**	**41,4**	**35,2**	**30,6**	**32,2**	**36,3**	**32,7**	**23**	**0**	**39**	**39**

1		2	3	4	5	6	7	8	9	10	11	12	13
Источник шума: ИШ-9-20, координаты источника (x,y,z), м =[661.28,-303.61,1.00]													
Уровни звуковой мощности источника днём, Lw, дБ		**исходные данные**	**0**	**93,3**	**94,7**	**96**	**96,3**	**95,9**	**92,6**	**88,4**	**83,9**		
Поправка на телесный угол DΩ, дБ	Ω = 6.28	10Lg(4π/Ω)	**3**	3	3	3	3	3	3	3	3		
Показатель направленности источника Di, дБ		исходные данные	**0**	0	0	0	0	0	0	0	0		
Поправка на направленность источника Dc, дБ	Dc	DΩ + Di	**3**	3	3	3	3	3	3	3	3		
Затухание из-за геометрической дивергенции, Adiv, дБ	расстояние = 388.84 м	ф-ла (7) [10]	**62,8**										
Коэффициент затухания звука в атмосфере α, дБ/км	Ta=20,°C Pa=101.33,кПа hотн.=70%	ф-ла (5) [9]	0,02	0,09	0,33	1,12	2,79	4,98	9,04	23,09	77,63		
Учет затухания звука в атмосфере Aatm, дБ		ф-ла (8) [10]	0	0	0,1	0,4	1,1	1,9	3,5	9	30,2		
Снижение поверхностью земли возле источника As, дБ	Gs = 0 hs = 1м	ф-лы таб.3 [10]	-1,5	-1,5	-1,5	-1,5	-1,5	-1,5	-1,5	-1,5	-1,5		
Снижение поверхностью земли возле приёмника Ar, дБ	Gr = 1 hr = 1.5м	ф-лы таб.3 [10]	-1,5	-1,5	2,3	7	5	0,7	0	0	0		
Снижение поверхностью земли в средней зоне, Am дБ	Gm = 1	ф-лы таб.3 [10]	-2,4	-2,4	0	0	0	0	0	0	0		
Суммарное снижение поверхностью земли на траектории распространения звука Agr, дБ		ф-ла (9) [10]	-5,4	-5,4	0,8	5,5	3,5	-0,8	-1,5	-1,5	-1,5		
Уровни звукового давления прямого звука от источника ИШ-9-20 в расчётной точке днём, дБ		**ф-ла(3)[10]**	**0**	**38,9**	**34**	**30,2**	**31,9**	**35**	**30,8**	**21,1**	**0**	**37,7**	**37,7**
Расчёт отражённого звука													
Уровни звукового давления от мнимого источника ИШ-9-20_мн.(1) в расчётной точке днём, дБ		**ф-ла(3)[10]**	**0**	**37,8**	**29,1**	**19,8**	**20,6**	**30,4**	**28,2**	**18,5**	**0**	**33,4**	**33,4**
Уровни звукового давления от источника ИШ-9-20 в расчётной точке днём, дБ		**ф-ла(3)[10]**	**0**	**41,4**	**35,2**	**30,6**	**32,2**	**36,3**	**32,7**	**23**	**0**	**39,1**	**39,1**

1		2	3	4	5	6	7	8	9	10	11	12	13
Источник шума: ИШ-9-21, координаты источника (x,y,z), м =[661.93,-300.72,1.00]													
Уровни звуковой мощности источника днём, Lw, дБ		**исходные данные**	**0**	**93,3**	**94,7**	**96**	**96,3**	**95,9**	**92,6**	**88,4**	**83,9**		
Поправка на телесный угол DΩ, дБ	Ω = 6.28	10Lg(4π/Ω)	**3**	3	3	3	3	3	3	3	3		
Показатель направленности источника Di, дБ		исходные данные	**0**	0	0	0	0	0	0	0	0		
Поправка на направленность источника Dc, дБ	Dc	DΩ + Di	**3**	3	3	3	3	3	3	3	3		
Затухание из-за геометрической дивергенции, Adiv, дБ	расстояние = 387.58 м	ф-ла (7) [10]	**62,8**										
Коэффициент затухания звука в атмосфере α, дБ/км	Ta=20,°C Pa=101.33,кПа hотн.=70%	ф-ла (5) [9]	0,02	0,09	0,33	1,12	2,79	4,98	9,04	23,09	77,63		
Учет затухания звука в атмосфере Aatm, дБ		ф-ла (8) [10]	0	0	0,1	0,4	1,1	1,9	3,5	8,9	30,1		
Снижение поверхностью земли возле источника As, дБ	Gs = 0 hs = 1м	ф-лы таб.3 [10]	-1,5	-1,5	-1,5	-1,5	-1,5	-1,5	-1,5	-1,5	-1,5		
Снижение поверхностью земли возле приёмника Ar, дБ	Gr = 1 hr = 1.5м	ф-лы таб.3 [10]	-1,5	-1,5	2,3	7	5	0,7	0	0	0		
Снижение поверхностью земли в средней зоне, Am дБ	Gm = 1	ф-лы таб.3 [10]	-2,4	-2,4	0	0	0	0	0	0	0		
Суммарное снижение поверхностью земли на траектории распространения звука Agr, дБ		ф-ла (9) [10]	-5,4	-5,4	0,8	5,5	3,5	-0,8	-1,5	-1,5	-1,5		
Уровни звукового давления прямого звука от источника ИШ-9-21 в расчётной точке днём, дБ		**ф-ла(3)[10]**	**0**	**38,9**	**34**	**30,3**	**32**	**35**	**30,8**	**21,2**	**0**	**37,7**	**37,7**
Расчёт отражённого звука													
Уровни звукового давления от мнимого источника ИШ-9-21_мн.(1) в расчётной точке днём, дБ		**ф-ла(3)[10]**	**0**	**37,9**	**29,2**	**19,9**	**20,6**	**30,4**	**28,2**	**18,6**	**0**	**33,4**	**33,4**
Уровни звукового давления от источника ИШ-9-21 в расчётной точке днём, дБ		**ф-ла(3)[10]**	**0**	**41,4**	**35,2**	**30,6**	**32,3**	**36,3**	**32,7**	**23,1**	**0**	**39,1**	**39,1**

1		2	3	4	5	6	7	8	9	10	11	12	13
Источник шума: ИШ-9-22, координаты источника (x,y,z), м =[663.14,-297.83,1.00]													
Уровни звуковой мощности источника днём, Lw, дБ		**исходные данные**	**0**	**93,3**	**94,7**	**96**	**96,3**	**95,9**	**92,6**	**88,4**	**83,9**		
Поправка на телесный угол DΩ, дБ	Ω = 6.28	10Lg(4π/Ω)	**3**	3	3	3	3	3	3	3	3		
Показатель направленности источника Di, дБ		исходные данные	**0**	0	0	0	0	0	0	0	0		
Поправка на направленность источника Dc, дБ	Dc	DΩ + Di	**3**	3	3	3	3	3	3	3	3		
Затухание из-за геометрической дивергенции, Adiv, дБ	расстояние = 386.78 м	ф-ла (7) [10]	**62,7**										
Коэффициент затухания звука в атмосфере α, дБ/км	Ta=20,°C Pa=101.33,кПа hотн.=70%	ф-ла (5) [9]	0,02	0,09	0,33	1,12	2,79	4,98	9,04	23,09	77,63		
Учет затухания звука в атмосфере Aatm, дБ		ф-ла (8) [10]	0	0	0,1	0,4	1,1	1,9	3,5	8,9	30		
Снижение поверхностью земли возле источника As, дБ	Gs = 0 hs = 1м	ф-лы таб.3 [10]	-1,5	-1,5	-1,5	-1,5	-1,5	-1,5	-1,5	-1,5	-1,5		
Снижение поверхностью земли возле приёмника Ar, дБ	Gr = 1 hr = 1.5м	ф-лы таб.3 [10]	-1,5	-1,5	2,3	7	5	0,7	0	0	0		
Снижение поверхностью земли в средней зоне, Am дБ	Gm = 1	ф-лы таб.3 [10]	-2,4	-2,4	0	0	0	0	0	0	0		
Суммарное снижение поверхностью земли на траектории распространения звука Agr, дБ		ф-ла (9) [10]	-5,4	-5,4	0,8	5,5	3,5	-0,8	-1,5	-1,5	-1,5		
Уровни звукового давления прямого звука от источника ИШ-9-22 в расчётной точке днём, дБ		**ф-ла(3)[10]**	**0**	**38,9**	**34**	**30,3**	**32**	**35,1**	**30,8**	**21,2**	**0**	**37,8**	**37,8**
Расчёт отражённого звука													
Уровни звукового давления от мнимого источника ИШ-9-22_мн.(1) в расчётной точке днём, дБ		**ф-ла(3)[10]**	**0**	**37,9**	**29,2**	**19,9**	**20,6**	**30,5**	**28,3**	**18,6**	**0**	**33,4**	**33,4**
Уровни звукового давления от источника ИШ-9-22 в расчётной точке днём, дБ		**ф-ла(3)[10]**	**0**	**41,4**	**35,3**	**30,7**	**32,3**	**36,4**	**32,8**	**23,1**	**0**	**39,1**	**39,1**

1		2	3	4	5	6	7	8	9	10	11	12	13
Источник шума: ИШ-9-23, координаты источника (x,y,z), м =[664.07,-295.13,1.00]													
Уровни звуковой мощности источника днём, Lw, дБ		**исходные данные**	**0**	**93,3**	**94,7**	**96**	**96,3**	**95,9**	**92,6**	**88,4**	**83,9**		
Поправка на телесный угол DΩ, дБ	Ω = 6.28	10Lg(4π/Ω)	**3**	3	3	3	3	3	3	3	3		
Показатель направленности источника Di, дБ		исходные данные	**0**	0	0	0	0	0	0	0	0		
Поправка на направленность источника Dc, дБ	Dc	DΩ + Di	**3**	3	3	3	3	3	3	3	3		
Затухание из-за геометрической дивергенции, Adiv, дБ	расстояние = 385.90 м	ф-ла (7) [10]	**62,7**										
Коэффициент затухания звука в атмосфере α, дБ/км	Ta=20,°C Pa=101.33,кПа hотн.=70%	ф-ла (5) [9]	0,02	0,09	0,33	1,12	2,79	4,98	9,04	23,09	77,63		
Учет затухания звука в атмосфере Aatm, дБ		ф-ла (8) [10]	0	0	0,1	0,4	1,1	1,9	3,5	8,9	30		
Снижение поверхностью земли возле источника As, дБ	Gs = 0 hs = 1м	ф-лы таб.3 [10]	-1,5	-1,5	-1,5	-1,5	-1,5	-1,5	-1,5	-1,5	-1,5		
Снижение поверхностью земли возле приёмника Ar, дБ	Gr = 1 hr = 1.5м	ф-лы таб.3 [10]	-1,5	-1,5	2,3	7	5	0,7	0	0	0		
Снижение поверхностью земли в средней зоне, Am дБ	Gm = 1	ф-лы таб.3 [10]	-2,4	-2,4	0	0	0	0	0	0	0		
Суммарное снижение поверхностью земли на траектории распространения звука Agr, дБ		ф-ла (9) [10]	-5,4	-5,4	0,8	5,5	3,5	-0,8	-1,5	-1,5	-1,5		
Уровни звукового давления прямого звука от источника ИШ-9-23 в расчётной точке днём, дБ		**ф-ла(3)[10]**	**0**	**38,9**	**34,1**	**30,3**	**32**	**35,1**	**30,9**	**21,3**	**0**	**37,8**	**37,8**
Расчёт отражённого звука													
Уровни звукового давления от мнимого источника ИШ-9-23_мн.(1) в расчётной точке днём, дБ		**ф-ла(3)[10]**	**0**	**37,9**	**29,3**	**19,9**	**20,6**	**30,5**	**28,3**	**18,6**	**0**	**33,4**	**33,4**
Уровни звукового давления от источника ИШ-9-23 в расчётной точке днём, дБ		**ф-ла(3)[10]**	**0**	**41,5**	**35,3**	**30,7**	**32,3**	**36,4**	**32,8**	**23,1**	**0**	**39,1**	**39,1**

1		2	3	4	5	6	7	8	9	10	11	12	13
Источник шума: ИШ-9-24, координаты источника (x,y,z), м =[665.19,-292.34,1.00]													
Уровни звуковой мощности источника днём, Lw, дБ		**исходные данные**	**0**	**93,3**	**94,7**	**96**	**96,3**	**95,9**	**92,6**	**88,4**	**83,9**		
Поправка на телесный угол DΩ, дБ	Ω = 6.28	10Lg(4π/Ω)	**3**	3	3	3	3	3	3	3	3		
Показатель направленности источника Di, дБ		исходные данные	**0**	0	0	0	0	0	0	0	0		
Поправка на направленность источника Dc, дБ	Dc	DΩ + Di	**3**	3	3	3	3	3	3	3	3		
Затухание из-за геометрической дивергенции, Adiv, дБ	расстояние = 385.13 м	ф-ла (7) [10]	**62,7**										
Коэффициент затухания звука в атмосфере α, дБ/км	Ta=20,°C Pa=101.33,кПа hотн.=70%	ф-ла (5) [9]	0,02	0,09	0,33	1,12	2,79	4,98	9,04	23,09	77,63		
Учет затухания звука в атмосфере Aatm, дБ		ф-ла (8) [10]	0	0	0,1	0,4	1,1	1,9	3,5	8,9	29,9		
Снижение поверхностью земли возле источника As, дБ	Gs = 0 hs = 1м	ф-лы таб.3 [10]	-1,5	-1,5	-1,5	-1,5	-1,5	-1,5	-1,5	-1,5	-1,5		
Снижение поверхностью земли возле приёмника Ar, дБ	Gr = 1 hr = 1.5м	ф-лы таб.3 [10]	-1,5	-1,5	2,3	7	5	0,7	0	0	0		
Снижение поверхностью земли в средней зоне, Am дБ	Gm = 1	ф-лы таб.3 [10]	-2,4	-2,4	0	0	0	0	0	0	0		
Суммарное снижение поверхностью земли на траектории распространения звука Agr, дБ		ф-ла (9) [10]	-5,4	-5,4	0,8	5,5	3,5	-0,8	-1,5	-1,5	-1,5		
Уровни звукового давления прямого звука от источника ИШ-9-24 в расчётной точке днём, дБ		**ф-ла(3)[10]**	**0**	**39**	**34,1**	**30,3**	**32**	**35,1**	**30,9**	**21,3**	**0**	**37,8**	**37,8**
Расчёт отражённого звука													
Уровни звукового давления от мнимого источника ИШ-9-24_мн.(1) в расчётной точке днём, дБ		**ф-ла(3)[10]**	**0**	**37,9**	**29,3**	**19,9**	**20,6**	**30,5**	**28,3**	**18,7**	**0**	**33,5**	**33,5**
Уровни звукового давления от источника ИШ-9-24 в расчётной точке днём, дБ		**ф-ла(3)[10]**	**0**	**41,5**	**35,3**	**30,7**	**32,3**	**36,4**	**32,8**	**23,2**	**0**	**39,2**	**39,2**

1		2	3	4	5	6	7	8	9	10	11	12	13
Источник шума: ИШ-9-25, координаты источника (x,y,z), м =[683.46,-239.16,1.00]													
Уровни звуковой мощности источника днём, Lw, дБ		**исходные данные**	**77**	**75**	**67**	**66**	**63**	**55**	**53**	**48**	**51**		
Поправка на телесный угол DΩ, дБ	Ω = 6.28	10Lg(4π/Ω)	**3**	3	3	3	3	3	3	3	3		
Показатель направленности источника Di, дБ		исходные данные	**0**	0	0	0	0	0	0	0	0		
Поправка на направленность источника Dc, дБ	Dc	DΩ + Di	**3**	3	3	3	3	3	3	3	3		
Затухание из-за геометрической дивергенции, Adiv, дБ	расстояние = 372.14 м	ф-ла (7) [10]	**62,4**										
Коэффициент затухания звука в атмосфере α, дБ/км	Ta=20,°C Pa=101.33,кПа hотн.=70%	ф-ла (5) [9]	0,02	0,09	0,33	1,12	2,79	4,98	9,04	23,09	77,63		
Учет затухания звука в атмосфере Aatm, дБ		ф-ла (8) [10]	0	0	0,1	0,4	1	1,9	3,4	8,6	28,9		
Снижение уровня звукового давления из-за влияния застройки между источником шума и расчетной точкой													
Снижение уровня звукового давления на пути над экраном, Dz1, дБ	z = 0.44м (разность путей)	ф-лы (14-18) [10]	5,1	5,5	6,1	7,2	8,9	11,9	15,9	19,7	23		
Снижение уровня звукового давления на пути слева от экрана, Dz2, дБ	z = 1.54м (разность путей)	ф-лы (14-18) [10]	9,4	11,6	14,1	16,8	19,7	22,7	25,6	28,6	31,6		
Снижение уровня звукового давления на пути справа от экрана, Dz3, дБ	z = 0.00м (разность путей)	ф-лы (14-18) [10]	4,8	4,8	4,8	4,8	4,8	4,8	4,9	5,1	5,3		
Общее снижение уровня звука препятствием Dz, дБ		Эн.сумма(-Dzi)	1,2	1,6	2,1	2,6	3,3	4	4,5	4,9	5,2		
Уровни звукового давления прямого звука от источника ИШ-9-25 в расчётной точке днём, дБ		**ф-ла(3)[10]**	**16,4**	**13,9**	**5,4**	**3,5**	**0**	**0**	**0**	**0**	**0**	**0**	**0**
Расчёт отражённого звука													
Уровни звукового давления от мнимого источника ИШ-9-25_мн.(1) в расчётной точке днём, дБ		**ф-ла(3)[10]**	**0**	**0**	**0**	**0**	**0**	**0**	**0**	**0**	**0**	**0**	**0**

1		2	3	4	5	6	7	8	9	10	11	12	13
Уровни звукового давления от источника ИШ-9-25 в расчётной точке днём, дБ		**ф-ла(3)[10]**	**16,4**	**13,9**	**5,4**	**3,5**	**0**	**0**	**0**	**0**	**0**	**0**	**0**
Источник шума: ИШ-9-26, координаты источника (x,y,z), м =[680.09,-249.52,1.00]													
Уровни звуковой мощности источника днём, Lw, дБ		**исходные данные**	**77**	**75**	**67**	**66**	**63**	**55**	**53**	**48**	**51**		
Поправка на телесный угол DΩ, дБ	Ω = 6.28	10Lg(4π/Ω)	**3**	3	3	3	3	3	3	3	3		
Показатель направленности источника Di, дБ		исходные данные	**0**	0	0	0	0	0	0	0	0		
Поправка на направленность источника Dc, дБ	Dc	DΩ + Di	**3**	3	3	3	3	3	3	3	3		
Затухание из-за геометрической дивергенции, Adiv, дБ	расстояние = 374.21 м	ф-ла (7) [10]	**62,5**										
Коэффициент затухания звука в атмосфере α, дБ/км	Ta=20,°C Pa=101.33,кПа hотн.=70%	ф-ла (5) [9]	0,02	0,09	0,33	1,12	2,79	4,98	9,04	23,09	77,63		
Учет затухания звука в атмосфере Aatm, дБ		ф-ла (8) [10]	0	0	0,1	0,4	1	1,9	3,4	8,6	29,1		
Снижение уровня звукового давления из-за влияния застройки между источником шума и расчетной точкой													
Снижение уровня звукового давления на пути над экраном, Dz1, дБ	z = 0.49м (разность путей)	ф-лы (14-18) [10]	5,3	6	7,6	10,1	12,9	15,7	18,5	21,5	24,4		
Снижение уровня звукового давления на пути слева от экрана, Dz2, дБ	z = 0.97м (разность путей)	ф-лы (14-18) [10]	8,2	10,1	12,4	15	17,8	20,7	23,6	26,6	29,6		
Снижение уровня звукового давления на пути справа от экрана, Dz3, дБ	z = 0.10м (разность путей)	ф-лы (14-18) [10]	5,3	5,7	6,5	7,7	9,4	11,6	14,1	16,9	19,8		
Общее снижение уровня звука препятствием Dz, дБ		Эн.сумма(-Dzi)	1,3	2,1	3,4	5,2	7,4	9,8	12,5	15,3	18,2		
Уровни звукового давления от источника ИШ-9-26 в расчётной точке днём, дБ		**ф-ла(3)[10]**	**16,3**	**13,4**	**4**	**0,9**	**0**	**0**	**0**	**0**	**0**	**0**	**0**
Источник шума: ИШ-9-27, координаты источника (x,y,z), м =[676.46,-260.14,1.00]													

1		2	3	4	5	6	7	8	9	10	11	12	13
Уровни звуковой мощности источника днём, Lw, дБ		**исходные данные**	**77**	**75**	**67**	**66**	**63**	**55**	**53**	**48**	**51**		
Поправка на телесный угол DΩ, дБ	Ω = 6.28	10Lg(4π/Ω)	**3**	3	3	3	3	3	3	3	3		
Показатель направленности источника Di, дБ		исходные данные	**0**	0	0	0	0	0	0	0	0		
Поправка на направленность источника Dc, дБ	Dc	DΩ + Di	**3**	3	3	3	3	3	3	3	3		
Затухание из-за геометрической дивергенции, Adiv, дБ	расстояние = 376.50 м	ф-ла (7) [10]	**62,5**										
Коэффициент затухания звука в атмосфере α, дБ/км	Ta=20,°C Pa=101.33,кПа hотн.=70%	ф-ла (5) [9]	0,02	0,09	0,33	1,12	2,79	4,98	9,04	23,09	77,63		
Учет затухания звука в атмосфере Aatm, дБ		ф-ла (8) [10]	0	0	0,1	0,4	1,1	1,9	3,4	8,7	29,2		
Снижение уровня звукового давления из-за влияния застройки между источником шума и расчетной точкой													
Снижение уровня звукового давления на пути над экраном, Dz1, дБ	z = 0.49м (разность путей)	ф-лы (14-18) [10]	5,3	6,1	7,8	10,3	13	15,8	18,7	21,6	24,6		
Снижение уровня звукового давления на пути слева от экрана, Dz2, дБ	z = 0.52м (разность путей)	ф-лы (14-18) [10]	6,9	8,4	10,3	12,6	15,3	18,1	21	23,9	26,9		
Снижение уровня звукового давления на пути справа от экрана, Dz3, дБ	z = 0.37м (разность путей)	ф-лы (14-18) [10]	6,4	7,6	9,3	11,4	14	16,7	19,6	22,5	25,5		
Общее снижение уровня звука препятствием Dz, дБ		Эн.сумма(-Dzi)	1,4	2,5	4,2	6,6	9,2	12	14,9	17,8	20,8		
Уровни звукового давления от источника ИШ-9-27 в расчётной точке днём, дБ		**ф-ла(3)[10]**	**16,1**	**13**	**3,2**	**0**	**0**	**0**	**0**	**0**	**0**	**0**	**0**
Источник шума: ИШ-10-1, координаты источника (x,y,z), м =[17.37,413.17,1.00]													
Уровни звуковой мощности источника днём, Lw, дБ		**исходные данные**	**0**	**98,3**	**99,7**	**101**	**101,3**	**100,9**	**97,6**	**93,4**	**88,9**		
Поправка на телесный угол DΩ, дБ	Ω = 6.28	10Lg(4π/Ω)	**3**	3	3	3	3	3	3	3	3		

1		2	3	4	5	6	7	8	9	10	11	12	13
Показатель направленности источника Di, дБ		исходные данные	**0**	0	0	0	0	0	0	0	0		
Поправка на направленность источника Dc, дБ	Dc	DΩ + Di	**3**	3	3	3	3	3	3	3	3		
Затухание из-за геометрической дивергенции, Adiv, дБ	расстояние = 584.46 м	ф-ла (7) [10]	**66,3**										
Коэффициент затухания звука в атмосфере α, дБ/км	Ta=20,°C Pa=101.33,кПа hотн.=70%	ф-ла (5) [9]	0,02	0,09	0,33	1,12	2,79	4,98	9,04	23,09	77,63		
Учет затухания звука в атмосфере Aatm, дБ		ф-ла (8) [10]	0	0,1	0,2	0,7	1,6	2,9	5,3	13,5	45,4		
Снижение уровня звукового давления из-за влияния застройки между источником шума и расчетной точкой													
Снижение уровня звукового давления на пути над экраном, Dz1, дБ	z = 6.77м (разность путей)	ф-лы (14-18) [10]	18,3	21,3	24,2	27,2	30,2	33,2	36,2	39,3	42,3		
Снижение уровня звукового давления на пути слева от экрана, Dz2, дБ	z = 11.76м (разность путей)	ф-лы (14-18) [10]	21,1	24,2	27,2	30,2	33,2	36,2	39,2	42,2	45,2		
Снижение уровня звукового давления на пути справа от экрана, Dz3, дБ	z = 55.71м (разность путей)	ф-лы (14-18) [10]	27,8	30,9	33,9	36,9	39,9	42,9	45,9	49	52		
Общее снижение уровня звука препятствием Dz, дБ		Эн.сумма(-Dzi)	16,1	19,2	22,1	25,1	28,1	31,2	34,2	37,2	40,2		
Общее снижение уровня звука препятствием с учётом ограничения (25 дБ) для октавных полос Dz, дБ		Раздел 7.4 [10]	16,1	19,2	22,1	25	25	25	25	25	25		
Уровни звукового давления прямого звука от источника ИШ-10-1 в расчётной точке днём, дБ		**ф-ла(3)[10]**	**0**	**15,7**	**14**	**12**	**11,3**	**9,7**	**4**	**0**	**0**	**13,4**	**13,4**
Расчёт отражённого звука													
Уровни звукового давления от мнимого источника ИШ-10-1_мн.(1) в расчётной точке днём, дБ		**ф-ла(3)[10]**	**0**	**0**	**0**	**0**	**0**	**0**	**0**	**0**	**0**	**0**	**0**
Уровни звукового давления от источника ИШ-10-1 в расчётной точке днём, дБ		**ф-ла(3)[10]**	**0**	**15,7**	**14**	**12**	**11,3**	**9,7**	**4**	**0**	**0**	**13,4**	**13,4**
Источник шума: ИШ-10-2, координаты источника (x,y,z), м =[27.87,443.46,1.00]													

1		2	3	4	5	6	7	8	9	10	11	12	13
Уровни звуковой мощности источника днём, Lw, дБ		**исходные данные**	**0**	**98,3**	**99,7**	**101**	**101,3**	**100,9**	**97,6**	**93,4**	**88,9**		
Поправка на телесный угол DΩ, дБ	Ω = 6.28	10Lg(4π/Ω)	**3**	3	3	3	3	3	3	3	3		
Показатель направленности источника Di, дБ		исходные данные	**0**	0	0	0	0	0	0	0	0		
Поправка на направленность источника Dc, дБ	Dc	DΩ + Di	**3**	3	3	3	3	3	3	3	3		
Затухание из-за геометрической дивергенции, Adiv, дБ	расстояние = 603.66 м	ф-ла (7) [10]	**66,6**										
Коэффициент затухания звука в атмосфере α, дБ/км	Ta=20,°C Pa=101.33,кПа hотн.=70%	ф-ла (5) [9]	0,02	0,09	0,33	1,12	2,79	4,98	9,04	23,09	77,63		
Учет затухания звука в атмосфере Aatm, дБ		ф-ла (8) [10]	0	0,1	0,2	0,7	1,7	3	5,5	13,9	46,9		
Снижение уровня звукового давления из-за влияния застройки между источником шума и расчетной точкой													
Снижение уровня звукового давления на пути над экраном, Dz1, дБ	z = 6.61м (разность путей)	ф-лы (14-18) [10]	18,5	21,5	24,4	27,4	30,4	33,4	36,4	39,4	42,4		
Снижение уровня звукового давления на пути слева от экрана, Dz2, дБ	z = 18.32м (разность путей)	ф-лы (14-18) [10]	23,1	26,1	29,1	32,1	35,1	38,1	41,1	44,1	47,1		
Снижение уровня звукового давления на пути справа от экрана, Dz3, дБ	z = 46.33м (разность путей)	ф-лы (14-18) [10]	27,1	30,1	33,1	36,1	39,1	42,1	45,1	48,2	51,2		
Общее снижение уровня звука препятствием Dz, дБ		Эн.сумма(-Dzi)	16,8	19,8	22,7	25,7	28,7	31,7	34,7	37,7	40,8		
Общее снижение уровня звука препятствием с учётом ограничения (25 дБ) для октавных полос Dz, дБ		Раздел 7.4 [10]	16,8	19,8	22,7	25	25	25	25	25	25		
Уровни звукового давления прямого звука от источника ИШ-10-2 в расчётной точке днём, дБ		**ф-ла(3)[10]**	**0**	**14,9**	**13,2**	**11,7**	**11**	**9,3**	**3,5**	**0**	**0**	**13**	**13**
Расчёт отражённого звука													
Уровни звукового давления от мнимого источника ИШ-10-2_мн.(1) в расчётной точке днём, дБ		**ф-ла(3)[10]**	**0**	**0**	**0**	**0**	**0**	**0**	**0**	**0**	**0**	**0**	**0**
Уровни звукового давления от источника ИШ-10-2 в расчётной точке днём, дБ		**ф-ла(3)[10]**	**0**	**14,9**	**13,2**	**11,7**	**11**	**9,3**	**3,5**	**0**	**0**	**13**	**13**

1		2	3	4	5	6	7	8	9	10	11	12	13
Уровни звукового давления в расчётной точке													
Суммарные уровни звукового давления в расчётной точке от всех источников шума днём, Lрт, дБ		**ф-ла (19) [1]**	**63,7**	**63,5**	**57,7**	**52,4**	**53,9**	**59,1**	**55,3**	**45,4**	**22,4**	**61,6**	**61,6**
Допускаемые УЗД днём, Lдоп, дБ	Территории предприятий с постоянными рабочими местами	Табл. 1[3]	107	95	87	82	78	75	73	71	69	80	95
Превышение днём, дБ		**Lрт - Lдоп**	**-43,3**	**-31,5**	**-29,3**	**-29,6**	**-24,1**	**-15,9**	**-17,7**	**-25,6**	**-46,6**	**-18,4**	**-33,4**

Определение уровней звукового давления в точке РТ-1-4 (координаты точки, м: x = 335.19, y = -88.31, z = 1.50)

Наименование величин и их описание		Ссылка	Расчётные уровни в октавных полосах, со среднегеометрическими частотами, Гц									La, дБА	Lмакс, дБА
			31,5	63	125	250	500	1000	2000	4000	8000		
1		2	3	4	5	6	7	8	9	10	11	12	13
Источник шума: ИШ-1-1, координаты источника (x,y,z), м =[271.72,229.68,1.00]													
Уровни звуковой мощности источника днём, Lw, дБ		**исходные данные**	**97**	**97**	**104**	**106**	**105**	**105**	**98**	**87**	**81**		
Поправка на телесный угол DΩ, дБ	Ω = 6.28	10Lg(4π/Ω)	**3**	3	3	3	3	3	3	3	3		
Показатель направленности источника Di, дБ		исходные данные	**0**	0	0	0	0	0	0	0	0		
Поправка на направленность источника Dc, дБ	Dc	DΩ + Di	**3**	3	3	3	3	3	3	3	3		
Затухание из-за геометрической дивергенции, Adiv, дБ	расстояние = 324.26 м	ф-ла (7) [10]	**61,2**										
Коэффициент затухания звука в атмосфере α, дБ/км	Ta=20,°C Pa=101.33,кПа hотн.=70%	ф-ла (5) [9]	0,02	0,09	0,33	1,12	2,79	4,98	9,04	23,09	77,63		
Учет затухания звука в атмосфере Aatm, дБ		ф-ла (8) [10]	0	0	0,1	0,4	0,9	1,6	2,9	7,5	25,2		
Снижение уровня звукового давления из-за влияния застройки между источником шума и расчетной точкой													
Снижение уровня звукового давления на пути над экраном, Dz1, дБ	z = 6.89м (разность путей)	ф-лы (14-18) [10]	18,2	21,5	24,5	27,5	30,5	33,5	36,5	39,6	42,6		
Снижение уровня звукового давления на пути слева от экрана, Dz2, дБ	z = 93.79м (разность путей)	ф-лы (14-18) [10]	30	33,1	36,2	39,2	42,2	45,2	48,2	51,2	54,2		
Снижение уровня звукового давления на пути справа от экрана, Dz3, дБ	z = 4.81м (разность путей)	ф-лы (14-18) [10]	15,7	19,7	23,1	26,2	29,3	32,3	35,3	38,3	41,3		
Общее снижение уровня звука препятствием Dz, дБ		Эн.сумма(-Dzi)	13,6	17,4	20,6	23,7	26,7	29,7	32,7	35,8	38,8		

1		2	3	4	5	6	7	8	9	10	11	12	13
Общее снижение уровня звука препятствием с учётом ограничения (25 дБ) для октавных полос Dz, дБ		Раздел 7.4 [10]	13,6	17,4	20,6	23,7	25	25	25	25	25		
Уровни звукового давления прямого звука от источника ИШ-1-1 в расчётной точке днём, дБ		**ф-ла(3)[10]**	**25,1**	**21,4**	**25,1**	**23,7**	**20,9**	**20,2**	**11,9**	**0**	**0**	**23,5**	**23,5**
Расчёт отражённого звука													
Уровни звукового давления от мнимого источника ИШ-1-1_мн.(1) в расчётной точке днём, дБ		**ф-ла(3)[10]**	**0**	**0**	**0**	**0**	**0**	**15,1**	**6,2**	**0**	**0**	**15,8**	**15,8**
Уровни звукового давления от мнимого источника ИШ-1-1_мн.(2) в расчётной точке днём, дБ		**ф-ла(3)[10]**	**0**	**0**	**0**	**0**	**0**	**0**	**6,5**	**0**	**0**	**7,7**	**7,7**
Суммарные уровни звукового давления от мнимых источников в расчётной точке днём, дБ		**ф-ла (19) [1]**	**0**	**0**	**0**	**0**	**0**	**15,1**	**9,3**	**0**	**0**	**0**	**16,4**
Уровни звукового давления от источника ИШ-1-1 в расчётной точке днём, дБ		**ф-ла(3)[10]**	**25,1**	**21,4**	**25,1**	**23,7**	**20,9**	**21,4**	**13,8**	**0**	**0**	**24,3**	**24,3**
Источник шума: ИШ-1-2, координаты источника (x,y,z), м =[261.74,199.14,1.00]													
Уровни звуковой мощности источника днём, Lw, дБ		**исходные данные**	**97**	**97**	**104**	**106**	**105**	**105**	**98**	**87**	**81**		
Поправка на телесный угол DΩ, дБ	Ω = 6.28	10Lg(4π/Ω)	**3**	3	3	3	3	3	3	3	3		
Показатель направленности источника Di, дБ		исходные данные	**0**	0	0	0	0	0	0	0	0		
Поправка на направленность источника Dc, дБ	Dc	DΩ + Di	**3**	3	3	3	3	3	3	3	3		
Затухание из-за геометрической дивергенции, Adiv, дБ	расстояние = 296.69 м	ф-ла (7) [10]	**60,4**										
Коэффициент затухания звука в атмосфере α, дБ/км	Ta=20,°C Pa=101.33,кПа hотн.=70%	ф-ла (5) [9]	0,02	0,09	0,33	1,12	2,79	4,98	9,04	23,09	77,63		
Учет затухания звука в атмосфере Aatm, дБ		ф-ла (8) [10]	0	0	0,1	0,3	0,8	1,5	2,7	6,8	23		
Снижение уровня звукового давления из-за влияния застройки между источником шума и расчетной точкой													

1		2	3	4	5	6	7	8	9	10	11	12	13
Снижение уровня звукового давления на пути над экраном, Dz1, дБ	z = 6.70м (разность путей)	ф-лы (14-18) [10]	17,2	21	24,2	27,3	30,3	33,3	36,3	39,4	42,4		
Снижение уровня звукового давления на пути слева от экрана, Dz2, дБ	z = 143.62м (разность путей)	ф-лы (14-18) [10]	31,8	35	38	41	44	47	50,1	53,1	56,1		
Снижение уровня звукового давления на пути справа от экрана, Dz3, дБ	z = 3.61м (разность путей)	ф-лы (14-18) [10]	14,6	18,5	21,9	25	28,1	31,1	34,1	37,1	40,1		
Общее снижение уровня звука препятствием Dz, дБ		Эн.сумма(-Dzi)	12,6	16,5	19,8	22,9	26	29	32	35	38		
Общее снижение уровня звука препятствием с учётом ограничения (25 дБ) для октавных полос Dz, дБ		Раздел 7.4 [10]	12,6	16,5	19,8	22,9	25	25	25	25	25		
Уровни звукового давления прямого звука от источника ИШ-1-2 в расчётной точке днём, дБ		**ф-ла(3)[10]**	**27**	**23**	**26,6**	**25,3**	**21,7**	**21,1**	**12,9**	**0**	**0**	**24,5**	**24,5**
Расчёт отражённого звука													
Уровни звукового давления от мнимого источника ИШ-1-2_мн.(1) в расчётной точке днём, дБ		**ф-ла(3)[10]**	**0**	**0**	**0**	**0**	**0**	**14,4**	**5,4**	**0**	**0**	**15,1**	**15,1**
Уровни звукового давления от мнимого источника ИШ-1-2_мн.(2) в расчётной точке днём, дБ		**ф-ла(3)[10]**	**0**	**0**	**0**	**0**	**0**	**0**	**7,6**	**0**	**0**	**8,8**	**8,8**
Суммарные уровни звукового давления от мнимых источников в расчётной точке днём, дБ		**ф-ла (19) [1]**	**0**	**0**	**0**	**0**	**0**	**14,4**	**9,6**	**0**	**0**	**0**	**16**
Уровни звукового давления от источника ИШ-1-2 в расчётной точке днём, дБ		**ф-ла(3)[10]**	**27**	**23**	**26,6**	**25,3**	**21,7**	**21,9**	**14,6**	**0**	**0**	**25,1**	**25,1**
Источник шума: ИШ-1-3, координаты источника (x,y,z), м =[251.75,236.44,1.00]													
Уровни звуковой мощности источника днём, Lw, дБ		**исходные данные**	**0**	**91,3**	**92,7**	**94**	**94,3**	**93,9**	**90,6**	**86,4**	**81,9**		
Поправка на телесный угол DΩ, дБ	Ω = 6.28	10Lg(4π/Ω)	**3**	3	3	3	3	3	3	3	3		
Показатель направленности источника Di, дБ		исходные данные	**0**	0	0	0	0	0	0	0	0		
Поправка на направленность источника Dc, дБ	Dc	DΩ + Di	**3**	3	3	3	3	3	3	3	3		
Затухание из-за геометрической дивергенции, Adiv, дБ	расстояние = 335.29 м	ф-ла (7) [10]	**61,5**										

1		2	3	4	5	6	7	8	9	10	11	12	13
Коэффициент затухания звука в атмосфере α, дБ/км	Та=20,°С Ра=101.33,кПа hотн.=70%	ф-ла (5) [9]	0,02	0,09	0,33	1,12	2,79	4,98	9,04	23,09	77,63		
Учет затухания звука в атмосфере Aatm, дБ		ф-ла (8) [10]	0	0	0,1	0,4	0,9	1,7	3	7,7	26		
Снижение уровня звукового давления из-за влияния застройки между источником шума и расчетной точкой													
Снижение уровня звукового давления на пути над экраном, Dz1, дБ	z = 6.66м (разность путей)	ф-лы (14-18) [10]	17,1	20,9	24,1	27,2	30,2	33,2	36,2	39,3	42,3		
Снижение уровня звукового давления на пути слева от экрана, Dz2, дБ	z = 100.79м (разность путей)	ф-лы (14-18) [10]	30,3	33,5	36,5	39,5	42,5	45,5	48,5	51,5	54,5		
Снижение уровня звукового давления на пути справа от экрана, Dz3, дБ	z = 3.51м (разность путей)	ф-лы (14-18) [10]	14,4	18,4	21,8	24,9	27,9	30,9	33,9	36,9	40		
Общее снижение уровня звука препятствием Dz, дБ		Эн.сумма(-Dzi)	12,5	16,4	19,7	22,8	25,8	28,8	31,8	34,8	37,9		
Общее снижение уровня звука препятствием с учётом ограничения (25 дБ) для октавных полос Dz, дБ		Раздел 7.4 [10]	12,5	16,4	19,7	22,8	25	25	25	25	25		
Уровни звукового давления прямого звука от источника ИШ-1-3 в расчётной точке днём, дБ		**ф-ла(3)[10]**	**0**	**16,4**	**14,4**	**12,3**	**9,8**	**8,7**	**4,1**	**0**	**0**	**12,7**	**12,7**
Расчёт отражённого звука													
Уровни звукового давления от мнимого источника ИШ-1-3_мн.(1) в расчётной точке днём, дБ		**ф-ла(3)[10]**	**0**	**0**	**0**	**0**	**0**	**3,8**	**0**	**0**	**0**	**3,8**	**3,8**
Уровни звукового давления от мнимого источника ИШ-1-3_мн.(2) в расчётной точке днём, дБ		**ф-ла(3)[10]**	**0**	**0**	**0**	**0**	**0**	**0**	**0**	**0**	**0**	**0**	**0**
Уровни звукового давления от мнимого источника ИШ-1-3_мн.(3) в расчётной точке днём, дБ		**ф-ла(3)[10]**	**0**	**0**	**0**	**0**	**0**	**0**	**0**	**0**	**0**	**0**	**0**
Суммарные уровни звукового давления от мнимых источников в расчётной точке днём, дБ		**ф-ла (19) [1]**	**0**	**0**	**0**	**0**	**0**	**3,8**	**0**	**0**	**0**	**0**	**3,8**
Уровни звукового давления от источника ИШ-1-3 в расчётной точке днём, дБ		**ф-ла(3)[10]**	**0**	**16,4**	**14,4**	**12,3**	**9,8**	**9,9**	**4,1**	**0**	**0**	**13,2**	**13,2**
Источник шума: ИШ-1-4, координаты источника (x,y,z), м =[290.25,223.25,1.00]													

1		2	3	4	5	6	7	8	9	10	11	12	13
Уровни звуковой мощности источника днём, Lw, дБ		**исходные данные**	**0**	**91,3**	**92,7**	**94**	**94,3**	**93,9**	**90,6**	**86,4**	**81,9**		
Поправка на телесный угол DΩ, дБ	Ω = 6.28	10Lg(4π/Ω)	**3**	3	3	3	3	3	3	3	3		
Показатель направленности источника Di, дБ		исходные данные	**0**	0	0	0	0	0	0	0	0		
Поправка на направленность источника Dc, дБ	Dc	DΩ + Di	**3**	3	3	3	3	3	3	3	3		
Затухание из-за геометрической дивергенции, Adiv, дБ	расстояние = 314.78 м	ф-ла (7) [10]	**61**										
Коэффициент затухания звука в атмосфере α, дБ/км	Ta=20,°C Pa=101.33,кПа hотн.=70%	ф-ла (5) [9]	0,02	0,09	0,33	1,12	2,79	4,98	9,04	23,09	77,63		
Учет затухания звука в атмосфере Aatm, дБ		ф-ла (8) [10]	0	0	0,1	0,4	0,9	1,6	2,8	7,3	24,4		
Снижение уровня звукового давления из-за влияния застройки между источником шума и расчетной точкой													
Снижение уровня звукового давления на пути над экраном, Dz1, дБ	z = 7.08м (разность путей)	ф-лы (14-18) [10]	18,4	21,7	24,7	27,7	30,7	33,7	36,7	39,7	42,7		
Снижение уровня звукового давления на пути слева от экрана, Dz2, дБ	z = 88.62м (разность путей)	ф-лы (14-18) [10]	29,7	32,9	35,9	38,9	41,9	45	48	51	54		
Снижение уровня звукового давления на пути справа от экрана, Dz3, дБ	z = 4.32м (разность путей)	ф-лы (14-18) [10]	16,6	19,8	22,8	25,8	28,8	31,8	34,8	37,9	40,9		
Общее снижение уровня звука препятствием Dz, дБ		Эн.сумма(-Dzi)	14,3	17,5	20,5	23,5	26,5	29,5	32,5	35,6	38,6		
Общее снижение уровня звука препятствием с учётом ограничения (25 дБ) для октавных полос Dz, дБ		Раздел 7.4 [10]	14,3	17,5	20,5	23,5	25	25	25	25	25		
Уровни звукового давления прямого звука от источника ИШ-1-4 в расчётной точке днём, дБ		**ф-ла(3)[10]**	**0**	**15,8**	**14,1**	**12,1**	**10,5**	**9,4**	**4,8**	**0**	**0**	**13,2**	**13,2**
Расчёт отражённого звука													
Уровни звукового давления от мнимого источника ИШ-1-4_мн.(1) в расчётной точке днём, дБ		**ф-ла(3)[10]**	**0**	**0**	**0**	**0**	**0**	**4,1**	**0**	**0**	**0**	**4,1**	**4,1**
Уровни звукового давления от мнимого источника ИШ-1-4_мн.(2) в расчётной точке днём, дБ		**ф-ла(3)[10]**	**0**	**0**	**0**	**0**	**0**	**7,2**	**0**	**0**	**0**	**7,2**	**7,2**

1		2	3	4	5	6	7	8	9	10	11	12	13
Суммарные уровни звукового давления от мнимых источников в расчётной точке днём, дБ		**ф-ла (19) [1]**	**0**	**0**	**0**	**0**	**0**	**8,9**	**0**	**0**	**0**	**0**	**8,9**
Уровни звукового давления от источника ИШ-1-4 в расчётной точке днём, дБ		**ф-ла(3)[10]**	**0**	**15,8**	**14,1**	**12,1**	**10,5**	**12,2**	**4,8**	**0**	**0**	**14,6**	**14,6**
Источник шума: ИШ-1-5, координаты источника (x,y,z), м =[241.49,205.86,1.00]													
Уровни звуковой мощности источника днём, Lw, дБ		**исходные данные**	**0**	**91,3**	**92,7**	**94**	**94,3**	**93,9**	**90,6**	**86,4**	**81,9**		
Поправка на телесный угол DΩ, дБ	Ω = 6.28	10Lg(4π/Ω)	**3**	3	3	3	3	3	3	3	3		
Показатель направленности источника Di, дБ		исходные данные	**0**	0	0	0	0	0	0	0	0		
Поправка на направленность источника Dc, дБ	Dc	DΩ + Di	**3**	3	3	3	3	3	3	3	3		
Затухание из-за геометрической дивергенции, Adiv, дБ	расстояние = 308.73 м	ф-ла (7) [10]	**60,8**										
Коэффициент затухания звука в атмосфере α, дБ/км	Ta=20,°C Pa=101.33,кПа hотн.=70%	ф-ла (5) [9]	0,02	0,09	0,33	1,12	2,79	4,98	9,04	23,09	77,63		
Учет затухания звука в атмосфере Aatm, дБ		ф-ла (8) [10]	0	0	0,1	0,3	0,9	1,5	2,8	7,1	24		
Снижение уровня звукового давления из-за влияния застройки между источником шума и расчетной точкой													
Снижение уровня звукового давления на пути над экраном, Dz1, дБ	z = 6.61м (разность путей)	ф-лы (14-18) [10]	16,9	20,8	24,1	27,2	30,2	33,2	36,2	39,3	42,3		
Снижение уровня звукового давления на пути слева от экрана, Dz2, дБ	z = 146.09м (разность путей)	ф-лы (14-18) [10]	31,9	35,1	38,1	41,1	44,1	47,1	50,1	53,1	56,2		
Снижение уровня звукового давления на пути справа от экрана, Dz3, дБ	z = 2.60м (разность путей)	ф-лы (14-18) [10]	13,3	17,2	20,5	23,6	26,6	29,6	32,6	35,7	38,7		
Общее снижение уровня звука препятствием Dz, дБ		Эн.сумма(-Dzi)	11,7	15,5	18,9	22	25	28	31	34	37		
Общее снижение уровня звука препятствием с учётом ограничения (25 дБ) для октавных полос Dz, дБ		Раздел 7.4 [10]	11,7	15,5	18,9	22	25	25	25	25	25		

1		2	3	4	5	6	7	8	9	10	11	12	13
Уровни звукового давления прямого звука от источника ИШ-1-5 в расчётной точке днём, дБ		**ф-ла(3)[10]**	**0**	**17,9**	**15,9**	**13,9**	**10,6**	**9,6**	**5**	**0**	**0**	**13,7**	**13,7**
Расчёт отражённого звука													
Уровни звукового давления от мнимого источника ИШ-1-5_мн.(1) в расчётной точке днём, дБ		**ф-ла(3)[10]**	**0**	**0**	**0**	**0**	**0**	**30,2**	**28,2**	**19,4**	**0**	**33,1**	**33,1**
Уровни звукового давления от мнимого источника ИШ-1-5_мн.(2) в расчётной точке днём, дБ		**ф-ла(3)[10]**	**0**	**0**	**0**	**0**	**0**	**0**	**0**	**0**	**0**	**0**	**0**
Уровни звукового давления от мнимого источника ИШ-1-5_мн.(3) в расчётной точке днём, дБ		**ф-ла(3)[10]**	**0**	**0**	**0**	**0**	**0**	**0**	**1**	**0**	**0**	**2,2**	**2,2**
Суммарные уровни звукового давления от мнимых источников в расчётной точке днём, дБ		**ф-ла (19) [1]**	**0**	**0**	**0**	**0**	**0**	**30,2**	**28,2**	**19,4**	**0**	**0**	**33,1**
Уровни звукового давления от источника ИШ-1-5 в расчётной точке днём, дБ		**ф-ла(3)[10]**	**0**	**17,9**	**15,9**	**13,9**	**10,6**	**30,2**	**28,3**	**19,4**	**0**	**33,1**	**33,1**
Источник шума: ИШ-1-6, координаты источника (x,y,z), м =[279.85,192.97,1.00]													
Уровни звуковой мощности источника днём, Lw, дБ		**исходные данные**	**0**	**91,3**	**92,7**	**94**	**94,3**	**93,9**	**90,6**	**86,4**	**81,9**		
Поправка на телесный угол DΩ, дБ	Ω = 6.28	10Lg(4π/Ω)	**3**	3	3	3	3	3	3	3	3		
Показатель направленности источника Di, дБ		исходные данные	**0**	0	0	0	0	0	0	0	0		
Поправка на направленность источника Dc, дБ	Dc	DΩ + Di	**3**	3	3	3	3	3	3	3	3		
Затухание из-за геометрической дивергенции, Adiv, дБ	расстояние = 286.67 м	ф-ла (7) [10]	**60,1**										
Коэффициент затухания звука в атмосфере α, дБ/км	Ta=20,°C Pa=101.33,кПа hотн.=70%	ф-ла (5) [9]	0,02	0,09	0,33	1,12	2,79	4,98	9,04	23,09	77,63		
Учет затухания звука в атмосфере Aatm, дБ		ф-ла (8) [10]	0	0	0,1	0,3	0,8	1,4	2,6	6,6	22,3		
Снижение уровня звукового давления из-за влияния застройки между источником шума и расчетной точкой													

1		2	3	4	5	6	7	8	9	10	11	12	13
Снижение уровня звукового давления на пути над экраном, Dz1, дБ	z = 7.08м (разность путей)	ф-лы (14-18) [10]	18,4	21,7	24,7	27,7	30,7	33,7	36,7	39,7	42,8		
Снижение уровня звукового давления на пути слева от экрана, Dz2, дБ	z = 143.38м (разность путей)	ф-лы (14-18) [10]	31,8	35	38	41	44	47	50,1	53,1	56,1		
Снижение уровня звукового давления на пути справа от экрана, Dz3, дБ	z = 5.04м (разность путей)	ф-лы (14-18) [10]	15,9	19,9	23,3	26,5	29,5	32,5	35,5	38,5	41,5		
Общее снижение уровня звука препятствием Dz, дБ		Эн.сумма(-Dzi)	13,9	17,6	20,9	23,9	27	30	33	36	39		
Общее снижение уровня звука препятствием с учётом ограничения (25 дБ) для октавных полос Dz, дБ		Раздел 7.4 [10]	13,9	17,6	20,9	23,9	25	25	25	25	25		
Уровни звукового давления прямого звука от источника ИШ-1-6 в расчётной точке днём, дБ		**ф-ла(3)[10]**	**0**	**16,5**	**14,6**	**12,6**	**11,3**	**10,3**	**5,9**	**0**	**0**	**14,1**	**14,1**
Расчёт отражённого звука													
Уровни звукового давления от мнимого источника ИШ-1-6_мн.(1) в расчётной точке днём, дБ		**ф-ла(3)[10]**	**0**	**0**	**0**	**0**	**0**	**3,4**	**0**	**0**	**0**	**3,4**	**3,4**
Уровни звукового давления от мнимого источника ИШ-1-6_мн.(2) в расчётной точке днём, дБ		**ф-ла(3)[10]**	**0**	**0**	**0**	**0**	**0**	**8,1**	**0**	**0**	**0**	**8,1**	**8,1**
Суммарные уровни звукового давления от мнимых источников в расчётной точке днём, дБ		**ф-ла (19) [1]**	**0**	**0**	**0**	**0**	**0**	**9,4**	**0**	**0**	**0**	**0**	**9,4**
Уровни звукового давления от источника ИШ-1-6 в расчётной точке днём, дБ		**ф-ла(3)[10]**	**0**	**16,5**	**14,6**	**12,6**	**11,3**	**12,9**	**5,9**	**0**	**0**	**15,4**	**15,4**
Источник шума: ИШ-1-7, координаты источника (x,y,z), м =[451.87,146.66,1.00]													
Уровни звуковой мощности источника днём, Lw, дБ		**исходные данные**	**0**	**93,3**	**94,7**	**96**	**96,3**	**95,9**	**92,6**	**88,4**	**83,9**		
Поправка на телесный угол DΩ, дБ	Ω = 6.28	10Lg(4π/Ω)	**3**	3	3	3	3	3	3	3	3		
Показатель направленности источника Di, дБ		исходные данные	**0**	0	0	0	0	0	0	0	0		
Поправка на направленность источника Dc, дБ	Dc	DΩ + Di	**3**	3	3	3	3	3	3	3	3		
Затухание из-за геометрической дивергенции, Adiv, дБ	расстояние = 262.34 м	ф-ла (7) [10]	**59,4**										

1		2	3	4	5	6	7	8	9	10	11	12	13
Коэффициент затухания звука в атмосфере α, дБ/км	Ta=20,°C Pa=101.33,кПа hотн.=70%	ф-ла (5) [9]	0,02	0,09	0,33	1,12	2,79	4,98	9,04	23,09	77,63		
Учет затухания звука в атмосфере Aatm, дБ		ф-ла (8) [10]	0	0	0,1	0,3	0,7	1,3	2,4	6,1	20,4		
Снижение уровня звукового давления из-за влияния застройки между источником шума и расчетной точкой													
Снижение уровня звукового давления на пути над экраном, Dz1, дБ	z = 7.10м (разность путей)	ф-лы (14-18) [10]	17,9	21,5	24,6	27,7	30,7	33,7	36,7	39,7	42,7		
Снижение уровня звукового давления на пути слева от экрана, Dz2, дБ	z = 12.27м (разность путей)	ф-лы (14-18) [10]	20,6	24,1	27,3	30,3	33,4	36,4	39,4	42,4	45,4		
Снижение уровня звукового давления на пути справа от экрана, Dz3, дБ	z = 114.84м (разность путей)	ф-лы (14-18) [10]	30,8	34	37	40,1	43,1	46,1	49,1	52,1	55,1		
Общее снижение уровня звука препятствием Dz, дБ		Эн.сумма(-Dzi)	15,9	19,5	22,6	25,6	28,6	31,7	34,7	37,7	40,7		
Общее снижение уровня звука препятствием с учётом ограничения (25 дБ) для октавных полос Dz, дБ		Раздел 7.4 [10]	15,9	19,5	22,6	25	25	25	25	25	25		
Уровни звукового давления от источника ИШ-1-7 в расчётной точке днём, дБ		**ф-ла(3)[10]**	**0**	**17,4**	**15,6**	**14,3**	**14,2**	**13,2**	**8,8**	**1**	**0**	**17**	**17**
Источник шума: ИШ-1-8, координаты источника (x,y,z), м =[454.99,145.29,1.00]													
Уровни звуковой мощности источника днём, Lw, дБ		**исходные данные**	**0**	**93,3**	**94,7**	**96**	**96,3**	**95,9**	**92,6**	**88,4**	**83,9**		
Поправка на телесный угол DΩ, дБ	Ω = 6.28	10Lg(4π/Ω)	**3**	3	3	3	3	3	3	3	3		
Показатель направленности источника Di, дБ		исходные данные	**0**	0	0	0	0	0	0	0	0		
Поправка на направленность источника Dc, дБ	Dc	DΩ + Di	**3**	3	3	3	3	3	3	3	3		
Затухание из-за геометрической дивергенции, Adiv, дБ	расстояние = 262.53 м	ф-ла (7) [10]	**59,4**										
Коэффициент затухания звука в атмосфере α, дБ/км	Ta=20,°C Pa=101.33,кПа hотн.=70%	ф-ла (5) [9]	0,02	0,09	0,33	1,12	2,79	4,98	9,04	23,09	77,63		

1		2	3	4	5	6	7	8	9	10	11	12	13
Учет затухания звука в атмосфере Aatm, дБ		ф-ла (8) [10]	0	0	0,1	0,3	0,7	1,3	2,4	6,1	20,4		
Снижение уровня звукового давления из-за влияния застройки между источником шума и расчетной точкой													
Снижение уровня звукового давления на пути над экраном, Dz1, дБ	z = 7.09м (разность путей)	ф-лы (14-18) [10]	17,9	21,5	24,6	27,7	30,7	33,7	36,7	39,7	42,7		
Снижение уровня звукового давления на пути слева от экрана, Dz2, дБ	z = 11.38м (разность путей)	ф-лы (14-18) [10]	20,2	23,8	27	30	33	36	39	42,1	45,1		
Снижение уровня звукового давления на пути справа от экрана, Dz3, дБ	z = 116.56м (разность путей)	ф-лы (14-18) [10]	30,9	34,1	37,1	40,1	43,1	46,1	49,2	52,2	55,2		
Общее снижение уровня звука препятствием Dz, дБ		Эн.сумма(-Dzi)	15,8	19,3	22,5	25,5	28,5	31,5	34,6	37,6	40,6		
Общее снижение уровня звука препятствием с учётом ограничения (25 дБ) для октавных полос Dz, дБ		Раздел 7.4 [10]	15,8	19,3	22,5	25	25	25	25	25	25		
Уровни звукового давления от источника ИШ-1-8 в расчётной точке днём, дБ		**ф-ла(3)[10]**	**0**	**17,5**	**15,7**	**14,3**	**14,2**	**13,2**	**8,8**	**0,9**	**0**	**17**	**17**
Источник шума: ИШ-1-9, координаты источника (x,y,z), м =[458.12,144.31,1.00]													
Уровни звуковой мощности источника днём, Lw, дБ		**исходные данные**	**0**	**93,3**	**94,7**	**96**	**96,3**	**95,9**	**92,6**	**88,4**	**83,9**		
Поправка на телесный угол DΩ, дБ	Ω = 6.28	10Lg(4π/Ω)	**3**	3	3	3	3	3	3	3	3		
Показатель направленности источника Di, дБ		исходные данные	**0**	0	0	0	0	0	0	0	0		
Поправка на направленность источника Dc, дБ	Dc	DΩ + Di	**3**	3	3	3	3	3	3	3	3		
Затухание из-за геометрической дивергенции, Adiv, дБ	расстояние = 263.10 м	ф-ла (7) [10]	**59,4**										
Коэффициент затухания звука в атмосфере α, дБ/км	Ta=20,°C Pa=101.33,кПа hотн.=70%	ф-ла (5) [9]	0,02	0,09	0,33	1,12	2,79	4,98	9,04	23,09	77,63		
Учет затухания звука в атмосфере Aatm, дБ		ф-ла (8) [10]	0	0	0,1	0,3	0,7	1,3	2,4	6,1	20,4		

1		2	3	4	5	6	7	8	9	10	11	12	13
Снижение уровня звукового давления из-за влияния застройки между источником шума и расчетной точкой													
Снижение уровня звукового давления на пути над экраном, Dz1, дБ	z = 7.09м (разность путей)	ф-лы (14-18) [10]	17,9	21,5	24,6	27,7	30,7	33,7	36,7	39,7	42,7		
Снижение уровня звукового давления на пути слева от экрана, Dz2, дБ	z = 10.57м (разность путей)	ф-лы (14-18) [10]	19,9	23,5	26,6	29,7	32,7	35,7	38,7	41,7	44,7		
Снижение уровня звукового давления на пути справа от экрана, Dz3, дБ	z = 117.63м (разность путей)	ф-лы (14-18) [10]	30,9	34,1	37,1	40,2	43,2	46,2	49,2	52,2	55,2		
Общее снижение уровня звука препятствием Dz, дБ		Эн.сумма(-Dzi)	15,7	19,2	22,4	25,4	28,4	31,4	34,4	37,4	40,5		
Общее снижение уровня звука препятствием с учётом ограничения (25 дБ) для октавных полос Dz, дБ		Раздел 7.4 [10]	15,7	19,2	22,4	25	25	25	25	25	25		
Уровни звукового давления прямого звука от источника ИШ-1-9 в расчётной точке днём, дБ		**ф-ла(3)[10]**	**0**	**17,6**	**15,8**	**14,3**	**14,2**	**13,2**	**8,8**	**0,9**	**0**	**17**	**17**
Расчёт отражённого звука													
Уровни звукового давления от мнимого источника ИШ-1-9_мн.(1) в расчётной точке днём, дБ		**ф-ла(3)[10]**	**0**	**0**	**0**	**0**	**0**	**11,5**	**7**	**0**	**0**	**13,2**	**13,2**
Уровни звукового давления от источника ИШ-1-9 в расчётной точке днём, дБ		**ф-ла(3)[10]**	**0**	**17,6**	**15,8**	**14,3**	**14,2**	**15,4**	**11**	**0,9**	**0**	**18,5**	**18,5**
Источник шума: ИШ-1-10, координаты источника (x,y,z), м =[461.05,143.53,1.00]													
Уровни звуковой мощности источника днём, Lw, дБ		**исходные данные**	**0**	**93,3**	**94,7**	**96**	**96,3**	**95,9**	**92,6**	**88,4**	**83,9**		
Поправка на телесный угол DΩ, дБ	Ω = 6.28	10Lg(4π/Ω)	**3**	3	3	3	3	3	3	3	3		
Показатель направленности источника Di, дБ		исходные данные	**0**	0	0	0	0	0	0	0	0		
Поправка на направленность источника Dc, дБ	Dc	DΩ + Di	**3**	3	3	3	3	3	3	3	3		
Затухание из-за геометрической дивергенции, Adiv, дБ	расстояние = 263.80 м	ф-ла (7) [10]	**59,4**										
Коэффициент затухания звука в атмосфере α, дБ/км	Ta=20,°C Pa=101.33,кПа hотн.=70%	ф-ла (5) [9]	0,02	0,09	0,33	1,12	2,79	4,98	9,04	23,09	77,63		

1		2	3	4	5	6	7	8	9	10	11	12	13
Учет затухания звука в атмосфере Aatm, дБ		ф-ла (8) [10]	0	0	0,1	0,3	0,7	1,3	2,4	6,1	20,5		
Снижение уровня звукового давления из-за влияния застройки между источником шума и расчетной точкой													
Снижение уровня звукового давления на пути над экраном, Dz1, дБ	z = 7.09м (разность путей)	ф-лы (14-18) [10]	17,9	21,5	24,6	27,7	30,7	33,7	36,7	39,7	42,7		
Снижение уровня звукового давления на пути слева от экрана, Dz2, дБ	z = 9.87м (разность путей)	ф-лы (14-18) [10]	19,6	23,2	26,3	29,4	32,4	35,4	38,4	41,4	44,5		
Снижение уровня звукового давления на пути справа от экрана, Dz3, дБ	z = 118.48м (разность путей)	ф-лы (14-18) [10]	31	34,1	37,2	40,2	43,2	46,2	49,2	52,2	55,2		
Общее снижение уровня звука препятствием Dz, дБ		Эн.сумма(-Dzi)	15,6	19,1	22,2	25,3	28,3	31,3	34,3	37,3	40,3		
Общее снижение уровня звука препятствием с учётом ограничения (25 дБ) для октавных полос Dz, дБ		Раздел 7.4 [10]	15,6	19,1	22,2	25	25	25	25	25	25		
Уровни звукового давления прямого звука от источника ИШ-1-10 в расчётной точке днём, дБ		**ф-ла(3)[10]**	**0**	**17,7**	**15,9**	**14,3**	**14,1**	**13,2**	**8,8**	**0,9**	**0**	**16,9**	**16,9**
Расчёт отражённого звука													
Уровни звукового давления от мнимого источника ИШ-1-10_мн.(1) в расчётной точке днём, дБ		**ф-ла(3)[10]**	**0**	**0**	**0**	**0**	**0**	**11,5**	**7,1**	**0**	**0**	**13,2**	**13,2**
Уровни звукового давления от источника ИШ-1-10 в расчётной точке днём, дБ		**ф-ла(3)[10]**	**0**	**17,7**	**15,9**	**14,3**	**14,1**	**15,4**	**11**	**0,9**	**0**	**18,5**	**18,5**
Источник шума: ИШ-1-11, координаты источника (x,y,z), м =[464.18,142.55,1.00]													
Уровни звуковой мощности источника днём, Lw, дБ		**исходные данные**	**0**	**93,3**	**94,7**	**96**	**96,3**	**95,9**	**92,6**	**88,4**	**83,9**		
Поправка на телесный угол DΩ, дБ	Ω = 6.28	10Lg(4π/Ω)	**3**	3	3	3	3	3	3	3	3		
Показатель направленности источника Di, дБ		исходные данные	**0**	0	0	0	0	0	0	0	0		
Поправка на направленность источника Dc, дБ	Dc	DΩ + Di	**3**	3	3	3	3	3	3	3	3		
Затухание из-за геометрической дивергенции, Adiv, дБ	расстояние = 264.45 м	ф-ла (7) [10]	**59,4**										

1		2	3	4	5	6	7	8	9	10	11	12	13
Коэффициент затухания звука в атмосфере α, дБ/км	Ta=20,°C Pa=101.33,кПа hотн.=70%	ф-ла (5) [9]	0,02	0,09	0,33	1,12	2,79	4,98	9,04	23,09	77,63		
Учет затухания звука в атмосфере Aatm, дБ		ф-ла (8) [10]	0	0	0,1	0,3	0,7	1,3	2,4	6,1	20,5		
Снижение уровня звукового давления из-за влияния застройки между источником шума и расчетной точкой													
Снижение уровня звукового давления на пути над экраном, Dz1, дБ	z = 7.08м (разность путей)	ф-лы (14-18) [10]	17,9	21,5	24,6	27,7	30,7	33,7	36,7	39,7	42,7		
Снижение уровня звукового давления на пути слева от экрана, Dz2, дБ	z = 9.17м (разность путей)	ф-лы (14-18) [10]	19,3	22,9	26	29,1	32,1	35,1	38,1	41,1	44,1		
Снижение уровня звукового давления на пути справа от экрана, Dz3, дБ	z = 119.71м (разность путей)	ф-лы (14-18) [10]	31	34,2	37,2	40,2	43,2	46,3	49,3	52,3	55,3		
Общее снижение уровня звука препятствием Dz, дБ		Эн.сумма(-Dzi)	15,4	19	22,1	25,2	28,2	31,2	34,2	37,2	40,2		
Общее снижение уровня звука препятствием с учётом ограничения (25 дБ) для октавных полос Dz, дБ		Раздел 7.4 [10]	15,4	19	22,1	25	25	25	25	25	25		
Уровни звукового давления прямого звука от источника ИШ-1-11 в расчётной точке днём, дБ		**ф-ла(3)[10]**	**0**	**17,8**	**16**	**14,2**	**14,1**	**13,1**	**8,8**	**0,8**	**0**	**16,9**	**16,9**
Расчёт отражённого звука													
Уровни звукового давления от мнимого источника ИШ-1-11_мн.(1) в расчётной точке днём, дБ		**ф-ла(3)[10]**	**0**	**0**	**0**	**0**	**0**	**11,6**	**7,1**	**0**	**0**	**13,3**	**13,3**
Уровни звукового давления от источника ИШ-1-11 в расчётной точке днём, дБ		**ф-ла(3)[10]**	**0**	**17,8**	**16**	**14,2**	**14,1**	**15,4**	**11**	**0,8**	**0**	**18,5**	**18,5**
Источник шума: ИШ-1-12, координаты источника (x,y,z), м =[435.45,97.79,1.00]													
Уровни звуковой мощности источника днём, Lw, дБ		**исходные данные**	**0**	**93,3**	**94,7**	**96**	**96,3**	**95,9**	**92,6**	**88,4**	**83,9**		
Поправка на телесный угол DΩ, дБ	Ω = 6.28	10Lg(4π/Ω)	**3**	3	3	3	3	3	3	3	3		
Показатель направленности источника Di, дБ		исходные данные	**0**	0	0	0	0	0	0	0	0		

1		2	3	4	5	6	7	8	9	10	11	12	13
Поправка на направленность источника Dc, дБ	Dc	DΩ + Di	**3**	3	3	3	3	3	3	3	3		
Затухание из-за геометрической дивергенции, Adiv, дБ	расстояние = 211.39 м	ф-ла (7) [10]	**57,5**										
Коэффициент затухания звука в атмосфере α, дБ/км	Ta=20,°C Pa=101.33,кПа hотн.=70%	ф-ла (5) [9]	0,02	0,09	0,33	1,12	2,79	4,98	9,04	23,09	77,63		
Учет затухания звука в атмосфере Aatm, дБ		ф-ла (8) [10]	0	0	0,1	0,2	0,6	1,1	1,9	4,9	16,4		
Снижение уровня звукового давления из-за влияния застройки между источником шума и расчетной точкой													
Снижение уровня звукового давления на пути над экраном, Dz1, дБ	z = 7.36м (разность путей)	ф-лы (14-18) [10]	18,2	21,7	24,9	27,9	30,9	34	37	40	43		
Снижение уровня звукового давления на пути слева от экрана, Dz2, дБ	z = 12.49м (разность путей)	ф-лы (14-18) [10]	20,6	24,2	27,4	30,4	33,4	36,4	39,5	42,5	45,5		
Снижение уровня звукового давления на пути справа от экрана, Dz3, дБ	z = 18.45м (разность путей)	ф-лы (14-18) [10]	22,2	25,9	29	32,1	35,1	38,1	41,1	44,2	47,2		
Общее снижение уровня звука препятствием Dz, дБ		Эн.сумма(-Dzi)	15,3	18,8	22	25	28,1	31,1	34,1	37,1	40,1		
Общее снижение уровня звука препятствием с учётом ограничения (25 дБ) для октавных полос Dz, дБ		Раздел 7.4 [10]	15,3	18,8	22	25	25	25	25	25	25		
Уровни звукового давления от источника ИШ-1-12 в расчётной точке днём, дБ		**ф-ла(3)[10]**	**0**	**19,9**	**18,1**	**16,3**	**16,2**	**15,3**	**11,2**	**4**	**0**	**19,2**	**19,2**
Источник шума: ИШ-1-13, координаты источника (x,y,z), м =[438.77,96.82,1.00]													
Уровни звуковой мощности источника днём, Lw, дБ		**исходные данные**	**0**	**93,3**	**94,7**	**96**	**96,3**	**95,9**	**92,6**	**88,4**	**83,9**		
Поправка на телесный угол DΩ, дБ	Ω = 6.28	10Lg(4π/Ω)	**3**	3	3	3	3	3	3	3	3		
Показатель направленности источника Di, дБ		исходные данные	**0**	0	0	0	0	0	0	0	0		
Поправка на направленность источника Dc, дБ	Dc	DΩ + Di	**3**	3	3	3	3	3	3	3	3		

1		2	3	4	5	6	7	8	9	10	11	12	13
Затухание из-за геометрической дивергенции, Adiv, дБ	расстояние = 212.13 м	ф-ла (7) [10]	**57,5**										
Коэффициент затухания звука в атмосфере α, дБ/км	Ta=20,°C Pa=101.33,кПа hотн.=70%	ф-ла (5) [9]	0,02	0,09	0,33	1,12	2,79	4,98	9,04	23,09	77,63		
Учет затухания звука в атмосфере Aatm, дБ		ф-ла (8) [10]	0	0	0,1	0,2	0,6	1,1	1,9	4,9	16,5		
Снижение уровня звукового давления из-за влияния застройки между источником шума и расчетной точкой													
Снижение уровня звукового давления на пути над экраном, Dz1, дБ	z = 7.36м (разность путей)	ф-лы (14-18) [10]	18,2	21,7	24,9	27,9	30,9	33,9	37	40	43		
Снижение уровня звукового давления на пути слева от экрана, Dz2, дБ	z = 11.15м (разность путей)	ф-лы (14-18) [10]	20,1	23,7	26,9	29,9	32,9	36	39	42	45		
Снижение уровня звукового давления на пути справа от экрана, Dz3, дБ	z = 19.84м (разность путей)	ф-лы (14-18) [10]	22,5	26,2	29,4	32,4	35,4	38,5	41,5	44,5	47,5		
Общее снижение уровня звука препятствием Dz, дБ		Эн.сумма(-Dzi)	15,2	18,7	21,9	24,9	28	31	34	37	40		
Общее снижение уровня звука препятствием с учётом ограничения (25 дБ) для октавных полос Dz, дБ		Раздел 7.4 [10]	15,2	18,7	21,9	24,9	25	25	25	25	25		
Уровни звукового давления от источника ИШ-1-13 в расчётной точке днём, дБ		**ф-ла(3)[10]**	**0**	**20**	**18,2**	**16,3**	**16,2**	**15,3**	**11,1**	**4**	**0**	**19,1**	**19,1**
Источник шума: ИШ-1-14, координаты источника (x,y,z), м =[441.70,96.03,1.00]													
Уровни звуковой мощности источника днём, Lw, дБ		**исходные данные**	**0**	**93,3**	**94,7**	**96**	**96,3**	**95,9**	**92,6**	**88,4**	**83,9**		
Поправка на телесный угол DΩ, дБ	Ω = 6.28	10Lg(4π/Ω)	**3**	3	3	3	3	3	3	3	3		
Показатель направленности источника Di, дБ		исходные данные	**0**	0	0	0	0	0	0	0	0		
Поправка на направленность источника Dc, дБ	Dc	DΩ + Di	**3**	3	3	3	3	3	3	3	3		
Затухание из-за геометрической дивергенции, Adiv, дБ	расстояние = 212.90 м	ф-ла (7) [10]	**57,6**										

1		2	3	4	5	6	7	8	9	10	11	12	13
Коэффициент затухания звука в атмосфере α, дБ/км	Ta=20,°C Pa=101.33,кПа hотн.=70%	ф-ла (5) [9]	0,02	0,09	0,33	1,12	2,79	4,98	9,04	23,09	77,63		
Учет затухания звука в атмосфере Aatm, дБ		ф-ла (8) [10]	0	0	0,1	0,2	0,6	1,1	1,9	4,9	16,5		
Снижение уровня звукового давления из-за влияния застройки между источником шума и расчетной точкой													
Снижение уровня звукового давления на пути над экраном, Dz1, дБ	z = 7.35м (разность путей)	ф-лы (14-18) [10]	18,2	21,7	24,9	27,9	30,9	33,9	37	40	43		
Снижение уровня звукового давления на пути слева от экрана, Dz2, дБ	z = 10.07м (разность путей)	ф-лы (14-18) [10]	19,7	23,3	26,4	29,5	32,5	35,5	38,5	41,5	44,5		
Снижение уровня звукового давления на пути справа от экрана, Dz3, дБ	z = 21.08м (разность путей)	ф-лы (14-18) [10]	22,8	26,4	29,6	32,7	35,7	38,7	41,7	44,7	47,7		
Общее снижение уровня звука препятствием Dz, дБ		Эн.сумма(-Dzi)	15,1	18,6	21,8	24,8	27,9	30,9	33,9	36,9	39,9		
Общее снижение уровня звука препятствием с учётом ограничения (25 дБ) для октавных полос Dz, дБ		Раздел 7.4 [10]	15,1	18,6	21,8	24,8	25	25	25	25	25		
Уровни звукового давления от источника ИШ-1-14 в расчётной точке днём, дБ		**ф-ла(3)[10]**	**0**	**20,1**	**18,3**	**16,3**	**16,1**	**15,3**	**11,1**	**3,9**	**0**	**19,1**	**19,1**
Источник шума: ИШ-1-15, координаты источника (x,y,z), м =[445.03,95.25,1.00]													
Уровни звуковой мощности источника днём, Lw, дБ		**исходные данные**	**0**	**93,3**	**94,7**	**96**	**96,3**	**95,9**	**92,6**	**88,4**	**83,9**		
Поправка на телесный угол DΩ, дБ	Ω = 6.28	10Lg(4π/Ω)	**3**	3	3	3	3	3	3	3	3		
Показатель направленности источника Di, дБ		исходные данные	**0**	0	0	0	0	0	0	0	0		
Поправка на направленность источника Dc, дБ	Dc	DΩ + Di	**3**	3	3	3	3	3	3	3	3		
Затухание из-за геометрической дивергенции, Adiv, дБ	расстояние = 213.91 м	ф-ла (7) [10]	**57,6**										
Коэффициент затухания звука в атмосфере α, дБ/км	Ta=20,°C Pa=101.33,кПа hотн.=70%	ф-ла (5) [9]	0,02	0,09	0,33	1,12	2,79	4,98	9,04	23,09	77,63		

1		2	3	4	5	6	7	8	9	10	11	12	13
Учет затухания звука в атмосфере Aatm, дБ		ф-ла (8) [10]	0	0	0,1	0,2	0,6	1,1	1,9	4,9	16,6		
Снижение уровня звукового давления из-за влияния застройки между источником шума и расчетной точкой													
Снижение уровня звукового давления на пути над экраном, Dz1, дБ	z = 7.34м (разность путей)	ф-лы (14-18) [10]	18,2	21,7	24,9	27,9	30,9	33,9	36,9	40	43		
Снижение уровня звукового давления на пути слева от экрана, Dz2, дБ	z = 8.99м (разность путей)	ф-лы (14-18) [10]	19,2	22,8	25,9	29	32	35	38	41	44		
Снижение уровня звукового давления на пути справа от экрана, Dz3, дБ	z = 22.47м (разность путей)	ф-лы (14-18) [10]	23,1	26,7	29,9	33	36	39	42	45	48		
Общее снижение уровня звука препятствием Dz, дБ		Эн.сумма(-Dzi)	14,9	18,5	21,7	24,7	27,7	30,7	33,7	36,8	39,8		
Общее снижение уровня звука препятствием с учётом ограничения (25 дБ) для октавных полос Dz, дБ		Раздел 7.4 [10]	14,9	18,5	21,7	24,7	25	25	25	25	25		
Уровни звукового давления от источника ИШ-1-15 в расчётной точке днём, дБ		**ф-ла(3)[10]**	**0**	**20,2**	**18,4**	**16,4**	**16,1**	**15,2**	**11,1**	**3,8**	**0**	**19,1**	**19,1**
Источник шума: ИШ-1-16, координаты источника (x,y,z), м =[447.96,94.28,1.00]													
Уровни звуковой мощности источника днём, Lw, дБ		**исходные данные**	**0**	**93,3**	**94,7**	**96**	**96,3**	**95,9**	**92,6**	**88,4**	**83,9**		
Поправка на телесный угол DΩ, дБ	Ω = 6.28	10Lg(4π/Ω)	**3**	3	3	3	3	3	3	3	3		
Показатель направленности источника Di, дБ		исходные данные	**0**	0	0	0	0	0	0	0	0		
Поправка на направленность источника Dc, дБ	Dc	DΩ + Di	**3**	3	3	3	3	3	3	3	3		
Затухание из-за геометрической дивергенции, Adiv, дБ	расстояние = 214.60 м	ф-ла (7) [10]	**57,6**										
Коэффициент затухания звука в атмосфере α, дБ/км	Ta=20,°C Pa=101.33,кПа hотн.=70%	ф-ла (5) [9]	0,02	0,09	0,33	1,12	2,79	4,98	9,04	23,09	77,63		
Учет затухания звука в атмосфере Aatm, дБ		ф-ла (8) [10]	0	0	0,1	0,2	0,6	1,1	1,9	5	16,7		

1		2	3	4	5	6	7	8	9	10	11	12	13
Снижение уровня звукового давления из-за влияния застройки между источником шума и расчетной точкой													
Снижение уровня звукового давления на пути над экраном, Dz1, дБ	z = 7.33м (разность путей)	ф-лы (14-18) [10]	18,2	21,7	24,9	27,9	30,9	33,9	36,9	39,9	43		
Снижение уровня звукового давления на пути слева от экрана, Dz2, дБ	z = 8.12м (разность путей)	ф-лы (14-18) [10]	18,8	22,4	25,5	28,5	31,6	34,6	37,6	40,6	43,6		
Снижение уровня звукового давления на пути справа от экрана, Dz3, дБ	z = 23.82м (разность путей)	ф-лы (14-18) [10]	23,3	27	30,2	33,2	36,2	39,2	42,3	45,3	48,3		
Общее снижение уровня звука препятствием Dz, дБ		Эн.сумма(-Dzi)	14,8	18,4	21,5	24,6	27,6	30,6	33,6	36,6	39,6		
Общее снижение уровня звука препятствием с учётом ограничения (25 дБ) для октавных полос Dz, дБ		Раздел 7.4 [10]	14,8	18,4	21,5	24,6	25	25	25	25	25		
Уровни звукового давления от источника ИШ-1-16 в расчётной точке днём, дБ		**ф-ла(3)[10]**	**0**	**20,3**	**18,5**	**16,5**	**16,1**	**15,2**	**11**	**3,8**	**0**	**19**	**19**
Источник шума: ИШ-1-17, координаты источника (x,y,z), м =[540.99,141.77,1.00]													
Уровни звуковой мощности источника днём, Lw, дБ		**исходные данные**	**0**	**93,3**	**94,7**	**96**	**96,3**	**95,9**	**92,6**	**88,4**	**83,9**		
Поправка на телесный угол DΩ, дБ	Ω = 6.28	10Lg(4π/Ω)	**3**	3	3	3	3	3	3	3	3		
Показатель направленности источника Di, дБ		исходные данные	**0**	0	0	0	0	0	0	0	0		
Поправка на направленность источника Dc, дБ	Dc	DΩ + Di	**3**	3	3	3	3	3	3	3	3		
Затухание из-за геометрической дивергенции, Adiv, дБ	расстояние = 308.69 м	ф-ла (7) [10]	**60,8**										
Коэффициент затухания звука в атмосфере α, дБ/км	Ta=20,°C Pa=101.33,кПа hотн.=70%	ф-ла (5) [9]	0,02	0,09	0,33	1,12	2,79	4,98	9,04	23,09	77,63		
Учет затухания звука в атмосфере Aatm, дБ		ф-ла (8) [10]	0	0	0,1	0,3	0,9	1,5	2,8	7,1	24		
Снижение уровня звукового давления из-за влияния застройки между источником шума и расчетной точкой													

1		2	3	4	5	6	7	8	9	10	11	12	13
Снижение уровня звукового давления на пути над экраном, Dz1, дБ	z = 7.23м (разность путей)	ф-лы (14-18) [10]	18,6	21,8	24,8	27,8	30,8	33,8	36,8	39,8	42,9		
Снижение уровня звукового давления на пути слева от экрана, Dz2, дБ	z = 5.58м (разность путей)	ф-лы (14-18) [10]	17,6	20,9	23,9	26,9	29,9	33	36	39	42		
Снижение уровня звукового давления на пути справа от экрана, Dz3, дБ	z = 65.59м (разность путей)	ф-лы (14-18) [10]	28,4	31,6	34,6	37,6	40,6	43,6	46,7	49,7	52,7		
Общее снижение уровня звука препятствием Dz, дБ		Эн.сумма(-Dzi)	14,9	18,1	21,1	24,1	27,2	30,2	33,2	36,2	39,2		
Общее снижение уровня звука препятствием с учётом ограничения (25 дБ) для октавных полос Dz, дБ		Раздел 7.4 [10]	14,9	18,1	21,1	24,1	25	25	25	25	25		
Уровни звукового давления от источника ИШ-1-17 в расчётной точке днём, дБ		**ф-ла(3)[10]**	**0**	**17,4**	**15,7**	**13,7**	**12,6**	**11,6**	**7**	**0**	**0**	**15,3**	**15,3**
Источник шума: ИШ-1-18, координаты источника (x,y,z), м =[543.53,140.79,1.00]													
Уровни звуковой мощности источника днём, Lw, дБ		**исходные данные**	**0**	**93,3**	**94,7**	**96**	**96,3**	**95,9**	**92,6**	**88,4**	**83,9**		
Поправка на телесный угол DΩ, дБ	Ω = 6.28	10Lg(4π/Ω)	**3**	3	3	3	3	3	3	3	3		
Показатель направленности источника Di, дБ		исходные данные	**0**	0	0	0	0	0	0	0	0		
Поправка на направленность источника Dc, дБ	Dc	DΩ + Di	**3**	3	3	3	3	3	3	3	3		
Затухание из-за геометрической дивергенции, Adiv, дБ	расстояние = 309.67 м	ф-ла (7) [10]	**60,8**										
Коэффициент затухания звука в атмосфере α, дБ/км	Ta=20,°C Pa=101.33,кПа hотн.=70%	ф-ла (5) [9]	0,02	0,09	0,33	1,12	2,79	4,98	9,04	23,09	77,63		
Учет затухания звука в атмосфере Aatm, дБ		ф-ла (8) [10]	0	0	0,1	0,3	0,9	1,5	2,8	7,1	24		
Снижение уровня звукового давления из-за влияния застройки между источником шума и расчетной точкой													
Снижение уровня звукового давления на пути над экраном, Dz1, дБ	z = 7.18м (разность путей)	ф-лы (14-18) [10]	18,5	21,7	24,8	27,8	30,8	33,8	36,8	39,8	42,8		

1		2	3	4	5	6	7	8	9	10	11	12	13
Снижение уровня звукового давления на пути слева от экрана, Dz2, дБ	z = 5.20м (разность путей)	ф-лы (14-18) [10]	17,3	20,6	23,6	26,6	29,6	32,6	35,6	38,7	41,7		
Снижение уровня звукового давления на пути справа от экрана, Dz3, дБ	z = 66.63м (разность путей)	ф-лы (14-18) [10]	28,5	31,7	34,7	37,7	40,7	43,7	46,7	49,7	52,7		
Общее снижение уровня звука препятствием Dz, дБ		Эн.сумма(-Dzi)	14,7	17,9	21	24	27	30	33	36	39		
Общее снижение уровня звука препятствием с учётом ограничения (25 дБ) для октавных полос Dz, дБ		Раздел 7.4 [10]	14,7	17,9	21	24	25	25	25	25	25		
Уровни звукового давления от источника ИШ-1-18 в расчётной точке днём, дБ		**ф-ла(3)[10]**	**0**	**17,5**	**15,8**	**13,9**	**12,6**	**11,5**	**7**	**0**	**0**	**15,3**	**15,3**
Источник шума: ИШ-1-19, координаты источника (x,y,z), м =[547.25,139.62,1.00]													
Уровни звуковой мощности источника днём, Lw, дБ		**исходные данные**	**0**	**93,3**	**94,7**	**96**	**96,3**	**95,9**	**92,6**	**88,4**	**83,9**		
Поправка на телесный угол DΩ, дБ	Ω = 6.28	10Lg(4π/Ω)	**3**	3	3	3	3	3	3	3	3		
Показатель направленности источника Di, дБ		исходные данные	**0**	0	0	0	0	0	0	0	0		
Поправка на направленность источника Dc, дБ	Dc	DΩ + Di	**3**	3	3	3	3	3	3	3	3		
Затухание из-за геометрической дивергенции, Adiv, дБ	расстояние = 311.32 м	ф-ла (7) [10]	**60,9**										
Коэффициент затухания звука в атмосфере α, дБ/км	Ta=20,°C Pa=101.33,кПа hотн.=70%	ф-ла (5) [9]	0,02	0,09	0,33	1,12	2,79	4,98	9,04	23,09	77,63		
Учет затухания звука в атмосфере Aatm, дБ		ф-ла (8) [10]	0	0	0,1	0,3	0,9	1,5	2,8	7,2	24,2		
Снижение уровня звукового давления из-за влияния застройки между источником шума и расчетной точкой													
Снижение уровня звукового давления на пути над экраном, Dz1, дБ	z = 7.12м (разность путей)	ф-лы (14-18) [10]	18,5	21,7	24,7	27,7	30,7	33,7	36,7	39,8	42,8		
Снижение уровня звукового давления на пути слева от экрана, Dz2, дБ	z = 4.73м (разность путей)	ф-лы (14-18) [10]	16,9	20,2	23,2	26,2	29,2	32,2	35,2	38,3	41,3		

1		2	3	4	5	6	7	8	9	10	11	12	13
Снижение уровня звукового давления на пути справа от экрана, Dz3, дБ	z = 67.84м (разность путей)	ф-лы (14-18) [10]	28,6	31,7	34,8	37,8	40,8	43,8	46,8	49,8	52,8		
Общее снижение уровня звука препятствием Dz, дБ		Эн.сумма(-Dzi)	14,4	17,7	20,7	23,7	26,7	29,7	32,7	35,8	38,8		
Общее снижение уровня звука препятствием с учётом ограничения (25 дБ) для октавных полос Dz, дБ		Раздел 7.4 [10]	14,4	17,7	20,7	23,7	25	25	25	25	25		
Уровни звукового давления от источника ИШ-1-19 в расчётной точке днём, дБ		**ф-ла(3)[10]**	**0**	**17,7**	**16**	**14,1**	**12,6**	**11,5**	**6,9**	**0**	**0**	**15,3**	**15,3**
Источник шума: ИШ-1-20, координаты источника (x,y,z), м =[550.38,138.64,1.00]													
Уровни звуковой мощности источника днём, Lw, дБ		**исходные данные**	**0**	**93,3**	**94,7**	**96**	**96,3**	**95,9**	**92,6**	**88,4**	**83,9**		
Поправка на телесный угол DΩ, дБ	Ω = 6.28	10Lg(4π/Ω)	**3**	3	3	3	3	3	3	3	3		
Показатель направленности источника Di, дБ		исходные данные	**0**	0	0	0	0	0	0	0	0		
Поправка на направленность источника Dc, дБ	Dc	DΩ + Di	**3**	3	3	3	3	3	3	3	3		
Затухание из-за геометрической дивергенции, Adiv, дБ	расстояние = 312.75 м	ф-ла (7) [10]	**60,9**										
Коэффициент затухания звука в атмосфере α, дБ/км	Ta=20,°C Pa=101.33,кПа hотн.=70%	ф-ла (5) [9]	0,02	0,09	0,33	1,12	2,79	4,98	9,04	23,09	77,63		
Учет затухания звука в атмосфере Aatm, дБ		ф-ла (8) [10]	0	0	0,1	0,4	0,9	1,6	2,8	7,2	24,3		
Снижение уровня звукового давления из-за влияния застройки между источником шума и расчетной точкой													
Снижение уровня звукового давления на пути над экраном, Dz1, дБ	z = 7.08м (разность путей)	ф-лы (14-18) [10]	18,4	21,7	24,7	27,7	30,7	33,7	36,7	39,7	42,7		
Снижение уровня звукового давления на пути слева от экрана, Dz2, дБ	z = 4.41м (разность путей)	ф-лы (14-18) [10]	16,6	19,9	22,9	25,9	28,9	31,9	34,9	37,9	41		
Снижение уровня звукового давления на пути справа от экрана, Dz3, дБ	z = 68.94м (разность путей)	ф-лы (14-18) [10]	28,6	31,8	34,8	37,8	40,9	43,9	46,9	49,9	52,9		

1		2	3	4	5	6	7	8	9	10	11	12	13
Общее снижение уровня звука препятствием Dz, дБ		Эн.сумма(-Dzi)	14,3	17,5	20,5	23,5	26,5	29,5	32,6	35,6	38,6		
Общее снижение уровня звука препятствием с учётом ограничения (25 дБ) для октавных полос Dz, дБ		Раздел 7.4 [10]	14,3	17,5	20,5	23,5	25	25	25	25	25		
Уровни звукового давления от источника ИШ-1-20 в расчётной точке днём, дБ		**ф-ла(3)[10]**	**0**	**17,9**	**16,2**	**14,2**	**12,5**	**11,4**	**6,9**	**0**	**0**	**15,3**	**15,3**
Источник шума: ИШ-1-21, координаты источника (x,y,z), м =[553.31,137.67,1.00]													
Уровни звуковой мощности источника днём, Lw, дБ		**исходные данные**	**0**	**93,3**	**94,7**	**96**	**96,3**	**95,9**	**92,6**	**88,4**	**83,9**		
Поправка на телесный угол DΩ, дБ	Ω = 6.28	10Lg(4π/Ω)	**3**	3	3	3	3	3	3	3	3		
Показатель направленности источника Di, дБ		исходные данные	**0**	0	0	0	0	0	0	0	0		
Поправка на направленность источника Dc, дБ	Dc	DΩ + Di	**3**	3	3	3	3	3	3	3	3		
Затухание из-за геометрической дивергенции, Adiv, дБ	расстояние = 314.07 м	ф-ла (7) [10]	**60,9**										
Коэффициент затухания звука в атмосфере α, дБ/км	Ta=20,°C Pa=101.33,кПа hотн.=70%	ф-ла (5) [9]	0,02	0,09	0,33	1,12	2,79	4,98	9,04	23,09	77,63		
Учет затухания звука в атмосфере Aatm, дБ		ф-ла (8) [10]	0	0	0,1	0,4	0,9	1,6	2,8	7,3	24,4		
Снижение уровня звукового давления из-за влияния застройки между источником шума и расчетной точкой													
Снижение уровня звукового давления на пути над экраном, Dz1, дБ	z = 7.04м (разность путей)	ф-лы (14-18) [10]	18,4	21,6	24,6	27,7	30,7	33,7	36,7	39,7	42,7		
Снижение уровня звукового давления на пути слева от экрана, Dz2, дБ	z = 4.15м (разность путей)	ф-лы (14-18) [10]	16,4	19,6	22,7	25,7	28,7	31,7	34,7	37,7	40,7		
Снижение уровня звукового давления на пути справа от экрана, Dz3, дБ	z = 70.12м (разность путей)	ф-лы (14-18) [10]	28,7	31,9	34,9	37,9	40,9	43,9	46,9	50	53		
Общее снижение уровня звука препятствием Dz, дБ		Эн.сумма(-Dzi)	14,1	17,4	20,4	23,4	26,4	29,4	32,4	35,4	38,4		

1		2	3	4	5	6	7	8	9	10	11	12	13
Общее снижение уровня звука препятствием с учётом ограничения (25 дБ) для октавных полос Dz, дБ		Раздел 7.4 [10]	14,1	17,4	20,4	23,4	25	25	25	25	25		
Уровни звукового давления от источника ИШ-1-21 в расчётной точке днём, дБ		**ф-ла(3)[10]**	**0**	**18**	**16,3**	**14,3**	**12,5**	**11,4**	**6,8**	**0**	**0**	**15,2**	**15,2**
Источник шума: ИШ-1-22, координаты источника (x,y,z), м =[522.03,85.28,1.00]													
Уровни звуковой мощности источника днём, Lw, дБ		**исходные данные**	**0**	**93,3**	**94,7**	**96**	**96,3**	**95,9**	**92,6**	**88,4**	**83,9**		
Поправка на телесный угол DΩ, дБ	Ω = 6.28	10Lg(4π/Ω)	**3**	3	3	3	3	3	3	3	3		
Показатель направленности источника Di, дБ		исходные данные	**0**	0	0	0	0	0	0	0	0		
Поправка на направленность источника Dc, дБ	Dc	DΩ + Di	**3**	3	3	3	3	3	3	3	3		
Затухание из-за геометрической дивергенции, Adiv, дБ	расстояние = 255.04 м	ф-ла (7) [10]	**59,1**										
Коэффициент затухания звука в атмосфере α, дБ/км	Ta=20,°C Pa=101.33,кПа hотн.=70%	ф-ла (5) [9]	0,02	0,09	0,33	1,12	2,79	4,98	9,04	23,09	77,63		
Учет затухания звука в атмосфере Aatm, дБ		ф-ла (8) [10]	0	0	0,1	0,3	0,7	1,3	2,3	5,9	19,8		
Снижение уровня звукового давления из-за влияния застройки между источником шума и расчетной точкой													
Снижение уровня звукового давления на пути над экраном, Dz1, дБ	z = 6.73м (разность путей)	ф-лы (14-18) [10]	14,3	17,7	21,9	26,3	30	33,3	36,3	39,3	42,4		
Снижение уровня звукового давления на пути слева от экрана, Dz2, дБ	z = 3.48м (разность путей)	ф-лы (14-18) [10]	12	14,6	17,3	20,2	23,2	26,2	29,2	32,2	35,2		
Снижение уровня звукового давления на пути справа от экрана, Dz3, дБ	z = 172.04м (разность путей)	ф-лы (14-18) [10]	32,6	35,8	38,8	41,8	44,8	47,8	50,8	53,9	56,9		
Общее снижение уровня звука препятствием Dz, дБ		Эн.сумма(-Dzi)	10	12,9	16	19,3	22,3	25,4	28,4	31,4	34,4		
Общее снижение уровня звука препятствием с учётом ограничения (25 дБ) для октавных полос Dz, дБ		Раздел 7.4 [10]	10	12,9	16	19,3	22,3	25	25	25	25		

1		2	3	4	5	6	7	8	9	10	11	12	13
Уровни звукового давления от источника ИШ-1-22 в расчётной точке днём, дБ		**ф-ла(3)[10]**	**0**	**24,3**	**22,5**	**20,3**	**17,1**	**13,5**	**9,2**	**1,4**	**0**	**19**	**19**
Источник шума: ИШ-1-23, координаты источника (x,y,z), м =[525.16,84.11,1.00]													
Уровни звуковой мощности источника днём, Lw, дБ		**исходные данные**	**0**	**93,3**	**94,7**	**96**	**96,3**	**95,9**	**92,6**	**88,4**	**83,9**		
Поправка на телесный угол DΩ, дБ	Ω = 6.28	10Lg(4π/Ω)	**3**	3	3	3	3	3	3	3	3		
Показатель направленности источника Di, дБ		исходные данные	**0**	0	0	0	0	0	0	0	0		
Поправка на направленность источника Dc, дБ	Dc	DΩ + Di	**3**	3	3	3	3	3	3	3	3		
Затухание из-за геометрической дивергенции, Adiv, дБ	расстояние = 256.55 м	ф-ла (7) [10]	**59,2**										
Коэффициент затухания звука в атмосфере α, дБ/км	Ta=20,°C Pa=101.33,кПа hотн.=70%	ф-ла (5) [9]	0,02	0,09	0,33	1,12	2,79	4,98	9,04	23,09	77,63		
Учет затухания звука в атмосфере Aatm, дБ		ф-ла (8) [10]	0	0	0,1	0,3	0,7	1,3	2,3	5,9	19,9		
Снижение уровня звукового давления из-за влияния застройки между источником шума и расчетной точкой													
Снижение уровня звукового давления на пути над экраном, Dz1, дБ	z = 6.72м (разность путей)	ф-лы (14-18) [10]	14,3	17,7	21,9	26,3	30	33,2	36,3	39,3	42,3		
Снижение уровня звукового давления на пути слева от экрана, Dz2, дБ	z = 3.40м (разность путей)	ф-лы (14-18) [10]	11,9	14,5	17,2	20,1	23,1	26	29	32	35,1		
Снижение уровня звукового давления на пути справа от экрана, Dz3, дБ	z = 171.67м (разность путей)	ф-лы (14-18) [10]	32,6	35,8	38,8	41,8	44,8	47,8	50,8	53,8	56,9		
Общее снижение уровня звука препятствием Dz, дБ		Эн.сумма(-Dzi)	9,9	12,8	15,9	19,2	22,2	25,3	28,3	31,3	34,3		
Общее снижение уровня звука препятствием с учётом ограничения (25 дБ) для октавных полос Dz, дБ		Раздел 7.4 [10]	9,9	12,8	15,9	19,2	22,2	25	25	25	25		
Уровни звукового давления от источника ИШ-1-23 в расчётной точке днём, дБ		**ф-ла(3)[10]**	**0**	**24,3**	**22,5**	**20,4**	**17,1**	**13,4**	**9,1**	**1,3**	**0**	**19**	**19**

1		2	3	4	5	6	7	8	9	10	11	12	13
Источник шума: ИШ-1-24, координаты источника (x,y,z), м =[528.48,82.94,1.00]													
Уровни звуковой мощности источника днём, Lw, дБ		**исходные данные**	**0**	**93,3**	**94,7**	**96**	**96,3**	**95,9**	**92,6**	**88,4**	**83,9**		
Поправка на телесный угол DΩ, дБ	Ω = 6.28	10Lg(4π/Ω)	**3**	3	3	3	3	3	3	3	3		
Показатель направленности источника Di, дБ		исходные данные	**0**	0	0	0	0	0	0	0	0		
Поправка на направленность источника Dc, дБ	Dc	DΩ + Di	**3**	3	3	3	3	3	3	3	3		
Затухание из-за геометрической дивергенции, Adiv, дБ	расстояние = 258.24 м	ф-ла (7) [10]	**59,2**										
Коэффициент затухания звука в атмосфере α, дБ/км	Ta=20,°C Pa=101.33,кПа hотн.=70%	ф-ла (5) [9]	0,02	0,09	0,33	1,12	2,79	4,98	9,04	23,09	77,63		
Учет затухания звука в атмосфере Aatm, дБ		ф-ла (8) [10]	0	0	0,1	0,3	0,7	1,3	2,3	6	20		
Снижение уровня звукового давления из-за влияния застройки между источником шума и расчетной точкой													
Снижение уровня звукового давления на пути над экраном, Dz1, дБ	z = 6.71м (разность путей)	ф-лы (14-18) [10]	14,3	17,6	21,8	26,2	30	33,2	36,3	39,3	42,3		
Снижение уровня звукового давления на пути слева от экрана, Dz2, дБ	z = 3.31м (разность путей)	ф-лы (14-18) [10]	11,8	14,4	17,1	20	23	25,9	28,9	31,9	34,9		
Снижение уровня звукового давления на пути справа от экрана, Dz3, дБ	z = 171.23м (разность путей)	ф-лы (14-18) [10]	32,6	35,8	38,8	41,8	44,8	47,8	50,8	53,8	56,8		
Общее снижение уровня звука препятствием Dz, дБ		Эн.сумма(-Dzi)	9,9	12,7	15,8	19,1	22,1	25,2	28,2	31,2	34,2		
Общее снижение уровня звука препятствием с учётом ограничения (25 дБ) для октавных полос Dz, дБ		Раздел 7.4 [10]	9,9	12,7	15,8	19,1	22,1	25	25	25	25		
Уровни звукового давления от источника ИШ-1-24 в расчётной точке днём, дБ		**ф-ла(3)[10]**	**0**	**24,3**	**22,5**	**20,4**	**17,2**	**13,4**	**9**	**1,2**	**0**	**19**	**19**
Источник шума: ИШ-1-25, координаты источника (x,y,z), м =[531.22,82.16,1.00]													

1		2	3	4	5	6	7	8	9	10	11	12	13
Уровни звуковой мощности источника днём, Lw, дБ		**исходные данные**	**0**	**93,3**	**94,7**	**96**	**96,3**	**95,9**	**92,6**	**88,4**	**83,9**		
Поправка на телесный угол DΩ, дБ	Ω = 6.28	10Lg(4π/Ω)	**3**	3	3	3	3	3	3	3	3		
Показатель направленности источника Di, дБ		исходные данные	**0**	0	0	0	0	0	0	0	0		
Поправка на направленность источника Dc, дБ	Dc	DΩ + Di	**3**	3	3	3	3	3	3	3	3		
Затухание из-за геометрической дивергенции, Adiv, дБ	расстояние = 259.78 м	ф-ла (7) [10]	**59,3**										
Коэффициент затухания звука в атмосфере α, дБ/км	Ta=20,°C Pa=101.33,кПа hотн.=70%	ф-ла (5) [9]	0,02	0,09	0,33	1,12	2,79	4,98	9,04	23,09	77,63		
Учет затухания звука в атмосфере Aatm, дБ		ф-ла (8) [10]	0	0	0,1	0,3	0,7	1,3	2,3	6	20,2		
Снижение уровня звукового давления из-за влияния застройки между источником шума и расчетной точкой													
Снижение уровня звукового давления на пути над экраном, Dz1, дБ	z = 6.70м (разность путей)	ф-лы (14-18) [10]	14,3	17,6	21,7	26,2	29,9	33,2	36,3	39,3	42,3		
Снижение уровня звукового давления на пути слева от экрана, Dz2, дБ	z = 3.24м (разность путей)	ф-лы (14-18) [10]	11,8	14,3	17	19,9	22,9	25,8	28,8	31,8	34,8		
Снижение уровня звукового давления на пути справа от экрана, Dz3, дБ	z = 170.63м (разность путей)	ф-лы (14-18) [10]	32,6	35,7	38,8	41,8	44,8	47,8	50,8	53,8	56,8		
Общее снижение уровня звука препятствием Dz, дБ		Эн.сумма(-Dzi)	9,8	12,6	15,8	19	22,1	25,1	28,1	31,1	34,1		
Общее снижение уровня звука препятствием с учётом ограничения (25 дБ) для октавных полос Dz, дБ		Раздел 7.4 [10]	9,8	12,6	15,8	19	22,1	25	25	25	25		
Уровни звукового давления от источника ИШ-1-25 в расчётной точке днём, дБ		**ф-ла(3)[10]**	**0**	**24,4**	**22,6**	**20,4**	**17,2**	**13,3**	**9**	**1,1**	**0**	**19**	**19**
Источник шума: ИШ-1-26, координаты источника (x,y,z), м =[534.15,80.79,1.00]													
Уровни звуковой мощности источника днём, Lw, дБ		**исходные данные**	**0**	**93,3**	**94,7**	**96**	**96,3**	**95,9**	**92,6**	**88,4**	**83,9**		

1		2	3	4	5	6	7	8	9	10	11	12	13
Поправка на телесный угол DΩ, дБ	Ω = 6.28	10Lg(4π/Ω)	**3**	3	3	3	3	3	3	3	3		
Показатель направленности источника Di, дБ		исходные данные	**0**	0	0	0	0	0	0	0	0		
Поправка на направленность источника Dc, дБ	Dc	DΩ + Di	**3**	3	3	3	3	3	3	3	3		
Затухание из-за геометрической дивергенции, Adiv, дБ	расстояние = 261.11 м	ф-ла (7) [10]	**59,3**										
Коэффициент затухания звука в атмосфере α, дБ/км	Ta=20,°C Pa=101.33,кПа hотн.=70%	ф-ла (5) [9]	0,02	0,09	0,33	1,12	2,79	4,98	9,04	23,09	77,63		
Учет затухания звука в атмосфере Aatm, дБ		ф-ла (8) [10]	0	0	0,1	0,3	0,7	1,3	2,4	6	20,3		
Снижение уровня звукового давления из-за влияния застройки между источником шума и расчетной точкой													
Снижение уровня звукового давления на пути над экраном, Dz1, дБ	z = 6.68м (разность путей)	ф-лы (14-18) [10]	14,3	17,6	21,7	26,1	29,9	33,2	36,3	39,3	42,3		
Снижение уровня звукового давления на пути слева от экрана, Dz2, дБ	z = 3.16м (разность путей)	ф-лы (14-18) [10]	11,7	14,2	16,9	19,8	22,8	25,7	28,7	31,7	34,7		
Снижение уровня звукового давления на пути справа от экрана, Dz3, дБ	z = 170.91м (разность путей)	ф-лы (14-18) [10]	32,6	35,7	38,8	41,8	44,8	47,8	50,8	53,8	56,8		
Общее снижение уровня звука препятствием Dz, дБ		Эн.сумма(-Dzi)	9,7	12,5	15,7	18,9	22	25	28	31	34		
Общее снижение уровня звука препятствием с учётом ограничения (25 дБ) для октавных полос Dz, дБ		Раздел 7.4 [10]	9,7	12,5	15,7	18,9	22	25	25	25	25		
Уровни звукового давления от источника ИШ-1-26 в расчётной точке днём, дБ		**ф-ла(3)[10]**	**0**	**24,4**	**22,6**	**20,5**	**17,3**	**13,3**	**8,9**	**1**	**0**	**19**	**19**
Источник шума: ИШ-1-27, координаты источника (x,y,z), м =[469.65,197.67,1.00]													
Уровни звуковой мощности источника днём, Lw, дБ		**исходные данные**	**0**	**93,3**	**94,7**	**96**	**96,3**	**95,9**	**92,6**	**88,4**	**83,9**		
Поправка на телесный угол DΩ, дБ	Ω = 6.28	10Lg(4π/Ω)	**3**	3	3	3	3	3	3	3	3		

1		2	3	4	5	6	7	8	9	10	11	12	13
Показатель направленности источника Di, дБ		исходные данные	**0**	0	0	0	0	0	0	0	0		
Поправка на направленность источника Dc, дБ	Dc	DΩ + Di	**3**	3	3	3	3	3	3	3	3		
Затухание из-за геометрической дивергенции, Adiv, дБ	расстояние = 316.01 м	ф-ла (7) [10]	**61**										
Коэффициент затухания звука в атмосфере α, дБ/км	Ta=20,°C Pa=101.33,кПа hотн.=70%	ф-ла (5) [9]	0,02	0,09	0,33	1,12	2,79	4,98	9,04	23,09	77,63		
Учет затухания звука в атмосфере Aatm, дБ		ф-ла (8) [10]	0	0	0,1	0,4	0,9	1,6	2,9	7,3	24,5		
Снижение уровня звукового давления из-за влияния застройки между источником шума и расчетной точкой													
Снижение уровня звукового давления на пути над экраном, Dz1, дБ	z = 6.99м (разность путей)	ф-лы (14-18) [10]	17,8	21,3	24,5	27,5	30,5	33,5	36,5	39,5	42,6		
Снижение уровня звукового давления на пути слева от экрана, Dz2, дБ	z = 12.23м (разность путей)	ф-лы (14-18) [10]	20,5	24,1	27,3	30,3	33,3	36,4	39,4	42,4	45,4		
Снижение уровня звукового давления на пути справа от экрана, Dz3, дБ	z = 48.05м (разность путей)	ф-лы (14-18) [10]	27,1	30,2	33,3	36,3	39,3	42,3	45,3	48,3	51,3		
Общее снижение уровня звука препятствием Dz, дБ		Эн.сумма(-Dzi)	15,6	19,1	22,3	25,3	28,3	31,3	34,4	37,4	40,4		
Общее снижение уровня звука препятствием с учётом ограничения (25 дБ) для октавных полос Dz, дБ		Раздел 7.4 [10]	15,6	19,1	22,3	25	25	25	25	25	25		
Уровни звукового давления прямого звука от источника ИШ-1-27 в расчётной точке днём, дБ		**ф-ла(3)[10]**	**0**	**16,1**	**14,3**	**12,6**	**12,4**	**11,3**	**6,7**	**0**	**0**	**15**	**15**
Расчёт отражённого звука													
Уровни звукового давления от мнимого источника ИШ-1-27_мн.(1) в расчётной точке днём, дБ		**ф-ла(3)[10]**	**0**	**0**	**0**	**0**	**0**	**9,7**	**5,1**	**0**	**0**	**11,4**	**11,4**
Уровни звукового давления от источника ИШ-1-27 в расчётной точке днём, дБ		**ф-ла(3)[10]**	**0**	**16,1**	**14,3**	**12,6**	**12,4**	**13,6**	**9**	**0**	**0**	**16,5**	**16,5**
Источник шума: ИШ-1-28, координаты источника (x,y,z), м =[472.78,196.69,1.00]													

1		2	3	4	5	6	7	8	9	10	11	12	13
Уровни звуковой мощности источника днём, Lw, дБ		**исходные данные**	**0**	**93,3**	**94,7**	**96**	**96,3**	**95,9**	**92,6**	**88,4**	**83,9**		
Поправка на телесный угол DΩ, дБ	Ω = 6.28	10Lg(4π/Ω)	**3**	3	3	3	3	3	3	3	3		
Показатель направленности источника Di, дБ		исходные данные	**0**	0	0	0	0	0	0	0	0		
Поправка на направленность источника Dc, дБ	Dc	DΩ + Di	**3**	3	3	3	3	3	3	3	3		
Затухание из-за геометрической дивергенции, Adiv, дБ	расстояние = 316.47 м	ф-ла (7) [10]	**61**										
Коэффициент затухания звука в атмосфере α, дБ/км	Ta=20,°C Pa=101.33,кПа hотн.=70%	ф-ла (5) [9]	0,02	0,09	0,33	1,12	2,79	4,98	9,04	23,09	77,63		
Учет затухания звука в атмосфере Aatm, дБ		ф-ла (8) [10]	0	0	0,1	0,4	0,9	1,6	2,9	7,3	24,6		
Снижение уровня звукового давления из-за влияния застройки между источником шума и расчетной точкой													
Снижение уровня звукового давления на пути над экраном, Dz1, дБ	z = 6.99м (разность путей)	ф-лы (14-18) [10]	17,8	21,3	24,5	27,5	30,5	33,5	36,5	39,5	42,6		
Снижение уровня звукового давления на пути слева от экрана, Dz2, дБ	z = 11.58м (разность путей)	ф-лы (14-18) [10]	20,3	23,9	27	30,1	33,1	36,1	39,1	42,1	45,1		
Снижение уровня звукового давления на пути справа от экрана, Dz3, дБ	z = 50.86м (разность путей)	ф-лы (14-18) [10]	27,3	30,5	33,5	36,5	39,5	42,5	45,6	48,6	51,6		
Общее снижение уровня звука препятствием Dz, дБ		Эн.сумма(-Dzi)	15,5	19,1	22,2	25,3	28,3	31,3	34,3	37,3	40,3		
Общее снижение уровня звука препятствием с учётом ограничения (25 дБ) для октавных полос Dz, дБ		Раздел 7.4 [10]	15,5	19,1	22,2	25	25	25	25	25	25		
Уровни звукового давления прямого звука от источника ИШ-1-28 в расчётной точке днём, дБ		**ф-ла(3)[10]**	**0**	**16,2**	**14,4**	**12,6**	**12,4**	**11,3**	**6,7**	**0**	**0**	**15**	**15**
Расчёт отражённого звука													
Уровни звукового давления от мнимого источника ИШ-1-28_мн.(1) в расчётной точке днём, дБ		**ф-ла(3)[10]**	**0**	**0**	**0**	**0**	**0**	**9,8**	**5,1**	**0**	**0**	**11,4**	**11,4**
Уровни звукового давления от источника ИШ-1-28 в расчётной точке днём, дБ		**ф-ла(3)[10]**	**0**	**16,2**	**14,4**	**12,6**	**12,4**	**13,6**	**9**	**0**	**0**	**16,5**	**16,5**

1		2	3	4	5	6	7	8	9	10	11	12	13
Источник шума: ИШ-1-29, координаты источника (x,y,z), м =[475.52,195.72,1.00]													
Уровни звуковой мощности источника днём, Lw, дБ		**исходные данные**	**0**	**93,3**	**94,7**	**96**	**96,3**	**95,9**	**92,6**	**88,4**	**83,9**		
Поправка на телесный угол DΩ, дБ	Ω = 6.28	10Lg(4π/Ω)	**3**	3	3	3	3	3	3	3	3		
Показатель направленности источника Di, дБ		исходные данные	**0**	0	0	0	0	0	0	0	0		
Поправка на направленность источника Dc, дБ	Dc	DΩ + Di	**3**	3	3	3	3	3	3	3	3		
Затухание из-за геометрической дивергенции, Adiv, дБ	расстояние = 316.80 м	ф-ла (7) [10]	**61**										
Коэффициент затухания звука в атмосфере α, дБ/км	Ta=20,°C Pa=101.33,кПа hотн.=70%	ф-ла (5) [9]	0,02	0,09	0,33	1,12	2,79	4,98	9,04	23,09	77,63		
Учет затухания звука в атмосфере Aatm, дБ		ф-ла (8) [10]	0	0	0,1	0,4	0,9	1,6	2,9	7,3	24,6		
Снижение уровня звукового давления из-за влияния застройки между источником шума и расчетной точкой													
Снижение уровня звукового давления на пути над экраном, Dz1, дБ	z = 6.99м (разность путей)	ф-лы (14-18) [10]	17,8	21,3	24,5	27,5	30,5	33,5	36,5	39,5	42,6		
Снижение уровня звукового давления на пути слева от экрана, Dz2, дБ	z = 11.03м (разность путей)	ф-лы (14-18) [10]	20,1	23,7	26,8	29,9	32,9	35,9	38,9	41,9	44,9		
Снижение уровня звукового давления на пути справа от экрана, Dz3, дБ	z = 53.44м (разность путей)	ф-лы (14-18) [10]	27,5	30,7	33,7	36,7	39,7	42,8	45,8	48,8	51,8		
Общее снижение уровня звука препятствием Dz, дБ		Эн.сумма(-Dzi)	15,5	19	22,2	25,2	28,2	31,2	34,2	37,2	40,3		
Общее снижение уровня звука препятствием с учётом ограничения (25 дБ) для октавных полос Dz, дБ		Раздел 7.4 [10]	15,5	19	22,2	25	25	25	25	25	25		
Уровни звукового давления прямого звука от источника ИШ-1-29 в расчётной точке днём, дБ		**ф-ла(3)[10]**	**0**	**16,2**	**14,4**	**12,6**	**12,4**	**11,3**	**6,7**	**0**	**0**	**15**	**15**
Расчёт отражённого звука													

1		2	3	4	5	6	7	8	9	10	11	12	13
Уровни звукового давления от мнимого источника ИШ-1-29_мн.(1) в расчётной точке днём, дБ		**ф-ла(3)[10]**	**0**	**0**	**0**	**0**	**0**	**9,8**	**5,2**	**0**	**0**	**11,4**	**11,4**
Уровни звукового давления от источника ИШ-1-29 в расчётной точке днём, дБ		**ф-ла(3)[10]**	**0**	**16,2**	**14,4**	**12,6**	**12,4**	**13,6**	**9**	**0**	**0**	**16,5**	**16,5**
Источник шума: ИШ-1-30, координаты источника (x,y,z), м =[478.45,194.54,1.00]													
Уровни звуковой мощности источника днём, Lw, дБ		**исходные данные**	**0**	**93,3**	**94,7**	**96**	**96,3**	**95,9**	**92,6**	**88,4**	**83,9**		
Поправка на телесный угол DΩ, дБ	Ω = 6.28	10Lg(4π/Ω)	**3**	3	3	3	3	3	3	3	3		
Показатель направленности источника Di, дБ		исходные данные	**0**	0	0	0	0	0	0	0	0		
Поправка на направленность источника Dc, дБ	Dc	DΩ + Di	**3**	3	3	3	3	3	3	3	3		
Затухание из-за геометрической дивергенции, Adiv, дБ	расстояние = 317.06 м	ф-ла (7) [10]	**61**										
Коэффициент затухания звука в атмосфере α, дБ/км	Ta=20,°C Pa=101.33,кПа hотн.=70%	ф-ла (5) [9]	0,02	0,09	0,33	1,12	2,79	4,98	9,04	23,09	77,63		
Учет затухания звука в атмосфере Aatm, дБ		ф-ла (8) [10]	0	0	0,1	0,4	0,9	1,6	2,9	7,3	24,6		
Снижение уровня звукового давления из-за влияния застройки между источником шума и расчетной точкой													
Снижение уровня звукового давления на пути над экраном, Dz1, дБ	z = 6.99м (разность путей)	ф-лы (14-18) [10]	17,8	21,3	24,5	27,5	30,5	33,5	36,5	39,5	42,6		
Снижение уровня звукового давления на пути слева от экрана, Dz2, дБ	z = 10.45м (разность путей)	ф-лы (14-18) [10]	19,9	23,5	26,6	29,6	32,7	35,7	38,7	41,7	44,7		
Снижение уровня звукового давления на пути справа от экрана, Dz3, дБ	z = 56.32м (разность путей)	ф-лы (14-18) [10]	27,7	30,9	33,9	37	40	43	46	49	52		
Общее снижение уровня звука препятствием Dz, дБ		Эн.сумма(-Dzi)	15,4	19	22,1	25,1	28,2	31,2	34,2	37,2	40,2		
Общее снижение уровня звука препятствием с учётом ограничения (25 дБ) для октавных полос Dz, дБ		Раздел 7.4 [10]	15,4	19	22,1	25	25	25	25	25	25		

1		2	3	4	5	6	7	8	9	10	11	12	13
Уровни звукового давления прямого звука от источника ИШ-1-30 в расчётной точке днём, дБ		**ф-ла(3)[10]**	**0**	**16,3**	**14,5**	**12,6**	**12,4**	**11,3**	**6,7**	**0**	**0**	**14,9**	**14,9**
Расчёт отражённого звука													
Уровни звукового давления от мнимого источника ИШ-1-30_мн.(1) в расчётной точке днём, дБ		**ф-ла(3)[10]**	**0**	**0**	**0**	**0**	**0**	**9,9**	**5,2**	**0**	**0**	**11,5**	**11,5**
Уровни звукового давления от источника ИШ-1-30 в расчётной точке днём, дБ		**ф-ла(3)[10]**	**0**	**16,3**	**14,5**	**12,6**	**12,4**	**13,6**	**9**	**0**	**0**	**16,6**	**16,6**
Источник шума: ИШ-1-31, координаты источника (x,y,z), м =[481.58,193.96,1.00]													
Уровни звуковой мощности источника днём, Lw, дБ		**исходные данные**	**0**	**93,3**	**94,7**	**96**	**96,3**	**95,9**	**92,6**	**88,4**	**83,9**		
Поправка на телесный угол DΩ, дБ	Ω = 6.28	10Lg(4π/Ω)	**3**	3	3	3	3	3	3	3	3		
Показатель направленности источника Di, дБ		исходные данные	**0**	0	0	0	0	0	0	0	0		
Поправка на направленность источника Dc, дБ	Dc	DΩ + Di	**3**	3	3	3	3	3	3	3	3		
Затухание из-за геометрической дивергенции, Adiv, дБ	расстояние = 317.96 м	ф-ла (7) [10]	**61**										
Коэффициент затухания звука в атмосфере α, дБ/км	Ta=20,°C Pa=101.33,кПа hотн.=70%	ф-ла (5) [9]	0,02	0,09	0,33	1,12	2,79	4,98	9,04	23,09	77,63		
Учет затухания звука в атмосфере Aatm, дБ		ф-ла (8) [10]	0	0	0,1	0,4	0,9	1,6	2,9	7,3	24,7		
Снижение уровня звукового давления из-за влияния застройки между источником шума и расчетной точкой													
Снижение уровня звукового давления на пути над экраном, Dz1, дБ	z = 6.98м (разность путей)	ф-лы (14-18) [10]	17,8	21,3	24,5	27,5	30,5	33,5	36,5	39,5	42,5		
Снижение уровня звукового давления на пути слева от экрана, Dz2, дБ	z = 9.91м (разность путей)	ф-лы (14-18) [10]	19,7	23,2	26,4	29,4	32,4	35,4	38,5	41,5	44,5		
Снижение уровня звукового давления на пути справа от экрана, Dz3, дБ	z = 58.58м (разность путей)	ф-лы (14-18) [10]	27,9	31,1	34,1	37,1	40,1	43,2	46,2	49,2	52,2		

1		2	3	4	5	6	7	8	9	10	11	12	13
Общее снижение уровня звука препятствием Dz, дБ		Эн.сумма(-Dzi)	15,3	18,9	22	25,1	28,1	31,1	34,1	37,1	40,1		
Общее снижение уровня звука препятствием с учётом ограничения (25 дБ) для октавных полос Dz, дБ		Раздел 7.4 [10]	15,3	18,9	22	25	25	25	25	25	25		
Уровни звукового давления прямого звука от источника ИШ-1-31 в расчётной точке днём, дБ		**ф-ла(3)[10]**	**0**	**16,3**	**14,5**	**12,6**	**12,4**	**11,3**	**6,7**	**0**	**0**	**14,9**	**14,9**
Расчёт отражённого звука													
Уровни звукового давления от мнимого источника ИШ-1-31_мн.(1) в расчётной точке днём, дБ		**ф-ла(3)[10]**	**0**	**0**	**0**	**0**	**0**	**9,9**	**5,2**	**0**	**0**	**11,5**	**11,5**
Уровни звукового давления от источника ИШ-1-31 в расчётной точке днём, дБ		**ф-ла(3)[10]**	**0**	**16,3**	**14,5**	**12,6**	**12,4**	**13,6**	**9**	**0**	**0**	**16,5**	**16,5**
Источник шума: ИШ-1-32, координаты источника (x,y,z), м =[871.21,281.99,50.00]													
Уровни звуковой мощности источника днём, Lw, дБ		**исходные данные**	**125**	**119,6**	**113,4**	**111,4**	**110,8**	**112,7**	**113,8**	**109,2**	**97,4**		
Поправка на телесный угол DΩ, дБ	Ω = 12.57	10Lg(4π/Ω)	**0**	0	0	0	0	0	0	0	0		
Показатель направленности источника Di, дБ		исходные данные	**0**	0	0	0	0	0	0	0	0		
Поправка на направленность источника Dc, дБ	Dc	DΩ + Di	**0**	0	0	0	0	0	0	0	0		
Затухание из-за геометрической дивергенции, Adiv, дБ	расстояние = 653.29 м	ф-ла (7) [10]	**67,3**										
Коэффициент затухания звука в атмосфере α, дБ/км	Ta=20,°C Pa=101.33,кПа hотн.=70%	ф-ла (5) [9]	0,02	0,09	0,33	1,12	2,79	4,98	9,04	23,09	77,63		
Учет затухания звука в атмосфере Aatm, дБ		ф-ла (8) [10]	0	0,1	0,2	0,7	1,8	3,3	5,9	15,1	50,7		
Снижение уровня звукового давления из-за влияния застройки между источником шума и расчетной точкой													
Снижение уровня звукового давления на пути над экраном, Dz1, дБ	z = 5.83м (разность путей)	ф-лы (14-18) [10]	12,8	15,5	18,3	21,2	24,2	27,2	30,2	33,2	36,2		

1		2	3	4	5	6	7	8	9	10	11	12	13
Снижение уровня звукового давления на пути слева от экрана, Dz2, дБ	z = 2.42м (разность путей)	ф-лы (14-18) [10]	10,8	13,2	15,9	18,7	21,6	24,6	27,6	30,6	33,6		
Снижение уровня звукового давления на пути справа от экрана, Dz3, дБ	z = 25.40м (разность путей)	ф-лы (14-18) [10]	21,6	26,1	30	33,4	36,5	39,5	42,5	45,5	48,6		
Общее снижение уровня звука препятствием Dz, дБ		Эн.сумма(-Dzi)	8,5	11,1	13,8	16,7	19,6	22,6	25,6	28,6	31,6		
Общее снижение уровня звука препятствием с учётом ограничения (25 дБ) для октавных полос Dz, дБ		Раздел 7.4 [10]	8,5	11,1	13,8	16,7	19,6	22,6	25	25	25		
Уровни звукового давления от источника ИШ-1-32 в расчётной точке днём, дБ		**ф-ла(3)[10]**	**49,3**	**41,2**	**32,1**	**26,7**	**22,1**	**19,6**	**15,6**	**1,8**	**0**	**25,6**	**25,6**
Источник шума: ИШ-1-33, координаты источника (x,y,z), м =[743.42,374.85,1.00]													
Уровни звуковой мощности источника днём, Lw, дБ		**исходные данные**	**0**	**88,7**	**90,1**	**93,1**	**96,4**	**103**	**112**	**108**	**99,2**		
Поправка на телесный угол DΩ, дБ	Ω = 6.28	10Lg(4π/Ω)	**3**	3	3	3	3	3	3	3	3		
Показатель направленности источника Di, дБ		исходные данные	**0**	0	0	0	0	0	0	0	0		
Поправка на направленность источника Dc, дБ	Dc	DΩ + Di	**3**	3	3	3	3	3	3	3	3		
Затухание из-за геометрической дивергенции, Adiv, дБ	расстояние = 617.38 м	ф-ла (7) [10]	**66,8**										
Коэффициент затухания звука в атмосфере α, дБ/км	Ta=20,°C Pa=101.33,кПа hотн.=70%	ф-ла (5) [9]	0,02	0,09	0,33	1,12	2,79	4,98	9,04	23,09	77,63		
Учет затухания звука в атмосфере Aatm, дБ		ф-ла (8) [10]	0	0,1	0,2	0,7	1,7	3,1	5,6	14,3	47,9		
Снижение уровня звукового давления из-за влияния застройки между источником шума и расчетной точкой													
Снижение уровня звукового давления на пути над экраном, Dz1, дБ	z = 6.75м (разность путей)	ф-лы (14-18) [10]	17,7	20,9	23,9	26,9	29,9	32,9	35,9	39	42		
Снижение уровня звукового давления на пути слева от экрана, Dz2, дБ	z = 4.80м (разность путей)	ф-лы (14-18) [10]	17	20,3	23,3	26,3	29,3	32,3	35,3	38,3	41,3		

1		2	3	4	5	6	7	8	9	10	11	12	13
Снижение уровня звукового давления на пути справа от экрана, Dz3, дБ	z = 59.23м (разность путей)	ф-лы (14-18) [10]	28	31,1	34,2	37,2	40,2	43,2	46,2	49,2	52,2		
Общее снижение уровня звука препятствием Dz, дБ		Эн.сумма(-Dzi)	14,1	17,4	20,4	23,4	26,4	29,4	32,4	35,4	38,4		
Общее снижение уровня звука препятствием с учётом ограничения (25 дБ) для октавных полос Dz, дБ		Раздел 7.4 [10]	14,1	17,4	20,4	23,4	25	25	25	25	25		
Уровни звукового давления от источника ИШ-1-33 в расчётной точке днём, дБ		**ф-ла(3)[10]**	**0**	**7,5**	**5,7**	**5,2**	**5,9**	**11,1**	**17,6**	**4,9**	**0**	**19,8**	**19,8**
Источник шума: ИШ-1-34, координаты источника (x,y,z), м =[1042.35,199.07,1.00]													
Уровни звуковой мощности источника днём, Lw, дБ		**исходные данные**	**0**	**88,7**	**90,1**	**93,1**	**96,4**	**103**	**112**	**108**	**99,2**		
Поправка на телесный угол DΩ, дБ	Ω = 6.28	10Lg(4π/Ω)	**3**	3	3	3	3	3	3	3	3		
Показатель направленности источника Di, дБ		исходные данные	**0**	0	0	0	0	0	0	0	0		
Поправка на направленность источника Dc, дБ	Dc	DΩ + Di	**3**	3	3	3	3	3	3	3	3		
Затухание из-за геометрической дивергенции, Adiv, дБ	расстояние = 763.32 м	ф-ла (7) [10]	**68,7**										
Коэффициент затухания звука в атмосфере α, дБ/км	Ta=20,°C Pa=101.33,кПа hотн.=70%	ф-ла (5) [9]	0,02	0,09	0,33	1,12	2,79	4,98	9,04	23,09	77,63		
Учет затухания звука в атмосфере Aatm, дБ		ф-ла (8) [10]	0	0,1	0,3	0,9	2,1	3,8	6,9	17,6	59,3		
Снижение уровня звукового давления из-за влияния застройки между источником шума и расчетной точкой													
Снижение уровня звукового давления на пути над экраном, Dz1, дБ	z = 6.07м (разность путей)	ф-лы (14-18) [10]	12,9	15,8	19,3	23,6	28	31,6	34,8	37,9	40,9		
Снижение уровня звукового давления на пути слева от экрана, Dz2, дБ	z = 1.21м (разность путей)	ф-лы (14-18) [10]	8,7	10,8	13,2	15,8	18,7	21,6	24,6	27,6	30,6		
Снижение уровня звукового давления на пути справа от экрана, Dz3, дБ	z = 35.50м (разность путей)	ф-лы (14-18) [10]	23	27,6	31,5	34,8	37,9	41	44	47	50		

1		2	3	4	5	6	7	8	9	10	11	12	13
Общее снижение уровня звука препятствием Dz, дБ		Эн.сумма(-Dzi)	7,2	9,5	12,2	15,1	18,2	21,1	24,1	27,1	30,1		
Общее снижение уровня звука препятствием с учётом ограничения (25 дБ) для октавных полос Dz, дБ		Раздел 7.4 [10]	7,2	9,5	12,2	15,1	18,2	21,1	24,1	25	25		
Уровни звукового давления от источника ИШ-1-34 в расчётной точке днём, дБ		**ф-ла(3)[10]**	**0**	**13,5**	**12**	**11,5**	**10,5**	**12,4**	**15,3**	**0**	**0**	**18,5**	**18,5**
Источник шума: ИШ-2-1, координаты источника (x,y,z), м =[696.50,124.40,3.00]													
Уровни звуковой мощности источника днём, Lw, дБ		**исходные данные**	**105**	**104**	**104**	**101**	**102**	**106**	**101**	**95**	**87**		
Поправка на телесный угол DΩ, дБ	Ω = 6.28	10Lg(4π/Ω)	**3**	3	3	3	3	3	3	3	3		
Показатель направленности источника Di, дБ		исходные данные	**0**	0	0	0	0	0	0	0	0		
Поправка на направленность источника Dc, дБ	Dc	DΩ + Di	**3**	3	3	3	3	3	3	3	3		
Затухание из-за геометрической дивергенции, Adiv, дБ	расстояние = 419.27 м	ф-ла (7) [10]	**63,4**										
Коэффициент затухания звука в атмосфере α, дБ/км	Ta=20,°C Pa=101.33,кПа hотн.=70%	ф-ла (5) [9]	0,02	0,09	0,33	1,12	2,79	4,98	9,04	23,09	77,63		
Учет затухания звука в атмосфере Aatm, дБ		ф-ла (8) [10]	0	0	0,1	0,5	1,2	2,1	3,8	9,7	32,5		
Снижение уровня звукового давления из-за влияния застройки между источником шума и расчетной точкой													
Снижение уровня звукового давления на пути над экраном, Dz1, дБ	z = 6.35м (разность путей)	ф-лы (14-18) [10]	13,7	16,7	20,5	25	29,1	32,6	35,7	38,8	41,8		
Снижение уровня звукового давления на пути слева от экрана, Dz2, дБ	z = 1.99м (разность путей)	ф-лы (14-18) [10]	10,2	12,5	15,1	17,9	20,8	23,8	26,7	29,7	32,7		
Снижение уровня звукового давления на пути справа от экрана, Dz3, дБ	z = 29.62м (разность путей)	ф-лы (14-18) [10]	22,3	26,8	30,7	34	37,2	40,2	43,2	46,2	49,2		
Общее снижение уровня звука препятствием Dz, дБ		Эн.сумма(-Dzi)	8,4	11	13,9	17	20,1	23,1	26,1	29,1	32,1		

1		2	3	4	5	6	7	8	9	10	11	12	13
Общее снижение уровня звука препятствием с учётом ограничения (25 дБ) для октавных полос Dz, дБ		Раздел 7.4 [10]	8,4	11	13,9	17	20,1	23,1	25	25	25		
Уровни звукового давления от источника ИШ-2-1 в расчётной точке днём, дБ		**ф-ла(3)[10]**	**36,2**	**32,5**	**29,5**	**23,1**	**20,3**	**20,3**	**11,8**	**0**	**0**	**23,7**	**23,7**
Источник шума: ИШ-2-2, координаты источника (x,y,z), м =[682.20,81.60,3.00]													
Уровни звуковой мощности источника днём, Lw, дБ		**исходные данные**	**105**	**104**	**104**	**101**	**102**	**106**	**101**	**95**	**87**		
Поправка на телесный угол DΩ, дБ	Ω = 6.28	10Lg(4π/Ω)	**3**	3	3	3	3	3	3	3	3		
Показатель направленности источника Di, дБ		исходные данные	**0**	0	0	0	0	0	0	0	0		
Поправка на направленность источника Dc, дБ	Dc	DΩ + Di	**3**	3	3	3	3	3	3	3	3		
Затухание из-за геометрической дивергенции, Adiv, дБ	расстояние = 386.37 м	ф-ла (7) [10]	**62,7**										
Коэффициент затухания звука в атмосфере α, дБ/км	Ta=20,°C Pa=101.33,кПа hотн.=70%	ф-ла (5) [9]	0,02	0,09	0,33	1,12	2,79	4,98	9,04	23,09	77,63		
Учет затухания звука в атмосфере Aatm, дБ		ф-ла (8) [10]	0	0	0,1	0,4	1,1	1,9	3,5	8,9	30		
Снижение уровня звукового давления из-за влияния застройки между источником шума и расчетной точкой													
Снижение уровня звукового давления на пути над экраном, Dz1, дБ	z = 6.22м (разность путей)	ф-лы (14-18) [10]	13,6	16,6	20,3	24,7	29	32,5	35,7	38,7	41,7		
Снижение уровня звукового давления на пути слева от экрана, Dz2, дБ	z = 1.57м (разность путей)	ф-лы (14-18) [10]	9,4	11,6	14,2	16,9	19,8	22,7	25,7	28,7	31,7		
Снижение уровня звукового давления на пути справа от экрана, Dz3, дБ	z = 33.64м (разность путей)	ф-лы (14-18) [10]	22,8	27,3	31,2	34,6	37,7	40,7	43,8	46,8	49,8		
Общее снижение уровня звука препятствием Dz, дБ		Эн.сумма(-Dzi)	7,9	10,4	13,1	16,2	19,2	22,2	25,2	28,2	31,2		
Общее снижение уровня звука препятствием с учётом ограничения (25 дБ) для октавных полос Dz, дБ		Раздел 7.4 [10]	7,9	10,4	13,1	16,2	19,2	22,2	25	25	25		

1		2	3	4	5	6	7	8	9	10	11	12	13
Уровни звукового давления от источника ИШ-2-2 в расчётной точке днём, дБ		**ф-ла(3)[10]**	**37,4**	**33,9**	**31**	**24,7**	**22**	**22,1**	**12,8**	**1,4**	**0**	**25,3**	**25,3**
Источник шума: ИШ-2-3, координаты источника (x,y,z), м =[667.80,38.90,3.00]													
Уровни звуковой мощности источника днём, Lw, дБ		**исходные данные**	**105**	**104**	**104**	**101**	**102**	**106**	**101**	**95**	**87**		
Поправка на телесный угол DΩ, дБ	Ω = 6.28	10Lg(4π/Ω)	**3**	3	3	3	3	3	3	3	3		
Показатель направленности источника Di, дБ		исходные данные	**0**	0	0	0	0	0	0	0	0		
Поправка на направленность источника Dc, дБ	Dc	DΩ + Di	**3**	3	3	3	3	3	3	3	3		
Затухание из-за геометрической дивергенции, Adiv, дБ	расстояние = 356.11 м	ф-ла (7) [10]	**62**										
Коэффициент затухания звука в атмосфере α, дБ/км	Ta=20,°C Pa=101.33,кПа hотн.=70%	ф-ла (5) [9]	0,02	0,09	0,33	1,12	2,79	4,98	9,04	23,09	77,63		
Учет затухания звука в атмосфере Aatm, дБ		ф-ла (8) [10]	0	0	0,1	0,4	1	1,8	3,2	8,2	27,6		
Снижение уровня звукового давления из-за влияния застройки между источником шума и расчетной точкой													
Снижение уровня звукового давления на пути над экраном, Dz1, дБ	z = 6.03м (разность путей)	ф-лы (14-18) [10]	13,5	16,5	20	24,3	28,7	32,3	35,6	38,6	41,6		
Снижение уровня звукового давления на пути слева от экрана, Dz2, дБ	z = 1.13м (разность путей)	ф-лы (14-18) [10]	8,6	10,5	12,9	15,6	18,4	21,3	24,3	27,3	30,3		
Снижение уровня звукового давления на пути справа от экрана, Dz3, дБ	z = 38.60м (разность путей)	ф-лы (14-18) [10]	23,4	27,9	31,8	35,2	38,3	41,3	44,4	47,4	50,4		
Общее снижение уровня звука препятствием Dz, дБ		Эн.сумма(-Dzi)	7,3	9,5	12,1	15	18	20,9	23,9	26,9	29,9		
Общее снижение уровня звука препятствием с учётом ограничения (25 дБ) для октавных полос Dz, дБ		Раздел 7.4 [10]	7,3	9,5	12,1	15	18	20,9	23,9	25	25		
Уровни звукового давления от источника ИШ-2-3 в расчётной точке днём, дБ		**ф-ла(3)[10]**	**38,7**	**35,5**	**32,8**	**26,6**	**24**	**24,3**	**14,8**	**2,8**	**0**	**27,4**	**27,4**

1		2	3	4	5	6	7	8	9	10	11	12	13
Источник шума: ИШ-2-6, координаты источника (x,y,z), м =[765.97,112.43,1.00]													
Уровни звуковой мощности источника днём, Lw, дБ		**исходные данные**	**0**	**93,3**	**94,7**	**96**	**96,3**	**95,9**	**92,6**	**88,4**	**83,9**		
Поправка на телесный угол DΩ, дБ	Ω = 6.28	10Lg(4π/Ω)	**3**	3	3	3	3	3	3	3	3		
Показатель направленности источника Di, дБ		исходные данные	**0**	0	0	0	0	0	0	0	0		
Поправка на направленность источника Dc, дБ	Dc	DΩ + Di	**3**	3	3	3	3	3	3	3	3		
Затухание из-за геометрической дивергенции, Adiv, дБ	расстояние = 475.25 м	ф-ла (7) [10]	**64,5**										
Коэффициент затухания звука в атмосфере α, дБ/км	Ta=20,°C Pa=101.33,кПа hотн.=70%	ф-ла (5) [9]	0,02	0,09	0,33	1,12	2,79	4,98	9,04	23,09	77,63		
Учет затухания звука в атмосфере Aatm, дБ		ф-ла (8) [10]	0	0	0,2	0,5	1,3	2,4	4,3	11	36,9		
Снижение уровня звукового давления из-за влияния застройки между источником шума и расчетной точкой													
Снижение уровня звукового давления на пути над экраном, Dz1, дБ	z = 6.21м (разность путей)	ф-лы (14-18) [10]	13,5	16,4	20	24,5	28,7	32,3	35,5	38,5	41,6		
Снижение уровня звукового давления на пути слева от экрана, Dz2, дБ	z = 1.46м (разность путей)	ф-лы (14-18) [10]	9,2	11,4	13,9	16,6	19,5	22,4	25,4	28,4	31,4		
Снижение уровня звукового давления на пути справа от экрана, Dz3, дБ	z = 33.99м (разность путей)	ф-лы (14-18) [10]	22,9	27,4	31,3	34,6	37,7	40,8	43,8	46,8	49,8		
Общее снижение уровня звука препятствием Dz, дБ		Эн.сумма(-Dzi)	7,7	10,1	12,9	15,9	18,9	21,9	24,9	27,9	30,9		
Общее снижение уровня звука препятствием с учётом ограничения (25 дБ) для октавных полос Dz, дБ		Раздел 7.4 [10]	7,7	10,1	12,9	15,9	18,9	21,9	24,9	25	25		
Уровни звукового давления от источника ИШ-2-6 в расчётной точке днём, дБ		**ф-ла(3)[10]**	**0**	**21,6**	**20,1**	**18**	**14,5**	**10**	**1,8**	**0**	**0**	**15,7**	**15,7**
Источник шума: ИШ-2-7, координаты источника (x,y,z), м =[764.91,109.54,1.00]													

1		2	3	4	5	6	7	8	9	10	11	12	13
Уровни звуковой мощности источника днём, Lw, дБ		**исходные данные**	**0**	**93,3**	**94,7**	**96**	**96,3**	**95,9**	**92,6**	**88,4**	**83,9**		
Поправка на телесный угол DΩ, дБ	Ω = 6.28	10Lg(4π/Ω)	**3**	3	3	3	3	3	3	3	3		
Показатель направленности источника Di, дБ		исходные данные	**0**	0	0	0	0	0	0	0	0		
Поправка на направленность источника Dc, дБ	Dc	DΩ + Di	**3**	3	3	3	3	3	3	3	3		
Затухание из-за геометрической дивергенции, Adiv, дБ	расстояние = 473.07 м	ф-ла (7) [10]	**64,5**										
Коэффициент затухания звука в атмосфере α, дБ/км	Ta=20,°C Pa=101.33,кПа hотн.=70%	ф-ла (5) [9]	0,02	0,09	0,33	1,12	2,79	4,98	9,04	23,09	77,63		
Учет затухания звука в атмосфере Aatm, дБ		ф-ла (8) [10]	0	0	0,2	0,5	1,3	2,4	4,3	10,9	36,7		
Снижение уровня звукового давления из-за влияния застройки между источником шума и расчетной точкой													
Снижение уровня звукового давления на пути над экраном, Dz1, дБ	z = 6.20м (разность путей)	ф-лы (14-18) [10]	13,5	16,4	20	24,4	28,7	32,3	35,5	38,5	41,6		
Снижение уровня звукового давления на пути слева от экрана, Dz2, дБ	z = 1.44м (разность путей)	ф-лы (14-18) [10]	9,2	11,4	13,8	16,6	19,4	22,4	25,3	28,3	31,3		
Снижение уровня звукового давления на пути справа от экрана, Dz3, дБ	z = 34.23м (разность путей)	ф-лы (14-18) [10]	22,9	27,4	31,3	34,7	37,8	40,8	43,8	46,8	49,9		
Общее снижение уровня звука препятствием Dz, дБ		Эн.сумма(-Dzi)	7,7	10,1	12,8	15,8	18,9	21,9	24,9	27,9	30,9		
Общее снижение уровня звука препятствием с учётом ограничения (25 дБ) для октавных полос Dz, дБ		Раздел 7.4 [10]	7,7	10,1	12,8	15,8	18,9	21,9	24,9	25	25		
Уровни звукового давления от источника ИШ-2-7 в расчётной точке днём, дБ		**ф-ла(3)[10]**	**0**	**21,7**	**20,2**	**18,1**	**14,6**	**10,2**	**1,9**	**0**	**0**	**15,8**	**15,8**
Источник шума: ИШ-2-8, координаты источника (x,y,z), м =[764.03,106.58,1.00]													
Уровни звуковой мощности источника днём, Lw, дБ		**исходные данные**	**0**	**93,3**	**94,7**	**96**	**96,3**	**95,9**	**92,6**	**88,4**	**83,9**		

1		2	3	4	5	6	7	8	9	10	11	12	13
Поправка на телесный угол DΩ, дБ	Ω = 6.28	10Lg(4π/Ω)	**3**	3	3	3	3	3	3	3	3		
Показатель направленности источника Di, дБ		исходные данные	**0**	0	0	0	0	0	0	0	0		
Поправка на направленность источника Dc, дБ	Dc	DΩ + Di	**3**	3	3	3	3	3	3	3	3		
Затухание из-за геометрической дивергенции, Adiv, дБ	расстояние = 471.04 м	ф-ла (7) [10]	**64,5**										
Коэффициент затухания звука в атмосфере α, дБ/км	Ta=20,°C Pa=101.33,кПа hотн.=70%	ф-ла (5) [9]	0,02	0,09	0,33	1,12	2,79	4,98	9,04	23,09	77,63		
Учет затухания звука в атмосфере Aatm, дБ		ф-ла (8) [10]	0	0	0,2	0,5	1,3	2,3	4,3	10,9	36,6		
Снижение уровня звукового давления из-за влияния застройки между источником шума и расчетной точкой													
Снижение уровня звукового давления на пути над экраном, Dz1, дБ	z = 6.19м (разность путей)	ф-лы (14-18) [10]	13,5	16,4	20	24,4	28,7	32,3	35,5	38,5	41,6		
Снижение уровня звукового давления на пути слева от экрана, Dz2, дБ	z = 1.41м (разность путей)	ф-лы (14-18) [10]	9,2	11,3	13,8	16,5	19,3	22,3	25,3	28,2	31,2		
Снижение уровня звукового давления на пути справа от экрана, Dz3, дБ	z = 34.49м (разность путей)	ф-лы (14-18) [10]	22,9	27,4	31,4	34,7	37,8	40,8	43,9	46,9	49,9		
Общее снижение уровня звука препятствием Dz, дБ		Эн.сумма(-Dzi)	7,7	10	12,8	15,8	18,8	21,8	24,8	27,8	30,8		
Общее снижение уровня звука препятствием с учётом ограничения (25 дБ) для октавных полос Dz, дБ		Раздел 7.4 [10]	7,7	10	12,8	15,8	18,8	21,8	24,8	25	25		
Уровни звукового давления от источника ИШ-2-8 в расчётной точке днём, дБ		**ф-ла(3)[10]**	**0**	**21,7**	**20,3**	**18,2**	**14,7**	**10,3**	**2,1**	**0**	**0**	**15,9**	**15,9**
Источник шума: ИШ-2-9, координаты источника (x,y,z), м =[763.26,103.71,1.00]													
Уровни звуковой мощности источника днём, Lw, дБ		**исходные данные**	**0**	**93,3**	**94,7**	**96**	**96,3**	**95,9**	**92,6**	**88,4**	**83,9**		
Поправка на телесный угол DΩ, дБ	Ω = 6.28	10Lg(4π/Ω)	**3**	3	3	3	3	3	3	3	3		

1		2	3	4	5	6	7	8	9	10	11	12	13
Показатель направленности источника Di, дБ		исходные данные	**0**	0	0	0	0	0	0	0	0		
Поправка на направленность источника Dc, дБ	Dc	DΩ + Di	**3**	3	3	3	3	3	3	3	3		
Затухание из-за геометрической дивергенции, Adiv, дБ	расстояние = 469.16 м	ф-ла (7) [10]	**64,4**										
Коэффициент затухания звука в атмосфере α, дБ/км	Ta=20,°C Pa=101.33,кПа hотн.=70%	ф-ла (5) [9]	0,02	0,09	0,33	1,12	2,79	4,98	9,04	23,09	77,63		
Учет затухания звука в атмосфере Aatm, дБ		ф-ла (8) [10]	0	0	0,2	0,5	1,3	2,3	4,2	10,8	36,4		
Снижение уровня звукового давления из-за влияния застройки между источником шума и расчетной точкой													
Снижение уровня звукового давления на пути над экраном, Dz1, дБ	z = 6.18м (разность путей)	ф-лы (14-18) [10]	13,5	16,4	20	24,4	28,7	32,3	35,5	38,5	41,6		
Снижение уровня звукового давления на пути слева от экрана, Dz2, дБ	z = 1.39м (разность путей)	ф-лы (14-18) [10]	9,1	11,2	13,7	16,4	19,3	22,2	25,2	28,2	31,2		
Снижение уровня звукового давления на пути справа от экрана, Dz3, дБ	z = 34.75м (разность путей)	ф-лы (14-18) [10]	22,9	27,5	31,4	34,7	37,8	40,9	43,9	46,9	49,9		
Общее снижение уровня звука препятствием Dz, дБ		Эн.сумма(-Dzi)	7,6	10	12,7	15,7	18,8	21,7	24,7	27,7	30,7		
Общее снижение уровня звука препятствием с учётом ограничения (25 дБ) для октавных полос Dz, дБ		Раздел 7.4 [10]	7,6	10	12,7	15,7	18,8	21,7	24,7	25	25		
Уровни звукового давления от источника ИШ-2-9 в расчётной точке днём, дБ		**ф-ла(3)[10]**	**0**	**21,8**	**20,4**	**18,3**	**14,8**	**10,4**	**2,2**	**0**	**0**	**16**	**16**
Источник шума: ИШ-2-10, координаты источника (x,y,z), м =[762.14,100.75,1.00]													
Уровни звуковой мощности источника днём, Lw, дБ		**исходные данные**	**0**	**93,3**	**94,7**	**96**	**96,3**	**95,9**	**92,6**	**88,4**	**83,9**		
Поправка на телесный угол DΩ, дБ	Ω = 6.28	10Lg(4π/Ω)	**3**	3	3	3	3	3	3	3	3		
Показатель направленности источника Di, дБ		исходные данные	**0**	0	0	0	0	0	0	0	0		

1		2	3	4	5	6	7	8	9	10	11	12	13
Поправка на направленность источника Dc, дБ	Dc	DΩ + Di	**3**	3	3	3	3	3	3	3	3		
Затухание из-за геометрической дивергенции, Adiv, дБ	расстояние = 466.93 м	ф-ла (7) [10]	**64,4**										
Коэффициент затухания звука в атмосфере α, дБ/км	Ta=20,°C Pa=101.33,кПа hотн.=70%	ф-ла (5) [9]	0,02	0,09	0,33	1,12	2,79	4,98	9,04	23,09	77,63		
Учет затухания звука в атмосфере Aatm, дБ		ф-ла (8) [10]	0	0	0,2	0,5	1,3	2,3	4,2	10,8	36,2		
Снижение уровня звукового давления из-за влияния застройки между источником шума и расчетной точкой													
Снижение уровня звукового давления на пути над экраном, Dz1, дБ	z = 6.17м (разность путей)	ф-лы (14-18) [10]	13,5	16,4	20	24,4	28,7	32,3	35,5	38,5	41,6		
Снижение уровня звукового давления на пути слева от экрана, Dz2, дБ	z = 1.36м (разность путей)	ф-лы (14-18) [10]	9,1	11,2	13,6	16,3	19,2	22,1	25,1	28,1	31,1		
Снижение уровня звукового давления на пути справа от экрана, Dz3, дБ	z = 35.01м (разность путей)	ф-лы (14-18) [10]	23	27,5	31,4	34,8	37,9	40,9	43,9	46,9	49,9		
Общее снижение уровня звука препятствием Dz, дБ		Эн.сумма(-Dzi)	7,6	10	12,7	15,7	18,7	21,7	24,7	27,7	30,7		
Общее снижение уровня звука препятствием с учётом ограничения (25 дБ) для октавных полос Dz, дБ		Раздел 7.4 [10]	7,6	10	12,7	15,7	18,7	21,7	24,7	25	25		
Уровни звукового давления от источника ИШ-2-10 в расчётной точке днём, дБ		**ф-ла(3)[10]**	**0**	**21,9**	**20,5**	**18,4**	**14,9**	**10,5**	**2,3**	**0**	**0**	**16,1**	**16,1**
Источник шума: ИШ-2-11, координаты источника (x,y,z), м =[761.13,97.90,1.00]													
Уровни звуковой мощности источника днём, Lw, дБ		**исходные данные**	**0**	**93,3**	**94,7**	**96**	**96,3**	**95,9**	**92,6**	**88,4**	**83,9**		
Поправка на телесный угол DΩ, дБ	Ω = 6.28	10Lg(4π/Ω)	**3**	3	3	3	3	3	3	3	3		
Показатель направленности источника Di, дБ		исходные данные	**0**	0	0	0	0	0	0	0	0		
Поправка на направленность источника Dc, дБ	Dc	DΩ + Di	**3**	3	3	3	3	3	3	3	3		

1		2	3	4	5	6	7	8	9	10	11	12	13
Затухание из-за геометрической дивергенции, Adiv, дБ	расстояние = 464.86 м	ф-ла (7) [10]	**64,3**										
Коэффициент затухания звука в атмосфере α, дБ/км	Ta=20,°C Pa=101.33,кПа hотн.=70%	ф-ла (5) [9]	0,02	0,09	0,33	1,12	2,79	4,98	9,04	23,09	77,63		
Учет затухания звука в атмосфере Aatm, дБ		ф-ла (8) [10]	0	0	0,2	0,5	1,3	2,3	4,2	10,7	36,1		
Снижение уровня звукового давления из-за влияния застройки между источником шума и расчетной точкой													
Снижение уровня звукового давления на пути над экраном, Dz1, дБ	z = 6.16м (разность путей)	ф-лы (14-18) [10]	13,5	16,4	20	24,4	28,7	32,3	35,5	38,5	41,6		
Снижение уровня звукового давления на пути слева от экрана, Dz2, дБ	z = 1.34м (разность путей)	ф-лы (14-18) [10]	9	11,1	13,6	16,3	19,1	22,1	25	28	31		
Снижение уровня звукового давления на пути справа от экрана, Dz3, дБ	z = 35.26м (разность путей)	ф-лы (14-18) [10]	23	27,5	31,4	34,8	37,9	40,9	44	47	50		
Общее снижение уровня звука препятствием Dz, дБ		Эн.сумма(-Dzi)	7,6	9,9	12,6	15,6	18,6	21,6	24,6	27,6	30,6		
Общее снижение уровня звука препятствием с учётом ограничения (25 дБ) для октавных полос Dz, дБ		Раздел 7.4 [10]	7,6	9,9	12,6	15,6	18,6	21,6	24,6	25	25		
Уровни звукового давления от источника ИШ-2-11 в расчётной точке днём, дБ		**ф-ла(3)[10]**	**0**	**22**	**20,6**	**18,5**	**15**	**10,6**	**2,4**	**0**	**0**	**16,2**	**16,2**
Источник шума: ИШ-2-12, координаты источника (x,y,z), м =[760.25,95.02,1.00]													
Уровни звуковой мощности источника днём, Lw, дБ		**исходные данные**	**0**	**93,3**	**94,7**	**96**	**96,3**	**95,9**	**92,6**	**88,4**	**83,9**		
Поправка на телесный угол DΩ, дБ	Ω = 6.28	10Lg(4π/Ω)	**3**	3	3	3	3	3	3	3	3		
Показатель направленности источника Di, дБ		исходные данные	**0**	0	0	0	0	0	0	0	0		
Поправка на направленность источника Dc, дБ	Dc	DΩ + Di	**3**	3	3	3	3	3	3	3	3		
Затухание из-за геометрической дивергенции, Adiv, дБ	расстояние = 462.91 м	ф-ла (7) [10]	**64,3**										

1		2	3	4	5	6	7	8	9	10	11	12	13
Коэффициент затухания звука в атмосфере α, дБ/км	Ta=20,°C Pa=101.33,кПа hотн.=70%	ф-ла (5) [9]	0,02	0,09	0,33	1,12	2,79	4,98	9,04	23,09	77,63		
Учет затухания звука в атмосфере Aatm, дБ		ф-ла (8) [10]	0	0	0,2	0,5	1,3	2,3	4,2	10,7	35,9		
Снижение уровня звукового давления из-за влияния застройки между источником шума и расчетной точкой													
Снижение уровня звукового давления на пути над экраном, Dz1, дБ	z = 6.15м (разность путей)	ф-лы (14-18) [10]	13,5	16,4	19,9	24,3	28,7	32,3	35,5	38,5	41,5		
Снижение уровня звукового давления на пути слева от экрана, Dz2, дБ	z = 1.32м (разность путей)	ф-лы (14-18) [10]	9	11,1	13,5	16,2	19,1	22	25	27,9	30,9		
Снижение уровня звукового давления на пути справа от экрана, Dz3, дБ	z = 35.53м (разность путей)	ф-лы (14-18) [10]	23	27,6	31,5	34,8	37,9	41	44	47	50		
Общее снижение уровня звука препятствием Dz, дБ		Эн.сумма(-Dzi)	7,5	9,9	12,6	15,5	18,6	21,5	24,5	27,5	30,5		
Общее снижение уровня звука препятствием с учётом ограничения (25 дБ) для октавных полос Dz, дБ		Раздел 7.4 [10]	7,5	9,9	12,6	15,5	18,6	21,5	24,5	25	25		
Уровни звукового давления от источника ИШ-2-12 в расчётной точке днём, дБ		**ф-ла(3)[10]**	**0**	**22,1**	**20,7**	**18,6**	**15,1**	**10,7**	**2,6**	**0**	**0**	**16,4**	**16,4**
Источник шума: ИШ-2-13, координаты источника (x,y,z), м =[759.28,92.25,1.00]													
Уровни звуковой мощности источника днём, Lw, дБ		**исходные данные**	**0**	**93,3**	**94,7**	**96**	**96,3**	**95,9**	**92,6**	**88,4**	**83,9**		
Поправка на телесный угол DΩ, дБ	Ω = 6.28	10Lg(4π/Ω)	**3**	3	3	3	3	3	3	3	3		
Показатель направленности источника Di, дБ		исходные данные	**0**	0	0	0	0	0	0	0	0		
Поправка на направленность источника Dc, дБ	Dc	DΩ + Di	**3**	3	3	3	3	3	3	3	3		
Затухание из-за геометрической дивергенции, Adiv, дБ	расстояние = 460.92 м	ф-ла (7) [10]	**64,3**										
Коэффициент затухания звука в атмосфере α, дБ/км	Ta=20,°C Pa=101.33,кПа hотн.=70%	ф-ла (5) [9]	0,02	0,09	0,33	1,12	2,79	4,98	9,04	23,09	77,63		

1		2	3	4	5	6	7	8	9	10	11	12	13
Учет затухания звука в атмосфере Aatm, дБ		ф-ла (8) [10]	0	0	0,2	0,5	1,3	2,3	4,2	10,6	35,8		
Снижение уровня звукового давления из-за влияния застройки между источником шума и расчетной точкой													
Снижение уровня звукового давления на пути над экраном, Dz1, дБ	z = 6.14м (разность путей)	ф-лы (14-18) [10]	13,4	16,4	19,9	24,3	28,6	32,3	35,5	38,5	41,5		
Снижение уровня звукового давления на пути слева от экрана, Dz2, дБ	z = 1.29м (разность путей)	ф-лы (14-18) [10]	8,9	11	13,4	16,1	19	21,9	24,9	27,9	30,9		
Снижение уровня звукового давления на пути справа от экрана, Dz3, дБ	z = 35.78м (разность путей)	ф-лы (14-18) [10]	23,1	27,6	31,5	34,9	38	41	44	47	50		
Общее снижение уровня звука препятствием Dz, дБ		Эн.сумма(-Dzi)	7,5	9,8	12,5	15,5	18,5	21,5	24,5	27,5	30,5		
Общее снижение уровня звука препятствием с учётом ограничения (25 дБ) для октавных полос Dz, дБ		Раздел 7.4 [10]	7,5	9,8	12,5	15,5	18,5	21,5	24,5	25	25		
Уровни звукового давления от источника ИШ-2-13 в расчётной точке днём, дБ		**ф-ла(3)[10]**	**0**	**22,2**	**20,8**	**18,7**	**15,2**	**10,8**	**2,7**	**0**	**0**	**16,5**	**16,5**
Источник шума: ИШ-2-14, координаты источника (x,y,z), м =[751.62,69.73,1.00]													
Уровни звуковой мощности источника днём, Lw, дБ		**исходные данные**	**0**	**93,3**	**94,7**	**96**	**96,3**	**95,9**	**92,6**	**88,4**	**83,9**		
Поправка на телесный угол DΩ, дБ	Ω = 6.28	10Lg(4π/Ω)	**3**	3	3	3	3	3	3	3	3		
Показатель направленности источника Di, дБ		исходные данные	**0**	0	0	0	0	0	0	0	0		
Поправка на направленность источника Dc, дБ	Dc	DΩ + Di	**3**	3	3	3	3	3	3	3	3		
Затухание из-за геометрической дивергенции, Adiv, дБ	расстояние = 445.40 м	ф-ла (7) [10]	**64**										
Коэффициент затухания звука в атмосфере α, дБ/км	Ta=20,°C Pa=101.33,кПа hотн.=70%	ф-ла (5) [9]	0,02	0,09	0,33	1,12	2,79	4,98	9,04	23,09	77,63		
Учет затухания звука в атмосфере Aatm, дБ		ф-ла (8) [10]	0	0	0,1	0,5	1,2	2,2	4	10,3	34,6		

1		2	3	4	5	6	7	8	9	10	11	12	13
Снижение уровня звукового давления из-за влияния застройки между источником шума и расчетной точкой													
Снижение уровня звукового давления на пути над экраном, Dz1, дБ	z = 6.05м (разность путей)	ф-лы (14-18) [10]	13,4	16,3	19,8	24,1	28,5	32,2	35,4	38,5	41,5		
Снижение уровня звукового давления на пути слева от экрана, Dz2, дБ	z = 1.11м (разность путей)	ф-лы (14-18) [10]	8,5	10,5	12,9	15,5	18,3	21,2	24,2	27,2	30,2		
Снижение уровня звукового давления на пути справа от экрана, Dz3, дБ	z = 37.95м (разность путей)	ф-лы (14-18) [10]	23,3	27,8	31,8	35,1	38,2	41,3	44,3	47,3	50,3		
Общее снижение уровня звука препятствием Dz, дБ		Эн.сумма(-Dzi)	7,2	9,4	12	14,9	17,9	20,9	23,9	26,8	29,8		
Общее снижение уровня звука препятствием с учётом ограничения (25 дБ) для октавных полос Dz, дБ		Раздел 7.4 [10]	7,2	9,4	12	14,9	17,9	20,9	23,9	25	25		
Уровни звукового давления от источника ИШ-2-14 в расчётной точке днём, дБ		**ф-ла(3)[10]**	**0**	**22,9**	**21,6**	**19,6**	**16,2**	**11,8**	**3,7**	**0**	**0**	**17,4**	**17,4**
Источник шума: ИШ-2-15, координаты источника (x,y,z), м =[750.74,66.89,1.00]													
Уровни звуковой мощности источника днём, Lw, дБ		**исходные данные**	**0**	**93,3**	**94,7**	**96**	**96,3**	**95,9**	**92,6**	**88,4**	**83,9**		
Поправка на телесный угол DΩ, дБ	Ω = 6.28	10Lg(4π/Ω)	**3**	3	3	3	3	3	3	3	3		
Показатель направленности источника Di, дБ		исходные данные	**0**	0	0	0	0	0	0	0	0		
Поправка на направленность источника Dc, дБ	Dc	DΩ + Di	**3**	3	3	3	3	3	3	3	3		
Затухание из-за геометрической дивергенции, Adiv, дБ	расстояние = 443.58 м	ф-ла (7) [10]	**63,9**										
Коэффициент затухания звука в атмосфере α, дБ/км	Ta=20,°C Pa=101.33,кПа hотн.=70%	ф-ла (5) [9]	0,02	0,09	0,33	1,12	2,79	4,98	9,04	23,09	77,63		
Учет затухания звука в атмосфере Aatm, дБ		ф-ла (8) [10]	0	0	0,1	0,5	1,2	2,2	4	10,2	34,4		
Снижение уровня звукового давления из-за влияния застройки между источником шума и расчетной точкой													

1		2	3	4	5	6	7	8	9	10	11	12	13
Снижение уровня звукового давления на пути над экраном, Dz1, дБ	z = 6.04м (разность путей)	ф-лы (14-18) [10]	13,4	16,3	19,8	24,1	28,5	32,2	35,4	38,5	41,5		
Снижение уровня звукового давления на пути слева от экрана, Dz2, дБ	z = 1.08м (разность путей)	ф-лы (14-18) [10]	8,5	10,4	12,8	15,4	18,2	21,2	24,1	27,1	30,1		
Снижение уровня звукового давления на пути справа от экрана, Dz3, дБ	z = 38.24м (разность путей)	ф-лы (14-18) [10]	23,4	27,9	31,8	35,2	38,3	41,3	44,3	47,3	50,3		
Общее снижение уровня звука препятствием Dz, дБ		Эн.сумма(-Dzi)	7,1	9,4	11,9	14,8	17,8	20,8	23,8	26,8	29,8		
Общее снижение уровня звука препятствием с учётом ограничения (25 дБ) для октавных полос Dz, дБ		Раздел 7.4 [10]	7,1	9,4	11,9	14,8	17,8	20,8	23,8	25	25		
Уровни звукового давления от источника ИШ-2-15 в расчётной точке днём, дБ		**ф-ла(3)[10]**	**0**	**22,9**	**21,7**	**19,7**	**16,3**	**12**	**3,9**	**0**	**0**	**17,5**	**17,5**
Источник шума: ИШ-2-16, координаты источника (x,y,z), м =[749.73,64.02,1.00]													
Уровни звуковой мощности источника днём, Lw, дБ		**исходные данные**	**0**	**93,3**	**94,7**	**96**	**96,3**	**95,9**	**92,6**	**88,4**	**83,9**		
Поправка на телесный угол DΩ, дБ	Ω = 6.28	10Lg(4π/Ω)	**3**	3	3	3	3	3	3	3	3		
Показатель направленности источника Di, дБ		исходные данные	**0**	0	0	0	0	0	0	0	0		
Поправка на направленность источника Dc, дБ	Dc	DΩ + Di	**3**	3	3	3	3	3	3	3	3		
Затухание из-за геометрической дивергенции, Adiv, дБ	расстояние = 441.64 м	ф-ла (7) [10]	**63,9**										
Коэффициент затухания звука в атмосфере α, дБ/км	Ta=20,°C Pa=101.33,кПа hотн.=70%	ф-ла (5) [9]	0,02	0,09	0,33	1,12	2,79	4,98	9,04	23,09	77,63		
Учет затухания звука в атмосфере Aatm, дБ		ф-ла (8) [10]	0	0	0,1	0,5	1,2	2,2	4	10,2	34,3		
Снижение уровня звукового давления из-за влияния застройки между источником шума и расчетной точкой													
Снижение уровня звукового давления на пути над экраном, Dz1, дБ	z = 6.02м (разность путей)	ф-лы (14-18) [10]	13,4	16,3	19,8	24,1	28,5	32,2	35,4	38,5	41,5		

1		2	3	4	5	6	7	8	9	10	11	12	13
Снижение уровня звукового давления на пути слева от экрана, Dz2, дБ	z = 1.06м (разность путей)	ф-лы (14-18) [10]	8,4	10,4	12,7	15,3	18,2	21,1	24	27	30		
Снижение уровня звукового давления на пути справа от экрана, Dz3, дБ	z = 38.53м (разность путей)	ф-лы (14-18) [10]	23,4	27,9	31,8	35,2	38,3	41,3	44,3	47,4	50,4		
Общее снижение уровня звука препятствием Dz, дБ		Эн.сумма(-Dzi)	7,1	9,3	11,9	14,8	17,7	20,7	23,7	26,7	29,7		
Общее снижение уровня звука препятствием с учётом ограничения (25 дБ) для октавных полос Dz, дБ		Раздел 7.4 [10]	7,1	9,3	11,9	14,8	17,7	20,7	23,7	25	25		
Уровни звукового давления от источника ИШ-2-16 в расчётной точке днём, дБ		**ф-ла(3)[10]**	**0**	**23**	**21,8**	**19,8**	**16,4**	**12,1**	**4**	**0**	**0**	**17,6**	**17,6**
Источник шума: ИШ-2-17, координаты источника (x,y,z), м =[748.87,61.06,1.00]													
Уровни звуковой мощности источника днём, Lw, дБ		**исходные данные**	**0**	**93,3**	**94,7**	**96**	**96,3**	**95,9**	**92,6**	**88,4**	**83,9**		
Поправка на телесный угол DΩ, дБ	Ω = 6.28	10Lg(4π/Ω)	**3**	3	3	3	3	3	3	3	3		
Показатель направленности источника Di, дБ		исходные данные	**0**	0	0	0	0	0	0	0	0		
Поправка на направленность источника Dc, дБ	Dc	DΩ + Di	**3**	3	3	3	3	3	3	3	3		
Затухание из-за геометрической дивергенции, Adiv, дБ	расстояние = 439.82 м	ф-ла (7) [10]	**63,9**										
Коэффициент затухания звука в атмосфере α, дБ/км	Ta=20,°C Pa=101.33,кПа hотн.=70%	ф-ла (5) [9]	0,02	0,09	0,33	1,12	2,79	4,98	9,04	23,09	77,63		
Учет затухания звука в атмосфере Aatm, дБ		ф-ла (8) [10]	0	0	0,1	0,5	1,2	2,2	4	10,2	34,1		
Снижение уровня звукового давления из-за влияния застройки между источником шума и расчетной точкой													
Снижение уровня звукового давления на пути над экраном, Dz1, дБ	z = 6.01м (разность путей)	ф-лы (14-18) [10]	13,4	16,3	19,7	24,1	28,5	32,2	35,4	38,4	41,5		
Снижение уровня звукового давления на пути слева от экрана, Dz2, дБ	z = 1.04м (разность путей)	ф-лы (14-18) [10]	8,4	10,3	12,6	15,2	18,1	21	23,9	26,9	29,9		

1		2	3	4	5	6	7	8	9	10	11	12	13
Снижение уровня звукового давления на пути справа от экрана, Dz3, дБ	z = 38.84м (разность путей)	ф-лы (14-18) [10]	23,4	27,9	31,9	35,2	38,3	41,4	44,4	47,4	50,4		
Общее снижение уровня звука препятствием Dz, дБ		Эн.сумма(-Dzi)	7,1	9,3	11,8	14,7	17,6	20,6	23,6	26,6	29,6		
Общее снижение уровня звука препятствием с учётом ограничения (25 дБ) для октавных полос Dz, дБ		Раздел 7.4 [10]	7,1	9,3	11,8	14,7	17,6	20,6	23,6	25	25		
Уровни звукового давления от источника ИШ-2-17 в расчётной точке днём, дБ		**ф-ла(3)[10]**	**0**	**23,1**	**21,9**	**20**	**16,6**	**12,2**	**4,2**	**0**	**0**	**17,8**	**17,8**
Источник шума: ИШ-2-18, координаты источника (x,y,z), м =[747.72,58.17,1.00]													
Уровни звуковой мощности источника днём, Lw, дБ		**исходные данные**	**0**	**93,3**	**94,7**	**96**	**96,3**	**95,9**	**92,6**	**88,4**	**83,9**		
Поправка на телесный угол DΩ, дБ	Ω = 6.28	10Lg(4π/Ω)	**3**	3	3	3	3	3	3	3	3		
Показатель направленности источника Di, дБ		исходные данные	**0**	0	0	0	0	0	0	0	0		
Поправка на направленность источника Dc, дБ	Dc	DΩ + Di	**3**	3	3	3	3	3	3	3	3		
Затухание из-за геометрической дивергенции, Adiv, дБ	расстояние = 437.76 м	ф-ла (7) [10]	**63,8**										
Коэффициент затухания звука в атмосфере α, дБ/км	Ta=20,°C Pa=101.33,кПа hотн.=70%	ф-ла (5) [9]	0,02	0,09	0,33	1,12	2,79	4,98	9,04	23,09	77,63		
Учет затухания звука в атмосфере Aatm, дБ		ф-ла (8) [10]	0	0	0,1	0,5	1,2	2,2	4	10,1	34		
Снижение уровня звукового давления из-за влияния застройки между источником шума и расчетной точкой													
Снижение уровня звукового давления на пути над экраном, Dz1, дБ	z = 6.00м (разность путей)	ф-лы (14-18) [10]	13,4	16,3	19,7	24	28,4	32,1	35,4	38,4	41,5		
Снижение уровня звукового давления на пути слева от экрана, Dz2, дБ	z = 19.33м (разность путей)	ф-лы (14-18) [10]	23	26,3	29,3	32,3	35,3	38,3	41,3	44,4	47,4		
Снижение уровня звукового давления на пути справа от экрана, Dz3, дБ	z = 39.14м (разность путей)	ф-лы (14-18) [10]	23,5	28	31,9	35,3	38,4	41,4	44,4	47,4	50,4		

1		2	3	4	5	6	7	8	9	10	11	12	13
Общее снижение уровня звука препятствием Dz, дБ		Эн.сумма(-Dzi)	12,6	15,6	19	23,2	27,3	30,8	34	37	40,1		
Общее снижение уровня звука препятствием с учётом ограничения (25 дБ) для октавных полос Dz, дБ		Раздел 7.4 [10]	12,6	15,6	19	23,2	25	25	25	25	25		
Уровни звукового давления от источника ИШ-2-18 в расчётной точке днём, дБ		**ф-ла(3)[10]**	**0**	**16,8**	**14,7**	**11,5**	**9,2**	**7,9**	**2,8**	**0**	**0**	**11,9**	**11,9**
Источник шума: ИШ-2-19, координаты источника (x,y,z), м =[746.80,55.25,1.00]													
Уровни звуковой мощности источника днём, Lw, дБ		**исходные данные**	**0**	**93,3**	**94,7**	**96**	**96,3**	**95,9**	**92,6**	**88,4**	**83,9**		
Поправка на телесный угол DΩ, дБ	Ω = 6.28	10Lg(4π/Ω)	**3**	3	3	3	3	3	3	3	3		
Показатель направленности источника Di, дБ		исходные данные	**0**	0	0	0	0	0	0	0	0		
Поправка на направленность источника Dc, дБ	Dc	DΩ + Di	**3**	3	3	3	3	3	3	3	3		
Затухание из-за геометрической дивергенции, Adiv, дБ	расстояние = 435.93 м	ф-ла (7) [10]	**63,8**										
Коэффициент затухания звука в атмосфере α, дБ/км	Ta=20,°C Pa=101.33,кПа hотн.=70%	ф-ла (5) [9]	0,02	0,09	0,33	1,12	2,79	4,98	9,04	23,09	77,63		
Учет затухания звука в атмосфере Aatm, дБ		ф-ла (8) [10]	0	0	0,1	0,5	1,2	2,2	3,9	10,1	33,8		
Снижение уровня звукового давления из-за влияния застройки между источником шума и расчетной точкой													
Снижение уровня звукового давления на пути над экраном, Dz1, дБ	z = 5.98м (разность путей)	ф-лы (14-18) [10]	13,4	16,3	19,7	24	28,4	32,1	35,4	38,4	41,5		
Снижение уровня звукового давления на пути слева от экрана, Dz2, дБ	z = 18.66м (разность путей)	ф-лы (14-18) [10]	22,8	26,1	29,1	32,2	35,2	38,2	41,2	44,2	47,2		
Снижение уровня звукового давления на пути справа от экрана, Dz3, дБ	z = 39.45м (разность путей)	ф-лы (14-18) [10]	23,5	28	31,9	35,3	38,4	41,4	44,4	47,5	50,5		
Общее снижение уровня звука препятствием Dz, дБ		Эн.сумма(-Dzi)	12,5	15,6	19	23,1	27,2	30,8	34	37	40		

1		2	3	4	5	6	7	8	9	10	11	12	13
Общее снижение уровня звука препятствием с учётом ограничения (25 дБ) для октавных полос Dz, дБ		Раздел 7.4 [10]	12,5	15,6	19	23,1	25	25	25	25	25		
Уровни звукового давления от источника ИШ-2-19 в расчётной точке днём, дБ		**ф-ла(3)[10]**	**0**	**16,9**	**14,8**	**11,6**	**9,3**	**7,9**	**2,9**	**0**	**0**	**12**	**12**
Источник шума: ИШ-2-20, координаты источника (x,y,z), м =[745.71,52.44,1.00]													
Уровни звуковой мощности источника днём, Lw, дБ		**исходные данные**	**0**	**93,3**	**94,7**	**96**	**96,3**	**95,9**	**92,6**	**88,4**	**83,9**		
Поправка на телесный угол DΩ, дБ	Ω = 6.28	10Lg(4π/Ω)	**3**	3	3	3	3	3	3	3	3		
Показатель направленности источника Di, дБ		исходные данные	**0**	0	0	0	0	0	0	0	0		
Поправка на направленность источника Dc, дБ	Dc	DΩ + Di	**3**	3	3	3	3	3	3	3	3		
Затухание из-за геометрической дивергенции, Adiv, дБ	расстояние = 433.97 м	ф-ла (7) [10]	**63,7**										
Коэффициент затухания звука в атмосфере α, дБ/км	Ta=20,°C Pa=101.33,кПа hотн.=70%	ф-ла (5) [9]	0,02	0,09	0,33	1,12	2,79	4,98	9,04	23,09	77,63		
Учет затухания звука в атмосфере Aatm, дБ		ф-ла (8) [10]	0	0	0,1	0,5	1,2	2,2	3,9	10	33,7		
Снижение уровня звукового давления из-за влияния застройки между источником шума и расчетной точкой													
Снижение уровня звукового давления на пути над экраном, Dz1, дБ	z = 5.98м (разность путей)	ф-лы (14-18) [10]	17,4	20,7	23,7	26,7	29,7	32,7	35,7	38,7	41,7		
Снижение уровня звукового давления на пути слева от экрана, Dz2, дБ	z = 18.06м (разность путей)	ф-лы (14-18) [10]	22,7	26	29	32	35	38	41,1	44,1	47,1		
Снижение уровня звукового давления на пути справа от экрана, Dz3, дБ	z = 39.74м (разность путей)	ф-лы (14-18) [10]	23,5	28	32	35,3	38,4	41,5	44,5	47,5	50,5		
Общее снижение уровня звука препятствием Dz, дБ		Эн.сумма(-Dzi)	15,6	19	22,1	25,1	28,1	31,2	34,2	37,2	40,2		
Общее снижение уровня звука препятствием с учётом ограничения (25 дБ) для октавных полос Dz, дБ		Раздел 7.4 [10]	15,6	19	22,1	25	25	25	25	25	25		

1		2	3	4	5	6	7	8	9	10	11	12	13
Уровни звукового давления от источника ИШ-2-20 в расчётной точке днём, дБ		**ф-ла(3)[10]**	**0**	**13,5**	**11,7**	**9,8**	**9,3**	**8**	**2,9**	**0**	**0**	**11,7**	**11,7**
Источник шума: ИШ-2-21, координаты источника (x,y,z), м =[744.89,49.62,1.00]													
Уровни звуковой мощности источника днём, Lw, дБ		**исходные данные**	**0**	**93,3**	**94,7**	**96**	**96,3**	**95,9**	**92,6**	**88,4**	**83,9**		
Поправка на телесный угол DΩ, дБ	Ω = 6.28	10Lg(4π/Ω)	**3**	3	3	3	3	3	3	3	3		
Показатель направленности источника Di, дБ		исходные данные	**0**	0	0	0	0	0	0	0	0		
Поправка на направленность источника Dc, дБ	Dc	DΩ + Di	**3**	3	3	3	3	3	3	3	3		
Затухание из-за геометрической дивергенции, Adiv, дБ	расстояние = 432.29 м	ф-ла (7) [10]	**63,7**										
Коэффициент затухания звука в атмосфере α, дБ/км	Ta=20,°C Pa=101.33,кПа hотн.=70%	ф-ла (5) [9]	0,02	0,09	0,33	1,12	2,79	4,98	9,04	23,09	77,63		
Учет затухания звука в атмосфере Aatm, дБ		ф-ла (8) [10]	0	0	0,1	0,5	1,2	2,2	3,9	10	33,6		
Снижение уровня звукового давления из-за влияния застройки между источником шума и расчетной точкой													
Снижение уровня звукового давления на пути над экраном, Dz1, дБ	z = 5.97м (разность путей)	ф-лы (14-18) [10]	17,5	20,7	23,7	26,7	29,7	32,7	35,7	38,7	41,7		
Снижение уровня звукового давления на пути слева от экрана, Dz2, дБ	z = 17.41м (разность путей)	ф-лы (14-18) [10]	22,5	25,8	28,8	31,9	34,9	37,9	40,9	43,9	46,9		
Снижение уровня звукового давления на пути справа от экрана, Dz3, дБ	z = 40.05м (разность путей)	ф-лы (14-18) [10]	23,6	28,1	32	35,4	38,5	41,5	44,5	47,5	50,5		
Общее снижение уровня звука препятствием Dz, дБ		Эн.сумма(-Dzi)	15,5	18,9	22,1	25,1	28,1	31,1	34,1	37,1	40,1		
Общее снижение уровня звука препятствием с учётом ограничения (25 дБ) для октавных полос Dz, дБ		Раздел 7.4 [10]	15,5	18,9	22,1	25	25	25	25	25	25		
Уровни звукового давления от источника ИШ-2-21 в расчётной точке днём, дБ		**ф-ла(3)[10]**	**0**	**13,6**	**11,8**	**9,8**	**9,4**	**8**	**3**	**0**	**0**	**11,7**	**11,7**

1		2	3	4	5	6	7	8	9	10	11	12	13
Источник шума: ИШ-2-22, координаты источника (x,y,z), м =[737.40,27.07,1.00]													
Уровни звуковой мощности источника днём, Lw, дБ		**исходные данные**	**0**	**93,3**	**94,7**	**96**	**96,3**	**95,9**	**92,6**	**88,4**	**83,9**		
Поправка на телесный угол DΩ, дБ	Ω = 6.28	10Lg(4π/Ω)	**3**	3	3	3	3	3	3	3	3		
Показатель направленности источника Di, дБ		исходные данные	**0**	0	0	0	0	0	0	0	0		
Поправка на направленность источника Dc, дБ	Dc	DΩ + Di	**3**	3	3	3	3	3	3	3	3		
Затухание из-за геометрической дивергенции, Adiv, дБ	расстояние = 418.42 м	ф-ла (7) [10]	**63,4**										
Коэффициент затухания звука в атмосфере α, дБ/км	Ta=20,°C Pa=101.33,кПа hотн.=70%	ф-ла (5) [9]	0,02	0,09	0,33	1,12	2,79	4,98	9,04	23,09	77,63		
Учет затухания звука в атмосфере Aatm, дБ		ф-ла (8) [10]	0	0	0,1	0,5	1,2	2,1	3,8	9,7	32,5		
Снижение уровня звукового давления из-за влияния застройки между источником шума и расчетной точкой													
Снижение уровня звукового давления на пути над экраном, Dz1, дБ	z = 5.84м (разность путей)	ф-лы (14-18) [10]	17,4	20,6	23,6	26,6	29,6	32,6	35,6	38,6	41,6		
Снижение уровня звукового давления на пути слева от экрана, Dz2, дБ	z = 12.48м (разность путей)	ф-лы (14-18) [10]	21,1	24,4	27,4	30,4	33,4	36,4	39,5	42,5	45,5		
Снижение уровня звукового давления на пути справа от экрана, Dz3, дБ	z = 42.61м (разность путей)	ф-лы (14-18) [10]	23,8	28,3	32,3	35,6	38,7	41,8	44,8	47,8	50,8		
Общее снижение уровня звука препятствием Dz, дБ		Эн.сумма(-Dzi)	15,2	18,6	21,7	24,7	27,7	30,7	33,8	36,8	39,8		
Общее снижение уровня звука препятствием с учётом ограничения (25 дБ) для октавных полос Dz, дБ		Раздел 7.4 [10]	15,2	18,6	21,7	24,7	25	25	25	25	25		
Уровни звукового давления прямого звука от источника ИШ-2-22 в расчётной точке днём, дБ		**ф-ла(3)[10]**	**0**	**14,2**	**12,4**	**10,4**	**9,7**	**8,4**	**3,4**	**0**	**0**	**12,1**	**12,1**
Расчёт отражённого звука													

1		2	3	4	5	6	7	8	9	10	11	12	13
Уровни звукового давления от мнимого источника ИШ-2-22_мн.(1) в расчётной точке днём, дБ		**ф-ла(3)[10]**	**0**	**0**	**0**	**0**	**0**	**0**	**0**	**0**	**0**	**0**	**0**
Уровни звукового давления от источника ИШ-2-22 в расчётной точке днём, дБ		**ф-ла(3)[10]**	**0**	**14,2**	**12,4**	**10,4**	**9,7**	**8,4**	**3,4**	**0**	**0**	**12,1**	**12,1**
Источник шума: ИШ-2-23, координаты источника (x,y,z), м =[736.46,24.18,1.00]													
Уровни звуковой мощности источника днём, Lw, дБ		**исходные данные**	**0**	**93,3**	**94,7**	**96**	**96,3**	**95,9**	**92,6**	**88,4**	**83,9**		
Поправка на телесный угол DΩ, дБ	Ω = 6.28	10Lg(4π/Ω)	**3**	3	3	3	3	3	3	3	3		
Показатель направленности источника Di, дБ		исходные данные	**0**	0	0	0	0	0	0	0	0		
Поправка на направленность источника Dc, дБ	Dc	DΩ + Di	**3**	3	3	3	3	3	3	3	3		
Затухание из-за геометрической дивергенции, Adiv, дБ	расстояние = 416.73 м	ф-ла (7) [10]	**63,4**										
Коэффициент затухания звука в атмосфере α, дБ/км	Ta=20,°C Pa=101.33,кПа hотн.=70%	ф-ла (5) [9]	0,02	0,09	0,33	1,12	2,79	4,98	9,04	23,09	77,63		
Учет затухания звука в атмосфере Aatm, дБ		ф-ла (8) [10]	0	0	0,1	0,5	1,2	2,1	3,8	9,6	32,4		
Снижение уровня звукового давления из-за влияния застройки между источником шума и расчетной точкой													
Снижение уровня звукового давления на пути над экраном, Dz1, дБ	z = 5.82м (разность путей)	ф-лы (14-18) [10]	17,4	20,6	23,6	26,6	29,6	32,6	35,6	38,6	41,6		
Снижение уровня звукового давления на пути слева от экрана, Dz2, дБ	z = 11.86м (разность путей)	ф-лы (14-18) [10]	20,9	24,2	27,2	30,2	33,2	36,2	39,2	42,2	45,2		
Снижение уровня звукового давления на пути справа от экрана, Dz3, дБ	z = 42.95м (разность путей)	ф-лы (14-18) [10]	23,9	28,4	32,3	35,7	38,8	41,8	44,8	47,8	50,8		
Общее снижение уровня звука препятствием Dz, дБ		Эн.сумма(-Dzi)	15,2	18,5	21,6	24,7	27,7	30,7	33,7	36,7	39,7		
Общее снижение уровня звука препятствием с учётом ограничения (25 дБ) для октавных полос Dz, дБ		Раздел 7.4 [10]	15,2	18,5	21,6	24,7	25	25	25	25	25		

1		2	3	4	5	6	7	8	9	10	11	12	13
Уровни звукового давления прямого звука от источника ИШ-2-23 в расчётной точке днём, дБ		**ф-ла(3)[10]**	**0**	**14,3**	**12,5**	**10,5**	**9,7**	**8,4**	**3,4**	**0**	**0**	**12,1**	**12,1**
Расчёт отражённого звука													
Уровни звукового давления от мнимого источника ИШ-2-23_мн.(1) в расчётной точке днём, дБ		**ф-ла(3)[10]**	**0**	**0**	**0**	**0**	**0**	**0**	**0**	**0**	**0**	**0**	**0**
Уровни звукового давления от источника ИШ-2-23 в расчётной точке днём, дБ		**ф-ла(3)[10]**	**0**	**14,3**	**12,5**	**10,5**	**9,7**	**8,4**	**3,4**	**0**	**0**	**12,1**	**12,1**
Источник шума: ИШ-2-24, координаты источника (x,y,z), м =[735.45,21.21,1.00]													
Уровни звуковой мощности источника днём, Lw, дБ		**исходные данные**	**0**	**93,3**	**94,7**	**96**	**96,3**	**95,9**	**92,6**	**88,4**	**83,9**		
Поправка на телесный угол DΩ, дБ	Ω = 6.28	10Lg(4π/Ω)	**3**	3	3	3	3	3	3	3	3		
Показатель направленности источника Di, дБ		исходные данные	**0**	0	0	0	0	0	0	0	0		
Поправка на направленность источника Dc, дБ	Dc	DΩ + Di	**3**	3	3	3	3	3	3	3	3		
Затухание из-за геометрической дивергенции, Adiv, дБ	расстояние = 414.97 м	ф-ла (7) [10]	**63,4**										
Коэффициент затухания звука в атмосфере α, дБ/км	Ta=20,°C Pa=101.33,кПа hотн.=70%	ф-ла (5) [9]	0,02	0,09	0,33	1,12	2,79	4,98	9,04	23,09	77,63		
Учет затухания звука в атмосфере Aatm, дБ		ф-ла (8) [10]	0	0	0,1	0,5	1,2	2,1	3,8	9,6	32,2		
Снижение уровня звукового давления из-за влияния застройки между источником шума и расчетной точкой													
Снижение уровня звукового давления на пути над экраном, Dz1, дБ	z = 5.80м (разность путей)	ф-лы (14-18) [10]	17,4	20,6	23,6	26,6	29,6	32,6	35,6	38,6	41,6		
Снижение уровня звукового давления на пути слева от экрана, Dz2, дБ	z = 11.24м (разность путей)	ф-лы (14-18) [10]	20,7	23,9	27	30	33	36	39	42	45		
Снижение уровня звукового давления на пути справа от экрана, Dz3, дБ	z = 43.31м (разность путей)	ф-лы (14-18) [10]	23,9	28,4	32,3	35,7	38,8	41,8	44,9	47,9	50,9		

1		2	3	4	5	6	7	8	9	10	11	12	13
Общее снижение уровня звука препятствием Dz, дБ		Эн.сумма(-Dzi)	15,1	18,5	21,6	24,6	27,6	30,6	33,6	36,6	39,6		
Общее снижение уровня звука препятствием с учётом ограничения (25 дБ) для октавных полос Dz, дБ		Раздел 7.4 [10]	15,1	18,5	21,6	24,6	25	25	25	25	25		
Уровни звукового давления прямого звука от источника ИШ-2-24 в расчётной точке днём, дБ		**ф-ла(3)[10]**	**0**	**14,4**	**12,6**	**10,6**	**9,8**	**8,5**	**3,5**	**0**	**0**	**12,2**	**12,2**
Расчёт отражённого звука													
Уровни звукового давления от мнимого источника ИШ-2-24_мн.(1) в расчётной точке днём, дБ		**ф-ла(3)[10]**	**0**	**0**	**0**	**0**	**0**	**0**	**0**	**0**	**0**	**0**	**0**
Уровни звукового давления от источника ИШ-2-24 в расчётной точке днём, дБ		**ф-ла(3)[10]**	**0**	**14,4**	**12,6**	**10,6**	**9,8**	**8,5**	**3,5**	**0**	**0**	**12,2**	**12,2**
Источник шума: ИШ-2-25, координаты источника (x,y,z), м =[734.58,18.32,1.00]													
Уровни звуковой мощности источника днём, Lw, дБ		**исходные данные**	**0**	**93,3**	**94,7**	**96**	**96,3**	**95,9**	**92,6**	**88,4**	**83,9**		
Поправка на телесный угол DΩ, дБ	Ω = 6.28	10Lg(4π/Ω)	**3**	3	3	3	3	3	3	3	3		
Показатель направленности источника Di, дБ		исходные данные	**0**	0	0	0	0	0	0	0	0		
Поправка на направленность источника Dc, дБ	Dc	DΩ + Di	**3**	3	3	3	3	3	3	3	3		
Затухание из-за геометрической дивергенции, Adiv, дБ	расстояние = 413.38 м	ф-ла (7) [10]	**63,3**										
Коэффициент затухания звука в атмосфере α, дБ/км	Ta=20,°C Pa=101.33,кПа hотн.=70%	ф-ла (5) [9]	0,02	0,09	0,33	1,12	2,79	4,98	9,04	23,09	77,63		
Учет затухания звука в атмосфере Aatm, дБ		ф-ла (8) [10]	0	0	0,1	0,5	1,2	2,1	3,7	9,5	32,1		
Снижение уровня звукового давления из-за влияния застройки между источником шума и расчетной точкой													
Снижение уровня звукового давления на пути над экраном, Dz1, дБ	z = 5.78м (разность путей)	ф-лы (14-18) [10]	17,3	20,6	23,6	26,6	29,6	32,6	35,6	38,6	41,6		

1		2	3	4	5	6	7	8	9	10	11	12	13
Снижение уровня звукового давления на пути слева от экрана, Dz2, дБ	z = 10.63м (разность путей)	ф-лы (14-18) [10]	20,4	23,7	26,7	29,7	32,7	35,7	38,8	41,8	44,8		
Снижение уровня звукового давления на пути справа от экрана, Dz3, дБ	z = 43.66м (разность путей)	ф-лы (14-18) [10]	23,9	28,4	32,4	35,7	38,8	41,9	44,9	47,9	50,9		
Общее снижение уровня звука препятствием Dz, дБ		Эн.сумма(-Dzi)	15	18,4	21,5	24,5	27,5	30,5	33,5	36,5	39,6		
Общее снижение уровня звука препятствием с учётом ограничения (25 дБ) для октавных полос Dz, дБ		Раздел 7.4 [10]	15	18,4	21,5	24,5	25	25	25	25	25		
Уровни звукового давления от источника ИШ-2-25 в расчётной точке днём, дБ		**ф-ла(3)[10]**	**0**	**14,5**	**12,8**	**10,7**	**9,8**	**8,5**	**3,5**	**0**	**0**	**12,3**	**12,3**
Источник шума: ИШ-2-26, координаты источника (x,y,z), м =[733.57,15.41,1.00]													
Уровни звуковой мощности источника днём, Lw, дБ		**исходные данные**	**0**	**93,3**	**94,7**	**96**	**96,3**	**95,9**	**92,6**	**88,4**	**83,9**		
Поправка на телесный угол DΩ, дБ	Ω = 6.28	10Lg(4π/Ω)	**3**	3	3	3	3	3	3	3	3		
Показатель направленности источника Di, дБ		исходные данные	**0**	0	0	0	0	0	0	0	0		
Поправка на направленность источника Dc, дБ	Dc	DΩ + Di	**3**	3	3	3	3	3	3	3	3		
Затухание из-за геометрической дивергенции, Adiv, дБ	расстояние = 411.65 м	ф-ла (7) [10]	**63,3**										
Коэффициент затухания звука в атмосфере α, дБ/км	Ta=20,°C Pa=101.33,кПа hотн.=70%	ф-ла (5) [9]	0,02	0,09	0,33	1,12	2,79	4,98	9,04	23,09	77,63		
Учет затухания звука в атмосфере Aatm, дБ		ф-ла (8) [10]	0	0	0,1	0,5	1,1	2	3,7	9,5	32		
Снижение уровня звукового давления из-за влияния застройки между источником шума и расчетной точкой													
Снижение уровня звукового давления на пути над экраном, Dz1, дБ	z = 5.76м (разность путей)	ф-лы (14-18) [10]	17,3	20,5	23,5	26,5	29,6	32,6	35,6	38,6	41,6		
Снижение уровня звукового давления на пути слева от экрана, Dz2, дБ	z = 10.03м (разность путей)	ф-лы (14-18) [10]	20,2	23,4	26,5	29,5	32,5	35,5	38,5	41,5	44,5		

1		2	3	4	5	6	7	8	9	10	11	12	13
Снижение уровня звукового давления на пути справа от экрана, Dz3, дБ	z = 44.02м (разность путей)	ф-лы (14-18) [10]	24	28,5	32,4	35,8	38,9	41,9	44,9	47,9	50,9		
Общее снижение уровня звука препятствием Dz, дБ		Эн.сумма(-Dzi)	14,9	18,3	21,4	24,4	27,4	30,4	33,5	36,5	39,5		
Общее снижение уровня звука препятствием с учётом ограничения (25 дБ) для октавных полос Dz, дБ		Раздел 7.4 [10]	14,9	18,3	21,4	24,4	25	25	25	25	25		
Уровни звукового давления от источника ИШ-2-26 в расчётной точке днём, дБ		**ф-ла(3)[10]**	**0**	**14,7**	**12,9**	**10,8**	**9,9**	**8,6**	**3,6**	**0**	**0**	**12,3**	**12,3**
Источник шума: ИШ-2-27, координаты источника (x,y,z), м =[732.43,12.66,1.00]													
Уровни звуковой мощности источника днём, Lw, дБ		**исходные данные**	**0**	**93,3**	**94,7**	**96**	**96,3**	**95,9**	**92,6**	**88,4**	**83,9**		
Поправка на телесный угол DΩ, дБ	Ω = 6.28	10Lg(4π/Ω)	**3**	3	3	3	3	3	3	3	3		
Показатель направленности источника Di, дБ		исходные данные	**0**	0	0	0	0	0	0	0	0		
Поправка на направленность источника Dc, дБ	Dc	DΩ + Di	**3**	3	3	3	3	3	3	3	3		
Затухание из-за геометрической дивергенции, Adiv, дБ	расстояние = 409.86 м	ф-ла (7) [10]	**63,3**										
Коэффициент затухания звука в атмосфере α, дБ/км	Ta=20,°C Pa=101.33,кПа hотн.=70%	ф-ла (5) [9]	0,02	0,09	0,33	1,12	2,79	4,98	9,04	23,09	77,63		
Учет затухания звука в атмосфере Aatm, дБ		ф-ла (8) [10]	0	0	0,1	0,5	1,1	2	3,7	9,5	31,8		
Снижение уровня звукового давления из-за влияния застройки между источником шума и расчетной точкой													
Снижение уровня звукового давления на пути над экраном, Dz1, дБ	z = 5.79м (разность путей)	ф-лы (14-18) [10]	17,5	20,6	23,6	26,6	29,6	32,6	35,6	38,6	41,6		
Снижение уровня звукового давления на пути слева от экрана, Dz2, дБ	z = 9.50м (разность путей)	ф-лы (14-18) [10]	20	23,2	26,2	29,2	32,2	35,3	38,3	41,3	44,3		
Снижение уровня звукового давления на пути справа от экрана, Dz3, дБ	z = 44.35м (разность путей)	ф-лы (14-18) [10]	24	28,5	32,4	35,8	38,9	41,9	45	48	51		

1		2	3	4	5	6	7	8	9	10	11	12	13
Общее снижение уровня звука препятствием Dz, дБ		Эн.сумма(-Dzi)	15	18,3	21,4	24,4	27,4	30,4	33,4	36,4	39,4		
Общее снижение уровня звука препятствием с учётом ограничения (25 дБ) для октавных полос Dz, дБ		Раздел 7.4 [10]	15	18,3	21,4	24,4	25	25	25	25	25		
Уровни звукового давления от источника ИШ-2-27 в расчётной точке днём, дБ		**ф-ла(3)[10]**	**0**	**14,7**	**12,9**	**10,9**	**9,9**	**8,6**	**3,6**	**0**	**0**	**12,4**	**12,4**
Источник шума: ИШ-2-28, координаты источника (x,y,z), м =[731.54,9.78,1.00]													
Уровни звуковой мощности источника днём, Lw, дБ		**исходные данные**	**0**	**93,3**	**94,7**	**96**	**96,3**	**95,9**	**92,6**	**88,4**	**83,9**		
Поправка на телесный угол DΩ, дБ	Ω = 6.28	10Lg(4π/Ω)	**3**	3	3	3	3	3	3	3	3		
Показатель направленности источника Di, дБ		исходные данные	**0**	0	0	0	0	0	0	0	0		
Поправка на направленность источника Dc, дБ	Dc	DΩ + Di	**3**	3	3	3	3	3	3	3	3		
Затухание из-за геометрической дивергенции, Adiv, дБ	расстояние = 408.30 м	ф-ла (7) [10]	**63,2**										
Коэффициент затухания звука в атмосфере α, дБ/км	Ta=20,°C Pa=101.33,кПа hотн.=70%	ф-ла (5) [9]	0,02	0,09	0,33	1,12	2,79	4,98	9,04	23,09	77,63		
Учет затухания звука в атмосфере Aatm, дБ		ф-ла (8) [10]	0	0	0,1	0,5	1,1	2	3,7	9,4	31,7		
Снижение уровня звукового давления из-за влияния застройки между источником шума и расчетной точкой													
Снижение уровня звукового давления на пути над экраном, Dz1, дБ	z = 5.77м (разность путей)	ф-лы (14-18) [10]	17,5	20,6	23,6	26,6	29,6	32,6	35,6	38,6	41,6		
Снижение уровня звукового давления на пути слева от экрана, Dz2, дБ	z = 8.91м (разность путей)	ф-лы (14-18) [10]	19,7	22,9	26	29	32	35	38	41	44		
Снижение уровня звукового давления на пути справа от экрана, Dz3, дБ	z = 44.71м (разность путей)	ф-лы (14-18) [10]	24	28,5	32,5	35,8	38,9	42	45	48	51		
Общее снижение уровня звука препятствием Dz, дБ		Эн.сумма(-Dzi)	14,9	18,2	21,3	24,3	27,3	30,3	33,3	36,3	39,3		

1		2	3	4	5	6	7	8	9	10	11	12	13
Общее снижение уровня звука препятствием с учётом ограничения (25 дБ) для октавных полос Dz, дБ		Раздел 7.4 [10]	14,9	18,2	21,3	24,3	25	25	25	25	25		
Уровни звукового давления от источника ИШ-2-28 в расчётной точке днём, дБ		**ф-ла(3)[10]**	**0**	**14,8**	**13,1**	**11**	**9,9**	**8,6**	**3,7**	**0**	**0**	**12,4**	**12,4**
Источник шума: ИШ-2-29, координаты источника (x,y,z), м =[730.57,6.88,1.00]													
Уровни звуковой мощности источника днём, Lw, дБ		**исходные данные**	**0**	**93,3**	**94,7**	**96**	**96,3**	**95,9**	**92,6**	**88,4**	**83,9**		
Поправка на телесный угол DΩ, дБ	Ω = 6.28	10Lg(4π/Ω)	**3**	3	3	3	3	3	3	3	3		
Показатель направленности источника Di, дБ		исходные данные	**0**	0	0	0	0	0	0	0	0		
Поправка на направленность источника Dc, дБ	Dc	DΩ + Di	**3**	3	3	3	3	3	3	3	3		
Затухание из-за геометрической дивергенции, Adiv, дБ	расстояние = 406.68 м	ф-ла (7) [10]	**63,2**										
Коэффициент затухания звука в атмосфере α, дБ/км	Ta=20,°C Pa=101.33,кПа hотн.=70%	ф-ла (5) [9]	0,02	0,09	0,33	1,12	2,79	4,98	9,04	23,09	77,63		
Учет затухания звука в атмосфере Aatm, дБ		ф-ла (8) [10]	0	0	0,1	0,5	1,1	2	3,7	9,4	31,6		
Снижение уровня звукового давления из-за влияния застройки между источником шума и расчетной точкой													
Снижение уровня звукового давления на пути над экраном, Dz1, дБ	z = 5.76м (разность путей)	ф-лы (14-18) [10]	17,5	20,6	23,6	26,6	29,6	32,6	35,6	38,6	41,6		
Снижение уровня звукового давления на пути слева от экрана, Dz2, дБ	z = 8.34м (разность путей)	ф-лы (14-18) [10]	19,4	22,6	25,7	28,7	31,7	34,7	37,7	40,7	43,7		
Снижение уровня звукового давления на пути справа от экрана, Dz3, дБ	z = 45.07м (разность путей)	ф-лы (14-18) [10]	24,1	28,6	32,5	35,9	39	42	45	48	51		
Общее снижение уровня звука препятствием Dz, дБ		Эн.сумма(-Dzi)	14,8	18,1	21,2	24,2	27,2	30,2	33,2	36,2	39,2		
Общее снижение уровня звука препятствием с учётом ограничения (25 дБ) для октавных полос Dz, дБ		Раздел 7.4 [10]	14,8	18,1	21,2	24,2	25	25	25	25	25		

1		2	3	4	5	6	7	8	9	10	11	12	13
Уровни звукового давления от источника ИШ-2-29 в расчётной точке днём, дБ		**ф-ла(3)[10]**	**0**	**15**	**13,2**	**11,1**	**10**	**8,7**	**3,7**	**0**	**0**	**12,5**	**12,5**
Источник шума: ИШ-2-4, координаты источника (x,y,z), м =[632.70,-65.30,3.00]													
Уровни звуковой мощности источника днём, Lw, дБ		**исходные данные**	**105**	**104**	**104**	**101**	**102**	**106**	**101**	**95**	**87**		
Поправка на телесный угол DΩ, дБ	Ω = 6.28	10Lg(4π/Ω)	**3**	3	3	3	3	3	3	3	3		
Показатель направленности источника Di, дБ		исходные данные	**0**	0	0	0	0	0	0	0	0		
Поправка на направленность источника Dc, дБ	Dc	DΩ + Di	**3**	3	3	3	3	3	3	3	3		
Затухание из-за геометрической дивергенции, Adiv, дБ	расстояние = 298.40 м	ф-ла (7) [10]	**60,5**										
Коэффициент затухания звука в атмосфере α, дБ/км	Ta=20,°C Pa=101.33,кПа hотн.=70%	ф-ла (5) [9]	0,02	0,09	0,33	1,12	2,79	4,98	9,04	23,09	77,63		
Учет затухания звука в атмосфере Aatm, дБ		ф-ла (8) [10]	0	0	0,1	0,3	0,8	1,5	2,7	6,9	23,2		
Снижение уровня звукового давления из-за влияния застройки между источником шума и расчетной точкой													
Снижение уровня звукового давления на пути над экраном, Dz1, дБ	z = 5.09м (разность путей)	ф-лы (14-18) [10]	17,1	20,3	23,3	26,3	29,3	32,3	35,3	38,3	41,3		
Снижение уровня звукового давления на пути слева от экрана, Dz2, дБ	z = 0.21м (разность путей)	ф-лы (14-18) [10]	7,1	8,7	10,8	13,3	16	18,8	21,7	24,7	27,7		
Снижение уровня звукового давления на пути справа от экрана, Dz3, дБ	z = 36.24м (разность путей)	ф-лы (14-18) [10]	25,8	29	32	35	38,1	41,1	44,1	47,1	50,1		
Общее снижение уровня звука препятствием Dz, дБ		Эн.сумма(-Dzi)	6,6	8,4	10,5	13	15,7	18,6	21,5	24,5	27,5		
Общее снижение уровня звука препятствием с учётом ограничения (25 дБ) для октавных полос Dz, дБ		Раздел 7.4 [10]	6,6	8,4	10,5	13	15,7	18,6	21,5	24,5	25		
Уровни звукового давления от источника ИШ-2-4 в расчётной точке днём, дБ		**ф-ла(3)[10]**	**40,9**	**38,1**	**35,9**	**30,2**	**27,9**	**28,4**	**19,3**	**6,1**	**0**	**31,4**	**31,4**

1		2	3	4	5	6	7	8	9	10	11	12	13
Источник шума: ИШ-2-30, координаты источника (x,y,z), м =[702.44,-77.23,1.00]													
Уровни звуковой мощности источника днём, Lw, дБ		**исходные данные**	**0**	**93,3**	**94,7**	**96**	**96,3**	**95,9**	**92,6**	**88,4**	**83,9**		
Поправка на телесный угол DΩ, дБ	Ω = 6.28	10Lg(4π/Ω)	**3**	3	3	3	3	3	3	3	3		
Показатель направленности источника Di, дБ		исходные данные	**0**	0	0	0	0	0	0	0	0		
Поправка на направленность источника Dc, дБ	Dc	DΩ + Di	**3**	3	3	3	3	3	3	3	3		
Затухание из-за геометрической дивергенции, Adiv, дБ	расстояние = 367.41 м	ф-ла (7) [10]	**62,3**										
Коэффициент затухания звука в атмосфере α, дБ/км	Ta=20,°C Pa=101.33,кПа hотн.=70%	ф-ла (5) [9]	0,02	0,09	0,33	1,12	2,79	4,98	9,04	23,09	77,63		
Учет затухания звука в атмосфере Aatm, дБ		ф-ла (8) [10]	0	0	0,1	0,4	1	1,8	3,3	8,5	28,5		
Снижение уровня звукового давления из-за влияния застройки между источником шума и расчетной точкой													
Снижение уровня звукового давления на пути над экраном, Dz1, дБ	z = 4.67м (разность путей)	ф-лы (14-18) [10]	12,4	15,1	18	21,6	25,9	30,3	34,1	37,3	40,4		
Снижение уровня звукового давления на пути слева от экрана, Dz2, дБ	z = 0.11м (разность путей)	ф-лы (14-18) [10]	5,3	5,8	6,6	7,9	9,7	12	14,5	17,3	20,2		
Снижение уровня звукового давления на пути справа от экрана, Dz3, дБ	z = 32.97м (разность путей)	ф-лы (14-18) [10]	25,4	28,6	31,6	34,6	37,6	40,7	43,7	46,7	49,7		
Общее снижение уровня звука препятствием Dz, дБ		Эн.сумма(-Dzi)	4,5	5,3	6,3	7,7	9,6	11,9	14,5	17,3	20,1		
Уровни звукового давления от источника ИШ-2-30 в расчётной точке днём, дБ		**ф-ла(3)[10]**	**0**	**28,7**	**29**	**28,6**	**26,4**	**22,9**	**15,5**	**3,4**	**0**	**27,6**	**27,6**
Источник шума: ИШ-2-31, координаты источника (x,y,z), м =[701.42,-80.17,1.00]													
Уровни звуковой мощности источника днём, Lw, дБ		**исходные данные**	**0**	**93,3**	**94,7**	**96**	**96,3**	**95,9**	**92,6**	**88,4**	**83,9**		

1		2	3	4	5	6	7	8	9	10	11	12	13
Поправка на телесный угол DΩ, дБ	Ω = 6.28	10Lg(4π/Ω)	**3**	3	3	3	3	3	3	3	3		
Показатель направленности источника Di, дБ		исходные данные	**0**	0	0	0	0	0	0	0	0		
Поправка на направленность источника Dc, дБ	Dc	DΩ + Di	**3**	3	3	3	3	3	3	3	3		
Затухание из-за геометрической дивергенции, Adiv, дБ	расстояние = 366.32 м	ф-ла (7) [10]	**62,3**										
Коэффициент затухания звука в атмосфере α, дБ/км	Ta=20,°C Pa=101.33,кПа hотн.=70%	ф-ла (5) [9]	0,02	0,09	0,33	1,12	2,79	4,98	9,04	23,09	77,63		
Учет затухания звука в атмосфере Aatm, дБ		ф-ла (8) [10]	0	0	0,1	0,4	1	1,8	3,3	8,5	28,4		
Снижение уровня звукового давления из-за влияния застройки между источником шума и расчетной точкой													
Снижение уровня звукового давления на пути над экраном, Dz1, дБ	z = 4.62м (разность путей)	ф-лы (14-18) [10]	12,4	15	18	21,5	25,8	30,2	34	37,2	40,3		
Снижение уровня звукового давления на пути слева от экрана, Dz2, дБ	z = 0.10м (разность путей)	ф-лы (14-18) [10]	5,3	5,7	6,5	7,7	9,4	11,6	14,1	16,9	19,7		
Снижение уровня звукового давления на пути справа от экрана, Dz3, дБ	z = 34.36м (разность путей)	ф-лы (14-18) [10]	25,5	28,8	31,8	34,8	37,8	40,8	43,8	46,9	49,9		
Общее снижение уровня звука препятствием Dz, дБ		Эн.сумма(-Dzi)	4,5	5,2	6,1	7,5	9,3	11,5	14,1	16,8	19,7		
Уровни звукового давления от источника ИШ-2-31 в расчётной точке днём, дБ		**ф-ла(3)[10]**	**0**	**28,8**	**29,1**	**28,8**	**26,7**	**23,3**	**15,9**	**3,8**	**0**	**27,9**	**27,9**
Источник шума: ИШ-2-32, координаты источника (x,y,z), м =[700.38,-83.01,1.00]													
Уровни звуковой мощности источника днём, Lw, дБ		**исходные данные**	**0**	**93,3**	**94,7**	**96**	**96,3**	**95,9**	**92,6**	**88,4**	**83,9**		
Поправка на телесный угол DΩ, дБ	Ω = 6.28	10Lg(4π/Ω)	**3**	3	3	3	3	3	3	3	3		
Показатель направленности источника Di, дБ		исходные данные	**0**	0	0	0	0	0	0	0	0		

1		2	3	4	5	6	7	8	9	10	11	12	13
Поправка на направленность источника Dc, дБ	Dc	DΩ + Di	**3**	3	3	3	3	3	3	3	3		
Затухание из-за геометрической дивергенции, Adiv, дБ	расстояние = 365.23 м	ф-ла (7) [10]	**62,3**										
Коэффициент затухания звука в атмосфере α, дБ/км	Ta=20,°C Pa=101.33,кПа hотн.=70%	ф-ла (5) [9]	0,02	0,09	0,33	1,12	2,79	4,98	9,04	23,09	77,63		
Учет затухания звука в атмосфере Aatm, дБ		ф-ла (8) [10]	0	0	0,1	0,4	1	1,8	3,3	8,4	28,4		
Снижение уровня звукового давления из-за влияния застройки между источником шума и расчетной точкой													
Снижение уровня звукового давления на пути над экраном, Dz1, дБ	z = 4.56м (разность путей)	ф-лы (14-18) [10]	12,3	15	17,9	21,4	25,6	30,1	33,9	37,2	40,2		
Снижение уровня звукового давления на пути слева от экрана, Dz2, дБ	z = 0.09м (разность путей)	ф-лы (14-18) [10]	5,2	5,6	6,3	7,4	9,1	11,2	13,7	16,4	19,3		
Снижение уровня звукового давления на пути справа от экрана, Dz3, дБ	z = 35.77м (разность путей)	ф-лы (14-18) [10]	25,7	28,9	32	35	38	41	44	47	50		
Общее снижение уровня звука препятствием Dz, дБ		Эн.сумма(-Dzi)	4,4	5,1	6	7,3	9	11,1	13,6	16,4	19,2		
Уровни звукового давления от источника ИШ-2-32 в расчётной точке днём, дБ		**ф-ла(3)[10]**	**0**	**28,9**	**29,3**	**29,1**	**27,1**	**23,7**	**16,4**	**4,4**	**0**	**28,3**	**28,3**
Источник шума: ИШ-2-33, координаты источника (x,y,z), м =[699.52,-85.98,1.00]													
Уровни звуковой мощности источника днём, Lw, дБ		**исходные данные**	**0**	**93,3**	**94,7**	**96**	**96,3**	**95,9**	**92,6**	**88,4**	**83,9**		
Поправка на телесный угол DΩ, дБ	Ω = 6.28	10Lg(4π/Ω)	**3**	3	3	3	3	3	3	3	3		
Показатель направленности источника Di, дБ		исходные данные	**0**	0	0	0	0	0	0	0	0		
Поправка на направленность источника Dc, дБ	Dc	DΩ + Di	**3**	3	3	3	3	3	3	3	3		
Затухание из-за геометрической дивергенции, Adiv, дБ	расстояние = 364.34 м	ф-ла (7) [10]	**62,2**										

1		2	3	4	5	6	7	8	9	10	11	12	13
Коэффициент затухания звука в атмосфере α, дБ/км	Ta=20,°C Pa=101.33,кПа hотн.=70%	ф-ла (5) [9]	0,02	0,09	0,33	1,12	2,79	4,98	9,04	23,09	77,63		
Учет затухания звука в атмосфере Aatm, дБ		ф-ла (8) [10]	0	0	0,1	0,4	1	1,8	3,3	8,4	28,3		
Снижение уровня звукового давления из-за влияния застройки между источником шума и расчетной точкой													
Снижение уровня звукового давления на пути над экраном, Dz1, дБ	z = 4.50м (разность путей)	ф-лы (14-18) [10]	12,3	14,9	17,8	21,3	25,5	30	33,8	37,1	40,2		
Снижение уровня звукового давления на пути слева от экрана, Dz2, дБ	z = 0.08м (разность путей)	ф-лы (14-18) [10]	5,2	5,5	6,1	7,2	8,7	10,8	13,2	15,9	18,7		
Снижение уровня звукового давления на пути справа от экрана, Dz3, дБ	z = 37.27м (разность путей)	ф-лы (14-18) [10]	25,9	29,1	32,1	35,2	38,2	41,2	44,2	47,2	50,2		
Общее снижение уровня звука препятствием Dz, дБ		Эн.сумма(-Dzi)	4,4	5	5,9	7	8,6	10,7	13,2	15,9	18,7		
Уровни звукового давления от источника ИШ-2-33 в расчётной точке днём, дБ		**ф-ла(3)[10]**	**0**	**29**	**29,5**	**29,3**	**27,4**	**24,1**	**16,9**	**4,9**	**0**	**28,7**	**28,7**
Источник шума: ИШ-2-34, координаты источника (x,y,z), м =[698.43,-88.85,1.00]													
Уровни звуковой мощности источника днём, Lw, дБ		**исходные данные**	**0**	**93,3**	**94,7**	**96**	**96,3**	**95,9**	**92,6**	**88,4**	**83,9**		
Поправка на телесный угол DΩ, дБ	Ω = 6.28	10Lg(4π/Ω)	**3**	3	3	3	3	3	3	3	3		
Показатель направленности источника Di, дБ		исходные данные	**0**	0	0	0	0	0	0	0	0		
Поправка на направленность источника Dc, дБ	Dc	DΩ + Di	**3**	3	3	3	3	3	3	3	3		
Затухание из-за геометрической дивергенции, Adiv, дБ	расстояние = 363.24 м	ф-ла (7) [10]	**62,2**										
Коэффициент затухания звука в атмосфере α, дБ/км	Ta=20,°C Pa=101.33,кПа hотн.=70%	ф-ла (5) [9]	0,02	0,09	0,33	1,12	2,79	4,98	9,04	23,09	77,63		
Учет затухания звука в атмосфере Aatm, дБ		ф-ла (8) [10]	0	0	0,1	0,4	1	1,8	3,3	8,4	28,2		

1		2	3	4	5	6	7	8	9	10	11	12	13
Снижение уровня звукового давления из-за влияния застройки между источником шума и расчетной точкой													
Снижение уровня звукового давления на пути над экраном, Dz1, дБ	z = 4.45м (разность путей)	ф-лы (14-18) [10]	12,2	14,8	17,7	21,1	25,3	29,8	33,7	37	40,1		
Снижение уровня звукового давления на пути слева от экрана, Dz2, дБ	z = 0.07м (разность путей)	ф-лы (14-18) [10]	5,1	5,4	6	7	8,4	10,4	12,7	15,4	18,2		
Снижение уровня звукового давления на пути справа от экрана, Dz3, дБ	z = 38.80м (разность путей)	ф-лы (14-18) [10]	26,1	29,3	32,3	35,3	38,4	41,4	44,4	47,4	50,4		
Общее снижение уровня звука препятствием Dz, дБ		Эн.сумма(-Dzi)	4,3	4,9	5,7	6,8	8,3	10,3	12,7	15,3	18,2		
Уровни звукового давления от источника ИШ-2-34 в расчётной точке днём, дБ		**ф-ла(3)[10]**	**0**	**29,1**	**29,7**	**29,6**	**27,8**	**24,6**	**17,4**	**5,5**	**0**	**29**	**29**
Источник шума: ИШ-2-35, координаты источника (x,y,z), м =[697.52,-91.66,1.00]													
Уровни звуковой мощности источника днём, Lw, дБ		**исходные данные**	**0**	**93,3**	**94,7**	**96**	**96,3**	**95,9**	**92,6**	**88,4**	**83,9**		
Поправка на телесный угол DΩ, дБ	Ω = 6.28	10Lg(4π/Ω)	**3**	3	3	3	3	3	3	3	3		
Показатель направленности источника Di, дБ		исходные данные	**0**	0	0	0	0	0	0	0	0		
Поправка на направленность источника Dc, дБ	Dc	DΩ + Di	**3**	3	3	3	3	3	3	3	3		
Затухание из-за геометрической дивергенции, Adiv, дБ	расстояние = 362.34 м	ф-ла (7) [10]	**62,2**										
Коэффициент затухания звука в атмосфере α, дБ/км	Ta=20,°C Pa=101.33,кПа hотн.=70%	ф-ла (5) [9]	0,02	0,09	0,33	1,12	2,79	4,98	9,04	23,09	77,63		
Учет затухания звука в атмосфере Aatm, дБ		ф-ла (8) [10]	0	0	0,1	0,4	1	1,8	3,3	8,4	28,1		
Снижение уровня звукового давления из-за влияния застройки между источником шума и расчетной точкой													
Снижение уровня звукового давления на пути над экраном, Dz1, дБ	z = 4.39м (разность путей)	ф-лы (14-18) [10]	12,1	14,8	17,7	21	25,1	29,7	33,6	36,9	40		

1		2	3	4	5	6	7	8	9	10	11	12	13
Снижение уровня звукового давления на пути слева от экрана, Dz2, дБ	z = 0.06м (разность путей)	ф-лы (14-18) [10]	5,1	5,4	5,9	6,7	8,1	9,9	12,2	14,8	17,6		
Снижение уровня звукового давления на пути справа от экрана, Dz3, дБ	z = 59.43м (разность путей)	ф-лы (14-18) [10]	25,2	29,8	33,7	37,1	40,2	43,2	46,2	49,2	52,2		
Общее снижение уровня звука препятствием Dz, дБ		Эн.сумма(-Dzi)	4,3	4,9	5,6	6,6	8	9,9	12,2	14,8	17,6		
Уровни звукового давления от источника ИШ-2-35 в расчётной точке днём, дБ		**ф-ла(3)[10]**	**0**	**29,2**	**29,8**	**29,8**	**28,1**	**25**	**17,9**	**6**	**0**	**29,4**	**29,4**
Источник шума: ИШ-2-36, координаты источника (x,y,z), м =[696.58,-94.55,1.00]													
Уровни звуковой мощности источника днём, Lw, дБ		**исходные данные**	**0**	**93,3**	**94,7**	**96**	**96,3**	**95,9**	**92,6**	**88,4**	**83,9**		
Поправка на телесный угол DΩ, дБ	Ω = 6.28	10Lg(4π/Ω)	**3**	3	3	3	3	3	3	3	3		
Показатель направленности источника Di, дБ		исходные данные	**0**	0	0	0	0	0	0	0	0		
Поправка на направленность источника Dc, дБ	Dc	DΩ + Di	**3**	3	3	3	3	3	3	3	3		
Затухание из-за геометрической дивергенции, Adiv, дБ	расстояние = 361.44 м	ф-ла (7) [10]	**62,2**										
Коэффициент затухания звука в атмосфере α, дБ/км	Ta=20,°C Pa=101.33,кПа hотн.=70%	ф-ла (5) [9]	0,02	0,09	0,33	1,12	2,79	4,98	9,04	23,09	77,63		
Учет затухания звука в атмосфере Aatm, дБ		ф-ла (8) [10]	0	0	0,1	0,4	1	1,8	3,3	8,3	28,1		
Снижение уровня звукового давления из-за влияния застройки между источником шума и расчетной точкой													
Снижение уровня звукового давления на пути над экраном, Dz1, дБ	z = 4.32м (разность путей)	ф-лы (14-18) [10]	12,1	14,7	17,6	20,9	25	29,5	33,5	36,9	40		
Снижение уровня звукового давления на пути слева от экрана, Dz2, дБ	z = 0.05м (разность путей)	ф-лы (14-18) [10]	5	5,3	5,7	6,5	7,7	9,5	11,7	14,2	17		
Снижение уровня звукового давления на пути справа от экрана, Dz3, дБ	z = 59.90м (разность путей)	ф-лы (14-18) [10]	25,3	29,8	33,7	37,1	40,2	43,2	46,3	49,3	52,3		

1		2	3	4	5	6	7	8	9	10	11	12	13
Общее снижение уровня звука препятствием Dz, дБ		Эн.сумма(-Dzi)	4,2	4,8	5,4	6,3	7,7	9,4	11,7	14,2	17		
Уровни звукового давления от источника ИШ-2-36 в расчётной точке днём, дБ		**ф-ла(3)[10]**	**0**	**29,3**	**30**	**30,1**	**28,5**	**25,5**	**18,5**	**6,7**	**0**	**29,8**	**29,8**
Источник шума: ИШ-2-37, координаты источника (x,y,z), м =[695.57,-97.37,1.00]													
Уровни звуковой мощности источника днём, Lw, дБ		**исходные данные**	**0**	**93,3**	**94,7**	**96**	**96,3**	**95,9**	**92,6**	**88,4**	**83,9**		
Поправка на телесный угол DΩ, дБ	Ω = 6.28	10Lg(4π/Ω)	**3**	3	3	3	3	3	3	3	3		
Показатель направленности источника Di, дБ		исходные данные	**0**	0	0	0	0	0	0	0	0		
Поправка на направленность источника Dc, дБ	Dc	DΩ + Di	**3**	3	3	3	3	3	3	3	3		
Затухание из-за геометрической дивергенции, Adiv, дБ	расстояние = 360.49 м	ф-ла (7) [10]	**62,1**										
Коэффициент затухания звука в атмосфере α, дБ/км	Ta=20,°C Pa=101.33,кПа hотн.=70%	ф-ла (5) [9]	0,02	0,09	0,33	1,12	2,79	4,98	9,04	23,09	77,63		
Учет затухания звука в атмосфере Aatm, дБ		ф-ла (8) [10]	0	0	0,1	0,4	1	1,8	3,3	8,3	28		
Снижение уровня звукового давления из-за влияния застройки между источником шума и расчетной точкой													
Снижение уровня звукового давления на пути над экраном, Dz1, дБ	z = 4.26м (разность путей)	ф-лы (14-18) [10]	12	14,6	17,5	20,8	24,8	29,3	33,4	36,8	39,9		
Снижение уровня звукового давления на пути слева от экрана, Dz2, дБ	z = 0.04м (разность путей)	ф-лы (14-18) [10]	5	5,2	5,6	6,3	7,4	9	11,1	13,6	16,3		
Снижение уровня звукового давления на пути справа от экрана, Dz3, дБ	z = 60.36м (разность путей)	ф-лы (14-18) [10]	25,3	29,8	33,8	37,1	40,2	43,3	46,3	49,3	52,3		
Общее снижение уровня звука препятствием Dz, дБ		Эн.сумма(-Dzi)	4,2	4,7	5,3	6,1	7,3	9	11,1	13,6	16,3		
Уровни звукового давления от источника ИШ-2-37 в расчётной точке днём, дБ		**ф-ла(3)[10]**	**0**	**29,4**	**30,1**	**30,3**	**28,8**	**26**	**19,1**	**7,3**	**0**	**30,2**	**30,2**

1		2	3	4	5	6	7	8	9	10	11	12	13
Источник шума: ИШ-2-5, координаты источника (x,y,z), м =[618.60,-108.00,3.00]													
Уровни звуковой мощности источника днём, Lw, дБ		**исходные данные**	**105**	**104**	**104**	**101**	**102**	**106**	**101**	**95**	**87**		
Поправка на телесный угол DΩ, дБ	Ω = 6.28	10Lg(4π/Ω)	**3**	3	3	3	3	3	3	3	3		
Показатель направленности источника Di, дБ		исходные данные	**0**	0	0	0	0	0	0	0	0		
Поправка на направленность источника Dc, дБ	Dc	DΩ + Di	**3**	3	3	3	3	3	3	3	3		
Затухание из-за геометрической дивергенции, Adiv, дБ	расстояние = 284.09 м	ф-ла (7) [10]	**60,1**										
Коэффициент затухания звука в атмосфере α, дБ/км	Ta=20,°C Pa=101.33,кПа hотн.=70%	ф-ла (5) [9]	0,02	0,09	0,33	1,12	2,79	4,98	9,04	23,09	77,63		
Учет затухания звука в атмосфере Aatm, дБ		ф-ла (8) [10]	0	0	0,1	0,3	0,8	1,4	2,6	6,6	22,1		
Снижение уровня звукового давления из-за влияния застройки между источником шума и расчетной точкой													
Снижение уровня звукового давления на пути над экраном, Dz1, дБ	z = 3.83м (разность путей)	ф-лы (14-18) [10]	11,8	14,3	17,1	20,1	23,6	27,8	32,3	36,2	39,5		
Снижение уровня звукового давления на пути слева от экрана, Dz2, дБ	z = 0.01м (разность путей)	ф-лы (14-18) [10]	4,8	4,9	5	5,2	5,7	6,4	7,6	9,3	11,5		
Снижение уровня звукового давления на пути справа от экрана, Dz3, дБ	z = 64.10м (разность путей)	ф-лы (14-18) [10]	25,6	30,1	34	37,4	40,5	43,5	46,6	49,6	52,6		
Общее снижение уровня звука препятствием Dz, дБ		Эн.сумма(-Dzi)	4	4,4	4,7	5,1	5,6	6,4	7,6	9,3	11,5		
Уровни звукового давления прямого звука от источника ИШ-2-5 в расчётной точке днём, дБ		**ф-ла(3)[10]**	**43,9**	**42,5**	**42,1**	**38,5**	**38,5**	**41,1**	**33,8**	**22,1**	**0**	**43,3**	**43,3**
Расчёт отражённого звука													
Уровни звукового давления от мнимого источника ИШ-2-5_мн.(1) в расчётной точке днём, дБ		**ф-ла(3)[10]**	**0**	**0**	**0**	**0**	**0**	**0**	**23,2**	**10,2**	**0**	**24,6**	**24,6**

1		2	3	4	5	6	7	8	9	10	11	12	13
Уровни звукового давления от мнимого источника ИШ-2-5_мн.(2) в расчётной точке днём, дБ		**ф-ла(3)[10]**	**0**	**0**	**0**	**0**	**0**	**0**	**0**	**0**	**0**	**0**	**0**
Суммарные уровни звукового давления от мнимых источников в расчётной точке днём, дБ		**ф-ла (19) [1]**	**0**	**0**	**0**	**0**	**0**	**0**	**23,2**	**10,2**	**0**	**0**	**24,6**
Уровни звукового давления от источника ИШ-2-5 в расчётной точке днём, дБ		**ф-ла(3)[10]**	**43,9**	**42,5**	**42,1**	**38,5**	**38,5**	**41,1**	**34,1**	**22,4**	**0**	**43,3**	**43,3**
Источник шума: ИШ-2-38, координаты источника (x,y,z), м =[688.13,-119.94,1.00]													
Уровни звуковой мощности источника днём, Lw, дБ		**исходные данные**	**0**	**93,3**	**94,7**	**96**	**96,3**	**95,9**	**92,6**	**88,4**	**83,9**		
Поправка на телесный угол DΩ, дБ	Ω = 6.28	10Lg(4π/Ω)	**3**	3	3	3	3	3	3	3	3		
Показатель направленности источника Di, дБ		исходные данные	**0**	0	0	0	0	0	0	0	0		
Поправка на направленность источника Dc, дБ	Dc	DΩ + Di	**3**	3	3	3	3	3	3	3	3		
Затухание из-за геометрической дивергенции, Adiv, дБ	расстояние = 354.35 м	ф-ла (7) [10]	**62**										
Коэффициент затухания звука в атмосфере α, дБ/км	Та=20,°С Ра=101.33,кПа hотн.=70%	ф-ла (5) [9]	0,02	0,09	0,33	1,12	2,79	4,98	9,04	23,09	77,63		
Учет затухания звука в атмосфере Aatm, дБ		ф-ла (8) [10]	0	0	0,1	0,4	1	1,8	3,2	8,2	27,5		
Снижение уровня звукового давления из-за влияния застройки между источником шума и расчетной точкой													
Снижение уровня звукового давления на пути над экраном, Dz1, дБ	z = 3.66м (разность путей)	ф-лы (14-18) [10]	11,4	13,9	16,7	19,6	22,8	26,5	31	35,3	38,9		
Снижение уровня звукового давления на пути слева от экрана, Dz2, дБ	z = 0.00м (разность путей)	ф-лы (14-18) [10]	4,8	4,8	4,9	4,9	5,1	5,4	6	6,9	8,3		
Снижение уровня звукового давления на пути справа от экрана, Dz3, дБ	z = 64.10м (разность путей)	ф-лы (14-18) [10]	25,6	30,1	34	37,4	40,5	43,5	46,6	49,6	52,6		
Общее снижение уровня звука препятствием Dz, дБ		Эн.сумма(-Dzi)	3,9	4,3	4,6	4,8	5	5,4	6	6,9	8,3		

1		2	3	4	5	6	7	8	9	10	11	12	13
Уровни звукового давления прямого звука от источника ИШ-2-38 в расчётной точке днём, дБ		**ф-ла(3)[10]**	**0**	**30**	**31**	**31,8**	**31,3**	**29,8**	**24,4**	**14,3**	**0**	**33,5**	**33,5**
Расчёт отражённого звука													
Уровни звукового давления от мнимого источника ИШ-2-38_мн.(1) в расчётной точке днём, дБ		**ф-ла(3)[10]**	**0**	**0**	**0**	**0**	**0**	**0**	**0**	**0**	**0**	**0**	**0**
Уровни звукового давления от источника ИШ-2-38 в расчётной точке днём, дБ		**ф-ла(3)[10]**	**0**	**30**	**31**	**31,8**	**31,3**	**29,8**	**24,4**	**14,3**	**0**	**33,5**	**33,5**
Источник шума: ИШ-2-39, координаты источника (x,y,z), м =[687.11,-122.83,1.00]													
Уровни звуковой мощности источника днём, Lw, дБ		**исходные данные**	**0**	**93,3**	**94,7**	**96**	**96,3**	**95,9**	**92,6**	**88,4**	**83,9**		
Поправка на телесный угол DΩ, дБ	Ω = 6.28	10Lg(4π/Ω)	**3**	3	3	3	3	3	3	3	3		
Показатель направленности источника Di, дБ		исходные данные	**0**	0	0	0	0	0	0	0	0		
Поправка на направленность источника Dc, дБ	Dc	DΩ + Di	**3**	3	3	3	3	3	3	3	3		
Затухание из-за геометрической дивергенции, Adiv, дБ	расстояние = 353.61 м	ф-ла (7) [10]	**62**										
Коэффициент затухания звука в атмосфере α, дБ/км	Ta=20,°C Pa=101.33,кПа hотн.=70%	ф-ла (5) [9]	0,02	0,09	0,33	1,12	2,79	4,98	9,04	23,09	77,63		
Учет затухания звука в атмосфере Aatm, дБ		ф-ла (8) [10]	0	0	0,1	0,4	1	1,8	3,2	8,2	27,5		
Снижение уровня звукового давления из-за влияния застройки между источником шума и расчетной точкой													
Снижение уровня звукового давления на пути над экраном, Dz1, дБ	z = 3.57м (разность путей)	ф-лы (14-18) [10]	11,3	13,8	16,5	19,4	22,5	26	30,1	34,7	38,6		
Снижение уровня звукового давления на пути слева от экрана, Dz2, дБ	z = 0.00м (разность путей)	ф-лы (14-18) [10]	4,8	4,8	4,8	4,9	4,9	5,1	5,4	6	6,9		
Снижение уровня звукового давления на пути справа от экрана, Dz3, дБ	z = 64.59м (разность путей)	ф-лы (14-18) [10]	25,6	30,1	34,1	37,4	40,5	43,6	46,6	49,6	52,6		

1		2	3	4	5	6	7	8	9	10	11	12	13
Общее снижение уровня звука препятствием Dz, дБ		Эн.сумма(-Dzi)	3,9	4,3	4,5	4,7	4,9	5,1	5,4	6	6,9		
Уровни звукового давления прямого звука от источника ИШ-2-39 в расчётной точке днём, дБ		**ф-ла(3)[10]**	**0**	**30**	**31,1**	**31,9**	**31,5**	**30,1**	**25**	**15,3**	**0**	**33,8**	**33,8**
Расчёт отражённого звука													
Уровни звукового давления от мнимого источника ИШ-2-39_мн.(1) в расчётной точке днём, дБ		**ф-ла(3)[10]**	**0**	**0**	**0**	**0**	**0**	**0**	**0**	**0**	**0**	**0**	**0**
Уровни звукового давления от источника ИШ-2-39 в расчётной точке днём, дБ		**ф-ла(3)[10]**	**0**	**30**	**31,1**	**31,9**	**31,5**	**30,1**	**25**	**15,3**	**0**	**33,8**	**33,8**
Источник шума: ИШ-2-40, координаты источника (x,y,z), м =[686.10,-125.67,1.00]													
Уровни звуковой мощности источника днём, Lw, дБ		**исходные данные**	**0**	**93,3**	**94,7**	**96**	**96,3**	**95,9**	**92,6**	**88,4**	**83,9**		
Поправка на телесный угол DΩ, дБ	Ω = 6.28	10Lg(4π/Ω)	**3**	3	3	3	3	3	3	3	3		
Показатель направленности источника Di, дБ		исходные данные	**0**	0	0	0	0	0	0	0	0		
Поправка на направленность источника Dc, дБ	Dc	DΩ + Di	**3**	3	3	3	3	3	3	3	3		
Затухание из-за геометрической дивергенции, Adiv, дБ	расстояние = 352.89 м	ф-ла (7) [10]	**62**										
Коэффициент затухания звука в атмосфере α, дБ/км	Ta=20,°C Pa=101.33,кПа hотн.=70%	ф-ла (5) [9]	0,02	0,09	0,33	1,12	2,79	4,98	9,04	23,09	77,63		
Учет затухания звука в атмосфере Aatm, дБ		ф-ла (8) [10]	0	0	0,1	0,4	1	1,8	3,2	8,1	27,4		
Снижение уровня звукового давления из-за влияния застройки между источником шума и расчетной точкой													
Снижение уровня звукового давления на пути над экраном, Dz1, дБ	z = 3.48м (разность путей)	ф-лы (14-18) [10]	11,2	13,7	16,4	19,3	22,3	25,4	29,1	33,5	37,9		
Снижение уровня звукового давления на пути слева от экрана, Dz2, дБ	z = 0.00м (разность путей)	ф-лы (14-18) [10]	4,8	4,8	4,8	4,8	4,8	4,9	5	5,2	5,6		

1		2	3	4	5	6	7	8	9	10	11	12	13
Снижение уровня звукового давления на пути справа от экрана, Dz3, дБ	z = 65.07м (разность путей)	ф-лы (14-18) [10]	25,6	30,2	34,1	37,5	40,6	43,6	46,6	49,6	52,6		
Общее снижение уровня звука препятствием Dz, дБ		Эн.сумма(-Dzi)	3,9	4,2	4,5	4,6	4,8	4,9	5	5,2	5,6		
Уровни звукового давления прямого звука от источника ИШ-2-40 в расчётной точке днём, дБ		**ф-ла(3)[10]**	**0**	**30,1**	**31,1**	**32**	**31,6**	**30,3**	**25,5**	**16,1**	**0**	**34**	**34**
Расчёт отражённого звука													
Уровни звукового давления от мнимого источника ИШ-2-40_мн.(1) в расчётной точке днём, дБ		**ф-ла(3)[10]**	**0**	**0**	**0**	**0**	**0**	**0**	**0**	**0**	**0**	**0**	**0**
Уровни звукового давления от источника ИШ-2-40 в расчётной точке днём, дБ		**ф-ла(3)[10]**	**0**	**30,1**	**31,1**	**32**	**31,6**	**30,3**	**25,5**	**16,1**	**0**	**34**	**34**
Источник шума: ИШ-2-41, координаты источника (x,y,z), м =[685.14,-128.64,1.00]													
Уровни звуковой мощности источника днём, Lw, дБ		**исходные данные**	**0**	**93,3**	**94,7**	**96**	**96,3**	**95,9**	**92,6**	**88,4**	**83,9**		
Поправка на телесный угол DΩ, дБ	Ω = 6.28	10Lg(4π/Ω)	**3**	3	3	3	3	3	3	3	3		
Показатель направленности источника Di, дБ		исходные данные	**0**	0	0	0	0	0	0	0	0		
Поправка на направленность источника Dc, дБ	Dc	DΩ + Di	**3**	3	3	3	3	3	3	3	3		
Затухание из-за геометрической дивергенции, Adiv, дБ	расстояние = 352.26 м	ф-ла (7) [10]	**61,9**										
Коэффициент затухания звука в атмосфере α, дБ/км	Ta=20,°C Pa=101.33,кПа hотн.=70%	ф-ла (5) [9]	0,02	0,09	0,33	1,12	2,79	4,98	9,04	23,09	77,63		
Учет затухания звука в атмосфере Aatm, дБ		ф-ла (8) [10]	0	0	0,1	0,4	1	1,8	3,2	8,1	27,3		
Снижение уровня звукового давления из-за влияния застройки между источником шума и расчетной точкой													
Снижение уровня звукового давления на пути над экраном, Dz1, дБ	z = 3.38м (разность путей)	ф-лы (14-18) [10]	11,1	13,6	16,3	19,1	22	25	28,1	31,4	35,2		

1		2	3	4	5	6	7	8	9	10	11	12	13
Снижение уровня звукового давления на пути слева от экрана, Dz2, дБ	z = 0.00м (разность путей)	ф-лы (14-18) [10]	4,8	4,8	4,8	4,8	4,8	4,8	4,8	4,8	4,8		
Снижение уровня звукового давления на пути справа от экрана, Dz3, дБ	z = 65.57м (разность путей)	ф-лы (14-18) [10]	25,7	30,2	34,1	37,5	40,6	43,6	46,7	49,7	52,7		
Общее снижение уровня звука препятствием Dz, дБ		Эн.сумма(-Dzi)	3,8	4,2	4,5	4,6	4,7	4,7	4,8	4,8	4,8		
Уровни звукового давления прямого звука от источника ИШ-2-41 в расчётной точке днём, дБ		**ф-ла(3)[10]**	**0**	**30,1**	**31,2**	**32**	**31,7**	**30,5**	**25,7**	**16,5**	**0**	**34,2**	**34,2**
Расчёт отражённого звука													
Уровни звукового давления от мнимого источника ИШ-2-41_мн.(1) в расчётной точке днём, дБ		**ф-ла(3)[10]**	**0**	**0**	**0**	**0**	**0**	**0**	**0**	**0**	**0**	**0**	**0**
Уровни звукового давления от источника ИШ-2-41 в расчётной точке днём, дБ		**ф-ла(3)[10]**	**0**	**30,1**	**31,2**	**32**	**31,7**	**30,5**	**25,7**	**16,5**	**0**	**34,2**	**34,2**
Источник шума: ИШ-2-42, координаты источника (x,y,z), м =[684.20,-131.46,1.00]													
Уровни звуковой мощности источника днём, Lw, дБ		**исходные данные**	**0**	**93,3**	**94,7**	**96**	**96,3**	**95,9**	**92,6**	**88,4**	**83,9**		
Поправка на телесный угол DΩ, дБ	Ω = 6.28	10Lg(4π/Ω)	**3**	3	3	3	3	3	3	3	3		
Показатель направленности источника Di, дБ		исходные данные	**0**	0	0	0	0	0	0	0	0		
Поправка на направленность источника Dc, дБ	Dc	DΩ + Di	**3**	3	3	3	3	3	3	3	3		
Затухание из-за геометрической дивергенции, Adiv, дБ	расстояние = 351.66 м	ф-ла (7) [10]	**61,9**										
Коэффициент затухания звука в атмосфере α, дБ/км	Ta=20,°C Pa=101.33,кПа hотн.=70%	ф-ла (5) [9]	0,02	0,09	0,33	1,12	2,79	4,98	9,04	23,09	77,63		
Учет затухания звука в атмосфере Aatm, дБ		ф-ла (8) [10]	0	0	0,1	0,4	1	1,8	3,2	8,1	27,3		
Снижение уровня звукового давления из-за влияния застройки между источником шума и расчетной точкой													

1		2	3	4	5	6	7	8	9	10	11	12	13
Снижение уровня звукового давления препятствием справа от трассы ИШ-РТ, Dz3, дБ	z = 0.00м (разность путей)	ф-лы (14-18) [10]	0	0	0	0	0	0	0	0	4,6		
* отрицательное значение z означает прохождение траектории вблизи экрана, в этом случае дополнительно производится учёт снижения подстилающей поверхностью (см.ниже)													
Снижение поверхностью земли возле источника As, дБ	Gs = 0 hs = 1м	ф-лы таб.3 [10]	-1,5	-1,5	-1,5	-1,5	-1,5	-1,5	-1,5	-1,5	-1,5		
Снижение поверхностью земли возле приёмника Ar, дБ	Gr = 1 hr = 1.5м	ф-лы таб.3 [10]	-1,5	-1,5	2,1	7	5	0,7	0	0	0		
Снижение поверхностью земли в средней зоне, Am дБ	Gm = 1	ф-лы таб.3 [10]	-2,4	-2,4	0	0	0	0	0	0	0		
Суммарное снижение поверхностью земли на траектории распространения звука Agr, дБ		ф-ла (9) [10]	-5,4	-5,4	0,6	5,5	3,5	-0,8	-1,5	-1,5	-1,5		
Уровни звукового давления прямого звука от источника ИШ-2-42 в расчётной точке днём, дБ		**ф-ла(3)[10]**	**0**	**39,7**	**35,1**	**31,2**	**32,9**	**36,1**	**32**	**22,9**	**0**	**38,8**	**38,8**
Расчёт отражённого звука													
Уровни звукового давления от мнимого источника ИШ-2-42_мн.(1) в расчётной точке днём, дБ		**ф-ла(3)[10]**	**0**	**0**	**0**	**0**	**0**	**0**	**0**	**0**	**0**	**0**	**0**
Уровни звукового давления от мнимого источника ИШ-2-42_мн.(2) в расчётной точке днём, дБ		**ф-ла(3)[10]**	**0**	**0**	**0**	**0**	**0**	**0**	**0**	**0**	**0**	**0**	**0**
Уровни звукового давления от мнимого источника ИШ-2-42_мн.(3) в расчётной точке днём, дБ		**ф-ла(3)[10]**	**0**	**0**	**0**	**0**	**0**	**0**	**0**	**0**	**0**	**0**	**0**
Суммарные уровни звукового давления от мнимых источников в расчётной точке днём, дБ		**ф-ла (19) [1]**	**0**	**0**	**0**	**0**	**0**	**0**	**0**	**0**	**0**	**0**	**0**
Уровни звукового давления от источника ИШ-2-42 в расчётной точке днём, дБ		**ф-ла(3)[10]**	**0**	**39,7**	**35,1**	**31,2**	**32,9**	**36,1**	**32**	**22,9**	**0**	**38,8**	**38,8**
Источник шума: ИШ-2-43, координаты источника (x,y,z), м =[683.13,-134.37,1.00]													
Уровни звуковой мощности источника днём, Lw, дБ		**исходные данные**	**0**	**93,3**	**94,7**	**96**	**96,3**	**95,9**	**92,6**	**88,4**	**83,9**		
Поправка на телесный угол DΩ, дБ	Ω = 6.28	10Lg(4π/Ω)	**3**	3	3	3	3	3	3	3	3		
Показатель направленности источника Di, дБ		исходные данные	**0**	0	0	0	0	0	0	0	0		
Поправка на направленность источника Dc, дБ	Dc	DΩ + Di	**3**	3	3	3	3	3	3	3	3		

1		2	3	4	5	6	7	8	9	10	11	12	13
Затухание из-за геометрической дивергенции, Adiv, дБ	расстояние = 350.98 м	ф-ла (7) [10]	**61,9**										
Коэффициент затухания звука в атмосфере α, дБ/км	Ta=20,°C Pa=101.33,кПа hотн.=70%	ф-ла (5) [9]	0,02	0,09	0,33	1,12	2,79	4,98	9,04	23,09	77,63		
Учет затухания звука в атмосфере Aatm, дБ		ф-ла (8) [10]	0	0	0,1	0,4	1	1,7	3,2	8,1	27,2		
Снижение уровня звукового давления из-за влияния застройки между источником шума и расчетной точкой													
Снижение уровня звукового давления препятствием справа от трассы ИШ-РТ, Dz3, дБ	z = 0.00м (разность путей)	ф-лы (14-18) [10]	0	0	0	0	0	0	0	4,1	3,3		
* отрицательное значение z означает прохождение траектории вблизи экрана, в этом случае дополнительно производится учёт снижения подстилающей поверхностью (см.ниже)													
Снижение поверхностью земли возле источника As, дБ	Gs = 0 hs = 1м	ф-лы таб.3 [10]	-1,5	-1,5	-1,5	-1,5	-1,5	-1,5	-1,5	-1,5	-1,5		
Снижение поверхностью земли возле приёмника Ar, дБ	Gr = 1 hr = 1.5м	ф-лы таб.3 [10]	-1,5	-1,5	2	7	5	0,7	0	0	0		
Снижение поверхностью земли в средней зоне, Am дБ	Gm = 1	ф-лы таб.3 [10]	-2,4	-2,4	0	0	0	0	0	0	0		
Суммарное снижение поверхностью земли на траектории распространения звука Agr, дБ		ф-ла (9) [10]	-5,4	-5,4	0,5	5,5	3,5	-0,8	-1,5	-1,5	-1,5		
Уровни звукового давления прямого звука от источника ИШ-2-43 в расчётной точке днём, дБ		**ф-ла(3)[10]**	**0**	**39,7**	**35,1**	**31,2**	**32,9**	**36,1**	**32**	**18,8**	**0**	**38,7**	**38,7**
Расчёт отражённого звука													
Уровни звукового давления от мнимого источника ИШ-2-43_мн.(1) в расчётной точке днём, дБ		**ф-ла(3)[10]**	**0**	**0**	**0**	**0**	**0**	**0**	**0**	**0**	**0**	**0**	**0**
Уровни звукового давления от мнимого источника ИШ-2-43_мн.(2) в расчётной точке днём, дБ		**ф-ла(3)[10]**	**0**	**0**	**0**	**0**	**0**	**0**	**0**	**0**	**0**	**0**	**0**
Уровни звукового давления от мнимого источника ИШ-2-43_мн.(3) в расчётной точке днём, дБ		**ф-ла(3)[10]**	**0**	**0**	**0**	**0**	**0**	**0**	**0**	**0**	**0**	**0**	**0**
Суммарные уровни звукового давления от мнимых источников в расчётной точке днём, дБ		**ф-ла (19) [1]**	**0**	**0**	**0**	**0**	**0**	**0**	**0**	**0**	**0**	**0**	**0**
Уровни звукового давления от источника ИШ-2-43 в расчётной точке днём, дБ		**ф-ла(3)[10]**	**0**	**39,7**	**35,1**	**31,2**	**32,9**	**36,1**	**32**	**18,8**	**0**	**38,7**	**38,7**

1		2	3	4	5	6	7	8	9	10	11	12	13
Источник шума: ИШ-2-44, координаты источника (x,y,z), м =[682.20,-137.16,1.00]													
Уровни звуковой мощности источника днём, Lw, дБ		**исходные данные**	**0**	**93,3**	**94,7**	**96**	**96,3**	**95,9**	**92,6**	**88,4**	**83,9**		
Поправка на телесный угол DΩ, дБ	Ω = 6.28	10Lg(4π/Ω)	**3**	3	3	3	3	3	3	3	3		
Показатель направленности источника Di, дБ		исходные данные	**0**	0	0	0	0	0	0	0	0		
Поправка на направленность источника Dc, дБ	Dc	DΩ + Di	**3**	3	3	3	3	3	3	3	3		
Затухание из-за геометрической дивергенции, Adiv, дБ	расстояние = 350.43 м	ф-ла (7) [10]	**61,9**										
Коэффициент затухания звука в атмосфере α, дБ/км	Ta=20,°C Pa=101.33,кПа hотн.=70%	ф-ла (5) [9]	0,02	0,09	0,33	1,12	2,79	4,98	9,04	23,09	77,63		
Учет затухания звука в атмосфере Aatm, дБ		ф-ла (8) [10]	0	0	0,1	0,4	1	1,7	3,2	8,1	27,2		
Снижение уровня звукового давления из-за влияния застройки между источником шума и расчетной точкой													
Снижение уровня звукового давления препятствием справа от трассы ИШ-РТ, Dz3, дБ	z = 0.00м (разность путей)	ф-лы (14-18) [10]	0	0	0	0	0	0	3,9	2,8	0		
* отрицательное значение z означает прохождение траектории вблизи экрана, в этом случае дополнительно производится учёт снижения подстилающей поверхностью (см.ниже)													
Снижение поверхностью земли возле источника As, дБ	Gs = 0 hs = 1м	ф-лы таб.3 [10]	-1,5	-1,5	-1,5	-1,5	-1,5	-1,5	-1,5	-1,5	-1,5		
Снижение поверхностью земли возле приёмника Ar, дБ	Gr = 1 hr = 1.5м	ф-лы таб.3 [10]	-1,5	-1,5	2	7	5	0,7	0	0	0		
Снижение поверхностью земли в средней зоне, Am дБ	Gm = 1	ф-лы таб.3 [10]	-2,4	-2,4	0	0	0	0	0	0	0		
Суммарное снижение поверхностью земли на траектории распространения звука Agr, дБ		ф-ла (9) [10]	-5,4	-5,4	0,5	5,5	3,5	-0,8	-1,5	-1,5	-1,5		
Уровни звукового давления прямого звука от источника ИШ-2-44 в расчётной точке днём, дБ		**ф-ла(3)[10]**	**0**	**39,7**	**35,1**	**31,2**	**33**	**36,1**	**28,1**	**20,1**	**0**	**38**	**38**
Расчёт отражённого звука													

1		2	3	4	5	6	7	8	9	10	11	12	13
Уровни звукового давления от мнимого источника ИШ-2-44_мн.(1) в расчётной точке днём, дБ		**ф-ла(3)[10]**	**0**	**0**	**0**	**0**	**0**	**0**	**0**	**0**	**0**	**0**	**0**
Уровни звукового давления от мнимого источника ИШ-2-44_мн.(2) в расчётной точке днём, дБ		**ф-ла(3)[10]**	**0**	**0**	**0**	**0**	**0**	**0**	**0**	**0**	**0**	**0**	**0**
Уровни звукового давления от мнимого источника ИШ-2-44_мн.(3) в расчётной точке днём, дБ		**ф-ла(3)[10]**	**0**	**0**	**0**	**0**	**0**	**0**	**0**	**0**	**0**	**0**	**0**
Суммарные уровни звукового давления от мнимых источников в расчётной точке днём, дБ		**ф-ла (19) [1]**	**0**	**0**	**0**	**0**	**0**	**0**	**0**	**0**	**0**	**0**	**0**
Уровни звукового давления от источника ИШ-2-44 в расчётной точке днём, дБ		**ф-ла(3)[10]**	**0**	**39,7**	**35,1**	**31,2**	**33**	**36,1**	**28,1**	**20,1**	**0**	**38**	**38**
Источник шума: ИШ-2-45, координаты источника (x,y,z), м =[681.26,-139.98,1.00]													
Уровни звуковой мощности источника днём, Lw, дБ		**исходные данные**	**0**	**93,3**	**94,7**	**96**	**96,3**	**95,9**	**92,6**	**88,4**	**83,9**		
Поправка на телесный угол DΩ, дБ	Ω = 6.28	10Lg(4π/Ω)	**3**	3	3	3	3	3	3	3	3		
Показатель направленности источника Di, дБ		исходные данные	**0**	0	0	0	0	0	0	0	0		
Поправка на направленность источника Dc, дБ	Dc	DΩ + Di	**3**	3	3	3	3	3	3	3	3		
Затухание из-за геометрической дивергенции, Adiv, дБ	расстояние = 349.90 м	ф-ла (7) [10]	**61,9**										
Коэффициент затухания звука в атмосфере α, дБ/км	Ta=20,°C Pa=101.33,кПа hотн.=70%	ф-ла (5) [9]	0,02	0,09	0,33	1,12	2,79	4,98	9,04	23,09	77,63		
Учет затухания звука в атмосфере Aatm, дБ		ф-ла (8) [10]	0	0	0,1	0,4	1	1,7	3,2	8,1	27,2		
Снижение уровня звукового давления из-за влияния застройки между источником шума и расчетной точкой													
Снижение уровня звукового давления препятствием справа от трассы ИШ-РТ, Dz3, дБ	z = 0.00м (разность путей)	ф-лы (14-18) [10]	0	0	0	0	0	0	2,9	0	NAN		
* отрицательное значение z означает прохождение траектории вблизи экрана, в этом случае дополнительно производится учёт снижения подстилающей поверхностью (см.ниже)													
Снижение поверхностью земли возле источника As, дБ	Gs = 0 hs = 1м	ф-лы таб.3 [10]	-1,5	-1,5	-1,5	-1,5	-1,5	-1,5	-1,5	-1,5	-1,5		

1		2	3	4	5	6	7	8	9	10	11	12	13
Снижение поверхностью земли возле приёмника Ar, дБ	Gr = 1 hr = 1.5м	ф-лы таб.3 [10]	-1,5	-1,5	2	7	5	0,7	0	0	0		
Снижение поверхностью земли в средней зоне, Am дБ	Gm = 1	ф-лы таб.3 [10]	-2,4	-2,4	0	0	0	0	0	0	0		
Суммарное снижение поверхностью земли на траектории распространения звука Agr, дБ		ф-ла (9) [10]	-5,4	-5,4	0,5	5,5	3,5	-0,8	-1,5	-1,5	-1,5		
Уровни звукового давления прямого звука от источника ИШ-2-45 в расчётной точке днём, дБ		**ф-ла(3)[10]**	**0**	**39,7**	**35,2**	**31,2**	**33**	**36,1**	**29,2**	**22,9**	**0**	**38,2**	**38,2**
Расчёт отражённого звука													
Уровни звукового давления от мнимого источника ИШ-2-45_мн.(1) в расчётной точке днём, дБ		**ф-ла(3)[10]**	**0**	**0**	**0**	**0**	**0**	**0**	**0**	**0**	**0**	**0**	**0**
Уровни звукового давления от мнимого источника ИШ-2-45_мн.(2) в расчётной точке днём, дБ		**ф-ла(3)[10]**	**0**	**0**	**0**	**0**	**0**	**0**	**0**	**0**	**0**	**0**	**0**
Уровни звукового давления от мнимого источника ИШ-2-45_мн.(3) в расчётной точке днём, дБ		**ф-ла(3)[10]**	**0**	**0**	**0**	**0**	**0**	**0**	**0**	**0**	**0**	**0**	**0**
Суммарные уровни звукового давления от мнимых источников в расчётной точке днём, дБ		**ф-ла (19) [1]**	**0**	**0**	**0**	**0**	**0**	**0**	**0**	**0**	**0**	**0**	**0**
Уровни звукового давления от источника ИШ-2-45 в расчётной точке днём, дБ		**ф-ла(3)[10]**	**0**	**39,7**	**35,2**	**31,2**	**33**	**36,1**	**29,2**	**22,9**	**0**	**38,2**	**38,2**
Источник шума: ИШ-4-1, координаты источника (x,y,z), м =[141.82,201.03,1.00]													
Уровни звуковой мощности источника днём, Lw, дБ		**исходные данные**	**0**	**90,3**	**91,7**	**93**	**93,3**	**92,9**	**89,6**	**85,4**	**80,9**		
Поправка на телесный угол DΩ, дБ	Ω = 6.28	10Lg(4π/Ω)	**3**	3	3	3	3	3	3	3	3		
Показатель направленности источника Di, дБ		исходные данные	**0**	0	0	0	0	0	0	0	0		
Поправка на направленность источника Dc, дБ	Dc	DΩ + Di	**3**	3	3	3	3	3	3	3	3		
Затухание из-за геометрической дивергенции, Adiv, дБ	расстояние = 348.01 м	ф-ла (7) [10]	**61,8**										
Коэффициент затухания звука в атмосфере α, дБ/км	Ta=20,°C Pa=101.33,кПа hотн.=70%	ф-ла (5) [9]	0,02	0,09	0,33	1,12	2,79	4,98	9,04	23,09	77,63		

1		2	3	4	5	6	7	8	9	10	11	12	13
Учет затухания звука в атмосфере Aatm, дБ		ф-ла (8) [10]	0	0	0,1	0,4	1	1,7	3,1	8	27		
Снижение уровня звукового давления из-за влияния застройки между источником шума и расчетной точкой													
Снижение уровня звукового давления на пути над экраном, Dz1, дБ	z = 6.00м (разность путей)	ф-лы (14-18) [10]	13,5	16,4	19,8	24,1	28,5	32,3	35,5	38,6	41,6		
Снижение уровня звукового давления на пути слева от экрана, Dz2, дБ	z = 49.35м (разность путей)	ф-лы (14-18) [10]	26,4	30,1	33,3	36,4	39,4	42,4	45,4	48,4	51,4		
Снижение уровня звукового давления на пути справа от экрана, Dz3, дБ	z = 0.93м (разность путей)	ф-лы (14-18) [10]	8,1	10	12,2	14,8	17,6	20,5	23,5	26,5	29,4		
Общее снижение уровня звука препятствием Dz, дБ		Эн.сумма(-Dzi)	7	9	11,5	14,3	17,3	20,2	23,2	26,2	29,2		
Общее снижение уровня звука препятствием с учётом ограничения (25 дБ) для октавных полос Dz, дБ		Раздел 7.4 [10]	7	9	11,5	14,3	17,3	20,2	23,2	25	25		
Уровни звукового давления прямого звука от источника ИШ-4-1 в расчётной точке днём, дБ		**ф-ла(3)[10]**	**0**	**22,4**	**21,2**	**19,5**	**16,2**	**12,1**	**4,4**	**0**	**0**	**17,5**	**17,5**
Расчёт отражённого звука													
Уровни звукового давления от мнимого источника ИШ-4-1_мн.(1) в расчётной точке днём, дБ		**ф-ла(3)[10]**	**0**	**0**	**0**	**0**	**0**	**0**	**3,6**	**0**	**0**	**4,8**	**4,8**
Уровни звукового давления от мнимого источника ИШ-4-1_мн.(2) в расчётной точке днём, дБ		**ф-ла(3)[10]**	**0**	**0**	**0**	**0**	**0**	**0**	**0**	**0**	**0**	**0**	**0**
Суммарные уровни звукового давления от мнимых источников в расчётной точке днём, дБ		**ф-ла (19) [1]**	**0**	**0**	**0**	**0**	**0**	**0**	**3,6**	**0**	**0**	**0**	**4,8**
Уровни звукового давления от источника ИШ-4-1 в расчётной точке днём, дБ		**ф-ла(3)[10]**	**0**	**22,4**	**21,2**	**19,5**	**16,2**	**12,1**	**7,1**	**0**	**0**	**17,7**	**17,7**
Источник шума: ИШ-4-2, координаты источника (x,y,z), м =[133.85,183.21,1.00]													
Уровни звуковой мощности источника днём, Lw, дБ		**исходные данные**	**0**	**90,3**	**91,7**	**93**	**93,3**	**92,9**	**89,6**	**85,4**	**80,9**		
Поправка на телесный угол DΩ, дБ	Ω = 6.28	10Lg(4π/Ω)	**3**	3	3	3	3	3	3	3	3		
Показатель направленности источника Di, дБ		исходные данные	**0**	0	0	0	0	0	0	0	0		

1		2	3	4	5	6	7	8	9	10	11	12	13
Поправка на направленность источника Dc, дБ	Dc	DΩ + Di	**3**	3	3	3	3	3	3	3	3		
Затухание из-за геометрической дивергенции, Adiv, дБ	расстояние = 338.02 м	ф-ла (7) [10]	**61,6**										
Коэффициент затухания звука в атмосфере α, дБ/км	Ta=20,°C Pa=101.33,кПа hотн.=70%	ф-ла (5) [9]	0,02	0,09	0,33	1,12	2,79	4,98	9,04	23,09	77,63		
Учет затухания звука в атмосфере Aatm, дБ		ф-ла (8) [10]	0	0	0,1	0,4	0,9	1,7	3,1	7,8	26,2		
Снижение уровня звукового давления из-за влияния застройки между источником шума и расчетной точкой													
Снижение уровня звукового давления на пути над экраном, Dz1, дБ	z = 5.86м (разность путей)	ф-лы (14-18) [10]	13,4	16,3	19,6	23,8	28,3	32,1	35,4	38,5	41,5		
Снижение уровня звукового давления на пути слева от экрана, Dz2, дБ	z = 55.40м (разность путей)	ф-лы (14-18) [10]	26,9	30,6	33,8	36,9	39,9	42,9	45,9	48,9	51,9		
Снижение уровня звукового давления на пути справа от экрана, Dz3, дБ	z = 0.74м (разность путей)	ф-лы (14-18) [10]	7,6	9,3	11,4	13,9	16,7	19,6	22,5	25,5	28,5		
Общее снижение уровня звука препятствием Dz, дБ		Эн.сумма(-Dzi)	6,5	8,5	10,8	13,5	16,4	19,3	22,3	25,2	28,2		
Общее снижение уровня звука препятствием с учётом ограничения (25 дБ) для октавных полос Dz, дБ		Раздел 7.4 [10]	6,5	8,5	10,8	13,5	16,4	19,3	22,3	25	25		
Уровни звукового давления прямого звука от источника ИШ-4-2 в расчётной точке днём, дБ		**ф-ла(3)[10]**	**0**	**23,2**	**22,2**	**20,5**	**17,4**	**13,3**	**5,7**	**0**	**0**	**18,6**	**18,6**
Расчёт отражённого звука													
Уровни звукового давления от мнимого источника ИШ-4-2_мн.(1) в расчётной точке днём, дБ		**ф-ла(3)[10]**	**0**	**0**	**0**	**0**	**0**	**0**	**0**	**0**	**0**	**0**	**0**
Уровни звукового давления от мнимого источника ИШ-4-2_мн.(2) в расчётной точке днём, дБ		**ф-ла(3)[10]**	**0**	**0**	**0**	**0**	**0**	**0**	**0**	**0**	**0**	**0**	**0**
Суммарные уровни звукового давления от мнимых источников в расчётной точке днём, дБ		**ф-ла (19) [1]**	**0**	**0**	**0**	**0**	**0**	**0**	**0**	**0**	**0**	**0**	**0**
Уровни звукового давления от источника ИШ-4-2 в расчётной точке днём, дБ		**ф-ла(3)[10]**	**0**	**23,2**	**22,2**	**20,5**	**17,4**	**13,3**	**5,7**	**0**	**0**	**18,6**	**18,6**

1		2	3	4	5	6	7	8	9	10	11	12	13
Источник шума: ИШ-4-3, координаты источника (x,y,z), м =[152.61,172.66,1.00]													
Уровни звуковой мощности источника днём, Lw, дБ		**исходные данные**	**0**	**90,3**	**91,7**	**93**	**93,3**	**92,9**	**89,6**	**85,4**	**80,9**		
Поправка на телесный угол DΩ, дБ	Ω = 6.28	10Lg(4π/Ω)	**3**	3	3	3	3	3	3	3	3		
Показатель направленности источника Di, дБ		исходные данные	**0**	0	0	0	0	0	0	0	0		
Поправка на направленность источника Dc, дБ	Dc	DΩ + Di	**3**	3	3	3	3	3	3	3	3		
Затухание из-за геометрической дивергенции, Adiv, дБ	расстояние = 318.50 м	ф-ла (7) [10]	**61,1**										
Коэффициент затухания звука в атмосфере α, дБ/км	Ta=20,°C Pa=101.33,кПа hотн.=70%	ф-ла (5) [9]	0,02	0,09	0,33	1,12	2,79	4,98	9,04	23,09	77,63		
Учет затухания звука в атмосфере Aatm, дБ		ф-ла (8) [10]	0	0	0,1	0,4	0,9	1,6	2,9	7,4	24,7		
Снижение уровня звукового давления из-за влияния застройки между источником шума и расчетной точкой													
Снижение уровня звукового давления на пути над экраном, Dz1, дБ	z = 5.95м (разность путей)	ф-лы (14-18) [10]	13,5	16,4	19,8	24	28,5	32,3	35,5	38,6	41,7		
Снижение уровня звукового давления на пути слева от экрана, Dz2, дБ	z = 53.47м (разность путей)	ф-лы (14-18) [10]	26,7	30,4	33,6	36,7	39,7	42,8	45,8	48,8	51,8		
Снижение уровня звукового давления на пути справа от экрана, Dz3, дБ	z = 0.85м (разность путей)	ф-лы (14-18) [10]	7,9	9,7	11,9	14,5	17,2	20,1	23,1	26	29		
Общее снижение уровня звука препятствием Dz, дБ		Эн.сумма(-Dzi)	6,8	8,8	11,2	14	16,9	19,8	22,8	25,8	28,8		
Общее снижение уровня звука препятствием с учётом ограничения (25 дБ) для октавных полос Dz, дБ		Раздел 7.4 [10]	6,8	8,8	11,2	14	16,9	19,8	22,8	25	25		
Уровни звукового давления прямого звука от источника ИШ-4-3 в расчётной точке днём, дБ		**ф-ла(3)[10]**	**0**	**23,4**	**22,3**	**20,6**	**17,4**	**13,4**	**5,8**	**0**	**0**	**18,7**	**18,7**
Расчёт отражённого звука													

1		2	3	4	5	6	7	8	9	10	11	12	13
Уровни звукового давления от мнимого источника ИШ-4-3_мн.(1) в расчётной точке днём, дБ		**ф-ла(3)[10]**	**0**	**0**	**0**	**0**	**0**	**0**	**0**	**0**	**0**	**0**	**0**
Уровни звукового давления от источника ИШ-4-3 в расчётной точке днём, дБ		**ф-ла(3)[10]**	**0**	**23,4**	**22,3**	**20,6**	**17,4**	**13,4**	**5,8**	**0**	**0**	**18,7**	**18,7**
Источник шума: ИШ-4-4, координаты источника (x,y,z), м =[156.83,171.25,1.00]													
Уровни звуковой мощности источника днём, Lw, дБ		**исходные данные**	**0**	**90,3**	**91,7**	**93**	**93,3**	**92,9**	**89,6**	**85,4**	**80,9**		
Поправка на телесный угол DΩ, дБ	Ω = 6.28	10Lg(4π/Ω)	**3**	3	3	3	3	3	3	3	3		
Показатель направленности источника Di, дБ		исходные данные	**0**	0	0	0	0	0	0	0	0		
Поправка на направленность источника Dc, дБ	Dc	DΩ + Di	**3**	3	3	3	3	3	3	3	3		
Затухание из-за геометрической дивергенции, Adiv, дБ	расстояние = 314.94 м	ф-ла (7) [10]	**61**										
Коэффициент затухания звука в атмосфере α, дБ/км	Ta=20,°C Pa=101.33,кПа hотн.=70%	ф-ла (5) [9]	0,02	0,09	0,33	1,12	2,79	4,98	9,04	23,09	77,63		
Учет затухания звука в атмосфере Aatm, дБ		ф-ла (8) [10]	0	0	0,1	0,4	0,9	1,6	2,8	7,3	24,4		
Снижение уровня звукового давления из-за влияния застройки между источником шума и расчетной точкой													
Снижение уровня звукового давления на пути над экраном, Dz1, дБ	z = 5.98м (разность путей)	ф-лы (14-18) [10]	13,6	16,4	19,8	24,1	28,5	32,3	35,6	38,7	41,7		
Снижение уровня звукового давления на пути слева от экрана, Dz2, дБ	z = 52.74м (разность путей)	ф-лы (14-18) [10]	26,7	30,4	33,6	36,7	39,7	42,7	45,7	48,7	51,7		
Снижение уровня звукового давления на пути справа от экрана, Dz3, дБ	z = 0.88м (разность путей)	ф-лы (14-18) [10]	8	9,8	12	14,6	17,4	20,3	23,2	26,2	29,2		
Общее снижение уровня звука препятствием Dz, дБ		Эн.сумма(-Dzi)	6,9	8,9	11,3	14,1	17	20	23	25,9	28,9		
Общее снижение уровня звука препятствием с учётом ограничения (25 дБ) для октавных полос Dz, дБ		Раздел 7.4 [10]	6,9	8,9	11,3	14,1	17	20	23	25	25		

1		2	3	4	5	6	7	8	9	10	11	12	13
Уровни звукового давления прямого звука от источника ИШ-4-4 в расчётной точке днём, дБ		**ф-ла(3)[10]**	**0**	**23,4**	**22,3**	**20,5**	**17,4**	**13,4**	**5,8**	**0**	**0**	**18,7**	**18,7**
Расчёт отражённого звука													
Уровни звукового давления от мнимого источника ИШ-4-4_мн.(1) в расчётной точке днём, дБ		**ф-ла(3)[10]**	**0**	**0**	**0**	**0**	**0**	**0**	**0**	**0**	**0**	**0**	**0**
Уровни звукового давления от мнимого источника ИШ-4-4_мн.(2) в расчётной точке днём, дБ		**ф-ла(3)[10]**	**0**	**0**	**0**	**0**	**0**	**0**	**0**	**0**	**0**	**0**	**0**
Суммарные уровни звукового давления от мнимых источников в расчётной точке днём, дБ		**ф-ла (19) [1]**	**0**	**0**	**0**	**0**	**0**	**0**	**0**	**0**	**0**	**0**	**0**
Уровни звукового давления от источника ИШ-4-4 в расчётной точке днём, дБ		**ф-ла(3)[10]**	**0**	**23,4**	**22,3**	**20,5**	**17,4**	**13,4**	**5,8**	**0**	**0**	**18,7**	**18,7**
Источник шума: ИШ-4-5, координаты источника (x,y,z), м =[126.48,222.66,11.00]													
Уровни звуковой мощности источника днём, Lw, дБ		**исходные данные**	**0**	**90,3**	**91,7**	**93**	**93,3**	**92,9**	**89,6**	**85,4**	**80,9**		
Поправка на телесный угол DΩ, дБ	Ω = 6.28	10Lg(4π/Ω)	**3**	3	3	3	3	3	3	3	3		
Показатель направленности источника Di, дБ		исходные данные	**0**	0	0	0	0	0	0	0	0		
Поправка на направленность источника Dc, дБ	Dc	DΩ + Di	**3**	3	3	3	3	3	3	3	3		
Затухание из-за геометрической дивергенции, Adiv, дБ	расстояние = 374.64 м	ф-ла (7) [10]	**62,5**										
Коэффициент затухания звука в атмосфере α, дБ/км	Ta=20,°C Pa=101.33,кПа hотн.=70%	ф-ла (5) [9]	0,02	0,09	0,33	1,12	2,79	4,98	9,04	23,09	77,63		
Учет затухания звука в атмосфере Aatm, дБ		ф-ла (8) [10]	0	0	0,1	0,4	1	1,9	3,4	8,6	29,1		
Снижение уровня звукового давления из-за влияния застройки между источником шума и расчетной точкой													
Снижение уровня звукового давления на пути над экраном, Dz1, дБ	z = 5.76м (разность путей)	ф-лы (14-18) [10]	13,2	15,9	18,7	21,7	24,6	27,6	30,6	33,6	36,6		

1		2	3	4	5	6	7	8	9	10	11	12	13
Снижение уровня звукового давления на пути слева от экрана, Dz2, дБ	z = 48.34м (разность путей)	ф-лы (14-18) [10]	26,3	30	33,2	36,3	39,3	42,3	45,3	48,3	51,4		
Снижение уровня звукового давления на пути справа от экрана, Dz3, дБ	z = 0.92м (разность путей)	ф-лы (14-18) [10]	8,1	9,9	12,2	14,8	17,6	20,5	23,4	26,4	29,4		
Общее снижение уровня звука препятствием Dz, дБ		Эн.сумма(-Dzi)	6,9	8,9	11,3	14	16,8	19,7	22,6	25,6	28,6		
Общее снижение уровня звука препятствием с учётом ограничения (25 дБ) для октавных полос Dz, дБ		Раздел 7.4 [10]	6,9	8,9	11,3	14	16,8	19,7	22,6	25	25		
Уровни звукового давления прямого звука от источника ИШ-4-5 в расчётной точке днём, дБ		**ф-ла(3)[10]**	**0**	**21,9**	**20,8**	**19,1**	**16**	**11,9**	**4,1**	**0**	**0**	**17,2**	**17,2**
Расчёт отражённого звука													
Уровни звукового давления от мнимого источника ИШ-4-5_мн.(1) в расчётной точке днём, дБ		**ф-ла(3)[10]**	**0**	**0**	**0**	**0**	**0**	**0**	**0**	**0**	**0**	**0**	**0**
Уровни звукового давления от источника ИШ-4-5 в расчётной точке днём, дБ		**ф-ла(3)[10]**	**0**	**21,9**	**20,8**	**19,1**	**16**	**11,9**	**4,1**	**0**	**0**	**17,2**	**17,2**
Источник шума: ИШ-4-6, координаты источника (x,y,z), м =[125.17,218.57,11.00]													
Уровни звуковой мощности источника днём, Lw, дБ		**исходные данные**	**0**	**90,3**	**91,7**	**93**	**93,3**	**92,9**	**89,6**	**85,4**	**80,9**		
Поправка на телесный угол DΩ, дБ	Ω = 6.28	10Lg(4π/Ω)	**3**	3	3	3	3	3	3	3	3		
Показатель направленности источника Di, дБ		исходные данные	**0**	0	0	0	0	0	0	0	0		
Поправка на направленность источника Dc, дБ	Dc	DΩ + Di	**3**	3	3	3	3	3	3	3	3		
Затухание из-за геометрической дивергенции, Adiv, дБ	расстояние = 371.99 м	ф-ла (7) [10]	**62,4**										
Коэффициент затухания звука в атмосфере α, дБ/км	Та=20,°С Ра=101.33,кПа hотн.=70%	ф-ла (5) [9]	0,02	0,09	0,33	1,12	2,79	4,98	9,04	23,09	77,63		
Учет затухания звука в атмосфере Aatm, дБ		ф-ла (8) [10]	0	0	0,1	0,4	1	1,9	3,4	8,6	28,9		

1		2	3	4	5	6	7	8	9	10	11	12	13
Снижение уровня звукового давления из-за влияния застройки между источником шума и расчетной точкой													
Снижение уровня звукового давления на пути над экраном, Dz1, дБ	z = 5.73м (разность путей)	ф-лы (14-18) [10]	13,2	15,9	18,7	21,6	24,6	27,6	30,6	33,6	36,6		
Снижение уровня звукового давления на пути слева от экрана, Dz2, дБ	z = 49.43м (разность путей)	ф-лы (14-18) [10]	26,4	30,1	33,3	36,4	39,4	42,4	45,4	48,4	51,4		
Снижение уровня звукового давления на пути справа от экрана, Dz3, дБ	z = 0.89м (разность путей)	ф-лы (14-18) [10]	8	9,8	12	14,6	17,4	20,3	23,3	26,2	29,2		
Общее снижение уровня звука препятствием Dz, дБ		Эн.сумма(-Dzi)	6,8	8,8	11,2	13,8	16,6	19,5	22,5	25,5	28,5		
Общее снижение уровня звука препятствием с учётом ограничения (25 дБ) для октавных полос Dz, дБ		Раздел 7.4 [10]	6,8	8,8	11,2	13,8	16,6	19,5	22,5	25	25		
Уровни звукового давления прямого звука от источника ИШ-4-6 в расчётной точке днём, дБ		**ф-ла(3)[10]**	**0**	**22**	**21**	**19,3**	**16,2**	**12,1**	**4,3**	**0**	**0**	**17,4**	**17,4**
Расчёт отражённого звука													
Уровни звукового давления от мнимого источника ИШ-4-6_мн.(1) в расчётной точке днём, дБ		**ф-ла(3)[10]**	**0**	**0**	**0**	**0**	**0**	**0**	**0**	**0**	**0**	**0**	**0**
Уровни звукового давления от источника ИШ-4-6 в расчётной точке днём, дБ		**ф-ла(3)[10]**	**0**	**22**	**21**	**19,3**	**16,2**	**12,1**	**4,3**	**0**	**0**	**17,4**	**17,4**
Источник шума: ИШ-4-7, координаты источника (x,y,z), м =[177.91,257.92,11.00]													
Уровни звуковой мощности источника днём, Lw, дБ		**исходные данные**	**0**	**90,3**	**91,7**	**93**	**93,3**	**92,9**	**89,6**	**85,4**	**80,9**		
Поправка на телесный угол DΩ, дБ	Ω = 6.28	10Lg(4π/Ω)	**3**	3	3	3	3	3	3	3	3		
Показатель направленности источника Di, дБ		исходные данные	**0**	0	0	0	0	0	0	0	0		
Поправка на направленность источника Dc, дБ	Dc	DΩ + Di	**3**	3	3	3	3	3	3	3	3		
Затухание из-за геометрической дивергенции, Adiv, дБ	расстояние = 380.40 м	ф-ла (7) [10]	**62,6**										
Коэффициент затухания звука в атмосфере α, дБ/км	Ta=20,°C Pa=101.33,кПа hотн.=70%	ф-ла (5) [9]	0,02	0,09	0,33	1,12	2,79	4,98	9,04	23,09	77,63		

1		2	3	4	5	6	7	8	9	10	11	12	13
Учет затухания звука в атмосфере Aatm, дБ		ф-ла (8) [10]	0	0	0,1	0,4	1,1	1,9	3,4	8,8	29,5		
Снижение уровня звукового давления из-за влияния застройки между источником шума и расчетной точкой													
Снижение уровня звукового давления на пути над экраном, Dz1, дБ	z = 6.12м (разность путей)	ф-лы (14-18) [10]	13,5	16,2	19	21,9	24,9	27,9	30,9	33,9	36,9		
Снижение уровня звукового давления на пути слева от экрана, Dz2, дБ	z = 32.12м (разность путей)	ф-лы (14-18) [10]	24,5	28,2	31,4	34,5	37,5	40,5	43,6	46,6	49,6		
Снижение уровня звукового давления на пути справа от экрана, Dz3, дБ	z = 1.71м (разность путей)	ф-лы (14-18) [10]	9,7	11,9	14,5	17,3	20,1	23,1	26,1	29,1	32,1		
Общее снижение уровня звука препятствием Dz, дБ		Эн.сумма(-Dzi)	8,1	10,5	13,1	15,9	18,8	21,8	24,8	27,8	30,8		
Общее снижение уровня звука препятствием с учётом ограничения (25 дБ) для октавных полос Dz, дБ		Раздел 7.4 [10]	8,1	10,5	13,1	15,9	18,8	21,8	24,8	25	25		
Уровни звукового давления прямого звука от источника ИШ-4-7 в расчётной точке днём, дБ		**ф-ла(3)[10]**	**0**	**20,2**	**18,9**	**17**	**13,8**	**9,6**	**1,8**	**0**	**0**	**15**	**15**
Расчёт отражённого звука													
Уровни звукового давления от мнимого источника ИШ-4-7_мн.(1) в расчётной точке днём, дБ		**ф-ла(3)[10]**	**0**	**0**	**0**	**0**	**0**	**0**	**2,9**	**0**	**0**	**4,1**	**4,1**
Уровни звукового давления от источника ИШ-4-7 в расчётной точке днём, дБ		**ф-ла(3)[10]**	**0**	**20,2**	**18,9**	**17**	**13,8**	**9,6**	**5,4**	**0**	**0**	**15,3**	**15,3**
Источник шума: ИШ-4-8, координаты источника (x,y,z), м =[178.24,257.77,13.00]													
Уровни звуковой мощности источника днём, Lw, дБ		**исходные данные**	**0**	**90,3**	**91,7**	**93**	**93,3**	**92,9**	**89,6**	**85,4**	**80,9**		
Поправка на телесный угол DΩ, дБ	Ω = 6.28	10Lg(4π/Ω)	**3**	3	3	3	3	3	3	3	3		
Показатель направленности источника Di, дБ		исходные данные	**0**	0	0	0	0	0	0	0	0		
Поправка на направленность источника Dc, дБ	Dc	DΩ + Di	**3**	3	3	3	3	3	3	3	3		
Затухание из-за геометрической дивергенции, Adiv, дБ	расстояние = 380.18 м	ф-ла (7) [10]	**62,6**										

1		2	3	4	5	6	7	8	9	10	11	12	13
Коэффициент затухания звука в атмосфере α, дБ/км	Та=20,°С Ра=101.33,кПа hотн.=70%	ф-ла (5) [9]	0,02	0,09	0,33	1,12	2,79	4,98	9,04	23,09	77,63		
Учет затухания звука в атмосфере Aatm, дБ		ф-ла (8) [10]	0	0	0,1	0,4	1,1	1,9	3,4	8,8	29,5		
Снижение уровня звукового давления из-за влияния застройки между источником шума и расчетной точкой													
Снижение уровня звукового давления на пути над экраном, Dz1, дБ	z = 6.07м (разность путей)	ф-лы (14-18) [10]	13,5	16,2	19	21,9	24,9	27,9	30,9	33,9	36,9		
Снижение уровня звукового давления на пути слева от экрана, Dz2, дБ	z = 32.07м (разность путей)	ф-лы (14-18) [10]	24,5	28,2	31,4	34,5	37,5	40,5	43,5	46,6	49,6		
Снижение уровня звукового давления на пути справа от экрана, Dz3, дБ	z = 1.71м (разность путей)	ф-лы (14-18) [10]	9,7	12	14,5	17,3	20,2	23,1	26,1	29,1	32,1		
Общее снижение уровня звука препятствием Dz, дБ		Эн.сумма(-Dzi)	8,1	10,5	13,1	15,9	18,8	21,8	24,8	27,8	30,8		
Общее снижение уровня звука препятствием с учётом ограничения (25 дБ) для октавных полос Dz, дБ		Раздел 7.4 [10]	8,1	10,5	13,1	15,9	18,8	21,8	24,8	25	25		
Уровни звукового давления прямого звука от источника ИШ-4-8 в расчётной точке днём, дБ		**ф-ла(3)[10]**	**0**	**20,2**	**18,9**	**17**	**13,8**	**9,6**	**1,8**	**0**	**0**	**15**	**15**
Расчёт отражённого звука													
Уровни звукового давления от мнимого источника ИШ-4-8_мн.(1) в расчётной точке днём, дБ		**ф-ла(3)[10]**	**0**	**0**	**0**	**0**	**0**	**0**	**2,8**	**0**	**0**	**4**	**4**
Уровни звукового давления от источника ИШ-4-8 в расчётной точке днём, дБ		**ф-ла(3)[10]**	**0**	**20,2**	**18,9**	**17**	**13,8**	**9,6**	**5,4**	**0**	**0**	**15,3**	**15,3**
Источник шума: ИШ-4-9, координаты источника (x,y,z), м =[178.68,257.63,15.50]													
Уровни звуковой мощности источника днём, Lw, дБ		**исходные данные**	**0**	**90,3**	**91,7**	**93**	**93,3**	**92,9**	**89,6**	**85,4**	**80,9**		
Поправка на телесный угол DΩ, дБ	Ω = 6.28	10Lg(4π/Ω)	**3**	3	3	3	3	3	3	3	3		
Показатель направленности источника Di, дБ		исходные данные	**0**	0	0	0	0	0	0	0	0		

1		2	3	4	5	6	7	8	9	10	11	12	13
Поправка на направленность источника Dc, дБ	Dc	DΩ + Di	**3**	3	3	3	3	3	3	3	3		
Затухание из-за геометрической дивергенции, Adiv, дБ	расстояние = 379.95 м	ф-ла (7) [10]	**62,6**										
Коэффициент затухания звука в атмосфере α, дБ/км	Ta=20,°C Pa=101.33,кПа hотн.=70%	ф-ла (5) [9]	0,02	0,09	0,33	1,12	2,79	4,98	9,04	23,09	77,63		
Учет затухания звука в атмосфере Aatm, дБ		ф-ла (8) [10]	0	0	0,1	0,4	1,1	1,9	3,4	8,8	29,5		
Снижение уровня звукового давления из-за влияния застройки между источником шума и расчетной точкой													
Снижение уровня звукового давления на пути над экраном, Dz1, дБ	z = 6.02м (разность путей)	ф-лы (14-18) [10]	13,4	16,1	18,9	21,9	24,8	27,8	30,8	33,8	36,8		
Снижение уровня звукового давления на пути слева от экрана, Dz2, дБ	z = 32.00м (разность путей)	ф-лы (14-18) [10]	24,5	28,2	31,4	34,5	37,5	40,5	43,5	46,5	49,6		
Снижение уровня звукового давления на пути справа от экрана, Dz3, дБ	z = 1.71м (разность путей)	ф-лы (14-18) [10]	9,7	12	14,5	17,3	20,2	23,1	26,1	29,1	32,1		
Общее снижение уровня звука препятствием Dz, дБ		Эн.сумма(-Dzi)	8,1	10,5	13,1	15,9	18,8	21,8	24,8	27,8	30,8		
Общее снижение уровня звука препятствием с учётом ограничения (25 дБ) для октавных полос Dz, дБ		Раздел 7.4 [10]	8,1	10,5	13,1	15,9	18,8	21,8	24,8	25	25		
Уровни звукового давления прямого звука от источника ИШ-4-9 в расчётной точке днём, дБ		**ф-ла(3)[10]**	**0**	**20,2**	**18,9**	**17,1**	**13,8**	**9,6**	**1,8**	**0**	**0**	**15**	**15**
Расчёт отражённого звука													
Уровни звукового давления от мнимого источника ИШ-4-9_мн.(1) в расчётной точке днём, дБ		**ф-ла(3)[10]**	**0**	**0**	**0**	**0**	**0**	**0**	**2,8**	**0**	**0**	**4**	**4**
Уровни звукового давления от источника ИШ-4-9 в расчётной точке днём, дБ		**ф-ла(3)[10]**	**0**	**20,2**	**18,9**	**17,1**	**13,8**	**9,6**	**5,3**	**0**	**0**	**15,4**	**15,4**
Источник шума: ИШ-4-10, координаты источника (x,y,z), м =[185.65,255.31,11.00]													
Уровни звуковой мощности источника днём, Lw, дБ		**исходные данные**	**0**	**90,3**	**91,7**	**93**	**93,3**	**92,9**	**89,6**	**85,4**	**80,9**		

1		2	3	4	5	6	7	8	9	10	11	12	13
Поправка на телесный угол DΩ, дБ	Ω = 6.28	10Lg(4π/Ω)	**3**	3	3	3	3	3	3	3	3		
Показатель направленности источника Di, дБ		исходные данные	**0**	0	0	0	0	0	0	0	0		
Поправка на направленность источника Dc, дБ	Dc	DΩ + Di	**3**	3	3	3	3	3	3	3	3		
Затухание из-за геометрической дивергенции, Adiv, дБ	расстояние = 374.87 м	ф-ла (7) [10]	**62,5**										
Коэффициент затухания звука в атмосфере α, дБ/км	Ta=20,°C Pa=101.33,кПа hотн.=70%	ф-ла (5) [9]	0,02	0,09	0,33	1,12	2,79	4,98	9,04	23,09	77,63		
Учет затухания звука в атмосфере Aatm, дБ		ф-ла (8) [10]	0	0	0,1	0,4	1	1,9	3,4	8,7	29,1		
Снижение уровня звукового давления из-за влияния застройки между источником шума и расчетной точкой													
Снижение уровня звукового давления на пути над экраном, Dz1, дБ	z = 6.14м (разность путей)	ф-лы (14-18) [10]	13,5	16,2	19	22	24,9	27,9	30,9	33,9	36,9		
Снижение уровня звукового давления на пути слева от экрана, Dz2, дБ	z = 30.90м (разность путей)	ф-лы (14-18) [10]	24,4	28,1	31,3	34,3	37,4	40,4	43,4	46,4	49,4		
Снижение уровня звукового давления на пути справа от экрана, Dz3, дБ	z = 1.79м (разность путей)	ф-лы (14-18) [10]	9,8	12,1	14,7	17,5	20,4	23,3	26,3	29,3	32,3		
Общее снижение уровня звука препятствием Dz, дБ		Эн.сумма(-Dzi)	8,2	10,6	13,3	16,1	19	22	24,9	27,9	30,9		
Общее снижение уровня звука препятствием с учётом ограничения (25 дБ) для октавных полос Dz, дБ		Раздел 7.4 [10]	8,2	10,6	13,3	16,1	19	22	24,9	25	25		
Уровни звукового давления прямого звука от источника ИШ-4-10 в расчётной точке днём, дБ		**ф-ла(3)[10]**	**0**	**20,2**	**18,8**	**17**	**13,8**	**9,6**	**1,8**	**0**	**0**	**15**	**15**
Расчёт отражённого звука													
Уровни звукового давления от мнимого источника ИШ-4-10_мн.(1) в расчётной точке днём, дБ		**ф-ла(3)[10]**	**0**	**0**	**0**	**0**	**0**	**0**	**0**	**0**	**0**	**0**	**0**
Уровни звукового давления от мнимого источника ИШ-4-10_мн.(2) в расчётной точке днём, дБ		**ф-ла(3)[10]**	**0**	**0**	**0**	**0**	**0**	**0**	**2,3**	**0**	**0**	**3,5**	**3,5**
Суммарные уровни звукового давления от мнимых источников в расчётной точке днём, дБ		**ф-ла (19) [1]**	**0**	**0**	**0**	**0**	**0**	**0**	**2,3**	**0**	**0**	**0**	**3,5**

1		2	3	4	5	6	7	8	9	10	11	12	13
Уровни звукового давления от источника ИШ-4-10 в расчётной точке днём, дБ		**ф-ла(3)[10]**	**0**	**20,2**	**18,8**	**17**	**13,8**	**9,6**	**5,1**	**0**	**0**	**15,3**	**15,3**
Источник шума: ИШ-4-11, координаты источника (x,y,z), м =[185.89,255.16,13.00]													
Уровни звуковой мощности источника днём, Lw, дБ		**исходные данные**	**0**	**90,3**	**91,7**	**93**	**93,3**	**92,9**	**89,6**	**85,4**	**80,9**		
Поправка на телесный угол DΩ, дБ	Ω = 6.28	10Lg(4π/Ω)	**3**	3	3	3	3	3	3	3	3		
Показатель направленности источника Di, дБ		исходные данные	**0**	0	0	0	0	0	0	0	0		
Поправка на направленность источника Dc, дБ	Dc	DΩ + Di	**3**	3	3	3	3	3	3	3	3		
Затухание из-за геометрической дивергенции, Adiv, дБ	расстояние = 374.69 м	ф-ла (7) [10]	**62,5**										
Коэффициент затухания звука в атмосфере α, дБ/км	Ta=20,°C Pa=101.33,кПа hотн.=70%	ф-ла (5) [9]	0,02	0,09	0,33	1,12	2,79	4,98	9,04	23,09	77,63		
Учет затухания звука в атмосфере Aatm, дБ		ф-ла (8) [10]	0	0	0,1	0,4	1	1,9	3,4	8,7	29,1		
Снижение уровня звукового давления из-за влияния застройки между источником шума и расчетной точкой													
Снижение уровня звукового давления на пути над экраном, Dz1, дБ	z = 6.10м (разность путей)	ф-лы (14-18) [10]	13,5	16,2	19	21,9	24,9	27,9	30,9	33,9	36,9		
Снижение уровня звукового давления на пути слева от экрана, Dz2, дБ	z = 30.87м (разность путей)	ф-лы (14-18) [10]	24,4	28,1	31,3	34,3	37,4	40,4	43,4	46,4	49,4		
Снижение уровня звукового давления на пути справа от экрана, Dz3, дБ	z = 1.80м (разность путей)	ф-лы (14-18) [10]	9,8	12,1	14,7	17,5	20,4	23,3	26,3	29,3	32,3		
Общее снижение уровня звука препятствием Dz, дБ		Эн.сумма(-Dzi)	8,2	10,6	13,2	16,1	19	21,9	24,9	27,9	30,9		
Общее снижение уровня звука препятствием с учётом ограничения (25 дБ) для октавных полос Dz, дБ		Раздел 7.4 [10]	8,2	10,6	13,2	16,1	19	21,9	24,9	25	25		
Уровни звукового давления прямого звука от источника ИШ-4-11 в расчётной точке днём, дБ		**ф-ла(3)[10]**	**0**	**20,2**	**18,8**	**17**	**13,8**	**9,6**	**1,8**	**0**	**0**	**15**	**15**

1		2	3	4	5	6	7	8	9	10	11	12	13
Расчёт отражённого звука													
Уровни звукового давления от мнимого источника ИШ-4-11_мн.(1) в расчётной точке днём, дБ		**ф-ла(3)[10]**	**0**	**0**	**0**	**0**	**0**	**0**	**2,3**	**0**	**0**	**3,5**	**3,5**
Уровни звукового давления от источника ИШ-4-11 в расчётной точке днём, дБ		**ф-ла(3)[10]**	**0**	**20,2**	**18,8**	**17**	**13,8**	**9,6**	**5,1**	**0**	**0**	**15,3**	**15,3**
Источник шума: ИШ-4-12, координаты источника (x,y,z), м =[186.18,255.02,15.50]													
Уровни звуковой мощности источника днём, Lw, дБ		**исходные данные**	**0**	**90,3**	**91,7**	**93**	**93,3**	**92,9**	**89,6**	**85,4**	**80,9**		
Поправка на телесный угол DΩ, дБ	Ω = 6.28	10Lg(4π/Ω)	**3**	3	3	3	3	3	3	3	3		
Показатель направленности источника Di, дБ		исходные данные	**0**	0	0	0	0	0	0	0	0		
Поправка на направленность источника Dc, дБ	Dc	DΩ + Di	**3**	3	3	3	3	3	3	3	3		
Затухание из-за геометрической дивергенции, Adiv, дБ	расстояние = 374.53 м	ф-ла (7) [10]	**62,5**										
Коэффициент затухания звука в атмосфере α, дБ/км	Ta=20,°C Pa=101.33,кПа hотн.=70%	ф-ла (5) [9]	0,02	0,09	0,33	1,12	2,79	4,98	9,04	23,09	77,63		
Учет затухания звука в атмосфере Aatm, дБ		ф-ла (8) [10]	0	0	0,1	0,4	1	1,9	3,4	8,6	29,1		
Снижение уровня звукового давления из-за влияния застройки между источником шума и расчетной точкой													
Снижение уровня звукового давления на пути над экраном, Dz1, дБ	z = 6.04м (разность путей)	ф-лы (14-18) [10]	13,4	16,1	19	21,9	24,9	27,8	30,8	33,8	36,9		
Снижение уровня звукового давления на пути слева от экрана, Dz2, дБ	z = 30.82м (разность путей)	ф-лы (14-18) [10]	24,3	28,1	31,3	34,3	37,4	40,4	43,4	46,4	49,4		
Снижение уровня звукового давления на пути справа от экрана, Dz3, дБ	z = 1.80м (разность путей)	ф-лы (14-18) [10]	9,9	12,1	14,7	17,5	20,4	23,3	26,3	29,3	32,3		
Общее снижение уровня звука препятствием Dz, дБ		Эн.сумма(-Dzi)	8,2	10,6	13,2	16,1	19	21,9	24,9	27,9	30,9		

1		2	3	4	5	6	7	8	9	10	11	12	13
Общее снижение уровня звука препятствием с учётом ограничения (25 дБ) для октавных полос Dz, дБ		Раздел 7.4 [10]	8,2	10,6	13,2	16,1	19	21,9	24,9	25	25		
Уровни звукового давления прямого звука от источника ИШ-4-12 в расчётной точке днём, дБ		**ф-ла(3)[10]**	**0**	**20,2**	**18,9**	**17**	**13,8**	**9,6**	**1,8**	**0**	**0**	**15**	**15**
Расчёт отражённого звука													
Уровни звукового давления от мнимого источника ИШ-4-12_мн.(1) в расчётной точке днём, дБ		**ф-ла(3)[10]**	**0**	**0**	**0**	**0**	**0**	**0**	**2,3**	**0**	**0**	**3,5**	**3,5**
Уровни звукового давления от источника ИШ-4-12 в расчётной точке днём, дБ		**ф-ла(3)[10]**	**0**	**20,2**	**18,9**	**17**	**13,8**	**9,6**	**5,1**	**0**	**0**	**15,3**	**15,3**
Источник шума: ИШ-4-13, координаты источника (x,y,z), м =[94.56,229.10,1.00]													
Уровни звуковой мощности источника днём, Lw, дБ		**исходные данные**	**0**	**81,3**	**82,7**	**84**	**84,3**	**83,9**	**80,6**	**76,4**	**71,9**		
Поправка на телесный угол DΩ, дБ	Ω = 6.28	10Lg(4π/Ω)	**3**	3	3	3	3	3	3	3	3		
Показатель направленности источника Di, дБ		исходные данные	**0**	0	0	0	0	0	0	0	0		
Поправка на направленность источника Dc, дБ	Dc	DΩ + Di	**3**	3	3	3	3	3	3	3	3		
Затухание из-за геометрической дивергенции, Adiv, дБ	расстояние = 398.31 м	ф-ла (7) [10]	**63**										
Коэффициент затухания звука в атмосфере α, дБ/км	Ta=20,°C Pa=101.33,кПа hотн.=70%	ф-ла (5) [9]	0,02	0,09	0,33	1,12	2,79	4,98	9,04	23,09	77,63		
Учет затухания звука в атмосфере Aatm, дБ		ф-ла (8) [10]	0	0	0,1	0,4	1,1	2	3,6	9,2	30,9		
Снижение уровня звукового давления из-за влияния застройки между источником шума и расчетной точкой													
Снижение уровня звукового давления на пути над экраном, Dz1, дБ	z = 10.05м (разность путей)	ф-лы (14-18) [10]	20,3	23,4	26,4	29,4	32,4	35,4	38,4	41,4	44,4		
Снижение уровня звукового давления на пути слева от экрана, Dz2, дБ	z = 111.41м (разность путей)	ф-лы (14-18) [10]	30,8	33,9	36,9	39,9	42,9	45,9	49	52	55		

1		2	3	4	5	6	7	8	9	10	11	12	13
Снижение уровня звукового давления на пути справа от экрана, Dz3, дБ	z = 12.34м (разность путей)	ф-лы (14-18) [10]	21,3	24,4	27,4	30,4	33,4	36,4	39,4	42,4	45,4		
Общее снижение уровня звука препятствием Dz, дБ		Эн.сумма(-Dzi)	17,6	20,6	23,6	26,6	29,6	32,7	35,7	38,7	41,7		
Общее снижение уровня звука препятствием с учётом ограничения (25 дБ) для октавных полос Dz, дБ		Раздел 7.4 [10]	17,6	20,6	23,6	25	25	25	25	25	25		
Уровни звукового давления от источника ИШ-4-13 в расчётной точке днём, дБ		**ф-ла(3)[10]**	**0**	**0,6**	**0**	**0**	**0**	**0**	**0**	**0**	**0**	**0**	**0**
Источник шума: ИШ-4-14, координаты источника (x,y,z), м =[91.88,221.30,1.00]													
Уровни звуковой мощности источника днём, Lw, дБ		**исходные данные**	**0**	**81,3**	**82,7**	**84**	**84,3**	**83,9**	**80,6**	**76,4**	**71,9**		
Поправка на телесный угол DΩ, дБ	Ω = 6.28	10Lg(4π/Ω)	**3**	3	3	3	3	3	3	3	3		
Показатель направленности источника Di, дБ		исходные данные	**0**	0	0	0	0	0	0	0	0		
Поправка на направленность источника Dc, дБ	Dc	DΩ + Di	**3**	3	3	3	3	3	3	3	3		
Затухание из-за геометрической дивергенции, Adiv, дБ	расстояние = 393.77 м	ф-ла (7) [10]	**62,9**										
Коэффициент затухания звука в атмосфере α, дБ/км	Ta=20,°C Pa=101.33,кПа hотн.=70%	ф-ла (5) [9]	0,02	0,09	0,33	1,12	2,79	4,98	9,04	23,09	77,63		
Учет затухания звука в атмосфере Aatm, дБ		ф-ла (8) [10]	0	0	0,1	0,4	1,1	2	3,6	9,1	30,6		
Снижение уровня звукового давления из-за влияния застройки между источником шума и расчетной точкой													
Снижение уровня звукового давления на пути над экраном, Dz1, дБ	z = 10.00м (разность путей)	ф-лы (14-18) [10]	20,3	23,4	26,4	29,4	32,4	35,4	38,4	41,4	44,4		
Снижение уровня звукового давления на пути слева от экрана, Dz2, дБ	z = 124.16м (разность путей)	ф-лы (14-18) [10]	31,3	34,4	37,4	40,4	43,4	46,4	49,4	52,4	55,4		
Снижение уровня звукового давления на пути справа от экрана, Dz3, дБ	z = 8.79м (разность путей)	ф-лы (14-18) [10]	19,9	22,9	25,9	28,9	31,9	34,9	37,9	40,9	43,9		

1		2	3	4	5	6	7	8	9	10	11	12	13
Общее снижение уровня звука препятствием Dz, дБ		Эн.сумма(-Dzi)	16,9	20	23	26	29	32	35	38	41		
Общее снижение уровня звука препятствием с учётом ограничения (25 дБ) для октавных полос Dz, дБ		Раздел 7.4 [10]	16,9	20	23	25	25	25	25	25	25		
Уровни звукового давления от источника ИШ-4-14 в расчётной точке днём, дБ		**ф-ла(3)[10]**	**0**	**1,4**	**0**	**0**	**0**	**0**	**0**	**0**	**0**	**0**	**0**
Источник шума: ИШ-5-1, координаты источника (x,y,z), м =[626.70,162.36,1.00]													
Уровни звуковой мощности источника днём, Lw, дБ		**исходные данные**	**0**	**93,3**	**94,7**	**96**	**96,3**	**95,9**	**92,6**	**88,4**	**83,9**		
Поправка на телесный угол DΩ, дБ	Ω = 6.28	10Lg(4π/Ω)	**3**	3	3	3	3	3	3	3	3		
Показатель направленности источника Di, дБ		исходные данные	**0**	0	0	0	0	0	0	0	0		
Поправка на направленность источника Dc, дБ	Dc	DΩ + Di	**3**	3	3	3	3	3	3	3	3		
Затухание из-за геометрической дивергенции, Adiv, дБ	расстояние = 384.46 м	ф-ла (7) [10]	**62,7**										
Коэффициент затухания звука в атмосфере α, дБ/км	Ta=20,°C Pa=101.33,кПа hотн.=70%	ф-ла (5) [9]	0,02	0,09	0,33	1,12	2,79	4,98	9,04	23,09	77,63		
Учет затухания звука в атмосфере Aatm, дБ		ф-ла (8) [10]	0	0	0,1	0,4	1,1	1,9	3,5	8,9	29,8		
Снижение уровня звукового давления из-за влияния застройки между источником шума и расчетной точкой													
Снижение уровня звукового давления на пути над экраном, Dz1, дБ	z = 6.63м (разность путей)	ф-лы (14-18) [10]	14	17,3	21,5	25,9	29,7	32,9	36	39	42,1		
Снижение уровня звукового давления на пути слева от экрана, Dz2, дБ	z = 3.17м (разность путей)	ф-лы (14-18) [10]	11,7	14,2	17	19,8	22,8	25,7	28,7	31,7	34,7		
Снижение уровня звукового давления на пути справа от экрана, Dz3, дБ	z = 140.53м (разность путей)	ф-лы (14-18) [10]	31,7	34,9	37,9	40,9	43,9	47	50	53	56		
Общее снижение уровня звука препятствием Dz, дБ		Эн.сумма(-Dzi)	9,7	12,5	15,6	18,8	21,9	25	28	31	34		

1		2	3	4	5	6	7	8	9	10	11	12	13
Общее снижение уровня звука препятствием с учётом ограничения (25 дБ) для октавных полос Dz, дБ		Раздел 7.4 [10]	9,7	12,5	15,6	18,8	21,9	25	25	25	25		
Уровни звукового давления от источника ИШ-5-1 в расчётной точке днём, дБ		**ф-ла(3)[10]**	**0**	**21,1**	**19,3**	**17**	**13,6**	**9,3**	**4,4**	**0**	**0**	**15,1**	**15,1**
Источник шума: ИШ-5-2, координаты источника (x,y,z), м =[625.81,159.52,1.00]													
Уровни звуковой мощности источника днём, Lw, дБ		**исходные данные**	**0**	**93,3**	**94,7**	**96**	**96,3**	**95,9**	**92,6**	**88,4**	**83,9**		
Поправка на телесный угол DΩ, дБ	Ω = 6.28	10Lg(4π/Ω)	**3**	3	3	3	3	3	3	3	3		
Показатель направленности источника Di, дБ		исходные данные	**0**	0	0	0	0	0	0	0	0		
Поправка на направленность источника Dc, дБ	Dc	DΩ + Di	**3**	3	3	3	3	3	3	3	3		
Затухание из-за геометрической дивергенции, Adiv, дБ	расстояние = 381.94 м	ф-ла (7) [10]	**62,6**										
Коэффициент затухания звука в атмосфере α, дБ/км	Ta=20,°C Pa=101.33,кПа hотн.=70%	ф-ла (5) [9]	0,02	0,09	0,33	1,12	2,79	4,98	9,04	23,09	77,63		
Учет затухания звука в атмосфере Aatm, дБ		ф-ла (8) [10]	0	0	0,1	0,4	1,1	1,9	3,5	8,8	29,7		
Снижение уровня звукового давления из-за влияния застройки между источником шума и расчетной точкой													
Снижение уровня звукового давления на пути над экраном, Dz1, дБ	z = 6.63м (разность путей)	ф-лы (14-18) [10]	14	17,3	21,4	25,9	29,7	32,9	36	39	42,1		
Снижение уровня звукового давления на пути слева от экрана, Dz2, дБ	z = 3.14м (разность путей)	ф-лы (14-18) [10]	11,7	14,2	16,9	19,8	22,7	25,7	28,7	31,7	34,7		
Снижение уровня звукового давления на пути справа от экрана, Dz3, дБ	z = 142.86м (разность путей)	ф-лы (14-18) [10]	31,8	35	38	41	44	47	50	53	56,1		
Общее снижение уровня звука препятствием Dz, дБ		Эн.сумма(-Dzi)	9,6	12,4	15,6	18,8	21,9	24,9	27,9	30,9	33,9		
Общее снижение уровня звука препятствием с учётом ограничения (25 дБ) для октавных полос Dz, дБ		Раздел 7.4 [10]	9,6	12,4	15,6	18,8	21,9	24,9	25	25	25		

1		2	3	4	5	6	7	8	9	10	11	12	13
Уровни звукового давления от источника ИШ-5-2 в расчётной точке днём, дБ		**ф-ла(3)[10]**	**0**	**21,2**	**19,3**	**17,1**	**13,7**	**9,4**	**4,5**	**0**	**0**	**15,2**	**15,2**
Источник шума: ИШ-5-3, координаты источника (x,y,z), м =[624.84,156.69,1.00]													
Уровни звуковой мощности источника днём, Lw, дБ		**исходные данные**	**0**	**93,3**	**94,7**	**96**	**96,3**	**95,9**	**92,6**	**88,4**	**83,9**		
Поправка на телесный угол DΩ, дБ	Ω = 6.28	10Lg(4π/Ω)	**3**	3	3	3	3	3	3	3	3		
Показатель направленности источника Di, дБ		исходные данные	**0**	0	0	0	0	0	0	0	0		
Поправка на направленность источника Dc, дБ	Dc	DΩ + Di	**3**	3	3	3	3	3	3	3	3		
Затухание из-за геометрической дивергенции, Adiv, дБ	расстояние = 379.37 м	ф-ла (7) [10]	**62,6**										
Коэффициент затухания звука в атмосфере α, дБ/км	Ta=20,°C Pa=101.33,кПа hотн.=70%	ф-ла (5) [9]	0,02	0,09	0,33	1,12	2,79	4,98	9,04	23,09	77,63		
Учет затухания звука в атмосфере Aatm, дБ		ф-ла (8) [10]	0	0	0,1	0,4	1,1	1,9	3,4	8,8	29,5		
Снижение уровня звукового давления из-за влияния застройки между источником шума и расчетной точкой													
Снижение уровня звукового давления на пути над экраном, Dz1, дБ	z = 6.63м (разность путей)	ф-лы (14-18) [10]	14	17,3	21,4	25,9	29,7	32,9	36	39,1	42,1		
Снижение уровня звукового давления на пути слева от экрана, Dz2, дБ	z = 3.11м (разность путей)	ф-лы (14-18) [10]	11,6	14,2	16,9	19,8	22,7	25,7	28,7	31,7	34,7		
Снижение уровня звукового давления на пути справа от экрана, Dz3, дБ	z = 145.20м (разность путей)	ф-лы (14-18) [10]	31,8	35	38,1	41,1	44,1	47,1	50,1	53,1	56,1		
Общее снижение уровня звука препятствием Dz, дБ		Эн.сумма(-Dzi)	9,6	12,4	15,5	18,8	21,9	24,9	27,9	30,9	33,9		
Общее снижение уровня звука препятствием с учётом ограничения (25 дБ) для октавных полос Dz, дБ		Раздел 7.4 [10]	9,6	12,4	15,5	18,8	21,9	24,9	25	25	25		
Уровни звукового давления от источника ИШ-5-3 в расчётной точке днём, дБ		**ф-ла(3)[10]**	**0**	**21,3**	**19,4**	**17,2**	**13,8**	**9,5**	**4,6**	**0**	**0**	**15,3**	**15,3**

1		2	3	4	5	6	7	8	9	10	11	12	13
Источник шума: ИШ-6-1, координаты источника (x,y,z), м =[836.30,122.24,1.00]													
Уровни звуковой мощности источника днём, Lw, дБ		**исходные данные**	**0**	**96,3**	**97,7**	**99**	**99,3**	**98,9**	**95,6**	**91,4**	**86,9**		
Поправка на телесный угол DΩ, дБ	Ω = 12.57	10Lg(4π/Ω)	**0**	0	0	0	0	0	0	0	0		
Показатель направленности источника Di, дБ		исходные данные	**0**	0	0	0	0	0	0	0	0		
Поправка на направленность источника Dc, дБ	Dc	DΩ + Di	**0**	0	0	0	0	0	0	0	0		
Затухание из-за геометрической дивергенции, Adiv, дБ	расстояние = 543.54 м	ф-ла (7) [10]	**65,7**										
Коэффициент затухания звука в атмосфере α, дБ/км	Ta=20,°C Pa=101.33,кПа hотн.=70%	ф-ла (5) [9]	0,02	0,09	0,33	1,12	2,79	4,98	9,04	23,09	77,63		
Учет затухания звука в атмосфере Aatm, дБ		ф-ла (8) [10]	0	0	0,2	0,6	1,5	2,7	4,9	12,5	42,2		
Снижение уровня звукового давления из-за влияния застройки между источником шума и расчетной точкой													
Снижение уровня звукового давления на пути над экраном, Dz1, дБ	z = 6.12м (разность путей)	ф-лы (14-18) [10]	13,3	16,2	19,8	24,1	28,5	32,1	35,3	38,3	41,4		
Снижение уровня звукового давления на пути слева от экрана, Dz2, дБ	z = 1.27м (разность путей)	ф-лы (14-18) [10]	8,9	10,9	13,4	16	18,9	21,8	24,8	27,8	30,8		
Снижение уровня звукового давления на пути справа от экрана, Dz3, дБ	z = 35.59м (разность путей)	ф-лы (14-18) [10]	23	27,6	31,5	34,8	37,9	41	44	47	50		
Общее снижение уровня звука препятствием Dz, дБ		Эн.сумма(-Dzi)	7,4	9,7	12,4	15,4	18,4	21,4	24,4	27,4	30,4		
Общее снижение уровня звука препятствием с учётом ограничения (25 дБ) для октавных полос Dz, дБ		Раздел 7.4 [10]	7,4	9,7	12,4	15,4	18,4	21,4	24,4	25	25		
Уровни звукового давления от источника ИШ-6-1 в расчётной точке днём, дБ		**ф-ла(3)[10]**	**0**	**20,8**	**19,4**	**17,3**	**13,7**	**9,1**	**0,6**	**0**	**0**	**14,9**	**14,9**
Источник шума: ИШ-6-2, координаты источника (x,y,z), м =[835.37,119.30,1.00]													

1		2	3	4	5	6	7	8	9	10	11	12	13
Уровни звуковой мощности источника днём, Lw, дБ		**исходные данные**	**0**	**96,3**	**97,7**	**99**	**99,3**	**98,9**	**95,6**	**91,4**	**86,9**		
Поправка на телесный угол DΩ, дБ	Ω = 12.57	10Lg(4π/Ω)	**0**	0	0	0	0	0	0	0	0		
Показатель направленности источника Di, дБ		исходные данные	**0**	0	0	0	0	0	0	0	0		
Поправка на направленность источника Dc, дБ	Dc	DΩ + Di	**0**	0	0	0	0	0	0	0	0		
Затухание из-за геометрической дивергенции, Adiv, дБ	расстояние = 541.55 м	ф-ла (7) [10]	**65,7**										
Коэффициент затухания звука в атмосфере α, дБ/км	Ta=20,°C Pa=101.33,кПа hотн.=70%	ф-ла (5) [9]	0,02	0,09	0,33	1,12	2,79	4,98	9,04	23,09	77,63		
Учет затухания звука в атмосфере Aatm, дБ		ф-ла (8) [10]	0	0	0,2	0,6	1,5	2,7	4,9	12,5	42		
Снижение уровня звукового давления из-за влияния застройки между источником шума и расчетной точкой													
Снижение уровня звукового давления на пути над экраном, Dz1, дБ	z = 6.11м (разность путей)	ф-лы (14-18) [10]	13,3	16,2	19,7	24,1	28,4	32,1	35,3	38,3	41,4		
Снижение уровня звукового давления на пути слева от экрана, Dz2, дБ	z = 1.25м (разность путей)	ф-лы (14-18) [10]	8,8	10,9	13,3	16	18,8	21,7	24,7	27,7	30,7		
Снижение уровня звукового давления на пути справа от экрана, Dz3, дБ	z = 35.82м (разность путей)	ф-лы (14-18) [10]	23,1	27,6	31,5	34,9	38	41	44	47	50		
Общее снижение уровня звука препятствием Dz, дБ		Эн.сумма(-Dzi)	7,4	9,7	12,3	15,3	18,3	21,3	24,3	27,3	30,3		
Общее снижение уровня звука препятствием с учётом ограничения (25 дБ) для октавных полос Dz, дБ		Раздел 7.4 [10]	7,4	9,7	12,3	15,3	18,3	21,3	24,3	25	25		
Уровни звукового давления от источника ИШ-6-2 в расчётной точке днём, дБ		**ф-ла(3)[10]**	**0**	**20,9**	**19,5**	**17,4**	**13,8**	**9,2**	**0,7**	**0**	**0**	**15**	**15**
Источник шума: ИШ-6-3, координаты источника (x,y,z), м =[834.03,116.36,1.00]													
Уровни звуковой мощности источника днём, Lw, дБ		**исходные данные**	**0**	**96,3**	**97,7**	**99**	**99,3**	**98,9**	**95,6**	**91,4**	**86,9**		

1		2	3	4	5	6	7	8	9	10	11	12	13
Поправка на телесный угол DΩ, дБ	Ω = 12.57	10Lg(4π/Ω)	**0**	0	0	0	0	0	0	0	0		
Показатель направленности источника Di, дБ		исходные данные	**0**	0	0	0	0	0	0	0	0		
Поправка на направленность источника Dc, дБ	Dc	DΩ + Di	**0**	0	0	0	0	0	0	0	0		
Затухание из-за геометрической дивергенции, Adiv, дБ	расстояние = 539.20 м	ф-ла (7) [10]	**65,6**										
Коэффициент затухания звука в атмосфере α, дБ/км	Ta=20,°C Pa=101.33,кПа hотн.=70%	ф-ла (5) [9]	0,02	0,09	0,33	1,12	2,79	4,98	9,04	23,09	77,63		
Учет затухания звука в атмосфере Aatm, дБ		ф-ла (8) [10]	0	0	0,2	0,6	1,5	2,7	4,9	12,4	41,9		
Снижение уровня звукового давления из-за влияния застройки между источником шума и расчетной точкой													
Снижение уровня звукового давления на пути над экраном, Dz1, дБ	z = 6.10м (разность путей)	ф-лы (14-18) [10]	13,3	16,2	19,7	24,1	28,4	32,1	35,3	38,3	41,4		
Снижение уровня звукового давления на пути слева от экрана, Dz2, дБ	z = 1.23м (разность путей)	ф-лы (14-18) [10]	8,8	10,8	13,2	15,9	18,8	21,7	24,6	27,6	30,6		
Снижение уровня звукового давления на пути справа от экрана, Dz3, дБ	z = 36.04м (разность путей)	ф-лы (14-18) [10]	23,1	27,6	31,5	34,9	38	41	44,1	47,1	50,1		
Общее снижение уровня звука препятствием Dz, дБ		Эн.сумма(-Dzi)	7,3	9,7	12,3	15,3	18,3	21,3	24,2	27,2	30,2		
Общее снижение уровня звука препятствием с учётом ограничения (25 дБ) для октавных полос Dz, дБ		Раздел 7.4 [10]	7,3	9,7	12,3	15,3	18,3	21,3	24,2	25	25		
Уровни звукового давления от источника ИШ-6-3 в расчётной точке днём, дБ		**ф-ла(3)[10]**	**0**	**21**	**19,6**	**17,5**	**13,9**	**9,3**	**0,8**	**0**	**0**	**15,1**	**15,1**
Источник шума: ИШ-6-4, координаты источника (x,y,z), м =[833.23,113.30,1.00]													
Уровни звуковой мощности источника днём, Lw, дБ		**исходные данные**	**0**	**96,3**	**97,7**	**99**	**99,3**	**98,9**	**95,6**	**91,4**	**86,9**		
Поправка на телесный угол DΩ, дБ	Ω = 12.57	10Lg(4π/Ω)	**0**	0	0	0	0	0	0	0	0		

1		2	3	4	5	6	7	8	9	10	11	12	13
Показатель направленности источника Di, дБ		исходные данные	**0**	0	0	0	0	0	0	0	0		
Поправка на направленность источника Dc, дБ	Dc	DΩ + Di	**0**	0	0	0	0	0	0	0	0		
Затухание из-за геометрической дивергенции, Adiv, дБ	расстояние = 537.30 м	ф-ла (7) [10]	**65,6**										
Коэффициент затухания звука в атмосфере α, дБ/км	Ta=20,°C Pa=101.33,кПа hотн.=70%	ф-ла (5) [9]	0,02	0,09	0,33	1,12	2,79	4,98	9,04	23,09	77,63		
Учет затухания звука в атмосфере Aatm, дБ		ф-ла (8) [10]	0	0	0,2	0,6	1,5	2,7	4,9	12,4	41,7		
Снижение уровня звукового давления из-за влияния застройки между источником шума и расчетной точкой													
Снижение уровня звукового давления на пути над экраном, Dz1, дБ	z = 6.09м (разность путей)	ф-лы (14-18) [10]	13,3	16,2	19,7	24,1	28,4	32,1	35,3	38,3	41,4		
Снижение уровня звукового давления на пути слева от экрана, Dz2, дБ	z = 1.20м (разность путей)	ф-лы (14-18) [10]	8,7	10,8	13,2	15,8	18,7	21,6	24,6	27,6	30,6		
Снижение уровня звукового давления на пути справа от экрана, Dz3, дБ	z = 36.29м (разность путей)	ф-лы (14-18) [10]	23,1	27,6	31,6	34,9	38	41,1	44,1	47,1	50,1		
Общее снижение уровня звука препятствием Dz, дБ		Эн.сумма(-Dzi)	7,3	9,6	12,2	15,2	18,2	21,2	24,2	27,2	30,2		
Общее снижение уровня звука препятствием с учётом ограничения (25 дБ) для октавных полос Dz, дБ		Раздел 7.4 [10]	7,3	9,6	12,2	15,2	18,2	21,2	24,2	25	25		
Уровни звукового давления от источника ИШ-6-4 в расчётной точке днём, дБ		**ф-ла(3)[10]**	**0**	**21**	**19,7**	**17,6**	**14**	**9,4**	**1**	**0**	**0**	**15,2**	**15,2**
Источник шума: ИШ-6-5, координаты источника (x,y,z), м =[832.03,110.36,1.00]													
Уровни звуковой мощности источника днём, Lw, дБ		**исходные данные**	**0**	**96,3**	**97,7**	**99**	**99,3**	**98,9**	**95,6**	**91,4**	**86,9**		
Поправка на телесный угол DΩ, дБ	Ω = 12.57	10Lg(4π/Ω)	**0**	0	0	0	0	0	0	0	0		
Показатель направленности источника Di, дБ		исходные данные	**0**	0	0	0	0	0	0	0	0		

1		2	3	4	5	6	7	8	9	10	11	12	13
Поправка на направленность источника Dc, дБ	Dc	DΩ + Di	**0**	0	0	0	0	0	0	0	0		
Затухание из-за геометрической дивергенции, Adiv, дБ	расстояние = 535.09 м	ф-ла (7) [10]	**65,6**										
Коэффициент затухания звука в атмосфере α, дБ/км	Ta=20,°C Pa=101.33,кПа hотн.=70%	ф-ла (5) [9]	0,02	0,09	0,33	1,12	2,79	4,98	9,04	23,09	77,63		
Учет затухания звука в атмосфере Aatm, дБ		ф-ла (8) [10]	0	0	0,2	0,6	1,5	2,7	4,8	12,4	41,5		
Снижение уровня звукового давления из-за влияния застройки между источником шума и расчетной точкой													
Снижение уровня звукового давления на пути над экраном, Dz1, дБ	z = 6.08м (разность путей)	ф-лы (14-18) [10]	13,3	16,2	19,7	24,1	28,4	32,1	35,3	38,3	41,4		
Снижение уровня звукового давления на пути слева от экрана, Dz2, дБ	z = 1.18м (разность путей)	ф-лы (14-18) [10]	8,7	10,7	13,1	15,8	18,6	21,5	24,5	27,5	30,5		
Снижение уровня звукового давления на пути справа от экрана, Dz3, дБ	z = 36.52м (разность путей)	ф-лы (14-18) [10]	23,2	27,7	31,6	35	38,1	41,1	44,1	47,1	50,1		
Общее снижение уровня звука препятствием Dz, дБ		Эн.сумма(-Dzi)	7,3	9,6	12,2	15,1	18,1	21,1	24,1	27,1	30,1		
Общее снижение уровня звука препятствием с учётом ограничения (25 дБ) для октавных полос Dz, дБ		Раздел 7.4 [10]	7,3	9,6	12,2	15,1	18,1	21,1	24,1	25	25		
Уровни звукового давления от источника ИШ-6-5 в расчётной точке днём, дБ		**ф-ла(3)[10]**	**0**	**21,1**	**19,8**	**17,7**	**14,1**	**9,5**	**1,1**	**0**	**0**	**15,3**	**15,3**
Источник шума: ИШ-6-6, координаты источника (x,y,z), м =[830.97,107.42,1.00]													
Уровни звуковой мощности источника днём, Lw, дБ		**исходные данные**	**0**	**96,3**	**97,7**	**99**	**99,3**	**98,9**	**95,6**	**91,4**	**86,9**		
Поправка на телесный угол DΩ, дБ	Ω = 12.57	10Lg(4π/Ω)	**0**	0	0	0	0	0	0	0	0		
Показатель направленности источника Di, дБ		исходные данные	**0**	0	0	0	0	0	0	0	0		
Поправка на направленность источника Dc, дБ	Dc	DΩ + Di	**0**	0	0	0	0	0	0	0	0		

1		2	3	4	5	6	7	8	9	10	11	12	13
Затухание из-за геометрической дивергенции, Adiv, дБ	расстояние = 533.01 м	ф-ла (7) [10]	**65,5**										
Коэффициент затухания звука в атмосфере α, дБ/км	Ta=20,°C Pa=101.33,кПа hотн.=70%	ф-ла (5) [9]	0,02	0,09	0,33	1,12	2,79	4,98	9,04	23,09	77,63		
Учет затухания звука в атмосфере Aatm, дБ		ф-ла (8) [10]	0	0	0,2	0,6	1,5	2,7	4,8	12,3	41,4		
Снижение уровня звукового давления из-за влияния застройки между источником шума и расчетной точкой													
Снижение уровня звукового давления на пути над экраном, Dz1, дБ	z = 6.07м (разность путей)	ф-лы (14-18) [10]	13,3	16,2	19,7	24	28,4	32,1	35,3	38,3	41,3		
Снижение уровня звукового давления на пути слева от экрана, Dz2, дБ	z = 1.16м (разность путей)	ф-лы (14-18) [10]	8,6	10,7	13	15,7	18,5	21,5	24,4	27,4	30,4		
Снижение уровня звукового давления на пути справа от экрана, Dz3, дБ	z = 36.75м (разность путей)	ф-лы (14-18) [10]	23,2	27,7	31,6	35	38,1	41,1	44,1	47,2	50,2		
Общее снижение уровня звука препятствием Dz, дБ		Эн.сумма(-Dzi)	7,2	9,5	12,1	15,1	18,1	21,1	24	27	30		
Общее снижение уровня звука препятствием с учётом ограничения (25 дБ) для октавных полос Dz, дБ		Раздел 7.4 [10]	7,2	9,5	12,1	15,1	18,1	21,1	24	25	25		
Уровни звукового давления от источника ИШ-6-6 в расчётной точке днём, дБ		**ф-ла(3)[10]**	**0**	**21,2**	**19,8**	**17,8**	**14,2**	**9,6**	**1,2**	**0**	**0**	**15,4**	**15,4**
Источник шума: ИШ-6-7, координаты источника (x,y,z), м =[830.30,104.49,1.00]													
Уровни звуковой мощности источника днём, Lw, дБ		**исходные данные**	**0**	**96,3**	**97,7**	**99**	**99,3**	**98,9**	**95,6**	**91,4**	**86,9**		
Поправка на телесный угол DΩ, дБ	Ω = 12.57	10Lg(4π/Ω)	**0**	0	0	0	0	0	0	0	0		
Показатель направленности источника Di, дБ		исходные данные	**0**	0	0	0	0	0	0	0	0		
Поправка на направленность источника Dc, дБ	Dc	DΩ + Di	**0**	0	0	0	0	0	0	0	0		
Затухание из-за геометрической дивергенции, Adiv, дБ	расстояние = 531.32 м	ф-ла (7) [10]	**65,5**										

1		2	3	4	5	6	7	8	9	10	11	12	13
Коэффициент затухания звука в атмосфере α, дБ/км	Ta=20,°C Pa=101.33,кПа hотн.=70%	ф-ла (5) [9]	0,02	0,09	0,33	1,12	2,79	4,98	9,04	23,09	77,63		
Учет затухания звука в атмосфере Aatm, дБ		ф-ла (8) [10]	0	0	0,2	0,6	1,5	2,6	4,8	12,3	41,2		
Снижение уровня звукового давления из-за влияния застройки между источником шума и расчетной точкой													
Снижение уровня звукового давления на пути над экраном, Dz1, дБ	z = 6.06м (разность путей)	ф-лы (14-18) [10]	13,3	16,2	19,7	24	28,4	32	35,3	38,3	41,3		
Снижение уровня звукового давления на пути слева от экрана, Dz2, дБ	z = 1.14м (разность путей)	ф-лы (14-18) [10]	8,6	10,6	13	15,6	18,5	21,4	24,3	27,3	30,3		
Снижение уровня звукового давления на пути справа от экрана, Dz3, дБ	z = 37.00м (разность путей)	ф-лы (14-18) [10]	23,2	27,7	31,7	35	38,1	41,2	44,2	47,2	50,2		
Общее снижение уровня звука препятствием Dz, дБ		Эн.сумма(-Dzi)	7,2	9,5	12,1	15	18	21	24	27	30		
Общее снижение уровня звука препятствием с учётом ограничения (25 дБ) для октавных полос Dz, дБ		Раздел 7.4 [10]	7,2	9,5	12,1	15	18	21	24	25	25		
Уровни звукового давления от источника ИШ-6-7 в расчётной точке днём, дБ		**ф-ла(3)[10]**	**0**	**21,3**	**19,9**	**17,9**	**14,3**	**9,8**	**1,3**	**0**	**0**	**15,5**	**15,5**
Источник шума: ИШ-6-8, координаты источника (x,y,z), м =[829.36,101.42,1.00]													
Уровни звуковой мощности источника днём, Lw, дБ		**исходные данные**	**0**	**96,3**	**97,7**	**99**	**99,3**	**98,9**	**95,6**	**91,4**	**86,9**		
Поправка на телесный угол DΩ, дБ	Ω = 12.57	10Lg(4π/Ω)	**0**	0	0	0	0	0	0	0	0		
Показатель направленности источника Di, дБ		исходные данные	**0**	0	0	0	0	0	0	0	0		
Поправка на направленность источника Dc, дБ	Dc	DΩ + Di	**0**	0	0	0	0	0	0	0	0		
Затухание из-за геометрической дивергенции, Adiv, дБ	расстояние = 529.34 м	ф-ла (7) [10]	**65,5**										
Коэффициент затухания звука в атмосфере α, дБ/км	Ta=20,°C Pa=101.33,кПа hотн.=70%	ф-ла (5) [9]	0,02	0,09	0,33	1,12	2,79	4,98	9,04	23,09	77,63		

1		2	3	4	5	6	7	8	9	10	11	12	13
Учет затухания звука в атмосфере Aatm, дБ		ф-ла (8) [10]	0	0	0,2	0,6	1,5	2,6	4,8	12,2	41,1		
Снижение уровня звукового давления из-за влияния застройки между источником шума и расчетной точкой													
Снижение уровня звукового давления на пути над экраном, Dz1, дБ	z = 6.04м (разность путей)	ф-лы (14-18) [10]	13,3	16,2	19,6	24	28,4	32	35,2	38,3	41,3		
Снижение уровня звукового давления на пути слева от экрана, Dz2, дБ	z = 1.12м (разность путей)	ф-лы (14-18) [10]	8,5	10,5	12,9	15,6	18,4	21,3	24,3	27,2	30,2		
Снижение уровня звукового давления на пути справа от экрана, Dz3, дБ	z = 37.26м (разность путей)	ф-лы (14-18) [10]	23,2	27,8	31,7	35	38,1	41,2	44,2	47,2	50,2		
Общее снижение уровня звука препятствием Dz, дБ		Эн.сумма(-Dzi)	7,2	9,4	12	14,9	17,9	20,9	23,9	26,9	29,9		
Общее снижение уровня звука препятствием с учётом ограничения (25 дБ) для октавных полос Dz, дБ		Раздел 7.4 [10]	7,2	9,4	12	14,9	17,9	20,9	23,9	25	25		
Уровни звукового давления от источника ИШ-6-8 в расчётной точке днём, дБ		**ф-ла(3)[10]**	**0**	**21,3**	**20**	**18**	**14,4**	**9,9**	**1,4**	**0**	**0**	**15,6**	**15,6**
Источник шума: ИШ-6-9, координаты источника (x,y,z), м =[828.03,98.62,1.00]													
Уровни звуковой мощности источника днём, Lw, дБ		**исходные данные**	**0**	**96,3**	**97,7**	**99**	**99,3**	**98,9**	**95,6**	**91,4**	**86,9**		
Поправка на телесный угол DΩ, дБ	Ω = 12.57	10Lg(4π/Ω)	**0**	0	0	0	0	0	0	0	0		
Показатель направленности источника Di, дБ		исходные данные	**0**	0	0	0	0	0	0	0	0		
Поправка на направленность источника Dc, дБ	Dc	DΩ + Di	**0**	0	0	0	0	0	0	0	0		
Затухание из-за геометрической дивергенции, Adiv, дБ	расстояние = 527.09 м	ф-ла (7) [10]	**65,4**										
Коэффициент затухания звука в атмосфере α, дБ/км	Ta=20,°C Pa=101.33,кПа hотн.=70%	ф-ла (5) [9]	0,02	0,09	0,33	1,12	2,79	4,98	9,04	23,09	77,63		
Учет затухания звука в атмосфере Aatm, дБ		ф-ла (8) [10]	0	0	0,2	0,6	1,5	2,6	4,8	12,2	40,9		

1		2	3	4	5	6	7	8	9	10	11	12	13
Снижение уровня звукового давления из-за влияния застройки между источником шума и расчетной точкой													
Снижение уровня звукового давления на пути над экраном, Dz1, дБ	z = 6.03м (разность путей)	ф-лы (14-18) [10]	13,3	16,2	19,6	24	28,3	32	35,2	38,3	41,3		
Снижение уровня звукового давления на пути слева от экрана, Dz2, дБ	z = 1.10м (разность путей)	ф-лы (14-18) [10]	8,5	10,5	12,8	15,5	18,3	21,2	24,2	27,2	30,2		
Снижение уровня звукового давления на пути справа от экрана, Dz3, дБ	z = 37.48м (разность путей)	ф-лы (14-18) [10]	23,3	27,8	31,7	35,1	38,2	41,2	44,2	47,2	50,2		
Общее снижение уровня звука препятствием Dz, дБ		Эн.сумма(-Dzi)	7,1	9,4	12	14,9	17,9	20,8	23,8	26,8	29,8		
Общее снижение уровня звука препятствием с учётом ограничения (25 дБ) для октавных полос Dz, дБ		Раздел 7.4 [10]	7,1	9,4	12	14,9	17,9	20,8	23,8	25	25		
Уровни звукового давления от источника ИШ-6-9 в расчётной точке днём, дБ		**ф-ла(3)[10]**	**0**	**21,4**	**20,1**	**18,1**	**14,5**	**10**	**1,6**	**0**	**0**	**15,7**	**15,7**
Источник шума: ИШ-6-10, координаты источника (x,y,z), м =[827.23,95.55,1.00]													
Уровни звуковой мощности источника днём, Lw, дБ		**исходные данные**	**0**	**96,3**	**97,7**	**99**	**99,3**	**98,9**	**95,6**	**91,4**	**86,9**		
Поправка на телесный угол DΩ, дБ	Ω = 12.57	10Lg(4π/Ω)	**0**	0	0	0	0	0	0	0	0		
Показатель направленности источника Di, дБ		исходные данные	**0**	0	0	0	0	0	0	0	0		
Поправка на направленность источника Dc, дБ	Dc	DΩ + Di	**0**	0	0	0	0	0	0	0	0		
Затухание из-за геометрической дивергенции, Adiv, дБ	расстояние = 525.26 м	ф-ла (7) [10]	**65,4**										
Коэффициент затухания звука в атмосфере α, дБ/км	Ta=20,°C Pa=101.33,кПа hотн.=70%	ф-ла (5) [9]	0,02	0,09	0,33	1,12	2,79	4,98	9,04	23,09	77,63		
Учет затухания звука в атмосфере Aatm, дБ		ф-ла (8) [10]	0	0	0,2	0,6	1,5	2,6	4,7	12,1	40,8		
Снижение уровня звукового давления из-за влияния застройки между источником шума и расчетной точкой													

1		2	3	4	5	6	7	8	9	10	11	12	13
Снижение уровня звукового давления на пути над экраном, Dz1, дБ	z = 6.02м (разность путей)	ф-лы (14-18) [10]	13,3	16,1	19,6	23,9	28,3	32	35,2	38,3	41,3		
Снижение уровня звукового давления на пути слева от экрана, Dz2, дБ	z = 1.08м (разность путей)	ф-лы (14-18) [10]	8,5	10,4	12,8	15,4	18,2	21,1	24,1	27,1	30,1		
Снижение уровня звукового давления на пути справа от экрана, Dz3, дБ	z = 37.75м (разность путей)	ф-лы (14-18) [10]	23,3	27,8	31,7	35,1	38,2	41,2	44,3	47,3	50,3		
Общее снижение уровня звука препятствием Dz, дБ		Эн.сумма(-Dzi)	7,1	9,3	11,9	14,8	17,8	20,8	23,7	26,7	29,7		
Общее снижение уровня звука препятствием с учётом ограничения (25 дБ) для октавных полос Dz, дБ		Раздел 7.4 [10]	7,1	9,3	11,9	14,8	17,8	20,8	23,7	25	25		
Уровни звукового давления от источника ИШ-6-10 в расчётной точке днём, дБ		**ф-ла(3)[10]**	**0**	**21,5**	**20,2**	**18,2**	**14,6**	**10,1**	**1,7**	**0**	**0**	**15,8**	**15,8**
Источник шума: ИШ-6-11, координаты источника (x,y,z), м =[826.30,92.48,1.00]													
Уровни звуковой мощности источника днём, Lw, дБ		**исходные данные**	**0**	**96,3**	**97,7**	**99**	**99,3**	**98,9**	**95,6**	**91,4**	**86,9**		
Поправка на телесный угол DΩ, дБ	Ω = 12.57	10Lg(4π/Ω)	**0**	0	0	0	0	0	0	0	0		
Показатель направленности источника Di, дБ		исходные данные	**0**	0	0	0	0	0	0	0	0		
Поправка на направленность источника Dc, дБ	Dc	DΩ + Di	**0**	0	0	0	0	0	0	0	0		
Затухание из-за геометрической дивергенции, Adiv, дБ	расстояние = 523.32 м	ф-ла (7) [10]	**65,4**										
Коэффициент затухания звука в атмосфере α, дБ/км	Ta=20,°C Pa=101.33,кПа hотн.=70%	ф-ла (5) [9]	0,02	0,09	0,33	1,12	2,79	4,98	9,04	23,09	77,63		
Учет затухания звука в атмосфере Aatm, дБ		ф-ла (8) [10]	0	0	0,2	0,6	1,5	2,6	4,7	12,1	40,6		
Снижение уровня звукового давления из-за влияния застройки между источником шума и расчетной точкой													
Снижение уровня звукового давления на пути над экраном, Dz1, дБ	z = 6.01м (разность путей)	ф-лы (14-18) [10]	13,2	16,1	19,6	23,9	28,3	32	35,2	38,3	41,3		

1		2	3	4	5	6	7	8	9	10	11	12	13
Снижение уровня звукового давления на пути слева от экрана, Dz2, дБ	z = 1.06м (разность путей)	ф-лы (14-18) [10]	8,4	10,4	12,7	15,3	18,2	21,1	24	27	30		
Снижение уровня звукового давления на пути справа от экрана, Dz3, дБ	z = 38.01м (разность путей)	ф-лы (14-18) [10]	23,3	27,8	31,8	35,1	38,2	41,3	44,3	47,3	50,3		
Общее снижение уровня звука препятствием Dz, дБ		Эн.сумма(-Dzi)	7,1	9,3	11,8	14,7	17,7	20,7	23,7	26,7	29,7		
Общее снижение уровня звука препятствием с учётом ограничения (25 дБ) для октавных полос Dz, дБ		Раздел 7.4 [10]	7,1	9,3	11,8	14,7	17,7	20,7	23,7	25	25		
Уровни звукового давления от источника ИШ-6-11 в расчётной точке днём, дБ		**ф-ла(3)[10]**	**0**	**21,6**	**20,3**	**18,3**	**14,7**	**10,2**	**1,8**	**0**	**0**	**15,9**	**15,9**
Источник шума: ИШ-6-12, координаты источника (x,y,z), м =[825.09,89.54,1.00]													
Уровни звуковой мощности источника днём, Lw, дБ		**исходные данные**	**0**	**96,3**	**97,7**	**99**	**99,3**	**98,9**	**95,6**	**91,4**	**86,9**		
Поправка на телесный угол DΩ, дБ	Ω = 12.57	10Lg(4π/Ω)	**0**	0	0	0	0	0	0	0	0		
Показатель направленности источника Di, дБ		исходные данные	**0**	0	0	0	0	0	0	0	0		
Поправка на направленность источника Dc, дБ	Dc	DΩ + Di	**0**	0	0	0	0	0	0	0	0		
Затухание из-за геометрической дивергенции, Adiv, дБ	расстояние = 521.18 м	ф-ла (7) [10]	**65,3**										
Коэффициент затухания звука в атмосфере α, дБ/км	Ta=20,°C Pa=101.33,кПа hотн.=70%	ф-ла (5) [9]	0,02	0,09	0,33	1,12	2,79	4,98	9,04	23,09	77,63		
Учет затухания звука в атмосфере Aatm, дБ		ф-ла (8) [10]	0	0	0,2	0,6	1,5	2,6	4,7	12	40,5		
Снижение уровня звукового давления из-за влияния застройки между источником шума и расчетной точкой													
Снижение уровня звукового давления на пути над экраном, Dz1, дБ	z = 6.00м (разность путей)	ф-лы (14-18) [10]	13,2	16,1	19,6	23,9	28,3	32	35,2	38,3	41,3		
Снижение уровня звукового давления на пути слева от экрана, Dz2, дБ	z = 1.04м (разность путей)	ф-лы (14-18) [10]	8,4	10,3	12,6	15,3	18,1	21	23,9	26,9	29,9		

1		2	3	4	5	6	7	8	9	10	11	12	13
Снижение уровня звукового давления на пути справа от экрана, Dz3, дБ	z = 38.26м (разность путей)	ф-лы (14-18) [10]	23,4	27,9	31,8	35,2	38,3	41,3	44,3	47,3	50,3		
Общее снижение уровня звука препятствием Dz, дБ		Эн.сумма(-Dzi)	7	9,2	11,8	14,7	17,6	20,6	23,6	26,6	29,6		
Общее снижение уровня звука препятствием с учётом ограничения (25 дБ) для октавных полос Dz, дБ		Раздел 7.4 [10]	7	9,2	11,8	14,7	17,6	20,6	23,6	25	25		
Уровни звукового давления от источника ИШ-6-12 в расчётной точке днём, дБ		**ф-ла(3)[10]**	**0**	**21,7**	**20,4**	**18,4**	**14,9**	**10,3**	**1,9**	**0**	**0**	**16**	**16**
Источник шума: ИШ-6-13, координаты источника (x,y,z), м =[767.76,-114.15,1.00]													
Уровни звуковой мощности источника днём, Lw, дБ		**исходные данные**	**0**	**96,3**	**97,7**	**99**	**99,3**	**98,9**	**95,6**	**91,4**	**86,9**		
Поправка на телесный угол DΩ, дБ	Ω = 12.57	10Lg(4π/Ω)	**0**	0	0	0	0	0	0	0	0		
Показатель направленности источника Di, дБ		исходные данные	**0**	0	0	0	0	0	0	0	0		
Поправка на направленность источника Dc, дБ	Dc	DΩ + Di	**0**	0	0	0	0	0	0	0	0		
Затухание из-за геометрической дивергенции, Adiv, дБ	расстояние = 433.34 м	ф-ла (7) [10]	**63,7**										
Коэффициент затухания звука в атмосфере α, дБ/км	Ta=20,°C Pa=101.33,кПа hотн.=70%	ф-ла (5) [9]	0,02	0,09	0,33	1,12	2,79	4,98	9,04	23,09	77,63		
Учет затухания звука в атмосфере Aatm, дБ		ф-ла (8) [10]	0	0	0,1	0,5	1,2	2,2	3,9	10	33,6		
Снижение уровня звукового давления из-за влияния застройки между источником шума и расчетной точкой													
Снижение уровня звукового давления на пути над экраном, Dz1, дБ	z = 3.93м (разность путей)	ф-лы (14-18) [10]	11,5	14,1	16,9	19,9	23,5	27,9	32,3	36	39,3		
Снижение уровня звукового давления на пути слева от экрана, Dz2, дБ	z = 0.02м (разность путей)	ф-лы (14-18) [10]	4,9	4,9	5,1	5,4	6	7	8,4	10,4	12,7		
Снижение уровня звукового давления на пути справа от экрана, Dz3, дБ	z = 61.57м (разность путей)	ф-лы (14-18) [10]	25,4	29,9	33,9	37,2	40,3	43,4	46,4	49,4	52,4		

1		2	3	4	5	6	7	8	9	10	11	12	13
Общее снижение уровня звука препятствием Dz, дБ		Эн.сумма(-Dzi)	4	4,4	4,8	5,3	5,9	6,9	8,4	10,3	12,7		
Уровни звукового давления от источника ИШ-6-13 в расчётной точке днём, дБ		**ф-ла(3)[10]**	**0**	**28,1**	**29**	**29,5**	**28,4**	**26,1**	**19,6**	**7,3**	**0**	**30**	**30**
Источник шума: ИШ-6-14, координаты источника (x,y,z), м =[766.82,-117.10,1.00]													
Уровни звуковой мощности источника днём, Lw, дБ		**исходные данные**	**0**	**96,3**	**97,7**	**99**	**99,3**	**98,9**	**95,6**	**91,4**	**86,9**		
Поправка на телесный угол DΩ, дБ	Ω = 12.57	10Lg(4π/Ω)	**0**	0	0	0	0	0	0	0	0		
Показатель направленности источника Di, дБ		исходные данные	**0**	0	0	0	0	0	0	0	0		
Поправка на направленность источника Dc, дБ	Dc	DΩ + Di	**0**	0	0	0	0	0	0	0	0		
Затухание из-за геометрической дивергенции, Adiv, дБ	расстояние = 432.58 м	ф-ла (7) [10]	**63,7**										
Коэффициент затухания звука в атмосфере α, дБ/км	Ta=20,°C Pa=101.33,кПа hотн.=70%	ф-ла (5) [9]	0,02	0,09	0,33	1,12	2,79	4,98	9,04	23,09	77,63		
Учет затухания звука в атмосфере Aatm, дБ		ф-ла (8) [10]	0	0	0,1	0,5	1,2	2,2	3,9	10	33,6		
Снижение уровня звукового давления из-за влияния застройки между источником шума и расчетной точкой													
Снижение уровня звукового давления на пути над экраном, Dz1, дБ	z = 3.87м (разность путей)	ф-лы (14-18) [10]	11,5	14	16,8	19,8	23,3	27,6	32,1	35,9	39,2		
Снижение уровня звукового давления на пути слева от экрана, Dz2, дБ	z = 0.01м (разность путей)	ф-лы (14-18) [10]	4,8	4,9	5	5,3	5,8	6,6	7,8	9,6	11,8		
Снижение уровня звукового давления на пути справа от экрана, Dz3, дБ	z = 61.97м (разность путей)	ф-лы (14-18) [10]	25,4	30	33,9	37,2	40,4	43,4	46,4	49,4	52,4		
Общее снижение уровня звука препятствием Dz, дБ		Эн.сумма(-Dzi)	4	4,4	4,8	5,1	5,7	6,5	7,8	9,6	11,8		
Уровни звукового давления от источника ИШ-6-14 в расчётной точке днём, дБ		**ф-ла(3)[10]**	**0**	**28,1**	**29,1**	**29,6**	**28,7**	**26,5**	**20,2**	**8,1**	**0**	**30,4**	**30,4**

1		2	3	4	5	6	7	8	9	10	11	12	13
Источник шума: ИШ-6-15, координаты источника (x,y,z), м =[765.71,-120.27,1.00]													
Уровни звуковой мощности источника днём, Lw, дБ		**исходные данные**	**0**	**96,3**	**97,7**	**99**	**99,3**	**98,9**	**95,6**	**91,4**	**86,9**		
Поправка на телесный угол DΩ, дБ	Ω = 12.57	10Lg(4π/Ω)	**0**	0	0	0	0	0	0	0	0		
Показатель направленности источника Di, дБ		исходные данные	**0**	0	0	0	0	0	0	0	0		
Поправка на направленность источника Dc, дБ	Dc	DΩ + Di	**0**	0	0	0	0	0	0	0	0		
Затухание из-за геометрической дивергенции, Adiv, дБ	расстояние = 431.70 м	ф-ла (7) [10]	**63,7**										
Коэффициент затухания звука в атмосфере α, дБ/км	Ta=20,°C Pa=101.33,кПа hотн.=70%	ф-ла (5) [9]	0,02	0,09	0,33	1,12	2,79	4,98	9,04	23,09	77,63		
Учет затухания звука в атмосфере Aatm, дБ		ф-ла (8) [10]	0	0	0,1	0,5	1,2	2,1	3,9	10	33,5		
Снижение уровня звукового давления из-за влияния застройки между источником шума и расчетной точкой													
Снижение уровня звукового давления на пути над экраном, Dz1, дБ	z = 3.79м (разность путей)	ф-лы (14-18) [10]	11,4	13,9	16,7	19,7	23,1	27,2	31,7	35,7	39		
Снижение уровня звукового давления на пути слева от экрана, Dz2, дБ	z = 0.01м (разность путей)	ф-лы (14-18) [10]	4,8	4,9	5	5,2	5,5	6,1	7,2	8,7	10,8		
Снижение уровня звукового давления на пути справа от экрана, Dz3, дБ	z = 62.41м (разность путей)	ф-лы (14-18) [10]	25,5	30	33,9	37,3	40,4	43,4	46,4	49,4	52,5		
Общее снижение уровня звука препятствием Dz, дБ		Эн.сумма(-Dzi)	3,9	4,4	4,7	5	5,4	6,1	7,2	8,7	10,8		
Уровни звукового давления от источника ИШ-6-15 в расчётной точке днём, дБ		**ф-ла(3)[10]**	**0**	**28,2**	**29,2**	**29,8**	**28,9**	**26,9**	**20,8**	**9**	**0**	**30,8**	**30,8**
Источник шума: ИШ-6-16, координаты источника (x,y,z), м =[764.57,-123.22,1.00]													
Уровни звуковой мощности источника днём, Lw, дБ		**исходные данные**	**0**	**96,3**	**97,7**	**99**	**99,3**	**98,9**	**95,6**	**91,4**	**86,9**		

1		2	3	4	5	6	7	8	9	10	11	12	13
Поправка на телесный угол DΩ, дБ	Ω = 12.57	10Lg(4π/Ω)	**0**	0	0	0	0	0	0	0	0		
Показатель направленности источника Di, дБ		исходные данные	**0**	0	0	0	0	0	0	0	0		
Поправка на направленность источника Dc, дБ	Dc	DΩ + Di	**0**	0	0	0	0	0	0	0	0		
Затухание из-за геометрической дивергенции, Adiv, дБ	расстояние = 430.79 м	ф-ла (7) [10]	**63,7**										
Коэффициент затухания звука в атмосфере α, дБ/км	Ta=20,°C Pa=101.33,кПа hотн.=70%	ф-ла (5) [9]	0,02	0,09	0,33	1,12	2,79	4,98	9,04	23,09	77,63		
Учет затухания звука в атмосфере Aatm, дБ		ф-ла (8) [10]	0	0	0,1	0,5	1,2	2,1	3,9	9,9	33,4		
Снижение уровня звукового давления из-за влияния застройки между источником шума и расчетной точкой													
Снижение уровня звукового давления на пути над экраном, Dz1, дБ	z = 3.72м (разность путей)	ф-лы (14-18) [10]	11,3	13,8	16,6	19,5	22,8	26,8	31,3	35,5	38,9		
Снижение уровня звукового давления на пути слева от экрана, Dz2, дБ	z = 0.01м (разность путей)	ф-лы (14-18) [10]	4,8	4,8	4,9	5	5,3	5,8	6,6	7,9	9,7		
Снижение уровня звукового давления на пути справа от экрана, Dz3, дБ	z = 62.82м (разность путей)	ф-лы (14-18) [10]	25,5	30	33,9	37,3	40,4	43,4	46,5	49,5	52,5		
Общее снижение уровня звука препятствием Dz, дБ		Эн.сумма(-Dzi)	3,9	4,3	4,6	4,9	5,2	5,7	6,6	7,9	9,7		
Уровни звукового давления от источника ИШ-6-16 в расчётной точке днём, дБ		**ф-ла(3)[10]**	**0**	**28,3**	**29,2**	**29,9**	**29,2**	**27,3**	**21,4**	**9,9**	**0**	**31,1**	**31,1**
Источник шума: ИШ-6-17, координаты источника (x,y,z), м =[763.57,-126.18,1.00]													
Уровни звуковой мощности источника днём, Lw, дБ		**исходные данные**	**0**	**96,3**	**97,7**	**99**	**99,3**	**98,9**	**95,6**	**91,4**	**86,9**		
Поправка на телесный угол DΩ, дБ	Ω = 12.57	10Lg(4π/Ω)	**0**	0	0	0	0	0	0	0	0		
Показатель направленности источника Di, дБ		исходные данные	**0**	0	0	0	0	0	0	0	0		

1		2	3	4	5	6	7	8	9	10	11	12	13
Поправка на направленность источника Dc, дБ	Dc	DΩ + Di	**0**	0	0	0	0	0	0	0	0		
Затухание из-за геометрической дивергенции, Adiv, дБ	расстояние = 430.04 м	ф-ла (7) [10]	**63,7**										
Коэффициент затухания звука в атмосфере α, дБ/км	Ta=20,°C Pa=101.33,кПа hотн.=70%	ф-ла (5) [9]	0,02	0,09	0,33	1,12	2,79	4,98	9,04	23,09	77,63		
Учет затухания звука в атмосфере Aatm, дБ		ф-ла (8) [10]	0	0	0,1	0,5	1,2	2,1	3,9	9,9	33,4		
Снижение уровня звукового давления из-за влияния застройки между источником шума и расчетной точкой													
Снижение уровня звукового давления на пути над экраном, Dz1, дБ	z = 3.65м (разность путей)	ф-лы (14-18) [10]	11,2	13,7	16,5	19,4	22,6	26,4	30,8	35,1	38,7		
Снижение уровня звукового давления на пути слева от экрана, Dz2, дБ	z = 0.00м (разность путей)	ф-лы (14-18) [10]	4,8	4,8	4,9	5	5,1	5,5	6,1	7	8,5		
Снижение уровня звукового давления на пути справа от экрана, Dz3, дБ	z = 63.22м (разность путей)	ф-лы (14-18) [10]	25,5	30	34	37,3	40,4	43,5	46,5	49,5	52,5		
Общее снижение уровня звука препятствием Dz, дБ		Эн.сумма(-Dzi)	3,9	4,3	4,6	4,8	5	5,4	6	7	8,5		
Уровни звукового давления от источника ИШ-6-17 в расчётной точке днём, дБ		**ф-ла(3)[10]**	**0**	**28,3**	**29,3**	**30**	**29,4**	**27,7**	**22**	**10,8**	**0**	**31,4**	**31,4**
Источник шума: ИШ-6-18, координаты источника (x,y,z), м =[804.77,-126.28,1.00]													
Уровни звуковой мощности источника днём, Lw, дБ		**исходные данные**	**0**	**96,3**	**97,7**	**99**	**99,3**	**98,9**	**95,6**	**91,4**	**86,9**		
Поправка на телесный угол DΩ, дБ	Ω = 12.57	10Lg(4π/Ω)	**0**	0	0	0	0	0	0	0	0		
Показатель направленности источника Di, дБ		исходные данные	**0**	0	0	0	0	0	0	0	0		
Поправка на направленность источника Dc, дБ	Dc	DΩ + Di	**0**	0	0	0	0	0	0	0	0		
Затухание из-за геометрической дивергенции, Adiv, дБ	расстояние = 471.11 м	ф-ла (7) [10]	**64,5**										

1		2	3	4	5	6	7	8	9	10	11	12	13
Коэффициент затухания звука в атмосфере α, дБ/км	Ta=20,°C Pa=101.33,кПа hотн.=70%	ф-ла (5) [9]	0,02	0,09	0,33	1,12	2,79	4,98	9,04	23,09	77,63		
Учет затухания звука в атмосфере Aatm, дБ		ф-ла (8) [10]	0	0	0,2	0,5	1,3	2,3	4,3	10,9	36,6		
Снижение уровня звукового давления из-за влияния застройки между источником шума и расчетной точкой													
Снижение уровня звукового давления на пути над экраном, Dz1, дБ	z = 3.72м (разность путей)	ф-лы (14-18) [10]	11,2	13,7	16,5	19,4	22,7	26,7	31,3	35,4	38,8		
Снижение уровня звукового давления на пути слева от экрана, Dz2, дБ	z = 0.01м (разность путей)	ф-лы (14-18) [10]	4,8	4,8	4,9	5,1	5,3	5,8	6,6	7,9	9,7		
Снижение уровня звукового давления на пути справа от экрана, Dz3, дБ	z = 62.46м (разность путей)	ф-лы (14-18) [10]	25,5	30	33,9	37,3	40,4	43,4	46,4	49,5	52,5		
Общее снижение уровня звука препятствием Dz, дБ		Эн.сумма(-Dzi)	3,9	4,3	4,6	4,9	5,2	5,8	6,6	7,9	9,7		
Уровни звукового давления от источника ИШ-6-18 в расчётной точке днём, дБ		**ф-ла(3)[10]**	**0**	**27,5**	**28,5**	**29,1**	**28,3**	**26,3**	**20,3**	**8,1**	**0**	**30,1**	**30,1**
Источник шума: ИШ-6-19, координаты источника (x,y,z), м =[803.81,-129.30,1.00]													
Уровни звуковой мощности источника днём, Lw, дБ		**исходные данные**	**0**	**96,3**	**97,7**	**99**	**99,3**	**98,9**	**95,6**	**91,4**	**86,9**		
Поправка на телесный угол DΩ, дБ	Ω = 12.57	10Lg(4π/Ω)	**0**	0	0	0	0	0	0	0	0		
Показатель направленности источника Di, дБ		исходные данные	**0**	0	0	0	0	0	0	0	0		
Поправка на направленность источника Dc, дБ	Dc	DΩ + Di	**0**	0	0	0	0	0	0	0	0		
Затухание из-за геометрической дивергенции, Adiv, дБ	расстояние = 470.41 м	ф-ла (7) [10]	**64,4**										
Коэффициент затухания звука в атмосфере α, дБ/км	Ta=20,°C Pa=101.33,кПа hотн.=70%	ф-ла (5) [9]	0,02	0,09	0,33	1,12	2,79	4,98	9,04	23,09	77,63		
Учет затухания звука в атмосфере Aatm, дБ		ф-ла (8) [10]	0	0	0,2	0,5	1,3	2,3	4,3	10,9	36,5		

1		2	3	4	5	6	7	8	9	10	11	12	13
Снижение уровня звукового давления из-за влияния застройки между источником шума и расчетной точкой													
Снижение уровня звукового давления на пути над экраном, Dz1, дБ	z = 3.65м (разность путей)	ф-лы (14-18) [10]	11,2	13,6	16,4	19,3	22,5	26,3	30,8	35,1	38,6		
Снижение уровня звукового давления на пути слева от экрана, Dz2, дБ	z = 0.00м (разность путей)	ф-лы (14-18) [10]	4,8	4,8	4,9	5	5,1	5,5	6,1	7,1	8,7		
Снижение уровня звукового давления на пути справа от экрана, Dz3, дБ	z = 62.85м (разность путей)	ф-лы (14-18) [10]	25,5	30	34	37,3	40,4	43,5	46,5	49,5	52,5		
Общее снижение уровня звука препятствием Dz, дБ		Эн.сумма(-Dzi)	3,9	4,3	4,6	4,8	5,1	5,5	6,1	7,1	8,7		
Уровни звукового давления от источника ИШ-6-19 в расчётной точке днём, дБ		**ф-ла(3)[10]**	**0**	**27,5**	**28,5**	**29,2**	**28,5**	**26,6**	**20,8**	**8,9**	**0**	**30,4**	**30,4**
Источник шума: ИШ-6-20, координаты источника (x,y,z), м =[802.67,-132.35,1.00]													
Уровни звуковой мощности источника днём, Lw, дБ		**исходные данные**	**0**	**96,3**	**97,7**	**99**	**99,3**	**98,9**	**95,6**	**91,4**	**86,9**		
Поправка на телесный угол DΩ, дБ	Ω = 12.57	10Lg(4π/Ω)	**0**	0	0	0	0	0	0	0	0		
Показатель направленности источника Di, дБ		исходные данные	**0**	0	0	0	0	0	0	0	0		
Поправка на направленность источника Dc, дБ	Dc	DΩ + Di	**0**	0	0	0	0	0	0	0	0		
Затухание из-за геометрической дивергенции, Adiv, дБ	расстояние = 469.55 м	ф-ла (7) [10]	**64,4**										
Коэффициент затухания звука в атмосфере α, дБ/км	Ta=20,°C Pa=101.33,кПа hотн.=70%	ф-ла (5) [9]	0,02	0,09	0,33	1,12	2,79	4,98	9,04	23,09	77,63		
Учет затухания звука в атмосфере Aatm, дБ		ф-ла (8) [10]	0	0	0,2	0,5	1,3	2,3	4,2	10,8	36,5		
Снижение уровня звукового давления из-за влияния застройки между источником шума и расчетной точкой													
Снижение уровня звукового давления на пути над экраном, Dz1, дБ	z = 3.58м (разность путей)	ф-лы (14-18) [10]	11,1	13,6	16,2	19,1	22,3	25,8	30,2	34,6	38,4		

1		2	3	4	5	6	7	8	9	10	11	12	13
Снижение уровня звукового давления на пути слева от экрана, Dz2, дБ	z = 0.00м (разность путей)	ф-лы (14-18) [10]	4,8	4,8	4,8	4,9	5	5,2	5,6	6,4	7,5		
Снижение уровня звукового давления на пути справа от экрана, Dz3, дБ	z = 63.23м (разность путей)	ф-лы (14-18) [10]	25,5	30	34	37,3	40,4	43,5	46,5	49,5	52,5		
Общее снижение уровня звука препятствием Dz, дБ		Эн.сумма(-Dzi)	3,8	4,2	4,5	4,7	4,9	5,2	5,6	6,4	7,5		
Уровни звукового давления от источника ИШ-6-20 в расчётной точке днём, дБ		**ф-ла(3)[10]**	**0**	**27,6**	**28,6**	**29,3**	**28,6**	**26,9**	**21,3**	**9,8**	**0**	**30,7**	**30,7**
Источник шума: ИШ-6-21, координаты источника (x,y,z), м =[801.69,-135.42,1.00]													
Уровни звуковой мощности источника днём, Lw, дБ		**исходные данные**	**0**	**96,3**	**97,7**	**99**	**99,3**	**98,9**	**95,6**	**91,4**	**86,9**		
Поправка на телесный угол DΩ, дБ	Ω = 12.57	10Lg(4π/Ω)	**0**	0	0	0	0	0	0	0	0		
Показатель направленности источника Di, дБ		исходные данные	**0**	0	0	0	0	0	0	0	0		
Поправка на направленность источника Dc, дБ	Dc	DΩ + Di	**0**	0	0	0	0	0	0	0	0		
Затухание из-за геометрической дивергенции, Adiv, дБ	расстояние = 468.87 м	ф-ла (7) [10]	**64,4**										
Коэффициент затухания звука в атмосфере α, дБ/км	Ta=20,°C Pa=101.33,кПа hотн.=70%	ф-ла (5) [9]	0,02	0,09	0,33	1,12	2,79	4,98	9,04	23,09	77,63		
Учет затухания звука в атмосфере Aatm, дБ		ф-ла (8) [10]	0	0	0,2	0,5	1,3	2,3	4,2	10,8	36,4		
Снижение уровня звукового давления из-за влияния застройки между источником шума и расчетной точкой													
Снижение уровня звукового давления на пути над экраном, Dz1, дБ	z = 3.51м (разность путей)	ф-лы (14-18) [10]	11	13,5	16,1	19	22	25,4	29,4	34	38,1		
Снижение уровня звукового давления на пути слева от экрана, Dz2, дБ	z = 0.00м (разность путей)	ф-лы (14-18) [10]	4,8	4,8	4,8	4,8	4,9	5	5,2	5,7	6,4		
Снижение уровня звукового давления на пути справа от экрана, Dz3, дБ	z = 63.62м (разность путей)	ф-лы (14-18) [10]	25,5	30,1	34	37,4	40,5	43,5	46,5	49,5	52,5		

1		2	3	4	5	6	7	8	9	10	11	12	13
Общее снижение уровня звука препятствием Dz, дБ		Эн.сумма(-Dzi)	3,8	4,2	4,5	4,7	4,8	5	5,2	5,7	6,4		
Уровни звукового давления от источника ИШ-6-21 в расчётной точке днём, дБ		**ф-ла(3)[10]**	**0**	**27,6**	**28,6**	**29,4**	**28,8**	**27,2**	**21,7**	**10,5**	**0**	**30,9**	**30,9**
Источник шума: ИШ-6-22, координаты источника (x,y,z), м =[800.65,-138.47,1.00]													
Уровни звуковой мощности источника днём, Lw, дБ		**исходные данные**	**0**	**96,3**	**97,7**	**99**	**99,3**	**98,9**	**95,6**	**91,4**	**86,9**		
Поправка на телесный угол DΩ, дБ	Ω = 12.57	10Lg(4π/Ω)	**0**	0	0	0	0	0	0	0	0		
Показатель направленности источника Di, дБ		исходные данные	**0**	0	0	0	0	0	0	0	0		
Поправка на направленность источника Dc, дБ	Dc	DΩ + Di	**0**	0	0	0	0	0	0	0	0		
Затухание из-за геометрической дивергенции, Adiv, дБ	расстояние = 468.15 м	ф-ла (7) [10]	**64,4**										
Коэффициент затухания звука в атмосфере α, дБ/км	Ta=20,°C Pa=101.33,кПа hотн.=70%	ф-ла (5) [9]	0,02	0,09	0,33	1,12	2,79	4,98	9,04	23,09	77,63		
Учет затухания звука в атмосфере Aatm, дБ		ф-ла (8) [10]	0	0	0,2	0,5	1,3	2,3	4,2	10,8	36,3		
Снижение уровня звукового давления из-за влияния застройки между источником шума и расчетной точкой													
Снижение уровня звукового давления на пути над экраном, Dz1, дБ	z = 3.44м (разность путей)	ф-лы (14-18) [10]	10,9	13,4	16	18,9	21,8	25	28,5	32,8	37,3		
Снижение уровня звукового давления на пути слева от экрана, Dz2, дБ	z = 0.00м (разность путей)	ф-лы (14-18) [10]	4,8	4,8	4,8	4,8	4,8	4,9	5	5,1	5,5		
Снижение уровня звукового давления на пути справа от экрана, Dz3, дБ	z = 64.01м (разность путей)	ф-лы (14-18) [10]	25,6	30,1	34	37,4	40,5	43,5	46,5	49,6	52,6		
Общее снижение уровня звука препятствием Dz, дБ		Эн.сумма(-Dzi)	3,8	4,2	4,5	4,6	4,7	4,8	4,9	5,1	5,5		
Уровни звукового давления от источника ИШ-6-22 в расчётной точке днём, дБ		**ф-ла(3)[10]**	**0**	**27,6**	**28,7**	**29,4**	**28,8**	**27,3**	**22**	**11**	**0**	**31,1**	**31,1**

1		2	3	4	5	6	7	8	9	10	11	12	13
Источник шума: ИШ-7-1, координаты источника (x,y,z), м =[821.44,63.31,1.00]													
Уровни звуковой мощности источника днём, Lw, дБ		**исходные данные**	**77**	**75**	**67**	**66**	**63**	**55**	**53**	**48**	**51**		
Поправка на телесный угол DΩ, дБ	Ω = 12.57	10Lg(4π/Ω)	**0**	0	0	0	0	0	0	0	0		
Показатель направленности источника Di, дБ		исходные данные	**0**	0	0	0	0	0	0	0	0		
Поправка на направленность источника Dc, дБ	Dc	DΩ + Di	**0**	0	0	0	0	0	0	0	0		
Затухание из-за геометрической дивергенции, Adiv, дБ	расстояние = 509.34 м	ф-ла (7) [10]	**65,1**										
Коэффициент затухания звука в атмосфере α, дБ/км	Ta=20,°C Pa=101.33,кПа hотн.=70%	ф-ла (5) [9]	0,02	0,09	0,33	1,12	2,79	4,98	9,04	23,09	77,63		
Учет затухания звука в атмосфере Aatm, дБ		ф-ла (8) [10]	0	0	0,2	0,6	1,4	2,5	4,6	11,8	39,5		
Снижение уровня звукового давления из-за влияния застройки между источником шума и расчетной точкой													
Снижение уровня звукового давления на пути над экраном, Dz1, дБ	z = 5.88м (разность путей)	ф-лы (14-18) [10]	17,3	20,5	23,5	26,5	29,5	32,5	35,5	38,5	41,5		
Общее снижение уровня звука препятствием с учётом ограничения (25 дБ) для октавных полос Dz, дБ		Раздел 7.4 [10]	17,3	20,5	23,5	25	25	25	25	25	25		
Уровни звукового давления от источника ИШ-7-1 в расчётной точке днём, дБ		**ф-ла(3)[10]**	**0**	**0**	**0**	**0**	**0**	**0**	**0**	**0**	**0**	**0**	**0**
Источник шума: ИШ-7-2, координаты источника (x,y,z), м =[768.90,-86.75,1.00]													
Уровни звуковой мощности источника днём, Lw, дБ		**исходные данные**	**77**	**75**	**67**	**66**	**63**	**55**	**53**	**48**	**51**		
Поправка на телесный угол DΩ, дБ	Ω = 12.57	10Lg(4π/Ω)	**0**	0	0	0	0	0	0	0	0		
Показатель направленности источника Di, дБ		исходные данные	**0**	0	0	0	0	0	0	0	0		

1		2	3	4	5	6	7	8	9	10	11	12	13
Поправка на направленность источника Dc, дБ	Dc	DΩ + Di	**0**	0	0	0	0	0	0	0	0		
Затухание из-за геометрической дивергенции, Adiv, дБ	расстояние = 433.71 м	ф-ла (7) [10]	**63,7**										
Коэффициент затухания звука в атмосфере α, дБ/км	Ta=20,°C Pa=101.33,кПа hотн.=70%	ф-ла (5) [9]	0,02	0,09	0,33	1,12	2,79	4,98	9,04	23,09	77,63		
Учет затухания звука в атмосфере Aatm, дБ		ф-ла (8) [10]	0	0	0,1	0,5	1,2	2,2	3,9	10	33,7		
Снижение уровня звукового давления из-за влияния застройки между источником шума и расчетной точкой													
Снижение уровня звукового давления на пути над экраном, Dz1, дБ	z = 4.46м (разность путей)	ф-лы (14-18) [10]	12,1	14,7	17,6	21	25,2	29,7	33,6	36,9	40		
Снижение уровня звукового давления на пути слева от экрана, Dz2, дБ	z = 0.07м (разность путей)	ф-лы (14-18) [10]	5,1	5,5	6,1	7,1	8,6	10,6	13	15,7	18,5		
Общее снижение уровня звука препятствием Dz, дБ		Эн.сумма(-Dzi)	4,3	5	5,8	6,9	8,5	10,6	13	15,7	18,5		
Уровни звукового давления от источника ИШ-7-2 в расчётной точке днём, дБ		**ф-ла(3)[10]**	**8,9**	**6,2**	**0**	**0**	**0**	**0**	**0**	**0**	**0**	**0**	**0**
Источник шума: ИШ-7-3, координаты источника (x,y,z), м =[766.80,-93.20,1.00]													
Уровни звуковой мощности источника днём, Lw, дБ		**исходные данные**	**77**	**75**	**67**	**66**	**63**	**55**	**53**	**48**	**51**		
Поправка на телесный угол DΩ, дБ	Ω = 12.57	10Lg(4π/Ω)	**0**	0	0	0	0	0	0	0	0		
Показатель направленности источника Di, дБ		исходные данные	**0**	0	0	0	0	0	0	0	0		
Поправка на направленность источника Dc, дБ	Dc	DΩ + Di	**0**	0	0	0	0	0	0	0	0		
Затухание из-за геометрической дивергенции, Adiv, дБ	расстояние = 431.64 м	ф-ла (7) [10]	**63,7**										
Коэффициент затухания звука в атмосфере α, дБ/км	Ta=20,°C Pa=101.33,кПа hотн.=70%	ф-ла (5) [9]	0,02	0,09	0,33	1,12	2,79	4,98	9,04	23,09	77,63		

1		2	3	4	5	6	7	8	9	10	11	12	13
Учет затухания звука в атмосфере Aatm, дБ		ф-ла (8) [10]	0	0	0,1	0,5	1,2	2,1	3,9	10	33,5		
Снижение уровня звукового давления из-за влияния застройки между источником шума и расчетной точкой													
Снижение уровня звукового давления на пути над экраном, Dz1, дБ	z = 4.35м (разность путей)	ф-лы (14-18) [10]	12	14,6	17,5	20,8	24,9	29,4	33,4	36,7	39,8		
Снижение уровня звукового давления на пути слева от экрана, Dz2, дБ	z = 0.06м (разность путей)	ф-лы (14-18) [10]	5,1	5,3	5,8	6,7	8	9,8	12,1	14,7	17,4		
Общее снижение уровня звука препятствием Dz, дБ		Эн.сумма(-Dzi)	4,3	4,8	5,5	6,5	7,9	9,8	12	14,6	17,4		
Уровни звукового давления от источника ИШ-7-3 в расчётной точке днём, дБ		**ф-ла(3)[10]**	**9**	**6,4**	**0**	**0**	**0**	**0**	**0**	**0**	**0**	**0**	**0**
Источник шума: ИШ-7-4, координаты источника (x,y,z), м =[866.76,37.18,1.00]													
Уровни звуковой мощности источника днём, Lw, дБ		**исходные данные**	**77**	**75**	**67**	**66**	**63**	**55**	**53**	**48**	**51**		
Поправка на телесный угол DΩ, дБ	Ω = 12.57	10Lg(4π/Ω)	**0**	0	0	0	0	0	0	0	0		
Показатель направленности источника Di, дБ		исходные данные	**0**	0	0	0	0	0	0	0	0		
Поправка на направленность источника Dc, дБ	Dc	DΩ + Di	**0**	0	0	0	0	0	0	0	0		
Затухание из-за геометрической дивергенции, Adiv, дБ	расстояние = 546.18 м	ф-ла (7) [10]	**65,7**										
Коэффициент затухания звука в атмосфере α, дБ/км	Ta=20,°C Pa=101.33,кПа hотн.=70%	ф-ла (5) [9]	0,02	0,09	0,33	1,12	2,79	4,98	9,04	23,09	77,63		
Учет затухания звука в атмосфере Aatm, дБ		ф-ла (8) [10]	0	0	0,2	0,6	1,5	2,7	4,9	12,6	42,4		
Снижение уровня звукового давления из-за влияния застройки между источником шума и расчетной точкой													
Снижение уровня звукового давления на пути над экраном, Dz1, дБ	z = 5.66м (разность путей)	ф-лы (14-18) [10]	17,1	20,3	23,2	26,2	29,2	32,2	35,2	38,3	41,3		

1		2	3	4	5	6	7	8	9	10	11	12	13
Общее снижение уровня звука препятствием с учётом ограничения (25 дБ) для октавных полос Dz, дБ		Раздел 7.4 [10]	17,1	20,3	23,2	25	25	25	25	25	25		
Уровни звукового давления от источника ИШ-7-4 в расчётной точке днём, дБ		**ф-ла(3)[10]**	**0**	**0**	**0**	**0**	**0**	**0**	**0**	**0**	**0**	**0**	**0**
Источник шума: ИШ-7-5, координаты источника (x,y,z), м =[861.80,21.34,1.00]													
Уровни звуковой мощности источника днём, Lw, дБ		**исходные данные**	**77**	**75**	**67**	**66**	**63**	**55**	**53**	**48**	**51**		
Поправка на телесный угол DΩ, дБ	Ω = 12.57	10Lg(4π/Ω)	**0**	0	0	0	0	0	0	0	0		
Показатель направленности источника Di, дБ		исходные данные	**0**	0	0	0	0	0	0	0	0		
Поправка на направленность источника Dc, дБ	Dc	DΩ + Di	**0**	0	0	0	0	0	0	0	0		
Затухание из-за геометрической дивергенции, Adiv, дБ	расстояние = 537.90 м	ф-ла (7) [10]	**65,6**										
Коэффициент затухания звука в атмосфере α, дБ/км	Ta=20,°C Pa=101.33,кПа hотн.=70%	ф-ла (5) [9]	0,02	0,09	0,33	1,12	2,79	4,98	9,04	23,09	77,63		
Учет затухания звука в атмосфере Aatm, дБ		ф-ла (8) [10]	0	0	0,2	0,6	1,5	2,7	4,9	12,4	41,8		
Снижение уровня звукового давления из-за влияния застройки между источником шума и расчетной точкой													
Снижение уровня звукового давления на пути над экраном, Dz1, дБ	z = 5.56м (разность путей)	ф-лы (14-18) [10]	17,1	20,2	23,2	26,2	29,2	32,2	35,2	38,2	41,2		
Общее снижение уровня звука препятствием с учётом ограничения (25 дБ) для октавных полос Dz, дБ		Раздел 7.4 [10]	17,1	20,2	23,2	25	25	25	25	25	25		
Уровни звукового давления от источника ИШ-7-5 в расчётной точке днём, дБ		**ф-ла(3)[10]**	**0**	**0**	**0**	**0**	**0**	**0**	**0**	**0**	**0**	**0**	**0**
Источник шума: ИШ-7-6, координаты источника (x,y,z), м =[856.52,5.94,1.00]													
Уровни звуковой мощности источника днём, Lw, дБ		**исходные данные**	**77**	**75**	**67**	**66**	**63**	**55**	**53**	**48**	**51**		

1		2	3	4	5	6	7	8	9	10	11	12	13
Поправка на телесный угол DΩ, дБ	Ω = 12.57	10Lg(4π/Ω)	**0**	0	0	0	0	0	0	0	0		
Показатель направленности источника Di, дБ		исходные данные	**0**	0	0	0	0	0	0	0	0		
Поправка на направленность источника Dc, дБ	Dc	DΩ + Di	**0**	0	0	0	0	0	0	0	0		
Затухание из-за геометрической дивергенции, Adiv, дБ	расстояние = 529.77 м	ф-ла (7) [10]	**65,5**										
Коэффициент затухания звука в атмосфере α, дБ/км	Ta=20,°C Pa=101.33,кПа hотн.=70%	ф-ла (5) [9]	0,02	0,09	0,33	1,12	2,79	4,98	9,04	23,09	77,63		
Учет затухания звука в атмосфере Aatm, дБ		ф-ла (8) [10]	0	0	0,2	0,6	1,5	2,6	4,8	12,2	41,1		
Снижение уровня звукового давления из-за влияния застройки между источником шума и расчетной точкой													
Снижение уровня звукового давления на пути над экраном, Dz1, дБ	z = 5.46м (разность путей)	ф-лы (14-18) [10]	17	20,1	23,1	26,1	29,1	32,1	35,1	38,1	41,1		
Общее снижение уровня звука препятствием с учётом ограничения (25 дБ) для октавных полос Dz, дБ		Раздел 7.4 [10]	17	20,1	23,1	25	25	25	25	25	25		
Уровни звукового давления от источника ИШ-7-6 в расчётной точке днём, дБ		**ф-ла(3)[10]**	**0**	**0**	**0**	**0**	**0**	**0**	**0**	**0**	**0**	**0**	**0**
Источник шума: ИШ-7-7, координаты источника (x,y,z), м =[851.06,-9.89,1.00]													
Уровни звуковой мощности источника днём, Lw, дБ		**исходные данные**	**77**	**75**	**67**	**66**	**63**	**55**	**53**	**48**	**51**		
Поправка на телесный угол DΩ, дБ	Ω = 12.57	10Lg(4π/Ω)	**0**	0	0	0	0	0	0	0	0		
Показатель направленности источника Di, дБ		исходные данные	**0**	0	0	0	0	0	0	0	0		
Поправка на направленность источника Dc, дБ	Dc	DΩ + Di	**0**	0	0	0	0	0	0	0	0		
Затухание из-за геометрической дивергенции, Adiv, дБ	расстояние = 521.79 м	ф-ла (7) [10]	**65,3**										

1		2	3	4	5	6	7	8	9	10	11	12	13
Коэффициент затухания звука в атмосфере α, дБ/км	Та=20,°С Ра=101.33,кПа hотн.=70%	ф-ла (5) [9]	0,02	0,09	0,33	1,12	2,79	4,98	9,04	23,09	77,63		
Учет затухания звука в атмосфере Aatm, дБ		ф-ла (8) [10]	0	0	0,2	0,6	1,5	2,6	4,7	12	40,5		
Снижение уровня звукового давления из-за влияния застройки между источником шума и расчетной точкой													
Снижение уровня звукового давления на пути над экраном, Dz1, дБ	z = 5.34м (разность путей)	ф-лы (14-18) [10]	16,9	20	23	26	29	32	35	38	41		
Общее снижение уровня звука препятствием с учётом ограничения (25 дБ) для октавных полос Dz, дБ		Раздел 7.4 [10]	16,9	20	23	25	25	25	25	25	25		
Уровни звукового давления от источника ИШ-7-7 в расчётной точке днём, дБ		**ф-ла(3)[10]**	**0**	**0**	**0**	**0**	**0**	**0**	**0**	**0**	**0**	**0**	**0**
Источник шума: ИШ-7-8, координаты источника (x,y,z), м =[821.90,-104.30,1.00]													
Уровни звуковой мощности источника днём, Lw, дБ		**исходные данные**	**77**	**75**	**67**	**66**	**63**	**55**	**53**	**48**	**51**		
Поправка на телесный угол DΩ, дБ	Ω = 12.57	10Lg(4π/Ω)	**0**	0	0	0	0	0	0	0	0		
Показатель направленности источника Di, дБ		исходные данные	**0**	0	0	0	0	0	0	0	0		
Поправка на направленность источника Dc, дБ	Dc	DΩ + Di	**0**	0	0	0	0	0	0	0	0		
Затухание из-за геометрической дивергенции, Adiv, дБ	расстояние = 486.96 м	ф-ла (7) [10]	**64,7**										
Коэффициент затухания звука в атмосфере α, дБ/км	Та=20,°С Ра=101.33,кПа hотн.=70%	ф-ла (5) [9]	0,02	0,09	0,33	1,12	2,79	4,98	9,04	23,09	77,63		
Учет затухания звука в атмосфере Aatm, дБ		ф-ла (8) [10]	0	0	0,2	0,5	1,4	2,4	4,4	11,2	37,8		
Снижение уровня звукового давления из-за влияния застройки между источником шума и расчетной точкой													
Снижение уровня звукового давления на пути над экраном, Dz1, дБ	z = 4.16м (разность путей)	ф-лы (14-18) [10]	11,7	14,2	17,1	20,3	24,2	28,7	32,9	36,3	39,5		

1		2	3	4	5	6	7	8	9	10	11	12	13
Общее снижение уровня звука препятствием с учётом ограничения (25 дБ) для октавных полос Dz, дБ		Раздел 7.4 [10]	11,7	14,2	17,1	20,3	24,2	25	25	25	25		
Уровни звукового давления от источника ИШ-7-8 в расчётной точке днём, дБ		**ф-ла(3)[10]**	**0,6**	**0**	**0**	**0**	**0**	**0**	**0**	**0**	**0**	**0**	**0**
Источник шума: ИШ-7-9, координаты источника (x,y,z), м =[819.93,-110.97,1.00]													
Уровни звуковой мощности источника днём, Lw, дБ		**исходные данные**	**77**	**75**	**67**	**66**	**63**	**55**	**53**	**48**	**51**		
Поправка на телесный угол DΩ, дБ	Ω = 12.57	10Lg(4π/Ω)	**0**	0	0	0	0	0	0	0	0		
Показатель направленности источника Di, дБ		исходные данные	**0**	0	0	0	0	0	0	0	0		
Поправка на направленность источника Dc, дБ	Dc	DΩ + Di	**0**	0	0	0	0	0	0	0	0		
Затухание из-за геометрической дивергенции, Adiv, дБ	расстояние = 485.26 м	ф-ла (7) [10]	**64,7**										
Коэффициент затухания звука в атмосфере α, дБ/км	Ta=20,°C Pa=101.33,кПа hотн.=70%	ф-ла (5) [9]	0,02	0,09	0,33	1,12	2,79	4,98	9,04	23,09	77,63		
Учет затухания звука в атмосфере Aatm, дБ		ф-ла (8) [10]	0	0	0,2	0,5	1,4	2,4	4,4	11,2	37,7		
Снижение уровня звукового давления из-за влияния застройки между источником шума и расчетной точкой													
Снижение уровня звукового давления на пути над экраном, Dz1, дБ	z = 4.04м (разность путей)	ф-лы (14-18) [10]	11,6	14,1	16,9	20	23,8	28,3	32,6	36,1	39,3		
Общее снижение уровня звука препятствием с учётом ограничения (25 дБ) для октавных полос Dz, дБ		Раздел 7.4 [10]	11,6	14,1	16,9	20	23,8	25	25	25	25		
Уровни звукового давления от источника ИШ-7-9 в расчётной точке днём, дБ		**ф-ла(3)[10]**	**0,7**	**0**	**0**	**0**	**0**	**0**	**0**	**0**	**0**	**0**	**0**
Источник шума: ИШ-7-10, координаты источника (x,y,z), м =[868.68,92.66,1.00]													
Уровни звуковой мощности источника днём, Lw, дБ		**исходные данные**	**77**	**75**	**67**	**66**	**63**	**55**	**53**	**48**	**51**		

1		2	3	4	5	6	7	8	9	10	11	12	13
Поправка на телесный угол DΩ, дБ	Ω = 12.57	10Lg(4π/Ω)	**0**	0	0	0	0	0	0	0	0		
Показатель направленности источника Di, дБ		исходные данные	**0**	0	0	0	0	0	0	0	0		
Поправка на направленность источника Dc, дБ	Dc	DΩ + Di	**0**	0	0	0	0	0	0	0	0		
Затухание из-за геометрической дивергенции, Adiv, дБ	расстояние = 563.34 м	ф-ла (7) [10]	**66**										
Коэффициент затухания звука в атмосфере α, дБ/км	Ta=20,°C Pa=101.33,кПа hотн.=70%	ф-ла (5) [9]	0,02	0,09	0,33	1,12	2,79	4,98	9,04	23,09	77,63		
Учет затухания звука в атмосфере Aatm, дБ		ф-ла (8) [10]	0	0,1	0,2	0,6	1,6	2,8	5,1	13	43,7		
Снижение уровня звукового давления из-за влияния застройки между источником шума и расчетной точкой													
Снижение уровня звукового давления на пути над экраном, Dz1, дБ	z = 5.94м (разность путей)	ф-лы (14-18) [10]	17,2	20,4	23,4	26,4	29,4	32,4	35,4	38,4	41,4		
Общее снижение уровня звука препятствием с учётом ограничения (25 дБ) для октавных полос Dz, дБ		Раздел 7.4 [10]	17,2	20,4	23,4	25	25	25	25	25	25		
Уровни звукового давления от источника ИШ-7-10 в расчётной точке днём, дБ		**ф-ла(3)[10]**	**0**	**0**	**0**	**0**	**0**	**0**	**0**	**0**	**0**	**0**	**0**
Источник шума: ИШ-7-11, координаты источника (x,y,z), м =[877.95,88.75,1.00]													
Уровни звуковой мощности источника днём, Lw, дБ		**исходные данные**	**77**	**75**	**67**	**66**	**63**	**55**	**53**	**48**	**51**		
Поправка на телесный угол DΩ, дБ	Ω = 12.57	10Lg(4π/Ω)	**0**	0	0	0	0	0	0	0	0		
Показатель направленности источника Di, дБ		исходные данные	**0**	0	0	0	0	0	0	0	0		
Поправка на направленность источника Dc, дБ	Dc	DΩ + Di	**0**	0	0	0	0	0	0	0	0		
Затухание из-за геометрической дивергенции, Adiv, дБ	расстояние = 570.91 м	ф-ла (7) [10]	**66,1**										

1		2	3	4	5	6	7	8	9	10	11	12	13
Коэффициент затухания звука в атмосфере α, дБ/км	Ta=20,°C Pa=101.33,кПа hотн.=70%	ф-ла (5) [9]	0,02	0,09	0,33	1,12	2,79	4,98	9,04	23,09	77,63		
Учет затухания звука в атмосфере Aatm, дБ		ф-ла (8) [10]	0	0,1	0,2	0,6	1,6	2,8	5,2	13,2	44,3		
Снижение уровня звукового давления из-за влияния застройки между источником шума и расчетной точкой													
Снижение уровня звукового давления на пути над экраном, Dz1, дБ	z = 5.90м (разность путей)	ф-лы (14-18) [10]	17,2	20,3	23,3	26,4	29,4	32,4	35,4	38,4	41,4		
Общее снижение уровня звука препятствием с учётом ограничения (25 дБ) для октавных полос Dz, дБ		Раздел 7.4 [10]	17,2	20,3	23,3	25	25	25	25	25	25		
Уровни звукового давления от источника ИШ-7-11 в расчётной точке днём, дБ		**ф-ла(3)[10]**	**0**	**0**	**0**	**0**	**0**	**0**	**0**	**0**	**0**	**0**	**0**
Источник шума: ИШ-7-12, координаты источника (x,y,z), м =[887.42,85.45,1.00]													
Уровни звуковой мощности источника днём, Lw, дБ		**исходные данные**	**77**	**75**	**67**	**66**	**63**	**55**	**53**	**48**	**51**		
Поправка на телесный угол DΩ, дБ	Ω = 12.57	10Lg(4π/Ω)	**0**	0	0	0	0	0	0	0	0		
Показатель направленности источника Di, дБ		исходные данные	**0**	0	0	0	0	0	0	0	0		
Поправка на направленность источника Dc, дБ	Dc	DΩ + Di	**0**	0	0	0	0	0	0	0	0		
Затухание из-за геометрической дивергенции, Adiv, дБ	расстояние = 578.92 м	ф-ла (7) [10]	**66,3**										
Коэффициент затухания звука в атмосфере α, дБ/км	Ta=20,°C Pa=101.33,кПа hотн.=70%	ф-ла (5) [9]	0,02	0,09	0,33	1,12	2,79	4,98	9,04	23,09	77,63		
Учет затухания звука в атмосфере Aatm, дБ		ф-ла (8) [10]	0	0,1	0,2	0,7	1,6	2,9	5,2	13,4	44,9		
Снижение уровня звукового давления из-за влияния застройки между источником шума и расчетной точкой													
Снижение уровня звукового давления на пути над экраном, Dz1, дБ	z = 5.87м (разность путей)	ф-лы (14-18) [10]	17,1	20,3	23,3	26,3	29,3	32,3	35,3	38,3	41,3		

1		2	3	4	5	6	7	8	9	10	11	12	13
Общее снижение уровня звука препятствием с учётом ограничения (25 дБ) для октавных полос Dz, дБ		Раздел 7.4 [10]	17,1	20,3	23,3	25	25	25	25	25	25		
Уровни звукового давления от источника ИШ-7-12 в расчётной точке днём, дБ		**ф-ла(3)[10]**	**0**	**0**	**0**	**0**	**0**	**0**	**0**	**0**	**0**	**0**	**0**
Источник шума: ИШ-6-23, координаты источника (x,y,z), м =[756.16,-136.23,3.00]													
Уровни звуковой мощности источника днём, Lw, дБ		**исходные данные**	**91**	**91**	**91**	**91**	**91**	**91**	**91**	**91**	**91**		
Поправка на телесный угол DΩ, дБ	Ω = 12.57	10Lg(4π/Ω)	**0**	0	0	0	0	0	0	0	0		
Показатель направленности источника Di, дБ		исходные данные	**0**	0	0	0	0	0	0	0	0		
Поправка на направленность источника Dc, дБ	Dc	DΩ + Di	**0**	0	0	0	0	0	0	0	0		
Затухание из-за геометрической дивергенции, Adiv, дБ	расстояние = 423.68 м	ф-ла (7) [10]	**63,5**										
Коэффициент затухания звука в атмосфере α, дБ/км	Ta=20,°C Pa=101.33,кПа hотн.=70%	ф-ла (5) [9]	0,02	0,09	0,33	1,12	2,79	4,98	9,04	23,09	77,63		
Учет затухания звука в атмосфере Aatm, дБ		ф-ла (8) [10]	0	0	0,1	0,5	1,2	2,1	3,8	9,8	32,9		
Снижение уровня звукового давления из-за влияния застройки между источником шума и расчетной точкой													
Снижение уровня звукового давления на пути над экраном, Dz1, дБ	z = 3.34м (разность путей)	ф-лы (14-18) [10]	10,9	13,3	16	18,8	21,8	24,8	27,9	31,4	35,6		
Снижение уровня звукового давления на пути слева от экрана, Dz2, дБ	z = 0.00м (разность путей)	ф-лы (14-18) [10]	4,8	4,8	4,8	4,8	4,8	4,8	4,8	4,8	4,9		
Снижение уровня звукового давления на пути справа от экрана, Dz3, дБ	z = 64.72м (разность путей)	ф-лы (14-18) [10]	25,6	30,1	34,1	37,4	40,5	43,6	46,6	49,6	52,6		
Общее снижение уровня звука препятствием Dz, дБ		Эн.сумма(-Dzi)	3,8	4,2	4,5	4,6	4,7	4,7	4,8	4,8	4,9		
Уровни звукового давления от источника ИШ-6-23 в расчётной точке днём, дБ		**ф-ла(3)[10]**	**23,6**	**23,2**	**22,9**	**22,4**	**21,6**	**20,6**	**18,8**	**12,8**	**0**	**25,3**	**25,3**

1		2	3	4	5	6	7	8	9	10	11	12	13
Источник шума: ИШ-6-24, координаты источника (x,y,z), м =[800.98,-151.27,3.00]													
Уровни звуковой мощности источника днём, Lw, дБ		**исходные данные**	**91**	**91**	**91**	**91**	**91**	**91**	**91**	**91**	**91**		
Поправка на телесный угол DΩ, дБ	Ω = 12.57	10Lg(4π/Ω)	**0**	0	0	0	0	0	0	0	0		
Показатель направленности источника Di, дБ		исходные данные	**0**	0	0	0	0	0	0	0	0		
Поправка на направленность источника Dc, дБ	Dc	DΩ + Di	**0**	0	0	0	0	0	0	0	0		
Затухание из-за геометрической дивергенции, Adiv, дБ	расстояние = 470.02 м	ф-ла (7) [10]	**64,4**										
Коэффициент затухания звука в атмосфере α, дБ/км	Ta=20,°C Pa=101.33,кПа hотн.=70%	ф-ла (5) [9]	0,02	0,09	0,33	1,12	2,79	4,98	9,04	23,09	77,63		
Учет затухания звука в атмосфере Aatm, дБ		ф-ла (8) [10]	0	0	0,2	0,5	1,3	2,3	4,2	10,9	36,5		
Снижение уровня звукового давления из-за влияния застройки между источником шума и расчетной точкой													
Снижение уровня звукового давления препятствием справа от трассы ИШ-РТ, Dz3, дБ	z = 0.00м (разность путей)	ф-лы (14-18) [10]	0	0	0	0	0	0	0	3,8	2,5		
* отрицательное значение z означает прохождение траектории вблизи экрана, в этом случае дополнительно производится учёт снижения подстилающей поверхностью (см.ниже)													
Снижение поверхностью земли возле источника As, дБ	Gs = 0 hs = 3м	ф-лы таб.3 [10]	-1,5	-1,5	-1,5	-1,5	-1,5	-1,5	-1,5	-1,5	-1,5		
Снижение поверхностью земли возле приёмника Ar, дБ	Gr = 1 hr = 1.5м	ф-лы таб.3 [10]	-1,5	-1,5	2,8	7	5	0,7	0	0	0		
Снижение поверхностью земли в средней зоне, Am дБ	Gm = 1	ф-лы таб.3 [10]	-2,1	-2,1	0	0	0	0	0	0	0		
Суммарное снижение поверхностью земли на траектории распространения звука Agr, дБ		ф-ла (9) [10]	-5,1	-5,1	1,3	5,5	3,5	-0,8	-1,5	-1,5	-1,5		
Уровни звукового давления от источника ИШ-6-24 в расчётной точке днём, дБ		**ф-ла(3)[10]**	**31,7**	**31,6**	**25,1**	**20,5**	**21,8**	**25,1**	**23,8**	**13,4**	**0**	**28,8**	**28,8**

1		2	3	4	5	6	7	8	9	10	11	12	13
Источник шума: ИШ-8-1, координаты источника (x,y,z), м =[612.60,-227.70,3.00]													
Уровни звуковой мощности источника днём, Lw, дБ		**исходные данные**	**105**	**104**	**104**	**101**	**102**	**106**	**101**	**95**	**87**		
Поправка на телесный угол DΩ, дБ	Ω = 6.28	10Lg(4π/Ω)	**3**	3	3	3	3	3	3	3	3		
Показатель направленности источника Di, дБ		исходные данные	**0**	0	0	0	0	0	0	0	0		
Поправка на направленность источника Dc, дБ	Dc	DΩ + Di	**3**	3	3	3	3	3	3	3	3		
Затухание из-за геометрической дивергенции, Adiv, дБ	расстояние = 310.46 м	ф-ла (7) [10]	**60,8**										
Коэффициент затухания звука в атмосфере α, дБ/км	Ta=20,°C Pa=101.33,кПа hотн.=70%	ф-ла (5) [9]	0,02	0,09	0,33	1,12	2,79	4,98	9,04	23,09	77,63		
Учет затухания звука в атмосфере Aatm, дБ		ф-ла (8) [10]	0	0	0,1	0,3	0,9	1,5	2,8	7,2	24,1		
Снижение поверхностью земли возле источника As, дБ	Gs = 0 hs = 3м	ф-лы таб.3 [10]	-1,5	-1,5	-1,5	-1,5	-1,5	-1,5	-1,5	-1,5	-1,5		
Снижение поверхностью земли возле приёмника Ar, дБ	Gr = 1 hr = 1.5м	ф-лы таб.3 [10]	-1,5	-1,5	1,8	7	5	0,7	0	0	0		
Снижение поверхностью земли в средней зоне, Am дБ	Gm = 1	ф-лы таб.3 [10]	-1,7	-1,7	0	0	0	0	0	0	0		
Суммарное снижение поверхностью земли на траектории распространения звука Agr, дБ		ф-ла (9) [10]	-4,7	-4,7	0,3	5,5	3,5	-0,8	-1,5	-1,5	-1,5		
Уровни звукового давления от источника ИШ-8-1 в расчётной точке днём, дБ		**ф-ла(3)[10]**	**51,9**	**50,8**	**45,8**	**37,3**	**39,8**	**47,5**	**41,9**	**31,5**	**6,6**	**49,3**	**49,3**
Источник шума: ИШ-8-2, координаты источника (x,y,z), м =[596.60,-275.00,3.00]													
Уровни звуковой мощности источника днём, Lw, дБ		**исходные данные**	**105**	**104**	**104**	**101**	**102**	**106**	**101**	**95**	**87**		
Поправка на телесный угол DΩ, дБ	Ω = 6.28	10Lg(4π/Ω)	**3**	3	3	3	3	3	3	3	3		

1		2	3	4	5	6	7	8	9	10	11	12	13
Показатель направленности источника Di, дБ		исходные данные	**0**	0	0	0	0	0	0	0	0		
Поправка на направленность источника Dc, дБ	Dc	DΩ + Di	**3**	3	3	3	3	3	3	3	3		
Затухание из-за геометрической дивергенции, Adiv, дБ	расстояние = 321.23 м	ф-ла (7) [10]	**61,1**										
Коэффициент затухания звука в атмосфере α, дБ/км	Ta=20,°C Pa=101.33,кПа hотн.=70%	ф-ла (5) [9]	0,02	0,09	0,33	1,12	2,79	4,98	9,04	23,09	77,63		
Учет затухания звука в атмосфере Aatm, дБ		ф-ла (8) [10]	0	0	0,1	0,4	0,9	1,6	2,9	7,4	24,9		
Снижение поверхностью земли возле источника As, дБ	Gs = 0 hs = 3м	ф-лы таб.3 [10]	-1,5	-1,5	-1,5	-1,5	-1,5	-1,5	-1,5	-1,5	-1,5		
Снижение поверхностью земли возле приёмника Ar, дБ	Gr = 1 hr = 1.5м	ф-лы таб.3 [10]	-1,5	-1,5	1,9	7	5	0,7	0	0	0		
Снижение поверхностью земли в средней зоне, Am дБ	Gm = 1	ф-лы таб.3 [10]	-1,7	-1,7	0	0	0	0	0	0	0		
Суммарное снижение поверхностью земли на траектории распространения звука Agr, дБ		ф-ла (9) [10]	-4,7	-4,7	0,4	5,5	3,5	-0,8	-1,5	-1,5	-1,5		
Уровни звукового давления прямого звука от источника ИШ-8-2 в расчётной точке днём, дБ		**ф-ла(3)[10]**	**51,6**	**50,6**	**45,4**	**37**	**39,5**	**47,1**	**41,5**	**31**	**5,4**	**48,9**	**48,9**
Расчёт отражённого звука													
Уровни звукового давления от мнимого источника ИШ-8-2_мн.(1) в расчётной точке днём, дБ		**ф-ла(3)[10]**	**0**	**49,6**	**40,4**	**30,7**	**36,8**	**44,6**	**39**	**28,4**	**2,9**	**46,3**	**46,3**
Уровни звукового давления от источника ИШ-8-2 в расчётной точке днём, дБ		**ф-ла(3)[10]**	**51,6**	**53,1**	**46,6**	**37,9**	**41,4**	**49,1**	**43,4**	**32,9**	**7,3**	**50,8**	**50,8**
Источник шума: ИШ-8-3, координаты источника (x,y,z), м =[564.90,-369.90,3.00]													
Уровни звуковой мощности источника днём, Lw, дБ		**исходные данные**	**105**	**104**	**104**	**101**	**102**	**106**	**101**	**95**	**87**		
Поправка на телесный угол DΩ, дБ	Ω = 6.28	10Lg(4π/Ω)	**3**	3	3	3	3	3	3	3	3		

1		2	3	4	5	6	7	8	9	10	11	12	13
Показатель направленности источника Di, дБ		исходные данные	**0**	0	0	0	0	0	0	0	0		
Поправка на направленность источника Dc, дБ	Dc	DΩ + Di	**3**	3	3	3	3	3	3	3	3		
Затухание из-за геометрической дивергенции, Adiv, дБ	расстояние = 363.40 м	ф-ла (7) [10]	**62,2**										
Коэффициент затухания звука в атмосфере α, дБ/км	Ta=20,°C Pa=101.33,кПа hотн.=70%	ф-ла (5) [9]	0,02	0,09	0,33	1,12	2,79	4,98	9,04	23,09	77,63		
Учет затухания звука в атмосфере Aatm, дБ		ф-ла (8) [10]	0	0	0,1	0,4	1	1,8	3,3	8,4	28,2		
Снижение уровня звукового давления из-за влияния застройки между источником шума и расчетной точкой													
Снижение уровня звукового давления на пути над экраном, Dz1, дБ	z = 0.02м (разность путей)	ф-лы (14-18) [10]	4,8	4,8	4,8	4,8	4,8	4,8	4,8	4,8	4,9		
Снижение уровня звукового давления на пути слева от экрана, Dz2, дБ	z = 0.45м (разность путей)	ф-лы (14-18) [10]	6,7	8	9,8	12,1	14,7	17,5	20,4	23,3	26,3		
Снижение уровня звукового давления на пути справа от экрана, Dz3, дБ	z = 3.06м (разность путей)	ф-лы (14-18) [10]	11,6	14,1	16,8	19,7	22,6	25,6	28,6	31,6	34,6		
Общее снижение уровня звука препятствием Dz, дБ		Эн.сумма(-Dzi)	2,1	2,8	3,4	3,9	4,3	4,5	4,7	4,7	4,8		
Уровни звукового давления от источника ИШ-8-3 в расчётной точке днём, дБ		**ф-ла(3)[10]**	**43,7**	**42**	**41,3**	**37,5**	**37,5**	**40,5**	**33,9**	**22,7**	**0**	**42,7**	**42,7**
Источник шума: ИШ-9-1, координаты источника (x,y,z), м =[642.94,-357.54,1.00]													
Уровни звуковой мощности источника днём, Lw, дБ		**исходные данные**	**0**	**93,3**	**94,7**	**96**	**96,3**	**95,9**	**92,6**	**88,4**	**83,9**		
Поправка на телесный угол DΩ, дБ	Ω = 6.28	10Lg(4π/Ω)	**3**	3	3	3	3	3	3	3	3		
Показатель направленности источника Di, дБ		исходные данные	**0**	0	0	0	0	0	0	0	0		
Поправка на направленность источника Dc, дБ	Dc	DΩ + Di	**3**	3	3	3	3	3	3	3	3		

1		2	3	4	5	6	7	8	9	10	11	12	13
Затухание из-за геометрической дивергенции, Adiv, дБ	расстояние = 408.89 м	ф-ла (7) [10]	**63,2**										
Коэффициент затухания звука в атмосфере α, дБ/км	Ta=20,°C Pa=101.33,кПа hотн.=70%	ф-ла (5) [9]	0,02	0,09	0,33	1,12	2,79	4,98	9,04	23,09	77,63		
Учет затухания звука в атмосфере Aatm, дБ		ф-ла (8) [10]	0	0	0,1	0,5	1,1	2	3,7	9,4	31,7		
Снижение поверхностью земли возле источника As, дБ	Gs = 0 hs = 1м	ф-лы таб.3 [10]	-1,5	-1,5	-1,5	-1,5	-1,5	-1,5	-1,5	-1,5	-1,5		
Снижение поверхностью земли возле приёмника Ar, дБ	Gr = 1 hr = 1.5м	ф-лы таб.3 [10]	-1,5	-1,5	2,4	7	5	0,7	0	0	0		
Снижение поверхностью земли в средней зоне, Am дБ	Gm = 1	ф-лы таб.3 [10]	-2,4	-2,4	0	0	0	0	0	0	0		
Суммарное снижение поверхностью земли на траектории распространения звука Agr, дБ		ф-ла (9) [10]	-5,4	-5,4	0,9	5,5	3,5	-0,8	-1,5	-1,5	-1,5		
Уровни звукового давления прямого звука от источника ИШ-9-1 в расчётной точке днём, дБ		**ф-ла(3)[10]**	**0**	**38,5**	**33,4**	**29,8**	**31,4**	**34,5**	**30,2**	**20,2**	**0**	**37,1**	**37,1**
Расчёт отражённого звука													
Уровни звукового давления от мнимого источника ИШ-9-1_мн.(1) в расчётной точке днём, дБ		**ф-ла(3)[10]**	**0**	**0**	**28,5**	**19,4**	**20,1**	**29,9**	**27,7**	**17,7**	**0**	**32,8**	**32,8**
Уровни звукового давления от источника ИШ-9-1 в расчётной точке днём, дБ		**ф-ла(3)[10]**	**0**	**38,5**	**34,6**	**30,2**	**31,8**	**35,8**	**32,1**	**22,1**	**0**	**38,5**	**38,5**
Источник шума: ИШ-9-2, координаты источника (x,y,z), м =[644.14,-354.83,1.00]													
Уровни звуковой мощности источника днём, Lw, дБ		**исходные данные**	**0**	**93,3**	**94,7**	**96**	**96,3**	**95,9**	**92,6**	**88,4**	**83,9**		
Поправка на телесный угол DΩ, дБ	Ω = 6.28	10Lg(4π/Ω)	**3**	3	3	3	3	3	3	3	3		
Показатель направленности источника Di, дБ		исходные данные	**0**	0	0	0	0	0	0	0	0		
Поправка на направленность источника Dc, дБ	Dc	DΩ + Di	**3**	3	3	3	3	3	3	3	3		

1		2	3	4	5	6	7	8	9	10	11	12	13
Затухание из-за геометрической дивергенции, Adiv, дБ	расстояние = 408.02 м	ф-ла (7) [10]	**63,2**										
Коэффициент затухания звука в атмосфере α, дБ/км	Ta=20,°C Pa=101.33,кПа hотн.=70%	ф-ла (5) [9]	0,02	0,09	0,33	1,12	2,79	4,98	9,04	23,09	77,63		
Учет затухания звука в атмосфере Aatm, дБ		ф-ла (8) [10]	0	0	0,1	0,5	1,1	2	3,7	9,4	31,7		
Снижение поверхностью земли возле источника As, дБ	Gs = 0 hs = 1м	ф-лы таб.3 [10]	-1,5	-1,5	-1,5	-1,5	-1,5	-1,5	-1,5	-1,5	-1,5		
Снижение поверхностью земли возле приёмника Ar, дБ	Gr = 1 hr = 1.5м	ф-лы таб.3 [10]	-1,5	-1,5	2,4	7	5	0,7	0	0	0		
Снижение поверхностью земли в средней зоне, Am дБ	Gm = 1	ф-лы таб.3 [10]	-2,4	-2,4	0	0	0	0	0	0	0		
Суммарное снижение поверхностью земли на траектории распространения звука Agr, дБ		ф-ла (9) [10]	-5,4	-5,4	0,9	5,5	3,5	-0,8	-1,5	-1,5	-1,5		
Уровни звукового давления прямого звука от источника ИШ-9-2 в расчётной точке днём, дБ		**ф-ла(3)[10]**	**0**	**38,5**	**33,4**	**29,8**	**31,5**	**34,5**	**30,2**	**20,3**	**0**	**37,2**	**37,2**
Расчёт отражённого звука													
Уровни звукового давления от мнимого источника ИШ-9-2_мн.(1) в расчётной точке днём, дБ		**ф-ла(3)[10]**	**0**	**0**	**28,5**	**19,4**	**20,1**	**29,9**	**27,7**	**17,7**	**0**	**32,8**	**32,8**
Уровни звукового давления от источника ИШ-9-2 в расчётной точке днём, дБ		**ф-ла(3)[10]**	**0**	**38,5**	**34,6**	**30,2**	**31,8**	**35,8**	**32,1**	**22,2**	**0**	**38,5**	**38,5**
Источник шума: ИШ-9-3, координаты источника (x,y,z), м =[644.98,-351.85,1.00]													
Уровни звуковой мощности источника днём, Lw, дБ		**исходные данные**	**0**	**93,3**	**94,7**	**96**	**96,3**	**95,9**	**92,6**	**88,4**	**83,9**		
Поправка на телесный угол DΩ, дБ	Ω = 6.28	10Lg($4\pi/\Omega$)	**3**	3	3	3	3	3	3	3	3		
Показатель направленности источника Di, дБ		исходные данные	**0**	0	0	0	0	0	0	0	0		
Поправка на направленность источника Dc, дБ	Dc	DΩ + Di	**3**	3	3	3	3	3	3	3	3		

1		2	3	4	5	6	7	8	9	10	11	12	13
Затухание из-за геометрической дивергенции, Adiv, дБ	расстояние = 406.72 м	ф-ла (7) [10]	**63,2**										
Коэффициент затухания звука в атмосфере α, дБ/км	Ta=20,°C Pa=101.33,кПа hотн.=70%	ф-ла (5) [9]	0,02	0,09	0,33	1,12	2,79	4,98	9,04	23,09	77,63		
Учет затухания звука в атмосфере Aatm, дБ		ф-ла (8) [10]	0	0	0,1	0,5	1,1	2	3,7	9,4	31,6		
Снижение поверхностью земли возле источника As, дБ	Gs = 0 hs = 1м	ф-лы таб.3 [10]	-1,5	-1,5	-1,5	-1,5	-1,5	-1,5	-1,5	-1,5	-1,5		
Снижение поверхностью земли возле приёмника Ar, дБ	Gr = 1 hr = 1.5м	ф-лы таб.3 [10]	-1,5	-1,5	2,4	7	5	0,7	0	0	0		
Снижение поверхностью земли в средней зоне, Am дБ	Gm = 1	ф-лы таб.3 [10]	-2,4	-2,4	0	0	0	0	0	0	0		
Суммарное снижение поверхностью земли на траектории распространения звука Agr, дБ		ф-ла (9) [10]	-5,4	-5,4	0,9	5,5	3,5	-0,8	-1,5	-1,5	-1,5		
Уровни звукового давления прямого звука от источника ИШ-9-3 в расчётной точке днём, дБ		**ф-ла(3)[10]**	**0**	**38,5**	**33,5**	**29,8**	**31,5**	**34,5**	**30,2**	**20,3**	**0**	**37,2**	**37,2**
Расчёт отражённого звука													
Уровни звукового давления от мнимого источника ИШ-9-3_мн.(1) в расчётной точке днём, дБ		**ф-ла(3)[10]**	**0**	**0**	**28,6**	**19,5**	**20,2**	**30**	**27,7**	**17,8**	**0**	**32,9**	**32,9**
Уровни звукового давления от источника ИШ-9-3 в расчётной точке днём, дБ		**ф-ла(3)[10]**	**0**	**38,5**	**34,7**	**30,2**	**31,8**	**35,8**	**32,2**	**22,2**	**0**	**38,6**	**38,6**
Источник шума: ИШ-9-4, координаты источника (x,y,z), м =[646.01,-349.15,1.00]													
Уровни звуковой мощности источника днём, Lw, дБ		**исходные данные**	**0**	**93,3**	**94,7**	**96**	**96,3**	**95,9**	**92,6**	**88,4**	**83,9**		
Поправка на телесный угол DΩ, дБ	Ω = 6.28	10Lg(4π/Ω)	**3**	3	3	3	3	3	3	3	3		
Показатель направленности источника Di, дБ		исходные данные	**0**	0	0	0	0	0	0	0	0		
Поправка на направленность источника Dc, дБ	Dc	DΩ + Di	**3**	3	3	3	3	3	3	3	3		

1		2	3	4	5	6	7	8	9	10	11	12	13
Затухание из-за геометрической дивергенции, Adiv, дБ	расстояние = 405.76 м	ф-ла (7) [10]	**63,2**										
Коэффициент затухания звука в атмосфере α, дБ/км	Ta=20,°C Pa=101.33,кПа hотн.=70%	ф-ла (5) [9]	0,02	0,09	0,33	1,12	2,79	4,98	9,04	23,09	77,63		
Учет затухания звука в атмосфере Aatm, дБ		ф-ла (8) [10]	0	0	0,1	0,5	1,1	2	3,7	9,4	31,5		
Снижение поверхностью земли возле источника As, дБ	Gs = 0 hs = 1м	ф-лы таб.3 [10]	-1,5	-1,5	-1,5	-1,5	-1,5	-1,5	-1,5	-1,5	-1,5		
Снижение поверхностью земли возле приёмника Ar, дБ	Gr = 1 hr = 1.5м	ф-лы таб.3 [10]	-1,5	-1,5	2,4	7	5	0,7	0	0	0		
Снижение поверхностью земли в средней зоне, Am дБ	Gm = 1	ф-лы таб.3 [10]	-2,4	-2,4	0	0	0	0	0	0	0		
Суммарное снижение поверхностью земли на траектории распространения звука Agr, дБ		ф-ла (9) [10]	-5,4	-5,4	0,9	5,5	3,5	-0,8	-1,5	-1,5	-1,5		
Уровни звукового давления прямого звука от источника ИШ-9-4 в расчётной точке днём, дБ		**ф-ла(3)[10]**	**0**	**38,5**	**33,5**	**29,8**	**31,5**	**34,5**	**30,3**	**20,4**	**0**	**37,2**	**37,2**
Расчёт отражённого звука													
Уровни звукового давления от мнимого источника ИШ-9-4_мн.(1) в расчётной точке днём, дБ		**ф-ла(3)[10]**	**0**	**0**	**28,6**	**19,5**	**20,2**	**30**	**27,7**	**17,8**	**0**	**32,9**	**32,9**
Уровни звукового давления от источника ИШ-9-4 в расчётной точке днём, дБ		**ф-ла(3)[10]**	**0**	**38,5**	**34,7**	**30,2**	**31,8**	**35,9**	**32,2**	**22,3**	**0**	**38,6**	**38,6**
Источник шума: ИШ-9-5, координаты источника (x,y,z), м =[646.84,-346.17,1.00]													
Уровни звуковой мощности источника днём, Lw, дБ		**исходные данные**	**0**	**93,3**	**94,7**	**96**	**96,3**	**95,9**	**92,6**	**88,4**	**83,9**		
Поправка на телесный угол DΩ, дБ	Ω = 6.28	10Lg(4π/Ω)	**3**	3	3	3	3	3	3	3	3		
Показатель направленности источника Di, дБ		исходные данные	**0**	0	0	0	0	0	0	0	0		
Поправка на направленность источника Dc, дБ	Dc	DΩ + Di	**3**	3	3	3	3	3	3	3	3		

1		2	3	4	5	6	7	8	9	10	11	12	13
Затухание из-за геометрической дивергенции, Adiv, дБ	расстояние = 404.50 м	ф-ла (7) [10]	**63,1**										
Коэффициент затухания звука в атмосфере α, дБ/км	Ta=20,°C Pa=101.33,кПа hотн.=70%	ф-ла (5) [9]	0,02	0,09	0,33	1,12	2,79	4,98	9,04	23,09	77,63		
Учет затухания звука в атмосфере Aatm, дБ		ф-ла (8) [10]	0	0	0,1	0,5	1,1	2	3,7	9,3	31,4		
Снижение поверхностью земли возле источника As, дБ	Gs = 0 hs = 1м	ф-лы таб.3 [10]	-1,5	-1,5	-1,5	-1,5	-1,5	-1,5	-1,5	-1,5	-1,5		
Снижение поверхностью земли возле приёмника Ar, дБ	Gr = 1 hr = 1.5м	ф-лы таб.3 [10]	-1,5	-1,5	2,4	7	5	0,7	0	0	0		
Снижение поверхностью земли в средней зоне, Am дБ	Gm = 1	ф-лы таб.3 [10]	-2,4	-2,4	0	0	0	0	0	0	0		
Суммарное снижение поверхностью земли на траектории распространения звука Agr, дБ		ф-ла (9) [10]	-5,4	-5,4	0,9	5,5	3,5	-0,8	-1,5	-1,5	-1,5		
Уровни звукового давления прямого звука от источника ИШ-9-5 в расчётной точке днём, дБ		**ф-ла(3)[10]**	**0**	**38,6**	**33,5**	**29,9**	**31,6**	**34,6**	**30,3**	**20,4**	**0**	**37,3**	**37,3**
Расчёт отражённого звука													
Уровни звукового давления от мнимого источника ИШ-9-5_мн.(1) в расчётной точке днём, дБ		**ф-ла(3)[10]**	**0**	**0**	**28,6**	**19,5**	**20,2**	**30**	**27,8**	**17,9**	**0**	**32,9**	**32,9**
Уровни звукового давления от источника ИШ-9-5 в расчётной точке днём, дБ		**ф-ла(3)[10]**	**0**	**38,6**	**34,7**	**30,3**	**31,9**	**35,9**	**32,2**	**22,3**	**0**	**38,6**	**38,6**
Источник шума: ИШ-9-6, координаты источника (x,y,z), м =[647.87,-343.47,1.00]													
Уровни звуковой мощности источника днём, Lw, дБ		**исходные данные**	**0**	**93,3**	**94,7**	**96**	**96,3**	**95,9**	**92,6**	**88,4**	**83,9**		
Поправка на телесный угол DΩ, дБ	Ω = 6.28	10Lg(4π/Ω)	**3**	3	3	3	3	3	3	3	3		
Показатель направленности источника Di, дБ		исходные данные	**0**	0	0	0	0	0	0	0	0		
Поправка на направленность источника Dc, дБ	Dc	DΩ + Di	**3**	3	3	3	3	3	3	3	3		

1		2	3	4	5	6	7	8	9	10	11	12	13
Затухание из-за геометрической дивергенции, Adiv, дБ	расстояние = 403.57 м	ф-ла (7) [10]	**63,1**										
Коэффициент затухания звука в атмосфере α, дБ/км	Ta=20,°C Pa=101.33,кПа hотн.=70%	ф-ла (5) [9]	0,02	0,09	0,33	1,12	2,79	4,98	9,04	23,09	77,63		
Учет затухания звука в атмосфере Aatm, дБ		ф-ла (8) [10]	0	0	0,1	0,5	1,1	2	3,6	9,3	31,3		
Снижение поверхностью земли возле источника As, дБ	Gs = 0 hs = 1м	ф-лы таб.3 [10]	-1,5	-1,5	-1,5	-1,5	-1,5	-1,5	-1,5	-1,5	-1,5		
Снижение поверхностью земли возле приёмника Ar, дБ	Gr = 1 hr = 1.5м	ф-лы таб.3 [10]	-1,5	-1,5	2,4	7	5	0,7	0	0	0		
Снижение поверхностью земли в средней зоне, Am дБ	Gm = 1	ф-лы таб.3 [10]	-2,4	-2,4	0	0	0	0	0	0	0		
Суммарное снижение поверхностью земли на траектории распространения звука Agr, дБ		ф-ла (9) [10]	-5,4	-5,4	0,9	5,5	3,5	-0,8	-1,5	-1,5	-1,5		
Уровни звукового давления прямого звука от источника ИШ-9-6 в расчётной точке днём, дБ		**ф-ла(3)[10]**	**0**	**38,6**	**33,5**	**29,9**	**31,6**	**34,6**	**30,3**	**20,5**	**0**	**37,3**	**37,3**
Расчёт отражённого звука													
Уровни звукового давления от мнимого источника ИШ-9-6_мн.(1) в расчётной точке днём, дБ		**ф-ла(3)[10]**	**0**	**0**	**28,7**	**19,5**	**20,2**	**30,1**	**27,8**	**17,9**	**0**	**32,9**	**32,9**
Уровни звукового давления от источника ИШ-9-6 в расчётной точке днём, дБ		**ф-ла(3)[10]**	**0**	**38,6**	**34,8**	**30,3**	**31,9**	**35,9**	**32,3**	**22,4**	**0**	**38,6**	**38,6**
Источник шума: ИШ-9-7, координаты источника (x,y,z), м =[648.71,-340.49,1.00]													
Уровни звуковой мощности источника днём, Lw, дБ		**исходные данные**	**0**	**93,3**	**94,7**	**96**	**96,3**	**95,9**	**92,6**	**88,4**	**83,9**		
Поправка на телесный угол DΩ, дБ	Ω = 6.28	10Lg(4π/Ω)	**3**	3	3	3	3	3	3	3	3		
Показатель направленности источника Di, дБ		исходные данные	**0**	0	0	0	0	0	0	0	0		
Поправка на направленность источника Dc, дБ	Dc	DΩ + Di	**3**	3	3	3	3	3	3	3	3		

1		2	3	4	5	6	7	8	9	10	11	12	13
Затухание из-за геометрической дивергенции, Adiv, дБ	расстояние = 402.35 м	ф-ла (7) [10]	**63,1**										
Коэффициент затухания звука в атмосфере α, дБ/км	Ta=20,°C Pa=101.33,кПа hотн.=70%	ф-ла (5) [9]	0,02	0,09	0,33	1,12	2,79	4,98	9,04	23,09	77,63		
Учет затухания звука в атмосфере Aatm, дБ		ф-ла (8) [10]	0	0	0,1	0,5	1,1	2	3,6	9,3	31,2		
Снижение поверхностью земли возле источника As, дБ	Gs = 0 hs = 1м	ф-лы таб.3 [10]	-1,5	-1,5	-1,5	-1,5	-1,5	-1,5	-1,5	-1,5	-1,5		
Снижение поверхностью земли возле приёмника Ar, дБ	Gr = 1 hr = 1.5м	ф-лы таб.3 [10]	-1,5	-1,5	2,4	7	5	0,7	0	0	0		
Снижение поверхностью земли в средней зоне, Am дБ	Gm = 1	ф-лы таб.3 [10]	-2,4	-2,4	0	0	0	0	0	0	0		
Суммарное снижение поверхностью земли на траектории распространения звука Agr, дБ		ф-ла (9) [10]	-5,4	-5,4	0,9	5,5	3,5	-0,8	-1,5	-1,5	-1,5		
Уровни звукового давления прямого звука от источника ИШ-9-7 в расчётной точке днём, дБ		**ф-ла(3)[10]**	**0**	**38,6**	**33,6**	**29,9**	**31,6**	**34,6**	**30,4**	**20,5**	**0**	**37,3**	**37,3**
Расчёт отражённого звука													
Уровни звукового давления от мнимого источника ИШ-9-7_мн.(1) в расчётной точке днём, дБ		**ф-ла(3)[10]**	**0**	**0**	**28,7**	**19,6**	**20,3**	**30,1**	**27,9**	**18**	**0**	**33**	**33**
Уровни звукового давления от источника ИШ-9-7 в расчётной точке днём, дБ		**ф-ла(3)[10]**	**0**	**38,6**	**34,8**	**30,3**	**31,9**	**35,9**	**32,3**	**22,4**	**0**	**38,7**	**38,7**
Источник шума: ИШ-9-8, координаты источника (x,y,z), м =[649.92,-337.69,1.00]													
Уровни звуковой мощности источника днём, Lw, дБ		**исходные данные**	**0**	**93,3**	**94,7**	**96**	**96,3**	**95,9**	**92,6**	**88,4**	**83,9**		
Поправка на телесный угол DΩ, дБ	Ω = 6.28	10Lg(4π/Ω)	**3**	3	3	3	3	3	3	3	3		
Показатель направленности источника Di, дБ		исходные данные	**0**	0	0	0	0	0	0	0	0		
Поправка на направленность источника Dc, дБ	Dc	DΩ + Di	**3**	3	3	3	3	3	3	3	3		

1		2	3	4	5	6	7	8	9	10	11	12	13
Затухание из-за геометрической дивергенции, Adiv, дБ	расстояние = 401.55 м	ф-ла (7) [10]	**63,1**										
Коэффициент затухания звука в атмосфере α, дБ/км	Ta=20,°C Pa=101.33,кПа hотн.=70%	ф-ла (5) [9]	0,02	0,09	0,33	1,12	2,79	4,98	9,04	23,09	77,63		
Учет затухания звука в атмосфере Aatm, дБ		ф-ла (8) [10]	0	0	0,1	0,5	1,1	2	3,6	9,3	31,2		
Снижение поверхностью земли возле источника As, дБ	Gs = 0 hs = 1м	ф-лы таб.3 [10]	-1,5	-1,5	-1,5	-1,5	-1,5	-1,5	-1,5	-1,5	-1,5		
Снижение поверхностью земли возле приёмника Ar, дБ	Gr = 1 hr = 1.5м	ф-лы таб.3 [10]	-1,5	-1,5	2,4	7	5	0,7	0	0	0		
Снижение поверхностью земли в средней зоне, Am дБ	Gm = 1	ф-лы таб.3 [10]	-2,4	-2,4	0	0	0	0	0	0	0		
Суммарное снижение поверхностью земли на траектории распространения звука Agr, дБ		ф-ла (9) [10]	-5,4	-5,4	0,9	5,5	3,5	-0,8	-1,5	-1,5	-1,5		
Уровни звукового давления прямого звука от источника ИШ-9-8 в расчётной точке днём, дБ		**ф-ла(3)[10]**	**0**	**38,6**	**33,6**	**29,9**	**31,6**	**34,7**	**30,4**	**20,5**	**0**	**37,3**	**37,3**
Расчёт отражённого звука													
Уровни звукового давления от мнимого источника ИШ-9-8_мн.(1) в расчётной точке днём, дБ		**ф-ла(3)[10]**	**0**	**0**	**28,8**	**19,6**	**20,3**	**30,1**	**27,9**	**18**	**0**	**33**	**33**
Уровни звукового давления от источника ИШ-9-8 в расчётной точке днём, дБ		**ф-ла(3)[10]**	**0**	**38,6**	**34,8**	**30,3**	**31,9**	**36**	**32,3**	**22,5**	**0**	**38,7**	**38,7**
Источник шума: ИШ-9-9, координаты источника (x,y,z), м =[650.66,-334.90,1.00]													
Уровни звуковой мощности источника днём, Lw, дБ		**исходные данные**	**0**	**93,3**	**94,7**	**96**	**96,3**	**95,9**	**92,6**	**88,4**	**83,9**		
Поправка на телесный угол DΩ, дБ	Ω = 6.28	10Lg($4\pi/\Omega$)	**3**	3	3	3	3	3	3	3	3		
Показатель направленности источника Di, дБ		исходные данные	**0**	0	0	0	0	0	0	0	0		
Поправка на направленность источника Dc, дБ	Dc	DΩ + Di	**3**	3	3	3	3	3	3	3	3		

1		2	3	4	5	6	7	8	9	10	11	12	13
Затухание из-за геометрической дивергенции, Adiv, дБ	расстояние = 400.41 м	ф-ла (7) [10]	**63,1**										
Коэффициент затухания звука в атмосфере α, дБ/км	Ta=20,°C Pa=101.33,кПа hотн.=70%	ф-ла (5) [9]	0,02	0,09	0,33	1,12	2,79	4,98	9,04	23,09	77,63		
Учет затухания звука в атмосфере Aatm, дБ		ф-ла (8) [10]	0	0	0,1	0,5	1,1	2	3,6	9,2	31,1		
Снижение поверхностью земли возле источника As, дБ	Gs = 0 hs = 1м	ф-лы таб.3 [10]	-1,5	-1,5	-1,5	-1,5	-1,5	-1,5	-1,5	-1,5	-1,5		
Снижение поверхностью земли возле приёмника Ar, дБ	Gr = 1 hr = 1.5м	ф-лы таб.3 [10]	-1,5	-1,5	2,4	7	5	0,7	0	0	0		
Снижение поверхностью земли в средней зоне, Am дБ	Gm = 1	ф-лы таб.3 [10]	-2,4	-2,4	0	0	0	0	0	0	0		
Суммарное снижение поверхностью земли на траектории распространения звука Agr, дБ		ф-ла (9) [10]	-5,4	-5,4	0,9	5,5	3,5	-0,8	-1,5	-1,5	-1,5		
Уровни звукового давления прямого звука от источника ИШ-9-9 в расчётной точке днём, дБ		**ф-ла(3)[10]**	**0**	**38,6**	**33,6**	**30**	**31,7**	**34,7**	**30,4**	**20,6**	**0**	**37,4**	**37,4**
Расчёт отражённого звука													
Уровни звукового давления от мнимого источника ИШ-9-9_мн.(1) в расчётной точке днём, дБ		**ф-ла(3)[10]**	**0**	**0**	**28,8**	**19,6**	**20,3**	**30,2**	**27,9**	**18,1**	**0**	**33**	**33**
Уровни звукового давления от источника ИШ-9-9 в расчётной точке днём, дБ		**ф-ла(3)[10]**	**0**	**38,6**	**34,9**	**30,4**	**32**	**36**	**32,4**	**22,5**	**0**	**38,7**	**38,7**
Источник шума: ИШ-9-10, координаты источника (x,y,z), м =[651.59,-332.01,1.00]													
Уровни звуковой мощности источника днём, Lw, дБ		**исходные данные**	**0**	**93,3**	**94,7**	**96**	**96,3**	**95,9**	**92,6**	**88,4**	**83,9**		
Поправка на телесный угол DΩ, дБ	Ω = 6.28	10Lg(4π/Ω)	**3**	3	3	3	3	3	3	3	3		
Показатель направленности источника Di, дБ		исходные данные	**0**	0	0	0	0	0	0	0	0		
Поправка на направленность источника Dc, дБ	Dc	DΩ + Di	**3**	3	3	3	3	3	3	3	3		

1		2	3	4	5	6	7	8	9	10	11	12	13
Затухание из-за геометрической дивергенции, Adiv, дБ	расстояние = 399.38 м	ф-ла (7) [10]	**63**										
Коэффициент затухания звука в атмосфере α, дБ/км	Ta=20,°C Pa=101.33,кПа hотн.=70%	ф-ла (5) [9]	0,02	0,09	0,33	1,12	2,79	4,98	9,04	23,09	77,63		
Учет затухания звука в атмосфере Aatm, дБ		ф-ла (8) [10]	0	0	0,1	0,4	1,1	2	3,6	9,2	31		
Снижение поверхностью земли возле источника As, дБ	Gs = 0 hs = 1м	ф-лы таб.3 [10]	-1,5	-1,5	-1,5	-1,5	-1,5	-1,5	-1,5	-1,5	-1,5		
Снижение поверхностью земли возле приёмника Ar, дБ	Gr = 1 hr = 1.5м	ф-лы таб.3 [10]	-1,5	-1,5	2,4	7	5	0,7	0	0	0		
Снижение поверхностью земли в средней зоне, Am дБ	Gm = 1	ф-лы таб.3 [10]	-2,4	-2,4	0	0	0	0	0	0	0		
Суммарное снижение поверхностью земли на траектории распространения звука Agr, дБ		ф-ла (9) [10]	-5,4	-5,4	0,9	5,5	3,5	-0,8	-1,5	-1,5	-1,5		
Уровни звукового давления прямого звука от источника ИШ-9-10 в расчётной точке днём, дБ		**ф-ла(3)[10]**	**0**	**38,7**	**33,7**	**30**	**31,7**	**34,7**	**30,5**	**20,6**	**0**	**37,4**	**37,4**
Расчёт отражённого звука													
Уровни звукового давления от мнимого источника ИШ-9-10_мн.(1) в расчётной точке днём, дБ		**ф-ла(3)[10]**	**0**	**0**	**28,8**	**19,6**	**20,3**	**30,2**	**27,9**	**18,1**	**0**	**33,1**	**33,1**
Уровни звукового давления от источника ИШ-9-10 в расчётной точке днём, дБ		**ф-ла(3)[10]**	**0**	**38,7**	**34,9**	**30,4**	**32**	**36**	**32,4**	**22,6**	**0**	**38,8**	**38,8**
Источник шума: ИШ-9-11, координаты источника (x,y,z), м =[652.71,-329.22,1.00]													
Уровни звуковой мощности источника днём, Lw, дБ		**исходные данные**	**0**	**93,3**	**94,7**	**96**	**96,3**	**95,9**	**92,6**	**88,4**	**83,9**		
Поправка на телесный угол DΩ, дБ	Ω = 6.28	10Lg($4\pi/\Omega$)	**3**	3	3	3	3	3	3	3	3		
Показатель направленности источника Di, дБ		исходные данные	**0**	0	0	0	0	0	0	0	0		
Поправка на направленность источника Dc, дБ	Dc	DΩ + Di	**3**	3	3	3	3	3	3	3	3		

1		2	3	4	5	6	7	8	9	10	11	12	13
Затухание из-за геометрической дивергенции, Adiv, дБ	расстояние = 398.57 м	ф-ла (7) [10]	**63**										
Коэффициент затухания звука в атмосфере α, дБ/км	Ta=20,°C Pa=101.33,кПа hотн.=70%	ф-ла (5) [9]	0,02	0,09	0,33	1,12	2,79	4,98	9,04	23,09	77,63		
Учет затухания звука в атмосфере Aatm, дБ		ф-ла (8) [10]	0	0	0,1	0,4	1,1	2	3,6	9,2	30,9		
Снижение поверхностью земли возле источника As, дБ	Gs = 0 hs = 1м	ф-лы таб.3 [10]	-1,5	-1,5	-1,5	-1,5	-1,5	-1,5	-1,5	-1,5	-1,5		
Снижение поверхностью земли возле приёмника Ar, дБ	Gr = 1 hr = 1.5м	ф-лы таб.3 [10]	-1,5	-1,5	2,4	7	5	0,7	0	0	0		
Снижение поверхностью земли в средней зоне, Am дБ	Gm = 1	ф-лы таб.3 [10]	-2,4	-2,4	0	0	0	0	0	0	0		
Суммарное снижение поверхностью земли на траектории распространения звука Agr, дБ		ф-ла (9) [10]	-5,4	-5,4	0,9	5,5	3,5	-0,8	-1,5	-1,5	-1,5		
Уровни звукового давления прямого звука от источника ИШ-9-11 в расчётной точке днём, дБ		**ф-ла(3)[10]**	**0**	**38,7**	**33,7**	**30**	**31,7**	**34,7**	**30,5**	**20,7**	**0**	**37,4**	**37,4**
Расчёт отражённого звука													
Уровни звукового давления от мнимого источника ИШ-9-11_мн.(1) в расчётной точке днём, дБ		**ф-ла(3)[10]**	**0**	**37,7**	**28,9**	**19,7**	**20,4**	**30,2**	**28**	**18,2**	**0**	**33,1**	**33,1**
Уровни звукового давления от источника ИШ-9-11 в расчётной точке днём, дБ		**ф-ла(3)[10]**	**0**	**41,2**	**34,9**	**30,4**	**32**	**36**	**32,4**	**22,6**	**0**	**38,8**	**38,8**
Источник шума: ИШ-9-12, координаты источника (x,y,z), м =[653.46,-326.33,1.00]													
Уровни звуковой мощности источника днём, Lw, дБ		**исходные данные**	**0**	**93,3**	**94,7**	**96**	**96,3**	**95,9**	**92,6**	**88,4**	**83,9**		
Поправка на телесный угол DΩ, дБ	Ω = 6.28	10Lg(4π/Ω)	**3**	3	3	3	3	3	3	3	3		
Показатель направленности источника Di, дБ		исходные данные	**0**	0	0	0	0	0	0	0	0		
Поправка на направленность источника Dc, дБ	Dc	DΩ + Di	**3**	3	3	3	3	3	3	3	3		

1		2	3	4	5	6	7	8	9	10	11	12	13
Затухание из-за геометрической дивергенции, Adiv, дБ	расстояние = 397.42 м	ф-ла (7) [10]	**63**										
Коэффициент затухания звука в атмосфере α, дБ/км	Ta=20,°C Pa=101.33,кПа hотн.=70%	ф-ла (5) [9]	0,02	0,09	0,33	1,12	2,79	4,98	9,04	23,09	77,63		
Учет затухания звука в атмосфере Aatm, дБ		ф-ла (8) [10]	0	0	0,1	0,4	1,1	2	3,6	9,2	30,9		
Снижение поверхностью земли возле источника As, дБ	Gs = 0 hs = 1м	ф-лы таб.3 [10]	-1,5	-1,5	-1,5	-1,5	-1,5	-1,5	-1,5	-1,5	-1,5		
Снижение поверхностью земли возле приёмника Ar, дБ	Gr = 1 hr = 1.5м	ф-лы таб.3 [10]	-1,5	-1,5	2,4	7	5	0,7	0	0	0		
Снижение поверхностью земли в средней зоне, Am дБ	Gm = 1	ф-лы таб.3 [10]	-2,4	-2,4	0	0	0	0	0	0	0		
Суммарное снижение поверхностью земли на траектории распространения звука Agr, дБ		ф-ла (9) [10]	-5,4	-5,4	0,9	5,5	3,5	-0,8	-1,5	-1,5	-1,5		
Уровни звукового давления прямого звука от источника ИШ-9-12 в расчётной точке днём, дБ		**ф-ла(3)[10]**	**0**	**38,7**	**33,7**	**30**	**31,7**	**34,8**	**30,5**	**20,7**	**0**	**37,4**	**37,4**
Расчёт отражённого звука													
Уровни звукового давления от мнимого источника ИШ-9-12_мн.(1) в расчётной точке днём, дБ		**ф-ла(3)[10]**	**0**	**37,7**	**28,9**	**19,7**	**20,4**	**30,2**	**28**	**18,2**	**0**	**33,2**	**33,2**
Уровни звукового давления от источника ИШ-9-12 в расчётной точке днём, дБ		**ф-ла(3)[10]**	**0**	**41,2**	**35**	**30,4**	**32**	**36,1**	**32,5**	**22,7**	**0**	**38,8**	**38,8**
Источник шума: ИШ-9-13, координаты источника (x,y,z), м =[654.48,-323.54,1.00]													
Уровни звуковой мощности источника днём, Lw, дБ		**исходные данные**	**0**	**93,3**	**94,7**	**96**	**96,3**	**95,9**	**92,6**	**88,4**	**83,9**		
Поправка на телесный угол DΩ, дБ	Ω = 6.28	10Lg(4π/Ω)	**3**	3	3	3	3	3	3	3	3		
Показатель направленности источника Di, дБ		исходные данные	**0**	0	0	0	0	0	0	0	0		
Поправка на направленность источника Dc, дБ	Dc	DΩ + Di	**3**	3	3	3	3	3	3	3	3		

1		2	3	4	5	6	7	8	9	10	11	12	13
Затухание из-за геометрической дивергенции, Adiv, дБ	расстояние = 396.58 м	ф-ла (7) [10]	**63**										
Коэффициент затухания звука в атмосфере α, дБ/км	Ta=20,°C Pa=101.33,кПа hотн.=70%	ф-ла (5) [9]	0,02	0,09	0,33	1,12	2,79	4,98	9,04	23,09	77,63		
Учет затухания звука в атмосфере Aatm, дБ		ф-ла (8) [10]	0	0	0,1	0,4	1,1	2	3,6	9,2	30,8		
Снижение поверхностью земли возле источника As, дБ	Gs = 0 hs = 1м	ф-лы таб.3 [10]	-1,5	-1,5	-1,5	-1,5	-1,5	-1,5	-1,5	-1,5	-1,5		
Снижение поверхностью земли возле приёмника Ar, дБ	Gr = 1 hr = 1.5м	ф-лы таб.3 [10]	-1,5	-1,5	2,3	7	5	0,7	0	0	0		
Снижение поверхностью земли в средней зоне, Am дБ	Gm = 1	ф-лы таб.3 [10]	-2,4	-2,4	0	0	0	0	0	0	0		
Суммарное снижение поверхностью земли на траектории распространения звука Agr, дБ		ф-ла (9) [10]	-5,4	-5,4	0,8	5,5	3,5	-0,8	-1,5	-1,5	-1,5		
Уровни звукового давления прямого звука от источника ИШ-9-13 в расчётной точке днём, дБ		**ф-ла(3)[10]**	**0**	**38,7**	**33,7**	**30,1**	**31,7**	**34,8**	**30,5**	**20,8**	**0**	**37,5**	**37,5**
Расчёт отражённого звука													
Уровни звукового давления от мнимого источника ИШ-9-13_мн.(1) в расчётной точке днём, дБ		**ф-ла(3)[10]**	**0**	**37,7**	**28,9**	**19,7**	**20,4**	**30,3**	**28**	**18,2**	**0**	**33,2**	**33,2**
Уровни звукового давления от источника ИШ-9-13 в расчётной точке днём, дБ		**ф-ла(3)[10]**	**0**	**41,3**	**35**	**30,4**	**32,1**	**36,1**	**32,5**	**22,7**	**0**	**38,8**	**38,8**
Источник шума: ИШ-9-14, координаты источника (x,y,z), м =[655.60,-320.74,1.00]													
Уровни звуковой мощности источника днём, Lw, дБ		**исходные данные**	**0**	**93,3**	**94,7**	**96**	**96,3**	**95,9**	**92,6**	**88,4**	**83,9**		
Поправка на телесный угол DΩ, дБ	Ω = 6.28	10Lg(4π/Ω)	**3**	3	3	3	3	3	3	3	3		
Показатель направленности источника Di, дБ		исходные данные	**0**	0	0	0	0	0	0	0	0		
Поправка на направленность источника Dc, дБ	Dc	DΩ + Di	**3**	3	3	3	3	3	3	3	3		

1		2	3	4	5	6	7	8	9	10	11	12	13
Затухание из-за геометрической дивергенции, Adiv, дБ	расстояние = 395.84 м	ф-ла (7) [10]	**63**										
Коэффициент затухания звука в атмосфере α, дБ/км	Ta=20,°C Pa=101.33,кПа hотн.=70%	ф-ла (5) [9]	0,02	0,09	0,33	1,12	2,79	4,98	9,04	23,09	77,63		
Учет затухания звука в атмосфере Aatm, дБ		ф-ла (8) [10]	0	0	0,1	0,4	1,1	2	3,6	9,1	30,7		
Снижение поверхностью земли возле источника As, дБ	Gs = 0 hs = 1м	ф-лы таб.3 [10]	-1,5	-1,5	-1,5	-1,5	-1,5	-1,5	-1,5	-1,5	-1,5		
Снижение поверхностью земли возле приёмника Ar, дБ	Gr = 1 hr = 1.5м	ф-лы таб.3 [10]	-1,5	-1,5	2,3	7	5	0,7	0	0	0		
Снижение поверхностью земли в средней зоне, Am дБ	Gm = 1	ф-лы таб.3 [10]	-2,4	-2,4	0	0	0	0	0	0	0		
Суммарное снижение поверхностью земли на траектории распространения звука Agr, дБ		ф-ла (9) [10]	-5,4	-5,4	0,8	5,5	3,5	-0,8	-1,5	-1,5	-1,5		
Уровни звукового давления прямого звука от источника ИШ-9-14 в расчётной точке днём, дБ		**ф-ла(3)[10]**	**0**	**38,7**	**33,8**	**30,1**	**31,8**	**34,8**	**30,6**	**20,8**	**0**	**37,5**	**37,5**
Расчёт отражённого звука													
Уровни звукового давления от мнимого источника ИШ-9-14_мн.(1) в расчётной точке днём, дБ		**ф-ла(3)[10]**	**0**	**0**	**29**	**19,7**	**20,4**	**30,3**	**28,1**	**18,3**	**0**	**33,2**	**33,2**
Уровни звукового давления от источника ИШ-9-14 в расчётной точке днём, дБ		**ф-ла(3)[10]**	**0**	**38,7**	**35**	**30,5**	**32,1**	**36,1**	**32,5**	**22,7**	**0**	**38,9**	**38,9**
Источник шума: ИШ-9-15, координаты источника (x,y,z), м =[656.44,-317.86,1.00]													
Уровни звуковой мощности источника днём, Lw, дБ		**исходные данные**	**0**	**93,3**	**94,7**	**96**	**96,3**	**95,9**	**92,6**	**88,4**	**83,9**		
Поправка на телесный угол DΩ, дБ	Ω = 6.28	10Lg(4π/Ω)	**3**	3	3	3	3	3	3	3	3		
Показатель направленности источника Di, дБ		исходные данные	**0**	0	0	0	0	0	0	0	0		
Поправка на направленность источника Dc, дБ	Dc	DΩ + Di	**3**	3	3	3	3	3	3	3	3		

1		2	3	4	5	6	7	8	9	10	11	12	13
Затухание из-за геометрической дивергенции, Adiv, дБ	расстояние = 394.83 м	ф-ла (7) [10]	**62,9**										
Коэффициент затухания звука в атмосфере α, дБ/км	Ta=20,°C Pa=101.33,кПа hотн.=70%	ф-ла (5) [9]	0,02	0,09	0,33	1,12	2,79	4,98	9,04	23,09	77,63		
Учет затухания звука в атмосфере Aatm, дБ		ф-ла (8) [10]	0	0	0,1	0,4	1,1	2	3,6	9,1	30,7		
Снижение поверхностью земли возле источника As, дБ	Gs = 0 hs = 1м	ф-лы таб.3 [10]	-1,5	-1,5	-1,5	-1,5	-1,5	-1,5	-1,5	-1,5	-1,5		
Снижение поверхностью земли возле приёмника Ar, дБ	Gr = 1 hr = 1.5м	ф-лы таб.3 [10]	-1,5	-1,5	2,3	7	5	0,7	0	0	0		
Снижение поверхностью земли в средней зоне, Am дБ	Gm = 1	ф-лы таб.3 [10]	-2,4	-2,4	0	0	0	0	0	0	0		
Суммарное снижение поверхностью земли на траектории распространения звука Agr, дБ		ф-ла (9) [10]	-5,4	-5,4	0,8	5,5	3,5	-0,8	-1,5	-1,5	-1,5		
Уровни звукового давления прямого звука от источника ИШ-9-15 в расчётной точке днём, дБ		**ф-ла(3)[10]**	**0**	**38,8**	**33,8**	**30,1**	**31,8**	**34,8**	**30,6**	**20,8**	**0**	**37,5**	**37,5**
Расчёт отражённого звука													
Уровни звукового давления от мнимого источника ИШ-9-15_мн.(1) в расчётной точке днём, дБ		**ф-ла(3)[10]**	**0**	**0**	**29**	**19,7**	**20,5**	**30,3**	**28,1**	**18,3**	**0**	**33,2**	**33,2**
Уровни звукового давления от источника ИШ-9-15 в расчётной точке днём, дБ		**ф-ла(3)[10]**	**0**	**38,8**	**35**	**30,5**	**32,1**	**36,1**	**32,5**	**22,8**	**0**	**38,9**	**38,9**
Источник шума: ИШ-9-16, координаты источника (x,y,z), м =[657.46,-314.97,1.00]													
Уровни звуковой мощности источника днём, Lw, дБ		**исходные данные**	**0**	**93,3**	**94,7**	**96**	**96,3**	**95,9**	**92,6**	**88,4**	**83,9**		
Поправка на телесный угол DΩ, дБ	Ω = 6.28	10Lg(4π/Ω)	**3**	3	3	3	3	3	3	3	3		
Показатель направленности источника Di, дБ		исходные данные	**0**	0	0	0	0	0	0	0	0		
Поправка на направленность источника Dc, дБ	Dc	DΩ + Di	**3**	3	3	3	3	3	3	3	3		

1		2	3	4	5	6	7	8	9	10	11	12	13
Затухание из-за геометрической дивергенции, Adiv, дБ	расстояние = 393.99 м	ф-ла (7) [10]	**62,9**										
Коэффициент затухания звука в атмосфере α, дБ/км	Ta=20,°C Pa=101.33,кПа hотн.=70%	ф-ла (5) [9]	0,02	0,09	0,33	1,12	2,79	4,98	9,04	23,09	77,63		
Учет затухания звука в атмосфере Aatm, дБ		ф-ла (8) [10]	0	0	0,1	0,4	1,1	2	3,6	9,1	30,6		
Снижение поверхностью земли возле источника As, дБ	Gs = 0 hs = 1м	ф-лы таб.3 [10]	-1,5	-1,5	-1,5	-1,5	-1,5	-1,5	-1,5	-1,5	-1,5		
Снижение поверхностью земли возле приёмника Ar, дБ	Gr = 1 hr = 1.5м	ф-лы таб.3 [10]	-1,5	-1,5	2,3	7	5	0,7	0	0	0		
Снижение поверхностью земли в средней зоне, Am дБ	Gm = 1	ф-лы таб.3 [10]	-2,4	-2,4	0	0	0	0	0	0	0		
Суммарное снижение поверхностью земли на траектории распространения звука Agr, дБ		ф-ла (9) [10]	-5,4	-5,4	0,8	5,5	3,5	-0,8	-1,5	-1,5	-1,5		
Уровни звукового давления прямого звука от источника ИШ-9-16 в расчётной точке днём, дБ		**ф-ла(3)[10]**	**0**	**38,8**	**33,8**	**30,1**	**31,8**	**34,9**	**30,6**	**20,9**	**0**	**37,5**	**37,5**
Расчёт отражённого звука													
Уровни звукового давления от мнимого источника ИШ-9-16_мн.(1) в расчётной точке днём, дБ		**ф-ла(3)[10]**	**0**	**0**	**29**	**19,8**	**20,5**	**30,3**	**28,1**	**18,4**	**0**	**33,2**	**33,2**
Уровни звукового давления от источника ИШ-9-16 в расчётной точке днём, дБ		**ф-ла(3)[10]**	**0**	**38,8**	**35,1**	**30,5**	**32,1**	**36,2**	**32,6**	**22,8**	**0**	**38,9**	**38,9**
Источник шума: ИШ-9-17, координаты источника (x,y,z), м =[658.49,-312.18,1.00]													
Уровни звуковой мощности источника днём, Lw, дБ		**исходные данные**	**0**	**93,3**	**94,7**	**96**	**96,3**	**95,9**	**92,6**	**88,4**	**83,9**		
Поправка на телесный угол DΩ, дБ	Ω = 6.28	10Lg(4π/Ω)	**3**	3	3	3	3	3	3	3	3		
Показатель направленности источника Di, дБ		исходные данные	**0**	0	0	0	0	0	0	0	0		
Поправка на направленность источника Dc, дБ	Dc	DΩ + Di	**3**	3	3	3	3	3	3	3	3		

1		2	3	4	5	6	7	8	9	10	11	12	13
Затухание из-за геометрической дивергенции, Adiv, дБ	расстояние = 393.24 м	ф-ла (7) [10]	**62,9**										
Коэффициент затухания звука в атмосфере α, дБ/км	Ta=20,°C Pa=101.33,кПа hотн.=70%	ф-ла (5) [9]	0,02	0,09	0,33	1,12	2,79	4,98	9,04	23,09	77,63		
Учет затухания звука в атмосфере Aatm, дБ		ф-ла (8) [10]	0	0	0,1	0,4	1,1	2	3,6	9,1	30,5		
Снижение поверхностью земли возле источника As, дБ	Gs = 0 hs = 1м	ф-лы таб.3 [10]	-1,5	-1,5	-1,5	-1,5	-1,5	-1,5	-1,5	-1,5	-1,5		
Снижение поверхностью земли возле приёмника Ar, дБ	Gr = 1 hr = 1.5м	ф-лы таб.3 [10]	-1,5	-1,5	2,3	7	5	0,7	0	0	0		
Снижение поверхностью земли в средней зоне, Am дБ	Gm = 1	ф-лы таб.3 [10]	-2,4	-2,4	0	0	0	0	0	0	0		
Суммарное снижение поверхностью земли на траектории распространения звука Agr, дБ		ф-ла (9) [10]	-5,4	-5,4	0,8	5,5	3,5	-0,8	-1,5	-1,5	-1,5		
Уровни звукового давления прямого звука от источника ИШ-9-17 в расчётной точке днём, дБ		**ф-ла(3)[10]**	**0**	**38,8**	**33,8**	**30,1**	**31,8**	**34,9**	**30,6**	**20,9**	**0**	**37,6**	**37,6**
Расчёт отражённого звука													
Уровни звукового давления от мнимого источника ИШ-9-17_мн.(1) в расчётной точке днём, дБ		**ф-ла(3)[10]**	**0**	**0**	**29,1**	**19,8**	**20,5**	**30,4**	**28,1**	**18,4**	**0**	**33,3**	**33,3**
Уровни звукового давления от источника ИШ-9-17 в расчётной точке днём, дБ		**ф-ла(3)[10]**	**0**	**38,8**	**35,1**	**30,5**	**32,1**	**36,2**	**32,6**	**22,9**	**0**	**38,9**	**38,9**
Источник шума: ИШ-9-18, координаты источника (x,y,z), м =[659.42,-309.20,1.00]													
Уровни звуковой мощности источника днём, Lw, дБ		**исходные данные**	**0**	**93,3**	**94,7**	**96**	**96,3**	**95,9**	**92,6**	**88,4**	**83,9**		
Поправка на телесный угол DΩ, дБ	Ω = 6.28	10Lg(4π/Ω)	**3**	3	3	3	3	3	3	3	3		
Показатель направленности источника Di, дБ		исходные данные	**0**	0	0	0	0	0	0	0	0		
Поправка на направленность источника Dc, дБ	Dc	DΩ + Di	**3**	3	3	3	3	3	3	3	3		

1		2	3	4	5	6	7	8	9	10	11	12	13
Затухание из-за геометрической дивергенции, Adiv, дБ	расстояние = 392.32 м	ф-ла (7) [10]	**62,9**										
Коэффициент затухания звука в атмосфере α, дБ/км	Ta=20,°C Pa=101.33,кПа hотн.=70%	ф-ла (5) [9]	0,02	0,09	0,33	1,12	2,79	4,98	9,04	23,09	77,63		
Учет затухания звука в атмосфере Aatm, дБ		ф-ла (8) [10]	0	0	0,1	0,4	1,1	2	3,5	9,1	30,5		
Снижение поверхностью земли возле источника As, дБ	Gs = 0 hs = 1м	ф-лы таб.3 [10]	-1,5	-1,5	-1,5	-1,5	-1,5	-1,5	-1,5	-1,5	-1,5		
Снижение поверхностью земли возле приёмника Ar, дБ	Gr = 1 hr = 1.5м	ф-лы таб.3 [10]	-1,5	-1,5	2,3	7	5	0,7	0	0	0		
Снижение поверхностью земли в средней зоне, Am дБ	Gm = 1	ф-лы таб.3 [10]	-2,4	-2,4	0	0	0	0	0	0	0		
Суммарное снижение поверхностью земли на траектории распространения звука Agr, дБ		ф-ла (9) [10]	-5,4	-5,4	0,8	5,5	3,5	-0,8	-1,5	-1,5	-1,5		
Уровни звукового давления прямого звука от источника ИШ-9-18 в расчётной точке днём, дБ		**ф-ла(3)[10]**	**0**	**38,8**	**33,9**	**30,2**	**31,9**	**34,9**	**30,7**	**21**	**0**	**37,6**	**37,6**
Расчёт отражённого звука													
Уровни звукового давления от мнимого источника ИШ-9-18_мн.(1) в расчётной точке днём, дБ		**ф-ла(3)[10]**	**0**	**0**	**29,1**	**19,8**	**20,5**	**30,4**	**28,2**	**18,4**	**0**	**33,3**	**33,3**
Уровни звукового давления от источника ИШ-9-18 в расчётной точке днём, дБ		**ф-ла(3)[10]**	**0**	**38,8**	**35,1**	**30,5**	**32,2**	**36,2**	**32,6**	**22,9**	**0**	**39**	**39**
Источник шума: ИШ-9-19, координаты источника (x,y,z), м =[660.44,-306.50,1.00]													
Уровни звуковой мощности источника днём, Lw, дБ		**исходные данные**	**0**	**93,3**	**94,7**	**96**	**96,3**	**95,9**	**92,6**	**88,4**	**83,9**		
Поправка на телесный угол DΩ, дБ	Ω = 6.28	10Lg(4π/Ω)	**3**	3	3	3	3	3	3	3	3		
Показатель направленности источника Di, дБ		исходные данные	**0**	0	0	0	0	0	0	0	0		
Поправка на направленность источника Dc, дБ	Dc	DΩ + Di	**3**	3	3	3	3	3	3	3	3		

1		2	3	4	5	6	7	8	9	10	11	12	13
Затухание из-за геометрической дивергенции, Adiv, дБ	расстояние = 391.65 м	ф-ла (7) [10]	**62,9**										
Коэффициент затухания звука в атмосфере α, дБ/км	Ta=20,°C Pa=101.33,кПа hотн.=70%	ф-ла (5) [9]	0,02	0,09	0,33	1,12	2,79	4,98	9,04	23,09	77,63		
Учет затухания звука в атмосфере Aatm, дБ		ф-ла (8) [10]	0	0	0,1	0,4	1,1	1,9	3,5	9	30,4		
Снижение поверхностью земли возле источника As, дБ	Gs = 0 hs = 1м	ф-лы таб.3 [10]	-1,5	-1,5	-1,5	-1,5	-1,5	-1,5	-1,5	-1,5	-1,5		
Снижение поверхностью земли возле приёмника Ar, дБ	Gr = 1 hr = 1.5м	ф-лы таб.3 [10]	-1,5	-1,5	2,3	7	5	0,7	0	0	0		
Снижение поверхностью земли в средней зоне, Am дБ	Gm = 1	ф-лы таб.3 [10]	-2,4	-2,4	0	0	0	0	0	0	0		
Суммарное снижение поверхностью земли на траектории распространения звука Agr, дБ		ф-ла (9) [10]	-5,4	-5,4	0,8	5,5	3,5	-0,8	-1,5	-1,5	-1,5		
Уровни звукового давления прямого звука от источника ИШ-9-19 в расчётной точке днём, дБ		**ф-ла(3)[10]**	**0**	**38,8**	**33,9**	**30,2**	**31,9**	**34,9**	**30,7**	**21**	**0**	**37,6**	**37,6**
Расчёт отражённого звука													
Уровни звукового давления от мнимого источника ИШ-9-19_мн.(1) в расчётной точке днём, дБ		**ф-ла(3)[10]**	**0**	**0**	**29,1**	**19,8**	**20,5**	**30,4**	**28,2**	**18,5**	**0**	**33,3**	**33,3**
Уровни звукового давления от источника ИШ-9-19 в расчётной точке днём, дБ		**ф-ла(3)[10]**	**0**	**38,8**	**35,1**	**30,6**	**32,2**	**36,2**	**32,6**	**22,9**	**0**	**39**	**39**
Источник шума: ИШ-9-20, координаты источника (x,y,z), м =[661.28,-303.61,1.00]													
Уровни звуковой мощности источника днём, Lw, дБ		**исходные данные**	**0**	**93,3**	**94,7**	**96**	**96,3**	**95,9**	**92,6**	**88,4**	**83,9**		
Поправка на телесный угол DΩ, дБ	Ω = 6.28	10Lg(4π/Ω)	**3**	3	3	3	3	3	3	3	3		
Показатель направленности источника Di, дБ		исходные данные	**0**	0	0	0	0	0	0	0	0		
Поправка на направленность источника Dc, дБ	Dc	DΩ + Di	**3**	3	3	3	3	3	3	3	3		

1		2	3	4	5	6	7	8	9	10	11	12	13
Затухание из-за геометрической дивергенции, Adiv, дБ	расстояние = 390.75 м	ф-ла (7) [10]	**62,8**										
Коэффициент затухания звука в атмосфере α, дБ/км	Ta=20,°C Pa=101.33,кПа hотн.=70%	ф-ла (5) [9]	0,02	0,09	0,33	1,12	2,79	4,98	9,04	23,09	77,63		
Учет затухания звука в атмосфере Aatm, дБ		ф-ла (8) [10]	0	0	0,1	0,4	1,1	1,9	3,5	9	30,3		
Снижение поверхностью земли возле источника As, дБ	Gs = 0 hs = 1м	ф-лы таб.3 [10]	-1,5	-1,5	-1,5	-1,5	-1,5	-1,5	-1,5	-1,5	-1,5		
Снижение поверхностью земли возле приёмника Ar, дБ	Gr = 1 hr = 1.5м	ф-лы таб.3 [10]	-1,5	-1,5	2,3	7	5	0,7	0	0	0		
Снижение поверхностью земли в средней зоне, Am дБ	Gm = 1	ф-лы таб.3 [10]	-2,4	-2,4	0	0	0	0	0	0	0		
Суммарное снижение поверхностью земли на траектории распространения звука Agr, дБ		ф-ла (9) [10]	-5,4	-5,4	0,8	5,5	3,5	-0,8	-1,5	-1,5	-1,5		
Уровни звукового давления прямого звука от источника ИШ-9-20 в расчётной точке днём, дБ		**ф-ла(3)[10]**	**0**	**38,8**	**33,9**	**30,2**	**31,9**	**34,9**	**30,7**	**21**	**0**	**37,6**	**37,6**
Расчёт отражённого звука													
Уровни звукового давления от мнимого источника ИШ-9-20_мн.(1) в расчётной точке днём, дБ		**ф-ла(3)[10]**	**0**	**0**	**29,2**	**19,8**	**20,6**	**30,4**	**28,2**	**18,5**	**0**	**33,3**	**33,3**
Уровни звукового давления от источника ИШ-9-20 в расчётной точке днём, дБ		**ф-ла(3)[10]**	**0**	**38,8**	**35,2**	**30,6**	**32,2**	**36,3**	**32,7**	**23**	**0**	**39**	**39**
Источник шума: ИШ-9-21, координаты источника (x,y,z), м =[661.93,-300.72,1.00]													
Уровни звуковой мощности источника днём, Lw, дБ		**исходные данные**	**0**	**93,3**	**94,7**	**96**	**96,3**	**95,9**	**92,6**	**88,4**	**83,9**		
Поправка на телесный угол DΩ, дБ	Ω = 6.28	10Lg(4π/Ω)	**3**	3	3	3	3	3	3	3	3		
Показатель направленности источника Di, дБ		исходные данные	**0**	0	0	0	0	0	0	0	0		
Поправка на направленность источника Dc, дБ	Dc	DΩ + Di	**3**	3	3	3	3	3	3	3	3		

1		2	3	4	5	6	7	8	9	10	11	12	13
Затухание из-за геометрической дивергенции, Adiv, дБ	расстояние = 389.71 м	ф-ла (7) [10]	**62,8**										
Коэффициент затухания звука в атмосфере α, дБ/км	Ta=20,°C Pa=101.33,кПа hотн.=70%	ф-ла (5) [9]	0,02	0,09	0,33	1,12	2,79	4,98	9,04	23,09	77,63		
Учет затухания звука в атмосфере Aatm, дБ		ф-ла (8) [10]	0	0	0,1	0,4	1,1	1,9	3,5	9	30,3		
Снижение поверхностью земли возле источника As, дБ	Gs = 0 hs = 1м	ф-лы таб.3 [10]	-1,5	-1,5	-1,5	-1,5	-1,5	-1,5	-1,5	-1,5	-1,5		
Снижение поверхностью земли возле приёмника Ar, дБ	Gr = 1 hr = 1.5м	ф-лы таб.3 [10]	-1,5	-1,5	2,3	7	5	0,7	0	0	0		
Снижение поверхностью земли в средней зоне, Am дБ	Gm = 1	ф-лы таб.3 [10]	-2,4	-2,4	0	0	0	0	0	0	0		
Суммарное снижение поверхностью земли на траектории распространения звука Agr, дБ		ф-ла (9) [10]	-5,4	-5,4	0,8	5,5	3,5	-0,8	-1,5	-1,5	-1,5		
Уровни звукового давления прямого звука от источника ИШ-9-21 в расчётной точке днём, дБ		**ф-ла(3)[10]**	**0**	**38,9**	**33,9**	**30,2**	**31,9**	**35**	**30,8**	**21,1**	**0**	**37,7**	**37,7**
Расчёт отражённого звука													
Уровни звукового давления от мнимого источника ИШ-9-21_мн.(1) в расчётной точке днём, дБ		**ф-ла(3)[10]**	**0**	**0**	**29,2**	**19,9**	**20,6**	**30,5**	**28,3**	**18,6**	**0**	**33,4**	**33,4**
Уровни звукового давления от источника ИШ-9-21 в расчётной точке днём, дБ		**ф-ла(3)[10]**	**0**	**38,9**	**35,2**	**30,6**	**32,2**	**36,3**	**32,7**	**23**	**0**	**39**	**39**
Источник шума: ИШ-9-22, координаты источника (x,y,z), м =[663.14,-297.83,1.00]													
Уровни звуковой мощности источника днём, Lw, дБ		**исходные данные**	**0**	**93,3**	**94,7**	**96**	**96,3**	**95,9**	**92,6**	**88,4**	**83,9**		
Поправка на телесный угол DΩ, дБ	Ω = 6.28	10Lg(4π/Ω)	**3**	3	3	3	3	3	3	3	3		
Показатель направленности источника Di, дБ		исходные данные	**0**	0	0	0	0	0	0	0	0		
Поправка на направленность источника Dc, дБ	Dc	DΩ + Di	**3**	3	3	3	3	3	3	3	3		

1		2	3	4	5	6	7	8	9	10	11	12	13
Затухание из-за геометрической дивергенции, Adiv, дБ	расстояние = 389.17 м	ф-ла (7) [10]	**62,8**										
Коэффициент затухания звука в атмосфере α, дБ/км	Ta=20,°C Pa=101.33,кПа hотн.=70%	ф-ла (5) [9]	0,02	0,09	0,33	1,12	2,79	4,98	9,04	23,09	77,63		
Учет затухания звука в атмосфере Aatm, дБ		ф-ла (8) [10]	0	0	0,1	0,4	1,1	1,9	3,5	9	30,2		
Снижение поверхностью земли возле источника As, дБ	Gs = 0 hs = 1м	ф-лы таб.3 [10]	-1,5	-1,5	-1,5	-1,5	-1,5	-1,5	-1,5	-1,5	-1,5		
Снижение поверхностью земли возле приёмника Ar, дБ	Gr = 1 hr = 1.5м	ф-лы таб.3 [10]	-1,5	-1,5	2,3	7	5	0,7	0	0	0		
Снижение поверхностью земли в средней зоне, Am дБ	Gm = 1	ф-лы таб.3 [10]	-2,4	-2,4	0	0	0	0	0	0	0		
Суммарное снижение поверхностью земли на траектории распространения звука Agr, дБ		ф-ла (9) [10]	-5,4	-5,4	0,8	5,5	3,5	-0,8	-1,5	-1,5	-1,5		
Уровни звукового давления прямого звука от источника ИШ-9-22 в расчётной точке днём, дБ		**ф-ла(3)[10]**	**0**	**38,9**	**34**	**30,2**	**31,9**	**35**	**30,8**	**21,1**	**0**	**37,7**	**37,7**
Расчёт отражённого звука													
Уровни звукового давления от мнимого источника ИШ-9-22_мн.(1) в расчётной точке днём, дБ		**ф-ла(3)[10]**	**0**	**0**	**29,2**	**19,9**	**20,6**	**30,5**	**28,3**	**18,6**	**0**	**33,4**	**33,4**
Уровни звукового давления от источника ИШ-9-22 в расчётной точке днём, дБ		**ф-ла(3)[10]**	**0**	**38,9**	**35,2**	**30,6**	**32,2**	**36,3**	**32,7**	**23**	**0**	**39,1**	**39,1**
Источник шума: ИШ-9-23, координаты источника (x,y,z), м =[664.07,-295.13,1.00]													
Уровни звуковой мощности источника днём, Lw, дБ		**исходные данные**	**0**	**93,3**	**94,7**	**96**	**96,3**	**95,9**	**92,6**	**88,4**	**83,9**		
Поправка на телесный угол DΩ, дБ	Ω = 6.28	10Lg(4π/Ω)	**3**	3	3	3	3	3	3	3	3		
Показатель направленности источника Di, дБ		исходные данные	**0**	0	0	0	0	0	0	0	0		
Поправка на направленность источника Dc, дБ	Dc	DΩ + Di	**3**	3	3	3	3	3	3	3	3		

1		2	3	4	5	6	7	8	9	10	11	12	13
Затухание из-за геометрической дивергенции, Adiv, дБ	расстояние = 388.51 м	ф-ла (7) [10]	**62,8**										
Коэффициент затухания звука в атмосфере α, дБ/км	Ta=20,°C Pa=101.33,кПа hотн.=70%	ф-ла (5) [9]	0,02	0,09	0,33	1,12	2,79	4,98	9,04	23,09	77,63		
Учет затухания звука в атмосфере Aatm, дБ		ф-ла (8) [10]	0	0	0,1	0,4	1,1	1,9	3,5	9	30,2		
Снижение поверхностью земли возле источника As, дБ	Gs = 0 hs = 1м	ф-лы таб.3 [10]	-1,5	-1,5	-1,5	-1,5	-1,5	-1,5	-1,5	-1,5	-1,5		
Снижение поверхностью земли возле приёмника Ar, дБ	Gr = 1 hr = 1.5м	ф-лы таб.3 [10]	-1,5	-1,5	2,3	7	5	0,7	0	0	0		
Снижение поверхностью земли в средней зоне, Am дБ	Gm = 1	ф-лы таб.3 [10]	-2,4	-2,4	0	0	0	0	0	0	0		
Суммарное снижение поверхностью земли на траектории распространения звука Agr, дБ		ф-ла (9) [10]	-5,4	-5,4	0,8	5,5	3,5	-0,8	-1,5	-1,5	-1,5		
Уровни звукового давления прямого звука от источника ИШ-9-23 в расчётной точке днём, дБ		**ф-ла(3)[10]**	**0**	**38,9**	**34**	**30,2**	**31,9**	**35**	**30,8**	**21,1**	**0**	**37,7**	**37,7**
Расчёт отражённого звука													
Уровни звукового давления от мнимого источника ИШ-9-23_мн.(1) в расчётной точке днём, дБ		**ф-ла(3)[10]**	**0**	**0**	**29,2**	**19,9**	**20,6**	**30,5**	**28,3**	**18,6**	**0**	**33,4**	**33,4**
Уровни звукового давления от источника ИШ-9-23 в расчётной точке днём, дБ		**ф-ла(3)[10]**	**0**	**38,9**	**35,2**	**30,6**	**32,3**	**36,3**	**32,7**	**23,1**	**0**	**39,1**	**39,1**
Источник шума: ИШ-9-24, координаты источника (x,y,z), м =[665.19,-292.34,1.00]													
Уровни звуковой мощности источника днём, Lw, дБ		**исходные данные**	**0**	**93,3**	**94,7**	**96**	**96,3**	**95,9**	**92,6**	**88,4**	**83,9**		
Поправка на телесный угол DΩ, дБ	Ω = 6.28	10Lg(4π/Ω)	**3**	3	3	3	3	3	3	3	3		
Показатель направленности источника Di, дБ		исходные данные	**0**	0	0	0	0	0	0	0	0		
Поправка на направленность источника Dc, дБ	Dc	DΩ + Di	**3**	3	3	3	3	3	3	3	3		

1		2	3	4	5	6	7	8	9	10	11	12	13
Затухание из-за геометрической дивергенции, Adiv, дБ	расстояние = 387.98 м	ф-ла (7) [10]	**62,8**										
Коэффициент затухания звука в атмосфере α, дБ/км	Ta=20,°C Pa=101.33,кПа hотн.=70%	ф-ла (5) [9]	0,02	0,09	0,33	1,12	2,79	4,98	9,04	23,09	77,63		
Учет затухания звука в атмосфере Aatm, дБ		ф-ла (8) [10]	0	0	0,1	0,4	1,1	1,9	3,5	9	30,1		
Снижение поверхностью земли возле источника As, дБ	Gs = 0 hs = 1м	ф-лы таб.3 [10]	-1,5	-1,5	-1,5	-1,5	-1,5	-1,5	-1,5	-1,5	-1,5		
Снижение поверхностью земли возле приёмника Ar, дБ	Gr = 1 hr = 1.5м	ф-лы таб.3 [10]	-1,5	-1,5	2,3	7	5	0,7	0	0	0		
Снижение поверхностью земли в средней зоне, Am дБ	Gm = 1	ф-лы таб.3 [10]	-2,4	-2,4	0	0	0	0	0	0	0		
Суммарное снижение поверхностью земли на траектории распространения звука Agr, дБ		ф-ла (9) [10]	-5,4	-5,4	0,8	5,5	3,5	-0,8	-1,5	-1,5	-1,5		
Уровни звукового давления прямого звука от источника ИШ-9-24 в расчётной точке днём, дБ		**ф-ла(3)[10]**	**0**	**38,9**	**34**	**30,3**	**32**	**35**	**30,8**	**21,2**	**0**	**37,7**	**37,7**
Расчёт отражённого звука													
Уровни звукового давления от мнимого источника ИШ-9-24_мн.(1) в расчётной точке днём, дБ		**ф-ла(3)[10]**	**0**	**0**	**29,3**	**19,9**	**20,6**	**30,5**	**28,3**	**18,7**	**0**	**33,4**	**33,4**
Уровни звукового давления от источника ИШ-9-24 в расчётной точке днём, дБ		**ф-ла(3)[10]**	**0**	**38,9**	**35,3**	**30,6**	**32,3**	**36,3**	**32,7**	**23,1**	**0**	**39,1**	**39,1**
Источник шума: ИШ-9-25, координаты источника (x,y,z), м =[683.46,-239.16,1.00]													
Уровни звуковой мощности источника днём, Lw, дБ		**исходные данные**	**77**	**75**	**67**	**66**	**63**	**55**	**53**	**48**	**51**		
Поправка на телесный угол DΩ, дБ	Ω = 6.28	10Lg(4π/Ω)	**3**	3	3	3	3	3	3	3	3		
Показатель направленности источника Di, дБ		исходные данные	**0**	0	0	0	0	0	0	0	0		
Поправка на направленность источника Dc, дБ	Dc	DΩ + Di	**3**	3	3	3	3	3	3	3	3		

1		2	3	4	5	6	7	8	9	10	11	12	13
Затухание из-за геометрической дивергенции, Adiv, дБ	расстояние = 379.53 м	ф-ла (7) [10]	**62,6**										
Коэффициент затухания звука в атмосфере α, дБ/км	Ta=20,°C Pa=101.33,кПа hотн.=70%	ф-ла (5) [9]	0,02	0,09	0,33	1,12	2,79	4,98	9,04	23,09	77,63		
Учет затухания звука в атмосфере Aatm, дБ		ф-ла (8) [10]	0	0	0,1	0,4	1,1	1,9	3,4	8,8	29,5		
Снижение поверхностью земли возле источника As, дБ	Gs = 0 hs = 1м	ф-лы таб.3 [10]	-1,5	-1,5	-1,5	-1,5	-1,5	-1,5	-1,5	-1,5	-1,5		
Снижение поверхностью земли возле приёмника Ar, дБ	Gr = 1 hr = 1.5м	ф-лы таб.3 [10]	-1,5	-1,5	2,2	7	5	0,7	0	0	0		
Снижение поверхностью земли в средней зоне, Am дБ	Gm = 1	ф-лы таб.3 [10]	-2,4	-2,4	0	0	0	0	0	0	0		
Суммарное снижение поверхностью земли на траектории распространения звука Agr, дБ		ф-ла (9) [10]	-5,4	-5,4	0,7	5,5	3,5	-0,8	-1,5	-1,5	-1,5		
Уровни звукового давления от источника ИШ-9-25 в расчётной точке днём, дБ		**ф-ла(3)[10]**	**22,8**	**20,8**	**6,6**	**0,5**	**0**	**0**	**0**	**0**	**0**	**0**	**0**
Источник шума: ИШ-9-26, координаты источника (x,y,z), м =[680.09,-249.52,1.00]													
Уровни звуковой мощности источника днём, Lw, дБ		**исходные данные**	**77**	**75**	**67**	**66**	**63**	**55**	**53**	**48**	**51**		
Поправка на телесный угол DΩ, дБ	Ω = 6.28	10Lg(4π/Ω)	**3**	3	3	3	3	3	3	3	3		
Показатель направленности источника Di, дБ		исходные данные	**0**	0	0	0	0	0	0	0	0		
Поправка на направленность источника Dc, дБ	Dc	DΩ + Di	**3**	3	3	3	3	3	3	3	3		
Затухание из-за геометрической дивергенции, Adiv, дБ	расстояние = 380.72 м	ф-ла (7) [10]	**62,6**										
Коэффициент затухания звука в атмосфере α, дБ/км	Ta=20,°C Pa=101.33,кПа hотн.=70%	ф-ла (5) [9]	0,02	0,09	0,33	1,12	2,79	4,98	9,04	23,09	77,63		
Учет затухания звука в атмосфере Aatm, дБ		ф-ла (8) [10]	0	0	0,1	0,4	1,1	1,9	3,4	8,8	29,6		

1		2	3	4	5	6	7	8	9	10	11	12	13
Снижение поверхностью земли возле источника As, дБ	Gs = 0 hs = 1м	ф-лы таб.3 [10]	-1,5	-1,5	-1,5	-1,5	-1,5	-1,5	-1,5	-1,5	-1,5		
Снижение поверхностью земли возле приёмника Ar, дБ	Gr = 1 hr = 1.5м	ф-лы таб.3 [10]	-1,5	-1,5	2,2	7	5	0,7	0	0	0		
Снижение поверхностью земли в средней зоне, Am дБ	Gm = 1	ф-лы таб.3 [10]	-2,4	-2,4	0	0	0	0	0	0	0		
Суммарное снижение поверхностью земли на траектории распространения звука Agr, дБ		ф-ла (9) [10]	-5,4	-5,4	0,7	5,5	3,5	-0,8	-1,5	-1,5	-1,5		
Уровни звукового давления от источника ИШ-9-26 в расчётной точке днём, дБ		**ф-ла(3)[10]**	**22,8**	**20,8**	**6,5**	**0,5**	**0**	**0**	**0**	**0**	**0**	**0**	**0**
Источник шума: ИШ-9-27, координаты источника (x,y,z), м =[676.46,-260.14,1.00]													
Уровни звуковой мощности источника днём, Lw, дБ		**исходные данные**	**77**	**75**	**67**	**66**	**63**	**55**	**53**	**48**	**51**		
Поправка на телесный угол DΩ, дБ	Ω = 6.28	10Lg(4π/Ω)	**3**	3	3	3	3	3	3	3	3		
Показатель направленности источника Di, дБ		исходные данные	**0**	0	0	0	0	0	0	0	0		
Поправка на направленность источника Dc, дБ	Dc	DΩ + Di	**3**	3	3	3	3	3	3	3	3		
Затухание из-за геометрической дивергенции, Adiv, дБ	расстояние = 382.09 м	ф-ла (7) [10]	**62,6**										
Коэффициент затухания звука в атмосфере α, дБ/км	Ta=20,°C Pa=101.33,кПа hотн.=70%	ф-ла (5) [9]	0,02	0,09	0,33	1,12	2,79	4,98	9,04	23,09	77,63		
Учет затухания звука в атмосфере Aatm, дБ		ф-ла (8) [10]	0	0	0,1	0,4	1,1	1,9	3,5	8,8	29,7		
Снижение поверхностью земли возле источника As, дБ	Gs = 0 hs = 1м	ф-лы таб.3 [10]	-1,5	-1,5	-1,5	-1,5	-1,5	-1,5	-1,5	-1,5	-1,5		
Снижение поверхностью земли возле приёмника Ar, дБ	Gr = 1 hr = 1.5м	ф-лы таб.3 [10]	-1,5	-1,5	2,3	7	5	0,7	0	0	0		
Снижение поверхностью земли в средней зоне, Am дБ	Gm = 1	ф-лы таб.3 [10]	-2,4	-2,4	0	0	0	0	0	0	0		

1		2	3	4	5	6	7	8	9	10	11	12	13
Суммарное снижение поверхностью земли на траектории распространения звука Agr, дБ		ф-ла (9) [10]	-5,4	-5,4	0,8	5,5	3,5	-0,8	-1,5	-1,5	-1,5		
Уровни звукового давления от источника ИШ-9-27 в расчётной точке днём, дБ		**ф-ла(3)[10]**	**22,8**	**20,7**	**6,5**	**0,4**	**0**	**0**	**0**	**0**	**0**	**0**	**0**
Источник шума: ИШ-10-1, координаты источника (x,y,z), м =[17.37,413.17,1.00]													
Уровни звуковой мощности источника днём, Lw, дБ		**исходные данные**	**0**	**98,3**	**99,7**	**101**	**101,3**	**100,9**	**97,6**	**93,4**	**88,9**		
Поправка на телесный угол DΩ, дБ	Ω = 6.28	10Lg(4π/Ω)	**3**	3	3	3	3	3	3	3	3		
Показатель направленности источника Di, дБ		исходные данные	**0**	0	0	0	0	0	0	0	0		
Поправка на направленность источника Dc, дБ	Dc	DΩ + Di	**3**	3	3	3	3	3	3	3	3		
Затухание из-за геометрической дивергенции, Adiv, дБ	расстояние = 593.71 м	ф-ла (7) [10]	**66,5**										
Коэффициент затухания звука в атмосфере α, дБ/км	Ta=20,°C Pa=101.33,кПа hотн.=70%	ф-ла (5) [9]	0,02	0,09	0,33	1,12	2,79	4,98	9,04	23,09	77,63		
Учет затухания звука в атмосфере Aatm, дБ		ф-ла (8) [10]	0	0,1	0,2	0,7	1,7	3	5,4	13,7	46,1		
Снижение уровня звукового давления из-за влияния застройки между источником шума и расчетной точкой													
Снижение уровня звукового давления на пути над экраном, Dz1, дБ	z = 6.17м (разность путей)	ф-лы (14-18) [10]	17,8	20,8	23,8	26,8	29,8	32,8	35,8	38,8	41,8		
Снижение уровня звукового давления на пути слева от экрана, Dz2, дБ	z = 20.58м (разность путей)	ф-лы (14-18) [10]	23,5	26,6	29,6	32,6	35,6	38,6	41,6	44,6	47,6		
Снижение уровня звукового давления на пути справа от экрана, Dz3, дБ	z = 11.96м (разность путей)	ф-лы (14-18) [10]	21,2	24,3	27,2	30,2	33,2	36,3	39,3	42,3	45,3		
Общее снижение уровня звука препятствием Dz, дБ		Эн.сумма(-Dzi)	15,4	18,5	21,4	24,4	27,4	30,5	33,5	36,5	39,5		
Общее снижение уровня звука препятствием с учётом ограничения (25 дБ) для октавных полос Dz, дБ		Раздел 7.4 [10]	15,4	18,5	21,4	24,4	25	25	25	25	25		

1		2	3	4	5	6	7	8	9	10	11	12	13
Уровни звукового давления прямого звука от источника ИШ-10-1 в расчётной точке днём, дБ		**ф-ла(3)[10]**	**0**	**16,3**	**14,6**	**12,4**	**11,2**	**9,5**	**3,8**	**0**	**0**	**13,3**	**13,3**
Расчёт отражённого звука													
Уровни звукового давления от мнимого источника ИШ-10-1_мн.(1) в расчётной точке днём, дБ		**ф-ла(3)[10]**	**0**	**0**	**0**	**0**	**0**	**0**	**0**	**0**	**0**	**0**	**0**
Уровни звукового давления от источника ИШ-10-1 в расчётной точке днём, дБ		**ф-ла(3)[10]**	**0**	**16,3**	**14,6**	**12,4**	**11,2**	**9,5**	**3,8**	**0**	**0**	**13,3**	**13,3**
Источник шума: ИШ-10-2, координаты источника (x,y,z), м =[27.87,443.46,1.00]													
Уровни звуковой мощности источника днём, Lw, дБ		**исходные данные**	**0**	**98,3**	**99,7**	**101**	**101,3**	**100,9**	**97,6**	**93,4**	**88,9**		
Поправка на телесный угол DΩ, дБ	Ω = 6.28	10Lg(4π/Ω)	**3**	3	3	3	3	3	3	3	3		
Показатель направленности источника Di, дБ		исходные данные	**0**	0	0	0	0	0	0	0	0		
Поправка на направленность источника Dc, дБ	Dc	DΩ + Di	**3**	3	3	3	3	3	3	3	3		
Затухание из-за геометрической дивергенции, Adiv, дБ	расстояние = 614.19 м	ф-ла (7) [10]	**66,8**										
Коэффициент затухания звука в атмосфере α, дБ/км	Ta=20,°C Pa=101.33,кПа hотн.=70%	ф-ла (5) [9]	0,02	0,09	0,33	1,12	2,79	4,98	9,04	23,09	77,63		
Учет затухания звука в атмосфере Aatm, дБ		ф-ла (8) [10]	0	0,1	0,2	0,7	1,7	3,1	5,6	14,2	47,7		
Снижение уровня звукового давления из-за влияния застройки между источником шума и расчетной точкой													
Снижение уровня звукового давления на пути над экраном, Dz1, дБ	z = 6.19м (разность путей)	ф-лы (14-18) [10]	18,2	21,2	24,1	27,1	30,1	33,1	36,1	39,1	42,1		
Снижение уровня звукового давления на пути слева от экрана, Dz2, дБ	z = 26.06м (разность путей)	ф-лы (14-18) [10]	24,6	27,6	30,6	33,6	36,6	39,6	42,6	45,7	48,7		
Снижение уровня звукового давления на пути справа от экрана, Dz3, дБ	z = 3.14м (разность путей)	ф-лы (14-18) [10]	15,7	18,6	21,5	24,5	27,5	30,5	33,5	36,5	39,5		

1		2	3	4	5	6	7	8	9	10	11	12	13
Общее снижение уровня звука препятствием Dz, дБ		Эн.сумма(-Dzi)	13,4	16,4	19,3	22,3	25,2	28,2	31,3	34,3	37,3		
Общее снижение уровня звука препятствием с учётом ограничения (25 дБ) для октавных полос Dz, дБ		Раздел 7.4 [10]	13,4	16,4	19,3	22,3	25	25	25	25	25		
Уровни звукового давления прямого звука от источника ИШ-10-2 в расчётной точке днём, дБ		**ф-ла(3)[10]**	**0**	**18,1**	**16,5**	**14,3**	**10,8**	**9,1**	**3,3**	**0**	**0**	**13,4**	**13,4**
Расчёт отражённого звука													
Уровни звукового давления от мнимого источника ИШ-10-2_мн.(1) в расчётной точке днём, дБ		**ф-ла(3)[10]**	**0**	**0**	**0**	**0**	**0**	**0**	**0**	**0**	**0**	**0**	**0**
Уровни звукового давления от источника ИШ-10-2 в расчётной точке днём, дБ		**ф-ла(3)[10]**	**0**	**18,1**	**16,5**	**14,3**	**10,8**	**9,1**	**3,3**	**0**	**0**	**13,4**	**13,4**
Уровни звукового давления в расчётной точке													
Суммарные уровни звукового давления в расчётной точке от всех источников шума днём, Lрт, дБ		**ф-ла (19) [1]**	**56,7**	**58,1**	**53,8**	**49,3**	**50,2**	**54,6**	**49,7**	**39,6**	**10**	**56,9**	**56,9**
Допускаемые УЗД днём, Lдоп, дБ	Территории предприятий с постоянными рабочими местами	Табл. 1[3]	107	95	87	82	78	75	73	71	69	80	95
Превышение днём, дБ		**Lрт - Lдоп**	**-50,3**	**-36,9**	**-33,2**	**-32,7**	**-27,8**	**-20,4**	**-23,3**	**-31,4**	**-59**	**-23,1**	**-38,1**

Определение уровней звукового давления в точке РТ-2-1 (координаты точки, м: x = 541.23, y = -33.01, z = 1.50)

Наименование величин и их описание		Ссылка	Расчётные уровни в октавных полосах, со среднегеометрическими частотами, Гц									La, дБА	Lмакс, дБА
			31,5	63	125	250	500	1000	2000	4000	8000		
1		2	3	4	5	6	7	8	9	10	11	12	13
Источник шума: ИШ-1-1, координаты источника (x,y,z), м =[271.72,229.68,1.00]													
Уровни звуковой мощности источника днём, Lw, дБ		**исходные данные**	**97**	**97**	**104**	**106**	**105**	**105**	**98**	**87**	**81**		
Поправка на телесный угол DΩ, дБ	Ω = 6.28	10Lg(4π/Ω)	**3**	3	3	3	3	3	3	3	3		
Показатель направленности источника Di, дБ		исходные данные	**0**	0	0	0	0	0	0	0	0		
Поправка на направленность источника Dc, дБ	Dc	DΩ + Di	**3**	3	3	3	3	3	3	3	3		
Затухание из-за геометрической дивергенции, Adiv, дБ	расстояние = 376.35 м	ф-ла (7) [10]	**62,5**										
Коэффициент затухания звука в атмосфере α, дБ/км	Ta=20,°C Pa=101.33,кПа hотн.=70%	ф-ла (5) [9]	0,02	0,09	0,33	1,12	2,79	4,98	9,04	23,09	77,63		
Учет затухания звука в атмосфере Aatm, дБ		ф-ла (8) [10]	0	0	0,1	0,4	1,1	1,9	3,4	8,7	29,2		
Снижение уровня звукового давления из-за влияния застройки между источником шума и расчетной точкой													
Снижение уровня звукового давления на пути над экраном, Dz1, дБ	z = 0.84м (разность путей)	ф-лы (14-18) [10]	7,9	10,2	12,8	15,5	18,3	21,2	24,2	27,2	30,2		
Снижение уровня звукового давления на пути слева от экрана, Dz2, дБ	z = 103.42м (разность путей)	ф-лы (14-18) [10]	30,1	33,5	36,6	39,6	42,6	45,6	48,6	51,6	54,7		
Снижение уровня звукового давления на пути справа от экрана, Dz3, дБ	z = 29.55м (разность путей)	ф-лы (14-18) [10]	20,5	23,5	26,4	29,4	32,4	35,4	38,4	41,4	44,4		
Общее снижение уровня звука препятствием Dz, дБ		Эн.сумма(-Dzi)	7,6	10	12,6	15,3	18,1	21,1	24	27	30		

1		2	3	4	5	6	7	8	9	10	11	12	13
Общее снижение уровня звука препятствием с учётом ограничения (25 дБ) для октавных полос Dz, дБ		Раздел 7.4 [10]	7,6	10	12,6	15,3	18,1	21,1	24	25	25		
Уровни звукового давления прямого звука от источника ИШ-1-1 в расчётной точке днём, дБ		**ф-ла(3)[10]**	**29,9**	**27,5**	**31,8**	**30,8**	**26,3**	**22,6**	**11,1**	**0**	**0**	**27,8**	**27,8**
Расчёт отражённого звука													
Уровни звукового давления от мнимого источника ИШ-1-1_мн.(1) в расчётной точке днём, дБ		**ф-ла(3)[10]**	**0**	**0**	**0**	**0**	**0**	**0**	**0**	**0**	**0**	**0**	**0**
Уровни звукового давления от мнимого источника ИШ-1-1_мн.(2) в расчётной точке днём, дБ		**ф-ла(3)[10]**	**0**	**0**	**0**	**0**	**0**	**17,3**	**4,8**	**0**	**0**	**17,6**	**17,6**
Суммарные уровни звукового давления от мнимых источников в расчётной точке днём, дБ		**ф-ла (19) [1]**	**0**	**0**	**0**	**0**	**0**	**17,3**	**4,8**	**0**	**0**	**0**	**17,6**
Уровни звукового давления от источника ИШ-1-1 в расчётной точке днём, дБ		**ф-ла(3)[10]**	**29,9**	**27,5**	**31,8**	**30,8**	**26,3**	**23,7**	**12**	**0**	**0**	**28,2**	**28,2**
Источник шума: ИШ-1-2, координаты источника (x,y,z), м =[261.74,199.14,1.00]													
Уровни звуковой мощности источника днём, Lw, дБ		**исходные данные**	**97**	**97**	**104**	**106**	**105**	**105**	**98**	**87**	**81**		
Поправка на телесный угол DΩ, дБ	Ω = 6.28	10Lg(4π/Ω)	**3**	3	3	3	3	3	3	3	3		
Показатель направленности источника Di, дБ		исходные данные	**0**	0	0	0	0	0	0	0	0		
Поправка на направленность источника Dc, дБ	Dc	DΩ + Di	**3**	3	3	3	3	3	3	3	3		
Затухание из-за геометрической дивергенции, Adiv, дБ	расстояние = 363.33 м	ф-ла (7) [10]	**62,2**										
Коэффициент затухания звука в атмосфере α, дБ/км	Ta=20,°C Pa=101.33,кПа hотн.=70%	ф-ла (5) [9]	0,02	0,09	0,33	1,12	2,79	4,98	9,04	23,09	77,63		
Учет затухания звука в атмосфере Aatm, дБ		ф-ла (8) [10]	0	0	0,1	0,4	1	1,8	3,3	8,4	28,2		
Снижение уровня звукового давления из-за влияния застройки между источником шума и расчетной точкой													

1		2	3	4	5	6	7	8	9	10	11	12	13
Снижение уровня звукового давления на пути над экраном, Dz1, дБ	z = 0.87м (разность путей)	ф-лы (14-18) [10]	8,1	10,5	13,1	15,9	18,7	21,6	24,6	27,6	30,6		
Снижение уровня звукового давления на пути слева от экрана, Dz2, дБ	z = 138.70м (разность путей)	ф-лы (14-18) [10]	31,3	34,7	37,8	40,9	43,9	46,9	49,9	52,9	55,9		
Снижение уровня звукового давления на пути справа от экрана, Dz3, дБ	z = 15.64м (разность путей)	ф-лы (14-18) [10]	17,9	20,8	23,7	26,7	29,7	32,7	35,7	38,7	41,7		
Общее снижение уровня звука препятствием Dz, дБ		Эн.сумма(-Dzi)	7,6	10,1	12,7	15,5	18,4	21,3	24,3	27,3	30,3		
Общее снижение уровня звука препятствием с учётом ограничения (25 дБ) для октавных полос Dz, дБ		Раздел 7.4 [10]	7,6	10,1	12,7	15,5	18,4	21,3	24,3	25	25		
Уровни звукового давления прямого звука от источника ИШ-1-2 в расчётной точке днём, дБ		**ф-ла(3)[10]**	**30,2**	**27,7**	**32**	**30,9**	**26,4**	**22,7**	**11,3**	**0**	**0**	**27,9**	**27,9**
Расчёт отражённого звука													
Уровни звукового давления от мнимого источника ИШ-1-2_мн.(1) в расчётной точке днём, дБ		**ф-ла(3)[10]**	**0**	**0**	**0**	**0**	**0**	**27,3**	**15,5**	**0**	**0**	**27,6**	**27,6**
Уровни звукового давления от источника ИШ-1-2 в расчётной точке днём, дБ		**ф-ла(3)[10]**	**30,2**	**27,7**	**32**	**30,9**	**26,4**	**28,6**	**16,9**	**0**	**0**	**30,8**	**30,8**
Источник шума: ИШ-1-3, координаты источника (x,y,z), м =[251.75,236.44,1.00]													
Уровни звуковой мощности источника днём, Lw, дБ		**исходные данные**	**0**	**91,3**	**92,7**	**94**	**94,3**	**93,9**	**90,6**	**86,4**	**81,9**		
Поправка на телесный угол DΩ, дБ	Ω = 6.28	10Lg(4π/Ω)	**3**	3	3	3	3	3	3	3	3		
Показатель направленности источника Di, дБ		исходные данные	**0**	0	0	0	0	0	0	0	0		
Поправка на направленность источника Dc, дБ	Dc	DΩ + Di	**3**	3	3	3	3	3	3	3	3		
Затухание из-за геометрической дивергенции, Adiv, дБ	расстояние = 395.47 м	ф-ла (7) [10]	**62,9**										
Коэффициент затухания звука в атмосфере α, дБ/км	Ta=20,°C Pa=101.33,кПа hотн.=70%	ф-ла (5) [9]	0,02	0,09	0,33	1,12	2,79	4,98	9,04	23,09	77,63		

1		2	3	4	5	6	7	8	9	10	11	12	13
Учет затухания звука в атмосфере Aatm, дБ		ф-ла (8) [10]	0	0	0,1	0,4	1,1	2	3,6	9,1	30,7		
Снижение уровня звукового давления из-за влияния застройки между источником шума и расчетной точкой													
Снижение уровня звукового давления на пути над экраном, Dz1, дБ	z = 0.67м (разность путей)	ф-лы (14-18) [10]	6,9	8,8	11,1	13,6	16,3	19,2	22,1	25,1	28,1		
Снижение уровня звукового давления на пути слева от экрана, Dz2, дБ	z = 102.33м (разность путей)	ф-лы (14-18) [10]	30	33,4	36,5	39,5	42,6	45,6	48,6	51,6	54,6		
Снижение уровня звукового давления на пути справа от экрана, Dz3, дБ	z = 22.00м (разность путей)	ф-лы (14-18) [10]	19,3	22,2	25,1	28,1	31,1	34,1	37,1	40,2	43,2		
Общее снижение уровня звука препятствием Dz, дБ		Эн.сумма(-Dzi)	6,7	8,6	10,9	13,4	16,2	19	22	24,9	27,9		
Общее снижение уровня звука препятствием с учётом ограничения (25 дБ) для октавных полос Dz, дБ		Раздел 7.4 [10]	6,7	8,6	10,9	13,4	16,2	19	22	24,9	25		
Уровни звукового давления прямого звука от источника ИШ-1-3 в расчётной точке днём, дБ		**ф-ла(3)[10]**	**0**	**22,7**	**21,7**	**20,2**	**17,1**	**12,9**	**5,1**	**0**	**0**	**18,3**	**18,3**
Расчёт отражённого звука													
Уровни звукового давления от мнимого источника ИШ-1-3_мн.(1) в расчётной точке днём, дБ		**ф-ла(3)[10]**	**0**	**0**	**0**	**0**	**0**	**0**	**0**	**0**	**0**	**0**	**0**
Уровни звукового давления от мнимого источника ИШ-1-3_мн.(2) в расчётной точке днём, дБ		**ф-ла(3)[10]**	**0**	**0**	**0**	**0**	**0**	**8,3**	**0**	**0**	**0**	**8,3**	**8,3**
Суммарные уровни звукового давления от мнимых источников в расчётной точке днём, дБ		**ф-ла (19) [1]**	**0**	**0**	**0**	**0**	**0**	**8,3**	**0**	**0**	**0**	**0**	**8,3**
Уровни звукового давления от источника ИШ-1-3 в расчётной точке днём, дБ		**ф-ла(3)[10]**	**0**	**22,7**	**21,7**	**20,2**	**17,1**	**14,2**	**5,1**	**0**	**0**	**18,7**	**18,7**
Источник шума: ИШ-1-4, координаты источника (x,y,z), м =[290.25,223.25,1.00]													
Уровни звуковой мощности источника днём, Lw, дБ		**исходные данные**	**0**	**91,3**	**92,7**	**94**	**94,3**	**93,9**	**90,6**	**86,4**	**81,9**		
Поправка на телесный угол DΩ, дБ	Ω = 6.28	10Lg(4π/Ω)	**3**	3	3	3	3	3	3	3	3		
Показатель направленности источника Di, дБ		исходные данные	**0**	0	0	0	0	0	0	0	0		

1		2	3	4	5	6	7	8	9	10	11	12	13
Поправка на направленность источника Dc, дБ	Dc	DΩ + Di	**3**	3	3	3	3	3	3	3	3		
Затухание из-за геометрической дивергенции, Adiv, дБ	расстояние = 358.69 м	ф-ла (7) [10]	**62,1**										
Коэффициент затухания звука в атмосфере α, дБ/км	Ta=20,°C Pa=101.33,кПа hотн.=70%	ф-ла (5) [9]	0,02	0,09	0,33	1,12	2,79	4,98	9,04	23,09	77,63		
Учет затухания звука в атмосфере Aatm, дБ		ф-ла (8) [10]	0	0	0,1	0,4	1	1,8	3,2	8,3	27,8		
Снижение уровня звукового давления из-за влияния застройки между источником шума и расчетной точкой													
Снижение уровня звукового давления на пути над экраном, Dz1, дБ	z = 1.16м (разность путей)	ф-лы (14-18) [10]	9,4	12,2	15	17,9	20,8	23,7	26,7	29,7	32,7		
Снижение уровня звукового давления на пути слева от экрана, Dz2, дБ	z = 106.43м (разность путей)	ф-лы (14-18) [10]	30,2	33,6	36,7	39,7	42,7	45,7	48,8	51,8	54,8		
Снижение уровня звукового давления на пути справа от экрана, Dz3, дБ	z = 38.90м (разность путей)	ф-лы (14-18) [10]	21,7	24,6	27,6	30,6	33,6	36,6	39,6	42,6	45,6		
Общее снижение уровня звука препятствием Dz, дБ		Эн.сумма(-Dzi)	9,1	11,9	14,7	17,6	20,5	23,5	26,5	29,5	32,5		
Общее снижение уровня звука препятствием с учётом ограничения (25 дБ) для октавных полос Dz, дБ		Раздел 7.4 [10]	9,1	11,9	14,7	17,6	20,5	23,5	25	25	25		
Уровни звукового давления прямого звука от источника ИШ-1-4 в расчётной точке днём, дБ		**ф-ла(3)[10]**	**0**	**20,2**	**18,7**	**16,9**	**13,7**	**9,5**	**3,3**	**0**	**0**	**15**	**15**
Расчёт отражённого звука													
Уровни звукового давления от мнимого источника ИШ-1-4_мн.(1) в расчётной точке днём, дБ		**ф-ла(3)[10]**	**0**	**0**	**0**	**0**	**0**	**0**	**0**	**0**	**0**	**0**	**0**
Уровни звукового давления от источника ИШ-1-4 в расчётной точке днём, дБ		**ф-ла(3)[10]**	**0**	**20,2**	**18,7**	**16,9**	**13,7**	**9,5**	**3,3**	**0**	**0**	**15**	**15**
Источник шума: ИШ-1-5, координаты источника (x,y,z), м =[241.49,205.86,1.00]													
Уровни звуковой мощности источника днём, Lw, дБ		**исходные данные**	**0**	**91,3**	**92,7**	**94**	**94,3**	**93,9**	**90,6**	**86,4**	**81,9**		

1		2	3	4	5	6	7	8	9	10	11	12	13
Поправка на телесный угол DΩ, дБ	Ω = 6.28	10Lg(4π/Ω)	**3**	3	3	3	3	3	3	3	3		
Показатель направленности источника Di, дБ		исходные данные	**0**	0	0	0	0	0	0	0	0		
Поправка на направленность источника Dc, дБ	Dc	DΩ + Di	**3**	3	3	3	3	3	3	3	3		
Затухание из-за геометрической дивергенции, Adiv, дБ	расстояние = 383.28 м	ф-ла (7) [10]	**62,7**										
Коэффициент затухания звука в атмосфере α, дБ/км	Ta=20,°C Pa=101.33,кПа hотн.=70%	ф-ла (5) [9]	0,02	0,09	0,33	1,12	2,79	4,98	9,04	23,09	77,63		
Учет затухания звука в атмосфере Aatm, дБ		ф-ла (8) [10]	0	0	0,1	0,4	1,1	1,9	3,5	8,8	29,8		
Снижение уровня звукового давления из-за влияния застройки между источником шума и расчетной точкой													
Снижение уровня звукового давления на пути над экраном, Dz1, дБ	z = 0.69м (разность путей)	ф-лы (14-18) [10]	7,1	9,1	11,4	14	16,7	19,6	22,5	25,5	28,5		
Снижение уровня звукового давления на пути слева от экрана, Dz2, дБ	z = 133.26м (разность путей)	ф-лы (14-18) [10]	31,2	34,6	37,7	40,7	43,7	46,7	49,7	52,7	55,8		
Снижение уровня звукового давления на пути справа от экрана, Dz3, дБ	z = 10.33м (разность путей)	ф-лы (14-18) [10]	16,2	19	21,9	24,9	27,9	30,9	33,9	36,9	39,9		
Общее снижение уровня звука препятствием Dz, дБ		Эн.сумма(-Dzi)	6,5	8,6	11	13,6	16,4	19,3	22,2	25,2	28,2		
Общее снижение уровня звука препятствием с учётом ограничения (25 дБ) для октавных полос Dz, дБ		Раздел 7.4 [10]	6,5	8,6	11	13,6	16,4	19,3	22,2	25	25		
Уровни звукового давления прямого звука от источника ИШ-1-5 в расчётной точке днём, дБ		**ф-ла(3)[10]**	**0**	**23**	**21,9**	**20,3**	**17,2**	**13**	**5,2**	**0**	**0**	**18,4**	**18,4**
Расчёт отражённого звука													
Уровни звукового давления от мнимого источника ИШ-1-5_мн.(1) в расчётной точке днём, дБ		**ф-ла(3)[10]**	**0**	**0**	**0**	**0**	**0**	**0**	**0**	**0**	**0**	**0**	**0**
Уровни звукового давления от мнимого источника ИШ-1-5_мн.(2) в расчётной точке днём, дБ		**ф-ла(3)[10]**	**0**	**0**	**0**	**0**	**0**	**16,4**	**8,4**	**0**	**0**	**17,2**	**17,2**
Суммарные уровни звукового давления от мнимых источников в расчётной точке днём, дБ		**ф-ла (19) [1]**	**0**	**0**	**0**	**0**	**0**	**16,4**	**8,4**	**0**	**0**	**0**	**17,2**

1		2	3	4	5	6	7	8	9	10	11	12	13
Уровни звукового давления от источника ИШ-1-5 в расчётной точке днём, дБ		**ф-ла(3)[10]**	**0**	**23**	**21,9**	**20,3**	**17,2**	**18,1**	**10,1**	**0**	**0**	**20,8**	**20,8**
Источник шума: ИШ-1-6, координаты источника (x,y,z), м =[279.85,192.97,1.00]													
Уровни звуковой мощности источника днём, Lw, дБ		**исходные данные**	**0**	**91,3**	**92,7**	**94**	**94,3**	**93,9**	**90,6**	**86,4**	**81,9**		
Поправка на телесный угол DΩ, дБ	Ω = 6.28	10Lg(4π/Ω)	**3**	3	3	3	3	3	3	3	3		
Показатель направленности источника Di, дБ		исходные данные	**0**	0	0	0	0	0	0	0	0		
Поправка на направленность источника Dc, дБ	Dc	DΩ + Di	**3**	3	3	3	3	3	3	3	3		
Затухание из-за геометрической дивергенции, Adiv, дБ	расстояние = 345.52 м	ф-ла (7) [10]	**61,8**										
Коэффициент затухания звука в атмосфере α, дБ/км	Ta=20,°C Pa=101.33,кПа hотн.=70%	ф-ла (5) [9]	0,02	0,09	0,33	1,12	2,79	4,98	9,04	23,09	77,63		
Учет затухания звука в атмосфере Aatm, дБ		ф-ла (8) [10]	0	0	0,1	0,4	1	1,7	3,1	8	26,8		
Снижение уровня звукового давления из-за влияния застройки между источником шума и расчетной точкой													
Снижение уровня звукового давления на пути над экраном, Dz1, дБ	z = 1.19м (разность путей)	ф-лы (14-18) [10]	9,5	12,4	15,3	18,1	21,1	24	27	30	33		
Снижение уровня звукового давления на пути слева от экрана, Dz2, дБ	z = 146.25м (разность путей)	ф-лы (14-18) [10]	31,6	35	38,1	41,1	44,1	47,1	50,1	53,1	56,2		
Снижение уровня звукового давления на пути справа от экрана, Dz3, дБ	z = 22.81м (разность путей)	ф-лы (14-18) [10]	19,4	22,4	25,3	28,3	31,3	34,3	37,3	40,3	43,3		
Общее снижение уровня звука препятствием Dz, дБ		Эн.сумма(-Dzi)	9,1	12	14,8	17,7	20,7	23,6	26,6	29,6	32,6		
Общее снижение уровня звука препятствием с учётом ограничения (25 дБ) для октавных полос Dz, дБ		Раздел 7.4 [10]	9,1	12	14,8	17,7	20,7	23,6	25	25	25		
Уровни звукового давления прямого звука от источника ИШ-1-6 в расчётной точке днём, дБ		**ф-ла(3)[10]**	**0**	**20,5**	**19**	**17,1**	**13,9**	**9,8**	**3,7**	**0**	**0**	**15,3**	**15,3**

1		2	3	4	5	6	7	8	9	10	11	12	13
Расчёт отражённого звука													
Уровни звукового давления от мнимого источника ИШ-1-6_мн.(1) в расчётной точке днём, дБ		**ф-ла(3)[10]**	**0**	**0**	**0**	**0**	**0**	**0**	**7,9**	**0**	**0**	**9,1**	**9,1**
Уровни звукового давления от источника ИШ-1-6 в расчётной точке днём, дБ		**ф-ла(3)[10]**	**0**	**20,5**	**19**	**17,1**	**13,9**	**9,8**	**9,3**	**0**	**0**	**16,2**	**16,2**
Источник шума: ИШ-1-7, координаты источника (x,y,z), м =[451.87,146.66,1.00]													
Уровни звуковой мощности источника днём, Lw, дБ		**исходные данные**	**0**	**93,3**	**94,7**	**96**	**96,3**	**95,9**	**92,6**	**88,4**	**83,9**		
Поправка на телесный угол DΩ, дБ	Ω = 6.28	10Lg(4π/Ω)	**3**	3	3	3	3	3	3	3	3		
Показатель направленности источника Di, дБ		исходные данные	**0**	0	0	0	0	0	0	0	0		
Поправка на направленность источника Dc, дБ	Dc	DΩ + Di	**3**	3	3	3	3	3	3	3	3		
Затухание из-за геометрической дивергенции, Adiv, дБ	расстояние = 200.66 м	ф-ла (7) [10]	**57**										
Коэффициент затухания звука в атмосфере α, дБ/км	Ta=20,°C Pa=101.33,кПа hотн.=70%	ф-ла (5) [9]	0,02	0,09	0,33	1,12	2,79	4,98	9,04	23,09	77,63		
Учет затухания звука в атмосфере Aatm, дБ		ф-ла (8) [10]	0	0	0,1	0,2	0,6	1	1,8	4,6	15,6		
Снижение уровня звукового давления из-за влияния застройки между источником шума и расчетной точкой													
Снижение уровня звукового давления на пути над экраном, Dz1, дБ	z = 1.00м (разность путей)	ф-лы (14-18) [10]	7,6	10	13,6	17,3	20,6	23,7	26,7	29,7	32,7		
Снижение уровня звукового давления на пути слева от экрана, Dz2, дБ	z = 93.57м (разность путей)	ф-лы (14-18) [10]	25,7	29,4	33,8	38,2	41,9	45,1	48,2	51,2	54,2		
Снижение уровня звукового давления на пути справа от экрана, Dz3, дБ	z = 7.78м (разность путей)	ф-лы (14-18) [10]	15	17,8	20,7	23,7	26,6	29,6	32,6	35,6	38,6		
Общее снижение уровня звука препятствием Dz, дБ		Эн.сумма(-Dzi)	6,8	9,3	12,8	16,4	19,6	22,7	25,7	28,7	31,7		

1		2	3	4	5	6	7	8	9	10	11	12	13
Общее снижение уровня звука препятствием с учётом ограничения (25 дБ) для октавных полос Dz, дБ		Раздел 7.4 [10]	6,8	9,3	12,8	16,4	19,6	22,7	25	25	25		
Уровни звукового давления прямого звука от источника ИШ-1-7 в расчётной точке днём, дБ		**ф-ла(3)[10]**	**0**	**29,9**	**27,8**	**25,3**	**22,1**	**18,2**	**11,7**	**4,7**	**0**	**23,6**	**23,6**
Расчёт отражённого звука													
Уровни звукового давления от мнимого источника ИШ-1-7_мн.(1) в расчётной точке днём, дБ		**ф-ла(3)[10]**	**0**	**0**	**0**	**0**	**0**	**0**	**28,3**	**18,6**	**0**	**29,9**	**29,9**
Уровни звукового давления от мнимого источника ИШ-1-7_мн.(2) в расчётной точке днём, дБ		**ф-ла(3)[10]**	**0**	**0**	**0**	**0**	**0**	**0**	**0**	**1,9**	**0**	**2,9**	**2,9**
Суммарные уровни звукового давления от мнимых источников в расчётной точке днём, дБ		**ф-ла (19) [1]**	**0**	**0**	**0**	**0**	**0**	**0**	**28,3**	**18,7**	**0**	**0**	**29,9**
Уровни звукового давления от источника ИШ-1-7 в расчётной точке днём, дБ		**ф-ла(3)[10]**	**0**	**29,9**	**27,8**	**25,3**	**22,1**	**18,2**	**28,4**	**18,9**	**0**	**30,9**	**30,9**
Источник шума: ИШ-1-8, координаты источника (x,y,z), м =[454.99,145.29,1.00]													
Уровни звуковой мощности источника днём, Lw, дБ		**исходные данные**	**0**	**93,3**	**94,7**	**96**	**96,3**	**95,9**	**92,6**	**88,4**	**83,9**		
Поправка на телесный угол DΩ, дБ	Ω = 6.28	10Lg(4π/Ω)	**3**	3	3	3	3	3	3	3	3		
Показатель направленности источника Di, дБ		исходные данные	**0**	0	0	0	0	0	0	0	0		
Поправка на направленность источника Dc, дБ	Dc	DΩ + Di	**3**	3	3	3	3	3	3	3	3		
Затухание из-за геометрической дивергенции, Adiv, дБ	расстояние = 198.06 м	ф-ла (7) [10]	**56,9**										
Коэффициент затухания звука в атмосфере α, дБ/км	Ta=20,°C Pa=101.33,кПа hотн.=70%	ф-ла (5) [9]	0,02	0,09	0,33	1,12	2,79	4,98	9,04	23,09	77,63		
Учет затухания звука в атмосфере Aatm, дБ		ф-ла (8) [10]	0	0	0,1	0,2	0,6	1	1,8	4,6	15,4		
Снижение уровня звукового давления из-за влияния застройки между источником шума и расчетной точкой													

1		2	3	4	5	6	7	8	9	10	11	12	13
Снижение уровня звукового давления на пути над экраном, Dz1, дБ	z = 1.05м (разность путей)	ф-лы (14-18) [10]	7,8	10,3	13,9	17,6	20,9	24	27	30	33		
Снижение уровня звукового давления на пути слева от экрана, Dz2, дБ	z = 94.34м (разность путей)	ф-лы (14-18) [10]	25,8	29,5	33,8	38,2	41,9	45,1	48,2	51,2	54,3		
Снижение уровня звукового давления на пути справа от экрана, Dz3, дБ	z = 8.62м (разность путей)	ф-лы (14-18) [10]	15,4	18,3	21,1	24,1	27,1	30,1	33,1	36,1	39,1		
Общее снижение уровня звука препятствием Dz, дБ		Эн.сумма(-Dzi)	7	9,6	13,1	16,7	20	23	26	29	32		
Общее снижение уровня звука препятствием с учётом ограничения (25 дБ) для октавных полос Dz, дБ		Раздел 7.4 [10]	7	9,6	13,1	16,7	20	23	25	25	25		
Уровни звукового давления прямого звука от источника ИШ-1-8 в расчётной точке днём, дБ		**ф-ла(3)[10]**	**0**	**29,7**	**27,6**	**25,1**	**21,9**	**18**	**11,9**	**4,9**	**0**	**23,4**	**23,4**
Расчёт отражённого звука													
Уровни звукового давления от мнимого источника ИШ-1-8_мн.(1) в расчётной точке днём, дБ		**ф-ла(3)[10]**	**0**	**0**	**0**	**0**	**0**	**0**	**28,4**	**18,7**	**0**	**30**	**30**
Уровни звукового давления от мнимого источника ИШ-1-8_мн.(2) в расчётной точке днём, дБ		**ф-ла(3)[10]**	**0**	**0**	**0**	**0**	**0**	**0**	**0**	**2,4**	**0**	**3,4**	**3,4**
Суммарные уровни звукового давления от мнимых источников в расчётной точке днём, дБ		**ф-ла (19) [1]**	**0**	**0**	**0**	**0**	**0**	**0**	**28,4**	**18,8**	**0**	**0**	**30**
Уровни звукового давления от источника ИШ-1-8 в расчётной точке днём, дБ		**ф-ла(3)[10]**	**0**	**29,7**	**27,6**	**25,1**	**21,9**	**18**	**28,5**	**19**	**0**	**30,9**	**30,9**
Источник шума: ИШ-1-9, координаты источника (x,y,z), м =[458.12,144.31,1.00]													
Уровни звуковой мощности источника днём, Lw, дБ		**исходные данные**	**0**	**93,3**	**94,7**	**96**	**96,3**	**95,9**	**92,6**	**88,4**	**83,9**		
Поправка на телесный угол DΩ, дБ	Ω = 6.28	10Lg(4π/Ω)	**3**	3	3	3	3	3	3	3	3		
Показатель направленности источника Di, дБ		исходные данные	**0**	0	0	0	0	0	0	0	0		
Поправка на направленность источника Dc, дБ	Dc	DΩ + Di	**3**	3	3	3	3	3	3	3	3		
Затухание из-за геометрической дивергенции, Adiv, дБ	расстояние = 195.83 м	ф-ла (7) [10]	**56,8**										

1		2	3	4	5	6	7	8	9	10	11	12	13
Коэффициент затухания звука в атмосфере α, дБ/км	Та=20,°С Ра=101.33,кПа hотн.=70%	ф-ла (5) [9]	0,02	0,09	0,33	1,12	2,79	4,98	9,04	23,09	77,63		
Учет затухания звука в атмосфере Aatm, дБ		ф-ла (8) [10]	0	0	0,1	0,2	0,5	1	1,8	4,5	15,2		
Снижение уровня звукового давления из-за влияния застройки между источником шума и расчетной точкой													
Снижение уровня звукового давления на пути над экраном, Dz1, дБ	z = 1.10м (разность путей)	ф-лы (14-18) [10]	7,9	10,5	14,2	18	21,2	24,3	27,3	30,3	33,3		
Снижение уровня звукового давления на пути слева от экрана, Dz2, дБ	z = 94.63м (разность путей)	ф-лы (14-18) [10]	25,8	29,5	33,8	38,3	41,9	45,2	48,2	51,3	54,3		
Снижение уровня звукового давления на пути справа от экрана, Dz3, дБ	z = 9.56м (разность путей)	ф-лы (14-18) [10]	15,8	18,7	21,6	24,5	27,5	30,5	33,5	36,5	39,5		
Общее снижение уровня звука препятствием Dz, дБ		Эн.сумма(-Dzi)	7,2	9,9	13,5	17,1	20,3	23,4	26,4	29,4	32,4		
Общее снижение уровня звука препятствием с учётом ограничения (25 дБ) для октавных полос Dz, дБ		Раздел 7.4 [10]	7,2	9,9	13,5	17,1	20,3	23,4	25	25	25		
Уровни звукового давления прямого звука от источника ИШ-1-9 в расчётной точке днём, дБ		**ф-ла(3)[10]**	**0**	**29,6**	**27,3**	**24,9**	**21,6**	**17,7**	**12**	**5**	**0**	**23,2**	**23,2**
Расчёт отражённого звука													
Уровни звукового давления от мнимого источника ИШ-1-9_мн.(1) в расчётной точке днём, дБ		**ф-ла(3)[10]**	**0**	**0**	**0**	**0**	**0**	**30,8**	**28,4**	**18,8**	**0**	**33,5**	**33,5**
Уровни звукового давления от мнимого источника ИШ-1-9_мн.(2) в расчётной точке днём, дБ		**ф-ла(3)[10]**	**0**	**0**	**0**	**0**	**0**	**0**	**0**	**2,8**	**0**	**3,8**	**3,8**
Суммарные уровни звукового давления от мнимых источников в расчётной точке днём, дБ		**ф-ла (19) [1]**	**0**	**0**	**0**	**0**	**0**	**30,8**	**28,4**	**18,9**	**0**	**0**	**33,5**
Уровни звукового давления от источника ИШ-1-9 в расчётной точке днём, дБ		**ф-ла(3)[10]**	**0**	**29,6**	**27,3**	**24,9**	**21,6**	**31**	**28,5**	**19,1**	**0**	**33,9**	**33,9**
Источник шума: ИШ-1-10, координаты источника (x,y,z), м =[461.05,143.53,1.00]													
Уровни звуковой мощности источника днём, Lw, дБ		**исходные данные**	**0**	**93,3**	**94,7**	**96**	**96,3**	**95,9**	**92,6**	**88,4**	**83,9**		

1		2	3	4	5	6	7	8	9	10	11	12	13
Поправка на телесный угол DΩ, дБ	Ω = 6.28	10Lg(4π/Ω)	**3**	3	3	3	3	3	3	3	3		
Показатель направленности источника Di, дБ		исходные данные	**0**	0	0	0	0	0	0	0	0		
Поправка на направленность источника Dc, дБ	Dc	DΩ + Di	**3**	3	3	3	3	3	3	3	3		
Затухание из-за геометрической дивергенции, Adiv, дБ	расстояние = 193.89 м	ф-ла (7) [10]	**56,8**										
Коэффициент затухания звука в атмосфере α, дБ/км	Ta=20,°C Pa=101.33,кПа hотн.=70%	ф-ла (5) [9]	0,02	0,09	0,33	1,12	2,79	4,98	9,04	23,09	77,63		
Учет затухания звука в атмосфере Aatm, дБ		ф-ла (8) [10]	0	0	0,1	0,2	0,5	1	1,8	4,5	15,1		
Снижение уровня звукового давления из-за влияния застройки между источником шума и расчетной точкой													
Снижение уровня звукового давления на пути над экраном, Dz1, дБ	z = 1.16м (разность путей)	ф-лы (14-18) [10]	8,1	10,8	14,6	18,3	21,6	24,6	27,7	30,7	33,7		
Снижение уровня звукового давления на пути слева от экрана, Dz2, дБ	z = 94.77м (разность путей)	ф-лы (14-18) [10]	25,8	29,5	33,8	38,3	41,9	45,2	48,2	51,3	54,3		
Снижение уровня звукового давления на пути справа от экрана, Dz3, дБ	z = 10.53м (разность путей)	ф-лы (14-18) [10]	16,2	19,1	22	25	27,9	30,9	33,9	37	40		
Общее снижение уровня звука препятствием Dz, дБ		Эн.сумма(-Dzi)	7,4	10,2	13,8	17,4	20,6	23,7	26,7	29,7	32,7		
Общее снижение уровня звука препятствием с учётом ограничения (25 дБ) для октавных полос Dz, дБ		Раздел 7.4 [10]	7,4	10,2	13,8	17,4	20,6	23,7	25	25	25		
Уровни звукового давления прямого звука от источника ИШ-1-10 в расчётной точке днём, дБ		**ф-ла(3)[10]**	**0**	**29,4**	**27,1**	**24,6**	**21,4**	**17,5**	**12,1**	**5,2**	**0**	**23**	**23**
Расчёт отражённого звука													
Уровни звукового давления от мнимого источника ИШ-1-10_мн.(1) в расчётной точке днём, дБ		**ф-ла(3)[10]**	**0**	**0**	**0**	**0**	**0**	**30,9**	**28,4**	**18,8**	**0**	**33,5**	**33,5**
Уровни звукового давления от мнимого источника ИШ-1-10_мн.(2) в расчётной точке днём, дБ		**ф-ла(3)[10]**	**0**	**0**	**0**	**0**	**0**	**0**	**0**	**3,3**	**0**	**4,3**	**4,3**
Суммарные уровни звукового давления от мнимых источников в расчётной точке днём, дБ		**ф-ла (19) [1]**	**0**	**0**	**0**	**0**	**0**	**30,9**	**28,4**	**18,9**	**0**	**0**	**33,5**

1		2	3	4	5	6	7	8	9	10	11	12	13
Уровни звукового давления от источника ИШ-1-10 в расчётной точке днём, дБ		**ф-ла(3)[10]**	**0**	**29,4**	**27,1**	**24,6**	**21,4**	**31**	**28,5**	**19,1**	**0**	**33,9**	**33,9**
Источник шума: ИШ-1-11, координаты источника (x,y,z), м =[464.18,142.55,1.00]													
Уровни звуковой мощности источника днём, Lw, дБ		**исходные данные**	**0**	**93,3**	**94,7**	**96**	**96,3**	**95,9**	**92,6**	**88,4**	**83,9**		
Поправка на телесный угол DΩ, дБ	Ω = 6.28	10Lg(4π/Ω)	**3**	3	3	3	3	3	3	3	3		
Показатель направленности источника Di, дБ		исходные данные	**0**	0	0	0	0	0	0	0	0		
Поправка на направленность источника Dc, дБ	Dc	DΩ + Di	**3**	3	3	3	3	3	3	3	3		
Затухание из-за геометрической дивергенции, Adiv, дБ	расстояние = 191.73 м	ф-ла (7) [10]	**56,7**										
Коэффициент затухания звука в атмосфере α, дБ/км	Ta=20,°C Pa=101.33,кПа hотн.=70%	ф-ла (5) [9]	0,02	0,09	0,33	1,12	2,79	4,98	9,04	23,09	77,63		
Учет затухания звука в атмосфере Aatm, дБ		ф-ла (8) [10]	0	0	0,1	0,2	0,5	1	1,7	4,4	14,9		
Снижение уровня звукового давления из-за влияния застройки между источником шума и расчетной точкой													
Снижение уровня звукового давления на пути над экраном, Dz1, дБ	z = 1.24м (разность путей)	ф-лы (14-18) [10]	8,4	11,1	14,9	18,7	22	25	28,1	31,1	34,1		
Снижение уровня звукового давления на пути слева от экрана, Dz2, дБ	z = 95.23м (разность путей)	ф-лы (14-18) [10]	25,8	29,5	33,9	38,3	42	45,2	48,3	51,3	54,3		
Снижение уровня звукового давления на пути справа от экрана, Dz3, дБ	z = 11.62м (разность путей)	ф-лы (14-18) [10]	16,6	19,5	22,4	25,4	28,4	31,4	34,4	37,4	40,4		
Общее снижение уровня звука препятствием Dz, дБ		Эн.сумма(-Dzi)	7,7	10,5	14,2	17,8	21	24,1	27,1	30,1	33,1		
Общее снижение уровня звука препятствием с учётом ограничения (25 дБ) для октавных полос Dz, дБ		Раздел 7.4 [10]	7,7	10,5	14,2	17,8	21	24,1	25	25	25		
Уровни звукового давления прямого звука от источника ИШ-1-11 в расчётной точке днём, дБ		**ф-ла(3)[10]**	**0**	**29,1**	**26,8**	**24,3**	**21,1**	**17,2**	**12,2**	**5,3**	**0**	**22,8**	**22,8**

1		2	3	4	5	6	7	8	9	10	11	12	13
Расчёт отражённого звука													
Уровни звукового давления от мнимого источника ИШ-1-11_мн.(1) в расчётной точке днём, дБ		**ф-ла(3)[10]**	**0**	**0**	**0**	**0**	**0**	**0**	**14,6**	**3,9**	**0**	**16,2**	**16,2**
Уровни звукового давления от источника ИШ-1-11 в расчётной точке днём, дБ		**ф-ла(3)[10]**	**0**	**29,1**	**26,8**	**24,3**	**21,1**	**17,2**	**16,6**	**7,7**	**0**	**23,7**	**23,7**
Источник шума: ИШ-1-12, координаты источника (x,y,z), м =[435.45,97.79,1.00]													
Уровни звуковой мощности источника днём, Lw, дБ		**исходные данные**	**0**	**93,3**	**94,7**	**96**	**96,3**	**95,9**	**92,6**	**88,4**	**83,9**		
Поправка на телесный угол DΩ, дБ	Ω = 6.28	10Lg(4π/Ω)	**3**	3	3	3	3	3	3	3	3		
Показатель направленности источника Di, дБ		исходные данные	**0**	0	0	0	0	0	0	0	0		
Поправка на направленность источника Dc, дБ	Dc	DΩ + Di	**3**	3	3	3	3	3	3	3	3		
Затухание из-за геометрической дивергенции, Adiv, дБ	расстояние = 168.22 м	ф-ла (7) [10]	**55,5**										
Коэффициент затухания звука в атмосфере α, дБ/км	Ta=20,°C Pa=101.33,кПа hотн.=70%	ф-ла (5) [9]	0,02	0,09	0,33	1,12	2,79	4,98	9,04	23,09	77,63		
Учет затухания звука в атмосфере Aatm, дБ		ф-ла (8) [10]	0	0	0,1	0,2	0,5	0,8	1,5	3,9	13,1		
Снижение уровня звукового давления из-за влияния застройки между источником шума и расчетной точкой													
Снижение уровня звукового давления на пути над экраном, Dz1, дБ	z = 1.14м (разность путей)	ф-лы (14-18) [10]	7,8	9,7	12,1	15,6	19,9	24	27,5	30,6	33,6		
Снижение уровня звукового давления на пути слева от экрана, Dz2, дБ	z = 171.00м (разность путей)	ф-лы (14-18) [10]	28,3	32	36,4	40,8	44,5	47,7	50,8	53,8	56,8		
Снижение уровня звукового давления на пути справа от экрана, Dz3, дБ	z = 0.09м (разность путей)	ф-лы (14-18) [10]	5,2	5,6	6,4	7,5	9,2	11,3	13,8	16,6	19,4		
Общее снижение уровня звука препятствием Dz, дБ		Эн.сумма(-Dzi)	3,3	4,2	5,3	6,9	8,8	11,1	13,6	16,4	19,3		

1		2	3	4	5	6	7	8	9	10	11	12	13
Уровни звукового давления прямого звука от источника ИШ-1-12 в расчётной точке днём, дБ		**ф-ла(3)[10]**	**0**	**36,6**	**36,8**	**36,4**	**34,5**	**31,4**	**24,9**	**15,6**	**0**	**35,9**	**35,9**
Расчёт отражённого звука													
Уровни звукового давления от мнимого источника ИШ-1-12_мн.(1) в расчётной точке днём, дБ		**ф-ла(3)[10]**	**0**	**0**	**0**	**0**	**0**	**0**	**29,9**	**20,9**	**0**	**31,6**	**31,6**
Уровни звукового давления от мнимого источника ИШ-1-12_мн.(2) в расчётной точке днём, дБ		**ф-ла(3)[10]**	**0**	**0**	**0**	**0**	**26,5**	**36,5**	**35**	**27,8**	**11,6**	**39,9**	**39,9**
Суммарные уровни звукового давления от мнимых источников в расчётной точке днём, дБ		**ф-ла (19) [1]**	**0**	**0**	**0**	**0**	**26,5**	**36,5**	**36,2**	**28,6**	**11,6**	**0**	**40,5**
Уровни звукового давления от источника ИШ-1-12 в расчётной точке днём, дБ		**ф-ла(3)[10]**	**0**	**36,6**	**36,8**	**36,4**	**35,1**	**37,7**	**36,5**	**28,8**	**11,6**	**41,8**	**41,8**
Источник шума: ИШ-1-13, координаты источника (x,y,z), м =[438.77,96.82,1.00]													
Уровни звуковой мощности источника днём, Lw, дБ		**исходные данные**	**0**	**93,3**	**94,7**	**96**	**96,3**	**95,9**	**92,6**	**88,4**	**83,9**		
Поправка на телесный угол DΩ, дБ	Ω = 6.28	10Lg(4π/Ω)	**3**	3	3	3	3	3	3	3	3		
Показатель направленности источника Di, дБ		исходные данные	**0**	0	0	0	0	0	0	0	0		
Поправка на направленность источника Dc, дБ	Dc	DΩ + Di	**3**	3	3	3	3	3	3	3	3		
Затухание из-за геометрической дивергенции, Adiv, дБ	расстояние = 165.39 м	ф-ла (7) [10]	**55,4**										
Коэффициент затухания звука в атмосфере α, дБ/км	Ta=20,°C Pa=101.33,кПа hотн.=70%	ф-ла (5) [9]	0,02	0,09	0,33	1,12	2,79	4,98	9,04	23,09	77,63		
Учет затухания звука в атмосфере Aatm, дБ		ф-ла (8) [10]	0	0	0,1	0,2	0,5	0,8	1,5	3,8	12,8		
Снижение уровня звукового давления из-за влияния застройки между источником шума и расчетной точкой													
Снижение уровня звукового давления на пути над экраном, Dz1, дБ	z = 1.21м (разность путей)	ф-лы (14-18) [10]	8,1	10	12,9	16,8	21,1	24,7	28	31	34		

1		2	3	4	5	6	7	8	9	10	11	12	13
Снижение уровня звукового давления на пути слева от экрана, Dz2, дБ	z = 172.48м (разность путей)	ф-лы (14-18) [10]	28,4	32,1	36,4	40,9	44,5	47,8	50,8	53,9	56,9		
Снижение уровня звукового давления на пути справа от экрана, Dz3, дБ	z = 0.23м (разность путей)	ф-лы (14-18) [10]	5,8	6,7	8	9,8	12,1	14,7	17,5	20,4	23,3		
Общее снижение уровня звука препятствием Dz, дБ		Эн.сумма(-Dzi)	3,8	5	6,8	9	11,6	14,3	17,1	20	23		
Уровни звукового давления прямого звука от источника ИШ-1-13 в расчётной точке днём, дБ		**ф-ла(3)[10]**	**0**	**35,9**	**35,5**	**34,4**	**31,9**	**28,4**	**21,6**	**12,2**	**0**	**33,3**	**33,3**
Расчёт отражённого звука													
Уровни звукового давления от мнимого источника ИШ-1-13_мн.(1) в расчётной точке днём, дБ		**ф-ла(3)[10]**	**0**	**0**	**0**	**0**	**0**	**0**	**29,9**	**20,9**	**0**	**31,6**	**31,6**
Уровни звукового давления от мнимого источника ИШ-1-13_мн.(2) в расчётной точке днём, дБ		**ф-ла(3)[10]**	**0**	**0**	**0**	**0**	**26,3**	**36,4**	**34,9**	**27,6**	**11,2**	**39,7**	**39,7**
Суммарные уровни звукового давления от мнимых источников в расчётной точке днём, дБ		**ф-ла (19) [1]**	**0**	**0**	**0**	**0**	**26,3**	**36,4**	**36,1**	**28,5**	**11,2**	**0**	**40,3**
Уровни звукового давления от источника ИШ-1-13 в расчётной точке днём, дБ		**ф-ла(3)[10]**	**0**	**35,9**	**35,5**	**34,4**	**32,9**	**37**	**36,2**	**28,6**	**11,2**	**41,1**	**41,1**
Источник шума: ИШ-1-14, координаты источника (x,y,z), м =[441.70,96.03,1.00]													
Уровни звуковой мощности источника днём, Lw, дБ		**исходные данные**	**0**	**93,3**	**94,7**	**96**	**96,3**	**95,9**	**92,6**	**88,4**	**83,9**		
Поправка на телесный угол DΩ, дБ	Ω = 6.28	10Lg(4π/Ω)	**3**	3	3	3	3	3	3	3	3		
Показатель направленности источника Di, дБ		исходные данные	**0**	0	0	0	0	0	0	0	0		
Поправка на направленность источника Dc, дБ	Dc	DΩ + Di	**3**	3	3	3	3	3	3	3	3		
Затухание из-за геометрической дивергенции, Adiv, дБ	расстояние = 162.97 м	ф-ла (7) [10]	**55,2**										
Коэффициент затухания звука в атмосфере α, дБ/км	Ta=20,°C Pa=101.33,кПа hотн.=70%	ф-ла (5) [9]	0,02	0,09	0,33	1,12	2,79	4,98	9,04	23,09	77,63		

1		2	3	4	5	6	7	8	9	10	11	12	13
Учет затухания звука в атмосфере Aatm, дБ		ф-ла (8) [10]	0	0	0,1	0,2	0,5	0,8	1,5	3,8	12,7		
Снижение уровня звукового давления из-за влияния застройки между источником шума и расчетной точкой													
Снижение уровня звукового давления на пути над экраном, Dz1, дБ	z = 1.28м (разность путей)	ф-лы (14-18) [10]	8,3	10,4	13,6	17,7	21,8	25,2	28,4	31,4	34,4		
Снижение уровня звукового давления на пути слева от экрана, Dz2, дБ	z = 173.70м (разность путей)	ф-лы (14-18) [10]	28,4	32,1	36,5	40,9	44,6	47,8	50,9	53,9	56,9		
Снижение уровня звукового давления на пути справа от экрана, Dz3, дБ	z = 0.42м (разность путей)	ф-лы (14-18) [10]	6,6	7,8	9,6	11,8	14,4	17,2	20	23	26		
Общее снижение уровня звука препятствием Dz, дБ		Эн.сумма(-Dzi)	4,3	5,9	8,1	10,8	13,7	16,5	19,4	22,4	25,4		
Общее снижение уровня звука препятствием с учётом ограничения (25 дБ) для октавных полос Dz, дБ		Раздел 7.4 [10]	4,3	5,9	8,1	10,8	13,7	16,5	19,4	22,4	25		
Уровни звукового давления прямого звука от источника ИШ-1-14 в расчётной точке днём, дБ		**ф-ла(3)[10]**	**0**	**35,1**	**34,3**	**32,7**	**29,9**	**26,3**	**19,4**	**10**	**0**	**31,3**	**31,3**
Расчёт отражённого звука													
Уровни звукового давления от мнимого источника ИШ-1-14_мн.(1) в расчётной точке днём, дБ		**ф-ла(3)[10]**	**0**	**0**	**0**	**0**	**0**	**0**	**30**	**21**	**0**	**31,6**	**31,6**
Уровни звукового давления от мнимого источника ИШ-1-14_мн.(2) в расчётной точке днём, дБ		**ф-ла(3)[10]**	**0**	**0**	**0**	**0**	**26,2**	**36,3**	**34,7**	**27,4**	**10,9**	**39,6**	**39,6**
Суммарные уровни звукового давления от мнимых источников в расчётной точке днём, дБ		**ф-ла (19) [1]**	**0**	**0**	**0**	**0**	**26,2**	**36,3**	**36**	**28,3**	**10,9**	**0**	**40,2**
Уровни звукового давления от источника ИШ-1-14 в расчётной точке днём, дБ		**ф-ла(3)[10]**	**0**	**35,1**	**34,3**	**32,7**	**31,5**	**36,7**	**36,1**	**28,4**	**10,9**	**40,8**	**40,8**
Источник шума: ИШ-1-15, координаты источника (x,y,z), м =[445.03,95.25,1.00]													
Уровни звуковой мощности источника днём, Lw, дБ		**исходные данные**	**0**	**93,3**	**94,7**	**96**	**96,3**	**95,9**	**92,6**	**88,4**	**83,9**		
Поправка на телесный угол DΩ, дБ	Ω = 6.28	10Lg(4π/Ω)	**3**	3	3	3	3	3	3	3	3		
Показатель направленности источника Di, дБ		исходные данные	**0**	0	0	0	0	0	0	0	0		

1		2	3	4	5	6	7	8	9	10	11	12	13
Поправка на направленность источника Dc, дБ	Dc	DΩ + Di	**3**	3	3	3	3	3	3	3	3		
Затухание из-за геометрической дивергенции, Adiv, дБ	расстояние = 160.33 м	ф-ла (7) [10]	**55,1**										
Коэффициент затухания звука в атмосфере α, дБ/км	Ta=20,°C Pa=101.33,кПа hотн.=70%	ф-ла (5) [9]	0,02	0,09	0,33	1,12	2,79	4,98	9,04	23,09	77,63		
Учет затухания звука в атмосфере Aatm, дБ		ф-ла (8) [10]	0	0	0,1	0,2	0,4	0,8	1,4	3,7	12,4		
Снижение уровня звукового давления из-за влияния застройки между источником шума и расчетной точкой													
Снижение уровня звукового давления на пути над экраном, Dz1, дБ	z = 1.38м (разность путей)	ф-лы (14-18) [10]	8,6	10,9	14,4	18,6	22,4	25,7	28,8	31,8	34,8		
Снижение уровня звукового давления на пути слева от экрана, Dz2, дБ	z = 174.99м (разность путей)	ф-лы (14-18) [10]	28,4	32,1	36,5	40,9	44,6	47,8	50,9	53,9	56,9		
Снижение уровня звукового давления на пути справа от экрана, Dz3, дБ	z = 0.73м (разность путей)	ф-лы (14-18) [10]	7,6	9,3	11,4	13,9	16,6	19,5	22,5	25,4	28,4		
Общее снижение уровня звука препятствием Dz, дБ		Эн.сумма(-Dzi)	5	7	9,6	12,6	15,6	18,6	21,5	24,5	27,5		
Общее снижение уровня звука препятствием с учётом ограничения (25 дБ) для октавных полос Dz, дБ		Раздел 7.4 [10]	5	7	9,6	12,6	15,6	18,6	21,5	24,5	25		
Уровни звукового давления прямого звука от источника ИШ-1-15 в расчётной точке днём, дБ		**ф-ла(3)[10]**	**0**	**34,2**	**32,9**	**31,1**	**28,1**	**24,4**	**17,5**	**8,1**	**0**	**29,5**	**29,5**
Расчёт отражённого звука													
Уровни звукового давления от мнимого источника ИШ-1-15_мн.(1) в расчётной точке днём, дБ		**ф-ла(3)[10]**	**0**	**0**	**0**	**0**	**0**	**0**	**30**	**21**	**0**	**31,7**	**31,7**
Уровни звукового давления от мнимого источника ИШ-1-15_мн.(2) в расчётной точке днём, дБ		**ф-ла(3)[10]**	**0**	**0**	**0**	**0**	**26**	**36,1**	**34,6**	**27,2**	**10,5**	**39,4**	**39,4**
Суммарные уровни звукового давления от мнимых источников в расчётной точке днём, дБ		**ф-ла (19) [1]**	**0**	**0**	**0**	**0**	**26**	**36,1**	**35,9**	**28,2**	**10,5**	**0**	**40,1**
Уровни звукового давления от источника ИШ-1-15 в расчётной точке днём, дБ		**ф-ла(3)[10]**	**0**	**34,2**	**32,9**	**31,1**	**30,2**	**36,4**	**35,9**	**28,2**	**10,5**	**40,5**	**40,5**

1		2	3	4	5	6	7	8	9	10	11	12	13
Источник шума: ИШ-1-16, координаты источника (x,y,z), м =[447.96,94.28,1.00]													
Уровни звуковой мощности источника днём, Lw, дБ		**исходные данные**	**0**	**93,3**	**94,7**	**96**	**96,3**	**95,9**	**92,6**	**88,4**	**83,9**		
Поправка на телесный угол DΩ, дБ	Ω = 6.28	10Lg(4π/Ω)	**3**	3	3	3	3	3	3	3	3		
Показатель направленности источника Di, дБ		исходные данные	**0**	0	0	0	0	0	0	0	0		
Поправка на направленность источника Dc, дБ	Dc	DΩ + Di	**3**	3	3	3	3	3	3	3	3		
Затухание из-за геометрической дивергенции, Adiv, дБ	расстояние = 157.80 м	ф-ла (7) [10]	**55**										
Коэффициент затухания звука в атмосфере α, дБ/км	Ta=20,°C Pa=101.33,кПа hотн.=70%	ф-ла (5) [9]	0,02	0,09	0,33	1,12	2,79	4,98	9,04	23,09	77,63		
Учет затухания звука в атмосфере Aatm, дБ		ф-ла (8) [10]	0	0	0,1	0,2	0,4	0,8	1,4	3,6	12,3		
Снижение уровня звукового давления из-за влияния застройки между источником шума и расчетной точкой													
Снижение уровня звукового давления на пути над экраном, Dz1, дБ	z = 1.49м (разность путей)	ф-лы (14-18) [10]	8,9	11,4	15,1	19,3	23	26,2	29,2	32,3	35,3		
Снижение уровня звукового давления на пути слева от экрана, Dz2, дБ	z = 176.65м (разность путей)	ф-лы (14-18) [10]	28,5	32,2	36,5	41	44,6	47,9	50,9	54	57		
Снижение уровня звукового давления на пути справа от экрана, Dz3, дБ	z = 1.09м (разность путей)	ф-лы (14-18) [10]	8,5	10,4	12,8	15,4	18,3	21,2	24,1	27,1	30,1		
Общее снижение уровня звука препятствием Dz, дБ		Эн.сумма(-Dzi)	5,6	7,9	10,8	13,9	17	20	23	25,9	28,9		
Общее снижение уровня звука препятствием с учётом ограничения (25 дБ) для октавных полос Dz, дБ		Раздел 7.4 [10]	5,6	7,9	10,8	13,9	17	20	23	25	25		
Уровни звукового давления прямого звука от источника ИШ-1-16 в расчётной точке днём, дБ		**ф-ла(3)[10]**	**0**	**33,4**	**31,9**	**29,9**	**26,9**	**23,2**	**16,2**	**7,8**	**0**	**28,3**	**28,3**
Расчёт отражённого звука													

1		2	3	4	5	6	7	8	9	10	11	12	13
Уровни звукового давления от мнимого источника ИШ-1-16_мн.(1) в расчётной точке днём, дБ		**ф-ла(3)[10]**	**0**	**0**	**0**	**0**	**0**	**0**	**30**	**21,1**	**0**	**31,7**	**31,7**
Уровни звукового давления от мнимого источника ИШ-1-16_мн.(2) в расчётной точке днём, дБ		**ф-ла(3)[10]**	**0**	**0**	**0**	**0**	**0**	**36**	**34,4**	**27,1**	**10,2**	**39,2**	**39,2**
Суммарные уровни звукового давления от мнимых источников в расчётной точке днём, дБ		**ф-ла (19) [1]**	**0**	**0**	**0**	**0**	**0**	**36**	**35,8**	**28**	**10,2**	**0**	**39,9**
Уровни звукового давления от источника ИШ-1-16 в расчётной точке днём, дБ		**ф-ла(3)[10]**	**0**	**33,4**	**31,9**	**29,9**	**26,9**	**36,2**	**35,8**	**28,1**	**10,2**	**40,2**	**40,2**
Источник шума: ИШ-1-17, координаты источника (x,y,z), м =[540.99,141.77,1.00]													
Уровни звуковой мощности источника днём, Lw, дБ		**исходные данные**	**0**	**93,3**	**94,7**	**96**	**96,3**	**95,9**	**92,6**	**88,4**	**83,9**		
Поправка на телесный угол DΩ, дБ	Ω = 6.28	10Lg(4π/Ω)	**3**	3	3	3	3	3	3	3	3		
Показатель направленности источника Di, дБ		исходные данные	**0**	0	0	0	0	0	0	0	0		
Поправка на направленность источника Dc, дБ	Dc	DΩ + Di	**3**	3	3	3	3	3	3	3	3		
Затухание из-за геометрической дивергенции, Adiv, дБ	расстояние = 174.78 м	ф-ла (7) [10]	**55,8**										
Коэффициент затухания звука в атмосфере α, дБ/км	Ta=20,°C Pa=101.33,кПа hотн.=70%	ф-ла (5) [9]	0,02	0,09	0,33	1,12	2,79	4,98	9,04	23,09	77,63		
Учет затухания звука в атмосфере Aatm, дБ		ф-ла (8) [10]	0	0	0,1	0,2	0,5	0,9	1,6	4	13,6		
Снижение поверхностью земли возле источника As, дБ	Gs = 0 hs = 1м	ф-лы таб.3 [10]	-1,5	-1,5	-1,5	-1,5	-1,5	-1,5	-1,5	-1,5	-1,5		
Снижение поверхностью земли возле приёмника Ar, дБ	Gr = 1 hr = 1.5м	ф-лы таб.3 [10]	-1,5	-1,5	1,1	6,8	4,8	0,6	0	0	0		
Снижение поверхностью земли в средней зоне, Am дБ	Gm = 1	ф-лы таб.3 [10]	-1,7	-1,7	0	0	0	0	0	0	0		
Суммарное снижение поверхностью земли на траектории распространения звука Agr, дБ		ф-ла (9) [10]	-4,7	-4,7	-0,4	5,3	3,3	-0,9	-1,5	-1,5	-1,5		

1		2	3	4	5	6	7	8	9	10	11	12	13
Уровни звукового давления прямого звука от источника ИШ-1-17 в расчётной точке днём, дБ		**ф-ла(3)[10]**	**0**	**45,1**	**42,2**	**37,6**	**39,6**	**43**	**39,7**	**33**	**19**	**46,1**	**46,1**
Расчёт отражённого звука													
Уровни звукового давления от мнимого источника ИШ-1-17_мн.(1) в расчётной точке днём, дБ		**ф-ла(3)[10]**	**0**	**0**	**0**	**0**	**0**	**0**	**35,9**	**28,9**	**13,6**	**37,9**	**37,9**
Уровни звукового давления от мнимого источника ИШ-1-17_мн.(2) в расчётной точке днём, дБ		**ф-ла(3)[10]**	**0**	**0**	**38,9**	**27,5**	**28,5**	**38,5**	**37,1**	**30,5**	**16,4**	**42**	**42**
Суммарные уровни звукового давления от мнимых источников в расчётной точке днём, дБ		**ф-ла (19) [1]**	**0**	**0**	**38,9**	**27,5**	**28,5**	**38,5**	**39,6**	**32,8**	**18,2**	**0**	**43,4**
Уровни звукового давления от источника ИШ-1-17 в расчётной точке днём, дБ		**ф-ла(3)[10]**	**0**	**45,1**	**43,9**	**38**	**40**	**44,4**	**42,6**	**35,9**	**21,6**	**48**	**48**
Источник шума: ИШ-1-18, координаты источника (x,y,z), м =[543.53,140.79,1.00]													
Уровни звуковой мощности источника днём, Lw, дБ		**исходные данные**	**0**	**93,3**	**94,7**	**96**	**96,3**	**95,9**	**92,6**	**88,4**	**83,9**		
Поправка на телесный угол DΩ, дБ	Ω = 6.28	10Lg(4π/Ω)	**3**	3	3	3	3	3	3	3	3		
Показатель направленности источника Di, дБ		исходные данные	**0**	0	0	0	0	0	0	0	0		
Поправка на направленность источника Dc, дБ	Dc	DΩ + Di	**3**	3	3	3	3	3	3	3	3		
Затухание из-за геометрической дивергенции, Adiv, дБ	расстояние = 173.82 м	ф-ла (7) [10]	**55,8**										
Коэффициент затухания звука в атмосфере α, дБ/км	Ta=20,°C Pa=101.33,кПа hотн.=70%	ф-ла (5) [9]	0,02	0,09	0,33	1,12	2,79	4,98	9,04	23,09	77,63		
Учет затухания звука в атмосфере Aatm, дБ		ф-ла (8) [10]	0	0	0,1	0,2	0,5	0,9	1,6	4	13,5		
Снижение поверхностью земли возле источника As, дБ	Gs = 0 hs = 1м	ф-лы таб.3 [10]	-1,5	-1,5	-1,5	-1,5	-1,5	-1,5	-1,5	-1,5	-1,5		
Снижение поверхностью земли возле приёмника Ar, дБ	Gr = 1 hr = 1.5м	ф-лы таб.3 [10]	-1,5	-1,5	1	6,8	4,8	0,6	0	0	0		

1		2	3	4	5	6	7	8	9	10	11	12	13
Снижение поверхностью земли в средней зоне, Am дБ	Gm = 1	ф-лы таб.3 [10]	-1,7	-1,7	0	0	0	0	0	0	0		
Суммарное снижение поверхностью земли на траектории распространения звука Agr, дБ		ф-ла (9) [10]	-4,7	-4,7	-0,5	5,3	3,3	-0,9	-1,5	-1,5	-1,5		
Уровни звукового давления прямого звука от источника ИШ-1-18 в расчётной точке днём, дБ		**ф-ла(3)[10]**	**0**	**45,2**	**42,3**	**37,7**	**39,7**	**43,1**	**39,7**	**33,1**	**19,1**	**46,1**	**46,1**
Расчёт отражённого звука													
Уровни звукового давления от мнимого источника ИШ-1-18_мн.(1) в расчётной точке днём, дБ		**ф-ла(3)[10]**	**0**	**0**	**0**	**0**	**0**	**0**	**35,8**	**28,8**	**13,4**	**37,8**	**37,8**
Уровни звукового давления от мнимого источника ИШ-1-18_мн.(2) в расчётной точке днём, дБ		**ф-ла(3)[10]**	**0**	**0**	**38,9**	**27,6**	**28,6**	**38,6**	**37,2**	**30,5**	**16,5**	**42,1**	**42,1**
Суммарные уровни звукового давления от мнимых источников в расчётной точке днём, дБ		**ф-ла (19) [1]**	**0**	**0**	**38,9**	**27,6**	**28,6**	**38,6**	**39,6**	**32,8**	**18,2**	**0**	**43,5**
Уровни звукового давления от источника ИШ-1-18 в расчётной точке днём, дБ		**ф-ла(3)[10]**	**0**	**45,2**	**43,9**	**38,1**	**40**	**44,4**	**42,7**	**35,9**	**21,7**	**48**	**48**
Источник шума: ИШ-1-19, координаты источника (x,y,z), м =[547.25,139.62,1.00]													
Уровни звуковой мощности источника днём, Lw, дБ		**исходные данные**	**0**	**93,3**	**94,7**	**96**	**96,3**	**95,9**	**92,6**	**88,4**	**83,9**		
Поправка на телесный угол DΩ, дБ	Ω = 6.28	10Lg(4π/Ω)	**3**	3	3	3	3	3	3	3	3		
Показатель направленности источника Di, дБ		исходные данные	**0**	0	0	0	0	0	0	0	0		
Поправка на направленность источника Dc, дБ	Dc	DΩ + Di	**3**	3	3	3	3	3	3	3	3		
Затухание из-за геометрической дивергенции, Adiv, дБ	расстояние = 172.74 м	ф-ла (7) [10]	**55,7**										
Коэффициент затухания звука в атмосфере α, дБ/км	Ta=20,°C Pa=101.33,кПа hотн.=70%	ф-ла (5) [9]	0,02	0,09	0,33	1,12	2,79	4,98	9,04	23,09	77,63		
Учет затухания звука в атмосфере Aatm, дБ		ф-ла (8) [10]	0	0	0,1	0,2	0,5	0,9	1,6	4	13,4		

1		2	3	4	5	6	7	8	9	10	11	12	13
Снижение поверхностью земли возле источника As, дБ	Gs = 0 hs = 1м	ф-лы таб.3 [10]	-1,5	-1,5	-1,5	-1,5	-1,5	-1,5	-1,5	-1,5	-1,5		
Снижение поверхностью земли возле приёмника Ar, дБ	Gr = 1 hr = 1.5м	ф-лы таб.3 [10]	-1,5	-1,5	1	6,8	4,8	0,6	0	0	0		
Снижение поверхностью земли в средней зоне, Am дБ	Gm = 1	ф-лы таб.3 [10]	-1,7	-1,7	0	0	0	0	0	0	0		
Суммарное снижение поверхностью земли на траектории распространения звука Agr, дБ		ф-ла (9) [10]	-4,7	-4,7	-0,5	5,3	3,3	-0,9	-1,5	-1,5	-1,5		
Уровни звукового давления прямого звука от источника ИШ-1-19 в расчётной точке днём, дБ		**ф-ла(3)[10]**	**0**	**45,2**	**42,3**	**37,7**	**39,7**	**43,1**	**39,8**	**33,2**	**19,2**	**46,2**	**46,2**
Расчёт отражённого звука													
Уровни звукового давления от мнимого источника ИШ-1-19_мн.(1) в расчётной точке днём, дБ		**ф-ла(3)[10]**	**0**	**0**	**0**	**0**	**0**	**0**	**0**	**28,7**	**13,1**	**29,7**	**29,7**
Уровни звукового давления от мнимого источника ИШ-1-19_мн.(2) в расчётной точке днём, дБ		**ф-ла(3)[10]**	**0**	**0**	**39**	**27,6**	**28,7**	**38,7**	**37,3**	**30,6**	**16,7**	**42,2**	**42,2**
Суммарные уровни звукового давления от мнимых источников в расчётной точке днём, дБ		**ф-ла (19) [1]**	**0**	**0**	**39**	**27,6**	**28,7**	**38,7**	**37,3**	**32,8**	**18,3**	**0**	**42,4**
Уровни звукового давления от источника ИШ-1-19 в расчётной точке днём, дБ		**ф-ла(3)[10]**	**0**	**45,2**	**44**	**38,2**	**40,1**	**44,5**	**41,7**	**36**	**21,8**	**47,7**	**47,7**
Источник шума: ИШ-1-20, координаты источника (x,y,z), м =[550.38,138.64,1.00]													
Уровни звуковой мощности источника днём, Lw, дБ		**исходные данные**	**0**	**93,3**	**94,7**	**96**	**96,3**	**95,9**	**92,6**	**88,4**	**83,9**		
Поправка на телесный угол DΩ, дБ	Ω = 6.28	10Lg(4π/Ω)	**3**	3	3	3	3	3	3	3	3		
Показатель направленности источника Di, дБ		исходные данные	**0**	0	0	0	0	0	0	0	0		
Поправка на направленность источника Dc, дБ	Dc	DΩ + Di	**3**	3	3	3	3	3	3	3	3		
Затухание из-за геометрической дивергенции, Adiv, дБ	расстояние = 171.90 м	ф-ла (7) [10]	**55,7**										
Коэффициент затухания звука в атмосфере α, дБ/км	Ta=20,°C Pa=101.33,кПа hотн.=70%	ф-ла (5) [9]	0,02	0,09	0,33	1,12	2,79	4,98	9,04	23,09	77,63		

1		2	3	4	5	6	7	8	9	10	11	12	13
Учет затухания звука в атмосфере Aatm, дБ		ф-ла (8) [10]	0	0	0,1	0,2	0,5	0,9	1,6	4	13,3		
Снижение поверхностью земли возле источника As, дБ	Gs = 0 hs = 1м	ф-лы таб.3 [10]	-1,5	-1,5	-1,5	-1,5	-1,5	-1,5	-1,5	-1,5	-1,5		
Снижение поверхностью земли возле приёмника Ar, дБ	Gr = 1 hr = 1.5м	ф-лы таб.3 [10]	-1,5	-1,5	1	6,8	4,8	0,6	0	0	0		
Снижение поверхностью земли в средней зоне, Am дБ	Gm = 1	ф-лы таб.3 [10]	-1,7	-1,7	0	0	0	0	0	0	0		
Суммарное снижение поверхностью земли на траектории распространения звука Agr, дБ		ф-ла (9) [10]	-4,7	-4,7	-0,5	5,3	3,3	-0,9	-1,5	-1,5	-1,5		
Уровни звукового давления прямого звука от источника ИШ-1-20 в расчётной точке днём, дБ		**ф-ла(3)[10]**	**0**	**45,3**	**42,4**	**37,8**	**39,8**	**43,2**	**39,8**	**33,2**	**19,3**	**46,2**	**46,2**
Расчёт отражённого звука													
Уровни звукового давления от мнимого источника ИШ-1-20_мн.(1) в расчётной точке днём, дБ		**ф-ла(3)[10]**	**0**	**0**	**0**	**0**	**0**	**0**	**0**	**28,5**	**12,9**	**29,6**	**29,6**
Уровни звукового давления от мнимого источника ИШ-1-20_мн.(2) в расчётной точке днём, дБ		**ф-ла(3)[10]**	**0**	**0**	**39**	**27,7**	**28,7**	**38,7**	**37,3**	**30,7**	**16,8**	**42,2**	**42,2**
Суммарные уровни звукового давления от мнимых источников в расчётной точке днём, дБ		**ф-ла (19) [1]**	**0**	**0**	**39**	**27,7**	**28,7**	**38,7**	**37,3**	**32,8**	**18,3**	**0**	**42,5**
Уровни звукового давления от источника ИШ-1-20 в расчётной точке днём, дБ		**ф-ла(3)[10]**	**0**	**45,3**	**44**	**38,2**	**40,1**	**44,5**	**41,8**	**36**	**21,8**	**47,8**	**47,8**
Источник шума: ИШ-1-21, координаты источника (x,y,z), м =[553.31,137.67,1.00]													
Уровни звуковой мощности источника днём, Lw, дБ		**исходные данные**	**0**	**93,3**	**94,7**	**96**	**96,3**	**95,9**	**92,6**	**88,4**	**83,9**		
Поправка на телесный угол DΩ, дБ	Ω = 6.28	10Lg(4π/Ω)	**3**	3	3	3	3	3	3	3	3		
Показатель направленности источника Di, дБ		исходные данные	**0**	0	0	0	0	0	0	0	0		
Поправка на направленность источника Dc, дБ	Dc	DΩ + Di	**3**	3	3	3	3	3	3	3	3		
Затухание из-за геометрической дивергенции, Adiv, дБ	расстояние = 171.10 м	ф-ла (7) [10]	**55,7**										

1		2	3	4	5	6	7	8	9	10	11	12	13
Коэффициент затухания звука в атмосфере α, дБ/км	Ta=20,°C Pa=101.33,кПа hотн.=70%	ф-ла (5) [9]	0,02	0,09	0,33	1,12	2,79	4,98	9,04	23,09	77,63		
Учет затухания звука в атмосфере Aatm, дБ		ф-ла (8) [10]	0	0	0,1	0,2	0,5	0,9	1,5	4	13,3		
Снижение поверхностью земли возле источника As, дБ	Gs = 0 hs = 1м	ф-лы таб.3 [10]	-1,5	-1,5	-1,5	-1,5	-1,5	-1,5	-1,5	-1,5	-1,5		
Снижение поверхностью земли возле приёмника Ar, дБ	Gr = 1 hr = 1.5м	ф-лы таб.3 [10]	-1,5	-1,5	1	6,8	4,8	0,6	0	0	0		
Снижение поверхностью земли в средней зоне, Am дБ	Gm = 1	ф-лы таб.3 [10]	-1,7	-1,7	0	0	0	0	0	0	0		
Суммарное снижение поверхностью земли на траектории распространения звука Agr, дБ		ф-ла (9) [10]	-4,7	-4,7	-0,5	5,3	3,3	-0,9	-1,5	-1,5	-1,5		
Уровни звукового давления прямого звука от источника ИШ-1-21 в расчётной точке днём, дБ		**ф-ла(3)[10]**	**0**	**45,3**	**42,4**	**37,8**	**39,8**	**43,2**	**39,9**	**33,3**	**19,4**	**46,3**	**46,3**
Расчёт отражённого звука													
Уровни звукового давления от мнимого источника ИШ-1-21_мн.(1) в расчётной точке днём, дБ		**ф-ла(3)[10]**	**0**	**0**	**0**	**0**	**0**	**0**	**0**	**28,4**	**12,7**	**29,5**	**29,5**
Уровни звукового давления от мнимого источника ИШ-1-21_мн.(2) в расчётной точке днём, дБ		**ф-ла(3)[10]**	**0**	**0**	**39,1**	**27,7**	**28,8**	**38,8**	**37,4**	**30,8**	**16,9**	**42,3**	**42,3**
Суммарные уровни звукового давления от мнимых источников в расчётной точке днём, дБ		**ф-ла (19) [1]**	**0**	**0**	**39,1**	**27,7**	**28,8**	**38,8**	**37,4**	**32,7**	**18,3**	**0**	**42,5**
Уровни звукового давления от источника ИШ-1-21 в расчётной точке днём, дБ		**ф-ла(3)[10]**	**0**	**45,3**	**44,1**	**38,2**	**40,2**	**44,6**	**41,8**	**36**	**21,9**	**47,8**	**47,8**
Источник шума: ИШ-1-22, координаты источника (x,y,z), м =[522.03,85.28,1.00]													
Уровни звуковой мощности источника днём, Lw, дБ		**исходные данные**	**0**	**93,3**	**94,7**	**96**	**96,3**	**95,9**	**92,6**	**88,4**	**83,9**		
Поправка на телесный угол DΩ, дБ	Ω = 6.28	10Lg(4π/Ω)	**3**	3	3	3	3	3	3	3	3		
Показатель направленности источника Di, дБ		исходные данные	**0**	0	0	0	0	0	0	0	0		

1		2	3	4	5	6	7	8	9	10	11	12	13
Поправка на направленность источника Dc, дБ	Dc	DΩ + Di	**3**	3	3	3	3	3	3	3	3		
Затухание из-за геометрической дивергенции, Adiv, дБ	расстояние = 119.84 м	ф-ла (7) [10]	**52,6**										
Коэффициент затухания звука в атмосфере α, дБ/км	Ta=20,°C Pa=101.33,кПа hотн.=70%	ф-ла (5) [9]	0,02	0,09	0,33	1,12	2,79	4,98	9,04	23,09	77,63		
Учет затухания звука в атмосфере Aatm, дБ		ф-ла (8) [10]	0	0	0	0,1	0,3	0,6	1,1	2,8	9,3		
Снижение поверхностью земли возле источника As, дБ	Gs = 0 hs = 1м	ф-лы таб.3 [10]	-1,5	-1,5	-1,5	-1,5	-1,5	-1,5	-1,5	-1,5	-1,5		
Снижение поверхностью земли возле приёмника Ar, дБ	Gr = 1 hr = 1.5м	ф-лы таб.3 [10]	-1,5	-1,5	0,8	6,4	4,5	0,6	0	0	0		
Снижение поверхностью земли в средней зоне, Am дБ	Gm = 1	ф-лы таб.3 [10]	-1,1	-1,1	0	0	0	0	0	0	0		
Суммарное снижение поверхностью земли на траектории распространения звука Agr, дБ		ф-ла (9) [10]	-4,1	-4,1	-0,7	4,9	3	-0,9	-1,5	-1,5	-1,5		
Уровни звукового давления прямого звука от источника ИШ-1-22 в расчётной точке днём, дБ		**ф-ла(3)[10]**	**0**	**47,8**	**45,8**	**41,4**	**43,4**	**46,6**	**43,4**	**37,6**	**26,5**	**49,8**	**49,8**
Расчёт отражённого звука													
Уровни звукового давления от мнимого источника ИШ-1-22_мн.(1) в расчётной точке днём, дБ		**ф-ла(3)[10]**	**0**	**0**	**0**	**0**	**0**	**0**	**0**	**0**	**0**	**0**	**0**
Уровни звукового давления от мнимого источника ИШ-1-22_мн.(2) в расчётной точке днём, дБ		**ф-ла(3)[10]**	**0**	**0**	**42,6**	**31,7**	**32,7**	**42,2**	**40,9**	**35**	**23,9**	**45,8**	**45,8**
Суммарные уровни звукового давления от мнимых источников в расчётной точке днём, дБ		**ф-ла (19) [1]**	**0**	**0**	**42,6**	**31,7**	**32,7**	**42,2**	**40,9**	**35**	**23,9**	**0**	**45,8**
Уровни звукового давления от источника ИШ-1-22 в расчётной точке днём, дБ		**ф-ла(3)[10]**	**0**	**47,8**	**47,5**	**41,8**	**43,7**	**48**	**45,3**	**39,5**	**28,4**	**51,3**	**51,3**
Источник шума: ИШ-1-23, координаты источника (x,y,z), м =[525.16,84.11,1.00]													
Уровни звуковой мощности источника днём, Lw, дБ		**исходные данные**	**0**	**93,3**	**94,7**	**96**	**96,3**	**95,9**	**92,6**	**88,4**	**83,9**		

1		2	3	4	5	6	7	8	9	10	11	12	13
Поправка на телесный угол DΩ, дБ	Ω = 6.28	10Lg(4π/Ω)	**3**	3	3	3	3	3	3	3	3		
Показатель направленности источника Di, дБ		исходные данные	**0**	0	0	0	0	0	0	0	0		
Поправка на направленность источника Dc, дБ	Dc	DΩ + Di	**3**	3	3	3	3	3	3	3	3		
Затухание из-за геометрической дивергенции, Adiv, дБ	расстояние = 118.22 м	ф-ла (7) [10]	**52,5**										
Коэффициент затухания звука в атмосфере α, дБ/км	Ta=20,°C Pa=101.33,кПа hотн.=70%	ф-ла (5) [9]	0,02	0,09	0,33	1,12	2,79	4,98	9,04	23,09	77,63		
Учет затухания звука в атмосфере Aatm, дБ		ф-ла (8) [10]	0	0	0	0,1	0,3	0,6	1,1	2,7	9,2		
Снижение поверхностью земли возле источника As, дБ	Gs = 0 hs = 1м	ф-лы таб.3 [10]	-1,5	-1,5	-1,5	-1,5	-1,5	-1,5	-1,5	-1,5	-1,5		
Снижение поверхностью земли возле приёмника Ar, дБ	Gr = 1 hr = 1.5м	ф-лы таб.3 [10]	-1,5	-1,5	0,8	6,4	4,5	0,6	0	0	0		
Снижение поверхностью земли в средней зоне, Am дБ	Gm = 1	ф-лы таб.3 [10]	-1,1	-1,1	0	0	0	0	0	0	0		
Суммарное снижение поверхностью земли на траектории распространения звука Agr, дБ		ф-ла (9) [10]	-4,1	-4,1	-0,7	4,9	3	-0,9	-1,5	-1,5	-1,5		
Уровни звукового давления прямого звука от источника ИШ-1-23 в расчётной точке днём, дБ		**ф-ла(3)[10]**	**0**	**47,9**	**45,9**	**41,5**	**43,5**	**46,8**	**43,6**	**37,7**	**26,8**	**50**	**50**
Расчёт отражённого звука													
Уровни звукового давления от мнимого источника ИШ-1-23_мн.(1) в расчётной точке днём, дБ		**ф-ла(3)[10]**	**0**	**0**	**0**	**0**	**0**	**0**	**0**	**0**	**0**	**0**	**0**
Уровни звукового давления от мнимого источника ИШ-1-23_мн.(2) в расчётной точке днём, дБ		**ф-ла(3)[10]**	**0**	**0**	**42,7**	**31,8**	**32,9**	**42,3**	**41**	**35,1**	**24,1**	**46**	**46**
Суммарные уровни звукового давления от мнимых источников в расчётной точке днём, дБ		**ф-ла (19) [1]**	**0**	**0**	**42,7**	**31,8**	**32,9**	**42,3**	**41**	**35,1**	**24,1**	**0**	**46**
Уровни звукового давления от источника ИШ-1-23 в расчётной точке днём, дБ		**ф-ла(3)[10]**	**0**	**47,9**	**47,6**	**42**	**43,9**	**48,1**	**45,5**	**39,6**	**28,6**	**51,4**	**51,4**

1		2	3	4	5	6	7	8	9	10	11	12	13
Источник шума: ИШ-1-24, координаты источника (x,y,z), м =[528.48,82.94,1.00]													
Уровни звуковой мощности источника днём, Lw, дБ		**исходные данные**	**0**	**93,3**	**94,7**	**96**	**96,3**	**95,9**	**92,6**	**88,4**	**83,9**		
Поправка на телесный угол DΩ, дБ	Ω = 6.28	10Lg(4π/Ω)	**3**	3	3	3	3	3	3	3	3		
Показатель направленности источника Di, дБ		исходные данные	**0**	0	0	0	0	0	0	0	0		
Поправка на направленность источника Dc, дБ	Dc	DΩ + Di	**3**	3	3	3	3	3	3	3	3		
Затухание из-за геометрической дивергенции, Adiv, дБ	расстояние = 116.65 м	ф-ла (7) [10]	**52,3**										
Коэффициент затухания звука в атмосфере α, дБ/км	Ta=20,°C Pa=101.33,кПа hотн.=70%	ф-ла (5) [9]	0,02	0,09	0,33	1,12	2,79	4,98	9,04	23,09	77,63		
Учет затухания звука в атмосфере Aatm, дБ		ф-ла (8) [10]	0	0	0	0,1	0,3	0,6	1,1	2,7	9,1		
Снижение поверхностью земли возле источника As, дБ	Gs = 0 hs = 1м	ф-лы таб.3 [10]	-1,5	-1,5	-1,5	-1,5	-1,5	-1,5	-1,5	-1,5	-1,5		
Снижение поверхностью земли возле приёмника Ar, дБ	Gr = 1 hr = 1.5м	ф-лы таб.3 [10]	-1,5	-1,5	0,8	6,3	4,5	0,6	0	0	0		
Снижение поверхностью земли в средней зоне, Am дБ	Gm = 1	ф-лы таб.3 [10]	-1,1	-1,1	0	0	0	0	0	0	0		
Суммарное снижение поверхностью земли на траектории распространения звука Agr, дБ		ф-ла (9) [10]	-4,1	-4,1	-0,7	4,8	3	-0,9	-1,5	-1,5	-1,5		
Уровни звукового давления прямого звука от источника ИШ-1-24 в расчётной точке днём, дБ		**ф-ла(3)[10]**	**0**	**48**	**46**	**41,7**	**43,6**	**46,9**	**43,7**	**37,9**	**27**	**50,1**	**50,1**
Расчёт отражённого звука													
Уровни звукового давления от мнимого источника ИШ-1-24_мн.(1) в расчётной точке днём, дБ		**ф-ла(3)[10]**	**0**	**0**	**0**	**0**	**0**	**0**	**0**	**0**	**0**	**0**	**0**
Уровни звукового давления от мнимого источника ИШ-1-24_мн.(2) в расчётной точке днём, дБ		**ф-ла(3)[10]**	**0**	**0**	**42,9**	**32**	**33,1**	**42,5**	**41,1**	**35,3**	**24,4**	**46,1**	**46,1**

1		2	3	4	5	6	7	8	9	10	11	12	13
Суммарные уровни звукового давления от мнимых источников в расчётной точке днём, дБ		**ф-ла (19) [1]**	**0**	**0**	**42,9**	**32**	**33,1**	**42,5**	**41,1**	**35,3**	**24,4**	**0**	**46,1**
Уровни звукового давления от источника ИШ-1-24 в расчётной точке днём, дБ		**ф-ла(3)[10]**	**0**	**48**	**47,7**	**42,1**	**44**	**48,2**	**45,6**	**39,8**	**28,9**	**51,6**	**51,6**
Источник шума: ИШ-1-25, координаты источника (x,y,z), м =[531.22,82.16,1.00]													
Уровни звуковой мощности источника днём, Lw, дБ		**исходные данные**	**0**	**93,3**	**94,7**	**96**	**96,3**	**95,9**	**92,6**	**88,4**	**83,9**		
Поправка на телесный угол DΩ, дБ	Ω = 6.28	10Lg(4π/Ω)	**3**	3	3	3	3	3	3	3	3		
Показатель направленности источника Di, дБ		исходные данные	**0**	0	0	0	0	0	0	0	0		
Поправка на направленность источника Dc, дБ	Dc	DΩ + Di	**3**	3	3	3	3	3	3	3	3		
Затухание из-за геометрической дивергенции, Adiv, дБ	расстояние = 115.60 м	ф-ла (7) [10]	**52,3**										
Коэффициент затухания звука в атмосфере α, дБ/км	Ta=20,°C Pa=101.33,кПа hотн.=70%	ф-ла (5) [9]	0,02	0,09	0,33	1,12	2,79	4,98	9,04	23,09	77,63		
Учет затухания звука в атмосфере Aatm, дБ		ф-ла (8) [10]	0	0	0	0,1	0,3	0,6	1	2,7	9		
Снижение поверхностью земли возле источника As, дБ	Gs = 0 hs = 1м	ф-лы таб.3 [10]	-1,5	-1,5	-1,5	-1,5	-1,5	-1,5	-1,5	-1,5	-1,5		
Снижение поверхностью земли возле приёмника Ar, дБ	Gr = 1 hr = 1.5м	ф-лы таб.3 [10]	-1,5	-1,5	0,8	6,3	4,5	0,6	0	0	0		
Снижение поверхностью земли в средней зоне, Am дБ	Gm = 1	ф-лы таб.3 [10]	-1,1	-1,1	0	0	0	0	0	0	0		
Суммарное снижение поверхностью земли на траектории распространения звука Agr, дБ		ф-ла (9) [10]	-4,1	-4,1	-0,7	4,8	3	-0,9	-1,5	-1,5	-1,5		
Уровни звукового давления прямого звука от источника ИШ-1-25 в расчётной точке днём, дБ		**ф-ла(3)[10]**	**0**	**48,1**	**46,1**	**41,8**	**43,7**	**47**	**43,8**	**38**	**27,2**	**50,2**	**50,2**
Расчёт отражённого звука													

1		2	3	4	5	6	7	8	9	10	11	12	13
Уровни звукового давления от мнимого источника ИШ-1-25_мн.(1) в расчётной точке днём, дБ		**ф-ла(3)[10]**	**0**	**0**	**0**	**0**	**0**	**0**	**0**	**0**	**0**	**0**	**0**
Уровни звукового давления от мнимого источника ИШ-1-25_мн.(2) в расчётной точке днём, дБ		**ф-ла(3)[10]**	**0**	**0**	**43**	**32,1**	**33,2**	**42,6**	**41,2**	**35,4**	**24,5**	**46,2**	**46,2**
Суммарные уровни звукового давления от мнимых источников в расчётной точке днём, дБ		**ф-ла (19) [1]**	**0**	**0**	**43**	**32,1**	**33,2**	**42,6**	**41,2**	**35,4**	**24,5**	**0**	**46,2**
Уровни звукового давления от источника ИШ-1-25 в расчётной точке днём, дБ		**ф-ла(3)[10]**	**0**	**48,1**	**47,8**	**42,2**	**44,1**	**48,3**	**45,7**	**39,9**	**29**	**51,6**	**51,6**
Источник шума: ИШ-1-26, координаты источника (x,y,z), м =[534.15,80.79,1.00]													
Уровни звуковой мощности источника днём, Lw, дБ		**исходные данные**	**0**	**93,3**	**94,7**	**96**	**96,3**	**95,9**	**92,6**	**88,4**	**83,9**		
Поправка на телесный угол DΩ, дБ	Ω = 6.28	10Lg(4π/Ω)	**3**	3	3	3	3	3	3	3	3		
Показатель направленности источника Di, дБ		исходные данные	**0**	0	0	0	0	0	0	0	0		
Поправка на направленность источника Dc, дБ	Dc	DΩ + Di	**3**	3	3	3	3	3	3	3	3		
Затухание из-за геометрической дивергенции, Adiv, дБ	расстояние = 114.02 м	ф-ла (7) [10]	**52,1**										
Коэффициент затухания звука в атмосфере α, дБ/км	Ta=20,°C Pa=101.33,кПа hотн.=70%	ф-ла (5) [9]	0,02	0,09	0,33	1,12	2,79	4,98	9,04	23,09	77,63		
Учет затухания звука в атмосфере Aatm, дБ		ф-ла (8) [10]	0	0	0	0,1	0,3	0,6	1	2,6	8,9		
Снижение поверхностью земли возле источника As, дБ	Gs = 0 hs = 1м	ф-лы таб.3 [10]	-1,5	-1,5	-1,5	-1,5	-1,5	-1,5	-1,5	-1,5	-1,5		
Снижение поверхностью земли возле приёмника Ar, дБ	Gr = 1 hr = 1.5м	ф-лы таб.3 [10]	-1,5	-1,5	0,8	6,3	4,5	0,6	0	0	0		
Снижение поверхностью земли в средней зоне, Am дБ	Gm = 1	ф-лы таб.3 [10]	-1	-1	0	0	0	0	0	0	0		
Суммарное снижение поверхностью земли на траектории распространения звука Agr, дБ		ф-ла (9) [10]	-4	-4	-0,7	4,8	3	-0,9	-1,5	-1,5	-1,5		

1		2	3	4	5	6	7	8	9	10	11	12	13
Уровни звукового давления прямого звука от источника ИШ-1-26 в расчётной точке днём, дБ		**ф-ла(3)[10]**	**0**	**48,2**	**46,2**	**41,9**	**43,9**	**47,1**	**43,9**	**38,1**	**27,4**	**50,3**	**50,3**
Расчёт отражённого звука													
Уровни звукового давления от мнимого источника ИШ-1-26_мн.(1) в расчётной точке днём, дБ		**ф-ла(3)[10]**	**0**	**0**	**0**	**0**	**0**	**0**	**0**	**0**	**0**	**0**	**0**
Уровни звукового давления от мнимого источника ИШ-1-26_мн.(2) в расчётной точке днём, дБ		**ф-ла(3)[10]**	**0**	**0**	**43,1**	**32,3**	**33,4**	**42,7**	**41,4**	**35,6**	**24,8**	**46,4**	**46,4**
Суммарные уровни звукового давления от мнимых источников в расчётной точке днём, дБ		**ф-ла (19) [1]**	**0**	**0**	**43,1**	**32,3**	**33,4**	**42,7**	**41,4**	**35,6**	**24,8**	**0**	**46,4**
Уровни звукового давления от источника ИШ-1-26 в расчётной точке днём, дБ		**ф-ла(3)[10]**	**0**	**48,2**	**47,9**	**42,4**	**44,2**	**48,4**	**45,8**	**40**	**29,3**	**51,8**	**51,8**
Источник шума: ИШ-1-27, координаты источника (x,y,z), м =[469.65,197.67,1.00]													
Уровни звуковой мощности источника днём, Lw, дБ		**исходные данные**	**0**	**93,3**	**94,7**	**96**	**96,3**	**95,9**	**92,6**	**88,4**	**83,9**		
Поправка на телесный угол DΩ, дБ	Ω = 6.28	10Lg(4π/Ω)	**3**	3	3	3	3	3	3	3	3		
Показатель направленности источника Di, дБ		исходные данные	**0**	0	0	0	0	0	0	0	0		
Поправка на направленность источника Dc, дБ	Dc	DΩ + Di	**3**	3	3	3	3	3	3	3	3		
Затухание из-за геометрической дивергенции, Adiv, дБ	расстояние = 241.53 м	ф-ла (7) [10]	**58,7**										
Коэффициент затухания звука в атмосфере α, дБ/км	Ta=20,°C Pa=101.33,кПа hотн.=70%	ф-ла (5) [9]	0,02	0,09	0,33	1,12	2,79	4,98	9,04	23,09	77,63		
Учет затухания звука в атмосфере Aatm, дБ		ф-ла (8) [10]	0	0	0,1	0,3	0,7	1,2	2,2	5,6	18,8		
Снижение уровня звукового давления из-за влияния застройки между источником шума и расчетной точкой													
Снижение уровня звукового давления на пути над экраном, Dz1, дБ	z = 0.83м (разность путей)	ф-лы (14-18) [10]	7	9,3	12,6	16	19,1	22,1	25,1	28,1	31,1		

1		2	3	4	5	6	7	8	9	10	11	12	13
Снижение уровня звукового давления на пути слева от экрана, Dz2, дБ	z = 27.45м (разность путей)	ф-лы (14-18) [10]	20,2	23,1	26,1	29,1	32,1	35,1	38,1	41,1	44,1		
Снижение уровня звукового давления на пути справа от экрана, Dz3, дБ	z = 16.99м (разность путей)	ф-лы (14-18) [10]	18,2	21,1	24	27	30	33	36	39	42		
Общее снижение уровня звука препятствием Dz, дБ		Эн.сумма(-Dzi)	6,5	8,8	12,1	15,5	18,6	21,6	24,6	27,6	30,6		
Общее снижение уровня звука препятствием с учётом ограничения (25 дБ) для октавных полос Dz, дБ		Раздел 7.4 [10]	6,5	8,8	12,1	15,5	18,6	21,6	24,6	25	25		
Уровни звукового давления прямого звука от источника ИШ-1-27 в расчётной точке днём, дБ		**ф-ла(3)[10]**	**0**	**28,8**	**26,8**	**24,6**	**21,4**	**17,4**	**10,2**	**2,2**	**0**	**22,8**	**22,8**
Расчёт отражённого звука													
Уровни звукового давления от мнимого источника ИШ-1-27_мн.(1) в расчётной точке днём, дБ		**ф-ла(3)[10]**	**0**	**0**	**0**	**0**	**0**	**0**	**0**	**0**	**0**	**0**	**0**
Уровни звукового давления от источника ИШ-1-27 в расчётной точке днём, дБ		**ф-ла(3)[10]**	**0**	**28,8**	**26,8**	**24,6**	**21,4**	**17,4**	**10,2**	**2,2**	**0**	**22,8**	**22,8**
Источник шума: ИШ-1-28, координаты источника (x,y,z), м =[472.78,196.69,1.00]													
Уровни звуковой мощности источника днём, Lw, дБ		**исходные данные**	**0**	**93,3**	**94,7**	**96**	**96,3**	**95,9**	**92,6**	**88,4**	**83,9**		
Поправка на телесный угол DΩ, дБ	Ω = 6.28	10Lg(4π/Ω)	**3**	3	3	3	3	3	3	3	3		
Показатель направленности источника Di, дБ		исходные данные	**0**	0	0	0	0	0	0	0	0		
Поправка на направленность источника Dc, дБ	Dc	DΩ + Di	**3**	3	3	3	3	3	3	3	3		
Затухание из-за геометрической дивергенции, Adiv, дБ	расстояние = 239.69 м	ф-ла (7) [10]	**58,6**										
Коэффициент затухания звука в атмосфере α, дБ/км	Та=20,°С Ра=101.33,кПа hотн.=70%	ф-ла (5) [9]	0,02	0,09	0,33	1,12	2,79	4,98	9,04	23,09	77,63		
Учет затухания звука в атмосфере Aatm, дБ		ф-ла (8) [10]	0	0	0,1	0,3	0,7	1,2	2,2	5,5	18,6		

1		2	3	4	5	6	7	8	9	10	11	12	13
Снижение уровня звукового давления из-за влияния застройки между источником шума и расчетной точкой													
Снижение уровня звукового давления на пути над экраном, Dz1, дБ	z = 0.87м (разность путей)	ф-лы (14-18) [10]	7,2	9,5	12,9	16,3	19,4	22,5	25,4	28,4	31,4		
Снижение уровня звукового давления на пути слева от экрана, Dz2, дБ	z = 26.03м (разность путей)	ф-лы (14-18) [10]	20	22,9	25,9	28,9	31,9	34,9	37,9	40,9	43,9		
Снижение уровня звукового давления на пути справа от экрана, Dz3, дБ	z = 17.99м (разность путей)	ф-лы (14-18) [10]	18,4	21,3	24,3	27,3	30,3	33,3	36,3	39,3	42,3		
Общее снижение уровня звука препятствием Dz, дБ		Эн.сумма(-Dzi)	6,6	9	12,4	15,8	18,9	21,9	24,9	27,9	30,9		
Общее снижение уровня звука препятствием с учётом ограничения (25 дБ) для октавных полос Dz, дБ		Раздел 7.4 [10]	6,6	9	12,4	15,8	18,9	21,9	24,9	25	25		
Уровни звукового давления прямого звука от источника ИШ-1-28 в расчётной точке днём, дБ		**ф-ла(3)[10]**	**0**	**28,6**	**26,6**	**24,4**	**21,2**	**17,2**	**10**	**2,3**	**0**	**22,6**	**22,6**
Расчёт отражённого звука													
Уровни звукового давления от мнимого источника ИШ-1-28_мн.(1) в расчётной точке днём, дБ		**ф-ла(3)[10]**	**0**	**0**	**0**	**0**	**0**	**0**	**0**	**0**	**0**	**0**	**0**
Уровни звукового давления от источника ИШ-1-28 в расчётной точке днём, дБ		**ф-ла(3)[10]**	**0**	**28,6**	**26,6**	**24,4**	**21,2**	**17,2**	**10**	**2,3**	**0**	**22,6**	**22,6**
Источник шума: ИШ-1-29, координаты источника (x,y,z), м =[475.52,195.72,1.00]													
Уровни звуковой мощности источника днём, Lw, дБ		**исходные данные**	**0**	**93,3**	**94,7**	**96**	**96,3**	**95,9**	**92,6**	**88,4**	**83,9**		
Поправка на телесный угол DΩ, дБ	Ω = 6.28	10Lg(4π/Ω)	**3**	3	3	3	3	3	3	3	3		
Показатель направленности источника Di, дБ		исходные данные	**0**	0	0	0	0	0	0	0	0		
Поправка на направленность источника Dc, дБ	Dc	DΩ + Di	**3**	3	3	3	3	3	3	3	3		
Затухание из-за геометрической дивергенции, Adiv, дБ	расстояние = 237.98 м	ф-ла (7) [10]	**58,5**										
Коэффициент затухания звука в атмосфере α, дБ/км	Ta=20,°C Pa=101.33,кПа hотн.=70%	ф-ла (5) [9]	0,02	0,09	0,33	1,12	2,79	4,98	9,04	23,09	77,63		

1		2	3	4	5	6	7	8	9	10	11	12	13
Учет затухания звука в атмосфере Aatm, дБ		ф-ла (8) [10]	0	0	0,1	0,3	0,7	1,2	2,2	5,5	18,5		
Снижение уровня звукового давления из-за влияния застройки между источником шума и расчетной точкой													
Снижение уровня звукового давления на пути над экраном, Dz1, дБ	z = 0.91м (разность путей)	ф-лы (14-18) [10]	7,3	9,7	13,2	16,6	19,8	22,8	25,8	28,8	31,8		
Снижение уровня звукового давления на пути слева от экрана, Dz2, дБ	z = 24.83м (разность путей)	ф-лы (14-18) [10]	19,8	22,7	25,7	28,7	31,7	34,7	37,7	40,7	43,7		
Снижение уровня звукового давления на пути справа от экрана, Dz3, дБ	z = 18.90м (разность путей)	ф-лы (14-18) [10]	18,6	21,6	24,5	27,5	30,5	33,5	36,5	39,5	42,5		
Общее снижение уровня звука препятствием Dz, дБ		Эн.сумма(-Dzi)	6,8	9,3	12,7	16	19,1	22,2	25,2	28,2	31,2		
Общее снижение уровня звука препятствием с учётом ограничения (25 дБ) для октавных полос Dz, дБ		Раздел 7.4 [10]	6,8	9,3	12,7	16	19,1	22,2	25	25	25		
Уровни звукового давления прямого звука от источника ИШ-1-29 в расчётной точке днём, дБ		**ф-ла(3)[10]**	**0**	**28,5**	**26,4**	**24,2**	**20,9**	**17**	**9,9**	**2,4**	**0**	**22,4**	**22,4**
Расчёт отражённого звука													
Уровни звукового давления от мнимого источника ИШ-1-29_мн.(1) в расчётной точке днём, дБ		**ф-ла(3)[10]**	**0**	**0**	**0**	**0**	**0**	**0**	**0**	**0**	**0**	**0**	**0**
Уровни звукового давления от источника ИШ-1-29 в расчётной точке днём, дБ		**ф-ла(3)[10]**	**0**	**28,5**	**26,4**	**24,2**	**20,9**	**17**	**9,9**	**2,4**	**0**	**22,4**	**22,4**
Источник шума: ИШ-1-30, координаты источника (x,y,z), м =[478.45,194.54,1.00]													
Уровни звуковой мощности источника днём, Lw, дБ		**исходные данные**	**0**	**93,3**	**94,7**	**96**	**96,3**	**95,9**	**92,6**	**88,4**	**83,9**		
Поправка на телесный угол DΩ, дБ	Ω = 6.28	10Lg(4π/Ω)	**3**	3	3	3	3	3	3	3	3		
Показатель направленности источника Di, дБ		исходные данные	**0**	0	0	0	0	0	0	0	0		
Поправка на направленность источника Dc, дБ	Dc	DΩ + Di	**3**	3	3	3	3	3	3	3	3		
Затухание из-за геометрической дивергенции, Adiv, дБ	расстояние = 236.06 м	ф-ла (7) [10]	**58,5**										

1		2	3	4	5	6	7	8	9	10	11	12	13
Коэффициент затухания звука в атмосфере α, дБ/км	Та=20,°С Ра=101.33,кПа hотн.=70%	ф-ла (5) [9]	0,02	0,09	0,33	1,12	2,79	4,98	9,04	23,09	77,63		
Учет затухания звука в атмосфере Aatm, дБ		ф-ла (8) [10]	0	0	0,1	0,3	0,7	1,2	2,1	5,4	18,3		
Снижение уровня звукового давления из-за влияния застройки между источником шума и расчетной точкой													
Снижение уровня звукового давления на пути над экраном, Dz1, дБ	z = 0.96м (разность путей)	ф-лы (14-18) [10]	7,5	10	13,5	17	20,1	23,1	26,1	29,1	32,1		
Снижение уровня звукового давления на пути слева от экрана, Dz2, дБ	z = 23.60м (разность путей)	ф-лы (14-18) [10]	19,6	22,5	25,4	28,4	31,4	34,4	37,4	40,5	43,5		
Снижение уровня звукового давления на пути справа от экрана, Dz3, дБ	z = 19.90м (разность путей)	ф-лы (14-18) [10]	18,9	21,8	24,7	27,7	30,7	33,7	36,7	39,7	42,7		
Общее снижение уровня звука препятствием Dz, дБ		Эн.сумма(-Dzi)	6,9	9,5	13	16,4	19,5	22,5	25,5	28,5	31,5		
Общее снижение уровня звука препятствием с учётом ограничения (25 дБ) для октавных полос Dz, дБ		Раздел 7.4 [10]	6,9	9,5	13	16,4	19,5	22,5	25	25	25		
Уровни звукового давления прямого звука от источника ИШ-1-30 в расчётной точке днём, дБ		**ф-ла(3)[10]**	**0**	**28,3**	**26,2**	**23,9**	**20,7**	**16,8**	**10**	**2,5**	**0**	**22,2**	**22,2**
Расчёт отражённого звука													
Уровни звукового давления от мнимого источника ИШ-1-30_мн.(1) в расчётной точке днём, дБ		**ф-ла(3)[10]**	**0**	**0**	**0**	**0**	**0**	**0**	**0**	**0**	**0**	**0**	**0**
Уровни звукового давления от источника ИШ-1-30 в расчётной точке днём, дБ		**ф-ла(3)[10]**	**0**	**28,3**	**26,2**	**23,9**	**20,7**	**16,8**	**10**	**2,5**	**0**	**22,2**	**22,2**
Источник шума: ИШ-1-31, координаты источника (x,y,z), м =[481.58,193.96,1.00]													
Уровни звуковой мощности источника днём, Lw, дБ		**исходные данные**	**0**	**93,3**	**94,7**	**96**	**96,3**	**95,9**	**92,6**	**88,4**	**83,9**		
Поправка на телесный угол DΩ, дБ	Ω = 6.28	10Lg(4π/Ω)	**3**	3	3	3	3	3	3	3	3		
Показатель направленности источника Di, дБ		исходные данные	**0**	0	0	0	0	0	0	0	0		

1		2	3	4	5	6	7	8	9	10	11	12	13
Поправка на направленность источника Dc, дБ	Dc	DΩ + Di	**3**	3	3	3	3	3	3	3	3		
Затухание из-за геометрической дивергенции, Adiv, дБ	расстояние = 234.68 м	ф-ла (7) [10]	**58,4**										
Коэффициент затухания звука в атмосфере α, дБ/км	Ta=20,°C Pa=101.33,кПа hотн.=70%	ф-ла (5) [9]	0,02	0,09	0,33	1,12	2,79	4,98	9,04	23,09	77,63		
Учет затухания звука в атмосфере Aatm, дБ		ф-ла (8) [10]	0	0	0,1	0,3	0,7	1,2	2,1	5,4	18,2		
Снижение уровня звукового давления из-за влияния застройки между источником шума и расчетной точкой													
Снижение уровня звукового давления на пути над экраном, Dz1, дБ	z = 1.02м (разность путей)	ф-лы (14-18) [10]	7,7	10,3	13,9	17,4	20,5	23,5	26,5	29,5	32,5		
Снижение уровня звукового давления на пути слева от экрана, Dz2, дБ	z = 21.85м (разность путей)	ф-лы (14-18) [10]	19,2	22,2	25,1	28,1	31,1	34,1	37,1	40,1	43,1		
Снижение уровня звукового давления на пути справа от экрана, Dz3, дБ	z = 21.03м (разность путей)	ф-лы (14-18) [10]	19,1	22	24,9	27,9	30,9	33,9	36,9	40	43		
Общее снижение уровня звука препятствием Dz, дБ		Эн.сумма(-Dzi)	7,1	9,8	13,3	16,7	19,8	22,8	25,8	28,8	31,8		
Общее снижение уровня звука препятствием с учётом ограничения (25 дБ) для октавных полос Dz, дБ		Раздел 7.4 [10]	7,1	9,8	13,3	16,7	19,8	22,8	25	25	25		
Уровни звукового давления прямого звука от источника ИШ-1-31 в расчётной точке днём, дБ		**ф-ла(3)[10]**	**0**	**28,1**	**25,9**	**23,6**	**20,4**	**16,5**	**10,1**	**2,6**	**0**	**21,9**	**21,9**
Расчёт отражённого звука													
Уровни звукового давления от мнимого источника ИШ-1-31_мн.(1) в расчётной точке днём, дБ		**ф-ла(3)[10]**	**0**	**0**	**0**	**0**	**0**	**0**	**0**	**0**	**0**	**0**	**0**
Уровни звукового давления от источника ИШ-1-31 в расчётной точке днём, дБ		**ф-ла(3)[10]**	**0**	**28,1**	**25,9**	**23,6**	**20,4**	**16,5**	**10,1**	**2,6**	**0**	**21,9**	**21,9**
Источник шума: ИШ-1-32, координаты источника (x,y,z), м =[871.21,281.99,50.00]													
Уровни звуковой мощности источника днём, Lw, дБ		**исходные данные**	**125**	**119,6**	**113,4**	**111,4**	**110,8**	**112,7**	**113,8**	**109,2**	**97,4**		

1		2	3	4	5	6	7	8	9	10	11	12	13
Поправка на телесный угол DΩ, дБ	Ω = 12.57	10Lg(4π/Ω)	**0**	0	0	0	0	0	0	0	0		
Показатель направленности источника Di, дБ		исходные данные	**0**	0	0	0	0	0	0	0	0		
Поправка на направленность источника Dc, дБ	Dc	DΩ + Di	**0**	0	0	0	0	0	0	0	0		
Затухание из-за геометрической дивергенции, Adiv, дБ	расстояние = 458.76 м	ф-ла (7) [10]	**64,2**										
Коэффициент затухания звука в атмосфере α, дБ/км	Та=20,°С Ра=101.33,кПа hотн.=70%	ф-ла (5) [9]	0,02	0,09	0,33	1,12	2,79	4,98	9,04	23,09	77,63		
Учет затухания звука в атмосфере Aatm, дБ		ф-ла (8) [10]	0	0	0,2	0,5	1,3	2,3	4,1	10,6	35,6		
Снижение уровня звукового давления из-за влияния застройки между источником шума и расчетной точкой													
Снижение уровня звукового давления на пути над экраном, Dz1, дБ	z = 2.72м (разность путей)	ф-лы (14-18) [10]	10,4	12,7	15,3	18,2	21,1	24	27	30	33		
Снижение уровня звукового давления на пути справа от экрана, Dz3, дБ	z = 1.82м (разность путей)	ф-лы (14-18) [10]	9,9	12,2	14,7	17,5	20,4	23,4	26,4	29,3	32,4		
Общее снижение уровня звука препятствием Dz, дБ		Эн.сумма(-Dzi)	7,1	9,4	12	14,8	17,7	20,7	23,7	26,7	29,7		
Общее снижение уровня звука препятствием с учётом ограничения (20 дБ) для октавных полос Dz, дБ		Раздел 7.4 [10]	7,1	9,4	12	14,8	17,7	20	20	20	20		
Уровни звукового давления от источника ИШ-1-32 в расчётной точке днём, дБ		**ф-ла(3)[10]**	**53,7**	**45,9**	**37**	**31,9**	**27,6**	**26,2**	**25,5**	**14,4**	**0**	**32,2**	**32,2**
Источник шума: ИШ-1-33, координаты источника (x,y,z), м =[743.42,374.85,1.00]													
Уровни звуковой мощности источника днём, Lw, дБ		**исходные данные**	**0**	**88,7**	**90,1**	**93,1**	**96,4**	**103**	**112**	**108**	**99,2**		
Поправка на телесный угол DΩ, дБ	Ω = 6.28	10Lg(4π/Ω)	**3**	3	3	3	3	3	3	3	3		
Показатель направленности источника Di, дБ		исходные данные	**0**	0	0	0	0	0	0	0	0		

1		2	3	4	5	6	7	8	9	10	11	12	13
Поправка на направленность источника Dc, дБ	Dc	DΩ + Di	**3**	3	3	3	3	3	3	3	3		
Затухание из-за геометрической дивергенции, Adiv, дБ	расстояние = 455.23 м	ф-ла (7) [10]	**64,2**										
Коэффициент затухания звука в атмосфере α, дБ/км	Ta=20,°C Pa=101.33,кПа hотн.=70%	ф-ла (5) [9]	0,02	0,09	0,33	1,12	2,79	4,98	9,04	23,09	77,63		
Учет затухания звука в атмосфере Aatm, дБ		ф-ла (8) [10]	0	0	0,2	0,5	1,3	2,3	4,1	10,5	35,3		
Снижение уровня звукового давления из-за влияния застройки между источником шума и расчетной точкой													
Снижение уровня звукового давления на пути над экраном, Dz1, дБ	z = 1.41м (разность путей)	ф-лы (14-18) [10]	8,1	10,1	13,1	17,2	21,3	24,8	28	31	34		
Снижение уровня звукового давления на пути слева от экрана, Dz2, дБ	z = 53.31м (разность путей)	ф-лы (14-18) [10]	23,2	26,5	30,5	35	39,1	42,6	45,7	48,8	51,8		
Снижение уровня звукового давления на пути справа от экрана, Dz3, дБ	z = 0.50м (разность путей)	ф-лы (14-18) [10]	8,8	11,3	13,9	16,7	19,6	22,5	25,5	28,5	31,5		
Общее снижение уровня звука препятствием Dz, дБ		Эн.сумма(-Dzi)	5,3	7,6	10,4	13,9	17,3	20,5	23,5	26,5	29,5		
Общее снижение уровня звука препятствием с учётом ограничения (25 дБ) для октавных полос Dz, дБ		Раздел 7.4 [10]	5,3	7,6	10,4	13,9	17,3	20,5	23,5	25	25		
Уровни звукового давления прямого звука от источника ИШ-1-33 в расчётной точке днём, дБ		**ф-ла(3)[10]**	**0**	**19,9**	**18,4**	**17,6**	**16,7**	**19,1**	**23,2**	**11,3**	**0**	**26,1**	**26,1**
Расчёт отражённого звука													
Уровни звукового давления от мнимого источника ИШ-1-33_мн.(1) в расчётной точке днём, дБ		**ф-ла(3)[10]**	**0**	**0**	**0**	**0**	**0**	**0**	**0**	**0**	**0**	**0**	**0**
Уровни звукового давления от мнимого источника ИШ-1-33_мн.(2) в расчётной точке днём, дБ		**ф-ла(3)[10]**	**0**	**0**	**0**	**0**	**0**	**0**	**0**	**33,3**	**0**	**34,3**	**34,3**
Уровни звукового давления от мнимого источника ИШ-1-33_мн.(3) в расчётной точке днём, дБ		**ф-ла(3)[10]**	**0**	**0**	**0**	**0**	**0**	**0**	**0**	**0**	**0**	**0**	**0**
Суммарные уровни звукового давления от мнимых источников в расчётной точке днём, дБ		**ф-ла (19) [1]**	**0**	**0**	**0**	**0**	**0**	**0**	**0**	**33,3**	**0**	**0**	**34,3**
Уровни звукового давления от источника ИШ-1-33 в расчётной точке днём, дБ		**ф-ла(3)[10]**	**0**	**19,9**	**18,4**	**17,6**	**16,7**	**19,1**	**23,2**	**33,4**	**0**	**34,9**	**34,9**

1		2	3	4	5	6	7	8	9	10	11	12	13
Источник шума: ИШ-1-34, координаты источника (x,y,z), м =[1042.35,199.07,1.00]													
Уровни звуковой мощности источника днём, Lw, дБ		**исходные данные**	**0**	**88,7**	**90,1**	**93,1**	**96,4**	**103**	**112**	**108**	**99,2**		
Поправка на телесный угол DΩ, дБ	Ω = 6.28	10Lg(4π/Ω)	**3**	3	3	3	3	3	3	3	3		
Показатель направленности источника Di, дБ		исходные данные	**0**	0	0	0	0	0	0	0	0		
Поправка на направленность источника Dc, дБ	Dc	DΩ + Di	**3**	3	3	3	3	3	3	3	3		
Затухание из-за геометрической дивергенции, Adiv, дБ	расстояние = 552.25 м	ф-ла (7) [10]	**65,8**										
Коэффициент затухания звука в атмосфере α, дБ/км	Ta=20,°C Pa=101.33,кПа hотн.=70%	ф-ла (5) [9]	0,02	0,09	0,33	1,12	2,79	4,98	9,04	23,09	77,63		
Учет затухания звука в атмосфере Aatm, дБ		ф-ла (8) [10]	0	0	0,2	0,6	1,5	2,7	5	12,7	42,9		
Снижение уровня звукового давления из-за влияния застройки между источником шума и расчетной точкой													
Снижение уровня звукового давления на пути над экраном, Dz1, дБ	z = 3.93м (разность путей)	ф-лы (14-18) [10]	11,8	14,9	19	23,3	27,1	30,3	33,4	36,4	39,4		
Снижение уровня звукового давления на пути слева от экрана, Dz2, дБ	z = 52.25м (разность путей)	ф-лы (14-18) [10]	24,4	28,9	33	36,5	39,6	42,6	45,7	48,7	51,7		
Снижение уровня звукового давления на пути справа от экрана, Dz3, дБ	z = 5.62м (разность путей)	ф-лы (14-18) [10]	13,8	16,5	19,3	22,3	25,2	28,2	31,2	34,2	37,2		
Общее снижение уровня звука препятствием Dz, дБ		Эн.сумма(-Dzi)	9,5	12,5	16	19,7	23	26	29,1	32,1	35,1		
Общее снижение уровня звука препятствием с учётом ограничения (25 дБ) для октавных полос Dz, дБ		Раздел 7.4 [10]	9,5	12,5	16	19,7	23	25	25	25	25		
Уровни звукового давления от источника ИШ-1-34 в расчётной точке днём, дБ		**ф-ла(3)[10]**	**0**	**13,3**	**11**	**10**	**9,1**	**12,4**	**19,2**	**7,4**	**0**	**21,4**	**21,4**
Источник шума: ИШ-2-1, координаты источника (x,y,z), м =[696.50,124.40,3.00]													

1		2	3	4	5	6	7	8	9	10	11	12	13
Уровни звуковой мощности источника днём, Lw, дБ		**исходные данные**	**105**	**104**	**104**	**101**	**102**	**106**	**101**	**95**	**87**		
Поправка на телесный угол DΩ, дБ	Ω = 6.28	10Lg(4π/Ω)	**3**	3	3	3	3	3	3	3	3		
Показатель направленности источника Di, дБ		исходные данные	**0**	0	0	0	0	0	0	0	0		
Поправка на направленность источника Dc, дБ	Dc	DΩ + Di	**3**	3	3	3	3	3	3	3	3		
Затухание из-за геометрической дивергенции, Adiv, дБ	расстояние = 221.11 м	ф-ла (7) [10]	**57,9**										
Коэффициент затухания звука в атмосфере α, дБ/км	Ta=20,°C Pa=101.33,кПа hотн.=70%	ф-ла (5) [9]	0,02	0,09	0,33	1,12	2,79	4,98	9,04	23,09	77,63		
Учет затухания звука в атмосфере Aatm, дБ		ф-ла (8) [10]	0	0	0,1	0,2	0,6	1,1	2	5,1	17,2		
Снижение уровня звукового давления из-за влияния застройки между источником шума и расчетной точкой													
Снижение уровня звукового давления на пути над экраном, Dz1, дБ	z = 3.20м (разность путей)	ф-лы (14-18) [10]	11,6	14,9	19	23,3	26,8	30	33,1	36,1	39,1		
Снижение уровня звукового давления на пути слева от экрана, Dz2, дБ	z = 47.96м (разность путей)	ф-лы (14-18) [10]	22,7	26	30	34,5	38,7	42,1	45,3	48,3	51,3		
Снижение уровня звукового давления на пути справа от экрана, Dz3, дБ	z = 1.66м (разность путей)	ф-лы (14-18) [10]	9,6	11,8	14,4	17,1	20	23	26	28,9	31,9		
Общее снижение уровня звука препятствием Dz, дБ		Эн.сумма(-Dzi)	7,4	10	13	16,1	19,2	22,1	25,1	28,1	31,1		
Общее снижение уровня звука препятствием с учётом ограничения (25 дБ) для октавных полос Dz, дБ		Раздел 7.4 [10]	7,4	10	13	16,1	19,2	22,1	25	25	25		
Уровни звукового давления от источника ИШ-2-1 в расчётной точке днём, дБ		**ф-ла(3)[10]**	**42,7**	**39,1**	**36**	**29,7**	**27,3**	**27,9**	**19,1**	**10**	**0**	**30,9**	**30,9**
Источник шума: ИШ-2-2, координаты источника (x,y,z), м =[682.20,81.60,3.00]													
Уровни звуковой мощности источника днём, Lw, дБ		**исходные данные**	**105**	**104**	**104**	**101**	**102**	**106**	**101**	**95**	**87**		

1		2	3	4	5	6	7	8	9	10	11	12	13
Поправка на телесный угол DΩ, дБ	Ω = 6.28	10Lg(4π/Ω)	**3**	3	3	3	3	3	3	3	3		
Показатель направленности источника Di, дБ		исходные данные	**0**	0	0	0	0	0	0	0	0		
Поправка на направленность источника Dc, дБ	Dc	DΩ + Di	**3**	3	3	3	3	3	3	3	3		
Затухание из-за геометрической дивергенции, Adiv, дБ	расстояние = 181.69 м	ф-ла (7) [10]	**56,2**										
Коэффициент затухания звука в атмосфере α, дБ/км	Ta=20,°C Pa=101.33,кПа hотн.=70%	ф-ла (5) [9]	0,02	0,09	0,33	1,12	2,79	4,98	9,04	23,09	77,63		
Учет затухания звука в атмосфере Aatm, дБ		ф-ла (8) [10]	0	0	0,1	0,2	0,5	0,9	1,6	4,2	14,1		
Снижение уровня звукового давления из-за влияния застройки между источником шума и расчетной точкой													
Снижение уровня звукового давления на пути над экраном, Dz1, дБ	z = 3.51м (разность путей)	ф-лы (14-18) [10]	12,1	15,5	19,7	23,9	27,4	30,5	33,6	36,6	39,6		
Снижение уровня звукового давления на пути слева от экрана, Dz2, дБ	z = 45.90м (разность путей)	ф-лы (14-18) [10]	22,5	25,9	29,8	34,4	38,5	41,9	45,1	48,1	51,1		
Снижение уровня звукового давления на пути справа от экрана, Dz3, дБ	z = 2.76м (разность путей)	ф-лы (14-18) [10]	11,2	13,7	16,4	19,3	22,2	25,2	28,2	31,2	34,2		
Общее снижение уровня звука препятствием Dz, дБ		Эн.сумма(-Dzi)	8,5	11,3	14,6	17,9	21	24	27	30	33		
Общее снижение уровня звука препятствием с учётом ограничения (25 дБ) для октавных полос Dz, дБ		Раздел 7.4 [10]	8,5	11,3	14,6	17,9	21	24	25	25	25		
Уровни звукового давления от источника ИШ-2-2 в расчётной точке днём, дБ		**ф-ла(3)[10]**	**43,4**	**39,5**	**36,2**	**29,7**	**27,4**	**27,9**	**21,2**	**12,6**	**0**	**31,2**	**31,2**
Источник шума: ИШ-2-3, координаты источника (x,y,z), м =[667.80,38.90,3.00]													
Уровни звуковой мощности источника днём, Lw, дБ		**исходные данные**	**105**	**104**	**104**	**101**	**102**	**106**	**101**	**95**	**87**		
Поправка на телесный угол DΩ, дБ	Ω = 6.28	10Lg(4π/Ω)	**3**	3	3	3	3	3	3	3	3		

1		2	3	4	5	6	7	8	9	10	11	12	13
Показатель направленности источника Di, дБ		исходные данные	**0**	0	0	0	0	0	0	0	0		
Поправка на направленность источника Dc, дБ	Dc	DΩ + Di	**3**	3	3	3	3	3	3	3	3		
Затухание из-за геометрической дивергенции, Adiv, дБ	расстояние = 145.58 м	ф-ла (7) [10]	**54,3**										
Коэффициент затухания звука в атмосфере α, дБ/км	Ta=20,°C Pa=101.33,кПа hотн.=70%	ф-ла (5) [9]	0,02	0,09	0,33	1,12	2,79	4,98	9,04	23,09	77,63		
Учет затухания звука в атмосфере Aatm, дБ		ф-ла (8) [10]	0	0	0	0,2	0,4	0,7	1,3	3,4	11,3		
Снижение уровня звукового давления из-за влияния застройки между источником шума и расчетной точкой													
Снижение уровня звукового давления на пути над экраном, Dz1, дБ	z = 3.84м (разность путей)	ф-лы (14-18) [10]	12,4	15,6	19,8	24,1	27,8	31	34,1	37,1	40,1		
Снижение уровня звукового давления на пути слева от экрана, Dz2, дБ	z = 63.87м (разность путей)	ф-лы (14-18) [10]	25,2	29,8	33,9	37,3	40,5	43,5	46,5	49,5	52,6		
Снижение уровня звукового давления на пути справа от экрана, Dz3, дБ	z = 4.95м (разность путей)	ф-лы (14-18) [10]	13,3	16	18,8	21,7	24,7	27,7	30,7	33,7	36,7		
Общее снижение уровня звука препятствием Dz, дБ		Эн.сумма(-Dzi)	9,7	12,7	16,2	19,7	22,9	25,9	29	32	35		
Общее снижение уровня звука препятствием с учётом ограничения (25 дБ) для октавных полос Dz, дБ		Раздел 7.4 [10]	9,7	12,7	16,2	19,7	22,9	25	25	25	25		
Уровни звукового давления от источника ИШ-2-3 в расчётной точке днём, дБ		**ф-ла(3)[10]**	**44,1**	**40**	**36,5**	**29,9**	**27,5**	**29**	**23,4**	**15,4**	**0**	**32,2**	**32,2**
Источник шума: ИШ-2-6, координаты источника (x,y,z), м =[765.97,112.43,1.00]													
Уровни звуковой мощности источника днём, Lw, дБ		**исходные данные**	**0**	**93,3**	**94,7**	**96**	**96,3**	**95,9**	**92,6**	**88,4**	**83,9**		
Поправка на телесный угол DΩ, дБ	Ω = 6.28	10Lg(4π/Ω)	**3**	3	3	3	3	3	3	3	3		
Показатель направленности источника Di, дБ		исходные данные	**0**	0	0	0	0	0	0	0	0		

1		2	3	4	5	6	7	8	9	10	11	12	13
Поправка на направленность источника Dc, дБ	Dc	DΩ + Di	**3**	3	3	3	3	3	3	3	3		
Затухание из-за геометрической дивергенции, Adiv, дБ	расстояние = 267.70 м	ф-ла (7) [10]	**59,6**										
Коэффициент затухания звука в атмосфере α, дБ/км	Ta=20,°C Pa=101.33,кПа hотн.=70%	ф-ла (5) [9]	0,02	0,09	0,33	1,12	2,79	4,98	9,04	23,09	77,63		
Учет затухания звука в атмосфере Aatm, дБ		ф-ла (8) [10]	0	0	0,1	0,3	0,7	1,3	2,4	6,2	20,8		
Снижение уровня звукового давления из-за влияния застройки между источником шума и расчетной точкой													
Снижение уровня звукового давления на пути над экраном, Dz1, дБ	z = 3.76м (разность путей)	ф-лы (14-18) [10]	12,2	15,4	19,6	23,9	27,5	30,7	33,7	36,8	39,8		
Снижение уровня звукового давления на пути слева от экрана, Dz2, дБ	z = 62.39м (разность путей)	ф-лы (14-18) [10]	25,1	29,7	33,8	37,2	40,4	43,4	46,4	49,4	52,5		
Снижение уровня звукового давления на пути справа от экрана, Dz3, дБ	z = 3.91м (разность путей)	ф-лы (14-18) [10]	12,4	15	17,8	20,7	23,7	26,7	29,6	32,7	35,7		
Общее снижение уровня звука препятствием Dz, дБ		Эн.сумма(-Dzi)	9,2	12,2	15,6	18,9	22,1	25,1	28,2	31,2	34,2		
Общее снижение уровня звука препятствием с учётом ограничения (25 дБ) для октавных полос Dz, дБ		Раздел 7.4 [10]	9,2	12,2	15,6	18,9	22,1	25	25	25	25		
Уровни звукового давления от источника ИШ-2-6 в расчётной точке днём, дБ		**ф-ла(3)[10]**	**0**	**24,6**	**22,5**	**20,2**	**16,9**	**13**	**8,6**	**0,7**	**0**	**18,7**	**18,7**
Источник шума: ИШ-2-7, координаты источника (x,y,z), м =[764.91,109.54,1.00]													
Уровни звуковой мощности источника днём, Lw, дБ		**исходные данные**	**0**	**93,3**	**94,7**	**96**	**96,3**	**95,9**	**92,6**	**88,4**	**83,9**		
Поправка на телесный угол DΩ, дБ	Ω = 6.28	10Lg(4π/Ω)	**3**	3	3	3	3	3	3	3	3		
Показатель направленности источника Di, дБ		исходные данные	**0**	0	0	0	0	0	0	0	0		
Поправка на направленность источника Dc, дБ	Dc	DΩ + Di	**3**	3	3	3	3	3	3	3	3		

1		2	3	4	5	6	7	8	9	10	11	12	13
Затухание из-за геометрической дивергенции, Adiv, дБ	расстояние = 265.24 м	ф-ла (7) [10]	**59,5**										
Коэффициент затухания звука в атмосфере α, дБ/км	Ta=20,°C Pa=101.33,кПа hотн.=70%	ф-ла (5) [9]	0,02	0,09	0,33	1,12	2,79	4,98	9,04	23,09	77,63		
Учет затухания звука в атмосфере Aatm, дБ		ф-ла (8) [10]	0	0	0,1	0,3	0,7	1,3	2,4	6,1	20,6		
Снижение уровня звукового давления из-за влияния застройки между источником шума и расчетной точкой													
Снижение уровня звукового давления на пути над экраном, Dz1, дБ	z = 3.77м (разность путей)	ф-лы (14-18) [10]	12,2	15,5	19,6	23,9	27,5	30,7	33,8	36,8	39,8		
Снижение уровня звукового давления на пути слева от экрана, Dz2, дБ	z = 62.07м (разность путей)	ф-лы (14-18) [10]	25,1	29,6	33,7	37,2	40,4	43,4	46,4	49,4	52,4		
Снижение уровня звукового давления на пути справа от экрана, Dz3, дБ	z = 4.00м (разность путей)	ф-лы (14-18) [10]	12,5	15,1	17,9	20,8	23,8	26,7	29,7	32,7	35,8		
Общее снижение уровня звука препятствием Dz, дБ		Эн.сумма(-Dzi)	9,2	12,2	15,6	19	22,2	25,2	28,2	31,2	34,2		
Общее снижение уровня звука препятствием с учётом ограничения (25 дБ) для октавных полос Dz, дБ		Раздел 7.4 [10]	9,2	12,2	15,6	19	22,2	25	25	25	25		
Уровни звукового давления от источника ИШ-2-7 в расчётной точке днём, дБ		**ф-ла(3)[10]**	**0**	**24,6**	**22,5**	**20,2**	**16,9**	**13,1**	**8,7**	**0,8**	**0**	**18,7**	**18,7**
Источник шума: ИШ-2-8, координаты источника (x,y,z), м =[764.03,106.58,1.00]													
Уровни звуковой мощности источника днём, Lw, дБ		**исходные данные**	**0**	**93,3**	**94,7**	**96**	**96,3**	**95,9**	**92,6**	**88,4**	**83,9**		
Поправка на телесный угол DΩ, дБ	Ω = 6.28	10Lg(4π/Ω)	**3**	3	3	3	3	3	3	3	3		
Показатель направленности источника Di, дБ		исходные данные	**0**	0	0	0	0	0	0	0	0		
Поправка на направленность источника Dc, дБ	Dc	DΩ + Di	**3**	3	3	3	3	3	3	3	3		
Затухание из-за геометрической дивергенции, Adiv, дБ	расстояние = 262.92 м	ф-ла (7) [10]	**59,4**										

1		2	3	4	5	6	7	8	9	10	11	12	13
Коэффициент затухания звука в атмосфере α, дБ/км	Ta=20,°C Pa=101.33,кПа hотн.=70%	ф-ла (5) [9]	0,02	0,09	0,33	1,12	2,79	4,98	9,04	23,09	77,63		
Учет затухания звука в атмосфере Aatm, дБ		ф-ла (8) [10]	0	0	0,1	0,3	0,7	1,3	2,4	6,1	20,4		
Снижение уровня звукового давления из-за влияния застройки между источником шума и расчетной точкой													
Снижение уровня звукового давления на пути над экраном, Dz1, дБ	z = 3.79м (разность путей)	ф-лы (14-18) [10]	12,2	15,5	19,6	23,9	27,5	30,7	33,8	36,8	39,8		
Снижение уровня звукового давления на пути слева от экрана, Dz2, дБ	z = 61.71м (разность путей)	ф-лы (14-18) [10]	25,1	29,6	33,7	37,2	40,3	43,4	46,4	49,4	52,4		
Снижение уровня звукового давления на пути справа от экрана, Dz3, дБ	z = 4.10м (разность путей)	ф-лы (14-18) [10]	12,6	15,2	18	20,9	23,9	26,9	29,9	32,9	35,9		
Общее снижение уровня звука препятствием Dz, дБ		Эн.сумма(-Dzi)	9,3	12,3	15,7	19,1	22,2	25,3	28,3	31,3	34,3		
Общее снижение уровня звука препятствием с учётом ограничения (25 дБ) для октавных полос Dz, дБ		Раздел 7.4 [10]	9,3	12,3	15,7	19,1	22,2	25	25	25	25		
Уровни звукового давления от источника ИШ-2-8 в расчётной точке днём, дБ		**ф-ла(3)[10]**	**0**	**24,6**	**22,5**	**20,2**	**16,9**	**13,2**	**8,8**	**0,9**	**0**	**18,8**	**18,8**
Источник шума: ИШ-2-9, координаты источника (x,y,z), м =[763.26,103.71,1.00]													
Уровни звуковой мощности источника днём, Lw, дБ		**исходные данные**	**0**	**93,3**	**94,7**	**96**	**96,3**	**95,9**	**92,6**	**88,4**	**83,9**		
Поправка на телесный угол DΩ, дБ	Ω = 6.28	10Lg(4π/Ω)	**3**	3	3	3	3	3	3	3	3		
Показатель направленности источника Di, дБ		исходные данные	**0**	0	0	0	0	0	0	0	0		
Поправка на направленность источника Dc, дБ	Dc	DΩ + Di	**3**	3	3	3	3	3	3	3	3		
Затухание из-за геометрической дивергенции, Adiv, дБ	расстояние = 260.75 м	ф-ла (7) [10]	**59,3**										
Коэффициент затухания звука в атмосфере α, дБ/км	Ta=20,°C Pa=101.33,кПа hотн.=70%	ф-ла (5) [9]	0,02	0,09	0,33	1,12	2,79	4,98	9,04	23,09	77,63		

1		2	3	4	5	6	7	8	9	10	11	12	13
Учет затухания звука в атмосфере Aatm, дБ		ф-ла (8) [10]	0	0	0,1	0,3	0,7	1,3	2,4	6	20,2		
Снижение уровня звукового давления из-за влияния застройки между источником шума и расчетной точкой													
Снижение уровня звукового давления на пути над экраном, Dz1, дБ	z = 3.80м (разность путей)	ф-лы (14-18) [10]	12,2	15,5	19,6	23,9	27,5	30,7	33,8	36,8	39,8		
Снижение уровня звукового давления на пути слева от экрана, Dz2, дБ	z = 61.34м (разность путей)	ф-лы (14-18) [10]	25,1	29,6	33,7	37,2	40,3	43,3	46,4	49,4	52,4		
Снижение уровня звукового давления на пути справа от экрана, Dz3, дБ	z = 4.20м (разность путей)	ф-лы (14-18) [10]	12,7	15,3	18,1	21	24	27	30	33	36		
Общее снижение уровня звука препятствием Dz, дБ		Эн.сумма(-Dzi)	9,3	12,3	15,7	19,2	22,3	25,4	28,4	31,4	34,4		
Общее снижение уровня звука препятствием с учётом ограничения (25 дБ) для октавных полос Dz, дБ		Раздел 7.4 [10]	9,3	12,3	15,7	19,2	22,3	25	25	25	25		
Уровни звукового давления от источника ИШ-2-9 в расчётной точке днём, дБ		**ф-ла(3)[10]**	**0**	**24,6**	**22,6**	**20,2**	**16,9**	**13,3**	**8,9**	**1**	**0**	**18,8**	**18,8**
Источник шума: ИШ-2-10, координаты источника (x,y,z), м =[762.14,100.75,1.00]													
Уровни звуковой мощности источника днём, Lw, дБ		**исходные данные**	**0**	**93,3**	**94,7**	**96**	**96,3**	**95,9**	**92,6**	**88,4**	**83,9**		
Поправка на телесный угол DΩ, дБ	Ω = 6.28	10Lg(4π/Ω)	**3**	3	3	3	3	3	3	3	3		
Показатель направленности источника Di, дБ		исходные данные	**0**	0	0	0	0	0	0	0	0		
Поправка на направленность источника Dc, дБ	Dc	DΩ + Di	**3**	3	3	3	3	3	3	3	3		
Затухание из-за геометрической дивергенции, Adiv, дБ	расстояние = 258.25 м	ф-ла (7) [10]	**59,2**										
Коэффициент затухания звука в атмосфере α, дБ/км	Ta=20,°C Pa=101.33,кПа hотн.=70%	ф-ла (5) [9]	0,02	0,09	0,33	1,12	2,79	4,98	9,04	23,09	77,63		
Учет затухания звука в атмосфере Aatm, дБ		ф-ла (8) [10]	0	0	0,1	0,3	0,7	1,3	2,3	6	20		

1		2	3	4	5	6	7	8	9	10	11	12	13
Снижение уровня звукового давления из-за влияния застройки между источником шума и расчетной точкой													
Снижение уровня звукового давления на пути над экраном, Dz1, дБ	z = 3.81м (разность путей)	ф-лы (14-18) [10]	12,2	15,5	19,6	23,9	27,6	30,8	33,8	36,8	39,8		
Снижение уровня звукового давления на пути слева от экрана, Dz2, дБ	z = 60.99м (разность путей)	ф-лы (14-18) [10]	25	29,6	33,7	37,1	40,3	43,3	46,3	49,3	52,4		
Снижение уровня звукового давления на пути справа от экрана, Dz3, дБ	z = 4.30м (разность путей)	ф-лы (14-18) [10]	12,8	15,4	18,2	21,1	24,1	27,1	30,1	33,1	36,1		
Общее снижение уровня звука препятствием Dz, дБ		Эн.сумма(-Dzi)	9,4	12,4	15,8	19,2	22,4	25,4	28,5	31,5	34,5		
Общее снижение уровня звука препятствием с учётом ограничения (25 дБ) для октавных полос Dz, дБ		Раздел 7.4 [10]	9,4	12,4	15,8	19,2	22,4	25	25	25	25		
Уровни звукового давления от источника ИШ-2-10 в расчётной точке днём, дБ		**ф-ла(3)[10]**	**0**	**24,7**	**22,6**	**20,2**	**16,9**	**13,4**	**9**	**1,2**	**0**	**18,9**	**18,9**
Источник шума: ИШ-2-11, координаты источника (x,y,z), м =[761.13,97.90,1.00]													
Уровни звуковой мощности источника днём, Lw, дБ		**исходные данные**	**0**	**93,3**	**94,7**	**96**	**96,3**	**95,9**	**92,6**	**88,4**	**83,9**		
Поправка на телесный угол DΩ, дБ	Ω = 6.28	10Lg(4π/Ω)	**3**	3	3	3	3	3	3	3	3		
Показатель направленности источника Di, дБ		исходные данные	**0**	0	0	0	0	0	0	0	0		
Поправка на направленность источника Dc, дБ	Dc	DΩ + Di	**3**	3	3	3	3	3	3	3	3		
Затухание из-за геометрической дивергенции, Adiv, дБ	расстояние = 255.92 м	ф-ла (7) [10]	**59,2**										
Коэффициент затухания звука в атмосфере α, дБ/км	Ta=20,°C Pa=101.33,кПа hотн.=70%	ф-ла (5) [9]	0,02	0,09	0,33	1,12	2,79	4,98	9,04	23,09	77,63		
Учет затухания звука в атмосфере Aatm, дБ		ф-ла (8) [10]	0	0	0,1	0,3	0,7	1,3	2,3	5,9	19,9		
Снижение уровня звукового давления из-за влияния застройки между источником шума и расчетной точкой													

1		2	3	4	5	6	7	8	9	10	11	12	13
Снижение уровня звукового давления на пути над экраном, Dz1, дБ	z = 3.82м (разность путей)	ф-лы (14-18) [10]	12,2	15,5	19,6	23,9	27,6	30,8	33,8	36,9	39,9		
Снижение уровня звукового давления на пути слева от экрана, Dz2, дБ	z = 60.64м (разность путей)	ф-лы (14-18) [10]	25	29,5	33,6	37,1	40,2	43,3	46,3	49,3	52,3		
Снижение уровня звукового давления на пути справа от экрана, Dz3, дБ	z = 4.40м (разность путей)	ф-лы (14-18) [10]	12,9	15,5	18,3	21,2	24,2	27,2	30,2	33,2	36,2		
Общее снижение уровня звука препятствием Dz, дБ		Эн.сумма(-Dzi)	9,4	12,4	15,8	19,3	22,5	25,5	28,5	31,5	34,6		
Общее снижение уровня звука препятствием с учётом ограничения (25 дБ) для октавных полос Dz, дБ		Раздел 7.4 [10]	9,4	12,4	15,8	19,3	22,5	25	25	25	25		
Уровни звукового давления от источника ИШ-2-11 в расчётной точке днём, дБ		**ф-ла(3)[10]**	**0**	**24,7**	**22,6**	**20,3**	**16,9**	**13,5**	**9,1**	**1,3**	**0**	**18,9**	**18,9**
Источник шума: ИШ-2-12, координаты источника (x,y,z), м =[760.25,95.02,1.00]													
Уровни звуковой мощности источника днём, Lw, дБ		**исходные данные**	**0**	**93,3**	**94,7**	**96**	**96,3**	**95,9**	**92,6**	**88,4**	**83,9**		
Поправка на телесный угол DΩ, дБ	Ω = 6.28	10Lg(4π/Ω)	**3**	3	3	3	3	3	3	3	3		
Показатель направленности источника Di, дБ		исходные данные	**0**	0	0	0	0	0	0	0	0		
Поправка на направленность источника Dc, дБ	Dc	DΩ + Di	**3**	3	3	3	3	3	3	3	3		
Затухание из-за геометрической дивергенции, Adiv, дБ	расстояние = 253.70 м	ф-ла (7) [10]	**59,1**										
Коэффициент затухания звука в атмосфере α, дБ/км	Ta=20,°C Pa=101.33,кПа hотн.=70%	ф-ла (5) [9]	0,02	0,09	0,33	1,12	2,79	4,98	9,04	23,09	77,63		
Учет затухания звука в атмосфере Aatm, дБ		ф-ла (8) [10]	0	0	0,1	0,3	0,7	1,3	2,3	5,9	19,7		
Снижение уровня звукового давления из-за влияния застройки между источником шума и расчетной точкой													
Снижение уровня звукового давления на пути над экраном, Dz1, дБ	z = 3.84м (разность путей)	ф-лы (14-18) [10]	12,2	15,5	19,6	23,9	27,6	30,8	33,9	36,9	39,9		

1		2	3	4	5	6	7	8	9	10	11	12	13
Снижение уровня звукового давления на пути слева от экрана, Dz2, дБ	z = 60.27м (разность путей)	ф-лы (14-18) [10]	25	29,5	33,6	37,1	40,2	43,3	46,3	49,3	52,3		
Снижение уровня звукового давления на пути справа от экрана, Dz3, дБ	z = 4.51м (разность путей)	ф-лы (14-18) [10]	12,9	15,6	18,4	21,3	24,3	27,3	30,3	33,3	36,3		
Общее снижение уровня звука препятствием Dz, дБ		Эн.сумма(-Dzi)	9,4	12,4	15,9	19,4	22,5	25,6	28,6	31,6	34,6		
Общее снижение уровня звука препятствием с учётом ограничения (25 дБ) для октавных полос Dz, дБ		Раздел 7.4 [10]	9,4	12,4	15,9	19,4	22,5	25	25	25	25		
Уровни звукового давления от источника ИШ-2-12 в расчётной точке днём, дБ		**ф-ла(3)[10]**	**0**	**24,7**	**22,6**	**20,3**	**17**	**13,5**	**9,2**	**1,4**	**0**	**19**	**19**
Источник шума: ИШ-2-13, координаты источника (x,y,z), м =[759.28,92.25,1.00]													
Уровни звуковой мощности источника днём, Lw, дБ		**исходные данные**	**0**	**93,3**	**94,7**	**96**	**96,3**	**95,9**	**92,6**	**88,4**	**83,9**		
Поправка на телесный угол DΩ, дБ	Ω = 6.28	10Lg(4π/Ω)	**3**	3	3	3	3	3	3	3	3		
Показатель направленности источника Di, дБ		исходные данные	**0**	0	0	0	0	0	0	0	0		
Поправка на направленность источника Dc, дБ	Dc	DΩ + Di	**3**	3	3	3	3	3	3	3	3		
Затухание из-за геометрической дивергенции, Adiv, дБ	расстояние = 251.47 м	ф-ла (7) [10]	**59**										
Коэффициент затухания звука в атмосфере α, дБ/км	Ta=20,°C Pa=101.33,кПа hотн.=70%	ф-ла (5) [9]	0,02	0,09	0,33	1,12	2,79	4,98	9,04	23,09	77,63		
Учет затухания звука в атмосфере Aatm, дБ		ф-ла (8) [10]	0	0	0,1	0,3	0,7	1,3	2,3	5,8	19,5		
Снижение уровня звукового давления из-за влияния застройки между источником шума и расчетной точкой													
Снижение уровня звукового давления на пути над экраном, Dz1, дБ	z = 3.85м (разность путей)	ф-лы (14-18) [10]	12,2	15,5	19,6	23,9	27,6	30,8	33,9	36,9	39,9		
Снижение уровня звукового давления на пути слева от экрана, Dz2, дБ	z = 59.91м (разность путей)	ф-лы (14-18) [10]	24,9	29,5	33,6	37,1	40,2	43,2	46,3	49,3	52,3		

1		2	3	4	5	6	7	8	9	10	11	12	13
Снижение уровня звукового давления на пути справа от экрана, Dz3, дБ	z = 4.61м (разность путей)	ф-лы (14-18) [10]	13	15,7	18,5	21,4	24,4	27,4	30,4	33,4	36,4		
Общее снижение уровня звука препятствием Dz, дБ		Эн.сумма(-Dzi)	9,5	12,5	15,9	19,4	22,6	25,7	28,7	31,7	34,7		
Общее снижение уровня звука препятствием с учётом ограничения (25 дБ) для октавных полос Dz, дБ		Раздел 7.4 [10]	9,5	12,5	15,9	19,4	22,6	25	25	25	25		
Уровни звукового давления от источника ИШ-2-13 в расчётной точке днём, дБ		**ф-ла(3)[10]**	**0**	**24,8**	**22,7**	**20,3**	**17**	**13,6**	**9,3**	**1,6**	**0**	**19**	**19**
Источник шума: ИШ-2-14, координаты источника (x,y,z), м =[751.62,69.73,1.00]													
Уровни звуковой мощности источника днём, Lw, дБ		**исходные данные**	**0**	**93,3**	**94,7**	**96**	**96,3**	**95,9**	**92,6**	**88,4**	**83,9**		
Поправка на телесный угол DΩ, дБ	Ω = 6.28	10Lg(4π/Ω)	**3**	3	3	3	3	3	3	3	3		
Показатель направленности источника Di, дБ		исходные данные	**0**	0	0	0	0	0	0	0	0		
Поправка на направленность источника Dc, дБ	Dc	DΩ + Di	**3**	3	3	3	3	3	3	3	3		
Затухание из-за геометрической дивергенции, Adiv, дБ	расстояние = 234.14 м	ф-ла (7) [10]	**58,4**										
Коэффициент затухания звука в атмосфере α, дБ/км	Ta=20,°C Pa=101.33,кПа hотн.=70%	ф-ла (5) [9]	0,02	0,09	0,33	1,12	2,79	4,98	9,04	23,09	77,63		
Учет затухания звука в атмосфере Aatm, дБ		ф-ла (8) [10]	0	0	0,1	0,3	0,7	1,2	2,1	5,4	18,2		
Снижение уровня звукового давления из-за влияния застройки между источником шума и расчетной точкой													
Снижение уровня звукового давления на пути над экраном, Dz1, дБ	z = 3.95м (разность путей)	ф-лы (14-18) [10]	12,3	15,5	19,6	24	27,7	30,9	34	37	40,1		
Снижение уровня звукового давления на пути слева от экрана, Dz2, дБ	z = 56.76м (разность путей)	ф-лы (14-18) [10]	24,7	29,2	33,4	36,8	40	43	46	49	52		
Снижение уровня звукового давления на пути справа от экрана, Dz3, дБ	z = 5.58м (разность путей)	ф-лы (14-18) [10]	13,7	16,5	19,3	22,2	25,2	28,2	31,2	34,2	37,2		

1		2	3	4	5	6	7	8	9	10	11	12	13
Общее снижение уровня звука препятствием Dz, дБ		Эн.сумма(-Dzi)	9,8	12,9	16,4	19,9	23,2	26,3	29,3	32,3	35,3		
Общее снижение уровня звука препятствием с учётом ограничения (25 дБ) для октавных полос Dz, дБ		Раздел 7.4 [10]	9,8	12,9	16,4	19,9	23,2	25	25	25	25		
Уровни звукового давления от источника ИШ-2-14 в расчётной точке днём, дБ		**ф-ла(3)[10]**	**0**	**25**	**22,9**	**20,4**	**17,1**	**14,3**	**10,1**	**2,6**	**0**	**19,4**	**19,4**
Источник шума: ИШ-2-15, координаты источника (x,y,z), м =[750.74,66.89,1.00]													
Уровни звуковой мощности источника днём, Lw, дБ		**исходные данные**	**0**	**93,3**	**94,7**	**96**	**96,3**	**95,9**	**92,6**	**88,4**	**83,9**		
Поправка на телесный угол DΩ, дБ	Ω = 6.28	10Lg(4π/Ω)	**3**	3	3	3	3	3	3	3	3		
Показатель направленности источника Di, дБ		исходные данные	**0**	0	0	0	0	0	0	0	0		
Поправка на направленность источника Dc, дБ	Dc	DΩ + Di	**3**	3	3	3	3	3	3	3	3		
Затухание из-за геометрической дивергенции, Adiv, дБ	расстояние = 232.11 м	ф-ла (7) [10]	**58,3**										
Коэффициент затухания звука в атмосфере α, дБ/км	Ta=20,°C Pa=101.33,кПа hотн.=70%	ф-ла (5) [9]	0,02	0,09	0,33	1,12	2,79	4,98	9,04	23,09	77,63		
Учет затухания звука в атмосфере Aatm, дБ		ф-ла (8) [10]	0	0	0,1	0,3	0,6	1,2	2,1	5,4	18		
Снижение уровня звукового давления из-за влияния застройки между источником шума и расчетной точкой													
Снижение уровня звукового давления на пути над экраном, Dz1, дБ	z = 3.96м (разность путей)	ф-лы (14-18) [10]	12,3	15,5	19,6	24	27,7	31	34	37,1	40,1		
Снижение уровня звукового давления на пути слева от экрана, Dz2, дБ	z = 56.31м (разность путей)	ф-лы (14-18) [10]	24,7	29,2	33,3	36,8	39,9	43	46	49	52		
Снижение уровня звукового давления на пути справа от экрана, Dz3, дБ	z = 5.72м (разность путей)	ф-лы (14-18) [10]	13,8	16,6	19,4	22,3	25,3	28,3	31,3	34,3	37,3		
Общее снижение уровня звука препятствием Dz, дБ		Эн.сумма(-Dzi)	9,9	12,9	16,4	20	23,2	26,3	29,3	32,4	35,4		

1		2	3	4	5	6	7	8	9	10	11	12	13
Общее снижение уровня звука препятствием с учётом ограничения (25 дБ) для октавных полос Dz, дБ		Раздел 7.4 [10]	9,9	12,9	16,4	20	23,2	25	25	25	25		
Уровни звукового давления от источника ИШ-2-15 в расчётной точке днём, дБ		**ф-ла(3)[10]**	**0**	**25,1**	**22,9**	**20,4**	**17,1**	**14,4**	**10,2**	**2,7**	**0**	**19,5**	**19,5**
Источник шума: ИШ-2-16, координаты источника (x,y,z), м =[749.73,64.02,1.00]													
Уровни звуковой мощности источника днём, Lw, дБ		**исходные данные**	**0**	**93,3**	**94,7**	**96**	**96,3**	**95,9**	**92,6**	**88,4**	**83,9**		
Поправка на телесный угол DΩ, дБ	Ω = 6.28	10Lg(4π/Ω)	**3**	3	3	3	3	3	3	3	3		
Показатель направленности источника Di, дБ		исходные данные	**0**	0	0	0	0	0	0	0	0		
Поправка на направленность источника Dc, дБ	Dc	DΩ + Di	**3**	3	3	3	3	3	3	3	3		
Затухание из-за геометрической дивергенции, Adiv, дБ	расстояние = 229.97 м	ф-ла (7) [10]	**58,2**										
Коэффициент затухания звука в атмосфере α, дБ/км	Ta=20,°C Pa=101.33,кПа hотн.=70%	ф-ла (5) [9]	0,02	0,09	0,33	1,12	2,79	4,98	9,04	23,09	77,63		
Учет затухания звука в атмосфере Aatm, дБ		ф-ла (8) [10]	0	0	0,1	0,3	0,6	1,1	2,1	5,3	17,9		
Снижение уровня звукового давления из-за влияния застройки между источником шума и расчетной точкой													
Снижение уровня звукового давления на пути над экраном, Dz1, дБ	z = 3.98м (разность путей)	ф-лы (14-18) [10]	12,4	15,5	19,6	24	27,7	31	34,1	37,1	40,1		
Снижение уровня звукового давления на пути слева от экрана, Dz2, дБ	z = 55.87м (разность путей)	ф-лы (14-18) [10]	24,6	29,2	33,3	36,8	39,9	42,9	46	49	52		
Снижение уровня звукового давления на пути справа от экрана, Dz3, дБ	z = 5.86м (разность путей)	ф-лы (14-18) [10]	13,9	16,7	19,5	22,4	25,4	28,4	31,4	34,4	37,4		
Общее снижение уровня звука препятствием Dz, дБ		Эн.сумма(-Dzi)	9,9	13	16,5	20	23,3	26,4	29,4	32,4	35,4		
Общее снижение уровня звука препятствием с учётом ограничения (25 дБ) для октавных полос Dz, дБ		Раздел 7.4 [10]	9,9	13	16,5	20	23,3	25	25	25	25		

1		2	3	4	5	6	7	8	9	10	11	12	13
Уровни звукового давления от источника ИШ-2-16 в расчётной точке днём, дБ		**ф-ла(3)[10]**	**0**	**25,1**	**22,9**	**20,5**	**17,1**	**14,5**	**10,3**	**2,8**	**0**	**19,6**	**19,6**
Источник шума: ИШ-2-17, координаты источника (x,y,z), м =[748.87,61.06,1.00]													
Уровни звуковой мощности источника днём, Lw, дБ		**исходные данные**	**0**	**93,3**	**94,7**	**96**	**96,3**	**95,9**	**92,6**	**88,4**	**83,9**		
Поправка на телесный угол DΩ, дБ	Ω = 6.28	10Lg(4π/Ω)	**3**	3	3	3	3	3	3	3	3		
Показатель направленности источника Di, дБ		исходные данные	**0**	0	0	0	0	0	0	0	0		
Поправка на направленность источника Dc, дБ	Dc	DΩ + Di	**3**	3	3	3	3	3	3	3	3		
Затухание из-за геометрической дивергенции, Adiv, дБ	расстояние = 227.96 м	ф-ла (7) [10]	**58,2**										
Коэффициент затухания звука в атмосфере α, дБ/км	Ta=20,°C Pa=101.33,кПа hотн.=70%	ф-ла (5) [9]	0,02	0,09	0,33	1,12	2,79	4,98	9,04	23,09	77,63		
Учет затухания звука в атмосфере Aatm, дБ		ф-ла (8) [10]	0	0	0,1	0,3	0,6	1,1	2,1	5,3	17,7		
Снижение уровня звукового давления из-за влияния застройки между источником шума и расчетной точкой													
Снижение уровня звукового давления на пути над экраном, Dz1, дБ	z = 3.99м (разность путей)	ф-лы (14-18) [10]	12,4	15,5	19,6	24	27,7	31	34,1	37,1	40,1		
Снижение уровня звукового давления на пути слева от экрана, Dz2, дБ	z = 55.39м (разность путей)	ф-лы (14-18) [10]	24,6	29,1	33,2	36,7	39,9	42,9	45,9	48,9	51,9		
Снижение уровня звукового давления на пути справа от экрана, Dz3, дБ	z = 6.02м (разность путей)	ф-лы (14-18) [10]	14	16,8	19,6	22,6	25,5	28,5	31,5	34,5	37,5		
Общее снижение уровня звука препятствием Dz, дБ		Эн.сумма(-Dzi)	10	13	16,5	20,1	23,4	26,5	29,5	32,5	35,5		
Общее снижение уровня звука препятствием с учётом ограничения (25 дБ) для октавных полос Dz, дБ		Раздел 7.4 [10]	10	13	16,5	20,1	23,4	25	25	25	25		
Уровни звукового давления от источника ИШ-2-17 в расчётной точке днём, дБ		**ф-ла(3)[10]**	**0**	**25,1**	**23**	**20,5**	**17,1**	**14,6**	**10,4**	**3**	**0**	**19,6**	**19,6**

1		2	3	4	5	6	7	8	9	10	11	12	13
Источник шума: ИШ-2-18, координаты источника (x,y,z), м =[747.72,58.17,1.00]													
Уровни звуковой мощности источника днём, Lw, дБ		**исходные данные**	**0**	**93,3**	**94,7**	**96**	**96,3**	**95,9**	**92,6**	**88,4**	**83,9**		
Поправка на телесный угол DΩ, дБ	Ω = 6.28	10Lg(4π/Ω)	**3**	3	3	3	3	3	3	3	3		
Показатель направленности источника Di, дБ		исходные данные	**0**	0	0	0	0	0	0	0	0		
Поправка на направленность источника Dc, дБ	Dc	DΩ + Di	**3**	3	3	3	3	3	3	3	3		
Затухание из-за геометрической дивергенции, Adiv, дБ	расстояние = 225.73 м	ф-ла (7) [10]	**58,1**										
Коэффициент затухания звука в атмосфере α, дБ/км	Ta=20,°C Pa=101.33,кПа hотн.=70%	ф-ла (5) [9]	0,02	0,09	0,33	1,12	2,79	4,98	9,04	23,09	77,63		
Учет затухания звука в атмосфере Aatm, дБ		ф-ла (8) [10]	0	0	0,1	0,3	0,6	1,1	2	5,2	17,5		
Снижение уровня звукового давления из-за влияния застройки между источником шума и расчетной точкой													
Снижение уровня звукового давления на пути над экраном, Dz1, дБ	z = 4.00м (разность путей)	ф-лы (14-18) [10]	12,4	15,5	19,6	24	27,8	31	34,1	37,1	40,1		
Снижение уровня звукового давления на пути слева от экрана, Dz2, дБ	z = 54.94м (разность путей)	ф-лы (14-18) [10]	24,6	29,1	33,2	36,7	39,8	42,9	45,9	48,9	51,9		
Снижение уровня звукового давления на пути справа от экрана, Dz3, дБ	z = 6.17м (разность путей)	ф-лы (14-18) [10]	14,1	16,9	19,7	22,7	25,6	28,6	31,6	34,6	37,6		
Общее снижение уровня звука препятствием Dz, дБ		Эн.сумма(-Dzi)	10	13	16,6	20,2	23,5	26,5	29,6	32,6	35,6		
Общее снижение уровня звука препятствием с учётом ограничения (25 дБ) для октавных полос Dz, дБ		Раздел 7.4 [10]	10	13	16,6	20,2	23,5	25	25	25	25		
Уровни звукового давления от источника ИШ-2-18 в расчётной точке днём, дБ		**ф-ла(3)[10]**	**0**	**25,2**	**23**	**20,5**	**17,1**	**14,7**	**10,5**	**3,1**	**0**	**19,7**	**19,7**
Источник шума: ИШ-2-19, координаты источника (x,y,z), м =[746.80,55.25,1.00]													

1		2	3	4	5	6	7	8	9	10	11	12	13
Уровни звуковой мощности источника днём, Lw, дБ		**исходные данные**	**0**	**93,3**	**94,7**	**96**	**96,3**	**95,9**	**92,6**	**88,4**	**83,9**		
Поправка на телесный угол DΩ, дБ	Ω = 6.28	10Lg(4π/Ω)	**3**	3	3	3	3	3	3	3	3		
Показатель направленности источника Di, дБ		исходные данные	**0**	0	0	0	0	0	0	0	0		
Поправка на направленность источника Dc, дБ	Dc	DΩ + Di	**3**	3	3	3	3	3	3	3	3		
Затухание из-за геометрической дивергенции, Adiv, дБ	расстояние = 223.72 м	ф-ла (7) [10]	**58**										
Коэффициент затухания звука в атмосфере α, дБ/км	Ta=20,°C Pa=101.33,кПа hотн.=70%	ф-ла (5) [9]	0,02	0,09	0,33	1,12	2,79	4,98	9,04	23,09	77,63		
Учет затухания звука в атмосфере Aatm, дБ		ф-ла (8) [10]	0	0	0,1	0,3	0,6	1,1	2	5,2	17,4		
Снижение уровня звукового давления из-за влияния застройки между источником шума и расчетной точкой													
Снижение уровня звукового давления на пути над экраном, Dz1, дБ	z = 4.01м (разность путей)	ф-лы (14-18) [10]	12,4	15,6	19,6	24	27,8	31	34,1	37,1	40,1		
Снижение уровня звукового давления на пути слева от экрана, Dz2, дБ	z = 54.45м (разность путей)	ф-лы (14-18) [10]	24,5	29,1	33,2	36,6	39,8	42,8	45,8	48,9	51,9		
Снижение уровня звукового давления на пути справа от экрана, Dz3, дБ	z = 6.33м (разность путей)	ф-лы (14-18) [10]	14,2	17	19,8	22,8	25,7	28,7	31,7	34,7	37,8		
Общее снижение уровня звука препятствием Dz, дБ		Эн.сумма(-Dzi)	10	13,1	16,6	20,2	23,5	26,6	29,6	32,7	35,7		
Общее снижение уровня звука препятствием с учётом ограничения (25 дБ) для октавных полос Dz, дБ		Раздел 7.4 [10]	10	13,1	16,6	20,2	23,5	25	25	25	25		
Уровни звукового давления от источника ИШ-2-19 в расчётной точке днём, дБ		**ф-ла(3)[10]**	**0**	**25,2**	**23**	**20,5**	**17,1**	**14,8**	**10,6**	**3,2**	**0**	**19,7**	**19,7**
Источник шума: ИШ-2-20, координаты источника (x,y,z), м =[745.71,52.44,1.00]													
Уровни звуковой мощности источника днём, Lw, дБ		**исходные данные**	**0**	**93,3**	**94,7**	**96**	**96,3**	**95,9**	**92,6**	**88,4**	**83,9**		

1		2	3	4	5	6	7	8	9	10	11	12	13
Поправка на телесный угол DΩ, дБ	Ω = 6.28	10Lg(4π/Ω)	**3**	3	3	3	3	3	3	3	3		
Показатель направленности источника Di, дБ		исходные данные	**0**	0	0	0	0	0	0	0	0		
Поправка на направленность источника Dc, дБ	Dc	DΩ + Di	**3**	3	3	3	3	3	3	3	3		
Затухание из-за геометрической дивергенции, Adiv, дБ	расстояние = 221.62 м	ф-ла (7) [10]	**57,9**										
Коэффициент затухания звука в атмосфере α, дБ/км	Ta=20,°C Pa=101.33,кПа hотн.=70%	ф-ла (5) [9]	0,02	0,09	0,33	1,12	2,79	4,98	9,04	23,09	77,63		
Учет затухания звука в атмосфере Aatm, дБ		ф-ла (8) [10]	0	0	0,1	0,2	0,6	1,1	2	5,1	17,2		
Снижение уровня звукового давления из-за влияния застройки между источником шума и расчетной точкой													
Снижение уровня звукового давления на пути над экраном, Dz1, дБ	z = 4.03м (разность путей)	ф-лы (14-18) [10]	12,4	15,6	19,6	24	27,8	31	34,1	37,2	40,2		
Снижение уровня звукового давления на пути слева от экрана, Dz2, дБ	z = 54.00м (разность путей)	ф-лы (14-18) [10]	24,5	29	33,1	36,6	39,7	42,8	45,8	48,8	51,8		
Снижение уровня звукового давления на пути справа от экрана, Dz3, дБ	z = 6.48м (разность путей)	ф-лы (14-18) [10]	14,3	17,1	19,9	22,9	25,8	28,8	31,8	34,8	37,9		
Общее снижение уровня звука препятствием Dz, дБ		Эн.сумма(-Dzi)	10,1	13,1	16,6	20,3	23,6	26,7	29,7	32,7	35,7		
Общее снижение уровня звука препятствием с учётом ограничения (25 дБ) для октавных полос Dz, дБ		Раздел 7.4 [10]	10,1	13,1	16,6	20,3	23,6	25	25	25	25		
Уровни звукового давления от источника ИШ-2-20 в расчётной точке днём, дБ		**ф-ла(3)[10]**	**0**	**25,2**	**23,1**	**20,5**	**17,2**	**14,9**	**10,7**	**3,4**	**0**	**19,8**	**19,8**
Источник шума: ИШ-2-21, координаты источника (x,y,z), м =[744.89,49.62,1.00]													
Уровни звуковой мощности источника днём, Lw, дБ		**исходные данные**	**0**	**93,3**	**94,7**	**96**	**96,3**	**95,9**	**92,6**	**88,4**	**83,9**		
Поправка на телесный угол DΩ, дБ	Ω = 6.28	10Lg(4π/Ω)	**3**	3	3	3	3	3	3	3	3		

1		2	3	4	5	6	7	8	9	10	11	12	13
Показатель направленности источника Di, дБ		исходные данные	**0**	0	0	0	0	0	0	0	0		
Поправка на направленность источника Dc, дБ	Dc	DΩ + Di	**3**	3	3	3	3	3	3	3	3		
Затухание из-за геометрической дивергенции, Adiv, дБ	расстояние = 219.79 м	ф-ла (7) [10]	**57,8**										
Коэффициент затухания звука в атмосфере α, дБ/км	Ta=20,°C Pa=101.33,кПа hотн.=70%	ф-ла (5) [9]	0,02	0,09	0,33	1,12	2,79	4,98	9,04	23,09	77,63		
Учет затухания звука в атмосфере Aatm, дБ		ф-ла (8) [10]	0	0	0,1	0,2	0,6	1,1	2	5,1	17,1		
Снижение уровня звукового давления из-за влияния застройки между источником шума и расчетной точкой													
Снижение уровня звукового давления на пути над экраном, Dz1, дБ	z = 4.04м (разность путей)	ф-лы (14-18) [10]	12,4	15,6	19,6	24	27,8	31,1	34,1	37,2	40,2		
Снижение уровня звукового давления на пути слева от экрана, Dz2, дБ	z = 53.50м (разность путей)	ф-лы (14-18) [10]	24,5	29	33,1	36,6	39,7	42,7	45,8	48,8	51,8		
Снижение уровня звукового давления на пути справа от экрана, Dz3, дБ	z = 6.65м (разность путей)	ф-лы (14-18) [10]	14,4	17,2	20	23	26	28,9	32	35	38		
Общее снижение уровня звука препятствием Dz, дБ		Эн.сумма(-Dzi)	10,1	13,2	16,7	20,3	23,7	26,8	29,8	32,8	35,8		
Общее снижение уровня звука препятствием с учётом ограничения (25 дБ) для октавных полос Dz, дБ		Раздел 7.4 [10]	10,1	13,2	16,7	20,3	23,7	25	25	25	25		
Уровни звукового давления от источника ИШ-2-21 в расчётной точке днём, дБ		**ф-ла(3)[10]**	**0**	**25,3**	**23,1**	**20,6**	**17,2**	**15**	**10,8**	**3,5**	**0**	**19,8**	**19,8**
Источник шума: ИШ-2-22, координаты источника (x,y,z), м =[737.40,27.07,1.00]													
Уровни звуковой мощности источника днём, Lw, дБ		**исходные данные**	**0**	**93,3**	**94,7**	**96**	**96,3**	**95,9**	**92,6**	**88,4**	**83,9**		
Поправка на телесный угол DΩ, дБ	Ω = 6.28	10Lg(4π/Ω)	**3**	3	3	3	3	3	3	3	3		
Показатель направленности источника Di, дБ		исходные данные	**0**	0	0	0	0	0	0	0	0		

1		2	3	4	5	6	7	8	9	10	11	12	13
Поправка на направленность источника Dc, дБ	Dc	DΩ + Di	**3**	3	3	3	3	3	3	3	3		
Затухание из-за геометрической дивергенции, Adiv, дБ	расстояние = 205.16 м	ф-ла (7) [10]	**57,2**										
Коэффициент затухания звука в атмосфере α, дБ/км	Ta=20,°C Pa=101.33,кПа hотн.=70%	ф-ла (5) [9]	0,02	0,09	0,33	1,12	2,79	4,98	9,04	23,09	77,63		
Учет затухания звука в атмосфере Aatm, дБ		ф-ла (8) [10]	0	0	0,1	0,2	0,6	1	1,9	4,7	15,9		
Снижение уровня звукового давления из-за влияния застройки между источником шума и расчетной точкой													
Снижение уровня звукового давления на пути над экраном, Dz1, дБ	z = 4.13м (разность путей)	ф-лы (14-18) [10]	12,5	15,6	19,6	24	27,9	31,2	34,3	37,3	40,3		
Снижение уровня звукового давления на пути слева от экрана, Dz2, дБ	z = 49.32м (разность путей)	ф-лы (14-18) [10]	24,1	28,6	32,7	36,2	39,4	42,4	45,4	48,4	51,4		
Снижение уровня звукового давления на пути справа от экрана, Dz3, дБ	z = 8.12м (разность путей)	ф-лы (14-18) [10]	15,2	18	20,9	23,8	26,8	29,8	32,8	35,8	38,8		
Общее снижение уровня звука препятствием Dz, дБ		Эн.сумма(-Dzi)	10,4	13,5	17	20,8	24,2	27,3	30,3	33,4	36,4		
Общее снижение уровня звука препятствием с учётом ограничения (25 дБ) для октавных полос Dz, дБ		Раздел 7.4 [10]	10,4	13,5	17	20,8	24,2	25	25	25	25		
Уровни звукового давления от источника ИШ-2-22 в расчётной точке днём, дБ		**ф-ла(3)[10]**	**0**	**25,5**	**23,3**	**20,7**	**17,3**	**15,6**	**11,5**	**4,4**	**0**	**20,3**	**20,3**
Источник шума: ИШ-2-23, координаты источника (x,y,z), м =[736.46,24.18,1.00]													
Уровни звуковой мощности источника днём, Lw, дБ		**исходные данные**	**0**	**93,3**	**94,7**	**96**	**96,3**	**95,9**	**92,6**	**88,4**	**83,9**		
Поправка на телесный угол DΩ, дБ	Ω = 6.28	10Lg(4π/Ω)	**3**	3	3	3	3	3	3	3	3		
Показатель направленности источника Di, дБ		исходные данные	**0**	0	0	0	0	0	0	0	0		
Поправка на направленность источника Dc, дБ	Dc	DΩ + Di	**3**	3	3	3	3	3	3	3	3		

1		2	3	4	5	6	7	8	9	10	11	12	13
Затухание из-за геометрической дивергенции, Adiv, дБ	расстояние = 203.44 м	ф-ла (7) [10]	**57,2**										
Коэффициент затухания звука в атмосфере α, дБ/км	Ta=20,°C Pa=101.33,кПа hотн.=70%	ф-ла (5) [9]	0,02	0,09	0,33	1,12	2,79	4,98	9,04	23,09	77,63		
Учет затухания звука в атмосфере Aatm, дБ		ф-ла (8) [10]	0	0	0,1	0,2	0,6	1	1,8	4,7	15,8		
Снижение уровня звукового давления из-за влияния застройки между источником шума и расчетной точкой													
Снижение уровня звукового давления на пути над экраном, Dz1, дБ	z = 4.14м (разность путей)	ф-лы (14-18) [10]	12,5	15,6	19,6	24	27,9	31,2	34,3	37,3	40,3		
Снижение уровня звукового давления на пути слева от экрана, Dz2, дБ	z = 48.74м (разность путей)	ф-лы (14-18) [10]	24,1	28,6	32,7	36,2	39,3	42,3	45,4	48,4	51,4		
Снижение уровня звукового давления на пути справа от экрана, Dz3, дБ	z = 8.34м (разность путей)	ф-лы (14-18) [10]	15,3	18,1	21	23,9	26,9	29,9	32,9	35,9	38,9		
Общее снижение уровня звука препятствием Dz, дБ		Эн.сумма(-Dzi)	10,5	13,5	17,1	20,8	24,2	27,4	30,4	33,4	36,4		
Общее снижение уровня звука препятствием с учётом ограничения (25 дБ) для октавных полос Dz, дБ		Раздел 7.4 [10]	10,5	13,5	17,1	20,8	24,2	25	25	25	25		
Уровни звукового давления от источника ИШ-2-23 в расчётной точке днём, дБ		**ф-ла(3)[10]**	**0**	**25,6**	**23,4**	**20,8**	**17,3**	**15,7**	**11,6**	**4,5**	**0**	**20,3**	**20,3**
Источник шума: ИШ-2-24, координаты источника (x,y,z), м =[735.45,21.21,1.00]													
Уровни звуковой мощности источника днём, Lw, дБ		**исходные данные**	**0**	**93,3**	**94,7**	**96**	**96,3**	**95,9**	**92,6**	**88,4**	**83,9**		
Поправка на телесный угол DΩ, дБ	Ω = 6.28	10Lg(4π/Ω)	**3**	3	3	3	3	3	3	3	3		
Показатель направленности источника Di, дБ		исходные данные	**0**	0	0	0	0	0	0	0	0		
Поправка на направленность источника Dc, дБ	Dc	DΩ + Di	**3**	3	3	3	3	3	3	3	3		
Затухание из-за геометрической дивергенции, Adiv, дБ	расстояние = 201.65 м	ф-ла (7) [10]	**57,1**										

1		2	3	4	5	6	7	8	9	10	11	12	13
Коэффициент затухания звука в атмосфере α, дБ/км	Ta=20,°C Pa=101.33,кПа hотн.=70%	ф-ла (5) [9]	0,02	0,09	0,33	1,12	2,79	4,98	9,04	23,09	77,63		
Учет затухания звука в атмосфере Aatm, дБ		ф-ла (8) [10]	0	0	0,1	0,2	0,6	1	1,8	4,7	15,7		
Снижение уровня звукового давления из-за влияния застройки между источником шума и расчетной точкой													
Снижение уровня звукового давления на пути над экраном, Dz1, дБ	z = 4.15м (разность путей)	ф-лы (14-18) [10]	12,5	15,6	19,6	24	27,9	31,2	34,3	37,3	40,3		
Снижение уровня звукового давления на пути слева от экрана, Dz2, дБ	z = 48.14м (разность путей)	ф-лы (14-18) [10]	24	28,5	32,6	36,1	39,2	42,3	45,3	48,3	51,3		
Снижение уровня звукового давления на пути справа от экрана, Dz3, дБ	z = 8.56м (разность путей)	ф-лы (14-18) [10]	15,4	18,2	21,1	24,1	27	30	33	36,1	39,1		
Общее снижение уровня звука препятствием Dz, дБ		Эн.сумма(-Dzi)	10,5	13,6	17,1	20,9	24,3	27,4	30,5	33,5	36,5		
Общее снижение уровня звука препятствием с учётом ограничения (25 дБ) для октавных полос Dz, дБ		Раздел 7.4 [10]	10,5	13,6	17,1	20,9	24,3	25	25	25	25		
Уровни звукового давления от источника ИШ-2-24 в расчётной точке днём, дБ		**ф-ла(3)[10]**	**0**	**25,6**	**23,4**	**20,8**	**17,3**	**15,8**	**11,7**	**4,6**	**0**	**20,4**	**20,4**
Источник шума: ИШ-2-25, координаты источника (x,y,z), м =[734.58,18.32,1.00]													
Уровни звуковой мощности источника днём, Lw, дБ		**исходные данные**	**0**	**93,3**	**94,7**	**96**	**96,3**	**95,9**	**92,6**	**88,4**	**83,9**		
Поправка на телесный угол DΩ, дБ	Ω = 6.28	10Lg(4π/Ω)	**3**	3	3	3	3	3	3	3	3		
Показатель направленности источника Di, дБ		исходные данные	**0**	0	0	0	0	0	0	0	0		
Поправка на направленность источника Dc, дБ	Dc	DΩ + Di	**3**	3	3	3	3	3	3	3	3		
Затухание из-за геометрической дивергенции, Adiv, дБ	расстояние = 200.05 м	ф-ла (7) [10]	**57**										
Коэффициент затухания звука в атмосфере α, дБ/км	Ta=20,°C Pa=101.33,кПа hотн.=70%	ф-ла (5) [9]	0,02	0,09	0,33	1,12	2,79	4,98	9,04	23,09	77,63		

1		2	3	4	5	6	7	8	9	10	11	12	13
Учет затухания звука в атмосфере Aatm, дБ		ф-ла (8) [10]	0	0	0,1	0,2	0,6	1	1,8	4,6	15,5		
Снижение уровня звукового давления из-за влияния застройки между источником шума и расчетной точкой													
Снижение уровня звукового давления на пути над экраном, Dz1, дБ	z = 4.16м (разность путей)	ф-лы (14-18) [10]	12,5	15,6	19,6	24	27,9	31,2	34,3	37,3	40,4		
Снижение уровня звукового давления на пути слева от экрана, Dz2, дБ	z = 47.54м (разность путей)	ф-лы (14-18) [10]	24	28,5	32,6	36,1	39,2	42,2	45,3	48,3	51,3		
Снижение уровня звукового давления на пути справа от экрана, Dz3, дБ	z = 8.79м (разность путей)	ф-лы (14-18) [10]	15,5	18,3	21,2	24,2	27,2	30,2	33,2	36,2	39,2		
Общее снижение уровня звука препятствием Dz, дБ		Эн.сумма(-Dzi)	10,6	13,6	17,2	20,9	24,4	27,5	30,5	33,6	36,6		
Общее снижение уровня звука препятствием с учётом ограничения (25 дБ) для октавных полос Dz, дБ		Раздел 7.4 [10]	10,6	13,6	17,2	20,9	24,4	25	25	25	25		
Уровни звукового давления от источника ИШ-2-25 в расчётной точке днём, дБ		**ф-ла(3)[10]**	**0**	**25,6**	**23,4**	**20,8**	**17,4**	**15,9**	**11,8**	**4,8**	**0**	**20,5**	**20,5**
Источник шума: ИШ-2-26, координаты источника (x,y,z), м =[733.57,15.41,1.00]													
Уровни звуковой мощности источника днём, Lw, дБ		**исходные данные**	**0**	**93,3**	**94,7**	**96**	**96,3**	**95,9**	**92,6**	**88,4**	**83,9**		
Поправка на телесный угол DΩ, дБ	Ω = 6.28	10Lg(4π/Ω)	**3**	3	3	3	3	3	3	3	3		
Показатель направленности источника Di, дБ		исходные данные	**0**	0	0	0	0	0	0	0	0		
Поправка на направленность источника Dc, дБ	Dc	DΩ + Di	**3**	3	3	3	3	3	3	3	3		
Затухание из-за геометрической дивергенции, Adiv, дБ	расстояние = 198.34 м	ф-ла (7) [10]	**56,9**										
Коэффициент затухания звука в атмосфере α, дБ/км	Ta=20,°C Pa=101.33,кПа hотн.=70%	ф-ла (5) [9]	0,02	0,09	0,33	1,12	2,79	4,98	9,04	23,09	77,63		
Учет затухания звука в атмосфере Aatm, дБ		ф-ла (8) [10]	0	0	0,1	0,2	0,6	1	1,8	4,6	15,4		

1		2	3	4	5	6	7	8	9	10	11	12	13
Снижение уровня звукового давления из-за влияния застройки между источником шума и расчетной точкой													
Снижение уровня звукового давления на пути над экраном, Dz1, дБ	z = 4.17м (разность путей)	ф-лы (14-18) [10]	12,5	15,6	19,5	24	27,9	31,2	34,3	37,4	40,4		
Снижение уровня звукового давления на пути слева от экрана, Dz2, дБ	z = 46.93м (разность путей)	ф-лы (14-18) [10]	23,9	28,4	32,5	36	39,1	42,2	45,2	48,2	51,2		
Снижение уровня звукового давления на пути справа от экрана, Dz3, дБ	z = 9.02м (разность путей)	ф-лы (14-18) [10]	15,6	18,4	21,3	24,3	27,3	30,3	33,3	36,3	39,3		
Общее снижение уровня звука препятствием Dz, дБ		Эн.сумма(-Dzi)	10,6	13,6	17,2	21	24,4	27,6	30,6	33,6	36,6		
Общее снижение уровня звука препятствием с учётом ограничения (25 дБ) для октавных полос Dz, дБ		Раздел 7.4 [10]	10,6	13,6	17,2	21	24,4	25	25	25	25		
Уровни звукового давления от источника ИШ-2-26 в расчётной точке днём, дБ		**ф-ла(3)[10]**	**0**	**25,7**	**23,5**	**20,8**	**17,4**	**16**	**11,9**	**4,9**	**0**	**20,5**	**20,5**
Источник шума: ИШ-2-27, координаты источника (x,y,z), м =[732.43,12.66,1.00]													
Уровни звуковой мощности источника днём, Lw, дБ		**исходные данные**	**0**	**93,3**	**94,7**	**96**	**96,3**	**95,9**	**92,6**	**88,4**	**83,9**		
Поправка на телесный угол DΩ, дБ	Ω = 6.28	10Lg(4π/Ω)	**3**	3	3	3	3	3	3	3	3		
Показатель направленности источника Di, дБ		исходные данные	**0**	0	0	0	0	0	0	0	0		
Поправка на направленность источника Dc, дБ	Dc	DΩ + Di	**3**	3	3	3	3	3	3	3	3		
Затухание из-за геометрической дивергенции, Adiv, дБ	расстояние = 196.58 м	ф-ла (7) [10]	**56,9**										
Коэффициент затухания звука в атмосфере α, дБ/км	Ta=20,°C Pa=101.33,кПа hотн.=70%	ф-ла (5) [9]	0,02	0,09	0,33	1,12	2,79	4,98	9,04	23,09	77,63		
Учет затухания звука в атмосфере Aatm, дБ		ф-ла (8) [10]	0	0	0,1	0,2	0,5	1	1,8	4,5	15,3		
Снижение уровня звукового давления из-за влияния застройки между источником шума и расчетной точкой													

1		2	3	4	5	6	7	8	9	10	11	12	13
Снижение уровня звукового давления на пути над экраном, Dz1, дБ	z = 4.18м (разность путей)	ф-лы (14-18) [10]	12,5	15,6	19,5	24	27,9	31,2	34,3	37,4	40,4		
Снижение уровня звукового давления на пути слева от экрана, Dz2, дБ	z = 46.37м (разность путей)	ф-лы (14-18) [10]	23,8	28,4	32,5	35,9	39,1	42,1	45,1	48,2	51,2		
Снижение уровня звукового давления на пути справа от экрана, Dz3, дБ	z = 9.24м (разность путей)	ф-лы (14-18) [10]	15,7	18,5	21,4	24,4	27,4	30,4	33,4	36,4	39,4		
Общее снижение уровня звука препятствием Dz, дБ		Эн.сумма(-Dzi)	10,6	13,7	17,2	21	24,5	27,6	30,7	33,7	36,7		
Общее снижение уровня звука препятствием с учётом ограничения (25 дБ) для октавных полос Dz, дБ		Раздел 7.4 [10]	10,6	13,7	17,2	21	24,5	25	25	25	25		
Уровни звукового давления от источника ИШ-2-27 в расчётной точке днём, дБ		**ф-ла(3)[10]**	**0**	**25,7**	**23,5**	**20,9**	**17,4**	**16**	**11,9**	**5**	**0**	**20,6**	**20,6**
Источник шума: ИШ-2-28, координаты источника (x,y,z), м =[731.54,9.78,1.00]													
Уровни звуковой мощности источника днём, Lw, дБ		**исходные данные**	**0**	**93,3**	**94,7**	**96**	**96,3**	**95,9**	**92,6**	**88,4**	**83,9**		
Поправка на телесный угол DΩ, дБ	Ω = 6.28	10Lg(4π/Ω)	**3**	3	3	3	3	3	3	3	3		
Показатель направленности источника Di, дБ		исходные данные	**0**	0	0	0	0	0	0	0	0		
Поправка на направленность источника Dc, дБ	Dc	DΩ + Di	**3**	3	3	3	3	3	3	3	3		
Затухание из-за геометрической дивергенции, Adiv, дБ	расстояние = 195.06 м	ф-ла (7) [10]	**56,8**										
Коэффициент затухания звука в атмосфере α, дБ/км	Ta=20,°C Pa=101.33,кПа hотн.=70%	ф-ла (5) [9]	0,02	0,09	0,33	1,12	2,79	4,98	9,04	23,09	77,63		
Учет затухания звука в атмосфере Aatm, дБ		ф-ла (8) [10]	0	0	0,1	0,2	0,5	1	1,8	4,5	15,1		
Снижение уровня звукового давления из-за влияния застройки между источником шума и расчетной точкой													
Снижение уровня звукового давления на пути над экраном, Dz1, дБ	z = 4.19м (разность путей)	ф-лы (14-18) [10]	12,6	15,6	19,5	24	27,9	31,3	34,4	37,4	40,4		

1		2	3	4	5	6	7	8	9	10	11	12	13
Снижение уровня звукового давления на пути слева от экрана, Dz2, дБ	z = 45.74м (разность путей)	ф-лы (14-18) [10]	23,8	28,3	32,4	35,9	39	42,1	45,1	48,1	51,1		
Снижение уровня звукового давления на пути справа от экрана, Dz3, дБ	z = 9.48м (разность путей)	ф-лы (14-18) [10]	15,8	18,6	21,5	24,5	27,5	30,5	33,5	36,5	39,5		
Общее снижение уровня звука препятствием Dz, дБ		Эн.сумма(-Dzi)	10,7	13,7	17,3	21,1	24,5	27,7	30,7	33,7	36,8		
Общее снижение уровня звука препятствием с учётом ограничения (25 дБ) для октавных полос Dz, дБ		Раздел 7.4 [10]	10,7	13,7	17,3	21,1	24,5	25	25	25	25		
Уровни звукового давления от источника ИШ-2-28 в расчётной точке днём, дБ		**ф-ла(3)[10]**	**0**	**25,8**	**23,5**	**20,9**	**17,4**	**16,1**	**12**	**5,1**	**0**	**20,6**	**20,6**
Источник шума: ИШ-2-29, координаты источника (x,y,z), м =[730.57,6.88,1.00]													
Уровни звуковой мощности источника днём, Lw, дБ		**исходные данные**	**0**	**93,3**	**94,7**	**96**	**96,3**	**95,9**	**92,6**	**88,4**	**83,9**		
Поправка на телесный угол DΩ, дБ	Ω = 6.28	10Lg(4π/Ω)	**3**	3	3	3	3	3	3	3	3		
Показатель направленности источника Di, дБ		исходные данные	**0**	0	0	0	0	0	0	0	0		
Поправка на направленность источника Dc, дБ	Dc	DΩ + Di	**3**	3	3	3	3	3	3	3	3		
Затухание из-за геометрической дивергенции, Adiv, дБ	расстояние = 193.50 м	ф-ла (7) [10]	**56,7**										
Коэффициент затухания звука в атмосфере α, дБ/км	Ta=20,°C Pa=101.33,кПа hотн.=70%	ф-ла (5) [9]	0,02	0,09	0,33	1,12	2,79	4,98	9,04	23,09	77,63		
Учет затухания звука в атмосфере Aatm, дБ		ф-ла (8) [10]	0	0	0,1	0,2	0,5	1	1,7	4,5	15		
Снижение уровня звукового давления из-за влияния застройки между источником шума и расчетной точкой													
Снижение уровня звукового давления на пути над экраном, Dz1, дБ	z = 4.20м (разность путей)	ф-лы (14-18) [10]	12,6	15,6	19,5	24	27,9	31,3	34,4	37,4	40,4		
Снижение уровня звукового давления на пути слева от экрана, Dz2, дБ	z = 45.10м (разность путей)	ф-лы (14-18) [10]	23,7	28,3	32,4	35,8	39	42	45	48	51		

1		2	3	4	5	6	7	8	9	10	11	12	13
Снижение уровня звукового давления на пути справа от экрана, Dz3, дБ	z = 9.73м (разность путей)	ф-лы (14-18) [10]	15,9	18,8	21,6	24,6	27,6	30,6	33,6	36,6	39,6		
Общее снижение уровня звука препятствием Dz, дБ		Эн.сумма(-Dzi)	10,7	13,8	17,3	21,1	24,6	27,7	30,8	33,8	36,8		
Общее снижение уровня звука препятствием с учётом ограничения (25 дБ) для октавных полос Dz, дБ		Раздел 7.4 [10]	10,7	13,8	17,3	21,1	24,6	25	25	25	25		
Уровни звукового давления от источника ИШ-2-29 в расчётной точке днём, дБ		**ф-ла(3)[10]**	**0**	**25,8**	**23,6**	**20,9**	**17,4**	**16,2**	**12,1**	**5,2**	**0**	**20,7**	**20,7**
Источник шума: ИШ-2-4, координаты источника (x,y,z), м =[632.70,-65.30,3.00]													
Уровни звуковой мощности источника днём, Lw, дБ		**исходные данные**	**105**	**104**	**104**	**101**	**102**	**106**	**101**	**95**	**87**		
Поправка на телесный угол DΩ, дБ	Ω = 6.28	10Lg(4π/Ω)	**3**	3	3	3	3	3	3	3	3		
Показатель направленности источника Di, дБ		исходные данные	**0**	0	0	0	0	0	0	0	0		
Поправка на направленность источника Dc, дБ	Dc	DΩ + Di	**3**	3	3	3	3	3	3	3	3		
Затухание из-за геометрической дивергенции, Adiv, дБ	расстояние = 97.02 м	ф-ла (7) [10]	**50,7**										
Коэффициент затухания звука в атмосфере α, дБ/км	Ta=20,°C Pa=101.33,кПа hотн.=70%	ф-ла (5) [9]	0,02	0,09	0,33	1,12	2,79	4,98	9,04	23,09	77,63		
Учет затухания звука в атмосфере Aatm, дБ		ф-ла (8) [10]	0	0	0	0,1	0,3	0,5	0,9	2,2	7,5		
Снижение уровня звукового давления из-за влияния застройки между источником шума и расчетной точкой													
Снижение уровня звукового давления на пути над экраном, Dz1, дБ	z = 4.52м (разность путей)	ф-лы (14-18) [10]	14,1	18,3	22,3	25,7	28,9	31,9	34,9	37,9	40,9		
Снижение уровня звукового давления на пути слева от экрана, Dz2, дБ	z = 25.18м (разность путей)	ф-лы (14-18) [10]	21,2	25,7	29,8	33,3	36,4	39,5	42,5	45,5	48,5		
Снижение уровня звукового давления на пути справа от экрана, Dz3, дБ	z = 23.80м (разность путей)	ф-лы (14-18) [10]	21	25,5	29,6	33	36,2	39,2	42,3	45,3	48,3		

1		2	3	4	5	6	7	8	9	10	11	12	13
Общее снижение уровня звука препятствием Dz, дБ		Эн.сумма(-Dzi)	12,6	16,9	21	24,4	27,5	30,6	33,6	36,6	39,6		
Общее снижение уровня звука препятствием с учётом ограничения (25 дБ) для октавных полос Dz, дБ		Раздел 7.4 [10]	12,6	16,9	21	24,4	25	25	25	25	25		
Уровни звукового давления прямого звука от источника ИШ-2-4 в расчётной точке днём, дБ		**ф-ла(3)[10]**	**44,6**	**39,3**	**35,3**	**28,8**	**29**	**32,8**	**27,4**	**20**	**6,7**	**35,2**	**35,2**
Расчёт отражённого звука													
Уровни звукового давления от мнимого источника ИШ-2-4_мн.(1) в расчётной точке днём, дБ		**ф-ла(3)[10]**	**0**	**0**	**0**	**0**	**0**	**0**	**0**	**3,1**	**0**	**4,1**	**4,1**
Уровни звукового давления от источника ИШ-2-4 в расчётной точке днём, дБ		**ф-ла(3)[10]**	**44,6**	**39,3**	**35,3**	**28,8**	**29**	**32,8**	**27,4**	**20,1**	**6,7**	**35,3**	**35,3**
Источник шума: ИШ-2-30, координаты источника (x,y,z), м =[702.44,-77.23,1.00]													
Уровни звуковой мощности источника днём, Lw, дБ		**исходные данные**	**0**	**93,3**	**94,7**	**96**	**96,3**	**95,9**	**92,6**	**88,4**	**83,9**		
Поправка на телесный угол DΩ, дБ	Ω = 6.28	10Lg(4π/Ω)	**3**	3	3	3	3	3	3	3	3		
Показатель направленности источника Di, дБ		исходные данные	**0**	0	0	0	0	0	0	0	0		
Поправка на направленность источника Dc, дБ	Dc	DΩ + Di	**3**	3	3	3	3	3	3	3	3		
Затухание из-за геометрической дивергенции, Adiv, дБ	расстояние = 167.16 м	ф-ла (7) [10]	**55,5**										
Коэффициент затухания звука в атмосфере α, дБ/км	Ta=20,°C Pa=101.33,кПа hотн.=70%	ф-ла (5) [9]	0,02	0,09	0,33	1,12	2,79	4,98	9,04	23,09	77,63		
Учет затухания звука в атмосфере Aatm, дБ		ф-ла (8) [10]	0	0	0,1	0,2	0,5	0,8	1,5	3,9	13		
Снижение уровня звукового давления из-за влияния застройки между источником шума и расчетной точкой													
Снижение уровня звукового давления на пути над экраном, Dz1, дБ	z = 4.48м (разность путей)	ф-лы (14-18) [10]	14	18,2	22,2	25,6	28,7	31,7	34,8	37,8	40,8		

1		2	3	4	5	6	7	8	9	10	11	12	13
Снижение уровня звукового давления на пути слева от экрана, Dz2, дБ	z = 24.60м (разность путей)	ф-лы (14-18) [10]	21,1	25,6	29,7	33,2	36,3	39,4	42,4	45,4	48,4		
Снижение уровня звукового давления на пути справа от экрана, Dz3, дБ	z = 19.39м (разность путей)	ф-лы (14-18) [10]	20,1	24,6	28,7	32,2	35,3	38,3	41,4	44,4	47,4		
Общее снижение уровня звука препятствием Dz, дБ		Эн.сумма(-Dzi)	12,4	16,7	20,7	24,1	27,3	30,3	33,3	36,3	39,3		
Общее снижение уровня звука препятствием с учётом ограничения (25 дБ) для октавных полос Dz, дБ		Раздел 7.4 [10]	12,4	16,7	20,7	24,1	25	25	25	25	25		
Уровни звукового давления прямого звука от источника ИШ-2-30 в расчётной точке днём, дБ		**ф-ла(3)[10]**	**0**	**24,1**	**21,5**	**19,2**	**18,4**	**17,6**	**13,6**	**7,1**	**0**	**21,5**	**21,5**
Расчёт отражённого звука													
Уровни звукового давления от мнимого источника ИШ-2-30_мн.(1) в расчётной точке днём, дБ		**ф-ла(3)[10]**	**0**	**0**	**0**	**0**	**0**	**0**	**0**	**0**	**0**	**0**	**0**
Уровни звукового давления от мнимого источника ИШ-2-30_мн.(2) в расчётной точке днём, дБ		**ф-ла(3)[10]**	**0**	**0**	**0**	**0**	**0**	**0**	**0**	**0**	**0**	**0**	**0**
Суммарные уровни звукового давления от мнимых источников в расчётной точке днём, дБ		**ф-ла (19) [1]**	**0**	**0**	**0**	**0**	**0**	**0**	**0**	**0**	**0**	**0**	**0**
Уровни звукового давления от источника ИШ-2-30 в расчётной точке днём, дБ		**ф-ла(3)[10]**	**0**	**24,1**	**21,5**	**19,2**	**18,4**	**17,6**	**13,6**	**7,1**	**0**	**21,5**	**21,5**
Источник шума: ИШ-2-31, координаты источника (x,y,z), м =[701.42,-80.17,1.00]													
Уровни звуковой мощности источника днём, Lw, дБ		**исходные данные**	**0**	**93,3**	**94,7**	**96**	**96,3**	**95,9**	**92,6**	**88,4**	**83,9**		
Поправка на телесный угол DΩ, дБ	Ω = 6.28	10Lg(4π/Ω)	**3**	3	3	3	3	3	3	3	3		
Показатель направленности источника Di, дБ		исходные данные	**0**	0	0	0	0	0	0	0	0		
Поправка на направленность источника Dc, дБ	Dc	DΩ + Di	**3**	3	3	3	3	3	3	3	3		
Затухание из-за геометрической дивергенции, Adiv, дБ	расстояние = 167.00 м	ф-ла (7) [10]	**55,5**										
Коэффициент затухания звука в атмосфере α, дБ/км	Ta=20,°C Pa=101.33,кПа hотн.=70%	ф-ла (5) [9]	0,02	0,09	0,33	1,12	2,79	4,98	9,04	23,09	77,63		

1		2	3	4	5	6	7	8	9	10	11	12	13
Учет затухания звука в атмосфере Aatm, дБ		ф-ла (8) [10]	0	0	0,1	0,2	0,5	0,8	1,5	3,9	13		
Снижение уровня звукового давления из-за влияния застройки между источником шума и расчетной точкой													
Снижение уровня звукового давления на пути над экраном, Dz1, дБ	z = 4.48м (разность путей)	ф-лы (14-18) [10]	14	18,2	22,2	25,6	28,7	31,7	34,8	37,8	40,8		
Снижение уровня звукового давления на пути слева от экрана, Dz2, дБ	z = 23.94м (разность путей)	ф-лы (14-18) [10]	21	25,5	29,6	33,1	36,2	39,3	42,3	45,3	48,3		
Снижение уровня звукового давления на пути справа от экрана, Dz3, дБ	z = 19.86м (разность путей)	ф-лы (14-18) [10]	20,2	24,7	28,8	32,3	35,4	38,4	41,5	44,5	47,5		
Общее снижение уровня звука препятствием Dz, дБ		Эн.сумма(-Dzi)	12,4	16,7	20,7	24,1	27,3	30,3	33,3	36,3	39,3		
Общее снижение уровня звука препятствием с учётом ограничения (25 дБ) для октавных полос Dz, дБ		Раздел 7.4 [10]	12,4	16,7	20,7	24,1	25	25	25	25	25		
Уровни звукового давления прямого звука от источника ИШ-2-31 в расчётной точке днём, дБ		**ф-ла(3)[10]**	**0**	**24,1**	**21,5**	**19,2**	**18,4**	**17,6**	**13,6**	**7,1**	**0**	**21,6**	**21,6**
Расчёт отражённого звука													
Уровни звукового давления от мнимого источника ИШ-2-31_мн.(1) в расчётной точке днём, дБ		**ф-ла(3)[10]**	**0**	**0**	**0**	**0**	**0**	**0**	**0**	**0**	**0**	**0**	**0**
Уровни звукового давления от мнимого источника ИШ-2-31_мн.(2) в расчётной точке днём, дБ		**ф-ла(3)[10]**	**0**	**0**	**0**	**0**	**0**	**0**	**0**	**0**	**0**	**0**	**0**
Суммарные уровни звукового давления от мнимых источников в расчётной точке днём, дБ		**ф-ла (19) [1]**	**0**	**0**	**0**	**0**	**0**	**0**	**0**	**0**	**0**	**0**	**0**
Уровни звукового давления от источника ИШ-2-31 в расчётной точке днём, дБ		**ф-ла(3)[10]**	**0**	**24,1**	**21,5**	**19,2**	**18,4**	**17,6**	**13,6**	**7,1**	**0**	**21,6**	**21,6**
Источник шума: ИШ-2-32, координаты источника (x,y,z), м =[700.38,-83.01,1.00]													
Уровни звуковой мощности источника днём, Lw, дБ		**исходные данные**	**0**	**93,3**	**94,7**	**96**	**96,3**	**95,9**	**92,6**	**88,4**	**83,9**		
Поправка на телесный угол DΩ, дБ	Ω = 6.28	10Lg(4π/Ω)	**3**	3	3	3	3	3	3	3	3		
Показатель направленности источника Di, дБ		исходные данные	**0**	0	0	0	0	0	0	0	0		

1		2	3	4	5	6	7	8	9	10	11	12	13
Поправка на направленность источника Dc, дБ	Dc	DΩ + Di	**3**	3	3	3	3	3	3	3	3		
Затухание из-за геометрической дивергенции, Adiv, дБ	расстояние = 166.83 м	ф-ла (7) [10]	**55,4**										
Коэффициент затухания звука в атмосфере α, дБ/км	Ta=20,°C Pa=101.33,кПа hотн.=70%	ф-ла (5) [9]	0,02	0,09	0,33	1,12	2,79	4,98	9,04	23,09	77,63		
Учет затухания звука в атмосфере Aatm, дБ		ф-ла (8) [10]	0	0	0,1	0,2	0,5	0,8	1,5	3,9	13		
Снижение уровня звукового давления из-за влияния застройки между источником шума и расчетной точкой													
Снижение уровня звукового давления на пути над экраном, Dz1, дБ	z = 4.48м (разность путей)	ф-лы (14-18) [10]	14	18,2	22,2	25,6	28,7	31,7	34,8	37,8	40,8		
Снижение уровня звукового давления на пути слева от экрана, Dz2, дБ	z = 23.31м (разность путей)	ф-лы (14-18) [10]	20,9	25,4	29,5	33	36,1	39,1	42,2	45,2	48,2		
Снижение уровня звукового давления на пути справа от экрана, Dz3, дБ	z = 20.35м (разность путей)	ф-лы (14-18) [10]	20,3	24,8	28,9	32,4	35,5	38,6	41,6	44,6	47,6		
Общее снижение уровня звука препятствием Dz, дБ		Эн.сумма(-Dzi)	12,4	16,7	20,7	24,1	27,3	30,3	33,3	36,3	39,4		
Общее снижение уровня звука препятствием с учётом ограничения (25 дБ) для октавных полос Dz, дБ		Раздел 7.4 [10]	12,4	16,7	20,7	24,1	25	25	25	25	25		
Уровни звукового давления прямого звука от источника ИШ-2-32 в расчётной точке днём, дБ		**ф-ла(3)[10]**	**0**	**24,1**	**21,5**	**19,2**	**18,4**	**17,6**	**13,6**	**7,1**	**0**	**21,6**	**21,6**
Расчёт отражённого звука													
Уровни звукового давления от мнимого источника ИШ-2-32_мн.(1) в расчётной точке днём, дБ		**ф-ла(3)[10]**	**0**	**0**	**0**	**0**	**0**	**0**	**0**	**0**	**0**	**0**	**0**
Уровни звукового давления от мнимого источника ИШ-2-32_мн.(2) в расчётной точке днём, дБ		**ф-ла(3)[10]**	**0**	**0**	**0**	**0**	**0**	**0**	**0**	**0**	**0**	**0**	**0**
Суммарные уровни звукового давления от мнимых источников в расчётной точке днём, дБ		**ф-ла (19) [1]**	**0**	**0**	**0**	**0**	**0**	**0**	**0**	**0**	**0**	**0**	**0**
Уровни звукового давления от источника ИШ-2-32 в расчётной точке днём, дБ		**ф-ла(3)[10]**	**0**	**24,1**	**21,5**	**19,2**	**18,4**	**17,6**	**13,6**	**7,1**	**0**	**21,6**	**21,6**

1		2	3	4	5	6	7	8	9	10	11	12	13
Источник шума: ИШ-2-33, координаты источника (x,y,z), м =[699.52,-85.98,1.00]													
Уровни звуковой мощности источника днём, Lw, дБ		**исходные данные**	**0**	**93,3**	**94,7**	**96**	**96,3**	**95,9**	**92,6**	**88,4**	**83,9**		
Поправка на телесный угол DΩ, дБ	Ω = 6.28	10Lg(4π/Ω)	**3**	3	3	3	3	3	3	3	3		
Показатель направленности источника Di, дБ		исходные данные	**0**	0	0	0	0	0	0	0	0		
Поправка на направленность источника Dc, дБ	Dc	DΩ + Di	**3**	3	3	3	3	3	3	3	3		
Затухание из-за геометрической дивергенции, Adiv, дБ	расстояние = 166.92 м	ф-ла (7) [10]	**55,5**										
Коэффициент затухания звука в атмосфере α, дБ/км	Ta=20,°C Pa=101.33,кПа hотн.=70%	ф-ла (5) [9]	0,02	0,09	0,33	1,12	2,79	4,98	9,04	23,09	77,63		
Учет затухания звука в атмосфере Aatm, дБ		ф-ла (8) [10]	0	0	0,1	0,2	0,5	0,8	1,5	3,9	13		
Снижение уровня звукового давления из-за влияния застройки между источником шума и расчетной точкой													
Снижение уровня звукового давления на пути над экраном, Dz1, дБ	z = 4.48м (разность путей)	ф-лы (14-18) [10]	14	18,2	22,2	25,6	28,7	31,7	34,8	37,8	40,8		
Снижение уровня звукового давления на пути слева от экрана, Dz2, дБ	z = 22.68м (разность путей)	ф-лы (14-18) [10]	20,8	25,3	29,4	32,8	36	39	42	45,1	48,1		
Снижение уровня звукового давления на пути справа от экрана, Dz3, дБ	z = 20.86м (разность путей)	ф-лы (14-18) [10]	20,4	24,9	29	32,5	35,6	38,7	41,7	44,7	47,7		
Общее снижение уровня звука препятствием Dz, дБ		Эн.сумма(-Dzi)	12,4	16,7	20,7	24,1	27,3	30,3	33,3	36,3	39,4		
Общее снижение уровня звука препятствием с учётом ограничения (25 дБ) для октавных полос Dz, дБ		Раздел 7.4 [10]	12,4	16,7	20,7	24,1	25	25	25	25	25		
Уровни звукового давления прямого звука от источника ИШ-2-33 в расчётной точке днём, дБ		**ф-ла(3)[10]**	**0**	**24,1**	**21,5**	**19,2**	**18,4**	**17,6**	**13,6**	**7,1**	**0**	**21,6**	**21,6**
Расчёт отражённого звука													

1		2	3	4	5	6	7	8	9	10	11	12	13
Уровни звукового давления от мнимого источника ИШ-2-33_мн.(1) в расчётной точке днём, дБ		**ф-ла(3)[10]**	**0**	**0**	**0**	**0**	**0**	**0**	**0**	**0**	**0**	**0**	**0**
Уровни звукового давления от мнимого источника ИШ-2-33_мн.(2) в расчётной точке днём, дБ		**ф-ла(3)[10]**	**0**	**0**	**0**	**0**	**0**	**0**	**0**	**0**	**0**	**0**	**0**
Суммарные уровни звукового давления от мнимых источников в расчётной точке днём, дБ		**ф-ла (19) [1]**	**0**	**0**	**0**	**0**	**0**	**0**	**0**	**0**	**0**	**0**	**0**
Уровни звукового давления от источника ИШ-2-33 в расчётной точке днём, дБ		**ф-ла(3)[10]**	**0**	**24,1**	**21,5**	**19,2**	**18,4**	**17,6**	**13,6**	**7,1**	**0**	**21,6**	**21,6**
Источник шума: ИШ-2-34, координаты источника (x,y,z), м =[698.43,-88.85,1.00]													
Уровни звуковой мощности источника днём, Lw, дБ		**исходные данные**	**0**	**93,3**	**94,7**	**96**	**96,3**	**95,9**	**92,6**	**88,4**	**83,9**		
Поправка на телесный угол DΩ, дБ	Ω = 6.28	10Lg(4π/Ω)	**3**	3	3	3	3	3	3	3	3		
Показатель направленности источника Di, дБ		исходные данные	**0**	0	0	0	0	0	0	0	0		
Поправка на направленность источника Dc, дБ	Dc	DΩ + Di	**3**	3	3	3	3	3	3	3	3		
Затухание из-за геометрической дивергенции, Adiv, дБ	расстояние = 166.83 м	ф-ла (7) [10]	**55,4**										
Коэффициент затухания звука в атмосфере α, дБ/км	Ta=20,°C Pa=101.33,кПа hотн.=70%	ф-ла (5) [9]	0,02	0,09	0,33	1,12	2,79	4,98	9,04	23,09	77,63		
Учет затухания звука в атмосфере Aatm, дБ		ф-ла (8) [10]	0	0	0,1	0,2	0,5	0,8	1,5	3,9	13		
Снижение уровня звукового давления из-за влияния застройки между источником шума и расчетной точкой													
Снижение уровня звукового давления на пути над экраном, Dz1, дБ	z = 4.48м (разность путей)	ф-лы (14-18) [10]	14	18,2	22,2	25,6	28,7	31,7	34,8	37,8	40,8		
Снижение уровня звукового давления на пути слева от экрана, Dz2, дБ	z = 22.08м (разность путей)	ф-лы (14-18) [10]	20,7	25,2	29,3	32,7	35,9	38,9	41,9	44,9	47,9		
Снижение уровня звукового давления на пути справа от экрана, Dz3, дБ	z = 21.39м (разность путей)	ф-лы (14-18) [10]	20,5	25	29,1	32,6	35,7	38,8	41,8	44,8	47,8		

1		2	3	4	5	6	7	8	9	10	11	12	13
Общее снижение уровня звука препятствием Dz, дБ		Эн.сумма(-Dzi)	12,4	16,7	20,7	24,1	27,3	30,3	33,3	36,3	39,4		
Общее снижение уровня звука препятствием с учётом ограничения (25 дБ) для октавных полос Dz, дБ		Раздел 7.4 [10]	12,4	16,7	20,7	24,1	25	25	25	25	25		
Уровни звукового давления прямого звука от источника ИШ-2-34 в расчётной точке днём, дБ		**ф-ла(3)[10]**	**0**	**24,1**	**21,5**	**19,2**	**18,4**	**17,6**	**13,6**	**7,1**	**0**	**21,6**	**21,6**
Расчёт отражённого звука													
Уровни звукового давления от мнимого источника ИШ-2-34_мн.(1) в расчётной точке днём, дБ		**ф-ла(3)[10]**	**0**	**0**	**0**	**0**	**0**	**0**	**0**	**0**	**0**	**0**	**0**
Уровни звукового давления от мнимого источника ИШ-2-34_мн.(2) в расчётной точке днём, дБ		**ф-ла(3)[10]**	**0**	**0**	**0**	**0**	**0**	**0**	**0**	**0**	**0**	**0**	**0**
Суммарные уровни звукового давления от мнимых источников в расчётной точке днём, дБ		**ф-ла (19) [1]**	**0**	**0**	**0**	**0**	**0**	**0**	**0**	**0**	**0**	**0**	**0**
Уровни звукового давления от источника ИШ-2-34 в расчётной точке днём, дБ		**ф-ла(3)[10]**	**0**	**24,1**	**21,5**	**19,2**	**18,4**	**17,6**	**13,6**	**7,1**	**0**	**21,6**	**21,6**
Источник шума: ИШ-2-35, координаты источника (x,y,z), м =[697.52,-91.66,1.00]													
Уровни звуковой мощности источника днём, Lw, дБ		**исходные данные**	**0**	**93,3**	**94,7**	**96**	**96,3**	**95,9**	**92,6**	**88,4**	**83,9**		
Поправка на телесный угол DΩ, дБ	Ω = 6.28	10Lg(4π/Ω)	**3**	3	3	3	3	3	3	3	3		
Показатель направленности источника Di, дБ		исходные данные	**0**	0	0	0	0	0	0	0	0		
Поправка на направленность источника Dc, дБ	Dc	DΩ + Di	**3**	3	3	3	3	3	3	3	3		
Затухание из-за геометрической дивергенции, Adiv, дБ	расстояние = 166.93 м	ф-ла (7) [10]	**55,5**										
Коэффициент затухания звука в атмосфере α, дБ/км	Ta=20,°C Pa=101.33,кПа hотн.=70%	ф-ла (5) [9]	0,02	0,09	0,33	1,12	2,79	4,98	9,04	23,09	77,63		
Учет затухания звука в атмосфере Aatm, дБ		ф-ла (8) [10]	0	0	0,1	0,2	0,5	0,8	1,5	3,9	13		

1		2	3	4	5	6	7	8	9	10	11	12	13
Снижение уровня звукового давления из-за влияния застройки между источником шума и расчетной точкой													
Снижение уровня звукового давления на пути над экраном, Dz1, дБ	z = 4.48м (разность путей)	ф-лы (14-18) [10]	14	18,2	22,2	25,6	28,7	31,7	34,8	37,8	40,8		
Снижение уровня звукового давления на пути слева от экрана, Dz2, дБ	z = 21.52м (разность путей)	ф-лы (14-18) [10]	20,6	25,1	29,2	32,6	35,8	38,8	41,8	44,8	47,8		
Снижение уровня звукового давления на пути справа от экрана, Dz3, дБ	z = 21.91м (разность путей)	ф-лы (14-18) [10]	20,7	25,1	29,2	32,7	35,8	38,9	41,9	44,9	47,9		
Общее снижение уровня звука препятствием Dz, дБ		Эн.сумма(-Dzi)	12,4	16,7	20,7	24,1	27,3	30,3	33,3	36,3	39,3		
Общее снижение уровня звука препятствием с учётом ограничения (25 дБ) для октавных полос Dz, дБ		Раздел 7.4 [10]	12,4	16,7	20,7	24,1	25	25	25	25	25		
Уровни звукового давления прямого звука от источника ИШ-2-35 в расчётной точке днём, дБ		**ф-ла(3)[10]**	**0**	**24,1**	**21,5**	**19,2**	**18,4**	**17,6**	**13,6**	**7,1**	**0**	**21,6**	**21,6**
Расчёт отражённого звука													
Уровни звукового давления от мнимого источника ИШ-2-35_мн.(1) в расчётной точке днём, дБ		**ф-ла(3)[10]**	**0**	**0**	**0**	**0**	**0**	**0**	**0**	**0**	**0**	**0**	**0**
Уровни звукового давления от мнимого источника ИШ-2-35_мн.(2) в расчётной точке днём, дБ		**ф-ла(3)[10]**	**0**	**0**	**0**	**0**	**0**	**0**	**0**	**0**	**0**	**0**	**0**
Суммарные уровни звукового давления от мнимых источников в расчётной точке днём, дБ		**ф-ла (19) [1]**	**0**	**0**	**0**	**0**	**0**	**0**	**0**	**0**	**0**	**0**	**0**
Уровни звукового давления от источника ИШ-2-35 в расчётной точке днём, дБ		**ф-ла(3)[10]**	**0**	**24,1**	**21,5**	**19,2**	**18,4**	**17,6**	**13,6**	**7,1**	**0**	**21,6**	**21,6**
Источник шума: ИШ-2-36, координаты источника (x,y,z), м =[696.58,-94.55,1.00]													
Уровни звуковой мощности источника днём, Lw, дБ		**исходные данные**	**0**	**93,3**	**94,7**	**96**	**96,3**	**95,9**	**92,6**	**88,4**	**83,9**		
Поправка на телесный угол DΩ, дБ	Ω = 6.28	10Lg(4π/Ω)	**3**	3	3	3	3	3	3	3	3		
Показатель направленности источника Di, дБ		исходные данные	**0**	0	0	0	0	0	0	0	0		
Поправка на направленность источника Dc, дБ	Dc	DΩ + Di	**3**	3	3	3	3	3	3	3	3		

1		2	3	4	5	6	7	8	9	10	11	12	13
Затухание из-за геометрической дивергенции, Adiv, дБ	расстояние = 167.10 м	ф-ла (7) [10]	**55,5**										
Коэффициент затухания звука в атмосфере α, дБ/км	Ta=20,°C Pa=101.33,кПа hотн.=70%	ф-ла (5) [9]	0,02	0,09	0,33	1,12	2,79	4,98	9,04	23,09	77,63		
Учет затухания звука в атмосфере Aatm, дБ		ф-ла (8) [10]	0	0	0,1	0,2	0,5	0,8	1,5	3,9	13		
Снижение уровня звукового давления из-за влияния застройки между источником шума и расчетной точкой													
Снижение уровня звукового давления на пути над экраном, Dz1, дБ	z = 4.48м (разность путей)	ф-лы (14-18) [10]	14	18,2	22,2	25,6	28,7	31,7	34,8	37,8	40,8		
Снижение уровня звукового давления на пути слева от экрана, Dz2, дБ	z = 20.96м (разность путей)	ф-лы (14-18) [10]	20,5	24,9	29	32,5	35,6	38,7	41,7	44,7	47,7		
Снижение уровня звукового давления на пути справа от экрана, Dz3, дБ	z = 22.47м (разность путей)	ф-лы (14-18) [10]	20,8	25,2	29,3	32,8	35,9	39	42	45	48		
Общее снижение уровня звука препятствием Dz, дБ		Эн.сумма(-Dzi)	12,4	16,7	20,7	24,1	27,3	30,3	33,3	36,3	39,3		
Общее снижение уровня звука препятствием с учётом ограничения (25 дБ) для октавных полос Dz, дБ		Раздел 7.4 [10]	12,4	16,7	20,7	24,1	25	25	25	25	25		
Уровни звукового давления прямого звука от источника ИШ-2-36 в расчётной точке днём, дБ		**ф-ла(3)[10]**	**0**	**24,1**	**21,5**	**19,2**	**18,4**	**17,6**	**13,6**	**7,1**	**0**	**21,5**	**21,5**
Расчёт отражённого звука													
Уровни звукового давления от мнимого источника ИШ-2-36_мн.(1) в расчётной точке днём, дБ		**ф-ла(3)[10]**	**0**	**0**	**0**	**0**	**0**	**0**	**0**	**0**	**0**	**0**	**0**
Уровни звукового давления от источника ИШ-2-36 в расчётной точке днём, дБ		**ф-ла(3)[10]**	**0**	**24,1**	**21,5**	**19,2**	**18,4**	**17,6**	**13,6**	**7,1**	**0**	**21,5**	**21,5**
Источник шума: ИШ-2-37, координаты источника (x,y,z), м =[695.57,-97.37,1.00]													
Уровни звуковой мощности источника днём, Lw, дБ		**исходные данные**	**0**	**93,3**	**94,7**	**96**	**96,3**	**95,9**	**92,6**	**88,4**	**83,9**		
Поправка на телесный угол DΩ, дБ	Ω = 6.28	10Lg(4π/Ω)	**3**	3	3	3	3	3	3	3	3		

1		2	3	4	5	6	7	8	9	10	11	12	13
Показатель направленности источника Di, дБ		исходные данные	**0**	0	0	0	0	0	0	0	0		
Поправка на направленность источника Dc, дБ	Dc	DΩ + Di	**3**	3	3	3	3	3	3	3	3		
Затухание из-за геометрической дивергенции, Adiv, дБ	расстояние = 167.22 м	ф-ла (7) [10]	**55,5**										
Коэффициент затухания звука в атмосфере α, дБ/км	Ta=20,°C Pa=101.33,кПа hотн.=70%	ф-ла (5) [9]	0,02	0,09	0,33	1,12	2,79	4,98	9,04	23,09	77,63		
Учет затухания звука в атмосфере Aatm, дБ		ф-ла (8) [10]	0	0	0,1	0,2	0,5	0,8	1,5	3,9	13		
Снижение уровня звукового давления из-за влияния застройки между источником шума и расчетной точкой													
Снижение уровня звукового давления на пути над экраном, Dz1, дБ	z = 4.48м (разность путей)	ф-лы (14-18) [10]	14	18,2	22,2	25,6	28,7	31,7	34,8	37,8	40,8		
Снижение уровня звукового давления на пути слева от экрана, Dz2, дБ	z = 20.43м (разность путей)	ф-лы (14-18) [10]	20,4	24,8	28,9	32,4	35,5	38,6	41,6	44,6	47,6		
Снижение уровня звукового давления на пути справа от экрана, Dz3, дБ	z = 23.04м (разность путей)	ф-лы (14-18) [10]	20,9	25,4	29,4	32,9	36	39,1	42,1	45,1	48,1		
Общее снижение уровня звука препятствием Dz, дБ		Эн.сумма(-Dzi)	12,4	16,7	20,7	24,1	27,3	30,3	33,3	36,3	39,3		
Общее снижение уровня звука препятствием с учётом ограничения (25 дБ) для октавных полос Dz, дБ		Раздел 7.4 [10]	12,4	16,7	20,7	24,1	25	25	25	25	25		
Уровни звукового давления от источника ИШ-2-37 в расчётной точке днём, дБ		**ф-ла(3)[10]**	**0**	**24,1**	**21,5**	**19,2**	**18,4**	**17,6**	**13,6**	**7,1**	**0**	**21,5**	**21,5**
Источник шума: ИШ-2-5, координаты источника (x,y,z), м =[618.60,-108.00,3.00]													
Уровни звуковой мощности источника днём, Lw, дБ		**исходные данные**	**105**	**104**	**104**	**101**	**102**	**106**	**101**	**95**	**87**		
Поправка на телесный угол DΩ, дБ	Ω = 6.28	10Lg(4π/Ω)	**3**	3	3	3	3	3	3	3	3		
Показатель направленности источника Di, дБ		исходные данные	**0**	0	0	0	0	0	0	0	0		

1		2	3	4	5	6	7	8	9	10	11	12	13
Поправка на направленность источника Dc, дБ	Dc	DΩ + Di	**3**	3	3	3	3	3	3	3	3		
Затухание из-за геометрической дивергенции, Adiv, дБ	расстояние = 107.76 м	ф-ла (7) [10]	**51,6**										
Коэффициент затухания звука в атмосфере α, дБ/км	Ta=20,°C Pa=101.33,кПа hотн.=70%	ф-ла (5) [9]	0,02	0,09	0,33	1,12	2,79	4,98	9,04	23,09	77,63		
Учет затухания звука в атмосфере Aatm, дБ		ф-ла (8) [10]	0	0	0	0,1	0,3	0,5	1	2,5	8,4		
Снижение уровня звукового давления из-за влияния застройки между источником шума и расчетной точкой													
Снижение уровня звукового давления на пути над экраном, Dz1, дБ	z = 4.38м (разность путей)	ф-лы (14-18) [10]	14,2	18,4	22,3	25,6	28,7	31,8	34,8	37,8	40,8		
Снижение уровня звукового давления на пути слева от экрана, Dz2, дБ	z = 12.81м (разность путей)	ф-лы (14-18) [10]	17	19,9	22,8	25,8	28,8	31,8	34,8	37,8	40,8		
Снижение уровня звукового давления на пути справа от экрана, Dz3, дБ	z = 42.36м (разность путей)	ф-лы (14-18) [10]	23,5	28	32,1	35,5	38,7	41,7	44,8	47,8	50,8		
Общее снижение уровня звука препятствием Dz, дБ		Эн.сумма(-Dzi)	12	15,8	19,3	22,5	25,5	28,5	31,6	34,6	37,6		
Общее снижение уровня звука препятствием с учётом ограничения (25 дБ) для октавных полос Dz, дБ		Раздел 7.4 [10]	12	15,8	19,3	22,5	25	25	25	25	25		
Уровни звукового давления прямого звука от источника ИШ-2-5 в расчётной точке днём, дБ		**ф-ла(3)[10]**	**44,3**	**39,6**	**36**	**29,8**	**28,1**	**31,8**	**26,4**	**18,9**	**5**	**34,4**	**34,4**
Расчёт отражённого звука													
Уровни звукового давления от мнимого источника ИШ-2-5_мн.(1) в расчётной точке днём, дБ		**ф-ла(3)[10]**	**0**	**0**	**0**	**0**	**0**	**39,3**	**32,8**	**19,4**	**0**	**40,4**	**40,4**
Уровни звукового давления от источника ИШ-2-5 в расчётной точке днём, дБ		**ф-ла(3)[10]**	**44,3**	**39,6**	**36**	**29,8**	**28,1**	**40**	**33,7**	**22,1**	**5**	**41,4**	**41,4**
Источник шума: ИШ-2-38, координаты источника (x,y,z), м =[688.13,-119.94,1.00]													
Уровни звуковой мощности источника днём, Lw, дБ		**исходные данные**	**0**	**93,3**	**94,7**	**96**	**96,3**	**95,9**	**92,6**	**88,4**	**83,9**		

1		2	3	4	5	6	7	8	9	10	11	12	13
Поправка на телесный угол DΩ, дБ	Ω = 6.28	10Lg(4π/Ω)	**3**	3	3	3	3	3	3	3	3		
Показатель направленности источника Di, дБ		исходные данные	**0**	0	0	0	0	0	0	0	0		
Поправка на направленность источника Dc, дБ	Dc	DΩ + Di	**3**	3	3	3	3	3	3	3	3		
Затухание из-за геометрической дивергенции, Adiv, дБ	расстояние = 170.69 м	ф-ла (7) [10]	**55,6**										
Коэффициент затухания звука в атмосфере α, дБ/км	Ta=20,°C Pa=101.33,кПа hотн.=70%	ф-ла (5) [9]	0,02	0,09	0,33	1,12	2,79	4,98	9,04	23,09	77,63		
Учет затухания звука в атмосфере Aatm, дБ		ф-ла (8) [10]	0	0	0,1	0,2	0,5	0,8	1,5	3,9	13,3		
Снижение уровня звукового давления из-за влияния застройки между источником шума и расчетной точкой													
Снижение уровня звукового давления на пути над экраном, Dz1, дБ	z = 4.46м (разность путей)	ф-лы (14-18) [10]	14	18,2	22,1	25,6	28,7	31,7	34,7	37,7	40,7		
Снижение уровня звукового давления на пути слева от экрана, Dz2, дБ	z = 16.98м (разность путей)	ф-лы (14-18) [10]	18,2	21,1	24	27	30	33	36	39	42		
Снижение уровня звукового давления на пути справа от экрана, Dz3, дБ	z = 27.93м (разность путей)	ф-лы (14-18) [10]	21,7	26,2	30,3	33,7	36,9	39,9	42,9	46	49		
Общее снижение уровня звука препятствием Dz, дБ		Эн.сумма(-Dzi)	12,1	16	19,6	22,8	25,9	28,9	32	35	38		
Общее снижение уровня звука препятствием с учётом ограничения (25 дБ) для октавных полос Dz, дБ		Раздел 7.4 [10]	12,1	16	19,6	22,8	25	25	25	25	25		
Уровни звукового давления прямого звука от источника ИШ-2-38 в расчётной точке днём, дБ		**ф-ла(3)[10]**	**0**	**24,7**	**22,4**	**20,3**	**18,2**	**17,4**	**13,4**	**6,8**	**0**	**21,5**	**21,5**
Расчёт отражённого звука													
Уровни звукового давления от мнимого источника ИШ-2-38_мн.(1) в расчётной точке днём, дБ		**ф-ла(3)[10]**	**0**	**0**	**0**	**0**	**0**	**25,8**	**22,7**	**10,1**	**0**	**28**	**28**
Уровни звукового давления от источника ИШ-2-38 в расчётной точке днём, дБ		**ф-ла(3)[10]**	**0**	**24,7**	**22,4**	**20,3**	**18,2**	**26,3**	**23,2**	**11,8**	**0**	**28,9**	**28,9**

1		2	3	4	5	6	7	8	9	10	11	12	13
Источник шума: ИШ-2-39, координаты источника (x,y,z), м =[687.11,-122.83,1.00]													
Уровни звуковой мощности источника днём, Lw, дБ		**исходные данные**	**0**	**93,3**	**94,7**	**96**	**96,3**	**95,9**	**92,6**	**88,4**	**83,9**		
Поправка на телесный угол DΩ, дБ	Ω = 6.28	10Lg(4π/Ω)	**3**	3	3	3	3	3	3	3	3		
Показатель направленности источника Di, дБ		исходные данные	**0**	0	0	0	0	0	0	0	0		
Поправка на направленность источника Dc, дБ	Dc	DΩ + Di	**3**	3	3	3	3	3	3	3	3		
Затухание из-за геометрической дивергенции, Adiv, дБ	расстояние = 171.32 м	ф-ла (7) [10]	**55,7**										
Коэффициент затухания звука в атмосфере α, дБ/км	Ta=20,°C Pa=101.33,кПа hотн.=70%	ф-ла (5) [9]	0,02	0,09	0,33	1,12	2,79	4,98	9,04	23,09	77,63		
Учет затухания звука в атмосфере Aatm, дБ		ф-ла (8) [10]	0	0	0,1	0,2	0,5	0,9	1,5	4	13,3		
Снижение уровня звукового давления из-за влияния застройки между источником шума и расчетной точкой													
Снижение уровня звукового давления на пути над экраном, Dz1, дБ	z = 4.45м (разность путей)	ф-лы (14-18) [10]	14	18,2	22,1	25,6	28,7	31,7	34,7	37,7	40,7		
Снижение уровня звукового давления на пути слева от экрана, Dz2, дБ	z = 16.60м (разность путей)	ф-лы (14-18) [10]	18,1	21	23,9	26,9	29,9	32,9	35,9	38,9	41,9		
Снижение уровня звукового давления на пути справа от экрана, Dz3, дБ	z = 28.60м (разность путей)	ф-лы (14-18) [10]	21,8	26,3	30,4	33,8	37	40	43	46,1	49,1		
Общее снижение уровня звука препятствием Dz, дБ		Эн.сумма(-Dzi)	12,1	15,9	19,6	22,8	25,9	28,9	31,9	34,9	37,9		
Общее снижение уровня звука препятствием с учётом ограничения (25 дБ) для октавных полос Dz, дБ		Раздел 7.4 [10]	12,1	15,9	19,6	22,8	25	25	25	25	25		
Уровни звукового давления прямого звука от источника ИШ-2-39 в расчётной точке днём, дБ		**ф-ла(3)[10]**	**0**	**24,7**	**22,4**	**20,3**	**18,1**	**17,4**	**13,4**	**6,8**	**0**	**21,5**	**21,5**
Расчёт отражённого звука													

1		2	3	4	5	6	7	8	9	10	11	12	13
Уровни звукового давления от мнимого источника ИШ-2-39_мн.(1) в расчётной точке днём, дБ		**ф-ла(3)[10]**	**0**	**0**	**0**	**0**	**0**	**25,8**	**22,7**	**10,1**	**0**	**28**	**28**
Уровни звукового давления от источника ИШ-2-39 в расчётной точке днём, дБ		**ф-ла(3)[10]**	**0**	**24,7**	**22,4**	**20,3**	**18,1**	**26,3**	**23,2**	**11,7**	**0**	**28,9**	**28,9**
Источник шума: ИШ-2-40, координаты источника (x,y,z), м =[686.10,-125.67,1.00]													
Уровни звуковой мощности источника днём, Lw, дБ		**исходные данные**	**0**	**93,3**	**94,7**	**96**	**96,3**	**95,9**	**92,6**	**88,4**	**83,9**		
Поправка на телесный угол DΩ, дБ	Ω = 6.28	10Lg(4π/Ω)	**3**	3	3	3	3	3	3	3	3		
Показатель направленности источника Di, дБ		исходные данные	**0**	0	0	0	0	0	0	0	0		
Поправка на направленность источника Dc, дБ	Dc	DΩ + Di	**3**	3	3	3	3	3	3	3	3		
Затухание из-за геометрической дивергенции, Adiv, дБ	расстояние = 171.97 м	ф-ла (7) [10]	**55,7**										
Коэффициент затухания звука в атмосфере α, дБ/км	Ta=20,°C Pa=101.33,кПа hотн.=70%	ф-ла (5) [9]	0,02	0,09	0,33	1,12	2,79	4,98	9,04	23,09	77,63		
Учет затухания звука в атмосфере Aatm, дБ		ф-ла (8) [10]	0	0	0,1	0,2	0,5	0,9	1,6	4	13,4		
Снижение уровня звукового давления из-за влияния застройки между источником шума и расчетной точкой													
Снижение уровня звукового давления на пути над экраном, Dz1, дБ	z = 4.45м (разность путей)	ф-лы (14-18) [10]	14	18,2	22,1	25,6	28,7	31,7	34,7	37,7	40,7		
Снижение уровня звукового давления на пути слева от экрана, Dz2, дБ	z = 16.23м (разность путей)	ф-лы (14-18) [10]	18	20,9	23,8	26,8	29,8	32,8	35,8	38,8	41,8		
Снижение уровня звукового давления на пути справа от экрана, Dz3, дБ	z = 29.27м (разность путей)	ф-лы (14-18) [10]	21,9	26,4	30,5	33,9	37,1	40,1	43,1	46,2	49,2		
Общее снижение уровня звука препятствием Dz, дБ		Эн.сумма(-Dzi)	12	15,9	19,5	22,8	25,9	28,9	31,9	34,9	37,9		
Общее снижение уровня звука препятствием с учётом ограничения (25 дБ) для октавных полос Dz, дБ		Раздел 7.4 [10]	12	15,9	19,5	22,8	25	25	25	25	25		

1		2	3	4	5	6	7	8	9	10	11	12	13
Уровни звукового давления прямого звука от источника ИШ-2-40 в расчётной точке днём, дБ		**ф-ла(3)[10]**	**0**	**24,7**	**22,4**	**20,3**	**18,1**	**17,3**	**13,3**	**6,7**	**0**	**21,4**	**21,4**
Расчёт отражённого звука													
Уровни звукового давления от мнимого источника ИШ-2-40_мн.(1) в расчётной точке днём, дБ		**ф-ла(3)[10]**	**0**	**0**	**0**	**0**	**0**	**25,8**	**22,7**	**10,1**	**0**	**28**	**28**
Уровни звукового давления от источника ИШ-2-40 в расчётной точке днём, дБ		**ф-ла(3)[10]**	**0**	**24,7**	**22,4**	**20,3**	**18,1**	**26,3**	**23,2**	**11,7**	**0**	**28,9**	**28,9**
Источник шума: ИШ-2-41, координаты источника (x,y,z), м =[685.14,-128.64,1.00]													
Уровни звуковой мощности источника днём, Lw, дБ		**исходные данные**	**0**	**93,3**	**94,7**	**96**	**96,3**	**95,9**	**92,6**	**88,4**	**83,9**		
Поправка на телесный угол DΩ, дБ	Ω = 6.28	10Lg(4π/Ω)	**3**	3	3	3	3	3	3	3	3		
Показатель направленности источника Di, дБ		исходные данные	**0**	0	0	0	0	0	0	0	0		
Поправка на направленность источника Dc, дБ	Dc	DΩ + Di	**3**	3	3	3	3	3	3	3	3		
Затухание из-за геометрической дивергенции, Adiv, дБ	расстояние = 172.79 м	ф-ла (7) [10]	**55,8**										
Коэффициент затухания звука в атмосфере α, дБ/км	Ta=20,°C Pa=101.33,кПа hотн.=70%	ф-ла (5) [9]	0,02	0,09	0,33	1,12	2,79	4,98	9,04	23,09	77,63		
Учет затухания звука в атмосфере Aatm, дБ		ф-ла (8) [10]	0	0	0,1	0,2	0,5	0,9	1,6	4	13,4		
Снижение уровня звукового давления из-за влияния застройки между источником шума и расчетной точкой													
Снижение уровня звукового давления на пути над экраном, Dz1, дБ	z = 4.44м (разность путей)	ф-лы (14-18) [10]	14	18,2	22,1	25,5	28,7	31,7	34,7	37,7	40,7		
Снижение уровня звукового давления на пути слева от экрана, Dz2, дБ	z = 15.86м (разность путей)	ф-лы (14-18) [10]	17,9	20,8	23,7	26,7	29,7	32,7	35,7	38,7	41,7		
Снижение уровня звукового давления на пути справа от экрана, Dz3, дБ	z = 29.95м (разность путей)	ф-лы (14-18) [10]	22	26,5	30,6	34	37,2	40,2	43,2	46,3	49,3		

1		2	3	4	5	6	7	8	9	10	11	12	13
Общее снижение уровня звука препятствием Dz, дБ		Эн.сумма(-Dzi)	12	15,9	19,5	22,7	25,8	28,8	31,8	34,9	37,9		
Общее снижение уровня звука препятствием с учётом ограничения (25 дБ) для октавных полос Dz, дБ		Раздел 7.4 [10]	12	15,9	19,5	22,7	25	25	25	25	25		
Уровни звукового давления прямого звука от источника ИШ-2-41 в расчётной точке днём, дБ		**ф-ла(3)[10]**	**0**	**24,6**	**22,4**	**20,3**	**18,1**	**17,3**	**13,3**	**6,7**	**0**	**21,4**	**21,4**
Расчёт отражённого звука													
Уровни звукового давления от мнимого источника ИШ-2-41_мн.(1) в расчётной точке днём, дБ		**ф-ла(3)[10]**	**0**	**0**	**0**	**0**	**0**	**25,7**	**22,7**	**10,1**	**0**	**28**	**28**
Уровни звукового давления от источника ИШ-2-41 в расчётной точке днём, дБ		**ф-ла(3)[10]**	**0**	**24,6**	**22,4**	**20,3**	**18,1**	**26,3**	**23,1**	**11,7**	**0**	**28,8**	**28,8**
Источник шума: ИШ-2-42, координаты источника (x,y,z), м =[684.20,-131.46,1.00]													
Уровни звуковой мощности источника днём, Lw, дБ		**исходные данные**	**0**	**93,3**	**94,7**	**96**	**96,3**	**95,9**	**92,6**	**88,4**	**83,9**		
Поправка на телесный угол DΩ, дБ	Ω = 6.28	10Lg(4π/Ω)	**3**	3	3	3	3	3	3	3	3		
Показатель направленности источника Di, дБ		исходные данные	**0**	0	0	0	0	0	0	0	0		
Поправка на направленность источника Dc, дБ	Dc	DΩ + Di	**3**	3	3	3	3	3	3	3	3		
Затухание из-за геометрической дивергенции, Adiv, дБ	расстояние = 173.59 м	ф-ла (7) [10]	**55,8**										
Коэффициент затухания звука в атмосфере α, дБ/км	Ta=20,°C Pa=101.33,кПа hотн.=70%	ф-ла (5) [9]	0,02	0,09	0,33	1,12	2,79	4,98	9,04	23,09	77,63		
Учет затухания звука в атмосфере Aatm, дБ		ф-ла (8) [10]	0	0	0,1	0,2	0,5	0,9	1,6	4	13,5		
Снижение уровня звукового давления из-за влияния застройки между источником шума и расчетной точкой													
Снижение уровня звукового давления на пути над экраном, Dz1, дБ	z = 4.43м (разность путей)	ф-лы (14-18) [10]	14	18,2	22,1	25,5	28,7	31,7	34,7	37,7	40,7		

1		2	3	4	5	6	7	8	9	10	11	12	13
Снижение уровня звукового давления на пути слева от экрана, Dz2, дБ	z = 15.50м (разность путей)	ф-лы (14-18) [10]	17,8	20,7	23,6	26,6	29,6	32,6	35,6	38,6	41,6		
Снижение уровня звукового давления на пути справа от экрана, Dz3, дБ	z = 30.61м (разность путей)	ф-лы (14-18) [10]	22,1	26,6	30,7	34,1	37,3	40,3	43,3	46,4	49,4		
Общее снижение уровня звука препятствием Dz, дБ		Эн.сумма(-Dzi)	12	15,9	19,5	22,7	25,8	28,8	31,8	34,8	37,8		
Общее снижение уровня звука препятствием с учётом ограничения (25 дБ) для октавных полос Dz, дБ		Раздел 7.4 [10]	12	15,9	19,5	22,7	25	25	25	25	25		
Уровни звукового давления прямого звука от источника ИШ-2-42 в расчётной точке днём, дБ		**ф-ла(3)[10]**	**0**	**24,6**	**22,4**	**20,3**	**18**	**17,2**	**13,2**	**6,6**	**0**	**21,4**	**21,4**
Расчёт отражённого звука													
Уровни звукового давления от мнимого источника ИШ-2-42_мн.(1) в расчётной точке днём, дБ		**ф-ла(3)[10]**	**0**	**0**	**0**	**0**	**0**	**25,7**	**22,7**	**10,1**	**0**	**28**	**28**
Уровни звукового давления от источника ИШ-2-42 в расчётной точке днём, дБ		**ф-ла(3)[10]**	**0**	**24,6**	**22,4**	**20,3**	**18**	**26,3**	**23,1**	**11,7**	**0**	**28,8**	**28,8**
Источник шума: ИШ-2-43, координаты источника (x,y,z), м =[683.13,-134.37,1.00]													
Уровни звуковой мощности источника днём, Lw, дБ		**исходные данные**	**0**	**93,3**	**94,7**	**96**	**96,3**	**95,9**	**92,6**	**88,4**	**83,9**		
Поправка на телесный угол DΩ, дБ	Ω = 6.28	10Lg(4π/Ω)	**3**	3	3	3	3	3	3	3	3		
Показатель направленности источника Di, дБ		исходные данные	**0**	0	0	0	0	0	0	0	0		
Поправка на направленность источника Dc, дБ	Dc	DΩ + Di	**3**	3	3	3	3	3	3	3	3		
Затухание из-за геометрической дивергенции, Adiv, дБ	расстояние = 174.39 м	ф-ла (7) [10]	**55,8**										
Коэффициент затухания звука в атмосфере α, дБ/км	Ta=20,°C Pa=101.33,кПа hотн.=70%	ф-ла (5) [9]	0,02	0,09	0,33	1,12	2,79	4,98	9,04	23,09	77,63		
Учет затухания звука в атмосфере Aatm, дБ		ф-ла (8) [10]	0	0	0,1	0,2	0,5	0,9	1,6	4	13,5		

1		2	3	4	5	6	7	8	9	10	11	12	13
Снижение уровня звукового давления из-за влияния застройки между источником шума и расчетной точкой													
Снижение уровня звукового давления на пути над экраном, Dz1, дБ	z = 4.43м (разность путей)	ф-лы (14-18) [10]	14	18,2	22,1	25,5	28,6	31,7	34,7	37,7	40,7		
Снижение уровня звукового давления на пути слева от экрана, Dz2, дБ	z = 15.14м (разность путей)	ф-лы (14-18) [10]	17,7	20,6	23,5	26,5	29,5	32,5	35,5	38,5	41,5		
Снижение уровня звукового давления на пути справа от экрана, Dz3, дБ	z = 31.31м (разность путей)	ф-лы (14-18) [10]	22,2	26,7	30,8	34,2	37,4	40,4	43,4	46,5	49,5		
Общее снижение уровня звука препятствием Dz, дБ		Эн.сумма(-Dzi)	12	15,9	19,4	22,7	25,7	28,8	31,8	34,8	37,8		
Общее снижение уровня звука препятствием с учётом ограничения (25 дБ) для октавных полос Dz, дБ		Раздел 7.4 [10]	12	15,9	19,4	22,7	25	25	25	25	25		
Уровни звукового давления прямого звука от источника ИШ-2-43 в расчётной точке днём, дБ		**ф-ла(3)[10]**	**0**	**24,6**	**22,4**	**20,3**	**18**	**17,2**	**13,2**	**6,5**	**0**	**21,3**	**21,3**
Расчёт отражённого звука													
Уровни звукового давления от мнимого источника ИШ-2-43_мн.(1) в расчётной точке днём, дБ		**ф-ла(3)[10]**	**0**	**0**	**0**	**0**	**0**	**25,7**	**22,7**	**10,1**	**0**	**28**	**28**
Уровни звукового давления от источника ИШ-2-43 в расчётной точке днём, дБ		**ф-ла(3)[10]**	**0**	**24,6**	**22,4**	**20,3**	**18**	**26,3**	**23,1**	**11,6**	**0**	**28,8**	**28,8**
Источник шума: ИШ-2-44, координаты источника (x,y,z), м =[682.20,-137.16,1.00]													
Уровни звуковой мощности источника днём, Lw, дБ		**исходные данные**	**0**	**93,3**	**94,7**	**96**	**96,3**	**95,9**	**92,6**	**88,4**	**83,9**		
Поправка на телесный угол DΩ, дБ	Ω = 6.28	10Lg(4π/Ω)	**3**	3	3	3	3	3	3	3	3		
Показатель направленности источника Di, дБ		исходные данные	**0**	0	0	0	0	0	0	0	0		
Поправка на направленность источника Dc, дБ	Dc	DΩ + Di	**3**	3	3	3	3	3	3	3	3		
Затухание из-за геометрической дивергенции, Adiv, дБ	расстояние = 175.27 м	ф-ла (7) [10]	**55,9**										
Коэффициент затухания звука в атмосфере α, дБ/км	Ta=20,°C Pa=101.33,кПа hотн.=70%	ф-ла (5) [9]	0,02	0,09	0,33	1,12	2,79	4,98	9,04	23,09	77,63		

1		2	3	4	5	6	7	8	9	10	11	12	13
Учет затухания звука в атмосфере Aatm, дБ		ф-ла (8) [10]	0	0	0,1	0,2	0,5	0,9	1,6	4	13,6		
Снижение уровня звукового давления из-за влияния застройки между источником шума и расчетной точкой													
Снижение уровня звукового давления на пути над экраном, Dz1, дБ	z = 4.42м (разность путей)	ф-лы (14-18) [10]	14	18,2	22,1	25,5	28,6	31,7	34,7	37,7	40,7		
Снижение уровня звукового давления на пути слева от экрана, Dz2, дБ	z = 14.80м (разность путей)	ф-лы (14-18) [10]	17,6	20,5	23,4	26,4	29,4	32,4	35,4	38,4	41,4		
Снижение уровня звукового давления на пути справа от экрана, Dz3, дБ	z = 31.96м (разность путей)	ф-лы (14-18) [10]	22,3	26,8	30,9	34,3	37,5	40,5	43,5	46,5	49,6		
Общее снижение уровня звука препятствием Dz, дБ		Эн.сумма(-Dzi)	12	15,8	19,4	22,6	25,7	28,7	31,7	34,7	37,8		
Общее снижение уровня звука препятствием с учётом ограничения (25 дБ) для октавных полос Dz, дБ		Раздел 7.4 [10]	12	15,8	19,4	22,6	25	25	25	25	25		
Уровни звукового давления прямого звука от источника ИШ-2-44 в расчётной точке днём, дБ		**ф-ла(3)[10]**	**0**	**24,6**	**22,4**	**20,3**	**17,9**	**17,1**	**13,1**	**6,5**	**0**	**21,3**	**21,3**
Расчёт отражённого звука													
Уровни звукового давления от мнимого источника ИШ-2-44_мн.(1) в расчётной точке днём, дБ		**ф-ла(3)[10]**	**0**	**0**	**0**	**0**	**0**	**25,7**	**22,7**	**10**	**0**	**28**	**28**
Уровни звукового давления от источника ИШ-2-44 в расчётной точке днём, дБ		**ф-ла(3)[10]**	**0**	**24,6**	**22,4**	**20,3**	**17,9**	**26,3**	**23,1**	**11,6**	**0**	**28,8**	**28,8**
Источник шума: ИШ-2-45, координаты источника (x,y,z), м =[681.26,-139.98,1.00]													
Уровни звуковой мощности источника днём, Lw, дБ		**исходные данные**	**0**	**93,3**	**94,7**	**96**	**96,3**	**95,9**	**92,6**	**88,4**	**83,9**		
Поправка на телесный угол DΩ, дБ	Ω = 6.28	10Lg(4π/Ω)	**3**	3	3	3	3	3	3	3	3		
Показатель направленности источника Di, дБ		исходные данные	**0**	0	0	0	0	0	0	0	0		
Поправка на направленность источника Dc, дБ	Dc	DΩ + Di	**3**	3	3	3	3	3	3	3	3		
Затухание из-за геометрической дивергенции, Adiv, дБ	расстояние = 176.21 м	ф-ла (7) [10]	**55,9**										

1		2	3	4	5	6	7	8	9	10	11	12	13
Коэффициент затухания звука в атмосфере α, дБ/км	Та=20,°С Ра=101.33,кПа hотн.=70%	ф-ла (5) [9]	0,02	0,09	0,33	1,12	2,79	4,98	9,04	23,09	77,63		
Учет затухания звука в атмосфере Aatm, дБ		ф-ла (8) [10]	0	0	0,1	0,2	0,5	0,9	1,6	4,1	13,7		
Снижение уровня звукового давления из-за влияния застройки между источником шума и расчетной точкой													
Снижение уровня звукового давления на пути над экраном, Dz1, дБ	z = 4.41м (разность путей)	ф-лы (14-18) [10]	14	18,2	22,1	25,5	28,6	31,7	34,7	37,7	40,7		
Снижение уровня звукового давления на пути слева от экрана, Dz2, дБ	z = 14.46м (разность путей)	ф-лы (14-18) [10]	17,5	20,4	23,3	26,3	29,3	32,3	35,3	38,3	41,3		
Снижение уровня звукового давления на пути справа от экрана, Dz3, дБ	z = 32.62м (разность путей)	ф-лы (14-18) [10]	22,3	26,8	31	34,4	37,6	40,6	43,6	46,6	49,6		
Общее снижение уровня звука препятствием Dz, дБ		Эн.сумма(-Dzi)	12	15,8	19,4	22,6	25,7	28,7	31,7	34,7	37,7		
Общее снижение уровня звука препятствием с учётом ограничения (25 дБ) для октавных полос Dz, дБ		Раздел 7.4 [10]	12	15,8	19,4	22,6	25	25	25	25	25		
Уровни звукового давления прямого звука от источника ИШ-2-45 в расчётной точке днём, дБ		**ф-ла(3)[10]**	**0**	**24,6**	**22,3**	**20,3**	**17,9**	**17,1**	**13,1**	**6,4**	**0**	**21,2**	**21,2**
Расчёт отражённого звука													
Уровни звукового давления от мнимого источника ИШ-2-45_мн.(1) в расчётной точке днём, дБ		**ф-ла(3)[10]**	**0**	**0**	**0**	**0**	**0**	**25,7**	**22,6**	**10**	**0**	**28**	**28**
Уровни звукового давления от источника ИШ-2-45 в расчётной точке днём, дБ		**ф-ла(3)[10]**	**0**	**24,6**	**22,3**	**20,3**	**17,9**	**26,3**	**23,1**	**11,6**	**0**	**28,8**	**28,8**
Источник шума: ИШ-4-1, координаты источника (x,y,z), м =[141.82,201.03,1.00]													
Уровни звуковой мощности источника днём, Lw, дБ		**исходные данные**	**0**	**90,3**	**91,7**	**93**	**93,3**	**92,9**	**89,6**	**85,4**	**80,9**		
Поправка на телесный угол DΩ, дБ	Ω = 6.28	10Lg(4π/Ω)	**3**	3	3	3	3	3	3	3	3		
Показатель направленности источника Di, дБ		исходные данные	**0**	0	0	0	0	0	0	0	0		

1		2	3	4	5	6	7	8	9	10	11	12	13
Поправка на направленность источника Dc, дБ	Dc	DΩ + Di	**3**	3	3	3	3	3	3	3	3		
Затухание из-за геометрической дивергенции, Adiv, дБ	расстояние = 462.92 м	ф-ла (7) [10]	**64,3**										
Коэффициент затухания звука в атмосфере α, дБ/км	Ta=20,°C Pa=101.33,кПа hотн.=70%	ф-ла (5) [9]	0,02	0,09	0,33	1,12	2,79	4,98	9,04	23,09	77,63		
Учет затухания звука в атмосфере Aatm, дБ		ф-ла (8) [10]	0	0	0,2	0,5	1,3	2,3	4,2	10,7	35,9		
Снижение поверхностью земли возле источника As, дБ	Gs = 0 hs = 1м	ф-лы таб.3 [10]	-1,5	-1,5	-1,5	-1,5	-1,5	-1,5	-1,5	-1,5	-1,5		
Снижение поверхностью земли возле приёмника Ar, дБ	Gr = 1 hr = 1.5м	ф-лы таб.3 [10]	-1,5	-1,5	2,8	7	5	0,7	0	0	0		
Снижение поверхностью земли в средней зоне, Am дБ	Gm = 1	ф-лы таб.3 [10]	-2,5	-2,5	0	0	0	0	0	0	0		
Суммарное снижение поверхностью земли на траектории распространения звука Agr, дБ		ф-ла (9) [10]	-5,5	-5,5	1,3	5,5	3,5	-0,8	-1,5	-1,5	-1,5		
Уровни звукового давления прямого звука от источника ИШ-4-1 в расчётной точке днём, дБ		**ф-ла(3)[10]**	**0**	**34,5**	**28,9**	**25,6**	**27,2**	**30,1**	**25,6**	**14,9**	**0**	**32,7**	**32,7**
Расчёт отражённого звука													
Уровни звукового давления от мнимого источника ИШ-4-1_мн.(1) в расчётной точке днём, дБ		**ф-ла(3)[10]**	**0**	**0**	**0**	**26,6**	**25**	**22,1**	**15,2**	**1,9**	**0**	**26,3**	**26,3**
Уровни звукового давления от мнимого источника ИШ-4-1_мн.(2) в расчётной точке днём, дБ		**ф-ла(3)[10]**	**0**	**0**	**0**	**0**	**22,3**	**18,4**	**10,6**	**0**	**0**	**22,2**	**22,2**
Уровни звукового давления от мнимого источника ИШ-4-1_мн.(3) в расчётной точке днём, дБ		**ф-ла(3)[10]**	**0**	**33,4**	**23,6**	**15,3**	**15,9**	**25,6**	**23,1**	**12,3**	**0**	**28,3**	**28,3**
Суммарные уровни звукового давления от мнимых источников в расчётной точке днём, дБ		**ф-ла (19) [1]**	**0**	**33,4**	**23,6**	**26,9**	**27,2**	**27,7**	**23,9**	**12,7**	**0**	**0**	**31**
Уровни звукового давления от источника ИШ-4-1 в расчётной точке днём, дБ		**ф-ла(3)[10]**	**0**	**37**	**30**	**29,4**	**30,2**	**32,1**	**27,8**	**16,9**	**0**	**35**	**35**
Источник шума: ИШ-4-2, координаты источника (x,y,z), м =[133.85,183.21,1.00]													

1		2	3	4	5	6	7	8	9	10	11	12	13
Уровни звуковой мощности источника днём, Lw, дБ		**исходные данные**	**0**	**90,3**	**91,7**	**93**	**93,3**	**92,9**	**89,6**	**85,4**	**80,9**		
Поправка на телесный угол DΩ, дБ	Ω = 6.28	10Lg(4π/Ω)	**3**	3	3	3	3	3	3	3	3		
Показатель направленности источника Di, дБ		исходные данные	**0**	0	0	0	0	0	0	0	0		
Поправка на направленность источника Dc, дБ	Dc	DΩ + Di	**3**	3	3	3	3	3	3	3	3		
Затухание из-за геометрической дивергенции, Adiv, дБ	расстояние = 461.20 м	ф-ла (7) [10]	**64,3**										
Коэффициент затухания звука в атмосфере α, дБ/км	Ta=20,°C Pa=101.33,кПа hотн.=70%	ф-ла (5) [9]	0,02	0,09	0,33	1,12	2,79	4,98	9,04	23,09	77,63		
Учет затухания звука в атмосфере Aatm, дБ		ф-ла (8) [10]	0	0	0,2	0,5	1,3	2,3	4,2	10,6	35,8		
Снижение уровня звукового давления из-за влияния застройки между источником шума и расчетной точкой													
Снижение уровня звукового давления на пути над экраном, Dz1, дБ	z = 0.42м (разность путей)	ф-лы (14-18) [10]	5	5,4	6,4	8	10,1	12,4	15,1	17,9	20,8		
Снижение уровня звукового давления на пути слева от экрана, Dz2, дБ	z = 0.15м (разность путей)	ф-лы (14-18) [10]	5,5	6,1	7,2	8,7	10,7	13,1	15,8	18,7	21,6		
Снижение уровня звукового давления на пути справа от экрана, Dz3, дБ	z = 32.84м (разность путей)	ф-лы (14-18) [10]	21,5	25,5	29,9	34	37,5	40,6	43,6	46,7	49,7		
Общее снижение уровня звука препятствием Dz, дБ		Эн.сумма(-Dzi)	2,2	2,7	3,8	5,3	7,4	9,8	12,4	15,2	18,1		
Уровни звукового давления прямого звука от источника ИШ-4-2 в расчётной точке днём, дБ		**ф-ла(3)[10]**	**0**	**26,2**	**26,5**	**25,9**	**23,4**	**19,6**	**11,7**	**0**	**0**	**24,5**	**24,5**
Расчёт отражённого звука													
Уровни звукового давления от мнимого источника ИШ-4-2_мн.(1) в расчётной точке днём, дБ		**ф-ла(3)[10]**	**0**	**0**	**24,6**	**23,8**	**21,2**	**17,4**	**9,4**	**0**	**0**	**22,3**	**22,3**
Уровни звукового давления от мнимого источника ИШ-4-2_мн.(2) в расчётной точке днём, дБ		**ф-ла(3)[10]**	**0**	**0**	**0**	**0**	**0**	**0**	**0**	**0**	**0**	**0**	**0**
Суммарные уровни звукового давления от мнимых источников в расчётной точке днём, дБ		**ф-ла (19) [1]**	**0**	**0**	**24,6**	**23,8**	**21,2**	**17,4**	**9,4**	**0**	**0**	**0**	**22,3**

1		2	3	4	5	6	7	8	9	10	11	12	13
Уровни звукового давления от источника ИШ-4-2 в расчётной точке днём, дБ		**ф-ла(3)[10]**	**0**	**26,2**	**28,6**	**28**	**25,4**	**21,6**	**13,7**	**0**	**0**	**26,5**	**26,5**
Источник шума: ИШ-4-3, координаты источника (x,y,z), м =[152.61,172.66,1.00]													
Уровни звуковой мощности источника днём, Lw, дБ		**исходные данные**	**0**	**90,3**	**91,7**	**93**	**93,3**	**92,9**	**89,6**	**85,4**	**80,9**		
Поправка на телесный угол DΩ, дБ	Ω = 6.28	10Lg(4π/Ω)	**3**	3	3	3	3	3	3	3	3		
Показатель направленности источника Di, дБ		исходные данные	**0**	0	0	0	0	0	0	0	0		
Поправка на направленность источника Dc, дБ	Dc	DΩ + Di	**3**	3	3	3	3	3	3	3	3		
Затухание из-за геометрической дивергенции, Adiv, дБ	расстояние = 439.69 м	ф-ла (7) [10]	**63,9**										
Коэффициент затухания звука в атмосфере α, дБ/км	Ta=20,°C Pa=101.33,кПа hотн.=70%	ф-ла (5) [9]	0,02	0,09	0,33	1,12	2,79	4,98	9,04	23,09	77,63		
Учет затухания звука в атмосфере Aatm, дБ		ф-ла (8) [10]	0	0	0,1	0,5	1,2	2,2	4	10,2	34,1		
Снижение уровня звукового давления из-за влияния застройки между источником шума и расчетной точкой													
Снижение уровня звукового давления на пути над экраном, Dz1, дБ	z = 0.43м (разность путей)	ф-лы (14-18) [10]	5,1	5,6	6,8	8,5	10,7	13,1	15,8	18,7	21,6		
Снижение уровня звукового давления на пути слева от экрана, Dz2, дБ	z = 0.16м (разность путей)	ф-лы (14-18) [10]	5,6	6,2	7,3	8,9	11	13,4	16,1	19	21,9		
Снижение уровня звукового давления на пути справа от экрана, Dz3, дБ	z = 34.15м (разность путей)	ф-лы (14-18) [10]	21,6	25,6	30,1	34,2	37,6	40,8	43,8	46,8	49,8		
Общее снижение уровня звука препятствием Dz, дБ		Эн.сумма(-Dzi)	2,3	2,9	4	5,7	7,8	10,3	13	15,8	18,7		
Уровни звукового давления прямого звука от источника ИШ-4-3 в расчётной точке днём, дБ		**ф-ла(3)[10]**	**0**	**26,5**	**26,7**	**25,9**	**23,4**	**19,6**	**11,8**	**0**	**0**	**24,5**	**24,5**
Расчёт отражённого звука													

1		2	3	4	5	6	7	8	9	10	11	12	13
Уровни звукового давления от мнимого источника ИШ-4-3_мн.(1) в расчётной точке днём, дБ		**ф-ла(3)[10]**	**0**	**0**	**0**	**0**	**0**	**0**	**0**	**0**	**0**	**0**	**0**
Уровни звукового давления от источника ИШ-4-3 в расчётной точке днём, дБ		**ф-ла(3)[10]**	**0**	**26,5**	**26,7**	**25,9**	**23,4**	**19,6**	**11,8**	**0**	**0**	**24,5**	**24,5**
Источник шума: ИШ-4-4, координаты источника (x,y,z), м =[156.83,171.25,1.00]													
Уровни звуковой мощности источника днём, Lw, дБ		**исходные данные**	**0**	**90,3**	**91,7**	**93**	**93,3**	**92,9**	**89,6**	**85,4**	**80,9**		
Поправка на телесный угол DΩ, дБ	Ω = 6.28	10Lg(4π/Ω)	**3**	3	3	3	3	3	3	3	3		
Показатель направленности источника Di, дБ		исходные данные	**0**	0	0	0	0	0	0	0	0		
Поправка на направленность источника Dc, дБ	Dc	DΩ + Di	**3**	3	3	3	3	3	3	3	3		
Затухание из-за геометрической дивергенции, Adiv, дБ	расстояние = 435.30 м	ф-ла (7) [10]	**63,8**										
Коэффициент затухания звука в атмосфере α, дБ/км	Ta=20,°C Pa=101.33,кПа hотн.=70%	ф-ла (5) [9]	0,02	0,09	0,33	1,12	2,79	4,98	9,04	23,09	77,63		
Учет затухания звука в атмосфере Aatm, дБ		ф-ла (8) [10]	0	0	0,1	0,5	1,2	2,2	3,9	10	33,8		
Снижение уровня звукового давления из-за влияния застройки между источником шума и расчетной точкой													
Снижение уровня звукового давления на пути над экраном, Dz1, дБ	z = 0.43м (разность путей)	ф-лы (14-18) [10]	5,1	5,6	6,8	8,6	10,8	13,2	16	18,8	21,7		
Снижение уровня звукового давления на пути слева от экрана, Dz2, дБ	z = 0.15м (разность путей)	ф-лы (14-18) [10]	5,5	6,1	7,2	8,7	10,7	13,1	15,8	18,7	21,6		
Снижение уровня звукового давления на пути справа от экрана, Dz3, дБ	z = 34.77м (разность путей)	ф-лы (14-18) [10]	21,7	25,7	30,2	34,3	37,7	40,8	43,9	46,9	49,9		
Общее снижение уровня звука препятствием Dz, дБ		Эн.сумма(-Dzi)	2,2	2,8	3,9	5,6	7,7	10,2	12,9	15,7	18,6		
Уровни звукового давления прямого звука от источника ИШ-4-4 в расчётной точке днём, дБ		**ф-ла(3)[10]**	**0**	**26,7**	**26,8**	**26,1**	**23,6**	**19,8**	**12**	**0**	**0**	**24,7**	**24,7**

1		2	3	4	5	6	7	8	9	10	11	12	13
Расчёт отражённого звука													
Уровни звукового давления от мнимого источника ИШ-4-4_мн.(1) в расчётной точке днём, дБ		**ф-ла(3)[10]**	**0**	**0**	**0**	**0**	**0**	**0**	**0**	**0**	**0**	**0**	**0**
Уровни звукового давления от источника ИШ-4-4 в расчётной точке днём, дБ		**ф-ла(3)[10]**	**0**	**26,7**	**26,8**	**26,1**	**23,6**	**19,8**	**12**	**0**	**0**	**24,7**	**24,7**
Источник шума: ИШ-4-5, координаты источника (x,y,z), м =[126.48,222.66,11.00]													
Уровни звуковой мощности источника днём, Lw, дБ		**исходные данные**	**0**	**90,3**	**91,7**	**93**	**93,3**	**92,9**	**89,6**	**85,4**	**80,9**		
Поправка на телесный угол DΩ, дБ	Ω = 6.28	10Lg(4π/Ω)	**3**	3	3	3	3	3	3	3	3		
Показатель направленности источника Di, дБ		исходные данные	**0**	0	0	0	0	0	0	0	0		
Поправка на направленность источника Dc, дБ	Dc	DΩ + Di	**3**	3	3	3	3	3	3	3	3		
Затухание из-за геометрической дивергенции, Adiv, дБ	расстояние = 487.31 м	ф-ла (7) [10]	**64,8**										
Коэффициент затухания звука в атмосфере α, дБ/км	Ta=20,°C Pa=101.33,кПа hотн.=70%	ф-ла (5) [9]	0,02	0,09	0,33	1,12	2,79	4,98	9,04	23,09	77,63		
Учет затухания звука в атмосфере Aatm, дБ		ф-ла (8) [10]	0	0	0,2	0,5	1,4	2,4	4,4	11,2	37,8		
Снижение уровня звукового давления из-за влияния застройки между источником шума и расчетной точкой													
Снижение уровня звукового давления на пути над экраном, Dz1, дБ	z = 0.04м (разность путей)	ф-лы (14-18) [10]	4,8	4,8	4,8	4,8	4,8	4,8	4,8	4,8	4,8		
Снижение уровня звукового давления на пути слева от экрана, Dz2, дБ	z = 136.55м (разность путей)	ф-лы (14-18) [10]	31,3	34,7	37,8	40,8	43,8	46,8	49,8	52,9	55,9		
Снижение уровня звукового давления на пути справа от экрана, Dz3, дБ	z = 0.09м (разность путей)	ф-лы (14-18) [10]	5,2	5,6	6,3	7,5	9,1	11,3	13,8	16,5	19,4		
Общее снижение уровня звука препятствием Dz, дБ		Эн.сумма(-Dzi)	2	2,2	2,5	2,9	3,4	3,9	4,3	4,5	4,6		

1		2	3	4	5	6	7	8	9	10	11	12	13
Уровни звукового давления прямого звука от источника ИШ-4-5 в расчётной точке днём, дБ		**ф-ла(3)[10]**	**0**	**26,3**	**27,3**	**27,8**	**26,8**	**24,8**	**19,2**	**7,9**	**0**	**28,7**	**28,7**
Расчёт отражённого звука													
Уровни звукового давления от мнимого источника ИШ-4-5_мн.(1) в расчётной точке днём, дБ		**ф-ла(3)[10]**	**0**	**0**	**0**	**0**	**0**	**0**	**0**	**0**	**0**	**0**	**0**
Уровни звукового давления от мнимого источника ИШ-4-5_мн.(2) в расчётной точке днём, дБ		**ф-ла(3)[10]**	**0**	**0**	**0**	**0**	**0**	**0**	**0**	**0**	**0**	**0**	**0**
Суммарные уровни звукового давления от мнимых источников в расчётной точке днём, дБ		**ф-ла (19) [1]**	**0**	**0**	**0**	**0**	**0**	**0**	**0**	**0**	**0**	**0**	**0**
Уровни звукового давления от источника ИШ-4-5 в расчётной точке днём, дБ		**ф-ла(3)[10]**	**0**	**26,3**	**27,3**	**27,8**	**26,8**	**24,8**	**19,2**	**7,9**	**0**	**28,7**	**28,7**
Источник шума: ИШ-4-6, координаты источника (x,y,z), м =[125.17,218.57,11.00]													
Уровни звуковой мощности источника днём, Lw, дБ		**исходные данные**	**0**	**90,3**	**91,7**	**93**	**93,3**	**92,9**	**89,6**	**85,4**	**80,9**		
Поправка на телесный угол DΩ, дБ	Ω = 6.28	10Lg(4π/Ω)	**3**	3	3	3	3	3	3	3	3		
Показатель направленности источника Di, дБ		исходные данные	**0**	0	0	0	0	0	0	0	0		
Поправка на направленность источника Dc, дБ	Dc	DΩ + Di	**3**	3	3	3	3	3	3	3	3		
Затухание из-за геометрической дивергенции, Adiv, дБ	расстояние = 486.30 м	ф-ла (7) [10]	**64,7**										
Коэффициент затухания звука в атмосфере α, дБ/км	Ta=20,°C Pa=101.33,кПа hотн.=70%	ф-ла (5) [9]	0,02	0,09	0,33	1,12	2,79	4,98	9,04	23,09	77,63		
Учет затухания звука в атмосфере Aatm, дБ		ф-ла (8) [10]	0	0	0,2	0,5	1,4	2,4	4,4	11,2	37,8		
Снижение уровня звукового давления из-за влияния застройки между источником шума и расчетной точкой													
Снижение уровня звукового давления на пути над экраном, Dz1, дБ	z = 0.04м (разность путей)	ф-лы (14-18) [10]	4,8	4,8	4,8	4,8	4,8	4,8	4,8	4,8	4,8		

1		2	3	4	5	6	7	8	9	10	11	12	13
Снижение уровня звукового давления на пути слева от экрана, Dz2, дБ	z = 139.41м (разность путей)	ф-лы (14-18) [10]	31,4	34,8	37,9	40,9	43,9	46,9	49,9	52,9	56		
Снижение уровня звукового давления на пути справа от экрана, Dz3, дБ	z = 0.02м (разность путей)	ф-лы (14-18) [10]	4,9	5	5,1	5,5	6,1	7,1	8,7	10,7	13,1		
Общее снижение уровня звука препятствием Dz, дБ		Эн.сумма(-Dzi)	1,8	1,9	1,9	2,1	2,4	2,8	3,3	3,8	4,2		
Уровни звукового давления прямого звука от источника ИШ-4-6 в расчётной точке днём, дБ		**ф-ла(3)[10]**	**0**	**26,7**	**27,8**	**28,6**	**27,8**	**25,9**	**20,2**	**8,6**	**0**	**29,8**	**29,8**
Расчёт отражённого звука													
Уровни звукового давления от мнимого источника ИШ-4-6_мн.(1) в расчётной точке днём, дБ		**ф-ла(3)[10]**	**0**	**0**	**0**	**0**	**0**	**0**	**0**	**0**	**0**	**0**	**0**
Уровни звукового давления от мнимого источника ИШ-4-6_мн.(2) в расчётной точке днём, дБ		**ф-ла(3)[10]**	**0**	**0**	**0**	**0**	**0**	**0**	**0**	**0**	**0**	**0**	**0**
Суммарные уровни звукового давления от мнимых источников в расчётной точке днём, дБ		**ф-ла (19) [1]**	**0**	**0**	**0**	**0**	**0**	**0**	**0**	**0**	**0**	**0**	**0**
Уровни звукового давления от источника ИШ-4-6 в расчётной точке днём, дБ		**ф-ла(3)[10]**	**0**	**26,7**	**27,8**	**28,6**	**27,8**	**25,9**	**20,2**	**8,6**	**0**	**29,8**	**29,8**
Источник шума: ИШ-4-7, координаты источника (x,y,z), м =[177.91,257.92,11.00]													
Уровни звуковой мощности источника днём, Lw, дБ		**исходные данные**	**0**	**90,3**	**91,7**	**93**	**93,3**	**92,9**	**89,6**	**85,4**	**80,9**		
Поправка на телесный угол DΩ, дБ	Ω = 6.28	10Lg(4π/Ω)	**3**	3	3	3	3	3	3	3	3		
Показатель направленности источника Di, дБ		исходные данные	**0**	0	0	0	0	0	0	0	0		
Поправка на направленность источника Dc, дБ	Dc	DΩ + Di	**3**	3	3	3	3	3	3	3	3		
Затухание из-за геометрической дивергенции, Adiv, дБ	расстояние = 465.55 м	ф-ла (7) [10]	**64,4**										
Коэффициент затухания звука в атмосфере α, дБ/км	Ta=20,°C Pa=101.33,кПа hотн.=70%	ф-ла (5) [9]	0,02	0,09	0,33	1,12	2,79	4,98	9,04	23,09	77,63		

1		2	3	4	5	6	7	8	9	10	11	12	13
Учет затухания звука в атмосфере Aatm, дБ		ф-ла (8) [10]	0	0	0,2	0,5	1,3	2,3	4,2	10,7	36,1		
Снижение уровня звукового давления из-за влияния застройки между источником шума и расчетной точкой													
Снижение уровня звукового давления на пути над экраном, Dz1, дБ	z = 0.11м (разность путей)	ф-лы (14-18) [10]	4,8	4,8	4,8	4,8	4,8	4,9	4,9	5,1	5,4		
Снижение уровня звукового давления на пути слева от экрана, Dz2, дБ	z = 105.38м (разность путей)	ф-лы (14-18) [10]	30,1	33,6	36,6	39,7	42,7	45,7	48,7	51,7	54,7		
Снижение уровня звукового давления на пути справа от экрана, Dz3, дБ	z = 7.17м (разность путей)	ф-лы (14-18) [10]	14,7	17,5	20,3	23,3	26,3	29,3	32,3	35,3	38,3		
Общее снижение уровня звука препятствием Dz, дБ		Эн.сумма(-Dzi)	4,3	4,5	4,7	4,7	4,8	4,8	4,9	5,1	5,4		
Уровни звукового давления прямого звука от источника ИШ-4-7 в расчётной точке днём, дБ		**ф-ла(3)[10]**	**0**	**24,3**	**25,5**	**26,4**	**25,8**	**24,4**	**19,1**	**8,2**	**0**	**28,1**	**28,1**
Расчёт отражённого звука													
Уровни звукового давления от мнимого источника ИШ-4-7_мн.(1) в расчётной точке днём, дБ		**ф-ла(3)[10]**	**0**	**0**	**0**	**0**	**0**	**0**	**0**	**0**	**0**	**0**	**0**
Уровни звукового давления от источника ИШ-4-7 в расчётной точке днём, дБ		**ф-ла(3)[10]**	**0**	**24,3**	**25,5**	**26,4**	**25,8**	**24,4**	**19,1**	**8,2**	**0**	**28,1**	**28,1**
Источник шума: ИШ-4-8, координаты источника (x,y,z), м =[178.24,257.77,13.00]													
Уровни звуковой мощности источника днём, Lw, дБ		**исходные данные**	**0**	**90,3**	**91,7**	**93**	**93,3**	**92,9**	**89,6**	**85,4**	**80,9**		
Поправка на телесный угол DΩ, дБ	Ω = 6.28	10Lg(4π/Ω)	**3**	3	3	3	3	3	3	3	3		
Показатель направленности источника Di, дБ		исходные данные	**0**	0	0	0	0	0	0	0	0		
Поправка на направленность источника Dc, дБ	Dc	DΩ + Di	**3**	3	3	3	3	3	3	3	3		
Затухание из-за геометрической дивергенции, Adiv, дБ	расстояние = 465.24 м	ф-ла (7) [10]	**64,4**										

1		2	3	4	5	6	7	8	9	10	11	12	13
Коэффициент затухания звука в атмосфере α, дБ/км	Ta=20,°C Pa=101.33,кПа hотн.=70%	ф-ла (5) [9]	0,02	0,09	0,33	1,12	2,79	4,98	9,04	23,09	77,63		
Учет затухания звука в атмосфере Aatm, дБ		ф-ла (8) [10]	0	0	0,2	0,5	1,3	2,3	4,2	10,7	36,1		
Снижение уровня звукового давления из-за влияния застройки между источником шума и расчетной точкой													
Снижение уровня звукового давления на пути над экраном, Dz1, дБ	z = 0.07м (разность путей)	ф-лы (14-18) [10]	4,8	4,8	4,8	4,8	4,8	4,8	4,8	4,9	5		
Снижение уровня звукового давления на пути слева от экрана, Dz2, дБ	z = 105.39м (разность путей)	ф-лы (14-18) [10]	30,1	33,6	36,6	39,7	42,7	45,7	48,7	51,7	54,7		
Снижение уровня звукового давления на пути справа от экрана, Dz3, дБ	z = 7.19м (разность путей)	ф-лы (14-18) [10]	14,7	17,5	20,4	23,3	26,3	29,3	32,3	35,3	38,3		
Общее снижение уровня звука препятствием Dz, дБ		Эн.сумма(-Dzi)	4,3	4,5	4,7	4,7	4,8	4,8	4,8	4,9	4,9		
Уровни звукового давления от источника ИШ-4-8 в расчётной точке днём, дБ		**ф-ла(3)[10]**	**0**	**24,4**	**25,5**	**26,4**	**25,9**	**24,4**	**19,2**	**8,4**	**0**	**28,1**	**28,1**
Источник шума: ИШ-4-9, координаты источника (x,y,z), м =[178.68,257.63,15.50]													
Уровни звуковой мощности источника днём, Lw, дБ		**исходные данные**	**0**	**90,3**	**91,7**	**93**	**93,3**	**92,9**	**89,6**	**85,4**	**80,9**		
Поправка на телесный угол DΩ, дБ	Ω = 6.28	10Lg(4π/Ω)	**3**	3	3	3	3	3	3	3	3		
Показатель направленности источника Di, дБ		исходные данные	**0**	0	0	0	0	0	0	0	0		
Поправка на направленность источника Dc, дБ	Dc	DΩ + Di	**3**	3	3	3	3	3	3	3	3		
Затухание из-за геометрической дивергенции, Adiv, дБ	расстояние = 464.87 м	ф-ла (7) [10]	**64,3**										
Коэффициент затухания звука в атмосфере α, дБ/км	Ta=20,°C Pa=101.33,кПа hотн.=70%	ф-ла (5) [9]	0,02	0,09	0,33	1,12	2,79	4,98	9,04	23,09	77,63		
Учет затухания звука в атмосфере Aatm, дБ		ф-ла (8) [10]	0	0	0,2	0,5	1,3	2,3	4,2	10,7	36,1		

1		2	3	4	5	6	7	8	9	10	11	12	13
Снижение уровня звукового давления из-за влияния застройки между источником шума и расчетной точкой													
Снижение уровня звукового давления на пути над экраном, Dz1, дБ	z = 0.04м (разность путей)	ф-лы (14-18) [10]	4,8	4,8	4,8	4,8	4,8	4,8	4,8	4,8	4,8		
Снижение уровня звукового давления на пути слева от экрана, Dz2, дБ	z = 101.35м (разность путей)	ф-лы (14-18) [10]	29	33	36,4	39,5	42,5	45,5	48,5	51,6	54,6		
Снижение уровня звукового давления на пути справа от экрана, Dz3, дБ	z = 6.64м (разность путей)	ф-лы (14-18) [10]	14,4	17,2	20	23	26	28,9	31,9	35	38		
Общее снижение уровня звука препятствием Dz, дБ		Эн.сумма(-Dzi)	4,3	4,5	4,6	4,7	4,7	4,8	4,8	4,8	4,8		
Уровни звукового давления от источника ИШ-4-9 в расчётной точке днём, дБ		**ф-ла(3)[10]**	**0**	**24,4**	**25,5**	**26,4**	**25,9**	**24,5**	**19,3**	**8,5**	**0**	**28,2**	**28,2**
Источник шума: ИШ-4-10, координаты источника (x,y,z), м =[185.65,255.31,11.00]													
Уровни звуковой мощности источника днём, Lw, дБ		**исходные данные**	**0**	**90,3**	**91,7**	**93**	**93,3**	**92,9**	**89,6**	**85,4**	**80,9**		
Поправка на телесный угол DΩ, дБ	Ω = 6.28	10Lg(4π/Ω)	**3**	3	3	3	3	3	3	3	3		
Показатель направленности источника Di, дБ		исходные данные	**0**	0	0	0	0	0	0	0	0		
Поправка на направленность источника Dc, дБ	Dc	DΩ + Di	**3**	3	3	3	3	3	3	3	3		
Затухание из-за геометрической дивергенции, Adiv, дБ	расстояние = 457.88 м	ф-ла (7) [10]	**64,2**										
Коэффициент затухания звука в атмосфере α, дБ/км	Ta=20,°C Pa=101.33,кПа hотн.=70%	ф-ла (5) [9]	0,02	0,09	0,33	1,12	2,79	4,98	9,04	23,09	77,63		
Учет затухания звука в атмосфере Aatm, дБ		ф-ла (8) [10]	0	0	0,2	0,5	1,3	2,3	4,1	10,6	35,5		
Снижение уровня звукового давления из-за влияния застройки между источником шума и расчетной точкой													
Снижение уровня звукового давления на пути над экраном, Dz1, дБ	z = 0.10м (разность путей)	ф-лы (14-18) [10]	4,8	4,8	4,8	4,8	4,8	4,9	5	5,1	5,5		

1		2	3	4	5	6	7	8	9	10	11	12	13
Снижение уровня звукового давления на пути слева от экрана, Dz2, дБ	z = 105.20м (разность путей)	ф-лы (14-18) [10]	30,1	33,5	36,6	39,7	42,7	45,7	48,7	51,7	54,7		
Снижение уровня звукового давления на пути справа от экрана, Dz3, дБ	z = 8.00м (разность путей)	ф-лы (14-18) [10]	15,1	17,9	20,8	23,8	26,8	29,8	32,8	35,8	38,8		
Общее снижение уровня звука препятствием Dz, дБ		Эн.сумма(-Dzi)	4,4	4,6	4,7	4,7	4,8	4,8	4,9	5,1	5,5		
Уровни звукового давления прямого звука от источника ИШ-4-10 в расчётной точке днём, дБ		**ф-ла(3)[10]**	**0**	**24,5**	**25,7**	**26,5**	**26**	**24,5**	**19,3**	**8,5**	**0**	**28,3**	**28,3**
Расчёт отражённого звука													
Уровни звукового давления от мнимого источника ИШ-4-10_мн.(1) в расчётной точке днём, дБ		**ф-ла(3)[10]**	**0**	**0**	**0**	**0**	**0**	**0**	**0**	**0**	**0**	**0**	**0**
Уровни звукового давления от источника ИШ-4-10 в расчётной точке днём, дБ		**ф-ла(3)[10]**	**0**	**24,5**	**25,7**	**26,5**	**26**	**24,5**	**19,3**	**8,5**	**0**	**28,3**	**28,3**
Источник шума: ИШ-4-11, координаты источника (x,y,z), м =[185.89,255.16,13.00]													
Уровни звуковой мощности источника днём, Lw, дБ		**исходные данные**	**0**	**90,3**	**91,7**	**93**	**93,3**	**92,9**	**89,6**	**85,4**	**80,9**		
Поправка на телесный угол DΩ, дБ	Ω = 6.28	10Lg(4π/Ω)	**3**	3	3	3	3	3	3	3	3		
Показатель направленности источника Di, дБ		исходные данные	**0**	0	0	0	0	0	0	0	0		
Поправка на направленность источника Dc, дБ	Dc	DΩ + Di	**3**	3	3	3	3	3	3	3	3		
Затухание из-за геометрической дивергенции, Adiv, дБ	расстояние = 457.64 м	ф-ла (7) [10]	**64,2**										
Коэффициент затухания звука в атмосфере α, дБ/км	Ta=20,°C Pa=101.33,кПа hотн.=70%	ф-ла (5) [9]	0,02	0,09	0,33	1,12	2,79	4,98	9,04	23,09	77,63		
Учет затухания звука в атмосфере Aatm, дБ		ф-ла (8) [10]	0	0	0,2	0,5	1,3	2,3	4,1	10,6	35,5		
Снижение уровня звукового давления из-за влияния застройки между источником шума и расчетной точкой													

1		2	3	4	5	6	7	8	9	10	11	12	13
Снижение уровня звукового давления на пути над экраном, Dz1, дБ	z = 0.07м (разность путей)	ф-лы (14-18) [10]	4,8	4,8	4,8	4,8	4,8	4,8	4,8	4,9	5		
Снижение уровня звукового давления на пути слева от экрана, Dz2, дБ	z = 105.23м (разность путей)	ф-лы (14-18) [10]	30,1	33,5	36,6	39,7	42,7	45,7	48,7	51,7	54,7		
Снижение уровня звукового давления на пути справа от экрана, Dz3, дБ	z = 8.02м (разность путей)	ф-лы (14-18) [10]	15,1	18	20,8	23,8	26,8	29,8	32,8	35,8	38,8		
Общее снижение уровня звука препятствием Dz, дБ		Эн.сумма(-Dzi)	4,4	4,6	4,7	4,7	4,8	4,8	4,8	4,9	4,9		
Уровни звукового давления от источника ИШ-4-11 в расчётной точке днём, дБ		**ф-ла(3)[10]**	**0**	**24,5**	**25,7**	**26,5**	**26**	**24,6**	**19,4**	**8,8**	**0**	**28,3**	**28,3**
Источник шума: ИШ-4-12, координаты источника (x,y,z), м =[186.18,255.02,15.50]													
Уровни звуковой мощности источника днём, Lw, дБ		**исходные данные**	**0**	**90,3**	**91,7**	**93**	**93,3**	**92,9**	**89,6**	**85,4**	**80,9**		
Поправка на телесный угол DΩ, дБ	Ω = 6.28	10Lg(4π/Ω)	**3**	3	3	3	3	3	3	3	3		
Показатель направленности источника Di, дБ		исходные данные	**0**	0	0	0	0	0	0	0	0		
Поправка на направленность источника Dc, дБ	Dc	DΩ + Di	**3**	3	3	3	3	3	3	3	3		
Затухание из-за геометрической дивергенции, Adiv, дБ	расстояние = 457.40 м	ф-ла (7) [10]	**64,2**										
Коэффициент затухания звука в атмосфере α, дБ/км	Ta=20,°C Pa=101.33,кПа hотн.=70%	ф-ла (5) [9]	0,02	0,09	0,33	1,12	2,79	4,98	9,04	23,09	77,63		
Учет затухания звука в атмосфере Aatm, дБ		ф-ла (8) [10]	0	0	0,2	0,5	1,3	2,3	4,1	10,6	35,5		
Снижение уровня звукового давления из-за влияния застройки между источником шума и расчетной точкой													
Снижение уровня звукового давления на пути над экраном, Dz1, дБ	z = 0.04м (разность путей)	ф-лы (14-18) [10]	4,8	4,8	4,8	4,8	4,8	4,8	4,8	4,8	4,8		
Снижение уровня звукового давления на пути слева от экрана, Dz2, дБ	z = 100.97м (разность путей)	ф-лы (14-18) [10]	29	33	36,3	39,5	42,5	45,5	48,5	51,5	54,5		

1		2	3	4	5	6	7	8	9	10	11	12	13
Снижение уровня звукового давления на пути справа от экрана, Dz3, дБ	z = 6.76м (разность путей)	ф-лы (14-18) [10]	14,5	17,3	20,1	23	26	29	32	35	38		
Общее снижение уровня звука препятствием Dz, дБ		Эн.сумма(-Dzi)	4,3	4,5	4,6	4,7	4,7	4,8	4,8	4,8	4,8		
Уровни звукового давления от источника ИШ-4-12 в расчётной точке днём, дБ		**ф-ла(3)[10]**	**0**	**24,5**	**25,7**	**26,6**	**26,1**	**24,7**	**19,5**	**8,9**	**0**	**28,4**	**28,4**
Источник шума: ИШ-4-13, координаты источника (x,y,z), м =[94.56,229.10,1.00]													
Уровни звуковой мощности источника днём, Lw, дБ		**исходные данные**	**0**	**81,3**	**82,7**	**84**	**84,3**	**83,9**	**80,6**	**76,4**	**71,9**		
Поправка на телесный угол DΩ, дБ	Ω = 6.28	10Lg(4π/Ω)	**3**	3	3	3	3	3	3	3	3		
Показатель направленности источника Di, дБ		исходные данные	**0**	0	0	0	0	0	0	0	0		
Поправка на направленность источника Dc, дБ	Dc	DΩ + Di	**3**	3	3	3	3	3	3	3	3		
Затухание из-за геометрической дивергенции, Adiv, дБ	расстояние = 517.89 м	ф-ла (7) [10]	**65,3**										
Коэффициент затухания звука в атмосфере α, дБ/км	Ta=20,°C Pa=101.33,кПа hотн.=70%	ф-ла (5) [9]	0,02	0,09	0,33	1,12	2,79	4,98	9,04	23,09	77,63		
Учет затухания звука в атмосфере Aatm, дБ		ф-ла (8) [10]	0	0	0,2	0,6	1,4	2,6	4,7	12	40,2		
Снижение уровня звукового давления из-за влияния застройки между источником шума и расчетной точкой													
Снижение уровня звукового давления на пути над экраном, Dz1, дБ	z = 4.87м (разность путей)	ф-лы (14-18) [10]	12,9	16,8	21,1	24,9	28,1	31,2	34,2	37,2	40,2		
Снижение уровня звукового давления на пути слева от экрана, Dz2, дБ	z = 173.90м (разность путей)	ф-лы (14-18) [10]	32,7	35,8	38,8	41,9	44,9	47,9	50,9	53,9	56,9		
Снижение уровня звукового давления на пути справа от экрана, Dz3, дБ	z = 48.66м (разность путей)	ф-лы (14-18) [10]	27,1	30,3	33,3	36,3	39,3	42,3	45,4	48,4	51,4		
Общее снижение уровня звука препятствием Dz, дБ		Эн.сумма(-Dzi)	12,7	16,6	20,8	24,5	27,7	30,8	33,8	36,8	39,8		

1		2	3	4	5	6	7	8	9	10	11	12	13
Общее снижение уровня звука препятствием с учётом ограничения (25 дБ) для октавных полос Dz, дБ		Раздел 7.4 [10]	12,7	16,6	20,8	24,5	25	25	25	25	25		
Уровни звукового давления от источника ИШ-4-13 в расчётной точке днём, дБ		**ф-ла(3)[10]**	**0**	**2,4**	**0**	**0**	**0**	**0**	**0**	**0**	**0**	**0**	**0**
Источник шума: ИШ-4-14, координаты источника (x,y,z), м =[91.88,221.30,1.00]													
Уровни звуковой мощности источника днём, Lw, дБ		**исходные данные**	**0**	**81,3**	**82,7**	**84**	**84,3**	**83,9**	**80,6**	**76,4**	**71,9**		
Поправка на телесный угол DΩ, дБ	Ω = 6.28	10Lg(4π/Ω)	**3**	3	3	3	3	3	3	3	3		
Показатель направленности источника Di, дБ		исходные данные	**0**	0	0	0	0	0	0	0	0		
Поправка на направленность источника Dc, дБ	Dc	DΩ + Di	**3**	3	3	3	3	3	3	3	3		
Затухание из-за геометрической дивергенции, Adiv, дБ	расстояние = 516.32 м	ф-ла (7) [10]	**65,3**										
Коэффициент затухания звука в атмосфере α, дБ/км	Ta=20,°C Pa=101.33,кПа hотн.=70%	ф-ла (5) [9]	0,02	0,09	0,33	1,12	2,79	4,98	9,04	23,09	77,63		
Учет затухания звука в атмосфере Aatm, дБ		ф-ла (8) [10]	0	0	0,2	0,6	1,4	2,6	4,7	11,9	40,1		
Снижение уровня звукового давления из-за влияния застройки между источником шума и расчетной точкой													
Снижение уровня звукового давления на пути над экраном, Dz1, дБ	z = 5.06м (разность путей)	ф-лы (14-18) [10]	17	20	23	25,9	28,9	31,9	35	38	41		
Снижение уровня звукового давления на пути слева от экрана, Dz2, дБ	z = 183.68м (разность путей)	ф-лы (14-18) [10]	33	36,1	39,1	42,1	45,1	48,1	51,1	54,1	57,1		
Снижение уровня звукового давления на пути справа от экрана, Dz3, дБ	z = 42.15м (разность путей)	ф-лы (14-18) [10]	26,5	29,7	32,7	35,7	38,7	41,7	44,7	47,7	50,8		
Общее снижение уровня звука препятствием Dz, дБ		Эн.сумма(-Dzi)	16,5	19,5	22,4	25,4	28,4	31,4	34,4	37,4	40,4		
Общее снижение уровня звука препятствием с учётом ограничения (25 дБ) для октавных полос Dz, дБ		Раздел 7.4 [10]	16,5	19,5	22,4	25	25	25	25	25	25		

1		2	3	4	5	6	7	8	9	10	11	12	13
Уровни звукового давления от источника ИШ-4-14 в расчётной точке днём, дБ		**ф-ла(3)[10]**	**0**	**0**	**0**	**0**	**0**	**0**	**0**	**0**	**0**	**0**	**0**
Источник шума: ИШ-5-1, координаты источника (x,y,z), м =[626.70,162.36,1.00]													
Уровни звуковой мощности источника днём, Lw, дБ		**исходные данные**	**0**	**93,3**	**94,7**	**96**	**96,3**	**95,9**	**92,6**	**88,4**	**83,9**		
Поправка на телесный угол DΩ, дБ	Ω = 6.28	10Lg(4π/Ω)	**3**	3	3	3	3	3	3	3	3		
Показатель направленности источника Di, дБ		исходные данные	**0**	0	0	0	0	0	0	0	0		
Поправка на направленность источника Dc, дБ	Dc	DΩ + Di	**3**	3	3	3	3	3	3	3	3		
Затухание из-за геометрической дивергенции, Adiv, дБ	расстояние = 213.25 м	ф-ла (7) [10]	**57,6**										
Коэффициент затухания звука в атмосфере α, дБ/км	Ta=20,°C Pa=101.33,кПа hотн.=70%	ф-ла (5) [9]	0,02	0,09	0,33	1,12	2,79	4,98	9,04	23,09	77,63		
Учет затухания звука в атмосфере Aatm, дБ		ф-ла (8) [10]	0	0	0,1	0,2	0,6	1,1	1,9	4,9	16,6		
Снижение уровня звукового давления из-за влияния застройки между источником шума и расчетной точкой													
Снижение уровня звукового давления на пути над экраном, Dz1, дБ	z = 1.08м (разность путей)	ф-лы (14-18) [10]	10,7	13,6	16,5	19,4	22,3	25,3	28,3	31,3	34,3		
Снижение уровня звукового давления на пути слева от экрана, Dz2, дБ	z = 44.14м (разность путей)	ф-лы (14-18) [10]	26,4	29,8	32,9	35,9	38,9	41,9	44,9	47,9	51		
Снижение уровня звукового давления на пути справа от экрана, Dz3, дБ	z = 0.06м (разность путей)	ф-лы (14-18) [10]	5,5	6,3	7,4	9,1	11,2	13,7	16,5	19,3	22,3		
Общее снижение уровня звука препятствием Dz, дБ		Эн.сумма(-Dzi)	4,3	5,5	6,9	8,7	10,9	13,4	16,2	19,1	22		
Уровни звукового давления прямого звука от источника ИШ-5-1 в расчётной точке днём, дБ		**ф-ла(3)[10]**	**0**	**33,2**	**33,1**	**32,5**	**30,2**	**26,8**	**19,9**	**9,8**	**0**	**31,5**	**31,5**
Расчёт отражённого звука													

1		2	3	4	5	6	7	8	9	10	11	12	13
Уровни звукового давления от мнимого источника ИШ-5-1_мн.(1) в расчётной точке днём, дБ		**ф-ла(3)[10]**	**0**	**0**	**0**	**0**	**0**	**0**	**0**	**0**	**0**	**0**	**0**
Уровни звукового давления от источника ИШ-5-1 в расчётной точке днём, дБ		**ф-ла(3)[10]**	**0**	**33,2**	**33,1**	**32,5**	**30,2**	**26,8**	**19,9**	**9,8**	**0**	**31,5**	**31,5**
Источник шума: ИШ-5-2, координаты источника (x,y,z), м =[625.81,159.52,1.00]													
Уровни звуковой мощности источника днём, Lw, дБ		**исходные данные**	**0**	**93,3**	**94,7**	**96**	**96,3**	**95,9**	**92,6**	**88,4**	**83,9**		
Поправка на телесный угол DΩ, дБ	Ω = 6.28	10Lg(4π/Ω)	**3**	3	3	3	3	3	3	3	3		
Показатель направленности источника Di, дБ		исходные данные	**0**	0	0	0	0	0	0	0	0		
Поправка на направленность источника Dc, дБ	Dc	DΩ + Di	**3**	3	3	3	3	3	3	3	3		
Затухание из-за геометрической дивергенции, Adiv, дБ	расстояние = 210.29 м	ф-ла (7) [10]	**57,5**										
Коэффициент затухания звука в атмосфере α, дБ/км	Ta=20,°C Pa=101.33,кПа hотн.=70%	ф-ла (5) [9]	0,02	0,09	0,33	1,12	2,79	4,98	9,04	23,09	77,63		
Учет затухания звука в атмосфере Aatm, дБ		ф-ла (8) [10]	0	0	0,1	0,2	0,6	1	1,9	4,9	16,3		
Снижение уровня звукового давления из-за влияния застройки между источником шума и расчетной точкой													
Снижение уровня звукового давления на пути над экраном, Dz1, дБ	z = 1.11м (разность путей)	ф-лы (14-18) [10]	10,9	13,8	16,6	19,5	22,5	25,5	28,5	31,5	34,5		
Снижение уровня звукового давления на пути слева от экрана, Dz2, дБ	z = 44.16м (разность путей)	ф-лы (14-18) [10]	26,4	29,8	32,9	35,9	38,9	41,9	44,9	47,9	51		
Снижение уровня звукового давления на пути справа от экрана, Dz3, дБ	z = 0.08м (разность путей)	ф-лы (14-18) [10]	5,8	6,8	8,2	10,1	12,4	15,1	17,9	20,8	23,7		
Общее снижение уровня звука препятствием Dz, дБ		Эн.сумма(-Dzi)	4,6	6	7,6	9,6	12	14,7	17,5	20,4	23,4		
Уровни звукового давления прямого звука от источника ИШ-5-2 в расчётной точке днём, дБ		**ф-ла(3)[10]**	**0**	**32,9**	**32,6**	**31,7**	**29,2**	**25,7**	**18,7**	**8,7**	**0**	**30,5**	**30,5**

1		2	3	4	5	6	7	8	9	10	11	12	13
Расчёт отражённого звука													
Уровни звукового давления от мнимого источника ИШ-5-2_мн.(1) в расчётной точке днём, дБ		**ф-ла(3)[10]**	**0**	**0**	**0**	**0**	**0**	**0**	**0**	**0**	**0**	**0**	**0**
Уровни звукового давления от источника ИШ-5-2 в расчётной точке днём, дБ		**ф-ла(3)[10]**	**0**	**32,9**	**32,6**	**31,7**	**29,2**	**25,7**	**18,7**	**8,7**	**0**	**30,5**	**30,5**
Источник шума: ИШ-5-3, координаты источника (x,y,z), м =[624.84,156.69,1.00]													
Уровни звуковой мощности источника днём, Lw, дБ		**исходные данные**	**0**	**93,3**	**94,7**	**96**	**96,3**	**95,9**	**92,6**	**88,4**	**83,9**		
Поправка на телесный угол DΩ, дБ	Ω = 6.28	10Lg(4π/Ω)	**3**	3	3	3	3	3	3	3	3		
Показатель направленности источника Di, дБ		исходные данные	**0**	0	0	0	0	0	0	0	0		
Поправка на направленность источника Dc, дБ	Dc	DΩ + Di	**3**	3	3	3	3	3	3	3	3		
Затухание из-за геометрической дивергенции, Adiv, дБ	расстояние = 207.31 м	ф-ла (7) [10]	**57,3**										
Коэффициент затухания звука в атмосфере α, дБ/км	Ta=20,°C Pa=101.33,кПа hотн.=70%	ф-ла (5) [9]	0,02	0,09	0,33	1,12	2,79	4,98	9,04	23,09	77,63		
Учет затухания звука в атмосфере Aatm, дБ		ф-ла (8) [10]	0	0	0,1	0,2	0,6	1	1,9	4,8	16,1		
Снижение уровня звукового давления из-за влияния застройки между источником шума и расчетной точкой													
Снижение уровня звукового давления на пути над экраном, Dz1, дБ	z = 1.13м (разность путей)	ф-лы (14-18) [10]	11	13,9	16,8	19,7	22,6	25,6	28,6	31,6	34,6		
Снижение уровня звукового давления на пути слева от экрана, Dz2, дБ	z = 44.21м (разность путей)	ф-лы (14-18) [10]	26,4	29,8	32,9	35,9	38,9	41,9	44,9	48	51		
Снижение уровня звукового давления на пути справа от экрана, Dz3, дБ	z = 0.11м (разность путей)	ф-лы (14-18) [10]	6	7,2	8,9	11	13,5	16,2	19	21,9	24,9		
Общее снижение уровня звука препятствием Dz, дБ		Эн.сумма(-Dzi)	4,8	6,4	8,2	10,4	12,9	15,7	18,6	21,5	24,5		

1		2	3	4	5	6	7	8	9	10	11	12	13
Уровни звукового давления прямого звука от источника ИШ-5-3 в расчётной точке днём, дБ		**ф-ла(3)[10]**	**0**	**32,6**	**32,1**	**31**	**28,4**	**24,8**	**17,8**	**7,8**	**0**	**29,8**	**29,8**
Расчёт отражённого звука													
Уровни звукового давления от мнимого источника ИШ-5-3_мн.(1) в расчётной точке днём, дБ		**ф-ла(3)[10]**	**0**	**0**	**0**	**0**	**0**	**0**	**0**	**0**	**0**	**0**	**0**
Уровни звукового давления от источника ИШ-5-3 в расчётной точке днём, дБ		**ф-ла(3)[10]**	**0**	**32,6**	**32,1**	**31**	**28,4**	**24,8**	**17,8**	**7,8**	**0**	**29,8**	**29,8**
Источник шума: ИШ-6-1, координаты источника (x,y,z), м =[836.30,122.24,1.00]													
Уровни звуковой мощности источника днём, Lw, дБ		**исходные данные**	**0**	**96,3**	**97,7**	**99**	**99,3**	**98,9**	**95,6**	**91,4**	**86,9**		
Поправка на телесный угол DΩ, дБ	Ω = 12.57	10Lg(4π/Ω)	**0**	0	0	0	0	0	0	0	0		
Показатель направленности источника Di, дБ		исходные данные	**0**	0	0	0	0	0	0	0	0		
Поправка на направленность источника Dc, дБ	Dc	DΩ + Di	**0**	0	0	0	0	0	0	0	0		
Затухание из-за геометрической дивергенции, Adiv, дБ	расстояние = 333.42 м	ф-ла (7) [10]	**61,5**										
Коэффициент затухания звука в атмосфере α, дБ/км	Ta=20,°C Pa=101.33,кПа hотн.=70%	ф-ла (5) [9]	0,02	0,09	0,33	1,12	2,79	4,98	9,04	23,09	77,63		
Учет затухания звука в атмосфере Aatm, дБ		ф-ла (8) [10]	0	0	0,1	0,4	0,9	1,7	3	7,7	25,9		
Снижение уровня звукового давления из-за влияния застройки между источником шума и расчетной точкой													
Снижение уровня звукового давления на пути над экраном, Dz1, дБ	z = 3.88м (разность путей)	ф-лы (14-18) [10]	12,1	15,3	19,4	23,8	27,5	30,7	33,8	36,8	39,8		
Снижение уровня звукового давления на пути слева от экрана, Dz2, дБ	z = 56.54м (разность путей)	ф-лы (14-18) [10]	24,7	29,2	33,3	36,8	39,9	43	46	49	52		
Снижение уровня звукового давления на пути справа от экрана, Dz3, дБ	z = 5.02м (разность путей)	ф-лы (14-18) [10]	13,3	16	18,9	21,8	24,7	27,7	30,7	33,7	36,7		

1		2	3	4	5	6	7	8	9	10	11	12	13
Общее снижение уровня звука препятствием Dz, дБ		Эн.сумма(-Dzi)	9,6	12,6	16	19,6	22,8	25,9	28,9	31,9	34,9		
Общее снижение уровня звука препятствием с учётом ограничения (25 дБ) для октавных полос Dz, дБ		Раздел 7.4 [10]	9,6	12,6	16	19,6	22,8	25	25	25	25		
Уровни звукового давления прямого звука от источника ИШ-6-1 в расчётной точке днём, дБ		**ф-ла(3)[10]**	**0**	**22,2**	**20,1**	**17,6**	**14,1**	**10,8**	**6,1**	**0**	**0**	**16,1**	**16,1**
Расчёт отражённого звука													
Уровни звукового давления от мнимого источника ИШ-6-1_мн.(1) в расчётной точке днём, дБ		**ф-ла(3)[10]**	**0**	**0**	**0**	**0**	**0**	**0**	**0**	**0**	**0**	**0**	**0**
Уровни звукового давления от источника ИШ-6-1 в расчётной точке днём, дБ		**ф-ла(3)[10]**	**0**	**22,2**	**20,1**	**17,6**	**14,1**	**10,8**	**6,1**	**0**	**0**	**16,1**	**16,1**
Источник шума: ИШ-6-2, координаты источника (x,y,z), м =[835.37,119.30,1.00]													
Уровни звуковой мощности источника днём, Lw, дБ		**исходные данные**	**0**	**96,3**	**97,7**	**99**	**99,3**	**98,9**	**95,6**	**91,4**	**86,9**		
Поправка на телесный угол DΩ, дБ	Ω = 12.57	10Lg(4π/Ω)	**0**	0	0	0	0	0	0	0	0		
Показатель направленности источника Di, дБ		исходные данные	**0**	0	0	0	0	0	0	0	0		
Поправка на направленность источника Dc, дБ	Dc	DΩ + Di	**0**	0	0	0	0	0	0	0	0		
Затухание из-за геометрической дивергенции, Adiv, дБ	расстояние = 331.24 м	ф-ла (7) [10]	**61,4**										
Коэффициент затухания звука в атмосфере α, дБ/км	Ta=20,°C Pa=101.33,кПа hотн.=70%	ф-ла (5) [9]	0,02	0,09	0,33	1,12	2,79	4,98	9,04	23,09	77,63		
Учет затухания звука в атмосфере Aatm, дБ		ф-ла (8) [10]	0	0	0,1	0,4	0,9	1,6	3	7,6	25,7		
Снижение уровня звукового давления из-за влияния застройки между источником шума и расчетной точкой													
Снижение уровня звукового давления на пути над экраном, Dz1, дБ	z = 3.89м (разность путей)	ф-лы (14-18) [10]	12,1	15,3	19,4	23,8	27,5	30,7	33,8	36,8	39,8		

1		2	3	4	5	6	7	8	9	10	11	12	13
Снижение уровня звукового давления на пути слева от экрана, Dz2, дБ	z = 56.22м (разность путей)	ф-лы (14-18) [10]	24,7	29,2	33,3	36,8	39,9	43	46	49	52		
Снижение уровня звукового давления на пути справа от экрана, Dz3, дБ	z = 5.12м (разность путей)	ф-лы (14-18) [10]	13,4	16,1	18,9	21,9	24,8	27,8	30,8	33,8	36,8		
Общее снижение уровня звука препятствием Dz, дБ		Эн.сумма(-Dzi)	9,6	12,6	16,1	19,6	22,9	25,9	28,9	32	35		
Общее снижение уровня звука препятствием с учётом ограничения (25 дБ) для октавных полос Dz, дБ		Раздел 7.4 [10]	9,6	12,6	16,1	19,6	22,9	25	25	25	25		
Уровни звукового давления прямого звука от источника ИШ-6-2 в расчётной точке днём, дБ		**ф-ла(3)[10]**	**0**	**22,3**	**20,1**	**17,6**	**14,1**	**10,8**	**6,2**	**0**	**0**	**16,1**	**16,1**
Расчёт отражённого звука													
Уровни звукового давления от мнимого источника ИШ-6-2_мн.(1) в расчётной точке днём, дБ		**ф-ла(3)[10]**	**0**	**0**	**0**	**0**	**0**	**0**	**0**	**0**	**0**	**0**	**0**
Уровни звукового давления от источника ИШ-6-2 в расчётной точке днём, дБ		**ф-ла(3)[10]**	**0**	**22,3**	**20,1**	**17,6**	**14,1**	**10,8**	**6,2**	**0**	**0**	**16,1**	**16,1**
Источник шума: ИШ-6-3, координаты источника (x,y,z), м =[834.03,116.36,1.00]													
Уровни звуковой мощности источника днём, Lw, дБ		**исходные данные**	**0**	**96,3**	**97,7**	**99**	**99,3**	**98,9**	**95,6**	**91,4**	**86,9**		
Поправка на телесный угол DΩ, дБ	Ω = 12.57	10Lg(4π/Ω)	**0**	0	0	0	0	0	0	0	0		
Показатель направленности источника Di, дБ		исходные данные	**0**	0	0	0	0	0	0	0	0		
Поправка на направленность источника Dc, дБ	Dc	DΩ + Di	**0**	0	0	0	0	0	0	0	0		
Затухание из-за геометрической дивергенции, Adiv, дБ	расстояние = 328.71 м	ф-ла (7) [10]	**61,3**										
Коэффициент затухания звука в атмосфере α, дБ/км	Та=20,°С Ра=101.33,кПа hотн.=70%	ф-ла (5) [9]	0,02	0,09	0,33	1,12	2,79	4,98	9,04	23,09	77,63		
Учет затухания звука в атмосфере Aatm, дБ		ф-ла (8) [10]	0	0	0,1	0,4	0,9	1,6	3	7,6	25,5		

1		2	3	4	5	6	7	8	9	10	11	12	13
Снижение уровня звукового давления из-за влияния застройки между источником шума и расчетной точкой													
Снижение уровня звукового давления на пути над экраном, Dz1, дБ	z = 3.90м (разность путей)	ф-лы (14-18) [10]	12,2	15,3	19,4	23,8	27,5	30,7	33,8	36,8	39,8		
Снижение уровня звукового давления на пути слева от экрана, Dz2, дБ	z = 55.94м (разность путей)	ф-лы (14-18) [10]	24,7	29,2	33,3	36,8	39,9	42,9	46	49	52		
Снижение уровня звукового давления на пути справа от экрана, Dz3, дБ	z = 5.20м (разность путей)	ф-лы (14-18) [10]	13,5	16,2	19	21,9	24,9	27,9	30,9	33,9	36,9		
Общее снижение уровня звука препятствием Dz, дБ		Эн.сумма(-Dzi)	9,6	12,6	16,1	19,7	22,9	26	29	32	35		
Общее снижение уровня звука препятствием с учётом ограничения (25 дБ) для октавных полос Dz, дБ		Раздел 7.4 [10]	9,6	12,6	16,1	19,7	22,9	25	25	25	25		
Уровни звукового давления прямого звука от источника ИШ-6-3 в расчётной точке днём, дБ		**ф-ла(3)[10]**	**0**	**22,3**	**20,1**	**17,6**	**14,1**	**10,9**	**6,3**	**0**	**0**	**16,2**	**16,2**
Расчёт отражённого звука													
Уровни звукового давления от мнимого источника ИШ-6-3_мн.(1) в расчётной точке днём, дБ		**ф-ла(3)[10]**	**0**	**0**	**0**	**0**	**0**	**0**	**0**	**0**	**0**	**0**	**0**
Уровни звукового давления от источника ИШ-6-3 в расчётной точке днём, дБ		**ф-ла(3)[10]**	**0**	**22,3**	**20,1**	**17,6**	**14,1**	**10,9**	**6,3**	**0**	**0**	**16,2**	**16,2**
Источник шума: ИШ-6-4, координаты источника (x,y,z), м =[833.23,113.30,1.00]													
Уровни звуковой мощности источника днём, Lw, дБ		**исходные данные**	**0**	**96,3**	**97,7**	**99**	**99,3**	**98,9**	**95,6**	**91,4**	**86,9**		
Поправка на телесный угол DΩ, дБ	Ω = 12.57	10Lg(4π/Ω)	**0**	0	0	0	0	0	0	0	0		
Показатель направленности источника Di, дБ		исходные данные	**0**	0	0	0	0	0	0	0	0		
Поправка на направленность источника Dc, дБ	Dc	DΩ + Di	**0**	0	0	0	0	0	0	0	0		
Затухание из-за геометрической дивергенции, Adiv, дБ	расстояние = 326.61 м	ф-ла (7) [10]	**61,3**										
Коэффициент затухания звука в атмосфере α, дБ/км	Ta=20,°C Pa=101.33,кПа hотн.=70%	ф-ла (5) [9]	0,02	0,09	0,33	1,12	2,79	4,98	9,04	23,09	77,63		

1		2	3	4	5	6	7	8	9	10	11	12	13
Учет затухания звука в атмосфере Aatm, дБ		ф-ла (8) [10]	0	0	0,1	0,4	0,9	1,6	3	7,5	25,4		
Снижение уровня звукового давления из-за влияния застройки между источником шума и расчетной точкой													
Снижение уровня звукового давления на пути над экраном, Dz1, дБ	z = 3.91м (разность путей)	ф-лы (14-18) [10]	12,2	15,3	19,4	23,8	27,5	30,7	33,8	36,8	39,8		
Снижение уровня звукового давления на пути слева от экрана, Dz2, дБ	z = 55.58м (разность путей)	ф-лы (14-18) [10]	24,6	29,2	33,3	36,7	39,9	42,9	45,9	48,9	52		
Снижение уровня звукового давления на пути справа от экрана, Dz3, дБ	z = 5.31м (разность путей)	ф-лы (14-18) [10]	13,6	16,3	19,1	22	25	28	31	34	37		
Общее снижение уровня звука препятствием Dz, дБ		Эн.сумма(-Dzi)	9,7	12,7	16,2	19,7	23	26	29,1	32,1	35,1		
Общее снижение уровня звука препятствием с учётом ограничения (25 дБ) для октавных полос Dz, дБ		Раздел 7.4 [10]	9,7	12,7	16,2	19,7	23	25	25	25	25		
Уровни звукового давления прямого звука от источника ИШ-6-4 в расчётной точке днём, дБ		**ф-ла(3)[10]**	**0**	**22,3**	**20,1**	**17,6**	**14,1**	**11**	**6,4**	**0**	**0**	**16,2**	**16,2**
Расчёт отражённого звука													
Уровни звукового давления от мнимого источника ИШ-6-4_мн.(1) в расчётной точке днём, дБ		**ф-ла(3)[10]**	**0**	**0**	**0**	**0**	**0**	**0**	**0**	**0**	**0**	**0**	**0**
Уровни звукового давления от источника ИШ-6-4 в расчётной точке днём, дБ		**ф-ла(3)[10]**	**0**	**22,3**	**20,1**	**17,6**	**14,1**	**11**	**6,4**	**0**	**0**	**16,2**	**16,2**
Источник шума: ИШ-6-5, координаты источника (x,y,z), м =[832.03,110.36,1.00]													
Уровни звуковой мощности источника днём, Lw, дБ		**исходные данные**	**0**	**96,3**	**97,7**	**99**	**99,3**	**98,9**	**95,6**	**91,4**	**86,9**		
Поправка на телесный угол DΩ, дБ	Ω = 12.57	10Lg(4π/Ω)	**0**	0	0	0	0	0	0	0	0		
Показатель направленности источника Di, дБ		исходные данные	**0**	0	0	0	0	0	0	0	0		
Поправка на направленность источника Dc, дБ	Dc	DΩ + Di	**0**	0	0	0	0	0	0	0	0		
Затухание из-за геометрической дивергенции, Adiv, дБ	расстояние = 324.23 м	ф-ла (7) [10]	**61,2**										

1		2	3	4	5	6	7	8	9	10	11	12	13
Коэффициент затухания звука в атмосфере α, дБ/км	Та=20,°С Ра=101.33,кПа hотн.=70%	ф-ла (5) [9]	0,02	0,09	0,33	1,12	2,79	4,98	9,04	23,09	77,63		
Учет затухания звука в атмосфере Aatm, дБ		ф-ла (8) [10]	0	0	0,1	0,4	0,9	1,6	2,9	7,5	25,2		
Снижение уровня звукового давления из-за влияния застройки между источником шума и расчетной точкой													
Снижение уровня звукового давления на пути над экраном, Dz1, дБ	z = 3.92м (разность путей)	ф-лы (14-18) [10]	12,2	15,3	19,4	23,8	27,5	30,7	33,8	36,8	39,9		
Снижение уровня звукового давления на пути слева от экрана, Dz2, дБ	z = 55.27м (разность путей)	ф-лы (14-18) [10]	24,6	29,1	33,2	36,7	39,8	42,9	45,9	48,9	51,9		
Снижение уровня звукового давления на пути справа от экрана, Dz3, дБ	z = 5.40м (разность путей)	ф-лы (14-18) [10]	13,6	16,3	19,2	22,1	25,1	28,1	31,1	34,1	37,1		
Общее снижение уровня звука препятствием Dz, дБ		Эн.сумма(-Dzi)	9,7	12,7	16,2	19,8	23	26,1	29,1	32,1	35,1		
Общее снижение уровня звука препятствием с учётом ограничения (25 дБ) для октавных полос Dz, дБ		Раздел 7.4 [10]	9,7	12,7	16,2	19,8	23	25	25	25	25		
Уровни звукового давления прямого звука от источника ИШ-6-5 в расчётной точке днём, дБ		**ф-ла(3)[10]**	**0**	**22,3**	**20,2**	**17,7**	**14,2**	**11,1**	**6,4**	**0**	**0**	**16,2**	**16,2**
Расчёт отражённого звука													
Уровни звукового давления от мнимого источника ИШ-6-5_мн.(1) в расчётной точке днём, дБ		**ф-ла(3)[10]**	**0**	**0**	**0**	**0**	**0**	**0**	**0**	**0**	**0**	**0**	**0**
Уровни звукового давления от источника ИШ-6-5 в расчётной точке днём, дБ		**ф-ла(3)[10]**	**0**	**22,3**	**20,2**	**17,7**	**14,2**	**11,1**	**6,4**	**0**	**0**	**16,2**	**16,2**
Источник шума: ИШ-6-6, координаты источника (x,y,z), м =[830.97,107.42,1.00]													
Уровни звуковой мощности источника днём, Lw, дБ		**исходные данные**	**0**	**96,3**	**97,7**	**99**	**99,3**	**98,9**	**95,6**	**91,4**	**86,9**		
Поправка на телесный угол DΩ, дБ	Ω = 12.57	10Lg(4π/Ω)	**0**	0	0	0	0	0	0	0	0		
Показатель направленности источника Di, дБ		исходные данные	**0**	0	0	0	0	0	0	0	0		

1		2	3	4	5	6	7	8	9	10	11	12	13
Поправка на направленность источника Dc, дБ	Dc	DΩ + Di	**0**	0	0	0	0	0	0	0	0		
Затухание из-за геометрической дивергенции, Adiv, дБ	расстояние = 321.98 м	ф-ла (7) [10]	**61,2**										
Коэффициент затухания звука в атмосфере α, дБ/км	Ta=20,°C Pa=101.33,кПа hотн.=70%	ф-ла (5) [9]	0,02	0,09	0,33	1,12	2,79	4,98	9,04	23,09	77,63		
Учет затухания звука в атмосфере Aatm, дБ		ф-ла (8) [10]	0	0	0,1	0,4	0,9	1,6	2,9	7,4	25		
Снижение уровня звукового давления из-за влияния застройки между источником шума и расчетной точкой													
Снижение уровня звукового давления на пути над экраном, Dz1, дБ	z = 3.93м (разность путей)	ф-лы (14-18) [10]	12,2	15,4	19,4	23,8	27,5	30,8	33,8	36,9	39,9		
Снижение уровня звукового давления на пути слева от экрана, Dz2, дБ	z = 54.95м (разность путей)	ф-лы (14-18) [10]	24,6	29,1	33,2	36,7	39,8	42,9	45,9	48,9	51,9		
Снижение уровня звукового давления на пути справа от экрана, Dz3, дБ	z = 5.50м (разность путей)	ф-лы (14-18) [10]	13,7	16,4	19,2	22,2	25,1	28,1	31,1	34,1	37,1		
Общее снижение уровня звука препятствием Dz, дБ		Эн.сумма(-Dzi)	9,7	12,7	16,2	19,8	23,1	26,1	29,2	32,2	35,2		
Общее снижение уровня звука препятствием с учётом ограничения (25 дБ) для октавных полос Dz, дБ		Раздел 7.4 [10]	9,7	12,7	16,2	19,8	23,1	25	25	25	25		
Уровни звукового давления прямого звука от источника ИШ-6-6 в расчётной точке днём, дБ		**ф-ла(3)[10]**	**0**	**22,4**	**20,2**	**17,7**	**14,2**	**11,1**	**6,5**	**0**	**0**	**16,3**	**16,3**
Расчёт отражённого звука													
Уровни звукового давления от мнимого источника ИШ-6-6_мн.(1) в расчётной точке днём, дБ		**ф-ла(3)[10]**	**0**	**0**	**0**	**0**	**0**	**0**	**0**	**0**	**0**	**0**	**0**
Уровни звукового давления от источника ИШ-6-6 в расчётной точке днём, дБ		**ф-ла(3)[10]**	**0**	**22,4**	**20,2**	**17,7**	**14,2**	**11,1**	**6,5**	**0**	**0**	**16,3**	**16,3**
Источник шума: ИШ-6-7, координаты источника (x,y,z), м =[830.30,104.49,1.00]													
Уровни звуковой мощности источника днём, Lw, дБ		**исходные данные**	**0**	**96,3**	**97,7**	**99**	**99,3**	**98,9**	**95,6**	**91,4**	**86,9**		

1		2	3	4	5	6	7	8	9	10	11	12	13
Поправка на телесный угол DΩ, дБ	Ω = 12.57	10Lg(4π/Ω)	**0**	0	0	0	0	0	0	0	0		
Показатель направленности источника Di, дБ		исходные данные	**0**	0	0	0	0	0	0	0	0		
Поправка на направленность источника Dc, дБ	Dc	DΩ + Di	**0**	0	0	0	0	0	0	0	0		
Затухание из-за геометрической дивергенции, Adiv, дБ	расстояние = 320.11 м	ф-ла (7) [10]	**61,1**										
Коэффициент затухания звука в атмосфере α, дБ/км	Ta=20,°C Pa=101.33,кПа hотн.=70%	ф-ла (5) [9]	0,02	0,09	0,33	1,12	2,79	4,98	9,04	23,09	77,63		
Учет затухания звука в атмосфере Aatm, дБ		ф-ла (8) [10]	0	0	0,1	0,4	0,9	1,6	2,9	7,4	24,9		
Снижение уровня звукового давления из-за влияния застройки между источником шума и расчетной точкой													
Снижение уровня звукового давления на пути над экраном, Dz1, дБ	z = 3.94м (разность путей)	ф-лы (14-18) [10]	12,2	15,4	19,4	23,8	27,5	30,8	33,8	36,9	39,9		
Снижение уровня звукового давления на пути слева от экрана, Dz2, дБ	z = 54.59м (разность путей)	ф-лы (14-18) [10]	24,5	29,1	33,2	36,7	39,8	42,8	45,9	48,9	51,9		
Снижение уровня звукового давления на пути справа от экрана, Dz3, дБ	z = 5.61м (разность путей)	ф-лы (14-18) [10]	13,8	16,5	19,3	22,2	25,2	28,2	31,2	34,2	37,2		
Общее снижение уровня звука препятствием Dz, дБ		Эн.сумма(-Dzi)	9,7	12,8	16,3	19,9	23,1	26,2	29,2	32,2	35,2		
Общее снижение уровня звука препятствием с учётом ограничения (25 дБ) для октавных полос Dz, дБ		Раздел 7.4 [10]	9,7	12,8	16,3	19,9	23,1	25	25	25	25		
Уровни звукового давления прямого звука от источника ИШ-6-7 в расчётной точке днём, дБ		**ф-ла(3)[10]**	**0**	**22,4**	**20,2**	**17,7**	**14,2**	**11,2**	**6,6**	**0**	**0**	**16,3**	**16,3**
Расчёт отражённого звука													
Уровни звукового давления от мнимого источника ИШ-6-7_мн.(1) в расчётной точке днём, дБ		**ф-ла(3)[10]**	**0**	**0**	**0**	**0**	**0**	**0**	**0**	**0**	**0**	**0**	**0**
Уровни звукового давления от источника ИШ-6-7 в расчётной точке днём, дБ		**ф-ла(3)[10]**	**0**	**22,4**	**20,2**	**17,7**	**14,2**	**11,2**	**6,6**	**0**	**0**	**16,3**	**16,3**

1		2	3	4	5	6	7	8	9	10	11	12	13
Источник шума: ИШ-6-8, координаты источника (x,y,z), м =[829.36,101.42,1.00]													
Уровни звуковой мощности источника днём, Lw, дБ		**исходные данные**	**0**	**96,3**	**97,7**	**99**	**99,3**	**98,9**	**95,6**	**91,4**	**86,9**		
Поправка на телесный угол DΩ, дБ	Ω = 12.57	10Lg(4π/Ω)	**0**	0	0	0	0	0	0	0	0		
Показатель направленности источника Di, дБ		исходные данные	**0**	0	0	0	0	0	0	0	0		
Поправка на направленность источника Dc, дБ	Dc	DΩ + Di	**0**	0	0	0	0	0	0	0	0		
Затухание из-за геометрической дивергенции, Adiv, дБ	расстояние = 317.95 м	ф-ла (7) [10]	**61**										
Коэффициент затухания звука в атмосфере α, дБ/км	Ta=20,°C Pa=101.33,кПа hотн.=70%	ф-ла (5) [9]	0,02	0,09	0,33	1,12	2,79	4,98	9,04	23,09	77,63		
Учет затухания звука в атмосфере Aatm, дБ		ф-ла (8) [10]	0	0	0,1	0,4	0,9	1,6	2,9	7,3	24,7		
Снижение уровня звукового давления из-за влияния застройки между источником шума и расчетной точкой													
Снижение уровня звукового давления на пути над экраном, Dz1, дБ	z = 3.95м (разность путей)	ф-лы (14-18) [10]	12,2	15,4	19,4	23,8	27,5	30,8	33,9	36,9	39,9		
Снижение уровня звукового давления на пути слева от экрана, Dz2, дБ	z = 54.22м (разность путей)	ф-лы (14-18) [10]	24,5	29	33,2	36,6	39,8	42,8	45,8	48,8	51,8		
Снижение уровня звукового давления на пути справа от экрана, Dz3, дБ	z = 5.72м (разность путей)	ф-лы (14-18) [10]	13,8	16,6	19,4	22,3	25,3	28,3	31,3	34,3	37,3		
Общее снижение уровня звука препятствием Dz, дБ		Эн.сумма(-Dzi)	9,8	12,8	16,3	19,9	23,2	26,3	29,3	32,3	35,3		
Общее снижение уровня звука препятствием с учётом ограничения (25 дБ) для октавных полос Dz, дБ		Раздел 7.4 [10]	9,8	12,8	16,3	19,9	23,2	25	25	25	25		
Уровни звукового давления прямого звука от источника ИШ-6-8 в расчётной точке днём, дБ		**ф-ла(3)[10]**	**0**	**22,4**	**20,2**	**17,7**	**14,2**	**11,3**	**6,7**	**0**	**0**	**16,3**	**16,3**
Расчёт отражённого звука													

1		2	3	4	5	6	7	8	9	10	11	12	13
Уровни звукового давления от мнимого источника ИШ-6-8_мн.(1) в расчётной точке днём, дБ		**ф-ла(3)[10]**	**0**	**0**	**0**	**0**	**0**	**0**	**0**	**0**	**0**	**0**	**0**
Уровни звукового давления от источника ИШ-6-8 в расчётной точке днём, дБ		**ф-ла(3)[10]**	**0**	**22,4**	**20,2**	**17,7**	**14,2**	**11,3**	**6,7**	**0**	**0**	**16,3**	**16,3**
Источник шума: ИШ-6-9, координаты источника (x,y,z), м =[828.03,98.62,1.00]													
Уровни звуковой мощности источника днём, Lw, дБ		**исходные данные**	**0**	**96,3**	**97,7**	**99**	**99,3**	**98,9**	**95,6**	**91,4**	**86,9**		
Поправка на телесный угол DΩ, дБ	Ω = 12.57	10Lg(4π/Ω)	**0**	0	0	0	0	0	0	0	0		
Показатель направленности источника Di, дБ		исходные данные	**0**	0	0	0	0	0	0	0	0		
Поправка на направленность источника Dc, дБ	Dc	DΩ + Di	**0**	0	0	0	0	0	0	0	0		
Затухание из-за геометрической дивергенции, Adiv, дБ	расстояние = 315.57 м	ф-ла (7) [10]	**61**										
Коэффициент затухания звука в атмосфере α, дБ/км	Ta=20,°C Pa=101.33,кПа hотн.=70%	ф-ла (5) [9]	0,02	0,09	0,33	1,12	2,79	4,98	9,04	23,09	77,63		
Учет затухания звука в атмосфере Aatm, дБ		ф-ла (8) [10]	0	0	0,1	0,4	0,9	1,6	2,9	7,3	24,5		
Снижение уровня звукового давления из-за влияния застройки между источником шума и расчетной точкой													
Снижение уровня звукового давления на пути над экраном, Dz1, дБ	z = 3.96м (разность путей)	ф-лы (14-18) [10]	12,2	15,4	19,4	23,8	27,6	30,8	33,9	36,9	39,9		
Снижение уровня звукового давления на пути слева от экрана, Dz2, дБ	z = 53.93м (разность путей)	ф-лы (14-18) [10]	24,5	29	33,1	36,6	39,7	42,8	45,8	48,8	51,8		
Снижение уровня звукового давления на пути справа от экрана, Dz3, дБ	z = 5.81м (разность путей)	ф-лы (14-18) [10]	13,9	16,6	19,5	22,4	25,4	28,4	31,4	34,4	37,4		
Общее снижение уровня звука препятствием Dz, дБ		Эн.сумма(-Dzi)	9,8	12,8	16,3	19,9	23,2	26,3	29,3	32,3	35,4		
Общее снижение уровня звука препятствием с учётом ограничения (25 дБ) для октавных полос Dz, дБ		Раздел 7.4 [10]	9,8	12,8	16,3	19,9	23,2	25	25	25	25		

1		2	3	4	5	6	7	8	9	10	11	12	13
Уровни звукового давления прямого звука от источника ИШ-6-9 в расчётной точке днём, дБ		**ф-ла(3)[10]**	**0**	**22,4**	**20,3**	**17,7**	**14,2**	**11,3**	**6,8**	**0**	**0**	**16,4**	**16,4**
Расчёт отражённого звука													
Уровни звукового давления от мнимого источника ИШ-6-9_мн.(1) в расчётной точке днём, дБ		**ф-ла(3)[10]**	**0**	**0**	**0**	**0**	**0**	**0**	**0**	**0**	**0**	**0**	**0**
Уровни звукового давления от источника ИШ-6-9 в расчётной точке днём, дБ		**ф-ла(3)[10]**	**0**	**22,4**	**20,3**	**17,7**	**14,2**	**11,3**	**6,8**	**0**	**0**	**16,4**	**16,4**
Источник шума: ИШ-6-10, координаты источника (x,y,z), м =[827.23,95.55,1.00]													
Уровни звуковой мощности источника днём, Lw, дБ		**исходные данные**	**0**	**96,3**	**97,7**	**99**	**99,3**	**98,9**	**95,6**	**91,4**	**86,9**		
Поправка на телесный угол DΩ, дБ	Ω = 12.57	10Lg(4π/Ω)	**0**	0	0	0	0	0	0	0	0		
Показатель направленности источника Di, дБ		исходные данные	**0**	0	0	0	0	0	0	0	0		
Поправка на направленность источника Dc, дБ	Dc	DΩ + Di	**0**	0	0	0	0	0	0	0	0		
Затухание из-за геометрической дивергенции, Adiv, дБ	расстояние = 313.57 м	ф-ла (7) [10]	**60,9**										
Коэффициент затухания звука в атмосфере α, дБ/км	Ta=20,°C Pa=101.33,кПа hотн.=70%	ф-ла (5) [9]	0,02	0,09	0,33	1,12	2,79	4,98	9,04	23,09	77,63		
Учет затухания звука в атмосфере Aatm, дБ		ф-ла (8) [10]	0	0	0,1	0,4	0,9	1,6	2,8	7,2	24,3		
Снижение уровня звукового давления из-за влияния застройки между источником шума и расчетной точкой													
Снижение уровня звукового давления на пути над экраном, Dz1, дБ	z = 3.97м (разность путей)	ф-лы (14-18) [10]	12,2	15,4	19,4	23,8	27,6	30,8	33,9	36,9	39,9		
Снижение уровня звукового давления на пути слева от экрана, Dz2, дБ	z = 53.54м (разность путей)	ф-лы (14-18) [10]	24,5	29	33,1	36,6	39,7	42,8	45,8	48,8	51,8		
Снижение уровня звукового давления на пути справа от экрана, Dz3, дБ	z = 5.93м (разность путей)	ф-лы (14-18) [10]	14	16,7	19,6	22,5	25,5	28,5	31,5	34,5	37,5		

1		2	3	4	5	6	7	8	9	10	11	12	13
Общее снижение уровня звука препятствием Dz, дБ		Эн.сумма(-Dzi)	9,8	12,9	16,4	20	23,3	26,4	29,4	32,4	35,4		
Общее снижение уровня звука препятствием с учётом ограничения (25 дБ) для октавных полос Dz, дБ		Раздел 7.4 [10]	9,8	12,9	16,4	20	23,3	25	25	25	25		
Уровни звукового давления прямого звука от источника ИШ-6-10 в расчётной точке днём, дБ		**ф-ла(3)[10]**	**0**	**22,5**	**20,3**	**17,7**	**14,2**	**11,4**	**6,8**	**0**	**0**	**16,4**	**16,4**
Расчёт отражённого звука													
Уровни звукового давления от мнимого источника ИШ-6-10_мн.(1) в расчётной точке днём, дБ		**ф-ла(3)[10]**	**0**	**0**	**0**	**0**	**0**	**0**	**0**	**0**	**0**	**0**	**0**
Уровни звукового давления от источника ИШ-6-10 в расчётной точке днём, дБ		**ф-ла(3)[10]**	**0**	**22,5**	**20,3**	**17,7**	**14,2**	**11,4**	**6,8**	**0**	**0**	**16,4**	**16,4**
Источник шума: ИШ-6-11, координаты источника (x,y,z), м =[826.30,92.48,1.00]													
Уровни звуковой мощности источника днём, Lw, дБ		**исходные данные**	**0**	**96,3**	**97,7**	**99**	**99,3**	**98,9**	**95,6**	**91,4**	**86,9**		
Поправка на телесный угол DΩ, дБ	Ω = 12.57	10Lg(4π/Ω)	**0**	0	0	0	0	0	0	0	0		
Показатель направленности источника Di, дБ		исходные данные	**0**	0	0	0	0	0	0	0	0		
Поправка на направленность источника Dc, дБ	Dc	DΩ + Di	**0**	0	0	0	0	0	0	0	0		
Затухание из-за геометрической дивергенции, Adiv, дБ	расстояние = 311.47 м	ф-ла (7) [10]	**60,9**										
Коэффициент затухания звука в атмосфере α, дБ/км	Ta=20,°C Pa=101.33,кПа hотн.=70%	ф-ла (5) [9]	0,02	0,09	0,33	1,12	2,79	4,98	9,04	23,09	77,63		
Учет затухания звука в атмосфере Aatm, дБ		ф-ла (8) [10]	0	0	0,1	0,4	0,9	1,6	2,8	7,2	24,2		
Снижение уровня звукового давления из-за влияния застройки между источником шума и расчетной точкой													
Снижение уровня звукового давления на пути над экраном, Dz1, дБ	z = 3.98м (разность путей)	ф-лы (14-18) [10]	12,2	15,4	19,4	23,8	27,6	30,8	33,9	36,9	39,9		

1		2	3	4	5	6	7	8	9	10	11	12	13
Снижение уровня звукового давления на пути слева от экрана, Dz2, дБ	z = 53.17м (разность путей)	ф-лы (14-18) [10]	24,4	29	33,1	36,5	39,7	42,7	45,7	48,8	51,8		
Снижение уровня звукового давления на пути справа от экрана, Dz3, дБ	z = 6.04м (разность путей)	ф-лы (14-18) [10]	14	16,8	19,6	22,6	25,5	28,5	31,5	34,5	37,6		
Общее снижение уровня звука препятствием Dz, дБ		Эн.сумма(-Dzi)	9,9	12,9	16,4	20	23,3	26,4	29,4	32,5	35,5		
Общее снижение уровня звука препятствием с учётом ограничения (25 дБ) для октавных полос Dz, дБ		Раздел 7.4 [10]	9,9	12,9	16,4	20	23,3	25	25	25	25		
Уровни звукового давления прямого звука от источника ИШ-6-11 в расчётной точке днём, дБ		**ф-ла(3)[10]**	**0**	**22,5**	**20,3**	**17,7**	**14,2**	**11,5**	**6,9**	**0**	**0**	**16,5**	**16,5**
Расчёт отражённого звука													
Уровни звукового давления от мнимого источника ИШ-6-11_мн.(1) в расчётной точке днём, дБ		**ф-ла(3)[10]**	**0**	**0**	**0**	**0**	**0**	**0**	**0**	**0**	**0**	**0**	**0**
Уровни звукового давления от источника ИШ-6-11 в расчётной точке днём, дБ		**ф-ла(3)[10]**	**0**	**22,5**	**20,3**	**17,7**	**14,2**	**11,5**	**6,9**	**0**	**0**	**16,5**	**16,5**
Источник шума: ИШ-6-12, координаты источника (x,y,z), м =[825.09,89.54,1.00]													
Уровни звуковой мощности источника днём, Lw, дБ		**исходные данные**	**0**	**96,3**	**97,7**	**99**	**99,3**	**98,9**	**95,6**	**91,4**	**86,9**		
Поправка на телесный угол DΩ, дБ	Ω = 12.57	10Lg(4π/Ω)	**0**	0	0	0	0	0	0	0	0		
Показатель направленности источника Di, дБ		исходные данные	**0**	0	0	0	0	0	0	0	0		
Поправка на направленность источника Dc, дБ	Dc	DΩ + Di	**0**	0	0	0	0	0	0	0	0		
Затухание из-за геометрической дивергенции, Adiv, дБ	расстояние = 309.19 м	ф-ла (7) [10]	**60,8**										
Коэффициент затухания звука в атмосфере α, дБ/км	Ta=20,°C Pa=101.33,кПа hотн.=70%	ф-ла (5) [9]	0,02	0,09	0,33	1,12	2,79	4,98	9,04	23,09	77,63		
Учет затухания звука в атмосфере Aatm, дБ		ф-ла (8) [10]	0	0	0,1	0,3	0,9	1,5	2,8	7,1	24		

1		2	3	4	5	6	7	8	9	10	11	12	13
Снижение уровня звукового давления из-за влияния застройки между источником шума и расчетной точкой													
Снижение уровня звукового давления на пути над экраном, Dz1, дБ	z = 3.99м (разность путей)	ф-лы (14-18) [10]	12,2	15,4	19,4	23,8	27,6	30,8	33,9	36,9	40		
Снижение уровня звукового давления на пути слева от экрана, Dz2, дБ	z = 52.83м (разность путей)	ф-лы (14-18) [10]	24,4	28,9	33	36,5	39,7	42,7	45,7	48,7	51,7		
Снижение уровня звукового давления на пути справа от экрана, Dz3, дБ	z = 6.15м (разность путей)	ф-лы (14-18) [10]	14,1	16,9	19,7	22,6	25,6	28,6	31,6	34,6	37,6		
Общее снижение уровня звука препятствием Dz, дБ		Эн.сумма(-Dzi)	9,9	12,9	16,5	20,1	23,4	26,5	29,5	32,5	35,5		
Общее снижение уровня звука препятствием с учётом ограничения (25 дБ) для октавных полос Dz, дБ		Раздел 7.4 [10]	9,9	12,9	16,5	20,1	23,4	25	25	25	25		
Уровни звукового давления прямого звука от источника ИШ-6-12 в расчётной точке днём, дБ		**ф-ла(3)[10]**	**0**	**22,5**	**20,3**	**17,8**	**14,2**	**11,5**	**7**	**0**	**0**	**16,5**	**16,5**
Расчёт отражённого звука													
Уровни звукового давления от мнимого источника ИШ-6-12_мн.(1) в расчётной точке днём, дБ		**ф-ла(3)[10]**	**0**	**0**	**0**	**0**	**0**	**0**	**0**	**0**	**0**	**0**	**0**
Уровни звукового давления от источника ИШ-6-12 в расчётной точке днём, дБ		**ф-ла(3)[10]**	**0**	**22,5**	**20,3**	**17,8**	**14,2**	**11,5**	**7**	**0**	**0**	**16,5**	**16,5**
Источник шума: ИШ-6-13, координаты источника (x,y,z), м =[767.76,-114.15,1.00]													
Уровни звуковой мощности источника днём, Lw, дБ		**исходные данные**	**0**	**96,3**	**97,7**	**99**	**99,3**	**98,9**	**95,6**	**91,4**	**86,9**		
Поправка на телесный угол DΩ, дБ	Ω = 12.57	10Lg(4π/Ω)	**0**	0	0	0	0	0	0	0	0		
Показатель направленности источника Di, дБ		исходные данные	**0**	0	0	0	0	0	0	0	0		
Поправка на направленность источника Dc, дБ	Dc	DΩ + Di	**0**	0	0	0	0	0	0	0	0		
Затухание из-за геометрической дивергенции, Adiv, дБ	расстояние = 240.63 м	ф-ла (7) [10]	**58,6**										
Коэффициент затухания звука в атмосфере α, дБ/км	Ta=20,°C Pa=101.33,кПа hотн.=70%	ф-ла (5) [9]	0,02	0,09	0,33	1,12	2,79	4,98	9,04	23,09	77,63		

1		2	3	4	5	6	7	8	9	10	11	12	13
Учет затухания звука в атмосфере Aatm, дБ		ф-ла (8) [10]	0	0	0,1	0,3	0,7	1,2	2,2	5,6	18,7		
Снижение уровня звукового давления из-за влияния застройки между источником шума и расчетной точкой													
Снижение уровня звукового давления на пути над экраном, Dz1, дБ	z = 4.41м (разность путей)	ф-лы (14-18) [10]	13,8	18	22	25,4	28,5	31,5	34,6	37,6	40,6		
Снижение уровня звукового давления на пути слева от экрана, Dz2, дБ	z = 21.14м (разность путей)	ф-лы (14-18) [10]	20,5	25	29,1	32,5	35,7	38,7	41,7	44,7	47,8		
Снижение уровня звукового давления на пути справа от экрана, Dz3, дБ	z = 20.74м (разность путей)	ф-лы (14-18) [10]	20,4	24,9	29	32,5	35,6	38,6	41,7	44,7	47,7		
Общее снижение уровня звука препятствием Dz, дБ		Эн.сумма(-Dzi)	12,2	16,5	20,5	24	27,1	30,1	33,1	36,1	39,2		
Общее снижение уровня звука препятствием с учётом ограничения (25 дБ) для октавных полос Dz, дБ		Раздел 7.4 [10]	12,2	16,5	20,5	24	25	25	25	25	25		
Уровни звукового давления от источника ИШ-6-13 в расчётной точке днём, дБ		**ф-ла(3)[10]**	**0**	**21,1**	**18,5**	**16,1**	**15**	**14,1**	**9,8**	**2,2**	**0**	**18**	**18**
Источник шума: ИШ-6-14, координаты источника (x,y,z), м =[766.82,-117.10,1.00]													
Уровни звуковой мощности источника днём, Lw, дБ		**исходные данные**	**0**	**96,3**	**97,7**	**99**	**99,3**	**98,9**	**95,6**	**91,4**	**86,9**		
Поправка на телесный угол DΩ, дБ	Ω = 12.57	10Lg(4π/Ω)	**0**	0	0	0	0	0	0	0	0		
Показатель направленности источника Di, дБ		исходные данные	**0**	0	0	0	0	0	0	0	0		
Поправка на направленность источника Dc, дБ	Dc	DΩ + Di	**0**	0	0	0	0	0	0	0	0		
Затухание из-за геометрической дивергенции, Adiv, дБ	расстояние = 240.75 м	ф-ла (7) [10]	**58,6**										
Коэффициент затухания звука в атмосфере α, дБ/км	Ta=20,°C Pa=101.33,кПа hотн.=70%	ф-ла (5) [9]	0,02	0,09	0,33	1,12	2,79	4,98	9,04	23,09	77,63		
Учет затухания звука в атмосфере Aatm, дБ		ф-ла (8) [10]	0	0	0,1	0,3	0,7	1,2	2,2	5,6	18,7		

1		2	3	4	5	6	7	8	9	10	11	12	13
Снижение уровня звукового давления из-за влияния застройки между источником шума и расчетной точкой													
Снижение уровня звукового давления на пути над экраном, Dz1, дБ	z = 4.41м (разность путей)	ф-лы (14-18) [10]	13,8	18	22	25,4	28,5	31,5	34,6	37,6	40,6		
Снижение уровня звукового давления на пути слева от экрана, Dz2, дБ	z = 20.78м (разность путей)	ф-лы (14-18) [10]	20,4	24,9	29	32,5	35,6	38,6	41,7	44,7	47,7		
Снижение уровня звукового давления на пути справа от экрана, Dz3, дБ	z = 21.09м (разность путей)	ф-лы (14-18) [10]	20,5	25	29,1	32,5	35,7	38,7	41,7	44,7	47,7		
Общее снижение уровня звука препятствием Dz, дБ		Эн.сумма(-Dzi)	12,2	16,5	20,5	24	27,1	30,1	33,1	36,1	39,2		
Общее снижение уровня звука препятствием с учётом ограничения (25 дБ) для октавных полос Dz, дБ		Раздел 7.4 [10]	12,2	16,5	20,5	24	25	25	25	25	25		
Уровни звукового давления от источника ИШ-6-14 в расчётной точке днём, дБ		**ф-ла(3)[10]**	**0**	**21,1**	**18,5**	**16,1**	**15**	**14,1**	**9,8**	**2,2**	**0**	**18**	**18**
Источник шума: ИШ-6-15, координаты источника (x,y,z), м =[765.71,-120.27,1.00]													
Уровни звуковой мощности источника днём, Lw, дБ		**исходные данные**	**0**	**96,3**	**97,7**	**99**	**99,3**	**98,9**	**95,6**	**91,4**	**86,9**		
Поправка на телесный угол DΩ, дБ	Ω = 12.57	10Lg(4π/Ω)	**0**	0	0	0	0	0	0	0	0		
Показатель направленности источника Di, дБ		исходные данные	**0**	0	0	0	0	0	0	0	0		
Поправка на направленность источника Dc, дБ	Dc	DΩ + Di	**0**	0	0	0	0	0	0	0	0		
Затухание из-за геометрической дивергенции, Adiv, дБ	расстояние = 240.85 м	ф-ла (7) [10]	**58,6**										
Коэффициент затухания звука в атмосфере α, дБ/км	Ta=20,°C Pa=101.33,кПа hотн.=70%	ф-ла (5) [9]	0,02	0,09	0,33	1,12	2,79	4,98	9,04	23,09	77,63		
Учет затухания звука в атмосфере Aatm, дБ		ф-ла (8) [10]	0	0	0,1	0,3	0,7	1,2	2,2	5,6	18,7		
Снижение уровня звукового давления из-за влияния застройки между источником шума и расчетной точкой													

1		2	3	4	5	6	7	8	9	10	11	12	13
Снижение уровня звукового давления на пути над экраном, Dz1, дБ	z = 4.41м (разность путей)	ф-лы (14-18) [10]	13,8	18	22	25,4	28,5	31,5	34,6	37,6	40,6		
Снижение уровня звукового давления на пути слева от экрана, Dz2, дБ	z = 20.39м (разность путей)	ф-лы (14-18) [10]	20,3	24,8	28,9	32,4	35,5	38,6	41,6	44,6	47,6		
Снижение уровня звукового давления на пути справа от экрана, Dz3, дБ	z = 21.47м (разность путей)	ф-лы (14-18) [10]	20,6	25	29,1	32,6	35,7	38,8	41,8	44,8	47,8		
Общее снижение уровня звука препятствием Dz, дБ		Эн.сумма(-Dzi)	12,2	16,5	20,5	24	27,1	30,1	33,1	36,1	39,2		
Общее снижение уровня звука препятствием с учётом ограничения (25 дБ) для октавных полос Dz, дБ		Раздел 7.4 [10]	12,2	16,5	20,5	24	25	25	25	25	25		
Уровни звукового давления от источника ИШ-6-15 в расчётной точке днём, дБ		**ф-ла(3)[10]**	**0**	**21,1**	**18,5**	**16,1**	**15**	**14,1**	**9,8**	**2,2**	**0**	**18**	**18**
Источник шума: ИШ-6-16, координаты источника (x,y,z), м =[764.57,-123.22,1.00]													
Уровни звуковой мощности источника днём, Lw, дБ		**исходные данные**	**0**	**96,3**	**97,7**	**99**	**99,3**	**98,9**	**95,6**	**91,4**	**86,9**		
Поправка на телесный угол DΩ, дБ	Ω = 12.57	10Lg(4π/Ω)	**0**	0	0	0	0	0	0	0	0		
Показатель направленности источника Di, дБ		исходные данные	**0**	0	0	0	0	0	0	0	0		
Поправка на направленность источника Dc, дБ	Dc	DΩ + Di	**0**	0	0	0	0	0	0	0	0		
Затухание из-за геометрической дивергенции, Adiv, дБ	расстояние = 240.87 м	ф-ла (7) [10]	**58,6**										
Коэффициент затухания звука в атмосфере α, дБ/км	Ta=20,°C Pa=101.33,кПа hотн.=70%	ф-ла (5) [9]	0,02	0,09	0,33	1,12	2,79	4,98	9,04	23,09	77,63		
Учет затухания звука в атмосфере Aatm, дБ		ф-ла (8) [10]	0	0	0,1	0,3	0,7	1,2	2,2	5,6	18,7		
Снижение уровня звукового давления из-за влияния застройки между источником шума и расчетной точкой													
Снижение уровня звукового давления на пути над экраном, Dz1, дБ	z = 4.40м (разность путей)	ф-лы (14-18) [10]	13,8	18	22	25,4	28,5	31,5	34,6	37,6	40,6		

1		2	3	4	5	6	7	8	9	10	11	12	13
Снижение уровня звукового давления на пути слева от экрана, Dz2, дБ	z = 20.04м (разность путей)	ф-лы (14-18) [10]	20,3	24,8	28,8	32,3	35,4	38,5	41,5	44,5	47,5		
Снижение уровня звукового давления на пути справа от экрана, Dz3, дБ	z = 21.84м (разность путей)	ф-лы (14-18) [10]	20,6	25,1	29,2	32,7	35,8	38,9	41,9	44,9	47,9		
Общее снижение уровня звука препятствием Dz, дБ		Эн.сумма(-Dzi)	12,2	16,5	20,5	24	27,1	30,1	33,1	36,1	39,2		
Общее снижение уровня звука препятствием с учётом ограничения (25 дБ) для октавных полос Dz, дБ		Раздел 7.4 [10]	12,2	16,5	20,5	24	25	25	25	25	25		
Уровни звукового давления от источника ИШ-6-16 в расчётной точке днём, дБ		**ф-ла(3)[10]**	**0**	**21,1**	**18,5**	**16,1**	**15**	**14,1**	**9,8**	**2,2**	**0**	**18**	**18**
Источник шума: ИШ-6-17, координаты источника (x,y,z), м =[763.57,-126.18,1.00]													
Уровни звуковой мощности источника днём, Lw, дБ		**исходные данные**	**0**	**96,3**	**97,7**	**99**	**99,3**	**98,9**	**95,6**	**91,4**	**86,9**		
Поправка на телесный угол DΩ, дБ	Ω = 12.57	10Lg(4π/Ω)	**0**	0	0	0	0	0	0	0	0		
Показатель направленности источника Di, дБ		исходные данные	**0**	0	0	0	0	0	0	0	0		
Поправка на направленность источника Dc, дБ	Dc	DΩ + Di	**0**	0	0	0	0	0	0	0	0		
Затухание из-за геометрической дивергенции, Adiv, дБ	расстояние = 241.07 м	ф-ла (7) [10]	**58,6**										
Коэффициент затухания звука в атмосфере α, дБ/км	Ta=20,°C Pa=101.33,кПа hотн.=70%	ф-ла (5) [9]	0,02	0,09	0,33	1,12	2,79	4,98	9,04	23,09	77,63		
Учет затухания звука в атмосфере Aatm, дБ		ф-ла (8) [10]	0	0	0,1	0,3	0,7	1,2	2,2	5,6	18,7		
Снижение уровня звукового давления из-за влияния застройки между источником шума и расчетной точкой													
Снижение уровня звукового давления на пути над экраном, Dz1, дБ	z = 4.40м (разность путей)	ф-лы (14-18) [10]	13,8	18	22	25,4	28,5	31,5	34,6	37,6	40,6		
Снижение уровня звукового давления на пути слева от экрана, Dz2, дБ	z = 19.69м (разность путей)	ф-лы (14-18) [10]	20,2	24,7	28,8	32,2	35,4	38,4	41,4	44,4	47,5		

1		2	3	4	5	6	7	8	9	10	11	12	13
Снижение уровня звукового давления на пути справа от экрана, Dz3, дБ	z = 22.22м (разность путей)	ф-лы (14-18) [10]	20,7	25,2	29,3	32,8	35,9	38,9	42	45	48		
Общее снижение уровня звука препятствием Dz, дБ		Эн.сумма(-Dzi)	12,2	16,5	20,5	23,9	27,1	30,1	33,1	36,1	39,2		
Общее снижение уровня звука препятствием с учётом ограничения (25 дБ) для октавных полос Dz, дБ		Раздел 7.4 [10]	12,2	16,5	20,5	23,9	25	25	25	25	25		
Уровни звукового давления от источника ИШ-6-17 в расчётной точке днём, дБ		**ф-ла(3)[10]**	**0**	**21,1**	**18,5**	**16,1**	**15**	**14**	**9,8**	**2,2**	**0**	**18**	**18**
Источник шума: ИШ-6-18, координаты источника (x,y,z), м =[804.77,-126.28,1.00]													
Уровни звуковой мощности источника днём, Lw, дБ		**исходные данные**	**0**	**96,3**	**97,7**	**99**	**99,3**	**98,9**	**95,6**	**91,4**	**86,9**		
Поправка на телесный угол DΩ, дБ	Ω = 12.57	10Lg(4π/Ω)	**0**	0	0	0	0	0	0	0	0		
Показатель направленности источника Di, дБ		исходные данные	**0**	0	0	0	0	0	0	0	0		
Поправка на направленность источника Dc, дБ	Dc	DΩ + Di	**0**	0	0	0	0	0	0	0	0		
Затухание из-за геометрической дивергенции, Adiv, дБ	расстояние = 279.56 м	ф-ла (7) [10]	**59,9**										
Коэффициент затухания звука в атмосфере α, дБ/км	Ta=20,°C Pa=101.33,кПа hотн.=70%	ф-ла (5) [9]	0,02	0,09	0,33	1,12	2,79	4,98	9,04	23,09	77,63		
Учет затухания звука в атмосфере Aatm, дБ		ф-ла (8) [10]	0	0	0,1	0,3	0,8	1,4	2,5	6,5	21,7		
Снижение уровня звукового давления из-за влияния застройки между источником шума и расчетной точкой													
Снижение уровня звукового давления на пути над экраном, Dz1, дБ	z = 4.39м (разность путей)	ф-лы (14-18) [10]	13,7	17,9	21,9	25,3	28,4	31,4	34,5	37,5	40,5		
Снижение уровня звукового давления на пути слева от экрана, Dz2, дБ	z = 21.02м (разность путей)	ф-лы (14-18) [10]	20,5	25	29	32,5	35,6	38,7	41,7	44,7	47,7		
Снижение уровня звукового давления на пути справа от экрана, Dz3, дБ	z = 20.45м (разность путей)	ф-лы (14-18) [10]	20,4	24,8	28,9	32,4	35,5	38,6	41,6	44,6	47,6		

1		2	3	4	5	6	7	8	9	10	11	12	13
Общее снижение уровня звука препятствием Dz, дБ		Эн.сумма(-Dzi)	12,2	16,4	20,4	23,9	27	30	33,1	36,1	39,1		
Общее снижение уровня звука препятствием с учётом ограничения (25 дБ) для октавных полос Dz, дБ		Раздел 7.4 [10]	12,2	16,4	20,4	23,9	25	25	25	25	25		
Уровни звукового давления от источника ИШ-6-18 в расчётной точке днём, дБ		**ф-ла(3)[10]**	**0**	**19,9**	**17,2**	**14,9**	**13,6**	**12,6**	**8,1**	**0**	**0**	**16,5**	**16,5**
Источник шума: ИШ-6-19, координаты источника (x,y,z), м =[803.81,-129.30,1.00]													
Уровни звуковой мощности источника днём, Lw, дБ		**исходные данные**	**0**	**96,3**	**97,7**	**99**	**99,3**	**98,9**	**95,6**	**91,4**	**86,9**		
Поправка на телесный угол DΩ, дБ	Ω = 12.57	10Lg(4π/Ω)	**0**	0	0	0	0	0	0	0	0		
Показатель направленности источника Di, дБ		исходные данные	**0**	0	0	0	0	0	0	0	0		
Поправка на направленность источника Dc, дБ	Dc	DΩ + Di	**0**	0	0	0	0	0	0	0	0		
Затухание из-за геометрической дивергенции, Adiv, дБ	расстояние = 279.68 м	ф-ла (7) [10]	**59,9**										
Коэффициент затухания звука в атмосфере α, дБ/км	Ta=20,°C Pa=101.33,кПа hотн.=70%	ф-ла (5) [9]	0,02	0,09	0,33	1,12	2,79	4,98	9,04	23,09	77,63		
Учет затухания звука в атмосфере Aatm, дБ		ф-ла (8) [10]	0	0	0,1	0,3	0,8	1,4	2,5	6,5	21,7		
Снижение уровня звукового давления из-за влияния застройки между источником шума и расчетной точкой													
Снижение уровня звукового давления на пути над экраном, Dz1, дБ	z = 4.39м (разность путей)	ф-лы (14-18) [10]	13,7	17,9	21,9	25,3	28,4	31,4	34,5	37,5	40,5		
Снижение уровня звукового давления на пути слева от экрана, Dz2, дБ	z = 20.70м (разность путей)	ф-лы (14-18) [10]	20,4	24,9	29	32,4	35,6	38,6	41,6	44,7	47,7		
Снижение уровня звукового давления на пути справа от экрана, Dz3, дБ	z = 20.74м (разность путей)	ф-лы (14-18) [10]	20,4	24,9	29	32,5	35,6	38,6	41,7	44,7	47,7		
Общее снижение уровня звука препятствием Dz, дБ		Эн.сумма(-Dzi)	12,2	16,4	20,4	23,9	27	30	33,1	36,1	39,1		

1		2	3	4	5	6	7	8	9	10	11	12	13
Общее снижение уровня звука препятствием с учётом ограничения (25 дБ) для октавных полос Dz, дБ		Раздел 7.4 [10]	12,2	16,4	20,4	23,9	25	25	25	25	25		
Уровни звукового давления от источника ИШ-6-19 в расчётной точке днём, дБ		**ф-ла(3)[10]**	**0**	**19,9**	**17,2**	**14,9**	**13,6**	**12,6**	**8,1**	**0**	**0**	**16,5**	**16,5**
Источник шума: ИШ-6-20, координаты источника (x,y,z), м =[802.67,-132.35,1.00]													
Уровни звуковой мощности источника днём, Lw, дБ		**исходные данные**	**0**	**96,3**	**97,7**	**99**	**99,3**	**98,9**	**95,6**	**91,4**	**86,9**		
Поправка на телесный угол DΩ, дБ	Ω = 12.57	10Lg(4π/Ω)	**0**	0	0	0	0	0	0	0	0		
Показатель направленности источника Di, дБ		исходные данные	**0**	0	0	0	0	0	0	0	0		
Поправка на направленность источника Dc, дБ	Dc	DΩ + Di	**0**	0	0	0	0	0	0	0	0		
Затухание из-за геометрической дивергенции, Adiv, дБ	расстояние = 279.68 м	ф-ла (7) [10]	**59,9**										
Коэффициент затухания звука в атмосфере α, дБ/км	Ta=20,°C Pa=101.33,кПа hотн.=70%	ф-ла (5) [9]	0,02	0,09	0,33	1,12	2,79	4,98	9,04	23,09	77,63		
Учет затухания звука в атмосфере Aatm, дБ		ф-ла (8) [10]	0	0	0,1	0,3	0,8	1,4	2,5	6,5	21,7		
Снижение уровня звукового давления из-за влияния застройки между источником шума и расчетной точкой													
Снижение уровня звукового давления на пути над экраном, Dz1, дБ	z = 4.38м (разность путей)	ф-лы (14-18) [10]	13,7	17,9	21,9	25,3	28,4	31,4	34,5	37,5	40,5		
Снижение уровня звукового давления на пути слева от экрана, Dz2, дБ	z = 20.38м (разность путей)	ф-лы (14-18) [10]	20,3	24,8	28,9	32,4	35,5	38,6	41,6	44,6	47,6		
Снижение уровня звукового давления на пути справа от экрана, Dz3, дБ	z = 21.05м (разность путей)	ф-лы (14-18) [10]	20,5	25	29,1	32,5	35,7	38,7	41,7	44,7	47,7		
Общее снижение уровня звука препятствием Dz, дБ		Эн.сумма(-Dzi)	12,2	16,4	20,4	23,9	27	30	33,1	36,1	39,1		
Общее снижение уровня звука препятствием с учётом ограничения (25 дБ) для октавных полос Dz, дБ		Раздел 7.4 [10]	12,2	16,4	20,4	23,9	25	25	25	25	25		

1		2	3	4	5	6	7	8	9	10	11	12	13
Уровни звукового давления от источника ИШ-6-20 в расчётной точке днём, дБ		**ф-ла(3)[10]**	**0**	**19,9**	**17,2**	**14,9**	**13,6**	**12,6**	**8,1**	**0**	**0**	**16,5**	**16,5**
Источник шума: ИШ-6-21, координаты источника (x,y,z), м =[801.69,-135.42,1.00]													
Уровни звуковой мощности источника днём, Lw, дБ		**исходные данные**	**0**	**96,3**	**97,7**	**99**	**99,3**	**98,9**	**95,6**	**91,4**	**86,9**		
Поправка на телесный угол DΩ, дБ	Ω = 12.57	10Lg(4π/Ω)	**0**	0	0	0	0	0	0	0	0		
Показатель направленности источника Di, дБ		исходные данные	**0**	0	0	0	0	0	0	0	0		
Поправка на направленность источника Dc, дБ	Dc	DΩ + Di	**0**	0	0	0	0	0	0	0	0		
Затухание из-за геометрической дивергенции, Adiv, дБ	расстояние = 279.87 м	ф-ла (7) [10]	**59,9**										
Коэффициент затухания звука в атмосфере α, дБ/км	Ta=20,°C Pa=101.33,кПа hотн.=70%	ф-ла (5) [9]	0,02	0,09	0,33	1,12	2,79	4,98	9,04	23,09	77,63		
Учет затухания звука в атмосфере Aatm, дБ		ф-ла (8) [10]	0	0	0,1	0,3	0,8	1,4	2,5	6,5	21,7		
Снижение уровня звукового давления из-за влияния застройки между источником шума и расчетной точкой													
Снижение уровня звукового давления на пути над экраном, Dz1, дБ	z = 4.38м (разность путей)	ф-лы (14-18) [10]	13,7	17,9	21,9	25,3	28,4	31,4	34,5	37,5	40,5		
Снижение уровня звукового давления на пути слева от экрана, Dz2, дБ	z = 20.08м (разность путей)	ф-лы (14-18) [10]	20,3	24,8	28,9	32,3	35,5	38,5	41,5	44,5	47,5		
Снижение уровня звукового давления на пути справа от экрана, Dz3, дБ	z = 21.36м (разность путей)	ф-лы (14-18) [10]	20,5	25	29,1	32,6	35,7	38,8	41,8	44,8	47,8		
Общее снижение уровня звука препятствием Dz, дБ		Эн.сумма(-Dzi)	12,2	16,4	20,4	23,9	27	30	33,1	36,1	39,1		
Общее снижение уровня звука препятствием с учётом ограничения (25 дБ) для октавных полос Dz, дБ		Раздел 7.4 [10]	12,2	16,4	20,4	23,9	25	25	25	25	25		
Уровни звукового давления от источника ИШ-6-21 в расчётной точке днём, дБ		**ф-ла(3)[10]**	**0**	**19,9**	**17,2**	**14,9**	**13,6**	**12,6**	**8,1**	**0**	**0**	**16,4**	**16,4**

1		2	3	4	5	6	7	8	9	10	11	12	13
Источник шума: ИШ-6-22, координаты источника (x,y,z), м =[800.65,-138.47,1.00]													
Уровни звуковой мощности источника днём, Lw, дБ		**исходные данные**	**0**	**96,3**	**97,7**	**99**	**99,3**	**98,9**	**95,6**	**91,4**	**86,9**		
Поправка на телесный угол DΩ, дБ	Ω = 12.57	10Lg(4π/Ω)	**0**	0	0	0	0	0	0	0	0		
Показатель направленности источника Di, дБ		исходные данные	**0**	0	0	0	0	0	0	0	0		
Поправка на направленность источника Dc, дБ	Dc	DΩ + Di	**0**	0	0	0	0	0	0	0	0		
Затухание из-за геометрической дивергенции, Adiv, дБ	расстояние = 280.03 м	ф-ла (7) [10]	**59,9**										
Коэффициент затухания звука в атмосфере α, дБ/км	Ta=20,°C Pa=101.33,кПа hотн.=70%	ф-ла (5) [9]	0,02	0,09	0,33	1,12	2,79	4,98	9,04	23,09	77,63		
Учет затухания звука в атмосфере Aatm, дБ		ф-ла (8) [10]	0	0	0,1	0,3	0,8	1,4	2,5	6,5	21,7		
Снижение уровня звукового давления из-за влияния застройки между источником шума и расчетной точкой													
Снижение уровня звукового давления на пути над экраном, Dz1, дБ	z = 4.38м (разность путей)	ф-лы (14-18) [10]	13,7	17,9	21,9	25,3	28,4	31,4	34,5	37,5	40,5		
Снижение уровня звукового давления на пути слева от экрана, Dz2, дБ	z = 19.78м (разность путей)	ф-лы (14-18) [10]	20,2	24,7	28,8	32,2	35,4	38,4	41,4	44,5	47,5		
Снижение уровня звукового давления на пути справа от экрана, Dz3, дБ	z = 21.67м (разность путей)	ф-лы (14-18) [10]	20,6	25,1	29,2	32,6	35,8	38,8	41,8	44,9	47,9		
Общее снижение уровня звука препятствием Dz, дБ		Эн.сумма(-Dzi)	12,2	16,4	20,4	23,9	27	30	33,1	36,1	39,1		
Общее снижение уровня звука препятствием с учётом ограничения (25 дБ) для октавных полос Dz, дБ		Раздел 7.4 [10]	12,2	16,4	20,4	23,9	25	25	25	25	25		
Уровни звукового давления от источника ИШ-6-22 в расчётной точке днём, дБ		**ф-ла(3)[10]**	**0**	**19,9**	**17,2**	**14,9**	**13,6**	**12,6**	**8,1**	**0**	**0**	**16,4**	**16,4**
Источник шума: ИШ-7-1, координаты источника (x,y,z), м =[821.44,63.31,1.00]													

1		2	3	4	5	6	7	8	9	10	11	12	13
Уровни звуковой мощности источника днём, Lw, дБ		**исходные данные**	**77**	**75**	**67**	**66**	**63**	**55**	**53**	**48**	**51**		
Поправка на телесный угол DΩ, дБ	Ω = 12.57	10Lg(4π/Ω)	**0**	0	0	0	0	0	0	0	0		
Показатель направленности источника Di, дБ		исходные данные	**0**	0	0	0	0	0	0	0	0		
Поправка на направленность источника Dc, дБ	Dc	DΩ + Di	**0**	0	0	0	0	0	0	0	0		
Затухание из-за геометрической дивергенции, Adiv, дБ	расстояние = 296.31 м	ф-ла (7) [10]	**60,4**										
Коэффициент затухания звука в атмосфере α, дБ/км	Ta=20,°C Pa=101.33,кПа hотн.=70%	ф-ла (5) [9]	0,02	0,09	0,33	1,12	2,79	4,98	9,04	23,09	77,63		
Учет затухания звука в атмосфере Aatm, дБ		ф-ла (8) [10]	0	0	0,1	0,3	0,8	1,5	2,7	6,8	23		
Снижение уровня звукового давления из-за влияния застройки между источником шума и расчетной точкой													
Снижение уровня звукового давления на пути над экраном, Dz1, дБ	z = 4.07м (разность путей)	ф-лы (14-18) [10]	12,3	15,4	19,4	23,8	27,7	30,9	34	37,1	40,1		
Снижение уровня звукового давления на пути слева от экрана, Dz2, дБ	z = 49.04м (разность путей)	ф-лы (14-18) [10]	24,1	28,6	32,7	36,2	39,3	42,4	45,4	48,4	51,4		
Снижение уровня звукового давления на пути справа от экрана, Dz3, дБ	z = 7.36м (разность путей)	ф-лы (14-18) [10]	14,8	17,6	20,5	23,4	26,4	29,4	32,4	35,4	38,4		
Общее снижение уровня звука препятствием Dz, дБ		Эн.сумма(-Dzi)	10,2	13,2	16,8	20,5	23,8	27	30	33	36		
Общее снижение уровня звука препятствием с учётом ограничения (25 дБ) для октавных полос Dz, дБ		Раздел 7.4 [10]	10,2	13,2	16,8	20,5	23,8	25	25	25	25		
Уровни звукового давления от источника ИШ-7-1 в расчётной точке днём, дБ		**ф-ла(3)[10]**	**6,4**	**1,3**	**0**	**0**	**0**	**0**	**0**	**0**	**0**	**0**	**0**
Источник шума: ИШ-7-2, координаты источника (x,y,z), м =[768.90,-86.75,1.00]													
Уровни звуковой мощности источника днём, Lw, дБ		**исходные данные**	**77**	**75**	**67**	**66**	**63**	**55**	**53**	**48**	**51**		

1		2	3	4	5	6	7	8	9	10	11	12	13
Поправка на телесный угол DΩ, дБ	Ω = 12.57	10Lg(4π/Ω)	**0**	0	0	0	0	0	0	0	0		
Показатель направленности источника Di, дБ		исходные данные	**0**	0	0	0	0	0	0	0	0		
Поправка на направленность источника Dc, дБ	Dc	DΩ + Di	**0**	0	0	0	0	0	0	0	0		
Затухание из-за геометрической дивергенции, Adiv, дБ	расстояние = 233.93 м	ф-ла (7) [10]	**58,4**										
Коэффициент затухания звука в атмосфере α, дБ/км	Та=20,°С Ра=101.33,кПа hотн.=70%	ф-ла (5) [9]	0,02	0,09	0,33	1,12	2,79	4,98	9,04	23,09	77,63		
Учет затухания звука в атмосфере Aatm, дБ		ф-ла (8) [10]	0	0	0,1	0,3	0,7	1,2	2,1	5,4	18,2		
Снижение уровня звукового давления из-за влияния застройки между источником шума и расчетной точкой													
Снижение уровня звукового давления на пути над экраном, Dz1, дБ	z = 4.41м (разность путей)	ф-лы (14-18) [10]	13,8	18	22	25,4	28,5	31,6	34,6	37,6	40,6		
Снижение уровня звукового давления на пути слева от экрана, Dz2, дБ	z = 24.78м (разность путей)	ф-лы (14-18) [10]	21,2	25,7	29,8	33,2	36,4	39,4	42,4	45,4	48,4		
Снижение уровня звукового давления на пути справа от экрана, Dz3, дБ	z = 18.15м (разность путей)	ф-лы (14-18) [10]	18,5	21,4	24,3	27,3	30,3	33,3	36,3	39,3	42,3		
Общее снижение уровня звука препятствием Dz, дБ		Эн.сумма(-Dzi)	12	15,9	19,5	22,8	25,9	28,9	31,9	34,9	38		
Общее снижение уровня звука препятствием с учётом ограничения (25 дБ) для октавных полос Dz, дБ		Раздел 7.4 [10]	12	15,9	19,5	22,8	25	25	25	25	25		
Уровни звукового давления от источника ИШ-7-2 в расчётной точке днём, дБ		**ф-ла(3)[10]**	**6,6**	**0,7**	**0**	**0**	**0**	**0**	**0**	**0**	**0**	**0**	**0**
Источник шума: ИШ-7-3, координаты источника (x,y,z), м =[766.80,-93.20,1.00]													
Уровни звуковой мощности источника днём, Lw, дБ		**исходные данные**	**77**	**75**	**67**	**66**	**63**	**55**	**53**	**48**	**51**		
Поправка на телесный угол DΩ, дБ	Ω = 12.57	10Lg(4π/Ω)	**0**	0	0	0	0	0	0	0	0		

1		2	3	4	5	6	7	8	9	10	11	12	13
Показатель направленности источника Di, дБ		исходные данные	**0**	0	0	0	0	0	0	0	0		
Поправка на направленность источника Dc, дБ	Dc	DΩ + Di	**0**	0	0	0	0	0	0	0	0		
Затухание из-за геометрической дивергенции, Adiv, дБ	расстояние = 233.47 м	ф-ла (7) [10]	**58,4**										
Коэффициент затухания звука в атмосфере α, дБ/км	Ta=20,°C Pa=101.33,кПа hотн.=70%	ф-ла (5) [9]	0,02	0,09	0,33	1,12	2,79	4,98	9,04	23,09	77,63		
Учет затухания звука в атмосфере Aatm, дБ		ф-ла (8) [10]	0	0	0,1	0,3	0,7	1,2	2,1	5,4	18,1		
Снижение уровня звукового давления из-за влияния застройки между источником шума и расчетной точкой													
Снижение уровня звукового давления на пути над экраном, Dz1, дБ	z = 4.41м (разность путей)	ф-лы (14-18) [10]	13,8	18	22	25,4	28,5	31,6	34,6	37,6	40,6		
Снижение уровня звукового давления на пути слева от экрана, Dz2, дБ	z = 23.80м (разность путей)	ф-лы (14-18) [10]	21	25,5	29,6	33	36,2	39,2	42,3	45,3	48,3		
Снижение уровня звукового давления на пути справа от экрана, Dz3, дБ	z = 18.76м (разность путей)	ф-лы (14-18) [10]	20	24,5	28,6	32	35,2	38,2	41,2	44,2	47,2		
Общее снижение уровня звука препятствием Dz, дБ		Эн.сумма(-Dzi)	12,2	16,5	20,5	24	27,1	30,1	33,1	36,2	39,2		
Общее снижение уровня звука препятствием с учётом ограничения (25 дБ) для октавных полос Dz, дБ		Раздел 7.4 [10]	12,2	16,5	20,5	24	25	25	25	25	25		
Уровни звукового давления от источника ИШ-7-3 в расчётной точке днём, дБ		**ф-ла(3)[10]**	**6,4**	**0,1**	**0**	**0**	**0**	**0**	**0**	**0**	**0**	**0**	**0**
Источник шума: ИШ-7-4, координаты источника (x,y,z), м =[866.76,37.18,1.00]													
Уровни звуковой мощности источника днём, Lw, дБ		**исходные данные**	**77**	**75**	**67**	**66**	**63**	**55**	**53**	**48**	**51**		
Поправка на телесный угол DΩ, дБ	Ω = 12.57	10Lg(4π/Ω)	**0**	0	0	0	0	0	0	0	0		
Показатель направленности источника Di, дБ		исходные данные	**0**	0	0	0	0	0	0	0	0		

1		2	3	4	5	6	7	8	9	10	11	12	13
Поправка на направленность источника Dc, дБ	Dc	DΩ + Di	**0**	0	0	0	0	0	0	0	0		
Затухание из-за геометрической дивергенции, Adiv, дБ	расстояние = 333.02 м	ф-ла (7) [10]	**61,4**										
Коэффициент затухания звука в атмосфере α, дБ/км	Ta=20,°C Pa=101.33,кПа hотн.=70%	ф-ла (5) [9]	0,02	0,09	0,33	1,12	2,79	4,98	9,04	23,09	77,63		
Учет затухания звука в атмосфере Aatm, дБ		ф-ла (8) [10]	0	0	0,1	0,4	0,9	1,7	3	7,7	25,9		
Снижение уровня звукового давления из-за влияния застройки между источником шума и расчетной точкой													
Снижение уровня звукового давления на пути над экраном, Dz1, дБ	z = 4.16м (разность путей)	ф-лы (14-18) [10]	12,3	15,4	19,3	23,7	27,6	31	34,1	37,1	40,1		
Снижение уровня звукового давления на пути слева от экрана, Dz2, дБ	z = 42.60м (разность путей)	ф-лы (14-18) [10]	23,5	28	32,1	35,6	38,7	41,8	44,8	47,8	50,8		
Снижение уровня звукового давления на пути справа от экрана, Dz3, дБ	z = 9.31м (разность путей)	ф-лы (14-18) [10]	15,7	18,6	21,5	24,4	27,4	30,4	33,4	36,4	39,4		
Общее снижение уровня звука препятствием Dz, дБ		Эн.сумма(-Dzi)	10,5	13,5	17,1	20,9	24,3	27,5	30,5	33,6	36,6		
Общее снижение уровня звука препятствием с учётом ограничения (25 дБ) для октавных полос Dz, дБ		Раздел 7.4 [10]	10,5	13,5	17,1	20,9	24,3	25	25	25	25		
Уровни звукового давления от источника ИШ-7-4 в расчётной точке днём, дБ		**ф-ла(3)[10]**	**5,1**	**0**	**0**	**0**	**0**	**0**	**0**	**0**	**0**	**0**	**0**
Источник шума: ИШ-7-5, координаты источника (x,y,z), м =[861.80,21.34,1.00]													
Уровни звуковой мощности источника днём, Lw, дБ		**исходные данные**	**77**	**75**	**67**	**66**	**63**	**55**	**53**	**48**	**51**		
Поправка на телесный угол DΩ, дБ	Ω = 12.57	10Lg(4π/Ω)	**0**	0	0	0	0	0	0	0	0		
Показатель направленности источника Di, дБ		исходные данные	**0**	0	0	0	0	0	0	0	0		
Поправка на направленность источника Dc, дБ	Dc	DΩ + Di	**0**	0	0	0	0	0	0	0	0		

1		2	3	4	5	6	7	8	9	10	11	12	13
Затухание из-за геометрической дивергенции, Adiv, дБ	расстояние = 325.15 м	ф-ла (7) [10]	**61,2**										
Коэффициент затухания звука в атмосфере α, дБ/км	Ta=20,°C Pa=101.33,кПа hотн.=70%	ф-ла (5) [9]	0,02	0,09	0,33	1,12	2,79	4,98	9,04	23,09	77,63		
Учет затухания звука в атмосфере Aatm, дБ		ф-ла (8) [10]	0	0	0,1	0,4	0,9	1,6	2,9	7,5	25,2		
Снижение уровня звукового давления из-за влияния застройки между источником шума и расчетной точкой													
Снижение уровня звукового давления на пути над экраном, Dz1, дБ	z = 4.23м (разность путей)	ф-лы (14-18) [10]	13,3	17,4	21,5	25	28,2	31,2	34,2	37,2	40,2		
Снижение уровня звукового давления на пути слева от экрана, Dz2, дБ	z = 40.54м (разность путей)	ф-лы (14-18) [10]	23,3	27,8	31,9	35,4	38,5	41,5	44,6	47,6	50,6		
Снижение уровня звукового давления на пути справа от экрана, Dz3, дБ	z = 10.11м (разность путей)	ф-лы (14-18) [10]	16,1	18,9	21,8	24,8	27,8	30,8	33,8	36,8	39,8		
Общее снижение уровня звука препятствием Dz, дБ		Эн.сумма(-Dzi)	11,2	14,9	18,4	21,7	24,8	27,8	30,8	33,8	36,8		
Общее снижение уровня звука препятствием с учётом ограничения (25 дБ) для октавных полос Dz, дБ		Раздел 7.4 [10]	11,2	14,9	18,4	21,7	24,8	25	25	25	25		
Уровни звукового давления от источника ИШ-7-5 в расчётной точке днём, дБ		**ф-ла(3)[10]**	**4,6**	**0**	**0**	**0**	**0**	**0**	**0**	**0**	**0**	**0**	**0**
Источник шума: ИШ-7-6, координаты источника (x,y,z), м =[856.52,5.94,1.00]													
Уровни звуковой мощности источника днём, Lw, дБ		**исходные данные**	**77**	**75**	**67**	**66**	**63**	**55**	**53**	**48**	**51**		
Поправка на телесный угол DΩ, дБ	Ω = 12.57	10Lg(4π/Ω)	**0**	0	0	0	0	0	0	0	0		
Показатель направленности источника Di, дБ		исходные данные	**0**	0	0	0	0	0	0	0	0		
Поправка на направленность источника Dc, дБ	Dc	DΩ + Di	**0**	0	0	0	0	0	0	0	0		
Затухание из-за геометрической дивергенции, Adiv, дБ	расстояние = 317.69 м	ф-ла (7) [10]	**61**										

1		2	3	4	5	6	7	8	9	10	11	12	13
Коэффициент затухания звука в атмосфере α, дБ/км	Та=20,°С Ра=101.33,кПа hотн.=70%	ф-ла (5) [9]	0,02	0,09	0,33	1,12	2,79	4,98	9,04	23,09	77,63		
Учет затухания звука в атмосфере Aatm, дБ		ф-ла (8) [10]	0	0	0,1	0,4	0,9	1,6	2,9	7,3	24,7		
Снижение уровня звукового давления из-за влияния застройки между источником шума и расчетной точкой													
Снижение уровня звукового давления на пути над экраном, Dz1, дБ	z = 4.26м (разность путей)	ф-лы (14-18) [10]	13,5	17,7	21,7	25,1	28,2	31,2	34,3	37,3	40,3		
Снижение уровня звукового давления на пути слева от экрана, Dz2, дБ	z = 38.49м (разность путей)	ф-лы (14-18) [10]	23,1	27,6	31,7	35,1	38,3	41,3	44,3	47,4	50,4		
Снижение уровня звукового давления на пути справа от экрана, Dz3, дБ	z = 10.94м (разность путей)	ф-лы (14-18) [10]	16,4	19,2	22,1	25,1	28,1	31,1	34,1	37,1	40,1		
Общее снижение уровня звука препятствием Dz, дБ		Эн.сумма(-Dzi)	11,4	15,1	18,7	21,9	24,9	28	31	34	37		
Общее снижение уровня звука препятствием с учётом ограничения (25 дБ) для октавных полос Dz, дБ		Раздел 7.4 [10]	11,4	15,1	18,7	21,9	24,9	25	25	25	25		
Уровни звукового давления от источника ИШ-7-6 в расчётной точке днём, дБ		**ф-ла(3)[10]**	**4,6**	**0**	**0**	**0**	**0**	**0**	**0**	**0**	**0**	**0**	**0**
Источник шума: ИШ-7-7, координаты источника (x,y,z), м =[851.06,-9.89,1.00]													
Уровни звуковой мощности источника днём, Lw, дБ		**исходные данные**	**77**	**75**	**67**	**66**	**63**	**55**	**53**	**48**	**51**		
Поправка на телесный угол DΩ, дБ	Ω = 12.57	10Lg(4π/Ω)	**0**	0	0	0	0	0	0	0	0		
Показатель направленности источника Di, дБ		исходные данные	**0**	0	0	0	0	0	0	0	0		
Поправка на направленность источника Dc, дБ	Dc	DΩ + Di	**0**	0	0	0	0	0	0	0	0		
Затухание из-за геометрической дивергенции, Adiv, дБ	расстояние = 310.69 м	ф-ла (7) [10]	**60,8**										
Коэффициент затухания звука в атмосфере α, дБ/км	Та=20,°С Ра=101.33,кПа hотн.=70%	ф-ла (5) [9]	0,02	0,09	0,33	1,12	2,79	4,98	9,04	23,09	77,63		

1		2	3	4	5	6	7	8	9	10	11	12	13
Учет затухания звука в атмосфере Aatm, дБ		ф-ла (8) [10]	0	0	0,1	0,3	0,9	1,5	2,8	7,2	24,1		
Снижение уровня звукового давления из-за влияния застройки между источником шума и расчетной точкой													
Снижение уровня звукового давления на пути над экраном, Dz1, дБ	z = 4.28м (разность путей)	ф-лы (14-18) [10]	13,7	17,9	21,8	25,2	28,3	31,3	34,3	37,3	40,3		
Снижение уровня звукового давления на пути слева от экрана, Dz2, дБ	z = 36.33м (разность путей)	ф-лы (14-18) [10]	22,8	27,3	31,4	34,9	38	41,1	44,1	47,1	50,1		
Снижение уровня звукового давления на пути справа от экрана, Dz3, дБ	z = 11.85м (разность путей)	ф-лы (14-18) [10]	16,7	19,6	22,5	25,5	28,5	31,5	34,5	37,5	40,5		
Общее снижение уровня звука препятствием Dz, дБ		Эн.сумма(-Dzi)	11,6	15,4	18,9	22,1	25,1	28,1	31,1	34,2	37,2		
Общее снижение уровня звука препятствием с учётом ограничения (25 дБ) для октавных полос Dz, дБ		Раздел 7.4 [10]	11,6	15,4	18,9	22,1	25	25	25	25	25		
Уровни звукового давления от источника ИШ-7-7 в расчётной точке днём, дБ		**ф-ла(3)[10]**	**4,5**	**0**	**0**	**0**	**0**	**0**	**0**	**0**	**0**	**0**	**0**
Источник шума: ИШ-7-8, координаты источника (x,y,z), м =[821.90,-104.30,1.00]													
Уровни звуковой мощности источника днём, Lw, дБ		**исходные данные**	**77**	**75**	**67**	**66**	**63**	**55**	**53**	**48**	**51**		
Поправка на телесный угол DΩ, дБ	Ω = 12.57	10Lg(4π/Ω)	**0**	0	0	0	0	0	0	0	0		
Показатель направленности источника Di, дБ		исходные данные	**0**	0	0	0	0	0	0	0	0		
Поправка на направленность источника Dc, дБ	Dc	DΩ + Di	**0**	0	0	0	0	0	0	0	0		
Затухание из-за геометрической дивергенции, Adiv, дБ	расстояние = 289.58 м	ф-ла (7) [10]	**60,2**										
Коэффициент затухания звука в атмосфере α, дБ/км	Ta=20,°C Pa=101.33,кПа hотн.=70%	ф-ла (5) [9]	0,02	0,09	0,33	1,12	2,79	4,98	9,04	23,09	77,63		
Учет затухания звука в атмосфере Aatm, дБ		ф-ла (8) [10]	0	0	0,1	0,3	0,8	1,4	2,6	6,7	22,5		

1		2	3	4	5	6	7	8	9	10	11	12	13
Снижение уровня звукового давления из-за влияния застройки между источником шума и расчетной точкой													
Снижение уровня звукового давления на пути над экраном, Dz1, дБ	z = 4.38м (разность путей)	ф-лы (14-18) [10]	13,7	17,9	21,8	25,3	28,4	31,4	34,4	37,4	40,5		
Снижение уровня звукового давления на пути слева от экрана, Dz2, дБ	z = 23.74м (разность путей)	ф-лы (14-18) [10]	21	25,5	29,6	33	36,2	39,2	42,2	45,3	48,3		
Снижение уровня звукового давления на пути справа от экрана, Dz3, дБ	z = 18.32м (разность путей)	ф-лы (14-18) [10]	18,5	21,4	24,4	27,3	30,3	33,3	36,3	39,4	42,4		
Общее снижение уровня звука препятствием Dz, дБ		Эн.сумма(-Dzi)	11,9	15,8	19,5	22,7	25,8	28,8	31,9	34,9	37,9		
Общее снижение уровня звука препятствием с учётом ограничения (25 дБ) для октавных полос Dz, дБ		Раздел 7.4 [10]	11,9	15,8	19,5	22,7	25	25	25	25	25		
Уровни звукового давления от источника ИШ-7-8 в расчётной точке днём, дБ		**ф-ла(3)[10]**	**4,9**	**0**	**0**	**0**	**0**	**0**	**0**	**0**	**0**	**0**	**0**
Источник шума: ИШ-7-9, координаты источника (x,y,z), м =[819.93,-110.97,1.00]													
Уровни звуковой мощности источника днём, Lw, дБ		**исходные данные**	**77**	**75**	**67**	**66**	**63**	**55**	**53**	**48**	**51**		
Поправка на телесный угол DΩ, дБ	Ω = 12.57	10Lg(4π/Ω)	**0**	0	0	0	0	0	0	0	0		
Показатель направленности источника Di, дБ		исходные данные	**0**	0	0	0	0	0	0	0	0		
Поправка на направленность источника Dc, дБ	Dc	DΩ + Di	**0**	0	0	0	0	0	0	0	0		
Затухание из-за геометрической дивергенции, Adiv, дБ	расстояние = 289.40 м	ф-ла (7) [10]	**60,2**										
Коэффициент затухания звука в атмосфере α, дБ/км	Ta=20,°C Pa=101.33,кПа hотн.=70%	ф-ла (5) [9]	0,02	0,09	0,33	1,12	2,79	4,98	9,04	23,09	77,63		
Учет затухания звука в атмосфере Aatm, дБ		ф-ла (8) [10]	0	0	0,1	0,3	0,8	1,4	2,6	6,7	22,5		
Снижение уровня звукового давления из-за влияния застройки между источником шума и расчетной точкой													

1		2	3	4	5	6	7	8	9	10	11	12	13
Снижение уровня звукового давления на пути над экраном, Dz1, дБ	z = 4.38м (разность путей)	ф-лы (14-18) [10]	13,7	17,9	21,8	25,3	28,4	31,4	34,4	37,5	40,5		
Снижение уровня звукового давления на пути слева от экрана, Dz2, дБ	z = 22.97м (разность путей)	ф-лы (14-18) [10]	20,9	25,3	29,4	32,9	36	39,1	42,1	45,1	48,1		
Снижение уровня звукового давления на пути справа от экрана, Dz3, дБ	z = 18.82м (разность путей)	ф-лы (14-18) [10]	20	24,5	28,6	32	35,2	38,2	41,2	44,2	47,3		
Общее снижение уровня звука препятствием Dz, дБ		Эн.сумма(-Dzi)	12,1	16,4	20,4	23,9	27	30	33	36,1	39,1		
Общее снижение уровня звука препятствием с учётом ограничения (25 дБ) для октавных полос Dz, дБ		Раздел 7.4 [10]	12,1	16,4	20,4	23,9	25	25	25	25	25		
Уровни звукового давления от источника ИШ-7-9 в расчётной точке днём, дБ		**ф-ла(3)[10]**	**4,6**	**0**	**0**	**0**	**0**	**0**	**0**	**0**	**0**	**0**	**0**
Источник шума: ИШ-7-10, координаты источника (x,y,z), м =[868.68,92.66,1.00]													
Уровни звуковой мощности источника днём, Lw, дБ		**исходные данные**	**77**	**75**	**67**	**66**	**63**	**55**	**53**	**48**	**51**		
Поправка на телесный угол DΩ, дБ	Ω = 12.57	10Lg(4π/Ω)	**0**	0	0	0	0	0	0	0	0		
Показатель направленности источника Di, дБ		исходные данные	**0**	0	0	0	0	0	0	0	0		
Поправка на направленность источника Dc, дБ	Dc	DΩ + Di	**0**	0	0	0	0	0	0	0	0		
Затухание из-за геометрической дивергенции, Adiv, дБ	расстояние = 350.74 м	ф-ла (7) [10]	**61,9**										
Коэффициент затухания звука в атмосфере α, дБ/км	Ta=20,°C Pa=101.33,кПа hотн.=70%	ф-ла (5) [9]	0,02	0,09	0,33	1,12	2,79	4,98	9,04	23,09	77,63		
Учет затухания звука в атмосфере Aatm, дБ		ф-ла (8) [10]	0	0	0,1	0,4	1	1,7	3,2	8,1	27,2		
Снижение уровня звукового давления из-за влияния застройки между источником шума и расчетной точкой													
Снижение уровня звукового давления на пути над экраном, Dz1, дБ	z = 4.02м (разность путей)	ф-лы (14-18) [10]	12,2	15,3	19,3	23,7	27,5	30,8	33,9	36,9	39,9		

1		2	3	4	5	6	7	8	9	10	11	12	13
Снижение уровня звукового давления на пути слева от экрана, Dz2, дБ	z = 50.17м (разность путей)	ф-лы (14-18) [10]	24,2	28,7	32,8	36,3	39,4	42,5	45,5	48,5	51,5		
Снижение уровня звукового давления на пути справа от экрана, Dz3, дБ	z = 6.74м (разность путей)	ф-лы (14-18) [10]	14,5	17,2	20,1	23	26	29	32	35	38		
Общее снижение уровня звука препятствием Dz, дБ		Эн.сумма(-Dzi)	10	13	16,6	20,2	23,6	26,7	29,7	32,7	35,7		
Общее снижение уровня звука препятствием с учётом ограничения (25 дБ) для октавных полос Dz, дБ		Раздел 7.4 [10]	10	13	16,6	20,2	23,6	25	25	25	25		
Уровни звукового давления от источника ИШ-7-10 в расчётной точке днём, дБ		**ф-ла(3)[10]**	**5,1**	**0**	**0**	**0**	**0**	**0**	**0**	**0**	**0**	**0**	**0**
Источник шума: ИШ-7-11, координаты источника (x,y,z), м =[877.95,88.75,1.00]													
Уровни звуковой мощности источника днём, Lw, дБ		**исходные данные**	**77**	**75**	**67**	**66**	**63**	**55**	**53**	**48**	**51**		
Поправка на телесный угол DΩ, дБ	Ω = 12.57	10Lg(4π/Ω)	**0**	0	0	0	0	0	0	0	0		
Показатель направленности источника Di, дБ		исходные данные	**0**	0	0	0	0	0	0	0	0		
Поправка на направленность источника Dc, дБ	Dc	DΩ + Di	**0**	0	0	0	0	0	0	0	0		
Затухание из-за геометрической дивергенции, Adiv, дБ	расстояние = 358.06 м	ф-ла (7) [10]	**62,1**										
Коэффициент затухания звука в атмосфере α, дБ/км	Ta=20,°C Pa=101.33,кПа hотн.=70%	ф-ла (5) [9]	0,02	0,09	0,33	1,12	2,79	4,98	9,04	23,09	77,63		
Учет затухания звука в атмосфере Aatm, дБ		ф-ла (8) [10]	0	0	0,1	0,4	1	1,8	3,2	8,3	27,8		
Снижение уровня звукового давления из-за влияния застройки между источником шума и расчетной точкой													
Снижение уровня звукового давления на пути над экраном, Dz1, дБ	z = 4.04м (разность путей)	ф-лы (14-18) [10]	12,2	15,3	19,3	23,7	27,5	30,8	33,9	36,9	39,9		
Снижение уровня звукового давления на пути слева от экрана, Dz2, дБ	z = 49.09м (разность путей)	ф-лы (14-18) [10]	24,1	28,6	32,7	36,2	39,3	42,4	45,4	48,4	51,4		

1		2	3	4	5	6	7	8	9	10	11	12	13
Снижение уровня звукового давления на пути справа от экрана, Dz3, дБ	z = 7.03м (разность путей)	ф-лы (14-18) [10]	14,6	17,4	20,3	23,2	26,2	29,2	32,2	35,2	38,2		
Общее снижение уровня звука препятствием Dz, дБ		Эн.сумма(-Dzi)	10,1	13,1	16,6	20,3	23,7	26,8	29,8	32,8	35,9		
Общее снижение уровня звука препятствием с учётом ограничения (25 дБ) для октавных полос Dz, дБ		Раздел 7.4 [10]	10,1	13,1	16,6	20,3	23,7	25	25	25	25		
Уровни звукового давления от источника ИШ-7-11 в расчётной точке днём, дБ		**ф-ла(3)[10]**	**4,8**	**0**	**0**	**0**	**0**	**0**	**0**	**0**	**0**	**0**	**0**
Источник шума: ИШ-7-12, координаты источника (x,y,z), м =[887.42,85.45,1.00]													
Уровни звуковой мощности источника днём, Lw, дБ		**исходные данные**	**77**	**75**	**67**	**66**	**63**	**55**	**53**	**48**	**51**		
Поправка на телесный угол DΩ, дБ	Ω = 12.57	10Lg(4π/Ω)	**0**	0	0	0	0	0	0	0	0		
Показатель направленности источника Di, дБ		исходные данные	**0**	0	0	0	0	0	0	0	0		
Поправка на направленность источника Dc, дБ	Dc	DΩ + Di	**0**	0	0	0	0	0	0	0	0		
Затухание из-за геометрической дивергенции, Adiv, дБ	расстояние = 365.90 м	ф-ла (7) [10]	**62,3**										
Коэффициент затухания звука в атмосфере α, дБ/км	Ta=20,°C Pa=101.33,кПа hотн.=70%	ф-ла (5) [9]	0,02	0,09	0,33	1,12	2,79	4,98	9,04	23,09	77,63		
Учет затухания звука в атмосфере Aatm, дБ		ф-ла (8) [10]	0	0	0,1	0,4	1	1,8	3,3	8,4	28,4		
Снижение уровня звукового давления из-за влияния застройки между источником шума и расчетной точкой													
Снижение уровня звукового давления на пути над экраном, Dz1, дБ	z = 4.06м (разность путей)	ф-лы (14-18) [10]	12,2	15,3	19,3	23,7	27,5	30,8	33,9	36,9	39,9		
Снижение уровня звукового давления на пути слева от экрана, Dz2, дБ	z = 48.12м (разность путей)	ф-лы (14-18) [10]	24	28,5	32,6	36,1	39,2	42,3	45,3	48,3	51,3		
Снижение уровня звукового давления на пути справа от экрана, Dz3, дБ	z = 7.30м (разность путей)	ф-лы (14-18) [10]	14,8	17,6	20,4	23,4	26,4	29,4	32,4	35,4	38,4		

1		2	3	4	5	6	7	8	9	10	11	12	13
Общее снижение уровня звука препятствием Dz, дБ		Эн.сумма(-Dzi)	10,1	13,1	16,7	20,4	23,8	26,9	29,9	32,9	35,9		
Общее снижение уровня звука препятствием с учётом ограничения (25 дБ) для октавных полос Dz, дБ		Раздел 7.4 [10]	10,1	13,1	16,7	20,4	23,8	25	25	25	25		
Уровни звукового давления от источника ИШ-7-12 в расчётной точке днём, дБ		**ф-ла(3)[10]**	**4,6**	**0**	**0**	**0**	**0**	**0**	**0**	**0**	**0**	**0**	**0**
Источник шума: ИШ-6-23, координаты источника (x,y,z), м =[756.16,-136.23,3.00]													
Уровни звуковой мощности источника днём, Lw, дБ		**исходные данные**	**91**	**91**	**91**	**91**	**91**	**91**	**91**	**91**	**91**		
Поправка на телесный угол DΩ, дБ	Ω = 12.57	10Lg(4π/Ω)	**0**	0	0	0	0	0	0	0	0		
Показатель направленности источника Di, дБ		исходные данные	**0**	0	0	0	0	0	0	0	0		
Поправка на направленность источника Dc, дБ	Dc	DΩ + Di	**0**	0	0	0	0	0	0	0	0		
Затухание из-за геометрической дивергенции, Adiv, дБ	расстояние = 238.44 м	ф-ла (7) [10]	**58,5**										
Коэффициент затухания звука в атмосфере α, дБ/км	Ta=20,°C Pa=101.33,кПа hотн.=70%	ф-ла (5) [9]	0,02	0,09	0,33	1,12	2,79	4,98	9,04	23,09	77,63		
Учет затухания звука в атмосфере Aatm, дБ		ф-ла (8) [10]	0	0	0,1	0,3	0,7	1,2	2,2	5,5	18,5		
Снижение уровня звукового давления из-за влияния застройки между источником шума и расчетной точкой													
Снижение уровня звукового давления на пути над экраном, Dz1, дБ	z = 4.33м (разность путей)	ф-лы (14-18) [10]	13,7	17,9	21,9	25,3	28,4	31,5	34,5	37,5	40,5		
Снижение уровня звукового давления на пути слева от экрана, Dz2, дБ	z = 18.49м (разность путей)	ф-лы (14-18) [10]	19,4	23,7	28,1	31,8	35,1	38,1	41,2	44,2	47,2		
Снижение уровня звукового давления на пути справа от экрана, Dz3, дБ	z = 23.80м (разность путей)	ф-лы (14-18) [10]	21	25,5	29,6	33	36,2	39,2	42,3	45,3	48,3		
Общее снижение уровня звука препятствием Dz, дБ		Эн.сумма(-Dzi)	12,1	16,3	20,4	23,9	27	30,1	33,1	36,1	39,1		

1		2	3	4	5	6	7	8	9	10	11	12	13
Общее снижение уровня звука препятствием с учётом ограничения (25 дБ) для октавных полос Dz, дБ		Раздел 7.4 [10]	12,1	16,3	20,4	23,9	25	25	25	25	25		
Уровни звукового давления от источника ИШ-6-23 в расчётной точке днём, дБ		**ф-ла(3)[10]**	**20,3**	**16,1**	**12**	**8,3**	**6,8**	**6,3**	**5,3**	**1,9**	**0**	**11,6**	**11,6**
Источник шума: ИШ-6-24, координаты источника (x,y,z), м =[800.98,-151.27,3.00]													
Уровни звуковой мощности источника днём, Lw, дБ		**исходные данные**	**91**	**91**	**91**	**91**	**91**	**91**	**91**	**91**	**91**		
Поправка на телесный угол DΩ, дБ	Ω = 12.57	10Lg(4π/Ω)	**0**	0	0	0	0	0	0	0	0		
Показатель направленности источника Di, дБ		исходные данные	**0**	0	0	0	0	0	0	0	0		
Поправка на направленность источника Dc, дБ	Dc	DΩ + Di	**0**	0	0	0	0	0	0	0	0		
Затухание из-за геометрической дивергенции, Adiv, дБ	расстояние = 285.41 м	ф-ла (7) [10]	**60,1**										
Коэффициент затухания звука в атмосфере α, дБ/км	Ta=20,°C Pa=101.33,кПа hотн.=70%	ф-ла (5) [9]	0,02	0,09	0,33	1,12	2,79	4,98	9,04	23,09	77,63		
Учет затухания звука в атмосфере Aatm, дБ		ф-ла (8) [10]	0	0	0,1	0,3	0,8	1,4	2,6	6,6	22,2		
Снижение уровня звукового давления из-за влияния застройки между источником шума и расчетной точкой													
Снижение уровня звукового давления на пути над экраном, Dz1, дБ	z = 4.32м (разность путей)	ф-лы (14-18) [10]	13,6	17,8	21,8	25,2	28,3	31,4	34,4	37,4	40,4		
Снижение уровня звукового давления на пути слева от экрана, Dz2, дБ	z = 18.78м (разность путей)	ф-лы (14-18) [10]	19,5	23,8	28,2	31,9	35,1	38,2	41,2	44,2	47,2		
Снижение уровня звукового давления на пути справа от экрана, Dz3, дБ	z = 22.83м (разность путей)	ф-лы (14-18) [10]	20,8	25,3	29,4	32,9	36	39,1	42,1	45,1	48,1		
Общее снижение уровня звука препятствием Dz, дБ		Эн.сумма(-Dzi)	12	16,3	20,3	23,8	26,9	30	33	36	39		
Общее снижение уровня звука препятствием с учётом ограничения (25 дБ) для октавных полос Dz, дБ		Раздел 7.4 [10]	12	16,3	20,3	23,8	25	25	25	25	25		

1		2	3	4	5	6	7	8	9	10	11	12	13
Уровни звукового давления от источника ИШ-6-24 в расчётной точке днём, дБ		**ф-ла(3)[10]**	**18,8**	**14,6**	**10,5**	**6,8**	**5,1**	**4,5**	**3,3**	**0**	**0**	**9,1**	**9,1**
Источник шума: ИШ-8-1, координаты источника (x,y,z), м =[612.60,-227.70,3.00]													
Уровни звуковой мощности источника днём, Lw, дБ		**исходные данные**	**105**	**104**	**104**	**101**	**102**	**106**	**101**	**95**	**87**		
Поправка на телесный угол DΩ, дБ	Ω = 6.28	10Lg(4π/Ω)	**3**	3	3	3	3	3	3	3	3		
Показатель направленности источника Di, дБ		исходные данные	**0**	0	0	0	0	0	0	0	0		
Поправка на направленность источника Dc, дБ	Dc	DΩ + Di	**3**	3	3	3	3	3	3	3	3		
Затухание из-за геометрической дивергенции, Adiv, дБ	расстояние = 207.37 м	ф-ла (7) [10]	**57,3**										
Коэффициент затухания звука в атмосфере α, дБ/км	Ta=20,°C Pa=101.33,кПа hотн.=70%	ф-ла (5) [9]	0,02	0,09	0,33	1,12	2,79	4,98	9,04	23,09	77,63		
Учет затухания звука в атмосфере Aatm, дБ		ф-ла (8) [10]	0	0	0,1	0,2	0,6	1	1,9	4,8	16,1		
Снижение уровня звукового давления из-за влияния застройки между источником шума и расчетной точкой													
Снижение уровня звукового давления на пути над экраном, Dz1, дБ	z = 3.73м (разность путей)	ф-лы (14-18) [10]	12,2	15,5	19,7	24	27,6	30,8	33,8	36,8	39,8		
Снижение уровня звукового давления на пути слева от экрана, Dz2, дБ	z = 6.72м (разность путей)	ф-лы (14-18) [10]	17,9	21,5	24,7	27,7	30,7	33,8	36,8	39,8	42,8		
Снижение уровня звукового давления на пути справа от экрана, Dz3, дБ	z = 59.37м (разность путей)	ф-лы (14-18) [10]	24,9	29,4	33,5	37	40,2	43,2	46,2	49,2	52,2		
Общее снижение уровня звука препятствием Dz, дБ		Эн.сумма(-Dzi)	11	14,4	18,4	22,3	25,7	28,8	31,9	34,9	37,9		
Общее снижение уровня звука препятствием с учётом ограничения (25 дБ) для октавных полос Dz, дБ		Раздел 7.4 [10]	11	14,4	18,4	22,3	25	25	25	25	25		
Уровни звукового давления прямого звука от источника ИШ-8-1 в расчётной точке днём, дБ		**ф-ла(3)[10]**	**39,7**	**35,3**	**31,2**	**24,1**	**22,1**	**25,6**	**19,8**	**10,9**	**0**	**28,2**	**28,2**

1		2	3	4	5	6	7	8	9	10	11	12	13
Расчёт отражённого звука													
Уровни звукового давления от мнимого источника ИШ-8-1_мн.(1) в расчётной точке днём, дБ		**ф-ла(3)[10]**	**0**	**0**	**0**	**0**	**0**	**0**	**0**	**0**	**0**	**0**	**0**
Уровни звукового давления от источника ИШ-8-1 в расчётной точке днём, дБ		**ф-ла(3)[10]**	**39,7**	**35,3**	**31,2**	**24,1**	**22,1**	**25,6**	**19,8**	**10,9**	**0**	**28,2**	**28,2**
Источник шума: ИШ-8-2, координаты источника (x,y,z), м =[596.60,-275.00,3.00]													
Уровни звуковой мощности источника днём, Lw, дБ		**исходные данные**	**105**	**104**	**104**	**101**	**102**	**106**	**101**	**95**	**87**		
Поправка на телесный угол DΩ, дБ	Ω = 6.28	10Lg(4π/Ω)	**3**	3	3	3	3	3	3	3	3		
Показатель направленности источника Di, дБ		исходные данные	**0**	0	0	0	0	0	0	0	0		
Поправка на направленность источника Dc, дБ	Dc	DΩ + Di	**3**	3	3	3	3	3	3	3	3		
Затухание из-за геометрической дивергенции, Adiv, дБ	расстояние = 248.25 м	ф-ла (7) [10]	**58,9**										
Коэффициент затухания звука в атмосфере α, дБ/км	Ta=20,°C Pa=101.33,кПа hотн.=70%	ф-ла (5) [9]	0,02	0,09	0,33	1,12	2,79	4,98	9,04	23,09	77,63		
Учет затухания звука в атмосфере Aatm, дБ		ф-ла (8) [10]	0	0	0,1	0,3	0,7	1,2	2,2	5,7	19,3		
Снижение уровня звукового давления из-за влияния застройки между источником шума и расчетной точкой													
Снижение уровня звукового давления на пути над экраном, Dz1, дБ	z = 3.46м (разность путей)	ф-лы (14-18) [10]	12	15,4	19,6	23,7	27,2	30,3	33,4	36,4	39,4		
Снижение уровня звукового давления на пути слева от экрана, Dz2, дБ	z = 2.69м (разность путей)	ф-лы (14-18) [10]	11,1	13,6	16,3	19,1	22,1	25	28	31	34		
Снижение уровня звукового давления на пути справа от экрана, Dz3, дБ	z = 64.84м (разность путей)	ф-лы (14-18) [10]	25,3	29,8	33,9	37,4	40,5	43,6	46,6	49,6	52,6		
Общее снижение уровня звука препятствием Dz, дБ		Эн.сумма(-Dzi)	8,4	11,3	14,6	17,8	20,9	23,9	26,9	29,9	32,9		

1		2	3	4	5	6	7	8	9	10	11	12	13
Общее снижение уровня звука препятствием с учётом ограничения (25 дБ) для октавных полос Dz, дБ		Раздел 7.4 [10]	8,4	11,3	14,6	17,8	20,9	23,9	25	25	25		
Уровни звукового давления прямого звука от источника ИШ-8-2 в расчётной точке днём, дБ		**ф-ла(3)[10]**	**40,7**	**36,8**	**33,4**	**27**	**24,6**	**25**	**17,9**	**8,4**	**0**	**28,3**	**28,3**
Расчёт отражённого звука													
Уровни звукового давления от мнимого источника ИШ-8-2_мн.(1) в расчётной точке днём, дБ		**ф-ла(3)[10]**	**0**	**0**	**0**	**0**	**0**	**0**	**33,2**	**20**	**0**	**34,6**	**34,6**
Уровни звукового давления от источника ИШ-8-2 в расчётной точке днём, дБ		**ф-ла(3)[10]**	**40,7**	**36,8**	**33,4**	**27**	**24,6**	**25**	**33,4**	**20,3**	**0**	**35,5**	**35,5**
Источник шума: ИШ-8-3, координаты источника (x,y,z), м =[564.90,-369.90,3.00]													
Уровни звуковой мощности источника днём, Lw, дБ		**исходные данные**	**105**	**104**	**104**	**101**	**102**	**106**	**101**	**95**	**87**		
Поправка на телесный угол DΩ, дБ	Ω = 6.28	10Lg(4π/Ω)	**3**	3	3	3	3	3	3	3	3		
Показатель направленности источника Di, дБ		исходные данные	**0**	0	0	0	0	0	0	0	0		
Поправка на направленность источника Dc, дБ	Dc	DΩ + Di	**3**	3	3	3	3	3	3	3	3		
Затухание из-за геометрической дивергенции, Adiv, дБ	расстояние = 337.72 м	ф-ла (7) [10]	**61,6**										
Коэффициент затухания звука в атмосфере α, дБ/км	Ta=20,°C Pa=101.33,кПа hотн.=70%	ф-ла (5) [9]	0,02	0,09	0,33	1,12	2,79	4,98	9,04	23,09	77,63		
Учет затухания звука в атмосфере Aatm, дБ		ф-ла (8) [10]	0	0	0,1	0,4	0,9	1,7	3,1	7,8	26,2		
Снижение уровня звукового давления из-за влияния застройки между источником шума и расчетной точкой													
Снижение уровня звукового давления на пути над экраном, Dz1, дБ	z = 2.97м (разность путей)	ф-лы (14-18) [10]	11,2	14,3	18,4	22,7	26,2	29,4	32,5	35,5	38,5		
Снижение уровня звукового давления на пути слева от экрана, Dz2, дБ	z = 1.23м (разность путей)	ф-лы (14-18) [10]	8,8	10,8	13,2	15,9	18,8	21,7	24,7	27,6	30,6		

1		2	3	4	5	6	7	8	9	10	11	12	13
Снижение уровня звукового давления на пути справа от экрана, Dz3, дБ	z = 46.90м (разность путей)	ф-лы (14-18) [10]	22,6	26	29,9	34,5	38,6	42	45,2	48,2	51,2		
Общее снижение уровня звука препятствием Dz, дБ		Эн.сумма(-Dzi)	6,7	9,1	12	15	18	21	24	27	30		
Общее снижение уровня звука препятствием с учётом ограничения (25 дБ) для октавных полос Dz, дБ		Раздел 7.4 [10]	6,7	9,1	12	15	18	21	24	25	25		
Уровни звукового давления от источника ИШ-8-3 в расчётной точке днём, дБ		**ф-ла(3)[10]**	**39,7**	**36,3**	**33,3**	**27**	**24,5**	**24,8**	**15,4**	**3,6**	**0**	**27,9**	**27,9**
Источник шума: ИШ-9-1, координаты источника (x,y,z), м =[642.94,-357.54,1.00]													
Уровни звуковой мощности источника днём, Lw, дБ		**исходные данные**	**0**	**93,3**	**94,7**	**96**	**96,3**	**95,9**	**92,6**	**88,4**	**83,9**		
Поправка на телесный угол DΩ, дБ	Ω = 6.28	10Lg(4π/Ω)	**3**	3	3	3	3	3	3	3	3		
Показатель направленности источника Di, дБ		исходные данные	**0**	0	0	0	0	0	0	0	0		
Поправка на направленность источника Dc, дБ	Dc	DΩ + Di	**3**	3	3	3	3	3	3	3	3		
Затухание из-за геометрической дивергенции, Adiv, дБ	расстояние = 340.10 м	ф-ла (7) [10]	**61,6**										
Коэффициент затухания звука в атмосфере α, дБ/км	Ta=20,°C Pa=101.33,кПа hотн.=70%	ф-ла (5) [9]	0,02	0,09	0,33	1,12	2,79	4,98	9,04	23,09	77,63		
Учет затухания звука в атмосфере Aatm, дБ		ф-ла (8) [10]	0	0	0,1	0,4	0,9	1,7	3,1	7,9	26,4		
Снижение уровня звукового давления из-за влияния застройки между источником шума и расчетной точкой													
Снижение уровня звукового давления на пути над экраном, Dz1, дБ	z = 3.66м (разность путей)	ф-лы (14-18) [10]	12	15,3	19,5	23,7	27,3	30,4	33,5	36,5	39,5		
Снижение уровня звукового давления на пути слева от экрана, Dz2, дБ	z = 3.63м (разность путей)	ф-лы (14-18) [10]	15,4	18,9	22	25,1	28,1	31,1	34,1	37,1	40,1		
Снижение уровня звукового давления на пути справа от экрана, Dz3, дБ	z = 59.28м (разность путей)	ф-лы (14-18) [10]	24,9	29,4	33,5	37	40,2	43,2	46,2	49,2	52,2		

1		2	3	4	5	6	7	8	9	10	11	12	13
Общее снижение уровня звука препятствием Dz, дБ		Эн.сумма(-Dzi)	10,2	13,6	17,5	21,2	24,5	27,6	30,6	33,6	36,7		
Общее снижение уровня звука препятствием с учётом ограничения (25 дБ) для октавных полос Dz, дБ		Раздел 7.4 [10]	10,2	13,6	17,5	21,2	24,5	25	25	25	25		
Уровни звукового давления прямого звука от источника ИШ-9-1 в расчётной точке днём, дБ		**ф-ла(3)[10]**	**0**	**21**	**18,5**	**15,8**	**12,2**	**10,6**	**5,9**	**0**	**0**	**15**	**15**
Расчёт отражённого звука													
Уровни звукового давления от мнимого источника ИШ-9-1_мн.(1) в расчётной точке днём, дБ		**ф-ла(3)[10]**	**0**	**0**	**0**	**0**	**0**	**0**	**0**	**9,9**	**0**	**10,9**	**10,9**
Уровни звукового давления от источника ИШ-9-1 в расчётной точке днём, дБ		**ф-ла(3)[10]**	**0**	**21**	**18,5**	**15,8**	**12,2**	**10,6**	**5,9**	**9,9**	**0**	**16,4**	**16,4**
Источник шума: ИШ-9-2, координаты источника (x,y,z), м =[644.14,-354.83,1.00]													
Уровни звуковой мощности источника днём, Lw, дБ		**исходные данные**	**0**	**93,3**	**94,7**	**96**	**96,3**	**95,9**	**92,6**	**88,4**	**83,9**		
Поправка на телесный угол DΩ, дБ	Ω = 6.28	10Lg(4π/Ω)	**3**	3	3	3	3	3	3	3	3		
Показатель направленности источника Di, дБ		исходные данные	**0**	0	0	0	0	0	0	0	0		
Поправка на направленность источника Dc, дБ	Dc	DΩ + Di	**3**	3	3	3	3	3	3	3	3		
Затухание из-за геометрической дивергенции, Adiv, дБ	расстояние = 337.88 м	ф-ла (7) [10]	**61,6**										
Коэффициент затухания звука в атмосфере α, дБ/км	Ta=20,°C Pa=101.33,кПа hотн.=70%	ф-ла (5) [9]	0,02	0,09	0,33	1,12	2,79	4,98	9,04	23,09	77,63		
Учет затухания звука в атмосфере Aatm, дБ		ф-ла (8) [10]	0	0	0,1	0,4	0,9	1,7	3,1	7,8	26,2		
Снижение уровня звукового давления из-за влияния застройки между источником шума и расчетной точкой													
Снижение уровня звукового давления на пути над экраном, Dz1, дБ	z = 3.67м (разность путей)	ф-лы (14-18) [10]	12	15,3	19,5	23,7	27,3	30,4	33,5	36,5	39,5		

1		2	3	4	5	6	7	8	9	10	11	12	13
Снижение уровня звукового давления на пути слева от экрана, Dz2, дБ	z = 3.75м (разность путей)	ф-лы (14-18) [10]	15,5	19	22,2	25,2	28,2	31,2	34,2	37,2	40,2		
Снижение уровня звукового давления на пути справа от экрана, Dz3, дБ	z = 59.01м (разность путей)	ф-лы (14-18) [10]	24,9	29,4	33,5	37	40,1	43,2	46,2	49,2	52,2		
Общее снижение уровня звука препятствием Dz, дБ		Эн.сумма(-Dzi)	10,2	13,7	17,5	21,3	24,6	27,7	30,7	33,7	36,7		
Общее снижение уровня звука препятствием с учётом ограничения (25 дБ) для октавных полос Dz, дБ		Раздел 7.4 [10]	10,2	13,7	17,5	21,3	24,6	25	25	25	25		
Уровни звукового давления прямого звука от источника ИШ-9-2 в расчётной точке днём, дБ		**ф-ла(3)[10]**	**0**	**21**	**18,5**	**15,8**	**12,2**	**10,6**	**6**	**0**	**0**	**15**	**15**
Расчёт отражённого звука													
Уровни звукового давления от мнимого источника ИШ-9-2_мн.(1) в расчётной точке днём, дБ		**ф-ла(3)[10]**	**0**	**0**	**0**	**0**	**0**	**0**	**0**	**9,9**	**0**	**10,9**	**10,9**
Уровни звукового давления от источника ИШ-9-2 в расчётной точке днём, дБ		**ф-ла(3)[10]**	**0**	**21**	**18,5**	**15,8**	**12,2**	**10,6**	**6**	**9,9**	**0**	**16,5**	**16,5**
Источник шума: ИШ-9-3, координаты источника (x,y,z), м =[644.98,-351.85,1.00]													
Уровни звуковой мощности источника днём, Lw, дБ		**исходные данные**	**0**	**93,3**	**94,7**	**96**	**96,3**	**95,9**	**92,6**	**88,4**	**83,9**		
Поправка на телесный угол DΩ, дБ	Ω = 6.28	10Lg(4π/Ω)	**3**	3	3	3	3	3	3	3	3		
Показатель направленности источника Di, дБ		исходные данные	**0**	0	0	0	0	0	0	0	0		
Поправка на направленность источника Dc, дБ	Dc	DΩ + Di	**3**	3	3	3	3	3	3	3	3		
Затухание из-за геометрической дивергенции, Adiv, дБ	расстояние = 335.30 м	ф-ла (7) [10]	**61,5**										
Коэффициент затухания звука в атмосфере α, дБ/км	Ta=20,°C Pa=101.33,кПа hотн.=70%	ф-ла (5) [9]	0,02	0,09	0,33	1,12	2,79	4,98	9,04	23,09	77,63		
Учет затухания звука в атмосфере Aatm, дБ		ф-ла (8) [10]	0	0	0,1	0,4	0,9	1,7	3	7,7	26		

1		2	3	4	5	6	7	8	9	10	11	12	13
Снижение уровня звукового давления из-за влияния застройки между источником шума и расчетной точкой													
Снижение уровня звукового давления на пути над экраном, Dz1, дБ	z = 3.68м (разность путей)	ф-лы (14-18) [10]	12	15,3	19,5	23,7	27,3	30,5	33,5	36,5	39,5		
Снижение уровня звукового давления на пути слева от экрана, Dz2, дБ	z = 3.86м (разность путей)	ф-лы (14-18) [10]	15,6	19,2	22,3	25,3	28,3	31,4	34,4	37,4	40,4		
Снижение уровня звукового давления на пути справа от экрана, Dz3, дБ	z = 58.78м (разность путей)	ф-лы (14-18) [10]	24,9	29,4	33,5	37	40,1	43,2	46,2	49,2	52,2		
Общее снижение уровня звука препятствием Dz, дБ		Эн.сумма(-Dzi)	10,3	13,7	17,6	21,3	24,6	27,7	30,8	33,8	36,8		
Общее снижение уровня звука препятствием с учётом ограничения (25 дБ) для октавных полос Dz, дБ		Раздел 7.4 [10]	10,3	13,7	17,6	21,3	24,6	25	25	25	25		
Уровни звукового давления прямого звука от источника ИШ-9-3 в расчётной точке днём, дБ		**ф-ла(3)[10]**	**0**	**21,1**	**18,5**	**15,8**	**12,2**	**10,7**	**6,1**	**0**	**0**	**15,1**	**15,1**
Расчёт отражённого звука													
Уровни звукового давления от мнимого источника ИШ-9-3_мн.(1) в расчётной точке днём, дБ		**ф-ла(3)[10]**	**0**	**0**	**0**	**0**	**0**	**0**	**0**	**10**	**0**	**11**	**11**
Уровни звукового давления от источника ИШ-9-3 в расчётной точке днём, дБ		**ф-ла(3)[10]**	**0**	**21,1**	**18,5**	**15,8**	**12,2**	**10,7**	**6,1**	**10**	**0**	**16,5**	**16,5**
Источник шума: ИШ-9-4, координаты источника (x,y,z), м =[646.01,-349.15,1.00]													
Уровни звуковой мощности источника днём, Lw, дБ		**исходные данные**	**0**	**93,3**	**94,7**	**96**	**96,3**	**95,9**	**92,6**	**88,4**	**83,9**		
Поправка на телесный угол DΩ, дБ	Ω = 6.28	10Lg(4π/Ω)	**3**	3	3	3	3	3	3	3	3		
Показатель направленности источника Di, дБ		исходные данные	**0**	0	0	0	0	0	0	0	0		
Поправка на направленность источника Dc, дБ	Dc	DΩ + Di	**3**	3	3	3	3	3	3	3	3		
Затухание из-за геометрической дивергенции, Adiv, дБ	расстояние = 333.05 м	ф-ла (7) [10]	**61,5**										
Коэффициент затухания звука в атмосфере α, дБ/км	Ta=20,°C Pa=101.33,кПа hотн.=70%	ф-ла (5) [9]	0,02	0,09	0,33	1,12	2,79	4,98	9,04	23,09	77,63		

1		2	3	4	5	6	7	8	9	10	11	12	13
Учет затухания звука в атмосфере Aatm, дБ		ф-ла (8) [10]	0	0	0,1	0,4	0,9	1,7	3	7,7	25,9		
Снижение уровня звукового давления из-за влияния застройки между источником шума и расчетной точкой													
Снижение уровня звукового давления на пути над экраном, Dz1, дБ	z = 3.69м (разность путей)	ф-лы (14-18) [10]	12	15,3	19,5	23,7	27,3	30,5	33,5	36,5	39,6		
Снижение уровня звукового давления на пути слева от экрана, Dz2, дБ	z = 3.99м (разность путей)	ф-лы (14-18) [10]	15,7	19,3	22,4	25,5	28,5	31,5	34,5	37,5	40,5		
Снижение уровня звукового давления на пути справа от экрана, Dz3, дБ	z = 58.52м (разность путей)	ф-лы (14-18) [10]	24,8	29,4	33,5	37	40,1	43,1	46,2	49,2	52,2		
Общее снижение уровня звука препятствием Dz, дБ		Эн.сумма(-Dzi)	10,3	13,7	17,6	21,4	24,7	27,8	30,8	33,9	36,9		
Общее снижение уровня звука препятствием с учётом ограничения (25 дБ) для октавных полос Dz, дБ		Раздел 7.4 [10]	10,3	13,7	17,6	21,4	24,7	25	25	25	25		
Уровни звукового давления прямого звука от источника ИШ-9-4 в расчётной точке днём, дБ		**ф-ла(3)[10]**	**0**	**21,1**	**18,5**	**15,8**	**12,2**	**10,8**	**6,1**	**0**	**0**	**15,1**	**15,1**
Расчёт отражённого звука													
Уровни звукового давления от мнимого источника ИШ-9-4_мн.(1) в расчётной точке днём, дБ		**ф-ла(3)[10]**	**0**	**0**	**0**	**0**	**0**	**0**	**0**	**10**	**0**	**11**	**11**
Уровни звукового давления от источника ИШ-9-4 в расчётной точке днём, дБ		**ф-ла(3)[10]**	**0**	**21,1**	**18,5**	**15,8**	**12,2**	**10,8**	**6,1**	**10**	**0**	**16,6**	**16,6**
Источник шума: ИШ-9-5, координаты источника (x,y,z), м =[646.84,-346.17,1.00]													
Уровни звуковой мощности источника днём, Lw, дБ		**исходные данные**	**0**	**93,3**	**94,7**	**96**	**96,3**	**95,9**	**92,6**	**88,4**	**83,9**		
Поправка на телесный угол DΩ, дБ	Ω = 6.28	10Lg(4π/Ω)	**3**	3	3	3	3	3	3	3	3		
Показатель направленности источника Di, дБ		исходные данные	**0**	0	0	0	0	0	0	0	0		
Поправка на направленность источника Dc, дБ	Dc	DΩ + Di	**3**	3	3	3	3	3	3	3	3		
Затухание из-за геометрической дивергенции, Adiv, дБ	расстояние = 330.49 м	ф-ла (7) [10]	**61,4**										

1		2	3	4	5	6	7	8	9	10	11	12	13
Коэффициент затухания звука в атмосфере α, дБ/км	Та=20,°С Ра=101.33,кПа hотн.=70%	ф-ла (5) [9]	0,02	0,09	0,33	1,12	2,79	4,98	9,04	23,09	77,63		
Учет затухания звука в атмосфере Aatm, дБ		ф-ла (8) [10]	0	0	0,1	0,4	0,9	1,6	3	7,6	25,7		
Снижение уровня звукового давления из-за влияния застройки между источником шума и расчетной точкой													
Снижение уровня звукового давления на пути над экраном, Dz1, дБ	z = 3.70м (разность путей)	ф-лы (14-18) [10]	12	15,3	19,5	23,7	27,3	30,5	33,5	36,6	39,6		
Снижение уровня звукового давления на пути слева от экрана, Dz2, дБ	z = 4.13м (разность путей)	ф-лы (14-18) [10]	15,9	19,4	22,6	25,6	28,6	31,6	34,7	37,7	40,7		
Снижение уровня звукового давления на пути справа от экрана, Dz3, дБ	z = 58.28м (разность путей)	ф-лы (14-18) [10]	24,8	29,4	33,5	36,9	40,1	43,1	46,1	49,2	52,2		
Общее снижение уровня звука препятствием Dz, дБ		Эн.сумма(-Dzi)	10,4	13,8	17,7	21,5	24,8	27,9	30,9	33,9	36,9		
Общее снижение уровня звука препятствием с учётом ограничения (25 дБ) для октавных полос Dz, дБ		Раздел 7.4 [10]	10,4	13,8	17,7	21,5	24,8	25	25	25	25		
Уровни звукового давления прямого звука от источника ИШ-9-5 в расчётной точке днём, дБ		**ф-ла(3)[10]**	**0**	**21,1**	**18,5**	**15,8**	**12,2**	**10,9**	**6,2**	**0**	**0**	**15,2**	**15,2**
Расчёт отражённого звука													
Уровни звукового давления от мнимого источника ИШ-9-5_мн.(1) в расчётной точке днём, дБ		**ф-ла(3)[10]**	**0**	**0**	**0**	**0**	**0**	**0**	**0**	**10,1**	**0**	**11,1**	**11,1**
Уровни звукового давления от источника ИШ-9-5 в расчётной точке днём, дБ		**ф-ла(3)[10]**	**0**	**21,1**	**18,5**	**15,8**	**12,2**	**10,9**	**6,2**	**10,1**	**0**	**16,6**	**16,6**
Источник шума: ИШ-9-6, координаты источника (x,y,z), м =[647.87,-343.47,1.00]													
Уровни звуковой мощности источника днём, Lw, дБ		**исходные данные**	**0**	**93,3**	**94,7**	**96**	**96,3**	**95,9**	**92,6**	**88,4**	**83,9**		
Поправка на телесный угол DΩ, дБ	Ω = 6.28	10Lg(4π/Ω)	**3**	3	3	3	3	3	3	3	3		
Показатель направленности источника Di, дБ		исходные данные	**0**	0	0	0	0	0	0	0	0		

1		2	3	4	5	6	7	8	9	10	11	12	13
Поправка на направленность источника Dc, дБ	Dc	DΩ + Di	**3**	3	3	3	3	3	3	3	3		
Затухание из-за геометрической дивергенции, Adiv, дБ	расстояние = 328.26 м	ф-ла (7) [10]	**61,3**										
Коэффициент затухания звука в атмосфере α, дБ/км	Ta=20,°C Pa=101.33,кПа hотн.=70%	ф-ла (5) [9]	0,02	0,09	0,33	1,12	2,79	4,98	9,04	23,09	77,63		
Учет затухания звука в атмосфере Aatm, дБ		ф-ла (8) [10]	0	0	0,1	0,4	0,9	1,6	3	7,6	25,5		
Снижение уровня звукового давления из-за влияния застройки между источником шума и расчетной точкой													
Снижение уровня звукового давления на пути над экраном, Dz1, дБ	z = 3.71м (разность путей)	ф-лы (14-18) [10]	12	15,3	19,5	23,8	27,3	30,5	33,6	36,6	39,6		
Снижение уровня звукового давления на пути слева от экрана, Dz2, дБ	z = 4.29м (разность путей)	ф-лы (14-18) [10]	16	19,6	22,7	25,8	28,8	31,8	34,8	37,8	40,8		
Снижение уровня звукового давления на пути справа от экрана, Dz3, дБ	z = 58.02м (разность путей)	ф-лы (14-18) [10]	24,8	29,3	33,4	36,9	40,1	43,1	46,1	49,1	52,1		
Общее снижение уровня звука препятствием Dz, дБ		Эн.сумма(-Dzi)	10,4	13,8	17,7	21,5	24,9	28	31	34	37		
Общее снижение уровня звука препятствием с учётом ограничения (25 дБ) для октавных полос Dz, дБ		Раздел 7.4 [10]	10,4	13,8	17,7	21,5	24,9	25	25	25	25		
Уровни звукового давления прямого звука от источника ИШ-9-6 в расчётной точке днём, дБ		**ф-ла(3)[10]**	**0**	**21,1**	**18,6**	**15,8**	**12,2**	**10,9**	**6,3**	**0**	**0**	**15,2**	**15,2**
Расчёт отражённого звука													
Уровни звукового давления от мнимого источника ИШ-9-6_мн.(1) в расчётной точке днём, дБ		**ф-ла(3)[10]**	**0**	**0**	**0**	**0**	**0**	**0**	**0**	**10,1**	**0**	**11,1**	**11,1**
Уровни звукового давления от источника ИШ-9-6 в расчётной точке днём, дБ		**ф-ла(3)[10]**	**0**	**21,1**	**18,6**	**15,8**	**12,2**	**10,9**	**6,3**	**10,1**	**0**	**16,7**	**16,7**
Источник шума: ИШ-9-7, координаты источника (x,y,z), м =[648.71,-340.49,1.00]													
Уровни звуковой мощности источника днём, Lw, дБ		**исходные данные**	**0**	**93,3**	**94,7**	**96**	**96,3**	**95,9**	**92,6**	**88,4**	**83,9**		

1		2	3	4	5	6	7	8	9	10	11	12	13
Поправка на телесный угол DΩ, дБ	Ω = 6.28	10Lg(4π/Ω)	**3**	3	3	3	3	3	3	3	3		
Показатель направленности источника Di, дБ		исходные данные	**0**	0	0	0	0	0	0	0	0		
Поправка на направленность источника Dc, дБ	Dc	DΩ + Di	**3**	3	3	3	3	3	3	3	3		
Затухание из-за геометрической дивергенции, Adiv, дБ	расстояние = 325.72 м	ф-ла (7) [10]	**61,3**										
Коэффициент затухания звука в атмосфере α, дБ/км	Ta=20,°C Pa=101.33,кПа hотн.=70%	ф-ла (5) [9]	0,02	0,09	0,33	1,12	2,79	4,98	9,04	23,09	77,63		
Учет затухания звука в атмосфере Aatm, дБ		ф-ла (8) [10]	0	0	0,1	0,4	0,9	1,6	2,9	7,5	25,3		
Снижение уровня звукового давления из-за влияния застройки между источником шума и расчетной точкой													
Снижение уровня звукового давления на пути над экраном, Dz1, дБ	z = 3.72м (разность путей)	ф-лы (14-18) [10]	12	15,3	19,5	23,8	27,3	30,5	33,6	36,6	39,6		
Снижение уровня звукового давления на пути слева от экрана, Dz2, дБ	z = 4.45м (разность путей)	ф-лы (14-18) [10]	16,2	19,8	22,9	25,9	29	32	35	38	41		
Снижение уровня звукового давления на пути справа от экрана, Dz3, дБ	z = 57.77м (разность путей)	ф-лы (14-18) [10]	24,8	29,3	33,4	36,9	40	43,1	46,1	49,1	52,1		
Общее снижение уровня звука препятствием Dz, дБ		Эн.сумма(-Dzi)	10,5	13,9	17,8	21,6	24,9	28	31,1	34,1	37,1		
Общее снижение уровня звука препятствием с учётом ограничения (25 дБ) для октавных полос Dz, дБ		Раздел 7.4 [10]	10,5	13,9	17,8	21,6	24,9	25	25	25	25		
Уровни звукового давления прямого звука от источника ИШ-9-7 в расчётной точке днём, дБ		**ф-ла(3)[10]**	**0**	**21,1**	**18,6**	**15,8**	**12,2**	**11**	**6,4**	**0**	**0**	**15,3**	**15,3**
Расчёт отражённого звука													
Уровни звукового давления от мнимого источника ИШ-9-7_мн.(1) в расчётной точке днём, дБ		**ф-ла(3)[10]**	**0**	**0**	**0**	**0**	**0**	**0**	**0**	**10,2**	**0**	**11,2**	**11,2**
Уровни звукового давления от источника ИШ-9-7 в расчётной точке днём, дБ		**ф-ла(3)[10]**	**0**	**21,1**	**18,6**	**15,8**	**12,2**	**11**	**6,4**	**10,2**	**0**	**16,7**	**16,7**

1		2	3	4	5	6	7	8	9	10	11	12	13
Источник шума: ИШ-9-8, координаты источника (x,y,z), м =[649.92,-337.69,1.00]													
Уровни звуковой мощности источника днём, Lw, дБ		**исходные данные**	**0**	**93,3**	**94,7**	**96**	**96,3**	**95,9**	**92,6**	**88,4**	**83,9**		
Поправка на телесный угол DΩ, дБ	Ω = 6.28	10Lg(4π/Ω)	**3**	3	3	3	3	3	3	3	3		
Показатель направленности источника Di, дБ		исходные данные	**0**	0	0	0	0	0	0	0	0		
Поправка на направленность источника Dc, дБ	Dc	DΩ + Di	**3**	3	3	3	3	3	3	3	3		
Затухание из-за геометрической дивергенции, Adiv, дБ	расстояние = 323.49 м	ф-ла (7) [10]	**61,2**										
Коэффициент затухания звука в атмосфере α, дБ/км	Ta=20,°C Pa=101.33,кПа hотн.=70%	ф-ла (5) [9]	0,02	0,09	0,33	1,12	2,79	4,98	9,04	23,09	77,63		
Учет затухания звука в атмосфере Aatm, дБ		ф-ла (8) [10]	0	0	0,1	0,4	0,9	1,6	2,9	7,5	25,1		
Снижение уровня звукового давления из-за влияния застройки между источником шума и расчетной точкой													
Снижение уровня звукового давления на пути над экраном, Dz1, дБ	z = 3.73м (разность путей)	ф-лы (14-18) [10]	12,1	15,3	19,5	23,8	27,4	30,5	33,6	36,6	39,6		
Снижение уровня звукового давления на пути слева от экрана, Dz2, дБ	z = 4.65м (разность путей)	ф-лы (14-18) [10]	16,4	19,9	23,1	26,1	29,1	32,2	35,2	38,2	41,2		
Снижение уровня звукового давления на пути справа от экрана, Dz3, дБ	z = 57.47м (разность путей)	ф-лы (14-18) [10]	24,8	29,3	33,4	36,9	40	43,1	46,1	49,1	52,1		
Общее снижение уровня звука препятствием Dz, дБ		Эн.сумма(-Dzi)	10,5	13,9	17,8	21,7	25	28,1	31,2	34,2	37,2		
Общее снижение уровня звука препятствием с учётом ограничения (25 дБ) для октавных полос Dz, дБ		Раздел 7.4 [10]	10,5	13,9	17,8	21,7	25	25	25	25	25		
Уровни звукового давления прямого звука от источника ИШ-9-8 в расчётной точке днём, дБ		**ф-ла(3)[10]**	**0**	**21,1**	**18,6**	**15,8**	**12,2**	**11,1**	**6,5**	**0**	**0**	**15,3**	**15,3**
Расчёт отражённого звука													

1		2	3	4	5	6	7	8	9	10	11	12	13
Уровни звукового давления от мнимого источника ИШ-9-8_мн.(1) в расчётной точке днём, дБ		**ф-ла(3)[10]**	**0**	**0**	**0**	**0**	**0**	**0**	**0**	**10,2**	**0**	**11,2**	**11,2**
Уровни звукового давления от источника ИШ-9-8 в расчётной точке днём, дБ		**ф-ла(3)[10]**	**0**	**21,1**	**18,6**	**15,8**	**12,2**	**11,1**	**6,5**	**10,2**	**0**	**16,7**	**16,7**
Источник шума: ИШ-9-9, координаты источника (x,y,z), м =[650.66,-334.90,1.00]													
Уровни звуковой мощности источника днём, Lw, дБ		**исходные данные**	**0**	**93,3**	**94,7**	**96**	**96,3**	**95,9**	**92,6**	**88,4**	**83,9**		
Поправка на телесный угол DΩ, дБ	Ω = 6.28	10Lg(4π/Ω)	**3**	3	3	3	3	3	3	3	3		
Показатель направленности источника Di, дБ		исходные данные	**0**	0	0	0	0	0	0	0	0		
Поправка на направленность источника Dc, дБ	Dc	DΩ + Di	**3**	3	3	3	3	3	3	3	3		
Затухание из-за геометрической дивергенции, Adiv, дБ	расстояние = 321.11 м	ф-ла (7) [10]	**61,1**										
Коэффициент затухания звука в атмосфере α, дБ/км	Ta=20,°C Pa=101.33,кПа hотн.=70%	ф-ла (5) [9]	0,02	0,09	0,33	1,12	2,79	4,98	9,04	23,09	77,63		
Учет затухания звука в атмосфере Aatm, дБ		ф-ла (8) [10]	0	0	0,1	0,4	0,9	1,6	2,9	7,4	24,9		
Снижение уровня звукового давления из-за влияния застройки между источником шума и расчетной точкой													
Снижение уровня звукового давления на пути над экраном, Dz1, дБ	z = 3.74м (разность путей)	ф-лы (14-18) [10]	12,1	15,3	19,5	23,8	27,4	30,6	33,6	36,6	39,6		
Снижение уровня звукового давления на пути слева от экрана, Dz2, дБ	z = 4.82м (разность путей)	ф-лы (14-18) [10]	16,5	20,1	23,2	26,3	29,3	32,3	35,3	38,3	41,3		
Снижение уровня звукового давления на пути справа от экрана, Dz3, дБ	z = 57.24м (разность путей)	ф-лы (14-18) [10]	24,8	29,3	33,4	36,9	40	43	46,1	49,1	52,1		
Общее снижение уровня звука препятствием Dz, дБ		Эн.сумма(-Dzi)	10,6	14	17,9	21,7	25,1	28,2	31,2	34,2	37,3		
Общее снижение уровня звука препятствием с учётом ограничения (25 дБ) для октавных полос Dz, дБ		Раздел 7.4 [10]	10,6	14	17,9	21,7	25	25	25	25	25		

1		2	3	4	5	6	7	8	9	10	11	12	13
Уровни звукового давления прямого звука от источника ИШ-9-9 в расчётной точке днём, дБ		**ф-ла(3)[10]**	**0**	**21,2**	**18,6**	**15,8**	**12,3**	**11,2**	**6,6**	**0**	**0**	**15,4**	**15,4**
Расчёт отражённого звука													
Уровни звукового давления от мнимого источника ИШ-9-9_мн.(1) в расчётной точке днём, дБ		**ф-ла(3)[10]**	**0**	**0**	**0**	**0**	**0**	**0**	**0**	**10,3**	**0**	**11,3**	**11,3**
Уровни звукового давления от источника ИШ-9-9 в расчётной точке днём, дБ		**ф-ла(3)[10]**	**0**	**21,2**	**18,6**	**15,8**	**12,3**	**11,2**	**6,6**	**10,3**	**0**	**16,8**	**16,8**
Источник шума: ИШ-9-10, координаты источника (x,y,z), м =[651.59,-332.01,1.00]													
Уровни звуковой мощности источника днём, Lw, дБ		**исходные данные**	**0**	**93,3**	**94,7**	**96**	**96,3**	**95,9**	**92,6**	**88,4**	**83,9**		
Поправка на телесный угол DΩ, дБ	Ω = 6.28	10Lg(4π/Ω)	**3**	3	3	3	3	3	3	3	3		
Показатель направленности источника Di, дБ		исходные данные	**0**	0	0	0	0	0	0	0	0		
Поправка на направленность источника Dc, дБ	Dc	DΩ + Di	**3**	3	3	3	3	3	3	3	3		
Затухание из-за геометрической дивергенции, Adiv, дБ	расстояние = 318.72 м	ф-ла (7) [10]	**61,1**										
Коэффициент затухания звука в атмосфере α, дБ/км	Ta=20,°C Pa=101.33,кПа hотн.=70%	ф-ла (5) [9]	0,02	0,09	0,33	1,12	2,79	4,98	9,04	23,09	77,63		
Учет затухания звука в атмосфере Aatm, дБ		ф-ла (8) [10]	0	0	0,1	0,4	0,9	1,6	2,9	7,4	24,7		
Снижение уровня звукового давления из-за влияния застройки между источником шума и расчетной точкой													
Снижение уровня звукового давления на пути над экраном, Dz1, дБ	z = 3.76м (разность путей)	ф-лы (14-18) [10]	12,1	15,3	19,5	23,8	27,4	30,6	33,6	36,6	39,7		
Снижение уровня звукового давления на пути слева от экрана, Dz2, дБ	z = 5.03м (разность путей)	ф-лы (14-18) [10]	16,7	20,3	23,4	26,5	29,5	32,5	35,5	38,5	41,5		
Снижение уровня звукового давления на пути справа от экрана, Dz3, дБ	z = 56.97м (разность путей)	ф-лы (14-18) [10]	24,7	29,3	33,4	36,8	40	43	46	49,1	52,1		

1		2	3	4	5	6	7	8	9	10	11	12	13
Общее снижение уровня звука препятствием Dz, дБ		Эн.сумма(-Dzi)	10,6	14	17,9	21,8	25,2	28,3	31,3	34,3	37,3		
Общее снижение уровня звука препятствием с учётом ограничения (25 дБ) для октавных полос Dz, дБ		Раздел 7.4 [10]	10,6	14	17,9	21,8	25	25	25	25	25		
Уровни звукового давления прямого звука от источника ИШ-9-10 в расчётной точке днём, дБ		**ф-ла(3)[10]**	**0**	**21,2**	**18,6**	**15,8**	**12,3**	**11,2**	**6,6**	**0**	**0**	**15,4**	**15,4**
Расчёт отражённого звука													
Уровни звукового давления от мнимого источника ИШ-9-10_мн.(1) в расчётной точке днём, дБ		**ф-ла(3)[10]**	**0**	**0**	**0**	**0**	**0**	**0**	**0**	**10,3**	**0**	**11,3**	**11,3**
Уровни звукового давления от источника ИШ-9-10 в расчётной точке днём, дБ		**ф-ла(3)[10]**	**0**	**21,2**	**18,6**	**15,8**	**12,3**	**11,2**	**6,6**	**10,3**	**0**	**16,9**	**16,9**
Источник шума: ИШ-9-11, координаты источника (x,y,z), м =[652.71,-329.22,1.00]													
Уровни звуковой мощности источника днём, Lw, дБ		**исходные данные**	**0**	**93,3**	**94,7**	**96**	**96,3**	**95,9**	**92,6**	**88,4**	**83,9**		
Поправка на телесный угол DΩ, дБ	Ω = 6.28	10Lg(4π/Ω)	**3**	3	3	3	3	3	3	3	3		
Показатель направленности источника Di, дБ		исходные данные	**0**	0	0	0	0	0	0	0	0		
Поправка на направленность источника Dc, дБ	Dc	DΩ + Di	**3**	3	3	3	3	3	3	3	3		
Затухание из-за геометрической дивергенции, Adiv, дБ	расстояние = 316.49 м	ф-ла (7) [10]	**61**										
Коэффициент затухания звука в атмосфере α, дБ/км	Ta=20,°C Pa=101.33,кПа hотн.=70%	ф-ла (5) [9]	0,02	0,09	0,33	1,12	2,79	4,98	9,04	23,09	77,63		
Учет затухания звука в атмосфере Aatm, дБ		ф-ла (8) [10]	0	0	0,1	0,4	0,9	1,6	2,9	7,3	24,6		
Снижение уровня звукового давления из-за влияния застройки между источником шума и расчетной точкой													
Снижение уровня звукового давления на пути над экраном, Dz1, дБ	z = 3.77м (разность путей)	ф-лы (14-18) [10]	12,1	15,4	19,5	23,8	27,4	30,6	33,6	36,7	39,7		

1		2	3	4	5	6	7	8	9	10	11	12	13
Снижение уровня звукового давления на пути слева от экрана, Dz2, дБ	z = 5.27м (разность путей)	ф-лы (14-18) [10]	16,9	20,5	23,6	26,7	29,7	32,7	35,7	38,7	41,7		
Снижение уровня звукового давления на пути справа от экрана, Dz3, дБ	z = 56.67м (разность путей)	ф-лы (14-18) [10]	24,7	29,2	33,3	36,8	40	43	46	49	52		
Общее снижение уровня звука препятствием Dz, дБ		Эн.сумма(-Dzi)	10,7	14,1	18	21,8	25,2	28,4	31,4	34,4	37,4		
Общее снижение уровня звука препятствием с учётом ограничения (25 дБ) для октавных полос Dz, дБ		Раздел 7.4 [10]	10,7	14,1	18	21,8	25	25	25	25	25		
Уровни звукового давления прямого звука от источника ИШ-9-11 в расчётной точке днём, дБ		**ф-ла(3)[10]**	**0**	**21,2**	**18,6**	**15,8**	**12,4**	**11,3**	**6,7**	**0**	**0**	**15,5**	**15,5**
Расчёт отражённого звука													
Уровни звукового давления от мнимого источника ИШ-9-11_мн.(1) в расчётной точке днём, дБ		**ф-ла(3)[10]**	**0**	**0**	**0**	**0**	**0**	**0**	**0**	**10,4**	**0**	**11,4**	**11,4**
Уровни звукового давления от источника ИШ-9-11 в расчётной точке днём, дБ		**ф-ла(3)[10]**	**0**	**21,2**	**18,6**	**15,8**	**12,4**	**11,3**	**6,7**	**10,4**	**0**	**16,9**	**16,9**
Источник шума: ИШ-9-12, координаты источника (x,y,z), м =[653.46,-326.33,1.00]													
Уровни звуковой мощности источника днём, Lw, дБ		**исходные данные**	**0**	**93,3**	**94,7**	**96**	**96,3**	**95,9**	**92,6**	**88,4**	**83,9**		
Поправка на телесный угол DΩ, дБ	Ω = 6.28	10Lg(4π/Ω)	**3**	3	3	3	3	3	3	3	3		
Показатель направленности источника Di, дБ		исходные данные	**0**	0	0	0	0	0	0	0	0		
Поправка на направленность источника Dc, дБ	Dc	DΩ + Di	**3**	3	3	3	3	3	3	3	3		
Затухание из-за геометрической дивергенции, Adiv, дБ	расстояние = 314.06 м	ф-ла (7) [10]	**60,9**										
Коэффициент затухания звука в атмосфере α, дБ/км	Ta=20,°C Pa=101.33,кПа hотн.=70%	ф-ла (5) [9]	0,02	0,09	0,33	1,12	2,79	4,98	9,04	23,09	77,63		
Учет затухания звука в атмосфере Aatm, дБ		ф-ла (8) [10]	0	0	0,1	0,4	0,9	1,6	2,8	7,3	24,4		

1		2	3	4	5	6	7	8	9	10	11	12	13
Снижение уровня звукового давления из-за влияния застройки между источником шума и расчетной точкой													
Снижение уровня звукового давления на пути над экраном, Dz1, дБ	z = 3.78м (разность путей)	ф-лы (14-18) [10]	12,1	15,4	19,5	23,8	27,4	30,6	33,7	36,7	39,7		
Снижение уровня звукового давления на пути слева от экрана, Dz2, дБ	z = 5.48м (разность путей)	ф-лы (14-18) [10]	17	20,6	23,8	26,9	29,9	32,9	35,9	38,9	41,9		
Снижение уровня звукового давления на пути справа от экрана, Dz3, дБ	z = 56.42м (разность путей)	ф-лы (14-18) [10]	24,7	29,2	33,3	36,8	39,9	43	46	49	52		
Общее снижение уровня звука препятствием Dz, дБ		Эн.сумма(-Dzi)	10,7	14,1	18	21,9	25,3	28,4	31,5	34,5	37,5		
Общее снижение уровня звука препятствием с учётом ограничения (25 дБ) для октавных полос Dz, дБ		Раздел 7.4 [10]	10,7	14,1	18	21,9	25	25	25	25	25		
Уровни звукового давления прямого звука от источника ИШ-9-12 в расчётной точке днём, дБ		**ф-ла(3)[10]**	**0**	**21,2**	**18,6**	**15,8**	**12,5**	**11,4**	**6,8**	**0**	**0**	**15,6**	**15,6**
Расчёт отражённого звука													
Уровни звукового давления от мнимого источника ИШ-9-12_мн.(1) в расчётной точке днём, дБ		**ф-ла(3)[10]**	**0**	**0**	**0**	**0**	**0**	**0**	**22,9**	**10,4**	**0**	**24,3**	**24,3**
Уровни звукового давления от источника ИШ-9-12 в расчётной точке днём, дБ		**ф-ла(3)[10]**	**0**	**21,2**	**18,6**	**15,8**	**12,5**	**11,4**	**23**	**10,4**	**0**	**24,9**	**24,9**
Источник шума: ИШ-9-13, координаты источника (x,y,z), м =[654.48,-323.54,1.00]													
Уровни звуковой мощности источника днём, Lw, дБ		**исходные данные**	**0**	**93,3**	**94,7**	**96**	**96,3**	**95,9**	**92,6**	**88,4**	**83,9**		
Поправка на телесный угол DΩ, дБ	Ω = 6.28	10Lg(4π/Ω)	**3**	3	3	3	3	3	3	3	3		
Показатель направленности источника Di, дБ		исходные данные	**0**	0	0	0	0	0	0	0	0		
Поправка на направленность источника Dc, дБ	Dc	DΩ + Di	**3**	3	3	3	3	3	3	3	3		
Затухание из-за геометрической дивергенции, Adiv, дБ	расстояние = 311.82 м	ф-ла (7) [10]	**60,9**										
Коэффициент затухания звука в атмосфере α, дБ/км	Ta=20,°C Pa=101.33,кПа hотн.=70%	ф-ла (5) [9]	0,02	0,09	0,33	1,12	2,79	4,98	9,04	23,09	77,63		

1		2	3	4	5	6	7	8	9	10	11	12	13
Учет затухания звука в атмосфере Aatm, дБ		ф-ла (8) [10]	0	0	0,1	0,4	0,9	1,6	2,8	7,2	24,2		
Снижение уровня звукового давления из-за влияния застройки между источником шума и расчетной точкой													
Снижение уровня звукового давления на пути над экраном, Dz1, дБ	z = 3.79м (разность путей)	ф-лы (14-18) [10]	12,1	15,4	19,5	23,8	27,4	30,6	33,7	36,7	39,7		
Снижение уровня звукового давления на пути слева от экрана, Dz2, дБ	z = 5.75м (разность путей)	ф-лы (14-18) [10]	17,2	20,8	24	27,1	30,1	33,1	36,1	39,1	42,1		
Снижение уровня звукового давления на пути справа от экрана, Dz3, дБ	z = 56.13м (разность путей)	ф-лы (14-18) [10]	24,7	29,2	33,3	36,8	39,9	43	46	49	52		
Общее снижение уровня звука препятствием Dz, дБ		Эн.сумма(-Dzi)	10,8	14,1	18,1	22	25,4	28,5	31,5	34,6	37,6		
Общее снижение уровня звука препятствием с учётом ограничения (25 дБ) для октавных полос Dz, дБ		Раздел 7.4 [10]	10,8	14,1	18,1	22	25	25	25	25	25		
Уровни звукового давления прямого звука от источника ИШ-9-13 в расчётной точке днём, дБ		**ф-ла(3)[10]**	**0**	**21,2**	**18,6**	**15,8**	**12,5**	**11,5**	**6,9**	**0**	**0**	**15,6**	**15,6**
Расчёт отражённого звука													
Уровни звукового давления от мнимого источника ИШ-9-13_мн.(1) в расчётной точке днём, дБ		**ф-ла(3)[10]**	**0**	**0**	**0**	**0**	**0**	**0**	**22,9**	**10,5**	**0**	**24,4**	**24,4**
Уровни звукового давления от источника ИШ-9-13 в расчётной точке днём, дБ		**ф-ла(3)[10]**	**0**	**21,2**	**18,6**	**15,8**	**12,5**	**11,5**	**23**	**10,5**	**0**	**24,9**	**24,9**
Источник шума: ИШ-9-14, координаты источника (x,y,z), м =[655.60,-320.74,1.00]													
Уровни звуковой мощности источника днём, Lw, дБ		**исходные данные**	**0**	**93,3**	**94,7**	**96**	**96,3**	**95,9**	**92,6**	**88,4**	**83,9**		
Поправка на телесный угол DΩ, дБ	Ω = 6.28	10Lg(4π/Ω)	**3**	3	3	3	3	3	3	3	3		
Показатель направленности источника Di, дБ		исходные данные	**0**	0	0	0	0	0	0	0	0		
Поправка на направленность источника Dc, дБ	Dc	DΩ + Di	**3**	3	3	3	3	3	3	3	3		
Затухание из-за геометрической дивергенции, Adiv, дБ	расстояние = 309.63 м	ф-ла (7) [10]	**60,8**										

1		2	3	4	5	6	7	8	9	10	11	12	13
Коэффициент затухания звука в атмосфере α, дБ/км	Та=20,°С Ра=101.33,кПа hотн.=70%	ф-ла (5) [9]	0,02	0,09	0,33	1,12	2,79	4,98	9,04	23,09	77,63		
Учет затухания звука в атмосфере Aatm, дБ		ф-ла (8) [10]	0	0	0,1	0,3	0,9	1,5	2,8	7,1	24		
Снижение уровня звукового давления из-за влияния застройки между источником шума и расчетной точкой													
Снижение уровня звукового давления на пути над экраном, Dz1, дБ	z = 3.80м (разность путей)	ф-лы (14-18) [10]	12,1	15,4	19,5	23,8	27,4	30,6	33,7	36,7	39,7		
Снижение уровня звукового давления на пути слева от экрана, Dz2, дБ	z = 6.04м (разность путей)	ф-лы (14-18) [10]	17,4	21	24,2	27,3	30,3	33,3	36,3	39,3	42,3		
Снижение уровня звукового давления на пути справа от экрана, Dz3, дБ	z = 55.82м (разность путей)	ф-лы (14-18) [10]	24,6	29,2	33,3	36,7	39,9	42,9	46	49	52		
Общее снижение уровня звука препятствием Dz, дБ		Эн.сумма(-Dzi)	10,8	14,2	18,1	22	25,5	28,6	31,6	34,6	37,7		
Общее снижение уровня звука препятствием с учётом ограничения (25 дБ) для октавных полос Dz, дБ		Раздел 7.4 [10]	10,8	14,2	18,1	22	25	25	25	25	25		
Уровни звукового давления прямого звука от источника ИШ-9-14 в расчётной точке днём, дБ		**ф-ла(3)[10]**	**0**	**21,3**	**18,7**	**15,8**	**12,6**	**11,5**	**7**	**0**	**0**	**15,7**	**15,7**
Расчёт отражённого звука													
Уровни звукового давления от мнимого источника ИШ-9-14_мн.(1) в расчётной точке днём, дБ		**ф-ла(3)[10]**	**0**	**0**	**0**	**0**	**0**	**0**	**23**	**10,5**	**0**	**24,4**	**24,4**
Уровни звукового давления от источника ИШ-9-14 в расчётной точке днём, дБ		**ф-ла(3)[10]**	**0**	**21,3**	**18,7**	**15,8**	**12,6**	**11,5**	**23,1**	**10,5**	**0**	**24,9**	**24,9**
Источник шума: ИШ-9-15, координаты источника (x,y,z), м =[656.44,-317.86,1.00]													
Уровни звуковой мощности источника днём, Lw, дБ		**исходные данные**	**0**	**93,3**	**94,7**	**96**	**96,3**	**95,9**	**92,6**	**88,4**	**83,9**		
Поправка на телесный угол DΩ, дБ	Ω = 6.28	10Lg(4π/Ω)	**3**	3	3	3	3	3	3	3	3		
Показатель направленности источника Di, дБ		исходные данные	**0**	0	0	0	0	0	0	0	0		

1		2	3	4	5	6	7	8	9	10	11	12	13
Поправка на направленность источника Dc, дБ	Dc	DΩ + Di	**3**	3	3	3	3	3	3	3	3		
Затухание из-за геометрической дивергенции, Adiv, дБ	расстояние = 307.26 м	ф-ла (7) [10]	**60,8**										
Коэффициент затухания звука в атмосфере α, дБ/км	Ta=20,°C Pa=101.33,кПа hотн.=70%	ф-ла (5) [9]	0,02	0,09	0,33	1,12	2,79	4,98	9,04	23,09	77,63		
Учет затухания звука в атмосфере Aatm, дБ		ф-ла (8) [10]	0	0	0,1	0,3	0,9	1,5	2,8	7,1	23,9		
Снижение уровня звукового давления из-за влияния застройки между источником шума и расчетной точкой													
Снижение уровня звукового давления на пути над экраном, Dz1, дБ	z = 3.81м (разность путей)	ф-лы (14-18) [10]	12,1	15,4	19,5	23,8	27,5	30,7	33,7	36,7	39,7		
Снижение уровня звукового давления на пути слева от экрана, Dz2, дБ	z = 6.32м (разность путей)	ф-лы (14-18) [10]	17,6	21,2	24,4	27,5	30,5	33,5	36,5	39,5	42,5		
Снижение уровня звукового давления на пути справа от экрана, Dz3, дБ	z = 55.54м (разность путей)	ф-лы (14-18) [10]	24,6	29,2	33,3	36,7	39,9	42,9	45,9	48,9	52		
Общее снижение уровня звука препятствием Dz, дБ		Эн.сумма(-Dzi)	10,9	14,2	18,2	22,1	25,5	28,7	31,7	34,7	37,7		
Общее снижение уровня звука препятствием с учётом ограничения (25 дБ) для октавных полос Dz, дБ		Раздел 7.4 [10]	10,9	14,2	18,2	22,1	25	25	25	25	25		
Уровни звукового давления от источника ИШ-9-15 в расчётной точке днём, дБ		**ф-ла(3)[10]**	**0**	**21,3**	**18,7**	**15,8**	**12,7**	**11,6**	**7,1**	**0**	**0**	**15,7**	**15,7**
Источник шума: ИШ-9-16, координаты источника (x,y,z), м =[657.46,-314.97,1.00]													
Уровни звуковой мощности источника днём, Lw, дБ		**исходные данные**	**0**	**93,3**	**94,7**	**96**	**96,3**	**95,9**	**92,6**	**88,4**	**83,9**		
Поправка на телесный угол DΩ, дБ	Ω = 6.28	10Lg(4π/Ω)	**3**	3	3	3	3	3	3	3	3		
Показатель направленности источника Di, дБ		исходные данные	**0**	0	0	0	0	0	0	0	0		
Поправка на направленность источника Dc, дБ	Dc	DΩ + Di	**3**	3	3	3	3	3	3	3	3		

1		2	3	4	5	6	7	8	9	10	11	12	13
Затухание из-за геометрической дивергенции, Adiv, дБ	расстояние = 304.98 м	ф-ла (7) [10]	**60,7**										
Коэффициент затухания звука в атмосфере α, дБ/км	Ta=20,°C Pa=101.33,кПа hотн.=70%	ф-ла (5) [9]	0,02	0,09	0,33	1,12	2,79	4,98	9,04	23,09	77,63		
Учет затухания звука в атмосфере Aatm, дБ		ф-ла (8) [10]	0	0	0,1	0,3	0,9	1,5	2,8	7	23,7		
Снижение уровня звукового давления из-за влияния застройки между источником шума и расчетной точкой													
Снижение уровня звукового давления на пути над экраном, Dz1, дБ	z = 3.82м (разность путей)	ф-лы (14-18) [10]	12,1	15,4	19,5	23,8	27,5	30,7	33,7	36,8	39,8		
Снижение уровня звукового давления на пути слева от экрана, Dz2, дБ	z = 6.64м (разность путей)	ф-лы (14-18) [10]	17,8	21,5	24,6	27,7	30,7	33,7	36,7	39,7	42,7		
Снижение уровня звукового давления на пути справа от экрана, Dz3, дБ	z = 55.23м (разность путей)	ф-лы (14-18) [10]	24,6	29,1	33,2	36,7	39,8	42,9	45,9	48,9	51,9		
Общее снижение уровня звука препятствием Dz, дБ		Эн.сумма(-Dzi)	10,9	14,3	18,2	22,2	25,6	28,7	31,8	34,8	37,8		
Общее снижение уровня звука препятствием с учётом ограничения (25 дБ) для октавных полос Dz, дБ		Раздел 7.4 [10]	10,9	14,3	18,2	22,2	25	25	25	25	25		
Уровни звукового давления от источника ИШ-9-16 в расчётной точке днём, дБ		**ф-ла(3)[10]**	**0**	**21,3**	**18,7**	**15,8**	**12,8**	**11,7**	**7,1**	**0**	**0**	**15,8**	**15,8**
Источник шума: ИШ-9-17, координаты источника (x,y,z), м =[658.49,-312.18,1.00]													
Уровни звуковой мощности источника днём, Lw, дБ		**исходные данные**	**0**	**93,3**	**94,7**	**96**	**96,3**	**95,9**	**92,6**	**88,4**	**83,9**		
Поправка на телесный угол DΩ, дБ	Ω = 6.28	10Lg(4π/Ω)	**3**	3	3	3	3	3	3	3	3		
Показатель направленности источника Di, дБ		исходные данные	**0**	0	0	0	0	0	0	0	0		
Поправка на направленность источника Dc, дБ	Dc	DΩ + Di	**3**	3	3	3	3	3	3	3	3		
Затухание из-за геометрической дивергенции, Adiv, дБ	расстояние = 302.79 м	ф-ла (7) [10]	**60,6**										

1		2	3	4	5	6	7	8	9	10	11	12	13
Коэффициент затухания звука в атмосфере α, дБ/км	Ta=20,°C Pa=101.33,кПа hотн.=70%	ф-ла (5) [9]	0,02	0,09	0,33	1,12	2,79	4,98	9,04	23,09	77,63		
Учет затухания звука в атмосфере Aatm, дБ		ф-ла (8) [10]	0	0	0,1	0,3	0,8	1,5	2,7	7	23,5		
Снижение уровня звукового давления из-за влияния застройки между источником шума и расчетной точкой													
Снижение уровня звукового давления на пути над экраном, Dz1, дБ	z = 3.83м (разность путей)	ф-лы (14-18) [10]	12,1	15,4	19,5	23,8	27,5	30,7	33,7	36,8	39,8		
Снижение уровня звукового давления на пути слева от экрана, Dz2, дБ	z = 6.98м (разность путей)	ф-лы (14-18) [10]	18	21,7	24,8	27,9	30,9	33,9	36,9	39,9	42,9		
Снижение уровня звукового давления на пути справа от экрана, Dz3, дБ	z = 54.92м (разность путей)	ф-лы (14-18) [10]	24,6	29,1	33,2	36,7	39,8	42,9	45,9	48,9	51,9		
Общее снижение уровня звука препятствием Dz, дБ		Эн.сумма(-Dzi)	11	14,3	18,3	22,2	25,7	28,8	31,9	34,9	37,9		
Общее снижение уровня звука препятствием с учётом ограничения (25 дБ) для октавных полос Dz, дБ		Раздел 7.4 [10]	11	14,3	18,3	22,2	25	25	25	25	25		
Уровни звукового давления от источника ИШ-9-17 в расчётной точке днём, дБ		**ф-ла(3)[10]**	**0**	**21,3**	**18,7**	**15,8**	**12,8**	**11,8**	**7,2**	**0**	**0**	**15,9**	**15,9**
Источник шума: ИШ-9-18, координаты источника (x,y,z), м =[659.42,-309.20,1.00]													
Уровни звуковой мощности источника днём, Lw, дБ		**исходные данные**	**0**	**93,3**	**94,7**	**96**	**96,3**	**95,9**	**92,6**	**88,4**	**83,9**		
Поправка на телесный угол DΩ, дБ	Ω = 6.28	10Lg(4π/Ω)	**3**	3	3	3	3	3	3	3	3		
Показатель направленности источника Di, дБ		исходные данные	**0**	0	0	0	0	0	0	0	0		
Поправка на направленность источника Dc, дБ	Dc	DΩ + Di	**3**	3	3	3	3	3	3	3	3		
Затухание из-за геометрической дивергенции, Adiv, дБ	расстояние = 300.41 м	ф-ла (7) [10]	**60,6**										
Коэффициент затухания звука в атмосфере α, дБ/км	Ta=20,°C Pa=101.33,кПа hотн.=70%	ф-ла (5) [9]	0,02	0,09	0,33	1,12	2,79	4,98	9,04	23,09	77,63		

1		2	3	4	5	6	7	8	9	10	11	12	13
Учет затухания звука в атмосфере Aatm, дБ		ф-ла (8) [10]	0	0	0,1	0,3	0,8	1,5	2,7	6,9	23,3		
Снижение уровня звукового давления из-за влияния застройки между источником шума и расчетной точкой													
Снижение уровня звукового давления на пути над экраном, Dz1, дБ	z = 3.84м (разность путей)	ф-лы (14-18) [10]	12,2	15,4	19,5	23,8	27,5	30,7	33,8	36,8	39,8		
Снижение уровня звукового давления на пути слева от экрана, Dz2, дБ	z = 7.34м (разность путей)	ф-лы (14-18) [10]	18,2	21,9	25,1	28,1	31,1	34,1	37,1	40,2	43,2		
Снижение уровня звукового давления на пути справа от экрана, Dz3, дБ	z = 54.61м (разность путей)	ф-лы (14-18) [10]	24,5	29,1	33,2	36,7	39,8	42,8	45,9	48,9	51,9		
Общее снижение уровня звука препятствием Dz, дБ		Эн.сумма(-Dzi)	11	14,4	18,3	22,3	25,8	28,9	31,9	35	38		
Общее снижение уровня звука препятствием с учётом ограничения (25 дБ) для октавных полос Dz, дБ		Раздел 7.4 [10]	11	14,4	18,3	22,3	25	25	25	25	25		
Уровни звукового давления от источника ИШ-9-18 в расчётной точке днём, дБ		**ф-ла(3)[10]**	**0**	**21,4**	**18,7**	**15,8**	**12,9**	**11,8**	**7,3**	**0**	**0**	**15,9**	**15,9**
Источник шума: ИШ-9-19, координаты источника (x,y,z), м =[660.44,-306.50,1.00]													
Уровни звуковой мощности источника днём, Lw, дБ		**исходные данные**	**0**	**93,3**	**94,7**	**96**	**96,3**	**95,9**	**92,6**	**88,4**	**83,9**		
Поправка на телесный угол DΩ, дБ	Ω = 6.28	10Lg(4π/Ω)	**3**	3	3	3	3	3	3	3	3		
Показатель направленности источника Di, дБ		исходные данные	**0**	0	0	0	0	0	0	0	0		
Поправка на направленность источника Dc, дБ	Dc	DΩ + Di	**3**	3	3	3	3	3	3	3	3		
Затухание из-за геометрической дивергенции, Adiv, дБ	расстояние = 298.34 м	ф-ла (7) [10]	**60,5**										
Коэффициент затухания звука в атмосфере α, дБ/км	Ta=20,°C Pa=101.33,кПа hотн.=70%	ф-ла (5) [9]	0,02	0,09	0,33	1,12	2,79	4,98	9,04	23,09	77,63		
Учет затухания звука в атмосфере Aatm, дБ		ф-ла (8) [10]	0	0	0,1	0,3	0,8	1,5	2,7	6,9	23,2		

1		2	3	4	5	6	7	8	9	10	11	12	13
Снижение уровня звукового давления из-за влияния застройки между источником шума и расчетной точкой													
Снижение уровня звукового давления на пути над экраном, Dz1, дБ	z = 3.85м (разность путей)	ф-лы (14-18) [10]	12,2	15,4	19,5	23,8	27,5	30,7	33,8	36,8	39,8		
Снижение уровня звукового давления на пути слева от экрана, Dz2, дБ	z = 7.72м (разность путей)	ф-лы (14-18) [10]	18,4	22,1	25,3	28,3	31,3	34,4	37,4	40,4	43,4		
Снижение уровня звукового давления на пути справа от экрана, Dz3, дБ	z = 54.30м (разность путей)	ф-лы (14-18) [10]	24,5	29,1	33,2	36,6	39,8	42,8	45,8	48,8	51,9		
Общее снижение уровня звука препятствием Dz, дБ		Эн.сумма(-Dzi)	11	14,4	18,3	22,4	25,8	29	32	35	38		
Общее снижение уровня звука препятствием с учётом ограничения (25 дБ) для октавных полос Dz, дБ		Раздел 7.4 [10]	11	14,4	18,3	22,4	25	25	25	25	25		
Уровни звукового давления от источника ИШ-9-19 в расчётной точке днём, дБ		**ф-ла(3)[10]**	**0**	**21,4**	**18,8**	**15,8**	**13**	**11,9**	**7,4**	**0**	**0**	**16**	**16**
Источник шума: ИШ-9-20, координаты источника (x,y,z), м =[661.28,-303.61,1.00]													
Уровни звуковой мощности источника днём, Lw, дБ		**исходные данные**	**0**	**93,3**	**94,7**	**96**	**96,3**	**95,9**	**92,6**	**88,4**	**83,9**		
Поправка на телесный угол DΩ, дБ	Ω = 6.28	10Lg(4π/Ω)	**3**	3	3	3	3	3	3	3	3		
Показатель направленности источника Di, дБ		исходные данные	**0**	0	0	0	0	0	0	0	0		
Поправка на направленность источника Dc, дБ	Dc	DΩ + Di	**3**	3	3	3	3	3	3	3	3		
Затухание из-за геометрической дивергенции, Adiv, дБ	расстояние = 296.03 м	ф-ла (7) [10]	**60,4**										
Коэффициент затухания звука в атмосфере α, дБ/км	Ta=20,°C Pa=101.33,кПа hотн.=70%	ф-ла (5) [9]	0,02	0,09	0,33	1,12	2,79	4,98	9,04	23,09	77,63		
Учет затухания звука в атмосфере Aatm, дБ		ф-ла (8) [10]	0	0	0,1	0,3	0,8	1,5	2,7	6,8	23		
Снижение уровня звукового давления из-за влияния застройки между источником шума и расчетной точкой													

1		2	3	4	5	6	7	8	9	10	11	12	13
Снижение уровня звукового давления на пути над экраном, Dz1, дБ	z = 3.86м (разность путей)	ф-лы (14-18) [10]	12,2	15,4	19,5	23,8	27,5	30,7	33,8	36,8	39,8		
Снижение уровня звукового давления на пути слева от экрана, Dz2, дБ	z = 8.10м (разность путей)	ф-лы (14-18) [10]	18,6	22,3	25,5	28,5	31,6	34,6	37,6	40,6	43,6		
Снижение уровня звукового давления на пути справа от экрана, Dz3, дБ	z = 54.00м (разность путей)	ф-лы (14-18) [10]	24,5	29	33,1	36,6	39,7	42,8	45,8	48,8	51,8		
Общее снижение уровня звука препятствием Dz, дБ		Эн.сумма(-Dzi)	11,1	14,4	18,4	22,4	25,9	29	32,1	35,1	38,1		
Общее снижение уровня звука препятствием с учётом ограничения (25 дБ) для октавных полос Dz, дБ		Раздел 7.4 [10]	11,1	14,4	18,4	22,4	25	25	25	25	25		
Уровни звукового давления от источника ИШ-9-20 в расчётной точке днём, дБ		**ф-ла(3)[10]**	**0**	**21,4**	**18,8**	**15,8**	**13**	**12**	**7,5**	**0**	**0**	**16,1**	**16,1**
Источник шума: ИШ-9-21, координаты источника (x,y,z), м =[661.93,-300.72,1.00]													
Уровни звуковой мощности источника днём, Lw, дБ		**исходные данные**	**0**	**93,3**	**94,7**	**96**	**96,3**	**95,9**	**92,6**	**88,4**	**83,9**		
Поправка на телесный угол DΩ, дБ	Ω = 6.28	10Lg(4π/Ω)	**3**	3	3	3	3	3	3	3	3		
Показатель направленности источника Di, дБ		исходные данные	**0**	0	0	0	0	0	0	0	0		
Поправка на направленность источника Dc, дБ	Dc	DΩ + Di	**3**	3	3	3	3	3	3	3	3		
Затухание из-за геометрической дивергенции, Adiv, дБ	расстояние = 293.66 м	ф-ла (7) [10]	**60,4**										
Коэффициент затухания звука в атмосфере α, дБ/км	Ta=20,°C Pa=101.33,кПа hотн.=70%	ф-ла (5) [9]	0,02	0,09	0,33	1,12	2,79	4,98	9,04	23,09	77,63		
Учет затухания звука в атмосфере Aatm, дБ		ф-ла (8) [10]	0	0	0,1	0,3	0,8	1,5	2,7	6,8	22,8		
Снижение уровня звукового давления из-за влияния застройки между источником шума и расчетной точкой													
Снижение уровня звукового давления на пути над экраном, Dz1, дБ	z = 3.87м (разность путей)	ф-лы (14-18) [10]	12,2	15,4	19,5	23,9	27,5	30,8	33,8	36,8	39,8		

1		2	3	4	5	6	7	8	9	10	11	12	13
Снижение уровня звукового давления на пути слева от экрана, Dz2, дБ	z = 8.48м (разность путей)	ф-лы (14-18) [10]	18,8	22,5	25,7	28,7	31,8	34,8	37,8	40,8	43,8		
Снижение уровня звукового давления на пути справа от экрана, Dz3, дБ	z = 53.73м (разность путей)	ф-лы (14-18) [10]	24,5	29	33,1	36,6	39,7	42,8	45,8	48,8	51,8		
Общее снижение уровня звука препятствием Dz, дБ		Эн.сумма(-Dzi)	11,1	14,5	18,4	22,5	26	29,1	32,2	35,2	38,2		
Общее снижение уровня звука препятствием с учётом ограничения (25 дБ) для октавных полос Dz, дБ		Раздел 7.4 [10]	11,1	14,5	18,4	22,5	25	25	25	25	25		
Уровни звукового давления от источника ИШ-9-21 в расчётной точке днём, дБ		**ф-ла(3)[10]**	**0**	**21,4**	**18,8**	**15,8**	**13,1**	**12,1**	**7,6**	**0**	**0**	**16,1**	**16,1**
Источник шума: ИШ-9-22, координаты источника (x,y,z), м =[663.14,-297.83,1.00]													
Уровни звуковой мощности источника днём, Lw, дБ		**исходные данные**	**0**	**93,3**	**94,7**	**96**	**96,3**	**95,9**	**92,6**	**88,4**	**83,9**		
Поправка на телесный угол DΩ, дБ	Ω = 6.28	10Lg(4π/Ω)	**3**	3	3	3	3	3	3	3	3		
Показатель направленности источника Di, дБ		исходные данные	**0**	0	0	0	0	0	0	0	0		
Поправка на направленность источника Dc, дБ	Dc	DΩ + Di	**3**	3	3	3	3	3	3	3	3		
Затухание из-за геометрической дивергенции, Adiv, дБ	расстояние = 291.54 м	ф-ла (7) [10]	**60,3**										
Коэффициент затухания звука в атмосфере α, дБ/км	Ta=20,°C Pa=101.33,кПа hотн.=70%	ф-ла (5) [9]	0,02	0,09	0,33	1,12	2,79	4,98	9,04	23,09	77,63		
Учет затухания звука в атмосфере Aatm, дБ		ф-ла (8) [10]	0	0	0,1	0,3	0,8	1,5	2,6	6,7	22,6		
Снижение уровня звукового давления из-за влияния застройки между источником шума и расчетной точкой													
Снижение уровня звукового давления на пути над экраном, Dz1, дБ	z = 3.88м (разность путей)	ф-лы (14-18) [10]	12,2	15,4	19,5	23,9	27,5	30,8	33,8	36,9	39,9		
Снижение уровня звукового давления на пути слева от экрана, Dz2, дБ	z = 8.98м (разность путей)	ф-лы (14-18) [10]	19,1	22,7	25,9	29	32	35	38	41	44		

1		2	3	4	5	6	7	8	9	10	11	12	13
Снижение уровня звукового давления на пути справа от экрана, Dz3, дБ	z = 53.36м (разность путей)	ф-лы (14-18) [10]	24,4	29	33,1	36,6	39,7	42,7	45,8	48,8	51,8		
Общее снижение уровня звука препятствием Dz, дБ		Эн.сумма(-Dzi)	11,2	14,5	18,5	22,5	26	29,2	32,2	35,3	38,3		
Общее снижение уровня звука препятствием с учётом ограничения (25 дБ) для октавных полос Dz, дБ		Раздел 7.4 [10]	11,2	14,5	18,5	22,5	25	25	25	25	25		
Уровни звукового давления от источника ИШ-9-22 в расчётной точке днём, дБ		**ф-ла(3)[10]**	**0**	**21,5**	**18,8**	**15,9**	**13,2**	**12,1**	**7,7**	**0**	**0**	**16,2**	**16,2**
Источник шума: ИШ-9-23, координаты источника (x,y,z), м =[664.07,-295.13,1.00]													
Уровни звуковой мощности источника днём, Lw, дБ		**исходные данные**	**0**	**93,3**	**94,7**	**96**	**96,3**	**95,9**	**92,6**	**88,4**	**83,9**		
Поправка на телесный угол DΩ, дБ	Ω = 6.28	10Lg(4π/Ω)	**3**	3	3	3	3	3	3	3	3		
Показатель направленности источника Di, дБ		исходные данные	**0**	0	0	0	0	0	0	0	0		
Поправка на направленность источника Dc, дБ	Dc	DΩ + Di	**3**	3	3	3	3	3	3	3	3		
Затухание из-за геометрической дивергенции, Adiv, дБ	расстояние = 289.48 м	ф-ла (7) [10]	**60,2**										
Коэффициент затухания звука в атмосфере α, дБ/км	Ta=20,°C Pa=101.33,кПа hотн.=70%	ф-ла (5) [9]	0,02	0,09	0,33	1,12	2,79	4,98	9,04	23,09	77,63		
Учет затухания звука в атмосфере Aatm, дБ		ф-ла (8) [10]	0	0	0,1	0,3	0,8	1,4	2,6	6,7	22,5		
Снижение уровня звукового давления из-за влияния застройки между источником шума и расчетной точкой													
Снижение уровня звукового давления на пути над экраном, Dz1, дБ	z = 3.89м (разность путей)	ф-лы (14-18) [10]	12,2	15,4	19,5	23,9	27,6	30,8	33,8	36,9	39,9		
Снижение уровня звукового давления на пути слева от экрана, Dz2, дБ	z = 9.43м (разность путей)	ф-лы (14-18) [10]	19,3	22,9	26,1	29,2	32,2	35,2	38,2	41,2	44,3		
Снижение уровня звукового давления на пути справа от экрана, Dz3, дБ	z = 53.04м (разность путей)	ф-лы (14-18) [10]	24,4	29	33,1	36,5	39,7	42,7	45,7	48,7	51,8		

1		2	3	4	5	6	7	8	9	10	11	12	13
Общее снижение уровня звука препятствием Dz, дБ		Эн.сумма(-Dzi)	11,2	14,5	18,5	22,6	26,1	29,2	32,3	35,3	38,3		
Общее снижение уровня звука препятствием с учётом ограничения (25 дБ) для октавных полос Dz, дБ		Раздел 7.4 [10]	11,2	14,5	18,5	22,6	25	25	25	25	25		
Уровни звукового давления от источника ИШ-9-23 в расчётной точке днём, дБ		**ф-ла(3)[10]**	**0**	**21,5**	**18,9**	**15,9**	**13,3**	**12,2**	**7,7**	**0**	**0**	**16,3**	**16,3**
Источник шума: ИШ-9-24, координаты источника (x,y,z), м =[665.19,-292.34,1.00]													
Уровни звуковой мощности источника днём, Lw, дБ		**исходные данные**	**0**	**93,3**	**94,7**	**96**	**96,3**	**95,9**	**92,6**	**88,4**	**83,9**		
Поправка на телесный угол DΩ, дБ	Ω = 6.28	10Lg(4π/Ω)	**3**	3	3	3	3	3	3	3	3		
Показатель направленности источника Di, дБ		исходные данные	**0**	0	0	0	0	0	0	0	0		
Поправка на направленность источника Dc, дБ	Dc	DΩ + Di	**3**	3	3	3	3	3	3	3	3		
Затухание из-за геометрической дивергенции, Adiv, дБ	расстояние = 287.43 м	ф-ла (7) [10]	**60,2**										
Коэффициент затухания звука в атмосфере α, дБ/км	Ta=20,°C Pa=101.33,кПа hотн.=70%	ф-ла (5) [9]	0,02	0,09	0,33	1,12	2,79	4,98	9,04	23,09	77,63		
Учет затухания звука в атмосфере Aatm, дБ		ф-ла (8) [10]	0	0	0,1	0,3	0,8	1,4	2,6	6,6	22,3		
Снижение уровня звукового давления из-за влияния застройки между источником шума и расчетной точкой													
Снижение уровня звукового давления на пути над экраном, Dz1, дБ	z = 3.90м (разность путей)	ф-лы (14-18) [10]	12,2	15,4	19,5	23,9	27,6	30,8	33,9	36,9	39,9		
Снижение уровня звукового давления на пути слева от экрана, Dz2, дБ	z = 5.49м (разность путей)	ф-лы (14-18) [10]	13,7	16,4	19,2	22,2	25,1	28,1	31,1	34,1	37,1		
Снижение уровня звукового давления на пути справа от экрана, Dz3, дБ	z = 52.68м (разность путей)	ф-лы (14-18) [10]	24,4	28,9	33	36,5	39,6	42,7	45,7	48,7	51,7		
Общее снижение уровня звука препятствием Dz, дБ		Эн.сумма(-Dzi)	9,7	12,8	16,3	19,8	23,1	26,1	29,2	32,2	35,2		

1		2	3	4	5	6	7	8	9	10	11	12	13
Общее снижение уровня звука препятствием с учётом ограничения (25 дБ) для октавных полос Dz, дБ		Раздел 7.4 [10]	9,7	12,8	16,3	19,8	23,1	25	25	25	25		
Уровни звукового давления от источника ИШ-9-24 в расчётной точке днём, дБ		**ф-ла(3)[10]**	**0**	**23,3**	**21,2**	**18,7**	**15,2**	**12,3**	**7,8**	**0**	**0**	**17,4**	**17,4**
Источник шума: ИШ-9-25, координаты источника (x,y,z), м =[683.46,-239.16,1.00]													
Уровни звуковой мощности источника днём, Lw, дБ		**исходные данные**	**77**	**75**	**67**	**66**	**63**	**55**	**53**	**48**	**51**		
Поправка на телесный угол DΩ, дБ	Ω = 6.28	10Lg(4π/Ω)	**3**	3	3	3	3	3	3	3	3		
Показатель направленности источника Di, дБ		исходные данные	**0**	0	0	0	0	0	0	0	0		
Поправка на направленность источника Dc, дБ	Dc	DΩ + Di	**3**	3	3	3	3	3	3	3	3		
Затухание из-за геометрической дивергенции, Adiv, дБ	расстояние = 250.46 м	ф-ла (7) [10]	**59**										
Коэффициент затухания звука в атмосфере α, дБ/км	Ta=20,°C Pa=101.33,кПа hотн.=70%	ф-ла (5) [9]	0,02	0,09	0,33	1,12	2,79	4,98	9,04	23,09	77,63		
Учет затухания звука в атмосфере Aatm, дБ		ф-ла (8) [10]	0	0	0,1	0,3	0,7	1,2	2,3	5,8	19,4		
Снижение уровня звукового давления из-за влияния застройки между источником шума и расчетной точкой													
Снижение уровня звукового давления на пути над экраном, Dz1, дБ	z = 4.09м (разность путей)	ф-лы (14-18) [10]	12,4	15,5	19,5	23,9	27,8	31,1	34,1	37,2	40,2		
Снижение уровня звукового давления на пути слева от экрана, Dz2, дБ	z = 8.10м (разность путей)	ф-лы (14-18) [10]	15,2	18	20,9	23,8	26,8	29,8	32,8	35,8	38,8		
Снижение уровня звукового давления на пути справа от экрана, Dz3, дБ	z = 45.41м (разность путей)	ф-лы (14-18) [10]	23,8	28,3	32,4	35,9	39	42	45,1	48,1	51,1		
Общее снижение уровня звука препятствием Dz, дБ		Эн.сумма(-Dzi)	10,4	13,4	17	20,7	24,1	27,2	30,3	33,3	36,3		
Общее снижение уровня звука препятствием с учётом ограничения (25 дБ) для октавных полос Dz, дБ		Раздел 7.4 [10]	10,4	13,4	17	20,7	24,1	25	25	25	25		

1		2	3	4	5	6	7	8	9	10	11	12	13
Уровни звукового давления от источника ИШ-9-25 в расчётной точке днём, дБ		**ф-ла(3)[10]**	**10,7**	**5,6**	**0**	**0**	**0**	**0**	**0**	**0**	**0**	**0**	**0**
Источник шума: ИШ-9-26, координаты источника (x,y,z), м =[680.09,-249.52,1.00]													
Уровни звуковой мощности источника днём, Lw, дБ		**исходные данные**	**77**	**75**	**67**	**66**	**63**	**55**	**53**	**48**	**51**		
Поправка на телесный угол DΩ, дБ	Ω = 6.28	10Lg(4π/Ω)	**3**	3	3	3	3	3	3	3	3		
Показатель направленности источника Di, дБ		исходные данные	**0**	0	0	0	0	0	0	0	0		
Поправка на направленность источника Dc, дБ	Dc	DΩ + Di	**3**	3	3	3	3	3	3	3	3		
Затухание из-за геометрической дивергенции, Adiv, дБ	расстояние = 257.21 м	ф-ла (7) [10]	**59,2**										
Коэффициент затухания звука в атмосфере α, дБ/км	Ta=20,°C Pa=101.33,кПа hотн.=70%	ф-ла (5) [9]	0,02	0,09	0,33	1,12	2,79	4,98	9,04	23,09	77,63		
Учет затухания звука в атмосфере Aatm, дБ		ф-ла (8) [10]	0	0	0,1	0,3	0,7	1,3	2,3	5,9	20		
Снижение уровня звукового давления из-за влияния застройки между источником шума и расчетной точкой													
Снижение уровня звукового давления на пути над экраном, Dz1, дБ	z = 4.06м (разность путей)	ф-лы (14-18) [10]	12,4	15,5	19,5	23,9	27,7	31	34,1	37,1	40,1		
Снижение уровня звукового давления на пути слева от экрана, Dz2, дБ	z = 7.51м (разность путей)	ф-лы (14-18) [10]	14,9	17,7	20,5	23,5	26,5	29,5	32,5	35,5	38,5		
Снижение уровня звукового давления на пути справа от экрана, Dz3, дБ	z = 46.94м (разность путей)	ф-лы (14-18) [10]	23,9	28,4	32,5	36	39,1	42,2	45,2	48,2	51,2		
Общее снижение уровня звука препятствием Dz, дБ		Эн.сумма(-Dzi)	10,2	13,3	16,9	20,6	23,9	27	30,1	33,1	36,1		
Общее снижение уровня звука препятствием с учётом ограничения (25 дБ) для октавных полос Dz, дБ		Раздел 7.4 [10]	10,2	13,3	16,9	20,6	23,9	25	25	25	25		
Уровни звукового давления от источника ИШ-9-26 в расчётной точке днём, дБ		**ф-ла(3)[10]**	**10,6**	**5,5**	**0**	**0**	**0**	**0**	**0**	**0**	**0**	**0**	**0**

1		2	3	4	5	6	7	8	9	10	11	12	13
Источник шума: ИШ-9-27, координаты источника (x,y,z), м =[676.46,-260.14,1.00]													
Уровни звуковой мощности источника днём, Lw, дБ		**исходные данные**	**77**	**75**	**67**	**66**	**63**	**55**	**53**	**48**	**51**		
Поправка на телесный угол DΩ, дБ	Ω = 6.28	10Lg(4π/Ω)	**3**	3	3	3	3	3	3	3	3		
Показатель направленности источника Di, дБ		исходные данные	**0**	0	0	0	0	0	0	0	0		
Поправка на направленность источника Dc, дБ	Dc	DΩ + Di	**3**	3	3	3	3	3	3	3	3		
Затухание из-за геометрической дивергенции, Adiv, дБ	расстояние = 264.34 м	ф-ла (7) [10]	**59,4**										
Коэффициент затухания звука в атмосфере α, дБ/км	Ta=20,°C Pa=101.33,кПа hотн.=70%	ф-ла (5) [9]	0,02	0,09	0,33	1,12	2,79	4,98	9,04	23,09	77,63		
Учет затухания звука в атмосфере Aatm, дБ		ф-ла (8) [10]	0	0	0,1	0,3	0,7	1,3	2,4	6,1	20,5		
Снижение уровня звукового давления из-за влияния застройки между источником шума и расчетной точкой													
Снижение уровня звукового давления на пути над экраном, Dz1, дБ	z = 4.02м (разность путей)	ф-лы (14-18) [10]	12,3	15,5	19,5	23,9	27,7	31	34	37,1	40,1		
Снижение уровня звукового давления на пути слева от экрана, Dz2, дБ	z = 6.94м (разность путей)	ф-лы (14-18) [10]	14,6	17,4	20,2	23,2	26,1	29,1	32,1	35,1	38,2		
Снижение уровня звукового давления на пути справа от экрана, Dz3, дБ	z = 48.47м (разность путей)	ф-лы (14-18) [10]	24	28,6	32,7	36,1	39,3	42,3	45,3	48,4	51,4		
Общее снижение уровня звука препятствием Dz, дБ		Эн.сумма(-Dzi)	10,1	13,2	16,7	20,4	23,7	26,8	29,9	32,9	35,9		
Общее снижение уровня звука препятствием с учётом ограничения (25 дБ) для октавных полос Dz, дБ		Раздел 7.4 [10]	10,1	13,2	16,7	20,4	23,7	25	25	25	25		
Уровни звукового давления от источника ИШ-9-27 в расчётной точке днём, дБ		**ф-ла(3)[10]**	**10,4**	**5,4**	**0**	**0**	**0**	**0**	**0**	**0**	**0**	**0**	**0**
Источник шума: ИШ-10-1, координаты источника (x,y,z), м =[17.37,413.17,1.00]													

1		2	3	4	5	6	7	8	9	10	11	12	13
Уровни звуковой мощности источника днём, Lw, дБ		**исходные данные**	**0**	**98,3**	**99,7**	**101**	**101,3**	**100,9**	**97,6**	**93,4**	**88,9**		
Поправка на телесный угол DΩ, дБ	Ω = 6.28	10Lg(4π/Ω)	**3**	3	3	3	3	3	3	3	3		
Показатель направленности источника Di, дБ		исходные данные	**0**	0	0	0	0	0	0	0	0		
Поправка на направленность источника Dc, дБ	Dc	DΩ + Di	**3**	3	3	3	3	3	3	3	3		
Затухание из-за геометрической дивергенции, Adiv, дБ	расстояние = 688.12 м	ф-ла (7) [10]	**67,8**										
Коэффициент затухания звука в атмосфере α, дБ/км	Ta=20,°C Pa=101.33,кПа hотн.=70%	ф-ла (5) [9]	0,02	0,09	0,33	1,12	2,79	4,98	9,04	23,09	77,63		
Учет затухания звука в атмосфере Aatm, дБ		ф-ла (8) [10]	0	0,1	0,2	0,8	1,9	3,4	6,2	15,9	53,4		
Снижение уровня звукового давления из-за влияния застройки между источником шума и расчетной точкой													
Снижение уровня звукового давления на пути над экраном, Dz1, дБ	z = 0.32м (разность путей)	ф-лы (14-18) [10]	5	5,2	5,5	6,1	7,2	8,7	10,8	13,2	15,9		
Снижение уровня звукового давления на пути слева от экрана, Dz2, дБ	z = 83.26м (разность путей)	ф-лы (14-18) [10]	29,6	32,7	35,6	38,7	41,7	44,7	47,7	50,7	53,7		
Снижение уровня звукового давления на пути справа от экрана, Dz3, дБ	z = 73.46м (разность путей)	ф-лы (14-18) [10]	28,9	32,1	35,1	38,1	41,1	44,1	47,1	50,2	53,2		
Общее снижение уровня звука препятствием Dz, дБ		Эн.сумма(-Dzi)	4,9	5,1	5,5	6,1	7,2	8,7	10,8	13,2	15,9		
Уровни звукового давления от источника ИШ-10-1 в расчётной точке днём, дБ		**ф-ла(3)[10]**	**0**	**28,4**	**29,2**	**29,3**	**27,5**	**24**	**15,9**	**0**	**0**	**28,5**	**28,5**
Источник шума: ИШ-10-2, координаты источника (x,y,z), м =[27.87,443.46,1.00]													
Уровни звуковой мощности источника днём, Lw, дБ		**исходные данные**	**0**	**98,3**	**99,7**	**101**	**101,3**	**100,9**	**97,6**	**93,4**	**88,9**		
Поправка на телесный угол DΩ, дБ	Ω = 6.28	10Lg(4π/Ω)	**3**	3	3	3	3	3	3	3	3		

1		2	3	4	5	6	7	8	9	10	11	12	13
Показатель направленности источника Di, дБ		исходные данные	**0**	0	0	0	0	0	0	0	0		
Поправка на направленность источника Dc, дБ	Dc	DΩ + Di	**3**	3	3	3	3	3	3	3	3		
Затухание из-за геометрической дивергенции, Adiv, дБ	расстояние = 700.40 м	ф-ла (7) [10]	**67,9**										
Коэффициент затухания звука в атмосфере α, дБ/км	Ta=20,°C Pa=101.33,кПа hотн.=70%	ф-ла (5) [9]	0,02	0,09	0,33	1,12	2,79	4,98	9,04	23,09	77,63		
Учет затухания звука в атмосфере Aatm, дБ		ф-ла (8) [10]	0	0,1	0,2	0,8	2	3,5	6,3	16,2	54,4		
Снижение уровня звукового давления из-за влияния застройки между источником шума и расчетной точкой													
Снижение уровня звукового давления на пути над экраном, Dz1, дБ	z = 0.30м (разность путей)	ф-лы (14-18) [10]	4,8	4,9	5	5,1	5,5	6,1	7,1	8,6	10,6		
Снижение уровня звукового давления на пути слева от экрана, Dz2, дБ	z = 75.77м (разность путей)	ф-лы (14-18) [10]	29,2	32,3	35,2	38,3	41,3	44,3	47,3	50,3	53,3		
Снижение уровня звукового давления на пути справа от экрана, Dz3, дБ	z = 64.48м (разность путей)	ф-лы (14-18) [10]	28,5	31,5	34,5	37,6	40,6	43,6	46,6	49,6	52,6		
Общее снижение уровня звука препятствием Dz, дБ		Эн.сумма(-Dzi)	4,8	4,8	4,9	5,1	5,5	6,1	7,1	8,6	10,6		
Уровни звукового давления от источника ИШ-10-2 в расчётной точке днём, дБ		**ф-ла(3)[10]**	**0**	**28,5**	**29,6**	**30,2**	**29**	**26,4**	**19,3**	**3,7**	**0**	**30,4**	**30,4**
Уровни звукового давления в расчётной точке													
Суммарные уровни звукового давления в расчётной точке от всех источников шума днём, Lрт, дБ		**ф-ла (19) [1]**	**55,9**	**58,1**	**57**	**52**	**53,1**	**57,2**	**54,7**	**48,7**	**36,7**	**60,6**	**60,6**
Допускаемые УЗД днём, Lдоп, дБ	Территории предприятий с постоянными рабочими местами	Табл. 1[3]	107	95	87	82	78	75	73	71	69	80	95
Превышение днём, дБ		**Lрт - Lдоп**	**-51,1**	**-36,9**	**-30**	**-30**	**-24,9**	**-17,8**	**-18,3**	**-22,3**	**-32,3**	**-19,4**	**-34,4**

Определение уровней звукового давления в точке РТ-2-2 (координаты точки, м: x = 555.11, y = -14.89, z = 1.50)

Наименование величин и их описание		Ссылка	Расчётные уровни в октавных полосах, со среднегеометрическими частотами, Гц									La, дБА	Lмакс, дБА
			31,5	63	125	250	500	1000	2000	4000	8000		
1		2	3	4	5	6	7	8	9	10	11	12	13
Источник шума: ИШ-1-1, координаты источника (x,y,z), м =[271.72,229.68,1.00]													
Уровни звуковой мощности источника днём, Lw, дБ		**исходные данные**	**97**	**97**	**104**	**106**	**105**	**105**	**98**	**87**	**81**		
Поправка на телесный угол DΩ, дБ	Ω = 6.28	10Lg(4π/Ω)	**3**	3	3	3	3	3	3	3	3		
Показатель направленности источника Di, дБ		исходные данные	**0**	0	0	0	0	0	0	0	0		
Поправка на направленность источника Dc, дБ	Dc	DΩ + Di	**3**	3	3	3	3	3	3	3	3		
Затухание из-за геометрической дивергенции, Adiv, дБ	расстояние = 374.33 м	ф-ла (7) [10]	**62,5**										
Коэффициент затухания звука в атмосфере α, дБ/км	Ta=20,°C Pa=101.33,кПа hотн.=70%	ф-ла (5) [9]	0,02	0,09	0,33	1,12	2,79	4,98	9,04	23,09	77,63		
Учет затухания звука в атмосфере Aatm, дБ		ф-ла (8) [10]	0	0	0,1	0,4	1	1,9	3,4	8,6	29,1		
Снижение уровня звукового давления из-за влияния застройки между источником шума и расчетной точкой													
Снижение уровня звукового давления на пути над экраном, Dz1, дБ	z = 1.01м (разность путей)	ф-лы (14-18) [10]	9,4	11,9	14,5	17,3	20,2	23,2	26,2	29,2	32,2		
Снижение уровня звукового давления на пути слева от экрана, Dz2, дБ	z = 89.09м (разность путей)	ф-лы (14-18) [10]	29,4	32,8	35,9	38,9	42	45	48	51	54		
Снижение уровня звукового давления на пути справа от экрана, Dz3, дБ	z = 35.12м (разность путей)	ф-лы (14-18) [10]	21,2	24,2	27,2	30,2	33,2	36,2	39,2	42,2	45,2		
Общее снижение уровня звука препятствием Dz, дБ		Эн.сумма(-Dzi)	9,1	11,6	14,3	17,1	20	22,9	25,9	28,9	31,9		

1		2	3	4	5	6	7	8	9	10	11	12	13
Общее снижение уровня звука препятствием с учётом ограничения (25 дБ) для октавных полос Dz, дБ		Раздел 7.4 [10]	9,1	11,6	14,3	17,1	20	22,9	25	25	25		
Уровни звукового давления прямого звука от источника ИШ-1-1 в расчётной точке днём, дБ		**ф-ла(3)[10]**	**28,4**	**25,9**	**30,1**	**29**	**24,5**	**20,7**	**10,2**	**0**	**0**	**26,1**	**26,1**
Расчёт отражённого звука													
Уровни звукового давления от мнимого источника ИШ-1-1_мн.(1) в расчётной точке днём, дБ		**ф-ла(3)[10]**	**0**	**0**	**0**	**0**	**0**	**0**	**0**	**0**	**0**	**0**	**0**
Уровни звукового давления от мнимого источника ИШ-1-1_мн.(2) в расчётной точке днём, дБ		**ф-ла(3)[10]**	**0**	**0**	**0**	**0**	**0**	**24,7**	**12,5**	**0**	**0**	**25**	**25**
Суммарные уровни звукового давления от мнимых источников в расчётной точке днём, дБ		**ф-ла (19) [1]**	**0**	**0**	**0**	**0**	**0**	**24,7**	**12,5**	**0**	**0**	**0**	**25**
Уровни звукового давления от источника ИШ-1-1 в расчётной точке днём, дБ		**ф-ла(3)[10]**	**28,4**	**25,9**	**30,1**	**29**	**24,5**	**26,1**	**14,5**	**0**	**0**	**28,6**	**28,6**
Источник шума: ИШ-1-2, координаты источника (x,y,z), м =[261.74,199.14,1.00]													
Уровни звуковой мощности источника днём, Lw, дБ		**исходные данные**	**97**	**97**	**104**	**106**	**105**	**105**	**98**	**87**	**81**		
Поправка на телесный угол DΩ, дБ	Ω = 6.28	10Lg(4π/Ω)	**3**	3	3	3	3	3	3	3	3		
Показатель направленности источника Di, дБ		исходные данные	**0**	0	0	0	0	0	0	0	0		
Поправка на направленность источника Dc, дБ	Dc	DΩ + Di	**3**	3	3	3	3	3	3	3	3		
Затухание из-за геометрической дивергенции, Adiv, дБ	расстояние = 363.15 м	ф-ла (7) [10]	**62,2**										
Коэффициент затухания звука в атмосфере α, дБ/км	Ta=20,°C Pa=101.33,кПа hотн.=70%	ф-ла (5) [9]	0,02	0,09	0,33	1,12	2,79	4,98	9,04	23,09	77,63		
Учет затухания звука в атмосфере Aatm, дБ		ф-ла (8) [10]	0	0	0,1	0,4	1	1,8	3,3	8,4	28,2		
Снижение уровня звукового давления из-за влияния застройки между источником шума и расчетной точкой													

1		2	3	4	5	6	7	8	9	10	11	12	13
Снижение уровня звукового давления на пути над экраном, Dz1, дБ	z = 0.88м (разность путей)	ф-лы (14-18) [10]	8,1	10,6	13,2	15,9	18,8	21,7	24,7	27,7	30,7		
Снижение уровня звукового давления на пути слева от экрана, Dz2, дБ	z = 122.52м (разность путей)	ф-лы (14-18) [10]	30,8	34,2	37,3	40,3	43,3	46,4	49,4	52,4	55,4		
Снижение уровня звукового давления на пути справа от экрана, Dz3, дБ	z = 19.37м (разность путей)	ф-лы (14-18) [10]	18,7	21,7	24,6	27,6	30,6	33,6	36,6	39,6	42,6		
Общее снижение уровня звука препятствием Dz, дБ		Эн.сумма(-Dzi)	7,7	10,2	12,9	15,6	18,5	21,4	24,4	27,4	30,4		
Общее снижение уровня звука препятствием с учётом ограничения (25 дБ) для октавных полос Dz, дБ		Раздел 7.4 [10]	7,7	10,2	12,9	15,6	18,5	21,4	24,4	25	25		
Уровни звукового давления прямого звука от источника ИШ-1-2 в расчётной точке днём, дБ		**ф-ла(3)[10]**	**30,1**	**27,6**	**31,8**	**30,8**	**26,3**	**22,6**	**11,1**	**0**	**0**	**27,8**	**27,8**
Расчёт отражённого звука													
Уровни звукового давления от мнимого источника ИШ-1-2_мн.(1) в расчётной точке днём, дБ		**ф-ла(3)[10]**	**0**	**0**	**0**	**0**	**0**	**24,4**	**12,5**	**0**	**0**	**24,8**	**24,8**
Уровни звукового давления от источника ИШ-1-2 в расчётной точке днём, дБ		**ф-ла(3)[10]**	**30,1**	**27,6**	**31,8**	**30,8**	**26,3**	**26,6**	**14,9**	**0**	**0**	**29,6**	**29,6**
Источник шума: ИШ-1-3, координаты источника (x,y,z), м =[251.75,236.44,1.00]													
Уровни звуковой мощности источника днём, Lw, дБ		**исходные данные**	**0**	**91,3**	**92,7**	**94**	**94,3**	**93,9**	**90,6**	**86,4**	**81,9**		
Поправка на телесный угол DΩ, дБ	Ω = 6.28	10Lg(4π/Ω)	**3**	3	3	3	3	3	3	3	3		
Показатель направленности источника Di, дБ		исходные данные	**0**	0	0	0	0	0	0	0	0		
Поправка на направленность источника Dc, дБ	Dc	DΩ + Di	**3**	3	3	3	3	3	3	3	3		
Затухание из-за геометрической дивергенции, Adiv, дБ	расстояние = 393.94 м	ф-ла (7) [10]	**62,9**										
Коэффициент затухания звука в атмосфере α, дБ/км	Ta=20,°C Pa=101.33,кПа hотн.=70%	ф-ла (5) [9]	0,02	0,09	0,33	1,12	2,79	4,98	9,04	23,09	77,63		

1		2	3	4	5	6	7	8	9	10	11	12	13
Учет затухания звука в атмосфере Aatm, дБ		ф-ла (8) [10]	0	0	0,1	0,4	1,1	2	3,6	9,1	30,6		
Снижение уровня звукового давления из-за влияния застройки между источником шума и расчетной точкой													
Снижение уровня звукового давления на пути над экраном, Dz1, дБ	z = 0.81м (разность путей)	ф-лы (14-18) [10]	8,3	10,5	13	15,7	18,5	21,4	24,4	27,4	30,4		
Снижение уровня звукового давления на пути слева от экрана, Dz2, дБ	z = 87.51м (разность путей)	ф-лы (14-18) [10]	29,3	32,7	35,8	38,9	41,9	44,9	47,9	50,9	53,9		
Снижение уровня звукового давления на пути справа от экрана, Dz3, дБ	z = 27.08м (разность путей)	ф-лы (14-18) [10]	20,1	23,1	26	29	32	35	38	41,1	44,1		
Общее снижение уровня звука препятствием Dz, дБ		Эн.сумма(-Dzi)	8	10,3	12,8	15,5	18,3	21,2	24,2	27,2	30,2		
Общее снижение уровня звука препятствием с учётом ограничения (25 дБ) для октавных полос Dz, дБ		Раздел 7.4 [10]	8	10,3	12,8	15,5	18,3	21,2	24,2	25	25		
Уровни звукового давления прямого звука от источника ИШ-1-3 в расчётной точке днём, дБ		**ф-ла(3)[10]**	**0**	**21,1**	**19,9**	**18,2**	**15**	**10,8**	**2,9**	**0**	**0**	**16,2**	**16,2**
Расчёт отражённого звука													
Уровни звукового давления от мнимого источника ИШ-1-3_мн.(1) в расчётной точке днём, дБ		**ф-ла(3)[10]**	**0**	**0**	**0**	**0**	**0**	**0**	**0**	**0**	**0**	**0**	**0**
Уровни звукового давления от мнимого источника ИШ-1-3_мн.(2) в расчётной точке днём, дБ		**ф-ла(3)[10]**	**0**	**0**	**0**	**0**	**0**	**13,9**	**5,6**	**0**	**0**	**14,7**	**14,7**
Суммарные уровни звукового давления от мнимых источников в расчётной точке днём, дБ		**ф-ла (19) [1]**	**0**	**0**	**0**	**0**	**0**	**13,9**	**5,6**	**0**	**0**	**0**	**14,7**
Уровни звукового давления от источника ИШ-1-3 в расчётной точке днём, дБ		**ф-ла(3)[10]**	**0**	**21,1**	**19,9**	**18,2**	**15**	**15,7**	**7,5**	**0**	**0**	**18,5**	**18,5**
Источник шума: ИШ-1-4, координаты источника (x,y,z), м =[290.25,223.25,1.00]													
Уровни звуковой мощности источника днём, Lw, дБ		**исходные данные**	**0**	**91,3**	**92,7**	**94**	**94,3**	**93,9**	**90,6**	**86,4**	**81,9**		
Поправка на телесный угол DΩ, дБ	Ω = 6.28	10Lg(4π/Ω)	**3**	3	3	3	3	3	3	3	3		
Показатель направленности источника Di, дБ		исходные данные	**0**	0	0	0	0	0	0	0	0		

1		2	3	4	5	6	7	8	9	10	11	12	13
Поправка на направленность источника Dc, дБ	Dc	DΩ + Di	**3**	3	3	3	3	3	3	3	3		
Затухание из-за геометрической дивергенции, Adiv, дБ	расстояние = 356.17 м	ф-ла (7) [10]	**62**										
Коэффициент затухания звука в атмосфере α, дБ/км	Ta=20,°C Pa=101.33,кПа hотн.=70%	ф-ла (5) [9]	0,02	0,09	0,33	1,12	2,79	4,98	9,04	23,09	77,63		
Учет затухания звука в атмосфере Aatm, дБ		ф-ла (8) [10]	0	0	0,1	0,4	1	1,8	3,2	8,2	27,7		
Снижение уровня звукового давления из-за влияния застройки между источником шума и расчетной точкой													
Снижение уровня звукового давления на пути над экраном, Dz1, дБ	z = 1.36м (разность путей)	ф-лы (14-18) [10]	10,9	13,7	16,5	19,3	22,3	25,2	28,2	31,2	34,2		
Снижение уровня звукового давления на пути слева от экрана, Dz2, дБ	z = 92.59м (разность путей)	ф-лы (14-18) [10]	29,6	33	36,1	39,1	42,1	45,1	48,2	51,2	54,2		
Снижение уровня звукового давления на пути справа от экрана, Dz3, дБ	z = 44.96м (разность путей)	ф-лы (14-18) [10]	22,3	25,3	28,2	31,2	34,2	37,2	40,2	43,3	46,3		
Общее снижение уровня звука препятствием Dz, дБ		Эн.сумма(-Dzi)	10,6	13,3	16,1	19	22	24,9	27,9	30,9	33,9		
Общее снижение уровня звука препятствием с учётом ограничения (25 дБ) для октавных полос Dz, дБ		Раздел 7.4 [10]	10,6	13,3	16,1	19	22	24,9	25	25	25		
Уровни звукового давления прямого звука от источника ИШ-1-4 в расчётной точке днём, дБ		**ф-ла(3)[10]**	**0**	**18,9**	**17,4**	**15,5**	**12,3**	**8,1**	**3,3**	**0**	**0**	**13,8**	**13,8**
Расчёт отражённого звука													
Уровни звукового давления от мнимого источника ИШ-1-4_мн.(1) в расчётной точке днём, дБ		**ф-ла(3)[10]**	**0**	**0**	**0**	**0**	**0**	**5,8**	**0**	**0**	**0**	**5,8**	**5,8**
Уровни звукового давления от источника ИШ-1-4 в расчётной точке днём, дБ		**ф-ла(3)[10]**	**0**	**18,9**	**17,4**	**15,5**	**12,3**	**10,1**	**3,3**	**0**	**0**	**14,4**	**14,4**
Источник шума: ИШ-1-5, координаты источника (x,y,z), м =[241.49,205.86,1.00]													
Уровни звуковой мощности источника днём, Lw, дБ		**исходные данные**	**0**	**91,3**	**92,7**	**94**	**94,3**	**93,9**	**90,6**	**86,4**	**81,9**		

1		2	3	4	5	6	7	8	9	10	11	12	13
Поправка на телесный угол DΩ, дБ	Ω = 6.28	10Lg(4π/Ω)	**3**	3	3	3	3	3	3	3	3		
Показатель направленности источника Di, дБ		исходные данные	**0**	0	0	0	0	0	0	0	0		
Поправка на направленность источника Dc, дБ	Dc	DΩ + Di	**3**	3	3	3	3	3	3	3	3		
Затухание из-за геометрической дивергенции, Adiv, дБ	расстояние = 383.52 м	ф-ла (7) [10]	**62,7**										
Коэффициент затухания звука в атмосфере α, дБ/км	Ta=20,°C Pa=101.33,кПа hотн.=70%	ф-ла (5) [9]	0,02	0,09	0,33	1,12	2,79	4,98	9,04	23,09	77,63		
Учет затухания звука в атмосфере Aatm, дБ		ф-ла (8) [10]	0	0	0,1	0,4	1,1	1,9	3,5	8,9	29,8		
Снижение уровня звукового давления из-за влияния застройки между источником шума и расчетной точкой													
Снижение уровня звукового давления на пути над экраном, Dz1, дБ	z = 0.70м (разность путей)	ф-лы (14-18) [10]	7,1	9,1	11,4	14	16,8	19,6	22,6	25,5	28,5		
Снижение уровня звукового давления на пути слева от экрана, Dz2, дБ	z = 116.67м (разность путей)	ф-лы (14-18) [10]	30,6	34	37,1	40,1	43,1	46,1	49,2	52,2	55,2		
Снижение уровня звукового давления на пути справа от экрана, Dz3, дБ	z = 13.64м (разность путей)	ф-лы (14-18) [10]	17,3	20,2	23,1	26,1	29,1	32,1	35,1	38,1	41,1		
Общее снижение уровня звука препятствием Dz, дБ		Эн.сумма(-Dzi)	6,7	8,7	11,1	13,7	16,5	19,4	22,3	25,3	28,3		
Общее снижение уровня звука препятствием с учётом ограничения (25 дБ) для октавных полос Dz, дБ		Раздел 7.4 [10]	6,7	8,7	11,1	13,7	16,5	19,4	22,3	25	25		
Уровни звукового давления прямого звука от источника ИШ-1-5 в расчётной точке днём, дБ		**ф-ла(3)[10]**	**0**	**22,8**	**21,8**	**20,2**	**17,1**	**12,9**	**5,1**	**0**	**0**	**18,2**	**18,2**
Расчёт отражённого звука													
Уровни звукового давления от мнимого источника ИШ-1-5_мн.(1) в расчётной точке днём, дБ		**ф-ла(3)[10]**	**0**	**0**	**0**	**0**	**0**	**13,5**	**5,3**	**0**	**0**	**14,3**	**14,3**
Уровни звукового давления от источника ИШ-1-5 в расчётной точке днём, дБ		**ф-ла(3)[10]**	**0**	**22,8**	**21,8**	**20,2**	**17,1**	**16,2**	**8,2**	**0**	**0**	**19,7**	**19,7**

1		2	3	4	5	6	7	8	9	10	11	12	13
Источник шума: ИШ-1-6, координаты источника (x,y,z), м =[279.85,192.97,1.00]													
Уровни звуковой мощности источника днём, Lw, дБ		**исходные данные**	**0**	**91,3**	**92,7**	**94**	**94,3**	**93,9**	**90,6**	**86,4**	**81,9**		
Поправка на телесный угол DΩ, дБ	Ω = 6.28	10Lg(4π/Ω)	**3**	3	3	3	3	3	3	3	3		
Показатель направленности источника Di, дБ		исходные данные	**0**	0	0	0	0	0	0	0	0		
Поправка на направленность источника Dc, дБ	Dc	DΩ + Di	**3**	3	3	3	3	3	3	3	3		
Затухание из-за геометрической дивергенции, Adiv, дБ	расстояние = 344.92 м	ф-ла (7) [10]	**61,8**										
Коэффициент затухания звука в атмосфере α, дБ/км	Ta=20,°C Pa=101.33,кПа hотн.=70%	ф-ла (5) [9]	0,02	0,09	0,33	1,12	2,79	4,98	9,04	23,09	77,63		
Учет затухания звука в атмосфере Aatm, дБ		ф-ла (8) [10]	0	0	0,1	0,4	1	1,7	3,1	8	26,8		
Снижение уровня звукового давления из-за влияния застройки между источником шума и расчетной точкой													
Снижение уровня звукового давления на пути над экраном, Dz1, дБ	z = 1.22м (разность путей)	ф-лы (14-18) [10]	9,6	12,5	15,3	18,2	21,2	24,1	27,1	30,1	33,1		
Снижение уровня звукового давления на пути слева от экрана, Dz2, дБ	z = 130.49м (разность путей)	ф-лы (14-18) [10]	31,1	34,5	37,6	40,6	43,6	46,6	49,6	52,7	55,7		
Снижение уровня звукового давления на пути справа от экрана, Dz3, дБ	z = 26.95м (разность путей)	ф-лы (14-18) [10]	20,1	23,1	26	29	32	35	38	41	44		
Общее снижение уровня звука препятствием Dz, дБ		Эн.сумма(-Dzi)	9,2	12,1	15	17,9	20,8	23,8	26,8	29,8	32,8		
Общее снижение уровня звука препятствием с учётом ограничения (25 дБ) для октавных полос Dz, дБ		Раздел 7.4 [10]	9,2	12,1	15	17,9	20,8	23,8	25	25	25		
Уровни звукового давления прямого звука от источника ИШ-1-6 в расчётной точке днём, дБ		**ф-ла(3)[10]**	**0**	**20,4**	**18,9**	**17**	**13,8**	**9,6**	**3,7**	**0**	**0**	**15,2**	**15,2**
Расчёт отражённого звука													

1		2	3	4	5	6	7	8	9	10	11	12	13
Уровни звукового давления от мнимого источника ИШ-1-6_мн.(1) в расчётной точке днём, дБ		**ф-ла(3)[10]**	**0**	**0**	**0**	**0**	**0**	**0**	**4,9**	**0**	**0**	**6,1**	**6,1**
Уровни звукового давления от источника ИШ-1-6 в расчётной точке днём, дБ		**ф-ла(3)[10]**	**0**	**20,4**	**18,9**	**17**	**13,8**	**9,6**	**7,4**	**0**	**0**	**15,7**	**15,7**
Источник шума: ИШ-1-7, координаты источника (x,y,z), м =[451.87,146.66,1.00]													
Уровни звуковой мощности источника днём, Lw, дБ		**исходные данные**	**0**	**93,3**	**94,7**	**96**	**96,3**	**95,9**	**92,6**	**88,4**	**83,9**		
Поправка на телесный угол DΩ, дБ	Ω = 6.28	10Lg(4π/Ω)	**3**	3	3	3	3	3	3	3	3		
Показатель направленности источника Di, дБ		исходные данные	**0**	0	0	0	0	0	0	0	0		
Поправка на направленность источника Dc, дБ	Dc	DΩ + Di	**3**	3	3	3	3	3	3	3	3		
Затухание из-за геометрической дивергенции, Adiv, дБ	расстояние = 191.72 м	ф-ла (7) [10]	**56,7**										
Коэффициент затухания звука в атмосфере α, дБ/км	Ta=20,°C Pa=101.33,кПа hотн.=70%	ф-ла (5) [9]	0,02	0,09	0,33	1,12	2,79	4,98	9,04	23,09	77,63		
Учет затухания звука в атмосфере Aatm, дБ		ф-ла (8) [10]	0	0	0,1	0,2	0,5	1	1,7	4,4	14,9		
Снижение уровня звукового давления из-за влияния застройки между источником шума и расчетной точкой													
Снижение уровня звукового давления на пути над экраном, Dz1, дБ	z = 1.07м (разность путей)	ф-лы (14-18) [10]	7,8	10,3	13,9	17,7	21,1	24,1	27,2	30,2	33,2		
Снижение уровня звукового давления на пути слева от экрана, Dz2, дБ	z = 86.15м (разность путей)	ф-лы (14-18) [10]	25,4	29,1	33,4	37,8	41,5	44,8	47,8	50,8	53,9		
Снижение уровня звукового давления на пути справа от экрана, Dz3, дБ	z = 14.02м (разность путей)	ф-лы (14-18) [10]	17,4	20,3	23,2	26,2	29,2	32,2	35,2	38,2	41,2		
Общее снижение уровня звука препятствием Dz, дБ		Эн.сумма(-Dzi)	7,3	9,8	13,4	17,1	20,4	23,5	26,5	29,5	32,5		
Общее снижение уровня звука препятствием с учётом ограничения (25 дБ) для октавных полос Dz, дБ		Раздел 7.4 [10]	7,3	9,8	13,4	17,1	20,4	23,5	25	25	25		

1		2	3	4	5	6	7	8	9	10	11	12	13
Уровни звукового давления прямого звука от источника ИШ-1-7 в расчётной точке днём, дБ		**ф-ла(3)[10]**	**0**	**29,8**	**27,6**	**25**	**21,7**	**17,8**	**12,2**	**5,3**	**0**	**23,4**	**23,4**
Расчёт отражённого звука													
Уровни звукового давления от мнимого источника ИШ-1-7_мн.(1) в расчётной точке днём, дБ		**ф-ла(3)[10]**	**0**	**0**	**0**	**0**	**0**	**0**	**2,6**	**0**	**0**	**3,8**	**3,8**
Уровни звукового давления от мнимого источника ИШ-1-7_мн.(2) в расчётной точке днём, дБ		**ф-ла(3)[10]**	**0**	**0**	**0**	**0**	**0**	**17**	**9,8**	**1,5**	**0**	**18,1**	**18,1**
Суммарные уровни звукового давления от мнимых источников в расчётной точке днём, дБ		**ф-ла (19) [1]**	**0**	**0**	**0**	**0**	**0**	**17**	**10,5**	**1,5**	**0**	**0**	**18,3**
Уровни звукового давления от источника ИШ-1-7 в расчётной точке днём, дБ		**ф-ла(3)[10]**	**0**	**29,8**	**27,6**	**25**	**21,7**	**20,4**	**14,5**	**6,8**	**0**	**24,5**	**24,5**
Источник шума: ИШ-1-8, координаты источника (x,y,z), м =[454.99,145.29,1.00]													
Уровни звуковой мощности источника днём, Lw, дБ		**исходные данные**	**0**	**93,3**	**94,7**	**96**	**96,3**	**95,9**	**92,6**	**88,4**	**83,9**		
Поправка на телесный угол DΩ, дБ	Ω = 6.28	10Lg(4π/Ω)	**3**	3	3	3	3	3	3	3	3		
Показатель направленности источника Di, дБ		исходные данные	**0**	0	0	0	0	0	0	0	0		
Поправка на направленность источника Dc, дБ	Dc	DΩ + Di	**3**	3	3	3	3	3	3	3	3		
Затухание из-за геометрической дивергенции, Adiv, дБ	расстояние = 188.89 м	ф-ла (7) [10]	**56,5**										
Коэффициент затухания звука в атмосфере α, дБ/км	Ta=20,°C Pa=101.33,кПа hотн.=70%	ф-ла (5) [9]	0,02	0,09	0,33	1,12	2,79	4,98	9,04	23,09	77,63		
Учет затухания звука в атмосфере Aatm, дБ		ф-ла (8) [10]	0	0	0,1	0,2	0,5	0,9	1,7	4,4	14,7		
Снижение уровня звукового давления из-за влияния застройки между источником шума и расчетной точкой													
Снижение уровня звукового давления на пути над экраном, Dz1, дБ	z = 1.13м (разность путей)	ф-лы (14-18) [10]	8	10,5	14,2	18	21,4	24,5	27,5	30,5	33,5		

1		2	3	4	5	6	7	8	9	10	11	12	13
Снижение уровня звукового давления на пути слева от экрана, Dz2, дБ	z = 87.15м (разность путей)	ф-лы (14-18) [10]	25,4	29,1	33,5	37,9	41,6	44,8	47,9	50,9	53,9		
Снижение уровня звукового давления на пути справа от экрана, Dz3, дБ	z = 15.08м (разность путей)	ф-лы (14-18) [10]	17,7	20,6	23,5	26,5	29,5	32,5	35,5	38,5	41,5		
Общее снижение уровня звука препятствием Dz, дБ		Эн.сумма(-Dzi)	7,5	10	13,7	17,4	20,7	23,8	26,8	29,8	32,8		
Общее снижение уровня звука препятствием с учётом ограничения (25 дБ) для октавных полос Dz, дБ		Раздел 7.4 [10]	7,5	10	13,7	17,4	20,7	23,8	25	25	25		
Уровни звукового давления прямого звука от источника ИШ-1-8 в расчётной точке днём, дБ		**ф-ла(3)[10]**	**0**	**29,7**	**27,4**	**24,8**	**21,5**	**17,6**	**12,4**	**5,5**	**0**	**23,2**	**23,2**
Расчёт отражённого звука													
Уровни звукового давления от мнимого источника ИШ-1-8_мн.(1) в расчётной точке днём, дБ		**ф-ла(3)[10]**	**0**	**0**	**0**	**0**	**0**	**0**	**2,7**	**0**	**0**	**3,9**	**3,9**
Уровни звукового давления от мнимого источника ИШ-1-8_мн.(2) в расчётной точке днём, дБ		**ф-ла(3)[10]**	**0**	**0**	**0**	**0**	**0**	**17**	**9,7**	**1,4**	**0**	**18,1**	**18,1**
Суммарные уровни звукового давления от мнимых источников в расчётной точке днём, дБ		**ф-ла (19) [1]**	**0**	**0**	**0**	**0**	**0**	**17**	**10,5**	**1,4**	**0**	**0**	**18,2**
Уровни звукового давления от источника ИШ-1-8 в расчётной точке днём, дБ		**ф-ла(3)[10]**	**0**	**29,7**	**27,4**	**24,8**	**21,5**	**20,3**	**14,5**	**6,9**	**0**	**24,4**	**24,4**
Источник шума: ИШ-1-9, координаты источника (x,y,z), м =[458.12,144.31,1.00]													
Уровни звуковой мощности источника днём, Lw, дБ		**исходные данные**	**0**	**93,3**	**94,7**	**96**	**96,3**	**95,9**	**92,6**	**88,4**	**83,9**		
Поправка на телесный угол DΩ, дБ	Ω = 6.28	10Lg(4π/Ω)	**3**	3	3	3	3	3	3	3	3		
Показатель направленности источника Di, дБ		исходные данные	**0**	0	0	0	0	0	0	0	0		
Поправка на направленность источника Dc, дБ	Dc	DΩ + Di	**3**	3	3	3	3	3	3	3	3		
Затухание из-за геометрической дивергенции, Adiv, дБ	расстояние = 186.42 м	ф-ла (7) [10]	**56,4**										
Коэффициент затухания звука в атмосфере α, дБ/км	Ta=20,°C Pa=101.33,кПа hотн.=70%	ф-ла (5) [9]	0,02	0,09	0,33	1,12	2,79	4,98	9,04	23,09	77,63		

1		2	3	4	5	6	7	8	9	10	11	12	13
Учет затухания звука в атмосфере Aatm, дБ		ф-ла (8) [10]	0	0	0,1	0,2	0,5	0,9	1,7	4,3	14,5		
Снижение уровня звукового давления из-за влияния застройки между источником шума и расчетной точкой													
Снижение уровня звукового давления на пути над экраном, Dz1, дБ	z = 1.19м (разность путей)	ф-лы (14-18) [10]	8,2	10,8	14,5	18,4	21,7	24,8	27,8	30,9	33,9		
Снижение уровня звукового давления на пути слева от экрана, Dz2, дБ	z = 87.69м (разность путей)	ф-лы (14-18) [10]	25,5	29,1	33,5	37,9	41,6	44,8	47,9	50,9	53,9		
Снижение уровня звукового давления на пути справа от экрана, Dz3, дБ	z = 16.27м (разность путей)	ф-лы (14-18) [10]	18	20,9	23,8	26,8	29,8	32,8	35,8	38,8	41,9		
Общее снижение уровня звука препятствием Dz, дБ		Эн.сумма(-Dzi)	7,7	10,3	14	17,8	21,1	24,1	27,2	30,2	33,2		
Общее снижение уровня звука препятствием с учётом ограничения (25 дБ) для октавных полос Dz, дБ		Раздел 7.4 [10]	7,7	10,3	14	17,8	21,1	24,1	25	25	25		
Уровни звукового давления прямого звука от источника ИШ-1-9 в расчётной точке днём, дБ		**ф-ла(3)[10]**	**0**	**29,5**	**27,2**	**24,6**	**21,3**	**17,4**	**12,5**	**5,7**	**0**	**23,1**	**23,1**
Расчёт отражённого звука													
Уровни звукового давления от мнимого источника ИШ-1-9_мн.(1) в расчётной точке днём, дБ		**ф-ла(3)[10]**	**0**	**0**	**0**	**0**	**0**	**0**	**2,7**	**0**	**0**	**3,9**	**3,9**
Уровни звукового давления от мнимого источника ИШ-1-9_мн.(2) в расчётной точке днём, дБ		**ф-ла(3)[10]**	**0**	**0**	**0**	**0**	**0**	**16,9**	**9,6**	**1,2**	**0**	**18**	**18**
Суммарные уровни звукового давления от мнимых источников в расчётной точке днём, дБ		**ф-ла (19) [1]**	**0**	**0**	**0**	**0**	**0**	**16,9**	**10,4**	**1,2**	**0**	**0**	**18,2**
Уровни звукового давления от источника ИШ-1-9 в расчётной точке днём, дБ		**ф-ла(3)[10]**	**0**	**29,5**	**27,2**	**24,6**	**21,3**	**20,2**	**14,6**	**7**	**0**	**24,3**	**24,3**
Источник шума: ИШ-1-10, координаты источника (x,y,z), м =[461.05,143.53,1.00]													
Уровни звуковой мощности источника днём, Lw, дБ		**исходные данные**	**0**	**93,3**	**94,7**	**96**	**96,3**	**95,9**	**92,6**	**88,4**	**83,9**		
Поправка на телесный угол DΩ, дБ	Ω = 6.28	10Lg(4π/Ω)	**3**	3	3	3	3	3	3	3	3		
Показатель направленности источника Di, дБ		исходные данные	**0**	0	0	0	0	0	0	0	0		

1		2	3	4	5	6	7	8	9	10	11	12	13
Поправка на направленность источника Dc, дБ	Dc	DΩ + Di	**3**	3	3	3	3	3	3	3	3		
Затухание из-за геометрической дивергенции, Adiv, дБ	расстояние = 184.23 м	ф-ла (7) [10]	**56,3**										
Коэффициент затухания звука в атмосфере α, дБ/км	Ta=20,°C Pa=101.33,кПа hотн.=70%	ф-ла (5) [9]	0,02	0,09	0,33	1,12	2,79	4,98	9,04	23,09	77,63		
Учет затухания звука в атмосфере Aatm, дБ		ф-ла (8) [10]	0	0	0,1	0,2	0,5	0,9	1,7	4,3	14,3		
Снижение уровня звукового давления из-за влияния застройки между источником шума и расчетной точкой													
Снижение уровня звукового давления на пути над экраном, Dz1, дБ	z = 1.26м (разность путей)	ф-лы (14-18) [10]	8,4	11,1	14,8	18,7	22,1	25,2	28,2	31,2	34,2		
Снижение уровня звукового давления на пути слева от экрана, Dz2, дБ	z = 88.07м (разность путей)	ф-лы (14-18) [10]	25,5	29,2	33,5	37,9	41,6	44,8	47,9	50,9	54		
Снижение уровня звукового давления на пути справа от экрана, Dz3, дБ	z = 17.48м (разность путей)	ф-лы (14-18) [10]	18,3	21,2	24,2	27,1	30,1	33,1	36,1	39,2	42,2		
Общее снижение уровня звука препятствием Dz, дБ		Эн.сумма(-Dzi)	7,9	10,6	14,3	18,1	21,4	24,5	27,5	30,5	33,5		
Общее снижение уровня звука препятствием с учётом ограничения (25 дБ) для октавных полос Dz, дБ		Раздел 7.4 [10]	7,9	10,6	14,3	18,1	21,4	24,5	25	25	25		
Уровни звукового давления прямого звука от источника ИШ-1-10 в расчётной точке днём, дБ		**ф-ла(3)[10]**	**0**	**29,4**	**27**	**24,4**	**21,1**	**17,2**	**12,6**	**5,8**	**0**	**22,9**	**22,9**
Расчёт отражённого звука													
Уровни звукового давления от мнимого источника ИШ-1-10_мн.(1) в расчётной точке днём, дБ		**ф-ла(3)[10]**	**0**	**0**	**0**	**0**	**0**	**0**	**2,7**	**0**	**0**	**3,9**	**3,9**
Уровни звукового давления от мнимого источника ИШ-1-10_мн.(2) в расчётной точке днём, дБ		**ф-ла(3)[10]**	**0**	**0**	**0**	**0**	**0**	**16,9**	**9,6**	**1,1**	**0**	**17,9**	**17,9**
Суммарные уровни звукового давления от мнимых источников в расчётной точке днём, дБ		**ф-ла (19) [1]**	**0**	**0**	**0**	**0**	**0**	**16,9**	**10,4**	**1,1**	**0**	**0**	**18,1**
Уровни звукового давления от источника ИШ-1-10 в расчётной точке днём, дБ		**ф-ла(3)[10]**	**0**	**29,4**	**27**	**24,4**	**21,1**	**20**	**14,7**	**7,1**	**0**	**24,1**	**24,1**

1		2	3	4	5	6	7	8	9	10	11	12	13
Источник шума: ИШ-1-11, координаты источника (x,y,z), м =[464.18,142.55,1.00]													
Уровни звуковой мощности источника днём, Lw, дБ		**исходные данные**	**0**	**93,3**	**94,7**	**96**	**96,3**	**95,9**	**92,6**	**88,4**	**83,9**		
Поправка на телесный угол DΩ, дБ	Ω = 6.28	10Lg(4π/Ω)	**3**	3	3	3	3	3	3	3	3		
Показатель направленности источника Di, дБ		исходные данные	**0**	0	0	0	0	0	0	0	0		
Поправка на направленность источника Dc, дБ	Dc	DΩ + Di	**3**	3	3	3	3	3	3	3	3		
Затухание из-за геометрической дивергенции, Adiv, дБ	расстояние = 181.81 м	ф-ла (7) [10]	**56,2**										
Коэффициент затухания звука в атмосфере α, дБ/км	Ta=20,°C Pa=101.33,кПа hотн.=70%	ф-ла (5) [9]	0,02	0,09	0,33	1,12	2,79	4,98	9,04	23,09	77,63		
Учет затухания звука в атмосфере Aatm, дБ		ф-ла (8) [10]	0	0	0,1	0,2	0,5	0,9	1,6	4,2	14,1		
Снижение уровня звукового давления из-за влияния застройки между источником шума и расчетной точкой													
Снижение уровня звукового давления на пути над экраном, Dz1, дБ	z = 1.36м (разность путей)	ф-лы (14-18) [10]	8,6	11,4	15,2	19,1	22,5	25,6	28,6	31,6	34,6		
Снижение уровня звукового давления на пути слева от экрана, Dz2, дБ	z = 88.79м (разность путей)	ф-лы (14-18) [10]	25,5	29,2	33,6	38	41,7	44,9	48	51	54		
Снижение уровня звукового давления на пути справа от экрана, Dz3, дБ	z = 18.83м (разность путей)	ф-лы (14-18) [10]	18,6	21,5	24,5	27,5	30,5	33,5	36,5	39,5	42,5		
Общее снижение уровня звука препятствием Dz, дБ		Эн.сумма(-Dzi)	8,1	10,9	14,7	18,5	21,8	24,9	27,9	30,9	33,9		
Общее снижение уровня звука препятствием с учётом ограничения (25 дБ) для октавных полос Dz, дБ		Раздел 7.4 [10]	8,1	10,9	14,7	18,5	21,8	24,9	25	25	25		
Уровни звукового давления прямого звука от источника ИШ-1-11 в расчётной точке днём, дБ		**ф-ла(3)[10]**	**0**	**29,2**	**26,7**	**24,1**	**20,8**	**16,9**	**12,8**	**6**	**0**	**22,7**	**22,7**
Расчёт отражённого звука													

1		2	3	4	5	6	7	8	9	10	11	12	13
Уровни звукового давления от мнимого источника ИШ-1-11_мн.(1) в расчётной точке днём, дБ		**ф-ла(3)[10]**	**0**	**0**	**0**	**0**	**0**	**16,8**	**9,5**	**0,9**	**0**	**17,9**	**17,9**
Уровни звукового давления от источника ИШ-1-11 в расчётной точке днём, дБ		**ф-ла(3)[10]**	**0**	**29,2**	**26,7**	**24,1**	**20,8**	**19,9**	**14,4**	**7,2**	**0**	**23,9**	**23,9**
Источник шума: ИШ-1-12, координаты источника (x,y,z), м =[435.45,97.79,1.00]													
Уровни звуковой мощности источника днём, Lw, дБ		**исходные данные**	**0**	**93,3**	**94,7**	**96**	**96,3**	**95,9**	**92,6**	**88,4**	**83,9**		
Поправка на телесный угол DΩ, дБ	Ω = 6.28	10Lg(4π/Ω)	**3**	3	3	3	3	3	3	3	3		
Показатель направленности источника Di, дБ		исходные данные	**0**	0	0	0	0	0	0	0	0		
Поправка на направленность источника Dc, дБ	Dc	DΩ + Di	**3**	3	3	3	3	3	3	3	3		
Затухание из-за геометрической дивергенции, Adiv, дБ	расстояние = 164.36 м	ф-ла (7) [10]	**55,3**										
Коэффициент затухания звука в атмосфере α, дБ/км	Ta=20,°C Pa=101.33,кПа hотн.=70%	ф-ла (5) [9]	0,02	0,09	0,33	1,12	2,79	4,98	9,04	23,09	77,63		
Учет затухания звука в атмосфере Aatm, дБ		ф-ла (8) [10]	0	0	0,1	0,2	0,5	0,8	1,5	3,8	12,8		
Снижение уровня звукового давления из-за влияния застройки между источником шума и расчетной точкой													
Снижение уровня звукового давления на пути над экраном, Dz1, дБ	z = 1.24м (разность путей)	ф-лы (14-18) [10]	8,3	10,8	14,5	18,6	22,1	25,2	28,2	31,3	34,3		
Снижение уровня звукового давления на пути слева от экрана, Dz2, дБ	z = 158.50м (разность путей)	ф-лы (14-18) [10]	28	31,7	36,1	40,5	44,2	47,4	50,5	53,5	56,5		
Снижение уровня звукового давления на пути справа от экрана, Dz3, дБ	z = 1.25м (разность путей)	ф-лы (14-18) [10]	8,8	10,9	13,3	16	18,8	21,7	24,7	27,7	30,7		
Общее снижение уровня звука препятствием Dz, дБ		Эн.сумма(-Dzi)	5,5	7,8	10,8	14,1	17,1	20,1	23,1	26,1	29,1		
Общее снижение уровня звука препятствием с учётом ограничения (25 дБ) для октавных полос Dz, дБ		Раздел 7.4 [10]	5,5	7,8	10,8	14,1	17,1	20,1	23,1	25	25		

1		2	3	4	5	6	7	8	9	10	11	12	13
Уровни звукового давления прямого звука от источника ИШ-1-12 в расчётной точке днём, дБ		**ф-ла(3)[10]**	**0**	**33,1**	**31,5**	**29,4**	**26,4**	**22,6**	**15,7**	**7,3**	**0**	**27,8**	**27,8**
Расчёт отражённого звука													
Уровни звукового давления от мнимого источника ИШ-1-12_мн.(1) в расчётной точке днём, дБ		**ф-ла(3)[10]**	**0**	**0**	**0**	**0**	**0**	**0**	**4,1**	**0**	**0**	**5,3**	**5,3**
Уровни звукового давления от мнимого источника ИШ-1-12_мн.(2) в расчётной точке днём, дБ		**ф-ла(3)[10]**	**0**	**0**	**0**	**0**	**26,7**	**36,6**	**35,1**	**27,9**	**11,7**	**39,9**	**39,9**
Суммарные уровни звукового давления от мнимых источников в расчётной точке днём, дБ		**ф-ла (19) [1]**	**0**	**0**	**0**	**0**	**26,7**	**36,6**	**35,1**	**27,9**	**11,7**	**0**	**39,9**
Уровни звукового давления от источника ИШ-1-12 в расчётной точке днём, дБ		**ф-ла(3)[10]**	**0**	**33,1**	**31,5**	**29,4**	**29,5**	**36,8**	**35,1**	**27,9**	**11,7**	**40,2**	**40,2**
Источник шума: ИШ-1-13, координаты источника (x,y,z), м =[438.77,96.82,1.00]													
Уровни звуковой мощности источника днём, Lw, дБ		**исходные данные**	**0**	**93,3**	**94,7**	**96**	**96,3**	**95,9**	**92,6**	**88,4**	**83,9**		
Поправка на телесный угол DΩ, дБ	Ω = 6.28	10Lg(4π/Ω)	**3**	3	3	3	3	3	3	3	3		
Показатель направленности источника Di, дБ		исходные данные	**0**	0	0	0	0	0	0	0	0		
Поправка на направленность источника Dc, дБ	Dc	DΩ + Di	**3**	3	3	3	3	3	3	3	3		
Затухание из-за геометрической дивергенции, Adiv, дБ	расстояние = 161.28 м	ф-ла (7) [10]	**55,2**										
Коэффициент затухания звука в атмосфере α, дБ/км	Ta=20,°C Pa=101.33,кПа hотн.=70%	ф-ла (5) [9]	0,02	0,09	0,33	1,12	2,79	4,98	9,04	23,09	77,63		
Учет затухания звука в атмосфере Aatm, дБ		ф-ла (8) [10]	0	0	0,1	0,2	0,5	0,8	1,5	3,7	12,5		
Снижение уровня звукового давления из-за влияния застройки между источником шума и расчетной точкой													
Снижение уровня звукового давления на пути над экраном, Dz1, дБ	z = 1.32м (разность путей)	ф-лы (14-18) [10]	8,5	11,1	14,8	18,9	22,4	25,5	28,6	31,6	34,6		

1		2	3	4	5	6	7	8	9	10	11	12	13
Снижение уровня звукового давления на пути слева от экрана, Dz2, дБ	z = 160.22м (разность путей)	ф-лы (14-18) [10]	28,1	31,8	36,1	40,5	44,2	47,4	50,5	53,5	56,6		
Снижение уровня звукового давления на пути справа от экрана, Dz3, дБ	z = 1.63м (разность путей)	ф-лы (14-18) [10]	9,6	11,8	14,3	17,1	19,9	22,9	25,9	28,9	31,9		
Общее снижение уровня звука препятствием Dz, дБ		Эн.сумма(-Dzi)	6	8,4	11,5	14,9	18	21	24	27	30		
Общее снижение уровня звука препятствием с учётом ограничения (25 дБ) для октавных полос Dz, дБ		Раздел 7.4 [10]	6	8,4	11,5	14,9	18	21	24	25	25		
Уровни звукового давления прямого звука от источника ИШ-1-13 в расчётной точке днём, дБ		**ф-ла(3)[10]**	**0**	**32,7**	**30,9**	**28,8**	**25,7**	**21,9**	**15**	**7,5**	**0**	**27,2**	**27,2**
Расчёт отражённого звука													
Уровни звукового давления от мнимого источника ИШ-1-13_мн.(1) в расчётной точке днём, дБ		**ф-ла(3)[10]**	**0**	**0**	**0**	**0**	**0**	**0**	**4,1**	**0**	**0**	**5,3**	**5,3**
Уровни звукового давления от мнимого источника ИШ-1-13_мн.(2) в расчётной точке днём, дБ		**ф-ла(3)[10]**	**0**	**0**	**0**	**0**	**26,5**	**36,5**	**34,9**	**27,7**	**11,3**	**39,8**	**39,8**
Суммарные уровни звукового давления от мнимых источников в расчётной точке днём, дБ		**ф-ла (19) [1]**	**0**	**0**	**0**	**0**	**26,5**	**36,5**	**34,9**	**27,7**	**11,3**	**0**	**39,8**
Уровни звукового давления от источника ИШ-1-13 в расчётной точке днём, дБ		**ф-ла(3)[10]**	**0**	**32,7**	**30,9**	**28,8**	**29,1**	**36,6**	**35**	**27,7**	**11,3**	**40**	**40**
Источник шума: ИШ-1-14, координаты источника (x,y,z), м =[441.70,96.03,1.00]													
Уровни звуковой мощности источника днём, Lw, дБ		**исходные данные**	**0**	**93,3**	**94,7**	**96**	**96,3**	**95,9**	**92,6**	**88,4**	**83,9**		
Поправка на телесный угол DΩ, дБ	Ω = 6.28	10Lg(4π/Ω)	**3**	3	3	3	3	3	3	3	3		
Показатель направленности источника Di, дБ		исходные данные	**0**	0	0	0	0	0	0	0	0		
Поправка на направленность источника Dc, дБ	Dc	DΩ + Di	**3**	3	3	3	3	3	3	3	3		
Затухание из-за геометрической дивергенции, Adiv, дБ	расстояние = 158.63 м	ф-ла (7) [10]	**55**										
Коэффициент затухания звука в атмосфере α, дБ/км	Ta=20,°C Pa=101.33,кПа hотн.=70%	ф-ла (5) [9]	0,02	0,09	0,33	1,12	2,79	4,98	9,04	23,09	77,63		

1		2	3	4	5	6	7	8	9	10	11	12	13
Учет затухания звука в атмосфере Aatm, дБ		ф-ла (8) [10]	0	0	0,1	0,2	0,4	0,8	1,4	3,7	12,3		
Снижение уровня звукового давления из-за влияния застройки между источником шума и расчетной точкой													
Снижение уровня звукового давления на пути над экраном, Dz1, дБ	z = 1.39м (разность путей)	ф-лы (14-18) [10]	8,7	11,4	15,1	19,2	22,7	25,9	28,9	31,9	34,9		
Снижение уровня звукового давления на пути слева от экрана, Dz2, дБ	z = 161.68м (разность путей)	ф-лы (14-18) [10]	28,1	31,8	36,2	40,6	44,3	47,5	50,6	53,6	56,6		
Снижение уровня звукового давления на пути справа от экрана, Dz3, дБ	z = 2.05м (разность путей)	ф-лы (14-18) [10]	10,2	12,6	15,2	18	20,9	23,9	26,9	29,8	32,9		
Общее снижение уровня звука препятствием Dz, дБ		Эн.сумма(-Dzi)	6,4	8,9	12,1	15,5	18,7	21,7	24,7	27,7	30,7		
Общее снижение уровня звука препятствием с учётом ограничения (25 дБ) для октавных полос Dz, дБ		Раздел 7.4 [10]	6,4	8,9	12,1	15,5	18,7	21,7	24,7	25	25		
Уровни звукового давления прямого звука от источника ИШ-1-14 в расчётной точке днём, дБ		**ф-ла(3)[10]**	**0**	**32,4**	**30,5**	**28,3**	**25,1**	**21,4**	**14,4**	**7,7**	**0**	**26,6**	**26,6**
Расчёт отражённого звука													
Уровни звукового давления от мнимого источника ИШ-1-14_мн.(1) в расчётной точке днём, дБ		**ф-ла(3)[10]**	**0**	**0**	**0**	**0**	**0**	**0**	**4,2**	**0**	**0**	**5,4**	**5,4**
Уровни звукового давления от мнимого источника ИШ-1-14_мн.(2) в расчётной точке днём, дБ		**ф-ла(3)[10]**	**0**	**0**	**0**	**0**	**26,4**	**36,4**	**34,8**	**27,5**	**11**	**39,6**	**39,6**
Суммарные уровни звукового давления от мнимых источников в расчётной точке днём, дБ		**ф-ла (19) [1]**	**0**	**0**	**0**	**0**	**26,4**	**36,4**	**34,8**	**27,5**	**11**	**0**	**39,6**
Уровни звукового давления от источника ИШ-1-14 в расчётной точке днём, дБ		**ф-ла(3)[10]**	**0**	**32,4**	**30,5**	**28,3**	**28,8**	**36,5**	**34,8**	**27,5**	**11**	**39,9**	**39,9**
Источник шума: ИШ-1-15, координаты источника (x,y,z), м =[445.03,95.25,1.00]													
Уровни звуковой мощности источника днём, Lw, дБ		**исходные данные**	**0**	**93,3**	**94,7**	**96**	**96,3**	**95,9**	**92,6**	**88,4**	**83,9**		
Поправка на телесный угол DΩ, дБ	Ω = 6.28	10Lg(4π/Ω)	**3**	3	3	3	3	3	3	3	3		
Показатель направленности источника Di, дБ		исходные данные	**0**	0	0	0	0	0	0	0	0		

1		2	3	4	5	6	7	8	9	10	11	12	13
Поправка на направленность источника Dc, дБ	Dc	DΩ + Di	**3**	3	3	3	3	3	3	3	3		
Затухание из-за геометрической дивергенции, Adiv, дБ	расстояние = 155.72 м	ф-ла (7) [10]	**54,8**										
Коэффициент затухания звука в атмосфере α, дБ/км	Ta=20,°C Pa=101.33,кПа hотн.=70%	ф-ла (5) [9]	0,02	0,09	0,33	1,12	2,79	4,98	9,04	23,09	77,63		
Учет затухания звука в атмосфере Aatm, дБ		ф-ла (8) [10]	0	0	0,1	0,2	0,4	0,8	1,4	3,6	12,1		
Снижение уровня звукового давления из-за влияния застройки между источником шума и расчетной точкой													
Снижение уровня звукового давления на пути над экраном, Dz1, дБ	z = 1.49м (разность путей)	ф-лы (14-18) [10]	8,9	11,7	15,5	19,6	23,1	26,2	29,3	32,3	35,3		
Снижение уровня звукового давления на пути слева от экрана, Dz2, дБ	z = 163.25м (разность путей)	ф-лы (14-18) [10]	28,1	31,8	36,2	40,6	44,3	47,5	50,6	53,6	56,6		
Снижение уровня звукового давления на пути справа от экрана, Dz3, дБ	z = 2.64м (разность путей)	ф-лы (14-18) [10]	11,1	13,5	16,2	19,1	22	25	28	31	34		
Общее снижение уровня звука препятствием Dz, дБ		Эн.сумма(-Dzi)	6,8	9,5	12,8	16,3	19,5	22,5	25,5	28,5	31,6		
Общее снижение уровня звука препятствием с учётом ограничения (25 дБ) для октавных полос Dz, дБ		Раздел 7.4 [10]	6,8	9,5	12,8	16,3	19,5	22,5	25	25	25		
Уровни звукового давления прямого звука от источника ИШ-1-15 в расчётной точке днём, дБ		**ф-ла(3)[10]**	**0**	**32**	**30**	**27,7**	**24,5**	**20,7**	**14,3**	**8**	**0**	**26,1**	**26,1**
Расчёт отражённого звука													
Уровни звукового давления от мнимого источника ИШ-1-15_мн.(1) в расчётной точке днём, дБ		**ф-ла(3)[10]**	**0**	**0**	**0**	**0**	**0**	**0**	**4,2**	**0**	**0**	**5,4**	**5,4**
Уровни звукового давления от мнимого источника ИШ-1-15_мн.(2) в расчётной точке днём, дБ		**ф-ла(3)[10]**	**0**	**0**	**0**	**0**	**26,2**	**36,2**	**34,6**	**27,3**	**10,6**	**39,5**	**39,5**
Суммарные уровни звукового давления от мнимых источников в расчётной точке днём, дБ		**ф-ла (19) [1]**	**0**	**0**	**0**	**0**	**26,2**	**36,2**	**34,6**	**27,3**	**10,6**	**0**	**39,5**
Уровни звукового давления от источника ИШ-1-15 в расчётной точке днём, дБ		**ф-ла(3)[10]**	**0**	**32**	**30**	**27,7**	**28,5**	**36,3**	**34,7**	**27,3**	**10,6**	**39,7**	**39,7**

1		2	3	4	5	6	7	8	9	10	11	12	13
Источник шума: ИШ-1-16, координаты источника (x,y,z), м =[447.96,94.28,1.00]													
Уровни звуковой мощности источника днём, Lw, дБ		**исходные данные**	**0**	**93,3**	**94,7**	**96**	**96,3**	**95,9**	**92,6**	**88,4**	**83,9**		
Поправка на телесный угол DΩ, дБ	Ω = 6.28	10Lg(4π/Ω)	**3**	3	3	3	3	3	3	3	3		
Показатель направленности источника Di, дБ		исходные данные	**0**	0	0	0	0	0	0	0	0		
Поправка на направленность источника Dc, дБ	Dc	DΩ + Di	**3**	3	3	3	3	3	3	3	3		
Затухание из-за геометрической дивергенции, Adiv, дБ	расстояние = 152.96 м	ф-ла (7) [10]	**54,7**										
Коэффициент затухания звука в атмосфере α, дБ/км	Ta=20,°C Pa=101.33,кПа hотн.=70%	ф-ла (5) [9]	0,02	0,09	0,33	1,12	2,79	4,98	9,04	23,09	77,63		
Учет затухания звука в атмосфере Aatm, дБ		ф-ла (8) [10]	0	0	0,1	0,2	0,4	0,8	1,4	3,5	11,9		
Снижение уровня звукового давления из-за влияния застройки между источником шума и расчетной точкой													
Снижение уровня звукового давления на пути над экраном, Dz1, дБ	z = 1.61м (разность путей)	ф-лы (14-18) [10]	9,2	12	15,9	20	23,5	26,6	29,7	32,7	35,7		
Снижение уровня звукового давления на пути слева от экрана, Dz2, дБ	z = 165.13м (разность путей)	ф-лы (14-18) [10]	28,2	31,9	36,3	40,7	44,4	47,6	50,6	53,7	56,7		
Снижение уровня звукового давления на пути справа от экрана, Dz3, дБ	z = 3.22м (разность путей)	ф-лы (14-18) [10]	11,7	14,3	17	19,9	22,8	25,8	28,8	31,8	34,8		
Общее снижение уровня звука препятствием Dz, дБ		Эн.сумма(-Dzi)	7,2	10	13,4	16,9	20,1	23,2	26,2	29,2	32,2		
Общее снижение уровня звука препятствием с учётом ограничения (25 дБ) для октавных полос Dz, дБ		Раздел 7.4 [10]	7,2	10	13,4	16,9	20,1	23,2	25	25	25		
Уровни звукового давления прямого звука от источника ИШ-1-16 в расчётной точке днём, дБ		**ф-ла(3)[10]**	**0**	**31,6**	**29,6**	**27,2**	**24**	**20,3**	**14,5**	**8,2**	**0**	**25,7**	**25,7**
Расчёт отражённого звука													

1		2	3	4	5	6	7	8	9	10	11	12	13
Уровни звукового давления от мнимого источника ИШ-1-16_мн.(1) в расчётной точке днём, дБ		**ф-ла(3)[10]**	**0**	**0**	**0**	**0**	**0**	**0**	**4,3**	**0**	**0**	**5,5**	**5,5**
Уровни звукового давления от мнимого источника ИШ-1-16_мн.(2) в расчётной точке днём, дБ		**ф-ла(3)[10]**	**0**	**0**	**0**	**0**	**26,1**	**36,1**	**34,5**	**27,1**	**10,3**	**39,3**	**39,3**
Суммарные уровни звукового давления от мнимых источников в расчётной точке днём, дБ		**ф-ла (19) [1]**	**0**	**0**	**0**	**0**	**26,1**	**36,1**	**34,5**	**27,1**	**10,3**	**0**	**39,3**
Уровни звукового давления от источника ИШ-1-16 в расчётной точке днём, дБ		**ф-ла(3)[10]**	**0**	**31,6**	**29,6**	**27,2**	**28,2**	**36,2**	**34,5**	**27,2**	**10,3**	**39,5**	**39,5**
Источник шума: ИШ-1-17, координаты источника (x,y,z), м =[540.99,141.77,1.00]													
Уровни звуковой мощности источника днём, Lw, дБ		**исходные данные**	**0**	**93,3**	**94,7**	**96**	**96,3**	**95,9**	**92,6**	**88,4**	**83,9**		
Поправка на телесный угол DΩ, дБ	Ω = 6.28	10Lg(4π/Ω)	**3**	3	3	3	3	3	3	3	3		
Показатель направленности источника Di, дБ		исходные данные	**0**	0	0	0	0	0	0	0	0		
Поправка на направленность источника Dc, дБ	Dc	DΩ + Di	**3**	3	3	3	3	3	3	3	3		
Затухание из-за геометрической дивергенции, Adiv, дБ	расстояние = 157.29 м	ф-ла (7) [10]	**54,9**										
Коэффициент затухания звука в атмосфере α, дБ/км	Ta=20,°C Pa=101.33,кПа hотн.=70%	ф-ла (5) [9]	0,02	0,09	0,33	1,12	2,79	4,98	9,04	23,09	77,63		
Учет затухания звука в атмосфере Aatm, дБ		ф-ла (8) [10]	0	0	0,1	0,2	0,4	0,8	1,4	3,6	12,2		
Снижение поверхностью земли возле источника As, дБ	Gs = 0 hs = 1м	ф-лы таб.3 [10]	-1,5	-1,5	-1,5	-1,5	-1,5	-1,5	-1,5	-1,5	-1,5		
Снижение поверхностью земли возле приёмника Ar, дБ	Gr = 1 hr = 1.5м	ф-лы таб.3 [10]	-1,5	-1,5	1	6,7	4,8	0,6	0	0	0		
Снижение поверхностью земли в средней зоне, Am дБ	Gm = 1	ф-лы таб.3 [10]	-1,6	-1,6	0	0	0	0	0	0	0		
Суммарное снижение поверхностью земли на траектории распространения звука Agr, дБ		ф-ла (9) [10]	-4,6	-4,6	-0,5	5,2	3,3	-0,9	-1,5	-1,5	-1,5		

1		2	3	4	5	6	7	8	9	10	11	12	13
Уровни звукового давления прямого звука от источника ИШ-1-17 в расчётной точке днём, дБ		**ф-ла(3)[10]**	**0**	**45,9**	**43,2**	**38,7**	**40,7**	**44**	**40,7**	**34,3**	**21,2**	**47,1**	**47,1**
Расчёт отражённого звука													
Уровни звукового давления от мнимого источника ИШ-1-17_мн.(1) в расчётной точке днём, дБ		**ф-ла(3)[10]**	**0**	**0**	**0**	**0**	**0**	**0**	**0**	**0**	**15,2**	**14,1**	**14,1**
Уровни звукового давления от мнимого источника ИШ-1-17_мн.(2) в расчётной точке днём, дБ		**ф-ла(3)[10]**	**0**	**44,9**	**39,9**	**28,5**	**29,6**	**39,5**	**38,1**	**31,7**	**18,5**	**43,1**	**43,1**
Суммарные уровни звукового давления от мнимых источников в расчётной точке днём, дБ		**ф-ла (19) [1]**	**0**	**44,9**	**39,9**	**28,5**	**29,6**	**39,5**	**38,1**	**31,7**	**20,2**	**0**	**43,1**
Уровни звукового давления от источника ИШ-1-17 в расчётной точке днём, дБ		**ф-ла(3)[10]**	**0**	**48,4**	**44,9**	**39,1**	**41**	**45,4**	**42,6**	**36,2**	**23,8**	**48,6**	**48,6**
Источник шума: ИШ-1-18, координаты источника (x,y,z), м =[543.53,140.79,1.00]													
Уровни звуковой мощности источника днём, Lw, дБ		**исходные данные**	**0**	**93,3**	**94,7**	**96**	**96,3**	**95,9**	**92,6**	**88,4**	**83,9**		
Поправка на телесный угол DΩ, дБ	Ω = 6.28	10Lg(4π/Ω)	**3**	3	3	3	3	3	3	3	3		
Показатель направленности источника Di, дБ		исходные данные	**0**	0	0	0	0	0	0	0	0		
Поправка на направленность источника Dc, дБ	Dc	DΩ + Di	**3**	3	3	3	3	3	3	3	3		
Затухание из-за геометрической дивергенции, Adiv, дБ	расстояние = 156.11 м	ф-ла (7) [10]	**54,9**										
Коэффициент затухания звука в атмосфере α, дБ/км	Ta=20,°C Pa=101.33,кПа hотн.=70%	ф-ла (5) [9]	0,02	0,09	0,33	1,12	2,79	4,98	9,04	23,09	77,63		
Учет затухания звука в атмосфере Aatm, дБ		ф-ла (8) [10]	0	0	0,1	0,2	0,4	0,8	1,4	3,6	12,1		
Снижение поверхностью земли возле источника As, дБ	Gs = 0 hs = 1м	ф-лы таб.3 [10]	-1,5	-1,5	-1,5	-1,5	-1,5	-1,5	-1,5	-1,5	-1,5		
Снижение поверхностью земли возле приёмника Ar, дБ	Gr = 1 hr = 1.5м	ф-лы таб.3 [10]	-1,5	-1,5	1	6,7	4,8	0,6	0	0	0		

1		2	3	4	5	6	7	8	9	10	11	12	13
Снижение поверхностью земли в средней зоне, Am дБ	Gm = 1	ф-лы таб.3 [10]	-1,6	-1,6	0	0	0	0	0	0	0		
Суммарное снижение поверхностью земли на траектории распространения звука Agr, дБ		ф-ла (9) [10]	-4,6	-4,6	-0,5	5,2	3,3	-0,9	-1,5	-1,5	-1,5		
Уровни звукового давления прямого звука от источника ИШ-1-18 в расчётной точке днём, дБ		**ф-ла(3)[10]**	**0**	**46**	**43,3**	**38,7**	**40,7**	**44,1**	**40,8**	**34,4**	**21,4**	**47,2**	**47,2**
Расчёт отражённого звука													
Уровни звукового давления от мнимого источника ИШ-1-18_мн.(1) в расчётной точке днём, дБ		**ф-ла(3)[10]**	**0**	**0**	**0**	**0**	**0**	**0**	**0**	**0**	**15**	**13,9**	**13,9**
Уровни звукового давления от мнимого источника ИШ-1-18_мн.(2) в расчётной точке днём, дБ		**ф-ла(3)[10]**	**0**	**44,9**	**40**	**28,6**	**29,7**	**39,6**	**38,2**	**31,8**	**18,7**	**43,2**	**43,2**
Суммарные уровни звукового давления от мнимых источников в расчётной точке днём, дБ		**ф-ла (19) [1]**	**0**	**44,9**	**40**	**28,6**	**29,7**	**39,6**	**38,2**	**31,8**	**20,2**	**0**	**43,2**
Уровни звукового давления от источника ИШ-1-18 в расчётной точке днём, дБ		**ф-ла(3)[10]**	**0**	**48,5**	**45**	**39,1**	**41,1**	**45,4**	**42,7**	**36,3**	**23,9**	**48,7**	**48,7**
Источник шума: ИШ-1-19, координаты источника (x,y,z), м =[547.25,139.62,1.00]													
Уровни звуковой мощности источника днём, Lw, дБ		**исходные данные**	**0**	**93,3**	**94,7**	**96**	**96,3**	**95,9**	**92,6**	**88,4**	**83,9**		
Поправка на телесный угол DΩ, дБ	Ω = 6.28	10Lg(4π/Ω)	**3**	3	3	3	3	3	3	3	3		
Показатель направленности источника Di, дБ		исходные данные	**0**	0	0	0	0	0	0	0	0		
Поправка на направленность источника Dc, дБ	Dc	DΩ + Di	**3**	3	3	3	3	3	3	3	3		
Затухание из-за геометрической дивергенции, Adiv, дБ	расстояние = 154.71 м	ф-ла (7) [10]	**54,8**										
Коэффициент затухания звука в атмосфере α, дБ/км	Ta=20,°C Pa=101.33,кПа hотн.=70%	ф-ла (5) [9]	0,02	0,09	0,33	1,12	2,79	4,98	9,04	23,09	77,63		
Учет затухания звука в атмосфере Aatm, дБ		ф-ла (8) [10]	0	0	0,1	0,2	0,4	0,8	1,4	3,6	12		

1		2	3	4	5	6	7	8	9	10	11	12	13
Снижение поверхностью земли возле источника As, дБ	Gs = 0 hs = 1м	ф-лы таб.3 [10]	-1,5	-1,5	-1,5	-1,5	-1,5	-1,5	-1,5	-1,5	-1,5		
Снижение поверхностью земли возле приёмника Ar, дБ	Gr = 1 hr = 1.5м	ф-лы таб.3 [10]	-1,5	-1,5	1	6,7	4,7	0,6	0	0	0		
Снижение поверхностью земли в средней зоне, Am дБ	Gm = 1	ф-лы таб.3 [10]	-1,5	-1,5	0	0	0	0	0	0	0		
Суммарное снижение поверхностью земли на траектории распространения звука Agr, дБ		ф-ла (9) [10]	-4,5	-4,5	-0,5	5,2	3,2	-0,9	-1,5	-1,5	-1,5		
Уровни звукового давления прямого звука от источника ИШ-1-19 в расчётной точке днём, дБ		**ф-ла(3)[10]**	**0**	**46**	**43,4**	**38,8**	**40,8**	**44,2**	**40,9**	**34,5**	**21,6**	**47,3**	**47,3**
Расчёт отражённого звука													
Уровни звукового давления от мнимого источника ИШ-1-19_мн.(1) в расчётной точке днём, дБ		**ф-ла(3)[10]**	**0**	**0**	**0**	**0**	**0**	**0**	**0**	**0**	**0**	**0**	**0**
Уровни звукового давления от мнимого источника ИШ-1-19_мн.(2) в расчётной точке днём, дБ		**ф-ла(3)[10]**	**0**	**45**	**40**	**28,7**	**29,8**	**39,7**	**38,3**	**31,9**	**18,9**	**43,2**	**43,2**
Суммарные уровни звукового давления от мнимых источников в расчётной точке днём, дБ		**ф-ла (19) [1]**	**0**	**45**	**40**	**28,7**	**29,8**	**39,7**	**38,3**	**31,9**	**18,9**	**0**	**43,2**
Уровни звукового давления от источника ИШ-1-19 в расчётной точке днём, дБ		**ф-ла(3)[10]**	**0**	**48,5**	**45**	**39,2**	**41,2**	**45,5**	**42,8**	**36,4**	**23,5**	**48,7**	**48,7**
Источник шума: ИШ-1-20, координаты источника (x,y,z), м =[550.38,138.64,1.00]													
Уровни звуковой мощности источника днём, Lw, дБ		**исходные данные**	**0**	**93,3**	**94,7**	**96**	**96,3**	**95,9**	**92,6**	**88,4**	**83,9**		
Поправка на телесный угол DΩ, дБ	Ω = 6.28	10Lg(4π/Ω)	**3**	3	3	3	3	3	3	3	3		
Показатель направленности источника Di, дБ		исходные данные	**0**	0	0	0	0	0	0	0	0		
Поправка на направленность источника Dc, дБ	Dc	DΩ + Di	**3**	3	3	3	3	3	3	3	3		
Затухание из-за геометрической дивергенции, Adiv, дБ	расстояние = 153.60 м	ф-ла (7) [10]	**54,7**										
Коэффициент затухания звука в атмосфере α, дБ/км	Ta=20,°C Pa=101.33,кПа hотн.=70%	ф-ла (5) [9]	0,02	0,09	0,33	1,12	2,79	4,98	9,04	23,09	77,63		

1		2	3	4	5	6	7	8	9	10	11	12	13
Учет затухания звука в атмосфере Aatm, дБ		ф-ла (8) [10]	0	0	0,1	0,2	0,4	0,8	1,4	3,5	11,9		
Снижение поверхностью земли возле источника As, дБ	Gs = 0 hs = 1м	ф-лы таб.3 [10]	-1,5	-1,5	-1,5	-1,5	-1,5	-1,5	-1,5	-1,5	-1,5		
Снижение поверхностью земли возле приёмника Ar, дБ	Gr = 1 hr = 1.5м	ф-лы таб.3 [10]	-1,5	-1,5	1	6,7	4,7	0,6	0	0	0		
Снижение поверхностью земли в средней зоне, Am дБ	Gm = 1	ф-лы таб.3 [10]	-1,5	-1,5	0	0	0	0	0	0	0		
Суммарное снижение поверхностью земли на траектории распространения звука Agr, дБ		ф-ла (9) [10]	-4,5	-4,5	-0,5	5,2	3,2	-0,9	-1,5	-1,5	-1,5		
Уровни звукового давления прямого звука от источника ИШ-1-20 в расчётной точке днём, дБ		**ф-ла(3)[10]**	**0**	**46,1**	**43,5**	**38,9**	**40,9**	**44,3**	**41**	**34,6**	**21,7**	**47,4**	**47,4**
Расчёт отражённого звука													
Уровни звукового давления от мнимого источника ИШ-1-20_мн.(1) в расчётной точке днём, дБ		**ф-ла(3)[10]**	**0**	**0**	**0**	**0**	**0**	**0**	**0**	**0**	**0**	**0**	**0**
Уровни звукового давления от мнимого источника ИШ-1-20_мн.(2) в расчётной точке днём, дБ		**ф-ла(3)[10]**	**0**	**45**	**40,1**	**28,8**	**29,9**	**39,7**	**38,4**	**32**	**19**	**43,3**	**43,3**
Суммарные уровни звукового давления от мнимых источников в расчётной точке днём, дБ		**ф-ла (19) [1]**	**0**	**45**	**40,1**	**28,8**	**29,9**	**39,7**	**38,4**	**32**	**19**	**0**	**43,3**
Уровни звукового давления от источника ИШ-1-20 в расчётной точке днём, дБ		**ф-ла(3)[10]**	**0**	**48,6**	**45,1**	**39,3**	**41,2**	**45,6**	**42,9**	**36,5**	**23,6**	**48,8**	**48,8**
Источник шума: ИШ-1-21, координаты источника (x,y,z), м =[553.31,137.67,1.00]													
Уровни звуковой мощности источника днём, Lw, дБ		**исходные данные**	**0**	**93,3**	**94,7**	**96**	**96,3**	**95,9**	**92,6**	**88,4**	**83,9**		
Поправка на телесный угол DΩ, дБ	Ω = 6.28	10Lg(4π/Ω)	**3**	3	3	3	3	3	3	3	3		
Показатель направленности источника Di, дБ		исходные данные	**0**	0	0	0	0	0	0	0	0		
Поправка на направленность источника Dc, дБ	Dc	DΩ + Di	**3**	3	3	3	3	3	3	3	3		
Затухание из-за геометрической дивергенции, Adiv, дБ	расстояние = 152.56 м	ф-ла (7) [10]	**54,7**										

1		2	3	4	5	6	7	8	9	10	11	12	13
Коэффициент затухания звука в атмосфере α, дБ/км	Ta=20,°C Pa=101.33,кПа hотн.=70%	ф-ла (5) [9]	0,02	0,09	0,33	1,12	2,79	4,98	9,04	23,09	77,63		
Учет затухания звука в атмосфере Aatm, дБ		ф-ла (8) [10]	0	0	0,1	0,2	0,4	0,8	1,4	3,5	11,8		
Снижение поверхностью земли возле источника As, дБ	Gs = 0 hs = 1м	ф-лы таб.3 [10]	-1,5	-1,5	-1,5	-1,5	-1,5	-1,5	-1,5	-1,5	-1,5		
Снижение поверхностью земли возле приёмника Ar, дБ	Gr = 1 hr = 1.5м	ф-лы таб.3 [10]	-1,5	-1,5	1	6,7	4,7	0,6	0	0	0		
Снижение поверхностью земли в средней зоне, Am дБ	Gm = 1	ф-лы таб.3 [10]	-1,5	-1,5	0	0	0	0	0	0	0		
Суммарное снижение поверхностью земли на траектории распространения звука Agr, дБ		ф-ла (9) [10]	-4,5	-4,5	-0,5	5,2	3,2	-0,9	-1,5	-1,5	-1,5		
Уровни звукового давления прямого звука от источника ИШ-1-21 в расчётной точке днём, дБ		**ф-ла(3)[10]**	**0**	**46,1**	**43,5**	**39**	**41**	**44,3**	**41**	**34,7**	**21,9**	**47,4**	**47,4**
Расчёт отражённого звука													
Уровни звукового давления от мнимого источника ИШ-1-21_мн.(1) в расчётной точке днём, дБ		**ф-ла(3)[10]**	**0**	**0**	**0**	**0**	**0**	**0**	**0**	**0**	**0**	**0**	**0**
Уровни звукового давления от мнимого источника ИШ-1-21_мн.(2) в расчётной точке днём, дБ		**ф-ла(3)[10]**	**0**	**45,1**	**40,2**	**28,9**	**29,9**	**39,8**	**38,5**	**32,1**	**19,2**	**43,4**	**43,4**
Суммарные уровни звукового давления от мнимых источников в расчётной точке днём, дБ		**ф-ла (19) [1]**	**0**	**45,1**	**40,2**	**28,9**	**29,9**	**39,8**	**38,5**	**32,1**	**19,2**	**0**	**43,4**
Уровни звукового давления от источника ИШ-1-21 в расчётной точке днём, дБ		**ф-ла(3)[10]**	**0**	**48,6**	**45,2**	**39,4**	**41,3**	**45,6**	**42,9**	**36,6**	**23,7**	**48,9**	**48,9**
Источник шума: ИШ-1-22, координаты источника (x,y,z), м =[522.03,85.28,1.00]													
Уровни звуковой мощности источника днём, Lw, дБ		**исходные данные**	**0**	**93,3**	**94,7**	**96**	**96,3**	**95,9**	**92,6**	**88,4**	**83,9**		
Поправка на телесный угол DΩ, дБ	Ω = 6.28	10Lg(4π/Ω)	**3**	3	3	3	3	3	3	3	3		
Показатель направленности источника Di, дБ		исходные данные	**0**	0	0	0	0	0	0	0	0		

1		2	3	4	5	6	7	8	9	10	11	12	13
Поправка на направленность источника Dc, дБ	Dc	DΩ + Di	**3**	3	3	3	3	3	3	3	3		
Затухание из-за геометрической дивергенции, Adiv, дБ	расстояние = 105.49 м	ф-ла (7) [10]	**51,5**										
Коэффициент затухания звука в атмосфере α, дБ/км	Ta=20,°C Pa=101.33,кПа hотн.=70%	ф-ла (5) [9]	0,02	0,09	0,33	1,12	2,79	4,98	9,04	23,09	77,63		
Учет затухания звука в атмосфере Aatm, дБ		ф-ла (8) [10]	0	0	0	0,1	0,3	0,5	1	2,4	8,2		
Снижение поверхностью земли возле источника As, дБ	Gs = 0 hs = 1м	ф-лы таб.3 [10]	-1,5	-1,5	-1,5	-1,5	-1,5	-1,5	-1,5	-1,5	-1,5		
Снижение поверхностью земли возле приёмника Ar, дБ	Gr = 1 hr = 1.5м	ф-лы таб.3 [10]	-1,5	-1,5	0,7	6,2	4,4	0,6	0	0	0		
Снижение поверхностью земли в средней зоне, Am дБ	Gm = 1	ф-лы таб.3 [10]	-0,9	-0,9	0	0	0	0	0	0	0		
Суммарное снижение поверхностью земли на траектории распространения звука Agr, дБ		ф-ла (9) [10]	-3,9	-3,9	-0,8	4,7	2,9	-0,9	-1,5	-1,5	-1,5		
Уровни звукового давления прямого звука от источника ИШ-1-22 в расчётной точке днём, дБ		**ф-ла(3)[10]**	**0**	**48,7**	**46,9**	**42,7**	**44,7**	**47,8**	**44,7**	**39**	**28,7**	**51,1**	**51,1**
Расчёт отражённого звука													
Уровни звукового давления от мнимого источника ИШ-1-22_мн.(1) в расчётной точке днём, дБ		**ф-ла(3)[10]**	**0**	**0**	**0**	**0**	**0**	**0**	**39,2**	**32,9**	**20,6**	**41,3**	**41,3**
Уровни звукового давления от мнимого источника ИШ-1-22_мн.(2) в расчётной точке днём, дБ		**ф-ла(3)[10]**	**0**	**0**	**0**	**0**	**34,2**	**43,4**	**42,1**	**36,4**	**26**	**47**	**47**
Суммарные уровни звукового давления от мнимых источников в расчётной точке днём, дБ		**ф-ла (19) [1]**	**0**	**0**	**0**	**0**	**34,2**	**43,4**	**43,9**	**38**	**27,1**	**0**	**48**
Уровни звукового давления от источника ИШ-1-22 в расчётной точке днём, дБ		**ф-ла(3)[10]**	**0**	**48,7**	**46,9**	**42,7**	**45**	**49,2**	**47,3**	**41,5**	**31**	**52,8**	**52,8**
Источник шума: ИШ-1-23, координаты источника (x,y,z), м =[525.16,84.11,1.00]													
Уровни звуковой мощности источника днём, Lw, дБ		**исходные данные**	**0**	**93,3**	**94,7**	**96**	**96,3**	**95,9**	**92,6**	**88,4**	**83,9**		

1		2	3	4	5	6	7	8	9	10	11	12	13
Поправка на телесный угол DΩ, дБ	Ω = 6.28	10Lg(4π/Ω)	**3**	3	3	3	3	3	3	3	3		
Показатель направленности источника Di, дБ		исходные данные	**0**	0	0	0	0	0	0	0	0		
Поправка на направленность источника Dc, дБ	Dc	DΩ + Di	**3**	3	3	3	3	3	3	3	3		
Затухание из-за геометрической дивергенции, Adiv, дБ	расстояние = 103.43 м	ф-ла (7) [10]	**51,3**										
Коэффициент затухания звука в атмосфере α, дБ/км	Ta=20,°C Pa=101.33,кПа hотн.=70%	ф-ла (5) [9]	0,02	0,09	0,33	1,12	2,79	4,98	9,04	23,09	77,63		
Учет затухания звука в атмосфере Aatm, дБ		ф-ла (8) [10]	0	0	0	0,1	0,3	0,5	0,9	2,4	8		
Снижение поверхностью земли возле источника As, дБ	Gs = 0 hs = 1м	ф-лы таб.3 [10]	-1,5	-1,5	-1,5	-1,5	-1,5	-1,5	-1,5	-1,5	-1,5		
Снижение поверхностью земли возле приёмника Ar, дБ	Gr = 1 hr = 1.5м	ф-лы таб.3 [10]	-1,5	-1,5	0,7	6,1	4,3	0,6	0	0	0		
Снижение поверхностью земли в средней зоне, Am дБ	Gm = 1	ф-лы таб.3 [10]	-0,8	-0,8	0	0	0	0	0	0	0		
Суммарное снижение поверхностью земли на траектории распространения звука Agr, дБ		ф-ла (9) [10]	-3,8	-3,8	-0,8	4,6	2,8	-0,9	-1,5	-1,5	-1,5		
Уровни звукового давления прямого звука от источника ИШ-1-23 в расчётной точке днём, дБ		**ф-ла(3)[10]**	**0**	**48,8**	**47,1**	**42,9**	**44,9**	**48**	**44,9**	**39,2**	**29,1**	**51,3**	**51,3**
Расчёт отражённого звука													
Уровни звукового давления от мнимого источника ИШ-1-23_мн.(1) в расчётной точке днём, дБ		**ф-ла(3)[10]**	**0**	**0**	**0**	**0**	**0**	**0**	**39**	**32,7**	**20,2**	**41,1**	**41,1**
Уровни звукового давления от мнимого источника ИШ-1-23_мн.(2) в расчётной точке днём, дБ		**ф-ла(3)[10]**	**0**	**0**	**0**	**33,4**	**34,5**	**43,6**	**42,2**	**36,6**	**26,3**	**47,2**	**47,2**
Суммарные уровни звукового давления от мнимых источников в расчётной точке днём, дБ		**ф-ла (19) [1]**	**0**	**0**	**0**	**33,4**	**34,5**	**43,6**	**43,9**	**38,1**	**27,3**	**0**	**48,2**
Уровни звукового давления от источника ИШ-1-23 в расчётной точке днём, дБ		**ф-ла(3)[10]**	**0**	**48,8**	**47,1**	**43,4**	**45,2**	**49,4**	**47,4**	**41,7**	**31,3**	**53**	**53**

1		2	3	4	5	6	7	8	9	10	11	12	13
Источник шума: ИШ-1-24, координаты источника (x,y,z), м =[528.48,82.94,1.00]													
Уровни звуковой мощности источника днём, Lw, дБ		**исходные данные**	**0**	**93,3**	**94,7**	**96**	**96,3**	**95,9**	**92,6**	**88,4**	**83,9**		
Поправка на телесный угол DΩ, дБ	Ω = 6.28	10Lg(4π/Ω)	**3**	3	3	3	3	3	3	3	3		
Показатель направленности источника Di, дБ		исходные данные	**0**	0	0	0	0	0	0	0	0		
Поправка на направленность источника Dc, дБ	Dc	DΩ + Di	**3**	3	3	3	3	3	3	3	3		
Затухание из-за геометрической дивергенции, Adiv, дБ	расстояние = 101.39 м	ф-ла (7) [10]	**51,1**										
Коэффициент затухания звука в атмосфере α, дБ/км	Ta=20,°C Pa=101.33,кПа hотн.=70%	ф-ла (5) [9]	0,02	0,09	0,33	1,12	2,79	4,98	9,04	23,09	77,63		
Учет затухания звука в атмосфере Aatm, дБ		ф-ла (8) [10]	0	0	0	0,1	0,3	0,5	0,9	2,3	7,9		
Снижение поверхностью земли возле источника As, дБ	Gs = 0 hs = 1м	ф-лы таб.3 [10]	-1,5	-1,5	-1,5	-1,5	-1,5	-1,5	-1,5	-1,5	-1,5		
Снижение поверхностью земли возле приёмника Ar, дБ	Gr = 1 hr = 1.5м	ф-лы таб.3 [10]	-1,5	-1,5	0,7	6,1	4,3	0,6	0	0	0		
Снижение поверхностью земли в средней зоне, Am дБ	Gm = 1	ф-лы таб.3 [10]	-0,8	-0,8	0	0	0	0	0	0	0		
Суммарное снижение поверхностью земли на траектории распространения звука Agr, дБ		ф-ла (9) [10]	-3,8	-3,8	-0,8	4,6	2,8	-0,9	-1,5	-1,5	-1,5		
Уровни звукового давления прямого звука от источника ИШ-1-24 в расчётной точке днём, дБ		**ф-ла(3)[10]**	**0**	**48,9**	**47,3**	**43,2**	**45,1**	**48,2**	**45,1**	**39,4**	**29,4**	**51,5**	**51,5**
Расчёт отражённого звука													
Уровни звукового давления от мнимого источника ИШ-1-24_мн.(1) в расчётной точке днём, дБ		**ф-ла(3)[10]**	**0**	**0**	**0**	**0**	**0**	**0**	**38,8**	**32,5**	**19,8**	**40,9**	**40,9**
Уровни звукового давления от мнимого источника ИШ-1-24_мн.(2) в расчётной точке днём, дБ		**ф-ла(3)[10]**	**0**	**0**	**0**	**33,7**	**34,7**	**43,8**	**42,4**	**36,8**	**26,7**	**47,4**	**47,4**

1		2	3	4	5	6	7	8	9	10	11	12	13
Суммарные уровни звукового давления от мнимых источников в расчётной точке днём, дБ		**ф-ла (19) [1]**	**0**	**0**	**0**	**33,7**	**34,7**	**43,8**	**44**	**38,2**	**27,5**	**0**	**48,3**
Уровни звукового давления от источника ИШ-1-24 в расчётной точке днём, дБ		**ф-ла(3)[10]**	**0**	**48,9**	**47,3**	**43,6**	**45,5**	**49,5**	**47,6**	**41,9**	**31,6**	**53,2**	**53,2**
Источник шума: ИШ-1-25, координаты источника (x,y,z), м =[531.22,82.16,1.00]													
Уровни звуковой мощности источника днём, Lw, дБ		**исходные данные**	**0**	**93,3**	**94,7**	**96**	**96,3**	**95,9**	**92,6**	**88,4**	**83,9**		
Поправка на телесный угол DΩ, дБ	Ω = 6.28	10Lg(4π/Ω)	**3**	3	3	3	3	3	3	3	3		
Показатель направленности источника Di, дБ		исходные данные	**0**	0	0	0	0	0	0	0	0		
Поправка на направленность источника Dc, дБ	Dc	DΩ + Di	**3**	3	3	3	3	3	3	3	3		
Затухание из-за геометрической дивергенции, Adiv, дБ	расстояние = 99.94 м	ф-ла (7) [10]	**51**										
Коэффициент затухания звука в атмосфере α, дБ/км	Ta=20,°C Pa=101.33,кПа hотн.=70%	ф-ла (5) [9]	0,02	0,09	0,33	1,12	2,79	4,98	9,04	23,09	77,63		
Учет затухания звука в атмосфере Aatm, дБ		ф-ла (8) [10]	0	0	0	0,1	0,3	0,5	0,9	2,3	7,8		
Снижение поверхностью земли возле источника As, дБ	Gs = 0 hs = 1м	ф-лы таб.3 [10]	-1,5	-1,5	-1,5	-1,5	-1,5	-1,5	-1,5	-1,5	-1,5		
Снижение поверхностью земли возле приёмника Ar, дБ	Gr = 1 hr = 1.5м	ф-лы таб.3 [10]	-1,5	-1,5	0,7	6,1	4,3	0,6	0	0	0		
Снижение поверхностью земли в средней зоне, Am дБ	Gm = 1	ф-лы таб.3 [10]	-0,7	-0,7	0	0	0	0	0	0	0		
Суммарное снижение поверхностью земли на траектории распространения звука Agr, дБ		ф-ла (9) [10]	-3,7	-3,7	-0,8	4,6	2,8	-0,9	-1,5	-1,5	-1,5		
Уровни звукового давления прямого звука от источника ИШ-1-25 в расчётной точке днём, дБ		**ф-ла(3)[10]**	**0**	**49**	**47,4**	**43,3**	**45,2**	**48,3**	**45,2**	**39,6**	**29,6**	**51,6**	**51,6**
Расчёт отражённого звука													

1		2	3	4	5	6	7	8	9	10	11	12	13
Уровни звукового давления от мнимого источника ИШ-1-25_мн.(1) в расчётной точке днём, дБ		**ф-ла(3)[10]**	**0**	**0**	**0**	**0**	**0**	**0**	**38,6**	**32,3**	**19,5**	**40,7**	**40,7**
Уровни звукового давления от мнимого источника ИШ-1-25_мн.(2) в расчётной точке днём, дБ		**ф-ла(3)[10]**	**0**	**0**	**44,3**	**33,8**	**34,9**	**43,9**	**42,6**	**36,9**	**26,9**	**47,6**	**47,6**
Суммарные уровни звукового давления от мнимых источников в расчётной точке днём, дБ		**ф-ла (19) [1]**	**0**	**0**	**44,3**	**33,8**	**34,9**	**43,9**	**44**	**38,2**	**27,6**	**0**	**48,4**
Уровни звукового давления от источника ИШ-1-25 в расчётной точке днём, дБ		**ф-ла(3)[10]**	**0**	**49**	**49,2**	**43,8**	**45,6**	**49,7**	**47,7**	**42**	**31,8**	**53,3**	**53,3**
Источник шума: ИШ-1-26, координаты источника (x,y,z), м =[534.15,80.79,1.00]													
Уровни звуковой мощности источника днём, Lw, дБ		**исходные данные**	**0**	**93,3**	**94,7**	**96**	**96,3**	**95,9**	**92,6**	**88,4**	**83,9**		
Поправка на телесный угол DΩ, дБ	Ω = 6.28	10Lg(4π/Ω)	**3**	3	3	3	3	3	3	3	3		
Показатель направленности источника Di, дБ		исходные данные	**0**	0	0	0	0	0	0	0	0		
Поправка на направленность источника Dc, дБ	Dc	DΩ + Di	**3**	3	3	3	3	3	3	3	3		
Затухание из-за геометрической дивергенции, Adiv, дБ	расстояние = 97.95 м	ф-ла (7) [10]	**50,8**										
Коэффициент затухания звука в атмосфере α, дБ/км	Ta=20,°C Pa=101.33,кПа hотн.=70%	ф-ла (5) [9]	0,02	0,09	0,33	1,12	2,79	4,98	9,04	23,09	77,63		
Учет затухания звука в атмосфере Aatm, дБ		ф-ла (8) [10]	0	0	0	0,1	0,3	0,5	0,9	2,3	7,6		
Снижение поверхностью земли возле источника As, дБ	Gs = 0 hs = 1м	ф-лы таб.3 [10]	-1,5	-1,5	-1,5	-1,5	-1,5	-1,5	-1,5	-1,5	-1,5		
Снижение поверхностью земли возле приёмника Ar, дБ	Gr = 1 hr = 1.5м	ф-лы таб.3 [10]	-1,5	-1,5	0,7	6	4,3	0,6	0	0	0		
Снижение поверхностью земли в средней зоне, Am дБ	Gm = 1	ф-лы таб.3 [10]	-0,7	-0,7	0	0	0	0	0	0	0		
Суммарное снижение поверхностью земли на траектории распространения звука Agr, дБ		ф-ла (9) [10]	-3,7	-3,7	-0,8	4,5	2,8	-0,9	-1,5	-1,5	-1,5		

1		2	3	4	5	6	7	8	9	10	11	12	13
Уровни звукового давления прямого звука от источника ИШ-1-26 в расчётной точке днём, дБ		**ф-ла(3)[10]**	**0**	**49,2**	**47,6**	**43,5**	**45,4**	**48,5**	**45,4**	**39,8**	**30**	**51,8**	**51,8**
Расчёт отражённого звука													
Уровни звукового давления от мнимого источника ИШ-1-26_мн.(1) в расчётной точке днём, дБ		**ф-ла(3)[10]**	**0**	**0**	**0**	**0**	**0**	**0**	**38,5**	**32,1**	**19,2**	**40,5**	**40,5**
Уровни звукового давления от мнимого источника ИШ-1-26_мн.(2) в расчётной точке днём, дБ		**ф-ла(3)[10]**	**0**	**0**	**44,5**	**34,1**	**35,1**	**44,1**	**42,8**	**37,2**	**27,2**	**47,8**	**47,8**
Суммарные уровни звукового давления от мнимых источников в расчётной точке днём, дБ		**ф-ла (19) [1]**	**0**	**0**	**44,5**	**34,1**	**35,1**	**44,1**	**44,1**	**38,3**	**27,8**	**0**	**48,5**
Уровни звукового давления от источника ИШ-1-26 в расчётной точке днём, дБ		**ф-ла(3)[10]**	**0**	**49,2**	**49,3**	**44**	**45,8**	**49,9**	**47,8**	**42,1**	**32**	**53,5**	**53,5**
Источник шума: ИШ-1-27, координаты источника (x,y,z), м =[469.65,197.67,1.00]													
Уровни звуковой мощности источника днём, Lw, дБ		**исходные данные**	**0**	**93,3**	**94,7**	**96**	**96,3**	**95,9**	**92,6**	**88,4**	**83,9**		
Поправка на телесный угол DΩ, дБ	Ω = 6.28	10Lg(4π/Ω)	**3**	3	3	3	3	3	3	3	3		
Показатель направленности источника Di, дБ		исходные данные	**0**	0	0	0	0	0	0	0	0		
Поправка на направленность источника Dc, дБ	Dc	DΩ + Di	**3**	3	3	3	3	3	3	3	3		
Затухание из-за геометрической дивергенции, Adiv, дБ	расстояние = 229.09 м	ф-ла (7) [10]	**58,2**										
Коэффициент затухания звука в атмосфере α, дБ/км	Ta=20,°C Pa=101.33,кПа hотн.=70%	ф-ла (5) [9]	0,02	0,09	0,33	1,12	2,79	4,98	9,04	23,09	77,63		
Учет затухания звука в атмосфере Aatm, дБ		ф-ла (8) [10]	0	0	0,1	0,3	0,6	1,1	2,1	5,3	17,8		
Снижение уровня звукового давления из-за влияния застройки между источником шума и расчетной точкой													
Снижение уровня звукового давления на пути над экраном, Dz1, дБ	z = 0.90м (разность путей)	ф-лы (14-18) [10]	7,2	9,5	13	16,5	19,7	22,8	25,8	28,8	31,8		

1		2	3	4	5	6	7	8	9	10	11	12	13
Снижение уровня звукового давления на пути слева от экрана, Dz2, дБ	z = 23.53м (разность путей)	ф-лы (14-18) [10]	19,6	22,5	25,4	28,4	31,4	34,4	37,4	40,4	43,5		
Снижение уровня звукового давления на пути справа от экрана, Dz3, дБ	z = 26.73м (разность путей)	ф-лы (14-18) [10]	20,1	23	26	29	32	35	38	41	44		
Общее снижение уровня звука препятствием Dz, дБ		Эн.сумма(-Dzi)	6,8	9,1	12,5	16	19,2	22,2	25,2	28,2	31,3		
Общее снижение уровня звука препятствием с учётом ограничения (25 дБ) для октавных полос Dz, дБ		Раздел 7.4 [10]	6,8	9,1	12,5	16	19,2	22,2	25	25	25		
Уровни звукового давления прямого звука от источника ИШ-1-27 в расчётной точке днём, дБ		**ф-ла(3)[10]**	**0**	**28,9**	**26,9**	**24,5**	**21,2**	**17,3**	**10,3**	**2,9**	**0**	**22,7**	**22,7**
Расчёт отражённого звука													
Уровни звукового давления от мнимого источника ИШ-1-27_мн.(1) в расчётной точке днём, дБ		**ф-ла(3)[10]**	**0**	**0**	**0**	**0**	**0**	**0**	**0**	**0**	**0**	**0**	**0**
Уровни звукового давления от источника ИШ-1-27 в расчётной точке днём, дБ		**ф-ла(3)[10]**	**0**	**28,9**	**26,9**	**24,5**	**21,2**	**17,3**	**10,3**	**2,9**	**0**	**22,7**	**22,7**
Источник шума: ИШ-1-28, координаты источника (x,y,z), м =[472.78,196.69,1.00]													
Уровни звуковой мощности источника днём, Lw, дБ		**исходные данные**	**0**	**93,3**	**94,7**	**96**	**96,3**	**95,9**	**92,6**	**88,4**	**83,9**		
Поправка на телесный угол DΩ, дБ	Ω = 6.28	10Lg(4π/Ω)	**3**	3	3	3	3	3	3	3	3		
Показатель направленности источника Di, дБ		исходные данные	**0**	0	0	0	0	0	0	0	0		
Поправка на направленность источника Dc, дБ	Dc	DΩ + Di	**3**	3	3	3	3	3	3	3	3		
Затухание из-за геометрической дивергенции, Adiv, дБ	расстояние = 227.03 м	ф-ла (7) [10]	**58,1**										
Коэффициент затухания звука в атмосфере α, дБ/км	Ta=20,°C Pa=101.33,кПа hотн.=70%	ф-ла (5) [9]	0,02	0,09	0,33	1,12	2,79	4,98	9,04	23,09	77,63		
Учет затухания звука в атмосфере Aatm, дБ		ф-ла (8) [10]	0	0	0,1	0,3	0,6	1,1	2,1	5,2	17,6		

1		2	3	4	5	6	7	8	9	10	11	12	13
Снижение уровня звукового давления из-за влияния застройки между источником шума и расчетной точкой													
Снижение уровня звукового давления на пути над экраном, Dz1, дБ	z = 0.95м (разность путей)	ф-лы (14-18) [10]	7,4	9,8	13,3	16,9	20,1	23,1	26,1	29,1	32,1		
Снижение уровня звукового давления на пути слева от экрана, Dz2, дБ	z = 22.32м (разность путей)	ф-лы (14-18) [10]	19,3	22,3	25,2	28,2	31,2	34,2	37,2	40,2	43,2		
Снижение уровня звукового давления на пути справа от экрана, Dz3, дБ	z = 27.94м (разность путей)	ф-лы (14-18) [10]	20,3	23,2	26,2	29,2	32,2	35,2	38,2	41,2	44,2		
Общее снижение уровня звука препятствием Dz, дБ		Эн.сумма(-Dzi)	6,9	9,4	12,8	16,3	19,5	22,5	25,5	28,5	31,5		
Общее снижение уровня звука препятствием с учётом ограничения (25 дБ) для октавных полос Dz, дБ		Раздел 7.4 [10]	6,9	9,4	12,8	16,3	19,5	22,5	25	25	25		
Уровни звукового давления прямого звука от источника ИШ-1-28 в расчётной точке днём, дБ		**ф-ла(3)[10]**	**0**	**28,8**	**26,7**	**24,3**	**21**	**17,1**	**10,4**	**3**	**0**	**22,5**	**22,5**
Расчёт отражённого звука													
Уровни звукового давления от мнимого источника ИШ-1-28_мн.(1) в расчётной точке днём, дБ		**ф-ла(3)[10]**	**0**	**0**	**0**	**0**	**0**	**0**	**0**	**0**	**0**	**0**	**0**
Уровни звукового давления от источника ИШ-1-28 в расчётной точке днём, дБ		**ф-ла(3)[10]**	**0**	**28,8**	**26,7**	**24,3**	**21**	**17,1**	**10,4**	**3**	**0**	**22,5**	**22,5**
Источник шума: ИШ-1-29, координаты источника (x,y,z), м =[475.52,195.72,1.00]													
Уровни звуковой мощности источника днём, Lw, дБ		**исходные данные**	**0**	**93,3**	**94,7**	**96**	**96,3**	**95,9**	**92,6**	**88,4**	**83,9**		
Поправка на телесный угол DΩ, дБ	Ω = 6.28	10Lg(4π/Ω)	**3**	3	3	3	3	3	3	3	3		
Показатель направленности источника Di, дБ		исходные данные	**0**	0	0	0	0	0	0	0	0		
Поправка на направленность источника Dc, дБ	Dc	DΩ + Di	**3**	3	3	3	3	3	3	3	3		
Затухание из-за геометрической дивергенции, Adiv, дБ	расстояние = 225.14 м	ф-ла (7) [10]	**58**										
Коэффициент затухания звука в атмосфере α, дБ/км	Ta=20,°C Pa=101.33,кПа hотн.=70%	ф-ла (5) [9]	0,02	0,09	0,33	1,12	2,79	4,98	9,04	23,09	77,63		

1		2	3	4	5	6	7	8	9	10	11	12	13
Учет затухания звука в атмосфере Aatm, дБ		ф-ла (8) [10]	0	0	0,1	0,3	0,6	1,1	2	5,2	17,5		
Снижение уровня звукового давления из-за влияния застройки между источником шума и расчетной точкой													
Снижение уровня звукового давления на пути над экраном, Dz1, дБ	z = 0.99м (разность путей)	ф-лы (14-18) [10]	7,5	10	13,6	17,2	20,4	23,4	26,4	29,4	32,4		
Снижение уровня звукового давления на пути слева от экрана, Dz2, дБ	z = 21.31м (разность путей)	ф-лы (14-18) [10]	19,1	22,1	25	28	31	34	37	40	43		
Снижение уровня звукового давления на пути справа от экрана, Dz3, дБ	z = 29.03м (разность путей)	ф-лы (14-18) [10]	20,4	23,4	26,3	29,3	32,3	35,3	38,3	41,4	44,4		
Общее снижение уровня звука препятствием Dz, дБ		Эн.сумма(-Dzi)	7	9,6	13,1	16,6	19,8	22,8	25,8	28,8	31,8		
Общее снижение уровня звука препятствием с учётом ограничения (25 дБ) для октавных полос Dz, дБ		Раздел 7.4 [10]	7	9,6	13,1	16,6	19,8	22,8	25	25	25		
Уровни звукового давления прямого звука от источника ИШ-1-29 в расчётной точке днём, дБ		**ф-ла(3)[10]**	**0**	**28,6**	**26,5**	**24,1**	**20,8**	**16,9**	**10,5**	**3,1**	**0**	**22,4**	**22,4**
Расчёт отражённого звука													
Уровни звукового давления от мнимого источника ИШ-1-29_мн.(1) в расчётной точке днём, дБ		**ф-ла(3)[10]**	**0**	**0**	**0**	**0**	**0**	**0**	**0**	**0**	**0**	**0**	**0**
Уровни звукового давления от источника ИШ-1-29 в расчётной точке днём, дБ		**ф-ла(3)[10]**	**0**	**28,6**	**26,5**	**24,1**	**20,8**	**16,9**	**10,5**	**3,1**	**0**	**22,4**	**22,4**
Источник шума: ИШ-1-30, координаты источника (x,y,z), м =[478.45,194.54,1.00]													
Уровни звуковой мощности источника днём, Lw, дБ		**исходные данные**	**0**	**93,3**	**94,7**	**96**	**96,3**	**95,9**	**92,6**	**88,4**	**83,9**		
Поправка на телесный угол DΩ, дБ	Ω = 6.28	10Lg(4π/Ω)	**3**	3	3	3	3	3	3	3	3		
Показатель направленности источника Di, дБ		исходные данные	**0**	0	0	0	0	0	0	0	0		
Поправка на направленность источника Dc, дБ	Dc	DΩ + Di	**3**	3	3	3	3	3	3	3	3		
Затухание из-за геометрической дивергенции, Adiv, дБ	расстояние = 223.02 м	ф-ла (7) [10]	**58**										

1		2	3	4	5	6	7	8	9	10	11	12	13
Коэффициент затухания звука в атмосфере α, дБ/км	Та=20,°С Ра=101.33,кПа hотн.=70%	ф-ла (5) [9]	0,02	0,09	0,33	1,12	2,79	4,98	9,04	23,09	77,63		
Учет затухания звука в атмосфере Aatm, дБ		ф-ла (8) [10]	0	0	0,1	0,3	0,6	1,1	2	5,1	17,3		
Снижение уровня звукового давления из-за влияния застройки между источником шума и расчетной точкой													
Снижение уровня звукового давления на пути над экраном, Dz1, дБ	z = 1.05м (разность путей)	ф-лы (14-18) [10]	7,7	10,3	14	17,6	20,8	23,8	26,8	29,8	32,8		
Снижение уровня звукового давления на пути слева от экрана, Dz2, дБ	z = 20.28м (разность путей)	ф-лы (14-18) [10]	18,9	21,9	24,8	27,8	30,8	33,8	36,8	39,8	42,8		
Снижение уровня звукового давления на пути справа от экрана, Dz3, дБ	z = 30.23м (разность путей)	ф-лы (14-18) [10]	20,6	23,6	26,5	29,5	32,5	35,5	38,5	41,5	44,5		
Общее снижение уровня звука препятствием Dz, дБ		Эн.сумма(-Dzi)	7,2	9,8	13,4	16,9	20,1	23,1	26,1	29,1	32,1		
Общее снижение уровня звука препятствием с учётом ограничения (25 дБ) для октавных полос Dz, дБ		Раздел 7.4 [10]	7,2	9,8	13,4	16,9	20,1	23,1	25	25	25		
Уровни звукового давления прямого звука от источника ИШ-1-30 в расчётной точке днём, дБ		**ф-ла(3)[10]**	**0**	**28,5**	**26,3**	**23,9**	**20,6**	**16,7**	**10,6**	**3,3**	**0**	**22,2**	**22,2**
Расчёт отражённого звука													
Уровни звукового давления от мнимого источника ИШ-1-30_мн.(1) в расчётной точке днём, дБ		**ф-ла(3)[10]**	**0**	**0**	**0**	**0**	**0**	**0**	**0**	**0**	**0**	**0**	**0**
Уровни звукового давления от источника ИШ-1-30 в расчётной точке днём, дБ		**ф-ла(3)[10]**	**0**	**28,5**	**26,3**	**23,9**	**20,6**	**16,7**	**10,6**	**3,3**	**0**	**22,2**	**22,2**
Источник шума: ИШ-1-31, координаты источника (x,y,z), м =[481.58,193.96,1.00]													
Уровни звуковой мощности источника днём, Lw, дБ		**исходные данные**	**0**	**93,3**	**94,7**	**96**	**96,3**	**95,9**	**92,6**	**88,4**	**83,9**		
Поправка на телесный угол DΩ, дБ	Ω = 6.28	10Lg(4π/Ω)	**3**	3	3	3	3	3	3	3	3		
Показатель направленности источника Di, дБ		исходные данные	**0**	0	0	0	0	0	0	0	0		

1		2	3	4	5	6	7	8	9	10	11	12	13
Поправка на направленность источника Dc, дБ	Dc	DΩ + Di	**3**	3	3	3	3	3	3	3	3		
Затухание из-за геометрической дивергенции, Adiv, дБ	расстояние = 221.41 м	ф-ла (7) [10]	**57,9**										
Коэффициент затухания звука в атмосфере α, дБ/км	Ta=20,°C Pa=101.33,кПа hотн.=70%	ф-ла (5) [9]	0,02	0,09	0,33	1,12	2,79	4,98	9,04	23,09	77,63		
Учет затухания звука в атмосфере Aatm, дБ		ф-ла (8) [10]	0	0	0,1	0,2	0,6	1,1	2	5,1	17,2		
Снижение уровня звукового давления из-за влияния застройки между источником шума и расчетной точкой													
Снижение уровня звукового давления на пути над экраном, Dz1, дБ	z = 1.12м (разность путей)	ф-лы (14-18) [10]	8	10,6	14,3	18	21,2	24,2	27,2	30,2	33,2		
Снижение уровня звукового давления на пути слева от экрана, Dz2, дБ	z = 18.76м (разность путей)	ф-лы (14-18) [10]	18,6	21,5	24,5	27,4	30,4	33,4	36,5	39,5	42,5		
Снижение уровня звукового давления на пути справа от экрана, Dz3, дБ	z = 31.59м (разность путей)	ф-лы (14-18) [10]	20,8	23,8	26,7	29,7	32,7	35,7	38,7	41,7	44,7		
Общее снижение уровня звука препятствием Dz, дБ		Эн.сумма(-Dzi)	7,4	10,1	13,7	17,2	20,4	23,5	26,5	29,5	32,5		
Общее снижение уровня звука препятствием с учётом ограничения (25 дБ) для октавных полос Dz, дБ		Раздел 7.4 [10]	7,4	10,1	13,7	17,2	20,4	23,5	25	25	25		
Уровни звукового давления прямого звука от источника ИШ-1-31 в расчётной точке днём, дБ		**ф-ла(3)[10]**	**0**	**28,3**	**26**	**23,6**	**20,4**	**16,4**	**10,7**	**3,4**	**0**	**22**	**22**
Расчёт отражённого звука													
Уровни звукового давления от мнимого источника ИШ-1-31_мн.(1) в расчётной точке днём, дБ		**ф-ла(3)[10]**	**0**	**0**	**0**	**0**	**0**	**0**	**0**	**0**	**0**	**0**	**0**
Уровни звукового давления от источника ИШ-1-31 в расчётной точке днём, дБ		**ф-ла(3)[10]**	**0**	**28,3**	**26**	**23,6**	**20,4**	**16,4**	**10,7**	**3,4**	**0**	**22**	**22**
Источник шума: ИШ-1-32, координаты источника (x,y,z), м =[871.21,281.99,50.00]													
Уровни звуковой мощности источника днём, Lw, дБ		**исходные данные**	**125**	**119,6**	**113,4**	**111,4**	**110,8**	**112,7**	**113,8**	**109,2**	**97,4**		

1		2	3	4	5	6	7	8	9	10	11	12	13
Поправка на телесный угол DΩ, дБ	Ω = 12.57	10Lg(4π/Ω)	**0**	0	0	0	0	0	0	0	0		
Показатель направленности источника Di, дБ		исходные данные	**0**	0	0	0	0	0	0	0	0		
Поправка на направленность источника Dc, дБ	Dc	DΩ + Di	**0**	0	0	0	0	0	0	0	0		
Затухание из-за геометрической дивергенции, Adiv, дБ	расстояние = 436.36 м	ф-ла (7) [10]	**63,8**										
Коэффициент затухания звука в атмосфере α, дБ/км	Ta=20,°C Pa=101.33,кПа hотн.=70%	ф-ла (5) [9]	0,02	0,09	0,33	1,12	2,79	4,98	9,04	23,09	77,63		
Учет затухания звука в атмосфере Aatm, дБ		ф-ла (8) [10]	0	0	0,1	0,5	1,2	2,2	3,9	10,1	33,9		
Снижение поверхностью земли возле источника As, дБ	Gs = 0 hs = 50м	ф-лы таб.3 [10]	-1,5	-1,5	-1,5	-1,5	-1,5	-1,5	-1,5	-1,5	-1,5		
Снижение поверхностью земли возле приёмника Ar, дБ	Gr = 1 hr = 1.5м	ф-лы таб.3 [10]	-1,5	-1,5	2,6	7	5	0,7	0	0	0		
Снижение поверхностью земли в средней зоне, Am дБ	Gm = 1	ф-лы таб.3 [10]	0	0	0	0	0	0	0	0	0		
Суммарное снижение поверхностью земли на траектории распространения звука Agr, дБ		ф-ла (9) [10]	-3	-3	1,1	5,5	3,5	-0,8	-1,5	-1,5	-1,5		
Уровни звукового давления прямого звука от источника ИШ-1-32 в расчётной точке днём, дБ		**ф-ла(3)[10]**	**64,2**	**58,8**	**48,4**	**41,6**	**42,3**	**47,6**	**47,6**	**36,9**	**0**	**51,9**	**51,9**
Расчёт отражённого звука													
Уровни звукового давления от мнимого источника ИШ-1-32_мн.(1) в расчётной точке днём, дБ		**ф-ла(3)[10]**	**0**	**0**	**45,9**	**39,1**	**39,8**	**45,1**	**45,1**	**34,3**	**0**	**49,3**	**49,3**
Уровни звукового давления от источника ИШ-1-32 в расчётной точке днём, дБ		**ф-ла(3)[10]**	**64,2**	**58,8**	**50,3**	**43,6**	**44,3**	**49,5**	**49,5**	**38,8**	**0**	**53,8**	**53,8**
Источник шума: ИШ-1-33, координаты источника (x,y,z), м =[743.42,374.85,1.00]													
Уровни звуковой мощности источника днём, Lw, дБ		**исходные данные**	**0**	**88,7**	**90,1**	**93,1**	**96,4**	**103**	**112**	**108**	**99,2**		

1		2	3	4	5	6	7	8	9	10	11	12	13
Поправка на телесный угол DΩ, дБ	Ω = 6.28	10Lg(4π/Ω)	**3**	3	3	3	3	3	3	3	3		
Показатель направленности источника Di, дБ		исходные данные	**0**	0	0	0	0	0	0	0	0		
Поправка на направленность источника Dc, дБ	Dc	DΩ + Di	**3**	3	3	3	3	3	3	3	3		
Затухание из-за геометрической дивергенции, Adiv, дБ	расстояние = 432.84 м	ф-ла (7) [10]	**63,7**										
Коэффициент затухания звука в атмосфере α, дБ/км	Ta=20,°C Pa=101.33,кПа hотн.=70%	ф-ла (5) [9]	0,02	0,09	0,33	1,12	2,79	4,98	9,04	23,09	77,63		
Учет затухания звука в атмосфере Aatm, дБ		ф-ла (8) [10]	0	0	0,1	0,5	1,2	2,2	3,9	10	33,6		
Снижение уровня звукового давления из-за влияния застройки между источником шума и расчетной точкой													
Снижение уровня звукового давления на пути над экраном, Dz1, дБ	z = 0.04м (разность путей)	ф-лы (14-18) [10]	4,8	4,8	4,8	4,8	4,8	4,8	4,8	4,9	5		
Снижение уровня звукового давления на пути слева от экрана, Dz2, дБ	z = 0.02м (разность путей)	ф-лы (14-18) [10]	4,9	4,9	5,1	5,4	6	6,9	8,3	10,3	12,6		
Снижение уровня звукового давления на пути справа от экрана, Dz3, дБ	z = 0.87м (разность путей)	ф-лы (14-18) [10]	8,4	11,3	15	18,6	21,8	24,9	27,9	30,9	33,9		
Общее снижение уровня звука препятствием Dz, дБ		Эн.сумма(-Dzi)	0,9	1,4	1,7	2	2,3	2,7	3,2	3,8	4,3		
Уровни звукового давления прямого звука от источника ИШ-1-33 в расчётной точке днём, дБ		**ф-ла(3)[10]**	**0**	**26,6**	**27,5**	**29,9**	**32,2**	**37,4**	**44,2**	**33,5**	**0,6**	**46,4**	**46,4**
Расчёт отражённого звука													
Уровни звукового давления от мнимого источника ИШ-1-33_мн.(1) в расчётной точке днём, дБ		**ф-ла(3)[10]**	**0**	**0**	**0**	**0**	**0**	**0**	**0**	**34**	**0**	**35**	**35**
Уровни звукового давления от источника ИШ-1-33 в расчётной точке днём, дБ		**ф-ла(3)[10]**	**0**	**26,6**	**27,5**	**29,9**	**32,2**	**37,4**	**44,2**	**36,8**	**0,6**	**46,7**	**46,7**
Источник шума: ИШ-1-34, координаты источника (x,y,z), м =[1042.35,199.07,1.00]													

1		2	3	4	5	6	7	8	9	10	11	12	13
Уровни звуковой мощности источника днём, Lw, дБ		**исходные данные**	**0**	**88,7**	**90,1**	**93,1**	**96,4**	**103**	**112**	**108**	**99,2**		
Поправка на телесный угол DΩ, дБ	Ω = 6.28	10Lg(4π/Ω)	**3**	3	3	3	3	3	3	3	3		
Показатель направленности источника Di, дБ		исходные данные	**0**	0	0	0	0	0	0	0	0		
Поправка на направленность источника Dc, дБ	Dc	DΩ + Di	**3**	3	3	3	3	3	3	3	3		
Затухание из-за геометрической дивергенции, Adiv, дБ	расстояние = 532.15 м	ф-ла (7) [10]	**65,5**										
Коэффициент затухания звука в атмосфере α, дБ/км	Ta=20,°C Pa=101.33,кПа hотн.=70%	ф-ла (5) [9]	0,02	0,09	0,33	1,12	2,79	4,98	9,04	23,09	77,63		
Учет затухания звука в атмосфере Aatm, дБ		ф-ла (8) [10]	0	0	0,2	0,6	1,5	2,6	4,8	12,3	41,3		
Снижение поверхностью земли возле источника As, дБ	Gs = 0 hs = 1м	ф-лы таб.3 [10]	-1,5	-1,5	-1,5	-1,5	-1,5	-1,5	-1,5	-1,5	-1,5		
Снижение поверхностью земли возле приёмника Ar, дБ	Gr = 1 hr = 1.5м	ф-лы таб.3 [10]	-1,5	-1,5	3,2	7	5	0,7	0	0	0		
Снижение поверхностью земли в средней зоне, Am дБ	Gm = 1	ф-лы таб.3 [10]	-2,6	-2,6	0	0	0	0	0	0	0		
Суммарное снижение поверхностью земли на траектории распространения звука Agr, дБ		ф-ла (9) [10]	-5,6	-5,6	1,7	5,5	3,5	-0,8	-1,5	-1,5	-1,5		
Уровни звукового давления прямого звука от источника ИШ-1-34 в расчётной точке днём, дБ		**ф-ла(3)[10]**	**0**	**31,7**	**25,7**	**24,5**	**28,9**	**38,7**	**46,2**	**34,7**	**0**	**48,2**	**48,2**
Расчёт отражённого звука													
Уровни звукового давления от мнимого источника ИШ-1-34_мн.(1) в расчётной точке днём, дБ		**ф-ла(3)[10]**	**0**	**0**	**0**	**0**	**0**	**0**	**43,7**	**32,2**	**0**	**45,2**	**45,2**
Уровни звукового давления от источника ИШ-1-34 в расчётной точке днём, дБ		**ф-ла(3)[10]**	**0**	**31,7**	**25,7**	**24,5**	**28,9**	**38,7**	**48,1**	**36,6**	**0**	**50**	**50**
Источник шума: ИШ-2-1, координаты источника (x,y,z), м =[696.50,124.40,3.00]													

1		2	3	4	5	6	7	8	9	10	11	12	13
Уровни звуковой мощности источника днём, Lw, дБ		**исходные данные**	**105**	**104**	**104**	**101**	**102**	**106**	**101**	**95**	**87**		
Поправка на телесный угол DΩ, дБ	Ω = 6.28	10Lg(4π/Ω)	**3**	3	3	3	3	3	3	3	3		
Показатель направленности источника Di, дБ		исходные данные	**0**	0	0	0	0	0	0	0	0		
Поправка на направленность источника Dc, дБ	Dc	DΩ + Di	**3**	3	3	3	3	3	3	3	3		
Затухание из-за геометрической дивергенции, Adiv, дБ	расстояние = 198.48 м	ф-ла (7) [10]	**57**										
Коэффициент затухания звука в атмосфере α, дБ/км	Ta=20,°C Pa=101.33,кПа hотн.=70%	ф-ла (5) [9]	0,02	0,09	0,33	1,12	2,79	4,98	9,04	23,09	77,63		
Учет затухания звука в атмосфере Aatm, дБ		ф-ла (8) [10]	0	0	0,1	0,2	0,6	1	1,8	4,6	15,4		
Снижение поверхностью земли возле источника As, дБ	Gs = 0 hs = 3м	ф-лы таб.3 [10]	-1,5	-1,5	-1,5	-1,5	-1,5	-1,5	-1,5	-1,5	-1,5		
Снижение поверхностью земли возле приёмника Ar, дБ	Gr = 1 hr = 1.5м	ф-лы таб.3 [10]	-1,5	-1,5	1,2	6,9	4,9	0,6	0	0	0		
Снижение поверхностью земли в средней зоне, Am дБ	Gm = 1	ф-лы таб.3 [10]	-1	-1	0	0	0	0	0	0	0		
Суммарное снижение поверхностью земли на траектории распространения звука Agr, дБ		ф-ла (9) [10]	-4	-4	-0,3	5,4	3,4	-0,9	-1,5	-1,5	-1,5		
Уровни звукового давления прямого звука от источника ИШ-2-1 в расчётной точке днём, дБ		**ф-ла(3)[10]**	**55**	**54**	**50,3**	**41,4**	**44,1**	**51,9**	**46,8**	**38**	**19,1**	**53,9**	**53,9**
Расчёт отражённого звука													
Уровни звукового давления от мнимого источника ИШ-2-1_мн.(1) в расчётной точке днём, дБ		**ф-ла(3)[10]**	**0**	**53**	**45,7**	**35,1**	**41,4**	**49,4**	**44,2**	**35,4**	**16,5**	**51,3**	**51,3**
Уровни звукового давления от источника ИШ-2-1 в расчётной точке днём, дБ		**ф-ла(3)[10]**	**55**	**56,5**	**51,6**	**42,4**	**46**	**53,8**	**48,7**	**39,9**	**21**	**55,8**	**55,8**
Источник шума: ИШ-2-2, координаты источника (x,y,z), м =[682.20,81.60,3.00]													

1		2	3	4	5	6	7	8	9	10	11	12	13
Уровни звуковой мощности источника днём, Lw, дБ		**исходные данные**	**105**	**104**	**104**	**101**	**102**	**106**	**101**	**95**	**87**		
Поправка на телесный угол DΩ, дБ	Ω = 6.28	10Lg(4π/Ω)	**3**	3	3	3	3	3	3	3	3		
Показатель направленности источника Di, дБ		исходные данные	**0**	0	0	0	0	0	0	0	0		
Поправка на направленность источника Dc, дБ	Dc	DΩ + Di	**3**	3	3	3	3	3	3	3	3		
Затухание из-за геометрической дивергенции, Adiv, дБ	расстояние = 159.57 м	ф-ла (7) [10]	**55,1**										
Коэффициент затухания звука в атмосфере α, дБ/км	Ta=20,°C Pa=101.33,кПа hотн.=70%	ф-ла (5) [9]	0,02	0,09	0,33	1,12	2,79	4,98	9,04	23,09	77,63		
Учет затухания звука в атмосфере Aatm, дБ		ф-ла (8) [10]	0	0	0,1	0,2	0,4	0,8	1,4	3,7	12,4		
Снижение поверхностью земли возле источника As, дБ	Gs = 0 hs = 3м	ф-лы таб.3 [10]	-1,5	-1,5	-1,5	-1,5	-1,5	-1,5	-1,5	-1,5	-1,5		
Снижение поверхностью земли возле приёмника Ar, дБ	Gr = 1 hr = 1.5м	ф-лы таб.3 [10]	-1,5	-1,5	1	6,7	4,8	0,6	0	0	0		
Снижение поверхностью земли в средней зоне, Am дБ	Gm = 1	ф-лы таб.3 [10]	-0,5	-0,5	0	0	0	0	0	0	0		
Суммарное снижение поверхностью земли на траектории распространения звука Agr, дБ		ф-ла (9) [10]	-3,5	-3,5	-0,5	5,2	3,3	-0,9	-1,5	-1,5	-1,5		
Уровни звукового давления прямого звука от источника ИШ-2-2 в расчётной точке днём, дБ		**ф-ла(3)[10]**	**56,4**	**55,4**	**52,4**	**43,5**	**46,2**	**54**	**49**	**40,8**	**24,1**	**56**	**56**
Расчёт отражённого звука													
Уровни звукового давления от мнимого источника ИШ-2-2_мн.(1) в расчётной точке днём, дБ		**ф-ла(3)[10]**	**0**	**0**	**0**	**0**	**0**	**0**	**39,8**	**29,6**	**5,2**	**41,4**	**41,4**
Уровни звукового давления от мнимого источника ИШ-2-2_мн.(2) в расчётной точке днём, дБ		**ф-ла(3)[10]**	**0**	**0**	**0**	**37,3**	**43,5**	**51,5**	**46,4**	**38,2**	**21,4**	**53,4**	**53,4**
Суммарные уровни звукового давления от мнимых источников в расчётной точке днём, дБ		**ф-ла (19) [1]**	**0**	**0**	**0**	**37,3**	**43,5**	**51,5**	**47,3**	**38,7**	**21,5**	**0**	**53,6**
Уровни звукового давления от источника ИШ-2-2 в расчётной точке днём, дБ		**ф-ла(3)[10]**	**56,4**	**55,4**	**52,4**	**44,5**	**48,1**	**55,9**	**51,2**	**42,9**	**26**	**58**	**58**

1		2	3	4	5	6	7	8	9	10	11	12	13
Источник шума: ИШ-2-3, координаты источника (x,y,z), м =[667.80,38.90,3.00]													
Уровни звуковой мощности источника днём, Lw, дБ		**исходные данные**	**105**	**104**	**104**	**101**	**102**	**106**	**101**	**95**	**87**		
Поправка на телесный угол DΩ, дБ	Ω = 6.28	10Lg(4π/Ω)	**3**	3	3	3	3	3	3	3	3		
Показатель направленности источника Di, дБ		исходные данные	**0**	0	0	0	0	0	0	0	0		
Поправка на направленность источника Dc, дБ	Dc	DΩ + Di	**3**	3	3	3	3	3	3	3	3		
Затухание из-за геометрической дивергенции, Adiv, дБ	расстояние = 124.88 м	ф-ла (7) [10]	**52,9**										
Коэффициент затухания звука в атмосфере α, дБ/км	Ta=20,°C Pa=101.33,кПа hотн.=70%	ф-ла (5) [9]	0,02	0,09	0,33	1,12	2,79	4,98	9,04	23,09	77,63		
Учет затухания звука в атмосфере Aatm, дБ		ф-ла (8) [10]	0	0	0	0,1	0,3	0,6	1,1	2,9	9,7		
Снижение поверхностью земли возле источника As, дБ	Gs = 0 hs = 3м	ф-лы таб.3 [10]	-1,5	-1,5	-1,5	-1,5	-1,5	-1,5	-1,5	-1,5	-1,5		
Снижение поверхностью земли возле приёмника Ar, дБ	Gr = 1 hr = 1.5м	ф-лы таб.3 [10]	-1,5	-1,5	0,8	6,4	4,6	0,6	0	0	0		
Снижение поверхностью земли в средней зоне, Am дБ	Gm = 1	ф-лы таб.3 [10]	0	0	0	0	0	0	0	0	0		
Суммарное снижение поверхностью земли на траектории распространения звука Agr, дБ		ф-ла (9) [10]	-3	-3	-0,7	4,9	3,1	-0,9	-1,5	-1,5	-1,5		
Уровни звукового давления прямого звука от источника ИШ-2-3 в расчётной точке днём, дБ		**ф-ла(3)[10]**	**58,1**	**57,1**	**54,7**	**46**	**48,7**	**56,4**	**51,5**	**43,7**	**28,9**	**58,4**	**58,4**
Расчёт отражённого звука													
Уровни звукового давления от мнимого источника ИШ-2-3_мн.(1) в расчётной точке днём, дБ		**ф-ла(3)[10]**	**0**	**0**	**0**	**0**	**0**	**0**	**0**	**0**	**26,2**	**25,1**	**25,1**
Уровни звукового давления от источника ИШ-2-3 в расчётной точке днём, дБ		**ф-ла(3)[10]**	**58,1**	**57,1**	**54,7**	**46**	**48,7**	**56,4**	**51,5**	**43,7**	**30,8**	**58,4**	**58,4**

1		2	3	4	5	6	7	8	9	10	11	12	13
Источник шума: ИШ-2-6, координаты источника (x,y,z), м =[765.97,112.43,1.00]													
Уровни звуковой мощности источника днём, Lw, дБ		**исходные данные**	**0**	**93,3**	**94,7**	**96**	**96,3**	**95,9**	**92,6**	**88,4**	**83,9**		
Поправка на телесный угол DΩ, дБ	Ω = 6.28	10Lg(4π/Ω)	**3**	3	3	3	3	3	3	3	3		
Показатель направленности источника Di, дБ		исходные данные	**0**	0	0	0	0	0	0	0	0		
Поправка на направленность источника Dc, дБ	Dc	DΩ + Di	**3**	3	3	3	3	3	3	3	3		
Затухание из-за геометрической дивергенции, Adiv, дБ	расстояние = 246.32 м	ф-ла (7) [10]	**58,8**										
Коэффициент затухания звука в атмосфере α, дБ/км	Ta=20,°C Pa=101.33,кПа hотн.=70%	ф-ла (5) [9]	0,02	0,09	0,33	1,12	2,79	4,98	9,04	23,09	77,63		
Учет затухания звука в атмосфере Aatm, дБ		ф-ла (8) [10]	0	0	0,1	0,3	0,7	1,2	2,2	5,7	19,1		
Снижение поверхностью земли возле источника As, дБ	Gs = 0 hs = 1м	ф-лы таб.3 [10]	-1,5	-1,5	-1,5	-1,5	-1,5	-1,5	-1,5	-1,5	-1,5		
Снижение поверхностью земли возле приёмника Ar, дБ	Gr = 1 hr = 1.5м	ф-лы таб.3 [10]	-1,5	-1,5	1,4	7	4,9	0,7	0	0	0		
Снижение поверхностью земли в средней зоне, Am дБ	Gm = 1	ф-лы таб.3 [10]	-2,1	-2,1	0	0	0	0	0	0	0		
Суммарное снижение поверхностью земли на траектории распространения звука Agr, дБ		ф-ла (9) [10]	-5,1	-5,1	-0,1	5,5	3,4	-0,8	-1,5	-1,5	-1,5		
Уровни звукового давления прямого звука от источника ИШ-2-6 в расчётной точке днём, дБ		**ф-ла(3)[10]**	**0**	**42,5**	**38,9**	**34,4**	**36,3**	**39,7**	**36**	**28,4**	**10,4**	**42,6**	**42,6**
Расчёт отражённого звука													
Уровни звукового давления от мнимого источника ИШ-2-6_мн.(1) в расчётной точке днём, дБ		**ф-ла(3)[10]**	**0**	**0**	**0**	**0**	**0**	**0**	**28,3**	**18,7**	**0**	**30**	**30**
Уровни звукового давления от мнимого источника ИШ-2-6_мн.(2) в расчётной точке днём, дБ		**ф-ла(3)[10]**	**0**	**0**	**0**	**0**	**0**	**0**	**33,5**	**25,8**	**7,8**	**35,4**	**35,4**

1		2	3	4	5	6	7	8	9	10	11	12	13
Суммарные уровни звукового давления от мнимых источников в расчётной точке днём, дБ		**ф-ла (19) [1]**	**0**	**0**	**0**	**0**	**0**	**0**	**34,7**	**26,6**	**7,8**	**0**	**36,5**
Уровни звукового давления от источника ИШ-2-6 в расчётной точке днём, дБ		**ф-ла(3)[10]**	**0**	**42,5**	**38,9**	**34,4**	**36,3**	**39,7**	**38,4**	**30,6**	**12,3**	**43,5**	**43,5**
Источник шума: ИШ-2-7, координаты источника (x,y,z), м =[764.91,109.54,1.00]													
Уровни звуковой мощности источника днём, Lw, дБ		**исходные данные**	**0**	**93,3**	**94,7**	**96**	**96,3**	**95,9**	**92,6**	**88,4**	**83,9**		
Поправка на телесный угол DΩ, дБ	Ω = 6.28	10Lg(4π/Ω)	**3**	3	3	3	3	3	3	3	3		
Показатель направленности источника Di, дБ		исходные данные	**0**	0	0	0	0	0	0	0	0		
Поправка на направленность источника Dc, дБ	Dc	DΩ + Di	**3**	3	3	3	3	3	3	3	3		
Затухание из-за геометрической дивергенции, Adiv, дБ	расстояние = 243.92 м	ф-ла (7) [10]	**58,7**										
Коэффициент затухания звука в атмосфере α, дБ/км	Ta=20,°C Pa=101.33,кПа hотн.=70%	ф-ла (5) [9]	0,02	0,09	0,33	1,12	2,79	4,98	9,04	23,09	77,63		
Учет затухания звука в атмосфере Aatm, дБ		ф-ла (8) [10]	0	0	0,1	0,3	0,7	1,2	2,2	5,6	18,9		
Снижение поверхностью земли возле источника As, дБ	Gs = 0 hs = 1м	ф-лы таб.3 [10]	-1,5	-1,5	-1,5	-1,5	-1,5	-1,5	-1,5	-1,5	-1,5		
Снижение поверхностью земли возле приёмника Ar, дБ	Gr = 1 hr = 1.5м	ф-лы таб.3 [10]	-1,5	-1,5	1,4	7	4,9	0,7	0	0	0		
Снижение поверхностью земли в средней зоне, Am дБ	Gm = 1	ф-лы таб.3 [10]	-2,1	-2,1	0	0	0	0	0	0	0		
Суммарное снижение поверхностью земли на траектории распространения звука Agr, дБ		ф-ла (9) [10]	-5,1	-5,1	-0,1	5,5	3,4	-0,8	-1,5	-1,5	-1,5		
Уровни звукового давления прямого звука от источника ИШ-2-7 в расчётной точке днём, дБ		**ф-ла(3)[10]**	**0**	**42,6**	**39**	**34,5**	**36,4**	**39,8**	**36,1**	**28,5**	**10,7**	**42,7**	**42,7**
Расчёт отражённого звука													

1		2	3	4	5	6	7	8	9	10	11	12	13
Уровни звукового давления от мнимого источника ИШ-2-7_мн.(1) в расчётной точке днём, дБ		**ф-ла(3)[10]**	**0**	**0**	**0**	**0**	**0**	**0**	**28,4**	**18,8**	**0**	**30**	**30**
Уровни звукового давления от мнимого источника ИШ-2-7_мн.(2) в расчётной точке днём, дБ		**ф-ла(3)[10]**	**0**	**0**	**0**	**0**	**0**	**0**	**33,6**	**26**	**8,1**	**35,5**	**35,5**
Суммарные уровни звукового давления от мнимых источников в расчётной точке днём, дБ		**ф-ла (19) [1]**	**0**	**0**	**0**	**0**	**0**	**0**	**34,7**	**26,7**	**8,1**	**0**	**36,6**
Уровни звукового давления от источника ИШ-2-7 в расчётной точке днём, дБ		**ф-ла(3)[10]**	**0**	**42,6**	**39**	**34,5**	**36,4**	**39,8**	**38,5**	**30,7**	**12,6**	**43,6**	**43,6**
Источник шума: ИШ-2-8, координаты источника (x,y,z), м =[764.03,106.58,1.00]													
Уровни звуковой мощности источника днём, Lw, дБ		**исходные данные**	**0**	**93,3**	**94,7**	**96**	**96,3**	**95,9**	**92,6**	**88,4**	**83,9**		
Поправка на телесный угол DΩ, дБ	Ω = 6.28	10Lg(4π/Ω)	**3**	3	3	3	3	3	3	3	3		
Показатель направленности источника Di, дБ		исходные данные	**0**	0	0	0	0	0	0	0	0		
Поправка на направленность источника Dc, дБ	Dc	DΩ + Di	**3**	3	3	3	3	3	3	3	3		
Затухание из-за геометрической дивергенции, Adiv, дБ	расстояние = 241.66 м	ф-ла (7) [10]	**58,7**										
Коэффициент затухания звука в атмосфере α, дБ/км	Ta=20,°C Pa=101.33,кПа hотн.=70%	ф-ла (5) [9]	0,02	0,09	0,33	1,12	2,79	4,98	9,04	23,09	77,63		
Учет затухания звука в атмосфере Aatm, дБ		ф-ла (8) [10]	0	0	0,1	0,3	0,7	1,2	2,2	5,6	18,8		
Снижение поверхностью земли возле источника As, дБ	Gs = 0 hs = 1м	ф-лы таб.3 [10]	-1,5	-1,5	-1,5	-1,5	-1,5	-1,5	-1,5	-1,5	-1,5		
Снижение поверхностью земли возле приёмника Ar, дБ	Gr = 1 hr = 1.5м	ф-лы таб.3 [10]	-1,5	-1,5	1,4	7	4,9	0,7	0	0	0		
Снижение поверхностью земли в средней зоне, Am дБ	Gm = 1	ф-лы таб.3 [10]	-2,1	-2,1	0	0	0	0	0	0	0		
Суммарное снижение поверхностью земли на траектории распространения звука Agr, дБ		ф-ла (9) [10]	-5,1	-5,1	-0,1	5,5	3,4	-0,8	-1,5	-1,5	-1,5		

1		2	3	4	5	6	7	8	9	10	11	12	13
Уровни звукового давления прямого звука от источника ИШ-2-8 в расчётной точке днём, дБ		**ф-ла(3)[10]**	**0**	**42,7**	**39,1**	**34,6**	**36,5**	**39,9**	**36,2**	**28,6**	**11**	**42,8**	**42,8**
Расчёт отражённого звука													
Уровни звукового давления от мнимого источника ИШ-2-8_мн.(1) в расчётной точке днём, дБ		**ф-ла(3)[10]**	**0**	**0**	**0**	**0**	**0**	**0**	**28,4**	**18,8**	**0**	**30,1**	**30,1**
Уровни звукового давления от мнимого источника ИШ-2-8_мн.(2) в расчётной точке днём, дБ		**ф-ла(3)[10]**	**0**	**0**	**0**	**0**	**0**	**0**	**0**	**26,1**	**8,3**	**27,1**	**27,1**
Суммарные уровни звукового давления от мнимых источников в расчётной точке днём, дБ		**ф-ла (19) [1]**	**0**	**0**	**0**	**0**	**0**	**0**	**28,4**	**26,8**	**8,3**	**0**	**31,9**
Уровни звукового давления от источника ИШ-2-8 в расчётной точке днём, дБ		**ф-ла(3)[10]**	**0**	**42,7**	**39,1**	**34,6**	**36,5**	**39,9**	**36,9**	**30,8**	**12,9**	**43,1**	**43,1**
Источник шума: ИШ-2-9, координаты источника (x,y,z), м =[763.26,103.71,1.00]													
Уровни звуковой мощности источника днём, Lw, дБ		**исходные данные**	**0**	**93,3**	**94,7**	**96**	**96,3**	**95,9**	**92,6**	**88,4**	**83,9**		
Поправка на телесный угол DΩ, дБ	Ω = 6.28	10Lg(4π/Ω)	**3**	3	3	3	3	3	3	3	3		
Показатель направленности источника Di, дБ		исходные данные	**0**	0	0	0	0	0	0	0	0		
Поправка на направленность источника Dc, дБ	Dc	DΩ + Di	**3**	3	3	3	3	3	3	3	3		
Затухание из-за геометрической дивергенции, Adiv, дБ	расстояние = 239.56 м	ф-ла (7) [10]	**58,6**										
Коэффициент затухания звука в атмосфере α, дБ/км	Ta=20,°C Pa=101.33,кПа hотн.=70%	ф-ла (5) [9]	0,02	0,09	0,33	1,12	2,79	4,98	9,04	23,09	77,63		
Учет затухания звука в атмосфере Aatm, дБ		ф-ла (8) [10]	0	0	0,1	0,3	0,7	1,2	2,2	5,5	18,6		
Снижение поверхностью земли возле источника As, дБ	Gs = 0 hs = 1м	ф-лы таб.3 [10]	-1,5	-1,5	-1,5	-1,5	-1,5	-1,5	-1,5	-1,5	-1,5		
Снижение поверхностью земли возле приёмника Ar, дБ	Gr = 1 hr = 1.5м	ф-лы таб.3 [10]	-1,5	-1,5	1,4	7	4,9	0,7	0	0	0		

1		2	3	4	5	6	7	8	9	10	11	12	13
Снижение поверхностью земли в средней зоне, Am дБ	Gm = 1	ф-лы таб.3 [10]	-2,1	-2,1	0	0	0	0	0	0	0		
Суммарное снижение поверхностью земли на траектории распространения звука Agr, дБ		ф-ла (9) [10]	-5,1	-5,1	-0,1	5,5	3,4	-0,8	-1,5	-1,5	-1,5		
Уровни звукового давления прямого звука от источника ИШ-2-9 в расчётной точке днём, дБ		**ф-ла(3)[10]**	**0**	**42,7**	**39,1**	**34,7**	**36,6**	**40**	**36,3**	**28,8**	**11,2**	**42,9**	**42,9**
Расчёт отражённого звука													
Уровни звукового давления от мнимого источника ИШ-2-9_мн.(1) в расчётной точке днём, дБ		**ф-ла(3)[10]**	**0**	**0**	**0**	**0**	**0**	**0**	**28,5**	**18,9**	**0**	**30,1**	**30,1**
Уровни звукового давления от мнимого источника ИШ-2-9_мн.(2) в расчётной точке днём, дБ		**ф-ла(3)[10]**	**0**	**0**	**0**	**0**	**0**	**0**	**0**	**26,2**	**8,6**	**27,3**	**27,3**
Суммарные уровни звукового давления от мнимых источников в расчётной точке днём, дБ		**ф-ла (19) [1]**	**0**	**0**	**0**	**0**	**0**	**0**	**28,5**	**27**	**8,6**	**0**	**31,9**
Уровни звукового давления от источника ИШ-2-9 в расчётной точке днём, дБ		**ф-ла(3)[10]**	**0**	**42,7**	**39,1**	**34,7**	**36,6**	**40**	**37**	**31**	**13,1**	**43,2**	**43,2**
Источник шума: ИШ-2-10, координаты источника (x,y,z), м =[762.14,100.75,1.00]													
Уровни звуковой мощности источника днём, Lw, дБ		**исходные данные**	**0**	**93,3**	**94,7**	**96**	**96,3**	**95,9**	**92,6**	**88,4**	**83,9**		
Поправка на телесный угол DΩ, дБ	Ω = 6.28	10Lg(4π/Ω)	**3**	3	3	3	3	3	3	3	3		
Показатель направленности источника Di, дБ		исходные данные	**0**	0	0	0	0	0	0	0	0		
Поправка на направленность источника Dc, дБ	Dc	DΩ + Di	**3**	3	3	3	3	3	3	3	3		
Затухание из-за геометрической дивергенции, Adiv, дБ	расстояние = 237.14 м	ф-ла (7) [10]	**58,5**										
Коэффициент затухания звука в атмосфере α, дБ/км	Ta=20,°C Pa=101.33,кПа hотн.=70%	ф-ла (5) [9]	0,02	0,09	0,33	1,12	2,79	4,98	9,04	23,09	77,63		
Учет затухания звука в атмосфере Aatm, дБ		ф-ла (8) [10]	0	0	0,1	0,3	0,7	1,2	2,1	5,5	18,4		

1		2	3	4	5	6	7	8	9	10	11	12	13
Снижение поверхностью земли возле источника As, дБ	Gs = 0 hs = 1м	ф-лы таб.3 [10]	-1,5	-1,5	-1,5	-1,5	-1,5	-1,5	-1,5	-1,5	-1,5		
Снижение поверхностью земли возле приёмника Ar, дБ	Gr = 1 hr = 1.5м	ф-лы таб.3 [10]	-1,5	-1,5	1,4	7	4,9	0,7	0	0	0		
Снижение поверхностью земли в средней зоне, Am дБ	Gm = 1	ф-лы таб.3 [10]	-2,1	-2,1	0	0	0	0	0	0	0		
Суммарное снижение поверхностью земли на траектории распространения звука Agr, дБ		ф-ла (9) [10]	-5,1	-5,1	-0,1	5,5	3,4	-0,8	-1,5	-1,5	-1,5		
Уровни звукового давления прямого звука от источника ИШ-2-10 в расчётной точке днём, дБ		**ф-ла(3)[10]**	**0**	**42,8**	**39,3**	**34,8**	**36,7**	**40,1**	**36,4**	**28,9**	**11,5**	**43**	**43**
Расчёт отражённого звука													
Уровни звукового давления от мнимого источника ИШ-2-10_мн.(1) в расчётной точке днём, дБ		**ф-ла(3)[10]**	**0**	**0**	**0**	**0**	**0**	**0**	**28,5**	**19**	**0**	**30,2**	**30,2**
Уровни звукового давления от мнимого источника ИШ-2-10_мн.(2) в расчётной точке днём, дБ		**ф-ла(3)[10]**	**0**	**0**	**0**	**0**	**0**	**0**	**0**	**0**	**8,8**	**7,7**	**7,7**
Суммарные уровни звукового давления от мнимых источников в расчётной точке днём, дБ		**ф-ла (19) [1]**	**0**	**0**	**0**	**0**	**0**	**0**	**28,5**	**19**	**8,8**	**0**	**30,2**
Уровни звукового давления от источника ИШ-2-10 в расчётной точке днём, дБ		**ф-ла(3)[10]**	**0**	**42,8**	**39,3**	**34,8**	**36,7**	**40,1**	**37,1**	**29,3**	**13,4**	**43,2**	**43,2**
Источник шума: ИШ-2-11, координаты источника (x,y,z), м =[761.13,97.90,1.00]													
Уровни звуковой мощности источника днём, Lw, дБ		**исходные данные**	**0**	**93,3**	**94,7**	**96**	**96,3**	**95,9**	**92,6**	**88,4**	**83,9**		
Поправка на телесный угол DΩ, дБ	Ω = 6.28	10Lg(4π/Ω)	**3**	3	3	3	3	3	3	3	3		
Показатель направленности источника Di, дБ		исходные данные	**0**	0	0	0	0	0	0	0	0		
Поправка на направленность источника Dc, дБ	Dc	DΩ + Di	**3**	3	3	3	3	3	3	3	3		
Затухание из-за геометрической дивергенции, Adiv, дБ	расстояние = 234.87 м	ф-ла (7) [10]	**58,4**										
Коэффициент затухания звука в атмосфере α, дБ/км	Ta=20,°C Pa=101.33,кПа hотн.=70%	ф-ла (5) [9]	0,02	0,09	0,33	1,12	2,79	4,98	9,04	23,09	77,63		

1		2	3	4	5	6	7	8	9	10	11	12	13
Учет затухания звука в атмосфере Aatm, дБ		ф-ла (8) [10]	0	0	0,1	0,3	0,7	1,2	2,1	5,4	18,2		
Снижение поверхностью земли возле источника As, дБ	Gs = 0 hs = 1м	ф-лы таб.3 [10]	-1,5	-1,5	-1,5	-1,5	-1,5	-1,5	-1,5	-1,5	-1,5		
Снижение поверхностью земли возле приёмника Ar, дБ	Gr = 1 hr = 1.5м	ф-лы таб.3 [10]	-1,5	-1,5	1,3	7	4,9	0,7	0	0	0		
Снижение поверхностью земли в средней зоне, Am дБ	Gm = 1	ф-лы таб.3 [10]	-2	-2	0	0	0	0	0	0	0		
Суммарное снижение поверхностью земли на траектории распространения звука Agr, дБ		ф-ла (9) [10]	-5	-5	-0,2	5,5	3,4	-0,8	-1,5	-1,5	-1,5		
Уровни звукового давления прямого звука от источника ИШ-2-11 в расчётной точке днём, дБ		**ф-ла(3)[10]**	**0**	**42,9**	**39,3**	**34,9**	**36,8**	**40,2**	**36,6**	**29,1**	**11,7**	**43,1**	**43,1**
Расчёт отражённого звука													
Уровни звукового давления от мнимого источника ИШ-2-11_мн.(1) в расчётной точке днём, дБ		**ф-ла(3)[10]**	**0**	**0**	**0**	**0**	**0**	**0**	**28,6**	**19**	**0**	**30,2**	**30,2**
Уровни звукового давления от мнимого источника ИШ-2-11_мн.(2) в расчётной точке днём, дБ		**ф-ла(3)[10]**	**0**	**0**	**0**	**0**	**0**	**0**	**0**	**0**	**0**	**0**	**0**
Суммарные уровни звукового давления от мнимых источников в расчётной точке днём, дБ		**ф-ла (19) [1]**	**0**	**0**	**0**	**0**	**0**	**0**	**28,6**	**19**	**0**	**0**	**30,2**
Уровни звукового давления от источника ИШ-2-11 в расчётной точке днём, дБ		**ф-ла(3)[10]**	**0**	**42,9**	**39,3**	**34,9**	**36,8**	**40,2**	**37,2**	**29,5**	**11,7**	**43,3**	**43,3**
Источник шума: ИШ-2-12, координаты источника (x,y,z), м =[760.25,95.02,1.00]													
Уровни звуковой мощности источника днём, Lw, дБ		**исходные данные**	**0**	**93,3**	**94,7**	**96**	**96,3**	**95,9**	**92,6**	**88,4**	**83,9**		
Поправка на телесный угол DΩ, дБ	Ω = 6.28	10Lg(4π/Ω)	**3**	3	3	3	3	3	3	3	3		
Показатель направленности источника Di, дБ		исходные данные	**0**	0	0	0	0	0	0	0	0		
Поправка на направленность источника Dc, дБ	Dc	DΩ + Di	**3**	3	3	3	3	3	3	3	3		
Затухание из-за геометрической дивергенции, Adiv, дБ	расстояние = 232.73 м	ф-ла (7) [10]	**58,3**										

1		2	3	4	5	6	7	8	9	10	11	12	13
Коэффициент затухания звука в атмосфере α, дБ/км	Ta=20,°C Pa=101.33,кПа hотн.=70%	ф-ла (5) [9]	0,02	0,09	0,33	1,12	2,79	4,98	9,04	23,09	77,63		
Учет затухания звука в атмосфере Aatm, дБ		ф-ла (8) [10]	0	0	0,1	0,3	0,6	1,2	2,1	5,4	18,1		
Снижение поверхностью земли возле источника As, дБ	Gs = 0 hs = 1м	ф-лы таб.3 [10]	-1,5	-1,5	-1,5	-1,5	-1,5	-1,5	-1,5	-1,5	-1,5		
Снижение поверхностью земли возле приёмника Ar, дБ	Gr = 1 hr = 1.5м	ф-лы таб.3 [10]	-1,5	-1,5	1,3	7	4,9	0,7	0	0	0		
Снижение поверхностью земли в средней зоне, Am дБ	Gm = 1	ф-лы таб.3 [10]	-2	-2	0	0	0	0	0	0	0		
Суммарное снижение поверхностью земли на траектории распространения звука Agr, дБ		ф-ла (9) [10]	-5	-5	-0,2	5,5	3,4	-0,8	-1,5	-1,5	-1,5		
Уровни звукового давления прямого звука от источника ИШ-2-12 в расчётной точке днём, дБ		**ф-ла(3)[10]**	**0**	**43**	**39,4**	**34,9**	**36,9**	**40,2**	**36,7**	**29,2**	**12**	**43,2**	**43,2**
Расчёт отражённого звука													
Уровни звукового давления от мнимого источника ИШ-2-12_мн.(1) в расчётной точке днём, дБ		**ф-ла(3)[10]**	**0**	**0**	**0**	**0**	**0**	**0**	**28,6**	**19,1**	**0**	**30,3**	**30,3**
Уровни звукового давления от мнимого источника ИШ-2-12_мн.(2) в расчётной точке днём, дБ		**ф-ла(3)[10]**	**0**	**0**	**0**	**0**	**0**	**0**	**0**	**0**	**0**	**0**	**0**
Суммарные уровни звукового давления от мнимых источников в расчётной точке днём, дБ		**ф-ла (19) [1]**	**0**	**0**	**0**	**0**	**0**	**0**	**28,6**	**19,1**	**0**	**0**	**30,3**
Уровни звукового давления от источника ИШ-2-12 в расчётной точке днём, дБ		**ф-ла(3)[10]**	**0**	**43**	**39,4**	**34,9**	**36,9**	**40,2**	**37,3**	**29,6**	**12**	**43,4**	**43,4**
Источник шума: ИШ-2-13, координаты источника (x,y,z), м =[759.28,92.25,1.00]													
Уровни звуковой мощности источника днём, Lw, дБ		**исходные данные**	**0**	**93,3**	**94,7**	**96**	**96,3**	**95,9**	**92,6**	**88,4**	**83,9**		
Поправка на телесный угол DΩ, дБ	Ω = 6.28	10Lg(4π/Ω)	**3**	3	3	3	3	3	3	3	3		
Показатель направленности источника Di, дБ		исходные данные	**0**	0	0	0	0	0	0	0	0		

1		2	3	4	5	6	7	8	9	10	11	12	13
Поправка на направленность источника Dc, дБ	Dc	DΩ + Di	**3**	3	3	3	3	3	3	3	3		
Затухание из-за геометрической дивергенции, Adiv, дБ	расстояние = 230.57 м	ф-ла (7) [10]	**58,3**										
Коэффициент затухания звука в атмосфере α, дБ/км	Ta=20,°C Pa=101.33,кПа hотн.=70%	ф-ла (5) [9]	0,02	0,09	0,33	1,12	2,79	4,98	9,04	23,09	77,63		
Учет затухания звука в атмосфере Aatm, дБ		ф-ла (8) [10]	0	0	0,1	0,3	0,6	1,1	2,1	5,3	17,9		
Снижение поверхностью земли возле источника As, дБ	Gs = 0 hs = 1м	ф-лы таб.3 [10]	-1,5	-1,5	-1,5	-1,5	-1,5	-1,5	-1,5	-1,5	-1,5		
Снижение поверхностью земли возле приёмника Ar, дБ	Gr = 1 hr = 1.5м	ф-лы таб.3 [10]	-1,5	-1,5	1,3	7	4,9	0,7	0	0	0		
Снижение поверхностью земли в средней зоне, Am дБ	Gm = 1	ф-лы таб.3 [10]	-2	-2	0	0	0	0	0	0	0		
Суммарное снижение поверхностью земли на траектории распространения звука Agr, дБ		ф-ла (9) [10]	-5	-5	-0,2	5,5	3,4	-0,8	-1,5	-1,5	-1,5		
Уровни звукового давления прямого звука от источника ИШ-2-13 в расчётной точке днём, дБ		**ф-ла(3)[10]**	**0**	**43**	**39,5**	**35**	**37**	**40,3**	**36,8**	**29,3**	**12,2**	**43,3**	**43,3**
Расчёт отражённого звука													
Уровни звукового давления от мнимого источника ИШ-2-13_мн.(1) в расчётной точке днём, дБ		**ф-ла(3)[10]**	**0**	**0**	**0**	**0**	**0**	**0**	**28,7**	**19,2**	**0**	**30,3**	**30,3**
Уровни звукового давления от мнимого источника ИШ-2-13_мн.(2) в расчётной точке днём, дБ		**ф-ла(3)[10]**	**0**	**0**	**0**	**0**	**0**	**0**	**0**	**0**	**0**	**0**	**0**
Суммарные уровни звукового давления от мнимых источников в расчётной точке днём, дБ		**ф-ла (19) [1]**	**0**	**0**	**0**	**0**	**0**	**0**	**28,7**	**19,2**	**0**	**0**	**30,3**
Уровни звукового давления от источника ИШ-2-13 в расчётной точке днём, дБ		**ф-ла(3)[10]**	**0**	**43**	**39,5**	**35**	**37**	**40,3**	**37,4**	**29,7**	**12,2**	**43,5**	**43,5**
Источник шума: ИШ-2-14, координаты источника (x,y,z), м =[751.62,69.73,1.00]													
Уровни звуковой мощности источника днём, Lw, дБ		**исходные данные**	**0**	**93,3**	**94,7**	**96**	**96,3**	**95,9**	**92,6**	**88,4**	**83,9**		

1		2	3	4	5	6	7	8	9	10	11	12	13
Поправка на телесный угол DΩ, дБ	Ω = 6.28	10Lg(4π/Ω)	**3**	3	3	3	3	3	3	3	3		
Показатель направленности источника Di, дБ		исходные данные	**0**	0	0	0	0	0	0	0	0		
Поправка на направленность источника Dc, дБ	Dc	DΩ + Di	**3**	3	3	3	3	3	3	3	3		
Затухание из-за геометрической дивергенции, Adiv, дБ	расстояние = 213.95 м	ф-ла (7) [10]	**57,6**										
Коэффициент затухания звука в атмосфере α, дБ/км	Ta=20,°C Pa=101.33,кПа hотн.=70%	ф-ла (5) [9]	0,02	0,09	0,33	1,12	2,79	4,98	9,04	23,09	77,63		
Учет затухания звука в атмосфере Aatm, дБ		ф-ла (8) [10]	0	0	0,1	0,2	0,6	1,1	1,9	4,9	16,6		
Снижение поверхностью земли возле источника As, дБ	Gs = 0 hs = 1м	ф-лы таб.3 [10]	-1,5	-1,5	-1,5	-1,5	-1,5	-1,5	-1,5	-1,5	-1,5		
Снижение поверхностью земли возле приёмника Ar, дБ	Gr = 1 hr = 1.5м	ф-лы таб.3 [10]	-1,5	-1,5	1,2	6,9	4,9	0,7	0	0	0		
Снижение поверхностью земли в средней зоне, Am дБ	Gm = 1	ф-лы таб.3 [10]	-1,9	-1,9	0	0	0	0	0	0	0		
Суммарное снижение поверхностью земли на траектории распространения звука Agr, дБ		ф-ла (9) [10]	-4,9	-4,9	-0,3	5,4	3,4	-0,8	-1,5	-1,5	-1,5		
Уровни звукового давления прямого звука от источника ИШ-2-14 в расчётной точке днём, дБ		**ф-ла(3)[10]**	**0**	**43,6**	**40,3**	**35,7**	**37,7**	**41,1**	**37,6**	**30,3**	**14,2**	**44**	**44**
Расчёт отражённого звука													
Уровни звукового давления от мнимого источника ИШ-2-14_мн.(1) в расчётной точке днём, дБ		**ф-ла(3)[10]**	**0**	**0**	**0**	**0**	**0**	**0**	**35**	**27,8**	**11,5**	**36,9**	**36,9**
Уровни звукового давления от источника ИШ-2-14 в расчётной точке днём, дБ		**ф-ла(3)[10]**	**0**	**43,6**	**40,3**	**35,7**	**37,7**	**41,1**	**39,5**	**32,3**	**16,1**	**44,8**	**44,8**
Источник шума: ИШ-2-15, координаты источника (x,y,z), м =[750.74,66.89,1.00]													
Уровни звуковой мощности источника днём, Lw, дБ		**исходные данные**	**0**	**93,3**	**94,7**	**96**	**96,3**	**95,9**	**92,6**	**88,4**	**83,9**		

1		2	3	4	5	6	7	8	9	10	11	12	13
Поправка на телесный угол DΩ, дБ	Ω = 6.28	10Lg(4π/Ω)	**3**	3	3	3	3	3	3	3	3		
Показатель направленности источника Di, дБ		исходные данные	**0**	0	0	0	0	0	0	0	0		
Поправка на направленность источника Dc, дБ	Dc	DΩ + Di	**3**	3	3	3	3	3	3	3	3		
Затухание из-за геометрической дивергенции, Adiv, дБ	расстояние = 212.04 м	ф-ла (7) [10]	**57,5**										
Коэффициент затухания звука в атмосфере α, дБ/км	Ta=20,°C Pa=101.33,кПа hотн.=70%	ф-ла (5) [9]	0,02	0,09	0,33	1,12	2,79	4,98	9,04	23,09	77,63		
Учет затухания звука в атмосфере Aatm, дБ		ф-ла (8) [10]	0	0	0,1	0,2	0,6	1,1	1,9	4,9	16,5		
Снижение поверхностью земли возле источника As, дБ	Gs = 0 hs = 1м	ф-лы таб.3 [10]	-1,5	-1,5	-1,5	-1,5	-1,5	-1,5	-1,5	-1,5	-1,5		
Снижение поверхностью земли возле приёмника Ar, дБ	Gr = 1 hr = 1.5м	ф-лы таб.3 [10]	-1,5	-1,5	1,2	6,9	4,9	0,7	0	0	0		
Снижение поверхностью земли в средней зоне, Am дБ	Gm = 1	ф-лы таб.3 [10]	-1,9	-1,9	0	0	0	0	0	0	0		
Суммарное снижение поверхностью земли на траектории распространения звука Agr, дБ		ф-ла (9) [10]	-4,9	-4,9	-0,3	5,4	3,4	-0,8	-1,5	-1,5	-1,5		
Уровни звукового давления прямого звука от источника ИШ-2-15 в расчётной точке днём, дБ		**ф-ла(3)[10]**	**0**	**43,7**	**40,4**	**35,8**	**37,8**	**41,2**	**37,6**	**30,5**	**14,4**	**44,1**	**44,1**
Расчёт отражённого звука													
Уровни звукового давления от мнимого источника ИШ-2-15_мн.(1) в расчётной точке днём, дБ		**ф-ла(3)[10]**	**0**	**0**	**0**	**0**	**0**	**36,6**	**35,1**	**27,9**	**11,8**	**39,9**	**39,9**
Уровни звукового давления от источника ИШ-2-15 в расчётной точке днём, дБ		**ф-ла(3)[10]**	**0**	**43,7**	**40,4**	**35,8**	**37,8**	**42,5**	**39,6**	**32,4**	**16,3**	**45,5**	**45,5**
Источник шума: ИШ-2-16, координаты источника (x,y,z), м =[749.73,64.02,1.00]													
Уровни звуковой мощности источника днём, Lw, дБ		**исходные данные**	**0**	**93,3**	**94,7**	**96**	**96,3**	**95,9**	**92,6**	**88,4**	**83,9**		

1		2	3	4	5	6	7	8	9	10	11	12	13
Поправка на телесный угол DΩ, дБ	Ω = 6.28	10Lg(4π/Ω)	**3**	3	3	3	3	3	3	3	3		
Показатель направленности источника Di, дБ		исходные данные	**0**	0	0	0	0	0	0	0	0		
Поправка на направленность источника Dc, дБ	Dc	DΩ + Di	**3**	3	3	3	3	3	3	3	3		
Затухание из-за геометрической дивергенции, Adiv, дБ	расстояние = 210.01 м	ф-ла (7) [10]	**57,4**										
Коэффициент затухания звука в атмосфере α, дБ/км	Ta=20,°C Pa=101.33,кПа hотн.=70%	ф-ла (5) [9]	0,02	0,09	0,33	1,12	2,79	4,98	9,04	23,09	77,63		
Учет затухания звука в атмосфере Aatm, дБ		ф-ла (8) [10]	0	0	0,1	0,2	0,6	1	1,9	4,8	16,3		
Снижение поверхностью земли возле источника As, дБ	Gs = 0 hs = 1м	ф-лы таб.3 [10]	-1,5	-1,5	-1,5	-1,5	-1,5	-1,5	-1,5	-1,5	-1,5		
Снижение поверхностью земли возле приёмника Ar, дБ	Gr = 1 hr = 1.5м	ф-лы таб.3 [10]	-1,5	-1,5	1,2	6,9	4,9	0,7	0	0	0		
Снижение поверхностью земли в средней зоне, Am дБ	Gm = 1	ф-лы таб.3 [10]	-1,9	-1,9	0	0	0	0	0	0	0		
Суммарное снижение поверхностью земли на траектории распространения звука Agr, дБ		ф-ла (9) [10]	-4,9	-4,9	-0,3	5,4	3,4	-0,8	-1,5	-1,5	-1,5		
Уровни звукового давления прямого звука от источника ИШ-2-16 в расчётной точке днём, дБ		**ф-ла(3)[10]**	**0**	**43,8**	**40,5**	**35,9**	**37,9**	**41,3**	**37,7**	**30,6**	**14,6**	**44,2**	**44,2**
Расчёт отражённого звука													
Уровни звукового давления от мнимого источника ИШ-2-16_мн.(1) в расчётной точке днём, дБ		**ф-ла(3)[10]**	**0**	**0**	**0**	**0**	**0**	**36,7**	**35,2**	**28**	**12**	**40**	**40**
Уровни звукового давления от источника ИШ-2-16 в расчётной точке днём, дБ		**ф-ла(3)[10]**	**0**	**43,8**	**40,5**	**35,9**	**37,9**	**42,6**	**39,7**	**32,5**	**16,5**	**45,6**	**45,6**
Источник шума: ИШ-2-17, координаты источника (x,y,z), м =[748.87,61.06,1.00]													
Уровни звуковой мощности источника днём, Lw, дБ		**исходные данные**	**0**	**93,3**	**94,7**	**96**	**96,3**	**95,9**	**92,6**	**88,4**	**83,9**		

1		2	3	4	5	6	7	8	9	10	11	12	13
Поправка на телесный угол DΩ, дБ	Ω = 6.28	10Lg(4π/Ω)	**3**	3	3	3	3	3	3	3	3		
Показатель направленности источника Di, дБ		исходные данные	**0**	0	0	0	0	0	0	0	0		
Поправка на направленность источника Dc, дБ	Dc	DΩ + Di	**3**	3	3	3	3	3	3	3	3		
Затухание из-за геометрической дивергенции, Adiv, дБ	расстояние = 208.12 м	ф-ла (7) [10]	**57,4**										
Коэффициент затухания звука в атмосфере α, дБ/км	Ta=20,°C Pa=101.33,кПа hотн.=70%	ф-ла (5) [9]	0,02	0,09	0,33	1,12	2,79	4,98	9,04	23,09	77,63		
Учет затухания звука в атмосфере Aatm, дБ		ф-ла (8) [10]	0	0	0,1	0,2	0,6	1	1,9	4,8	16,2		
Снижение поверхностью земли возле источника As, дБ	Gs = 0 hs = 1м	ф-лы таб.3 [10]	-1,5	-1,5	-1,5	-1,5	-1,5	-1,5	-1,5	-1,5	-1,5		
Снижение поверхностью земли возле приёмника Ar, дБ	Gr = 1 hr = 1.5м	ф-лы таб.3 [10]	-1,5	-1,5	1,2	6,9	4,9	0,6	0	0	0		
Снижение поверхностью земли в средней зоне, Am дБ	Gm = 1	ф-лы таб.3 [10]	-1,9	-1,9	0	0	0	0	0	0	0		
Суммарное снижение поверхностью земли на траектории распространения звука Agr, дБ		ф-ла (9) [10]	-4,9	-4,9	-0,3	5,4	3,4	-0,9	-1,5	-1,5	-1,5		
Уровни звукового давления прямого звука от источника ИШ-2-17 в расчётной точке днём, дБ		**ф-ла(3)[10]**	**0**	**43,8**	**40,5**	**36**	**37,9**	**41,3**	**37,8**	**30,7**	**14,9**	**44,3**	**44,3**
Расчёт отражённого звука													
Уровни звукового давления от мнимого источника ИШ-2-17_мн.(1) в расчётной точке днём, дБ		**ф-ла(3)[10]**	**0**	**0**	**0**	**0**	**0**	**36,8**	**35,3**	**28,2**	**12,2**	**40**	**40**
Уровни звукового давления от источника ИШ-2-17 в расчётной точке днём, дБ		**ф-ла(3)[10]**	**0**	**43,8**	**40,5**	**36**	**37,9**	**42,7**	**39,8**	**32,6**	**16,8**	**45,7**	**45,7**
Источник шума: ИШ-2-18, координаты источника (x,y,z), м =[747.72,58.17,1.00]													
Уровни звуковой мощности источника днём, Lw, дБ		**исходные данные**	**0**	**93,3**	**94,7**	**96**	**96,3**	**95,9**	**92,6**	**88,4**	**83,9**		

1		2	3	4	5	6	7	8	9	10	11	12	13
Поправка на телесный угол DΩ, дБ	Ω = 6.28	10Lg(4π/Ω)	**3**	3	3	3	3	3	3	3	3		
Показатель направленности источника Di, дБ		исходные данные	**0**	0	0	0	0	0	0	0	0		
Поправка на направленность источника Dc, дБ	Dc	DΩ + Di	**3**	3	3	3	3	3	3	3	3		
Затухание из-за геометрической дивергенции, Adiv, дБ	расстояние = 206.00 м	ф-ла (7) [10]	**57,3**										
Коэффициент затухания звука в атмосфере α, дБ/км	Ta=20,°C Pa=101.33,кПа hотн.=70%	ф-ла (5) [9]	0,02	0,09	0,33	1,12	2,79	4,98	9,04	23,09	77,63		
Учет затухания звука в атмосфере Aatm, дБ		ф-ла (8) [10]	0	0	0,1	0,2	0,6	1	1,9	4,8	16		
Снижение поверхностью земли возле источника As, дБ	Gs = 0 hs = 1м	ф-лы таб.3 [10]	-1,5	-1,5	-1,5	-1,5	-1,5	-1,5	-1,5	-1,5	-1,5		
Снижение поверхностью земли возле приёмника Ar, дБ	Gr = 1 hr = 1.5м	ф-лы таб.3 [10]	-1,5	-1,5	1,2	6,9	4,9	0,6	0	0	0		
Снижение поверхностью земли в средней зоне, Am дБ	Gm = 1	ф-лы таб.3 [10]	-1,9	-1,9	0	0	0	0	0	0	0		
Суммарное снижение поверхностью земли на траектории распространения звука Agr, дБ		ф-ла (9) [10]	-4,9	-4,9	-0,3	5,4	3,4	-0,9	-1,5	-1,5	-1,5		
Уровни звукового давления прямого звука от источника ИШ-2-18 в расчётной точке днём, дБ		**ф-ла(3)[10]**	**0**	**43,9**	**40,6**	**36,1**	**38**	**41,4**	**38**	**30,9**	**15,1**	**44,4**	**44,4**
Расчёт отражённого звука													
Уровни звукового давления от мнимого источника ИШ-2-18_мн.(1) в расчётной точке днём, дБ		**ф-ла(3)[10]**	**0**	**0**	**0**	**0**	**26,8**	**36,9**	**35,4**	**28,3**	**12,5**	**40,3**	**40,3**
Уровни звукового давления от источника ИШ-2-18 в расчётной точке днём, дБ		**ф-ла(3)[10]**	**0**	**43,9**	**40,6**	**36,1**	**38,4**	**42,8**	**39,9**	**32,8**	**17**	**45,8**	**45,8**
Источник шума: ИШ-2-19, координаты источника (x,y,z), м =[746.80,55.25,1.00]													
Уровни звуковой мощности источника днём, Lw, дБ		**исходные данные**	**0**	**93,3**	**94,7**	**96**	**96,3**	**95,9**	**92,6**	**88,4**	**83,9**		

1		2	3	4	5	6	7	8	9	10	11	12	13
Поправка на телесный угол DΩ, дБ	Ω = 6.28	10Lg(4π/Ω)	**3**	3	3	3	3	3	3	3	3		
Показатель направленности источника Di, дБ		исходные данные	**0**	0	0	0	0	0	0	0	0		
Поправка на направленность источника Dc, дБ	Dc	DΩ + Di	**3**	3	3	3	3	3	3	3	3		
Затухание из-за геометрической дивергенции, Adiv, дБ	расстояние = 204.12 м	ф-ла (7) [10]	**57,2**										
Коэффициент затухания звука в атмосфере α, дБ/км	Ta=20,°C Pa=101.33,кПа hотн.=70%	ф-ла (5) [9]	0,02	0,09	0,33	1,12	2,79	4,98	9,04	23,09	77,63		
Учет затухания звука в атмосфере Aatm, дБ		ф-ла (8) [10]	0	0	0,1	0,2	0,6	1	1,8	4,7	15,8		
Снижение поверхностью земли возле источника As, дБ	Gs = 0 hs = 1м	ф-лы таб.3 [10]	-1,5	-1,5	-1,5	-1,5	-1,5	-1,5	-1,5	-1,5	-1,5		
Снижение поверхностью земли возле приёмника Ar, дБ	Gr = 1 hr = 1.5м	ф-лы таб.3 [10]	-1,5	-1,5	1,2	6,9	4,9	0,6	0	0	0		
Снижение поверхностью земли в средней зоне, Am дБ	Gm = 1	ф-лы таб.3 [10]	-1,9	-1,9	0	0	0	0	0	0	0		
Суммарное снижение поверхностью земли на траектории распространения звука Agr, дБ		ф-ла (9) [10]	-4,9	-4,9	-0,3	5,4	3,4	-0,9	-1,5	-1,5	-1,5		
Уровни звукового давления прямого звука от источника ИШ-2-19 в расчётной точке днём, дБ		**ф-ла(3)[10]**	**0**	**44**	**40,7**	**36,2**	**38,1**	**41,5**	**38**	**31**	**15,3**	**44,5**	**44,5**
Расчёт отражённого звука													
Уровни звукового давления от мнимого источника ИШ-2-19_мн.(1) в расчётной точке днём, дБ		**ф-ла(3)[10]**	**0**	**0**	**0**	**0**	**26,9**	**37**	**35,5**	**28,4**	**12,7**	**40,3**	**40,3**
Уровни звукового давления от источника ИШ-2-19 в расчётной точке днём, дБ		**ф-ла(3)[10]**	**0**	**44**	**40,7**	**36,2**	**38,5**	**42,8**	**40**	**32,9**	**17,2**	**45,9**	**45,9**
Источник шума: ИШ-2-20, координаты источника (x,y,z), м =[745.71,52.44,1.00]													
Уровни звуковой мощности источника днём, Lw, дБ		**исходные данные**	**0**	**93,3**	**94,7**	**96**	**96,3**	**95,9**	**92,6**	**88,4**	**83,9**		

1		2	3	4	5	6	7	8	9	10	11	12	13
Поправка на телесный угол DΩ, дБ	Ω = 6.28	10Lg(4π/Ω)	**3**	3	3	3	3	3	3	3	3		
Показатель направленности источника Di, дБ		исходные данные	**0**	0	0	0	0	0	0	0	0		
Поправка на направленность источника Dc, дБ	Dc	DΩ + Di	**3**	3	3	3	3	3	3	3	3		
Затухание из-за геометрической дивергенции, Adiv, дБ	расстояние = 202.14 м	ф-ла (7) [10]	**57,1**										
Коэффициент затухания звука в атмосфере α, дБ/км	Ta=20,°C Pa=101.33,кПа hотн.=70%	ф-ла (5) [9]	0,02	0,09	0,33	1,12	2,79	4,98	9,04	23,09	77,63		
Учет затухания звука в атмосфере Aatm, дБ		ф-ла (8) [10]	0	0	0,1	0,2	0,6	1	1,8	4,7	15,7		
Снижение поверхностью земли возле источника As, дБ	Gs = 0 hs = 1м	ф-лы таб.3 [10]	-1,5	-1,5	-1,5	-1,5	-1,5	-1,5	-1,5	-1,5	-1,5		
Снижение поверхностью земли возле приёмника Ar, дБ	Gr = 1 hr = 1.5м	ф-лы таб.3 [10]	-1,5	-1,5	1,2	6,9	4,9	0,6	0	0	0		
Снижение поверхностью земли в средней зоне, Am дБ	Gm = 1	ф-лы таб.3 [10]	-1,9	-1,9	0	0	0	0	0	0	0		
Суммарное снижение поверхностью земли на траектории распространения звука Agr, дБ		ф-ла (9) [10]	-4,9	-4,9	-0,3	5,4	3,4	-0,9	-1,5	-1,5	-1,5		
Уровни звукового давления прямого звука от источника ИШ-2-20 в расчётной точке днём, дБ		**ф-ла(3)[10]**	**0**	**44**	**40,8**	**36,3**	**38,2**	**41,6**	**38,2**	**31,1**	**15,6**	**44,6**	**44,6**
Расчёт отражённого звука													
Уровни звукового давления от мнимого источника ИШ-2-20_мн.(1) в расчётной точке днём, дБ		**ф-ла(3)[10]**	**0**	**0**	**0**	**0**	**27**	**37,1**	**35,6**	**28,6**	**13**	**40,4**	**40,4**
Уровни звукового давления от источника ИШ-2-20 в расчётной точке днём, дБ		**ф-ла(3)[10]**	**0**	**44**	**40,8**	**36,3**	**38,5**	**42,9**	**40,1**	**33**	**17,5**	**46**	**46**
Источник шума: ИШ-2-21, координаты источника (x,y,z), м =[744.89,49.62,1.00]													
Уровни звуковой мощности источника днём, Lw, дБ		**исходные данные**	**0**	**93,3**	**94,7**	**96**	**96,3**	**95,9**	**92,6**	**88,4**	**83,9**		

1		2	3	4	5	6	7	8	9	10	11	12	13
Поправка на телесный угол DΩ, дБ	Ω = 6.28	10Lg(4π/Ω)	**3**	3	3	3	3	3	3	3	3		
Показатель направленности источника Di, дБ		исходные данные	**0**	0	0	0	0	0	0	0	0		
Поправка на направленность источника Dc, дБ	Dc	DΩ + Di	**3**	3	3	3	3	3	3	3	3		
Затухание из-за геометрической дивергенции, Adiv, дБ	расстояние = 200.45 м	ф-ла (7) [10]	**57**										
Коэффициент затухания звука в атмосфере α, дБ/км	Ta=20,°C Pa=101.33,кПа hотн.=70%	ф-ла (5) [9]	0,02	0,09	0,33	1,12	2,79	4,98	9,04	23,09	77,63		
Учет затухания звука в атмосфере Aatm, дБ		ф-ла (8) [10]	0	0	0,1	0,2	0,6	1	1,8	4,6	15,6		
Снижение поверхностью земли возле источника As, дБ	Gs = 0 hs = 1м	ф-лы таб.3 [10]	-1,5	-1,5	-1,5	-1,5	-1,5	-1,5	-1,5	-1,5	-1,5		
Снижение поверхностью земли возле приёмника Ar, дБ	Gr = 1 hr = 1.5м	ф-лы таб.3 [10]	-1,5	-1,5	1,2	6,9	4,9	0,6	0	0	0		
Снижение поверхностью земли в средней зоне, Am дБ	Gm = 1	ф-лы таб.3 [10]	-1,9	-1,9	0	0	0	0	0	0	0		
Суммарное снижение поверхностью земли на траектории распространения звука Agr, дБ		ф-ла (9) [10]	-4,9	-4,9	-0,3	5,4	3,4	-0,9	-1,5	-1,5	-1,5		
Уровни звукового давления прямого звука от источника ИШ-2-21 в расчётной точке днём, дБ		**ф-ла(3)[10]**	**0**	**44,1**	**40,9**	**36,3**	**38,3**	**41,7**	**38,2**	**31,2**	**15,8**	**44,7**	**44,7**
Расчёт отражённого звука													
Уровни звукового давления от мнимого источника ИШ-2-21_мн.(1) в расчётной точке днём, дБ		**ф-ла(3)[10]**	**0**	**0**	**0**	**0**	**27,1**	**37,2**	**35,7**	**28,7**	**13,2**	**40,5**	**40,5**
Уровни звукового давления от источника ИШ-2-21 в расчётной точке днём, дБ		**ф-ла(3)[10]**	**0**	**44,1**	**40,9**	**36,3**	**38,6**	**43**	**40,2**	**33,1**	**17,7**	**46,1**	**46,1**
Источник шума: ИШ-2-22, координаты источника (x,y,z), м =[737.40,27.07,1.00]													
Уровни звуковой мощности источника днём, Lw, дБ		**исходные данные**	**0**	**93,3**	**94,7**	**96**	**96,3**	**95,9**	**92,6**	**88,4**	**83,9**		

1		2	3	4	5	6	7	8	9	10	11	12	13
Поправка на телесный угол DΩ, дБ	Ω = 6.28	10Lg(4π/Ω)	**3**	3	3	3	3	3	3	3	3		
Показатель направленности источника Di, дБ		исходные данные	**0**	0	0	0	0	0	0	0	0		
Поправка на направленность источника Dc, дБ	Dc	DΩ + Di	**3**	3	3	3	3	3	3	3	3		
Затухание из-за геометрической дивергенции, Adiv, дБ	расстояние = 187.05 м	ф-ла (7) [10]	**56,4**										
Коэффициент затухания звука в атмосфере α, дБ/км	Ta=20,°C Pa=101.33,кПа hотн.=70%	ф-ла (5) [9]	0,02	0,09	0,33	1,12	2,79	4,98	9,04	23,09	77,63		
Учет затухания звука в атмосфере Aatm, дБ		ф-ла (8) [10]	0	0	0,1	0,2	0,5	0,9	1,7	4,3	14,5		
Снижение поверхностью земли возле источника As, дБ	Gs = 0 hs = 1м	ф-лы таб.3 [10]	-1,5	-1,5	-1,5	-1,5	-1,5	-1,5	-1,5	-1,5	-1,5		
Снижение поверхностью земли возле приёмника Ar, дБ	Gr = 1 hr = 1.5м	ф-лы таб.3 [10]	-1,5	-1,5	1,1	6,9	4,9	0,6	0	0	0		
Снижение поверхностью земли в средней зоне, Am дБ	Gm = 1	ф-лы таб.3 [10]	-1,8	-1,8	0	0	0	0	0	0	0		
Суммарное снижение поверхностью земли на траектории распространения звука Agr, дБ		ф-ла (9) [10]	-4,8	-4,8	-0,4	5,4	3,4	-0,9	-1,5	-1,5	-1,5		
Уровни звукового давления прямого звука от источника ИШ-2-22 в расчётной точке днём, дБ		**ф-ла(3)[10]**	**0**	**44,6**	**41,6**	**37**	**39**	**42,4**	**39**	**32,1**	**17,4**	**45,4**	**45,4**
Расчёт отражённого звука													
Уровни звукового давления от мнимого источника ИШ-2-22_мн.(1) в расчётной точке днём, дБ		**ф-ла(3)[10]**	**0**	**0**	**38,1**	**26,8**	**27,8**	**37,9**	**36,4**	**29,6**	**14,8**	**41,3**	**41,3**
Уровни звукового давления от источника ИШ-2-22 в расчётной точке днём, дБ		**ф-ла(3)[10]**	**0**	**44,6**	**43,2**	**37,4**	**39,3**	**43,7**	**40,9**	**34,1**	**19,3**	**46,8**	**46,8**
Источник шума: ИШ-2-23, координаты источника (x,y,z), м =[736.46,24.18,1.00]													
Уровни звуковой мощности источника днём, Lw, дБ		**исходные данные**	**0**	**93,3**	**94,7**	**96**	**96,3**	**95,9**	**92,6**	**88,4**	**83,9**		

1		2	3	4	5	6	7	8	9	10	11	12	13
Поправка на телесный угол DΩ, дБ	Ω = 6.28	10Lg(4π/Ω)	**3**	3	3	3	3	3	3	3	3		
Показатель направленности источника Di, дБ		исходные данные	**0**	0	0	0	0	0	0	0	0		
Поправка на направленность источника Dc, дБ	Dc	DΩ + Di	**3**	3	3	3	3	3	3	3	3		
Затухание из-за геометрической дивергенции, Adiv, дБ	расстояние = 185.51 м	ф-ла (7) [10]	**56,4**										
Коэффициент затухания звука в атмосфере α, дБ/км	Ta=20,°C Pa=101.33,кПа hотн.=70%	ф-ла (5) [9]	0,02	0,09	0,33	1,12	2,79	4,98	9,04	23,09	77,63		
Учет затухания звука в атмосфере Aatm, дБ		ф-ла (8) [10]	0	0	0,1	0,2	0,5	0,9	1,7	4,3	14,4		
Снижение поверхностью земли возле источника As, дБ	Gs = 0 hs = 1м	ф-лы таб.3 [10]	-1,5	-1,5	-1,5	-1,5	-1,5	-1,5	-1,5	-1,5	-1,5		
Снижение поверхностью земли возле приёмника Ar, дБ	Gr = 1 hr = 1.5м	ф-лы таб.3 [10]	-1,5	-1,5	1,1	6,9	4,9	0,6	0	0	0		
Снижение поверхностью земли в средней зоне, Am дБ	Gm = 1	ф-лы таб.3 [10]	-1,8	-1,8	0	0	0	0	0	0	0		
Суммарное снижение поверхностью земли на траектории распространения звука Agr, дБ		ф-ла (9) [10]	-4,8	-4,8	-0,4	5,4	3,4	-0,9	-1,5	-1,5	-1,5		
Уровни звукового давления прямого звука от источника ИШ-2-23 в расчётной точке днём, дБ		**ф-ла(3)[10]**	**0**	**44,7**	**41,7**	**37,1**	**39,1**	**42,5**	**39**	**32,2**	**17,6**	**45,5**	**45,5**
Расчёт отражённого звука													
Уровни звукового давления от мнимого источника ИШ-2-23_мн.(1) в расчётной точке днём, дБ		**ф-ла(3)[10]**	**0**	**0**	**38,2**	**26,9**	**27,9**	**38**	**36,5**	**29,7**	**15**	**41,4**	**41,4**
Уровни звукового давления от источника ИШ-2-23 в расчётной точке днём, дБ		**ф-ла(3)[10]**	**0**	**44,7**	**43,3**	**37,5**	**39,4**	**43,8**	**41**	**34,2**	**19,5**	**46,9**	**46,9**
Источник шума: ИШ-2-24, координаты источника (x,y,z), м =[735.45,21.21,1.00]													
Уровни звуковой мощности источника днём, Lw, дБ		**исходные данные**	**0**	**93,3**	**94,7**	**96**	**96,3**	**95,9**	**92,6**	**88,4**	**83,9**		

1		2	3	4	5	6	7	8	9	10	11	12	13
Поправка на телесный угол DΩ, дБ	Ω = 6.28	10Lg(4π/Ω)	**3**	3	3	3	3	3	3	3	3		
Показатель направленности источника Di, дБ		исходные данные	**0**	0	0	0	0	0	0	0	0		
Поправка на направленность источника Dc, дБ	Dc	DΩ + Di	**3**	3	3	3	3	3	3	3	3		
Затухание из-за геометрической дивергенции, Adiv, дБ	расстояние = 183.91 м	ф-ла (7) [10]	**56,3**										
Коэффициент затухания звука в атмосфере α, дБ/км	Ta=20,°C Pa=101.33,кПа hотн.=70%	ф-ла (5) [9]	0,02	0,09	0,33	1,12	2,79	4,98	9,04	23,09	77,63		
Учет затухания звука в атмосфере Aatm, дБ		ф-ла (8) [10]	0	0	0,1	0,2	0,5	0,9	1,7	4,2	14,3		
Снижение поверхностью земли возле источника As, дБ	Gs = 0 hs = 1м	ф-лы таб.3 [10]	-1,5	-1,5	-1,5	-1,5	-1,5	-1,5	-1,5	-1,5	-1,5		
Снижение поверхностью земли возле приёмника Ar, дБ	Gr = 1 hr = 1.5м	ф-лы таб.3 [10]	-1,5	-1,5	1,1	6,8	4,8	0,6	0	0	0		
Снижение поверхностью земли в средней зоне, Am дБ	Gm = 1	ф-лы таб.3 [10]	-1,8	-1,8	0	0	0	0	0	0	0		
Суммарное снижение поверхностью земли на траектории распространения звука Agr, дБ		ф-ла (9) [10]	-4,8	-4,8	-0,4	5,3	3,3	-0,9	-1,5	-1,5	-1,5		
Уровни звукового давления прямого звука от источника ИШ-2-24 в расчётной точке днём, дБ		**ф-ла(3)[10]**	**0**	**44,8**	**41,7**	**37,1**	**39,1**	**42,5**	**39,1**	**32,4**	**17,8**	**45,6**	**45,6**
Расчёт отражённого звука													
Уровни звукового давления от мнимого источника ИШ-2-24_мн.(1) в расчётной точке днём, дБ		**ф-ла(3)[10]**	**0**	**0**	**38,3**	**27**	**28**	**38**	**36,6**	**29,8**	**15,2**	**41,5**	**41,5**
Уровни звукового давления от источника ИШ-2-24 в расчётной точке днём, дБ		**ф-ла(3)[10]**	**0**	**44,8**	**43,4**	**37,5**	**39,5**	**43,9**	**41,1**	**34,3**	**19,7**	**47**	**47**
Источник шума: ИШ-2-25, координаты источника (x,y,z), м =[734.58,18.32,1.00]													
Уровни звуковой мощности источника днём, Lw, дБ		**исходные данные**	**0**	**93,3**	**94,7**	**96**	**96,3**	**95,9**	**92,6**	**88,4**	**83,9**		

1		2	3	4	5	6	7	8	9	10	11	12	13
Поправка на телесный угол DΩ, дБ	Ω = 6.28	10Lg(4π/Ω)	**3**	3	3	3	3	3	3	3	3		
Показатель направленности источника Di, дБ		исходные данные	**0**	0	0	0	0	0	0	0	0		
Поправка на направленность источника Dc, дБ	Dc	DΩ + Di	**3**	3	3	3	3	3	3	3	3		
Затухание из-за геометрической дивергенции, Adiv, дБ	расстояние = 182.52 м	ф-ла (7) [10]	**56,2**										
Коэффициент затухания звука в атмосфере α, дБ/км	Ta=20,°C Pa=101.33,кПа hотн.=70%	ф-ла (5) [9]	0,02	0,09	0,33	1,12	2,79	4,98	9,04	23,09	77,63		
Учет затухания звука в атмосфере Aatm, дБ		ф-ла (8) [10]	0	0	0,1	0,2	0,5	0,9	1,6	4,2	14,2		
Снижение поверхностью земли возле источника As, дБ	Gs = 0 hs = 1м	ф-лы таб.3 [10]	-1,5	-1,5	-1,5	-1,5	-1,5	-1,5	-1,5	-1,5	-1,5		
Снижение поверхностью земли возле приёмника Ar, дБ	Gr = 1 hr = 1.5м	ф-лы таб.3 [10]	-1,5	-1,5	1,1	6,8	4,8	0,6	0	0	0		
Снижение поверхностью земли в средней зоне, Am дБ	Gm = 1	ф-лы таб.3 [10]	-1,8	-1,8	0	0	0	0	0	0	0		
Суммарное снижение поверхностью земли на траектории распространения звука Agr, дБ		ф-ла (9) [10]	-4,8	-4,8	-0,4	5,3	3,3	-0,9	-1,5	-1,5	-1,5		
Уровни звукового давления прямого звука от источника ИШ-2-25 в расчётной точке днём, дБ		**ф-ла(3)[10]**	**0**	**44,8**	**41,8**	**37,2**	**39,2**	**42,6**	**39,2**	**32,5**	**18**	**45,6**	**45,6**
Расчёт отражённого звука													
Уровни звукового давления от мнимого источника ИШ-2-25_мн.(1) в расчётной точке днём, дБ		**ф-ла(3)[10]**	**0**	**0**	**38,4**	**27**	**28,1**	**38,1**	**36,7**	**29,9**	**15,4**	**41,6**	**41,6**
Уровни звукового давления от мнимого источника ИШ-2-25_мн.(2) в расчётной точке днём, дБ		**ф-ла(3)[10]**	**0**	**0**	**0**	**0**	**0**	**0**	**0**	**0**	**0**	**0**	**0**
Суммарные уровни звукового давления от мнимых источников в расчётной точке днём, дБ		**ф-ла (19) [1]**	**0**	**0**	**38,4**	**27**	**28,1**	**38,1**	**36,7**	**29,9**	**15,4**	**0**	**41,6**
Уровни звукового давления от источника ИШ-2-25 в расчётной точке днём, дБ		**ф-ла(3)[10]**	**0**	**44,8**	**43,4**	**37,6**	**39,5**	**43,9**	**41,1**	**34,4**	**19,9**	**47,1**	**47,1**

1		2	3	4	5	6	7	8	9	10	11	12	13
Источник шума: ИШ-2-26, координаты источника (x,y,z), м =[733.57,15.41,1.00]													
Уровни звуковой мощности источника днём, Lw, дБ		**исходные данные**	**0**	**93,3**	**94,7**	**96**	**96,3**	**95,9**	**92,6**	**88,4**	**83,9**		
Поправка на телесный угол DΩ, дБ	Ω = 6.28	10Lg(4π/Ω)	**3**	3	3	3	3	3	3	3	3		
Показатель направленности источника Di, дБ		исходные данные	**0**	0	0	0	0	0	0	0	0		
Поправка на направленность источника Dc, дБ	Dc	DΩ + Di	**3**	3	3	3	3	3	3	3	3		
Затухание из-за геометрической дивергенции, Adiv, дБ	расстояние = 181.01 м	ф-ла (7) [10]	**56,2**										
Коэффициент затухания звука в атмосфере α, дБ/км	Ta=20,°C Pa=101.33,кПа hотн.=70%	ф-ла (5) [9]	0,02	0,09	0,33	1,12	2,79	4,98	9,04	23,09	77,63		
Учет затухания звука в атмосфере Aatm, дБ		ф-ла (8) [10]	0	0	0,1	0,2	0,5	0,9	1,6	4,2	14,1		
Снижение поверхностью земли возле источника As, дБ	Gs = 0 hs = 1м	ф-лы таб.3 [10]	-1,5	-1,5	-1,5	-1,5	-1,5	-1,5	-1,5	-1,5	-1,5		
Снижение поверхностью земли возле приёмника Ar, дБ	Gr = 1 hr = 1.5м	ф-лы таб.3 [10]	-1,5	-1,5	1,1	6,8	4,8	0,6	0	0	0		
Снижение поверхностью земли в средней зоне, Am дБ	Gm = 1	ф-лы таб.3 [10]	-1,8	-1,8	0	0	0	0	0	0	0		
Суммарное снижение поверхностью земли на траектории распространения звука Agr, дБ		ф-ла (9) [10]	-4,8	-4,8	-0,4	5,3	3,3	-0,9	-1,5	-1,5	-1,5		
Уровни звукового давления прямого звука от источника ИШ-2-26 в расчётной точке днём, дБ		**ф-ла(3)[10]**	**0**	**44,9**	**41,9**	**37,3**	**39,3**	**42,7**	**39,3**	**32,6**	**18,2**	**45,7**	**45,7**
Расчёт отражённого звука													
Уровни звукового давления от мнимого источника ИШ-2-26_мн.(1) в расчётной точке днём, дБ		**ф-ла(3)[10]**	**0**	**0**	**38,5**	**27,1**	**28,2**	**38,2**	**36,8**	**30**	**15,6**	**41,7**	**41,7**
Уровни звукового давления от мнимого источника ИШ-2-26_мн.(2) в расчётной точке днём, дБ		**ф-ла(3)[10]**	**0**	**0**	**0**	**0**	**0**	**0**	**0**	**0**	**0**	**0**	**0**

1		2	3	4	5	6	7	8	9	10	11	12	13
Суммарные уровни звукового давления от мнимых источников в расчётной точке днём, дБ		**ф-ла (19) [1]**	**0**	**0**	**38,5**	**27,1**	**28,2**	**38,2**	**36,8**	**30**	**15,6**	**0**	**41,7**
Уровни звукового давления от источника ИШ-2-26 в расчётной точке днём, дБ		**ф-ла(3)[10]**	**0**	**44,9**	**43,5**	**37,7**	**39,6**	**44**	**41,2**	**34,5**	**20,1**	**47,2**	**47,2**
Источник шума: ИШ-2-27, координаты источника (x,y,z), м =[732.43,12.66,1.00]													
Уровни звуковой мощности источника днём, Lw, дБ		**исходные данные**	**0**	**93,3**	**94,7**	**96**	**96,3**	**95,9**	**92,6**	**88,4**	**83,9**		
Поправка на телесный угол DΩ, дБ	Ω = 6.28	10Lg(4π/Ω)	**3**	3	3	3	3	3	3	3	3		
Показатель направленности источника Di, дБ		исходные данные	**0**	0	0	0	0	0	0	0	0		
Поправка на направленность источника Dc, дБ	Dc	DΩ + Di	**3**	3	3	3	3	3	3	3	3		
Затухание из-за геометрической дивергенции, Adiv, дБ	расстояние = 179.44 м	ф-ла (7) [10]	**56,1**										
Коэффициент затухания звука в атмосфере α, дБ/км	Ta=20,°C Pa=101.33,кПа hотн.=70%	ф-ла (5) [9]	0,02	0,09	0,33	1,12	2,79	4,98	9,04	23,09	77,63		
Учет затухания звука в атмосфере Aatm, дБ		ф-ла (8) [10]	0	0	0,1	0,2	0,5	0,9	1,6	4,1	13,9		
Снижение поверхностью земли возле источника As, дБ	Gs = 0 hs = 1м	ф-лы таб.3 [10]	-1,5	-1,5	-1,5	-1,5	-1,5	-1,5	-1,5	-1,5	-1,5		
Снижение поверхностью земли возле приёмника Ar, дБ	Gr = 1 hr = 1.5м	ф-лы таб.3 [10]	-1,5	-1,5	1,1	6,8	4,8	0,6	0	0	0		
Снижение поверхностью земли в средней зоне, Am дБ	Gm = 1	ф-лы таб.3 [10]	-1,7	-1,7	0	0	0	0	0	0	0		
Суммарное снижение поверхностью земли на траектории распространения звука Agr, дБ		ф-ла (9) [10]	-4,7	-4,7	-0,4	5,3	3,3	-0,9	-1,5	-1,5	-1,5		
Уровни звукового давления прямого звука от источника ИШ-2-27 в расчётной точке днём, дБ		**ф-ла(3)[10]**	**0**	**44,9**	**42**	**37,4**	**39,4**	**42,8**	**39,4**	**32,7**	**18,4**	**45,8**	**45,8**
Расчёт отражённого звука													

1		2	3	4	5	6	7	8	9	10	11	12	13
Уровни звукового давления от мнимого источника ИШ-2-27_мн.(1) в расчётной точке днём, дБ		**ф-ла(3)[10]**	**0**	**0**	**38,6**	**27,2**	**28,3**	**38,3**	**36,9**	**30,1**	**15,8**	**41,8**	**41,8**
Уровни звукового давления от мнимого источника ИШ-2-27_мн.(2) в расчётной точке днём, дБ		**ф-ла(3)[10]**	**0**	**0**	**0**	**0**	**0**	**0**	**0**	**0**	**0**	**0**	**0**
Суммарные уровни звукового давления от мнимых источников в расчётной точке днём, дБ		**ф-ла (19) [1]**	**0**	**0**	**38,6**	**27,2**	**28,3**	**38,3**	**36,9**	**30,1**	**15,8**	**0**	**41,8**
Уровни звукового давления от источника ИШ-2-27 в расчётной точке днём, дБ		**ф-ла(3)[10]**	**0**	**44,9**	**43,6**	**37,8**	**39,7**	**44,1**	**41,3**	**34,6**	**20,3**	**47,3**	**47,3**
Источник шума: ИШ-2-28, координаты источника (x,y,z), м =[731.54,9.78,1.00]													
Уровни звуковой мощности источника днём, Lw, дБ		**исходные данные**	**0**	**93,3**	**94,7**	**96**	**96,3**	**95,9**	**92,6**	**88,4**	**83,9**		
Поправка на телесный угол DΩ, дБ	Ω = 6.28	10Lg(4π/Ω)	**3**	3	3	3	3	3	3	3	3		
Показатель направленности источника Di, дБ		исходные данные	**0**	0	0	0	0	0	0	0	0		
Поправка на направленность источника Dc, дБ	Dc	DΩ + Di	**3**	3	3	3	3	3	3	3	3		
Затухание из-за геометрической дивергенции, Adiv, дБ	расстояние = 178.14 м	ф-ла (7) [10]	**56**										
Коэффициент затухания звука в атмосфере α, дБ/км	Ta=20,°C Pa=101.33,кПа hотн.=70%	ф-ла (5) [9]	0,02	0,09	0,33	1,12	2,79	4,98	9,04	23,09	77,63		
Учет затухания звука в атмосфере Aatm, дБ		ф-ла (8) [10]	0	0	0,1	0,2	0,5	0,9	1,6	4,1	13,8		
Снижение поверхностью земли возле источника As, дБ	Gs = 0 hs = 1м	ф-лы таб.3 [10]	-1,5	-1,5	-1,5	-1,5	-1,5	-1,5	-1,5	-1,5	-1,5		
Снижение поверхностью земли возле приёмника Ar, дБ	Gr = 1 hr = 1.5м	ф-лы таб.3 [10]	-1,5	-1,5	1,1	6,8	4,8	0,6	0	0	0		
Снижение поверхностью земли в средней зоне, Am дБ	Gm = 1	ф-лы таб.3 [10]	-1,7	-1,7	0	0	0	0	0	0	0		
Суммарное снижение поверхностью земли на траектории распространения звука Agr, дБ		ф-ла (9) [10]	-4,7	-4,7	-0,4	5,3	3,3	-0,9	-1,5	-1,5	-1,5		

1		2	3	4	5	6	7	8	9	10	11	12	13
Уровни звукового давления прямого звука от источника ИШ-2-28 в расчётной точке днём, дБ		**ф-ла(3)[10]**	**0**	**45**	**42,1**	**37,5**	**39,4**	**42,8**	**39,5**	**32,8**	**18,5**	**45,9**	**45,9**
Расчёт отражённого звука													
Уровни звукового давления от мнимого источника ИШ-2-28_мн.(1) в расчётной точке днём, дБ		**ф-ла(3)[10]**	**0**	**0**	**38,7**	**27,3**	**28,3**	**38,4**	**36,9**	**30,2**	**16**	**41,8**	**41,8**
Уровни звукового давления от мнимого источника ИШ-2-28_мн.(2) в расчётной точке днём, дБ		**ф-ла(3)[10]**	**0**	**0**	**0**	**0**	**0**	**0**	**0**	**0**	**0**	**0**	**0**
Суммарные уровни звукового давления от мнимых источников в расчётной точке днём, дБ		**ф-ла (19) [1]**	**0**	**0**	**38,7**	**27,3**	**28,3**	**38,4**	**36,9**	**30,2**	**16**	**0**	**41,8**
Уровни звукового давления от источника ИШ-2-28 в расчётной точке днём, дБ		**ф-ла(3)[10]**	**0**	**45**	**43,7**	**37,9**	**39,8**	**44,2**	**41,4**	**34,7**	**20,5**	**47,3**	**47,3**
Источник шума: ИШ-2-29, координаты источника (x,y,z), м =[730.57,6.88,1.00]													
Уровни звуковой мощности источника днём, Lw, дБ		**исходные данные**	**0**	**93,3**	**94,7**	**96**	**96,3**	**95,9**	**92,6**	**88,4**	**83,9**		
Поправка на телесный угол DΩ, дБ	Ω = 6.28	10Lg(4π/Ω)	**3**	3	3	3	3	3	3	3	3		
Показатель направленности источника Di, дБ		исходные данные	**0**	0	0	0	0	0	0	0	0		
Поправка на направленность источника Dc, дБ	Dc	DΩ + Di	**3**	3	3	3	3	3	3	3	3		
Затухание из-за геометрической дивергенции, Adiv, дБ	расстояние = 176.81 м	ф-ла (7) [10]	**56**										
Коэффициент затухания звука в атмосфере α, дБ/км	Ta=20,°C Pa=101.33,кПа hотн.=70%	ф-ла (5) [9]	0,02	0,09	0,33	1,12	2,79	4,98	9,04	23,09	77,63		
Учет затухания звука в атмосфере Aatm, дБ		ф-ла (8) [10]	0	0	0,1	0,2	0,5	0,9	1,6	4,1	13,7		
Снижение поверхностью земли возле источника As, дБ	Gs = 0 hs = 1м	ф-лы таб.3 [10]	-1,5	-1,5	-1,5	-1,5	-1,5	-1,5	-1,5	-1,5	-1,5		
Снижение поверхностью земли возле приёмника Ar, дБ	Gr = 1 hr = 1.5м	ф-лы таб.3 [10]	-1,5	-1,5	1,1	6,8	4,8	0,6	0	0	0		

1		2	3	4	5	6	7	8	9	10	11	12	13
Снижение поверхностью земли в средней зоне, Am дБ	Gm = 1	ф-лы таб.3 [10]	-1,7	-1,7	0	0	0	0	0	0	0		
Суммарное снижение поверхностью земли на траектории распространения звука Agr, дБ		ф-ла (9) [10]	-4,7	-4,7	-0,4	5,3	3,3	-0,9	-1,5	-1,5	-1,5		
Уровни звукового давления прямого звука от источника ИШ-2-29 в расчётной точке днём, дБ		**ф-ла(3)[10]**	**0**	**45,1**	**42,1**	**37,5**	**39,5**	**42,9**	**39,5**	**32,9**	**18,7**	**46**	**46**
Расчёт отражённого звука													
Уровни звукового давления от мнимого источника ИШ-2-29_мн.(1) в расчётной точке днём, дБ		**ф-ла(3)[10]**	**0**	**0**	**38,7**	**27,4**	**28,4**	**38,4**	**37**	**30,3**	**16,1**	**41,9**	**41,9**
Уровни звукового давления от мнимого источника ИШ-2-29_мн.(2) в расчётной точке днём, дБ		**ф-ла(3)[10]**	**0**	**0**	**0**	**0**	**0**	**0**	**0**	**0**	**0**	**0**	**0**
Суммарные уровни звукового давления от мнимых источников в расчётной точке днём, дБ		**ф-ла (19) [1]**	**0**	**0**	**38,7**	**27,4**	**28,4**	**38,4**	**37**	**30,3**	**16,1**	**0**	**41,9**
Уровни звукового давления от источника ИШ-2-29 в расчётной точке днём, дБ		**ф-ла(3)[10]**	**0**	**45,1**	**43,8**	**37,9**	**39,8**	**44,2**	**41,5**	**34,8**	**20,6**	**47,4**	**47,4**
Источник шума: ИШ-2-4, координаты источника (x,y,z), м =[632.70,-65.30,3.00]													
Уровни звуковой мощности источника днём, Lw, дБ		**исходные данные**	**105**	**104**	**104**	**101**	**102**	**106**	**101**	**95**	**87**		
Поправка на телесный угол DΩ, дБ	Ω = 6.28	10Lg(4π/Ω)	**3**	3	3	3	3	3	3	3	3		
Показатель направленности источника Di, дБ		исходные данные	**0**	0	0	0	0	0	0	0	0		
Поправка на направленность источника Dc, дБ	Dc	DΩ + Di	**3**	3	3	3	3	3	3	3	3		
Затухание из-за геометрической дивергенции, Adiv, дБ	расстояние = 92.54 м	ф-ла (7) [10]	**50,3**										
Коэффициент затухания звука в атмосфере α, дБ/км	Ta=20,°C Pa=101.33,кПа hотн.=70%	ф-ла (5) [9]	0,02	0,09	0,33	1,12	2,79	4,98	9,04	23,09	77,63		
Учет затухания звука в атмосфере Aatm, дБ		ф-ла (8) [10]	0	0	0	0,1	0,3	0,5	0,8	2,1	7,2		

1		2	3	4	5	6	7	8	9	10	11	12	13
Снижение уровня звукового давления из-за влияния застройки между источником шума и расчетной точкой													
Снижение уровня звукового давления на пути над экраном, Dz1, дБ	z = 2.88м (разность путей)	ф-лы (14-18) [10]	12,1	16	20,1	23,7	26,9	29,9	32,9	35,9	38,9		
Снижение уровня звукового давления на пути слева от экрана, Dz2, дБ	z = 32.18м (разность путей)	ф-лы (14-18) [10]	23	27,4	31,2	34,4	37,5	40,5	43,6	46,6	49,6		
Снижение уровня звукового давления на пути справа от экрана, Dz3, дБ	z = 1.77м (разность путей)	ф-лы (14-18) [10]	9,8	12,1	14,6	17,4	20,3	23,2	26,2	29,2	32,2		
Общее снижение уровня звука препятствием Dz, дБ		Эн.сумма(-Dzi)	7,6	10,5	13,5	16,4	19,4	22,3	25,3	28,3	31,3		
Общее снижение уровня звука препятствием с учётом ограничения (25 дБ) для октавных полос Dz, дБ		Раздел 7.4 [10]	7,6	10,5	13,5	16,4	19,4	22,3	25	25	25		
Уровни звукового давления прямого звука от источника ИШ-2-4 в расчётной точке днём, дБ		**ф-ла(3)[10]**	**50**	**46,2**	**43,2**	**37,2**	**35,1**	**35,9**	**27,8**	**20,5**	**7,5**	**38,9**	**38,9**
Расчёт отражённого звука													
Уровни звукового давления от мнимого источника ИШ-2-4_мн.(1) в расчётной точке днём, дБ		**ф-ла(3)[10]**	**0**	**0**	**0**	**0**	**0**	**0**	**0**	**26,9**	**0**	**27,9**	**27,9**
Уровни звукового давления от источника ИШ-2-4 в расчётной точке днём, дБ		**ф-ла(3)[10]**	**50**	**46,2**	**43,2**	**37,2**	**35,1**	**35,9**	**27,8**	**27,8**	**7,5**	**39,2**	**39,2**
Источник шума: ИШ-2-30, координаты источника (x,y,z), м =[702.44,-77.23,1.00]													
Уровни звуковой мощности источника днём, Lw, дБ		**исходные данные**	**0**	**93,3**	**94,7**	**96**	**96,3**	**95,9**	**92,6**	**88,4**	**83,9**		
Поправка на телесный угол DΩ, дБ	Ω = 6.28	10Lg(4π/Ω)	**3**	3	3	3	3	3	3	3	3		
Показатель направленности источника Di, дБ		исходные данные	**0**	0	0	0	0	0	0	0	0		
Поправка на направленность источника Dc, дБ	Dc	DΩ + Di	**3**	3	3	3	3	3	3	3	3		
Затухание из-за геометрической дивергенции, Adiv, дБ	расстояние = 159.98 м	ф-ла (7) [10]	**55,1**										
Коэффициент затухания звука в атмосфере α, дБ/км	Ta=20,°C Pa=101.33,кПа hотн.=70%	ф-ла (5) [9]	0,02	0,09	0,33	1,12	2,79	4,98	9,04	23,09	77,63		

1		2	3	4	5	6	7	8	9	10	11	12	13
Учет затухания звука в атмосфере Aatm, дБ		ф-ла (8) [10]	0	0	0,1	0,2	0,4	0,8	1,4	3,7	12,4		
Снижение уровня звукового давления из-за влияния застройки между источником шума и расчетной точкой													
Снижение уровня звукового давления на пути над экраном, Dz1, дБ	z = 0.94м (разность путей)	ф-лы (14-18) [10]	7,6	9,5	12,5	16,6	20,5	23,9	27	30	33,1		
Снижение уровня звукового давления на пути слева от экрана, Dz2, дБ	z = 34.31м (разность путей)	ф-лы (14-18) [10]	23,3	27,7	31,5	34,7	37,8	40,8	43,8	46,9	49,9		
Снижение уровня звукового давления на пути справа от экрана, Dz3, дБ	z = 0.06м (разность путей)	ф-лы (14-18) [10]	5,1	5,4	6	6,9	8,3	10,2	12,6	15,2	18		
Общее снижение уровня звука препятствием Dz, дБ		Эн.сумма(-Dzi)	3,1	4	5,1	6,4	8,1	10,1	12,4	15,1	17,9		
Уровни звукового давления от источника ИШ-2-30 в расчётной точке днём, дБ		**ф-ла(3)[10]**	**0**	**37,2**	**37,5**	**37,3**	**35,7**	**33**	**26,6**	**17,5**	**1,5**	**37,3**	**37,3**
Источник шума: ИШ-2-31, координаты источника (x,y,z), м =[701.42,-80.17,1.00]													
Уровни звуковой мощности источника днём, Lw, дБ		**исходные данные**	**0**	**93,3**	**94,7**	**96**	**96,3**	**95,9**	**92,6**	**88,4**	**83,9**		
Поправка на телесный угол DΩ, дБ	Ω = 6.28	10Lg(4π/Ω)	**3**	3	3	3	3	3	3	3	3		
Показатель направленности источника Di, дБ		исходные данные	**0**	0	0	0	0	0	0	0	0		
Поправка на направленность источника Dc, дБ	Dc	DΩ + Di	**3**	3	3	3	3	3	3	3	3		
Затухание из-за геометрической дивергенции, Adiv, дБ	расстояние = 160.22 м	ф-ла (7) [10]	**55,1**										
Коэффициент затухания звука в атмосфере α, дБ/км	Ta=20,°C Pa=101.33,кПа hотн.=70%	ф-ла (5) [9]	0,02	0,09	0,33	1,12	2,79	4,98	9,04	23,09	77,63		
Учет затухания звука в атмосфере Aatm, дБ		ф-ла (8) [10]	0	0	0,1	0,2	0,4	0,8	1,4	3,7	12,4		
Снижение уровня звукового давления из-за влияния застройки между источником шума и расчетной точкой													

1		2	3	4	5	6	7	8	9	10	11	12	13
Снижение уровня звукового давления на пути над экраном, Dz1, дБ	z = 0.94м (разность путей)	ф-лы (14-18) [10]	7,6	9,5	12,5	16,6	20,5	23,9	27	30	33		
Снижение уровня звукового давления на пути слева от экрана, Dz2, дБ	z = 33.24м (разность путей)	ф-лы (14-18) [10]	23,1	27,6	31,3	34,6	37,7	40,7	43,7	46,7	49,7		
Снижение уровня звукового давления на пути справа от экрана, Dz3, дБ	z = 0.13м (разность путей)	ф-лы (14-18) [10]	5,4	5,9	6,9	8,3	10,2	12,5	15,1	17,9	20,8		
Общее снижение уровня звука препятствием Dz, дБ		Эн.сумма(-Dzi)	3,3	4,3	5,8	7,6	9,8	12,2	14,8	17,7	20,6		
Уровни звукового давления от источника ИШ-2-31 в расчётной точке днём, дБ		**ф-ла(3)[10]**	**0**	**36,8**	**36,7**	**36,1**	**34**	**30,8**	**24,2**	**14,9**	**0**	**35,4**	**35,4**
Источник шума: ИШ-2-32, координаты источника (x,y,z), м =[700.38,-83.01,1.00]													
Уровни звуковой мощности источника днём, Lw, дБ		**исходные данные**	**0**	**93,3**	**94,7**	**96**	**96,3**	**95,9**	**92,6**	**88,4**	**83,9**		
Поправка на телесный угол DΩ, дБ	Ω = 6.28	10Lg(4π/Ω)	**3**	3	3	3	3	3	3	3	3		
Показатель направленности источника Di, дБ		исходные данные	**0**	0	0	0	0	0	0	0	0		
Поправка на направленность источника Dc, дБ	Dc	DΩ + Di	**3**	3	3	3	3	3	3	3	3		
Затухание из-за геометрической дивергенции, Adiv, дБ	расстояние = 160.45 м	ф-ла (7) [10]	**55,1**										
Коэффициент затухания звука в атмосфере α, дБ/км	Ta=20,°C Pa=101.33,кПа hотн.=70%	ф-ла (5) [9]	0,02	0,09	0,33	1,12	2,79	4,98	9,04	23,09	77,63		
Учет затухания звука в атмосфере Aatm, дБ		ф-ла (8) [10]	0	0	0,1	0,2	0,4	0,8	1,5	3,7	12,5		
Снижение уровня звукового давления из-за влияния застройки между источником шума и расчетной точкой													
Снижение уровня звукового давления на пути над экраном, Dz1, дБ	z = 0.94м (разность путей)	ф-лы (14-18) [10]	7,6	9,5	12,5	16,6	20,5	23,9	27	30	33		
Снижение уровня звукового давления на пути слева от экрана, Dz2, дБ	z = 32.21м (разность путей)	ф-лы (14-18) [10]	23	27,4	31,2	34,4	37,5	40,6	43,6	46,6	49,6		

1		2	3	4	5	6	7	8	9	10	11	12	13
Снижение уровня звукового давления на пути справа от экрана, Dz3, дБ	z = 0.20м (разность путей)	ф-лы (14-18) [10]	5,7	6,5	7,8	9,5	11,8	14,3	17,1	19,9	22,9		
Общее снижение уровня звука препятствием Dz, дБ		Эн.сумма(-Dzi)	3,5	4,7	6,5	8,7	11,2	13,8	16,6	19,5	22,5		
Уровни звукового давления от источника ИШ-2-32 в расчётной точке днём, дБ		**ф-ла(3)[10]**	**0**	**36,4**	**36**	**35**	**32,5**	**29,1**	**22,4**	**13**	**0**	**33,9**	**33,9**
Источник шума: ИШ-2-33, координаты источника (x,y,z), м =[699.52,-85.98,1.00]													
Уровни звуковой мощности источника днём, Lw, дБ		**исходные данные**	**0**	**93,3**	**94,7**	**96**	**96,3**	**95,9**	**92,6**	**88,4**	**83,9**		
Поправка на телесный угол DΩ, дБ	Ω = 6.28	10Lg(4π/Ω)	**3**	3	3	3	3	3	3	3	3		
Показатель направленности источника Di, дБ		исходные данные	**0**	0	0	0	0	0	0	0	0		
Поправка на направленность источника Dc, дБ	Dc	DΩ + Di	**3**	3	3	3	3	3	3	3	3		
Затухание из-за геометрической дивергенции, Adiv, дБ	расстояние = 160.96 м	ф-ла (7) [10]	**55,1**										
Коэффициент затухания звука в атмосфере α, дБ/км	Ta=20,°C Pa=101.33,кПа hотн.=70%	ф-ла (5) [9]	0,02	0,09	0,33	1,12	2,79	4,98	9,04	23,09	77,63		
Учет затухания звука в атмосфере Aatm, дБ		ф-ла (8) [10]	0	0	0,1	0,2	0,4	0,8	1,5	3,7	12,5		
Снижение уровня звукового давления из-за влияния застройки между источником шума и расчетной точкой													
Снижение уровня звукового давления на пути над экраном, Dz1, дБ	z = 0.93м (разность путей)	ф-лы (14-18) [10]	7,6	9,5	12,5	16,6	20,5	23,9	27	30	33		
Снижение уровня звукового давления на пути слева от экрана, Dz2, дБ	z = 31.17м (разность путей)	ф-лы (14-18) [10]	22,8	27,3	31	34,3	37,4	40,4	43,4	46,4	49,4		
Снижение уровня звукового давления на пути справа от экрана, Dz3, дБ	z = 0.30м (разность путей)	ф-лы (14-18) [10]	6,1	7,2	8,7	10,7	13,2	15,9	18,7	21,6	24,6		
Общее снижение уровня звука препятствием Dz, дБ		Эн.сумма(-Dzi)	3,7	5,2	7,2	9,7	12,4	15,2	18,1	21	24		

1		2	3	4	5	6	7	8	9	10	11	12	13
Уровни звукового давления от источника ИШ-2-33 в расчётной точке днём, дБ		**ф-ла(3)[10]**	**0**	**36**	**35,3**	**34**	**31,3**	**27,8**	**20,9**	**11,5**	**0**	**32,7**	**32,7**
Источник шума: ИШ-2-34, координаты источника (x,y,z), м =[698.43,-88.85,1.00]													
Уровни звуковой мощности источника днём, Lw, дБ		**исходные данные**	**0**	**93,3**	**94,7**	**96**	**96,3**	**95,9**	**92,6**	**88,4**	**83,9**		
Поправка на телесный угол DΩ, дБ	Ω = 6.28	10Lg(4π/Ω)	**3**	3	3	3	3	3	3	3	3		
Показатель направленности источника Di, дБ		исходные данные	**0**	0	0	0	0	0	0	0	0		
Поправка на направленность источника Dc, дБ	Dc	DΩ + Di	**3**	3	3	3	3	3	3	3	3		
Затухание из-за геометрической дивергенции, Adiv, дБ	расстояние = 161.28 м	ф-ла (7) [10]	**55,2**										
Коэффициент затухания звука в атмосфере α, дБ/км	Ta=20,°C Pa=101.33,кПа hотн.=70%	ф-ла (5) [9]	0,02	0,09	0,33	1,12	2,79	4,98	9,04	23,09	77,63		
Учет затухания звука в атмосфере Aatm, дБ		ф-ла (8) [10]	0	0	0,1	0,2	0,5	0,8	1,5	3,7	12,5		
Снижение уровня звукового давления из-за влияния застройки между источником шума и расчетной точкой													
Снижение уровня звукового давления на пути над экраном, Dz1, дБ	z = 0.93м (разность путей)	ф-лы (14-18) [10]	7,6	9,5	12,5	16,5	20,5	23,9	27	30	33		
Снижение уровня звукового давления на пути слева от экрана, Dz2, дБ	z = 30.16м (разность путей)	ф-лы (14-18) [10]	22,7	27,2	30,9	34,2	37,2	40,3	43,3	46,3	49,3		
Снижение уровня звукового давления на пути справа от экрана, Dz3, дБ	z = 0.42м (разность путей)	ф-лы (14-18) [10]	6,6	7,9	9,6	11,8	14,4	17,2	20,1	23	26		
Общее снижение уровня звука препятствием Dz, дБ		Эн.сумма(-Dzi)	4	5,6	7,8	10,6	13,4	16,3	19,2	22,2	25,2		
Общее снижение уровня звука препятствием с учётом ограничения (25 дБ) для октавных полос Dz, дБ		Раздел 7.4 [10]	4	5,6	7,8	10,6	13,4	16,3	19,2	22,2	25		
Уровни звукового давления от источника ИШ-2-34 в расчётной точке днём, дБ		**ф-ла(3)[10]**	**0**	**35,6**	**34,7**	**33,1**	**30,3**	**26,6**	**19,7**	**10,3**	**0**	**31,7**	**31,7**

1		2	3	4	5	6	7	8	9	10	11	12	13
Источник шума: ИШ-2-35, координаты источника (x,y,z), м =[697.52,-91.66,1.00]													
Уровни звуковой мощности источника днём, Lw, дБ		**исходные данные**	**0**	**93,3**	**94,7**	**96**	**96,3**	**95,9**	**92,6**	**88,4**	**83,9**		
Поправка на телесный угол DΩ, дБ	Ω = 6.28	10Lg(4π/Ω)	**3**	3	3	3	3	3	3	3	3		
Показатель направленности источника Di, дБ		исходные данные	**0**	0	0	0	0	0	0	0	0		
Поправка на направленность источника Dc, дБ	Dc	DΩ + Di	**3**	3	3	3	3	3	3	3	3		
Затухание из-за геометрической дивергенции, Adiv, дБ	расстояние = 161.78 м	ф-ла (7) [10]	**55,2**										
Коэффициент затухания звука в атмосфере α, дБ/км	Ta=20,°C Pa=101.33,кПа hотн.=70%	ф-ла (5) [9]	0,02	0,09	0,33	1,12	2,79	4,98	9,04	23,09	77,63		
Учет затухания звука в атмосфере Aatm, дБ		ф-ла (8) [10]	0	0	0,1	0,2	0,5	0,8	1,5	3,7	12,6		
Снижение уровня звукового давления из-за влияния застройки между источником шума и расчетной точкой													
Снижение уровня звукового давления на пути над экраном, Dz1, дБ	z = 0.93м (разность путей)	ф-лы (14-18) [10]	7,6	9,5	12,5	16,5	20,5	23,8	26,9	30	33		
Снижение уровня звукового давления на пути слева от экрана, Dz2, дБ	z = 29.19м (разность путей)	ф-лы (14-18) [10]	22,6	27	30,8	34	37,1	40,1	43,1	46,2	49,2		
Снижение уровня звукового давления на пути справа от экрана, Dz3, дБ	z = 0.55м (разность путей)	ф-лы (14-18) [10]	7	8,5	10,4	12,8	15,5	18,3	21,2	24,2	27,1		
Общее снижение уровня звука препятствием Dz, дБ		Эн.сумма(-Dzi)	4,2	5,9	8,3	11,2	14,2	17,2	20,1	23,1	26,1		
Общее снижение уровня звука препятствием с учётом ограничения (25 дБ) для октавных полос Dz, дБ		Раздел 7.4 [10]	4,2	5,9	8,3	11,2	14,2	17,2	20,1	23,1	25		
Уровни звукового давления от источника ИШ-2-35 в расчётной точке днём, дБ		**ф-ла(3)[10]**	**0**	**35,2**	**34,2**	**32,4**	**29,4**	**25,7**	**18,8**	**9,4**	**0**	**30,8**	**30,8**
Источник шума: ИШ-2-36, координаты источника (x,y,z), м =[696.58,-94.55,1.00]													

1		2	3	4	5	6	7	8	9	10	11	12	13
Уровни звуковой мощности источника днём, Lw, дБ		**исходные данные**	**0**	**93,3**	**94,7**	**96**	**96,3**	**95,9**	**92,6**	**88,4**	**83,9**		
Поправка на телесный угол DΩ, дБ	Ω = 6.28	10Lg(4π/Ω)	**3**	3	3	3	3	3	3	3	3		
Показатель направленности источника Di, дБ		исходные данные	**0**	0	0	0	0	0	0	0	0		
Поправка на направленность источника Dc, дБ	Dc	DΩ + Di	**3**	3	3	3	3	3	3	3	3		
Затухание из-за геометрической дивергенции, Adiv, дБ	расстояние = 162.36 м	ф-ла (7) [10]	**55,2**										
Коэффициент затухания звука в атмосфере α, дБ/км	Ta=20,°C Pa=101.33,кПа hотн.=70%	ф-ла (5) [9]	0,02	0,09	0,33	1,12	2,79	4,98	9,04	23,09	77,63		
Учет затухания звука в атмосфере Aatm, дБ		ф-ла (8) [10]	0	0	0,1	0,2	0,5	0,8	1,5	3,7	12,6		
Снижение уровня звукового давления из-за влияния застройки между источником шума и расчетной точкой													
Снижение уровня звукового давления на пути над экраном, Dz1, дБ	z = 2.39м (разность путей)	ф-лы (14-18) [10]	11,2	14,9	19	22,6	25,8	28,9	31,9	34,9	37,9		
Снижение уровня звукового давления на пути слева от экрана, Dz2, дБ	z = 28.23м (разность путей)	ф-лы (14-18) [10]	22,4	26,9	30,6	33,9	37	40	43	46	49		
Снижение уровня звукового давления на пути справа от экрана, Dz3, дБ	z = 0.70м (разность путей)	ф-лы (14-18) [10]	7,5	9,1	11,2	13,7	16,4	19,3	22,2	25,2	28,2		
Общее снижение уровня звука препятствием Dz, дБ		Эн.сумма(-Dzi)	5,8	8	10,5	13,1	15,9	18,8	21,7	24,7	27,7		
Общее снижение уровня звука препятствием с учётом ограничения (25 дБ) для октавных полос Dz, дБ		Раздел 7.4 [10]	5,8	8	10,5	13,1	15,9	18,8	21,7	24,7	25		
Уровни звукового давления от источника ИШ-2-36 в расчётной точке днём, дБ		**ф-ла(3)[10]**	**0**	**33**	**31,9**	**30,5**	**27,7**	**24,1**	**17,2**	**7,7**	**0**	**29,1**	**29,1**
Источник шума: ИШ-2-37, координаты источника (x,y,z), м =[695.57,-97.37,1.00]													
Уровни звуковой мощности источника днём, Lw, дБ		**исходные данные**	**0**	**93,3**	**94,7**	**96**	**96,3**	**95,9**	**92,6**	**88,4**	**83,9**		

1		2	3	4	5	6	7	8	9	10	11	12	13
Поправка на телесный угол DΩ, дБ	Ω = 6.28	10Lg(4π/Ω)	**3**	3	3	3	3	3	3	3	3		
Показатель направленности источника Di, дБ		исходные данные	**0**	0	0	0	0	0	0	0	0		
Поправка на направленность источника Dc, дБ	Dc	DΩ + Di	**3**	3	3	3	3	3	3	3	3		
Затухание из-за геометрической дивергенции, Adiv, дБ	расстояние = 162.88 м	ф-ла (7) [10]	**55,2**										
Коэффициент затухания звука в атмосфере α, дБ/км	Та=20,°С Ра=101.33,кПа hотн.=70%	ф-ла (5) [9]	0,02	0,09	0,33	1,12	2,79	4,98	9,04	23,09	77,63		
Учет затухания звука в атмосфере Aatm, дБ		ф-ла (8) [10]	0	0	0,1	0,2	0,5	0,8	1,5	3,8	12,6		
Снижение уровня звукового давления из-за влияния застройки между источником шума и расчетной точкой													
Снижение уровня звукового давления на пути над экраном, Dz1, дБ	z = 2.53м (разность путей)	ф-лы (14-18) [10]	11,4	15,2	19,3	22,9	26,1	29,1	32,1	35,2	38,2		
Снижение уровня звукового давления на пути слева от экрана, Dz2, дБ	z = 27.29м (разность путей)	ф-лы (14-18) [10]	22,3	26,7	30,5	33,7	36,8	39,8	42,8	45,9	48,9		
Снижение уровня звукового давления на пути справа от экрана, Dz3, дБ	z = 0.86м (разность путей)	ф-лы (14-18) [10]	7,9	9,7	11,9	14,5	17,3	20,2	23,1	26,1	29,1		
Общее снижение уровня звука препятствием Dz, дБ		Эн.сумма(-Dzi)	6,2	8,6	11,2	13,9	16,7	19,6	22,6	25,5	28,5		
Общее снижение уровня звука препятствием с учётом ограничения (25 дБ) для октавных полос Dz, дБ		Раздел 7.4 [10]	6,2	8,6	11,2	13,9	16,7	19,6	22,6	25	25		
Уровни звукового давления от источника ИШ-2-37 в расчётной точке днём, дБ		**ф-ла(3)[10]**	**0**	**32,5**	**31,2**	**29,7**	**26,9**	**23,2**	**16,3**	**7,4**	**0**	**28,3**	**28,3**
Источник шума: ИШ-2-5, координаты источника (x,y,z), м =[618.60,-108.00,3.00]													
Уровни звуковой мощности источника днём, Lw, дБ		**исходные данные**	**105**	**104**	**104**	**101**	**102**	**106**	**101**	**95**	**87**		
Поправка на телесный угол DΩ, дБ	Ω = 6.28	10Lg(4π/Ω)	**3**	3	3	3	3	3	3	3	3		

1		2	3	4	5	6	7	8	9	10	11	12	13
Показатель направленности источника Di, дБ		исходные данные	**0**	0	0	0	0	0	0	0	0		
Поправка на направленность источника Dc, дБ	Dc	DΩ + Di	**3**	3	3	3	3	3	3	3	3		
Затухание из-за геометрической дивергенции, Adiv, дБ	расстояние = 112.71 м	ф-ла (7) [10]	**52**										
Коэффициент затухания звука в атмосфере α, дБ/км	Ta=20,°C Pa=101.33,кПа hотн.=70%	ф-ла (5) [9]	0,02	0,09	0,33	1,12	2,79	4,98	9,04	23,09	77,63		
Учет затухания звука в атмосфере Aatm, дБ		ф-ла (8) [10]	0	0	0	0,1	0,3	0,6	1	2,6	8,8		
Снижение уровня звукового давления из-за влияния застройки между источником шума и расчетной точкой													
Снижение уровня звукового давления на пути над экраном, Dz1, дБ	z = 4.17м (разность путей)	ф-лы (14-18) [10]	13,9	18,1	22	25,4	28,5	31,5	34,5	37,5	40,6		
Снижение уровня звукового давления на пути слева от экрана, Dz2, дБ	z = 34.39м (разность путей)	ф-лы (14-18) [10]	22,4	26,9	31,1	34,6	37,8	40,8	43,8	46,9	49,9		
Снижение уровня звукового давления на пути справа от экрана, Dz3, дБ	z = 10.89м (разность путей)	ф-лы (14-18) [10]	16,4	19,2	22,1	25,1	28,1	31,1	34,1	37,1	40,1		
Общее снижение уровня звука препятствием Dz, дБ		Эн.сумма(-Dzi)	11,5	15,3	18,8	22	25	28,1	31,1	34,1	37,1		
Общее снижение уровня звука препятствием с учётом ограничения (25 дБ) для октавных полос Dz, дБ		Раздел 7.4 [10]	11,5	15,3	18,8	22	25	25	25	25	25		
Уровни звукового давления прямого звука от источника ИШ-2-5 в расчётной точке днём, дБ		**ф-ла(3)[10]**	**44,4**	**39,7**	**36,2**	**29,9**	**27,7**	**31,4**	**26**	**18,4**	**4,2**	**34**	**34**
Расчёт отражённого звука													
Уровни звукового давления от мнимого источника ИШ-2-5_мн.(1) в расчётной точке днём, дБ		**ф-ла(3)[10]**	**0**	**0**	**0**	**0**	**0**	**29,6**	**20**	**3,7**	**0**	**30,2**	**30,2**
Уровни звукового давления от мнимого источника ИШ-2-5_мн.(2) в расчётной точке днём, дБ		**ф-ла(3)[10]**	**0**	**0**	**0**	**0**	**0**	**0**	**0**	**24,9**	**0**	**25,9**	**25,9**
Суммарные уровни звукового давления от мнимых источников в расчётной точке днём, дБ		**ф-ла (19) [1]**	**0**	**0**	**0**	**0**	**0**	**29,6**	**20**	**24,9**	**0**	**0**	**31,6**
Уровни звукового давления от источника ИШ-2-5 в расчётной точке днём, дБ		**ф-ла(3)[10]**	**44,4**	**39,7**	**36,2**	**29,9**	**27,7**	**33,6**	**26,9**	**25,8**	**4,2**	**36**	**36**

1		2	3	4	5	6	7	8	9	10	11	12	13
Источник шума: ИШ-2-38, координаты источника (x,y,z), м =[688.13,-119.94,1.00]													
Уровни звуковой мощности источника днём, Lw, дБ		**исходные данные**	**0**	**93,3**	**94,7**	**96**	**96,3**	**95,9**	**92,6**	**88,4**	**83,9**		
Поправка на телесный угол DΩ, дБ	Ω = 6.28	10Lg(4π/Ω)	**3**	3	3	3	3	3	3	3	3		
Показатель направленности источника Di, дБ		исходные данные	**0**	0	0	0	0	0	0	0	0		
Поправка на направленность источника Dc, дБ	Dc	DΩ + Di	**3**	3	3	3	3	3	3	3	3		
Затухание из-за геометрической дивергенции, Adiv, дБ	расстояние = 169.50 м	ф-ла (7) [10]	**55,6**										
Коэффициент затухания звука в атмосфере α, дБ/км	Ta=20,°C Pa=101.33,кПа hотн.=70%	ф-ла (5) [9]	0,02	0,09	0,33	1,12	2,79	4,98	9,04	23,09	77,63		
Учет затухания звука в атмосфере Aatm, дБ		ф-ла (8) [10]	0	0	0,1	0,2	0,5	0,8	1,5	3,9	13,2		
Снижение уровня звукового давления из-за влияния застройки между источником шума и расчетной точкой													
Снижение уровня звукового давления на пути над экраном, Dz1, дБ	z = 3.33м (разность путей)	ф-лы (14-18) [10]	12,6	16,6	20,6	24,2	27,3	30,4	33,4	36,4	39,4		
Снижение уровня звукового давления на пути слева от экрана, Dz2, дБ	z = 44.71м (разность путей)	ф-лы (14-18) [10]	23,5	28	32,2	35,7	38,9	42	45	48	51		
Снижение уровня звукового давления на пути справа от экрана, Dz3, дБ	z = 2.61м (разность путей)	ф-лы (14-18) [10]	11	13,5	16,2	19	21,9	24,9	27,9	30,9	33,9		
Общее снижение уровня звука препятствием Dz, дБ		Эн.сумма(-Dzi)	8,6	11,6	14,8	17,8	20,8	23,8	26,8	29,8	32,8		
Общее снижение уровня звука препятствием с учётом ограничения (25 дБ) для октавных полос Dz, дБ		Раздел 7.4 [10]	8,6	11,6	14,8	17,8	20,8	23,8	25	25	25		
Уровни звукового давления от источника ИШ-2-38 в расчётной точке днём, дБ		**ф-ла(3)[10]**	**0**	**29**	**27,3**	**25,4**	**22,5**	**18,7**	**13,5**	**6,9**	**0**	**24,1**	**24,1**
Источник шума: ИШ-2-39, координаты источника (x,y,z), м =[687.11,-122.83,1.00]													

1		2	3	4	5	6	7	8	9	10	11	12	13
Уровни звуковой мощности источника днём, Lw, дБ		**исходные данные**	**0**	**93,3**	**94,7**	**96**	**96,3**	**95,9**	**92,6**	**88,4**	**83,9**		
Поправка на телесный угол DΩ, дБ	Ω = 6.28	10Lg(4π/Ω)	**3**	3	3	3	3	3	3	3	3		
Показатель направленности источника Di, дБ		исходные данные	**0**	0	0	0	0	0	0	0	0		
Поправка на направленность источника Dc, дБ	Dc	DΩ + Di	**3**	3	3	3	3	3	3	3	3		
Затухание из-за геометрической дивергенции, Adiv, дБ	расстояние = 170.52 м	ф-ла (7) [10]	**55,6**										
Коэффициент затухания звука в атмосфере α, дБ/км	Ta=20,°C Pa=101.33,кПа hотн.=70%	ф-ла (5) [9]	0,02	0,09	0,33	1,12	2,79	4,98	9,04	23,09	77,63		
Учет затухания звука в атмосфере Aatm, дБ		ф-ла (8) [10]	0	0	0,1	0,2	0,5	0,8	1,5	3,9	13,2		
Снижение уровня звукового давления из-за влияния застройки между источником шума и расчетной точкой													
Снижение уровня звукового давления на пути над экраном, Dz1, дБ	z = 3.41м (разность путей)	ф-лы (14-18) [10]	12,6	16,7	20,8	24,3	27,4	30,5	33,5	36,5	39,5		
Снижение уровня звукового давления на пути слева от экрана, Dz2, дБ	z = 43.94м (разность путей)	ф-лы (14-18) [10]	23,4	27,9	32,1	35,7	38,8	41,9	44,9	47,9	50,9		
Снижение уровня звукового давления на пути справа от экрана, Dz3, дБ	z = 2.89м (разность путей)	ф-лы (14-18) [10]	11,4	13,9	16,6	19,4	22,4	25,3	28,3	31,3	34,3		
Общее снижение уровня звука препятствием Dz, дБ		Эн.сумма(-Dzi)	8,8	11,9	15,1	18,1	21,1	24,1	27,1	30,1	33,1		
Общее снижение уровня звука препятствием с учётом ограничения (25 дБ) для октавных полос Dz, дБ		Раздел 7.4 [10]	8,8	11,9	15,1	18,1	21,1	24,1	25	25	25		
Уровни звукового давления прямого звука от источника ИШ-2-39 в расчётной точке днём, дБ		**ф-ла(3)[10]**	**0**	**28,7**	**26,9**	**25**	**22,1**	**18,3**	**13,4**	**6,8**	**0**	**23,8**	**23,8**
Расчёт отражённого звука													
Уровни звукового давления от мнимого источника ИШ-2-39_мн.(1) в расчётной точке днём, дБ		**ф-ла(3)[10]**	**0**	**0**	**0**	**0**	**0**	**11,9**	**3,3**	**0**	**0**	**12,7**	**12,7**
Уровни звукового давления от источника ИШ-2-39 в расчётной точке днём, дБ		**ф-ла(3)[10]**	**0**	**28,7**	**26,9**	**25**	**22,1**	**19,2**	**13,8**	**6,8**	**0**	**24,1**	**24,1**

1		2	3	4	5	6	7	8	9	10	11	12	13
Источник шума: ИШ-2-40, координаты источника (x,y,z), м =[686.10,-125.67,1.00]													
Уровни звуковой мощности источника днём, Lw, дБ		**исходные данные**	**0**	**93,3**	**94,7**	**96**	**96,3**	**95,9**	**92,6**	**88,4**	**83,9**		
Поправка на телесный угол DΩ, дБ	Ω = 6.28	10Lg(4π/Ω)	**3**	3	3	3	3	3	3	3	3		
Показатель направленности источника Di, дБ		исходные данные	**0**	0	0	0	0	0	0	0	0		
Поправка на направленность источника Dc, дБ	Dc	DΩ + Di	**3**	3	3	3	3	3	3	3	3		
Затухание из-за геометрической дивергенции, Adiv, дБ	расстояние = 171.56 м	ф-ла (7) [10]	**55,7**										
Коэффициент затухания звука в атмосфере α, дБ/км	Ta=20,°C Pa=101.33,кПа hотн.=70%	ф-ла (5) [9]	0,02	0,09	0,33	1,12	2,79	4,98	9,04	23,09	77,63		
Учет затухания звука в атмосфере Aatm, дБ		ф-ла (8) [10]	0	0	0,1	0,2	0,5	0,9	1,6	4	13,3		
Снижение уровня звукового давления из-за влияния застройки между источником шума и расчетной точкой													
Снижение уровня звукового давления на пути над экраном, Dz1, дБ	z = 3.47м (разность путей)	ф-лы (14-18) [10]	12,7	16,8	20,8	24,4	27,5	30,6	33,6	36,6	39,6		
Снижение уровня звукового давления на пути слева от экрана, Dz2, дБ	z = 43.18м (разность путей)	ф-лы (14-18) [10]	23,4	27,8	32,1	35,6	38,8	41,8	44,8	47,9	50,9		
Снижение уровня звукового давления на пути справа от экрана, Dz3, дБ	z = 3.17м (разность путей)	ф-лы (14-18) [10]	11,7	14,2	17	19,8	22,8	25,7	28,7	31,7	34,7		
Общее снижение уровня звука препятствием Dz, дБ		Эн.сумма(-Dzi)	9	12,2	15,4	18,4	21,4	24,4	27,4	30,4	33,4		
Общее снижение уровня звука препятствием с учётом ограничения (25 дБ) для октавных полос Dz, дБ		Раздел 7.4 [10]	9	12,2	15,4	18,4	21,4	24,4	25	25	25		
Уровни звукового давления прямого звука от источника ИШ-2-40 в расчётной точке днём, дБ		**ф-ла(3)[10]**	**0**	**28,4**	**26,6**	**24,7**	**21,7**	**17,9**	**13,4**	**6,7**	**0**	**23,4**	**23,4**
Расчёт отражённого звука													

1		2	3	4	5	6	7	8	9	10	11	12	13
Уровни звукового давления от мнимого источника ИШ-2-40_мн.(1) в расчётной точке днём, дБ		**ф-ла(3)[10]**	**0**	**0**	**0**	**0**	**0**	**0**	**4,2**	**0**	**0**	**5,4**	**5,4**
Уровни звукового давления от источника ИШ-2-40 в расчётной точке днём, дБ		**ф-ла(3)[10]**	**0**	**28,4**	**26,6**	**24,7**	**21,7**	**17,9**	**13,8**	**6,7**	**0**	**23,5**	**23,5**
Источник шума: ИШ-2-41, координаты источника (x,y,z), м =[685.14,-128.64,1.00]													
Уровни звуковой мощности источника днём, Lw, дБ		**исходные данные**	**0**	**93,3**	**94,7**	**96**	**96,3**	**95,9**	**92,6**	**88,4**	**83,9**		
Поправка на телесный угол DΩ, дБ	Ω = 6.28	10Lg(4π/Ω)	**3**	3	3	3	3	3	3	3	3		
Показатель направленности источника Di, дБ		исходные данные	**0**	0	0	0	0	0	0	0	0		
Поправка на направленность источника Dc, дБ	Dc	DΩ + Di	**3**	3	3	3	3	3	3	3	3		
Затухание из-за геометрической дивергенции, Adiv, дБ	расстояние = 172.77 м	ф-ла (7) [10]	**55,7**										
Коэффициент затухания звука в атмосфере α, дБ/км	Ta=20,°C Pa=101.33,кПа hотн.=70%	ф-ла (5) [9]	0,02	0,09	0,33	1,12	2,79	4,98	9,04	23,09	77,63		
Учет затухания звука в атмосфере Aatm, дБ		ф-ла (8) [10]	0	0	0,1	0,2	0,5	0,9	1,6	4	13,4		
Снижение уровня звукового давления из-за влияния застройки между источником шума и расчетной точкой													
Снижение уровня звукового давления на пути над экраном, Dz1, дБ	z = 3.53м (разность путей)	ф-лы (14-18) [10]	12,8	16,9	20,9	24,5	27,6	30,7	33,7	36,7	39,7		
Снижение уровня звукового давления на пути слева от экрана, Dz2, дБ	z = 42.42м (разность путей)	ф-лы (14-18) [10]	23,3	27,8	32	35,5	38,7	41,7	44,8	47,8	50,8		
Снижение уровня звукового давления на пути справа от экрана, Dz3, дБ	z = 3.46м (разность путей)	ф-лы (14-18) [10]	12	14,6	17,3	20,2	23,2	26,1	29,1	32,1	35,1		
Общее снижение уровня звука препятствием Dz, дБ		Эн.сумма(-Dzi)	9,2	12,4	15,6	18,7	21,7	24,7	27,7	30,7	33,7		
Общее снижение уровня звука препятствием с учётом ограничения (25 дБ) для октавных полос Dz, дБ		Раздел 7.4 [10]	9,2	12,4	15,6	18,7	21,7	24,7	25	25	25		

1		2	3	4	5	6	7	8	9	10	11	12	13
Уровни звукового давления прямого звука от источника ИШ-2-41 в расчётной точке днём, дБ		**ф-ла(3)[10]**	**0**	**28,1**	**26,2**	**24,3**	**21,3**	**17,6**	**13,3**	**6,7**	**0**	**23,1**	**23,1**
Расчёт отражённого звука													
Уровни звукового давления от мнимого источника ИШ-2-41_мн.(1) в расчётной точке днём, дБ		**ф-ла(3)[10]**	**0**	**0**	**0**	**0**	**0**	**0**	**5,2**	**0**	**0**	**6,4**	**6,4**
Уровни звукового давления от источника ИШ-2-41 в расчётной точке днём, дБ		**ф-ла(3)[10]**	**0**	**28,1**	**26,2**	**24,3**	**21,3**	**17,6**	**13,9**	**6,7**	**0**	**23,2**	**23,2**
Источник шума: ИШ-2-42, координаты источника (x,y,z), м =[684.20,-131.46,1.00]													
Уровни звуковой мощности источника днём, Lw, дБ		**исходные данные**	**0**	**93,3**	**94,7**	**96**	**96,3**	**95,9**	**92,6**	**88,4**	**83,9**		
Поправка на телесный угол DΩ, дБ	Ω = 6.28	10Lg(4π/Ω)	**3**	3	3	3	3	3	3	3	3		
Показатель направленности источника Di, дБ		исходные данные	**0**	0	0	0	0	0	0	0	0		
Поправка на направленность источника Dc, дБ	Dc	DΩ + Di	**3**	3	3	3	3	3	3	3	3		
Затухание из-за геометрической дивергенции, Adiv, дБ	расстояние = 173.93 м	ф-ла (7) [10]	**55,8**										
Коэффициент затухания звука в атмосфере α, дБ/км	Ta=20,°C Pa=101.33,кПа hотн.=70%	ф-ла (5) [9]	0,02	0,09	0,33	1,12	2,79	4,98	9,04	23,09	77,63		
Учет затухания звука в атмосфере Aatm, дБ		ф-ла (8) [10]	0	0	0,1	0,2	0,5	0,9	1,6	4	13,5		
Снижение уровня звукового давления из-за влияния застройки между источником шума и расчетной точкой													
Снижение уровня звукового давления на пути над экраном, Dz1, дБ	z = 3.59м (разность путей)	ф-лы (14-18) [10]	12,9	16,9	21	24,5	27,7	30,7	33,7	36,7	39,8		
Снижение уровня звукового давления на пути слева от экрана, Dz2, дБ	z = 41.69м (разность путей)	ф-лы (14-18) [10]	23,2	27,7	31,9	35,4	38,6	41,7	44,7	47,7	50,7		
Снижение уровня звукового давления на пути справа от экрана, Dz3, дБ	z = 3.75м (разность путей)	ф-лы (14-18) [10]	12,3	14,9	17,6	20,5	23,5	26,5	29,5	32,5	35,5		

1		2	3	4	5	6	7	8	9	10	11	12	13
Общее снижение уровня звука препятствием Dz, дБ		Эн.сумма(-Dzi)	9,4	12,6	15,9	19	22	25	28	31	34		
Общее снижение уровня звука препятствием с учётом ограничения (25 дБ) для октавных полос Dz, дБ		Раздел 7.4 [10]	9,4	12,6	15,9	19	22	25	25	25	25		
Уровни звукового давления прямого звука от источника ИШ-2-42 в расчётной точке днём, дБ		**ф-ла(3)[10]**	**0**	**27,8**	**25,9**	**24**	**21**	**17,2**	**13,2**	**6,6**	**0**	**22,8**	**22,8**
Расчёт отражённого звука													
Уровни звукового давления от мнимого источника ИШ-2-42_мн.(1) в расчётной точке днём, дБ		**ф-ла(3)[10]**	**0**	**0**	**0**	**0**	**0**	**0**	**6,3**	**0**	**0**	**7,5**	**7,5**
Уровни звукового давления от источника ИШ-2-42 в расчётной точке днём, дБ		**ф-ла(3)[10]**	**0**	**27,8**	**25,9**	**24**	**21**	**17,2**	**14**	**6,6**	**0**	**23**	**23**
Источник шума: ИШ-2-43, координаты источника (x,y,z), м =[683.13,-134.37,1.00]													
Уровни звуковой мощности источника днём, Lw, дБ		**исходные данные**	**0**	**93,3**	**94,7**	**96**	**96,3**	**95,9**	**92,6**	**88,4**	**83,9**		
Поправка на телесный угол DΩ, дБ	Ω = 6.28	10Lg(4π/Ω)	**3**	3	3	3	3	3	3	3	3		
Показатель направленности источника Di, дБ		исходные данные	**0**	0	0	0	0	0	0	0	0		
Поправка на направленность источника Dc, дБ	Dc	DΩ + Di	**3**	3	3	3	3	3	3	3	3		
Затухание из-за геометрической дивергенции, Adiv, дБ	расстояние = 175.12 м	ф-ла (7) [10]	**55,9**										
Коэффициент затухания звука в атмосфере α, дБ/км	Ta=20,°C Pa=101.33,кПа hотн.=70%	ф-ла (5) [9]	0,02	0,09	0,33	1,12	2,79	4,98	9,04	23,09	77,63		
Учет затухания звука в атмосфере Aatm, дБ		ф-ла (8) [10]	0	0	0,1	0,2	0,5	0,9	1,6	4	13,6		
Снижение уровня звукового давления из-за влияния застройки между источником шума и расчетной точкой													
Снижение уровня звукового давления на пути над экраном, Dz1, дБ	z = 3.64м (разность путей)	ф-лы (14-18) [10]	13	17	21,1	24,6	27,7	30,8	33,8	36,8	39,8		

1		2	3	4	5	6	7	8	9	10	11	12	13
Снижение уровня звукового давления на пути слева от экрана, Dz2, дБ	z = 40.94м (разность путей)	ф-лы (14-18) [10]	23,1	27,6	31,8	35,4	38,5	41,6	44,6	47,6	50,6		
Снижение уровня звукового давления на пути справа от экрана, Dz3, дБ	z = 4.06м (разность путей)	ф-лы (14-18) [10]	12,6	15,2	18	20,9	23,8	26,8	29,8	32,8	35,8		
Общее снижение уровня звука препятствием Dz, дБ		Эн.сумма(-Dzi)	9,6	12,9	16,1	19,2	22,3	25,3	28,3	31,3	34,3		
Общее снижение уровня звука препятствием с учётом ограничения (25 дБ) для октавных полос Dz, дБ		Раздел 7.4 [10]	9,6	12,9	16,1	19,2	22,3	25	25	25	25		
Уровни звукового давления прямого звука от источника ИШ-2-43 в расчётной точке днём, дБ		**ф-ла(3)[10]**	**0**	**27,5**	**25,6**	**23,7**	**20,7**	**17,2**	**13,1**	**6,5**	**0**	**22,6**	**22,6**
Расчёт отражённого звука													
Уровни звукового давления от мнимого источника ИШ-2-43_мн.(1) в расчётной точке днём, дБ		**ф-ла(3)[10]**	**0**	**0**	**0**	**0**	**0**	**0**	**7,6**	**0**	**0**	**8,8**	**8,8**
Уровни звукового давления от источника ИШ-2-43 в расчётной точке днём, дБ		**ф-ла(3)[10]**	**0**	**27,5**	**25,6**	**23,7**	**20,7**	**17,2**	**14,2**	**6,5**	**0**	**22,8**	**22,8**
Источник шума: ИШ-2-44, координаты источника (x,y,z), м =[682.20,-137.16,1.00]													
Уровни звуковой мощности источника днём, Lw, дБ		**исходные данные**	**0**	**93,3**	**94,7**	**96**	**96,3**	**95,9**	**92,6**	**88,4**	**83,9**		
Поправка на телесный угол DΩ, дБ	Ω = 6.28	10Lg(4π/Ω)	**3**	3	3	3	3	3	3	3	3		
Показатель направленности источника Di, дБ		исходные данные	**0**	0	0	0	0	0	0	0	0		
Поправка на направленность источника Dc, дБ	Dc	DΩ + Di	**3**	3	3	3	3	3	3	3	3		
Затухание из-за геометрической дивергенции, Adiv, дБ	расстояние = 176.36 м	ф-ла (7) [10]	**55,9**										
Коэффициент затухания звука в атмосфере α, дБ/км	Ta=20,°C Pa=101.33,кПа hотн.=70%	ф-ла (5) [9]	0,02	0,09	0,33	1,12	2,79	4,98	9,04	23,09	77,63		
Учет затухания звука в атмосфере Aatm, дБ		ф-ла (8) [10]	0	0	0,1	0,2	0,5	0,9	1,6	4,1	13,7		

1		2	3	4	5	6	7	8	9	10	11	12	13
Снижение уровня звукового давления из-за влияния застройки между источником шума и расчетной точкой													
Снижение уровня звукового давления на пути над экраном, Dz1, дБ	z = 3.69м (разность путей)	ф-лы (14-18) [10]	13	17,1	21,2	24,7	27,8	30,8	33,9	36,9	39,9		
Снижение уровня звукового давления на пути слева от экрана, Dz2, дБ	z = 40.24м (разность путей)	ф-лы (14-18) [10]	23,1	27,5	31,7	35,3	38,5	41,5	44,5	47,5	50,6		
Снижение уровня звукового давления на пути справа от экрана, Dz3, дБ	z = 4.36м (разность путей)	ф-лы (14-18) [10]	12,8	15,5	18,3	21,2	24,1	27,1	30,1	33,1	36,1		
Общее снижение уровня звука препятствием Dz, дБ		Эн.сумма(-Dzi)	9,7	13	16,3	19,5	22,5	25,5	28,5	31,5	34,5		
Общее снижение уровня звука препятствием с учётом ограничения (25 дБ) для октавных полос Dz, дБ		Раздел 7.4 [10]	9,7	13	16,3	19,5	22,5	25	25	25	25		
Уровни звукового давления прямого звука от источника ИШ-2-44 в расчётной точке днём, дБ		**ф-ла(3)[10]**	**0**	**27,3**	**25,4**	**23,4**	**20,4**	**17,1**	**13,1**	**6,4**	**0**	**22,4**	**22,4**
Расчёт отражённого звука													
Уровни звукового давления от мнимого источника ИШ-2-44_мн.(1) в расчётной точке днём, дБ		**ф-ла(3)[10]**	**0**	**0**	**0**	**0**	**0**	**0**	**9**	**0**	**0**	**10,2**	**10,2**
Уровни звукового давления от источника ИШ-2-44 в расчётной точке днём, дБ		**ф-ла(3)[10]**	**0**	**27,3**	**25,4**	**23,4**	**20,4**	**17,1**	**14,5**	**6,4**	**0**	**22,7**	**22,7**
Источник шума: ИШ-2-45, координаты источника (x,y,z), м =[681.26,-139.98,1.00]													
Уровни звуковой мощности источника днём, Lw, дБ		**исходные данные**	**0**	**93,3**	**94,7**	**96**	**96,3**	**95,9**	**92,6**	**88,4**	**83,9**		
Поправка на телесный угол DΩ, дБ	Ω = 6.28	10Lg(4π/Ω)	**3**	3	3	3	3	3	3	3	3		
Показатель направленности источника Di, дБ		исходные данные	**0**	0	0	0	0	0	0	0	0		
Поправка на направленность источника Dc, дБ	Dc	DΩ + Di	**3**	3	3	3	3	3	3	3	3		
Затухание из-за геометрической дивергенции, Adiv, дБ	расстояние = 177.66 м	ф-ла (7) [10]	**56**										
Коэффициент затухания звука в атмосфере α, дБ/км	Ta=20,°C Pa=101.33,кПа hотн.=70%	ф-ла (5) [9]	0,02	0,09	0,33	1,12	2,79	4,98	9,04	23,09	77,63		

1		2	3	4	5	6	7	8	9	10	11	12	13
Учет затухания звука в атмосфере Aatm, дБ		ф-ла (8) [10]	0	0	0,1	0,2	0,5	0,9	1,6	4,1	13,8		
Снижение уровня звукового давления из-за влияния застройки между источником шума и расчетной точкой													
Снижение уровня звукового давления на пути над экраном, Dz1, дБ	z = 3.74м (разность путей)	ф-лы (14-18) [10]	13,1	17,2	21,2	24,7	27,9	30,9	33,9	36,9	39,9		
Снижение уровня звукового давления на пути слева от экрана, Dz2, дБ	z = 39.55м (разность путей)	ф-лы (14-18) [10]	23	27,5	31,7	35,2	38,4	41,4	44,5	47,5	50,5		
Снижение уровня звукового давления на пути справа от экрана, Dz3, дБ	z = 4.66м (разность путей)	ф-лы (14-18) [10]	13,1	15,7	18,5	21,5	24,4	27,4	30,4	33,4	36,4		
Общее снижение уровня звука препятствием Dz, дБ		Эн.сумма(-Dzi)	9,8	13,2	16,5	19,7	22,7	25,7	28,7	31,7	34,7		
Общее снижение уровня звука препятствием с учётом ограничения (25 дБ) для октавных полос Dz, дБ		Раздел 7.4 [10]	9,8	13,2	16,5	19,7	22,7	25	25	25	25		
Уровни звукового давления прямого звука от источника ИШ-2-45 в расчётной точке днём, дБ		**ф-ла(3)[10]**	**0**	**27,1**	**25,1**	**23,1**	**20,1**	**17**	**13**	**6,3**	**0**	**22,3**	**22,3**
Расчёт отражённого звука													
Уровни звукового давления от мнимого источника ИШ-2-45_мн.(1) в расчётной точке днём, дБ		**ф-ла(3)[10]**	**0**	**0**	**0**	**0**	**0**	**0**	**10,7**	**0**	**0**	**11,9**	**11,9**
Уровни звукового давления от источника ИШ-2-45 в расчётной точке днём, дБ		**ф-ла(3)[10]**	**0**	**27,1**	**25,1**	**23,1**	**20,1**	**17**	**15**	**6,3**	**0**	**22,7**	**22,7**
Источник шума: ИШ-4-1, координаты источника (x,y,z), м =[141.82,201.03,1.00]													
Уровни звуковой мощности источника днём, Lw, дБ		**исходные данные**	**0**	**90,3**	**91,7**	**93**	**93,3**	**92,9**	**89,6**	**85,4**	**80,9**		
Поправка на телесный угол DΩ, дБ	Ω = 6.28	10Lg(4π/Ω)	**3**	3	3	3	3	3	3	3	3		
Показатель направленности источника Di, дБ		исходные данные	**0**	0	0	0	0	0	0	0	0		
Поправка на направленность источника Dc, дБ	Dc	DΩ + Di	**3**	3	3	3	3	3	3	3	3		
Затухание из-за геометрической дивергенции, Adiv, дБ	расстояние = 466.29 м	ф-ла (7) [10]	**64,4**										

1		2	3	4	5	6	7	8	9	10	11	12	13
Коэффициент затухания звука в атмосфере α, дБ/км	Та=20,°С Ра=101.33,кПа hотн.=70%	ф-ла (5) [9]	0,02	0,09	0,33	1,12	2,79	4,98	9,04	23,09	77,63		
Учет затухания звука в атмосфере Aatm, дБ		ф-ла (8) [10]	0	0	0,2	0,5	1,3	2,3	4,2	10,8	36,2		
Снижение уровня звукового давления из-за влияния застройки между источником шума и расчетной точкой													
Снижение уровня звукового давления на пути над экраном, Dz1, дБ	z = 0.37м (разность путей)	ф-лы (14-18) [10]	4,9	5,1	5,6	6,8	8,4	10,5	12,9	15,6	18,5		
Снижение уровня звукового давления на пути слева от экрана, Dz2, дБ	z = 116.56м (разность путей)	ф-лы (14-18) [10]	30,9	34,1	37,1	40,1	43,1	46,1	49,2	52,2	55,2		
Снижение уровня звукового давления на пути справа от экрана, Dz3, дБ	z = 0.20м (разность путей)	ф-лы (14-18) [10]	5,7	6,5	7,7	9,4	11,6	14,2	16,9	19,8	22,7		
Общее снижение уровня звука препятствием Dz, дБ		Эн.сумма(-Dzi)	2,3	2,7	3,5	4,9	6,7	9	11,5	14,2	17,1		
Уровни звукового давления прямого звука от источника ИШ-4-1 в расчётной точке днём, дБ		**ф-ла(3)[10]**	**0**	**26,2**	**26,6**	**26,2**	**23,9**	**20,2**	**12,5**	**0**	**0**	**25**	**25**
Расчёт отражённого звука													
Уровни звукового давления от мнимого источника ИШ-4-1_мн.(1) в расчётной точке днём, дБ		**ф-ла(3)[10]**	**0**	**0**	**0**	**0**	**0**	**0**	**0**	**0**	**0**	**0**	**0**
Уровни звукового давления от мнимого источника ИШ-4-1_мн.(2) в расчётной точке днём, дБ		**ф-ла(3)[10]**	**0**	**0**	**26**	**26,1**	**24,2**	**21**	**13,4**	**0**	**0**	**25,4**	**25,4**
Уровни звукового давления от мнимого источника ИШ-4-1_мн.(3) в расчётной точке днём, дБ		**ф-ла(3)[10]**	**0**	**0**	**0**	**0**	**20**	**16**	**8,1**	**0**	**0**	**19,8**	**19,8**
Уровни звукового давления от мнимого источника ИШ-4-1_мн.(4) в расчётной точке днём, дБ		**ф-ла(3)[10]**	**0**	**0**	**0**	**0**	**0**	**0**	**0**	**0**	**0**	**0**	**0**
Суммарные уровни звукового давления от мнимых источников в расчётной точке днём, дБ		**ф-ла (19) [1]**	**0**	**0**	**26**	**26,1**	**25,6**	**22,2**	**14,5**	**0**	**0**	**0**	**26,5**
Уровни звукового давления от источника ИШ-4-1 в расчётной точке днём, дБ		**ф-ла(3)[10]**	**0**	**26,2**	**29,3**	**29,2**	**27,8**	**24,3**	**16,6**	**0**	**0**	**28,8**	**28,8**
Источник шума: ИШ-4-2, координаты источника (x,y,z), м =[133.85,183.21,1.00]													

1		2	3	4	5	6	7	8	9	10	11	12	13
Уровни звуковой мощности источника днём, Lw, дБ		**исходные данные**	**0**	**90,3**	**91,7**	**93**	**93,3**	**92,9**	**89,6**	**85,4**	**80,9**		
Поправка на телесный угол DΩ, дБ	Ω = 6.28	10Lg(4π/Ω)	**3**	3	3	3	3	3	3	3	3		
Показатель направленности источника Di, дБ		исходные данные	**0**	0	0	0	0	0	0	0	0		
Поправка на направленность источника Dc, дБ	Dc	DΩ + Di	**3**	3	3	3	3	3	3	3	3		
Затухание из-за геометрической дивергенции, Adiv, дБ	расстояние = 465.51 м	ф-ла (7) [10]	**64,4**										
Коэффициент затухания звука в атмосфере α, дБ/км	Ta=20,°C Pa=101.33,кПа hотн.=70%	ф-ла (5) [9]	0,02	0,09	0,33	1,12	2,79	4,98	9,04	23,09	77,63		
Учет затухания звука в атмосфере Aatm, дБ		ф-ла (8) [10]	0	0	0,2	0,5	1,3	2,3	4,2	10,7	36,1		
Снижение поверхностью земли возле источника As, дБ	Gs = 0 hs = 1м	ф-лы таб.3 [10]	-1,5	-1,5	-1,5	-1,5	-1,5	-1,5	-1,5	-1,5	-1,5		
Снижение поверхностью земли возле приёмника Ar, дБ	Gr = 1 hr = 1.5м	ф-лы таб.3 [10]	-1,5	-1,5	2,8	7	5	0,7	0	0	0		
Снижение поверхностью земли в средней зоне, Am дБ	Gm = 1	ф-лы таб.3 [10]	-2,5	-2,5	0	0	0	0	0	0	0		
Суммарное снижение поверхностью земли на траектории распространения звука Agr, дБ		ф-ла (9) [10]	-5,5	-5,5	1,3	5,5	3,5	-0,8	-1,5	-1,5	-1,5		
Уровни звукового давления прямого звука от источника ИШ-4-2 в расчётной точке днём, дБ		**ф-ла(3)[10]**	**0**	**34,4**	**28,9**	**25,6**	**27,2**	**30,1**	**25,5**	**14,8**	**0**	**32,7**	**32,7**
Расчёт отражённого звука													
Уровни звукового давления от мнимого источника ИШ-4-2_мн.(1) в расчётной точке днём, дБ		**ф-ла(3)[10]**	**0**	**0**	**22,8**	**14,7**	**15,2**	**24,9**	**22,2**	**11,1**	**0**	**27,5**	**27,5**
Уровни звукового давления от мнимого источника ИШ-4-2_мн.(2) в расчётной точке днём, дБ		**ф-ла(3)[10]**	**0**	**0**	**0**	**0**	**0**	**0**	**0**	**0**	**0**	**0**	**0**
Суммарные уровни звукового давления от мнимых источников в расчётной точке днём, дБ		**ф-ла (19) [1]**	**0**	**0**	**22,8**	**14,7**	**15,2**	**24,9**	**22,2**	**11,1**	**0**	**0**	**27,5**
Уровни звукового давления от источника ИШ-4-2 в расчётной точке днём, дБ		**ф-ла(3)[10]**	**0**	**34,4**	**29,8**	**25,9**	**27,4**	**31,2**	**27,2**	**16,3**	**0**	**33,8**	**33,8**

1		2	3	4	5	6	7	8	9	10	11	12	13
Источник шума: ИШ-4-3, координаты источника (x,y,z), м =[152.61,172.66,1.00]													
Уровни звуковой мощности источника днём, Lw, дБ		**исходные данные**	**0**	**90,3**	**91,7**	**93**	**93,3**	**92,9**	**89,6**	**85,4**	**80,9**		
Поправка на телесный угол DΩ, дБ	Ω = 6.28	10Lg(4π/Ω)	**3**	3	3	3	3	3	3	3	3		
Показатель направленности источника Di, дБ		исходные данные	**0**	0	0	0	0	0	0	0	0		
Поправка на направленность источника Dc, дБ	Dc	DΩ + Di	**3**	3	3	3	3	3	3	3	3		
Затухание из-за геометрической дивергенции, Adiv, дБ	расстояние = 444.05 м	ф-ла (7) [10]	**63,9**										
Коэффициент затухания звука в атмосфере α, дБ/км	Ta=20,°C Pa=101.33,кПа hотн.=70%	ф-ла (5) [9]	0,02	0,09	0,33	1,12	2,79	4,98	9,04	23,09	77,63		
Учет затухания звука в атмосфере Aatm, дБ		ф-ла (8) [10]	0	0	0,1	0,5	1,2	2,2	4	10,3	34,5		
Снижение поверхностью земли возле источника As, дБ	Gs = 0 hs = 1м	ф-лы таб.3 [10]	-1,5	-1,5	-1,5	-1,5	-1,5	-1,5	-1,5	-1,5	-1,5		
Снижение поверхностью земли возле приёмника Ar, дБ	Gr = 1 hr = 1.5м	ф-лы таб.3 [10]	-1,5	-1,5	2,7	7	5	0,7	0	0	0		
Снижение поверхностью земли в средней зоне, Am дБ	Gm = 1	ф-лы таб.3 [10]	-2,5	-2,5	0	0	0	0	0	0	0		
Суммарное снижение поверхностью земли на траектории распространения звука Agr, дБ		ф-ла (9) [10]	-5,5	-5,5	1,2	5,5	3,5	-0,8	-1,5	-1,5	-1,5		
Уровни звукового давления прямого звука от источника ИШ-4-3 в расчётной точке днём, дБ		**ф-ла(3)[10]**	**0**	**34,8**	**29,4**	**26**	**27,6**	**30,6**	**26,1**	**15,7**	**0**	**33,2**	**33,2**
Расчёт отражённого звука													
Уровни звукового давления от мнимого источника ИШ-4-3_мн.(1) в расчётной точке днём, дБ		**ф-ла(3)[10]**	**0**	**0**	**0**	**0**	**0**	**0**	**0**	**0**	**0**	**0**	**0**
Уровни звукового давления от мнимого источника ИШ-4-3_мн.(2) в расчётной точке днём, дБ		**ф-ла(3)[10]**	**0**	**0**	**0**	**0**	**0**	**0**	**0**	**0**	**0**	**0**	**0**

1		2	3	4	5	6	7	8	9	10	11	12	13
Суммарные уровни звукового давления от мнимых источников в расчётной точке днём, дБ		**ф-ла (19) [1]**	**0**	**0**	**0**	**0**	**0**	**0**	**0**	**0**	**0**	**0**	**0**
Уровни звукового давления от источника ИШ-4-3 в расчётной точке днём, дБ		**ф-ла(3)[10]**	**0**	**34,8**	**29,4**	**26**	**27,6**	**30,6**	**26,1**	**15,7**	**0**	**33,2**	**33,2**
Источник шума: ИШ-4-4, координаты источника (x,y,z), м =[156.83,171.25,1.00]													
Уровни звуковой мощности источника днём, Lw, дБ		**исходные данные**	**0**	**90,3**	**91,7**	**93**	**93,3**	**92,9**	**89,6**	**85,4**	**80,9**		
Поправка на телесный угол DΩ, дБ	Ω = 6.28	10Lg(4π/Ω)	**3**	3	3	3	3	3	3	3	3		
Показатель направленности источника Di, дБ		исходные данные	**0**	0	0	0	0	0	0	0	0		
Поправка на направленность источника Dc, дБ	Dc	DΩ + Di	**3**	3	3	3	3	3	3	3	3		
Затухание из-за геометрической дивергенции, Adiv, дБ	расстояние = 439.63 м	ф-ла (7) [10]	**63,9**										
Коэффициент затухания звука в атмосфере α, дБ/км	Ta=20,°C Pa=101.33,кПа hотн.=70%	ф-ла (5) [9]	0,02	0,09	0,33	1,12	2,79	4,98	9,04	23,09	77,63		
Учет затухания звука в атмосфере Aatm, дБ		ф-ла (8) [10]	0	0	0,1	0,5	1,2	2,2	4	10,1	34,1		
Снижение поверхностью земли возле источника As, дБ	Gs = 0 hs = 1м	ф-лы таб.3 [10]	-1,5	-1,5	-1,5	-1,5	-1,5	-1,5	-1,5	-1,5	-1,5		
Снижение поверхностью земли возле приёмника Ar, дБ	Gr = 1 hr = 1.5м	ф-лы таб.3 [10]	-1,5	-1,5	2,6	7	5	0,7	0	0	0		
Снижение поверхностью земли в средней зоне, Am дБ	Gm = 1	ф-лы таб.3 [10]	-2,5	-2,5	0	0	0	0	0	0	0		
Суммарное снижение поверхностью земли на траектории распространения звука Agr, дБ		ф-ла (9) [10]	-5,5	-5,5	1,1	5,5	3,5	-0,8	-1,5	-1,5	-1,5		
Уровни звукового давления прямого звука от источника ИШ-4-4 в расчётной точке днём, дБ		**ф-ла(3)[10]**	**0**	**34,9**	**29,5**	**26,1**	**27,7**	**30,7**	**26,3**	**15,9**	**0**	**33,3**	**33,3**
Расчёт отражённого звука													

1		2	3	4	5	6	7	8	9	10	11	12	13
Уровни звукового давления от мнимого источника ИШ-4-4_мн.(1) в расчётной точке днём, дБ		**ф-ла(3)[10]**	**0**	**0**	**0**	**0**	**0**	**0**	**0**	**0**	**0**	**0**	**0**
Уровни звукового давления от источника ИШ-4-4 в расчётной точке днём, дБ		**ф-ла(3)[10]**	**0**	**34,9**	**29,5**	**26,1**	**27,7**	**30,7**	**26,3**	**15,9**	**0**	**33,3**	**33,3**
Источник шума: ИШ-4-5, координаты источника (x,y,z), м =[126.48,222.66,11.00]													
Уровни звуковой мощности источника днём, Lw, дБ		**исходные данные**	**0**	**90,3**	**91,7**	**93**	**93,3**	**92,9**	**89,6**	**85,4**	**80,9**		
Поправка на телесный угол DΩ, дБ	Ω = 6.28	10Lg(4π/Ω)	**3**	3	3	3	3	3	3	3	3		
Показатель направленности источника Di, дБ		исходные данные	**0**	0	0	0	0	0	0	0	0		
Поправка на направленность источника Dc, дБ	Dc	DΩ + Di	**3**	3	3	3	3	3	3	3	3		
Затухание из-за геометрической дивергенции, Adiv, дБ	расстояние = 490.14 м	ф-ла (7) [10]	**64,8**										
Коэффициент затухания звука в атмосфере α, дБ/км	Ta=20,°C Pa=101.33,кПа hотн.=70%	ф-ла (5) [9]	0,02	0,09	0,33	1,12	2,79	4,98	9,04	23,09	77,63		
Учет затухания звука в атмосфере Aatm, дБ		ф-ла (8) [10]	0	0	0,2	0,6	1,4	2,4	4,4	11,3	38,1		
Снижение уровня звукового давления из-за влияния застройки между источником шума и расчетной точкой													
Снижение уровня звукового давления на пути над экраном, Dz1, дБ	z = 0.04м (разность путей)	ф-лы (14-18) [10]	4,8	4,8	4,8	4,8	4,8	4,8	4,8	4,8	4,8		
Снижение уровня звукового давления на пути слева от экрана, Dz2, дБ	z = 117.36м (разность путей)	ф-лы (14-18) [10]	30,6	34	37,1	40,1	43,2	46,2	49,2	52,2	55,2		
Снижение уровня звукового давления на пути справа от экрана, Dz3, дБ	z = 0.80м (разность путей)	ф-лы (14-18) [10]	7,8	9,5	11,7	14,2	17	19,9	22,8	25,8	28,8		
Общее снижение уровня звука препятствием Dz, дБ		Эн.сумма(-Dzi)	3	3,5	4	4,3	4,5	4,6	4,7	4,7	4,8		
Уровни звукового давления прямого звука от источника ИШ-4-5 в расчётной точке днём, дБ		**ф-ла(3)[10]**	**0**	**24,9**	**25,8**	**26,3**	**25,6**	**24**	**18,7**	**7,5**	**0**	**27,8**	**27,8**

1		2	3	4	5	6	7	8	9	10	11	12	13
Расчёт отражённого звука													
Уровни звукового давления от мнимого источника ИШ-4-5_мн.(1) в расчётной точке днём, дБ		**ф-ла(3)[10]**	**0**	**0**	**0**	**0**	**0**	**0**	**0**	**0**	**0**	**0**	**0**
Уровни звукового давления от мнимого источника ИШ-4-5_мн.(2) в расчётной точке днём, дБ		**ф-ла(3)[10]**	**0**	**0**	**0**	**0**	**0**	**0**	**0**	**0**	**0**	**0**	**0**
Уровни звукового давления от мнимого источника ИШ-4-5_мн.(3) в расчётной точке днём, дБ		**ф-ла(3)[10]**	**0**	**0**	**0**	**0**	**0**	**0**	**0**	**0**	**0**	**0**	**0**
Суммарные уровни звукового давления от мнимых источников в расчётной точке днём, дБ		**ф-ла (19) [1]**	**0**	**0**	**0**	**0**	**0**	**0**	**0**	**0**	**0**	**0**	**0**
Уровни звукового давления от источника ИШ-4-5 в расчётной точке днём, дБ		**ф-ла(3)[10]**	**0**	**24,9**	**25,8**	**26,3**	**25,6**	**24**	**18,7**	**7,5**	**0**	**27,8**	**27,8**
Источник шума: ИШ-4-6, координаты источника (x,y,z), м =[125.17,218.57,11.00]													
Уровни звуковой мощности источника днём, Lw, дБ		**исходные данные**	**0**	**90,3**	**91,7**	**93**	**93,3**	**92,9**	**89,6**	**85,4**	**80,9**		
Поправка на телесный угол DΩ, дБ	Ω = 6.28	10Lg(4π/Ω)	**3**	3	3	3	3	3	3	3	3		
Показатель направленности источника Di, дБ		исходные данные	**0**	0	0	0	0	0	0	0	0		
Поправка на направленность источника Dc, дБ	Dc	DΩ + Di	**3**	3	3	3	3	3	3	3	3		
Затухание из-за геометрической дивергенции, Adiv, дБ	расстояние = 489.32 м	ф-ла (7) [10]	**64,8**										
Коэффициент затухания звука в атмосфере α, дБ/км	Ta=20,°C Pa=101.33,кПа hотн.=70%	ф-ла (5) [9]	0,02	0,09	0,33	1,12	2,79	4,98	9,04	23,09	77,63		
Учет затухания звука в атмосфере Aatm, дБ		ф-ла (8) [10]	0	0	0,2	0,5	1,4	2,4	4,4	11,3	38		
Снижение уровня звукового давления из-за влияния застройки между источником шума и расчетной точкой													
Снижение уровня звукового давления на пути над экраном, Dz1, дБ	z = 0.04м (разность путей)	ф-лы (14-18) [10]	4,8	4,8	4,8	4,8	4,8	4,8	4,8	4,8	4,8		

1		2	3	4	5	6	7	8	9	10	11	12	13
Снижение уровня звукового давления на пути слева от экрана, Dz2, дБ	z = 120.03м (разность путей)	ф-лы (14-18) [10]	30,7	34,1	37,2	40,2	43,3	46,3	49,3	52,3	55,3		
Снижение уровня звукового давления на пути справа от экрана, Dz3, дБ	z = 0.54м (разность путей)	ф-лы (14-18) [10]	7	8,4	10,4	12,7	15,4	18,2	21,1	24,1	27		
Общее снижение уровня звука препятствием Dz, дБ		Эн.сумма(-Dzi)	2,7	3,2	3,7	4,1	4,4	4,6	4,7	4,7	4,8		
Уровни звукового давления прямого звука от источника ИШ-4-6 в расчётной точке днём, дБ		**ф-ла(3)[10]**	**0**	**25,2**	**26**	**26,5**	**25,7**	**24,1**	**18,7**	**7,6**	**0**	**27,9**	**27,9**
Расчёт отражённого звука													
Уровни звукового давления от мнимого источника ИШ-4-6_мн.(1) в расчётной точке днём, дБ		**ф-ла(3)[10]**	**0**	**0**	**0**	**0**	**0**	**0**	**0**	**0**	**0**	**0**	**0**
Уровни звукового давления от мнимого источника ИШ-4-6_мн.(2) в расчётной точке днём, дБ		**ф-ла(3)[10]**	**0**	**0**	**0**	**0**	**0**	**0**	**0**	**0**	**0**	**0**	**0**
Суммарные уровни звукового давления от мнимых источников в расчётной точке днём, дБ		**ф-ла (19) [1]**	**0**	**0**	**0**	**0**	**0**	**0**	**0**	**0**	**0**	**0**	**0**
Уровни звукового давления от источника ИШ-4-6 в расчётной точке днём, дБ		**ф-ла(3)[10]**	**0**	**25,2**	**26**	**26,5**	**25,7**	**24,1**	**18,7**	**7,6**	**0**	**27,9**	**27,9**
Источник шума: ИШ-4-7, координаты источника (x,y,z), м =[177.91,257.92,11.00]													
Уровни звуковой мощности источника днём, Lw, дБ		**исходные данные**	**0**	**90,3**	**91,7**	**93**	**93,3**	**92,9**	**89,6**	**85,4**	**80,9**		
Поправка на телесный угол DΩ, дБ	Ω = 6.28	10Lg(4π/Ω)	**3**	3	3	3	3	3	3	3	3		
Показатель направленности источника Di, дБ		исходные данные	**0**	0	0	0	0	0	0	0	0		
Поправка на направленность источника Dc, дБ	Dc	DΩ + Di	**3**	3	3	3	3	3	3	3	3		
Затухание из-за геометрической дивергенции, Adiv, дБ	расстояние = 465.61 м	ф-ла (7) [10]	**64,4**										
Коэффициент затухания звука в атмосфере α, дБ/км	Ta=20,°C Pa=101.33,кПа hотн.=70%	ф-ла (5) [9]	0,02	0,09	0,33	1,12	2,79	4,98	9,04	23,09	77,63		

1		2	3	4	5	6	7	8	9	10	11	12	13
Учет затухания звука в атмосфере Aatm, дБ		ф-ла (8) [10]	0	0	0,2	0,5	1,3	2,3	4,2	10,7	36,1		
Снижение уровня звукового давления из-за влияния застройки между источником шума и расчетной точкой													
Снижение уровня звукового давления на пути над экраном, Dz1, дБ	z = 0.10м (разность путей)	ф-лы (14-18) [10]	4,8	4,8	4,8	4,8	4,8	4,8	4,9	5	5,3		
Снижение уровня звукового давления на пути слева от экрана, Dz2, дБ	z = 88.96м (разность путей)	ф-лы (14-18) [10]	29,4	32,8	35,9	38,9	42	45	48	51	54		
Снижение уровня звукового давления на пути справа от экрана, Dz3, дБ	z = 10.64м (разность путей)	ф-лы (14-18) [10]	16,3	19,1	22	25	28	31	34	37	40		
Общее снижение уровня звука препятствием Dz, дБ		Эн.сумма(-Dzi)	4,5	4,6	4,7	4,7	4,8	4,8	4,9	5	5,3		
Уровни звукового давления прямого звука от источника ИШ-4-7 в расчётной точке днём, дБ		**ф-ла(3)[10]**	**0**	**24,3**	**25,5**	**26,4**	**25,8**	**24,4**	**19,1**	**8,2**	**0**	**28,1**	**28,1**
Расчёт отражённого звука													
Уровни звукового давления от мнимого источника ИШ-4-7_мн.(1) в расчётной точке днём, дБ		**ф-ла(3)[10]**	**0**	**0**	**0**	**0**	**0**	**0**	**0**	**0**	**0**	**0**	**0**
Уровни звукового давления от источника ИШ-4-7 в расчётной точке днём, дБ		**ф-ла(3)[10]**	**0**	**24,3**	**25,5**	**26,4**	**25,8**	**24,4**	**19,1**	**8,2**	**0**	**28,1**	**28,1**
Источник шума: ИШ-4-8, координаты источника (x,y,z), м =[178.24,257.77,13.00]													
Уровни звуковой мощности источника днём, Lw, дБ		**исходные данные**	**0**	**90,3**	**91,7**	**93**	**93,3**	**92,9**	**89,6**	**85,4**	**80,9**		
Поправка на телесный угол DΩ, дБ	Ω = 6.28	10Lg(4π/Ω)	**3**	3	3	3	3	3	3	3	3		
Показатель направленности источника Di, дБ		исходные данные	**0**	0	0	0	0	0	0	0	0		
Поправка на направленность источника Dc, дБ	Dc	DΩ + Di	**3**	3	3	3	3	3	3	3	3		
Затухание из-за геометрической дивергенции, Adiv, дБ	расстояние = 465.30 м	ф-ла (7) [10]	**64,4**										

1		2	3	4	5	6	7	8	9	10	11	12	13
Коэффициент затухания звука в атмосфере α, дБ/км	Та=20,°С Ра=101.33,кПа hотн.=70%	ф-ла (5) [9]	0,02	0,09	0,33	1,12	2,79	4,98	9,04	23,09	77,63		
Учет затухания звука в атмосфере Aatm, дБ		ф-ла (8) [10]	0	0	0,2	0,5	1,3	2,3	4,2	10,7	36,1		
Снижение уровня звукового давления из-за влияния застройки между источником шума и расчетной точкой													
Снижение уровня звукового давления на пути над экраном, Dz1, дБ	z = 0.07м (разность путей)	ф-лы (14-18) [10]	4,8	4,8	4,8	4,8	4,8	4,8	4,8	4,8	4,9		
Снижение уровня звукового давления на пути слева от экрана, Dz2, дБ	z = 88.97м (разность путей)	ф-лы (14-18) [10]	29,4	32,8	35,9	38,9	42	45	48	51	54		
Снижение уровня звукового давления на пути справа от экрана, Dz3, дБ	z = 10.68м (разность путей)	ф-лы (14-18) [10]	16,3	19,1	22	25	28	31	34	37	40		
Общее снижение уровня звука препятствием Dz, дБ		Эн.сумма(-Dzi)	4,5	4,6	4,7	4,7	4,8	4,8	4,8	4,8	4,9		
Уровни звукового давления прямого звука от источника ИШ-4-8 в расчётной точке днём, дБ		**ф-ла(3)[10]**	**0**	**24,3**	**25,5**	**26,4**	**25,9**	**24,4**	**19,2**	**8,5**	**0**	**28,1**	**28,1**
Расчёт отражённого звука													
Уровни звукового давления от мнимого источника ИШ-4-8_мн.(1) в расчётной точке днём, дБ		**ф-ла(3)[10]**	**0**	**0**	**0**	**0**	**0**	**0**	**0**	**0**	**0**	**0**	**0**
Уровни звукового давления от источника ИШ-4-8 в расчётной точке днём, дБ		**ф-ла(3)[10]**	**0**	**24,3**	**25,5**	**26,4**	**25,9**	**24,4**	**19,2**	**8,5**	**0**	**28,1**	**28,1**
Источник шума: ИШ-4-9, координаты источника (x,y,z), м =[178.68,257.63,15.50]													
Уровни звуковой мощности источника днём, Lw, дБ		**исходные данные**	**0**	**90,3**	**91,7**	**93**	**93,3**	**92,9**	**89,6**	**85,4**	**80,9**		
Поправка на телесный угол DΩ, дБ	Ω = 6.28	10Lg($4\pi/\Omega$)	**3**	3	3	3	3	3	3	3	3		
Показатель направленности источника Di, дБ		исходные данные	**0**	0	0	0	0	0	0	0	0		
Поправка на направленность источника Dc, дБ	Dc	DΩ + Di	**3**	3	3	3	3	3	3	3	3		

1		2	3	4	5	6	7	8	9	10	11	12	13
Затухание из-за геометрической дивергенции, Adiv, дБ	расстояние = 464.93 м	ф-ла (7) [10]	**64,3**										
Коэффициент затухания звука в атмосфере α, дБ/км	Ta=20,°C Pa=101.33,кПа hотн.=70%	ф-ла (5) [9]	0,02	0,09	0,33	1,12	2,79	4,98	9,04	23,09	77,63		
Учет затухания звука в атмосфере Aatm, дБ		ф-ла (8) [10]	0	0	0,2	0,5	1,3	2,3	4,2	10,7	36,1		
Снижение уровня звукового давления из-за влияния застройки между источником шума и расчетной точкой													
Снижение уровня звукового давления на пути над экраном, Dz1, дБ	z = 0.04м (разность путей)	ф-лы (14-18) [10]	4,8	4,8	4,8	4,8	4,8	4,8	4,8	4,8	4,8		
Снижение уровня звукового давления на пути слева от экрана, Dz2, дБ	z = 84.95м (разность путей)	ф-лы (14-18) [10]	28,2	32,3	35,6	38,7	41,7	44,8	47,8	50,8	53,8		
Снижение уровня звукового давления на пути справа от экрана, Dz3, дБ	z = 9.75м (разность путей)	ф-лы (14-18) [10]	15,9	18,8	21,7	24,6	27,6	30,6	33,6	36,6	39,6		
Общее снижение уровня звука препятствием Dz, дБ		Эн.сумма(-Dzi)	4,4	4,6	4,7	4,7	4,7	4,8	4,8	4,8	4,8		
Уровни звукового давления от источника ИШ-4-9 в расчётной точке днём, дБ		**ф-ла(3)[10]**	**0**	**24,3**	**25,5**	**26,4**	**25,9**	**24,5**	**19,3**	**8,5**	**0**	**28,2**	**28,2**
Источник шума: ИШ-4-10, координаты источника (x,y,z), м =[185.65,255.31,11.00]													
Уровни звуковой мощности источника днём, Lw, дБ		**исходные данные**	**0**	**90,3**	**91,7**	**93**	**93,3**	**92,9**	**89,6**	**85,4**	**80,9**		
Поправка на телесный угол DΩ, дБ	Ω = 6.28	10Lg(4π/Ω)	**3**	3	3	3	3	3	3	3	3		
Показатель направленности источника Di, дБ		исходные данные	**0**	0	0	0	0	0	0	0	0		
Поправка на направленность источника Dc, дБ	Dc	DΩ + Di	**3**	3	3	3	3	3	3	3	3		
Затухание из-за геометрической дивергенции, Adiv, дБ	расстояние = 457.82 м	ф-ла (7) [10]	**64,2**										
Коэффициент затухания звука в атмосфере α, дБ/км	Ta=20,°C Pa=101.33,кПа hотн.=70%	ф-ла (5) [9]	0,02	0,09	0,33	1,12	2,79	4,98	9,04	23,09	77,63		

1		2	3	4	5	6	7	8	9	10	11	12	13
Учет затухания звука в атмосфере Aatm, дБ		ф-ла (8) [10]	0	0	0,2	0,5	1,3	2,3	4,1	10,6	35,5		
Снижение уровня звукового давления из-за влияния застройки между источником шума и расчетной точкой													
Снижение уровня звукового давления на пути над экраном, Dz1, дБ	z = 0.10м (разность путей)	ф-лы (14-18) [10]	4,8	4,8	4,8	4,8	4,8	4,8	4,9	5,1	5,3		
Снижение уровня звукового давления на пути слева от экрана, Dz2, дБ	z = 88.91м (разность путей)	ф-лы (14-18) [10]	29,4	32,8	35,9	38,9	42	45	48	51	54		
Снижение уровня звукового давления на пути справа от экрана, Dz3, дБ	z = 11.61м (разность путей)	ф-лы (14-18) [10]	16,6	19,5	22,4	25,4	28,4	31,4	34,4	37,4	40,4		
Общее снижение уровня звука препятствием Dz, дБ		Эн.сумма(-Dzi)	4,5	4,6	4,7	4,8	4,8	4,8	4,9	5,1	5,3		
Уровни звукового давления прямого звука от источника ИШ-4-10 в расчётной точке днём, дБ		**ф-ла(3)[10]**	**0**	**24,4**	**25,6**	**26,5**	**26**	**24,6**	**19,3**	**8,5**	**0**	**28,3**	**28,3**
Расчёт отражённого звука													
Уровни звукового давления от мнимого источника ИШ-4-10_мн.(1) в расчётной точке днём, дБ		**ф-ла(3)[10]**	**0**	**0**	**0**	**0**	**0**	**0**	**0**	**0**	**0**	**0**	**0**
Уровни звукового давления от источника ИШ-4-10 в расчётной точке днём, дБ		**ф-ла(3)[10]**	**0**	**24,4**	**25,6**	**26,5**	**26**	**24,6**	**19,3**	**8,5**	**0**	**28,3**	**28,3**
Источник шума: ИШ-4-11, координаты источника (x,y,z), м =[185.89,255.16,13.00]													
Уровни звуковой мощности источника днём, Lw, дБ		**исходные данные**	**0**	**90,3**	**91,7**	**93**	**93,3**	**92,9**	**89,6**	**85,4**	**80,9**		
Поправка на телесный угол DΩ, дБ	Ω = 6.28	10Lg(4π/Ω)	**3**	3	3	3	3	3	3	3	3		
Показатель направленности источника Di, дБ		исходные данные	**0**	0	0	0	0	0	0	0	0		
Поправка на направленность источника Dc, дБ	Dc	DΩ + Di	**3**	3	3	3	3	3	3	3	3		
Затухание из-за геометрической дивергенции, Adiv, дБ	расстояние = 457.58 м	ф-ла (7) [10]	**64,2**										

1		2	3	4	5	6	7	8	9	10	11	12	13
Коэффициент затухания звука в атмосфере α, дБ/км	Та=20,°С Ра=101.33,кПа hотн.=70%	ф-ла (5) [9]	0,02	0,09	0,33	1,12	2,79	4,98	9,04	23,09	77,63		
Учет затухания звука в атмосфере Aatm, дБ		ф-ла (8) [10]	0	0	0,2	0,5	1,3	2,3	4,1	10,6	35,5		
Снижение уровня звукового давления из-за влияния застройки между источником шума и расчетной точкой													
Снижение уровня звукового давления на пути над экраном, Dz1, дБ	z = 0.07м (разность путей)	ф-лы (14-18) [10]	4,8	4,8	4,8	4,8	4,8	4,8	4,8	4,8	4,9		
Снижение уровня звукового давления на пути слева от экрана, Dz2, дБ	z = 88.94м (разность путей)	ф-лы (14-18) [10]	29,4	32,8	35,9	38,9	42	45	48	51	54		
Снижение уровня звукового давления на пути справа от экрана, Dz3, дБ	z = 11.63м (разность путей)	ф-лы (14-18) [10]	16,6	19,5	22,4	25,4	28,4	31,4	34,4	37,4	40,4		
Общее снижение уровня звука препятствием Dz, дБ		Эн.сумма(-Dzi)	4,5	4,6	4,7	4,7	4,8	4,8	4,8	4,8	4,9		
Уровни звукового давления прямого звука от источника ИШ-4-11 в расчётной точке днём, дБ		**ф-ла(3)[10]**	**0**	**24,4**	**25,6**	**26,5**	**26**	**24,6**	**19,4**	**8,8**	**0**	**28,3**	**28,3**
Расчёт отражённого звука													
Уровни звукового давления от мнимого источника ИШ-4-11_мн.(1) в расчётной точке днём, дБ		**ф-ла(3)[10]**	**0**	**0**	**0**	**0**	**0**	**0**	**0**	**0**	**0**	**0**	**0**
Уровни звукового давления от источника ИШ-4-11 в расчётной точке днём, дБ		**ф-ла(3)[10]**	**0**	**24,4**	**25,6**	**26,5**	**26**	**24,6**	**19,4**	**8,8**	**0**	**28,3**	**28,3**
Источник шума: ИШ-4-12, координаты источника (x,y,z), м =[186.18,255.02,15.50]													
Уровни звуковой мощности источника днём, Lw, дБ		**исходные данные**	**0**	**90,3**	**91,7**	**93**	**93,3**	**92,9**	**89,6**	**85,4**	**80,9**		
Поправка на телесный угол DΩ, дБ	Ω = 6.28	10Lg(4π/Ω)	**3**	3	3	3	3	3	3	3	3		
Показатель направленности источника Di, дБ		исходные данные	**0**	0	0	0	0	0	0	0	0		
Поправка на направленность источника Dc, дБ	Dc	DΩ + Di	**3**	3	3	3	3	3	3	3	3		

1		2	3	4	5	6	7	8	9	10	11	12	13
Затухание из-за геометрической дивергенции, Adiv, дБ	расстояние = 457.33 м	ф-ла (7) [10]	**64,2**										
Коэффициент затухания звука в атмосфере α, дБ/км	Ta=20,°C Pa=101.33,кПа hотн.=70%	ф-ла (5) [9]	0,02	0,09	0,33	1,12	2,79	4,98	9,04	23,09	77,63		
Учет затухания звука в атмосфере Aatm, дБ		ф-ла (8) [10]	0	0	0,2	0,5	1,3	2,3	4,1	10,6	35,5		
Снижение уровня звукового давления из-за влияния застройки между источником шума и расчетной точкой													
Снижение уровня звукового давления на пути над экраном, Dz1, дБ	z = 0.04м (разность путей)	ф-лы (14-18) [10]	4,8	4,8	4,8	4,8	4,8	4,8	4,8	4,8	4,8		
Снижение уровня звукового давления на пути слева от экрана, Dz2, дБ	z = 84.69м (разность путей)	ф-лы (14-18) [10]	28,2	32,2	35,6	38,7	41,7	44,8	47,8	50,8	53,8		
Снижение уровня звукового давления на пути справа от экрана, Dz3, дБ	z = 1.99м (разность путей)	ф-лы (14-18) [10]	10,2	12,5	15,1	17,9	20,8	23,8	26,7	29,7	32,7		
Общее снижение уровня звука препятствием Dz, дБ		Эн.сумма(-Dzi)	3,7	4,1	4,4	4,6	4,7	4,7	4,7	4,8	4,8		
Уровни звукового давления от источника ИШ-4-12 в расчётной точке днём, дБ		**ф-ла(3)[10]**	**0**	**25**	**26**	**26,7**	**26,1**	**24,7**	**19,5**	**8,9**	**0**	**28,4**	**28,4**
Источник шума: ИШ-4-13, координаты источника (x,y,z), м =[94.56,229.10,1.00]													
Уровни звуковой мощности источника днём, Lw, дБ		**исходные данные**	**0**	**81,3**	**82,7**	**84**	**84,3**	**83,9**	**80,6**	**76,4**	**71,9**		
Поправка на телесный угол DΩ, дБ	Ω = 6.28	10Lg(4π/Ω)	**3**	3	3	3	3	3	3	3	3		
Показатель направленности источника Di, дБ		исходные данные	**0**	0	0	0	0	0	0	0	0		
Поправка на направленность источника Dc, дБ	Dc	DΩ + Di	**3**	3	3	3	3	3	3	3	3		
Затухание из-за геометрической дивергенции, Adiv, дБ	расстояние = 521.18 м	ф-ла (7) [10]	**65,3**										
Коэффициент затухания звука в атмосфере α, дБ/км	Ta=20,°C Pa=101.33,кПа hотн.=70%	ф-ла (5) [9]	0,02	0,09	0,33	1,12	2,79	4,98	9,04	23,09	77,63		

1		2	3	4	5	6	7	8	9	10	11	12	13
Учет затухания звука в атмосфере Aatm, дБ		ф-ла (8) [10]	0	0	0,2	0,6	1,5	2,6	4,7	12	40,5		
Снижение уровня звукового давления из-за влияния застройки между источником шума и расчетной точкой													
Снижение уровня звукового давления на пути над экраном, Dz1, дБ	z = 4.95м (разность путей)	ф-лы (14-18) [10]	16,5	19,6	22,6	25,6	28,6	31,6	34,6	37,6	40,6		
Снижение уровня звукового давления на пути слева от экрана, Dz2, дБ	z = 154.25м (разность путей)	ф-лы (14-18) [10]	32,2	35,3	38,3	41,3	44,3	47,4	50,4	53,4	56,4		
Снижение уровня звукового давления на пути справа от экрана, Dz3, дБ	z = 25.24м (разность путей)	ф-лы (14-18) [10]	19,8	22,8	25,7	28,7	31,7	34,7	37,7	40,7	43,8		
Общее снижение уровня звука препятствием Dz, дБ		Эн.сумма(-Dzi)	14,7	17,8	20,8	23,8	26,8	29,8	32,8	35,8	38,8		
Общее снижение уровня звука препятствием с учётом ограничения (25 дБ) для октавных полос Dz, дБ		Раздел 7.4 [10]	14,7	17,8	20,8	23,8	25	25	25	25	25		
Уровни звукового давления от источника ИШ-4-13 в расчётной точке днём, дБ		**ф-ла(3)[10]**	**0**	**1,1**	**0**	**0**	**0**	**0**	**0**	**0**	**0**	**0**	**0**
Источник шума: ИШ-4-14, координаты источника (x,y,z), м =[91.88,221.30,1.00]													
Уровни звуковой мощности источника днём, Lw, дБ		**исходные данные**	**0**	**81,3**	**82,7**	**84**	**84,3**	**83,9**	**80,6**	**76,4**	**71,9**		
Поправка на телесный угол DΩ, дБ	Ω = 6.28	10Lg(4π/Ω)	**3**	3	3	3	3	3	3	3	3		
Показатель направленности источника Di, дБ		исходные данные	**0**	0	0	0	0	0	0	0	0		
Поправка на направленность источника Dc, дБ	Dc	DΩ + Di	**3**	3	3	3	3	3	3	3	3		
Затухание из-за геометрической дивергенции, Adiv, дБ	расстояние = 519.96 м	ф-ла (7) [10]	**65,3**										
Коэффициент затухания звука в атмосфере α, дБ/км	Ta=20,°C Pa=101.33,кПа hотн.=70%	ф-ла (5) [9]	0,02	0,09	0,33	1,12	2,79	4,98	9,04	23,09	77,63		
Учет затухания звука в атмосфере Aatm, дБ		ф-ла (8) [10]	0	0	0,2	0,6	1,5	2,6	4,7	12	40,4		

1		2	3	4	5	6	7	8	9	10	11	12	13
Снижение уровня звукового давления из-за влияния застройки между источником шума и расчетной точкой													
Снижение уровня звукового давления на пути над экраном, Dz1, дБ	z = 4.93м (разность путей)	ф-лы (14-18) [10]	16,4	19,6	22,6	25,6	28,6	31,6	34,6	37,6	40,6		
Снижение уровня звукового давления на пути слева от экрана, Dz2, дБ	z = 163.68м (разность путей)	ф-лы (14-18) [10]	32,5	35,6	38,6	41,6	44,6	47,6	50,6	53,6	56,6		
Снижение уровня звукового давления на пути справа от экрана, Dz3, дБ	z = 18.38м (разность путей)	ф-лы (14-18) [10]	18,5	21,4	24,4	27,4	30,4	33,4	36,4	39,4	42,4		
Общее снижение уровня звука препятствием Dz, дБ		Эн.сумма(-Dzi)	14,3	17,3	20,3	23,3	26,3	29,3	32,3	35,3	38,3		
Общее снижение уровня звука препятствием с учётом ограничения (25 дБ) для октавных полос Dz, дБ		Раздел 7.4 [10]	14,3	17,3	20,3	23,3	25	25	25	25	25		
Уровни звукового давления от источника ИШ-4-14 в расчётной точке днём, дБ		**ф-ла(3)[10]**	**0**	**1,6**	**0**	**0**	**0**	**0**	**0**	**0**	**0**	**0**	**0**
Источник шума: ИШ-5-1, координаты источника (x,y,z), м =[626.70,162.36,1.00]													
Уровни звуковой мощности источника днём, Lw, дБ		**исходные данные**	**0**	**93,3**	**94,7**	**96**	**96,3**	**95,9**	**92,6**	**88,4**	**83,9**		
Поправка на телесный угол DΩ, дБ	Ω = 6.28	10Lg(4π/Ω)	**3**	3	3	3	3	3	3	3	3		
Показатель направленности источника Di, дБ		исходные данные	**0**	0	0	0	0	0	0	0	0		
Поправка на направленность источника Dc, дБ	Dc	DΩ + Di	**3**	3	3	3	3	3	3	3	3		
Затухание из-за геометрической дивергенции, Adiv, дБ	расстояние = 191.16 м	ф-ла (7) [10]	**56,6**										
Коэффициент затухания звука в атмосфере α, дБ/км	Ta=20,°C Pa=101.33,кПа hотн.=70%	ф-ла (5) [9]	0,02	0,09	0,33	1,12	2,79	4,98	9,04	23,09	77,63		
Учет затухания звука в атмосфере Aatm, дБ		ф-ла (8) [10]	0	0	0,1	0,2	0,5	1	1,7	4,4	14,8		
Снижение уровня звукового давления из-за влияния застройки между источником шума и расчетной точкой													

1		2	3	4	5	6	7	8	9	10	11	12	13
Снижение уровня звукового давления на пути над экраном, Dz1, дБ	z = 0.16м (разность путей)	ф-лы (14-18) [10]	5,3	6	7,5	9,5	11,9	14,5	17,3	20,2	23,1		
Снижение уровня звукового давления на пути слева от экрана, Dz2, дБ	z = 1.34м (разность путей)	ф-лы (14-18) [10]	9,9	13,4	17,2	20,6	23,7	26,8	29,8	32,8	35,8		
Снижение уровня звукового давления на пути справа от экрана, Dz3, дБ	z = 0.14м (разность путей)	ф-лы (14-18) [10]	5,6	6,7	8,9	11,6	14,4	17,2	20,1	23,1	26		
Общее снижение уровня звука препятствием Dz, дБ		Эн.сумма(-Dzi)	1,7	2,9	4,9	7,2	9,8	12,5	15,3	18,2	21,2		
Уровни звукового давления прямого звука от источника ИШ-5-1 в расчётной точке днём, дБ		**ф-ла(3)[10]**	**0**	**36,7**	**36,1**	**34,9**	**32,4**	**28,9**	**21,9**	**12,1**	**0**	**33,7**	**33,7**
Расчёт отражённого звука													
Уровни звукового давления от мнимого источника ИШ-5-1_мн.(1) в расчётной точке днём, дБ		**ф-ла(3)[10]**	**0**	**0**	**0**	**0**	**0**	**0**	**0**	**0**	**0**	**0**	**0**
Уровни звукового давления от источника ИШ-5-1 в расчётной точке днём, дБ		**ф-ла(3)[10]**	**0**	**36,7**	**36,1**	**34,9**	**32,4**	**28,9**	**21,9**	**12,1**	**0**	**33,7**	**33,7**
Источник шума: ИШ-5-2, координаты источника (x,y,z), м =[625.81,159.52,1.00]													
Уровни звуковой мощности источника днём, Lw, дБ		**исходные данные**	**0**	**93,3**	**94,7**	**96**	**96,3**	**95,9**	**92,6**	**88,4**	**83,9**		
Поправка на телесный угол DΩ, дБ	Ω = 6.28	10Lg(4π/Ω)	**3**	3	3	3	3	3	3	3	3		
Показатель направленности источника Di, дБ		исходные данные	**0**	0	0	0	0	0	0	0	0		
Поправка на направленность источника Dc, дБ	Dc	DΩ + Di	**3**	3	3	3	3	3	3	3	3		
Затухание из-за геометрической дивергенции, Adiv, дБ	расстояние = 188.19 м	ф-ла (7) [10]	**56,5**										
Коэффициент затухания звука в атмосфере α, дБ/км	Та=20,°С Ра=101.33,кПа hотн.=70%	ф-ла (5) [9]	0,02	0,09	0,33	1,12	2,79	4,98	9,04	23,09	77,63		
Учет затухания звука в атмосфере Aatm, дБ		ф-ла (8) [10]	0	0	0,1	0,2	0,5	0,9	1,7	4,3	14,6		

1		2	3	4	5	6	7	8	9	10	11	12	13
Снижение уровня звукового давления из-за влияния застройки между источником шума и расчетной точкой													
Снижение уровня звукового давления на пути над экраном, Dz1, дБ	z = 0.17м (разность путей)	ф-лы (14-18) [10]	5,3	6,2	7,8	10	12,4	15	17,8	20,8	23,7		
Снижение уровня звукового давления на пути слева от экрана, Dz2, дБ	z = 1.37м (разность путей)	ф-лы (14-18) [10]	9,9	13,5	17,3	20,7	23,8	26,9	29,9	32,9	35,9		
Снижение уровня звукового давления на пути справа от экрана, Dz3, дБ	z = 0.17м (разность путей)	ф-лы (14-18) [10]	5,8	7,1	9,4	12,3	15,2	18,1	21	23,9	26,9		
Общее снижение уровня звука препятствием Dz, дБ		Эн.сумма(-Dzi)	1,8	3,2	5,3	7,7	10,3	13,1	15,9	18,9	21,8		
Уровни звукового давления прямого звука от источника ИШ-5-2 в расчётной точке днём, дБ		**ф-ла(3)[10]**	**0**	**36,6**	**35,9**	**34,5**	**31,9**	**28,4**	**21,5**	**11,7**	**0**	**33,3**	**33,3**
Расчёт отражённого звука													
Уровни звукового давления от мнимого источника ИШ-5-2_мн.(1) в расчётной точке днём, дБ		**ф-ла(3)[10]**	**0**	**0**	**0**	**0**	**0**	**0**	**0**	**0**	**0**	**0**	**0**
Уровни звукового давления от источника ИШ-5-2 в расчётной точке днём, дБ		**ф-ла(3)[10]**	**0**	**36,6**	**35,9**	**34,5**	**31,9**	**28,4**	**21,5**	**11,7**	**0**	**33,3**	**33,3**
Источник шума: ИШ-5-3, координаты источника (x,y,z), м =[624.84,156.69,1.00]													
Уровни звуковой мощности источника днём, Lw, дБ		**исходные данные**	**0**	**93,3**	**94,7**	**96**	**96,3**	**95,9**	**92,6**	**88,4**	**83,9**		
Поправка на телесный угол DΩ, дБ	Ω = 6.28	10Lg(4π/Ω)	**3**	3	3	3	3	3	3	3	3		
Показатель направленности источника Di, дБ		исходные данные	**0**	0	0	0	0	0	0	0	0		
Поправка на направленность источника Dc, дБ	Dc	DΩ + Di	**3**	3	3	3	3	3	3	3	3		
Затухание из-за геометрической дивергенции, Adiv, дБ	расстояние = 185.21 м	ф-ла (7) [10]	**56,4**										
Коэффициент затухания звука в атмосфере α, дБ/км	Ta=20,°C Pa=101.33,кПа hотн.=70%	ф-ла (5) [9]	0,02	0,09	0,33	1,12	2,79	4,98	9,04	23,09	77,63		

1		2	3	4	5	6	7	8	9	10	11	12	13
Учет затухания звука в атмосфере Aatm, дБ		ф-ла (8) [10]	0	0	0,1	0,2	0,5	0,9	1,7	4,3	14,4		
Снижение уровня звукового давления из-за влияния застройки между источником шума и расчетной точкой													
Снижение уровня звукового давления на пути над экраном, Dz1, дБ	z = 0.18м (разность путей)	ф-лы (14-18) [10]	5,4	6,4	8,2	10,4	12,9	15,6	18,5	21,4	24,3		
Снижение уровня звукового давления на пути слева от экрана, Dz2, дБ	z = 1.42м (разность путей)	ф-лы (14-18) [10]	10,1	13,7	17,5	20,9	24	27	30	33	36		
Снижение уровня звукового давления на пути справа от экрана, Dz3, дБ	z = 0.21м (разность путей)	ф-лы (14-18) [10]	5,9	7,4	9,9	12,9	15,8	18,8	21,7	24,7	27,7		
Общее снижение уровня звука препятствием Dz, дБ		Эн.сумма(-Dzi)	1,9	3,4	5,7	8,2	10,9	13,7	16,6	19,5	22,5		
Уровни звукового давления прямого звука от источника ИШ-5-3 в расчётной точке днём, дБ		**ф-ла(3)[10]**	**0**	**36,5**	**35,6**	**34,2**	**31,5**	**27,9**	**21**	**11,2**	**0**	**32,9**	**32,9**
Расчёт отражённого звука													
Уровни звукового давления от мнимого источника ИШ-5-3_мн.(1) в расчётной точке днём, дБ		**ф-ла(3)[10]**	**0**	**0**	**0**	**0**	**0**	**0**	**0**	**0**	**0**	**0**	**0**
Уровни звукового давления от источника ИШ-5-3 в расчётной точке днём, дБ		**ф-ла(3)[10]**	**0**	**36,5**	**35,6**	**34,2**	**31,5**	**27,9**	**21**	**11,2**	**0**	**32,9**	**32,9**
Источник шума: ИШ-6-1, координаты источника (x,y,z), м =[836.30,122.24,1.00]													
Уровни звуковой мощности источника днём, Lw, дБ		**исходные данные**	**0**	**96,3**	**97,7**	**99**	**99,3**	**98,9**	**95,6**	**91,4**	**86,9**		
Поправка на телесный угол DΩ, дБ	Ω = 12.57	10Lg(4π/Ω)	**0**	0	0	0	0	0	0	0	0		
Показатель направленности источника Di, дБ		исходные данные	**0**	0	0	0	0	0	0	0	0		
Поправка на направленность источника Dc, дБ	Dc	DΩ + Di	**0**	0	0	0	0	0	0	0	0		
Затухание из-за геометрической дивергенции, Adiv, дБ	расстояние = 312.85 м	ф-ла (7) [10]	**60,9**										

1		2	3	4	5	6	7	8	9	10	11	12	13
Коэффициент затухания звука в атмосфере α, дБ/км	Ta=20,°C Pa=101.33,кПа hотн.=70%	ф-ла (5) [9]	0,02	0,09	0,33	1,12	2,79	4,98	9,04	23,09	77,63		
Учет затухания звука в атмосфере Aatm, дБ		ф-ла (8) [10]	0	0	0,1	0,4	0,9	1,6	2,8	7,2	24,3		
Снижение поверхностью земли возле источника As, дБ	Gs = 0 hs = 1м	ф-лы таб.3 [10]	-1,5	-1,5	-1,5	-1,5	-1,5	-1,5	-1,5	-1,5	-1,5		
Снижение поверхностью земли возле приёмника Ar, дБ	Gr = 1 hr = 1.5м	ф-лы таб.3 [10]	-1,5	-1,5	1,8	7	5	0,7	0	0	0		
Снижение поверхностью земли в средней зоне, Am дБ	Gm = 1	ф-лы таб.3 [10]	-2,3	-2,3	0	0	0	0	0	0	0		
Суммарное снижение поверхностью земли на траектории распространения звука Agr, дБ		ф-ла (9) [10]	-5,3	-5,3	0,3	5,5	3,5	-0,8	-1,5	-1,5	-1,5		
Уровни звукового давления прямого звука от источника ИШ-6-1 в расчётной точке днём, дБ		**ф-ла(3)[10]**	**0**	**40,6**	**36,4**	**32,2**	**34**	**37,3**	**33,4**	**24,8**	**3,2**	**40,1**	**40,1**
Расчёт отражённого звука													
Уровни звукового давления от мнимого источника ИШ-6-1_мн.(1) в расчётной точке днём, дБ		**ф-ла(3)[10]**	**0**	**0**	**0**	**0**	**0**	**0**	**26,2**	**15,6**	**0**	**27,8**	**27,8**
Уровни звукового давления от мнимого источника ИШ-6-1_мн.(2) в расчётной точке днём, дБ		**ф-ла(3)[10]**	**0**	**0**	**0**	**0**	**0**	**0**	**0**	**0**	**0,6**	**0**	**0**
Суммарные уровни звукового давления от мнимых источников в расчётной точке днём, дБ		**ф-ла (19) [1]**	**0**	**0**	**0**	**0**	**0**	**0**	**26,2**	**15,6**	**0,6**	**0**	**27,8**
Уровни звукового давления от источника ИШ-6-1 в расчётной точке днём, дБ		**ф-ла(3)[10]**	**0**	**40,6**	**36,4**	**32,2**	**34**	**37,3**	**34,1**	**25,3**	**5,1**	**40,3**	**40,3**
Источник шума: ИШ-6-2, координаты источника (x,y,z), м =[835.37,119.30,1.00]													
Уровни звуковой мощности источника днём, Lw, дБ		**исходные данные**	**0**	**96,3**	**97,7**	**99**	**99,3**	**98,9**	**95,6**	**91,4**	**86,9**		
Поправка на телесный угол DΩ, дБ	Ω = 12.57	10Lg(4π/Ω)	**0**	0	0	0	0	0	0	0	0		
Показатель направленности источника Di, дБ		исходные данные	**0**	0	0	0	0	0	0	0	0		

1		2	3	4	5	6	7	8	9	10	11	12	13
Поправка на направленность источника Dc, дБ	Dc	DΩ + Di	**0**	0	0	0	0	0	0	0	0		
Затухание из-за геометрической дивергенции, Adiv, дБ	расстояние = 310.73 м	ф-ла (7) [10]	**60,8**										
Коэффициент затухания звука в атмосфере α, дБ/км	Ta=20,°C Pa=101.33,кПа hотн.=70%	ф-ла (5) [9]	0,02	0,09	0,33	1,12	2,79	4,98	9,04	23,09	77,63		
Учет затухания звука в атмосфере Aatm, дБ		ф-ла (8) [10]	0	0	0,1	0,3	0,9	1,5	2,8	7,2	24,1		
Снижение поверхностью земли возле источника As, дБ	Gs = 0 hs = 1м	ф-лы таб.3 [10]	-1,5	-1,5	-1,5	-1,5	-1,5	-1,5	-1,5	-1,5	-1,5		
Снижение поверхностью земли возле приёмника Ar, дБ	Gr = 1 hr = 1.5м	ф-лы таб.3 [10]	-1,5	-1,5	1,8	7	5	0,7	0	0	0		
Снижение поверхностью земли в средней зоне, Am дБ	Gm = 1	ф-лы таб.3 [10]	-2,3	-2,3	0	0	0	0	0	0	0		
Суммарное снижение поверхностью земли на траектории распространения звука Agr, дБ		ф-ла (9) [10]	-5,3	-5,3	0,3	5,5	3,5	-0,8	-1,5	-1,5	-1,5		
Уровни звукового давления прямого звука от источника ИШ-6-2 в расчётной точке днём, дБ		**ф-ла(3)[10]**	**0**	**40,7**	**36,4**	**32,3**	**34,1**	**37,3**	**33,4**	**24,9**	**3,4**	**40,1**	**40,1**
Расчёт отражённого звука													
Уровни звукового давления от мнимого источника ИШ-6-2_мн.(1) в расчётной точке днём, дБ		**ф-ла(3)[10]**	**0**	**0**	**0**	**0**	**0**	**0**	**26,3**	**15,7**	**0**	**27,8**	**27,8**
Уровни звукового давления от мнимого источника ИШ-6-2_мн.(2) в расчётной точке днём, дБ		**ф-ла(3)[10]**	**0**	**0**	**0**	**0**	**0**	**0**	**0**	**0**	**0,8**	**0**	**0**
Суммарные уровни звукового давления от мнимых источников в расчётной точке днём, дБ		**ф-ла (19) [1]**	**0**	**0**	**0**	**0**	**0**	**0**	**26,3**	**15,7**	**0,8**	**0**	**27,8**
Уровни звукового давления от источника ИШ-6-2 в расчётной точке днём, дБ		**ф-ла(3)[10]**	**0**	**40,7**	**36,4**	**32,3**	**34,1**	**37,3**	**34,2**	**25,4**	**5,3**	**40,4**	**40,4**
Источник шума: ИШ-6-3, координаты источника (x,y,z), м =[834.03,116.36,1.00]													
Уровни звуковой мощности источника днём, Lw, дБ		**исходные данные**	**0**	**96,3**	**97,7**	**99**	**99,3**	**98,9**	**95,6**	**91,4**	**86,9**		

1		2	3	4	5	6	7	8	9	10	11	12	13
Поправка на телесный угол DΩ, дБ	Ω = 12.57	10Lg(4π/Ω)	**0**	0	0	0	0	0	0	0	0		
Показатель направленности источника Di, дБ		исходные данные	**0**	0	0	0	0	0	0	0	0		
Поправка на направленность источника Dc, дБ	Dc	DΩ + Di	**0**	0	0	0	0	0	0	0	0		
Затухание из-за геометрической дивергенции, Adiv, дБ	расстояние = 308.26 м	ф-ла (7) [10]	**60,8**										
Коэффициент затухания звука в атмосфере α, дБ/км	Ta=20,°C Pa=101.33,кПа hотн.=70%	ф-ла (5) [9]	0,02	0,09	0,33	1,12	2,79	4,98	9,04	23,09	77,63		
Учет затухания звука в атмосфере Aatm, дБ		ф-ла (8) [10]	0	0	0,1	0,3	0,9	1,5	2,8	7,1	23,9		
Снижение поверхностью земли возле источника As, дБ	Gs = 0 hs = 1м	ф-лы таб.3 [10]	-1,5	-1,5	-1,5	-1,5	-1,5	-1,5	-1,5	-1,5	-1,5		
Снижение поверхностью земли возле приёмника Ar, дБ	Gr = 1 hr = 1.5м	ф-лы таб.3 [10]	-1,5	-1,5	1,8	7	5	0,7	0	0	0		
Снижение поверхностью земли в средней зоне, Am дБ	Gm = 1	ф-лы таб.3 [10]	-2,3	-2,3	0	0	0	0	0	0	0		
Суммарное снижение поверхностью земли на траектории распространения звука Agr, дБ		ф-ла (9) [10]	-5,3	-5,3	0,3	5,5	3,5	-0,8	-1,5	-1,5	-1,5		
Уровни звукового давления прямого звука от источника ИШ-6-3 в расчётной точке днём, дБ		**ф-ла(3)[10]**	**0**	**40,8**	**36,5**	**32,4**	**34,2**	**37,4**	**33,5**	**25**	**3,7**	**40,2**	**40,2**
Расчёт отражённого звука													
Уровни звукового давления от мнимого источника ИШ-6-3_мн.(1) в расчётной точке днём, дБ		**ф-ла(3)[10]**	**0**	**0**	**0**	**0**	**0**	**0**	**26,3**	**15,7**	**0**	**27,9**	**27,9**
Уровни звукового давления от мнимого источника ИШ-6-3_мн.(2) в расчётной точке днём, дБ		**ф-ла(3)[10]**	**0**	**0**	**0**	**0**	**0**	**0**	**0**	**22,5**	**1,1**	**23,5**	**23,5**
Суммарные уровни звукового давления от мнимых источников в расчётной точке днём, дБ		**ф-ла (19) [1]**	**0**	**0**	**0**	**0**	**0**	**0**	**26,3**	**23,3**	**1,1**	**0**	**29,2**
Уровни звукового давления от источника ИШ-6-3 в расчётной точке днём, дБ		**ф-ла(3)[10]**	**0**	**40,8**	**36,5**	**32,4**	**34,2**	**37,4**	**34,3**	**27,2**	**5,6**	**40,6**	**40,6**

1		2	3	4	5	6	7	8	9	10	11	12	13
Источник шума: ИШ-6-4, координаты источника (x,y,z), м =[833.23,113.30,1.00]													
Уровни звуковой мощности источника днём, Lw, дБ		**исходные данные**	**0**	**96,3**	**97,7**	**99**	**99,3**	**98,9**	**95,6**	**91,4**	**86,9**		
Поправка на телесный угол DΩ, дБ	Ω = 12.57	10Lg(4π/Ω)	**0**	0	0	0	0	0	0	0	0		
Показатель направленности источника Di, дБ		исходные данные	**0**	0	0	0	0	0	0	0	0		
Поправка на направленность источника Dc, дБ	Dc	DΩ + Di	**0**	0	0	0	0	0	0	0	0		
Затухание из-за геометрической дивергенции, Adiv, дБ	расстояние = 306.24 м	ф-ла (7) [10]	**60,7**										
Коэффициент затухания звука в атмосфере α, дБ/км	Ta=20,°C Pa=101.33,кПа hотн.=70%	ф-ла (5) [9]	0,02	0,09	0,33	1,12	2,79	4,98	9,04	23,09	77,63		
Учет затухания звука в атмосфере Aatm, дБ		ф-ла (8) [10]	0	0	0,1	0,3	0,9	1,5	2,8	7,1	23,8		
Снижение поверхностью земли возле источника As, дБ	Gs = 0 hs = 1м	ф-лы таб.3 [10]	-1,5	-1,5	-1,5	-1,5	-1,5	-1,5	-1,5	-1,5	-1,5		
Снижение поверхностью земли возле приёмника Ar, дБ	Gr = 1 hr = 1.5м	ф-лы таб.3 [10]	-1,5	-1,5	1,8	7	5	0,7	0	0	0		
Снижение поверхностью земли в средней зоне, Am дБ	Gm = 1	ф-лы таб.3 [10]	-2,3	-2,3	0	0	0	0	0	0	0		
Суммарное снижение поверхностью земли на траектории распространения звука Agr, дБ		ф-ла (9) [10]	-5,3	-5,3	0,3	5,5	3,5	-0,8	-1,5	-1,5	-1,5		
Уровни звукового давления прямого звука от источника ИШ-6-4 в расчётной точке днём, дБ		**ф-ла(3)[10]**	**0**	**40,8**	**36,6**	**32,4**	**34,3**	**37,5**	**33,6**	**25,1**	**3,9**	**40,3**	**40,3**
Расчёт отражённого звука													
Уровни звукового давления от мнимого источника ИШ-6-4_мн.(1) в расчётной точке днём, дБ		**ф-ла(3)[10]**	**0**	**0**	**0**	**0**	**0**	**0**	**26,4**	**15,8**	**0**	**27,9**	**27,9**
Уровни звукового давления от мнимого источника ИШ-6-4_мн.(2) в расчётной точке днём, дБ		**ф-ла(3)[10]**	**0**	**0**	**0**	**0**	**0**	**0**	**0**	**22,6**	**1,3**	**23,6**	**23,6**

1		2	3	4	5	6	7	8	9	10	11	12	13
Суммарные уровни звукового давления от мнимых источников в расчётной точке днём, дБ		**ф-ла (19) [1]**	**0**	**0**	**0**	**0**	**0**	**0**	**26,4**	**23,4**	**1,3**	**0**	**29,3**
Уровни звукового давления от источника ИШ-6-4 в расчётной точке днём, дБ		**ф-ла(3)[10]**	**0**	**40,8**	**36,6**	**32,4**	**34,3**	**37,5**	**34,4**	**27,3**	**5,8**	**40,6**	**40,6**
Источник шума: ИШ-6-5, координаты источника (x,y,z), м =[832.03,110.36,1.00]													
Уровни звуковой мощности источника днём, Lw, дБ		**исходные данные**	**0**	**96,3**	**97,7**	**99**	**99,3**	**98,9**	**95,6**	**91,4**	**86,9**		
Поправка на телесный угол DΩ, дБ	Ω = 12.57	10Lg(4π/Ω)	**0**	0	0	0	0	0	0	0	0		
Показатель направленности источника Di, дБ		исходные данные	**0**	0	0	0	0	0	0	0	0		
Поправка на направленность источника Dc, дБ	Dc	DΩ + Di	**0**	0	0	0	0	0	0	0	0		
Затухание из-за геометрической дивергенции, Adiv, дБ	расстояние = 303.93 м	ф-ла (7) [10]	**60,7**										
Коэффициент затухания звука в атмосфере α, дБ/км	Ta=20,°C Pa=101.33,кПа hотн.=70%	ф-ла (5) [9]	0,02	0,09	0,33	1,12	2,79	4,98	9,04	23,09	77,63		
Учет затухания звука в атмосфере Aatm, дБ		ф-ла (8) [10]	0	0	0,1	0,3	0,8	1,5	2,7	7	23,6		
Снижение поверхностью земли возле источника As, дБ	Gs = 0 hs = 1м	ф-лы таб.3 [10]	-1,5	-1,5	-1,5	-1,5	-1,5	-1,5	-1,5	-1,5	-1,5		
Снижение поверхностью земли возле приёмника Ar, дБ	Gr = 1 hr = 1.5м	ф-лы таб.3 [10]	-1,5	-1,5	1,7	7	5	0,7	0	0	0		
Снижение поверхностью земли в средней зоне, Am дБ	Gm = 1	ф-лы таб.3 [10]	-2,3	-2,3	0	0	0	0	0	0	0		
Суммарное снижение поверхностью земли на траектории распространения звука Agr, дБ		ф-ла (9) [10]	-5,3	-5,3	0,2	5,5	3,5	-0,8	-1,5	-1,5	-1,5		
Уровни звукового давления прямого звука от источника ИШ-6-5 в расчётной точке днём, дБ		**ф-ла(3)[10]**	**0**	**40,9**	**36,7**	**32,5**	**34,3**	**37,6**	**33,7**	**25,2**	**4,1**	**40,4**	**40,4**
Расчёт отражённого звука													

1		2	3	4	5	6	7	8	9	10	11	12	13
Уровни звукового давления от мнимого источника ИШ-6-5_мн.(1) в расчётной точке днём, дБ		**ф-ла(3)[10]**	**0**	**0**	**0**	**0**	**0**	**0**	**26,4**	**15,9**	**0**	**28**	**28**
Уровни звукового давления от мнимого источника ИШ-6-5_мн.(2) в расчётной точке днём, дБ		**ф-ла(3)[10]**	**0**	**0**	**0**	**0**	**0**	**0**	**31,2**	**22,7**	**1,5**	**32,9**	**32,9**
Суммарные уровни звукового давления от мнимых источников в расчётной точке днём, дБ		**ф-ла (19) [1]**	**0**	**0**	**0**	**0**	**0**	**0**	**32,4**	**23,5**	**1,5**	**0**	**34,1**
Уровни звукового давления от источника ИШ-6-5 в расчётной точке днём, дБ		**ф-ла(3)[10]**	**0**	**40,9**	**36,7**	**32,5**	**34,3**	**37,6**	**36,1**	**27,5**	**6**	**41,3**	**41,3**
Источник шума: ИШ-6-6, координаты источника (x,y,z), м =[830.97,107.42,1.00]													
Уровни звуковой мощности источника днём, Lw, дБ		**исходные данные**	**0**	**96,3**	**97,7**	**99**	**99,3**	**98,9**	**95,6**	**91,4**	**86,9**		
Поправка на телесный угол DΩ, дБ	Ω = 12.57	10Lg(4π/Ω)	**0**	0	0	0	0	0	0	0	0		
Показатель направленности источника Di, дБ		исходные данные	**0**	0	0	0	0	0	0	0	0		
Поправка на направленность источника Dc, дБ	Dc	DΩ + Di	**0**	0	0	0	0	0	0	0	0		
Затухание из-за геометрической дивергенции, Adiv, дБ	расстояние = 301.76 м	ф-ла (7) [10]	**60,6**										
Коэффициент затухания звука в атмосфере α, дБ/км	Ta=20,°C Pa=101.33,кПа hотн.=70%	ф-ла (5) [9]	0,02	0,09	0,33	1,12	2,79	4,98	9,04	23,09	77,63		
Учет затухания звука в атмосфере Aatm, дБ		ф-ла (8) [10]	0	0	0,1	0,3	0,8	1,5	2,7	7	23,4		
Снижение поверхностью земли возле источника As, дБ	Gs = 0 hs = 1м	ф-лы таб.3 [10]	-1,5	-1,5	-1,5	-1,5	-1,5	-1,5	-1,5	-1,5	-1,5		
Снижение поверхностью земли возле приёмника Ar, дБ	Gr = 1 hr = 1.5м	ф-лы таб.3 [10]	-1,5	-1,5	1,7	7	5	0,7	0	0	0		
Снижение поверхностью земли в средней зоне, Am дБ	Gm = 1	ф-лы таб.3 [10]	-2,3	-2,3	0	0	0	0	0	0	0		
Суммарное снижение поверхностью земли на траектории распространения звука Agr, дБ		ф-ла (9) [10]	-5,3	-5,3	0,2	5,5	3,5	-0,8	-1,5	-1,5	-1,5		

1		2	3	4	5	6	7	8	9	10	11	12	13
Уровни звукового давления прямого звука от источника ИШ-6-6 в расчётной точке днём, дБ		**ф-ла(3)[10]**	**0**	**40,9**	**36,8**	**32,6**	**34,4**	**37,6**	**33,8**	**25,3**	**4,4**	**40,4**	**40,4**
Расчёт отражённого звука													
Уровни звукового давления от мнимого источника ИШ-6-6_мн.(1) в расчётной точке днём, дБ		**ф-ла(3)[10]**	**0**	**0**	**0**	**0**	**0**	**0**	**26,5**	**15,9**	**0**	**28**	**28**
Уровни звукового давления от мнимого источника ИШ-6-6_мн.(2) в расчётной точке днём, дБ		**ф-ла(3)[10]**	**0**	**0**	**0**	**0**	**0**	**0**	**31,3**	**22,8**	**1,8**	**33**	**33**
Суммарные уровни звукового давления от мнимых источников в расчётной точке днём, дБ		**ф-ла (19) [1]**	**0**	**0**	**0**	**0**	**0**	**0**	**32,5**	**23,6**	**1,8**	**0**	**34,2**
Уровни звукового давления от источника ИШ-6-6 в расчётной точке днём, дБ		**ф-ла(3)[10]**	**0**	**40,9**	**36,8**	**32,6**	**34,4**	**37,6**	**36,2**	**27,6**	**6,3**	**41,4**	**41,4**
Источник шума: ИШ-6-7, координаты источника (x,y,z), м =[830.30,104.49,1.00]													
Уровни звуковой мощности источника днём, Lw, дБ		**исходные данные**	**0**	**96,3**	**97,7**	**99**	**99,3**	**98,9**	**95,6**	**91,4**	**86,9**		
Поправка на телесный угол DΩ, дБ	Ω = 12.57	10Lg(4π/Ω)	**0**	0	0	0	0	0	0	0	0		
Показатель направленности источника Di, дБ		исходные данные	**0**	0	0	0	0	0	0	0	0		
Поправка на направленность источника Dc, дБ	Dc	DΩ + Di	**0**	0	0	0	0	0	0	0	0		
Затухание из-за геометрической дивергенции, Adiv, дБ	расстояние = 299.97 м	ф-ла (7) [10]	**60,5**										
Коэффициент затухания звука в атмосфере α, дБ/км	Ta=20,°C Pa=101.33,кПа hотн.=70%	ф-ла (5) [9]	0,02	0,09	0,33	1,12	2,79	4,98	9,04	23,09	77,63		
Учет затухания звука в атмосфере Aatm, дБ		ф-ла (8) [10]	0	0	0,1	0,3	0,8	1,5	2,7	6,9	23,3		
Снижение поверхностью земли возле источника As, дБ	Gs = 0 hs = 1м	ф-лы таб.3 [10]	-1,5	-1,5	-1,5	-1,5	-1,5	-1,5	-1,5	-1,5	-1,5		
Снижение поверхностью земли возле приёмника Ar, дБ	Gr = 1 hr = 1.5м	ф-лы таб.3 [10]	-1,5	-1,5	1,7	7	5	0,7	0	0	0		

1		2	3	4	5	6	7	8	9	10	11	12	13
Снижение поверхностью земли в средней зоне, Am дБ	Gm = 1	ф-лы таб.3 [10]	-2,2	-2,2	0	0	0	0	0	0	0		
Суммарное снижение поверхностью земли на траектории распространения звука Agr, дБ		ф-ла (9) [10]	-5,2	-5,2	0,2	5,5	3,5	-0,8	-1,5	-1,5	-1,5		
Уровни звукового давления прямого звука от источника ИШ-6-7 в расчётной точке днём, дБ		**ф-ла(3)[10]**	**0**	**41**	**36,8**	**32,6**	**34,5**	**37,7**	**33,8**	**25,4**	**4,6**	**40,5**	**40,5**
Расчёт отражённого звука													
Уровни звукового давления от мнимого источника ИШ-6-7_мн.(1) в расчётной точке днём, дБ		**ф-ла(3)[10]**	**0**	**0**	**0**	**0**	**0**	**0**	**26,5**	**16**	**0**	**28**	**28**
Уровни звукового давления от мнимого источника ИШ-6-7_мн.(2) в расчётной точке днём, дБ		**ф-ла(3)[10]**	**0**	**0**	**0**	**0**	**0**	**0**	**31,3**	**22,9**	**2**	**33,1**	**33,1**
Суммарные уровни звукового давления от мнимых источников в расчётной точке днём, дБ		**ф-ла (19) [1]**	**0**	**0**	**0**	**0**	**0**	**0**	**32,6**	**23,7**	**2**	**0**	**34,3**
Уровни звукового давления от источника ИШ-6-7 в расчётной точке днём, дБ		**ф-ла(3)[10]**	**0**	**41**	**36,8**	**32,6**	**34,5**	**37,7**	**36,3**	**27,7**	**6,5**	**41,4**	**41,4**
Источник шума: ИШ-6-8, координаты источника (x,y,z), м =[829.36,101.42,1.00]													
Уровни звуковой мощности источника днём, Lw, дБ		**исходные данные**	**0**	**96,3**	**97,7**	**99**	**99,3**	**98,9**	**95,6**	**91,4**	**86,9**		
Поправка на телесный угол DΩ, дБ	Ω = 12.57	10Lg(4π/Ω)	**0**	0	0	0	0	0	0	0	0		
Показатель направленности источника Di, дБ		исходные данные	**0**	0	0	0	0	0	0	0	0		
Поправка на направленность источника Dc, дБ	Dc	DΩ + Di	**0**	0	0	0	0	0	0	0	0		
Затухание из-за геометрической дивергенции, Adiv, дБ	расстояние = 297.90 м	ф-ла (7) [10]	**60,5**										
Коэффициент затухания звука в атмосфере α, дБ/км	Ta=20,°C Pa=101.33,кПа hотн.=70%	ф-ла (5) [9]	0,02	0,09	0,33	1,12	2,79	4,98	9,04	23,09	77,63		
Учет затухания звука в атмосфере Aatm, дБ		ф-ла (8) [10]	0	0	0,1	0,3	0,8	1,5	2,7	6,9	23,1		

1		2	3	4	5	6	7	8	9	10	11	12	13
Снижение поверхностью земли возле источника As, дБ	Gs = 0 hs = 1м	ф-лы таб.3 [10]	-1,5	-1,5	-1,5	-1,5	-1,5	-1,5	-1,5	-1,5	-1,5		
Снижение поверхностью земли возле приёмника Ar, дБ	Gr = 1 hr = 1.5м	ф-лы таб.3 [10]	-1,5	-1,5	1,7	7	5	0,7	0	0	0		
Снижение поверхностью земли в средней зоне, Am дБ	Gm = 1	ф-лы таб.3 [10]	-2,2	-2,2	0	0	0	0	0	0	0		
Суммарное снижение поверхностью земли на траектории распространения звука Agr, дБ		ф-ла (9) [10]	-5,2	-5,2	0,2	5,5	3,5	-0,8	-1,5	-1,5	-1,5		
Уровни звукового давления прямого звука от источника ИШ-6-8 в расчётной точке днём, дБ		**ф-ла(3)[10]**	**0**	**41**	**36,9**	**32,7**	**34,5**	**37,8**	**33,9**	**25,5**	**4,8**	**40,6**	**40,6**
Расчёт отражённого звука													
Уровни звукового давления от мнимого источника ИШ-6-8_мн.(1) в расчётной точке днём, дБ		**ф-ла(3)[10]**	**0**	**0**	**0**	**0**	**0**	**0**	**26,5**	**16**	**0**	**28,1**	**28,1**
Уровни звукового давления от мнимого источника ИШ-6-8_мн.(2) в расчётной точке днём, дБ		**ф-ла(3)[10]**	**0**	**0**	**0**	**0**	**0**	**33,2**	**31,4**	**23**	**2,2**	**36,2**	**36,2**
Суммарные уровни звукового давления от мнимых источников в расчётной точке днём, дБ		**ф-ла (19) [1]**	**0**	**0**	**0**	**0**	**0**	**33,2**	**32,6**	**23,8**	**2,2**	**0**	**36,8**
Уровни звукового давления от источника ИШ-6-8 в расчётной точке днём, дБ		**ф-ла(3)[10]**	**0**	**41**	**36,9**	**32,7**	**34,5**	**39,1**	**36,3**	**27,8**	**6,7**	**42,1**	**42,1**
Источник шума: ИШ-6-9, координаты источника (x,y,z), м =[828.03,98.62,1.00]													
Уровни звуковой мощности источника днём, Lw, дБ		**исходные данные**	**0**	**96,3**	**97,7**	**99**	**99,3**	**98,9**	**95,6**	**91,4**	**86,9**		
Поправка на телесный угол DΩ, дБ	Ω = 12.57	10Lg(4π/Ω)	**0**	0	0	0	0	0	0	0	0		
Показатель направленности источника Di, дБ		исходные данные	**0**	0	0	0	0	0	0	0	0		
Поправка на направленность источника Dc, дБ	Dc	DΩ + Di	**0**	0	0	0	0	0	0	0	0		
Затухание из-за геометрической дивергенции, Adiv, дБ	расстояние = 295.58 м	ф-ла (7) [10]	**60,4**										
Коэффициент затухания звука в атмосфере α, дБ/км	Ta=20,°C Pa=101.33,кПа hотн.=70%	ф-ла (5) [9]	0,02	0,09	0,33	1,12	2,79	4,98	9,04	23,09	77,63		

1		2	3	4	5	6	7	8	9	10	11	12	13
Учет затухания звука в атмосфере Aatm, дБ		ф-ла (8) [10]	0	0	0,1	0,3	0,8	1,5	2,7	6,8	22,9		
Снижение поверхностью земли возле источника As, дБ	Gs = 0 hs = 1м	ф-лы таб.3 [10]	-1,5	-1,5	-1,5	-1,5	-1,5	-1,5	-1,5	-1,5	-1,5		
Снижение поверхностью земли возле приёмника Ar, дБ	Gr = 1 hr = 1.5м	ф-лы таб.3 [10]	-1,5	-1,5	1,7	7	5	0,7	0	0	0		
Снижение поверхностью земли в средней зоне, Am дБ	Gm = 1	ф-лы таб.3 [10]	-2,2	-2,2	0	0	0	0	0	0	0		
Суммарное снижение поверхностью земли на траектории распространения звука Agr, дБ		ф-ла (9) [10]	-5,2	-5,2	0,2	5,5	3,5	-0,8	-1,5	-1,5	-1,5		
Уровни звукового давления прямого звука от источника ИШ-6-9 в расчётной точке днём, дБ		**ф-ла(3)[10]**	**0**	**41,1**	**37**	**32,7**	**34,6**	**37,8**	**34**	**25,7**	**5**	**40,7**	**40,7**
Расчёт отражённого звука													
Уровни звукового давления от мнимого источника ИШ-6-9_мн.(1) в расчётной точке днём, дБ		**ф-ла(3)[10]**	**0**	**0**	**0**	**0**	**0**	**0**	**26,6**	**16,1**	**0**	**28,1**	**28,1**
Уровни звукового давления от мнимого источника ИШ-6-9_мн.(2) в расчётной точке днём, дБ		**ф-ла(3)[10]**	**0**	**0**	**0**	**0**	**0**	**33,3**	**31,5**	**23,1**	**2,4**	**36,3**	**36,3**
Суммарные уровни звукового давления от мнимых источников в расчётной точке днём, дБ		**ф-ла (19) [1]**	**0**	**0**	**0**	**0**	**0**	**33,3**	**32,7**	**23,9**	**2,4**	**0**	**36,9**
Уровни звукового давления от источника ИШ-6-9 в расчётной точке днём, дБ		**ф-ла(3)[10]**	**0**	**41,1**	**37**	**32,7**	**34,6**	**39,2**	**36,4**	**27,9**	**6,9**	**42,2**	**42,2**
Источник шума: ИШ-6-10, координаты источника (x,y,z), м =[827.23,95.55,1.00]													
Уровни звуковой мощности источника днём, Lw, дБ		**исходные данные**	**0**	**96,3**	**97,7**	**99**	**99,3**	**98,9**	**95,6**	**91,4**	**86,9**		
Поправка на телесный угол DΩ, дБ	Ω = 12.57	10Lg(4π/Ω)	**0**	0	0	0	0	0	0	0	0		
Показатель направленности источника Di, дБ		исходные данные	**0**	0	0	0	0	0	0	0	0		
Поправка на направленность источника Dc, дБ	Dc	DΩ + Di	**0**	0	0	0	0	0	0	0	0		
Затухание из-за геометрической дивергенции, Adiv, дБ	расстояние = 293.68 м	ф-ла (7) [10]	**60,4**										

1		2	3	4	5	6	7	8	9	10	11	12	13
Коэффициент затухания звука в атмосфере α, дБ/км	Ta=20,°C Pa=101.33,кПа hотн.=70%	ф-ла (5) [9]	0,02	0,09	0,33	1,12	2,79	4,98	9,04	23,09	77,63		
Учет затухания звука в атмосфере Aatm, дБ		ф-ла (8) [10]	0	0	0,1	0,3	0,8	1,5	2,7	6,8	22,8		
Снижение поверхностью земли возле источника As, дБ	Gs = 0 hs = 1м	ф-лы таб.3 [10]	-1,5	-1,5	-1,5	-1,5	-1,5	-1,5	-1,5	-1,5	-1,5		
Снижение поверхностью земли возле приёмника Ar, дБ	Gr = 1 hr = 1.5м	ф-лы таб.3 [10]	-1,5	-1,5	1,7	7	5	0,7	0	0	0		
Снижение поверхностью земли в средней зоне, Am дБ	Gm = 1	ф-лы таб.3 [10]	-2,2	-2,2	0	0	0	0	0	0	0		
Суммарное снижение поверхностью земли на траектории распространения звука Agr, дБ		ф-ла (9) [10]	-5,2	-5,2	0,2	5,5	3,5	-0,8	-1,5	-1,5	-1,5		
Уровни звукового давления прямого звука от источника ИШ-6-10 в расчётной точке днём, дБ		**ф-ла(3)[10]**	**0**	**41,1**	**37**	**32,8**	**34,7**	**37,9**	**34,1**	**25,8**	**5,2**	**40,7**	**40,7**
Расчёт отражённого звука													
Уровни звукового давления от мнимого источника ИШ-6-10_мн.(1) в расчётной точке днём, дБ		**ф-ла(3)[10]**	**0**	**0**	**0**	**0**	**0**	**0**	**26,6**	**16,2**	**0**	**28,2**	**28,2**
Уровни звукового давления от мнимого источника ИШ-6-10_мн.(2) в расчётной точке днём, дБ		**ф-ла(3)[10]**	**0**	**0**	**0**	**0**	**0**	**33,4**	**31,6**	**23,2**	**2,6**	**36,4**	**36,4**
Суммарные уровни звукового давления от мнимых источников в расчётной точке днём, дБ		**ф-ла (19) [1]**	**0**	**0**	**0**	**0**	**0**	**33,4**	**32,8**	**24**	**2,6**	**0**	**37**
Уровни звукового давления от источника ИШ-6-10 в расчётной точке днём, дБ		**ф-ла(3)[10]**	**0**	**41,1**	**37**	**32,8**	**34,7**	**39,2**	**36,5**	**28**	**7,1**	**42,3**	**42,3**
Источник шума: ИШ-6-11, координаты источника (x,y,z), м =[826.30,92.48,1.00]													
Уровни звуковой мощности источника днём, Lw, дБ		**исходные данные**	**0**	**96,3**	**97,7**	**99**	**99,3**	**98,9**	**95,6**	**91,4**	**86,9**		
Поправка на телесный угол DΩ, дБ	Ω = 12.57	10Lg(4π/Ω)	**0**	0	0	0	0	0	0	0	0		
Показатель направленности источника Di, дБ		исходные данные	**0**	0	0	0	0	0	0	0	0		

1		2	3	4	5	6	7	8	9	10	11	12	13
Поправка на направленность источника Dc, дБ	Dc	DΩ + Di	**0**	0	0	0	0	0	0	0	0		
Затухание из-за геометрической дивергенции, Adiv, дБ	расстояние = 291.67 м	ф-ла (7) [10]	**60,3**										
Коэффициент затухания звука в атмосфере α, дБ/км	Ta=20,°C Pa=101.33,кПа hотн.=70%	ф-ла (5) [9]	0,02	0,09	0,33	1,12	2,79	4,98	9,04	23,09	77,63		
Учет затухания звука в атмосфере Aatm, дБ		ф-ла (8) [10]	0	0	0,1	0,3	0,8	1,5	2,6	6,7	22,6		
Снижение поверхностью земли возле источника As, дБ	Gs = 0 hs = 1м	ф-лы таб.3 [10]	-1,5	-1,5	-1,5	-1,5	-1,5	-1,5	-1,5	-1,5	-1,5		
Снижение поверхностью земли возле приёмника Ar, дБ	Gr = 1 hr = 1.5м	ф-лы таб.3 [10]	-1,5	-1,5	1,7	7	5	0,7	0	0	0		
Снижение поверхностью земли в средней зоне, Am дБ	Gm = 1	ф-лы таб.3 [10]	-2,2	-2,2	0	0	0	0	0	0	0		
Суммарное снижение поверхностью земли на траектории распространения звука Agr, дБ		ф-ла (9) [10]	-5,2	-5,2	0,2	5,5	3,5	-0,8	-1,5	-1,5	-1,5		
Уровни звукового давления прямого звука от источника ИШ-6-11 в расчётной точке днём, дБ		**ф-ла(3)[10]**	**0**	**41,2**	**37,1**	**32,9**	**34,7**	**38**	**34,2**	**25,9**	**5,5**	**40,8**	**40,8**
Расчёт отражённого звука													
Уровни звукового давления от мнимого источника ИШ-6-11_мн.(1) в расчётной точке днём, дБ		**ф-ла(3)[10]**	**0**	**0**	**0**	**0**	**0**	**0**	**26,6**	**16,2**	**0**	**28,2**	**28,2**
Уровни звукового давления от мнимого источника ИШ-6-11_мн.(2) в расчётной точке днём, дБ		**ф-ла(3)[10]**	**0**	**0**	**0**	**0**	**0**	**33,4**	**31,6**	**23,3**	**2,8**	**36,4**	**36,4**
Суммарные уровни звукового давления от мнимых источников в расчётной точке днём, дБ		**ф-ла (19) [1]**	**0**	**0**	**0**	**0**	**0**	**33,4**	**32,8**	**24,1**	**2,8**	**0**	**37**
Уровни звукового давления от источника ИШ-6-11 в расчётной точке днём, дБ		**ф-ла(3)[10]**	**0**	**41,2**	**37,1**	**32,9**	**34,7**	**39,3**	**36,6**	**28,1**	**7,4**	**42,3**	**42,3**
Источник шума: ИШ-6-12, координаты источника (x,y,z), м =[825.09,89.54,1.00]													
Уровни звуковой мощности источника днём, Lw, дБ		**исходные данные**	**0**	**96,3**	**97,7**	**99**	**99,3**	**98,9**	**95,6**	**91,4**	**86,9**		

1		2	3	4	5	6	7	8	9	10	11	12	13
Поправка на телесный угол DΩ, дБ	Ω = 12.57	10Lg(4π/Ω)	**0**	0	0	0	0	0	0	0	0		
Показатель направленности источника Di, дБ		исходные данные	**0**	0	0	0	0	0	0	0	0		
Поправка на направленность источника Dc, дБ	Dc	DΩ + Di	**0**	0	0	0	0	0	0	0	0		
Затухание из-за геометрической дивергенции, Adiv, дБ	расстояние = 289.48 м	ф-ла (7) [10]	**60,2**										
Коэффициент затухания звука в атмосфере α, дБ/км	Ta=20,°C Pa=101.33,кПа hотн.=70%	ф-ла (5) [9]	0,02	0,09	0,33	1,12	2,79	4,98	9,04	23,09	77,63		
Учет затухания звука в атмосфере Aatm, дБ		ф-ла (8) [10]	0	0	0,1	0,3	0,8	1,4	2,6	6,7	22,5		
Снижение поверхностью земли возле источника As, дБ	Gs = 0 hs = 1м	ф-лы таб.3 [10]	-1,5	-1,5	-1,5	-1,5	-1,5	-1,5	-1,5	-1,5	-1,5		
Снижение поверхностью земли возле приёмника Ar, дБ	Gr = 1 hr = 1.5м	ф-лы таб.3 [10]	-1,5	-1,5	1,7	7	5	0,7	0	0	0		
Снижение поверхностью земли в средней зоне, Am дБ	Gm = 1	ф-лы таб.3 [10]	-2,2	-2,2	0	0	0	0	0	0	0		
Суммарное снижение поверхностью земли на траектории распространения звука Agr, дБ		ф-ла (9) [10]	-5,2	-5,2	0,2	5,5	3,5	-0,8	-1,5	-1,5	-1,5		
Уровни звукового давления прямого звука от источника ИШ-6-12 в расчётной точке днём, дБ		**ф-ла(3)[10]**	**0**	**41,3**	**37,2**	**32,9**	**34,8**	**38,1**	**34,2**	**26**	**5,7**	**40,9**	**40,9**
Расчёт отражённого звука													
Уровни звукового давления от мнимого источника ИШ-6-12_мн.(1) в расчётной точке днём, дБ		**ф-ла(3)[10]**	**0**	**0**	**0**	**0**	**0**	**0**	**26,7**	**16,3**	**0**	**28,3**	**28,3**
Уровни звукового давления от мнимого источника ИШ-6-12_мн.(2) в расчётной точке днём, дБ		**ф-ла(3)[10]**	**0**	**0**	**0**	**0**	**23,5**	**33,5**	**31,7**	**23,4**	**3,1**	**36,6**	**36,6**
Суммарные уровни звукового давления от мнимых источников в расчётной точке днём, дБ		**ф-ла (19) [1]**	**0**	**0**	**0**	**0**	**23,5**	**33,5**	**32,9**	**24,2**	**3,1**	**0**	**37,2**
Уровни звукового давления от источника ИШ-6-12 в расчётной точке днём, дБ		**ф-ла(3)[10]**	**0**	**41,3**	**37,2**	**32,9**	**35,1**	**39,4**	**36,6**	**28,2**	**7,6**	**42,4**	**42,4**

1		2	3	4	5	6	7	8	9	10	11	12	13
Источник шума: ИШ-6-13, координаты источника (x,y,z), м =[767.76,-114.15,1.00]													
Уровни звуковой мощности источника днём, Lw, дБ		**исходные данные**	**0**	**96,3**	**97,7**	**99**	**99,3**	**98,9**	**95,6**	**91,4**	**86,9**		
Поправка на телесный угол DΩ, дБ	Ω = 12.57	10Lg(4π/Ω)	**0**	0	0	0	0	0	0	0	0		
Показатель направленности источника Di, дБ		исходные данные	**0**	0	0	0	0	0	0	0	0		
Поправка на направленность источника Dc, дБ	Dc	DΩ + Di	**0**	0	0	0	0	0	0	0	0		
Затухание из-за геометрической дивергенции, Adiv, дБ	расстояние = 234.68 м	ф-ла (7) [10]	**58,4**										
Коэффициент затухания звука в атмосфере α, дБ/км	Ta=20,°C Pa=101.33,кПа hотн.=70%	ф-ла (5) [9]	0,02	0,09	0,33	1,12	2,79	4,98	9,04	23,09	77,63		
Учет затухания звука в атмосфере Aatm, дБ		ф-ла (8) [10]	0	0	0,1	0,3	0,7	1,2	2,1	5,4	18,2		
Снижение уровня звукового давления из-за влияния застройки между источником шума и расчетной точкой													
Снижение уровня звукового давления на пути над экраном, Dz1, дБ	z = 0.86м (разность путей)	ф-лы (14-18) [10]	7,1	8,8	11,6	15,6	19,4	22,8	25,9	28,9	31,9		
Снижение уровня звукового давления на пути слева от экрана, Dz2, дБ	z = 29.62м (разность путей)	ф-лы (14-18) [10]	22,6	27,1	30,8	34,1	37,2	40,2	43,2	46,2	49,2		
Снижение уровня звукового давления на пути справа от экрана, Dz3, дБ	z = 0.18м (разность путей)	ф-лы (14-18) [10]	5,6	6,3	7,5	9,1	11,3	13,8	16,5	19,4	22,3		
Общее снижение уровня звука препятствием Dz, дБ		Эн.сумма(-Dzi)	3,2	4,4	6,1	8,2	10,6	13,2	16	18,9	21,8		
Уровни звукового давления от источника ИШ-6-13 в расчётной точке днём, дБ		**ф-ла(3)[10]**	**0**	**33,5**	**33,2**	**32,1**	**29,6**	**26,1**	**19**	**8,7**	**0**	**30,9**	**30,9**
Источник шума: ИШ-6-14, координаты источника (x,y,z), м =[766.82,-117.10,1.00]													
Уровни звуковой мощности источника днём, Lw, дБ		**исходные данные**	**0**	**96,3**	**97,7**	**99**	**99,3**	**98,9**	**95,6**	**91,4**	**86,9**		

1		2	3	4	5	6	7	8	9	10	11	12	13
Поправка на телесный угол DΩ, дБ	Ω = 12.57	10Lg(4π/Ω)	**0**	0	0	0	0	0	0	0	0		
Показатель направленности источника Di, дБ		исходные данные	**0**	0	0	0	0	0	0	0	0		
Поправка на направленность источника Dc, дБ	Dc	DΩ + Di	**0**	0	0	0	0	0	0	0	0		
Затухание из-за геометрической дивергенции, Adiv, дБ	расстояние = 235.09 м	ф-ла (7) [10]	**58,4**										
Коэффициент затухания звука в атмосфере α, дБ/км	Ta=20,°C Pa=101.33,кПа hотн.=70%	ф-ла (5) [9]	0,02	0,09	0,33	1,12	2,79	4,98	9,04	23,09	77,63		
Учет затухания звука в атмосфере Aatm, дБ		ф-ла (8) [10]	0	0	0,1	0,3	0,7	1,2	2,1	5,4	18,3		
Снижение уровня звукового давления из-за влияния застройки между источником шума и расчетной точкой													
Снижение уровня звукового давления на пути над экраном, Dz1, дБ	z = 0.86м (разность путей)	ф-лы (14-18) [10]	7,1	8,8	11,6	15,5	19,4	22,8	25,9	28,9	31,9		
Снижение уровня звукового давления на пути слева от экрана, Dz2, дБ	z = 28.96м (разность путей)	ф-лы (14-18) [10]	22,5	27	30,7	34	37,1	40,1	43,1	46,1	49,1		
Снижение уровня звукового давления на пути справа от экрана, Dz3, дБ	z = 0.24м (разность путей)	ф-лы (14-18) [10]	5,9	6,8	8,1	10	12,3	14,9	17,7	20,6	23,5		
Общее снижение уровня звука препятствием Dz, дБ		Эн.сумма(-Dzi)	3,4	4,6	6,5	8,9	11,5	14,2	17	20	22,9		
Уровни звукового давления от источника ИШ-6-14 в расчётной точке днём, дБ		**ф-ла(3)[10]**	**0**	**33,2**	**32,7**	**31,4**	**28,7**	**25,1**	**18**	**7,6**	**0**	**30,1**	**30,1**
Источник шума: ИШ-6-15, координаты источника (x,y,z), м =[765.71,-120.27,1.00]													
Уровни звуковой мощности источника днём, Lw, дБ		**исходные данные**	**0**	**96,3**	**97,7**	**99**	**99,3**	**98,9**	**95,6**	**91,4**	**86,9**		
Поправка на телесный угол DΩ, дБ	Ω = 12.57	10Lg(4π/Ω)	**0**	0	0	0	0	0	0	0	0		
Показатель направленности источника Di, дБ		исходные данные	**0**	0	0	0	0	0	0	0	0		

1		2	3	4	5	6	7	8	9	10	11	12	13
Поправка на направленность источника Dc, дБ	Dc	DΩ + Di	**0**	0	0	0	0	0	0	0	0		
Затухание из-за геометрической дивергенции, Adiv, дБ	расстояние = 235.50 м	ф-ла (7) [10]	**58,4**										
Коэффициент затухания звука в атмосфере α, дБ/км	Ta=20,°C Pa=101.33,кПа hотн.=70%	ф-ла (5) [9]	0,02	0,09	0,33	1,12	2,79	4,98	9,04	23,09	77,63		
Учет затухания звука в атмосфере Aatm, дБ		ф-ла (8) [10]	0	0	0,1	0,3	0,7	1,2	2,1	5,4	18,3		
Снижение уровня звукового давления из-за влияния застройки между источником шума и расчетной точкой													
Снижение уровня звукового давления на пути над экраном, Dz1, дБ	z = 0.86м (разность путей)	ф-лы (14-18) [10]	7,1	8,8	11,6	15,5	19,4	22,8	25,9	28,9	31,9		
Снижение уровня звукового давления на пути слева от экрана, Dz2, дБ	z = 28.26м (разность путей)	ф-лы (14-18) [10]	22,4	26,9	30,6	33,9	37	40	43	46	49		
Снижение уровня звукового давления на пути справа от экрана, Dz3, дБ	z = 0.31м (разность путей)	ф-лы (14-18) [10]	6,2	7,2	8,8	10,8	13,2	15,9	18,8	21,7	24,7		
Общее снижение уровня звука препятствием Dz, дБ		Эн.сумма(-Dzi)	3,5	4,9	6,9	9,5	12,3	15,1	18	20,9	23,9		
Уровни звукового давления от источника ИШ-6-15 в расчётной точке днём, дБ		**ф-ла(3)[10]**	**0**	**32,9**	**32,2**	**30,8**	**27,9**	**24,2**	**17**	**6,6**	**0**	**29,2**	**29,2**
Источник шума: ИШ-6-16, координаты источника (x,y,z), м =[764.57,-123.22,1.00]													
Уровни звуковой мощности источника днём, Lw, дБ		**исходные данные**	**0**	**96,3**	**97,7**	**99**	**99,3**	**98,9**	**95,6**	**91,4**	**86,9**		
Поправка на телесный угол DΩ, дБ	Ω = 12.57	10Lg(4π/Ω)	**0**	0	0	0	0	0	0	0	0		
Показатель направленности источника Di, дБ		исходные данные	**0**	0	0	0	0	0	0	0	0		
Поправка на направленность источника Dc, дБ	Dc	DΩ + Di	**0**	0	0	0	0	0	0	0	0		
Затухание из-за геометрической дивергенции, Adiv, дБ	расстояние = 235.82 м	ф-ла (7) [10]	**58,5**										

1		2	3	4	5	6	7	8	9	10	11	12	13
Коэффициент затухания звука в атмосфере α, дБ/км	Та=20,°С Ра=101.33,кПа hотн.=70%	ф-ла (5) [9]	0,02	0,09	0,33	1,12	2,79	4,98	9,04	23,09	77,63		
Учет затухания звука в атмосфере Aatm, дБ		ф-ла (8) [10]	0	0	0,1	0,3	0,7	1,2	2,1	5,4	18,3		
Снижение уровня звукового давления из-за влияния застройки между источником шума и расчетной точкой													
Снижение уровня звукового давления на пути над экраном, Dz1, дБ	z = 0.85м (разность путей)	ф-лы (14-18) [10]	7,1	8,8	11,6	15,5	19,4	22,8	25,9	28,9	31,9		
Снижение уровня звукового давления на пути слева от экрана, Dz2, дБ	z = 27.62м (разность путей)	ф-лы (14-18) [10]	22,3	26,8	30,5	33,8	36,9	39,9	42,9	45,9	48,9		
Снижение уровня звукового давления на пути справа от экрана, Dz3, дБ	z = 0.38м (разность путей)	ф-лы (14-18) [10]	6,5	7,7	9,4	11,6	14,1	16,8	19,7	22,6	25,6		
Общее снижение уровня звука препятствием Dz, дБ		Эн.сумма(-Dzi)	3,7	5,2	7,3	10,1	12,9	15,8	18,7	21,7	24,7		
Уровни звукового давления от источника ИШ-6-16 в расчётной точке днём, дБ		**ф-ла(3)[10]**	**0**	**32,7**	**31,9**	**30,2**	**27,2**	**23,4**	**16,3**	**5,8**	**0**	**28,6**	**28,6**
Источник шума: ИШ-6-17, координаты источника (x,y,z), м =[763.57,-126.18,1.00]													
Уровни звуковой мощности источника днём, Lw, дБ		**исходные данные**	**0**	**96,3**	**97,7**	**99**	**99,3**	**98,9**	**95,6**	**91,4**	**86,9**		
Поправка на телесный угол DΩ, дБ	Ω = 12.57	10Lg(4π/Ω)	**0**	0	0	0	0	0	0	0	0		
Показатель направленности источника Di, дБ		исходные данные	**0**	0	0	0	0	0	0	0	0		
Поправка на направленность источника Dc, дБ	Dc	DΩ + Di	**0**	0	0	0	0	0	0	0	0		
Затухание из-за геометрической дивергенции, Adiv, дБ	расстояние = 236.31 м	ф-ла (7) [10]	**58,5**										
Коэффициент затухания звука в атмосфере α, дБ/км	Та=20,°С Ра=101.33,кПа hотн.=70%	ф-ла (5) [9]	0,02	0,09	0,33	1,12	2,79	4,98	9,04	23,09	77,63		
Учет затухания звука в атмосфере Aatm, дБ		ф-ла (8) [10]	0	0	0,1	0,3	0,7	1,2	2,1	5,5	18,3		

1		2	3	4	5	6	7	8	9	10	11	12	13
Снижение уровня звукового давления из-за влияния застройки между источником шума и расчетной точкой													
Снижение уровня звукового давления на пути над экраном, Dz1, дБ	z = 0.85м (разность путей)	ф-лы (14-18) [10]	7,1	8,8	11,6	15,5	19,4	22,7	25,8	28,9	31,9		
Снижение уровня звукового давления на пути слева от экрана, Dz2, дБ	z = 26.98м (разность путей)	ф-лы (14-18) [10]	22,2	26,7	30,4	33,7	36,8	39,8	42,8	45,8	48,8		
Снижение уровня звукового давления на пути справа от экрана, Dz3, дБ	z = 0.47м (разность путей)	ф-лы (14-18) [10]	6,8	8,1	9,9	12,2	14,8	17,6	20,5	23,5	26,5		
Общее снижение уровня звука препятствием Dz, дБ		Эн.сумма(-Dzi)	3,8	5,4	7,7	10,5	13,5	16,5	19,4	22,4	25,4		
Общее снижение уровня звука препятствием с учётом ограничения (25 дБ) для октавных полос Dz, дБ		Раздел 7.4 [10]	3,8	5,4	7,7	10,5	13,5	16,5	19,4	22,4	25		
Уровни звукового давления от источника ИШ-6-17 в расчётной точке днём, дБ		**ф-ла(3)[10]**	**0**	**32,4**	**31,5**	**29,7**	**26,6**	**22,8**	**15,6**	**5,1**	**0**	**28**	**28**
Источник шума: ИШ-6-18, координаты источника (x,y,z), м =[804.77,-126.28,1.00]													
Уровни звуковой мощности источника днём, Lw, дБ		**исходные данные**	**0**	**96,3**	**97,7**	**99**	**99,3**	**98,9**	**95,6**	**91,4**	**86,9**		
Поправка на телесный угол DΩ, дБ	Ω = 12.57	10Lg(4π/Ω)	**0**	0	0	0	0	0	0	0	0		
Показатель направленности источника Di, дБ		исходные данные	**0**	0	0	0	0	0	0	0	0		
Поправка на направленность источника Dc, дБ	Dc	DΩ + Di	**0**	0	0	0	0	0	0	0	0		
Затухание из-за геометрической дивергенции, Adiv, дБ	расстояние = 273.39 м	ф-ла (7) [10]	**59,7**										
Коэффициент затухания звука в атмосфере α, дБ/км	Ta=20,°C Pa=101.33,кПа hотн.=70%	ф-ла (5) [9]	0,02	0,09	0,33	1,12	2,79	4,98	9,04	23,09	77,63		
Учет затухания звука в атмосфере Aatm, дБ		ф-ла (8) [10]	0	0	0,1	0,3	0,8	1,4	2,5	6,3	21,2		
Снижение уровня звукового давления из-за влияния застройки между источником шума и расчетной точкой													

1		2	3	4	5	6	7	8	9	10	11	12	13
Снижение уровня звукового давления на пути над экраном, Dz1, дБ	z = 0.84м (разность путей)	ф-лы (14-18) [10]	6,9	8,5	11,2	15,1	19	22,3	25,4	28,5	31,5		
Снижение уровня звукового давления на пути слева от экрана, Dz2, дБ	z = 29.72м (разность путей)	ф-лы (14-18) [10]	22,6	27,1	30,8	34,1	37,2	40,2	43,2	46,2	49,2		
Снижение уровня звукового давления на пути справа от экрана, Dz3, дБ	z = 0.11м (разность путей)	ф-лы (14-18) [10]	5,3	5,8	6,6	7,9	9,8	12	14,6	17,4	20,3		
Общее снижение уровня звука препятствием Dz, дБ		Эн.сумма(-Dzi)	3	3,9	5,3	7,2	9,3	11,6	14,3	17,1	19,9		
Уровни звукового давления от источника ИШ-6-18 в расчётной точке днём, дБ		**ф-ла(3)[10]**	**0**	**32,6**	**32,5**	**31,8**	**29,5**	**26,2**	**19,1**	**8,3**	**0**	**30,8**	**30,8**
Источник шума: ИШ-6-19, координаты источника (x,y,z), м =[803.81,-129.30,1.00]													
Уровни звуковой мощности источника днём, Lw, дБ		**исходные данные**	**0**	**96,3**	**97,7**	**99**	**99,3**	**98,9**	**95,6**	**91,4**	**86,9**		
Поправка на телесный угол DΩ, дБ	Ω = 12.57	10Lg(4π/Ω)	**0**	0	0	0	0	0	0	0	0		
Показатель направленности источника Di, дБ		исходные данные	**0**	0	0	0	0	0	0	0	0		
Поправка на направленность источника Dc, дБ	Dc	DΩ + Di	**0**	0	0	0	0	0	0	0	0		
Затухание из-за геометрической дивергенции, Adiv, дБ	расстояние = 273.76 м	ф-ла (7) [10]	**59,7**										
Коэффициент затухания звука в атмосфере α, дБ/км	Ta=20,°C Pa=101.33,кПа hотн.=70%	ф-ла (5) [9]	0,02	0,09	0,33	1,12	2,79	4,98	9,04	23,09	77,63		
Учет затухания звука в атмосфере Aatm, дБ		ф-ла (8) [10]	0	0	0,1	0,3	0,8	1,4	2,5	6,3	21,3		
Снижение уровня звукового давления из-за влияния застройки между источником шума и расчетной точкой													
Снижение уровня звукового давления на пути над экраном, Dz1, дБ	z = 0.84м (разность путей)	ф-лы (14-18) [10]	6,9	8,5	11,2	15,1	19	22,3	25,4	28,4	31,5		
Снижение уровня звукового давления на пути слева от экрана, Dz2, дБ	z = 29.15м (разность путей)	ф-лы (14-18) [10]	22,6	27	30,7	34	37,1	40,1	43,1	46,1	49,2		

1		2	3	4	5	6	7	8	9	10	11	12	13
Снижение уровня звукового давления на пути справа от экрана, Dz3, дБ	z = 0.15м (разность путей)	ф-лы (14-18) [10]	5,5	6,1	7,2	8,7	10,7	13,2	15,8	18,7	21,6		
Общее снижение уровня звука препятствием Dz, дБ		Эн.сумма(-Dzi)	3,1	4,1	5,7	7,8	10,1	12,6	15,4	18,2	21,2		
Уровни звукового давления от источника ИШ-6-19 в расчётной точке днём, дБ		**ф-ла(3)[10]**	**0**	**32,4**	**32,1**	**31,1**	**28,7**	**25,1**	**18**	**7,1**	**0**	**30**	**30**
Источник шума: ИШ-6-20, координаты источника (x,y,z), м =[802.67,-132.35,1.00]													
Уровни звуковой мощности источника днём, Lw, дБ		**исходные данные**	**0**	**96,3**	**97,7**	**99**	**99,3**	**98,9**	**95,6**	**91,4**	**86,9**		
Поправка на телесный угол DΩ, дБ	Ω = 12.57	10Lg(4π/Ω)	**0**	0	0	0	0	0	0	0	0		
Показатель направленности источника Di, дБ		исходные данные	**0**	0	0	0	0	0	0	0	0		
Поправка на направленность источника Dc, дБ	Dc	DΩ + Di	**0**	0	0	0	0	0	0	0	0		
Затухание из-за геометрической дивергенции, Adiv, дБ	расстояние = 274.01 м	ф-ла (7) [10]	**59,8**										
Коэффициент затухания звука в атмосфере α, дБ/км	Та=20,°С Ра=101.33,кПа hотн.=70%	ф-ла (5) [9]	0,02	0,09	0,33	1,12	2,79	4,98	9,04	23,09	77,63		
Учет затухания звука в атмосфере Aatm, дБ		ф-ла (8) [10]	0	0	0,1	0,3	0,8	1,4	2,5	6,3	21,3		
Снижение уровня звукового давления из-за влияния застройки между источником шума и расчетной точкой													
Снижение уровня звукового давления на пути над экраном, Dz1, дБ	z = 0.84м (разность путей)	ф-лы (14-18) [10]	6,9	8,5	11,2	15,1	19	22,3	25,4	28,4	31,4		
Снижение уровня звукового давления на пути слева от экрана, Dz2, дБ	z = 28.57м (разность путей)	ф-лы (14-18) [10]	22,5	26,9	30,7	33,9	37	40	43	46,1	49,1		
Снижение уровня звукового давления на пути справа от экрана, Dz3, дБ	z = 0.20м (разность путей)	ф-лы (14-18) [10]	5,7	6,5	7,7	9,5	11,7	14,2	17	19,8	22,8		
Общее снижение уровня звука препятствием Dz, дБ		Эн.сумма(-Dzi)	3,2	4,4	6,1	8,4	10,9	13,6	16,4	19,3	22,2		

1		2	3	4	5	6	7	8	9	10	11	12	13
Уровни звукового давления от источника ИШ-6-20 в расчётной точке днём, дБ		**ф-ла(3)[10]**	**0**	**32,2**	**31,7**	**30,5**	**27,9**	**24,2**	**17**	**6**	**0**	**29,2**	**29,2**
Источник шума: ИШ-6-21, координаты источника (x,y,z), м =[801.69,-135.42,1.00]													
Уровни звуковой мощности источника днём, Lw, дБ		**исходные данные**	**0**	**96,3**	**97,7**	**99**	**99,3**	**98,9**	**95,6**	**91,4**	**86,9**		
Поправка на телесный угол DΩ, дБ	Ω = 12.57	10Lg(4π/Ω)	**0**	0	0	0	0	0	0	0	0		
Показатель направленности источника Di, дБ		исходные данные	**0**	0	0	0	0	0	0	0	0		
Поправка на направленность источника Dc, дБ	Dc	DΩ + Di	**0**	0	0	0	0	0	0	0	0		
Затухание из-за геометрической дивергенции, Adiv, дБ	расстояние = 274.46 м	ф-ла (7) [10]	**59,8**										
Коэффициент затухания звука в атмосфере α, дБ/км	Ta=20,°C Pa=101.33,кПа hотн.=70%	ф-ла (5) [9]	0,02	0,09	0,33	1,12	2,79	4,98	9,04	23,09	77,63		
Учет затухания звука в атмосфере Aatm, дБ		ф-ла (8) [10]	0	0	0,1	0,3	0,8	1,4	2,5	6,3	21,3		
Снижение уровня звукового давления из-за влияния застройки между источником шума и расчетной точкой													
Снижение уровня звукового давления на пути над экраном, Dz1, дБ	z = 0.84м (разность путей)	ф-лы (14-18) [10]	6,9	8,5	11,2	15,1	19	22,3	25,4	28,4	31,4		
Снижение уровня звукового давления на пути слева от экрана, Dz2, дБ	z = 28.01м (разность путей)	ф-лы (14-18) [10]	22,4	26,8	30,6	33,8	36,9	39,9	43	46	49		
Снижение уровня звукового давления на пути справа от экрана, Dz3, дБ	z = 0.25м (разность путей)	ф-лы (14-18) [10]	5,9	6,9	8,3	10,2	12,5	15,1	17,9	20,8	23,8		
Общее снижение уровня звука препятствием Dz, дБ		Эн.сумма(-Dzi)	3,3	4,6	6,5	8,9	11,6	14,4	17,2	20,1	23,1		
Уровни звукового давления от источника ИШ-6-21 в расчётной точке днём, дБ		**ф-ла(3)[10]**	**0**	**31,9**	**31,4**	**30**	**27,2**	**23,4**	**16,1**	**5,2**	**0**	**28,5**	**28,5**
Источник шума: ИШ-6-22, координаты источника (x,y,z), м =[800.65,-138.47,1.00]													

1		2	3	4	5	6	7	8	9	10	11	12	13
Уровни звуковой мощности источника днём, Lw, дБ		**исходные данные**	**0**	**96,3**	**97,7**	**99**	**99,3**	**98,9**	**95,6**	**91,4**	**86,9**		
Поправка на телесный угол DΩ, дБ	Ω = 12.57	10Lg(4π/Ω)	**0**	0	0	0	0	0	0	0	0		
Показатель направленности источника Di, дБ		исходные данные	**0**	0	0	0	0	0	0	0	0		
Поправка на направленность источника Dc, дБ	Dc	DΩ + Di	**0**	0	0	0	0	0	0	0	0		
Затухание из-за геометрической дивергенции, Adiv, дБ	расстояние = 274.88 м	ф-ла (7) [10]	**59,8**										
Коэффициент затухания звука в атмосфере α, дБ/км	Ta=20,°C Pa=101.33,кПа hотн.=70%	ф-ла (5) [9]	0,02	0,09	0,33	1,12	2,79	4,98	9,04	23,09	77,63		
Учет затухания звука в атмосфере Aatm, дБ		ф-ла (8) [10]	0	0	0,1	0,3	0,8	1,4	2,5	6,3	21,3		
Снижение уровня звукового давления из-за влияния застройки между источником шума и расчетной точкой													
Снижение уровня звукового давления на пути над экраном, Dz1, дБ	z = 0.83м (разность путей)	ф-лы (14-18) [10]	6,9	8,5	11,2	15,1	18,9	22,3	25,4	28,4	31,4		
Снижение уровня звукового давления на пути слева от экрана, Dz2, дБ	z = 27.46м (разность путей)	ф-лы (14-18) [10]	22,3	26,7	30,5	33,8	36,8	39,9	42,9	45,9	48,9		
Снижение уровня звукового давления на пути справа от экрана, Dz3, дБ	z = 0.31м (разность путей)	ф-лы (14-18) [10]	6,2	7,2	8,8	10,8	13,3	16	18,8	21,7	24,7		
Общее снижение уровня звука препятствием Dz, дБ		Эн.сумма(-Dzi)	3,5	4,8	6,8	9,4	12,2	15	17,9	20,9	23,9		
Уровни звукового давления от источника ИШ-6-22 в расчётной точке днём, дБ		**ф-ла(3)[10]**	**0**	**31,7**	**31**	**29,5**	**26,5**	**22,7**	**15,4**	**4,4**	**0**	**27,8**	**27,8**
Источник шума: ИШ-7-1, координаты источника (x,y,z), м =[821.44,63.31,1.00]													
Уровни звуковой мощности источника днём, Lw, дБ		**исходные данные**	**77**	**75**	**67**	**66**	**63**	**55**	**53**	**48**	**51**		
Поправка на телесный угол DΩ, дБ	Ω = 12.57	10Lg(4π/Ω)	**0**	0	0	0	0	0	0	0	0		

1		2	3	4	5	6	7	8	9	10	11	12	13
Показатель направленности источника Di, дБ		исходные данные	**0**	0	0	0	0	0	0	0	0		
Поправка на направленность источника Dc, дБ	Dc	DΩ + Di	**0**	0	0	0	0	0	0	0	0		
Затухание из-за геометрической дивергенции, Adiv, дБ	расстояние = 277.58 м	ф-ла (7) [10]	**59,9**										
Коэффициент затухания звука в атмосфере α, дБ/км	Ta=20,°C Pa=101.33,кПа hотн.=70%	ф-ла (5) [9]	0,02	0,09	0,33	1,12	2,79	4,98	9,04	23,09	77,63		
Учет затухания звука в атмосфере Aatm, дБ		ф-ла (8) [10]	0	0	0,1	0,3	0,8	1,4	2,5	6,4	21,5		
Снижение поверхностью земли возле источника As, дБ	Gs = 0 hs = 1м	ф-лы таб.3 [10]	-1,5	-1,5	-1,5	-1,5	-1,5	-1,5	-1,5	-1,5	-1,5		
Снижение поверхностью земли возле приёмника Ar, дБ	Gr = 1 hr = 1.5м	ф-лы таб.3 [10]	-1,5	-1,5	1,6	7	5	0,7	0	0	0		
Снижение поверхностью земли в средней зоне, Am дБ	Gm = 1	ф-лы таб.3 [10]	-2,2	-2,2	0	0	0	0	0	0	0		
Суммарное снижение поверхностью земли на траектории распространения звука Agr, дБ		ф-ла (9) [10]	-5,2	-5,2	0,1	5,5	3,5	-0,8	-1,5	-1,5	-1,5		
Уровни звукового давления прямого звука от источника ИШ-7-1 в расчётной точке днём, дБ		**ф-ла(3)[10]**	**22,3**	**20,3**	**6,9**	**0,3**	**0**	**0**	**0**	**0**	**0**	**0**	**0**
Расчёт отражённого звука													
Уровни звукового давления от мнимого источника ИШ-7-1_мн.(1) в расчётной точке днём, дБ		**ф-ла(3)[10]**	**0**	**0**	**0**	**0**	**0**	**0**	**0**	**0**	**0**	**0**	**0**
Уровни звукового давления от источника ИШ-7-1 в расчётной точке днём, дБ		**ф-ла(3)[10]**	**22,3**	**20,3**	**6,9**	**0,3**	**0**	**0**	**0**	**0**	**0**	**0**	**0**
Источник шума: ИШ-7-2, координаты источника (x,y,z), м =[768.90,-86.75,1.00]													
Уровни звуковой мощности источника днём, Lw, дБ		**исходные данные**	**77**	**75**	**67**	**66**	**63**	**55**	**53**	**48**	**51**		
Поправка на телесный угол DΩ, дБ	Ω = 12.57	10Lg(4π/Ω)	**0**	0	0	0	0	0	0	0	0		

1		2	3	4	5	6	7	8	9	10	11	12	13
Показатель направленности источника Di, дБ		исходные данные	**0**	0	0	0	0	0	0	0	0		
Поправка на направленность источника Dc, дБ	Dc	DΩ + Di	**0**	0	0	0	0	0	0	0	0		
Затухание из-за геометрической дивергенции, Adiv, дБ	расстояние = 225.54 м	ф-ла (7) [10]	**58,1**										
Коэффициент затухания звука в атмосфере α, дБ/км	Ta=20,°C Pa=101.33,кПа hотн.=70%	ф-ла (5) [9]	0,02	0,09	0,33	1,12	2,79	4,98	9,04	23,09	77,63		
Учет затухания звука в атмосфере Aatm, дБ		ф-ла (8) [10]	0	0	0,1	0,3	0,6	1,1	2	5,2	17,5		
Снижение уровня звукового давления из-за влияния застройки между источником шума и расчетной точкой													
Снижение уровня звукового давления препятствием слева от трассы ИШ-РТ, Dz2, дБ	z = -0.02м (разность путей)	ф-лы (14-18) [10]	4,7	4,6	4,4	3,9	2,9	0	NAN	NAN	NAN		
* отрицательное значение z означает прохождение траектории вблизи экрана, в этом случае дополнительно производится учёт снижения подстилающей поверхностью (см.ниже)													
Снижение поверхностью земли возле источника As, дБ	Gs = 0 hs = 1м	ф-лы таб.3 [10]	-1,5	-1,5	-1,5	-1,5	-1,5	-1,5	-1,5	-1,5	-1,5		
Снижение поверхностью земли возле приёмника Ar, дБ	Gr = 1 hr = 1.5м	ф-лы таб.3 [10]	-1,5	-1,5	1,3	6,9	4,9	0,7	0	0	0		
Снижение поверхностью земли в средней зоне, Am дБ	Gm = 1	ф-лы таб.3 [10]	-2	-2	0	0	0	0	0	0	0		
Суммарное снижение поверхностью земли на траектории распространения звука Agr, дБ		ф-ла (9) [10]	-5	-5	-0,2	5,4	3,4	-0,8	-1,5	-1,5	-1,5		
Уровни звукового давления от источника ИШ-7-2 в расчётной точке днём, дБ		**ф-ла(3)[10]**	**19,3**	**17,3**	**4,7**	**0**	**0**	**0**	**0**	**0**	**0**	**0**	**0**
Источник шума: ИШ-7-3, координаты источника (x,y,z), м =[766.80,-93.20,1.00]													
Уровни звуковой мощности источника днём, Lw, дБ		**исходные данные**	**77**	**75**	**67**	**66**	**63**	**55**	**53**	**48**	**51**		
Поправка на телесный угол DΩ, дБ	Ω = 12.57	10Lg(4π/Ω)	**0**	0	0	0	0	0	0	0	0		
Показатель направленности источника Di, дБ		исходные данные	**0**	0	0	0	0	0	0	0	0		

1		2	3	4	5	6	7	8	9	10	11	12	13
Поправка на направленность источника Dc, дБ	Dc	DΩ + Di	**0**	0	0	0	0	0	0	0	0		
Затухание из-за геометрической дивергенции, Adiv, дБ	расстояние = 225.72 м	ф-ла (7) [10]	**58,1**										
Коэффициент затухания звука в атмосфере α, дБ/км	Ta=20,°C Pa=101.33,кПа hотн.=70%	ф-ла (5) [9]	0,02	0,09	0,33	1,12	2,79	4,98	9,04	23,09	77,63		
Учет затухания звука в атмосфере Aatm, дБ		ф-ла (8) [10]	0	0	0,1	0,3	0,6	1,1	2	5,2	17,5		
Снижение уровня звукового давления из-за влияния застройки между источником шума и расчетной точкой													
Снижение уровня звукового давления на пути над экраном, Dz1, дБ	z = 0.71м (разность путей)	ф-лы (14-18) [10]	6,6	7,9	9,8	12,5	16,3	20,6	24,4	27,6	30,7		
Снижение уровня звукового давления на пути слева от экрана, Dz2, дБ	z = 34.08м (разность путей)	ф-лы (14-18) [10]	23,2	27,7	31,4	34,7	37,8	40,8	43,8	46,8	49,8		
Снижение уровня звукового давления на пути справа от экрана, Dz3, дБ	z = 0.00м (разность путей)	ф-лы (14-18) [10]	4,8	4,8	4,8	4,8	4,8	4,8	4,8	4,9	5		
Общее снижение уровня звука препятствием Dz, дБ		Эн.сумма(-Dzi)	2,5	3	3,6	4,1	4,5	4,7	4,8	4,9	5		
Уровни звукового давления от источника ИШ-7-3 в расчётной точке днём, дБ		**ф-ла(3)[10]**	**16,4**	**13,9**	**5,3**	**3,6**	**0**	**0**	**0**	**0**	**0**	**0**	**0**
Источник шума: ИШ-7-4, координаты источника (x,y,z), м =[866.76,37.18,1.00]													
Уровни звуковой мощности источника днём, Lw, дБ		**исходные данные**	**77**	**75**	**67**	**66**	**63**	**55**	**53**	**48**	**51**		
Поправка на телесный угол DΩ, дБ	Ω = 12.57	10Lg(4π/Ω)	**0**	0	0	0	0	0	0	0	0		
Показатель направленности источника Di, дБ		исходные данные	**0**	0	0	0	0	0	0	0	0		
Поправка на направленность источника Dc, дБ	Dc	DΩ + Di	**0**	0	0	0	0	0	0	0	0		
Затухание из-за геометрической дивергенции, Adiv, дБ	расстояние = 315.97 м	ф-ла (7) [10]	**61**										

1		2	3	4	5	6	7	8	9	10	11	12	13
Коэффициент затухания звука в атмосфере α, дБ/км	Ta=20,°C Pa=101.33,кПа hотн.=70%	ф-ла (5) [9]	0,02	0,09	0,33	1,12	2,79	4,98	9,04	23,09	77,63		
Учет затухания звука в атмосфере Aatm, дБ		ф-ла (8) [10]	0	0	0,1	0,4	0,9	1,6	2,9	7,3	24,5		
Снижение поверхностью земли возле источника As, дБ	Gs = 0 hs = 1м	ф-лы таб.3 [10]	-1,5	-1,5	-1,5	-1,5	-1,5	-1,5	-1,5	-1,5	-1,5		
Снижение поверхностью земли возле приёмника Ar, дБ	Gr = 1 hr = 1.5м	ф-лы таб.3 [10]	-1,5	-1,5	1,8	7	5	0,7	0	0	0		
Снижение поверхностью земли в средней зоне, Am дБ	Gm = 1	ф-лы таб.3 [10]	-2,3	-2,3	0	0	0	0	0	0	0		
Суммарное снижение поверхностью земли на траектории распространения звука Agr, дБ		ф-ла (9) [10]	-5,3	-5,3	0,3	5,5	3,5	-0,8	-1,5	-1,5	-1,5		
Уровни звукового давления прямого звука от источника ИШ-7-4 в расчётной точке днём, дБ		**ф-ла(3)[10]**	**21,3**	**19,3**	**5,6**	**0**	**0**	**0**	**0**	**0**	**0**	**0**	**0**
Расчёт отражённого звука													
Уровни звукового давления от мнимого источника ИШ-7-4_мн.(1) в расчётной точке днём, дБ		**ф-ла(3)[10]**	**0**	**0**	**1,4**	**0**	**0**	**0**	**0**	**0**	**0**	**0**	**0**
Уровни звукового давления от источника ИШ-7-4 в расчётной точке днём, дБ		**ф-ла(3)[10]**	**21,3**	**19,3**	**7**	**0**	**0**	**0**	**0**	**0**	**0**	**0**	**0**
Источник шума: ИШ-7-5, координаты источника (x,y,z), м =[861.80,21.34,1.00]													
Уровни звуковой мощности источника днём, Lw, дБ		**исходные данные**	**77**	**75**	**67**	**66**	**63**	**55**	**53**	**48**	**51**		
Поправка на телесный угол DΩ, дБ	Ω = 12.57	10Lg(4π/Ω)	**0**	0	0	0	0	0	0	0	0		
Показатель направленности источника Di, дБ		исходные данные	**0**	0	0	0	0	0	0	0	0		
Поправка на направленность источника Dc, дБ	Dc	DΩ + Di	**0**	0	0	0	0	0	0	0	0		
Затухание из-за геометрической дивергенции, Adiv, дБ	расстояние = 308.83 м	ф-ла (7) [10]	**60,8**										

1		2	3	4	5	6	7	8	9	10	11	12	13
Коэффициент затухания звука в атмосфере α, дБ/км	Ta=20,°C Pa=101.33,кПа hотн.=70%	ф-ла (5) [9]	0,02	0,09	0,33	1,12	2,79	4,98	9,04	23,09	77,63		
Учет затухания звука в атмосфере Aatm, дБ		ф-ла (8) [10]	0	0	0,1	0,3	0,9	1,5	2,8	7,1	24		
Снижение поверхностью земли возле источника As, дБ	Gs = 0 hs = 1м	ф-лы таб.3 [10]	-1,5	-1,5	-1,5	-1,5	-1,5	-1,5	-1,5	-1,5	-1,5		
Снижение поверхностью земли возле приёмника Ar, дБ	Gr = 1 hr = 1.5м	ф-лы таб.3 [10]	-1,5	-1,5	1,8	7	5	0,7	0	0	0		
Снижение поверхностью земли в средней зоне, Am дБ	Gm = 1	ф-лы таб.3 [10]	-2,3	-2,3	0	0	0	0	0	0	0		
Суммарное снижение поверхностью земли на траектории распространения звука Agr, дБ		ф-ла (9) [10]	-5,3	-5,3	0,3	5,5	3,5	-0,8	-1,5	-1,5	-1,5		
Уровни звукового давления прямого звука от источника ИШ-7-5 в расчётной точке днём, дБ		**ф-ла(3)[10]**	**21,5**	**19,4**	**5,8**	**0**	**0**	**0**	**0**	**0**	**0**	**0**	**0**
Расчёт отражённого звука													
Уровни звукового давления от мнимого источника ИШ-7-5_мн.(1) в расчётной точке днём, дБ		**ф-ла(3)[10]**	**0**	**0**	**1,7**	**0**	**0**	**0**	**0**	**0**	**0**	**0**	**0**
Уровни звукового давления от источника ИШ-7-5 в расчётной точке днём, дБ		**ф-ла(3)[10]**	**21,5**	**19,4**	**7,2**	**0**	**0**	**0**	**0**	**0**	**0**	**0**	**0**
Источник шума: ИШ-7-6, координаты источника (x,y,z), м =[856.52,5.94,1.00]													
Уровни звуковой мощности источника днём, Lw, дБ		**исходные данные**	**77**	**75**	**67**	**66**	**63**	**55**	**53**	**48**	**51**		
Поправка на телесный угол DΩ, дБ	Ω = 12.57	10Lg(4π/Ω)	**0**	0	0	0	0	0	0	0	0		
Показатель направленности источника Di, дБ		исходные данные	**0**	0	0	0	0	0	0	0	0		
Поправка на направленность источника Dc, дБ	Dc	DΩ + Di	**0**	0	0	0	0	0	0	0	0		
Затухание из-за геометрической дивергенции, Adiv, дБ	расстояние = 302.13 м	ф-ла (7) [10]	**60,6**										

1		2	3	4	5	6	7	8	9	10	11	12	13
Коэффициент затухания звука в атмосфере α, дБ/км	Ta=20,°C Pa=101.33,кПа hотн.=70%	ф-ла (5) [9]	0,02	0,09	0,33	1,12	2,79	4,98	9,04	23,09	77,63		
Учет затухания звука в атмосфере Aatm, дБ		ф-ла (8) [10]	0	0	0,1	0,3	0,8	1,5	2,7	7	23,5		
Снижение поверхностью земли возле источника As, дБ	Gs = 0 hs = 1м	ф-лы таб.3 [10]	-1,5	-1,5	-1,5	-1,5	-1,5	-1,5	-1,5	-1,5	-1,5		
Снижение поверхностью земли возле приёмника Ar, дБ	Gr = 1 hr = 1.5м	ф-лы таб.3 [10]	-1,5	-1,5	1,7	7	5	0,7	0	0	0		
Снижение поверхностью земли в средней зоне, Am дБ	Gm = 1	ф-лы таб.3 [10]	-2,3	-2,3	0	0	0	0	0	0	0		
Суммарное снижение поверхностью земли на траектории распространения звука Agr, дБ		ф-ла (9) [10]	-5,3	-5,3	0,2	5,5	3,5	-0,8	-1,5	-1,5	-1,5		
Уровни звукового давления прямого звука от источника ИШ-7-6 в расчётной точке днём, дБ		**ф-ла(3)[10]**	**21,6**	**19,6**	**6,1**	**0**	**0**	**0**	**0**	**0**	**0**	**0**	**0**
Расчёт отражённого звука													
Уровни звукового давления от мнимого источника ИШ-7-6_мн.(1) в расчётной точке днём, дБ		**ф-ла(3)[10]**	**0**	**0**	**1,9**	**0**	**0**	**0**	**0**	**0**	**0**	**0**	**0**
Уровни звукового давления от источника ИШ-7-6 в расчётной точке днём, дБ		**ф-ла(3)[10]**	**21,6**	**19,6**	**7,5**	**0**	**0**	**0**	**0**	**0**	**0**	**0**	**0**
Источник шума: ИШ-7-7, координаты источника (x,y,z), м =[851.06,-9.89,1.00]													
Уровни звуковой мощности источника днём, Lw, дБ		**исходные данные**	**77**	**75**	**67**	**66**	**63**	**55**	**53**	**48**	**51**		
Поправка на телесный угол DΩ, дБ	Ω = 12.57	10Lg(4π/Ω)	**0**	0	0	0	0	0	0	0	0		
Показатель направленности источника Di, дБ		исходные данные	**0**	0	0	0	0	0	0	0	0		
Поправка на направленность источника Dc, дБ	Dc	DΩ + Di	**0**	0	0	0	0	0	0	0	0		
Затухание из-за геометрической дивергенции, Adiv, дБ	расстояние = 295.99 м	ф-ла (7) [10]	**60,4**										

1		2	3	4	5	6	7	8	9	10	11	12	13
Коэффициент затухания звука в атмосфере α, дБ/км	Ta=20,°C Pa=101.33,кПа hотн.=70%	ф-ла (5) [9]	0,02	0,09	0,33	1,12	2,79	4,98	9,04	23,09	77,63		
Учет затухания звука в атмосфере Aatm, дБ		ф-ла (8) [10]	0	0	0,1	0,3	0,8	1,5	2,7	6,8	23		
Снижение поверхностью земли возле источника As, дБ	Gs = 0 hs = 1м	ф-лы таб.3 [10]	-1,5	-1,5	-1,5	-1,5	-1,5	-1,5	-1,5	-1,5	-1,5		
Снижение поверхностью земли возле приёмника Ar, дБ	Gr = 1 hr = 1.5м	ф-лы таб.3 [10]	-1,5	-1,5	1,7	7	5	0,7	0	0	0		
Снижение поверхностью земли в средней зоне, Am дБ	Gm = 1	ф-лы таб.3 [10]	-2,2	-2,2	0	0	0	0	0	0	0		
Суммарное снижение поверхностью земли на траектории распространения звука Agr, дБ		ф-ла (9) [10]	-5,2	-5,2	0,2	5,5	3,5	-0,8	-1,5	-1,5	-1,5		
Уровни звукового давления прямого звука от источника ИШ-7-7 в расчётной точке днём, дБ		**ф-ла(3)[10]**	**21,8**	**19,8**	**6,3**	**0**	**0**	**0**	**0**	**0**	**0**	**0**	**0**
Расчёт отражённого звука													
Уровни звукового давления от мнимого источника ИШ-7-7_мн.(1) в расчётной точке днём, дБ		**ф-ла(3)[10]**	**0**	**0**	**2,2**	**0**	**0**	**0**	**0**	**0**	**0**	**0**	**0**
Уровни звукового давления от источника ИШ-7-7 в расчётной точке днём, дБ		**ф-ла(3)[10]**	**21,8**	**19,8**	**7,7**	**0**	**0**	**0**	**0**	**0**	**0**	**0**	**0**
Источник шума: ИШ-7-8, координаты источника (x,y,z), м =[821.90,-104.30,1.00]													
Уровни звуковой мощности источника днём, Lw, дБ		**исходные данные**	**77**	**75**	**67**	**66**	**63**	**55**	**53**	**48**	**51**		
Поправка на телесный угол DΩ, дБ	Ω = 12.57	10Lg(4π/Ω)	**0**	0	0	0	0	0	0	0	0		
Показатель направленности источника Di, дБ		исходные данные	**0**	0	0	0	0	0	0	0	0		
Поправка на направленность источника Dc, дБ	Dc	DΩ + Di	**0**	0	0	0	0	0	0	0	0		
Затухание из-за геометрической дивергенции, Adiv, дБ	расстояние = 281.37 м	ф-ла (7) [10]	**60**										

1		2	3	4	5	6	7	8	9	10	11	12	13
Коэффициент затухания звука в атмосфере α, дБ/км	Ta=20,°C Pa=101.33,кПа hотн.=70%	ф-ла (5) [9]	0,02	0,09	0,33	1,12	2,79	4,98	9,04	23,09	77,63		
Учет затухания звука в атмосфере Aatm, дБ		ф-ла (8) [10]	0	0	0,1	0,3	0,8	1,4	2,5	6,5	21,8		
Снижение уровня звукового давления из-за влияния застройки между источником шума и расчетной точкой													
Снижение уровня звукового давления препятствием слева от трассы ИШ-РТ, Dz2, дБ	z = -0.10м (разность путей)	ф-лы (14-18) [10]	4,2	3,5	1,7	NAN	NAN	NAN	NAN	NAN	NAN		
* отрицательное значение z означает прохождение траектории вблизи экрана, в этом случае дополнительно производится учёт снижения подстилающей поверхностью (см.ниже)													
Снижение поверхностью земли возле источника As, дБ	Gs = 0 hs = 1м	ф-лы таб.3 [10]	-1,5	-1,5	-1,5	-1,5	-1,5	-1,5	-1,5	-1,5	-1,5		
Снижение поверхностью земли возле приёмника Ar, дБ	Gr = 1 hr = 1.5м	ф-лы таб.3 [10]	-1,5	-1,5	1,6	7	5	0,7	0	0	0		
Снижение поверхностью земли в средней зоне, Am дБ	Gm = 1	ф-лы таб.3 [10]	-2,2	-2,2	0	0	0	0	0	0	0		
Суммарное снижение поверхностью земли на траектории распространения звука Agr, дБ		ф-ла (9) [10]	-5,2	-5,2	0,1	5,5	3,5	-0,8	-1,5	-1,5	-1,5		
Уровни звукового давления от источника ИШ-7-8 в расчётной точке днём, дБ		**ф-ла(3)[10]**	**18**	**16,7**	**5,1**	**0,2**	**0**	**0**	**0**	**0**	**0**	**0**	**0**
Источник шума: ИШ-7-9, координаты источника (x,y,z), м =[819.93,-110.97,1.00]													
Уровни звуковой мощности источника днём, Lw, дБ		**исходные данные**	**77**	**75**	**67**	**66**	**63**	**55**	**53**	**48**	**51**		
Поправка на телесный угол DΩ, дБ	Ω = 12.57	10Lg(4π/Ω)	**0**	0	0	0	0	0	0	0	0		
Показатель направленности источника Di, дБ		исходные данные	**0**	0	0	0	0	0	0	0	0		
Поправка на направленность источника Dc, дБ	Dc	DΩ + Di	**0**	0	0	0	0	0	0	0	0		
Затухание из-за геометрической дивергенции, Adiv, дБ	расстояние = 281.71 м	ф-ла (7) [10]	**60**										
Коэффициент затухания звука в атмосфере α, дБ/км	Ta=20,°C Pa=101.33,кПа hотн.=70%	ф-ла (5) [9]	0,02	0,09	0,33	1,12	2,79	4,98	9,04	23,09	77,63		

1		2	3	4	5	6	7	8	9	10	11	12	13
Учет затухания звука в атмосфере Aatm, дБ		ф-ла (8) [10]	0	0	0,1	0,3	0,8	1,4	2,5	6,5	21,9		
Снижение уровня звукового давления из-за влияния застройки между источником шума и расчетной точкой													
Снижение уровня звукового давления препятствием слева от трассы ИШ-РТ, Dz2, дБ	z = 0.00м (разность путей)	ф-лы (14-18) [10]	4,8	4,8	4,8	4,8	4,7	4,7	4,7	4,6	4,4		
* отрицательное значение z означает прохождение траектории вблизи экрана, в этом случае дополнительно производится учёт снижения подстилающей поверхностью (см.ниже)													
Снижение поверхностью земли возле источника As, дБ	Gs = 0 hs = 1м	ф-лы таб.3 [10]	-1,5	-1,5	-1,5	-1,5	-1,5	-1,5	-1,5	-1,5	-1,5		
Снижение поверхностью земли возле приёмника Ar, дБ	Gr = 1 hr = 1.5м	ф-лы таб.3 [10]	-1,5	-1,5	1,6	7	5	0,7	0	0	0		
Снижение поверхностью земли в средней зоне, Am дБ	Gm = 1	ф-лы таб.3 [10]	-2,2	-2,2	0	0	0	0	0	0	0		
Суммарное снижение поверхностью земли на траектории распространения звука Agr, дБ		ф-ла (9) [10]	-5,2	-5,2	0,1	5,5	3,5	-0,8	-1,5	-1,5	-1,5		
Уровни звукового давления от источника ИШ-7-9 в расчётной точке днём, дБ		**ф-ла(3)[10]**	**17,4**	**15,4**	**2**	**0**	**0**	**0**	**0**	**0**	**0**	**0**	**0**
Источник шума: ИШ-7-10, координаты источника (x,y,z), м =[868.68,92.66,1.00]													
Уровни звуковой мощности источника днём, Lw, дБ		**исходные данные**	**77**	**75**	**67**	**66**	**63**	**55**	**53**	**48**	**51**		
Поправка на телесный угол DΩ, дБ	Ω = 12.57	10Lg(4π/Ω)	**0**	0	0	0	0	0	0	0	0		
Показатель направленности источника Di, дБ		исходные данные	**0**	0	0	0	0	0	0	0	0		
Поправка на направленность источника Dc, дБ	Dc	DΩ + Di	**0**	0	0	0	0	0	0	0	0		
Затухание из-за геометрической дивергенции, Adiv, дБ	расстояние = 331.50 м	ф-ла (7) [10]	**61,4**										
Коэффициент затухания звука в атмосфере α, дБ/км	Ta=20,°C Pa=101.33,кПа hотн.=70%	ф-ла (5) [9]	0,02	0,09	0,33	1,12	2,79	4,98	9,04	23,09	77,63		
Учет затухания звука в атмосфере Aatm, дБ		ф-ла (8) [10]	0	0	0,1	0,4	0,9	1,7	3	7,7	25,7		

1		2	3	4	5	6	7	8	9	10	11	12	13
Снижение поверхностью земли возле источника As, дБ	Gs = 0 hs = 1м	ф-лы таб.3 [10]	-1,5	-1,5	-1,5	-1,5	-1,5	-1,5	-1,5	-1,5	-1,5		
Снижение поверхностью земли возле приёмника Ar, дБ	Gr = 1 hr = 1.5м	ф-лы таб.3 [10]	-1,5	-1,5	1,9	7	5	0,7	0	0	0		
Снижение поверхностью земли в средней зоне, Am дБ	Gm = 1	ф-лы таб.3 [10]	-2,3	-2,3	0	0	0	0	0	0	0		
Суммарное снижение поверхностью земли на траектории распространения звука Agr, дБ		ф-ла (9) [10]	-5,3	-5,3	0,4	5,5	3,5	-0,8	-1,5	-1,5	-1,5		
Уровни звукового давления прямого звука от источника ИШ-7-10 в расчётной точке днём, дБ		**ф-ла(3)[10]**	**20,9**	**18,9**	**5,1**	**0**	**0**	**0**	**0**	**0**	**0**	**0**	**0**
Расчёт отражённого звука													
Уровни звукового давления от мнимого источника ИШ-7-10_мн.(1) в расчётной точке днём, дБ		**ф-ла(3)[10]**	**0**	**0**	**0**	**0**	**0**	**0**	**0**	**0**	**0**	**0**	**0**
Уровни звукового давления от источника ИШ-7-10 в расчётной точке днём, дБ		**ф-ла(3)[10]**	**20,9**	**18,9**	**5,1**	**0**	**0**	**0**	**0**	**0**	**0**	**0**	**0**
Источник шума: ИШ-7-11, координаты источника (x,y,z), м =[877.95,88.75,1.00]													
Уровни звуковой мощности источника днём, Lw, дБ		**исходные данные**	**77**	**75**	**67**	**66**	**63**	**55**	**53**	**48**	**51**		
Поправка на телесный угол DΩ, дБ	Ω = 12.57	10Lg(4π/Ω)	**0**	0	0	0	0	0	0	0	0		
Показатель направленности источника Di, дБ		исходные данные	**0**	0	0	0	0	0	0	0	0		
Поправка на направленность источника Dc, дБ	Dc	DΩ + Di	**0**	0	0	0	0	0	0	0	0		
Затухание из-за геометрической дивергенции, Adiv, дБ	расстояние = 339.07 м	ф-ла (7) [10]	**61,6**										
Коэффициент затухания звука в атмосфере α, дБ/км	Ta=20,°C Pa=101.33,кПа hотн.=70%	ф-ла (5) [9]	0,02	0,09	0,33	1,12	2,79	4,98	9,04	23,09	77,63		
Учет затухания звука в атмосфере Aatm, дБ		ф-ла (8) [10]	0	0	0,1	0,4	0,9	1,7	3,1	7,8	26,3		

1		2	3	4	5	6	7	8	9	10	11	12	13
Снижение поверхностью земли возле источника As, дБ	Gs = 0 hs = 1м	ф-лы таб.3 [10]	-1,5	-1,5	-1,5	-1,5	-1,5	-1,5	-1,5	-1,5	-1,5		
Снижение поверхностью земли возле приёмника Ar, дБ	Gr = 1 hr = 1.5м	ф-лы таб.3 [10]	-1,5	-1,5	2	7	5	0,7	0	0	0		
Снижение поверхностью земли в средней зоне, Am дБ	Gm = 1	ф-лы таб.3 [10]	-2,3	-2,3	0	0	0	0	0	0	0		
Суммарное снижение поверхностью земли на траектории распространения звука Agr, дБ		ф-ла (9) [10]	-5,3	-5,3	0,5	5,5	3,5	-0,8	-1,5	-1,5	-1,5		
Уровни звукового давления прямого звука от источника ИШ-7-11 в расчётной точке днём, дБ		**ф-ла(3)[10]**	**20,7**	**18,7**	**4,8**	**0**	**0**	**0**	**0**	**0**	**0**	**0**	**0**
Расчёт отражённого звука													
Уровни звукового давления от мнимого источника ИШ-7-11_мн.(1) в расчётной точке днём, дБ		**ф-ла(3)[10]**	**0**	**0**	**0**	**0**	**0**	**0**	**0**	**0**	**0**	**0**	**0**
Уровни звукового давления от источника ИШ-7-11 в расчётной точке днём, дБ		**ф-ла(3)[10]**	**20,7**	**18,7**	**4,8**	**0**	**0**	**0**	**0**	**0**	**0**	**0**	**0**
Источник шума: ИШ-7-12, координаты источника (x,y,z), м =[887.42,85.45,1.00]													
Уровни звуковой мощности источника днём, Lw, дБ		**исходные данные**	**77**	**75**	**67**	**66**	**63**	**55**	**53**	**48**	**51**		
Поправка на телесный угол DΩ, дБ	Ω = 12.57	10Lg(4π/Ω)	**0**	0	0	0	0	0	0	0	0		
Показатель направленности источника Di, дБ		исходные данные	**0**	0	0	0	0	0	0	0	0		
Поправка на направленность источника Dc, дБ	Dc	DΩ + Di	**0**	0	0	0	0	0	0	0	0		
Затухание из-за геометрической дивергенции, Adiv, дБ	расстояние = 347.13 м	ф-ла (7) [10]	**61,8**										
Коэффициент затухания звука в атмосфере α, дБ/км	Ta=20,°C Pa=101.33,кПа hотн.=70%	ф-ла (5) [9]	0,02	0,09	0,33	1,12	2,79	4,98	9,04	23,09	77,63		
Учет затухания звука в атмосфере Aatm, дБ		ф-ла (8) [10]	0	0	0,1	0,4	1	1,7	3,1	8	26,9		

1		2	3	4	5	6	7	8	9	10	11	12	13
Снижение поверхностью земли возле источника As, дБ	Gs = 0 hs = 1м	ф-лы таб.3 [10]	-1,5	-1,5	-1,5	-1,5	-1,5	-1,5	-1,5	-1,5	-1,5		
Снижение поверхностью земли возле приёмника Ar, дБ	Gr = 1 hr = 1.5м	ф-лы таб.3 [10]	-1,5	-1,5	2	7	5	0,7	0	0	0		
Снижение поверхностью земли в средней зоне, Am дБ	Gm = 1	ф-лы таб.3 [10]	-2,4	-2,4	0	0	0	0	0	0	0		
Суммарное снижение поверхностью земли на траектории распространения звука Agr, дБ		ф-ла (9) [10]	-5,4	-5,4	0,5	5,5	3,5	-0,8	-1,5	-1,5	-1,5		
Уровни звукового давления прямого звука от источника ИШ-7-12 в расчётной точке днём, дБ		**ф-ла(3)[10]**	**20,5**	**18,5**	**4,6**	**0**	**0**	**0**	**0**	**0**	**0**	**0**	**0**
Расчёт отражённого звука													
Уровни звукового давления от мнимого источника ИШ-7-12_мн.(1) в расчётной точке днём, дБ		**ф-ла(3)[10]**	**0**	**0**	**0**	**0**	**0**	**0**	**0**	**0**	**0**	**0**	**0**
Уровни звукового давления от источника ИШ-7-12 в расчётной точке днём, дБ		**ф-ла(3)[10]**	**20,5**	**18,5**	**4,6**	**0**	**0**	**0**	**0**	**0**	**0**	**0**	**0**
Источник шума: ИШ-6-23, координаты источника (x,y,z), м =[756.16,-136.23,3.00]													
Уровни звуковой мощности источника днём, Lw, дБ		**исходные данные**	**91**	**91**	**91**	**91**	**91**	**91**	**91**	**91**	**91**		
Поправка на телесный угол DΩ, дБ	Ω = 12.57	10Lg(4π/Ω)	**0**	0	0	0	0	0	0	0	0		
Показатель направленности источника Di, дБ		исходные данные	**0**	0	0	0	0	0	0	0	0		
Поправка на направленность источника Dc, дБ	Dc	DΩ + Di	**0**	0	0	0	0	0	0	0	0		
Затухание из-за геометрической дивергенции, Adiv, дБ	расстояние = 234.83 м	ф-ла (7) [10]	**58,4**										
Коэффициент затухания звука в атмосфере α, дБ/км	Ta=20,°C Pa=101.33,кПа hотн.=70%	ф-ла (5) [9]	0,02	0,09	0,33	1,12	2,79	4,98	9,04	23,09	77,63		
Учет затухания звука в атмосфере Aatm, дБ		ф-ла (8) [10]	0	0	0,1	0,3	0,7	1,2	2,1	5,4	18,2		

1		2	3	4	5	6	7	8	9	10	11	12	13
Снижение уровня звукового давления из-за влияния застройки между источником шума и расчетной точкой													
Снижение уровня звукового давления на пути над экраном, Dz1, дБ	z = 2.48м (разность путей)	ф-лы (14-18) [10]	11,2	14,9	19	22,6	25,8	28,9	31,9	34,9	37,9		
Снижение уровня звукового давления на пути слева от экрана, Dz2, дБ	z = 28.58м (разность путей)	ф-лы (14-18) [10]	22,2	26,7	30,6	33,9	37	40	43	46,1	49,1		
Снижение уровня звукового давления на пути справа от экрана, Dz3, дБ	z = 0.89м (разность путей)	ф-лы (14-18) [10]	8	9,8	12,1	14,6	17,4	20,3	23,3	26,2	29,2		
Общее снижение уровня звука препятствием Dz, дБ		Эн.сумма(-Dzi)	6,2	8,6	11,2	14	16,8	19,7	22,7	25,6	28,6		
Общее снижение уровня звука препятствием с учётом ограничения (25 дБ) для октавных полос Dz, дБ		Раздел 7.4 [10]	6,2	8,6	11,2	14	16,8	19,7	22,7	25	25		
Уровни звукового давления от источника ИШ-6-23 в расчётной точке днём, дБ		**ф-ла(3)[10]**	**26,4**	**24**	**21,3**	**18,4**	**15,1**	**11,7**	**7,8**	**2,2**	**0**	**17,3**	**17,3**
Источник шума: ИШ-6-24, координаты источника (x,y,z), м =[800.98,-151.27,3.00]													
Уровни звуковой мощности источника днём, Lw, дБ		**исходные данные**	**91**	**91**	**91**	**91**	**91**	**91**	**91**	**91**	**91**		
Поправка на телесный угол DΩ, дБ	Ω = 12.57	10Lg(4π/Ω)	**0**	0	0	0	0	0	0	0	0		
Показатель направленности источника Di, дБ		исходные данные	**0**	0	0	0	0	0	0	0	0		
Поправка на направленность источника Dc, дБ	Dc	DΩ + Di	**0**	0	0	0	0	0	0	0	0		
Затухание из-за геометрической дивергенции, Adiv, дБ	расстояние = 281.17 м	ф-ла (7) [10]	**60**										
Коэффициент затухания звука в атмосфере α, дБ/км	Ta=20,°C Pa=101.33,кПа hотн.=70%	ф-ла (5) [9]	0,02	0,09	0,33	1,12	2,79	4,98	9,04	23,09	77,63		
Учет затухания звука в атмосфере Aatm, дБ		ф-ла (8) [10]	0	0	0,1	0,3	0,8	1,4	2,5	6,5	21,8		
Снижение уровня звукового давления из-за влияния застройки между источником шума и расчетной точкой													

1		2	3	4	5	6	7	8	9	10	11	12	13
Снижение уровня звукового давления на пути над экраном, Dz1, дБ	z = 2.18м (разность путей)	ф-лы (14-18) [10]	10,6	14,2	18,2	21,8	25	28,1	31,1	34,1	37,1		
Снижение уровня звукового давления на пути слева от экрана, Dz2, дБ	z = 29.51м (разность путей)	ф-лы (14-18) [10]	22,3	26,8	30,7	34	37,1	40,2	43,2	46,2	49,2		
Снижение уровня звукового давления на пути справа от экрана, Dz3, дБ	z = 0.56м (разность путей)	ф-лы (14-18) [10]	7,1	8,6	10,5	12,9	15,6	18,4	21,3	24,3	27,3		
Общее снижение уровня звука препятствием Dz, дБ		Эн.сумма(-Dzi)	5,4	7,5	9,8	12,4	15,1	17,9	20,9	23,8	26,8		
Общее снижение уровня звука препятствием с учётом ограничения (25 дБ) для октавных полос Dz, дБ		Раздел 7.4 [10]	5,4	7,5	9,8	12,4	15,1	17,9	20,9	23,8	25		
Уровни звукового давления от источника ИШ-6-24 в расчётной точке днём, дБ		**ф-ла(3)[10]**	**25,6**	**23,5**	**21,1**	**18,3**	**15,1**	**11,7**	**7,6**	**0,7**	**0**	**17,2**	**17,2**
Источник шума: ИШ-8-1, координаты источника (x,y,z), м =[612.60,-227.70,3.00]													
Уровни звуковой мощности источника днём, Lw, дБ		**исходные данные**	**105**	**104**	**104**	**101**	**102**	**106**	**101**	**95**	**87**		
Поправка на телесный угол DΩ, дБ	Ω = 6.28	10Lg(4π/Ω)	**3**	3	3	3	3	3	3	3	3		
Показатель направленности источника Di, дБ		исходные данные	**0**	0	0	0	0	0	0	0	0		
Поправка на направленность источника Dc, дБ	Dc	DΩ + Di	**3**	3	3	3	3	3	3	3	3		
Затухание из-за геометрической дивергенции, Adiv, дБ	расстояние = 220.45 м	ф-ла (7) [10]	**57,9**										
Коэффициент затухания звука в атмосфере α, дБ/км	Ta=20,°C Pa=101.33,кПа hотн.=70%	ф-ла (5) [9]	0,02	0,09	0,33	1,12	2,79	4,98	9,04	23,09	77,63		
Учет затухания звука в атмосфере Aatm, дБ		ф-ла (8) [10]	0	0	0,1	0,2	0,6	1,1	2	5,1	17,1		
Снижение уровня звукового давления из-за влияния застройки между источником шума и расчетной точкой													
Снижение уровня звукового давления на пути над экраном, Dz1, дБ	z = 4.41м (разность путей)	ф-лы (14-18) [10]	14,1	18,3	22,1	25,5	28,6	31,6	34,6	37,6	40,6		

1		2	3	4	5	6	7	8	9	10	11	12	13
Снижение уровня звукового давления на пути слева от экрана, Dz2, дБ	z = 13.89м (разность путей)	ф-лы (14-18) [10]	21,2	24,7	27,8	30,9	33,9	36,9	39,9	42,9	45,9		
Снижение уровня звукового давления на пути справа от экрана, Dz3, дБ	z = 19.77м (разность путей)	ф-лы (14-18) [10]	18,8	21,7	24,7	27,7	30,7	33,7	36,7	39,7	42,7		
Общее снижение уровня звука препятствием Dz, дБ		Эн.сумма(-Dzi)	12,2	16,1	19,5	22,7	25,8	28,8	31,8	34,8	37,8		
Общее снижение уровня звука препятствием с учётом ограничения (25 дБ) для октавных полос Dz, дБ		Раздел 7.4 [10]	12,2	16,1	19,5	22,7	25	25	25	25	25		
Уровни звукового давления прямого звука от источника ИШ-8-1 в расчётной точке днём, дБ		**ф-ла(3)[10]**	**37,9**	**33,1**	**29,5**	**23,2**	**21,5**	**25**	**19,2**	**10,1**	**0**	**27,5**	**27,5**
Расчёт отражённого звука													
Уровни звукового давления от мнимого источника ИШ-8-1_мн.(1) в расчётной точке днём, дБ		**ф-ла(3)[10]**	**0**	**0**	**0**	**0**	**0**	**0**	**0**	**19,8**	**0**	**20,8**	**20,8**
Уровни звукового давления от мнимого источника ИШ-8-1_мн.(2) в расчётной точке днём, дБ		**ф-ла(3)[10]**	**0**	**0**	**0**	**0**	**0**	**0**	**0**	**0**	**0**	**0**	**0**
Суммарные уровни звукового давления от мнимых источников в расчётной точке днём, дБ		**ф-ла (19) [1]**	**0**	**0**	**0**	**0**	**0**	**0**	**0**	**19,8**	**0**	**0**	**20,8**
Уровни звукового давления от источника ИШ-8-1 в расчётной точке днём, дБ		**ф-ла(3)[10]**	**37,9**	**33,1**	**29,5**	**23,2**	**21,5**	**25**	**19,2**	**20,3**	**0**	**28,4**	**28,4**
Источник шума: ИШ-8-2, координаты источника (x,y,z), м =[596.60,-275.00,3.00]													
Уровни звуковой мощности источника днём, Lw, дБ		**исходные данные**	**105**	**104**	**104**	**101**	**102**	**106**	**101**	**95**	**87**		
Поправка на телесный угол DΩ, дБ	Ω = 6.28	10Lg(4π/Ω)	**3**	3	3	3	3	3	3	3	3		
Показатель направленности источника Di, дБ		исходные данные	**0**	0	0	0	0	0	0	0	0		
Поправка на направленность источника Dc, дБ	Dc	DΩ + Di	**3**	3	3	3	3	3	3	3	3		
Затухание из-за геометрической дивергенции, Adiv, дБ	расстояние = 263.41 м	ф-ла (7) [10]	**59,4**										
Коэффициент затухания звука в атмосфере α, дБ/км	Ta=20,°C Pa=101.33,кПа hотн.=70%	ф-ла (5) [9]	0,02	0,09	0,33	1,12	2,79	4,98	9,04	23,09	77,63		

1		2	3	4	5	6	7	8	9	10	11	12	13
Учет затухания звука в атмосфере Aatm, дБ		ф-ла (8) [10]	0	0	0,1	0,3	0,7	1,3	2,4	6,1	20,4		
Снижение уровня звукового давления из-за влияния застройки между источником шума и расчетной точкой													
Снижение уровня звукового давления на пути над экраном, Dz1, дБ	z = 4.42м (разность путей)	ф-лы (14-18) [10]	12,6	15,6	19,3	23,8	27,9	31,3	34,5	37,5	40,5		
Снижение уровня звукового давления на пути слева от экрана, Dz2, дБ	z = 14.07м (разность путей)	ф-лы (14-18) [10]	18,6	23	27,2	30,7	33,9	36,9	40	43	46		
Снижение уровня звукового давления на пути справа от экрана, Dz3, дБ	z = 23.17м (разность путей)	ф-лы (14-18) [10]	19,5	22,4	25,4	28,4	31,4	34,4	37,4	40,4	43,4		
Общее снижение уровня звука препятствием Dz, дБ		Эн.сумма(-Dzi)	11	14,2	17,8	21,9	25,6	28,8	31,9	34,9	38		
Общее снижение уровня звука препятствием с учётом ограничения (25 дБ) для октавных полос Dz, дБ		Раздел 7.4 [10]	11	14,2	17,8	21,9	25	25	25	25	25		
Уровни звукового давления от источника ИШ-8-2 в расчётной точке днём, дБ		**ф-ла(3)[10]**	**37,6**	**33,4**	**29,7**	**22,4**	**19,9**	**23,3**	**17,2**	**7,5**	**0**	**25,9**	**25,9**
Источник шума: ИШ-8-3, координаты источника (x,y,z), м =[564.90,-369.90,3.00]													
Уровни звуковой мощности источника днём, Lw, дБ		**исходные данные**	**105**	**104**	**104**	**101**	**102**	**106**	**101**	**95**	**87**		
Поправка на телесный угол DΩ, дБ	Ω = 6.28	10Lg(4π/Ω)	**3**	3	3	3	3	3	3	3	3		
Показатель направленности источника Di, дБ		исходные данные	**0**	0	0	0	0	0	0	0	0		
Поправка на направленность источника Dc, дБ	Dc	DΩ + Di	**3**	3	3	3	3	3	3	3	3		
Затухание из-за геометрической дивергенции, Adiv, дБ	расстояние = 355.15 м	ф-ла (7) [10]	**62**										
Коэффициент затухания звука в атмосфере α, дБ/км	Ta=20,°C Pa=101.33,кПа hотн.=70%	ф-ла (5) [9]	0,02	0,09	0,33	1,12	2,79	4,98	9,04	23,09	77,63		
Учет затухания звука в атмосфере Aatm, дБ		ф-ла (8) [10]	0	0	0,1	0,4	1	1,8	3,2	8,2	27,6		

1		2	3	4	5	6	7	8	9	10	11	12	13
Снижение уровня звукового давления из-за влияния застройки между источником шума и расчетной точкой													
Снижение уровня звукового давления на пути над экраном, Dz1, дБ	z = 4.47м (разность путей)	ф-лы (14-18) [10]	12,6	15,8	19,9	24,3	28	31,3	34,4	37,4	40,4		
Снижение уровня звукового давления на пути слева от экрана, Dz2, дБ	z = 10.34м (разность путей)	ф-лы (14-18) [10]	17,3	21,7	25,9	29,4	32,6	35,6	38,6	41,6	44,7		
Снижение уровня звукового давления на пути справа от экрана, Dz3, дБ	z = 3.05м (разность путей)	ф-лы (14-18) [10]	11,6	14,1	16,8	19,7	22,6	25,6	28,6	31,6	34,6		
Общее снижение уровня звука препятствием Dz, дБ		Эн.сумма(-Dzi)	8,4	11,4	14,7	18	21,2	24,2	27,2	30,2	33,2		
Общее снижение уровня звука препятствием с учётом ограничения (25 дБ) для октавных полос Dz, дБ		Раздел 7.4 [10]	8,4	11,4	14,7	18	21,2	24,2	25	25	25		
Уровни звукового давления от источника ИШ-8-3 в расчётной точке днём, дБ		**ф-ла(3)[10]**	**37,6**	**33,5**	**30,2**	**23,6**	**20,8**	**21**	**13,8**	**2,8**	**0**	**24,5**	**24,5**
Источник шума: ИШ-9-1, координаты источника (x,y,z), м =[642.94,-357.54,1.00]													
Уровни звуковой мощности источника днём, Lw, дБ		**исходные данные**	**0**	**93,3**	**94,7**	**96**	**96,3**	**95,9**	**92,6**	**88,4**	**83,9**		
Поправка на телесный угол DΩ, дБ	Ω = 6.28	10Lg(4π/Ω)	**3**	3	3	3	3	3	3	3	3		
Показатель направленности источника Di, дБ		исходные данные	**0**	0	0	0	0	0	0	0	0		
Поправка на направленность источника Dc, дБ	Dc	DΩ + Di	**3**	3	3	3	3	3	3	3	3		
Затухание из-за геометрической дивергенции, Adiv, дБ	расстояние = 353.73 м	ф-ла (7) [10]	**62**										
Коэффициент затухания звука в атмосфере α, дБ/км	Ta=20,°C Pa=101.33,кПа hотн.=70%	ф-ла (5) [9]	0,02	0,09	0,33	1,12	2,79	4,98	9,04	23,09	77,63		
Учет затухания звука в атмосфере Aatm, дБ		ф-ла (8) [10]	0	0	0,1	0,4	1	1,8	3,2	8,2	27,5		
Снижение уровня звукового давления из-за влияния застройки между источником шума и расчетной точкой													

1		2	3	4	5	6	7	8	9	10	11	12	13
Снижение уровня звукового давления на пути над экраном, Dz1, дБ	z = 4.43м (разность путей)	ф-лы (14-18) [10]	13,9	18,1	21,9	25,3	28,4	31,4	34,4	37,4	40,4		
Снижение уровня звукового давления на пути слева от экрана, Dz2, дБ	z = 10.24м (разность путей)	ф-лы (14-18) [10]	20	23,4	26,5	29,6	32,6	35,6	38,6	41,6	44,6		
Снижение уровня звукового давления на пути справа от экрана, Dz3, дБ	z = 19.13м (разность путей)	ф-лы (14-18) [10]	18,7	21,6	24,5	27,5	30,5	33,5	36,5	39,5	42,6		
Общее снижение уровня звука препятствием Dz, дБ		Эн.сумма(-Dzi)	11,9	15,7	19,2	22,3	25,4	28,4	31,4	34,4	37,4		
Общее снижение уровня звука препятствием с учётом ограничения (25 дБ) для октавных полос Dz, дБ		Раздел 7.4 [10]	11,9	15,7	19,2	22,3	25	25	25	25	25		
Уровни звукового давления прямого звука от источника ИШ-9-1 в расчётной точке днём, дБ		**ф-ла(3)[10]**	**0**	**18,6**	**16,4**	**14,3**	**11,3**	**10,2**	**5,4**	**0**	**0**	**14,2**	**14,2**
Расчёт отражённого звука													
Уровни звукового давления от мнимого источника ИШ-9-1_мн.(1) в расчётной точке днём, дБ		**ф-ла(3)[10]**	**0**	**0**	**0**	**0**	**0**	**0**	**0**	**0**	**0**	**0**	**0**
Уровни звукового давления от источника ИШ-9-1 в расчётной точке днём, дБ		**ф-ла(3)[10]**	**0**	**18,6**	**16,4**	**14,3**	**11,3**	**10,2**	**5,4**	**0**	**0**	**14,2**	**14,2**
Источник шума: ИШ-9-2, координаты источника (x,y,z), м =[644.14,-354.83,1.00]													
Уровни звуковой мощности источника днём, Lw, дБ		**исходные данные**	**0**	**93,3**	**94,7**	**96**	**96,3**	**95,9**	**92,6**	**88,4**	**83,9**		
Поправка на телесный угол DΩ, дБ	Ω = 6.28	10Lg(4π/Ω)	**3**	3	3	3	3	3	3	3	3		
Показатель направленности источника Di, дБ		исходные данные	**0**	0	0	0	0	0	0	0	0		
Поправка на направленность источника Dc, дБ	Dc	DΩ + Di	**3**	3	3	3	3	3	3	3	3		
Затухание из-за геометрической дивергенции, Adiv, дБ	расстояние = 351.41 м	ф-ла (7) [10]	**61,9**										
Коэффициент затухания звука в атмосфере α, дБ/км	Ta=20,°C Pa=101.33,кПа hотн.=70%	ф-ла (5) [9]	0,02	0,09	0,33	1,12	2,79	4,98	9,04	23,09	77,63		

1		2	3	4	5	6	7	8	9	10	11	12	13
Учет затухания звука в атмосфере Aatm, дБ		ф-ла (8) [10]	0	0	0,1	0,4	1	1,7	3,2	8,1	27,3		
Снижение уровня звукового давления из-за влияния застройки между источником шума и расчетной точкой													
Снижение уровня звукового давления на пути над экраном, Dz1, дБ	z = 4.43м (разность путей)	ф-лы (14-18) [10]	13,9	18,1	21,9	25,3	28,4	31,4	34,4	37,4	40,4		
Снижение уровня звукового давления на пути слева от экрана, Dz2, дБ	z = 10.47м (разность путей)	ф-лы (14-18) [10]	20	23,5	26,6	29,7	32,7	35,7	38,7	41,7	44,7		
Снижение уровня звукового давления на пути справа от экрана, Dz3, дБ	z = 18.96м (разность путей)	ф-лы (14-18) [10]	18,6	21,6	24,5	27,5	30,5	33,5	36,5	39,5	42,5		
Общее снижение уровня звука препятствием Dz, дБ		Эн.сумма(-Dzi)	11,9	15,7	19,2	22,3	25,4	28,4	31,4	34,4	37,4		
Общее снижение уровня звука препятствием с учётом ограничения (25 дБ) для октавных полос Dz, дБ		Раздел 7.4 [10]	11,9	15,7	19,2	22,3	25	25	25	25	25		
Уровни звукового давления прямого звука от источника ИШ-9-2 в расчётной точке днём, дБ		**ф-ла(3)[10]**	**0**	**18,6**	**16,5**	**14,3**	**11,4**	**10,2**	**5,5**	**0**	**0**	**14,3**	**14,3**
Расчёт отражённого звука													
Уровни звукового давления от мнимого источника ИШ-9-2_мн.(1) в расчётной точке днём, дБ		**ф-ла(3)[10]**	**0**	**0**	**0**	**0**	**0**	**0**	**0**	**0**	**0**	**0**	**0**
Уровни звукового давления от источника ИШ-9-2 в расчётной точке днём, дБ		**ф-ла(3)[10]**	**0**	**18,6**	**16,5**	**14,3**	**11,4**	**10,2**	**5,5**	**0**	**0**	**14,3**	**14,3**
Источник шума: ИШ-9-3, координаты источника (x,y,z), м =[644.98,-351.85,1.00]													
Уровни звуковой мощности источника днём, Lw, дБ		**исходные данные**	**0**	**93,3**	**94,7**	**96**	**96,3**	**95,9**	**92,6**	**88,4**	**83,9**		
Поправка на телесный угол DΩ, дБ	Ω = 6.28	10Lg(4π/Ω)	**3**	3	3	3	3	3	3	3	3		
Показатель направленности источника Di, дБ		исходные данные	**0**	0	0	0	0	0	0	0	0		
Поправка на направленность источника Dc, дБ	Dc	DΩ + Di	**3**	3	3	3	3	3	3	3	3		
Затухание из-за геометрической дивергенции, Adiv, дБ	расстояние = 348.74 м	ф-ла (7) [10]	**61,9**										

1		2	3	4	5	6	7	8	9	10	11	12	13
Коэффициент затухания звука в атмосфере α, дБ/км	Та=20,°С Ра=101.33,кПа hотн.=70%	ф-ла (5) [9]	0,02	0,09	0,33	1,12	2,79	4,98	9,04	23,09	77,63		
Учет затухания звука в атмосфере Aatm, дБ		ф-ла (8) [10]	0	0	0,1	0,4	1	1,7	3,2	8,1	27,1		
Снижение уровня звукового давления из-за влияния застройки между источником шума и расчетной точкой													
Снижение уровня звукового давления на пути над экраном, Dz1, дБ	z = 4.43м (разность путей)	ф-лы (14-18) [10]	13,9	18,1	21,9	25,3	28,4	31,4	34,4	37,4	40,4		
Снижение уровня звукового давления на пути слева от экрана, Dz2, дБ	z = 10.67м (разность путей)	ф-лы (14-18) [10]	20,1	23,6	26,7	29,7	32,8	35,8	38,8	41,8	44,8		
Снижение уровня звукового давления на пути справа от экрана, Dz3, дБ	z = 18.82м (разность путей)	ф-лы (14-18) [10]	18,6	21,5	24,5	27,5	30,5	33,5	36,5	39,5	42,5		
Общее снижение уровня звука препятствием Dz, дБ		Эн.сумма(-Dzi)	11,9	15,7	19,2	22,3	25,4	28,4	31,4	34,4	37,4		
Общее снижение уровня звука препятствием с учётом ограничения (25 дБ) для октавных полос Dz, дБ		Раздел 7.4 [10]	11,9	15,7	19,2	22,3	25	25	25	25	25		
Уровни звукового давления прямого звука от источника ИШ-9-3 в расчётной точке днём, дБ		**ф-ла(3)[10]**	**0**	**18,7**	**16,6**	**14,4**	**11,5**	**10,3**	**5,6**	**0**	**0**	**14,4**	**14,4**
Расчёт отражённого звука													
Уровни звукового давления от мнимого источника ИШ-9-3_мн.(1) в расчётной точке днём, дБ		**ф-ла(3)[10]**	**0**	**0**	**0**	**0**	**0**	**0**	**0**	**0**	**0**	**0**	**0**
Уровни звукового давления от источника ИШ-9-3 в расчётной точке днём, дБ		**ф-ла(3)[10]**	**0**	**18,7**	**16,6**	**14,4**	**11,5**	**10,3**	**5,6**	**0**	**0**	**14,4**	**14,4**
Источник шума: ИШ-9-4, координаты источника (x,y,z), м =[646.01,-349.15,1.00]													
Уровни звуковой мощности источника днём, Lw, дБ		**исходные данные**	**0**	**93,3**	**94,7**	**96**	**96,3**	**95,9**	**92,6**	**88,4**	**83,9**		
Поправка на телесный угол DΩ, дБ	Ω = 6.28	10Lg(4π/Ω)	**3**	3	3	3	3	3	3	3	3		
Показатель направленности источника Di, дБ		исходные данные	**0**	0	0	0	0	0	0	0	0		

1		2	3	4	5	6	7	8	9	10	11	12	13
Поправка на направленность источника Dc, дБ	Dc	DΩ + Di	**3**	3	3	3	3	3	3	3	3		
Затухание из-за геометрической дивергенции, Adiv, дБ	расстояние = 346.40 м	ф-ла (7) [10]	**61,8**										
Коэффициент затухания звука в атмосфере α, дБ/км	Ta=20,°C Pa=101.33,кПа hотн.=70%	ф-ла (5) [9]	0,02	0,09	0,33	1,12	2,79	4,98	9,04	23,09	77,63		
Учет затухания звука в атмосфере Aatm, дБ		ф-ла (8) [10]	0	0	0,1	0,4	1	1,7	3,1	8	26,9		
Снижение уровня звукового давления из-за влияния застройки между источником шума и расчетной точкой													
Снижение уровня звукового давления на пути над экраном, Dz1, дБ	z = 4.42м (разность путей)	ф-лы (14-18) [10]	13,9	18,1	21,9	25,3	28,4	31,4	34,4	37,4	40,4		
Снижение уровня звукового давления на пути слева от экрана, Dz2, дБ	z = 10.90м (разность путей)	ф-лы (14-18) [10]	20,2	23,7	26,8	29,8	32,8	35,9	38,9	41,9	44,9		
Снижение уровня звукового давления на пути справа от экрана, Dz3, дБ	z = 18.66м (разность путей)	ф-лы (14-18) [10]	18,6	21,5	24,4	27,4	30,4	33,4	36,4	39,4	42,4		
Общее снижение уровня звука препятствием Dz, дБ		Эн.сумма(-Dzi)	11,9	15,7	19,2	22,3	25,4	28,4	31,4	34,4	37,4		
Общее снижение уровня звука препятствием с учётом ограничения (25 дБ) для октавных полос Dz, дБ		Раздел 7.4 [10]	11,9	15,7	19,2	22,3	25	25	25	25	25		
Уровни звукового давления прямого звука от источника ИШ-9-4 в расчётной точке днём, дБ		**ф-ла(3)[10]**	**0**	**18,8**	**16,6**	**14,5**	**11,5**	**10,4**	**5,7**	**0**	**0**	**14,4**	**14,4**
Расчёт отражённого звука													
Уровни звукового давления от мнимого источника ИШ-9-4_мн.(1) в расчётной точке днём, дБ		**ф-ла(3)[10]**	**0**	**0**	**0**	**0**	**0**	**0**	**0**	**0**	**0**	**0**	**0**
Уровни звукового давления от источника ИШ-9-4 в расчётной точке днём, дБ		**ф-ла(3)[10]**	**0**	**18,8**	**16,6**	**14,5**	**11,5**	**10,4**	**5,7**	**0**	**0**	**14,4**	**14,4**
Источник шума: ИШ-9-5, координаты источника (x,y,z), м =[646.84,-346.17,1.00]													
Уровни звуковой мощности источника днём, Lw, дБ		**исходные данные**	**0**	**93,3**	**94,7**	**96**	**96,3**	**95,9**	**92,6**	**88,4**	**83,9**		

1		2	3	4	5	6	7	8	9	10	11	12	13
Поправка на телесный угол DΩ, дБ	Ω = 6.28	10Lg(4π/Ω)	**3**	3	3	3	3	3	3	3	3		
Показатель направленности источника Di, дБ		исходные данные	**0**	0	0	0	0	0	0	0	0		
Поправка на направленность источника Dc, дБ	Dc	DΩ + Di	**3**	3	3	3	3	3	3	3	3		
Затухание из-за геометрической дивергенции, Adiv, дБ	расстояние = 343.75 м	ф-ла (7) [10]	**61,7**										
Коэффициент затухания звука в атмосфере α, дБ/км	Ta=20,°C Pa=101.33,кПа hотн.=70%	ф-ла (5) [9]	0,02	0,09	0,33	1,12	2,79	4,98	9,04	23,09	77,63		
Учет затухания звука в атмосфере Aatm, дБ		ф-ла (8) [10]	0	0	0,1	0,4	1	1,7	3,1	7,9	26,7		
Снижение уровня звукового давления из-за влияния застройки между источником шума и расчетной точкой													
Снижение уровня звукового давления на пути над экраном, Dz1, дБ	z = 4.42м (разность путей)	ф-лы (14-18) [10]	13,9	18,1	21,9	25,3	28,4	31,4	34,4	37,4	40,4		
Снижение уровня звукового давления на пути слева от экрана, Dz2, дБ	z = 11.13м (разность путей)	ф-лы (14-18) [10]	20,3	23,8	26,9	29,9	32,9	35,9	39	42	45		
Снижение уровня звукового давления на пути справа от экрана, Dz3, дБ	z = 18.51м (разность путей)	ф-лы (14-18) [10]	18,5	21,5	24,4	27,4	30,4	33,4	36,4	39,4	42,4		
Общее снижение уровня звука препятствием Dz, дБ		Эн.сумма(-Dzi)	11,9	15,7	19,2	22,4	25,4	28,4	31,4	34,4	37,4		
Общее снижение уровня звука препятствием с учётом ограничения (25 дБ) для октавных полос Dz, дБ		Раздел 7.4 [10]	11,9	15,7	19,2	22,4	25	25	25	25	25		
Уровни звукового давления прямого звука от источника ИШ-9-5 в расчётной точке днём, дБ		**ф-ла(3)[10]**	**0**	**18,8**	**16,7**	**14,5**	**11,6**	**10,5**	**5,8**	**0**	**0**	**14,5**	**14,5**
Расчёт отражённого звука													
Уровни звукового давления от мнимого источника ИШ-9-5_мн.(1) в расчётной точке днём, дБ		**ф-ла(3)[10]**	**0**	**0**	**0**	**0**	**0**	**0**	**0**	**0**	**0**	**0**	**0**
Уровни звукового давления от источника ИШ-9-5 в расчётной точке днём, дБ		**ф-ла(3)[10]**	**0**	**18,8**	**16,7**	**14,5**	**11,6**	**10,5**	**5,8**	**0**	**0**	**14,5**	**14,5**

1		2	3	4	5	6	7	8	9	10	11	12	13
Источник шума: ИШ-9-6, координаты источника (x,y,z), м =[647.87,-343.47,1.00]													
Уровни звуковой мощности источника днём, Lw, дБ		**исходные данные**	**0**	**93,3**	**94,7**	**96**	**96,3**	**95,9**	**92,6**	**88,4**	**83,9**		
Поправка на телесный угол DΩ, дБ	Ω = 6.28	10Lg(4π/Ω)	**3**	3	3	3	3	3	3	3	3		
Показатель направленности источника Di, дБ		исходные данные	**0**	0	0	0	0	0	0	0	0		
Поправка на направленность источника Dc, дБ	Dc	DΩ + Di	**3**	3	3	3	3	3	3	3	3		
Затухание из-за геометрической дивергенции, Adiv, дБ	расстояние = 341.42 м	ф-ла (7) [10]	**61,7**										
Коэффициент затухания звука в атмосфере α, дБ/км	Ta=20,°C Pa=101.33,кПа hотн.=70%	ф-ла (5) [9]	0,02	0,09	0,33	1,12	2,79	4,98	9,04	23,09	77,63		
Учет затухания звука в атмосфере Aatm, дБ		ф-ла (8) [10]	0	0	0,1	0,4	1	1,7	3,1	7,9	26,5		
Снижение уровня звукового давления из-за влияния застройки между источником шума и расчетной точкой													
Снижение уровня звукового давления на пути над экраном, Dz1, дБ	z = 4.42м (разность путей)	ф-лы (14-18) [10]	13,9	18,1	22	25,3	28,4	31,4	34,4	37,4	40,4		
Снижение уровня звукового давления на пути слева от экрана, Dz2, дБ	z = 11.38м (разность путей)	ф-лы (14-18) [10]	20,4	23,9	27	30	33	36	39	42,1	45,1		
Снижение уровня звукового давления на пути справа от экрана, Dz3, дБ	z = 18.35м (разность путей)	ф-лы (14-18) [10]	18,5	21,4	24,4	27,3	30,3	33,3	36,4	39,4	42,4		
Общее снижение уровня звука препятствием Dz, дБ		Эн.сумма(-Dzi)	12	15,7	19,2	22,4	25,4	28,4	31,4	34,4	37,5		
Общее снижение уровня звука препятствием с учётом ограничения (25 дБ) для октавных полос Dz, дБ		Раздел 7.4 [10]	12	15,7	19,2	22,4	25	25	25	25	25		
Уровни звукового давления прямого звука от источника ИШ-9-6 в расчётной точке днём, дБ		**ф-ла(3)[10]**	**0**	**18,9**	**16,7**	**14,6**	**11,7**	**10,5**	**5,8**	**0**	**0**	**14,6**	**14,6**
Расчёт отражённого звука													

1		2	3	4	5	6	7	8	9	10	11	12	13
Уровни звукового давления от мнимого источника ИШ-9-6_мн.(1) в расчётной точке днём, дБ		**ф-ла(3)[10]**	**0**	**0**	**0**	**0**	**0**	**0**	**0**	**0**	**0**	**0**	**0**
Уровни звукового давления от источника ИШ-9-6 в расчётной точке днём, дБ		**ф-ла(3)[10]**	**0**	**18,9**	**16,7**	**14,6**	**11,7**	**10,5**	**5,8**	**0**	**0**	**14,6**	**14,6**
Источник шума: ИШ-9-7, координаты источника (x,y,z), м =[648.71,-340.49,1.00]													
Уровни звуковой мощности источника днём, Lw, дБ		**исходные данные**	**0**	**93,3**	**94,7**	**96**	**96,3**	**95,9**	**92,6**	**88,4**	**83,9**		
Поправка на телесный угол DΩ, дБ	Ω = 6.28	10Lg(4π/Ω)	**3**	3	3	3	3	3	3	3	3		
Показатель направленности источника Di, дБ		исходные данные	**0**	0	0	0	0	0	0	0	0		
Поправка на направленность источника Dc, дБ	Dc	DΩ + Di	**3**	3	3	3	3	3	3	3	3		
Затухание из-за геометрической дивергенции, Adiv, дБ	расстояние = 338.79 м	ф-ла (7) [10]	**61,6**										
Коэффициент затухания звука в атмосфере α, дБ/км	Ta=20,°C Pa=101.33,кПа hотн.=70%	ф-ла (5) [9]	0,02	0,09	0,33	1,12	2,79	4,98	9,04	23,09	77,63		
Учет затухания звука в атмосфере Aatm, дБ		ф-ла (8) [10]	0	0	0,1	0,4	0,9	1,7	3,1	7,8	26,3		
Снижение уровня звукового давления из-за влияния застройки между источником шума и расчетной точкой													
Снижение уровня звукового давления на пути над экраном, Dz1, дБ	z = 4.42м (разность путей)	ф-лы (14-18) [10]	13,9	18,1	22	25,3	28,4	31,4	34,4	37,4	40,4		
Снижение уровня звукового давления на пути слева от экрана, Dz2, дБ	z = 11.64м (разность путей)	ф-лы (14-18) [10]	20,5	24	27,1	30,1	33,1	36,1	39,1	42,2	45,2		
Снижение уровня звукового давления на пути справа от экрана, Dz3, дБ	z = 18.19м (разность путей)	ф-лы (14-18) [10]	18,5	21,4	24,3	27,3	30,3	33,3	36,3	39,3	42,3		
Общее снижение уровня звука препятствием Dz, дБ		Эн.сумма(-Dzi)	12	15,7	19,2	22,4	25,4	28,4	31,4	34,4	37,5		
Общее снижение уровня звука препятствием с учётом ограничения (25 дБ) для октавных полос Dz, дБ		Раздел 7.4 [10]	12	15,7	19,2	22,4	25	25	25	25	25		

1		2	3	4	5	6	7	8	9	10	11	12	13
Уровни звукового давления прямого звука от источника ИШ-9-7 в расчётной точке днём, дБ		**ф-ла(3)[10]**	**0**	**18,9**	**16,8**	**14,6**	**11,7**	**10,6**	**5,9**	**0**	**0**	**14,7**	**14,7**
Расчёт отражённого звука													
Уровни звукового давления от мнимого источника ИШ-9-7_мн.(1) в расчётной точке днём, дБ		**ф-ла(3)[10]**	**0**	**0**	**0**	**0**	**0**	**0**	**0**	**0**	**0**	**0**	**0**
Уровни звукового давления от источника ИШ-9-7 в расчётной точке днём, дБ		**ф-ла(3)[10]**	**0**	**18,9**	**16,8**	**14,6**	**11,7**	**10,6**	**5,9**	**0**	**0**	**14,7**	**14,7**
Источник шума: ИШ-9-8, координаты источника (x,y,z), м =[649.92,-337.69,1.00]													
Уровни звуковой мощности источника днём, Lw, дБ		**исходные данные**	**0**	**93,3**	**94,7**	**96**	**96,3**	**95,9**	**92,6**	**88,4**	**83,9**		
Поправка на телесный угол DΩ, дБ	Ω = 6.28	10Lg(4π/Ω)	**3**	3	3	3	3	3	3	3	3		
Показатель направленности источника Di, дБ		исходные данные	**0**	0	0	0	0	0	0	0	0		
Поправка на направленность источника Dc, дБ	Dc	DΩ + Di	**3**	3	3	3	3	3	3	3	3		
Затухание из-за геометрической дивергенции, Adiv, дБ	расстояние = 336.44 м	ф-ла (7) [10]	**61,5**										
Коэффициент затухания звука в атмосфере α, дБ/км	Ta=20,°C Pa=101.33,кПа hотн.=70%	ф-ла (5) [9]	0,02	0,09	0,33	1,12	2,79	4,98	9,04	23,09	77,63		
Учет затухания звука в атмосфере Aatm, дБ		ф-ла (8) [10]	0	0	0,1	0,4	0,9	1,7	3	7,8	26,1		
Снижение уровня звукового давления из-за влияния застройки между источником шума и расчетной точкой													
Снижение уровня звукового давления на пути над экраном, Dz1, дБ	z = 4.41м (разность путей)	ф-лы (14-18) [10]	13,9	18,1	22	25,3	28,4	31,4	34,4	37,4	40,4		
Снижение уровня звукового давления на пути слева от экрана, Dz2, дБ	z = 11.95м (разность путей)	ф-лы (14-18) [10]	20,6	24,1	27,2	30,2	33,2	36,3	39,3	42,3	45,3		
Снижение уровня звукового давления на пути справа от экрана, Dz3, дБ	z = 18.01м (разность путей)	ф-лы (14-18) [10]	18,4	21,4	24,3	27,3	30,3	33,3	36,3	39,3	42,3		

1		2	3	4	5	6	7	8	9	10	11	12	13
Общее снижение уровня звука препятствием Dz, дБ		Эн.сумма(-Dzi)	12	15,8	19,2	22,4	25,4	28,4	31,4	34,5	37,5		
Общее снижение уровня звука препятствием с учётом ограничения (25 дБ) для октавных полос Dz, дБ		Раздел 7.4 [10]	12	15,8	19,2	22,4	25	25	25	25	25		
Уровни звукового давления прямого звука от источника ИШ-9-8 в расчётной точке днём, дБ		**ф-ла(3)[10]**	**0**	**19**	**16,8**	**14,7**	**11,8**	**10,7**	**6**	**0**	**0**	**14,7**	**14,7**
Расчёт отражённого звука													
Уровни звукового давления от мнимого источника ИШ-9-8_мн.(1) в расчётной точке днём, дБ		**ф-ла(3)[10]**	**0**	**0**	**0**	**0**	**0**	**0**	**0**	**0**	**0**	**0**	**0**
Уровни звукового давления от источника ИШ-9-8 в расчётной точке днём, дБ		**ф-ла(3)[10]**	**0**	**19**	**16,8**	**14,7**	**11,8**	**10,7**	**6**	**0**	**0**	**14,7**	**14,7**
Источник шума: ИШ-9-9, координаты источника (x,y,z), м =[650.66,-334.90,1.00]													
Уровни звуковой мощности источника днём, Lw, дБ		**исходные данные**	**0**	**93,3**	**94,7**	**96**	**96,3**	**95,9**	**92,6**	**88,4**	**83,9**		
Поправка на телесный угол DΩ, дБ	Ω = 6.28	10Lg(4π/Ω)	**3**	3	3	3	3	3	3	3	3		
Показатель направленности источника Di, дБ		исходные данные	**0**	0	0	0	0	0	0	0	0		
Поправка на направленность источника Dc, дБ	Dc	DΩ + Di	**3**	3	3	3	3	3	3	3	3		
Затухание из-за геометрической дивергенции, Adiv, дБ	расстояние = 333.98 м	ф-ла (7) [10]	**61,5**										
Коэффициент затухания звука в атмосфере α, дБ/км	Ta=20,°C Pa=101.33,кПа hотн.=70%	ф-ла (5) [9]	0,02	0,09	0,33	1,12	2,79	4,98	9,04	23,09	77,63		
Учет затухания звука в атмосфере Aatm, дБ		ф-ла (8) [10]	0	0	0,1	0,4	0,9	1,7	3	7,7	25,9		
Снижение уровня звукового давления из-за влияния застройки между источником шума и расчетной точкой													
Снижение уровня звукового давления на пути над экраном, Dz1, дБ	z = 4.41м (разность путей)	ф-лы (14-18) [10]	14	18,2	22	25,3	28,4	31,4	34,4	37,4	40,4		

1		2	3	4	5	6	7	8	9	10	11	12	13
Снижение уровня звукового давления на пути слева от экрана, Dz2, дБ	z = 12.21м (разность путей)	ф-лы (14-18) [10]	20,7	24,2	27,3	30,3	33,3	36,3	39,4	42,4	45,4		
Снижение уровня звукового давления на пути справа от экрана, Dz3, дБ	z = 17.86м (разность путей)	ф-лы (14-18) [10]	18,4	21,3	24,2	27,2	30,2	33,2	36,2	39,2	42,3		
Общее снижение уровня звука препятствием Dz, дБ		Эн.сумма(-Dzi)	12	15,8	19,2	22,4	25,4	28,4	31,4	34,5	37,5		
Общее снижение уровня звука препятствием с учётом ограничения (25 дБ) для октавных полос Dz, дБ		Раздел 7.4 [10]	12	15,8	19,2	22,4	25	25	25	25	25		
Уровни звукового давления от источника ИШ-9-9 в расчётной точке днём, дБ		**ф-ла(3)[10]**	**0**	**19**	**16,9**	**14,8**	**11,9**	**10,8**	**6,1**	**0**	**0**	**14,8**	**14,8**
Источник шума: ИШ-9-10, координаты источника (x,y,z), м =[651.59,-332.01,1.00]													
Уровни звуковой мощности источника днём, Lw, дБ		**исходные данные**	**0**	**93,3**	**94,7**	**96**	**96,3**	**95,9**	**92,6**	**88,4**	**83,9**		
Поправка на телесный угол DΩ, дБ	Ω = 6.28	10Lg(4π/Ω)	**3**	3	3	3	3	3	3	3	3		
Показатель направленности источника Di, дБ		исходные данные	**0**	0	0	0	0	0	0	0	0		
Поправка на направленность источника Dc, дБ	Dc	DΩ + Di	**3**	3	3	3	3	3	3	3	3		
Затухание из-за геометрической дивергенции, Adiv, дБ	расстояние = 331.48 м	ф-ла (7) [10]	**61,4**										
Коэффициент затухания звука в атмосфере α, дБ/км	Ta=20,°C Pa=101.33,кПа hотн.=70%	ф-ла (5) [9]	0,02	0,09	0,33	1,12	2,79	4,98	9,04	23,09	77,63		
Учет затухания звука в атмосфере Aatm, дБ		ф-ла (8) [10]	0	0	0,1	0,4	0,9	1,7	3	7,7	25,7		
Снижение уровня звукового давления из-за влияния застройки между источником шума и расчетной точкой													
Снижение уровня звукового давления на пути над экраном, Dz1, дБ	z = 4.41м (разность путей)	ф-лы (14-18) [10]	14	18,2	22	25,3	28,4	31,4	34,4	37,4	40,4		
Снижение уровня звукового давления на пути слева от экрана, Dz2, дБ	z = 12.52м (разность путей)	ф-лы (14-18) [10]	20,8	24,3	27,4	30,4	33,4	36,5	39,5	42,5	45,5		

1		2	3	4	5	6	7	8	9	10	11	12	13
Снижение уровня звукового давления на пути справа от экрана, Dz3, дБ	z = 17.70м (разность путей)	ф-лы (14-18) [10]	18,4	21,3	24,2	27,2	30,2	33,2	36,2	39,2	42,2		
Общее снижение уровня звука препятствием Dz, дБ		Эн.сумма(-Dzi)	12	15,8	19,2	22,4	25,4	28,4	31,5	34,5	37,5		
Общее снижение уровня звука препятствием с учётом ограничения (25 дБ) для октавных полос Dz, дБ		Раздел 7.4 [10]	12	15,8	19,2	22,4	25	25	25	25	25		
Уровни звукового давления от источника ИШ-9-10 в расчётной точке днём, дБ		**ф-ла(3)[10]**	**0**	**19,1**	**17**	**14,8**	**12**	**10,8**	**6,2**	**0**	**0**	**14,9**	**14,9**
Источник шума: ИШ-9-11, координаты источника (x,y,z), м =[652.71,-329.22,1.00]													
Уровни звуковой мощности источника днём, Lw, дБ		**исходные данные**	**0**	**93,3**	**94,7**	**96**	**96,3**	**95,9**	**92,6**	**88,4**	**83,9**		
Поправка на телесный угол DΩ, дБ	Ω = 6.28	10Lg(4π/Ω)	**3**	3	3	3	3	3	3	3	3		
Показатель направленности источника Di, дБ		исходные данные	**0**	0	0	0	0	0	0	0	0		
Поправка на направленность источника Dc, дБ	Dc	DΩ + Di	**3**	3	3	3	3	3	3	3	3		
Затухание из-за геометрической дивергенции, Adiv, дБ	расстояние = 329.14 м	ф-ла (7) [10]	**61,3**										
Коэффициент затухания звука в атмосфере α, дБ/км	Ta=20,°C Pa=101.33,кПа hотн.=70%	ф-ла (5) [9]	0,02	0,09	0,33	1,12	2,79	4,98	9,04	23,09	77,63		
Учет затухания звука в атмосфере Aatm, дБ		ф-ла (8) [10]	0	0	0,1	0,4	0,9	1,6	3	7,6	25,6		
Снижение уровня звукового давления из-за влияния застройки между источником шума и расчетной точкой													
Снижение уровня звукового давления на пути над экраном, Dz1, дБ	z = 4.40м (разность путей)	ф-лы (14-18) [10]	14	18,2	22	25,3	28,4	31,4	34,4	37,4	40,4		
Снижение уровня звукового давления на пути слева от экрана, Dz2, дБ	z = 12.88м (разность путей)	ф-лы (14-18) [10]	20,9	24,4	27,5	30,6	33,6	36,6	39,6	42,6	45,6		
Снижение уровня звукового давления на пути справа от экрана, Dz3, дБ	z = 17.51м (разность путей)	ф-лы (14-18) [10]	18,3	21,2	24,2	27,1	30,1	33,1	36,2	39,2	42,2		

1		2	3	4	5	6	7	8	9	10	11	12	13
Общее снижение уровня звука препятствием Dz, дБ		Эн.сумма(-Dzi)	12	15,8	19,2	22,4	25,4	28,4	31,5	34,5	37,5		
Общее снижение уровня звука препятствием с учётом ограничения (25 дБ) для октавных полос Dz, дБ		Раздел 7.4 [10]	12	15,8	19,2	22,4	25	25	25	25	25		
Уровни звукового давления от источника ИШ-9-11 в расчётной точке днём, дБ		**ф-ла(3)[10]**	**0**	**19,1**	**17**	**14,9**	**12**	**10,9**	**6,3**	**0**	**0**	**14,9**	**14,9**
Источник шума: ИШ-9-12, координаты источника (x,y,z), м =[653.46,-326.33,1.00]													
Уровни звуковой мощности источника днём, Lw, дБ		**исходные данные**	**0**	**93,3**	**94,7**	**96**	**96,3**	**95,9**	**92,6**	**88,4**	**83,9**		
Поправка на телесный угол DΩ, дБ	Ω = 6.28	10Lg(4π/Ω)	**3**	3	3	3	3	3	3	3	3		
Показатель направленности источника Di, дБ		исходные данные	**0**	0	0	0	0	0	0	0	0		
Поправка на направленность источника Dc, дБ	Dc	DΩ + Di	**3**	3	3	3	3	3	3	3	3		
Затухание из-за геометрической дивергенции, Adiv, дБ	расстояние = 326.60 м	ф-ла (7) [10]	**61,3**										
Коэффициент затухания звука в атмосфере α, дБ/км	Ta=20,°C Pa=101.33,кПа hотн.=70%	ф-ла (5) [9]	0,02	0,09	0,33	1,12	2,79	4,98	9,04	23,09	77,63		
Учет затухания звука в атмосфере Aatm, дБ		ф-ла (8) [10]	0	0	0,1	0,4	0,9	1,6	3	7,5	25,4		
Снижение уровня звукового давления из-за влияния застройки между источником шума и расчетной точкой													
Снижение уровня звукового давления на пути над экраном, Dz1, дБ	z = 4.40м (разность путей)	ф-лы (14-18) [10]	14	18,2	22	25,3	28,4	31,4	34,4	37,4	40,4		
Снижение уровня звукового давления на пути слева от экрана, Dz2, дБ	z = 13.19м (разность путей)	ф-лы (14-18) [10]	21	24,5	27,6	30,7	33,7	36,7	39,7	42,7	45,7		
Снижение уровня звукового давления на пути справа от экрана, Dz3, дБ	z = 17.36м (разность путей)	ф-лы (14-18) [10]	18,3	21,2	24,1	27,1	30,1	33,1	36,1	39,1	42,1		
Общее снижение уровня звука препятствием Dz, дБ		Эн.сумма(-Dzi)	12	15,8	19,2	22,4	25,4	28,5	31,5	34,5	37,5		

1		2	3	4	5	6	7	8	9	10	11	12	13
Общее снижение уровня звука препятствием с учётом ограничения (25 дБ) для октавных полос Dz, дБ		Раздел 7.4 [10]	12	15,8	19,2	22,4	25	25	25	25	25		
Уровни звукового давления от источника ИШ-9-12 в расчётной точке днём, дБ		**ф-ла(3)[10]**	**0**	**19,2**	**17,1**	**15**	**12,1**	**11**	**6,4**	**0**	**0**	**15**	**15**
Источник шума: ИШ-9-13, координаты источника (x,y,z), м =[654.48,-323.54,1.00]													
Уровни звуковой мощности источника днём, Lw, дБ		**исходные данные**	**0**	**93,3**	**94,7**	**96**	**96,3**	**95,9**	**92,6**	**88,4**	**83,9**		
Поправка на телесный угол DΩ, дБ	Ω = 6.28	10Lg(4π/Ω)	**3**	3	3	3	3	3	3	3	3		
Показатель направленности источника Di, дБ		исходные данные	**0**	0	0	0	0	0	0	0	0		
Поправка на направленность источника Dc, дБ	Dc	DΩ + Di	**3**	3	3	3	3	3	3	3	3		
Затухание из-за геометрической дивергенции, Adiv, дБ	расстояние = 324.25 м	ф-ла (7) [10]	**61,2**										
Коэффициент затухания звука в атмосфере α, дБ/км	Ta=20,°C Pa=101.33,кПа hотн.=70%	ф-ла (5) [9]	0,02	0,09	0,33	1,12	2,79	4,98	9,04	23,09	77,63		
Учет затухания звука в атмосфере Aatm, дБ		ф-ла (8) [10]	0	0	0,1	0,4	0,9	1,6	2,9	7,5	25,2		
Снижение уровня звукового давления из-за влияния застройки между источником шума и расчетной точкой													
Снижение уровня звукового давления на пути над экраном, Dz1, дБ	z = 4.40м (разность путей)	ф-лы (14-18) [10]	14	18,2	22	25,3	28,4	31,4	34,4	37,4	40,4		
Снижение уровня звукового давления на пути слева от экрана, Dz2, дБ	z = 13.57м (разность путей)	ф-лы (14-18) [10]	21,1	24,6	27,7	30,8	33,8	36,8	39,8	42,8	45,8		
Снижение уровня звукового давления на пути справа от экрана, Dz3, дБ	z = 17.18м (разность путей)	ф-лы (14-18) [10]	18,2	21,2	24,1	27,1	30,1	33,1	36,1	39,1	42,1		
Общее снижение уровня звука препятствием Dz, дБ		Эн.сумма(-Dzi)	12	15,8	19,2	22,4	25,4	28,5	31,5	34,5	37,5		
Общее снижение уровня звука препятствием с учётом ограничения (25 дБ) для октавных полос Dz, дБ		Раздел 7.4 [10]	12	15,8	19,2	22,4	25	25	25	25	25		

1		2	3	4	5	6	7	8	9	10	11	12	13
Уровни звукового давления от источника ИШ-9-13 в расчётной точке днём, дБ		**ф-ла(3)[10]**	**0**	**19,2**	**17,1**	**15**	**12,2**	**11,1**	**6,4**	**0**	**0**	**15,1**	**15,1**
Источник шума: ИШ-9-14, координаты источника (x,y,z), м =[655.60,-320.74,1.00]													
Уровни звуковой мощности источника днём, Lw, дБ		**исходные данные**	**0**	**93,3**	**94,7**	**96**	**96,3**	**95,9**	**92,6**	**88,4**	**83,9**		
Поправка на телесный угол DΩ, дБ	Ω = 6.28	10Lg(4π/Ω)	**3**	3	3	3	3	3	3	3	3		
Показатель направленности источника Di, дБ		исходные данные	**0**	0	0	0	0	0	0	0	0		
Поправка на направленность источника Dc, дБ	Dc	DΩ + Di	**3**	3	3	3	3	3	3	3	3		
Затухание из-за геометрической дивергенции, Adiv, дБ	расстояние = 321.94 м	ф-ла (7) [10]	**61,2**										
Коэффициент затухания звука в атмосфере α, дБ/км	Ta=20,°C Pa=101.33,кПа hотн.=70%	ф-ла (5) [9]	0,02	0,09	0,33	1,12	2,79	4,98	9,04	23,09	77,63		
Учет затухания звука в атмосфере Aatm, дБ		ф-ла (8) [10]	0	0	0,1	0,4	0,9	1,6	2,9	7,4	25		
Снижение уровня звукового давления из-за влияния застройки между источником шума и расчетной точкой													
Снижение уровня звукового давления на пути над экраном, Dz1, дБ	z = 4.39м (разность путей)	ф-лы (14-18) [10]	14	18,2	22	25,3	28,4	31,4	34,4	37,4	40,4		
Снижение уровня звукового давления на пути слева от экрана, Dz2, дБ	z = 13.98м (разность путей)	ф-лы (14-18) [10]	21,3	24,8	27,9	30,9	33,9	36,9	39,9	43	46		
Снижение уровня звукового давления на пути справа от экрана, Dz3, дБ	z = 16.99м (разность путей)	ф-лы (14-18) [10]	18,2	21,1	24	27	30	33	36	39	42		
Общее снижение уровня звука препятствием Dz, дБ		Эн.сумма(-Dzi)	12	15,8	19,2	22,4	25,4	28,5	31,5	34,5	37,5		
Общее снижение уровня звука препятствием с учётом ограничения (25 дБ) для октавных полос Dz, дБ		Раздел 7.4 [10]	12	15,8	19,2	22,4	25	25	25	25	25		
Уровни звукового давления от источника ИШ-9-14 в расчётной точке днём, дБ		**ф-ла(3)[10]**	**0**	**19,3**	**17,2**	**15,1**	**12,2**	**11,1**	**6,5**	**0**	**0**	**15,2**	**15,2**

1		2	3	4	5	6	7	8	9	10	11	12	13
Источник шума: ИШ-9-15, координаты источника (x,y,z), м =[656.44,-317.86,1.00]													
Уровни звуковой мощности источника днём, Lw, дБ		**исходные данные**	**0**	**93,3**	**94,7**	**96**	**96,3**	**95,9**	**92,6**	**88,4**	**83,9**		
Поправка на телесный угол DΩ, дБ	Ω = 6.28	10Lg(4π/Ω)	**3**	3	3	3	3	3	3	3	3		
Показатель направленности источника Di, дБ		исходные данные	**0**	0	0	0	0	0	0	0	0		
Поправка на направленность источника Dc, дБ	Dc	DΩ + Di	**3**	3	3	3	3	3	3	3	3		
Затухание из-за геометрической дивергенции, Adiv, дБ	расстояние = 319.47 м	ф-ла (7) [10]	**61,1**										
Коэффициент затухания звука в атмосфере α, дБ/км	Ta=20,°C Pa=101.33,кПа hотн.=70%	ф-ла (5) [9]	0,02	0,09	0,33	1,12	2,79	4,98	9,04	23,09	77,63		
Учет затухания звука в атмосфере Aatm, дБ		ф-ла (8) [10]	0	0	0,1	0,4	0,9	1,6	2,9	7,4	24,8		
Снижение уровня звукового давления из-за влияния застройки между источником шума и расчетной точкой													
Снижение уровня звукового давления на пути над экраном, Dz1, дБ	z = 4.39м (разность путей)	ф-лы (14-18) [10]	14	18,2	22	25,3	28,4	31,4	34,4	37,4	40,4		
Снижение уровня звукового давления на пути слева от экрана, Dz2, дБ	z = 14.37м (разность путей)	ф-лы (14-18) [10]	21,4	24,9	28	31	34	37,1	40,1	43,1	46,1		
Снижение уровня звукового давления на пути справа от экрана, Dz3, дБ	z = 16.83м (разность путей)	ф-лы (14-18) [10]	18,2	21,1	24	27	30	33	36	39	42		
Общее снижение уровня звука препятствием Dz, дБ		Эн.сумма(-Dzi)	12,1	15,8	19,2	22,4	25,4	28,5	31,5	34,5	37,5		
Общее снижение уровня звука препятствием с учётом ограничения (25 дБ) для октавных полос Dz, дБ		Раздел 7.4 [10]	12,1	15,8	19,2	22,4	25	25	25	25	25		
Уровни звукового давления от источника ИШ-9-15 в расчётной точке днём, дБ		**ф-ла(3)[10]**	**0**	**19,4**	**17,3**	**15,1**	**12,3**	**11,2**	**6,6**	**0**	**0**	**15,2**	**15,2**
Источник шума: ИШ-9-16, координаты источника (x,y,z), м =[657.46,-314.97,1.00]													

1		2	3	4	5	6	7	8	9	10	11	12	13
Уровни звуковой мощности источника днём, Lw, дБ		**исходные данные**	**0**	**93,3**	**94,7**	**96**	**96,3**	**95,9**	**92,6**	**88,4**	**83,9**		
Поправка на телесный угол DΩ, дБ	Ω = 6.28	10Lg(4π/Ω)	**3**	3	3	3	3	3	3	3	3		
Показатель направленности источника Di, дБ		исходные данные	**0**	0	0	0	0	0	0	0	0		
Поправка на направленность источника Dc, дБ	Dc	DΩ + Di	**3**	3	3	3	3	3	3	3	3		
Затухание из-за геометрической дивергенции, Adiv, дБ	расстояние = 317.06 м	ф-ла (7) [10]	**61**										
Коэффициент затухания звука в атмосфере α, дБ/км	Ta=20,°C Pa=101.33,кПа hотн.=70%	ф-ла (5) [9]	0,02	0,09	0,33	1,12	2,79	4,98	9,04	23,09	77,63		
Учет затухания звука в атмосфере Aatm, дБ		ф-ла (8) [10]	0	0	0,1	0,4	0,9	1,6	2,9	7,3	24,6		
Снижение уровня звукового давления из-за влияния застройки между источником шума и расчетной точкой													
Снижение уровня звукового давления на пути над экраном, Dz1, дБ	z = 4.39м (разность путей)	ф-лы (14-18) [10]	14	18,2	22	25,3	28,4	31,4	34,4	37,4	40,4		
Снижение уровня звукового давления на пути слева от экрана, Dz2, дБ	z = 14.81м (разность путей)	ф-лы (14-18) [10]	21,5	25	28,1	31,2	34,2	37,2	40,2	43,2	46,2		
Снижение уровня звукового давления на пути справа от экрана, Dz3, дБ	z = 16.64м (разность путей)	ф-лы (14-18) [10]	18,1	21	23,9	26,9	29,9	32,9	35,9	38,9	41,9		
Общее снижение уровня звука препятствием Dz, дБ		Эн.сумма(-Dzi)	12,1	15,8	19,2	22,4	25,4	28,5	31,5	34,5	37,5		
Общее снижение уровня звука препятствием с учётом ограничения (25 дБ) для октавных полос Dz, дБ		Раздел 7.4 [10]	12,1	15,8	19,2	22,4	25	25	25	25	25		
Уровни звукового давления от источника ИШ-9-16 в расчётной точке днём, дБ		**ф-ла(3)[10]**	**0**	**19,4**	**17,3**	**15,2**	**12,4**	**11,3**	**6,7**	**0**	**0**	**15,3**	**15,3**
Источник шума: ИШ-9-17, координаты источника (x,y,z), м =[658.49,-312.18,1.00]													
Уровни звуковой мощности источника днём, Lw, дБ		**исходные данные**	**0**	**93,3**	**94,7**	**96**	**96,3**	**95,9**	**92,6**	**88,4**	**83,9**		

1		2	3	4	5	6	7	8	9	10	11	12	13
Поправка на телесный угол DΩ, дБ	Ω = 6.28	10Lg(4π/Ω)	**3**	3	3	3	3	3	3	3	3		
Показатель направленности источника Di, дБ		исходные данные	**0**	0	0	0	0	0	0	0	0		
Поправка на направленность источника Dc, дБ	Dc	DΩ + Di	**3**	3	3	3	3	3	3	3	3		
Затухание из-за геометрической дивергенции, Adiv, дБ	расстояние = 314.75 м	ф-ла (7) [10]	**61**										
Коэффициент затухания звука в атмосфере α, дБ/км	Ta=20,°C Pa=101.33,кПа hотн.=70%	ф-ла (5) [9]	0,02	0,09	0,33	1,12	2,79	4,98	9,04	23,09	77,63		
Учет затухания звука в атмосфере Aatm, дБ		ф-ла (8) [10]	0	0	0,1	0,4	0,9	1,6	2,8	7,3	24,4		
Снижение уровня звукового давления из-за влияния застройки между источником шума и расчетной точкой													
Снижение уровня звукового давления на пути над экраном, Dz1, дБ	z = 4.38м (разность путей)	ф-лы (14-18) [10]	14	18,2	22	25,3	28,4	31,4	34,4	37,4	40,4		
Снижение уровня звукового давления на пути слева от экрана, Dz2, дБ	z = 15.28м (разность путей)	ф-лы (14-18) [10]	21,6	25,1	28,2	31,3	34,3	37,3	40,3	43,3	46,3		
Снижение уровня звукового давления на пути справа от экрана, Dz3, дБ	z = 16.45м (разность путей)	ф-лы (14-18) [10]	18,1	21	23,9	26,9	29,9	32,9	35,9	38,9	41,9		
Общее снижение уровня звука препятствием Dz, дБ		Эн.сумма(-Dzi)	12,1	15,8	19,2	22,4	25,4	28,5	31,5	34,5	37,5		
Общее снижение уровня звука препятствием с учётом ограничения (25 дБ) для октавных полос Dz, дБ		Раздел 7.4 [10]	12,1	15,8	19,2	22,4	25	25	25	25	25		
Уровни звукового давления от источника ИШ-9-17 в расчётной точке днём, дБ		**ф-ла(3)[10]**	**0**	**19,5**	**17,4**	**15,3**	**12,5**	**11,4**	**6,8**	**0**	**0**	**15,4**	**15,4**
Источник шума: ИШ-9-18, координаты источника (x,y,z), м =[659.42,-309.20,1.00]													
Уровни звуковой мощности источника днём, Lw, дБ		**исходные данные**	**0**	**93,3**	**94,7**	**96**	**96,3**	**95,9**	**92,6**	**88,4**	**83,9**		
Поправка на телесный угол DΩ, дБ	Ω = 6.28	10Lg(4π/Ω)	**3**	3	3	3	3	3	3	3	3		

1		2	3	4	5	6	7	8	9	10	11	12	13
Показатель направленности источника Di, дБ		исходные данные	**0**	0	0	0	0	0	0	0	0		
Поправка на направленность источника Dc, дБ	Dc	DΩ + Di	**3**	3	3	3	3	3	3	3	3		
Затухание из-за геометрической дивергенции, Adiv, дБ	расстояние = 312.25 м	ф-ла (7) [10]	**60,9**										
Коэффициент затухания звука в атмосфере α, дБ/км	Ta=20,°C Pa=101.33,кПа hотн.=70%	ф-ла (5) [9]	0,02	0,09	0,33	1,12	2,79	4,98	9,04	23,09	77,63		
Учет затухания звука в атмосфере Aatm, дБ		ф-ла (8) [10]	0	0	0,1	0,4	0,9	1,6	2,8	7,2	24,2		
Снижение уровня звукового давления из-за влияния застройки между источником шума и расчетной точкой													
Снижение уровня звукового давления на пути над экраном, Dz1, дБ	z = 4.38м (разность путей)	ф-лы (14-18) [10]	14	18,2	22	25,3	28,4	31,4	34,4	37,4	40,4		
Снижение уровня звукового давления на пути слева от экрана, Dz2, дБ	z = 15.76м (разность путей)	ф-лы (14-18) [10]	21,8	25,3	28,4	31,4	34,4	37,5	40,5	43,5	46,5		
Снижение уровня звукового давления на пути справа от экрана, Dz3, дБ	z = 16.26м (разность путей)	ф-лы (14-18) [10]	18	20,9	23,8	26,8	29,8	32,8	35,8	38,8	41,8		
Общее снижение уровня звука препятствием Dz, дБ		Эн.сумма(-Dzi)	12,1	15,8	19,2	22,4	25,4	28,5	31,5	34,5	37,5		
Общее снижение уровня звука препятствием с учётом ограничения (25 дБ) для октавных полос Dz, дБ		Раздел 7.4 [10]	12,1	15,8	19,2	22,4	25	25	25	25	25		
Уровни звукового давления от источника ИШ-9-18 в расчётной точке днём, дБ		**ф-ла(3)[10]**	**0**	**19,5**	**17,4**	**15,3**	**12,5**	**11,4**	**6,9**	**0**	**0**	**15,5**	**15,5**
Источник шума: ИШ-9-19, координаты источника (x,y,z), м =[660.44,-306.50,1.00]													
Уровни звуковой мощности источника днём, Lw, дБ		**исходные данные**	**0**	**93,3**	**94,7**	**96**	**96,3**	**95,9**	**92,6**	**88,4**	**83,9**		
Поправка на телесный угол DΩ, дБ	Ω = 6.28	10Lg(4π/Ω)	**3**	3	3	3	3	3	3	3	3		
Показатель направленности источника Di, дБ		исходные данные	**0**	0	0	0	0	0	0	0	0		

1		2	3	4	5	6	7	8	9	10	11	12	13
Поправка на направленность источника Dc, дБ	Dc	DΩ + Di	**3**	3	3	3	3	3	3	3	3		
Затухание из-за геометрической дивергенции, Adiv, дБ	расстояние = 310.05 м	ф-ла (7) [10]	**60,8**										
Коэффициент затухания звука в атмосфере α, дБ/км	Ta=20,°C Pa=101.33,кПа hотн.=70%	ф-ла (5) [9]	0,02	0,09	0,33	1,12	2,79	4,98	9,04	23,09	77,63		
Учет затухания звука в атмосфере Aatm, дБ		ф-ла (8) [10]	0	0	0,1	0,3	0,9	1,5	2,8	7,2	24,1		
Снижение уровня звукового давления из-за влияния застройки между источником шума и расчетной точкой													
Снижение уровня звукового давления на пути над экраном, Dz1, дБ	z = 4.37м (разность путей)	ф-лы (14-18) [10]	14	18,2	22	25,3	28,4	31,4	34,4	37,4	40,4		
Снижение уровня звукового давления на пути слева от экрана, Dz2, дБ	z = 16.26м (разность путей)	ф-лы (14-18) [10]	21,9	25,4	28,5	31,6	34,6	37,6	40,6	43,6	46,6		
Снижение уровня звукового давления на пути справа от экрана, Dz3, дБ	z = 16.07м (разность путей)	ф-лы (14-18) [10]	18	20,9	23,8	26,8	29,8	32,8	35,8	38,8	41,8		
Общее снижение уровня звука препятствием Dz, дБ		Эн.сумма(-Dzi)	12,1	15,8	19,3	22,4	25,4	28,5	31,5	34,5	37,5		
Общее снижение уровня звука препятствием с учётом ограничения (25 дБ) для октавных полос Dz, дБ		Раздел 7.4 [10]	12,1	15,8	19,3	22,4	25	25	25	25	25		
Уровни звукового давления от источника ИШ-9-19 в расчётной точке днём, дБ		**ф-ла(3)[10]**	**0**	**19,6**	**17,5**	**15,4**	**12,6**	**11,5**	**7**	**0**	**0**	**15,5**	**15,5**
Источник шума: ИШ-9-20, координаты источника (x,y,z), м =[661.28,-303.61,1.00]													
Уровни звуковой мощности источника днём, Lw, дБ		**исходные данные**	**0**	**93,3**	**94,7**	**96**	**96,3**	**95,9**	**92,6**	**88,4**	**83,9**		
Поправка на телесный угол DΩ, дБ	Ω = 6.28	10Lg(4π/Ω)	**3**	3	3	3	3	3	3	3	3		
Показатель направленности источника Di, дБ		исходные данные	**0**	0	0	0	0	0	0	0	0		
Поправка на направленность источника Dc, дБ	Dc	DΩ + Di	**3**	3	3	3	3	3	3	3	3		

1		2	3	4	5	6	7	8	9	10	11	12	13
Затухание из-за геометрической дивергенции, Adiv, дБ	расстояние = 307.62 м	ф-ла (7) [10]	**60,8**										
Коэффициент затухания звука в атмосфере α, дБ/км	Ta=20,°C Pa=101.33,кПа hотн.=70%	ф-ла (5) [9]	0,02	0,09	0,33	1,12	2,79	4,98	9,04	23,09	77,63		
Учет затухания звука в атмосфере Aatm, дБ		ф-ла (8) [10]	0	0	0,1	0,3	0,9	1,5	2,8	7,1	23,9		
Снижение уровня звукового давления из-за влияния застройки между источником шума и расчетной точкой													
Снижение уровня звукового давления на пути над экраном, Dz1, дБ	z = 4.37м (разность путей)	ф-лы (14-18) [10]	14	18,2	22	25,3	28,4	31,4	34,4	37,4	40,4		
Снижение уровня звукового давления на пути слева от экрана, Dz2, дБ	z = 16.77м (разность путей)	ф-лы (14-18) [10]	22	25,5	28,7	31,7	34,7	37,7	40,7	43,7	46,8		
Снижение уровня звукового давления на пути справа от экрана, Dz3, дБ	z = 15.90м (разность путей)	ф-лы (14-18) [10]	17,9	20,8	23,7	26,7	29,7	32,7	35,7	38,7	41,8		
Общее снижение уровня звука препятствием Dz, дБ		Эн.сумма(-Dzi)	12,1	15,8	19,3	22,4	25,4	28,5	31,5	34,5	37,5		
Общее снижение уровня звука препятствием с учётом ограничения (25 дБ) для октавных полос Dz, дБ		Раздел 7.4 [10]	12,1	15,8	19,3	22,4	25	25	25	25	25		
Уровни звукового давления от источника ИШ-9-20 в расчётной точке днём, дБ		**ф-ла(3)[10]**	**0**	**19,7**	**17,6**	**15,5**	**12,7**	**11,6**	**7,1**	**0**	**0**	**15,6**	**15,6**
Источник шума: ИШ-9-21, координаты источника (x,y,z), м =[661.93,-300.72,1.00]													
Уровни звуковой мощности источника днём, Lw, дБ		**исходные данные**	**0**	**93,3**	**94,7**	**96**	**96,3**	**95,9**	**92,6**	**88,4**	**83,9**		
Поправка на телесный угол DΩ, дБ	Ω = 6.28	10Lg(4π/Ω)	**3**	3	3	3	3	3	3	3	3		
Показатель направленности источника Di, дБ		исходные данные	**0**	0	0	0	0	0	0	0	0		
Поправка на направленность источника Dc, дБ	Dc	DΩ + Di	**3**	3	3	3	3	3	3	3	3		
Затухание из-за геометрической дивергенции, Adiv, дБ	расстояние = 305.14 м	ф-ла (7) [10]	**60,7**										

1		2	3	4	5	6	7	8	9	10	11	12	13
Коэффициент затухания звука в атмосфере α, дБ/км	Ta=20,°C Pa=101.33,кПа hотн.=70%	ф-ла (5) [9]	0,02	0,09	0,33	1,12	2,79	4,98	9,04	23,09	77,63		
Учет затухания звука в атмосфере Aatm, дБ		ф-ла (8) [10]	0	0	0,1	0,3	0,9	1,5	2,8	7	23,7		
Снижение уровня звукового давления из-за влияния застройки между источником шума и расчетной точкой													
Снижение уровня звукового давления на пути над экраном, Dz1, дБ	z = 4.37м (разность путей)	ф-лы (14-18) [10]	14,1	18,3	22	25,3	28,4	31,4	34,4	37,4	40,4		
Снижение уровня звукового давления на пути слева от экрана, Dz2, дБ	z = 17.25м (разность путей)	ф-лы (14-18) [10]	22,2	25,7	28,8	31,8	34,8	37,8	40,9	43,9	46,9		
Снижение уровня звукового давления на пути справа от экрана, Dz3, дБ	z = 15.74м (разность путей)	ф-лы (14-18) [10]	17,9	20,8	23,7	26,7	29,7	32,7	35,7	38,7	41,7		
Общее снижение уровня звука препятствием Dz, дБ		Эн.сумма(-Dzi)	12,1	15,8	19,3	22,4	25,4	28,5	31,5	34,5	37,5		
Общее снижение уровня звука препятствием с учётом ограничения (25 дБ) для октавных полос Dz, дБ		Раздел 7.4 [10]	12,1	15,8	19,3	22,4	25	25	25	25	25		
Уровни звукового давления от источника ИШ-9-21 в расчётной точке днём, дБ		**ф-ла(3)[10]**	**0**	**19,7**	**17,6**	**15,6**	**12,8**	**11,7**	**7,1**	**0**	**0**	**15,7**	**15,7**
Источник шума: ИШ-9-22, координаты источника (x,y,z), м =[663.14,-297.83,1.00]													
Уровни звуковой мощности источника днём, Lw, дБ		**исходные данные**	**0**	**93,3**	**94,7**	**96**	**96,3**	**95,9**	**92,6**	**88,4**	**83,9**		
Поправка на телесный угол DΩ, дБ	Ω = 6.28	10Lg(4π/Ω)	**3**	3	3	3	3	3	3	3	3		
Показатель направленности источника Di, дБ		исходные данные	**0**	0	0	0	0	0	0	0	0		
Поправка на направленность источника Dc, дБ	Dc	DΩ + Di	**3**	3	3	3	3	3	3	3	3		
Затухание из-за геометрической дивергенции, Adiv, дБ	расстояние = 302.87 м	ф-ла (7) [10]	**60,6**										
Коэффициент затухания звука в атмосфере α, дБ/км	Ta=20,°C Pa=101.33,кПа hотн.=70%	ф-ла (5) [9]	0,02	0,09	0,33	1,12	2,79	4,98	9,04	23,09	77,63		

1		2	3	4	5	6	7	8	9	10	11	12	13
Учет затухания звука в атмосфере Aatm, дБ		ф-ла (8) [10]	0	0	0,1	0,3	0,8	1,5	2,7	7	23,5		
Снижение уровня звукового давления из-за влияния застройки между источником шума и расчетной точкой													
Снижение уровня звукового давления на пути над экраном, Dz1, дБ	z = 4.36м (разность путей)	ф-лы (14-18) [10]	14,1	18,3	22	25,3	28,4	31,4	34,4	37,4	40,4		
Снижение уровня звукового давления на пути слева от экрана, Dz2, дБ	z = 17.90м (разность путей)	ф-лы (14-18) [10]	22,3	25,8	28,9	32	35	38	41	44	47		
Снижение уровня звукового давления на пути справа от экрана, Dz3, дБ	z = 15.51м (разность путей)	ф-лы (14-18) [10]	17,8	20,7	23,6	26,6	29,6	32,6	35,6	38,6	41,6		
Общее снижение уровня звука препятствием Dz, дБ		Эн.сумма(-Dzi)	12,1	15,8	19,2	22,4	25,4	28,4	31,5	34,5	37,5		
Общее снижение уровня звука препятствием с учётом ограничения (25 дБ) для октавных полос Dz, дБ		Раздел 7.4 [10]	12,1	15,8	19,2	22,4	25	25	25	25	25		
Уровни звукового давления от источника ИШ-9-22 в расчётной точке днём, дБ		**ф-ла(3)[10]**	**0**	**19,8**	**17,7**	**15,6**	**12,8**	**11,8**	**7,2**	**0**	**0**	**15,8**	**15,8**
Источник шума: ИШ-9-23, координаты источника (x,y,z), м =[664.07,-295.13,1.00]													
Уровни звуковой мощности источника днём, Lw, дБ		**исходные данные**	**0**	**93,3**	**94,7**	**96**	**96,3**	**95,9**	**92,6**	**88,4**	**83,9**		
Поправка на телесный угол DΩ, дБ	Ω = 6.28	10Lg(4π/Ω)	**3**	3	3	3	3	3	3	3	3		
Показатель направленности источника Di, дБ		исходные данные	**0**	0	0	0	0	0	0	0	0		
Поправка на направленность источника Dc, дБ	Dc	DΩ + Di	**3**	3	3	3	3	3	3	3	3		
Затухание из-за геометрической дивергенции, Adiv, дБ	расстояние = 300.68 м	ф-ла (7) [10]	**60,6**										
Коэффициент затухания звука в атмосфере α, дБ/км	Ta=20,°C Pa=101.33,кПа hотн.=70%	ф-ла (5) [9]	0,02	0,09	0,33	1,12	2,79	4,98	9,04	23,09	77,63		
Учет затухания звука в атмосфере Aatm, дБ		ф-ла (8) [10]	0	0	0,1	0,3	0,8	1,5	2,7	6,9	23,3		

1		2	3	4	5	6	7	8	9	10	11	12	13
Снижение уровня звукового давления из-за влияния застройки между источником шума и расчетной точкой													
Снижение уровня звукового давления на пути над экраном, Dz1, дБ	z = 4.36м (разность путей)	ф-лы (14-18) [10]	14,1	18,3	22	25,3	28,4	31,4	34,4	37,4	40,4		
Снижение уровня звукового давления на пути слева от экрана, Dz2, дБ	z = 18.48м (разность путей)	ф-лы (14-18) [10]	22,5	26	29,1	32,1	35,1	38,1	41,2	44,2	47,2		
Снижение уровня звукового давления на пути справа от экрана, Dz3, дБ	z = 15.33м (разность путей)	ф-лы (14-18) [10]	17,8	20,7	23,6	26,6	29,6	32,6	35,6	38,6	41,6		
Общее снижение уровня звука препятствием Dz, дБ		Эн.сумма(-Dzi)	12,1	15,9	19,2	22,4	25,4	28,4	31,5	34,5	37,5		
Общее снижение уровня звука препятствием с учётом ограничения (25 дБ) для октавных полос Dz, дБ		Раздел 7.4 [10]	12,1	15,9	19,2	22,4	25	25	25	25	25		
Уровни звукового давления от источника ИШ-9-23 в расчётной точке днём, дБ		**ф-ла(3)[10]**	**0**	**19,9**	**17,8**	**15,7**	**12,9**	**11,8**	**7,3**	**0**	**0**	**15,9**	**15,9**
Источник шума: ИШ-9-24, координаты источника (x,y,z), м =[665.19,-292.34,1.00]													
Уровни звуковой мощности источника днём, Lw, дБ		**исходные данные**	**0**	**93,3**	**94,7**	**96**	**96,3**	**95,9**	**92,6**	**88,4**	**83,9**		
Поправка на телесный угол DΩ, дБ	Ω = 6.28	10Lg(4π/Ω)	**3**	3	3	3	3	3	3	3	3		
Показатель направленности источника Di, дБ		исходные данные	**0**	0	0	0	0	0	0	0	0		
Поправка на направленность источника Dc, дБ	Dc	DΩ + Di	**3**	3	3	3	3	3	3	3	3		
Затухание из-за геометрической дивергенции, Adiv, дБ	расстояние = 298.49 м	ф-ла (7) [10]	**60,5**										
Коэффициент затухания звука в атмосфере α, дБ/км	Ta=20,°C Pa=101.33,кПа hотн.=70%	ф-ла (5) [9]	0,02	0,09	0,33	1,12	2,79	4,98	9,04	23,09	77,63		
Учет затухания звука в атмосфере Aatm, дБ		ф-ла (8) [10]	0	0	0,1	0,3	0,8	1,5	2,7	6,9	23,2		
Снижение уровня звукового давления из-за влияния застройки между источником шума и расчетной точкой													

1		2	3	4	5	6	7	8	9	10	11	12	13
Снижение уровня звукового давления на пути над экраном, Dz1, дБ	z = 4.35м (разность путей)	ф-лы (14-18) [10]	14,1	18,3	22	25,3	28,4	31,4	34,4	37,4	40,4		
Снижение уровня звукового давления на пути слева от экрана, Dz2, дБ	z = 20.96м (разность путей)	ф-лы (14-18) [10]	20,3	24,7	28,9	32,5	35,6	38,7	41,7	44,7	47,7		
Снижение уровня звукового давления на пути справа от экрана, Dz3, дБ	z = 15.11м (разность путей)	ф-лы (14-18) [10]	17,7	20,6	23,5	26,5	29,5	32,5	35,5	38,5	41,5		
Общее снижение уровня звука препятствием Dz, дБ		Эн.сумма(-Dzi)	11,8	15,7	19,2	22,4	25,5	28,5	31,5	34,5	37,5		
Общее снижение уровня звука препятствием с учётом ограничения (25 дБ) для октавных полос Dz, дБ		Раздел 7.4 [10]	11,8	15,7	19,2	22,4	25	25	25	25	25		
Уровни звукового давления от источника ИШ-9-24 в расчётной точке днём, дБ		**ф-ла(3)[10]**	**0**	**20,1**	**17,9**	**15,8**	**13**	**11,9**	**7,4**	**0**	**0**	**15,9**	**15,9**
Источник шума: ИШ-9-25, координаты источника (x,y,z), м =[683.46,-239.16,1.00]													
Уровни звуковой мощности источника днём, Lw, дБ		**исходные данные**	**77**	**75**	**67**	**66**	**63**	**55**	**53**	**48**	**51**		
Поправка на телесный угол DΩ, дБ	Ω = 6.28	10Lg(4π/Ω)	**3**	3	3	3	3	3	3	3	3		
Показатель направленности источника Di, дБ		исходные данные	**0**	0	0	0	0	0	0	0	0		
Поправка на направленность источника Dc, дБ	Dc	DΩ + Di	**3**	3	3	3	3	3	3	3	3		
Затухание из-за геометрической дивергенции, Adiv, дБ	расстояние = 258.40 м	ф-ла (7) [10]	**59,2**										
Коэффициент затухания звука в атмосфере α, дБ/км	Ta=20,°C Pa=101.33,кПа hотн.=70%	ф-ла (5) [9]	0,02	0,09	0,33	1,12	2,79	4,98	9,04	23,09	77,63		
Учет затухания звука в атмосфере Aatm, дБ		ф-ла (8) [10]	0	0	0,1	0,3	0,7	1,3	2,3	6	20,1		
Снижение уровня звукового давления из-за влияния застройки между источником шума и расчетной точкой													
Снижение уровня звукового давления на пути над экраном, Dz1, дБ	z = 4.21м (разность путей)	ф-лы (14-18) [10]	13,8	18	21,8	25,2	28,3	31,3	34,3	37,3	40,3		

1		2	3	4	5	6	7	8	9	10	11	12	13
Снижение уровня звукового давления на пути слева от экрана, Dz2, дБ	z = 26.68м (разность путей)	ф-лы (14-18) [10]	21,3	25,8	30	33,5	36,7	39,7	42,7	45,8	48,8		
Снижение уровня звукового давления на пути справа от экрана, Dz3, дБ	z = 10.94м (разность путей)	ф-лы (14-18) [10]	16,4	19,2	22,1	25,1	28,1	31,1	34,1	37,1	40,1		
Общее снижение уровня звука препятствием Dz, дБ		Эн.сумма(-Dzi)	11,4	15,2	18,7	21,8	24,9	27,9	30,9	33,9	36,9		
Общее снижение уровня звука препятствием с учётом ограничения (25 дБ) для октавных полос Dz, дБ		Раздел 7.4 [10]	11,4	15,2	18,7	21,8	24,9	25	25	25	25		
Уровни звукового давления от источника ИШ-9-25 в расчётной точке днём, дБ		**ф-ла(3)[10]**	**9,3**	**3,6**	**0**	**0**	**0**	**0**	**0**	**0**	**0**	**0**	**0**
Источник шума: ИШ-9-26, координаты источника (x,y,z), м =[680.09,-249.52,1.00]													
Уровни звуковой мощности источника днём, Lw, дБ		**исходные данные**	**77**	**75**	**67**	**66**	**63**	**55**	**53**	**48**	**51**		
Поправка на телесный угол DΩ, дБ	Ω = 6.28	10Lg(4π/Ω)	**3**	3	3	3	3	3	3	3	3		
Показатель направленности источника Di, дБ		исходные данные	**0**	0	0	0	0	0	0	0	0		
Поправка на направленность источника Dc, дБ	Dc	DΩ + Di	**3**	3	3	3	3	3	3	3	3		
Затухание из-за геометрической дивергенции, Adiv, дБ	расстояние = 265.84 м	ф-ла (7) [10]	**59,5**										
Коэффициент затухания звука в атмосфере α, дБ/км	Ta=20,°C Pa=101.33,кПа hотн.=70%	ф-ла (5) [9]	0,02	0,09	0,33	1,12	2,79	4,98	9,04	23,09	77,63		
Учет затухания звука в атмосфере Aatm, дБ		ф-ла (8) [10]	0	0	0,1	0,3	0,7	1,3	2,4	6,1	20,6		
Снижение уровня звукового давления из-за влияния застройки между источником шума и расчетной точкой													
Снижение уровня звукового давления на пути над экраном, Dz1, дБ	z = 4.25м (разность путей)	ф-лы (14-18) [10]	13,9	18,1	21,9	25,2	28,3	31,3	34,3	37,4	40,4		
Снижение уровня звукового давления на пути слева от экрана, Dz2, дБ	z = 25.41м (разность путей)	ф-лы (14-18) [10]	21,1	25,6	29,8	33,3	36,5	39,5	42,5	45,5	48,6		

1		2	3	4	5	6	7	8	9	10	11	12	13
Снижение уровня звукового давления на пути справа от экрана, Dz3, дБ	z = 11.80м (разность путей)	ф-лы (14-18) [10]	16,7	19,6	22,5	25,4	28,4	31,4	34,4	37,4	40,5		
Общее снижение уровня звука препятствием Dz, дБ		Эн.сумма(-Dzi)	11,5	15,3	18,8	22	25	28,1	31,1	34,1	37,1		
Общее снижение уровня звука препятствием с учётом ограничения (25 дБ) для октавных полос Dz, дБ		Раздел 7.4 [10]	11,5	15,3	18,8	22	25	25	25	25	25		
Уровни звукового давления от источника ИШ-9-26 в расчётной точке днём, дБ		**ф-ла(3)[10]**	**9**	**3,2**	**0**	**0**	**0**	**0**	**0**	**0**	**0**	**0**	**0**
Источник шума: ИШ-9-27, координаты источника (x,y,z), м =[676.46,-260.14,1.00]													
Уровни звуковой мощности источника днём, Lw, дБ		**исходные данные**	**77**	**75**	**67**	**66**	**63**	**55**	**53**	**48**	**51**		
Поправка на телесный угол DΩ, дБ	Ω = 6.28	10Lg(4π/Ω)	**3**	3	3	3	3	3	3	3	3		
Показатель направленности источника Di, дБ		исходные данные	**0**	0	0	0	0	0	0	0	0		
Поправка на направленность источника Dc, дБ	Dc	DΩ + Di	**3**	3	3	3	3	3	3	3	3		
Затухание из-за геометрической дивергенции, Adiv, дБ	расстояние = 273.64 м	ф-ла (7) [10]	**59,7**										
Коэффициент затухания звука в атмосфере α, дБ/км	Ta=20,°C Pa=101.33,кПа hотн.=70%	ф-ла (5) [9]	0,02	0,09	0,33	1,12	2,79	4,98	9,04	23,09	77,63		
Учет затухания звука в атмосфере Aatm, дБ		ф-ла (8) [10]	0	0	0,1	0,3	0,8	1,4	2,5	6,3	21,2		
Снижение уровня звукового давления из-за влияния застройки между источником шума и расчетной точкой													
Снижение уровня звукового давления на пути над экраном, Dz1, дБ	z = 4.28м (разность путей)	ф-лы (14-18) [10]	14	18,2	21,9	25,3	28,3	31,4	34,4	37,4	40,4		
Снижение уровня звукового давления на пути слева от экрана, Dz2, дБ	z = 24.18м (разность путей)	ф-лы (14-18) [10]	20,9	25,3	29,5	33,1	36,2	39,3	42,3	45,3	48,3		
Снижение уровня звукового давления на пути справа от экрана, Dz3, дБ	z = 12.66м (разность путей)	ф-лы (14-18) [10]	17	19,9	22,8	25,7	28,7	31,7	34,7	37,8	40,8		

1		2	3	4	5	6	7	8	9	10	11	12	13
Общее снижение уровня звука препятствием Dz, дБ		Эн.сумма(-Dzi)	11,6	15,4	18,9	22,1	25,2	28,2	31,2	34,2	37,2		
Общее снижение уровня звука препятствием с учётом ограничения (25 дБ) для октавных полос Dz, дБ		Раздел 7.4 [10]	11,6	15,4	18,9	22,1	25	25	25	25	25		
Уровни звукового давления от источника ИШ-9-27 в расчётной точке днём, дБ		**ф-ла(3)[10]**	**8,6**	**2,8**	**0**	**0**	**0**	**0**	**0**	**0**	**0**	**0**	**0**
Источник шума: ИШ-10-1, координаты источника (x,y,z), м =[17.37,413.17,1.00]													
Уровни звуковой мощности источника днём, Lw, дБ		**исходные данные**	**0**	**98,3**	**99,7**	**101**	**101,3**	**100,9**	**97,6**	**93,4**	**88,9**		
Поправка на телесный угол DΩ, дБ	Ω = 6.28	10Lg(4π/Ω)	**3**	3	3	3	3	3	3	3	3		
Показатель направленности источника Di, дБ		исходные данные	**0**	0	0	0	0	0	0	0	0		
Поправка на направленность источника Dc, дБ	Dc	DΩ + Di	**3**	3	3	3	3	3	3	3	3		
Затухание из-за геометрической дивергенции, Adiv, дБ	расстояние = 687.31 м	ф-ла (7) [10]	**67,7**										
Коэффициент затухания звука в атмосфере α, дБ/км	Ta=20,°C Pa=101.33,кПа hотн.=70%	ф-ла (5) [9]	0,02	0,09	0,33	1,12	2,79	4,98	9,04	23,09	77,63		
Учет затухания звука в атмосфере Aatm, дБ		ф-ла (8) [10]	0	0,1	0,2	0,8	1,9	3,4	6,2	15,9	53,4		
Снижение уровня звукового давления из-за влияния застройки между источником шума и расчетной точкой													
Снижение уровня звукового давления на пути над экраном, Dz1, дБ	z = 0.30м (разность путей)	ф-лы (14-18) [10]	4,8	4,9	5	5,2	5,5	6,2	7,3	8,8	10,9		
Снижение уровня звукового давления на пути слева от экрана, Dz2, дБ	z = 67.71м (разность путей)	ф-лы (14-18) [10]	28,7	31,8	34,8	37,8	40,8	43,8	46,8	49,8	52,8		
Снижение уровня звукового давления на пути справа от экрана, Dz3, дБ	z = 54.14м (разность путей)	ф-лы (14-18) [10]	23,1	26,1	29	32	35	38	41,1	44,1	47,1		
Общее снижение уровня звука препятствием Dz, дБ		Эн.сумма(-Dzi)	4,7	4,8	4,9	5,2	5,5	6,2	7,3	8,8	10,9		

1		2	3	4	5	6	7	8	9	10	11	12	13
Уровни звукового давления от источника ИШ-10-1 в расчётной точке днём, дБ		**ф-ла(3)[10]**	**0**	**28,7**	**29,8**	**30,3**	**29,1**	**26,6**	**19,4**	**4**	**0**	**30,6**	**30,6**
Источник шума: ИШ-10-2, координаты источника (x,y,z), м =[27.87,443.46,1.00]													
Уровни звуковой мощности источника днём, Lw, дБ		**исходные данные**	**0**	**98,3**	**99,7**	**101**	**101,3**	**100,9**	**97,6**	**93,4**	**88,9**		
Поправка на телесный угол DΩ, дБ	Ω = 6.28	10Lg(4π/Ω)	**3**	3	3	3	3	3	3	3	3		
Показатель направленности источника Di, дБ		исходные данные	**0**	0	0	0	0	0	0	0	0		
Поправка на направленность источника Dc, дБ	Dc	DΩ + Di	**3**	3	3	3	3	3	3	3	3		
Затухание из-за геометрической дивергенции, Adiv, дБ	расстояние = 698.61 м	ф-ла (7) [10]	**67,9**										
Коэффициент затухания звука в атмосфере α, дБ/км	Ta=20,°C Pa=101.33,кПа hотн.=70%	ф-ла (5) [9]	0,02	0,09	0,33	1,12	2,79	4,98	9,04	23,09	77,63		
Учет затухания звука в атмосфере Aatm, дБ		ф-ла (8) [10]	0	0,1	0,2	0,8	1,9	3,5	6,3	16,1	54,2		
Снижение уровня звукового давления из-за влияния застройки между источником шума и расчетной точкой													
Снижение уровня звукового давления на пути над экраном, Dz1, дБ	z = 0.45м (разность путей)	ф-лы (14-18) [10]	5,2	5,6	6,3	7,4	9	11,2	13,6	16,4	19,2		
Снижение уровня звукового давления на пути слева от экрана, Dz2, дБ	z = 61.20м (разность путей)	ф-лы (14-18) [10]	28,3	31,3	34,3	37,3	40,3	43,3	46,4	49,4	52,4		
Снижение уровня звукового давления на пути справа от экрана, Dz3, дБ	z = 69.10м (разность путей)	ф-лы (14-18) [10]	28,4	31,7	34,8	37,8	40,9	43,9	46,9	49,9	52,9		
Общее снижение уровня звука препятствием Dz, дБ		Эн.сумма(-Dzi)	5,1	5,6	6,3	7,4	9	11,1	13,6	16,3	19,2		
Уровни звукового давления от источника ИШ-10-2 в расчётной точке днём, дБ		**ф-ла(3)[10]**	**0**	**27,8**	**28,3**	**27,9**	**25,4**	**21,4**	**12,8**	**0**	**0**	**26,4**	**26,4**
Уровни звукового давления в расчётной точке													

1		2	3	4	5	6	7	8	9	10	11	12	13
Суммарные уровни звукового давления в расчётной точке от всех источников шума днём, Lрт, дБ		**ф-ла (19) [1]**	**66,2**	**65,7**	**62,3**	**56,6**	**58,4**	**63,7**	**60,8**	**53,5**	**40,6**	**66,7**	**66,7**
Допускаемые УЗД днём, Lдоп, дБ	Территории предприятий с постоянными рабочими местами	Табл. 1[3]	107	95	87	82	78	75	73	71	69	80	95
Превышение днём, дБ		**Lрт - Lдоп**	**-40,8**	**-29,3**	**-24,7**	**-25,4**	**-19,6**	**-11,3**	**-12,2**	**-17,5**	**-28,4**	**-13,3**	**-28,3**

Определение уровней звукового давления в точке РТ-2-3 (координаты точки, м: x = 555.46, y = -37.15, z = 1.50)

Наименование величин и их описание		Ссылка	Расчётные уровни в октавных полосах, со среднегеометрическими частотами, Гц									La, дБА	Lмакс, дБА
			31,5	63	125	250	500	1000	2000	4000	8000		
1		2	3	4	5	6	7	8	9	10	11	12	13
Источник шума: ИШ-1-1, координаты источника (x,y,z), м =[271.72,229.68,1.00]													
Уровни звуковой мощности источника днём, Lw, дБ		**исходные данные**	**97**	**97**	**104**	**106**	**105**	**105**	**98**	**87**	**81**		
Поправка на телесный угол DΩ, дБ	Ω = 6.28	10Lg(4π/Ω)	**3**	3	3	3	3	3	3	3	3		
Показатель направленности источника Di, дБ		исходные данные	**0**	0	0	0	0	0	0	0	0		
Поправка на направленность источника Dc, дБ	Dc	DΩ + Di	**3**	3	3	3	3	3	3	3	3		
Затухание из-за геометрической дивергенции, Adiv, дБ	расстояние = 389.50 м	ф-ла (7) [10]	**62,8**										
Коэффициент затухания звука в атмосфере α, дБ/км	Ta=20,°C Pa=101.33,кПа hотн.=70%	ф-ла (5) [9]	0,02	0,09	0,33	1,12	2,79	4,98	9,04	23,09	77,63		
Учет затухания звука в атмосфере Aatm, дБ		ф-ла (8) [10]	0	0	0,1	0,4	1,1	1,9	3,5	9	30,2		
Снижение уровня звукового давления из-за влияния застройки между источником шума и расчетной точкой													
Снижение уровня звукового давления на пути над экраном, Dz1, дБ	z = 4.83м (разность путей)	ф-лы (14-18) [10]	17,1	20,1	23,1	26,1	29,1	32,1	35,1	38,1	41,1		
Снижение уровня звукового давления на пути слева от экрана, Dz2, дБ	z = 47.64м (разность путей)	ф-лы (14-18) [10]	27,1	30,2	33,2	36,2	39,2	42,3	45,3	48,3	51,3		
Снижение уровня звукового давления на пути справа от экрана, Dz3, дБ	z = 56.75м (разность путей)	ф-лы (14-18) [10]	27,8	31	34	37	40	43	46	49	52		
Общее снижение уровня звука препятствием Dz, дБ		Эн.сумма(-Dzi)	16,3	19,4	22,4	25,4	28,4	31,4	34,4	37,4	40,4		

1		2	3	4	5	6	7	8	9	10	11	12	13
Общее снижение уровня звука препятствием с учётом ограничения (25 дБ) для октавных полос Dz, дБ		Раздел 7.4 [10]	16,3	19,4	22,4	25	25	25	25	25	25		
Уровни звукового давления прямого звука от источника ИШ-1-1 в расчётной точке днём, дБ		**ф-ла(3)[10]**	**20,9**	**17,8**	**21,7**	**20,8**	**19,1**	**18,3**	**9,7**	**0**	**0**	**21,4**	**21,4**
Расчёт отражённого звука													
Уровни звукового давления от мнимого источника ИШ-1-1_мн.(1) в расчётной точке днём, дБ		**ф-ла(3)[10]**	**0**	**0**	**0**	**0**	**0**	**0**	**0**	**0**	**0**	**0**	**0**
Уровни звукового давления от мнимого источника ИШ-1-1_мн.(2) в расчётной точке днём, дБ		**ф-ла(3)[10]**	**0**	**0**	**0**	**0**	**0**	**11,8**	**2,2**	**0**	**0**	**12,4**	**12,4**
Суммарные уровни звукового давления от мнимых источников в расчётной точке днём, дБ		**ф-ла (19) [1]**	**0**	**0**	**0**	**0**	**0**	**11,8**	**2,2**	**0**	**0**	**0**	**12,4**
Уровни звукового давления от источника ИШ-1-1 в расчётной точке днём, дБ		**ф-ла(3)[10]**	**20,9**	**17,8**	**21,7**	**20,8**	**19,1**	**19,1**	**10,4**	**0**	**0**	**21,9**	**21,9**
Источник шума: ИШ-1-2, координаты источника (x,y,z), м =[261.74,199.14,1.00]													
Уровни звуковой мощности источника днём, Lw, дБ		**исходные данные**	**97**	**97**	**104**	**106**	**105**	**105**	**98**	**87**	**81**		
Поправка на телесный угол DΩ, дБ	Ω = 6.28	10Lg(4π/Ω)	**3**	3	3	3	3	3	3	3	3		
Показатель направленности источника Di, дБ		исходные данные	**0**	0	0	0	0	0	0	0	0		
Поправка на направленность источника Dc, дБ	Dc	DΩ + Di	**3**	3	3	3	3	3	3	3	3		
Затухание из-за геометрической дивергенции, Adiv, дБ	расстояние = 376.97 м	ф-ла (7) [10]	**62,5**										
Коэффициент затухания звука в атмосфере α, дБ/км	Ta=20,°C Pa=101.33,кПа hотн.=70%	ф-ла (5) [9]	0,02	0,09	0,33	1,12	2,79	4,98	9,04	23,09	77,63		
Учет затухания звука в атмосфере Aatm, дБ		ф-ла (8) [10]	0	0	0,1	0,4	1,1	1,9	3,4	8,7	29,3		
Снижение уровня звукового давления из-за влияния застройки между источником шума и расчетной точкой													

1		2	3	4	5	6	7	8	9	10	11	12	13
Снижение уровня звукового давления на пути над экраном, Dz1, дБ	z = 4.89м (разность путей)	ф-лы (14-18) [10]	17,1	20,2	23,1	26,1	29,1	32,1	35,1	38,1	41,2		
Снижение уровня звукового давления на пути слева от экрана, Dz2, дБ	z = 82.42м (разность путей)	ф-лы (14-18) [10]	29,4	32,6	35,6	38,6	41,6	44,6	47,6	50,7	53,7		
Снижение уровня звукового давления на пути справа от экрана, Dz3, дБ	z = 42.35м (разность путей)	ф-лы (14-18) [10]	26,5	29,7	32,7	35,7	38,7	41,7	44,8	47,8	50,8		
Общее снижение уровня звука препятствием Dz, дБ		Эн.сумма(-Dzi)	16,4	19,5	22,5	25,5	28,5	31,5	34,5	37,5	40,5		
Общее снижение уровня звука препятствием с учётом ограничения (25 дБ) для октавных полос Dz, дБ		Раздел 7.4 [10]	16,4	19,5	22,5	25	25	25	25	25	25		
Уровни звукового давления прямого звука от источника ИШ-1-2 в расчётной точке днём, дБ		**ф-ла(3)[10]**	**21,1**	**18**	**21,9**	**21,1**	**19,4**	**18,6**	**10,1**	**0**	**0**	**21,8**	**21,8**
Расчёт отражённого звука													
Уровни звукового давления от мнимого источника ИШ-1-2_мн.(1) в расчётной точке днём, дБ		**ф-ла(3)[10]**	**0**	**0**	**0**	**0**	**0**	**13,9**	**4,8**	**0**	**0**	**14,6**	**14,6**
Уровни звукового давления от источника ИШ-1-2 в расчётной точке днём, дБ		**ф-ла(3)[10]**	**21,1**	**18**	**21,9**	**21,1**	**19,4**	**19,9**	**11,2**	**0**	**0**	**22,5**	**22,5**
Источник шума: ИШ-1-3, координаты источника (x,y,z), м =[251.75,236.44,1.00]													
Уровни звуковой мощности источника днём, Lw, дБ		**исходные данные**	**0**	**91,3**	**92,7**	**94**	**94,3**	**93,9**	**90,6**	**86,4**	**81,9**		
Поправка на телесный угол DΩ, дБ	Ω = 6.28	10Lg(4π/Ω)	**3**	3	3	3	3	3	3	3	3		
Показатель направленности источника Di, дБ		исходные данные	**0**	0	0	0	0	0	0	0	0		
Поправка на направленность источника Dc, дБ	Dc	DΩ + Di	**3**	3	3	3	3	3	3	3	3		
Затухание из-за геометрической дивергенции, Adiv, дБ	расстояние = 408.76 м	ф-ла (7) [10]	**63,2**										
Коэффициент затухания звука в атмосфере α, дБ/км	Ta=20,°C Pa=101.33,кПа hотн.=70%	ф-ла (5) [9]	0,02	0,09	0,33	1,12	2,79	4,98	9,04	23,09	77,63		

1		2	3	4	5	6	7	8	9	10	11	12	13
Учет затухания звука в атмосфере Aatm, дБ		ф-ла (8) [10]	0	0	0,1	0,5	1,1	2	3,7	9,4	31,7		
Снижение уровня звукового давления из-за влияния застройки между источником шума и расчетной точкой													
Снижение уровня звукового давления на пути над экраном, Dz1, дБ	z = 4.67м (разность путей)	ф-лы (14-18) [10]	16,9	19,9	22,9	25,9	28,9	31,9	34,9	37,9	40,9		
Снижение уровня звукового давления на пути слева от экрана, Dz2, дБ	z = 46.40м (разность путей)	ф-лы (14-18) [10]	27	30,1	33,1	36,1	39,1	42,1	45,2	48,2	51,2		
Снижение уровня звукового давления на пути справа от экрана, Dz3, дБ	z = 49.05м (разность путей)	ф-лы (14-18) [10]	27,1	30,3	33,3	36,4	39,4	42,4	45,4	48,4	51,4		
Общее снижение уровня звука препятствием Dz, дБ		Эн.сумма(-Dzi)	16,1	19,2	22,1	25,1	28,1	31,1	34,1	37,1	40,2		
Общее снижение уровня звука препятствием с учётом ограничения (25 дБ) для октавных полос Dz, дБ		Раздел 7.4 [10]	16,1	19,2	22,1	25	25	25	25	25	25		
Уровни звукового давления прямого звука от источника ИШ-1-3 в расчётной точке днём, дБ		**ф-ла(3)[10]**	**0**	**11,8**	**10,2**	**8,3**	**7,9**	**6,6**	**1,7**	**0**	**0**	**10,3**	**10,3**
Расчёт отражённого звука													
Уровни звукового давления от мнимого источника ИШ-1-3_мн.(1) в расчётной точке днём, дБ		**ф-ла(3)[10]**	**0**	**0**	**0**	**0**	**0**	**0**	**0**	**0**	**0**	**0**	**0**
Уровни звукового давления от мнимого источника ИШ-1-3_мн.(2) в расчётной точке днём, дБ		**ф-ла(3)[10]**	**0**	**0**	**0**	**0**	**0**	**1**	**0**	**0**	**0**	**1**	**1**
Суммарные уровни звукового давления от мнимых источников в расчётной точке днём, дБ		**ф-ла (19) [1]**	**0**	**0**	**0**	**0**	**0**	**1**	**0**	**0**	**0**	**0**	**1**
Уровни звукового давления от источника ИШ-1-3 в расчётной точке днём, дБ		**ф-ла(3)[10]**	**0**	**11,8**	**10,2**	**8,3**	**7,9**	**7,7**	**1,7**	**0**	**0**	**10,8**	**10,8**
Источник шума: ИШ-1-4, координаты источника (x,y,z), м =[290.25,223.25,1.00]													
Уровни звуковой мощности источника днём, Lw, дБ		**исходные данные**	**0**	**91,3**	**92,7**	**94**	**94,3**	**93,9**	**90,6**	**86,4**	**81,9**		
Поправка на телесный угол DΩ, дБ	Ω = 6.28	10Lg(4π/Ω)	**3**	3	3	3	3	3	3	3	3		
Показатель направленности источника Di, дБ		исходные данные	**0**	0	0	0	0	0	0	0	0		

1		2	3	4	5	6	7	8	9	10	11	12	13
Поправка на направленность источника Dc, дБ	Dc	DΩ + Di	**3**	3	3	3	3	3	3	3	3		
Затухание из-за геометрической дивергенции, Adiv, дБ	расстояние = 371.67 м	ф-ла (7) [10]	**62,4**										
Коэффициент затухания звука в атмосфере α, дБ/км	Ta=20,°C Pa=101.33,кПа hотн.=70%	ф-ла (5) [9]	0,02	0,09	0,33	1,12	2,79	4,98	9,04	23,09	77,63		
Учет затухания звука в атмосфере Aatm, дБ		ф-ла (8) [10]	0	0	0,1	0,4	1	1,9	3,4	8,6	28,9		
Снижение уровня звукового давления из-за влияния застройки между источником шума и расчетной точкой													
Снижение уровня звукового давления на пути над экраном, Dz1, дБ	z = 5.15м (разность путей)	ф-лы (14-18) [10]	17,4	20,4	23,4	26,4	29,4	32,4	35,4	38,4	41,4		
Снижение уровня звукового давления на пути слева от экрана, Dz2, дБ	z = 50.80м (разность путей)	ф-лы (14-18) [10]	27,3	30,5	33,5	36,5	39,5	42,5	45,5	48,6	51,6		
Снижение уровня звукового давления на пути справа от экрана, Dz3, дБ	z = 66.25м (разность путей)	ф-лы (14-18) [10]	28,4	31,6	34,6	37,7	40,7	43,7	46,7	49,7	52,7		
Общее снижение уровня звука препятствием Dz, дБ		Эн.сумма(-Dzi)	16,7	19,7	22,7	25,7	28,7	31,7	34,7	37,7	40,7		
Общее снижение уровня звука препятствием с учётом ограничения (25 дБ) для октавных полос Dz, дБ		Раздел 7.4 [10]	16,7	19,7	22,7	25	25	25	25	25	25		
Уровни звукового давления прямого звука от источника ИШ-1-4 в расчётной точке днём, дБ		**ф-ла(3)[10]**	**0**	**12,1**	**10,5**	**9,2**	**8,9**	**7,6**	**2,8**	**0**	**0**	**11,3**	**11,3**
Расчёт отражённого звука													
Уровни звукового давления от мнимого источника ИШ-1-4_мн.(1) в расчётной точке днём, дБ		**ф-ла(3)[10]**	**0**	**0**	**0**	**0**	**0**	**0**	**0**	**0**	**0**	**0**	**0**
Уровни звукового давления от источника ИШ-1-4 в расчётной точке днём, дБ		**ф-ла(3)[10]**	**0**	**12,1**	**10,5**	**9,2**	**8,9**	**7,6**	**2,8**	**0**	**0**	**11,3**	**11,3**
Источник шума: ИШ-1-5, координаты источника (x,y,z), м =[241.49,205.86,1.00]													
Уровни звуковой мощности источника днём, Lw, дБ		**исходные данные**	**0**	**91,3**	**92,7**	**94**	**94,3**	**93,9**	**90,6**	**86,4**	**81,9**		

1		2	3	4	5	6	7	8	9	10	11	12	13
Поправка на телесный угол DΩ, дБ	Ω = 6.28	10Lg(4π/Ω)	**3**	3	3	3	3	3	3	3	3		
Показатель направленности источника Di, дБ		исходные данные	**0**	0	0	0	0	0	0	0	0		
Поправка на направленность источника Dc, дБ	Dc	DΩ + Di	**3**	3	3	3	3	3	3	3	3		
Затухание из-за геометрической дивергенции, Adiv, дБ	расстояние = 397.03 м	ф-ла (7) [10]	**63**										
Коэффициент затухания звука в атмосфере α, дБ/км	Ta=20,°C Pa=101.33,кПа hотн.=70%	ф-ла (5) [9]	0,02	0,09	0,33	1,12	2,79	4,98	9,04	23,09	77,63		
Учет затухания звука в атмосфере Aatm, дБ		ф-ла (8) [10]	0	0	0,1	0,4	1,1	2	3,6	9,2	30,8		
Снижение уровня звукового давления из-за влияния застройки между источником шума и расчетной точкой													
Снижение уровня звукового давления на пути над экраном, Dz1, дБ	z = 4.72м (разность путей)	ф-лы (14-18) [10]	16,9	20	22,9	25,9	28,9	31,9	34,9	37,9	40,9		
Снижение уровня звукового давления на пути слева от экрана, Dz2, дБ	z = 76.87м (разность путей)	ф-лы (14-18) [10]	29,1	32,3	35,3	38,3	41,3	44,3	47,3	50,4	53,4		
Снижение уровня звукового давления на пути справа от экрана, Dz3, дБ	z = 36.92м (разность путей)	ф-лы (14-18) [10]	25,9	29,1	32,1	35,1	38,1	41,2	44,2	47,2	50,2		
Общее снижение уровня звука препятствием Dz, дБ		Эн.сумма(-Dzi)	16,2	19,2	22,2	25,2	28,2	31,2	34,2	37,2	40,2		
Общее снижение уровня звука препятствием с учётом ограничения (25 дБ) для октавных полос Dz, дБ		Раздел 7.4 [10]	16,2	19,2	22,2	25	25	25	25	25	25		
Уровни звукового давления прямого звука от источника ИШ-1-5 в расчётной точке днём, дБ		**ф-ла(3)[10]**	**0**	**12**	**10,4**	**8,6**	**8,2**	**6,9**	**2**	**0**	**0**	**10,6**	**10,6**
Расчёт отражённого звука													
Уровни звукового давления от мнимого источника ИШ-1-5_мн.(1) в расчётной точке днём, дБ		**ф-ла(3)[10]**	**0**	**0**	**0**	**0**	**0**	**0**	**0**	**0**	**0**	**0**	**0**
Уровни звукового давления от мнимого источника ИШ-1-5_мн.(2) в расчётной точке днём, дБ		**ф-ла(3)[10]**	**0**	**0**	**0**	**0**	**0**	**3,2**	**0**	**0**	**0**	**3,2**	**3,2**
Суммарные уровни звукового давления от мнимых источников в расчётной точке днём, дБ		**ф-ла (19) [1]**	**0**	**0**	**0**	**0**	**0**	**3,2**	**0**	**0**	**0**	**0**	**3,2**

1		2	3	4	5	6	7	8	9	10	11	12	13
Уровни звукового давления от источника ИШ-1-5 в расчётной точке днём, дБ		**ф-ла(3)[10]**	**0**	**12**	**10,4**	**8,6**	**8,2**	**8,5**	**2**	**0**	**0**	**11,3**	**11,3**
Источник шума: ИШ-1-6, координаты источника (x,y,z), м =[279.85,192.97,1.00]													
Уровни звуковой мощности источника днём, Lw, дБ		**исходные данные**	**0**	**91,3**	**92,7**	**94**	**94,3**	**93,9**	**90,6**	**86,4**	**81,9**		
Поправка на телесный угол DΩ, дБ	Ω = 6.28	10Lg(4π/Ω)	**3**	3	3	3	3	3	3	3	3		
Показатель направленности источника Di, дБ		исходные данные	**0**	0	0	0	0	0	0	0	0		
Поправка на направленность источника Dc, дБ	Dc	DΩ + Di	**3**	3	3	3	3	3	3	3	3		
Затухание из-за геометрической дивергенции, Adiv, дБ	расстояние = 359.05 м	ф-ла (7) [10]	**62,1**										
Коэффициент затухания звука в атмосфере α, дБ/км	Ta=20,°C Pa=101.33,кПа hотн.=70%	ф-ла (5) [9]	0,02	0,09	0,33	1,12	2,79	4,98	9,04	23,09	77,63		
Учет затухания звука в атмосфере Aatm, дБ		ф-ла (8) [10]	0	0	0,1	0,4	1	1,8	3,2	8,3	27,9		
Снижение уровня звукового давления из-за влияния застройки между источником шума и расчетной точкой													
Снижение уровня звукового давления на пути над экраном, Dz1, дБ	z = 5.21м (разность путей)	ф-лы (14-18) [10]	17,4	20,5	23,5	26,5	29,5	32,5	35,5	38,5	41,5		
Снижение уровня звукового давления на пути слева от экрана, Dz2, дБ	z = 90.08м (разность путей)	ф-лы (14-18) [10]	29,8	33	36	39	42	45	48	51	54,1		
Снижение уровня звукового давления на пути справа от экрана, Dz3, дБ	z = 49.63м (разность путей)	ф-лы (14-18) [10]	27,2	30,4	33,4	36,4	39,4	42,4	45,4	48,5	51,5		
Общее снижение уровня звука препятствием Dz, дБ		Эн.сумма(-Dzi)	16,8	19,9	22,8	25,8	28,8	31,8	34,8	37,8	40,9		
Общее снижение уровня звука препятствием с учётом ограничения (25 дБ) для октавных полос Dz, дБ		Раздел 7.4 [10]	16,8	19,9	22,8	25	25	25	25	25	25		
Уровни звукового давления прямого звука от источника ИШ-1-6 в расчётной точке днём, дБ		**ф-ла(3)[10]**	**0**	**12,3**	**10,6**	**9,5**	**9,2**	**8**	**3,2**	**0**	**0**	**11,6**	**11,6**

1		2	3	4	5	6	7	8	9	10	11	12	13
Расчёт отражённого звука													
Уровни звукового давления от мнимого источника ИШ-1-6_мн.(1) в расчётной точке днём, дБ		**ф-ла(3)[10]**	**0**	**0**	**0**	**0**	**0**	**0**	**0**	**0**	**0**	**0**	**0**
Уровни звукового давления от источника ИШ-1-6 в расчётной точке днём, дБ		**ф-ла(3)[10]**	**0**	**12,3**	**10,6**	**9,5**	**9,2**	**8**	**3,2**	**0**	**0**	**11,6**	**11,6**
Источник шума: ИШ-1-7, координаты источника (x,y,z), м =[451.87,146.66,1.00]													
Уровни звуковой мощности источника днём, Lw, дБ		**исходные данные**	**0**	**93,3**	**94,7**	**96**	**96,3**	**95,9**	**92,6**	**88,4**	**83,9**		
Поправка на телесный угол DΩ, дБ	Ω = 6.28	10Lg(4π/Ω)	**3**	3	3	3	3	3	3	3	3		
Показатель направленности источника Di, дБ		исходные данные	**0**	0	0	0	0	0	0	0	0		
Поправка на направленность источника Dc, дБ	Dc	DΩ + Di	**3**	3	3	3	3	3	3	3	3		
Затухание из-за геометрической дивергенции, Adiv, дБ	расстояние = 210.99 м	ф-ла (7) [10]	**57,5**										
Коэффициент затухания звука в атмосфере α, дБ/км	Ta=20,°C Pa=101.33,кПа hотн.=70%	ф-ла (5) [9]	0,02	0,09	0,33	1,12	2,79	4,98	9,04	23,09	77,63		
Учет затухания звука в атмосфере Aatm, дБ		ф-ла (8) [10]	0	0	0,1	0,2	0,6	1,1	1,9	4,9	16,4		
Снижение уровня звукового давления из-за влияния застройки между источником шума и расчетной точкой													
Снижение уровня звукового давления на пути над экраном, Dz1, дБ	z = 4.68м (разность путей)	ф-лы (14-18) [10]	16,4	19,9	23	26	29	32	35	38	41		
Снижение уровня звукового давления на пути слева от экрана, Dz2, дБ	z = 81.99м (разность путей)	ф-лы (14-18) [10]	29,1	32,5	35,6	38,6	41,6	44,6	47,6	50,6	53,6		
Снижение уровня звукового давления на пути справа от экрана, Dz3, дБ	z = 42.70м (разность путей)	ф-лы (14-18) [10]	25,8	29,5	32,7	35,7	38,8	41,8	44,8	47,8	50,8		
Общее снижение уровня звука препятствием Dz, дБ		Эн.сумма(-Dzi)	15,7	19,2	22,3	25,3	28,3	31,4	34,4	37,4	40,4		

1		2	3	4	5	6	7	8	9	10	11	12	13
Общее снижение уровня звука препятствием с учётом ограничения (25 дБ) для октавных полос Dz, дБ		Раздел 7.4 [10]	15,7	19,2	22,3	25	25	25	25	25	25		
Уровни звукового давления прямого звука от источника ИШ-1-7 в расчётной точке днём, дБ		**ф-ла(3)[10]**	**0**	**19,6**	**17,8**	**16,3**	**16,2**	**15,4**	**11,2**	**4**	**0**	**19,2**	**19,2**
Расчёт отражённого звука													
Уровни звукового давления от мнимого источника ИШ-1-7_мн.(1) в расчётной точке днём, дБ		**ф-ла(3)[10]**	**0**	**0**	**0**	**0**	**0**	**0**	**8,3**	**0,5**	**0**	**10,1**	**10,1**
Уровни звукового давления от источника ИШ-1-7 в расчётной точке днём, дБ		**ф-ла(3)[10]**	**0**	**19,6**	**17,8**	**16,3**	**16,2**	**15,4**	**13**	**5,6**	**0**	**19,7**	**19,7**
Источник шума: ИШ-1-8, координаты источника (x,y,z), м =[454.99,145.29,1.00]													
Уровни звуковой мощности источника днём, Lw, дБ		**исходные данные**	**0**	**93,3**	**94,7**	**96**	**96,3**	**95,9**	**92,6**	**88,4**	**83,9**		
Поправка на телесный угол DΩ, дБ	Ω = 6.28	10Lg(4π/Ω)	**3**	3	3	3	3	3	3	3	3		
Показатель направленности источника Di, дБ		исходные данные	**0**	0	0	0	0	0	0	0	0		
Поправка на направленность источника Dc, дБ	Dc	DΩ + Di	**3**	3	3	3	3	3	3	3	3		
Затухание из-за геометрической дивергенции, Adiv, дБ	расстояние = 208.27 м	ф-ла (7) [10]	**57,4**										
Коэффициент затухания звука в атмосфере α, дБ/км	Ta=20,°C Pa=101.33,кПа hотн.=70%	ф-ла (5) [9]	0,02	0,09	0,33	1,12	2,79	4,98	9,04	23,09	77,63		
Учет затухания звука в атмосфере Aatm, дБ		ф-ла (8) [10]	0	0	0,1	0,2	0,6	1	1,9	4,8	16,2		
Снижение уровня звукового давления из-за влияния застройки между источником шума и расчетной точкой													
Снижение уровня звукового давления на пути над экраном, Dz1, дБ	z = 4.72м (разность путей)	ф-лы (14-18) [10]	16,5	19,9	23	26	29	32	35,1	38,1	41,1		
Снижение уровня звукового давления на пути слева от экрана, Dz2, дБ	z = 82.87м (разность путей)	ф-лы (14-18) [10]	29,1	32,5	35,6	38,6	41,6	44,7	47,7	50,7	53,7		

1		2	3	4	5	6	7	8	9	10	11	12	13
Снижение уровня звукового давления на пути справа от экрана, Dz3, дБ	z = 43.64м (разность путей)	ф-лы (14-18) [10]	25,9	29,6	32,8	35,8	38,9	41,9	44,9	47,9	50,9		
Общее снижение уровня звука препятствием Dz, дБ		Эн.сумма(-Dzi)	15,8	19,3	22,4	25,4	28,4	31,4	34,4	37,4	40,4		
Общее снижение уровня звука препятствием с учётом ограничения (25 дБ) для октавных полос Dz, дБ		Раздел 7.4 [10]	15,8	19,3	22,4	25	25	25	25	25	25		
Уровни звукового давления прямого звука от источника ИШ-1-8 в расчётной точке днём, дБ		**ф-ла(3)[10]**	**0**	**19,6**	**17,9**	**16,4**	**16,3**	**15,5**	**11,3**	**4,2**	**0**	**19,3**	**19,3**
Расчёт отражённого звука													
Уровни звукового давления от мнимого источника ИШ-1-8_мн.(1) в расчётной точке днём, дБ		**ф-ла(3)[10]**	**0**	**0**	**0**	**0**	**0**	**0**	**8,2**	**0,4**	**0**	**10**	**10**
Уровни звукового давления от источника ИШ-1-8 в расчётной точке днём, дБ		**ф-ла(3)[10]**	**0**	**19,6**	**17,9**	**16,4**	**16,3**	**15,5**	**13**	**5,7**	**0**	**19,8**	**19,8**
Источник шума: ИШ-1-9, координаты источника (x,y,z), м =[458.12,144.31,1.00]													
Уровни звуковой мощности источника днём, Lw, дБ		**исходные данные**	**0**	**93,3**	**94,7**	**96**	**96,3**	**95,9**	**92,6**	**88,4**	**83,9**		
Поправка на телесный угол DΩ, дБ	Ω = 6.28	10Lg(4π/Ω)	**3**	3	3	3	3	3	3	3	3		
Показатель направленности источника Di, дБ		исходные данные	**0**	0	0	0	0	0	0	0	0		
Поправка на направленность источника Dc, дБ	Dc	DΩ + Di	**3**	3	3	3	3	3	3	3	3		
Затухание из-за геометрической дивергенции, Adiv, дБ	расстояние = 205.92 м	ф-ла (7) [10]	**57,3**										
Коэффициент затухания звука в атмосфере α, дБ/км	Ta=20,°C Pa=101.33,кПа hотн.=70%	ф-ла (5) [9]	0,02	0,09	0,33	1,12	2,79	4,98	9,04	23,09	77,63		
Учет затухания звука в атмосфере Aatm, дБ		ф-ла (8) [10]	0	0	0,1	0,2	0,6	1	1,9	4,8	16		
Снижение уровня звукового давления из-за влияния застройки между источником шума и расчетной точкой													

1		2	3	4	5	6	7	8	9	10	11	12	13
Снижение уровня звукового давления на пути над экраном, Dz1, дБ	z = 4.77м (разность путей)	ф-лы (14-18) [10]	16,5	20	23,1	26,1	29,1	32,1	35,1	38,1	41,1		
Снижение уровня звукового давления на пути слева от экрана, Dz2, дБ	z = 83.29м (разность путей)	ф-лы (14-18) [10]	29,2	32,5	35,6	38,7	41,7	44,7	47,7	50,7	53,7		
Снижение уровня звукового давления на пути справа от экрана, Dz3, дБ	z = 44.71м (разность путей)	ф-лы (14-18) [10]	26	29,7	32,9	35,9	39	42	45	48	51		
Общее снижение уровня звука препятствием Dz, дБ		Эн.сумма(-Dzi)	15,9	19,3	22,4	25,5	28,5	31,5	34,5	37,5	40,5		
Общее снижение уровня звука препятствием с учётом ограничения (25 дБ) для октавных полос Dz, дБ		Раздел 7.4 [10]	15,9	19,3	22,4	25	25	25	25	25	25		
Уровни звукового давления прямого звука от источника ИШ-1-9 в расчётной точке днём, дБ		**ф-ла(3)[10]**	**0**	**19,7**	**17,9**	**16,5**	**16,4**	**15,6**	**11,5**	**4,4**	**0**	**19,4**	**19,4**
Расчёт отражённого звука													
Уровни звукового давления от мнимого источника ИШ-1-9_мн.(1) в расчётной точке днём, дБ		**ф-ла(3)[10]**	**0**	**0**	**0**	**0**	**0**	**0**	**8**	**0,2**	**0**	**9,9**	**9,9**
Уровни звукового давления от источника ИШ-1-9 в расчётной точке днём, дБ		**ф-ла(3)[10]**	**0**	**19,7**	**17,9**	**16,5**	**16,4**	**15,6**	**13,1**	**5,8**	**0**	**19,9**	**19,9**
Источник шума: ИШ-1-10, координаты источника (x,y,z), м =[461.05,143.53,1.00]													
Уровни звуковой мощности источника днём, Lw, дБ		**исходные данные**	**0**	**93,3**	**94,7**	**96**	**96,3**	**95,9**	**92,6**	**88,4**	**83,9**		
Поправка на телесный угол DΩ, дБ	Ω = 6.28	10Lg(4π/Ω)	**3**	3	3	3	3	3	3	3	3		
Показатель направленности источника Di, дБ		исходные данные	**0**	0	0	0	0	0	0	0	0		
Поправка на направленность источника Dc, дБ	Dc	DΩ + Di	**3**	3	3	3	3	3	3	3	3		
Затухание из-за геометрической дивергенции, Adiv, дБ	расстояние = 203.86 м	ф-ла (7) [10]	**57,2**										
Коэффициент затухания звука в атмосфере α, дБ/км	Ta=20,°C Pa=101.33,кПа hотн.=70%	ф-ла (5) [9]	0,02	0,09	0,33	1,12	2,79	4,98	9,04	23,09	77,63		

1		2	3	4	5	6	7	8	9	10	11	12	13
Учет затухания звука в атмосфере Aatm, дБ		ф-ла (8) [10]	0	0	0,1	0,2	0,6	1	1,8	4,7	15,8		
Снижение уровня звукового давления из-за влияния застройки между источником шума и расчетной точкой													
Снижение уровня звукового давления на пути над экраном, Dz1, дБ	z = 4.83м (разность путей)	ф-лы (14-18) [10]	16,6	20	23,1	26,2	29,2	32,2	35,2	38,2	41,2		
Снижение уровня звукового давления на пути слева от экрана, Dz2, дБ	z = 83.56м (разность путей)	ф-лы (14-18) [10]	29,2	32,6	35,6	38,7	41,7	44,7	47,7	50,7	53,7		
Снижение уровня звукового давления на пути справа от экрана, Dz3, дБ	z = 45.81м (разность путей)	ф-лы (14-18) [10]	26,1	29,8	33	36	39,1	42,1	45,1	48,1	51,1		
Общее снижение уровня звука препятствием Dz, дБ		Эн.сумма(-Dzi)	15,9	19,4	22,5	25,5	28,5	31,5	34,5	37,5	40,6		
Общее снижение уровня звука препятствием с учётом ограничения (25 дБ) для октавных полос Dz, дБ		Раздел 7.4 [10]	15,9	19,4	22,5	25	25	25	25	25	25		
Уровни звукового давления прямого звука от источника ИШ-1-10 в расчётной точке днём, дБ		**ф-ла(3)[10]**	**0**	**19,7**	**18**	**16,6**	**16,5**	**15,7**	**11,6**	**4,5**	**0**	**19,5**	**19,5**
Расчёт отражённого звука													
Уровни звукового давления от мнимого источника ИШ-1-10_мн.(1) в расчётной точке днём, дБ		**ф-ла(3)[10]**	**0**	**0**	**0**	**0**	**0**	**0**	**7,9**	**0,1**	**0**	**9,8**	**9,8**
Уровни звукового давления от источника ИШ-1-10 в расчётной точке днём, дБ		**ф-ла(3)[10]**	**0**	**19,7**	**18**	**16,6**	**16,5**	**15,7**	**13,1**	**5,8**	**0**	**19,9**	**19,9**
Источник шума: ИШ-1-11, координаты источника (x,y,z), м =[464.18,142.55,1.00]													
Уровни звуковой мощности источника днём, Lw, дБ		**исходные данные**	**0**	**93,3**	**94,7**	**96**	**96,3**	**95,9**	**92,6**	**88,4**	**83,9**		
Поправка на телесный угол DΩ, дБ	Ω = 6.28	10Lg(4π/Ω)	**3**	3	3	3	3	3	3	3	3		
Показатель направленности источника Di, дБ		исходные данные	**0**	0	0	0	0	0	0	0	0		
Поправка на направленность источника Dc, дБ	Dc	DΩ + Di	**3**	3	3	3	3	3	3	3	3		
Затухание из-за геометрической дивергенции, Adiv, дБ	расстояние = 201.56 м	ф-ла (7) [10]	**57,1**										

1		2	3	4	5	6	7	8	9	10	11	12	13
Коэффициент затухания звука в атмосфере α, дБ/км	Та=20,°С Ра=101.33,кПа hотн.=70%	ф-ла (5) [9]	0,02	0,09	0,33	1,12	2,79	4,98	9,04	23,09	77,63		
Учет затухания звука в атмосфере Aatm, дБ		ф-ла (8) [10]	0	0	0,1	0,2	0,6	1	1,8	4,7	15,6		
Снижение уровня звукового давления из-за влияния застройки между источником шума и расчетной точкой													
Снижение уровня звукового давления на пути над экраном, Dz1, дБ	z = 4.91м (разность путей)	ф-лы (14-18) [10]	16,7	20,1	23,2	26,2	29,2	32,2	35,2	38,3	41,3		
Снижение уровня звукового давления на пути слева от экрана, Dz2, дБ	z = 84.15м (разность путей)	ф-лы (14-18) [10]	29,2	32,6	35,7	38,7	41,7	44,7	47,7	50,7	53,8		
Снижение уровня звукового давления на пути справа от экрана, Dz3, дБ	z = 47.03м (разность путей)	ф-лы (14-18) [10]	26,2	29,9	33,1	36,2	39,2	42,2	45,2	48,2	51,2		
Общее снижение уровня звука препятствием Dz, дБ		Эн.сумма(-Dzi)	16	19,5	22,6	25,6	28,6	31,6	34,6	37,6	40,6		
Общее снижение уровня звука препятствием с учётом ограничения (25 дБ) для октавных полос Dz, дБ		Раздел 7.4 [10]	16	19,5	22,6	25	25	25	25	25	25		
Уровни звукового давления прямого звука от источника ИШ-1-11 в расчётной точке днём, дБ		**ф-ла(3)[10]**	**0**	**19,7**	**18**	**16,7**	**16,6**	**15,8**	**11,7**	**4,7**	**0**	**19,6**	**19,6**
Расчёт отражённого звука													
Уровни звукового давления от мнимого источника ИШ-1-11_мн.(1) в расчётной точке днём, дБ		**ф-ла(3)[10]**	**0**	**0**	**0**	**0**	**0**	**0**	**7,8**	**0**	**0**	**9**	**9**
Уровни звукового давления от источника ИШ-1-11 в расчётной точке днём, дБ		**ф-ла(3)[10]**	**0**	**19,7**	**18**	**16,7**	**16,6**	**15,8**	**13,2**	**4,7**	**0**	**20**	**20**
Источник шума: ИШ-1-12, координаты источника (x,y,z), м =[435.45,97.79,1.00]													
Уровни звуковой мощности источника днём, Lw, дБ		**исходные данные**	**0**	**93,3**	**94,7**	**96**	**96,3**	**95,9**	**92,6**	**88,4**	**83,9**		
Поправка на телесный угол DΩ, дБ	Ω = 6.28	10Lg(4π/Ω)	**3**	3	3	3	3	3	3	3	3		
Показатель направленности источника Di, дБ		исходные данные	**0**	0	0	0	0	0	0	0	0		

1		2	3	4	5	6	7	8	9	10	11	12	13
Поправка на направленность источника Dc, дБ	Dc	DΩ + Di	**3**	3	3	3	3	3	3	3	3		
Затухание из-за геометрической дивергенции, Adiv, дБ	расстояние = 180.59 м	ф-ла (7) [10]	**56,1**										
Коэффициент затухания звука в атмосфере α, дБ/км	Ta=20,°C Pa=101.33,кПа hотн.=70%	ф-ла (5) [9]	0,02	0,09	0,33	1,12	2,79	4,98	9,04	23,09	77,63		
Учет затухания звука в атмосфере Aatm, дБ		ф-ла (8) [10]	0	0	0,1	0,2	0,5	0,9	1,6	4,2	14		
Снижение уровня звукового давления из-за влияния застройки между источником шума и расчетной точкой													
Снижение уровня звукового давления на пути над экраном, Dz1, дБ	z = 4.99м (разность путей)	ф-лы (14-18) [10]	16,5	20,1	23,2	26,3	29,3	32,3	35,3	38,3	41,3		
Снижение уровня звукового давления на пути слева от экрана, Dz2, дБ	z = 157.38м (разность путей)	ф-лы (14-18) [10]	31,9	35,3	38,4	41,4	44,4	47,4	50,5	53,5	56,5		
Снижение уровня звукового давления на пути справа от экрана, Dz3, дБ	z = 35.36м (разность путей)	ф-лы (14-18) [10]	21,4	24,7	28,7	33,2	37,4	40,8	43,9	47	50		
Общее снижение уровня звука препятствием Dz, дБ		Эн.сумма(-Dzi)	15,2	18,7	22,1	25,4	28,6	31,6	34,6	37,7	40,7		
Общее снижение уровня звука препятствием с учётом ограничения (25 дБ) для октавных полос Dz, дБ		Раздел 7.4 [10]	15,2	18,7	22,1	25	25	25	25	25	25		
Уровни звукового давления прямого звука от источника ИШ-1-12 в расчётной точке днём, дБ		**ф-ла(3)[10]**	**0**	**21,4**	**19,4**	**17,7**	**17,7**	**16,9**	**12,8**	**6,1**	**0**	**20,7**	**20,7**
Расчёт отражённого звука													
Уровни звукового давления от мнимого источника ИШ-1-12_мн.(1) в расчётной точке днём, дБ		**ф-ла(3)[10]**	**0**	**0**	**0**	**0**	**0**	**0**	**4,6**	**0**	**0**	**5,8**	**5,8**
Уровни звукового давления от мнимого источника ИШ-1-12_мн.(2) в расчётной точке днём, дБ		**ф-ла(3)[10]**	**0**	**0**	**0**	**0**	**14,7**	**13,6**	**9,4**	**2**	**0**	**17**	**17**
Суммарные уровни звукового давления от мнимых источников в расчётной точке днём, дБ		**ф-ла (19) [1]**	**0**	**0**	**0**	**0**	**14,7**	**13,6**	**10,6**	**2**	**0**	**0**	**17,3**
Уровни звукового давления от источника ИШ-1-12 в расчётной точке днём, дБ		**ф-ла(3)[10]**	**0**	**21,4**	**19,4**	**17,7**	**19,4**	**18,5**	**14,9**	**7,5**	**0**	**22,3**	**22,3**

1		2	3	4	5	6	7	8	9	10	11	12	13
Источник шума: ИШ-1-13, координаты источника (x,y,z), м =[438.77,96.82,1.00]													
Уровни звуковой мощности источника днём, Lw, дБ		**исходные данные**	**0**	**93,3**	**94,7**	**96**	**96,3**	**95,9**	**92,6**	**88,4**	**83,9**		
Поправка на телесный угол DΩ, дБ	Ω = 6.28	10Lg(4π/Ω)	**3**	3	3	3	3	3	3	3	3		
Показатель направленности источника Di, дБ		исходные данные	**0**	0	0	0	0	0	0	0	0		
Поправка на направленность источника Dc, дБ	Dc	DΩ + Di	**3**	3	3	3	3	3	3	3	3		
Затухание из-за геометрической дивергенции, Adiv, дБ	расстояние = 177.66 м	ф-ла (7) [10]	**56**										
Коэффициент затухания звука в атмосфере α, дБ/км	Ta=20,°C Pa=101.33,кПа hотн.=70%	ф-ла (5) [9]	0,02	0,09	0,33	1,12	2,79	4,98	9,04	23,09	77,63		
Учет затухания звука в атмосфере Aatm, дБ		ф-ла (8) [10]	0	0	0,1	0,2	0,5	0,9	1,6	4,1	13,8		
Снижение уровня звукового давления из-за влияния застройки между источником шума и расчетной точкой													
Снижение уровня звукового давления на пути над экраном, Dz1, дБ	z = 5.06м (разность путей)	ф-лы (14-18) [10]	16,6	20,2	23,3	26,4	29,4	32,4	35,4	38,4	41,4		
Снижение уровня звукового давления на пути слева от экрана, Dz2, дБ	z = 158.95м (разность путей)	ф-лы (14-18) [10]	32	35,3	38,4	41,5	44,5	47,5	50,5	53,5	56,5		
Снижение уровня звукового давления на пути справа от экрана, Dz3, дБ	z = 35.65м (разность путей)	ф-лы (14-18) [10]	21,4	24,8	28,7	33,3	37,4	40,8	44	47	50		
Общее снижение уровня звука препятствием Dz, дБ		Эн.сумма(-Dzi)	15,2	18,8	22,1	25,4	28,6	31,7	34,7	37,7	40,7		
Общее снижение уровня звука препятствием с учётом ограничения (25 дБ) для октавных полос Dz, дБ		Раздел 7.4 [10]	15,2	18,8	22,1	25	25	25	25	25	25		
Уровни звукового давления прямого звука от источника ИШ-1-13 в расчётной точке днём, дБ		**ф-ла(3)[10]**	**0**	**21,5**	**19,5**	**17,8**	**17,8**	**17**	**13**	**6,3**	**0**	**20,9**	**20,9**
Расчёт отражённого звука													

1		2	3	4	5	6	7	8	9	10	11	12	13
Уровни звукового давления от мнимого источника ИШ-1-13_мн.(1) в расчётной точке днём, дБ		**ф-ла(3)[10]**	**0**	**0**	**0**	**0**	**0**	**0**	**4,7**	**0**	**0**	**5,9**	**5,9**
Уровни звукового давления от мнимого источника ИШ-1-13_мн.(2) в расчётной точке днём, дБ		**ф-ла(3)[10]**	**0**	**0**	**0**	**0**	**14,5**	**13,5**	**9,2**	**1,8**	**0**	**16,9**	**16,9**
Суммарные уровни звукового давления от мнимых источников в расчётной точке днём, дБ		**ф-ла (19) [1]**	**0**	**0**	**0**	**0**	**14,5**	**13,5**	**10,5**	**1,8**	**0**	**0**	**17,2**
Уровни звукового давления от источника ИШ-1-13 в расчётной точке днём, дБ		**ф-ла(3)[10]**	**0**	**21,5**	**19,5**	**17,8**	**19,5**	**18,6**	**14,9**	**7,6**	**0**	**22,4**	**22,4**
Источник шума: ИШ-1-14, координаты источника (x,y,z), м =[441.70,96.03,1.00]													
Уровни звуковой мощности источника днём, Lw, дБ		**исходные данные**	**0**	**93,3**	**94,7**	**96**	**96,3**	**95,9**	**92,6**	**88,4**	**83,9**		
Поправка на телесный угол DΩ, дБ	Ω = 6.28	10Lg(4π/Ω)	**3**	3	3	3	3	3	3	3	3		
Показатель направленности источника Di, дБ		исходные данные	**0**	0	0	0	0	0	0	0	0		
Поправка на направленность источника Dc, дБ	Dc	DΩ + Di	**3**	3	3	3	3	3	3	3	3		
Затухание из-за геометрической дивергенции, Adiv, дБ	расстояние = 175.15 м	ф-ла (7) [10]	**55,9**										
Коэффициент затухания звука в атмосфере α, дБ/км	Ta=20,°C Pa=101.33,кПа hотн.=70%	ф-ла (5) [9]	0,02	0,09	0,33	1,12	2,79	4,98	9,04	23,09	77,63		
Учет затухания звука в атмосфере Aatm, дБ		ф-ла (8) [10]	0	0	0,1	0,2	0,5	0,9	1,6	4	13,6		
Снижение уровня звукового давления из-за влияния застройки между источником шума и расчетной точкой													
Снижение уровня звукового давления на пути над экраном, Dz1, дБ	z = 5.12м (разность путей)	ф-лы (14-18) [10]	16,6	20,2	23,4	26,4	29,4	32,4	35,4	38,5	41,5		
Снижение уровня звукового давления на пути слева от экрана, Dz2, дБ	z = 160.26м (разность путей)	ф-лы (14-18) [10]	32	35,4	38,5	41,5	44,5	47,5	50,5	53,5	56,6		
Снижение уровня звукового давления на пути справа от экрана, Dz3, дБ	z = 33.47м (разность путей)	ф-лы (14-18) [10]	24,8	28,4	31,6	34,7	37,7	40,7	43,7	46,7	49,8		

1		2	3	4	5	6	7	8	9	10	11	12	13
Общее снижение уровня звука препятствием Dz, дБ		Эн.сумма(-Dzi)	15,9	19,5	22,7	25,7	28,7	31,7	34,7	37,7	40,7		
Общее снижение уровня звука препятствием с учётом ограничения (25 дБ) для октавных полос Dz, дБ		Раздел 7.4 [10]	15,9	19,5	22,7	25	25	25	25	25	25		
Уровни звукового давления прямого звука от источника ИШ-1-14 в расчётной точке днём, дБ		**ф-ла(3)[10]**	**0**	**20,9**	**19,1**	**17,9**	**17,9**	**17,2**	**13,1**	**6,5**	**0**	**21**	**21**
Расчёт отражённого звука													
Уровни звукового давления от мнимого источника ИШ-1-14_мн.(1) в расчётной точке днём, дБ		**ф-ла(3)[10]**	**0**	**0**	**0**	**0**	**0**	**0**	**4,7**	**0**	**0**	**5,9**	**5,9**
Уровни звукового давления от мнимого источника ИШ-1-14_мн.(2) в расчётной точке днём, дБ		**ф-ла(3)[10]**	**0**	**0**	**0**	**0**	**14,4**	**13,4**	**9,1**	**1,6**	**0**	**16,8**	**16,8**
Суммарные уровни звукового давления от мнимых источников в расчётной точке днём, дБ		**ф-ла (19) [1]**	**0**	**0**	**0**	**0**	**14,4**	**13,4**	**10,5**	**1,6**	**0**	**0**	**17,1**
Уровни звукового давления от источника ИШ-1-14 в расчётной точке днём, дБ		**ф-ла(3)[10]**	**0**	**20,9**	**19,1**	**17,9**	**19,5**	**18,7**	**15**	**7,7**	**0**	**22,5**	**22,5**
Источник шума: ИШ-1-15, координаты источника (x,y,z), м =[445.03,95.25,1.00]													
Уровни звуковой мощности источника днём, Lw, дБ		**исходные данные**	**0**	**93,3**	**94,7**	**96**	**96,3**	**95,9**	**92,6**	**88,4**	**83,9**		
Поправка на телесный угол DΩ, дБ	Ω = 6.28	10Lg(4π/Ω)	**3**	3	3	3	3	3	3	3	3		
Показатель направленности источника Di, дБ		исходные данные	**0**	0	0	0	0	0	0	0	0		
Поправка на направленность источника Dc, дБ	Dc	DΩ + Di	**3**	3	3	3	3	3	3	3	3		
Затухание из-за геометрической дивергенции, Adiv, дБ	расстояние = 172.41 м	ф-ла (7) [10]	**55,7**										
Коэффициент затухания звука в атмосфере α, дБ/км	Ta=20,°C Pa=101.33,кПа hотн.=70%	ф-ла (5) [9]	0,02	0,09	0,33	1,12	2,79	4,98	9,04	23,09	77,63		
Учет затухания звука в атмосфере Aatm, дБ		ф-ла (8) [10]	0	0	0,1	0,2	0,5	0,9	1,6	4	13,4		

1		2	3	4	5	6	7	8	9	10	11	12	13
Снижение уровня звукового давления из-за влияния застройки между источником шума и расчетной точкой													
Снижение уровня звукового давления на пути над экраном, Dz1, дБ	z = 5.21м (разность путей)	ф-лы (14-18) [10]	16,7	20,3	23,5	26,5	29,5	32,5	35,5	38,5	41,5		
Снижение уровня звукового давления на пути слева от экрана, Dz2, дБ	z = 161.66м (разность путей)	ф-лы (14-18) [10]	32	35,4	38,5	41,5	44,6	47,6	50,6	53,6	56,6		
Снижение уровня звукового давления на пути справа от экрана, Dz3, дБ	z = 33.89м (разность путей)	ф-лы (14-18) [10]	24,8	28,5	31,7	34,7	37,8	40,8	43,8	46,8	49,8		
Общее снижение уровня звука препятствием Dz, дБ		Эн.сумма(-Dzi)	16	19,6	22,7	25,8	28,8	31,8	34,8	37,8	40,8		
Общее снижение уровня звука препятствием с учётом ограничения (25 дБ) для октавных полос Dz, дБ		Раздел 7.4 [10]	16	19,6	22,7	25	25	25	25	25	25		
Уровни звукового давления прямого звука от источника ИШ-1-15 в расчётной точке днём, дБ		**ф-ла(3)[10]**	**0**	**21**	**19,2**	**18,1**	**18,1**	**17,3**	**13,3**	**6,7**	**0**	**21,1**	**21,1**
Расчёт отражённого звука													
Уровни звукового давления от мнимого источника ИШ-1-15_мн.(1) в расчётной точке днём, дБ		**ф-ла(3)[10]**	**0**	**0**	**0**	**0**	**0**	**0**	**4,8**	**0**	**0**	**6**	**6**
Уровни звукового давления от мнимого источника ИШ-1-15_мн.(2) в расчётной точке днём, дБ		**ф-ла(3)[10]**	**0**	**0**	**0**	**0**	**14,2**	**13,2**	**9**	**1,4**	**0**	**16,6**	**16,6**
Суммарные уровни звукового давления от мнимых источников в расчётной точке днём, дБ		**ф-ла (19) [1]**	**0**	**0**	**0**	**0**	**14,2**	**13,2**	**10,4**	**1,4**	**0**	**0**	**17**
Уровни звукового давления от источника ИШ-1-15 в расчётной точке днём, дБ		**ф-ла(3)[10]**	**0**	**21**	**19,2**	**18,1**	**19,6**	**18,7**	**15,1**	**7,8**	**0**	**22,5**	**22,5**
Источник шума: ИШ-1-16, координаты источника (x,y,z), м =[447.96,94.28,1.00]													
Уровни звуковой мощности источника днём, Lw, дБ		**исходные данные**	**0**	**93,3**	**94,7**	**96**	**96,3**	**95,9**	**92,6**	**88,4**	**83,9**		
Поправка на телесный угол DΩ, дБ	Ω = 6.28	10Lg(4π/Ω)	**3**	3	3	3	3	3	3	3	3		
Показатель направленности источника Di, дБ		исходные данные	**0**	0	0	0	0	0	0	0	0		
Поправка на направленность источника Dc, дБ	Dc	DΩ + Di	**3**	3	3	3	3	3	3	3	3		

1		2	3	4	5	6	7	8	9	10	11	12	13
Затухание из-за геометрической дивергенции, Adiv, дБ	расстояние = 169.79 м	ф-ла (7) [10]	**55,6**										
Коэффициент затухания звука в атмосфере α, дБ/км	Ta=20,°C Pa=101.33,кПа hотн.=70%	ф-ла (5) [9]	0,02	0,09	0,33	1,12	2,79	4,98	9,04	23,09	77,63		
Учет затухания звука в атмосфере Aatm, дБ		ф-ла (8) [10]	0	0	0,1	0,2	0,5	0,8	1,5	3,9	13,2		
Снижение уровня звукового давления из-за влияния застройки между источником шума и расчетной точкой													
Снижение уровня звукового давления на пути над экраном, Dz1, дБ	z = 5.31м (разность путей)	ф-лы (14-18) [10]	16,8	20,4	23,5	26,6	29,6	32,6	35,6	38,6	41,6		
Снижение уровня звукового давления на пути слева от экрана, Dz2, дБ	z = 163.41м (разность путей)	ф-лы (14-18) [10]	32,1	35,5	38,5	41,6	44,6	47,6	50,6	53,6	56,6		
Снижение уровня звукового давления на пути справа от экрана, Dz3, дБ	z = 34.34м (разность путей)	ф-лы (14-18) [10]	24,9	28,5	31,7	34,8	37,8	40,8	43,8	46,9	49,9		
Общее снижение уровня звука препятствием Dz, дБ		Эн.сумма(-Dzi)	16,1	19,7	22,8	25,9	28,9	31,9	34,9	37,9	40,9		
Общее снижение уровня звука препятствием с учётом ограничения (25 дБ) для октавных полос Dz, дБ		Раздел 7.4 [10]	16,1	19,7	22,8	25	25	25	25	25	25		
Уровни звукового давления прямого звука от источника ИШ-1-16 в расчётной точке днём, дБ		**ф-ла(3)[10]**	**0**	**21**	**19,2**	**18,2**	**18,2**	**17,4**	**13,5**	**6,9**	**0**	**21,3**	**21,3**
Расчёт отражённого звука													
Уровни звукового давления от мнимого источника ИШ-1-16_мн.(1) в расчётной точке днём, дБ		**ф-ла(3)[10]**	**0**	**0**	**0**	**0**	**0**	**0**	**4,8**	**0**	**0**	**6**	**6**
Уровни звукового давления от мнимого источника ИШ-1-16_мн.(2) в расчётной точке днём, дБ		**ф-ла(3)[10]**	**0**	**0**	**0**	**0**	**14,1**	**13,1**	**8,8**	**1,3**	**0**	**16,5**	**16,5**
Суммарные уровни звукового давления от мнимых источников в расчётной точке днём, дБ		**ф-ла (19) [1]**	**0**	**0**	**0**	**0**	**14,1**	**13,1**	**10,3**	**1,3**	**0**	**0**	**16,9**
Уровни звукового давления от источника ИШ-1-16 в расчётной точке днём, дБ		**ф-ла(3)[10]**	**0**	**21**	**19,2**	**18,2**	**19,6**	**18,8**	**15,2**	**7,9**	**0**	**22,6**	**22,6**
Источник шума: ИШ-1-17, координаты источника (x,y,z), м =[540.99,141.77,1.00]													

1		2	3	4	5	6	7	8	9	10	11	12	13
Уровни звуковой мощности источника днём, Lw, дБ		**исходные данные**	**0**	**93,3**	**94,7**	**96**	**96,3**	**95,9**	**92,6**	**88,4**	**83,9**		
Поправка на телесный угол DΩ, дБ	Ω = 6.28	10Lg(4π/Ω)	**3**	3	3	3	3	3	3	3	3		
Показатель направленности источника Di, дБ		исходные данные	**0**	0	0	0	0	0	0	0	0		
Поправка на направленность источника Dc, дБ	Dc	DΩ + Di	**3**	3	3	3	3	3	3	3	3		
Затухание из-за геометрической дивергенции, Adiv, дБ	расстояние = 179.50 м	ф-ла (7) [10]	**56,1**										
Коэффициент затухания звука в атмосфере α, дБ/км	Ta=20,°C Pa=101.33,кПа hотн.=70%	ф-ла (5) [9]	0,02	0,09	0,33	1,12	2,79	4,98	9,04	23,09	77,63		
Учет затухания звука в атмосфере Aatm, дБ		ф-ла (8) [10]	0	0	0,1	0,2	0,5	0,9	1,6	4,1	13,9		
Снижение уровня звукового давления из-за влияния застройки между источником шума и расчетной точкой													
Снижение уровня звукового давления на пути над экраном, Dz1, дБ	z = 3.10м (разность путей)	ф-лы (14-18) [10]	11,6	14,7	18,8	23,1	26,7	30	33	36	39		
Снижение уровня звукового давления на пути слева от экрана, Dz2, дБ	z = 1.24м (разность путей)	ф-лы (14-18) [10]	8,8	10,8	13,3	15,9	18,8	21,7	24,7	27,7	30,7		
Снижение уровня звукового давления на пути справа от экрана, Dz3, дБ	z = 50.34м (разность путей)	ф-лы (14-18) [10]	22,9	26,3	30,2	34,8	38,9	42,3	45,5	48,5	51,5		
Общее снижение уровня звука препятствием Dz, дБ		Эн.сумма(-Dzi)	6,8	9,3	12,1	15,1	18,1	21,1	24,1	27	30		
Общее снижение уровня звука препятствием с учётом ограничения (25 дБ) для октавных полос Dz, дБ		Раздел 7.4 [10]	6,8	9,3	12,1	15,1	18,1	21,1	24,1	25	25		
Уровни звукового давления прямого звука от источника ИШ-1-17 в расчётной точке днём, дБ		**ф-ла(3)[10]**	**0**	**30,9**	**29,4**	**27,6**	**24,6**	**20,8**	**13,8**	**6,2**	**0**	**26**	**26**
Расчёт отражённого звука													
Уровни звукового давления от мнимого источника ИШ-1-17_мн.(1) в расчётной точке днём, дБ		**ф-ла(3)[10]**	**0**	**0**	**0**	**0**	**0**	**0**	**0**	**3,4**	**0**	**4,4**	**4,4**
Уровни звукового давления от источника ИШ-1-17 в расчётной точке днём, дБ		**ф-ла(3)[10]**	**0**	**30,9**	**29,4**	**27,6**	**24,6**	**20,8**	**13,8**	**8**	**0**	**26,1**	**26,1**

1		2	3	4	5	6	7	8	9	10	11	12	13
Источник шума: ИШ-1-18, координаты источника (x,y,z), м =[543.53,140.79,1.00]													
Уровни звуковой мощности источника днём, Lw, дБ		**исходные данные**	**0**	**93,3**	**94,7**	**96**	**96,3**	**95,9**	**92,6**	**88,4**	**83,9**		
Поправка на телесный угол DΩ, дБ	Ω = 6.28	10Lg(4π/Ω)	**3**	3	3	3	3	3	3	3	3		
Показатель направленности источника Di, дБ		исходные данные	**0**	0	0	0	0	0	0	0	0		
Поправка на направленность источника Dc, дБ	Dc	DΩ + Di	**3**	3	3	3	3	3	3	3	3		
Затухание из-за геометрической дивергенции, Adiv, дБ	расстояние = 178.34 м	ф-ла (7) [10]	**56**										
Коэффициент затухания звука в атмосфере α, дБ/км	Ta=20,°C Pa=101.33,кПа hотн.=70%	ф-ла (5) [9]	0,02	0,09	0,33	1,12	2,79	4,98	9,04	23,09	77,63		
Учет затухания звука в атмосфере Aatm, дБ		ф-ла (8) [10]	0	0	0,1	0,2	0,5	0,9	1,6	4,1	13,8		
Снижение уровня звукового давления из-за влияния застройки между источником шума и расчетной точкой													
Снижение уровня звукового давления на пути над экраном, Dz1, дБ	z = 3.05м (разность путей)	ф-лы (14-18) [10]	11,5	14,6	18,7	23	26,7	29,9	32,9	36	39		
Снижение уровня звукового давления на пути слева от экрана, Dz2, дБ	z = 1.14м (разность путей)	ф-лы (14-18) [10]	8,6	10,6	13	15,6	18,4	21,4	24,3	27,3	30,3		
Снижение уровня звукового давления на пути справа от экрана, Dz3, дБ	z = 50.61м (разность путей)	ф-лы (14-18) [10]	22,9	26,3	30,2	34,8	38,9	42,4	45,5	48,5	51,5		
Общее снижение уровня звука препятствием Dz, дБ		Эн.сумма(-Dzi)	6,7	9,1	11,9	14,8	17,8	20,8	23,7	26,7	29,7		
Общее снижение уровня звука препятствием с учётом ограничения (25 дБ) для октавных полос Dz, дБ		Раздел 7.4 [10]	6,7	9,1	11,9	14,8	17,8	20,8	23,7	25	25		
Уровни звукового давления прямого звука от источника ИШ-1-18 в расчётной точке днём, дБ		**ф-ла(3)[10]**	**0**	**31,2**	**29,7**	**27,9**	**25**	**21,2**	**14,2**	**6,2**	**0**	**26,4**	**26,4**
Расчёт отражённого звука													

1		2	3	4	5	6	7	8	9	10	11	12	13
Уровни звукового давления от мнимого источника ИШ-1-18_мн.(1) в расчётной точке днём, дБ		**ф-ла(3)[10]**	**0**	**0**	**0**	**0**	**0**	**0**	**0**	**3,3**	**0**	**4,3**	**4,3**
Уровни звукового давления от источника ИШ-1-18 в расчётной точке днём, дБ		**ф-ла(3)[10]**	**0**	**31,2**	**29,7**	**27,9**	**25**	**21,2**	**14,2**	**8**	**0**	**26,4**	**26,4**
Источник шума: ИШ-1-19, координаты источника (x,y,z), м =[547.25,139.62,1.00]													
Уровни звуковой мощности источника днём, Lw, дБ		**исходные данные**	**0**	**93,3**	**94,7**	**96**	**96,3**	**95,9**	**92,6**	**88,4**	**83,9**		
Поправка на телесный угол DΩ, дБ	Ω = 6.28	10Lg(4π/Ω)	**3**	3	3	3	3	3	3	3	3		
Показатель направленности источника Di, дБ		исходные данные	**0**	0	0	0	0	0	0	0	0		
Поправка на направленность источника Dc, дБ	Dc	DΩ + Di	**3**	3	3	3	3	3	3	3	3		
Затухание из-за геометрической дивергенции, Adiv, дБ	расстояние = 176.96 м	ф-ла (7) [10]	**56**										
Коэффициент затухания звука в атмосфере α, дБ/км	Ta=20,°C Pa=101.33,кПа hотн.=70%	ф-ла (5) [9]	0,02	0,09	0,33	1,12	2,79	4,98	9,04	23,09	77,63		
Учет затухания звука в атмосфере Aatm, дБ		ф-ла (8) [10]	0	0	0,1	0,2	0,5	0,9	1,6	4,1	13,7		
Снижение уровня звукового давления из-за влияния застройки между источником шума и расчетной точкой													
Снижение уровня звукового давления на пути над экраном, Dz1, дБ	z = 2.97м (разность путей)	ф-лы (14-18) [10]	11,4	14,5	18,5	22,8	26,5	29,7	32,8	35,8	38,8		
Снижение уровня звукового давления на пути слева от экрана, Dz2, дБ	z = 1.00м (разность путей)	ф-лы (14-18) [10]	8,3	10,2	12,5	15,1	17,9	20,8	23,8	26,8	29,7		
Снижение уровня звукового давления на пути справа от экрана, Dz3, дБ	z = 51.01м (разность путей)	ф-лы (14-18) [10]	23	26,3	30,3	34,8	38,9	42,4	45,5	48,6	51,6		
Общее снижение уровня звука препятствием Dz, дБ		Эн.сумма(-Dzi)	6,4	8,7	11,5	14,4	17,3	20,3	23,2	26,2	29,2		
Общее снижение уровня звука препятствием с учётом ограничения (25 дБ) для октавных полос Dz, дБ		Раздел 7.4 [10]	6,4	8,7	11,5	14,4	17,3	20,3	23,2	25	25		

1		2	3	4	5	6	7	8	9	10	11	12	13
Уровни звукового давления прямого звука от источника ИШ-1-19 в расчётной точке днём, дБ		**ф-ла(3)[10]**	**0**	**31,6**	**30,2**	**28,4**	**25,5**	**21,8**	**14,8**	**6,3**	**0**	**26,9**	**26,9**
Расчёт отражённого звука													
Уровни звукового давления от мнимого источника ИШ-1-19_мн.(1) в расчётной точке днём, дБ		**ф-ла(3)[10]**	**0**	**0**	**0**	**0**	**0**	**0**	**0**	**0**	**0**	**0**	**0**
Уровни звукового давления от источника ИШ-1-19 в расчётной точке днём, дБ		**ф-ла(3)[10]**	**0**	**31,6**	**30,2**	**28,4**	**25,5**	**21,8**	**14,8**	**6,3**	**0**	**26,9**	**26,9**
Источник шума: ИШ-1-20, координаты источника (x,y,z), м =[550.38,138.64,1.00]													
Уровни звуковой мощности источника днём, Lw, дБ		**исходные данные**	**0**	**93,3**	**94,7**	**96**	**96,3**	**95,9**	**92,6**	**88,4**	**83,9**		
Поправка на телесный угол DΩ, дБ	Ω = 6.28	10Lg(4π/Ω)	**3**	3	3	3	3	3	3	3	3		
Показатель направленности источника Di, дБ		исходные данные	**0**	0	0	0	0	0	0	0	0		
Поправка на направленность источника Dc, дБ	Dc	DΩ + Di	**3**	3	3	3	3	3	3	3	3		
Затухание из-за геометрической дивергенции, Adiv, дБ	расстояние = 175.87 м	ф-ла (7) [10]	**55,9**										
Коэффициент затухания звука в атмосфере α, дБ/км	Ta=20,°C Pa=101.33,кПа hотн.=70%	ф-ла (5) [9]	0,02	0,09	0,33	1,12	2,79	4,98	9,04	23,09	77,63		
Учет затухания звука в атмосфере Aatm, дБ		ф-ла (8) [10]	0	0	0,1	0,2	0,5	0,9	1,6	4,1	13,7		
Снижение уровня звукового давления из-за влияния застройки между источником шума и расчетной точкой													
Снижение уровня звукового давления на пути над экраном, Dz1, дБ	z = 2.89м (разность путей)	ф-лы (14-18) [10]	11,3	14,4	18,4	22,7	26,4	29,6	32,7	35,7	38,7		
Снижение уровня звукового давления на пути слева от экрана, Dz2, дБ	z = 0.89м (разность путей)	ф-лы (14-18) [10]	8	9,8	12,1	14,6	17,4	20,3	23,3	26,2	29,2		
Снижение уровня звукового давления на пути справа от экрана, Dz3, дБ	z = 51.34м (разность путей)	ф-лы (14-18) [10]	23	26,3	30,3	34,8	39	42,4	45,5	48,6	51,6		

1		2	3	4	5	6	7	8	9	10	11	12	13
Общее снижение уровня звука препятствием Dz, дБ		Эн.сумма(-Dzi)	6,2	8,4	11,1	14	16,9	19,8	22,8	25,8	28,8		
Общее снижение уровня звука препятствием с учётом ограничения (25 дБ) для октавных полос Dz, дБ		Раздел 7.4 [10]	6,2	8,4	11,1	14	16,9	19,8	22,8	25	25		
Уровни звукового давления прямого звука от источника ИШ-1-20 в расчётной точке днём, дБ		**ф-ла(3)[10]**	**0**	**31,9**	**30,6**	**28,9**	**26**	**22,3**	**15,3**	**6,4**	**0**	**27,4**	**27,4**
Расчёт отражённого звука													
Уровни звукового давления от мнимого источника ИШ-1-20_мн.(1) в расчётной точке днём, дБ		**ф-ла(3)[10]**	**0**	**0**	**0**	**0**	**0**	**0**	**0**	**0**	**0**	**0**	**0**
Уровни звукового давления от источника ИШ-1-20 в расчётной точке днём, дБ		**ф-ла(3)[10]**	**0**	**31,9**	**30,6**	**28,9**	**26**	**22,3**	**15,3**	**6,4**	**0**	**27,4**	**27,4**
Источник шума: ИШ-1-21, координаты источника (x,y,z), м =[553.31,137.67,1.00]													
Уровни звуковой мощности источника днём, Lw, дБ		**исходные данные**	**0**	**93,3**	**94,7**	**96**	**96,3**	**95,9**	**92,6**	**88,4**	**83,9**		
Поправка на телесный угол DΩ, дБ	Ω = 6.28	10Lg(4π/Ω)	**3**	3	3	3	3	3	3	3	3		
Показатель направленности источника Di, дБ		исходные данные	**0**	0	0	0	0	0	0	0	0		
Поправка на направленность источника Dc, дБ	Dc	DΩ + Di	**3**	3	3	3	3	3	3	3	3		
Затухание из-за геометрической дивергенции, Adiv, дБ	расстояние = 174.83 м	ф-ла (7) [10]	**55,9**										
Коэффициент затухания звука в атмосфере α, дБ/км	Ta=20,°C Pa=101.33,кПа hотн.=70%	ф-ла (5) [9]	0,02	0,09	0,33	1,12	2,79	4,98	9,04	23,09	77,63		
Учет затухания звука в атмосфере Aatm, дБ		ф-ла (8) [10]	0	0	0,1	0,2	0,5	0,9	1,6	4	13,6		
Снижение уровня звукового давления из-за влияния застройки между источником шума и расчетной точкой													
Снижение уровня звукового давления на пути над экраном, Dz1, дБ	z = 2.82м (разность путей)	ф-лы (14-18) [10]	11,2	14,2	18,2	22,6	26,3	29,5	32,6	35,6	38,6		

1		2	3	4	5	6	7	8	9	10	11	12	13
Снижение уровня звукового давления на пути слева от экрана, Dz2, дБ	z = 0.79м (разность путей)	ф-лы (14-18) [10]	7,7	9,5	11,6	14,2	16,9	19,8	22,8	25,7	28,7		
Снижение уровня звукового давления на пути справа от экрана, Dz3, дБ	z = 51.65м (разность путей)	ф-лы (14-18) [10]	23	26,4	30,3	34,9	39	42,4	45,6	48,6	51,6		
Общее снижение уровня звука препятствием Dz, дБ		Эн.сумма(-Dzi)	6	8,1	10,7	13,6	16,4	19,3	22,3	25,3	28,3		
Общее снижение уровня звука препятствием с учётом ограничения (25 дБ) для октавных полос Dz, дБ		Раздел 7.4 [10]	6	8,1	10,7	13,6	16,4	19,3	22,3	25	25		
Уровни звукового давления прямого звука от источника ИШ-1-21 в расчётной точке днём, дБ		**ф-ла(3)[10]**	**0**	**32,3**	**31,1**	**29,4**	**26,5**	**22,8**	**15,9**	**6,5**	**0**	**27,9**	**27,9**
Расчёт отражённого звука													
Уровни звукового давления от мнимого источника ИШ-1-21_мн.(1) в расчётной точке днём, дБ		**ф-ла(3)[10]**	**0**	**0**	**0**	**0**	**0**	**0**	**0**	**0**	**0**	**0**	**0**
Уровни звукового давления от источника ИШ-1-21 в расчётной точке днём, дБ		**ф-ла(3)[10]**	**0**	**32,3**	**31,1**	**29,4**	**26,5**	**22,8**	**15,9**	**6,5**	**0**	**27,9**	**27,9**
Источник шума: ИШ-1-22, координаты источника (x,y,z), м =[522.03,85.28,1.00]													
Уровни звуковой мощности источника днём, Lw, дБ		**исходные данные**	**0**	**93,3**	**94,7**	**96**	**96,3**	**95,9**	**92,6**	**88,4**	**83,9**		
Поправка на телесный угол DΩ, дБ	Ω = 6.28	10Lg(4π/Ω)	**3**	3	3	3	3	3	3	3	3		
Показатель направленности источника Di, дБ		исходные данные	**0**	0	0	0	0	0	0	0	0		
Поправка на направленность источника Dc, дБ	Dc	DΩ + Di	**3**	3	3	3	3	3	3	3	3		
Затухание из-за геометрической дивергенции, Adiv, дБ	расстояние = 126.91 м	ф-ла (7) [10]	**53,1**										
Коэффициент затухания звука в атмосфере α, дБ/км	Ta=20,°C Pa=101.33,кПа hотн.=70%	ф-ла (5) [9]	0,02	0,09	0,33	1,12	2,79	4,98	9,04	23,09	77,63		
Учет затухания звука в атмосфере Aatm, дБ		ф-ла (8) [10]	0	0	0	0,1	0,4	0,6	1,1	2,9	9,9		

1		2	3	4	5	6	7	8	9	10	11	12	13
Снижение уровня звукового давления из-за влияния застройки между источником шума и расчетной точкой													
Снижение уровня звукового давления на пути над экраном, Dz1, дБ	z = 3.70м (разность путей)	ф-лы (14-18) [10]	12,4	15,8	20,1	24,2	27,7	30,9	33,9	37	40		
Снижение уровня звукового давления на пути слева от экрана, Dz2, дБ	z = 3.08м (разность путей)	ф-лы (14-18) [10]	11,6	14,1	16,8	19,7	22,7	25,6	28,6	31,6	34,6		
Снижение уровня звукового давления на пути справа от экрана, Dz3, дБ	z = 47.04м (разность путей)	ф-лы (14-18) [10]	22,6	26	29,9	34,5	38,6	42	45,2	48,2	51,2		
Общее снижение уровня звука препятствием Dz, дБ		Эн.сумма(-Dzi)	8,8	11,7	15	18,3	21,4	24,4	27,4	30,4	33,4		
Общее снижение уровня звука препятствием с учётом ограничения (25 дБ) для октавных полос Dz, дБ		Раздел 7.4 [10]	8,8	11,7	15	18,3	21,4	24,4	25	25	25		
Уровни звукового давления прямого звука от источника ИШ-1-22 в расчётной точке днём, дБ		**ф-ла(3)[10]**	**0**	**31,5**	**29,6**	**27,5**	**24,5**	**20,8**	**16,4**	**10,4**	**0**	**26,3**	**26,3**
Расчёт отражённого звука													
Уровни звукового давления от мнимого источника ИШ-1-22_мн.(1) в расчётной точке днём, дБ		**ф-ла(3)[10]**	**0**	**0**	**0**	**0**	**0**	**0**	**0**	**0**	**0**	**0**	**0**
Уровни звукового давления от мнимого источника ИШ-1-22_мн.(2) в расчётной точке днём, дБ		**ф-ла(3)[10]**	**0**	**0**	**0**	**0**	**0**	**0**	**0**	**0**	**0**	**0**	**0**
Суммарные уровни звукового давления от мнимых источников в расчётной точке днём, дБ		**ф-ла (19) [1]**	**0**	**0**	**0**	**0**	**0**	**0**	**0**	**0**	**0**	**0**	**0**
Уровни звукового давления от источника ИШ-1-22 в расчётной точке днём, дБ		**ф-ла(3)[10]**	**0**	**31,5**	**29,6**	**27,5**	**24,5**	**20,8**	**16,4**	**10,4**	**0**	**26,3**	**26,3**
Источник шума: ИШ-1-23, координаты источника (x,y,z), м =[525.16,84.11,1.00]													
Уровни звуковой мощности источника днём, Lw, дБ		**исходные данные**	**0**	**93,3**	**94,7**	**96**	**96,3**	**95,9**	**92,6**	**88,4**	**83,9**		
Поправка на телесный угол DΩ, дБ	Ω = 6.28	10Lg(4π/Ω)	**3**	3	3	3	3	3	3	3	3		
Показатель направленности источника Di, дБ		исходные данные	**0**	0	0	0	0	0	0	0	0		
Поправка на направленность источника Dc, дБ	Dc	DΩ + Di	**3**	3	3	3	3	3	3	3	3		

1		2	3	4	5	6	7	8	9	10	11	12	13
Затухание из-за геометрической дивергенции, Adiv, дБ	расстояние = 124.99 м	ф-ла (7) [10]	**52,9**										
Коэффициент затухания звука в атмосфере α, дБ/км	Та=20,°С Ра=101.33,кПа hотн.=70%	ф-ла (5) [9]	0,02	0,09	0,33	1,12	2,79	4,98	9,04	23,09	77,63		
Учет затухания звука в атмосфере Aatm, дБ		ф-ла (8) [10]	0	0	0	0,1	0,3	0,6	1,1	2,9	9,7		
Снижение уровня звукового давления из-за влияния застройки между источником шума и расчетной точкой													
Снижение уровня звукового давления на пути над экраном, Dz1, дБ	z = 3.66м (разность путей)	ф-лы (14-18) [10]	12,3	15,7	20	24,2	27,7	30,8	33,9	36,9	39,9		
Снижение уровня звукового давления на пути слева от экрана, Dz2, дБ	z = 2.85м (разность путей)	ф-лы (14-18) [10]	11,3	13,8	16,5	19,4	22,3	25,3	28,3	31,3	34,3		
Снижение уровня звукового давления на пути справа от экрана, Dz3, дБ	z = 47.53м (разность путей)	ф-лы (14-18) [10]	22,7	26	30	34,5	38,6	42,1	45,2	48,3	51,3		
Общее снижение уровня звука препятствием Dz, дБ		Эн.сумма(-Dzi)	8,6	11,5	14,8	18	21,1	24,1	27,2	30,2	33,2		
Общее снижение уровня звука препятствием с учётом ограничения (25 дБ) для октавных полос Dz, дБ		Раздел 7.4 [10]	8,6	11,5	14,8	18	21,1	24,1	25	25	25		
Уровни звукового давления прямого звука от источника ИШ-1-23 в расчётной точке днём, дБ		**ф-ла(3)[10]**	**0**	**31,8**	**29,9**	**27,9**	**24,9**	**21,2**	**16,5**	**10,6**	**0**	**26,7**	**26,7**
Расчёт отражённого звука													
Уровни звукового давления от мнимого источника ИШ-1-23_мн.(1) в расчётной точке днём, дБ		**ф-ла(3)[10]**	**0**	**0**	**0**	**0**	**0**	**0**	**0**	**0**	**0**	**0**	**0**
Уровни звукового давления от источника ИШ-1-23 в расчётной точке днём, дБ		**ф-ла(3)[10]**	**0**	**31,8**	**29,9**	**27,9**	**24,9**	**21,2**	**16,5**	**10,6**	**0**	**26,7**	**26,7**
Источник шума: ИШ-1-24, координаты источника (x,y,z), м =[528.48,82.94,1.00]													
Уровни звуковой мощности источника днём, Lw, дБ		**исходные данные**	**0**	**93,3**	**94,7**	**96**	**96,3**	**95,9**	**92,6**	**88,4**	**83,9**		
Поправка на телесный угол DΩ, дБ	Ω = 6.28	10Lg(4π/Ω)	**3**	3	3	3	3	3	3	3	3		

1		2	3	4	5	6	7	8	9	10	11	12	13
Показатель направленности источника Di, дБ		исходные данные	**0**	0	0	0	0	0	0	0	0		
Поправка на направленность источника Dc, дБ	Dc	DΩ + Di	**3**	3	3	3	3	3	3	3	3		
Затухание из-за геометрической дивергенции, Adiv, дБ	расстояние = 123.08 м	ф-ла (7) [10]	**52,8**										
Коэффициент затухания звука в атмосфере α, дБ/км	Ta=20,°C Pa=101.33,кПа hотн.=70%	ф-ла (5) [9]	0,02	0,09	0,33	1,12	2,79	4,98	9,04	23,09	77,63		
Учет затухания звука в атмосфере Aatm, дБ		ф-ла (8) [10]	0	0	0	0,1	0,3	0,6	1,1	2,8	9,6		
Снижение уровня звукового давления из-за влияния застройки между источником шума и расчетной точкой													
Снижение уровня звукового давления на пути над экраном, Dz1, дБ	z = 3.60м (разность путей)	ф-лы (14-18) [10]	12,3	15,6	19,9	24,1	27,6	30,8	33,8	36,8	39,9		
Снижение уровня звукового давления на пути слева от экрана, Dz2, дБ	z = 2.59м (разность путей)	ф-лы (14-18) [10]	11	13,5	16,1	19	21,9	24,9	27,9	30,9	33,9		
Снижение уровня звукового давления на пути справа от экрана, Dz3, дБ	z = 48.05м (разность путей)	ф-лы (14-18) [10]	22,7	26,1	30	34,6	38,7	42,1	45,3	48,3	51,3		
Общее снижение уровня звука препятствием Dz, дБ		Эн.сумма(-Dzi)	8,4	11,3	14,5	17,7	20,8	23,8	26,8	29,8	32,8		
Общее снижение уровня звука препятствием с учётом ограничения (25 дБ) для октавных полос Dz, дБ		Раздел 7.4 [10]	8,4	11,3	14,5	17,7	20,8	23,8	25	25	25		
Уровни звукового давления прямого звука от источника ИШ-1-24 в расчётной точке днём, дБ		**ф-ла(3)[10]**	**0**	**32,2**	**30,4**	**28,3**	**25,3**	**21,6**	**16,7**	**10,7**	**0**	**27,1**	**27,1**
Расчёт отражённого звука													
Уровни звукового давления от мнимого источника ИШ-1-24_мн.(1) в расчётной точке днём, дБ		**ф-ла(3)[10]**	**0**	**0**	**0**	**0**	**0**	**0**	**0**	**0**	**0**	**0**	**0**
Уровни звукового давления от источника ИШ-1-24 в расчётной точке днём, дБ		**ф-ла(3)[10]**	**0**	**32,2**	**30,4**	**28,3**	**25,3**	**21,6**	**16,7**	**10,7**	**0**	**27,1**	**27,1**
Источник шума: ИШ-1-25, координаты источника (x,y,z), м =[531.22,82.16,1.00]													

1		2	3	4	5	6	7	8	9	10	11	12	13
Уровни звуковой мощности источника днём, Lw, дБ		**исходные данные**	**0**	**93,3**	**94,7**	**96**	**96,3**	**95,9**	**92,6**	**88,4**	**83,9**		
Поправка на телесный угол DΩ, дБ	Ω = 6.28	10Lg(4π/Ω)	**3**	3	3	3	3	3	3	3	3		
Показатель направленности источника Di, дБ		исходные данные	**0**	0	0	0	0	0	0	0	0		
Поправка на направленность источника Dc, дБ	Dc	DΩ + Di	**3**	3	3	3	3	3	3	3	3		
Затухание из-за геометрической дивергенции, Adiv, дБ	расстояние = 121.74 м	ф-ла (7) [10]	**52,7**										
Коэффициент затухания звука в атмосфере α, дБ/км	Ta=20,°C Pa=101.33,кПа hотн.=70%	ф-ла (5) [9]	0,02	0,09	0,33	1,12	2,79	4,98	9,04	23,09	77,63		
Учет затухания звука в атмосфере Aatm, дБ		ф-ла (8) [10]	0	0	0	0,1	0,3	0,6	1,1	2,8	9,5		
Снижение уровня звукового давления из-за влияния застройки между источником шума и расчетной точкой													
Снижение уровня звукового давления на пути над экраном, Dz1, дБ	z = 3.55м (разность путей)	ф-лы (14-18) [10]	12,2	15,5	19,8	24	27,5	30,7	33,8	36,8	39,8		
Снижение уровня звукового давления на пути слева от экрана, Dz2, дБ	z = 2.39м (разность путей)	ф-лы (14-18) [10]	10,7	13,2	15,8	18,6	21,6	24,5	27,5	30,5	33,5		
Снижение уровня звукового давления на пути справа от экрана, Dz3, дБ	z = 48.49м (разность путей)	ф-лы (14-18) [10]	22,8	26,1	30	34,6	38,7	42,2	45,3	48,3	51,4		
Общее снижение уровня звука препятствием Dz, дБ		Эн.сумма(-Dzi)	8,2	11	14,2	17,4	20,5	23,5	26,5	29,5	32,5		
Общее снижение уровня звука препятствием с учётом ограничения (25 дБ) для октавных полос Dz, дБ		Раздел 7.4 [10]	8,2	11	14,2	17,4	20,5	23,5	25	25	25		
Уровни звукового давления прямого звука от источника ИШ-1-25 в расчётной точке днём, дБ		**ф-ла(3)[10]**	**0**	**32,5**	**30,7**	**28,7**	**25,7**	**22**	**16,8**	**10,9**	**0**	**27,4**	**27,4**
Расчёт отражённого звука													
Уровни звукового давления от мнимого источника ИШ-1-25_мн.(1) в расчётной точке днём, дБ		**ф-ла(3)[10]**	**0**	**0**	**0**	**0**	**0**	**0**	**0**	**0**	**0**	**0**	**0**
Уровни звукового давления от источника ИШ-1-25 в расчётной точке днём, дБ		**ф-ла(3)[10]**	**0**	**32,5**	**30,7**	**28,7**	**25,7**	**22**	**16,8**	**10,9**	**0**	**27,4**	**27,4**

1		2	3	4	5	6	7	8	9	10	11	12	13
Источник шума: ИШ-1-26, координаты источника (x,y,z), м =[534.15,80.79,1.00]													
Уровни звуковой мощности источника днём, Lw, дБ		**исходные данные**	**0**	**93,3**	**94,7**	**96**	**96,3**	**95,9**	**92,6**	**88,4**	**83,9**		
Поправка на телесный угол DΩ, дБ	Ω = 6.28	10Lg(4π/Ω)	**3**	3	3	3	3	3	3	3	3		
Показатель направленности источника Di, дБ		исходные данные	**0**	0	0	0	0	0	0	0	0		
Поправка на направленность источника Dc, дБ	Dc	DΩ + Di	**3**	3	3	3	3	3	3	3	3		
Затухание из-за геометрической дивергенции, Adiv, дБ	расстояние = 119.85 м	ф-ла (7) [10]	**52,6**										
Коэффициент затухания звука в атмосфере α, дБ/км	Ta=20,°C Pa=101.33,кПа hотн.=70%	ф-ла (5) [9]	0,02	0,09	0,33	1,12	2,79	4,98	9,04	23,09	77,63		
Учет затухания звука в атмосфере Aatm, дБ		ф-ла (8) [10]	0	0	0	0,1	0,3	0,6	1,1	2,8	9,3		
Снижение уровня звукового давления из-за влияния застройки между источником шума и расчетной точкой													
Снижение уровня звукового давления на пути над экраном, Dz1, дБ	z = 3.49м (разность путей)	ф-лы (14-18) [10]	12,1	15,5	19,6	23,9	27,5	30,6	33,7	36,7	39,7		
Снижение уровня звукового давления на пути слева от экрана, Dz2, дБ	z = 2.18м (разность путей)	ф-лы (14-18) [10]	10,4	12,8	15,4	18,3	21,2	24,1	27,1	30,1	33,1		
Снижение уровня звукового давления на пути справа от экрана, Dz3, дБ	z = 48.95м (разность путей)	ф-лы (14-18) [10]	22,8	26,1	30,1	34,6	38,8	42,2	45,3	48,4	51,4		
Общее снижение уровня звука препятствием Dz, дБ		Эн.сумма(-Dzi)	8	10,8	13,9	17,1	20,2	23,2	26,2	29,2	32,2		
Общее снижение уровня звука препятствием с учётом ограничения (25 дБ) для октавных полос Dz, дБ		Раздел 7.4 [10]	8	10,8	13,9	17,1	20,2	23,2	25	25	25		
Уровни звукового давления прямого звука от источника ИШ-1-26 в расчётной точке днём, дБ		**ф-ла(3)[10]**	**0**	**32,9**	**31,1**	**29,2**	**26,2**	**22,5**	**16,9**	**11,1**	**0**	**27,9**	**27,9**
Расчёт отражённого звука													

1		2	3	4	5	6	7	8	9	10	11	12	13
Уровни звукового давления от мнимого источника ИШ-1-26_мн.(1) в расчётной точке днём, дБ		**ф-ла(3)[10]**	**0**	**0**	**0**	**0**	**0**	**0**	**0**	**5,7**	**0**	**6,7**	**6,7**
Уровни звукового давления от источника ИШ-1-26 в расчётной точке днём, дБ		**ф-ла(3)[10]**	**0**	**32,9**	**31,1**	**29,2**	**26,2**	**22,5**	**16,9**	**12,2**	**0**	**27,9**	**27,9**
Источник шума: ИШ-1-27, координаты источника (x,y,z), м =[469.65,197.67,1.00]													
Уровни звуковой мощности источника днём, Lw, дБ		**исходные данные**	**0**	**93,3**	**94,7**	**96**	**96,3**	**95,9**	**92,6**	**88,4**	**83,9**		
Поправка на телесный угол DΩ, дБ	Ω = 6.28	10Lg(4π/Ω)	**3**	3	3	3	3	3	3	3	3		
Показатель направленности источника Di, дБ		исходные данные	**0**	0	0	0	0	0	0	0	0		
Поправка на направленность источника Dc, дБ	Dc	DΩ + Di	**3**	3	3	3	3	3	3	3	3		
Затухание из-за геометрической дивергенции, Adiv, дБ	расстояние = 250.01 м	ф-ла (7) [10]	**59**										
Коэффициент затухания звука в атмосфере α, дБ/км	Ta=20,°C Pa=101.33,кПа hотн.=70%	ф-ла (5) [9]	0,02	0,09	0,33	1,12	2,79	4,98	9,04	23,09	77,63		
Учет затухания звука в атмосфере Aatm, дБ		ф-ла (8) [10]	0	0	0,1	0,3	0,7	1,2	2,3	5,8	19,4		
Снижение уровня звукового давления из-за влияния застройки между источником шума и расчетной точкой													
Снижение уровня звукового давления на пути над экраном, Dz1, дБ	z = 4.34м (разность путей)	ф-лы (14-18) [10]	16,3	19,6	22,6	25,6	28,6	31,6	34,6	37,6	40,6		
Снижение уровня звукового давления на пути слева от экрана, Dz2, дБ	z = 26.39м (разность путей)	ф-лы (14-18) [10]	24,2	27,6	30,6	33,7	36,7	39,7	42,7	45,7	48,7		
Снижение уровня звукового давления на пути справа от экрана, Dz3, дБ	z = 53.76м (разность путей)	ф-лы (14-18) [10]	26,8	30,5	33,7	36,7	39,8	42,8	45,8	48,8	51,8		
Общее снижение уровня звука препятствием Dz, дБ		Эн.сумма(-Dzi)	15,3	18,6	21,7	24,7	27,7	30,7	33,7	36,7	39,7		
Общее снижение уровня звука препятствием с учётом ограничения (25 дБ) для октавных полос Dz, дБ		Раздел 7.4 [10]	15,3	18,6	21,7	24,7	25	25	25	25	25		

1		2	3	4	5	6	7	8	9	10	11	12	13
Уровни звукового давления прямого звука от источника ИШ-1-27 в расчётной точке днём, дБ		**ф-ла(3)[10]**	**0**	**18,7**	**17**	**15**	**14,6**	**13,7**	**9,4**	**1,7**	**0**	**17,5**	**17,5**
Расчёт отражённого звука													
Уровни звукового давления от мнимого источника ИШ-1-27_мн.(1) в расчётной точке днём, дБ		**ф-ла(3)[10]**	**0**	**0**	**0**	**0**	**0**	**0**	**0**	**0**	**0**	**0**	**0**
Уровни звукового давления от источника ИШ-1-27 в расчётной точке днём, дБ		**ф-ла(3)[10]**	**0**	**18,7**	**17**	**15**	**14,6**	**13,7**	**9,4**	**1,7**	**0**	**17,5**	**17,5**
Источник шума: ИШ-1-28, координаты источника (x,y,z), м =[472.78,196.69,1.00]													
Уровни звуковой мощности источника днём, Lw, дБ		**исходные данные**	**0**	**93,3**	**94,7**	**96**	**96,3**	**95,9**	**92,6**	**88,4**	**83,9**		
Поправка на телесный угол DΩ, дБ	Ω = 6.28	10Lg(4π/Ω)	**3**	3	3	3	3	3	3	3	3		
Показатель направленности источника Di, дБ		исходные данные	**0**	0	0	0	0	0	0	0	0		
Поправка на направленность источника Dc, дБ	Dc	DΩ + Di	**3**	3	3	3	3	3	3	3	3		
Затухание из-за геометрической дивергенции, Adiv, дБ	расстояние = 248.03 м	ф-ла (7) [10]	**58,9**										
Коэффициент затухания звука в атмосфере α, дБ/км	Ta=20,°C Pa=101.33,кПа hотн.=70%	ф-ла (5) [9]	0,02	0,09	0,33	1,12	2,79	4,98	9,04	23,09	77,63		
Учет затухания звука в атмосфере Aatm, дБ		ф-ла (8) [10]	0	0	0,1	0,3	0,7	1,2	2,2	5,7	19,3		
Снижение уровня звукового давления из-за влияния застройки между источником шума и расчетной точкой													
Снижение уровня звукового давления на пути над экраном, Dz1, дБ	z = 4.36м (разность путей)	ф-лы (14-18) [10]	16,3	19,6	22,6	25,7	28,7	31,7	34,7	37,7	40,7		
Снижение уровня звукового давления на пути слева от экрана, Dz2, дБ	z = 25.09м (разность путей)	ф-лы (14-18) [10]	23,9	27,3	30,4	33,4	36,5	39,5	42,5	45,5	48,5		
Снижение уровня звукового давления на пути справа от экрана, Dz3, дБ	z = 54.89м (разность путей)	ф-лы (14-18) [10]	26,9	30,6	33,8	36,8	39,9	42,9	45,9	48,9	51,9		

1		2	3	4	5	6	7	8	9	10	11	12	13
Общее снижение уровня звука препятствием Dz, дБ		Эн.сумма(-Dzi)	15,3	18,6	21,7	24,7	27,7	30,7	33,7	36,7	39,7		
Общее снижение уровня звука препятствием с учётом ограничения (25 дБ) для октавных полос Dz, дБ		Раздел 7.4 [10]	15,3	18,6	21,7	24,7	25	25	25	25	25		
Уровни звукового давления прямого звука от источника ИШ-1-28 в расчётной точке днём, дБ		**ф-ла(3)[10]**	**0**	**18,7**	**17**	**15,1**	**14,7**	**13,8**	**9,5**	**1,8**	**0**	**17,6**	**17,6**
Расчёт отражённого звука													
Уровни звукового давления от мнимого источника ИШ-1-28_мн.(1) в расчётной точке днём, дБ		**ф-ла(3)[10]**	**0**	**0**	**0**	**0**	**0**	**0**	**0**	**0**	**0**	**0**	**0**
Уровни звукового давления от источника ИШ-1-28 в расчётной точке днём, дБ		**ф-ла(3)[10]**	**0**	**18,7**	**17**	**15,1**	**14,7**	**13,8**	**9,5**	**1,8**	**0**	**17,6**	**17,6**
Источник шума: ИШ-1-29, координаты источника (x,y,z), м =[475.52,195.72,1.00]													
Уровни звуковой мощности источника днём, Lw, дБ		**исходные данные**	**0**	**93,3**	**94,7**	**96**	**96,3**	**95,9**	**92,6**	**88,4**	**83,9**		
Поправка на телесный угол DΩ, дБ	Ω = 6.28	10Lg(4π/Ω)	**3**	3	3	3	3	3	3	3	3		
Показатель направленности источника Di, дБ		исходные данные	**0**	0	0	0	0	0	0	0	0		
Поправка на направленность источника Dc, дБ	Dc	DΩ + Di	**3**	3	3	3	3	3	3	3	3		
Затухание из-за геометрической дивергенции, Adiv, дБ	расстояние = 246.21 м	ф-ла (7) [10]	**58,8**										
Коэффициент затухания звука в атмосфере α, дБ/км	Ta=20,°C Pa=101.33,кПа hотн.=70%	ф-ла (5) [9]	0,02	0,09	0,33	1,12	2,79	4,98	9,04	23,09	77,63		
Учет затухания звука в атмосфере Aatm, дБ		ф-ла (8) [10]	0	0	0,1	0,3	0,7	1,2	2,2	5,7	19,1		
Снижение уровня звукового давления из-за влияния застройки между источником шума и расчетной точкой													
Снижение уровня звукового давления на пути над экраном, Dz1, дБ	z = 4.39м (разность путей)	ф-лы (14-18) [10]	16,4	19,7	22,7	25,7	28,7	31,7	34,7	37,7	40,7		

1		2	3	4	5	6	7	8	9	10	11	12	13
Снижение уровня звукового давления на пути слева от экрана, Dz2, дБ	z = 24.01м (разность путей)	ф-лы (14-18) [10]	23,8	27,1	30,2	33,3	36,3	39,3	42,3	45,3	48,3		
Снижение уровня звукового давления на пути справа от экрана, Dz3, дБ	z = 55.91м (разность путей)	ф-лы (14-18) [10]	27	30,7	33,8	36,9	39,9	43	46	49	52		
Общее снижение уровня звука препятствием Dz, дБ		Эн.сумма(-Dzi)	15,3	18,7	21,7	24,7	27,7	30,7	33,7	36,7	39,8		
Общее снижение уровня звука препятствием с учётом ограничения (25 дБ) для октавных полос Dz, дБ		Раздел 7.4 [10]	15,3	18,7	21,7	24,7	25	25	25	25	25		
Уровни звукового давления прямого звука от источника ИШ-1-29 в расчётной точке днём, дБ		**ф-ла(3)[10]**	**0**	**18,8**	**17,1**	**15,2**	**14,8**	**13,8**	**9,5**	**1,9**	**0**	**17,7**	**17,7**
Расчёт отражённого звука													
Уровни звукового давления от мнимого источника ИШ-1-29_мн.(1) в расчётной точке днём, дБ		**ф-ла(3)[10]**	**0**	**0**	**0**	**0**	**0**	**0**	**0**	**0**	**0**	**0**	**0**
Уровни звукового давления от источника ИШ-1-29 в расчётной точке днём, дБ		**ф-ла(3)[10]**	**0**	**18,8**	**17,1**	**15,2**	**14,8**	**13,8**	**9,5**	**1,9**	**0**	**17,7**	**17,7**
Источник шума: ИШ-1-30, координаты источника (x,y,z), м =[478.45,194.54,1.00]													
Уровни звуковой мощности источника днём, Lw, дБ		**исходные данные**	**0**	**93,3**	**94,7**	**96**	**96,3**	**95,9**	**92,6**	**88,4**	**83,9**		
Поправка на телесный угол DΩ, дБ	Ω = 6.28	10Lg(4π/Ω)	**3**	3	3	3	3	3	3	3	3		
Показатель направленности источника Di, дБ		исходные данные	**0**	0	0	0	0	0	0	0	0		
Поправка на направленность источника Dc, дБ	Dc	DΩ + Di	**3**	3	3	3	3	3	3	3	3		
Затухание из-за геометрической дивергенции, Adiv, дБ	расстояние = 244.16 м	ф-ла (7) [10]	**58,8**										
Коэффициент затухания звука в атмосфере α, дБ/км	Та=20,°С Ра=101.33,кПа hотн.=70%	ф-ла (5) [9]	0,02	0,09	0,33	1,12	2,79	4,98	9,04	23,09	77,63		
Учет затухания звука в атмосфере Aatm, дБ		ф-ла (8) [10]	0	0	0,1	0,3	0,7	1,2	2,2	5,6	19		

1		2	3	4	5	6	7	8	9	10	11	12	13
Снижение уровня звукового давления из-за влияния застройки между источником шума и расчетной точкой													
Снижение уровня звукового давления на пути над экраном, Dz1, дБ	z = 4.43м (разность путей)	ф-лы (14-18) [10]	16,4	19,7	22,7	25,7	28,7	31,8	34,8	37,8	40,8		
Снижение уровня звукового давления на пути слева от экрана, Dz2, дБ	z = 22.91м (разность путей)	ф-лы (14-18) [10]	23,6	26,9	30	33,1	36,1	39,1	42,1	45,1	48,1		
Снижение уровня звукового давления на пути справа от экрана, Dz3, дБ	z = 57.04м (разность путей)	ф-лы (14-18) [10]	27,1	30,7	33,9	37	40	43	46	49,1	52,1		
Общее снижение уровня звука препятствием Dz, дБ		Эн.сумма(-Dzi)	15,4	18,7	21,7	24,7	27,7	30,7	33,8	36,8	39,8		
Общее снижение уровня звука препятствием с учётом ограничения (25 дБ) для октавных полос Dz, дБ		Раздел 7.4 [10]	15,4	18,7	21,7	24,7	25	25	25	25	25		
Уровни звукового давления прямого звука от источника ИШ-1-30 в расчётной точке днём, дБ		**ф-ла(3)[10]**	**0**	**18,8**	**17,1**	**15,2**	**14,9**	**13,9**	**9,6**	**2**	**0**	**17,7**	**17,7**
Расчёт отражённого звука													
Уровни звукового давления от мнимого источника ИШ-1-30_мн.(1) в расчётной точке днём, дБ		**ф-ла(3)[10]**	**0**	**0**	**0**	**0**	**0**	**0**	**0**	**0**	**0**	**0**	**0**
Уровни звукового давления от источника ИШ-1-30 в расчётной точке днём, дБ		**ф-ла(3)[10]**	**0**	**18,8**	**17,1**	**15,2**	**14,9**	**13,9**	**9,6**	**2**	**0**	**17,7**	**17,7**
Источник шума: ИШ-1-31, координаты источника (x,y,z), м =[481.58,193.96,1.00]													
Уровни звуковой мощности источника днём, Lw, дБ		**исходные данные**	**0**	**93,3**	**94,7**	**96**	**96,3**	**95,9**	**92,6**	**88,4**	**83,9**		
Поправка на телесный угол DΩ, дБ	Ω = 6.28	10Lg(4π/Ω)	**3**	3	3	3	3	3	3	3	3		
Показатель направленности источника Di, дБ		исходные данные	**0**	0	0	0	0	0	0	0	0		
Поправка на направленность источника Dc, дБ	Dc	DΩ + Di	**3**	3	3	3	3	3	3	3	3		
Затухание из-за геометрической дивергенции, Adiv, дБ	расстояние = 242.63 м	ф-ла (7) [10]	**58,7**										
Коэффициент затухания звука в атмосфере α, дБ/км	Ta=20,°C Pa=101.33,кПа hотн.=70%	ф-ла (5) [9]	0,02	0,09	0,33	1,12	2,79	4,98	9,04	23,09	77,63		

1		2	3	4	5	6	7	8	9	10	11	12	13
Учет затухания звука в атмосфере Aatm, дБ		ф-ла (8) [10]	0	0	0,1	0,3	0,7	1,2	2,2	5,6	18,8		
Снижение уровня звукового давления из-за влияния застройки между источником шума и расчетной точкой													
Снижение уровня звукового давления на пути над экраном, Dz1, дБ	z = 4.48м (разность путей)	ф-лы (14-18) [10]	16,5	19,8	22,8	25,8	28,8	31,8	34,8	37,8	40,8		
Снижение уровня звукового давления на пути слева от экрана, Dz2, дБ	z = 21.31м (разность путей)	ф-лы (14-18) [10]	23,2	26,6	29,7	32,7	35,8	38,8	41,8	44,8	47,8		
Снижение уровня звукового давления на пути справа от экрана, Dz3, дБ	z = 58.32м (разность путей)	ф-лы (14-18) [10]	27,2	30,8	34	37,1	40,1	43,1	46,1	49,2	52,2		
Общее снижение уровня звука препятствием Dz, дБ		Эн.сумма(-Dzi)	15,4	18,7	21,7	24,7	27,7	30,8	33,8	36,8	39,8		
Общее снижение уровня звука препятствием с учётом ограничения (25 дБ) для октавных полос Dz, дБ		Раздел 7.4 [10]	15,4	18,7	21,7	24,7	25	25	25	25	25		
Уровни звукового давления прямого звука от источника ИШ-1-31 в расчётной точке днём, дБ		**ф-ла(3)[10]**	**0**	**18,9**	**17,2**	**15,3**	**14,9**	**14**	**9,7**	**2,1**	**0**	**17,8**	**17,8**
Расчёт отражённого звука													
Уровни звукового давления от мнимого источника ИШ-1-31_мн.(1) в расчётной точке днём, дБ		**ф-ла(3)[10]**	**0**	**0**	**0**	**0**	**0**	**0**	**0**	**0**	**0**	**0**	**0**
Уровни звукового давления от источника ИШ-1-31 в расчётной точке днём, дБ		**ф-ла(3)[10]**	**0**	**18,9**	**17,2**	**15,3**	**14,9**	**14**	**9,7**	**2,1**	**0**	**17,8**	**17,8**
Источник шума: ИШ-1-32, координаты источника (x,y,z), м =[871.21,281.99,50.00]													
Уровни звуковой мощности источника днём, Lw, дБ		**исходные данные**	**125**	**119,6**	**113,4**	**111,4**	**110,8**	**112,7**	**113,8**	**109,2**	**97,4**		
Поправка на телесный угол DΩ, дБ	Ω = 12.57	10Lg(4π/Ω)	**0**	0	0	0	0	0	0	0	0		
Показатель направленности источника Di, дБ		исходные данные	**0**	0	0	0	0	0	0	0	0		
Поправка на направленность источника Dc, дБ	Dc	DΩ + Di	**0**	0	0	0	0	0	0	0	0		
Затухание из-за геометрической дивергенции, Adiv, дБ	расстояние = 451.55 м	ф-ла (7) [10]	**64,1**										

1		2	3	4	5	6	7	8	9	10	11	12	13
Коэффициент затухания звука в атмосфере α, дБ/км	Ta=20,°C Pa=101.33,кПа hотн.=70%	ф-ла (5) [9]	0,02	0,09	0,33	1,12	2,79	4,98	9,04	23,09	77,63		
Учет затухания звука в атмосфере Aatm, дБ		ф-ла (8) [10]	0	0	0,2	0,5	1,3	2,2	4,1	10,4	35,1		
Снижение поверхностью земли возле источника As, дБ	Gs = 0 hs = 50м	ф-лы таб.3 [10]	-1,5	-1,5	-1,5	-1,5	-1,5	-1,5	-1,5	-1,5	-1,5		
Снижение поверхностью земли возле приёмника Ar, дБ	Gr = 1 hr = 1.5м	ф-лы таб.3 [10]	-1,5	-1,5	2,7	7	5	0,7	0	0	0		
Снижение поверхностью земли в средней зоне, Am дБ	Gm = 1	ф-лы таб.3 [10]	0	0	0	0	0	0	0	0	0		
Суммарное снижение поверхностью земли на траектории распространения звука Agr, дБ		ф-ла (9) [10]	-3	-3	1,2	5,5	3,5	-0,8	-1,5	-1,5	-1,5		
Уровни звукового давления прямого звука от источника ИШ-1-32 в расчётной точке днём, дБ		**ф-ла(3)[10]**	**63,9**	**58,5**	**48**	**41,3**	**42**	**47,2**	**47,2**	**36,2**	**0**	**51,4**	**51,4**
Расчёт отражённого звука													
Уровни звукового давления от мнимого источника ИШ-1-32_мн.(1) в расчётной точке днём, дБ		**ф-ла(3)[10]**	**0**	**0**	**45,5**	**38,8**	**39,5**	**44,7**	**44,7**	**33,7**	**0**	**48,9**	**48,9**
Уровни звукового давления от источника ИШ-1-32 в расчётной точке днём, дБ		**ф-ла(3)[10]**	**63,9**	**58,5**	**49,9**	**43,2**	**43,9**	**49,2**	**49,1**	**38,1**	**0**	**53,4**	**53,4**
Источник шума: ИШ-1-33, координаты источника (x,y,z), м =[743.42,374.85,1.00]													
Уровни звуковой мощности источника днём, Lw, дБ		**исходные данные**	**0**	**88,7**	**90,1**	**93,1**	**96,4**	**103**	**112**	**108**	**99,2**		
Поправка на телесный угол DΩ, дБ	Ω = 6.28	10Lg(4π/Ω)	**3**	3	3	3	3	3	3	3	3		
Показатель направленности источника Di, дБ		исходные данные	**0**	0	0	0	0	0	0	0	0		
Поправка на направленность источника Dc, дБ	Dc	DΩ + Di	**3**	3	3	3	3	3	3	3	3		
Затухание из-за геометрической дивергенции, Adiv, дБ	расстояние = 452.85 м	ф-ла (7) [10]	**64,1**										

1		2	3	4	5	6	7	8	9	10	11	12	13
Коэффициент затухания звука в атмосфере α, дБ/км	Ta=20,°C Pa=101.33,кПа hотн.=70%	ф-ла (5) [9]	0,02	0,09	0,33	1,12	2,79	4,98	9,04	23,09	77,63		
Учет затухания звука в атмосфере Aatm, дБ		ф-ла (8) [10]	0	0	0,2	0,5	1,3	2,3	4,1	10,5	35,2		
Снижение поверхностью земли возле источника As, дБ	Gs = 0 hs = 1м	ф-лы таб.3 [10]	-1,5	-1,5	-1,5	-1,5	-1,5	-1,5	-1,5	-1,5	-1,5		
Снижение поверхностью земли возле приёмника Ar, дБ	Gr = 1 hr = 1.5м	ф-лы таб.3 [10]	-1,5	-1,5	2,7	7	5	0,7	0	0	0		
Снижение поверхностью земли в средней зоне, Am дБ	Gm = 1	ф-лы таб.3 [10]	-2,5	-2,5	0	0	0	0	0	0	0		
Суммарное снижение поверхностью земли на траектории распространения звука Agr, дБ		ф-ла (9) [10]	-5,5	-5,5	1,2	5,5	3,5	-0,8	-1,5	-1,5	-1,5		
Уровни звукового давления прямого звука от источника ИШ-1-33 в расчётной точке днём, дБ		**ф-ла(3)[10]**	**0**	**33,1**	**27,6**	**26**	**30,6**	**40,5**	**48,3**	**37,9**	**4,4**	**50,4**	**50,4**
Расчёт отражённого звука													
Уровни звукового давления от мнимого источника ИШ-1-33_мн.(1) в расчётной точке днём, дБ		**ф-ла(3)[10]**	**0**	**0**	**0**	**0**	**0**	**0**	**0**	**8,1**	**0**	**9,1**	**9,1**
Уровни звукового давления от мнимого источника ИШ-1-33_мн.(2) в расчётной точке днём, дБ		**ф-ла(3)[10]**	**0**	**0**	**0**	**15,6**	**19,2**	**36**	**45,8**	**35,5**	**1,9**	**47,7**	**47,7**
Суммарные уровни звукового давления от мнимых источников в расчётной точке днём, дБ		**ф-ла (19) [1]**	**0**	**0**	**0**	**15,6**	**19,2**	**36**	**45,8**	**35,5**	**1,9**	**0**	**47,7**
Уровни звукового давления от источника ИШ-1-33 в расчётной точке днём, дБ		**ф-ла(3)[10]**	**0**	**33,1**	**27,6**	**26,3**	**30,9**	**41,8**	**50,2**	**39,9**	**6,4**	**52,2**	**52,2**
Источник шума: ИШ-1-34, координаты источника (x,y,z), м =[1042.35,199.07,1.00]													
Уровни звуковой мощности источника днём, Lw, дБ		**исходные данные**	**0**	**88,7**	**90,1**	**93,1**	**96,4**	**103**	**112**	**108**	**99,2**		
Поправка на телесный угол DΩ, дБ	Ω = 6.28	10Lg(4π/Ω)	**3**	3	3	3	3	3	3	3	3		
Показатель направленности источника Di, дБ		исходные данные	**0**	0	0	0	0	0	0	0	0		

1		2	3	4	5	6	7	8	9	10	11	12	13
Поправка на направленность источника Dc, дБ	Dc	DΩ + Di	**3**	3	3	3	3	3	3	3	3		
Затухание из-за геометрической дивергенции, Adiv, дБ	расстояние = 541.16 м	ф-ла (7) [10]	**65,7**										
Коэффициент затухания звука в атмосфере α, дБ/км	Ta=20,°C Pa=101.33,кПа hотн.=70%	ф-ла (5) [9]	0,02	0,09	0,33	1,12	2,79	4,98	9,04	23,09	77,63		
Учет затухания звука в атмосфере Aatm, дБ		ф-ла (8) [10]	0	0	0,2	0,6	1,5	2,7	4,9	12,5	42		
Снижение поверхностью земли возле источника As, дБ	Gs = 0 hs = 1м	ф-лы таб.3 [10]	-1,5	-1,5	-1,5	-1,5	-1,5	-1,5	-1,5	-1,5	-1,5		
Снижение поверхностью земли возле приёмника Ar, дБ	Gr = 1 hr = 1.5м	ф-лы таб.3 [10]	-1,5	-1,5	3,3	7	5	0,7	0	0	0		
Снижение поверхностью земли в средней зоне, Am дБ	Gm = 1	ф-лы таб.3 [10]	-2,6	-2,6	0	0	0	0	0	0	0		
Суммарное снижение поверхностью земли на траектории распространения звука Agr, дБ		ф-ла (9) [10]	-5,6	-5,6	1,8	5,5	3,5	-0,8	-1,5	-1,5	-1,5		
Уровни звукового давления прямого звука от источника ИШ-1-34 в расчётной точке днём, дБ		**ф-ла(3)[10]**	**0**	**31,6**	**25,5**	**24,3**	**28,8**	**38,5**	**46**	**34,4**	**0**	**48**	**48**
Расчёт отражённого звука													
Уровни звукового давления от мнимого источника ИШ-1-34_мн.(1) в расчётной точке днём, дБ		**ф-ла(3)[10]**	**0**	**0**	**0**	**0**	**0**	**0**	**0**	**0**	**0**	**0**	**0**
Уровни звукового давления от мнимого источника ИШ-1-34_мн.(2) в расчётной точке днём, дБ		**ф-ла(3)[10]**	**0**	**0**	**0**	**0**	**0**	**0**	**0**	**0**	**0**	**0**	**0**
Уровни звукового давления от мнимого источника ИШ-1-34_мн.(3) в расчётной точке днём, дБ		**ф-ла(3)[10]**	**0**	**0**	**0**	**0**	**0**	**0**	**0**	**0**	**0**	**0**	**0**
Суммарные уровни звукового давления от мнимых источников в расчётной точке днём, дБ		**ф-ла (19) [1]**	**0**	**0**	**0**	**0**	**0**	**0**	**0**	**0**	**0**	**0**	**0**
Уровни звукового давления от источника ИШ-1-34 в расчётной точке днём, дБ		**ф-ла(3)[10]**	**0**	**31,6**	**25,5**	**24,3**	**28,8**	**38,5**	**46**	**34,4**	**0**	**48**	**48**
Источник шума: ИШ-2-1, координаты источника (x,y,z), м =[696.50,124.40,3.00]													

1		2	3	4	5	6	7	8	9	10	11	12	13
Уровни звуковой мощности источника днём, Lw, дБ		**исходные данные**	**105**	**104**	**104**	**101**	**102**	**106**	**101**	**95**	**87**		
Поправка на телесный угол DΩ, дБ	Ω = 6.28	10Lg(4π/Ω)	**3**	3	3	3	3	3	3	3	3		
Показатель направленности источника Di, дБ		исходные данные	**0**	0	0	0	0	0	0	0	0		
Поправка на направленность источника Dc, дБ	Dc	DΩ + Di	**3**	3	3	3	3	3	3	3	3		
Затухание из-за геометрической дивергенции, Adiv, дБ	расстояние = 214.46 м	ф-ла (7) [10]	**57,6**										
Коэффициент затухания звука в атмосфере α, дБ/км	Ta=20,°C Pa=101.33,кПа hотн.=70%	ф-ла (5) [9]	0,02	0,09	0,33	1,12	2,79	4,98	9,04	23,09	77,63		
Учет затухания звука в атмосфере Aatm, дБ		ф-ла (8) [10]	0	0	0,1	0,2	0,6	1,1	1,9	5	16,6		
Снижение поверхностью земли возле источника As, дБ	Gs = 0 hs = 3м	ф-лы таб.3 [10]	-1,5	-1,5	-1,5	-1,5	-1,5	-1,5	-1,5	-1,5	-1,5		
Снижение поверхностью земли возле приёмника Ar, дБ	Gr = 1 hr = 1.5м	ф-лы таб.3 [10]	-1,5	-1,5	1,2	6,9	4,9	0,7	0	0	0		
Снижение поверхностью земли в средней зоне, Am дБ	Gm = 1	ф-лы таб.3 [10]	-1,1	-1,1	0	0	0	0	0	0	0		
Суммарное снижение поверхностью земли на траектории распространения звука Agr, дБ		ф-ла (9) [10]	-4,1	-4,1	-0,3	5,4	3,4	-0,8	-1,5	-1,5	-1,5		
Уровни звукового давления прямого звука от источника ИШ-2-1 в расчётной точке днём, дБ		**ф-ла(3)[10]**	**54,5**	**53,5**	**49,6**	**40,7**	**43,4**	**51,2**	**45,9**	**36,9**	**17,2**	**53,1**	**53,1**
Расчёт отражённого звука													
Уровни звукового давления от мнимого источника ИШ-2-1_мн.(1) в расчётной точке днём, дБ		**ф-ла(3)[10]**	**0**	**0**	**44,9**	**34,4**	**40,6**	**48,7**	**43,4**	**34,4**	**14,6**	**50,5**	**50,5**
Уровни звукового давления от источника ИШ-2-1 в расчётной точке днём, дБ		**ф-ла(3)[10]**	**54,5**	**53,5**	**50,8**	**41,6**	**45,2**	**53,1**	**47,9**	**38,9**	**19,1**	**55**	**55**
Источник шума: ИШ-2-2, координаты источника (x,y,z), м =[682.20,81.60,3.00]													

1		2	3	4	5	6	7	8	9	10	11	12	13
Уровни звуковой мощности источника днём, Lw, дБ		**исходные данные**	**105**	**104**	**104**	**101**	**102**	**106**	**101**	**95**	**87**		
Поправка на телесный угол DΩ, дБ	Ω = 6.28	10Lg(4π/Ω)	**3**	3	3	3	3	3	3	3	3		
Показатель направленности источника Di, дБ		исходные данные	**0**	0	0	0	0	0	0	0	0		
Поправка на направленность источника Dc, дБ	Dc	DΩ + Di	**3**	3	3	3	3	3	3	3	3		
Затухание из-за геометрической дивергенции, Adiv, дБ	расстояние = 173.68 м	ф-ла (7) [10]	**55,8**										
Коэффициент затухания звука в атмосфере α, дБ/км	Ta=20,°C Pa=101.33,кПа hотн.=70%	ф-ла (5) [9]	0,02	0,09	0,33	1,12	2,79	4,98	9,04	23,09	77,63		
Учет затухания звука в атмосфере Aatm, дБ		ф-ла (8) [10]	0	0	0,1	0,2	0,5	0,9	1,6	4	13,5		
Снижение поверхностью земли возле источника As, дБ	Gs = 0 hs = 3м	ф-лы таб.3 [10]	-1,5	-1,5	-1,5	-1,5	-1,5	-1,5	-1,5	-1,5	-1,5		
Снижение поверхностью земли возле приёмника Ar, дБ	Gr = 1 hr = 1.5м	ф-лы таб.3 [10]	-1,5	-1,5	1	6,8	4,8	0,6	0	0	0		
Снижение поверхностью земли в средней зоне, Am дБ	Gm = 1	ф-лы таб.3 [10]	-0,7	-0,7	0	0	0	0	0	0	0		
Суммарное снижение поверхностью земли на траектории распространения звука Agr, дБ		ф-ла (9) [10]	-3,7	-3,7	-0,5	5,3	3,3	-0,9	-1,5	-1,5	-1,5		
Уровни звукового давления прямого звука от источника ИШ-2-2 в расчётной точке днём, дБ		**ф-ла(3)[10]**	**55,9**	**54,9**	**51,6**	**42,7**	**45,4**	**53,2**	**48,1**	**39,7**	**22,2**	**55,2**	**55,2**
Расчёт отражённого звука													
Уровни звукового давления от мнимого источника ИШ-2-2_мн.(1) в расчётной точке днём, дБ		**ф-ла(3)[10]**	**0**	**0**	**0**	**36,5**	**42,7**	**50,7**	**45,6**	**37,1**	**19,6**	**52,6**	**52,6**
Уровни звукового давления от источника ИШ-2-2 в расчётной точке днём, дБ		**ф-ла(3)[10]**	**55,9**	**54,9**	**51,6**	**43,6**	**47,3**	**55,1**	**50,1**	**41,6**	**24,1**	**57,1**	**57,1**
Источник шума: ИШ-2-3, координаты источника (x,y,z), м =[667.80,38.90,3.00]													

1		2	3	4	5	6	7	8	9	10	11	12	13
Уровни звуковой мощности источника днём, Lw, дБ		**исходные данные**	**105**	**104**	**104**	**101**	**102**	**106**	**101**	**95**	**87**		
Поправка на телесный угол DΩ, дБ	Ω = 6.28	10Lg(4π/Ω)	**3**	3	3	3	3	3	3	3	3		
Показатель направленности источника Di, дБ		исходные данные	**0**	0	0	0	0	0	0	0	0		
Поправка на направленность источника Dc, дБ	Dc	DΩ + Di	**3**	3	3	3	3	3	3	3	3		
Затухание из-за геометрической дивергенции, Adiv, дБ	расстояние = 135.67 м	ф-ла (7) [10]	**53,6**										
Коэффициент затухания звука в атмосфере α, дБ/км	Ta=20,°C Pa=101.33,кПа hотн.=70%	ф-ла (5) [9]	0,02	0,09	0,33	1,12	2,79	4,98	9,04	23,09	77,63		
Учет затухания звука в атмосфере Aatm, дБ		ф-ла (8) [10]	0	0	0	0,2	0,4	0,7	1,2	3,1	10,5		
Снижение поверхностью земли возле источника As, дБ	Gs = 0 hs = 3м	ф-лы таб.3 [10]	-1,5	-1,5	-1,5	-1,5	-1,5	-1,5	-1,5	-1,5	-1,5		
Снижение поверхностью земли возле приёмника Ar, дБ	Gr = 1 hr = 1.5м	ф-лы таб.3 [10]	-1,5	-1,5	0,9	6,6	4,6	0,6	0	0	0		
Снижение поверхностью земли в средней зоне, Am дБ	Gm = 1	ф-лы таб.3 [10]	0	0	0	0	0	0	0	0	0		
Суммарное снижение поверхностью земли на траектории распространения звука Agr, дБ		ф-ла (9) [10]	-3	-3	-0,6	5,1	3,1	-0,9	-1,5	-1,5	-1,5		
Уровни звукового давления прямого звука от источника ИШ-2-3 в расчётной точке днём, дБ		**ф-ла(3)[10]**	**57,4**	**56,4**	**53,9**	**45,2**	**47,8**	**55,6**	**50,6**	**42,7**	**27,3**	**57,6**	**57,6**
Расчёт отражённого звука													
Уровни звукового давления от мнимого источника ИШ-2-3_мн.(1) в расчётной точке днём, дБ		**ф-ла(3)[10]**	**0**	**0**	**0**	**0**	**45**	**53**	**48,1**	**40,1**	**24,6**	**54,9**	**54,9**
Уровни звукового давления от источника ИШ-2-3 в расчётной точке днём, дБ		**ф-ла(3)[10]**	**57,4**	**56,4**	**53,9**	**45,2**	**49,7**	**57,5**	**52,5**	**44,6**	**29,2**	**59,5**	**59,5**
Источник шума: ИШ-2-6, координаты источника (x,y,z), м =[765.97,112.43,1.00]													

1		2	3	4	5	6	7	8	9	10	11	12	13
Уровни звуковой мощности источника днём, Lw, дБ		**исходные данные**	**0**	**93,3**	**94,7**	**96**	**96,3**	**95,9**	**92,6**	**88,4**	**83,9**		
Поправка на телесный угол DΩ, дБ	Ω = 6.28	10Lg(4π/Ω)	**3**	3	3	3	3	3	3	3	3		
Показатель направленности источника Di, дБ		исходные данные	**0**	0	0	0	0	0	0	0	0		
Поправка на направленность источника Dc, дБ	Dc	DΩ + Di	**3**	3	3	3	3	3	3	3	3		
Затухание из-за геометрической дивергенции, Adiv, дБ	расстояние = 258.24 м	ф-ла (7) [10]	**59,2**										
Коэффициент затухания звука в атмосфере α, дБ/км	Ta=20,°C Pa=101.33,кПа hотн.=70%	ф-ла (5) [9]	0,02	0,09	0,33	1,12	2,79	4,98	9,04	23,09	77,63		
Учет затухания звука в атмосфере Aatm, дБ		ф-ла (8) [10]	0	0	0,1	0,3	0,7	1,3	2,3	6	20		
Снижение поверхностью земли возле источника As, дБ	Gs = 0 hs = 1м	ф-лы таб.3 [10]	-1,5	-1,5	-1,5	-1,5	-1,5	-1,5	-1,5	-1,5	-1,5		
Снижение поверхностью земли возле приёмника Ar, дБ	Gr = 1 hr = 1.5м	ф-лы таб.3 [10]	-1,5	-1,5	1,5	7	4,9	0,7	0	0	0		
Снижение поверхностью земли в средней зоне, Am дБ	Gm = 1	ф-лы таб.3 [10]	-2,1	-2,1	0	0	0	0	0	0	0		
Суммарное снижение поверхностью земли на траектории распространения звука Agr, дБ		ф-ла (9) [10]	-5,1	-5,1	0	5,5	3,4	-0,8	-1,5	-1,5	-1,5		
Уровни звукового давления прямого звука от источника ИШ-2-6 в расчётной точке днём, дБ		**ф-ла(3)[10]**	**0**	**42,2**	**38,4**	**34**	**35,9**	**39,2**	**35,5**	**27,7**	**9,1**	**42,1**	**42,1**
Расчёт отражённого звука													
Уровни звукового давления от мнимого источника ИШ-2-6_мн.(1) в расчётной точке днём, дБ		**ф-ла(3)[10]**	**0**	**0**	**0**	**0**	**24,6**	**34,7**	**33**	**25,1**	**6,5**	**37,8**	**37,8**
Уровни звукового давления от источника ИШ-2-6 в расчётной точке днём, дБ		**ф-ла(3)[10]**	**0**	**42,2**	**38,4**	**34**	**36,2**	**40,5**	**37,4**	**29,6**	**11**	**43,5**	**43,5**
Источник шума: ИШ-2-7, координаты источника (x,y,z), м =[764.91,109.54,1.00]													

1		2	3	4	5	6	7	8	9	10	11	12	13
Уровни звуковой мощности источника днём, Lw, дБ		**исходные данные**	**0**	**93,3**	**94,7**	**96**	**96,3**	**95,9**	**92,6**	**88,4**	**83,9**		
Поправка на телесный угол DΩ, дБ	Ω = 6.28	10Lg(4π/Ω)	**3**	3	3	3	3	3	3	3	3		
Показатель направленности источника Di, дБ		исходные данные	**0**	0	0	0	0	0	0	0	0		
Поправка на направленность источника Dc, дБ	Dc	DΩ + Di	**3**	3	3	3	3	3	3	3	3		
Затухание из-за геометрической дивергенции, Adiv, дБ	расстояние = 255.70 м	ф-ла (7) [10]	**59,2**										
Коэффициент затухания звука в атмосфере α, дБ/км	Ta=20,°C Pa=101.33,кПа hотн.=70%	ф-ла (5) [9]	0,02	0,09	0,33	1,12	2,79	4,98	9,04	23,09	77,63		
Учет затухания звука в атмосфере Aatm, дБ		ф-ла (8) [10]	0	0	0,1	0,3	0,7	1,3	2,3	5,9	19,9		
Снижение поверхностью земли возле источника As, дБ	Gs = 0 hs = 1м	ф-лы таб.3 [10]	-1,5	-1,5	-1,5	-1,5	-1,5	-1,5	-1,5	-1,5	-1,5		
Снижение поверхностью земли возле приёмника Ar, дБ	Gr = 1 hr = 1.5м	ф-лы таб.3 [10]	-1,5	-1,5	1,5	7	4,9	0,7	0	0	0		
Снижение поверхностью земли в средней зоне, Am дБ	Gm = 1	ф-лы таб.3 [10]	-2,1	-2,1	0	0	0	0	0	0	0		
Суммарное снижение поверхностью земли на траектории распространения звука Agr, дБ		ф-ла (9) [10]	-5,1	-5,1	0	5,5	3,4	-0,8	-1,5	-1,5	-1,5		
Уровни звукового давления прямого звука от источника ИШ-2-7 в расчётной точке днём, дБ		**ф-ла(3)[10]**	**0**	**42,2**	**38,5**	**34,1**	**36**	**39,3**	**35,6**	**27,8**	**9,4**	**42,2**	**42,2**
Расчёт отражённого звука													
Уровни звукового давления от мнимого источника ИШ-2-7_мн.(1) в расчётной точке днём, дБ		**ф-ла(3)[10]**	**0**	**0**	**0**	**0**	**24,7**	**34,8**	**33,1**	**25,3**	**6,7**	**38**	**38**
Уровни звукового давления от источника ИШ-2-7 в расчётной точке днём, дБ		**ф-ла(3)[10]**	**0**	**42,2**	**38,5**	**34,1**	**36,3**	**40,6**	**37,6**	**29,8**	**11,3**	**43,6**	**43,6**
Источник шума: ИШ-2-8, координаты источника (x,y,z), м =[764.03,106.58,1.00]													

1		2	3	4	5	6	7	8	9	10	11	12	13
Уровни звуковой мощности источника днём, Lw, дБ		**исходные данные**	**0**	**93,3**	**94,7**	**96**	**96,3**	**95,9**	**92,6**	**88,4**	**83,9**		
Поправка на телесный угол DΩ, дБ	Ω = 6.28	10Lg(4π/Ω)	**3**	3	3	3	3	3	3	3	3		
Показатель направленности источника Di, дБ		исходные данные	**0**	0	0	0	0	0	0	0	0		
Поправка на направленность источника Dc, дБ	Dc	DΩ + Di	**3**	3	3	3	3	3	3	3	3		
Затухание из-за геометрической дивергенции, Adiv, дБ	расстояние = 253.29 м	ф-ла (7) [10]	**59,1**										
Коэффициент затухания звука в атмосфере α, дБ/км	Ta=20,°C Pa=101.33,кПа hотн.=70%	ф-ла (5) [9]	0,02	0,09	0,33	1,12	2,79	4,98	9,04	23,09	77,63		
Учет затухания звука в атмосфере Aatm, дБ		ф-ла (8) [10]	0	0	0,1	0,3	0,7	1,3	2,3	5,8	19,7		
Снижение поверхностью земли возле источника As, дБ	Gs = 0 hs = 1м	ф-лы таб.3 [10]	-1,5	-1,5	-1,5	-1,5	-1,5	-1,5	-1,5	-1,5	-1,5		
Снижение поверхностью земли возле приёмника Ar, дБ	Gr = 1 hr = 1.5м	ф-лы таб.3 [10]	-1,5	-1,5	1,5	7	4,9	0,7	0	0	0		
Снижение поверхностью земли в средней зоне, Am дБ	Gm = 1	ф-лы таб.3 [10]	-2,1	-2,1	0	0	0	0	0	0	0		
Суммарное снижение поверхностью земли на траектории распространения звука Agr, дБ		ф-ла (9) [10]	-5,1	-5,1	0	5,5	3,4	-0,8	-1,5	-1,5	-1,5		
Уровни звукового давления прямого звука от источника ИШ-2-8 в расчётной точке днём, дБ		**ф-ла(3)[10]**	**0**	**42,3**	**38,6**	**34,2**	**36,1**	**39,4**	**35,7**	**28**	**9,7**	**42,3**	**42,3**
Расчёт отражённого звука													
Уровни звукового давления от мнимого источника ИШ-2-8_мн.(1) в расчётной точке днём, дБ		**ф-ла(3)[10]**	**0**	**0**	**0**	**0**	**24,8**	**34,9**	**33,2**	**25,4**	**7**	**38,1**	**38,1**
Уровни звукового давления от источника ИШ-2-8 в расчётной точке днём, дБ		**ф-ла(3)[10]**	**0**	**42,3**	**38,6**	**34,2**	**36,4**	**40,7**	**37,7**	**29,9**	**11,5**	**43,7**	**43,7**
Источник шума: ИШ-2-9, координаты источника (x,y,z), м =[763.26,103.71,1.00]													

1		2	3	4	5	6	7	8	9	10	11	12	13
Уровни звуковой мощности источника днём, Lw, дБ		**исходные данные**	**0**	**93,3**	**94,7**	**96**	**96,3**	**95,9**	**92,6**	**88,4**	**83,9**		
Поправка на телесный угол DΩ, дБ	Ω = 6.28	10Lg(4π/Ω)	**3**	3	3	3	3	3	3	3	3		
Показатель направленности источника Di, дБ		исходные данные	**0**	0	0	0	0	0	0	0	0		
Поправка на направленность источника Dc, дБ	Dc	DΩ + Di	**3**	3	3	3	3	3	3	3	3		
Затухание из-за геометрической дивергенции, Adiv, дБ	расстояние = 251.04 м	ф-ла (7) [10]	**59**										
Коэффициент затухания звука в атмосфере α, дБ/км	Ta=20,°C Pa=101.33,кПа hотн.=70%	ф-ла (5) [9]	0,02	0,09	0,33	1,12	2,79	4,98	9,04	23,09	77,63		
Учет затухания звука в атмосфере Aatm, дБ		ф-ла (8) [10]	0	0	0,1	0,3	0,7	1,2	2,3	5,8	19,5		
Снижение поверхностью земли возле источника As, дБ	Gs = 0 hs = 1м	ф-лы таб.3 [10]	-1,5	-1,5	-1,5	-1,5	-1,5	-1,5	-1,5	-1,5	-1,5		
Снижение поверхностью земли возле приёмника Ar, дБ	Gr = 1 hr = 1.5м	ф-лы таб.3 [10]	-1,5	-1,5	1,4	7	4,9	0,7	0	0	0		
Снижение поверхностью земли в средней зоне, Am дБ	Gm = 1	ф-лы таб.3 [10]	-2,1	-2,1	0	0	0	0	0	0	0		
Суммарное снижение поверхностью земли на траектории распространения звука Agr, дБ		ф-ла (9) [10]	-5,1	-5,1	-0,1	5,5	3,4	-0,8	-1,5	-1,5	-1,5		
Уровни звукового давления прямого звука от источника ИШ-2-9 в расчётной точке днём, дБ		**ф-ла(3)[10]**	**0**	**42,4**	**38,7**	**34,2**	**36,2**	**39,5**	**35,8**	**28,1**	**9,9**	**42,4**	**42,4**
Расчёт отражённого звука													
Уровни звукового давления от мнимого источника ИШ-2-9_мн.(1) в расчётной точке днём, дБ		**ф-ла(3)[10]**	**0**	**0**	**0**	**0**	**24,8**	**34,9**	**33,3**	**25,5**	**7,3**	**38,2**	**38,2**
Уровни звукового давления от источника ИШ-2-9 в расчётной точке днём, дБ		**ф-ла(3)[10]**	**0**	**42,4**	**38,7**	**34,2**	**36,5**	**40,8**	**37,8**	**30**	**11,8**	**43,8**	**43,8**
Источник шума: ИШ-2-10, координаты источника (x,y,z), м =[762.14,100.75,1.00]													

1		2	3	4	5	6	7	8	9	10	11	12	13
Уровни звуковой мощности источника днём, Lw, дБ		**исходные данные**	**0**	**93,3**	**94,7**	**96**	**96,3**	**95,9**	**92,6**	**88,4**	**83,9**		
Поправка на телесный угол DΩ, дБ	Ω = 6.28	10Lg(4π/Ω)	**3**	3	3	3	3	3	3	3	3		
Показатель направленности источника Di, дБ		исходные данные	**0**	0	0	0	0	0	0	0	0		
Поправка на направленность источника Dc, дБ	Dc	DΩ + Di	**3**	3	3	3	3	3	3	3	3		
Затухание из-за геометрической дивергенции, Adiv, дБ	расстояние = 248.46 м	ф-ла (7) [10]	**58,9**										
Коэффициент затухания звука в атмосфере α, дБ/км	Ta=20,°C Pa=101.33,кПа hотн.=70%	ф-ла (5) [9]	0,02	0,09	0,33	1,12	2,79	4,98	9,04	23,09	77,63		
Учет затухания звука в атмосфере Aatm, дБ		ф-ла (8) [10]	0	0	0,1	0,3	0,7	1,2	2,2	5,7	19,3		
Снижение поверхностью земли возле источника As, дБ	Gs = 0 hs = 1м	ф-лы таб.3 [10]	-1,5	-1,5	-1,5	-1,5	-1,5	-1,5	-1,5	-1,5	-1,5		
Снижение поверхностью земли возле приёмника Ar, дБ	Gr = 1 hr = 1.5м	ф-лы таб.3 [10]	-1,5	-1,5	1,4	7	4,9	0,7	0	0	0		
Снижение поверхностью земли в средней зоне, Am дБ	Gm = 1	ф-лы таб.3 [10]	-2,1	-2,1	0	0	0	0	0	0	0		
Суммарное снижение поверхностью земли на траектории распространения звука Agr, дБ		ф-ла (9) [10]	-5,1	-5,1	-0,1	5,5	3,4	-0,8	-1,5	-1,5	-1,5		
Уровни звукового давления прямого звука от источника ИШ-2-10 в расчётной точке днём, дБ		**ф-ла(3)[10]**	**0**	**42,5**	**38,8**	**34,3**	**36,3**	**39,6**	**35,9**	**28,3**	**10,2**	**42,5**	**42,5**
Расчёт отражённого звука													
Уровни звукового давления от мнимого источника ИШ-2-10_мн.(1) в расчётной точке днём, дБ		**ф-ла(3)[10]**	**0**	**0**	**0**	**0**	**24,9**	**35**	**33,4**	**25,7**	**7,5**	**38,3**	**38,3**
Уровни звукового давления от источника ИШ-2-10 в расчётной точке днём, дБ		**ф-ла(3)[10]**	**0**	**42,5**	**38,8**	**34,3**	**36,6**	**40,9**	**37,9**	**30,2**	**12,1**	**43,9**	**43,9**
Источник шума: ИШ-2-11, координаты источника (x,y,z), м =[761.13,97.90,1.00]													

1		2	3	4	5	6	7	8	9	10	11	12	13
Уровни звуковой мощности источника днём, Lw, дБ		**исходные данные**	**0**	**93,3**	**94,7**	**96**	**96,3**	**95,9**	**92,6**	**88,4**	**83,9**		
Поправка на телесный угол DΩ, дБ	Ω = 6.28	10Lg(4π/Ω)	**3**	3	3	3	3	3	3	3	3		
Показатель направленности источника Di, дБ		исходные данные	**0**	0	0	0	0	0	0	0	0		
Поправка на направленность источника Dc, дБ	Dc	DΩ + Di	**3**	3	3	3	3	3	3	3	3		
Затухание из-за геометрической дивергенции, Adiv, дБ	расстояние = 246.04 м	ф-ла (7) [10]	**58,8**										
Коэффициент затухания звука в атмосфере α, дБ/км	Ta=20,°C Pa=101.33,кПа hотн.=70%	ф-ла (5) [9]	0,02	0,09	0,33	1,12	2,79	4,98	9,04	23,09	77,63		
Учет затухания звука в атмосфере Aatm, дБ		ф-ла (8) [10]	0	0	0,1	0,3	0,7	1,2	2,2	5,7	19,1		
Снижение поверхностью земли возле источника As, дБ	Gs = 0 hs = 1м	ф-лы таб.3 [10]	-1,5	-1,5	-1,5	-1,5	-1,5	-1,5	-1,5	-1,5	-1,5		
Снижение поверхностью земли возле приёмника Ar, дБ	Gr = 1 hr = 1.5м	ф-лы таб.3 [10]	-1,5	-1,5	1,4	7	4,9	0,7	0	0	0		
Снижение поверхностью земли в средней зоне, Am дБ	Gm = 1	ф-лы таб.3 [10]	-2,1	-2,1	0	0	0	0	0	0	0		
Суммарное снижение поверхностью земли на траектории распространения звука Agr, дБ		ф-ла (9) [10]	-5,1	-5,1	-0,1	5,5	3,4	-0,8	-1,5	-1,5	-1,5		
Уровни звукового давления прямого звука от источника ИШ-2-11 в расчётной точке днём, дБ		**ф-ла(3)[10]**	**0**	**42,5**	**38,9**	**34,4**	**36,3**	**39,7**	**36**	**28,4**	**10,5**	**42,6**	**42,6**
Расчёт отражённого звука													
Уровни звукового давления от мнимого источника ИШ-2-11_мн.(1) в расчётной точке днём, дБ		**ф-ла(3)[10]**	**0**	**0**	**0**	**0**	**25**	**35,1**	**33,5**	**25,8**	**7,8**	**38,4**	**38,4**
Уровни звукового давления от источника ИШ-2-11 в расчётной точке днём, дБ		**ф-ла(3)[10]**	**0**	**42,5**	**38,9**	**34,4**	**36,7**	**41**	**38**	**30,3**	**12,4**	**44**	**44**
Источник шума: ИШ-2-12, координаты источника (x,y,z), м =[760.25,95.02,1.00]													

1		2	3	4	5	6	7	8	9	10	11	12	13
Уровни звуковой мощности источника днём, Lw, дБ		**исходные данные**	**0**	**93,3**	**94,7**	**96**	**96,3**	**95,9**	**92,6**	**88,4**	**83,9**		
Поправка на телесный угол DΩ, дБ	Ω = 6.28	10Lg(4π/Ω)	**3**	3	3	3	3	3	3	3	3		
Показатель направленности источника Di, дБ		исходные данные	**0**	0	0	0	0	0	0	0	0		
Поправка на направленность источника Dc, дБ	Dc	DΩ + Di	**3**	3	3	3	3	3	3	3	3		
Затухание из-за геометрической дивергенции, Adiv, дБ	расстояние = 243.73 м	ф-ла (7) [10]	**58,7**										
Коэффициент затухания звука в атмосфере α, дБ/км	Ta=20,°C Pa=101.33,кПа hотн.=70%	ф-ла (5) [9]	0,02	0,09	0,33	1,12	2,79	4,98	9,04	23,09	77,63		
Учет затухания звука в атмосфере Aatm, дБ		ф-ла (8) [10]	0	0	0,1	0,3	0,7	1,2	2,2	5,6	18,9		
Снижение поверхностью земли возле источника As, дБ	Gs = 0 hs = 1м	ф-лы таб.3 [10]	-1,5	-1,5	-1,5	-1,5	-1,5	-1,5	-1,5	-1,5	-1,5		
Снижение поверхностью земли возле приёмника Ar, дБ	Gr = 1 hr = 1.5м	ф-лы таб.3 [10]	-1,5	-1,5	1,4	7	4,9	0,7	0	0	0		
Снижение поверхностью земли в средней зоне, Am дБ	Gm = 1	ф-лы таб.3 [10]	-2,1	-2,1	0	0	0	0	0	0	0		
Суммарное снижение поверхностью земли на траектории распространения звука Agr, дБ		ф-ла (9) [10]	-5,1	-5,1	-0,1	5,5	3,4	-0,8	-1,5	-1,5	-1,5		
Уровни звукового давления прямого звука от источника ИШ-2-12 в расчётной точке днём, дБ		**ф-ла(3)[10]**	**0**	**42,6**	**39**	**34,5**	**36,4**	**39,8**	**36,2**	**28,5**	**10,7**	**42,7**	**42,7**
Расчёт отражённого звука													
Уровни звукового давления от мнимого источника ИШ-2-12_мн.(1) в расчётной точке днём, дБ		**ф-ла(3)[10]**	**0**	**0**	**0**	**0**	**0**	**35,2**	**33,6**	**26**	**8,1**	**38,4**	**38,4**
Уровни звукового давления от источника ИШ-2-12 в расчётной точке днём, дБ		**ф-ла(3)[10]**	**0**	**42,6**	**39**	**34,5**	**36,4**	**41,1**	**38,1**	**30,4**	**12,6**	**44,1**	**44,1**
Источник шума: ИШ-2-13, координаты источника (x,y,z), м =[759.28,92.25,1.00]													

1		2	3	4	5	6	7	8	9	10	11	12	13
Уровни звуковой мощности источника днём, Lw, дБ		**исходные данные**	**0**	**93,3**	**94,7**	**96**	**96,3**	**95,9**	**92,6**	**88,4**	**83,9**		
Поправка на телесный угол DΩ, дБ	Ω = 6.28	10Lg(4π/Ω)	**3**	3	3	3	3	3	3	3	3		
Показатель направленности источника Di, дБ		исходные данные	**0**	0	0	0	0	0	0	0	0		
Поправка на направленность источника Dc, дБ	Dc	DΩ + Di	**3**	3	3	3	3	3	3	3	3		
Затухание из-за геометрической дивергенции, Adiv, дБ	расстояние = 241.42 м	ф-ла (7) [10]	**58,7**										
Коэффициент затухания звука в атмосфере α, дБ/км	Ta=20,°C Pa=101.33,кПа hотн.=70%	ф-ла (5) [9]	0,02	0,09	0,33	1,12	2,79	4,98	9,04	23,09	77,63		
Учет затухания звука в атмосфере Aatm, дБ		ф-ла (8) [10]	0	0	0,1	0,3	0,7	1,2	2,2	5,6	18,7		
Снижение поверхностью земли возле источника As, дБ	Gs = 0 hs = 1м	ф-лы таб.3 [10]	-1,5	-1,5	-1,5	-1,5	-1,5	-1,5	-1,5	-1,5	-1,5		
Снижение поверхностью земли возле приёмника Ar, дБ	Gr = 1 hr = 1.5м	ф-лы таб.3 [10]	-1,5	-1,5	1,4	7	4,9	0,7	0	0	0		
Снижение поверхностью земли в средней зоне, Am дБ	Gm = 1	ф-лы таб.3 [10]	-2,1	-2,1	0	0	0	0	0	0	0		
Суммарное снижение поверхностью земли на траектории распространения звука Agr, дБ		ф-ла (9) [10]	-5,1	-5,1	-0,1	5,5	3,4	-0,8	-1,5	-1,5	-1,5		
Уровни звукового давления прямого звука от источника ИШ-2-13 в расчётной точке днём, дБ		**ф-ла(3)[10]**	**0**	**42,7**	**39,1**	**34,6**	**36,5**	**39,9**	**36,3**	**28,7**	**11**	**42,8**	**42,8**
Расчёт отражённого звука													
Уровни звукового давления от мнимого источника ИШ-2-13_мн.(1) в расчётной точке днём, дБ		**ф-ла(3)[10]**	**0**	**0**	**0**	**0**	**0**	**35,3**	**33,7**	**26,1**	**8,3**	**38,5**	**38,5**
Уровни звукового давления от источника ИШ-2-13 в расчётной точке днём, дБ		**ф-ла(3)[10]**	**0**	**42,7**	**39,1**	**34,6**	**36,5**	**41,2**	**38,2**	**30,6**	**12,9**	**44,2**	**44,2**
Источник шума: ИШ-2-14, координаты источника (x,y,z), м =[751.62,69.73,1.00]													

1		2	3	4	5	6	7	8	9	10	11	12	13
Уровни звуковой мощности источника днём, Lw, дБ		**исходные данные**	**0**	**93,3**	**94,7**	**96**	**96,3**	**95,9**	**92,6**	**88,4**	**83,9**		
Поправка на телесный угол DΩ, дБ	Ω = 6.28	10Lg(4π/Ω)	**3**	3	3	3	3	3	3	3	3		
Показатель направленности источника Di, дБ		исходные данные	**0**	0	0	0	0	0	0	0	0		
Поправка на направленность источника Dc, дБ	Dc	DΩ + Di	**3**	3	3	3	3	3	3	3	3		
Затухание из-за геометрической дивергенции, Adiv, дБ	расстояние = 223.38 м	ф-ла (7) [10]	**58**										
Коэффициент затухания звука в атмосфере α, дБ/км	Ta=20,°C Pa=101.33,кПа hотн.=70%	ф-ла (5) [9]	0,02	0,09	0,33	1,12	2,79	4,98	9,04	23,09	77,63		
Учет затухания звука в атмосфере Aatm, дБ		ф-ла (8) [10]	0	0	0,1	0,3	0,6	1,1	2	5,2	17,3		
Снижение поверхностью земли возле источника As, дБ	Gs = 0 hs = 1м	ф-лы таб.3 [10]	-1,5	-1,5	-1,5	-1,5	-1,5	-1,5	-1,5	-1,5	-1,5		
Снижение поверхностью земли возле приёмника Ar, дБ	Gr = 1 hr = 1.5м	ф-лы таб.3 [10]	-1,5	-1,5	1,3	6,9	4,9	0,7	0	0	0		
Снижение поверхностью земли в средней зоне, Am дБ	Gm = 1	ф-лы таб.3 [10]	-2	-2	0	0	0	0	0	0	0		
Суммарное снижение поверхностью земли на траектории распространения звука Agr, дБ		ф-ла (9) [10]	-5	-5	-0,2	5,4	3,4	-0,8	-1,5	-1,5	-1,5		
Уровни звукового давления прямого звука от источника ИШ-2-14 в расчётной точке днём, дБ		**ф-ла(3)[10]**	**0**	**43,3**	**39,8**	**35,3**	**37,3**	**40,6**	**37,1**	**29,8**	**13,1**	**43,6**	**43,6**
Расчёт отражённого звука													
Уровни звукового давления от мнимого источника ИШ-2-14_мн.(1) в расчётной точке днём, дБ		**ф-ла(3)[10]**	**0**	**0**	**0**	**0**	**0**	**0**	**0**	**27,2**	**10,4**	**28,2**	**28,2**
Уровни звукового давления от источника ИШ-2-14 в расчётной точке днём, дБ		**ф-ла(3)[10]**	**0**	**43,3**	**39,8**	**35,3**	**37,3**	**40,6**	**37,1**	**31,7**	**14,9**	**43,7**	**43,7**
Источник шума: ИШ-2-15, координаты источника (x,y,z), м =[750.74,66.89,1.00]													

1		2	3	4	5	6	7	8	9	10	11	12	13
Уровни звуковой мощности источника днём, Lw, дБ		**исходные данные**	**0**	**93,3**	**94,7**	**96**	**96,3**	**95,9**	**92,6**	**88,4**	**83,9**		
Поправка на телесный угол DΩ, дБ	Ω = 6.28	10Lg(4π/Ω)	**3**	3	3	3	3	3	3	3	3		
Показатель направленности источника Di, дБ		исходные данные	**0**	0	0	0	0	0	0	0	0		
Поправка на направленность источника Dc, дБ	Dc	DΩ + Di	**3**	3	3	3	3	3	3	3	3		
Затухание из-за геометрической дивергенции, Adiv, дБ	расстояние = 221.26 м	ф-ла (7) [10]	**57,9**										
Коэффициент затухания звука в атмосфере α, дБ/км	Ta=20,°C Pa=101.33,кПа hотн.=70%	ф-ла (5) [9]	0,02	0,09	0,33	1,12	2,79	4,98	9,04	23,09	77,63		
Учет затухания звука в атмосфере Aatm, дБ		ф-ла (8) [10]	0	0	0,1	0,2	0,6	1,1	2	5,1	17,2		
Снижение поверхностью земли возле источника As, дБ	Gs = 0 hs = 1м	ф-лы таб.3 [10]	-1,5	-1,5	-1,5	-1,5	-1,5	-1,5	-1,5	-1,5	-1,5		
Снижение поверхностью земли возле приёмника Ar, дБ	Gr = 1 hr = 1.5м	ф-лы таб.3 [10]	-1,5	-1,5	1,3	6,9	4,9	0,7	0	0	0		
Снижение поверхностью земли в средней зоне, Am дБ	Gm = 1	ф-лы таб.3 [10]	-2	-2	0	0	0	0	0	0	0		
Суммарное снижение поверхностью земли на траектории распространения звука Agr, дБ		ф-ла (9) [10]	-5	-5	-0,2	5,4	3,4	-0,8	-1,5	-1,5	-1,5		
Уровни звукового давления прямого звука от источника ИШ-2-15 в расчётной точке днём, дБ		**ф-ла(3)[10]**	**0**	**43,4**	**39,9**	**35,4**	**37,4**	**40,7**	**37,2**	**29,9**	**13,3**	**43,7**	**43,7**
Расчёт отражённого звука													
Уровни звукового давления от мнимого источника ИШ-2-15_мн.(1) в расчётной точке днём, дБ		**ф-ла(3)[10]**	**0**	**0**	**0**	**0**	**0**	**0**	**0**	**0**	**10,6**	**9,5**	**9,5**
Уровни звукового давления от источника ИШ-2-15 в расчётной точке днём, дБ		**ф-ла(3)[10]**	**0**	**43,4**	**39,9**	**35,4**	**37,4**	**40,7**	**37,2**	**29,9**	**15,2**	**43,7**	**43,7**
Источник шума: ИШ-2-16, координаты источника (x,y,z), м =[749.73,64.02,1.00]													

1		2	3	4	5	6	7	8	9	10	11	12	13
Уровни звуковой мощности источника днём, Lw, дБ		**исходные данные**	**0**	**93,3**	**94,7**	**96**	**96,3**	**95,9**	**92,6**	**88,4**	**83,9**		
Поправка на телесный угол DΩ, дБ	Ω = 6.28	10Lg(4π/Ω)	**3**	3	3	3	3	3	3	3	3		
Показатель направленности источника Di, дБ		исходные данные	**0**	0	0	0	0	0	0	0	0		
Поправка на направленность источника Dc, дБ	Dc	DΩ + Di	**3**	3	3	3	3	3	3	3	3		
Затухание из-за геометрической дивергенции, Adiv, дБ	расстояние = 219.03 м	ф-ла (7) [10]	**57,8**										
Коэффициент затухания звука в атмосфере α, дБ/км	Ta=20,°C Pa=101.33,кПа hотн.=70%	ф-ла (5) [9]	0,02	0,09	0,33	1,12	2,79	4,98	9,04	23,09	77,63		
Учет затухания звука в атмосфере Aatm, дБ		ф-ла (8) [10]	0	0	0,1	0,2	0,6	1,1	2	5,1	17		
Снижение поверхностью земли возле источника As, дБ	Gs = 0 hs = 1м	ф-лы таб.3 [10]	-1,5	-1,5	-1,5	-1,5	-1,5	-1,5	-1,5	-1,5	-1,5		
Снижение поверхностью земли возле приёмника Ar, дБ	Gr = 1 hr = 1.5м	ф-лы таб.3 [10]	-1,5	-1,5	1,3	6,9	4,9	0,7	0	0	0		
Снижение поверхностью земли в средней зоне, Am дБ	Gm = 1	ф-лы таб.3 [10]	-2	-2	0	0	0	0	0	0	0		
Суммарное снижение поверхностью земли на траектории распространения звука Agr, дБ		ф-ла (9) [10]	-5	-5	-0,2	5,4	3,4	-0,8	-1,5	-1,5	-1,5		
Уровни звукового давления прямого звука от источника ИШ-2-16 в расчётной точке днём, дБ		**ф-ла(3)[10]**	**0**	**43,4**	**40**	**35,5**	**37,5**	**40,8**	**37,3**	**30**	**13,6**	**43,8**	**43,8**
Расчёт отражённого звука													
Уровни звукового давления от мнимого источника ИШ-2-16_мн.(1) в расчётной точке днём, дБ		**ф-ла(3)[10]**	**0**	**0**	**0**	**0**	**0**	**0**	**0**	**0**	**0**	**0**	**0**
Уровни звукового давления от источника ИШ-2-16 в расчётной точке днём, дБ		**ф-ла(3)[10]**	**0**	**43,4**	**40**	**35,5**	**37,5**	**40,8**	**37,3**	**30**	**13,6**	**43,8**	**43,8**
Источник шума: ИШ-2-17, координаты источника (x,y,z), м =[748.87,61.06,1.00]													

1		2	3	4	5	6	7	8	9	10	11	12	13
Уровни звуковой мощности источника днём, Lw, дБ		**исходные данные**	**0**	**93,3**	**94,7**	**96**	**96,3**	**95,9**	**92,6**	**88,4**	**83,9**		
Поправка на телесный угол DΩ, дБ	Ω = 6.28	10Lg(4π/Ω)	**3**	3	3	3	3	3	3	3	3		
Показатель направленности источника Di, дБ		исходные данные	**0**	0	0	0	0	0	0	0	0		
Поправка на направленность источника Dc, дБ	Dc	DΩ + Di	**3**	3	3	3	3	3	3	3	3		
Затухание из-за геометрической дивергенции, Adiv, дБ	расстояние = 216.92 м	ф-ла (7) [10]	**57,7**										
Коэффициент затухания звука в атмосфере α, дБ/км	Ta=20,°C Pa=101.33,кПа hотн.=70%	ф-ла (5) [9]	0,02	0,09	0,33	1,12	2,79	4,98	9,04	23,09	77,63		
Учет затухания звука в атмосфере Aatm, дБ		ф-ла (8) [10]	0	0	0,1	0,2	0,6	1,1	2	5	16,8		
Снижение поверхностью земли возле источника As, дБ	Gs = 0 hs = 1м	ф-лы таб.3 [10]	-1,5	-1,5	-1,5	-1,5	-1,5	-1,5	-1,5	-1,5	-1,5		
Снижение поверхностью земли возле приёмника Ar, дБ	Gr = 1 hr = 1.5м	ф-лы таб.3 [10]	-1,5	-1,5	1,3	6,9	4,9	0,7	0	0	0		
Снижение поверхностью земли в средней зоне, Am дБ	Gm = 1	ф-лы таб.3 [10]	-2	-2	0	0	0	0	0	0	0		
Суммарное снижение поверхностью земли на траектории распространения звука Agr, дБ		ф-ла (9) [10]	-5	-5	-0,2	5,4	3,4	-0,8	-1,5	-1,5	-1,5		
Уровни звукового давления прямого звука от источника ИШ-2-17 в расчётной точке днём, дБ		**ф-ла(3)[10]**	**0**	**43,5**	**40,1**	**35,6**	**37,6**	**40,9**	**37,4**	**30,2**	**13,8**	**43,9**	**43,9**
Расчёт отражённого звука													
Уровни звукового давления от мнимого источника ИШ-2-17_мн.(1) в расчётной точке днём, дБ		**ф-ла(3)[10]**	**0**	**0**	**0**	**0**	**0**	**0**	**0**	**0**	**0**	**0**	**0**
Уровни звукового давления от источника ИШ-2-17 в расчётной точке днём, дБ		**ф-ла(3)[10]**	**0**	**43,5**	**40,1**	**35,6**	**37,6**	**40,9**	**37,4**	**30,2**	**13,8**	**43,9**	**43,9**
Источник шума: ИШ-2-18, координаты источника (x,y,z), м =[747.72,58.17,1.00]													

1		2	3	4	5	6	7	8	9	10	11	12	13
Уровни звуковой мощности источника днём, Lw, дБ		**исходные данные**	**0**	**93,3**	**94,7**	**96**	**96,3**	**95,9**	**92,6**	**88,4**	**83,9**		
Поправка на телесный угол DΩ, дБ	Ω = 6.28	10Lg(4π/Ω)	**3**	3	3	3	3	3	3	3	3		
Показатель направленности источника Di, дБ		исходные данные	**0**	0	0	0	0	0	0	0	0		
Поправка на направленность источника Dc, дБ	Dc	DΩ + Di	**3**	3	3	3	3	3	3	3	3		
Затухание из-за геометрической дивергенции, Adiv, дБ	расстояние = 214.59 м	ф-ла (7) [10]	**57,6**										
Коэффициент затухания звука в атмосфере α, дБ/км	Ta=20,°C Pa=101.33,кПа hотн.=70%	ф-ла (5) [9]	0,02	0,09	0,33	1,12	2,79	4,98	9,04	23,09	77,63		
Учет затухания звука в атмосфере Aatm, дБ		ф-ла (8) [10]	0	0	0,1	0,2	0,6	1,1	1,9	5	16,7		
Снижение поверхностью земли возле источника As, дБ	Gs = 0 hs = 1м	ф-лы таб.3 [10]	-1,5	-1,5	-1,5	-1,5	-1,5	-1,5	-1,5	-1,5	-1,5		
Снижение поверхностью земли возле приёмника Ar, дБ	Gr = 1 hr = 1.5м	ф-лы таб.3 [10]	-1,5	-1,5	1,2	6,9	4,9	0,7	0	0	0		
Снижение поверхностью земли в средней зоне, Am дБ	Gm = 1	ф-лы таб.3 [10]	-2	-2	0	0	0	0	0	0	0		
Суммарное снижение поверхностью земли на траектории распространения звука Agr, дБ		ф-ла (9) [10]	-5	-5	-0,3	5,4	3,4	-0,8	-1,5	-1,5	-1,5		
Уровни звукового давления прямого звука от источника ИШ-2-18 в расчётной точке днём, дБ		**ф-ла(3)[10]**	**0**	**43,6**	**40,2**	**35,7**	**37,7**	**41**	**37,5**	**30,3**	**14,1**	**44**	**44**
Расчёт отражённого звука													
Уровни звукового давления от мнимого источника ИШ-2-18_мн.(1) в расчётной точке днём, дБ		**ф-ла(3)[10]**	**0**	**0**	**0**	**0**	**0**	**0**	**0**	**0**	**0**	**0**	**0**
Уровни звукового давления от источника ИШ-2-18 в расчётной точке днём, дБ		**ф-ла(3)[10]**	**0**	**43,6**	**40,2**	**35,7**	**37,7**	**41**	**37,5**	**30,3**	**14,1**	**44**	**44**
Источник шума: ИШ-2-19, координаты источника (x,y,z), м =[746.80,55.25,1.00]													

1		2	3	4	5	6	7	8	9	10	11	12	13
Уровни звуковой мощности источника днём, Lw, дБ		**исходные данные**	**0**	**93,3**	**94,7**	**96**	**96,3**	**95,9**	**92,6**	**88,4**	**83,9**		
Поправка на телесный угол DΩ, дБ	Ω = 6.28	10Lg(4π/Ω)	**3**	3	3	3	3	3	3	3	3		
Показатель направленности источника Di, дБ		исходные данные	**0**	0	0	0	0	0	0	0	0		
Поправка на направленность источника Dc, дБ	Dc	DΩ + Di	**3**	3	3	3	3	3	3	3	3		
Затухание из-за геометрической дивергенции, Adiv, дБ	расстояние = 212.48 м	ф-ла (7) [10]	**57,5**										
Коэффициент затухания звука в атмосфере α, дБ/км	Ta=20,°C Pa=101.33,кПа hотн.=70%	ф-ла (5) [9]	0,02	0,09	0,33	1,12	2,79	4,98	9,04	23,09	77,63		
Учет затухания звука в атмосфере Aatm, дБ		ф-ла (8) [10]	0	0	0,1	0,2	0,6	1,1	1,9	4,9	16,5		
Снижение поверхностью земли возле источника As, дБ	Gs = 0 hs = 1м	ф-лы таб.3 [10]	-1,5	-1,5	-1,5	-1,5	-1,5	-1,5	-1,5	-1,5	-1,5		
Снижение поверхностью земли возле приёмника Ar, дБ	Gr = 1 hr = 1.5м	ф-лы таб.3 [10]	-1,5	-1,5	1,2	6,9	4,9	0,7	0	0	0		
Снижение поверхностью земли в средней зоне, Am дБ	Gm = 1	ф-лы таб.3 [10]	-1,9	-1,9	0	0	0	0	0	0	0		
Суммарное снижение поверхностью земли на траектории распространения звука Agr, дБ		ф-ла (9) [10]	-4,9	-4,9	-0,3	5,4	3,4	-0,8	-1,5	-1,5	-1,5		
Уровни звукового давления прямого звука от источника ИШ-2-19 в расчётной точке днём, дБ		**ф-ла(3)[10]**	**0**	**43,7**	**40,3**	**35,8**	**37,8**	**41,1**	**37,6**	**30,4**	**14,3**	**44,1**	**44,1**
Расчёт отражённого звука													
Уровни звукового давления от мнимого источника ИШ-2-19_мн.(1) в расчётной точке днём, дБ		**ф-ла(3)[10]**	**0**	**0**	**0**	**0**	**0**	**0**	**0**	**0**	**0**	**0**	**0**
Уровни звукового давления от источника ИШ-2-19 в расчётной точке днём, дБ		**ф-ла(3)[10]**	**0**	**43,7**	**40,3**	**35,8**	**37,8**	**41,1**	**37,6**	**30,4**	**14,3**	**44,1**	**44,1**
Источник шума: ИШ-2-20, координаты источника (x,y,z), м =[745.71,52.44,1.00]													

1		2	3	4	5	6	7	8	9	10	11	12	13
Уровни звуковой мощности источника днём, Lw, дБ		**исходные данные**	**0**	**93,3**	**94,7**	**96**	**96,3**	**95,9**	**92,6**	**88,4**	**83,9**		
Поправка на телесный угол DΩ, дБ	Ω = 6.28	10Lg(4π/Ω)	**3**	3	3	3	3	3	3	3	3		
Показатель направленности источника Di, дБ		исходные данные	**0**	0	0	0	0	0	0	0	0		
Поправка на направленность источника Dc, дБ	Dc	DΩ + Di	**3**	3	3	3	3	3	3	3	3		
Затухание из-за геометрической дивергенции, Adiv, дБ	расстояние = 210.29 м	ф-ла (7) [10]	**57,5**										
Коэффициент затухания звука в атмосфере α, дБ/км	Ta=20,°C Pa=101.33,кПа hотн.=70%	ф-ла (5) [9]	0,02	0,09	0,33	1,12	2,79	4,98	9,04	23,09	77,63		
Учет затухания звука в атмосфере Aatm, дБ		ф-ла (8) [10]	0	0	0,1	0,2	0,6	1	1,9	4,9	16,3		
Снижение поверхностью земли возле источника As, дБ	Gs = 0 hs = 1м	ф-лы таб.3 [10]	-1,5	-1,5	-1,5	-1,5	-1,5	-1,5	-1,5	-1,5	-1,5		
Снижение поверхностью земли возле приёмника Ar, дБ	Gr = 1 hr = 1.5м	ф-лы таб.3 [10]	-1,5	-1,5	1,2	6,9	4,9	0,7	0	0	0		
Снижение поверхностью земли в средней зоне, Am дБ	Gm = 1	ф-лы таб.3 [10]	-1,9	-1,9	0	0	0	0	0	0	0		
Суммарное снижение поверхностью земли на траектории распространения звука Agr, дБ		ф-ла (9) [10]	-4,9	-4,9	-0,3	5,4	3,4	-0,8	-1,5	-1,5	-1,5		
Уровни звукового давления прямого звука от источника ИШ-2-20 в расчётной точке днём, дБ		**ф-ла(3)[10]**	**0**	**43,7**	**40,4**	**35,9**	**37,8**	**41,2**	**37,7**	**30,6**	**14,6**	**44,2**	**44,2**
Расчёт отражённого звука													
Уровни звукового давления от мнимого источника ИШ-2-20_мн.(1) в расчётной точке днём, дБ		**ф-ла(3)[10]**	**0**	**0**	**0**	**0**	**0**	**0**	**0**	**0**	**0**	**0**	**0**
Уровни звукового давления от источника ИШ-2-20 в расчётной точке днём, дБ		**ф-ла(3)[10]**	**0**	**43,7**	**40,4**	**35,9**	**37,8**	**41,2**	**37,7**	**30,6**	**14,6**	**44,2**	**44,2**
Источник шума: ИШ-2-21, координаты источника (x,y,z), м =[744.89,49.62,1.00]													

1		2	3	4	5	6	7	8	9	10	11	12	13
Уровни звуковой мощности источника днём, Lw, дБ		**исходные данные**	**0**	**93,3**	**94,7**	**96**	**96,3**	**95,9**	**92,6**	**88,4**	**83,9**		
Поправка на телесный угол DΩ, дБ	Ω = 6.28	10Lg(4π/Ω)	**3**	3	3	3	3	3	3	3	3		
Показатель направленности источника Di, дБ		исходные данные	**0**	0	0	0	0	0	0	0	0		
Поправка на направленность источника Dc, дБ	Dc	DΩ + Di	**3**	3	3	3	3	3	3	3	3		
Затухание из-за геометрической дивергенции, Adiv, дБ	расстояние = 208.36 м	ф-ла (7) [10]	**57,4**										
Коэффициент затухания звука в атмосфере α, дБ/км	Ta=20,°C Pa=101.33,кПа hотн.=70%	ф-ла (5) [9]	0,02	0,09	0,33	1,12	2,79	4,98	9,04	23,09	77,63		
Учет затухания звука в атмосфере Aatm, дБ		ф-ла (8) [10]	0	0	0,1	0,2	0,6	1	1,9	4,8	16,2		
Снижение уровня звукового давления из-за влияния застройки между источником шума и расчетной точкой													
Снижение уровня звукового давления на пути над экраном, Dz1, дБ	z = 0.86м (разность путей)	ф-лы (14-18) [10]	7,1	8,6	10,6	13	15,7	18,7	22,1	26,2	30,8		
Снижение уровня звукового давления на пути слева от экрана, Dz2, дБ	z = 41.46м (разность путей)	ф-лы (14-18) [10]	22,1	25,4	29,4	33,9	38	41,5	44,6	47,7	50,7		
Снижение уровня звукового давления на пути справа от экрана, Dz3, дБ	z = 0.00м (разность путей)	ф-лы (14-18) [10]	4,8	4,8	4,8	4,8	4,9	4,9	5,1	5,4	5,9		
Общее снижение уровня звука препятствием Dz, дБ		Эн.сумма(-Dzi)	2,7	3,3	3,8	4,2	4,5	4,8	5	5,3	5,9		
Уровни звукового давления прямого звука от источника ИШ-2-21 в расчётной точке днём, дБ		**ф-ла(3)[10]**	**0**	**35,6**	**36,5**	**37,2**	**36,8**	**35,7**	**31,3**	**23,9**	**7,4**	**39,5**	**39,5**
Расчёт отражённого звука													
Уровни звукового давления от мнимого источника ИШ-2-21_мн.(1) в расчётной точке днём, дБ		**ф-ла(3)[10]**	**0**	**0**	**0**	**0**	**0**	**0**	**0**	**0**	**0**	**0**	**0**
Уровни звукового давления от источника ИШ-2-21 в расчётной точке днём, дБ		**ф-ла(3)[10]**	**0**	**35,6**	**36,5**	**37,2**	**36,8**	**35,7**	**31,3**	**23,9**	**7,4**	**39,5**	**39,5**

1		2	3	4	5	6	7	8	9	10	11	12	13
Источник шума: ИШ-2-22, координаты источника (x,y,z), м =[737.40,27.07,1.00]													
Уровни звуковой мощности источника днём, Lw, дБ		**исходные данные**	**0**	**93,3**	**94,7**	**96**	**96,3**	**95,9**	**92,6**	**88,4**	**83,9**		
Поправка на телесный угол DΩ, дБ	Ω = 6.28	10Lg(4π/Ω)	**3**	3	3	3	3	3	3	3	3		
Показатель направленности источника Di, дБ		исходные данные	**0**	0	0	0	0	0	0	0	0		
Поправка на направленность источника Dc, дБ	Dc	DΩ + Di	**3**	3	3	3	3	3	3	3	3		
Затухание из-за геометрической дивергенции, Adiv, дБ	расстояние = 192.94 м	ф-ла (7) [10]	**56,7**										
Коэффициент затухания звука в атмосфере α, дБ/км	Ta=20,°C Pa=101.33,кПа hотн.=70%	ф-ла (5) [9]	0,02	0,09	0,33	1,12	2,79	4,98	9,04	23,09	77,63		
Учет затухания звука в атмосфере Aatm, дБ		ф-ла (8) [10]	0	0	0,1	0,2	0,5	1	1,7	4,5	15		
Снижение уровня звукового давления из-за влияния застройки между источником шума и расчетной точкой													
Снижение уровня звукового давления на пути над экраном, Dz1, дБ	z = 0.94м (разность путей)	ф-лы (14-18) [10]	7,4	9,1	11,5	14,8	19,1	23,2	26,6	29,7	32,8		
Снижение уровня звукового давления на пути слева от экрана, Dz2, дБ	z = 38.07м (разность путей)	ф-лы (14-18) [10]	21,7	25,1	29	33,5	37,7	41,1	44,3	47,3	50,3		
Снижение уровня звукового давления на пути справа от экрана, Dz3, дБ	z = 0.16м (разность путей)	ф-лы (14-18) [10]	5,6	6,2	7,3	8,9	11	13,4	16,1	19	21,9		
Общее снижение уровня звука препятствием Dz, дБ		Эн.сумма(-Dzi)	3,3	4,4	5,9	7,9	10,3	13	15,8	18,6	21,6		
Уровни звукового давления прямого звука от источника ИШ-2-22 в расчётной точке днём, дБ		**ф-ла(3)[10]**	**0**	**35,2**	**35**	**34,2**	**31,7**	**28,2**	**21,4**	**11,6**	**0**	**33,1**	**33,1**
Расчёт отражённого звука													
Уровни звукового давления от мнимого источника ИШ-2-22_мн.(1) в расчётной точке днём, дБ		**ф-ла(3)[10]**	**0**	**0**	**0**	**0**	**0**	**0**	**0**	**0**	**0**	**0**	**0**

1		2	3	4	5	6	7	8	9	10	11	12	13
Уровни звукового давления от источника ИШ-2-22 в расчётной точке днём, дБ		**ф-ла(3)[10]**	**0**	**35,2**	**35**	**34,2**	**31,7**	**28,2**	**21,4**	**11,6**	**0**	**33,1**	**33,1**
Источник шума: ИШ-2-23, координаты источника (x,y,z), м =[736.46,24.18,1.00]													
Уровни звуковой мощности источника днём, Lw, дБ		**исходные данные**	**0**	**93,3**	**94,7**	**96**	**96,3**	**95,9**	**92,6**	**88,4**	**83,9**		
Поправка на телесный угол DΩ, дБ	Ω = 6.28	10Lg(4π/Ω)	**3**	3	3	3	3	3	3	3	3		
Показатель направленности источника Di, дБ		исходные данные	**0**	0	0	0	0	0	0	0	0		
Поправка на направленность источника Dc, дБ	Dc	DΩ + Di	**3**	3	3	3	3	3	3	3	3		
Затухание из-за геометрической дивергенции, Adiv, дБ	расстояние = 191.10 м	ф-ла (7) [10]	**56,6**										
Коэффициент затухания звука в атмосфере α, дБ/км	Ta=20,°C Pa=101.33,кПа hотн.=70%	ф-ла (5) [9]	0,02	0,09	0,33	1,12	2,79	4,98	9,04	23,09	77,63		
Учет затухания звука в атмосфере Aatm, дБ		ф-ла (8) [10]	0	0	0,1	0,2	0,5	1	1,7	4,4	14,8		
Снижение уровня звукового давления из-за влияния застройки между источником шума и расчетной точкой													
Снижение уровня звукового давления на пути над экраном, Dz1, дБ	z = 0.95м (разность путей)	ф-лы (14-18) [10]	7,4	9,2	11,6	15,1	19,4	23,4	26,7	29,8	32,8		
Снижение уровня звукового давления на пути слева от экрана, Dz2, дБ	z = 37.60м (разность путей)	ф-лы (14-18) [10]	21,7	25	28,9	33,5	37,6	41,1	44,2	47,2	50,3		
Снижение уровня звукового давления на пути справа от экрана, Dz3, дБ	z = 0.21м (разность путей)	ф-лы (14-18) [10]	5,8	6,6	7,8	9,6	11,8	14,4	17,1	20	23		
Общее снижение уровня звука препятствием Dz, дБ		Эн.сумма(-Dzi)	3,4	4,6	6,3	8,5	11,1	13,8	16,7	19,6	22,5		
Уровни звукового давления прямого звука от источника ИШ-2-23 в расчётной точке днём, дБ		**ф-ла(3)[10]**	**0**	**35**	**34,7**	**33,7**	**31**	**27,5**	**20,6**	**10,8**	**0**	**32,4**	**32,4**
Расчёт отражённого звука													

1		2	3	4	5	6	7	8	9	10	11	12	13
Уровни звукового давления от мнимого источника ИШ-2-23_мн.(1) в расчётной точке днём, дБ		**ф-ла(3)[10]**	**0**	**0**	**0**	**0**	**0**	**0**	**0**	**0**	**0**	**0**	**0**
Уровни звукового давления от источника ИШ-2-23 в расчётной точке днём, дБ		**ф-ла(3)[10]**	**0**	**35**	**34,7**	**33,7**	**31**	**27,5**	**20,6**	**10,8**	**0**	**32,4**	**32,4**
Источник шума: ИШ-2-24, координаты источника (x,y,z), м =[735.45,21.21,1.00]													
Уровни звуковой мощности источника днём, Lw, дБ		**исходные данные**	**0**	**93,3**	**94,7**	**96**	**96,3**	**95,9**	**92,6**	**88,4**	**83,9**		
Поправка на телесный угол DΩ, дБ	Ω = 6.28	10Lg(4π/Ω)	**3**	3	3	3	3	3	3	3	3		
Показатель направленности источника Di, дБ		исходные данные	**0**	0	0	0	0	0	0	0	0		
Поправка на направленность источника Dc, дБ	Dc	DΩ + Di	**3**	3	3	3	3	3	3	3	3		
Затухание из-за геометрической дивергенции, Adiv, дБ	расстояние = 189.21 м	ф-ла (7) [10]	**56,5**										
Коэффициент затухания звука в атмосфере α, дБ/км	Ta=20,°C Pa=101.33,кПа hотн.=70%	ф-ла (5) [9]	0,02	0,09	0,33	1,12	2,79	4,98	9,04	23,09	77,63		
Учет затухания звука в атмосфере Aatm, дБ		ф-ла (8) [10]	0	0	0,1	0,2	0,5	0,9	1,7	4,4	14,7		
Снижение уровня звукового давления из-за влияния застройки между источником шума и расчетной точкой													
Снижение уровня звукового давления на пути над экраном, Dz1, дБ	z = 0.96м (разность путей)	ф-лы (14-18) [10]	7,5	9,2	11,8	15,4	19,7	23,5	26,8	29,9	32,9		
Снижение уровня звукового давления на пути слева от экрана, Dz2, дБ	z = 37.10м (разность путей)	ф-лы (14-18) [10]	21,6	24,9	28,9	33,4	37,6	41	44,1	47,2	50,2		
Снижение уровня звукового давления на пути справа от экрана, Dz3, дБ	z = 0.26м (разность путей)	ф-лы (14-18) [10]	6	6,9	8,3	10,3	12,6	15,2	18,1	21	23,9		
Общее снижение уровня звука препятствием Dz, дБ		Эн.сумма(-Dzi)	3,6	4,9	6,7	9,1	11,8	14,6	17,5	20,4	23,4		
Уровни звукового давления прямого звука от источника ИШ-2-24 в расчётной точке днём, дБ		**ф-ла(3)[10]**	**0**	**34,9**	**34,4**	**33,1**	**30,4**	**26,8**	**19,8**	**10,1**	**0**	**31,8**	**31,8**

1		2	3	4	5	6	7	8	9	10	11	12	13
Расчёт отражённого звука													
Уровни звукового давления от мнимого источника ИШ-2-24_мн.(1) в расчётной точке днём, дБ		**ф-ла(3)[10]**	**0**	**0**	**0**	**0**	**0**	**0**	**0**	**0**	**0**	**0**	**0**
Уровни звукового давления от источника ИШ-2-24 в расчётной точке днём, дБ		**ф-ла(3)[10]**	**0**	**34,9**	**34,4**	**33,1**	**30,4**	**26,8**	**19,8**	**10,1**	**0**	**31,8**	**31,8**
Источник шума: ИШ-2-25, координаты источника (x,y,z), м =[734.58,18.32,1.00]													
Уровни звуковой мощности источника днём, Lw, дБ		**исходные данные**	**0**	**93,3**	**94,7**	**96**	**96,3**	**95,9**	**92,6**	**88,4**	**83,9**		
Поправка на телесный угол DΩ, дБ	Ω = 6.28	10Lg(4π/Ω)	**3**	3	3	3	3	3	3	3	3		
Показатель направленности источника Di, дБ		исходные данные	**0**	0	0	0	0	0	0	0	0		
Поправка на направленность источника Dc, дБ	Dc	DΩ + Di	**3**	3	3	3	3	3	3	3	3		
Затухание из-за геометрической дивергенции, Adiv, дБ	расстояние = 187.51 м	ф-ла (7) [10]	**56,5**										
Коэффициент затухания звука в атмосфере α, дБ/км	Ta=20,°C Pa=101.33,кПа hотн.=70%	ф-ла (5) [9]	0,02	0,09	0,33	1,12	2,79	4,98	9,04	23,09	77,63		
Учет затухания звука в атмосфере Aatm, дБ		ф-ла (8) [10]	0	0	0,1	0,2	0,5	0,9	1,7	4,3	14,6		
Снижение уровня звукового давления из-за влияния застройки между источником шума и расчетной точкой													
Снижение уровня звукового давления на пути над экраном, Dz1, дБ	z = 0.97м (разность путей)	ф-лы (14-18) [10]	7,5	9,3	12	15,7	20	23,7	26,9	30	33		
Снижение уровня звукового давления на пути слева от экрана, Dz2, дБ	z = 36.60м (разность путей)	ф-лы (14-18) [10]	21,6	24,9	28,8	33,4	37,5	40,9	44,1	47,1	50,1		
Снижение уровня звукового давления на пути справа от экрана, Dz3, дБ	z = 0.32м (разность путей)	ф-лы (14-18) [10]	6,2	7,3	8,9	10,9	13,4	16,1	18,9	21,8	24,8		
Общее снижение уровня звука препятствием Dz, дБ		Эн.сумма(-Dzi)	3,7	5,1	7,1	9,7	12,5	15,4	18,3	21,2	24,2		

1		2	3	4	5	6	7	8	9	10	11	12	13
Уровни звукового давления прямого звука от источника ИШ-2-25 в расчётной точке днём, дБ		**ф-ла(3)[10]**	**0**	**34,7**	**34,1**	**32,7**	**29,8**	**26,1**	**19,2**	**9,4**	**0**	**31,2**	**31,2**
Расчёт отражённого звука													
Уровни звукового давления от мнимого источника ИШ-2-25_мн.(1) в расчётной точке днём, дБ		**ф-ла(3)[10]**	**0**	**0**	**0**	**0**	**0**	**0**	**0**	**0**	**0**	**0**	**0**
Уровни звукового давления от источника ИШ-2-25 в расчётной точке днём, дБ		**ф-ла(3)[10]**	**0**	**34,7**	**34,1**	**32,7**	**29,8**	**26,1**	**19,2**	**9,4**	**0**	**31,2**	**31,2**
Источник шума: ИШ-2-26, координаты источника (x,y,z), м =[733.57,15.41,1.00]													
Уровни звуковой мощности источника днём, Lw, дБ		**исходные данные**	**0**	**93,3**	**94,7**	**96**	**96,3**	**95,9**	**92,6**	**88,4**	**83,9**		
Поправка на телесный угол DΩ, дБ	Ω = 6.28	10Lg(4π/Ω)	**3**	3	3	3	3	3	3	3	3		
Показатель направленности источника Di, дБ		исходные данные	**0**	0	0	0	0	0	0	0	0		
Поправка на направленность источника Dc, дБ	Dc	DΩ + Di	**3**	3	3	3	3	3	3	3	3		
Затухание из-за геометрической дивергенции, Adiv, дБ	расстояние = 185.70 м	ф-ла (7) [10]	**56,4**										
Коэффициент затухания звука в атмосфере α, дБ/км	Ta=20,°C Pa=101.33,кПа hотн.=70%	ф-ла (5) [9]	0,02	0,09	0,33	1,12	2,79	4,98	9,04	23,09	77,63		
Учет затухания звука в атмосфере Aatm, дБ		ф-ла (8) [10]	0	0	0,1	0,2	0,5	0,9	1,7	4,3	14,4		
Снижение уровня звукового давления из-за влияния застройки между источником шума и расчетной точкой													
Снижение уровня звукового давления на пути над экраном, Dz1, дБ	z = 0.98м (разность путей)	ф-лы (14-18) [10]	7,6	9,4	12,1	16	20,2	23,8	27	30,1	33,1		
Снижение уровня звукового давления на пути слева от экрана, Dz2, дБ	z = 36.10м (разность путей)	ф-лы (14-18) [10]	21,5	24,8	28,8	33,3	37,4	40,9	44	47,1	50,1		
Снижение уровня звукового давления на пути справа от экрана, Dz3, дБ	z = 0.38м (разность путей)	ф-лы (14-18) [10]	6,5	7,7	9,4	11,5	14,1	16,8	19,7	22,6	25,6		

1		2	3	4	5	6	7	8	9	10	11	12	13
Общее снижение уровня звука препятствием Dz, дБ		Эн.сумма(-Dzi)	3,9	5,4	7,5	10,2	13,1	16	18,9	21,9	24,9		
Уровни звукового давления прямого звука от источника ИШ-2-26 в расчётной точке днём, дБ		**ф-ла(3)[10]**	**0**	**34,5**	**33,8**	**32,2**	**29,3**	**25,6**	**18,6**	**8,8**	**0**	**30,7**	**30,7**
Расчёт отражённого звука													
Уровни звукового давления от мнимого источника ИШ-2-26_мн.(1) в расчётной точке днём, дБ		**ф-ла(3)[10]**	**0**	**0**	**0**	**0**	**0**	**0**	**0**	**0**	**0**	**0**	**0**
Уровни звукового давления от источника ИШ-2-26 в расчётной точке днём, дБ		**ф-ла(3)[10]**	**0**	**34,5**	**33,8**	**32,2**	**29,3**	**25,6**	**18,6**	**8,8**	**0**	**30,7**	**30,7**
Источник шума: ИШ-2-27, координаты источника (x,y,z), м =[732.43,12.66,1.00]													
Уровни звуковой мощности источника днём, Lw, дБ		**исходные данные**	**0**	**93,3**	**94,7**	**96**	**96,3**	**95,9**	**92,6**	**88,4**	**83,9**		
Поправка на телесный угол DΩ, дБ	Ω = 6.28	10Lg(4π/Ω)	**3**	3	3	3	3	3	3	3	3		
Показатель направленности источника Di, дБ		исходные данные	**0**	0	0	0	0	0	0	0	0		
Поправка на направленность источника Dc, дБ	Dc	DΩ + Di	**3**	3	3	3	3	3	3	3	3		
Затухание из-за геометрической дивергенции, Adiv, дБ	расстояние = 183.84 м	ф-ла (7) [10]	**56,3**										
Коэффициент затухания звука в атмосфере α, дБ/км	Ta=20,°C Pa=101.33,кПа hотн.=70%	ф-ла (5) [9]	0,02	0,09	0,33	1,12	2,79	4,98	9,04	23,09	77,63		
Учет затухания звука в атмосфере Aatm, дБ		ф-ла (8) [10]	0	0	0,1	0,2	0,5	0,9	1,7	4,2	14,3		
Снижение уровня звукового давления из-за влияния застройки между источником шума и расчетной точкой													
Снижение уровня звукового давления на пути над экраном, Dz1, дБ	z = 0.99м (разность путей)	ф-лы (14-18) [10]	7,6	9,5	12,3	16,3	20,4	23,9	27,1	30,1	33,1		
Снижение уровня звукового давления на пути слева от экрана, Dz2, дБ	z = 35.63м (разность путей)	ф-лы (14-18) [10]	21,4	24,8	28,7	33,3	37,4	40,8	44	47	50		

1		2	3	4	5	6	7	8	9	10	11	12	13
Снижение уровня звукового давления на пути справа от экрана, Dz3, дБ	z = 0.45м (разность путей)	ф-лы (14-18) [10]	6,7	8	9,8	12,1	14,7	17,5	20,4	23,3	26,3		
Общее снижение уровня звука препятствием Dz, дБ		Эн.сумма(-Dzi)	4	5,6	7,9	10,7	13,7	16,6	19,5	22,5	25,5		
Общее снижение уровня звука препятствием с учётом ограничения (25 дБ) для октавных полос Dz, дБ		Раздел 7.4 [10]	4	5,6	7,9	10,7	13,7	16,6	19,5	22,5	25		
Уровни звукового давления прямого звука от источника ИШ-2-27 в расчётной точке днём, дБ		**ф-ла(3)[10]**	**0**	**34,4**	**33,5**	**31,8**	**28,8**	**25,1**	**18,1**	**8,4**	**0**	**30,2**	**30,2**
Расчёт отражённого звука													
Уровни звукового давления от мнимого источника ИШ-2-27_мн.(1) в расчётной точке днём, дБ		**ф-ла(3)[10]**	**0**	**0**	**0**	**0**	**0**	**0**	**0**	**0**	**0**	**0**	**0**
Уровни звукового давления от источника ИШ-2-27 в расчётной точке днём, дБ		**ф-ла(3)[10]**	**0**	**34,4**	**33,5**	**31,8**	**28,8**	**25,1**	**18,1**	**8,4**	**0**	**30,2**	**30,2**
Источник шума: ИШ-2-28, координаты источника (x,y,z), м =[731.54,9.78,1.00]													
Уровни звуковой мощности источника днём, Lw, дБ		**исходные данные**	**0**	**93,3**	**94,7**	**96**	**96,3**	**95,9**	**92,6**	**88,4**	**83,9**		
Поправка на телесный угол DΩ, дБ	Ω = 6.28	10Lg(4π/Ω)	**3**	3	3	3	3	3	3	3	3		
Показатель направленности источника Di, дБ		исходные данные	**0**	0	0	0	0	0	0	0	0		
Поправка на направленность источника Dc, дБ	Dc	DΩ + Di	**3**	3	3	3	3	3	3	3	3		
Затухание из-за геометрической дивергенции, Adiv, дБ	расстояние = 182.22 м	ф-ла (7) [10]	**56,2**										
Коэффициент затухания звука в атмосфере α, дБ/км	Ta=20,°C Pa=101.33,кПа hотн.=70%	ф-ла (5) [9]	0,02	0,09	0,33	1,12	2,79	4,98	9,04	23,09	77,63		
Учет затухания звука в атмосфере Aatm, дБ		ф-ла (8) [10]	0	0	0,1	0,2	0,5	0,9	1,6	4,2	14,1		
Снижение уровня звукового давления из-за влияния застройки между источником шума и расчетной точкой													

1		2	3	4	5	6	7	8	9	10	11	12	13
Снижение уровня звукового давления на пути над экраном, Dz1, дБ	z = 1.00м (разность путей)	ф-лы (14-18) [10]	7,7	9,6	12,5	16,6	20,6	24	27,2	30,2	33,2		
Снижение уровня звукового давления на пути слева от экрана, Dz2, дБ	z = 35.10м (разность путей)	ф-лы (14-18) [10]	21,4	24,7	28,6	33,2	37,3	40,8	43,9	46,9	50		
Снижение уровня звукового давления на пути справа от экрана, Dz3, дБ	z = 0.53м (разность путей)	ф-лы (14-18) [10]	7	8,4	10,3	12,7	15,4	18,2	21,1	24	27		
Общее снижение уровня звука препятствием Dz, дБ		Эн.сумма(-Dzi)	4,2	5,9	8,2	11,2	14,2	17,2	20,1	23,1	26,1		
Общее снижение уровня звука препятствием с учётом ограничения (25 дБ) для октавных полос Dz, дБ		Раздел 7.4 [10]	4,2	5,9	8,2	11,2	14,2	17,2	20,1	23,1	25		
Уровни звукового давления прямого звука от источника ИШ-2-28 в расчётной точке днём, дБ		**ф-ла(3)[10]**	**0**	**34,2**	**33,2**	**31,4**	**28,4**	**24,6**	**17,6**	**7,9**	**0**	**29,8**	**29,8**
Расчёт отражённого звука													
Уровни звукового давления от мнимого источника ИШ-2-28_мн.(1) в расчётной точке днём, дБ		**ф-ла(3)[10]**	**0**	**0**	**0**	**0**	**0**	**0**	**0**	**0**	**0**	**0**	**0**
Уровни звукового давления от источника ИШ-2-28 в расчётной точке днём, дБ		**ф-ла(3)[10]**	**0**	**34,2**	**33,2**	**31,4**	**28,4**	**24,6**	**17,6**	**7,9**	**0**	**29,8**	**29,8**
Источник шума: ИШ-2-29, координаты источника (x,y,z), м =[730.57,6.88,1.00]													
Уровни звуковой мощности источника днём, Lw, дБ		**исходные данные**	**0**	**93,3**	**94,7**	**96**	**96,3**	**95,9**	**92,6**	**88,4**	**83,9**		
Поправка на телесный угол DΩ, дБ	Ω = 6.28	10Lg(4π/Ω)	**3**	3	3	3	3	3	3	3	3		
Показатель направленности источника Di, дБ		исходные данные	**0**	0	0	0	0	0	0	0	0		
Поправка на направленность источника Dc, дБ	Dc	DΩ + Di	**3**	3	3	3	3	3	3	3	3		
Затухание из-за геометрической дивергенции, Adiv, дБ	расстояние = 180.56 м	ф-ла (7) [10]	**56,1**										
Коэффициент затухания звука в атмосфере α, дБ/км	Ta=20,°C Pa=101.33,кПа hотн.=70%	ф-ла (5) [9]	0,02	0,09	0,33	1,12	2,79	4,98	9,04	23,09	77,63		

1		2	3	4	5	6	7	8	9	10	11	12	13
Учет затухания звука в атмосфере Aatm, дБ		ф-ла (8) [10]	0	0	0,1	0,2	0,5	0,9	1,6	4,2	14		
Снижение уровня звукового давления из-за влияния застройки между источником шума и расчетной точкой													
Снижение уровня звукового давления на пути над экраном, Dz1, дБ	z = 1.01м (разность путей)	ф-лы (14-18) [10]	7,7	9,7	12,7	16,8	20,8	24,1	27,3	30,3	33,3		
Снижение уровня звукового давления на пути слева от экрана, Dz2, дБ	z = 34.56м (разность путей)	ф-лы (14-18) [10]	21,3	24,6	28,6	33,1	37,3	40,7	43,8	46,9	49,9		
Снижение уровня звукового давления на пути справа от экрана, Dz3, дБ	z = 0.62м (разность путей)	ф-лы (14-18) [10]	7,2	8,8	10,8	13,3	16	18,8	21,7	24,7	27,7		
Общее снижение уровня звука препятствием Dz, дБ		Эн.сумма(-Dzi)	4,4	6,2	8,6	11,7	14,7	17,7	20,6	23,6	26,6		
Общее снижение уровня звука препятствием с учётом ограничения (25 дБ) для октавных полос Dz, дБ		Раздел 7.4 [10]	4,4	6,2	8,6	11,7	14,7	17,7	20,6	23,6	25		
Уровни звукового давления прямого звука от источника ИШ-2-29 в расчётной точке днём, дБ		**ф-ла(3)[10]**	**0**	**34**	**32,9**	**31**	**28**	**24,2**	**17,2**	**7,5**	**0**	**29,4**	**29,4**
Расчёт отражённого звука													
Уровни звукового давления от мнимого источника ИШ-2-29_мн.(1) в расчётной точке днём, дБ		**ф-ла(3)[10]**	**0**	**0**	**0**	**0**	**0**	**0**	**0**	**0**	**0**	**0**	**0**
Уровни звукового давления от источника ИШ-2-29 в расчётной точке днём, дБ		**ф-ла(3)[10]**	**0**	**34**	**32,9**	**31**	**28**	**24,2**	**17,2**	**7,5**	**0**	**29,4**	**29,4**
Источник шума: ИШ-2-4, координаты источника (x,y,z), м =[632.70,-65.30,3.00]													
Уровни звуковой мощности источника днём, Lw, дБ		**исходные данные**	**105**	**104**	**104**	**101**	**102**	**106**	**101**	**95**	**87**		
Поправка на телесный угол DΩ, дБ	Ω = 6.28	10Lg(4π/Ω)	**3**	3	3	3	3	3	3	3	3		
Показатель направленности источника Di, дБ		исходные данные	**0**	0	0	0	0	0	0	0	0		
Поправка на направленность источника Dc, дБ	Dc	DΩ + Di	**3**	3	3	3	3	3	3	3	3		
Затухание из-за геометрической дивергенции, Adiv, дБ	расстояние = 82.22 м	ф-ла (7) [10]	**49,3**										

1		2	3	4	5	6	7	8	9	10	11	12	13
Коэффициент затухания звука в атмосфере α, дБ/км	Ta=20,°C Pa=101.33,кПа hотн.=70%	ф-ла (5) [9]	0,02	0,09	0,33	1,12	2,79	4,98	9,04	23,09	77,63		
Учет затухания звука в атмосфере Aatm, дБ		ф-ла (8) [10]	0	0	0	0,1	0,2	0,4	0,7	1,9	6,4		
Снижение уровня звукового давления из-за влияния застройки между источником шума и расчетной точкой													
Снижение уровня звукового давления на пути над экраном, Dz1, дБ	z = 1.23м (разность путей)	ф-лы (14-18) [10]	8,6	10,9	14,2	18,4	22,4	25,8	28,9	32	35		
Снижение уровня звукового давления на пути слева от экрана, Dz2, дБ	z = 16.50м (разность путей)	ф-лы (14-18) [10]	18,2	21,5	25,4	29,9	34	37,5	40,6	43,7	46,7		
Снижение уровня звукового давления на пути справа от экрана, Dz3, дБ	z = 12.60м (разность путей)	ф-лы (14-18) [10]	17,1	20,3	24,2	28,8	32,9	36,3	39,5	42,5	45,5		
Общее снижение уровня звука препятствием Dz, дБ		Эн.сумма(-Dzi)	7,6	10,1	13,5	17,7	21,8	25,2	28,3	31,3	34,4		
Общее снижение уровня звука препятствием с учётом ограничения (25 дБ) для октавных полос Dz, дБ		Раздел 7.4 [10]	7,6	10,1	13,5	17,7	21,8	25	25	25	25		
Уровни звукового давления от источника ИШ-2-4 в расчётной точке днём, дБ		**ф-ла(3)[10]**	**51,1**	**47,6**	**44,2**	**36,9**	**33,7**	**34,3**	**29**	**21,8**	**9,3**	**38,1**	**38,1**
Источник шума: ИШ-2-30, координаты источника (x,y,z), м =[702.44,-77.23,1.00]													
Уровни звуковой мощности источника днём, Lw, дБ		**исходные данные**	**0**	**93,3**	**94,7**	**96**	**96,3**	**95,9**	**92,6**	**88,4**	**83,9**		
Поправка на телесный угол DΩ, дБ	Ω = 6.28	10Lg(4π/Ω)	**3**	3	3	3	3	3	3	3	3		
Показатель направленности источника Di, дБ		исходные данные	**0**	0	0	0	0	0	0	0	0		
Поправка на направленность источника Dc, дБ	Dc	DΩ + Di	**3**	3	3	3	3	3	3	3	3		
Затухание из-за геометрической дивергенции, Adiv, дБ	расстояние = 152.34 м	ф-ла (7) [10]	**54,7**										
Коэффициент затухания звука в атмосфере α, дБ/км	Ta=20,°C Pa=101.33,кПа hотн.=70%	ф-ла (5) [9]	0,02	0,09	0,33	1,12	2,79	4,98	9,04	23,09	77,63		

1		2	3	4	5	6	7	8	9	10	11	12	13
Учет затухания звука в атмосфере Aatm, дБ		ф-ла (8) [10]	0	0	0,1	0,2	0,4	0,8	1,4	3,5	11,8		
Снижение уровня звукового давления из-за влияния застройки между источником шума и расчетной точкой													
Снижение уровня звукового давления на пути над экраном, Dz1, дБ	z = 1.19м (разность путей)	ф-лы (14-18) [10]	8,3	10,4	13,6	17,8	21,8	25,2	28,3	31,4	34,4		
Снижение уровня звукового давления на пути слева от экрана, Dz2, дБ	z = 15.94м (разность путей)	ф-лы (14-18) [10]	18,1	21,3	25,2	29,8	33,9	37,3	40,5	43,5	46,5		
Снижение уровня звукового давления на пути справа от экрана, Dz3, дБ	z = 8.22м (разность путей)	ф-лы (14-18) [10]	15,4	18,5	22,4	26,9	31	34,5	37,6	40,6	43,7		
Общее снижение уровня звука препятствием Dz, дБ		Эн.сумма(-Dzi)	7,1	9,5	12,8	17,1	21,1	24,5	27,6	30,7	33,7		
Общее снижение уровня звука препятствием с учётом ограничения (25 дБ) для октавных полос Dz, дБ		Раздел 7.4 [10]	7,1	9,5	12,8	17,1	21,1	24,5	25	25	25		
Уровни звукового давления от источника ИШ-2-30 в расчётной точке днём, дБ		**ф-ла(3)[10]**	**0**	**32,1**	**30,1**	**27,1**	**23,1**	**19**	**14,6**	**8,2**	**0**	**25,1**	**25,1**
Источник шума: ИШ-2-31, координаты источника (x,y,z), м =[701.42,-80.17,1.00]													
Уровни звуковой мощности источника днём, Lw, дБ		**исходные данные**	**0**	**93,3**	**94,7**	**96**	**96,3**	**95,9**	**92,6**	**88,4**	**83,9**		
Поправка на телесный угол DΩ, дБ	Ω = 6.28	10Lg(4π/Ω)	**3**	3	3	3	3	3	3	3	3		
Показатель направленности источника Di, дБ		исходные данные	**0**	0	0	0	0	0	0	0	0		
Поправка на направленность источника Dc, дБ	Dc	DΩ + Di	**3**	3	3	3	3	3	3	3	3		
Затухание из-за геометрической дивергенции, Adiv, дБ	расстояние = 152.17 м	ф-ла (7) [10]	**54,6**										
Коэффициент затухания звука в атмосфере α, дБ/км	Ta=20,°C Pa=101.33,кПа hотн.=70%	ф-ла (5) [9]	0,02	0,09	0,33	1,12	2,79	4,98	9,04	23,09	77,63		
Учет затухания звука в атмосфере Aatm, дБ		ф-ла (8) [10]	0	0	0,1	0,2	0,4	0,8	1,4	3,5	11,8		

1		2	3	4	5	6	7	8	9	10	11	12	13
Снижение уровня звукового давления из-за влияния застройки между источником шума и расчетной точкой													
Снижение уровня звукового давления на пути над экраном, Dz1, дБ	z = 1.19м (разность путей)	ф-лы (14-18) [10]	8,3	10,5	13,7	17,8	21,8	25,2	28,3	31,4	34,4		
Снижение уровня звукового давления на пути слева от экрана, Dz2, дБ	z = 15.28м (разность путей)	ф-лы (14-18) [10]	17,9	21,1	25	29,6	33,7	37,2	40,3	43,3	46,3		
Снижение уровня звукового давления на пути справа от экрана, Dz3, дБ	z = 8.69м (разность путей)	ф-лы (14-18) [10]	15,6	18,8	22,6	27,2	31,3	34,7	37,8	40,9	43,9		
Общее снижение уровня звука препятствием Dz, дБ		Эн.сумма(-Dzi)	7,2	9,5	12,9	17,1	21,1	24,5	27,6	30,7	33,7		
Общее снижение уровня звука препятствием с учётом ограничения (25 дБ) для октавных полос Dz, дБ		Раздел 7.4 [10]	7,2	9,5	12,9	17,1	21,1	24,5	25	25	25		
Уровни звукового давления от источника ИШ-2-31 в расчётной точке днём, дБ		**ф-ла(3)[10]**	**0**	**32,1**	**30,1**	**27,1**	**23,1**	**19**	**14,6**	**8,2**	**0**	**25,1**	**25,1**
Источник шума: ИШ-2-32, координаты источника (x,y,z), м =[700.38,-83.01,1.00]													
Уровни звуковой мощности источника днём, Lw, дБ		**исходные данные**	**0**	**93,3**	**94,7**	**96**	**96,3**	**95,9**	**92,6**	**88,4**	**83,9**		
Поправка на телесный угол DΩ, дБ	Ω = 6.28	10Lg(4π/Ω)	**3**	3	3	3	3	3	3	3	3		
Показатель направленности источника Di, дБ		исходные данные	**0**	0	0	0	0	0	0	0	0		
Поправка на направленность источника Dc, дБ	Dc	DΩ + Di	**3**	3	3	3	3	3	3	3	3		
Затухание из-за геометрической дивергенции, Adiv, дБ	расстояние = 152.01 м	ф-ла (7) [10]	**54,6**										
Коэффициент затухания звука в атмосфере α, дБ/км	Ta=20,°C Pa=101.33,кПа hотн.=70%	ф-ла (5) [9]	0,02	0,09	0,33	1,12	2,79	4,98	9,04	23,09	77,63		
Учет затухания звука в атмосфере Aatm, дБ		ф-ла (8) [10]	0	0	0,1	0,2	0,4	0,8	1,4	3,5	11,8		
Снижение уровня звукового давления из-за влияния застройки между источником шума и расчетной точкой													

1		2	3	4	5	6	7	8	9	10	11	12	13
Снижение уровня звукового давления на пути над экраном, Dz1, дБ	z = 1.19м (разность путей)	ф-лы (14-18) [10]	8,3	10,5	13,7	17,8	21,8	25,2	28,3	31,4	34,4		
Снижение уровня звукового давления на пути слева от экрана, Dz2, дБ	z = 14.65м (разность путей)	ф-лы (14-18) [10]	17,7	21	24,9	29,4	33,5	37	40,1	43,1	46,2		
Снижение уровня звукового давления на пути справа от экрана, Dz3, дБ	z = 9.17м (разность путей)	ф-лы (14-18) [10]	15,8	19	22,9	27,4	31,5	34,9	38,1	41,1	44,1		
Общее снижение уровня звука препятствием Dz, дБ		Эн.сумма(-Dzi)	7,2	9,6	12,9	17,1	21,1	24,5	27,7	30,7	33,7		
Общее снижение уровня звука препятствием с учётом ограничения (25 дБ) для октавных полос Dz, дБ		Раздел 7.4 [10]	7,2	9,6	12,9	17,1	21,1	24,5	25	25	25		
Уровни звукового давления от источника ИШ-2-32 в расчётной точке днём, дБ		**ф-ла(3)[10]**	**0**	**32,1**	**30,1**	**27,1**	**23,1**	**19**	**14,6**	**8,2**	**0**	**25,1**	**25,1**
Источник шума: ИШ-2-33, координаты источника (x,y,z), м =[699.52,-85.98,1.00]													
Уровни звуковой мощности источника днём, Lw, дБ		**исходные данные**	**0**	**93,3**	**94,7**	**96**	**96,3**	**95,9**	**92,6**	**88,4**	**83,9**		
Поправка на телесный угол DΩ, дБ	Ω = 6.28	10Lg(4π/Ω)	**3**	3	3	3	3	3	3	3	3		
Показатель направленности источника Di, дБ		исходные данные	**0**	0	0	0	0	0	0	0	0		
Поправка на направленность источника Dc, дБ	Dc	DΩ + Di	**3**	3	3	3	3	3	3	3	3		
Затухание из-за геометрической дивергенции, Adiv, дБ	расстояние = 152.11 м	ф-ла (7) [10]	**54,6**										
Коэффициент затухания звука в атмосфере α, дБ/км	Ta=20,°C Pa=101.33,кПа hотн.=70%	ф-ла (5) [9]	0,02	0,09	0,33	1,12	2,79	4,98	9,04	23,09	77,63		
Учет затухания звука в атмосфере Aatm, дБ		ф-ла (8) [10]	0	0	0,1	0,2	0,4	0,8	1,4	3,5	11,8		
Снижение уровня звукового давления из-за влияния застройки между источником шума и расчетной точкой													
Снижение уровня звукового давления на пути над экраном, Dz1, дБ	z = 1.19м (разность путей)	ф-лы (14-18) [10]	8,3	10,5	13,7	17,8	21,8	25,2	28,3	31,4	34,4		

1		2	3	4	5	6	7	8	9	10	11	12	13
Снижение уровня звукового давления на пути слева от экрана, Dz2, дБ	z = 14.02м (разность путей)	ф-лы (14-18) [10]	17,5	20,8	24,7	29,2	33,3	36,8	39,9	43	46		
Снижение уровня звукового давления на пути справа от экрана, Dz3, дБ	z = 9.67м (разность путей)	ф-лы (14-18) [10]	16	19,2	23,1	27,6	31,7	35,2	38,3	41,3	44,4		
Общее снижение уровня звука препятствием Dz, дБ		Эн.сумма(-Dzi)	7,2	9,6	12,9	17,1	21,1	24,5	27,7	30,7	33,7		
Общее снижение уровня звука препятствием с учётом ограничения (25 дБ) для октавных полос Dz, дБ		Раздел 7.4 [10]	7,2	9,6	12,9	17,1	21,1	24,5	25	25	25		
Уровни звукового давления от источника ИШ-2-33 в расчётной точке днём, дБ		**ф-ла(3)[10]**	**0**	**32,1**	**30,1**	**27,1**	**23,1**	**19**	**14,6**	**8,2**	**0**	**25,1**	**25,1**
Источник шума: ИШ-2-34, координаты источника (x,y,z), м =[698.43,-88.85,1.00]													
Уровни звуковой мощности источника днём, Lw, дБ		**исходные данные**	**0**	**93,3**	**94,7**	**96**	**96,3**	**95,9**	**92,6**	**88,4**	**83,9**		
Поправка на телесный угол DΩ, дБ	Ω = 6.28	10Lg(4π/Ω)	**3**	3	3	3	3	3	3	3	3		
Показатель направленности источника Di, дБ		исходные данные	**0**	0	0	0	0	0	0	0	0		
Поправка на направленность источника Dc, дБ	Dc	DΩ + Di	**3**	3	3	3	3	3	3	3	3		
Затухание из-за геометрической дивергенции, Adiv, дБ	расстояние = 152.03 м	ф-ла (7) [10]	**54,6**										
Коэффициент затухания звука в атмосфере α, дБ/км	Ta=20,°C Pa=101.33,кПа hотн.=70%	ф-ла (5) [9]	0,02	0,09	0,33	1,12	2,79	4,98	9,04	23,09	77,63		
Учет затухания звука в атмосфере Aatm, дБ		ф-ла (8) [10]	0	0	0,1	0,2	0,4	0,8	1,4	3,5	11,8		
Снижение уровня звукового давления из-за влияния застройки между источником шума и расчетной точкой													
Снижение уровня звукового давления на пути над экраном, Dz1, дБ	z = 1.19м (разность путей)	ф-лы (14-18) [10]	8,3	10,5	13,7	17,8	21,8	25,2	28,3	31,4	34,4		
Снижение уровня звукового давления на пути слева от экрана, Dz2, дБ	z = 13.40м (разность путей)	ф-лы (14-18) [10]	17,3	20,6	24,5	29	33,1	36,6	39,7	42,8	45,8		

1		2	3	4	5	6	7	8	9	10	11	12	13
Снижение уровня звукового давления на пути справа от экрана, Dz3, дБ	z = 10.19м (разность путей)	ф-лы (14-18) [10]	16,2	19,4	23,3	27,8	32	35,4	38,5	41,6	44,6		
Общее снижение уровня звука препятствием Dz, дБ		Эн.сумма(-Dzi)	7,2	9,6	12,9	17,1	21,1	24,5	27,7	30,7	33,7		
Общее снижение уровня звука препятствием с учётом ограничения (25 дБ) для октавных полос Dz, дБ		Раздел 7.4 [10]	7,2	9,6	12,9	17,1	21,1	24,5	25	25	25		
Уровни звукового давления от источника ИШ-2-34 в расчётной точке днём, дБ		**ф-ла(3)[10]**	**0**	**32,1**	**30,1**	**27,1**	**23,1**	**18,9**	**14,6**	**8,2**	**0**	**25,1**	**25,1**
Источник шума: ИШ-2-35, координаты источника (x,y,z), м =[697.52,-91.66,1.00]													
Уровни звуковой мощности источника днём, Lw, дБ		**исходные данные**	**0**	**93,3**	**94,7**	**96**	**96,3**	**95,9**	**92,6**	**88,4**	**83,9**		
Поправка на телесный угол DΩ, дБ	Ω = 6.28	10Lg(4π/Ω)	**3**	3	3	3	3	3	3	3	3		
Показатель направленности источника Di, дБ		исходные данные	**0**	0	0	0	0	0	0	0	0		
Поправка на направленность источника Dc, дБ	Dc	DΩ + Di	**3**	3	3	3	3	3	3	3	3		
Затухание из-за геометрической дивергенции, Adiv, дБ	расстояние = 152.15 м	ф-ла (7) [10]	**54,6**										
Коэффициент затухания звука в атмосфере α, дБ/км	Ta=20,°C Pa=101.33,кПа hотн.=70%	ф-ла (5) [9]	0,02	0,09	0,33	1,12	2,79	4,98	9,04	23,09	77,63		
Учет затухания звука в атмосфере Aatm, дБ		ф-ла (8) [10]	0	0	0,1	0,2	0,4	0,8	1,4	3,5	11,8		
Снижение уровня звукового давления из-за влияния застройки между источником шума и расчетной точкой													
Снижение уровня звукового давления на пути над экраном, Dz1, дБ	z = 1.19м (разность путей)	ф-лы (14-18) [10]	8,3	10,5	13,7	17,8	21,8	25,2	28,3	31,4	34,4		
Снижение уровня звукового давления на пути слева от экрана, Dz2, дБ	z = 12.82м (разность путей)	ф-лы (14-18) [10]	17,2	20,4	24,3	28,8	32,9	36,4	39,5	42,6	45,6		
Снижение уровня звукового давления на пути справа от экрана, Dz3, дБ	z = 10.69м (разность путей)	ф-лы (14-18) [10]	16,4	19,6	23,5	28	32,2	35,6	38,7	41,8	44,8		

1		2	3	4	5	6	7	8	9	10	11	12	13
Общее снижение уровня звука препятствием Dz, дБ		Эн.сумма(-Dzi)	7,2	9,6	12,9	17,1	21,1	24,5	27,7	30,7	33,7		
Общее снижение уровня звука препятствием с учётом ограничения (25 дБ) для октавных полос Dz, дБ		Раздел 7.4 [10]	7,2	9,6	12,9	17,1	21,1	24,5	25	25	25		
Уровни звукового давления от источника ИШ-2-35 в расчётной точке днём, дБ		**ф-ла(3)[10]**	**0**	**32,1**	**30,1**	**27**	**23,1**	**18,9**	**14,6**	**8,2**	**0**	**25,1**	**25,1**
Источник шума: ИШ-2-36, координаты источника (x,y,z), м =[696.58,-94.55,1.00]													
Уровни звуковой мощности источника днём, Lw, дБ		**исходные данные**	**0**	**93,3**	**94,7**	**96**	**96,3**	**95,9**	**92,6**	**88,4**	**83,9**		
Поправка на телесный угол DΩ, дБ	Ω = 6.28	10Lg(4π/Ω)	**3**	3	3	3	3	3	3	3	3		
Показатель направленности источника Di, дБ		исходные данные	**0**	0	0	0	0	0	0	0	0		
Поправка на направленность источника Dc, дБ	Dc	DΩ + Di	**3**	3	3	3	3	3	3	3	3		
Затухание из-за геометрической дивергенции, Adiv, дБ	расстояние = 152.35 м	ф-ла (7) [10]	**54,7**										
Коэффициент затухания звука в атмосфере α, дБ/км	Ta=20,°C Pa=101.33,кПа hотн.=70%	ф-ла (5) [9]	0,02	0,09	0,33	1,12	2,79	4,98	9,04	23,09	77,63		
Учет затухания звука в атмосфере Aatm, дБ		ф-ла (8) [10]	0	0	0,1	0,2	0,4	0,8	1,4	3,5	11,8		
Снижение уровня звукового давления из-за влияния застройки между источником шума и расчетной точкой													
Снижение уровня звукового давления на пути над экраном, Dz1, дБ	z = 1.19м (разность путей)	ф-лы (14-18) [10]	8,3	10,4	13,6	17,8	21,8	25,2	28,3	31,4	34,4		
Снижение уровня звукового давления на пути слева от экрана, Dz2, дБ	z = 12.24м (разность путей)	ф-лы (14-18) [10]	17	20,2	24,1	28,6	32,7	36,2	39,3	42,4	45,4		
Снижение уровня звукового давления на пути справа от экрана, Dz3, дБ	z = 11.23м (разность путей)	ф-лы (14-18) [10]	16,6	19,8	23,7	28,3	32,4	35,8	38,9	42	45		
Общее снижение уровня звука препятствием Dz, дБ		Эн.сумма(-Dzi)	7,2	9,6	12,9	17,1	21,1	24,5	27,7	30,7	33,7		

1		2	3	4	5	6	7	8	9	10	11	12	13
Общее снижение уровня звука препятствием с учётом ограничения (25 дБ) для октавных полос Dz, дБ		Раздел 7.4 [10]	7,2	9,6	12,9	17,1	21,1	24,5	25	25	25		
Уровни звукового давления от источника ИШ-2-36 в расчётной точке днём, дБ		**ф-ла(3)[10]**	**0**	**32**	**30,1**	**27**	**23,1**	**18,9**	**14,6**	**8,2**	**0**	**25**	**25**
Источник шума: ИШ-2-37, координаты источника (x,y,z), м =[695.57,-97.37,1.00]													
Уровни звуковой мощности источника днём, Lw, дБ		**исходные данные**	**0**	**93,3**	**94,7**	**96**	**96,3**	**95,9**	**92,6**	**88,4**	**83,9**		
Поправка на телесный угол DΩ, дБ	Ω = 6.28	10Lg(4π/Ω)	**3**	3	3	3	3	3	3	3	3		
Показатель направленности источника Di, дБ		исходные данные	**0**	0	0	0	0	0	0	0	0		
Поправка на направленность источника Dc, дБ	Dc	DΩ + Di	**3**	3	3	3	3	3	3	3	3		
Затухание из-за геометрической дивергенции, Adiv, дБ	расстояние = 152.50 м	ф-ла (7) [10]	**54,7**										
Коэффициент затухания звука в атмосфере α, дБ/км	Ta=20,°C Pa=101.33,кПа hотн.=70%	ф-ла (5) [9]	0,02	0,09	0,33	1,12	2,79	4,98	9,04	23,09	77,63		
Учет затухания звука в атмосфере Aatm, дБ		ф-ла (8) [10]	0	0	0,1	0,2	0,4	0,8	1,4	3,5	11,8		
Снижение уровня звукового давления из-за влияния застройки между источником шума и расчетной точкой													
Снижение уровня звукового давления на пути над экраном, Dz1, дБ	z = 1.19м (разность путей)	ф-лы (14-18) [10]	8,3	10,4	13,6	17,8	21,8	25,2	28,3	31,4	34,4		
Снижение уровня звукового давления на пути слева от экрана, Dz2, дБ	z = 11.68м (разность путей)	ф-лы (14-18) [10]	16,8	20	23,9	28,4	32,5	36	39,1	42,2	45,2		
Снижение уровня звукового давления на пути справа от экрана, Dz3, дБ	z = 11.76м (разность путей)	ф-лы (14-18) [10]	16,8	20	23,9	28,5	32,6	36	39,2	42,2	45,2		
Общее снижение уровня звука препятствием Dz, дБ		Эн.сумма(-Dzi)	7,2	9,6	12,9	17,1	21,1	24,5	27,7	30,7	33,7		
Общее снижение уровня звука препятствием с учётом ограничения (25 дБ) для октавных полос Dz, дБ		Раздел 7.4 [10]	7,2	9,6	12,9	17,1	21,1	24,5	25	25	25		

1		2	3	4	5	6	7	8	9	10	11	12	13
Уровни звукового давления от источника ИШ-2-37 в расчётной точке днём, дБ		**ф-ла(3)[10]**	**0**	**32**	**30,1**	**27**	**23,1**	**18,9**	**14,5**	**8,2**	**0**	**25**	**25**
Источник шума: ИШ-2-5, координаты источника (x,y,z), м =[618.60,-108.00,3.00]													
Уровни звуковой мощности источника днём, Lw, дБ		**исходные данные**	**105**	**104**	**104**	**101**	**102**	**106**	**101**	**95**	**87**		
Поправка на телесный угол DΩ, дБ	Ω = 6.28	10Lg(4π/Ω)	**3**	3	3	3	3	3	3	3	3		
Показатель направленности источника Di, дБ		исходные данные	**0**	0	0	0	0	0	0	0	0		
Поправка на направленность источника Dc, дБ	Dc	DΩ + Di	**3**	3	3	3	3	3	3	3	3		
Затухание из-за геометрической дивергенции, Adiv, дБ	расстояние = 94.91 м	ф-ла (7) [10]	**50,5**										
Коэффициент затухания звука в атмосфере α, дБ/км	Ta=20,°C Pa=101.33,кПа hотн.=70%	ф-ла (5) [9]	0,02	0,09	0,33	1,12	2,79	4,98	9,04	23,09	77,63		
Учет затухания звука в атмосфере Aatm, дБ		ф-ла (8) [10]	0	0	0	0,1	0,3	0,5	0,9	2,2	7,4		
Снижение уровня звукового давления из-за влияния застройки между источником шума и расчетной точкой													
Снижение уровня звукового давления на пути над экраном, Dz1, дБ	z = 1.07м (разность путей)	ф-лы (14-18) [10]	8,2	10,5	13,8	18	21,8	25,1	28,2	31,2	34,3		
Снижение уровня звукового давления на пути слева от экрана, Dz2, дБ	z = 2.96м (разность путей)	ф-лы (14-18) [10]	11,4	14	16,7	19,5	22,5	25,5	28,4	31,4	34,5		
Снижение уровня звукового давления на пути справа от экрана, Dz3, дБ	z = 29.21м (разность путей)	ф-лы (14-18) [10]	20,6	23,9	27,9	32,4	36,5	40	43,1	46,1	49,2		
Общее снижение уровня звука препятствием Dz, дБ		Эн.сумма(-Dzi)	6,4	8,7	11,9	15,6	19,1	22,2	25,2	28,3	31,3		
Общее снижение уровня звука препятствием с учётом ограничения (25 дБ) для октавных полос Dz, дБ		Раздел 7.4 [10]	6,4	8,7	11,9	15,6	19,1	22,2	25	25	25		
Уровни звукового давления прямого звука от источника ИШ-2-5 в расчётной точке днём, дБ		**ф-ла(3)[10]**	**51,1**	**47,7**	**44,6**	**37,8**	**35,1**	**35,8**	**27,6**	**20,3**	**7,1**	**39**	**39**

1		2	3	4	5	6	7	8	9	10	11	12	13
Расчёт отражённого звука													
Уровни звукового давления от мнимого источника ИШ-2-5_мн.(1) в расчётной точке днём, дБ		**ф-ла(3)[10]**	**0**	**0**	**0**	**0**	**0**	**14,6**	**7,4**	**0**	**0**	**15,6**	**15,6**
Уровни звукового давления от мнимого источника ИШ-2-5_мн.(2) в расчётной точке днём, дБ		**ф-ла(3)[10]**	**0**	**0**	**0**	**0**	**0**	**0**	**0**	**24**	**0**	**25**	**25**
Суммарные уровни звукового давления от мнимых источников в расчётной точке днём, дБ		**ф-ла (19) [1]**	**0**	**0**	**0**	**0**	**0**	**14,6**	**7,4**	**24**	**0**	**0**	**25,5**
Уровни звукового давления от источника ИШ-2-5 в расчётной точке днём, дБ		**ф-ла(3)[10]**	**51,1**	**47,7**	**44,6**	**37,8**	**35,1**	**35,8**	**27,6**	**25,6**	**7,1**	**39,2**	**39,2**
Источник шума: ИШ-2-38, координаты источника (x,y,z), м =[688.13,-119.94,1.00]													
Уровни звуковой мощности источника днём, Lw, дБ		**исходные данные**	**0**	**93,3**	**94,7**	**96**	**96,3**	**95,9**	**92,6**	**88,4**	**83,9**		
Поправка на телесный угол DΩ, дБ	Ω = 6.28	10Lg(4π/Ω)	**3**	3	3	3	3	3	3	3	3		
Показатель направленности источника Di, дБ		исходные данные	**0**	0	0	0	0	0	0	0	0		
Поправка на направленность источника Dc, дБ	Dc	DΩ + Di	**3**	3	3	3	3	3	3	3	3		
Затухание из-за геометрической дивергенции, Adiv, дБ	расстояние = 156.38 м	ф-ла (7) [10]	**54,9**										
Коэффициент затухания звука в атмосфере α, дБ/км	Ta=20,°C Pa=101.33,кПа hотн.=70%	ф-ла (5) [9]	0,02	0,09	0,33	1,12	2,79	4,98	9,04	23,09	77,63		
Учет затухания звука в атмосфере Aatm, дБ		ф-ла (8) [10]	0	0	0,1	0,2	0,4	0,8	1,4	3,6	12,1		
Снижение уровня звукового давления из-за влияния застройки между источником шума и расчетной точкой													
Снижение уровня звукового давления на пути над экраном, Dz1, дБ	z = 1.16м (разность путей)	ф-лы (14-18) [10]	8,2	10,4	13,6	17,7	21,7	25,1	28,2	31,2	34,2		
Снижение уровня звукового давления на пути слева от экрана, Dz2, дБ	z = 7.79м (разность путей)	ф-лы (14-18) [10]	15	17,8	20,7	23,7	26,6	29,6	32,6	35,6	38,7		

1		2	3	4	5	6	7	8	9	10	11	12	13
Снижение уровня звукового давления на пути справа от экрана, Dz3, дБ	z = 16.25м (разность путей)	ф-лы (14-18) [10]	18,1	21,4	25,3	29,9	34	37,4	40,6	43,6	46,6		
Общее снижение уровня звука препятствием Dz, дБ		Эн.сумма(-Dzi)	7	9,4	12,6	16,5	20,3	23,6	26,7	29,7	32,7		
Общее снижение уровня звука препятствием с учётом ограничения (25 дБ) для октавных полос Dz, дБ		Раздел 7.4 [10]	7	9,4	12,6	16,5	20,3	23,6	25	25	25		
Уровни звукового давления прямого звука от источника ИШ-2-38 в расчётной точке днём, дБ		**ф-ла(3)[10]**	**0**	**32**	**30,2**	**27,4**	**23,7**	**19,6**	**14,3**	**7,9**	**0**	**25,5**	**25,5**
Расчёт отражённого звука													
Уровни звукового давления от мнимого источника ИШ-2-38_мн.(1) в расчётной точке днём, дБ		**ф-ла(3)[10]**	**0**	**0**	**0**	**0**	**0**	**3,1**	**0**	**0**	**0**	**3,1**	**3,1**
Уровни звукового давления от источника ИШ-2-38 в расчётной точке днём, дБ		**ф-ла(3)[10]**	**0**	**32**	**30,2**	**27,4**	**23,7**	**19,7**	**14,3**	**7,9**	**0**	**25,5**	**25,5**
Источник шума: ИШ-2-39, координаты источника (x,y,z), м =[687.11,-122.83,1.00]													
Уровни звуковой мощности источника днём, Lw, дБ		**исходные данные**	**0**	**93,3**	**94,7**	**96**	**96,3**	**95,9**	**92,6**	**88,4**	**83,9**		
Поправка на телесный угол DΩ, дБ	Ω = 6.28	10Lg(4π/Ω)	**3**	3	3	3	3	3	3	3	3		
Показатель направленности источника Di, дБ		исходные данные	**0**	0	0	0	0	0	0	0	0		
Поправка на направленность источника Dc, дБ	Dc	DΩ + Di	**3**	3	3	3	3	3	3	3	3		
Затухание из-за геометрической дивергенции, Adiv, дБ	расстояние = 157.08 м	ф-ла (7) [10]	**54,9**										
Коэффициент затухания звука в атмосфере α, дБ/км	Ta=20,°C Pa=101.33,кПа hотн.=70%	ф-ла (5) [9]	0,02	0,09	0,33	1,12	2,79	4,98	9,04	23,09	77,63		
Учет затухания звука в атмосфере Aatm, дБ		ф-ла (8) [10]	0	0	0,1	0,2	0,4	0,8	1,4	3,6	12,2		
Снижение уровня звукового давления из-за влияния застройки между источником шума и расчетной точкой													

1		2	3	4	5	6	7	8	9	10	11	12	13
Снижение уровня звукового давления на пути над экраном, Dz1, дБ	z = 1.16м (разность путей)	ф-лы (14-18) [10]	8,2	10,3	13,5	17,7	21,7	25	28,2	31,2	34,2		
Снижение уровня звукового давления на пути слева от экрана, Dz2, дБ	z = 7.35м (разность путей)	ф-лы (14-18) [10]	14,8	17,6	20,5	23,4	26,4	29,4	32,4	35,4	38,4		
Снижение уровня звукового давления на пути справа от экрана, Dz3, дБ	z = 16.84м (разность путей)	ф-лы (14-18) [10]	18,3	21,6	25,5	30	34,1	37,6	40,7	43,8	46,8		
Общее снижение уровня звука препятствием Dz, дБ		Эн.сумма(-Dzi)	7	9,3	12,5	16,5	20,2	23,5	26,6	29,6	32,6		
Общее снижение уровня звука препятствием с учётом ограничения (25 дБ) для октавных полос Dz, дБ		Раздел 7.4 [10]	7	9,3	12,5	16,5	20,2	23,5	25	25	25		
Уровни звукового давления прямого звука от источника ИШ-2-39 в расчётной точке днём, дБ		**ф-ла(3)[10]**	**0**	**32**	**30,2**	**27,4**	**23,7**	**19,7**	**14,2**	**7,8**	**0**	**25,5**	**25,5**
Расчёт отражённого звука													
Уровни звукового давления от мнимого источника ИШ-2-39_мн.(1) в расчётной точке днём, дБ		**ф-ла(3)[10]**	**0**	**0**	**0**	**0**	**0**	**3,1**	**0**	**0**	**0**	**3,1**	**3,1**
Уровни звукового давления от источника ИШ-2-39 в расчётной точке днём, дБ		**ф-ла(3)[10]**	**0**	**32**	**30,2**	**27,4**	**23,7**	**19,8**	**14,2**	**7,8**	**0**	**25,5**	**25,5**
Источник шума: ИШ-2-40, координаты источника (x,y,z), м =[686.10,-125.67,1.00]													
Уровни звуковой мощности источника днём, Lw, дБ		**исходные данные**	**0**	**93,3**	**94,7**	**96**	**96,3**	**95,9**	**92,6**	**88,4**	**83,9**		
Поправка на телесный угол DΩ, дБ	Ω = 6.28	10Lg(4π/Ω)	**3**	3	3	3	3	3	3	3	3		
Показатель направленности источника Di, дБ		исходные данные	**0**	0	0	0	0	0	0	0	0		
Поправка на направленность источника Dc, дБ	Dc	DΩ + Di	**3**	3	3	3	3	3	3	3	3		
Затухание из-за геометрической дивергенции, Adiv, дБ	расстояние = 157.81 м	ф-ла (7) [10]	**55**										
Коэффициент затухания звука в атмосфере α, дБ/км	Ta=20,°C Pa=101.33,кПа hотн.=70%	ф-ла (5) [9]	0,02	0,09	0,33	1,12	2,79	4,98	9,04	23,09	77,63		

1		2	3	4	5	6	7	8	9	10	11	12	13
Учет затухания звука в атмосфере Aatm, дБ		ф-ла (8) [10]	0	0	0,1	0,2	0,4	0,8	1,4	3,6	12,3		
Снижение уровня звукового давления из-за влияния застройки между источником шума и расчетной точкой													
Снижение уровня звукового давления на пути над экраном, Dz1, дБ	z = 1.15м (разность путей)	ф-лы (14-18) [10]	8,2	10,3	13,5	17,7	21,6	25	28,1	31,2	34,2		
Снижение уровня звукового давления на пути слева от экрана, Dz2, дБ	z = 6.93м (разность путей)	ф-лы (14-18) [10]	14,6	17,4	20,2	23,2	26,1	29,1	32,1	35,1	38,1		
Снижение уровня звукового давления на пути справа от экрана, Dz3, дБ	z = 17.44м (разность путей)	ф-лы (14-18) [10]	18,4	21,7	25,6	30,2	34,3	37,7	40,9	43,9	46,9		
Общее снижение уровня звука препятствием Dz, дБ		Эн.сумма(-Dzi)	6,9	9,3	12,5	16,4	20,2	23,4	26,5	29,5	32,5		
Общее снижение уровня звука препятствием с учётом ограничения (25 дБ) для октавных полос Dz, дБ		Раздел 7.4 [10]	6,9	9,3	12,5	16,4	20,2	23,4	25	25	25		
Уровни звукового давления прямого звука от источника ИШ-2-40 в расчётной точке днём, дБ		**ф-ла(3)[10]**	**0**	**32**	**30,2**	**27,4**	**23,7**	**19,7**	**14,2**	**7,8**	**0**	**25,5**	**25,5**
Расчёт отражённого звука													
Уровни звукового давления от мнимого источника ИШ-2-40_мн.(1) в расчётной точке днём, дБ		**ф-ла(3)[10]**	**0**	**0**	**0**	**0**	**0**	**3,1**	**0**	**0**	**0**	**3,1**	**3,1**
Уровни звукового давления от источника ИШ-2-40 в расчётной точке днём, дБ		**ф-ла(3)[10]**	**0**	**32**	**30,2**	**27,4**	**23,7**	**19,8**	**14,2**	**7,8**	**0**	**25,5**	**25,5**
Источник шума: ИШ-2-41, координаты источника (x,y,z), м =[685.14,-128.64,1.00]													
Уровни звуковой мощности источника днём, Lw, дБ		**исходные данные**	**0**	**93,3**	**94,7**	**96**	**96,3**	**95,9**	**92,6**	**88,4**	**83,9**		
Поправка на телесный угол DΩ, дБ	Ω = 6.28	10Lg(4π/Ω)	**3**	3	3	3	3	3	3	3	3		
Показатель направленности источника Di, дБ		исходные данные	**0**	0	0	0	0	0	0	0	0		
Поправка на направленность источника Dc, дБ	Dc	DΩ + Di	**3**	3	3	3	3	3	3	3	3		
Затухание из-за геометрической дивергенции, Adiv, дБ	расстояние = 158.71 м	ф-ла (7) [10]	**55**										

1		2	3	4	5	6	7	8	9	10	11	12	13
Коэффициент затухания звука в атмосфере α, дБ/км	Та=20,°С Ра=101.33,кПа hотн.=70%	ф-ла (5) [9]	0,02	0,09	0,33	1,12	2,79	4,98	9,04	23,09	77,63		
Учет затухания звука в атмосфере Aatm, дБ		ф-ла (8) [10]	0	0	0,1	0,2	0,4	0,8	1,4	3,7	12,3		
Снижение уровня звукового давления из-за влияния застройки между источником шума и расчетной точкой													
Снижение уровня звукового давления на пути над экраном, Dz1, дБ	z = 1.14м (разность путей)	ф-лы (14-18) [10]	8,1	10,3	13,5	17,7	21,6	25	28,1	31,1	34,1		
Снижение уровня звукового давления на пути слева от экрана, Dz2, дБ	z = 6.52м (разность путей)	ф-лы (14-18) [10]	14,3	17,1	19,9	22,9	25,9	28,9	31,9	34,9	37,9		
Снижение уровня звукового давления на пути справа от экрана, Dz3, дБ	z = 18.04м (разность путей)	ф-лы (14-18) [10]	18,6	21,9	25,8	30,3	34,4	37,9	41	44	47,1		
Общее снижение уровня звука препятствием Dz, дБ		Эн.сумма(-Dzi)	6,9	9,2	12,4	16,4	20,1	23,3	26,4	29,4	32,5		
Общее снижение уровня звука препятствием с учётом ограничения (25 дБ) для октавных полос Dz, дБ		Раздел 7.4 [10]	6,9	9,2	12,4	16,4	20,1	23,3	25	25	25		
Уровни звукового давления прямого звука от источника ИШ-2-41 в расчётной точке днём, дБ		**ф-ла(3)[10]**	**0**	**32**	**30,2**	**27,4**	**23,8**	**19,7**	**14,1**	**7,7**	**0**	**25,5**	**25,5**
Расчёт отражённого звука													
Уровни звукового давления от мнимого источника ИШ-2-41_мн.(1) в расчётной точке днём, дБ		**ф-ла(3)[10]**	**0**	**0**	**0**	**0**	**0**	**0**	**0**	**0**	**0**	**0**	**0**
Уровни звукового давления от источника ИШ-2-41 в расчётной точке днём, дБ		**ф-ла(3)[10]**	**0**	**32**	**30,2**	**27,4**	**23,8**	**19,7**	**14,1**	**7,7**	**0**	**25,5**	**25,5**
Источник шума: ИШ-2-42, координаты источника (x,y,z), м =[684.20,-131.46,1.00]													
Уровни звуковой мощности источника днём, Lw, дБ		**исходные данные**	**0**	**93,3**	**94,7**	**96**	**96,3**	**95,9**	**92,6**	**88,4**	**83,9**		
Поправка на телесный угол DΩ, дБ	Ω = 6.28	10Lg(4π/Ω)	**3**	3	3	3	3	3	3	3	3		
Показатель направленности источника Di, дБ		исходные данные	**0**	0	0	0	0	0	0	0	0		

1		2	3	4	5	6	7	8	9	10	11	12	13
Поправка на направленность источника Dc, дБ	Dc	DΩ + Di	**3**	3	3	3	3	3	3	3	3		
Затухание из-за геометрической дивергенции, Adiv, дБ	расстояние = 159.59 м	ф-ла (7) [10]	**55,1**										
Коэффициент затухания звука в атмосфере α, дБ/км	Ta=20,°C Pa=101.33,кПа hотн.=70%	ф-ла (5) [9]	0,02	0,09	0,33	1,12	2,79	4,98	9,04	23,09	77,63		
Учет затухания звука в атмосфере Aatm, дБ		ф-ла (8) [10]	0	0	0,1	0,2	0,4	0,8	1,4	3,7	12,4		
Снижение уровня звукового давления из-за влияния застройки между источником шума и расчетной точкой													
Снижение уровня звукового давления на пути над экраном, Dz1, дБ	z = 1.14м (разность путей)	ф-лы (14-18) [10]	8,1	10,3	13,5	17,7	21,6	25	28,1	31,1	34,1		
Снижение уровня звукового давления на пути слева от экрана, Dz2, дБ	z = 6.14м (разность путей)	ф-лы (14-18) [10]	14,1	16,9	19,7	22,6	25,6	28,6	31,6	34,6	37,6		
Снижение уровня звукового давления на пути справа от экрана, Dz3, дБ	z = 18.62м (разность путей)	ф-лы (14-18) [10]	18,7	22	25,9	30,4	34,6	38	41,1	44,2	47,2		
Общее снижение уровня звука препятствием Dz, дБ		Эн.сумма(-Dzi)	6,9	9,2	12,4	16,3	20	23,3	26,3	29,3	32,4		
Общее снижение уровня звука препятствием с учётом ограничения (25 дБ) для октавных полос Dz, дБ		Раздел 7.4 [10]	6,9	9,2	12,4	16,3	20	23,3	25	25	25		
Уровни звукового давления прямого звука от источника ИШ-2-42 в расчётной точке днём, дБ		**ф-ла(3)[10]**	**0**	**32**	**30,2**	**27,5**	**23,8**	**19,8**	**14,1**	**7,6**	**0**	**25,5**	**25,5**
Расчёт отражённого звука													
Уровни звукового давления от мнимого источника ИШ-2-42_мн.(1) в расчётной точке днём, дБ		**ф-ла(3)[10]**	**0**	**0**	**0**	**0**	**0**	**0**	**0**	**0**	**0**	**0**	**0**
Уровни звукового давления от источника ИШ-2-42 в расчётной точке днём, дБ		**ф-ла(3)[10]**	**0**	**32**	**30,2**	**27,5**	**23,8**	**19,8**	**14,1**	**7,6**	**0**	**25,5**	**25,5**
Источник шума: ИШ-2-43, координаты источника (x,y,z), м =[683.13,-134.37,1.00]													
Уровни звуковой мощности источника днём, Lw, дБ		**исходные данные**	**0**	**93,3**	**94,7**	**96**	**96,3**	**95,9**	**92,6**	**88,4**	**83,9**		

1		2	3	4	5	6	7	8	9	10	11	12	13
Поправка на телесный угол DΩ, дБ	Ω = 6.28	10Lg(4π/Ω)	**3**	3	3	3	3	3	3	3	3		
Показатель направленности источника Di, дБ		исходные данные	**0**	0	0	0	0	0	0	0	0		
Поправка на направленность источника Dc, дБ	Dc	DΩ + Di	**3**	3	3	3	3	3	3	3	3		
Затухание из-за геометрической дивергенции, Adiv, дБ	расстояние = 160.48 м	ф-ла (7) [10]	**55,1**										
Коэффициент затухания звука в атмосфере α, дБ/км	Ta=20,°C Pa=101.33,кПа hотн.=70%	ф-ла (5) [9]	0,02	0,09	0,33	1,12	2,79	4,98	9,04	23,09	77,63		
Учет затухания звука в атмосфере Aatm, дБ		ф-ла (8) [10]	0	0	0,1	0,2	0,4	0,8	1,5	3,7	12,5		
Снижение уровня звукового давления из-за влияния застройки между источником шума и расчетной точкой													
Снижение уровня звукового давления на пути над экраном, Dz1, дБ	z = 1.13м (разность путей)	ф-лы (14-18) [10]	8,1	10,3	13,5	17,6	21,6	24,9	28	31,1	34,1		
Снижение уровня звукового давления на пути слева от экрана, Dz2, дБ	z = 5.75м (разность путей)	ф-лы (14-18) [10]	13,9	16,6	19,4	22,4	25,3	28,3	31,3	34,3	37,3		
Снижение уровня звукового давления на пути справа от экрана, Dz3, дБ	z = 19.22м (разность путей)	ф-лы (14-18) [10]	18,8	22,1	26	30,6	34,7	38,1	41,3	44,3	47,3		
Общее снижение уровня звука препятствием Dz, дБ		Эн.сумма(-Dzi)	6,8	9,1	12,3	16,2	19,9	23,1	26,2	29,2	32,3		
Общее снижение уровня звука препятствием с учётом ограничения (25 дБ) для октавных полос Dz, дБ		Раздел 7.4 [10]	6,8	9,1	12,3	16,2	19,9	23,1	25	25	25		
Уровни звукового давления прямого звука от источника ИШ-2-43 в расчётной точке днём, дБ		**ф-ла(3)[10]**	**0**	**32**	**30,2**	**27,5**	**23,8**	**19,8**	**14**	**7,6**	**0**	**25,6**	**25,6**
Расчёт отражённого звука													
Уровни звукового давления от мнимого источника ИШ-2-43_мн.(1) в расчётной точке днём, дБ		**ф-ла(3)[10]**	**0**	**0**	**0**	**0**	**0**	**0**	**0**	**0**	**0**	**0**	**0**
Уровни звукового давления от источника ИШ-2-43 в расчётной точке днём, дБ		**ф-ла(3)[10]**	**0**	**32**	**30,2**	**27,5**	**23,8**	**19,8**	**14**	**7,6**	**0**	**25,6**	**25,6**

1		2	3	4	5	6	7	8	9	10	11	12	13
Источник шума: ИШ-2-44, координаты источника (x,y,z), м =[682.20,-137.16,1.00]													
Уровни звуковой мощности источника днём, Lw, дБ		**исходные данные**	**0**	**93,3**	**94,7**	**96**	**96,3**	**95,9**	**92,6**	**88,4**	**83,9**		
Поправка на телесный угол DΩ, дБ	Ω = 6.28	10Lg(4π/Ω)	**3**	3	3	3	3	3	3	3	3		
Показатель направленности источника Di, дБ		исходные данные	**0**	0	0	0	0	0	0	0	0		
Поправка на направленность источника Dc, дБ	Dc	DΩ + Di	**3**	3	3	3	3	3	3	3	3		
Затухание из-за геометрической дивергенции, Adiv, дБ	расстояние = 161.45 м	ф-ла (7) [10]	**55,2**										
Коэффициент затухания звука в атмосфере α, дБ/км	Ta=20,°C Pa=101.33,кПа hотн.=70%	ф-ла (5) [9]	0,02	0,09	0,33	1,12	2,79	4,98	9,04	23,09	77,63		
Учет затухания звука в атмосфере Aatm, дБ		ф-ла (8) [10]	0	0	0,1	0,2	0,5	0,8	1,5	3,7	12,5		
Снижение уровня звукового давления из-за влияния застройки между источником шума и расчетной точкой													
Снижение уровня звукового давления на пути над экраном, Dz1, дБ	z = 1.13м (разность путей)	ф-лы (14-18) [10]	8,1	10,2	13,4	17,6	21,5	24,9	28	31	34		
Снижение уровня звукового давления на пути слева от экрана, Dz2, дБ	z = 5.40м (разность путей)	ф-лы (14-18) [10]	13,6	16,3	19,2	22,1	25,1	28	31	34,1	37,1		
Снижение уровня звукового давления на пути справа от экрана, Dz3, дБ	z = 19.79м (разность путей)	ф-лы (14-18) [10]	19	22,2	26,2	30,7	34,8	38,3	41,4	44,5	47,5		
Общее снижение уровня звука препятствием Dz, дБ		Эн.сумма(-Dzi)	6,7	9,1	12,2	16,1	19,8	23	26,1	29,1	32,1		
Общее снижение уровня звука препятствием с учётом ограничения (25 дБ) для октавных полос Dz, дБ		Раздел 7.4 [10]	6,7	9,1	12,2	16,1	19,8	23	25	25	25		
Уровни звукового давления прямого звука от источника ИШ-2-44 в расчётной точке днём, дБ		**ф-ла(3)[10]**	**0**	**32,1**	**30,2**	**27,5**	**23,9**	**19,9**	**14**	**7,5**	**0**	**25,6**	**25,6**
Расчёт отражённого звука													

1		2	3	4	5	6	7	8	9	10	11	12	13
Уровни звукового давления от мнимого источника ИШ-2-44_мн.(1) в расчётной точке днём, дБ		**ф-ла(3)[10]**	**0**	**0**	**0**	**0**	**0**	**0**	**0**	**0**	**0**	**0**	**0**
Уровни звукового давления от источника ИШ-2-44 в расчётной точке днём, дБ		**ф-ла(3)[10]**	**0**	**32,1**	**30,2**	**27,5**	**23,9**	**19,9**	**14**	**7,5**	**0**	**25,6**	**25,6**
Источник шума: ИШ-2-45, координаты источника (x,y,z), м =[681.26,-139.98,1.00]													
Уровни звуковой мощности источника днём, Lw, дБ		**исходные данные**	**0**	**93,3**	**94,7**	**96**	**96,3**	**95,9**	**92,6**	**88,4**	**83,9**		
Поправка на телесный угол DΩ, дБ	Ω = 6.28	10Lg(4π/Ω)	**3**	3	3	3	3	3	3	3	3		
Показатель направленности источника Di, дБ		исходные данные	**0**	0	0	0	0	0	0	0	0		
Поправка на направленность источника Dc, дБ	Dc	DΩ + Di	**3**	3	3	3	3	3	3	3	3		
Затухание из-за геометрической дивергенции, Adiv, дБ	расстояние = 162.48 м	ф-ла (7) [10]	**55,2**										
Коэффициент затухания звука в атмосфере α, дБ/км	Ta=20,°C Pa=101.33,кПа hотн.=70%	ф-ла (5) [9]	0,02	0,09	0,33	1,12	2,79	4,98	9,04	23,09	77,63		
Учет затухания звука в атмосфере Aatm, дБ		ф-ла (8) [10]	0	0	0,1	0,2	0,5	0,8	1,5	3,8	12,6		
Снижение уровня звукового давления из-за влияния застройки между источником шума и расчетной точкой													
Снижение уровня звукового давления на пути над экраном, Dz1, дБ	z = 1.12м (разность путей)	ф-лы (14-18) [10]	8,1	10,2	13,4	17,6	21,5	24,9	27,9	31	34		
Снижение уровня звукового давления на пути слева от экрана, Dz2, дБ	z = 5.06м (разность путей)	ф-лы (14-18) [10]	13,4	16,1	18,9	21,8	24,8	27,8	30,8	33,8	36,8		
Снижение уровня звукового давления на пути справа от экрана, Dz3, дБ	z = 20.36м (разность путей)	ф-лы (14-18) [10]	19,1	22,4	26,3	30,8	35	38,4	41,5	44,6	47,6		
Общее снижение уровня звука препятствием Dz, дБ		Эн.сумма(-Dzi)	6,7	9	12,2	16	19,7	22,9	26	29	32		
Общее снижение уровня звука препятствием с учётом ограничения (25 дБ) для октавных полос Dz, дБ		Раздел 7.4 [10]	6,7	9	12,2	16	19,7	22,9	25	25	25		

1		2	3	4	5	6	7	8	9	10	11	12	13
Уровни звукового давления прямого звука от источника ИШ-2-45 в расчётной точке днём, дБ		**ф-ла(3)[10]**	**0**	**32,1**	**30,3**	**27,5**	**23,9**	**19,9**	**13,9**	**7,4**	**0**	**25,6**	**25,6**
Расчёт отражённого звука													
Уровни звукового давления от мнимого источника ИШ-2-45_мн.(1) в расчётной точке днём, дБ		**ф-ла(3)[10]**	**0**	**0**	**0**	**0**	**0**	**0**	**0**	**0**	**0**	**0**	**0**
Уровни звукового давления от источника ИШ-2-45 в расчётной точке днём, дБ		**ф-ла(3)[10]**	**0**	**32,1**	**30,3**	**27,5**	**23,9**	**19,9**	**13,9**	**7,4**	**0**	**25,6**	**25,6**
Источник шума: ИШ-4-1, координаты источника (x,y,z), м =[141.82,201.03,1.00]													
Уровни звуковой мощности источника днём, Lw, дБ		**исходные данные**	**0**	**90,3**	**91,7**	**93**	**93,3**	**92,9**	**89,6**	**85,4**	**80,9**		
Поправка на телесный угол DΩ, дБ	Ω = 6.28	10Lg(4π/Ω)	**3**	3	3	3	3	3	3	3	3		
Показатель направленности источника Di, дБ		исходные данные	**0**	0	0	0	0	0	0	0	0		
Поправка на направленность источника Dc, дБ	Dc	DΩ + Di	**3**	3	3	3	3	3	3	3	3		
Затухание из-за геометрической дивергенции, Adiv, дБ	расстояние = 477.31 м	ф-ла (7) [10]	**64,6**										
Коэффициент затухания звука в атмосфере α, дБ/км	Ta=20,°C Pa=101.33,кПа hотн.=70%	ф-ла (5) [9]	0,02	0,09	0,33	1,12	2,79	4,98	9,04	23,09	77,63		
Учет затухания звука в атмосфере Aatm, дБ		ф-ла (8) [10]	0	0	0,2	0,5	1,3	2,4	4,3	11	37,1		
Снижение уровня звукового давления из-за влияния застройки между источником шума и расчетной точкой													
Снижение уровня звукового давления на пути над экраном, Dz1, дБ	z = 4.29м (разность путей)	ф-лы (14-18) [10]	12,2	15,1	18,9	23,3	27,4	30,8	33,9	37	40		
Снижение уровня звукового давления на пути слева от экрана, Dz2, дБ	z = 30.16м (разность путей)	ф-лы (14-18) [10]	25,2	28,3	31,2	34,3	37,3	40,3	43,3	46,3	49,3		
Снижение уровня звукового давления на пути справа от экрана, Dz3, дБ	z = 28.48м (разность путей)	ф-лы (14-18) [10]	24,5	27,9	31	34	37	40	43	46	49,1		

1		2	3	4	5	6	7	8	9	10	11	12	13
Общее снижение уровня звука препятствием Dz, дБ		Эн.сумма(-Dzi)	11,7	14,7	18,4	22,7	26,6	29,9	33	36	39,1		
Общее снижение уровня звука препятствием с учётом ограничения (25 дБ) для октавных полос Dz, дБ		Раздел 7.4 [10]	11,7	14,7	18,4	22,7	25	25	25	25	25		
Уровни звукового давления прямого звука от источника ИШ-4-1 в расчётной точке днём, дБ		**ф-ла(3)[10]**	**0**	**14**	**11,6**	**8,2**	**5,4**	**3,9**	**0**	**0**	**0**	**7,4**	**7,4**
Расчёт отражённого звука													
Уровни звукового давления от мнимого источника ИШ-4-1_мн.(1) в расчётной точке днём, дБ		**ф-ла(3)[10]**	**0**	**0**	**0**	**6,5**	**3,7**	**2,2**	**0**	**0**	**0**	**5,3**	**5,3**
Уровни звукового давления от мнимого источника ИШ-4-1_мн.(2) в расчётной точке днём, дБ		**ф-ла(3)[10]**	**0**	**0**	**0**	**0**	**4,4**	**2,9**	**0**	**0**	**0**	**5,1**	**5,1**
Суммарные уровни звукового давления от мнимых источников в расчётной точке днём, дБ		**ф-ла (19) [1]**	**0**	**0**	**0**	**6,5**	**7,1**	**5,6**	**0**	**0**	**0**	**0**	**8,2**
Уровни звукового давления от источника ИШ-4-1 в расчётной точке днём, дБ		**ф-ла(3)[10]**	**0**	**14**	**11,6**	**10,5**	**9,3**	**7,9**	**0**	**0**	**0**	**10,8**	**10,8**
Источник шума: ИШ-4-2, координаты источника (x,y,z), м =[133.85,183.21,1.00]													
Уровни звуковой мощности источника днём, Lw, дБ		**исходные данные**	**0**	**90,3**	**91,7**	**93**	**93,3**	**92,9**	**89,6**	**85,4**	**80,9**		
Поправка на телесный угол DΩ, дБ	Ω = 6.28	10Lg(4π/Ω)	**3**	3	3	3	3	3	3	3	3		
Показатель направленности источника Di, дБ		исходные данные	**0**	0	0	0	0	0	0	0	0		
Поправка на направленность источника Dc, дБ	Dc	DΩ + Di	**3**	3	3	3	3	3	3	3	3		
Затухание из-за геометрической дивергенции, Adiv, дБ	расстояние = 475.72 м	ф-ла (7) [10]	**64,5**										
Коэффициент затухания звука в атмосфере α, дБ/км	Ta=20,°C Pa=101.33,кПа hотн.=70%	ф-ла (5) [9]	0,02	0,09	0,33	1,12	2,79	4,98	9,04	23,09	77,63		
Учет затухания звука в атмосфере Aatm, дБ		ф-ла (8) [10]	0	0	0,2	0,5	1,3	2,4	4,3	11	36,9		

1		2	3	4	5	6	7	8	9	10	11	12	13
Снижение уровня звукового давления из-за влияния застройки между источником шума и расчетной точкой													
Снижение уровня звукового давления на пути над экраном, Dz1, дБ	z = 4.42м (разность путей)	ф-лы (14-18) [10]	15,8	19,2	22,2	25,3	28,3	31,3	34,3	37,3	40,3		
Снижение уровня звукового давления на пути слева от экрана, Dz2, дБ	z = 15.83м (разность путей)	ф-лы (14-18) [10]	17,9	20,8	23,7	26,7	29,7	32,7	35,7	38,7	41,7		
Снижение уровня звукового давления на пути справа от экрана, Dz3, дБ	z = 49.83м (разность путей)	ф-лы (14-18) [10]	27,1	30,4	33,4	36,4	39,4	42,5	45,5	48,5	51,5		
Общее снижение уровня звука препятствием Dz, дБ		Эн.сумма(-Dzi)	13,5	16,7	19,7	22,7	25,7	28,7	31,7	34,7	37,8		
Общее снижение уровня звука препятствием с учётом ограничения (25 дБ) для октавных полос Dz, дБ		Раздел 7.4 [10]	13,5	16,7	19,7	22,7	25	25	25	25	25		
Уровни звукового давления прямого звука от источника ИШ-4-2 в расчётной точке днём, дБ		**ф-ла(3)[10]**	**0**	**12**	**10,3**	**8,2**	**5,4**	**4**	**0**	**0**	**0**	**7,3**	**7,3**
Расчёт отражённого звука													
Уровни звукового давления от мнимого источника ИШ-4-2_мн.(1) в расчётной точке днём, дБ		**ф-ла(3)[10]**	**0**	**0**	**8,8**	**6,7**	**3,8**	**2,3**	**0**	**0**	**0**	**5,7**	**5,7**
Уровни звукового давления от источника ИШ-4-2 в расчётной точке днём, дБ		**ф-ла(3)[10]**	**0**	**12**	**12,6**	**10,5**	**7,7**	**6,2**	**0**	**0**	**0**	**9,6**	**9,6**
Источник шума: ИШ-4-3, координаты источника (x,y,z), м =[152.61,172.66,1.00]													
Уровни звуковой мощности источника днём, Lw, дБ		**исходные данные**	**0**	**90,3**	**91,7**	**93**	**93,3**	**92,9**	**89,6**	**85,4**	**80,9**		
Поправка на телесный угол DΩ, дБ	Ω = 6.28	10Lg(4π/Ω)	**3**	3	3	3	3	3	3	3	3		
Показатель направленности источника Di, дБ		исходные данные	**0**	0	0	0	0	0	0	0	0		
Поправка на направленность источника Dc, дБ	Dc	DΩ + Di	**3**	3	3	3	3	3	3	3	3		
Затухание из-за геометрической дивергенции, Adiv, дБ	расстояние = 454.21 м	ф-ла (7) [10]	**64,1**										
Коэффициент затухания звука в атмосфере α, дБ/км	Ta=20,°C Pa=101.33,кПа hотн.=70%	ф-ла (5) [9]	0,02	0,09	0,33	1,12	2,79	4,98	9,04	23,09	77,63		

1		2	3	4	5	6	7	8	9	10	11	12	13
Учет затухания звука в атмосфере Aatm, дБ		ф-ла (8) [10]	0	0	0,2	0,5	1,3	2,3	4,1	10,5	35,3		
Снижение уровня звукового давления из-за влияния застройки между источником шума и расчетной точкой													
Снижение уровня звукового давления на пути над экраном, Dz1, дБ	z = 4.43м (разность путей)	ф-лы (14-18) [10]	15,9	19,2	22,3	25,3	28,3	31,3	34,3	37,3	40,3		
Снижение уровня звукового давления на пути слева от экрана, Dz2, дБ	z = 15.87м (разность путей)	ф-лы (14-18) [10]	17,9	20,8	23,7	26,7	29,7	32,7	35,7	38,7	41,7		
Снижение уровня звукового давления на пути справа от экрана, Dz3, дБ	z = 51.13м (разность путей)	ф-лы (14-18) [10]	27,2	30,5	33,5	36,5	39,6	42,6	45,6	48,6	51,6		
Общее снижение уровня звука препятствием Dz, дБ		Эн.сумма(-Dzi)	13,6	16,8	19,8	22,8	25,8	28,8	31,8	34,8	37,8		
Общее снижение уровня звука препятствием с учётом ограничения (25 дБ) для октавных полос Dz, дБ		Раздел 7.4 [10]	13,6	16,8	19,8	22,8	25	25	25	25	25		
Уровни звукового давления прямого звука от источника ИШ-4-3 в расчётной точке днём, дБ		**ф-ла(3)[10]**	**0**	**12,4**	**10,6**	**8,6**	**5,9**	**4,5**	**0**	**0**	**0**	**7,8**	**7,8**
Расчёт отражённого звука													
Уровни звукового давления от мнимого источника ИШ-4-3_мн.(1) в расчётной точке днём, дБ		**ф-ла(3)[10]**	**0**	**0**	**0**	**0**	**0**	**0**	**0**	**0**	**0**	**0**	**0**
Уровни звукового давления от источника ИШ-4-3 в расчётной точке днём, дБ		**ф-ла(3)[10]**	**0**	**12,4**	**10,6**	**8,6**	**5,9**	**4,5**	**0**	**0**	**0**	**7,8**	**7,8**
Источник шума: ИШ-4-4, координаты источника (x,y,z), м =[156.83,171.25,1.00]													
Уровни звуковой мощности источника днём, Lw, дБ		**исходные данные**	**0**	**90,3**	**91,7**	**93**	**93,3**	**92,9**	**89,6**	**85,4**	**80,9**		
Поправка на телесный угол DΩ, дБ	Ω = 6.28	10Lg(4π/Ω)	**3**	3	3	3	3	3	3	3	3		
Показатель направленности источника Di, дБ		исходные данные	**0**	0	0	0	0	0	0	0	0		
Поправка на направленность источника Dc, дБ	Dc	DΩ + Di	**3**	3	3	3	3	3	3	3	3		
Затухание из-за геометрической дивергенции, Adiv, дБ	расстояние = 449.82 м	ф-ла (7) [10]	**64,1**										

1		2	3	4	5	6	7	8	9	10	11	12	13
Коэффициент затухания звука в атмосфере α, дБ/км	Та=20,°С Ра=101.33,кПа hотн.=70%	ф-ла (5) [9]	0,02	0,09	0,33	1,12	2,79	4,98	9,04	23,09	77,63		
Учет затухания звука в атмосфере Aatm, дБ		ф-ла (8) [10]	0	0	0,2	0,5	1,3	2,2	4,1	10,4	34,9		
Снижение уровня звукового давления из-за влияния застройки между источником шума и расчетной точкой													
Снижение уровня звукового давления на пути над экраном, Dz1, дБ	z = 4.43м (разность путей)	ф-лы (14-18) [10]	15,9	19,2	22,3	25,3	28,3	31,3	34,3	37,3	40,3		
Снижение уровня звукового давления на пути слева от экрана, Dz2, дБ	z = 15.85м (разность путей)	ф-лы (14-18) [10]	17,9	20,8	23,7	26,7	29,7	32,7	35,7	38,7	41,7		
Снижение уровня звукового давления на пути справа от экрана, Dz3, дБ	z = 51.76м (разность путей)	ф-лы (14-18) [10]	27,3	30,5	33,6	36,6	39,6	42,6	45,6	48,6	51,6		
Общее снижение уровня звука препятствием Dz, дБ		Эн.сумма(-Dzi)	13,6	16,8	19,8	22,8	25,8	28,8	31,8	34,8	37,8		
Общее снижение уровня звука препятствием с учётом ограничения (25 дБ) для октавных полос Dz, дБ		Раздел 7.4 [10]	13,6	16,8	19,8	22,8	25	25	25	25	25		
Уровни звукового давления прямого звука от источника ИШ-4-4 в расчётной точке днём, дБ		**ф-ла(3)[10]**	**0**	**12,4**	**10,7**	**8,7**	**6**	**4,6**	**0**	**0**	**0**	**7,9**	**7,9**
Расчёт отражённого звука													
Уровни звукового давления от мнимого источника ИШ-4-4_мн.(1) в расчётной точке днём, дБ		**ф-ла(3)[10]**	**0**	**0**	**0**	**0**	**0**	**0**	**0**	**0**	**0**	**0**	**0**
Уровни звукового давления от источника ИШ-4-4 в расчётной точке днём, дБ		**ф-ла(3)[10]**	**0**	**12,4**	**10,7**	**8,7**	**6**	**4,6**	**0**	**0**	**0**	**7,9**	**7,9**
Источник шума: ИШ-4-5, координаты источника (x,y,z), м =[126.48,222.66,11.00]													
Уровни звуковой мощности источника днём, Lw, дБ		**исходные данные**	**0**	**90,3**	**91,7**	**93**	**93,3**	**92,9**	**89,6**	**85,4**	**80,9**		
Поправка на телесный угол DΩ, дБ	Ω = 6.28	10Lg(4π/Ω)	**3**	3	3	3	3	3	3	3	3		
Показатель направленности источника Di, дБ		исходные данные	**0**	0	0	0	0	0	0	0	0		

1		2	3	4	5	6	7	8	9	10	11	12	13
Поправка на направленность источника Dc, дБ	Dc	DΩ + Di	**3**	3	3	3	3	3	3	3	3		
Затухание из-за геометрической дивергенции, Adiv, дБ	расстояние = 501.61 м	ф-ла (7) [10]	**65**										
Коэффициент затухания звука в атмосфере α, дБ/км	Ta=20,°C Pa=101.33,кПа hотн.=70%	ф-ла (5) [9]	0,02	0,09	0,33	1,12	2,79	4,98	9,04	23,09	77,63		
Учет затухания звука в атмосфере Aatm, дБ		ф-ла (8) [10]	0	0	0,2	0,6	1,4	2,5	4,5	11,6	38,9		
Снижение уровня звукового давления из-за влияния застройки между источником шума и расчетной точкой													
Снижение уровня звукового давления на пути над экраном, Dz1, дБ	z = 4.17м (разность путей)	ф-лы (14-18) [10]	16,1	19,2	22,1	25,1	28,1	31,1	34,1	37,1	40,1		
Снижение уровня звукового давления на пути слева от экрана, Dz2, дБ	z = 79.61м (разность путей)	ф-лы (14-18) [10]	29,3	32,4	35,4	38,5	41,5	44,5	47,5	50,5	53,5		
Снижение уровня звукового давления на пути справа от экрана, Dz3, дБ	z = 29.74м (разность путей)	ф-лы (14-18) [10]	24,7	28,1	31,2	34,2	37,2	40,2	43,2	46,2	49,2		
Общее снижение уровня звука препятствием Dz, дБ		Эн.сумма(-Dzi)	15,4	18,5	21,4	24,4	27,4	30,4	33,4	36,4	39,4		
Общее снижение уровня звука препятствием с учётом ограничения (25 дБ) для октавных полос Dz, дБ		Раздел 7.4 [10]	15,4	18,5	21,4	24,4	25	25	25	25	25		
Уровни звукового давления прямого звука от источника ИШ-4-5 в расчётной точке днём, дБ		**ф-ла(3)[10]**	**0**	**9,8**	**8,1**	**6**	**4,9**	**3,4**	**0**	**0**	**0**	**6,4**	**6,4**
Расчёт отражённого звука													
Уровни звукового давления от мнимого источника ИШ-4-5_мн.(1) в расчётной точке днём, дБ		**ф-ла(3)[10]**	**0**	**0**	**0**	**0**	**0**	**0**	**0**	**0**	**0**	**0**	**0**
Уровни звукового давления от источника ИШ-4-5 в расчётной точке днём, дБ		**ф-ла(3)[10]**	**0**	**9,8**	**8,1**	**6**	**4,9**	**3,4**	**0**	**0**	**0**	**6,4**	**6,4**
Источник шума: ИШ-4-6, координаты источника (x,y,z), м =[125.17,218.57,11.00]													
Уровни звуковой мощности источника днём, Lw, дБ		**исходные данные**	**0**	**90,3**	**91,7**	**93**	**93,3**	**92,9**	**89,6**	**85,4**	**80,9**		

1		2	3	4	5	6	7	8	9	10	11	12	13
Поправка на телесный угол DΩ, дБ	Ω = 6.28	10Lg(4π/Ω)	**3**	3	3	3	3	3	3	3	3		
Показатель направленности источника Di, дБ		исходные данные	**0**	0	0	0	0	0	0	0	0		
Поправка на направленность источника Dc, дБ	Dc	DΩ + Di	**3**	3	3	3	3	3	3	3	3		
Затухание из-за геометрической дивергенции, Adiv, дБ	расстояние = 500.63 м	ф-ла (7) [10]	**65**										
Коэффициент затухания звука в атмосфере α, дБ/км	Ta=20,°C Pa=101.33,кПа hотн.=70%	ф-ла (5) [9]	0,02	0,09	0,33	1,12	2,79	4,98	9,04	23,09	77,63		
Учет затухания звука в атмосфере Aatm, дБ		ф-ла (8) [10]	0	0	0,2	0,6	1,4	2,5	4,5	11,6	38,9		
Снижение уровня звукового давления из-за влияния застройки между источником шума и расчетной точкой													
Снижение уровня звукового давления на пути над экраном, Dz1, дБ	z = 4.18м (разность путей)	ф-лы (14-18) [10]	16,1	19,2	22,1	25,1	28,1	31,1	34,1	37,1	40,1		
Снижение уровня звукового давления на пути слева от экрана, Dz2, дБ	z = 82.44м (разность путей)	ф-лы (14-18) [10]	29,4	32,6	35,6	38,6	41,6	44,6	47,6	50,7	53,7		
Снижение уровня звукового давления на пути справа от экрана, Dz3, дБ	z = 29.18м (разность путей)	ф-лы (14-18) [10]	24,6	28	31,1	34,1	37,1	40,1	43,1	46,1	49,2		
Общее снижение уровня звука препятствием Dz, дБ		Эн.сумма(-Dzi)	15,4	18,5	21,4	24,4	27,4	30,4	33,4	36,4	39,5		
Общее снижение уровня звука препятствием с учётом ограничения (25 дБ) для октавных полос Dz, дБ		Раздел 7.4 [10]	15,4	18,5	21,4	24,4	25	25	25	25	25		
Уровни звукового давления прямого звука от источника ИШ-4-6 в расчётной точке днём, дБ		**ф-ла(3)[10]**	**0**	**9,8**	**8,1**	**6**	**4,9**	**3,4**	**0**	**0**	**0**	**6,4**	**6,4**
Расчёт отражённого звука													
Уровни звукового давления от мнимого источника ИШ-4-6_мн.(1) в расчётной точке днём, дБ		**ф-ла(3)[10]**	**0**	**0**	**0**	**0**	**0**	**0**	**0**	**0**	**0**	**0**	**0**
Уровни звукового давления от источника ИШ-4-6 в расчётной точке днём, дБ		**ф-ла(3)[10]**	**0**	**9,8**	**8,1**	**6**	**4,9**	**3,4**	**0**	**0**	**0**	**6,4**	**6,4**

1		2	3	4	5	6	7	8	9	10	11	12	13
Источник шума: ИШ-4-7, координаты источника (x,y,z), м =[177.91,257.92,11.00]													
Уровни звуковой мощности источника днём, Lw, дБ		**исходные данные**	**0**	**90,3**	**91,7**	**93**	**93,3**	**92,9**	**89,6**	**85,4**	**80,9**		
Поправка на телесный угол DΩ, дБ	Ω = 6.28	10Lg(4π/Ω)	**3**	3	3	3	3	3	3	3	3		
Показатель направленности источника Di, дБ		исходные данные	**0**	0	0	0	0	0	0	0	0		
Поправка на направленность источника Dc, дБ	Dc	DΩ + Di	**3**	3	3	3	3	3	3	3	3		
Затухание из-за геометрической дивергенции, Adiv, дБ	расстояние = 479.27 м	ф-ла (7) [10]	**64,6**										
Коэффициент затухания звука в атмосфере α, дБ/км	Ta=20,°C Pa=101.33,кПа hотн.=70%	ф-ла (5) [9]	0,02	0,09	0,33	1,12	2,79	4,98	9,04	23,09	77,63		
Учет затухания звука в атмосфере Aatm, дБ		ф-ла (8) [10]	0	0	0,2	0,5	1,3	2,4	4,3	11,1	37,2		
Снижение уровня звукового давления из-за влияния застройки между источником шума и расчетной точкой													
Снижение уровня звукового давления на пути над экраном, Dz1, дБ	z = 4.14м (разность путей)	ф-лы (14-18) [10]	15,7	19	22	25	28	31	34	37	40		
Снижение уровня звукового давления на пути слева от экрана, Dz2, дБ	z = 49.02м (разность путей)	ф-лы (14-18) [10]	27,2	30,3	33,3	36,4	39,4	42,4	45,4	48,4	51,4		
Снижение уровня звукового давления на пути справа от экрана, Dz3, дБ	z = 33.78м (разность путей)	ф-лы (14-18) [10]	25,5	28,7	31,7	34,7	37,8	40,8	43,8	46,8	49,8		
Общее снижение уровня звука препятствием Dz, дБ		Эн.сумма(-Dzi)	15	18,3	21,3	24,3	27,3	30,3	33,3	36,3	39,3		
Общее снижение уровня звука препятствием с учётом ограничения (25 дБ) для октавных полос Dz, дБ		Раздел 7.4 [10]	15	18,3	21,3	24,3	25	25	25	25	25		
Уровни звукового давления прямого звука от источника ИШ-4-7 в расчётной точке днём, дБ		**ф-ла(3)[10]**	**0**	**10,4**	**8,6**	**6,6**	**5,3**	**3,9**	**0**	**0**	**0**	**6,9**	**6,9**
Расчёт отражённого звука													

1		2	3	4	5	6	7	8	9	10	11	12	13
Уровни звукового давления от мнимого источника ИШ-4-7_мн.(1) в расчётной точке днём, дБ		**ф-ла(3)[10]**	**0**	**0**	**0**	**0**	**0**	**0**	**0**	**0**	**0**	**0**	**0**
Уровни звукового давления от источника ИШ-4-7 в расчётной точке днём, дБ		**ф-ла(3)[10]**	**0**	**10,4**	**8,6**	**6,6**	**5,3**	**3,9**	**0**	**0**	**0**	**6,9**	**6,9**
Источник шума: ИШ-4-8, координаты источника (x,y,z), м =[178.24,257.77,13.00]													
Уровни звуковой мощности источника днём, Lw, дБ		**исходные данные**	**0**	**90,3**	**91,7**	**93**	**93,3**	**92,9**	**89,6**	**85,4**	**80,9**		
Поправка на телесный угол DΩ, дБ	Ω = 6.28	10Lg(4π/Ω)	**3**	3	3	3	3	3	3	3	3		
Показатель направленности источника Di, дБ		исходные данные	**0**	0	0	0	0	0	0	0	0		
Поправка на направленность источника Dc, дБ	Dc	DΩ + Di	**3**	3	3	3	3	3	3	3	3		
Затухание из-за геометрической дивергенции, Adiv, дБ	расстояние = 478.96 м	ф-ла (7) [10]	**64,6**										
Коэффициент затухания звука в атмосфере α, дБ/км	Ta=20,°C Pa=101.33,кПа hотн.=70%	ф-ла (5) [9]	0,02	0,09	0,33	1,12	2,79	4,98	9,04	23,09	77,63		
Учет затухания звука в атмосфере Aatm, дБ		ф-ла (8) [10]	0	0	0,2	0,5	1,3	2,4	4,3	11,1	37,2		
Снижение уровня звукового давления из-за влияния застройки между источником шума и расчетной точкой													
Снижение уровня звукового давления на пути над экраном, Dz1, дБ	z = 4.11м (разность путей)	ф-лы (14-18) [10]	15,7	18,9	22	25	28	31	34	37	40		
Снижение уровня звукового давления на пути слева от экрана, Dz2, дБ	z = 49.03м (разность путей)	ф-лы (14-18) [10]	27,2	30,3	33,3	36,4	39,4	42,4	45,4	48,4	51,4		
Снижение уровня звукового давления на пути справа от экрана, Dz3, дБ	z = 33.81м (разность путей)	ф-лы (14-18) [10]	25,5	28,7	31,7	34,7	37,8	40,8	43,8	46,8	49,8		
Общее снижение уровня звука препятствием Dz, дБ		Эн.сумма(-Dzi)	15	18,2	21,2	24,2	27,2	30,3	33,3	36,3	39,3		
Общее снижение уровня звука препятствием с учётом ограничения (25 дБ) для октавных полос Dz, дБ		Раздел 7.4 [10]	15	18,2	21,2	24,2	25	25	25	25	25		

1		2	3	4	5	6	7	8	9	10	11	12	13
Уровни звукового давления от источника ИШ-4-8 в расчётной точке днём, дБ		**ф-ла(3)[10]**	**0**	**10,4**	**8,7**	**6,6**	**5,3**	**3,9**	**0**	**0**	**0**	**6,9**	**6,9**
Источник шума: ИШ-4-9, координаты источника (x,y,z), м =[178.68,257.63,15.50]													
Уровни звуковой мощности источника днём, Lw, дБ		**исходные данные**	**0**	**90,3**	**91,7**	**93**	**93,3**	**92,9**	**89,6**	**85,4**	**80,9**		
Поправка на телесный угол DΩ, дБ	Ω = 6.28	10Lg(4π/Ω)	**3**	3	3	3	3	3	3	3	3		
Показатель направленности источника Di, дБ		исходные данные	**0**	0	0	0	0	0	0	0	0		
Поправка на направленность источника Dc, дБ	Dc	DΩ + Di	**3**	3	3	3	3	3	3	3	3		
Затухание из-за геометрической дивергенции, Adiv, дБ	расстояние = 478.60 м	ф-ла (7) [10]	**64,6**										
Коэффициент затухания звука в атмосфере α, дБ/км	Ta=20,°C Pa=101.33,кПа hотн.=70%	ф-ла (5) [9]	0,02	0,09	0,33	1,12	2,79	4,98	9,04	23,09	77,63		
Учет затухания звука в атмосфере Aatm, дБ		ф-ла (8) [10]	0	0	0,2	0,5	1,3	2,4	4,3	11	37,2		
Снижение уровня звукового давления из-за влияния застройки между источником шума и расчетной точкой													
Снижение уровня звукового давления на пути над экраном, Dz1, дБ	z = 4.08м (разность путей)	ф-лы (14-18) [10]	11,9	14,4	17,2	20,1	23	26	29	32	35		
Снижение уровня звукового давления на пути слева от экрана, Dz2, дБ	z = 57.67м (разность путей)	ф-лы (14-18) [10]	27,8	31	34	37,1	40,1	43,1	46,1	49,1	52,1		
Снижение уровня звукового давления на пути справа от экрана, Dz3, дБ	z = 40.73м (разность путей)	ф-лы (14-18) [10]	26	29,4	32,5	35,5	38,6	41,6	44,6	47,6	50,6		
Общее снижение уровня звука препятствием Dz, дБ		Эн.сумма(-Dzi)	11,6	14,2	17	19,9	22,8	25,8	28,8	31,8	34,8		
Общее снижение уровня звука препятствием с учётом ограничения (25 дБ) для октавных полос Dz, дБ		Раздел 7.4 [10]	11,6	14,2	17	19,9	22,8	25	25	25	25		
Уровни звукового давления от источника ИШ-4-9 в расчётной точке днём, дБ		**ф-ла(3)[10]**	**0**	**14,4**	**13**	**11**	**7,6**	**3,9**	**0**	**0**	**0**	**8,7**	**8,7**

1		2	3	4	5	6	7	8	9	10	11	12	13
Источник шума: ИШ-4-10, координаты источника (x,y,z), м =[185.65,255.31,11.00]													
Уровни звуковой мощности источника днём, Lw, дБ		**исходные данные**	**0**	**90,3**	**91,7**	**93**	**93,3**	**92,9**	**89,6**	**85,4**	**80,9**		
Поправка на телесный угол DΩ, дБ	Ω = 6.28	10Lg(4π/Ω)	**3**	3	3	3	3	3	3	3	3		
Показатель направленности источника Di, дБ		исходные данные	**0**	0	0	0	0	0	0	0	0		
Поправка на направленность источника Dc, дБ	Dc	DΩ + Di	**3**	3	3	3	3	3	3	3	3		
Затухание из-за геометрической дивергенции, Adiv, дБ	расстояние = 471.57 м	ф-ла (7) [10]	**64,5**										
Коэффициент затухания звука в атмосфере α, дБ/км	Ta=20,°C Pa=101.33,кПа hотн.=70%	ф-ла (5) [9]	0,02	0,09	0,33	1,12	2,79	4,98	9,04	23,09	77,63		
Учет затухания звука в атмосфере Aatm, дБ		ф-ла (8) [10]	0	0	0,2	0,5	1,3	2,3	4,3	10,9	36,6		
Снижение уровня звукового давления из-за влияния застройки между источником шума и расчетной точкой													
Снижение уровня звукового давления на пути над экраном, Dz1, дБ	z = 4.14м (разность путей)	ф-лы (14-18) [10]	15,8	19	22	25	28	31	34	37	40		
Снижение уровня звукового давления на пути слева от экрана, Dz2, дБ	z = 48.87м (разность путей)	ф-лы (14-18) [10]	27,2	30,3	33,3	36,3	39,4	42,4	45,4	48,4	51,4		
Снижение уровня звукового давления на пути справа от экрана, Dz3, дБ	z = 34.65м (разность путей)	ф-лы (14-18) [10]	25,6	28,8	31,8	34,9	37,9	40,9	43,9	46,9	49,9		
Общее снижение уровня звука препятствием Dz, дБ		Эн.сумма(-Dzi)	15,1	18,3	21,3	24,3	27,3	30,3	33,3	36,3	39,3		
Общее снижение уровня звука препятствием с учётом ограничения (25 дБ) для октавных полос Dz, дБ		Раздел 7.4 [10]	15,1	18,3	21,3	24,3	25	25	25	25	25		
Уровни звукового давления прямого звука от источника ИШ-4-10 в расчётной точке днём, дБ		**ф-ла(3)[10]**	**0**	**10,5**	**8,8**	**6,7**	**5,5**	**4,1**	**0**	**0**	**0**	**7,1**	**7,1**
Расчёт отражённого звука													

1		2	3	4	5	6	7	8	9	10	11	12	13
Уровни звукового давления от мнимого источника ИШ-4-10_мн.(1) в расчётной точке днём, дБ		**ф-ла(3)[10]**	**0**	**0**	**0**	**0**	**0**	**0**	**0**	**0**	**0**	**0**	**0**
Уровни звукового давления от источника ИШ-4-10 в расчётной точке днём, дБ		**ф-ла(3)[10]**	**0**	**10,5**	**8,8**	**6,7**	**5,5**	**4,1**	**0**	**0**	**0**	**7,1**	**7,1**
Источник шума: ИШ-4-11, координаты источника (x,y,z), м =[185.89,255.16,13.00]													
Уровни звуковой мощности источника днём, Lw, дБ		**исходные данные**	**0**	**90,3**	**91,7**	**93**	**93,3**	**92,9**	**89,6**	**85,4**	**80,9**		
Поправка на телесный угол DΩ, дБ	Ω = 6.28	10Lg(4π/Ω)	**3**	3	3	3	3	3	3	3	3		
Показатель направленности источника Di, дБ		исходные данные	**0**	0	0	0	0	0	0	0	0		
Поправка на направленность источника Dc, дБ	Dc	DΩ + Di	**3**	3	3	3	3	3	3	3	3		
Затухание из-за геометрической дивергенции, Adiv, дБ	расстояние = 471.34 м	ф-ла (7) [10]	**64,5**										
Коэффициент затухания звука в атмосфере α, дБ/км	Ta=20,°C Pa=101.33,кПа hотн.=70%	ф-ла (5) [9]	0,02	0,09	0,33	1,12	2,79	4,98	9,04	23,09	77,63		
Учет затухания звука в атмосфере Aatm, дБ		ф-ла (8) [10]	0	0	0,2	0,5	1,3	2,3	4,3	10,9	36,6		
Снижение уровня звукового давления из-за влияния застройки между источником шума и расчетной точкой													
Снижение уровня звукового давления на пути над экраном, Dz1, дБ	z = 4.11м (разность путей)	ф-лы (14-18) [10]	15,7	19	22	25	28	31	34	37	40		
Снижение уровня звукового давления на пути слева от экрана, Dz2, дБ	z = 48.92м (разность путей)	ф-лы (14-18) [10]	27,2	30,3	33,3	36,4	39,4	42,4	45,4	48,4	51,4		
Снижение уровня звукового давления на пути справа от экрана, Dz3, дБ	z = 34.67м (разность путей)	ф-лы (14-18) [10]	25,6	28,8	31,8	34,9	37,9	40,9	43,9	46,9	49,9		
Общее снижение уровня звука препятствием Dz, дБ		Эн.сумма(-Dzi)	15	18,3	21,3	24,3	27,3	30,3	33,3	36,3	39,3		
Общее снижение уровня звука препятствием с учётом ограничения (25 дБ) для октавных полос Dz, дБ		Раздел 7.4 [10]	15	18,3	21,3	24,3	25	25	25	25	25		

1		2	3	4	5	6	7	8	9	10	11	12	13
Уровни звукового давления от источника ИШ-4-11 в расчётной точке днём, дБ		**ф-ла(3)[10]**	**0**	**10,5**	**8,8**	**6,7**	**5,5**	**4,1**	**0**	**0**	**0**	**7,1**	**7,1**
Источник шума: ИШ-4-12, координаты источника (x,y,z), м =[186.18,255.02,15.50]													
Уровни звуковой мощности источника днём, Lw, дБ		**исходные данные**	**0**	**90,3**	**91,7**	**93**	**93,3**	**92,9**	**89,6**	**85,4**	**80,9**		
Поправка на телесный угол DΩ, дБ	Ω = 6.28	10Lg(4π/Ω)	**3**	3	3	3	3	3	3	3	3		
Показатель направленности источника Di, дБ		исходные данные	**0**	0	0	0	0	0	0	0	0		
Поправка на направленность источника Dc, дБ	Dc	DΩ + Di	**3**	3	3	3	3	3	3	3	3		
Затухание из-за геометрической дивергенции, Adiv, дБ	расстояние = 471.09 м	ф-ла (7) [10]	**64,5**										
Коэффициент затухания звука в атмосфере α, дБ/км	Ta=20,°C Pa=101.33,кПа hотн.=70%	ф-ла (5) [9]	0,02	0,09	0,33	1,12	2,79	4,98	9,04	23,09	77,63		
Учет затухания звука в атмосфере Aatm, дБ		ф-ла (8) [10]	0	0	0,2	0,5	1,3	2,3	4,3	10,9	36,6		
Снижение уровня звукового давления из-за влияния застройки между источником шума и расчетной точкой													
Снижение уровня звукового давления на пути над экраном, Dz1, дБ	z = 4.08м (разность путей)	ф-лы (14-18) [10]	11,9	14,4	17,2	20,1	23	26	29	32	35		
Снижение уровня звукового давления на пути слева от экрана, Dz2, дБ	z = 57.32м (разность путей)	ф-лы (14-18) [10]	27,7	31	34	37	40	43,1	46,1	49,1	52,1		
Снижение уровня звукового давления на пути справа от экрана, Dz3, дБ	z = 29.72м (разность путей)	ф-лы (14-18) [10]	20,7	24	27,9	32,5	36,6	40	43,2	46,2	49,2		
Общее снижение уровня звука препятствием Dz, дБ		Эн.сумма(-Dzi)	11,2	13,9	16,7	19,7	22,7	25,7	28,7	31,7	34,7		
Общее снижение уровня звука препятствием с учётом ограничения (25 дБ) для октавных полос Dz, дБ		Раздел 7.4 [10]	11,2	13,9	16,7	19,7	22,7	25	25	25	25		
Уровни звукового давления от источника ИШ-4-12 в расчётной точке днём, дБ		**ф-ла(3)[10]**	**0**	**14,9**	**13,3**	**11,3**	**7,8**	**4,1**	**0**	**0**	**0**	**9**	**9**

1		2	3	4	5	6	7	8	9	10	11	12	13
Источник шума: ИШ-4-13, координаты источника (x,y,z), м =[94.56,229.10,1.00]													
Уровни звуковой мощности источника днём, Lw, дБ		**исходные данные**	**0**	**81,3**	**82,7**	**84**	**84,3**	**83,9**	**80,6**	**76,4**	**71,9**		
Поправка на телесный угол DΩ, дБ	Ω = 6.28	10Lg(4π/Ω)	**3**	3	3	3	3	3	3	3	3		
Показатель направленности источника Di, дБ		исходные данные	**0**	0	0	0	0	0	0	0	0		
Поправка на направленность источника Dc, дБ	Dc	DΩ + Di	**3**	3	3	3	3	3	3	3	3		
Затухание из-за геометрической дивергенции, Adiv, дБ	расстояние = 532.27 м	ф-ла (7) [10]	**65,5**										
Коэффициент затухания звука в атмосфере α, дБ/км	Ta=20,°C Pa=101.33,кПа hотн.=70%	ф-ла (5) [9]	0,02	0,09	0,33	1,12	2,79	4,98	9,04	23,09	77,63		
Учет затухания звука в атмосфере Aatm, дБ		ф-ла (8) [10]	0	0	0,2	0,6	1,5	2,6	4,8	12,3	41,3		
Снижение уровня звукового давления из-за влияния застройки между источником шума и расчетной точкой													
Снижение уровня звукового давления на пути над экраном, Dz1, дБ	z = 9.06м (разность путей)	ф-лы (14-18) [10]	20	23	26	29	32	35	38	41	44		
Снижение уровня звукового давления на пути слева от экрана, Dz2, дБ	z = 85.33м (разность путей)	ф-лы (14-18) [10]	29,7	32,8	35,8	38,8	41,8	44,8	47,8	50,8	53,8		
Снижение уровня звукового давления на пути справа от экрана, Dz3, дБ	z = 48.19м (разность путей)	ф-лы (14-18) [10]	27,2	30,3	33,3	36,3	39,3	42,3	45,3	48,3	51,3		
Общее снижение уровня звука препятствием Dz, дБ		Эн.сумма(-Dzi)	18,9	21,9	24,8	27,8	30,9	33,9	36,9	39,9	42,9		
Общее снижение уровня звука препятствием с учётом ограничения (25 дБ) для октавных полос Dz, дБ		Раздел 7.4 [10]	18,9	21,9	24,8	25	25	25	25	25	25		
Уровни звукового давления от источника ИШ-4-13 в расчётной точке днём, дБ		**ф-ла(3)[10]**	**0**	**0**	**0**	**0**	**0**	**0**	**0**	**0**	**0**	**0**	**0**
Источник шума: ИШ-4-14, координаты источника (x,y,z), м =[91.88,221.30,1.00]													

1		2	3	4	5	6	7	8	9	10	11	12	13
Уровни звуковой мощности источника днём, Lw, дБ		**исходные данные**	**0**	**81,3**	**82,7**	**84**	**84,3**	**83,9**	**80,6**	**76,4**	**71,9**		
Поправка на телесный угол DΩ, дБ	Ω = 6.28	10Lg(4π/Ω)	**3**	3	3	3	3	3	3	3	3		
Показатель направленности источника Di, дБ		исходные данные	**0**	0	0	0	0	0	0	0	0		
Поправка на направленность источника Dc, дБ	Dc	DΩ + Di	**3**	3	3	3	3	3	3	3	3		
Затухание из-за геометрической дивергенции, Adiv, дБ	расстояние = 530.75 м	ф-ла (7) [10]	**65,5**										
Коэффициент затухания звука в атмосфере α, дБ/км	Ta=20,°C Pa=101.33,кПа hотн.=70%	ф-ла (5) [9]	0,02	0,09	0,33	1,12	2,79	4,98	9,04	23,09	77,63		
Учет затухания звука в атмосфере Aatm, дБ		ф-ла (8) [10]	0	0	0,2	0,6	1,5	2,6	4,8	12,3	41,2		
Снижение уровня звукового давления из-за влияния застройки между источником шума и расчетной точкой													
Снижение уровня звукового давления на пути над экраном, Dz1, дБ	z = 9.04м (разность путей)	ф-лы (14-18) [10]	20	23	25,9	28,9	31,9	35	38	41	44		
Снижение уровня звукового давления на пути слева от экрана, Dz2, дБ	z = 95.06м (разность путей)	ф-лы (14-18) [10]	30,2	33,2	36,2	39,2	42,2	45,3	48,3	51,3	54,3		
Снижение уровня звукового давления на пути справа от экрана, Dz3, дБ	z = 41.63м (разность путей)	ф-лы (14-18) [10]	26,6	29,7	32,6	35,7	38,7	41,7	44,7	47,7	50,7		
Общее снижение уровня звука препятствием Dz, дБ		Эн.сумма(-Dzi)	18,8	21,8	24,8	27,8	30,8	33,8	36,8	39,8	42,8		
Общее снижение уровня звука препятствием с учётом ограничения (25 дБ) для октавных полос Dz, дБ		Раздел 7.4 [10]	18,8	21,8	24,8	25	25	25	25	25	25		
Уровни звукового давления от источника ИШ-4-14 в расчётной точке днём, дБ		**ф-ла(3)[10]**	**0**	**0**	**0**	**0**	**0**	**0**	**0**	**0**	**0**	**0**	**0**
Источник шума: ИШ-5-1, координаты источника (x,y,z), м =[626.70,162.36,1.00]													
Уровни звуковой мощности источника днём, Lw, дБ		**исходные данные**	**0**	**93,3**	**94,7**	**96**	**96,3**	**95,9**	**92,6**	**88,4**	**83,9**		

1		2	3	4	5	6	7	8	9	10	11	12	13
Поправка на телесный угол DΩ, дБ	Ω = 6.28	10Lg(4π/Ω)	**3**	3	3	3	3	3	3	3	3		
Показатель направленности источника Di, дБ		исходные данные	**0**	0	0	0	0	0	0	0	0		
Поправка на направленность источника Dc, дБ	Dc	DΩ + Di	**3**	3	3	3	3	3	3	3	3		
Затухание из-за геометрической дивергенции, Adiv, дБ	расстояние = 211.85 м	ф-ла (7) [10]	**57,5**										
Коэффициент затухания звука в атмосфере α, дБ/км	Ta=20,°C Pa=101.33,кПа hотн.=70%	ф-ла (5) [9]	0,02	0,09	0,33	1,12	2,79	4,98	9,04	23,09	77,63		
Учет затухания звука в атмосфере Aatm, дБ		ф-ла (8) [10]	0	0	0,1	0,2	0,6	1,1	1,9	4,9	16,4		
Снижение уровня звукового давления из-за влияния застройки между источником шума и расчетной точкой													
Снижение уровня звукового давления на пути над экраном, Dz1, дБ	z = 0.15м (разность путей)	ф-лы (14-18) [10]	5,2	5,9	7,2	9,1	11,4	13,9	16,7	19,5	22,5		
Снижение уровня звукового давления на пути слева от экрана, Dz2, дБ	z = 0.79м (разность путей)	ф-лы (14-18) [10]	8,4	11,5	15,1	18,4	21,5	24,5	27,5	30,5	33,5		
Снижение уровня звукового давления на пути справа от экрана, Dz3, дБ	z = 0.36м (разность путей)	ф-лы (14-18) [10]	6,8	9,1	12,1	15,2	18,1	21,1	24,1	27	30		
Общее снижение уровня звука препятствием Dz, дБ		Эн.сумма(-Dzi)	1,8	3,4	5,5	7,8	10,2	12,8	15,6	18,5	21,5		
Уровни звукового давления прямого звука от источника ИШ-5-1 в расчётной точке днём, дБ		**ф-ла(3)[10]**	**0**	**35,3**	**34,6**	**33,5**	**31**	**27,5**	**20,5**	**10,5**	**0**	**32,3**	**32,3**
Расчёт отражённого звука													
Уровни звукового давления от мнимого источника ИШ-5-1_мн.(1) в расчётной точке днём, дБ		**ф-ла(3)[10]**	**0**	**0**	**0**	**0**	**0**	**0**	**0**	**0**	**0**	**0**	**0**
Уровни звукового давления от источника ИШ-5-1 в расчётной точке днём, дБ		**ф-ла(3)[10]**	**0**	**35,3**	**34,6**	**33,5**	**31**	**27,5**	**20,5**	**10,5**	**0**	**32,3**	**32,3**
Источник шума: ИШ-5-2, координаты источника (x,y,z), м =[625.81,159.52,1.00]													

1		2	3	4	5	6	7	8	9	10	11	12	13
Уровни звуковой мощности источника днём, Lw, дБ		**исходные данные**	**0**	**93,3**	**94,7**	**96**	**96,3**	**95,9**	**92,6**	**88,4**	**83,9**		
Поправка на телесный угол DΩ, дБ	Ω = 6.28	10Lg(4π/Ω)	**3**	3	3	3	3	3	3	3	3		
Показатель направленности источника Di, дБ		исходные данные	**0**	0	0	0	0	0	0	0	0		
Поправка на направленность источника Dc, дБ	Dc	DΩ + Di	**3**	3	3	3	3	3	3	3	3		
Затухание из-за геометрической дивергенции, Adiv, дБ	расстояние = 208.87 м	ф-ла (7) [10]	**57,4**										
Коэффициент затухания звука в атмосфере α, дБ/км	Ta=20,°C Pa=101.33,кПа hотн.=70%	ф-ла (5) [9]	0,02	0,09	0,33	1,12	2,79	4,98	9,04	23,09	77,63		
Учет затухания звука в атмосфере Aatm, дБ		ф-ла (8) [10]	0	0	0,1	0,2	0,6	1	1,9	4,8	16,2		
Снижение уровня звукового давления из-за влияния застройки между источником шума и расчетной точкой													
Снижение уровня звукового давления на пути над экраном, Dz1, дБ	z = 0.16м (разность путей)	ф-лы (14-18) [10]	5,3	6	7,5	9,5	11,9	14,5	17,3	20,2	23,1		
Снижение уровня звукового давления на пути слева от экрана, Dz2, дБ	z = 0.83м (разность путей)	ф-лы (14-18) [10]	8,5	11,7	15,3	18,6	21,7	24,7	27,7	30,7	33,7		
Снижение уровня звукового давления на пути справа от экрана, Dz3, дБ	z = 0.40м (разность путей)	ф-лы (14-18) [10]	7	9,4	12,5	15,6	18,6	21,5	24,5	27,5	30,5		
Общее снижение уровня звука препятствием Dz, дБ		Эн.сумма(-Dzi)	1,9	3,6	5,8	8,2	10,7	13,4	16,2	19,1	22,1		
Уровни звукового давления прямого звука от источника ИШ-5-2 в расчётной точке днём, дБ		**ф-ла(3)[10]**	**0**	**35,2**	**34,4**	**33,2**	**30,6**	**27,1**	**20,1**	**10,1**	**0**	**32**	**32**
Расчёт отражённого звука													
Уровни звукового давления от мнимого источника ИШ-5-2_мн.(1) в расчётной точке днём, дБ		**ф-ла(3)[10]**	**0**	**0**	**0**	**0**	**0**	**0**	**0**	**0**	**0**	**0**	**0**
Уровни звукового давления от источника ИШ-5-2 в расчётной точке днём, дБ		**ф-ла(3)[10]**	**0**	**35,2**	**34,4**	**33,2**	**30,6**	**27,1**	**20,1**	**10,1**	**0**	**32**	**32**

1		2	3	4	5	6	7	8	9	10	11	12	13
Источник шума: ИШ-5-3, координаты источника (x,y,z), м =[624.84,156.69,1.00]													
Уровни звуковой мощности источника днём, Lw, дБ		**исходные данные**	**0**	**93,3**	**94,7**	**96**	**96,3**	**95,9**	**92,6**	**88,4**	**83,9**		
Поправка на телесный угол DΩ, дБ	Ω = 6.28	10Lg(4π/Ω)	**3**	3	3	3	3	3	3	3	3		
Показатель направленности источника Di, дБ		исходные данные	**0**	0	0	0	0	0	0	0	0		
Поправка на направленность источника Dc, дБ	Dc	DΩ + Di	**3**	3	3	3	3	3	3	3	3		
Затухание из-за геометрической дивергенции, Adiv, дБ	расстояние = 205.88 м	ф-ла (7) [10]	**57,3**										
Коэффициент затухания звука в атмосфере α, дБ/км	Ta=20,°C Pa=101.33,кПа hотн.=70%	ф-ла (5) [9]	0,02	0,09	0,33	1,12	2,79	4,98	9,04	23,09	77,63		
Учет затухания звука в атмосфере Aatm, дБ		ф-ла (8) [10]	0	0	0,1	0,2	0,6	1	1,9	4,8	16		
Снижение уровня звукового давления из-за влияния застройки между источником шума и расчетной точкой													
Снижение уровня звукового давления на пути над экраном, Dz1, дБ	z = 0.18м (разность путей)	ф-лы (14-18) [10]	5,3	6,2	7,9	10	12,5	15,1	17,9	20,9	23,8		
Снижение уровня звукового давления на пути слева от экрана, Dz2, дБ	z = 0.89м (разность путей)	ф-лы (14-18) [10]	8,7	11,9	15,6	18,9	22	25	28	31	34		
Снижение уровня звукового давления на пути справа от экрана, Dz3, дБ	z = 0.43м (разность путей)	ф-лы (14-18) [10]	7,1	9,6	12,8	16	18,9	21,9	24,9	27,9	30,9		
Общее снижение уровня звука препятствием Dz, дБ		Эн.сумма(-Dzi)	2,1	3,9	6,1	8,6	11,2	13,9	16,8	19,7	22,7		
Уровни звукового давления прямого звука от источника ИШ-5-3 в расчётной точке днём, дБ		**ф-ла(3)[10]**	**0**	**35,1**	**34,2**	**32,9**	**30,2**	**26,6**	**19,7**	**9,6**	**0**	**31,6**	**31,6**
Расчёт отражённого звука													
Уровни звукового давления от мнимого источника ИШ-5-3_мн.(1) в расчётной точке днём, дБ		**ф-ла(3)[10]**	**0**	**0**	**0**	**0**	**0**	**0**	**0**	**0**	**0**	**0**	**0**

1		2	3	4	5	6	7	8	9	10	11	12	13
Уровни звукового давления от источника ИШ-5-3 в расчётной точке днём, дБ		**ф-ла(3)[10]**	**0**	**35,1**	**34,2**	**32,9**	**30,2**	**26,6**	**19,7**	**9,6**	**0**	**31,6**	**31,6**
Источник шума: ИШ-6-1, координаты источника (x,y,z), м =[836.30,122.24,1.00]													
Уровни звуковой мощности источника днём, Lw, дБ		**исходные данные**	**0**	**96,3**	**97,7**	**99**	**99,3**	**98,9**	**95,6**	**91,4**	**86,9**		
Поправка на телесный угол DΩ, дБ	Ω = 12.57	10Lg(4π/Ω)	**0**	0	0	0	0	0	0	0	0		
Показатель направленности источника Di, дБ		исходные данные	**0**	0	0	0	0	0	0	0	0		
Поправка на направленность источника Dc, дБ	Dc	DΩ + Di	**0**	0	0	0	0	0	0	0	0		
Затухание из-за геометрической дивергенции, Adiv, дБ	расстояние = 322.92 м	ф-ла (7) [10]	**61,2**										
Коэффициент затухания звука в атмосфере α, дБ/км	Ta=20,°C Pa=101.33,кПа hотн.=70%	ф-ла (5) [9]	0,02	0,09	0,33	1,12	2,79	4,98	9,04	23,09	77,63		
Учет затухания звука в атмосфере Aatm, дБ		ф-ла (8) [10]	0	0	0,1	0,4	0,9	1,6	2,9	7,5	25,1		
Снижение поверхностью земли возле источника As, дБ	Gs = 0 hs = 1м	ф-лы таб.3 [10]	-1,5	-1,5	-1,5	-1,5	-1,5	-1,5	-1,5	-1,5	-1,5		
Снижение поверхностью земли возле приёмника Ar, дБ	Gr = 1 hr = 1.5м	ф-лы таб.3 [10]	-1,5	-1,5	1,9	7	5	0,7	0	0	0		
Снижение поверхностью земли в средней зоне, Am дБ	Gm = 1	ф-лы таб.3 [10]	-2,3	-2,3	0	0	0	0	0	0	0		
Суммарное снижение поверхностью земли на траектории распространения звука Agr, дБ		ф-ла (9) [10]	-5,3	-5,3	0,4	5,5	3,5	-0,8	-1,5	-1,5	-1,5		
Уровни звукового давления прямого звука от источника ИШ-6-1 в расчётной точке днём, дБ		**ф-ла(3)[10]**	**0**	**40,4**	**36**	**31,9**	**33,7**	**36,9**	**33**	**24,3**	**2,1**	**39,7**	**39,7**
Расчёт отражённого звука													
Уровни звукового давления от мнимого источника ИШ-6-1_мн.(1) в расчётной точке днём, дБ		**ф-ла(3)[10]**	**0**	**0**	**0**	**0**	**0**	**0**	**30,5**	**21,7**	**0**	**32,2**	**32,2**

1		2	3	4	5	6	7	8	9	10	11	12	13
Уровни звукового давления от источника ИШ-6-1 в расчётной точке днём, дБ		**ф-ла(3)[10]**	**0**	**40,4**	**36**	**31,9**	**33,7**	**36,9**	**34,9**	**26,2**	**2,1**	**40,4**	**40,4**
Источник шума: ИШ-6-2, координаты источника (x,y,z), м =[835.37,119.30,1.00]													
Уровни звуковой мощности источника днём, Lw, дБ		**исходные данные**	**0**	**96,3**	**97,7**	**99**	**99,3**	**98,9**	**95,6**	**91,4**	**86,9**		
Поправка на телесный угол DΩ, дБ	Ω = 12.57	10Lg(4π/Ω)	**0**	0	0	0	0	0	0	0	0		
Показатель направленности источника Di, дБ		исходные данные	**0**	0	0	0	0	0	0	0	0		
Поправка на направленность источника Dc, дБ	Dc	DΩ + Di	**0**	0	0	0	0	0	0	0	0		
Затухание из-за геометрической дивергенции, Adiv, дБ	расстояние = 320.66 м	ф-ла (7) [10]	**61,1**										
Коэффициент затухания звука в атмосфере α, дБ/км	Ta=20,°C Pa=101.33,кПа hотн.=70%	ф-ла (5) [9]	0,02	0,09	0,33	1,12	2,79	4,98	9,04	23,09	77,63		
Учет затухания звука в атмосфере Aatm, дБ		ф-ла (8) [10]	0	0	0,1	0,4	0,9	1,6	2,9	7,4	24,9		
Снижение поверхностью земли возле источника As, дБ	Gs = 0 hs = 1м	ф-лы таб.3 [10]	-1,5	-1,5	-1,5	-1,5	-1,5	-1,5	-1,5	-1,5	-1,5		
Снижение поверхностью земли возле приёмника Ar, дБ	Gr = 1 hr = 1.5м	ф-лы таб.3 [10]	-1,5	-1,5	1,9	7	5	0,7	0	0	0		
Снижение поверхностью земли в средней зоне, Am дБ	Gm = 1	ф-лы таб.3 [10]	-2,3	-2,3	0	0	0	0	0	0	0		
Суммарное снижение поверхностью земли на траектории распространения звука Agr, дБ		ф-ла (9) [10]	-5,3	-5,3	0,4	5,5	3,5	-0,8	-1,5	-1,5	-1,5		
Уровни звукового давления прямого звука от источника ИШ-6-2 в расчётной точке днём, дБ		**ф-ла(3)[10]**	**0**	**40,4**	**36,1**	**32**	**33,8**	**37**	**33,1**	**24,4**	**2,4**	**39,8**	**39,8**
Расчёт отражённого звука													
Уровни звукового давления от мнимого источника ИШ-6-2_мн.(1) в расчётной точке днём, дБ		**ф-ла(3)[10]**	**0**	**0**	**0**	**0**	**0**	**0**	**30,5**	**21,8**	**0**	**32,3**	**32,3**

1		2	3	4	5	6	7	8	9	10	11	12	13
Уровни звукового давления от источника ИШ-6-2 в расчётной точке днём, дБ		**ф-ла(3)[10]**	**0**	**40,4**	**36,1**	**32**	**33,8**	**37**	**35**	**26,3**	**2,4**	**40,5**	**40,5**
Источник шума: ИШ-6-3, координаты источника (x,y,z), м =[834.03,116.36,1.00]													
Уровни звуковой мощности источника днём, Lw, дБ		**исходные данные**	**0**	**96,3**	**97,7**	**99**	**99,3**	**98,9**	**95,6**	**91,4**	**86,9**		
Поправка на телесный угол DΩ, дБ	Ω = 12.57	10Lg(4π/Ω)	**0**	0	0	0	0	0	0	0	0		
Показатель направленности источника Di, дБ		исходные данные	**0**	0	0	0	0	0	0	0	0		
Поправка на направленность источника Dc, дБ	Dc	DΩ + Di	**0**	0	0	0	0	0	0	0	0		
Затухание из-за геометрической дивергенции, Adiv, дБ	расстояние = 318.07 м	ф-ла (7) [10]	**61,1**										
Коэффициент затухания звука в атмосфере α, дБ/км	Ta=20,°C Pa=101.33,кПа hотн.=70%	ф-ла (5) [9]	0,02	0,09	0,33	1,12	2,79	4,98	9,04	23,09	77,63		
Учет затухания звука в атмосфере Aatm, дБ		ф-ла (8) [10]	0	0	0,1	0,4	0,9	1,6	2,9	7,3	24,7		
Снижение поверхностью земли возле источника As, дБ	Gs = 0 hs = 1м	ф-лы таб.3 [10]	-1,5	-1,5	-1,5	-1,5	-1,5	-1,5	-1,5	-1,5	-1,5		
Снижение поверхностью земли возле приёмника Ar, дБ	Gr = 1 hr = 1.5м	ф-лы таб.3 [10]	-1,5	-1,5	1,8	7	5	0,7	0	0	0		
Снижение поверхностью земли в средней зоне, Am дБ	Gm = 1	ф-лы таб.3 [10]	-2,3	-2,3	0	0	0	0	0	0	0		
Суммарное снижение поверхностью земли на траектории распространения звука Agr, дБ		ф-ла (9) [10]	-5,3	-5,3	0,3	5,5	3,5	-0,8	-1,5	-1,5	-1,5		
Уровни звукового давления прямого звука от источника ИШ-6-3 в расчётной точке днём, дБ		**ф-ла(3)[10]**	**0**	**40,5**	**36,2**	**32,1**	**33,9**	**37,1**	**33,2**	**24,5**	**2,6**	**39,9**	**39,9**
Расчёт отражённого звука													
Уровни звукового давления от мнимого источника ИШ-6-3_мн.(1) в расчётной точке днём, дБ		**ф-ла(3)[10]**	**0**	**0**	**0**	**0**	**0**	**0**	**0**	**21,9**	**0**	**22,9**	**22,9**

1		2	3	4	5	6	7	8	9	10	11	12	13
Уровни звукового давления от источника ИШ-6-3 в расчётной точке днём, дБ		**ф-ла(3)[10]**	**0**	**40,5**	**36,2**	**32,1**	**33,9**	**37,1**	**33,2**	**26,4**	**2,6**	**40**	**40**
Источник шума: ИШ-6-4, координаты источника (x,y,z), м =[833.23,113.30,1.00]													
Уровни звуковой мощности источника днём, Lw, дБ		**исходные данные**	**0**	**96,3**	**97,7**	**99**	**99,3**	**98,9**	**95,6**	**91,4**	**86,9**		
Поправка на телесный угол DΩ, дБ	Ω = 12.57	10Lg(4π/Ω)	**0**	0	0	0	0	0	0	0	0		
Показатель направленности источника Di, дБ		исходные данные	**0**	0	0	0	0	0	0	0	0		
Поправка на направленность источника Dc, дБ	Dc	DΩ + Di	**0**	0	0	0	0	0	0	0	0		
Затухание из-за геометрической дивергенции, Adiv, дБ	расстояние = 315.90 м	ф-ла (7) [10]	**61**										
Коэффициент затухания звука в атмосфере α, дБ/км	Ta=20,°C Pa=101.33,кПа hотн.=70%	ф-ла (5) [9]	0,02	0,09	0,33	1,12	2,79	4,98	9,04	23,09	77,63		
Учет затухания звука в атмосфере Aatm, дБ		ф-ла (8) [10]	0	0	0,1	0,4	0,9	1,6	2,9	7,3	24,5		
Снижение поверхностью земли возле источника As, дБ	Gs = 0 hs = 1м	ф-лы таб.3 [10]	-1,5	-1,5	-1,5	-1,5	-1,5	-1,5	-1,5	-1,5	-1,5		
Снижение поверхностью земли возле приёмника Ar, дБ	Gr = 1 hr = 1.5м	ф-лы таб.3 [10]	-1,5	-1,5	1,8	7	5	0,7	0	0	0		
Снижение поверхностью земли в средней зоне, Am дБ	Gm = 1	ф-лы таб.3 [10]	-2,3	-2,3	0	0	0	0	0	0	0		
Суммарное снижение поверхностью земли на траектории распространения звука Agr, дБ		ф-ла (9) [10]	-5,3	-5,3	0,3	5,5	3,5	-0,8	-1,5	-1,5	-1,5		
Уровни звукового давления прямого звука от источника ИШ-6-4 в расчётной точке днём, дБ		**ф-ла(3)[10]**	**0**	**40,6**	**36,3**	**32,1**	**34**	**37,2**	**33,2**	**24,6**	**2,9**	**40**	**40**
Расчёт отражённого звука													
Уровни звукового давления от мнимого источника ИШ-6-4_мн.(1) в расчётной точке днём, дБ		**ф-ла(3)[10]**	**0**	**0**	**0**	**0**	**0**	**0**	**0**	**22**	**0,2**	**23,1**	**23,1**

1		2	3	4	5	6	7	8	9	10	11	12	13
Уровни звукового давления от источника ИШ-6-4 в расчётной точке днём, дБ		**ф-ла(3)[10]**	**0**	**40,6**	**36,3**	**32,1**	**34**	**37,2**	**33,2**	**26,5**	**4,8**	**40**	**40**
Источник шума: ИШ-6-5, координаты источника (x,y,z), м =[832.03,110.36,1.00]													
Уровни звуковой мощности источника днём, Lw, дБ		**исходные данные**	**0**	**96,3**	**97,7**	**99**	**99,3**	**98,9**	**95,6**	**91,4**	**86,9**		
Поправка на телесный угол DΩ, дБ	Ω = 12.57	10Lg(4π/Ω)	**0**	0	0	0	0	0	0	0	0		
Показатель направленности источника Di, дБ		исходные данные	**0**	0	0	0	0	0	0	0	0		
Поправка на направленность источника Dc, дБ	Dc	DΩ + Di	**0**	0	0	0	0	0	0	0	0		
Затухание из-за геометрической дивергенции, Adiv, дБ	расстояние = 313.45 м	ф-ла (7) [10]	**60,9**										
Коэффициент затухания звука в атмосфере α, дБ/км	Ta=20,°C Pa=101.33,кПа hотн.=70%	ф-ла (5) [9]	0,02	0,09	0,33	1,12	2,79	4,98	9,04	23,09	77,63		
Учет затухания звука в атмосфере Aatm, дБ		ф-ла (8) [10]	0	0	0,1	0,4	0,9	1,6	2,8	7,2	24,3		
Снижение поверхностью земли возле источника As, дБ	Gs = 0 hs = 1м	ф-лы таб.3 [10]	-1,5	-1,5	-1,5	-1,5	-1,5	-1,5	-1,5	-1,5	-1,5		
Снижение поверхностью земли возле приёмника Ar, дБ	Gr = 1 hr = 1.5м	ф-лы таб.3 [10]	-1,5	-1,5	1,8	7	5	0,7	0	0	0		
Снижение поверхностью земли в средней зоне, Am дБ	Gm = 1	ф-лы таб.3 [10]	-2,3	-2,3	0	0	0	0	0	0	0		
Суммарное снижение поверхностью земли на траектории распространения звука Agr, дБ		ф-ла (9) [10]	-5,3	-5,3	0,3	5,5	3,5	-0,8	-1,5	-1,5	-1,5		
Уровни звукового давления прямого звука от источника ИШ-6-5 в расчётной точке днём, дБ		**ф-ла(3)[10]**	**0**	**40,6**	**36,4**	**32,2**	**34**	**37,2**	**33,3**	**24,7**	**3,1**	**40**	**40**
Расчёт отражённого звука													
Уровни звукового давления от мнимого источника ИШ-6-5_мн.(1) в расчётной точке днём, дБ		**ф-ла(3)[10]**	**0**	**0**	**0**	**0**	**0**	**0**	**0**	**0**	**0,5**	**0**	**0**

1		2	3	4	5	6	7	8	9	10	11	12	13
Уровни звукового давления от источника ИШ-6-5 в расчётной точке днём, дБ		**ф-ла(3)[10]**	**0**	**40,6**	**36,4**	**32,2**	**34**	**37,2**	**33,3**	**24,7**	**5**	**40**	**40**
Источник шума: ИШ-6-6, координаты источника (x,y,z), м =[830.97,107.42,1.00]													
Уровни звуковой мощности источника днём, Lw, дБ		**исходные данные**	**0**	**96,3**	**97,7**	**99**	**99,3**	**98,9**	**95,6**	**91,4**	**86,9**		
Поправка на телесный угол DΩ, дБ	Ω = 12.57	10Lg(4π/Ω)	**0**	0	0	0	0	0	0	0	0		
Показатель направленности источника Di, дБ		исходные данные	**0**	0	0	0	0	0	0	0	0		
Поправка на направленность источника Dc, дБ	Dc	DΩ + Di	**0**	0	0	0	0	0	0	0	0		
Затухание из-за геометрической дивергенции, Adiv, дБ	расстояние = 311.13 м	ф-ла (7) [10]	**60,9**										
Коэффициент затухания звука в атмосфере α, дБ/км	Ta=20,°C Pa=101.33,кПа hотн.=70%	ф-ла (5) [9]	0,02	0,09	0,33	1,12	2,79	4,98	9,04	23,09	77,63		
Учет затухания звука в атмосфере Aatm, дБ		ф-ла (8) [10]	0	0	0,1	0,3	0,9	1,5	2,8	7,2	24,2		
Снижение поверхностью земли возле источника As, дБ	Gs = 0 hs = 1м	ф-лы таб.3 [10]	-1,5	-1,5	-1,5	-1,5	-1,5	-1,5	-1,5	-1,5	-1,5		
Снижение поверхностью земли возле приёмника Ar, дБ	Gr = 1 hr = 1.5м	ф-лы таб.3 [10]	-1,5	-1,5	1,8	7	5	0,7	0	0	0		
Снижение поверхностью земли в средней зоне, Am дБ	Gm = 1	ф-лы таб.3 [10]	-2,3	-2,3	0	0	0	0	0	0	0		
Суммарное снижение поверхностью земли на траектории распространения звука Agr, дБ		ф-ла (9) [10]	-5,3	-5,3	0,3	5,5	3,5	-0,8	-1,5	-1,5	-1,5		
Уровни звукового давления прямого звука от источника ИШ-6-6 в расчётной точке днём, дБ		**ф-ла(3)[10]**	**0**	**40,7**	**36,4**	**32,3**	**34,1**	**37,3**	**33,4**	**24,9**	**3,4**	**40,1**	**40,1**
Расчёт отражённого звука													
Уровни звукового давления от мнимого источника ИШ-6-6_мн.(1) в расчётной точке днём, дБ		**ф-ла(3)[10]**	**0**	**0**	**0**	**0**	**0**	**0**	**0**	**0**	**0,7**	**0**	**0**

1		2	3	4	5	6	7	8	9	10	11	12	13
Уровни звукового давления от источника ИШ-6-6 в расчётной точке днём, дБ		**ф-ла(3)[10]**	**0**	**40,7**	**36,4**	**32,3**	**34,1**	**37,3**	**33,4**	**24,9**	**5,3**	**40,1**	**40,1**
Источник шума: ИШ-6-7, координаты источника (x,y,z), м =[830.30,104.49,1.00]													
Уровни звуковой мощности источника днём, Lw, дБ		**исходные данные**	**0**	**96,3**	**97,7**	**99**	**99,3**	**98,9**	**95,6**	**91,4**	**86,9**		
Поправка на телесный угол DΩ, дБ	Ω = 12.57	10Lg(4π/Ω)	**0**	0	0	0	0	0	0	0	0		
Показатель направленности источника Di, дБ		исходные данные	**0**	0	0	0	0	0	0	0	0		
Поправка на направленность источника Dc, дБ	Dc	DΩ + Di	**0**	0	0	0	0	0	0	0	0		
Затухание из-за геометрической дивергенции, Adiv, дБ	расстояние = 309.19 м	ф-ла (7) [10]	**60,8**										
Коэффициент затухания звука в атмосфере α, дБ/км	Ta=20,°C Pa=101.33,кПа hотн.=70%	ф-ла (5) [9]	0,02	0,09	0,33	1,12	2,79	4,98	9,04	23,09	77,63		
Учет затухания звука в атмосфере Aatm, дБ		ф-ла (8) [10]	0	0	0,1	0,3	0,9	1,5	2,8	7,1	24		
Снижение поверхностью земли возле источника As, дБ	Gs = 0 hs = 1м	ф-лы таб.3 [10]	-1,5	-1,5	-1,5	-1,5	-1,5	-1,5	-1,5	-1,5	-1,5		
Снижение поверхностью земли возле приёмника Ar, дБ	Gr = 1 hr = 1.5м	ф-лы таб.3 [10]	-1,5	-1,5	1,8	7	5	0,7	0	0	0		
Снижение поверхностью земли в средней зоне, Am дБ	Gm = 1	ф-лы таб.3 [10]	-2,3	-2,3	0	0	0	0	0	0	0		
Суммарное снижение поверхностью земли на траектории распространения звука Agr, дБ		ф-ла (9) [10]	-5,3	-5,3	0,3	5,5	3,5	-0,8	-1,5	-1,5	-1,5		
Уровни звукового давления прямого звука от источника ИШ-6-7 в расчётной точке днём, дБ		**ф-ла(3)[10]**	**0**	**40,7**	**36,5**	**32,3**	**34,2**	**37,4**	**33,5**	**24,9**	**3,6**	**40,2**	**40,2**
Расчёт отражённого звука													
Уровни звукового давления от мнимого источника ИШ-6-7_мн.(1) в расчётной точке днём, дБ		**ф-ла(3)[10]**	**0**	**0**	**0**	**0**	**0**	**0**	**0**	**0**	**0**	**0**	**0**

1		2	3	4	5	6	7	8	9	10	11	12	13
Уровни звукового давления от источника ИШ-6-7 в расчётной точке днём, дБ		**ф-ла(3)[10]**	**0**	**40,7**	**36,5**	**32,3**	**34,2**	**37,4**	**33,5**	**24,9**	**3,6**	**40,2**	**40,2**
Источник шума: ИШ-6-8, координаты источника (x,y,z), м =[829.36,101.42,1.00]													
Уровни звуковой мощности источника днём, Lw, дБ		**исходные данные**	**0**	**96,3**	**97,7**	**99**	**99,3**	**98,9**	**95,6**	**91,4**	**86,9**		
Поправка на телесный угол DΩ, дБ	Ω = 12.57	10Lg(4π/Ω)	**0**	0	0	0	0	0	0	0	0		
Показатель направленности источника Di, дБ		исходные данные	**0**	0	0	0	0	0	0	0	0		
Поправка на направленность источника Dc, дБ	Dc	DΩ + Di	**0**	0	0	0	0	0	0	0	0		
Затухание из-за геометрической дивергенции, Adiv, дБ	расстояние = 306.96 м	ф-ла (7) [10]	**60,7**										
Коэффициент затухания звука в атмосфере α, дБ/км	Ta=20,°C Pa=101.33,кПа hотн.=70%	ф-ла (5) [9]	0,02	0,09	0,33	1,12	2,79	4,98	9,04	23,09	77,63		
Учет затухания звука в атмосфере Aatm, дБ		ф-ла (8) [10]	0	0	0,1	0,3	0,9	1,5	2,8	7,1	23,8		
Снижение поверхностью земли возле источника As, дБ	Gs = 0 hs = 1м	ф-лы таб.3 [10]	-1,5	-1,5	-1,5	-1,5	-1,5	-1,5	-1,5	-1,5	-1,5		
Снижение поверхностью земли возле приёмника Ar, дБ	Gr = 1 hr = 1.5м	ф-лы таб.3 [10]	-1,5	-1,5	1,8	7	5	0,7	0	0	0		
Снижение поверхностью земли в средней зоне, Am дБ	Gm = 1	ф-лы таб.3 [10]	-2,3	-2,3	0	0	0	0	0	0	0		
Суммарное снижение поверхностью земли на траектории распространения звука Agr, дБ		ф-ла (9) [10]	-5,3	-5,3	0,3	5,5	3,5	-0,8	-1,5	-1,5	-1,5		
Уровни звукового давления прямого звука от источника ИШ-6-8 в расчётной точке днём, дБ		**ф-ла(3)[10]**	**0**	**40,8**	**36,6**	**32,4**	**34,2**	**37,5**	**33,6**	**25,1**	**3,8**	**40,3**	**40,3**
Расчёт отражённого звука													
Уровни звукового давления от мнимого источника ИШ-6-8_мн.(1) в расчётной точке днём, дБ		**ф-ла(3)[10]**	**0**	**0**	**0**	**0**	**0**	**0**	**0**	**0**	**0**	**0**	**0**

1		2	3	4	5	6	7	8	9	10	11	12	13
Уровни звукового давления от источника ИШ-6-8 в расчётной точке днём, дБ		**ф-ла(3)[10]**	**0**	**40,8**	**36,6**	**32,4**	**34,2**	**37,5**	**33,6**	**25,1**	**3,8**	**40,3**	**40,3**
Источник шума: ИШ-6-9, координаты источника (x,y,z), м =[828.03,98.62,1.00]													
Уровни звуковой мощности источника днём, Lw, дБ		**исходные данные**	**0**	**96,3**	**97,7**	**99**	**99,3**	**98,9**	**95,6**	**91,4**	**86,9**		
Поправка на телесный угол DΩ, дБ	Ω = 12.57	10Lg(4π/Ω)	**0**	0	0	0	0	0	0	0	0		
Показатель направленности источника Di, дБ		исходные данные	**0**	0	0	0	0	0	0	0	0		
Поправка на направленность источника Dc, дБ	Dc	DΩ + Di	**0**	0	0	0	0	0	0	0	0		
Затухание из-за геометрической дивергенции, Adiv, дБ	расстояние = 304.51 м	ф-ла (7) [10]	**60,7**										
Коэффициент затухания звука в атмосфере α, дБ/км	Ta=20,°C Pa=101.33,кПа hотн.=70%	ф-ла (5) [9]	0,02	0,09	0,33	1,12	2,79	4,98	9,04	23,09	77,63		
Учет затухания звука в атмосфере Aatm, дБ		ф-ла (8) [10]	0	0	0,1	0,3	0,8	1,5	2,8	7	23,6		
Снижение поверхностью земли возле источника As, дБ	Gs = 0 hs = 1м	ф-лы таб.3 [10]	-1,5	-1,5	-1,5	-1,5	-1,5	-1,5	-1,5	-1,5	-1,5		
Снижение поверхностью земли возле приёмника Ar, дБ	Gr = 1 hr = 1.5м	ф-лы таб.3 [10]	-1,5	-1,5	1,8	7	5	0,7	0	0	0		
Снижение поверхностью земли в средней зоне, Am дБ	Gm = 1	ф-лы таб.3 [10]	-2,3	-2,3	0	0	0	0	0	0	0		
Суммарное снижение поверхностью земли на траектории распространения звука Agr, дБ		ф-ла (9) [10]	-5,3	-5,3	0,3	5,5	3,5	-0,8	-1,5	-1,5	-1,5		
Уровни звукового давления прямого звука от источника ИШ-6-9 в расчётной точке днём, дБ		**ф-ла(3)[10]**	**0**	**40,9**	**36,7**	**32,5**	**34,3**	**37,5**	**33,7**	**25,2**	**4,1**	**40,4**	**40,4**
Расчёт отражённого звука													
Уровни звукового давления от мнимого источника ИШ-6-9_мн.(1) в расчётной точке днём, дБ		**ф-ла(3)[10]**	**0**	**0**	**0**	**0**	**0**	**0**	**0**	**0**	**0**	**0**	**0**

1		2	3	4	5	6	7	8	9	10	11	12	13
Уровни звукового давления от источника ИШ-6-9 в расчётной точке днём, дБ		**ф-ла(3)[10]**	**0**	**40,9**	**36,7**	**32,5**	**34,3**	**37,5**	**33,7**	**25,2**	**4,1**	**40,4**	**40,4**
Источник шума: ИШ-6-10, координаты источника (x,y,z), м =[827.23,95.55,1.00]													
Уровни звуковой мощности источника днём, Lw, дБ		**исходные данные**	**0**	**96,3**	**97,7**	**99**	**99,3**	**98,9**	**95,6**	**91,4**	**86,9**		
Поправка на телесный угол DΩ, дБ	Ω = 12.57	10Lg(4π/Ω)	**0**	0	0	0	0	0	0	0	0		
Показатель направленности источника Di, дБ		исходные данные	**0**	0	0	0	0	0	0	0	0		
Поправка на направленность источника Dc, дБ	Dc	DΩ + Di	**0**	0	0	0	0	0	0	0	0		
Затухание из-за геометрической дивергенции, Adiv, дБ	расстояние = 302.43 м	ф-ла (7) [10]	**60,6**										
Коэффициент затухания звука в атмосфере α, дБ/км	Ta=20,°C Pa=101.33,кПа hотн.=70%	ф-ла (5) [9]	0,02	0,09	0,33	1,12	2,79	4,98	9,04	23,09	77,63		
Учет затухания звука в атмосфере Aatm, дБ		ф-ла (8) [10]	0	0	0,1	0,3	0,8	1,5	2,7	7	23,5		
Снижение поверхностью земли возле источника As, дБ	Gs = 0 hs = 1м	ф-лы таб.3 [10]	-1,5	-1,5	-1,5	-1,5	-1,5	-1,5	-1,5	-1,5	-1,5		
Снижение поверхностью земли возле приёмника Ar, дБ	Gr = 1 hr = 1.5м	ф-лы таб.3 [10]	-1,5	-1,5	1,7	7	5	0,7	0	0	0		
Снижение поверхностью земли в средней зоне, Am дБ	Gm = 1	ф-лы таб.3 [10]	-2,3	-2,3	0	0	0	0	0	0	0		
Суммарное снижение поверхностью земли на траектории распространения звука Agr, дБ		ф-ла (9) [10]	-5,3	-5,3	0,2	5,5	3,5	-0,8	-1,5	-1,5	-1,5		
Уровни звукового давления прямого звука от источника ИШ-6-10 в расчётной точке днём, дБ		**ф-ла(3)[10]**	**0**	**40,9**	**36,7**	**32,5**	**34,4**	**37,6**	**33,7**	**25,3**	**4,3**	**40,4**	**40,4**
Расчёт отражённого звука													
Уровни звукового давления от мнимого источника ИШ-6-10_мн.(1) в расчётной точке днём, дБ		**ф-ла(3)[10]**	**0**	**0**	**0**	**0**	**0**	**0**	**0**	**0**	**0**	**0**	**0**

1		2	3	4	5	6	7	8	9	10	11	12	13
Уровни звукового давления от источника ИШ-6-10 в расчётной точке днём, дБ		**ф-ла(3)[10]**	**0**	**40,9**	**36,7**	**32,5**	**34,4**	**37,6**	**33,7**	**25,3**	**4,3**	**40,4**	**40,4**
Источник шума: ИШ-6-11, координаты источника (x,y,z), м =[826.30,92.48,1.00]													
Уровни звуковой мощности источника днём, Lw, дБ		**исходные данные**	**0**	**96,3**	**97,7**	**99**	**99,3**	**98,9**	**95,6**	**91,4**	**86,9**		
Поправка на телесный угол DΩ, дБ	Ω = 12.57	10Lg(4π/Ω)	**0**	0	0	0	0	0	0	0	0		
Показатель направленности источника Di, дБ		исходные данные	**0**	0	0	0	0	0	0	0	0		
Поправка на направленность источника Dc, дБ	Dc	DΩ + Di	**0**	0	0	0	0	0	0	0	0		
Затухание из-за геометрической дивергенции, Adiv, дБ	расстояние = 300.26 м	ф-ла (7) [10]	**60,5**										
Коэффициент затухания звука в атмосфере α, дБ/км	Ta=20,°C Pa=101.33,кПа hотн.=70%	ф-ла (5) [9]	0,02	0,09	0,33	1,12	2,79	4,98	9,04	23,09	77,63		
Учет затухания звука в атмосфере Aatm, дБ		ф-ла (8) [10]	0	0	0,1	0,3	0,8	1,5	2,7	6,9	23,3		
Снижение поверхностью земли возле источника As, дБ	Gs = 0 hs = 1м	ф-лы таб.3 [10]	-1,5	-1,5	-1,5	-1,5	-1,5	-1,5	-1,5	-1,5	-1,5		
Снижение поверхностью земли возле приёмника Ar, дБ	Gr = 1 hr = 1.5м	ф-лы таб.3 [10]	-1,5	-1,5	1,7	7	5	0,7	0	0	0		
Снижение поверхностью земли в средней зоне, Am дБ	Gm = 1	ф-лы таб.3 [10]	-2,3	-2,3	0	0	0	0	0	0	0		
Суммарное снижение поверхностью земли на траектории распространения звука Agr, дБ		ф-ла (9) [10]	-5,3	-5,3	0,2	5,5	3,5	-0,8	-1,5	-1,5	-1,5		
Уровни звукового давления прямого звука от источника ИШ-6-11 в расчётной точке днём, дБ		**ф-ла(3)[10]**	**0**	**41**	**36,8**	**32,6**	**34,4**	**37,7**	**33,8**	**25,4**	**4,5**	**40,5**	**40,5**
Расчёт отражённого звука													
Уровни звукового давления от мнимого источника ИШ-6-11_мн.(1) в расчётной точке днём, дБ		**ф-ла(3)[10]**	**0**	**0**	**0**	**0**	**0**	**0**	**0**	**0**	**0**	**0**	**0**

1		2	3	4	5	6	7	8	9	10	11	12	13
Уровни звукового давления от источника ИШ-6-11 в расчётной точке днём, дБ		**ф-ла(3)[10]**	**0**	**41**	**36,8**	**32,6**	**34,4**	**37,7**	**33,8**	**25,4**	**4,5**	**40,5**	**40,5**
Источник шума: ИШ-6-12, координаты источника (x,y,z), м =[825.09,89.54,1.00]													
Уровни звуковой мощности источника днём, Lw, дБ		**исходные данные**	**0**	**96,3**	**97,7**	**99**	**99,3**	**98,9**	**95,6**	**91,4**	**86,9**		
Поправка на телесный угол DΩ, дБ	Ω = 12.57	10Lg(4π/Ω)	**0**	0	0	0	0	0	0	0	0		
Показатель направленности источника Di, дБ		исходные данные	**0**	0	0	0	0	0	0	0	0		
Поправка на направленность источника Dc, дБ	Dc	DΩ + Di	**0**	0	0	0	0	0	0	0	0		
Затухание из-за геометрической дивергенции, Adiv, дБ	расстояние = 297.91 м	ф-ла (7) [10]	**60,5**										
Коэффициент затухания звука в атмосфере α, дБ/км	Ta=20,°C Pa=101.33,кПа hотн.=70%	ф-ла (5) [9]	0,02	0,09	0,33	1,12	2,79	4,98	9,04	23,09	77,63		
Учет затухания звука в атмосфере Aatm, дБ		ф-ла (8) [10]	0	0	0,1	0,3	0,8	1,5	2,7	6,9	23,1		
Снижение поверхностью земли возле источника As, дБ	Gs = 0 hs = 1м	ф-лы таб.3 [10]	-1,5	-1,5	-1,5	-1,5	-1,5	-1,5	-1,5	-1,5	-1,5		
Снижение поверхностью земли возле приёмника Ar, дБ	Gr = 1 hr = 1.5м	ф-лы таб.3 [10]	-1,5	-1,5	1,7	7	5	0,7	0	0	0		
Снижение поверхностью земли в средней зоне, Am дБ	Gm = 1	ф-лы таб.3 [10]	-2,2	-2,2	0	0	0	0	0	0	0		
Суммарное снижение поверхностью земли на траектории распространения звука Agr, дБ		ф-ла (9) [10]	-5,2	-5,2	0,2	5,5	3,5	-0,8	-1,5	-1,5	-1,5		
Уровни звукового давления прямого звука от источника ИШ-6-12 в расчётной точке днём, дБ		**ф-ла(3)[10]**	**0**	**41**	**36,9**	**32,7**	**34,5**	**37,8**	**33,9**	**25,5**	**4,8**	**40,6**	**40,6**
Расчёт отражённого звука													
Уровни звукового давления от мнимого источника ИШ-6-12_мн.(1) в расчётной точке днём, дБ		**ф-ла(3)[10]**	**0**	**0**	**0**	**0**	**0**	**0**	**0**	**0**	**0**	**0**	**0**

1		2	3	4	5	6	7	8	9	10	11	12	13
Уровни звукового давления от источника ИШ-6-12 в расчётной точке днём, дБ		**ф-ла(3)[10]**	**0**	**41**	**36,9**	**32,7**	**34,5**	**37,8**	**33,9**	**25,5**	**4,8**	**40,6**	**40,6**
Источник шума: ИШ-6-13, координаты источника (x,y,z), м =[767.76,-114.15,1.00]													
Уровни звуковой мощности источника днём, Lw, дБ		**исходные данные**	**0**	**96,3**	**97,7**	**99**	**99,3**	**98,9**	**95,6**	**91,4**	**86,9**		
Поправка на телесный угол DΩ, дБ	Ω = 12.57	10Lg(4π/Ω)	**0**	0	0	0	0	0	0	0	0		
Показатель направленности источника Di, дБ		исходные данные	**0**	0	0	0	0	0	0	0	0		
Поправка на направленность источника Dc, дБ	Dc	DΩ + Di	**0**	0	0	0	0	0	0	0	0		
Затухание из-за геометрической дивергенции, Adiv, дБ	расстояние = 225.83 м	ф-ла (7) [10]	**58,1**										
Коэффициент затухания звука в атмосфере α, дБ/км	Ta=20,°C Pa=101.33,кПа hотн.=70%	ф-ла (5) [9]	0,02	0,09	0,33	1,12	2,79	4,98	9,04	23,09	77,63		
Учет затухания звука в атмосфере Aatm, дБ		ф-ла (8) [10]	0	0	0,1	0,3	0,6	1,1	2	5,2	17,5		
Снижение уровня звукового давления из-за влияния застройки между источником шума и расчетной точкой													
Снижение уровня звукового давления на пути над экраном, Dz1, дБ	z = 1.11м (разность путей)	ф-лы (14-18) [10]	7,8	9,9	12,9	17	21	24,4	27,5	30,5	33,6		
Снижение уровня звукового давления на пути слева от экрана, Dz2, дБ	z = 12.46м (разность путей)	ф-лы (14-18) [10]	17	20,3	24,2	28,7	32,8	36,3	39,4	42,4	45,5		
Снижение уровня звукового давления на пути справа от экрана, Dz3, дБ	z = 9.54м (разность путей)	ф-лы (14-18) [10]	16	19,2	23	27,6	31,7	35,1	38,2	41,3	44,3		
Общее снижение уровня звука препятствием Dz, дБ		Эн.сумма(-Dzi)	6,8	9	12,2	16,4	20,4	23,8	26,9	29,9	33		
Общее снижение уровня звука препятствием с учётом ограничения (25 дБ) для октавных полос Dz, дБ		Раздел 7.4 [10]	6,8	9	12,2	16,4	20,4	23,8	25	25	25		
Уровни звукового давления от источника ИШ-6-13 в расчётной точке днём, дБ		**ф-ла(3)[10]**	**0**	**29,2**	**27,3**	**24,2**	**20,2**	**15,9**	**10,5**	**3,1**	**0**	**22**	**22**

1		2	3	4	5	6	7	8	9	10	11	12	13
Источник шума: ИШ-6-14, координаты источника (x,y,z), м =[766.82,-117.10,1.00]													
Уровни звуковой мощности источника днём, Lw, дБ		**исходные данные**	**0**	**96,3**	**97,7**	**99**	**99,3**	**98,9**	**95,6**	**91,4**	**86,9**		
Поправка на телесный угол DΩ, дБ	Ω = 12.57	10Lg(4π/Ω)	**0**	0	0	0	0	0	0	0	0		
Показатель направленности источника Di, дБ		исходные данные	**0**	0	0	0	0	0	0	0	0		
Поправка на направленность источника Dc, дБ	Dc	DΩ + Di	**0**	0	0	0	0	0	0	0	0		
Затухание из-за геометрической дивергенции, Adiv, дБ	расстояние = 225.97 м	ф-ла (7) [10]	**58,1**										
Коэффициент затухания звука в атмосфере α, дБ/км	Ta=20,°C Pa=101.33,кПа hотн.=70%	ф-ла (5) [9]	0,02	0,09	0,33	1,12	2,79	4,98	9,04	23,09	77,63		
Учет затухания звука в атмосфере Aatm, дБ		ф-ла (8) [10]	0	0	0,1	0,3	0,6	1,1	2	5,2	17,5		
Снижение уровня звукового давления из-за влияния застройки между источником шума и расчетной точкой													
Снижение уровня звукового давления на пути над экраном, Dz1, дБ	z = 1.11м (разность путей)	ф-лы (14-18) [10]	7,8	9,9	12,9	17	21	24,4	27,5	30,5	33,6		
Снижение уровня звукового давления на пути слева от экрана, Dz2, дБ	z = 12.08м (разность путей)	ф-лы (14-18) [10]	16,9	20,2	24	28,6	32,7	36,1	39,3	42,3	45,3		
Снижение уровня звукового давления на пути справа от экрана, Dz3, дБ	z = 9.87м (разность путей)	ф-лы (14-18) [10]	16,1	19,3	23,2	27,7	31,8	35,3	38,4	41,4	44,4		
Общее снижение уровня звука препятствием Dz, дБ		Эн.сумма(-Dzi)	6,8	9	12,2	16,4	20,4	23,8	26,9	29,9	33		
Общее снижение уровня звука препятствием с учётом ограничения (25 дБ) для октавных полос Dz, дБ		Раздел 7.4 [10]	6,8	9	12,2	16,4	20,4	23,8	25	25	25		
Уровни звукового давления от источника ИШ-6-14 в расчётной точке днём, дБ		**ф-ла(3)[10]**	**0**	**29,1**	**27,3**	**24,2**	**20,2**	**15,9**	**10,5**	**3,1**	**0**	**22**	**22**
Источник шума: ИШ-6-15, координаты источника (x,y,z), м =[765.71,-120.27,1.00]													

1		2	3	4	5	6	7	8	9	10	11	12	13
Уровни звуковой мощности источника днём, Lw, дБ		**исходные данные**	**0**	**96,3**	**97,7**	**99**	**99,3**	**98,9**	**95,6**	**91,4**	**86,9**		
Поправка на телесный угол DΩ, дБ	Ω = 12.57	10Lg(4π/Ω)	**0**	0	0	0	0	0	0	0	0		
Показатель направленности источника Di, дБ		исходные данные	**0**	0	0	0	0	0	0	0	0		
Поправка на направленность источника Dc, дБ	Dc	DΩ + Di	**0**	0	0	0	0	0	0	0	0		
Затухание из-за геометрической дивергенции, Adiv, дБ	расстояние = 226.09 м	ф-ла (7) [10]	**58,1**										
Коэффициент затухания звука в атмосфере α, дБ/км	Ta=20,°C Pa=101.33,кПа hотн.=70%	ф-ла (5) [9]	0,02	0,09	0,33	1,12	2,79	4,98	9,04	23,09	77,63		
Учет затухания звука в атмосфере Aatm, дБ		ф-ла (8) [10]	0	0	0,1	0,3	0,6	1,1	2	5,2	17,6		
Снижение уровня звукового давления из-за влияния застройки между источником шума и расчетной точкой													
Снижение уровня звукового давления на пути над экраном, Dz1, дБ	z = 1.11м (разность путей)	ф-лы (14-18) [10]	7,8	9,9	12,9	17	21	24,4	27,5	30,5	33,6		
Снижение уровня звукового давления на пути слева от экрана, Dz2, дБ	z = 11.67м (разность путей)	ф-лы (14-18) [10]	16,8	20	23,9	28,4	32,5	36	39,1	42,2	45,2		
Снижение уровня звукового давления на пути справа от экрана, Dz3, дБ	z = 10.24м (разность путей)	ф-лы (14-18) [10]	16,3	19,5	23,3	27,9	32	35,4	38,5	41,6	44,6		
Общее снижение уровня звука препятствием Dz, дБ		Эн.сумма(-Dzi)	6,8	9	12,2	16,4	20,4	23,8	26,9	29,9	33		
Общее снижение уровня звука препятствием с учётом ограничения (25 дБ) для октавных полос Dz, дБ		Раздел 7.4 [10]	6,8	9	12,2	16,4	20,4	23,8	25	25	25		
Уровни звукового давления от источника ИШ-6-15 в расчётной точке днём, дБ		**ф-ла(3)[10]**	**0**	**29,1**	**27,3**	**24,2**	**20,2**	**15,9**	**10,5**	**3,1**	**0**	**22**	**22**
Источник шума: ИШ-6-16, координаты источника (x,y,z), м =[764.57,-123.22,1.00]													
Уровни звуковой мощности источника днём, Lw, дБ		**исходные данные**	**0**	**96,3**	**97,7**	**99**	**99,3**	**98,9**	**95,6**	**91,4**	**86,9**		

1		2	3	4	5	6	7	8	9	10	11	12	13
Поправка на телесный угол DΩ, дБ	Ω = 12.57	10Lg(4π/Ω)	**0**	0	0	0	0	0	0	0	0		
Показатель направленности источника Di, дБ		исходные данные	**0**	0	0	0	0	0	0	0	0		
Поправка на направленность источника Dc, дБ	Dc	DΩ + Di	**0**	0	0	0	0	0	0	0	0		
Затухание из-за геометрической дивергенции, Adiv, дБ	расстояние = 226.13 м	ф-ла (7) [10]	**58,1**										
Коэффициент затухания звука в атмосфере α, дБ/км	Ta=20,°C Pa=101.33,кПа hотн.=70%	ф-ла (5) [9]	0,02	0,09	0,33	1,12	2,79	4,98	9,04	23,09	77,63		
Учет затухания звука в атмосфере Aatm, дБ		ф-ла (8) [10]	0	0	0,1	0,3	0,6	1,1	2	5,2	17,6		
Снижение уровня звукового давления из-за влияния застройки между источником шума и расчетной точкой													
Снижение уровня звукового давления на пути над экраном, Dz1, дБ	z = 1.11м (разность путей)	ф-лы (14-18) [10]	7,8	9,9	12,9	17	21	24,4	27,5	30,5	33,5		
Снижение уровня звукового давления на пути слева от экрана, Dz2, дБ	z = 11.30м (разность путей)	ф-лы (14-18) [10]	16,6	19,9	23,8	28,3	32,4	35,8	39	42	45		
Снижение уровня звукового давления на пути справа от экрана, Dz3, дБ	z = 10.59м (разность путей)	ф-лы (14-18) [10]	16,4	19,6	23,5	28	32,1	35,6	38,7	41,7	44,8		
Общее снижение уровня звука препятствием Dz, дБ		Эн.сумма(-Dzi)	6,8	9	12,2	16,4	20,4	23,8	26,9	29,9	33		
Общее снижение уровня звука препятствием с учётом ограничения (25 дБ) для октавных полос Dz, дБ		Раздел 7.4 [10]	6,8	9	12,2	16,4	20,4	23,8	25	25	25		
Уровни звукового давления от источника ИШ-6-16 в расчётной точке днём, дБ		**ф-ла(3)[10]**	**0**	**29,1**	**27,3**	**24,2**	**20,2**	**15,9**	**10,5**	**3,1**	**0**	**22**	**22**
Источник шума: ИШ-6-17, координаты источника (x,y,z), м =[763.57,-126.18,1.00]													
Уровни звуковой мощности источника днём, Lw, дБ		**исходные данные**	**0**	**96,3**	**97,7**	**99**	**99,3**	**98,9**	**95,6**	**91,4**	**86,9**		
Поправка на телесный угол DΩ, дБ	Ω = 12.57	10Lg(4π/Ω)	**0**	0	0	0	0	0	0	0	0		

1		2	3	4	5	6	7	8	9	10	11	12	13
Показатель направленности источника Di, дБ		исходные данные	**0**	0	0	0	0	0	0	0	0		
Поправка на направленность источника Dc, дБ	Dc	DΩ + Di	**0**	0	0	0	0	0	0	0	0		
Затухание из-за геометрической дивергенции, Adiv, дБ	расстояние = 226.35 м	ф-ла (7) [10]	**58,1**										
Коэффициент затухания звука в атмосфере α, дБ/км	Ta=20,°C Pa=101.33,кПа hотн.=70%	ф-ла (5) [9]	0,02	0,09	0,33	1,12	2,79	4,98	9,04	23,09	77,63		
Учет затухания звука в атмосфере Aatm, дБ		ф-ла (8) [10]	0	0	0,1	0,3	0,6	1,1	2	5,2	17,6		
Снижение уровня звукового давления из-за влияния застройки между источником шума и расчетной точкой													
Снижение уровня звукового давления на пути над экраном, Dz1, дБ	z = 1.11м (разность путей)	ф-лы (14-18) [10]	7,8	9,9	12,9	17	21	24,4	27,5	30,5	33,5		
Снижение уровня звукового давления на пути слева от экрана, Dz2, дБ	z = 10.94м (разность путей)	ф-лы (14-18) [10]	16,5	19,7	23,6	28,1	32,3	35,7	38,8	41,9	44,9		
Снижение уровня звукового давления на пути справа от экрана, Dz3, дБ	z = 10.94м (разность путей)	ф-лы (14-18) [10]	16,5	19,7	23,6	28,1	32,3	35,7	38,8	41,9	44,9		
Общее снижение уровня звука препятствием Dz, дБ		Эн.сумма(-Dzi)	6,8	9	12,2	16,4	20,4	23,8	26,9	29,9	32,9		
Общее снижение уровня звука препятствием с учётом ограничения (25 дБ) для октавных полос Dz, дБ		Раздел 7.4 [10]	6,8	9	12,2	16,4	20,4	23,8	25	25	25		
Уровни звукового давления от источника ИШ-6-17 в расчётной точке днём, дБ		**ф-ла(3)[10]**	**0**	**29,1**	**27,3**	**24,2**	**20,2**	**15,9**	**10,5**	**3,1**	**0**	**22**	**22**
Источник шума: ИШ-6-18, координаты источника (x,y,z), м =[804.77,-126.28,1.00]													
Уровни звуковой мощности источника днём, Lw, дБ		**исходные данные**	**0**	**96,3**	**97,7**	**99**	**99,3**	**98,9**	**95,6**	**91,4**	**86,9**		
Поправка на телесный угол DΩ, дБ	Ω = 12.57	10Lg(4π/Ω)	**0**	0	0	0	0	0	0	0	0		
Показатель направленности источника Di, дБ		исходные данные	**0**	0	0	0	0	0	0	0	0		

1		2	3	4	5	6	7	8	9	10	11	12	13
Поправка на направленность источника Dc, дБ	Dc	DΩ + Di	**0**	0	0	0	0	0	0	0	0		
Затухание из-за геометрической дивергенции, Adiv, дБ	расстояние = 264.77 м	ф-ла (7) [10]	**59,5**										
Коэффициент затухания звука в атмосфере α, дБ/км	Ta=20,°C Pa=101.33,кПа hотн.=70%	ф-ла (5) [9]	0,02	0,09	0,33	1,12	2,79	4,98	9,04	23,09	77,63		
Учет затухания звука в атмосфере Aatm, дБ		ф-ла (8) [10]	0	0	0,1	0,3	0,7	1,3	2,4	6,1	20,6		
Снижение уровня звукового давления из-за влияния застройки между источником шума и расчетной точкой													
Снижение уровня звукового давления на пути над экраном, Dz1, дБ	z = 1.09м (разность путей)	ф-лы (14-18) [10]	7,7	9,6	12,6	16,7	20,7	24	27,2	30,2	33,2		
Снижение уровня звукового давления на пути слева от экрана, Dz2, дБ	z = 12.34м (разность путей)	ф-лы (14-18) [10]	17	20,2	24,1	28,7	32,8	36,2	39,4	42,4	45,4		
Снижение уровня звукового давления на пути справа от экрана, Dz3, дБ	z = 9.25м (разность путей)	ф-лы (14-18) [10]	15,8	19	22,9	27,4	31,5	35	38,1	41,1	44,2		
Общее снижение уровня звука препятствием Dz, дБ		Эн.сумма(-Dzi)	6,6	8,8	12	16,1	20,1	23,5	26,6	29,6	32,6		
Общее снижение уровня звука препятствием с учётом ограничения (25 дБ) для октавных полос Dz, дБ		Раздел 7.4 [10]	6,6	8,8	12	16,1	20,1	23,5	25	25	25		
Уровни звукового давления от источника ИШ-6-18 в расчётной точке днём, дБ		**ф-ла(3)[10]**	**0**	**28**	**26,2**	**23,1**	**19**	**14,6**	**8,7**	**0,8**	**0**	**20,7**	**20,7**
Источник шума: ИШ-6-19, координаты источника (x,y,z), м =[803.81,-129.30,1.00]													
Уровни звуковой мощности источника днём, Lw, дБ		**исходные данные**	**0**	**96,3**	**97,7**	**99**	**99,3**	**98,9**	**95,6**	**91,4**	**86,9**		
Поправка на телесный угол DΩ, дБ	Ω = 12.57	10Lg(4π/Ω)	**0**	0	0	0	0	0	0	0	0		
Показатель направленности источника Di, дБ		исходные данные	**0**	0	0	0	0	0	0	0	0		
Поправка на направленность источника Dc, дБ	Dc	DΩ + Di	**0**	0	0	0	0	0	0	0	0		

1		2	3	4	5	6	7	8	9	10	11	12	13
Затухание из-за геометрической дивергенции, Adiv, дБ	расстояние = 264.90 м	ф-ла (7) [10]	**59,5**										
Коэффициент затухания звука в атмосфере α, дБ/км	Ta=20,°C Pa=101.33,кПа hотн.=70%	ф-ла (5) [9]	0,02	0,09	0,33	1,12	2,79	4,98	9,04	23,09	77,63		
Учет затухания звука в атмосфере Aatm, дБ		ф-ла (8) [10]	0	0	0,1	0,3	0,7	1,3	2,4	6,1	20,6		
Снижение уровня звукового давления из-за влияния застройки между источником шума и расчетной точкой													
Снижение уровня звукового давления на пути над экраном, Dz1, дБ	z = 1.09м (разность путей)	ф-лы (14-18) [10]	7,7	9,6	12,6	16,7	20,7	24	27,2	30,2	33,2		
Снижение уровня звукового давления на пути слева от экрана, Dz2, дБ	z = 12.01м (разность путей)	ф-лы (14-18) [10]	16,9	20,1	24	28,5	32,7	36,1	39,2	42,3	45,3		
Снижение уровня звукового давления на пути справа от экрана, Dz3, дБ	z = 9.53м (разность путей)	ф-лы (14-18) [10]	16	19,2	23	27,6	31,7	35,1	38,2	41,3	44,3		
Общее снижение уровня звука препятствием Dz, дБ		Эн.сумма(-Dzi)	6,6	8,8	12	16,1	20,1	23,5	26,6	29,6	32,6		
Общее снижение уровня звука препятствием с учётом ограничения (25 дБ) для октавных полос Dz, дБ		Раздел 7.4 [10]	6,6	8,8	12	16,1	20,1	23,5	25	25	25		
Уровни звукового давления от источника ИШ-6-19 в расчётной точке днём, дБ		**ф-ла(3)[10]**	**0**	**28**	**26,2**	**23,1**	**19**	**14,6**	**8,7**	**0,8**	**0**	**20,7**	**20,7**
Источник шума: ИШ-6-20, координаты источника (x,y,z), м =[802.67,-132.35,1.00]													
Уровни звуковой мощности источника днём, Lw, дБ		**исходные данные**	**0**	**96,3**	**97,7**	**99**	**99,3**	**98,9**	**95,6**	**91,4**	**86,9**		
Поправка на телесный угол DΩ, дБ	Ω = 12.57	10Lg(4π/Ω)	**0**	0	0	0	0	0	0	0	0		
Показатель направленности источника Di, дБ		исходные данные	**0**	0	0	0	0	0	0	0	0		
Поправка на направленность источника Dc, дБ	Dc	DΩ + Di	**0**	0	0	0	0	0	0	0	0		
Затухание из-за геометрической дивергенции, Adiv, дБ	расстояние = 264.91 м	ф-ла (7) [10]	**59,5**										

1		2	3	4	5	6	7	8	9	10	11	12	13
Коэффициент затухания звука в атмосфере α, дБ/км	Ta=20,°C Pa=101.33,кПа hотн.=70%	ф-ла (5) [9]	0,02	0,09	0,33	1,12	2,79	4,98	9,04	23,09	77,63		
Учет затухания звука в атмосфере Aatm, дБ		ф-ла (8) [10]	0	0	0,1	0,3	0,7	1,3	2,4	6,1	20,6		
Снижение уровня звукового давления из-за влияния застройки между источником шума и расчетной точкой													
Снижение уровня звукового давления на пути над экраном, Dz1, дБ	z = 1.09м (разность путей)	ф-лы (14-18) [10]	7,7	9,6	12,6	16,7	20,7	24	27,2	30,2	33,2		
Снижение уровня звукового давления на пути слева от экрана, Dz2, дБ	z = 11.68м (разность путей)	ф-лы (14-18) [10]	16,8	20	23,9	28,4	32,5	36	39,1	42,2	45,2		
Снижение уровня звукового давления на пути справа от экрана, Dz3, дБ	z = 9.82м (разность путей)	ф-лы (14-18) [10]	16,1	19,3	23,2	27,7	31,8	35,2	38,4	41,4	44,4		
Общее снижение уровня звука препятствием Dz, дБ		Эн.сумма(-Dzi)	6,6	8,8	12	16,1	20,1	23,5	26,6	29,6	32,6		
Общее снижение уровня звука препятствием с учётом ограничения (25 дБ) для октавных полос Dz, дБ		Раздел 7.4 [10]	6,6	8,8	12	16,1	20,1	23,5	25	25	25		
Уровни звукового давления от источника ИШ-6-20 в расчётной точке днём, дБ		**ф-ла(3)[10]**	**0**	**28**	**26,2**	**23,1**	**19**	**14,6**	**8,7**	**0,8**	**0**	**20,7**	**20,7**
Источник шума: ИШ-6-21, координаты источника (x,y,z), м =[801.69,-135.42,1.00]													
Уровни звуковой мощности источника днём, Lw, дБ		**исходные данные**	**0**	**96,3**	**97,7**	**99**	**99,3**	**98,9**	**95,6**	**91,4**	**86,9**		
Поправка на телесный угол DΩ, дБ	Ω = 12.57	10Lg(4π/Ω)	**0**	0	0	0	0	0	0	0	0		
Показатель направленности источника Di, дБ		исходные данные	**0**	0	0	0	0	0	0	0	0		
Поправка на направленность источника Dc, дБ	Dc	DΩ + Di	**0**	0	0	0	0	0	0	0	0		
Затухание из-за геометрической дивергенции, Adiv, дБ	расстояние = 265.11 м	ф-ла (7) [10]	**59,5**										
Коэффициент затухания звука в атмосфере α, дБ/км	Ta=20,°C Pa=101.33,кПа hотн.=70%	ф-ла (5) [9]	0,02	0,09	0,33	1,12	2,79	4,98	9,04	23,09	77,63		

1		2	3	4	5	6	7	8	9	10	11	12	13
Учет затухания звука в атмосфере Aatm, дБ		ф-ла (8) [10]	0	0	0,1	0,3	0,7	1,3	2,4	6,1	20,6		
Снижение уровня звукового давления из-за влияния застройки между источником шума и расчетной точкой													
Снижение уровня звукового давления на пути над экраном, Dz1, дБ	z = 1.09м (разность путей)	ф-лы (14-18) [10]	7,6	9,6	12,6	16,7	20,7	24	27,1	30,2	33,2		
Снижение уровня звукового давления на пути слева от экрана, Dz2, дБ	z = 11.36м (разность путей)	ф-лы (14-18) [10]	16,7	19,9	23,8	28,3	32,4	35,9	39	42	45,1		
Снижение уровня звукового давления на пути справа от экрана, Dz3, дБ	z = 10.12м (разность путей)	ф-лы (14-18) [10]	16,2	19,4	23,3	27,8	31,9	35,4	38,5	41,5	44,6		
Общее снижение уровня звука препятствием Dz, дБ		Эн.сумма(-Dzi)	6,6	8,8	12	16,1	20,1	23,5	26,6	29,6	32,6		
Общее снижение уровня звука препятствием с учётом ограничения (25 дБ) для октавных полос Dz, дБ		Раздел 7.4 [10]	6,6	8,8	12	16,1	20,1	23,5	25	25	25		
Уровни звукового давления от источника ИШ-6-21 в расчётной точке днём, дБ		**ф-ла(3)[10]**	**0**	**28**	**26,2**	**23,1**	**19**	**14,6**	**8,7**	**0,8**	**0**	**20,7**	**20,7**
Источник шума: ИШ-6-22, координаты источника (x,y,z), м =[800.65,-138.47,1.00]													
Уровни звуковой мощности источника днём, Lw, дБ		**исходные данные**	**0**	**96,3**	**97,7**	**99**	**99,3**	**98,9**	**95,6**	**91,4**	**86,9**		
Поправка на телесный угол DΩ, дБ	Ω = 12.57	10Lg(4π/Ω)	**0**	0	0	0	0	0	0	0	0		
Показатель направленности источника Di, дБ		исходные данные	**0**	0	0	0	0	0	0	0	0		
Поправка на направленность источника Dc, дБ	Dc	DΩ + Di	**0**	0	0	0	0	0	0	0	0		
Затухание из-за геометрической дивергенции, Adiv, дБ	расстояние = 265.29 м	ф-ла (7) [10]	**59,5**										
Коэффициент затухания звука в атмосфере α, дБ/км	Ta=20,°C Pa=101.33,кПа hотн.=70%	ф-ла (5) [9]	0,02	0,09	0,33	1,12	2,79	4,98	9,04	23,09	77,63		
Учет затухания звука в атмосфере Aatm, дБ		ф-ла (8) [10]	0	0	0,1	0,3	0,7	1,3	2,4	6,1	20,6		

1		2	3	4	5	6	7	8	9	10	11	12	13
Снижение уровня звукового давления из-за влияния застройки между источником шума и расчетной точкой													
Снижение уровня звукового давления на пути над экраном, Dz1, дБ	z = 1.09м (разность путей)	ф-лы (14-18) [10]	7,6	9,6	12,6	16,7	20,7	24	27,1	30,2	33,2		
Снижение уровня звукового давления на пути слева от экрана, Dz2, дБ	z = 11.04м (разность путей)	ф-лы (14-18) [10]	16,6	19,8	23,7	28,2	32,3	35,7	38,9	41,9	44,9		
Снижение уровня звукового давления на пути справа от экрана, Dz3, дБ	z = 10.42м (разность путей)	ф-лы (14-18) [10]	16,3	19,5	23,4	27,9	32,1	35,5	38,6	41,7	44,7		
Общее снижение уровня звука препятствием Dz, дБ		Эн.сумма(-Dzi)	6,6	8,8	12	16,1	20,1	23,5	26,6	29,6	32,6		
Общее снижение уровня звука препятствием с учётом ограничения (25 дБ) для октавных полос Dz, дБ		Раздел 7.4 [10]	6,6	8,8	12	16,1	20,1	23,5	25	25	25		
Уровни звукового давления от источника ИШ-6-22 в расчётной точке днём, дБ		**ф-ла(3)[10]**	**0**	**28**	**26,2**	**23,1**	**19**	**14,6**	**8,7**	**0,8**	**0**	**20,7**	**20,7**
Источник шума: ИШ-7-1, координаты источника (x,y,z), м =[821.44,63.31,1.00]													
Уровни звуковой мощности источника днём, Lw, дБ		**исходные данные**	**77**	**75**	**67**	**66**	**63**	**55**	**53**	**48**	**51**		
Поправка на телесный угол DΩ, дБ	Ω = 12.57	10Lg(4π/Ω)	**0**	0	0	0	0	0	0	0	0		
Показатель направленности источника Di, дБ		исходные данные	**0**	0	0	0	0	0	0	0	0		
Поправка на направленность источника Dc, дБ	Dc	DΩ + Di	**0**	0	0	0	0	0	0	0	0		
Затухание из-за геометрической дивергенции, Adiv, дБ	расстояние = 284.32 м	ф-ла (7) [10]	**60,1**										
Коэффициент затухания звука в атмосфере α, дБ/км	Ta=20,°C Pa=101.33,кПа hотн.=70%	ф-ла (5) [9]	0,02	0,09	0,33	1,12	2,79	4,98	9,04	23,09	77,63		
Учет затухания звука в атмосфере Aatm, дБ		ф-ла (8) [10]	0	0	0,1	0,3	0,8	1,4	2,6	6,6	22,1		
Снижение уровня звукового давления из-за влияния застройки между источником шума и расчетной точкой													

1		2	3	4	5	6	7	8	9	10	11	12	13
Снижение уровня звукового давления на пути над экраном, Dz1, дБ	z = 0.87м (разность путей)	ф-лы (14-18) [10]	6,9	8,3	10,4	13,4	17,4	21,7	25,3	28,5	31,6		
Снижение уровня звукового давления на пути слева от экрана, Dz2, дБ	z = 37.55м (разность путей)	ф-лы (14-18) [10]	21,7	25	28,9	33,5	37,6	41,1	44,2	47,2	50,3		
Снижение уровня звукового давления на пути справа от экрана, Dz3, дБ	z = 0.09м (разность путей)	ф-лы (14-18) [10]	5,2	5,7	6,4	7,6	9,3	11,4	13,9	16,7	19,5		
Общее снижение уровня звука препятствием Dz, дБ		Эн.сумма(-Dzi)	2,9	3,8	4,9	6,6	8,6	11	13,6	16,4	19,3		
Уровни звукового давления от источника ИШ-7-1 в расчётной точке днём, дБ		**ф-ла(3)[10]**	**14**	**11,1**	**1,9**	**0**	**0**	**0**	**0**	**0**	**0**	**0**	**0**
Источник шума: ИШ-7-2, координаты источника (x,y,z), м =[768.90,-86.75,1.00]													
Уровни звуковой мощности источника днём, Lw, дБ		**исходные данные**	**77**	**75**	**67**	**66**	**63**	**55**	**53**	**48**	**51**		
Поправка на телесный угол DΩ, дБ	Ω = 12.57	10Lg(4π/Ω)	**0**	0	0	0	0	0	0	0	0		
Показатель направленности источника Di, дБ		исходные данные	**0**	0	0	0	0	0	0	0	0		
Поправка на направленность источника Dc, дБ	Dc	DΩ + Di	**0**	0	0	0	0	0	0	0	0		
Затухание из-за геометрической дивергенции, Adiv, дБ	расстояние = 219.12 м	ф-ла (7) [10]	**57,8**										
Коэффициент затухания звука в атмосфере α, дБ/км	Ta=20,°C Pa=101.33,кПа hотн.=70%	ф-ла (5) [9]	0,02	0,09	0,33	1,12	2,79	4,98	9,04	23,09	77,63		
Учет затухания звука в атмосфере Aatm, дБ		ф-ла (8) [10]	0	0	0,1	0,2	0,6	1,1	2	5,1	17		
Снижение уровня звукового давления из-за влияния застройки между источником шума и расчетной точкой													
Снижение уровня звукового давления на пути над экраном, Dz1, дБ	z = 1.12м (разность путей)	ф-лы (14-18) [10]	7,9	9,9	13	17,1	21,1	24,5	27,6	30,6	33,6		
Снижение уровня звукового давления на пути слева от экрана, Dz2, дБ	z = 16.11м (разность путей)	ф-лы (14-18) [10]	18,1	21,4	25,3	29,8	33,9	37,4	40,5	43,6	46,6		

1		2	3	4	5	6	7	8	9	10	11	12	13
Снижение уровня звукового давления на пути справа от экрана, Dz3, дБ	z = 6.96м (разность путей)	ф-лы (14-18) [10]	14,6	17,4	20,2	23,2	26,2	29,1	32,1	35,2	38,2		
Общее снижение уровня звука препятствием Dz, дБ		Эн.сумма(-Dzi)	6,7	8,9	12	16	19,7	23	26,1	29,1	32,1		
Общее снижение уровня звука препятствием с учётом ограничения (25 дБ) для октавных полос Dz, дБ		Раздел 7.4 [10]	6,7	8,9	12	16	19,7	23	25	25	25		
Уровни звукового давления от источника ИШ-7-2 в расчётной точке днём, дБ		**ф-ла(3)[10]**	**12,5**	**8,2**	**0**	**0**	**0**	**0**	**0**	**0**	**0**	**0**	**0**
Источник шума: ИШ-7-3, координаты источника (x,y,z), м =[766.80,-93.20,1.00]													
Уровни звуковой мощности источника днём, Lw, дБ		**исходные данные**	**77**	**75**	**67**	**66**	**63**	**55**	**53**	**48**	**51**		
Поправка на телесный угол DΩ, дБ	Ω = 12.57	10Lg(4π/Ω)	**0**	0	0	0	0	0	0	0	0		
Показатель направленности источника Di, дБ		исходные данные	**0**	0	0	0	0	0	0	0	0		
Поправка на направленность источника Dc, дБ	Dc	DΩ + Di	**0**	0	0	0	0	0	0	0	0		
Затухание из-за геометрической дивергенции, Adiv, дБ	расстояние = 218.65 м	ф-ла (7) [10]	**57,8**										
Коэффициент затухания звука в атмосфере α, дБ/км	Ta=20,°C Pa=101.33,кПа hотн.=70%	ф-ла (5) [9]	0,02	0,09	0,33	1,12	2,79	4,98	9,04	23,09	77,63		
Учет затухания звука в атмосфере Aatm, дБ		ф-ла (8) [10]	0	0	0,1	0,2	0,6	1,1	2	5	17		
Снижение уровня звукового давления из-за влияния застройки между источником шума и расчетной точкой													
Снижение уровня звукового давления на пути над экраном, Dz1, дБ	z = 1.12м (разность путей)	ф-лы (14-18) [10]	7,9	9,9	13	17,1	21,1	24,5	27,6	30,6	33,6		
Снижение уровня звукового давления на пути слева от экрана, Dz2, дБ	z = 15.14м (разность путей)	ф-лы (14-18) [10]	17,8	21,1	25	29,5	33,7	37,1	40,2	43,3	46,3		
Снижение уровня звукового давления на пути справа от экрана, Dz3, дБ	z = 7.59м (разность путей)	ф-лы (14-18) [10]	15,1	18,2	22,1	26,6	30,7	34,1	37,2	40,3	43,3		

1		2	3	4	5	6	7	8	9	10	11	12	13
Общее снижение уровня звука препятствием Dz, дБ		Эн.сумма(-Dzi)	6,8	9	12,3	16,4	20,4	23,8	26,9	30	33		
Общее снижение уровня звука препятствием с учётом ограничения (25 дБ) для октавных полос Dz, дБ		Раздел 7.4 [10]	6,8	9	12,3	16,4	20,4	23,8	25	25	25		
Уровни звукового давления от источника ИШ-7-3 в расчётной точке днём, дБ		**ф-ла(3)[10]**	**12,4**	**8,2**	**0**	**0**	**0**	**0**	**0**	**0**	**0**	**0**	**0**
Источник шума: ИШ-7-4, координаты источника (x,y,z), м =[866.76,37.18,1.00]													
Уровни звуковой мощности источника днём, Lw, дБ		**исходные данные**	**77**	**75**	**67**	**66**	**63**	**55**	**53**	**48**	**51**		
Поправка на телесный угол DΩ, дБ	Ω = 12.57	10Lg(4π/Ω)	**0**	0	0	0	0	0	0	0	0		
Показатель направленности источника Di, дБ		исходные данные	**0**	0	0	0	0	0	0	0	0		
Поправка на направленность источника Dc, дБ	Dc	DΩ + Di	**0**	0	0	0	0	0	0	0	0		
Затухание из-за геометрической дивергенции, Adiv, дБ	расстояние = 320.05 м	ф-ла (7) [10]	**61,1**										
Коэффициент затухания звука в атмосфере α, дБ/км	Ta=20,°C Pa=101.33,кПа hотн.=70%	ф-ла (5) [9]	0,02	0,09	0,33	1,12	2,79	4,98	9,04	23,09	77,63		
Учет затухания звука в атмосфере Aatm, дБ		ф-ла (8) [10]	0	0	0,1	0,4	0,9	1,6	2,9	7,4	24,8		
Снижение уровня звукового давления из-за влияния застройки между источником шума и расчетной точкой													
Снижение уровня звукового давления на пути над экраном, Dz1, дБ	z = 0.93м (разность путей)	ф-лы (14-18) [10]	7	8,8	11,6	15,5	19,4	22,7	25,8	28,8	31,8		
Снижение уровня звукового давления на пути слева от экрана, Dz2, дБ	z = 32.09м (разность путей)	ф-лы (14-18) [10]	21	24,3	28,3	32,8	36,9	40,4	43,5	46,6	49,6		
Снижение уровня звукового давления на пути справа от экрана, Dz3, дБ	z = 0.65м (разность путей)	ф-лы (14-18) [10]	7,3	8,9	11	13,4	16,1	19	21,9	24,9	27,9		
Общее снижение уровня звука препятствием Dz, дБ		Эн.сумма(-Dzi)	4,1	5,8	8,2	11,3	14,4	17,4	20,4	23,4	26,4		

1		2	3	4	5	6	7	8	9	10	11	12	13
Общее снижение уровня звука препятствием с учётом ограничения (25 дБ) для октавных полос Dz, дБ		Раздел 7.4 [10]	4,1	5,8	8,2	11,3	14,4	17,4	20,4	23,4	25		
Уровни звукового давления от источника ИШ-7-4 в расчётной точке днём, дБ		**ф-ла(3)[10]**	**11,8**	**8,1**	**0**	**0**	**0**	**0**	**0**	**0**	**0**	**0**	**0**
Источник шума: ИШ-7-5, координаты источника (x,y,z), м =[861.80,21.34,1.00]													
Уровни звуковой мощности источника днём, Lw, дБ		**исходные данные**	**77**	**75**	**67**	**66**	**63**	**55**	**53**	**48**	**51**		
Поправка на телесный угол DΩ, дБ	Ω = 12.57	10Lg(4π/Ω)	**0**	0	0	0	0	0	0	0	0		
Показатель направленности источника Di, дБ		исходные данные	**0**	0	0	0	0	0	0	0	0		
Поправка на направленность источника Dc, дБ	Dc	DΩ + Di	**0**	0	0	0	0	0	0	0	0		
Затухание из-за геометрической дивергенции, Adiv, дБ	расстояние = 311.88 м	ф-ла (7) [10]	**60,9**										
Коэффициент затухания звука в атмосфере α, дБ/км	Ta=20,°C Pa=101.33,кПа hотн.=70%	ф-ла (5) [9]	0,02	0,09	0,33	1,12	2,79	4,98	9,04	23,09	77,63		
Учет затухания звука в атмосфере Aatm, дБ		ф-ла (8) [10]	0	0	0,1	0,4	0,9	1,6	2,8	7,2	24,2		
Снижение уровня звукового давления из-за влияния застройки между источником шума и расчетной точкой													
Снижение уровня звукового давления на пути над экраном, Dz1, дБ	z = 0.96м (разность путей)	ф-лы (14-18) [10]	7,1	8,9	11,9	15,9	19,6	22,9	26	29	32		
Снижение уровня звукового давления на пути слева от экрана, Dz2, дБ	z = 30.34м (разность путей)	ф-лы (14-18) [10]	20,8	24,1	28	32,6	36,7	40,1	43,3	46,3	49,3		
Снижение уровня звукового давления на пути справа от экрана, Dz3, дБ	z = 0.97м (разность путей)	ф-лы (14-18) [10]	8,2	10,1	12,4	15	17,8	20,7	23,7	26,6	29,6		
Общее снижение уровня звука препятствием Dz, дБ		Эн.сумма(-Dzi)	4,5	6,4	9,1	12,4	15,6	18,6	21,6	24,6	27,6		
Общее снижение уровня звука препятствием с учётом ограничения (25 дБ) для октавных полос Dz, дБ		Раздел 7.4 [10]	4,5	6,4	9,1	12,4	15,6	18,6	21,6	24,6	25		

1		2	3	4	5	6	7	8	9	10	11	12	13
Уровни звукового давления от источника ИШ-7-5 в расчётной точке днём, дБ		**ф-ла(3)[10]**	**11,6**	**7,7**	**0**	**0**	**0**	**0**	**0**	**0**	**0**	**0**	**0**
Источник шума: ИШ-7-6, координаты источника (x,y,z), м =[856.52,5.94,1.00]													
Уровни звуковой мощности источника днём, Lw, дБ		**исходные данные**	**77**	**75**	**67**	**66**	**63**	**55**	**53**	**48**	**51**		
Поправка на телесный угол DΩ, дБ	Ω = 12.57	10Lg(4π/Ω)	**0**	0	0	0	0	0	0	0	0		
Показатель направленности источника Di, дБ		исходные данные	**0**	0	0	0	0	0	0	0	0		
Поправка на направленность источника Dc, дБ	Dc	DΩ + Di	**0**	0	0	0	0	0	0	0	0		
Затухание из-за геометрической дивергенции, Adiv, дБ	расстояние = 304.12 м	ф-ла (7) [10]	**60,7**										
Коэффициент затухания звука в атмосфере α, дБ/км	Ta=20,°C Pa=101.33,кПа hотн.=70%	ф-ла (5) [9]	0,02	0,09	0,33	1,12	2,79	4,98	9,04	23,09	77,63		
Учет затухания звука в атмосфере Aatm, дБ		ф-ла (8) [10]	0	0	0,1	0,3	0,8	1,5	2,7	7	23,6		
Снижение уровня звукового давления из-за влияния застройки между источником шума и расчетной точкой													
Снижение уровня звукового давления на пути над экраном, Dz1, дБ	z = 0.98м (разность путей)	ф-лы (14-18) [10]	7,2	9,1	12	16	19,8	23,1	26,2	29,2	32,2		
Снижение уровня звукового давления на пути слева от экрана, Dz2, дБ	z = 28.58м (разность путей)	ф-лы (14-18) [10]	20,5	23,8	27,7	32,3	36,4	39,9	43	46	49,1		
Снижение уровня звукового давления на пути справа от экрана, Dz3, дБ	z = 1.37м (разность путей)	ф-лы (14-18) [10]	9,1	11,2	13,7	16,4	19,2	22,2	25,1	28,1	31,1		
Общее снижение уровня звука препятствием Dz, дБ		Эн.сумма(-Dzi)	4,9	6,9	9,7	13,1	16,5	19,6	22,6	25,6	28,6		
Общее снижение уровня звука препятствием с учётом ограничения (25 дБ) для октавных полос Dz, дБ		Раздел 7.4 [10]	4,9	6,9	9,7	13,1	16,5	19,6	22,6	25	25		
Уровни звукового давления от источника ИШ-7-6 в расчётной точке днём, дБ		**ф-ла(3)[10]**	**11,4**	**7,4**	**0**	**0**	**0**	**0**	**0**	**0**	**0**	**0**	**0**

1		2	3	4	5	6	7	8	9	10	11	12	13
Источник шума: ИШ-7-7, координаты источника (x,y,z), м =[851.06,-9.89,1.00]													
Уровни звуковой мощности источника днём, Lw, дБ		**исходные данные**	**77**	**75**	**67**	**66**	**63**	**55**	**53**	**48**	**51**		
Поправка на телесный угол DΩ, дБ	Ω = 12.57	10Lg(4π/Ω)	**0**	0	0	0	0	0	0	0	0		
Показатель направленности источника Di, дБ		исходные данные	**0**	0	0	0	0	0	0	0	0		
Поправка на направленность источника Dc, дБ	Dc	DΩ + Di	**0**	0	0	0	0	0	0	0	0		
Затухание из-за геометрической дивергенции, Adiv, дБ	расстояние = 296.85 м	ф-ла (7) [10]	**60,5**										
Коэффициент затухания звука в атмосфере α, дБ/км	Ta=20,°C Pa=101.33,кПа hотн.=70%	ф-ла (5) [9]	0,02	0,09	0,33	1,12	2,79	4,98	9,04	23,09	77,63		
Учет затухания звука в атмосфере Aatm, дБ		ф-ла (8) [10]	0	0	0,1	0,3	0,8	1,5	2,7	6,9	23		
Снижение уровня звукового давления из-за влияния застройки между источником шума и расчетной точкой													
Снижение уровня звукового давления на пути над экраном, Dz1, дБ	z = 1.00м (разность путей)	ф-лы (14-18) [10]	7,3	9,2	12,2	16,2	20	23,3	26,4	29,4	32,4		
Снижение уровня звукового давления на пути слева от экрана, Dz2, дБ	z = 26.70м (разность путей)	ф-лы (14-18) [10]	20,2	23,5	27,5	32	36,1	39,6	42,7	45,8	48,8		
Снижение уровня звукового давления на пути справа от экрана, Dz3, дБ	z = 1.88м (разность путей)	ф-лы (14-18) [10]	10	12,3	14,9	17,6	20,5	23,5	26,5	29,5	32,5		
Общее снижение уровня звука препятствием Dz, дБ		Эн.сумма(-Dzi)	5,3	7,3	10,2	13,8	17,2	20,3	23,4	26,4	29,4		
Общее снижение уровня звука препятствием с учётом ограничения (25 дБ) для октавных полос Dz, дБ		Раздел 7.4 [10]	5,3	7,3	10,2	13,8	17,2	20,3	23,4	25	25		
Уровни звукового давления от источника ИШ-7-7 в расчётной точке днём, дБ		**ф-ла(3)[10]**	**11,2**	**7,2**	**0**	**0**	**0**	**0**	**0**	**0**	**0**	**0**	**0**
Источник шума: ИШ-7-8, координаты источника (x,y,z), м =[821.90,-104.30,1.00]													

1		2	3	4	5	6	7	8	9	10	11	12	13
Уровни звуковой мощности источника днём, Lw, дБ		**исходные данные**	**77**	**75**	**67**	**66**	**63**	**55**	**53**	**48**	**51**		
Поправка на телесный угол DΩ, дБ	Ω = 12.57	10Lg(4π/Ω)	**0**	0	0	0	0	0	0	0	0		
Показатель направленности источника Di, дБ		исходные данные	**0**	0	0	0	0	0	0	0	0		
Поправка на направленность источника Dc, дБ	Dc	DΩ + Di	**0**	0	0	0	0	0	0	0	0		
Затухание из-за геометрической дивергенции, Adiv, дБ	расстояние = 274.77 м	ф-ла (7) [10]	**59,8**										
Коэффициент затухания звука в атмосфере α, дБ/км	Ta=20,°C Pa=101.33,кПа hотн.=70%	ф-ла (5) [9]	0,02	0,09	0,33	1,12	2,79	4,98	9,04	23,09	77,63		
Учет затухания звука в атмосфере Aatm, дБ		ф-ла (8) [10]	0	0	0,1	0,3	0,8	1,4	2,5	6,3	21,3		
Снижение уровня звукового давления из-за влияния застройки между источником шума и расчетной точкой													
Снижение уровня звукового давления на пути над экраном, Dz1, дБ	z = 1.09м (разность путей)	ф-лы (14-18) [10]	7,6	9,5	12,6	16,6	20,6	23,9	27,1	30,1	33,1		
Снижение уровня звукового давления на пути слева от экрана, Dz2, дБ	z = 15.08м (разность путей)	ф-лы (14-18) [10]	17,8	21,1	25	29,5	33,7	37,1	40,2	43,3	46,3		
Снижение уровня звукового давления на пути справа от экрана, Dz3, дБ	z = 7.14м (разность путей)	ф-лы (14-18) [10]	14,7	17,5	20,3	23,3	26,3	29,3	32,3	35,3	38,3		
Общее снижение уровня звука препятствием Dz, дБ		Эн.сумма(-Dzi)	6,5	8,6	11,7	15,6	19,4	22,7	25,8	28,8	31,8		
Общее снижение уровня звука препятствием с учётом ограничения (25 дБ) для октавных полос Dz, дБ		Раздел 7.4 [10]	6,5	8,6	11,7	15,6	19,4	22,7	25	25	25		
Уровни звукового давления от источника ИШ-7-8 в расчётной точке днём, дБ		**ф-ла(3)[10]**	**10,7**	**6,6**	**0**	**0**	**0**	**0**	**0**	**0**	**0**	**0**	**0**
Источник шума: ИШ-7-9, координаты источника (x,y,z), м =[819.93,-110.97,1.00]													
Уровни звуковой мощности источника днём, Lw, дБ		**исходные данные**	**77**	**75**	**67**	**66**	**63**	**55**	**53**	**48**	**51**		

1		2	3	4	5	6	7	8	9	10	11	12	13
Поправка на телесный угол DΩ, дБ	Ω = 12.57	10Lg(4π/Ω)	**0**	0	0	0	0	0	0	0	0		
Показатель направленности источника Di, дБ		исходные данные	**0**	0	0	0	0	0	0	0	0		
Поправка на направленность источника Dc, дБ	Dc	DΩ + Di	**0**	0	0	0	0	0	0	0	0		
Затухание из-за геометрической дивергенции, Adiv, дБ	расстояние = 274.57 м	ф-ла (7) [10]	**59,8**										
Коэффициент затухания звука в атмосфере α, дБ/км	Ta=20,°C Pa=101.33,кПа hотн.=70%	ф-ла (5) [9]	0,02	0,09	0,33	1,12	2,79	4,98	9,04	23,09	77,63		
Учет затухания звука в атмосфере Aatm, дБ		ф-ла (8) [10]	0	0	0,1	0,3	0,8	1,4	2,5	6,3	21,3		
Снижение уровня звукового давления из-за влияния застройки между источником шума и расчетной точкой													
Снижение уровня звукового давления на пути над экраном, Dz1, дБ	z = 1.09м (разность путей)	ф-лы (14-18) [10]	7,6	9,6	12,6	16,6	20,6	24	27,1	30,1	33,1		
Снижение уровня звукового давления на пути слева от экрана, Dz2, дБ	z = 14.32м (разность путей)	ф-лы (14-18) [10]	17,6	20,9	24,8	29,3	33,4	36,9	40	43	46,1		
Снижение уровня звукового давления на пути справа от экрана, Dz3, дБ	z = 7.65м (разность путей)	ф-лы (14-18) [10]	15,1	18,2	22,1	26,6	30,7	34,2	37,3	40,3	43,3		
Общее снижение уровня звука препятствием Dz, дБ		Эн.сумма(-Dzi)	6,5	8,7	11,9	16	20	23,4	26,5	29,5	32,5		
Общее снижение уровня звука препятствием с учётом ограничения (25 дБ) для октавных полос Dz, дБ		Раздел 7.4 [10]	6,5	8,7	11,9	16	20	23,4	25	25	25		
Уровни звукового давления от источника ИШ-7-9 в расчётной точке днём, дБ		**ф-ла(3)[10]**	**10,7**	**6,5**	**0**	**0**	**0**	**0**	**0**	**0**	**0**	**0**	**0**
Источник шума: ИШ-7-10, координаты источника (x,y,z), м =[868.68,92.66,1.00]													
Уровни звуковой мощности источника днём, Lw, дБ		**исходные данные**	**77**	**75**	**67**	**66**	**63**	**55**	**53**	**48**	**51**		
Поправка на телесный угол DΩ, дБ	Ω = 12.57	10Lg(4π/Ω)	**0**	0	0	0	0	0	0	0	0		

1		2	3	4	5	6	7	8	9	10	11	12	13
Показатель направленности источника Di, дБ		исходные данные	**0**	0	0	0	0	0	0	0	0		
Поправка на направленность источника Dc, дБ	Dc	DΩ + Di	**0**	0	0	0	0	0	0	0	0		
Затухание из-за геометрической дивергенции, Adiv, дБ	расстояние = 339.05 м	ф-ла (7) [10]	**61,6**										
Коэффициент затухания звука в атмосфере α, дБ/км	Ta=20,°C Pa=101.33,кПа hотн.=70%	ф-ла (5) [9]	0,02	0,09	0,33	1,12	2,79	4,98	9,04	23,09	77,63		
Учет затухания звука в атмосфере Aatm, дБ		ф-ла (8) [10]	0	0	0,1	0,4	0,9	1,7	3,1	7,8	26,3		
Снижение уровня звукового давления из-за влияния застройки между источником шума и расчетной точкой													
Снижение уровня звукового давления на пути над экраном, Dz1, дБ	z = 0.83м (разность путей)	ф-лы (14-18) [10]	6,6	7,9	9,7	12,2	15,6	19,8	24,1	27,6	30,8		
Снижение уровня звукового давления на пути слева от экрана, Dz2, дБ	z = 38.38м (разность путей)	ф-лы (14-18) [10]	21,8	25,1	29	33,6	37,7	41,2	44,3	47,3	50,3		
Снижение уровня звукового давления на пути справа от экрана, Dz3, дБ	z = 0.03м (разность путей)	ф-лы (14-18) [10]	4,9	5,1	5,4	5,9	6,8	8,2	10,1	12,4	15,1		
Общее снижение уровня звука препятствием Dz, дБ		Эн.сумма(-Dzi)	2,6	3,2	4	5	6,3	7,9	9,9	12,3	14,9		
Уровни звукового давления прямого звука от источника ИШ-7-10 в расчётной точке днём, дБ		**ф-ла(3)[10]**	**12,8**	**10,1**	**1,3**	**0**	**0**	**0**	**0**	**0**	**0**	**0**	**0**
Расчёт отражённого звука													
Уровни звукового давления от мнимого источника ИШ-7-10_мн.(1) в расчётной точке днём, дБ		**ф-ла(3)[10]**	**0**	**0**	**0**	**0**	**0**	**0**	**0**	**0**	**0**	**0**	**0**
Уровни звукового давления от источника ИШ-7-10 в расчётной точке днём, дБ		**ф-ла(3)[10]**	**12,8**	**10,1**	**1,3**	**0**	**0**	**0**	**0**	**0**	**0**	**0**	**0**
Источник шума: ИШ-7-11, координаты источника (x,y,z), м =[877.95,88.75,1.00]													
Уровни звуковой мощности источника днём, Lw, дБ		**исходные данные**	**77**	**75**	**67**	**66**	**63**	**55**	**53**	**48**	**51**		

1		2	3	4	5	6	7	8	9	10	11	12	13
Поправка на телесный угол DΩ, дБ	Ω = 12.57	10Lg(4π/Ω)	**0**	0	0	0	0	0	0	0	0		
Показатель направленности источника Di, дБ		исходные данные	**0**	0	0	0	0	0	0	0	0		
Поправка на направленность источника Dc, дБ	Dc	DΩ + Di	**0**	0	0	0	0	0	0	0	0		
Затухание из-за геометрической дивергенции, Adiv, дБ	расстояние = 346.19 м	ф-ла (7) [10]	**61,8**										
Коэффициент затухания звука в атмосфере α, дБ/км	Ta=20,°C Pa=101.33,кПа hотн.=70%	ф-ла (5) [9]	0,02	0,09	0,33	1,12	2,79	4,98	9,04	23,09	77,63		
Учет затухания звука в атмосфере Aatm, дБ		ф-ла (8) [10]	0	0	0,1	0,4	1	1,7	3,1	8	26,9		
Снижение уровня звукового давления из-за влияния застройки между источником шума и расчетной точкой													
Снижение уровня звукового давления на пути над экраном, Dz1, дБ	z = 0.84м (разность путей)	ф-лы (14-18) [10]	6,6	7,9	9,8	12,6	16,4	20,7	24,5	27,8	30,8		
Снижение уровня звукового давления на пути слева от экрана, Dz2, дБ	z = 37.48м (разность путей)	ф-лы (14-18) [10]	21,7	25	28,9	33,5	37,6	41	44,2	47,2	50,2		
Снижение уровня звукового давления на пути справа от экрана, Dz3, дБ	z = 0.07м (разность путей)	ф-лы (14-18) [10]	5,1	5,4	6	6,9	8,4	10,3	12,7	15,3	18,1		
Общее снижение уровня звука препятствием Dz, дБ		Эн.сумма(-Dzi)	2,7	3,5	4,5	5,9	7,7	9,9	12,4	15,1	17,9		
Уровни звукового давления от источника ИШ-7-11 в расчётной точке днём, дБ		**ф-ла(3)[10]**	**12,5**	**9,7**	**0,6**	**0**	**0**	**0**	**0**	**0**	**0**	**0**	**0**
Источник шума: ИШ-7-12, координаты источника (x,y,z), м =[887.42,85.45,1.00]													
Уровни звуковой мощности источника днём, Lw, дБ		**исходные данные**	**77**	**75**	**67**	**66**	**63**	**55**	**53**	**48**	**51**		
Поправка на телесный угол DΩ, дБ	Ω = 12.57	10Lg(4π/Ω)	**0**	0	0	0	0	0	0	0	0		
Показатель направленности источника Di, дБ		исходные данные	**0**	0	0	0	0	0	0	0	0		

1		2	3	4	5	6	7	8	9	10	11	12	13
Поправка на направленность источника Dc, дБ	Dc	DΩ + Di	**0**	0	0	0	0	0	0	0	0		
Затухание из-за геометрической дивергенции, Adiv, дБ	расстояние = 353.88 м	ф-ла (7) [10]	**62**										
Коэффициент затухания звука в атмосфере α, дБ/км	Ta=20,°C Pa=101.33,кПа hотн.=70%	ф-ла (5) [9]	0,02	0,09	0,33	1,12	2,79	4,98	9,04	23,09	77,63		
Учет затухания звука в атмосфере Aatm, дБ		ф-ла (8) [10]	0	0	0,1	0,4	1	1,8	3,2	8,2	27,5		
Снижение уровня звукового давления из-за влияния застройки между источником шума и расчетной точкой													
Снижение уровня звукового давления на пути над экраном, Dz1, дБ	z = 0.85м (разность путей)	ф-лы (14-18) [10]	6,6	8	10	12,9	16,9	21,1	24,6	27,8	30,9		
Снижение уровня звукового давления на пути слева от экрана, Dz2, дБ	z = 36.67м (разность путей)	ф-лы (14-18) [10]	21,6	24,9	28,8	33,4	37,5	41	44,1	47,1	50,1		
Снижение уровня звукового давления на пути справа от экрана, Dz3, дБ	z = 0.11м (разность путей)	ф-лы (14-18) [10]	5,3	5,8	6,6	7,9	9,7	12	14,6	17,3	20,2		
Общее снижение уровня звука препятствием Dz, дБ		Эн.сумма(-Dzi)	2,9	3,7	5	6,7	9	11,5	14,2	17	19,9		
Уровни звукового давления от источника ИШ-7-12 в расчётной точке днём, дБ		**ф-ла(3)[10]**	**12,2**	**9,3**	**0**	**0**	**0**	**0**	**0**	**0**	**0**	**0**	**0**
Источник шума: ИШ-6-23, координаты источника (x,y,z), м =[756.16,-136.23,3.00]													
Уровни звуковой мощности источника днём, Lw, дБ		**исходные данные**	**91**	**91**	**91**	**91**	**91**	**91**	**91**	**91**	**91**		
Поправка на телесный угол DΩ, дБ	Ω = 12.57	10Lg(4π/Ω)	**0**	0	0	0	0	0	0	0	0		
Показатель направленности источника Di, дБ		исходные данные	**0**	0	0	0	0	0	0	0	0		
Поправка на направленность источника Dc, дБ	Dc	DΩ + Di	**0**	0	0	0	0	0	0	0	0		
Затухание из-за геометрической дивергенции, Adiv, дБ	расстояние = 223.83 м	ф-ла (7) [10]	**58**										

1		2	3	4	5	6	7	8	9	10	11	12	13
Коэффициент затухания звука в атмосфере α, дБ/км	Ta=20,°C Pa=101.33,кПа hотн.=70%	ф-ла (5) [9]	0,02	0,09	0,33	1,12	2,79	4,98	9,04	23,09	77,63		
Учет затухания звука в атмосфере Aatm, дБ		ф-ла (8) [10]	0	0	0,1	0,3	0,6	1,1	2	5,2	17,4		
Снижение уровня звукового давления из-за влияния застройки между источником шума и расчетной точкой													
Снижение уровня звукового давления на пути над экраном, Dz1, дБ	z = 1.04м (разность путей)	ф-лы (14-18) [10]	7,7	9,6	12,7	16,7	20,7	24,1	27,2	30,2	33,2		
Снижение уровня звукового давления на пути слева от экрана, Dz2, дБ	z = 9.60м (разность путей)	ф-лы (14-18) [10]	15,9	18,7	21,6	24,6	27,5	30,5	33,5	36,5	39,6		
Снижение уровня звукового давления на пути справа от экрана, Dz3, дБ	z = 12.41м (разность путей)	ф-лы (14-18) [10]	17	20,3	24,2	28,7	32,8	36,3	39,4	42,4	45,4		
Общее снижение уровня звука препятствием Dz, дБ		Эн.сумма(-Dzi)	6,6	8,8	11,9	15,9	19,7	23	26,1	29,1	32,1		
Общее снижение уровня звука препятствием с учётом ограничения (25 дБ) для октавных полос Dz, дБ		Раздел 7.4 [10]	6,6	8,8	11,9	15,9	19,7	23	25	25	25		
Уровни звукового давления от источника ИШ-6-23 в расчётной точке днём, дБ		**ф-ла(3)[10]**	**26,3**	**24,2**	**21**	**16,9**	**12,7**	**8,9**	**6**	**2,8**	**0**	**15,4**	**15,4**
Источник шума: ИШ-6-24, координаты источника (x,y,z), м =[800.98,-151.27,3.00]													
Уровни звуковой мощности источника днём, Lw, дБ		**исходные данные**	**91**	**91**	**91**	**91**	**91**	**91**	**91**	**91**	**91**		
Поправка на телесный угол DΩ, дБ	Ω = 12.57	10Lg(4π/Ω)	**0**	0	0	0	0	0	0	0	0		
Показатель направленности источника Di, дБ		исходные данные	**0**	0	0	0	0	0	0	0	0		
Поправка на направленность источника Dc, дБ	Dc	DΩ + Di	**0**	0	0	0	0	0	0	0	0		
Затухание из-за геометрической дивергенции, Adiv, дБ	расстояние = 270.75 м	ф-ла (7) [10]	**59,7**										
Коэффициент затухания звука в атмосфере α, дБ/км	Ta=20,°C Pa=101.33,кПа hотн.=70%	ф-ла (5) [9]	0,02	0,09	0,33	1,12	2,79	4,98	9,04	23,09	77,63		

1		2	3	4	5	6	7	8	9	10	11	12	13
Учет затухания звука в атмосфере Aatm, дБ		ф-ла (8) [10]	0	0	0,1	0,3	0,8	1,3	2,4	6,3	21		
Снижение уровня звукового давления из-за влияния застройки между источником шума и расчетной точкой													
Снижение уровня звукового давления на пути над экраном, Dz1, дБ	z = 1.03м (разность путей)	ф-лы (14-18) [10]	7,5	9,4	12,4	16,4	20,3	23,7	26,8	29,8	32,8		
Снижение уровня звукового давления на пути слева от экрана, Dz2, дБ	z = 9.94м (разность путей)	ф-лы (14-18) [10]	16	18,8	21,7	24,7	27,7	30,7	33,7	36,7	39,7		
Снижение уровня звукового давления на пути справа от экрана, Dz3, дБ	z = 11.50м (разность путей)	ф-лы (14-18) [10]	16,7	19,9	23,8	28,4	32,5	35,9	39,1	42,1	45,1		
Общее снижение уровня звука препятствием Dz, дБ		Эн.сумма(-Dzi)	6,5	8,6	11,6	15,6	19,4	22,7	25,8	28,8	31,8		
Общее снижение уровня звука препятствием с учётом ограничения (25 дБ) для октавных полос Dz, дБ		Раздел 7.4 [10]	6,5	8,6	11,6	15,6	19,4	22,7	25	25	25		
Уровни звукового давления от источника ИШ-6-24 в расчётной точке днём, дБ		**ф-ла(3)[10]**	**24,9**	**22,7**	**19,6**	**15,5**	**11,2**	**7,3**	**3,9**	**0,1**	**0**	**13,8**	**13,8**
Источник шума: ИШ-8-1, координаты источника (x,y,z), м =[612.60,-227.70,3.00]													
Уровни звуковой мощности источника днём, Lw, дБ		**исходные данные**	**105**	**104**	**104**	**101**	**102**	**106**	**101**	**95**	**87**		
Поправка на телесный угол DΩ, дБ	Ω = 6.28	10Lg(4π/Ω)	**3**	3	3	3	3	3	3	3	3		
Показатель направленности источника Di, дБ		исходные данные	**0**	0	0	0	0	0	0	0	0		
Поправка на направленность источника Dc, дБ	Dc	DΩ + Di	**3**	3	3	3	3	3	3	3	3		
Затухание из-за геометрической дивергенции, Adiv, дБ	расстояние = 198.94 м	ф-ла (7) [10]	**57**										
Коэффициент затухания звука в атмосфере α, дБ/км	Ta=20,°C Pa=101.33,кПа hотн.=70%	ф-ла (5) [9]	0,02	0,09	0,33	1,12	2,79	4,98	9,04	23,09	77,63		
Учет затухания звука в атмосфере Aatm, дБ		ф-ла (8) [10]	0	0	0,1	0,2	0,6	1	1,8	4,6	15,4		

1		2	3	4	5	6	7	8	9	10	11	12	13
Снижение поверхностью земли возле источника As, дБ	Gs = 0 hs = 3м	ф-лы таб.3 [10]	-1,5	-1,5	-1,5	-1,5	-1,5	-1,5	-1,5	-1,5	-1,5		
Снижение поверхностью земли возле приёмника Ar, дБ	Gr = 1 hr = 1.5м	ф-лы таб.3 [10]	-1,5	-1,5	1,2	6,9	4,9	0,6	0	0	0		
Снижение поверхностью земли в средней зоне, Am дБ	Gm = 1	ф-лы таб.3 [10]	-1	-1	0	0	0	0	0	0	0		
Суммарное снижение поверхностью земли на траектории распространения звука Agr, дБ		ф-ла (9) [10]	-4	-4	-0,3	5,4	3,4	-0,9	-1,5	-1,5	-1,5		
Уровни звукового давления от источника ИШ-8-1 в расчётной точке днём, дБ		**ф-ла(3)[10]**	**55**	**54**	**50,3**	**41,4**	**44,1**	**51,9**	**46,7**	**37,9**	**19,1**	**53,8**	**53,8**
Источник шума: ИШ-8-2, координаты источника (x,y,z), м =[596.60,-275.00,3.00]													
Уровни звуковой мощности источника днём, Lw, дБ		**исходные данные**	**105**	**104**	**104**	**101**	**102**	**106**	**101**	**95**	**87**		
Поправка на телесный угол DΩ, дБ	Ω = 6.28	10Lg(4π/Ω)	**3**	3	3	3	3	3	3	3	3		
Показатель направленности источника Di, дБ		исходные данные	**0**	0	0	0	0	0	0	0	0		
Поправка на направленность источника Dc, дБ	Dc	DΩ + Di	**3**	3	3	3	3	3	3	3	3		
Затухание из-за геометрической дивергенции, Adiv, дБ	расстояние = 241.39 м	ф-ла (7) [10]	**58,7**										
Коэффициент затухания звука в атмосфере α, дБ/км	Ta=20,°C Pa=101.33,кПа hотн.=70%	ф-ла (5) [9]	0,02	0,09	0,33	1,12	2,79	4,98	9,04	23,09	77,63		
Учет затухания звука в атмосфере Aatm, дБ		ф-ла (8) [10]	0	0	0,1	0,3	0,7	1,2	2,2	5,6	18,7		
Снижение уровня звукового давления из-за влияния застройки между источником шума и расчетной точкой													
Снижение уровня звукового давления на пути над экраном, Dz1, дБ	z = 0.02м (разность путей)	ф-лы (14-18) [10]	4,8	4,8	4,8	4,8	4,9	5	5,2	5,5	6,2		
Снижение уровня звукового давления на пути слева от экрана, Dz2, дБ	z = 0.15м (разность путей)	ф-лы (14-18) [10]	5,5	6,2	7,2	8,7	10,8	13,2	15,9	18,7	21,7		

1		2	3	4	5	6	7	8	9	10	11	12	13
Снижение уровня звукового давления на пути справа от экрана, Dz3, дБ	z = 1.79м (разность путей)	ф-лы (14-18) [10]	9,8	12,1	14,7	17,5	20,3	23,3	26,3	29,3	32,3		
Общее снижение уровня звука препятствием Dz, дБ		Эн.сумма(-Dzi)	1,4	2	2,5	3,2	3,8	4,3	4,8	5,3	6		
Уровни звукового давления прямого звука от источника ИШ-8-2 в расчётной точке днём, дБ		**ф-ла(3)[10]**	**47,9**	**46,4**	**45,7**	**41,9**	**41,9**	**44,9**	**38,4**	**28,5**	**6,6**	**47,1**	**47,1**
Расчёт отражённого звука													
Уровни звукового давления от мнимого источника ИШ-8-2_мн.(1) в расчётной точке днём, дБ		**ф-ла(3)[10]**	**0**	**0**	**0**	**0**	**0**	**0**	**7,9**	**0**	**0**	**9,1**	**9,1**
Уровни звукового давления от мнимого источника ИШ-8-2_мн.(2) в расчётной точке днём, дБ		**ф-ла(3)[10]**	**0**	**0**	**0**	**0**	**0**	**0**	**0**	**0**	**0**	**0**	**0**
Суммарные уровни звукового давления от мнимых источников в расчётной точке днём, дБ		**ф-ла (19) [1]**	**0**	**0**	**0**	**0**	**0**	**0**	**7,9**	**0**	**0**	**0**	**9,1**
Уровни звукового давления от источника ИШ-8-2 в расчётной точке днём, дБ		**ф-ла(3)[10]**	**47,9**	**46,4**	**45,7**	**41,9**	**41,9**	**44,9**	**38,4**	**28,5**	**6,6**	**47,1**	**47,1**
Источник шума: ИШ-8-3, координаты источника (x,y,z), м =[564.90,-369.90,3.00]													
Уровни звуковой мощности источника днём, Lw, дБ		**исходные данные**	**105**	**104**	**104**	**101**	**102**	**106**	**101**	**95**	**87**		
Поправка на телесный угол DΩ, дБ	Ω = 6.28	10Lg(4π/Ω)	**3**	3	3	3	3	3	3	3	3		
Показатель направленности источника Di, дБ		исходные данные	**0**	0	0	0	0	0	0	0	0		
Поправка на направленность источника Dc, дБ	Dc	DΩ + Di	**3**	3	3	3	3	3	3	3	3		
Затухание из-за геометрической дивергенции, Adiv, дБ	расстояние = 332.89 м	ф-ла (7) [10]	**61,4**										
Коэффициент затухания звука в атмосфере α, дБ/км	Ta=20,°C Pa=101.33,кПа hотн.=70%	ф-ла (5) [9]	0,02	0,09	0,33	1,12	2,79	4,98	9,04	23,09	77,63		
Учет затухания звука в атмосфере Aatm, дБ		ф-ла (8) [10]	0	0	0,1	0,4	0,9	1,7	3	7,7	25,8		

1		2	3	4	5	6	7	8	9	10	11	12	13
Снижение поверхностью земли возле источника As, дБ	Gs = 0 hs = 3м	ф-лы таб.3 [10]	-1,5	-1,5	-1,5	-1,5	-1,5	-1,5	-1,5	-1,5	-1,5		
Снижение поверхностью земли возле приёмника Ar, дБ	Gr = 1 hr = 1.5м	ф-лы таб.3 [10]	-1,5	-1,5	1,9	7	5	0,7	0	0	0		
Снижение поверхностью земли в средней зоне, Am дБ	Gm = 1	ф-лы таб.3 [10]	-1,8	-1,8	0	0	0	0	0	0	0		
Суммарное снижение поверхностью земли на траектории распространения звука Agr, дБ		ф-ла (9) [10]	-4,8	-4,8	0,4	5,5	3,5	-0,8	-1,5	-1,5	-1,5		
Уровни звукового давления прямого звука от источника ИШ-8-3 в расчётной точке днём, дБ		**ф-ла(3)[10]**	**51,3**	**50,3**	**45**	**36,7**	**39,2**	**46,8**	**41,1**	**30,4**	**4,2**	**48,5**	**48,5**
Расчёт отражённого звука													
Уровни звукового давления от мнимого источника ИШ-8-3_мн.(1) в расчётной точке днём, дБ		**ф-ла(3)[10]**	**0**	**0**	**0**	**0**	**0**	**0**	**0**	**0**	**0**	**0**	**0**
Уровни звукового давления от мнимого источника ИШ-8-3_мн.(2) в расчётной точке днём, дБ		**ф-ла(3)[10]**	**0**	**0**	**40**	**30,4**	**36,5**	**44,3**	**38,6**	**27,9**	**1,7**	**45,9**	**45,9**
Суммарные уровни звукового давления от мнимых источников в расчётной точке днём, дБ		**ф-ла (19) [1]**	**0**	**0**	**40**	**30,4**	**36,5**	**44,3**	**38,6**	**27,9**	**1,7**	**0**	**45,9**
Уровни звукового давления от источника ИШ-8-3 в расчётной точке днём, дБ		**ф-ла(3)[10]**	**51,3**	**50,3**	**46,2**	**37,6**	**41**	**48,7**	**43**	**32,3**	**6,1**	**50,4**	**50,4**
Источник шума: ИШ-9-1, координаты источника (x,y,z), м =[642.94,-357.54,1.00]													
Уровни звуковой мощности источника днём, Lw, дБ		**исходные данные**	**0**	**93,3**	**94,7**	**96**	**96,3**	**95,9**	**92,6**	**88,4**	**83,9**		
Поправка на телесный угол DΩ, дБ	Ω = 6.28	10Lg(4π/Ω)	**3**	3	3	3	3	3	3	3	3		
Показатель направленности источника Di, дБ		исходные данные	**0**	0	0	0	0	0	0	0	0		
Поправка на направленность источника Dc, дБ	Dc	DΩ + Di	**3**	3	3	3	3	3	3	3	3		
Затухание из-за геометрической дивергенции, Adiv, дБ	расстояние = 332.12 м	ф-ла (7) [10]	**61,4**										
Коэффициент затухания звука в атмосфере α, дБ/км	Ta=20,°C Pa=101.33,кПа hотн.=70%	ф-ла (5) [9]	0,02	0,09	0,33	1,12	2,79	4,98	9,04	23,09	77,63		

1		2	3	4	5	6	7	8	9	10	11	12	13
Учет затухания звука в атмосфере Aatm, дБ		ф-ла (8) [10]	0	0	0,1	0,4	0,9	1,7	3	7,7	25,8		
Снижение уровня звукового давления из-за влияния застройки между источником шума и расчетной точкой													
Снижение уровня звукового давления на пути над экраном, Dz1, дБ	z = 0.05м (разность путей)	ф-лы (14-18) [10]	4,8	4,8	4,8	4,8	4,8	5	5,2	5,6	6,2		
Снижение уровня звукового давления на пути слева от экрана, Dz2, дБ	z = 1.95м (разность путей)	ф-лы (14-18) [10]	10,1	12,4	15	17,8	20,7	23,7	26,7	29,6	32,7		
Снижение уровня звукового давления на пути справа от экрана, Dz3, дБ	z = 0.05м (разность путей)	ф-лы (14-18) [10]	5	5,2	5,7	6,4	7,6	9,3	11,5	14	16,7		
Общее снижение уровня звука препятствием Dz, дБ		Эн.сумма(-Dzi)	1,3	1,6	2	2,4	2,9	3,6	4,2	5	5,8		
Уровни звукового давления прямого звука от источника ИШ-9-1 в расчётной точке днём, дБ		**ф-ла(3)[10]**	**0**	**33,2**	**34,2**	**34,8**	**34**	**32,3**	**26,9**	**17,3**	**0**	**36,1**	**36,1**
Расчёт отражённого звука													
Уровни звукового давления от мнимого источника ИШ-9-1_мн.(1) в расчётной точке днём, дБ		**ф-ла(3)[10]**	**0**	**0**	**0**	**0**	**0**	**0**	**0**	**0**	**0**	**0**	**0**
Уровни звукового давления от источника ИШ-9-1 в расчётной точке днём, дБ		**ф-ла(3)[10]**	**0**	**33,2**	**34,2**	**34,8**	**34**	**32,3**	**26,9**	**17,3**	**0**	**36,1**	**36,1**
Источник шума: ИШ-9-2, координаты источника (x,y,z), м =[644.14,-354.83,1.00]													
Уровни звуковой мощности источника днём, Lw, дБ		**исходные данные**	**0**	**93,3**	**94,7**	**96**	**96,3**	**95,9**	**92,6**	**88,4**	**83,9**		
Поправка на телесный угол DΩ, дБ	Ω = 6.28	10Lg(4π/Ω)	**3**	3	3	3	3	3	3	3	3		
Показатель направленности источника Di, дБ		исходные данные	**0**	0	0	0	0	0	0	0	0		
Поправка на направленность источника Dc, дБ	Dc	DΩ + Di	**3**	3	3	3	3	3	3	3	3		
Затухание из-за геометрической дивергенции, Adiv, дБ	расстояние = 329.83 м	ф-ла (7) [10]	**61,4**										

1		2	3	4	5	6	7	8	9	10	11	12	13
Коэффициент затухания звука в атмосфере α, дБ/км	Та=20,°С Ра=101.33,кПа hотн.=70%	ф-ла (5) [9]	0,02	0,09	0,33	1,12	2,79	4,98	9,04	23,09	77,63		
Учет затухания звука в атмосфере Aatm, дБ		ф-ла (8) [10]	0	0	0,1	0,4	0,9	1,6	3	7,6	25,6		
Снижение уровня звукового давления из-за влияния застройки между источником шума и расчетной точкой													
Снижение уровня звукового давления на пути над экраном, Dz1, дБ	z = 0.05м (разность путей)	ф-лы (14-18) [10]	4,8	4,8	4,8	4,8	4,8	4,9	5,2	5,6	6,3		
Снижение уровня звукового давления на пути слева от экрана, Dz2, дБ	z = 2.15м (разность путей)	ф-лы (14-18) [10]	10,4	12,8	15,4	18,2	21,1	24,1	27,1	30,1	33,1		
Снижение уровня звукового давления на пути справа от экрана, Dz3, дБ	z = 0.03м (разность путей)	ф-лы (14-18) [10]	4,9	5	5,3	5,7	6,5	7,8	9,5	11,8	14,3		
Общее снижение уровня звука препятствием Dz, дБ		Эн.сумма(-Dzi)	1,3	1,6	1,8	2,1	2,5	3,1	3,8	4,6	5,6		
Уровни звукового давления прямого звука от источника ИШ-9-2 в расчётной точке днём, дБ		**ф-ла(3)[10]**	**0**	**33,3**	**34,4**	**35,1**	**34,5**	**32,8**	**27,5**	**17,8**	**0**	**36,6**	**36,6**
Расчёт отражённого звука													
Уровни звукового давления от мнимого источника ИШ-9-2_мн.(1) в расчётной точке днём, дБ		**ф-ла(3)[10]**	**0**	**0**	**0**	**0**	**0**	**0**	**0**	**0**	**0**	**0**	**0**
Уровни звукового давления от источника ИШ-9-2 в расчётной точке днём, дБ		**ф-ла(3)[10]**	**0**	**33,3**	**34,4**	**35,1**	**34,5**	**32,8**	**27,5**	**17,8**	**0**	**36,6**	**36,6**
Источник шума: ИШ-9-3, координаты источника (x,y,z), м =[644.98,-351.85,1.00]													
Уровни звуковой мощности источника днём, Lw, дБ		**исходные данные**	**0**	**93,3**	**94,7**	**96**	**96,3**	**95,9**	**92,6**	**88,4**	**83,9**		
Поправка на телесный угол DΩ, дБ	Ω = 6.28	10Lg($4\pi/\Omega$)	**3**	3	3	3	3	3	3	3	3		
Показатель направленности источника Di, дБ		исходные данные	**0**	0	0	0	0	0	0	0	0		
Поправка на направленность источника Dc, дБ	Dc	DΩ + Di	**3**	3	3	3	3	3	3	3	3		

1		2	3	4	5	6	7	8	9	10	11	12	13
Затухание из-за геометрической дивергенции, Adiv, дБ	расстояние = 327.19 м	ф-ла (7) [10]	**61,3**										
Коэффициент затухания звука в атмосфере α, дБ/км	Ta=20,°C Pa=101.33,кПа hотн.=70%	ф-ла (5) [9]	0,02	0,09	0,33	1,12	2,79	4,98	9,04	23,09	77,63		
Учет затухания звука в атмосфере Aatm, дБ		ф-ла (8) [10]	0	0	0,1	0,4	0,9	1,6	3	7,6	25,4		
Снижение уровня звукового давления из-за влияния застройки между источником шума и расчетной точкой													
Снижение уровня звукового давления на пути над экраном, Dz1, дБ	z = 0.05м (разность путей)	ф-лы (14-18) [10]	4,8	4,8	4,8	4,8	4,8	4,9	5,2	5,6	6,3		
Снижение уровня звукового давления на пути слева от экрана, Dz2, дБ	z = 2.32м (разность путей)	ф-лы (14-18) [10]	10,6	13,1	15,7	18,5	21,5	24,4	27,4	30,4	33,4		
Снижение уровня звукового давления на пути справа от экрана, Dz3, дБ	z = 0.01м (разность путей)	ф-лы (14-18) [10]	4,8	4,9	5	5,3	5,7	6,5	7,7	9,4	11,6		
Общее снижение уровня звука препятствием Dz, дБ		Эн.сумма(-Dzi)	1,3	1,5	1,7	1,9	2,2	2,6	3,2	4,1	5,2		
Уровни звукового давления прямого звука от источника ИШ-9-3 в расчётной точке днём, дБ		**ф-ла(3)[10]**	**0**	**33,5**	**34,6**	**35,4**	**34,9**	**33,4**	**28,1**	**18,5**	**0**	**37,1**	**37,1**
Расчёт отражённого звука													
Уровни звукового давления от мнимого источника ИШ-9-3_мн.(1) в расчётной точке днём, дБ		**ф-ла(3)[10]**	**0**	**0**	**0**	**0**	**0**	**0**	**0**	**0**	**0**	**0**	**0**
Уровни звукового давления от источника ИШ-9-3 в расчётной точке днём, дБ		**ф-ла(3)[10]**	**0**	**33,5**	**34,6**	**35,4**	**34,9**	**33,4**	**28,1**	**18,5**	**0**	**37,1**	**37,1**
Источник шума: ИШ-9-4, координаты источника (x,y,z), м =[646.01,-349.15,1.00]													
Уровни звуковой мощности источника днём, Lw, дБ		**исходные данные**	**0**	**93,3**	**94,7**	**96**	**96,3**	**95,9**	**92,6**	**88,4**	**83,9**		
Поправка на телесный угол DΩ, дБ	Ω = 6.28	10Lg(4π/Ω)	**3**	3	3	3	3	3	3	3	3		
Показатель направленности источника Di, дБ		исходные данные	**0**	0	0	0	0	0	0	0	0		

1		2	3	4	5	6	7	8	9	10	11	12	13
Поправка на направленность источника Dc, дБ	Dc	DΩ + Di	**3**	3	3	3	3	3	3	3	3		
Затухание из-за геометрической дивергенции, Adiv, дБ	расстояние = 324.87 м	ф-ла (7) [10]	**61,2**										
Коэффициент затухания звука в атмосфере α, дБ/км	Ta=20,°C Pa=101.33,кПа hотн.=70%	ф-ла (5) [9]	0,02	0,09	0,33	1,12	2,79	4,98	9,04	23,09	77,63		
Учет затухания звука в атмосфере Aatm, дБ		ф-ла (8) [10]	0	0	0,1	0,4	0,9	1,6	2,9	7,5	25,2		
Снижение уровня звукового давления из-за влияния застройки между источником шума и расчетной точкой													
Снижение уровня звукового давления на пути над экраном, Dz1, дБ	z = 0.05м (разность путей)	ф-лы (14-18) [10]	4,8	4,8	4,8	4,8	4,8	4,9	5,1	5,5	6,3		
Снижение уровня звукового давления на пути слева от экрана, Dz2, дБ	z = 2.52м (разность путей)	ф-лы (14-18) [10]	10,9	13,4	16	18,9	21,8	24,8	27,8	30,8	33,8		
Снижение уровня звукового давления на пути справа от экрана, Dz3, дБ	z = 0.00м (разность путей)	ф-лы (14-18) [10]	4,8	4,8	4,8	4,9	5	5,3	5,7	6,5	7,8		
Общее снижение уровня звука препятствием Dz, дБ		Эн.сумма(-Dzi)	1,3	1,5	1,6	1,8	1,9	2	2,4	3	4		
Уровни звукового давления прямого звука от источника ИШ-9-4 в расчётной точке днём, дБ		**ф-ла(3)[10]**	**0**	**33,5**	**34,7**	**35,6**	**35,3**	**34**	**29**	**19,7**	**0**	**37,7**	**37,7**
Расчёт отражённого звука													
Уровни звукового давления от мнимого источника ИШ-9-4_мн.(1) в расчётной точке днём, дБ		**ф-ла(3)[10]**	**0**	**0**	**0**	**0**	**0**	**0**	**0**	**0**	**0**	**0**	**0**
Уровни звукового давления от источника ИШ-9-4 в расчётной точке днём, дБ		**ф-ла(3)[10]**	**0**	**33,5**	**34,7**	**35,6**	**35,3**	**34**	**29**	**19,7**	**0**	**37,7**	**37,7**
Источник шума: ИШ-9-5, координаты источника (x,y,z), м =[646.84,-346.17,1.00]													
Уровни звуковой мощности источника днём, Lw, дБ		**исходные данные**	**0**	**93,3**	**94,7**	**96**	**96,3**	**95,9**	**92,6**	**88,4**	**83,9**		
Поправка на телесный угол DΩ, дБ	Ω = 6.28	10Lg(4π/Ω)	**3**	3	3	3	3	3	3	3	3		

1		2	3	4	5	6	7	8	9	10	11	12	13
Показатель направленности источника Di, дБ		исходные данные	**0**	0	0	0	0	0	0	0	0		
Поправка на направленность источника Dc, дБ	Dc	DΩ + Di	**3**	3	3	3	3	3	3	3	3		
Затухание из-за геометрической дивергенции, Adiv, дБ	расстояние = 322.25 м	ф-ла (7) [10]	**61,2**										
Коэффициент затухания звука в атмосфере α, дБ/км	Ta=20,°C Pa=101.33,кПа hотн.=70%	ф-ла (5) [9]	0,02	0,09	0,33	1,12	2,79	4,98	9,04	23,09	77,63		
Учет затухания звука в атмосфере Aatm, дБ		ф-ла (8) [10]	0	0	0,1	0,4	0,9	1,6	2,9	7,4	25		
Снижение уровня звукового давления из-за влияния застройки между источником шума и расчетной точкой													
Снижение уровня звукового давления на пути над экраном, Dz1, дБ	z = 0.05м (разность путей)	ф-лы (14-18) [10]	4,8	4,8	4,8	4,8	4,8	4,9	4,9	5,1	5,5		
Снижение уровня звукового давления на пути слева от экрана, Dz2, дБ	z = 2.72м (разность путей)	ф-лы (14-18) [10]	11,2	13,7	16,3	19,2	22,1	25,1	28,1	31,1	34,1		
Снижение уровня звукового давления на пути справа от экрана, Dz3, дБ	z = 0.00м (разность путей)	ф-лы (14-18) [10]	4,8	4,8	4,8	4,8	4,8	4,8	4,8	4,8	4,8		
Общее снижение уровня звука препятствием Dz, дБ		Эн.сумма(-Dzi)	1,3	1,5	1,6	1,7	1,7	1,8	1,8	1,9	2,1		
Уровни звукового давления прямого звука от источника ИШ-9-5 в расчётной точке днём, дБ		**ф-ла(3)[10]**	**0**	**33,6**	**34,8**	**35,8**	**35,5**	**34,3**	**29,7**	**20,9**	**0**	**38,1**	**38,1**
Расчёт отражённого звука													
Уровни звукового давления от мнимого источника ИШ-9-5_мн.(1) в расчётной точке днём, дБ		**ф-ла(3)[10]**	**0**	**0**	**0**	**0**	**0**	**0**	**0**	**0**	**0**	**0**	**0**
Уровни звукового давления от источника ИШ-9-5 в расчётной точке днём, дБ		**ф-ла(3)[10]**	**0**	**33,6**	**34,8**	**35,8**	**35,5**	**34,3**	**29,7**	**20,9**	**0**	**38,1**	**38,1**
Источник шума: ИШ-9-6, координаты источника (x,y,z), м =[647.87,-343.47,1.00]													
Уровни звуковой мощности источника днём, Lw, дБ		**исходные данные**	**0**	**93,3**	**94,7**	**96**	**96,3**	**95,9**	**92,6**	**88,4**	**83,9**		

1		2	3	4	5	6	7	8	9	10	11	12	13
Поправка на телесный угол DΩ, дБ	Ω = 6.28	10Lg(4π/Ω)	**3**	3	3	3	3	3	3	3	3		
Показатель направленности источника Di, дБ		исходные данные	**0**	0	0	0	0	0	0	0	0		
Поправка на направленность источника Dc, дБ	Dc	DΩ + Di	**3**	3	3	3	3	3	3	3	3		
Затухание из-за геометрической дивергенции, Adiv, дБ	расстояние = 319.96 м	ф-ла (7) [10]	**61,1**										
Коэффициент затухания звука в атмосфере α, дБ/км	Ta=20,°C Pa=101.33,кПа hотн.=70%	ф-ла (5) [9]	0,02	0,09	0,33	1,12	2,79	4,98	9,04	23,09	77,63		
Учет затухания звука в атмосфере Aatm, дБ		ф-ла (8) [10]	0	0	0,1	0,4	0,9	1,6	2,9	7,4	24,8		
Снижение поверхностью земли возле источника As, дБ	Gs = 0 hs = 1м	ф-лы таб.3 [10]	-1,5	-1,5	-1,5	-1,5	-1,5	-1,5	-1,5	-1,5	-1,5		
Снижение поверхностью земли возле приёмника Ar, дБ	Gr = 1 hr = 1.5м	ф-лы таб.3 [10]	-1,5	-1,5	1,8	7	5	0,7	0	0	0		
Снижение поверхностью земли в средней зоне, Am дБ	Gm = 1	ф-лы таб.3 [10]	-2,3	-2,3	0	0	0	0	0	0	0		
Суммарное снижение поверхностью земли на траектории распространения звука Agr, дБ		ф-ла (9) [10]	-5,3	-5,3	0,3	5,5	3,5	-0,8	-1,5	-1,5	-1,5		
Уровни звукового давления прямого звука от источника ИШ-9-6 в расчётной точке днём, дБ		**ф-ла(3)[10]**	**0**	**40,5**	**36,1**	**32**	**33,8**	**37**	**33,1**	**24,4**	**2,5**	**39,8**	**39,8**
Расчёт отражённого звука													
Уровни звукового давления от мнимого источника ИШ-9-6_мн.(1) в расчётной точке днём, дБ		**ф-ла(3)[10]**	**0**	**0**	**0**	**0**	**0**	**0**	**0**	**0**	**0**	**0**	**0**
Уровни звукового давления от источника ИШ-9-6 в расчётной точке днём, дБ		**ф-ла(3)[10]**	**0**	**40,5**	**36,1**	**32**	**33,8**	**37**	**33,1**	**24,4**	**2,5**	**39,8**	**39,8**
Источник шума: ИШ-9-7, координаты источника (x,y,z), м =[648.71,-340.49,1.00]													
Уровни звуковой мощности источника днём, Lw, дБ		**исходные данные**	**0**	**93,3**	**94,7**	**96**	**96,3**	**95,9**	**92,6**	**88,4**	**83,9**		

1		2	3	4	5	6	7	8	9	10	11	12	13
Поправка на телесный угол DΩ, дБ	Ω = 6.28	10Lg(4π/Ω)	**3**	3	3	3	3	3	3	3	3		
Показатель направленности источника Di, дБ		исходные данные	**0**	0	0	0	0	0	0	0	0		
Поправка на направленность источника Dc, дБ	Dc	DΩ + Di	**3**	3	3	3	3	3	3	3	3		
Затухание из-за геометрической дивергенции, Adiv, дБ	расстояние = 317.35 м	ф-ла (7) [10]	**61**										
Коэффициент затухания звука в атмосфере α, дБ/км	Ta=20,°C Pa=101.33,кПа hотн.=70%	ф-ла (5) [9]	0,02	0,09	0,33	1,12	2,79	4,98	9,04	23,09	77,63		
Учет затухания звука в атмосфере Aatm, дБ		ф-ла (8) [10]	0	0	0,1	0,4	0,9	1,6	2,9	7,3	24,6		
Снижение поверхностью земли возле источника As, дБ	Gs = 0 hs = 1м	ф-лы таб.3 [10]	-1,5	-1,5	-1,5	-1,5	-1,5	-1,5	-1,5	-1,5	-1,5		
Снижение поверхностью земли возле приёмника Ar, дБ	Gr = 1 hr = 1.5м	ф-лы таб.3 [10]	-1,5	-1,5	1,8	7	5	0,7	0	0	0		
Снижение поверхностью земли в средней зоне, Am дБ	Gm = 1	ф-лы таб.3 [10]	-2,3	-2,3	0	0	0	0	0	0	0		
Суммарное снижение поверхностью земли на траектории распространения звука Agr, дБ		ф-ла (9) [10]	-5,3	-5,3	0,3	5,5	3,5	-0,8	-1,5	-1,5	-1,5		
Уровни звукового давления прямого звука от источника ИШ-9-7 в расчётной точке днём, дБ		**ф-ла(3)[10]**	**0**	**40,5**	**36,2**	**32,1**	**33,9**	**37,1**	**33,2**	**24,5**	**2,7**	**39,9**	**39,9**
Расчёт отражённого звука													
Уровни звукового давления от мнимого источника ИШ-9-7_мн.(1) в расчётной точке днём, дБ		**ф-ла(3)[10]**	**0**	**0**	**0**	**0**	**0**	**0**	**0**	**0**	**0**	**0**	**0**
Уровни звукового давления от источника ИШ-9-7 в расчётной точке днём, дБ		**ф-ла(3)[10]**	**0**	**40,5**	**36,2**	**32,1**	**33,9**	**37,1**	**33,2**	**24,5**	**2,7**	**39,9**	**39,9**
Источник шума: ИШ-9-8, координаты источника (x,y,z), м =[649.92,-337.69,1.00]													
Уровни звуковой мощности источника днём, Lw, дБ		**исходные данные**	**0**	**93,3**	**94,7**	**96**	**96,3**	**95,9**	**92,6**	**88,4**	**83,9**		

1		2	3	4	5	6	7	8	9	10	11	12	13
Поправка на телесный угол DΩ, дБ	Ω = 6.28	10Lg(4π/Ω)	**3**	3	3	3	3	3	3	3	3		
Показатель направленности источника Di, дБ		исходные данные	**0**	0	0	0	0	0	0	0	0		
Поправка на направленность источника Dc, дБ	Dc	DΩ + Di	**3**	3	3	3	3	3	3	3	3		
Затухание из-за геометрической дивергенции, Adiv, дБ	расстояние = 315.04 м	ф-ла (7) [10]	**61**										
Коэффициент затухания звука в атмосфере α, дБ/км	Ta=20,°C Pa=101.33,кПа hотн.=70%	ф-ла (5) [9]	0,02	0,09	0,33	1,12	2,79	4,98	9,04	23,09	77,63		
Учет затухания звука в атмосфере Aatm, дБ		ф-ла (8) [10]	0	0	0,1	0,4	0,9	1,6	2,8	7,3	24,5		
Снижение поверхностью земли возле источника As, дБ	Gs = 0 hs = 1м	ф-лы таб.3 [10]	-1,5	-1,5	-1,5	-1,5	-1,5	-1,5	-1,5	-1,5	-1,5		
Снижение поверхностью земли возле приёмника Ar, дБ	Gr = 1 hr = 1.5м	ф-лы таб.3 [10]	-1,5	-1,5	1,8	7	5	0,7	0	0	0		
Снижение поверхностью земли в средней зоне, Am дБ	Gm = 1	ф-лы таб.3 [10]	-2,3	-2,3	0	0	0	0	0	0	0		
Суммарное снижение поверхностью земли на траектории распространения звука Agr, дБ		ф-ла (9) [10]	-5,3	-5,3	0,3	5,5	3,5	-0,8	-1,5	-1,5	-1,5		
Уровни звукового давления прямого звука от источника ИШ-9-8 в расчётной точке днём, дБ		**ф-ла(3)[10]**	**0**	**40,6**	**36,3**	**32,2**	**34**	**37,2**	**33,3**	**24,7**	**3**	**40**	**40**
Расчёт отражённого звука													
Уровни звукового давления от мнимого источника ИШ-9-8_мн.(1) в расчётной точке днём, дБ		**ф-ла(3)[10]**	**0**	**0**	**0**	**0**	**0**	**0**	**0**	**0**	**0**	**0**	**0**
Уровни звукового давления от мнимого источника ИШ-9-8_мн.(2) в расчётной точке днём, дБ		**ф-ла(3)[10]**	**0**	**0**	**0**	**0**	**22,6**	**32,6**	**30,8**	**22,1**	**0,3**	**35,7**	**35,7**
Суммарные уровни звукового давления от мнимых источников в расчётной точке днём, дБ		**ф-ла (19) [1]**	**0**	**0**	**0**	**0**	**22,6**	**32,6**	**30,8**	**22,1**	**0,3**	**0**	**35,7**
Уровни звукового давления от источника ИШ-9-8 в расчётной точке днём, дБ		**ф-ла(3)[10]**	**0**	**40,6**	**36,3**	**32,2**	**34,3**	**38,5**	**35,2**	**26,6**	**4,9**	**41,4**	**41,4**

1		2	3	4	5	6	7	8	9	10	11	12	13
Источник шума: ИШ-9-9, координаты источника (x,y,z), м =[650.66,-334.90,1.00]													
Уровни звуковой мощности источника днём, Lw, дБ		**исходные данные**	**0**	**93,3**	**94,7**	**96**	**96,3**	**95,9**	**92,6**	**88,4**	**83,9**		
Поправка на телесный угол DΩ, дБ	Ω = 6.28	10Lg(4π/Ω)	**3**	3	3	3	3	3	3	3	3		
Показатель направленности источника Di, дБ		исходные данные	**0**	0	0	0	0	0	0	0	0		
Поправка на направленность источника Dc, дБ	Dc	DΩ + Di	**3**	3	3	3	3	3	3	3	3		
Затухание из-за геометрической дивергенции, Adiv, дБ	расстояние = 312.60 м	ф-ла (7) [10]	**60,9**										
Коэффициент затухания звука в атмосфере α, дБ/км	Ta=20,°C Pa=101.33,кПа hотн.=70%	ф-ла (5) [9]	0,02	0,09	0,33	1,12	2,79	4,98	9,04	23,09	77,63		
Учет затухания звука в атмосфере Aatm, дБ		ф-ла (8) [10]	0	0	0,1	0,4	0,9	1,6	2,8	7,2	24,3		
Снижение поверхностью земли возле источника As, дБ	Gs = 0 hs = 1м	ф-лы таб.3 [10]	-1,5	-1,5	-1,5	-1,5	-1,5	-1,5	-1,5	-1,5	-1,5		
Снижение поверхностью земли возле приёмника Ar, дБ	Gr = 1 hr = 1.5м	ф-лы таб.3 [10]	-1,5	-1,5	1,8	7	5	0,7	0	0	0		
Снижение поверхностью земли в средней зоне, Am дБ	Gm = 1	ф-лы таб.3 [10]	-2,3	-2,3	0	0	0	0	0	0	0		
Суммарное снижение поверхностью земли на траектории распространения звука Agr, дБ		ф-ла (9) [10]	-5,3	-5,3	0,3	5,5	3,5	-0,8	-1,5	-1,5	-1,5		
Уровни звукового давления прямого звука от источника ИШ-9-9 в расчётной точке днём, дБ		**ф-ла(3)[10]**	**0**	**40,6**	**36,4**	**32,2**	**34,1**	**37,3**	**33,4**	**24,8**	**3,2**	**40,1**	**40,1**
Расчёт отражённого звука													
Уровни звукового давления от мнимого источника ИШ-9-9_мн.(1) в расчётной точке днём, дБ		**ф-ла(3)[10]**	**0**	**0**	**0**	**0**	**0**	**0**	**0**	**0**	**0**	**0**	**0**
Уровни звукового давления от мнимого источника ИШ-9-9_мн.(2) в расчётной точке днём, дБ		**ф-ла(3)[10]**	**0**	**0**	**0**	**0**	**22,7**	**32,7**	**30,8**	**22,2**	**0,6**	**35,8**	**35,8**

1		2	3	4	5	6	7	8	9	10	11	12	13
Суммарные уровни звукового давления от мнимых источников в расчётной точке днём, дБ		**ф-ла (19) [1]**	**0**	**0**	**0**	**0**	**22,7**	**32,7**	**30,8**	**22,2**	**0,6**	**0**	**35,8**
Уровни звукового давления от источника ИШ-9-9 в расчётной точке днём, дБ		**ф-ла(3)[10]**	**0**	**40,6**	**36,4**	**32,2**	**34,4**	**38,6**	**35,3**	**26,7**	**5,1**	**41,4**	**41,4**
Источник шума: ИШ-9-10, координаты источника (x,y,z), м =[651.59,-332.01,1.00]													
Уровни звуковой мощности источника днём, Lw, дБ		**исходные данные**	**0**	**93,3**	**94,7**	**96**	**96,3**	**95,9**	**92,6**	**88,4**	**83,9**		
Поправка на телесный угол DΩ, дБ	Ω = 6.28	10Lg(4π/Ω)	**3**	3	3	3	3	3	3	3	3		
Показатель направленности источника Di, дБ		исходные данные	**0**	0	0	0	0	0	0	0	0		
Поправка на направленность источника Dc, дБ	Dc	DΩ + Di	**3**	3	3	3	3	3	3	3	3		
Затухание из-за геометрической дивергенции, Adiv, дБ	расстояние = 310.14 м	ф-ла (7) [10]	**60,8**										
Коэффициент затухания звука в атмосфере α, дБ/км	Ta=20,°C Pa=101.33,кПа hотн.=70%	ф-ла (5) [9]	0,02	0,09	0,33	1,12	2,79	4,98	9,04	23,09	77,63		
Учет затухания звука в атмосфере Aatm, дБ		ф-ла (8) [10]	0	0	0,1	0,3	0,9	1,5	2,8	7,2	24,1		
Снижение поверхностью земли возле источника As, дБ	Gs = 0 hs = 1м	ф-лы таб.3 [10]	-1,5	-1,5	-1,5	-1,5	-1,5	-1,5	-1,5	-1,5	-1,5		
Снижение поверхностью земли возле приёмника Ar, дБ	Gr = 1 hr = 1.5м	ф-лы таб.3 [10]	-1,5	-1,5	1,8	7	5	0,7	0	0	0		
Снижение поверхностью земли в средней зоне, Am дБ	Gm = 1	ф-лы таб.3 [10]	-2,3	-2,3	0	0	0	0	0	0	0		
Суммарное снижение поверхностью земли на траектории распространения звука Agr, дБ		ф-ла (9) [10]	-5,3	-5,3	0,3	5,5	3,5	-0,8	-1,5	-1,5	-1,5		
Уровни звукового давления прямого звука от источника ИШ-9-10 в расчётной точке днём, дБ		**ф-ла(3)[10]**	**0**	**40,7**	**36,5**	**32,3**	**34,1**	**37,4**	**33,5**	**24,9**	**3,5**	**40,2**	**40,2**
Расчёт отражённого звука													

1		2	3	4	5	6	7	8	9	10	11	12	13
Уровни звукового давления от мнимого источника ИШ-9-10_мн.(1) в расчётной точке днём, дБ		**ф-ла(3)[10]**	**0**	**0**	**0**	**0**	**0**	**0**	**0**	**0**	**0**	**0**	**0**
Уровни звукового давления от мнимого источника ИШ-9-10_мн.(2) в расчётной точке днём, дБ		**ф-ла(3)[10]**	**0**	**0**	**0**	**0**	**22,8**	**32,8**	**30,9**	**22,4**	**0,8**	**35,9**	**35,9**
Суммарные уровни звукового давления от мнимых источников в расчётной точке днём, дБ		**ф-ла (19) [1]**	**0**	**0**	**0**	**0**	**22,8**	**32,8**	**30,9**	**22,4**	**0,8**	**0**	**35,9**
Уровни звукового давления от источника ИШ-9-10 в расчётной точке днём, дБ		**ф-ла(3)[10]**	**0**	**40,7**	**36,5**	**32,3**	**34,4**	**38,7**	**35,4**	**26,8**	**5,4**	**41,5**	**41,5**
Источник шума: ИШ-9-11, координаты источника (x,y,z), м =[652.71,-329.22,1.00]													
Уровни звуковой мощности источника днём, Lw, дБ		**исходные данные**	**0**	**93,3**	**94,7**	**96**	**96,3**	**95,9**	**92,6**	**88,4**	**83,9**		
Поправка на телесный угол DΩ, дБ	Ω = 6.28	10Lg(4π/Ω)	**3**	3	3	3	3	3	3	3	3		
Показатель направленности источника Di, дБ		исходные данные	**0**	0	0	0	0	0	0	0	0		
Поправка на направленность источника Dc, дБ	Dc	DΩ + Di	**3**	3	3	3	3	3	3	3	3		
Затухание из-за геометрической дивергенции, Adiv, дБ	расстояние = 307.84 м	ф-ла (7) [10]	**60,8**										
Коэффициент затухания звука в атмосфере α, дБ/км	Ta=20,°C Pa=101.33,кПа hотн.=70%	ф-ла (5) [9]	0,02	0,09	0,33	1,12	2,79	4,98	9,04	23,09	77,63		
Учет затухания звука в атмосфере Aatm, дБ		ф-ла (8) [10]	0	0	0,1	0,3	0,9	1,5	2,8	7,1	23,9		
Снижение поверхностью земли возле источника As, дБ	Gs = 0 hs = 1м	ф-лы таб.3 [10]	-1,5	-1,5	-1,5	-1,5	-1,5	-1,5	-1,5	-1,5	-1,5		
Снижение поверхностью земли возле приёмника Ar, дБ	Gr = 1 hr = 1.5м	ф-лы таб.3 [10]	-1,5	-1,5	1,8	7	5	0,7	0	0	0		
Снижение поверхностью земли в средней зоне, Am дБ	Gm = 1	ф-лы таб.3 [10]	-2,3	-2,3	0	0	0	0	0	0	0		
Суммарное снижение поверхностью земли на траектории распространения звука Agr, дБ		ф-ла (9) [10]	-5,3	-5,3	0,3	5,5	3,5	-0,8	-1,5	-1,5	-1,5		

1		2	3	4	5	6	7	8	9	10	11	12	13
Уровни звукового давления прямого звука от источника ИШ-9-11 в расчётной точке днём, дБ		**ф-ла(3)[10]**	**0**	**40,8**	**36,5**	**32,4**	**34,2**	**37,4**	**33,5**	**25**	**3,7**	**40,2**	**40,2**
Расчёт отражённого звука													
Уровни звукового давления от мнимого источника ИШ-9-11_мн.(1) в расчётной точке днём, дБ		**ф-ла(3)[10]**	**0**	**0**	**0**	**0**	**0**	**0**	**0**	**0**	**0**	**0**	**0**
Уровни звукового давления от мнимого источника ИШ-9-11_мн.(2) в расчётной точке днём, дБ		**ф-ла(3)[10]**	**0**	**0**	**0**	**0**	**22,9**	**32,9**	**31**	**22,5**	**1,1**	**35,9**	**35,9**
Суммарные уровни звукового давления от мнимых источников в расчётной точке днём, дБ		**ф-ла (19) [1]**	**0**	**0**	**0**	**0**	**22,9**	**32,9**	**31**	**22,5**	**1,1**	**0**	**35,9**
Уровни звукового давления от источника ИШ-9-11 в расчётной точке днём, дБ		**ф-ла(3)[10]**	**0**	**40,8**	**36,5**	**32,4**	**34,5**	**38,7**	**35,5**	**26,9**	**5,6**	**41,6**	**41,6**
Источник шума: ИШ-9-12, координаты источника (x,y,z), м =[653.46,-326.33,1.00]													
Уровни звуковой мощности источника днём, Lw, дБ		**исходные данные**	**0**	**93,3**	**94,7**	**96**	**96,3**	**95,9**	**92,6**	**88,4**	**83,9**		
Поправка на телесный угол DΩ, дБ	Ω = 6.28	10Lg(4π/Ω)	**3**	3	3	3	3	3	3	3	3		
Показатель направленности источника Di, дБ		исходные данные	**0**	0	0	0	0	0	0	0	0		
Поправка на направленность источника Dc, дБ	Dc	DΩ + Di	**3**	3	3	3	3	3	3	3	3		
Затухание из-за геометрической дивергенции, Adiv, дБ	расстояние = 305.34 м	ф-ла (7) [10]	**60,7**										
Коэффициент затухания звука в атмосфере α, дБ/км	Ta=20,°C Pa=101.33,кПа hотн.=70%	ф-ла (5) [9]	0,02	0,09	0,33	1,12	2,79	4,98	9,04	23,09	77,63		
Учет затухания звука в атмосфере Aatm, дБ		ф-ла (8) [10]	0	0	0,1	0,3	0,9	1,5	2,8	7	23,7		
Снижение поверхностью земли возле источника As, дБ	Gs = 0 hs = 1м	ф-лы таб.3 [10]	-1,5	-1,5	-1,5	-1,5	-1,5	-1,5	-1,5	-1,5	-1,5		
Снижение поверхностью земли возле приёмника Ar, дБ	Gr = 1 hr = 1.5м	ф-лы таб.3 [10]	-1,5	-1,5	1,8	7	5	0,7	0	0	0		

1		2	3	4	5	6	7	8	9	10	11	12	13
Снижение поверхностью земли в средней зоне, Am дБ	Gm = 1	ф-лы таб.3 [10]	-2,3	-2,3	0	0	0	0	0	0	0		
Суммарное снижение поверхностью земли на траектории распространения звука Agr, дБ		ф-ла (9) [10]	-5,3	-5,3	0,3	5,5	3,5	-0,8	-1,5	-1,5	-1,5		
Уровни звукового давления прямого звука от источника ИШ-9-12 в расчётной точке днём, дБ		**ф-ла(3)[10]**	**0**	**40,8**	**36,6**	**32,4**	**34,3**	**37,5**	**33,6**	**25,1**	**4**	**40,3**	**40,3**
Расчёт отражённого звука													
Уровни звукового давления от мнимого источника ИШ-9-12_мн.(1) в расчётной точке днём, дБ		**ф-ла(3)[10]**	**0**	**0**	**0**	**0**	**0**	**0**	**0**	**0**	**0**	**0**	**0**
Уровни звукового давления от мнимого источника ИШ-9-12_мн.(2) в расчётной точке днём, дБ		**ф-ла(3)[10]**	**0**	**0**	**0**	**0**	**22,9**	**33**	**31,1**	**22,6**	**1,4**	**36**	**36**
Суммарные уровни звукового давления от мнимых источников в расчётной точке днём, дБ		**ф-ла (19) [1]**	**0**	**0**	**0**	**0**	**22,9**	**33**	**31,1**	**22,6**	**1,4**	**0**	**36**
Уровни звукового давления от источника ИШ-9-12 в расчётной точке днём, дБ		**ф-ла(3)[10]**	**0**	**40,8**	**36,6**	**32,4**	**34,6**	**38,8**	**35,6**	**27,1**	**5,9**	**41,7**	**41,7**
Источник шума: ИШ-9-13, координаты источника (x,y,z), м =[654.48,-323.54,1.00]													
Уровни звуковой мощности источника днём, Lw, дБ		**исходные данные**	**0**	**93,3**	**94,7**	**96**	**96,3**	**95,9**	**92,6**	**88,4**	**83,9**		
Поправка на телесный угол DΩ, дБ	Ω = 6.28	10Lg(4π/Ω)	**3**	3	3	3	3	3	3	3	3		
Показатель направленности источника Di, дБ		исходные данные	**0**	0	0	0	0	0	0	0	0		
Поправка на направленность источника Dc, дБ	Dc	DΩ + Di	**3**	3	3	3	3	3	3	3	3		
Затухание из-за геометрической дивергенции, Adiv, дБ	расстояние = 303.03 м	ф-ла (7) [10]	**60,6**										
Коэффициент затухания звука в атмосфере α, дБ/км	Ta=20,°C Pa=101.33,кПа hотн.=70%	ф-ла (5) [9]	0,02	0,09	0,33	1,12	2,79	4,98	9,04	23,09	77,63		
Учет затухания звука в атмосфере Aatm, дБ		ф-ла (8) [10]	0	0	0,1	0,3	0,8	1,5	2,7	7	23,5		

1		2	3	4	5	6	7	8	9	10	11	12	13
Снижение поверхностью земли возле источника As, дБ	Gs = 0 hs = 1м	ф-лы таб.3 [10]	-1,5	-1,5	-1,5	-1,5	-1,5	-1,5	-1,5	-1,5	-1,5		
Снижение поверхностью земли возле приёмника Ar, дБ	Gr = 1 hr = 1.5м	ф-лы таб.3 [10]	-1,5	-1,5	1,7	7	5	0,7	0	0	0		
Снижение поверхностью земли в средней зоне, Am дБ	Gm = 1	ф-лы таб.3 [10]	-2,3	-2,3	0	0	0	0	0	0	0		
Суммарное снижение поверхностью земли на траектории распространения звука Agr, дБ		ф-ла (9) [10]	-5,3	-5,3	0,2	5,5	3,5	-0,8	-1,5	-1,5	-1,5		
Уровни звукового давления прямого звука от источника ИШ-9-13 в расчётной точке днём, дБ		**ф-ла(3)[10]**	**0**	**40,9**	**36,7**	**32,5**	**34,4**	**37,6**	**33,7**	**25,3**	**4,2**	**40,4**	**40,4**
Расчёт отражённого звука													
Уровни звукового давления от мнимого источника ИШ-9-13_мн.(1) в расчётной точке днём, дБ		**ф-ла(3)[10]**	**0**	**0**	**0**	**0**	**0**	**0**	**0**	**0**	**0**	**0**	**0**
Уровни звукового давления от мнимого источника ИШ-9-13_мн.(2) в расчётной точке днём, дБ		**ф-ла(3)[10]**	**0**	**0**	**0**	**0**	**23**	**33**	**31,2**	**22,7**	**1,6**	**36,1**	**36,1**
Суммарные уровни звукового давления от мнимых источников в расчётной точке днём, дБ		**ф-ла (19) [1]**	**0**	**0**	**0**	**0**	**23**	**33**	**31,2**	**22,7**	**1,6**	**0**	**36,1**
Уровни звукового давления от источника ИШ-9-13 в расчётной точке днём, дБ		**ф-ла(3)[10]**	**0**	**40,9**	**36,7**	**32,5**	**34,7**	**38,9**	**35,7**	**27,2**	**6,1**	**41,8**	**41,8**
Источник шума: ИШ-9-14, координаты источника (x,y,z), м =[655.60,-320.74,1.00]													
Уровни звуковой мощности источника днём, Lw, дБ		**исходные данные**	**0**	**93,3**	**94,7**	**96**	**96,3**	**95,9**	**92,6**	**88,4**	**83,9**		
Поправка на телесный угол DΩ, дБ	Ω = 6.28	10Lg(4π/Ω)	**3**	3	3	3	3	3	3	3	3		
Показатель направленности источника Di, дБ		исходные данные	**0**	0	0	0	0	0	0	0	0		
Поправка на направленность источника Dc, дБ	Dc	DΩ + Di	**3**	3	3	3	3	3	3	3	3		
Затухание из-за геометрической дивергенции, Adiv, дБ	расстояние = 300.76 м	ф-ла (7) [10]	**60,6**										
Коэффициент затухания звука в атмосфере α, дБ/км	Ta=20,°C Pa=101.33,кПа hотн.=70%	ф-ла (5) [9]	0,02	0,09	0,33	1,12	2,79	4,98	9,04	23,09	77,63		

1		2	3	4	5	6	7	8	9	10	11	12	13
Учет затухания звука в атмосфере Aatm, дБ		ф-ла (8) [10]	0	0	0,1	0,3	0,8	1,5	2,7	6,9	23,3		
Снижение поверхностью земли возле источника As, дБ	Gs = 0 hs = 1м	ф-лы таб.3 [10]	-1,5	-1,5	-1,5	-1,5	-1,5	-1,5	-1,5	-1,5	-1,5		
Снижение поверхностью земли возле приёмника Ar, дБ	Gr = 1 hr = 1.5м	ф-лы таб.3 [10]	-1,5	-1,5	1,7	7	5	0,7	0	0	0		
Снижение поверхностью земли в средней зоне, Am дБ	Gm = 1	ф-лы таб.3 [10]	-2,3	-2,3	0	0	0	0	0	0	0		
Суммарное снижение поверхностью земли на траектории распространения звука Agr, дБ		ф-ла (9) [10]	-5,3	-5,3	0,2	5,5	3,5	-0,8	-1,5	-1,5	-1,5		
Уровни звукового давления прямого звука от источника ИШ-9-14 в расчётной точке днём, дБ		**ф-ла(3)[10]**	**0**	**41**	**36,8**	**32,6**	**34,4**	**37,7**	**33,8**	**25,4**	**4,5**	**40,5**	**40,5**
Расчёт отражённого звука													
Уровни звукового давления от мнимого источника ИШ-9-14_мн.(1) в расчётной точке днём, дБ		**ф-ла(3)[10]**	**0**	**0**	**0**	**0**	**0**	**0**	**0**	**0**	**0**	**0**	**0**
Уровни звукового давления от мнимого источника ИШ-9-14_мн.(2) в расчётной точке днём, дБ		**ф-ла(3)[10]**	**0**	**0**	**0**	**0**	**23,1**	**33,1**	**31,3**	**22,8**	**1,8**	**36,2**	**36,2**
Суммарные уровни звукового давления от мнимых источников в расчётной точке днём, дБ		**ф-ла (19) [1]**	**0**	**0**	**0**	**0**	**23,1**	**33,1**	**31,3**	**22,8**	**1,8**	**0**	**36,2**
Уровни звукового давления от источника ИШ-9-14 в расчётной точке днём, дБ		**ф-ла(3)[10]**	**0**	**41**	**36,8**	**32,6**	**34,7**	**39**	**35,7**	**27,3**	**6,4**	**41,9**	**41,9**
Источник шума: ИШ-9-15, координаты источника (x,y,z), м =[656.44,-317.86,1.00]													
Уровни звуковой мощности источника днём, Lw, дБ		**исходные данные**	**0**	**93,3**	**94,7**	**96**	**96,3**	**95,9**	**92,6**	**88,4**	**83,9**		
Поправка на телесный угол DΩ, дБ	Ω = 6.28	10Lg(4π/Ω)	**3**	3	3	3	3	3	3	3	3		
Показатель направленности источника Di, дБ		исходные данные	**0**	0	0	0	0	0	0	0	0		
Поправка на направленность источника Dc, дБ	Dc	DΩ + Di	**3**	3	3	3	3	3	3	3	3		
Затухание из-за геометрической дивергенции, Adiv, дБ	расстояние = 298.32 м	ф-ла (7) [10]	**60,5**										

1		2	3	4	5	6	7	8	9	10	11	12	13
Коэффициент затухания звука в атмосфере α, дБ/км	Та=20,°С Ра=101.33,кПа hотн.=70%	ф-ла (5) [9]	0,02	0,09	0,33	1,12	2,79	4,98	9,04	23,09	77,63		
Учет затухания звука в атмосфере Aatm, дБ		ф-ла (8) [10]	0	0	0,1	0,3	0,8	1,5	2,7	6,9	23,2		
Снижение поверхностью земли возле источника As, дБ	Gs = 0 hs = 1м	ф-лы таб.3 [10]	-1,5	-1,5	-1,5	-1,5	-1,5	-1,5	-1,5	-1,5	-1,5		
Снижение поверхностью земли возле приёмника Ar, дБ	Gr = 1 hr = 1.5м	ф-лы таб.3 [10]	-1,5	-1,5	1,7	7	5	0,7	0	0	0		
Снижение поверхностью земли в средней зоне, Am дБ	Gm = 1	ф-лы таб.3 [10]	-2,2	-2,2	0	0	0	0	0	0	0		
Суммарное снижение поверхностью земли на траектории распространения звука Agr, дБ		ф-ла (9) [10]	-5,2	-5,2	0,2	5,5	3,5	-0,8	-1,5	-1,5	-1,5		
Уровни звукового давления прямого звука от источника ИШ-9-15 в расчётной точке днём, дБ		**ф-ла(3)[10]**	**0**	**41**	**36,9**	**32,7**	**34,5**	**37,8**	**33,9**	**25,5**	**4,7**	**40,6**	**40,6**
Расчёт отражённого звука													
Уровни звукового давления от мнимого источника ИШ-9-15_мн.(1) в расчётной точке днём, дБ		**ф-ла(3)[10]**	**0**	**0**	**0**	**0**	**0**	**0**	**0**	**0**	**0**	**0**	**0**
Уровни звукового давления от мнимого источника ИШ-9-15_мн.(2) в расчётной точке днём, дБ		**ф-ла(3)[10]**	**0**	**0**	**0**	**0**	**23,2**	**33,2**	**31,4**	**23**	**2,1**	**36,3**	**36,3**
Суммарные уровни звукового давления от мнимых источников в расчётной точке днём, дБ		**ф-ла (19) [1]**	**0**	**0**	**0**	**0**	**23,2**	**33,2**	**31,4**	**23**	**2,1**	**0**	**36,3**
Уровни звукового давления от источника ИШ-9-15 в расчётной точке днём, дБ		**ф-ла(3)[10]**	**0**	**41**	**36,9**	**32,7**	**34,8**	**39,1**	**35,8**	**27,4**	**6,6**	**41,9**	**41,9**
Источник шума: ИШ-9-16, координаты источника (x,y,z), м =[657.46,-314.97,1.00]													
Уровни звуковой мощности источника днём, Lw, дБ		**исходные данные**	**0**	**93,3**	**94,7**	**96**	**96,3**	**95,9**	**92,6**	**88,4**	**83,9**		
Поправка на телесный угол DΩ, дБ	Ω = 6.28	10Lg(4π/Ω)	**3**	3	3	3	3	3	3	3	3		
Показатель направленности источника Di, дБ		исходные данные	**0**	0	0	0	0	0	0	0	0		

1		2	3	4	5	6	7	8	9	10	11	12	13
Поправка на направленность источника Dc, дБ	Dc	DΩ + Di	**3**	3	3	3	3	3	3	3	3		
Затухание из-за геометрической дивергенции, Adiv, дБ	расстояние = 295.95 м	ф-ла (7) [10]	**60,4**										
Коэффициент затухания звука в атмосфере α, дБ/км	Ta=20,°C Pa=101.33,кПа hотн.=70%	ф-ла (5) [9]	0,02	0,09	0,33	1,12	2,79	4,98	9,04	23,09	77,63		
Учет затухания звука в атмосфере Aatm, дБ		ф-ла (8) [10]	0	0	0,1	0,3	0,8	1,5	2,7	6,8	23		
Снижение поверхностью земли возле источника As, дБ	Gs = 0 hs = 1м	ф-лы таб.3 [10]	-1,5	-1,5	-1,5	-1,5	-1,5	-1,5	-1,5	-1,5	-1,5		
Снижение поверхностью земли возле приёмника Ar, дБ	Gr = 1 hr = 1.5м	ф-лы таб.3 [10]	-1,5	-1,5	1,7	7	5	0,7	0	0	0		
Снижение поверхностью земли в средней зоне, Am дБ	Gm = 1	ф-лы таб.3 [10]	-2,2	-2,2	0	0	0	0	0	0	0		
Суммарное снижение поверхностью земли на траектории распространения звука Agr, дБ		ф-ла (9) [10]	-5,2	-5,2	0,2	5,5	3,5	-0,8	-1,5	-1,5	-1,5		
Уровни звукового давления прямого звука от источника ИШ-9-16 в расчётной точке днём, дБ		**ф-ла(3)[10]**	**0**	**41,1**	**37**	**32,7**	**34,6**	**37,8**	**34**	**25,6**	**5**	**40,7**	**40,7**
Расчёт отражённого звука													
Уровни звукового давления от мнимого источника ИШ-9-16_мн.(1) в расчётной точке днём, дБ		**ф-ла(3)[10]**	**0**	**0**	**0**	**0**	**0**	**33,3**	**31,5**	**23,1**	**2,3**	**36,3**	**36,3**
Уровни звукового давления от источника ИШ-9-16 в расчётной точке днём, дБ		**ф-ла(3)[10]**	**0**	**41,1**	**37**	**32,7**	**34,6**	**39,1**	**35,9**	**27,6**	**6,9**	**42**	**42**
Источник шума: ИШ-9-17, координаты источника (x,y,z), м =[658.49,-312.18,1.00]													
Уровни звуковой мощности источника днём, Lw, дБ		**исходные данные**	**0**	**93,3**	**94,7**	**96**	**96,3**	**95,9**	**92,6**	**88,4**	**83,9**		
Поправка на телесный угол DΩ, дБ	Ω = 6.28	10Lg(4π/Ω)	**3**	3	3	3	3	3	3	3	3		
Показатель направленности источника Di, дБ		исходные данные	**0**	0	0	0	0	0	0	0	0		

1		2	3	4	5	6	7	8	9	10	11	12	13
Поправка на направленность источника Dc, дБ	Dc	DΩ + Di	**3**	3	3	3	3	3	3	3	3		
Затухание из-за геометрической дивергенции, Adiv, дБ	расстояние = 293.69 м	ф-ла (7) [10]	**60,4**										
Коэффициент затухания звука в атмосфере α, дБ/км	Ta=20,°C Pa=101.33,кПа hотн.=70%	ф-ла (5) [9]	0,02	0,09	0,33	1,12	2,79	4,98	9,04	23,09	77,63		
Учет затухания звука в атмосфере Aatm, дБ		ф-ла (8) [10]	0	0	0,1	0,3	0,8	1,5	2,7	6,8	22,8		
Снижение поверхностью земли возле источника As, дБ	Gs = 0 hs = 1м	ф-лы таб.3 [10]	-1,5	-1,5	-1,5	-1,5	-1,5	-1,5	-1,5	-1,5	-1,5		
Снижение поверхностью земли возле приёмника Ar, дБ	Gr = 1 hr = 1.5м	ф-лы таб.3 [10]	-1,5	-1,5	1,7	7	5	0,7	0	0	0		
Снижение поверхностью земли в средней зоне, Am дБ	Gm = 1	ф-лы таб.3 [10]	-2,2	-2,2	0	0	0	0	0	0	0		
Суммарное снижение поверхностью земли на траектории распространения звука Agr, дБ		ф-ла (9) [10]	-5,2	-5,2	0,2	5,5	3,5	-0,8	-1,5	-1,5	-1,5		
Уровни звукового давления прямого звука от источника ИШ-9-17 в расчётной точке днём, дБ		**ф-ла(3)[10]**	**0**	**41,1**	**37**	**32,8**	**34,7**	**37,9**	**34,1**	**25,8**	**5,2**	**40,7**	**40,7**
Расчёт отражённого звука													
Уровни звукового давления от мнимого источника ИШ-9-17_мн.(1) в расчётной точке днём, дБ		**ф-ла(3)[10]**	**0**	**0**	**0**	**0**	**0**	**33,4**	**31,5**	**23,2**	**2,6**	**36,3**	**36,3**
Уровни звукового давления от источника ИШ-9-17 в расчётной точке днём, дБ		**ф-ла(3)[10]**	**0**	**41,1**	**37**	**32,8**	**34,7**	**39,2**	**36**	**27,7**	**7,1**	**42,1**	**42,1**
Источник шума: ИШ-9-18, координаты источника (x,y,z), м =[659.42,-309.20,1.00]													
Уровни звуковой мощности источника днём, Lw, дБ		**исходные данные**	**0**	**93,3**	**94,7**	**96**	**96,3**	**95,9**	**92,6**	**88,4**	**83,9**		
Поправка на телесный угол DΩ, дБ	Ω = 6.28	10Lg(4π/Ω)	**3**	3	3	3	3	3	3	3	3		
Показатель направленности источника Di, дБ		исходные данные	**0**	0	0	0	0	0	0	0	0		

1		2	3	4	5	6	7	8	9	10	11	12	13
Поправка на направленность источника Dc, дБ	Dc	DΩ + Di	**3**	3	3	3	3	3	3	3	3		
Затухание из-за геометрической дивергенции, Adiv, дБ	расстояние = 291.23 м	ф-ла (7) [10]	**60,3**										
Коэффициент затухания звука в атмосфере α, дБ/км	Ta=20,°C Pa=101.33,кПа hотн.=70%	ф-ла (5) [9]	0,02	0,09	0,33	1,12	2,79	4,98	9,04	23,09	77,63		
Учет затухания звука в атмосфере Aatm, дБ		ф-ла (8) [10]	0	0	0,1	0,3	0,8	1,4	2,6	6,7	22,6		
Снижение поверхностью земли возле источника As, дБ	Gs = 0 hs = 1м	ф-лы таб.3 [10]	-1,5	-1,5	-1,5	-1,5	-1,5	-1,5	-1,5	-1,5	-1,5		
Снижение поверхностью земли возле приёмника Ar, дБ	Gr = 1 hr = 1.5м	ф-лы таб.3 [10]	-1,5	-1,5	1,7	7	5	0,7	0	0	0		
Снижение поверхностью земли в средней зоне, Am дБ	Gm = 1	ф-лы таб.3 [10]	-2,2	-2,2	0	0	0	0	0	0	0		
Суммарное снижение поверхностью земли на траектории распространения звука Agr, дБ		ф-ла (9) [10]	-5,2	-5,2	0,2	5,5	3,5	-0,8	-1,5	-1,5	-1,5		
Уровни звукового давления прямого звука от источника ИШ-9-18 в расчётной точке днём, дБ		**ф-ла(3)[10]**	**0**	**41,2**	**37,1**	**32,9**	**34,7**	**38**	**34,2**	**25,9**	**5,5**	**40,8**	**40,8**
Расчёт отражённого звука													
Уровни звукового давления от мнимого источника ИШ-9-18_мн.(1) в расчётной точке днём, дБ		**ф-ла(3)[10]**	**0**	**0**	**0**	**0**	**0**	**33,4**	**31,6**	**23,3**	**2,8**	**36,4**	**36,4**
Уровни звукового давления от источника ИШ-9-18 в расчётной точке днём, дБ		**ф-ла(3)[10]**	**0**	**41,2**	**37,1**	**32,9**	**34,7**	**39,3**	**36,1**	**27,8**	**7,4**	**42,2**	**42,2**
Источник шума: ИШ-9-19, координаты источника (x,y,z), м =[660.44,-306.50,1.00]													
Уровни звуковой мощности источника днём, Lw, дБ		**исходные данные**	**0**	**93,3**	**94,7**	**96**	**96,3**	**95,9**	**92,6**	**88,4**	**83,9**		
Поправка на телесный угол DΩ, дБ	Ω = 6.28	10Lg(4π/Ω)	**3**	3	3	3	3	3	3	3	3		
Показатель направленности источника Di, дБ		исходные данные	**0**	0	0	0	0	0	0	0	0		

1		2	3	4	5	6	7	8	9	10	11	12	13
Поправка на направленность источника Dc, дБ	Dc	DΩ + Di	**3**	3	3	3	3	3	3	3	3		
Затухание из-за геометрической дивергенции, Adiv, дБ	расстояние = 289.08 м	ф-ла (7) [10]	**60,2**										
Коэффициент затухания звука в атмосфере α, дБ/км	Ta=20,°C Pa=101.33,кПа hотн.=70%	ф-ла (5) [9]	0,02	0,09	0,33	1,12	2,79	4,98	9,04	23,09	77,63		
Учет затухания звука в атмосфере Aatm, дБ		ф-ла (8) [10]	0	0	0,1	0,3	0,8	1,4	2,6	6,7	22,4		
Снижение поверхностью земли возле источника As, дБ	Gs = 0 hs = 1м	ф-лы таб.3 [10]	-1,5	-1,5	-1,5	-1,5	-1,5	-1,5	-1,5	-1,5	-1,5		
Снижение поверхностью земли возле приёмника Ar, дБ	Gr = 1 hr = 1.5м	ф-лы таб.3 [10]	-1,5	-1,5	1,7	7	5	0,7	0	0	0		
Снижение поверхностью земли в средней зоне, Am дБ	Gm = 1	ф-лы таб.3 [10]	-2,2	-2,2	0	0	0	0	0	0	0		
Суммарное снижение поверхностью земли на траектории распространения звука Agr, дБ		ф-ла (9) [10]	-5,2	-5,2	0,2	5,5	3,5	-0,8	-1,5	-1,5	-1,5		
Уровни звукового давления прямого звука от источника ИШ-9-19 в расчётной точке днём, дБ		**ф-ла(3)[10]**	**0**	**41,3**	**37,2**	**32,9**	**34,8**	**38,1**	**34,3**	**26**	**5,7**	**40,9**	**40,9**
Расчёт отражённого звука													
Уровни звукового давления от мнимого источника ИШ-9-19_мн.(1) в расчётной точке днём, дБ		**ф-ла(3)[10]**	**0**	**0**	**0**	**0**	**0**	**33,5**	**31,7**	**23,4**	**3,1**	**36,5**	**36,5**
Уровни звукового давления от источника ИШ-9-19 в расчётной точке днём, дБ		**ф-ла(3)[10]**	**0**	**41,3**	**37,2**	**32,9**	**34,8**	**39,4**	**36,2**	**27,9**	**7,6**	**42,3**	**42,3**
Источник шума: ИШ-9-20, координаты источника (x,y,z), м =[661.28,-303.61,1.00]													
Уровни звуковой мощности источника днём, Lw, дБ		**исходные данные**	**0**	**93,3**	**94,7**	**96**	**96,3**	**95,9**	**92,6**	**88,4**	**83,9**		
Поправка на телесный угол DΩ, дБ	Ω = 6.28	10Lg(4π/Ω)	**3**	3	3	3	3	3	3	3	3		
Показатель направленности источника Di, дБ		исходные данные	**0**	0	0	0	0	0	0	0	0		

1		2	3	4	5	6	7	8	9	10	11	12	13
Поправка на направленность источника Dc, дБ	Dc	DΩ + Di	**3**	3	3	3	3	3	3	3	3		
Затухание из-за геометрической дивергенции, Adiv, дБ	расстояние = 286.70 м	ф-ла (7) [10]	**60,1**										
Коэффициент затухания звука в атмосфере α, дБ/км	Ta=20,°C Pa=101.33,кПа hотн.=70%	ф-ла (5) [9]	0,02	0,09	0,33	1,12	2,79	4,98	9,04	23,09	77,63		
Учет затухания звука в атмосфере Aatm, дБ		ф-ла (8) [10]	0	0	0,1	0,3	0,8	1,4	2,6	6,6	22,3		
Снижение уровня звукового давления из-за влияния застройки между источником шума и расчетной точкой													
Снижение уровня звукового давления на пути над экраном, Dz1, дБ	z = 0.74м (разность путей)	ф-лы (14-18) [10]	6,5	7,7	9,4	11,6	14,2	17	19,9	23,2	27		
Снижение уровня звукового давления на пути слева от экрана, Dz2, дБ	z = 0.00м (разность путей)	ф-лы (14-18) [10]	4,8	4,8	4,8	4,8	4,8	4,8	4,8	4,9	4,9		
Снижение уровня звукового давления на пути справа от экрана, Dz3, дБ	z = 37.34м (разность путей)	ф-лы (14-18) [10]	21,6	25	28,9	33,5	37,6	41	44,2	47,2	50,2		
Общее снижение уровня звука препятствием Dz, дБ		Эн.сумма(-Dzi)	2,5	3	3,5	4	4,3	4,5	4,7	4,8	4,9		
Уровни звукового давления прямого звука от источника ИШ-9-20 в расчётной точке днём, дБ		**ф-ла(3)[10]**	**0**	**33,2**	**34**	**34,6**	**34**	**32,8**	**28,2**	**19,8**	**0**	**36,6**	**36,6**
Расчёт отражённого звука													
Уровни звукового давления от мнимого источника ИШ-9-20_мн.(1) в расчётной точке днём, дБ		**ф-ла(3)[10]**	**0**	**0**	**0**	**0**	**0**	**33,6**	**31,8**	**23,6**	**3,3**	**36,6**	**36,6**
Уровни звукового давления от источника ИШ-9-20 в расчётной точке днём, дБ		**ф-ла(3)[10]**	**0**	**33,2**	**34**	**34,6**	**34**	**36,2**	**33,4**	**25,1**	**3,3**	**39,6**	**39,6**
Источник шума: ИШ-9-21, координаты источника (x,y,z), м =[661.93,-300.72,1.00]													
Уровни звуковой мощности источника днём, Lw, дБ		**исходные данные**	**0**	**93,3**	**94,7**	**96**	**96,3**	**95,9**	**92,6**	**88,4**	**83,9**		
Поправка на телесный угол DΩ, дБ	Ω = 6.28	10Lg(4π/Ω)	**3**	3	3	3	3	3	3	3	3		

1		2	3	4	5	6	7	8	9	10	11	12	13
Показатель направленности источника Di, дБ		исходные данные	**0**	0	0	0	0	0	0	0	0		
Поправка на направленность источника Dc, дБ	Dc	DΩ + Di	**3**	3	3	3	3	3	3	3	3		
Затухание из-за геометрической дивергенции, Adiv, дБ	расстояние = 284.26 м	ф-ла (7) [10]	**60,1**										
Коэффициент затухания звука в атмосфере α, дБ/км	Ta=20,°C Pa=101.33,кПа hотн.=70%	ф-ла (5) [9]	0,02	0,09	0,33	1,12	2,79	4,98	9,04	23,09	77,63		
Учет затухания звука в атмосфере Aatm, дБ		ф-ла (8) [10]	0	0	0,1	0,3	0,8	1,4	2,6	6,6	22,1		
Снижение уровня звукового давления из-за влияния застройки между источником шума и расчетной точкой													
Снижение уровня звукового давления на пути над экраном, Dz1, дБ	z = 0.75м (разность путей)	ф-лы (14-18) [10]	6,5	7,8	9,5	11,7	14,3	17,3	20,8	25,2	29,6		
Снижение уровня звукового давления на пути слева от экрана, Dz2, дБ	z = 0.00м (разность путей)	ф-лы (14-18) [10]	4,8	4,8	4,8	4,8	4,9	5	5,2	5,6	6,3		
Снижение уровня звукового давления на пути справа от экрана, Dz3, дБ	z = 37.13м (разность путей)	ф-лы (14-18) [10]	21,6	24,9	28,9	33,4	37,6	41	44,1	47,2	50,2		
Общее снижение уровня звука препятствием Dz, дБ		Эн.сумма(-Dzi)	2,5	3	3,5	4	4,4	4,7	5,1	5,5	6,2		
Уровни звукового давления прямого звука от источника ИШ-9-21 в расчётной точке днём, дБ		**ф-ла(3)[10]**	**0**	**33,2**	**34**	**34,6**	**34**	**32,7**	**27,9**	**19,2**	**0**	**36,5**	**36,5**
Расчёт отражённого звука													
Уровни звукового давления от мнимого источника ИШ-9-21_мн.(1) в расчётной точке днём, дБ		**ф-ла(3)[10]**	**0**	**0**	**0**	**0**	**0**	**33,7**	**31,9**	**23,7**	**3,6**	**36,7**	**36,7**
Уровни звукового давления от источника ИШ-9-21 в расчётной точке днём, дБ		**ф-ла(3)[10]**	**0**	**33,2**	**34**	**34,6**	**34**	**36,2**	**33,4**	**25**	**3,6**	**39,6**	**39,6**
Источник шума: ИШ-9-22, координаты источника (x,y,z), м =[663.14,-297.83,1.00]													
Уровни звуковой мощности источника днём, Lw, дБ		**исходные данные**	**0**	**93,3**	**94,7**	**96**	**96,3**	**95,9**	**92,6**	**88,4**	**83,9**		

1		2	3	4	5	6	7	8	9	10	11	12	13
Поправка на телесный угол DΩ, дБ	Ω = 6.28	10Lg(4π/Ω)	**3**	3	3	3	3	3	3	3	3		
Показатель направленности источника Di, дБ		исходные данные	**0**	0	0	0	0	0	0	0	0		
Поправка на направленность источника Dc, дБ	Dc	DΩ + Di	**3**	3	3	3	3	3	3	3	3		
Затухание из-за геометрической дивергенции, Adiv, дБ	расстояние = 282.05 м	ф-ла (7) [10]	**60**										
Коэффициент затухания звука в атмосфере α, дБ/км	Ta=20,°C Pa=101.33,кПа hотн.=70%	ф-ла (5) [9]	0,02	0,09	0,33	1,12	2,79	4,98	9,04	23,09	77,63		
Учет затухания звука в атмосфере Aatm, дБ		ф-ла (8) [10]	0	0	0,1	0,3	0,8	1,4	2,5	6,5	21,9		
Снижение уровня звукового давления из-за влияния застройки между источником шума и расчетной точкой													
Снижение уровня звукового давления на пути над экраном, Dz1, дБ	z = 0.75м (разность путей)	ф-лы (14-18) [10]	6,5	7,8	9,6	11,8	14,6	17,9	22,2	26,6	30,3		
Снижение уровня звукового давления на пути слева от экрана, Dz2, дБ	z = 0.00м (разность путей)	ф-лы (14-18) [10]	4,8	4,8	4,9	5	5,2	5,5	6,2	7,2	8,8		
Снижение уровня звукового давления на пути справа от экрана, Dz3, дБ	z = 36.85м (разность путей)	ф-лы (14-18) [10]	21,6	24,9	28,9	33,4	37,5	41	44,1	47,2	50,2		
Общее снижение уровня звука препятствием Dz, дБ		Эн.сумма(-Dzi)	2,5	3	3,6	4,2	4,7	5,3	6,1	7,2	8,8		
Уровни звукового давления прямого звука от источника ИШ-9-22 в расчётной точке днём, дБ		**ф-ла(3)[10]**	**0**	**33,2**	**34**	**34,5**	**33,8**	**32,2**	**27**	**17,7**	**0**	**36**	**36**
Расчёт отражённого звука													
Уровни звукового давления от мнимого источника ИШ-9-22_мн.(1) в расчётной точке днём, дБ		**ф-ла(3)[10]**	**0**	**0**	**0**	**0**	**0**	**0**	**32**	**23,8**	**3,8**	**33,8**	**33,8**
Уровни звукового давления от источника ИШ-9-22 в расчётной точке днём, дБ		**ф-ла(3)[10]**	**0**	**33,2**	**34**	**34,5**	**33,8**	**32,2**	**33,2**	**24,8**	**3,8**	**38,1**	**38,1**

Источник шума: ИШ-9-23, координаты источника (x,y,z), м =[664.07,-295.13,1.00]

1		2	3	4	5	6	7	8	9	10	11	12	13
Уровни звуковой мощности источника днём, Lw, дБ		**исходные данные**	**0**	**93,3**	**94,7**	**96**	**96,3**	**95,9**	**92,6**	**88,4**	**83,9**		
Поправка на телесный угол DΩ, дБ	Ω = 6.28	10Lg(4π/Ω)	**3**	3	3	3	3	3	3	3	3		
Показатель направленности источника Di, дБ		исходные данные	**0**	0	0	0	0	0	0	0	0		
Поправка на направленность источника Dc, дБ	Dc	DΩ + Di	**3**	3	3	3	3	3	3	3	3		
Затухание из-за геометрической дивергенции, Adiv, дБ	расстояние = 279.92 м	ф-ла (7) [10]	**59,9**										
Коэффициент затухания звука в атмосфере α, дБ/км	Ta=20,°C Pa=101.33,кПа hотн.=70%	ф-ла (5) [9]	0,02	0,09	0,33	1,12	2,79	4,98	9,04	23,09	77,63		
Учет затухания звука в атмосфере Aatm, дБ		ф-ла (8) [10]	0	0	0,1	0,3	0,8	1,4	2,5	6,5	21,7		
Снижение уровня звукового давления из-за влияния застройки между источником шума и расчетной точкой													
Снижение уровня звукового давления на пути над экраном, Dz1, дБ	z = 0.76м (разность путей)	ф-лы (14-18) [10]	6,6	7,8	9,6	11,9	14,8	18,6	23	27,1	30,5		
Снижение уровня звукового давления на пути слева от экрана, Dz2, дБ	z = 0.01м (разность путей)	ф-лы (14-18) [10]	4,8	4,9	5	5,2	5,5	6,2	7,2	8,8	10,8		
Снижение уровня звукового давления на пути справа от экрана, Dz3, дБ	z = 36.61м (разность путей)	ф-лы (14-18) [10]	21,6	24,9	28,8	33,4	37,5	40,9	44,1	47,1	50,1		
Общее снижение уровня звука препятствием Dz, дБ		Эн.сумма(-Dzi)	2,5	3,1	3,7	4,3	5	5,9	7,1	8,7	10,8		
Уровни звукового давления прямого звука от источника ИШ-9-23 в расчётной точке днём, дБ		**ф-ла(3)[10]**	**0**	**33,3**	**34**	**34,4**	**33,5**	**31,6**	**26**	**16,3**	**0**	**35,5**	**35,5**
Расчёт отражённого звука													
Уровни звукового давления от мнимого источника ИШ-9-23_мн.(1) в расчётной точке днём, дБ		**ф-ла(3)[10]**	**0**	**0**	**0**	**0**	**0**	**0**	**32,1**	**23,9**	**4,1**	**33,9**	**33,9**
Уровни звукового давления от источника ИШ-9-23 в расчётной точке днём, дБ		**ф-ла(3)[10]**	**0**	**33,3**	**34**	**34,4**	**33,5**	**31,6**	**33**	**24,6**	**4,1**	**37,8**	**37,8**

1		2	3	4	5	6	7	8	9	10	11	12	13
Источник шума: ИШ-9-24, координаты источника (x,y,z), м =[665.19,-292.34,1.00]													
Уровни звуковой мощности источника днём, Lw, дБ		**исходные данные**	**0**	**93,3**	**94,7**	**96**	**96,3**	**95,9**	**92,6**	**88,4**	**83,9**		
Поправка на телесный угол DΩ, дБ	Ω = 6.28	10Lg(4π/Ω)	**3**	3	3	3	3	3	3	3	3		
Показатель направленности источника Di, дБ		исходные данные	**0**	0	0	0	0	0	0	0	0		
Поправка на направленность источника Dc, дБ	Dc	DΩ + Di	**3**	3	3	3	3	3	3	3	3		
Затухание из-за геометрической дивергенции, Adiv, дБ	расстояние = 277.78 м	ф-ла (7) [10]	**59,9**										
Коэффициент затухания звука в атмосфере α, дБ/км	Ta=20,°C Pa=101.33,кПа hотн.=70%	ф-ла (5) [9]	0,02	0,09	0,33	1,12	2,79	4,98	9,04	23,09	77,63		
Учет затухания звука в атмосфере Aatm, дБ		ф-ла (8) [10]	0	0	0,1	0,3	0,8	1,4	2,5	6,4	21,6		
Снижение уровня звукового давления из-за влияния застройки между источником шума и расчетной точкой													
Снижение уровня звукового давления на пути над экраном, Dz1, дБ	z = 0.77м (разность путей)	ф-лы (14-18) [10]	6,6	7,9	9,7	12,1	15,2	19,3	23,6	27,4	30,7		
Снижение уровня звукового давления на пути слева от экрана, Dz2, дБ	z = 0.02м (разность путей)	ф-лы (14-18) [10]	4,9	5	5,1	5,4	6	7	8,5	10,5	12,8		
Снижение уровня звукового давления на пути справа от экрана, Dz3, дБ	z = 36.34м (разность путей)	ф-лы (14-18) [10]	21,5	24,9	28,8	33,3	37,5	40,9	44	47,1	50,1		
Общее снижение уровня звука препятствием Dz, дБ		Эн.сумма(-Dzi)	2,6	3,1	3,8	4,6	5,5	6,8	8,4	10,4	12,8		
Уровни звукового давления прямого звука от источника ИШ-9-24 в расчётной точке днём, дБ		**ф-ла(3)[10]**	**0**	**33,3**	**33,9**	**34,2**	**33,1**	**30,9**	**24,9**	**14,7**	**0**	**34,9**	**34,9**
Расчёт отражённого звука													
Уровни звукового давления от мнимого источника ИШ-9-24_мн.(1) в расчётной точке днём, дБ		**ф-ла(3)[10]**	**0**	**0**	**0**	**0**	**0**	**0**	**32,2**	**24**	**4,3**	**34**	**34**

1		2	3	4	5	6	7	8	9	10	11	12	13
Уровни звукового давления от источника ИШ-9-24 в расчётной точке днём, дБ		**ф-ла(3)[10]**	**0**	**33,3**	**33,9**	**34,2**	**33,1**	**30,9**	**32,9**	**24,5**	**4,3**	**37,5**	**37,5**
Источник шума: ИШ-9-25, координаты источника (x,y,z), м =[683.46,-239.16,1.00]													
Уровни звуковой мощности источника днём, Lw, дБ		**исходные данные**	**77**	**75**	**67**	**66**	**63**	**55**	**53**	**48**	**51**		
Поправка на телесный угол DΩ, дБ	Ω = 6.28	10Lg(4π/Ω)	**3**	3	3	3	3	3	3	3	3		
Показатель направленности источника Di, дБ		исходные данные	**0**	0	0	0	0	0	0	0	0		
Поправка на направленность источника Dc, дБ	Dc	DΩ + Di	**3**	3	3	3	3	3	3	3	3		
Затухание из-за геометрической дивергенции, Adiv, дБ	расстояние = 239.15 м	ф-ла (7) [10]	**58,6**										
Коэффициент затухания звука в атмосфере α, дБ/км	Ta=20,°C Pa=101.33,кПа hотн.=70%	ф-ла (5) [9]	0,02	0,09	0,33	1,12	2,79	4,98	9,04	23,09	77,63		
Учет затухания звука в атмосфере Aatm, дБ		ф-ла (8) [10]	0	0	0,1	0,3	0,7	1,2	2,2	5,5	18,6		
Снижение уровня звукового давления из-за влияния застройки между источником шума и расчетной точкой													
Снижение уровня звукового давления на пути над экраном, Dz1, дБ	z = 0.90м (разность путей)	ф-лы (14-18) [10]	7,2	9	11,9	15,8	19,7	23	26,1	29,2	32,2		
Снижение уровня звукового давления на пути слева от экрана, Dz2, дБ	z = 0.67м (разность путей)	ф-лы (14-18) [10]	7,4	9	11,1	13,6	16,3	19,1	22,1	25	28		
Снижение уровня звукового давления на пути справа от экрана, Dz3, дБ	z = 30.72м (разность путей)	ф-лы (14-18) [10]	20,8	24,1	28,1	32,6	36,7	40,2	43,3	46,4	49,4		
Общее снижение уровня звука препятствием Dz, дБ		Эн.сумма(-Dzi)	4,2	5,9	8,4	11,5	14,6	17,6	20,6	23,6	26,6		
Общее снижение уровня звука препятствием с учётом ограничения (25 дБ) для октавных полос Dz, дБ		Раздел 7.4 [10]	4,2	5,9	8,4	11,5	14,6	17,6	20,6	23,6	25		
Уровни звукового давления от источника ИШ-9-25 в расчётной точке днём, дБ		**ф-ла(3)[10]**	**17,3**	**13,5**	**3**	**0**	**0**	**0**	**0**	**0**	**0**	**0**	**0**

1		2	3	4	5	6	7	8	9	10	11	12	13
Источник шума: ИШ-9-26, координаты источника (x,y,z), м =[680.09,-249.52,1.00]													
Уровни звуковой мощности источника днём, Lw, дБ		**исходные данные**	**77**	**75**	**67**	**66**	**63**	**55**	**53**	**48**	**51**		
Поправка на телесный угол DΩ, дБ	Ω = 6.28	10Lg(4π/Ω)	**3**	3	3	3	3	3	3	3	3		
Показатель направленности источника Di, дБ		исходные данные	**0**	0	0	0	0	0	0	0	0		
Поправка на направленность источника Dc, дБ	Dc	DΩ + Di	**3**	3	3	3	3	3	3	3	3		
Затухание из-за геометрической дивергенции, Adiv, дБ	расстояние = 246.24 м	ф-ла (7) [10]	**58,8**										
Коэффициент затухания звука в атмосфере α, дБ/км	Ta=20,°C Pa=101.33,кПа hотн.=70%	ф-ла (5) [9]	0,02	0,09	0,33	1,12	2,79	4,98	9,04	23,09	77,63		
Учет затухания звука в атмосфере Aatm, дБ		ф-ла (8) [10]	0	0	0,1	0,3	0,7	1,2	2,2	5,7	19,1		
Снижение уровня звукового давления из-за влияния застройки между источником шума и расчетной точкой													
Снижение уровня звукового давления на пути над экраном, Dz1, дБ	z = 0.87м (разность путей)	ф-лы (14-18) [10]	7,1	8,7	11,3	15,2	19,2	22,7	25,9	28,9	31,9		
Снижение уровня звукового давления на пути слева от экрана, Dz2, дБ	z = 0.45м (разность путей)	ф-лы (14-18) [10]	6,7	8	9,8	12,1	14,7	17,5	20,4	23,3	26,3		
Снижение уровня звукового давления на пути справа от экрана, Dz3, дБ	z = 31.92м (разность путей)	ф-лы (14-18) [10]	21	24,3	28,2	32,8	36,9	40,4	43,5	46,5	49,5		
Общее снижение уровня звука препятствием Dz, дБ		Эн.сумма(-Dzi)	3,8	5,3	7,5	10,3	13,4	16,3	19,3	22,2	25,2		
Общее снижение уровня звука препятствием с учётом ограничения (25 дБ) для октавных полос Dz, дБ		Раздел 7.4 [10]	3,8	5,3	7,5	10,3	13,4	16,3	19,3	22,2	25		
Уровни звукового давления от источника ИШ-9-26 в расчётной точке днём, дБ		**ф-ла(3)[10]**	**17,4**	**13,9**	**3,6**	**0**	**0**	**0**	**0**	**0**	**0**	**0**	**0**
Источник шума: ИШ-9-27, координаты источника (x,y,z), м =[676.46,-260.14,1.00]													

1		2	3	4	5	6	7	8	9	10	11	12	13
Уровни звуковой мощности источника днём, Lw, дБ		**исходные данные**	**77**	**75**	**67**	**66**	**63**	**55**	**53**	**48**	**51**		
Поправка на телесный угол DΩ, дБ	Ω = 6.28	10Lg(4π/Ω)	**3**	3	3	3	3	3	3	3	3		
Показатель направленности источника Di, дБ		исходные данные	**0**	0	0	0	0	0	0	0	0		
Поправка на направленность источника Dc, дБ	Dc	DΩ + Di	**3**	3	3	3	3	3	3	3	3		
Затухание из-за геометрической дивергенции, Adiv, дБ	расстояние = 253.71 м	ф-ла (7) [10]	**59,1**										
Коэффициент затухания звука в атмосфере α, дБ/км	Ta=20,°C Pa=101.33,кПа hотн.=70%	ф-ла (5) [9]	0,02	0,09	0,33	1,12	2,79	4,98	9,04	23,09	77,63		
Учет затухания звука в атмосфере Aatm, дБ		ф-ла (8) [10]	0	0	0,1	0,3	0,7	1,3	2,3	5,9	19,7		
Снижение уровня звукового давления из-за влияния застройки между источником шума и расчетной точкой													
Снижение уровня звукового давления на пути над экраном, Dz1, дБ	z = 0.84м (разность путей)	ф-лы (14-18) [10]	6,9	8,5	10,8	14,4	18,6	22,3	25,6	28,6	31,6		
Снижение уровня звукового давления на пути слева от экрана, Dz2, дБ	z = 0.27м (разность путей)	ф-лы (14-18) [10]	6	7	8,5	10,4	12,8	15,5	18,3	21,2	24,2		
Снижение уровня звукового давления на пути справа от экрана, Dz3, дБ	z = 33.11м (разность путей)	ф-лы (14-18) [10]	21,1	24,5	28,4	32,9	37,1	40,5	43,6	46,7	49,7		
Общее снижение уровня звука препятствием Dz, дБ		Эн.сумма(-Dzi)	3,4	4,6	6,5	9	11,8	14,7	17,5	20,5	23,5		
Уровни звукового давления от источника ИШ-9-27 в расчётной точке днём, дБ		**ф-ла(3)[10]**	**17,5**	**14,3**	**4,4**	**0,7**	**0**	**0**	**0**	**0**	**0**	**0**	**0**
Источник шума: ИШ-10-1, координаты источника (x,y,z), м =[17.37,413.17,1.00]													
Уровни звуковой мощности источника днём, Lw, дБ		**исходные данные**	**0**	**98,3**	**99,7**	**101**	**101,3**	**100,9**	**97,6**	**93,4**	**88,9**		
Поправка на телесный угол DΩ, дБ	Ω = 6.28	10Lg(4π/Ω)	**3**	3	3	3	3	3	3	3	3		

1		2	3	4	5	6	7	8	9	10	11	12	13
Показатель направленности источника Di, дБ		исходные данные	**0**	0	0	0	0	0	0	0	0		
Поправка на направленность источника Dc, дБ	Dc	DΩ + Di	**3**	3	3	3	3	3	3	3	3		
Затухание из-за геометрической дивергенции, Adiv, дБ	расстояние = 701.66 м	ф-ла (7) [10]	**67,9**										
Коэффициент затухания звука в атмосфере α, дБ/км	Ta=20,°C Pa=101.33,кПа hотн.=70%	ф-ла (5) [9]	0,02	0,09	0,33	1,12	2,79	4,98	9,04	23,09	77,63		
Учет затухания звука в атмосфере Aatm, дБ		ф-ла (8) [10]	0	0,1	0,2	0,8	2	3,5	6,3	16,2	54,5		
Снижение уровня звукового давления из-за влияния застройки между источником шума и расчетной точкой													
Снижение уровня звукового давления на пути над экраном, Dz1, дБ	z = 4.31м (разность путей)	ф-лы (14-18) [10]	16,3	19,3	22,2	25,2	28,1	31,1	34,2	37,2	40,2		
Снижение уровня звукового давления на пути слева от экрана, Dz2, дБ	z = 15.84м (разность путей)	ф-лы (14-18) [10]	22,5	25,5	28,5	31,5	34,5	37,5	40,5	43,5	46,5		
Снижение уровня звукового давления на пути справа от экрана, Dz3, дБ	z = 73.83м (разность путей)	ф-лы (14-18) [10]	29,1	32,1	35,1	38,1	41,1	44,2	47,2	50,2	53,2		
Общее снижение уровня звука препятствием Dz, дБ		Эн.сумма(-Dzi)	15,2	18,2	21,1	24,1	27,1	30,1	33,1	36,1	39,1		
Общее снижение уровня звука препятствием с учётом ограничения (25 дБ) для октавных полос Dz, дБ		Раздел 7.4 [10]	15,2	18,2	21,1	24,1	25	25	25	25	25		
Уровни звукового давления от источника ИШ-10-1 в расчётной точке днём, дБ		**ф-ла(3)[10]**	**0**	**15,2**	**13,5**	**11,2**	**9,4**	**7,5**	**1,3**	**0**	**0**	**11,5**	**11,5**
Источник шума: ИШ-10-2, координаты источника (x,y,z), м =[27.87,443.46,1.00]													
Уровни звуковой мощности источника днём, Lw, дБ		**исходные данные**	**0**	**98,3**	**99,7**	**101**	**101,3**	**100,9**	**97,6**	**93,4**	**88,9**		
Поправка на телесный угол DΩ, дБ	Ω = 6.28	10Lg(4π/Ω)	**3**	3	3	3	3	3	3	3	3		
Показатель направленности источника Di, дБ		исходные данные	**0**	0	0	0	0	0	0	0	0		

1		2	3	4	5	6	7	8	9	10	11	12	13
Поправка на направленность источника Dc, дБ	Dc	DΩ + Di	**3**	3	3	3	3	3	3	3	3		
Затухание из-за геометрической дивергенции, Adiv, дБ	расстояние = 713.68 м	ф-ла (7) [10]	**68,1**										
Коэффициент затухания звука в атмосфере α, дБ/км	Ta=20,°C Pa=101.33,кПа hотн.=70%	ф-ла (5) [9]	0,02	0,09	0,33	1,12	2,79	4,98	9,04	23,09	77,63		
Учет затухания звука в атмосфере Aatm, дБ		ф-ла (8) [10]	0	0,1	0,2	0,8	2	3,6	6,5	16,5	55,4		
Снижение уровня звукового давления из-за влияния застройки между источником шума и расчетной точкой													
Снижение уровня звукового давления на пути над экраном, Dz1, дБ	z = 4.29м (разность путей)	ф-лы (14-18) [10]	16	19	21,9	24,9	27,9	30,9	33,9	36,9	39,9		
Снижение уровня звукового давления на пути слева от экрана, Dz2, дБ	z = 15.77м (разность путей)	ф-лы (14-18) [10]	22,5	25,5	28,4	31,4	34,5	37,5	40,5	43,5	46,5		
Снижение уровня звукового давления на пути справа от экрана, Dz3, дБ	z = 37.65м (разность путей)	ф-лы (14-18) [10]	26,2	29,2	32,2	35,2	38,2	41,2	44,2	47,3	50,3		
Общее снижение уровня звука препятствием Dz, дБ		Эн.сумма(-Dzi)	14,8	17,8	20,7	23,7	26,7	29,7	32,7	35,7	38,7		
Общее снижение уровня звука препятствием с учётом ограничения (25 дБ) для октавных полос Dz, дБ		Раздел 7.4 [10]	14,8	17,8	20,7	23,7	25	25	25	25	25		
Уровни звукового давления от источника ИШ-10-2 в расчётной точке днём, дБ		**ф-ла(3)[10]**	**0**	**15,4**	**13,7**	**11,4**	**9,3**	**7,3**	**1,1**	**0**	**0**	**11,4**	**11,4**
Уровни звукового давления в расчётной точке													
Суммарные уровни звукового давления в расчётной точке от всех источников шума днём, Lрт, дБ		**ф-ла (19) [1]**	**66,5**	**64,6**	**60,8**	**54,9**	**56,7**	**62,7**	**59,2**	**50,4**	**32,3**	**65,3**	**65,3**
Допускаемые УЗД днём, Lдоп, дБ	Территории предприятий с постоянными рабочими местами	Табл. 1[3]	107	95	87	82	78	75	73	71	69	80	95
Превышение днём, дБ		**Lрт - Lдоп**	**-40,5**	**-30,4**	**-26,2**	**-27,1**	**-21,3**	**-12,3**	**-13,8**	**-20,6**	**-36,7**	**-14,7**	**-29,7**

Определение уровней звукового давления в точке РТ-2-4 (координаты точки, м: x = 540.84, y = -57.06, z = 1.50)

Наименование величин и их описание		Ссылка	Расчётные уровни в октавных полосах, со среднегеометрическими частотами, Гц									La, дБА	Lмакс, дБА
			31,5	63	125	250	500	1000	2000	4000	8000		
1		2	3	4	5	6	7	8	9	10	11	12	13
Источник шума: ИШ-1-1, координаты источника (x,y,z), м =[271.72,229.68,1.00]													
Уровни звуковой мощности источника днём, Lw, дБ		**исходные данные**	**97**	**97**	**104**	**106**	**105**	**105**	**98**	**87**	**81**		
Поправка на телесный угол DΩ, дБ	Ω = 6.28	10Lg(4π/Ω)	**3**	3	3	3	3	3	3	3	3		
Показатель направленности источника Di, дБ		исходные данные	**0**	0	0	0	0	0	0	0	0		
Поправка на направленность источника Dc, дБ	Dc	DΩ + Di	**3**	3	3	3	3	3	3	3	3		
Затухание из-за геометрической дивергенции, Adiv, дБ	расстояние = 393.25 м	ф-ла (7) [10]	**62,9**										
Коэффициент затухания звука в атмосфере α, дБ/км	Ta=20,°C Pa=101.33,кПа hотн.=70%	ф-ла (5) [9]	0,02	0,09	0,33	1,12	2,79	4,98	9,04	23,09	77,63		
Учет затухания звука в атмосфере Aatm, дБ		ф-ла (8) [10]	0	0	0,1	0,4	1,1	2	3,6	9,1	30,5		
Снижение уровня звукового давления из-за влияния застройки между источником шума и расчетной точкой													
Снижение уровня звукового давления на пути над экраном, Dz1, дБ	z = 3.91м (разность путей)	ф-лы (14-18) [10]	16,2	19,2	22,1	25,1	28,1	31,1	34,1	37,1	40,1		
Снижение уровня звукового давления на пути слева от экрана, Dz2, дБ	z = 54.03м (разность путей)	ф-лы (14-18) [10]	27,6	30,8	33,8	36,8	39,8	42,8	45,8	48,8	51,8		
Снижение уровня звукового давления на пути справа от экрана, Dz3, дБ	z = 31.82м (разность путей)	ф-лы (14-18) [10]	24,2	28,1	31,4	34,5	37,5	40,5	43,5	46,5	49,5		
Общее снижение уровня звука препятствием Dz, дБ		Эн.сумма(-Dzi)	15,3	18,4	21,4	24,4	27,4	30,4	33,4	36,4	39,4		

1		2	3	4	5	6	7	8	9	10	11	12	13
Общее снижение уровня звука препятствием с учётом ограничения (25 дБ) для октавных полос Dz, дБ		Раздел 7.4 [10]	15,3	18,4	21,4	24,4	25	25	25	25	25		
Уровни звукового давления прямого звука от источника ИШ-1-1 в расчётной точке днём, дБ		**ф-ла(3)[10]**	**21,8**	**18,7**	**22,6**	**21,3**	**19**	**18,2**	**9,6**	**0**	**0**	**21,4**	**21,4**
Расчёт отражённого звука													
Уровни звукового давления от мнимого источника ИШ-1-1_мн.(1) в расчётной точке днём, дБ		**ф-ла(3)[10]**	**0**	**0**	**0**	**0**	**0**	**0**	**0**	**0**	**0**	**0**	**0**
Уровни звукового давления от мнимого источника ИШ-1-1_мн.(2) в расчётной точке днём, дБ		**ф-ла(3)[10]**	**0**	**0**	**0**	**0**	**0**	**0**	**2,2**	**0**	**0**	**3,4**	**3,4**
Суммарные уровни звукового давления от мнимых источников в расчётной точке днём, дБ		**ф-ла (19) [1]**	**0**	**0**	**0**	**0**	**0**	**0**	**2,2**	**0**	**0**	**0**	**3,4**
Уровни звукового давления от источника ИШ-1-1 в расчётной точке днём, дБ		**ф-ла(3)[10]**	**21,8**	**18,7**	**22,6**	**21,3**	**19**	**18,2**	**10,3**	**0**	**0**	**21,5**	**21,5**
Источник шума: ИШ-1-2, координаты источника (x,y,z), м =[261.74,199.14,1.00]													
Уровни звуковой мощности источника днём, Lw, дБ		**исходные данные**	**97**	**97**	**104**	**106**	**105**	**105**	**98**	**87**	**81**		
Поправка на телесный угол DΩ, дБ	Ω = 6.28	10Lg(4π/Ω)	**3**	3	3	3	3	3	3	3	3		
Показатель направленности источника Di, дБ		исходные данные	**0**	0	0	0	0	0	0	0	0		
Поправка на направленность источника Dc, дБ	Dc	DΩ + Di	**3**	3	3	3	3	3	3	3	3		
Затухание из-за геометрической дивергенции, Adiv, дБ	расстояние = 378.86 м	ф-ла (7) [10]	**62,6**										
Коэффициент затухания звука в атмосфере α, дБ/км	Ta=20,°C Pa=101.33,кПа hотн.=70%	ф-ла (5) [9]	0,02	0,09	0,33	1,12	2,79	4,98	9,04	23,09	77,63		
Учет затухания звука в атмосфере Aatm, дБ		ф-ла (8) [10]	0	0	0,1	0,4	1,1	1,9	3,4	8,7	29,4		
Снижение уровня звукового давления из-за влияния застройки между источником шума и расчетной точкой													

1		2	3	4	5	6	7	8	9	10	11	12	13
Снижение уровня звукового давления на пути над экраном, Dz1, дБ	z = 3.69м (разность путей)	ф-лы (14-18) [10]	15,9	18,9	21,9	24,9	27,8	30,8	33,9	36,9	39,9		
Снижение уровня звукового давления на пути слева от экрана, Dz2, дБ	z = 90.67м (разность путей)	ф-лы (14-18) [10]	29,9	33	36	39	42	45,1	48,1	51,1	54,1		
Снижение уровня звукового давления на пути справа от экрана, Dz3, дБ	z = 19.28м (разность путей)	ф-лы (14-18) [10]	22	25,9	29,2	32,3	35,3	38,3	41,3	44,3	47,4		
Общее снижение уровня звука препятствием Dz, дБ		Эн.сумма(-Dzi)	14,8	18	21	24	27	30	33	36	39		
Общее снижение уровня звука препятствием с учётом ограничения (25 дБ) для октавных полос Dz, дБ		Раздел 7.4 [10]	14,8	18	21	24	25	25	25	25	25		
Уровни звукового давления прямого звука от источника ИШ-1-2 в расчётной точке днём, дБ		**ф-ла(3)[10]**	**22,6**	**19,4**	**23,3**	**22**	**19,4**	**18,6**	**10**	**0**	**0**	**21,9**	**21,9**
Расчёт отражённого звука													
Уровни звукового давления от мнимого источника ИШ-1-2_мн.(1) в расчётной точке днём, дБ		**ф-ла(3)[10]**	**0**	**0**	**0**	**0**	**0**	**0**	**4,8**	**0**	**0**	**6**	**6**
Уровни звукового давления от источника ИШ-1-2 в расчётной точке днём, дБ		**ф-ла(3)[10]**	**22,6**	**19,4**	**23,3**	**22**	**19,4**	**18,6**	**11,2**	**0**	**0**	**22**	**22**
Источник шума: ИШ-1-3, координаты источника (x,y,z), м =[251.75,236.44,1.00]													
Уровни звуковой мощности источника днём, Lw, дБ		**исходные данные**	**0**	**91,3**	**92,7**	**94**	**94,3**	**93,9**	**90,6**	**86,4**	**81,9**		
Поправка на телесный угол DΩ, дБ	Ω = 6.28	10Lg(4π/Ω)	**3**	3	3	3	3	3	3	3	3		
Показатель направленности источника Di, дБ		исходные данные	**0**	0	0	0	0	0	0	0	0		
Поправка на направленность источника Dc, дБ	Dc	DΩ + Di	**3**	3	3	3	3	3	3	3	3		
Затухание из-за геометрической дивергенции, Adiv, дБ	расстояние = 411.96 м	ф-ла (7) [10]	**63,3**										
Коэффициент затухания звука в атмосфере α, дБ/км	Ta=20,°C Pa=101.33,кПа hотн.=70%	ф-ла (5) [9]	0,02	0,09	0,33	1,12	2,79	4,98	9,04	23,09	77,63		

1		2	3	4	5	6	7	8	9	10	11	12	13
Учет затухания звука в атмосфере Aatm, дБ		ф-ла (8) [10]	0	0	0,1	0,5	1,1	2,1	3,7	9,5	32		
Снижение уровня звукового давления из-за влияния застройки между источником шума и расчетной точкой													
Снижение уровня звукового давления на пути над экраном, Dz1, дБ	z = 3.67м (разность путей)	ф-лы (14-18) [10]	15,8	18,9	21,8	24,8	27,8	30,8	33,8	36,8	39,8		
Снижение уровня звукового давления на пути слева от экрана, Dz2, дБ	z = 53.35м (разность путей)	ф-лы (14-18) [10]	27,6	30,7	33,7	36,7	39,7	42,7	45,8	48,8	51,8		
Снижение уровня звукового давления на пути справа от экрана, Dz3, дБ	z = 24.68м (разность путей)	ф-лы (14-18) [10]	23,1	27	30,3	33,4	36,4	39,4	42,4	45,4	48,4		
Общее снижение уровня звука препятствием Dz, дБ		Эн.сумма(-Dzi)	14,9	18	21	24	27	30	33	36	39		
Общее снижение уровня звука препятствием с учётом ограничения (25 дБ) для октавных полос Dz, дБ		Раздел 7.4 [10]	14,9	18	21	24	25	25	25	25	25		
Уровни звукового давления прямого звука от источника ИШ-1-3 в расчётной точке днём, дБ		**ф-ла(3)[10]**	**0**	**13**	**11,3**	**9,3**	**7,8**	**6,5**	**1,6**	**0**	**0**	**10,4**	**10,4**
Расчёт отражённого звука													
Уровни звукового давления от мнимого источника ИШ-1-3_мн.(1) в расчётной точке днём, дБ		**ф-ла(3)[10]**	**0**	**0**	**0**	**0**	**0**	**0**	**0**	**0**	**0**	**0**	**0**
Уровни звукового давления от мнимого источника ИШ-1-3_мн.(2) в расчётной точке днём, дБ		**ф-ла(3)[10]**	**0**	**0**	**0**	**0**	**0**	**1,1**	**0**	**0**	**0**	**1,1**	**1,1**
Суммарные уровни звукового давления от мнимых источников в расчётной точке днём, дБ		**ф-ла (19) [1]**	**0**	**0**	**0**	**0**	**0**	**1,1**	**0**	**0**	**0**	**0**	**1,1**
Уровни звукового давления от источника ИШ-1-3 в расчётной точке днём, дБ		**ф-ла(3)[10]**	**0**	**13**	**11,3**	**9,3**	**7,8**	**7,6**	**1,6**	**0**	**0**	**10,8**	**10,8**
Источник шума: ИШ-1-4, координаты источника (x,y,z), м =[290.25,223.25,1.00]													
Уровни звуковой мощности источника днём, Lw, дБ		**исходные данные**	**0**	**91,3**	**92,7**	**94**	**94,3**	**93,9**	**90,6**	**86,4**	**81,9**		
Поправка на телесный угол DΩ, дБ	Ω = 6.28	10Lg(4π/Ω)	**3**	3	3	3	3	3	3	3	3		
Показатель направленности источника Di, дБ		исходные данные	**0**	0	0	0	0	0	0	0	0		

1		2	3	4	5	6	7	8	9	10	11	12	13
Поправка на направленность источника Dc, дБ	Dc	DΩ + Di	**3**	3	3	3	3	3	3	3	3		
Затухание из-за геометрической дивергенции, Adiv, дБ	расстояние = 375.99 м	ф-ла (7) [10]	**62,5**										
Коэффициент затухания звука в атмосфере α, дБ/км	Ta=20,°C Pa=101.33,кПа hотн.=70%	ф-ла (5) [9]	0,02	0,09	0,33	1,12	2,79	4,98	9,04	23,09	77,63		
Учет затухания звука в атмосфере Aatm, дБ		ф-ла (8) [10]	0	0	0,1	0,4	1	1,9	3,4	8,7	29,2		
Снижение уровня звукового давления из-за влияния застройки между источником шума и расчетной точкой													
Снижение уровня звукового давления на пути над экраном, Dz1, дБ	z = 4.29м (разность путей)	ф-лы (14-18) [10]	16,6	19,6	22,6	25,6	28,6	31,6	34,6	37,6	40,6		
Снижение уровня звукового давления на пути слева от экрана, Dz2, дБ	z = 56.63м (разность путей)	ф-лы (14-18) [10]	27,8	31	34	37	40	43	46	49	52		
Снижение уровня звукового давления на пути справа от экрана, Dz3, дБ	z = 40.77м (разность путей)	ф-лы (14-18) [10]	25,2	29,1	32,4	35,5	38,6	41,6	44,6	47,6	50,6		
Общее снижение уровня звука препятствием Dz, дБ		Эн.сумма(-Dzi)	15,8	18,9	21,9	24,9	27,9	30,9	33,9	36,9	39,9		
Общее снижение уровня звука препятствием с учётом ограничения (25 дБ) для октавных полос Dz, дБ		Раздел 7.4 [10]	15,8	18,9	21,9	24,9	25	25	25	25	25		
Уровни звукового давления прямого звука от источника ИШ-1-4 в расчётной точке днём, дБ		**ф-ла(3)[10]**	**0**	**12,8**	**11,2**	**9,2**	**8,7**	**7,5**	**2,7**	**0**	**0**	**11,2**	**11,2**
Расчёт отражённого звука													
Уровни звукового давления от мнимого источника ИШ-1-4_мн.(1) в расчётной точке днём, дБ		**ф-ла(3)[10]**	**0**	**0**	**0**	**0**	**0**	**0**	**0**	**0**	**0**	**0**	**0**
Уровни звукового давления от источника ИШ-1-4 в расчётной точке днём, дБ		**ф-ла(3)[10]**	**0**	**12,8**	**11,2**	**9,2**	**8,7**	**7,5**	**2,7**	**0**	**0**	**11,2**	**11,2**
Источник шума: ИШ-1-5, координаты источника (x,y,z), м =[241.49,205.86,1.00]													
Уровни звуковой мощности источника днём, Lw, дБ		**исходные данные**	**0**	**91,3**	**92,7**	**94**	**94,3**	**93,9**	**90,6**	**86,4**	**81,9**		

1		2	3	4	5	6	7	8	9	10	11	12	13
Поправка на телесный угол DΩ, дБ	Ω = 6.28	10Lg(4π/Ω)	**3**	3	3	3	3	3	3	3	3		
Показатель направленности источника Di, дБ		исходные данные	**0**	0	0	0	0	0	0	0	0		
Поправка на направленность источника Dc, дБ	Dc	DΩ + Di	**3**	3	3	3	3	3	3	3	3		
Затухание из-за геометрической дивергенции, Adiv, дБ	расстояние = 398.41 м	ф-ла (7) [10]	**63**										
Коэффициент затухания звука в атмосфере α, дБ/км	Ta=20,°C Pa=101.33,кПа hотн.=70%	ф-ла (5) [9]	0,02	0,09	0,33	1,12	2,79	4,98	9,04	23,09	77,63		
Учет затухания звука в атмосфере Aatm, дБ		ф-ла (8) [10]	0	0	0,1	0,4	1,1	2	3,6	9,2	30,9		
Снижение уровня звукового давления из-за влияния застройки между источником шума и расчетной точкой													
Снижение уровня звукового давления на пути над экраном, Dz1, дБ	z = 3.44м (разность путей)	ф-лы (14-18) [10]	15,6	18,6	21,5	24,5	27,5	30,5	33,5	36,5	39,5		
Снижение уровня звукового давления на пути слева от экрана, Dz2, дБ	z = 85.63м (разность путей)	ф-лы (14-18) [10]	29,6	32,8	35,8	38,8	41,8	44,8	47,8	50,8	53,8		
Снижение уровня звукового давления на пути справа от экрана, Dz3, дБ	z = 14.36м (разность путей)	ф-лы (14-18) [10]	20,8	24,6	27,9	31	34	37	40,1	43,1	46,1		
Общее снижение уровня звука препятствием Dz, дБ		Эн.сумма(-Dzi)	14,3	17,5	20,5	23,5	26,5	29,5	32,5	35,5	38,5		
Общее снижение уровня звука препятствием с учётом ограничения (25 дБ) для октавных полос Dz, дБ		Раздел 7.4 [10]	14,3	17,5	20,5	23,5	25	25	25	25	25		
Уровни звукового давления прямого звука от источника ИШ-1-5 в расчётной точке днём, дБ		**ф-ла(3)[10]**	**0**	**13,8**	**12,1**	**10,1**	**8,2**	**6,9**	**2**	**0**	**0**	**10,8**	**10,8**
Расчёт отражённого звука													
Уровни звукового давления от мнимого источника ИШ-1-5_мн.(1) в расчётной точке днём, дБ		**ф-ла(3)[10]**	**0**	**0**	**0**	**0**	**0**	**0**	**0**	**0**	**0**	**0**	**0**
Уровни звукового давления от мнимого источника ИШ-1-5_мн.(2) в расчётной точке днём, дБ		**ф-ла(3)[10]**	**0**	**0**	**0**	**0**	**0**	**3,3**	**0**	**0**	**0**	**3,3**	**3,3**
Суммарные уровни звукового давления от мнимых источников в расчётной точке днём, дБ		**ф-ла (19) [1]**	**0**	**0**	**0**	**0**	**0**	**3,3**	**0**	**0**	**0**	**0**	**3,3**

1		2	3	4	5	6	7	8	9	10	11	12	13
Уровни звукового давления от источника ИШ-1-5 в расчётной точке днём, дБ		**ф-ла(3)[10]**	**0**	**13,8**	**12,1**	**10,1**	**8,2**	**8,5**	**2**	**0**	**0**	**11,5**	**11,5**
Источник шума: ИШ-1-6, координаты источника (x,y,z), м =[279.85,192.97,1.00]													
Уровни звуковой мощности источника днём, Lw, дБ		**исходные данные**	**0**	**91,3**	**92,7**	**94**	**94,3**	**93,9**	**90,6**	**86,4**	**81,9**		
Поправка на телесный угол DΩ, дБ	Ω = 6.28	10Lg(4π/Ω)	**3**	3	3	3	3	3	3	3	3		
Показатель направленности источника Di, дБ		исходные данные	**0**	0	0	0	0	0	0	0	0		
Поправка на направленность источника Dc, дБ	Dc	DΩ + Di	**3**	3	3	3	3	3	3	3	3		
Затухание из-за геометрической дивергенции, Adiv, дБ	расстояние = 361.43 м	ф-ла (7) [10]	**62,2**										
Коэффициент затухания звука в атмосфере α, дБ/км	Ta=20,°C Pa=101.33,кПа hотн.=70%	ф-ла (5) [9]	0,02	0,09	0,33	1,12	2,79	4,98	9,04	23,09	77,63		
Учет затухания звука в атмосфере Aatm, дБ		ф-ла (8) [10]	0	0	0,1	0,4	1	1,8	3,3	8,3	28,1		
Снижение уровня звукового давления из-за влияния застройки между источником шума и расчетной точкой													
Снижение уровня звукового давления на пути над экраном, Dz1, дБ	z = 4.09м (разность путей)	ф-лы (14-18) [10]	16,4	19,4	22,4	25,4	28,4	31,4	34,4	37,4	40,4		
Снижение уровня звукового давления на пути слева от экрана, Dz2, дБ	z = 97.84м (разность путей)	ф-лы (14-18) [10]	30,2	33,3	36,3	39,4	42,4	45,4	48,4	51,4	54,4		
Снижение уровня звукового давления на пути справа от экрана, Dz3, дБ	z = 26.07м (разность путей)	ф-лы (14-18) [10]	23,3	27,2	30,5	33,6	36,6	39,6	42,6	45,7	48,7		
Общее снижение уровня звука препятствием Dz, дБ		Эн.сумма(-Dzi)	15,5	18,6	21,6	24,6	27,6	30,6	33,6	36,6	39,6		
Общее снижение уровня звука препятствием с учётом ограничения (25 дБ) для октавных полос Dz, дБ		Раздел 7.4 [10]	15,5	18,6	21,6	24,6	25	25	25	25	25		
Уровни звукового давления прямого звука от источника ИШ-1-6 в расчётной точке днём, дБ		**ф-ла(3)[10]**	**0**	**13,5**	**11,8**	**9,8**	**9,1**	**7,9**	**3,2**	**0**	**0**	**11,6**	**11,6**

1		2	3	4	5	6	7	8	9	10	11	12	13
Расчёт отражённого звука													
Уровни звукового давления от мнимого источника ИШ-1-6_мн.(1) в расчётной точке днём, дБ		**ф-ла(3)[10]**	**0**	**0**	**0**	**0**	**0**	**0**	**0**	**0**	**0**	**0**	**0**
Уровни звукового давления от источника ИШ-1-6 в расчётной точке днём, дБ		**ф-ла(3)[10]**	**0**	**13,5**	**11,8**	**9,8**	**9,1**	**7,9**	**3,2**	**0**	**0**	**11,6**	**11,6**
Источник шума: ИШ-1-7, координаты источника (x,y,z), м =[451.87,146.66,1.00]													
Уровни звуковой мощности источника днём, Lw, дБ		**исходные данные**	**0**	**93,3**	**94,7**	**96**	**96,3**	**95,9**	**92,6**	**88,4**	**83,9**		
Поправка на телесный угол DΩ, дБ	Ω = 6.28	10Lg(4π/Ω)	**3**	3	3	3	3	3	3	3	3		
Показатель направленности источника Di, дБ		исходные данные	**0**	0	0	0	0	0	0	0	0		
Поправка на направленность источника Dc, дБ	Dc	DΩ + Di	**3**	3	3	3	3	3	3	3	3		
Затухание из-за геометрической дивергенции, Adiv, дБ	расстояние = 222.30 м	ф-ла (7) [10]	**57,9**										
Коэффициент затухания звука в атмосфере α, дБ/км	Ta=20,°C Pa=101.33,кПа hотн.=70%	ф-ла (5) [9]	0,02	0,09	0,33	1,12	2,79	4,98	9,04	23,09	77,63		
Учет затухания звука в атмосфере Aatm, дБ		ф-ла (8) [10]	0	0	0,1	0,2	0,6	1,1	2	5,1	17,3		
Снижение уровня звукового давления из-за влияния застройки между источником шума и расчетной точкой													
Снижение уровня звукового давления на пути над экраном, Dz1, дБ	z = 4.59м (разность путей)	ф-лы (14-18) [10]	16,4	19,8	22,9	25,9	28,9	31,9	34,9	37,9	40,9		
Снижение уровня звукового давления на пути слева от экрана, Dz2, дБ	z = 93.19м (разность путей)	ф-лы (14-18) [10]	29,8	33,1	36,1	39,1	42,2	45,2	48,2	51,2	54,2		
Снижение уровня звукового давления на пути справа от экрана, Dz3, дБ	z = 5.75м (разность путей)	ф-лы (14-18) [10]	17,2	20,8	24	27,1	30,1	33,1	36,1	39,1	42,1		
Общее снижение уровня звука препятствием Dz, дБ		Эн.сумма(-Dzi)	13,7	17,2	20,3	23,3	26,3	29,3	32,3	35,3	38,3		

1		2	3	4	5	6	7	8	9	10	11	12	13
Общее снижение уровня звука препятствием с учётом ограничения (25 дБ) для октавных полос Dz, дБ		Раздел 7.4 [10]	13,7	17,2	20,3	23,3	25	25	25	25	25		
Уровни звукового давления прямого звука от источника ИШ-1-7 в расчётной точке днём, дБ		**ф-ла(3)[10]**	**0**	**21,2**	**19,4**	**17,5**	**15,7**	**14,8**	**10,6**	**3,3**	**0**	**18,8**	**18,8**
Расчёт отражённого звука													
Уровни звукового давления от мнимого источника ИШ-1-7_мн.(1) в расчётной точке днём, дБ		**ф-ла(3)[10]**	**0**	**0**	**0**	**0**	**0**	**0**	**0**	**0**	**0**	**0**	**0**
Уровни звукового давления от источника ИШ-1-7 в расчётной точке днём, дБ		**ф-ла(3)[10]**	**0**	**21,2**	**19,4**	**17,5**	**15,7**	**14,8**	**10,6**	**3,3**	**0**	**18,8**	**18,8**
Источник шума: ИШ-1-8, координаты источника (x,y,z), м =[454.99,145.29,1.00]													
Уровни звуковой мощности источника днём, Lw, дБ		**исходные данные**	**0**	**93,3**	**94,7**	**96**	**96,3**	**95,9**	**92,6**	**88,4**	**83,9**		
Поправка на телесный угол DΩ, дБ	Ω = 6.28	10Lg(4π/Ω)	**3**	3	3	3	3	3	3	3	3		
Показатель направленности источника Di, дБ		исходные данные	**0**	0	0	0	0	0	0	0	0		
Поправка на направленность источника Dc, дБ	Dc	DΩ + Di	**3**	3	3	3	3	3	3	3	3		
Затухание из-за геометрической дивергенции, Adiv, дБ	расстояние = 219.80 м	ф-ла (7) [10]	**57,8**										
Коэффициент затухания звука в атмосфере α, дБ/км	Ta=20,°C Pa=101.33,кПа hотн.=70%	ф-ла (5) [9]	0,02	0,09	0,33	1,12	2,79	4,98	9,04	23,09	77,63		
Учет затухания звука в атмосфере Aatm, дБ		ф-ла (8) [10]	0	0	0,1	0,2	0,6	1,1	2	5,1	17,1		
Снижение уровня звукового давления из-за влияния застройки между источником шума и расчетной точкой													
Снижение уровня звукового давления на пути над экраном, Dz1, дБ	z = 4.65м (разность путей)	ф-лы (14-18) [10]	16,4	19,9	22,9	26	29	32	35	38	41		
Снижение уровня звукового давления на пути слева от экрана, Dz2, дБ	z = 93.85м (разность путей)	ф-лы (14-18) [10]	29,8	33,1	36,1	39,2	42,2	45,2	48,2	51,2	54,2		

1		2	3	4	5	6	7	8	9	10	11	12	13
Снижение уровня звукового давления на пути справа от экрана, Dz3, дБ	z = 6.47м (разность путей)	ф-лы (14-18) [10]	17,7	21,3	24,5	27,6	30,6	33,6	36,6	39,6	42,6		
Общее снижение уровня звука препятствием Dz, дБ		Эн.сумма(-Dzi)	13,9	17,4	20,5	23,6	26,6	29,6	32,6	35,6	38,6		
Общее снижение уровня звука препятствием с учётом ограничения (25 дБ) для октавных полос Dz, дБ		Раздел 7.4 [10]	13,9	17,4	20,5	23,6	25	25	25	25	25		
Уровни звукового давления прямого звука от источника ИШ-1-8 в расчётной точке днём, дБ		**ф-ла(3)[10]**	**0**	**21**	**19,3**	**17,3**	**15,8**	**15**	**10,8**	**3,5**	**0**	**18,9**	**18,9**
Расчёт отражённого звука													
Уровни звукового давления от мнимого источника ИШ-1-8_мн.(1) в расчётной точке днём, дБ		**ф-ла(3)[10]**	**0**	**0**	**0**	**0**	**0**	**0**	**0**	**0**	**0**	**0**	**0**
Уровни звукового давления от источника ИШ-1-8 в расчётной точке днём, дБ		**ф-ла(3)[10]**	**0**	**21**	**19,3**	**17,3**	**15,8**	**15**	**10,8**	**3,5**	**0**	**18,9**	**18,9**
Источник шума: ИШ-1-9, координаты источника (x,y,z), м =[458.12,144.31,1.00]													
Уровни звуковой мощности источника днём, Lw, дБ		**исходные данные**	**0**	**93,3**	**94,7**	**96**	**96,3**	**95,9**	**92,6**	**88,4**	**83,9**		
Поправка на телесный угол DΩ, дБ	Ω = 6.28	10Lg(4π/Ω)	**3**	3	3	3	3	3	3	3	3		
Показатель направленности источника Di, дБ		исходные данные	**0**	0	0	0	0	0	0	0	0		
Поправка на направленность источника Dc, дБ	Dc	DΩ + Di	**3**	3	3	3	3	3	3	3	3		
Затухание из-за геометрической дивергенции, Adiv, дБ	расстояние = 217.70 м	ф-ла (7) [10]	**57,8**										
Коэффициент затухания звука в атмосфере α, дБ/км	Ta=20,°C Pa=101.33,кПа hотн.=70%	ф-ла (5) [9]	0,02	0,09	0,33	1,12	2,79	4,98	9,04	23,09	77,63		
Учет затухания звука в атмосфере Aatm, дБ		ф-ла (8) [10]	0	0	0,1	0,2	0,6	1,1	2	5	16,9		
Снижение уровня звукового давления из-за влияния застройки между источником шума и расчетной точкой													

1		2	3	4	5	6	7	8	9	10	11	12	13
Снижение уровня звукового давления на пути над экраном, Dz1, дБ	z = 4.72м (разность путей)	ф-лы (14-18) [10]	16,5	19,9	23	26	29	32	35	38,1	41,1		
Снижение уровня звукового давления на пути слева от экрана, Dz2, дБ	z = 94.02м (разность путей)	ф-лы (14-18) [10]	29,8	33,1	36,2	39,2	42,2	45,2	48,2	51,2	54,2		
Снижение уровня звукового давления на пути справа от экрана, Dz3, дБ	z = 7.29м (разность путей)	ф-лы (14-18) [10]	18,2	21,8	25	28,1	31,1	34,1	37,1	40,1	43,1		
Общее снижение уровня звука препятствием Dz, дБ		Эн.сумма(-Dzi)	14,2	17,7	20,8	23,8	26,8	29,8	32,8	35,8	38,8		
Общее снижение уровня звука препятствием с учётом ограничения (25 дБ) для октавных полос Dz, дБ		Раздел 7.4 [10]	14,2	17,7	20,8	23,8	25	25	25	25	25		
Уровни звукового давления прямого звука от источника ИШ-1-9 в расчётной точке днём, дБ		**ф-ла(3)[10]**	**0**	**20,9**	**19,1**	**17,2**	**15,9**	**15,1**	**10,9**	**3,6**	**0**	**19**	**19**
Расчёт отражённого звука													
Уровни звукового давления от мнимого источника ИШ-1-9_мн.(1) в расчётной точке днём, дБ		**ф-ла(3)[10]**	**0**	**0**	**0**	**0**	**0**	**0**	**0**	**0**	**0**	**0**	**0**
Уровни звукового давления от источника ИШ-1-9 в расчётной точке днём, дБ		**ф-ла(3)[10]**	**0**	**20,9**	**19,1**	**17,2**	**15,9**	**15,1**	**10,9**	**3,6**	**0**	**19**	**19**
Источник шума: ИШ-1-10, координаты источника (x,y,z), м =[461.05,143.53,1.00]													
Уровни звуковой мощности источника днём, Lw, дБ		**исходные данные**	**0**	**93,3**	**94,7**	**96**	**96,3**	**95,9**	**92,6**	**88,4**	**83,9**		
Поправка на телесный угол DΩ, дБ	Ω = 6.28	10Lg(4π/Ω)	**3**	3	3	3	3	3	3	3	3		
Показатель направленности источника Di, дБ		исходные данные	**0**	0	0	0	0	0	0	0	0		
Поправка на направленность источника Dc, дБ	Dc	DΩ + Di	**3**	3	3	3	3	3	3	3	3		
Затухание из-за геометрической дивергенции, Adiv, дБ	расстояние = 215.87 м	ф-ла (7) [10]	**57,7**										
Коэффициент затухания звука в атмосфере α, дБ/км	Ta=20,°C Pa=101.33,кПа hотн.=70%	ф-ла (5) [9]	0,02	0,09	0,33	1,12	2,79	4,98	9,04	23,09	77,63		

1		2	3	4	5	6	7	8	9	10	11	12	13
Учет затухания звука в атмосфере Aatm, дБ		ф-ла (8) [10]	0	0	0,1	0,2	0,6	1,1	2	5	16,8		
Снижение уровня звукового давления из-за влияния застройки между источником шума и расчетной точкой													
Снижение уровня звукового давления на пути над экраном, Dz1, дБ	z = 4.80м (разность путей)	ф-лы (14-18) [10]	16,6	20	23,1	26,1	29,1	32,1	35,1	38,1	41,1		
Снижение уровня звукового давления на пути слева от экрана, Dz2, дБ	z = 94.05м (разность путей)	ф-лы (14-18) [10]	29,8	33,1	36,2	39,2	42,2	45,2	48,2	51,2	54,2		
Снижение уровня звукового давления на пути справа от экрана, Dz3, дБ	z = 8.15м (разность путей)	ф-лы (14-18) [10]	18,6	22,3	25,5	28,6	31,6	34,6	37,6	40,6	43,6		
Общее снижение уровня звука препятствием Dz, дБ		Эн.сумма(-Dzi)	14,4	17,9	21	24	27	30	33	36,1	39,1		
Общее снижение уровня звука препятствием с учётом ограничения (25 дБ) для октавных полос Dz, дБ		Раздел 7.4 [10]	14,4	17,9	21	24	25	25	25	25	25		
Уровни звукового давления прямого звука от источника ИШ-1-10 в расчётной точке днём, дБ		**ф-ла(3)[10]**	**0**	**20,7**	**19**	**17**	**16**	**15,1**	**11**	**3,7**	**0**	**19**	**19**
Расчёт отражённого звука													
Уровни звукового давления от мнимого источника ИШ-1-10_мн.(1) в расчётной точке днём, дБ		**ф-ла(3)[10]**	**0**	**0**	**0**	**0**	**0**	**0**	**0**	**0**	**0**	**0**	**0**
Уровни звукового давления от источника ИШ-1-10 в расчётной точке днём, дБ		**ф-ла(3)[10]**	**0**	**20,7**	**19**	**17**	**16**	**15,1**	**11**	**3,7**	**0**	**19**	**19**
Источник шума: ИШ-1-11, координаты источника (x,y,z), м =[464.18,142.55,1.00]													
Уровни звуковой мощности источника днём, Lw, дБ		**исходные данные**	**0**	**93,3**	**94,7**	**96**	**96,3**	**95,9**	**92,6**	**88,4**	**83,9**		
Поправка на телесный угол DΩ, дБ	Ω = 6.28	10Lg(4π/Ω)	**3**	3	3	3	3	3	3	3	3		
Показатель направленности источника Di, дБ		исходные данные	**0**	0	0	0	0	0	0	0	0		
Поправка на направленность источника Dc, дБ	Dc	DΩ + Di	**3**	3	3	3	3	3	3	3	3		
Затухание из-за геометрической дивергенции, Adiv, дБ	расстояние = 213.83 м	ф-ла (7) [10]	**57,6**										

1		2	3	4	5	6	7	8	9	10	11	12	13
Коэффициент затухания звука в атмосфере α, дБ/км	Та=20,°С Ра=101.33,кПа hотн.=70%	ф-ла (5) [9]	0,02	0,09	0,33	1,12	2,79	4,98	9,04	23,09	77,63		
Учет затухания звука в атмосфере Aatm, дБ		ф-ла (8) [10]	0	0	0,1	0,2	0,6	1,1	1,9	4,9	16,6		
Снижение уровня звукового давления из-за влияния застройки между источником шума и расчетной точкой													
Снижение уровня звукового давления на пути над экраном, Dz1, дБ	z = 4.89м (разность путей)	ф-лы (14-18) [10]	16,7	20,1	23,2	26,2	29,2	32,2	35,2	38,2	41,2		
Снижение уровня звукового давления на пути слева от экрана, Dz2, дБ	z = 94.39м (разность путей)	ф-лы (14-18) [10]	29,8	33,1	36,2	39,2	42,2	45,2	48,2	51,2	54,3		
Снижение уровня звукового давления на пути справа от экрана, Dz3, дБ	z = 9.12м (разность путей)	ф-лы (14-18) [10]	19,1	22,8	26	29	32,1	35,1	38,1	41,1	44,1		
Общее снижение уровня звука препятствием Dz, дБ		Эн.сумма(-Dzi)	14,6	18,1	21,2	24,2	27,3	30,3	33,3	36,3	39,3		
Общее снижение уровня звука препятствием с учётом ограничения (25 дБ) для октавных полос Dz, дБ		Раздел 7.4 [10]	14,6	18,1	21,2	24,2	25	25	25	25	25		
Уровни звукового давления прямого звука от источника ИШ-1-11 в расчётной точке днём, дБ		**ф-ла(3)[10]**	**0**	**20,6**	**18,8**	**16,9**	**16,1**	**15,2**	**11,1**	**3,9**	**0**	**19,1**	**19,1**
Расчёт отражённого звука													
Уровни звукового давления от мнимого источника ИШ-1-11_мн.(1) в расчётной точке днём, дБ		**ф-ла(3)[10]**	**0**	**0**	**0**	**0**	**0**	**0**	**0**	**0**	**0**	**0**	**0**
Уровни звукового давления от источника ИШ-1-11 в расчётной точке днём, дБ		**ф-ла(3)[10]**	**0**	**20,6**	**18,8**	**16,9**	**16,1**	**15,2**	**11,1**	**3,9**	**0**	**19,1**	**19,1**
Источник шума: ИШ-1-12, координаты источника (x,y,z), м =[435.45,97.79,1.00]													
Уровни звуковой мощности источника днём, Lw, дБ		**исходные данные**	**0**	**93,3**	**94,7**	**96**	**96,3**	**95,9**	**92,6**	**88,4**	**83,9**		
Поправка на телесный угол DΩ, дБ	Ω = 6.28	10Lg(4π/Ω)	**3**	3	3	3	3	3	3	3	3		
Показатель направленности источника Di, дБ		исходные данные	**0**	0	0	0	0	0	0	0	0		

1		2	3	4	5	6	7	8	9	10	11	12	13
Поправка на направленность источника Dc, дБ	Dc	DΩ + Di	**3**	3	3	3	3	3	3	3	3		
Затухание из-за геометрической дивергенции, Adiv, дБ	расстояние = 187.31 м	ф-ла (7) [10]	**56,5**										
Коэффициент затухания звука в атмосфере α, дБ/км	Ta=20,°C Pa=101.33,кПа hотн.=70%	ф-ла (5) [9]	0,02	0,09	0,33	1,12	2,79	4,98	9,04	23,09	77,63		
Учет затухания звука в атмосфере Aatm, дБ		ф-ла (8) [10]	0	0	0,1	0,2	0,5	0,9	1,7	4,3	14,5		
Снижение уровня звукового давления из-за влияния застройки между источником шума и расчетной точкой													
Снижение уровня звукового давления на пути над экраном, Dz1, дБ	z = 3.73м (разность путей)	ф-лы (14-18) [10]	12	14,6	17,6	21,3	25,8	30	33,6	36,8	39,9		
Снижение уровня звукового давления на пути слева от экрана, Dz2, дБ	z = 173.17м (разность путей)	ф-лы (14-18) [10]	32,5	35,8	38,8	41,8	44,9	47,9	50,9	53,9	56,9		
Снижение уровня звукового давления на пути справа от экрана, Dz3, дБ	z = 0.52м (разность путей)	ф-лы (14-18) [10]	6,9	8,4	10,3	12,6	15,3	18,1	21	24	27		
Общее снижение уровня звука препятствием Dz, дБ		Эн.сумма(-Dzi)	5,7	7,4	9,6	12,1	14,9	17,8	20,8	23,7	26,7		
Общее снижение уровня звука препятствием с учётом ограничения (25 дБ) для октавных полос Dz, дБ		Раздел 7.4 [10]	5,7	7,4	9,6	12,1	14,9	17,8	20,8	23,7	25		
Уровни звукового давления прямого звука от источника ИШ-1-12 в расчётной точке днём, дБ		**ф-ла(3)[10]**	**0**	**32,4**	**31,6**	**30,2**	**27,4**	**23,7**	**16,7**	**6,9**	**0**	**28,8**	**28,8**
Расчёт отражённого звука													
Уровни звукового давления от мнимого источника ИШ-1-12_мн.(1) в расчётной точке днём, дБ		**ф-ла(3)[10]**	**0**	**0**	**0**	**0**	**0**	**0**	**30,5**	**21,7**	**0**	**32,2**	**32,2**
Уровни звукового давления от мнимого источника ИШ-1-12_мн.(2) в расчётной точке днём, дБ		**ф-ла(3)[10]**	**0**	**0**	**0**	**0**	**0**	**23,8**	**16,8**	**6,4**	**0**	**24,9**	**24,9**
Суммарные уровни звукового давления от мнимых источников в расчётной точке днём, дБ		**ф-ла (19) [1]**	**0**	**0**	**0**	**0**	**0**	**23,8**	**30,7**	**21,9**	**0**	**0**	**32,9**
Уровни звукового давления от источника ИШ-1-12 в расчётной точке днём, дБ		**ф-ла(3)[10]**	**0**	**32,4**	**31,6**	**30,2**	**27,4**	**26,8**	**30,8**	**22**	**0**	**34,3**	**34,3**

1		2	3	4	5	6	7	8	9	10	11	12	13
Источник шума: ИШ-1-13, координаты источника (x,y,z), м =[438.77,96.82,1.00]													
Уровни звуковой мощности источника днём, Lw, дБ		**исходные данные**	**0**	**93,3**	**94,7**	**96**	**96,3**	**95,9**	**92,6**	**88,4**	**83,9**		
Поправка на телесный угол DΩ, дБ	Ω = 6.28	10Lg(4π/Ω)	**3**	3	3	3	3	3	3	3	3		
Показатель направленности источника Di, дБ		исходные данные	**0**	0	0	0	0	0	0	0	0		
Поправка на направленность источника Dc, дБ	Dc	DΩ + Di	**3**	3	3	3	3	3	3	3	3		
Затухание из-за геометрической дивергенции, Adiv, дБ	расстояние = 184.65 м	ф-ла (7) [10]	**56,3**										
Коэффициент затухания звука в атмосфере α, дБ/км	Ta=20,°C Pa=101.33,кПа hотн.=70%	ф-ла (5) [9]	0,02	0,09	0,33	1,12	2,79	4,98	9,04	23,09	77,63		
Учет затухания звука в атмосфере Aatm, дБ		ф-ла (8) [10]	0	0	0,1	0,2	0,5	0,9	1,7	4,3	14,3		
Снижение уровня звукового давления из-за влияния застройки между источником шума и расчетной точкой													
Снижение уровня звукового давления на пути над экраном, Dz1, дБ	z = 3.76м (разность путей)	ф-лы (14-18) [10]	12	14,7	17,7	21,4	25,8	30,1	33,7	36,8	39,9		
Снижение уровня звукового давления на пути слева от экрана, Dz2, дБ	z = 174.47м (разность путей)	ф-лы (14-18) [10]	32,5	35,8	38,8	41,9	44,9	47,9	50,9	53,9	56,9		
Снижение уровня звукового давления на пути справа от экрана, Dz3, дБ	z = 0.55м (разность путей)	ф-лы (14-18) [10]	7	8,5	10,5	12,9	15,5	18,3	21,2	24,2	27,2		
Общее снижение уровня звука препятствием Dz, дБ		Эн.сумма(-Dzi)	5,8	7,6	9,7	12,3	15,1	18,1	21	24	27		
Общее снижение уровня звука препятствием с учётом ограничения (25 дБ) для октавных полос Dz, дБ		Раздел 7.4 [10]	5,8	7,6	9,7	12,3	15,1	18,1	21	24	25		
Уровни звукового давления прямого звука от источника ИШ-1-13 в расчётной точке днём, дБ		**ф-ла(3)[10]**	**0**	**32,4**	**31,6**	**30,2**	**27,3**	**23,6**	**16,6**	**6,8**	**0**	**28,7**	**28,7**
Расчёт отражённого звука													

1		2	3	4	5	6	7	8	9	10	11	12	13
Уровни звукового давления от мнимого источника ИШ-1-13_мн.(1) в расчётной точке днём, дБ		**ф-ла(3)[10]**	**0**	**0**	**0**	**0**	**0**	**0**	**30,5**	**21,8**	**0**	**32,3**	**32,3**
Уровни звукового давления от мнимого источника ИШ-1-13_мн.(2) в расчётной точке днём, дБ		**ф-ла(3)[10]**	**0**	**0**	**0**	**0**	**0**	**23,9**	**16,8**	**6,4**	**0**	**25**	**25**
Суммарные уровни звукового давления от мнимых источников в расчётной точке днём, дБ		**ф-ла (19) [1]**	**0**	**0**	**0**	**0**	**0**	**23,9**	**30,7**	**21,9**	**0**	**0**	**33**
Уровни звукового давления от источника ИШ-1-13 в расчётной точке днём, дБ		**ф-ла(3)[10]**	**0**	**32,4**	**31,6**	**30,2**	**27,3**	**26,8**	**30,9**	**22,1**	**0**	**34,4**	**34,4**
Источник шума: ИШ-1-14, координаты источника (x,y,z), м =[441.70,96.03,1.00]													
Уровни звуковой мощности источника днём, Lw, дБ		**исходные данные**	**0**	**93,3**	**94,7**	**96**	**96,3**	**95,9**	**92,6**	**88,4**	**83,9**		
Поправка на телесный угол DΩ, дБ	Ω = 6.28	10Lg(4π/Ω)	**3**	3	3	3	3	3	3	3	3		
Показатель направленности источника Di, дБ		исходные данные	**0**	0	0	0	0	0	0	0	0		
Поправка на направленность источника Dc, дБ	Dc	DΩ + Di	**3**	3	3	3	3	3	3	3	3		
Затухание из-за геометрической дивергенции, Adiv, дБ	расстояние = 182.39 м	ф-ла (7) [10]	**56,2**										
Коэффициент затухания звука в атмосфере α, дБ/км	Ta=20,°C Pa=101.33,кПа hотн.=70%	ф-ла (5) [9]	0,02	0,09	0,33	1,12	2,79	4,98	9,04	23,09	77,63		
Учет затухания звука в атмосфере Aatm, дБ		ф-ла (8) [10]	0	0	0,1	0,2	0,5	0,9	1,6	4,2	14,2		
Снижение уровня звукового давления из-за влияния застройки между источником шума и расчетной точкой													
Снижение уровня звукового давления на пути над экраном, Dz1, дБ	z = 4.61м (разность путей)	ф-лы (14-18) [10]	16,2	19,8	22,9	25,9	29	32	35	38	41		
Снижение уровня звукового давления на пути слева от экрана, Dz2, дБ	z = 175.54м (разность путей)	ф-лы (14-18) [10]	32,5	35,8	38,9	41,9	44,9	47,9	50,9	53,9	57		
Снижение уровня звукового давления на пути справа от экрана, Dz3, дБ	z = 0.59м (разность путей)	ф-лы (14-18) [10]	9,1	11,8	14,6	17,4	20,3	23,3	26,2	29,2	32,2		

1		2	3	4	5	6	7	8	9	10	11	12	13
Общее снижение уровня звука препятствием Dz, дБ		Эн.сумма(-Dzi)	8,3	11,2	14	16,8	19,7	22,7	25,7	28,7	31,7		
Общее снижение уровня звука препятствием с учётом ограничения (25 дБ) для октавных полос Dz, дБ		Раздел 7.4 [10]	8,3	11,2	14	16,8	19,7	22,7	25	25	25		
Уровни звукового давления прямого звука от источника ИШ-1-14 в расчётной точке днём, дБ		**ф-ла(3)[10]**	**0**	**28,9**	**27,5**	**25,7**	**22,8**	**19,1**	**12,7**	**6**	**0**	**24,3**	**24,3**
Расчёт отражённого звука													
Уровни звукового давления от мнимого источника ИШ-1-14_мн.(1) в расчётной точке днём, дБ		**ф-ла(3)[10]**	**0**	**0**	**0**	**0**	**0**	**0**	**30,6**	**21,9**	**0**	**32,3**	**32,3**
Уровни звукового давления от мнимого источника ИШ-1-14_мн.(2) в расчётной точке днём, дБ		**ф-ла(3)[10]**	**0**	**0**	**0**	**0**	**0**	**23,9**	**16,9**	**6,4**	**0**	**25**	**25**
Суммарные уровни звукового давления от мнимых источников в расчётной точке днём, дБ		**ф-ла (19) [1]**	**0**	**0**	**0**	**0**	**0**	**23,9**	**30,8**	**22**	**0**	**0**	**33**
Уровни звукового давления от источника ИШ-1-14 в расчётной точке днём, дБ		**ф-ла(3)[10]**	**0**	**28,9**	**27,5**	**25,7**	**22,8**	**25,1**	**30,8**	**22,1**	**0**	**33,6**	**33,6**
Источник шума: ИШ-1-15, координаты источника (x,y,z), м =[445.03,95.25,1.00]													
Уровни звуковой мощности источника днём, Lw, дБ		**исходные данные**	**0**	**93,3**	**94,7**	**96**	**96,3**	**95,9**	**92,6**	**88,4**	**83,9**		
Поправка на телесный угол DΩ, дБ	Ω = 6.28	10Lg(4π/Ω)	**3**	3	3	3	3	3	3	3	3		
Показатель направленности источника Di, дБ		исходные данные	**0**	0	0	0	0	0	0	0	0		
Поправка на направленность источника Dc, дБ	Dc	DΩ + Di	**3**	3	3	3	3	3	3	3	3		
Затухание из-за геометрической дивергенции, Adiv, дБ	расстояние = 179.94 м	ф-ла (7) [10]	**56,1**										
Коэффициент затухания звука в атмосфере α, дБ/км	Ta=20,°C Pa=101.33,кПа hотн.=70%	ф-ла (5) [9]	0,02	0,09	0,33	1,12	2,79	4,98	9,04	23,09	77,63		
Учет затухания звука в атмосфере Aatm, дБ		ф-ла (8) [10]	0	0	0,1	0,2	0,5	0,9	1,6	4,2	14		

1		2	3	4	5	6	7	8	9	10	11	12	13
Снижение уровня звукового давления из-за влияния застройки между источником шума и расчетной точкой													
Снижение уровня звукового давления на пути над экраном, Dz1, дБ	z = 4.72м (разность путей)	ф-лы (14-18) [10]	16,3	19,9	23	26,1	29,1	32,1	35,1	38,1	41,1		
Снижение уровня звукового давления на пути слева от экрана, Dz2, дБ	z = 176.64м (разность путей)	ф-лы (14-18) [10]	32,5	35,8	38,9	41,9	44,9	47,9	51	54	57		
Снижение уровня звукового давления на пути справа от экрана, Dz3, дБ	z = 0.72м (разность путей)	ф-лы (14-18) [10]	9,7	12,5	15,3	18,2	21,2	24,1	27,1	30,1	33,1		
Общее снижение уровня звука препятствием Dz, дБ		Эн.сумма(-Dzi)	8,8	11,8	14,6	17,6	20,5	23,5	26,4	29,4	32,5		
Общее снижение уровня звука препятствием с учётом ограничения (25 дБ) для октавных полос Dz, дБ		Раздел 7.4 [10]	8,8	11,8	14,6	17,6	20,5	23,5	25	25	25		
Уровни звукового давления прямого звука от источника ИШ-1-15 в расчётной точке днём, дБ		**ф-ла(3)[10]**	**0**	**28,4**	**26,9**	**25,1**	**22,2**	**18,4**	**12,9**	**6,1**	**0**	**23,8**	**23,8**
Расчёт отражённого звука													
Уровни звукового давления от мнимого источника ИШ-1-15_мн.(1) в расчётной точке днём, дБ		**ф-ла(3)[10]**	**0**	**0**	**0**	**0**	**0**	**24**	**16,9**	**6,4**	**0**	**25**	**25**
Уровни звукового давления от источника ИШ-1-15 в расчётной точке днём, дБ		**ф-ла(3)[10]**	**0**	**28,4**	**26,9**	**25,1**	**22,2**	**25**	**18,3**	**9,3**	**0**	**27,5**	**27,5**
Источник шума: ИШ-1-16, координаты источника (x,y,z), м =[447.96,94.28,1.00]													
Уровни звуковой мощности источника днём, Lw, дБ		**исходные данные**	**0**	**93,3**	**94,7**	**96**	**96,3**	**95,9**	**92,6**	**88,4**	**83,9**		
Поправка на телесный угол DΩ, дБ	Ω = 6.28	10Lg(4π/Ω)	**3**	3	3	3	3	3	3	3	3		
Показатель направленности источника Di, дБ		исходные данные	**0**	0	0	0	0	0	0	0	0		
Поправка на направленность источника Dc, дБ	Dc	DΩ + Di	**3**	3	3	3	3	3	3	3	3		
Затухание из-за геометрической дивергенции, Adiv, дБ	расстояние = 177.56 м	ф-ла (7) [10]	**56**										
Коэффициент затухания звука в атмосфере α, дБ/км	Ta=20,°C Pa=101.33,кПа hотн.=70%	ф-ла (5) [9]	0,02	0,09	0,33	1,12	2,79	4,98	9,04	23,09	77,63		

1		2	3	4	5	6	7	8	9	10	11	12	13
Учет затухания звука в атмосфере Aatm, дБ		ф-ла (8) [10]	0	0	0,1	0,2	0,5	0,9	1,6	4,1	13,8		
Снижение уровня звукового давления из-за влияния застройки между источником шума и расчетной точкой													
Снижение уровня звукового давления на пути над экраном, Dz1, дБ	z = 4.83м (разность путей)	ф-лы (14-18) [10]	16,4	20	23,1	26,2	29,2	32,2	35,2	38,2	41,2		
Снижение уровня звукового давления на пути слева от экрана, Dz2, дБ	z = 178.15м (разность путей)	ф-лы (14-18) [10]	32,6	35,9	38,9	42	45	48	51	54	57		
Снижение уровня звукового давления на пути справа от экрана, Dz3, дБ	z = 0.92м (разность путей)	ф-лы (14-18) [10]	10,4	13,4	16,3	19,2	22,2	25,2	28,2	31,2	34,2		
Общее снижение уровня звука препятствием Dz, дБ		Эн.сумма(-Dzi)	9,4	12,5	15,5	18,4	21,4	24,4	27,4	30,4	33,4		
Общее снижение уровня звука препятствием с учётом ограничения (25 дБ) для октавных полос Dz, дБ		Раздел 7.4 [10]	9,4	12,5	15,5	18,4	21,4	24,4	25	25	25		
Уровни звукового давления прямого звука от источника ИШ-1-16 в расчётной точке днём, дБ		**ф-ла(3)[10]**	**0**	**27,8**	**26,2**	**24,4**	**21,4**	**17,7**	**13**	**6,3**	**0**	**23,1**	**23,1**
Расчёт отражённого звука													
Уровни звукового давления от мнимого источника ИШ-1-16_мн.(1) в расчётной точке днём, дБ		**ф-ла(3)[10]**	**0**	**0**	**0**	**0**	**0**	**24**	**16,9**	**6,4**	**0**	**25,1**	**25,1**
Уровни звукового давления от источника ИШ-1-16 в расчётной точке днём, дБ		**ф-ла(3)[10]**	**0**	**27,8**	**26,2**	**24,4**	**21,4**	**24,9**	**18,4**	**9,4**	**0**	**27,2**	**27,2**
Источник шума: ИШ-1-17, координаты источника (x,y,z), м =[540.99,141.77,1.00]													
Уровни звуковой мощности источника днём, Lw, дБ		**исходные данные**	**0**	**93,3**	**94,7**	**96**	**96,3**	**95,9**	**92,6**	**88,4**	**83,9**		
Поправка на телесный угол DΩ, дБ	Ω = 6.28	10Lg(4π/Ω)	**3**	3	3	3	3	3	3	3	3		
Показатель направленности источника Di, дБ		исходные данные	**0**	0	0	0	0	0	0	0	0		
Поправка на направленность источника Dc, дБ	Dc	DΩ + Di	**3**	3	3	3	3	3	3	3	3		
Затухание из-за геометрической дивергенции, Adiv, дБ	расстояние = 198.83 м	ф-ла (7) [10]	**57**										

1		2	3	4	5	6	7	8	9	10	11	12	13
Коэффициент затухания звука в атмосфере α, дБ/км	Та=20,°С Ра=101.33,кПа hотн.=70%	ф-ла (5) [9]	0,02	0,09	0,33	1,12	2,79	4,98	9,04	23,09	77,63		
Учет затухания звука в атмосфере Aatm, дБ		ф-ла (8) [10]	0	0	0,1	0,2	0,6	1	1,8	4,6	15,4		
Снижение уровня звукового давления из-за влияния застройки между источником шума и расчетной точкой													
Снижение уровня звукового давления на пути над экраном, Dz1, дБ	z = 4.30м (разность путей)	ф-лы (14-18) [10]	12,7	16	20,1	24,5	28,2	31,4	34,5	37,5	40,5		
Снижение уровня звукового давления на пути слева от экрана, Dz2, дБ	z = 10.26м (разность путей)	ф-лы (14-18) [10]	17,3	21,7	25,8	29,4	32,5	35,6	38,6	41,6	44,6		
Снижение уровня звукового давления на пути справа от экрана, Dz3, дБ	z = 2.90м (разность путей)	ф-лы (14-18) [10]	11,4	13,9	16,6	19,5	22,4	25,4	28,4	31,4	34,4		
Общее снижение уровня звука препятствием Dz, дБ		Эн.сумма(-Dzi)	8,4	11,4	14,6	17,9	21,1	24,1	27,1	30,1	33,1		
Общее снижение уровня звука препятствием с учётом ограничения (25 дБ) для октавных полос Dz, дБ		Раздел 7.4 [10]	8,4	11,4	14,6	17,9	21,1	24,1	25	25	25		
Уровни звукового давления прямого звука от источника ИШ-1-17 в расчётной точке днём, дБ		**ф-ла(3)[10]**	**0**	**27,9**	**26**	**23,9**	**20,7**	**16,8**	**11,8**	**4,8**	**0**	**22,4**	**22,4**
Расчёт отражённого звука													
Уровни звукового давления от мнимого источника ИШ-1-17_мн.(1) в расчётной точке днём, дБ		**ф-ла(3)[10]**	**0**	**0**	**0**	**0**	**0**	**0**	**9,7**	**2,4**	**0**	**11,6**	**11,6**
Уровни звукового давления от источника ИШ-1-17 в расчётной точке днём, дБ		**ф-ла(3)[10]**	**0**	**27,9**	**26**	**23,9**	**20,7**	**16,8**	**13,9**	**6,8**	**0**	**22,7**	**22,7**
Источник шума: ИШ-1-18, координаты источника (x,y,z), м =[543.53,140.79,1.00]													
Уровни звуковой мощности источника днём, Lw, дБ		**исходные данные**	**0**	**93,3**	**94,7**	**96**	**96,3**	**95,9**	**92,6**	**88,4**	**83,9**		
Поправка на телесный угол DΩ, дБ	Ω = 6.28	10Lg(4π/Ω)	**3**	3	3	3	3	3	3	3	3		
Показатель направленности источника Di, дБ		исходные данные	**0**	0	0	0	0	0	0	0	0		

1		2	3	4	5	6	7	8	9	10	11	12	13
Поправка на направленность источника Dc, дБ	Dc	DΩ + Di	**3**	3	3	3	3	3	3	3	3		
Затухание из-за геометрической дивергенции, Adiv, дБ	расстояние = 197.87 м	ф-ла (7) [10]	**56,9**										
Коэффициент затухания звука в атмосфере α, дБ/км	Ta=20,°C Pa=101.33,кПа hотн.=70%	ф-ла (5) [9]	0,02	0,09	0,33	1,12	2,79	4,98	9,04	23,09	77,63		
Учет затухания звука в атмосфере Aatm, дБ		ф-ла (8) [10]	0	0	0,1	0,2	0,6	1	1,8	4,6	15,4		
Снижение уровня звукового давления из-за влияния застройки между источником шума и расчетной точкой													
Снижение уровня звукового давления на пути над экраном, Dz1, дБ	z = 4.31м (разность путей)	ф-лы (14-18) [10]	12,7	16	20,2	24,5	28,2	31,4	34,5	37,5	40,5		
Снижение уровня звукового давления на пути слева от экрана, Dz2, дБ	z = 9.96м (разность путей)	ф-лы (14-18) [10]	17,2	21,5	25,7	29,2	32,4	35,4	38,5	41,5	44,5		
Снижение уровня звукового давления на пути справа от экрана, Dz3, дБ	z = 2.97м (разность путей)	ф-лы (14-18) [10]	11,5	14	16,7	19,6	22,5	25,5	28,5	31,5	34,5		
Общее снижение уровня звука препятствием Dz, дБ		Эн.сумма(-Dzi)	8,4	11,4	14,7	18	21,1	24,2	27,2	30,2	33,2		
Общее снижение уровня звука препятствием с учётом ограничения (25 дБ) для октавных полос Dz, дБ		Раздел 7.4 [10]	8,4	11,4	14,7	18	21,1	24,2	25	25	25		
Уровни звукового давления прямого звука от источника ИШ-1-18 в расчётной точке днём, дБ		**ф-ла(3)[10]**	**0**	**27,9**	**26**	**23,8**	**20,7**	**16,8**	**11,9**	**4,9**	**0**	**22,4**	**22,4**
Расчёт отражённого звука													
Уровни звукового давления от мнимого источника ИШ-1-18_мн.(1) в расчётной точке днём, дБ		**ф-ла(3)[10]**	**0**	**0**	**0**	**0**	**0**	**0**	**9,6**	**2,3**	**0**	**11,6**	**11,6**
Уровни звукового давления от источника ИШ-1-18 в расчётной точке днём, дБ		**ф-ла(3)[10]**	**0**	**27,9**	**26**	**23,8**	**20,7**	**16,8**	**13,9**	**6,8**	**0**	**22,7**	**22,7**
Источник шума: ИШ-1-19, координаты источника (x,y,z), м =[547.25,139.62,1.00]													
Уровни звуковой мощности источника днём, Lw, дБ		**исходные данные**	**0**	**93,3**	**94,7**	**96**	**96,3**	**95,9**	**92,6**	**88,4**	**83,9**		

1		2	3	4	5	6	7	8	9	10	11	12	13
Поправка на телесный угол DΩ, дБ	Ω = 6.28	10Lg(4π/Ω)	**3**	3	3	3	3	3	3	3	3		
Показатель направленности источника Di, дБ		исходные данные	**0**	0	0	0	0	0	0	0	0		
Поправка на направленность источника Dc, дБ	Dc	DΩ + Di	**3**	3	3	3	3	3	3	3	3		
Затухание из-за геометрической дивергенции, Adiv, дБ	расстояние = 196.78 м	ф-ла (7) [10]	**56,9**										
Коэффициент затухания звука в атмосфере α, дБ/км	Ta=20,°C Pa=101.33,кПа hотн.=70%	ф-ла (5) [9]	0,02	0,09	0,33	1,12	2,79	4,98	9,04	23,09	77,63		
Учет затухания звука в атмосфере Aatm, дБ		ф-ла (8) [10]	0	0	0,1	0,2	0,5	1	1,8	4,5	15,3		
Снижение уровня звукового давления из-за влияния застройки между источником шума и расчетной точкой													
Снижение уровня звукового давления на пути над экраном, Dz1, дБ	z = 4.32м (разность путей)	ф-лы (14-18) [10]	12,8	16,1	20,3	24,6	28,2	31,4	34,5	37,5	40,5		
Снижение уровня звукового давления на пути слева от экрана, Dz2, дБ	z = 9.52м (разность путей)	ф-лы (14-18) [10]	17	21,4	25,5	29	32,2	35,3	38,3	41,3	44,3		
Снижение уровня звукового давления на пути справа от экрана, Dz3, дБ	z = 3.07м (разность путей)	ф-лы (14-18) [10]	11,6	14,1	16,8	19,7	22,6	25,6	28,6	31,6	34,6		
Общее снижение уровня звука препятствием Dz, дБ		Эн.сумма(-Dzi)	8,5	11,5	14,8	18,1	21,2	24,2	27,3	30,3	33,3		
Общее снижение уровня звука препятствием с учётом ограничения (25 дБ) для октавных полос Dz, дБ		Раздел 7.4 [10]	8,5	11,5	14,8	18,1	21,2	24,2	25	25	25		
Уровни звукового давления прямого звука от источника ИШ-1-19 в расчётной точке днём, дБ		**ф-ла(3)[10]**	**0**	**27,9**	**25,9**	**23,8**	**20,6**	**16,8**	**11,9**	**5**	**0**	**22,3**	**22,3**
Расчёт отражённого звука													
Уровни звукового давления от мнимого источника ИШ-1-19_мн.(1) в расчётной точке днём, дБ		**ф-ла(3)[10]**	**0**	**0**	**0**	**0**	**0**	**0**	**9,5**	**2,2**	**0**	**11,4**	**11,4**
Уровни звукового давления от источника ИШ-1-19 в расчётной точке днём, дБ		**ф-ла(3)[10]**	**0**	**27,9**	**25,9**	**23,8**	**20,6**	**16,8**	**13,9**	**6,8**	**0**	**22,7**	**22,7**

1		2	3	4	5	6	7	8	9	10	11	12	13
Источник шума: ИШ-1-20, координаты источника (x,y,z), м =[550.38,138.64,1.00]													
Уровни звуковой мощности источника днём, Lw, дБ		**исходные данные**	**0**	**93,3**	**94,7**	**96**	**96,3**	**95,9**	**92,6**	**88,4**	**83,9**		
Поправка на телесный угол DΩ, дБ	Ω = 6.28	10Lg(4π/Ω)	**3**	3	3	3	3	3	3	3	3		
Показатель направленности источника Di, дБ		исходные данные	**0**	0	0	0	0	0	0	0	0		
Поправка на направленность источника Dc, дБ	Dc	DΩ + Di	**3**	3	3	3	3	3	3	3	3		
Затухание из-за геометрической дивергенции, Adiv, дБ	расстояние = 195.93 м	ф-ла (7) [10]	**56,8**										
Коэффициент затухания звука в атмосфере α, дБ/км	Ta=20,°C Pa=101.33,кПа hотн.=70%	ф-ла (5) [9]	0,02	0,09	0,33	1,12	2,79	4,98	9,04	23,09	77,63		
Учет затухания звука в атмосфере Aatm, дБ		ф-ла (8) [10]	0	0	0,1	0,2	0,5	1	1,8	4,5	15,2		
Снижение уровня звукового давления из-за влияния застройки между источником шума и расчетной точкой													
Снижение уровня звукового давления на пути над экраном, Dz1, дБ	z = 4.32м (разность путей)	ф-лы (14-18) [10]	12,8	16,2	20,5	24,7	28,3	31,5	34,5	37,5	40,5		
Снижение уровня звукового давления на пути слева от экрана, Dz2, дБ	z = 9.17м (разность путей)	ф-лы (14-18) [10]	16,8	21,2	25,4	28,9	32	35,1	38,1	41,1	44,1		
Снижение уровня звукового давления на пути справа от экрана, Dz3, дБ	z = 3.16м (разность путей)	ф-лы (14-18) [10]	11,7	14,2	16,9	19,8	22,8	25,7	28,7	31,7	34,7		
Общее снижение уровня звука препятствием Dz, дБ		Эн.сумма(-Dzi)	8,5	11,6	14,9	18,2	21,3	24,3	27,3	30,3	33,3		
Общее снижение уровня звука препятствием с учётом ограничения (25 дБ) для октавных полос Dz, дБ		Раздел 7.4 [10]	8,5	11,6	14,9	18,2	21,3	24,3	25	25	25		
Уровни звукового давления прямого звука от источника ИШ-1-20 в расчётной точке днём, дБ		**ф-ла(3)[10]**	**0**	**27,8**	**25,8**	**23,7**	**20,6**	**16,8**	**12**	**5**	**0**	**22,3**	**22,3**
Расчёт отражённого звука													

1		2	3	4	5	6	7	8	9	10	11	12	13
Уровни звукового давления от мнимого источника ИШ-1-20_мн.(1) в расчётной точке днём, дБ		**ф-ла(3)[10]**	**0**	**0**	**0**	**0**	**0**	**0**	**0**	**2,1**	**0**	**3,1**	**3,1**
Уровни звукового давления от источника ИШ-1-20 в расчётной точке днём, дБ		**ф-ла(3)[10]**	**0**	**27,8**	**25,8**	**23,7**	**20,6**	**16,8**	**12**	**6,8**	**0**	**22,4**	**22,4**
Источник шума: ИШ-1-21, координаты источника (x,y,z), м =[553.31,137.67,1.00]													
Уровни звуковой мощности источника днём, Lw, дБ		**исходные данные**	**0**	**93,3**	**94,7**	**96**	**96,3**	**95,9**	**92,6**	**88,4**	**83,9**		
Поправка на телесный угол DΩ, дБ	Ω = 6.28	10Lg(4π/Ω)	**3**	3	3	3	3	3	3	3	3		
Показатель направленности источника Di, дБ		исходные данные	**0**	0	0	0	0	0	0	0	0		
Поправка на направленность источника Dc, дБ	Dc	DΩ + Di	**3**	3	3	3	3	3	3	3	3		
Затухание из-за геометрической дивергенции, Adiv, дБ	расстояние = 195.12 м	ф-ла (7) [10]	**56,8**										
Коэффициент затухания звука в атмосфере α, дБ/км	Ta=20,°C Pa=101.33,кПа hотн.=70%	ф-ла (5) [9]	0,02	0,09	0,33	1,12	2,79	4,98	9,04	23,09	77,63		
Учет затухания звука в атмосфере Aatm, дБ		ф-ла (8) [10]	0	0	0,1	0,2	0,5	1	1,8	4,5	15,1		
Снижение уровня звукового давления из-за влияния застройки между источником шума и расчетной точкой													
Снижение уровня звукового давления на пути над экраном, Dz1, дБ	z = 4.33м (разность путей)	ф-лы (14-18) [10]	12,9	16,3	20,6	24,8	28,3	31,5	34,5	37,5	40,5		
Снижение уровня звукового давления на пути слева от экрана, Dz2, дБ	z = 8.84м (разность путей)	ф-лы (14-18) [10]	16,7	21	25,2	28,7	31,9	34,9	38	41	44		
Снижение уровня звукового давления на пути справа от экрана, Dz3, дБ	z = 3.24м (разность путей)	ф-лы (14-18) [10]	11,8	14,3	17	19,9	22,9	25,8	28,8	31,8	34,8		
Общее снижение уровня звука препятствием Dz, дБ		Эн.сумма(-Dzi)	8,5	11,7	15	18,3	21,4	24,4	27,4	30,4	33,4		
Общее снижение уровня звука препятствием с учётом ограничения (25 дБ) для октавных полос Dz, дБ		Раздел 7.4 [10]	8,5	11,7	15	18,3	21,4	24,4	25	25	25		

1		2	3	4	5	6	7	8	9	10	11	12	13
Уровни звукового давления прямого звука от источника ИШ-1-21 в расчётной точке днём, дБ		**ф-ла(3)[10]**	**0**	**27,8**	**25,8**	**23,7**	**20,6**	**16,7**	**12**	**5,1**	**0**	**22,3**	**22,3**
Расчёт отражённого звука													
Уровни звукового давления от мнимого источника ИШ-1-21_мн.(1) в расчётной точке днём, дБ		**ф-ла(3)[10]**	**0**	**0**	**0**	**0**	**0**	**0**	**0**	**2**	**0**	**3**	**3**
Уровни звукового давления от источника ИШ-1-21 в расчётной точке днём, дБ		**ф-ла(3)[10]**	**0**	**27,8**	**25,8**	**23,7**	**20,6**	**16,7**	**12**	**6,8**	**0**	**22,3**	**22,3**
Источник шума: ИШ-1-22, координаты источника (x,y,z), м =[522.03,85.28,1.00]													
Уровни звуковой мощности источника днём, Lw, дБ		**исходные данные**	**0**	**93,3**	**94,7**	**96**	**96,3**	**95,9**	**92,6**	**88,4**	**83,9**		
Поправка на телесный угол DΩ, дБ	Ω = 6.28	10Lg(4π/Ω)	**3**	3	3	3	3	3	3	3	3		
Показатель направленности источника Di, дБ		исходные данные	**0**	0	0	0	0	0	0	0	0		
Поправка на направленность источника Dc, дБ	Dc	DΩ + Di	**3**	3	3	3	3	3	3	3	3		
Затухание из-за геометрической дивергенции, Adiv, дБ	расстояние = 143.58 м	ф-ла (7) [10]	**54,1**										
Коэффициент затухания звука в атмосфере α, дБ/км	Ta=20,°C Pa=101.33,кПа hотн.=70%	ф-ла (5) [9]	0,02	0,09	0,33	1,12	2,79	4,98	9,04	23,09	77,63		
Учет затухания звука в атмосфере Aatm, дБ		ф-ла (8) [10]	0	0	0	0,2	0,4	0,7	1,3	3,3	11,1		
Снижение уровня звукового давления из-за влияния застройки между источником шума и расчетной точкой													
Снижение уровня звукового давления на пути над экраном, Dz1, дБ	z = 4.28м (разность путей)	ф-лы (14-18) [10]	12,7	15,6	19,4	23,8	27,9	31,4	34,5	37,6	40,6		
Снижение уровня звукового давления на пути слева от экрана, Dz2, дБ	z = 14.76м (разность путей)	ф-лы (14-18) [10]	18,8	23,2	27,4	30,9	34,1	37,2	40,2	43,2	46,2		
Снижение уровня звукового давления на пути справа от экрана, Dz3, дБ	z = 2.27м (разность путей)	ф-лы (14-18) [10]	10,6	13	15,6	18,4	21,3	24,3	27,3	30,3	33,3		

1		2	3	4	5	6	7	8	9	10	11	12	13
Общее снижение уровня звука препятствием Dz, дБ		Эн.сумма(-Dzi)	8,1	10,8	13,9	17,1	20,3	23,3	26,4	29,4	32,4		
Общее снижение уровня звука препятствием с учётом ограничения (25 дБ) для октавных полос Dz, дБ		Раздел 7.4 [10]	8,1	10,8	13,9	17,1	20,3	23,3	25	25	25		
Уровни звукового давления прямого звука от источника ИШ-1-22 в расчётной точке днём, дБ		**ф-ла(3)[10]**	**0**	**31,3**	**29,6**	**27,5**	**24,4**	**20,7**	**15,2**	**8,9**	**0**	**26,1**	**26,1**
Расчёт отражённого звука													
Уровни звукового давления от мнимого источника ИШ-1-22_мн.(1) в расчётной точке днём, дБ		**ф-ла(3)[10]**	**0**	**0**	**0**	**0**	**0**	**0**	**0**	**0**	**0**	**0**	**0**
Уровни звукового давления от мнимого источника ИШ-1-22_мн.(2) в расчётной точке днём, дБ		**ф-ла(3)[10]**	**0**	**0**	**0**	**0**	**0**	**0**	**0**	**0**	**0**	**0**	**0**
Суммарные уровни звукового давления от мнимых источников в расчётной точке днём, дБ		**ф-ла (19) [1]**	**0**	**0**	**0**	**0**	**0**	**0**	**0**	**0**	**0**	**0**	**0**
Уровни звукового давления от источника ИШ-1-22 в расчётной точке днём, дБ		**ф-ла(3)[10]**	**0**	**31,3**	**29,6**	**27,5**	**24,4**	**20,7**	**15,2**	**8,9**	**0**	**26,1**	**26,1**
Источник шума: ИШ-1-23, координаты источника (x,y,z), м =[525.16,84.11,1.00]													
Уровни звуковой мощности источника днём, Lw, дБ		**исходные данные**	**0**	**93,3**	**94,7**	**96**	**96,3**	**95,9**	**92,6**	**88,4**	**83,9**		
Поправка на телесный угол DΩ, дБ	Ω = 6.28	10Lg(4π/Ω)	**3**	3	3	3	3	3	3	3	3		
Показатель направленности источника Di, дБ		исходные данные	**0**	0	0	0	0	0	0	0	0		
Поправка на направленность источника Dc, дБ	Dc	DΩ + Di	**3**	3	3	3	3	3	3	3	3		
Затухание из-за геометрической дивергенции, Adiv, дБ	расстояние = 142.04 м	ф-ла (7) [10]	**54**										
Коэффициент затухания звука в атмосфере α, дБ/км	Ta=20,°C Pa=101.33,кПа hотн.=70%	ф-ла (5) [9]	0,02	0,09	0,33	1,12	2,79	4,98	9,04	23,09	77,63		
Учет затухания звука в атмосфере Aatm, дБ		ф-ла (8) [10]	0	0	0	0,2	0,4	0,7	1,3	3,3	11		

1		2	3	4	5	6	7	8	9	10	11	12	13
Снижение уровня звукового давления из-за влияния застройки между источником шума и расчетной точкой													
Снижение уровня звукового давления на пути над экраном, Dz1, дБ	z = 4.29м (разность путей)	ф-лы (14-18) [10]	12,7	15,7	19,5	23,9	28	31,4	34,5	37,6	40,6		
Снижение уровня звукового давления на пути слева от экрана, Dz2, дБ	z = 14.14м (разность путей)	ф-лы (14-18) [10]	18,6	23	27,2	30,8	33,9	37	40	43	46		
Снижение уровня звукового давления на пути справа от экрана, Dz3, дБ	z = 2.37м (разность путей)	ф-лы (14-18) [10]	10,7	13,1	15,8	18,6	21,5	24,5	27,5	30,5	33,5		
Общее снижение уровня звука препятствием Dz, дБ		Эн.сумма(-Dzi)	8,2	10,9	14	17,3	20,4	23,5	26,5	29,5	32,5		
Общее снижение уровня звука препятствием с учётом ограничения (25 дБ) для октавных полос Dz, дБ		Раздел 7.4 [10]	8,2	10,9	14	17,3	20,4	23,5	25	25	25		
Уровни звукового давления прямого звука от источника ИШ-1-23 в расчётной точке днём, дБ		**ф-ла(3)[10]**	**0**	**31,3**	**29,6**	**27,5**	**24,4**	**20,6**	**15,3**	**9,1**	**0**	**26,1**	**26,1**
Расчёт отражённого звука													
Уровни звукового давления от мнимого источника ИШ-1-23_мн.(1) в расчётной точке днём, дБ		**ф-ла(3)[10]**	**0**	**0**	**0**	**0**	**0**	**0**	**0**	**0**	**0**	**0**	**0**
Уровни звукового давления от мнимого источника ИШ-1-23_мн.(2) в расчётной точке днём, дБ		**ф-ла(3)[10]**	**0**	**0**	**0**	**0**	**0**	**0**	**0**	**0**	**0**	**0**	**0**
Суммарные уровни звукового давления от мнимых источников в расчётной точке днём, дБ		**ф-ла (19) [1]**	**0**	**0**	**0**	**0**	**0**	**0**	**0**	**0**	**0**	**0**	**0**
Уровни звукового давления от источника ИШ-1-23 в расчётной точке днём, дБ		**ф-ла(3)[10]**	**0**	**31,3**	**29,6**	**27,5**	**24,4**	**20,6**	**15,3**	**9,1**	**0**	**26,1**	**26,1**
Источник шума: ИШ-1-24, координаты источника (x,y,z), м =[528.48,82.94,1.00]													
Уровни звуковой мощности источника днём, Lw, дБ		**исходные данные**	**0**	**93,3**	**94,7**	**96**	**96,3**	**95,9**	**92,6**	**88,4**	**83,9**		
Поправка на телесный угол DΩ, дБ	Ω = 6.28	10Lg(4π/Ω)	**3**	3	3	3	3	3	3	3	3		
Показатель направленности источника Di, дБ		исходные данные	**0**	0	0	0	0	0	0	0	0		
Поправка на направленность источника Dc, дБ	Dc	DΩ + Di	**3**	3	3	3	3	3	3	3	3		

1		2	3	4	5	6	7	8	9	10	11	12	13
Затухание из-за геометрической дивергенции, Adiv, дБ	расстояние = 140.54 м	ф-ла (7) [10]	**54**										
Коэффициент затухания звука в атмосфере α, дБ/км	Ta=20,°C Pa=101.33,кПа hотн.=70%	ф-ла (5) [9]	0,02	0,09	0,33	1,12	2,79	4,98	9,04	23,09	77,63		
Учет затухания звука в атмосфере Aatm, дБ		ф-ла (8) [10]	0	0	0	0,2	0,4	0,7	1,3	3,2	10,9		
Снижение уровня звукового давления из-за влияния застройки между источником шума и расчетной точкой													
Снижение уровня звукового давления на пути над экраном, Dz1, дБ	z = 4.31м (разность путей)	ф-лы (14-18) [10]	12,7	15,8	19,6	24,1	28,1	31,5	34,6	37,6	40,6		
Снижение уровня звукового давления на пути слева от экрана, Dz2, дБ	z = 13.48м (разность путей)	ф-лы (14-18) [10]	18,4	22,8	27	30,5	33,7	36,8	39,8	42,8	45,8		
Снижение уровня звукового давления на пути справа от экрана, Dz3, дБ	z = 2.48м (разность путей)	ф-лы (14-18) [10]	10,9	13,3	16	18,8	21,7	24,7	27,7	30,7	33,7		
Общее снижение уровня звука препятствием Dz, дБ		Эн.сумма(-Dzi)	8,2	11	14,2	17,5	20,6	23,6	26,7	29,7	32,7		
Общее снижение уровня звука препятствием с учётом ограничения (25 дБ) для октавных полос Dz, дБ		Раздел 7.4 [10]	8,2	11	14,2	17,5	20,6	23,6	25	25	25		
Уровни звукового давления прямого звука от источника ИШ-1-24 в расчётной точке днём, дБ		**ф-ла(3)[10]**	**0**	**31,3**	**29,5**	**27,4**	**24,3**	**20,6**	**15,4**	**9,2**	**0**	**26**	**26**
Расчёт отражённого звука													
Уровни звукового давления от мнимого источника ИШ-1-24_мн.(1) в расчётной точке днём, дБ		**ф-ла(3)[10]**	**0**	**0**	**0**	**0**	**0**	**0**	**0**	**0**	**0**	**0**	**0**
Уровни звукового давления от мнимого источника ИШ-1-24_мн.(2) в расчётной точке днём, дБ		**ф-ла(3)[10]**	**0**	**0**	**0**	**0**	**0**	**0**	**0**	**0**	**0**	**0**	**0**
Суммарные уровни звукового давления от мнимых источников в расчётной точке днём, дБ		**ф-ла (19) [1]**	**0**	**0**	**0**	**0**	**0**	**0**	**0**	**0**	**0**	**0**	**0**
Уровни звукового давления от источника ИШ-1-24 в расчётной точке днём, дБ		**ф-ла(3)[10]**	**0**	**31,3**	**29,5**	**27,4**	**24,3**	**20,6**	**15,4**	**9,2**	**0**	**26**	**26**
Источник шума: ИШ-1-25, координаты источника (x,y,z), м =[531.22,82.16,1.00]													

1		2	3	4	5	6	7	8	9	10	11	12	13
Уровни звуковой мощности источника днём, Lw, дБ		**исходные данные**	**0**	**93,3**	**94,7**	**96**	**96,3**	**95,9**	**92,6**	**88,4**	**83,9**		
Поправка на телесный угол DΩ, дБ	Ω = 6.28	10Lg(4π/Ω)	**3**	3	3	3	3	3	3	3	3		
Показатель направленности источника Di, дБ		исходные данные	**0**	0	0	0	0	0	0	0	0		
Поправка на направленность источника Dc, дБ	Dc	DΩ + Di	**3**	3	3	3	3	3	3	3	3		
Затухание из-за геометрической дивергенции, Adiv, дБ	расстояние = 139.55 м	ф-ла (7) [10]	**53,9**										
Коэффициент затухания звука в атмосфере α, дБ/км	Ta=20,°C Pa=101.33,кПа hотн.=70%	ф-ла (5) [9]	0,02	0,09	0,33	1,12	2,79	4,98	9,04	23,09	77,63		
Учет затухания звука в атмосфере Aatm, дБ		ф-ла (8) [10]	0	0	0	0,2	0,4	0,7	1,3	3,2	10,8		
Снижение уровня звукового давления из-за влияния застройки между источником шума и расчетной точкой													
Снижение уровня звукового давления на пути над экраном, Dz1, дБ	z = 4.32м (разность путей)	ф-лы (14-18) [10]	12,7	15,8	19,7	24,2	28,1	31,5	34,6	37,6	40,6		
Снижение уровня звукового давления на пути слева от экрана, Dz2, дБ	z = 12.93м (разность путей)	ф-лы (14-18) [10]	18,3	22,7	26,8	30,4	33,5	36,6	39,6	42,6	45,6		
Снижение уровня звукового давления на пути справа от экрана, Dz3, дБ	z = 2.57м (разность путей)	ф-лы (14-18) [10]	11	13,4	16,1	19	21,9	24,9	27,8	30,8	33,8		
Общее снижение уровня звука препятствием Dz, дБ		Эн.сумма(-Dzi)	8,3	11,1	14,3	17,6	20,7	23,8	26,8	29,8	32,8		
Общее снижение уровня звука препятствием с учётом ограничения (25 дБ) для октавных полос Dz, дБ		Раздел 7.4 [10]	8,3	11,1	14,3	17,6	20,7	23,8	25	25	25		
Уровни звукового давления прямого звука от источника ИШ-1-25 в расчётной точке днём, дБ		**ф-ла(3)[10]**	**0**	**31,2**	**29,5**	**27,4**	**24,3**	**20,5**	**15,4**	**9,3**	**0**	**26**	**26**
Расчёт отражённого звука													
Уровни звукового давления от мнимого источника ИШ-1-25_мн.(1) в расчётной точке днём, дБ		**ф-ла(3)[10]**	**0**	**0**	**0**	**0**	**0**	**0**	**0**	**0**	**0**	**0**	**0**
Уровни звукового давления от мнимого источника ИШ-1-25_мн.(2) в расчётной точке днём, дБ		**ф-ла(3)[10]**	**0**	**0**	**0**	**0**	**0**	**0**	**0**	**0**	**0**	**0**	**0**

1		2	3	4	5	6	7	8	9	10	11	12	13
Суммарные уровни звукового давления от мнимых источников в расчётной точке днём, дБ		**ф-ла (19) [1]**	**0**	**0**	**0**	**0**	**0**	**0**	**0**	**0**	**0**	**0**	**0**
Уровни звукового давления от источника ИШ-1-25 в расчётной точке днём, дБ		**ф-ла(3)[10]**	**0**	**31,2**	**29,5**	**27,4**	**24,3**	**20,5**	**15,4**	**9,3**	**0**	**26**	**26**
Источник шума: ИШ-1-26, координаты источника (x,y,z), м =[534.15,80.79,1.00]													
Уровни звуковой мощности источника днём, Lw, дБ		**исходные данные**	**0**	**93,3**	**94,7**	**96**	**96,3**	**95,9**	**92,6**	**88,4**	**83,9**		
Поправка на телесный угол DΩ, дБ	Ω = 6.28	10Lg(4π/Ω)	**3**	3	3	3	3	3	3	3	3		
Показатель направленности источника Di, дБ		исходные данные	**0**	0	0	0	0	0	0	0	0		
Поправка на направленность источника Dc, дБ	Dc	DΩ + Di	**3**	3	3	3	3	3	3	3	3		
Затухание из-за геометрической дивергенции, Adiv, дБ	расстояние = 138.01 м	ф-ла (7) [10]	**53,8**										
Коэффициент затухания звука в атмосфере α, дБ/км	Ta=20,°C Pa=101.33,кПа hотн.=70%	ф-ла (5) [9]	0,02	0,09	0,33	1,12	2,79	4,98	9,04	23,09	77,63		
Учет затухания звука в атмосфере Aatm, дБ		ф-ла (8) [10]	0	0	0	0,2	0,4	0,7	1,2	3,2	10,7		
Снижение уровня звукового давления из-за влияния застройки между источником шума и расчетной точкой													
Снижение уровня звукового давления на пути над экраном, Dz1, дБ	z = 4.33м (разность путей)	ф-лы (14-18) [10]	12,8	15,9	19,9	24,3	28,2	31,5	34,6	37,6	40,6		
Снижение уровня звукового давления на пути слева от экрана, Dz2, дБ	z = 12.36м (разность путей)	ф-лы (14-18) [10]	18,1	22,5	26,6	30,2	33,3	36,4	39,4	42,4	45,4		
Снижение уровня звукового давления на пути справа от экрана, Dz3, дБ	z = 2.68м (разность путей)	ф-лы (14-18) [10]	11,1	13,6	16,3	19,1	22,1	25	28	31	34		
Общее снижение уровня звука препятствием Dz, дБ		Эн.сумма(-Dzi)	8,4	11,2	14,4	17,7	20,9	23,9	26,9	29,9	32,9		
Общее снижение уровня звука препятствием с учётом ограничения (25 дБ) для октавных полос Dz, дБ		Раздел 7.4 [10]	8,4	11,2	14,4	17,7	20,9	23,9	25	25	25		

1		2	3	4	5	6	7	8	9	10	11	12	13
Уровни звукового давления прямого звука от источника ИШ-1-26 в расчётной точке днём, дБ		**ф-ла(3)[10]**	**0**	**31,2**	**29,4**	**27,3**	**24,3**	**20,5**	**15,5**	**9,4**	**0**	**26**	**26**
Расчёт отражённого звука													
Уровни звукового давления от мнимого источника ИШ-1-26_мн.(1) в расчётной точке днём, дБ		**ф-ла(3)[10]**	**0**	**0**	**0**	**0**	**0**	**0**	**0**	**0**	**0**	**0**	**0**
Уровни звукового давления от мнимого источника ИШ-1-26_мн.(2) в расчётной точке днём, дБ		**ф-ла(3)[10]**	**0**	**0**	**0**	**0**	**0**	**0**	**0**	**0**	**0**	**0**	**0**
Суммарные уровни звукового давления от мнимых источников в расчётной точке днём, дБ		**ф-ла (19) [1]**	**0**	**0**	**0**	**0**	**0**	**0**	**0**	**0**	**0**	**0**	**0**
Уровни звукового давления от источника ИШ-1-26 в расчётной точке днём, дБ		**ф-ла(3)[10]**	**0**	**31,2**	**29,4**	**27,3**	**24,3**	**20,5**	**15,5**	**9,4**	**0**	**26**	**26**
Источник шума: ИШ-1-27, координаты источника (x,y,z), м =[469.65,197.67,1.00]													
Уровни звуковой мощности источника днём, Lw, дБ		**исходные данные**	**0**	**93,3**	**94,7**	**96**	**96,3**	**95,9**	**92,6**	**88,4**	**83,9**		
Поправка на телесный угол DΩ, дБ	Ω = 6.28	10Lg(4π/Ω)	**3**	3	3	3	3	3	3	3	3		
Показатель направленности источника Di, дБ		исходные данные	**0**	0	0	0	0	0	0	0	0		
Поправка на направленность источника Dc, дБ	Dc	DΩ + Di	**3**	3	3	3	3	3	3	3	3		
Затухание из-за геометрической дивергенции, Adiv, дБ	расстояние = 264.49 м	ф-ла (7) [10]	**59,4**										
Коэффициент затухания звука в атмосфере α, дБ/км	Ta=20,°C Pa=101.33,кПа hотн.=70%	ф-ла (5) [9]	0,02	0,09	0,33	1,12	2,79	4,98	9,04	23,09	77,63		
Учет затухания звука в атмосфере Aatm, дБ		ф-ла (8) [10]	0	0	0,1	0,3	0,7	1,3	2,4	6,1	20,5		
Снижение уровня звукового давления из-за влияния застройки между источником шума и расчетной точкой													
Снижение уровня звукового давления на пути над экраном, Dz1, дБ	z = 4.63м (разность путей)	ф-лы (14-18) [10]	16,6	19,9	22,9	25,9	28,9	31,9	34,9	37,9	40,9		

1		2	3	4	5	6	7	8	9	10	11	12	13
Снижение уровня звукового давления на пути слева от экрана, Dz2, дБ	z = 35.85м (разность путей)	ф-лы (14-18) [10]	25,6	28,9	32	35	38	41	44	47	50,1		
Снижение уровня звукового давления на пути справа от экрана, Dz3, дБ	z = 13.63м (разность путей)	ф-лы (14-18) [10]	20,8	24,5	27,7	30,8	33,8	36,8	39,8	42,8	45,9		
Общее снижение уровня звука препятствием Dz, дБ		Эн.сумма(-Dzi)	14,8	18,2	21,3	24,3	27,3	30,3	33,3	36,3	39,3		
Общее снижение уровня звука препятствием с учётом ограничения (25 дБ) для октавных полос Dz, дБ		Раздел 7.4 [10]	14,8	18,2	21,3	24,3	25	25	25	25	25		
Уровни звукового давления прямого звука от источника ИШ-1-27 в расчётной точке днём, дБ		**ф-ла(3)[10]**	**0**	**18,6**	**16,9**	**15**	**14,1**	**13,1**	**8,8**	**0,8**	**0**	**17**	**17**
Расчёт отражённого звука													
Уровни звукового давления от мнимого источника ИШ-1-27_мн.(1) в расчётной точке днём, дБ		**ф-ла(3)[10]**	**0**	**0**	**0**	**0**	**0**	**0**	**0**	**0**	**0**	**0**	**0**
Уровни звукового давления от источника ИШ-1-27 в расчётной точке днём, дБ		**ф-ла(3)[10]**	**0**	**18,6**	**16,9**	**15**	**14,1**	**13,1**	**8,8**	**0,8**	**0**	**17**	**17**
Источник шума: ИШ-1-28, координаты источника (x,y,z), м =[472.78,196.69,1.00]													
Уровни звуковой мощности источника днём, Lw, дБ		**исходные данные**	**0**	**93,3**	**94,7**	**96**	**96,3**	**95,9**	**92,6**	**88,4**	**83,9**		
Поправка на телесный угол DΩ, дБ	Ω = 6.28	10Lg(4π/Ω)	**3**	3	3	3	3	3	3	3	3		
Показатель направленности источника Di, дБ		исходные данные	**0**	0	0	0	0	0	0	0	0		
Поправка на направленность источника Dc, дБ	Dc	DΩ + Di	**3**	3	3	3	3	3	3	3	3		
Затухание из-за геометрической дивергенции, Adiv, дБ	расстояние = 262.72 м	ф-ла (7) [10]	**59,4**										
Коэффициент затухания звука в атмосфере α, дБ/км	Ta=20,°C Pa=101.33,кПа hотн.=70%	ф-ла (5) [9]	0,02	0,09	0,33	1,12	2,79	4,98	9,04	23,09	77,63		
Учет затухания звука в атмосфере Aatm, дБ		ф-ла (8) [10]	0	0	0,1	0,3	0,7	1,3	2,4	6,1	20,4		

1		2	3	4	5	6	7	8	9	10	11	12	13
Снижение уровня звукового давления из-за влияния застройки между источником шума и расчетной точкой													
Снижение уровня звукового давления на пути над экраном, Dz1, дБ	z = 4.67м (разность путей)	ф-лы (14-18) [10]	16,6	19,9	22,9	25,9	28,9	32	35	38	41		
Снижение уровня звукового давления на пути слева от экрана, Dz2, дБ	z = 34.35м (разность путей)	ф-лы (14-18) [10]	25,4	28,7	31,8	34,8	37,8	40,8	43,8	46,9	49,9		
Снижение уровня звукового давления на пути справа от экрана, Dz3, дБ	z = 14.56м (разность путей)	ф-лы (14-18) [10]	21,1	24,8	28	31,1	34,1	37,1	40,1	43,1	46,1		
Общее снижение уровня звука препятствием Dz, дБ		Эн.сумма(-Dzi)	14,9	18,3	21,4	24,4	27,4	30,4	33,4	36,4	39,4		
Общее снижение уровня звука препятствием с учётом ограничения (25 дБ) для октавных полос Dz, дБ		Раздел 7.4 [10]	14,9	18,3	21,4	24,4	25	25	25	25	25		
Уровни звукового давления прямого звука от источника ИШ-1-28 в расчётной точке днём, дБ		**ф-ла(3)[10]**	**0**	**18,6**	**16,9**	**14,9**	**14,2**	**13,2**	**8,8**	**0,9**	**0**	**17**	**17**
Расчёт отражённого звука													
Уровни звукового давления от мнимого источника ИШ-1-28_мн.(1) в расчётной точке днём, дБ		**ф-ла(3)[10]**	**0**	**0**	**0**	**0**	**0**	**0**	**0**	**0**	**0**	**0**	**0**
Уровни звукового давления от источника ИШ-1-28 в расчётной точке днём, дБ		**ф-ла(3)[10]**	**0**	**18,6**	**16,9**	**14,9**	**14,2**	**13,2**	**8,8**	**0,9**	**0**	**17**	**17**
Источник шума: ИШ-1-29, координаты источника (x,y,z), м =[475.52,195.72,1.00]													
Уровни звуковой мощности источника днём, Lw, дБ		**исходные данные**	**0**	**93,3**	**94,7**	**96**	**96,3**	**95,9**	**92,6**	**88,4**	**83,9**		
Поправка на телесный угол DΩ, дБ	Ω = 6.28	10Lg(4π/Ω)	**3**	3	3	3	3	3	3	3	3		
Показатель направленности источника Di, дБ		исходные данные	**0**	0	0	0	0	0	0	0	0		
Поправка на направленность источника Dc, дБ	Dc	DΩ + Di	**3**	3	3	3	3	3	3	3	3		
Затухание из-за геометрической дивергенции, Adiv, дБ	расстояние = 261.08 м	ф-ла (7) [10]	**59,3**										
Коэффициент затухания звука в атмосфере α, дБ/км	Ta=20,°C Pa=101.33,кПа hотн.=70%	ф-ла (5) [9]	0,02	0,09	0,33	1,12	2,79	4,98	9,04	23,09	77,63		

1		2	3	4	5	6	7	8	9	10	11	12	13
Учет затухания звука в атмосфере Aatm, дБ		ф-ла (8) [10]	0	0	0,1	0,3	0,7	1,3	2,4	6	20,3		
Снижение уровня звукового давления из-за влияния застройки между источником шума и расчетной точкой													
Снижение уровня звукового давления на пути над экраном, Dz1, дБ	z = 4.72м (разность путей)	ф-лы (14-18) [10]	16,7	20	23	26	29	32	35	38	41		
Снижение уровня звукового давления на пути слева от экрана, Dz2, дБ	z = 33.09м (разность путей)	ф-лы (14-18) [10]	25,3	28,6	31,6	34,7	37,7	40,7	43,7	46,7	49,7		
Снижение уровня звукового давления на пути справа от экрана, Dz3, дБ	z = 15.40м (разность путей)	ф-лы (14-18) [10]	21,3	25	28,2	31,3	34,3	37,4	40,4	43,4	46,4		
Общее снижение уровня звука препятствием Dz, дБ		Эн.сумма(-Dzi)	15	18,4	21,4	24,4	27,5	30,5	33,5	36,5	39,5		
Общее снижение уровня звука препятствием с учётом ограничения (25 дБ) для октавных полос Dz, дБ		Раздел 7.4 [10]	15	18,4	21,4	24,4	25	25	25	25	25		
Уровни звукового давления прямого звука от источника ИШ-1-29 в расчётной точке днём, дБ		**ф-ла(3)[10]**	**0**	**18,6**	**16,8**	**14,9**	**14,2**	**13,3**	**8,9**	**1**	**0**	**17,1**	**17,1**
Расчёт отражённого звука													
Уровни звукового давления от мнимого источника ИШ-1-29_мн.(1) в расчётной точке днём, дБ		**ф-ла(3)[10]**	**0**	**0**	**0**	**0**	**0**	**0**	**0**	**0**	**0**	**0**	**0**
Уровни звукового давления от источника ИШ-1-29 в расчётной точке днём, дБ		**ф-ла(3)[10]**	**0**	**18,6**	**16,8**	**14,9**	**14,2**	**13,3**	**8,9**	**1**	**0**	**17,1**	**17,1**
Источник шума: ИШ-1-30, координаты источника (x,y,z), м =[478.45,194.54,1.00]													
Уровни звуковой мощности источника днём, Lw, дБ		**исходные данные**	**0**	**93,3**	**94,7**	**96**	**96,3**	**95,9**	**92,6**	**88,4**	**83,9**		
Поправка на телесный угол DΩ, дБ	Ω = 6.28	10Lg(4π/Ω)	**3**	3	3	3	3	3	3	3	3		
Показатель направленности источника Di, дБ		исходные данные	**0**	0	0	0	0	0	0	0	0		
Поправка на направленность источника Dc, дБ	Dc	DΩ + Di	**3**	3	3	3	3	3	3	3	3		
Затухание из-за геометрической дивергенции, Adiv, дБ	расстояние = 259.22 м	ф-ла (7) [10]	**59,3**										

1		2	3	4	5	6	7	8	9	10	11	12	13
Коэффициент затухания звука в атмосфере α, дБ/км	Та=20,°С Ра=101.33,кПа hотн.=70%	ф-ла (5) [9]	0,02	0,09	0,33	1,12	2,79	4,98	9,04	23,09	77,63		
Учет затухания звука в атмосфере Aatm, дБ		ф-ла (8) [10]	0	0	0,1	0,3	0,7	1,3	2,3	6	20,1		
Снижение уровня звукового давления из-за влияния застройки между источником шума и расчетной точкой													
Снижение уровня звукового давления на пути над экраном, Dz1, дБ	z = 4.78м (разность путей)	ф-лы (14-18) [10]	16,8	20	23,1	26,1	29,1	32,1	35,1	38,1	41,1		
Снижение уровня звукового давления на пути слева от экрана, Dz2, дБ	z = 31.79м (разность путей)	ф-лы (14-18) [10]	25,1	28,4	31,4	34,5	37,5	40,5	43,5	46,5	49,5		
Снижение уровня звукового давления на пути справа от экрана, Dz3, дБ	z = 16.33м (разность путей)	ф-лы (14-18) [10]	21,6	25,3	28,5	31,6	34,6	37,6	40,6	43,6	46,6		
Общее снижение уровня звука препятствием Dz, дБ		Эн.сумма(-Dzi)	15,1	18,4	21,5	24,5	27,5	30,5	33,5	36,6	39,6		
Общее снижение уровня звука препятствием с учётом ограничения (25 дБ) для октавных полос Dz, дБ		Раздел 7.4 [10]	15,1	18,4	21,5	24,5	25	25	25	25	25		
Уровни звукового давления прямого звука от источника ИШ-1-30 в расчётной точке днём, дБ		**ф-ла(3)[10]**	**0**	**18,6**	**16,8**	**14,9**	**14,3**	**13,3**	**9**	**1,1**	**0**	**17,2**	**17,2**
Расчёт отражённого звука													
Уровни звукового давления от мнимого источника ИШ-1-30_мн.(1) в расчётной точке днём, дБ		**ф-ла(3)[10]**	**0**	**0**	**0**	**0**	**0**	**0**	**0**	**0**	**0**	**0**	**0**
Уровни звукового давления от источника ИШ-1-30 в расчётной точке днём, дБ		**ф-ла(3)[10]**	**0**	**18,6**	**16,8**	**14,9**	**14,3**	**13,3**	**9**	**1,1**	**0**	**17,2**	**17,2**
Источник шума: ИШ-1-31, координаты источника (x,y,z), м =[481.58,193.96,1.00]													
Уровни звуковой мощности источника днём, Lw, дБ		**исходные данные**	**0**	**93,3**	**94,7**	**96**	**96,3**	**95,9**	**92,6**	**88,4**	**83,9**		
Поправка на телесный угол DΩ, дБ	Ω = 6.28	10Lg(4π/Ω)	**3**	3	3	3	3	3	3	3	3		
Показатель направленности источника Di, дБ		исходные данные	**0**	0	0	0	0	0	0	0	0		

1		2	3	4	5	6	7	8	9	10	11	12	13
Поправка на направленность источника Dc, дБ	Dc	DΩ + Di	**3**	3	3	3	3	3	3	3	3		
Затухание из-за геометрической дивергенции, Adiv, дБ	расстояние = 257.92 м	ф-ла (7) [10]	**59,2**										
Коэффициент затухания звука в атмосфере α, дБ/км	Ta=20,°C Pa=101.33,кПа hотн.=70%	ф-ла (5) [9]	0,02	0,09	0,33	1,12	2,79	4,98	9,04	23,09	77,63		
Учет затухания звука в атмосфере Aatm, дБ		ф-ла (8) [10]	0	0	0,1	0,3	0,7	1,3	2,3	6	20		
Снижение уровня звукового давления из-за влияния застройки между источником шума и расчетной точкой													
Снижение уровня звукового давления на пути над экраном, Dz1, дБ	z = 4.85м (разность путей)	ф-лы (14-18) [10]	16,9	20,1	23,1	26,1	29,1	32,1	35,2	38,2	41,2		
Снижение уровня звукового давления на пути слева от экрана, Dz2, дБ	z = 29.97м (разность путей)	ф-лы (14-18) [10]	24,9	28,1	31,2	34,2	37,2	40,2	43,3	46,3	49,3		
Снижение уровня звукового давления на пути справа от экрана, Dz3, дБ	z = 17.39м (разность путей)	ф-лы (14-18) [10]	21,8	25,6	28,8	31,8	34,9	37,9	40,9	43,9	46,9		
Общее снижение уровня звука препятствием Dz, дБ		Эн.сумма(-Dzi)	15,2	18,5	21,6	24,6	27,6	30,6	33,6	36,6	39,6		
Общее снижение уровня звука препятствием с учётом ограничения (25 дБ) для октавных полос Dz, дБ		Раздел 7.4 [10]	15,2	18,5	21,6	24,6	25	25	25	25	25		
Уровни звукового давления прямого звука от источника ИШ-1-31 в расчётной точке днём, дБ		**ф-ла(3)[10]**	**0**	**18,5**	**16,8**	**14,9**	**14,3**	**13,4**	**9**	**1,2**	**0**	**17,2**	**17,2**
Расчёт отражённого звука													
Уровни звукового давления от мнимого источника ИШ-1-31_мн.(1) в расчётной точке днём, дБ		**ф-ла(3)[10]**	**0**	**0**	**0**	**0**	**0**	**0**	**0**	**0**	**0**	**0**	**0**
Уровни звукового давления от источника ИШ-1-31 в расчётной точке днём, дБ		**ф-ла(3)[10]**	**0**	**18,5**	**16,8**	**14,9**	**14,3**	**13,4**	**9**	**1,2**	**0**	**17,2**	**17,2**
Источник шума: ИШ-1-32, координаты источника (x,y,z), м =[871.21,281.99,50.00]													
Уровни звуковой мощности источника днём, Lw, дБ		**исходные данные**	**125**	**119,6**	**113,4**	**111,4**	**110,8**	**112,7**	**113,8**	**109,2**	**97,4**		

1		2	3	4	5	6	7	8	9	10	11	12	13
Поправка на телесный угол DΩ, дБ	Ω = 12.57	10Lg(4π/Ω)	**0**	0	0	0	0	0	0	0	0		
Показатель направленности источника Di, дБ		исходные данные	**0**	0	0	0	0	0	0	0	0		
Поправка на направленность источника Dc, дБ	Dc	DΩ + Di	**0**	0	0	0	0	0	0	0	0		
Затухание из-за геометрической дивергенции, Adiv, дБ	расстояние = 475.87 м	ф-ла (7) [10]	**64,5**										
Коэффициент затухания звука в атмосфере α, дБ/км	Ta=20,°C Pa=101.33,кПа hотн.=70%	ф-ла (5) [9]	0,02	0,09	0,33	1,12	2,79	4,98	9,04	23,09	77,63		
Учет затухания звука в атмосфере Aatm, дБ		ф-ла (8) [10]	0	0	0,2	0,5	1,3	2,4	4,3	11	36,9		
Снижение уровня звукового давления из-за влияния застройки между источником шума и расчетной точкой													
Снижение уровня звукового давления на пути над экраном, Dz1, дБ	z = 3.62м (разность путей)	ф-лы (14-18) [10]	11,4	13,9	16,6	19,5	22,4	25,4	28,4	31,4	34,4		
Снижение уровня звукового давления на пути слева от экрана, Dz2, дБ	z = 2.37м (разность путей)	ф-лы (14-18) [10]	10,7	13,1	15,8	18,6	21,5	24,5	27,5	30,5	33,5		
Снижение уровня звукового давления на пути справа от экрана, Dz3, дБ	z = 12.12м (разность путей)	ф-лы (14-18) [10]	18	22,4	26,6	30,1	33,3	36,3	39,3	42,3	45,3		
Общее снижение уровня звука препятствием Dz, дБ		Эн.сумма(-Dzi)	7,6	10,2	13	15,9	18,8	21,8	24,8	27,8	30,8		
Общее снижение уровня звука препятствием с учётом ограничения (25 дБ) для октавных полос Dz, дБ		Раздел 7.4 [10]	7,6	10,2	13	15,9	18,8	21,8	24,8	25	25		
Уровни звукового давления от источника ИШ-1-32 в расчётной точке днём, дБ		**ф-ла(3)[10]**	**52,8**	**44,8**	**35,7**	**30,5**	**26,2**	**24**	**20,2**	**8,7**	**0**	**29,7**	**29,7**
Источник шума: ИШ-1-33, координаты источника (x,y,z), м =[743.42,374.85,1.00]													
Уровни звуковой мощности источника днём, Lw, дБ		**исходные данные**	**0**	**88,7**	**90,1**	**93,1**	**96,4**	**103**	**112**	**108**	**99,2**		
Поправка на телесный угол DΩ, дБ	Ω = 6.28	10Lg(4π/Ω)	**3**	3	3	3	3	3	3	3	3		

1		2	3	4	5	6	7	8	9	10	11	12	13
Показатель направленности источника Di, дБ		исходные данные	**0**	0	0	0	0	0	0	0	0		
Поправка на направленность источника Dc, дБ	Dc	DΩ + Di	**3**	3	3	3	3	3	3	3	3		
Затухание из-за геометрической дивергенции, Adiv, дБ	расстояние = 477.06 м	ф-ла (7) [10]	**64,6**										
Коэффициент затухания звука в атмосфере α, дБ/км	Ta=20,°C Pa=101.33,кПа hотн.=70%	ф-ла (5) [9]	0,02	0,09	0,33	1,12	2,79	4,98	9,04	23,09	77,63		
Учет затухания звука в атмосфере Aatm, дБ		ф-ла (8) [10]	0	0	0,2	0,5	1,3	2,4	4,3	11	37		
Снижение уровня звукового давления из-за влияния застройки между источником шума и расчетной точкой													
Снижение уровня звукового давления на пути над экраном, Dz1, дБ	z = 4.30м (разность путей)	ф-лы (14-18) [10]	13,2	17,3	21,3	24,8	28	31	34	37	40		
Снижение уровня звукового давления на пути слева от экрана, Dz2, дБ	z = 4.21м (разность путей)	ф-лы (14-18) [10]	12,7	15,3	18,1	21	24	27	30	33	36		
Снижение уровня звукового давления на пути справа от экрана, Dz3, дБ	z = 6.06м (разность путей)	ф-лы (14-18) [10]	17,9	21,2	24,3	27,3	30,3	33,3	36,3	39,3	42,3		
Общее снижение уровня звука препятствием Dz, дБ		Эн.сумма(-Dzi)	9,3	12,6	15,8	18,8	21,9	24,9	27,9	30,9	33,9		
Общее снижение уровня звука препятствием с учётом ограничения (25 дБ) для октавных полос Dz, дБ		Раздел 7.4 [10]	9,3	12,6	15,8	18,8	21,9	24,9	25	25	25		
Уровни звукового давления прямого звука от источника ИШ-1-33 в расчётной точке днём, дБ		**ф-ла(3)[10]**	**0**	**14,5**	**12,6**	**12,2**	**11,7**	**14,2**	**21,1**	**10,4**	**0**	**23,4**	**23,4**
Расчёт отражённого звука													
Уровни звукового давления от мнимого источника ИШ-1-33_мн.(1) в расчётной точке днём, дБ		**ф-ла(3)[10]**	**0**	**0**	**0**	**0**	**0**	**0**	**0**	**0**	**0**	**0**	**0**
Уровни звукового давления от мнимого источника ИШ-1-33_мн.(2) в расчётной точке днём, дБ		**ф-ла(3)[10]**	**0**	**0**	**0**	**0**	**0**	**0**	**0**	**7,4**	**0**	**8,4**	**8,4**
Уровни звукового давления от мнимого источника ИШ-1-33_мн.(3) в расчётной точке днём, дБ		**ф-ла(3)[10]**	**0**	**0**	**0**	**0**	**0**	**0**	**0**	**0**	**0**	**0**	**0**
Суммарные уровни звукового давления от мнимых источников в расчётной точке днём, дБ		**ф-ла (19) [1]**	**0**	**0**	**0**	**0**	**0**	**0**	**0**	**7,4**	**0**	**0**	**8,4**

1		2	3	4	5	6	7	8	9	10	11	12	13
Уровни звукового давления от источника ИШ-1-33 в расчётной точке днём, дБ		**ф-ла(3)[10]**	**0**	**14,5**	**12,6**	**12,2**	**11,7**	**14,2**	**21,1**	**12,2**	**0**	**23,6**	**23,6**
Источник шума: ИШ-1-34, координаты источника (x,y,z), м =[1042.35,199.07,1.00]													
Уровни звуковой мощности источника днём, Lw, дБ		**исходные данные**	**0**	**88,7**	**90,1**	**93,1**	**96,4**	**103**	**112**	**108**	**99,2**		
Поправка на телесный угол DΩ, дБ	Ω = 6.28	10Lg(4π/Ω)	**3**	3	3	3	3	3	3	3	3		
Показатель направленности источника Di, дБ		исходные данные	**0**	0	0	0	0	0	0	0	0		
Поправка на направленность источника Dc, дБ	Dc	DΩ + Di	**3**	3	3	3	3	3	3	3	3		
Затухание из-за геометрической дивергенции, Adiv, дБ	расстояние = 563.13 м	ф-ла (7) [10]	**66**										
Коэффициент затухания звука в атмосфере α, дБ/км	Ta=20,°C Pa=101.33,кПа hотн.=70%	ф-ла (5) [9]	0,02	0,09	0,33	1,12	2,79	4,98	9,04	23,09	77,63		
Учет затухания звука в атмосфере Aatm, дБ		ф-ла (8) [10]	0	0,1	0,2	0,6	1,6	2,8	5,1	13	43,7		
Снижение уровня звукового давления из-за влияния застройки между источником шума и расчетной точкой													
Снижение уровня звукового давления на пути над экраном, Dz1, дБ	z = 3.92м (разность путей)	ф-лы (14-18) [10]	13,1	17,3	21	24,3	27,4	30,4	33,4	36,4	39,4		
Снижение уровня звукового давления на пути слева от экрана, Dz2, дБ	z = 13.90м (разность путей)	ф-лы (14-18) [10]	17,5	20,7	24,6	29,2	33,3	36,7	39,9	42,9	45,9		
Снижение уровня звукового давления на пути справа от экрана, Dz3, дБ	z = 22.24м (разность путей)	ф-лы (14-18) [10]	20,5	25	29,2	32,7	35,9	38,9	42	45	48		
Общее снижение уровня звука препятствием Dz, дБ		Эн.сумма(-Dzi)	11,2	15,2	19	22,6	25,9	29	32,1	35,1	38,1		
Общее снижение уровня звука препятствием с учётом ограничения (25 дБ) для октавных полос Dz, дБ		Раздел 7.4 [10]	11,2	15,2	19	22,6	25	25	25	25	25		
Уровни звукового давления от источника ИШ-1-34 в расчётной точке днём, дБ		**ф-ла(3)[10]**	**0**	**10,5**	**7,9**	**6,8**	**6,8**	**12,2**	**18,9**	**7**	**0**	**21,1**	**21,1**

1		2	3	4	5	6	7	8	9	10	11	12	13
Источник шума: ИШ-2-1, координаты источника (x,y,z), м =[696.50,124.40,3.00]													
Уровни звуковой мощности источника днём, Lw, дБ		**исходные данные**	**105**	**104**	**104**	**101**	**102**	**106**	**101**	**95**	**87**		
Поправка на телесный угол DΩ, дБ	Ω = 6.28	10Lg(4π/Ω)	**3**	3	3	3	3	3	3	3	3		
Показатель направленности источника Di, дБ		исходные данные	**0**	0	0	0	0	0	0	0	0		
Поправка на направленность источника Dc, дБ	Dc	DΩ + Di	**3**	3	3	3	3	3	3	3	3		
Затухание из-за геометрической дивергенции, Adiv, дБ	расстояние = 239.08 м	ф-ла (7) [10]	**58,6**										
Коэффициент затухания звука в атмосфере α, дБ/км	Ta=20,°C Pa=101.33,кПа hотн.=70%	ф-ла (5) [9]	0,02	0,09	0,33	1,12	2,79	4,98	9,04	23,09	77,63		
Учет затухания звука в атмосфере Aatm, дБ		ф-ла (8) [10]	0	0	0,1	0,3	0,7	1,2	2,2	5,5	18,6		
Снижение уровня звукового давления из-за влияния застройки между источником шума и расчетной точкой													
Снижение уровня звукового давления на пути над экраном, Dz1, дБ	z = 4.21м (разность путей)	ф-лы (14-18) [10]	12,5	15,6	19,6	24	27,9	31,2	34,3	37,3	40,3		
Снижение уровня звукового давления на пути слева от экрана, Dz2, дБ	z = 2.73м (разность путей)	ф-лы (14-18) [10]	11,2	13,7	16,3	19,2	22,1	25,1	28,1	31,1	34,1		
Снижение уровня звукового давления на пути справа от экрана, Dz3, дБ	z = 11.19м (разность путей)	ф-лы (14-18) [10]	17,7	22	26,2	29,7	32,9	36	39	42	45		
Общее снижение уровня звука препятствием Dz, дБ		Эн.сумма(-Dzi)	8,3	11,2	14,4	17,7	20,8	23,9	26,9	29,9	32,9		
Общее снижение уровня звука препятствием с учётом ограничения (25 дБ) для октавных полос Dz, дБ		Раздел 7.4 [10]	8,3	11,2	14,4	17,7	20,8	23,9	25	25	25		
Уровни звукового давления от источника ИШ-2-1 в расчётной точке днём, дБ		**ф-ла(3)[10]**	**41,2**	**37,3**	**34**	**27,5**	**24,9**	**25,4**	**18,3**	**8,9**	**0**	**28,7**	**28,7**
Источник шума: ИШ-2-2, координаты источника (x,y,z), м =[682.20,81.60,3.00]													

1		2	3	4	5	6	7	8	9	10	11	12	13
Уровни звуковой мощности источника днём, Lw, дБ		**исходные данные**	**105**	**104**	**104**	**101**	**102**	**106**	**101**	**95**	**87**		
Поправка на телесный угол DΩ, дБ	Ω = 6.28	10Lg(4π/Ω)	**3**	3	3	3	3	3	3	3	3		
Показатель направленности источника Di, дБ		исходные данные	**0**	0	0	0	0	0	0	0	0		
Поправка на направленность источника Dc, дБ	Dc	DΩ + Di	**3**	3	3	3	3	3	3	3	3		
Затухание из-за геометрической дивергенции, Adiv, дБ	расстояние = 198.02 м	ф-ла (7) [10]	**56,9**										
Коэффициент затухания звука в атмосфере α, дБ/км	Ta=20,°C Pa=101.33,кПа hотн.=70%	ф-ла (5) [9]	0,02	0,09	0,33	1,12	2,79	4,98	9,04	23,09	77,63		
Учет затухания звука в атмосфере Aatm, дБ		ф-ла (8) [10]	0	0	0,1	0,2	0,6	1	1,8	4,6	15,4		
Снижение уровня звукового давления из-за влияния застройки между источником шума и расчетной точкой													
Снижение уровня звукового давления на пути над экраном, Dz1, дБ	z = 4.17м (разность путей)	ф-лы (14-18) [10]	12,5	15,4	19,2	23,6	27,7	31,2	34,3	37,3	40,4		
Снижение уровня звукового давления на пути слева от экрана, Dz2, дБ	z = 2.30м (разность путей)	ф-лы (14-18) [10]	10,6	13	15,7	18,5	21,4	24,4	27,4	30,4	33,4		
Снижение уровня звукового давления на пути справа от экрана, Dz3, дБ	z = 13.93м (разность путей)	ф-лы (14-18) [10]	18,6	23	27,2	30,7	33,9	36,9	39,9	42,9	45,9		
Общее снижение уровня звука препятствием Dz, дБ		Эн.сумма(-Dzi)	8	10,8	13,9	17,1	20,3	23,4	26,4	29,4	32,4		
Общее снижение уровня звука препятствием с учётом ограничения (25 дБ) для октавных полос Dz, дБ		Раздел 7.4 [10]	8	10,8	13,9	17,1	20,3	23,4	25	25	25		
Уровни звукового давления от источника ИШ-2-2 в расчётной точке днём, дБ		**ф-ла(3)[10]**	**43**	**39,3**	**36,2**	**29,7**	**27,2**	**27,7**	**20,3**	**11,5**	**0**	**31**	**31**
Источник шума: ИШ-2-3, координаты источника (x,y,z), м =[667.80,38.90,3.00]													
Уровни звуковой мощности источника днём, Lw, дБ		**исходные данные**	**105**	**104**	**104**	**101**	**102**	**106**	**101**	**95**	**87**		

1		2	3	4	5	6	7	8	9	10	11	12	13
Поправка на телесный угол DΩ, дБ	Ω = 6.28	10Lg(4π/Ω)	**3**	3	3	3	3	3	3	3	3		
Показатель направленности источника Di, дБ		исходные данные	**0**	0	0	0	0	0	0	0	0		
Поправка на направленность источника Dc, дБ	Dc	DΩ + Di	**3**	3	3	3	3	3	3	3	3		
Затухание из-за геометрической дивергенции, Adiv, дБ	расстояние = 159.15 м	ф-ла (7) [10]	**55**										
Коэффициент затухания звука в атмосфере α, дБ/км	Ta=20,°C Pa=101.33,кПа hотн.=70%	ф-ла (5) [9]	0,02	0,09	0,33	1,12	2,79	4,98	9,04	23,09	77,63		
Учет затухания звука в атмосфере Aatm, дБ		ф-ла (8) [10]	0	0	0,1	0,2	0,4	0,8	1,4	3,7	12,4		
Снижение уровня звукового давления из-за влияния застройки между источником шума и расчетной точкой													
Снижение уровня звукового давления на пути над экраном, Dz1, дБ	z = 4.16м (разность путей)	ф-лы (14-18) [10]	13,9	18,1	21,9	25,3	28,4	31,4	34,5	37,5	40,5		
Снижение уровня звукового давления на пути слева от экрана, Dz2, дБ	z = 22.82м (разность путей)	ф-лы (14-18) [10]	19,6	22,9	26,8	31,3	35,4	38,9	42	45,1	48,1		
Снижение уровня звукового давления на пути справа от экрана, Dz3, дБ	z = 18.88м (разность путей)	ф-лы (14-18) [10]	19,8	24,3	28,5	32	35,2	38,2	41,2	44,3	47,3		
Общее снижение уровня звука препятствием Dz, дБ		Эн.сумма(-Dzi)	12	16,1	20	23,7	26,9	30	33	36,1	39,1		
Общее снижение уровня звука препятствием с учётом ограничения (25 дБ) для октавных полос Dz, дБ		Раздел 7.4 [10]	12	16,1	20	23,7	25	25	25	25	25		
Уровни звукового давления прямого звука от источника ИШ-2-3 в расчётной точке днём, дБ		**ф-ла(3)[10]**	**40,9**	**35,9**	**31,9**	**25,1**	**24,5**	**28,2**	**22,5**	**14,3**	**0**	**30,6**	**30,6**
Расчёт отражённого звука													
Уровни звукового давления от мнимого источника ИШ-2-3_мн.(1) в расчётной точке днём, дБ		**ф-ла(3)[10]**	**0**	**0**	**0**	**0**	**0**	**0**	**25,9**	**12,1**	**0**	**27,3**	**27,3**
Уровни звукового давления от источника ИШ-2-3 в расчётной точке днём, дБ		**ф-ла(3)[10]**	**40,9**	**35,9**	**31,9**	**25,1**	**24,5**	**28,2**	**27,6**	**16,3**	**0**	**32,3**	**32,3**

1		2	3	4	5	6	7	8	9	10	11	12	13
Источник шума: ИШ-2-6, координаты источника (x,y,z), м =[765.97,112.43,1.00]													
Уровни звуковой мощности источника днём, Lw, дБ		**исходные данные**	**0**	**93,3**	**94,7**	**96**	**96,3**	**95,9**	**92,6**	**88,4**	**83,9**		
Поправка на телесный угол DΩ, дБ	Ω = 6.28	10Lg(4π/Ω)	**3**	3	3	3	3	3	3	3	3		
Показатель направленности источника Di, дБ		исходные данные	**0**	0	0	0	0	0	0	0	0		
Поправка на направленность источника Dc, дБ	Dc	DΩ + Di	**3**	3	3	3	3	3	3	3	3		
Затухание из-за геометрической дивергенции, Adiv, дБ	расстояние = 281.80 м	ф-ла (7) [10]	**60**										
Коэффициент затухания звука в атмосфере α, дБ/км	Ta=20,°C Pa=101.33,кПа hотн.=70%	ф-ла (5) [9]	0,02	0,09	0,33	1,12	2,79	4,98	9,04	23,09	77,63		
Учет затухания звука в атмосфере Aatm, дБ		ф-ла (8) [10]	0	0	0,1	0,3	0,8	1,4	2,5	6,5	21,9		
Снижение уровня звукового давления из-за влияния застройки между источником шума и расчетной точкой													
Снижение уровня звукового давления на пути над экраном, Dz1, дБ	z = 4.16м (разность путей)	ф-лы (14-18) [10]	13,7	17,8	21,7	25,1	28,2	31,2	34,2	37,2	40,2		
Снижение уровня звукового давления на пути слева от экрана, Dz2, дБ	z = 20.82м (разность путей)	ф-лы (14-18) [10]	19,2	22,5	26,4	30,9	35	38,5	41,6	44,7	47,7		
Снижение уровня звукового давления на пути справа от экрана, Dz3, дБ	z = 17.31м (разность путей)	ф-лы (14-18) [10]	19,5	23,9	28,1	31,6	34,8	37,8	40,9	43,9	46,9		
Общее снижение уровня звука препятствием Dz, дБ		Эн.сумма(-Dzi)	11,8	15,8	19,8	23,4	26,6	29,7	32,8	35,8	38,8		
Общее снижение уровня звука препятствием с учётом ограничения (25 дБ) для октавных полос Dz, дБ		Раздел 7.4 [10]	11,8	15,8	19,8	23,4	25	25	25	25	25		
Уровни звукового давления от источника ИШ-2-6 в расчётной точке днём, дБ		**ф-ла(3)[10]**	**0**	**20,4**	**17,8**	**15,3**	**13,5**	**12,5**	**8**	**0**	**0**	**16,4**	**16,4**
Источник шума: ИШ-2-7, координаты источника (x,y,z), м =[764.91,109.54,1.00]													

1		2	3	4	5	6	7	8	9	10	11	12	13
Уровни звуковой мощности источника днём, Lw, дБ		**исходные данные**	**0**	**93,3**	**94,7**	**96**	**96,3**	**95,9**	**92,6**	**88,4**	**83,9**		
Поправка на телесный угол DΩ, дБ	Ω = 6.28	10Lg(4π/Ω)	**3**	3	3	3	3	3	3	3	3		
Показатель направленности источника Di, дБ		исходные данные	**0**	0	0	0	0	0	0	0	0		
Поправка на направленность источника Dc, дБ	Dc	DΩ + Di	**3**	3	3	3	3	3	3	3	3		
Затухание из-за геометрической дивергенции, Adiv, дБ	расстояние = 279.22 м	ф-ла (7) [10]	**59,9**										
Коэффициент затухания звука в атмосфере α, дБ/км	Ta=20,°C Pa=101.33,кПа hотн.=70%	ф-ла (5) [9]	0,02	0,09	0,33	1,12	2,79	4,98	9,04	23,09	77,63		
Учет затухания звука в атмосфере Aatm, дБ		ф-ла (8) [10]	0	0	0,1	0,3	0,8	1,4	2,5	6,4	21,7		
Снижение уровня звукового давления из-за влияния застройки между источником шума и расчетной точкой													
Снижение уровня звукового давления на пути над экраном, Dz1, дБ	z = 4.16м (разность путей)	ф-лы (14-18) [10]	13,7	17,9	21,7	25,1	28,2	31,2	34,2	37,2	40,2		
Снижение уровня звукового давления на пути слева от экрана, Dz2, дБ	z = 20.62м (разность путей)	ф-лы (14-18) [10]	19,1	22,4	26,3	30,9	35	38,5	41,6	44,6	47,6		
Снижение уровня звукового давления на пути справа от экрана, Dz3, дБ	z = 17.52м (разность путей)	ф-лы (14-18) [10]	19,5	24	28,1	31,7	34,9	37,9	40,9	43,9	46,9		
Общее снижение уровня звука препятствием Dz, дБ		Эн.сумма(-Dzi)	11,8	15,8	19,8	23,4	26,6	29,7	32,8	35,8	38,8		
Общее снижение уровня звука препятствием с учётом ограничения (25 дБ) для октавных полос Dz, дБ		Раздел 7.4 [10]	11,8	15,8	19,8	23,4	25	25	25	25	25		
Уровни звукового давления от источника ИШ-2-7 в расчётной точке днём, дБ		**ф-ла(3)[10]**	**0**	**20,5**	**17,9**	**15,4**	**13,6**	**12,6**	**8,1**	**0**	**0**	**16,6**	**16,6**
Источник шума: ИШ-2-8, координаты источника (x,y,z), м =[764.03,106.58,1.00]													
Уровни звуковой мощности источника днём, Lw, дБ		**исходные данные**	**0**	**93,3**	**94,7**	**96**	**96,3**	**95,9**	**92,6**	**88,4**	**83,9**		

1		2	3	4	5	6	7	8	9	10	11	12	13
Поправка на телесный угол DΩ, дБ	Ω = 6.28	10Lg(4π/Ω)	**3**	3	3	3	3	3	3	3	3		
Показатель направленности источника Di, дБ		исходные данные	**0**	0	0	0	0	0	0	0	0		
Поправка на направленность источника Dc, дБ	Dc	DΩ + Di	**3**	3	3	3	3	3	3	3	3		
Затухание из-за геометрической дивергенции, Adiv, дБ	расстояние = 276.75 м	ф-ла (7) [10]	**59,8**										
Коэффициент затухания звука в атмосфере α, дБ/км	Ta=20,°C Pa=101.33,кПа hотн.=70%	ф-ла (5) [9]	0,02	0,09	0,33	1,12	2,79	4,98	9,04	23,09	77,63		
Учет затухания звука в атмосфере Aatm, дБ		ф-ла (8) [10]	0	0	0,1	0,3	0,8	1,4	2,5	6,4	21,5		
Снижение уровня звукового давления из-за влияния застройки между источником шума и расчетной точкой													
Снижение уровня звукового давления на пути над экраном, Dz1, дБ	z = 4.15м (разность путей)	ф-лы (14-18) [10]	13,7	17,9	21,7	25,1	28,2	31,2	34,2	37,2	40,2		
Снижение уровня звукового давления на пути слева от экрана, Dz2, дБ	z = 20.40м (разность путей)	ф-лы (14-18) [10]	19,1	22,4	26,3	30,8	35	38,4	41,5	44,6	47,6		
Снижение уровня звукового давления на пути справа от экрана, Dz3, дБ	z = 17.76м (разность путей)	ф-лы (14-18) [10]	19,6	24	28,2	31,7	34,9	38	41	44	47		
Общее снижение уровня звука препятствием Dz, дБ		Эн.сумма(-Dzi)	11,8	15,8	19,8	23,4	26,7	29,7	32,8	35,8	38,8		
Общее снижение уровня звука препятствием с учётом ограничения (25 дБ) для октавных полос Dz, дБ		Раздел 7.4 [10]	11,8	15,8	19,8	23,4	25	25	25	25	25		
Уровни звукового давления от источника ИШ-2-8 в расчётной точке днём, дБ		**ф-ла(3)[10]**	**0**	**20,6**	**18**	**15,5**	**13,7**	**12,7**	**8,2**	**0,2**	**0**	**16,7**	**16,7**
Источник шума: ИШ-2-9, координаты источника (x,y,z), м =[763.26,103.71,1.00]													
Уровни звуковой мощности источника днём, Lw, дБ		**исходные данные**	**0**	**93,3**	**94,7**	**96**	**96,3**	**95,9**	**92,6**	**88,4**	**83,9**		
Поправка на телесный угол DΩ, дБ	Ω = 6.28	10Lg(4π/Ω)	**3**	3	3	3	3	3	3	3	3		

1		2	3	4	5	6	7	8	9	10	11	12	13
Показатель направленности источника Di, дБ		исходные данные	**0**	0	0	0	0	0	0	0	0		
Поправка на направленность источника Dc, дБ	Dc	DΩ + Di	**3**	3	3	3	3	3	3	3	3		
Затухание из-за геометрической дивергенции, Adiv, дБ	расстояние = 274.44 м	ф-ла (7) [10]	**59,8**										
Коэффициент затухания звука в атмосфере α, дБ/км	Ta=20,°C Pa=101.33,кПа hотн.=70%	ф-ла (5) [9]	0,02	0,09	0,33	1,12	2,79	4,98	9,04	23,09	77,63		
Учет затухания звука в атмосфере Aatm, дБ		ф-ла (8) [10]	0	0	0,1	0,3	0,8	1,4	2,5	6,3	21,3		
Снижение уровня звукового давления из-за влияния застройки между источником шума и расчетной точкой													
Снижение уровня звукового давления на пути над экраном, Dz1, дБ	z = 4.15м (разность путей)	ф-лы (14-18) [10]	13,7	17,9	21,7	25,1	28,2	31,2	34,2	37,2	40,2		
Снижение уровня звукового давления на пути слева от экрана, Dz2, дБ	z = 20.17м (разность путей)	ф-лы (14-18) [10]	19	22,3	26,2	30,8	34,9	38,4	41,5	44,5	47,6		
Снижение уровня звукового давления на пути справа от экрана, Dz3, дБ	z = 18.01м (разность путей)	ф-лы (14-18) [10]	19,6	24,1	28,3	31,8	35	38	41	44,1	47,1		
Общее снижение уровня звука препятствием Dz, дБ		Эн.сумма(-Dzi)	11,8	15,8	19,8	23,4	26,7	29,7	32,8	35,8	38,8		
Общее снижение уровня звука препятствием с учётом ограничения (25 дБ) для октавных полос Dz, дБ		Раздел 7.4 [10]	11,8	15,8	19,8	23,4	25	25	25	25	25		
Уровни звукового давления от источника ИШ-2-9 в расчётной точке днём, дБ		**ф-ла(3)[10]**	**0**	**20,7**	**18,1**	**15,5**	**13,8**	**12,8**	**8,3**	**0,3**	**0**	**16,8**	**16,8**
Источник шума: ИШ-2-10, координаты источника (x,y,z), м =[762.14,100.75,1.00]													
Уровни звуковой мощности источника днём, Lw, дБ		**исходные данные**	**0**	**93,3**	**94,7**	**96**	**96,3**	**95,9**	**92,6**	**88,4**	**83,9**		
Поправка на телесный угол DΩ, дБ	Ω = 6.28	10Lg(4π/Ω)	**3**	3	3	3	3	3	3	3	3		
Показатель направленности источника Di, дБ		исходные данные	**0**	0	0	0	0	0	0	0	0		

1		2	3	4	5	6	7	8	9	10	11	12	13
Поправка на направленность источника Dc, дБ	Dc	DΩ + Di	**3**	3	3	3	3	3	3	3	3		
Затухание из-за геометрической дивергенции, Adiv, дБ	расстояние = 271.80 м	ф-ла (7) [10]	**59,7**										
Коэффициент затухания звука в атмосфере α, дБ/км	Ta=20,°C Pa=101.33,кПа hотн.=70%	ф-ла (5) [9]	0,02	0,09	0,33	1,12	2,79	4,98	9,04	23,09	77,63		
Учет затухания звука в атмосфере Aatm, дБ		ф-ла (8) [10]	0	0	0,1	0,3	0,8	1,4	2,5	6,3	21,1		
Снижение уровня звукового давления из-за влияния застройки между источником шума и расчетной точкой													
Снижение уровня звукового давления на пути над экраном, Dz1, дБ	z = 4.14м (разность путей)	ф-лы (14-18) [10]	13,7	17,9	21,7	25,1	28,2	31,2	34,2	37,2	40,2		
Снижение уровня звукового давления на пути слева от экрана, Dz2, дБ	z = 19.96м (разность путей)	ф-лы (14-18) [10]	19	22,3	26,2	30,7	34,9	38,3	41,4	44,5	47,5		
Снижение уровня звукового давления на пути справа от экрана, Dz3, дБ	z = 18.25м (разность путей)	ф-лы (14-18) [10]	19,7	24,1	28,3	31,9	35	38,1	41,1	44,1	47,1		
Общее снижение уровня звука препятствием Dz, дБ		Эн.сумма(-Dzi)	11,8	15,8	19,8	23,4	26,7	29,7	32,8	35,8	38,8		
Общее снижение уровня звука препятствием с учётом ограничения (25 дБ) для октавных полос Dz, дБ		Раздел 7.4 [10]	11,8	15,8	19,8	23,4	25	25	25	25	25		
Уровни звукового давления от источника ИШ-2-10 в расчётной точке днём, дБ		**ф-ла(3)[10]**	**0**	**20,7**	**18,2**	**15,6**	**13,8**	**12,9**	**8,5**	**0,4**	**0**	**16,9**	**16,9**
Источник шума: ИШ-2-11, координаты источника (x,y,z), м =[761.13,97.90,1.00]													
Уровни звуковой мощности источника днём, Lw, дБ		**исходные данные**	**0**	**93,3**	**94,7**	**96**	**96,3**	**95,9**	**92,6**	**88,4**	**83,9**		
Поправка на телесный угол DΩ, дБ	Ω = 6.28	10Lg(4π/Ω)	**3**	3	3	3	3	3	3	3	3		
Показатель направленности источника Di, дБ		исходные данные	**0**	0	0	0	0	0	0	0	0		
Поправка на направленность источника Dc, дБ	Dc	DΩ + Di	**3**	3	3	3	3	3	3	3	3		

1		2	3	4	5	6	7	8	9	10	11	12	13
Затухание из-за геометрической дивергенции, Adiv, дБ	расстояние = 269.33 м	ф-ла (7) [10]	**59,6**										
Коэффициент затухания звука в атмосфере α, дБ/км	Ta=20,°C Pa=101.33,кПа hотн.=70%	ф-ла (5) [9]	0,02	0,09	0,33	1,12	2,79	4,98	9,04	23,09	77,63		
Учет затухания звука в атмосфере Aatm, дБ		ф-ла (8) [10]	0	0	0,1	0,3	0,8	1,3	2,4	6,2	20,9		
Снижение уровня звукового давления из-за влияния застройки между источником шума и расчетной точкой													
Снижение уровня звукового давления на пути над экраном, Dz1, дБ	z = 4.14м (разность путей)	ф-лы (14-18) [10]	13,7	17,9	21,7	25,1	28,2	31,2	34,2	37,2	40,2		
Снижение уровня звукового давления на пути слева от экрана, Dz2, дБ	z = 19.75м (разность путей)	ф-лы (14-18) [10]	19	22,2	26,2	30,7	34,8	38,3	41,4	44,4	47,5		
Снижение уровня звукового давления на пути справа от экрана, Dz3, дБ	z = 18.48м (разность путей)	ф-лы (14-18) [10]	19,8	24,2	28,4	31,9	35,1	38,1	41,2	44,2	47,2		
Общее снижение уровня звука препятствием Dz, дБ		Эн.сумма(-Dzi)	11,8	15,8	19,8	23,4	26,7	29,7	32,8	35,8	38,8		
Общее снижение уровня звука препятствием с учётом ограничения (25 дБ) для октавных полос Dz, дБ		Раздел 7.4 [10]	11,8	15,8	19,8	23,4	25	25	25	25	25		
Уровни звукового давления от источника ИШ-2-11 в расчётной точке днём, дБ		**ф-ла(3)[10]**	**0**	**20,8**	**18,2**	**15,7**	**13,9**	**12,9**	**8,6**	**0,6**	**0**	**16,9**	**16,9**
Источник шума: ИШ-2-12, координаты источника (x,y,z), м =[760.25,95.02,1.00]													
Уровни звуковой мощности источника днём, Lw, дБ		**исходные данные**	**0**	**93,3**	**94,7**	**96**	**96,3**	**95,9**	**92,6**	**88,4**	**83,9**		
Поправка на телесный угол DΩ, дБ	Ω = 6.28	10Lg(4π/Ω)	**3**	3	3	3	3	3	3	3	3		
Показатель направленности источника Di, дБ		исходные данные	**0**	0	0	0	0	0	0	0	0		
Поправка на направленность источника Dc, дБ	Dc	DΩ + Di	**3**	3	3	3	3	3	3	3	3		
Затухание из-за геометрической дивергенции, Adiv, дБ	расстояние = 266.96 м	ф-ла (7) [10]	**59,5**										

1		2	3	4	5	6	7	8	9	10	11	12	13
Коэффициент затухания звука в атмосфере α, дБ/км	Ta=20,°C Pa=101.33,кПа hотн.=70%	ф-ла (5) [9]	0,02	0,09	0,33	1,12	2,79	4,98	9,04	23,09	77,63		
Учет затухания звука в атмосфере Aatm, дБ		ф-ла (8) [10]	0	0	0,1	0,3	0,7	1,3	2,4	6,2	20,7		
Снижение уровня звукового давления из-за влияния застройки между источником шума и расчетной точкой													
Снижение уровня звукового давления на пути над экраном, Dz1, дБ	z = 4.13м (разность путей)	ф-лы (14-18) [10]	13,7	17,9	21,7	25,1	28,2	31,2	34,2	37,2	40,2		
Снижение уровня звукового давления на пути слева от экрана, Dz2, дБ	z = 19.52м (разность путей)	ф-лы (14-18) [10]	18,9	22,2	26,1	30,6	34,8	38,2	41,4	44,4	47,4		
Снижение уровня звукового давления на пути справа от экрана, Dz3, дБ	z = 18.74м (разность путей)	ф-лы (14-18) [10]	19,8	24,2	28,4	32	35,1	38,2	41,2	44,2	47,2		
Общее снижение уровня звука препятствием Dz, дБ		Эн.сумма(-Dzi)	11,8	15,8	19,8	23,4	26,7	29,7	32,8	35,8	38,8		
Общее снижение уровня звука препятствием с учётом ограничения (25 дБ) для октавных полос Dz, дБ		Раздел 7.4 [10]	11,8	15,8	19,8	23,4	25	25	25	25	25		
Уровни звукового давления от источника ИШ-2-12 в расчётной точке днём, дБ		**ф-ла(3)[10]**	**0**	**20,9**	**18,3**	**15,8**	**14**	**13**	**8,6**	**0,7**	**0**	**17**	**17**
Источник шума: ИШ-2-13, координаты источника (x,y,z), м =[759.28,92.25,1.00]													
Уровни звуковой мощности источника днём, Lw, дБ		**исходные данные**	**0**	**93,3**	**94,7**	**96**	**96,3**	**95,9**	**92,6**	**88,4**	**83,9**		
Поправка на телесный угол DΩ, дБ	Ω = 6.28	10Lg(4π/Ω)	**3**	3	3	3	3	3	3	3	3		
Показатель направленности источника Di, дБ		исходные данные	**0**	0	0	0	0	0	0	0	0		
Поправка на направленность источника Dc, дБ	Dc	DΩ + Di	**3**	3	3	3	3	3	3	3	3		
Затухание из-за геометрической дивергенции, Adiv, дБ	расстояние = 264.59 м	ф-ла (7) [10]	**59,5**										
Коэффициент затухания звука в атмосфере α, дБ/км	Ta=20,°C Pa=101.33,кПа hотн.=70%	ф-ла (5) [9]	0,02	0,09	0,33	1,12	2,79	4,98	9,04	23,09	77,63		

1		2	3	4	5	6	7	8	9	10	11	12	13
Учет затухания звука в атмосфере Aatm, дБ		ф-ла (8) [10]	0	0	0,1	0,3	0,7	1,3	2,4	6,1	20,5		
Снижение уровня звукового давления из-за влияния застройки между источником шума и расчетной точкой													
Снижение уровня звукового давления на пути над экраном, Dz1, дБ	z = 4.13м (разность путей)	ф-лы (14-18) [10]	13,7	17,9	21,8	25,1	28,2	31,2	34,2	37,2	40,2		
Снижение уровня звукового давления на пути слева от экрана, Dz2, дБ	z = 19.31м (разность путей)	ф-лы (14-18) [10]	18,9	22,1	26,1	30,6	34,7	38,2	41,3	44,3	47,4		
Снижение уровня звукового давления на пути справа от экрана, Dz3, дБ	z = 18.99м (разность путей)	ф-лы (14-18) [10]	19,9	24,3	28,5	32	35,2	38,2	41,3	44,3	47,3		
Общее снижение уровня звука препятствием Dz, дБ		Эн.сумма(-Dzi)	11,8	15,8	19,8	23,4	26,7	29,7	32,8	35,8	38,8		
Общее снижение уровня звука препятствием с учётом ограничения (25 дБ) для октавных полос Dz, дБ		Раздел 7.4 [10]	11,8	15,8	19,8	23,4	25	25	25	25	25		
Уровни звукового давления от источника ИШ-2-13 в расчётной точке днём, дБ		**ф-ла(3)[10]**	**0**	**21**	**18,4**	**15,9**	**14,1**	**13,1**	**8,7**	**0,8**	**0**	**17,1**	**17,1**
Источник шума: ИШ-2-14, координаты источника (x,y,z), м =[751.62,69.73,1.00]													
Уровни звуковой мощности источника днём, Lw, дБ		**исходные данные**	**0**	**93,3**	**94,7**	**96**	**96,3**	**95,9**	**92,6**	**88,4**	**83,9**		
Поправка на телесный угол DΩ, дБ	Ω = 6.28	10Lg(4π/Ω)	**3**	3	3	3	3	3	3	3	3		
Показатель направленности источника Di, дБ		исходные данные	**0**	0	0	0	0	0	0	0	0		
Поправка на направленность источника Dc, дБ	Dc	DΩ + Di	**3**	3	3	3	3	3	3	3	3		
Затухание из-за геометрической дивергенции, Adiv, дБ	расстояние = 245.98 м	ф-ла (7) [10]	**58,8**										
Коэффициент затухания звука в атмосфере α, дБ/км	Ta=20,°C Pa=101.33,кПа hотн.=70%	ф-ла (5) [9]	0,02	0,09	0,33	1,12	2,79	4,98	9,04	23,09	77,63		
Учет затухания звука в атмосфере Aatm, дБ		ф-ла (8) [10]	0	0	0,1	0,3	0,7	1,2	2,2	5,7	19,1		

1		2	3	4	5	6	7	8	9	10	11	12	13
Снижение уровня звукового давления из-за влияния застройки между источником шума и расчетной точкой													
Снижение уровня звукового давления на пути над экраном, Dz1, дБ	z = 4.08м (разность путей)	ф-лы (14-18) [10]	13,8	18	21,8	25,1	28,2	31,2	34,2	37,2	40,2		
Снижение уровня звукового давления на пути слева от экрана, Dz2, дБ	z = 17.44м (разность путей)	ф-лы (14-18) [10]	18,4	21,7	25,6	30,2	34,3	37,7	40,9	43,9	46,9		
Снижение уровня звукового давления на пути справа от экрана, Dz3, дБ	z = 21.24м (разность путей)	ф-лы (14-18) [10]	20,3	24,8	29	32,5	35,7	38,7	41,8	44,8	47,8		
Общее снижение уровня звука препятствием Dz, дБ		Эн.сумма(-Dzi)	11,8	15,9	19,7	23,3	26,6	29,7	32,8	35,8	38,8		
Общее снижение уровня звука препятствием с учётом ограничения (25 дБ) для октавных полос Dz, дБ		Раздел 7.4 [10]	11,8	15,9	19,7	23,3	25	25	25	25	25		
Уровни звукового давления от источника ИШ-2-14 в расчётной точке днём, дБ		**ф-ла(3)[10]**	**0**	**21,6**	**19,1**	**16,5**	**14,8**	**13,8**	**9,6**	**1,9**	**0**	**17,9**	**17,9**
Источник шума: ИШ-2-15, координаты источника (x,y,z), м =[750.74,66.89,1.00]													
Уровни звуковой мощности источника днём, Lw, дБ		**исходные данные**	**0**	**93,3**	**94,7**	**96**	**96,3**	**95,9**	**92,6**	**88,4**	**83,9**		
Поправка на телесный угол DΩ, дБ	Ω = 6.28	10Lg(4π/Ω)	**3**	3	3	3	3	3	3	3	3		
Показатель направленности источника Di, дБ		исходные данные	**0**	0	0	0	0	0	0	0	0		
Поправка на направленность источника Dc, дБ	Dc	DΩ + Di	**3**	3	3	3	3	3	3	3	3		
Затухание из-за геометрической дивергенции, Adiv, дБ	расстояние = 243.77 м	ф-ла (7) [10]	**58,7**										
Коэффициент затухания звука в атмосфере α, дБ/км	Ta=20,°C Pa=101.33,кПа hотн.=70%	ф-ла (5) [9]	0,02	0,09	0,33	1,12	2,79	4,98	9,04	23,09	77,63		
Учет затухания звука в атмосфере Aatm, дБ		ф-ла (8) [10]	0	0	0,1	0,3	0,7	1,2	2,2	5,6	18,9		
Снижение уровня звукового давления из-за влияния застройки между источником шума и расчетной точкой													

1		2	3	4	5	6	7	8	9	10	11	12	13
Снижение уровня звукового давления на пути над экраном, Dz1, дБ	z = 4.08м (разность путей)	ф-лы (14-18) [10]	13,8	18	21,8	25,1	28,2	31,2	34,2	37,2	40,2		
Снижение уровня звукового давления на пути слева от экрана, Dz2, дБ	z = 17.18м (разность путей)	ф-лы (14-18) [10]	18,4	21,6	25,6	30,1	34,2	37,7	40,8	43,8	46,9		
Снижение уровня звукового давления на пути справа от экрана, Dz3, дБ	z = 21.56м (разность путей)	ф-лы (14-18) [10]	20,4	24,9	29	32,6	35,8	38,8	41,8	44,8	47,8		
Общее снижение уровня звука препятствием Dz, дБ		Эн.сумма(-Dzi)	11,9	15,8	19,7	23,3	26,6	29,7	32,8	35,8	38,8		
Общее снижение уровня звука препятствием с учётом ограничения (25 дБ) для октавных полос Dz, дБ		Раздел 7.4 [10]	11,9	15,8	19,7	23,3	25	25	25	25	25		
Уровни звукового давления от источника ИШ-2-15 в расчётной точке днём, дБ		**ф-ла(3)[10]**	**0**	**21,7**	**19,2**	**16,6**	**14,9**	**13,9**	**9,6**	**2**	**0**	**17,9**	**17,9**
Источник шума: ИШ-2-16, координаты источника (x,y,z), м =[749.73,64.02,1.00]													
Уровни звуковой мощности источника днём, Lw, дБ		**исходные данные**	**0**	**93,3**	**94,7**	**96**	**96,3**	**95,9**	**92,6**	**88,4**	**83,9**		
Поправка на телесный угол DΩ, дБ	Ω = 6.28	10Lg(4π/Ω)	**3**	3	3	3	3	3	3	3	3		
Показатель направленности источника Di, дБ		исходные данные	**0**	0	0	0	0	0	0	0	0		
Поправка на направленность источника Dc, дБ	Dc	DΩ + Di	**3**	3	3	3	3	3	3	3	3		
Затухание из-за геометрической дивергенции, Adiv, дБ	расстояние = 241.45 м	ф-ла (7) [10]	**58,7**										
Коэффициент затухания звука в атмосфере α, дБ/км	Ta=20,°C Pa=101.33,кПа hотн.=70%	ф-ла (5) [9]	0,02	0,09	0,33	1,12	2,79	4,98	9,04	23,09	77,63		
Учет затухания звука в атмосфере Aatm, дБ		ф-ла (8) [10]	0	0	0,1	0,3	0,7	1,2	2,2	5,6	18,7		
Снижение уровня звукового давления из-за влияния застройки между источником шума и расчетной точкой													
Снижение уровня звукового давления на пути над экраном, Dz1, дБ	z = 4.07м (разность путей)	ф-лы (14-18) [10]	13,8	18	21,8	25,1	28,2	31,2	34,2	37,2	40,2		

1		2	3	4	5	6	7	8	9	10	11	12	13
Снижение уровня звукового давления на пути слева от экрана, Dz2, дБ	z = 16.93м (разность путей)	ф-лы (14-18) [10]	18,3	21,6	25,5	30	34,2	37,6	40,7	43,8	46,8		
Снижение уровня звукового давления на пути справа от экрана, Dz3, дБ	z = 21.89м (разность путей)	ф-лы (14-18) [10]	20,5	24,9	29,1	32,6	35,8	38,9	41,9	44,9	47,9		
Общее снижение уровня звука препятствием Dz, дБ		Эн.сумма(-Dzi)	11,9	15,8	19,7	23,3	26,6	29,7	32,8	35,8	38,8		
Общее снижение уровня звука препятствием с учётом ограничения (25 дБ) для октавных полос Dz, дБ		Раздел 7.4 [10]	11,9	15,8	19,7	23,3	25	25	25	25	25		
Уровни звукового давления от источника ИШ-2-16 в расчётной точке днём, дБ		**ф-ла(3)[10]**	**0**	**21,8**	**19,2**	**16,7**	**15**	**14**	**9,8**	**2,2**	**0**	**18**	**18**
Источник шума: ИШ-2-17, координаты источника (x,y,z), м =[748.87,61.06,1.00]													
Уровни звуковой мощности источника днём, Lw, дБ		**исходные данные**	**0**	**93,3**	**94,7**	**96**	**96,3**	**95,9**	**92,6**	**88,4**	**83,9**		
Поправка на телесный угол DΩ, дБ	Ω = 6.28	10Lg(4π/Ω)	**3**	3	3	3	3	3	3	3	3		
Показатель направленности источника Di, дБ		исходные данные	**0**	0	0	0	0	0	0	0	0		
Поправка на направленность источника Dc, дБ	Dc	DΩ + Di	**3**	3	3	3	3	3	3	3	3		
Затухание из-за геометрической дивергенции, Adiv, дБ	расстояние = 239.23 м	ф-ла (7) [10]	**58,6**										
Коэффициент затухания звука в атмосфере α, дБ/км	Ta=20,°C Pa=101.33,кПа hотн.=70%	ф-ла (5) [9]	0,02	0,09	0,33	1,12	2,79	4,98	9,04	23,09	77,63		
Учет затухания звука в атмосфере Aatm, дБ		ф-ла (8) [10]	0	0	0,1	0,3	0,7	1,2	2,2	5,5	18,6		
Снижение уровня звукового давления из-за влияния застройки между источником шума и расчетной точкой													
Снижение уровня звукового давления на пути над экраном, Dz1, дБ	z = 4.06м (разность путей)	ф-лы (14-18) [10]	13,8	18	21,8	25,1	28,2	31,2	34,2	37,2	40,2		
Снижение уровня звукового давления на пути слева от экрана, Dz2, дБ	z = 16.64м (разность путей)	ф-лы (14-18) [10]	18,2	21,5	25,4	30	34,1	37,5	40,7	43,7	46,7		

1		2	3	4	5	6	7	8	9	10	11	12	13
Снижение уровня звукового давления на пути справа от экрана, Dz3, дБ	z = 22.25м (разность путей)	ф-лы (14-18) [10]	20,5	25	29,2	32,7	35,9	38,9	42	45	48		
Общее снижение уровня звука препятствием Dz, дБ		Эн.сумма(-Dzi)	11,9	15,8	19,7	23,3	26,6	29,7	32,8	35,8	38,8		
Общее снижение уровня звука препятствием с учётом ограничения (25 дБ) для октавных полос Dz, дБ		Раздел 7.4 [10]	11,9	15,8	19,7	23,3	25	25	25	25	25		
Уровни звукового давления от источника ИШ-2-17 в расчётной точке днём, дБ		**ф-ла(3)[10]**	**0**	**21,9**	**19,3**	**16,8**	**15**	**14,1**	**9,9**	**2,3**	**0**	**18,1**	**18,1**
Источник шума: ИШ-2-18, координаты источника (x,y,z), м =[747.72,58.17,1.00]													
Уровни звуковой мощности источника днём, Lw, дБ		**исходные данные**	**0**	**93,3**	**94,7**	**96**	**96,3**	**95,9**	**92,6**	**88,4**	**83,9**		
Поправка на телесный угол DΩ, дБ	Ω = 6.28	10Lg(4π/Ω)	**3**	3	3	3	3	3	3	3	3		
Показатель направленности источника Di, дБ		исходные данные	**0**	0	0	0	0	0	0	0	0		
Поправка на направленность источника Dc, дБ	Dc	DΩ + Di	**3**	3	3	3	3	3	3	3	3		
Затухание из-за геометрической дивергенции, Adiv, дБ	расстояние = 236.81 м	ф-ла (7) [10]	**58,5**										
Коэффициент затухания звука в атмосфере α, дБ/км	Ta=20,°C Pa=101.33,кПа hотн.=70%	ф-ла (5) [9]	0,02	0,09	0,33	1,12	2,79	4,98	9,04	23,09	77,63		
Учет затухания звука в атмосфере Aatm, дБ		ф-ла (8) [10]	0	0	0,1	0,3	0,7	1,2	2,1	5,5	18,4		
Снижение уровня звукового давления из-за влияния застройки между источником шума и расчетной точкой													
Снижение уровня звукового давления на пути над экраном, Dz1, дБ	z = 4.05м (разность путей)	ф-лы (14-18) [10]	13,8	18	21,8	25,1	28,2	31,2	34,2	37,2	40,2		
Снижение уровня звукового давления на пути слева от экрана, Dz2, дБ	z = 16.39м (разность путей)	ф-лы (14-18) [10]	18,2	21,4	25,3	29,9	34	37,5	40,6	43,6	46,7		
Снижение уровня звукового давления на пути справа от экрана, Dz3, дБ	z = 22.59м (разность путей)	ф-лы (14-18) [10]	20,6	25,1	29,2	32,8	36	39	42	45	48		

1		2	3	4	5	6	7	8	9	10	11	12	13
Общее снижение уровня звука препятствием Dz, дБ		Эн.сумма(-Dzi)	11,9	15,8	19,7	23,3	26,6	29,7	32,7	35,8	38,8		
Общее снижение уровня звука препятствием с учётом ограничения (25 дБ) для октавных полос Dz, дБ		Раздел 7.4 [10]	11,9	15,8	19,7	23,3	25	25	25	25	25		
Уровни звукового давления от источника ИШ-2-18 в расчётной точке днём, дБ		**ф-ла(3)[10]**	**0**	**21,9**	**19,4**	**16,9**	**15,1**	**14,2**	**10**	**2,4**	**0**	**18,2**	**18,2**
Источник шума: ИШ-2-19, координаты источника (x,y,z), м =[746.80,55.25,1.00]													
Уровни звуковой мощности источника днём, Lw, дБ		**исходные данные**	**0**	**93,3**	**94,7**	**96**	**96,3**	**95,9**	**92,6**	**88,4**	**83,9**		
Поправка на телесный угол DΩ, дБ	Ω = 6.28	10Lg(4π/Ω)	**3**	3	3	3	3	3	3	3	3		
Показатель направленности источника Di, дБ		исходные данные	**0**	0	0	0	0	0	0	0	0		
Поправка на направленность источника Dc, дБ	Dc	DΩ + Di	**3**	3	3	3	3	3	3	3	3		
Затухание из-за геометрической дивергенции, Adiv, дБ	расстояние = 234.60 м	ф-ла (7) [10]	**58,4**										
Коэффициент затухания звука в атмосфере α, дБ/км	Ta=20,°C Pa=101.33,кПа hотн.=70%	ф-ла (5) [9]	0,02	0,09	0,33	1,12	2,79	4,98	9,04	23,09	77,63		
Учет затухания звука в атмосфере Aatm, дБ		ф-ла (8) [10]	0	0	0,1	0,3	0,7	1,2	2,1	5,4	18,2		
Снижение уровня звукового давления из-за влияния застройки между источником шума и расчетной точкой													
Снижение уровня звукового давления на пути над экраном, Dz1, дБ	z = 4.04м (разность путей)	ф-лы (14-18) [10]	13,8	18	21,8	25,1	28,2	31,2	34,2	37,2	40,2		
Снижение уровня звукового давления на пути слева от экрана, Dz2, дБ	z = 16.10м (разность путей)	ф-лы (14-18) [10]	18,1	21,4	25,3	29,8	33,9	37,4	40,5	43,6	46,6		
Снижение уровня звукового давления на пути справа от экрана, Dz3, дБ	z = 22.95м (разность путей)	ф-лы (14-18) [10]	20,7	25,1	29,3	32,9	36	39,1	42,1	45,1	48,1		
Общее снижение уровня звука препятствием Dz, дБ		Эн.сумма(-Dzi)	11,9	15,8	19,7	23,3	26,6	29,7	32,7	35,8	38,8		

1		2	3	4	5	6	7	8	9	10	11	12	13
Общее снижение уровня звука препятствием с учётом ограничения (25 дБ) для октавных полос Dz, дБ		Раздел 7.4 [10]	11,9	15,8	19,7	23,3	25	25	25	25	25		
Уровни звукового давления от источника ИШ-2-19 в расчётной точке днём, дБ		**ф-ла(3)[10]**	**0**	**22**	**19,5**	**17**	**15,2**	**14,3**	**10,1**	**2,6**	**0**	**18,3**	**18,3**
Источник шума: ИШ-2-20, координаты источника (x,y,z), м =[745.71,52.44,1.00]													
Уровни звуковой мощности источника днём, Lw, дБ		**исходные данные**	**0**	**93,3**	**94,7**	**96**	**96,3**	**95,9**	**92,6**	**88,4**	**83,9**		
Поправка на телесный угол DΩ, дБ	Ω = 6.28	10Lg(4π/Ω)	**3**	3	3	3	3	3	3	3	3		
Показатель направленности источника Di, дБ		исходные данные	**0**	0	0	0	0	0	0	0	0		
Поправка на направленность источника Dc, дБ	Dc	DΩ + Di	**3**	3	3	3	3	3	3	3	3		
Затухание из-за геометрической дивергенции, Adiv, дБ	расстояние = 232.30 м	ф-ла (7) [10]	**58,3**										
Коэффициент затухания звука в атмосфере α, дБ/км	Ta=20,°C Pa=101.33,кПа hотн.=70%	ф-ла (5) [9]	0,02	0,09	0,33	1,12	2,79	4,98	9,04	23,09	77,63		
Учет затухания звука в атмосфере Aatm, дБ		ф-ла (8) [10]	0	0	0,1	0,3	0,6	1,2	2,1	5,4	18		
Снижение уровня звукового давления из-за влияния застройки между источником шума и расчетной точкой													
Снижение уровня звукового давления на пути над экраном, Dz1, дБ	z = 4.04м (разность путей)	ф-лы (14-18) [10]	13,8	18	21,8	25,1	28,1	31,2	34,2	37,2	40,2		
Снижение уровня звукового давления на пути слева от экрана, Dz2, дБ	z = 15.84м (разность путей)	ф-лы (14-18) [10]	18	21,3	25,2	29,7	33,9	37,3	40,4	43,5	46,5		
Снижение уровня звукового давления на пути справа от экрана, Dz3, дБ	z = 23.30м (разность путей)	ф-лы (14-18) [10]	20,7	25,2	29,4	32,9	36,1	39,1	42,2	45,2	48,2		
Общее снижение уровня звука препятствием Dz, дБ		Эн.сумма(-Dzi)	11,8	15,8	19,7	23,3	26,6	29,7	32,7	35,7	38,8		
Общее снижение уровня звука препятствием с учётом ограничения (25 дБ) для октавных полос Dz, дБ		Раздел 7.4 [10]	11,8	15,8	19,7	23,3	25	25	25	25	25		

1		2	3	4	5	6	7	8	9	10	11	12	13
Уровни звукового давления от источника ИШ-2-20 в расчётной точке днём, дБ		**ф-ла(3)[10]**	**0**	**22,1**	**19,6**	**17,1**	**15,3**	**14,4**	**10,2**	**2,7**	**0**	**18,4**	**18,4**
Источник шума: ИШ-2-21, координаты источника (x,y,z), м =[744.89,49.62,1.00]													
Уровни звуковой мощности источника днём, Lw, дБ		**исходные данные**	**0**	**93,3**	**94,7**	**96**	**96,3**	**95,9**	**92,6**	**88,4**	**83,9**		
Поправка на телесный угол DΩ, дБ	Ω = 6.28	10Lg(4π/Ω)	**3**	3	3	3	3	3	3	3	3		
Показатель направленности источника Di, дБ		исходные данные	**0**	0	0	0	0	0	0	0	0		
Поправка на направленность источника Dc, дБ	Dc	DΩ + Di	**3**	3	3	3	3	3	3	3	3		
Затухание из-за геометрической дивергенции, Adiv, дБ	расстояние = 230.26 м	ф-ла (7) [10]	**58,2**										
Коэффициент затухания звука в атмосфере α, дБ/км	Ta=20,°C Pa=101.33,кПа hотн.=70%	ф-ла (5) [9]	0,02	0,09	0,33	1,12	2,79	4,98	9,04	23,09	77,63		
Учет затухания звука в атмосфере Aatm, дБ		ф-ла (8) [10]	0	0	0,1	0,3	0,6	1,1	2,1	5,3	17,9		
Снижение уровня звукового давления из-за влияния застройки между источником шума и расчетной точкой													
Снижение уровня звукового давления на пути над экраном, Dz1, дБ	z = 4.03м (разность путей)	ф-лы (14-18) [10]	13,8	18	21,8	25,1	28,1	31,2	34,2	37,2	40,2		
Снижение уровня звукового давления на пути слева от экрана, Dz2, дБ	z = 15.56м (разность путей)	ф-лы (14-18) [10]	18	21,2	25,1	29,7	33,8	37,2	40,4	43,4	46,4		
Снижение уровня звукового давления на пути справа от экрана, Dz3, дБ	z = 23.68м (разность путей)	ф-лы (14-18) [10]	20,8	25,3	29,5	33	36,2	39,2	42,2	45,2	48,3		
Общее снижение уровня звука препятствием Dz, дБ		Эн.сумма(-Dzi)	11,8	15,8	19,6	23,3	26,6	29,7	32,7	35,7	38,7		
Общее снижение уровня звука препятствием с учётом ограничения (25 дБ) для октавных полос Dz, дБ		Раздел 7.4 [10]	11,8	15,8	19,6	23,3	25	25	25	25	25		
Уровни звукового давления от источника ИШ-2-21 в расчётной точке днём, дБ		**ф-ла(3)[10]**	**0**	**22,2**	**19,7**	**17,2**	**15,4**	**14,5**	**10,3**	**2,8**	**0**	**18,5**	**18,5**

1		2	3	4	5	6	7	8	9	10	11	12	13
Источник шума: ИШ-2-22, координаты источника (x,y,z), м =[737.40,27.07,1.00]													
Уровни звуковой мощности источника днём, Lw, дБ		**исходные данные**	**0**	**93,3**	**94,7**	**96**	**96,3**	**95,9**	**92,6**	**88,4**	**83,9**		
Поправка на телесный угол DΩ, дБ	Ω = 6.28	10Lg(4π/Ω)	**3**	3	3	3	3	3	3	3	3		
Показатель направленности источника Di, дБ		исходные данные	**0**	0	0	0	0	0	0	0	0		
Поправка на направленность источника Dc, дБ	Dc	DΩ + Di	**3**	3	3	3	3	3	3	3	3		
Затухание из-за геометрической дивергенции, Adiv, дБ	расстояние = 213.81 м	ф-ла (7) [10]	**57,6**										
Коэффициент затухания звука в атмосфере α, дБ/км	Ta=20,°C Pa=101.33,кПа hотн.=70%	ф-ла (5) [9]	0,02	0,09	0,33	1,12	2,79	4,98	9,04	23,09	77,63		
Учет затухания звука в атмосфере Aatm, дБ		ф-ла (8) [10]	0	0	0,1	0,2	0,6	1,1	1,9	4,9	16,6		
Снижение уровня звукового давления из-за влияния застройки между источником шума и расчетной точкой													
Снижение уровня звукового давления на пути над экраном, Dz1, дБ	z = 3.93м (разность путей)	ф-лы (14-18) [10]	13,6	17,8	21,6	25	28	31,1	34,1	37,1	40,1		
Снижение уровня звукового давления на пути слева от экрана, Dz2, дБ	z = 13.21м (разность путей)	ф-лы (14-18) [10]	17,3	20,5	24,4	29	33,1	36,5	39,7	42,7	45,7		
Снижение уровня звукового давления на пути справа от экрана, Dz3, дБ	z = 26.98м (разность путей)	ф-лы (14-18) [10]	21,4	25,8	30	33,6	36,7	39,8	42,8	45,8	48,8		
Общее снижение уровня звука препятствием Dz, дБ		Эн.сумма(-Dzi)	11,6	15,5	19,4	23,1	26,4	29,6	32,6	35,6	38,6		
Общее снижение уровня звука препятствием с учётом ограничения (25 дБ) для октавных полос Dz, дБ		Раздел 7.4 [10]	11,6	15,5	19,4	23,1	25	25	25	25	25		
Уровни звукового давления прямого звука от источника ИШ-2-22 в расчётной точке днём, дБ		**ф-ла(3)[10]**	**0**	**23,2**	**20,6**	**18,1**	**16,1**	**15,2**	**11,1**	**3,9**	**0**	**19,3**	**19,3**
Расчёт отражённого звука													

1		2	3	4	5	6	7	8	9	10	11	12	13
Уровни звукового давления от мнимого источника ИШ-2-22_мн.(1) в расчётной точке днём, дБ		**ф-ла(3)[10]**	**0**	**0**	**0**	**0**	**0**	**0**	**17,3**	**4,6**	**0**	**18,7**	**18,7**
Уровни звукового давления от источника ИШ-2-22 в расчётной точке днём, дБ		**ф-ла(3)[10]**	**0**	**23,2**	**20,6**	**18,1**	**16,1**	**15,2**	**18,2**	**7,3**	**0**	**22**	**22**
Источник шума: ИШ-2-23, координаты источника (x,y,z), м =[736.46,24.18,1.00]													
Уровни звуковой мощности источника днём, Lw, дБ		**исходные данные**	**0**	**93,3**	**94,7**	**96**	**96,3**	**95,9**	**92,6**	**88,4**	**83,9**		
Поправка на телесный угол DΩ, дБ	Ω = 6.28	10Lg(4π/Ω)	**3**	3	3	3	3	3	3	3	3		
Показатель направленности источника Di, дБ		исходные данные	**0**	0	0	0	0	0	0	0	0		
Поправка на направленность источника Dc, дБ	Dc	DΩ + Di	**3**	3	3	3	3	3	3	3	3		
Затухание из-за геометрической дивергенции, Adiv, дБ	расстояние = 211.82 м	ф-ла (7) [10]	**57,5**										
Коэффициент затухания звука в атмосфере α, дБ/км	Ta=20,°C Pa=101.33,кПа hотн.=70%	ф-ла (5) [9]	0,02	0,09	0,33	1,12	2,79	4,98	9,04	23,09	77,63		
Учет затухания звука в атмосфере Aatm, дБ		ф-ла (8) [10]	0	0	0,1	0,2	0,6	1,1	1,9	4,9	16,4		
Снижение уровня звукового давления из-за влияния застройки между источником шума и расчетной точкой													
Снижение уровня звукового давления на пути над экраном, Dz1, дБ	z = 3.92м (разность путей)	ф-лы (14-18) [10]	13,5	17,7	21,6	24,9	28	31,1	34,1	37,1	40,1		
Снижение уровня звукового давления на пути слева от экрана, Dz2, дБ	z = 12.88м (разность путей)	ф-лы (14-18) [10]	17,2	20,4	24,3	28,8	33	36,4	39,5	42,6	45,6		
Снижение уровня звукового давления на пути справа от экрана, Dz3, дБ	z = 27.46м (разность путей)	ф-лы (14-18) [10]	21,4	25,9	30,1	33,6	36,8	39,9	42,9	45,9	48,9		
Общее снижение уровня звука препятствием Dz, дБ		Эн.сумма(-Dzi)	11,5	15,4	19,3	23,1	26,4	29,5	32,6	35,6	38,6		
Общее снижение уровня звука препятствием с учётом ограничения (25 дБ) для октавных полос Dz, дБ		Раздел 7.4 [10]	11,5	15,4	19,3	23,1	25	25	25	25	25		

1		2	3	4	5	6	7	8	9	10	11	12	13
Уровни звукового давления прямого звука от источника ИШ-2-23 в расчётной точке днём, дБ		**ф-ла(3)[10]**	**0**	**23,3**	**20,8**	**18,2**	**16,2**	**15,3**	**11,2**	**4**	**0**	**19,4**	**19,4**
Расчёт отражённого звука													
Уровни звукового давления от мнимого источника ИШ-2-23_мн.(1) в расчётной точке днём, дБ		**ф-ла(3)[10]**	**0**	**0**	**0**	**0**	**0**	**0**	**17,7**	**5,2**	**0**	**19,2**	**19,2**
Уровни звукового давления от источника ИШ-2-23 в расчётной точке днём, дБ		**ф-ла(3)[10]**	**0**	**23,3**	**20,8**	**18,2**	**16,2**	**15,3**	**18,6**	**7,6**	**0**	**22,3**	**22,3**
Источник шума: ИШ-2-24, координаты источника (x,y,z), м =[735.45,21.21,1.00]													
Уровни звуковой мощности источника днём, Lw, дБ		**исходные данные**	**0**	**93,3**	**94,7**	**96**	**96,3**	**95,9**	**92,6**	**88,4**	**83,9**		
Поправка на телесный угол DΩ, дБ	Ω = 6.28	10Lg(4π/Ω)	**3**	3	3	3	3	3	3	3	3		
Показатель направленности источника Di, дБ		исходные данные	**0**	0	0	0	0	0	0	0	0		
Поправка на направленность источника Dc, дБ	Dc	DΩ + Di	**3**	3	3	3	3	3	3	3	3		
Затухание из-за геометрической дивергенции, Adiv, дБ	расстояние = 209.76 м	ф-ла (7) [10]	**57,4**										
Коэффициент затухания звука в атмосфере α, дБ/км	Ta=20,°C Pa=101.33,кПа hотн.=70%	ф-ла (5) [9]	0,02	0,09	0,33	1,12	2,79	4,98	9,04	23,09	77,63		
Учет затухания звука в атмосфере Aatm, дБ		ф-ла (8) [10]	0	0	0,1	0,2	0,6	1	1,9	4,8	16,3		
Снижение уровня звукового давления из-за влияния застройки между источником шума и расчетной точкой													
Снижение уровня звукового давления на пути над экраном, Dz1, дБ	z = 3.90м (разность путей)	ф-лы (14-18) [10]	13,5	17,7	21,6	24,9	28	31	34,1	37,1	40,1		
Снижение уровня звукового давления на пути слева от экрана, Dz2, дБ	z = 12.55м (разность путей)	ф-лы (14-18) [10]	17,1	20,3	24,2	28,7	32,9	36,3	39,4	42,5	45,5		
Снижение уровня звукового давления на пути справа от экрана, Dz3, дБ	z = 27.95м (разность путей)	ф-лы (14-18) [10]	21,5	26	30,2	33,7	36,9	39,9	42,9	46	49		

1		2	3	4	5	6	7	8	9	10	11	12	13
Общее снижение уровня звука препятствием Dz, дБ		Эн.сумма(-Dzi)	11,5	15,4	19,3	23	26,4	29,5	32,5	35,6	38,6		
Общее снижение уровня звука препятствием с учётом ограничения (25 дБ) для октавных полос Dz, дБ		Раздел 7.4 [10]	11,5	15,4	19,3	23	25	25	25	25	25		
Уровни звукового давления прямого звука от источника ИШ-2-24 в расчётной точке днём, дБ		**ф-ла(3)[10]**	**0**	**23,4**	**20,9**	**18,3**	**16,3**	**15,4**	**11,3**	**4,1**	**0**	**19,5**	**19,5**
Расчёт отражённого звука													
Уровни звукового давления от мнимого источника ИШ-2-24_мн.(1) в расчётной точке днём, дБ		**ф-ла(3)[10]**	**0**	**0**	**0**	**0**	**0**	**24,8**	**18,2**	**5,8**	**0**	**25,9**	**25,9**
Уровни звукового давления от источника ИШ-2-24 в расчётной точке днём, дБ		**ф-ла(3)[10]**	**0**	**23,4**	**20,9**	**18,3**	**16,3**	**25,3**	**19**	**8**	**0**	**26,8**	**26,8**
Источник шума: ИШ-2-25, координаты источника (x,y,z), м =[734.58,18.32,1.00]													
Уровни звуковой мощности источника днём, Lw, дБ		**исходные данные**	**0**	**93,3**	**94,7**	**96**	**96,3**	**95,9**	**92,6**	**88,4**	**83,9**		
Поправка на телесный угол DΩ, дБ	Ω = 6.28	10Lg(4π/Ω)	**3**	3	3	3	3	3	3	3	3		
Показатель направленности источника Di, дБ		исходные данные	**0**	0	0	0	0	0	0	0	0		
Поправка на направленность источника Dc, дБ	Dc	DΩ + Di	**3**	3	3	3	3	3	3	3	3		
Затухание из-за геометрической дивергенции, Adiv, дБ	расстояние = 207.89 м	ф-ла (7) [10]	**57,4**										
Коэффициент затухания звука в атмосфере α, дБ/км	Ta=20,°C Pa=101.33,кПа hотн.=70%	ф-ла (5) [9]	0,02	0,09	0,33	1,12	2,79	4,98	9,04	23,09	77,63		
Учет затухания звука в атмосфере Aatm, дБ		ф-ла (8) [10]	0	0	0,1	0,2	0,6	1	1,9	4,8	16,1		
Снижение уровня звукового давления из-за влияния застройки между источником шума и расчетной точкой													
Снижение уровня звукового давления на пути над экраном, Dz1, дБ	z = 3.88м (разность путей)	ф-лы (14-18) [10]	13,5	17,6	21,5	24,9	28	31	34	37	40,1		

1		2	3	4	5	6	7	8	9	10	11	12	13
Снижение уровня звукового давления на пути слева от экрана, Dz2, дБ	z = 12.22м (разность путей)	ф-лы (14-18) [10]	17	20,2	24,1	28,6	32,7	36,2	39,3	42,4	45,4		
Снижение уровня звукового давления на пути справа от экрана, Dz3, дБ	z = 28.45м (разность путей)	ф-лы (14-18) [10]	21,6	26	30,2	33,8	37	40	43	46	49		
Общее снижение уровня звука препятствием Dz, дБ		Эн.сумма(-Dzi)	11,4	15,3	19,3	23	26,3	29,5	32,5	35,5	38,5		
Общее снижение уровня звука препятствием с учётом ограничения (25 дБ) для октавных полос Dz, дБ		Раздел 7.4 [10]	11,4	15,3	19,3	23	25	25	25	25	25		
Уровни звукового давления прямого звука от источника ИШ-2-25 в расчётной точке днём, дБ		**ф-ла(3)[10]**	**0**	**23,6**	**21**	**18,4**	**16,4**	**15,5**	**11,4**	**4,2**	**0**	**19,6**	**19,6**
Расчёт отражённого звука													
Уровни звукового давления от мнимого источника ИШ-2-25_мн.(1) в расчётной точке днём, дБ		**ф-ла(3)[10]**	**0**	**0**	**0**	**0**	**0**	**25,1**	**18,7**	**6,4**	**0**	**26,3**	**26,3**
Уровни звукового давления от источника ИШ-2-25 в расчётной точке днём, дБ		**ф-ла(3)[10]**	**0**	**23,6**	**21**	**18,4**	**16,4**	**25,6**	**19,4**	**8,4**	**0**	**27,1**	**27,1**
Источник шума: ИШ-2-26, координаты источника (x,y,z), м =[733.57,15.41,1.00]													
Уровни звуковой мощности источника днём, Lw, дБ		**исходные данные**	**0**	**93,3**	**94,7**	**96**	**96,3**	**95,9**	**92,6**	**88,4**	**83,9**		
Поправка на телесный угол DΩ, дБ	Ω = 6.28	10Lg(4π/Ω)	**3**	3	3	3	3	3	3	3	3		
Показатель направленности источника Di, дБ		исходные данные	**0**	0	0	0	0	0	0	0	0		
Поправка на направленность источника Dc, дБ	Dc	DΩ + Di	**3**	3	3	3	3	3	3	3	3		
Затухание из-за геометрической дивергенции, Adiv, дБ	расстояние = 205.90 м	ф-ла (7) [10]	**57,3**										
Коэффициент затухания звука в атмосфере α, дБ/км	Ta=20,°C Pa=101.33,кПа hотн.=70%	ф-ла (5) [9]	0,02	0,09	0,33	1,12	2,79	4,98	9,04	23,09	77,63		
Учет затухания звука в атмосфере Aatm, дБ		ф-ла (8) [10]	0	0	0,1	0,2	0,6	1	1,9	4,8	16		

1		2	3	4	5	6	7	8	9	10	11	12	13
Снижение уровня звукового давления из-за влияния застройки между источником шума и расчетной точкой													
Снижение уровня звукового давления на пути над экраном, Dz1, дБ	z = 3.86м (разность путей)	ф-лы (14-18) [10]	13,4	17,6	21,5	24,9	28	31	34	37	40		
Снижение уровня звукового давления на пути слева от экрана, Dz2, дБ	z = 11.89м (разность путей)	ф-лы (14-18) [10]	16,9	20,1	24	28,5	32,6	36,1	39,2	42,2	45,3		
Снижение уровня звукового давления на пути справа от экрана, Dz3, дБ	z = 28.96м (разность путей)	ф-лы (14-18) [10]	21,7	26,1	30,3	33,9	37	40,1	43,1	46,1	49,1		
Общее снижение уровня звука препятствием Dz, дБ		Эн.сумма(-Dzi)	11,4	15,3	19,2	22,9	26,3	29,4	32,5	35,5	38,5		
Общее снижение уровня звука препятствием с учётом ограничения (25 дБ) для октавных полос Dz, дБ		Раздел 7.4 [10]	11,4	15,3	19,2	22,9	25	25	25	25	25		
Уровни звукового давления прямого звука от источника ИШ-2-26 в расчётной точке днём, дБ		**ф-ла(3)[10]**	**0**	**23,7**	**21,1**	**18,5**	**16,4**	**15,6**	**11,5**	**4,4**	**0**	**19,7**	**19,7**
Расчёт отражённого звука													
Уровни звукового давления от мнимого источника ИШ-2-26_мн.(1) в расчётной точке днём, дБ		**ф-ла(3)[10]**	**0**	**0**	**0**	**0**	**0**	**25,4**	**19,1**	**7**	**0**	**26,7**	**26,7**
Уровни звукового давления от источника ИШ-2-26 в расчётной точке днём, дБ		**ф-ла(3)[10]**	**0**	**23,7**	**21,1**	**18,5**	**16,4**	**25,9**	**19,8**	**8,9**	**0**	**27,5**	**27,5**
Источник шума: ИШ-2-27, координаты источника (x,y,z), м =[732.43,12.66,1.00]													
Уровни звуковой мощности источника днём, Lw, дБ		**исходные данные**	**0**	**93,3**	**94,7**	**96**	**96,3**	**95,9**	**92,6**	**88,4**	**83,9**		
Поправка на телесный угол DΩ, дБ	Ω = 6.28	10Lg(4π/Ω)	**3**	3	3	3	3	3	3	3	3		
Показатель направленности источника Di, дБ		исходные данные	**0**	0	0	0	0	0	0	0	0		
Поправка на направленность источника Dc, дБ	Dc	DΩ + Di	**3**	3	3	3	3	3	3	3	3		
Затухание из-за геометрической дивергенции, Adiv, дБ	расстояние = 203.88 м	ф-ла (7) [10]	**57,2**										
Коэффициент затухания звука в атмосфере α, дБ/км	Ta=20,°C Pa=101.33,кПа hотн.=70%	ф-ла (5) [9]	0,02	0,09	0,33	1,12	2,79	4,98	9,04	23,09	77,63		

1		2	3	4	5	6	7	8	9	10	11	12	13
Учет затухания звука в атмосфере Aatm, дБ		ф-ла (8) [10]	0	0	0,1	0,2	0,6	1	1,8	4,7	15,8		
Снижение уровня звукового давления из-за влияния застройки между источником шума и расчетной точкой													
Снижение уровня звукового давления на пути над экраном, Dz1, дБ	z = 3.85м (разность путей)	ф-лы (14-18) [10]	13,4	17,6	21,5	24,9	28	31	34	37	40		
Снижение уровня звукового давления на пути слева от экрана, Dz2, дБ	z = 11.59м (разность путей)	ф-лы (14-18) [10]	16,8	20	23,9	28,4	32,5	36	39,1	42,1	45,1		
Снижение уровня звукового давления на пути справа от экрана, Dz3, дБ	z = 29.44м (разность путей)	ф-лы (14-18) [10]	21,7	26,2	30,4	33,9	37,1	40,2	43,2	46,2	49,2		
Общее снижение уровня звука препятствием Dz, дБ		Эн.сумма(-Dzi)	11,3	15,2	19,2	22,9	26,3	29,4	32,4	35,5	38,5		
Общее снижение уровня звука препятствием с учётом ограничения (25 дБ) для октавных полос Dz, дБ		Раздел 7.4 [10]	11,3	15,2	19,2	22,9	25	25	25	25	25		
Уровни звукового давления прямого звука от источника ИШ-2-27 в расчётной точке днём, дБ		**ф-ла(3)[10]**	**0**	**23,8**	**21,3**	**18,7**	**16,5**	**15,7**	**11,6**	**4,5**	**0**	**19,8**	**19,8**
Расчёт отражённого звука													
Уровни звукового давления от мнимого источника ИШ-2-27_мн.(1) в расчётной точке днём, дБ		**ф-ла(3)[10]**	**0**	**0**	**0**	**0**	**0**	**25,7**	**19,6**	**7,6**	**0**	**27**	**27**
Уровни звукового давления от источника ИШ-2-27 в расчётной точке днём, дБ		**ф-ла(3)[10]**	**0**	**23,8**	**21,3**	**18,7**	**16,5**	**26,1**	**20,2**	**9,4**	**0**	**27,8**	**27,8**
Источник шума: ИШ-2-28, координаты источника (x,y,z), м =[731.54,9.78,1.00]													
Уровни звуковой мощности источника днём, Lw, дБ		**исходные данные**	**0**	**93,3**	**94,7**	**96**	**96,3**	**95,9**	**92,6**	**88,4**	**83,9**		
Поправка на телесный угол DΩ, дБ	Ω = 6.28	10Lg(4π/Ω)	**3**	3	3	3	3	3	3	3	3		
Показатель направленности источника Di, дБ		исходные данные	**0**	0	0	0	0	0	0	0	0		
Поправка на направленность источника Dc, дБ	Dc	DΩ + Di	**3**	3	3	3	3	3	3	3	3		
Затухание из-за геометрической дивергенции, Adiv, дБ	расстояние = 202.07 м	ф-ла (7) [10]	**57,1**										

1		2	3	4	5	6	7	8	9	10	11	12	13
Коэффициент затухания звука в атмосфере α, дБ/км	Та=20,°С Ра=101.33,кПа hотн.=70%	ф-ла (5) [9]	0,02	0,09	0,33	1,12	2,79	4,98	9,04	23,09	77,63		
Учет затухания звука в атмосфере Aatm, дБ		ф-ла (8) [10]	0	0	0,1	0,2	0,6	1	1,8	4,7	15,7		
Снижение уровня звукового давления из-за влияния застройки между источником шума и расчетной точкой													
Снижение уровня звукового давления на пути над экраном, Dz1, дБ	z = 3.83м (разность путей)	ф-лы (14-18) [10]	13,4	17,5	21,5	24,8	27,9	31	34	37	40		
Снижение уровня звукового давления на пути слева от экрана, Dz2, дБ	z = 11.25м (разность путей)	ф-лы (14-18) [10]	16,6	19,9	23,7	28,3	32,4	35,8	39	42	45		
Снижение уровня звукового давления на пути справа от экрана, Dz3, дБ	z = 29.97м (разность путей)	ф-лы (14-18) [10]	21,8	26,3	30,5	34	37,2	40,2	43,3	46,3	49,3		
Общее снижение уровня звука препятствием Dz, дБ		Эн.сумма(-Dzi)	11,3	15,2	19,1	22,9	26,2	29,4	32,4	35,4	38,4		
Общее снижение уровня звука препятствием с учётом ограничения (25 дБ) для октавных полос Dz, дБ		Раздел 7.4 [10]	11,3	15,2	19,1	22,9	25	25	25	25	25		
Уровни звукового давления прямого звука от источника ИШ-2-28 в расчётной точке днём, дБ		**ф-ла(3)[10]**	**0**	**24**	**21,4**	**18,8**	**16,6**	**15,8**	**11,7**	**4,6**	**0**	**19,9**	**19,9**
Расчёт отражённого звука													
Уровни звукового давления от мнимого источника ИШ-2-28_мн.(1) в расчётной точке днём, дБ		**ф-ла(3)[10]**	**0**	**0**	**0**	**0**	**0**	**26**	**20,1**	**8,3**	**0**	**27,3**	**27,3**
Уровни звукового давления от источника ИШ-2-28 в расчётной точке днём, дБ		**ф-ла(3)[10]**	**0**	**24**	**21,4**	**18,8**	**16,6**	**26,4**	**20,6**	**9,9**	**0**	**28,1**	**28,1**
Источник шума: ИШ-2-29, координаты источника (x,y,z), м =[730.57,6.88,1.00]													
Уровни звуковой мощности источника днём, Lw, дБ		**исходные данные**	**0**	**93,3**	**94,7**	**96**	**96,3**	**95,9**	**92,6**	**88,4**	**83,9**		
Поправка на телесный угол DΩ, дБ	Ω = 6.28	10Lg(4π/Ω)	**3**	3	3	3	3	3	3	3	3		
Показатель направленности источника Di, дБ		исходные данные	**0**	0	0	0	0	0	0	0	0		

1		2	3	4	5	6	7	8	9	10	11	12	13
Поправка на направленность источника Dc, дБ	Dc	DΩ + Di	**3**	3	3	3	3	3	3	3	3		
Затухание из-за геометрической дивергенции, Adiv, дБ	расстояние = 200.22 м	ф-ла (7) [10]	**57**										
Коэффициент затухания звука в атмосфере α, дБ/км	Ta=20,°C Pa=101.33,кПа hотн.=70%	ф-ла (5) [9]	0,02	0,09	0,33	1,12	2,79	4,98	9,04	23,09	77,63		
Учет затухания звука в атмосфере Aatm, дБ		ф-ла (8) [10]	0	0	0,1	0,2	0,6	1	1,8	4,6	15,5		
Снижение уровня звукового давления из-за влияния застройки между источником шума и расчетной точкой													
Снижение уровня звукового давления на пути над экраном, Dz1, дБ	z = 3.81м (разность путей)	ф-лы (14-18) [10]	13,3	17,5	21,4	24,8	27,9	30,9	34	37	40		
Снижение уровня звукового давления на пути слева от экрана, Dz2, дБ	z = 10.91м (разность путей)	ф-лы (14-18) [10]	16,5	19,7	23,6	28,1	32,2	35,7	38,8	41,9	44,9		
Снижение уровня звукового давления на пути справа от экрана, Dz3, дБ	z = 30.51м (разность путей)	ф-лы (14-18) [10]	21,9	26,3	30,5	34,1	37,3	40,3	43,3	46,3	49,4		
Общее снижение уровня звука препятствием Dz, дБ		Эн.сумма(-Dzi)	11,2	15,1	19	22,8	26,2	29,3	32,4	35,4	38,4		
Общее снижение уровня звука препятствием с учётом ограничения (25 дБ) для октавных полос Dz, дБ		Раздел 7.4 [10]	11,2	15,1	19	22,8	25	25	25	25	25		
Уровни звукового давления прямого звука от источника ИШ-2-29 в расчётной точке днём, дБ		**ф-ла(3)[10]**	**0**	**24,1**	**21,5**	**18,9**	**16,7**	**15,9**	**11,8**	**4,7**	**0**	**20**	**20**
Расчёт отражённого звука													
Уровни звукового давления от мнимого источника ИШ-2-29_мн.(1) в расчётной точке днём, дБ		**ф-ла(3)[10]**	**0**	**0**	**0**	**0**	**0**	**26,3**	**20,5**	**9**	**0**	**27,7**	**27,7**
Уровни звукового давления от источника ИШ-2-29 в расчётной точке днём, дБ		**ф-ла(3)[10]**	**0**	**24,1**	**21,5**	**18,9**	**16,7**	**26,7**	**21**	**10,4**	**0**	**28,3**	**28,3**
Источник шума: ИШ-2-4, координаты источника (x,y,z), м =[632.70,-65.30,3.00]													
Уровни звуковой мощности источника днём, Lw, дБ		**исходные данные**	**105**	**104**	**104**	**101**	**102**	**106**	**101**	**95**	**87**		

1		2	3	4	5	6	7	8	9	10	11	12	13
Поправка на телесный угол DΩ, дБ	Ω = 6.28	10Lg(4π/Ω)	**3**	3	3	3	3	3	3	3	3		
Показатель направленности источника Di, дБ		исходные данные	**0**	0	0	0	0	0	0	0	0		
Поправка на направленность источника Dc, дБ	Dc	DΩ + Di	**3**	3	3	3	3	3	3	3	3		
Затухание из-за геометрической дивергенции, Adiv, дБ	расстояние = 92.24 м	ф-ла (7) [10]	**50,3**										
Коэффициент затухания звука в атмосфере α, дБ/км	Ta=20,°C Pa=101.33,кПа hотн.=70%	ф-ла (5) [9]	0,02	0,09	0,33	1,12	2,79	4,98	9,04	23,09	77,63		
Учет затухания звука в атмосфере Aatm, дБ		ф-ла (8) [10]	0	0	0	0,1	0,3	0,5	0,8	2,1	7,2		
Снижение уровня звукового давления из-за влияния застройки между источником шума и расчетной точкой													
Снижение уровня звукового давления на пути над экраном, Dz1, дБ	z = 2.36м (разность путей)	ф-лы (14-18) [10]	11,3	15	19,1	22,8	26	29	32	35	38		
Снижение уровня звукового давления на пути слева от экрана, Dz2, дБ	z = 2.48м (разность путей)	ф-лы (14-18) [10]	11	13,7	17,4	21,8	25,8	29,3	32,4	35,4	38,4		
Снижение уровня звукового давления на пути справа от экрана, Dz3, дБ	z = 30.29м (разность путей)	ф-лы (14-18) [10]	22,7	27,1	30,9	34,2	37,3	40,3	43,3	46,3	49,3		
Общее снижение уровня звука препятствием Dz, дБ		Эн.сумма(-Dzi)	8	11,2	15	19,1	22,7	26	29	32,1	35,1		
Общее снижение уровня звука препятствием с учётом ограничения (25 дБ) для октавных полос Dz, дБ		Раздел 7.4 [10]	8	11,2	15	19,1	22,7	25	25	25	25		
Уровни звукового давления от источника ИШ-2-4 в расчётной точке днём, дБ		**ф-ла(3)[10]**	**49,7**	**45,5**	**41,6**	**34,5**	**31,7**	**33,3**	**27,9**	**20,6**	**7,6**	**36,7**	**36,7**
Источник шума: ИШ-2-30, координаты источника (x,y,z), м =[702.44,-77.23,1.00]													
Уровни звуковой мощности источника днём, Lw, дБ		**исходные данные**	**0**	**93,3**	**94,7**	**96**	**96,3**	**95,9**	**92,6**	**88,4**	**83,9**		
Поправка на телесный угол DΩ, дБ	Ω = 6.28	10Lg(4π/Ω)	**3**	3	3	3	3	3	3	3	3		

1		2	3	4	5	6	7	8	9	10	11	12	13
Показатель направленности источника Di, дБ		исходные данные	**0**	0	0	0	0	0	0	0	0		
Поправка на направленность источника Dc, дБ	Dc	DΩ + Di	**3**	3	3	3	3	3	3	3	3		
Затухание из-за геометрической дивергенции, Adiv, дБ	расстояние = 162.85 м	ф-ла (7) [10]	**55,2**										
Коэффициент затухания звука в атмосфере α, дБ/км	Ta=20,°C Pa=101.33,кПа hотн.=70%	ф-ла (5) [9]	0,02	0,09	0,33	1,12	2,79	4,98	9,04	23,09	77,63		
Учет затухания звука в атмосфере Aatm, дБ		ф-ла (8) [10]	0	0	0,1	0,2	0,5	0,8	1,5	3,8	12,6		
Снижение уровня звукового давления из-за влияния застройки между источником шума и расчетной точкой													
Снижение уровня звукового давления на пути над экраном, Dz1, дБ	z = 0.92м (разность путей)	ф-лы (14-18) [10]	7,5	9,4	12,4	16,5	20,4	23,8	26,9	29,9	32,9		
Снижение уровня звукового давления на пути слева от экрана, Dz2, дБ	z = 1.43м (разность путей)	ф-лы (14-18) [10]	9,3	11,7	15,1	19,4	23,5	26,9	30	33,1	36,1		
Снижение уровня звукового давления на пути справа от экрана, Dz3, дБ	z = 25.41м (разность путей)	ф-лы (14-18) [10]	21,9	26,4	30,1	33,4	36,5	39,5	42,5	45,5	48,6		
Общее снижение уровня звука препятствием Dz, дБ		Эн.сумма(-Dzi)	5,2	7,4	10,5	14,6	18,6	22	25,1	28,1	31,1		
Общее снижение уровня звука препятствием с учётом ограничения (25 дБ) для октавных полос Dz, дБ		Раздел 7.4 [10]	5,2	7,4	10,5	14,6	18,6	22	25	25	25		
Уровни звукового давления прямого звука от источника ИШ-2-30 в расчётной точке днём, дБ		**ф-ла(3)[10]**	**0**	**33,7**	**31,9**	**28,9**	**25**	**20,9**	**13,9**	**7,4**	**0**	**26,7**	**26,7**
Расчёт отражённого звука													
Уровни звукового давления от мнимого источника ИШ-2-30_мн.(1) в расчётной точке днём, дБ		**ф-ла(3)[10]**	**0**	**0**	**0**	**0**	**0**	**0**	**0**	**0**	**0**	**0**	**0**
Уровни звукового давления от источника ИШ-2-30 в расчётной точке днём, дБ		**ф-ла(3)[10]**	**0**	**33,7**	**31,9**	**28,9**	**25**	**20,9**	**13,9**	**7,4**	**0**	**26,7**	**26,7**
Источник шума: ИШ-2-31, координаты источника (x,y,z), м =[701.42,-80.17,1.00]													

1		2	3	4	5	6	7	8	9	10	11	12	13
Уровни звуковой мощности источника днём, Lw, дБ		**исходные данные**	**0**	**93,3**	**94,7**	**96**	**96,3**	**95,9**	**92,6**	**88,4**	**83,9**		
Поправка на телесный угол DΩ, дБ	Ω = 6.28	10Lg(4π/Ω)	**3**	3	3	3	3	3	3	3	3		
Показатель направленности источника Di, дБ		исходные данные	**0**	0	0	0	0	0	0	0	0		
Поправка на направленность источника Dc, дБ	Dc	DΩ + Di	**3**	3	3	3	3	3	3	3	3		
Затухание из-за геометрической дивергенции, Adiv, дБ	расстояние = 162.24 м	ф-ла (7) [10]	**55,2**										
Коэффициент затухания звука в атмосфере α, дБ/км	Ta=20,°C Pa=101.33,кПа hотн.=70%	ф-ла (5) [9]	0,02	0,09	0,33	1,12	2,79	4,98	9,04	23,09	77,63		
Учет затухания звука в атмосфере Aatm, дБ		ф-ла (8) [10]	0	0	0,1	0,2	0,5	0,8	1,5	3,7	12,6		
Снижение уровня звукового давления из-за влияния застройки между источником шума и расчетной точкой													
Снижение уровня звукового давления на пути над экраном, Dz1, дБ	z = 0.92м (разность путей)	ф-лы (14-18) [10]	7,5	9,5	12,5	16,5	20,4	23,8	26,9	29,9	32,9		
Снижение уровня звукового давления на пути слева от экрана, Dz2, дБ	z = 1.21м (разность путей)	ф-лы (14-18) [10]	8,8	11,2	14,5	18,7	22,8	26,2	29,3	32,3	35,3		
Снижение уровня звукового давления на пути справа от экрана, Dz3, дБ	z = 26.33м (разность путей)	ф-лы (14-18) [10]	22,1	26,5	30,3	33,6	36,6	39,7	42,7	45,7	48,7		
Общее снижение уровня звука препятствием Dz, дБ		Эн.сумма(-Dzi)	5	7,2	10,3	14,4	18,4	21,8	24,9	27,9	30,9		
Общее снижение уровня звука препятствием с учётом ограничения (25 дБ) для октавных полос Dz, дБ		Раздел 7.4 [10]	5	7,2	10,3	14,4	18,4	21,8	24,9	25	25		
Уровни звукового давления прямого звука от источника ИШ-2-31 в расчётной точке днём, дБ		**ф-ла(3)[10]**	**0**	**33,9**	**32,1**	**29,2**	**25,3**	**21,1**	**14,1**	**7,4**	**0**	**26,9**	**26,9**
Расчёт отражённого звука													
Уровни звукового давления от мнимого источника ИШ-2-31_мн.(1) в расчётной точке днём, дБ		**ф-ла(3)[10]**	**0**	**0**	**0**	**0**	**0**	**0**	**0**	**0**	**0**	**0**	**0**
Уровни звукового давления от источника ИШ-2-31 в расчётной точке днём, дБ		**ф-ла(3)[10]**	**0**	**33,9**	**32,1**	**29,2**	**25,3**	**21,1**	**14,1**	**7,4**	**0**	**26,9**	**26,9**

1		2	3	4	5	6	7	8	9	10	11	12	13
Источник шума: ИШ-2-32, координаты источника (x,y,z), м =[700.38,-83.01,1.00]													
Уровни звуковой мощности источника днём, Lw, дБ		**исходные данные**	**0**	**93,3**	**94,7**	**96**	**96,3**	**95,9**	**92,6**	**88,4**	**83,9**		
Поправка на телесный угол DΩ, дБ	Ω = 6.28	10Lg(4π/Ω)	**3**	3	3	3	3	3	3	3	3		
Показатель направленности источника Di, дБ		исходные данные	**0**	0	0	0	0	0	0	0	0		
Поправка на направленность источника Dc, дБ	Dc	DΩ + Di	**3**	3	3	3	3	3	3	3	3		
Затухание из-за геометрической дивергенции, Adiv, дБ	расстояние = 161.64 м	ф-ла (7) [10]	**55,2**										
Коэффициент затухания звука в атмосфере α, дБ/км	Ta=20,°C Pa=101.33,кПа hотн.=70%	ф-ла (5) [9]	0,02	0,09	0,33	1,12	2,79	4,98	9,04	23,09	77,63		
Учет затухания звука в атмосфере Aatm, дБ		ф-ла (8) [10]	0	0	0,1	0,2	0,5	0,8	1,5	3,7	12,5		
Снижение уровня звукового давления из-за влияния застройки между источником шума и расчетной точкой													
Снижение уровня звукового давления на пути над экраном, Dz1, дБ	z = 0.93м (разность путей)	ф-лы (14-18) [10]	7,5	9,5	12,5	16,5	20,5	23,8	26,9	30	33		
Снижение уровня звукового давления на пути слева от экрана, Dz2, дБ	z = 1.02м (разность путей)	ф-лы (14-18) [10]	8,4	10,6	13,8	18	22	25,4	28,5	31,6	34,6		
Снижение уровня звукового давления на пути справа от экрана, Dz3, дБ	z = 27.24м (разность путей)	ф-лы (14-18) [10]	22,2	26,7	30,4	33,7	36,8	39,8	42,8	45,8	48,9		
Общее снижение уровня звука препятствием Dz, дБ		Эн.сумма(-Dzi)	4,9	6,9	10	14,1	18,1	21,5	24,6	27,6	30,6		
Общее снижение уровня звука препятствием с учётом ограничения (25 дБ) для октавных полос Dz, дБ		Раздел 7.4 [10]	4,9	6,9	10	14,1	18,1	21,5	24,6	25	25		
Уровни звукового давления прямого звука от источника ИШ-2-32 в расчётной точке днём, дБ		**ф-ла(3)[10]**	**0**	**34,2**	**32,4**	**29,5**	**25,6**	**21,4**	**14,4**	**7,5**	**0**	**27,2**	**27,2**
Расчёт отражённого звука													

1		2	3	4	5	6	7	8	9	10	11	12	13
Уровни звукового давления от мнимого источника ИШ-2-32_мн.(1) в расчётной точке днём, дБ		**ф-ла(3)[10]**	**0**	**0**	**0**	**0**	**0**	**0**	**0**	**0**	**0**	**0**	**0**
Уровни звукового давления от источника ИШ-2-32 в расчётной точке днём, дБ		**ф-ла(3)[10]**	**0**	**34,2**	**32,4**	**29,5**	**25,6**	**21,4**	**14,4**	**7,5**	**0**	**27,2**	**27,2**
Источник шума: ИШ-2-33, координаты источника (x,y,z), м =[699.52,-85.98,1.00]													
Уровни звуковой мощности источника днём, Lw, дБ		**исходные данные**	**0**	**93,3**	**94,7**	**96**	**96,3**	**95,9**	**92,6**	**88,4**	**83,9**		
Поправка на телесный угол DΩ, дБ	Ω = 6.28	10Lg(4π/Ω)	**3**	3	3	3	3	3	3	3	3		
Показатель направленности источника Di, дБ		исходные данные	**0**	0	0	0	0	0	0	0	0		
Поправка на направленность источника Dc, дБ	Dc	DΩ + Di	**3**	3	3	3	3	3	3	3	3		
Затухание из-за геометрической дивергенции, Adiv, дБ	расстояние = 161.30 м	ф-ла (7) [10]	**55,2**										
Коэффициент затухания звука в атмосфере α, дБ/км	Ta=20,°C Pa=101.33,кПа hотн.=70%	ф-ла (5) [9]	0,02	0,09	0,33	1,12	2,79	4,98	9,04	23,09	77,63		
Учет затухания звука в атмосфере Aatm, дБ		ф-ла (8) [10]	0	0	0,1	0,2	0,5	0,8	1,5	3,7	12,5		
Снижение уровня звукового давления из-за влияния застройки между источником шума и расчетной точкой													
Снижение уровня звукового давления на пути над экраном, Dz1, дБ	z = 0.93м (разность путей)	ф-лы (14-18) [10]	7,6	9,5	12,5	16,5	20,5	23,8	26,9	30	33		
Снижение уровня звукового давления на пути слева от экрана, Dz2, дБ	z = 0.83м (разность путей)	ф-лы (14-18) [10]	7,9	10	13,1	17,2	21,2	24,6	27,7	30,7	33,7		
Снижение уровня звукового давления на пути справа от экрана, Dz3, дБ	z = 28.19м (разность путей)	ф-лы (14-18) [10]	22,4	26,8	30,6	33,9	36,9	40	43	46	49		
Общее снижение уровня звука препятствием Dz, дБ		Эн.сумма(-Dzi)	4,6	6,7	9,7	13,8	17,7	21,1	24,2	27,3	30,3		
Общее снижение уровня звука препятствием с учётом ограничения (25 дБ) для октавных полос Dz, дБ		Раздел 7.4 [10]	4,6	6,7	9,7	13,8	17,7	21,1	24,2	25	25		

1		2	3	4	5	6	7	8	9	10	11	12	13
Уровни звукового давления прямого звука от источника ИШ-2-33 в расчётной точке днём, дБ		**ф-ла(3)[10]**	**0**	**34,5**	**32,8**	**29,9**	**26**	**21,8**	**14,8**	**7,5**	**0**	**27,6**	**27,6**
Расчёт отражённого звука													
Уровни звукового давления от мнимого источника ИШ-2-33_мн.(1) в расчётной точке днём, дБ		**ф-ла(3)[10]**	**0**	**0**	**0**	**0**	**0**	**0**	**0**	**0**	**0**	**0**	**0**
Уровни звукового давления от источника ИШ-2-33 в расчётной точке днём, дБ		**ф-ла(3)[10]**	**0**	**34,5**	**32,8**	**29,9**	**26**	**21,8**	**14,8**	**7,5**	**0**	**27,6**	**27,6**
Источник шума: ИШ-2-34, координаты источника (x,y,z), м =[698.43,-88.85,1.00]													
Уровни звуковой мощности источника днём, Lw, дБ		**исходные данные**	**0**	**93,3**	**94,7**	**96**	**96,3**	**95,9**	**92,6**	**88,4**	**83,9**		
Поправка на телесный угол DΩ, дБ	Ω = 6.28	10Lg(4π/Ω)	**3**	3	3	3	3	3	3	3	3		
Показатель направленности источника Di, дБ		исходные данные	**0**	0	0	0	0	0	0	0	0		
Поправка на направленность источника Dc, дБ	Dc	DΩ + Di	**3**	3	3	3	3	3	3	3	3		
Затухание из-за геометрической дивергенции, Adiv, дБ	расстояние = 160.77 м	ф-ла (7) [10]	**55,1**										
Коэффициент затухания звука в атмосфере α, дБ/км	Ta=20,°C Pa=101.33,кПа hотн.=70%	ф-ла (5) [9]	0,02	0,09	0,33	1,12	2,79	4,98	9,04	23,09	77,63		
Учет затухания звука в атмосфере Aatm, дБ		ф-ла (8) [10]	0	0	0,1	0,2	0,4	0,8	1,5	3,7	12,5		
Снижение уровня звукового давления из-за влияния застройки между источником шума и расчетной точкой													
Снижение уровня звукового давления на пути над экраном, Dz1, дБ	z = 0.93м (разность путей)	ф-лы (14-18) [10]	7,6	9,5	12,5	16,5	20,5	23,9	27	30	33		
Снижение уровня звукового давления на пути слева от экрана, Dz2, дБ	z = 0.67м (разность путей)	ф-лы (14-18) [10]	7,4	9,3	12,3	16,3	20,2	23,6	26,7	29,7	32,7		
Снижение уровня звукового давления на пути справа от экрана, Dz3, дБ	z = 29.16м (разность путей)	ф-лы (14-18) [10]	22,5	27	30,7	34	37,1	40,1	43,1	46,1	49,2		

1		2	3	4	5	6	7	8	9	10	11	12	13
Общее снижение уровня звука препятствием Dz, дБ		Эн.сумма(-Dzi)	4,4	6,4	9,3	13,4	17,3	20,7	23,8	26,8	29,8		
Общее снижение уровня звука препятствием с учётом ограничения (25 дБ) для октавных полос Dz, дБ		Раздел 7.4 [10]	4,4	6,4	9,3	13,4	17,3	20,7	23,8	25	25		
Уровни звукового давления прямого звука от источника ИШ-2-34 в расчётной точке днём, дБ		**ф-ла(3)[10]**	**0**	**34,8**	**33,2**	**30,3**	**26,4**	**22,3**	**15,2**	**7,6**	**0**	**28**	**28**
Расчёт отражённого звука													
Уровни звукового давления от мнимого источника ИШ-2-34_мн.(1) в расчётной точке днём, дБ		**ф-ла(3)[10]**	**0**	**0**	**0**	**0**	**0**	**0**	**0**	**0**	**0**	**0**	**0**
Уровни звукового давления от источника ИШ-2-34 в расчётной точке днём, дБ		**ф-ла(3)[10]**	**0**	**34,8**	**33,2**	**30,3**	**26,4**	**22,3**	**15,2**	**7,6**	**0**	**28**	**28**
Источник шума: ИШ-2-35, координаты источника (x,y,z), м =[697.52,-91.66,1.00]													
Уровни звуковой мощности источника днём, Lw, дБ		**исходные данные**	**0**	**93,3**	**94,7**	**96**	**96,3**	**95,9**	**92,6**	**88,4**	**83,9**		
Поправка на телесный угол DΩ, дБ	Ω = 6.28	10Lg(4π/Ω)	**3**	3	3	3	3	3	3	3	3		
Показатель направленности источника Di, дБ		исходные данные	**0**	0	0	0	0	0	0	0	0		
Поправка на направленность источника Dc, дБ	Dc	DΩ + Di	**3**	3	3	3	3	3	3	3	3		
Затухание из-за геометрической дивергенции, Adiv, дБ	расстояние = 160.45 м	ф-ла (7) [10]	**55,1**										
Коэффициент затухания звука в атмосфере α, дБ/км	Ta=20,°C Pa=101.33,кПа hотн.=70%	ф-ла (5) [9]	0,02	0,09	0,33	1,12	2,79	4,98	9,04	23,09	77,63		
Учет затухания звука в атмосфере Aatm, дБ		ф-ла (8) [10]	0	0	0,1	0,2	0,4	0,8	1,5	3,7	12,5		
Снижение уровня звукового давления из-за влияния застройки между источником шума и расчетной точкой													
Снижение уровня звукового давления на пути над экраном, Dz1, дБ	z = 0.93м (разность путей)	ф-лы (14-18) [10]	7,6	9,5	12,5	16,5	20,5	23,9	27	30	33		

1		2	3	4	5	6	7	8	9	10	11	12	13
Снижение уровня звукового давления на пути слева от экрана, Dz2, дБ	z = 0.52м (разность путей)	ф-лы (14-18) [10]	7	8,7	11,4	15,3	19,2	22,6	25,7	28,7	31,7		
Снижение уровня звукового давления на пути справа от экрана, Dz3, дБ	z = 30.10м (разность путей)	ф-лы (14-18) [10]	22,6	27,1	30,9	34,1	37,2	40,3	43,3	46,3	49,3		
Общее снижение уровня звука препятствием Dz, дБ		Эн.сумма(-Dzi)	4,2	6	8,9	12,8	16,7	20,1	23,2	26,2	29,3		
Общее снижение уровня звука препятствием с учётом ограничения (25 дБ) для октавных полос Dz, дБ		Раздел 7.4 [10]	4,2	6	8,9	12,8	16,7	20,1	23,2	25	25		
Уровни звукового давления прямого звука от источника ИШ-2-35 в расчётной точке днём, дБ		**ф-ла(3)[10]**	**0**	**35,2**	**33,7**	**30,9**	**27**	**22,9**	**15,8**	**7,6**	**0**	**28,6**	**28,6**
Расчёт отражённого звука													
Уровни звукового давления от мнимого источника ИШ-2-35_мн.(1) в расчётной точке днём, дБ		**ф-ла(3)[10]**	**0**	**0**	**0**	**0**	**0**	**0**	**0**	**0**	**0**	**0**	**0**
Уровни звукового давления от источника ИШ-2-35 в расчётной точке днём, дБ		**ф-ла(3)[10]**	**0**	**35,2**	**33,7**	**30,9**	**27**	**22,9**	**15,8**	**7,6**	**0**	**28,6**	**28,6**
Источник шума: ИШ-2-36, координаты источника (x,y,z), м =[696.58,-94.55,1.00]													
Уровни звуковой мощности источника днём, Lw, дБ		**исходные данные**	**0**	**93,3**	**94,7**	**96**	**96,3**	**95,9**	**92,6**	**88,4**	**83,9**		
Поправка на телесный угол DΩ, дБ	Ω = 6.28	10Lg(4π/Ω)	**3**	3	3	3	3	3	3	3	3		
Показатель направленности источника Di, дБ		исходные данные	**0**	0	0	0	0	0	0	0	0		
Поправка на направленность источника Dc, дБ	Dc	DΩ + Di	**3**	3	3	3	3	3	3	3	3		
Затухание из-за геометрической дивергенции, Adiv, дБ	расстояние = 160.19 м	ф-ла (7) [10]	**55,1**										
Коэффициент затухания звука в атмосфере α, дБ/км	Та=20,°С Ра=101.33,кПа hотн.=70%	ф-ла (5) [9]	0,02	0,09	0,33	1,12	2,79	4,98	9,04	23,09	77,63		
Учет затухания звука в атмосфере Aatm, дБ		ф-ла (8) [10]	0	0	0,1	0,2	0,4	0,8	1,4	3,7	12,4		

1		2	3	4	5	6	7	8	9	10	11	12	13
Снижение уровня звукового давления из-за влияния застройки между источником шума и расчетной точкой													
Снижение уровня звукового давления на пути над экраном, Dz1, дБ	z = 0.94м (разность путей)	ф-лы (14-18) [10]	7,6	9,5	12,5	16,6	20,5	23,9	27	30	33		
Снижение уровня звукового давления на пути слева от экрана, Dz2, дБ	z = 0.39м (разность путей)	ф-лы (14-18) [10]	6,5	8	10,5	14,2	18	21,3	24,4	27,4	30,4		
Снижение уровня звукового давления на пути справа от экрана, Dz3, дБ	z = 31.09м (разность путей)	ф-лы (14-18) [10]	22,8	27,2	31	34,3	37,4	40,4	43,4	46,4	49,4		
Общее снижение уровня звука препятствием Dz, дБ		Эн.сумма(-Dzi)	4	5,6	8,3	12,2	16	19,4	22,5	25,5	28,5		
Общее снижение уровня звука препятствием с учётом ограничения (25 дБ) для октавных полос Dz, дБ		Раздел 7.4 [10]	4	5,6	8,3	12,2	16	19,4	22,5	25	25		
Уровни звукового давления прямого звука от источника ИШ-2-36 в расчётной точке днём, дБ		**ф-ла(3)[10]**	**0**	**35,6**	**34,2**	**31,5**	**27,7**	**23,6**	**16,6**	**7,6**	**0**	**29,3**	**29,3**
Расчёт отражённого звука													
Уровни звукового давления от мнимого источника ИШ-2-36_мн.(1) в расчётной точке днём, дБ		**ф-ла(3)[10]**	**0**	**0**	**0**	**0**	**0**	**0**	**0**	**0**	**0**	**0**	**0**
Уровни звукового давления от мнимого источника ИШ-2-36_мн.(2) в расчётной точке днём, дБ		**ф-ла(3)[10]**	**0**	**0**	**0**	**0**	**0**	**0**	**0**	**0**	**0**	**0**	**0**
Суммарные уровни звукового давления от мнимых источников в расчётной точке днём, дБ		**ф-ла (19) [1]**	**0**	**0**	**0**	**0**	**0**	**0**	**0**	**0**	**0**	**0**	**0**
Уровни звукового давления от источника ИШ-2-36 в расчётной точке днём, дБ		**ф-ла(3)[10]**	**0**	**35,6**	**34,2**	**31,5**	**27,7**	**23,6**	**16,6**	**7,6**	**0**	**29,3**	**29,3**
Источник шума: ИШ-2-37, координаты источника (x,y,z), м =[695.57,-97.37,1.00]													
Уровни звуковой мощности источника днём, Lw, дБ		**исходные данные**	**0**	**93,3**	**94,7**	**96**	**96,3**	**95,9**	**92,6**	**88,4**	**83,9**		
Поправка на телесный угол DΩ, дБ	Ω = 6.28	10Lg(4π/Ω)	**3**	3	3	3	3	3	3	3	3		
Показатель направленности источника Di, дБ		исходные данные	**0**	0	0	0	0	0	0	0	0		
Поправка на направленность источника Dc, дБ	Dc	DΩ + Di	**3**	3	3	3	3	3	3	3	3		

1		2	3	4	5	6	7	8	9	10	11	12	13
Затухание из-за геометрической дивергенции, Adiv, дБ	расстояние = 159.89 м	ф-ла (7) [10]	**55,1**										
Коэффициент затухания звука в атмосфере α, дБ/км	Та=20,°С Ра=101.33,кПа hотн.=70%	ф-ла (5) [9]	0,02	0,09	0,33	1,12	2,79	4,98	9,04	23,09	77,63		
Учет затухания звука в атмосфере Aatm, дБ		ф-ла (8) [10]	0	0	0,1	0,2	0,4	0,8	1,4	3,7	12,4		
Снижение уровня звукового давления из-за влияния застройки между источником шума и расчетной точкой													
Снижение уровня звукового давления на пути над экраном, Dz1, дБ	z = 0.94м (разность путей)	ф-лы (14-18) [10]	7,6	9,5	12,5	16,6	20,5	23,9	27	30	33		
Снижение уровня звукового давления на пути слева от экрана, Dz2, дБ	z = 0.28м (разность путей)	ф-лы (14-18) [10]	6,1	7,3	9,5	13	16,7	19,9	23	26	29		
Снижение уровня звукового давления на пути справа от экрана, Dz3, дБ	z = 32.08м (разность путей)	ф-лы (14-18) [10]	22,9	27,4	31,1	34,4	37,5	40,5	43,5	46,6	49,6		
Общее снижение уровня звука препятствием Dz, дБ		Эн.сумма(-Dzi)	3,7	5,2	7,7	11,4	15,1	18,5	21,5	24,5	27,5		
Общее снижение уровня звука препятствием с учётом ограничения (25 дБ) для октавных полос Dz, дБ		Раздел 7.4 [10]	3,7	5,2	7,7	11,4	15,1	18,5	21,5	24,5	25		
Уровни звукового давления прямого звука от источника ИШ-2-37 в расчётной точке днём, дБ		**ф-ла(3)[10]**	**0**	**36**	**34,9**	**32,4**	**28,6**	**24,6**	**17,5**	**8,1**	**0**	**30,2**	**30,2**
Расчёт отражённого звука													
Уровни звукового давления от мнимого источника ИШ-2-37_мн.(1) в расчётной точке днём, дБ		**ф-ла(3)[10]**	**0**	**0**	**0**	**0**	**0**	**0**	**0**	**0**	**0**	**0**	**0**
Уровни звукового давления от источника ИШ-2-37 в расчётной точке днём, дБ		**ф-ла(3)[10]**	**0**	**36**	**34,9**	**32,4**	**28,6**	**24,6**	**17,5**	**8,1**	**0**	**30,2**	**30,2**
Источник шума: ИШ-2-5, координаты источника (x,y,z), м =[618.60,-108.00,3.00]													
Уровни звуковой мощности источника днём, Lw, дБ		**исходные данные**	**105**	**104**	**104**	**101**	**102**	**106**	**101**	**95**	**87**		
Поправка на телесный угол DΩ, дБ	Ω = 6.28	10Lg(4π/Ω)	**3**	3	3	3	3	3	3	3	3		

1		2	3	4	5	6	7	8	9	10	11	12	13
Показатель направленности источника Di, дБ		исходные данные	**0**	0	0	0	0	0	0	0	0		
Поправка на направленность источника Dc, дБ	Dc	DΩ + Di	**3**	3	3	3	3	3	3	3	3		
Затухание из-за геометрической дивергенции, Adiv, дБ	расстояние = 92.97 м	ф-ла (7) [10]	**50,4**										
Коэффициент затухания звука в атмосфере α, дБ/км	Ta=20,°C Pa=101.33,кПа hотн.=70%	ф-ла (5) [9]	0,02	0,09	0,33	1,12	2,79	4,98	9,04	23,09	77,63		
Учет затухания звука в атмосфере Aatm, дБ		ф-ла (8) [10]	0	0	0	0,1	0,3	0,5	0,8	2,1	7,2		
Снижение поверхностью земли возле источника As, дБ	Gs = 0 hs = 3м	ф-лы таб.3 [10]	-1,5	-1,5	-1,5	-1,5	-1,5	-1,5	-1,5	-1,5	-1,5		
Снижение поверхностью земли возле приёмника Ar, дБ	Gr = 1 hr = 1.5м	ф-лы таб.3 [10]	-1,5	-1,5	0,7	5,9	4,2	0,6	0	0	0		
Снижение поверхностью земли в средней зоне, Am дБ	Gm = 1	ф-лы таб.3 [10]	0	0	0	0	0	0	0	0	0		
Суммарное снижение поверхностью земли на траектории распространения звука Agr, дБ		ф-ла (9) [10]	-3	-3	-0,8	4,4	2,7	-0,9	-1,5	-1,5	-1,5		
Уровни звукового давления прямого звука от источника ИШ-2-5 в расчётной точке днём, дБ		**ф-ла(3)[10]**	**60,6**	**59,6**	**57,4**	**49,1**	**51,7**	**59,1**	**54,3**	**47**	**33,9**	**61,3**	**61,3**
Расчёт отражённого звука													
Уровни звукового давления от мнимого источника ИШ-2-5_мн.(1) в расчётной точке днём, дБ		**ф-ла(3)[10]**	**0**	**0**	**0**	**0**	**0**	**39,2**	**32,6**	**19,1**	**0**	**40,3**	**40,3**
Уровни звукового давления от мнимого источника ИШ-2-5_мн.(2) в расчётной точке днём, дБ		**ф-ла(3)[10]**	**0**	**0**	**0**	**0**	**0**	**0**	**0**	**0**	**0**	**0**	**0**
Уровни звукового давления от мнимого источника ИШ-2-5_мн.(3) в расчётной точке днём, дБ		**ф-ла(3)[10]**	**0**	**0**	**53,2**	**43,3**	**49**	**56,6**	**51,8**	**44,4**	**31,3**	**58,7**	**58,7**
Суммарные уровни звукового давления от мнимых источников в расчётной точке днём, дБ		**ф-ла (19) [1]**	**0**	**0**	**53,2**	**43,3**	**49**	**56,7**	**51,8**	**44,5**	**31,3**	**0**	**58,7**
Уровни звукового давления от источника ИШ-2-5 в расчётной точке днём, дБ		**ф-ла(3)[10]**	**60,6**	**59,6**	**58,8**	**50,1**	**53,5**	**61,1**	**56,2**	**48,9**	**35,8**	**63,2**	**63,2**

1		2	3	4	5	6	7	8	9	10	11	12	13
Источник шума: ИШ-2-38, координаты источника (x,y,z), м =[688.13,-119.94,1.00]													
Уровни звуковой мощности источника днём, Lw, дБ		**исходные данные**	**0**	**93,3**	**94,7**	**96**	**96,3**	**95,9**	**92,6**	**88,4**	**83,9**		
Поправка на телесный угол DΩ, дБ	Ω = 6.28	10Lg(4π/Ω)	**3**	3	3	3	3	3	3	3	3		
Показатель направленности источника Di, дБ		исходные данные	**0**	0	0	0	0	0	0	0	0		
Поправка на направленность источника Dc, дБ	Dc	DΩ + Di	**3**	3	3	3	3	3	3	3	3		
Затухание из-за геометрической дивергенции, Adiv, дБ	расстояние = 160.15 м	ф-ла (7) [10]	**55,1**										
Коэффициент затухания звука в атмосфере α, дБ/км	Ta=20,°C Pa=101.33,кПа hотн.=70%	ф-ла (5) [9]	0,02	0,09	0,33	1,12	2,79	4,98	9,04	23,09	77,63		
Учет затухания звука в атмосфере Aatm, дБ		ф-ла (8) [10]	0	0	0,1	0,2	0,4	0,8	1,4	3,7	12,4		
Снижение уровня звукового давления из-за влияния застройки между источником шума и расчетной точкой													
Снижение уровня звукового давления препятствием справа от трассы ИШ-РТ, Dz3, дБ	z = -0.02м (разность путей)	ф-лы (14-18) [10]	0	0	0	0	2,6	0	NAN	NAN	NAN		
* отрицательное значение z означает прохождение траектории вблизи экрана, в этом случае дополнительно производится учёт снижения подстилающей поверхностью (см.ниже)													
Снижение поверхностью земли возле источника As, дБ	Gs = 0 hs = 1м	ф-лы таб.3 [10]	-1,5	-1,5	-1,5	-1,5	-1,5	-1,5	-1,5	-1,5	-1,5		
Снижение поверхностью земли возле приёмника Ar, дБ	Gr = 1 hr = 1.5м	ф-лы таб.3 [10]	-1,5	-1,5	1	6,7	4,8	0,6	0	0	0		
Снижение поверхностью земли в средней зоне, Am дБ	Gm = 1	ф-лы таб.3 [10]	-1,6	-1,6	0	0	0	0	0	0	0		
Суммарное снижение поверхностью земли на траектории распространения звука Agr, дБ		ф-ла (9) [10]	-4,6	-4,6	-0,5	5,2	3,3	-0,9	-1,5	-1,5	-1,5		
Уровни звукового давления прямого звука от источника ИШ-2-38 в расчётной точке днём, дБ		**ф-ла(3)[10]**	**0**	**45,8**	**43,1**	**38,5**	**37,9**	**43,9**	**40,6**	**34,1**	**20,9**	**46,7**	**46,7**
Расчёт отражённого звука													

1		2	3	4	5	6	7	8	9	10	11	12	13
Уровни звукового давления от мнимого источника ИШ-2-38_мн.(1) в расчётной точке днём, дБ		**ф-ла(3)[10]**	**0**	**0**	**0**	**0**	**0**	**25,6**	**22,5**	**9,8**	**0**	**27,9**	**27,9**
Уровни звукового давления от источника ИШ-2-38 в расчётной точке днём, дБ		**ф-ла(3)[10]**	**0**	**45,8**	**43,1**	**38,5**	**37,9**	**43,9**	**40,6**	**34,1**	**20,9**	**46,8**	**46,8**
Источник шума: ИШ-2-39, координаты источника (x,y,z), м =[687.11,-122.83,1.00]													
Уровни звуковой мощности источника днём, Lw, дБ		**исходные данные**	**0**	**93,3**	**94,7**	**96**	**96,3**	**95,9**	**92,6**	**88,4**	**83,9**		
Поправка на телесный угол DΩ, дБ	Ω = 6.28	10Lg(4π/Ω)	**3**	3	3	3	3	3	3	3	3		
Показатель направленности источника Di, дБ		исходные данные	**0**	0	0	0	0	0	0	0	0		
Поправка на направленность источника Dc, дБ	Dc	DΩ + Di	**3**	3	3	3	3	3	3	3	3		
Затухание из-за геометрической дивергенции, Adiv, дБ	расстояние = 160.38 м	ф-ла (7) [10]	**55,1**										
Коэффициент затухания звука в атмосфере α, дБ/км	Ta=20,°C Pa=101.33,кПа hотн.=70%	ф-ла (5) [9]	0,02	0,09	0,33	1,12	2,79	4,98	9,04	23,09	77,63		
Учет затухания звука в атмосфере Aatm, дБ		ф-ла (8) [10]	0	0	0,1	0,2	0,4	0,8	1,4	3,7	12,5		
Снижение уровня звукового давления из-за влияния застройки между источником шума и расчетной точкой													
Снижение уровня звукового давления препятствием справа от трассы ИШ-РТ, Dz3, дБ	z = -0.05м (разность путей)	ф-лы (14-18) [10]	0	0	0	1,9	0	NAN	NAN	NAN	NAN		
* отрицательное значение z означает прохождение траектории вблизи экрана, в этом случае дополнительно производится учёт снижения подстилающей поверхностью (см.ниже)													
Снижение поверхностью земли возле источника As, дБ	Gs = 0 hs = 1м	ф-лы таб.3 [10]	-1,5	-1,5	-1,5	-1,5	-1,5	-1,5	-1,5	-1,5	-1,5		
Снижение поверхностью земли возле приёмника Ar, дБ	Gr = 1 hr = 1.5м	ф-лы таб.3 [10]	-1,5	-1,5	1	6,7	4,8	0,6	0	0	0		
Снижение поверхностью земли в средней зоне, Am дБ	Gm = 1	ф-лы таб.3 [10]	-1,6	-1,6	0	0	0	0	0	0	0		
Суммарное снижение поверхностью земли на траектории распространения звука Agr, дБ		ф-ла (9) [10]	-4,6	-4,6	-0,5	5,2	3,3	-0,9	-1,5	-1,5	-1,5		

1		2	3	4	5	6	7	8	9	10	11	12	13
Уровни звукового давления прямого звука от источника ИШ-2-39 в расчётной точке днём, дБ		**ф-ла(3)[10]**	**0**	**45,8**	**43**	**36,6**	**40,5**	**43,9**	**40,5**	**34,1**	**20,8**	**46,9**	**46,9**
Расчёт отражённого звука													
Уровни звукового давления от мнимого источника ИШ-2-39_мн.(1) в расчётной точке днём, дБ		**ф-ла(3)[10]**	**0**	**0**	**0**	**0**	**0**	**25,6**	**22,5**	**9,8**	**0**	**27,9**	**27,9**
Уровни звукового давления от источника ИШ-2-39 в расчётной точке днём, дБ		**ф-ла(3)[10]**	**0**	**45,8**	**43**	**36,6**	**40,5**	**43,9**	**40,6**	**34,1**	**20,8**	**47**	**47**
Источник шума: ИШ-2-40, координаты источника (x,y,z), м =[686.10,-125.67,1.00]													
Уровни звуковой мощности источника днём, Lw, дБ		**исходные данные**	**0**	**93,3**	**94,7**	**96**	**96,3**	**95,9**	**92,6**	**88,4**	**83,9**		
Поправка на телесный угол DΩ, дБ	Ω = 6.28	10Lg(4π/Ω)	**3**	3	3	3	3	3	3	3	3		
Показатель направленности источника Di, дБ		исходные данные	**0**	0	0	0	0	0	0	0	0		
Поправка на направленность источника Dc, дБ	Dc	DΩ + Di	**3**	3	3	3	3	3	3	3	3		
Затухание из-за геометрической дивергенции, Adiv, дБ	расстояние = 160.65 м	ф-ла (7) [10]	**55,1**										
Коэффициент затухания звука в атмосфере α, дБ/км	Ta=20,°C Pa=101.33,кПа hотн.=70%	ф-ла (5) [9]	0,02	0,09	0,33	1,12	2,79	4,98	9,04	23,09	77,63		
Учет затухания звука в атмосфере Aatm, дБ		ф-ла (8) [10]	0	0	0,1	0,2	0,4	0,8	1,5	3,7	12,5		
Снижение поверхностью земли возле источника As, дБ	Gs = 0 hs = 1м	ф-лы таб.3 [10]	-1,5	-1,5	-1,5	-1,5	-1,5	-1,5	-1,5	-1,5	-1,5		
Снижение поверхностью земли возле приёмника Ar, дБ	Gr = 1 hr = 1.5м	ф-лы таб.3 [10]	-1,5	-1,5	1	6,7	4,8	0,6	0	0	0		
Снижение поверхностью земли в средней зоне, Am дБ	Gm = 1	ф-лы таб.3 [10]	-1,6	-1,6	0	0	0	0	0	0	0		
Суммарное снижение поверхностью земли на траектории распространения звука Agr, дБ		ф-ла (9) [10]	-4,6	-4,6	-0,5	5,2	3,3	-0,9	-1,5	-1,5	-1,5		

1		2	3	4	5	6	7	8	9	10	11	12	13
Уровни звукового давления прямого звука от источника ИШ-2-40 в расчётной точке днём, дБ		**ф-ла(3)[10]**	**0**	**45,8**	**43**	**38,5**	**40,5**	**43,8**	**40,5**	**34,1**	**20,8**	**46,9**	**46,9**
Расчёт отражённого звука													
Уровни звукового давления от мнимого источника ИШ-2-40_мн.(1) в расчётной точке днём, дБ		**ф-ла(3)[10]**	**0**	**0**	**0**	**0**	**0**	**25,6**	**22,5**	**9,8**	**0**	**27,9**	**27,9**
Уровни звукового давления от источника ИШ-2-40 в расчётной точке днём, дБ		**ф-ла(3)[10]**	**0**	**45,8**	**43**	**38,5**	**40,5**	**43,9**	**40,6**	**34,1**	**20,8**	**47**	**47**
Источник шума: ИШ-2-41, координаты источника (x,y,z), м =[685.14,-128.64,1.00]													
Уровни звуковой мощности источника днём, Lw, дБ		**исходные данные**	**0**	**93,3**	**94,7**	**96**	**96,3**	**95,9**	**92,6**	**88,4**	**83,9**		
Поправка на телесный угол DΩ, дБ	Ω = 6.28	10Lg(4π/Ω)	**3**	3	3	3	3	3	3	3	3		
Показатель направленности источника Di, дБ		исходные данные	**0**	0	0	0	0	0	0	0	0		
Поправка на направленность источника Dc, дБ	Dc	DΩ + Di	**3**	3	3	3	3	3	3	3	3		
Затухание из-за геометрической дивергенции, Adiv, дБ	расстояние = 161.08 м	ф-ла (7) [10]	**55,1**										
Коэффициент затухания звука в атмосфере α, дБ/км	Ta=20,°C Pa=101.33,кПа hотн.=70%	ф-ла (5) [9]	0,02	0,09	0,33	1,12	2,79	4,98	9,04	23,09	77,63		
Учет затухания звука в атмосфере Aatm, дБ		ф-ла (8) [10]	0	0	0,1	0,2	0,4	0,8	1,5	3,7	12,5		
Снижение поверхностью земли возле источника As, дБ	Gs = 0 hs = 1м	ф-лы таб.3 [10]	-1,5	-1,5	-1,5	-1,5	-1,5	-1,5	-1,5	-1,5	-1,5		
Снижение поверхностью земли возле приёмника Ar, дБ	Gr = 1 hr = 1.5м	ф-лы таб.3 [10]	-1,5	-1,5	1	6,7	4,8	0,6	0	0	0		
Снижение поверхностью земли в средней зоне, Am дБ	Gm = 1	ф-лы таб.3 [10]	-1,6	-1,6	0	0	0	0	0	0	0		
Суммарное снижение поверхностью земли на траектории распространения звука Agr, дБ		ф-ла (9) [10]	-4,6	-4,6	-0,5	5,2	3,3	-0,9	-1,5	-1,5	-1,5		

1		2	3	4	5	6	7	8	9	10	11	12	13
Уровни звукового давления прямого звука от источника ИШ-2-41 в расчётной точке днём, дБ		**ф-ла(3)[10]**	**0**	**45,7**	**43**	**38,4**	**40,4**	**43,8**	**40,5**	**34**	**20,7**	**46,9**	**46,9**
Расчёт отражённого звука													
Уровни звукового давления от мнимого источника ИШ-2-41_мн.(1) в расчётной точке днём, дБ		**ф-ла(3)[10]**	**0**	**0**	**0**	**0**	**0**	**25,6**	**22,5**	**9,8**	**0**	**27,9**	**27,9**
Уровни звукового давления от источника ИШ-2-41 в расчётной точке днём, дБ		**ф-ла(3)[10]**	**0**	**45,7**	**43**	**38,4**	**40,4**	**43,9**	**40,6**	**34**	**20,7**	**47**	**47**
Источник шума: ИШ-2-42, координаты источника (x,y,z), м =[684.20,-131.46,1.00]													
Уровни звуковой мощности источника днём, Lw, дБ		**исходные данные**	**0**	**93,3**	**94,7**	**96**	**96,3**	**95,9**	**92,6**	**88,4**	**83,9**		
Поправка на телесный угол DΩ, дБ	Ω = 6.28	10Lg(4π/Ω)	**3**	3	3	3	3	3	3	3	3		
Показатель направленности источника Di, дБ		исходные данные	**0**	0	0	0	0	0	0	0	0		
Поправка на направленность источника Dc, дБ	Dc	DΩ + Di	**3**	3	3	3	3	3	3	3	3		
Затухание из-за геометрической дивергенции, Adiv, дБ	расстояние = 161.52 м	ф-ла (7) [10]	**55,2**										
Коэффициент затухания звука в атмосфере α, дБ/км	Ta=20,°C Pa=101.33,кПа hотн.=70%	ф-ла (5) [9]	0,02	0,09	0,33	1,12	2,79	4,98	9,04	23,09	77,63		
Учет затухания звука в атмосфере Aatm, дБ		ф-ла (8) [10]	0	0	0,1	0,2	0,5	0,8	1,5	3,7	12,5		
Снижение поверхностью земли возле источника As, дБ	Gs = 0 hs = 1м	ф-лы таб.3 [10]	-1,5	-1,5	-1,5	-1,5	-1,5	-1,5	-1,5	-1,5	-1,5		
Снижение поверхностью земли возле приёмника Ar, дБ	Gr = 1 hr = 1.5м	ф-лы таб.3 [10]	-1,5	-1,5	1	6,7	4,8	0,6	0	0	0		
Снижение поверхностью земли в средней зоне, Am дБ	Gm = 1	ф-лы таб.3 [10]	-1,6	-1,6	0	0	0	0	0	0	0		
Суммарное снижение поверхностью земли на траектории распространения звука Agr, дБ		ф-ла (9) [10]	-4,6	-4,6	-0,5	5,2	3,3	-0,9	-1,5	-1,5	-1,5		

1		2	3	4	5	6	7	8	9	10	11	12	13
Уровни звукового давления прямого звука от источника ИШ-2-42 в расчётной точке днём, дБ		**ф-ла(3)[10]**	**0**	**45,7**	**43**	**38,4**	**40,4**	**43,8**	**40,5**	**34**	**20,7**	**46,9**	**46,9**
Расчёт отражённого звука													
Уровни звукового давления от мнимого источника ИШ-2-42_мн.(1) в расчётной точке днём, дБ		**ф-ла(3)[10]**	**0**	**0**	**0**	**0**	**0**	**25,6**	**22,5**	**9,8**	**0**	**27,9**	**27,9**
Уровни звукового давления от источника ИШ-2-42 в расчётной точке днём, дБ		**ф-ла(3)[10]**	**0**	**45,7**	**43**	**38,4**	**40,4**	**43,9**	**40,5**	**34**	**20,7**	**46,9**	**46,9**
Источник шума: ИШ-2-43, координаты источника (x,y,z), м =[683.13,-134.37,1.00]													
Уровни звуковой мощности источника днём, Lw, дБ		**исходные данные**	**0**	**93,3**	**94,7**	**96**	**96,3**	**95,9**	**92,6**	**88,4**	**83,9**		
Поправка на телесный угол DΩ, дБ	Ω = 6.28	10Lg(4π/Ω)	**3**	3	3	3	3	3	3	3	3		
Показатель направленности источника Di, дБ		исходные данные	**0**	0	0	0	0	0	0	0	0		
Поправка на направленность источника Dc, дБ	Dc	DΩ + Di	**3**	3	3	3	3	3	3	3	3		
Затухание из-за геометрической дивергенции, Adiv, дБ	расстояние = 161.94 м	ф-ла (7) [10]	**55,2**										
Коэффициент затухания звука в атмосфере α, дБ/км	Ta=20,°C Pa=101.33,кПа hотн.=70%	ф-ла (5) [9]	0,02	0,09	0,33	1,12	2,79	4,98	9,04	23,09	77,63		
Учет затухания звука в атмосфере Aatm, дБ		ф-ла (8) [10]	0	0	0,1	0,2	0,5	0,8	1,5	3,7	12,6		
Снижение поверхностью земли возле источника As, дБ	Gs = 0 hs = 1м	ф-лы таб.3 [10]	-1,5	-1,5	-1,5	-1,5	-1,5	-1,5	-1,5	-1,5	-1,5		
Снижение поверхностью земли возле приёмника Ar, дБ	Gr = 1 hr = 1.5м	ф-лы таб.3 [10]	-1,5	-1,5	1	6,7	4,8	0,6	0	0	0		
Снижение поверхностью земли в средней зоне, Am дБ	Gm = 1	ф-лы таб.3 [10]	-1,6	-1,6	0	0	0	0	0	0	0		
Суммарное снижение поверхностью земли на траектории распространения звука Agr, дБ		ф-ла (9) [10]	-4,6	-4,6	-0,5	5,2	3,3	-0,9	-1,5	-1,5	-1,5		

1		2	3	4	5	6	7	8	9	10	11	12	13
Уровни звукового давления прямого звука от источника ИШ-2-43 в расчётной точке днём, дБ		**ф-ла(3)[10]**	**0**	**45,7**	**43**	**38,4**	**40,4**	**43,8**	**40,4**	**34**	**20,6**	**46,8**	**46,8**
Расчёт отражённого звука													
Уровни звукового давления от мнимого источника ИШ-2-43_мн.(1) в расчётной точке днём, дБ		**ф-ла(3)[10]**	**0**	**0**	**0**	**0**	**0**	**25,6**	**22,5**	**9,8**	**0**	**27,9**	**27,9**
Уровни звукового давления от источника ИШ-2-43 в расчётной точке днём, дБ		**ф-ла(3)[10]**	**0**	**45,7**	**43**	**38,4**	**40,4**	**43,8**	**40,5**	**34**	**20,6**	**46,9**	**46,9**
Источник шума: ИШ-2-44, координаты источника (x,y,z), м =[682.20,-137.16,1.00]													
Уровни звуковой мощности источника днём, Lw, дБ		**исходные данные**	**0**	**93,3**	**94,7**	**96**	**96,3**	**95,9**	**92,6**	**88,4**	**83,9**		
Поправка на телесный угол DΩ, дБ	Ω = 6.28	10Lg(4π/Ω)	**3**	3	3	3	3	3	3	3	3		
Показатель направленности источника Di, дБ		исходные данные	**0**	0	0	0	0	0	0	0	0		
Поправка на направленность источника Dc, дБ	Dc	DΩ + Di	**3**	3	3	3	3	3	3	3	3		
Затухание из-за геометрической дивергенции, Adiv, дБ	расстояние = 162.48 м	ф-ла (7) [10]	**55,2**										
Коэффициент затухания звука в атмосфере α, дБ/км	Ta=20,°C Pa=101.33,кПа hотн.=70%	ф-ла (5) [9]	0,02	0,09	0,33	1,12	2,79	4,98	9,04	23,09	77,63		
Учет затухания звука в атмосфере Aatm, дБ		ф-ла (8) [10]	0	0	0,1	0,2	0,5	0,8	1,5	3,8	12,6		
Снижение поверхностью земли возле источника As, дБ	Gs = 0 hs = 1м	ф-лы таб.3 [10]	-1,5	-1,5	-1,5	-1,5	-1,5	-1,5	-1,5	-1,5	-1,5		
Снижение поверхностью земли возле приёмника Ar, дБ	Gr = 1 hr = 1.5м	ф-лы таб.3 [10]	-1,5	-1,5	1	6,8	4,8	0,6	0	0	0		
Снижение поверхностью земли в средней зоне, Am дБ	Gm = 1	ф-лы таб.3 [10]	-1,6	-1,6	0	0	0	0	0	0	0		
Суммарное снижение поверхностью земли на траектории распространения звука Agr, дБ		ф-ла (9) [10]	-4,6	-4,6	-0,5	5,3	3,3	-0,9	-1,5	-1,5	-1,5		

1		2	3	4	5	6	7	8	9	10	11	12	13
Уровни звукового давления прямого звука от источника ИШ-2-44 в расчётной точке днём, дБ		**ф-ла(3)[10]**	**0**	**45,7**	**42,9**	**38,3**	**40,3**	**43,7**	**40,4**	**33,9**	**20,6**	**46,8**	**46,8**
Расчёт отражённого звука													
Уровни звукового давления от мнимого источника ИШ-2-44_мн.(1) в расчётной точке днём, дБ		**ф-ла(3)[10]**	**0**	**0**	**0**	**0**	**0**	**25,6**	**22,5**	**9,8**	**0**	**27,9**	**27,9**
Уровни звукового давления от источника ИШ-2-44 в расчётной точке днём, дБ		**ф-ла(3)[10]**	**0**	**45,7**	**42,9**	**38,3**	**40,3**	**43,8**	**40,5**	**33,9**	**20,6**	**46,9**	**46,9**
Источник шума: ИШ-2-45, координаты источника (x,y,z), м =[681.26,-139.98,1.00]													
Уровни звуковой мощности источника днём, Lw, дБ		**исходные данные**	**0**	**93,3**	**94,7**	**96**	**96,3**	**95,9**	**92,6**	**88,4**	**83,9**		
Поправка на телесный угол DΩ, дБ	Ω = 6.28	10Lg(4π/Ω)	**3**	3	3	3	3	3	3	3	3		
Показатель направленности источника Di, дБ		исходные данные	**0**	0	0	0	0	0	0	0	0		
Поправка на направленность источника Dc, дБ	Dc	DΩ + Di	**3**	3	3	3	3	3	3	3	3		
Затухание из-за геометрической дивергенции, Adiv, дБ	расстояние = 163.08 м	ф-ла (7) [10]	**55,2**										
Коэффициент затухания звука в атмосфере α, дБ/км	Ta=20,°C Pa=101.33,кПа hотн.=70%	ф-ла (5) [9]	0,02	0,09	0,33	1,12	2,79	4,98	9,04	23,09	77,63		
Учет затухания звука в атмосфере Aatm, дБ		ф-ла (8) [10]	0	0	0,1	0,2	0,5	0,8	1,5	3,8	12,7		
Снижение поверхностью земли возле источника As, дБ	Gs = 0 hs = 1м	ф-лы таб.3 [10]	-1,5	-1,5	-1,5	-1,5	-1,5	-1,5	-1,5	-1,5	-1,5		
Снижение поверхностью земли возле приёмника Ar, дБ	Gr = 1 hr = 1.5м	ф-лы таб.3 [10]	-1,5	-1,5	1	6,8	4,8	0,6	0	0	0		
Снижение поверхностью земли в средней зоне, Am дБ	Gm = 1	ф-лы таб.3 [10]	-1,6	-1,6	0	0	0	0	0	0	0		
Суммарное снижение поверхностью земли на траектории распространения звука Agr, дБ		ф-ла (9) [10]	-4,6	-4,6	-0,5	5,3	3,3	-0,9	-1,5	-1,5	-1,5		

1		2	3	4	5	6	7	8	9	10	11	12	13
Уровни звукового давления прямого звука от источника ИШ-2-45 в расчётной точке днём, дБ		**ф-ла(3)[10]**	**0**	**45,6**	**42,9**	**38,3**	**40,3**	**43,7**	**40,4**	**33,9**	**20,5**	**46,8**	**46,8**
Расчёт отражённого звука													
Уровни звукового давления от мнимого источника ИШ-2-45_мн.(1) в расчётной точке днём, дБ		**ф-ла(3)[10]**	**0**	**0**	**0**	**0**	**0**	**25,6**	**22,5**	**9,8**	**0**	**27,9**	**27,9**
Уровни звукового давления от источника ИШ-2-45 в расчётной точке днём, дБ		**ф-ла(3)[10]**	**0**	**45,6**	**42,9**	**38,3**	**40,3**	**43,8**	**40,4**	**33,9**	**20,5**	**46,8**	**46,8**
Источник шума: ИШ-4-1, координаты источника (x,y,z), м =[141.82,201.03,1.00]													
Уровни звуковой мощности источника днём, Lw, дБ		**исходные данные**	**0**	**90,3**	**91,7**	**93**	**93,3**	**92,9**	**89,6**	**85,4**	**80,9**		
Поправка на телесный угол DΩ, дБ	Ω = 6.28	10Lg(4π/Ω)	**3**	3	3	3	3	3	3	3	3		
Показатель направленности источника Di, дБ		исходные данные	**0**	0	0	0	0	0	0	0	0		
Поправка на направленность источника Dc, дБ	Dc	DΩ + Di	**3**	3	3	3	3	3	3	3	3		
Затухание из-за геометрической дивергенции, Adiv, дБ	расстояние = 475.21 м	ф-ла (7) [10]	**64,5**										
Коэффициент затухания звука в атмосфере α, дБ/км	Ta=20,°C Pa=101.33,кПа hотн.=70%	ф-ла (5) [9]	0,02	0,09	0,33	1,12	2,79	4,98	9,04	23,09	77,63		
Учет затухания звука в атмосфере Aatm, дБ		ф-ла (8) [10]	0	0	0,2	0,5	1,3	2,4	4,3	11	36,9		
Снижение уровня звукового давления из-за влияния застройки между источником шума и расчетной точкой													
Снижение уровня звукового давления на пути над экраном, Dz1, дБ	z = 2.38м (разность путей)	ф-лы (14-18) [10]	13,3	16,4	19,3	22,3	25,3	28,3	31,3	34,3	37,3		
Снижение уровня звукового давления на пути слева от экрана, Dz2, дБ	z = 29.41м (разность путей)	ф-лы (14-18) [10]	25,1	28,1	31,1	34,1	37,2	40,2	43,2	46,2	49,2		
Снижение уровня звукового давления на пути справа от экрана, Dz3, дБ	z = 2.52м (разность путей)	ф-лы (14-18) [10]	10,9	13,4	16	18,9	21,8	24,8	27,8	30,7	33,8		

1		2	3	4	5	6	7	8	9	10	11	12	13
Общее снижение уровня звука препятствием Dz, дБ		Эн.сумма(-Dzi)	8,8	11,5	14,3	17,2	20,1	23,1	26,1	29,1	32,1		
Общее снижение уровня звука препятствием с учётом ограничения (25 дБ) для октавных полос Dz, дБ		Раздел 7.4 [10]	8,8	11,5	14,3	17,2	20,1	23,1	25	25	25		
Уровни звукового давления прямого звука от источника ИШ-4-1 в расчётной точке днём, дБ		**ф-ла(3)[10]**	**0**	**17,2**	**15,7**	**13,8**	**10,3**	**5,9**	**0**	**0**	**0**	**11,3**	**11,3**
Расчёт отражённого звука													
Уровни звукового давления от мнимого источника ИШ-4-1_мн.(1) в расчётной точке днём, дБ		**ф-ла(3)[10]**	**0**	**0**	**0**	**21,6**	**19,3**	**15,6**	**7,6**	**0**	**0**	**20,2**	**20,2**
Уровни звукового давления от мнимого источника ИШ-4-1_мн.(2) в расчётной точке днём, дБ		**ф-ла(3)[10]**	**0**	**0**	**0**	**0**	**8,2**	**3,8**	**0**	**0**	**0**	**7,4**	**7,4**
Суммарные уровни звукового давления от мнимых источников в расчётной точке днём, дБ		**ф-ла (19) [1]**	**0**	**0**	**0**	**21,6**	**19,6**	**15,8**	**7,6**	**0**	**0**	**0**	**20,4**
Уровни звукового давления от источника ИШ-4-1 в расчётной точке днём, дБ		**ф-ла(3)[10]**	**0**	**17,2**	**15,7**	**22,3**	**20,1**	**16,3**	**7,6**	**0**	**0**	**20,9**	**20,9**
Источник шума: ИШ-4-2, координаты источника (x,y,z), м =[133.85,183.21,1.00]													
Уровни звуковой мощности источника днём, Lw, дБ		**исходные данные**	**0**	**90,3**	**91,7**	**93**	**93,3**	**92,9**	**89,6**	**85,4**	**80,9**		
Поправка на телесный угол DΩ, дБ	Ω = 6.28	10Lg(4π/Ω)	**3**	3	3	3	3	3	3	3	3		
Показатель направленности источника Di, дБ		исходные данные	**0**	0	0	0	0	0	0	0	0		
Поправка на направленность источника Dc, дБ	Dc	DΩ + Di	**3**	3	3	3	3	3	3	3	3		
Затухание из-за геометрической дивергенции, Adiv, дБ	расстояние = 472.62 м	ф-ла (7) [10]	**64,5**										
Коэффициент затухания звука в атмосфере α, дБ/км	Ta=20,°C Pa=101.33,кПа hотн.=70%	ф-ла (5) [9]	0,02	0,09	0,33	1,12	2,79	4,98	9,04	23,09	77,63		
Учет затухания звука в атмосфере Aatm, дБ		ф-ла (8) [10]	0	0	0,2	0,5	1,3	2,4	4,3	10,9	36,7		

1		2	3	4	5	6	7	8	9	10	11	12	13
Снижение уровня звукового давления из-за влияния застройки между источником шума и расчетной точкой													
Снижение уровня звукового давления на пути над экраном, Dz1, дБ	z = 0.41м (разность путей)	ф-лы (14-18) [10]	5,1	5,7	6,7	8,1	10	12,4	15	17,8	20,7		
Снижение уровня звукового давления на пути слева от экрана, Dz2, дБ	z = 47.28м (разность путей)	ф-лы (14-18) [10]	23,7	28,2	32,4	36	39,2	42,2	45,2	48,2	51,3		
Снижение уровня звукового давления на пути справа от экрана, Dz3, дБ	z = 24.69м (разность путей)	ф-лы (14-18) [10]	20,3	24,2	28,7	32,8	36,2	39,4	42,4	45,4	48,4		
Общее снижение уровня звука препятствием Dz, дБ		Эн.сумма(-Dzi)	4,9	5,6	6,6	8,1	10	12,3	15	17,8	20,7		
Уровни звукового давления прямого звука от источника ИШ-4-2 в расчётной точке днём, дБ		**ф-ла(3)[10]**	**0**	**23,2**	**23,4**	**22,9**	**20,5**	**16,7**	**8,9**	**0**	**0**	**21,5**	**21,5**
Расчёт отражённого звука													
Уровни звукового давления от мнимого источника ИШ-4-2_мн.(1) в расчётной точке днём, дБ		**ф-ла(3)[10]**	**0**	**0**	**22,1**	**21,6**	**19,3**	**15,5**	**7,6**	**0**	**0**	**20,3**	**20,3**
Уровни звукового давления от источника ИШ-4-2 в расчётной точке днём, дБ		**ф-ла(3)[10]**	**0**	**23,2**	**25,8**	**25,3**	**22,9**	**19,2**	**11,3**	**0**	**0**	**24**	**24**
Источник шума: ИШ-4-3, координаты источника (x,y,z), м =[152.61,172.66,1.00]													
Уровни звуковой мощности источника днём, Lw, дБ		**исходные данные**	**0**	**90,3**	**91,7**	**93**	**93,3**	**92,9**	**89,6**	**85,4**	**80,9**		
Поправка на телесный угол DΩ, дБ	Ω = 6.28	10Lg(4π/Ω)	**3**	3	3	3	3	3	3	3	3		
Показатель направленности источника Di, дБ		исходные данные	**0**	0	0	0	0	0	0	0	0		
Поправка на направленность источника Dc, дБ	Dc	DΩ + Di	**3**	3	3	3	3	3	3	3	3		
Затухание из-за геометрической дивергенции, Adiv, дБ	расстояние = 451.10 м	ф-ла (7) [10]	**64,1**										
Коэффициент затухания звука в атмосфере α, дБ/км	Ta=20,°C Pa=101.33,кПа hотн.=70%	ф-ла (5) [9]	0,02	0,09	0,33	1,12	2,79	4,98	9,04	23,09	77,63		

1		2	3	4	5	6	7	8	9	10	11	12	13
Учет затухания звука в атмосфере Aatm, дБ		ф-ла (8) [10]	0	0	0,2	0,5	1,3	2,2	4,1	10,4	35		
Снижение уровня звукового давления из-за влияния застройки между источником шума и расчетной точкой													
Снижение уровня звукового давления на пути над экраном, Dz1, дБ	z = 0.42м (разность путей)	ф-лы (14-18) [10]	5,2	5,8	7	8,6	10,7	13,1	15,8	18,6	21,6		
Снижение уровня звукового давления на пути слева от экрана, Dz2, дБ	z = 47.34м (разность путей)	ф-лы (14-18) [10]	23,8	28,2	32,5	36	39,2	42,2	45,2	48,2	51,3		
Снижение уровня звукового давления на пути справа от экрана, Dz3, дБ	z = 26.00м (разность путей)	ф-лы (14-18) [10]	20,5	24,4	28,9	33	36,5	39,6	42,6	45,6	48,7		
Общее снижение уровня звука препятствием Dz, дБ		Эн.сумма(-Dzi)	5	5,8	7	8,6	10,7	13,1	15,8	18,6	21,5		
Уровни звукового давления прямого звука от источника ИШ-4-3 в расчётной точке днём, дБ		**ф-ла(3)[10]**	**0**	**23,4**	**23,5**	**22,8**	**20,3**	**16,5**	**8,6**	**0**	**0**	**21,4**	**21,4**
Расчёт отражённого звука													
Уровни звукового давления от мнимого источника ИШ-4-3_мн.(1) в расчётной точке днём, дБ		**ф-ла(3)[10]**	**0**	**0**	**0**	**0**	**0**	**0**	**0**	**0**	**0**	**0**	**0**
Уровни звукового давления от источника ИШ-4-3 в расчётной точке днём, дБ		**ф-ла(3)[10]**	**0**	**23,4**	**23,5**	**22,8**	**20,3**	**16,5**	**8,6**	**0**	**0**	**21,4**	**21,4**
Источник шума: ИШ-4-4, координаты источника (x,y,z), м =[156.83,171.25,1.00]													
Уровни звуковой мощности источника днём, Lw, дБ		**исходные данные**	**0**	**90,3**	**91,7**	**93**	**93,3**	**92,9**	**89,6**	**85,4**	**80,9**		
Поправка на телесный угол DΩ, дБ	Ω = 6.28	10Lg(4π/Ω)	**3**	3	3	3	3	3	3	3	3		
Показатель направленности источника Di, дБ		исходные данные	**0**	0	0	0	0	0	0	0	0		
Поправка на направленность источника Dc, дБ	Dc	DΩ + Di	**3**	3	3	3	3	3	3	3	3		
Затухание из-за геометрической дивергенции, Adiv, дБ	расстояние = 446.75 м	ф-ла (7) [10]	**64**										

1		2	3	4	5	6	7	8	9	10	11	12	13
Коэффициент затухания звука в атмосфере α, дБ/км	Та=20,°С Ра=101.33,кПа hотн.=70%	ф-ла (5) [9]	0,02	0,09	0,33	1,12	2,79	4,98	9,04	23,09	77,63		
Учет затухания звука в атмосфере Aatm, дБ		ф-ла (8) [10]	0	0	0,1	0,5	1,2	2,2	4	10,3	34,7		
Снижение уровня звукового давления из-за влияния застройки между источником шума и расчетной точкой													
Снижение уровня звукового давления на пути над экраном, Dz1, дБ	z = 0.43м (разность путей)	ф-лы (14-18) [10]	5,2	5,9	7,1	8,7	10,8	13,3	16	18,8	21,7		
Снижение уровня звукового давления на пути слева от экрана, Dz2, дБ	z = 47.26м (разность путей)	ф-лы (14-18) [10]	23,7	28,2	32,4	36	39,2	42,2	45,2	48,2	51,3		
Снижение уровня звукового давления на пути справа от экрана, Dz3, дБ	z = 26.58м (разность путей)	ф-лы (14-18) [10]	20,6	24,5	29	33,1	36,6	39,7	42,7	45,7	48,8		
Общее снижение уровня звука препятствием Dz, дБ		Эн.сумма(-Dzi)	5	5,8	7	8,7	10,8	13,3	16	18,8	21,7		
Уровни звукового давления прямого звука от источника ИШ-4-4 в расчётной точке днём, дБ		**ф-ла(3)[10]**	**0**	**23,5**	**23,5**	**22,8**	**20,2**	**16,4**	**8,6**	**0**	**0**	**21,3**	**21,3**
Расчёт отражённого звука													
Уровни звукового давления от мнимого источника ИШ-4-4_мн.(1) в расчётной точке днём, дБ		**ф-ла(3)[10]**	**0**	**0**	**0**	**0**	**0**	**0**	**0**	**0**	**0**	**0**	**0**
Уровни звукового давления от источника ИШ-4-4 в расчётной точке днём, дБ		**ф-ла(3)[10]**	**0**	**23,5**	**23,5**	**22,8**	**20,2**	**16,4**	**8,6**	**0**	**0**	**21,3**	**21,3**
Источник шума: ИШ-4-5, координаты источника (x,y,z), м =[126.48,222.66,11.00]													
Уровни звуковой мощности источника днём, Lw, дБ		**исходные данные**	**0**	**90,3**	**91,7**	**93**	**93,3**	**92,9**	**89,6**	**85,4**	**80,9**		
Поправка на телесный угол DΩ, дБ	Ω = 6.28	10Lg(4π/Ω)	**3**	3	3	3	3	3	3	3	3		
Показатель направленности источника Di, дБ		исходные данные	**0**	0	0	0	0	0	0	0	0		
Поправка на направленность источника Dc, дБ	Dc	DΩ + Di	**3**	3	3	3	3	3	3	3	3		

1		2	3	4	5	6	7	8	9	10	11	12	13
Затухание из-за геометрической дивергенции, Adiv, дБ	расстояние = 500.02 м	ф-ла (7) [10]	**65**										
Коэффициент затухания звука в атмосфере α, дБ/км	Та=20,°С Ра=101.33,кПа hотн.=70%	ф-ла (5) [9]	0,02	0,09	0,33	1,12	2,79	4,98	9,04	23,09	77,63		
Учет затухания звука в атмосфере Aatm, дБ		ф-ла (8) [10]	0	0	0,2	0,6	1,4	2,5	4,5	11,5	38,8		
Снижение уровня звукового давления из-за влияния застройки между источником шума и расчетной точкой													
Снижение уровня звукового давления на пути над экраном, Dz1, дБ	z = 2.28м (разность путей)	ф-лы (14-18) [10]	12,6	15,9	18,9	21,9	24,9	27,9	30,9	33,9	36,9		
Снижение уровня звукового давления на пути слева от экрана, Dz2, дБ	z = 91.34м (разность путей)	ф-лы (14-18) [10]	29,9	33	36	39,1	42,1	45,1	48,1	51,1	54,1		
Снижение уровня звукового давления на пути справа от экрана, Dz3, дБ	z = 3.27м (разность путей)	ф-лы (14-18) [10]	11,8	14,3	17,1	20	22,9	25,9	28,9	31,9	34,9		
Общее снижение уровня звука препятствием Dz, дБ		Эн.сумма(-Dzi)	9,1	12	14,9	17,8	20,7	23,7	26,7	29,7	32,7		
Общее снижение уровня звука препятствием с учётом ограничения (25 дБ) для октавных полос Dz, дБ		Раздел 7.4 [10]	9,1	12	14,9	17,8	20,7	23,7	25	25	25		
Уровни звукового давления прямого звука от источника ИШ-4-5 в расчётной точке днём, дБ		**ф-ла(3)[10]**	**0**	**16,3**	**14,7**	**12,7**	**9,2**	**4,7**	**0**	**0**	**0**	**10,1**	**10,1**
Расчёт отражённого звука													
Уровни звукового давления от мнимого источника ИШ-4-5_мн.(1) в расчётной точке днём, дБ		**ф-ла(3)[10]**	**0**	**0**	**0**	**0**	**0**	**0**	**0**	**0**	**0**	**0**	**0**
Уровни звукового давления от источника ИШ-4-5 в расчётной точке днём, дБ		**ф-ла(3)[10]**	**0**	**16,3**	**14,7**	**12,7**	**9,2**	**4,7**	**0**	**0**	**0**	**10,1**	**10,1**
Источник шума: ИШ-4-6, координаты источника (x,y,z), м =[125.17,218.57,11.00]													
Уровни звуковой мощности источника днём, Lw, дБ		**исходные данные**	**0**	**90,3**	**91,7**	**93**	**93,3**	**92,9**	**89,6**	**85,4**	**80,9**		
Поправка на телесный угол DΩ, дБ	Ω = 6.28	10Lg(4π/Ω)	**3**	3	3	3	3	3	3	3	3		

1		2	3	4	5	6	7	8	9	10	11	12	13
Показатель направленности источника Di, дБ		исходные данные	**0**	0	0	0	0	0	0	0	0		
Поправка на направленность источника Dc, дБ	Dc	DΩ + Di	**3**	3	3	3	3	3	3	3	3		
Затухание из-за геометрической дивергенции, Adiv, дБ	расстояние = 498.84 м	ф-ла (7) [10]	**65**										
Коэффициент затухания звука в атмосфере α, дБ/км	Ta=20,°C Pa=101.33,кПа hотн.=70%	ф-ла (5) [9]	0,02	0,09	0,33	1,12	2,79	4,98	9,04	23,09	77,63		
Учет затухания звука в атмосфере Aatm, дБ		ф-ла (8) [10]	0	0	0,2	0,6	1,4	2,5	4,5	11,5	38,7		
Снижение уровня звукового давления из-за влияния застройки между источником шума и расчетной точкой													
Снижение уровня звукового давления на пути над экраном, Dz1, дБ	z = 2.23м (разность путей)	ф-лы (14-18) [10]	12,5	15,8	18,8	21,8	24,8	27,8	30,8	33,8	36,8		
Снижение уровня звукового давления на пути слева от экрана, Dz2, дБ	z = 94.38м (разность путей)	ф-лы (14-18) [10]	30	33,2	36,2	39,2	42,2	45,2	48,2	51,2	54,3		
Снижение уровня звукового давления на пути справа от экрана, Dz3, дБ	z = 2.91м (разность путей)	ф-лы (14-18) [10]	11,4	13,9	16,6	19,5	22,4	25,4	28,4	31,4	34,4		
Общее снижение уровня звука препятствием Dz, дБ		Эн.сумма(-Dzi)	8,8	11,7	14,5	17,4	20,4	23,4	26,4	29,4	32,4		
Общее снижение уровня звука препятствием с учётом ограничения (25 дБ) для октавных полос Dz, дБ		Раздел 7.4 [10]	8,8	11,7	14,5	17,4	20,4	23,4	25	25	25		
Уровни звукового давления прямого звука от источника ИШ-4-6 в расчётной точке днём, дБ		**ф-ла(3)[10]**	**0**	**16,6**	**15**	**13**	**9,5**	**5,1**	**0**	**0**	**0**	**10,5**	**10,5**
Расчёт отражённого звука													
Уровни звукового давления от мнимого источника ИШ-4-6_мн.(1) в расчётной точке днём, дБ		**ф-ла(3)[10]**	**0**	**0**	**0**	**0**	**0**	**0**	**0**	**0**	**0**	**0**	**0**
Уровни звукового давления от источника ИШ-4-6 в расчётной точке днём, дБ		**ф-ла(3)[10]**	**0**	**16,6**	**15**	**13**	**9,5**	**5,1**	**0**	**0**	**0**	**10,5**	**10,5**
Источник шума: ИШ-4-7, координаты источника (x,y,z), м =[177.91,257.92,11.00]													

1		2	3	4	5	6	7	8	9	10	11	12	13
Уровни звуковой мощности источника днём, Lw, дБ		**исходные данные**	**0**	**90,3**	**91,7**	**93**	**93,3**	**92,9**	**89,6**	**85,4**	**80,9**		
Поправка на телесный угол DΩ, дБ	Ω = 6.28	10Lg(4π/Ω)	**3**	3	3	3	3	3	3	3	3		
Показатель направленности источника Di, дБ		исходные данные	**0**	0	0	0	0	0	0	0	0		
Поправка на направленность источника Dc, дБ	Dc	DΩ + Di	**3**	3	3	3	3	3	3	3	3		
Затухание из-за геометрической дивергенции, Adiv, дБ	расстояние = 480.65 м	ф-ла (7) [10]	**64,6**										
Коэффициент затухания звука в атмосфере α, дБ/км	Ta=20,°C Pa=101.33,кПа hотн.=70%	ф-ла (5) [9]	0,02	0,09	0,33	1,12	2,79	4,98	9,04	23,09	77,63		
Учет затухания звука в атмосфере Aatm, дБ		ф-ла (8) [10]	0	0	0,2	0,5	1,3	2,4	4,3	11,1	37,3		
Снижение уровня звукового давления из-за влияния застройки между источником шума и расчетной точкой													
Снижение уровня звукового давления на пути над экраном, Dz1, дБ	z = 2.84м (разность путей)	ф-лы (14-18) [10]	14,5	17,5	20,4	23,3	26,3	29,3	32,3	35,3	38,3		
Снижение уровня звукового давления на пути слева от экрана, Dz2, дБ	z = 57.79м (разность путей)	ф-лы (14-18) [10]	27,9	31,1	34,1	37,1	40,1	43,1	46,1	49,1	52,1		
Снижение уровня звукового давления на пути справа от экрана, Dz3, дБ	z = 11.23м (разность путей)	ф-лы (14-18) [10]	19,7	23,6	26,9	29,9	33	36	39	42	45		
Общее снижение уровня звука препятствием Dz, дБ		Эн.сумма(-Dzi)	13,2	16,4	19,3	22,3	25,3	28,3	31,3	34,3	37,3		
Общее снижение уровня звука препятствием с учётом ограничения (25 дБ) для октавных полос Dz, дБ		Раздел 7.4 [10]	13,2	16,4	19,3	22,3	25	25	25	25	25		
Уровни звукового давления прямого звука от источника ИШ-4-7 в расчётной точке днём, дБ		**ф-ла(3)[10]**	**0**	**12,2**	**10,5**	**8,5**	**5,3**	**3,9**	**0**	**0**	**0**	**7,3**	**7,3**
Расчёт отражённого звука													
Уровни звукового давления от мнимого источника ИШ-4-7_мн.(1) в расчётной точке днём, дБ		**ф-ла(3)[10]**	**0**	**0**	**0**	**0**	**0**	**0**	**0**	**0**	**0**	**0**	**0**
Уровни звукового давления от источника ИШ-4-7 в расчётной точке днём, дБ		**ф-ла(3)[10]**	**0**	**12,2**	**10,5**	**8,5**	**5,3**	**3,9**	**0**	**0**	**0**	**7,3**	**7,3**

1		2	3	4	5	6	7	8	9	10	11	12	13
Источник шума: ИШ-4-8, координаты источника (x,y,z), м =[178.24,257.77,13.00]													
Уровни звуковой мощности источника днём, Lw, дБ		**исходные данные**	**0**	**90,3**	**91,7**	**93**	**93,3**	**92,9**	**89,6**	**85,4**	**80,9**		
Поправка на телесный угол DΩ, дБ	Ω = 6.28	10Lg(4π/Ω)	**3**	3	3	3	3	3	3	3	3		
Показатель направленности источника Di, дБ		исходные данные	**0**	0	0	0	0	0	0	0	0		
Поправка на направленность источника Dc, дБ	Dc	DΩ + Di	**3**	3	3	3	3	3	3	3	3		
Затухание из-за геометрической дивергенции, Adiv, дБ	расстояние = 480.34 м	ф-ла (7) [10]	**64,6**										
Коэффициент затухания звука в атмосфере α, дБ/км	Ta=20,°C Pa=101.33,кПа hотн.=70%	ф-ла (5) [9]	0,02	0,09	0,33	1,12	2,79	4,98	9,04	23,09	77,63		
Учет затухания звука в атмосфере Aatm, дБ		ф-ла (8) [10]	0	0	0,2	0,5	1,3	2,4	4,3	11,1	37,3		
Снижение уровня звукового давления из-за влияния застройки между источником шума и расчетной точкой													
Снижение уровня звукового давления на пути над экраном, Dz1, дБ	z = 2.82м (разность путей)	ф-лы (14-18) [10]	10,4	12,8	15,4	18,3	21,2	24,1	27,1	30,1	33,1		
Снижение уровня звукового давления на пути слева от экрана, Dz2, дБ	z = 57.80м (разность путей)	ф-лы (14-18) [10]	27,9	31,1	34,1	37,1	40,1	43,1	46,1	49,1	52,1		
Снижение уровня звукового давления на пути справа от экрана, Dz3, дБ	z = 11.25м (разность путей)	ф-лы (14-18) [10]	19,7	23,6	26,9	30	33	36	39	42	45		
Общее снижение уровня звука препятствием Dz, дБ		Эн.сумма(-Dzi)	9,9	12,4	15,1	17,9	20,8	23,8	26,8	29,8	32,8		
Общее снижение уровня звука препятствием с учётом ограничения (25 дБ) для октавных полос Dz, дБ		Раздел 7.4 [10]	9,9	12,4	15,1	17,9	20,8	23,8	25	25	25		
Уровни звукового давления от источника ИШ-4-8 в расчётной точке днём, дБ		**ф-ла(3)[10]**	**0**	**16,2**	**14,8**	**12,9**	**9,5**	**5,1**	**0**	**0**	**0**	**10,4**	**10,4**
Источник шума: ИШ-4-9, координаты источника (x,y,z), м =[178.68,257.63,15.50]													

1		2	3	4	5	6	7	8	9	10	11	12	13
Уровни звуковой мощности источника днём, Lw, дБ		**исходные данные**	**0**	**90,3**	**91,7**	**93**	**93,3**	**92,9**	**89,6**	**85,4**	**80,9**		
Поправка на телесный угол DΩ, дБ	Ω = 6.28	10Lg(4π/Ω)	**3**	3	3	3	3	3	3	3	3		
Показатель направленности источника Di, дБ		исходные данные	**0**	0	0	0	0	0	0	0	0		
Поправка на направленность источника Dc, дБ	Dc	DΩ + Di	**3**	3	3	3	3	3	3	3	3		
Затухание из-за геометрической дивергенции, Adiv, дБ	расстояние = 479.98 м	ф-ла (7) [10]	**64,6**										
Коэффициент затухания звука в атмосфере α, дБ/км	Ta=20,°C Pa=101.33,кПа hотн.=70%	ф-ла (5) [9]	0,02	0,09	0,33	1,12	2,79	4,98	9,04	23,09	77,63		
Учет затухания звука в атмосфере Aatm, дБ		ф-ла (8) [10]	0	0	0,2	0,5	1,3	2,4	4,3	11,1	37,3		
Снижение уровня звукового давления из-за влияния застройки между источником шума и расчетной точкой													
Снижение уровня звукового давления на пути над экраном, Dz1, дБ	z = 2.79м (разность путей)	ф-лы (14-18) [10]	10,4	12,8	15,4	18,2	21,1	24,1	27,1	30,1	33,1		
Снижение уровня звукового давления на пути слева от экрана, Dz2, дБ	z = 71.82м (разность путей)	ф-лы (14-18) [10]	28,8	32	35	38	41	44	47,1	50,1	53,1		
Снижение уровня звукового давления на пути справа от экрана, Dz3, дБ	z = 11.28м (разность путей)	ф-лы (14-18) [10]	16,5	19,4	22,3	25,2	28,2	31,2	34,2	37,3	40,3		
Общее снижение уровня звука препятствием Dz, дБ		Эн.сумма(-Dzi)	9,4	11,9	14,5	17,4	20,3	23,3	26,3	29,3	32,3		
Общее снижение уровня звука препятствием с учётом ограничения (25 дБ) для октавных полос Dz, дБ		Раздел 7.4 [10]	9,4	11,9	14,5	17,4	20,3	23,3	25	25	25		
Уровни звукового давления от источника ИШ-4-9 в расчётной точке днём, дБ		**ф-ла(3)[10]**	**0**	**16,7**	**15,4**	**13,4**	**10**	**5,6**	**0**	**0**	**0**	**10,9**	**10,9**
Источник шума: ИШ-4-10, координаты источника (x,y,z), м =[185.65,255.31,11.00]													
Уровни звуковой мощности источника днём, Lw, дБ		**исходные данные**	**0**	**90,3**	**91,7**	**93**	**93,3**	**92,9**	**89,6**	**85,4**	**80,9**		

1		2	3	4	5	6	7	8	9	10	11	12	13
Поправка на телесный угол DΩ, дБ	Ω = 6.28	10Lg(4π/Ω)	**3**	3	3	3	3	3	3	3	3		
Показатель направленности источника Di, дБ		исходные данные	**0**	0	0	0	0	0	0	0	0		
Поправка на направленность источника Dc, дБ	Dc	DΩ + Di	**3**	3	3	3	3	3	3	3	3		
Затухание из-за геометрической дивергенции, Adiv, дБ	расстояние = 473.10 м	ф-ла (7) [10]	**64,5**										
Коэффициент затухания звука в атмосфере α, дБ/км	Ta=20,°C Pa=101.33,кПа hотн.=70%	ф-ла (5) [9]	0,02	0,09	0,33	1,12	2,79	4,98	9,04	23,09	77,63		
Учет затухания звука в атмосфере Aatm, дБ		ф-ла (8) [10]	0	0	0,2	0,5	1,3	2,4	4,3	10,9	36,7		
Снижение уровня звукового давления из-за влияния застройки между источником шума и расчетной точкой													
Снижение уровня звукового давления на пути над экраном, Dz1, дБ	z = 2.87м (разность путей)	ф-лы (14-18) [10]	14,6	17,5	20,4	23,4	26,4	29,4	32,4	35,4	38,4		
Снижение уровня звукового давления на пути слева от экрана, Dz2, дБ	z = 57.49м (разность путей)	ф-лы (14-18) [10]	27,9	31	34	37,1	40,1	43,1	46,1	49,1	52,1		
Снижение уровня звукового давления на пути справа от экрана, Dz3, дБ	z = 11.95м (разность путей)	ф-лы (14-18) [10]	20	23,8	27,1	30,2	33,2	36,3	39,3	42,3	45,3		
Общее снижение уровня звука препятствием Dz, дБ		Эн.сумма(-Dzi)	13,3	16,5	19,4	22,4	25,4	28,4	31,4	34,4	37,4		
Общее снижение уровня звука препятствием с учётом ограничения (25 дБ) для октавных полос Dz, дБ		Раздел 7.4 [10]	13,3	16,5	19,4	22,4	25	25	25	25	25		
Уровни звукового давления прямого звука от источника ИШ-4-10 в расчётной точке днём, дБ		**ф-ла(3)[10]**	**0**	**12,3**	**10,6**	**8,5**	**5,5**	**4**	**0**	**0**	**0**	**7,4**	**7,4**
Расчёт отражённого звука													
Уровни звукового давления от мнимого источника ИШ-4-10_мн.(1) в расчётной точке днём, дБ		**ф-ла(3)[10]**	**0**	**0**	**0**	**0**	**0**	**0**	**0**	**0**	**0**	**0**	**0**
Уровни звукового давления от источника ИШ-4-10 в расчётной точке днём, дБ		**ф-ла(3)[10]**	**0**	**12,3**	**10,6**	**8,5**	**5,5**	**4**	**0**	**0**	**0**	**7,4**	**7,4**

1		2	3	4	5	6	7	8	9	10	11	12	13
Источник шума: ИШ-4-11, координаты источника (x,y,z), м =[185.89,255.16,13.00]													
Уровни звуковой мощности источника днём, Lw, дБ		**исходные данные**	**0**	**90,3**	**91,7**	**93**	**93,3**	**92,9**	**89,6**	**85,4**	**80,9**		
Поправка на телесный угол DΩ, дБ	Ω = 6.28	10Lg(4π/Ω)	**3**	3	3	3	3	3	3	3	3		
Показатель направленности источника Di, дБ		исходные данные	**0**	0	0	0	0	0	0	0	0		
Поправка на направленность источника Dc, дБ	Dc	DΩ + Di	**3**	3	3	3	3	3	3	3	3		
Затухание из-за геометрической дивергенции, Adiv, дБ	расстояние = 472.86 м	ф-ла (7) [10]	**64,5**										
Коэффициент затухания звука в атмосфере α, дБ/км	Ta=20,°C Pa=101.33,кПа hотн.=70%	ф-ла (5) [9]	0,02	0,09	0,33	1,12	2,79	4,98	9,04	23,09	77,63		
Учет затухания звука в атмосфере Aatm, дБ		ф-ла (8) [10]	0	0	0,2	0,5	1,3	2,4	4,3	10,9	36,7		
Снижение уровня звукового давления из-за влияния застройки между источником шума и расчетной точкой													
Снижение уровня звукового давления на пути над экраном, Dz1, дБ	z = 2.84м (разность путей)	ф-лы (14-18) [10]	10,5	12,9	15,5	18,3	21,2	24,2	27,2	30,2	33,2		
Снижение уровня звукового давления на пути слева от экрана, Dz2, дБ	z = 58.51м (разность путей)	ф-лы (14-18) [10]	28	31,1	34,1	37,1	40,1	43,1	46,2	49,2	52,2		
Снижение уровня звукового давления на пути справа от экрана, Dz3, дБ	z = 11.96м (разность путей)	ф-лы (14-18) [10]	20	23,9	27,1	30,2	33,2	36,3	39,3	42,3	45,3		
Общее снижение уровня звука препятствием Dz, дБ		Эн.сумма(-Dzi)	10	12,5	15,2	18	20,9	23,9	26,9	29,9	32,9		
Общее снижение уровня звука препятствием с учётом ограничения (25 дБ) для октавных полос Dz, дБ		Раздел 7.4 [10]	10	12,5	15,2	18	20,9	23,9	25	25	25		
Уровни звукового давления от источника ИШ-4-11 в расчётной точке днём, дБ		**ф-ла(3)[10]**	**0**	**16,3**	**14,9**	**13**	**9,6**	**5,2**	**0**	**0**	**0**	**10,5**	**10,5**
Источник шума: ИШ-4-12, координаты источника (x,y,z), м =[186.18,255.02,15.50]													

1		2	3	4	5	6	7	8	9	10	11	12	13
Уровни звуковой мощности источника днём, Lw, дБ		**исходные данные**	**0**	**90,3**	**91,7**	**93**	**93,3**	**92,9**	**89,6**	**85,4**	**80,9**		
Поправка на телесный угол DΩ, дБ	Ω = 6.28	10Lg(4π/Ω)	**3**	3	3	3	3	3	3	3	3		
Показатель направленности источника Di, дБ		исходные данные	**0**	0	0	0	0	0	0	0	0		
Поправка на направленность источника Dc, дБ	Dc	DΩ + Di	**3**	3	3	3	3	3	3	3	3		
Затухание из-за геометрической дивергенции, Adiv, дБ	расстояние = 472.62 м	ф-ла (7) [10]	**64,5**										
Коэффициент затухания звука в атмосфере α, дБ/км	Ta=20,°C Pa=101.33,кПа hотн.=70%	ф-ла (5) [9]	0,02	0,09	0,33	1,12	2,79	4,98	9,04	23,09	77,63		
Учет затухания звука в атмосфере Aatm, дБ		ф-ла (8) [10]	0	0	0,2	0,5	1,3	2,4	4,3	10,9	36,7		
Снижение уровня звукового давления из-за влияния застройки между источником шума и расчетной точкой													
Снижение уровня звукового давления на пути над экраном, Dz1, дБ	z = 2.82м (разность путей)	ф-лы (14-18) [10]	10,4	12,8	15,5	18,3	21,2	24,1	27,1	30,1	33,1		
Снижение уровня звукового давления на пути слева от экрана, Dz2, дБ	z = 71.33м (разность путей)	ф-лы (14-18) [10]	28,7	31,9	35	38	41	44	47	50	53		
Снижение уровня звукового давления на пути справа от экрана, Dz3, дБ	z = 0.08м (разность путей)	ф-лы (14-18) [10]	5,2	5,5	6,2	7,3	8,8	10,9	13,4	16	18,9		
Общее снижение уровня звука препятствием Dz, дБ		Эн.сумма(-Dzi)	4	4,8	5,7	6,9	8,6	10,7	13,2	15,9	18,7		
Уровни звукового давления от источника ИШ-4-12 в расчётной точке днём, дБ		**ф-ла(3)[10]**	**0**	**24**	**24,3**	**24**	**21,9**	**18,3**	**10,7**	**0**	**0**	**23**	**23**
Источник шума: ИШ-4-13, координаты источника (x,y,z), м =[94.56,229.10,1.00]													
Уровни звуковой мощности источника днём, Lw, дБ		**исходные данные**	**0**	**81,3**	**82,7**	**84**	**84,3**	**83,9**	**80,6**	**76,4**	**71,9**		
Поправка на телесный угол DΩ, дБ	Ω = 6.28	10Lg(4π/Ω)	**3**	3	3	3	3	3	3	3	3		

1		2	3	4	5	6	7	8	9	10	11	12	13
Показатель направленности источника Di, дБ		исходные данные	**0**	0	0	0	0	0	0	0	0		
Поправка на направленность источника Dc, дБ	Dc	DΩ + Di	**3**	3	3	3	3	3	3	3	3		
Затухание из-за геометрической дивергенции, Adiv, дБ	расстояние = 530.14 м	ф-ла (7) [10]	**65,5**										
Коэффициент затухания звука в атмосфере α, дБ/км	Ta=20,°C Pa=101.33,кПа hотн.=70%	ф-ла (5) [9]	0,02	0,09	0,33	1,12	2,79	4,98	9,04	23,09	77,63		
Учет затухания звука в атмосфере Aatm, дБ		ф-ла (8) [10]	0	0	0,2	0,6	1,5	2,6	4,8	12,2	41,2		
Снижение уровня звукового давления из-за влияния застройки между источником шума и расчетной точкой													
Снижение уровня звукового давления на пути над экраном, Dz1, дБ	z = 6.97м (разность путей)	ф-лы (14-18) [10]	18,8	21,8	24,8	27,8	30,8	33,8	36,8	39,8	42,8		
Снижение уровня звукового давления на пути слева от экрана, Dz2, дБ	z = 86.92м (разность путей)	ф-лы (14-18) [10]	29,8	32,8	35,8	38,8	41,9	44,9	47,9	50,9	53,9		
Снижение уровня звукового давления на пути справа от экрана, Dz3, дБ	z = 39.68м (разность путей)	ф-лы (14-18) [10]	26,2	29,4	32,4	35,4	38,5	41,5	44,5	47,5	50,5		
Общее снижение уровня звука препятствием Dz, дБ		Эн.сумма(-Dzi)	17,8	20,9	23,8	26,8	29,8	32,8	35,8	38,8	41,9		
Общее снижение уровня звука препятствием с учётом ограничения (25 дБ) для октавных полос Dz, дБ		Раздел 7.4 [10]	17,8	20,9	23,8	25	25	25	25	25	25		
Уровни звукового давления от источника ИШ-4-13 в расчётной точке днём, дБ		**ф-ла(3)[10]**	**0**	**0**	**0**	**0**	**0**	**0**	**0**	**0**	**0**	**0**	**0**
Источник шума: ИШ-4-14, координаты источника (x,y,z), м =[91.88,221.30,1.00]													
Уровни звуковой мощности источника днём, Lw, дБ		**исходные данные**	**0**	**81,3**	**82,7**	**84**	**84,3**	**83,9**	**80,6**	**76,4**	**71,9**		
Поправка на телесный угол DΩ, дБ	Ω = 6.28	10Lg(4π/Ω)	**3**	3	3	3	3	3	3	3	3		
Показатель направленности источника Di, дБ		исходные данные	**0**	0	0	0	0	0	0	0	0		

1		2	3	4	5	6	7	8	9	10	11	12	13
Поправка на направленность источника Dc, дБ	Dc	DΩ + Di	**3**	3	3	3	3	3	3	3	3		
Затухание из-за геометрической дивергенции, Adiv, дБ	расстояние = 528.25 м	ф-ла (7) [10]	**65,5**										
Коэффициент затухания звука в атмосфере α, дБ/км	Ta=20,°C Pa=101.33,кПа hотн.=70%	ф-ла (5) [9]	0,02	0,09	0,33	1,12	2,79	4,98	9,04	23,09	77,63		
Учет затухания звука в атмосфере Aatm, дБ		ф-ла (8) [10]	0	0	0,2	0,6	1,5	2,6	4,8	12,2	41		
Снижение уровня звукового давления из-за влияния застройки между источником шума и расчетной точкой													
Снижение уровня звукового давления на пути над экраном, Dz1, дБ	z = 5.02м (разность путей)	ф-лы (14-18) [10]	17	20	22,9	25,9	28,9	31,9	34,9	37,9	40,9		
Снижение уровня звукового давления на пути слева от экрана, Dz2, дБ	z = 97.02м (разность путей)	ф-лы (14-18) [10]	30,3	33,3	36,3	39,3	42,3	45,3	48,4	51,4	54,4		
Снижение уровня звукового давления на пути справа от экрана, Dz3, дБ	z = 33.49м (разность путей)	ф-лы (14-18) [10]	25,5	28,7	31,7	34,7	37,7	40,7	43,7	46,7	49,8		
Общее снижение уровня звука препятствием Dz, дБ		Эн.сумма(-Dzi)	16,2	19,2	22,2	25,2	28,2	31,2	34,2	37,2	40,2		
Общее снижение уровня звука препятствием с учётом ограничения (25 дБ) для октавных полос Dz, дБ		Раздел 7.4 [10]	16,2	19,2	22,2	25	25	25	25	25	25		
Уровни звукового давления от источника ИШ-4-14 в расчётной точке днём, дБ		**ф-ла(3)[10]**	**0**	**0**	**0**	**0**	**0**	**0**	**0**	**0**	**0**	**0**	**0**
Источник шума: ИШ-5-1, координаты источника (x,y,z), м =[626.70,162.36,1.00]													
Уровни звуковой мощности источника днём, Lw, дБ		**исходные данные**	**0**	**93,3**	**94,7**	**96**	**96,3**	**95,9**	**92,6**	**88,4**	**83,9**		
Поправка на телесный угол DΩ, дБ	Ω = 6.28	10Lg(4π/Ω)	**3**	3	3	3	3	3	3	3	3		
Показатель направленности источника Di, дБ		исходные данные	**0**	0	0	0	0	0	0	0	0		
Поправка на направленность источника Dc, дБ	Dc	DΩ + Di	**3**	3	3	3	3	3	3	3	3		

1		2	3	4	5	6	7	8	9	10	11	12	13
Затухание из-за геометрической дивергенции, Adiv, дБ	расстояние = 235.62 м	ф-ла (7) [10]	**58,4**										
Коэффициент затухания звука в атмосфере α, дБ/км	Та=20,°С Ра=101.33,кПа hотн.=70%	ф-ла (5) [9]	0,02	0,09	0,33	1,12	2,79	4,98	9,04	23,09	77,63		
Учет затухания звука в атмосфере Aatm, дБ		ф-ла (8) [10]	0	0	0,1	0,3	0,7	1,2	2,1	5,4	18,3		
Снижение уровня звукового давления из-за влияния застройки между источником шума и расчетной точкой													
Снижение уровня звукового давления на пути над экраном, Dz1, дБ	z = 4.41м (разность путей)	ф-лы (14-18) [10]	16,5	19,7	22,8	25,8	28,8	31,8	34,8	37,8	40,8		
Снижение уровня звукового давления на пути слева от экрана, Dz2, дБ	z = 5.45м (разность путей)	ф-лы (14-18) [10]	17,5	20,8	23,8	26,8	29,8	32,8	35,9	38,9	41,9		
Снижение уровня звукового давления на пути справа от экрана, Dz3, дБ	z = 5.08м (разность путей)	ф-лы (14-18) [10]	17,2	20,5	23,5	26,5	29,5	32,5	35,6	38,6	41,6		
Общее снижение уровня звука препятствием Dz, дБ		Эн.сумма(-Dzi)	12,3	15,5	18,6	21,6	24,6	27,6	30,6	33,6	36,6		
Общее снижение уровня звука препятствием с учётом ограничения (25 дБ) для октавных полос Dz, дБ		Раздел 7.4 [10]	12,3	15,5	18,6	21,6	24,6	25	25	25	25		
Уровни звукового давления прямого звука от источника ИШ-5-1 в расчётной точке днём, дБ		**ф-ла(3)[10]**	**0**	**22,3**	**20,6**	**18,7**	**15,6**	**14,3**	**10**	**2,5**	**0**	**18,6**	**18,6**
Расчёт отражённого звука													
Уровни звукового давления от мнимого источника ИШ-5-1_мн.(1) в расчётной точке днём, дБ		**ф-ла(3)[10]**	**0**	**0**	**0**	**0**	**0**	**0**	**0**	**0**	**0**	**0**	**0**
Уровни звукового давления от источника ИШ-5-1 в расчётной точке днём, дБ		**ф-ла(3)[10]**	**0**	**22,3**	**20,6**	**18,7**	**15,6**	**14,3**	**10**	**2,5**	**0**	**18,6**	**18,6**
Источник шума: ИШ-5-2, координаты источника (x,y,z), м =[625.81,159.52,1.00]													
Уровни звуковой мощности источника днём, Lw, дБ		**исходные данные**	**0**	**93,3**	**94,7**	**96**	**96,3**	**95,9**	**92,6**	**88,4**	**83,9**		
Поправка на телесный угол DΩ, дБ	Ω = 6.28	10Lg(4π/Ω)	**3**	3	3	3	3	3	3	3	3		

1		2	3	4	5	6	7	8	9	10	11	12	13
Показатель направленности источника Di, дБ		исходные данные	**0**	0	0	0	0	0	0	0	0		
Поправка на направленность источника Dc, дБ	Dc	DΩ + Di	**3**	3	3	3	3	3	3	3	3		
Затухание из-за геометрической дивергенции, Adiv, дБ	расстояние = 232.65 м	ф-ла (7) [10]	**58,3**										
Коэффициент затухания звука в атмосфере α, дБ/км	Ta=20,°C Pa=101.33,кПа hотн.=70%	ф-ла (5) [9]	0,02	0,09	0,33	1,12	2,79	4,98	9,04	23,09	77,63		
Учет затухания звука в атмосфере Aatm, дБ		ф-ла (8) [10]	0	0	0,1	0,3	0,6	1,2	2,1	5,4	18,1		
Снижение уровня звукового давления из-за влияния застройки между источником шума и расчетной точкой													
Снижение уровня звукового давления на пути над экраном, Dz1, дБ	z = 4.42м (разность путей)	ф-лы (14-18) [10]	16,5	19,8	22,8	25,8	28,8	31,8	34,8	37,8	40,8		
Снижение уровня звукового давления на пути слева от экрана, Dz2, дБ	z = 5.48м (разность путей)	ф-лы (14-18) [10]	17,5	20,8	23,8	26,9	29,9	32,9	35,9	38,9	41,9		
Снижение уровня звукового давления на пути справа от экрана, Dz3, дБ	z = 5.12м (разность путей)	ф-лы (14-18) [10]	17,2	20,5	23,6	26,6	29,6	32,6	35,6	38,6	41,6		
Общее снижение уровня звука препятствием Dz, дБ		Эн.сумма(-Dzi)	12,3	15,6	18,6	21,6	24,6	27,6	30,6	33,6	36,6		
Общее снижение уровня звука препятствием с учётом ограничения (25 дБ) для октавных полос Dz, дБ		Раздел 7.4 [10]	12,3	15,6	18,6	21,6	24,6	25	25	25	25		
Уровни звукового давления прямого звука от источника ИШ-5-2 в расчётной точке днём, дБ		**ф-ла(3)[10]**	**0**	**22,4**	**20,7**	**18,8**	**15,7**	**14,4**	**10,2**	**2,7**	**0**	**18,8**	**18,8**
Расчёт отражённого звука													
Уровни звукового давления от мнимого источника ИШ-5-2_мн.(1) в расчётной точке днём, дБ		**ф-ла(3)[10]**	**0**	**0**	**0**	**0**	**0**	**0**	**0**	**0**	**0**	**0**	**0**
Уровни звукового давления от источника ИШ-5-2 в расчётной точке днём, дБ		**ф-ла(3)[10]**	**0**	**22,4**	**20,7**	**18,8**	**15,7**	**14,4**	**10,2**	**2,7**	**0**	**18,8**	**18,8**

Источник шума: ИШ-5-3, координаты источника (x,y,z), м =[624.84,156.69,1.00]

1		2	3	4	5	6	7	8	9	10	11	12	13
Уровни звуковой мощности источника днём, Lw, дБ		**исходные данные**	**0**	**93,3**	**94,7**	**96**	**96,3**	**95,9**	**92,6**	**88,4**	**83,9**		
Поправка на телесный угол DΩ, дБ	Ω = 6.28	10Lg(4π/Ω)	**3**	3	3	3	3	3	3	3	3		
Показатель направленности источника Di, дБ		исходные данные	**0**	0	0	0	0	0	0	0	0		
Поправка на направленность источника Dc, дБ	Dc	DΩ + Di	**3**	3	3	3	3	3	3	3	3		
Затухание из-за геометрической дивергенции, Adiv, дБ	расстояние = 229.66 м	ф-ла (7) [10]	**58,2**										
Коэффициент затухания звука в атмосфере α, дБ/км	Ta=20,°C Pa=101.33,кПа hотн.=70%	ф-ла (5) [9]	0,02	0,09	0,33	1,12	2,79	4,98	9,04	23,09	77,63		
Учет затухания звука в атмосфере Aatm, дБ		ф-ла (8) [10]	0	0	0,1	0,3	0,6	1,1	2,1	5,3	17,8		
Снижение уровня звукового давления из-за влияния застройки между источником шума и расчетной точкой													
Снижение уровня звукового давления на пути над экраном, Dz1, дБ	z = 4.44м (разность путей)	ф-лы (14-18) [10]	16,5	19,8	22,8	25,8	28,8	31,8	34,8	37,8	40,8		
Снижение уровня звукового давления на пути слева от экрана, Dz2, дБ	z = 5.54м (разность путей)	ф-лы (14-18) [10]	17,6	20,9	23,9	26,9	29,9	32,9	35,9	38,9	41,9		
Снижение уровня звукового давления на пути справа от экрана, Dz3, дБ	z = 5.15м (разность путей)	ф-лы (14-18) [10]	17,3	20,6	23,6	26,6	29,6	32,6	35,6	38,6	41,6		
Общее снижение уровня звука препятствием Dz, дБ		Эн.сумма(-Dzi)	12,3	15,6	18,6	21,6	24,6	27,6	30,7	33,7	36,7		
Общее снижение уровня звука препятствием с учётом ограничения (25 дБ) для октавных полос Dz, дБ		Раздел 7.4 [10]	12,3	15,6	18,6	21,6	24,6	25	25	25	25		
Уровни звукового давления прямого звука от источника ИШ-5-3 в расчётной точке днём, дБ		**ф-ла(3)[10]**	**0**	**22,4**	**20,8**	**18,9**	**15,8**	**14,5**	**10,3**	**2,9**	**0**	**18,9**	**18,9**
Расчёт отражённого звука													
Уровни звукового давления от мнимого источника ИШ-5-3_мн.(1) в расчётной точке днём, дБ		**ф-ла(3)[10]**	**0**	**0**	**0**	**0**	**0**	**0**	**0**	**0**	**0**	**0**	**0**
Уровни звукового давления от источника ИШ-5-3 в расчётной точке днём, дБ		**ф-ла(3)[10]**	**0**	**22,4**	**20,8**	**18,9**	**15,8**	**14,5**	**10,3**	**2,9**	**0**	**18,9**	**18,9**

1		2	3	4	5	6	7	8	9	10	11	12	13
Источник шума: ИШ-6-1, координаты источника (x,y,z), м =[836.30,122.24,1.00]													
Уровни звуковой мощности источника днём, Lw, дБ		**исходные данные**	**0**	**96,3**	**97,7**	**99**	**99,3**	**98,9**	**95,6**	**91,4**	**86,9**		
Поправка на телесный угол DΩ, дБ	Ω = 12.57	10Lg(4π/Ω)	**0**	0	0	0	0	0	0	0	0		
Показатель направленности источника Di, дБ		исходные данные	**0**	0	0	0	0	0	0	0	0		
Поправка на направленность источника Dc, дБ	Dc	DΩ + Di	**0**	0	0	0	0	0	0	0	0		
Затухание из-за геометрической дивергенции, Adiv, дБ	расстояние = 345.61 м	ф-ла (7) [10]	**61,8**										
Коэффициент затухания звука в атмосфере α, дБ/км	Ta=20,°C Pa=101.33,кПа hотн.=70%	ф-ла (5) [9]	0,02	0,09	0,33	1,12	2,79	4,98	9,04	23,09	77,63		
Учет затухания звука в атмосфере Aatm, дБ		ф-ла (8) [10]	0	0	0,1	0,4	1	1,7	3,1	8	26,8		
Снижение уровня звукового давления из-за влияния застройки между источником шума и расчетной точкой													
Снижение уровня звукового давления на пути над экраном, Dz1, дБ	z = 4.04м (разность путей)	ф-лы (14-18) [10]	13,6	17,8	21,5	24,9	27,9	31	34	37	40		
Снижение уровня звукового давления на пути слева от экрана, Dz2, дБ	z = 16.88м (разность путей)	ф-лы (14-18) [10]	18,3	21,6	25,5	30	34,1	37,6	40,7	43,8	46,8		
Снижение уровня звукового давления на пути справа от экрана, Dz3, дБ	z = 20.34м (разность путей)	ф-лы (14-18) [10]	20,2	24,6	28,8	32,3	35,5	38,5	41,6	44,6	47,6		
Общее снижение уровня звука препятствием Dz, дБ		Эн.сумма(-Dzi)	11,7	15,7	19,5	23,1	26,4	29,5	32,6	35,6	38,6		
Общее снижение уровня звука препятствием с учётом ограничения (25 дБ) для октавных полос Dz, дБ		Раздел 7.4 [10]	11,7	15,7	19,5	23,1	25	25	25	25	25		
Уровни звукового давления прямого звука от источника ИШ-6-1 в расчётной точке днём, дБ		**ф-ла(3)[10]**	**0**	**18,8**	**16,3**	**13,7**	**11,6**	**10,4**	**5,7**	**0**	**0**	**14,3**	**14,3**
Расчёт отражённого звука													

1		2	3	4	5	6	7	8	9	10	11	12	13
Уровни звукового давления от мнимого источника ИШ-6-1_мн.(1) в расчётной точке днём, дБ		**ф-ла(3)[10]**	**0**	**0**	**0**	**0**	**0**	**0**	**0**	**0**	**0**	**0**	**0**
Уровни звукового давления от источника ИШ-6-1 в расчётной точке днём, дБ		**ф-ла(3)[10]**	**0**	**18,8**	**16,3**	**13,7**	**11,6**	**10,4**	**5,7**	**0**	**0**	**14,3**	**14,3**
Источник шума: ИШ-6-2, координаты источника (x,y,z), м =[835.37,119.30,1.00]													
Уровни звуковой мощности источника днём, Lw, дБ		**исходные данные**	**0**	**96,3**	**97,7**	**99**	**99,3**	**98,9**	**95,6**	**91,4**	**86,9**		
Поправка на телесный угол DΩ, дБ	Ω = 12.57	10Lg(4π/Ω)	**0**	0	0	0	0	0	0	0	0		
Показатель направленности источника Di, дБ		исходные данные	**0**	0	0	0	0	0	0	0	0		
Поправка на направленность источника Dc, дБ	Dc	DΩ + Di	**0**	0	0	0	0	0	0	0	0		
Затухание из-за геометрической дивергенции, Adiv, дБ	расстояние = 343.29 м	ф-ла (7) [10]	**61,7**										
Коэффициент затухания звука в атмосфере α, дБ/км	Ta=20,°C Pa=101.33,кПа hотн.=70%	ф-ла (5) [9]	0,02	0,09	0,33	1,12	2,79	4,98	9,04	23,09	77,63		
Учет затухания звука в атмосфере Aatm, дБ		ф-ла (8) [10]	0	0	0,1	0,4	1	1,7	3,1	7,9	26,7		
Снижение уровня звукового давления из-за влияния застройки между источником шума и расчетной точкой													
Снижение уровня звукового давления на пути над экраном, Dz1, дБ	z = 4.04м (разность путей)	ф-лы (14-18) [10]	13,6	17,8	21,6	24,9	27,9	31	34	37	40		
Снижение уровня звукового давления на пути слева от экрана, Dz2, дБ	z = 16.69м (разность путей)	ф-лы (14-18) [10]	18,3	21,5	25,4	30	34,1	37,5	40,7	43,7	46,7		
Снижение уровня звукового давления на пути справа от экрана, Dz3, дБ	z = 20.56м (разность путей)	ф-лы (14-18) [10]	20,2	24,6	28,8	32,4	35,5	38,6	41,6	44,6	47,6		
Общее снижение уровня звука препятствием Dz, дБ		Эн.сумма(-Dzi)	11,7	15,7	19,5	23,1	26,4	29,5	32,6	35,6	38,6		
Общее снижение уровня звука препятствием с учётом ограничения (25 дБ) для октавных полос Dz, дБ		Раздел 7.4 [10]	11,7	15,7	19,5	23,1	25	25	25	25	25		

1		2	3	4	5	6	7	8	9	10	11	12	13
Уровни звукового давления прямого звука от источника ИШ-6-2 в расчётной точке днём, дБ		**ф-ла(3)[10]**	**0**	**18,9**	**16,3**	**13,8**	**11,6**	**10,5**	**5,8**	**0**	**0**	**14,4**	**14,4**
Расчёт отражённого звука													
Уровни звукового давления от мнимого источника ИШ-6-2_мн.(1) в расчётной точке днём, дБ		**ф-ла(3)[10]**	**0**	**0**	**0**	**0**	**0**	**0**	**0**	**0**	**0**	**0**	**0**
Уровни звукового давления от источника ИШ-6-2 в расчётной точке днём, дБ		**ф-ла(3)[10]**	**0**	**18,9**	**16,3**	**13,8**	**11,6**	**10,5**	**5,8**	**0**	**0**	**14,4**	**14,4**
Источник шума: ИШ-6-3, координаты источника (x,y,z), м =[834.03,116.36,1.00]													
Уровни звуковой мощности источника днём, Lw, дБ		**исходные данные**	**0**	**96,3**	**97,7**	**99**	**99,3**	**98,9**	**95,6**	**91,4**	**86,9**		
Поправка на телесный угол DΩ, дБ	Ω = 12.57	10Lg(4π/Ω)	**0**	0	0	0	0	0	0	0	0		
Показатель направленности источника Di, дБ		исходные данные	**0**	0	0	0	0	0	0	0	0		
Поправка на направленность источника Dc, дБ	Dc	DΩ + Di	**0**	0	0	0	0	0	0	0	0		
Затухание из-за геометрической дивергенции, Adiv, дБ	расстояние = 340.65 м	ф-ла (7) [10]	**61,6**										
Коэффициент затухания звука в атмосфере α, дБ/км	Ta=20,°C Pa=101.33,кПа hотн.=70%	ф-ла (5) [9]	0,02	0,09	0,33	1,12	2,79	4,98	9,04	23,09	77,63		
Учет затухания звука в атмосфере Aatm, дБ		ф-ла (8) [10]	0	0	0,1	0,4	1	1,7	3,1	7,9	26,4		
Снижение уровня звукового давления из-за влияния застройки между источником шума и расчетной точкой													
Снижение уровня звукового давления на пути над экраном, Dz1, дБ	z = 4.03м (разность путей)	ф-лы (14-18) [10]	13,6	17,8	21,6	24,9	27,9	31	34	37	40		
Снижение уровня звукового давления на пути слева от экрана, Dz2, дБ	z = 16.52м (разность путей)	ф-лы (14-18) [10]	18,2	21,5	25,4	29,9	34	37,5	40,6	43,7	46,7		
Снижение уровня звукового давления на пути справа от экрана, Dz3, дБ	z = 20.77м (разность путей)	ф-лы (14-18) [10]	20,2	24,7	28,9	32,4	35,6	38,6	41,7	44,7	47,7		

1		2	3	4	5	6	7	8	9	10	11	12	13
Общее снижение уровня звука препятствием Dz, дБ		Эн.сумма(-Dzi)	11,7	15,7	19,5	23,1	26,4	29,5	32,6	35,6	38,6		
Общее снижение уровня звука препятствием с учётом ограничения (25 дБ) для октавных полос Dz, дБ		Раздел 7.4 [10]	11,7	15,7	19,5	23,1	25	25	25	25	25		
Уровни звукового давления прямого звука от источника ИШ-6-3 в расчётной точке днём, дБ		**ф-ла(3)[10]**	**0**	**19**	**16,4**	**13,8**	**11,7**	**10,6**	**5,9**	**0**	**0**	**14,5**	**14,5**
Расчёт отражённого звука													
Уровни звукового давления от мнимого источника ИШ-6-3_мн.(1) в расчётной точке днём, дБ		**ф-ла(3)[10]**	**0**	**0**	**0**	**0**	**0**	**0**	**0**	**0**	**0**	**0**	**0**
Уровни звукового давления от источника ИШ-6-3 в расчётной точке днём, дБ		**ф-ла(3)[10]**	**0**	**19**	**16,4**	**13,8**	**11,7**	**10,6**	**5,9**	**0**	**0**	**14,5**	**14,5**
Источник шума: ИШ-6-4, координаты источника (x,y,z), м =[833.23,113.30,1.00]													
Уровни звуковой мощности источника днём, Lw, дБ		**исходные данные**	**0**	**96,3**	**97,7**	**99**	**99,3**	**98,9**	**95,6**	**91,4**	**86,9**		
Поправка на телесный угол DΩ, дБ	Ω = 12.57	10Lg(4π/Ω)	**0**	0	0	0	0	0	0	0	0		
Показатель направленности источника Di, дБ		исходные данные	**0**	0	0	0	0	0	0	0	0		
Поправка на направленность источника Dc, дБ	Dc	DΩ + Di	**0**	0	0	0	0	0	0	0	0		
Затухание из-за геометрической дивергенции, Adiv, дБ	расстояние = 338.40 м	ф-ла (7) [10]	**61,6**										
Коэффициент затухания звука в атмосфере α, дБ/км	Ta=20,°C Pa=101.33,кПа hотн.=70%	ф-ла (5) [9]	0,02	0,09	0,33	1,12	2,79	4,98	9,04	23,09	77,63		
Учет затухания звука в атмосфере Aatm, дБ		ф-ла (8) [10]	0	0	0,1	0,4	0,9	1,7	3,1	7,8	26,3		
Снижение уровня звукового давления из-за влияния застройки между источником шума и расчетной точкой													
Снижение уровня звукового давления на пути над экраном, Dz1, дБ	z = 4.03м (разность путей)	ф-лы (14-18) [10]	13,6	17,8	21,6	24,9	27,9	31	34	37	40		

1		2	3	4	5	6	7	8	9	10	11	12	13
Снижение уровня звукового давления на пути слева от экрана, Dz2, дБ	z = 16.31м (разность путей)	ф-лы (14-18) [10]	18,2	21,4	25,3	29,9	34	37,4	40,6	43,6	46,6		
Снижение уровня звукового давления на пути справа от экрана, Dz3, дБ	z = 21.01м (разность путей)	ф-лы (14-18) [10]	20,3	24,7	28,9	32,5	35,6	38,7	41,7	44,7	47,7		
Общее снижение уровня звука препятствием Dz, дБ		Эн.сумма(-Dzi)	11,7	15,6	19,5	23,1	26,4	29,5	32,5	35,6	38,6		
Общее снижение уровня звука препятствием с учётом ограничения (25 дБ) для октавных полос Dz, дБ		Раздел 7.4 [10]	11,7	15,6	19,5	23,1	25	25	25	25	25		
Уровни звукового давления прямого звука от источника ИШ-6-4 в расчётной точке днём, дБ		**ф-ла(3)[10]**	**0**	**19**	**16,5**	**13,9**	**11,8**	**10,6**	**5,9**	**0**	**0**	**14,6**	**14,6**
Расчёт отражённого звука													
Уровни звукового давления от мнимого источника ИШ-6-4_мн.(1) в расчётной точке днём, дБ		**ф-ла(3)[10]**	**0**	**0**	**0**	**0**	**0**	**0**	**0**	**0**	**0**	**0**	**0**
Уровни звукового давления от источника ИШ-6-4 в расчётной точке днём, дБ		**ф-ла(3)[10]**	**0**	**19**	**16,5**	**13,9**	**11,8**	**10,6**	**5,9**	**0**	**0**	**14,6**	**14,6**
Источник шума: ИШ-6-5, координаты источника (x,y,z), м =[832.03,110.36,1.00]													
Уровни звуковой мощности источника днём, Lw, дБ		**исходные данные**	**0**	**96,3**	**97,7**	**99**	**99,3**	**98,9**	**95,6**	**91,4**	**86,9**		
Поправка на телесный угол DΩ, дБ	Ω = 12.57	10Lg(4π/Ω)	**0**	0	0	0	0	0	0	0	0		
Показатель направленности источника Di, дБ		исходные данные	**0**	0	0	0	0	0	0	0	0		
Поправка на направленность источника Dc, дБ	Dc	DΩ + Di	**0**	0	0	0	0	0	0	0	0		
Затухание из-за геометрической дивергенции, Adiv, дБ	расстояние = 335.89 м	ф-ла (7) [10]	**61,5**										
Коэффициент затухания звука в атмосфере α, дБ/км	Ta=20,°C Pa=101.33,кПа hотн.=70%	ф-ла (5) [9]	0,02	0,09	0,33	1,12	2,79	4,98	9,04	23,09	77,63		
Учет затухания звука в атмосфере Aatm, дБ		ф-ла (8) [10]	0	0	0,1	0,4	0,9	1,7	3	7,8	26,1		

1		2	3	4	5	6	7	8	9	10	11	12	13
Снижение уровня звукового давления из-за влияния застройки между источником шума и расчетной точкой													
Снижение уровня звукового давления на пути над экраном, Dz1, дБ	z = 4.02м (разность путей)	ф-лы (14-18) [10]	13,6	17,8	21,6	24,9	27,9	31	34	37	40		
Снижение уровня звукового давления на пути слева от экрана, Dz2, дБ	z = 16.13м (разность путей)	ф-лы (14-18) [10]	18,1	21,4	25,3	29,8	33,9	37,4	40,5	43,6	46,6		
Снижение уровня звукового давления на пути справа от экрана, Dz3, дБ	z = 21.24м (разность путей)	ф-лы (14-18) [10]	20,3	24,8	29	32,5	35,7	38,7	41,8	44,8	47,8		
Общее снижение уровня звука препятствием Dz, дБ		Эн.сумма(-Dzi)	11,7	15,6	19,5	23,1	26,4	29,5	32,5	35,6	38,6		
Общее снижение уровня звука препятствием с учётом ограничения (25 дБ) для октавных полос Dz, дБ		Раздел 7.4 [10]	11,7	15,6	19,5	23,1	25	25	25	25	25		
Уровни звукового давления прямого звука от источника ИШ-6-5 в расчётной точке днём, дБ		**ф-ла(3)[10]**	**0**	**19,1**	**16,6**	**14**	**11,8**	**10,7**	**6**	**0**	**0**	**14,6**	**14,6**
Расчёт отражённого звука													
Уровни звукового давления от мнимого источника ИШ-6-5_мн.(1) в расчётной точке днём, дБ		**ф-ла(3)[10]**	**0**	**0**	**0**	**0**	**0**	**0**	**0**	**0**	**0**	**0**	**0**
Уровни звукового давления от источника ИШ-6-5 в расчётной точке днём, дБ		**ф-ла(3)[10]**	**0**	**19,1**	**16,6**	**14**	**11,8**	**10,7**	**6**	**0**	**0**	**14,6**	**14,6**
Источник шума: ИШ-6-6, координаты источника (x,y,z), м =[830.97,107.42,1.00]													
Уровни звуковой мощности источника днём, Lw, дБ		**исходные данные**	**0**	**96,3**	**97,7**	**99**	**99,3**	**98,9**	**95,6**	**91,4**	**86,9**		
Поправка на телесный угол DΩ, дБ	Ω = 12.57	10Lg(4π/Ω)	**0**	0	0	0	0	0	0	0	0		
Показатель направленности источника Di, дБ		исходные данные	**0**	0	0	0	0	0	0	0	0		
Поправка на направленность источника Dc, дБ	Dc	DΩ + Di	**0**	0	0	0	0	0	0	0	0		
Затухание из-за геометрической дивергенции, Adiv, дБ	расстояние = 333.51 м	ф-ла (7) [10]	**61,5**										
Коэффициент затухания звука в атмосфере α, дБ/км	Ta=20,°C Pa=101.33,кПа hотн.=70%	ф-ла (5) [9]	0,02	0,09	0,33	1,12	2,79	4,98	9,04	23,09	77,63		

1		2	3	4	5	6	7	8	9	10	11	12	13
Учет затухания звука в атмосфере Aatm, дБ		ф-ла (8) [10]	0	0	0,1	0,4	0,9	1,7	3	7,7	25,9		
Снижение уровня звукового давления из-за влияния застройки между источником шума и расчетной точкой													
Снижение уровня звукового давления на пути над экраном, Dz1, дБ	z = 4.01м (разность путей)	ф-лы (14-18) [10]	13,6	17,8	21,6	24,9	27,9	31	34	37	40		
Снижение уровня звукового давления на пути слева от экрана, Dz2, дБ	z = 15.94м (разность путей)	ф-лы (14-18) [10]	18,1	21,3	25,2	29,8	33,9	37,3	40,5	43,5	46,5		
Снижение уровня звукового давления на пути справа от экрана, Dz3, дБ	z = 21.47м (разность путей)	ф-лы (14-18) [10]	20,4	24,8	29	32,6	35,7	38,8	41,8	44,8	47,8		
Общее снижение уровня звука препятствием Dz, дБ		Эн.сумма(-Dzi)	11,7	15,6	19,5	23,1	26,4	29,5	32,5	35,6	38,6		
Общее снижение уровня звука препятствием с учётом ограничения (25 дБ) для октавных полос Dz, дБ		Раздел 7.4 [10]	11,7	15,6	19,5	23,1	25	25	25	25	25		
Уровни звукового давления прямого звука от источника ИШ-6-6 в расчётной точке днём, дБ		**ф-ла(3)[10]**	**0**	**19,2**	**16,6**	**14**	**11,9**	**10,8**	**6,1**	**0**	**0**	**14,7**	**14,7**
Расчёт отражённого звука													
Уровни звукового давления от мнимого источника ИШ-6-6_мн.(1) в расчётной точке днём, дБ		**ф-ла(3)[10]**	**0**	**0**	**0**	**0**	**0**	**0**	**0**	**0**	**0**	**0**	**0**
Уровни звукового давления от источника ИШ-6-6 в расчётной точке днём, дБ		**ф-ла(3)[10]**	**0**	**19,2**	**16,6**	**14**	**11,9**	**10,8**	**6,1**	**0**	**0**	**14,7**	**14,7**
Источник шума: ИШ-6-7, координаты источника (x,y,z), м =[830.30,104.49,1.00]													
Уровни звуковой мощности источника днём, Lw, дБ		**исходные данные**	**0**	**96,3**	**97,7**	**99**	**99,3**	**98,9**	**95,6**	**91,4**	**86,9**		
Поправка на телесный угол DΩ, дБ	Ω = 12.57	10Lg(4π/Ω)	**0**	0	0	0	0	0	0	0	0		
Показатель направленности источника Di, дБ		исходные данные	**0**	0	0	0	0	0	0	0	0		
Поправка на направленность источника Dc, дБ	Dc	DΩ + Di	**0**	0	0	0	0	0	0	0	0		
Затухание из-за геометрической дивергенции, Adiv, дБ	расстояние = 331.49 м	ф-ла (7) [10]	**61,4**										

1		2	3	4	5	6	7	8	9	10	11	12	13
Коэффициент затухания звука в атмосфере α, дБ/км	Та=20,°С Ра=101.33,кПа hотн.=70%	ф-ла (5) [9]	0,02	0,09	0,33	1,12	2,79	4,98	9,04	23,09	77,63		
Учет затухания звука в атмосфере Aatm, дБ		ф-ла (8) [10]	0	0	0,1	0,4	0,9	1,7	3	7,7	25,7		
Снижение уровня звукового давления из-за влияния застройки между источником шума и расчетной точкой													
Снижение уровня звукового давления на пути над экраном, Dz1, дБ	z = 4.01м (разность путей)	ф-лы (14-18) [10]	13,6	17,8	21,6	24,8	27,9	31	34	37	40		
Снижение уровня звукового давления на пути слева от экрана, Dz2, дБ	z = 15.73м (разность путей)	ф-лы (14-18) [10]	18	21,3	25,2	29,7	33,8	37,3	40,4	43,5	46,5		
Снижение уровня звукового давления на пути справа от экрана, Dz3, дБ	z = 21.72м (разность путей)	ф-лы (14-18) [10]	20,4	24,9	29,1	32,6	35,8	38,8	41,9	44,9	47,9		
Общее снижение уровня звука препятствием Dz, дБ		Эн.сумма(-Dzi)	11,7	15,6	19,5	23,1	26,4	29,5	32,5	35,5	38,6		
Общее снижение уровня звука препятствием с учётом ограничения (25 дБ) для октавных полос Dz, дБ		Раздел 7.4 [10]	11,7	15,6	19,5	23,1	25	25	25	25	25		
Уровни звукового давления прямого звука от источника ИШ-6-7 в расчётной точке днём, дБ		**ф-ла(3)[10]**	**0**	**19,2**	**16,7**	**14,1**	**12**	**10,8**	**6,2**	**0**	**0**	**14,8**	**14,8**
Расчёт отражённого звука													
Уровни звукового давления от мнимого источника ИШ-6-7_мн.(1) в расчётной точке днём, дБ		**ф-ла(3)[10]**	**0**	**0**	**0**	**0**	**0**	**0**	**0**	**0**	**0**	**0**	**0**
Уровни звукового давления от источника ИШ-6-7 в расчётной точке днём, дБ		**ф-ла(3)[10]**	**0**	**19,2**	**16,7**	**14,1**	**12**	**10,8**	**6,2**	**0**	**0**	**14,8**	**14,8**
Источник шума: ИШ-6-8, координаты источника (x,y,z), м =[829.36,101.42,1.00]													
Уровни звуковой мощности источника днём, Lw, дБ		**исходные данные**	**0**	**96,3**	**97,7**	**99**	**99,3**	**98,9**	**95,6**	**91,4**	**86,9**		
Поправка на телесный угол DΩ, дБ	Ω = 12.57	10Lg(4π/Ω)	**0**	0	0	0	0	0	0	0	0		
Показатель направленности источника Di, дБ		исходные данные	**0**	0	0	0	0	0	0	0	0		

1		2	3	4	5	6	7	8	9	10	11	12	13
Поправка на направленность источника Dc, дБ	Dc	DΩ + Di	**0**	0	0	0	0	0	0	0	0		
Затухание из-за геометрической дивергенции, Adiv, дБ	расстояние = 329.19 м	ф-ла (7) [10]	**61,3**										
Коэффициент затухания звука в атмосфере α, дБ/км	Ta=20,°C Pa=101.33,кПа hотн.=70%	ф-ла (5) [9]	0,02	0,09	0,33	1,12	2,79	4,98	9,04	23,09	77,63		
Учет затухания звука в атмосфере Aatm, дБ		ф-ла (8) [10]	0	0	0,1	0,4	0,9	1,6	3	7,6	25,6		
Снижение уровня звукового давления из-за влияния застройки между источником шума и расчетной точкой													
Снижение уровня звукового давления на пути над экраном, Dz1, дБ	z = 4.00м (разность путей)	ф-лы (14-18) [10]	13,6	17,8	21,6	24,8	27,9	30,9	34	37	40		
Снижение уровня звукового давления на пути слева от экрана, Dz2, дБ	z = 15.52м (разность путей)	ф-лы (14-18) [10]	17,9	21,2	25,1	29,7	33,8	37,2	40,4	43,4	46,4		
Снижение уровня звукового давления на пути справа от экрана, Dz3, дБ	z = 21.98м (разность путей)	ф-лы (14-18) [10]	20,5	24,9	29,1	32,7	35,8	38,9	41,9	44,9	47,9		
Общее снижение уровня звука препятствием Dz, дБ		Эн.сумма(-Dzi)	11,7	15,6	19,5	23,1	26,4	29,5	32,5	35,5	38,6		
Общее снижение уровня звука препятствием с учётом ограничения (25 дБ) для октавных полос Dz, дБ		Раздел 7.4 [10]	11,7	15,6	19,5	23,1	25	25	25	25	25		
Уровни звукового давления прямого звука от источника ИШ-6-8 в расчётной точке днём, дБ		**ф-ла(3)[10]**	**0**	**19,3**	**16,8**	**14,2**	**12**	**10,9**	**6,3**	**0**	**0**	**14,8**	**14,8**
Расчёт отражённого звука													
Уровни звукового давления от мнимого источника ИШ-6-8_мн.(1) в расчётной точке днём, дБ		**ф-ла(3)[10]**	**0**	**0**	**0**	**0**	**0**	**0**	**0**	**0**	**0**	**0**	**0**
Уровни звукового давления от источника ИШ-6-8 в расчётной точке днём, дБ		**ф-ла(3)[10]**	**0**	**19,3**	**16,8**	**14,2**	**12**	**10,9**	**6,3**	**0**	**0**	**14,8**	**14,8**
Источник шума: ИШ-6-9, координаты источника (x,y,z), м =[828.03,98.62,1.00]													
Уровни звуковой мощности источника днём, Lw, дБ		**исходные данные**	**0**	**96,3**	**97,7**	**99**	**99,3**	**98,9**	**95,6**	**91,4**	**86,9**		

1		2	3	4	5	6	7	8	9	10	11	12	13
Поправка на телесный угол DΩ, дБ	Ω = 12.57	10Lg(4π/Ω)	**0**	0	0	0	0	0	0	0	0		
Показатель направленности источника Di, дБ		исходные данные	**0**	0	0	0	0	0	0	0	0		
Поправка на направленность источника Dc, дБ	Dc	DΩ + Di	**0**	0	0	0	0	0	0	0	0		
Затухание из-за геометрической дивергенции, Adiv, дБ	расстояние = 326.67 м	ф-ла (7) [10]	**61,3**										
Коэффициент затухания звука в атмосфере α, дБ/км	Ta=20,°C Pa=101.33,кПа hотн.=70%	ф-ла (5) [9]	0,02	0,09	0,33	1,12	2,79	4,98	9,04	23,09	77,63		
Учет затухания звука в атмосфере Aatm, дБ		ф-ла (8) [10]	0	0	0,1	0,4	0,9	1,6	3	7,5	25,4		
Снижение уровня звукового давления из-за влияния застройки между источником шума и расчетной точкой													
Снижение уровня звукового давления на пути над экраном, Dz1, дБ	z = 3.99м (разность путей)	ф-лы (14-18) [10]	13,7	17,8	21,6	24,8	27,9	30,9	34	37	40		
Снижение уровня звукового давления на пути слева от экрана, Dz2, дБ	z = 15.34м (разность путей)	ф-лы (14-18) [10]	17,9	21,2	25,1	29,6	33,7	37,2	40,3	43,3	46,4		
Снижение уровня звукового давления на пути справа от экрана, Dz3, дБ	z = 22.20м (разность путей)	ф-лы (14-18) [10]	20,5	25	29,2	32,7	35,9	38,9	41,9	45	48		
Общее снижение уровня звука препятствием Dz, дБ		Эн.сумма(-Dzi)	11,7	15,6	19,5	23,1	26,4	29,5	32,5	35,5	38,6		
Общее снижение уровня звука препятствием с учётом ограничения (25 дБ) для октавных полос Dz, дБ		Раздел 7.4 [10]	11,7	15,6	19,5	23,1	25	25	25	25	25		
Уровни звукового давления прямого звука от источника ИШ-6-9 в расчётной точке днём, дБ		**ф-ла(3)[10]**	**0**	**19,4**	**16,8**	**14,3**	**12,1**	**11**	**6,4**	**0**	**0**	**14,9**	**14,9**
Расчёт отражённого звука													
Уровни звукового давления от мнимого источника ИШ-6-9_мн.(1) в расчётной точке днём, дБ		**ф-ла(3)[10]**	**0**	**0**	**0**	**0**	**0**	**0**	**0**	**0**	**0**	**0**	**0**
Уровни звукового давления от источника ИШ-6-9 в расчётной точке днём, дБ		**ф-ла(3)[10]**	**0**	**19,4**	**16,8**	**14,3**	**12,1**	**11**	**6,4**	**0**	**0**	**14,9**	**14,9**

1		2	3	4	5	6	7	8	9	10	11	12	13
Источник шума: ИШ-6-10, координаты источника (x,y,z), м =[827.23,95.55,1.00]													
Уровни звуковой мощности источника днём, Lw, дБ		**исходные данные**	**0**	**96,3**	**97,7**	**99**	**99,3**	**98,9**	**95,6**	**91,4**	**86,9**		
Поправка на телесный угол DΩ, дБ	Ω = 12.57	10Lg(4π/Ω)	**0**	0	0	0	0	0	0	0	0		
Показатель направленности источника Di, дБ		исходные данные	**0**	0	0	0	0	0	0	0	0		
Поправка на направленность источника Dc, дБ	Dc	DΩ + Di	**0**	0	0	0	0	0	0	0	0		
Затухание из-за геометрической дивергенции, Adiv, дБ	расстояние = 324.51 м	ф-ла (7) [10]	**61,2**										
Коэффициент затухания звука в атмосфере α, дБ/км	Ta=20,°C Pa=101.33,кПа hотн.=70%	ф-ла (5) [9]	0,02	0,09	0,33	1,12	2,79	4,98	9,04	23,09	77,63		
Учет затухания звука в атмосфере Aatm, дБ		ф-ла (8) [10]	0	0	0,1	0,4	0,9	1,6	2,9	7,5	25,2		
Снижение уровня звукового давления из-за влияния застройки между источником шума и расчетной точкой													
Снижение уровня звукового давления на пути над экраном, Dz1, дБ	z = 3.99м (разность путей)	ф-лы (14-18) [10]	13,6	17,8	21,6	24,8	27,9	30,9	33,9	37	40		
Снижение уровня звукового давления на пути слева от экрана, Dz2, дБ	z = 15.12м (разность путей)	ф-лы (14-18) [10]	17,8	21,1	25	29,5	33,7	37,1	40,2	43,3	46,3		
Снижение уровня звукового давления на пути справа от экрана, Dz3, дБ	z = 22.48м (разность путей)	ф-лы (14-18) [10]	20,6	25	29,2	32,8	35,9	39	42	45	48		
Общее снижение уровня звука препятствием Dz, дБ		Эн.сумма(-Dzi)	11,6	15,6	19,4	23,1	26,4	29,5	32,5	35,5	38,5		
Общее снижение уровня звука препятствием с учётом ограничения (25 дБ) для октавных полос Dz, дБ		Раздел 7.4 [10]	11,6	15,6	19,4	23,1	25	25	25	25	25		
Уровни звукового давления прямого звука от источника ИШ-6-10 в расчётной точке днём, дБ		**ф-ла(3)[10]**	**0**	**19,4**	**16,9**	**14,3**	**12,2**	**11,1**	**6,4**	**0**	**0**	**15**	**15**
Расчёт отражённого звука													

1		2	3	4	5	6	7	8	9	10	11	12	13
Уровни звукового давления от мнимого источника ИШ-6-10_мн.(1) в расчётной точке днём, дБ		**ф-ла(3)[10]**	**0**	**0**	**0**	**0**	**0**	**0**	**0**	**0**	**0**	**0**	**0**
Уровни звукового давления от источника ИШ-6-10 в расчётной точке днём, дБ		**ф-ла(3)[10]**	**0**	**19,4**	**16,9**	**14,3**	**12,2**	**11,1**	**6,4**	**0**	**0**	**15**	**15**
Источник шума: ИШ-6-11, координаты источника (x,y,z), м =[826.30,92.48,1.00]													
Уровни звуковой мощности источника днём, Lw, дБ		**исходные данные**	**0**	**96,3**	**97,7**	**99**	**99,3**	**98,9**	**95,6**	**91,4**	**86,9**		
Поправка на телесный угол DΩ, дБ	Ω = 12.57	10Lg(4π/Ω)	**0**	0	0	0	0	0	0	0	0		
Показатель направленности источника Di, дБ		исходные данные	**0**	0	0	0	0	0	0	0	0		
Поправка на направленность источника Dc, дБ	Dc	DΩ + Di	**0**	0	0	0	0	0	0	0	0		
Затухание из-за геометрической дивергенции, Adiv, дБ	расстояние = 322.26 м	ф-ла (7) [10]	**61,2**										
Коэффициент затухания звука в атмосфере α, дБ/км	Ta=20,°C Pa=101.33,кПа hотн.=70%	ф-ла (5) [9]	0,02	0,09	0,33	1,12	2,79	4,98	9,04	23,09	77,63		
Учет затухания звука в атмосфере Aatm, дБ		ф-ла (8) [10]	0	0	0,1	0,4	0,9	1,6	2,9	7,4	25		
Снижение уровня звукового давления из-за влияния застройки между источником шума и расчетной точкой													
Снижение уровня звукового давления на пути над экраном, Dz1, дБ	z = 3.98м (разность путей)	ф-лы (14-18) [10]	13,6	17,8	21,5	24,8	27,9	30,9	33,9	37	40		
Снижение уровня звукового давления на пути слева от экрана, Dz2, дБ	z = 14.90м (разность путей)	ф-лы (14-18) [10]	17,8	21	24,9	29,5	33,6	37	40,2	43,2	46,2		
Снижение уровня звукового давления на пути справа от экрана, Dz3, дБ	z = 22.76м (разность путей)	ф-лы (14-18) [10]	20,6	25,1	29,3	32,8	36	39	42,1	45,1	48,1		
Общее снижение уровня звука препятствием Dz, дБ		Эн.сумма(-Dzi)	11,6	15,6	19,4	23,1	26,4	29,5	32,5	35,5	38,5		
Общее снижение уровня звука препятствием с учётом ограничения (25 дБ) для октавных полос Dz, дБ		Раздел 7.4 [10]	11,6	15,6	19,4	23,1	25	25	25	25	25		

1		2	3	4	5	6	7	8	9	10	11	12	13
Уровни звукового давления прямого звука от источника ИШ-6-11 в расчётной точке днём, дБ		**ф-ла(3)[10]**	**0**	**19,5**	**17**	**14,4**	**12,2**	**11,1**	**6,5**	**0**	**0**	**15,1**	**15,1**
Расчёт отражённого звука													
Уровни звукового давления от мнимого источника ИШ-6-11_мн.(1) в расчётной точке днём, дБ		**ф-ла(3)[10]**	**0**	**0**	**0**	**0**	**0**	**0**	**0**	**0**	**0**	**0**	**0**
Уровни звукового давления от источника ИШ-6-11 в расчётной точке днём, дБ		**ф-ла(3)[10]**	**0**	**19,5**	**17**	**14,4**	**12,2**	**11,1**	**6,5**	**0**	**0**	**15,1**	**15,1**
Источник шума: ИШ-6-12, координаты источника (x,y,z), м =[825.09,89.54,1.00]													
Уровни звуковой мощности источника днём, Lw, дБ		**исходные данные**	**0**	**96,3**	**97,7**	**99**	**99,3**	**98,9**	**95,6**	**91,4**	**86,9**		
Поправка на телесный угол DΩ, дБ	Ω = 12.57	10Lg(4π/Ω)	**0**	0	0	0	0	0	0	0	0		
Показатель направленности источника Di, дБ		исходные данные	**0**	0	0	0	0	0	0	0	0		
Поправка на направленность источника Dc, дБ	Dc	DΩ + Di	**0**	0	0	0	0	0	0	0	0		
Затухание из-за геометрической дивергенции, Adiv, дБ	расстояние = 319.84 м	ф-ла (7) [10]	**61,1**										
Коэффициент затухания звука в атмосфере α, дБ/км	Ta=20,°C Pa=101.33,кПа hотн.=70%	ф-ла (5) [9]	0,02	0,09	0,33	1,12	2,79	4,98	9,04	23,09	77,63		
Учет затухания звука в атмосфере Aatm, дБ		ф-ла (8) [10]	0	0	0,1	0,4	0,9	1,6	2,9	7,4	24,8		
Снижение уровня звукового давления из-за влияния застройки между источником шума и расчетной точкой													
Снижение уровня звукового давления на пути над экраном, Dz1, дБ	z = 3.97м (разность путей)	ф-лы (14-18) [10]	13,6	17,8	21,5	24,8	27,9	30,9	33,9	36,9	40		
Снижение уровня звукового давления на пути слева от экрана, Dz2, дБ	z = 14.71м (разность путей)	ф-лы (14-18) [10]	17,7	21	24,9	29,4	33,5	37	40,1	43,2	46,2		
Снижение уровня звукового давления на пути справа от экрана, Dz3, дБ	z = 23.01м (разность путей)	ф-лы (14-18) [10]	20,7	25,1	29,3	32,9	36	39,1	42,1	45,1	48,1		

1		2	3	4	5	6	7	8	9	10	11	12	13
Общее снижение уровня звука препятствием Dz, дБ		Эн.сумма(-Dzi)	11,6	15,6	19,4	23,1	26,4	29,5	32,5	35,5	38,5		
Общее снижение уровня звука препятствием с учётом ограничения (25 дБ) для октавных полос Dz, дБ		Раздел 7.4 [10]	11,6	15,6	19,4	23,1	25	25	25	25	25		
Уровни звукового давления прямого звука от источника ИШ-6-12 в расчётной точке днём, дБ		**ф-ла(3)[10]**	**0**	**19,6**	**17,1**	**14,5**	**12,3**	**11,2**	**6,6**	**0**	**0**	**15,1**	**15,1**
Расчёт отражённого звука													
Уровни звукового давления от мнимого источника ИШ-6-12_мн.(1) в расчётной точке днём, дБ		**ф-ла(3)[10]**	**0**	**0**	**0**	**0**	**0**	**0**	**0**	**0**	**0**	**0**	**0**
Уровни звукового давления от источника ИШ-6-12 в расчётной точке днём, дБ		**ф-ла(3)[10]**	**0**	**19,6**	**17,1**	**14,5**	**12,3**	**11,2**	**6,6**	**0**	**0**	**15,1**	**15,1**
Источник шума: ИШ-6-13, координаты источника (x,y,z), м =[767.76,-114.15,1.00]													
Уровни звуковой мощности источника днём, Lw, дБ		**исходные данные**	**0**	**96,3**	**97,7**	**99**	**99,3**	**98,9**	**95,6**	**91,4**	**86,9**		
Поправка на телесный угол DΩ, дБ	Ω = 12.57	10Lg(4π/Ω)	**0**	0	0	0	0	0	0	0	0		
Показатель направленности источника Di, дБ		исходные данные	**0**	0	0	0	0	0	0	0	0		
Поправка на направленность источника Dc, дБ	Dc	DΩ + Di	**0**	0	0	0	0	0	0	0	0		
Затухание из-за геометрической дивергенции, Adiv, дБ	расстояние = 233.99 м	ф-ла (7) [10]	**58,4**										
Коэффициент затухания звука в атмосфере α, дБ/км	Ta=20,°C Pa=101.33,кПа hотн.=70%	ф-ла (5) [9]	0,02	0,09	0,33	1,12	2,79	4,98	9,04	23,09	77,63		
Учет затухания звука в атмосфере Aatm, дБ		ф-ла (8) [10]	0	0	0,1	0,3	0,7	1,2	2,1	5,4	18,2		
Снижение уровня звукового давления из-за влияния застройки между источником шума и расчетной точкой													
Снижение уровня звукового давления на пути над экраном, Dz1, дБ	z = 0.86м (разность путей)	ф-лы (14-18) [10]	7,1	8,8	11,6	15,5	19,4	22,8	25,9	28,9	31,9		

1		2	3	4	5	6	7	8	9	10	11	12	13
Снижение уровня звукового давления на пути слева от экрана, Dz2, дБ	z = 0.30м (разность путей)	ф-лы (14-18) [10]	6,2	7,4	9,6	13,2	16,9	20,2	23,3	26,3	29,3		
Снижение уровня звукового давления на пути справа от экрана, Dz3, дБ	z = 29.09м (разность путей)	ф-лы (14-18) [10]	22,5	26,9	30,7	34	37,1	40,1	43,1	46,1	49,1		
Общее снижение уровня звука препятствием Dz, дБ		Эн.сумма(-Dzi)	3,5	5	7,5	11,2	14,9	18,3	21,3	24,4	27,4		
Общее снижение уровня звука препятствием с учётом ограничения (25 дБ) для октавных полос Dz, дБ		Раздел 7.4 [10]	3,5	5	7,5	11,2	14,9	18,3	21,3	24,4	25		
Уровни звукового давления от источника ИШ-6-13 в расчётной точке днём, дБ		**ф-ла(3)[10]**	**0**	**32,9**	**31,8**	**29,2**	**25,3**	**21,1**	**13,7**	**3,2**	**0**	**26,8**	**26,8**
Источник шума: ИШ-6-14, координаты источника (x,y,z), м =[766.82,-117.10,1.00]													
Уровни звуковой мощности источника днём, Lw, дБ		**исходные данные**	**0**	**96,3**	**97,7**	**99**	**99,3**	**98,9**	**95,6**	**91,4**	**86,9**		
Поправка на телесный угол DΩ, дБ	Ω = 12.57	10Lg(4π/Ω)	**0**	0	0	0	0	0	0	0	0		
Показатель направленности источника Di, дБ		исходные данные	**0**	0	0	0	0	0	0	0	0		
Поправка на направленность источника Dc, дБ	Dc	DΩ + Di	**0**	0	0	0	0	0	0	0	0		
Затухание из-за геометрической дивергенции, Adiv, дБ	расстояние = 233.82 м	ф-ла (7) [10]	**58,4**										
Коэффициент затухания звука в атмосфере α, дБ/км	Ta=20,°C Pa=101.33,кПа hотн.=70%	ф-ла (5) [9]	0,02	0,09	0,33	1,12	2,79	4,98	9,04	23,09	77,63		
Учет затухания звука в атмосфере Aatm, дБ		ф-ла (8) [10]	0	0	0,1	0,3	0,7	1,2	2,1	5,4	18,2		
Снижение уровня звукового давления из-за влияния застройки между источником шума и расчетной точкой													
Снижение уровня звукового давления на пути над экраном, Dz1, дБ	z = 0.86м (разность путей)	ф-лы (14-18) [10]	7,1	8,8	11,6	15,5	19,4	22,8	25,9	28,9	31,9		
Снижение уровня звукового давления на пути слева от экрана, Dz2, дБ	z = 0.23м (разность путей)	ф-лы (14-18) [10]	5,9	6,9	8,9	12,3	15,9	19,1	22,2	25,2	28,2		

1		2	3	4	5	6	7	8	9	10	11	12	13
Снижение уровня звукового давления на пути справа от экрана, Dz3, дБ	z = 29.73м (разность путей)	ф-лы (14-18) [10]	22,6	27	30,8	34,1	37,2	40,2	43,2	46,2	49,2		
Общее снижение уровня звука препятствием Dz, дБ		Эн.сумма(-Dzi)	3,4	4,7	7	10,6	14,3	17,6	20,6	23,6	26,6		
Общее снижение уровня звука препятствием с учётом ограничения (25 дБ) для октавных полос Dz, дБ		Раздел 7.4 [10]	3,4	4,7	7	10,6	14,3	17,6	20,6	23,6	25		
Уровни звукового давления от источника ИШ-6-14 в расчётной точке днём, дБ		**ф-ла(3)[10]**	**0**	**33,2**	**32,2**	**29,8**	**26**	**21,8**	**14,5**	**4**	**0**	**27,5**	**27,5**
Источник шума: ИШ-6-15, координаты источника (x,y,z), м =[765.71,-120.27,1.00]													
Уровни звуковой мощности источника днём, Lw, дБ		**исходные данные**	**0**	**96,3**	**97,7**	**99**	**99,3**	**98,9**	**95,6**	**91,4**	**86,9**		
Поправка на телесный угол DΩ, дБ	Ω = 12.57	10Lg(4π/Ω)	**0**	0	0	0	0	0	0	0	0		
Показатель направленности источника Di, дБ		исходные данные	**0**	0	0	0	0	0	0	0	0		
Поправка на направленность источника Dc, дБ	Dc	DΩ + Di	**0**	0	0	0	0	0	0	0	0		
Затухание из-за геометрической дивергенции, Adiv, дБ	расстояние = 233.59 м	ф-ла (7) [10]	**58,4**										
Коэффициент затухания звука в атмосфере α, дБ/км	Ta=20,°C Pa=101.33,кПа hотн.=70%	ф-ла (5) [9]	0,02	0,09	0,33	1,12	2,79	4,98	9,04	23,09	77,63		
Учет затухания звука в атмосфере Aatm, дБ		ф-ла (8) [10]	0	0	0,1	0,3	0,7	1,2	2,1	5,4	18,1		
Снижение уровня звукового давления из-за влияния застройки между источником шума и расчетной точкой													
Снижение уровня звукового давления на пути над экраном, Dz1, дБ	z = 0.86м (разность путей)	ф-лы (14-18) [10]	7,1	8,8	11,6	15,6	19,5	22,8	25,9	28,9	32		
Снижение уровня звукового давления на пути слева от экрана, Dz2, дБ	z = 0.17м (разность путей)	ф-лы (14-18) [10]	5,6	6,5	8,2	11,2	14,7	17,9	20,9	23,9	26,9		
Снижение уровня звукового давления на пути справа от экрана, Dz3, дБ	z = 30.44м (разность путей)	ф-лы (14-18) [10]	22,7	27,1	30,9	34,2	37,3	40,3	43,3	46,3	49,3		

1		2	3	4	5	6	7	8	9	10	11	12	13
Общее снижение уровня звука препятствием Dz, дБ		Эн.сумма(-Dzi)	3,2	4,4	6,5	9,8	13,4	16,6	19,7	22,7	25,7		
Общее снижение уровня звука препятствием с учётом ограничения (25 дБ) для октавных полос Dz, дБ		Раздел 7.4 [10]	3,2	4,4	6,5	9,8	13,4	16,6	19,7	22,7	25		
Уровни звукового давления от источника ИШ-6-15 в расчётной точке днём, дБ		**ф-ла(3)[10]**	**0**	**33,5**	**32,7**	**30,5**	**26,9**	**22,7**	**15,4**	**5**	**0**	**28,3**	**28,3**
Источник шума: ИШ-6-16, координаты источника (x,y,z), м =[764.57,-123.22,1.00]													
Уровни звуковой мощности источника днём, Lw, дБ		**исходные данные**	**0**	**96,3**	**97,7**	**99**	**99,3**	**98,9**	**95,6**	**91,4**	**86,9**		
Поправка на телесный угол DΩ, дБ	Ω = 12.57	10Lg(4π/Ω)	**0**	0	0	0	0	0	0	0	0		
Показатель направленности источника Di, дБ		исходные данные	**0**	0	0	0	0	0	0	0	0		
Поправка на направленность источника Dc, дБ	Dc	DΩ + Di	**0**	0	0	0	0	0	0	0	0		
Затухание из-за геометрической дивергенции, Adiv, дБ	расстояние = 233.31 м	ф-ла (7) [10]	**58,4**										
Коэффициент затухания звука в атмосфере α, дБ/км	Ta=20,°C Pa=101.33,кПа hотн.=70%	ф-ла (5) [9]	0,02	0,09	0,33	1,12	2,79	4,98	9,04	23,09	77,63		
Учет затухания звука в атмосфере Aatm, дБ		ф-ла (8) [10]	0	0	0,1	0,3	0,7	1,2	2,1	5,4	18,1		
Снижение уровня звукового давления из-за влияния застройки между источником шума и расчетной точкой													
Снижение уровня звукового давления на пути над экраном, Dz1, дБ	z = 0.86м (разность путей)	ф-лы (14-18) [10]	7,1	8,8	11,6	15,6	19,5	22,8	25,9	29	32		
Снижение уровня звукового давления на пути слева от экрана, Dz2, дБ	z = 0.12м (разность путей)	ф-лы (14-18) [10]	5,4	6	7,4	10,1	13,4	16,5	19,5	22,4	25,4		
Снижение уровня звукового давления на пути справа от экрана, Dz3, дБ	z = 31.12м (разность путей)	ф-лы (14-18) [10]	22,8	27,2	31	34,3	37,4	40,4	43,4	46,4	49,4		
Общее снижение уровня звука препятствием Dz, дБ		Эн.сумма(-Dzi)	3,1	4,2	6	9	12,4	15,6	18,6	21,5	24,5		

1		2	3	4	5	6	7	8	9	10	11	12	13
Уровни звукового давления от источника ИШ-6-16 в расчётной точке днём, дБ		**ф-ла(3)[10]**	**0**	**33,7**	**33,2**	**31,4**	**27,9**	**23,8**	**16,6**	**6,1**	**0**	**29,3**	**29,3**
Источник шума: ИШ-6-17, координаты источника (x,y,z), м =[763.57,-126.18,1.00]													
Уровни звуковой мощности источника днём, Lw, дБ		**исходные данные**	**0**	**96,3**	**97,7**	**99**	**99,3**	**98,9**	**95,6**	**91,4**	**86,9**		
Поправка на телесный угол DΩ, дБ	Ω = 12.57	10Lg(4π/Ω)	**0**	0	0	0	0	0	0	0	0		
Показатель направленности источника Di, дБ		исходные данные	**0**	0	0	0	0	0	0	0	0		
Поправка на направленность источника Dc, дБ	Dc	DΩ + Di	**0**	0	0	0	0	0	0	0	0		
Затухание из-за геометрической дивергенции, Adiv, дБ	расстояние = 233.21 м	ф-ла (7) [10]	**58,4**										
Коэффициент затухания звука в атмосфере α, дБ/км	Ta=20,°C Pa=101.33,кПа hотн.=70%	ф-ла (5) [9]	0,02	0,09	0,33	1,12	2,79	4,98	9,04	23,09	77,63		
Учет затухания звука в атмосфере Aatm, дБ		ф-ла (8) [10]	0	0	0,1	0,3	0,7	1,2	2,1	5,4	18,1		
Снижение уровня звукового давления из-за влияния застройки между источником шума и расчетной точкой													
Снижение уровня звукового давления на пути над экраном, Dz1, дБ	z = 0.86м (разность путей)	ф-лы (14-18) [10]	7,1	8,8	11,6	15,6	19,5	22,8	25,9	29	32		
Снижение уровня звукового давления на пути слева от экрана, Dz2, дБ	z = 0.08м (разность путей)	ф-лы (14-18) [10]	5,2	5,7	6,7	8,9	11,9	14,9	17,8	20,7	23,7		
Снижение уровня звукового давления на пути справа от экрана, Dz3, дБ	z = 31.79м (разность путей)	ф-лы (14-18) [10]	22,9	27,3	31,1	34,4	37,5	40,5	43,5	46,5	49,5		
Общее снижение уровня звука препятствием Dz, дБ		Эн.сумма(-Dzi)	3	3,9	5,5	8,1	11,2	14,2	17,2	20,1	23,1		
Уровни звукового давления от источника ИШ-6-17 в расчётной точке днём, дБ		**ф-ла(3)[10]**	**0**	**34**	**33,8**	**32,3**	**29,1**	**25,2**	**18**	**7,5**	**0**	**30,4**	**30,4**
Источник шума: ИШ-6-18, координаты источника (x,y,z), м =[804.77,-126.28,1.00]													

1		2	3	4	5	6	7	8	9	10	11	12	13
Уровни звуковой мощности источника днём, Lw, дБ		**исходные данные**	**0**	**96,3**	**97,7**	**99**	**99,3**	**98,9**	**95,6**	**91,4**	**86,9**		
Поправка на телесный угол DΩ, дБ	Ω = 12.57	10Lg(4π/Ω)	**0**	0	0	0	0	0	0	0	0		
Показатель направленности источника Di, дБ		исходные данные	**0**	0	0	0	0	0	0	0	0		
Поправка на направленность источника Dc, дБ	Dc	DΩ + Di	**0**	0	0	0	0	0	0	0	0		
Затухание из-за геометрической дивергенции, Adiv, дБ	расстояние = 272.86 м	ф-ла (7) [10]	**59,7**										
Коэффициент затухания звука в атмосфере α, дБ/км	Ta=20,°C Pa=101.33,кПа hотн.=70%	ф-ла (5) [9]	0,02	0,09	0,33	1,12	2,79	4,98	9,04	23,09	77,63		
Учет затухания звука в атмосфере Aatm, дБ		ф-ла (8) [10]	0	0	0,1	0,3	0,8	1,4	2,5	6,3	21,2		
Снижение уровня звукового давления из-за влияния застройки между источником шума и расчетной точкой													
Снижение уровня звукового давления на пути над экраном, Dz1, дБ	z = 0.84м (разность путей)	ф-лы (14-18) [10]	6,9	8,5	11,2	15,1	19	22,3	25,4	28,5	31,5		
Снижение уровня звукового давления на пути слева от экрана, Dz2, дБ	z = 0.24м (разность путей)	ф-лы (14-18) [10]	5,9	7	9	12,4	16	19,3	22,3	25,3	28,3		
Снижение уровня звукового давления на пути справа от экрана, Dz3, дБ	z = 28.86м (разность путей)	ф-лы (14-18) [10]	22,5	26,9	30,7	34	37	40,1	43,1	46,1	49,1		
Общее снижение уровня звука препятствием Dz, дБ		Эн.сумма(-Dzi)	3,3	4,7	7	10,5	14,2	17,5	20,6	23,6	26,6		
Общее снижение уровня звука препятствием с учётом ограничения (25 дБ) для октавных полос Dz, дБ		Раздел 7.4 [10]	3,3	4,7	7	10,5	14,2	17,5	20,6	23,6	25		
Уровни звукового давления от источника ИШ-6-18 в расчётной точке днём, дБ		**ф-ла(3)[10]**	**0**	**31,9**	**30,9**	**28,5**	**24,6**	**20,3**	**12,8**	**1,8**	**0**	**26,1**	**26,1**
Источник шума: ИШ-6-19, координаты источника (x,y,z), м =[803.81,-129.30,1.00]													
Уровни звуковой мощности источника днём, Lw, дБ		**исходные данные**	**0**	**96,3**	**97,7**	**99**	**99,3**	**98,9**	**95,6**	**91,4**	**86,9**		

1		2	3	4	5	6	7	8	9	10	11	12	13
Поправка на телесный угол DΩ, дБ	Ω = 12.57	10Lg(4π/Ω)	**0**	0	0	0	0	0	0	0	0		
Показатель направленности источника Di, дБ		исходные данные	**0**	0	0	0	0	0	0	0	0		
Поправка на направленность источника Dc, дБ	Dc	DΩ + Di	**0**	0	0	0	0	0	0	0	0		
Затухание из-за геометрической дивергенции, Adiv, дБ	расстояние = 272.72 м	ф-ла (7) [10]	**59,7**										
Коэффициент затухания звука в атмосфере α, дБ/км	Ta=20,°C Pa=101.33,кПа hотн.=70%	ф-ла (5) [9]	0,02	0,09	0,33	1,12	2,79	4,98	9,04	23,09	77,63		
Учет затухания звука в атмосфере Aatm, дБ		ф-ла (8) [10]	0	0	0,1	0,3	0,8	1,4	2,5	6,3	21,2		
Снижение уровня звукового давления из-за влияния застройки между источником шума и расчетной точкой													
Снижение уровня звукового давления на пути над экраном, Dz1, дБ	z = 0.84м (разность путей)	ф-лы (14-18) [10]	6,9	8,5	11,2	15,1	19	22,3	25,4	28,5	31,5		
Снижение уровня звукового давления на пути слева от экрана, Dz2, дБ	z = 0.19м (разность путей)	ф-лы (14-18) [10]	5,7	6,6	8,4	11,5	15,1	18,3	21,3	24,3	27,3		
Снижение уровня звукового давления на пути справа от экрана, Dz3, дБ	z = 29.42м (разность путей)	ф-лы (14-18) [10]	22,5	27	30,8	34	37,1	40,2	43,2	46,2	49,2		
Общее снижение уровня звука препятствием Dz, дБ		Эн.сумма(-Dzi)	3,2	4,4	6,6	9,9	13,6	16,8	19,9	22,9	25,9		
Общее снижение уровня звука препятствием с учётом ограничения (25 дБ) для октавных полос Dz, дБ		Раздел 7.4 [10]	3,2	4,4	6,6	9,9	13,6	16,8	19,9	22,9	25		
Уровни звукового давления от источника ИШ-6-19 в расчётной точке днём, дБ		**ф-ла(3)[10]**	**0**	**32,1**	**31,3**	**29**	**25,2**	**21**	**13,5**	**2,5**	**0**	**26,7**	**26,7**
Источник шума: ИШ-6-20, координаты источника (x,y,z), м =[802.67,-132.35,1.00]													
Уровни звуковой мощности источника днём, Lw, дБ		**исходные данные**	**0**	**96,3**	**97,7**	**99**	**99,3**	**98,9**	**95,6**	**91,4**	**86,9**		
Поправка на телесный угол DΩ, дБ	Ω = 12.57	10Lg(4π/Ω)	**0**	0	0	0	0	0	0	0	0		

1		2	3	4	5	6	7	8	9	10	11	12	13
Показатель направленности источника Di, дБ		исходные данные	**0**	0	0	0	0	0	0	0	0		
Поправка на направленность источника Dc, дБ	Dc	DΩ + Di	**0**	0	0	0	0	0	0	0	0		
Затухание из-за геометрической дивергенции, Adiv, дБ	расстояние = 272.44 м	ф-ла (7) [10]	**59,7**										
Коэффициент затухания звука в атмосфере α, дБ/км	Ta=20,°C Pa=101.33,кПа hотн.=70%	ф-ла (5) [9]	0,02	0,09	0,33	1,12	2,79	4,98	9,04	23,09	77,63		
Учет затухания звука в атмосфере Aatm, дБ		ф-ла (8) [10]	0	0	0,1	0,3	0,8	1,4	2,5	6,3	21,2		
Снижение уровня звукового давления из-за влияния застройки между источником шума и расчетной точкой													
Снижение уровня звукового давления на пути над экраном, Dz1, дБ	z = 0.84м (разность путей)	ф-лы (14-18) [10]	6,9	8,5	11,2	15,1	19	22,3	25,4	28,5	31,5		
Снижение уровня звукового давления на пути слева от экрана, Dz2, дБ	z = 0.14м (разность путей)	ф-лы (14-18) [10]	5,5	6,2	7,8	10,6	14	17,2	20,2	23,1	26,1		
Снижение уровня звукового давления на пути справа от экрана, Dz3, дБ	z = 30.00м (разность путей)	ф-лы (14-18) [10]	22,6	27,1	30,9	34,1	37,2	40,2	43,3	46,3	49,3		
Общее снижение уровня звука препятствием Dz, дБ		Эн.сумма(-Dzi)	3,1	4,2	6,1	9,3	12,8	16	19	22	25		
Уровни звукового давления от источника ИШ-6-20 в расчётной точке днём, дБ		**ф-ла(3)[10]**	**0**	**32,4**	**31,8**	**29,7**	**26**	**21,8**	**14,4**	**3,4**	**0**	**27,4**	**27,4**
Источник шума: ИШ-6-21, координаты источника (x,y,z), м =[801.69,-135.42,1.00]													
Уровни звуковой мощности источника днём, Lw, дБ		**исходные данные**	**0**	**96,3**	**97,7**	**99**	**99,3**	**98,9**	**95,6**	**91,4**	**86,9**		
Поправка на телесный угол DΩ, дБ	Ω = 12.57	10Lg(4π/Ω)	**0**	0	0	0	0	0	0	0	0		
Показатель направленности источника Di, дБ		исходные данные	**0**	0	0	0	0	0	0	0	0		
Поправка на направленность источника Dc, дБ	Dc	DΩ + Di	**0**	0	0	0	0	0	0	0	0		

1		2	3	4	5	6	7	8	9	10	11	12	13
Затухание из-за геометрической дивергенции, Adiv, дБ	расстояние = 272.37 м	ф-ла (7) [10]	**59,7**										
Коэффициент затухания звука в атмосфере α, дБ/км	Та=20,°С Ра=101.33,кПа hотн.=70%	ф-ла (5) [9]	0,02	0,09	0,33	1,12	2,79	4,98	9,04	23,09	77,63		
Учет затухания звука в атмосфере Aatm, дБ		ф-ла (8) [10]	0	0	0,1	0,3	0,8	1,4	2,5	6,3	21,1		
Снижение уровня звукового давления из-за влияния застройки между источником шума и расчетной точкой													
Снижение уровня звукового давления на пути над экраном, Dz1, дБ	z = 0.84м (разность путей)	ф-лы (14-18) [10]	6,9	8,5	11,2	15,1	19	22,3	25,4	28,5	31,5		
Снижение уровня звукового давления на пути слева от экрана, Dz2, дБ	z = 0.11м (разность путей)	ф-лы (14-18) [10]	5,3	5,9	7,1	9,7	12,8	15,9	18,8	21,8	24,8		
Снижение уровня звукового давления на пути справа от экрана, Dz3, дБ	z = 30.57м (разность путей)	ф-лы (14-18) [10]	22,7	27,2	30,9	34,2	37,3	40,3	43,3	46,4	49,4		
Общее снижение уровня звука препятствием Dz, дБ		Эн.сумма(-Dzi)	3	4	5,7	8,6	11,9	15	18	20,9	23,9		
Уровни звукового давления от источника ИШ-6-21 в расчётной точке днём, дБ		**ф-ла(3)[10]**	**0**	**32,6**	**32,2**	**30,4**	**27**	**22,9**	**15,5**	**4,5**	**0**	**28,3**	**28,3**
Источник шума: ИШ-6-22, координаты источника (x,y,z), м =[800.65,-138.47,1.00]													
Уровни звуковой мощности источника днём, Lw, дБ		**исходные данные**	**0**	**96,3**	**97,7**	**99**	**99,3**	**98,9**	**95,6**	**91,4**	**86,9**		
Поправка на телесный угол DΩ, дБ	Ω = 12.57	10Lg(4π/Ω)	**0**	0	0	0	0	0	0	0	0		
Показатель направленности источника Di, дБ		исходные данные	**0**	0	0	0	0	0	0	0	0		
Поправка на направленность источника Dc, дБ	Dc	DΩ + Di	**0**	0	0	0	0	0	0	0	0		
Затухание из-за геометрической дивергенции, Adiv, дБ	расстояние = 272.26 м	ф-ла (7) [10]	**59,7**										
Коэффициент затухания звука в атмосфере α, дБ/км	Та=20,°С Ра=101.33,кПа hотн.=70%	ф-ла (5) [9]	0,02	0,09	0,33	1,12	2,79	4,98	9,04	23,09	77,63		

1		2	3	4	5	6	7	8	9	10	11	12	13
Учет затухания звука в атмосфере Aatm, дБ		ф-ла (8) [10]	0	0	0,1	0,3	0,8	1,4	2,5	6,3	21,1		
Снижение уровня звукового давления из-за влияния застройки между источником шума и расчетной точкой													
Снижение уровня звукового давления на пути над экраном, Dz1, дБ	z = 0.84м (разность путей)	ф-лы (14-18) [10]	6,9	8,5	11,2	15,1	19	22,4	25,4	28,5	31,5		
Снижение уровня звукового давления на пути слева от экрана, Dz2, дБ	z = 0.07м (разность путей)	ф-лы (14-18) [10]	5,2	5,6	6,5	8,6	11,5	14,4	17,3	20,2	23,2		
Снижение уровня звукового давления на пути справа от экрана, Dz3, дБ	z = 31.16м (разность путей)	ф-лы (14-18) [10]	22,8	27,2	31	34,3	37,4	40,4	43,4	46,4	49,4		
Общее снижение уровня звука препятствием Dz, дБ		Эн.сумма(-Dzi)	2,9	3,8	5,3	7,7	10,8	13,8	16,7	19,6	22,6		
Уровни звукового давления от источника ИШ-6-22 в расчётной точке днём, дБ		**ф-ла(3)[10]**	**0**	**32,8**	**32,6**	**31,2**	**28**	**24,1**	**16,7**	**5,8**	**0**	**29,3**	**29,3**
Источник шума: ИШ-7-1, координаты источника (x,y,z), м =[821.44,63.31,1.00]													
Уровни звуковой мощности источника днём, Lw, дБ		**исходные данные**	**77**	**75**	**67**	**66**	**63**	**55**	**53**	**48**	**51**		
Поправка на телесный угол DΩ, дБ	Ω = 12.57	10Lg(4π/Ω)	**0**	0	0	0	0	0	0	0	0		
Показатель направленности источника Di, дБ		исходные данные	**0**	0	0	0	0	0	0	0	0		
Поправка на направленность источника Dc, дБ	Dc	DΩ + Di	**0**	0	0	0	0	0	0	0	0		
Затухание из-за геометрической дивергенции, Adiv, дБ	расстояние = 305.33 м	ф-ла (7) [10]	**60,7**										
Коэффициент затухания звука в атмосфере α, дБ/км	Ta=20,°C Pa=101.33,кПа hотн.=70%	ф-ла (5) [9]	0,02	0,09	0,33	1,12	2,79	4,98	9,04	23,09	77,63		
Учет затухания звука в атмосфере Aatm, дБ		ф-ла (8) [10]	0	0	0,1	0,3	0,9	1,5	2,8	7	23,7		
Снижение уровня звукового давления из-за влияния застройки между источником шума и расчетной точкой													

1		2	3	4	5	6	7	8	9	10	11	12	13
Снижение уровня звукового давления на пути над экраном, Dz1, дБ	z = 3.88м (разность путей)	ф-лы (14-18) [10]	13,4	17,5	21,4	24,7	27,8	30,8	33,8	36,9	39,9		
Снижение уровня звукового давления на пути слева от экрана, Dz2, дБ	z = 12.54м (разность путей)	ф-лы (14-18) [10]	17,1	20,3	24,2	28,7	32,9	36,3	39,4	42,5	45,5		
Снижение уровня звукового давления на пути справа от экрана, Dz3, дБ	z = 25.84м (разность путей)	ф-лы (14-18) [10]	21,2	25,6	29,8	33,4	36,5	39,6	42,6	45,6	48,6		
Общее снижение уровня звука препятствием Dz, дБ		Эн.сумма(-Dzi)	11,4	15,3	19,2	22,9	26,2	29,3	32,4	35,4	38,4		
Общее снижение уровня звука препятствием с учётом ограничения (25 дБ) для октавных полос Dz, дБ		Раздел 7.4 [10]	11,4	15,3	19,2	22,9	25	25	25	25	25		
Уровни звукового давления от источника ИШ-7-1 в расчётной точке днём, дБ		**ф-ла(3)[10]**	**4,9**	**0**	**0**	**0**	**0**	**0**	**0**	**0**	**0**	**0**	**0**
Источник шума: ИШ-7-2, координаты источника (x,y,z), м =[768.90,-86.75,1.00]													
Уровни звуковой мощности источника днём, Lw, дБ		**исходные данные**	**77**	**75**	**67**	**66**	**63**	**55**	**53**	**48**	**51**		
Поправка на телесный угол DΩ, дБ	Ω = 12.57	10Lg(4π/Ω)	**0**	0	0	0	0	0	0	0	0		
Показатель направленности источника Di, дБ		исходные данные	**0**	0	0	0	0	0	0	0	0		
Поправка на направленность источника Dc, дБ	Dc	DΩ + Di	**0**	0	0	0	0	0	0	0	0		
Затухание из-за геометрической дивергенции, Adiv, дБ	расстояние = 229.98 м	ф-ла (7) [10]	**58,2**										
Коэффициент затухания звука в атмосфере α, дБ/км	Ta=20,°C Pa=101.33,кПа hотн.=70%	ф-ла (5) [9]	0,02	0,09	0,33	1,12	2,79	4,98	9,04	23,09	77,63		
Учет затухания звука в атмосфере Aatm, дБ		ф-ла (8) [10]	0	0	0,1	0,3	0,6	1,1	2,1	5,3	17,9		
Снижение уровня звукового давления из-за влияния застройки между источником шума и расчетной точкой													
Снижение уровня звукового давления на пути над экраном, Dz1, дБ	z = 0.85м (разность путей)	ф-лы (14-18) [10]	7,1	8,8	11,6	15,6	19,4	22,8	25,9	28,9	31,9		

1		2	3	4	5	6	7	8	9	10	11	12	13
Снижение уровня звукового давления на пути слева от экрана, Dz2, дБ	z = 1.25м (разность путей)	ф-лы (14-18) [10]	8,9	11,3	14,6	18,9	22,9	26,3	29,4	32,5	35,5		
Снижение уровня звукового давления на пути справа от экрана, Dz3, дБ	z = 49.59м (разность путей)	ф-лы (14-18) [10]	24	28,4	32,7	36,2	39,4	42,4	45,4	48,5	51,5		
Общее снижение уровня звука препятствием Dz, дБ		Эн.сумма(-Dzi)	4,8	6,8	9,8	13,9	17,8	21,2	24,3	27,3	30,3		
Общее снижение уровня звука препятствием с учётом ограничения (25 дБ) для октавных полос Dz, дБ		Раздел 7.4 [10]	4,8	6,8	9,8	13,9	17,8	21,2	24,3	25	25		
Уровни звукового давления от источника ИШ-7-2 в расчётной точке днём, дБ		**ф-ла(3)[10]**	**13,9**	**9,9**	**0**	**0**	**0**	**0**	**0**	**0**	**0**	**0**	**0**
Источник шума: ИШ-7-3, координаты источника (x,y,z), м =[766.80,-93.20,1.00]													
Уровни звуковой мощности источника днём, Lw, дБ		**исходные данные**	**77**	**75**	**67**	**66**	**63**	**55**	**53**	**48**	**51**		
Поправка на телесный угол DΩ, дБ	Ω = 12.57	10Lg(4π/Ω)	**0**	0	0	0	0	0	0	0	0		
Показатель направленности источника Di, дБ		исходные данные	**0**	0	0	0	0	0	0	0	0		
Поправка на направленность источника Dc, дБ	Dc	DΩ + Di	**0**	0	0	0	0	0	0	0	0		
Затухание из-за геометрической дивергенции, Adiv, дБ	расстояние = 228.84 м	ф-ла (7) [10]	**58,2**										
Коэффициент затухания звука в атмосфере α, дБ/км	Ta=20,°C Pa=101.33,кПа hотн.=70%	ф-ла (5) [9]	0,02	0,09	0,33	1,12	2,79	4,98	9,04	23,09	77,63		
Учет затухания звука в атмосфере Aatm, дБ		ф-ла (8) [10]	0	0	0,1	0,3	0,6	1,1	2,1	5,3	17,8		
Снижение уровня звукового давления из-за влияния застройки между источником шума и расчетной точкой													
Снижение уровня звукового давления на пути над экраном, Dz1, дБ	z = 0.85м (разность путей)	ф-лы (14-18) [10]	7,1	8,8	11,6	15,6	19,5	22,8	25,9	28,9	32		
Снижение уровня звукового давления на пути слева от экрана, Dz2, дБ	z = 0.95м (разность путей)	ф-лы (14-18) [10]	8,2	10,4	13,6	17,8	21,7	25,1	28,3	31,3	34,3		

1		2	3	4	5	6	7	8	9	10	11	12	13
Снижение уровня звукового давления на пути справа от экрана, Dz3, дБ	z = 25.11м (разность путей)	ф-лы (14-18) [10]	21,9	26,3	30,1	33,4	36,4	39,5	42,5	45,5	48,5		
Общее снижение уровня звука препятствием Dz, дБ		Эн.сумма(-Dzi)	4,5	6,5	9,5	13,5	17,4	20,8	23,9	26,9	29,9		
Общее снижение уровня звука препятствием с учётом ограничения (25 дБ) для октавных полос Dz, дБ		Раздел 7.4 [10]	4,5	6,5	9,5	13,5	17,4	20,8	23,9	25	25		
Уровни звукового давления от источника ИШ-7-3 в расчётной точке днём, дБ		**ф-ла(3)[10]**	**14,3**	**10,3**	**0**	**0**	**0**	**0**	**0**	**0**	**0**	**0**	**0**
Источник шума: ИШ-7-4, координаты источника (x,y,z), м =[866.76,37.18,1.00]													
Уровни звуковой мощности источника днём, Lw, дБ		**исходные данные**	**77**	**75**	**67**	**66**	**63**	**55**	**53**	**48**	**51**		
Поправка на телесный угол DΩ, дБ	Ω = 12.57	10Lg(4π/Ω)	**0**	0	0	0	0	0	0	0	0		
Показатель направленности источника Di, дБ		исходные данные	**0**	0	0	0	0	0	0	0	0		
Поправка на направленность источника Dc, дБ	Dc	DΩ + Di	**0**	0	0	0	0	0	0	0	0		
Затухание из-за геометрической дивергенции, Adiv, дБ	расстояние = 339.28 м	ф-ла (7) [10]	**61,6**										
Коэффициент затухания звука в атмосфере α, дБ/км	Ta=20,°C Pa=101.33,кПа hотн.=70%	ф-ла (5) [9]	0,02	0,09	0,33	1,12	2,79	4,98	9,04	23,09	77,63		
Учет затухания звука в атмосфере Aatm, дБ		ф-ла (8) [10]	0	0	0,1	0,4	0,9	1,7	3,1	7,8	26,3		
Снижение уровня звукового давления из-за влияния застройки между источником шума и расчетной точкой													
Снижение уровня звукового давления на пути над экраном, Dz1, дБ	z = 3.64м (разность путей)	ф-лы (14-18) [10]	12,9	17	20,9	24,3	27,4	30,5	33,5	36,5	39,5		
Снижение уровня звукового давления на пути слева от экрана, Dz2, дБ	z = 8.87м (разность путей)	ф-лы (14-18) [10]	15,7	18,9	22,7	27,2	31,3	34,8	37,9	41	44		
Снижение уровня звукового давления на пути справа от экрана, Dz3, дБ	z = 30.55м (разность путей)	ф-лы (14-18) [10]	21,9	26,4	30,6	34,1	37,3	40,3	43,3	46,3	49,4		

1		2	3	4	5	6	7	8	9	10	11	12	13
Общее снижение уровня звука препятствием Dz, дБ		Эн.сумма(-Dzi)	10,7	14,5	18,4	22,2	25,6	28,8	31,8	34,8	37,9		
Общее снижение уровня звука препятствием с учётом ограничения (25 дБ) для октавных полос Dz, дБ		Раздел 7.4 [10]	10,7	14,5	18,4	22,2	25	25	25	25	25		
Уровни звукового давления от источника ИШ-7-4 в расчётной точке днём, дБ		**ф-ла(3)[10]**	**4,7**	**0**	**0**	**0**	**0**	**0**	**0**	**0**	**0**	**0**	**0**
Источник шума: ИШ-7-5, координаты источника (x,y,z), м =[861.80,21.34,1.00]													
Уровни звуковой мощности источника днём, Lw, дБ		**исходные данные**	**77**	**75**	**67**	**66**	**63**	**55**	**53**	**48**	**51**		
Поправка на телесный угол DΩ, дБ	Ω = 12.57	10Lg(4π/Ω)	**0**	0	0	0	0	0	0	0	0		
Показатель направленности источника Di, дБ		исходные данные	**0**	0	0	0	0	0	0	0	0		
Поправка на направленность источника Dc, дБ	Dc	DΩ + Di	**0**	0	0	0	0	0	0	0	0		
Затухание из-за геометрической дивергенции, Adiv, дБ	расстояние = 330.40 м	ф-ла (7) [10]	**61,4**										
Коэффициент затухания звука в атмосфере α, дБ/км	Ta=20,°C Pa=101.33,кПа hотн.=70%	ф-ла (5) [9]	0,02	0,09	0,33	1,12	2,79	4,98	9,04	23,09	77,63		
Учет затухания звука в атмосфере Aatm, дБ		ф-ла (8) [10]	0	0	0,1	0,4	0,9	1,6	3	7,6	25,7		
Снижение уровня звукового давления из-за влияния застройки между источником шума и расчетной точкой													
Снижение уровня звукового давления на пути над экраном, Dz1, дБ	z = 3.55м (разность путей)	ф-лы (14-18) [10]	12,7	16,8	20,8	24,2	27,3	30,4	33,4	36,4	39,4		
Снижение уровня звукового давления на пути слева от экрана, Dz2, дБ	z = 7.81м (разность путей)	ф-лы (14-18) [10]	15,2	18,3	22,2	26,7	30,8	34,2	37,4	40,4	43,4		
Снижение уровня звукового давления на пути справа от экрана, Dz3, дБ	z = 32.36м (разность путей)	ф-лы (14-18) [10]	22,1	26,6	30,8	34,3	37,5	40,6	43,6	46,6	49,6		
Общее снижение уровня звука препятствием Dz, дБ		Эн.сумма(-Dzi)	10,5	14,2	18,2	22	25,4	28,6	31,6	34,7	37,7		

1		2	3	4	5	6	7	8	9	10	11	12	13
Общее снижение уровня звука препятствием с учётом ограничения (25 дБ) для октавных полос Dz, дБ		Раздел 7.4 [10]	10,5	14,2	18,2	22	25	25	25	25	25		
Уровни звукового давления от источника ИШ-7-5 в расчётной точке днём, дБ		**ф-ла(3)[10]**	**5,1**	**0**	**0**	**0**	**0**	**0**	**0**	**0**	**0**	**0**	**0**
Источник шума: ИШ-7-6, координаты источника (x,y,z), м =[856.52,5.94,1.00]													
Уровни звуковой мощности источника днём, Lw, дБ		**исходные данные**	**77**	**75**	**67**	**66**	**63**	**55**	**53**	**48**	**51**		
Поправка на телесный угол DΩ, дБ	Ω = 12.57	10Lg(4π/Ω)	**0**	0	0	0	0	0	0	0	0		
Показатель направленности источника Di, дБ		исходные данные	**0**	0	0	0	0	0	0	0	0		
Поправка на направленность источника Dc, дБ	Dc	DΩ + Di	**0**	0	0	0	0	0	0	0	0		
Затухание из-за геометрической дивергенции, Adiv, дБ	расстояние = 321.91 м	ф-ла (7) [10]	**61,2**										
Коэффициент затухания звука в атмосфере α, дБ/км	Ta=20,°C Pa=101.33,кПа hотн.=70%	ф-ла (5) [9]	0,02	0,09	0,33	1,12	2,79	4,98	9,04	23,09	77,63		
Учет затухания звука в атмосфере Aatm, дБ		ф-ла (8) [10]	0	0	0,1	0,4	0,9	1,6	2,9	7,4	25		
Снижение уровня звукового давления из-за влияния застройки между источником шума и расчетной точкой													
Снижение уровня звукового давления на пути над экраном, Dz1, дБ	z = 3.45м (разность путей)	ф-лы (14-18) [10]	12,6	16,6	20,6	24,1	27,2	30,2	33,2	36,3	39,3		
Снижение уровня звукового давления на пути слева от экрана, Dz2, дБ	z = 6.80м (разность путей)	ф-лы (14-18) [10]	14,6	17,8	21,6	26,1	30,2	33,6	36,8	39,8	42,8		
Снижение уровня звукового давления на пути справа от экрана, Dz3, дБ	z = 34.22м (разность путей)	ф-лы (14-18) [10]	22,4	26,8	31	34,6	37,8	40,8	43,8	46,8	49,9		
Общее снижение уровня звука препятствием Dz, дБ		Эн.сумма(-Dzi)	10,2	13,9	17,8	21,7	25,2	28,3	31,4	34,4	37,4		
Общее снижение уровня звука препятствием с учётом ограничения (25 дБ) для октавных полос Dz, дБ		Раздел 7.4 [10]	10,2	13,9	17,8	21,7	25	25	25	25	25		

1		2	3	4	5	6	7	8	9	10	11	12	13
Уровни звукового давления от источника ИШ-7-6 в расчётной точке днём, дБ		**ф-ла(3)[10]**	**5,6**	**0**	**0**	**0**	**0**	**0**	**0**	**0**	**0**	**0**	**0**
Источник шума: ИШ-7-7, координаты источника (x,y,z), м =[851.06,-9.89,1.00]													
Уровни звуковой мощности источника днём, Lw, дБ		**исходные данные**	**77**	**75**	**67**	**66**	**63**	**55**	**53**	**48**	**51**		
Поправка на телесный угол DΩ, дБ	Ω = 12.57	10Lg(4π/Ω)	**0**	0	0	0	0	0	0	0	0		
Показатель направленности источника Di, дБ		исходные данные	**0**	0	0	0	0	0	0	0	0		
Поправка на направленность источника Dc, дБ	Dc	DΩ + Di	**0**	0	0	0	0	0	0	0	0		
Затухание из-за геометрической дивергенции, Adiv, дБ	расстояние = 313.78 м	ф-ла (7) [10]	**60,9**										
Коэффициент затухания звука в атмосфере α, дБ/км	Ta=20,°C Pa=101.33,кПа hотн.=70%	ф-ла (5) [9]	0,02	0,09	0,33	1,12	2,79	4,98	9,04	23,09	77,63		
Учет затухания звука в атмосфере Aatm, дБ		ф-ла (8) [10]	0	0	0,1	0,4	0,9	1,6	2,8	7,2	24,4		
Снижение уровня звукового давления из-за влияния застройки между источником шума и расчетной точкой													
Снижение уровня звукового давления на пути над экраном, Dz1, дБ	z = 3.32м (разность путей)	ф-лы (14-18) [10]	12,4	16,4	20,4	23,9	27	30,1	33,1	36,1	39,1		
Снижение уровня звукового давления на пути слева от экрана, Dz2, дБ	z = 5.77м (разность путей)	ф-лы (14-18) [10]	14	17,1	20,9	25,4	29,5	32,9	36,1	39,1	42,1		
Снижение уровня звукового давления на пути справа от экрана, Dz3, дБ	z = 36.26м (разность путей)	ф-лы (14-18) [10]	22,6	27,1	31,3	34,8	38	41,1	44,1	47,1	50,1		
Общее снижение уровня звука препятствием Dz, дБ		Эн.сумма(-Dzi)	9,9	13,5	17,4	21,4	24,9	28	31,1	34,1	37,1		
Общее снижение уровня звука препятствием с учётом ограничения (25 дБ) для октавных полос Dz, дБ		Раздел 7.4 [10]	9,9	13,5	17,4	21,4	24,9	25	25	25	25		
Уровни звукового давления прямого звука от источника ИШ-7-7 в расчётной точке днём, дБ		**ф-ла(3)[10]**	**6,2**	**0,5**	**0**	**0**	**0**	**0**	**0**	**0**	**0**	**0**	**0**

1		2	3	4	5	6	7	8	9	10	11	12	13
Расчёт отражённого звука													
Уровни звукового давления от мнимого источника ИШ-7-7_мн.(1) в расчётной точке днём, дБ		**ф-ла(3)[10]**	**0**	**0**	**0**	**0**	**0**	**0**	**0**	**0**	**0**	**0**	**0**
Уровни звукового давления от источника ИШ-7-7 в расчётной точке днём, дБ		**ф-ла(3)[10]**	**6,2**	**0,5**	**0**	**0**	**0**	**0**	**0**	**0**	**0**	**0**	**0**
Источник шума: ИШ-7-8, координаты источника (x,y,z), м =[821.90,-104.30,1.00]													
Уровни звуковой мощности источника днём, Lw, дБ		**исходные данные**	**77**	**75**	**67**	**66**	**63**	**55**	**53**	**48**	**51**		
Поправка на телесный угол DΩ, дБ	Ω = 12.57	10Lg(4π/Ω)	**0**	0	0	0	0	0	0	0	0		
Показатель направленности источника Di, дБ		исходные данные	**0**	0	0	0	0	0	0	0	0		
Поправка на направленность источника Dc, дБ	Dc	DΩ + Di	**0**	0	0	0	0	0	0	0	0		
Затухание из-за геометрической дивергенции, Adiv, дБ	расстояние = 285.00 м	ф-ла (7) [10]	**60,1**										
Коэффициент затухания звука в атмосфере α, дБ/км	Ta=20,°C Pa=101.33,кПа hотн.=70%	ф-ла (5) [9]	0,02	0,09	0,33	1,12	2,79	4,98	9,04	23,09	77,63		
Учет затухания звука в атмосфере Aatm, дБ		ф-ла (8) [10]	0	0	0,1	0,3	0,8	1,4	2,6	6,6	22,1		
Снижение уровня звукового давления из-за влияния застройки между источником шума и расчетной точкой													
Снижение уровня звукового давления на пути над экраном, Dz1, дБ	z = 0.83м (разность путей)	ф-лы (14-18) [10]	6,8	8,4	11,1	14,9	18,8	22,1	25,2	28,3	31,3		
Снижение уровня звукового давления на пути слева от экрана, Dz2, дБ	z = 0.85м (разность путей)	ф-лы (14-18) [10]	7,9	10	13,1	17,3	21,2	24,6	27,7	30,8	33,8		
Снижение уровня звукового давления на пути справа от экрана, Dz3, дБ	z = 50.40м (разность путей)	ф-лы (14-18) [10]	24	28,5	32,7	36,3	39,4	42,5	45,5	48,5	51,5		
Общее снижение уровня звука препятствием Dz, дБ		Эн.сумма(-Dzi)	4,3	6,1	9	12,9	16,8	20,2	23,3	26,3	29,3		

1		2	3	4	5	6	7	8	9	10	11	12	13
Общее снижение уровня звука препятствием с учётом ограничения (25 дБ) для октавных полос Dz, дБ		Раздел 7.4 [10]	4,3	6,1	9	12,9	16,8	20,2	23,3	25	25		
Уровни звукового давления от источника ИШ-7-8 в расчётной точке днём, дБ		**ф-ла(3)[10]**	**12,6**	**8,8**	**0**	**0**	**0**	**0**	**0**	**0**	**0**	**0**	**0**
Источник шума: ИШ-7-9, координаты источника (x,y,z), м =[819.93,-110.97,1.00]													
Уровни звуковой мощности источника днём, Lw, дБ		**исходные данные**	**77**	**75**	**67**	**66**	**63**	**55**	**53**	**48**	**51**		
Поправка на телесный угол DΩ, дБ	Ω = 12.57	10Lg(4π/Ω)	**0**	0	0	0	0	0	0	0	0		
Показатель направленности источника Di, дБ		исходные данные	**0**	0	0	0	0	0	0	0	0		
Поправка на направленность источника Dc, дБ	Dc	DΩ + Di	**0**	0	0	0	0	0	0	0	0		
Затухание из-за геометрической дивергенции, Adiv, дБ	расстояние = 284.25 м	ф-ла (7) [10]	**60,1**										
Коэффициент затухания звука в атмосфере α, дБ/км	Ta=20,°C Pa=101.33,кПа hотн.=70%	ф-ла (5) [9]	0,02	0,09	0,33	1,12	2,79	4,98	9,04	23,09	77,63		
Учет затухания звука в атмосфере Aatm, дБ		ф-ла (8) [10]	0	0	0,1	0,3	0,8	1,4	2,6	6,6	22,1		
Снижение уровня звукового давления из-за влияния застройки между источником шума и расчетной точкой													
Снижение уровня звукового давления на пути над экраном, Dz1, дБ	z = 0.83м (разность путей)	ф-лы (14-18) [10]	6,8	8,4	11,1	15	18,8	22,2	25,3	28,3	31,3		
Снижение уровня звукового давления на пути слева от экрана, Dz2, дБ	z = 0.65м (разность путей)	ф-лы (14-18) [10]	7,4	9,2	12,1	16,2	20,1	23,5	26,6	29,6	32,6		
Снижение уровня звукового давления на пути справа от экрана, Dz3, дБ	z = 25.69м (разность путей)	ф-лы (14-18) [10]	22	26,4	30,2	33,5	36,5	39,6	42,6	45,6	48,6		
Общее снижение уровня звука препятствием Dz, дБ		Эн.сумма(-Dzi)	4	5,8	8,6	12,5	16,4	19,7	22,8	25,8	28,8		
Общее снижение уровня звука препятствием с учётом ограничения (25 дБ) для октавных полос Dz, дБ		Раздел 7.4 [10]	4	5,8	8,6	12,5	16,4	19,7	22,8	25	25		

1		2	3	4	5	6	7	8	9	10	11	12	13
Уровни звукового давления от источника ИШ-7-9 в расчётной точке днём, дБ		**ф-ла(3)[10]**	**12,9**	**9,1**	**0**	**0**	**0**	**0**	**0**	**0**	**0**	**0**	**0**
Источник шума: ИШ-7-10, координаты источника (x,y,z), м =[868.68,92.66,1.00]													
Уровни звуковой мощности источника днём, Lw, дБ		**исходные данные**	**77**	**75**	**67**	**66**	**63**	**55**	**53**	**48**	**51**		
Поправка на телесный угол DΩ, дБ	Ω = 12.57	10Lg(4π/Ω)	**0**	0	0	0	0	0	0	0	0		
Показатель направленности источника Di, дБ		исходные данные	**0**	0	0	0	0	0	0	0	0		
Поправка на направленность источника Dc, дБ	Dc	DΩ + Di	**0**	0	0	0	0	0	0	0	0		
Затухание из-за геометрической дивергенции, Adiv, дБ	расстояние = 360.41 м	ф-ла (7) [10]	**62,1**										
Коэффициент затухания звука в атмосфере α, дБ/км	Ta=20,°C Pa=101.33,кПа hотн.=70%	ф-ла (5) [9]	0,02	0,09	0,33	1,12	2,79	4,98	9,04	23,09	77,63		
Учет затухания звука в атмосфере Aatm, дБ		ф-ла (8) [10]	0	0	0,1	0,4	1	1,8	3,3	8,3	28		
Снижение уровня звукового давления из-за влияния застройки между источником шума и расчетной точкой													
Снижение уровня звукового давления на пути над экраном, Dz1, дБ	z = 3.89м (разность путей)	ф-лы (14-18) [10]	13,3	17,5	21,3	24,6	27,7	30,8	33,8	36,8	39,8		
Снижение уровня звукового давления на пути слева от экрана, Dz2, дБ	z = 13.02м (разность путей)	ф-лы (14-18) [10]	17,2	20,5	24,4	28,9	33	36,5	39,6	42,6	45,7		
Снижение уровня звукового давления на пути справа от экрана, Dz3, дБ	z = 24.57м (разность путей)	ф-лы (14-18) [10]	21	25,4	29,6	33,1	36,3	39,4	42,4	45,4	48,4		
Общее снижение уровня звука препятствием Dz, дБ		Эн.сумма(-Dzi)	11,4	15,3	19,2	22,8	26,2	29,3	32,3	35,3	38,3		
Общее снижение уровня звука препятствием с учётом ограничения (25 дБ) для октавных полос Dz, дБ		Раздел 7.4 [10]	11,4	15,3	19,2	22,8	25	25	25	25	25		
Уровни звукового давления от источника ИШ-7-10 в расчётной точке днём, дБ		**ф-ла(3)[10]**	**3,5**	**0**	**0**	**0**	**0**	**0**	**0**	**0**	**0**	**0**	**0**

1		2	3	4	5	6	7	8	9	10	11	12	13
Источник шума: ИШ-7-11, координаты источника (x,y,z), м =[877.95,88.75,1.00]													
Уровни звуковой мощности источника днём, Lw, дБ		**исходные данные**	**77**	**75**	**67**	**66**	**63**	**55**	**53**	**48**	**51**		
Поправка на телесный угол DΩ, дБ	Ω = 12.57	10Lg(4π/Ω)	**0**	0	0	0	0	0	0	0	0		
Показатель направленности источника Di, дБ		исходные данные	**0**	0	0	0	0	0	0	0	0		
Поправка на направленность источника Dc, дБ	Dc	DΩ + Di	**0**	0	0	0	0	0	0	0	0		
Затухание из-за геометрической дивергенции, Adiv, дБ	расстояние = 367.29 м	ф-ла (7) [10]	**62,3**										
Коэффициент затухания звука в атмосфере α, дБ/км	Ta=20,°C Pa=101.33,кПа hотн.=70%	ф-ла (5) [9]	0,02	0,09	0,33	1,12	2,79	4,98	9,04	23,09	77,63		
Учет затухания звука в атмосфере Aatm, дБ		ф-ла (8) [10]	0	0	0,1	0,4	1	1,8	3,3	8,5	28,5		
Снижение уровня звукового давления из-за влияния застройки между источником шума и расчетной точкой													
Снижение уровня звукового давления на пути над экраном, Dz1, дБ	z = 3.86м (разность путей)	ф-лы (14-18) [10]	13,3	17,4	21,2	24,6	27,7	30,7	33,7	36,7	39,7		
Снижение уровня звукового давления на пути слева от экрана, Dz2, дБ	z = 12.38м (разность путей)	ф-лы (14-18) [10]	17	20,3	24,1	28,7	32,8	36,2	39,4	42,4	45,4		
Снижение уровня звукового давления на пути справа от экрана, Dz3, дБ	z = 25.30м (разность путей)	ф-лы (14-18) [10]	21,1	25,5	29,7	33,3	36,4	39,5	42,5	45,5	48,5		
Общее снижение уровня звука препятствием Dz, дБ		Эн.сумма(-Dzi)	11,3	15,2	19,1	22,8	26,1	29,2	32,2	35,3	38,3		
Общее снижение уровня звука препятствием с учётом ограничения (25 дБ) для октавных полос Dz, дБ		Раздел 7.4 [10]	11,3	15,2	19,1	22,8	25	25	25	25	25		
Уровни звукового давления от источника ИШ-7-11 в расчётной точке днём, дБ		**ф-ла(3)[10]**	**3,4**	**0**	**0**	**0**	**0**	**0**	**0**	**0**	**0**	**0**	**0**
Источник шума: ИШ-7-12, координаты источника (x,y,z), м =[887.42,85.45,1.00]													

1		2	3	4	5	6	7	8	9	10	11	12	13
Уровни звуковой мощности источника днём, Lw, дБ		**исходные данные**	**77**	**75**	**67**	**66**	**63**	**55**	**53**	**48**	**51**		
Поправка на телесный угол DΩ, дБ	Ω = 12.57	10Lg(4π/Ω)	**0**	0	0	0	0	0	0	0	0		
Показатель направленности источника Di, дБ		исходные данные	**0**	0	0	0	0	0	0	0	0		
Поправка на направленность источника Dc, дБ	Dc	DΩ + Di	**0**	0	0	0	0	0	0	0	0		
Затухание из-за геометрической дивергенции, Adiv, дБ	расстояние = 374.74 м	ф-ла (7) [10]	**62,5**										
Коэффициент затухания звука в атмосфере α, дБ/км	Ta=20,°C Pa=101.33,кПа hотн.=70%	ф-ла (5) [9]	0,02	0,09	0,33	1,12	2,79	4,98	9,04	23,09	77,63		
Учет затухания звука в атмосфере Aatm, дБ		ф-ла (8) [10]	0	0	0,1	0,4	1	1,9	3,4	8,7	29,1		
Снижение уровня звукового давления из-за влияния застройки между источником шума и расчетной точкой													
Снижение уровня звукового давления на пути над экраном, Dz1, дБ	z = 3.83м (разность путей)	ф-лы (14-18) [10]	13,2	17,3	21,2	24,5	27,6	30,7	33,7	36,7	39,7		
Снижение уровня звукового давления на пути слева от экрана, Dz2, дБ	z = 11.81м (разность путей)	ф-лы (14-18) [10]	16,8	20,1	23,9	28,5	32,6	36	39,2	42,2	45,2		
Снижение уровня звукового давления на пути справа от экрана, Dz3, дБ	z = 25.96м (разность путей)	ф-лы (14-18) [10]	21,2	25,7	29,8	33,4	36,6	39,6	42,6	45,6	48,7		
Общее снижение уровня звука препятствием Dz, дБ		Эн.сумма(-Dzi)	11,2	15,1	19	22,7	26	29,1	32,2	35,2	38,2		
Общее снижение уровня звука препятствием с учётом ограничения (25 дБ) для октавных полос Dz, дБ		Раздел 7.4 [10]	11,2	15,1	19	22,7	25	25	25	25	25		
Уровни звукового давления от источника ИШ-7-12 в расчётной точке днём, дБ		**ф-ла(3)[10]**	**3,3**	**0**	**0**	**0**	**0**	**0**	**0**	**0**	**0**	**0**	**0**
Источник шума: ИШ-6-23, координаты источника (x,y,z), м =[756.16,-136.23,3.00]													
Уровни звуковой мощности источника днём, Lw, дБ		**исходные данные**	**91**	**91**	**91**	**91**	**91**	**91**	**91**	**91**	**91**		

1		2	3	4	5	6	7	8	9	10	11	12	13
Поправка на телесный угол DΩ, дБ	Ω = 12.57	10Lg(4π/Ω)	**0**	0	0	0	0	0	0	0	0		
Показатель направленности источника Di, дБ		исходные данные	**0**	0	0	0	0	0	0	0	0		
Поправка на направленность источника Dc, дБ	Dc	DΩ + Di	**0**	0	0	0	0	0	0	0	0		
Затухание из-за геометрической дивергенции, Adiv, дБ	расстояние = 229.42 м	ф-ла (7) [10]	**58,2**										
Коэффициент затухания звука в атмосфере α, дБ/км	Ta=20,°C Pa=101.33,кПа hотн.=70%	ф-ла (5) [9]	0,02	0,09	0,33	1,12	2,79	4,98	9,04	23,09	77,63		
Учет затухания звука в атмосфере Aatm, дБ		ф-ла (8) [10]	0	0	0,1	0,3	0,6	1,1	2,1	5,3	17,8		
Снижение уровня звукового давления из-за влияния застройки между источником шума и расчетной точкой													
Снижение уровня звукового давления на пути над экраном, Dz1, дБ	z = 0.80м (разность путей)	ф-лы (14-18) [10]	6,9	8,6	11,3	15,2	19,1	22,5	25,5	28,6	31,6		
Снижение уровня звукового давления на пути слева от экрана, Dz2, дБ	z = 0.00м (разность путей)	ф-лы (14-18) [10]	4,8	4,8	4,9	5	5,1	5,5	6,1	7,1	8,7		
Снижение уровня звукового давления на пути справа от экрана, Dz3, дБ	z = 34.53м (разность путей)	ф-лы (14-18) [10]	23,2	27,7	31,5	34,7	37,8	40,9	43,9	46,9	49,9		
Общее снижение уровня звука препятствием Dz, дБ		Эн.сумма(-Dzi)	2,7	3,3	4	4,6	5	5,4	6,1	7,1	8,6		
Уровни звукового давления прямого звука от источника ИШ-6-23 в расчётной точке днём, дБ		**ф-ла(3)[10]**	**30,1**	**29,5**	**28,7**	**28**	**27,2**	**26,2**	**24,6**	**20,4**	**6,3**	**31,1**	**31,1**
Расчёт отражённого звука													
Уровни звукового давления от мнимого источника ИШ-6-23_мн.(1) в расчётной точке днём, дБ		**ф-ла(3)[10]**	**0**	**0**	**0**	**0**	**0**	**0**	**16,4**	**6,9**	**0**	**18**	**18**
Уровни звукового давления от источника ИШ-6-23 в расчётной точке днём, дБ		**ф-ла(3)[10]**	**30,1**	**29,5**	**28,7**	**28**	**27,2**	**26,2**	**25,2**	**20,6**	**6,3**	**31,3**	**31,3**
Источник шума: ИШ-6-24, координаты источника (x,y,z), м =[800.98,-151.27,3.00]													

1		2	3	4	5	6	7	8	9	10	11	12	13
Уровни звуковой мощности источника днём, Lw, дБ		**исходные данные**	**91**	**91**	**91**	**91**	**91**	**91**	**91**	**91**	**91**		
Поправка на телесный угол DΩ, дБ	Ω = 12.57	10Lg(4π/Ω)	**0**	0	0	0	0	0	0	0	0		
Показатель направленности источника Di, дБ		исходные данные	**0**	0	0	0	0	0	0	0	0		
Поправка на направленность источника Dc, дБ	Dc	DΩ + Di	**0**	0	0	0	0	0	0	0	0		
Затухание из-за геометрической дивергенции, Adiv, дБ	расстояние = 276.68 м	ф-ла (7) [10]	**59,8**										
Коэффициент затухания звука в атмосфере α, дБ/км	Ta=20,°C Pa=101.33,кПа hотн.=70%	ф-ла (5) [9]	0,02	0,09	0,33	1,12	2,79	4,98	9,04	23,09	77,63		
Учет затухания звука в атмосфере Aatm, дБ		ф-ла (8) [10]	0	0	0,1	0,3	0,8	1,4	2,5	6,4	21,5		
Снижение уровня звукового давления из-за влияния застройки между источником шума и расчетной точкой													
Снижение уровня звукового давления на пути над экраном, Dz1, дБ	z = 0.78м (разность путей)	ф-лы (14-18) [10]	6,7	8,3	10,9	14,7	18,6	21,9	25	28	31,1		
Снижение уровня звукового давления на пути слева от экрана, Dz2, дБ	z = 0.01м (разность путей)	ф-лы (14-18) [10]	4,8	4,9	4,9	5,1	5,4	5,9	6,8	8,1	10		
Снижение уровня звукового давления на пути справа от экрана, Dz3, дБ	z = 33.28м (разность путей)	ф-лы (14-18) [10]	23,1	27,5	31,3	34,6	37,7	40,7	43,7	46,7	49,7		
Общее снижение уровня звука препятствием Dz, дБ		Эн.сумма(-Dzi)	2,6	3,2	3,9	4,6	5,2	5,8	6,7	8,1	10		
Уровни звукового давления прямого звука от источника ИШ-6-24 в расчётной точке днём, дБ		**ф-ла(3)[10]**	**28,5**	**27,9**	**27,1**	**26,2**	**25,2**	**24**	**21,9**	**16,7**	**0**	**28,7**	**28,7**
Расчёт отражённого звука													
Уровни звукового давления от мнимого источника ИШ-6-24_мн.(1) в расчётной точке днём, дБ		**ф-ла(3)[10]**	**0**	**0**	**0**	**0**	**0**	**0**	**15,3**	**5,2**	**0**	**16,9**	**16,9**
Уровни звукового давления от источника ИШ-6-24 в расчётной точке днём, дБ		**ф-ла(3)[10]**	**28,5**	**27,9**	**27,1**	**26,2**	**25,2**	**24**	**22,8**	**17**	**0**	**29**	**29**

1		2	3	4	5	6	7	8	9	10	11	12	13
Источник шума: ИШ-8-1, координаты источника (x,y,z), м =[612.60,-227.70,3.00]													
Уровни звуковой мощности источника днём, Lw, дБ		**исходные данные**	**105**	**104**	**104**	**101**	**102**	**106**	**101**	**95**	**87**		
Поправка на телесный угол DΩ, дБ	Ω = 6.28	10Lg(4π/Ω)	**3**	3	3	3	3	3	3	3	3		
Показатель направленности источника Di, дБ		исходные данные	**0**	0	0	0	0	0	0	0	0		
Поправка на направленность источника Dc, дБ	Dc	DΩ + Di	**3**	3	3	3	3	3	3	3	3		
Затухание из-за геометрической дивергенции, Adiv, дБ	расстояние = 185.12 м	ф-ла (7) [10]	**56,3**										
Коэффициент затухания звука в атмосфере α, дБ/км	Ta=20,°C Pa=101.33,кПа hотн.=70%	ф-ла (5) [9]	0,02	0,09	0,33	1,12	2,79	4,98	9,04	23,09	77,63		
Учет затухания звука в атмосфере Aatm, дБ		ф-ла (8) [10]	0	0	0,1	0,2	0,5	0,9	1,7	4,3	14,4		
Снижение уровня звукового давления из-за влияния застройки между источником шума и расчетной точкой													
Снижение уровня звукового давления на пути над экраном, Dz1, дБ	z = 0.03м (разность путей)	ф-лы (14-18) [10]	4,8	4,8	4,9	5	5,4	6,1	7,1	8,6	10,6		
Снижение уровня звукового давления на пути слева от экрана, Dz2, дБ	z = 2.85м (разность путей)	ф-лы (14-18) [10]	11,3	13,8	16,5	19,4	22,3	25,3	28,3	31,3	34,3		
Снижение уровня звукового давления на пути справа от экрана, Dz3, дБ	z = 0.61м (разность путей)	ф-лы (14-18) [10]	7,2	8,7	10,8	13,2	15,9	18,7	21,6	24,6	27,6		
Общее снижение уровня звука препятствием Dz, дБ		Эн.сумма(-Dzi)	2,2	3	3,6	4,3	4,9	5,8	6,9	8,5	10,5		
Уровни звукового давления от источника ИШ-8-1 в расчётной точке днём, дБ		**ф-ла(3)[10]**	**49,4**	**47,7**	**47**	**43,2**	**43,2**	**46**	**39,1**	**28,9**	**8,8**	**48,2**	**48,2**
Источник шума: ИШ-8-2, координаты источника (x,y,z), м =[596.60,-275.00,3.00]													
Уровни звуковой мощности источника днём, Lw, дБ		**исходные данные**	**105**	**104**	**104**	**101**	**102**	**106**	**101**	**95**	**87**		

1		2	3	4	5	6	7	8	9	10	11	12	13
Поправка на телесный угол DΩ, дБ	Ω = 6.28	10Lg(4π/Ω)	**3**	3	3	3	3	3	3	3	3		
Показатель направленности источника Di, дБ		исходные данные	**0**	0	0	0	0	0	0	0	0		
Поправка на направленность источника Dc, дБ	Dc	DΩ + Di	**3**	3	3	3	3	3	3	3	3		
Затухание из-за геометрической дивергенции, Adiv, дБ	расстояние = 224.97 м	ф-ла (7) [10]	**58**										
Коэффициент затухания звука в атмосфере α, дБ/км	Ta=20,°C Pa=101.33,кПа hотн.=70%	ф-ла (5) [9]	0,02	0,09	0,33	1,12	2,79	4,98	9,04	23,09	77,63		
Учет затухания звука в атмосфере Aatm, дБ		ф-ла (8) [10]	0	0	0,1	0,3	0,6	1,1	2	5,2	17,5		
Снижение уровня звукового давления из-за влияния застройки между источником шума и расчетной точкой													
Снижение уровня звукового давления препятствием справа от трассы ИШ-РТ, Dz3, дБ	z = -0.11м (разность путей)	ф-лы (14-18) [10]	0	0	1,3	NAN	NAN	NAN	NAN	NAN	NAN		
* отрицательное значение z означает прохождение траектории вблизи экрана, в этом случае дополнительно производится учёт снижения подстилающей поверхностью (см.ниже)													
Снижение поверхностью земли возле источника As, дБ	Gs = 0 hs = 3м	ф-лы таб.3 [10]	-1,5	-1,5	-1,5	-1,5	-1,5	-1,5	-1,5	-1,5	-1,5		
Снижение поверхностью земли возле приёмника Ar, дБ	Gr = 1 hr = 1.5м	ф-лы таб.3 [10]	-1,5	-1,5	1,3	6,9	4,9	0,7	0	0	0		
Снижение поверхностью земли в средней зоне, Am дБ	Gm = 1	ф-лы таб.3 [10]	-1,2	-1,2	0	0	0	0	0	0	0		
Суммарное снижение поверхностью земли на траектории распространения звука Agr, дБ		ф-ла (9) [10]	-4,2	-4,2	-0,2	5,4	3,4	-0,8	-1,5	-1,5	-1,5		
Уровни звукового давления прямого звука от источника ИШ-8-2 в расчётной точке днём, дБ		**ф-ла(3)[10]**	**54,2**	**53,1**	**47,8**	**40,3**	**42,9**	**50,7**	**45,4**	**36,3**	**16**	**52,6**	**52,6**
Расчёт отражённого звука													
Уровни звукового давления от мнимого источника ИШ-8-2_мн.(1) в расчётной точке днём, дБ		**ф-ла(3)[10]**	**0**	**0**	**0**	**0**	**0**	**0**	**33,3**	**20,1**	**0**	**34,7**	**34,7**
Уровни звукового давления от мнимого источника ИШ-8-2_мн.(2) в расчётной точке днём, дБ		**ф-ла(3)[10]**	**0**	**0**	**0**	**0**	**0**	**0**	**0**	**0**	**0**	**0**	**0**
Уровни звукового давления от мнимого источника ИШ-8-2_мн.(3) в расчётной точке днём, дБ		**ф-ла(3)[10]**	**0**	**0**	**0**	**33,9**	**40,1**	**48,1**	**42,9**	**33,7**	**13,3**	**49,9**	**49,9**

1		2	3	4	5	6	7	8	9	10	11	12	13
Суммарные уровни звукового давления от мнимых источников в расчётной точке днём, дБ		**ф-ла (19) [1]**	**0**	**0**	**0**	**33,9**	**40,1**	**48,1**	**43,3**	**33,9**	**13,3**	**0**	**50,1**
Уровни звукового давления от источника ИШ-8-2 в расчётной точке днём, дБ		**ф-ла(3)[10]**	**54,2**	**53,1**	**47,8**	**41,2**	**44,8**	**52,6**	**47,5**	**38,2**	**17,9**	**54,5**	**54,5**
Источник шума: ИШ-8-3, координаты источника (x,y,z), м =[564.90,-369.90,3.00]													
Уровни звуковой мощности источника днём, Lw, дБ		**исходные данные**	**105**	**104**	**104**	**101**	**102**	**106**	**101**	**95**	**87**		
Поправка на телесный угол DΩ, дБ	Ω = 6.28	10Lg(4π/Ω)	**3**	3	3	3	3	3	3	3	3		
Показатель направленности источника Di, дБ		исходные данные	**0**	0	0	0	0	0	0	0	0		
Поправка на направленность источника Dc, дБ	Dc	DΩ + Di	**3**	3	3	3	3	3	3	3	3		
Затухание из-за геометрической дивергенции, Adiv, дБ	расстояние = 313.77 м	ф-ла (7) [10]	**60,9**										
Коэффициент затухания звука в атмосфере α, дБ/км	Ta=20,°C Pa=101.33,кПа hотн.=70%	ф-ла (5) [9]	0,02	0,09	0,33	1,12	2,79	4,98	9,04	23,09	77,63		
Учет затухания звука в атмосфере Aatm, дБ		ф-ла (8) [10]	0	0	0,1	0,4	0,9	1,6	2,8	7,2	24,4		
Снижение поверхностью земли возле источника As, дБ	Gs = 0 hs = 3м	ф-лы таб.3 [10]	-1,5	-1,5	-1,5	-1,5	-1,5	-1,5	-1,5	-1,5	-1,5		
Снижение поверхностью земли возле приёмника Ar, дБ	Gr = 1 hr = 1.5м	ф-лы таб.3 [10]	-1,5	-1,5	1,8	7	5	0,7	0	0	0		
Снижение поверхностью земли в средней зоне, Am дБ	Gm = 1	ф-лы таб.3 [10]	-1,7	-1,7	0	0	0	0	0	0	0		
Суммарное снижение поверхностью земли на траектории распространения звука Agr, дБ		ф-ла (9) [10]	-4,7	-4,7	0,3	5,5	3,5	-0,8	-1,5	-1,5	-1,5		
Уровни звукового давления прямого звука от источника ИШ-8-3 в расчётной точке днём, дБ		**ф-ла(3)[10]**	**51,8**	**50,8**	**45,7**	**37,2**	**39,7**	**47,4**	**41,7**	**31,3**	**6,2**	**49,2**	**49,2**
Расчёт отражённого звука													

1		2	3	4	5	6	7	8	9	10	11	12	13
Уровни звукового давления от мнимого источника ИШ-8-3_мн.(1) в расчётной точке днём, дБ		**ф-ла(3)[10]**	**0**	**49,7**	**40,6**	**30,9**	**37**	**44,8**	**39,2**	**28,7**	**3,5**	**46,6**	**46,6**
Уровни звукового давления от источника ИШ-8-3 в расчётной точке днём, дБ		**ф-ла(3)[10]**	**51,8**	**53,3**	**46,9**	**38,1**	**41,6**	**49,3**	**43,7**	**33,2**	**8,1**	**51,1**	**51,1**
Источник шума: ИШ-9-1, координаты источника (x,y,z), м =[642.94,-357.54,1.00]													
Уровни звуковой мощности источника днём, Lw, дБ		**исходные данные**	**0**	**93,3**	**94,7**	**96**	**96,3**	**95,9**	**92,6**	**88,4**	**83,9**		
Поправка на телесный угол DΩ, дБ	Ω = 6.28	10Lg(4π/Ω)	**3**	3	3	3	3	3	3	3	3		
Показатель направленности источника Di, дБ		исходные данные	**0**	0	0	0	0	0	0	0	0		
Поправка на направленность источника Dc, дБ	Dc	DΩ + Di	**3**	3	3	3	3	3	3	3	3		
Затухание из-за геометрической дивергенции, Adiv, дБ	расстояние = 317.35 м	ф-ла (7) [10]	**61**										
Коэффициент затухания звука в атмосфере α, дБ/км	Ta=20,°C Pa=101.33,кПа hотн.=70%	ф-ла (5) [9]	0,02	0,09	0,33	1,12	2,79	4,98	9,04	23,09	77,63		
Учет затухания звука в атмосфере Aatm, дБ		ф-ла (8) [10]	0	0	0,1	0,4	0,9	1,6	2,9	7,3	24,6		
Снижение уровня звукового давления из-за влияния застройки между источником шума и расчетной точкой													
Снижение уровня звукового давления на пути над экраном, Dz1, дБ	z = 0.05м (разность путей)	ф-лы (14-18) [10]	4,8	4,8	4,8	4,8	4,9	5,1	5,5	6,1	7,1		
Снижение уровня звукового давления на пути слева от экрана, Dz2, дБ	z = 0.26м (разность путей)	ф-лы (14-18) [10]	6	6,9	8,3	10,3	12,6	15,2	18	21	23,9		
Снижение уровня звукового давления на пути справа от экрана, Dz3, дБ	z = 1.60м (разность путей)	ф-лы (14-18) [10]	9,5	11,7	14,2	17	19,9	22,8	25,8	28,8	31,8		
Общее снижение уровня звука препятствием Dz, дБ		Эн.сумма(-Dzi)	1,6	2,2	2,9	3,5	4,1	4,7	5,2	5,9	7		
Уровни звукового давления прямого звука от источника ИШ-9-1 в расчётной точке днём, дБ		**ф-ла(3)[10]**	**0**	**33**	**33,7**	**34,1**	**33,2**	**31,6**	**26,5**	**17,1**	**0**	**35,5**	**35,5**

1		2	3	4	5	6	7	8	9	10	11	12	13
Расчёт отражённого звука													
Уровни звукового давления от мнимого источника ИШ-9-1_мн.(1) в расчётной точке днём, дБ		**ф-ла(3)[10]**	**0**	**0**	**0**	**0**	**0**	**0**	**0**	**10**	**0**	**11**	**11**
Уровни звукового давления от мнимого источника ИШ-9-1_мн.(2) в расчётной точке днём, дБ		**ф-ла(3)[10]**	**0**	**0**	**0**	**0**	**0**	**0**	**0**	**0**	**0**	**0**	**0**
Суммарные уровни звукового давления от мнимых источников в расчётной точке днём, дБ		**ф-ла (19) [1]**	**0**	**0**	**0**	**0**	**0**	**0**	**0**	**10**	**0**	**0**	**11**
Уровни звукового давления от источника ИШ-9-1 в расчётной точке днём, дБ		**ф-ла(3)[10]**	**0**	**33**	**33,7**	**34,1**	**33,2**	**31,6**	**26,5**	**17,9**	**0**	**35,5**	**35,5**
Источник шума: ИШ-9-2, координаты источника (x,y,z), м =[644.14,-354.83,1.00]													
Уровни звуковой мощности источника днём, Lw, дБ		**исходные данные**	**0**	**93,3**	**94,7**	**96**	**96,3**	**95,9**	**92,6**	**88,4**	**83,9**		
Поправка на телесный угол DΩ, дБ	Ω = 6.28	10Lg(4π/Ω)	**3**	3	3	3	3	3	3	3	3		
Показатель направленности источника Di, дБ		исходные данные	**0**	0	0	0	0	0	0	0	0		
Поправка на направленность источника Dc, дБ	Dc	DΩ + Di	**3**	3	3	3	3	3	3	3	3		
Затухание из-за геометрической дивергенции, Adiv, дБ	расстояние = 315.18 м	ф-ла (7) [10]	**61**										
Коэффициент затухания звука в атмосфере α, дБ/км	Ta=20,°C Pa=101.33,кПа hотн.=70%	ф-ла (5) [9]	0,02	0,09	0,33	1,12	2,79	4,98	9,04	23,09	77,63		
Учет затухания звука в атмосфере Aatm, дБ		ф-ла (8) [10]	0	0	0,1	0,4	0,9	1,6	2,8	7,3	24,5		
Снижение уровня звукового давления из-за влияния застройки между источником шума и расчетной точкой													
Снижение уровня звукового давления на пути над экраном, Dz1, дБ	z = 0.05м (разность путей)	ф-лы (14-18) [10]	4,8	4,8	4,8	4,8	5	5,2	5,5	6,2	7,3		
Снижение уровня звукового давления на пути слева от экрана, Dz2, дБ	z = 0.33м (разность путей)	ф-лы (14-18) [10]	6,3	7,4	9	11	13,5	16,2	19,1	22	25		

1		2	3	4	5	6	7	8	9	10	11	12	13
Снижение уровня звукового давления на пути справа от экрана, Dz3, дБ	z = 1.46м (разность путей)	ф-лы (14-18) [10]	9,2	11,4	13,9	16,6	19,5	22,4	25,4	28,4	31,4		
Общее снижение уровня звука препятствием Dz, дБ		Эн.сумма(-Dzi)	1,6	2,3	3	3,7	4,3	4,8	5,3	6,1	7,2		
Уровни звукового давления прямого звука от источника ИШ-9-2 в расчётной точке днём, дБ		**ф-ла(3)[10]**	**0**	**33**	**33,6**	**34**	**33,2**	**31,6**	**26,5**	**17,1**	**0**	**35,4**	**35,4**
Расчёт отражённого звука													
Уровни звукового давления от мнимого источника ИШ-9-2_мн.(1) в расчётной точке днём, дБ		**ф-ла(3)[10]**	**0**	**0**	**0**	**0**	**0**	**0**	**0**	**10,1**	**0**	**11,1**	**11,1**
Уровни звукового давления от мнимого источника ИШ-9-2_мн.(2) в расчётной точке днём, дБ		**ф-ла(3)[10]**	**0**	**0**	**0**	**0**	**0**	**0**	**0**	**0**	**0**	**0**	**0**
Суммарные уровни звукового давления от мнимых источников в расчётной точке днём, дБ		**ф-ла (19) [1]**	**0**	**0**	**0**	**0**	**0**	**0**	**0**	**10,1**	**0**	**0**	**11,1**
Уровни звукового давления от источника ИШ-9-2 в расчётной точке днём, дБ		**ф-ла(3)[10]**	**0**	**33**	**33,6**	**34**	**33,2**	**31,6**	**26,5**	**17,9**	**0**	**35,5**	**35,5**
Источник шума: ИШ-9-3, координаты источника (x,y,z), м =[644.98,-351.85,1.00]													
Уровни звуковой мощности источника днём, Lw, дБ		**исходные данные**	**0**	**93,3**	**94,7**	**96**	**96,3**	**95,9**	**92,6**	**88,4**	**83,9**		
Поправка на телесный угол DΩ, дБ	Ω = 6.28	10Lg(4π/Ω)	**3**	3	3	3	3	3	3	3	3		
Показатель направленности источника Di, дБ		исходные данные	**0**	0	0	0	0	0	0	0	0		
Поправка на направленность источника Dc, дБ	Dc	DΩ + Di	**3**	3	3	3	3	3	3	3	3		
Затухание из-за геометрической дивергенции, Adiv, дБ	расстояние = 312.65 м	ф-ла (7) [10]	**60,9**										
Коэффициент затухания звука в атмосфере α, дБ/км	Ta=20,°C Pa=101.33,кПа hотн.=70%	ф-ла (5) [9]	0,02	0,09	0,33	1,12	2,79	4,98	9,04	23,09	77,63		
Учет затухания звука в атмосфере Aatm, дБ		ф-ла (8) [10]	0	0	0,1	0,4	0,9	1,6	2,8	7,2	24,3		

1		2	3	4	5	6	7	8	9	10	11	12	13
Снижение уровня звукового давления из-за влияния застройки между источником шума и расчетной точкой													
Снижение уровня звукового давления на пути над экраном, Dz1, дБ	z = 0.05м (разность путей)	ф-лы (14-18) [10]	4,8	4,8	4,8	4,8	5	5,2	5,6	6,3	7,4		
Снижение уровня звукового давления на пути слева от экрана, Dz2, дБ	z = 0.40м (разность путей)	ф-лы (14-18) [10]	6,5	7,8	9,5	11,7	14,3	17	19,9	22,9	25,8		
Снижение уровня звукового давления на пути справа от экрана, Dz3, дБ	z = 1.34м (разность путей)	ф-лы (14-18) [10]	9	11,1	13,6	16,3	19,1	22,1	25	28	31		
Общее снижение уровня звука препятствием Dz, дБ		Эн.сумма(-Dzi)	1,7	2,4	3,1	3,8	4,3	4,8	5,4	6,2	7,3		
Уровни звукового давления прямого звука от источника ИШ-9-3 в расчётной точке днём, дБ		**ф-ла(3)[10]**	**0**	**33**	**33,6**	**34**	**33,2**	**31,6**	**26,5**	**17,1**	**0**	**35,4**	**35,4**
Расчёт отражённого звука													
Уровни звукового давления от мнимого источника ИШ-9-3_мн.(1) в расчётной точке днём, дБ		**ф-ла(3)[10]**	**0**	**0**	**0**	**0**	**0**	**0**	**0**	**10,1**	**0**	**11,1**	**11,1**
Уровни звукового давления от мнимого источника ИШ-9-3_мн.(2) в расчётной точке днём, дБ		**ф-ла(3)[10]**	**0**	**0**	**0**	**0**	**0**	**0**	**0**	**0**	**0**	**0**	**0**
Суммарные уровни звукового давления от мнимых источников в расчётной точке днём, дБ		**ф-ла (19) [1]**	**0**	**0**	**0**	**0**	**0**	**0**	**0**	**10,1**	**0**	**0**	**11,1**
Уровни звукового давления от источника ИШ-9-3 в расчётной точке днём, дБ		**ф-ла(3)[10]**	**0**	**33**	**33,6**	**34**	**33,2**	**31,6**	**26,5**	**17,9**	**0**	**35,5**	**35,5**
Источник шума: ИШ-9-4, координаты источника (x,y,z), м =[646.01,-349.15,1.00]													
Уровни звуковой мощности источника днём, Lw, дБ		**исходные данные**	**0**	**93,3**	**94,7**	**96**	**96,3**	**95,9**	**92,6**	**88,4**	**83,9**		
Поправка на телесный угол DΩ, дБ	Ω = 6.28	10Lg(4π/Ω)	**3**	3	3	3	3	3	3	3	3		
Показатель направленности источника Di, дБ		исходные данные	**0**	0	0	0	0	0	0	0	0		
Поправка на направленность источника Dc, дБ	Dc	DΩ + Di	**3**	3	3	3	3	3	3	3	3		
Затухание из-за геометрической дивергенции, Adiv, дБ	расстояние = 310.45 м	ф-ла (7) [10]	**60,8**										

1		2	3	4	5	6	7	8	9	10	11	12	13
Коэффициент затухания звука в атмосфере α, дБ/км	Та=20,°С Ра=101.33,кПа hотн.=70%	ф-ла (5) [9]	0,02	0,09	0,33	1,12	2,79	4,98	9,04	23,09	77,63		
Учет затухания звука в атмосфере Aatm, дБ		ф-ла (8) [10]	0	0	0,1	0,3	0,9	1,5	2,8	7,2	24,1		
Снижение уровня звукового давления из-за влияния застройки между источником шума и расчетной точкой													
Снижение уровня звукового давления на пути над экраном, Dz1, дБ	z = 0.05м (разность путей)	ф-лы (14-18) [10]	4,8	4,8	4,8	4,9	5	5,2	5,6	6,4	7,5		
Снижение уровня звукового давления на пути слева от экрана, Dz2, дБ	z = 0.49м (разность путей)	ф-лы (14-18) [10]	6,8	8,2	10,1	12,4	15	17,8	20,7	23,7	26,7		
Снижение уровня звукового давления на пути справа от экрана, Dz3, дБ	z = 1.22м (разность путей)	ф-лы (14-18) [10]	8,8	10,8	13,2	15,9	18,7	21,6	24,6	27,6	30,6		
Общее снижение уровня звука препятствием Dz, дБ		Эн.сумма(-Dzi)	1,7	2,5	3,2	3,9	4,4	4,9	5,5	6,3	7,5		
Уровни звукового давления прямого звука от источника ИШ-9-4 в расчётной точке днём, дБ		**ф-ла(3)[10]**	**0**	**33**	**33,5**	**33,9**	**33,2**	**31,6**	**26,5**	**17,1**	**0**	**35,4**	**35,4**
Расчёт отражённого звука													
Уровни звукового давления от мнимого источника ИШ-9-4_мн.(1) в расчётной точке днём, дБ		**ф-ла(3)[10]**	**0**	**0**	**0**	**0**	**0**	**0**	**22,7**	**10,2**	**0**	**24,2**	**24,2**
Уровни звукового давления от мнимого источника ИШ-9-4_мн.(2) в расчётной точке днём, дБ		**ф-ла(3)[10]**	**0**	**0**	**0**	**0**	**0**	**0**	**0**	**0**	**0**	**0**	**0**
Суммарные уровни звукового давления от мнимых источников в расчётной точке днём, дБ		**ф-ла (19) [1]**	**0**	**0**	**0**	**0**	**0**	**0**	**22,7**	**10,2**	**0**	**0**	**24,2**
Уровни звукового давления от источника ИШ-9-4 в расчётной точке днём, дБ		**ф-ла(3)[10]**	**0**	**33**	**33,5**	**33,9**	**33,2**	**31,6**	**28**	**17,9**	**0**	**35,8**	**35,8**
Источник шума: ИШ-9-5, координаты источника (x,y,z), м =[646.84,-346.17,1.00]													
Уровни звуковой мощности источника днём, Lw, дБ		**исходные данные**	**0**	**93,3**	**94,7**	**96**	**96,3**	**95,9**	**92,6**	**88,4**	**83,9**		
Поправка на телесный угол DΩ, дБ	Ω = 6.28	10Lg(4π/Ω)	**3**	3	3	3	3	3	3	3	3		

1		2	3	4	5	6	7	8	9	10	11	12	13
Показатель направленности источника Di, дБ		исходные данные	**0**	0	0	0	0	0	0	0	0		
Поправка на направленность источника Dc, дБ	Dc	DΩ + Di	**3**	3	3	3	3	3	3	3	3		
Затухание из-за геометрической дивергенции, Adiv, дБ	расстояние = 307.93 м	ф-ла (7) [10]	**60,8**										
Коэффициент затухания звука в атмосфере α, дБ/км	Ta=20,°C Pa=101.33,кПа hотн.=70%	ф-ла (5) [9]	0,02	0,09	0,33	1,12	2,79	4,98	9,04	23,09	77,63		
Учет затухания звука в атмосфере Aatm, дБ		ф-ла (8) [10]	0	0	0,1	0,3	0,9	1,5	2,8	7,1	23,9		
Снижение уровня звукового давления из-за влияния застройки между источником шума и расчетной точкой													
Снижение уровня звукового давления на пути над экраном, Dz1, дБ	z = 0.05м (разность путей)	ф-лы (14-18) [10]	4,8	4,8	4,8	4,9	5	5,2	5,7	6,5	7,7		
Снижение уровня звукового давления на пути слева от экрана, Dz2, дБ	z = 0.58м (разность путей)	ф-лы (14-18) [10]	7,1	8,6	10,6	13	15,7	18,5	21,4	24,4	27,4		
Снижение уровня звукового давления на пути справа от экрана, Dz3, дБ	z = 1.10м (разность путей)	ф-лы (14-18) [10]	8,5	10,5	12,8	15,5	18,3	21,2	24,2	27,2	30,2		
Общее снижение уровня звука препятствием Dz, дБ		Эн.сумма(-Dzi)	1,8	2,5	3,3	3,9	4,5	4,9	5,5	6,4	7,6		
Уровни звукового давления прямого звука от источника ИШ-9-5 в расчётной точке днём, дБ		**ф-ла(3)[10]**	**0**	**33**	**33,5**	**33,9**	**33,2**	**31,6**	**26,5**	**17,2**	**0**	**35,5**	**35,5**
Расчёт отражённого звука													
Уровни звукового давления от мнимого источника ИШ-9-5_мн.(1) в расчётной точке днём, дБ		**ф-ла(3)[10]**	**0**	**0**	**0**	**0**	**0**	**0**	**22,8**	**10,2**	**0**	**24,2**	**24,2**
Уровни звукового давления от мнимого источника ИШ-9-5_мн.(2) в расчётной точке днём, дБ		**ф-ла(3)[10]**	**0**	**0**	**0**	**0**	**0**	**0**	**0**	**0**	**0**	**0**	**0**
Суммарные уровни звукового давления от мнимых источников в расчётной точке днём, дБ		**ф-ла (19) [1]**	**0**	**0**	**0**	**0**	**0**	**0**	**22,8**	**10,2**	**0**	**0**	**24,2**
Уровни звукового давления от источника ИШ-9-5 в расчётной точке днём, дБ		**ф-ла(3)[10]**	**0**	**33**	**33,5**	**33,9**	**33,2**	**31,6**	**28**	**18**	**0**	**35,8**	**35,8**

1		2	3	4	5	6	7	8	9	10	11	12	13
Источник шума: ИШ-9-6, координаты источника (x,y,z), м =[647.87,-343.47,1.00]													
Уровни звуковой мощности источника днём, Lw, дБ		**исходные данные**	**0**	**93,3**	**94,7**	**96**	**96,3**	**95,9**	**92,6**	**88,4**	**83,9**		
Поправка на телесный угол DΩ, дБ	Ω = 6.28	10Lg(4π/Ω)	**3**	3	3	3	3	3	3	3	3		
Показатель направленности источника Di, дБ		исходные данные	**0**	0	0	0	0	0	0	0	0		
Поправка на направленность источника Dc, дБ	Dc	DΩ + Di	**3**	3	3	3	3	3	3	3	3		
Затухание из-за геометрической дивергенции, Adiv, дБ	расстояние = 305.76 м	ф-ла (7) [10]	**60,7**										
Коэффициент затухания звука в атмосфере α, дБ/км	Ta=20,°C Pa=101.33,кПа hотн.=70%	ф-ла (5) [9]	0,02	0,09	0,33	1,12	2,79	4,98	9,04	23,09	77,63		
Учет затухания звука в атмосфере Aatm, дБ		ф-ла (8) [10]	0	0	0,1	0,3	0,9	1,5	2,8	7,1	23,7		
Снижение уровня звукового давления из-за влияния застройки между источником шума и расчетной точкой													
Снижение уровня звукового давления на пути над экраном, Dz1, дБ	z = 0.05м (разность путей)	ф-лы (14-18) [10]	4,8	4,8	4,8	4,9	5	5,3	5,7	6,6	7,8		
Снижение уровня звукового давления на пути слева от экрана, Dz2, дБ	z = 0.69м (разность путей)	ф-лы (14-18) [10]	7,4	9,1	11,2	13,6	16,4	19,2	22,2	25,1	28,1		
Снижение уровня звукового давления на пути справа от экрана, Dz3, дБ	z = 0.99м (разность путей)	ф-лы (14-18) [10]	8,2	10,1	12,4	15,1	17,9	20,8	23,7	26,7	29,7		
Общее снижение уровня звука препятствием Dz, дБ		Эн.сумма(-Dzi)	1,8	2,6	3,3	4	4,5	5	5,6	6,5	7,8		
Уровни звукового давления прямого звука от источника ИШ-9-6 в расчётной точке днём, дБ		**ф-ла(3)[10]**	**0**	**33**	**33,5**	**34**	**33,2**	**31,7**	**26,5**	**17,2**	**0**	**35,5**	**35,5**
Расчёт отражённого звука													
Уровни звукового давления от мнимого источника ИШ-9-6_мн.(1) в расчётной точке днём, дБ		**ф-ла(3)[10]**	**0**	**0**	**0**	**0**	**0**	**0**	**22,8**	**10,3**	**0**	**24,2**	**24,2**

1		2	3	4	5	6	7	8	9	10	11	12	13
Уровни звукового давления от мнимого источника ИШ-9-6_мн.(2) в расчётной точке днём, дБ		**ф-ла(3)[10]**	**0**	**0**	**0**	**0**	**0**	**0**	**0**	**0**	**0**	**0**	**0**
Суммарные уровни звукового давления от мнимых источников в расчётной точке днём, дБ		**ф-ла (19) [1]**	**0**	**0**	**0**	**0**	**0**	**0**	**22,8**	**10,3**	**0**	**0**	**24,2**
Уровни звукового давления от источника ИШ-9-6 в расчётной точке днём, дБ		**ф-ла(3)[10]**	**0**	**33**	**33,5**	**34**	**33,2**	**31,7**	**28,1**	**18**	**0**	**35,8**	**35,8**
Источник шума: ИШ-9-7, координаты источника (x,y,z), м =[648.71,-340.49,1.00]													
Уровни звуковой мощности источника днём, Lw, дБ		**исходные данные**	**0**	**93,3**	**94,7**	**96**	**96,3**	**95,9**	**92,6**	**88,4**	**83,9**		
Поправка на телесный угол DΩ, дБ	Ω = 6.28	10Lg(4π/Ω)	**3**	3	3	3	3	3	3	3	3		
Показатель направленности источника Di, дБ		исходные данные	**0**	0	0	0	0	0	0	0	0		
Поправка на направленность источника Dc, дБ	Dc	DΩ + Di	**3**	3	3	3	3	3	3	3	3		
Затухание из-за геометрической дивергенции, Adiv, дБ	расстояние = 303.26 м	ф-ла (7) [10]	**60,6**										
Коэффициент затухания звука в атмосфере α, дБ/км	Ta=20,°C Pa=101.33,кПа hотн.=70%	ф-ла (5) [9]	0,02	0,09	0,33	1,12	2,79	4,98	9,04	23,09	77,63		
Учет затухания звука в атмосфере Aatm, дБ		ф-ла (8) [10]	0	0	0,1	0,3	0,8	1,5	2,7	7	23,5		
Снижение уровня звукового давления из-за влияния застройки между источником шума и расчетной точкой													
Снижение уровня звукового давления на пути над экраном, Dz1, дБ	z = 0.05м (разность путей)	ф-лы (14-18) [10]	4,8	4,8	4,8	4,9	5	5,3	5,8	6,7	8		
Снижение уровня звукового давления на пути слева от экрана, Dz2, дБ	z = 0.80м (разность путей)	ф-лы (14-18) [10]	7,8	9,5	11,7	14,2	17	19,9	22,8	25,8	28,8		
Снижение уровня звукового давления на пути справа от экрана, Dz3, дБ	z = 0.88м (разность путей)	ф-лы (14-18) [10]	8	9,8	12	14,6	17,4	20,3	23,2	26,2	29,2		
Общее снижение уровня звука препятствием Dz, дБ		Эн.сумма(-Dzi)	1,8	2,6	3,4	4	4,5	5	5,6	6,6	7,9		

1		2	3	4	5	6	7	8	9	10	11	12	13
Уровни звукового давления прямого звука от источника ИШ-9-7 в расчётной точке днём, дБ		**ф-ла(3)[10]**	**0**	**33**	**33,6**	**34**	**33,3**	**31,7**	**26,6**	**17,2**	**0**	**35,5**	**35,5**
Расчёт отражённого звука													
Уровни звукового давления от мнимого источника ИШ-9-7_мн.(1) в расчётной точке днём, дБ		**ф-ла(3)[10]**	**0**	**0**	**0**	**0**	**0**	**0**	**22,8**	**10,3**	**0**	**24,3**	**24,3**
Уровни звукового давления от источника ИШ-9-7 в расчётной точке днём, дБ		**ф-ла(3)[10]**	**0**	**33**	**33,6**	**34**	**33,3**	**31,7**	**28,1**	**18**	**0**	**35,8**	**35,8**
Источник шума: ИШ-9-8, координаты источника (x,y,z), м =[649.92,-337.69,1.00]													
Уровни звуковой мощности источника днём, Lw, дБ		**исходные данные**	**0**	**93,3**	**94,7**	**96**	**96,3**	**95,9**	**92,6**	**88,4**	**83,9**		
Поправка на телесный угол DΩ, дБ	Ω = 6.28	10Lg(4π/Ω)	**3**	3	3	3	3	3	3	3	3		
Показатель направленности источника Di, дБ		исходные данные	**0**	0	0	0	0	0	0	0	0		
Поправка на направленность источника Dc, дБ	Dc	DΩ + Di	**3**	3	3	3	3	3	3	3	3		
Затухание из-за геометрической дивергенции, Adiv, дБ	расстояние = 301.09 м	ф-ла (7) [10]	**60,6**										
Коэффициент затухания звука в атмосфере α, дБ/км	Ta=20,°C Pa=101.33,кПа hотн.=70%	ф-ла (5) [9]	0,02	0,09	0,33	1,12	2,79	4,98	9,04	23,09	77,63		
Учет затухания звука в атмосфере Aatm, дБ		ф-ла (8) [10]	0	0	0,1	0,3	0,8	1,5	2,7	7	23,4		
Снижение уровня звукового давления из-за влияния застройки между источником шума и расчетной точкой													
Снижение уровня звукового давления на пути над экраном, Dz1, дБ	z = 0.05м (разность путей)	ф-лы (14-18) [10]	4,8	4,8	4,8	4,9	5	5,3	5,9	6,8	8,1		
Снижение уровня звукового давления на пути слева от экрана, Dz2, дБ	z = 0.94м (разность путей)	ф-лы (14-18) [10]	8,1	10	12,3	14,9	17,7	20,6	23,5	26,5	29,5		
Снижение уровня звукового давления на пути справа от экрана, Dz3, дБ	z = 0.77м (разность путей)	ф-лы (14-18) [10]	7,7	9,4	11,5	14,1	16,8	19,7	22,6	25,6	28,6		

1		2	3	4	5	6	7	8	9	10	11	12	13
Общее снижение уровня звука препятствием Dz, дБ		Эн.сумма(-Dzi)	1,8	2,6	3,4	4	4,5	5,1	5,7	6,7	8,1		
Уровни звукового давления прямого звука от источника ИШ-9-8 в расчётной точке днём, дБ		**ф-ла(3)[10]**	**0**	**33,1**	**33,6**	**34,1**	**33,3**	**31,8**	**26,6**	**17,2**	**0**	**35,6**	**35,6**
Расчёт отражённого звука													
Уровни звукового давления от мнимого источника ИШ-9-8_мн.(1) в расчётной точке днём, дБ		**ф-ла(3)[10]**	**0**	**0**	**0**	**0**	**0**	**0**	**22,9**	**10,3**	**0**	**24,3**	**24,3**
Уровни звукового давления от источника ИШ-9-8 в расчётной точке днём, дБ		**ф-ла(3)[10]**	**0**	**33,1**	**33,6**	**34,1**	**33,3**	**31,8**	**28,1**	**18**	**0**	**35,9**	**35,9**
Источник шума: ИШ-9-9, координаты источника (x,y,z), м =[650.66,-334.90,1.00]													
Уровни звуковой мощности источника днём, Lw, дБ		**исходные данные**	**0**	**93,3**	**94,7**	**96**	**96,3**	**95,9**	**92,6**	**88,4**	**83,9**		
Поправка на телесный угол DΩ, дБ	Ω = 6.28	10Lg(4π/Ω)	**3**	3	3	3	3	3	3	3	3		
Показатель направленности источника Di, дБ		исходные данные	**0**	0	0	0	0	0	0	0	0		
Поправка на направленность источника Dc, дБ	Dc	DΩ + Di	**3**	3	3	3	3	3	3	3	3		
Затухание из-за геометрической дивергенции, Adiv, дБ	расстояние = 298.76 м	ф-ла (7) [10]	**60,5**										
Коэффициент затухания звука в атмосфере α, дБ/км	Ta=20,°C Pa=101.33,кПа hотн.=70%	ф-ла (5) [9]	0,02	0,09	0,33	1,12	2,79	4,98	9,04	23,09	77,63		
Учет затухания звука в атмосфере Aatm, дБ		ф-ла (8) [10]	0	0	0,1	0,3	0,8	1,5	2,7	6,9	23,2		
Снижение уровня звукового давления из-за влияния застройки между источником шума и расчетной точкой													
Снижение уровня звукового давления на пути над экраном, Dz1, дБ	z = 0.05м (разность путей)	ф-лы (14-18) [10]	4,8	4,8	4,8	4,9	5,1	5,4	5,9	6,9	8,3		
Снижение уровня звукового давления на пути слева от экрана, Dz2, дБ	z = 1.07м (разность путей)	ф-лы (14-18) [10]	8,4	10,4	12,7	15,4	18,2	21,1	24	27	30		

1		2	3	4	5	6	7	8	9	10	11	12	13
Снижение уровня звукового давления на пути справа от экрана, Dz3, дБ	z = 0.68м (разность путей)	ф-лы (14-18) [10]	7,4	9	11,1	13,6	16,3	19,2	22,1	25,1	28,1		
Общее снижение уровня звука препятствием Dz, дБ		Эн.сумма(-Dzi)	1,8	2,6	3,4	4	4,6	5,1	5,8	6,8	8,2		
Уровни звукового давления прямого звука от источника ИШ-9-9 в расчётной точке днём, дБ		**ф-ла(3)[10]**	**0**	**33,2**	**33,7**	**34,1**	**33,4**	**31,8**	**26,6**	**17,2**	**0**	**35,6**	**35,6**
Расчёт отражённого звука													
Уровни звукового давления от мнимого источника ИШ-9-9_мн.(1) в расчётной точке днём, дБ		**ф-ла(3)[10]**	**0**	**0**	**0**	**0**	**0**	**0**	**22,9**	**10,4**	**0**	**24,3**	**24,3**
Уровни звукового давления от источника ИШ-9-9 в расчётной точке днём, дБ		**ф-ла(3)[10]**	**0**	**33,2**	**33,7**	**34,1**	**33,4**	**31,8**	**28,2**	**18**	**0**	**35,9**	**35,9**
Источник шума: ИШ-9-10, координаты источника (x,y,z), м =[651.59,-332.01,1.00]													
Уровни звуковой мощности источника днём, Lw, дБ		**исходные данные**	**0**	**93,3**	**94,7**	**96**	**96,3**	**95,9**	**92,6**	**88,4**	**83,9**		
Поправка на телесный угол DΩ, дБ	Ω = 6.28	10Lg(4π/Ω)	**3**	3	3	3	3	3	3	3	3		
Показатель направленности источника Di, дБ		исходные данные	**0**	0	0	0	0	0	0	0	0		
Поправка на направленность источника Dc, дБ	Dc	DΩ + Di	**3**	3	3	3	3	3	3	3	3		
Затухание из-за геометрической дивергенции, Adiv, дБ	расстояние = 296.42 м	ф-ла (7) [10]	**60,4**										
Коэффициент затухания звука в атмосфере α, дБ/км	Ta=20,°C Pa=101.33,кПа hотн.=70%	ф-ла (5) [9]	0,02	0,09	0,33	1,12	2,79	4,98	9,04	23,09	77,63		
Учет затухания звука в атмосфере Aatm, дБ		ф-ла (8) [10]	0	0	0,1	0,3	0,8	1,5	2,7	6,8	23		
Снижение уровня звукового давления из-за влияния застройки между источником шума и расчетной точкой													
Снижение уровня звукового давления на пути над экраном, Dz1, дБ	z = 0.05м (разность путей)	ф-лы (14-18) [10]	4,8	4,8	4,8	4,9	5,1	5,4	6	7	8,4		

1		2	3	4	5	6	7	8	9	10	11	12	13
Снижение уровня звукового давления на пути слева от экрана, Dz2, дБ	z = 1.22м (разность путей)	ф-лы (14-18) [10]	8,8	10,8	13,2	15,9	18,7	21,6	24,6	27,6	30,6		
Снижение уровня звукового давления на пути справа от экрана, Dz3, дБ	z = 0.58м (разность путей)	ф-лы (14-18) [10]	7,1	8,6	10,6	13	15,7	18,5	21,5	24,4	27,4		
Общее снижение уровня звука препятствием Dz, дБ		Эн.сумма(-Dzi)	1,8	2,6	3,3	4	4,5	5,1	5,8	6,9	8,4		
Уровни звукового давления прямого звука от источника ИШ-9-10 в расчётной точке днём, дБ		**ф-ла(3)[10]**	**0**	**33,2**	**33,8**	**34,2**	**33,5**	**31,9**	**26,7**	**17,3**	**0**	**35,7**	**35,7**
Расчёт отражённого звука													
Уровни звукового давления от мнимого источника ИШ-9-10_мн.(1) в расчётной точке днём, дБ		**ф-ла(3)[10]**	**0**	**0**	**0**	**0**	**0**	**0**	**22,9**	**10,4**	**0**	**24,3**	**24,3**
Уровни звукового давления от источника ИШ-9-10 в расчётной точке днём, дБ		**ф-ла(3)[10]**	**0**	**33,2**	**33,8**	**34,2**	**33,5**	**31,9**	**28,2**	**18,1**	**0**	**36**	**36**
Источник шума: ИШ-9-11, координаты источника (x,y,z), м =[652.71,-329.22,1.00]													
Уровни звуковой мощности источника днём, Lw, дБ		**исходные данные**	**0**	**93,3**	**94,7**	**96**	**96,3**	**95,9**	**92,6**	**88,4**	**83,9**		
Поправка на телесный угол DΩ, дБ	Ω = 6.28	10Lg(4π/Ω)	**3**	3	3	3	3	3	3	3	3		
Показатель направленности источника Di, дБ		исходные данные	**0**	0	0	0	0	0	0	0	0		
Поправка на направленность источника Dc, дБ	Dc	DΩ + Di	**3**	3	3	3	3	3	3	3	3		
Затухание из-за геометрической дивергенции, Adiv, дБ	расстояние = 294.26 м	ф-ла (7) [10]	**60,4**										
Коэффициент затухания звука в атмосфере α, дБ/км	Ta=20,°C Pa=101.33,кПа hотн.=70%	ф-ла (5) [9]	0,02	0,09	0,33	1,12	2,79	4,98	9,04	23,09	77,63		
Учет затухания звука в атмосфере Aatm, дБ		ф-ла (8) [10]	0	0	0,1	0,3	0,8	1,5	2,7	6,8	22,8		
Снижение уровня звукового давления из-за влияния застройки между источником шума и расчетной точкой													

1		2	3	4	5	6	7	8	9	10	11	12	13
Снижение уровня звукового давления на пути над экраном, Dz1, дБ	z = 0.05м (разность путей)	ф-лы (14-18) [10]	4,8	4,8	4,8	4,9	5,1	5,5	6,1	7,1	8,6		
Снижение уровня звукового давления на пути слева от экрана, Dz2, дБ	z = 1.39м (разность путей)	ф-лы (14-18) [10]	9,1	11,2	13,7	16,4	19,3	22,2	25,2	28,2	31,2		
Снижение уровня звукового давления на пути справа от экрана, Dz3, дБ	z = 0.49м (разность путей)	ф-лы (14-18) [10]	6,8	8,2	10,1	12,4	15	17,8	20,7	23,6	26,6		
Общее снижение уровня звука препятствием Dz, дБ		Эн.сумма(-Dzi)	1,8	2,5	3,3	3,9	4,5	5,1	5,9	7	8,5		
Уровни звукового давления прямого звука от источника ИШ-9-11 в расчётной точке днём, дБ		**ф-ла(3)[10]**	**0**	**33,4**	**33,9**	**34,4**	**33,6**	**31,9**	**26,7**	**17,3**	**0**	**35,8**	**35,8**
Расчёт отражённого звука													
Уровни звукового давления от мнимого источника ИШ-9-11_мн.(1) в расчётной точке днём, дБ		**ф-ла(3)[10]**	**0**	**0**	**0**	**0**	**0**	**0**	**22,9**	**10,5**	**0**	**24,4**	**24,4**
Уровни звукового давления от источника ИШ-9-11 в расчётной точке днём, дБ		**ф-ла(3)[10]**	**0**	**33,4**	**33,9**	**34,4**	**33,6**	**31,9**	**28,2**	**18,1**	**0**	**36,1**	**36,1**
Источник шума: ИШ-9-12, координаты источника (x,y,z), м =[653.46,-326.33,1.00]													
Уровни звуковой мощности источника днём, Lw, дБ		**исходные данные**	**0**	**93,3**	**94,7**	**96**	**96,3**	**95,9**	**92,6**	**88,4**	**83,9**		
Поправка на телесный угол DΩ, дБ	Ω = 6.28	10Lg(4π/Ω)	**3**	3	3	3	3	3	3	3	3		
Показатель направленности источника Di, дБ		исходные данные	**0**	0	0	0	0	0	0	0	0		
Поправка на направленность источника Dc, дБ	Dc	DΩ + Di	**3**	3	3	3	3	3	3	3	3		
Затухание из-за геометрической дивергенции, Adiv, дБ	расстояние = 291.88 м	ф-ла (7) [10]	**60,3**										
Коэффициент затухания звука в атмосфере α, дБ/км	Ta=20,°C Pa=101.33,кПа hотн.=70%	ф-ла (5) [9]	0,02	0,09	0,33	1,12	2,79	4,98	9,04	23,09	77,63		
Учет затухания звука в атмосфере Aatm, дБ		ф-ла (8) [10]	0	0	0,1	0,3	0,8	1,5	2,6	6,7	22,7		

1		2	3	4	5	6	7	8	9	10	11	12	13
Снижение уровня звукового давления из-за влияния застройки между источником шума и расчетной точкой													
Снижение уровня звукового давления на пути над экраном, Dz1, дБ	z = 0.05м (разность путей)	ф-лы (14-18) [10]	4,8	4,8	4,8	4,9	5,1	5,5	6,1	7,2	8,8		
Снижение уровня звукового давления на пути слева от экрана, Dz2, дБ	z = 1.56м (разность путей)	ф-лы (14-18) [10]	9,4	11,6	14,1	16,9	19,8	22,7	25,7	28,7	31,7		
Снижение уровня звукового давления на пути справа от экрана, Dz3, дБ	z = 0.41м (разность путей)	ф-лы (14-18) [10]	6,5	7,8	9,6	11,8	14,3	17,1	20	22,9	25,9		
Общее снижение уровня звука препятствием Dz, дБ		Эн.сумма(-Dzi)	1,8	2,5	3,2	3,9	4,5	5,1	5,9	7,1	8,6		
Уровни звукового давления прямого звука от источника ИШ-9-12 в расчётной точке днём, дБ		**ф-ла(3)[10]**	**0**	**33,5**	**34,1**	**34,5**	**33,7**	**32**	**26,7**	**17,3**	**0**	**35,9**	**35,9**
Расчёт отражённого звука													
Уровни звукового давления от мнимого источника ИШ-9-12_мн.(1) в расчётной точке днём, дБ		**ф-ла(3)[10]**	**0**	**0**	**0**	**0**	**0**	**0**	**23**	**10,5**	**0**	**24,4**	**24,4**
Уровни звукового давления от источника ИШ-9-12 в расчётной точке днём, дБ		**ф-ла(3)[10]**	**0**	**33,5**	**34,1**	**34,5**	**33,7**	**32**	**28,3**	**18,1**	**0**	**36,2**	**36,2**
Источник шума: ИШ-9-13, координаты источника (x,y,z), м =[654.48,-323.54,1.00]													
Уровни звуковой мощности источника днём, Lw, дБ		**исходные данные**	**0**	**93,3**	**94,7**	**96**	**96,3**	**95,9**	**92,6**	**88,4**	**83,9**		
Поправка на телесный угол DΩ, дБ	Ω = 6.28	10Lg(4π/Ω)	**3**	3	3	3	3	3	3	3	3		
Показатель направленности источника Di, дБ		исходные данные	**0**	0	0	0	0	0	0	0	0		
Поправка на направленность источника Dc, дБ	Dc	DΩ + Di	**3**	3	3	3	3	3	3	3	3		
Затухание из-за геометрической дивергенции, Adiv, дБ	расстояние = 289.70 м	ф-ла (7) [10]	**60,2**										
Коэффициент затухания звука в атмосфере α, дБ/км	Ta=20,°C Pa=101.33,кПа hотн.=70%	ф-ла (5) [9]	0,02	0,09	0,33	1,12	2,79	4,98	9,04	23,09	77,63		

1		2	3	4	5	6	7	8	9	10	11	12	13
Учет затухания звука в атмосфере Aatm, дБ		ф-ла (8) [10]	0	0	0,1	0,3	0,8	1,4	2,6	6,7	22,5		
Снижение уровня звукового давления из-за влияния застройки между источником шума и расчетной точкой													
Снижение уровня звукового давления на пути над экраном, Dz1, дБ	z = 0.05м (разность путей)	ф-лы (14-18) [10]	4,8	4,8	4,8	4,9	5,1	5,5	6,2	7,3	8,9		
Снижение уровня звукового давления на пути слева от экрана, Dz2, дБ	z = 1.76м (разность путей)	ф-лы (14-18) [10]	9,8	12,1	14,6	17,4	20,3	23,2	26,2	29,2	32,2		
Снижение уровня звукового давления на пути справа от экрана, Dz3, дБ	z = 0.33м (разность путей)	ф-лы (14-18) [10]	6,3	7,4	9	11	13,5	16,2	19,1	22	25		
Общее снижение уровня звука препятствием Dz, дБ		Эн.сумма(-Dzi)	1,7	2,4	3,1	3,8	4,4	5,1	6	7,1	8,8		
Уровни звукового давления прямого звука от источника ИШ-9-13 в расчётной точке днём, дБ		**ф-ла(3)[10]**	**0**	**33,6**	**34,3**	**34,7**	**33,8**	**32,1**	**26,8**	**17,3**	**0**	**36**	**36**
Расчёт отражённого звука													
Уровни звукового давления от мнимого источника ИШ-9-13_мн.(1) в расчётной точке днём, дБ		**ф-ла(3)[10]**	**0**	**0**	**0**	**0**	**0**	**0**	**23**	**10,6**	**0**	**24,4**	**24,4**
Уровни звукового давления от источника ИШ-9-13 в расчётной точке днём, дБ		**ф-ла(3)[10]**	**0**	**33,6**	**34,3**	**34,7**	**33,8**	**32,1**	**28,3**	**18,2**	**0**	**36,3**	**36,3**
Источник шума: ИШ-9-14, координаты источника (x,y,z), м =[655.60,-320.74,1.00]													
Уровни звуковой мощности источника днём, Lw, дБ		**исходные данные**	**0**	**93,3**	**94,7**	**96**	**96,3**	**95,9**	**92,6**	**88,4**	**83,9**		
Поправка на телесный угол DΩ, дБ	Ω = 6.28	10Lg(4π/Ω)	**3**	3	3	3	3	3	3	3	3		
Показатель направленности источника Di, дБ		исходные данные	**0**	0	0	0	0	0	0	0	0		
Поправка на направленность источника Dc, дБ	Dc	DΩ + Di	**3**	3	3	3	3	3	3	3	3		
Затухание из-за геометрической дивергенции, Adiv, дБ	расстояние = 287.58 м	ф-ла (7) [10]	**60,2**										

1		2	3	4	5	6	7	8	9	10	11	12	13
Коэффициент затухания звука в атмосфере α, дБ/км	Та=20,°С Ра=101.33,кПа hотн.=70%	ф-ла (5) [9]	0,02	0,09	0,33	1,12	2,79	4,98	9,04	23,09	77,63		
Учет затухания звука в атмосфере Aatm, дБ		ф-ла (8) [10]	0	0	0,1	0,3	0,8	1,4	2,6	6,6	22,3		
Снижение уровня звукового давления из-за влияния застройки между источником шума и расчетной точкой													
Снижение уровня звукового давления на пути над экраном, Dz1, дБ	z = 0.06м (разность путей)	ф-лы (14-18) [10]	4,8	4,8	4,8	4,9	5,2	5,6	6,3	7,4	9,1		
Снижение уровня звукового давления на пути слева от экрана, Dz2, дБ	z = 1.98м (разность путей)	ф-лы (14-18) [10]	10,1	12,5	15,1	17,9	20,8	23,7	26,7	29,7	32,7		
Снижение уровня звукового давления на пути справа от экрана, Dz3, дБ	z = 0.25м (разность путей)	ф-лы (14-18) [10]	6	6,9	8,3	10,2	12,5	15,2	18	20,9	23,8		
Общее снижение уровня звука препятствием Dz, дБ		Эн.сумма(-Dzi)	1,7	2,3	2,9	3,6	4,3	5,1	6	7,2	8,9		
Уровни звукового давления прямого звука от источника ИШ-9-14 в расчётной точке днём, дБ		**ф-ла(3)[10]**	**0**	**33,8**	**34,5**	**34,9**	**34**	**32,2**	**26,8**	**17,4**	**0**	**36,1**	**36,1**
Расчёт отражённого звука													
Уровни звукового давления от мнимого источника ИШ-9-14_мн.(1) в расчётной точке днём, дБ		**ф-ла(3)[10]**	**0**	**0**	**0**	**0**	**0**	**0**	**23**	**10,6**	**0**	**24,4**	**24,4**
Уровни звукового давления от источника ИШ-9-14 в расчётной точке днём, дБ		**ф-ла(3)[10]**	**0**	**33,8**	**34,5**	**34,9**	**34**	**32,2**	**28,4**	**18,2**	**0**	**36,4**	**36,4**
Источник шума: ИШ-9-15, координаты источника (x,y,z), м =[656.44,-317.86,1.00]													
Уровни звуковой мощности источника днём, Lw, дБ		**исходные данные**	**0**	**93,3**	**94,7**	**96**	**96,3**	**95,9**	**92,6**	**88,4**	**83,9**		
Поправка на телесный угол DΩ, дБ	Ω = 6.28	10Lg(4π/Ω)	**3**	3	3	3	3	3	3	3	3		
Показатель направленности источника Di, дБ		исходные данные	**0**	0	0	0	0	0	0	0	0		
Поправка на направленность источника Dc, дБ	Dc	DΩ + Di	**3**	3	3	3	3	3	3	3	3		

1		2	3	4	5	6	7	8	9	10	11	12	13
Затухание из-за геометрической дивергенции, Adiv, дБ	расстояние = 285.27 м	ф-ла (7) [10]	**60,1**										
Коэффициент затухания звука в атмосфере α, дБ/км	Ta=20,°C Pa=101.33,кПа hотн.=70%	ф-ла (5) [9]	0,02	0,09	0,33	1,12	2,79	4,98	9,04	23,09	77,63		
Учет затухания звука в атмосфере Aatm, дБ		ф-ла (8) [10]	0	0	0,1	0,3	0,8	1,4	2,6	6,6	22,1		
Снижение уровня звукового давления из-за влияния застройки между источником шума и расчетной точкой													
Снижение уровня звукового давления на пути над экраном, Dz1, дБ	z = 0.06м (разность путей)	ф-лы (14-18) [10]	4,8	4,8	4,8	4,9	5,1	5,6	6,3	7,5	9,1		
Снижение уровня звукового давления на пути слева от экрана, Dz2, дБ	z = 2.20м (разность путей)	ф-лы (14-18) [10]	10,5	12,9	15,5	18,3	21,2	24,2	27,2	30,2	33,2		
Снижение уровня звукового давления на пути справа от экрана, Dz3, дБ	z = 0.19м (разность путей)	ф-лы (14-18) [10]	5,7	6,5	7,7	9,4	11,6	14,1	16,9	19,8	22,7		
Общее снижение уровня звука препятствием Dz, дБ		Эн.сумма(-Dzi)	1,6	2,2	2,8	3,4	4,2	5	5,9	7,2	8,9		
Уровни звукового давления прямого звука от источника ИШ-9-15 в расчётной точке днём, дБ		**ф-ла(3)[10]**	**0**	**34**	**34,7**	**35,1**	**34,2**	**32,4**	**27**	**17,5**	**0**	**36,3**	**36,3**
Расчёт отражённого звука													
Уровни звукового давления от мнимого источника ИШ-9-15_мн.(1) в расчётной точке днём, дБ		**ф-ла(3)[10]**	**0**	**0**	**0**	**0**	**0**	**0**	**23**	**10,7**	**0**	**24,5**	**24,5**
Уровни звукового давления от источника ИШ-9-15 в расчётной точке днём, дБ		**ф-ла(3)[10]**	**0**	**34**	**34,7**	**35,1**	**34,2**	**32,4**	**28,5**	**18,3**	**0**	**36,6**	**36,6**
Источник шума: ИШ-9-16, координаты источника (x,y,z), м =[657.46,-314.97,1.00]													
Уровни звуковой мощности источника днём, Lw, дБ		**исходные данные**	**0**	**93,3**	**94,7**	**96**	**96,3**	**95,9**	**92,6**	**88,4**	**83,9**		
Поправка на телесный угол DΩ, дБ	Ω = 6.28	10Lg(4π/Ω)	**3**	3	3	3	3	3	3	3	3		
Показатель направленности источника Di, дБ		исходные данные	**0**	0	0	0	0	0	0	0	0		

1		2	3	4	5	6	7	8	9	10	11	12	13
Поправка на направленность источника Dc, дБ	Dc	DΩ + Di	**3**	3	3	3	3	3	3	3	3		
Затухание из-за геометрической дивергенции, Adiv, дБ	расстояние = 283.05 м	ф-ла (7) [10]	**60**										
Коэффициент затухания звука в атмосфере α, дБ/км	Ta=20,°C Pa=101.33,кПа hотн.=70%	ф-ла (5) [9]	0,02	0,09	0,33	1,12	2,79	4,98	9,04	23,09	77,63		
Учет затухания звука в атмосфере Aatm, дБ		ф-ла (8) [10]	0	0	0,1	0,3	0,8	1,4	2,6	6,5	22		
Снижение уровня звукового давления из-за влияния застройки между источником шума и расчетной точкой													
Снижение уровня звукового давления на пути над экраном, Dz1, дБ	z = 0.06м (разность путей)	ф-лы (14-18) [10]	4,8	4,8	4,8	4,9	5,1	5,6	6,3	7,5	9,2		
Снижение уровня звукового давления на пути слева от экрана, Dz2, дБ	z = 2.46м (разность путей)	ф-лы (14-18) [10]	10,8	13,3	15,9	18,8	21,7	24,7	27,6	30,6	33,6		
Снижение уровня звукового давления на пути справа от экрана, Dz3, дБ	z = 0.14м (разность путей)	ф-лы (14-18) [10]	5,4	6	7	8,5	10,4	12,8	15,5	18,3	21,2		
Общее снижение уровня звука препятствием Dz, дБ		Эн.сумма(-Dzi)	1,5	2	2,6	3,2	3,9	4,8	5,8	7,1	8,9		
Уровни звукового давления прямого звука от источника ИШ-9-16 в расчётной точке днём, дБ		**ф-ла(3)[10]**	**0**	**34,2**	**35**	**35,4**	**34,5**	**32,7**	**27,2**	**17,7**	**0**	**36,6**	**36,6**
Расчёт отражённого звука													
Уровни звукового давления от мнимого источника ИШ-9-16_мн.(1) в расчётной точке днём, дБ		**ф-ла(3)[10]**	**0**	**0**	**0**	**0**	**0**	**0**	**23,1**	**10,7**	**0**	**24,5**	**24,5**
Уровни звукового давления от источника ИШ-9-16 в расчётной точке днём, дБ		**ф-ла(3)[10]**	**0**	**34,2**	**35**	**35,4**	**34,5**	**32,7**	**28,6**	**18,5**	**0**	**36,8**	**36,8**
Источник шума: ИШ-9-17, координаты источника (x,y,z), м =[658.49,-312.18,1.00]													
Уровни звуковой мощности источника днём, Lw, дБ		**исходные данные**	**0**	**93,3**	**94,7**	**96**	**96,3**	**95,9**	**92,6**	**88,4**	**83,9**		
Поправка на телесный угол DΩ, дБ	Ω = 6.28	10Lg(4π/Ω)	**3**	3	3	3	3	3	3	3	3		

1		2	3	4	5	6	7	8	9	10	11	12	13
Показатель направленности источника Di, дБ		исходные данные	**0**	0	0	0	0	0	0	0	0		
Поправка на направленность источника Dc, дБ	Dc	DΩ + Di	**3**	3	3	3	3	3	3	3	3		
Затухание из-за геометрической дивергенции, Adiv, дБ	расстояние = 280.94 м	ф-ла (7) [10]	**60**										
Коэффициент затухания звука в атмосфере α, дБ/км	Ta=20,°C Pa=101.33,кПа hотн.=70%	ф-ла (5) [9]	0,02	0,09	0,33	1,12	2,79	4,98	9,04	23,09	77,63		
Учет затухания звука в атмосфере Aatm, дБ		ф-ла (8) [10]	0	0	0,1	0,3	0,8	1,4	2,5	6,5	21,8		
Снижение уровня звукового давления из-за влияния застройки между источником шума и расчетной точкой													
Снижение уровня звукового давления на пути над экраном, Dz1, дБ	z = 0.06м (разность путей)	ф-лы (14-18) [10]	4,8	4,8	4,8	4,9	5,1	5,6	6,3	7,5	9,2		
Снижение уровня звукового давления на пути слева от экрана, Dz2, дБ	z = 2.73м (разность путей)	ф-лы (14-18) [10]	11,2	13,7	16,3	19,2	22,1	25,1	28,1	31,1	34,1		
Снижение уровня звукового давления на пути справа от экрана, Dz3, дБ	z = 0.09м (разность путей)	ф-лы (14-18) [10]	5,2	5,6	6,3	7,5	9,2	11,3	13,8	16,5	19,4		
Общее снижение уровня звука препятствием Dz, дБ		Эн.сумма(-Dzi)	1,5	1,9	2,3	2,9	3,6	4,5	5,6	7	8,8		
Уровни звукового давления прямого звука от источника ИШ-9-17 в расчётной точке днём, дБ		**ф-ла(3)[10]**	**0**	**34,4**	**35,3**	**35,8**	**34,9**	**33**	**27,5**	**18**	**0**	**36,9**	**36,9**
Расчёт отражённого звука													
Уровни звукового давления от мнимого источника ИШ-9-17_мн.(1) в расчётной точке днём, дБ		**ф-ла(3)[10]**	**0**	**0**	**0**	**0**	**0**	**0**	**23,1**	**10,7**	**0**	**24,5**	**24,5**
Уровни звукового давления от источника ИШ-9-17 в расчётной точке днём, дБ		**ф-ла(3)[10]**	**0**	**34,4**	**35,3**	**35,8**	**34,9**	**33**	**28,8**	**18,7**	**0**	**37,2**	**37,2**
Источник шума: ИШ-9-18, координаты источника (x,y,z), м =[659.42,-309.20,1.00]													
Уровни звуковой мощности источника днём, Lw, дБ		**исходные данные**	**0**	**93,3**	**94,7**	**96**	**96,3**	**95,9**	**92,6**	**88,4**	**83,9**		

1		2	3	4	5	6	7	8	9	10	11	12	13
Поправка на телесный угол DΩ, дБ	Ω = 6.28	10Lg(4π/Ω)	**3**	3	3	3	3	3	3	3	3		
Показатель направленности источника Di, дБ		исходные данные	**0**	0	0	0	0	0	0	0	0		
Поправка на направленность источника Dc, дБ	Dc	DΩ + Di	**3**	3	3	3	3	3	3	3	3		
Затухание из-за геометрической дивергенции, Adiv, дБ	расстояние = 278.63 м	ф-ла (7) [10]	**59,9**										
Коэффициент затухания звука в атмосфере α, дБ/км	Ta=20,°C Pa=101.33,кПа hотн.=70%	ф-ла (5) [9]	0,02	0,09	0,33	1,12	2,79	4,98	9,04	23,09	77,63		
Учет затухания звука в атмосфере Aatm, дБ		ф-ла (8) [10]	0	0	0,1	0,3	0,8	1,4	2,5	6,4	21,6		
Снижение уровня звукового давления из-за влияния застройки между источником шума и расчетной точкой													
Снижение уровня звукового давления на пути над экраном, Dz1, дБ	z = 0.06м (разность путей)	ф-лы (14-18) [10]	4,8	4,8	4,8	4,9	5,1	5,5	6,3	7,5	9,2		
Снижение уровня звукового давления на пути слева от экрана, Dz2, дБ	z = 3.02м (разность путей)	ф-лы (14-18) [10]	11,5	14	16,8	19,6	22,6	25,5	28,5	31,5	34,5		
Снижение уровня звукового давления на пути справа от экрана, Dz3, дБ	z = 0.05м (разность путей)	ф-лы (14-18) [10]	5	5,3	5,7	6,5	7,8	9,5	11,8	14,3	17,1		
Общее снижение уровня звука препятствием Dz, дБ		Эн.сумма(-Dzi)	1,4	1,8	2,1	2,5	3,2	4	5,2	6,7	8,6		
Уровни звукового давления прямого звука от источника ИШ-9-18 в расчётной точке днём, дБ		**ф-ла(3)[10]**	**0**	**34,6**	**35,6**	**36,2**	**35,5**	**33,6**	**28**	**18,4**	**0**	**37,4**	**37,4**
Расчёт отражённого звука													
Уровни звукового давления от мнимого источника ИШ-9-18_мн.(1) в расчётной точке днём, дБ		**ф-ла(3)[10]**	**0**	**0**	**0**	**0**	**0**	**0**	**23,1**	**10,8**	**0**	**24,6**	**24,6**
Уровни звукового давления от источника ИШ-9-18 в расчётной точке днём, дБ		**ф-ла(3)[10]**	**0**	**34,6**	**35,6**	**36,2**	**35,5**	**33,6**	**29,2**	**19,1**	**0**	**37,7**	**37,7**

Источник шума: ИШ-9-19, координаты источника (x,y,z), м =[660.44,-306.50,1.00]

1		2	3	4	5	6	7	8	9	10	11	12	13
Уровни звуковой мощности источника днём, Lw, дБ		**исходные данные**	**0**	**93,3**	**94,7**	**96**	**96,3**	**95,9**	**92,6**	**88,4**	**83,9**		
Поправка на телесный угол DΩ, дБ	Ω = 6.28	10Lg(4π/Ω)	**3**	3	3	3	3	3	3	3	3		
Показатель направленности источника Di, дБ		исходные данные	**0**	0	0	0	0	0	0	0	0		
Поправка на направленность источника Dc, дБ	Dc	DΩ + Di	**3**	3	3	3	3	3	3	3	3		
Затухание из-за геометрической дивергенции, Adiv, дБ	расстояние = 276.63 м	ф-ла (7) [10]	**59,8**										
Коэффициент затухания звука в атмосфере α, дБ/км	Ta=20,°C Pa=101.33,кПа hотн.=70%	ф-ла (5) [9]	0,02	0,09	0,33	1,12	2,79	4,98	9,04	23,09	77,63		
Учет затухания звука в атмосфере Aatm, дБ		ф-ла (8) [10]	0	0	0,1	0,3	0,8	1,4	2,5	6,4	21,5		
Снижение уровня звукового давления из-за влияния застройки между источником шума и расчетной точкой													
Снижение уровня звукового давления на пути над экраном, Dz1, дБ	z = 0.06м (разность путей)	ф-лы (14-18) [10]	4,8	4,8	4,8	4,9	5	5,4	6,3	7,5	9,3		
Снижение уровня звукового давления на пути слева от экрана, Dz2, дБ	z = 3.32м (разность путей)	ф-лы (14-18) [10]	11,8	14,4	17,1	20	23	25,9	28,9	31,9	34,9		
Снижение уровня звукового давления на пути справа от экрана, Dz3, дБ	z = 0.02м (разность путей)	ф-лы (14-18) [10]	4,9	5	5,2	5,7	6,4	7,6	9,3	11,5	14		
Общее снижение уровня звука препятствием Dz, дБ		Эн.сумма(-Dzi)	1,4	1,7	1,9	2,2	2,6	3,4	4,5	6	8		
Уровни звукового давления прямого звука от источника ИШ-9-19 в расчётной точке днём, дБ		**ф-ла(3)[10]**	**0**	**34,8**	**35,9**	**36,7**	**36,1**	**34,3**	**28,8**	**19,1**	**0**	**38,1**	**38,1**
Расчёт отражённого звука													
Уровни звукового давления от мнимого источника ИШ-9-19_мн.(1) в расчётной точке днём, дБ		**ф-ла(3)[10]**	**0**	**0**	**0**	**0**	**0**	**0**	**23,1**	**10,8**	**0**	**24,6**	**24,6**
Уровни звукового давления от источника ИШ-9-19 в расчётной точке днём, дБ		**ф-ла(3)[10]**	**0**	**34,8**	**35,9**	**36,7**	**36,1**	**34,3**	**29,8**	**19,7**	**0**	**38,3**	**38,3**

1		2	3	4	5	6	7	8	9	10	11	12	13
Источник шума: ИШ-9-20, координаты источника (x,y,z), м =[661.28,-303.61,1.00]													
Уровни звуковой мощности источника днём, Lw, дБ		**исходные данные**	**0**	**93,3**	**94,7**	**96**	**96,3**	**95,9**	**92,6**	**88,4**	**83,9**		
Поправка на телесный угол DΩ, дБ	Ω = 6.28	10Lg(4π/Ω)	**3**	3	3	3	3	3	3	3	3		
Показатель направленности источника Di, дБ		исходные данные	**0**	0	0	0	0	0	0	0	0		
Поправка на направленность источника Dc, дБ	Dc	DΩ + Di	**3**	3	3	3	3	3	3	3	3		
Затухание из-за геометрической дивергенции, Adiv, дБ	расстояние = 274.40 м	ф-ла (7) [10]	**59,8**										
Коэффициент затухания звука в атмосфере α, дБ/км	Ta=20,°C Pa=101.33,кПа hотн.=70%	ф-ла (5) [9]	0,02	0,09	0,33	1,12	2,79	4,98	9,04	23,09	77,63		
Учет затухания звука в атмосфере Aatm, дБ		ф-ла (8) [10]	0	0	0,1	0,3	0,8	1,4	2,5	6,3	21,3		
Снижение уровня звукового давления из-за влияния застройки между источником шума и расчетной точкой													
Снижение уровня звукового давления на пути над экраном, Dz1, дБ	z = 0.06м (разность путей)	ф-лы (14-18) [10]	4,8	4,8	4,8	4,9	5	5,3	6,1	7,4	9,3		
Снижение уровня звукового давления на пути слева от экрана, Dz2, дБ	z = 3.63м (разность путей)	ф-лы (14-18) [10]	12,2	14,8	17,5	20,4	23,4	26,3	29,3	32,3	35,3		
Снижение уровня звукового давления на пути справа от экрана, Dz3, дБ	z = 0.01м (разность путей)	ф-лы (14-18) [10]	4,8	4,8	4,9	5	5,3	5,8	6,6	7,9	9,7		
Общее снижение уровня звука препятствием Dz, дБ		Эн.сумма(-Dzi)	1,4	1,6	1,7	1,9	2,1	2,5	3,3	4,6	6,5		
Уровни звукового давления прямого звука от источника ИШ-9-20 в расчётной точке днём, дБ		**ф-ла(3)[10]**	**0**	**34,9**	**36,1**	**37**	**36,7**	**35,3**	**30**	**20,7**	**0**	**39**	**39**
Расчёт отражённого звука													
Уровни звукового давления от мнимого источника ИШ-9-20_мн.(1) в расчётной точке днём, дБ		**ф-ла(3)[10]**	**0**	**0**	**0**	**0**	**0**	**0**	**23,2**	**10,9**	**0**	**24,6**	**24,6**

1		2	3	4	5	6	7	8	9	10	11	12	13
Уровни звукового давления от мнимого источника ИШ-9-20_мн.(2) в расчётной точке днём, дБ		**ф-ла(3)[10]**	**0**	**0**	**0**	**0**	**0**	**0**	**0**	**0**	**0**	**0**	**0**
Суммарные уровни звукового давления от мнимых источников в расчётной точке днём, дБ		**ф-ла (19) [1]**	**0**	**0**	**0**	**0**	**0**	**0**	**23,2**	**10,9**	**0**	**0**	**24,6**
Уровни звукового давления от источника ИШ-9-20 в расчётной точке днём, дБ		**ф-ла(3)[10]**	**0**	**34,9**	**36,1**	**37**	**36,7**	**35,3**	**30,8**	**21,1**	**0**	**39,1**	**39,1**
Источник шума: ИШ-9-21, координаты источника (x,y,z), м =[661.93,-300.72,1.00]													
Уровни звуковой мощности источника днём, Lw, дБ		**исходные данные**	**0**	**93,3**	**94,7**	**96**	**96,3**	**95,9**	**92,6**	**88,4**	**83,9**		
Поправка на телесный угол DΩ, дБ	Ω = 6.28	10Lg(4π/Ω)	**3**	3	3	3	3	3	3	3	3		
Показатель направленности источника Di, дБ		исходные данные	**0**	0	0	0	0	0	0	0	0		
Поправка на направленность источника Dc, дБ	Dc	DΩ + Di	**3**	3	3	3	3	3	3	3	3		
Затухание из-за геометрической дивергенции, Adiv, дБ	расстояние = 272.09 м	ф-ла (7) [10]	**59,7**										
Коэффициент затухания звука в атмосфере α, дБ/км	Ta=20,°C Pa=101.33,кПа hотн.=70%	ф-ла (5) [9]	0,02	0,09	0,33	1,12	2,79	4,98	9,04	23,09	77,63		
Учет затухания звука в атмосфере Aatm, дБ		ф-ла (8) [10]	0	0	0,1	0,3	0,8	1,4	2,5	6,3	21,1		
Снижение уровня звукового давления из-за влияния застройки между источником шума и расчетной точкой													
Снижение уровня звукового давления на пути над экраном, Dz1, дБ	z = 0.06м (разность путей)	ф-лы (14-18) [10]	4,8	4,8	4,8	4,9	4,9	5,1	5,5	6,3	8,2		
Снижение уровня звукового давления на пути слева от экрана, Dz2, дБ	z = 3.94м (разность путей)	ф-лы (14-18) [10]	12,5	15,1	17,9	20,8	23,7	26,7	29,7	32,7	35,7		
Снижение уровня звукового давления на пути справа от экрана, Dz3, дБ	z = 0.00м (разность путей)	ф-лы (14-18) [10]	4,8	4,8	4,8	4,8	4,8	4,8	4,8	4,9	5,1		
Общее снижение уровня звука препятствием Dz, дБ		Эн.сумма(-Dzi)	1,4	1,6	1,7	1,8	1,8	1,9	2,1	2,6	3,4		

1		2	3	4	5	6	7	8	9	10	11	12	13
Уровни звукового давления прямого звука от источника ИШ-9-21 в расчётной точке днём, дБ		**ф-ла(3)[10]**	**0**	**35**	**36,2**	**37,2**	**37**	**35,9**	**31,3**	**22,9**	**2,7**	**39,6**	**39,6**
Расчёт отражённого звука													
Уровни звукового давления от мнимого источника ИШ-9-21_мн.(1) в расчётной точке днём, дБ		**ф-ла(3)[10]**	**0**	**0**	**0**	**0**	**0**	**0**	**23,2**	**10,9**	**0**	**24,6**	**24,6**
Уровни звукового давления от мнимого источника ИШ-9-21_мн.(2) в расчётной точке днём, дБ		**ф-ла(3)[10]**	**0**	**0**	**0**	**0**	**0**	**0**	**0**	**0**	**0**	**0**	**0**
Суммарные уровни звукового давления от мнимых источников в расчётной точке днём, дБ		**ф-ла (19) [1]**	**0**	**0**	**0**	**0**	**0**	**0**	**23,2**	**10,9**	**0**	**0**	**24,6**
Уровни звукового давления от источника ИШ-9-21 в расчётной точке днём, дБ		**ф-ла(3)[10]**	**0**	**35**	**36,2**	**37,2**	**37**	**35,9**	**31,9**	**23,1**	**2,7**	**39,8**	**39,8**
Источник шума: ИШ-9-22, координаты источника (x,y,z), м =[663.14,-297.83,1.00]													
Уровни звуковой мощности источника днём, Lw, дБ		**исходные данные**	**0**	**93,3**	**94,7**	**96**	**96,3**	**95,9**	**92,6**	**88,4**	**83,9**		
Поправка на телесный угол DΩ, дБ	Ω = 6.28	10Lg(4π/Ω)	**3**	3	3	3	3	3	3	3	3		
Показатель направленности источника Di, дБ		исходные данные	**0**	0	0	0	0	0	0	0	0		
Поправка на направленность источника Dc, дБ	Dc	DΩ + Di	**3**	3	3	3	3	3	3	3	3		
Затухание из-за геометрической дивергенции, Adiv, дБ	расстояние = 270.06 м	ф-ла (7) [10]	**59,6**										
Коэффициент затухания звука в атмосфере α, дБ/км	Ta=20,°C Pa=101.33,кПа hотн.=70%	ф-ла (5) [9]	0,02	0,09	0,33	1,12	2,79	4,98	9,04	23,09	77,63		
Учет затухания звука в атмосфере Aatm, дБ		ф-ла (8) [10]	0	0	0,1	0,3	0,8	1,3	2,4	6,2	21		
Снижение уровня звукового давления из-за влияния застройки между источником шума и расчетной точкой													
Снижение уровня звукового давления препятствием слева от трассы ИШ-РТ, Dz2, дБ	z = -0.01м (разность путей)	ф-лы (14-18) [10]	4,7	4,7	4,7	4,5	4,3	3,8	2,5	0	NAN		
* отрицательное значение z означает прохождение траектории вблизи экрана, в этом случае дополнительно производится учёт снижения подстилающей поверхностью (см.ниже)													

1		2	3	4	5	6	7	8	9	10	11	12	13
Снижение поверхностью земли возле источника As, дБ	Gs = 0 hs = 1м	ф-лы таб.3 [10]	-1,5	-1,5	-1,5	-1,5	-1,5	-1,5	-1,5	-1,5	-1,5		
Снижение поверхностью земли возле приёмника Ar, дБ	Gr = 1 hr = 1.5м	ф-лы таб.3 [10]	-1,5	-1,5	1,5	7	5	0,7	0	0	0		
Снижение поверхностью земли в средней зоне, Am дБ	Gm = 1	ф-лы таб.3 [10]	-2,2	-2,2	0	0	0	0	0	0	0		
Суммарное снижение поверхностью земли на траектории распространения звука Agr, дБ		ф-ла (9) [10]	-5,2	-5,2	0	5,5	3,5	-0,8	-1,5	-1,5	-1,5		
Уровни звукового давления прямого звука от источника ИШ-9-22 в расчётной точке днём, дБ		**ф-ла(3)[10]**	**0**	**37,1**	**33,3**	**29**	**31,1**	**35**	**32,5**	**27**	**7,8**	**38,4**	**38,4**
Расчёт отражённого звука													
Уровни звукового давления от мнимого источника ИШ-9-22_мн.(1) в расчётной точке днём, дБ		**ф-ла(3)[10]**	**0**	**0**	**0**	**0**	**0**	**0**	**0**	**0**	**0**	**0**	**0**
Уровни звукового давления от источника ИШ-9-22 в расчётной точке днём, дБ		**ф-ла(3)[10]**	**0**	**37,1**	**33,3**	**29**	**31,1**	**35**	**32,5**	**27**	**7,8**	**38,4**	**38,4**
Источник шума: ИШ-9-23, координаты источника (x,y,z), м =[664.07,-295.13,1.00]													
Уровни звуковой мощности источника днём, Lw, дБ		**исходные данные**	**0**	**93,3**	**94,7**	**96**	**96,3**	**95,9**	**92,6**	**88,4**	**83,9**		
Поправка на телесный угол DΩ, дБ	Ω = 6.28	10Lg(4π/Ω)	**3**	3	3	3	3	3	3	3	3		
Показатель направленности источника Di, дБ		исходные данные	**0**	0	0	0	0	0	0	0	0		
Поправка на направленность источника Dc, дБ	Dc	DΩ + Di	**3**	3	3	3	3	3	3	3	3		
Затухание из-за геометрической дивергенции, Adiv, дБ	расстояние = 268.08 м	ф-ла (7) [10]	**59,6**										
Коэффициент затухания звука в атмосфере α, дБ/км	Ta=20,°C Pa=101.33,кПа hотн.=70%	ф-ла (5) [9]	0,02	0,09	0,33	1,12	2,79	4,98	9,04	23,09	77,63		
Учет затухания звука в атмосфере Aatm, дБ		ф-ла (8) [10]	0	0	0,1	0,3	0,7	1,3	2,4	6,2	20,8		

1		2	3	4	5	6	7	8	9	10	11	12	13
Снижение уровня звукового давления из-за влияния застройки между источником шума и расчетной точкой													
Снижение уровня звукового давления препятствием слева от трассы ИШ-РТ, Dz2, дБ	z = -0.02м (разность путей)	ф-лы (14-18) [10]	4,7	4,5	4,3	3,7	2,4	0	NAN	NAN	NAN		
* отрицательное значение z означает прохождение траектории вблизи экрана, в этом случае дополнительно производится учёт снижения подстилающей поверхностью (см.ниже)													
Снижение поверхностью земли возле источника As, дБ	Gs = 0 hs = 1м	ф-лы таб.3 [10]	-1,5	-1,5	-1,5	-1,5	-1,5	-1,5	-1,5	-1,5	-1,5		
Снижение поверхностью земли возле приёмника Ar, дБ	Gr = 1 hr = 1.5м	ф-лы таб.3 [10]	-1,5	-1,5	1,5	7	4,9	0,7	0	0	0		
Снижение поверхностью земли в средней зоне, Am дБ	Gm = 1	ф-лы таб.3 [10]	-2,2	-2,2	0	0	0	0	0	0	0		
Суммарное снижение поверхностью земли на траектории распространения звука Agr, дБ		ф-ла (9) [10]	-5,2	-5,2	0	5,5	3,4	-0,8	-1,5	-1,5	-1,5		
Уровни звукового давления прямого звука от источника ИШ-9-23 в расчётной точке днём, дБ		**ф-ла(3)[10]**	**0**	**37,3**	**33,7**	**29,9**	**33,2**	**38,8**	**35,1**	**27,1**	**8**	**41,4**	**41,4**
Расчёт отражённого звука													
Уровни звукового давления от мнимого источника ИШ-9-23_мн.(1) в расчётной точке днём, дБ		**ф-ла(3)[10]**	**0**	**0**	**0**	**0**	**0**	**0**	**0**	**0**	**0**	**0**	**0**
Уровни звукового давления от источника ИШ-9-23 в расчётной точке днём, дБ		**ф-ла(3)[10]**	**0**	**37,3**	**33,7**	**29,9**	**33,2**	**38,8**	**35,1**	**27,1**	**8**	**41,4**	**41,4**
Источник шума: ИШ-9-24, координаты источника (x,y,z), м =[665.19,-292.34,1.00]													
Уровни звуковой мощности источника днём, Lw, дБ		**исходные данные**	**0**	**93,3**	**94,7**	**96**	**96,3**	**95,9**	**92,6**	**88,4**	**83,9**		
Поправка на телесный угол DΩ, дБ	Ω = 6.28	10Lg(4π/Ω)	**3**	3	3	3	3	3	3	3	3		
Показатель направленности источника Di, дБ		исходные данные	**0**	0	0	0	0	0	0	0	0		
Поправка на направленность источника Dc, дБ	Dc	DΩ + Di	**3**	3	3	3	3	3	3	3	3		
Затухание из-за геометрической дивергенции, Adiv, дБ	расстояние = 266.12 м	ф-ла (7) [10]	**59,5**										

1		2	3	4	5	6	7	8	9	10	11	12	13
Коэффициент затухания звука в атмосфере α, дБ/км	Та=20,°С Ра=101.33,кПа hотн.=70%	ф-ла (5) [9]	0,02	0,09	0,33	1,12	2,79	4,98	9,04	23,09	77,63		
Учет затухания звука в атмосфере Aatm, дБ		ф-ла (8) [10]	0	0	0,1	0,3	0,7	1,3	2,4	6,1	20,7		
Снижение уровня звукового давления из-за влияния застройки между источником шума и расчетной точкой													
Снижение уровня звукового давления препятствием слева от трассы ИШ-РТ, Dz2, дБ	z = -0.05м (разность путей)	ф-лы (14-18) [10]	4,5	4,1	3,4	1,5	NAN	NAN	NAN	NAN	NAN		
* отрицательное значение z означает прохождение траектории вблизи экрана, в этом случае дополнительно производится учёт снижения подстилающей поверхностью (см.ниже)													
Снижение поверхностью земли возле источника As, дБ	Gs = 0 hs = 1м	ф-лы таб.3 [10]	-1,5	-1,5	-1,5	-1,5	-1,5	-1,5	-1,5	-1,5	-1,5		
Снижение поверхностью земли возле приёмника Ar, дБ	Gr = 1 hr = 1.5м	ф-лы таб.3 [10]	-1,5	-1,5	1,5	7	4,9	0,7	0	0	0		
Снижение поверхностью земли в средней зоне, Am дБ	Gm = 1	ф-лы таб.3 [10]	-2,2	-2,2	0	0	0	0	0	0	0		
Суммарное снижение поверхностью земли на траектории распространения звука Agr, дБ		ф-ла (9) [10]	-5,2	-5,2	0	5,5	3,4	-0,8	-1,5	-1,5	-1,5		
Уровни звукового давления прямого звука от источника ИШ-9-24 в расчётной точке днём, дБ		**ф-ла(3)[10]**	**0**	**37,8**	**34,6**	**32,2**	**35,6**	**38,9**	**35,2**	**27,2**	**8,2**	**41,7**	**41,7**
Расчёт отражённого звука													
Уровни звукового давления от мнимого источника ИШ-9-24_мн.(1) в расчётной точке днём, дБ		**ф-ла(3)[10]**	**0**	**0**	**0**	**0**	**0**	**0**	**0**	**0**	**5,6**	**4,5**	**4,5**
Уровни звукового давления от источника ИШ-9-24 в расчётной точке днём, дБ		**ф-ла(3)[10]**	**0**	**37,8**	**34,6**	**32,2**	**35,6**	**38,9**	**35,2**	**27,2**	**10,1**	**41,7**	**41,7**
Источник шума: ИШ-9-25, координаты источника (x,y,z), м =[683.46,-239.16,1.00]													
Уровни звуковой мощности источника днём, Lw, дБ		**исходные данные**	**77**	**75**	**67**	**66**	**63**	**55**	**53**	**48**	**51**		
Поправка на телесный угол DΩ, дБ	Ω = 6.28	10Lg(4π/Ω)	**3**	3	3	3	3	3	3	3	3		
Показатель направленности источника Di, дБ		исходные данные	**0**	0	0	0	0	0	0	0	0		

1		2	3	4	5	6	7	8	9	10	11	12	13
Поправка на направленность источника Dc, дБ	Dc	DΩ + Di	**3**	3	3	3	3	3	3	3	3		
Затухание из-за геометрической дивергенции, Adiv, дБ	расстояние = 231.30 м	ф-ла (7) [10]	**58,3**										
Коэффициент затухания звука в атмосфере α, дБ/км	Ta=20,°C Pa=101.33,кПа hотн.=70%	ф-ла (5) [9]	0,02	0,09	0,33	1,12	2,79	4,98	9,04	23,09	77,63		
Учет затухания звука в атмосфере Aatm, дБ		ф-ла (8) [10]	0	0	0,1	0,3	0,6	1,2	2,1	5,3	18		
Снижение поверхностью земли возле источника As, дБ	Gs = 0 hs = 1м	ф-лы таб.3 [10]	-1,5	-1,5	-1,5	-1,5	-1,5	-1,5	-1,5	-1,5	-1,5		
Снижение поверхностью земли возле приёмника Ar, дБ	Gr = 1 hr = 1.5м	ф-лы таб.3 [10]	-1,5	-1,5	1,3	7	4,9	0,7	0	0	0		
Снижение поверхностью земли в средней зоне, Am дБ	Gm = 1	ф-лы таб.3 [10]	-2	-2	0	0	0	0	0	0	0		
Суммарное снижение поверхностью земли на траектории распространения звука Agr, дБ		ф-ла (9) [10]	-5	-5	-0,2	5,5	3,4	-0,8	-1,5	-1,5	-1,5		
Уровни звукового давления прямого звука от источника ИШ-9-25 в расчётной точке днём, дБ		**ф-ла(3)[10]**	**26,8**	**24,7**	**11,8**	**5**	**3,7**	**0**	**0**	**0**	**0**	**4,3**	**4,3**
Расчёт отражённого звука													
Уровни звукового давления от мнимого источника ИШ-9-25_мн.(1) в расчётной точке днём, дБ		**ф-ла(3)[10]**	**0**	**0**	**0**	**0**	**0**	**0**	**0**	**0**	**0**	**0**	**0**
Уровни звукового давления от источника ИШ-9-25 в расчётной точке днём, дБ		**ф-ла(3)[10]**	**26,8**	**24,7**	**11,8**	**5**	**3,7**	**0**	**0**	**0**	**0**	**4,3**	**4,3**
Источник шума: ИШ-9-26, координаты источника (x,y,z), м =[680.09,-249.52,1.00]													
Уровни звуковой мощности источника днём, Lw, дБ		**исходные данные**	**77**	**75**	**67**	**66**	**63**	**55**	**53**	**48**	**51**		
Поправка на телесный угол DΩ, дБ	Ω = 6.28	10Lg(4π/Ω)	**3**	3	3	3	3	3	3	3	3		
Показатель направленности источника Di, дБ		исходные данные	**0**	0	0	0	0	0	0	0	0		

1		2	3	4	5	6	7	8	9	10	11	12	13
Поправка на направленность источника Dc, дБ	Dc	DΩ + Di	**3**	3	3	3	3	3	3	3	3		
Затухание из-за геометрической дивергенции, Adiv, дБ	расстояние = 237.56 м	ф-ла (7) [10]	**58,5**										
Коэффициент затухания звука в атмосфере α, дБ/км	Ta=20,°C Pa=101.33,кПа hотн.=70%	ф-ла (5) [9]	0,02	0,09	0,33	1,12	2,79	4,98	9,04	23,09	77,63		
Учет затухания звука в атмосфере Aatm, дБ		ф-ла (8) [10]	0	0	0,1	0,3	0,7	1,2	2,1	5,5	18,4		
Снижение поверхностью земли возле источника As, дБ	Gs = 0 hs = 1м	ф-лы таб.3 [10]	-1,5	-1,5	-1,5	-1,5	-1,5	-1,5	-1,5	-1,5	-1,5		
Снижение поверхностью земли возле приёмника Ar, дБ	Gr = 1 hr = 1.5м	ф-лы таб.3 [10]	-1,5	-1,5	1,4	7	4,9	0,7	0	0	0		
Снижение поверхностью земли в средней зоне, Am дБ	Gm = 1	ф-лы таб.3 [10]	-2,1	-2,1	0	0	0	0	0	0	0		
Суммарное снижение поверхностью земли на траектории распространения звука Agr, дБ		ф-ла (9) [10]	-5,1	-5,1	-0,1	5,5	3,4	-0,8	-1,5	-1,5	-1,5		
Уровни звукового давления прямого звука от источника ИШ-9-26 в расчётной точке днём, дБ		**ф-ла(3)[10]**	**26,5**	**24,5**	**11,6**	**4,8**	**3,4**	**0**	**0**	**0**	**0**	**4,1**	**4,1**
Расчёт отражённого звука													
Уровни звукового давления от мнимого источника ИШ-9-26_мн.(1) в расчётной точке днём, дБ		**ф-ла(3)[10]**	**0**	**0**	**0**	**0**	**0**	**0**	**0**	**0**	**0**	**0**	**0**
Уровни звукового давления от мнимого источника ИШ-9-26_мн.(2) в расчётной точке днём, дБ		**ф-ла(3)[10]**	**0**	**0**	**0**	**0**	**0**	**0**	**0**	**0**	**0**	**0**	**0**
Суммарные уровни звукового давления от мнимых источников в расчётной точке днём, дБ		**ф-ла (19) [1]**	**0**	**0**	**0**	**0**	**0**	**0**	**0**	**0**	**0**	**0**	**0**
Уровни звукового давления от источника ИШ-9-26 в расчётной точке днём, дБ		**ф-ла(3)[10]**	**26,5**	**24,5**	**11,6**	**4,8**	**3,4**	**0**	**0**	**0**	**0**	**4,1**	**4,1**
Источник шума: ИШ-9-27, координаты источника (x,y,z), м =[676.46,-260.14,1.00]													
Уровни звуковой мощности источника днём, Lw, дБ		**исходные данные**	**77**	**75**	**67**	**66**	**63**	**55**	**53**	**48**	**51**		

1		2	3	4	5	6	7	8	9	10	11	12	13
Поправка на телесный угол DΩ, дБ	Ω = 6.28	10Lg(4π/Ω)	**3**	3	3	3	3	3	3	3	3		
Показатель направленности источника Di, дБ		исходные данные	**0**	0	0	0	0	0	0	0	0		
Поправка на направленность источника Dc, дБ	Dc	DΩ + Di	**3**	3	3	3	3	3	3	3	3		
Затухание из-за геометрической дивергенции, Adiv, дБ	расстояние = 244.21 м	ф-ла (7) [10]	**58,8**										
Коэффициент затухания звука в атмосфере α, дБ/км	Ta=20,°C Pa=101.33,кПа hотн.=70%	ф-ла (5) [9]	0,02	0,09	0,33	1,12	2,79	4,98	9,04	23,09	77,63		
Учет затухания звука в атмосфере Aatm, дБ		ф-ла (8) [10]	0	0	0,1	0,3	0,7	1,2	2,2	5,6	19		
Снижение поверхностью земли возле источника As, дБ	Gs = 0 hs = 1м	ф-лы таб.3 [10]	-1,5	-1,5	-1,5	-1,5	-1,5	-1,5	-1,5	-1,5	-1,5		
Снижение поверхностью земли возле приёмника Ar, дБ	Gr = 1 hr = 1.5м	ф-лы таб.3 [10]	-1,5	-1,5	1,4	7	4,9	0,7	0	0	0		
Снижение поверхностью земли в средней зоне, Am дБ	Gm = 1	ф-лы таб.3 [10]	-2,1	-2,1	0	0	0	0	0	0	0		
Суммарное снижение поверхностью земли на траектории распространения звука Agr, дБ		ф-ла (9) [10]	-5,1	-5,1	-0,1	5,5	3,4	-0,8	-1,5	-1,5	-1,5		
Уровни звукового давления прямого звука от источника ИШ-9-27 в расчётной точке днём, дБ		**ф-ла(3)[10]**	**26,3**	**24,3**	**11,3**	**4,5**	**3,1**	**0**	**0**	**0**	**0**	**3,8**	**3,8**
Расчёт отражённого звука													
Уровни звукового давления от мнимого источника ИШ-9-27_мн.(1) в расчётной точке днём, дБ		**ф-ла(3)[10]**	**0**	**0**	**0**	**0**	**0**	**0**	**0**	**0**	**0**	**0**	**0**
Уровни звукового давления от мнимого источника ИШ-9-27_мн.(2) в расчётной точке днём, дБ		**ф-ла(3)[10]**	**0**	**0**	**0**	**0**	**0**	**0**	**0**	**0**	**0**	**0**	**0**
Суммарные уровни звукового давления от мнимых источников в расчётной точке днём, дБ		**ф-ла (19) [1]**	**0**	**0**	**0**	**0**	**0**	**0**	**0**	**0**	**0**	**0**	**0**
Уровни звукового давления от источника ИШ-9-27 в расчётной точке днём, дБ		**ф-ла(3)[10]**	**26,3**	**24,3**	**11,3**	**4,5**	**3,1**	**0**	**0**	**0**	**0**	**3,8**	**3,8**

1		2	3	4	5	6	7	8	9	10	11	12	13
Источник шума: ИШ-10-1, координаты источника (x,y,z), м =[17.37,413.17,1.00]													
Уровни звуковой мощности источника днём, Lw, дБ		**исходные данные**	**0**	**98,3**	**99,7**	**101**	**101,3**	**100,9**	**97,6**	**93,4**	**88,9**		
Поправка на телесный угол DΩ, дБ	Ω = 6.28	10Lg(4π/Ω)	**3**	3	3	3	3	3	3	3	3		
Показатель направленности источника Di, дБ		исходные данные	**0**	0	0	0	0	0	0	0	0		
Поправка на направленность источника Dc, дБ	Dc	DΩ + Di	**3**	3	3	3	3	3	3	3	3		
Затухание из-за геометрической дивергенции, Adiv, дБ	расстояние = 703.66 м	ф-ла (7) [10]	**67,9**										
Коэффициент затухания звука в атмосфере α, дБ/км	Ta=20,°C Pa=101.33,кПа hотн.=70%	ф-ла (5) [9]	0,02	0,09	0,33	1,12	2,79	4,98	9,04	23,09	77,63		
Учет затухания звука в атмосфере Aatm, дБ		ф-ла (8) [10]	0	0,1	0,2	0,8	2	3,5	6,4	16,2	54,6		
Снижение уровня звукового давления из-за влияния застройки между источником шума и расчетной точкой													
Снижение уровня звукового давления на пути над экраном, Dz1, дБ	z = 3.10м (разность путей)	ф-лы (14-18) [10]	14,8	17,7	20,6	23,6	26,5	29,5	32,5	35,5	38,6		
Снижение уровня звукового давления на пути слева от экрана, Dz2, дБ	z = 16.39м (разность путей)	ф-лы (14-18) [10]	22,6	25,6	28,6	31,6	34,6	37,6	40,6	43,6	46,7		
Снижение уровня звукового давления на пути справа от экрана, Dz3, дБ	z = 61.18м (разность путей)	ф-лы (14-18) [10]	28,1	31,3	34,3	37,3	40,3	43,3	46,4	49,4	52,4		
Общее снижение уровня звука препятствием Dz, дБ		Эн.сумма(-Dzi)	14	16,9	19,8	22,8	25,8	28,8	31,8	34,8	37,8		
Общее снижение уровня звука препятствием с учётом ограничения (25 дБ) для октавных полос Dz, дБ		Раздел 7.4 [10]	14	16,9	19,8	22,8	25	25	25	25	25		
Уровни звукового давления прямого звука от источника ИШ-10-1 в расчётной точке днём, дБ		**ф-ла(3)[10]**	**0**	**16,4**	**14,7**	**12,5**	**9,4**	**7,5**	**1,3**	**0**	**0**	**11,7**	**11,7**
Расчёт отражённого звука													

1		2	3	4	5	6	7	8	9	10	11	12	13
Уровни звукового давления от мнимого источника ИШ-10-1_мн.(1) в расчётной точке днём, дБ		**ф-ла(3)[10]**	**0**	**0**	**0**	**0**	**0**	**0**	**0**	**0**	**0**	**0**	**0**
Уровни звукового давления от источника ИШ-10-1 в расчётной точке днём, дБ		**ф-ла(3)[10]**	**0**	**16,4**	**14,7**	**12,5**	**9,4**	**7,5**	**1,3**	**0**	**0**	**11,7**	**11,7**
Источник шума: ИШ-10-2, координаты источника (x,y,z), м =[27.87,443.46,1.00]													
Уровни звуковой мощности источника днём, Lw, дБ		**исходные данные**	**0**	**98,3**	**99,7**	**101**	**101,3**	**100,9**	**97,6**	**93,4**	**88,9**		
Поправка на телесный угол DΩ, дБ	Ω = 6.28	10Lg(4π/Ω)	**3**	3	3	3	3	3	3	3	3		
Показатель направленности источника Di, дБ		исходные данные	**0**	0	0	0	0	0	0	0	0		
Поправка на направленность источника Dc, дБ	Dc	DΩ + Di	**3**	3	3	3	3	3	3	3	3		
Затухание из-за геометрической дивергенции, Adiv, дБ	расстояние = 716.70 м	ф-ла (7) [10]	**68,1**										
Коэффициент затухания звука в атмосфере α, дБ/км	Ta=20,°C Pa=101.33,кПа hотн.=70%	ф-ла (5) [9]	0,02	0,09	0,33	1,12	2,79	4,98	9,04	23,09	77,63		
Учет затухания звука в атмосфере Aatm, дБ		ф-ла (8) [10]	0	0,1	0,2	0,8	2	3,6	6,5	16,5	55,6		
Снижение уровня звукового давления из-за влияния застройки между источником шума и расчетной точкой													
Снижение уровня звукового давления на пути над экраном, Dz1, дБ	z = 3.25м (разность путей)	ф-лы (14-18) [10]	14,7	17,6	20,5	23,5	26,5	29,5	32,5	35,5	38,5		
Снижение уровня звукового давления на пути слева от экрана, Dz2, дБ	z = 16.95м (разность путей)	ф-лы (14-18) [10]	22,8	25,8	28,8	31,8	34,8	37,8	40,8	43,8	46,8		
Снижение уровня звукового давления на пути справа от экрана, Dz3, дБ	z = 51.44м (разность путей)	ф-лы (14-18) [10]	27,5	30,6	33,6	36,6	39,6	42,6	45,6	48,6	51,6		
Общее снижение уровня звука препятствием Dz, дБ		Эн.сумма(-Dzi)	13,8	16,8	19,7	22,7	25,7	28,7	31,7	34,7	37,7		
Общее снижение уровня звука препятствием с учётом ограничения (25 дБ) для октавных полос Dz, дБ		Раздел 7.4 [10]	13,8	16,8	19,7	22,7	25	25	25	25	25		

1		2	3	4	5	6	7	8	9	10	11	12	13
Уровни звукового давления от источника ИШ-10-2 в расчётной точке днём, дБ		**ф-ла(3)[10]**	**0**	**16,3**	**14,6**	**12,4**	**9,2**	**7,2**	**1**	**0**	**0**	**11,5**	**11,5**
Уровни звукового давления в расчётной точке													
Суммарные уровни звукового давления в расчётной точке от всех источников шума днём, Lрт, дБ		**ф-ла (19) [1]**	**63**	**62,8**	**60,9**	**54,8**	**56,6**	**62,7**	**58**	**50,5**	**36,9**	**65**	**65**
Допускаемые УЗД днём, Lдоп, дБ	Территории предприятий с постоянными рабочими местами	Табл. 1[3]	107	95	87	82	78	75	73	71	69	80	95
Превышение днём, дБ		**Lрт - Lдоп**	**-44**	**-32,2**	**-26,1**	**-27,2**	**-21,4**	**-12,3**	**-15**	**-20,5**	**-32,1**	**-15**	**-30**

Определение уровней звукового давления в точке РТ-3-1 (координаты точки, м: x = 367.22, y = 40.63, z = 1.50)

Наименование величин и их описание		Ссылка	Расчётные уровни в октавных полосах, со среднегеометрическими частотами, Гц									La, дБА	Lмакс, дБА
			31,5	63	125	250	500	1000	2000	4000	8000		
1		2	3	4	5	6	7	8	9	10	11	12	13
Источник шума: ИШ-1-1, координаты источника (x,y,z), м =[271.72,229.68,1.00]													
Уровни звуковой мощности источника днём, Lw, дБ		**исходные данные**	**97**	**97**	**104**	**106**	**105**	**105**	**98**	**87**	**81**		
Поправка на телесный угол DΩ, дБ	Ω = 6.28	10Lg(4π/Ω)	**3**	3	3	3	3	3	3	3	3		
Показатель направленности источника Di, дБ		исходные данные	**0**	0	0	0	0	0	0	0	0		
Поправка на направленность источника Dc, дБ	Dc	DΩ + Di	**3**	3	3	3	3	3	3	3	3		
Затухание из-за геометрической дивергенции, Adiv, дБ	расстояние = 211.80 м	ф-ла (7) [10]	**57,5**										
Коэффициент затухания звука в атмосфере α, дБ/км	Ta=20,°C Pa=101.33,кПа hотн.=70%	ф-ла (5) [9]	0,02	0,09	0,33	1,12	2,79	4,98	9,04	23,09	77,63		
Учет затухания звука в атмосфере Aatm, дБ		ф-ла (8) [10]	0	0	0,1	0,2	0,6	1,1	1,9	4,9	16,4		
Снижение уровня звукового давления из-за влияния застройки между источником шума и расчетной точкой													
Снижение уровня звукового давления на пути над экраном, Dz1, дБ	z = 0.86м (разность путей)	ф-лы (14-18) [10]	7,2	9,6	13	16,5	19,6	22,7	25,7	28,7	31,7		
Снижение уровня звукового давления на пути слева от экрана, Dz2, дБ	z = 81.07м (разность путей)	ф-лы (14-18) [10]	25,2	29,1	33,5	37,8	41,3	44,5	47,6	50,6	53,6		
Снижение уровня звукового давления на пути справа от экрана, Dz3, дБ	z = 10.09м (разность путей)	ф-лы (14-18) [10]	16,1	18,9	21,8	24,8	27,8	30,8	33,8	36,8	39,8		
Общее снижение уровня звука препятствием Dz, дБ		Эн.сумма(-Dzi)	6,6	9	12,4	15,9	19	22	25	28	31		

1		2	3	4	5	6	7	8	9	10	11	12	13
Общее снижение уровня звука препятствием с учётом ограничения (25 дБ) для октавных полос Dz, дБ		Раздел 7.4 [10]	6,6	9	12,4	15,9	19	22	25	25	25		
Уровни звукового давления прямого звука от источника ИШ-1-1 в расчётной точке днём, дБ		**ф-ла(3)[10]**	**35,9**	**33,4**	**37**	**35,4**	**30,9**	**27,4**	**16,6**	**2,6**	**0**	**32,6**	**32,6**
Расчёт отражённого звука													
Уровни звукового давления от мнимого источника ИШ-1-1_мн.(1) в расчётной точке днём, дБ		**ф-ла(3)[10]**	**0**	**0**	**0**	**0**	**0**	**0**	**33**	**16,2**	**0**	**34,3**	**34,3**
Уровни звукового давления от мнимого источника ИШ-1-1_мн.(2) в расчётной точке днём, дБ		**ф-ла(3)[10]**	**0**	**0**	**0**	**0**	**0**	**0**	**11,1**	**0**	**0**	**12,3**	**12,3**
Уровни звукового давления от мнимого источника ИШ-1-1_мн.(3) в расчётной точке днём, дБ		**ф-ла(3)[10]**	**0**	**0**	**0**	**0**	**0**	**0**	**23,7**	**4,4**	**0**	**24,9**	**24,9**
Уровни звукового давления от мнимого источника ИШ-1-1_мн.(4) в расчётной точке днём, дБ		**ф-ла(3)[10]**	**0**	**0**	**0**	**0**	**0**	**0**	**17**	**0**	**0**	**18,2**	**18,2**
Суммарные уровни звукового давления от мнимых источников в расчётной точке днём, дБ		**ф-ла (19) [1]**	**0**	**0**	**0**	**0**	**0**	**0**	**33,6**	**16,5**	**0**	**0**	**34,9**
Уровни звукового давления от источника ИШ-1-1 в расчётной точке днём, дБ		**ф-ла(3)[10]**	**35,9**	**33,4**	**37**	**35,4**	**30,9**	**27,4**	**33,7**	**16,7**	**0**	**36,9**	**36,9**
Источник шума: ИШ-1-2, координаты источника (x,y,z), м =[261.74,199.14,1.00]													
Уровни звуковой мощности источника днём, Lw, дБ		**исходные данные**	**97**	**97**	**104**	**106**	**105**	**105**	**98**	**87**	**81**		
Поправка на телесный угол DΩ, дБ	Ω = 6.28	10Lg(4π/Ω)	**3**	3	3	3	3	3	3	3	3		
Показатель направленности источника Di, дБ		исходные данные	**0**	0	0	0	0	0	0	0	0		
Поправка на направленность источника Dc, дБ	Dc	DΩ + Di	**3**	3	3	3	3	3	3	3	3		
Затухание из-за геометрической дивергенции, Adiv, дБ	расстояние = 190.40 м	ф-ла (7) [10]	**56,6**										
Коэффициент затухания звука в атмосфере α, дБ/км	Ta=20,°C Pa=101.33,кПа hотн.=70%	ф-ла (5) [9]	0,02	0,09	0,33	1,12	2,79	4,98	9,04	23,09	77,63		

1		2	3	4	5	6	7	8	9	10	11	12	13
Учет затухания звука в атмосфере Aatm, дБ		ф-ла (8) [10]	0	0	0,1	0,2	0,5	0,9	1,7	4,4	14,8		
Снижение уровня звукового давления из-за влияния застройки между источником шума и расчетной точкой													
Снижение уровня звукового давления на пути над экраном, Dz1, дБ	z = 0.96м (разность путей)	ф-лы (14-18) [10]	7,6	10	13,6	17,2	20,5	23,5	26,5	29,5	32,5		
Снижение уровня звукового давления на пути слева от экрана, Dz2, дБ	z = 124.73м (разность путей)	ф-лы (14-18) [10]	27,1	30,9	35,4	39,7	43,2	46,4	49,4	52,5	55,5		
Снижение уровня звукового давления на пути справа от экрана, Dz3, дБ	z = 4.56м (разность путей)	ф-лы (14-18) [10]	13	15,7	18,5	21,4	24,3	27,3	30,3	33,3	36,3		
Общее снижение уровня звука препятствием Dz, дБ		Эн.сумма(-Dzi)	6,4	8,9	12,3	15,8	19	22	25	28	31		
Общее снижение уровня звука препятствием с учётом ограничения (25 дБ) для октавных полос Dz, дБ		Раздел 7.4 [10]	6,4	8,9	12,3	15,8	19	22	25	25	25		
Уровни звукового давления прямого звука от источника ИШ-1-2 в расчётной точке днём, дБ		**ф-ла(3)[10]**	**37**	**34,5**	**38**	**36,4**	**31,9**	**28,5**	**17,7**	**4**	**0**	**33,6**	**33,6**
Расчёт отражённого звука													
Уровни звукового давления от мнимого источника ИШ-1-2_мн.(1) в расчётной точке днём, дБ		**ф-ла(3)[10]**	**0**	**0**	**0**	**0**	**0**	**0**	**27,6**	**10**	**0**	**28,8**	**28,8**
Уровни звукового давления от мнимого источника ИШ-1-2_мн.(2) в расчётной точке днём, дБ		**ф-ла(3)[10]**	**0**	**0**	**0**	**0**	**0**	**0**	**13,2**	**0**	**0**	**14,4**	**14,4**
Уровни звукового давления от мнимого источника ИШ-1-2_мн.(3) в расчётной точке днём, дБ		**ф-ла(3)[10]**	**0**	**0**	**0**	**0**	**0**	**0**	**14,3**	**0**	**0**	**15,5**	**15,5**
Суммарные уровни звукового давления от мнимых источников в расчётной точке днём, дБ		**ф-ла (19) [1]**	**0**	**0**	**0**	**0**	**0**	**0**	**27,9**	**10**	**0**	**0**	**29,2**
Уровни звукового давления от источника ИШ-1-2 в расчётной точке днём, дБ		**ф-ла(3)[10]**	**37**	**34,5**	**38**	**36,4**	**31,9**	**28,5**	**28,3**	**11**	**0**	**34,9**	**34,9**
Источник шума: ИШ-1-3, координаты источника (x,y,z), м =[251.75,236.44,1.00]													
Уровни звуковой мощности источника днём, Lw, дБ		**исходные данные**	**0**	**91,3**	**92,7**	**94**	**94,3**	**93,9**	**90,6**	**86,4**	**81,9**		
Поправка на телесный угол DΩ, дБ	Ω = 6.28	10Lg(4π/Ω)	**3**	3	3	3	3	3	3	3	3		

1		2	3	4	5	6	7	8	9	10	11	12	13
Показатель направленности источника Di, дБ		исходные данные	**0**	0	0	0	0	0	0	0	0		
Поправка на направленность источника Dc, дБ	Dc	DΩ + Di	**3**	3	3	3	3	3	3	3	3		
Затухание из-за геометрической дивергенции, Adiv, дБ	расстояние = 227.31 м	ф-ла (7) [10]	**58,1**										
Коэффициент затухания звука в атмосфере α, дБ/км	Ta=20,°C Pa=101.33,кПа hотн.=70%	ф-ла (5) [9]	0,02	0,09	0,33	1,12	2,79	4,98	9,04	23,09	77,63		
Учет затухания звука в атмосфере Aatm, дБ		ф-ла (8) [10]	0	0	0,1	0,3	0,6	1,1	2,1	5,2	17,6		
Снижение уровня звукового давления из-за влияния застройки между источником шума и расчетной точкой													
Снижение уровня звукового давления на пути над экраном, Dz1, дБ	z = 0.77м (разность путей)	ф-лы (14-18) [10]	6,8	8,9	12,1	15,6	18,7	21,7	24,7	27,7	30,7		
Снижение уровня звукового давления на пути слева от экрана, Dz2, дБ	z = 83.59м (разность путей)	ф-лы (14-18) [10]	25,3	29,2	33,7	37,9	41,5	44,6	47,7	50,7	53,7		
Снижение уровня звукового давления на пути справа от экрана, Dz3, дБ	z = 6.14м (разность путей)	ф-лы (14-18) [10]	14,1	16,9	19,7	22,6	25,6	28,6	31,6	34,6	37,6		
Общее снижение уровня звука препятствием Dz, дБ		Эн.сумма(-Dzi)	6	8,2	11,4	14,8	17,9	20,9	23,9	26,9	29,9		
Общее снижение уровня звука препятствием с учётом ограничения (25 дБ) для октавных полос Dz, дБ		Раздел 7.4 [10]	6	8,2	11,4	14,8	17,9	20,9	23,9	25	25		
Уровни звукового давления прямого звука от источника ИШ-1-3 в расчётной точке днём, дБ		**ф-ла(3)[10]**	**0**	**28**	**26,1**	**23,8**	**20,6**	**16,7**	**9,5**	**1**	**0**	**22,1**	**22,1**
Расчёт отражённого звука													
Уровни звукового давления от мнимого источника ИШ-1-3_мн.(1) в расчётной точке днём, дБ		**ф-ла(3)[10]**	**0**	**0**	**0**	**0**	**0**	**0**	**13,9**	**1,2**	**0**	**15,3**	**15,3**
Уровни звукового давления от мнимого источника ИШ-1-3_мн.(2) в расчётной точке днём, дБ		**ф-ла(3)[10]**	**0**	**0**	**0**	**0**	**0**	**0**	**3,3**	**0**	**0**	**4,5**	**4,5**
Уровни звукового давления от мнимого источника ИШ-1-3_мн.(3) в расчётной точке днём, дБ		**ф-ла(3)[10]**	**0**	**0**	**0**	**0**	**0**	**0**	**7,4**	**0**	**0**	**8,6**	**8,6**
Уровни звукового давления от мнимого источника ИШ-1-3_мн.(4) в расчётной точке днём, дБ		**ф-ла(3)[10]**	**0**	**0**	**0**	**0**	**0**	**0**	**2,2**	**0**	**0**	**3,4**	**3,4**

1		2	3	4	5	6	7	8	9	10	11	12	13
Суммарные уровни звукового давления от мнимых источников в расчётной точке днём, дБ		**ф-ла (19) [1]**	**0**	**0**	**0**	**0**	**0**	**0**	**15,3**	**1,2**	**0**	**0**	**16,7**
Уровни звукового давления от источника ИШ-1-3 в расчётной точке днём, дБ		**ф-ла(3)[10]**	**0**	**28**	**26,1**	**23,8**	**20,6**	**16,7**	**16,3**	**4,1**	**0**	**23,2**	**23,2**
Источник шума: ИШ-1-4, координаты источника (x,y,z), м =[290.25,223.25,1.00]													
Уровни звуковой мощности источника днём, Lw, дБ		**исходные данные**	**0**	**91,3**	**92,7**	**94**	**94,3**	**93,9**	**90,6**	**86,4**	**81,9**		
Поправка на телесный угол DΩ, дБ	Ω = 6.28	10Lg(4π/Ω)	**3**	3	3	3	3	3	3	3	3		
Показатель направленности источника Di, дБ		исходные данные	**0**	0	0	0	0	0	0	0	0		
Поправка на направленность источника Dc, дБ	Dc	DΩ + Di	**3**	3	3	3	3	3	3	3	3		
Затухание из-за геометрической дивергенции, Adiv, дБ	расстояние = 198.17 м	ф-ла (7) [10]	**56,9**										
Коэффициент затухания звука в атмосфере α, дБ/км	Ta=20,°C Pa=101.33,кПа hотн.=70%	ф-ла (5) [9]	0,02	0,09	0,33	1,12	2,79	4,98	9,04	23,09	77,63		
Учет затухания звука в атмосфере Aatm, дБ		ф-ла (8) [10]	0	0	0,1	0,2	0,6	1	1,8	4,6	15,4		
Снижение уровня звукового давления из-за влияния застройки между источником шума и расчетной точкой													
Снижение уровня звукового давления на пути над экраном, Dz1, дБ	z = 1.05м (разность путей)	ф-лы (14-18) [10]	7,9	10,6	14,3	17,8	21	24	27	30	33		
Снижение уровня звукового давления на пути слева от экрана, Dz2, дБ	z = 80.04м (разность путей)	ф-лы (14-18) [10]	25,2	29	33,5	37,7	41,3	44,5	47,5	50,5	53,5		
Снижение уровня звукового давления на пути справа от экрана, Dz3, дБ	z = 15.40м (разность путей)	ф-лы (14-18) [10]	17,8	20,7	23,6	26,6	29,6	32,6	35,6	38,6	41,6		
Общее снижение уровня звука препятствием Dz, дБ		Эн.сумма(-Dzi)	7,4	10,2	13,8	17,3	20,4	23,4	26,4	29,4	32,4		
Общее снижение уровня звука препятствием с учётом ограничения (25 дБ) для октавных полос Dz, дБ		Раздел 7.4 [10]	7,4	10,2	13,8	17,3	20,4	23,4	25	25	25		

1		2	3	4	5	6	7	8	9	10	11	12	13
Уровни звукового давления прямого звука от источника ИШ-1-4 в расчётной точке днём, дБ		**ф-ла(3)[10]**	**0**	**27,2**	**24,9**	**22,6**	**19,4**	**15,5**	**9,9**	**2,9**	**0**	**21**	**21**
Расчёт отражённого звука													
Уровни звукового давления от мнимого источника ИШ-1-4_мн.(1) в расчётной точке днём, дБ		**ф-ла(3)[10]**	**0**	**0**	**0**	**0**	**0**	**28,3**	**25,8**	**15,9**	**0**	**30,9**	**30,9**
Уровни звукового давления от мнимого источника ИШ-1-4_мн.(2) в расчётной точке днём, дБ		**ф-ла(3)[10]**	**0**	**0**	**0**	**0**	**0**	**17,7**	**10,2**	**0**	**0**	**18,6**	**18,6**
Уровни звукового давления от мнимого источника ИШ-1-4_мн.(3) в расчётной точке днём, дБ		**ф-ла(3)[10]**	**0**	**0**	**0**	**0**	**0**	**0**	**24,3**	**13,7**	**0**	**25,8**	**25,8**
Уровни звукового давления от мнимого источника ИШ-1-4_мн.(4) в расчётной точке днём, дБ		**ф-ла(3)[10]**	**0**	**0**	**0**	**0**	**0**	**0**	**18,4**	**4,4**	**0**	**19,8**	**19,8**
Суммарные уровни звукового давления от мнимых источников в расчётной точке днём, дБ		**ф-ла (19) [1]**	**0**	**0**	**0**	**0**	**0**	**28,7**	**28,6**	**18,1**	**0**	**0**	**32,5**
Уровни звукового давления от источника ИШ-1-4 в расчётной точке днём, дБ		**ф-ла(3)[10]**	**0**	**27,2**	**24,9**	**22,6**	**19,4**	**28,9**	**28,7**	**18,3**	**0**	**32,8**	**32,8**
Источник шума: ИШ-1-5, координаты источника (x,y,z), м =[241.49,205.86,1.00]													
Уровни звуковой мощности источника днём, Lw, дБ		**исходные данные**	**0**	**91,3**	**92,7**	**94**	**94,3**	**93,9**	**90,6**	**86,4**	**81,9**		
Поправка на телесный угол DΩ, дБ	Ω = 6.28	10Lg(4π/Ω)	**3**	3	3	3	3	3	3	3	3		
Показатель направленности источника Di, дБ		исходные данные	**0**	0	0	0	0	0	0	0	0		
Поправка на направленность источника Dc, дБ	Dc	DΩ + Di	**3**	3	3	3	3	3	3	3	3		
Затухание из-за геометрической дивергенции, Adiv, дБ	расстояние = 207.62 м	ф-ла (7) [10]	**57,3**										
Коэффициент затухания звука в атмосфере α, дБ/км	Ta=20,°C Pa=101.33,кПа hотн.=70%	ф-ла (5) [9]	0,02	0,09	0,33	1,12	2,79	4,98	9,04	23,09	77,63		
Учет затухания звука в атмосфере Aatm, дБ		ф-ла (8) [10]	0	0	0,1	0,2	0,6	1	1,9	4,8	16,1		

1		2	3	4	5	6	7	8	9	10	11	12	13
Снижение уровня звукового давления из-за влияния застройки между источником шума и расчетной точкой													
Снижение уровня звукового давления на пути над экраном, Dz1, дБ	z = 0.84м (разность путей)	ф-лы (14-18) [10]	7,1	9,3	12,6	16,3	19,5	22,5	25,5	28,5	31,5		
Снижение уровня звукового давления на пути слева от экрана, Dz2, дБ	z = 122.02м (разность путей)	ф-лы (14-18) [10]	27	30,8	35,3	39,6	43,1	46,3	49,3	52,4	55,4		
Снижение уровня звукового давления на пути справа от экрана, Dz3, дБ	z = 1.97м (разность путей)	ф-лы (14-18) [10]	10,1	12,5	15,1	17,9	20,8	23,7	26,7	29,7	32,7		
Общее снижение уровня звука препятствием Dz, дБ		Эн.сумма(-Dzi)	5,3	7,5	10,7	14	17,1	20,1	23,1	26,1	29,1		
Общее снижение уровня звука препятствием с учётом ограничения (25 дБ) для октавных полос Dz, дБ		Раздел 7.4 [10]	5,3	7,5	10,7	14	17,1	20,1	23,1	25	25		
Уровни звукового давления прямого звука от источника ИШ-1-5 в расчётной точке днём, дБ		**ф-ла(3)[10]**	**0**	**29,4**	**27,6**	**25,5**	**22,3**	**18,5**	**11,3**	**2,3**	**0**	**23,7**	**23,7**
Расчёт отражённого звука													
Уровни звукового давления от мнимого источника ИШ-1-5_мн.(1) в расчётной точке днём, дБ		**ф-ла(3)[10]**	**0**	**0**	**0**	**0**	**0**	**0**	**1,9**	**0**	**0**	**3,1**	**3,1**
Уровни звукового давления от мнимого источника ИШ-1-5_мн.(2) в расчётной точке днём, дБ		**ф-ла(3)[10]**	**0**	**0**	**0**	**0**	**0**	**0**	**28,9**	**20,3**	**0**	**30,7**	**30,7**
Суммарные уровни звукового давления от мнимых источников в расчётной точке днём, дБ		**ф-ла (19) [1]**	**0**	**0**	**0**	**0**	**0**	**0**	**28,9**	**20,3**	**0**	**0**	**30,7**
Уровни звукового давления от источника ИШ-1-5 в расчётной точке днём, дБ		**ф-ла(3)[10]**	**0**	**29,4**	**27,6**	**25,5**	**22,3**	**18,5**	**29**	**20,4**	**0**	**31,5**	**31,5**
Источник шума: ИШ-1-6, координаты источника (x,y,z), м =[279.85,192.97,1.00]													
Уровни звуковой мощности источника днём, Lw, дБ		**исходные данные**	**0**	**91,3**	**92,7**	**94**	**94,3**	**93,9**	**90,6**	**86,4**	**81,9**		
Поправка на телесный угол DΩ, дБ	Ω = 6.28	10Lg(4π/Ω)	**3**	3	3	3	3	3	3	3	3		
Показатель направленности источника Di, дБ		исходные данные	**0**	0	0	0	0	0	0	0	0		
Поправка на направленность источника Dc, дБ	Dc	DΩ + Di	**3**	3	3	3	3	3	3	3	3		

1		2	3	4	5	6	7	8	9	10	11	12	13
Затухание из-за геометрической дивергенции, Adiv, дБ	расстояние = 175.61 м	ф-ла (7) [10]	**55,9**										
Коэффициент затухания звука в атмосфере α, дБ/км	Ta=20,°C Pa=101.33,кПа hотн.=70%	ф-ла (5) [9]	0,02	0,09	0,33	1,12	2,79	4,98	9,04	23,09	77,63		
Учет затухания звука в атмосфере Aatm, дБ		ф-ла (8) [10]	0	0	0,1	0,2	0,5	0,9	1,6	4,1	13,6		
Снижение уровня звукового давления из-за влияния застройки между источником шума и расчетной точкой													
Снижение уровня звукового давления на пути над экраном, Dz1, дБ	z = 1.18м (разность путей)	ф-лы (14-18) [10]	8,3	11,1	14,9	18,6	21,8	24,9	27,9	30,9	33,9		
Снижение уровня звукового давления на пути слева от экрана, Dz2, дБ	z = 129.25м (разность путей)	ф-лы (14-18) [10]	27,2	31,1	35,5	39,8	43,4	46,5	49,6	52,6	55,6		
Снижение уровня звукового давления на пути справа от экрана, Dz3, дБ	z = 8.71м (разность путей)	ф-лы (14-18) [10]	15,5	18,3	21,2	24,1	27,1	30,1	33,1	36,1	39,1		
Общее снижение уровня звука препятствием Dz, дБ		Эн.сумма(-Dzi)	7,5	10,3	13,9	17,5	20,7	23,7	26,7	29,7	32,7		
Общее снижение уровня звука препятствием с учётом ограничения (25 дБ) для октавных полос Dz, дБ		Раздел 7.4 [10]	7,5	10,3	13,9	17,5	20,7	23,7	25	25	25		
Уровни звукового давления прямого звука от источника ИШ-1-6 в расчётной точке днём, дБ		**ф-ла(3)[10]**	**0**	**28,1**	**25,8**	**23,4**	**20,2**	**16,4**	**11,1**	**4,4**	**0**	**21,9**	**21,9**
Расчёт отражённого звука													
Уровни звукового давления от мнимого источника ИШ-1-6_мн.(1) в расчётной точке днём, дБ		**ф-ла(3)[10]**	**0**	**0**	**0**	**0**	**0**	**29,1**	**26,8**	**17,3**	**0**	**31,8**	**31,8**
Уровни звукового давления от мнимого источника ИШ-1-6_мн.(2) в расчётной точке днём, дБ		**ф-ла(3)[10]**	**0**	**0**	**0**	**0**	**0**	**29**	**26,8**	**17,4**	**0**	**31,7**	**31,7**
Уровни звукового давления от мнимого источника ИШ-1-6_мн.(3) в расчётной точке днём, дБ		**ф-ла(3)[10]**	**0**	**0**	**0**	**0**	**0**	**0**	**19,1**	**5,5**	**0**	**20,5**	**20,5**
Суммарные уровни звукового давления от мнимых источников в расчётной точке днём, дБ		**ф-ла (19) [1]**	**0**	**0**	**0**	**0**	**0**	**32,1**	**30,2**	**20,5**	**0**	**0**	**34,9**
Уровни звукового давления от источника ИШ-1-6 в расчётной точке днём, дБ		**ф-ла(3)[10]**	**0**	**28,1**	**25,8**	**23,4**	**20,2**	**32,2**	**30,2**	**20,6**	**0**	**35,1**	**35,1**

1		2	3	4	5	6	7	8	9	10	11	12	13
Источник шума: ИШ-1-7, координаты источника (x,y,z), м =[451.87,146.66,1.00]													
Уровни звуковой мощности источника днём, Lw, дБ		**исходные данные**	**0**	**93,3**	**94,7**	**96**	**96,3**	**95,9**	**92,6**	**88,4**	**83,9**		
Поправка на телесный угол DΩ, дБ	Ω = 6.28	10Lg(4π/Ω)	**3**	3	3	3	3	3	3	3	3		
Показатель направленности источника Di, дБ		исходные данные	**0**	0	0	0	0	0	0	0	0		
Поправка на направленность источника Dc, дБ	Dc	DΩ + Di	**3**	3	3	3	3	3	3	3	3		
Затухание из-за геометрической дивергенции, Adiv, дБ	расстояние = 135.67 м	ф-ла (7) [10]	**53,6**										
Коэффициент затухания звука в атмосфере α, дБ/км	Ta=20,°C Pa=101.33,кПа hотн.=70%	ф-ла (5) [9]	0,02	0,09	0,33	1,12	2,79	4,98	9,04	23,09	77,63		
Учет затухания звука в атмосфере Aatm, дБ		ф-ла (8) [10]	0	0	0	0,2	0,4	0,7	1,2	3,1	10,5		
Снижение уровня звукового давления из-за влияния застройки между источником шума и расчетной точкой													
Снижение уровня звукового давления на пути над экраном, Dz1, дБ	z = 5.55м (разность путей)	ф-лы (14-18) [10]	15,1	19,4	23,2	26,6	29,7	32,7	35,7	38,7	41,7		
Снижение уровня звукового давления на пути слева от экрана, Dz2, дБ	z = 58.91м (разность путей)	ф-лы (14-18) [10]	25,6	30,1	33,8	37,1	40,1	43,2	46,2	49,2	52,2		
Снижение уровня звукового давления на пути справа от экрана, Dz3, дБ	z = 119.21м (разность путей)	ф-лы (14-18) [10]	26,8	30,5	34,8	39,3	42,9	46,2	49,2	52,3	55,3		
Общее снижение уровня звука препятствием Dz, дБ		Эн.сумма(-Dzi)	14,4	18,7	22,6	26	29,1	32,2	35,2	38,2	41,2		
Общее снижение уровня звука препятствием с учётом ограничения (25 дБ) для октавных полос Dz, дБ		Раздел 7.4 [10]	14,4	18,7	22,6	25	25	25	25	25	25		
Уровни звукового давления прямого звука от источника ИШ-1-7 в расчётной точке днём, дБ		**ф-ла(3)[10]**	**0**	**23,9**	**21,4**	**20,2**	**20,3**	**19,6**	**15,7**	**9,6**	**0**	**23,4**	**23,4**
Расчёт отражённого звука													

1		2	3	4	5	6	7	8	9	10	11	12	13
Уровни звукового давления от мнимого источника ИШ-1-7_мн.(1) в расчётной точке днём, дБ		**ф-ла(3)[10]**	**0**	**0**	**0**	**0**	**0**	**0**	**0**	**0**	**0**	**0**	**0**
Уровни звукового давления от источника ИШ-1-7 в расчётной точке днём, дБ		**ф-ла(3)[10]**	**0**	**23,9**	**21,4**	**20,2**	**20,3**	**19,6**	**15,7**	**9,6**	**0**	**23,4**	**23,4**
Источник шума: ИШ-1-8, координаты источника (x,y,z), м =[454.99,145.29,1.00]													
Уровни звуковой мощности источника днём, Lw, дБ		**исходные данные**	**0**	**93,3**	**94,7**	**96**	**96,3**	**95,9**	**92,6**	**88,4**	**83,9**		
Поправка на телесный угол DΩ, дБ	Ω = 6.28	10Lg(4π/Ω)	**3**	3	3	3	3	3	3	3	3		
Показатель направленности источника Di, дБ		исходные данные	**0**	0	0	0	0	0	0	0	0		
Поправка на направленность источника Dc, дБ	Dc	DΩ + Di	**3**	3	3	3	3	3	3	3	3		
Затухание из-за геометрической дивергенции, Adiv, дБ	расстояние = 136.59 м	ф-ла (7) [10]	**53,7**										
Коэффициент затухания звука в атмосфере α, дБ/км	Ta=20,°C Pa=101.33,кПа hотн.=70%	ф-ла (5) [9]	0,02	0,09	0,33	1,12	2,79	4,98	9,04	23,09	77,63		
Учет затухания звука в атмосфере Aatm, дБ		ф-ла (8) [10]	0	0	0	0,2	0,4	0,7	1,2	3,2	10,6		
Снижение уровня звукового давления из-за влияния застройки между источником шума и расчетной точкой													
Снижение уровня звукового давления на пути над экраном, Dz1, дБ	z = 5.67м (разность путей)	ф-лы (14-18) [10]	15	19,3	23,3	26,7	29,8	32,8	35,8	38,8	41,8		
Снижение уровня звукового давления на пути слева от экрана, Dz2, дБ	z = 57.28м (разность путей)	ф-лы (14-18) [10]	25,5	29,9	33,7	36,9	40	43,1	46,1	49,1	52,1		
Снижение уровня звукового давления на пути справа от экрана, Dz3, дБ	z = 120.19м (разность путей)	ф-лы (14-18) [10]	26,8	30,5	34,9	39,3	43	46,2	49,3	52,3	55,3		
Общее снижение уровня звука препятствием Dz, дБ		Эн.сумма(-Dzi)	14,4	18,7	22,6	26,1	29,2	32,2	35,2	38,3	41,3		
Общее снижение уровня звука препятствием с учётом ограничения (25 дБ) для октавных полос Dz, дБ		Раздел 7.4 [10]	14,4	18,7	22,6	25	25	25	25	25	25		

1		2	3	4	5	6	7	8	9	10	11	12	13
Уровни звукового давления прямого звука от источника ИШ-1-8 в расчётной точке днём, дБ		**ф-ла(3)[10]**	**0**	**23,9**	**21,3**	**20,1**	**20,2**	**19,5**	**15,6**	**9,5**	**0**	**23,4**	**23,4**
Расчёт отражённого звука													
Уровни звукового давления от мнимого источника ИШ-1-8_мн.(1) в расчётной точке днём, дБ		**ф-ла(3)[10]**	**0**	**0**	**0**	**0**	**0**	**0**	**0**	**0**	**0**	**0**	**0**
Уровни звукового давления от источника ИШ-1-8 в расчётной точке днём, дБ		**ф-ла(3)[10]**	**0**	**23,9**	**21,3**	**20,1**	**20,2**	**19,5**	**15,6**	**9,5**	**0**	**23,4**	**23,4**
Источник шума: ИШ-1-9, координаты источника (x,y,z), м =[458.12,144.31,1.00]													
Уровни звуковой мощности источника днём, Lw, дБ		**исходные данные**	**0**	**93,3**	**94,7**	**96**	**96,3**	**95,9**	**92,6**	**88,4**	**83,9**		
Поправка на телесный угол DΩ, дБ	Ω = 6.28	10Lg(4π/Ω)	**3**	3	3	3	3	3	3	3	3		
Показатель направленности источника Di, дБ		исходные данные	**0**	0	0	0	0	0	0	0	0		
Поправка на направленность источника Dc, дБ	Dc	DΩ + Di	**3**	3	3	3	3	3	3	3	3		
Затухание из-за геометрической дивергенции, Adiv, дБ	расстояние = 137.88 м	ф-ла (7) [10]	**53,8**										
Коэффициент затухания звука в атмосфере α, дБ/км	Ta=20,°C Pa=101.33,кПа hотн.=70%	ф-ла (5) [9]	0,02	0,09	0,33	1,12	2,79	4,98	9,04	23,09	77,63		
Учет затухания звука в атмосфере Aatm, дБ		ф-ла (8) [10]	0	0	0	0,2	0,4	0,7	1,2	3,2	10,7		
Снижение уровня звукового давления из-за влияния застройки между источником шума и расчетной точкой													
Снижение уровня звукового давления на пути над экраном, Dz1, дБ	z = 5.78м (разность путей)	ф-лы (14-18) [10]	15	19,3	23,3	26,7	29,8	32,9	35,9	38,9	41,9		
Снижение уровня звукового давления на пути слева от экрана, Dz2, дБ	z = 55.76м (разность путей)	ф-лы (14-18) [10]	25,4	29,8	33,6	36,8	39,9	42,9	45,9	49	52		
Снижение уровня звукового давления на пути справа от экрана, Dz3, дБ	z = 120.55м (разность путей)	ф-лы (14-18) [10]	26,8	30,5	34,9	39,3	43	46,2	49,3	52,3	55,3		

1		2	3	4	5	6	7	8	9	10	11	12	13
Общее снижение уровня звука препятствием Dz, дБ		Эн.сумма(-Dzi)	14,4	18,6	22,6	26,1	29,2	32,3	35,3	38,3	41,3		
Общее снижение уровня звука препятствием с учётом ограничения (25 дБ) для октавных полос Dz, дБ		Раздел 7.4 [10]	14,4	18,6	22,6	25	25	25	25	25	25		
Уровни звукового давления прямого звука от источника ИШ-1-9 в расчётной точке днём, дБ		**ф-ла(3)[10]**	**0**	**23,9**	**21,2**	**20**	**20,1**	**19,4**	**15,6**	**9,4**	**0**	**23,3**	**23,3**
Расчёт отражённого звука													
Уровни звукового давления от мнимого источника ИШ-1-9_мн.(1) в расчётной точке днём, дБ		**ф-ла(3)[10]**	**0**	**0**	**0**	**0**	**0**	**0**	**0**	**0**	**0**	**0**	**0**
Уровни звукового давления от источника ИШ-1-9 в расчётной точке днём, дБ		**ф-ла(3)[10]**	**0**	**23,9**	**21,2**	**20**	**20,1**	**19,4**	**15,6**	**9,4**	**0**	**23,3**	**23,3**
Источник шума: ИШ-1-10, координаты источника (x,y,z), м =[461.05,143.53,1.00]													
Уровни звуковой мощности источника днём, Lw, дБ		**исходные данные**	**0**	**93,3**	**94,7**	**96**	**96,3**	**95,9**	**92,6**	**88,4**	**83,9**		
Поправка на телесный угол DΩ, дБ	Ω = 6.28	10Lg(4π/Ω)	**3**	3	3	3	3	3	3	3	3		
Показатель направленности источника Di, дБ		исходные данные	**0**	0	0	0	0	0	0	0	0		
Поправка на направленность источника Dc, дБ	Dc	DΩ + Di	**3**	3	3	3	3	3	3	3	3		
Затухание из-за геометрической дивергенции, Adiv, дБ	расстояние = 139.25 м	ф-ла (7) [10]	**53,9**										
Коэффициент затухания звука в атмосфере α, дБ/км	Ta=20,°C Pa=101.33,кПа hотн.=70%	ф-ла (5) [9]	0,02	0,09	0,33	1,12	2,79	4,98	9,04	23,09	77,63		
Учет затухания звука в атмосфере Aatm, дБ		ф-ла (8) [10]	0	0	0	0,2	0,4	0,7	1,3	3,2	10,8		
Снижение уровня звукового давления из-за влияния застройки между источником шума и расчетной точкой													
Снижение уровня звукового давления на пути над экраном, Dz1, дБ	z = 5.73м (разность путей)	ф-лы (14-18) [10]	13,7	16,6	20,1	24,4	28,8	32,5	35,7	38,8	41,8		

1		2	3	4	5	6	7	8	9	10	11	12	13
Снижение уровня звукового давления на пути слева от экрана, Dz2, дБ	z = 54.39м (разность путей)	ф-лы (14-18) [10]	25,3	29,7	33,5	36,7	39,8	42,8	45,8	48,9	51,9		
Снижение уровня звукового давления на пути справа от экрана, Dz3, дБ	z = 120.72м (разность путей)	ф-лы (14-18) [10]	26,8	30,5	34,9	39,3	43	46,2	49,3	52,3	55,3		
Общее снижение уровня звука препятствием Dz, дБ		Эн.сумма(-Dzi)	13,2	16,2	19,8	24,1	28,3	32	35,2	38,2	41,2		
Общее снижение уровня звука препятствием с учётом ограничения (25 дБ) для октавных полос Dz, дБ		Раздел 7.4 [10]	13,2	16,2	19,8	24,1	25	25	25	25	25		
Уровни звукового давления прямого звука от источника ИШ-1-10 в расчётной точке днём, дБ		**ф-ла(3)[10]**	**0**	**26,2**	**24**	**20,9**	**20**	**19,3**	**15,5**	**9,3**	**0**	**23,3**	**23,3**
Расчёт отражённого звука													
Уровни звукового давления от мнимого источника ИШ-1-10_мн.(1) в расчётной точке днём, дБ		**ф-ла(3)[10]**	**0**	**0**	**0**	**0**	**0**	**0**	**0**	**0**	**0**	**0**	**0**
Уровни звукового давления от источника ИШ-1-10 в расчётной точке днём, дБ		**ф-ла(3)[10]**	**0**	**26,2**	**24**	**20,9**	**20**	**19,3**	**15,5**	**9,3**	**0**	**23,3**	**23,3**
Источник шума: ИШ-1-11, координаты источника (x,y,z), м =[464.18,142.55,1.00]													
Уровни звуковой мощности источника днём, Lw, дБ		**исходные данные**	**0**	**93,3**	**94,7**	**96**	**96,3**	**95,9**	**92,6**	**88,4**	**83,9**		
Поправка на телесный угол DΩ, дБ	Ω = 6.28	10Lg(4π/Ω)	**3**	3	3	3	3	3	3	3	3		
Показатель направленности источника Di, дБ		исходные данные	**0**	0	0	0	0	0	0	0	0		
Поправка на направленность источника Dc, дБ	Dc	DΩ + Di	**3**	3	3	3	3	3	3	3	3		
Затухание из-за геометрической дивергенции, Adiv, дБ	расстояние = 140.67 м	ф-ла (7) [10]	**54**										
Коэффициент затухания звука в атмосфере α, дБ/км	Ta=20,°C Pa=101.33,кПа hотн.=70%	ф-ла (5) [9]	0,02	0,09	0,33	1,12	2,79	4,98	9,04	23,09	77,63		
Учет затухания звука в атмосфере Aatm, дБ		ф-ла (8) [10]	0	0	0	0,2	0,4	0,7	1,3	3,2	10,9		

1		2	3	4	5	6	7	8	9	10	11	12	13
Снижение уровня звукового давления из-за влияния застройки между источником шума и расчетной точкой													
Снижение уровня звукового давления на пути над экраном, Dz1, дБ	z = 5.84м (разность путей)	ф-лы (14-18) [10]	13,8	16,7	20,2	24,6	29	32,6	35,8	38,9	41,9		
Снижение уровня звукового давления на пути слева от экрана, Dz2, дБ	z = 52.92м (разность путей)	ф-лы (14-18) [10]	25,2	29,6	33,3	36,6	39,7	42,7	45,7	48,7	51,7		
Снижение уровня звукового давления на пути справа от экрана, Dz3, дБ	z = 121.19м (разность путей)	ф-лы (14-18) [10]	26,9	30,5	34,9	39,3	43	46,2	49,3	52,3	55,3		
Общее снижение уровня звука препятствием Dz, дБ		Эн.сумма(-Dzi)	13,3	16,3	19,9	24,2	28,5	32	35,2	38,3	41,3		
Общее снижение уровня звука препятствием с учётом ограничения (25 дБ) для октавных полос Dz, дБ		Раздел 7.4 [10]	13,3	16,3	19,9	24,2	25	25	25	25	25		
Уровни звукового давления прямого звука от источника ИШ-1-11 в расчётной точке днём, дБ		**ф-ла(3)[10]**	**0**	**26**	**23,8**	**20,7**	**19,9**	**19,2**	**15,4**	**9,2**	**0**	**23,2**	**23,2**
Расчёт отражённого звука													
Уровни звукового давления от мнимого источника ИШ-1-11_мн.(1) в расчётной точке днём, дБ		**ф-ла(3)[10]**	**0**	**0**	**0**	**0**	**0**	**0**	**0**	**0**	**0**	**0**	**0**
Уровни звукового давления от источника ИШ-1-11 в расчётной точке днём, дБ		**ф-ла(3)[10]**	**0**	**26**	**23,8**	**20,7**	**19,9**	**19,2**	**15,4**	**9,2**	**0**	**23,2**	**23,2**
Источник шума: ИШ-1-12, координаты источника (x,y,z), м =[435.45,97.79,1.00]													
Уровни звуковой мощности источника днём, Lw, дБ		**исходные данные**	**0**	**93,3**	**94,7**	**96**	**96,3**	**95,9**	**92,6**	**88,4**	**83,9**		
Поправка на телесный угол DΩ, дБ	Ω = 6.28	10Lg(4π/Ω)	**3**	3	3	3	3	3	3	3	3		
Показатель направленности источника Di, дБ		исходные данные	**0**	0	0	0	0	0	0	0	0		
Поправка на направленность источника Dc, дБ	Dc	DΩ + Di	**3**	3	3	3	3	3	3	3	3		
Затухание из-за геометрической дивергенции, Adiv, дБ	расстояние = 89.01 м	ф-ла (7) [10]	**50**										
Коэффициент затухания звука в атмосфере α, дБ/км	Ta=20,°C Pa=101.33,кПа hотн.=70%	ф-ла (5) [9]	0,02	0,09	0,33	1,12	2,79	4,98	9,04	23,09	77,63		

1		2	3	4	5	6	7	8	9	10	11	12	13
Учет затухания звука в атмосфере Aatm, дБ		ф-ла (8) [10]	0	0	0	0,1	0,2	0,4	0,8	2,1	6,9		
Снижение уровня звукового давления из-за влияния застройки между источником шума и расчетной точкой													
Снижение уровня звукового давления на пути над экраном, Dz1, дБ	z = 6.51м (разность путей)	ф-лы (14-18) [10]	14,3	17,4	21,1	25,5	29,7	33,3	36,4	39,5	42,5		
Снижение уровня звукового давления на пути слева от экрана, Dz2, дБ	z = 54.84м (разность путей)	ф-лы (14-18) [10]	25,3	29,8	33,5	36,8	39,8	42,9	45,9	48,9	51,9		
Снижение уровня звукового давления на пути справа от экрана, Dz3, дБ	z = 1.16м (разность путей)	ф-лы (14-18) [10]	8,6	10,6	13	15,7	18,5	21,4	24,4	27,4	30,4		
Общее снижение уровня звука препятствием Dz, дБ		Эн.сумма(-Dzi)	7,5	9,8	12,4	15,2	18,2	21,1	24,1	27,1	30,1		
Общее снижение уровня звука препятствием с учётом ограничения (25 дБ) для октавных полос Dz, дБ		Раздел 7.4 [10]	7,5	9,8	12,4	15,2	18,2	21,1	24,1	25	25		
Уровни звукового давления прямого звука от источника ИШ-1-12 в расчётной точке днём, дБ		**ф-ла(3)[10]**	**0**	**36,5**	**35,3**	**33,7**	**30,9**	**27,3**	**20,7**	**14,3**	**5**	**32,4**	**32,4**
Расчёт отражённого звука													
Уровни звукового давления от мнимого источника ИШ-1-12_мн.(1) в расчётной точке днём, дБ		**ф-ла(3)[10]**	**0**	**0**	**0**	**0**	**0**	**17,7**	**13,8**	**7,5**	**0**	**19,9**	**19,9**
Уровни звукового давления от источника ИШ-1-12 в расчётной точке днём, дБ		**ф-ла(3)[10]**	**0**	**36,5**	**35,3**	**33,7**	**30,9**	**27,8**	**21,5**	**15,2**	**5**	**32,6**	**32,6**
Источник шума: ИШ-1-13, координаты источника (x,y,z), м =[438.77,96.82,1.00]													
Уровни звуковой мощности источника днём, Lw, дБ		**исходные данные**	**0**	**93,3**	**94,7**	**96**	**96,3**	**95,9**	**92,6**	**88,4**	**83,9**		
Поправка на телесный угол DΩ, дБ	Ω = 6.28	10Lg(4π/Ω)	**3**	3	3	3	3	3	3	3	3		
Показатель направленности источника Di, дБ		исходные данные	**0**	0	0	0	0	0	0	0	0		
Поправка на направленность источника Dc, дБ	Dc	DΩ + Di	**3**	3	3	3	3	3	3	3	3		
Затухание из-за геометрической дивергенции, Adiv, дБ	расстояние = 90.97 м	ф-ла (7) [10]	**50,2**										

1		2	3	4	5	6	7	8	9	10	11	12	13
Коэффициент затухания звука в атмосфере α, дБ/км	Та=20,°С Ра=101.33,кПа hотн.=70%	ф-ла (5) [9]	0,02	0,09	0,33	1,12	2,79	4,98	9,04	23,09	77,63		
Учет затухания звука в атмосфере Aatm, дБ		ф-ла (8) [10]	0	0	0	0,1	0,3	0,5	0,8	2,1	7,1		
Снижение уровня звукового давления из-за влияния застройки между источником шума и расчетной точкой													
Снижение уровня звукового давления на пути над экраном, Dz1, дБ	z = 6.60м (разность путей)	ф-лы (14-18) [10]	14,4	17,4	21,2	25,7	29,8	33,3	36,5	39,5	42,5		
Снижение уровня звукового давления на пути слева от экрана, Dz2, дБ	z = 52.28м (разность путей)	ф-лы (14-18) [10]	25,1	29,6	33,3	36,5	39,6	42,7	45,7	48,7	51,7		
Снижение уровня звукового давления на пути справа от экрана, Dz3, дБ	z = 1.34м (разность путей)	ф-лы (14-18) [10]	9	11,1	13,6	16,3	19,1	22	25	28	31		
Общее снижение уровня звука препятствием Dz, дБ		Эн.сумма(-Dzi)	7,8	10,1	12,8	15,8	18,7	21,7	24,7	27,7	30,7		
Общее снижение уровня звука препятствием с учётом ограничения (25 дБ) для октавных полос Dz, дБ		Раздел 7.4 [10]	7,8	10,1	12,8	15,8	18,7	21,7	24,7	25	25		
Уровни звукового давления прямого звука от источника ИШ-1-13 в расчётной точке днём, дБ		**ф-ла(3)[10]**	**0**	**36**	**34,7**	**33**	**30,1**	**26,6**	**19,9**	**14,1**	**4,7**	**31,7**	**31,7**
Расчёт отражённого звука													
Уровни звукового давления от мнимого источника ИШ-1-13_мн.(1) в расчётной точке днём, дБ		**ф-ла(3)[10]**	**0**	**0**	**0**	**0**	**0**	**17,9**	**14**	**7,7**	**0**	**20,1**	**20,1**
Уровни звукового давления от источника ИШ-1-13 в расчётной точке днём, дБ		**ф-ла(3)[10]**	**0**	**36**	**34,7**	**33**	**30,1**	**27,1**	**20,9**	**15**	**4,7**	**31,9**	**31,9**
Источник шума: ИШ-1-14, координаты источника (x,y,z), м =[441.70,96.03,1.00]													
Уровни звуковой мощности источника днём, Lw, дБ		**исходные данные**	**0**	**93,3**	**94,7**	**96**	**96,3**	**95,9**	**92,6**	**88,4**	**83,9**		
Поправка на телесный угол DΩ, дБ	Ω = 6.28	10Lg(4π/Ω)	**3**	3	3	3	3	3	3	3	3		
Показатель направленности источника Di, дБ		исходные данные	**0**	0	0	0	0	0	0	0	0		

1		2	3	4	5	6	7	8	9	10	11	12	13
Поправка на направленность источника Dc, дБ	Dc	DΩ + Di	**3**	3	3	3	3	3	3	3	3		
Затухание из-за геометрической дивергенции, Adiv, дБ	расстояние = 92.83 м	ф-ла (7) [10]	**50,4**										
Коэффициент затухания звука в атмосфере α, дБ/км	Ta=20,°C Pa=101.33,кПа hотн.=70%	ф-ла (5) [9]	0,02	0,09	0,33	1,12	2,79	4,98	9,04	23,09	77,63		
Учет затухания звука в атмосфере Aatm, дБ		ф-ла (8) [10]	0	0	0	0,1	0,3	0,5	0,8	2,1	7,2		
Снижение уровня звукового давления из-за влияния застройки между источником шума и расчетной точкой													
Снижение уровня звукового давления на пути над экраном, Dz1, дБ	z = 6.66м (разность путей)	ф-лы (14-18) [10]	14,4	17,5	21,3	25,8	29,9	33,4	36,5	39,6	42,6		
Снижение уровня звукового давления на пути слева от экрана, Dz2, дБ	z = 50.12м (разность путей)	ф-лы (14-18) [10]	24,9	29,4	33,1	36,4	39,4	42,5	45,5	48,5	51,5		
Снижение уровня звукового давления на пути справа от экрана, Dz3, дБ	z = 1.49м (разность путей)	ф-лы (14-18) [10]	9,3	11,5	14	16,7	19,6	22,5	25,5	28,5	31,5		
Общее снижение уровня звука препятствием Dz, дБ		Эн.сумма(-Dzi)	8	10,4	13,2	16,2	19,1	22,1	25,1	28,1	31,1		
Общее снижение уровня звука препятствием с учётом ограничения (25 дБ) для октавных полос Dz, дБ		Раздел 7.4 [10]	8	10,4	13,2	16,2	19,1	22,1	25	25	25		
Уровни звукового давления прямого звука от источника ИШ-1-14 в расчётной точке днём, дБ		**ф-ла(3)[10]**	**0**	**35,5**	**34,1**	**32,4**	**29,5**	**25,9**	**19,4**	**13,9**	**4,3**	**31,1**	**31,1**
Расчёт отражённого звука													
Уровни звукового давления от мнимого источника ИШ-1-14_мн.(1) в расчётной точке днём, дБ		**ф-ла(3)[10]**	**0**	**0**	**0**	**0**	**0**	**0**	**14,1**	**7,9**	**0**	**16,2**	**16,2**
Уровни звукового давления от источника ИШ-1-14 в расчётной точке днём, дБ		**ф-ла(3)[10]**	**0**	**35,5**	**34,1**	**32,4**	**29,5**	**25,9**	**20,5**	**14,9**	**4,3**	**31,2**	**31,2**
Источник шума: ИШ-1-15, координаты источника (x,y,z), м =[445.03,95.25,1.00]													
Уровни звуковой мощности источника днём, Lw, дБ		**исходные данные**	**0**	**93,3**	**94,7**	**96**	**96,3**	**95,9**	**92,6**	**88,4**	**83,9**		

1		2	3	4	5	6	7	8	9	10	11	12	13
Поправка на телесный угол DΩ, дБ	Ω = 6.28	10Lg(4π/Ω)	**3**	3	3	3	3	3	3	3	3		
Показатель направленности источника Di, дБ		исходные данные	**0**	0	0	0	0	0	0	0	0		
Поправка на направленность источника Dc, дБ	Dc	DΩ + Di	**3**	3	3	3	3	3	3	3	3		
Затухание из-за геометрической дивергенции, Adiv, дБ	расстояние = 95.06 м	ф-ла (7) [10]	**50,6**										
Коэффициент затухания звука в атмосфере α, дБ/км	Ta=20,°C Pa=101.33,кПа hотн.=70%	ф-ла (5) [9]	0,02	0,09	0,33	1,12	2,79	4,98	9,04	23,09	77,63		
Учет затухания звука в атмосфере Aatm, дБ		ф-ла (8) [10]	0	0	0	0,1	0,3	0,5	0,9	2,2	7,4		
Снижение уровня звукового давления из-за влияния застройки между источником шума и расчетной точкой													
Снижение уровня звукового давления на пути над экраном, Dz1, дБ	z = 6.72м (разность путей)	ф-лы (14-18) [10]	14,4	17,6	21,4	25,9	30	33,4	36,6	39,6	42,6		
Снижение уровня звукового давления на пути слева от экрана, Dz2, дБ	z = 47.81м (разность путей)	ф-лы (14-18) [10]	24,7	29,2	32,9	36,2	39,2	42,3	45,3	48,3	51,3		
Снижение уровня звукового давления на пути справа от экрана, Dz3, дБ	z = 1.66м (разность путей)	ф-лы (14-18) [10]	9,6	11,8	14,4	17,1	20	23	25,9	28,9	31,9		
Общее снижение уровня звука препятствием Dz, дБ		Эн.сумма(-Dzi)	8,3	10,7	13,5	16,5	19,6	22,5	25,5	28,5	31,5		
Общее снижение уровня звука препятствием с учётом ограничения (25 дБ) для октавных полос Dz, дБ		Раздел 7.4 [10]	8,3	10,7	13,5	16,5	19,6	22,5	25	25	25		
Уровни звукового давления прямого звука от источника ИШ-1-15 в расчётной точке днём, дБ		**ф-ла(3)[10]**	**0**	**35**	**33,6**	**31,8**	**28,9**	**25,3**	**19,2**	**13,6**	**4**	**30,5**	**30,5**
Расчёт отражённого звука													
Уровни звукового давления от мнимого источника ИШ-1-15_мн.(1) в расчётной точке днём, дБ		**ф-ла(3)[10]**	**0**	**0**	**0**	**0**	**0**	**0**	**14,3**	**8,1**	**0**	**16,4**	**16,4**
Уровни звукового давления от источника ИШ-1-15 в расчётной точке днём, дБ		**ф-ла(3)[10]**	**0**	**35**	**33,6**	**31,8**	**28,9**	**25,3**	**20,4**	**14,7**	**4**	**30,7**	**30,7**

1		2	3	4	5	6	7	8	9	10	11	12	13
Источник шума: ИШ-1-16, координаты источника (x,y,z), м =[447.96,94.28,1.00]													
Уровни звуковой мощности источника днём, Lw, дБ		**исходные данные**	**0**	**93,3**	**94,7**	**96**	**96,3**	**95,9**	**92,6**	**88,4**	**83,9**		
Поправка на телесный угол DΩ, дБ	Ω = 6.28	10Lg(4π/Ω)	**3**	3	3	3	3	3	3	3	3		
Показатель направленности источника Di, дБ		исходные данные	**0**	0	0	0	0	0	0	0	0		
Поправка на направленность источника Dc, дБ	Dc	DΩ + Di	**3**	3	3	3	3	3	3	3	3		
Затухание из-за геометрической дивергенции, Adiv, дБ	расстояние = 96.93 м	ф-ла (7) [10]	**50,7**										
Коэффициент затухания звука в атмосфере α, дБ/км	Ta=20,°C Pa=101.33,кПа hотн.=70%	ф-ла (5) [9]	0,02	0,09	0,33	1,12	2,79	4,98	9,04	23,09	77,63		
Учет затухания звука в атмосфере Aatm, дБ		ф-ла (8) [10]	0	0	0	0,1	0,3	0,5	0,9	2,2	7,5		
Снижение уровня звукового давления из-за влияния застройки между источником шума и расчетной точкой													
Снижение уровня звукового давления на пути над экраном, Dz1, дБ	z = 6.77м (разность путей)	ф-лы (14-18) [10]	14,5	17,6	21,5	26	30,1	33,5	36,6	39,6	42,7		
Снижение уровня звукового давления на пути слева от экрана, Dz2, дБ	z = 45.75м (разность путей)	ф-лы (14-18) [10]	24,5	29	32,7	36	39	42,1	45,1	48,1	51,1		
Снижение уровня звукового давления на пути справа от экрана, Dz3, дБ	z = 1.82м (разность путей)	ф-лы (14-18) [10]	9,9	12,2	14,7	17,5	20,4	23,4	26,3	29,3	32,3		
Общее снижение уровня звука препятствием Dz, дБ		Эн.сумма(-Dzi)	8,5	11	13,8	16,9	19,9	22,9	25,9	28,9	31,9		
Общее снижение уровня звука препятствием с учётом ограничения (25 дБ) для октавных полос Dz, дБ		Раздел 7.4 [10]	8,5	11	13,8	16,9	19,9	22,9	25	25	25		
Уровни звукового давления прямого звука от источника ИШ-1-16 в расчётной точке днём, дБ		**ф-ла(3)[10]**	**0**	**34,5**	**33,1**	**31,3**	**28,4**	**24,8**	**19**	**13,4**	**3,6**	**30**	**30**
Расчёт отражённого звука													

1		2	3	4	5	6	7	8	9	10	11	12	13
Уровни звукового давления от мнимого источника ИШ-1-16_мн.(1) в расчётной точке днём, дБ		**ф-ла(3)[10]**	**0**	**0**	**0**	**0**	**0**	**0**	**14,5**	**8,4**	**0**	**16,6**	**16,6**
Уровни звукового давления от источника ИШ-1-16 в расчётной точке днём, дБ		**ф-ла(3)[10]**	**0**	**34,5**	**33,1**	**31,3**	**28,4**	**24,8**	**20,3**	**14,6**	**3,6**	**30,2**	**30,2**
Источник шума: ИШ-1-17, координаты источника (x,y,z), м =[540.99,141.77,1.00]													
Уровни звуковой мощности источника днём, Lw, дБ		**исходные данные**	**0**	**93,3**	**94,7**	**96**	**96,3**	**95,9**	**92,6**	**88,4**	**83,9**		
Поправка на телесный угол DΩ, дБ	Ω = 6.28	10Lg(4π/Ω)	**3**	3	3	3	3	3	3	3	3		
Показатель направленности источника Di, дБ		исходные данные	**0**	0	0	0	0	0	0	0	0		
Поправка на направленность источника Dc, дБ	Dc	DΩ + Di	**3**	3	3	3	3	3	3	3	3		
Затухание из-за геометрической дивергенции, Adiv, дБ	расстояние = 201.06 м	ф-ла (7) [10]	**57,1**										
Коэффициент затухания звука в атмосфере α, дБ/км	Ta=20,°C Pa=101.33,кПа hотн.=70%	ф-ла (5) [9]	0,02	0,09	0,33	1,12	2,79	4,98	9,04	23,09	77,63		
Учет затухания звука в атмосфере Aatm, дБ		ф-ла (8) [10]	0	0	0,1	0,2	0,6	1	1,8	4,6	15,6		
Снижение уровня звукового давления из-за влияния застройки между источником шума и расчетной точкой													
Снижение уровня звукового давления на пути над экраном, Dz1, дБ	z = 7.40м (разность путей)	ф-лы (14-18) [10]	18,4	21,9	25	28	31	34	37	40	43		
Снижение уровня звукового давления на пути слева от экрана, Dz2, дБ	z = 39.46м (разность путей)	ф-лы (14-18) [10]	25,2	29	32,3	35,4	38,4	41,4	44,4	47,5	50,5		
Снижение уровня звукового давления на пути справа от экрана, Dz3, дБ	z = 120.37м (разность путей)	ф-лы (14-18) [10]	29,7	33,8	37,1	40,2	43,3	46,3	49,3	52,3	55,3		
Общее снижение уровня звука препятствием Dz, дБ		Эн.сумма(-Dzi)	17,3	20,9	24	27,1	30,1	33,1	36,1	39,1	42,1		
Общее снижение уровня звука препятствием с учётом ограничения (25 дБ) для октавных полос Dz, дБ		Раздел 7.4 [10]	17,3	20,9	24	25	25	25	25	25	25		

1		2	3	4	5	6	7	8	9	10	11	12	13
Уровни звукового давления прямого звука от источника ИШ-1-17 в расчётной точке днём, дБ		**ф-ла(3)[10]**	**0**	**18,3**	**16,5**	**16,7**	**16,7**	**15,8**	**11,7**	**4,7**	**0**	**19,6**	**19,6**
Расчёт отражённого звука													
Уровни звукового давления от мнимого источника ИШ-1-17_мн.(1) в расчётной точке днём, дБ		**ф-ла(3)[10]**	**0**	**0**	**0**	**0**	**0**	**0**	**0**	**0**	**0**	**0**	**0**
Уровни звукового давления от источника ИШ-1-17 в расчётной точке днём, дБ		**ф-ла(3)[10]**	**0**	**18,3**	**16,5**	**16,7**	**16,7**	**15,8**	**11,7**	**4,7**	**0**	**19,6**	**19,6**
Источник шума: ИШ-1-18, координаты источника (x,y,z), м =[543.53,140.79,1.00]													
Уровни звуковой мощности источника днём, Lw, дБ		**исходные данные**	**0**	**93,3**	**94,7**	**96**	**96,3**	**95,9**	**92,6**	**88,4**	**83,9**		
Поправка на телесный угол DΩ, дБ	Ω = 6.28	10Lg(4π/Ω)	**3**	3	3	3	3	3	3	3	3		
Показатель направленности источника Di, дБ		исходные данные	**0**	0	0	0	0	0	0	0	0		
Поправка на направленность источника Dc, дБ	Dc	DΩ + Di	**3**	3	3	3	3	3	3	3	3		
Затухание из-за геометрической дивергенции, Adiv, дБ	расстояние = 202.78 м	ф-ла (7) [10]	**57,1**										
Коэффициент затухания звука в атмосфере α, дБ/км	Ta=20,°C Pa=101.33,кПа hотн.=70%	ф-ла (5) [9]	0,02	0,09	0,33	1,12	2,79	4,98	9,04	23,09	77,63		
Учет затухания звука в атмосфере Aatm, дБ		ф-ла (8) [10]	0	0	0,1	0,2	0,6	1	1,8	4,7	15,7		
Снижение уровня звукового давления из-за влияния застройки между источником шума и расчетной точкой													
Снижение уровня звукового давления на пути над экраном, Dz1, дБ	z = 7.34м (разность путей)	ф-лы (14-18) [10]	18,3	21,8	24,9	28	31	34	37	40	43		
Снижение уровня звукового давления на пути слева от экрана, Dz2, дБ	z = 38.34м (разность путей)	ф-лы (14-18) [10]	25,1	28,9	32,2	35,3	38,3	41,3	44,3	47,3	50,3		
Снижение уровня звукового давления на пути справа от экрана, Dz3, дБ	z = 120.67м (разность путей)	ф-лы (14-18) [10]	29,8	33,8	37,1	40,2	43,3	46,3	49,3	52,3	55,3		

1		2	3	4	5	6	7	8	9	10	11	12	13
Общее снижение уровня звука препятствием Dz, дБ		Эн.сумма(-Dzi)	17,2	20,8	24	27	30	33	36	39	42,1		
Общее снижение уровня звука препятствием с учётом ограничения (25 дБ) для октавных полос Dz, дБ		Раздел 7.4 [10]	17,2	20,8	24	25	25	25	25	25	25		
Уровни звукового давления прямого звука от источника ИШ-1-18 в расчётной точке днём, дБ		**ф-ла(3)[10]**	**0**	**18,3**	**16,5**	**16,6**	**16,6**	**15,7**	**11,6**	**4,6**	**0**	**19,5**	**19,5**
Расчёт отражённого звука													
Уровни звукового давления от мнимого источника ИШ-1-18_мн.(1) в расчётной точке днём, дБ		**ф-ла(3)[10]**	**0**	**0**	**0**	**0**	**0**	**0**	**0**	**0**	**0**	**0**	**0**
Уровни звукового давления от источника ИШ-1-18 в расчётной точке днём, дБ		**ф-ла(3)[10]**	**0**	**18,3**	**16,5**	**16,6**	**16,6**	**15,7**	**11,6**	**4,6**	**0**	**19,5**	**19,5**
Источник шума: ИШ-1-19, координаты источника (x,y,z), м =[547.25,139.62,1.00]													
Уровни звуковой мощности источника днём, Lw, дБ		**исходные данные**	**0**	**93,3**	**94,7**	**96**	**96,3**	**95,9**	**92,6**	**88,4**	**83,9**		
Поправка на телесный угол DΩ, дБ	Ω = 6.28	10Lg(4π/Ω)	**3**	3	3	3	3	3	3	3	3		
Показатель направленности источника Di, дБ		исходные данные	**0**	0	0	0	0	0	0	0	0		
Поправка на направленность источника Dc, дБ	Dc	DΩ + Di	**3**	3	3	3	3	3	3	3	3		
Затухание из-за геометрической дивергенции, Adiv, дБ	расстояние = 205.45 м	ф-ла (7) [10]	**57,3**										
Коэффициент затухания звука в атмосфере α, дБ/км	Ta=20,°C Pa=101.33,кПа hотн.=70%	ф-ла (5) [9]	0,02	0,09	0,33	1,12	2,79	4,98	9,04	23,09	77,63		
Учет затухания звука в атмосфере Aatm, дБ		ф-ла (8) [10]	0	0	0,1	0,2	0,6	1	1,9	4,7	15,9		
Снижение уровня звукового давления из-за влияния застройки между источником шума и расчетной точкой													
Снижение уровня звукового давления на пути над экраном, Dz1, дБ	z = 7.28м (разность путей)	ф-лы (14-18) [10]	18,2	21,8	24,9	27,9	30,9	33,9	36,9	39,9	43		

1		2	3	4	5	6	7	8	9	10	11	12	13
Снижение уровня звукового давления на пути слева от экрана, Dz2, дБ	z = 36.86м (разность путей)	ф-лы (14-18) [10]	24,9	28,8	32	35,1	38,1	41,1	44,2	47,2	50,2		
Снижение уровня звукового давления на пути справа от экрана, Dz3, дБ	z = 120.86м (разность путей)	ф-лы (14-18) [10]	29,8	33,8	37,1	40,2	43,3	46,3	49,3	52,3	55,3		
Общее снижение уровня звука препятствием Dz, дБ		Эн.сумма(-Dzi)	17,2	20,7	23,9	26,9	30	33	36	39	42		
Общее снижение уровня звука препятствием с учётом ограничения (25 дБ) для октавных полос Dz, дБ		Раздел 7.4 [10]	17,2	20,7	23,9	25	25	25	25	25	25		
Уровни звукового давления прямого звука от источника ИШ-1-19 в расчётной точке днём, дБ		**ф-ла(3)[10]**	**0**	**18,3**	**16,5**	**16,5**	**16,5**	**15,6**	**11,5**	**4,4**	**0**	**19,4**	**19,4**
Расчёт отражённого звука													
Уровни звукового давления от мнимого источника ИШ-1-19_мн.(1) в расчётной точке днём, дБ		**ф-ла(3)[10]**	**0**	**0**	**0**	**0**	**0**	**0**	**0**	**0**	**0**	**0**	**0**
Уровни звукового давления от источника ИШ-1-19 в расчётной точке днём, дБ		**ф-ла(3)[10]**	**0**	**18,3**	**16,5**	**16,5**	**16,5**	**15,6**	**11,5**	**4,4**	**0**	**19,4**	**19,4**
Источник шума: ИШ-1-20, координаты источника (x,y,z), м =[550.38,138.64,1.00]													
Уровни звуковой мощности источника днём, Lw, дБ		**исходные данные**	**0**	**93,3**	**94,7**	**96**	**96,3**	**95,9**	**92,6**	**88,4**	**83,9**		
Поправка на телесный угол DΩ, дБ	Ω = 6.28	10Lg(4π/Ω)	**3**	3	3	3	3	3	3	3	3		
Показатель направленности источника Di, дБ		исходные данные	**0**	0	0	0	0	0	0	0	0		
Поправка на направленность источника Dc, дБ	Dc	DΩ + Di	**3**	3	3	3	3	3	3	3	3		
Затухание из-за геометрической дивергенции, Adiv, дБ	расстояние = 207.73 м	ф-ла (7) [10]	**57,3**										
Коэффициент затухания звука в атмосфере α, дБ/км	Ta=20,°C Pa=101.33,кПа hотн.=70%	ф-ла (5) [9]	0,02	0,09	0,33	1,12	2,79	4,98	9,04	23,09	77,63		
Учет затухания звука в атмосфере Aatm, дБ		ф-ла (8) [10]	0	0	0,1	0,2	0,6	1	1,9	4,8	16,1		

1		2	3	4	5	6	7	8	9	10	11	12	13
Снижение уровня звукового давления из-за влияния застройки между источником шума и расчетной точкой													
Снижение уровня звукового давления на пути над экраном, Dz1, дБ	z = 7.23м (разность путей)	ф-лы (14-18) [10]	18,2	21,7	24,8	27,9	30,9	33,9	36,9	39,9	42,9		
Снижение уровня звукового давления на пути слева от экрана, Dz2, дБ	z = 35.68м (разность путей)	ф-лы (14-18) [10]	24,8	28,6	31,9	35	38	41	44	47	50		
Снижение уровня звукового давления на пути справа от экрана, Dz3, дБ	z = 121.10м (разность путей)	ф-лы (14-18) [10]	29,8	33,8	37,1	40,3	43,3	46,3	49,3	52,3	55,3		
Общее снижение уровня звука препятствием Dz, дБ		Эн.сумма(-Dzi)	17,1	20,7	23,8	26,9	29,9	32,9	35,9	38,9	41,9		
Общее снижение уровня звука препятствием с учётом ограничения (25 дБ) для октавных полос Dz, дБ		Раздел 7.4 [10]	17,1	20,7	23,8	25	25	25	25	25	25		
Уровни звукового давления от источника ИШ-1-20 в расчётной точке днём, дБ		**ф-ла(3)[10]**	**0**	**18,2**	**16,4**	**16,4**	**16,4**	**15,5**	**11,4**	**4,2**	**0**	**19,3**	**19,3**
Источник шума: ИШ-1-21, координаты источника (x,y,z), м =[553.31,137.67,1.00]													
Уровни звуковой мощности источника днём, Lw, дБ		**исходные данные**	**0**	**93,3**	**94,7**	**96**	**96,3**	**95,9**	**92,6**	**88,4**	**83,9**		
Поправка на телесный угол DΩ, дБ	Ω = 6.28	10Lg(4π/Ω)	**3**	3	3	3	3	3	3	3	3		
Показатель направленности источника Di, дБ		исходные данные	**0**	0	0	0	0	0	0	0	0		
Поправка на направленность источника Dc, дБ	Dc	DΩ + Di	**3**	3	3	3	3	3	3	3	3		
Затухание из-за геометрической дивергенции, Adiv, дБ	расстояние = 209.86 м	ф-ла (7) [10]	**57,4**										
Коэффициент затухания звука в атмосфере α, дБ/км	Ta=20,°C Pa=101.33,кПа hотн.=70%	ф-ла (5) [9]	0,02	0,09	0,33	1,12	2,79	4,98	9,04	23,09	77,63		
Учет затухания звука в атмосфере Aatm, дБ		ф-ла (8) [10]	0	0	0,1	0,2	0,6	1	1,9	4,8	16,3		
Снижение уровня звукового давления из-за влияния застройки между источником шума и расчетной точкой													

1		2	3	4	5	6	7	8	9	10	11	12	13
Снижение уровня звукового давления на пути над экраном, Dz1, дБ	z = 7.20м (разность путей)	ф-лы (14-18) [10]	18,2	21,7	24,8	27,8	30,9	33,9	36,9	39,9	42,9		
Снижение уровня звукового давления на пути слева от экрана, Dz2, дБ	z = 34.61м (разность путей)	ф-лы (14-18) [10]	24,6	28,5	31,7	34,8	37,9	40,9	43,9	46,9	49,9		
Снижение уровня звукового давления на пути справа от экрана, Dz3, дБ	z = 121.46м (разность путей)	ф-лы (14-18) [10]	29,8	33,8	37,1	40,3	43,3	46,3	49,3	52,3	55,4		
Общее снижение уровня звука препятствием Dz, дБ		Эн.сумма(-Dzi)	17	20,6	23,8	26,9	29,9	32,9	35,9	38,9	41,9		
Общее снижение уровня звука препятствием с учётом ограничения (25 дБ) для октавных полос Dz, дБ		Раздел 7.4 [10]	17	20,6	23,8	25	25	25	25	25	25		
Уровни звукового давления от источника ИШ-1-21 в расчётной точке днём, дБ		**ф-ла(3)[10]**	**0**	**18,2**	**16,4**	**16,3**	**16,3**	**15,4**	**11,3**	**4,1**	**0**	**19,2**	**19,2**
Источник шума: ИШ-1-22, координаты источника (x,y,z), м =[522.03,85.28,1.00]													
Уровни звуковой мощности источника днём, Lw, дБ		**исходные данные**	**0**	**93,3**	**94,7**	**96**	**96,3**	**95,9**	**92,6**	**88,4**	**83,9**		
Поправка на телесный угол DΩ, дБ	Ω = 6.28	10Lg(4π/Ω)	**3**	3	3	3	3	3	3	3	3		
Показатель направленности источника Di, дБ		исходные данные	**0**	0	0	0	0	0	0	0	0		
Поправка на направленность источника Dc, дБ	Dc	DΩ + Di	**3**	3	3	3	3	3	3	3	3		
Затухание из-за геометрической дивергенции, Adiv, дБ	расстояние = 161.12 м	ф-ла (7) [10]	**55,1**										
Коэффициент затухания звука в атмосфере α, дБ/км	Ta=20,°C Pa=101.33,кПа hотн.=70%	ф-ла (5) [9]	0,02	0,09	0,33	1,12	2,79	4,98	9,04	23,09	77,63		
Учет затухания звука в атмосфере Aatm, дБ		ф-ла (8) [10]	0	0	0,1	0,2	0,4	0,8	1,5	3,7	12,5		
Снижение уровня звукового давления из-за влияния застройки между источником шума и расчетной точкой													
Снижение уровня звукового давления на пути над экраном, Dz1, дБ	z = 8.00м (разность путей)	ф-лы (14-18) [10]	18,4	22,1	25,3	28,4	31,4	34,4	37,4	40,4	43,4		

1		2	3	4	5	6	7	8	9	10	11	12	13
Снижение уровня звукового давления на пути слева от экрана, Dz2, дБ	z = 23.80м (разность путей)	ф-лы (14-18) [10]	23	26,9	30,1	33,2	36,2	39,2	42,3	45,3	48,3		
Снижение уровня звукового давления на пути справа от экрана, Dz3, дБ	z = 213.10м (разность путей)	ф-лы (14-18) [10]	32,2	36,2	39,6	42,7	45,7	48,8	51,8	54,8	57,8		
Общее снижение уровня звука препятствием Dz, дБ		Эн.сумма(-Dzi)	17	20,7	23,9	27	30	33	36,1	39,1	42,1		
Общее снижение уровня звука препятствием с учётом ограничения (25 дБ) для октавных полос Dz, дБ		Раздел 7.4 [10]	17	20,7	23,9	25	25	25	25	25	25		
Уровни звукового давления от источника ИШ-1-22 в расчётной точке днём, дБ		**ф-ла(3)[10]**	**0**	**20,4**	**18,6**	**18,7**	**18,7**	**17,9**	**14**	**7,5**	**0**	**21,8**	**21,8**
Источник шума: ИШ-1-23, координаты источника (x,y,z), м =[525.16,84.11,1.00]													
Уровни звуковой мощности источника днём, Lw, дБ		**исходные данные**	**0**	**93,3**	**94,7**	**96**	**96,3**	**95,9**	**92,6**	**88,4**	**83,9**		
Поправка на телесный угол DΩ, дБ	Ω = 6.28	10Lg(4π/Ω)	**3**	3	3	3	3	3	3	3	3		
Показатель направленности источника Di, дБ		исходные данные	**0**	0	0	0	0	0	0	0	0		
Поправка на направленность источника Dc, дБ	Dc	DΩ + Di	**3**	3	3	3	3	3	3	3	3		
Затухание из-за геометрической дивергенции, Adiv, дБ	расстояние = 163.82 м	ф-ла (7) [10]	**55,3**										
Коэффициент затухания звука в атмосфере α, дБ/км	Ta=20,°C Pa=101.33,кПа hотн.=70%	ф-ла (5) [9]	0,02	0,09	0,33	1,12	2,79	4,98	9,04	23,09	77,63		
Учет затухания звука в атмосфере Aatm, дБ		ф-ла (8) [10]	0	0	0,1	0,2	0,5	0,8	1,5	3,8	12,7		
Снижение уровня звукового давления из-за влияния застройки между источником шума и расчетной точкой													
Снижение уровня звукового давления на пути над экраном, Dz1, дБ	z = 7.89м (разность путей)	ф-лы (14-18) [10]	18,3	22	25,2	28,3	31,3	34,3	37,3	40,3	43,4		
Снижение уровня звукового давления на пути слева от экрана, Dz2, дБ	z = 22.79м (разность путей)	ф-лы (14-18) [10]	22,8	26,7	29,9	33	36	39,1	42,1	45,1	48,1		

1		2	3	4	5	6	7	8	9	10	11	12	13
Снижение уровня звукового давления на пути справа от экрана, Dz3, дБ	z = 211.55м (разность путей)	ф-лы (14-18) [10]	32,2	36,2	39,6	42,7	45,7	48,7	51,7	54,8	57,8		
Общее снижение уровня звука препятствием Dz, дБ		Эн.сумма(-Dzi)	16,9	20,6	23,8	26,9	29,9	32,9	36	39	42		
Общее снижение уровня звука препятствием с учётом ограничения (25 дБ) для октавных полос Dz, дБ		Раздел 7.4 [10]	16,9	20,6	23,8	25	25	25	25	25	25		
Уровни звукового давления от источника ИШ-1-23 в расчётной точке днём, дБ		**ф-ла(3)[10]**	**0**	**20,4**	**18,5**	**18,5**	**18,5**	**17,8**	**13,8**	**7,3**	**0**	**21,6**	**21,6**
Источник шума: ИШ-1-24, координаты источника (x,y,z), м =[528.48,82.94,1.00]													
Уровни звуковой мощности источника днём, Lw, дБ		**исходные данные**	**0**	**93,3**	**94,7**	**96**	**96,3**	**95,9**	**92,6**	**88,4**	**83,9**		
Поправка на телесный угол DΩ, дБ	Ω = 6.28	10Lg(4π/Ω)	**3**	3	3	3	3	3	3	3	3		
Показатель направленности источника Di, дБ		исходные данные	**0**	0	0	0	0	0	0	0	0		
Поправка на направленность источника Dc, дБ	Dc	DΩ + Di	**3**	3	3	3	3	3	3	3	3		
Затухание из-за геометрической дивергенции, Adiv, дБ	расстояние = 166.72 м	ф-ла (7) [10]	**55,4**										
Коэффициент затухания звука в атмосфере α, дБ/км	Ta=20,°C Pa=101.33,кПа hотн.=70%	ф-ла (5) [9]	0,02	0,09	0,33	1,12	2,79	4,98	9,04	23,09	77,63		
Учет затухания звука в атмосфере Aatm, дБ		ф-ла (8) [10]	0	0	0,1	0,2	0,5	0,8	1,5	3,8	12,9		
Снижение уровня звукового давления из-за влияния застройки между источником шума и расчетной точкой													
Снижение уровня звукового давления на пути над экраном, Dz1, дБ	z = 7.79м (разность путей)	ф-лы (14-18) [10]	18,3	22	25,2	28,2	31,3	34,3	37,3	40,3	43,3		
Снижение уровня звукового давления на пути слева от экрана, Dz2, дБ	z = 36.10м (разность путей)	ф-лы (14-18) [10]	23,3	27,8	31,6	34,9	38	41	44,1	47,1	50,1		
Снижение уровня звукового давления на пути справа от экрана, Dz3, дБ	z = 209.90м (разность путей)	ф-лы (14-18) [10]	32,2	36,2	39,5	42,6	45,7	48,7	51,7	54,7	57,7		

1		2	3	4	5	6	7	8	9	10	11	12	13
Общее снижение уровня звука препятствием Dz, дБ		Эн.сумма(-Dzi)	16,9	20,8	24,2	27,3	30,3	33,3	36,3	39,3	42,3		
Общее снижение уровня звука препятствием с учётом ограничения (25 дБ) для октавных полос Dz, дБ		Раздел 7.4 [10]	16,9	20,8	24,2	25	25	25	25	25	25		
Уровни звукового давления от источника ИШ-1-24 в расчётной точке днём, дБ		**ф-ла(3)[10]**	**0**	**20**	**18**	**18,4**	**18,4**	**17,6**	**13,6**	**7,1**	**0**	**21,4**	**21,4**
Источник шума: ИШ-1-25, координаты источника (x,y,z), м =[531.22,82.16,1.00]													
Уровни звуковой мощности источника днём, Lw, дБ		**исходные данные**	**0**	**93,3**	**94,7**	**96**	**96,3**	**95,9**	**92,6**	**88,4**	**83,9**		
Поправка на телесный угол DΩ, дБ	Ω = 6.28	10Lg(4π/Ω)	**3**	3	3	3	3	3	3	3	3		
Показатель направленности источника Di, дБ		исходные данные	**0**	0	0	0	0	0	0	0	0		
Поправка на направленность источника Dc, дБ	Dc	DΩ + Di	**3**	3	3	3	3	3	3	3	3		
Затухание из-за геометрической дивергенции, Adiv, дБ	расстояние = 169.17 м	ф-ла (7) [10]	**55,6**										
Коэффициент затухания звука в атмосфере α, дБ/км	Ta=20,°C Pa=101.33,кПа hотн.=70%	ф-ла (5) [9]	0,02	0,09	0,33	1,12	2,79	4,98	9,04	23,09	77,63		
Учет затухания звука в атмосфере Aatm, дБ		ф-ла (8) [10]	0	0	0,1	0,2	0,5	0,8	1,5	3,9	13,1		
Снижение уровня звукового давления из-за влияния застройки между источником шума и расчетной точкой													
Снижение уровня звукового давления на пути над экраном, Dz1, дБ	z = 7.73м (разность путей)	ф-лы (14-18) [10]	18,2	21,9	25,1	28,2	31,2	34,2	37,2	40,2	43,3		
Снижение уровня звукового давления на пути слева от экрана, Dz2, дБ	z = 35.46м (разность путей)	ф-лы (14-18) [10]	23,3	27,7	31,6	34,9	37,9	41	44	47	50		
Снижение уровня звукового давления на пути справа от экрана, Dz3, дБ	z = 208.38м (разность путей)	ф-лы (14-18) [10]	32,1	36,1	39,5	42,6	45,6	48,7	51,7	54,7	57,7		
Общее снижение уровня звука препятствием Dz, дБ		Эн.сумма(-Dzi)	16,9	20,8	24,1	27,2	30,2	33,3	36,3	39,3	42,3		

1		2	3	4	5	6	7	8	9	10	11	12	13
Общее снижение уровня звука препятствием с учётом ограничения (25 дБ) для октавных полос Dz, дБ		Раздел 7.4 [10]	16,9	20,8	24,1	25	25	25	25	25	25		
Уровни звукового давления от источника ИШ-1-25 в расчётной точке днём, дБ		**ф-ла(3)[10]**	**0**	**19,9**	**18**	**18,2**	**18,3**	**17,5**	**13,5**	**6,9**	**0**	**21,3**	**21,3**
Источник шума: ИШ-1-26, координаты источника (x,y,z), м =[534.15,80.79,1.00]													
Уровни звуковой мощности источника днём, Lw, дБ		**исходные данные**	**0**	**93,3**	**94,7**	**96**	**96,3**	**95,9**	**92,6**	**88,4**	**83,9**		
Поправка на телесный угол DΩ, дБ	Ω = 6.28	10Lg(4π/Ω)	**3**	3	3	3	3	3	3	3	3		
Показатель направленности источника Di, дБ		исходные данные	**0**	0	0	0	0	0	0	0	0		
Поправка на направленность источника Dc, дБ	Dc	DΩ + Di	**3**	3	3	3	3	3	3	3	3		
Затухание из-за геометрической дивергенции, Adiv, дБ	расстояние = 171.69 м	ф-ла (7) [10]	**55,7**										
Коэффициент затухания звука в атмосфере α, дБ/км	Ta=20,°C Pa=101.33,кПа hотн.=70%	ф-ла (5) [9]	0,02	0,09	0,33	1,12	2,79	4,98	9,04	23,09	77,63		
Учет затухания звука в атмосфере Aatm, дБ		ф-ла (8) [10]	0	0	0,1	0,2	0,5	0,9	1,6	4	13,3		
Снижение уровня звукового давления из-за влияния застройки между источником шума и расчетной точкой													
Снижение уровня звукового давления на пути над экраном, Dz1, дБ	z = 7.68м (разность путей)	ф-лы (14-18) [10]	18,2	21,9	25,1	28,2	31,2	34,2	37,2	40,2	43,2		
Снижение уровня звукового давления на пути слева от экрана, Dz2, дБ	z = 34.64м (разность путей)	ф-лы (14-18) [10]	23,2	27,6	31,5	34,7	37,8	40,9	43,9	46,9	49,9		
Снижение уровня звукового давления на пути справа от экрана, Dz3, дБ	z = 207.48м (разность путей)	ф-лы (14-18) [10]	32,1	36,1	39,5	42,6	45,6	48,6	51,7	54,7	57,7		
Общее снижение уровня звука препятствием Dz, дБ		Эн.сумма(-Dzi)	16,8	20,7	24,1	27,2	30,2	33,2	36,2	39,2	42,2		
Общее снижение уровня звука препятствием с учётом ограничения (25 дБ) для октавных полос Dz, дБ		Раздел 7.4 [10]	16,8	20,7	24,1	25	25	25	25	25	25		

1		2	3	4	5	6	7	8	9	10	11	12	13
Уровни звукового давления от источника ИШ-1-26 в расчётной точке днём, дБ		**ф-ла(3)[10]**	**0**	**19,9**	**17,9**	**18,1**	**18,1**	**17,3**	**13,3**	**6,7**	**0**	**21,2**	**21,2**
Источник шума: ИШ-1-27, координаты источника (x,y,z), м =[469.65,197.67,1.00]													
Уровни звуковой мощности источника днём, Lw, дБ		**исходные данные**	**0**	**93,3**	**94,7**	**96**	**96,3**	**95,9**	**92,6**	**88,4**	**83,9**		
Поправка на телесный угол DΩ, дБ	Ω = 6.28	10Lg(4π/Ω)	**3**	3	3	3	3	3	3	3	3		
Показатель направленности источника Di, дБ		исходные данные	**0**	0	0	0	0	0	0	0	0		
Поправка на направленность источника Dc, дБ	Dc	DΩ + Di	**3**	3	3	3	3	3	3	3	3		
Затухание из-за геометрической дивергенции, Adiv, дБ	расстояние = 187.49 м	ф-ла (7) [10]	**56,5**										
Коэффициент затухания звука в атмосфере α, дБ/км	Ta=20,°C Pa=101.33,кПа hотн.=70%	ф-ла (5) [9]	0,02	0,09	0,33	1,12	2,79	4,98	9,04	23,09	77,63		
Учет затухания звука в атмосфере Aatm, дБ		ф-ла (8) [10]	0	0	0,1	0,2	0,5	0,9	1,7	4,3	14,6		
Снижение уровня звукового давления из-за влияния застройки между источником шума и расчетной точкой													
Снижение уровня звукового давления на пути над экраном, Dz1, дБ	z = 4.63м (разность путей)	ф-лы (14-18) [10]	14,9	19	22,6	25,7	28,8	31,8	34,8	37,8	40,8		
Снижение уровня звукового давления на пути слева от экрана, Dz2, дБ	z = 60.72м (разность путей)	ф-лы (14-18) [10]	25,7	30,2	33,9	37,2	40,3	43,3	46,3	49,3	52,3		
Снижение уровня звукового давления на пути справа от экрана, Dz3, дБ	z = 36.81м (разность путей)	ф-лы (14-18) [10]	21,4	24,4	27,4	30,4	33,4	36,4	39,4	42,4	45,4		
Общее снижение уровня звука препятствием Dz, дБ		Эн.сумма(-Dzi)	13,7	17,7	21,1	24,2	27,3	30,3	33,3	36,3	39,3		
Общее снижение уровня звука препятствием с учётом ограничения (25 дБ) для октавных полос Dz, дБ		Раздел 7.4 [10]	13,7	17,7	21,1	24,2	25	25	25	25	25		
Уровни звукового давления прямого звука от источника ИШ-1-27 в расчётной точке днём, дБ		**ф-ла(3)[10]**	**0**	**22,2**	**20,1**	**18,1**	**17,3**	**16,5**	**12,4**	**5,6**	**0**	**20,4**	**20,4**

1		2	3	4	5	6	7	8	9	10	11	12	13
Расчёт отражённого звука													
Уровни звукового давления от мнимого источника ИШ-1-27_мн.(1) в расчётной точке днём, дБ		**ф-ла(3)[10]**	**0**	**0**	**0**	**0**	**0**	**0**	**0**	**2,4**	**0**	**3,4**	**3,4**
Уровни звукового давления от источника ИШ-1-27 в расчётной точке днём, дБ		**ф-ла(3)[10]**	**0**	**22,2**	**20,1**	**18,1**	**17,3**	**16,5**	**12,4**	**7,3**	**0**	**20,5**	**20,5**
Источник шума: ИШ-1-28, координаты источника (x,y,z), м =[472.78,196.69,1.00]													
Уровни звуковой мощности источника днём, Lw, дБ		**исходные данные**	**0**	**93,3**	**94,7**	**96**	**96,3**	**95,9**	**92,6**	**88,4**	**83,9**		
Поправка на телесный угол DΩ, дБ	Ω = 6.28	10Lg(4π/Ω)	**3**	3	3	3	3	3	3	3	3		
Показатель направленности источника Di, дБ		исходные данные	**0**	0	0	0	0	0	0	0	0		
Поправка на направленность источника Dc, дБ	Dc	DΩ + Di	**3**	3	3	3	3	3	3	3	3		
Затухание из-за геометрической дивергенции, Adiv, дБ	расстояние = 188.41 м	ф-ла (7) [10]	**56,5**										
Коэффициент затухания звука в атмосфере α, дБ/км	Ta=20,°C Pa=101.33,кПа hотн.=70%	ф-ла (5) [9]	0,02	0,09	0,33	1,12	2,79	4,98	9,04	23,09	77,63		
Учет затухания звука в атмосфере Aatm, дБ		ф-ла (8) [10]	0	0	0,1	0,2	0,5	0,9	1,7	4,3	14,6		
Снижение уровня звукового давления из-за влияния застройки между источником шума и расчетной точкой													
Снижение уровня звукового давления на пути над экраном, Dz1, дБ	z = 4.77м (разность путей)	ф-лы (14-18) [10]	14,9	19	22,6	25,9	28,9	31,9	34,9	37,9	41		
Снижение уровня звукового давления на пути слева от экрана, Dz2, дБ	z = 59.62м (разность путей)	ф-лы (14-18) [10]	25,7	30,1	33,9	37,1	40,2	43,2	46,2	49,3	52,3		
Снижение уровня звукового давления на пути справа от экрана, Dz3, дБ	z = 39.17м (разность путей)	ф-лы (14-18) [10]	21,7	24,7	27,6	30,6	33,6	36,6	39,6	42,7	45,7		
Общее снижение уровня звука препятствием Dz, дБ		Эн.сумма(-Dzi)	13,8	17,7	21,2	24,4	27,4	30,4	33,4	36,4	39,5		

1		2	3	4	5	6	7	8	9	10	11	12	13
Общее снижение уровня звука препятствием с учётом ограничения (25 дБ) для октавных полос Dz, дБ		Раздел 7.4 [10]	13,8	17,7	21,2	24,4	25	25	25	25	25		
Уровни звукового давления прямого звука от источника ИШ-1-28 в расчётной точке днём, дБ		**ф-ла(3)[10]**	**0**	**22**	**19,9**	**17,9**	**17,3**	**16,5**	**12,4**	**5,5**	**0**	**20,3**	**20,3**
Расчёт отражённого звука													
Уровни звукового давления от мнимого источника ИШ-1-28_мн.(1) в расчётной точке днём, дБ		**ф-ла(3)[10]**	**0**	**0**	**0**	**0**	**0**	**0**	**0**	**2,5**	**0**	**3,5**	**3,5**
Уровни звукового давления от источника ИШ-1-28 в расчётной точке днём, дБ		**ф-ла(3)[10]**	**0**	**22**	**19,9**	**17,9**	**17,3**	**16,5**	**12,4**	**7,3**	**0**	**20,4**	**20,4**
Источник шума: ИШ-1-29, координаты источника (x,y,z), м =[475.52,195.72,1.00]													
Уровни звуковой мощности источника днём, Lw, дБ		**исходные данные**	**0**	**93,3**	**94,7**	**96**	**96,3**	**95,9**	**92,6**	**88,4**	**83,9**		
Поправка на телесный угол DΩ, дБ	Ω = 6.28	10Lg(4π/Ω)	**3**	3	3	3	3	3	3	3	3		
Показатель направленности источника Di, дБ		исходные данные	**0**	0	0	0	0	0	0	0	0		
Поправка на направленность источника Dc, дБ	Dc	DΩ + Di	**3**	3	3	3	3	3	3	3	3		
Затухание из-за геометрической дивергенции, Adiv, дБ	расстояние = 189.15 м	ф-ла (7) [10]	**56,5**										
Коэффициент затухания звука в атмосфере α, дБ/км	Ta=20,°C Pa=101.33,кПа hотн.=70%	ф-ла (5) [9]	0,02	0,09	0,33	1,12	2,79	4,98	9,04	23,09	77,63		
Учет затухания звука в атмосфере Aatm, дБ		ф-ла (8) [10]	0	0	0,1	0,2	0,5	0,9	1,7	4,4	14,7		
Снижение уровня звукового давления из-за влияния застройки между источником шума и расчетной точкой													
Снижение уровня звукового давления на пути над экраном, Dz1, дБ	z = 4.88м (разность путей)	ф-лы (14-18) [10]	14,9	19,1	22,7	26	29	32	35	38,1	41,1		
Снижение уровня звукового давления на пути слева от экрана, Dz2, дБ	z = 58.64м (разность путей)	ф-лы (14-18) [10]	25,6	30,1	33,8	37	40,1	43,2	46,2	49,2	52,2		

1		2	3	4	5	6	7	8	9	10	11	12	13
Снижение уровня звукового давления на пути справа от экрана, Dz3, дБ	z = 41.32м (разность путей)	ф-лы (14-18) [10]	21,9	24,9	27,9	30,9	33,9	36,9	39,9	42,9	45,9		
Общее снижение уровня звука препятствием Dz, дБ		Эн.сумма(-Dzi)	13,8	17,8	21,3	24,5	27,5	30,6	33,6	36,6	39,6		
Общее снижение уровня звука препятствием с учётом ограничения (25 дБ) для октавных полос Dz, дБ		Раздел 7.4 [10]	13,8	17,8	21,3	24,5	25	25	25	25	25		
Уровни звукового давления прямого звука от источника ИШ-1-29 в расчётной точке днём, дБ		**ф-ла(3)[10]**	**0**	**21,9**	**19,8**	**17,8**	**17,2**	**16,4**	**12,3**	**5,5**	**0**	**20,3**	**20,3**
Расчёт отражённого звука													
Уровни звукового давления от мнимого источника ИШ-1-29_мн.(1) в расчётной точке днём, дБ		**ф-ла(3)[10]**	**0**	**0**	**0**	**0**	**0**	**0**	**0**	**2,6**	**0**	**3,6**	**3,6**
Уровни звукового давления от источника ИШ-1-29 в расчётной точке днём, дБ		**ф-ла(3)[10]**	**0**	**21,9**	**19,8**	**17,8**	**17,2**	**16,4**	**12,3**	**7,3**	**0**	**20,4**	**20,4**
Источник шума: ИШ-1-30, координаты источника (x,y,z), м =[478.45,194.54,1.00]													
Уровни звуковой мощности источника днём, Lw, дБ		**исходные данные**	**0**	**93,3**	**94,7**	**96**	**96,3**	**95,9**	**92,6**	**88,4**	**83,9**		
Поправка на телесный угол DΩ, дБ	Ω = 6.28	10Lg(4π/Ω)	**3**	3	3	3	3	3	3	3	3		
Показатель направленности источника Di, дБ		исходные данные	**0**	0	0	0	0	0	0	0	0		
Поправка на направленность источника Dc, дБ	Dc	DΩ + Di	**3**	3	3	3	3	3	3	3	3		
Затухание из-за геометрической дивергенции, Adiv, дБ	расстояние = 189.89 м	ф-ла (7) [10]	**56,6**										
Коэффициент затухания звука в атмосфере α, дБ/км	Ta=20,°C Pa=101.33,кПа hотн.=70%	ф-ла (5) [9]	0,02	0,09	0,33	1,12	2,79	4,98	9,04	23,09	77,63		
Учет затухания звука в атмосфере Aatm, дБ		ф-ла (8) [10]	0	0	0,1	0,2	0,5	0,9	1,7	4,4	14,7		
Снижение уровня звукового давления из-за влияния застройки между источником шума и расчетной точкой													

1		2	3	4	5	6	7	8	9	10	11	12	13
Снижение уровня звукового давления на пути над экраном, Dz1, дБ	z = 5.01м (разность путей)	ф-лы (14-18) [10]	14,8	19,1	22,8	26	29,1	32,1	35,2	38,2	41,2		
Снижение уровня звукового давления на пути слева от экрана, Dz2, дБ	z = 57.59м (разность путей)	ф-лы (14-18) [10]	25,5	30	33,7	37	40	43,1	46,1	49,1	52,1		
Снижение уровня звукового давления на пути справа от экрана, Dz3, дБ	z = 43.72м (разность путей)	ф-лы (14-18) [10]	22,2	25,1	28,1	31,1	34,1	37,1	40,1	43,1	46,1		
Общее снижение уровня звука препятствием Dz, дБ		Эн.сумма(-Dzi)	13,8	17,8	21,4	24,6	27,7	30,7	33,7	36,7	39,7		
Общее снижение уровня звука препятствием с учётом ограничения (25 дБ) для октавных полос Dz, дБ		Раздел 7.4 [10]	13,8	17,8	21,4	24,6	25	25	25	25	25		
Уровни звукового давления прямого звука от источника ИШ-1-30 в расчётной точке днём, дБ		**ф-ла(3)[10]**	**0**	**21,9**	**19,7**	**17,6**	**17,2**	**16,4**	**12,3**	**5,4**	**0**	**20,2**	**20,2**
Расчёт отражённого звука													
Уровни звукового давления от мнимого источника ИШ-1-30_мн.(1) в расчётной точке днём, дБ		**ф-ла(3)[10]**	**0**	**0**	**0**	**0**	**0**	**0**	**10,5**	**2,7**	**0**	**12,3**	**12,3**
Уровни звукового давления от источника ИШ-1-30 в расчётной точке днём, дБ		**ф-ла(3)[10]**	**0**	**21,9**	**19,7**	**17,6**	**17,2**	**16,4**	**14,5**	**7,3**	**0**	**20,9**	**20,9**
Источник шума: ИШ-1-31, координаты источника (x,y,z), м =[481.58,193.96,1.00]													
Уровни звуковой мощности источника днём, Lw, дБ		**исходные данные**	**0**	**93,3**	**94,7**	**96**	**96,3**	**95,9**	**92,6**	**88,4**	**83,9**		
Поправка на телесный угол DΩ, дБ	Ω = 6.28	10Lg(4π/Ω)	**3**	3	3	3	3	3	3	3	3		
Показатель направленности источника Di, дБ		исходные данные	**0**	0	0	0	0	0	0	0	0		
Поправка на направленность источника Dc, дБ	Dc	DΩ + Di	**3**	3	3	3	3	3	3	3	3		
Затухание из-за геометрической дивергенции, Adiv, дБ	расстояние = 191.27 м	ф-ла (7) [10]	**56,6**										
Коэффициент затухания звука в атмосфере α, дБ/км	Ta=20,°C Pa=101.33,кПа hотн.=70%	ф-ла (5) [9]	0,02	0,09	0,33	1,12	2,79	4,98	9,04	23,09	77,63		

1		2	3	4	5	6	7	8	9	10	11	12	13
Учет затухания звука в атмосфере Aatm, дБ		ф-ла (8) [10]	0	0	0,1	0,2	0,5	1	1,7	4,4	14,8		
Снижение уровня звукового давления из-за влияния застройки между источником шума и расчетной точкой													
Снижение уровня звукового давления на пути над экраном, Dz1, дБ	z = 5.11м (разность путей)	ф-лы (14-18) [10]	14,8	19,1	22,8	26,1	29,2	32,2	35,2	38,3	41,3		
Снижение уровня звукового давления на пути слева от экрана, Dz2, дБ	z = 56.58м (разность путей)	ф-лы (14-18) [10]	25,4	29,9	33,6	36,9	40	43	46	49	52		
Снижение уровня звукового давления на пути справа от экрана, Dz3, дБ	z = 45.51м (разность путей)	ф-лы (14-18) [10]	22,3	25,3	28,3	31,3	34,3	37,3	40,3	43,3	46,3		
Общее снижение уровня звука препятствием Dz, дБ		Эн.сумма(-Dzi)	13,8	17,9	21,5	24,7	27,8	30,8	33,8	36,8	39,8		
Общее снижение уровня звука препятствием с учётом ограничения (25 дБ) для октавных полос Dz, дБ		Раздел 7.4 [10]	13,8	17,9	21,5	24,7	25	25	25	25	25		
Уровни звукового давления прямого звука от источника ИШ-1-31 в расчётной точке днём, дБ		**ф-ла(3)[10]**	**0**	**21,8**	**19,5**	**17,4**	**17,1**	**16,3**	**12,2**	**5,3**	**0**	**20,2**	**20,2**
Расчёт отражённого звука													
Уровни звукового давления от мнимого источника ИШ-1-31_мн.(1) в расчётной точке днём, дБ		**ф-ла(3)[10]**	**0**	**0**	**0**	**0**	**0**	**0**	**10,8**	**2,8**	**0**	**12,6**	**12,6**
Уровни звукового давления от источника ИШ-1-31 в расчётной точке днём, дБ		**ф-ла(3)[10]**	**0**	**21,8**	**19,5**	**17,4**	**17,1**	**16,3**	**14,6**	**7,3**	**0**	**20,9**	**20,9**
Источник шума: ИШ-1-32, координаты источника (x,y,z), м =[871.21,281.99,50.00]													
Уровни звуковой мощности источника днём, Lw, дБ		**исходные данные**	**125**	**119,6**	**113,4**	**111,4**	**110,8**	**112,7**	**113,8**	**109,2**	**97,4**		
Поправка на телесный угол DΩ, дБ	Ω = 12.57	10Lg(4π/Ω)	**0**	0	0	0	0	0	0	0	0		
Показатель направленности источника Di, дБ		исходные данные	**0**	0	0	0	0	0	0	0	0		
Поправка на направленность источника Dc, дБ	Dc	DΩ + Di	**0**	0	0	0	0	0	0	0	0		
Затухание из-за геометрической дивергенции, Adiv, дБ	расстояние = 560.90 м	ф-ла (7) [10]	**66**										

1		2	3	4	5	6	7	8	9	10	11	12	13
Коэффициент затухания звука в атмосфере α, дБ/км	Ta=20,°C Pa=101.33,кПа hотн.=70%	ф-ла (5) [9]	0,02	0,09	0,33	1,12	2,79	4,98	9,04	23,09	77,63		
Учет затухания звука в атмосфере Aatm, дБ		ф-ла (8) [10]	0	0,1	0,2	0,6	1,6	2,8	5,1	12,9	43,5		
Снижение уровня звукового давления из-за влияния застройки между источником шума и расчетной точкой													
Снижение уровня звукового давления на пути над экраном, Dz1, дБ	z = 5.89м (разность путей)	ф-лы (14-18) [10]	13	15,7	18,5	21,4	24,4	27,4	30,4	33,4	36,4		
Снижение уровня звукового давления на пути слева от экрана, Dz2, дБ	z = 40.02м (разность путей)	ф-лы (14-18) [10]	23,8	28,3	32,1	35,4	38,5	41,5	44,5	47,5	50,5		
Снижение уровня звукового давления на пути справа от экрана, Dz3, дБ	z = 2.59м (разность путей)	ф-лы (14-18) [10]	11	13,5	16,1	19	21,9	24,9	27,9	30,9	33,9		
Общее снижение уровня звука препятствием Dz, дБ		Эн.сумма(-Dzi)	8,8	11,3	14,1	17	19,9	22,9	25,9	28,9	31,9		
Общее снижение уровня звука препятствием с учётом ограничения (25 дБ) для октавных полос Dz, дБ		Раздел 7.4 [10]	8,8	11,3	14,1	17	19,9	22,9	25	25	25		
Уровни звукового давления прямого звука от источника ИШ-1-32 в расчётной точке днём, дБ		**ф-ла(3)[10]**	**50,3**	**42,3**	**33,2**	**27,9**	**23,4**	**21,1**	**17,8**	**5,3**	**0**	**27**	**27**
Расчёт отражённого звука													
Уровни звукового давления от мнимого источника ИШ-1-32_мн.(1) в расчётной точке днём, дБ		**ф-ла(3)[10]**	**0**	**0**	**0**	**0**	**0**	**0**	**0**	**0**	**0**	**0**	**0**
Уровни звукового давления от источника ИШ-1-32 в расчётной точке днём, дБ		**ф-ла(3)[10]**	**50,3**	**42,3**	**33,2**	**27,9**	**23,4**	**21,1**	**17,8**	**5,3**	**0**	**27**	**27**
Источник шума: ИШ-1-33, координаты источника (x,y,z), м =[743.42,374.85,1.00]													
Уровни звуковой мощности источника днём, Lw, дБ		**исходные данные**	**0**	**88,7**	**90,1**	**93,1**	**96,4**	**103**	**112**	**108**	**99,2**		
Поправка на телесный угол DΩ, дБ	Ω = 6.28	10Lg(4π/Ω)	**3**	3	3	3	3	3	3	3	3		
Показатель направленности источника Di, дБ		исходные данные	**0**	0	0	0	0	0	0	0	0		

1		2	3	4	5	6	7	8	9	10	11	12	13
Поправка на направленность источника Dc, дБ	Dc	DΩ + Di	**3**	3	3	3	3	3	3	3	3		
Затухание из-за геометрической дивергенции, Adiv, дБ	расстояние = 503.22 м	ф-ла (7) [10]	**65**										
Коэффициент затухания звука в атмосфере α, дБ/км	Ta=20,°C Pa=101.33,кПа hотн.=70%	ф-ла (5) [9]	0,02	0,09	0,33	1,12	2,79	4,98	9,04	23,09	77,63		
Учет затухания звука в атмосфере Aatm, дБ		ф-ла (8) [10]	0	0	0,2	0,6	1,4	2,5	4,5	11,6	39,1		
Снижение уровня звукового давления из-за влияния застройки между источником шума и расчетной точкой													
Снижение уровня звукового давления на пути над экраном, Dz1, дБ	z = 6.01м (разность путей)	ф-лы (14-18) [10]	17,2	20,5	23,5	26,5	29,5	32,5	35,5	38,6	41,6		
Снижение уровня звукового давления на пути слева от экрана, Dz2, дБ	z = 45.22м (разность путей)	ф-лы (14-18) [10]	25,8	29,6	32,9	36	39	42	45	48,1	51,1		
Снижение уровня звукового давления на пути справа от экрана, Dz3, дБ	z = 33.64м (разность путей)	ф-лы (14-18) [10]	21,1	24	27	30	33	36	39	42	45		
Общее снижение уровня звука препятствием Dz, дБ		Эн.сумма(-Dzi)	15,3	18,5	21,6	24,6	27,6	30,6	33,6	36,6	39,6		
Общее снижение уровня звука препятствием с учётом ограничения (25 дБ) для октавных полос Dz, дБ		Раздел 7.4 [10]	15,3	18,5	21,6	24,6	25	25	25	25	25		
Уровни звукового давления от источника ИШ-1-33 в расчётной точке днём, дБ		**ф-ла(3)[10]**	**0**	**8,1**	**6,3**	**5,9**	**8**	**13,5**	**20,4**	**9,4**	**0**	**22,6**	**22,6**
Источник шума: ИШ-1-34, координаты источника (x,y,z), м =[1042.35,199.07,1.00]													
Уровни звуковой мощности источника днём, Lw, дБ		**исходные данные**	**0**	**88,7**	**90,1**	**93,1**	**96,4**	**103**	**112**	**108**	**99,2**		
Поправка на телесный угол DΩ, дБ	Ω = 6.28	10Lg(4π/Ω)	**3**	3	3	3	3	3	3	3	3		
Показатель направленности источника Di, дБ		исходные данные	**0**	0	0	0	0	0	0	0	0		
Поправка на направленность источника Dc, дБ	Dc	DΩ + Di	**3**	3	3	3	3	3	3	3	3		

1		2	3	4	5	6	7	8	9	10	11	12	13
Затухание из-за геометрической дивергенции, Adiv, дБ	расстояние = 693.47 м	ф-ла (7) [10]	**67,8**										
Коэффициент затухания звука в атмосфере α, дБ/км	Ta=20,°C Pa=101.33,кПа hотн.=70%	ф-ла (5) [9]	0,02	0,09	0,33	1,12	2,79	4,98	9,04	23,09	77,63		
Учет затухания звука в атмосфере Aatm, дБ		ф-ла (8) [10]	0	0,1	0,2	0,8	1,9	3,5	6,3	16	53,8		
Снижение уровня звукового давления из-за влияния застройки между источником шума и расчетной точкой													
Снижение уровня звукового давления на пути над экраном, Dz1, дБ	z = 6.90м (разность путей)	ф-лы (14-18) [10]	16,8	20,5	23,7	26,8	29,8	32,8	35,8	38,8	41,8		
Снижение уровня звукового давления на пути слева от экрана, Dz2, дБ	z = 28.50м (разность путей)	ф-лы (14-18) [10]	22,3	26,8	30,6	33,9	37	40	43	46	49,1		
Снижение уровня звукового давления на пути справа от экрана, Dz3, дБ	z = 102.00м (разность путей)	ф-лы (14-18) [10]	25,8	28,8	31,8	34,8	37,8	40,8	43,8	46,8	49,8		
Общее снижение уровня звука препятствием Dz, дБ		Эн.сумма(-Dzi)	15,3	19,1	22,4	25,5	28,5	31,5	34,5	37,5	40,5		
Общее снижение уровня звука препятствием с учётом ограничения (25 дБ) для октавных полос Dz, дБ		Раздел 7.4 [10]	15,3	19,1	22,4	25	25	25	25	25	25		
Уровни звукового давления от источника ИШ-1-34 в расчётной точке днём, дБ		**ф-ла(3)[10]**	**0**	**4,7**	**2,7**	**2,5**	**4,7**	**9,7**	**15,9**	**2,2**	**0**	**18,1**	**18,1**
Источник шума: ИШ-2-1, координаты источника (x,y,z), м =[696.50,124.40,3.00]													
Уровни звуковой мощности источника днём, Lw, дБ		**исходные данные**	**105**	**104**	**104**	**101**	**102**	**106**	**101**	**95**	**87**		
Поправка на телесный угол DΩ, дБ	Ω = 6.28	10Lg(4π/Ω)	**3**	3	3	3	3	3	3	3	3		
Показатель направленности источника Di, дБ		исходные данные	**0**	0	0	0	0	0	0	0	0		
Поправка на направленность источника Dc, дБ	Dc	DΩ + Di	**3**	3	3	3	3	3	3	3	3		
Затухание из-за геометрической дивергенции, Adiv, дБ	расстояние = 339.77 м	ф-ла (7) [10]	**61,6**										

1		2	3	4	5	6	7	8	9	10	11	12	13
Коэффициент затухания звука в атмосфере α, дБ/км	Ta=20,°C Pa=101.33,кПа hотн.=70%	ф-ла (5) [9]	0,02	0,09	0,33	1,12	2,79	4,98	9,04	23,09	77,63		
Учет затухания звука в атмосфере Aatm, дБ		ф-ла (8) [10]	0	0	0,1	0,4	0,9	1,7	3,1	7,8	26,4		
Снижение уровня звукового давления из-за влияния застройки между источником шума и расчетной точкой													
Снижение уровня звукового давления на пути над экраном, Dz1, дБ	z = 6.92м (разность путей)	ф-лы (14-18) [10]	17,4	21,1	24,3	27,4	30,4	33,4	36,4	39,4	42,4		
Снижение уровня звукового давления на пути слева от экрана, Dz2, дБ	z = 31.17м (разность путей)	ф-лы (14-18) [10]	22,7	27,2	31	34,3	37,4	40,4	43,4	46,4	49,4		
Снижение уровня звукового давления на пути справа от экрана, Dz3, дБ	z = 123.85м (разность путей)	ф-лы (14-18) [10]	31	34,3	37,3	40,4	43,4	46,4	49,4	52,4	55,4		
Общее снижение уровня звука препятствием Dz, дБ		Эн.сумма(-Dzi)	16,2	20	23,3	26,4	29,4	32,4	35,5	38,5	41,5		
Общее снижение уровня звука препятствием с учётом ограничения (25 дБ) для октавных полос Dz, дБ		Раздел 7.4 [10]	16,2	20	23,3	25	25	25	25	25	25		
Уровни звукового давления от источника ИШ-2-1 в расчётной точке днём, дБ		**ф-ла(3)[10]**	**30,2**	**25,4**	**22**	**17**	**17,4**	**20,7**	**14,3**	**3,5**	**0**	**22,9**	**22,9**
Источник шума: ИШ-2-2, координаты источника (x,y,z), м =[682.20,81.60,3.00]													
Уровни звуковой мощности источника днём, Lw, дБ		**исходные данные**	**105**	**104**	**104**	**101**	**102**	**106**	**101**	**95**	**87**		
Поправка на телесный угол DΩ, дБ	Ω = 6.28	10Lg(4π/Ω)	**3**	3	3	3	3	3	3	3	3		
Показатель направленности источника Di, дБ		исходные данные	**0**	0	0	0	0	0	0	0	0		
Поправка на направленность источника Dc, дБ	Dc	DΩ + Di	**3**	3	3	3	3	3	3	3	3		
Затухание из-за геометрической дивергенции, Adiv, дБ	расстояние = 317.64 м	ф-ла (7) [10]	**61**										
Коэффициент затухания звука в атмосфере α, дБ/км	Ta=20,°C Pa=101.33,кПа hотн.=70%	ф-ла (5) [9]	0,02	0,09	0,33	1,12	2,79	4,98	9,04	23,09	77,63		

1		2	3	4	5	6	7	8	9	10	11	12	13
Учет затухания звука в атмосфере Aatm, дБ		ф-ла (8) [10]	0	0	0,1	0,4	0,9	1,6	2,9	7,3	24,7		
Снижение уровня звукового давления из-за влияния застройки между источником шума и расчетной точкой													
Снижение уровня звукового давления на пути над экраном, Dz1, дБ	z = 7.02м (разность путей)	ф-лы (14-18) [10]	17,4	21,2	24,4	27,5	30,5	33,5	36,5	39,5	42,5		
Снижение уровня звукового давления на пути слева от экрана, Dz2, дБ	z = 25.66м (разность путей)	ф-лы (14-18) [10]	21,9	26,3	30,2	33,4	36,5	39,6	42,6	45,6	48,6		
Снижение уровня звукового давления на пути справа от экрана, Dz3, дБ	z = 149.50м (разность путей)	ф-лы (14-18) [10]	31,7	35,1	38,2	41,2	44,2	47,2	50,2	53,2	56,3		
Общее снижение уровня звука препятствием Dz, дБ		Эн.сумма(-Dzi)	16	19,9	23,2	26,4	29,4	32,4	35,4	38,4	41,4		
Общее снижение уровня звука препятствием с учётом ограничения (25 дБ) для октавных полос Dz, дБ		Раздел 7.4 [10]	16	19,9	23,2	25	25	25	25	25	25		
Уровни звукового давления от источника ИШ-2-2 в расчётной точке днём, дБ		**ф-ла(3)[10]**	**31**	**26,1**	**22,6**	**17,6**	**18,1**	**21,4**	**15,1**	**4,6**	**0**	**23,6**	**23,6**
Источник шума: ИШ-2-3, координаты источника (x,y,z), м =[667.80,38.90,3.00]													
Уровни звуковой мощности источника днём, Lw, дБ		**исходные данные**	**105**	**104**	**104**	**101**	**102**	**106**	**101**	**95**	**87**		
Поправка на телесный угол DΩ, дБ	Ω = 6.28	10Lg(4π/Ω)	**3**	3	3	3	3	3	3	3	3		
Показатель направленности источника Di, дБ		исходные данные	**0**	0	0	0	0	0	0	0	0		
Поправка на направленность источника Dc, дБ	Dc	DΩ + Di	**3**	3	3	3	3	3	3	3	3		
Затухание из-за геометрической дивергенции, Adiv, дБ	расстояние = 300.59 м	ф-ла (7) [10]	**60,6**										
Коэффициент затухания звука в атмосфере α, дБ/км	Ta=20,°C Pa=101.33,кПа hотн.=70%	ф-ла (5) [9]	0,02	0,09	0,33	1,12	2,79	4,98	9,04	23,09	77,63		
Учет затухания звука в атмосфере Aatm, дБ		ф-ла (8) [10]	0	0	0,1	0,3	0,8	1,5	2,7	6,9	23,3		

1		2	3	4	5	6	7	8	9	10	11	12	13
Снижение уровня звукового давления из-за влияния застройки между источником шума и расчетной точкой													
Снижение уровня звукового давления на пути над экраном, Dz1, дБ	z = 7.07м (разность путей)	ф-лы (14-18) [10]	15,1	19,3	23,6	27,2	30,4	33,5	36,5	39,5	42,5		
Снижение уровня звукового давления на пути слева от экрана, Dz2, дБ	z = 20.17м (разность путей)	ф-лы (14-18) [10]	20,9	25,3	29,1	32,4	35,5	38,5	41,5	44,5	47,6		
Снижение уровня звукового давления на пути справа от экрана, Dz3, дБ	z = 6.91м (разность путей)	ф-лы (14-18) [10]	14,6	17,3	20,2	23,1	26,1	29,1	32,1	35,1	38,1		
Общее снижение уровня звука препятствием Dz, дБ		Эн.сумма(-Dzi)	11,3	14,8	18,2	21,4	24,4	27,4	30,4	33,4	36,4		
Общее снижение уровня звука препятствием с учётом ограничения (25 дБ) для октавных полос Dz, дБ		Раздел 7.4 [10]	11,3	14,8	18,2	21,4	24,4	25	25	25	25		
Уровни звукового давления прямого звука от источника ИШ-2-3 в расчётной точке днём, дБ		**ф-ла(3)[10]**	**36,1**	**31,6**	**28,2**	**21,8**	**19,2**	**22**	**15,7**	**5,5**	**0**	**24,6**	**24,6**
Расчёт отражённого звука													
Уровни звукового давления от мнимого источника ИШ-2-3_мн.(1) в расчётной точке днём, дБ		**ф-ла(3)[10]**	**0**	**0**	**0**	**0**	**0**	**0**	**0**	**0**	**0**	**0**	**0**
Уровни звукового давления от источника ИШ-2-3 в расчётной точке днём, дБ		**ф-ла(3)[10]**	**36,1**	**31,6**	**28,2**	**21,8**	**19,2**	**22**	**15,7**	**5,5**	**0**	**24,6**	**24,6**
Источник шума: ИШ-2-6, координаты источника (x,y,z), м =[765.97,112.43,1.00]													
Уровни звуковой мощности источника днём, Lw, дБ		**исходные данные**	**0**	**93,3**	**94,7**	**96**	**96,3**	**95,9**	**92,6**	**88,4**	**83,9**		
Поправка на телесный угол DΩ, дБ	Ω = 6.28	10Lg(4π/Ω)	**3**	3	3	3	3	3	3	3	3		
Показатель направленности источника Di, дБ		исходные данные	**0**	0	0	0	0	0	0	0	0		
Поправка на направленность источника Dc, дБ	Dc	DΩ + Di	**3**	3	3	3	3	3	3	3	3		
Затухание из-за геометрической дивергенции, Adiv, дБ	расстояние = 405.16 м	ф-ла (7) [10]	**63,2**										
Коэффициент затухания звука в атмосфере α, дБ/км	Ta=20,°C Pa=101.33,кПа hотн.=70%	ф-ла (5) [9]	0,02	0,09	0,33	1,12	2,79	4,98	9,04	23,09	77,63		

1		2	3	4	5	6	7	8	9	10	11	12	13
Учет затухания звука в атмосфере Aatm, дБ		ф-ла (8) [10]	0	0	0,1	0,5	1,1	2	3,7	9,4	31,5		
Снижение уровня звукового давления из-за влияния застройки между источником шума и расчетной точкой													
Снижение уровня звукового давления на пути над экраном, Dz1, дБ	z = 7.01м (разность путей)	ф-лы (14-18) [10]	17,3	21	24,3	27,3	30,3	33,4	36,4	39,4	42,4		
Снижение уровня звукового давления на пути слева от экрана, Dz2, дБ	z = 27.18м (разность путей)	ф-лы (14-18) [10]	22,1	26,6	30,4	33,7	36,8	39,8	42,8	45,8	48,9		
Снижение уровня звукового давления на пути справа от экрана, Dz3, дБ	z = 127.51м (разность путей)	ф-лы (14-18) [10]	31,1	34,4	37,5	40,5	43,5	46,5	49,5	52,6	55,6		
Общее снижение уровня звука препятствием Dz, дБ		Эн.сумма(-Dzi)	15,9	19,8	23,2	26,3	29,3	32,3	35,3	38,3	41,3		
Общее снижение уровня звука препятствием с учётом ограничения (25 дБ) для октавных полос Dz, дБ		Раздел 7.4 [10]	15,9	19,8	23,2	25	25	25	25	25	25		
Уровни звукового давления от источника ИШ-2-6 в расчётной точке днём, дБ		**ф-ла(3)[10]**	**0**	**13,3**	**11,3**	**10,4**	**10**	**8,7**	**3,8**	**0**	**0**	**12,4**	**12,4**
Источник шума: ИШ-2-7, координаты источника (x,y,z), м =[764.91,109.54,1.00]													
Уровни звуковой мощности источника днём, Lw, дБ		**исходные данные**	**0**	**93,3**	**94,7**	**96**	**96,3**	**95,9**	**92,6**	**88,4**	**83,9**		
Поправка на телесный угол DΩ, дБ	Ω = 6.28	10Lg(4π/Ω)	**3**	3	3	3	3	3	3	3	3		
Показатель направленности источника Di, дБ		исходные данные	**0**	0	0	0	0	0	0	0	0		
Поправка на направленность источника Dc, дБ	Dc	DΩ + Di	**3**	3	3	3	3	3	3	3	3		
Затухание из-за геометрической дивергенции, Adiv, дБ	расстояние = 403.61 м	ф-ла (7) [10]	**63,1**										
Коэффициент затухания звука в атмосфере α, дБ/км	Ta=20,°C Pa=101.33,кПа hотн.=70%	ф-ла (5) [9]	0,02	0,09	0,33	1,12	2,79	4,98	9,04	23,09	77,63		
Учет затухания звука в атмосфере Aatm, дБ		ф-ла (8) [10]	0	0	0,1	0,5	1,1	2	3,6	9,3	31,3		

1		2	3	4	5	6	7	8	9	10	11	12	13
Снижение уровня звукового давления из-за влияния застройки между источником шума и расчетной точкой													
Снижение уровня звукового давления на пути над экраном, Dz1, дБ	z = 7.02м (разность путей)	ф-лы (14-18) [10]	17,3	21	24,3	27,3	30,4	33,4	36,4	39,4	42,4		
Снижение уровня звукового давления на пути слева от экрана, Dz2, дБ	z = 26.89м (разность путей)	ф-лы (14-18) [10]	22,1	26,5	30,4	33,7	36,7	39,8	42,8	45,8	48,8		
Снижение уровня звукового давления на пути справа от экрана, Dz3, дБ	z = 128.93м (разность путей)	ф-лы (14-18) [10]	31,2	34,5	37,5	40,6	43,6	46,6	49,6	52,6	55,6		
Общее снижение уровня звука препятствием Dz, дБ		Эн.сумма(-Dzi)	15,9	19,8	23,1	26,3	29,3	32,3	35,3	38,3	41,3		
Общее снижение уровня звука препятствием с учётом ограничения (25 дБ) для октавных полос Dz, дБ		Раздел 7.4 [10]	15,9	19,8	23,1	25	25	25	25	25	25		
Уровни звукового давления от источника ИШ-2-7 в расчётной точке днём, дБ		**ф-ла(3)[10]**	**0**	**13,3**	**11,3**	**10,4**	**10**	**8,8**	**3,8**	**0**	**0**	**12,4**	**12,4**
Источник шума: ИШ-2-8, координаты источника (x,y,z), м =[764.03,106.58,1.00]													
Уровни звуковой мощности источника днём, Lw, дБ		**исходные данные**	**0**	**93,3**	**94,7**	**96**	**96,3**	**95,9**	**92,6**	**88,4**	**83,9**		
Поправка на телесный угол DΩ, дБ	Ω = 6.28	10Lg(4π/Ω)	**3**	3	3	3	3	3	3	3	3		
Показатель направленности источника Di, дБ		исходные данные	**0**	0	0	0	0	0	0	0	0		
Поправка на направленность источника Dc, дБ	Dc	DΩ + Di	**3**	3	3	3	3	3	3	3	3		
Затухание из-за геометрической дивергенции, Adiv, дБ	расстояние = 402.25 м	ф-ла (7) [10]	**63,1**										
Коэффициент затухания звука в атмосфере α, дБ/км	Ta=20,°C Pa=101.33,кПа hотн.=70%	ф-ла (5) [9]	0,02	0,09	0,33	1,12	2,79	4,98	9,04	23,09	77,63		
Учет затухания звука в атмосфере Aatm, дБ		ф-ла (8) [10]	0	0	0,1	0,5	1,1	2	3,6	9,3	31,2		
Снижение уровня звукового давления из-за влияния застройки между источником шума и расчетной точкой													

1		2	3	4	5	6	7	8	9	10	11	12	13
Снижение уровня звукового давления на пути над экраном, Dz1, дБ	z = 7.02м (разность путей)	ф-лы (14-18) [10]	17,3	21,1	24,3	27,3	30,4	33,4	36,4	39,4	42,4		
Снижение уровня звукового давления на пути слева от экрана, Dz2, дБ	z = 26.58м (разность путей)	ф-лы (14-18) [10]	22	26,5	30,3	33,6	36,7	39,7	42,7	45,7	48,8		
Снижение уровня звукового давления на пути справа от экрана, Dz3, дБ	z = 130.44м (разность путей)	ф-лы (14-18) [10]	31,2	34,5	37,6	40,6	43,6	46,6	49,6	52,7	55,7		
Общее снижение уровня звука препятствием Dz, дБ		Эн.сумма(-Dzi)	15,9	19,8	23,1	26,3	29,3	32,3	35,3	38,3	41,3		
Общее снижение уровня звука препятствием с учётом ограничения (25 дБ) для октавных полос Dz, дБ		Раздел 7.4 [10]	15,9	19,8	23,1	25	25	25	25	25	25		
Уровни звукового давления от источника ИШ-2-8 в расчётной точке днём, дБ		**ф-ла(3)[10]**	**0**	**13,4**	**11,3**	**10,5**	**10,1**	**8,8**	**3,9**	**0**	**0**	**12,5**	**12,5**
Источник шума: ИШ-2-9, координаты источника (x,y,z), м =[763.26,103.71,1.00]													
Уровни звуковой мощности источника днём, Lw, дБ		**исходные данные**	**0**	**93,3**	**94,7**	**96**	**96,3**	**95,9**	**92,6**	**88,4**	**83,9**		
Поправка на телесный угол DΩ, дБ	Ω = 6.28	10Lg(4π/Ω)	**3**	3	3	3	3	3	3	3	3		
Показатель направленности источника Di, дБ		исходные данные	**0**	0	0	0	0	0	0	0	0		
Поправка на направленность источника Dc, дБ	Dc	DΩ + Di	**3**	3	3	3	3	3	3	3	3		
Затухание из-за геометрической дивергенции, Adiv, дБ	расстояние = 401.03 м	ф-ла (7) [10]	**63,1**										
Коэффициент затухания звука в атмосфере α, дБ/км	Ta=20,°C Pa=101.33,кПа hотн.=70%	ф-ла (5) [9]	0,02	0,09	0,33	1,12	2,79	4,98	9,04	23,09	77,63		
Учет затухания звука в атмосфере Aatm, дБ		ф-ла (8) [10]	0	0	0,1	0,5	1,1	2	3,6	9,3	31,1		
Снижение уровня звукового давления из-за влияния застройки между источником шума и расчетной точкой													
Снижение уровня звукового давления на пути над экраном, Dz1, дБ	z = 7.03м (разность путей)	ф-лы (14-18) [10]	17,3	21,1	24,3	27,3	30,4	33,4	36,4	39,4	42,4		

1		2	3	4	5	6	7	8	9	10	11	12	13
Снижение уровня звукового давления на пути слева от экрана, Dz2, дБ	z = 26.28м (разность путей)	ф-лы (14-18) [10]	22	26,5	30,3	33,6	36,6	39,7	42,7	45,7	48,7		
Снижение уровня звукового давления на пути справа от экрана, Dz3, дБ	z = 131.97м (разность путей)	ф-лы (14-18) [10]	31,3	34,6	37,6	40,7	43,7	46,7	49,7	52,7	55,7		
Общее снижение уровня звука препятствием Dz, дБ		Эн.сумма(-Dzi)	15,9	19,8	23,1	26,3	29,3	32,3	35,3	38,3	41,3		
Общее снижение уровня звука препятствием с учётом ограничения (25 дБ) для октавных полос Dz, дБ		Раздел 7.4 [10]	15,9	19,8	23,1	25	25	25	25	25	25		
Уровни звукового давления от источника ИШ-2-9 в расчётной точке днём, дБ		**ф-ла(3)[10]**	**0**	**13,4**	**11,4**	**10,5**	**10,1**	**8,8**	**3,9**	**0**	**0**	**12,5**	**12,5**
Источник шума: ИШ-2-10, координаты источника (x,y,z), м =[762.14,100.75,1.00]													
Уровни звуковой мощности источника днём, Lw, дБ		**исходные данные**	**0**	**93,3**	**94,7**	**96**	**96,3**	**95,9**	**92,6**	**88,4**	**83,9**		
Поправка на телесный угол DΩ, дБ	Ω = 6.28	10Lg(4π/Ω)	**3**	3	3	3	3	3	3	3	3		
Показатель направленности источника Di, дБ		исходные данные	**0**	0	0	0	0	0	0	0	0		
Поправка на направленность источника Dc, дБ	Dc	DΩ + Di	**3**	3	3	3	3	3	3	3	3		
Затухание из-за геометрической дивергенции, Adiv, дБ	расстояние = 399.47 м	ф-ла (7) [10]	**63**										
Коэффициент затухания звука в атмосфере α, дБ/км	Ta=20,°C Pa=101.33,кПа hотн.=70%	ф-ла (5) [9]	0,02	0,09	0,33	1,12	2,79	4,98	9,04	23,09	77,63		
Учет затухания звука в атмосфере Aatm, дБ		ф-ла (8) [10]	0	0	0,1	0,4	1,1	2	3,6	9,2	31		
Снижение уровня звукового давления из-за влияния застройки между источником шума и расчетной точкой													
Снижение уровня звукового давления на пути над экраном, Dz1, дБ	z = 7.03м (разность путей)	ф-лы (14-18) [10]	17,3	21,1	24,3	27,4	30,4	33,4	36,4	39,4	42,4		
Снижение уровня звукового давления на пути слева от экрана, Dz2, дБ	z = 25.98м (разность путей)	ф-лы (14-18) [10]	21,9	26,4	30,2	33,5	36,6	39,6	42,6	45,6	48,7		

1		2	3	4	5	6	7	8	9	10	11	12	13
Снижение уровня звукового давления на пути справа от экрана, Dz3, дБ	z = 133.62м (разность путей)	ф-лы (14-18) [10]	31,3	34,6	37,7	40,7	43,7	46,7	49,7	52,8	55,8		
Общее снижение уровня звука препятствием Dz, дБ		Эн.сумма(-Dzi)	15,9	19,8	23,1	26,2	29,3	32,3	35,3	38,3	41,3		
Общее снижение уровня звука препятствием с учётом ограничения (25 дБ) для октавных полос Dz, дБ		Раздел 7.4 [10]	15,9	19,8	23,1	25	25	25	25	25	25		
Уровни звукового давления от источника ИШ-2-10 в расчётной точке днём, дБ		**ф-ла(3)[10]**	**0**	**13,4**	**11,4**	**10,5**	**10,1**	**8,9**	**4**	**0**	**0**	**12,5**	**12,5**
Источник шума: ИШ-2-11, координаты источника (x,y,z), м =[761.13,97.90,1.00]													
Уровни звуковой мощности источника днём, Lw, дБ		**исходные данные**	**0**	**93,3**	**94,7**	**96**	**96,3**	**95,9**	**92,6**	**88,4**	**83,9**		
Поправка на телесный угол DΩ, дБ	Ω = 6.28	10Lg(4π/Ω)	**3**	3	3	3	3	3	3	3	3		
Показатель направленности источника Di, дБ		исходные данные	**0**	0	0	0	0	0	0	0	0		
Поправка на направленность источника Dc, дБ	Dc	DΩ + Di	**3**	3	3	3	3	3	3	3	3		
Затухание из-за геометрической дивергенции, Adiv, дБ	расстояние = 398.05 м	ф-ла (7) [10]	**63**										
Коэффициент затухания звука в атмосфере α, дБ/км	Ta=20,°C Pa=101.33,кПа hотн.=70%	ф-ла (5) [9]	0,02	0,09	0,33	1,12	2,79	4,98	9,04	23,09	77,63		
Учет затухания звука в атмосфере Aatm, дБ		ф-ла (8) [10]	0	0	0,1	0,4	1,1	2	3,6	9,2	30,9		
Снижение уровня звукового давления из-за влияния застройки между источником шума и расчетной точкой													
Снижение уровня звукового давления на пути над экраном, Dz1, дБ	z = 7.04м (разность путей)	ф-лы (14-18) [10]	17,3	21,1	24,3	27,4	30,4	33,4	36,4	39,4	42,4		
Снижение уровня звукового давления на пути слева от экрана, Dz2, дБ	z = 25.69м (разность путей)	ф-лы (14-18) [10]	21,9	26,4	30,2	33,5	36,5	39,6	42,6	45,6	48,6		
Снижение уровня звукового давления на пути справа от экрана, Dz3, дБ	z = 135.27м (разность путей)	ф-лы (14-18) [10]	31,4	34,7	37,7	40,8	43,8	46,8	49,8	52,8	55,8		

1		2	3	4	5	6	7	8	9	10	11	12	13
Общее снижение уровня звука препятствием Dz, дБ		Эн.сумма(-Dzi)	15,9	19,8	23,1	26,2	29,3	32,3	35,3	38,3	41,3		
Общее снижение уровня звука препятствием с учётом ограничения (25 дБ) для октавных полос Dz, дБ		Раздел 7.4 [10]	15,9	19,8	23,1	25	25	25	25	25	25		
Уровни звукового давления от источника ИШ-2-11 в расчётной точке днём, дБ		**ф-ла(3)[10]**	**0**	**13,5**	**11,4**	**10,5**	**10,2**	**8,9**	**4**	**0**	**0**	**12,6**	**12,6**
Источник шума: ИШ-2-12, координаты источника (x,y,z), м =[760.25,95.02,1.00]													
Уровни звуковой мощности источника днём, Lw, дБ		**исходные данные**	**0**	**93,3**	**94,7**	**96**	**96,3**	**95,9**	**92,6**	**88,4**	**83,9**		
Поправка на телесный угол DΩ, дБ	Ω = 6.28	10Lg(4π/Ω)	**3**	3	3	3	3	3	3	3	3		
Показатель направленности источника Di, дБ		исходные данные	**0**	0	0	0	0	0	0	0	0		
Поправка на направленность источника Dc, дБ	Dc	DΩ + Di	**3**	3	3	3	3	3	3	3	3		
Затухание из-за геометрической дивергенции, Adiv, дБ	расстояние = 396.78 м	ф-ла (7) [10]	**63**										
Коэффициент затухания звука в атмосфере α, дБ/км	Ta=20,°C Pa=101.33,кПа hотн.=70%	ф-ла (5) [9]	0,02	0,09	0,33	1,12	2,79	4,98	9,04	23,09	77,63		
Учет затухания звука в атмосфере Aatm, дБ		ф-ла (8) [10]	0	0	0,1	0,4	1,1	2	3,6	9,2	30,8		
Снижение уровня звукового давления из-за влияния застройки между источником шума и расчетной точкой													
Снижение уровня звукового давления на пути над экраном, Dz1, дБ	z = 7.04м (разность путей)	ф-лы (14-18) [10]	17,3	21,1	24,3	27,4	30,4	33,4	36,4	39,4	42,4		
Снижение уровня звукового давления на пути слева от экрана, Dz2, дБ	z = 25.40м (разность путей)	ф-лы (14-18) [10]	21,8	26,3	30,1	33,4	36,5	39,5	42,5	45,5	48,6		
Снижение уровня звукового давления на пути справа от экрана, Dz3, дБ	z = 136.99м (разность путей)	ф-лы (14-18) [10]	31,4	34,7	37,8	40,8	43,8	46,8	49,9	52,9	55,9		
Общее снижение уровня звука препятствием Dz, дБ		Эн.сумма(-Dzi)	15,9	19,8	23,1	26,2	29,3	32,3	35,3	38,3	41,3		

1		2	3	4	5	6	7	8	9	10	11	12	13
Общее снижение уровня звука препятствием с учётом ограничения (25 дБ) для октавных полос Dz, дБ		Раздел 7.4 [10]	15,9	19,8	23,1	25	25	25	25	25	25		
Уровни звукового давления от источника ИШ-2-12 в расчётной точке днём, дБ		**ф-ла(3)[10]**	**0**	**13,5**	**11,5**	**10,6**	**10,2**	**8,9**	**4**	**0**	**0**	**12,6**	**12,6**
Источник шума: ИШ-2-13, координаты источника (x,y,z), м =[759.28,92.25,1.00]													
Уровни звуковой мощности источника днём, Lw, дБ		**исходные данные**	**0**	**93,3**	**94,7**	**96**	**96,3**	**95,9**	**92,6**	**88,4**	**83,9**		
Поправка на телесный угол DΩ, дБ	Ω = 6.28	10Lg(4π/Ω)	**3**	3	3	3	3	3	3	3	3		
Показатель направленности источника Di, дБ		исходные данные	**0**	0	0	0	0	0	0	0	0		
Поправка на направленность источника Dc, дБ	Dc	DΩ + Di	**3**	3	3	3	3	3	3	3	3		
Затухание из-за геометрической дивергенции, Adiv, дБ	расстояние = 395.44 м	ф-ла (7) [10]	**62,9**										
Коэффициент затухания звука в атмосфере α, дБ/км	Ta=20,°C Pa=101.33,кПа hотн.=70%	ф-ла (5) [9]	0,02	0,09	0,33	1,12	2,79	4,98	9,04	23,09	77,63		
Учет затухания звука в атмосфере Aatm, дБ		ф-ла (8) [10]	0	0	0,1	0,4	1,1	2	3,6	9,1	30,7		
Снижение уровня звукового давления из-за влияния застройки между источником шума и расчетной точкой													
Снижение уровня звукового давления на пути над экраном, Dz1, дБ	z = 7.05м (разность путей)	ф-лы (14-18) [10]	17,3	21,1	24,3	27,4	30,4	33,4	36,4	39,4	42,4		
Снижение уровня звукового давления на пути слева от экрана, Dz2, дБ	z = 25.11м (разность путей)	ф-лы (14-18) [10]	21,8	26,3	30,1	33,4	36,4	39,5	42,5	45,5	48,5		
Снижение уровня звукового давления на пути справа от экрана, Dz3, дБ	z = 138.71м (разность путей)	ф-лы (14-18) [10]	31,5	34,8	37,8	40,9	43,9	46,9	49,9	52,9	55,9		
Общее снижение уровня звука препятствием Dz, дБ		Эн.сумма(-Dzi)	15,9	19,8	23,1	26,2	29,3	32,3	35,3	38,3	41,3		
Общее снижение уровня звука препятствием с учётом ограничения (25 дБ) для октавных полос Dz, дБ		Раздел 7.4 [10]	15,9	19,8	23,1	25	25	25	25	25	25		

1		2	3	4	5	6	7	8	9	10	11	12	13
Уровни звукового давления от источника ИШ-2-13 в расчётной точке днём, дБ		**ф-ла(3)[10]**	**0**	**13,5**	**11,5**	**10,6**	**10,2**	**9**	**4,1**	**0**	**0**	**12,6**	**12,6**
Источник шума: ИШ-2-14, координаты источника (x,y,z), м =[751.62,69.73,1.00]													
Уровни звуковой мощности источника днём, Lw, дБ		**исходные данные**	**0**	**93,3**	**94,7**	**96**	**96,3**	**95,9**	**92,6**	**88,4**	**83,9**		
Поправка на телесный угол DΩ, дБ	Ω = 6.28	10Lg(4π/Ω)	**3**	3	3	3	3	3	3	3	3		
Показатель направленности источника Di, дБ		исходные данные	**0**	0	0	0	0	0	0	0	0		
Поправка на направленность источника Dc, дБ	Dc	DΩ + Di	**3**	3	3	3	3	3	3	3	3		
Затухание из-за геометрической дивергенции, Adiv, дБ	расстояние = 385.50 м	ф-ла (7) [10]	**62,7**										
Коэффициент затухания звука в атмосфере α, дБ/км	Ta=20,°C Pa=101.33,кПа hотн.=70%	ф-ла (5) [9]	0,02	0,09	0,33	1,12	2,79	4,98	9,04	23,09	77,63		
Учет затухания звука в атмосфере Aatm, дБ		ф-ла (8) [10]	0	0	0,1	0,4	1,1	1,9	3,5	8,9	29,9		
Снижение уровня звукового давления из-за влияния застройки между источником шума и расчетной точкой													
Снижение уровня звукового давления на пути над экраном, Dz1, дБ	z = 7.05м (разность путей)	ф-лы (14-18) [10]	14,7	18,6	23	26,9	30,2	33,3	36,3	39,4	42,4		
Снижение уровня звукового давления на пути слева от экрана, Dz2, дБ	z = 22.82м (разность путей)	ф-лы (14-18) [10]	21,4	25,8	29,6	32,9	36	39,1	42,1	45,1	48,1		
Снижение уровня звукового давления на пути справа от экрана, Dz3, дБ	z = 148.43м (разность путей)	ф-лы (14-18) [10]	30,7	34,7	38	41,1	44,2	47,2	50,2	53,2	56,2		
Общее снижение уровня звука препятствием Dz, дБ		Эн.сумма(-Dzi)	13,8	17,8	22	25,8	29,1	32,1	35,2	38,2	41,2		
Общее снижение уровня звука препятствием с учётом ограничения (25 дБ) для октавных полос Dz, дБ		Раздел 7.4 [10]	13,8	17,8	22	25	25	25	25	25	25		
Уровни звукового давления от источника ИШ-2-14 в расчётной точке днём, дБ		**ф-ла(3)[10]**	**0**	**15,8**	**12,8**	**10,8**	**10,5**	**9,3**	**4,4**	**0**	**0**	**12,9**	**12,9**

1		2	3	4	5	6	7	8	9	10	11	12	13
Источник шума: ИШ-2-15, координаты источника (x,y,z), м =[750.74,66.89,1.00]													
Уровни звуковой мощности источника днём, Lw, дБ		**исходные данные**	**0**	**93,3**	**94,7**	**96**	**96,3**	**95,9**	**92,6**	**88,4**	**83,9**		
Поправка на телесный угол DΩ, дБ	Ω = 6.28	10Lg(4π/Ω)	**3**	3	3	3	3	3	3	3	3		
Показатель направленности источника Di, дБ		исходные данные	**0**	0	0	0	0	0	0	0	0		
Поправка на направленность источника Dc, дБ	Dc	DΩ + Di	**3**	3	3	3	3	3	3	3	3		
Затухание из-за геометрической дивергенции, Adiv, дБ	расстояние = 384.42 м	ф-ла (7) [10]	**62,7**										
Коэффициент затухания звука в атмосфере α, дБ/км	Ta=20,°C Pa=101.33,кПа hотн.=70%	ф-ла (5) [9]	0,02	0,09	0,33	1,12	2,79	4,98	9,04	23,09	77,63		
Учет затухания звука в атмосфере Aatm, дБ		ф-ла (8) [10]	0	0	0,1	0,4	1,1	1,9	3,5	8,9	29,8		
Снижение уровня звукового давления из-за влияния застройки между источником шума и расчетной точкой													
Снижение уровня звукового давления на пути над экраном, Dz1, дБ	z = 7.06м (разность путей)	ф-лы (14-18) [10]	14,7	18,7	23	26,9	30,2	33,3	36,3	39,4	42,4		
Снижение уровня звукового давления на пути слева от экрана, Dz2, дБ	z = 22.53м (разность путей)	ф-лы (14-18) [10]	21,3	25,8	29,6	32,9	36	39	42	45	48		
Снижение уровня звукового давления на пути справа от экрана, Dz3, дБ	z = 149.94м (разность путей)	ф-лы (14-18) [10]	30,7	34,7	38,1	41,2	44,2	47,2	50,2	53,3	56,3		
Общее снижение уровня звука препятствием Dz, дБ		Эн.сумма(-Dzi)	13,8	17,8	22,1	25,8	29,1	32,1	35,2	38,2	41,2		
Общее снижение уровня звука препятствием с учётом ограничения (25 дБ) для октавных полос Dz, дБ		Раздел 7.4 [10]	13,8	17,8	22,1	25	25	25	25	25	25		
Уровни звукового давления от источника ИШ-2-15 в расчётной точке днём, дБ		**ф-ла(3)[10]**	**0**	**15,7**	**12,8**	**10,9**	**10,5**	**9,3**	**4,4**	**0**	**0**	**13**	**13**
Источник шума: ИШ-2-16, координаты источника (x,y,z), м =[749.73,64.02,1.00]													

1		2	3	4	5	6	7	8	9	10	11	12	13
Уровни звуковой мощности источника днём, Lw, дБ		**исходные данные**	**0**	**93,3**	**94,7**	**96**	**96,3**	**95,9**	**92,6**	**88,4**	**83,9**		
Поправка на телесный угол DΩ, дБ	Ω = 6.28	10Lg(4π/Ω)	**3**	3	3	3	3	3	3	3	3		
Показатель направленности источника Di, дБ		исходные данные	**0**	0	0	0	0	0	0	0	0		
Поправка на направленность источника Dc, дБ	Dc	DΩ + Di	**3**	3	3	3	3	3	3	3	3		
Затухание из-за геометрической дивергенции, Adiv, дБ	расстояние = 383.22 м	ф-ла (7) [10]	**62,7**										
Коэффициент затухания звука в атмосфере α, дБ/км	Ta=20,°C Pa=101.33,кПа hотн.=70%	ф-ла (5) [9]	0,02	0,09	0,33	1,12	2,79	4,98	9,04	23,09	77,63		
Учет затухания звука в атмосфере Aatm, дБ		ф-ла (8) [10]	0	0	0,1	0,4	1,1	1,9	3,5	8,8	29,8		
Снижение уровня звукового давления из-за влияния застройки между источником шума и расчетной точкой													
Снижение уровня звукового давления на пути над экраном, Dz1, дБ	z = 7.06м (разность путей)	ф-лы (14-18) [10]	14,7	18,7	23,1	26,9	30,2	33,3	36,3	39,4	42,4		
Снижение уровня звукового давления на пути слева от экрана, Dz2, дБ	z = 22.24м (разность путей)	ф-лы (14-18) [10]	21,3	25,7	29,5	32,8	35,9	38,9	42	45	48		
Снижение уровня звукового давления на пути справа от экрана, Dz3, дБ	z = 151.49м (разность путей)	ф-лы (14-18) [10]	30,7	34,8	38,1	41,2	44,3	47,3	50,3	53,3	56,3		
Общее снижение уровня звука препятствием Dz, дБ		Эн.сумма(-Dzi)	13,8	17,8	22,1	25,8	29,1	32,1	35,2	38,2	41,2		
Общее снижение уровня звука препятствием с учётом ограничения (25 дБ) для октавных полос Dz, дБ		Раздел 7.4 [10]	13,8	17,8	22,1	25	25	25	25	25	25		
Уровни звукового давления от источника ИШ-2-16 в расчётной точке днём, дБ		**ф-ла(3)[10]**	**0**	**15,7**	**12,8**	**10,9**	**10,6**	**9,3**	**4,5**	**0**	**0**	**13**	**13**
Источник шума: ИШ-2-17, координаты источника (x,y,z), м =[748.87,61.06,1.00]													
Уровни звуковой мощности источника днём, Lw, дБ		**исходные данные**	**0**	**93,3**	**94,7**	**96**	**96,3**	**95,9**	**92,6**	**88,4**	**83,9**		

1		2	3	4	5	6	7	8	9	10	11	12	13
Поправка на телесный угол DΩ, дБ	Ω = 6.28	10Lg(4π/Ω)	**3**	3	3	3	3	3	3	3	3		
Показатель направленности источника Di, дБ		исходные данные	**0**	0	0	0	0	0	0	0	0		
Поправка на направленность источника Dc, дБ	Dc	DΩ + Di	**3**	3	3	3	3	3	3	3	3		
Затухание из-за геометрической дивергенции, Adiv, дБ	расстояние = 382.20 м	ф-ла (7) [10]	**62,6**										
Коэффициент затухания звука в атмосфере α, дБ/км	Ta=20,°C Pa=101.33,кПа hотн.=70%	ф-ла (5) [9]	0,02	0,09	0,33	1,12	2,79	4,98	9,04	23,09	77,63		
Учет затухания звука в атмосфере Aatm, дБ		ф-ла (8) [10]	0	0	0,1	0,4	1,1	1,9	3,5	8,8	29,7		
Снижение уровня звукового давления из-за влияния застройки между источником шума и расчетной точкой													
Снижение уровня звукового давления на пути над экраном, Dz1, дБ	z = 7.07м (разность путей)	ф-лы (14-18) [10]	14,8	18,8	23,1	27	30,2	33,3	36,4	39,4	42,4		
Снижение уровня звукового давления на пути слева от экрана, Dz2, дБ	z = 21.94м (разность путей)	ф-лы (14-18) [10]	21,2	25,7	29,5	32,8	35,9	38,9	41,9	44,9	47,9		
Снижение уровня звукового давления на пути справа от экрана, Dz3, дБ	z = 152.53м (разность путей)	ф-лы (14-18) [10]	31,8	35,2	38,2	41,3	44,3	47,3	50,3	53,3	56,3		
Общее снижение уровня звука препятствием Dz, дБ		Эн.сумма(-Dzi)	13,8	17,9	22,1	25,8	29,1	32,1	35,2	38,2	41,2		
Общее снижение уровня звука препятствием с учётом ограничения (25 дБ) для октавных полос Dz, дБ		Раздел 7.4 [10]	13,8	17,9	22,1	25	25	25	25	25	25		
Уровни звукового давления от источника ИШ-2-17 в расчётной точке днём, дБ		**ф-ла(3)[10]**	**0**	**15,7**	**12,8**	**10,9**	**10,6**	**9,3**	**4,5**	**0**	**0**	**13**	**13**
Источник шума: ИШ-2-18, координаты источника (x,y,z), м =[747.72,58.17,1.00]													
Уровни звуковой мощности источника днём, Lw, дБ		**исходные данные**	**0**	**93,3**	**94,7**	**96**	**96,3**	**95,9**	**92,6**	**88,4**	**83,9**		
Поправка на телесный угол DΩ, дБ	Ω = 6.28	10Lg(4π/Ω)	**3**	3	3	3	3	3	3	3	3		

1		2	3	4	5	6	7	8	9	10	11	12	13
Показатель направленности источника Di, дБ		исходные данные	**0**	0	0	0	0	0	0	0	0		
Поправка на направленность источника Dc, дБ	Dc	DΩ + Di	**3**	3	3	3	3	3	3	3	3		
Затухание из-за геометрической дивергенции, Adiv, дБ	расстояние = 380.90 м	ф-ла (7) [10]	**62,6**										
Коэффициент затухания звука в атмосфере α, дБ/км	Ta=20,°C Pa=101.33,кПа hотн.=70%	ф-ла (5) [9]	0,02	0,09	0,33	1,12	2,79	4,98	9,04	23,09	77,63		
Учет затухания звука в атмосфере Aatm, дБ		ф-ла (8) [10]	0	0	0,1	0,4	1,1	1,9	3,4	8,8	29,6		
Снижение уровня звукового давления из-за влияния застройки между источником шума и расчетной точкой													
Снижение уровня звукового давления на пути над экраном, Dz1, дБ	z = 7.07м (разность путей)	ф-лы (14-18) [10]	14,8	18,8	23,2	27	30,3	33,3	36,4	39,4	42,4		
Снижение уровня звукового давления на пути слева от экрана, Dz2, дБ	z = 21.65м (разность путей)	ф-лы (14-18) [10]	21,2	25,6	29,4	32,7	35,8	38,8	41,8	44,9	47,9		
Снижение уровня звукового давления на пути справа от экрана, Dz3, дБ	z = 154.17м (разность путей)	ф-лы (14-18) [10]	31,9	35,2	38,3	41,3	44,3	47,4	50,4	53,4	56,4		
Общее снижение уровня звука препятствием Dz, дБ		Эн.сумма(-Dzi)	13,8	17,9	22,1	25,8	29,1	32,1	35,1	38,2	41,2		
Общее снижение уровня звука препятствием с учётом ограничения (25 дБ) для октавных полос Dz, дБ		Раздел 7.4 [10]	13,8	17,9	22,1	25	25	25	25	25	25		
Уровни звукового давления от источника ИШ-2-18 в расчётной точке днём, дБ		**ф-ла(3)[10]**	**0**	**15,7**	**12,8**	**10,9**	**10,6**	**9,4**	**4,5**	**0**	**0**	**13,1**	**13,1**
Источник шума: ИШ-2-19, координаты источника (x,y,z), м =[746.80,55.25,1.00]													
Уровни звуковой мощности источника днём, Lw, дБ		**исходные данные**	**0**	**93,3**	**94,7**	**96**	**96,3**	**95,9**	**92,6**	**88,4**	**83,9**		
Поправка на телесный угол DΩ, дБ	Ω = 6.28	10Lg(4π/Ω)	**3**	3	3	3	3	3	3	3	3		
Показатель направленности источника Di, дБ		исходные данные	**0**	0	0	0	0	0	0	0	0		

1		2	3	4	5	6	7	8	9	10	11	12	13
Поправка на направленность источника Dc, дБ	Dc	DΩ + Di	**3**	3	3	3	3	3	3	3	3		
Затухание из-за геометрической дивергенции, Adiv, дБ	расстояние = 379.86 м	ф-ла (7) [10]	**62,6**										
Коэффициент затухания звука в атмосфере α, дБ/км	Ta=20,°C Pa=101.33,кПа hотн.=70%	ф-ла (5) [9]	0,02	0,09	0,33	1,12	2,79	4,98	9,04	23,09	77,63		
Учет затухания звука в атмосфере Aatm, дБ		ф-ла (8) [10]	0	0	0,1	0,4	1,1	1,9	3,4	8,8	29,5		
Снижение уровня звукового давления из-за влияния застройки между источником шума и расчетной точкой													
Снижение уровня звукового давления на пути над экраном, Dz1, дБ	z = 7.08м (разность путей)	ф-лы (14-18) [10]	14,8	18,9	23,2	27	30,3	33,3	36,4	39,4	42,4		
Снижение уровня звукового давления на пути слева от экрана, Dz2, дБ	z = 21.36м (разность путей)	ф-лы (14-18) [10]	21,1	25,6	29,4	32,7	35,7	38,8	41,8	44,8	47,8		
Снижение уровня звукового давления на пути справа от экрана, Dz3, дБ	z = 155.84м (разность путей)	ф-лы (14-18) [10]	31,9	35,3	38,3	41,4	44,4	47,4	50,4	53,4	56,4		
Общее снижение уровня звука препятствием Dz, дБ		Эн.сумма(-Dzi)	13,8	17,9	22,2	25,8	29	32,1	35,1	38,2	41,2		
Общее снижение уровня звука препятствием с учётом ограничения (25 дБ) для октавных полос Dz, дБ		Раздел 7.4 [10]	13,8	17,9	22,2	25	25	25	25	25	25		
Уровни звукового давления от источника ИШ-2-19 в расчётной точке днём, дБ		**ф-ла(3)[10]**	**0**	**15,7**	**12,8**	**11**	**10,6**	**9,4**	**4,6**	**0**	**0**	**13,1**	**13,1**
Источник шума: ИШ-2-20, координаты источника (x,y,z), м =[745.71,52.44,1.00]													
Уровни звуковой мощности источника днём, Lw, дБ		**исходные данные**	**0**	**93,3**	**94,7**	**96**	**96,3**	**95,9**	**92,6**	**88,4**	**83,9**		
Поправка на телесный угол DΩ, дБ	Ω = 6.28	10Lg(4π/Ω)	**3**	3	3	3	3	3	3	3	3		
Показатель направленности источника Di, дБ		исходные данные	**0**	0	0	0	0	0	0	0	0		
Поправка на направленность источника Dc, дБ	Dc	DΩ + Di	**3**	3	3	3	3	3	3	3	3		

1		2	3	4	5	6	7	8	9	10	11	12	13
Затухание из-за геометрической дивергенции, Adiv, дБ	расстояние = 378.67 м	ф-ла (7) [10]	**62,6**										
Коэффициент затухания звука в атмосфере α, дБ/км	Ta=20,°C Pa=101.33,кПа hотн.=70%	ф-ла (5) [9]	0,02	0,09	0,33	1,12	2,79	4,98	9,04	23,09	77,63		
Учет затухания звука в атмосфере Aatm, дБ		ф-ла (8) [10]	0	0	0,1	0,4	1,1	1,9	3,4	8,7	29,4		
Снижение уровня звукового давления из-за влияния застройки между источником шума и расчетной точкой													
Снижение уровня звукового давления на пути над экраном, Dz1, дБ	z = 7.08м (разность путей)	ф-лы (14-18) [10]	14,9	18,9	23,3	27	30,3	33,3	36,4	39,4	42,4		
Снижение уровня звукового давления на пути слева от экрана, Dz2, дБ	z = 21.08м (разность путей)	ф-лы (14-18) [10]	21	25,5	29,3	32,6	35,7	38,7	41,7	44,7	47,7		
Снижение уровня звукового давления на пути справа от экрана, Dz3, дБ	z = 157.51м (разность путей)	ф-лы (14-18) [10]	31,9	35,3	38,4	41,4	44,4	47,4	50,5	53,5	56,5		
Общее снижение уровня звука препятствием Dz, дБ		Эн.сумма(-Dzi)	13,9	18	22,2	25,8	29	32,1	35,1	38,1	41,2		
Общее снижение уровня звука препятствием с учётом ограничения (25 дБ) для октавных полос Dz, дБ		Раздел 7.4 [10]	13,9	18	22,2	25	25	25	25	25	25		
Уровни звукового давления от источника ИШ-2-20 в расчётной точке днём, дБ		**ф-ла(3)[10]**	**0**	**15,7**	**12,8**	**11**	**10,7**	**9,4**	**4,6**	**0**	**0**	**13,1**	**13,1**
Источник шума: ИШ-2-21, координаты источника (x,y,z), м =[744.89,49.62,1.00]													
Уровни звуковой мощности источника днём, Lw, дБ		**исходные данные**	**0**	**93,3**	**94,7**	**96**	**96,3**	**95,9**	**92,6**	**88,4**	**83,9**		
Поправка на телесный угол DΩ, дБ	Ω = 6.28	10Lg(4π/Ω)	**3**	3	3	3	3	3	3	3	3		
Показатель направленности источника Di, дБ		исходные данные	**0**	0	0	0	0	0	0	0	0		
Поправка на направленность источника Dc, дБ	Dc	DΩ + Di	**3**	3	3	3	3	3	3	3	3		
Затухание из-за геометрической дивергенции, Adiv, дБ	расстояние = 377.78 м	ф-ла (7) [10]	**62,5**										

1		2	3	4	5	6	7	8	9	10	11	12	13
Коэффициент затухания звука в атмосфере α, дБ/км	Та=20,°С Ра=101.33,кПа hотн.=70%	ф-ла (5) [9]	0,02	0,09	0,33	1,12	2,79	4,98	9,04	23,09	77,63		
Учет затухания звука в атмосфере Aatm, дБ		ф-ла (8) [10]	0	0	0,1	0,4	1,1	1,9	3,4	8,7	29,3		
Снижение уровня звукового давления из-за влияния застройки между источником шума и расчетной точкой													
Снижение уровня звукового давления на пути над экраном, Dz1, дБ	z = 7.08м (разность путей)	ф-лы (14-18) [10]	14,9	19	23,3	27	30,3	33,4	36,4	39,4	42,4		
Снижение уровня звукового давления на пути слева от экрана, Dz2, дБ	z = 20.80м (разность путей)	ф-лы (14-18) [10]	21	25,4	29,2	32,5	35,6	38,7	41,7	44,7	47,7		
Снижение уровня звукового давления на пути справа от экрана, Dz3, дБ	z = 6.55м (разность путей)	ф-лы (14-18) [10]	14,4	17,1	20	22,9	25,9	28,9	31,9	34,9	37,9		
Общее снижение уровня звука препятствием Dz, дБ		Эн.сумма(-Dzi)	11,1	14,6	18	21,2	24,2	27,2	30,2	33,2	36,3		
Общее снижение уровня звука препятствием с учётом ограничения (25 дБ) для октавных полос Dz, дБ		Раздел 7.4 [10]	11,1	14,6	18	21,2	24,2	25	25	25	25		
Уровни звукового давления от источника ИШ-2-21 в расчётной точке днём, дБ		**ф-ла(3)[10]**	**0**	**19,1**	**17**	**14,9**	**11,5**	**9,5**	**4,6**	**0**	**0**	**14**	**14**
Источник шума: ИШ-2-22, координаты источника (x,y,z), м =[737.40,27.07,1.00]													
Уровни звуковой мощности источника днём, Lw, дБ		**исходные данные**	**0**	**93,3**	**94,7**	**96**	**96,3**	**95,9**	**92,6**	**88,4**	**83,9**		
Поправка на телесный угол DΩ, дБ	Ω = 6.28	10Lg(4π/Ω)	**3**	3	3	3	3	3	3	3	3		
Показатель направленности источника Di, дБ		исходные данные	**0**	0	0	0	0	0	0	0	0		
Поправка на направленность источника Dc, дБ	Dc	DΩ + Di	**3**	3	3	3	3	3	3	3	3		
Затухание из-за геометрической дивергенции, Adiv, дБ	расстояние = 370.42 м	ф-ла (7) [10]	**62,4**										
Коэффициент затухания звука в атмосфере α, дБ/км	Та=20,°С Ра=101.33,кПа hотн.=70%	ф-ла (5) [9]	0,02	0,09	0,33	1,12	2,79	4,98	9,04	23,09	77,63		

1		2	3	4	5	6	7	8	9	10	11	12	13
Учет затухания звука в атмосфере Aatm, дБ		ф-ла (8) [10]	0	0	0,1	0,4	1	1,8	3,3	8,6	28,8		
Снижение уровня звукового давления из-за влияния застройки между источником шума и расчетной точкой													
Снижение уровня звукового давления на пути над экраном, Dz1, дБ	z = 7.12м (разность путей)	ф-лы (14-18) [10]	15,2	19,4	23,6	27,2	30,3	33,4	36,4	39,4	42,4		
Снижение уровня звукового давления на пути слева от экрана, Dz2, дБ	z = 18.63м (разность путей)	ф-лы (14-18) [10]	20,5	25	28,8	32,1	35,1	38,2	41,2	44,2	47,2		
Снижение уровня звукового давления на пути справа от экрана, Dz3, дБ	z = 7.21м (разность путей)	ф-лы (14-18) [10]	14,7	17,5	20,4	23,3	26,3	29,3	32,3	35,3	38,3		
Общее снижение уровня звука препятствием Dz, дБ		Эн.сумма(-Dzi)	11,4	14,9	18,3	21,4	24,5	27,5	30,5	33,5	36,5		
Общее снижение уровня звука препятствием с учётом ограничения (25 дБ) для октавных полос Dz, дБ		Раздел 7.4 [10]	11,4	14,9	18,3	21,4	24,5	25	25	25	25		
Уровни звукового давления от источника ИШ-2-22 в расчётной точке днём, дБ		**ф-ла(3)[10]**	**0**	**19**	**16,9**	**14,8**	**11,4**	**9,7**	**4,9**	**0**	**0**	**14,1**	**14,1**
Источник шума: ИШ-2-23, координаты источника (x,y,z), м =[736.46,24.18,1.00]													
Уровни звуковой мощности источника днём, Lw, дБ		**исходные данные**	**0**	**93,3**	**94,7**	**96**	**96,3**	**95,9**	**92,6**	**88,4**	**83,9**		
Поправка на телесный угол DΩ, дБ	Ω = 6.28	10Lg(4π/Ω)	**3**	3	3	3	3	3	3	3	3		
Показатель направленности источника Di, дБ		исходные данные	**0**	0	0	0	0	0	0	0	0		
Поправка на направленность источника Dc, дБ	Dc	DΩ + Di	**3**	3	3	3	3	3	3	3	3		
Затухание из-за геометрической дивергенции, Adiv, дБ	расстояние = 369.60 м	ф-ла (7) [10]	**62,4**										
Коэффициент затухания звука в атмосфере α, дБ/км	Ta=20,°C Pa=101.33,кПа hотн.=70%	ф-ла (5) [9]	0,02	0,09	0,33	1,12	2,79	4,98	9,04	23,09	77,63		
Учет затухания звука в атмосфере Aatm, дБ		ф-ла (8) [10]	0	0	0,1	0,4	1	1,8	3,3	8,5	28,7		

1		2	3	4	5	6	7	8	9	10	11	12	13
Снижение уровня звукового давления из-за влияния застройки между источником шума и расчетной точкой													
Снижение уровня звукового давления на пути над экраном, Dz1, дБ	z = 7.12м (разность путей)	ф-лы (14-18) [10]	15,3	19,5	23,7	27,2	30,4	33,4	36,4	39,4	42,4		
Снижение уровня звукового давления на пути слева от экрана, Dz2, дБ	z = 18.36м (разность путей)	ф-лы (14-18) [10]	20,5	24,9	28,7	32	35,1	38,1	41,1	44,1	47,1		
Снижение уровня звукового давления на пути справа от экрана, Dz3, дБ	z = 7.30м (разность путей)	ф-лы (14-18) [10]	14,8	17,6	20,4	23,4	26,4	29,4	32,4	35,4	38,4		
Общее снижение уровня звука препятствием Dz, дБ		Эн.сумма(-Dzi)	11,4	15	18,3	21,5	24,5	27,5	30,5	33,5	36,5		
Общее снижение уровня звука препятствием с учётом ограничения (25 дБ) для октавных полос Dz, дБ		Раздел 7.4 [10]	11,4	15	18,3	21,5	24,5	25	25	25	25		
Уровни звукового давления от источника ИШ-2-23 в расчётной точке днём, дБ		**ф-ла(3)[10]**	**0**	**18,9**	**16,9**	**14,8**	**11,4**	**9,7**	**4,9**	**0**	**0**	**14,1**	**14,1**
Источник шума: ИШ-2-24, координаты источника (x,y,z), м =[735.45,21.21,1.00]													
Уровни звуковой мощности источника днём, Lw, дБ		**исходные данные**	**0**	**93,3**	**94,7**	**96**	**96,3**	**95,9**	**92,6**	**88,4**	**83,9**		
Поправка на телесный угол DΩ, дБ	Ω = 6.28	10Lg(4π/Ω)	**3**	3	3	3	3	3	3	3	3		
Показатель направленности источника Di, дБ		исходные данные	**0**	0	0	0	0	0	0	0	0		
Поправка на направленность источника Dc, дБ	Dc	DΩ + Di	**3**	3	3	3	3	3	3	3	3		
Затухание из-за геометрической дивергенции, Adiv, дБ	расстояние = 368.74 м	ф-ла (7) [10]	**62,3**										
Коэффициент затухания звука в атмосфере α, дБ/км	Ta=20,°C Pa=101.33,кПа hотн.=70%	ф-ла (5) [9]	0,02	0,09	0,33	1,12	2,79	4,98	9,04	23,09	77,63		
Учет затухания звука в атмосфере Aatm, дБ		ф-ла (8) [10]	0	0	0,1	0,4	1	1,8	3,3	8,5	28,6		
Снижение уровня звукового давления из-за влияния застройки между источником шума и расчетной точкой													

1		2	3	4	5	6	7	8	9	10	11	12	13
Снижение уровня звукового давления на пути над экраном, Dz1, дБ	z = 7.12м (разность путей)	ф-лы (14-18) [10]	15,3	19,6	23,7	27,2	30,4	33,4	36,4	39,4	42,5		
Снижение уровня звукового давления на пути слева от экрана, Dz2, дБ	z = 18.09м (разность путей)	ф-лы (14-18) [10]	20,4	24,8	28,6	31,9	35	38	41,1	44,1	47,1		
Снижение уровня звукового давления на пути справа от экрана, Dz3, дБ	z = 7.39м (разность путей)	ф-лы (14-18) [10]	14,8	17,6	20,5	23,4	26,4	29,4	32,4	35,4	38,4		
Общее снижение уровня звука препятствием Dz, дБ		Эн.сумма(-Dzi)	11,5	15	18,4	21,5	24,5	27,5	30,6	33,6	36,6		
Общее снижение уровня звука препятствием с учётом ограничения (25 дБ) для октавных полос Dz, дБ		Раздел 7.4 [10]	11,5	15	18,4	21,5	24,5	25	25	25	25		
Уровни звукового давления от источника ИШ-2-24 в расчётной точке днём, дБ		**ф-ла(3)[10]**	**0**	**18,9**	**16,9**	**14,7**	**11,4**	**9,7**	**4,9**	**0**	**0**	**14,1**	**14,1**
Источник шума: ИШ-2-25, координаты источника (x,y,z), м =[734.58,18.32,1.00]													
Уровни звуковой мощности источника днём, Lw, дБ		**исходные данные**	**0**	**93,3**	**94,7**	**96**	**96,3**	**95,9**	**92,6**	**88,4**	**83,9**		
Поправка на телесный угол DΩ, дБ	Ω = 6.28	10Lg(4π/Ω)	**3**	3	3	3	3	3	3	3	3		
Показатель направленности источника Di, дБ		исходные данные	**0**	0	0	0	0	0	0	0	0		
Поправка на направленность источника Dc, дБ	Dc	DΩ + Di	**3**	3	3	3	3	3	3	3	3		
Затухание из-за геометрической дивергенции, Adiv, дБ	расстояние = 368.04 м	ф-ла (7) [10]	**62,3**										
Коэффициент затухания звука в атмосфере α, дБ/км	Ta=20,°C Pa=101.33,кПа hотн.=70%	ф-ла (5) [9]	0,02	0,09	0,33	1,12	2,79	4,98	9,04	23,09	77,63		
Учет затухания звука в атмосфере Aatm, дБ		ф-ла (8) [10]	0	0	0,1	0,4	1	1,8	3,3	8,5	28,6		
Снижение уровня звукового давления из-за влияния застройки между источником шума и расчетной точкой													
Снижение уровня звукового давления на пути над экраном, Dz1, дБ	z = 7.13м (разность путей)	ф-лы (14-18) [10]	15,4	19,7	23,7	27,2	30,4	33,4	36,4	39,4	42,5		

1		2	3	4	5	6	7	8	9	10	11	12	13
Снижение уровня звукового давления на пути слева от экрана, Dz2, дБ	z = 17.82м (разность путей)	ф-лы (14-18) [10]	20,3	24,8	28,6	31,9	35	38	41	44	47		
Снижение уровня звукового давления на пути справа от экрана, Dz3, дБ	z = 7.48м (разность путей)	ф-лы (14-18) [10]	14,9	17,7	20,5	23,5	26,5	29,5	32,5	35,5	38,5		
Общее снижение уровня звука препятствием Dz, дБ		Эн.сумма(-Dzi)	11,5	15	18,4	21,5	24,6	27,6	30,6	33,6	36,6		
Общее снижение уровня звука препятствием с учётом ограничения (25 дБ) для октавных полос Dz, дБ		Раздел 7.4 [10]	11,5	15	18,4	21,5	24,6	25	25	25	25		
Уровни звукового давления от источника ИШ-2-25 в расчётной точке днём, дБ		**ф-ла(3)[10]**	**0**	**18,9**	**16,9**	**14,7**	**11,4**	**9,7**	**4,9**	**0**	**0**	**14,1**	**14,1**
Источник шума: ИШ-2-26, координаты источника (x,y,z), м =[733.57,15.41,1.00]													
Уровни звуковой мощности источника днём, Lw, дБ		**исходные данные**	**0**	**93,3**	**94,7**	**96**	**96,3**	**95,9**	**92,6**	**88,4**	**83,9**		
Поправка на телесный угол DΩ, дБ	Ω = 6.28	10Lg(4π/Ω)	**3**	3	3	3	3	3	3	3	3		
Показатель направленности источника Di, дБ		исходные данные	**0**	0	0	0	0	0	0	0	0		
Поправка на направленность источника Dc, дБ	Dc	DΩ + Di	**3**	3	3	3	3	3	3	3	3		
Затухание из-за геометрической дивергенции, Adiv, дБ	расстояние = 367.21 м	ф-ла (7) [10]	**62,3**										
Коэффициент затухания звука в атмосфере α, дБ/км	Ta=20,°C Pa=101.33,кПа hотн.=70%	ф-ла (5) [9]	0,02	0,09	0,33	1,12	2,79	4,98	9,04	23,09	77,63		
Учет затухания звука в атмосфере Aatm, дБ		ф-ла (8) [10]	0	0	0,1	0,4	1	1,8	3,3	8,5	28,5		
Снижение уровня звукового давления из-за влияния застройки между источником шума и расчетной точкой													
Снижение уровня звукового давления на пути над экраном, Dz1, дБ	z = 7.13м (разность путей)	ф-лы (14-18) [10]	15,4	19,7	23,8	27,2	30,4	33,4	36,4	39,4	42,5		
Снижение уровня звукового давления на пути слева от экрана, Dz2, дБ	z = 17.56м (разность путей)	ф-лы (14-18) [10]	20,3	24,7	28,5	31,8	34,9	37,9	40,9	43,9	47		

1		2	3	4	5	6	7	8	9	10	11	12	13
Снижение уровня звукового давления на пути справа от экрана, Dz3, дБ	z = 7.57м (разность путей)	ф-лы (14-18) [10]	14,9	17,7	20,6	23,5	26,5	29,5	32,5	35,5	38,5		
Общее снижение уровня звука препятствием Dz, дБ		Эн.сумма(-Dzi)	11,5	15,1	18,4	21,6	24,6	27,6	30,6	33,6	36,6		
Общее снижение уровня звука препятствием с учётом ограничения (25 дБ) для октавных полос Dz, дБ		Раздел 7.4 [10]	11,5	15,1	18,4	21,6	24,6	25	25	25	25		
Уровни звукового давления от источника ИШ-2-26 в расчётной точке днём, дБ		**ф-ла(3)[10]**	**0**	**18,9**	**16,8**	**14,7**	**11,4**	**9,8**	**5**	**0**	**0**	**14,1**	**14,1**
Источник шума: ИШ-2-27, координаты источника (x,y,z), м =[732.43,12.66,1.00]													
Уровни звуковой мощности источника днём, Lw, дБ		**исходные данные**	**0**	**93,3**	**94,7**	**96**	**96,3**	**95,9**	**92,6**	**88,4**	**83,9**		
Поправка на телесный угол DΩ, дБ	Ω = 6.28	10Lg(4π/Ω)	**3**	3	3	3	3	3	3	3	3		
Показатель направленности источника Di, дБ		исходные данные	**0**	0	0	0	0	0	0	0	0		
Поправка на направленность источника Dc, дБ	Dc	DΩ + Di	**3**	3	3	3	3	3	3	3	3		
Затухание из-за геометрической дивергенции, Adiv, дБ	расстояние = 366.27 м	ф-ла (7) [10]	**62,3**										
Коэффициент затухания звука в атмосфере α, дБ/км	Ta=20,°C Pa=101.33,кПа hотн.=70%	ф-ла (5) [9]	0,02	0,09	0,33	1,12	2,79	4,98	9,04	23,09	77,63		
Учет затухания звука в атмосфере Aatm, дБ		ф-ла (8) [10]	0	0	0,1	0,4	1	1,8	3,3	8,5	28,4		
Снижение уровня звукового давления из-за влияния застройки между источником шума и расчетной точкой													
Снижение уровня звукового давления на пути над экраном, Dz1, дБ	z = 7.14м (разность путей)	ф-лы (14-18) [10]	15,5	19,8	23,8	27,3	30,4	33,4	36,4	39,5	42,5		
Снижение уровня звукового давления на пути слева от экрана, Dz2, дБ	z = 17.31м (разность путей)	ф-лы (14-18) [10]	20,2	24,7	28,4	31,7	34,8	37,9	40,9	43,9	46,9		
Снижение уровня звукового давления на пути справа от экрана, Dz3, дБ	z = 7.65м (разность путей)	ф-лы (14-18) [10]	15	17,8	20,6	23,6	26,6	29,6	32,6	35,6	38,6		

1		2	3	4	5	6	7	8	9	10	11	12	13
Общее снижение уровня звука препятствием Dz, дБ		Эн.сумма(-Dzi)	11,6	15,1	18,5	21,6	24,6	27,6	30,6	33,6	36,7		
Общее снижение уровня звука препятствием с учётом ограничения (25 дБ) для октавных полос Dz, дБ		Раздел 7.4 [10]	11,6	15,1	18,5	21,6	24,6	25	25	25	25		
Уровни звукового давления от источника ИШ-2-27 в расчётной точке днём, дБ		**ф-ла(3)[10]**	**0**	**18,8**	**16,8**	**14,7**	**11,4**	**9,8**	**5**	**0**	**0**	**14,1**	**14,1**
Источник шума: ИШ-2-28, координаты источника (x,y,z), м =[731.54,9.78,1.00]													
Уровни звуковой мощности источника днём, Lw, дБ		**исходные данные**	**0**	**93,3**	**94,7**	**96**	**96,3**	**95,9**	**92,6**	**88,4**	**83,9**		
Поправка на телесный угол DΩ, дБ	Ω = 6.28	10Lg(4π/Ω)	**3**	3	3	3	3	3	3	3	3		
Показатель направленности источника Di, дБ		исходные данные	**0**	0	0	0	0	0	0	0	0		
Поправка на направленность источника Dc, дБ	Dc	DΩ + Di	**3**	3	3	3	3	3	3	3	3		
Затухание из-за геометрической дивергенции, Adiv, дБ	расстояние = 365.62 м	ф-ла (7) [10]	**62,3**										
Коэффициент затухания звука в атмосфере α, дБ/км	Ta=20,°C Pa=101.33,кПа hотн.=70%	ф-ла (5) [9]	0,02	0,09	0,33	1,12	2,79	4,98	9,04	23,09	77,63		
Учет затухания звука в атмосфере Aatm, дБ		ф-ла (8) [10]	0	0	0,1	0,4	1	1,8	3,3	8,4	28,4		
Снижение уровня звукового давления из-за влияния застройки между источником шума и расчетной точкой													
Снижение уровня звукового давления на пути над экраном, Dz1, дБ	z = 7.14м (разность путей)	ф-лы (14-18) [10]	15,6	19,9	23,9	27,3	30,4	33,4	36,4	39,5	42,5		
Снижение уровня звукового давления на пути слева от экрана, Dz2, дБ	z = 17.05м (разность путей)	ф-лы (14-18) [10]	20,1	24,6	28,4	31,7	34,8	37,8	40,8	43,8	46,8		
Снижение уровня звукового давления на пути справа от экрана, Dz3, дБ	z = 7.75м (разность путей)	ф-лы (14-18) [10]	15	17,8	20,7	23,6	26,6	29,6	32,6	35,6	38,6		
Общее снижение уровня звука препятствием Dz, дБ		Эн.сумма(-Dzi)	11,6	15,2	18,5	21,6	24,7	27,7	30,7	33,7	36,7		

1		2	3	4	5	6	7	8	9	10	11	12	13
Общее снижение уровня звука препятствием с учётом ограничения (25 дБ) для октавных полос Dz, дБ		Раздел 7.4 [10]	11,6	15,2	18,5	21,6	24,7	25	25	25	25		
Уровни звукового давления от источника ИШ-2-28 в расчётной точке днём, дБ		**ф-ла(3)[10]**	**0**	**18,8**	**16,8**	**14,7**	**11,4**	**9,8**	**5**	**0**	**0**	**14,1**	**14,1**
Источник шума: ИШ-2-29, координаты источника (x,y,z), м =[730.57,6.88,1.00]													
Уровни звуковой мощности источника днём, Lw, дБ		**исходные данные**	**0**	**93,3**	**94,7**	**96**	**96,3**	**95,9**	**92,6**	**88,4**	**83,9**		
Поправка на телесный угол DΩ, дБ	Ω = 6.28	10Lg(4π/Ω)	**3**	3	3	3	3	3	3	3	3		
Показатель направленности источника Di, дБ		исходные данные	**0**	0	0	0	0	0	0	0	0		
Поправка на направленность источника Dc, дБ	Dc	DΩ + Di	**3**	3	3	3	3	3	3	3	3		
Затухание из-за геометрической дивергенции, Adiv, дБ	расстояние = 364.91 м	ф-ла (7) [10]	**62,2**										
Коэффициент затухания звука в атмосфере α, дБ/км	Ta=20,°C Pa=101.33,кПа hотн.=70%	ф-ла (5) [9]	0,02	0,09	0,33	1,12	2,79	4,98	9,04	23,09	77,63		
Учет затухания звука в атмосфере Aatm, дБ		ф-ла (8) [10]	0	0	0,1	0,4	1	1,8	3,3	8,4	28,3		
Снижение уровня звукового давления из-за влияния застройки между источником шума и расчетной точкой													
Снижение уровня звукового давления на пути над экраном, Dz1, дБ	z = 7.14м (разность путей)	ф-лы (14-18) [10]	15,6	20	23,9	27,3	30,4	33,4	36,5	39,5	42,5		
Снижение уровня звукового давления на пути слева от экрана, Dz2, дБ	z = 16.80м (разность путей)	ф-лы (14-18) [10]	20,1	24,5	28,3	31,6	34,7	37,7	40,7	43,8	46,8		
Снижение уровня звукового давления на пути справа от экрана, Dz3, дБ	z = 7.84м (разность путей)	ф-лы (14-18) [10]	15,1	17,9	20,7	23,7	26,7	29,7	32,7	35,7	38,7		
Общее снижение уровня звука препятствием Dz, дБ		Эн.сумма(-Dzi)	11,6	15,2	18,5	21,7	24,7	27,7	30,7	33,7	36,7		
Общее снижение уровня звука препятствием с учётом ограничения (25 дБ) для октавных полос Dz, дБ		Раздел 7.4 [10]	11,6	15,2	18,5	21,7	24,7	25	25	25	25		

1		2	3	4	5	6	7	8	9	10	11	12	13
Уровни звукового давления прямого звука от источника ИШ-2-29 в расчётной точке днём, дБ		**ф-ла(3)[10]**	**0**	**18,8**	**16,8**	**14,7**	**11,4**	**9,8**	**5**	**0**	**0**	**14,1**	**14,1**
Расчёт отражённого звука													
Уровни звукового давления от мнимого источника ИШ-2-29_мн.(1) в расчётной точке днём, дБ		**ф-ла(3)[10]**	**0**	**0**	**0**	**0**	**0**	**0**	**0**	**0**	**0**	**0**	**0**
Уровни звукового давления от источника ИШ-2-29 в расчётной точке днём, дБ		**ф-ла(3)[10]**	**0**	**18,8**	**16,8**	**14,7**	**11,4**	**9,8**	**5**	**0**	**0**	**14,1**	**14,1**
Источник шума: ИШ-2-4, координаты источника (x,y,z), м =[632.70,-65.30,3.00]													
Уровни звуковой мощности источника днём, Lw, дБ		**исходные данные**	**105**	**104**	**104**	**101**	**102**	**106**	**101**	**95**	**87**		
Поправка на телесный угол DΩ, дБ	Ω = 6.28	10Lg(4π/Ω)	**3**	3	3	3	3	3	3	3	3		
Показатель направленности источника Di, дБ		исходные данные	**0**	0	0	0	0	0	0	0	0		
Поправка на направленность источника Dc, дБ	Dc	DΩ + Di	**3**	3	3	3	3	3	3	3	3		
Затухание из-за геометрической дивергенции, Adiv, дБ	расстояние = 285.84 м	ф-ла (7) [10]	**60,1**										
Коэффициент затухания звука в атмосфере α, дБ/км	Ta=20,°C Pa=101.33,кПа hотн.=70%	ф-ла (5) [9]	0,02	0,09	0,33	1,12	2,79	4,98	9,04	23,09	77,63		
Учет затухания звука в атмосфере Aatm, дБ		ф-ла (8) [10]	0	0	0,1	0,3	0,8	1,4	2,6	6,6	22,2		
Снижение уровня звукового давления из-за влияния застройки между источником шума и расчетной точкой													
Снижение уровня звукового давления на пути над экраном, Dz1, дБ	z = 7.30м (разность путей)	ф-лы (14-18) [10]	18,7	21,9	24,9	27,9	30,9	33,9	36,9	39,9	42,9		
Снижение уровня звукового давления на пути слева от экрана, Dz2, дБ	z = 17.08м (разность путей)	ф-лы (14-18) [10]	22,4	25,7	28,8	31,8	34,8	37,8	40,8	43,8	46,8		
Снижение уровня звукового давления на пути справа от экрана, Dz3, дБ	z = 14.64м (разность путей)	ф-лы (14-18) [10]	21,8	25,1	28,1	31,1	34,1	37,1	40,1	43,2	46,2		

1		2	3	4	5	6	7	8	9	10	11	12	13
Общее снижение уровня звука препятствием Dz, дБ		Эн.сумма(-Dzi)	15,9	19,1	22,1	25,1	28,2	31,2	34,2	37,2	40,2		
Общее снижение уровня звука препятствием с учётом ограничения (25 дБ) для октавных полос Dz, дБ		Раздел 7.4 [10]	15,9	19,1	22,1	25	25	25	25	25	25		
Уровни звукового давления прямого звука от источника ИШ-2-4 в расчётной точке днём, дБ		**ф-ла(3)[10]**	**32**	**27,8**	**24,7**	**18,6**	**19,1**	**22,5**	**16,3**	**6,3**	**0**	**24,7**	**24,7**
Расчёт отражённого звука													
Уровни звукового давления от мнимого источника ИШ-2-4_мн.(1) в расчётной точке днём, дБ		**ф-ла(3)[10]**	**0**	**0**	**0**	**0**	**0**	**0**	**0**	**0**	**0**	**0**	**0**
Уровни звукового давления от источника ИШ-2-4 в расчётной точке днём, дБ		**ф-ла(3)[10]**	**32**	**27,8**	**24,7**	**18,6**	**19,1**	**22,5**	**16,3**	**6,3**	**0**	**24,7**	**24,7**
Источник шума: ИШ-2-30, координаты источника (x,y,z), м =[702.44,-77.23,1.00]													
Уровни звуковой мощности источника днём, Lw, дБ		**исходные данные**	**0**	**93,3**	**94,7**	**96**	**96,3**	**95,9**	**92,6**	**88,4**	**83,9**		
Поправка на телесный угол DΩ, дБ	Ω = 6.28	10Lg(4π/Ω)	**3**	3	3	3	3	3	3	3	3		
Показатель направленности источника Di, дБ		исходные данные	**0**	0	0	0	0	0	0	0	0		
Поправка на направленность источника Dc, дБ	Dc	DΩ + Di	**3**	3	3	3	3	3	3	3	3		
Затухание из-за геометрической дивергенции, Adiv, дБ	расстояние = 355.33 м	ф-ла (7) [10]	**62**										
Коэффициент затухания звука в атмосфере α, дБ/км	Ta=20,°C Pa=101.33,кПа hотн.=70%	ф-ла (5) [9]	0,02	0,09	0,33	1,12	2,79	4,98	9,04	23,09	77,63		
Учет затухания звука в атмосфере Aatm, дБ		ф-ла (8) [10]	0	0	0,1	0,4	1	1,8	3,2	8,2	27,6		
Снижение уровня звукового давления из-за влияния застройки между источником шума и расчетной точкой													
Снижение уровня звукового давления на пути над экраном, Dz1, дБ	z = 7.26м (разность путей)	ф-лы (14-18) [10]	18,5	21,7	24,7	27,7	30,7	33,7	36,8	39,8	42,8		

1		2	3	4	5	6	7	8	9	10	11	12	13
Снижение уровня звукового давления на пути слева от экрана, Dz2, дБ	z = 17.16м (разность путей)	ф-лы (14-18) [10]	22,5	25,7	28,8	31,8	34,8	37,8	40,8	43,8	46,9		
Снижение уровня звукового давления на пути справа от экрана, Dz3, дБ	z = 10.88м (разность путей)	ф-лы (14-18) [10]	20,5	23,8	26,8	29,8	32,8	35,8	38,9	41,9	44,9		
Общее снижение уровня звука препятствием Dz, дБ		Эн.сумма(-Dzi)	15,4	18,7	21,7	24,7	27,7	30,7	33,7	36,7	39,7		
Общее снижение уровня звука препятствием с учётом ограничения (25 дБ) для октавных полос Dz, дБ		Раздел 7.4 [10]	15,4	18,7	21,7	24,7	25	25	25	25	25		
Уровни звукового давления прямого звука от источника ИШ-2-30 в расчётной точке днём, дБ		**ф-ла(3)[10]**	**0**	**15,6**	**13,9**	**11,9**	**11,3**	**10,1**	**5,4**	**0**	**0**	**13,8**	**13,8**
Расчёт отражённого звука													
Уровни звукового давления от мнимого источника ИШ-2-30_мн.(1) в расчётной точке днём, дБ		**ф-ла(3)[10]**	**0**	**0**	**0**	**0**	**0**	**0**	**0**	**0**	**0**	**0**	**0**
Уровни звукового давления от источника ИШ-2-30 в расчётной точке днём, дБ		**ф-ла(3)[10]**	**0**	**15,6**	**13,9**	**11,9**	**11,3**	**10,1**	**5,4**	**0**	**0**	**13,8**	**13,8**
Источник шума: ИШ-2-31, координаты источника (x,y,z), м =[701.42,-80.17,1.00]													
Уровни звуковой мощности источника днём, Lw, дБ		**исходные данные**	**0**	**93,3**	**94,7**	**96**	**96,3**	**95,9**	**92,6**	**88,4**	**83,9**		
Поправка на телесный угол DΩ, дБ	Ω = 6.28	10Lg(4π/Ω)	**3**	3	3	3	3	3	3	3	3		
Показатель направленности источника Di, дБ		исходные данные	**0**	0	0	0	0	0	0	0	0		
Поправка на направленность источника Dc, дБ	Dc	DΩ + Di	**3**	3	3	3	3	3	3	3	3		
Затухание из-за геометрической дивергенции, Adiv, дБ	расстояние = 355.37 м	ф-ла (7) [10]	**62**										
Коэффициент затухания звука в атмосфере α, дБ/км	Та=20,°С Ра=101.33,кПа hотн.=70%	ф-ла (5) [9]	0,02	0,09	0,33	1,12	2,79	4,98	9,04	23,09	77,63		
Учет затухания звука в атмосфере Aatm, дБ		ф-ла (8) [10]	0	0	0,1	0,4	1	1,8	3,2	8,2	27,6		

1		2	3	4	5	6	7	8	9	10	11	12	13
Снижение уровня звукового давления из-за влияния застройки между источником шума и расчетной точкой													
Снижение уровня звукового давления на пути над экраном, Dz1, дБ	z = 7.26м (разность путей)	ф-лы (14-18) [10]	18,5	21,7	24,7	27,7	30,7	33,7	36,8	39,8	42,8		
Снижение уровня звукового давления на пути слева от экрана, Dz2, дБ	z = 16.30м (разность путей)	ф-лы (14-18) [10]	22,2	25,5	28,6	31,6	34,6	37,6	40,6	43,6	46,6		
Снижение уровня звукового давления на пути справа от экрана, Dz3, дБ	z = 11.15м (разность путей)	ф-лы (14-18) [10]	20,6	23,9	26,9	29,9	32,9	36	39	42	45		
Общее снижение уровня звука препятствием Dz, дБ		Эн.сумма(-Dzi)	15,4	18,7	21,7	24,7	27,7	30,7	33,7	36,7	39,7		
Общее снижение уровня звука препятствием с учётом ограничения (25 дБ) для октавных полос Dz, дБ		Раздел 7.4 [10]	15,4	18,7	21,7	24,7	25	25	25	25	25		
Уровни звукового давления от источника ИШ-2-31 в расчётной точке днём, дБ		**ф-ла(3)[10]**	**0**	**15,6**	**13,9**	**11,9**	**11,3**	**10,1**	**5,4**	**0**	**0**	**13,8**	**13,8**
Источник шума: ИШ-2-32, координаты источника (x,y,z), м =[700.38,-83.01,1.00]													
Уровни звуковой мощности источника днём, Lw, дБ		**исходные данные**	**0**	**93,3**	**94,7**	**96**	**96,3**	**95,9**	**92,6**	**88,4**	**83,9**		
Поправка на телесный угол DΩ, дБ	Ω = 6.28	10Lg(4π/Ω)	**3**	3	3	3	3	3	3	3	3		
Показатель направленности источника Di, дБ		исходные данные	**0**	0	0	0	0	0	0	0	0		
Поправка на направленность источника Dc, дБ	Dc	DΩ + Di	**3**	3	3	3	3	3	3	3	3		
Затухание из-за геометрической дивергенции, Adiv, дБ	расстояние = 355.37 м	ф-ла (7) [10]	**62**										
Коэффициент затухания звука в атмосфере α, дБ/км	Ta=20,°C Pa=101.33,кПа hотн.=70%	ф-ла (5) [9]	0,02	0,09	0,33	1,12	2,79	4,98	9,04	23,09	77,63		
Учет затухания звука в атмосфере Aatm, дБ		ф-ла (8) [10]	0	0	0,1	0,4	1	1,8	3,2	8,2	27,6		
Снижение уровня звукового давления из-за влияния застройки между источником шума и расчетной точкой													

1		2	3	4	5	6	7	8	9	10	11	12	13
Снижение уровня звукового давления на пути над экраном, Dz1, дБ	z = 7.26м (разность путей)	ф-лы (14-18) [10]	18,5	21,7	24,7	27,7	30,7	33,7	36,8	39,8	42,8		
Снижение уровня звукового давления на пути слева от экрана, Dz2, дБ	z = 15.50м (разность путей)	ф-лы (14-18) [10]	22	25,3	28,3	31,4	34,4	37,4	40,4	43,4	46,4		
Снижение уровня звукового давления на пути справа от экрана, Dz3, дБ	z = 11.47м (разность путей)	ф-лы (14-18) [10]	20,8	24	27	30,1	33,1	36,1	39,1	42,1	45,1		
Общее снижение уровня звука препятствием Dz, дБ		Эн.сумма(-Dzi)	15,4	18,6	21,7	24,7	27,7	30,7	33,7	36,7	39,7		
Общее снижение уровня звука препятствием с учётом ограничения (25 дБ) для октавных полос Dz, дБ		Раздел 7.4 [10]	15,4	18,6	21,7	24,7	25	25	25	25	25		
Уровни звукового давления от источника ИШ-2-32 в расчётной точке днём, дБ		**ф-ла(3)[10]**	**0**	**15,6**	**13,9**	**11,9**	**11,3**	**10,1**	**5,4**	**0**	**0**	**13,8**	**13,8**
Источник шума: ИШ-2-33, координаты источника (x,y,z), м =[699.52,-85.98,1.00]													
Уровни звуковой мощности источника днём, Lw, дБ		**исходные данные**	**0**	**93,3**	**94,7**	**96**	**96,3**	**95,9**	**92,6**	**88,4**	**83,9**		
Поправка на телесный угол DΩ, дБ	Ω = 6.28	10Lg(4π/Ω)	**3**	3	3	3	3	3	3	3	3		
Показатель направленности источника Di, дБ		исходные данные	**0**	0	0	0	0	0	0	0	0		
Поправка на направленность источника Dc, дБ	Dc	DΩ + Di	**3**	3	3	3	3	3	3	3	3		
Затухание из-за геометрической дивергенции, Adiv, дБ	расстояние = 355.60 м	ф-ла (7) [10]	**62**										
Коэффициент затухания звука в атмосфере α, дБ/км	Ta=20,°C Pa=101.33,кПа hотн.=70%	ф-ла (5) [9]	0,02	0,09	0,33	1,12	2,79	4,98	9,04	23,09	77,63		
Учет затухания звука в атмосфере Aatm, дБ		ф-ла (8) [10]	0	0	0,1	0,4	1	1,8	3,2	8,2	27,6		
Снижение уровня звукового давления из-за влияния застройки между источником шума и расчетной точкой													
Снижение уровня звукового давления на пути над экраном, Dz1, дБ	z = 7.26м (разность путей)	ф-лы (14-18) [10]	18,5	21,7	24,7	27,7	30,7	33,7	36,8	39,8	42,8		

1		2	3	4	5	6	7	8	9	10	11	12	13
Снижение уровня звукового давления на пути слева от экрана, Dz2, дБ	z = 14.73м (разность путей)	ф-лы (14-18) [10]	21,8	25,1	28,1	31,1	34,2	37,2	40,2	43,2	46,2		
Снижение уровня звукового давления на пути справа от экрана, Dz3, дБ	z = 11.84м (разность путей)	ф-лы (14-18) [10]	20,9	24,1	27,2	30,2	33,2	36,2	39,2	42,2	45,2		
Общее снижение уровня звука препятствием Dz, дБ		Эн.сумма(-Dzi)	15,4	18,6	21,7	24,7	27,7	30,7	33,7	36,7	39,7		
Общее снижение уровня звука препятствием с учётом ограничения (25 дБ) для октавных полос Dz, дБ		Раздел 7.4 [10]	15,4	18,6	21,7	24,7	25	25	25	25	25		
Уровни звукового давления от источника ИШ-2-33 в расчётной точке днём, дБ		**ф-ла(3)[10]**	**0**	**15,6**	**13,9**	**11,9**	**11,3**	**10,1**	**5,4**	**0**	**0**	**13,8**	**13,8**
Источник шума: ИШ-2-34, координаты источника (x,y,z), м =[698.43,-88.85,1.00]													
Уровни звуковой мощности источника днём, Lw, дБ		**исходные данные**	**0**	**93,3**	**94,7**	**96**	**96,3**	**95,9**	**92,6**	**88,4**	**83,9**		
Поправка на телесный угол DΩ, дБ	Ω = 6.28	10Lg(4π/Ω)	**3**	3	3	3	3	3	3	3	3		
Показатель направленности источника Di, дБ		исходные данные	**0**	0	0	0	0	0	0	0	0		
Поправка на направленность источника Dc, дБ	Dc	DΩ + Di	**3**	3	3	3	3	3	3	3	3		
Затухание из-за геометрической дивергенции, Adiv, дБ	расстояние = 355.62 м	ф-ла (7) [10]	**62**										
Коэффициент затухания звука в атмосфере α, дБ/км	Ta=20,°C Pa=101.33,кПа hотн.=70%	ф-ла (5) [9]	0,02	0,09	0,33	1,12	2,79	4,98	9,04	23,09	77,63		
Учет затухания звука в атмосфере Aatm, дБ		ф-ла (8) [10]	0	0	0,1	0,4	1	1,8	3,2	8,2	27,6		
Снижение уровня звукового давления из-за влияния застройки между источником шума и расчетной точкой													
Снижение уровня звукового давления на пути над экраном, Dz1, дБ	z = 7.26м (разность путей)	ф-лы (14-18) [10]	18,5	21,7	24,7	27,7	30,7	33,7	36,8	39,8	42,8		
Снижение уровня звукового давления на пути слева от экрана, Dz2, дБ	z = 14.02м (разность путей)	ф-лы (14-18) [10]	21,6	24,9	27,9	30,9	33,9	36,9	40	43	46		

1		2	3	4	5	6	7	8	9	10	11	12	13
Снижение уровня звукового давления на пути справа от экрана, Dz3, дБ	z = 12.26м (разность путей)	ф-лы (14-18) [10]	21	24,3	27,3	30,3	33,4	36,4	39,4	42,4	45,4		
Общее снижение уровня звука препятствием Dz, дБ		Эн.сумма(-Dzi)	15,4	18,6	21,6	24,7	27,7	30,7	33,7	36,7	39,7		
Общее снижение уровня звука препятствием с учётом ограничения (25 дБ) для октавных полос Dz, дБ		Раздел 7.4 [10]	15,4	18,6	21,6	24,7	25	25	25	25	25		
Уровни звукового давления от источника ИШ-2-34 в расчётной точке днём, дБ		**ф-ла(3)[10]**	**0**	**15,6**	**13,9**	**11,9**	**11,3**	**10,1**	**5,4**	**0**	**0**	**13,8**	**13,8**
Источник шума: ИШ-2-35, координаты источника (x,y,z), м =[697.52,-91.66,1.00]													
Уровни звуковой мощности источника днём, Lw, дБ		**исходные данные**	**0**	**93,3**	**94,7**	**96**	**96,3**	**95,9**	**92,6**	**88,4**	**83,9**		
Поправка на телесный угол DΩ, дБ	Ω = 6.28	10Lg(4π/Ω)	**3**	3	3	3	3	3	3	3	3		
Показатель направленности источника Di, дБ		исходные данные	**0**	0	0	0	0	0	0	0	0		
Поправка на направленность источника Dc, дБ	Dc	DΩ + Di	**3**	3	3	3	3	3	3	3	3		
Затухание из-за геометрической дивергенции, Adiv, дБ	расстояние = 355.80 м	ф-ла (7) [10]	**62**										
Коэффициент затухания звука в атмосфере α, дБ/км	Ta=20,°C Pa=101.33,кПа hотн.=70%	ф-ла (5) [9]	0,02	0,09	0,33	1,12	2,79	4,98	9,04	23,09	77,63		
Учет затухания звука в атмосфере Aatm, дБ		ф-ла (8) [10]	0	0	0,1	0,4	1	1,8	3,2	8,2	27,6		
Снижение уровня звукового давления из-за влияния застройки между источником шума и расчетной точкой													
Снижение уровня звукового давления на пути над экраном, Dz1, дБ	z = 7.26м (разность путей)	ф-лы (14-18) [10]	18,5	21,7	24,7	27,7	30,7	33,7	36,8	39,8	42,8		
Снижение уровня звукового давления на пути слева от экрана, Dz2, дБ	z = 13.38м (разность путей)	ф-лы (14-18) [10]	21,4	24,7	27,7	30,7	33,7	36,7	39,8	42,8	45,8		
Снижение уровня звукового давления на пути справа от экрана, Dz3, дБ	z = 12.70м (разность путей)	ф-лы (14-18) [10]	21,2	24,4	27,5	30,5	33,5	36,5	39,5	42,5	45,5		

1		2	3	4	5	6	7	8	9	10	11	12	13
Общее снижение уровня звука препятствием Dz, дБ		Эн.сумма(-Dzi)	15,4	18,6	21,6	24,7	27,7	30,7	33,7	36,7	39,7		
Общее снижение уровня звука препятствием с учётом ограничения (25 дБ) для октавных полос Dz, дБ		Раздел 7.4 [10]	15,4	18,6	21,6	24,7	25	25	25	25	25		
Уровни звукового давления от источника ИШ-2-35 в расчётной точке днём, дБ		**ф-ла(3)[10]**	**0**	**15,6**	**13,9**	**11,9**	**11,3**	**10,1**	**5,4**	**0**	**0**	**13,8**	**13,8**
Источник шума: ИШ-2-36, координаты источника (x,y,z), м =[696.58,-94.55,1.00]													
Уровни звуковой мощности источника днём, Lw, дБ		**исходные данные**	**0**	**93,3**	**94,7**	**96**	**96,3**	**95,9**	**92,6**	**88,4**	**83,9**		
Поправка на телесный угол DΩ, дБ	Ω = 6.28	10Lg(4π/Ω)	**3**	3	3	3	3	3	3	3	3		
Показатель направленности источника Di, дБ		исходные данные	**0**	0	0	0	0	0	0	0	0		
Поправка на направленность источника Dc, дБ	Dc	DΩ + Di	**3**	3	3	3	3	3	3	3	3		
Затухание из-за геометрической дивергенции, Adiv, дБ	расстояние = 356.02 м	ф-ла (7) [10]	**62**										
Коэффициент затухания звука в атмосфере α, дБ/км	Ta=20,°C Pa=101.33,кПа hотн.=70%	ф-ла (5) [9]	0,02	0,09	0,33	1,12	2,79	4,98	9,04	23,09	77,63		
Учет затухания звука в атмосфере Aatm, дБ		ф-ла (8) [10]	0	0	0,1	0,4	1	1,8	3,2	8,2	27,6		
Снижение уровня звукового давления из-за влияния застройки между источником шума и расчетной точкой													
Снижение уровня звукового давления на пути над экраном, Dz1, дБ	z = 7.26м (разность путей)	ф-лы (14-18) [10]	18,5	21,7	24,7	27,7	30,7	33,7	36,8	39,8	42,8		
Снижение уровня звукового давления на пути слева от экрана, Dz2, дБ	z = 12.77м (разность путей)	ф-лы (14-18) [10]	21,2	24,5	27,5	30,5	33,5	36,5	39,5	42,6	45,6		
Снижение уровня звукового давления на пути справа от экрана, Dz3, дБ	z = 13.21м (разность путей)	ф-лы (14-18) [10]	21,3	24,6	27,6	30,7	33,7	36,7	39,7	42,7	45,7		
Общее снижение уровня звука препятствием Dz, дБ		Эн.сумма(-Dzi)	15,4	18,6	21,6	24,6	27,7	30,7	33,7	36,7	39,7		

1		2	3	4	5	6	7	8	9	10	11	12	13
Общее снижение уровня звука препятствием с учётом ограничения (25 дБ) для октавных полос Dz, дБ		Раздел 7.4 [10]	15,4	18,6	21,6	24,6	25	25	25	25	25		
Уровни звукового давления от источника ИШ-2-36 в расчётной точке днём, дБ		**ф-ла(3)[10]**	**0**	**15,6**	**13,9**	**11,9**	**11,3**	**10,1**	**5,3**	**0**	**0**	**13,8**	**13,8**
Источник шума: ИШ-2-37, координаты источника (x,y,z), м =[695.57,-97.37,1.00]													
Уровни звуковой мощности источника днём, Lw, дБ		**исходные данные**	**0**	**93,3**	**94,7**	**96**	**96,3**	**95,9**	**92,6**	**88,4**	**83,9**		
Поправка на телесный угол DΩ, дБ	Ω = 6.28	10Lg(4π/Ω)	**3**	3	3	3	3	3	3	3	3		
Показатель направленности источника Di, дБ		исходные данные	**0**	0	0	0	0	0	0	0	0		
Поправка на направленность источника Dc, дБ	Dc	DΩ + Di	**3**	3	3	3	3	3	3	3	3		
Затухание из-за геометрической дивергенции, Adiv, дБ	расстояние = 356.17 м	ф-ла (7) [10]	**62**										
Коэффициент затухания звука в атмосфере α, дБ/км	Ta=20,°C Pa=101.33,кПа hотн.=70%	ф-ла (5) [9]	0,02	0,09	0,33	1,12	2,79	4,98	9,04	23,09	77,63		
Учет затухания звука в атмосфере Aatm, дБ		ф-ла (8) [10]	0	0	0,1	0,4	1	1,8	3,2	8,2	27,7		
Снижение уровня звукового давления из-за влияния застройки между источником шума и расчетной точкой													
Снижение уровня звукового давления на пути над экраном, Dz1, дБ	z = 7.26м (разность путей)	ф-лы (14-18) [10]	18,5	21,7	24,7	27,7	30,7	33,7	36,8	39,8	42,8		
Снижение уровня звукового давления на пути слева от экрана, Dz2, дБ	z = 12.22м (разность путей)	ф-лы (14-18) [10]	21	24,3	27,3	30,3	33,3	36,3	39,4	42,4	45,4		
Снижение уровня звукового давления на пути справа от экрана, Dz3, дБ	z = 13.75м (разность путей)	ф-лы (14-18) [10]	21,5	24,8	27,8	30,8	33,9	36,9	39,9	42,9	45,9		
Общее снижение уровня звука препятствием Dz, дБ		Эн.сумма(-Dzi)	15,4	18,6	21,6	24,6	27,6	30,7	33,7	36,7	39,7		
Общее снижение уровня звука препятствием с учётом ограничения (25 дБ) для октавных полос Dz, дБ		Раздел 7.4 [10]	15,4	18,6	21,6	24,6	25	25	25	25	25		

1		2	3	4	5	6	7	8	9	10	11	12	13
Уровни звукового давления от источника ИШ-2-37 в расчётной точке днём, дБ		**ф-ла(3)[10]**	**0**	**15,6**	**13,9**	**11,9**	**11,3**	**10,1**	**5,3**	**0**	**0**	**13,8**	**13,8**
Источник шума: ИШ-2-5, координаты источника (x,y,z), м =[618.60,-108.00,3.00]													
Уровни звуковой мощности источника днём, Lw, дБ		**исходные данные**	**105**	**104**	**104**	**101**	**102**	**106**	**101**	**95**	**87**		
Поправка на телесный угол DΩ, дБ	Ω = 6.28	10Lg(4π/Ω)	**3**	3	3	3	3	3	3	3	3		
Показатель направленности источника Di, дБ		исходные данные	**0**	0	0	0	0	0	0	0	0		
Поправка на направленность источника Dc, дБ	Dc	DΩ + Di	**3**	3	3	3	3	3	3	3	3		
Затухание из-за геометрической дивергенции, Adiv, дБ	расстояние = 292.04 м	ф-ла (7) [10]	**60,3**										
Коэффициент затухания звука в атмосфере α, дБ/км	Ta=20,°C Pa=101.33,кПа hотн.=70%	ф-ла (5) [9]	0,02	0,09	0,33	1,12	2,79	4,98	9,04	23,09	77,63		
Учет затухания звука в атмосфере Aatm, дБ		ф-ла (8) [10]	0	0	0,1	0,3	0,8	1,5	2,6	6,7	22,7		
Снижение уровня звукового давления из-за влияния застройки между источником шума и расчетной точкой													
Снижение уровня звукового давления на пути над экраном, Dz1, дБ	z = 7.12м (разность путей)	ф-лы (14-18) [10]	16,1	20,4	24,2	27,5	30,5	33,6	36,6	39,6	42,6		
Снижение уровня звукового давления на пути слева от экрана, Dz2, дБ	z = 8.77м (разность путей)	ф-лы (14-18) [10]	15,5	18,3	21,2	24,2	27,2	30,1	33,2	36,2	39,2		
Снижение уровня звукового давления на пути справа от экрана, Dz3, дБ	z = 37.74м (разность путей)	ф-лы (14-18) [10]	25,8	29,1	32,2	35,2	38,2	41,2	44,3	47,3	50,3		
Общее снижение уровня звука препятствием Dz, дБ		Эн.сумма(-Dzi)	12,6	16	19,2	22,3	25,3	28,3	31,3	34,3	37,3		
Общее снижение уровня звука препятствием с учётом ограничения (25 дБ) для октавных полос Dz, дБ		Раздел 7.4 [10]	12,6	16	19,2	22,3	25	25	25	25	25		
Уровни звукового давления от источника ИШ-2-5 в расчётной точке днём, дБ		**ф-ла(3)[10]**	**35,1**	**30,7**	**27,4**	**21,1**	**18,9**	**22,3**	**16,1**	**6**	**0**	**24,7**	**24,7**

1		2	3	4	5	6	7	8	9	10	11	12	13
Источник шума: ИШ-2-38, координаты источника (x,y,z), м =[688.13,-119.94,1.00]													
Уровни звуковой мощности источника днём, Lw, дБ		**исходные данные**	**0**	**93,3**	**94,7**	**96**	**96,3**	**95,9**	**92,6**	**88,4**	**83,9**		
Поправка на телесный угол DΩ, дБ	Ω = 6.28	10Lg(4π/Ω)	**3**	3	3	3	3	3	3	3	3		
Показатель направленности источника Di, дБ		исходные данные	**0**	0	0	0	0	0	0	0	0		
Поправка на направленность источника Dc, дБ	Dc	DΩ + Di	**3**	3	3	3	3	3	3	3	3		
Затухание из-за геометрической дивергенции, Adiv, дБ	расстояние = 358.84 м	ф-ла (7) [10]	**62,1**										
Коэффициент затухания звука в атмосфере α, дБ/км	Ta=20,°C Pa=101.33,кПа hотн.=70%	ф-ла (5) [9]	0,02	0,09	0,33	1,12	2,79	4,98	9,04	23,09	77,63		
Учет затухания звука в атмосфере Aatm, дБ		ф-ла (8) [10]	0	0	0,1	0,4	1	1,8	3,2	8,3	27,9		
Снижение уровня звукового давления из-за влияния застройки между источником шума и расчетной точкой													
Снижение уровня звукового давления на пути над экраном, Dz1, дБ	z = 7.25м (разность путей)	ф-лы (14-18) [10]	18,5	21,7	24,7	27,7	30,7	33,7	36,7	39,8	42,8		
Снижение уровня звукового давления на пути слева от экрана, Dz2, дБ	z = 9.65м (разность путей)	ф-лы (14-18) [10]	19,8	23,2	26,3	29,3	32,3	35,3	38,3	41,3	44,4		
Снижение уровня звукового давления на пути справа от экрана, Dz3, дБ	z = 19.45м (разность путей)	ф-лы (14-18) [10]	23	26,3	29,3	32,3	35,4	38,4	41,4	44,4	47,4		
Общее снижение уровня звука препятствием Dz, дБ		Эн.сумма(-Dzi)	15,3	18,6	21,6	24,6	27,6	30,6	33,7	36,7	39,7		
Общее снижение уровня звука препятствием с учётом ограничения (25 дБ) для октавных полос Dz, дБ		Раздел 7.4 [10]	15,3	18,6	21,6	24,6	25	25	25	25	25		
Уровни звукового давления от источника ИШ-2-38 в расчётной точке днём, дБ		**ф-ла(3)[10]**	**0**	**15,6**	**13,9**	**11,9**	**11,2**	**10**	**5,3**	**0**	**0**	**13,7**	**13,7**
Источник шума: ИШ-2-39, координаты источника (x,y,z), м =[687.11,-122.83,1.00]													

1		2	3	4	5	6	7	8	9	10	11	12	13
Уровни звуковой мощности источника днём, Lw, дБ		**исходные данные**	**0**	**93,3**	**94,7**	**96**	**96,3**	**95,9**	**92,6**	**88,4**	**83,9**		
Поправка на телесный угол DΩ, дБ	Ω = 6.28	10Lg(4π/Ω)	**3**	3	3	3	3	3	3	3	3		
Показатель направленности источника Di, дБ		исходные данные	**0**	0	0	0	0	0	0	0	0		
Поправка на направленность источника Dc, дБ	Dc	DΩ + Di	**3**	3	3	3	3	3	3	3	3		
Затухание из-за геометрической дивергенции, Adiv, дБ	расстояние = 359.24 м	ф-ла (7) [10]	**62,1**										
Коэффициент затухания звука в атмосфере α, дБ/км	Ta=20,°C Pa=101.33,кПа hотн.=70%	ф-ла (5) [9]	0,02	0,09	0,33	1,12	2,79	4,98	9,04	23,09	77,63		
Учет затухания звука в атмосфере Aatm, дБ		ф-ла (8) [10]	0	0	0,1	0,4	1	1,8	3,2	8,3	27,9		
Снижение уровня звукового давления из-за влияния застройки между источником шума и расчетной точкой													
Снижение уровня звукового давления на пути над экраном, Dz1, дБ	z = 7.25м (разность путей)	ф-лы (14-18) [10]	18,5	21,7	24,7	27,7	30,7	33,7	36,7	39,8	42,8		
Снижение уровня звукового давления на пути слева от экрана, Dz2, дБ	z = 9.49м (разность путей)	ф-лы (14-18) [10]	19,8	23,1	26,2	29,2	32,2	35,3	38,3	41,3	44,3		
Снижение уровня звукового давления на пути справа от экрана, Dz3, дБ	z = 20.34м (разность путей)	ф-лы (14-18) [10]	23,2	26,5	29,5	32,5	35,6	38,6	41,6	44,6	47,6		
Общее снижение уровня звука препятствием Dz, дБ		Эн.сумма(-Dzi)	15,3	18,6	21,6	24,6	27,6	30,7	33,7	36,7	39,7		
Общее снижение уровня звука препятствием с учётом ограничения (25 дБ) для октавных полос Dz, дБ		Раздел 7.4 [10]	15,3	18,6	21,6	24,6	25	25	25	25	25		
Уровни звукового давления от источника ИШ-2-39 в расчётной точке днём, дБ		**ф-ла(3)[10]**	**0**	**15,6**	**13,8**	**11,8**	**11,2**	**10**	**5,2**	**0**	**0**	**13,7**	**13,7**
Источник шума: ИШ-2-40, координаты источника (x,y,z), м =[686.10,-125.67,1.00]													
Уровни звуковой мощности источника днём, Lw, дБ		**исходные данные**	**0**	**93,3**	**94,7**	**96**	**96,3**	**95,9**	**92,6**	**88,4**	**83,9**		

1		2	3	4	5	6	7	8	9	10	11	12	13
Поправка на телесный угол DΩ, дБ	Ω = 6.28	10Lg(4π/Ω)	**3**	3	3	3	3	3	3	3	3		
Показатель направленности источника Di, дБ		исходные данные	**0**	0	0	0	0	0	0	0	0		
Поправка на направленность источника Dc, дБ	Dc	DΩ + Di	**3**	3	3	3	3	3	3	3	3		
Затухание из-за геометрической дивергенции, Adiv, дБ	расстояние = 359.64 м	ф-ла (7) [10]	**62,1**										
Коэффициент затухания звука в атмосфере α, дБ/км	Ta=20,°C Pa=101.33,кПа hотн.=70%	ф-ла (5) [9]	0,02	0,09	0,33	1,12	2,79	4,98	9,04	23,09	77,63		
Учет затухания звука в атмосфере Aatm, дБ		ф-ла (8) [10]	0	0	0,1	0,4	1	1,8	3,3	8,3	27,9		
Снижение уровня звукового давления из-за влияния застройки между источником шума и расчетной точкой													
Снижение уровня звукового давления на пути над экраном, Dz1, дБ	z = 7.24м (разность путей)	ф-лы (14-18) [10]	18,5	21,7	24,7	27,7	30,7	33,7	36,7	39,7	42,8		
Снижение уровня звукового давления на пути слева от экрана, Dz2, дБ	z = 9.37м (разность путей)	ф-лы (14-18) [10]	19,7	23,1	26,2	29,2	32,2	35,2	38,2	41,2	44,2		
Снижение уровня звукового давления на пути справа от экрана, Dz3, дБ	z = 21.26м (разность путей)	ф-лы (14-18) [10]	23,4	26,7	29,7	32,7	35,7	38,8	41,8	44,8	47,8		
Общее снижение уровня звука препятствием Dz, дБ		Эн.сумма(-Dzi)	15,3	18,6	21,6	24,6	27,7	30,7	33,7	36,7	39,7		
Общее снижение уровня звука препятствием с учётом ограничения (25 дБ) для октавных полос Dz, дБ		Раздел 7.4 [10]	15,3	18,6	21,6	24,6	25	25	25	25	25		
Уровни звукового давления от источника ИШ-2-40 в расчётной точке днём, дБ		**ф-ла(3)[10]**	**0**	**15,6**	**13,8**	**11,8**	**11,2**	**10**	**5,2**	**0**	**0**	**13,7**	**13,7**
Источник шума: ИШ-2-41, координаты источника (x,y,z), м =[685.14,-128.64,1.00]													
Уровни звуковой мощности источника днём, Lw, дБ		**исходные данные**	**0**	**93,3**	**94,7**	**96**	**96,3**	**95,9**	**92,6**	**88,4**	**83,9**		
Поправка на телесный угол DΩ, дБ	Ω = 6.28	10Lg(4π/Ω)	**3**	3	3	3	3	3	3	3	3		

1		2	3	4	5	6	7	8	9	10	11	12	13
Показатель направленности источника Di, дБ		исходные данные	**0**	0	0	0	0	0	0	0	0		
Поправка на направленность источника Dc, дБ	Dc	DΩ + Di	**3**	3	3	3	3	3	3	3	3		
Затухание из-за геометрической дивергенции, Adiv, дБ	расстояние = 360.18 м	ф-ла (7) [10]	**62,1**										
Коэффициент затухания звука в атмосфере α, дБ/км	Ta=20,°C Pa=101.33,кПа hотн.=70%	ф-ла (5) [9]	0,02	0,09	0,33	1,12	2,79	4,98	9,04	23,09	77,63		
Учет затухания звука в атмосфере Aatm, дБ		ф-ла (8) [10]	0	0	0,1	0,4	1	1,8	3,3	8,3	28		
Снижение уровня звукового давления из-за влияния застройки между источником шума и расчетной точкой													
Снижение уровня звукового давления на пути над экраном, Dz1, дБ	z = 7.23м (разность путей)	ф-лы (14-18) [10]	18,5	21,7	24,7	27,7	30,7	33,7	36,7	39,7	42,7		
Снижение уровня звукового давления на пути слева от экрана, Dz2, дБ	z = 9.27м (разность путей)	ф-лы (14-18) [10]	15,7	18,6	21,4	24,4	27,4	30,4	33,4	36,4	39,4		
Снижение уровня звукового давления на пути справа от экрана, Dz3, дБ	z = 22.23м (разность путей)	ф-лы (14-18) [10]	23,6	26,9	29,9	32,9	35,9	38,9	42	45	48		
Общее снижение уровня звука препятствием Dz, дБ		Эн.сумма(-Dzi)	13,4	16,4	19,4	22,3	25,3	28,3	31,3	34,4	37,4		
Общее снижение уровня звука препятствием с учётом ограничения (25 дБ) для октавных полос Dz, дБ		Раздел 7.4 [10]	13,4	16,4	19,4	22,3	25	25	25	25	25		
Уровни звукового давления от источника ИШ-2-41 в расчётной точке днём, дБ		**ф-ла(3)[10]**	**0**	**17,7**	**16,1**	**14,1**	**11,2**	**10**	**5,2**	**0**	**0**	**14**	**14**
Источник шума: ИШ-2-42, координаты источника (x,y,z), м =[684.20,-131.46,1.00]													
Уровни звуковой мощности источника днём, Lw, дБ		**исходные данные**	**0**	**93,3**	**94,7**	**96**	**96,3**	**95,9**	**92,6**	**88,4**	**83,9**		
Поправка на телесный угол DΩ, дБ	Ω = 6.28	10Lg(4π/Ω)	**3**	3	3	3	3	3	3	3	3		
Показатель направленности источника Di, дБ		исходные данные	**0**	0	0	0	0	0	0	0	0		

1		2	3	4	5	6	7	8	9	10	11	12	13
Поправка на направленность источника Dc, дБ	Dc	DΩ + Di	**3**	3	3	3	3	3	3	3	3		
Затухание из-за геометрической дивергенции, Adiv, дБ	расстояние = 360.68 м	ф-ла (7) [10]	**62,1**										
Коэффициент затухания звука в атмосфере α, дБ/км	Ta=20,°C Pa=101.33,кПа hотн.=70%	ф-ла (5) [9]	0,02	0,09	0,33	1,12	2,79	4,98	9,04	23,09	77,63		
Учет затухания звука в атмосфере Aatm, дБ		ф-ла (8) [10]	0	0	0,1	0,4	1	1,8	3,3	8,3	28		
Снижение уровня звукового давления из-за влияния застройки между источником шума и расчетной точкой													
Снижение уровня звукового давления на пути над экраном, Dz1, дБ	z = 7.17м (разность путей)	ф-лы (14-18) [10]	18,3	21,6	24,6	27,6	30,6	33,6	36,6	39,7	42,7		
Снижение уровня звукового давления на пути слева от экрана, Dz2, дБ	z = 9.17м (разность путей)	ф-лы (14-18) [10]	15,7	18,5	21,4	24,4	27,3	30,3	33,3	36,4	39,4		
Снижение уровня звукового давления на пути справа от экрана, Dz3, дБ	z = 23.18м (разность путей)	ф-лы (14-18) [10]	23,8	27	30,1	33,1	36,1	39,1	42,1	45,1	48,2		
Общее снижение уровня звука препятствием Dz, дБ		Эн.сумма(-Dzi)	13,4	16,4	19,3	22,3	25,3	28,3	31,3	34,3	37,3		
Общее снижение уровня звука препятствием с учётом ограничения (25 дБ) для октавных полос Dz, дБ		Раздел 7.4 [10]	13,4	16,4	19,3	22,3	25	25	25	25	25		
Уровни звукового давления от источника ИШ-2-42 в расчётной точке днём, дБ		**ф-ла(3)[10]**	**0**	**17,7**	**16,1**	**14,1**	**11,1**	**10**	**5,2**	**0**	**0**	**14**	**14**
Источник шума: ИШ-2-43, координаты источника (x,y,z), м =[683.13,-134.37,1.00]													
Уровни звуковой мощности источника днём, Lw, дБ		**исходные данные**	**0**	**93,3**	**94,7**	**96**	**96,3**	**95,9**	**92,6**	**88,4**	**83,9**		
Поправка на телесный угол DΩ, дБ	Ω = 6.28	10Lg(4π/Ω)	**3**	3	3	3	3	3	3	3	3		
Показатель направленности источника Di, дБ		исходные данные	**0**	0	0	0	0	0	0	0	0		
Поправка на направленность источника Dc, дБ	Dc	DΩ + Di	**3**	3	3	3	3	3	3	3	3		

1		2	3	4	5	6	7	8	9	10	11	12	13
Затухание из-за геометрической дивергенции, Adiv, дБ	расстояние = 361.15 м	ф-ла (7) [10]	**62,2**										
Коэффициент затухания звука в атмосфере α, дБ/км	Ta=20,°C Pa=101.33,кПа hотн.=70%	ф-ла (5) [9]	0,02	0,09	0,33	1,12	2,79	4,98	9,04	23,09	77,63		
Учет затухания звука в атмосфере Aatm, дБ		ф-ла (8) [10]	0	0	0,1	0,4	1	1,8	3,3	8,3	28		
Снижение уровня звукового давления из-за влияния застройки между источником шума и расчетной точкой													
Снижение уровня звукового давления на пути над экраном, Dz1, дБ	z = 7.16м (разность путей)	ф-лы (14-18) [10]	18,2	21,5	24,6	27,6	30,6	33,6	36,6	39,6	42,6		
Снижение уровня звукового давления на пути слева от экрана, Dz2, дБ	z = 9.06м (разность путей)	ф-лы (14-18) [10]	15,6	18,5	21,3	24,3	27,3	30,3	33,3	36,3	39,3		
Снижение уровня звукового давления на пути справа от экрана, Dz3, дБ	z = 24.21м (разность путей)	ф-лы (14-18) [10]	23,9	27,2	30,3	33,3	36,3	39,3	42,3	45,3	48,3		
Общее снижение уровня звука препятствием Dz, дБ		Эн.сумма(-Dzi)	13,3	16,4	19,3	22,3	25,3	28,3	31,3	34,3	37,3		
Общее снижение уровня звука препятствием с учётом ограничения (25 дБ) для октавных полос Dz, дБ		Раздел 7.4 [10]	13,3	16,4	19,3	22,3	25	25	25	25	25		
Уровни звукового давления от источника ИШ-2-43 в расчётной точке днём, дБ		**ф-ла(3)[10]**	**0**	**17,8**	**16,1**	**14,1**	**11,1**	**9,9**	**5,2**	**0**	**0**	**14**	**14**
Источник шума: ИШ-2-44, координаты источника (x,y,z), м =[682.20,-137.16,1.00]													
Уровни звуковой мощности источника днём, Lw, дБ		**исходные данные**	**0**	**93,3**	**94,7**	**96**	**96,3**	**95,9**	**92,6**	**88,4**	**83,9**		
Поправка на телесный угол DΩ, дБ	Ω = 6.28	10Lg(4π/Ω)	**3**	3	3	3	3	3	3	3	3		
Показатель направленности источника Di, дБ		исходные данные	**0**	0	0	0	0	0	0	0	0		
Поправка на направленность источника Dc, дБ	Dc	DΩ + Di	**3**	3	3	3	3	3	3	3	3		
Затухание из-за геометрической дивергенции, Adiv, дБ	расстояние = 361.69 м	ф-ла (7) [10]	**62,2**										

1		2	3	4	5	6	7	8	9	10	11	12	13
Коэффициент затухания звука в атмосфере α, дБ/км	Та=20,°С Ра=101.33,кПа hотн.=70%	ф-ла (5) [9]	0,02	0,09	0,33	1,12	2,79	4,98	9,04	23,09	77,63		
Учет затухания звука в атмосфере Aatm, дБ		ф-ла (8) [10]	0	0	0,1	0,4	1	1,8	3,3	8,3	28,1		
Снижение уровня звукового давления из-за влияния застройки между источником шума и расчетной точкой													
Снижение уровня звукового давления на пути над экраном, Dz1, дБ	z = 7.16м (разность путей)	ф-лы (14-18) [10]	16,1	20,4	24,1	27,4	30,4	33,5	36,5	39,5	42,5		
Снижение уровня звукового давления на пути слева от экрана, Dz2, дБ	z = 8.97м (разность путей)	ф-лы (14-18) [10]	15,6	18,4	21,3	24,3	27,2	30,2	33,2	36,3	39,3		
Снижение уровня звукового давления на пути справа от экрана, Dz3, дБ	z = 25.20м (разность путей)	ф-лы (14-18) [10]	24,1	27,4	30,4	33,5	36,5	39,5	42,5	45,5	48,5		
Общее снижение уровня звука препятствием Dz, дБ		Эн.сумма(-Dzi)	12,5	16	19,1	22,2	25,2	28,2	31,2	34,2	37,2		
Общее снижение уровня звука препятствием с учётом ограничения (25 дБ) для октавных полос Dz, дБ		Раздел 7.4 [10]	12,5	16	19,1	22,2	25	25	25	25	25		
Уровни звукового давления от источника ИШ-2-44 в расчётной точке днём, дБ		**ф-ла(3)[10]**	**0**	**18,1**	**16,3**	**14,2**	**11,1**	**9,9**	**5,2**	**0**	**0**	**14**	**14**
Источник шума: ИШ-2-45, координаты источника (x,y,z), м =[681.26,-139.98,1.00]													
Уровни звуковой мощности источника днём, Lw, дБ		**исходные данные**	**0**	**93,3**	**94,7**	**96**	**96,3**	**95,9**	**92,6**	**88,4**	**83,9**		
Поправка на телесный угол DΩ, дБ	Ω = 6.28	10Lg(4π/Ω)	**3**	3	3	3	3	3	3	3	3		
Показатель направленности источника Di, дБ		исходные данные	**0**	0	0	0	0	0	0	0	0		
Поправка на направленность источника Dc, дБ	Dc	DΩ + Di	**3**	3	3	3	3	3	3	3	3		
Затухание из-за геометрической дивергенции, Adiv, дБ	расстояние = 362.27 м	ф-ла (7) [10]	**62,2**										
Коэффициент затухания звука в атмосфере α, дБ/км	Та=20,°С Ра=101.33,кПа hотн.=70%	ф-ла (5) [9]	0,02	0,09	0,33	1,12	2,79	4,98	9,04	23,09	77,63		

1		2	3	4	5	6	7	8	9	10	11	12	13
Учет затухания звука в атмосфере Aatm, дБ		ф-ла (8) [10]	0	0	0,1	0,4	1	1,8	3,3	8,4	28,1		
Снижение уровня звукового давления из-за влияния застройки между источником шума и расчетной точкой													
Снижение уровня звукового давления на пути над экраном, Dz1, дБ	z = 7.16м (разность путей)	ф-лы (14-18) [10]	16,1	20,4	24,1	27,4	30,4	33,5	36,5	39,5	42,5		
Снижение уровня звукового давления на пути слева от экрана, Dz2, дБ	z = 8.87м (разность путей)	ф-лы (14-18) [10]	15,5	18,4	21,3	24,2	27,2	30,2	33,2	36,2	39,2		
Снижение уровня звукового давления на пути справа от экрана, Dz3, дБ	z = 26.22м (разность путей)	ф-лы (14-18) [10]	24,3	27,6	30,6	33,6	36,7	39,7	42,7	45,7	48,7		
Общее снижение уровня звука препятствием Dz, дБ		Эн.сумма(-Dzi)	12,5	15,9	19,1	22,2	25,2	28,2	31,2	34,2	37,2		
Общее снижение уровня звука препятствием с учётом ограничения (25 дБ) для октавных полос Dz, дБ		Раздел 7.4 [10]	12,5	15,9	19,1	22,2	25	25	25	25	25		
Уровни звукового давления от источника ИШ-2-45 в расчётной точке днём, дБ		**ф-ла(3)[10]**	**0**	**18,1**	**16,3**	**14,2**	**11,1**	**9,9**	**5,1**	**0**	**0**	**14**	**14**
Источник шума: ИШ-4-1, координаты источника (x,y,z), м =[141.82,201.03,1.00]													
Уровни звуковой мощности источника днём, Lw, дБ		**исходные данные**	**0**	**90,3**	**91,7**	**93**	**93,3**	**92,9**	**89,6**	**85,4**	**80,9**		
Поправка на телесный угол DΩ, дБ	Ω = 6.28	10Lg(4π/Ω)	**3**	3	3	3	3	3	3	3	3		
Показатель направленности источника Di, дБ		исходные данные	**0**	0	0	0	0	0	0	0	0		
Поправка на направленность источника Dc, дБ	Dc	DΩ + Di	**3**	3	3	3	3	3	3	3	3		
Затухание из-за геометрической дивергенции, Adiv, дБ	расстояние = 276.64 м	ф-ла (7) [10]	**59,8**										
Коэффициент затухания звука в атмосфере α, дБ/км	Ta=20,°C Pa=101.33,кПа hотн.=70%	ф-ла (5) [9]	0,02	0,09	0,33	1,12	2,79	4,98	9,04	23,09	77,63		
Учет затухания звука в атмосфере Aatm, дБ		ф-ла (8) [10]	0	0	0,1	0,3	0,8	1,4	2,5	6,4	21,5		

1		2	3	4	5	6	7	8	9	10	11	12	13
Снижение поверхностью земли возле источника As, дБ	Gs = 0 hs = 1м	ф-лы таб.3 [10]	-1,5	-1,5	-1,5	-1,5	-1,5	-1,5	-1,5	-1,5	-1,5		
Снижение поверхностью земли возле приёмника Ar, дБ	Gr = 1 hr = 1.5м	ф-лы таб.3 [10]	-1,5	-1,5	1,6	7	5	0,7	0	0	0		
Снижение поверхностью земли в средней зоне, Am дБ	Gm = 1	ф-лы таб.3 [10]	-2,2	-2,2	0	0	0	0	0	0	0		
Суммарное снижение поверхностью земли на траектории распространения звука Agr, дБ		ф-ла (9) [10]	-5,2	-5,2	0,1	5,5	3,5	-0,8	-1,5	-1,5	-1,5		
Уровни звукового давления прямого звука от источника ИШ-4-1 в расчётной точке днём, дБ		**ф-ла(3)[10]**	**0**	**38,6**	**34,7**	**30,3**	**32,2**	**35,5**	**31,8**	**23,7**	**4,1**	**38,4**	**38,4**
Расчёт отражённого звука													
Уровни звукового давления от мнимого источника ИШ-4-1_мн.(1) в расчётной точке днём, дБ		**ф-ла(3)[10]**	**0**	**37,6**	**30,6**	**20**	**20,9**	**30,9**	**29,2**	**21**	**1,3**	**34,1**	**34,1**
Уровни звукового давления от мнимого источника ИШ-4-1_мн.(2) в расчётной точке днём, дБ		**ф-ла(3)[10]**	**0**	**0**	**0**	**0**	**0**	**0**	**0**	**0**	**0**	**0**	**0**
Уровни звукового давления от мнимого источника ИШ-4-1_мн.(3) в расчётной точке днём, дБ		**ф-ла(3)[10]**	**0**	**0**	**0**	**19**	**19,9**	**29,9**	**28**	**19,5**	**0**	**33**	**33**
Суммарные уровни звукового давления от мнимых источников в расчётной точке днём, дБ		**ф-ла (19) [1]**	**0**	**37,6**	**30,6**	**22,5**	**23,4**	**33,4**	**31,6**	**23,3**	**1,3**	**0**	**36,6**
Уровни звукового давления от источника ИШ-4-1 в расчётной точке днём, дБ		**ф-ла(3)[10]**	**0**	**41,1**	**36,1**	**31**	**32,8**	**37,6**	**34,7**	**26,5**	**5,9**	**40,6**	**40,6**
Источник шума: ИШ-4-2, координаты источника (x,y,z), м =[133.85,183.21,1.00]													
Уровни звуковой мощности источника днём, Lw, дБ		**исходные данные**	**0**	**90,3**	**91,7**	**93**	**93,3**	**92,9**	**89,6**	**85,4**	**80,9**		
Поправка на телесный угол DΩ, дБ	Ω = 6.28	10Lg(4π/Ω)	**3**	3	3	3	3	3	3	3	3		
Показатель направленности источника Di, дБ		исходные данные	**0**	0	0	0	0	0	0	0	0		
Поправка на направленность источника Dc, дБ	Dc	DΩ + Di	**3**	3	3	3	3	3	3	3	3		
Затухание из-за геометрической дивергенции, Adiv, дБ	расстояние = 273.48 м	ф-ла (7) [10]	**59,7**										

1		2	3	4	5	6	7	8	9	10	11	12	13
Коэффициент затухания звука в атмосфере α, дБ/км	Ta=20,°C Pa=101.33,кПа hотн.=70%	ф-ла (5) [9]	0,02	0,09	0,33	1,12	2,79	4,98	9,04	23,09	77,63		
Учет затухания звука в атмосфере Aatm, дБ		ф-ла (8) [10]	0	0	0,1	0,3	0,8	1,4	2,5	6,3	21,2		
Снижение поверхностью земли возле источника As, дБ	Gs = 0 hs = 1м	ф-лы таб.3 [10]	-1,5	-1,5	-1,5	-1,5	-1,5	-1,5	-1,5	-1,5	-1,5		
Снижение поверхностью земли возле приёмника Ar, дБ	Gr = 1 hr = 1.5м	ф-лы таб.3 [10]	-1,5	-1,5	1,6	7	5	0,7	0	0	0		
Снижение поверхностью земли в средней зоне, Am дБ	Gm = 1	ф-лы таб.3 [10]	-2,2	-2,2	0	0	0	0	0	0	0		
Суммарное снижение поверхностью земли на траектории распространения звука Agr, дБ		ф-ла (9) [10]	-5,2	-5,2	0,1	5,5	3,5	-0,8	-1,5	-1,5	-1,5		
Уровни звукового давления прямого звука от источника ИШ-4-2 в расчётной точке днём, дБ		**ф-ла(3)[10]**	**0**	**38,7**	**34,8**	**30,5**	**32,3**	**35,6**	**31,9**	**23,8**	**4,4**	**38,5**	**38,5**
Расчёт отражённого звука													
Уровни звукового давления от мнимого источника ИШ-4-2_мн.(1) в расчётной точке днём, дБ		**ф-ла(3)[10]**	**0**	**37,7**	**30,8**	**20,1**	**21**	**31**	**29,3**	**21,2**	**1,6**	**34,3**	**34,3**
Уровни звукового давления от мнимого источника ИШ-4-2_мн.(2) в расчётной точке днём, дБ		**ф-ла(3)[10]**	**0**	**0**	**29,8**	**19,2**	**20,1**	**30,1**	**28,3**	**19,8**	**0**	**33,2**	**33,2**
Суммарные уровни звукового давления от мнимых источников в расчётной точке днём, дБ		**ф-ла (19) [1]**	**0**	**37,7**	**33,3**	**22,7**	**23,6**	**33,6**	**31,8**	**23,6**	**1,6**	**0**	**36,8**
Уровни звукового давления от источника ИШ-4-2 в расчётной точке днём, дБ		**ф-ла(3)[10]**	**0**	**41,2**	**37,1**	**31,1**	**32,9**	**37,7**	**34,9**	**26,7**	**6,3**	**40,7**	**40,7**
Источник шума: ИШ-4-3, координаты источника (x,y,z), м =[152.61,172.66,1.00]													
Уровни звуковой мощности источника днём, Lw, дБ		**исходные данные**	**0**	**90,3**	**91,7**	**93**	**93,3**	**92,9**	**89,6**	**85,4**	**80,9**		
Поправка на телесный угол DΩ, дБ	Ω = 6.28	10Lg(4π/Ω)	**3**	3	3	3	3	3	3	3	3		
Показатель направленности источника Di, дБ		исходные данные	**0**	0	0	0	0	0	0	0	0		

1		2	3	4	5	6	7	8	9	10	11	12	13
Поправка на направленность источника Dc, дБ	Dc	DΩ + Di	**3**	3	3	3	3	3	3	3	3		
Затухание из-за геометрической дивергенции, Adiv, дБ	расстояние = 251.97 м	ф-ла (7) [10]	**59**										
Коэффициент затухания звука в атмосфере α, дБ/км	Ta=20,°C Pa=101.33,кПа hотн.=70%	ф-ла (5) [9]	0,02	0,09	0,33	1,12	2,79	4,98	9,04	23,09	77,63		
Учет затухания звука в атмосфере Aatm, дБ		ф-ла (8) [10]	0	0	0,1	0,3	0,7	1,3	2,3	5,8	19,6		
Снижение поверхностью земли возле источника As, дБ	Gs = 0 hs = 1м	ф-лы таб.3 [10]	-1,5	-1,5	-1,5	-1,5	-1,5	-1,5	-1,5	-1,5	-1,5		
Снижение поверхностью земли возле приёмника Ar, дБ	Gr = 1 hr = 1.5м	ф-лы таб.3 [10]	-1,5	-1,5	1,4	7	4,9	0,7	0	0	0		
Снижение поверхностью земли в средней зоне, Am дБ	Gm = 1	ф-лы таб.3 [10]	-2,1	-2,1	0	0	0	0	0	0	0		
Суммарное снижение поверхностью земли на траектории распространения звука Agr, дБ		ф-ла (9) [10]	-5,1	-5,1	-0,1	5,5	3,4	-0,8	-1,5	-1,5	-1,5		
Уровни звукового давления прямого звука от источника ИШ-4-3 в расчётной точке днём, дБ		**ф-ла(3)[10]**	**0**	**39,3**	**35,6**	**31,2**	**33,1**	**36,5**	**32,8**	**25**	**6,8**	**39,3**	**39,3**
Расчёт отражённого звука													
Уровни звукового давления от мнимого источника ИШ-4-3_мн.(1) в расчётной точке днём, дБ		**ф-ла(3)[10]**	**0**	**38,3**	**31,7**	**20,8**	**21,8**	**31,9**	**30,2**	**22,4**	**4**	**35,1**	**35,1**
Уровни звукового давления от мнимого источника ИШ-4-3_мн.(2) в расчётной точке днём, дБ		**ф-ла(3)[10]**	**0**	**0**	**0**	**0**	**0**	**0**	**0**	**0**	**0**	**0**	**0**
Уровни звукового давления от мнимого источника ИШ-4-3_мн.(3) в расчётной точке днём, дБ		**ф-ла(3)[10]**	**0**	**0**	**0**	**0**	**0**	**0**	**0**	**0**	**0**	**0**	**0**
Суммарные уровни звукового давления от мнимых источников в расчётной точке днём, дБ		**ф-ла (19) [1]**	**0**	**38,3**	**31,7**	**20,8**	**21,8**	**31,9**	**30,2**	**22,4**	**4**	**0**	**35,1**
Уровни звукового давления от источника ИШ-4-3 в расчётной точке днём, дБ		**ф-ла(3)[10]**	**0**	**41,9**	**37,1**	**31,6**	**33,4**	**37,7**	**34,7**	**26,9**	**8,6**	**40,7**	**40,7**
Источник шума: ИШ-4-4, координаты источника (x,y,z), м =[156.83,171.25,1.00]													

1		2	3	4	5	6	7	8	9	10	11	12	13
Уровни звуковой мощности источника днём, Lw, дБ		**исходные данные**	**0**	**90,3**	**91,7**	**93**	**93,3**	**92,9**	**89,6**	**85,4**	**80,9**		
Поправка на телесный угол DΩ, дБ	Ω = 6.28	10Lg(4π/Ω)	**3**	3	3	3	3	3	3	3	3		
Показатель направленности источника Di, дБ		исходные данные	**0**	0	0	0	0	0	0	0	0		
Поправка на направленность источника Dc, дБ	Dc	DΩ + Di	**3**	3	3	3	3	3	3	3	3		
Затухание из-за геометрической дивергенции, Adiv, дБ	расстояние = 247.64 м	ф-ла (7) [10]	**58,9**										
Коэффициент затухания звука в атмосфере α, дБ/км	Ta=20,°C Pa=101.33,кПа hотн.=70%	ф-ла (5) [9]	0,02	0,09	0,33	1,12	2,79	4,98	9,04	23,09	77,63		
Учет затухания звука в атмосфере Aatm, дБ		ф-ла (8) [10]	0	0	0,1	0,3	0,7	1,2	2,2	5,7	19,2		
Снижение поверхностью земли возле источника As, дБ	Gs = 0 hs = 1м	ф-лы таб.3 [10]	-1,5	-1,5	-1,5	-1,5	-1,5	-1,5	-1,5	-1,5	-1,5		
Снижение поверхностью земли возле приёмника Ar, дБ	Gr = 1 hr = 1.5м	ф-лы таб.3 [10]	-1,5	-1,5	1,4	7	4,9	0,7	0	0	0		
Снижение поверхностью земли в средней зоне, Am дБ	Gm = 1	ф-лы таб.3 [10]	-2,1	-2,1	0	0	0	0	0	0	0		
Суммарное снижение поверхностью земли на траектории распространения звука Agr, дБ		ф-ла (9) [10]	-5,1	-5,1	-0,1	5,5	3,4	-0,8	-1,5	-1,5	-1,5		
Уровни звукового давления прямого звука от источника ИШ-4-4 в расчётной точке днём, дБ		**ф-ла(3)[10]**	**0**	**39,5**	**35,8**	**31,4**	**33,3**	**36,6**	**33**	**25,3**	**7,3**	**39,5**	**39,5**
Расчёт отражённого звука													
Уровни звукового давления от мнимого источника ИШ-4-4_мн.(1) в расчётной точке днём, дБ		**ф-ла(3)[10]**	**0**	**38,4**	**31,9**	**21**	**21,9**	**32**	**30,4**	**22,7**	**4,5**	**35,3**	**35,3**
Уровни звукового давления от мнимого источника ИШ-4-4_мн.(2) в расчётной точке днём, дБ		**ф-ла(3)[10]**	**0**	**0**	**0**	**0**	**0**	**0**	**0**	**0**	**0**	**0**	**0**
Уровни звукового давления от мнимого источника ИШ-4-4_мн.(3) в расчётной точке днём, дБ		**ф-ла(3)[10]**	**0**	**0**	**0**	**0**	**0**	**0**	**0**	**0**	**0**	**0**	**0**
Суммарные уровни звукового давления от мнимых источников в расчётной точке днём, дБ		**ф-ла (19) [1]**	**0**	**38,4**	**31,9**	**21**	**21,9**	**32**	**30,4**	**22,7**	**4,5**	**0**	**35,3**

1		2	3	4	5	6	7	8	9	10	11	12	13
Уровни звукового давления от источника ИШ-4-4 в расчётной точке днём, дБ		**ф-ла(3)[10]**	**0**	**42**	**37,3**	**31,7**	**33,6**	**37,9**	**34,9**	**27,2**	**9,1**	**40,9**	**40,9**
Источник шума: ИШ-4-5, координаты источника (x,y,z), м =[126.48,222.66,11.00]													
Уровни звуковой мощности источника днём, Lw, дБ		**исходные данные**	**0**	**90,3**	**91,7**	**93**	**93,3**	**92,9**	**89,6**	**85,4**	**80,9**		
Поправка на телесный угол DΩ, дБ	Ω = 6.28	10Lg(4π/Ω)	**3**	3	3	3	3	3	3	3	3		
Показатель направленности источника Di, дБ		исходные данные	**0**	0	0	0	0	0	0	0	0		
Поправка на направленность источника Dc, дБ	Dc	DΩ + Di	**3**	3	3	3	3	3	3	3	3		
Затухание из-за геометрической дивергенции, Adiv, дБ	расстояние = 301.96 м	ф-ла (7) [10]	**60,6**										
Коэффициент затухания звука в атмосфере α, дБ/км	Ta=20,°C Pa=101.33,кПа hотн.=70%	ф-ла (5) [9]	0,02	0,09	0,33	1,12	2,79	4,98	9,04	23,09	77,63		
Учет затухания звука в атмосфере Aatm, дБ		ф-ла (8) [10]	0	0	0,1	0,3	0,8	1,5	2,7	7	23,4		
Снижение поверхностью земли возле источника As, дБ	Gs = 0 hs = 1м	ф-лы таб.3 [10]	-1,5	-1,5	-1,5	-1,5	-1,5	-1,5	-1,5	-1,5	-1,5		
Снижение поверхностью земли возле приёмника Ar, дБ	Gr = 1 hr = 1.5м	ф-лы таб.3 [10]	-1,5	-1,5	1,7	7	5	0,7	0	0	0		
Снижение поверхностью земли в средней зоне, Am дБ	Gm = 1	ф-лы таб.3 [10]	-2,3	-2,3	0	0	0	0	0	0	0		
Суммарное снижение поверхностью земли на траектории распространения звука Agr, дБ		ф-ла (9) [10]	-5,3	-5,3	0,2	5,5	3,5	-0,8	-1,5	-1,5	-1,5		
Уровни звукового давления прямого звука от источника ИШ-4-5 в расчётной точке днём, дБ		**ф-ла(3)[10]**	**0**	**37,9**	**33,8**	**29,5**	**31,4**	**34,6**	**30,8**	**22,3**	**0**	**37,4**	**37,4**
Расчёт отражённого звука													
Уровни звукового давления от мнимого источника ИШ-4-5_мн.(1) в расчётной точке днём, дБ		**ф-ла(3)[10]**	**0**	**36,9**	**29,6**	**19,2**	**20**	**30**	**28,2**	**19,7**	**0**	**33,2**	**33,2**

1		2	3	4	5	6	7	8	9	10	11	12	13
Уровни звукового давления от источника ИШ-4-5 в расчётной точке днём, дБ		**ф-ла(3)[10]**	**0**	**40,4**	**35,2**	**29,9**	**31,7**	**35,9**	**32,7**	**24,2**	**0**	**38,8**	**38,8**
Источник шума: ИШ-4-6, координаты источника (x,y,z), м =[125.17,218.57,11.00]													
Уровни звуковой мощности источника днём, Lw, дБ		**исходные данные**	**0**	**90,3**	**91,7**	**93**	**93,3**	**92,9**	**89,6**	**85,4**	**80,9**		
Поправка на телесный угол DΩ, дБ	Ω = 6.28	10Lg(4π/Ω)	**3**	3	3	3	3	3	3	3	3		
Показатель направленности источника Di, дБ		исходные данные	**0**	0	0	0	0	0	0	0	0		
Поправка на направленность источника Dc, дБ	Dc	DΩ + Di	**3**	3	3	3	3	3	3	3	3		
Затухание из-за геометрической дивергенции, Adiv, дБ	расстояние = 300.57 м	ф-ла (7) [10]	**60,6**										
Коэффициент затухания звука в атмосфере α, дБ/км	Ta=20,°C Pa=101.33,кПа hотн.=70%	ф-ла (5) [9]	0,02	0,09	0,33	1,12	2,79	4,98	9,04	23,09	77,63		
Учет затухания звука в атмосфере Aatm, дБ		ф-ла (8) [10]	0	0	0,1	0,3	0,8	1,5	2,7	6,9	23,3		
Снижение поверхностью земли возле источника As, дБ	Gs = 0 hs = 1м	ф-лы таб.3 [10]	-1,5	-1,5	-1,5	-1,5	-1,5	-1,5	-1,5	-1,5	-1,5		
Снижение поверхностью земли возле приёмника Ar, дБ	Gr = 1 hr = 1.5м	ф-лы таб.3 [10]	-1,5	-1,5	1,7	7	5	0,7	0	0	0		
Снижение поверхностью земли в средней зоне, Am дБ	Gm = 1	ф-лы таб.3 [10]	-2,3	-2,3	0	0	0	0	0	0	0		
Суммарное снижение поверхностью земли на траектории распространения звука Agr, дБ		ф-ла (9) [10]	-5,3	-5,3	0,2	5,5	3,5	-0,8	-1,5	-1,5	-1,5		
Уровни звукового давления прямого звука от источника ИШ-4-6 в расчётной точке днём, дБ		**ф-ла(3)[10]**	**0**	**38**	**33,8**	**29,6**	**31,4**	**34,7**	**30,8**	**22,4**	**0**	**37,5**	**37,5**
Расчёт отражённого звука													
Уровни звукового давления от мнимого источника ИШ-4-6_мн.(1) в расчётной точке днём, дБ		**ф-ла(3)[10]**	**0**	**36,9**	**29,6**	**19,2**	**20,1**	**30,1**	**28,2**	**19,8**	**0**	**33,2**	**33,2**

1		2	3	4	5	6	7	8	9	10	11	12	13
Уровни звукового давления от источника ИШ-4-6 в расчётной точке днём, дБ		**ф-ла(3)[10]**	**0**	**40,5**	**35,2**	**30**	**31,7**	**36**	**32,7**	**24,3**	**0**	**38,9**	**38,9**
Источник шума: ИШ-4-7, координаты источника (x,y,z), м =[177.91,257.92,11.00]													
Уровни звуковой мощности источника днём, Lw, дБ		**исходные данные**	**0**	**90,3**	**91,7**	**93**	**93,3**	**92,9**	**89,6**	**85,4**	**80,9**		
Поправка на телесный угол DΩ, дБ	Ω = 6.28	10Lg(4π/Ω)	**3**	3	3	3	3	3	3	3	3		
Показатель направленности источника Di, дБ		исходные данные	**0**	0	0	0	0	0	0	0	0		
Поправка на направленность источника Dc, дБ	Dc	DΩ + Di	**3**	3	3	3	3	3	3	3	3		
Затухание из-за геометрической дивергенции, Adiv, дБ	расстояние = 288.35 м	ф-ла (7) [10]	**60,2**										
Коэффициент затухания звука в атмосфере α, дБ/км	Ta=20,°C Pa=101.33,кПа hотн.=70%	ф-ла (5) [9]	0,02	0,09	0,33	1,12	2,79	4,98	9,04	23,09	77,63		
Учет затухания звука в атмосфере Aatm, дБ		ф-ла (8) [10]	0	0	0,1	0,3	0,8	1,4	2,6	6,7	22,4		
Снижение уровня звукового давления из-за влияния застройки между источником шума и расчетной точкой													
Снижение уровня звукового давления на пути над экраном, Dz1, дБ	z = 0.24м (разность путей)	ф-лы (14-18) [10]	5	5,2	5,6	6,4	7,5	9,2	11,3	13,8	16,6		
Снижение уровня звукового давления на пути слева от экрана, Dz2, дБ	z = 95.72м (разность путей)	ф-лы (14-18) [10]	25,9	29,8	34,2	38,5	42,1	45,2	48,3	51,3	54,3		
Снижение уровня звукового давления на пути справа от экрана, Dz3, дБ	z = 0.41м (разность путей)	ф-лы (14-18) [10]	6,6	7,8	9,6	11,8	14,4	17,1	20	22,9	25,9		
Общее снижение уровня звука препятствием Dz, дБ		Эн.сумма(-Dzi)	2,7	3,3	4,2	5,3	6,7	8,5	10,8	13,3	16,1		
Уровни звукового давления прямого звука от источника ИШ-4-7 в расчётной точке днём, дБ		**ф-ла(3)[10]**	**0**	**29,8**	**30,2**	**30,2**	**28,6**	**25,7**	**19**	**8,2**	**0**	**30**	**30**
Расчёт отражённого звука													

1		2	3	4	5	6	7	8	9	10	11	12	13
Уровни звукового давления от мнимого источника ИШ-4-7_мн.(1) в расчётной точке днём, дБ		**ф-ла(3)[10]**	**0**	**0**	**0**	**0**	**0**	**30,7**	**26,7**	**17,6**	**0**	**32,7**	**32,7**
Уровни звукового давления от мнимого источника ИШ-4-7_мн.(2) в расчётной точке днём, дБ		**ф-ла(3)[10]**	**0**	**0**	**0**	**0**	**0**	**0**	**0**	**0**	**0**	**0**	**0**
Суммарные уровни звукового давления от мнимых источников в расчётной точке днём, дБ		**ф-ла (19) [1]**	**0**	**0**	**0**	**0**	**0**	**30,7**	**26,7**	**17,6**	**0**	**0**	**32,7**
Уровни звукового давления от источника ИШ-4-7 в расчётной точке днём, дБ		**ф-ла(3)[10]**	**0**	**29,8**	**30,2**	**30,2**	**28,6**	**31,9**	**27,4**	**18,1**	**0**	**34,6**	**34,6**
Источник шума: ИШ-4-8, координаты источника (x,y,z), м =[178.24,257.77,13.00]													
Уровни звуковой мощности источника днём, Lw, дБ		**исходные данные**	**0**	**90,3**	**91,7**	**93**	**93,3**	**92,9**	**89,6**	**85,4**	**80,9**		
Поправка на телесный угол DΩ, дБ	Ω = 6.28	10Lg(4π/Ω)	**3**	3	3	3	3	3	3	3	3		
Показатель направленности источника Di, дБ		исходные данные	**0**	0	0	0	0	0	0	0	0		
Поправка на направленность источника Dc, дБ	Dc	DΩ + Di	**3**	3	3	3	3	3	3	3	3		
Затухание из-за геометрической дивергенции, Adiv, дБ	расстояние = 288.09 м	ф-ла (7) [10]	**60,2**										
Коэффициент затухания звука в атмосфере α, дБ/км	Ta=20,°C Pa=101.33,кПа hотн.=70%	ф-ла (5) [9]	0,02	0,09	0,33	1,12	2,79	4,98	9,04	23,09	77,63		
Учет затухания звука в атмосфере Aatm, дБ		ф-ла (8) [10]	0	0	0,1	0,3	0,8	1,4	2,6	6,7	22,4		
Снижение уровня звукового давления из-за влияния застройки между источником шума и расчетной точкой													
Снижение уровня звукового давления на пути над экраном, Dz1, дБ	z = 0.18м (разность путей)	ф-лы (14-18) [10]	4,9	5,1	5,3	5,8	6,7	8	9,8	12,1	14,7		
Снижение уровня звукового давления на пути слева от экрана, Dz2, дБ	z = 95.69м (разность путей)	ф-лы (14-18) [10]	25,9	29,8	34,2	38,5	42,1	45,2	48,3	51,3	54,3		
Снижение уровня звукового давления на пути справа от экрана, Dz3, дБ	z = 0.42м (разность путей)	ф-лы (14-18) [10]	6,6	7,9	9,6	11,9	14,4	17,2	20,1	23	26		

1		2	3	4	5	6	7	8	9	10	11	12	13
Общее снижение уровня звука препятствием Dz, дБ		Эн.сумма(-Dzi)	2,6	3,2	4	4,9	6	7,5	9,5	11,8	14,4		
Уровни звукового давления прямого звука от источника ИШ-4-8 в расчётной точке днём, дБ		**ф-ла(3)[10]**	**0**	**29,9**	**30,5**	**30,6**	**29,3**	**26,8**	**20,3**	**9,8**	**0**	**30,9**	**30,9**
Расчёт отражённого звука													
Уровни звукового давления от мнимого источника ИШ-4-8_мн.(1) в расчётной точке днём, дБ		**ф-ла(3)[10]**	**0**	**0**	**0**	**0**	**0**	**0**	**0**	**0**	**0**	**0**	**0**
Уровни звукового давления от источника ИШ-4-8 в расчётной точке днём, дБ		**ф-ла(3)[10]**	**0**	**29,9**	**30,5**	**30,6**	**29,3**	**26,8**	**20,3**	**9,8**	**0**	**30,9**	**30,9**
Источник шума: ИШ-4-9, координаты источника (x,y,z), м =[178.68,257.63,15.50]													
Уровни звуковой мощности источника днём, Lw, дБ		**исходные данные**	**0**	**90,3**	**91,7**	**93**	**93,3**	**92,9**	**89,6**	**85,4**	**80,9**		
Поправка на телесный угол DΩ, дБ	Ω = 6.28	10Lg(4π/Ω)	**3**	3	3	3	3	3	3	3	3		
Показатель направленности источника Di, дБ		исходные данные	**0**	0	0	0	0	0	0	0	0		
Поправка на направленность источника Dc, дБ	Dc	DΩ + Di	**3**	3	3	3	3	3	3	3	3		
Затухание из-за геометрической дивергенции, Adiv, дБ	расстояние = 287.80 м	ф-ла (7) [10]	**60,2**										
Коэффициент затухания звука в атмосфере α, дБ/км	Ta=20,°C Pa=101.33,кПа hотн.=70%	ф-ла (5) [9]	0,02	0,09	0,33	1,12	2,79	4,98	9,04	23,09	77,63		
Учет затухания звука в атмосфере Aatm, дБ		ф-ла (8) [10]	0	0	0,1	0,3	0,8	1,4	2,6	6,6	22,3		
Снижение уровня звукового давления из-за влияния застройки между источником шума и расчетной точкой													
Снижение уровня звукового давления на пути над экраном, Dz1, дБ	z = 0.13м (разность путей)	ф-лы (14-18) [10]	4,8	4,9	5,1	5,3	5,8	6,6	7,9	9,7	12		
Снижение уровня звукового давления на пути слева от экрана, Dz2, дБ	z = 95.51м (разность путей)	ф-лы (14-18) [10]	25,8	29,5	33,9	38,3	42	45,2	48,3	51,3	54,3		

1		2	3	4	5	6	7	8	9	10	11	12	13
Снижение уровня звукового давления на пути справа от экрана, Dz3, дБ	z = 0.43м (разность путей)	ф-лы (14-18) [10]	6,6	7,9	9,7	11,9	14,5	17,3	20,2	23,1	26,1		
Общее снижение уровня звука препятствием Dz, дБ		Эн.сумма(-Dzi)	2,6	3,1	3,8	4,5	5,2	6,3	7,7	9,5	11,8		
Уровни звукового давления прямого звука от источника ИШ-4-9 в расчётной точке днём, дБ		**ф-ла(3)[10]**	**0**	**29,9**	**30,7**	**31**	**30,1**	**28**	**22,1**	**12**	**0**	**31,9**	**31,9**
Расчёт отражённого звука													
Уровни звукового давления от мнимого источника ИШ-4-9_мн.(1) в расчётной точке днём, дБ		**ф-ла(3)[10]**	**0**	**0**	**0**	**0**	**0**	**0**	**0**	**0**	**0**	**0**	**0**
Уровни звукового давления от источника ИШ-4-9 в расчётной точке днём, дБ		**ф-ла(3)[10]**	**0**	**29,9**	**30,7**	**31**	**30,1**	**28**	**22,1**	**12**	**0**	**31,9**	**31,9**
Источник шума: ИШ-4-10, координаты источника (x,y,z), м =[185.65,255.31,11.00]													
Уровни звуковой мощности источника днём, Lw, дБ		**исходные данные**	**0**	**90,3**	**91,7**	**93**	**93,3**	**92,9**	**89,6**	**85,4**	**80,9**		
Поправка на телесный угол DΩ, дБ	Ω = 6.28	10Lg(4π/Ω)	**3**	3	3	3	3	3	3	3	3		
Показатель направленности источника Di, дБ		исходные данные	**0**	0	0	0	0	0	0	0	0		
Поправка на направленность источника Dc, дБ	Dc	DΩ + Di	**3**	3	3	3	3	3	3	3	3		
Затухание из-за геометрической дивергенции, Adiv, дБ	расстояние = 281.32 м	ф-ла (7) [10]	**60**										
Коэффициент затухания звука в атмосфере α, дБ/км	Ta=20,°C Pa=101.33,кПа hотн.=70%	ф-ла (5) [9]	0,02	0,09	0,33	1,12	2,79	4,98	9,04	23,09	77,63		
Учет затухания звука в атмосфере Aatm, дБ		ф-ла (8) [10]	0	0	0,1	0,3	0,8	1,4	2,5	6,5	21,8		
Снижение уровня звукового давления из-за влияния застройки между источником шума и расчетной точкой													
Снижение уровня звукового давления на пути над экраном, Dz1, дБ	z = 0.24м (разность путей)	ф-лы (14-18) [10]	5	5,3	5,7	6,5	7,7	9,5	11,7	14,2	17		

1		2	3	4	5	6	7	8	9	10	11	12	13
Снижение уровня звукового давления на пути слева от экрана, Dz2, дБ	z = 94.89м (разность путей)	ф-лы (14-18) [10]	25,9	29,7	34,2	38,5	42	45,2	48,2	51,3	54,3		
Снижение уровня звукового давления на пути справа от экрана, Dz3, дБ	z = 0.61м (разность путей)	ф-лы (14-18) [10]	7,2	8,8	10,8	13,2	15,9	18,7	21,7	24,6	27,6		
Общее снижение уровня звука препятствием Dz, дБ		Эн.сумма(-Dzi)	3	3,7	4,5	5,7	7,1	9	11,3	13,9	16,6		
Уровни звукового давления прямого звука от источника ИШ-4-10 в расчётной точке днём, дБ		**ф-ла(3)[10]**	**0**	**29,6**	**30,1**	**30**	**28,4**	**25,5**	**18,8**	**8,1**	**0**	**29,8**	**29,8**
Расчёт отражённого звука													
Уровни звукового давления от мнимого источника ИШ-4-10_мн.(1) в расчётной точке днём, дБ		**ф-ла(3)[10]**	**0**	**0**	**0**	**0**	**0**	**30,5**	**26,4**	**17,2**	**0**	**32,5**	**32,5**
Уровни звукового давления от мнимого источника ИШ-4-10_мн.(2) в расчётной точке днём, дБ		**ф-ла(3)[10]**	**0**	**0**	**0**	**0**	**0**	**0**	**0**	**0**	**0**	**0**	**0**
Суммарные уровни звукового давления от мнимых источников в расчётной точке днём, дБ		**ф-ла (19) [1]**	**0**	**0**	**0**	**0**	**0**	**30,5**	**26,4**	**17,2**	**0**	**0**	**32,5**
Уровни звукового давления от источника ИШ-4-10 в расчётной точке днём, дБ		**ф-ла(3)[10]**	**0**	**29,6**	**30,1**	**30**	**28,4**	**31,7**	**27,1**	**17,7**	**0**	**34,4**	**34,4**
Источник шума: ИШ-4-11, координаты источника (x,y,z), м =[185.89,255.16,13.00]													
Уровни звуковой мощности источника днём, Lw, дБ		**исходные данные**	**0**	**90,3**	**91,7**	**93**	**93,3**	**92,9**	**89,6**	**85,4**	**80,9**		
Поправка на телесный угол DΩ, дБ	Ω = 6.28	10Lg(4π/Ω)	**3**	3	3	3	3	3	3	3	3		
Показатель направленности источника Di, дБ		исходные данные	**0**	0	0	0	0	0	0	0	0		
Поправка на направленность источника Dc, дБ	Dc	DΩ + Di	**3**	3	3	3	3	3	3	3	3		
Затухание из-за геометрической дивергенции, Adiv, дБ	расстояние = 281.13 м	ф-ла (7) [10]	**60**										
Коэффициент затухания звука в атмосфере α, дБ/км	Ta=20,°C Pa=101.33,кПа hотн.=70%	ф-ла (5) [9]	0,02	0,09	0,33	1,12	2,79	4,98	9,04	23,09	77,63		

1		2	3	4	5	6	7	8	9	10	11	12	13
Учет затухания звука в атмосфере Aatm, дБ		ф-ла (8) [10]	0	0	0,1	0,3	0,8	1,4	2,5	6,5	21,8		
Снижение уровня звукового давления из-за влияния застройки между источником шума и расчетной точкой													
Снижение уровня звукового давления на пути над экраном, Dz1, дБ	z = 0.19м (разность путей)	ф-лы (14-18) [10]	4,9	5,1	5,4	5,9	6,9	8,3	10,2	12,5	15,2		
Снижение уровня звукового давления на пути слева от экрана, Dz2, дБ	z = 94.90м (разность путей)	ф-лы (14-18) [10]	25,9	29,7	34,2	38,5	42	45,2	48,2	51,3	54,3		
Снижение уровня звукового давления на пути справа от экрана, Dz3, дБ	z = 0.61м (разность путей)	ф-лы (14-18) [10]	7,2	8,8	10,8	13,2	15,9	18,8	21,7	24,7	27,6		
Общее снижение уровня звука препятствием Dz, дБ		Эн.сумма(-Dzi)	2,9	3,5	4,3	5,2	6,4	7,9	9,9	12,3	14,9		
Уровни звукового давления прямого звука от источника ИШ-4-11 в расчётной точке днём, дБ		**ф-ла(3)[10]**	**0**	**29,7**	**30,3**	**30,5**	**29,2**	**26,6**	**20,2**	**9,7**	**0**	**30,7**	**30,7**
Расчёт отражённого звука													
Уровни звукового давления от мнимого источника ИШ-4-11_мн.(1) в расчётной точке днём, дБ		**ф-ла(3)[10]**	**0**	**0**	**0**	**0**	**0**	**0**	**0**	**0**	**0**	**1,2**	**1,2**
Уровни звукового давления от источника ИШ-4-11 в расчётной точке днём, дБ		**ф-ла(3)[10]**	**0**	**29,7**	**30,3**	**30,5**	**29,2**	**26,6**	**20,2**	**9,7**	**0**	**30,7**	**30,7**
Источник шума: ИШ-4-12, координаты источника (x,y,z), м =[186.18,255.02,15.50]													
Уровни звуковой мощности источника днём, Lw, дБ		**исходные данные**	**0**	**90,3**	**91,7**	**93**	**93,3**	**92,9**	**89,6**	**85,4**	**80,9**		
Поправка на телесный угол DΩ, дБ	Ω = 6.28	10Lg(4π/Ω)	**3**	3	3	3	3	3	3	3	3		
Показатель направленности источника Di, дБ		исходные данные	**0**	0	0	0	0	0	0	0	0		
Поправка на направленность источника Dc, дБ	Dc	DΩ + Di	**3**	3	3	3	3	3	3	3	3		
Затухание из-за геометрической дивергенции, Adiv, дБ	расстояние = 280.95 м	ф-ла (7) [10]	**60**										

1		2	3	4	5	6	7	8	9	10	11	12	13
Коэффициент затухания звука в атмосфере α, дБ/км	Ta=20,°C Pa=101.33,кПа hотн.=70%	ф-ла (5) [9]	0,02	0,09	0,33	1,12	2,79	4,98	9,04	23,09	77,63		
Учет затухания звука в атмосфере Aatm, дБ		ф-ла (8) [10]	0	0	0,1	0,3	0,8	1,4	2,5	6,5	21,8		
Снижение уровня звукового давления из-за влияния застройки между источником шума и расчетной точкой													
Снижение уровня звукового давления на пути над экраном, Dz1, дБ	z = 0.13м (разность путей)	ф-лы (14-18) [10]	4,9	4,9	5,1	5,4	5,9	6,8	8,2	10,1	12,4		
Снижение уровня звукового давления на пути слева от экрана, Dz2, дБ	z = 94.50м (разность путей)	ф-лы (14-18) [10]	25,6	28,9	32,8	37,4	41,6	45	48,2	51,2	54,3		
Снижение уровня звукового давления на пути справа от экрана, Dz3, дБ	z = 0.62м (разность путей)	ф-лы (14-18) [10]	7,2	8,8	10,8	13,3	16	18,8	21,7	24,7	27,7		
Общее снижение уровня звука препятствием Dz, дБ		Эн.сумма(-Dzi)	2,9	3,4	4,1	4,7	5,5	6,6	8	10	12,3		
Уровни звукового давления прямого звука от источника ИШ-4-12 в расчётной точке днём, дБ		**ф-ла(3)[10]**	**0**	**29,9**	**30,6**	**31**	**30**	**28**	**22,1**	**12**	**0**	**31,9**	**31,9**
Расчёт отражённого звука													
Уровни звукового давления от мнимого источника ИШ-4-12_мн.(1) в расчётной точке днём, дБ		**ф-ла(3)[10]**	**0**	**0**	**0**	**0**	**0**	**0**	**1**	**0**	**0**	**2,2**	**2,2**
Уровни звукового давления от источника ИШ-4-12 в расчётной точке днём, дБ		**ф-ла(3)[10]**	**0**	**29,9**	**30,6**	**31**	**30**	**28**	**22,1**	**12**	**0**	**31,9**	**31,9**
Источник шума: ИШ-4-13, координаты источника (x,y,z), м =[94.56,229.10,1.00]													
Уровни звуковой мощности источника днём, Lw, дБ		**исходные данные**	**0**	**81,3**	**82,7**	**84**	**84,3**	**83,9**	**80,6**	**76,4**	**71,9**		
Поправка на телесный угол DΩ, дБ	Ω = 6.28	10Lg(4π/Ω)	**3**	3	3	3	3	3	3	3	3		
Показатель направленности источника Di, дБ		исходные данные	**0**	0	0	0	0	0	0	0	0		
Поправка на направленность источника Dc, дБ	Dc	DΩ + Di	**3**	3	3	3	3	3	3	3	3		

1		2	3	4	5	6	7	8	9	10	11	12	13
Затухание из-за геометрической дивергенции, Adiv, дБ	расстояние = 331.45 м	ф-ла (7) [10]	**61,4**										
Коэффициент затухания звука в атмосфере α, дБ/км	Ta=20,°C Pa=101.33,кПа hотн.=70%	ф-ла (5) [9]	0,02	0,09	0,33	1,12	2,79	4,98	9,04	23,09	77,63		
Учет затухания звука в атмосфере Aatm, дБ		ф-ла (8) [10]	0	0	0,1	0,4	0,9	1,6	3	7,7	25,7		
Снижение уровня звукового давления из-за влияния застройки между источником шума и расчетной точкой													
Снижение уровня звукового давления на пути над экраном, Dz1, дБ	z = 4.87м (разность путей)	ф-лы (14-18) [10]	13,3	17,2	21,5	25,3	28,5	31,6	34,6	37,7	40,7		
Снижение уровня звукового давления на пути слева от экрана, Dz2, дБ	z = 175.47м (разность путей)	ф-лы (14-18) [10]	32,5	35,8	38,9	41,9	44,9	47,9	50,9	53,9	56,9		
Снижение уровня звукового давления на пути справа от экрана, Dz3, дБ	z = 21.88м (разность путей)	ф-лы (14-18) [10]	19,2	22,2	25,1	28,1	31,1	34,1	37,1	40,1	43,1		
Общее снижение уровня звука препятствием Dz, дБ		Эн.сумма(-Dzi)	12,3	16	19,9	23,4	26,6	29,6	32,6	35,6	38,7		
Общее снижение уровня звука препятствием с учётом ограничения (25 дБ) для октавных полос Dz, дБ		Раздел 7.4 [10]	12,3	16	19,9	23,4	25	25	25	25	25		
Уровни звукового давления от источника ИШ-4-13 в расчётной точке днём, дБ		**ф-ла(3)[10]**	**0**	**6,9**	**4,3**	**1,8**	**0**	**0**	**0**	**0**	**0**	**0**	**0**
Источник шума: ИШ-4-14, координаты источника (x,y,z), м =[91.88,221.30,1.00]													
Уровни звуковой мощности источника днём, Lw, дБ		**исходные данные**	**0**	**81,3**	**82,7**	**84**	**84,3**	**83,9**	**80,6**	**76,4**	**71,9**		
Поправка на телесный угол DΩ, дБ	Ω = 6.28	10Lg(4π/Ω)	**3**	3	3	3	3	3	3	3	3		
Показатель направленности источника Di, дБ		исходные данные	**0**	0	0	0	0	0	0	0	0		
Поправка на направленность источника Dc, дБ	Dc	DΩ + Di	**3**	3	3	3	3	3	3	3	3		
Затухание из-за геометрической дивергенции, Adiv, дБ	расстояние = 329.32 м	ф-ла (7) [10]	**61,4**										

1		2	3	4	5	6	7	8	9	10	11	12	13
Коэффициент затухания звука в атмосфере α, дБ/км	Та=20,°С Ра=101.33,кПа hотн.=70%	ф-ла (5) [9]	0,02	0,09	0,33	1,12	2,79	4,98	9,04	23,09	77,63		
Учет затухания звука в атмосфере Aatm, дБ		ф-ла (8) [10]	0	0	0,1	0,4	0,9	1,6	3	7,6	25,6		
Снижение уровня звукового давления из-за влияния застройки между источником шума и расчетной точкой													
Снижение уровня звукового давления на пути над экраном, Dz1, дБ	z = 4.86м (разность путей)	ф-лы (14-18) [10]	13,3	17,2	21,5	25,3	28,5	31,6	34,6	37,7	40,7		
Снижение уровня звукового давления на пути слева от экрана, Dz2, дБ	z = 185.81м (разность путей)	ф-лы (14-18) [10]	32,8	36,1	39,1	42,1	45,2	48,2	51,2	54,2	57,2		
Снижение уровня звукового давления на пути справа от экрана, Dz3, дБ	z = 15.93м (разность путей)	ф-лы (14-18) [10]	17,9	20,8	23,8	26,7	29,7	32,7	35,7	38,7	41,8		
Общее снижение уровня звука препятствием Dz, дБ		Эн.сумма(-Dzi)	12	15,6	19,4	22,9	26	29,1	32,1	35,1	38,1		
Общее снижение уровня звука препятствием с учётом ограничения (25 дБ) для октавных полос Dz, дБ		Раздел 7.4 [10]	12	15,6	19,4	22,9	25	25	25	25	25		
Уровни звукового давления от источника ИШ-4-14 в расчётной точке днём, дБ		**ф-ла(3)[10]**	**0**	**7,3**	**4,8**	**2,4**	**0**	**0**	**0**	**0**	**0**	**0**	**0**
Источник шума: ИШ-5-1, координаты источника (x,y,z), м =[626.70,162.36,1.00]													
Уровни звуковой мощности источника днём, Lw, дБ		**исходные данные**	**0**	**93,3**	**94,7**	**96**	**96,3**	**95,9**	**92,6**	**88,4**	**83,9**		
Поправка на телесный угол DΩ, дБ	Ω = 6.28	10Lg(4π/Ω)	**3**	3	3	3	3	3	3	3	3		
Показатель направленности источника Di, дБ		исходные данные	**0**	0	0	0	0	0	0	0	0		
Поправка на направленность источника Dc, дБ	Dc	DΩ + Di	**3**	3	3	3	3	3	3	3	3		
Затухание из-за геометрической дивергенции, Adiv, дБ	расстояние = 286.61 м	ф-ла (7) [10]	**60,1**										
Коэффициент затухания звука в атмосфере α, дБ/км	Та=20,°С Ра=101.33,кПа hотн.=70%	ф-ла (5) [9]	0,02	0,09	0,33	1,12	2,79	4,98	9,04	23,09	77,63		

1		2	3	4	5	6	7	8	9	10	11	12	13
Учет затухания звука в атмосфере Aatm, дБ		ф-ла (8) [10]	0	0	0,1	0,3	0,8	1,4	2,6	6,6	22,3		
Снижение уровня звукового давления из-за влияния застройки между источником шума и расчетной точкой													
Снижение уровня звукового давления на пути над экраном, Dz1, дБ	z = 6.86м (разность путей)	ф-лы (14-18) [10]	17,7	21,3	24,4	27,5	30,5	33,5	36,5	39,5	42,5		
Снижение уровня звукового давления на пути слева от экрана, Dz2, дБ	z = 28.18м (разность путей)	ф-лы (14-18) [10]	23,8	27,6	30,8	33,9	37	40	43	46	49		
Снижение уровня звукового давления на пути справа от экрана, Dz3, дБ	z = 98.62м (разность путей)	ф-лы (14-18) [10]	25,7	28,7	31,6	34,6	37,6	40,6	43,7	46,7	49,7		
Общее снижение уровня звука препятствием Dz, дБ		Эн.сумма(-Dzi)	16,2	19,8	22,9	26	29	32	35	38	41		
Общее снижение уровня звука препятствием с учётом ограничения (25 дБ) для октавных полос Dz, дБ		Раздел 7.4 [10]	16,2	19,8	22,9	25	25	25	25	25	25		
Уровни звукового давления прямого звука от источника ИШ-5-1 в расчётной точке днём, дБ		**ф-ла(3)[10]**	**0**	**16,3**	**14,5**	**13,5**	**13,3**	**12,3**	**7,9**	**0**	**0**	**16**	**16**
Расчёт отражённого звука													
Уровни звукового давления от мнимого источника ИШ-5-1_мн.(1) в расчётной точке днём, дБ		**ф-ла(3)[10]**	**0**	**0**	**0**	**0**	**0**	**0**	**0**	**0**	**0**	**0**	**0**
Уровни звукового давления от источника ИШ-5-1 в расчётной точке днём, дБ		**ф-ла(3)[10]**	**0**	**16,3**	**14,5**	**13,5**	**13,3**	**12,3**	**7,9**	**0**	**0**	**16**	**16**
Источник шума: ИШ-5-2, координаты источника (x,y,z), м =[625.81,159.52,1.00]													
Уровни звуковой мощности источника днём, Lw, дБ		**исходные данные**	**0**	**93,3**	**94,7**	**96**	**96,3**	**95,9**	**92,6**	**88,4**	**83,9**		
Поправка на телесный угол DΩ, дБ	Ω = 6.28	10Lg(4π/Ω)	**3**	3	3	3	3	3	3	3	3		
Показатель направленности источника Di, дБ		исходные данные	**0**	0	0	0	0	0	0	0	0		
Поправка на направленность источника Dc, дБ	Dc	DΩ + Di	**3**	3	3	3	3	3	3	3	3		
Затухание из-за геометрической дивергенции, Adiv, дБ	расстояние = 284.61 м	ф-ла (7) [10]	**60,1**										

1		2	3	4	5	6	7	8	9	10	11	12	13
Коэффициент затухания звука в атмосфере α, дБ/км	Та=20,°С Ра=101.33,кПа hотн.=70%	ф-ла (5) [9]	0,02	0,09	0,33	1,12	2,79	4,98	9,04	23,09	77,63		
Учет затухания звука в атмосфере Aatm, дБ		ф-ла (8) [10]	0	0	0,1	0,3	0,8	1,4	2,6	6,6	22,1		
Снижение уровня звукового давления из-за влияния застройки между источником шума и расчетной точкой													
Снижение уровня звукового давления на пути над экраном, Dz1, дБ	z = 6.87м (разность путей)	ф-лы (14-18) [10]	17,7	21,3	24,4	27,5	30,5	33,5	36,5	39,5	42,5		
Снижение уровня звукового давления на пути слева от экрана, Dz2, дБ	z = 27.76м (разность путей)	ф-лы (14-18) [10]	23,7	27,5	30,8	33,9	36,9	39,9	42,9	45,9	48,9		
Снижение уровня звукового давления на пути справа от экрана, Dz3, дБ	z = 100.43м (разность путей)	ф-лы (14-18) [10]	25,7	28,7	31,7	34,7	37,7	40,7	43,7	46,7	49,8		
Общее снижение уровня звука препятствием Dz, дБ		Эн.сумма(-Dzi)	16,2	19,8	22,9	26	29	32	35	38	41		
Общее снижение уровня звука препятствием с учётом ограничения (25 дБ) для октавных полос Dz, дБ		Раздел 7.4 [10]	16,2	19,8	22,9	25	25	25	25	25	25		
Уровни звукового давления прямого звука от источника ИШ-5-2 в расчётной точке днём, дБ		**ф-ла(3)[10]**	**0**	**16,4**	**14,6**	**13,6**	**13,4**	**12,4**	**7,9**	**0**	**0**	**16**	**16**
Расчёт отражённого звука													
Уровни звукового давления от мнимого источника ИШ-5-2_мн.(1) в расчётной точке днём, дБ		**ф-ла(3)[10]**	**0**	**0**	**0**	**0**	**0**	**0**	**0**	**0**	**0**	**0**	**0**
Уровни звукового давления от источника ИШ-5-2 в расчётной точке днём, дБ		**ф-ла(3)[10]**	**0**	**16,4**	**14,6**	**13,6**	**13,4**	**12,4**	**7,9**	**0**	**0**	**16**	**16**
Источник шума: ИШ-5-3, координаты источника (x,y,z), м =[624.84,156.69,1.00]													
Уровни звуковой мощности источника днём, Lw, дБ		**исходные данные**	**0**	**93,3**	**94,7**	**96**	**96,3**	**95,9**	**92,6**	**88,4**	**83,9**		
Поправка на телесный угол DΩ, дБ	Ω = 6.28	10Lg(4π/Ω)	**3**	3	3	3	3	3	3	3	3		
Показатель направленности источника Di, дБ		исходные данные	**0**	0	0	0	0	0	0	0	0		

1		2	3	4	5	6	7	8	9	10	11	12	13
Поправка на направленность источника Dc, дБ	Dc	DΩ + Di	**3**	3	3	3	3	3	3	3	3		
Затухание из-за геометрической дивергенции, Adiv, дБ	расстояние = 282.55 м	ф-ла (7) [10]	**60**										
Коэффициент затухания звука в атмосфере α, дБ/км	Ta=20,°C Pa=101.33,кПа hотн.=70%	ф-ла (5) [9]	0,02	0,09	0,33	1,12	2,79	4,98	9,04	23,09	77,63		
Учет затухания звука в атмосфере Aatm, дБ		ф-ла (8) [10]	0	0	0,1	0,3	0,8	1,4	2,6	6,5	21,9		
Снижение уровня звукового давления из-за влияния застройки между источником шума и расчетной точкой													
Снижение уровня звукового давления на пути над экраном, Dz1, дБ	z = 6.89м (разность путей)	ф-лы (14-18) [10]	17,7	21,3	24,5	27,5	30,5	33,5	36,5	39,5	42,5		
Снижение уровня звукового давления на пути слева от экрана, Dz2, дБ	z = 27.34м (разность путей)	ф-лы (14-18) [10]	23,6	27,5	30,7	33,8	36,8	39,8	42,9	45,9	48,9		
Снижение уровня звукового давления на пути справа от экрана, Dz3, дБ	z = 102.25м (разность путей)	ф-лы (14-18) [10]	25,8	28,8	31,8	34,8	37,8	40,8	43,8	46,8	49,8		
Общее снижение уровня звука препятствием Dz, дБ		Эн.сумма(-Dzi)	16,2	19,8	22,9	26	29	32	35	38	41		
Общее снижение уровня звука препятствием с учётом ограничения (25 дБ) для октавных полос Dz, дБ		Раздел 7.4 [10]	16,2	19,8	22,9	25	25	25	25	25	25		
Уровни звукового давления прямого звука от источника ИШ-5-3 в расчётной точке днём, дБ		**ф-ла(3)[10]**	**0**	**16,5**	**14,7**	**13,7**	**13,5**	**12,5**	**8**	**0**	**0**	**16,1**	**16,1**
Расчёт отражённого звука													
Уровни звукового давления от мнимого источника ИШ-5-3_мн.(1) в расчётной точке днём, дБ		**ф-ла(3)[10]**	**0**	**0**	**0**	**0**	**0**	**0**	**0**	**0**	**0**	**0**	**0**
Уровни звукового давления от источника ИШ-5-3 в расчётной точке днём, дБ		**ф-ла(3)[10]**	**0**	**16,5**	**14,7**	**13,7**	**13,5**	**12,5**	**8**	**0**	**0**	**16,1**	**16,1**
Источник шума: ИШ-6-1, координаты источника (x,y,z), м =[836.30,122.24,1.00]													
Уровни звуковой мощности источника днём, Lw, дБ		**исходные данные**	**0**	**96,3**	**97,7**	**99**	**99,3**	**98,9**	**95,6**	**91,4**	**86,9**		

1		2	3	4	5	6	7	8	9	10	11	12	13
Поправка на телесный угол DΩ, дБ	Ω = 12.57	10Lg(4π/Ω)	**0**	0	0	0	0	0	0	0	0		
Показатель направленности источника Di, дБ		исходные данные	**0**	0	0	0	0	0	0	0	0		
Поправка на направленность источника Dc, дБ	Dc	DΩ + Di	**0**	0	0	0	0	0	0	0	0		
Затухание из-за геометрической дивергенции, Adiv, дБ	расстояние = 476.13 м	ф-ла (7) [10]	**64,6**										
Коэффициент затухания звука в атмосфере α, дБ/км	Ta=20,°C Pa=101.33,кПа hотн.=70%	ф-ла (5) [9]	0,02	0,09	0,33	1,12	2,79	4,98	9,04	23,09	77,63		
Учет затухания звука в атмосфере Aatm, дБ		ф-ла (8) [10]	0	0	0,2	0,5	1,3	2,4	4,3	11	37		
Снижение уровня звукового давления из-за влияния застройки между источником шума и расчетной точкой													
Снижение уровня звукового давления на пути над экраном, Dz1, дБ	z = 6.99м (разность путей)	ф-лы (14-18) [10]	17,2	20,9	24,1	27,2	30,2	33,2	36,2	39,2	42,2		
Снижение уровня звукового давления на пути слева от экрана, Dz2, дБ	z = 26.53м (разность путей)	ф-лы (14-18) [10]	22	26,5	30,3	33,6	36,7	39,7	42,7	45,7	48,7		
Снижение уровня звукового давления на пути справа от экрана, Dz3, дБ	z = 122.42м (разность путей)	ф-лы (14-18) [10]	26,6	29,6	32,6	35,6	38,6	41,6	44,6	47,6	50,6		
Общее снижение уровня звука препятствием Dz, дБ		Эн.сумма(-Dzi)	15,6	19,4	22,7	25,8	28,8	31,9	34,9	37,9	40,9		
Общее снижение уровня звука препятствием с учётом ограничения (25 дБ) для октавных полос Dz, дБ		Раздел 7.4 [10]	15,6	19,4	22,7	25	25	25	25	25	25		
Уровни звукового давления от источника ИШ-6-1 в расчётной точке днём, дБ		**ф-ла(3)[10]**	**0**	**12,3**	**10,3**	**8,9**	**8,4**	**7**	**1,7**	**0**	**0**	**10,7**	**10,7**
Источник шума: ИШ-6-2, координаты источника (x,y,z), м =[835.37,119.30,1.00]													
Уровни звуковой мощности источника днём, Lw, дБ		**исходные данные**	**0**	**96,3**	**97,7**	**99**	**99,3**	**98,9**	**95,6**	**91,4**	**86,9**		
Поправка на телесный угол DΩ, дБ	Ω = 12.57	10Lg(4π/Ω)	**0**	0	0	0	0	0	0	0	0		

1		2	3	4	5	6	7	8	9	10	11	12	13
Показатель направленности источника Di, дБ		исходные данные	**0**	0	0	0	0	0	0	0	0		
Поправка на направленность источника Dc, дБ	Dc	DΩ + Di	**0**	0	0	0	0	0	0	0	0		
Затухание из-за геометрической дивергенции, Adiv, дБ	расстояние = 474.71 м	ф-ла (7) [10]	**64,5**										
Коэффициент затухания звука в атмосфере α, дБ/км	Ta=20,°C Pa=101.33,кПа hотн.=70%	ф-ла (5) [9]	0,02	0,09	0,33	1,12	2,79	4,98	9,04	23,09	77,63		
Учет затухания звука в атмосфере Aatm, дБ		ф-ла (8) [10]	0	0	0,2	0,5	1,3	2,4	4,3	11	36,9		
Снижение уровня звукового давления из-за влияния застройки между источником шума и расчетной точкой													
Снижение уровня звукового давления на пути над экраном, Dz1, дБ	z = 6.99м (разность путей)	ф-лы (14-18) [10]	17,2	20,9	24,1	27,2	30,2	33,2	36,2	39,2	42,3		
Снижение уровня звукового давления на пути слева от экрана, Dz2, дБ	z = 26.28м (разность путей)	ф-лы (14-18) [10]	22	26,4	30,3	33,6	36,6	39,7	42,7	45,7	48,7		
Снижение уровня звукового давления на пути справа от экрана, Dz3, дБ	z = 123.54м (разность путей)	ф-лы (14-18) [10]	26,6	29,6	32,6	35,6	38,6	41,6	44,6	47,6	50,7		
Общее снижение уровня звука препятствием Dz, дБ		Эн.сумма(-Dzi)	15,6	19,4	22,7	25,8	28,8	31,9	34,9	37,9	40,9		
Общее снижение уровня звука препятствием с учётом ограничения (25 дБ) для октавных полос Dz, дБ		Раздел 7.4 [10]	15,6	19,4	22,7	25	25	25	25	25	25		
Уровни звукового давления от источника ИШ-6-2 в расчётной точке днём, дБ		**ф-ла(3)[10]**	**0**	**12,3**	**10,3**	**8,9**	**8,4**	**7**	**1,8**	**0**	**0**	**10,7**	**10,7**
Источник шума: ИШ-6-3, координаты источника (x,y,z), м =[834.03,116.36,1.00]													
Уровни звуковой мощности источника днём, Lw, дБ		**исходные данные**	**0**	**96,3**	**97,7**	**99**	**99,3**	**98,9**	**95,6**	**91,4**	**86,9**		
Поправка на телесный угол DΩ, дБ	Ω = 12.57	10Lg(4π/Ω)	**0**	0	0	0	0	0	0	0	0		
Показатель направленности источника Di, дБ		исходные данные	**0**	0	0	0	0	0	0	0	0		

1		2	3	4	5	6	7	8	9	10	11	12	13
Поправка на направленность источника Dc, дБ	Dc	DΩ + Di	**0**	0	0	0	0	0	0	0	0		
Затухание из-за геометрической дивергенции, Adiv, дБ	расстояние = 472.92 м	ф-ла (7) [10]	**64,5**										
Коэффициент затухания звука в атмосфере α, дБ/км	Ta=20,°C Pa=101.33,кПа hотн.=70%	ф-ла (5) [9]	0,02	0,09	0,33	1,12	2,79	4,98	9,04	23,09	77,63		
Учет затухания звука в атмосфере Aatm, дБ		ф-ла (8) [10]	0	0	0,2	0,5	1,3	2,4	4,3	10,9	36,7		
Снижение уровня звукового давления из-за влияния застройки между источником шума и расчетной точкой													
Снижение уровня звукового давления на пути над экраном, Dz1, дБ	z = 7.00м (разность путей)	ф-лы (14-18) [10]	17,2	20,9	24,1	27,2	30,2	33,2	36,2	39,2	42,3		
Снижение уровня звукового давления на пути слева от экрана, Dz2, дБ	z = 26.03м (разность путей)	ф-лы (14-18) [10]	21,9	26,4	30,2	33,5	36,6	39,6	42,6	45,7	48,7		
Снижение уровня звукового давления на пути справа от экрана, Dz3, дБ	z = 124.68м (разность путей)	ф-лы (14-18) [10]	26,7	29,7	32,6	35,6	38,7	41,7	44,7	47,7	50,7		
Общее снижение уровня звука препятствием Dz, дБ		Эн.сумма(-Dzi)	15,6	19,4	22,7	25,8	28,8	31,9	34,9	37,9	40,9		
Общее снижение уровня звука препятствием с учётом ограничения (25 дБ) для октавных полос Dz, дБ		Раздел 7.4 [10]	15,6	19,4	22,7	25	25	25	25	25	25		
Уровни звукового давления от источника ИШ-6-3 в расчётной точке днём, дБ		**ф-ла(3)[10]**	**0**	**12,3**	**10,3**	**9**	**8,5**	**7**	**1,8**	**0**	**0**	**10,7**	**10,7**
Источник шума: ИШ-6-4, координаты источника (x,y,z), м =[833.23,113.30,1.00]													
Уровни звуковой мощности источника днём, Lw, дБ		**исходные данные**	**0**	**96,3**	**97,7**	**99**	**99,3**	**98,9**	**95,6**	**91,4**	**86,9**		
Поправка на телесный угол DΩ, дБ	Ω = 12.57	10Lg(4π/Ω)	**0**	0	0	0	0	0	0	0	0		
Показатель направленности источника Di, дБ		исходные данные	**0**	0	0	0	0	0	0	0	0		
Поправка на направленность источника Dc, дБ	Dc	DΩ + Di	**0**	0	0	0	0	0	0	0	0		

1		2	3	4	5	6	7	8	9	10	11	12	13
Затухание из-за геометрической дивергенции, Adiv, дБ	расстояние = 471.64 м	ф-ла (7) [10]	**64,5**										
Коэффициент затухания звука в атмосфере α, дБ/км	Ta=20,°C Pa=101.33,кПа hотн.=70%	ф-ла (5) [9]	0,02	0,09	0,33	1,12	2,79	4,98	9,04	23,09	77,63		
Учет затухания звука в атмосфере Aatm, дБ		ф-ла (8) [10]	0	0	0,2	0,5	1,3	2,3	4,3	10,9	36,6		
Снижение уровня звукового давления из-за влияния застройки между источником шума и расчетной точкой													
Снижение уровня звукового давления на пути над экраном, Dz1, дБ	z = 7.00м (разность путей)	ф-лы (14-18) [10]	17,2	20,9	24,1	27,2	30,2	33,2	36,2	39,3	42,3		
Снижение уровня звукового давления на пути слева от экрана, Dz2, дБ	z = 25.76м (разность путей)	ф-лы (14-18) [10]	21,9	26,4	30,2	33,5	36,6	39,6	42,6	45,6	48,6		
Снижение уровня звукового давления на пути справа от экрана, Dz3, дБ	z = 125.87м (разность путей)	ф-лы (14-18) [10]	26,7	29,7	32,7	35,7	38,7	41,7	44,7	47,7	50,7		
Общее снижение уровня звука препятствием Dz, дБ		Эн.сумма(-Dzi)	15,6	19,4	22,7	25,8	28,8	31,9	34,9	37,9	40,9		
Общее снижение уровня звука препятствием с учётом ограничения (25 дБ) для октавных полос Dz, дБ		Раздел 7.4 [10]	15,6	19,4	22,7	25	25	25	25	25	25		
Уровни звукового давления от источника ИШ-6-4 в расчётной точке днём, дБ		**ф-ла(3)[10]**	**0**	**12,4**	**10,4**	**9**	**8,5**	**7,1**	**1,9**	**0**	**0**	**10,8**	**10,8**
Источник шума: ИШ-6-5, координаты источника (x,y,z), м =[832.03,110.36,1.00]													
Уровни звуковой мощности источника днём, Lw, дБ		**исходные данные**	**0**	**96,3**	**97,7**	**99**	**99,3**	**98,9**	**95,6**	**91,4**	**86,9**		
Поправка на телесный угол DΩ, дБ	Ω = 12.57	10Lg(4π/Ω)	**0**	0	0	0	0	0	0	0	0		
Показатель направленности источника Di, дБ		исходные данные	**0**	0	0	0	0	0	0	0	0		
Поправка на направленность источника Dc, дБ	Dc	DΩ + Di	**0**	0	0	0	0	0	0	0	0		
Затухание из-за геометрической дивергенции, Adiv, дБ	расстояние = 470.01 м	ф-ла (7) [10]	**64,4**										

1		2	3	4	5	6	7	8	9	10	11	12	13
Коэффициент затухания звука в атмосфере α, дБ/км	Ta=20,°C Pa=101.33,кПа hотн.=70%	ф-ла (5) [9]	0,02	0,09	0,33	1,12	2,79	4,98	9,04	23,09	77,63		
Учет затухания звука в атмосфере Aatm, дБ		ф-ла (8) [10]	0	0	0,2	0,5	1,3	2,3	4,2	10,9	36,5		
Снижение уровня звукового давления из-за влияния застройки между источником шума и расчетной точкой													
Снижение уровня звукового давления на пути над экраном, Dz1, дБ	z = 7.01м (разность путей)	ф-лы (14-18) [10]	17,2	20,9	24,1	27,2	30,2	33,2	36,2	39,3	42,3		
Снижение уровня звукового давления на пути слева от экрана, Dz2, дБ	z = 25.52м (разность путей)	ф-лы (14-18) [10]	21,9	26,3	30,1	33,4	36,5	39,5	42,6	45,6	48,6		
Снижение уровня звукового давления на пути справа от экрана, Dz3, дБ	z = 127.02м (разность путей)	ф-лы (14-18) [10]	26,8	29,8	32,7	35,7	38,7	41,7	44,8	47,8	50,8		
Общее снижение уровня звука препятствием Dz, дБ		Эн.сумма(-Dzi)	15,6	19,4	22,7	25,8	28,8	31,9	34,9	37,9	40,9		
Общее снижение уровня звука препятствием с учётом ограничения (25 дБ) для октавных полос Dz, дБ		Раздел 7.4 [10]	15,6	19,4	22,7	25	25	25	25	25	25		
Уровни звукового давления от источника ИШ-6-5 в расчётной точке днём, дБ		**ф-ла(3)[10]**	**0**	**12,4**	**10,4**	**9**	**8,5**	**7,1**	**1,9**	**0**	**0**	**10,8**	**10,8**
Источник шума: ИШ-6-6, координаты источника (x,y,z), м =[830.97,107.42,1.00]													
Уровни звуковой мощности источника днём, Lw, дБ		**исходные данные**	**0**	**96,3**	**97,7**	**99**	**99,3**	**98,9**	**95,6**	**91,4**	**86,9**		
Поправка на телесный угол DΩ, дБ	Ω = 12.57	10Lg(4π/Ω)	**0**	0	0	0	0	0	0	0	0		
Показатель направленности источника Di, дБ		исходные данные	**0**	0	0	0	0	0	0	0	0		
Поправка на направленность источника Dc, дБ	Dc	DΩ + Di	**0**	0	0	0	0	0	0	0	0		
Затухание из-за геометрической дивергенции, Adiv, дБ	расстояние = 468.53 м	ф-ла (7) [10]	**64,4**										
Коэффициент затухания звука в атмосфере α, дБ/км	Ta=20,°C Pa=101.33,кПа hотн.=70%	ф-ла (5) [9]	0,02	0,09	0,33	1,12	2,79	4,98	9,04	23,09	77,63		

1		2	3	4	5	6	7	8	9	10	11	12	13
Учет затухания звука в атмосфере Aatm, дБ		ф-ла (8) [10]	0	0	0,2	0,5	1,3	2,3	4,2	10,8	36,4		
Снижение уровня звукового давления из-за влияния застройки между источником шума и расчетной точкой													
Снижение уровня звукового давления на пути над экраном, Dz1, дБ	z = 7.01м (разность путей)	ф-лы (14-18) [10]	17,2	20,9	24,1	27,2	30,2	33,2	36,3	39,3	42,3		
Снижение уровня звукового давления на пути слева от экрана, Dz2, дБ	z = 25.27м (разность путей)	ф-лы (14-18) [10]	21,8	26,3	30,1	33,4	36,5	39,5	42,5	45,5	48,5		
Снижение уровня звукового давления на пути справа от экрана, Dz3, дБ	z = 128.17м (разность путей)	ф-лы (14-18) [10]	26,8	29,8	32,8	35,8	38,8	41,8	44,8	47,8	50,8		
Общее снижение уровня звука препятствием Dz, дБ		Эн.сумма(-Dzi)	15,6	19,4	22,7	25,8	28,8	31,9	34,9	37,9	40,9		
Общее снижение уровня звука препятствием с учётом ограничения (25 дБ) для октавных полос Dz, дБ		Раздел 7.4 [10]	15,6	19,4	22,7	25	25	25	25	25	25		
Уровни звукового давления от источника ИШ-6-6 в расчётной точке днём, дБ		**ф-ла(3)[10]**	**0**	**12,4**	**10,4**	**9,1**	**8,6**	**7,1**	**1,9**	**0**	**0**	**10,8**	**10,8**
Источник шума: ИШ-6-7, координаты источника (x,y,z), м =[830.30,104.49,1.00]													
Уровни звуковой мощности источника днём, Lw, дБ		**исходные данные**	**0**	**96,3**	**97,7**	**99**	**99,3**	**98,9**	**95,6**	**91,4**	**86,9**		
Поправка на телесный угол DΩ, дБ	Ω = 12.57	10Lg(4π/Ω)	**0**	0	0	0	0	0	0	0	0		
Показатель направленности источника Di, дБ		исходные данные	**0**	0	0	0	0	0	0	0	0		
Поправка на направленность источника Dc, дБ	Dc	DΩ + Di	**0**	0	0	0	0	0	0	0	0		
Затухание из-за геометрической дивергенции, Adiv, дБ	расстояние = 467.46 м	ф-ла (7) [10]	**64,4**										
Коэффициент затухания звука в атмосфере α, дБ/км	Ta=20,°C Pa=101.33,кПа hотн.=70%	ф-ла (5) [9]	0,02	0,09	0,33	1,12	2,79	4,98	9,04	23,09	77,63		
Учет затухания звука в атмосфере Aatm, дБ		ф-ла (8) [10]	0	0	0,2	0,5	1,3	2,3	4,2	10,8	36,3		

1		2	3	4	5	6	7	8	9	10	11	12	13
Снижение уровня звукового давления из-за влияния застройки между источником шума и расчетной точкой													
Снижение уровня звукового давления на пути над экраном, Dz1, дБ	z = 7.02м (разность путей)	ф-лы (14-18) [10]	17,2	20,9	24,2	27,2	30,2	33,3	36,3	39,3	42,3		
Снижение уровня звукового давления на пути слева от экрана, Dz2, дБ	z = 25.01м (разность путей)	ф-лы (14-18) [10]	21,8	26,2	30	33,3	36,4	39,5	42,5	45,5	48,5		
Снижение уровня звукового давления на пути справа от экрана, Dz3, дБ	z = 129.32м (разность путей)	ф-лы (14-18) [10]	26,8	29,8	32,8	35,8	38,8	41,8	44,8	47,8	50,9		
Общее снижение уровня звука препятствием Dz, дБ		Эн.сумма(-Dzi)	15,5	19,4	22,7	25,8	28,8	31,9	34,9	37,9	40,9		
Общее снижение уровня звука препятствием с учётом ограничения (25 дБ) для октавных полос Dz, дБ		Раздел 7.4 [10]	15,5	19,4	22,7	25	25	25	25	25	25		
Уровни звукового давления от источника ИШ-6-7 в расчётной точке днём, дБ		**ф-ла(3)[10]**	**0**	**12,5**	**10,4**	**9,1**	**8,6**	**7,2**	**2**	**0**	**0**	**10,9**	**10,9**
Источник шума: ИШ-6-8, координаты источника (x,y,z), м =[829.36,101.42,1.00]													
Уровни звуковой мощности источника днём, Lw, дБ		**исходные данные**	**0**	**96,3**	**97,7**	**99**	**99,3**	**98,9**	**95,6**	**91,4**	**86,9**		
Поправка на телесный угол DΩ, дБ	Ω = 12.57	10Lg(4π/Ω)	**0**	0	0	0	0	0	0	0	0		
Показатель направленности источника Di, дБ		исходные данные	**0**	0	0	0	0	0	0	0	0		
Поправка на направленность источника Dc, дБ	Dc	DΩ + Di	**0**	0	0	0	0	0	0	0	0		
Затухание из-за геометрической дивергенции, Adiv, дБ	расстояние = 466.12 м	ф-ла (7) [10]	**64,4**										
Коэффициент затухания звука в атмосфере α, дБ/км	Ta=20,°C Pa=101.33,кПа hотн.=70%	ф-ла (5) [9]	0,02	0,09	0,33	1,12	2,79	4,98	9,04	23,09	77,63		
Учет затухания звука в атмосфере Aatm, дБ		ф-ла (8) [10]	0	0	0,2	0,5	1,3	2,3	4,2	10,8	36,2		
Снижение уровня звукового давления из-за влияния застройки между источником шума и расчетной точкой													

1		2	3	4	5	6	7	8	9	10	11	12	13
Снижение уровня звукового давления на пути над экраном, Dz1, дБ	z = 7.02м (разность путей)	ф-лы (14-18) [10]	17,2	20,9	24,2	27,2	30,2	33,3	36,3	39,3	42,3		
Снижение уровня звукового давления на пути слева от экрана, Dz2, дБ	z = 24.74м (разность путей)	ф-лы (14-18) [10]	21,7	26,2	30	33,3	36,4	39,4	42,4	45,4	48,4		
Снижение уровня звукового давления на пути справа от экрана, Dz3, дБ	z = 130.54м (разность путей)	ф-лы (14-18) [10]	26,9	29,9	32,8	35,8	38,9	41,9	44,9	47,9	50,9		
Общее снижение уровня звука препятствием Dz, дБ		Эн.сумма(-Dzi)	15,5	19,4	22,7	25,8	28,8	31,9	34,9	37,9	40,9		
Общее снижение уровня звука препятствием с учётом ограничения (25 дБ) для октавных полос Dz, дБ		Раздел 7.4 [10]	15,5	19,4	22,7	25	25	25	25	25	25		
Уровни звукового давления от источника ИШ-6-8 в расчётной точке днём, дБ		**ф-ла(3)[10]**	**0**	**12,5**	**10,5**	**9,1**	**8,6**	**7,2**	**2**	**0**	**0**	**10,9**	**10,9**
Источник шума: ИШ-6-9, координаты источника (x,y,z), м =[828.03,98.62,1.00]													
Уровни звуковой мощности источника днём, Lw, дБ		**исходные данные**	**0**	**96,3**	**97,7**	**99**	**99,3**	**98,9**	**95,6**	**91,4**	**86,9**		
Поправка на телесный угол DΩ, дБ	Ω = 12.57	10Lg(4π/Ω)	**0**	0	0	0	0	0	0	0	0		
Показатель направленности источника Di, дБ		исходные данные	**0**	0	0	0	0	0	0	0	0		
Поправка на направленность источника Dc, дБ	Dc	DΩ + Di	**0**	0	0	0	0	0	0	0	0		
Затухание из-за геометрической дивергенции, Adiv, дБ	расстояние = 464.44 м	ф-ла (7) [10]	**64,3**										
Коэффициент затухания звука в атмосфере α, дБ/км	Ta=20,°C Pa=101.33,кПа hотн.=70%	ф-ла (5) [9]	0,02	0,09	0,33	1,12	2,79	4,98	9,04	23,09	77,63		
Учет затухания звука в атмосфере Aatm, дБ		ф-ла (8) [10]	0	0	0,2	0,5	1,3	2,3	4,2	10,7	36,1		
Снижение уровня звукового давления из-за влияния застройки между источником шума и расчетной точкой													
Снижение уровня звукового давления на пути над экраном, Dz1, дБ	z = 7.02м (разность путей)	ф-лы (14-18) [10]	17,2	20,9	24,2	27,2	30,3	33,3	36,3	39,3	42,3		

1		2	3	4	5	6	7	8	9	10	11	12	13
Снижение уровня звукового давления на пути слева от экрана, Dz2, дБ	z = 24.51м (разность путей)	ф-лы (14-18) [10]	21,7	26,1	30	33,2	36,3	39,4	42,4	45,4	48,4		
Снижение уровня звукового давления на пути справа от экрана, Dz3, дБ	z = 131.67м (разность путей)	ф-лы (14-18) [10]	31,2	34,6	37,6	40,6	43,7	46,7	49,7	52,7	55,7		
Общее снижение уровня звука препятствием Dz, дБ		Эн.сумма(-Dzi)	15,7	19,6	23	26,1	29,1	32,2	35,2	38,2	41,2		
Общее снижение уровня звука препятствием с учётом ограничения (25 дБ) для октавных полос Dz, дБ		Раздел 7.4 [10]	15,7	19,6	23	25	25	25	25	25	25		
Уровни звукового давления от источника ИШ-6-9 в расчётной точке днём, дБ		**ф-ла(3)[10]**	**0**	**12,3**	**10,2**	**9,1**	**8,7**	**7,2**	**2,1**	**0**	**0**	**10,9**	**10,9**
Источник шума: ИШ-6-10, координаты источника (x,y,z), м =[827.23,95.55,1.00]													
Уровни звуковой мощности источника днём, Lw, дБ		**исходные данные**	**0**	**96,3**	**97,7**	**99**	**99,3**	**98,9**	**95,6**	**91,4**	**86,9**		
Поправка на телесный угол DΩ, дБ	Ω = 12.57	10Lg(4π/Ω)	**0**	0	0	0	0	0	0	0	0		
Показатель направленности источника Di, дБ		исходные данные	**0**	0	0	0	0	0	0	0	0		
Поправка на направленность источника Dc, дБ	Dc	DΩ + Di	**0**	0	0	0	0	0	0	0	0		
Затухание из-за геометрической дивергенции, Adiv, дБ	расстояние = 463.27 м	ф-ла (7) [10]	**64,3**										
Коэффициент затухания звука в атмосфере α, дБ/км	Ta=20,°C Pa=101.33,кПа hотн.=70%	ф-ла (5) [9]	0,02	0,09	0,33	1,12	2,79	4,98	9,04	23,09	77,63		
Учет затухания звука в атмосфере Aatm, дБ		ф-ла (8) [10]	0	0	0,2	0,5	1,3	2,3	4,2	10,7	36		
Снижение уровня звукового давления из-за влияния застройки между источником шума и расчетной точкой													
Снижение уровня звукового давления на пути над экраном, Dz1, дБ	z = 7.03м (разность путей)	ф-лы (14-18) [10]	17,2	20,9	24,2	27,2	30,3	33,3	36,3	39,3	42,3		
Снижение уровня звукового давления на пути слева от экрана, Dz2, дБ	z = 24.25м (разность путей)	ф-лы (14-18) [10]	21,6	26,1	29,9	33,2	36,3	39,3	42,3	45,3	48,4		

1		2	3	4	5	6	7	8	9	10	11	12	13
Снижение уровня звукового давления на пути справа от экрана, Dz3, дБ	z = 132.92м (разность путей)	ф-лы (14-18) [10]	31,3	34,6	37,7	40,7	43,7	46,7	49,7	52,7	55,7		
Общее снижение уровня звука препятствием Dz, дБ		Эн.сумма(-Dzi)	15,7	19,6	23	26,1	29,1	32,1	35,2	38,2	41,2		
Общее снижение уровня звука препятствием с учётом ограничения (25 дБ) для октавных полос Dz, дБ		Раздел 7.4 [10]	15,7	19,6	23	25	25	25	25	25	25		
Уровни звукового давления от источника ИШ-6-10 в расчётной точке днём, дБ		**ф-ла(3)[10]**	**0**	**12,3**	**10,2**	**9,2**	**8,7**	**7,3**	**2,1**	**0**	**0**	**10,9**	**10,9**
Источник шума: ИШ-6-11, координаты источника (x,y,z), м =[826.30,92.48,1.00]													
Уровни звуковой мощности источника днём, Lw, дБ		**исходные данные**	**0**	**96,3**	**97,7**	**99**	**99,3**	**98,9**	**95,6**	**91,4**	**86,9**		
Поправка на телесный угол DΩ, дБ	Ω = 12.57	10Lg(4π/Ω)	**0**	0	0	0	0	0	0	0	0		
Показатель направленности источника Di, дБ		исходные данные	**0**	0	0	0	0	0	0	0	0		
Поправка на направленность источника Dc, дБ	Dc	DΩ + Di	**0**	0	0	0	0	0	0	0	0		
Затухание из-за геометрической дивергенции, Adiv, дБ	расстояние = 461.99 м	ф-ла (7) [10]	**64,3**										
Коэффициент затухания звука в атмосфере α, дБ/км	Ta=20,°C Pa=101.33,кПа hотн.=70%	ф-ла (5) [9]	0,02	0,09	0,33	1,12	2,79	4,98	9,04	23,09	77,63		
Учет затухания звука в атмосфере Aatm, дБ		ф-ла (8) [10]	0	0	0,2	0,5	1,3	2,3	4,2	10,7	35,9		
Снижение уровня звукового давления из-за влияния застройки между источником шума и расчетной точкой													
Снижение уровня звукового давления на пути над экраном, Dz1, дБ	z = 7.03м (разность путей)	ф-лы (14-18) [10]	17,2	20,9	24,2	27,2	30,3	33,3	36,3	39,3	42,3		
Снижение уровня звукового давления на пути слева от экрана, Dz2, дБ	z = 23.98м (разность путей)	ф-лы (14-18) [10]	21,6	26,1	29,9	33,2	36,2	39,3	42,3	45,3	48,3		
Снижение уровня звукового давления на пути справа от экрана, Dz3, дБ	z = 134.21м (разность путей)	ф-лы (14-18) [10]	31,3	34,6	37,7	40,7	43,7	46,8	49,8	52,8	55,8		

1		2	3	4	5	6	7	8	9	10	11	12	13
Общее снижение уровня звука препятствием Dz, дБ		Эн.сумма(-Dzi)	15,7	19,6	23	26,1	29,1	32,1	35,2	38,2	41,2		
Общее снижение уровня звука препятствием с учётом ограничения (25 дБ) для октавных полос Dz, дБ		Раздел 7.4 [10]	15,7	19,6	23	25	25	25	25	25	25		
Уровни звукового давления от источника ИШ-6-11 в расчётной точке днём, дБ		**ф-ла(3)[10]**	**0**	**12,3**	**10,3**	**9,2**	**8,7**	**7,3**	**2,1**	**0**	**0**	**11**	**11**
Источник шума: ИШ-6-12, координаты источника (x,y,z), м =[825.09,89.54,1.00]													
Уровни звуковой мощности источника днём, Lw, дБ		**исходные данные**	**0**	**96,3**	**97,7**	**99**	**99,3**	**98,9**	**95,6**	**91,4**	**86,9**		
Поправка на телесный угол DΩ, дБ	Ω = 12.57	10Lg(4π/Ω)	**0**	0	0	0	0	0	0	0	0		
Показатель направленности источника Di, дБ		исходные данные	**0**	0	0	0	0	0	0	0	0		
Поправка на направленность источника Dc, дБ	Dc	DΩ + Di	**0**	0	0	0	0	0	0	0	0		
Затухание из-за геометрической дивергенции, Adiv, дБ	расстояние = 460.48 м	ф-ла (7) [10]	**64,3**										
Коэффициент затухания звука в атмосфере α, дБ/км	Ta=20,°C Pa=101.33,кПа hотн.=70%	ф-ла (5) [9]	0,02	0,09	0,33	1,12	2,79	4,98	9,04	23,09	77,63		
Учет затухания звука в атмосфере Aatm, дБ		ф-ла (8) [10]	0	0	0,2	0,5	1,3	2,3	4,2	10,6	35,7		
Снижение уровня звукового давления из-за влияния застройки между источником шума и расчетной точкой													
Снижение уровня звукового давления на пути над экраном, Dz1, дБ	z = 7.04м (разность путей)	ф-лы (14-18) [10]	17,2	20,9	24,2	27,2	30,3	33,3	36,3	39,3	42,3		
Снижение уровня звукового давления на пути слева от экрана, Dz2, дБ	z = 23.73м (разность путей)	ф-лы (14-18) [10]	21,5	26	29,8	33,1	36,2	39,2	42,2	45,3	48,3		
Снижение уровня звукового давления на пути справа от экрана, Dz3, дБ	z = 135.49м (разность путей)	ф-лы (14-18) [10]	31,4	34,7	37,7	40,8	43,8	46,8	49,8	52,8	55,8		
Общее снижение уровня звука препятствием Dz, дБ		Эн.сумма(-Dzi)	15,7	19,6	23	26,1	29,1	32,1	35,2	38,2	41,2		

1		2	3	4	5	6	7	8	9	10	11	12	13
Общее снижение уровня звука препятствием с учётом ограничения (25 дБ) для октавных полос Dz, дБ		Раздел 7.4 [10]	15,7	19,6	23	25	25	25	25	25	25		
Уровни звукового давления от источника ИШ-6-12 в расчётной точке днём, дБ		**ф-ла(3)[10]**	**0**	**12,4**	**10,3**	**9,2**	**8,7**	**7,3**	**2,2**	**0**	**0**	**11**	**11**
Источник шума: ИШ-6-13, координаты источника (x,y,z), м =[767.76,-114.15,1.00]													
Уровни звуковой мощности источника днём, Lw, дБ		**исходные данные**	**0**	**96,3**	**97,7**	**99**	**99,3**	**98,9**	**95,6**	**91,4**	**86,9**		
Поправка на телесный угол DΩ, дБ	Ω = 12.57	10Lg(4π/Ω)	**0**	0	0	0	0	0	0	0	0		
Показатель направленности источника Di, дБ		исходные данные	**0**	0	0	0	0	0	0	0	0		
Поправка на направленность источника Dc, дБ	Dc	DΩ + Di	**0**	0	0	0	0	0	0	0	0		
Затухание из-за геометрической дивергенции, Adiv, дБ	расстояние = 429.41 м	ф-ла (7) [10]	**63,7**										
Коэффициент затухания звука в атмосфере α, дБ/км	Ta=20,°C Pa=101.33,кПа hотн.=70%	ф-ла (5) [9]	0,02	0,09	0,33	1,12	2,79	4,98	9,04	23,09	77,63		
Учет затухания звука в атмосфере Aatm, дБ		ф-ла (8) [10]	0	0	0,1	0,5	1,2	2,1	3,9	9,9	33,3		
Снижение уровня звукового давления из-за влияния застройки между источником шума и расчетной точкой													
Снижение уровня звукового давления на пути над экраном, Dz1, дБ	z = 7.18м (разность путей)	ф-лы (14-18) [10]	18,3	21,5	24,5	27,5	30,6	33,6	36,6	39,6	42,6		
Снижение уровня звукового давления на пути слева от экрана, Dz2, дБ	z = 13.09м (разность путей)	ф-лы (14-18) [10]	21,3	24,6	27,6	30,6	33,6	36,6	39,7	42,7	45,7		
Снижение уровня звукового давления на пути справа от экрана, Dz3, дБ	z = 11.63м (разность путей)	ф-лы (14-18) [10]	20,8	24,1	27,1	30,1	33,1	36,1	39,1	42,2	45,2		
Общее снижение уровня звука препятствием Dz, дБ		Эн.сумма(-Dzi)	15,2	18,4	21,4	24,4	27,4	30,5	33,5	36,5	39,5		
Общее снижение уровня звука препятствием с учётом ограничения (25 дБ) для октавных полос Dz, дБ		Раздел 7.4 [10]	15,2	18,4	21,4	24,4	25	25	25	25	25		

1		2	3	4	5	6	7	8	9	10	11	12	13
Уровни звукового давления от источника ИШ-6-13 в расчётной точке днём, дБ		**ф-ла(3)[10]**	**0**	**14,2**	**12,5**	**10,4**	**9,4**	**8,1**	**3,1**	**0**	**0**	**11,9**	**11,9**
Источник шума: ИШ-6-14, координаты источника (x,y,z), м =[766.82,-117.10,1.00]													
Уровни звуковой мощности источника днём, Lw, дБ		**исходные данные**	**0**	**96,3**	**97,7**	**99**	**99,3**	**98,9**	**95,6**	**91,4**	**86,9**		
Поправка на телесный угол DΩ, дБ	Ω = 12.57	10Lg(4π/Ω)	**0**	0	0	0	0	0	0	0	0		
Показатель направленности источника Di, дБ		исходные данные	**0**	0	0	0	0	0	0	0	0		
Поправка на направленность источника Dc, дБ	Dc	DΩ + Di	**0**	0	0	0	0	0	0	0	0		
Затухание из-за геометрической дивергенции, Adiv, дБ	расстояние = 429.60 м	ф-ла (7) [10]	**63,7**										
Коэффициент затухания звука в атмосфере α, дБ/км	Ta=20,°C Pa=101.33,кПа hотн.=70%	ф-ла (5) [9]	0,02	0,09	0,33	1,12	2,79	4,98	9,04	23,09	77,63		
Учет затухания звука в атмосфере Aatm, дБ		ф-ла (8) [10]	0	0	0,1	0,5	1,2	2,1	3,9	9,9	33,4		
Снижение уровня звукового давления из-за влияния застройки между источником шума и расчетной точкой													
Снижение уровня звукового давления на пути над экраном, Dz1, дБ	z = 7.18м (разность путей)	ф-лы (14-18) [10]	18,3	21,5	24,5	27,5	30,6	33,6	36,6	39,6	42,6		
Снижение уровня звукового давления на пути слева от экрана, Dz2, дБ	z = 12.66м (разность путей)	ф-лы (14-18) [10]	21,2	24,4	27,5	30,5	33,5	36,5	39,5	42,5	45,5		
Снижение уровня звукового давления на пути справа от экрана, Dz3, дБ	z = 11.90м (разность путей)	ф-лы (14-18) [10]	20,9	24,2	27,2	30,2	33,2	36,2	39,2	42,3	45,3		
Общее снижение уровня звука препятствием Dz, дБ		Эн.сумма(-Dzi)	15,2	18,4	21,4	24,4	27,4	30,4	33,5	36,5	39,5		
Общее снижение уровня звука препятствием с учётом ограничения (25 дБ) для октавных полос Dz, дБ		Раздел 7.4 [10]	15,2	18,4	21,4	24,4	25	25	25	25	25		
Уровни звукового давления от источника ИШ-6-14 в расчётной точке днём, дБ		**ф-ла(3)[10]**	**0**	**14,2**	**12,5**	**10,4**	**9,4**	**8,1**	**3**	**0**	**0**	**11,9**	**11,9**

1		2	3	4	5	6	7	8	9	10	11	12	13
Источник шума: ИШ-6-15, координаты источника (x,y,z), м =[765.71,-120.27,1.00]													
Уровни звуковой мощности источника днём, Lw, дБ		**исходные данные**	**0**	**96,3**	**97,7**	**99**	**99,3**	**98,9**	**95,6**	**91,4**	**86,9**		
Поправка на телесный угол DΩ, дБ	Ω = 12.57	10Lg(4π/Ω)	**0**	0	0	0	0	0	0	0	0		
Показатель направленности источника Di, дБ		исходные данные	**0**	0	0	0	0	0	0	0	0		
Поправка на направленность источника Dc, дБ	Dc	DΩ + Di	**0**	0	0	0	0	0	0	0	0		
Затухание из-за геометрической дивергенции, Adiv, дБ	расстояние = 429.75 м	ф-ла (7) [10]	**63,7**										
Коэффициент затухания звука в атмосфере α, дБ/км	Ta=20,°C Pa=101.33,кПа hотн.=70%	ф-ла (5) [9]	0,02	0,09	0,33	1,12	2,79	4,98	9,04	23,09	77,63		
Учет затухания звука в атмосфере Aatm, дБ		ф-ла (8) [10]	0	0	0,1	0,5	1,2	2,1	3,9	9,9	33,4		
Снижение уровня звукового давления из-за влияния застройки между источником шума и расчетной точкой													
Снижение уровня звукового давления на пути над экраном, Dz1, дБ	z = 7.18м (разность путей)	ф-лы (14-18) [10]	18,3	21,5	24,5	27,5	30,6	33,6	36,6	39,6	42,6		
Снижение уровня звукового давления на пути слева от экрана, Dz2, дБ	z = 12.22м (разность путей)	ф-лы (14-18) [10]	21	24,3	27,3	30,3	33,3	36,3	39,4	42,4	45,4		
Снижение уровня звукового давления на пути справа от экрана, Dz3, дБ	z = 12.23м (разность путей)	ф-лы (14-18) [10]	21	24,3	27,3	30,3	33,3	36,4	39,4	42,4	45,4		
Общее снижение уровня звука препятствием Dz, дБ		Эн.сумма(-Dzi)	15,2	18,4	21,4	24,4	27,4	30,4	33,4	36,5	39,5		
Общее снижение уровня звука препятствием с учётом ограничения (25 дБ) для октавных полос Dz, дБ		Раздел 7.4 [10]	15,2	18,4	21,4	24,4	25	25	25	25	25		
Уровни звукового давления от источника ИШ-6-15 в расчётной точке днём, дБ		**ф-ла(3)[10]**	**0**	**14,2**	**12,5**	**10,4**	**9,4**	**8,1**	**3**	**0**	**0**	**11,8**	**11,8**
Источник шума: ИШ-6-16, координаты источника (x,y,z), м =[764.57,-123.22,1.00]													

1		2	3	4	5	6	7	8	9	10	11	12	13
Уровни звуковой мощности источника днём, Lw, дБ		**исходные данные**	**0**	**96,3**	**97,7**	**99**	**99,3**	**98,9**	**95,6**	**91,4**	**86,9**		
Поправка на телесный угол DΩ, дБ	Ω = 12.57	10Lg(4π/Ω)	**0**	0	0	0	0	0	0	0	0		
Показатель направленности источника Di, дБ		исходные данные	**0**	0	0	0	0	0	0	0	0		
Поправка на направленность источника Dc, дБ	Dc	DΩ + Di	**0**	0	0	0	0	0	0	0	0		
Затухание из-за геометрической дивергенции, Adiv, дБ	расстояние = 429.81 м	ф-ла (7) [10]	**63,7**										
Коэффициент затухания звука в атмосфере α, дБ/км	Ta=20,°C Pa=101.33,кПа hотн.=70%	ф-ла (5) [9]	0,02	0,09	0,33	1,12	2,79	4,98	9,04	23,09	77,63		
Учет затухания звука в атмосфере Aatm, дБ		ф-ла (8) [10]	0	0	0,1	0,5	1,2	2,1	3,9	9,9	33,4		
Снижение уровня звукового давления из-за влияния застройки между источником шума и расчетной точкой													
Снижение уровня звукового давления на пути над экраном, Dz1, дБ	z = 7.18м (разность путей)	ф-лы (14-18) [10]	18,3	21,5	24,5	27,5	30,6	33,6	36,6	39,6	42,6		
Снижение уровня звукового давления на пути слева от экрана, Dz2, дБ	z = 11.83м (разность путей)	ф-лы (14-18) [10]	20,9	24,1	27,2	30,2	33,2	36,2	39,2	42,2	45,2		
Снижение уровня звукового давления на пути справа от экрана, Dz3, дБ	z = 12.57м (разность путей)	ф-лы (14-18) [10]	21,1	24,4	27,4	30,5	33,5	36,5	39,5	42,5	45,5		
Общее снижение уровня звука препятствием Dz, дБ		Эн.сумма(-Dzi)	15,1	18,4	21,4	24,4	27,4	30,4	33,4	36,4	39,5		
Общее снижение уровня звука препятствием с учётом ограничения (25 дБ) для октавных полос Dz, дБ		Раздел 7.4 [10]	15,1	18,4	21,4	24,4	25	25	25	25	25		
Уровни звукового давления от источника ИШ-6-16 в расчётной точке днём, дБ		**ф-ла(3)[10]**	**0**	**14,2**	**12,5**	**10,4**	**9,4**	**8,1**	**3**	**0**	**0**	**11,8**	**11,8**
Источник шума: ИШ-6-17, координаты источника (x,y,z), м =[763.57,-126.18,1.00]													
Уровни звуковой мощности источника днём, Lw, дБ		**исходные данные**	**0**	**96,3**	**97,7**	**99**	**99,3**	**98,9**	**95,6**	**91,4**	**86,9**		

1		2	3	4	5	6	7	8	9	10	11	12	13
Поправка на телесный угол DΩ, дБ	Ω = 12.57	10Lg(4π/Ω)	**0**	0	0	0	0	0	0	0	0		
Показатель направленности источника Di, дБ		исходные данные	**0**	0	0	0	0	0	0	0	0		
Поправка на направленность источника Dc, дБ	Dc	DΩ + Di	**0**	0	0	0	0	0	0	0	0		
Затухание из-за геометрической дивергенции, Adiv, дБ	расстояние = 430.02 м	ф-ла (7) [10]	**63,7**										
Коэффициент затухания звука в атмосфере α, дБ/км	Ta=20,°C Pa=101.33,кПа hотн.=70%	ф-ла (5) [9]	0,02	0,09	0,33	1,12	2,79	4,98	9,04	23,09	77,63		
Учет затухания звука в атмосфере Aatm, дБ		ф-ла (8) [10]	0	0	0,1	0,5	1,2	2,1	3,9	9,9	33,4		
Снижение уровня звукового давления из-за влияния застройки между источником шума и расчетной точкой													
Снижение уровня звукового давления на пути над экраном, Dz1, дБ	z = 7.18м (разность путей)	ф-лы (14-18) [10]	18,3	21,5	24,5	27,5	30,6	33,6	36,6	39,6	42,6		
Снижение уровня звукового давления на пути слева от экрана, Dz2, дБ	z = 11.48м (разность путей)	ф-лы (14-18) [10]	20,8	24	27	30,1	33,1	36,1	39,1	42,1	45,1		
Снижение уровня звукового давления на пути справа от экрана, Dz3, дБ	z = 12.93м (разность путей)	ф-лы (14-18) [10]	21,3	24,5	27,6	30,6	33,6	36,6	39,6	42,6	45,6		
Общее снижение уровня звука препятствием Dz, дБ		Эн.сумма(-Dzi)	15,1	18,4	21,4	24,4	27,4	30,4	33,4	36,4	39,5		
Общее снижение уровня звука препятствием с учётом ограничения (25 дБ) для октавных полос Dz, дБ		Раздел 7.4 [10]	15,1	18,4	21,4	24,4	25	25	25	25	25		
Уровни звукового давления от источника ИШ-6-17 в расчётной точке днём, дБ		**ф-ла(3)[10]**	**0**	**14,2**	**12,5**	**10,4**	**9,4**	**8,1**	**3**	**0**	**0**	**11,8**	**11,8**
Источник шума: ИШ-6-18, координаты источника (x,y,z), м =[804.77,-126.28,1.00]													
Уровни звуковой мощности источника днём, Lw, дБ		**исходные данные**	**0**	**96,3**	**97,7**	**99**	**99,3**	**98,9**	**95,6**	**91,4**	**86,9**		
Поправка на телесный угол DΩ, дБ	Ω = 12.57	10Lg(4π/Ω)	**0**	0	0	0	0	0	0	0	0		

1		2	3	4	5	6	7	8	9	10	11	12	13
Показатель направленности источника Di, дБ		исходные данные	**0**	0	0	0	0	0	0	0	0		
Поправка на направленность источника Dc, дБ	Dc	DΩ + Di	**0**	0	0	0	0	0	0	0	0		
Затухание из-за геометрической дивергенции, Adiv, дБ	расстояние = 468.31 м	ф-ла (7) [10]	**64,4**										
Коэффициент затухания звука в атмосфере α, дБ/км	Ta=20,°C Pa=101.33,кПа hотн.=70%	ф-ла (5) [9]	0,02	0,09	0,33	1,12	2,79	4,98	9,04	23,09	77,63		
Учет затухания звука в атмосфере Aatm, дБ		ф-ла (8) [10]	0	0	0,2	0,5	1,3	2,3	4,2	10,8	36,4		
Снижение уровня звукового давления из-за влияния застройки между источником шума и расчетной точкой													
Снижение уровня звукового давления на пути над экраном, Dz1, дБ	z = 7.16м (разность путей)	ф-лы (14-18) [10]	18,2	21,4	24,5	27,5	30,5	33,5	36,5	39,5	42,5		
Снижение уровня звукового давления на пути слева от экрана, Dz2, дБ	z = 13.00м (разность путей)	ф-лы (14-18) [10]	21,3	24,5	27,6	30,6	33,6	36,6	39,6	42,6	45,6		
Снижение уровня звукового давления на пути справа от экрана, Dz3, дБ	z = 11.37м (разность путей)	ф-лы (14-18) [10]	20,7	24	27	30	33	36	39	42,1	45,1		
Общее снижение уровня звука препятствием Dz, дБ		Эн.сумма(-Dzi)	15,1	18,3	21,4	24,4	27,4	30,4	33,4	36,4	39,4		
Общее снижение уровня звука препятствием с учётом ограничения (25 дБ) для октавных полос Dz, дБ		Раздел 7.4 [10]	15,1	18,3	21,4	24,4	25	25	25	25	25		
Уровни звукового давления от источника ИШ-6-18 в расчётной точке днём, дБ		**ф-ла(3)[10]**	**0**	**13,5**	**11,8**	**9,7**	**8,6**	**7,2**	**1,9**	**0**	**0**	**10,9**	**10,9**
Источник шума: ИШ-6-19, координаты источника (x,y,z), м =[803.81,-129.30,1.00]													
Уровни звуковой мощности источника днём, Lw, дБ		**исходные данные**	**0**	**96,3**	**97,7**	**99**	**99,3**	**98,9**	**95,6**	**91,4**	**86,9**		
Поправка на телесный угол DΩ, дБ	Ω = 12.57	10Lg(4π/Ω)	**0**	0	0	0	0	0	0	0	0		
Показатель направленности источника Di, дБ		исходные данные	**0**	0	0	0	0	0	0	0	0		

1		2	3	4	5	6	7	8	9	10	11	12	13
Поправка на направленность источника Dc, дБ	Dc	DΩ + Di	**0**	0	0	0	0	0	0	0	0		
Затухание из-за геометрической дивергенции, Adiv, дБ	расстояние = 468.50 м	ф-ла (7) [10]	**64,4**										
Коэффициент затухания звука в атмосфере α, дБ/км	Ta=20,°C Pa=101.33,кПа hотн.=70%	ф-ла (5) [9]	0,02	0,09	0,33	1,12	2,79	4,98	9,04	23,09	77,63		
Учет затухания звука в атмосфере Aatm, дБ		ф-ла (8) [10]	0	0	0,2	0,5	1,3	2,3	4,2	10,8	36,4		
Снижение уровня звукового давления из-за влияния застройки между источником шума и расчетной точкой													
Снижение уровня звукового давления на пути над экраном, Dz1, дБ	z = 7.16м (разность путей)	ф-лы (14-18) [10]	18,2	21,4	24,5	27,5	30,5	33,5	36,5	39,5	42,5		
Снижение уровня звукового давления на пути слева от экрана, Dz2, дБ	z = 12.62м (разность путей)	ф-лы (14-18) [10]	21,2	24,4	27,5	30,5	33,5	36,5	39,5	42,5	45,5		
Снижение уровня звукового давления на пути справа от экрана, Dz3, дБ	z = 11.59м (разность путей)	ф-лы (14-18) [10]	20,8	24,1	27,1	30,1	33,1	36,1	39,1	42,1	45,1		
Общее снижение уровня звука препятствием Dz, дБ		Эн.сумма(-Dzi)	15,1	18,3	21,3	24,4	27,4	30,4	33,4	36,4	39,4		
Общее снижение уровня звука препятствием с учётом ограничения (25 дБ) для октавных полос Dz, дБ		Раздел 7.4 [10]	15,1	18,3	21,3	24,4	25	25	25	25	25		
Уровни звукового давления от источника ИШ-6-19 в расчётной точке днём, дБ		**ф-ла(3)[10]**	**0**	**13,5**	**11,8**	**9,7**	**8,6**	**7,1**	**1,9**	**0**	**0**	**10,9**	**10,9**
Источник шума: ИШ-6-20, координаты источника (x,y,z), м =[802.67,-132.35,1.00]													
Уровни звуковой мощности источника днём, Lw, дБ		**исходные данные**	**0**	**96,3**	**97,7**	**99**	**99,3**	**98,9**	**95,6**	**91,4**	**86,9**		
Поправка на телесный угол DΩ, дБ	Ω = 12.57	10Lg(4π/Ω)	**0**	0	0	0	0	0	0	0	0		
Показатель направленности источника Di, дБ		исходные данные	**0**	0	0	0	0	0	0	0	0		
Поправка на направленность источника Dc, дБ	Dc	DΩ + Di	**0**	0	0	0	0	0	0	0	0		

1		2	3	4	5	6	7	8	9	10	11	12	13
Затухание из-за геометрической дивергенции, Adiv, дБ	расстояние = 468.55 м	ф-ла (7) [10]	**64,4**										
Коэффициент затухания звука в атмосфере α, дБ/км	Ta=20,°C Pa=101.33,кПа hотн.=70%	ф-ла (5) [9]	0,02	0,09	0,33	1,12	2,79	4,98	9,04	23,09	77,63		
Учет затухания звука в атмосфере Aatm, дБ		ф-ла (8) [10]	0	0	0,2	0,5	1,3	2,3	4,2	10,8	36,4		
Снижение уровня звукового давления из-за влияния застройки между источником шума и расчетной точкой													
Снижение уровня звукового давления на пути над экраном, Dz1, дБ	z = 7.16м (разность путей)	ф-лы (14-18) [10]	18,2	21,4	24,5	27,5	30,5	33,5	36,5	39,5	42,5		
Снижение уровня звукового давления на пути слева от экрана, Dz2, дБ	z = 12.24м (разность путей)	ф-лы (14-18) [10]	21	24,3	27,3	30,3	33,4	36,4	39,4	42,4	45,4		
Снижение уровня звукового давления на пути справа от экрана, Dz3, дБ	z = 11.84м (разность путей)	ф-лы (14-18) [10]	20,9	24,1	27,2	30,2	33,2	36,2	39,2	42,2	45,2		
Общее снижение уровня звука препятствием Dz, дБ		Эн.сумма(-Dzi)	15,1	18,3	21,3	24,3	27,4	30,4	33,4	36,4	39,4		
Общее снижение уровня звука препятствием с учётом ограничения (25 дБ) для октавных полос Dz, дБ		Раздел 7.4 [10]	15,1	18,3	21,3	24,3	25	25	25	25	25		
Уровни звукового давления от источника ИШ-6-20 в расчётной точке днём, дБ		**ф-ла(3)[10]**	**0**	**13,5**	**11,8**	**9,7**	**8,6**	**7,1**	**1,9**	**0**	**0**	**10,9**	**10,9**
Источник шума: ИШ-6-21, координаты источника (x,y,z), м =[801.69,-135.42,1.00]													
Уровни звуковой мощности источника днём, Lw, дБ		**исходные данные**	**0**	**96,3**	**97,7**	**99**	**99,3**	**98,9**	**95,6**	**91,4**	**86,9**		
Поправка на телесный угол DΩ, дБ	Ω = 12.57	10Lg(4π/Ω)	**0**	0	0	0	0	0	0	0	0		
Показатель направленности источника Di, дБ		исходные данные	**0**	0	0	0	0	0	0	0	0		
Поправка на направленность источника Dc, дБ	Dc	DΩ + Di	**0**	0	0	0	0	0	0	0	0		
Затухание из-за геометрической дивергенции, Adiv, дБ	расстояние = 468.78 м	ф-ла (7) [10]	**64,4**										

1		2	3	4	5	6	7	8	9	10	11	12	13
Коэффициент затухания звука в атмосфере α, дБ/км	Та=20,°С Ра=101.33,кПа hотн.=70%	ф-ла (5) [9]	0,02	0,09	0,33	1,12	2,79	4,98	9,04	23,09	77,63		
Учет затухания звука в атмосфере Aatm, дБ		ф-ла (8) [10]	0	0	0,2	0,5	1,3	2,3	4,2	10,8	36,4		
Снижение уровня звукового давления из-за влияния застройки между источником шума и расчетной точкой													
Снижение уровня звукового давления на пути над экраном, Dz1, дБ	z = 7.16м (разность путей)	ф-лы (14-18) [10]	18,2	21,4	24,5	27,5	30,5	33,5	36,5	39,5	42,5		
Снижение уровня звукового давления на пути слева от экрана, Dz2, дБ	z = 11.90м (разность путей)	ф-лы (14-18) [10]	20,9	24,2	27,2	30,2	33,2	36,2	39,2	42,3	45,3		
Снижение уровня звукового давления на пути справа от экрана, Dz3, дБ	z = 12.11м (разность путей)	ф-лы (14-18) [10]	21	24,2	27,3	30,3	33,3	36,3	39,3	42,3	45,3		
Общее снижение уровня звука препятствием Dz, дБ		Эн.сумма(-Dzi)	15,1	18,3	21,3	24,3	27,3	30,4	33,4	36,4	39,4		
Общее снижение уровня звука препятствием с учётом ограничения (25 дБ) для октавных полос Dz, дБ		Раздел 7.4 [10]	15,1	18,3	21,3	24,3	25	25	25	25	25		
Уровни звукового давления прямого звука от источника ИШ-6-21 в расчётной точке днём, дБ		**ф-ла(3)[10]**	**0**	**13,5**	**11,8**	**9,7**	**8,6**	**7,1**	**1,9**	**0**	**0**	**10,9**	**10,9**
Расчёт отражённого звука													
Уровни звукового давления от мнимого источника ИШ-6-21_мн.(1) в расчётной точке днём, дБ		**ф-ла(3)[10]**	**0**	**0**	**0**	**0**	**0**	**0**	**0**	**0**	**0**	**0**	**0**
Уровни звукового давления от источника ИШ-6-21 в расчётной точке днём, дБ		**ф-ла(3)[10]**	**0**	**13,5**	**11,8**	**9,7**	**8,6**	**7,1**	**1,9**	**0**	**0**	**10,9**	**10,9**
Источник шума: ИШ-6-22, координаты источника (x,y,z), м =[800.65,-138.47,1.00]													
Уровни звуковой мощности источника днём, Lw, дБ		**исходные данные**	**0**	**96,3**	**97,7**	**99**	**99,3**	**98,9**	**95,6**	**91,4**	**86,9**		
Поправка на телесный угол DΩ, дБ	Ω = 12.57	10Lg(4π/Ω)	**0**	0	0	0	0	0	0	0	0		
Показатель направленности источника Di, дБ		исходные данные	**0**	0	0	0	0	0	0	0	0		

1		2	3	4	5	6	7	8	9	10	11	12	13
Поправка на направленность источника Dc, дБ	Dc	DΩ + Di	**0**	0	0	0	0	0	0	0	0		
Затухание из-за геометрической дивергенции, Adiv, дБ	расстояние = 468.97 м	ф-ла (7) [10]	**64,4**										
Коэффициент затухания звука в атмосфере α, дБ/км	Ta=20,°C Pa=101.33,кПа hотн.=70%	ф-ла (5) [9]	0,02	0,09	0,33	1,12	2,79	4,98	9,04	23,09	77,63		
Учет затухания звука в атмосфере Aatm, дБ		ф-ла (8) [10]	0	0	0,2	0,5	1,3	2,3	4,2	10,8	36,4		
Снижение уровня звукового давления из-за влияния застройки между источником шума и расчетной точкой													
Снижение уровня звукового давления на пути над экраном, Dz1, дБ	z = 7.16м (разность путей)	ф-лы (14-18) [10]	18,2	21,4	24,5	27,5	30,5	33,5	36,5	39,5	42,5		
Снижение уровня звукового давления на пути слева от экрана, Dz2, дБ	z = 11.57м (разность путей)	ф-лы (14-18) [10]	20,8	24	27,1	30,1	33,1	36,1	39,1	42,1	45,1		
Снижение уровня звукового давления на пути справа от экрана, Dz3, дБ	z = 12.40м (разность путей)	ф-лы (14-18) [10]	21,1	24,3	27,4	30,4	33,4	36,4	39,4	42,4	45,4		
Общее снижение уровня звука препятствием Dz, дБ		Эн.сумма(-Dzi)	15,1	18,3	21,3	24,3	27,3	30,4	33,4	36,4	39,4		
Общее снижение уровня звука препятствием с учётом ограничения (25 дБ) для октавных полос Dz, дБ		Раздел 7.4 [10]	15,1	18,3	21,3	24,3	25	25	25	25	25		
Уровни звукового давления прямого звука от источника ИШ-6-22 в расчётной точке днём, дБ		**ф-ла(3)[10]**	**0**	**13,5**	**11,8**	**9,7**	**8,6**	**7,1**	**1,9**	**0**	**0**	**10,9**	**10,9**
Расчёт отражённого звука													
Уровни звукового давления от мнимого источника ИШ-6-22_мн.(1) в расчётной точке днём, дБ		**ф-ла(3)[10]**	**0**	**0**	**0**	**0**	**0**	**0**	**0**	**0**	**0**	**0**	**0**
Уровни звукового давления от мнимого источника ИШ-6-22_мн.(2) в расчётной точке днём, дБ		**ф-ла(3)[10]**	**0**	**0**	**0**	**0**	**0**	**0**	**0**	**0**	**0**	**0**	**0**
Уровни звукового давления от мнимого источника ИШ-6-22_мн.(3) в расчётной точке днём, дБ		**ф-ла(3)[10]**	**0**	**0**	**0**	**0**	**0**	**0**	**0**	**0**	**0**	**0**	**0**
Суммарные уровни звукового давления от мнимых источников в расчётной точке днём, дБ		**ф-ла (19) [1]**	**0**	**0**	**0**	**0**	**0**	**0**	**0**	**0**	**0**	**0**	**0**
Уровни звукового давления от источника ИШ-6-22 в расчётной точке днём, дБ		**ф-ла(3)[10]**	**0**	**13,5**	**11,8**	**9,7**	**8,6**	**7,1**	**1,9**	**0**	**0**	**10,9**	**10,9**

1		2	3	4	5	6	7	8	9	10	11	12	13
Источник шума: ИШ-7-1, координаты источника (x,y,z), м =[821.44,63.31,1.00]													
Уровни звуковой мощности источника днём, Lw, дБ		**исходные данные**	**77**	**75**	**67**	**66**	**63**	**55**	**53**	**48**	**51**		
Поправка на телесный угол DΩ, дБ	Ω = 12.57	10Lg(4π/Ω)	**0**	0	0	0	0	0	0	0	0		
Показатель направленности источника Di, дБ		исходные данные	**0**	0	0	0	0	0	0	0	0		
Поправка на направленность источника Dc, дБ	Dc	DΩ + Di	**0**	0	0	0	0	0	0	0	0		
Затухание из-за геометрической дивергенции, Adiv, дБ	расстояние = 454.79 м	ф-ла (7) [10]	**64,2**										
Коэффициент затухания звука в атмосфере α, дБ/км	Ta=20,°C Pa=101.33,кПа hотн.=70%	ф-ла (5) [9]	0,02	0,09	0,33	1,12	2,79	4,98	9,04	23,09	77,63		
Учет затухания звука в атмосфере Aatm, дБ		ф-ла (8) [10]	0	0	0,2	0,5	1,3	2,3	4,1	10,5	35,3		
Снижение уровня звукового давления из-за влияния застройки между источником шума и расчетной точкой													
Снижение уровня звукового давления на пути над экраном, Dz1, дБ	z = 7.05м (разность путей)	ф-лы (14-18) [10]	14,7	18,7	23	26,8	30,1	33,2	36,2	39,2	42,2		
Общее снижение уровня звука препятствием с учётом ограничения (25 дБ) для октавных полос Dz, дБ		Раздел 7.4 [10]	14,7	18,7	23	25	25	25	25	25	25		
Уровни звукового давления от источника ИШ-7-1 в расчётной точке днём, дБ		**ф-ла(3)[10]**	**0**	**0**	**0**	**0**	**0**	**0**	**0**	**0**	**0**	**0**	**0**
Источник шума: ИШ-7-2, координаты источника (x,y,z), м =[768.90,-86.75,1.00]													
Уровни звуковой мощности источника днём, Lw, дБ		**исходные данные**	**77**	**75**	**67**	**66**	**63**	**55**	**53**	**48**	**51**		
Поправка на телесный угол DΩ, дБ	Ω = 12.57	10Lg(4π/Ω)	**0**	0	0	0	0	0	0	0	0		
Показатель направленности источника Di, дБ		исходные данные	**0**	0	0	0	0	0	0	0	0		

1		2	3	4	5	6	7	8	9	10	11	12	13
Поправка на направленность источника Dc, дБ	Dc	DΩ + Di	**0**	0	0	0	0	0	0	0	0		
Затухание из-за геометрической дивергенции, Adiv, дБ	расстояние = 421.39 м	ф-ла (7) [10]	**63,5**										
Коэффициент затухания звука в атмосфере α, дБ/км	Ta=20,°C Pa=101.33,кПа hотн.=70%	ф-ла (5) [9]	0,02	0,09	0,33	1,12	2,79	4,98	9,04	23,09	77,63		
Учет затухания звука в атмосфере Aatm, дБ		ф-ла (8) [10]	0	0	0,1	0,5	1,2	2,1	3,8	9,7	32,7		
Снижение уровня звукового давления из-за влияния застройки между источником шума и расчетной точкой													
Снижение уровня звукового давления на пути над экраном, Dz1, дБ	z = 7.19м (разность путей)	ф-лы (14-18) [10]	18,3	21,5	24,6	27,6	30,6	33,6	36,6	39,6	42,6		
Снижение уровня звукового давления на пути слева от экрана, Dz2, дБ	z = 18.05м (разность путей)	ф-лы (14-18) [10]	22,7	26	29	32	35	38	41,1	44,1	47,1		
Снижение уровня звукового давления на пути справа от экрана, Dz3, дБ	z = 10.30м (разность путей)	ф-лы (14-18) [10]	18	22,4	26,2	29,5	32,6	35,6	38,6	41,6	44,6		
Общее снижение уровня звука препятствием Dz, дБ		Эн.сумма(-Dzi)	14,5	18,2	21,5	24,6	27,6	30,6	33,6	36,6	39,6		
Общее снижение уровня звука препятствием с учётом ограничения (25 дБ) для октавных полос Dz, дБ		Раздел 7.4 [10]	14,5	18,2	21,5	24,6	25	25	25	25	25		
Уровни звукового давления от источника ИШ-7-2 в расчётной точке днём, дБ		**ф-ла(3)[10]**	**0**	**0**	**0**	**0**	**0**	**0**	**0**	**0**	**0**	**0**	**0**
Источник шума: ИШ-7-3, координаты источника (x,y,z), м =[766.80,-93.20,1.00]													
Уровни звуковой мощности источника днём, Lw, дБ		**исходные данные**	**77**	**75**	**67**	**66**	**63**	**55**	**53**	**48**	**51**		
Поправка на телесный угол DΩ, дБ	Ω = 12.57	10Lg(4π/Ω)	**0**	0	0	0	0	0	0	0	0		
Показатель направленности источника Di, дБ		исходные данные	**0**	0	0	0	0	0	0	0	0		
Поправка на направленность источника Dc, дБ	Dc	DΩ + Di	**0**	0	0	0	0	0	0	0	0		

1		2	3	4	5	6	7	8	9	10	11	12	13
Затухание из-за геометрической дивергенции, Adiv, дБ	расстояние = 421.40 м	ф-ла (7) [10]	**63,5**										
Коэффициент затухания звука в атмосфере α, дБ/км	Ta=20,°C Pa=101.33,кПа hотн.=70%	ф-ла (5) [9]	0,02	0,09	0,33	1,12	2,79	4,98	9,04	23,09	77,63		
Учет затухания звука в атмосфере Aatm, дБ		ф-ла (8) [10]	0	0	0,1	0,5	1,2	2,1	3,8	9,7	32,7		
Снижение уровня звукового давления из-за влияния застройки между источником шума и расчетной точкой													
Снижение уровня звукового давления на пути над экраном, Dz1, дБ	z = 7.19м (разность путей)	ф-лы (14-18) [10]	18,3	21,5	24,6	27,6	30,6	33,6	36,6	39,6	42,6		
Снижение уровня звукового давления на пути слева от экрана, Dz2, дБ	z = 16.60м (разность путей)	ф-лы (14-18) [10]	22,3	25,6	28,6	31,7	34,7	37,7	40,7	43,7	46,7		
Снижение уровня звукового давления на пути справа от экрана, Dz3, дБ	z = 10.52м (разность путей)	ф-лы (14-18) [10]	18,1	22,5	26,3	29,6	32,7	35,7	38,7	41,7	44,7		
Общее снижение уровня звука препятствием Dz, дБ		Эн.сумма(-Dzi)	14,4	18,1	21,4	24,5	27,5	30,6	33,6	36,6	39,6		
Общее снижение уровня звука препятствием с учётом ограничения (25 дБ) для октавных полос Dz, дБ		Раздел 7.4 [10]	14,4	18,1	21,4	24,5	25	25	25	25	25		
Уровни звукового давления от источника ИШ-7-3 в расчётной точке днём, дБ		**ф-ла(3)[10]**	**0**	**0**	**0**	**0**	**0**	**0**	**0**	**0**	**0**	**0**	**0**
Источник шума: ИШ-7-4, координаты источника (x,y,z), м =[866.76,37.18,1.00]													
Уровни звуковой мощности источника днём, Lw, дБ		**исходные данные**	**77**	**75**	**67**	**66**	**63**	**55**	**53**	**48**	**51**		
Поправка на телесный угол DΩ, дБ	Ω = 12.57	10Lg(4π/Ω)	**0**	0	0	0	0	0	0	0	0		
Показатель направленности источника Di, дБ		исходные данные	**0**	0	0	0	0	0	0	0	0		
Поправка на направленность источника Dc, дБ	Dc	DΩ + Di	**0**	0	0	0	0	0	0	0	0		
Затухание из-за геометрической дивергенции, Adiv, дБ	расстояние = 499.55 м	ф-ла (7) [10]	**65**										

1		2	3	4	5	6	7	8	9	10	11	12	13
Коэффициент затухания звука в атмосфере α, дБ/км	Ta=20,°C Pa=101.33,кПа hотн.=70%	ф-ла (5) [9]	0,02	0,09	0,33	1,12	2,79	4,98	9,04	23,09	77,63		
Учет затухания звука в атмосфере Aatm, дБ		ф-ла (8) [10]	0	0	0,2	0,6	1,4	2,5	4,5	11,5	38,8		
Снижение уровня звукового давления из-за влияния застройки между источником шума и расчетной точкой													
Снижение уровня звукового давления на пути над экраном, Dz1, дБ	z = 7.07м (разность путей)	ф-лы (14-18) [10]	14,8	19	23,2	26,9	30,1	33,1	36,2	39,2	42,2		
Общее снижение уровня звука препятствием с учётом ограничения (25 дБ) для октавных полос Dz, дБ		Раздел 7.4 [10]	14,8	19	23,2	25	25	25	25	25	25		
Уровни звукового давления от источника ИШ-7-4 в расчётной точке днём, дБ		**ф-ла(3)[10]**	**0**	**0**	**0**	**0**	**0**	**0**	**0**	**0**	**0**	**0**	**0**
Источник шума: ИШ-7-5, координаты источника (x,y,z), м =[861.80,21.34,1.00]													
Уровни звуковой мощности источника днём, Lw, дБ		**исходные данные**	**77**	**75**	**67**	**66**	**63**	**55**	**53**	**48**	**51**		
Поправка на телесный угол DΩ, дБ	Ω = 12.57	10Lg(4π/Ω)	**0**	0	0	0	0	0	0	0	0		
Показатель направленности источника Di, дБ		исходные данные	**0**	0	0	0	0	0	0	0	0		
Поправка на направленность источника Dc, дБ	Dc	DΩ + Di	**0**	0	0	0	0	0	0	0	0		
Затухание из-за геометрической дивергенции, Adiv, дБ	расстояние = 494.96 м	ф-ла (7) [10]	**64,9**										
Коэффициент затухания звука в атмосфере α, дБ/км	Ta=20,°C Pa=101.33,кПа hотн.=70%	ф-ла (5) [9]	0,02	0,09	0,33	1,12	2,79	4,98	9,04	23,09	77,63		
Учет затухания звука в атмосфере Aatm, дБ		ф-ла (8) [10]	0	0	0,2	0,6	1,4	2,5	4,5	11,4	38,4		
Снижение уровня звукового давления из-за влияния застройки между источником шума и расчетной точкой													
Снижение уровня звукового давления на пути над экраном, Dz1, дБ	z = 7.08м (разность путей)	ф-лы (14-18) [10]	15	19,2	23,4	26,9	30,1	33,2	36,2	39,2	42,2		

1		2	3	4	5	6	7	8	9	10	11	12	13
Общее снижение уровня звука препятствием с учётом ограничения (25 дБ) для октавных полос Dz, дБ		Раздел 7.4 [10]	15	19,2	23,4	25	25	25	25	25	25		
Уровни звукового давления от источника ИШ-7-5 в расчётной точке днём, дБ		**ф-ла(3)[10]**	**0**	**0**	**0**	**0**	**0**	**0**	**0**	**0**	**0**	**0**	**0**
Источник шума: ИШ-7-6, координаты источника (x,y,z), м =[856.52,5.94,1.00]													
Уровни звуковой мощности источника днём, Lw, дБ		**исходные данные**	**77**	**75**	**67**	**66**	**63**	**55**	**53**	**48**	**51**		
Поправка на телесный угол DΩ, дБ	Ω = 12.57	10Lg(4π/Ω)	**0**	0	0	0	0	0	0	0	0		
Показатель направленности источника Di, дБ		исходные данные	**0**	0	0	0	0	0	0	0	0		
Поправка на направленность источника Dc, дБ	Dc	DΩ + Di	**0**	0	0	0	0	0	0	0	0		
Затухание из-за геометрической дивергенции, Adiv, дБ	расстояние = 490.53 м	ф-ла (7) [10]	**64,8**										
Коэффициент затухания звука в атмосфере α, дБ/км	Ta=20,°C Pa=101.33,кПа hотн.=70%	ф-ла (5) [9]	0,02	0,09	0,33	1,12	2,79	4,98	9,04	23,09	77,63		
Учет затухания звука в атмосфере Aatm, дБ		ф-ла (8) [10]	0	0	0,2	0,6	1,4	2,4	4,4	11,3	38,1		
Снижение уровня звукового давления из-за влияния застройки между источником шума и расчетной точкой													
Снижение уровня звукового давления на пути над экраном, Dz1, дБ	z = 7.10м (разность путей)	ф-лы (14-18) [10]	15,2	19,5	23,6	27	30,2	33,2	36,2	39,2	42,2		
Общее снижение уровня звука препятствием с учётом ограничения (25 дБ) для октавных полос Dz, дБ		Раздел 7.4 [10]	15,2	19,5	23,6	25	25	25	25	25	25		
Уровни звукового давления от источника ИШ-7-6 в расчётной точке днём, дБ		**ф-ла(3)[10]**	**0**	**0**	**0**	**0**	**0**	**0**	**0**	**0**	**0**	**0**	**0**
Источник шума: ИШ-7-7, координаты источника (x,y,z), м =[851.06,-9.89,1.00]													
Уровни звуковой мощности источника днём, Lw, дБ		**исходные данные**	**77**	**75**	**67**	**66**	**63**	**55**	**53**	**48**	**51**		

1		2	3	4	5	6	7	8	9	10	11	12	13
Поправка на телесный угол DΩ, дБ	Ω = 12.57	10Lg(4π/Ω)	**0**	0	0	0	0	0	0	0	0		
Показатель направленности источника Di, дБ		исходные данные	**0**	0	0	0	0	0	0	0	0		
Поправка на направленность источника Dc, дБ	Dc	DΩ + Di	**0**	0	0	0	0	0	0	0	0		
Затухание из-за геометрической дивергенции, Adiv, дБ	расстояние = 486.47 м	ф-ла (7) [10]	**64,7**										
Коэффициент затухания звука в атмосфере α, дБ/км	Ta=20,°C Pa=101.33,кПа hотн.=70%	ф-ла (5) [9]	0,02	0,09	0,33	1,12	2,79	4,98	9,04	23,09	77,63		
Учет затухания звука в атмосфере Aatm, дБ		ф-ла (8) [10]	0	0	0,2	0,5	1,4	2,4	4,4	11,2	37,8		
Снижение уровня звукового давления из-за влияния застройки между источником шума и расчетной точкой													
Снижение уровня звукового давления на пути над экраном, Dz1, дБ	z = 7.11м (разность путей)	ф-лы (14-18) [10]	15,5	19,8	23,7	27,1	30,2	33,2	36,2	39,2	42,3		
Общее снижение уровня звука препятствием с учётом ограничения (25 дБ) для октавных полос Dz, дБ		Раздел 7.4 [10]	15,5	19,8	23,7	25	25	25	25	25	25		
Уровни звукового давления от источника ИШ-7-7 в расчётной точке днём, дБ		**ф-ла(3)[10]**	**0**	**0**	**0**	**0**	**0**	**0**	**0**	**0**	**0**	**0**	**0**
Источник шума: ИШ-7-8, координаты источника (x,y,z), м =[821.90,-104.30,1.00]													
Уровни звуковой мощности источника днём, Lw, дБ		**исходные данные**	**77**	**75**	**67**	**66**	**63**	**55**	**53**	**48**	**51**		
Поправка на телесный угол DΩ, дБ	Ω = 12.57	10Lg(4π/Ω)	**0**	0	0	0	0	0	0	0	0		
Показатель направленности источника Di, дБ		исходные данные	**0**	0	0	0	0	0	0	0	0		
Поправка на направленность источника Dc, дБ	Dc	DΩ + Di	**0**	0	0	0	0	0	0	0	0		
Затухание из-за геометрической дивергенции, Adiv, дБ	расстояние = 477.22 м	ф-ла (7) [10]	**64,6**										

1		2	3	4	5	6	7	8	9	10	11	12	13
Коэффициент затухания звука в атмосфере α, дБ/км	Та=20,°С Ра=101.33,кПа hотн.=70%	ф-ла (5) [9]	0,02	0,09	0,33	1,12	2,79	4,98	9,04	23,09	77,63		
Учет затухания звука в атмосфере Aatm, дБ		ф-ла (8) [10]	0	0	0,2	0,5	1,3	2,4	4,3	11	37		
Снижение уровня звукового давления из-за влияния застройки между источником шума и расчетной точкой													
Снижение уровня звукового давления на пути над экраном, Dz1, дБ	z = 7.16м (разность путей)	ф-лы (14-18) [10]	18,2	21,4	24,4	27,4	30,5	33,5	36,5	39,5	42,5		
Общее снижение уровня звука препятствием с учётом ограничения (25 дБ) для октавных полос Dz, дБ		Раздел 7.4 [10]	18,2	21,4	24,4	25	25	25	25	25	25		
Уровни звукового давления от источника ИШ-7-8 в расчётной точке днём, дБ		**ф-ла(3)[10]**	**0**	**0**	**0**	**0**	**0**	**0**	**0**	**0**	**0**	**0**	**0**
Источник шума: ИШ-7-9, координаты источника (x,y,z), м =[819.93,-110.97,1.00]													
Уровни звуковой мощности источника днём, Lw, дБ		**исходные данные**	**77**	**75**	**67**	**66**	**63**	**55**	**53**	**48**	**51**		
Поправка на телесный угол DΩ, дБ	Ω = 12.57	10Lg(4π/Ω)	**0**	0	0	0	0	0	0	0	0		
Показатель направленности источника Di, дБ		исходные данные	**0**	0	0	0	0	0	0	0	0		
Поправка на направленность источника Dc, дБ	Dc	DΩ + Di	**0**	0	0	0	0	0	0	0	0		
Затухание из-за геометрической дивергенции, Adiv, дБ	расстояние = 477.42 м	ф-ла (7) [10]	**64,6**										
Коэффициент затухания звука в атмосфере α, дБ/км	Та=20,°С Ра=101.33,кПа hотн.=70%	ф-ла (5) [9]	0,02	0,09	0,33	1,12	2,79	4,98	9,04	23,09	77,63		
Учет затухания звука в атмосфере Aatm, дБ		ф-ла (8) [10]	0	0	0,2	0,5	1,3	2,4	4,3	11	37,1		
Снижение уровня звукового давления из-за влияния застройки между источником шума и расчетной точкой													
Снижение уровня звукового давления на пути над экраном, Dz1, дБ	z = 7.16м (разность путей)	ф-лы (14-18) [10]	18,2	21,4	24,4	27,4	30,5	33,5	36,5	39,5	42,5		

1		2	3	4	5	6	7	8	9	10	11	12	13
Общее снижение уровня звука препятствием с учётом ограничения (25 дБ) для октавных полос Dz, дБ		Раздел 7.4 [10]	18,2	21,4	24,4	25	25	25	25	25	25		
Уровни звукового давления от источника ИШ-7-9 в расчётной точке днём, дБ		**ф-ла(3)[10]**	**0**	**0**	**0**	**0**	**0**	**0**	**0**	**0**	**0**	**0**	**0**
Источник шума: ИШ-7-10, координаты источника (x,y,z), м =[868.68,92.66,1.00]													
Уровни звуковой мощности источника днём, Lw, дБ		**исходные данные**	**77**	**75**	**67**	**66**	**63**	**55**	**53**	**48**	**51**		
Поправка на телесный угол DΩ, дБ	Ω = 12.57	10Lg(4π/Ω)	**0**	0	0	0	0	0	0	0	0		
Показатель направленности источника Di, дБ		исходные данные	**0**	0	0	0	0	0	0	0	0		
Поправка на направленность источника Dc, дБ	Dc	DΩ + Di	**0**	0	0	0	0	0	0	0	0		
Затухание из-за геометрической дивергенции, Adiv, дБ	расстояние = 504.15 м	ф-ла (7) [10]	**65,1**										
Коэффициент затухания звука в атмосфере α, дБ/км	Ta=20,°C Pa=101.33,кПа hотн.=70%	ф-ла (5) [9]	0,02	0,09	0,33	1,12	2,79	4,98	9,04	23,09	77,63		
Учет затухания звука в атмосфере Aatm, дБ		ф-ла (8) [10]	0	0	0,2	0,6	1,4	2,5	4,6	11,6	39,1		
Снижение уровня звукового давления из-за влияния застройки между источником шума и расчетной точкой													
Снижение уровня звукового давления на пути над экраном, Dz1, дБ	z = 7.03м (разность путей)	ф-лы (14-18) [10]	17,1	20,9	24,1	27,2	30,2	33,2	36,2	39,2	42,2		
Общее снижение уровня звука препятствием с учётом ограничения (25 дБ) для октавных полос Dz, дБ		Раздел 7.4 [10]	17,1	20,9	24,1	25	25	25	25	25	25		
Уровни звукового давления от источника ИШ-7-10 в расчётной точке днём, дБ		**ф-ла(3)[10]**	**0**	**0**	**0**	**0**	**0**	**0**	**0**	**0**	**0**	**0**	**0**
Источник шума: ИШ-7-11, координаты источника (x,y,z), м =[877.95,88.75,1.00]													
Уровни звуковой мощности источника днём, Lw, дБ		**исходные данные**	**77**	**75**	**67**	**66**	**63**	**55**	**53**	**48**	**51**		

1		2	3	4	5	6	7	8	9	10	11	12	13
Поправка на телесный угол DΩ, дБ	Ω = 12.57	10Lg(4π/Ω)	**0**	0	0	0	0	0	0	0	0		
Показатель направленности источника Di, дБ		исходные данные	**0**	0	0	0	0	0	0	0	0		
Поправка на направленность источника Dc, дБ	Dc	DΩ + Di	**0**	0	0	0	0	0	0	0	0		
Затухание из-за геометрической дивергенции, Adiv, дБ	расстояние = 512.99 м	ф-ла (7) [10]	**65,2**										
Коэффициент затухания звука в атмосфере α, дБ/км	Ta=20,°C Pa=101.33,кПа hотн.=70%	ф-ла (5) [9]	0,02	0,09	0,33	1,12	2,79	4,98	9,04	23,09	77,63		
Учет затухания звука в атмосфере Aatm, дБ		ф-ла (8) [10]	0	0	0,2	0,6	1,4	2,6	4,6	11,8	39,8		
Снижение уровня звукового давления из-за влияния застройки между источником шума и расчетной точкой													
Снижение уровня звукового давления на пути над экраном, Dz1, дБ	z = 7.03м (разность путей)	ф-лы (14-18) [10]	17,1	20,8	24,1	27,2	30,2	33,2	36,2	39,2	42,2		
Общее снижение уровня звука препятствием с учётом ограничения (25 дБ) для октавных полос Dz, дБ		Раздел 7.4 [10]	17,1	20,8	24,1	25	25	25	25	25	25		
Уровни звукового давления от источника ИШ-7-11 в расчётной точке днём, дБ		**ф-ла(3)[10]**	**0**	**0**	**0**	**0**	**0**	**0**	**0**	**0**	**0**	**0**	**0**
Источник шума: ИШ-7-12, координаты источника (x,y,z), м =[887.42,85.45,1.00]													
Уровни звуковой мощности источника днём, Lw, дБ		**исходные данные**	**77**	**75**	**67**	**66**	**63**	**55**	**53**	**48**	**51**		
Поправка на телесный угол DΩ, дБ	Ω = 12.57	10Lg(4π/Ω)	**0**	0	0	0	0	0	0	0	0		
Показатель направленности источника Di, дБ		исходные данные	**0**	0	0	0	0	0	0	0	0		
Поправка на направленность источника Dc, дБ	Dc	DΩ + Di	**0**	0	0	0	0	0	0	0	0		
Затухание из-за геометрической дивергенции, Adiv, дБ	расстояние = 522.13 м	ф-ла (7) [10]	**65,4**										

1		2	3	4	5	6	7	8	9	10	11	12	13
Коэффициент затухания звука в атмосфере α, дБ/км	Ta=20,°C Pa=101.33,кПа hотн.=70%	ф-ла (5) [9]	0,02	0,09	0,33	1,12	2,79	4,98	9,04	23,09	77,63		
Учет затухания звука в атмосфере Aatm, дБ		ф-ла (8) [10]	0	0	0,2	0,6	1,5	2,6	4,7	12,1	40,5		
Снижение уровня звукового давления из-за влияния застройки между источником шума и расчетной точкой													
Снижение уровня звукового давления на пути над экраном, Dz1, дБ	z = 7.01м (разность путей)	ф-лы (14-18) [10]	14,4	18,3	22,7	26,6	29,9	33	36,1	39,1	42,1		
Общее снижение уровня звука препятствием с учётом ограничения (25 дБ) для октавных полос Dz, дБ		Раздел 7.4 [10]	14,4	18,3	22,7	25	25	25	25	25	25		
Уровни звукового давления от источника ИШ-7-12 в расчётной точке днём, дБ		**ф-ла(3)[10]**	**0**	**0**	**0**	**0**	**0**	**0**	**0**	**0**	**0**	**0**	**0**
Источник шума: ИШ-6-23, координаты источника (x,y,z), м =[756.16,-136.23,3.00]													
Уровни звуковой мощности источника днём, Lw, дБ		**исходные данные**	**91**	**91**	**91**	**91**	**91**	**91**	**91**	**91**	**91**		
Поправка на телесный угол DΩ, дБ	Ω = 12.57	10Lg(4π/Ω)	**0**	0	0	0	0	0	0	0	0		
Показатель направленности источника Di, дБ		исходные данные	**0**	0	0	0	0	0	0	0	0		
Поправка на направленность источника Dc, дБ	Dc	DΩ + Di	**0**	0	0	0	0	0	0	0	0		
Затухание из-за геометрической дивергенции, Adiv, дБ	расстояние = 427.26 м	ф-ла (7) [10]	**63,6**										
Коэффициент затухания звука в атмосфере α, дБ/км	Ta=20,°C Pa=101.33,кПа hотн.=70%	ф-ла (5) [9]	0,02	0,09	0,33	1,12	2,79	4,98	9,04	23,09	77,63		
Учет затухания звука в атмосфере Aatm, дБ		ф-ла (8) [10]	0	0	0,1	0,5	1,2	2,1	3,9	9,9	33,2		
Снижение уровня звукового давления из-за влияния застройки между источником шума и расчетной точкой													
Снижение уровня звукового давления на пути над экраном, Dz1, дБ	z = 7.11м (разность путей)	ф-лы (14-18) [10]	18,3	21,5	24,5	27,5	30,5	33,5	36,5	39,5	42,5		

1		2	3	4	5	6	7	8	9	10	11	12	13
Снижение уровня звукового давления на пути слева от экрана, Dz2, дБ	z = 10.44м (разность путей)	ф-лы (14-18) [10]	20,3	23,6	26,6	29,7	32,7	35,7	38,7	41,7	44,7		
Снижение уровня звукового давления на пути справа от экрана, Dz3, дБ	z = 14.63м (разность путей)	ф-лы (14-18) [10]	21,8	25,1	28,1	31,1	34,1	37,1	40,1	43,2	46,2		
Общее снижение уровня звука препятствием Dz, дБ		Эн.сумма(-Dzi)	15,1	18,4	21,4	24,4	27,4	30,4	33,4	36,4	39,4		
Общее снижение уровня звука препятствием с учётом ограничения (25 дБ) для октавных полос Dz, дБ		Раздел 7.4 [10]	15,1	18,4	21,4	24,4	25	25	25	25	25		
Уровни звукового давления прямого звука от источника ИШ-6-23 в расчётной точке днём, дБ		**ф-ла(3)[10]**	**12,2**	**9**	**5,9**	**2,5**	**1,2**	**0,3**	**0**	**0**	**0**	**3,1**	**3,1**
Расчёт отражённого звука													
Уровни звукового давления от мнимого источника ИШ-6-23_мн.(1) в расчётной точке днём, дБ		**ф-ла(3)[10]**	**0**	**0**	**0**	**0**	**0**	**0**	**0**	**0**	**0**	**0**	**0**
Уровни звукового давления от источника ИШ-6-23 в расчётной точке днём, дБ		**ф-ла(3)[10]**	**12,2**	**9**	**5,9**	**2,5**	**1,2**	**0,3**	**0**	**0**	**0**	**3,1**	**3,1**
Источник шума: ИШ-6-24, координаты источника (x,y,z), м =[800.98,-151.27,3.00]													
Уровни звуковой мощности источника днём, Lw, дБ		**исходные данные**	**91**	**91**	**91**	**91**	**91**	**91**	**91**	**91**	**91**		
Поправка на телесный угол DΩ, дБ	Ω = 12.57	10Lg(4π/Ω)	**0**	0	0	0	0	0	0	0	0		
Показатель направленности источника Di, дБ		исходные данные	**0**	0	0	0	0	0	0	0	0		
Поправка на направленность источника Dc, дБ	Dc	DΩ + Di	**0**	0	0	0	0	0	0	0	0		
Затухание из-за геометрической дивергенции, Adiv, дБ	расстояние = 474.32 м	ф-ла (7) [10]	**64,5**										
Коэффициент затухания звука в атмосфере α, дБ/км	Та=20,°С Ра=101.33,кПа hотн.=70%	ф-ла (5) [9]	0,02	0,09	0,33	1,12	2,79	4,98	9,04	23,09	77,63		
Учет затухания звука в атмосфере Aatm, дБ		ф-ла (8) [10]	0	0	0,2	0,5	1,3	2,4	4,3	10,9	36,8		

1		2	3	4	5	6	7	8	9	10	11	12	13
Снижение уровня звукового давления из-за влияния застройки между источником шума и расчетной точкой													
Снижение уровня звукового давления на пути над экраном, Dz1, дБ	z = 7.10м (разность путей)	ф-лы (14-18) [10]	18,2	21,4	24,4	27,4	30,4	33,4	36,4	39,4	42,5		
Снижение уровня звукового давления на пути слева от экрана, Dz2, дБ	z = 10.65м (разность путей)	ф-лы (14-18) [10]	20,4	23,7	26,7	29,7	32,7	35,8	38,8	41,8	44,8		
Снижение уровня звукового давления на пути справа от экрана, Dz3, дБ	z = 13.59м (разность путей)	ф-лы (14-18) [10]	21,5	24,7	27,8	30,8	33,8	36,8	39,8	42,8	45,8		
Общее снижение уровня звука препятствием Dz, дБ		Эн.сумма(-Dzi)	15	18,3	21,3	24,3	27,3	30,3	33,3	36,3	39,4		
Общее снижение уровня звука препятствием с учётом ограничения (25 дБ) для октавных полос Dz, дБ		Раздел 7.4 [10]	15	18,3	21,3	24,3	25	25	25	25	25		
Уровни звукового давления прямого звука от источника ИШ-6-24 в расчётной точке днём, дБ		**ф-ла(3)[10]**	**11,4**	**8,2**	**5**	**1,6**	**0,1**	**0**	**0**	**0**	**0**	**0**	**0**
Расчёт отражённого звука													
Уровни звукового давления от мнимого источника ИШ-6-24_мн.(1) в расчётной точке днём, дБ		**ф-ла(3)[10]**	**0**	**0**	**0**	**0**	**0**	**0**	**0**	**0**	**0**	**0**	**0**
Уровни звукового давления от источника ИШ-6-24 в расчётной точке днём, дБ		**ф-ла(3)[10]**	**11,4**	**8,2**	**5**	**1,6**	**0,1**	**0**	**0**	**0**	**0**	**0**	**0**
Источник шума: ИШ-8-1, координаты источника (x,y,z), м =[612.60,-227.70,3.00]													
Уровни звуковой мощности источника днём, Lw, дБ		**исходные данные**	**105**	**104**	**104**	**101**	**102**	**106**	**101**	**95**	**87**		
Поправка на телесный угол DΩ, дБ	Ω = 6.28	10Lg(4π/Ω)	**3**	3	3	3	3	3	3	3	3		
Показатель направленности источника Di, дБ		исходные данные	**0**	0	0	0	0	0	0	0	0		
Поправка на направленность источника Dc, дБ	Dc	DΩ + Di	**3**	3	3	3	3	3	3	3	3		
Затухание из-за геометрической дивергенции, Adiv, дБ	расстояние = 363.62 м	ф-ла (7) [10]	**62,2**										
Коэффициент затухания звука в атмосфере α, дБ/км	Ta=20,°C Pa=101.33,кПа hотн.=70%	ф-ла (5) [9]	0,02	0,09	0,33	1,12	2,79	4,98	9,04	23,09	77,63		

1		2	3	4	5	6	7	8	9	10	11	12	13
Учет затухания звука в атмосфере Aatm, дБ		ф-ла (8) [10]	0	0	0,1	0,4	1	1,8	3,3	8,4	28,2		
Снижение уровня звукового давления из-за влияния застройки между источником шума и расчетной точкой													
Снижение уровня звукового давления на пути над экраном, Dz1, дБ	z = 6.93м (разность путей)	ф-лы (14-18) [10]	14,5	18,2	22,6	26,7	30,1	33,2	36,3	39,3	42,3		
Снижение уровня звукового давления на пути слева от экрана, Dz2, дБ	z = 5.35м (разность путей)	ф-лы (14-18) [10]	13,6	16,3	19,1	22	25	28	31	34	37		
Снижение уровня звукового давления на пути справа от экрана, Dz3, дБ	z = 23.95м (разность путей)	ф-лы (14-18) [10]	24	27,2	30,2	33,3	36,3	39,3	42,3	45,3	48,3		
Общее снижение уровня звука препятствием Dz, дБ		Эн.сумма(-Dzi)	10,8	13,9	17,3	20,5	23,6	26,6	29,6	32,6	35,7		
Общее снижение уровня звука препятствием с учётом ограничения (25 дБ) для октавных полос Dz, дБ		Раздел 7.4 [10]	10,8	13,9	17,3	20,5	23,6	25	25	25	25		
Уровни звукового давления прямого звука от источника ИШ-8-1 в расчётной точке днём, дБ		**ф-ла(3)[10]**	**35**	**30,8**	**27,4**	**20,9**	**18,2**	**20**	**13,5**	**2,4**	**0**	**22,9**	**22,9**
Расчёт отражённого звука													
Уровни звукового давления от мнимого источника ИШ-8-1_мн.(1) в расчётной точке днём, дБ		**ф-ла(3)[10]**	**0**	**0**	**0**	**0**	**37,3**	**42,4**	**36,1**	**24,3**	**0**	**44,1**	**44,1**
Уровни звукового давления от источника ИШ-8-1 в расчётной точке днём, дБ		**ф-ла(3)[10]**	**35**	**30,8**	**27,4**	**20,9**	**37,4**	**42,5**	**36,1**	**24,3**	**0**	**44,1**	**44,1**
Источник шума: ИШ-8-2, координаты источника (x,y,z), м =[596.60,-275.00,3.00]													
Уровни звуковой мощности источника днём, Lw, дБ		**исходные данные**	**105**	**104**	**104**	**101**	**102**	**106**	**101**	**95**	**87**		
Поправка на телесный угол DΩ, дБ	Ω = 6.28	10Lg(4π/Ω)	**3**	3	3	3	3	3	3	3	3		
Показатель направленности источника Di, дБ		исходные данные	**0**	0	0	0	0	0	0	0	0		
Поправка на направленность источника Dc, дБ	Dc	DΩ + Di	**3**	3	3	3	3	3	3	3	3		
Затухание из-за геометрической дивергенции, Adiv, дБ	расстояние = 390.18 м	ф-ла (7) [10]	**62,8**										

1		2	3	4	5	6	7	8	9	10	11	12	13
Коэффициент затухания звука в атмосфере α, дБ/км	Та=20,°С Ра=101.33,кПа hотн.=70%	ф-ла (5) [9]	0,02	0,09	0,33	1,12	2,79	4,98	9,04	23,09	77,63		
Учет затухания звука в атмосфере Aatm, дБ		ф-ла (8) [10]	0	0	0,1	0,4	1,1	1,9	3,5	9	30,3		
Снижение уровня звукового давления из-за влияния застройки между источником шума и расчетной точкой													
Снижение уровня звукового давления на пути над экраном, Dz1, дБ	z = 6.82м (разность путей)	ф-лы (14-18) [10]	14,2	17,8	22,1	26,3	29,9	33,1	36,2	39,2	42,2		
Снижение уровня звукового давления на пути слева от экрана, Dz2, дБ	z = 4.21м (разность путей)	ф-лы (14-18) [10]	12,7	15,3	18,1	21	24	27	30	33	36		
Снижение уровня звукового давления на пути справа от экрана, Dz3, дБ	z = 31.67м (разность путей)	ф-лы (14-18) [10]	22,8	27,3	31,1	34,4	37,4	40,5	43,5	46,5	49,5		
Общее снижение уровня звука препятствием Dz, дБ		Эн.сумма(-Dzi)	10,2	13,2	16,5	19,8	22,9	25,9	28,9	31,9	34,9		
Общее снижение уровня звука препятствием с учётом ограничения (25 дБ) для октавных полос Dz, дБ		Раздел 7.4 [10]	10,2	13,2	16,5	19,8	22,9	25	25	25	25		
Уровни звукового давления прямого звука от источника ИШ-8-2 в расчётной точке днём, дБ		**ф-ла(3)[10]**	**35**	**31**	**27,6**	**21**	**18,2**	**19,2**	**12,7**	**1,2**	**0**	**22,5**	**22,5**
Расчёт отражённого звука													
Уровни звукового давления от мнимого источника ИШ-8-2_мн.(1) в расчётной точке днём, дБ		**ф-ла(3)[10]**	**0**	**0**	**0**	**0**	**0**	**0**	**0**	**0**	**0**	**0**	**0**
Уровни звукового давления от источника ИШ-8-2 в расчётной точке днём, дБ		**ф-ла(3)[10]**	**35**	**31**	**27,6**	**21**	**18,2**	**19,2**	**12,7**	**1,2**	**0**	**22,5**	**22,5**
Источник шума: ИШ-8-3, координаты источника (x,y,z), м =[564.90,-369.90,3.00]													
Уровни звуковой мощности источника днём, Lw, дБ		**исходные данные**	**105**	**104**	**104**	**101**	**102**	**106**	**101**	**95**	**87**		
Поправка на телесный угол DΩ, дБ	Ω = 6.28	10Lg(4π/Ω)	**3**	3	3	3	3	3	3	3	3		
Показатель направленности источника Di, дБ		исходные данные	**0**	0	0	0	0	0	0	0	0		

1		2	3	4	5	6	7	8	9	10	11	12	13
Поправка на направленность источника Dc, дБ	Dc	DΩ + Di	**3**	3	3	3	3	3	3	3	3		
Затухание из-за геометрической дивергенции, Adiv, дБ	расстояние = 455.65 м	ф-ла (7) [10]	**64,2**										
Коэффициент затухания звука в атмосфере α, дБ/км	Ta=20,°C Pa=101.33,кПа hотн.=70%	ф-ла (5) [9]	0,02	0,09	0,33	1,12	2,79	4,98	9,04	23,09	77,63		
Учет затухания звука в атмосфере Aatm, дБ		ф-ла (8) [10]	0	0	0,2	0,5	1,3	2,3	4,1	10,5	35,4		
Снижение уровня звукового давления из-за влияния застройки между источником шума и расчетной точкой													
Снижение уровня звукового давления на пути над экраном, Dz1, дБ	z = 6.60м (разность путей)	ф-лы (14-18) [10]	17,7	21	24	27,1	30,1	33,1	36,1	39,1	42,1		
Снижение уровня звукового давления на пути слева от экрана, Dz2, дБ	z = 6.32м (разность путей)	ф-лы (14-18) [10]	18,5	21,5	24,5	27,5	30,5	33,5	36,5	39,5	42,5		
Снижение уровня звукового давления на пути справа от экрана, Dz3, дБ	z = 40.82м (разность путей)	ф-лы (14-18) [10]	23,9	28,4	32,2	35,5	38,5	41,6	44,6	47,6	50,6		
Общее снижение уровня звука препятствием Dz, дБ		Эн.сумма(-Dzi)	14,5	17,8	20,9	23,9	26,9	30	33	36	39		
Общее снижение уровня звука препятствием с учётом ограничения (25 дБ) для октавных полос Dz, дБ		Раздел 7.4 [10]	14,5	17,8	20,9	23,9	25	25	25	25	25		
Уровни звукового давления от источника ИШ-8-3 в расчётной точке днём, дБ		**ф-ла(3)[10]**	**29,3**	**25**	**21,8**	**15,4**	**14,6**	**17,6**	**10,7**	**0**	**0**	**19,8**	**19,8**
Источник шума: ИШ-9-1, координаты источника (x,y,z), м =[642.94,-357.54,1.00]													
Уровни звуковой мощности источника днём, Lw, дБ		**исходные данные**	**0**	**93,3**	**94,7**	**96**	**96,3**	**95,9**	**92,6**	**88,4**	**83,9**		
Поправка на телесный угол DΩ, дБ	Ω = 6.28	10Lg(4π/Ω)	**3**	3	3	3	3	3	3	3	3		
Показатель направленности источника Di, дБ		исходные данные	**0**	0	0	0	0	0	0	0	0		
Поправка на направленность источника Dc, дБ	Dc	DΩ + Di	**3**	3	3	3	3	3	3	3	3		

1		2	3	4	5	6	7	8	9	10	11	12	13
Затухание из-за геометрической дивергенции, Adiv, дБ	расстояние = 484.32 м	ф-ла (7) [10]	**64,7**										
Коэффициент затухания звука в атмосфере α, дБ/км	Та=20,°С Ра=101.33,кПа hотн.=70%	ф-ла (5) [9]	0,02	0,09	0,33	1,12	2,79	4,98	9,04	23,09	77,63		
Учет затухания звука в атмосфере Aatm, дБ		ф-ла (8) [10]	0	0	0,2	0,5	1,4	2,4	4,4	11,2	37,6		
Снижение уровня звукового давления из-за влияния застройки между источником шума и расчетной точкой													
Снижение уровня звукового давления на пути над экраном, Dz1, дБ	z = 6.82м (разность путей)	ф-лы (14-18) [10]	14,1	17,5	21,8	26,1	29,7	32,9	36	39	42		
Снижение уровня звукового давления на пути слева от экрана, Dz2, дБ	z = 3.98м (разность путей)	ф-лы (14-18) [10]	12,5	15,1	17,9	20,8	23,7	26,7	29,7	32,7	35,7		
Снижение уровня звукового давления на пути справа от экрана, Dz3, дБ	z = 32.18м (разность путей)	ф-лы (14-18) [10]	22,8	27,3	31,1	34,4	37,5	40,5	43,6	46,6	49,6		
Общее снижение уровня звука препятствием Dz, дБ		Эн.сумма(-Dzi)	10	13	16,3	19,5	22,6	25,7	28,7	31,7	34,7		
Общее снижение уровня звука препятствием с учётом ограничения (25 дБ) для октавных полос Dz, дБ		Раздел 7.4 [10]	10	13	16,3	19,5	22,6	25	25	25	25		
Уровни звукового давления прямого звука от источника ИШ-9-1 в расчётной точке днём, дБ		**ф-ла(3)[10]**	**0**	**18,6**	**16,6**	**14,2**	**10,6**	**6,8**	**1,5**	**0**	**0**	**12,3**	**12,3**
Расчёт отражённого звука													
Уровни звукового давления от мнимого источника ИШ-9-1_мн.(1) в расчётной точке днём, дБ		**ф-ла(3)[10]**	**0**	**0**	**0**	**0**	**0**	**0**	**0**	**0**	**0**	**0**	**0**
Уровни звукового давления от источника ИШ-9-1 в расчётной точке днём, дБ		**ф-ла(3)[10]**	**0**	**18,6**	**16,6**	**14,2**	**10,6**	**6,8**	**1,5**	**0**	**0**	**12,3**	**12,3**
Источник шума: ИШ-9-2, координаты источника (x,y,z), м =[644.14,-354.83,1.00]													
Уровни звуковой мощности источника днём, Lw, дБ		**исходные данные**	**0**	**93,3**	**94,7**	**96**	**96,3**	**95,9**	**92,6**	**88,4**	**83,9**		
Поправка на телесный угол DΩ, дБ	Ω = 6.28	10Lg(4π/Ω)	**3**	3	3	3	3	3	3	3	3		

1		2	3	4	5	6	7	8	9	10	11	12	13
Показатель направленности источника Di, дБ		исходные данные	**0**	0	0	0	0	0	0	0	0		
Поправка на направленность источника Dc, дБ	Dc	DΩ + Di	**3**	3	3	3	3	3	3	3	3		
Затухание из-за геометрической дивергенции, Adiv, дБ	расстояние = 482.78 м	ф-ла (7) [10]	**64,7**										
Коэффициент затухания звука в атмосфере α, дБ/км	Ta=20,°C Pa=101.33,кПа hотн.=70%	ф-ла (5) [9]	0,02	0,09	0,33	1,12	2,79	4,98	9,04	23,09	77,63		
Учет затухания звука в атмосфере Aatm, дБ		ф-ла (8) [10]	0	0	0,2	0,5	1,3	2,4	4,4	11,1	37,5		
Снижение уровня звукового давления из-за влияния застройки между источником шума и расчетной точкой													
Снижение уровня звукового давления на пути над экраном, Dz1, дБ	z = 6.83м (разность путей)	ф-лы (14-18) [10]	14,1	17,6	21,8	26,1	29,7	32,9	36	39	42		
Снижение уровня звукового давления на пути слева от экрана, Dz2, дБ	z = 4.02м (разность путей)	ф-лы (14-18) [10]	12,5	15,2	17,9	20,8	23,8	26,8	29,8	32,8	35,8		
Снижение уровня звукового давления на пути справа от экрана, Dz3, дБ	z = 31.92м (разность путей)	ф-лы (14-18) [10]	22,8	27,3	31,1	34,4	37,5	40,5	43,5	46,5	49,5		
Общее снижение уровня звука препятствием Dz, дБ		Эн.сумма(-Dzi)	10	13	16,3	19,6	22,7	25,7	28,7	31,7	34,7		
Общее снижение уровня звука препятствием с учётом ограничения (25 дБ) для октавных полос Dz, дБ		Раздел 7.4 [10]	10	13	16,3	19,6	22,7	25	25	25	25		
Уровни звукового давления прямого звука от источника ИШ-9-2 в расчётной точке днём, дБ		**ф-ла(3)[10]**	**0**	**18,6**	**16,5**	**14,2**	**10,6**	**6,8**	**1,6**	**0**	**0**	**12,3**	**12,3**
Расчёт отражённого звука													
Уровни звукового давления от мнимого источника ИШ-9-2_мн.(1) в расчётной точке днём, дБ		**ф-ла(3)[10]**	**0**	**0**	**0**	**0**	**0**	**0**	**0**	**0**	**0**	**0**	**0**
Уровни звукового давления от источника ИШ-9-2 в расчётной точке днём, дБ		**ф-ла(3)[10]**	**0**	**18,6**	**16,5**	**14,2**	**10,6**	**6,8**	**1,6**	**0**	**0**	**12,3**	**12,3**

Источник шума: ИШ-9-3, координаты источника (x,y,z), м =[644.98,-351.85,1.00]

1		2	3	4	5	6	7	8	9	10	11	12	13
Уровни звуковой мощности источника днём, Lw, дБ		**исходные данные**	**0**	**93,3**	**94,7**	**96**	**96,3**	**95,9**	**92,6**	**88,4**	**83,9**		
Поправка на телесный угол DΩ, дБ	Ω = 6.28	10Lg(4π/Ω)	**3**	3	3	3	3	3	3	3	3		
Показатель направленности источника Di, дБ		исходные данные	**0**	0	0	0	0	0	0	0	0		
Поправка на направленность источника Dc, дБ	Dc	DΩ + Di	**3**	3	3	3	3	3	3	3	3		
Затухание из-за геометрической дивергенции, Adiv, дБ	расстояние = 480.83 м	ф-ла (7) [10]	**64,6**										
Коэффициент затухания звука в атмосфере α, дБ/км	Ta=20,°C Pa=101.33,кПа hотн.=70%	ф-ла (5) [9]	0,02	0,09	0,33	1,12	2,79	4,98	9,04	23,09	77,63		
Учет затухания звука в атмосфере Aatm, дБ		ф-ла (8) [10]	0	0	0,2	0,5	1,3	2,4	4,3	11,1	37,3		
Снижение уровня звукового давления из-за влияния застройки между источником шума и расчетной точкой													
Снижение уровня звукового давления на пути над экраном, Dz1, дБ	z = 6.83м (разность путей)	ф-лы (14-18) [10]	14,1	17,6	21,9	26,2	29,8	32,9	36	39	42		
Снижение уровня звукового давления на пути слева от экрана, Dz2, дБ	z = 4.07м (разность путей)	ф-лы (14-18) [10]	12,6	15,2	18	20,9	23,8	26,8	29,8	32,8	35,8		
Снижение уровня звукового давления на пути справа от экрана, Dz3, дБ	z = 31.68м (разность путей)	ф-лы (14-18) [10]	22,8	27,3	31,1	34,4	37,5	40,5	43,5	46,5	49,5		
Общее снижение уровня звука препятствием Dz, дБ		Эн.сумма(-Dzi)	10	13,1	16,3	19,6	22,7	25,7	28,7	31,7	34,8		
Общее снижение уровня звука препятствием с учётом ограничения (25 дБ) для октавных полос Dz, дБ		Раздел 7.4 [10]	10	13,1	16,3	19,6	22,7	25	25	25	25		
Уровни звукового давления прямого звука от источника ИШ-9-3 в расчётной точке днём, дБ		**ф-ла(3)[10]**	**0**	**18,6**	**16,5**	**14,2**	**10,6**	**6,9**	**1,6**	**0**	**0**	**12,3**	**12,3**
Расчёт отражённого звука													
Уровни звукового давления от мнимого источника ИШ-9-3_мн.(1) в расчётной точке днём, дБ		**ф-ла(3)[10]**	**0**	**0**	**0**	**0**	**0**	**0**	**0**	**0**	**0**	**0**	**0**
Уровни звукового давления от источника ИШ-9-3 в расчётной точке днём, дБ		**ф-ла(3)[10]**	**0**	**18,6**	**16,5**	**14,2**	**10,6**	**6,9**	**1,6**	**0**	**0**	**12,3**	**12,3**

1		2	3	4	5	6	7	8	9	10	11	12	13
Источник шума: ИШ-9-4, координаты источника (x,y,z), м =[646.01,-349.15,1.00]													
Уровни звуковой мощности источника днём, Lw, дБ		**исходные данные**	**0**	**93,3**	**94,7**	**96**	**96,3**	**95,9**	**92,6**	**88,4**	**83,9**		
Поправка на телесный угол DΩ, дБ	Ω = 6.28	10Lg(4π/Ω)	**3**	3	3	3	3	3	3	3	3		
Показатель направленности источника Di, дБ		исходные данные	**0**	0	0	0	0	0	0	0	0		
Поправка на направленность источника Dc, дБ	Dc	DΩ + Di	**3**	3	3	3	3	3	3	3	3		
Затухание из-за геометрической дивергенции, Adiv, дБ	расстояние = 479.22 м	ф-ла (7) [10]	**64,6**										
Коэффициент затухания звука в атмосфере α, дБ/км	Ta=20,°C Pa=101.33,кПа hотн.=70%	ф-ла (5) [9]	0,02	0,09	0,33	1,12	2,79	4,98	9,04	23,09	77,63		
Учет затухания звука в атмосфере Aatm, дБ		ф-ла (8) [10]	0	0	0,2	0,5	1,3	2,4	4,3	11,1	37,2		
Снижение уровня звукового давления из-за влияния застройки между источником шума и расчетной точкой													
Снижение уровня звукового давления на пути над экраном, Dz1, дБ	z = 6.84м (разность путей)	ф-лы (14-18) [10]	14,1	17,6	21,9	26,2	29,8	33	36	39	42		
Снижение уровня звукового давления на пути слева от экрана, Dz2, дБ	z = 4.12м (разность путей)	ф-лы (14-18) [10]	12,6	15,3	18	20,9	23,9	26,9	29,9	32,9	35,9		
Снижение уровня звукового давления на пути справа от экрана, Dz3, дБ	z = 31.44м (разность путей)	ф-лы (14-18) [10]	22,7	27,2	31	34,3	37,4	40,4	43,5	46,5	49,5		
Общее снижение уровня звука препятствием Dz, дБ		Эн.сумма(-Dzi)	10,1	13,1	16,4	19,7	22,7	25,8	28,8	31,8	34,8		
Общее снижение уровня звука препятствием с учётом ограничения (25 дБ) для октавных полос Dz, дБ		Раздел 7.4 [10]	10,1	13,1	16,4	19,7	22,7	25	25	25	25		
Уровни звукового давления прямого звука от источника ИШ-9-4 в расчётной точке днём, дБ		**ф-ла(3)[10]**	**0**	**18,5**	**16,5**	**14,2**	**10,6**	**6,9**	**1,6**	**0**	**0**	**12,4**	**12,4**
Расчёт отражённого звука													

1		2	3	4	5	6	7	8	9	10	11	12	13
Уровни звукового давления от мнимого источника ИШ-9-4_мн.(1) в расчётной точке днём, дБ		**ф-ла(3)[10]**	**0**	**0**	**0**	**0**	**0**	**0**	**0**	**0**	**0**	**0**	**0**
Уровни звукового давления от источника ИШ-9-4 в расчётной точке днём, дБ		**ф-ла(3)[10]**	**0**	**18,5**	**16,5**	**14,2**	**10,6**	**6,9**	**1,6**	**0**	**0**	**12,4**	**12,4**
Источник шума: ИШ-9-5, координаты источника (x,y,z), м =[646.84,-346.17,1.00]													
Уровни звуковой мощности источника днём, Lw, дБ		**исходные данные**	**0**	**93,3**	**94,7**	**96**	**96,3**	**95,9**	**92,6**	**88,4**	**83,9**		
Поправка на телесный угол DΩ, дБ	Ω = 6.28	10Lg(4π/Ω)	**3**	3	3	3	3	3	3	3	3		
Показатель направленности источника Di, дБ		исходные данные	**0**	0	0	0	0	0	0	0	0		
Поправка на направленность источника Dc, дБ	Dc	DΩ + Di	**3**	3	3	3	3	3	3	3	3		
Затухание из-за геометрической дивергенции, Adiv, дБ	расстояние = 477.29 м	ф-ла (7) [10]	**64,6**										
Коэффициент затухания звука в атмосфере α, дБ/км	Ta=20,°C Pa=101.33,кПа hотн.=70%	ф-ла (5) [9]	0,02	0,09	0,33	1,12	2,79	4,98	9,04	23,09	77,63		
Учет затухания звука в атмосфере Aatm, дБ		ф-ла (8) [10]	0	0	0,2	0,5	1,3	2,4	4,3	11	37,1		
Снижение уровня звукового давления из-за влияния застройки между источником шума и расчетной точкой													
Снижение уровня звукового давления на пути над экраном, Dz1, дБ	z = 6.85м (разность путей)	ф-лы (14-18) [10]	14,1	17,6	21,9	26,2	29,8	33	36	39	42,1		
Снижение уровня звукового давления на пути слева от экрана, Dz2, дБ	z = 4.17м (разность путей)	ф-лы (14-18) [10]	12,7	15,3	18,1	21	23,9	26,9	29,9	32,9	35,9		
Снижение уровня звукового давления на пути справа от экрана, Dz3, дБ	z = 31.20м (разность путей)	ф-лы (14-18) [10]	22,7	27,2	31	34,3	37,4	40,4	43,4	46,4	49,4		
Общее снижение уровня звука препятствием Dz, дБ		Эн.сумма(-Dzi)	10,1	13,1	16,4	19,7	22,8	25,8	28,8	31,8	34,8		
Общее снижение уровня звука препятствием с учётом ограничения (25 дБ) для октавных полос Dz, дБ		Раздел 7.4 [10]	10,1	13,1	16,4	19,7	22,8	25	25	25	25		

1		2	3	4	5	6	7	8	9	10	11	12	13
Уровни звукового давления прямого звука от источника ИШ-9-5 в расчётной точке днём, дБ		**ф-ла(3)[10]**	**0**	**18,5**	**16,5**	**14,2**	**10,6**	**6,9**	**1,7**	**0**	**0**	**12,4**	**12,4**
Расчёт отражённого звука													
Уровни звукового давления от мнимого источника ИШ-9-5_мн.(1) в расчётной точке днём, дБ		**ф-ла(3)[10]**	**0**	**0**	**0**	**0**	**0**	**0**	**0**	**0**	**0**	**0**	**0**
Уровни звукового давления от источника ИШ-9-5 в расчётной точке днём, дБ		**ф-ла(3)[10]**	**0**	**18,5**	**16,5**	**14,2**	**10,6**	**6,9**	**1,7**	**0**	**0**	**12,4**	**12,4**
Источник шума: ИШ-9-6, координаты источника (x,y,z), м =[647.87,-343.47,1.00]													
Уровни звуковой мощности источника днём, Lw, дБ		**исходные данные**	**0**	**93,3**	**94,7**	**96**	**96,3**	**95,9**	**92,6**	**88,4**	**83,9**		
Поправка на телесный угол DΩ, дБ	Ω = 6.28	10Lg(4π/Ω)	**3**	3	3	3	3	3	3	3	3		
Показатель направленности источника Di, дБ		исходные данные	**0**	0	0	0	0	0	0	0	0		
Поправка на направленность источника Dc, дБ	Dc	DΩ + Di	**3**	3	3	3	3	3	3	3	3		
Затухание из-за геометрической дивергенции, Adiv, дБ	расстояние = 475.71 м	ф-ла (7) [10]	**64,5**										
Коэффициент затухания звука в атмосфере α, дБ/км	Ta=20,°C Pa=101.33,кПа hотн.=70%	ф-ла (5) [9]	0,02	0,09	0,33	1,12	2,79	4,98	9,04	23,09	77,63		
Учет затухания звука в атмосфере Aatm, дБ		ф-ла (8) [10]	0	0	0,2	0,5	1,3	2,4	4,3	11	36,9		
Снижение уровня звукового давления из-за влияния застройки между источником шума и расчетной точкой													
Снижение уровня звукового давления на пути над экраном, Dz1, дБ	z = 6.85м (разность путей)	ф-лы (14-18) [10]	14,1	17,6	21,9	26,2	29,8	33	36	39	42,1		
Снижение уровня звукового давления на пути слева от экрана, Dz2, дБ	z = 4.22м (разность путей)	ф-лы (14-18) [10]	12,7	15,3	18,1	21	24	27	30	33	36		
Снижение уровня звукового давления на пути справа от экрана, Dz3, дБ	z = 30.95м (разность путей)	ф-лы (14-18) [10]	22,7	27,2	31	34,3	37,3	40,4	43,4	46,4	49,4		

1		2	3	4	5	6	7	8	9	10	11	12	13
Общее снижение уровня звука препятствием Dz, дБ		Эн.сумма(-Dzi)	10,1	13,2	16,5	19,7	22,8	25,9	28,9	31,9	34,9		
Общее снижение уровня звука препятствием с учётом ограничения (25 дБ) для октавных полос Dz, дБ		Раздел 7.4 [10]	10,1	13,2	16,5	19,7	22,8	25	25	25	25		
Уровни звукового давления прямого звука от источника ИШ-9-6 в расчётной точке днём, дБ		**ф-ла(3)[10]**	**0**	**18,5**	**16,5**	**14,2**	**10,6**	**7**	**1,7**	**0**	**0**	**12,4**	**12,4**
Расчёт отражённого звука													
Уровни звукового давления от мнимого источника ИШ-9-6_мн.(1) в расчётной точке днём, дБ		**ф-ла(3)[10]**	**0**	**0**	**0**	**0**	**0**	**0**	**0**	**0**	**0**	**0**	**0**
Уровни звукового давления от источника ИШ-9-6 в расчётной точке днём, дБ		**ф-ла(3)[10]**	**0**	**18,5**	**16,5**	**14,2**	**10,6**	**7**	**1,7**	**0**	**0**	**12,4**	**12,4**
Источник шума: ИШ-9-7, координаты источника (x,y,z), м =[648.71,-340.49,1.00]													
Уровни звуковой мощности источника днём, Lw, дБ		**исходные данные**	**0**	**93,3**	**94,7**	**96**	**96,3**	**95,9**	**92,6**	**88,4**	**83,9**		
Поправка на телесный угол DΩ, дБ	Ω = 6.28	10Lg(4π/Ω)	**3**	3	3	3	3	3	3	3	3		
Показатель направленности источника Di, дБ		исходные данные	**0**	0	0	0	0	0	0	0	0		
Поправка на направленность источника Dc, дБ	Dc	DΩ + Di	**3**	3	3	3	3	3	3	3	3		
Затухание из-за геометрической дивергенции, Adiv, дБ	расстояние = 473.80 м	ф-ла (7) [10]	**64,5**										
Коэффициент затухания звука в атмосфере α, дБ/км	Ta=20,°C Pa=101.33,кПа hотн.=70%	ф-ла (5) [9]	0,02	0,09	0,33	1,12	2,79	4,98	9,04	23,09	77,63		
Учет затухания звука в атмосфере Aatm, дБ		ф-ла (8) [10]	0	0	0,2	0,5	1,3	2,4	4,3	10,9	36,8		
Снижение уровня звукового давления из-за влияния застройки между источником шума и расчетной точкой													
Снижение уровня звукового давления на пути над экраном, Dz1, дБ	z = 6.86м (разность путей)	ф-лы (14-18) [10]	14,1	17,7	22	26,2	29,8	33	36	39,1	42,1		

1		2	3	4	5	6	7	8	9	10	11	12	13
Снижение уровня звукового давления на пути слева от экрана, Dz2, дБ	z = 4.27м (разность путей)	ф-лы (14-18) [10]	12,7	15,4	18,2	21,1	24	27	30	33	36		
Снижение уровня звукового давления на пути справа от экрана, Dz3, дБ	z = 30.71м (разность путей)	ф-лы (14-18) [10]	22,6	27,1	30,9	34,2	37,3	40,3	43,4	46,4	49,4		
Общее снижение уровня звука препятствием Dz, дБ		Эн.сумма(-Dzi)	10,1	13,2	16,5	19,8	22,9	25,9	28,9	31,9	34,9		
Общее снижение уровня звука препятствием с учётом ограничения (25 дБ) для октавных полос Dz, дБ		Раздел 7.4 [10]	10,1	13,2	16,5	19,8	22,9	25	25	25	25		
Уровни звукового давления прямого звука от источника ИШ-9-7 в расчётной точке днём, дБ		**ф-ла(3)[10]**	**0**	**18,5**	**16,5**	**14,2**	**10,6**	**7**	**1,8**	**0**	**0**	**12,4**	**12,4**
Расчёт отражённого звука													
Уровни звукового давления от мнимого источника ИШ-9-7_мн.(1) в расчётной точке днём, дБ		**ф-ла(3)[10]**	**0**	**0**	**0**	**0**	**0**	**0**	**0**	**0**	**0**	**0**	**0**
Уровни звукового давления от источника ИШ-9-7 в расчётной точке днём, дБ		**ф-ла(3)[10]**	**0**	**18,5**	**16,5**	**14,2**	**10,6**	**7**	**1,8**	**0**	**0**	**12,4**	**12,4**
Источник шума: ИШ-9-8, координаты источника (x,y,z), м =[649.92,-337.69,1.00]													
Уровни звуковой мощности источника днём, Lw, дБ		**исходные данные**	**0**	**93,3**	**94,7**	**96**	**96,3**	**95,9**	**92,6**	**88,4**	**83,9**		
Поправка на телесный угол DΩ, дБ	Ω = 6.28	10Lg(4π/Ω)	**3**	3	3	3	3	3	3	3	3		
Показатель направленности источника Di, дБ		исходные данные	**0**	0	0	0	0	0	0	0	0		
Поправка на направленность источника Dc, дБ	Dc	DΩ + Di	**3**	3	3	3	3	3	3	3	3		
Затухание из-за геометрической дивергенции, Adiv, дБ	расстояние = 472.28 м	ф-ла (7) [10]	**64,5**										
Коэффициент затухания звука в атмосфере α, дБ/км	Та=20,°С Ра=101.33,кПа hотн.=70%	ф-ла (5) [9]	0,02	0,09	0,33	1,12	2,79	4,98	9,04	23,09	77,63		
Учет затухания звука в атмосфере Aatm, дБ		ф-ла (8) [10]	0	0	0,2	0,5	1,3	2,4	4,3	10,9	36,7		

1		2	3	4	5	6	7	8	9	10	11	12	13
Снижение уровня звукового давления из-за влияния застройки между источником шума и расчетной точкой													
Снижение уровня звукового давления на пути над экраном, Dz1, дБ	z = 6.86м (разность путей)	ф-лы (14-18) [10]	14,2	17,7	22	26,3	29,8	33	36	39,1	42,1		
Снижение уровня звукового давления на пути слева от экрана, Dz2, дБ	z = 4.32м (разность путей)	ф-лы (14-18) [10]	12,8	15,4	18,2	21,1	24,1	27,1	30,1	33,1	36,1		
Снижение уровня звукового давления на пути справа от экрана, Dz3, дБ	z = 30.44м (разность путей)	ф-лы (14-18) [10]	22,6	27,1	30,9	34,2	37,3	40,3	43,3	46,3	49,3		
Общее снижение уровня звука препятствием Dz, дБ		Эн.сумма(-Dzi)	10,2	13,2	16,5	19,8	22,9	25,9	28,9	31,9	35		
Общее снижение уровня звука препятствием с учётом ограничения (25 дБ) для октавных полос Dz, дБ		Раздел 7.4 [10]	10,2	13,2	16,5	19,8	22,9	25	25	25	25		
Уровни звукового давления прямого звука от источника ИШ-9-8 в расчётной точке днём, дБ		**ф-ла(3)[10]**	**0**	**18,5**	**16,5**	**14,2**	**10,6**	**7,1**	**1,8**	**0**	**0**	**12,4**	**12,4**
Расчёт отражённого звука													
Уровни звукового давления от мнимого источника ИШ-9-8_мн.(1) в расчётной точке днём, дБ		**ф-ла(3)[10]**	**0**	**0**	**0**	**0**	**0**	**0**	**0**	**0**	**0**	**0**	**0**
Уровни звукового давления от источника ИШ-9-8 в расчётной точке днём, дБ		**ф-ла(3)[10]**	**0**	**18,5**	**16,5**	**14,2**	**10,6**	**7,1**	**1,8**	**0**	**0**	**12,4**	**12,4**
Источник шума: ИШ-9-9, координаты источника (x,y,z), м =[650.66,-334.90,1.00]													
Уровни звуковой мощности источника днём, Lw, дБ		**исходные данные**	**0**	**93,3**	**94,7**	**96**	**96,3**	**95,9**	**92,6**	**88,4**	**83,9**		
Поправка на телесный угол DΩ, дБ	Ω = 6.28	10Lg(4π/Ω)	**3**	3	3	3	3	3	3	3	3		
Показатель направленности источника Di, дБ		исходные данные	**0**	0	0	0	0	0	0	0	0		
Поправка на направленность источника Dc, дБ	Dc	DΩ + Di	**3**	3	3	3	3	3	3	3	3		
Затухание из-за геометрической дивергенции, Adiv, дБ	расстояние = 470.49 м	ф-ла (7) [10]	**64,5**										
Коэффициент затухания звука в атмосфере α, дБ/км	Ta=20,°C Pa=101.33,кПа hотн.=70%	ф-ла (5) [9]	0,02	0,09	0,33	1,12	2,79	4,98	9,04	23,09	77,63		

1		2	3	4	5	6	7	8	9	10	11	12	13
Учет затухания звука в атмосфере Aatm, дБ		ф-ла (8) [10]	0	0	0,2	0,5	1,3	2,3	4,3	10,9	36,5		
Снижение уровня звукового давления из-за влияния застройки между источником шума и расчетной точкой													
Снижение уровня звукового давления на пути над экраном, Dz1, дБ	z = 6.87м (разность путей)	ф-лы (14-18) [10]	14,2	17,7	22	26,3	29,8	33	36,1	39,1	42,1		
Снижение уровня звукового давления на пути слева от экрана, Dz2, дБ	z = 4.37м (разность путей)	ф-лы (14-18) [10]	12,8	15,5	18,3	21,2	24,1	27,1	30,1	33,1	36,1		
Снижение уровня звукового давления на пути справа от экрана, Dz3, дБ	z = 30.21м (разность путей)	ф-лы (14-18) [10]	22,6	27,1	30,9	34,2	37,2	40,3	43,3	46,3	49,3		
Общее снижение уровня звука препятствием Dz, дБ		Эн.сумма(-Dzi)	10,2	13,3	16,6	19,8	22,9	26	29	32	35		
Общее снижение уровня звука препятствием с учётом ограничения (25 дБ) для октавных полос Dz, дБ		Раздел 7.4 [10]	10,2	13,3	16,6	19,8	22,9	25	25	25	25		
Уровни звукового давления прямого звука от источника ИШ-9-9 в расчётной точке днём, дБ		**ф-ла(3)[10]**	**0**	**18,5**	**16,5**	**14,2**	**10,6**	**7,1**	**1,9**	**0**	**0**	**12,4**	**12,4**
Расчёт отражённого звука													
Уровни звукового давления от мнимого источника ИШ-9-9_мн.(1) в расчётной точке днём, дБ		**ф-ла(3)[10]**	**0**	**0**	**0**	**0**	**0**	**28,9**	**24,7**	**13,3**	**0**	**30,8**	**30,8**
Уровни звукового давления от мнимого источника ИШ-9-9_мн.(2) в расчётной точке днём, дБ		**ф-ла(3)[10]**	**0**	**0**	**0**	**0**	**0**	**0**	**0**	**0**	**0**	**0**	**0**
Суммарные уровни звукового давления от мнимых источников в расчётной точке днём, дБ		**ф-ла (19) [1]**	**0**	**0**	**0**	**0**	**0**	**28,9**	**24,7**	**13,3**	**0**	**0**	**30,8**
Уровни звукового давления от источника ИШ-9-9 в расчётной точке днём, дБ		**ф-ла(3)[10]**	**0**	**18,5**	**16,5**	**14,2**	**10,6**	**28,9**	**24,7**	**13,3**	**0**	**30,8**	**30,8**
Источник шума: ИШ-9-10, координаты источника (x,y,z), м =[651.59,-332.01,1.00]													
Уровни звуковой мощности источника днём, Lw, дБ		**исходные данные**	**0**	**93,3**	**94,7**	**96**	**96,3**	**95,9**	**92,6**	**88,4**	**83,9**		
Поправка на телесный угол DΩ, дБ	Ω = 6.28	10Lg(4π/Ω)	**3**	3	3	3	3	3	3	3	3		
Показатель направленности источника Di, дБ		исходные данные	**0**	0	0	0	0	0	0	0	0		

1		2	3	4	5	6	7	8	9	10	11	12	13
Поправка на направленность источника Dc, дБ	Dc	DΩ + Di	**3**	3	3	3	3	3	3	3	3		
Затухание из-за геометрической дивергенции, Adiv, дБ	расстояние = 468.76 м	ф-ла (7) [10]	**64,4**										
Коэффициент затухания звука в атмосфере α, дБ/км	Ta=20,°C Pa=101.33,кПа hотн.=70%	ф-ла (5) [9]	0,02	0,09	0,33	1,12	2,79	4,98	9,04	23,09	77,63		
Учет затухания звука в атмосфере Aatm, дБ		ф-ла (8) [10]	0	0	0,2	0,5	1,3	2,3	4,2	10,8	36,4		
Снижение уровня звукового давления из-за влияния застройки между источником шума и расчетной точкой													
Снижение уровня звукового давления на пути над экраном, Dz1, дБ	z = 6.88м (разность путей)	ф-лы (14-18) [10]	14,2	17,7	22	26,3	29,8	33	36,1	39,1	42,1		
Снижение уровня звукового давления на пути слева от экрана, Dz2, дБ	z = 4.42м (разность путей)	ф-лы (14-18) [10]	12,9	15,5	18,3	21,2	24,2	27,2	30,2	33,2	36,2		
Снижение уровня звукового давления на пути справа от экрана, Dz3, дБ	z = 29.96м (разность путей)	ф-лы (14-18) [10]	22,5	27	30,8	34,1	37,2	40,2	43,3	46,3	49,3		
Общее снижение уровня звука препятствием Dz, дБ		Эн.сумма(-Dzi)	10,2	13,3	16,6	19,9	23	26	29	32	35		
Общее снижение уровня звука препятствием с учётом ограничения (25 дБ) для октавных полос Dz, дБ		Раздел 7.4 [10]	10,2	13,3	16,6	19,9	23	25	25	25	25		
Уровни звукового давления прямого звука от источника ИШ-9-10 в расчётной точке днём, дБ		**ф-ла(3)[10]**	**0**	**18,5**	**16,5**	**14,2**	**10,6**	**7,1**	**1,9**	**0**	**0**	**12,4**	**12,4**
Расчёт отражённого звука													
Уровни звукового давления от мнимого источника ИШ-9-10_мн.(1) в расчётной точке днём, дБ		**ф-ла(3)[10]**	**0**	**0**	**0**	**0**	**0**	**28,9**	**24,8**	**13,4**	**0**	**30,8**	**30,8**
Уровни звукового давления от мнимого источника ИШ-9-10_мн.(2) в расчётной точке днём, дБ		**ф-ла(3)[10]**	**0**	**0**	**0**	**0**	**0**	**0**	**0**	**0**	**0**	**0**	**0**
Суммарные уровни звукового давления от мнимых источников в расчётной точке днём, дБ		**ф-ла (19) [1]**	**0**	**0**	**0**	**0**	**0**	**28,9**	**24,8**	**13,4**	**0**	**0**	**30,8**
Уровни звукового давления от источника ИШ-9-10 в расчётной точке днём, дБ		**ф-ла(3)[10]**	**0**	**18,5**	**16,5**	**14,2**	**10,6**	**28,9**	**24,8**	**13,4**	**0**	**30,9**	**30,9**

1		2	3	4	5	6	7	8	9	10	11	12	13
Источник шума: ИШ-9-11, координаты источника (x,y,z), м =[652.71,-329.22,1.00]													
Уровни звуковой мощности источника днём, Lw, дБ		**исходные данные**	**0**	**93,3**	**94,7**	**96**	**96,3**	**95,9**	**92,6**	**88,4**	**83,9**		
Поправка на телесный угол DΩ, дБ	Ω = 6.28	10Lg(4π/Ω)	**3**	3	3	3	3	3	3	3	3		
Показатель направленности источника Di, дБ		исходные данные	**0**	0	0	0	0	0	0	0	0		
Поправка на направленность источника Dc, дБ	Dc	DΩ + Di	**3**	3	3	3	3	3	3	3	3		
Затухание из-за геометрической дивергенции, Adiv, дБ	расстояние = 467.22 м	ф-ла (7) [10]	**64,4**										
Коэффициент затухания звука в атмосфере α, дБ/км	Ta=20,°C Pa=101.33,кПа hотн.=70%	ф-ла (5) [9]	0,02	0,09	0,33	1,12	2,79	4,98	9,04	23,09	77,63		
Учет затухания звука в атмосфере Aatm, дБ		ф-ла (8) [10]	0	0	0,2	0,5	1,3	2,3	4,2	10,8	36,3		
Снижение уровня звукового давления из-за влияния застройки между источником шума и расчетной точкой													
Снижение уровня звукового давления на пути над экраном, Dz1, дБ	z = 6.88м (разность путей)	ф-лы (14-18) [10]	14,2	17,8	22,1	26,3	29,8	33	36,1	39,1	42,1		
Снижение уровня звукового давления на пути слева от экрана, Dz2, дБ	z = 4.47м (разность путей)	ф-лы (14-18) [10]	12,9	15,6	18,4	21,3	24,3	27,2	30,2	33,2	36,2		
Снижение уровня звукового давления на пути справа от экрана, Dz3, дБ	z = 29.70м (разность путей)	ф-лы (14-18) [10]	22,5	27	30,8	34,1	37,2	40,2	43,2	46,2	49,2		
Общее снижение уровня звука препятствием Dz, дБ		Эн.сумма(-Dzi)	10,2	13,3	16,7	19,9	23	26	29,1	32,1	35,1		
Общее снижение уровня звука препятствием с учётом ограничения (25 дБ) для октавных полос Dz, дБ		Раздел 7.4 [10]	10,2	13,3	16,7	19,9	23	25	25	25	25		
Уровни звукового давления прямого звука от источника ИШ-9-11 в расчётной точке днём, дБ		**ф-ла(3)[10]**	**0**	**18,5**	**16,5**	**14,1**	**10,6**	**7,2**	**2**	**0**	**0**	**12,5**	**12,5**
Расчёт отражённого звука													

1		2	3	4	5	6	7	8	9	10	11	12	13
Уровни звукового давления от мнимого источника ИШ-9-11_мн.(1) в расчётной точке днём, дБ		**ф-ла(3)[10]**	**0**	**0**	**0**	**0**	**0**	**28,9**	**24,8**	**13,4**	**0**	**30,8**	**30,8**
Уровни звукового давления от источника ИШ-9-11 в расчётной точке днём, дБ		**ф-ла(3)[10]**	**0**	**18,5**	**16,5**	**14,1**	**10,6**	**29**	**24,8**	**13,4**	**0**	**30,9**	**30,9**
Источник шума: ИШ-9-12, координаты источника (x,y,z), м =[653.46,-326.33,1.00]													
Уровни звуковой мощности источника днём, Lw, дБ		**исходные данные**	**0**	**93,3**	**94,7**	**96**	**96,3**	**95,9**	**92,6**	**88,4**	**83,9**		
Поправка на телесный угол DΩ, дБ	Ω = 6.28	10Lg(4π/Ω)	**3**	3	3	3	3	3	3	3	3		
Показатель направленности источника Di, дБ		исходные данные	**0**	0	0	0	0	0	0	0	0		
Поправка на направленность источника Dc, дБ	Dc	DΩ + Di	**3**	3	3	3	3	3	3	3	3		
Затухание из-за геометрической дивергенции, Adiv, дБ	расстояние = 465.40 м	ф-ла (7) [10]	**64,4**										
Коэффициент затухания звука в атмосфере α, дБ/км	Ta=20,°C Pa=101.33,кПа hотн.=70%	ф-ла (5) [9]	0,02	0,09	0,33	1,12	2,79	4,98	9,04	23,09	77,63		
Учет затухания звука в атмосфере Aatm, дБ		ф-ла (8) [10]	0	0	0,2	0,5	1,3	2,3	4,2	10,7	36,1		
Снижение уровня звукового давления из-за влияния застройки между источником шума и расчетной точкой													
Снижение уровня звукового давления на пути над экраном, Dz1, дБ	z = 6.89м (разность путей)	ф-лы (14-18) [10]	14,2	17,8	22,1	26,3	29,9	33	36,1	39,1	42,1		
Снижение уровня звукового давления на пути слева от экрана, Dz2, дБ	z = 4.52м (разность путей)	ф-лы (14-18) [10]	13	15,6	18,4	21,3	24,3	27,3	30,3	33,3	36,3		
Снижение уровня звукового давления на пути справа от экрана, Dz3, дБ	z = 29.46м (разность путей)	ф-лы (14-18) [10]	22,5	26,9	30,8	34	37,1	40,2	43,2	46,2	49,2		
Общее снижение уровня звука препятствием Dz, дБ		Эн.сумма(-Dzi)	10,3	13,4	16,7	20	23,1	26,1	29,1	32,1	35,1		
Общее снижение уровня звука препятствием с учётом ограничения (25 дБ) для октавных полос Dz, дБ		Раздел 7.4 [10]	10,3	13,4	16,7	20	23,1	25	25	25	25		

1		2	3	4	5	6	7	8	9	10	11	12	13
Уровни звукового давления прямого звука от источника ИШ-9-12 в расчётной точке днём, дБ		**ф-ла(3)[10]**	**0**	**18,5**	**16,5**	**14,1**	**10,6**	**7,2**	**2**	**0**	**0**	**12,5**	**12,5**
Расчёт отражённого звука													
Уровни звукового давления от мнимого источника ИШ-9-12_мн.(1) в расчётной точке днём, дБ		**ф-ла(3)[10]**	**0**	**0**	**0**	**0**	**0**	**29**	**24,8**	**13,5**	**0**	**30,9**	**30,9**
Уровни звукового давления от источника ИШ-9-12 в расчётной точке днём, дБ		**ф-ла(3)[10]**	**0**	**18,5**	**16,5**	**14,1**	**10,6**	**29**	**24,9**	**13,5**	**0**	**30,9**	**30,9**
Источник шума: ИШ-9-13, координаты источника (x,y,z), м =[654.48,-323.54,1.00]													
Уровни звуковой мощности источника днём, Lw, дБ		**исходные данные**	**0**	**93,3**	**94,7**	**96**	**96,3**	**95,9**	**92,6**	**88,4**	**83,9**		
Поправка на телесный угол DΩ, дБ	Ω = 6.28	10Lg(4π/Ω)	**3**	3	3	3	3	3	3	3	3		
Показатель направленности источника Di, дБ		исходные данные	**0**	0	0	0	0	0	0	0	0		
Поправка на направленность источника Dc, дБ	Dc	DΩ + Di	**3**	3	3	3	3	3	3	3	3		
Затухание из-за геометрической дивергенции, Adiv, дБ	расстояние = 463.83 м	ф-ла (7) [10]	**64,3**										
Коэффициент затухания звука в атмосфере α, дБ/км	Ta=20,°C Pa=101.33,кПа hотн.=70%	ф-ла (5) [9]	0,02	0,09	0,33	1,12	2,79	4,98	9,04	23,09	77,63		
Учет затухания звука в атмосфере Aatm, дБ		ф-ла (8) [10]	0	0	0,2	0,5	1,3	2,3	4,2	10,7	36		
Снижение уровня звукового давления из-за влияния застройки между источником шума и расчетной точкой													
Снижение уровня звукового давления на пути над экраном, Dz1, дБ	z = 6.89м (разность путей)	ф-лы (14-18) [10]	14,2	17,8	22,1	26,3	29,9	33	36,1	39,1	42,1		
Снижение уровня звукового давления на пути слева от экрана, Dz2, дБ	z = 4.58м (разность путей)	ф-лы (14-18) [10]	13	15,7	18,5	21,4	24,3	27,3	30,3	33,3	36,3		
Снижение уровня звукового давления на пути справа от экрана, Dz3, дБ	z = 29.21м (разность путей)	ф-лы (14-18) [10]	22,4	26,9	30,7	34	37,1	40,1	43,1	46,2	49,2		

1		2	3	4	5	6	7	8	9	10	11	12	13
Общее снижение уровня звука препятствием Dz, дБ		Эн.сумма(-Dzi)	10,3	13,4	16,7	20	23,1	26,1	29,1	32,1	35,1		
Общее снижение уровня звука препятствием с учётом ограничения (25 дБ) для октавных полос Dz, дБ		Раздел 7.4 [10]	10,3	13,4	16,7	20	23,1	25	25	25	25		
Уровни звукового давления прямого звука от источника ИШ-9-13 в расчётной точке днём, дБ		**ф-ла(3)[10]**	**0**	**18,5**	**16,5**	**14,1**	**10,6**	**7,3**	**2,1**	**0**	**0**	**12,5**	**12,5**
Расчёт отражённого звука													
Уровни звукового давления от мнимого источника ИШ-9-13_мн.(1) в расчётной точке днём, дБ		**ф-ла(3)[10]**	**0**	**0**	**0**	**0**	**0**	**29**	**24,9**	**13,5**	**0**	**30,9**	**30,9**
Уровни звукового давления от источника ИШ-9-13 в расчётной точке днём, дБ		**ф-ла(3)[10]**	**0**	**18,5**	**16,5**	**14,1**	**10,6**	**29**	**24,9**	**13,5**	**0**	**31**	**31**
Источник шума: ИШ-9-14, координаты источника (x,y,z), м =[655.60,-320.74,1.00]													
Уровни звуковой мощности источника днём, Lw, дБ		**исходные данные**	**0**	**93,3**	**94,7**	**96**	**96,3**	**95,9**	**92,6**	**88,4**	**83,9**		
Поправка на телесный угол DΩ, дБ	Ω = 6.28	10Lg(4π/Ω)	**3**	3	3	3	3	3	3	3	3		
Показатель направленности источника Di, дБ		исходные данные	**0**	0	0	0	0	0	0	0	0		
Поправка на направленность источника Dc, дБ	Dc	DΩ + Di	**3**	3	3	3	3	3	3	3	3		
Затухание из-за геометрической дивергенции, Adiv, дБ	расстояние = 462.34 м	ф-ла (7) [10]	**64,3**										
Коэффициент затухания звука в атмосфере α, дБ/км	Ta=20,°C Pa=101.33,кПа hотн.=70%	ф-ла (5) [9]	0,02	0,09	0,33	1,12	2,79	4,98	9,04	23,09	77,63		
Учет затухания звука в атмосфере Aatm, дБ		ф-ла (8) [10]	0	0	0,2	0,5	1,3	2,3	4,2	10,7	35,9		
Снижение уровня звукового давления из-за влияния застройки между источником шума и расчетной точкой													
Снижение уровня звукового давления на пути над экраном, Dz1, дБ	z = 6.90м (разность путей)	ф-лы (14-18) [10]	14,2	17,8	22,2	26,4	29,9	33	36,1	39,1	42,1		

1		2	3	4	5	6	7	8	9	10	11	12	13
Снижение уровня звукового давления на пути слева от экрана, Dz2, дБ	z = 4.63м (разность путей)	ф-лы (14-18) [10]	13	15,7	18,5	21,4	24,4	27,4	30,4	33,4	36,4		
Снижение уровня звукового давления на пути справа от экрана, Dz3, дБ	z = 28.94м (разность путей)	ф-лы (14-18) [10]	22,4	26,9	30,7	34	37,1	40,1	43,1	46,1	49,1		
Общее снижение уровня звука препятствием Dz, дБ		Эн.сумма(-Dzi)	10,3	13,4	16,8	20	23,1	26,2	29,2	32,2	35,2		
Общее снижение уровня звука препятствием с учётом ограничения (25 дБ) для октавных полос Dz, дБ		Раздел 7.4 [10]	10,3	13,4	16,8	20	23,1	25	25	25	25		
Уровни звукового давления прямого звука от источника ИШ-9-14 в расчётной точке днём, дБ		**ф-ла(3)[10]**	**0**	**18,5**	**16,5**	**14,1**	**10,6**	**7,3**	**2,1**	**0**	**0**	**12,5**	**12,5**
Расчёт отражённого звука													
Уровни звукового давления от мнимого источника ИШ-9-14_мн.(1) в расчётной точке днём, дБ		**ф-ла(3)[10]**	**0**	**0**	**0**	**0**	**0**	**29**	**24,9**	**13,6**	**0**	**30,9**	**30,9**
Уровни звукового давления от источника ИШ-9-14 в расчётной точке днём, дБ		**ф-ла(3)[10]**	**0**	**18,5**	**16,5**	**14,1**	**10,6**	**29,1**	**24,9**	**13,6**	**0**	**31**	**31**
Источник шума: ИШ-9-15, координаты источника (x,y,z), м =[656.44,-317.86,1.00]													
Уровни звуковой мощности источника днём, Lw, дБ		**исходные данные**	**0**	**93,3**	**94,7**	**96**	**96,3**	**95,9**	**92,6**	**88,4**	**83,9**		
Поправка на телесный угол DΩ, дБ	Ω = 6.28	10Lg(4π/Ω)	**3**	3	3	3	3	3	3	3	3		
Показатель направленности источника Di, дБ		исходные данные	**0**	0	0	0	0	0	0	0	0		
Поправка на направленность источника Dc, дБ	Dc	DΩ + Di	**3**	3	3	3	3	3	3	3	3		
Затухание из-за геометрической дивергенции, Adiv, дБ	расстояние = 460.61 м	ф-ла (7) [10]	**64,3**										
Коэффициент затухания звука в атмосфере α, дБ/км	Та=20,°С Ра=101.33,кПа hотн.=70%	ф-ла (5) [9]	0,02	0,09	0,33	1,12	2,79	4,98	9,04	23,09	77,63		
Учет затухания звука в атмосфере Aatm, дБ		ф-ла (8) [10]	0	0	0,2	0,5	1,3	2,3	4,2	10,6	35,8		

1		2	3	4	5	6	7	8	9	10	11	12	13
Снижение уровня звукового давления из-за влияния застройки между источником шума и расчетной точкой													
Снижение уровня звукового давления на пути над экраном, Dz1, дБ	z = 6.90м (разность путей)	ф-лы (14-18) [10]	14,2	17,8	22,2	26,4	29,9	33	36,1	39,1	42,1		
Снижение уровня звукового давления на пути слева от экрана, Dz2, дБ	z = 4.69м (разность путей)	ф-лы (14-18) [10]	13,1	15,8	18,6	21,5	24,5	27,4	30,4	33,4	36,4		
Снижение уровня звукового давления на пути справа от экрана, Dz3, дБ	z = 28.70м (разность путей)	ф-лы (14-18) [10]	22,4	26,8	30,6	33,9	37	40	43,1	46,1	49,1		
Общее снижение уровня звука препятствием Dz, дБ		Эн.сумма(-Dzi)	10,3	13,5	16,8	20,1	23,2	26,2	29,2	32,2	35,2		
Общее снижение уровня звука препятствием с учётом ограничения (25 дБ) для октавных полос Dz, дБ		Раздел 7.4 [10]	10,3	13,5	16,8	20,1	23,2	25	25	25	25		
Уровни звукового давления прямого звука от источника ИШ-9-15 в расчётной точке днём, дБ		**ф-ла(3)[10]**	**0**	**18,5**	**16,5**	**14,1**	**10,6**	**7,3**	**2,2**	**0**	**0**	**12,5**	**12,5**
Расчёт отражённого звука													
Уровни звукового давления от мнимого источника ИШ-9-15_мн.(1) в расчётной точке днём, дБ		**ф-ла(3)[10]**	**0**	**0**	**0**	**0**	**0**	**29,1**	**25**	**13,7**	**0**	**31**	**31**
Уровни звукового давления от источника ИШ-9-15 в расчётной точке днём, дБ		**ф-ла(3)[10]**	**0**	**18,5**	**16,5**	**14,1**	**10,6**	**29,1**	**25**	**13,7**	**0**	**31**	**31**
Источник шума: ИШ-9-16, координаты источника (x,y,z), м =[657.46,-314.97,1.00]													
Уровни звуковой мощности источника днём, Lw, дБ		**исходные данные**	**0**	**93,3**	**94,7**	**96**	**96,3**	**95,9**	**92,6**	**88,4**	**83,9**		
Поправка на телесный угол DΩ, дБ	Ω = 6.28	10Lg(4π/Ω)	**3**	3	3	3	3	3	3	3	3		
Показатель направленности источника Di, дБ		исходные данные	**0**	0	0	0	0	0	0	0	0		
Поправка на направленность источника Dc, дБ	Dc	DΩ + Di	**3**	3	3	3	3	3	3	3	3		
Затухание из-за геометрической дивергенции, Adiv, дБ	расстояние = 459.01 м	ф-ла (7) [10]	**64,2**										
Коэффициент затухания звука в атмосфере α, дБ/км	Ta=20,°C Pa=101.33,кПа hотн.=70%	ф-ла (5) [9]	0,02	0,09	0,33	1,12	2,79	4,98	9,04	23,09	77,63		

1		2	3	4	5	6	7	8	9	10	11	12	13
Учет затухания звука в атмосфере Aatm, дБ		ф-ла (8) [10]	0	0	0,2	0,5	1,3	2,3	4,1	10,6	35,6		
Снижение уровня звукового давления из-за влияния застройки между источником шума и расчетной точкой													
Снижение уровня звукового давления на пути над экраном, Dz1, дБ	z = 6.91м (разность путей)	ф-лы (14-18) [10]	14,3	17,9	22,2	26,4	29,9	33,1	36,1	39,1	42,1		
Снижение уровня звукового давления на пути слева от экрана, Dz2, дБ	z = 4.74м (разность путей)	ф-лы (14-18) [10]	13,1	15,8	18,6	21,5	24,5	27,5	30,5	33,5	36,5		
Снижение уровня звукового давления на пути справа от экрана, Dz3, дБ	z = 28.43м (разность путей)	ф-лы (14-18) [10]	22,3	26,8	30,6	33,9	37	40	43	46	49		
Общее снижение уровня звука препятствием Dz, дБ		Эн.сумма(-Dzi)	10,4	13,5	16,9	20,1	23,2	26,2	29,2	32,3	35,3		
Общее снижение уровня звука препятствием с учётом ограничения (25 дБ) для октавных полос Dz, дБ		Раздел 7.4 [10]	10,4	13,5	16,9	20,1	23,2	25	25	25	25		
Уровни звукового давления прямого звука от источника ИШ-9-16 в расчётной точке днём, дБ		**ф-ла(3)[10]**	**0**	**18,5**	**16,4**	**14,1**	**10,6**	**7,4**	**2,2**	**0**	**0**	**12,5**	**12,5**
Расчёт отражённого звука													
Уровни звукового давления от мнимого источника ИШ-9-16_мн.(1) в расчётной точке днём, дБ		**ф-ла(3)[10]**	**0**	**0**	**0**	**0**	**0**	**29,1**	**25**	**13,7**	**0**	**31**	**31**
Уровни звукового давления от источника ИШ-9-16 в расчётной точке днём, дБ		**ф-ла(3)[10]**	**0**	**18,5**	**16,4**	**14,1**	**10,6**	**29,2**	**25**	**13,7**	**0**	**31,1**	**31,1**
Источник шума: ИШ-9-17, координаты источника (x,y,z), м =[658.49,-312.18,1.00]													
Уровни звуковой мощности источника днём, Lw, дБ		**исходные данные**	**0**	**93,3**	**94,7**	**96**	**96,3**	**95,9**	**92,6**	**88,4**	**83,9**		
Поправка на телесный угол DΩ, дБ	Ω = 6.28	10Lg(4π/Ω)	**3**	3	3	3	3	3	3	3	3		
Показатель направленности источника Di, дБ		исходные данные	**0**	0	0	0	0	0	0	0	0		
Поправка на направленность источника Dc, дБ	Dc	DΩ + Di	**3**	3	3	3	3	3	3	3	3		
Затухание из-за геометрической дивергенции, Adiv, дБ	расстояние = 457.50 м	ф-ла (7) [10]	**64,2**										

1		2	3	4	5	6	7	8	9	10	11	12	13
Коэффициент затухания звука в атмосфере α, дБ/км	Та=20,°С Ра=101.33,кПа hотн.=70%	ф-ла (5) [9]	0,02	0,09	0,33	1,12	2,79	4,98	9,04	23,09	77,63		
Учет затухания звука в атмосфере Aatm, дБ		ф-ла (8) [10]	0	0	0,2	0,5	1,3	2,3	4,1	10,6	35,5		
Снижение уровня звукового давления из-за влияния застройки между источником шума и расчетной точкой													
Снижение уровня звукового давления на пути над экраном, Dz1, дБ	z = 6.91м (разность путей)	ф-лы (14-18) [10]	14,3	17,9	22,2	26,4	29,9	33,1	36,1	39,1	42,1		
Снижение уровня звукового давления на пути слева от экрана, Dz2, дБ	z = 4.80м (разность путей)	ф-лы (14-18) [10]	13,2	15,9	18,7	21,6	24,6	27,5	30,5	33,5	36,6		
Снижение уровня звукового давления на пути справа от экрана, Dz3, дБ	z = 28.18м (разность путей)	ф-лы (14-18) [10]	22,3	26,8	30,6	33,9	36,9	40	43	46	49		
Общее снижение уровня звука препятствием Dz, дБ		Эн.сумма(-Dzi)	10,4	13,5	16,9	20,2	23,3	26,3	29,3	32,3	35,3		
Общее снижение уровня звука препятствием с учётом ограничения (25 дБ) для октавных полос Dz, дБ		Раздел 7.4 [10]	10,4	13,5	16,9	20,2	23,3	25	25	25	25		
Уровни звукового давления прямого звука от источника ИШ-9-17 в расчётной точке днём, дБ		**ф-ла(3)[10]**	**0**	**18,5**	**16,4**	**14,1**	**10,6**	**7,4**	**2,2**	**0**	**0**	**12,5**	**12,5**
Расчёт отражённого звука													
Уровни звукового давления от мнимого источника ИШ-9-17_мн.(1) в расчётной точке днём, дБ		**ф-ла(3)[10]**	**0**	**0**	**0**	**0**	**0**	**29,2**	**25**	**13,8**	**0**	**31**	**31**
Уровни звукового давления от источника ИШ-9-17 в расчётной точке днём, дБ		**ф-ла(3)[10]**	**0**	**18,5**	**16,4**	**14,1**	**10,6**	**29,2**	**25,1**	**13,8**	**0**	**31,1**	**31,1**
Источник шума: ИШ-9-18, координаты источника (x,y,z), м =[659.42,-309.20,1.00]													
Уровни звуковой мощности источника днём, Lw, дБ		**исходные данные**	**0**	**93,3**	**94,7**	**96**	**96,3**	**95,9**	**92,6**	**88,4**	**83,9**		
Поправка на телесный угол DΩ, дБ	Ω = 6.28	10Lg(4π/Ω)	**3**	3	3	3	3	3	3	3	3		
Показатель направленности источника Di, дБ		исходные данные	**0**	0	0	0	0	0	0	0	0		

1		2	3	4	5	6	7	8	9	10	11	12	13
Поправка на направленность источника Dc, дБ	Dc	DΩ + Di	**3**	3	3	3	3	3	3	3	3		
Затухание из-за геометрической дивергенции, Adiv, дБ	расстояние = 455.81 м	ф-ла (7) [10]	**64,2**										
Коэффициент затухания звука в атмосфере α, дБ/км	Ta=20,°C Pa=101.33,кПа hотн.=70%	ф-ла (5) [9]	0,02	0,09	0,33	1,12	2,79	4,98	9,04	23,09	77,63		
Учет затухания звука в атмосфере Aatm, дБ		ф-ла (8) [10]	0	0	0,2	0,5	1,3	2,3	4,1	10,5	35,4		
Снижение уровня звукового давления из-за влияния застройки между источником шума и расчетной точкой													
Снижение уровня звукового давления на пути над экраном, Dz1, дБ	z = 6.92м (разность путей)	ф-лы (14-18) [10]	14,3	17,9	22,3	26,4	29,9	33,1	36,1	39,1	42,1		
Снижение уровня звукового давления на пути слева от экрана, Dz2, дБ	z = 4.86м (разность путей)	ф-лы (14-18) [10]	13,2	15,9	18,7	21,6	24,6	27,6	30,6	33,6	36,6		
Снижение уровня звукового давления на пути справа от экрана, Dz3, дБ	z = 27.91м (разность путей)	ф-лы (14-18) [10]	22,2	26,7	30,5	33,8	36,9	39,9	42,9	46	49		
Общее снижение уровня звука препятствием Dz, дБ		Эн.сумма(-Dzi)	10,4	13,6	16,9	20,2	23,3	26,3	29,3	32,3	35,3		
Общее снижение уровня звука препятствием с учётом ограничения (25 дБ) для октавных полос Dz, дБ		Раздел 7.4 [10]	10,4	13,6	16,9	20,2	23,3	25	25	25	25		
Уровни звукового давления прямого звука от источника ИШ-9-18 в расчётной точке днём, дБ		**ф-ла(3)[10]**	**0**	**18,5**	**16,4**	**14,1**	**10,6**	**7,4**	**2,3**	**0**	**0**	**12,6**	**12,6**
Расчёт отражённого звука													
Уровни звукового давления от мнимого источника ИШ-9-18_мн.(1) в расчётной точке днём, дБ		**ф-ла(3)[10]**	**0**	**0**	**0**	**0**	**0**	**29,2**	**25,1**	**13,8**	**0**	**31,1**	**31,1**
Уровни звукового давления от источника ИШ-9-18 в расчётной точке днём, дБ		**ф-ла(3)[10]**	**0**	**18,5**	**16,4**	**14,1**	**10,6**	**29,2**	**25,1**	**13,8**	**0**	**31,1**	**31,1**
Источник шума: ИШ-9-19, координаты источника (x,y,z), м =[660.44,-306.50,1.00]													
Уровни звуковой мощности источника днём, Lw, дБ		**исходные данные**	**0**	**93,3**	**94,7**	**96**	**96,3**	**95,9**	**92,6**	**88,4**	**83,9**		

1		2	3	4	5	6	7	8	9	10	11	12	13
Поправка на телесный угол DΩ, дБ	Ω = 6.28	10Lg(4π/Ω)	**3**	3	3	3	3	3	3	3	3		
Показатель направленности источника Di, дБ		исходные данные	**0**	0	0	0	0	0	0	0	0		
Поправка на направленность источника Dc, дБ	Dc	DΩ + Di	**3**	3	3	3	3	3	3	3	3		
Затухание из-за геометрической дивергенции, Adiv, дБ	расстояние = 454.40 м	ф-ла (7) [10]	**64,1**										
Коэффициент затухания звука в атмосфере α, дБ/км	Ta=20,°C Pa=101.33,кПа hотн.=70%	ф-ла (5) [9]	0,02	0,09	0,33	1,12	2,79	4,98	9,04	23,09	77,63		
Учет затухания звука в атмосфере Aatm, дБ		ф-ла (8) [10]	0	0	0,2	0,5	1,3	2,3	4,1	10,5	35,3		
Снижение уровня звукового давления из-за влияния застройки между источником шума и расчетной точкой													
Снижение уровня звукового давления на пути над экраном, Dz1, дБ	z = 6.93м (разность путей)	ф-лы (14-18) [10]	14,3	17,9	22,3	26,5	29,9	33,1	36,1	39,1	42,2		
Снижение уровня звукового давления на пути слева от экрана, Dz2, дБ	z = 4.91м (разность путей)	ф-лы (14-18) [10]	13,3	16	18,8	21,7	24,7	27,6	30,6	33,6	36,7		
Снижение уровня звукового давления на пути справа от экрана, Dz3, дБ	z = 27.66м (разность путей)	ф-лы (14-18) [10]	22,2	26,7	30,5	33,8	36,9	39,9	42,9	45,9	48,9		
Общее снижение уровня звука препятствием Dz, дБ		Эн.сумма(-Dzi)	10,4	13,6	17	20,2	23,3	26,4	29,4	32,4	35,4		
Общее снижение уровня звука препятствием с учётом ограничения (25 дБ) для октавных полос Dz, дБ		Раздел 7.4 [10]	10,4	13,6	17	20,2	23,3	25	25	25	25		
Уровни звукового давления прямого звука от источника ИШ-9-19 в расчётной точке днём, дБ		**ф-ла(3)[10]**	**0**	**18,5**	**16,4**	**14,1**	**10,5**	**7,5**	**2,3**	**0**	**0**	**12,6**	**12,6**
Расчёт отражённого звука													
Уровни звукового давления от мнимого источника ИШ-9-19_мн.(1) в расчётной точке днём, дБ		**ф-ла(3)[10]**	**0**	**0**	**0**	**0**	**0**	**29,2**	**25,1**	**13,9**	**0**	**31,1**	**31,1**
Уровни звукового давления от источника ИШ-9-19 в расчётной точке днём, дБ		**ф-ла(3)[10]**	**0**	**18,5**	**16,4**	**14,1**	**10,5**	**29,3**	**25,1**	**13,9**	**0**	**31,2**	**31,2**

1		2	3	4	5	6	7	8	9	10	11	12	13
Источник шума: ИШ-9-20, координаты источника (x,y,z), м =[661.28,-303.61,1.00]													
Уровни звуковой мощности источника днём, Lw, дБ		**исходные данные**	**0**	**93,3**	**94,7**	**96**	**96,3**	**95,9**	**92,6**	**88,4**	**83,9**		
Поправка на телесный угол DΩ, дБ	Ω = 6.28	10Lg(4π/Ω)	**3**	3	3	3	3	3	3	3	3		
Показатель направленности источника Di, дБ		исходные данные	**0**	0	0	0	0	0	0	0	0		
Поправка на направленность источника Dc, дБ	Dc	DΩ + Di	**3**	3	3	3	3	3	3	3	3		
Затухание из-за геометрической дивергенции, Adiv, дБ	расстояние = 452.74 м	ф-ла (7) [10]	**64,1**										
Коэффициент затухания звука в атмосфере α, дБ/км	Ta=20,°C Pa=101.33,кПа hотн.=70%	ф-ла (5) [9]	0,02	0,09	0,33	1,12	2,79	4,98	9,04	23,09	77,63		
Учет затухания звука в атмосфере Aatm, дБ		ф-ла (8) [10]	0	0	0,2	0,5	1,3	2,3	4,1	10,5	35,1		
Снижение уровня звукового давления из-за влияния застройки между источником шума и расчетной точкой													
Снижение уровня звукового давления на пути над экраном, Dz1, дБ	z = 6.93м (разность путей)	ф-лы (14-18) [10]	14,3	18	22,3	26,5	29,9	33,1	36,1	39,1	42,2		
Снижение уровня звукового давления на пути слева от экрана, Dz2, дБ	z = 4.97м (разность путей)	ф-лы (14-18) [10]	13,3	16	18,8	21,7	24,7	27,7	30,7	33,7	36,7		
Снижение уровня звукового давления на пути справа от экрана, Dz3, дБ	z = 27.41м (разность путей)	ф-лы (14-18) [10]	22,2	26,6	30,4	33,7	36,8	39,9	42,9	45,9	48,9		
Общее снижение уровня звука препятствием Dz, дБ		Эн.сумма(-Dzi)	10,5	13,6	17	20,3	23,4	26,4	29,4	32,4	35,4		
Общее снижение уровня звука препятствием с учётом ограничения (25 дБ) для октавных полос Dz, дБ		Раздел 7.4 [10]	10,5	13,6	17	20,3	23,4	25	25	25	25		
Уровни звукового давления прямого звука от источника ИШ-9-20 в расчётной точке днём, дБ		**ф-ла(3)[10]**	**0**	**18,5**	**16,4**	**14,1**	**10,5**	**7,5**	**2,4**	**0**	**0**	**12,6**	**12,6**
Расчёт отражённого звука													

1		2	3	4	5	6	7	8	9	10	11	12	13
Уровни звукового давления от мнимого источника ИШ-9-20_мн.(1) в расчётной точке днём, дБ		**ф-ла(3)[10]**	**0**	**0**	**0**	**0**	**0**	**29,3**	**25,1**	**13,9**	**0**	**31,2**	**31,2**
Уровни звукового давления от источника ИШ-9-20 в расчётной точке днём, дБ		**ф-ла(3)[10]**	**0**	**18,5**	**16,4**	**14,1**	**10,5**	**29,3**	**25,2**	**13,9**	**0**	**31,2**	**31,2**
Источник шума: ИШ-9-21, координаты источника (x,y,z), м =[661.93,-300.72,1.00]													
Уровни звуковой мощности источника днём, Lw, дБ		**исходные данные**	**0**	**93,3**	**94,7**	**96**	**96,3**	**95,9**	**92,6**	**88,4**	**83,9**		
Поправка на телесный угол DΩ, дБ	Ω = 6.28	10Lg(4π/Ω)	**3**	3	3	3	3	3	3	3	3		
Показатель направленности источника Di, дБ		исходные данные	**0**	0	0	0	0	0	0	0	0		
Поправка на направленность источника Dc, дБ	Dc	DΩ + Di	**3**	3	3	3	3	3	3	3	3		
Затухание из-за геометрической дивергенции, Adiv, дБ	расстояние = 450.97 м	ф-ла (7) [10]	**64,1**										
Коэффициент затухания звука в атмосфере α, дБ/км	Ta=20,°C Pa=101.33,кПа hотн.=70%	ф-ла (5) [9]	0,02	0,09	0,33	1,12	2,79	4,98	9,04	23,09	77,63		
Учет затухания звука в атмосфере Aatm, дБ		ф-ла (8) [10]	0	0	0,2	0,5	1,3	2,2	4,1	10,4	35		
Снижение уровня звукового давления из-за влияния застройки между источником шума и расчетной точкой													
Снижение уровня звукового давления на пути над экраном, Dz1, дБ	z = 6.94м (разность путей)	ф-лы (14-18) [10]	14,3	18	22,4	26,5	30	33,1	36,1	39,2	42,2		
Снижение уровня звукового давления на пути слева от экрана, Dz2, дБ	z = 5.02м (разность путей)	ф-лы (14-18) [10]	13,3	16	18,9	21,8	24,8	27,7	30,7	33,7	36,8		
Снижение уровня звукового давления на пути справа от экрана, Dz3, дБ	z = 22.96м (разность путей)	ф-лы (14-18) [10]	23,9	27	30,1	33,1	36,1	39,1	42,1	45,1	48,1		
Общее снижение уровня звука препятствием Dz, дБ		Эн.сумма(-Dzi)	10,6	13,7	17	20,3	23,4	26,4	29,4	32,4	35,4		
Общее снижение уровня звука препятствием с учётом ограничения (25 дБ) для октавных полос Dz, дБ		Раздел 7.4 [10]	10,6	13,7	17	20,3	23,4	25	25	25	25		

1		2	3	4	5	6	7	8	9	10	11	12	13
Уровни звукового давления прямого звука от источника ИШ-9-21 в расчётной точке днём, дБ		**ф-ла(3)[10]**	**0**	**18,5**	**16,4**	**14,1**	**10,6**	**7,6**	**2,4**	**0**	**0**	**12,6**	**12,6**
Расчёт отражённого звука													
Уровни звукового давления от мнимого источника ИШ-9-21_мн.(1) в расчётной точке днём, дБ		**ф-ла(3)[10]**	**0**	**0**	**0**	**0**	**0**	**29,3**	**25,2**	**14**	**0**	**31,2**	**31,2**
Уровни звукового давления от источника ИШ-9-21 в расчётной точке днём, дБ		**ф-ла(3)[10]**	**0**	**18,5**	**16,4**	**14,1**	**10,6**	**29,3**	**25,2**	**14**	**0**	**31,3**	**31,3**
Источник шума: ИШ-9-22, координаты источника (x,y,z), м =[663.14,-297.83,1.00]													
Уровни звуковой мощности источника днём, Lw, дБ		**исходные данные**	**0**	**93,3**	**94,7**	**96**	**96,3**	**95,9**	**92,6**	**88,4**	**83,9**		
Поправка на телесный угол DΩ, дБ	Ω = 6.28	10Lg(4π/Ω)	**3**	3	3	3	3	3	3	3	3		
Показатель направленности источника Di, дБ		исходные данные	**0**	0	0	0	0	0	0	0	0		
Поправка на направленность источника Dc, дБ	Dc	DΩ + Di	**3**	3	3	3	3	3	3	3	3		
Затухание из-за геометрической дивергенции, Adiv, дБ	расстояние = 449.59 м	ф-ла (7) [10]	**64,1**										
Коэффициент затухания звука в атмосфере α, дБ/км	Ta=20,°C Pa=101.33,кПа hотн.=70%	ф-ла (5) [9]	0,02	0,09	0,33	1,12	2,79	4,98	9,04	23,09	77,63		
Учет затухания звука в атмосфере Aatm, дБ		ф-ла (8) [10]	0	0	0,2	0,5	1,3	2,2	4,1	10,4	34,9		
Снижение уровня звукового давления из-за влияния застройки между источником шума и расчетной точкой													
Снижение уровня звукового давления на пути над экраном, Dz1, дБ	z = 6.94м (разность путей)	ф-лы (14-18) [10]	14,3	18	22,4	26,5	30	33,1	36,1	39,2	42,2		
Снижение уровня звукового давления на пути слева от экрана, Dz2, дБ	z = 5.09м (разность путей)	ф-лы (14-18) [10]	13,4	16,1	18,9	21,8	24,8	27,8	30,8	33,8	36,8		
Снижение уровня звукового давления на пути справа от экрана, Dz3, дБ	z = 22.31м (разность путей)	ф-лы (14-18) [10]	23,7	26,9	29,9	32,9	36	39	42	45	48		

1		2	3	4	5	6	7	8	9	10	11	12	13
Общее снижение уровня звука препятствием Dz, дБ		Эн.сумма(-Dzi)	10,6	13,7	17,1	20,3	23,4	26,4	29,4	32,4	35,4		
Общее снижение уровня звука препятствием с учётом ограничения (25 дБ) для октавных полос Dz, дБ		Раздел 7.4 [10]	10,6	13,7	17,1	20,3	23,4	25	25	25	25		
Уровни звукового давления прямого звука от источника ИШ-9-22 в расчётной точке днём, дБ		**ф-ла(3)[10]**	**0**	**18,5**	**16,4**	**14,1**	**10,6**	**7,6**	**2,5**	**0**	**0**	**12,6**	**12,6**
Расчёт отражённого звука													
Уровни звукового давления от мнимого источника ИШ-9-22_мн.(1) в расчётной точке днём, дБ		**ф-ла(3)[10]**	**0**	**0**	**0**	**0**	**0**	**29,3**	**25,2**	**14,1**	**0**	**31,2**	**31,2**
Уровни звукового давления от источника ИШ-9-22 в расчётной точке днём, дБ		**ф-ла(3)[10]**	**0**	**18,5**	**16,4**	**14,1**	**10,6**	**29,4**	**25,2**	**14,1**	**0**	**31,3**	**31,3**
Источник шума: ИШ-9-23, координаты источника (x,y,z), м =[664.07,-295.13,1.00]													
Уровни звуковой мощности источника днём, Lw, дБ		**исходные данные**	**0**	**93,3**	**94,7**	**96**	**96,3**	**95,9**	**92,6**	**88,4**	**83,9**		
Поправка на телесный угол DΩ, дБ	Ω = 6.28	10Lg(4π/Ω)	**3**	3	3	3	3	3	3	3	3		
Показатель направленности источника Di, дБ		исходные данные	**0**	0	0	0	0	0	0	0	0		
Поправка на направленность источника Dc, дБ	Dc	DΩ + Di	**3**	3	3	3	3	3	3	3	3		
Затухание из-за геометрической дивергенции, Adiv, дБ	расстояние = 448.17 м	ф-ла (7) [10]	**64**										
Коэффициент затухания звука в атмосфере α, дБ/км	Ta=20,°C Pa=101.33,кПа hотн.=70%	ф-ла (5) [9]	0,02	0,09	0,33	1,12	2,79	4,98	9,04	23,09	77,63		
Учет затухания звука в атмосфере Aatm, дБ		ф-ла (8) [10]	0	0	0,2	0,5	1,3	2,2	4,1	10,3	34,8		
Снижение уровня звукового давления из-за влияния застройки между источником шума и расчетной точкой													
Снижение уровня звукового давления на пути над экраном, Dz1, дБ	z = 6.95м (разность путей)	ф-лы (14-18) [10]	14,4	18	22,4	26,5	30	33,1	36,1	39,2	42,2		

1		2	3	4	5	6	7	8	9	10	11	12	13
Снижение уровня звукового давления на пути слева от экрана, Dz2, дБ	z = 5.15м (разность путей)	ф-лы (14-18) [10]	13,4	16,1	19	21,9	24,9	27,8	30,8	33,8	36,9		
Снижение уровня звукового давления на пути справа от экрана, Dz3, дБ	z = 21.77м (разность путей)	ф-лы (14-18) [10]	23,6	26,8	29,8	32,8	35,8	38,9	41,9	44,9	47,9		
Общее снижение уровня звука препятствием Dz, дБ		Эн.сумма(-Dzi)	10,6	13,8	17,1	20,4	23,4	26,5	29,5	32,5	35,5		
Общее снижение уровня звука препятствием с учётом ограничения (25 дБ) для октавных полос Dz, дБ		Раздел 7.4 [10]	10,6	13,8	17,1	20,4	23,4	25	25	25	25		
Уровни звукового давления прямого звука от источника ИШ-9-23 в расчётной точке днём, дБ		**ф-ла(3)[10]**	**0**	**18,5**	**16,4**	**14,1**	**10,6**	**7,6**	**2,5**	**0**	**0**	**12,7**	**12,7**
Расчёт отражённого звука													
Уровни звукового давления от мнимого источника ИШ-9-23_мн.(1) в расчётной точке днём, дБ		**ф-ла(3)[10]**	**0**	**0**	**0**	**0**	**0**	**29,4**	**25,3**	**14,1**	**0**	**31,3**	**31,3**
Уровни звукового давления от источника ИШ-9-23 в расчётной точке днём, дБ		**ф-ла(3)[10]**	**0**	**18,5**	**16,4**	**14,1**	**10,6**	**29,4**	**25,3**	**14,1**	**0**	**31,3**	**31,3**
Источник шума: ИШ-9-24, координаты источника (x,y,z), м =[665.19,-292.34,1.00]													
Уровни звуковой мощности источника днём, Lw, дБ		**исходные данные**	**0**	**93,3**	**94,7**	**96**	**96,3**	**95,9**	**92,6**	**88,4**	**83,9**		
Поправка на телесный угол DΩ, дБ	Ω = 6.28	10Lg(4π/Ω)	**3**	3	3	3	3	3	3	3	3		
Показатель направленности источника Di, дБ		исходные данные	**0**	0	0	0	0	0	0	0	0		
Поправка на направленность источника Dc, дБ	Dc	DΩ + Di	**3**	3	3	3	3	3	3	3	3		
Затухание из-за геометрической дивергенции, Adiv, дБ	расстояние = 446.83 м	ф-ла (7) [10]	**64**										
Коэффициент затухания звука в атмосфере α, дБ/км	Ta=20,°C Pa=101.33,кПа hотн.=70%	ф-ла (5) [9]	0,02	0,09	0,33	1,12	2,79	4,98	9,04	23,09	77,63		
Учет затухания звука в атмосфере Aatm, дБ		ф-ла (8) [10]	0	0	0,1	0,5	1,2	2,2	4	10,3	34,7		

1		2	3	4	5	6	7	8	9	10	11	12	13
Снижение уровня звукового давления из-за влияния застройки между источником шума и расчетной точкой													
Снижение уровня звукового давления на пути над экраном, Dz1, дБ	z = 6.95м (разность путей)	ф-лы (14-18) [10]	14,4	18,1	22,4	26,5	30	33,1	36,2	39,2	42,2		
Снижение уровня звукового давления на пути слева от экрана, Dz2, дБ	z = 5.21м (разность путей)	ф-лы (14-18) [10]	13,5	16,2	19	21,9	24,9	27,9	30,9	33,9	36,9		
Снижение уровня звукового давления на пути справа от экрана, Dz3, дБ	z = 21.19м (разность путей)	ф-лы (14-18) [10]	23,5	26,7	29,7	32,7	35,7	38,7	41,7	44,8	47,8		
Общее снижение уровня звука препятствием Dz, дБ		Эн.сумма(-Dzi)	10,7	13,8	17,1	20,4	23,5	26,5	29,5	32,5	35,5		
Общее снижение уровня звука препятствием с учётом ограничения (25 дБ) для октавных полос Dz, дБ		Раздел 7.4 [10]	10,7	13,8	17,1	20,4	23,5	25	25	25	25		
Уровни звукового давления прямого звука от источника ИШ-9-24 в расчётной точке днём, дБ		**ф-ла(3)[10]**	**0**	**18,5**	**16,4**	**14,1**	**10,6**	**7,7**	**2,6**	**0**	**0**	**12,7**	**12,7**
Расчёт отражённого звука													
Уровни звукового давления от мнимого источника ИШ-9-24_мн.(1) в расчётной точке днём, дБ		**ф-ла(3)[10]**	**0**	**0**	**0**	**0**	**0**	**29,4**	**25,3**	**14,2**	**0**	**31,3**	**31,3**
Уровни звукового давления от источника ИШ-9-24 в расчётной точке днём, дБ		**ф-ла(3)[10]**	**0**	**18,5**	**16,4**	**14,1**	**10,6**	**29,4**	**25,3**	**14,2**	**0**	**31,4**	**31,4**
Источник шума: ИШ-9-25, координаты источника (x,y,z), м =[683.46,-239.16,1.00]													
Уровни звуковой мощности источника днём, Lw, дБ		**исходные данные**	**77**	**75**	**67**	**66**	**63**	**55**	**53**	**48**	**51**		
Поправка на телесный угол DΩ, дБ	Ω = 6.28	10Lg(4π/Ω)	**3**	3	3	3	3	3	3	3	3		
Показатель направленности источника Di, дБ		исходные данные	**0**	0	0	0	0	0	0	0	0		
Поправка на направленность источника Dc, дБ	Dc	DΩ + Di	**3**	3	3	3	3	3	3	3	3		
Затухание из-за геометрической дивергенции, Adiv, дБ	расстояние = 422.24 м	ф-ла (7) [10]	**63,5**										
Коэффициент затухания звука в атмосфере α, дБ/км	Ta=20,°C Pa=101.33,кПа hотн.=70%	ф-ла (5) [9]	0,02	0,09	0,33	1,12	2,79	4,98	9,04	23,09	77,63		

1		2	3	4	5	6	7	8	9	10	11	12	13
Учет затухания звука в атмосфере Aatm, дБ		ф-ла (8) [10]	0	0	0,1	0,5	1,2	2,1	3,8	9,7	32,8		
Снижение уровня звукового давления из-за влияния застройки между источником шума и расчетной точкой													
Снижение уровня звукового давления на пути над экраном, Dz1, дБ	z = 7.04м (разность путей)	ф-лы (14-18) [10]	14,7	18,7	23,1	26,9	30,2	33,2	36,3	39,3	42,3		
Снижение уровня звукового давления на пути слева от экрана, Dz2, дБ	z = 9.65м (разность путей)	ф-лы (14-18) [10]	20,2	23,3	26,3	29,3	32,3	35,3	38,3	41,3	44,4		
Снижение уровня звукового давления на пути справа от экрана, Dz3, дБ	z = 21.51м (разность путей)	ф-лы (14-18) [10]	21,1	25,6	29,4	32,7	35,8	38,8	41,8	44,8	47,8		
Общее снижение уровня звука препятствием Dz, дБ		Эн.сумма(-Dzi)	12,9	16,8	20,7	24,2	27,4	30,5	33,5	36,5	39,5		
Общее снижение уровня звука препятствием с учётом ограничения (25 дБ) для октавных полос Dz, дБ		Раздел 7.4 [10]	12,9	16,8	20,7	24,2	25	25	25	25	25		
Уровни звукового давления от источника ИШ-9-25 в расчётной точке днём, дБ		**ф-ла(3)[10]**	**3,6**	**0**	**0**	**0**	**0**	**0**	**0**	**0**	**0**	**0**	**0**
Источник шума: ИШ-9-26, координаты источника (x,y,z), м =[680.09,-249.52,1.00]													
Уровни звуковой мощности источника днём, Lw, дБ		**исходные данные**	**77**	**75**	**67**	**66**	**63**	**55**	**53**	**48**	**51**		
Поправка на телесный угол DΩ, дБ	Ω = 6.28	10Lg(4π/Ω)	**3**	3	3	3	3	3	3	3	3		
Показатель направленности источника Di, дБ		исходные данные	**0**	0	0	0	0	0	0	0	0		
Поправка на направленность источника Dc, дБ	Dc	DΩ + Di	**3**	3	3	3	3	3	3	3	3		
Затухание из-за геометрической дивергенции, Adiv, дБ	расстояние = 426.71 м	ф-ла (7) [10]	**63,6**										
Коэффициент затухания звука в атмосфере α, дБ/км	Ta=20,°C Pa=101.33,кПа hотн.=70%	ф-ла (5) [9]	0,02	0,09	0,33	1,12	2,79	4,98	9,04	23,09	77,63		
Учет затухания звука в атмосфере Aatm, дБ		ф-ла (8) [10]	0	0	0,1	0,5	1,2	2,1	3,9	9,9	33,1		

1		2	3	4	5	6	7	8	9	10	11	12	13
Снижение уровня звукового давления из-за влияния застройки между источником шума и расчетной точкой													
Снижение уровня звукового давления на пути над экраном, Dz1, дБ	z = 7.02м (разность путей)	ф-лы (14-18) [10]	18,5	21,6	24,5	27,5	30,5	33,6	36,6	39,6	42,6		
Снижение уровня звукового давления на пути слева от экрана, Dz2, дБ	z = 7.73м (разность путей)	ф-лы (14-18) [10]	19,2	22,4	25,3	28,4	31,4	34,4	37,4	40,4	43,4		
Снижение уровня звукового давления на пути справа от экрана, Dz3, дБ	z = 22.44м (разность путей)	ф-лы (14-18) [10]	21,3	25,8	29,6	32,9	36	39	42	45	48		
Общее снижение уровня звука препятствием Dz, дБ		Эн.сумма(-Dzi)	14,7	18,1	21,2	24,3	27,3	30,3	33,3	36,3	39,3		
Общее снижение уровня звука препятствием с учётом ограничения (25 дБ) для октавных полос Dz, дБ		Раздел 7.4 [10]	14,7	18,1	21,2	24,3	25	25	25	25	25		
Уровни звукового давления от источника ИШ-9-26 в расчётной точке днём, дБ		**ф-ла(3)[10]**	**1,7**	**0**	**0**	**0**	**0**	**0**	**0**	**0**	**0**	**0**	**0**
Источник шума: ИШ-9-27, координаты источника (x,y,z), м =[676.46,-260.14,1.00]													
Уровни звуковой мощности источника днём, Lw, дБ		**исходные данные**	**77**	**75**	**67**	**66**	**63**	**55**	**53**	**48**	**51**		
Поправка на телесный угол DΩ, дБ	Ω = 6.28	10Lg(4π/Ω)	**3**	3	3	3	3	3	3	3	3		
Показатель направленности источника Di, дБ		исходные данные	**0**	0	0	0	0	0	0	0	0		
Поправка на направленность источника Dc, дБ	Dc	DΩ + Di	**3**	3	3	3	3	3	3	3	3		
Затухание из-за геометрической дивергенции, Adiv, дБ	расстояние = 431.39 м	ф-ла (7) [10]	**63,7**										
Коэффициент затухания звука в атмосфере α, дБ/км	Ta=20,°C Pa=101.33,кПа hотн.=70%	ф-ла (5) [9]	0,02	0,09	0,33	1,12	2,79	4,98	9,04	23,09	77,63		
Учет затухания звука в атмосфере Aatm, дБ		ф-ла (8) [10]	0	0	0,1	0,5	1,2	2,1	3,9	10	33,5		
Снижение уровня звукового давления из-за влияния застройки между источником шума и расчетной точкой													

1		2	3	4	5	6	7	8	9	10	11	12	13
Снижение уровня звукового давления на пути над экраном, Dz1, дБ	z = 7.00м (разность путей)	ф-лы (14-18) [10]	18,4	21,6	24,5	27,5	30,5	33,5	36,5	39,6	42,6		
Снижение уровня звукового давления на пути слева от экрана, Dz2, дБ	z = 6.41м (разность путей)	ф-лы (14-18) [10]	18,4	21,6	24,5	27,5	30,5	33,6	36,6	39,6	42,6		
Снижение уровня звукового давления на пути справа от экрана, Dz3, дБ	z = 16.32м (разность путей)	ф-лы (14-18) [10]	22,4	25,6	28,6	31,6	34,6	37,6	40,6	43,6	46,6		
Общее снижение уровня звука препятствием Dz, дБ		Эн.сумма(-Dzi)	14,6	17,8	20,7	23,7	26,8	29,8	32,8	35,8	38,8		
Общее снижение уровня звука препятствием с учётом ограничения (25 дБ) для октавных полос Dz, дБ		Раздел 7.4 [10]	14,6	17,8	20,7	23,7	25	25	25	25	25		
Уровни звукового давления от источника ИШ-9-27 в расчётной точке днём, дБ		**ф-ла(3)[10]**	**1,7**	**0**	**0**	**0**	**0**	**0**	**0**	**0**	**0**	**0**	**0**
Источник шума: ИШ-10-1, координаты источника (x,y,z), м =[17.37,413.17,1.00]													
Уровни звуковой мощности источника днём, Lw, дБ		**исходные данные**	**0**	**98,3**	**99,7**	**101**	**101,3**	**100,9**	**97,6**	**93,4**	**88,9**		
Поправка на телесный угол DΩ, дБ	Ω = 6.28	10Lg(4π/Ω)	**3**	3	3	3	3	3	3	3	3		
Показатель направленности источника Di, дБ		исходные данные	**0**	0	0	0	0	0	0	0	0		
Поправка на направленность источника Dc, дБ	Dc	DΩ + Di	**3**	3	3	3	3	3	3	3	3		
Затухание из-за геометрической дивергенции, Adiv, дБ	расстояние = 511.06 м	ф-ла (7) [10]	**65,2**										
Коэффициент затухания звука в атмосфере α, дБ/км	Ta=20,°C Pa=101.33,кПа hотн.=70%	ф-ла (5) [9]	0,02	0,09	0,33	1,12	2,79	4,98	9,04	23,09	77,63		
Учет затухания звука в атмосфере Aatm, дБ		ф-ла (8) [10]	0	0	0,2	0,6	1,4	2,5	4,6	11,8	39,7		
Снижение уровня звукового давления из-за влияния застройки между источником шума и расчетной точкой													
Снижение уровня звукового давления на пути над экраном, Dz1, дБ	z = 0.58м (разность путей)	ф-лы (14-18) [10]	6,5	7,8	9,6	11,9	14,5	17,2	20,1	23,1	26,1		

1		2	3	4	5	6	7	8	9	10	11	12	13
Снижение уровня звукового давления на пути слева от экрана, Dz2, дБ	z = 74.10м (разность путей)	ф-лы (14-18) [10]	29	32,1	35,1	38,2	41,2	44,2	47,2	50,2	53,2		
Снижение уровня звукового давления на пути справа от экрана, Dz3, дБ	z = 37.30м (разность путей)	ф-лы (14-18) [10]	21,5	24,5	27,4	30,4	33,4	36,4	39,4	42,4	45,5		
Общее снижение уровня звука препятствием Dz, дБ		Эн.сумма(-Dzi)	6,3	7,7	9,6	11,8	14,4	17,2	20,1	23	26		
Общее снижение уровня звука препятствием с учётом ограничения (25 дБ) для октавных полос Dz, дБ		Раздел 7.4 [10]	6,3	7,7	9,6	11,8	14,4	17,2	20,1	23	25		
Уровни звукового давления прямого звука от источника ИШ-10-1 в расчётной точке днём, дБ		**ф-ла(3)[10]**	**0**	**28,4**	**27,8**	**26,4**	**23,3**	**19**	**10,8**	**0**	**0**	**24,4**	**24,4**
Расчёт отражённого звука													
Уровни звукового давления от мнимого источника ИШ-10-1_мн.(1) в расчётной точке днём, дБ		**ф-ла(3)[10]**	**0**	**0**	**0**	**0**	**0**	**0**	**0**	**0**	**0**	**0**	**0**
Уровни звукового давления от мнимого источника ИШ-10-1_мн.(2) в расчётной точке днём, дБ		**ф-ла(3)[10]**	**0**	**0**	**0**	**0**	**0**	**0**	**0**	**0**	**0**	**0**	**0**
Суммарные уровни звукового давления от мнимых источников в расчётной точке днём, дБ		**ф-ла (19) [1]**	**0**	**0**	**0**	**0**	**0**	**0**	**0**	**0**	**0**	**0**	**0**
Уровни звукового давления от источника ИШ-10-1 в расчётной точке днём, дБ		**ф-ла(3)[10]**	**0**	**28,4**	**27,8**	**26,4**	**23,3**	**19**	**10,8**	**0**	**0**	**24,4**	**24,4**
Источник шума: ИШ-10-2, координаты источника (x,y,z), м =[27.87,443.46,1.00]													
Уровни звуковой мощности источника днём, Lw, дБ		**исходные данные**	**0**	**98,3**	**99,7**	**101**	**101,3**	**100,9**	**97,6**	**93,4**	**88,9**		
Поправка на телесный угол DΩ, дБ	Ω = 6.28	10Lg(4π/Ω)	**3**	3	3	3	3	3	3	3	3		
Показатель направленности источника Di, дБ		исходные данные	**0**	0	0	0	0	0	0	0	0		
Поправка на направленность источника Dc, дБ	Dc	DΩ + Di	**3**	3	3	3	3	3	3	3	3		
Затухание из-за геометрической дивергенции, Adiv, дБ	расстояние = 526.71 м	ф-ла (7) [10]	**65,4**										
Коэффициент затухания звука в атмосфере α, дБ/км	Ta=20,°C Pa=101.33,кПа hотн.=70%	ф-ла (5) [9]	0,02	0,09	0,33	1,12	2,79	4,98	9,04	23,09	77,63		

1		2	3	4	5	6	7	8	9	10	11	12	13
Учет затухания звука в атмосфере Aatm, дБ		ф-ла (8) [10]	0	0	0,2	0,6	1,5	2,6	4,8	12,2	40,9		
Снижение уровня звукового давления из-за влияния застройки между источником шума и расчетной точкой													
Снижение уровня звукового давления на пути над экраном, Dz1, дБ	z = 0.54м (разность путей)	ф-лы (14-18) [10]	7,6	9,3	11,5	14,1	16,8	19,7	22,6	25,6	28,6		
Снижение уровня звукового давления на пути слева от экрана, Dz2, дБ	z = 64.84м (разность путей)	ф-лы (14-18) [10]	28,4	31,6	34,6	37,6	40,6	43,6	46,6	49,6	52,6		
Снижение уровня звукового давления на пути справа от экрана, Dz3, дБ	z = 47.91м (разность путей)	ф-лы (14-18) [10]	26,8	30,2	33,2	36,3	39,3	42,3	45,3	48,3	51,3		
Общее снижение уровня звука препятствием Dz, дБ		Эн.сумма(-Dzi)	7,5	9,3	11,5	14	16,8	19,6	22,6	25,5	28,5		
Общее снижение уровня звука препятствием с учётом ограничения (25 дБ) для октавных полос Dz, дБ		Раздел 7.4 [10]	7,5	9,3	11,5	14	16,8	19,6	22,6	25	25		
Уровни звукового давления прямого звука от источника ИШ-10-2 в расчётной точке днём, дБ		**ф-ла(3)[10]**	**0**	**26,6**	**25,6**	**24**	**20,7**	**16,2**	**7,8**	**0**	**0**	**21,8**	**21,8**
Расчёт отражённого звука													
Уровни звукового давления от мнимого источника ИШ-10-2_мн.(1) в расчётной точке днём, дБ		**ф-ла(3)[10]**	**0**	**0**	**0**	**0**	**0**	**0**	**0**	**0**	**0**	**0**	**0**
Уровни звукового давления от источника ИШ-10-2 в расчётной точке днём, дБ		**ф-ла(3)[10]**	**0**	**26,6**	**25,6**	**24**	**20,7**	**16,2**	**7,8**	**0**	**0**	**21,8**	**21,8**
Уровни звукового давления в расчётной точке													
Суммарные уровни звукового давления в расчётной точке от всех источников шума днём, Lрт, дБ		**ф-ла (19) [1]**	**51,3**	**51,6**	**48,4**	**45,7**	**45,2**	**48,8**	**45,3**	**36**	**15,7**	**51,7**	**51,7**
Допускаемые УЗД днём, Lдоп, дБ	Территории предприятий с постоянными рабочими местами	Табл. 1[3]	107	95	87	82	78	75	73	71	69	80	95
Превышение днём, дБ		**Lрт - Lдоп**	**-55,7**	**-43,4**	**-38,6**	**-36,3**	**-32,8**	**-26,2**	**-27,7**	**-35**	**-53,3**	**-28,3**	**-43,3**

Определение уровней звукового давления в точке РТ-3-2 (координаты точки, м: x = 402.04, y = 43.18, z = 1.50)

Наименование величин и их описание		Ссылка	Расчётные уровни в октавных полосах, со среднегеометрическими частотами, Гц									La, дБА	Lмакс, дБА
			31,5	63	125	250	500	1000	2000	4000	8000		
1		2	3	4	5	6	7	8	9	10	11	12	13
Источник шума: ИШ-1-1, координаты источника (x,y,z), м =[271.72,229.68,1.00]													
Уровни звуковой мощности источника днём, Lw, дБ		**исходные данные**	**97**	**97**	**104**	**106**	**105**	**105**	**98**	**87**	**81**		
Поправка на телесный угол DΩ, дБ	Ω = 6.28	10Lg(4π/Ω)	**3**	3	3	3	3	3	3	3	3		
Показатель направленности источника Di, дБ		исходные данные	**0**	0	0	0	0	0	0	0	0		
Поправка на направленность источника Dc, дБ	Dc	DΩ + Di	**3**	3	3	3	3	3	3	3	3		
Затухание из-за геометрической дивергенции, Adiv, дБ	расстояние = 227.52 м	ф-ла (7) [10]	**58,1**										
Коэффициент затухания звука в атмосфере α, дБ/км	Ta=20,°C Pa=101.33,кПа hотн.=70%	ф-ла (5) [9]	0,02	0,09	0,33	1,12	2,79	4,98	9,04	23,09	77,63		
Учет затухания звука в атмосфере Aatm, дБ		ф-ла (8) [10]	0	0	0,1	0,3	0,6	1,1	2,1	5,3	17,7		
Снижение уровня звукового давления из-за влияния застройки между источником шума и расчетной точкой													
Снижение уровня звукового давления на пути над экраном, Dz1, дБ	z = 0.85м (разность путей)	ф-лы (14-18) [10]	7	9,2	12,6	16,1	19,3	22,4	25,4	28,4	31,4		
Снижение уровня звукового давления на пути слева от экрана, Dz2, дБ	z = 122.08м (разность путей)	ф-лы (14-18) [10]	30	33,9	37,2	40,3	43,3	46,3	49,4	52,4	55,4		
Снижение уровня звукового давления на пути справа от экрана, Dz3, дБ	z = 19.93м (разность путей)	ф-лы (14-18) [10]	18,9	21,8	24,7	27,7	30,7	33,7	36,7	39,7	42,7		
Общее снижение уровня звука препятствием Dz, дБ		Эн.сумма(-Dzi)	6,7	8,9	12,3	15,8	19	22,1	25,1	28,1	31,1		

1		2	3	4	5	6	7	8	9	10	11	12	13
Общее снижение уровня звука препятствием с учётом ограничения (25 дБ) для октавных полос Dz, дБ		Раздел 7.4 [10]	6,7	8,9	12,3	15,8	19	22,1	25	25	25		
Уровни звукового давления прямого звука от источника ИШ-1-1 в расчётной точке днём, дБ		**ф-ла(3)[10]**	**35,1**	**32,9**	**36,5**	**34,8**	**30,2**	**26,7**	**15,8**	**1,6**	**0**	**31,9**	**31,9**
Расчёт отражённого звука													
Уровни звукового давления от мнимого источника ИШ-1-1_мн.(1) в расчётной точке днём, дБ		**ф-ла(3)[10]**	**0**	**0**	**0**	**0**	**0**	**0**	**7,3**	**0**	**0**	**8,5**	**8,5**
Уровни звукового давления от мнимого источника ИШ-1-1_мн.(2) в расчётной точке днём, дБ		**ф-ла(3)[10]**	**0**	**0**	**0**	**0**	**0**	**0**	**0**	**0**	**0**	**0**	**0**
Уровни звукового давления от мнимого источника ИШ-1-1_мн.(3) в расчётной точке днём, дБ		**ф-ла(3)[10]**	**0**	**0**	**0**	**0**	**0**	**18,7**	**6,9**	**0**	**0**	**19,1**	**19,1**
Уровни звукового давления от мнимого источника ИШ-1-1_мн.(4) в расчётной точке днём, дБ		**ф-ла(3)[10]**	**0**	**0**	**0**	**0**	**0**	**0**	**0,3**	**0**	**0**	**1,5**	**1,5**
Суммарные уровни звукового давления от мнимых источников в расчётной точке днём, дБ		**ф-ла (19) [1]**	**0**	**0**	**0**	**0**	**0**	**18,7**	**10,5**	**0**	**0**	**0**	**19,5**
Уровни звукового давления от источника ИШ-1-1 в расчётной точке днём, дБ		**ф-ла(3)[10]**	**35,1**	**32,9**	**36,5**	**34,8**	**30,2**	**27,3**	**16,9**	**1,6**	**0**	**32,2**	**32,2**
Источник шума: ИШ-1-2, координаты источника (x,y,z), м =[261.74,199.14,1.00]													
Уровни звуковой мощности источника днём, Lw, дБ		**исходные данные**	**97**	**97**	**104**	**106**	**105**	**105**	**98**	**87**	**81**		
Поправка на телесный угол DΩ, дБ	Ω = 6.28	10Lg(4π/Ω)	**3**	3	3	3	3	3	3	3	3		
Показатель направленности источника Di, дБ		исходные данные	**0**	0	0	0	0	0	0	0	0		
Поправка на направленность источника Dc, дБ	Dc	DΩ + Di	**3**	3	3	3	3	3	3	3	3		
Затухание из-за геометрической дивергенции, Adiv, дБ	расстояние = 209.78 м	ф-ла (7) [10]	**57,4**										
Коэффициент затухания звука в атмосфере α, дБ/км	Ta=20,°C Pa=101.33,кПа hотн.=70%	ф-ла (5) [9]	0,02	0,09	0,33	1,12	2,79	4,98	9,04	23,09	77,63		

1		2	3	4	5	6	7	8	9	10	11	12	13
Учет затухания звука в атмосфере Aatm, дБ		ф-ла (8) [10]	0	0	0,1	0,2	0,6	1	1,9	4,8	16,3		
Снижение уровня звукового давления из-за влияния застройки между источником шума и расчетной точкой													
Снижение уровня звукового давления на пути над экраном, Dz1, дБ	z = 0.92м (разность путей)	ф-лы (14-18) [10]	7,3	9,6	13	16,7	20	23,1	26,1	29,1	32,1		
Снижение уровня звукового давления на пути слева от экрана, Dz2, дБ	z = 162.07м (разность путей)	ф-лы (14-18) [10]	31,2	35,1	38,4	41,5	44,6	47,6	50,6	53,6	56,6		
Снижение уровня звукового давления на пути справа от экрана, Dz3, дБ	z = 10.74м (разность путей)	ф-лы (14-18) [10]	16,3	19,2	22,1	25	28	31	34	37	40		
Общее снижение уровня звука препятствием Dz, дБ		Эн.сумма(-Dzi)	6,8	9,1	12,5	16,1	19,4	22,4	25,4	28,4	31,4		
Общее снижение уровня звука препятствием с учётом ограничения (25 дБ) для октавных полос Dz, дБ		Раздел 7.4 [10]	6,8	9,1	12,5	16,1	19,4	22,4	25	25	25		
Уровни звукового давления прямого звука от источника ИШ-1-2 в расчётной точке днём, дБ		**ф-ла(3)[10]**	**35,8**	**33,5**	**37**	**35,2**	**30,6**	**27,1**	**16,7**	**2,7**	**0**	**32,4**	**32,4**
Расчёт отражённого звука													
Уровни звукового давления от мнимого источника ИШ-1-2_мн.(1) в расчётной точке днём, дБ		**ф-ла(3)[10]**	**0**	**0**	**0**	**0**	**0**	**0**	**8,2**	**0**	**0**	**9,4**	**9,4**
Уровни звукового давления от мнимого источника ИШ-1-2_мн.(2) в расчётной точке днём, дБ		**ф-ла(3)[10]**	**0**	**0**	**0**	**0**	**0**	**0**	**0**	**0**	**0**	**0**	**0**
Уровни звукового давления от мнимого источника ИШ-1-2_мн.(3) в расчётной точке днём, дБ		**ф-ла(3)[10]**	**0**	**0**	**0**	**0**	**0**	**30,8**	**19,6**	**0,7**	**0**	**31,2**	**31,2**
Уровни звукового давления от мнимого источника ИШ-1-2_мн.(4) в расчётной точке днём, дБ		**ф-ла(3)[10]**	**0**	**0**	**0**	**0**	**0**	**0**	**1**	**0**	**0**	**2,2**	**2,2**
Суммарные уровни звукового давления от мнимых источников в расчётной точке днём, дБ		**ф-ла (19) [1]**	**0**	**0**	**0**	**0**	**0**	**30,8**	**19,9**	**0,7**	**0**	**0**	**31,3**
Уровни звукового давления от источника ИШ-1-2 в расчётной точке днём, дБ		**ф-ла(3)[10]**	**35,8**	**33,5**	**37**	**35,2**	**30,6**	**32,4**	**21,6**	**4,8**	**0**	**34,9**	**34,9**
Источник шума: ИШ-1-3, координаты источника (x,y,z), м =[251.75,236.44,1.00]													
Уровни звуковой мощности источника днём, Lw, дБ		**исходные данные**	**0**	**91,3**	**92,7**	**94**	**94,3**	**93,9**	**90,6**	**86,4**	**81,9**		

1		2	3	4	5	6	7	8	9	10	11	12	13
Поправка на телесный угол DΩ, дБ	Ω = 6.28	10Lg(4π/Ω)	**3**	3	3	3	3	3	3	3	3		
Показатель направленности источника Di, дБ		исходные данные	**0**	0	0	0	0	0	0	0	0		
Поправка на направленность источника Dc, дБ	Dc	DΩ + Di	**3**	3	3	3	3	3	3	3	3		
Затухание из-за геометрической дивергенции, Adiv, дБ	расстояние = 244.81 м	ф-ла (7) [10]	**58,8**										
Коэффициент затухания звука в атмосфере α, дБ/км	Ta=20,°C Pa=101.33,кПа hотн.=70%	ф-ла (5) [9]	0,02	0,09	0,33	1,12	2,79	4,98	9,04	23,09	77,63		
Учет затухания звука в атмосфере Aatm, дБ		ф-ла (8) [10]	0	0	0,1	0,3	0,7	1,2	2,2	5,7	19		
Снижение уровня звукового давления из-за влияния застройки между источником шума и расчетной точкой													
Снижение уровня звукового давления на пути над экраном, Dz1, дБ	z = 0.72м (разность путей)	ф-лы (14-18) [10]	6,5	8,3	11,4	14,8	18	21	24	27	30		
Снижение уровня звукового давления на пути слева от экрана, Dz2, дБ	z = 122.81м (разность путей)	ф-лы (14-18) [10]	30	33,9	37,2	40,3	43,4	46,4	49,4	52,4	55,4		
Снижение уровня звукового давления на пути справа от экрана, Dz3, дБ	z = 14.21м (разность путей)	ф-лы (14-18) [10]	17,5	20,3	23,3	26,2	29,2	32,2	35,2	38,3	41,3		
Общее снижение уровня звука препятствием Dz, дБ		Эн.сумма(-Dzi)	6,2	8	11,1	14,5	17,7	20,7	23,7	26,7	29,7		
Общее снижение уровня звука препятствием с учётом ограничения (25 дБ) для октавных полос Dz, дБ		Раздел 7.4 [10]	6,2	8	11,1	14,5	17,7	20,7	23,7	25	25		
Уровни звукового давления прямого звука от источника ИШ-1-3 в расчётной точке днём, дБ		**ф-ла(3)[10]**	**0**	**27,4**	**25,7**	**23,4**	**20,2**	**16,2**	**8,9**	**0**	**0**	**21,5**	**21,5**
Расчёт отражённого звука													
Уровни звукового давления от мнимого источника ИШ-1-3_мн.(1) в расчётной точке днём, дБ		**ф-ла(3)[10]**	**0**	**0**	**0**	**0**	**0**	**0**	**0**	**0**	**0**	**0**	**0**
Уровни звукового давления от мнимого источника ИШ-1-3_мн.(2) в расчётной точке днём, дБ		**ф-ла(3)[10]**	**0**	**0**	**0**	**0**	**0**	**0**	**0**	**0**	**0**	**0**	**0**
Уровни звукового давления от мнимого источника ИШ-1-3_мн.(3) в расчётной точке днём, дБ		**ф-ла(3)[10]**	**0**	**0**	**0**	**0**	**0**	**7,4**	**0**	**0**	**0**	**7,4**	**7,4**

1		2	3	4	5	6	7	8	9	10	11	12	13
Уровни звукового давления от мнимого источника ИШ-1-3_мн.(4) в расчётной точке днём, дБ		**ф-ла(3)[10]**	**0**	**0**	**0**	**0**	**0**	**0**	**0**	**0**	**0**	**0**	**0**
Суммарные уровни звукового давления от мнимых источников в расчётной точке днём, дБ		**ф-ла (19) [1]**	**0**	**0**	**0**	**0**	**0**	**7,4**	**0**	**0**	**0**	**0**	**7,4**
Уровни звукового давления от источника ИШ-1-3 в расчётной точке днём, дБ		**ф-ла(3)[10]**	**0**	**27,4**	**25,7**	**23,4**	**20,2**	**16,7**	**8,9**	**0**	**0**	**21,7**	**21,7**
Источник шума: ИШ-1-4, координаты источника (x,y,z), м =[290.25,223.25,1.00]													
Уровни звуковой мощности источника днём, Lw, дБ		**исходные данные**	**0**	**91,3**	**92,7**	**94**	**94,3**	**93,9**	**90,6**	**86,4**	**81,9**		
Поправка на телесный угол DΩ, дБ	Ω = 6.28	10Lg(4π/Ω)	**3**	3	3	3	3	3	3	3	3		
Показатель направленности источника Di, дБ		исходные данные	**0**	0	0	0	0	0	0	0	0		
Поправка на направленность источника Dc, дБ	Dc	DΩ + Di	**3**	3	3	3	3	3	3	3	3		
Затухание из-за геометрической дивергенции, Adiv, дБ	расстояние = 211.94 м	ф-ла (7) [10]	**57,5**										
Коэффициент затухания звука в атмосфере α, дБ/км	Ta=20,°C Pa=101.33,кПа hотн.=70%	ф-ла (5) [9]	0,02	0,09	0,33	1,12	2,79	4,98	9,04	23,09	77,63		
Учет затухания звука в атмосфере Aatm, дБ		ф-ла (8) [10]	0	0	0,1	0,2	0,6	1,1	1,9	4,9	16,5		
Снижение уровня звукового давления из-за влияния застройки между источником шума и расчетной точкой													
Снижение уровня звукового давления на пути над экраном, Dz1, дБ	z = 1.10м (разность путей)	ф-лы (14-18) [10]	7,9	10,5	14,2	17,9	21,1	24,2	27,2	30,2	33,2		
Снижение уровня звукового давления на пути слева от экрана, Dz2, дБ	z = 122.99м (разность путей)	ф-лы (14-18) [10]	30	33,9	37,2	40,3	43,4	46,4	49,4	52,4	55,4		
Снижение уровня звукового давления на пути справа от экрана, Dz3, дБ	z = 27.19м (разность путей)	ф-лы (14-18) [10]	20,2	23,1	26,1	29	32	35,1	38,1	41,1	44,1		
Общее снижение уровня звука препятствием Dz, дБ		Эн.сумма(-Dzi)	7,6	10,3	13,9	17,5	20,8	23,8	26,8	29,8	32,8		

1		2	3	4	5	6	7	8	9	10	11	12	13
Общее снижение уровня звука препятствием с учётом ограничения (25 дБ) для октавных полос Dz, дБ		Раздел 7.4 [10]	7,6	10,3	13,9	17,5	20,8	23,8	25	25	25		
Уровни звукового давления прямого звука от источника ИШ-1-4 в расчётной точке днём, дБ		**ф-ла(3)[10]**	**0**	**26,5**	**24,2**	**21,7**	**18,4**	**14,5**	**9,2**	**2**	**0**	**20,1**	**20,1**
Расчёт отражённого звука													
Уровни звукового давления от мнимого источника ИШ-1-4_мн.(1) в расчётной точке днём, дБ		**ф-ла(3)[10]**	**0**	**0**	**0**	**0**	**0**	**0**	**4,3**	**0**	**0**	**5,5**	**5,5**
Уровни звукового давления от мнимого источника ИШ-1-4_мн.(2) в расчётной точке днём, дБ		**ф-ла(3)[10]**	**0**	**0**	**0**	**0**	**0**	**0**	**0,3**	**0**	**0**	**1,5**	**1,5**
Уровни звукового давления от мнимого источника ИШ-1-4_мн.(3) в расчётной точке днём, дБ		**ф-ла(3)[10]**	**0**	**0**	**0**	**0**	**0**	**0**	**0**	**0**	**0**	**0**	**0**
Суммарные уровни звукового давления от мнимых источников в расчётной точке днём, дБ		**ф-ла (19) [1]**	**0**	**0**	**0**	**0**	**0**	**0**	**5,8**	**0**	**0**	**0**	**7**
Уровни звукового давления от источника ИШ-1-4 в расчётной точке днём, дБ		**ф-ла(3)[10]**	**0**	**26,5**	**24,2**	**21,7**	**18,4**	**14,5**	**10,8**	**2**	**0**	**20,3**	**20,3**
Источник шума: ИШ-1-5, координаты источника (x,y,z), м =[241.49,205.86,1.00]													
Уровни звуковой мощности источника днём, Lw, дБ		**исходные данные**	**0**	**91,3**	**92,7**	**94**	**94,3**	**93,9**	**90,6**	**86,4**	**81,9**		
Поправка на телесный угол DΩ, дБ	Ω = 6.28	10Lg(4π/Ω)	**3**	3	3	3	3	3	3	3	3		
Показатель направленности источника Di, дБ		исходные данные	**0**	0	0	0	0	0	0	0	0		
Поправка на направленность источника Dc, дБ	Dc	DΩ + Di	**3**	3	3	3	3	3	3	3	3		
Затухание из-за геометрической дивергенции, Adiv, дБ	расстояние = 228.56 м	ф-ла (7) [10]	**58,2**										
Коэффициент затухания звука в атмосфере α, дБ/км	Ta=20,°C Pa=101.33,кПа hотн.=70%	ф-ла (5) [9]	0,02	0,09	0,33	1,12	2,79	4,98	9,04	23,09	77,63		
Учет затухания звука в атмосфере Aatm, дБ		ф-ла (8) [10]	0	0	0,1	0,3	0,6	1,1	2,1	5,3	17,7		

1		2	3	4	5	6	7	8	9	10	11	12	13
Снижение уровня звукового давления из-за влияния застройки между источником шума и расчетной точкой													
Снижение уровня звукового давления на пути над экраном, Dz1, дБ	z = 0.77м (разность путей)	ф-лы (14-18) [10]	6,7	8,6	11,8	15,4	18,6	21,7	24,7	27,7	30,7		
Снижение уровня звукового давления на пути слева от экрана, Dz2, дБ	z = 157.80м (разность путей)	ф-лы (14-18) [10]	31,1	35	38,3	41,4	44,4	47,5	50,5	53,5	56,5		
Снижение уровня звукового давления на пути справа от экрана, Dz3, дБ	z = 6.60м (разность путей)	ф-лы (14-18) [10]	14,4	17,2	20	22,9	25,9	28,9	31,9	34,9	37,9		
Общее снижение уровня звука препятствием Dz, дБ		Эн.сумма(-Dzi)	6	8,1	11,2	14,7	17,9	20,9	23,9	26,9	29,9		
Общее снижение уровня звука препятствием с учётом ограничения (25 дБ) для октавных полос Dz, дБ		Раздел 7.4 [10]	6	8,1	11,2	14,7	17,9	20,9	23,9	25	25		
Уровни звукового давления прямого звука от источника ИШ-1-5 в расчётной точке днём, дБ		**ф-ла(3)[10]**	**0**	**28**	**26,2**	**23,9**	**20,6**	**16,6**	**9,4**	**0,9**	**0**	**22**	**22**
Расчёт отражённого звука													
Уровни звукового давления от мнимого источника ИШ-1-5_мн.(1) в расчётной точке днём, дБ		**ф-ла(3)[10]**	**0**	**0**	**0**	**0**	**0**	**0**	**0**	**0**	**0**	**0**	**0**
Уровни звукового давления от мнимого источника ИШ-1-5_мн.(2) в расчётной точке днём, дБ		**ф-ла(3)[10]**	**0**	**0**	**0**	**0**	**0**	**0**	**0**	**0**	**0**	**0**	**0**
Уровни звукового давления от мнимого источника ИШ-1-5_мн.(3) в расчётной точке днём, дБ		**ф-ла(3)[10]**	**0**	**0**	**0**	**0**	**0**	**18**	**10,4**	**0**	**0**	**18,9**	**18,9**
Уровни звукового давления от мнимого источника ИШ-1-5_мн.(4) в расчётной точке днём, дБ		**ф-ла(3)[10]**	**0**	**0**	**0**	**0**	**0**	**0**	**0**	**0**	**0**	**0**	**0**
Суммарные уровни звукового давления от мнимых источников в расчётной точке днём, дБ		**ф-ла (19) [1]**	**0**	**0**	**0**	**0**	**0**	**18**	**10,4**	**0**	**0**	**0**	**18,9**
Уровни звукового давления от источника ИШ-1-5 в расчётной точке днём, дБ		**ф-ла(3)[10]**	**0**	**28**	**26,2**	**23,9**	**20,6**	**20,4**	**12,9**	**0,9**	**0**	**23,7**	**23,7**
Источник шума: ИШ-1-6, координаты источника (x,y,z), м =[279.85,192.97,1.00]													
Уровни звуковой мощности источника днём, Lw, дБ		**исходные данные**	**0**	**91,3**	**92,7**	**94**	**94,3**	**93,9**	**90,6**	**86,4**	**81,9**		
Поправка на телесный угол DΩ, дБ	Ω = 6.28	10Lg(4π/Ω)	**3**	3	3	3	3	3	3	3	3		

1		2	3	4	5	6	7	8	9	10	11	12	13
Показатель направленности источника Di, дБ		исходные данные	**0**	0	0	0	0	0	0	0	0		
Поправка на направленность источника Dc, дБ	Dc	DΩ + Di	**3**	3	3	3	3	3	3	3	3		
Затухание из-за геометрической дивергенции, Adiv, дБ	расстояние = 193.30 м	ф-ла (7) [10]	**56,7**										
Коэффициент затухания звука в атмосфере α, дБ/км	Ta=20,°C Pa=101.33,кПа hотн.=70%	ф-ла (5) [9]	0,02	0,09	0,33	1,12	2,79	4,98	9,04	23,09	77,63		
Учет затухания звука в атмосфере Aatm, дБ		ф-ла (8) [10]	0	0	0,1	0,2	0,5	1	1,7	4,5	15		
Снижение уровня звукового давления из-за влияния застройки между источником шума и расчетной точкой													
Снижение уровня звукового давления на пути над экраном, Dz1, дБ	z = 1.20м (разность путей)	ф-лы (14-18) [10]	8,2	10,9	14,6	18,4	21,7	24,8	27,8	30,8	33,9		
Снижение уровня звукового давления на пути слева от экрана, Dz2, дБ	z = 168.28м (разность путей)	ф-лы (14-18) [10]	31,4	35,3	38,6	41,7	44,7	47,7	50,7	53,8	56,8		
Снижение уровня звукового давления на пути справа от экрана, Dz3, дБ	z = 16.58м (разность путей)	ф-лы (14-18) [10]	18,1	21	23,9	26,9	29,9	32,9	35,9	38,9	41,9		
Общее снижение уровня звука препятствием Dz, дБ		Эн.сумма(-Dzi)	7,8	10,4	14,1	17,8	21,1	24,2	27,2	30,2	33,2		
Общее снижение уровня звука препятствием с учётом ограничения (25 дБ) для октавных полос Dz, дБ		Раздел 7.4 [10]	7,8	10,4	14,1	17,8	21,1	24,2	25	25	25		
Уровни звукового давления прямого звука от источника ИШ-1-6 в расчётной точке днём, дБ		**ф-ла(3)[10]**	**0**	**27,1**	**24,8**	**22,2**	**18,9**	**15**	**10,1**	**3,2**	**0**	**20,7**	**20,7**
Расчёт отражённого звука													
Уровни звукового давления от мнимого источника ИШ-1-6_мн.(1) в расчётной точке днём, дБ		**ф-ла(3)[10]**	**0**	**0**	**0**	**0**	**0**	**0**	**2,6**	**0**	**0**	**3,8**	**3,8**
Уровни звукового давления от мнимого источника ИШ-1-6_мн.(2) в расчётной точке днём, дБ		**ф-ла(3)[10]**	**0**	**0**	**0**	**0**	**0**	**0**	**15,1**	**2,9**	**0**	**16,5**	**16,5**
Уровни звукового давления от мнимого источника ИШ-1-6_мн.(3) в расчётной точке днём, дБ		**ф-ла(3)[10]**	**0**	**0**	**0**	**0**	**0**	**0**	**0**	**0**	**0**	**0**	**0**
Суммарные уровни звукового давления от мнимых источников в расчётной точке днём, дБ		**ф-ла (19) [1]**	**0**	**0**	**0**	**0**	**0**	**0**	**15,3**	**2,9**	**0**	**0**	**16,7**

1		2	3	4	5	6	7	8	9	10	11	12	13
Уровни звукового давления от источника ИШ-1-6 в расчётной точке днём, дБ		**ф-ла(3)[10]**	**0**	**27,1**	**24,8**	**22,2**	**18,9**	**15**	**16,4**	**6,1**	**0**	**22,2**	**22,2**
Источник шума: ИШ-1-7, координаты источника (x,y,z), м =[451.87,146.66,1.00]													
Уровни звуковой мощности источника днём, Lw, дБ		**исходные данные**	**0**	**93,3**	**94,7**	**96**	**96,3**	**95,9**	**92,6**	**88,4**	**83,9**		
Поправка на телесный угол DΩ, дБ	Ω = 6.28	10Lg(4π/Ω)	**3**	3	3	3	3	3	3	3	3		
Показатель направленности источника Di, дБ		исходные данные	**0**	0	0	0	0	0	0	0	0		
Поправка на направленность источника Dc, дБ	Dc	DΩ + Di	**3**	3	3	3	3	3	3	3	3		
Затухание из-за геометрической дивергенции, Adiv, дБ	расстояние = 114.84 м	ф-ла (7) [10]	**52,2**										
Коэффициент затухания звука в атмосфере α, дБ/км	Ta=20,°C Pa=101.33,кПа hотн.=70%	ф-ла (5) [9]	0,02	0,09	0,33	1,12	2,79	4,98	9,04	23,09	77,63		
Учет затухания звука в атмосфере Aatm, дБ		ф-ла (8) [10]	0	0	0	0,1	0,3	0,6	1	2,7	8,9		
Снижение поверхностью земли возле источника As, дБ	Gs = 0 hs = 1м	ф-лы таб.3 [10]	-1,5	-1,5	-1,5	-1,5	-1,5	-1,5	-1,5	-1,5	-1,5		
Снижение поверхностью земли возле приёмника Ar, дБ	Gr = 1 hr = 1.5м	ф-лы таб.3 [10]	-1,5	-1,5	0,8	6,3	4,5	0,6	0	0	0		
Снижение поверхностью земли в средней зоне, Am дБ	Gm = 1	ф-лы таб.3 [10]	-1	-1	0	0	0	0	0	0	0		
Суммарное снижение поверхностью земли на траектории распространения звука Agr, дБ		ф-ла (9) [10]	-4	-4	-0,7	4,8	3	-0,9	-1,5	-1,5	-1,5		
Уровни звукового давления прямого звука от источника ИШ-1-7 в расчётной точке днём, дБ		**ф-ла(3)[10]**	**0**	**48,1**	**46,2**	**41,8**	**43,8**	**47**	**43,9**	**38**	**27,3**	**50,2**	**50,2**
Расчёт отражённого звука													
Уровни звукового давления от мнимого источника ИШ-1-7_мн.(1) в расчётной точке днём, дБ		**ф-ла(3)[10]**	**0**	**0**	**0**	**0**	**0**	**0**	**0**	**0**	**0**	**0**	**0**

1		2	3	4	5	6	7	8	9	10	11	12	13
Уровни звукового давления от мнимого источника ИШ-1-7_мн.(2) в расчётной точке днём, дБ		**ф-ла(3)[10]**	**0**	**47**	**42,8**	**32**	**33,1**	**42,5**	**41,1**	**35,3**	**24,3**	**46,1**	**46,1**
Уровни звукового давления от мнимого источника ИШ-1-7_мн.(3) в расчётной точке днём, дБ		**ф-ла(3)[10]**	**0**	**0**	**0**	**0**	**32,8**	**42,3**	**40,9**	**35**	**24**	**45,8**	**45,8**
Суммарные уровни звукового давления от мнимых источников в расчётной точке днём, дБ		**ф-ла (19) [1]**	**0**	**47**	**42,8**	**32**	**35,9**	**45,4**	**44**	**38,2**	**27,2**	**0**	**49**
Уровни звукового давления от источника ИШ-1-7 в расчётной точке днём, дБ		**ф-ла(3)[10]**	**0**	**50,6**	**47,8**	**42,3**	**44,5**	**49,3**	**47**	**41,1**	**30,2**	**52,7**	**52,7**
Источник шума: ИШ-1-8, координаты источника (x,y,z), м =[454.99,145.29,1.00]													
Уровни звуковой мощности источника днём, Lw, дБ		**исходные данные**	**0**	**93,3**	**94,7**	**96**	**96,3**	**95,9**	**92,6**	**88,4**	**83,9**		
Поправка на телесный угол DΩ, дБ	Ω = 6.28	10Lg(4π/Ω)	**3**	3	3	3	3	3	3	3	3		
Показатель направленности источника Di, дБ		исходные данные	**0**	0	0	0	0	0	0	0	0		
Поправка на направленность источника Dc, дБ	Dc	DΩ + Di	**3**	3	3	3	3	3	3	3	3		
Затухание из-за геометрической дивергенции, Adiv, дБ	расстояние = 115.02 м	ф-ла (7) [10]	**52,2**										
Коэффициент затухания звука в атмосфере α, дБ/км	Ta=20,°C Pa=101.33,кПа hотн.=70%	ф-ла (5) [9]	0,02	0,09	0,33	1,12	2,79	4,98	9,04	23,09	77,63		
Учет затухания звука в атмосфере Aatm, дБ		ф-ла (8) [10]	0	0	0	0,1	0,3	0,6	1	2,7	8,9		
Снижение поверхностью земли возле источника As, дБ	Gs = 0 hs = 1м	ф-лы таб.3 [10]	-1,5	-1,5	-1,5	-1,5	-1,5	-1,5	-1,5	-1,5	-1,5		
Снижение поверхностью земли возле приёмника Ar, дБ	Gr = 1 hr = 1.5м	ф-лы таб.3 [10]	-1,5	-1,5	0,8	6,3	4,5	0,6	0	0	0		
Снижение поверхностью земли в средней зоне, Am дБ	Gm = 1	ф-лы таб.3 [10]	-1	-1	0	0	0	0	0	0	0		
Суммарное снижение поверхностью земли на траектории распространения звука Agr, дБ		ф-ла (9) [10]	-4	-4	-0,7	4,8	3	-0,9	-1,5	-1,5	-1,5		

1		2	3	4	5	6	7	8	9	10	11	12	13
Уровни звукового давления прямого звука от источника ИШ-1-8 в расчётной точке днём, дБ		**ф-ла(3)[10]**	**0**	**48,1**	**46,1**	**41,8**	**43,8**	**47**	**43,8**	**38**	**27,2**	**50,2**	**50,2**
Расчёт отражённого звука													
Уровни звукового давления от мнимого источника ИШ-1-8_мн.(1) в расчётной точке днём, дБ		**ф-ла(3)[10]**	**0**	**0**	**0**	**0**	**0**	**0**	**0**	**0**	**20,2**	**19,1**	**19,1**
Уровни звукового давления от мнимого источника ИШ-1-8_мн.(2) в расчётной точке днём, дБ		**ф-ла(3)[10]**	**0**	**47**	**42,8**	**32**	**33**	**42,4**	**41,1**	**35,2**	**24,3**	**46,1**	**46,1**
Уровни звукового давления от мнимого источника ИШ-1-8_мн.(3) в расчётной точке днём, дБ		**ф-ла(3)[10]**	**0**	**0**	**0**	**0**	**32,7**	**42,2**	**40,9**	**34,9**	**23,8**	**45,8**	**45,8**
Суммарные уровни звукового давления от мнимых источников в расчётной точке днём, дБ		**ф-ла (19) [1]**	**0**	**47**	**42,8**	**32**	**35,9**	**45,3**	**44**	**38,1**	**27,9**	**0**	**48,9**
Уровни звукового давления от источника ИШ-1-8 в расчётной точке днём, дБ		**ф-ла(3)[10]**	**0**	**50,6**	**47,8**	**42,3**	**44,4**	**49,3**	**46,9**	**41,1**	**30,6**	**52,6**	**52,6**
Источник шума: ИШ-1-9, координаты источника (x,y,z), м =[458.12,144.31,1.00]													
Уровни звуковой мощности источника днём, Lw, дБ		**исходные данные**	**0**	**93,3**	**94,7**	**96**	**96,3**	**95,9**	**92,6**	**88,4**	**83,9**		
Поправка на телесный угол DΩ, дБ	Ω = 6.28	10Lg(4π/Ω)	**3**	3	3	3	3	3	3	3	3		
Показатель направленности источника Di, дБ		исходные данные	**0**	0	0	0	0	0	0	0	0		
Поправка на направленность источника Dc, дБ	Dc	DΩ + Di	**3**	3	3	3	3	3	3	3	3		
Затухание из-за геометрической дивергенции, Adiv, дБ	расстояние = 115.64 м	ф-ла (7) [10]	**52,3**										
Коэффициент затухания звука в атмосфере α, дБ/км	Ta=20,°C Pa=101.33,кПа hотн.=70%	ф-ла (5) [9]	0,02	0,09	0,33	1,12	2,79	4,98	9,04	23,09	77,63		
Учет затухания звука в атмосфере Aatm, дБ		ф-ла (8) [10]	0	0	0	0,1	0,3	0,6	1	2,7	9		
Снижение поверхностью земли возле источника As, дБ	Gs = 0 hs = 1м	ф-лы таб.3 [10]	-1,5	-1,5	-1,5	-1,5	-1,5	-1,5	-1,5	-1,5	-1,5		

1		2	3	4	5	6	7	8	9	10	11	12	13
Снижение поверхностью земли возле приёмника Ar, дБ	Gr = 1 hr = 1.5м	ф-лы таб.3 [10]	-1,5	-1,5	0,8	6,3	4,5	0,6	0	0	0		
Снижение поверхностью земли в средней зоне, Am дБ	Gm = 1	ф-лы таб.3 [10]	-1,1	-1,1	0	0	0	0	0	0	0		
Суммарное снижение поверхностью земли на траектории распространения звука Agr, дБ		ф-ла (9) [10]	-4,1	-4,1	-0,7	4,8	3	-0,9	-1,5	-1,5	-1,5		
Уровни звукового давления прямого звука от источника ИШ-1-9 в расчётной точке днём, дБ		**ф-ла(3)[10]**	**0**	**48,1**	**46,1**	**41,8**	**43,7**	**47**	**43,8**	**38**	**27,2**	**50,2**	**50,2**
Расчёт отражённого звука													
Уровни звукового давления от мнимого источника ИШ-1-9_мн.(1) в расчётной точке днём, дБ		**ф-ла(3)[10]**	**0**	**0**	**0**	**0**	**0**	**0**	**0**	**0**	**20,4**	**19,3**	**19,3**
Уровни звукового давления от мнимого источника ИШ-1-9_мн.(2) в расчётной точке днём, дБ		**ф-ла(3)[10]**	**0**	**46,9**	**42,8**	**31,9**	**33**	**42,4**	**41,1**	**35,2**	**24,2**	**46,1**	**46,1**
Суммарные уровни звукового давления от мнимых источников в расчётной точке днём, дБ		**ф-ла (19) [1]**	**0**	**46,9**	**42,8**	**31,9**	**33**	**42,4**	**41,1**	**35,2**	**25,7**	**0**	**46,1**
Уровни звукового давления от источника ИШ-1-9 в расчётной точке днём, дБ		**ф-ла(3)[10]**	**0**	**50,5**	**47,8**	**42,2**	**44,1**	**48,3**	**45,6**	**39,8**	**29,5**	**51,6**	**51,6**
Источник шума: ИШ-1-10, координаты источника (x,y,z), м =[461.05,143.53,1.00]													
Уровни звуковой мощности источника днём, Lw, дБ		**исходные данные**	**0**	**93,3**	**94,7**	**96**	**96,3**	**95,9**	**92,6**	**88,4**	**83,9**		
Поправка на телесный угол DΩ, дБ	Ω = 6.28	10Lg(4π/Ω)	**3**	3	3	3	3	3	3	3	3		
Показатель направленности источника Di, дБ		исходные данные	**0**	0	0	0	0	0	0	0	0		
Поправка на направленность источника Dc, дБ	Dc	DΩ + Di	**3**	3	3	3	3	3	3	3	3		
Затухание из-за геометрической дивергенции, Adiv, дБ	расстояние = 116.41 м	ф-ла (7) [10]	**52,3**										
Коэффициент затухания звука в атмосфере α, дБ/км	Ta=20,°C Pa=101.33,кПа hотн.=70%	ф-ла (5) [9]	0,02	0,09	0,33	1,12	2,79	4,98	9,04	23,09	77,63		

1		2	3	4	5	6	7	8	9	10	11	12	13
Учет затухания звука в атмосфере Aatm, дБ		ф-ла (8) [10]	0	0	0	0,1	0,3	0,6	1,1	2,7	9		
Снижение поверхностью земли возле источника As, дБ	Gs = 0 hs = 1м	ф-лы таб.3 [10]	-1,5	-1,5	-1,5	-1,5	-1,5	-1,5	-1,5	-1,5	-1,5		
Снижение поверхностью земли возле приёмника Ar, дБ	Gr = 1 hr = 1.5м	ф-лы таб.3 [10]	-1,5	-1,5	0,8	6,3	4,5	0,6	0	0	0		
Снижение поверхностью земли в средней зоне, Am дБ	Gm = 1	ф-лы таб.3 [10]	-1,1	-1,1	0	0	0	0	0	0	0		
Суммарное снижение поверхностью земли на траектории распространения звука Agr, дБ		ф-ла (9) [10]	-4,1	-4,1	-0,7	4,8	3	-0,9	-1,5	-1,5	-1,5		
Уровни звукового давления прямого звука от источника ИШ-1-10 в расчётной точке днём, дБ		**ф-ла(3)[10]**	**0**	**48**	**46**	**41,7**	**43,7**	**46,9**	**43,7**	**37,9**	**27**	**50,1**	**50,1**
Расчёт отражённого звука													
Уровни звукового давления от мнимого источника ИШ-1-10_мн.(1) в расчётной точке днём, дБ		**ф-ла(3)[10]**	**0**	**0**	**0**	**0**	**0**	**0**	**0**	**33**	**20,7**	**34,1**	**34,1**
Уровни звукового давления от мнимого источника ИШ-1-10_мн.(2) в расчётной точке днём, дБ		**ф-ла(3)[10]**	**0**	**46,9**	**42,7**	**31,8**	**32,9**	**42,3**	**41**	**35,1**	**24,1**	**46**	**46**
Суммарные уровни звукового давления от мнимых источников в расчётной точке днём, дБ		**ф-ла (19) [1]**	**0**	**46,9**	**42,7**	**31,8**	**32,9**	**42,3**	**41**	**37,2**	**25,7**	**0**	**46,3**
Уровни звукового давления от источника ИШ-1-10 в расчётной точке днём, дБ		**ф-ла(3)[10]**	**0**	**50,5**	**47,7**	**42,1**	**44**	**48,2**	**45,6**	**40,6**	**29,4**	**51,6**	**51,6**
Источник шума: ИШ-1-11, координаты источника (x,y,z), м =[464.18,142.55,1.00]													
Уровни звуковой мощности источника днём, Lw, дБ		**исходные данные**	**0**	**93,3**	**94,7**	**96**	**96,3**	**95,9**	**92,6**	**88,4**	**83,9**		
Поправка на телесный угол DΩ, дБ	Ω = 6.28	10Lg(4π/Ω)	**3**	3	3	3	3	3	3	3	3		
Показатель направленности источника Di, дБ		исходные данные	**0**	0	0	0	0	0	0	0	0		
Поправка на направленность источника Dc, дБ	Dc	DΩ + Di	**3**	3	3	3	3	3	3	3	3		
Затухание из-за геометрической дивергенции, Adiv, дБ	расстояние = 117.20 м	ф-ла (7) [10]	**52,4**										

1		2	3	4	5	6	7	8	9	10	11	12	13
Коэффициент затухания звука в атмосфере α, дБ/км	Ta=20,°C Pa=101.33,кПа hотн.=70%	ф-ла (5) [9]	0,02	0,09	0,33	1,12	2,79	4,98	9,04	23,09	77,63		
Учет затухания звука в атмосфере Aatm, дБ		ф-ла (8) [10]	0	0	0	0,1	0,3	0,6	1,1	2,7	9,1		
Снижение поверхностью земли возле источника As, дБ	Gs = 0 hs = 1м	ф-лы таб.3 [10]	-1,5	-1,5	-1,5	-1,5	-1,5	-1,5	-1,5	-1,5	-1,5		
Снижение поверхностью земли возле приёмника Ar, дБ	Gr = 1 hr = 1.5м	ф-лы таб.3 [10]	-1,5	-1,5	0,8	6,3	4,5	0,6	0	0	0		
Снижение поверхностью земли в средней зоне, Am дБ	Gm = 1	ф-лы таб.3 [10]	-1,1	-1,1	0	0	0	0	0	0	0		
Суммарное снижение поверхностью земли на траектории распространения звука Agr, дБ		ф-ла (9) [10]	-4,1	-4,1	-0,7	4,8	3	-0,9	-1,5	-1,5	-1,5		
Уровни звукового давления прямого звука от источника ИШ-1-11 в расчётной точке днём, дБ		**ф-ла(3)[10]**	**0**	**48**	**46**	**41,6**	**43,6**	**46,8**	**43,7**	**37,8**	**26,9**	**50**	**50**
Расчёт отражённого звука													
Уровни звукового давления от мнимого источника ИШ-1-11_мн.(1) в расчётной точке днём, дБ		**ф-ла(3)[10]**	**0**	**0**	**0**	**0**	**0**	**0**	**0**	**33,1**	**20,9**	**34,3**	**34,3**
Уровни звукового давления от мнимого источника ИШ-1-11_мн.(2) в расчётной точке днём, дБ		**ф-ла(3)[10]**	**0**	**46,8**	**42,7**	**31,7**	**32,8**	**42,3**	**40,9**	**35**	**24**	**45,9**	**45,9**
Суммарные уровни звукового давления от мнимых источников в расчётной точке днём, дБ		**ф-ла (19) [1]**	**0**	**46,8**	**42,7**	**31,7**	**32,8**	**42,3**	**40,9**	**37,2**	**25,7**	**0**	**46,2**
Уровни звукового давления от источника ИШ-1-11 в расчётной точке днём, дБ		**ф-ла(3)[10]**	**0**	**50,5**	**47,6**	**42,1**	**43,9**	**48,1**	**45,5**	**40,5**	**29,4**	**51,5**	**51,5**
Источник шума: ИШ-1-12, координаты источника (x,y,z), м =[435.45,97.79,1.00]													
Уровни звуковой мощности источника днём, Lw, дБ		**исходные данные**	**0**	**93,3**	**94,7**	**96**	**96,3**	**95,9**	**92,6**	**88,4**	**83,9**		
Поправка на телесный угол DΩ, дБ	Ω = 6.28	10Lg(4π/Ω)	**3**	3	3	3	3	3	3	3	3		
Показатель направленности источника Di, дБ		исходные данные	**0**	0	0	0	0	0	0	0	0		

1		2	3	4	5	6	7	8	9	10	11	12	13
Поправка на направленность источника Dc, дБ	Dc	DΩ + Di	**3**	3	3	3	3	3	3	3	3		
Затухание из-за геометрической дивергенции, Adiv, дБ	расстояние = 64.02 м	ф-ла (7) [10]	**47,1**										
Коэффициент затухания звука в атмосфере α, дБ/км	Ta=20,°C Pa=101.33,кПа hотн.=70%	ф-ла (5) [9]	0,02	0,09	0,33	1,12	2,79	4,98	9,04	23,09	77,63		
Учет затухания звука в атмосфере Aatm, дБ		ф-ла (8) [10]	0	0	0	0,1	0,2	0,3	0,6	1,5	5		
Снижение поверхностью земли возле источника As, дБ	Gs = 0 hs = 1м	ф-лы таб.3 [10]	-1,5	-1,5	-1,5	-1,5	-1,5	-1,5	-1,5	-1,5	-1,5		
Снижение поверхностью земли возле приёмника Ar, дБ	Gr = 1 hr = 1.5м	ф-лы таб.3 [10]	-1,5	-1,5	0,6	5,1	3,6	0,5	0	0	0		
Снижение поверхностью земли в средней зоне, Am дБ	Gm = 1	ф-лы таб.3 [10]	0	0	0	0	0	0	0	0	0		
Суммарное снижение поверхностью земли на траектории распространения звука Agr, дБ		ф-ла (9) [10]	-3	-3	-0,9	3,6	2,1	-1	-1,5	-1,5	-1,5		
Уровни звукового давления прямого звука от источника ИШ-1-12 в расчётной точке днём, дБ		**ф-ла(3)[10]**	**0**	**52,2**	**51,5**	**48,2**	**49,9**	**52,5**	**49,4**	**44,3**	**36,3**	**55,9**	**55,9**
Расчёт отражённого звука													
Уровни звукового давления от мнимого источника ИШ-1-12_мн.(1) в расчётной точке днём, дБ		**ф-ла(3)[10]**	**0**	**0**	**0**	**0**	**0**	**0**	**41,4**	**35,5**	**24,8**	**43,6**	**43,6**
Уровни звукового давления от мнимого источника ИШ-1-12_мн.(2) в расчётной точке днём, дБ		**ф-ла(3)[10]**	**0**	**50,8**	**48,2**	**39,4**	**40,4**	**48,1**	**46,5**	**41,3**	**33,2**	**51,8**	**51,8**
Суммарные уровни звукового давления от мнимых источников в расчётной точке днём, дБ		**ф-ла (19) [1]**	**0**	**50,8**	**48,2**	**39,4**	**40,4**	**48,1**	**47,6**	**42,4**	**33,8**	**0**	**52,4**
Уровни звукового давления от источника ИШ-1-12 в расчётной точке днём, дБ		**ф-ла(3)[10]**	**0**	**54,5**	**53,2**	**48,8**	**50,4**	**53,8**	**51,6**	**46,4**	**38,2**	**57,5**	**57,5**
Источник шума: ИШ-1-13, координаты источника (x,y,z), м =[438.77,96.82,1.00]													
Уровни звуковой мощности источника днём, Lw, дБ		**исходные данные**	**0**	**93,3**	**94,7**	**96**	**96,3**	**95,9**	**92,6**	**88,4**	**83,9**		

1		2	3	4	5	6	7	8	9	10	11	12	13
Поправка на телесный угол DΩ, дБ	Ω = 6.28	10Lg(4π/Ω)	**3**	3	3	3	3	3	3	3	3		
Показатель направленности источника Di, дБ		исходные данные	**0**	0	0	0	0	0	0	0	0		
Поправка на направленность источника Dc, дБ	Dc	DΩ + Di	**3**	3	3	3	3	3	3	3	3		
Затухание из-за геометрической дивергенции, Adiv, дБ	расстояние = 65.00 м	ф-ла (7) [10]	**47,3**										
Коэффициент затухания звука в атмосфере α, дБ/км	Ta=20,°C Pa=101.33,кПа hотн.=70%	ф-ла (5) [9]	0,02	0,09	0,33	1,12	2,79	4,98	9,04	23,09	77,63		
Учет затухания звука в атмосфере Aatm, дБ		ф-ла (8) [10]	0	0	0	0,1	0,2	0,3	0,6	1,5	5		
Снижение поверхностью земли возле источника As, дБ	Gs = 0 hs = 1м	ф-лы таб.3 [10]	-1,5	-1,5	-1,5	-1,5	-1,5	-1,5	-1,5	-1,5	-1,5		
Снижение поверхностью земли возле приёмника Ar, дБ	Gr = 1 hr = 1.5м	ф-лы таб.3 [10]	-1,5	-1,5	0,6	5,1	3,6	0,5	0	0	0		
Снижение поверхностью земли в средней зоне, Am дБ	Gm = 1	ф-лы таб.3 [10]	0	0	0	0	0	0	0	0	0		
Суммарное снижение поверхностью земли на траектории распространения звука Agr, дБ		ф-ла (9) [10]	-3	-3	-0,9	3,6	2,1	-1	-1,5	-1,5	-1,5		
Уровни звукового давления прямого звука от источника ИШ-1-13 в расчётной точке днём, дБ		**ф-ла(3)[10]**	**0**	**52**	**51,4**	**48,1**	**49,7**	**52,3**	**49,2**	**44,1**	**36,1**	**55,7**	**55,7**
Расчёт отражённого звука													
Уровни звукового давления от мнимого источника ИШ-1-13_мн.(1) в расчётной точке днём, дБ		**ф-ла(3)[10]**	**0**	**0**	**0**	**0**	**0**	**0**	**41,6**	**35,8**	**25,2**	**43,8**	**43,8**
Уровни звукового давления от мнимого источника ИШ-1-13_мн.(2) в расчётной точке днём, дБ		**ф-ла(3)[10]**	**0**	**50,7**	**48,1**	**39,2**	**40,2**	**47,9**	**46,4**	**41,2**	**33**	**51,6**	**51,6**
Суммарные уровни звукового давления от мнимых источников в расчётной точке днём, дБ		**ф-ла (19) [1]**	**0**	**50,7**	**48,1**	**39,2**	**40,2**	**47,9**	**47,6**	**42,3**	**33,7**	**0**	**52,3**
Уровни звукового давления от источника ИШ-1-13 в расчётной точке днём, дБ		**ф-ла(3)[10]**	**0**	**54,4**	**53**	**48,6**	**50,2**	**53,7**	**51,5**	**46,3**	**38**	**57,4**	**57,4**

1		2	3	4	5	6	7	8	9	10	11	12	13
Источник шума: ИШ-1-14, координаты источника (x,y,z), м =[441.70,96.03,1.00]													
Уровни звуковой мощности источника днём, Lw, дБ		**исходные данные**	**0**	**93,3**	**94,7**	**96**	**96,3**	**95,9**	**92,6**	**88,4**	**83,9**		
Поправка на телесный угол DΩ, дБ	Ω = 6.28	10Lg(4π/Ω)	**3**	3	3	3	3	3	3	3	3		
Показатель направленности источника Di, дБ		исходные данные	**0**	0	0	0	0	0	0	0	0		
Поправка на направленность источника Dc, дБ	Dc	DΩ + Di	**3**	3	3	3	3	3	3	3	3		
Затухание из-за геометрической дивергенции, Adiv, дБ	расстояние = 66.08 м	ф-ла (7) [10]	**47,4**										
Коэффициент затухания звука в атмосфере α, дБ/км	Ta=20,°C Pa=101.33,кПа hотн.=70%	ф-ла (5) [9]	0,02	0,09	0,33	1,12	2,79	4,98	9,04	23,09	77,63		
Учет затухания звука в атмосфере Aatm, дБ		ф-ла (8) [10]	0	0	0	0,1	0,2	0,3	0,6	1,5	5,1		
Снижение поверхностью земли возле источника As, дБ	Gs = 0 hs = 1м	ф-лы таб.3 [10]	-1,5	-1,5	-1,5	-1,5	-1,5	-1,5	-1,5	-1,5	-1,5		
Снижение поверхностью земли возле приёмника Ar, дБ	Gr = 1 hr = 1.5м	ф-лы таб.3 [10]	-1,5	-1,5	0,6	5,2	3,6	0,5	0	0	0		
Снижение поверхностью земли в средней зоне, Am дБ	Gm = 1	ф-лы таб.3 [10]	0	0	0	0	0	0	0	0	0		
Суммарное снижение поверхностью земли на траектории распространения звука Agr, дБ		ф-ла (9) [10]	-3	-3	-0,9	3,7	2,1	-1	-1,5	-1,5	-1,5		
Уровни звукового давления прямого звука от источника ИШ-1-14 в расчётной точке днём, дБ		**ф-ла(3)[10]**	**0**	**51,9**	**51,2**	**47,9**	**49,6**	**52,2**	**49,1**	**44**	**35,9**	**55,6**	**55,6**
Расчёт отражённого звука													
Уровни звукового давления от мнимого источника ИШ-1-14_мн.(1) в расчётной точке днём, дБ		**ф-ла(3)[10]**	**0**	**0**	**0**	**0**	**0**	**0**	**41,8**	**36,1**	**25,6**	**44**	**44**
Уровни звукового давления от мнимого источника ИШ-1-14_мн.(2) в расчётной точке днём, дБ		**ф-ла(3)[10]**	**0**	**50,5**	**47,9**	**39**	**40**	**47,8**	**46,2**	**41**	**32,8**	**51,5**	**51,5**

1		2	3	4	5	6	7	8	9	10	11	12	13
Суммарные уровни звукового давления от мнимых источников в расчётной точке днём, дБ		**ф-ла (19) [1]**	**0**	**50,5**	**47,9**	**39**	**40**	**47,8**	**47,6**	**42,2**	**33,5**	**0**	**52,2**
Уровни звукового давления от источника ИШ-1-14 в расчётной точке днём, дБ		**ф-ла(3)[10]**	**0**	**54,3**	**52,9**	**48,4**	**50**	**53,5**	**51,4**	**46,2**	**37,9**	**57,2**	**57,2**
Источник шума: ИШ-1-15, координаты источника (x,y,z), м =[445.03,95.25,1.00]													
Уровни звуковой мощности источника днём, Lw, дБ		**исходные данные**	**0**	**93,3**	**94,7**	**96**	**96,3**	**95,9**	**92,6**	**88,4**	**83,9**		
Поправка на телесный угол DΩ, дБ	Ω = 6.28	10Lg(4π/Ω)	**3**	3	3	3	3	3	3	3	3		
Показатель направленности источника Di, дБ		исходные данные	**0**	0	0	0	0	0	0	0	0		
Поправка на направленность источника Dc, дБ	Dc	DΩ + Di	**3**	3	3	3	3	3	3	3	3		
Затухание из-за геометрической дивергенции, Adiv, дБ	расстояние = 67.52 м	ф-ла (7) [10]	**47,6**										
Коэффициент затухания звука в атмосфере α, дБ/км	Ta=20,°C Pa=101.33,кПа hотн.=70%	ф-ла (5) [9]	0,02	0,09	0,33	1,12	2,79	4,98	9,04	23,09	77,63		
Учет затухания звука в атмосфере Aatm, дБ		ф-ла (8) [10]	0	0	0	0,1	0,2	0,3	0,6	1,6	5,2		
Снижение поверхностью земли возле источника As, дБ	Gs = 0 hs = 1м	ф-лы таб.3 [10]	-1,5	-1,5	-1,5	-1,5	-1,5	-1,5	-1,5	-1,5	-1,5		
Снижение поверхностью земли возле приёмника Ar, дБ	Gr = 1 hr = 1.5м	ф-лы таб.3 [10]	-1,5	-1,5	0,6	5,2	3,7	0,5	0	0	0		
Снижение поверхностью земли в средней зоне, Am дБ	Gm = 1	ф-лы таб.3 [10]	0	0	0	0	0	0	0	0	0		
Суммарное снижение поверхностью земли на траектории распространения звука Agr, дБ		ф-ла (9) [10]	-3	-3	-0,9	3,7	2,2	-1	-1,5	-1,5	-1,5		
Уровни звукового давления прямого звука от источника ИШ-1-15 в расчётной точке днём, дБ		**ф-ла(3)[10]**	**0**	**51,7**	**51**	**47,6**	**49,3**	**52**	**48,9**	**43,7**	**35,6**	**55,4**	**55,4**
Расчёт отражённого звука													

1		2	3	4	5	6	7	8	9	10	11	12	13
Уровни звукового давления от мнимого источника ИШ-1-15_мн.(1) в расчётной точке днём, дБ		**ф-ла(3)[10]**	**0**	**0**	**0**	**0**	**0**	**0**	**42**	**36,3**	**26**	**44,3**	**44,3**
Уровни звукового давления от мнимого источника ИШ-1-15_мн.(2) в расчётной точке днём, дБ		**ф-ла(3)[10]**	**0**	**50,4**	**47,7**	**38,7**	**39,7**	**47,6**	**46**	**40,8**	**32,5**	**51,3**	**51,3**
Суммарные уровни звукового давления от мнимых источников в расчётной точке днём, дБ		**ф-ла (19) [1]**	**0**	**50,4**	**47,7**	**38,7**	**39,7**	**47,6**	**47,5**	**42,2**	**33,4**	**0**	**52,1**
Уровни звукового давления от источника ИШ-1-15 в расчётной точке днём, дБ		**ф-ла(3)[10]**	**0**	**54,1**	**52,7**	**48,2**	**49,8**	**53,3**	**51,3**	**46**	**37,6**	**57**	**57**
Источник шума: ИШ-1-16, координаты источника (x,y,z), м =[447.96,94.28,1.00]													
Уровни звуковой мощности источника днём, Lw, дБ		**исходные данные**	**0**	**93,3**	**94,7**	**96**	**96,3**	**95,9**	**92,6**	**88,4**	**83,9**		
Поправка на телесный угол DΩ, дБ	Ω = 6.28	10Lg(4π/Ω)	**3**	3	3	3	3	3	3	3	3		
Показатель направленности источника Di, дБ		исходные данные	**0**	0	0	0	0	0	0	0	0		
Поправка на направленность источника Dc, дБ	Dc	DΩ + Di	**3**	3	3	3	3	3	3	3	3		
Затухание из-за геометрической дивергенции, Adiv, дБ	расстояние = 68.69 м	ф-ла (7) [10]	**47,7**										
Коэффициент затухания звука в атмосфере α, дБ/км	Ta=20,°C Pa=101.33,кПа hотн.=70%	ф-ла (5) [9]	0,02	0,09	0,33	1,12	2,79	4,98	9,04	23,09	77,63		
Учет затухания звука в атмосфере Aatm, дБ		ф-ла (8) [10]	0	0	0	0,1	0,2	0,3	0,6	1,6	5,3		
Снижение поверхностью земли возле источника As, дБ	Gs = 0 hs = 1м	ф-лы таб.3 [10]	-1,5	-1,5	-1,5	-1,5	-1,5	-1,5	-1,5	-1,5	-1,5		
Снижение поверхностью земли возле приёмника Ar, дБ	Gr = 1 hr = 1.5м	ф-лы таб.3 [10]	-1,5	-1,5	0,6	5,2	3,7	0,5	0	0	0		
Снижение поверхностью земли в средней зоне, Am дБ	Gm = 1	ф-лы таб.3 [10]	0	0	0	0	0	0	0	0	0		
Суммарное снижение поверхностью земли на траектории распространения звука Agr, дБ		ф-ла (9) [10]	-3	-3	-0,9	3,7	2,2	-1	-1,5	-1,5	-1,5		

1		2	3	4	5	6	7	8	9	10	11	12	13
Уровни звукового давления прямого звука от источника ИШ-1-16 в расчётной точке днём, дБ		**ф-ла(3)[10]**	**0**	**51,5**	**50,9**	**47,4**	**49,1**	**51,8**	**48,7**	**43,6**	**35,3**	**55,2**	**55,2**
Расчёт отражённого звука													
Уровни звукового давления от мнимого источника ИШ-1-16_мн.(1) в расчётной точке днём, дБ		**ф-ла(3)[10]**	**0**	**0**	**0**	**0**	**0**	**0**	**0**	**36,6**	**26,4**	**37,8**	**37,8**
Уровни звукового давления от мнимого источника ИШ-1-16_мн.(2) в расчётной точке днём, дБ		**ф-ла(3)[10]**	**0**	**50,2**	**47,6**	**38,5**	**39,5**	**47,4**	**45,9**	**40,7**	**32,3**	**51,1**	**51,1**
Суммарные уровни звукового давления от мнимых источников в расчётной точке днём, дБ		**ф-ла (19) [1]**	**0**	**50,2**	**47,6**	**38,5**	**39,5**	**47,4**	**45,9**	**42,1**	**33,3**	**0**	**51,3**
Уровни звукового давления от источника ИШ-1-16 в расчётной точке днём, дБ		**ф-ла(3)[10]**	**0**	**53,9**	**52,5**	**48**	**49,6**	**53,2**	**50,5**	**45,9**	**37,4**	**56,7**	**56,7**
Источник шума: ИШ-1-17, координаты источника (x,y,z), м =[540.99,141.77,1.00]													
Уровни звуковой мощности источника днём, Lw, дБ		**исходные данные**	**0**	**93,3**	**94,7**	**96**	**96,3**	**95,9**	**92,6**	**88,4**	**83,9**		
Поправка на телесный угол DΩ, дБ	Ω = 6.28	10Lg(4π/Ω)	**3**	3	3	3	3	3	3	3	3		
Показатель направленности источника Di, дБ		исходные данные	**0**	0	0	0	0	0	0	0	0		
Поправка на направленность источника Dc, дБ	Dc	DΩ + Di	**3**	3	3	3	3	3	3	3	3		
Затухание из-за геометрической дивергенции, Adiv, дБ	расстояние = 170.37 м	ф-ла (7) [10]	**55,6**										
Коэффициент затухания звука в атмосфере α, дБ/км	Ta=20,°C Pa=101.33,кПа hотн.=70%	ф-ла (5) [9]	0,02	0,09	0,33	1,12	2,79	4,98	9,04	23,09	77,63		
Учет затухания звука в атмосфере Aatm, дБ		ф-ла (8) [10]	0	0	0,1	0,2	0,5	0,8	1,5	3,9	13,2		
Снижение уровня звукового давления из-за влияния застройки между источником шума и расчетной точкой													
Снижение уровня звукового давления на пути над экраном, Dz1, дБ	z = 1.26м (разность путей)	ф-лы (14-18) [10]	8,6	11,6	15,4	19,1	22,3	25,3	28,3	31,3	34,4		

1		2	3	4	5	6	7	8	9	10	11	12	13
Снижение уровня звукового давления на пути слева от экрана, Dz2, дБ	z = 18.29м (разность путей)	ф-лы (14-18) [10]	18,5	21,4	24,3	27,3	30,3	33,3	36,3	39,3	42,4		
Снижение уровня звукового давления на пути справа от экрана, Dz3, дБ	z = 60.65м (разность путей)	ф-лы (14-18) [10]	23,9	27,5	31,9	36,3	40	43,2	46,3	49,3	52,3		
Общее снижение уровня звука препятствием Dz, дБ		Эн.сумма(-Dzi)	8,1	11,1	14,8	18,4	21,6	24,6	27,6	30,6	33,7		
Общее снижение уровня звука препятствием с учётом ограничения (25 дБ) для октавных полос Dz, дБ		Раздел 7.4 [10]	8,1	11,1	14,8	18,4	21,6	24,6	25	25	25		
Уровни звукового давления прямого звука от источника ИШ-1-17 в расчётной точке днём, дБ		**ф-ла(3)[10]**	**0**	**29,6**	**27,2**	**24,8**	**21,6**	**17,8**	**13,4**	**6,8**	**0**	**23,4**	**23,4**
Расчёт отражённого звука													
Уровни звукового давления от мнимого источника ИШ-1-17_мн.(1) в расчётной точке днём, дБ		**ф-ла(3)[10]**	**0**	**0**	**0**	**0**	**0**	**0**	**0**	**0**	**0**	**0**	**0**
Уровни звукового давления от источника ИШ-1-17 в расчётной точке днём, дБ		**ф-ла(3)[10]**	**0**	**29,6**	**27,2**	**24,8**	**21,6**	**17,8**	**13,4**	**6,8**	**0**	**23,4**	**23,4**
Источник шума: ИШ-1-18, координаты источника (x,y,z), м =[543.53,140.79,1.00]													
Уровни звуковой мощности источника днём, Lw, дБ		**исходные данные**	**0**	**93,3**	**94,7**	**96**	**96,3**	**95,9**	**92,6**	**88,4**	**83,9**		
Поправка на телесный угол DΩ, дБ	Ω = 6.28	10Lg(4π/Ω)	**3**	3	3	3	3	3	3	3	3		
Показатель направленности источника Di, дБ		исходные данные	**0**	0	0	0	0	0	0	0	0		
Поправка на направленность источника Dc, дБ	Dc	DΩ + Di	**3**	3	3	3	3	3	3	3	3		
Затухание из-за геометрической дивергенции, Adiv, дБ	расстояние = 171.90 м	ф-ла (7) [10]	**55,7**										
Коэффициент затухания звука в атмосфере α, дБ/км	Ta=20,°C Pa=101.33,кПа hотн.=70%	ф-ла (5) [9]	0,02	0,09	0,33	1,12	2,79	4,98	9,04	23,09	77,63		
Учет затухания звука в атмосфере Aatm, дБ		ф-ла (8) [10]	0	0	0,1	0,2	0,5	0,9	1,6	4	13,3		

1		2	3	4	5	6	7	8	9	10	11	12	13
Снижение уровня звукового давления из-за влияния застройки между источником шума и расчетной точкой													
Снижение уровня звукового давления на пути над экраном, Dz1, дБ	z = 1.21м (разность путей)	ф-лы (14-18) [10]	8,4	11,3	15,2	18,8	22	25,1	28,1	31,1	34,1		
Снижение уровня звукового давления на пути слева от экрана, Dz2, дБ	z = 17.36м (разность путей)	ф-лы (14-18) [10]	18,3	21,2	24,1	27,1	30,1	33,1	36,1	39,1	42,1		
Снижение уровня звукового давления на пути справа от экрана, Dz3, дБ	z = 61.14м (разность путей)	ф-лы (14-18) [10]	23,9	27,6	31,9	36,4	40	43,3	46,3	49,4	52,4		
Общее снижение уровня звука препятствием Dz, дБ		Эн.сумма(-Dzi)	7,9	10,8	14,6	18,1	21,3	24,4	27,4	30,4	33,4		
Общее снижение уровня звука препятствием с учётом ограничения (25 дБ) для октавных полос Dz, дБ		Раздел 7.4 [10]	7,9	10,8	14,6	18,1	21,3	24,4	25	25	25		
Уровни звукового давления прямого звука от источника ИШ-1-18 в расчётной точке днём, дБ		**ф-ла(3)[10]**	**0**	**29,8**	**27,4**	**25**	**21,8**	**18**	**13,3**	**6,7**	**0**	**23,6**	**23,6**
Расчёт отражённого звука													
Уровни звукового давления от мнимого источника ИШ-1-18_мн.(1) в расчётной точке днём, дБ		**ф-ла(3)[10]**	**0**	**0**	**0**	**0**	**0**	**0**	**0**	**0**	**0**	**0**	**0**
Уровни звукового давления от источника ИШ-1-18 в расчётной точке днём, дБ		**ф-ла(3)[10]**	**0**	**29,8**	**27,4**	**25**	**21,8**	**18**	**13,3**	**6,7**	**0**	**23,6**	**23,6**
Источник шума: ИШ-1-19, координаты источника (x,y,z), м =[547.25,139.62,1.00]													
Уровни звуковой мощности источника днём, Lw, дБ		**исходные данные**	**0**	**93,3**	**94,7**	**96**	**96,3**	**95,9**	**92,6**	**88,4**	**83,9**		
Поправка на телесный угол DΩ, дБ	Ω = 6.28	10Lg(4π/Ω)	**3**	3	3	3	3	3	3	3	3		
Показатель направленности источника Di, дБ		исходные данные	**0**	0	0	0	0	0	0	0	0		
Поправка на направленность источника Dc, дБ	Dc	DΩ + Di	**3**	3	3	3	3	3	3	3	3		
Затухание из-за геометрической дивергенции, Adiv, дБ	расстояние = 174.31 м	ф-ла (7) [10]	**55,8**										
Коэффициент затухания звука в атмосфере α, дБ/км	Ta=20,°C Pa=101.33,кПа hотн.=70%	ф-ла (5) [9]	0,02	0,09	0,33	1,12	2,79	4,98	9,04	23,09	77,63		

1		2	3	4	5	6	7	8	9	10	11	12	13
Учет затухания звука в атмосфере Aatm, дБ		ф-ла (8) [10]	0	0	0,1	0,2	0,5	0,9	1,6	4	13,5		
Снижение уровня звукового давления из-за влияния застройки между источником шума и расчетной точкой													
Снижение уровня звукового давления на пути над экраном, Dz1, дБ	z = 1.14м (разность путей)	ф-лы (14-18) [10]	8,2	11	14,8	18,4	21,7	24,7	27,7	30,7	33,7		
Снижение уровня звукового давления на пути слева от экрана, Dz2, дБ	z = 16.13м (разность путей)	ф-лы (14-18) [10]	18	20,9	23,8	26,8	29,8	32,8	35,8	38,8	41,8		
Снижение уровня звукового давления на пути справа от экрана, Dz3, дБ	z = 61.59м (разность путей)	ф-лы (14-18) [10]	23,9	27,6	32	36,4	40,1	43,3	46,4	49,4	52,4		
Общее снижение уровня звука препятствием Dz, дБ		Эн.сумма(-Dzi)	7,7	10,5	14,2	17,8	21	24	27	30	33		
Общее снижение уровня звука препятствием с учётом ограничения (25 дБ) для октавных полос Dz, дБ		Раздел 7.4 [10]	7,7	10,5	14,2	17,8	21	24	25	25	25		
Уровни звукового давления прямого звука от источника ИШ-1-19 в расчётной точке днём, дБ		**ф-ла(3)[10]**	**0**	**29,9**	**27,6**	**25,2**	**22**	**18,2**	**13,2**	**6,5**	**0**	**23,7**	**23,7**
Расчёт отражённого звука													
Уровни звукового давления от мнимого источника ИШ-1-19_мн.(1) в расчётной точке днём, дБ		**ф-ла(3)[10]**	**0**	**0**	**0**	**0**	**0**	**0**	**0**	**0**	**0**	**0**	**0**
Уровни звукового давления от источника ИШ-1-19 в расчётной точке днём, дБ		**ф-ла(3)[10]**	**0**	**29,9**	**27,6**	**25,2**	**22**	**18,2**	**13,2**	**6,5**	**0**	**23,7**	**23,7**
Источник шума: ИШ-1-20, координаты источника (x,y,z), м =[550.38,138.64,1.00]													
Уровни звуковой мощности источника днём, Lw, дБ		**исходные данные**	**0**	**93,3**	**94,7**	**96**	**96,3**	**95,9**	**92,6**	**88,4**	**83,9**		
Поправка на телесный угол DΩ, дБ	Ω = 6.28	10Lg(4π/Ω)	**3**	3	3	3	3	3	3	3	3		
Показатель направленности источника Di, дБ		исходные данные	**0**	0	0	0	0	0	0	0	0		
Поправка на направленность источника Dc, дБ	Dc	DΩ + Di	**3**	3	3	3	3	3	3	3	3		
Затухание из-за геометрической дивергенции, Adiv, дБ	расстояние = 176.40 м	ф-ла (7) [10]	**55,9**										

1		2	3	4	5	6	7	8	9	10	11	12	13
Коэффициент затухания звука в атмосфере α, дБ/км	Та=20,°С Ра=101.33,кПа hотн.=70%	ф-ла (5) [9]	0,02	0,09	0,33	1,12	2,79	4,98	9,04	23,09	77,63		
Учет затухания звука в атмосфере Aatm, дБ		ф-ла (8) [10]	0	0	0,1	0,2	0,5	0,9	1,6	4,1	13,7		
Снижение уровня звукового давления из-за влияния застройки между источником шума и расчетной точкой													
Снижение уровня звукового давления на пути над экраном, Dz1, дБ	z = 1.09м (разность путей)	ф-лы (14-18) [10]	8,1	10,8	14,5	18,2	21,4	24,5	27,5	30,5	33,5		
Снижение уровня звукового давления на пути слева от экрана, Dz2, дБ	z = 15.15м (разность путей)	ф-лы (14-18) [10]	17,7	20,6	23,5	26,5	29,5	32,5	35,5	38,5	41,5		
Снижение уровня звукового давления на пути справа от экрана, Dz3, дБ	z = 62.03м (разность путей)	ф-лы (14-18) [10]	24	27,6	32	36,4	40,1	43,3	46,4	49,4	52,4		
Общее снижение уровня звука препятствием Dz, дБ		Эн.сумма(-Dzi)	7,5	10,3	14	17,5	20,7	23,8	26,8	29,8	32,8		
Общее снижение уровня звука препятствием с учётом ограничения (25 дБ) для октавных полос Dz, дБ		Раздел 7.4 [10]	7,5	10,3	14	17,5	20,7	23,8	25	25	25		
Уровни звукового давления прямого звука от источника ИШ-1-20 в расчётной точке днём, дБ		**ф-ла(3)[10]**	**0**	**30,1**	**27,7**	**25,3**	**22,1**	**18,3**	**13,1**	**6,4**	**0**	**23,8**	**23,8**
Расчёт отражённого звука													
Уровни звукового давления от мнимого источника ИШ-1-20_мн.(1) в расчётной точке днём, дБ		**ф-ла(3)[10]**	**0**	**0**	**0**	**0**	**0**	**0**	**0**	**0**	**0**	**0**	**0**
Уровни звукового давления от источника ИШ-1-20 в расчётной точке днём, дБ		**ф-ла(3)[10]**	**0**	**30,1**	**27,7**	**25,3**	**22,1**	**18,3**	**13,1**	**6,4**	**0**	**23,8**	**23,8**
Источник шума: ИШ-1-21, координаты источника (x,y,z), м =[553.31,137.67,1.00]													
Уровни звуковой мощности источника днём, Lw, дБ		**исходные данные**	**0**	**93,3**	**94,7**	**96**	**96,3**	**95,9**	**92,6**	**88,4**	**83,9**		
Поправка на телесный угол DΩ, дБ	Ω = 6.28	10Lg(4π/Ω)	**3**	3	3	3	3	3	3	3	3		
Показатель направленности источника Di, дБ		исходные данные	**0**	0	0	0	0	0	0	0	0		

1		2	3	4	5	6	7	8	9	10	11	12	13
Поправка на направленность источника Dc, дБ	Dc	DΩ + Di	**3**	3	3	3	3	3	3	3	3		
Затухание из-за геометрической дивергенции, Adiv, дБ	расстояние = 178.35 м	ф-ла (7) [10]	**56**										
Коэффициент затухания звука в атмосфере α, дБ/км	Ta=20,°C Pa=101.33,кПа hотн.=70%	ф-ла (5) [9]	0,02	0,09	0,33	1,12	2,79	4,98	9,04	23,09	77,63		
Учет затухания звука в атмосфере Aatm, дБ		ф-ла (8) [10]	0	0	0,1	0,2	0,5	0,9	1,6	4,1	13,8		
Снижение уровня звукового давления из-за влияния застройки между источником шума и расчетной точкой													
Снижение уровня звукового давления на пути над экраном, Dz1, дБ	z = 1.06м (разность путей)	ф-лы (14-18) [10]	8	10,6	14,3	18	21,2	24,2	27,3	30,3	33,3		
Снижение уровня звукового давления на пути слева от экрана, Dz2, дБ	z = 14.26м (разность путей)	ф-лы (14-18) [10]	17,5	20,4	23,3	26,3	29,3	32,3	35,3	38,3	41,3		
Снижение уровня звукового давления на пути справа от экрана, Dz3, дБ	z = 62.57м (разность путей)	ф-лы (14-18) [10]	24	27,7	32	36,5	40,1	43,4	46,4	49,5	52,5		
Общее снижение уровня звука препятствием Dz, дБ		Эн.сумма(-Dzi)	7,4	10,1	13,7	17,3	20,5	23,6	26,6	29,6	32,6		
Общее снижение уровня звука препятствием с учётом ограничения (25 дБ) для октавных полос Dz, дБ		Раздел 7.4 [10]	7,4	10,1	13,7	17,3	20,5	23,6	25	25	25		
Уровни звукового давления от источника ИШ-1-21 в расчётной точке днём, дБ		**ф-ла(3)[10]**	**0**	**30,1**	**27,9**	**25,5**	**22,3**	**18,4**	**13**	**6,2**	**0**	**23,9**	**23,9**
Источник шума: ИШ-1-22, координаты источника (x,y,z), м =[522.03,85.28,1.00]													
Уровни звуковой мощности источника днём, Lw, дБ		**исходные данные**	**0**	**93,3**	**94,7**	**96**	**96,3**	**95,9**	**92,6**	**88,4**	**83,9**		
Поправка на телесный угол DΩ, дБ	Ω = 6.28	10Lg(4π/Ω)	**3**	3	3	3	3	3	3	3	3		
Показатель направленности источника Di, дБ		исходные данные	**0**	0	0	0	0	0	0	0	0		
Поправка на направленность источника Dc, дБ	Dc	DΩ + Di	**3**	3	3	3	3	3	3	3	3		

1		2	3	4	5	6	7	8	9	10	11	12	13
Затухание из-за геометрической дивергенции, Adiv, дБ	расстояние = 127.17 м	ф-ла (7) [10]	**53,1**										
Коэффициент затухания звука в атмосфере α, дБ/км	Ta=20,°C Pa=101.33,кПа hотн.=70%	ф-ла (5) [9]	0,02	0,09	0,33	1,12	2,79	4,98	9,04	23,09	77,63		
Учет затухания звука в атмосфере Aatm, дБ		ф-ла (8) [10]	0	0	0	0,1	0,4	0,6	1,1	2,9	9,9		
Снижение уровня звукового давления из-за влияния застройки между источником шума и расчетной точкой													
Снижение уровня звукового давления на пути над экраном, Dz1, дБ	z = 1.68м (разность путей)	ф-лы (14-18) [10]	9,5	12,5	16,5	20,5	23,9	27,1	30,1	33,1	36,1		
Снижение уровня звукового давления на пути слева от экрана, Dz2, дБ	z = 5.89м (разность путей)	ф-лы (14-18) [10]	14	16,7	19,5	22,5	25,4	28,4	31,4	34,4	37,4		
Снижение уровня звукового давления на пути справа от экрана, Dz3, дБ	z = 156.65м (разность путей)	ф-лы (14-18) [10]	28	31,7	36	40,4	44,1	47,4	50,4	53,4	56,5		
Общее снижение уровня звука препятствием Dz, дБ		Эн.сумма(-Dzi)	8,1	11,1	14,7	18,3	21,6	24,7	27,7	30,7	33,7		
Общее снижение уровня звука препятствием с учётом ограничения (25 дБ) для октавных полос Dz, дБ		Раздел 7.4 [10]	8,1	11,1	14,7	18,3	21,6	24,7	25	25	25		
Уровни звукового давления от источника ИШ-1-22 в расчётной точке днём, дБ		**ф-ла(3)[10]**	**0**	**32,1**	**29,8**	**27,4**	**24,3**	**20,5**	**16,4**	**10,4**	**0**	**26,2**	**26,2**
Источник шума: ИШ-1-23, координаты источника (x,y,z), м =[525.16,84.11,1.00]													
Уровни звуковой мощности источника днём, Lw, дБ		**исходные данные**	**0**	**93,3**	**94,7**	**96**	**96,3**	**95,9**	**92,6**	**88,4**	**83,9**		
Поправка на телесный угол DΩ, дБ	Ω = 6.28	10Lg(4π/Ω)	**3**	3	3	3	3	3	3	3	3		
Показатель направленности источника Di, дБ		исходные данные	**0**	0	0	0	0	0	0	0	0		
Поправка на направленность источника Dc, дБ	Dc	DΩ + Di	**3**	3	3	3	3	3	3	3	3		
Затухание из-за геометрической дивергенции, Adiv, дБ	расстояние = 129.75 м	ф-ла (7) [10]	**53,3**										

1		2	3	4	5	6	7	8	9	10	11	12	13
Коэффициент затухания звука в атмосфере α, дБ/км	Та=20,°С Ра=101.33,кПа hотн.=70%	ф-ла (5) [9]	0,02	0,09	0,33	1,12	2,79	4,98	9,04	23,09	77,63		
Учет затухания звука в атмосфере Aatm, дБ		ф-ла (8) [10]	0	0	0	0,1	0,4	0,6	1,2	3	10,1		
Снижение уровня звукового давления из-за влияния застройки между источником шума и расчетной точкой													
Снижение уровня звукового давления на пути над экраном, Dz1, дБ	z = 1.58м (разность путей)	ф-лы (14-18) [10]	9,3	12,2	16,2	20,2	23,6	26,7	29,7	32,8	35,8		
Снижение уровня звукового давления на пути слева от экрана, Dz2, дБ	z = 5.00м (разность путей)	ф-лы (14-18) [10]	13,3	16	18,8	21,8	24,7	27,7	30,7	33,7	36,7		
Снижение уровня звукового давления на пути справа от экрана, Dz3, дБ	z = 155.21м (разность путей)	ф-лы (14-18) [10]	27,9	31,6	36	40,4	44,1	47,3	50,4	53,4	56,4		
Общее снижение уровня звука препятствием Dz, дБ		Эн.сумма(-Dzi)	7,8	10,7	14,3	17,9	21,1	24,2	27,2	30,2	33,2		
Общее снижение уровня звука препятствием с учётом ограничения (25 дБ) для октавных полос Dz, дБ		Раздел 7.4 [10]	7,8	10,7	14,3	17,9	21,1	24,2	25	25	25		
Уровни звукового давления от источника ИШ-1-23 в расчётной точке днём, дБ		**ф-ла(3)[10]**	**0**	**32,4**	**30,1**	**27,7**	**24,6**	**20,8**	**16,2**	**10,1**	**0**	**26,4**	**26,4**
Источник шума: ИШ-1-24, координаты источника (x,y,z), м =[528.48,82.94,1.00]													
Уровни звуковой мощности источника днём, Lw, дБ		**исходные данные**	**0**	**93,3**	**94,7**	**96**	**96,3**	**95,9**	**92,6**	**88,4**	**83,9**		
Поправка на телесный угол DΩ, дБ	Ω = 6.28	10Lg(4π/Ω)	**3**	3	3	3	3	3	3	3	3		
Показатель направленности источника Di, дБ		исходные данные	**0**	0	0	0	0	0	0	0	0		
Поправка на направленность источника Dc, дБ	Dc	DΩ + Di	**3**	3	3	3	3	3	3	3	3		
Затухание из-за геометрической дивергенции, Adiv, дБ	расстояние = 132.55 м	ф-ла (7) [10]	**53,4**										
Коэффициент затухания звука в атмосфере α, дБ/км	Та=20,°С Ра=101.33,кПа hотн.=70%	ф-ла (5) [9]	0,02	0,09	0,33	1,12	2,79	4,98	9,04	23,09	77,63		

1		2	3	4	5	6	7	8	9	10	11	12	13
Учет затухания звука в атмосфере Aatm, дБ		ф-ла (8) [10]	0	0	0	0,1	0,4	0,7	1,2	3,1	10,3		
Снижение уровня звукового давления из-за влияния застройки между источником шума и расчетной точкой													
Снижение уровня звукового давления на пути над экраном, Dz1, дБ	z = 1.49м (разность путей)	ф-лы (14-18) [10]	9,1	11,9	15,8	19,8	23,3	26,4	29,4	32,4	35,4		
Снижение уровня звукового давления на пути слева от экрана, Dz2, дБ	z = 4.19м (разность путей)	ф-лы (14-18) [10]	12,7	15,3	18,1	21	24	27	30	33	36		
Снижение уровня звукового давления на пути справа от экрана, Dz3, дБ	z = 153.67м (разность путей)	ф-лы (14-18) [10]	27,9	31,6	35,9	40,4	44	47,3	50,3	53,4	56,4		
Общее снижение уровня звука препятствием Dz, дБ		Эн.сумма(-Dzi)	7,5	10,3	13,8	17,4	20,6	23,6	26,7	29,7	32,7		
Общее снижение уровня звука препятствием с учётом ограничения (25 дБ) для октавных полос Dz, дБ		Раздел 7.4 [10]	7,5	10,3	13,8	17,4	20,6	23,6	25	25	25		
Уровни звукового давления от источника ИШ-1-24 в расчётной точке днём, дБ		**ф-ла(3)[10]**	**0**	**32,6**	**30,4**	**28**	**24,9**	**21,1**	**15,9**	**9,9**	**0**	**26,6**	**26,6**
Источник шума: ИШ-1-25, координаты источника (x,y,z), м =[531.22,82.16,1.00]													
Уровни звуковой мощности источника днём, Lw, дБ		**исходные данные**	**0**	**93,3**	**94,7**	**96**	**96,3**	**95,9**	**92,6**	**88,4**	**83,9**		
Поправка на телесный угол DΩ, дБ	Ω = 6.28	10Lg(4π/Ω)	**3**	3	3	3	3	3	3	3	3		
Показатель направленности источника Di, дБ		исходные данные	**0**	0	0	0	0	0	0	0	0		
Поправка на направленность источника Dc, дБ	Dc	DΩ + Di	**3**	3	3	3	3	3	3	3	3		
Затухание из-за геометрической дивергенции, Adiv, дБ	расстояние = 134.93 м	ф-ла (7) [10]	**53,6**										
Коэффициент затухания звука в атмосфере α, дБ/км	Ta=20,°C Pa=101.33,кПа hотн.=70%	ф-ла (5) [9]	0,02	0,09	0,33	1,12	2,79	4,98	9,04	23,09	77,63		
Учет затухания звука в атмосфере Aatm, дБ		ф-ла (8) [10]	0	0	0	0,2	0,4	0,7	1,2	3,1	10,5		

1		2	3	4	5	6	7	8	9	10	11	12	13
Снижение уровня звукового давления из-за влияния застройки между источником шума и расчетной точкой													
Снижение уровня звукового давления на пути над экраном, Dz1, дБ	z = 1.42м (разность путей)	ф-лы (14-18) [10]	8,9	11,7	15,6	19,6	23	26,2	29,2	32,2	35,2		
Снижение уровня звукового давления на пути слева от экрана, Dz2, дБ	z = 3.66м (разность путей)	ф-лы (14-18) [10]	12,2	14,8	17,5	20,4	23,4	26,4	29,4	32,4	35,4		
Снижение уровня звукового давления на пути справа от экрана, Dz3, дБ	z = 152.22м (разность путей)	ф-лы (14-18) [10]	27,8	31,5	35,9	40,3	44	47,2	50,3	53,3	56,3		
Общее снижение уровня звука препятствием Dz, дБ		Эн.сумма(-Dzi)	7,2	10	13,4	17	20,2	23,2	26,2	29,3	32,3		
Общее снижение уровня звука препятствием с учётом ограничения (25 дБ) для октавных полос Dz, дБ		Раздел 7.4 [10]	7,2	10	13,4	17	20,2	23,2	25	25	25		
Уровни звукового давления от источника ИШ-1-25 в расчётной точке днём, дБ		**ф-ла(3)[10]**	**0**	**32,7**	**30,6**	**28,3**	**25,1**	**21,4**	**15,8**	**9,7**	**0**	**26,8**	**26,8**
Источник шума: ИШ-1-26, координаты источника (x,y,z), м =[534.15,80.79,1.00]													
Уровни звуковой мощности источника днём, Lw, дБ		**исходные данные**	**0**	**93,3**	**94,7**	**96**	**96,3**	**95,9**	**92,6**	**88,4**	**83,9**		
Поправка на телесный угол DΩ, дБ	Ω = 6.28	10Lg(4π/Ω)	**3**	3	3	3	3	3	3	3	3		
Показатель направленности источника Di, дБ		исходные данные	**0**	0	0	0	0	0	0	0	0		
Поправка на направленность источника Dc, дБ	Dc	DΩ + Di	**3**	3	3	3	3	3	3	3	3		
Затухание из-за геометрической дивергенции, Adiv, дБ	расстояние = 137.36 м	ф-ла (7) [10]	**53,8**										
Коэффициент затухания звука в атмосфере α, дБ/км	Ta=20,°C Pa=101.33,кПа hотн.=70%	ф-ла (5) [9]	0,02	0,09	0,33	1,12	2,79	4,98	9,04	23,09	77,63		
Учет затухания звука в атмосфере Aatm, дБ		ф-ла (8) [10]	0	0	0	0,2	0,4	0,7	1,2	3,2	10,7		
Снижение уровня звукового давления из-за влияния застройки между источником шума и расчетной точкой													

1		2	3	4	5	6	7	8	9	10	11	12	13
Снижение уровня звукового давления на пути над экраном, Dz1, дБ	z = 1.37м (разность путей)	ф-лы (14-18) [10]	8,8	11,5	15,4	19,4	22,8	25,9	29	32	35		
Снижение уровня звукового давления на пути слева от экрана, Dz2, дБ	z = 3.03м (разность путей)	ф-лы (14-18) [10]	11,5	14,1	16,8	19,6	22,6	25,6	28,6	31,6	34,6		
Снижение уровня звукового давления на пути справа от экрана, Dz3, дБ	z = 151.41м (разность путей)	ф-лы (14-18) [10]	27,8	31,5	35,9	40,3	44	47,2	50,3	53,3	56,3		
Общее снижение уровня звука препятствием Dz, дБ		Эн.сумма(-Dzi)	6,9	9,6	13	16,5	19,7	22,7	25,7	28,7	31,7		
Общее снижение уровня звука препятствием с учётом ограничения (25 дБ) для октавных полос Dz, дБ		Раздел 7.4 [10]	6,9	9,6	13	16,5	19,7	22,7	25	25	25		
Уровни звукового давления от источника ИШ-1-26 в расчётной точке днём, дБ		**ф-ла(3)[10]**	**0**	**32,9**	**30,9**	**28,6**	**25,5**	**21,7**	**15,6**	**9,5**	**0**	**27,1**	**27,1**
Источник шума: ИШ-1-27, координаты источника (x,y,z), м =[469.65,197.67,1.00]													
Уровни звуковой мощности источника днём, Lw, дБ		**исходные данные**	**0**	**93,3**	**94,7**	**96**	**96,3**	**95,9**	**92,6**	**88,4**	**83,9**		
Поправка на телесный угол DΩ, дБ	Ω = 6.28	10Lg(4π/Ω)	**3**	3	3	3	3	3	3	3	3		
Показатель направленности источника Di, дБ		исходные данные	**0**	0	0	0	0	0	0	0	0		
Поправка на направленность источника Dc, дБ	Dc	DΩ + Di	**3**	3	3	3	3	3	3	3	3		
Затухание из-за геометрической дивергенции, Adiv, дБ	расстояние = 168.63 м	ф-ла (7) [10]	**55,5**										
Коэффициент затухания звука в атмосфере α, дБ/км	Ta=20,°C Pa=101.33,кПа hотн.=70%	ф-ла (5) [9]	0,02	0,09	0,33	1,12	2,79	4,98	9,04	23,09	77,63		
Учет затухания звука в атмосфере Aatm, дБ		ф-ла (8) [10]	0	0	0,1	0,2	0,5	0,8	1,5	3,9	13,1		
Снижение поверхностью земли возле источника As, дБ	Gs = 0 hs = 1м	ф-лы таб.3 [10]	-1,5	-1,5	-1,5	-1,5	-1,5	-1,5	-1,5	-1,5	-1,5		
Снижение поверхностью земли возле приёмника Ar, дБ	Gr = 1 hr = 1.5м	ф-лы таб.3 [10]	-1,5	-1,5	1	6,8	4,8	0,6	0	0	0		

1		2	3	4	5	6	7	8	9	10	11	12	13
Снижение поверхностью земли в средней зоне, Am дБ	Gm = 1	ф-лы таб.3 [10]	-1,7	-1,7	0	0	0	0	0	0	0		
Суммарное снижение поверхностью земли на траектории распространения звука Agr, дБ		ф-ла (9) [10]	-4,7	-4,7	-0,5	5,3	3,3	-0,9	-1,5	-1,5	-1,5		
Уровни звукового давления прямого звука от источника ИШ-1-27 в расчётной точке днём, дБ		**ф-ла(3)[10]**	**0**	**45,4**	**42,6**	**38**	**40**	**43,4**	**40**	**33,5**	**19,8**	**46,4**	**46,4**
Расчёт отражённого звука													
Уровни звукового давления от мнимого источника ИШ-1-27_мн.(1) в расчётной точке днём, дБ		**ф-ла(3)[10]**	**0**	**0**	**0**	**0**	**0**	**0**	**36,1**	**29,2**	**14,2**	**38,1**	**38,1**
Уровни звукового давления от мнимого источника ИШ-1-27_мн.(2) в расчётной точке днём, дБ		**ф-ла(3)[10]**	**0**	**44,3**	**39,1**	**27,7**	**28,8**	**38,8**	**37,4**	**30,8**	**16,9**	**42,3**	**42,3**
Уровни звукового давления от мнимого источника ИШ-1-27_мн.(3) в расчётной точке днём, дБ		**ф-ла(3)[10]**	**0**	**0**	**0**	**0**	**28,7**	**38,7**	**37,3**	**30,7**	**16,8**	**42,2**	**42,2**
Суммарные уровни звукового давления от мнимых источников в расчётной точке днём, дБ		**ф-ла (19) [1]**	**0**	**44,3**	**39,1**	**27,7**	**31,8**	**41,8**	**41,8**	**35,1**	**20,9**	**0**	**46**
Уровни звукового давления от источника ИШ-1-27 в расчётной точке днём, дБ		**ф-ла(3)[10]**	**0**	**47,9**	**44,2**	**38,4**	**40,6**	**45,6**	**44**	**37,3**	**23,4**	**49,2**	**49,2**
Источник шума: ИШ-1-28, координаты источника (x,y,z), м =[472.78,196.69,1.00]													
Уровни звуковой мощности источника днём, Lw, дБ		**исходные данные**	**0**	**93,3**	**94,7**	**96**	**96,3**	**95,9**	**92,6**	**88,4**	**83,9**		
Поправка на телесный угол DΩ, дБ	Ω = 6.28	10Lg(4π/Ω)	**3**	3	3	3	3	3	3	3	3		
Показатель направленности источника Di, дБ		исходные данные	**0**	0	0	0	0	0	0	0	0		
Поправка на направленность источника Dc, дБ	Dc	DΩ + Di	**3**	3	3	3	3	3	3	3	3		
Затухание из-за геометрической дивергенции, Adiv, дБ	расстояние = 169.02 м	ф-ла (7) [10]	**55,6**										
Коэффициент затухания звука в атмосфере α, дБ/км	Ta=20,°C Pa=101.33,кПа hотн.=70%	ф-ла (5) [9]	0,02	0,09	0,33	1,12	2,79	4,98	9,04	23,09	77,63		

1		2	3	4	5	6	7	8	9	10	11	12	13
Учет затухания звука в атмосфере Aatm, дБ		ф-ла (8) [10]	0	0	0,1	0,2	0,5	0,8	1,5	3,9	13,1		
Снижение поверхностью земли возле источника As, дБ	Gs = 0 hs = 1м	ф-лы таб.3 [10]	-1,5	-1,5	-1,5	-1,5	-1,5	-1,5	-1,5	-1,5	-1,5		
Снижение поверхностью земли возле приёмника Ar, дБ	Gr = 1 hr = 1.5м	ф-лы таб.3 [10]	-1,5	-1,5	1	6,8	4,8	0,6	0	0	0		
Снижение поверхностью земли в средней зоне, Am дБ	Gm = 1	ф-лы таб.3 [10]	-1,7	-1,7	0	0	0	0	0	0	0		
Суммарное снижение поверхностью земли на траектории распространения звука Agr, дБ		ф-ла (9) [10]	-4,7	-4,7	-0,5	5,3	3,3	-0,9	-1,5	-1,5	-1,5		
Уровни звукового давления прямого звука от источника ИШ-1-28 в расчётной точке днём, дБ		**ф-ла(3)[10]**	**0**	**45,4**	**42,6**	**38**	**40**	**43,4**	**40**	**33,4**	**19,7**	**46,4**	**46,4**
Расчёт отражённого звука													
Уровни звукового давления от мнимого источника ИШ-1-28_мн.(1) в расчётной точке днём, дБ		**ф-ла(3)[10]**	**0**	**0**	**0**	**0**	**0**	**0**	**36,2**	**29,3**	**14,4**	**38,2**	**38,2**
Уровни звукового давления от мнимого источника ИШ-1-28_мн.(2) в расчётной точке днём, дБ		**ф-ла(3)[10]**	**0**	**44,3**	**39,1**	**27,7**	**28,8**	**38,7**	**37,3**	**30,7**	**16,8**	**42,3**	**42,3**
Уровни звукового давления от мнимого источника ИШ-1-28_мн.(3) в расчётной точке днём, дБ		**ф-ла(3)[10]**	**0**	**0**	**0**	**0**	**28,7**	**38,7**	**37,3**	**30,6**	**16,7**	**42,1**	**42,1**
Суммарные уровни звукового давления от мнимых источников в расчётной точке днём, дБ		**ф-ла (19) [1]**	**0**	**44,3**	**39,1**	**27,7**	**31,7**	**41,7**	**41,7**	**35**	**20,9**	**0**	**46**
Уровни звукового давления от источника ИШ-1-28 в расчётной точке днём, дБ		**ф-ла(3)[10]**	**0**	**47,9**	**44,2**	**38,4**	**40,6**	**45,6**	**44**	**37,3**	**23,3**	**49,2**	**49,2**
Источник шума: ИШ-1-29, координаты источника (x,y,z), м =[475.52,195.72,1.00]													
Уровни звуковой мощности источника днём, Lw, дБ		**исходные данные**	**0**	**93,3**	**94,7**	**96**	**96,3**	**95,9**	**92,6**	**88,4**	**83,9**		
Поправка на телесный угол DΩ, дБ	Ω = 6.28	10Lg(4π/Ω)	**3**	3	3	3	3	3	3	3	3		
Показатель направленности источника Di, дБ		исходные данные	**0**	0	0	0	0	0	0	0	0		
Поправка на направленность источника Dc, дБ	Dc	DΩ + Di	**3**	3	3	3	3	3	3	3	3		

1		2	3	4	5	6	7	8	9	10	11	12	13
Затухание из-за геометрической дивергенции, Adiv, дБ	расстояние = 169.31 м	ф-ла (7) [10]	**55,6**										
Коэффициент затухания звука в атмосфере α, дБ/км	Ta=20,°C Pa=101.33,кПа hотн.=70%	ф-ла (5) [9]	0,02	0,09	0,33	1,12	2,79	4,98	9,04	23,09	77,63		
Учет затухания звука в атмосфере Aatm, дБ		ф-ла (8) [10]	0	0	0,1	0,2	0,5	0,8	1,5	3,9	13,1		
Снижение поверхностью земли возле источника As, дБ	Gs = 0 hs = 1м	ф-лы таб.3 [10]	-1,5	-1,5	-1,5	-1,5	-1,5	-1,5	-1,5	-1,5	-1,5		
Снижение поверхностью земли возле приёмника Ar, дБ	Gr = 1 hr = 1.5м	ф-лы таб.3 [10]	-1,5	-1,5	1	6,8	4,8	0,6	0	0	0		
Снижение поверхностью земли в средней зоне, Am дБ	Gm = 1	ф-лы таб.3 [10]	-1,7	-1,7	0	0	0	0	0	0	0		
Суммарное снижение поверхностью земли на траектории распространения звука Agr, дБ		ф-ла (9) [10]	-4,7	-4,7	-0,5	5,3	3,3	-0,9	-1,5	-1,5	-1,5		
Уровни звукового давления прямого звука от источника ИШ-1-29 в расчётной точке днём, дБ		**ф-ла(3)[10]**	**0**	**45,4**	**42,5**	**37,9**	**39,9**	**43,3**	**40**	**33,4**	**19,7**	**46,4**	**46,4**
Расчёт отражённого звука													
Уровни звукового давления от мнимого источника ИШ-1-29_мн.(1) в расчётной точке днём, дБ		**ф-ла(3)[10]**	**0**	**0**	**0**	**0**	**0**	**37,7**	**36,3**	**29,4**	**14,5**	**41**	**41**
Уровни звукового давления от мнимого источника ИШ-1-29_мн.(2) в расчётной точке днём, дБ		**ф-ла(3)[10]**	**0**	**44,3**	**39,1**	**27,7**	**28,7**	**38,7**	**37,3**	**30,7**	**16,8**	**42,3**	**42,3**
Уровни звукового давления от мнимого источника ИШ-1-29_мн.(3) в расчётной точке днём, дБ		**ф-ла(3)[10]**	**0**	**0**	**0**	**0**	**28,6**	**38,6**	**37,2**	**30,6**	**16,6**	**42,1**	**42,1**
Суммарные уровни звукового давления от мнимых источников в расчётной точке днём, дБ		**ф-ла (19) [1]**	**0**	**44,3**	**39,1**	**27,7**	**31,7**	**43,2**	**41,8**	**35**	**20,9**	**0**	**46,6**
Уровни звукового давления от источника ИШ-1-29 в расчётной точке днём, дБ		**ф-ла(3)[10]**	**0**	**47,9**	**44,1**	**38,3**	**40,5**	**46,3**	**44**	**37,3**	**23,3**	**49,5**	**49,5**
Источник шума: ИШ-1-30, координаты источника (x,y,z), м =[478.45,194.54,1.00]													
Уровни звуковой мощности источника днём, Lw, дБ		**исходные данные**	**0**	**93,3**	**94,7**	**96**	**96,3**	**95,9**	**92,6**	**88,4**	**83,9**		

1		2	3	4	5	6	7	8	9	10	11	12	13
Поправка на телесный угол DΩ, дБ	Ω = 6.28	10Lg(4π/Ω)	**3**	3	3	3	3	3	3	3	3		
Показатель направленности источника Di, дБ		исходные данные	**0**	0	0	0	0	0	0	0	0		
Поправка на направленность источника Dc, дБ	Dc	DΩ + Di	**3**	3	3	3	3	3	3	3	3		
Затухание из-за геометрической дивергенции, Adiv, дБ	расстояние = 169.55 м	ф-ла (7) [10]	**55,6**										
Коэффициент затухания звука в атмосфере α, дБ/км	Ta=20,°C Pa=101.33,кПа hотн.=70%	ф-ла (5) [9]	0,02	0,09	0,33	1,12	2,79	4,98	9,04	23,09	77,63		
Учет затухания звука в атмосфере Aatm, дБ		ф-ла (8) [10]	0	0	0,1	0,2	0,5	0,8	1,5	3,9	13,2		
Снижение поверхностью земли возле источника As, дБ	Gs = 0 hs = 1м	ф-лы таб.3 [10]	-1,5	-1,5	-1,5	-1,5	-1,5	-1,5	-1,5	-1,5	-1,5		
Снижение поверхностью земли возле приёмника Ar, дБ	Gr = 1 hr = 1.5м	ф-лы таб.3 [10]	-1,5	-1,5	1	6,8	4,8	0,6	0	0	0		
Снижение поверхностью земли в средней зоне, Am дБ	Gm = 1	ф-лы таб.3 [10]	-1,7	-1,7	0	0	0	0	0	0	0		
Суммарное снижение поверхностью земли на траектории распространения звука Agr, дБ		ф-ла (9) [10]	-4,7	-4,7	-0,5	5,3	3,3	-0,9	-1,5	-1,5	-1,5		
Уровни звукового давления прямого звука от источника ИШ-1-30 в расчётной точке днём, дБ		**ф-ла(3)[10]**	**0**	**45,4**	**42,5**	**37,9**	**39,9**	**43,3**	**40**	**33,4**	**19,6**	**46,4**	**46,4**
Расчёт отражённого звука													
Уровни звукового давления от мнимого источника ИШ-1-30_мн.(1) в расчётной точке днём, дБ		**ф-ла(3)[10]**	**0**	**0**	**0**	**0**	**0**	**37,8**	**36,4**	**29,5**	**14,7**	**41,1**	**41,1**
Уровни звукового давления от мнимого источника ИШ-1-30_мн.(2) в расчётной точке днём, дБ		**ф-ла(3)[10]**	**0**	**44,3**	**39**	**27,7**	**28,7**	**38,7**	**37,3**	**30,7**	**16,8**	**42,2**	**42,2**
Уровни звукового давления от мнимого источника ИШ-1-30_мн.(3) в расчётной точке днём, дБ		**ф-ла(3)[10]**	**0**	**0**	**0**	**0**	**28,6**	**38,6**	**37,2**	**30,5**	**16,5**	**42**	**42**
Суммарные уровни звукового давления от мнимых источников в расчётной точке днём, дБ		**ф-ла (19) [1]**	**0**	**44,3**	**39**	**27,7**	**31,7**	**43,2**	**41,8**	**35,1**	**20,9**	**0**	**46,6**
Уровни звукового давления от источника ИШ-1-30 в расчётной точке днём, дБ		**ф-ла(3)[10]**	**0**	**47,9**	**44,1**	**38,3**	**40,5**	**46,3**	**44**	**37,3**	**23,3**	**49,5**	**49,5**

1		2	3	4	5	6	7	8	9	10	11	12	13
Источник шума: ИШ-1-31, координаты источника (x,y,z), м =[481.58,193.96,1.00]													
Уровни звуковой мощности источника днём, Lw, дБ		**исходные данные**	**0**	**93,3**	**94,7**	**96**	**96,3**	**95,9**	**92,6**	**88,4**	**83,9**		
Поправка на телесный угол DΩ, дБ	Ω = 6.28	10Lg(4π/Ω)	**3**	3	3	3	3	3	3	3	3		
Показатель направленности источника Di, дБ		исходные данные	**0**	0	0	0	0	0	0	0	0		
Поправка на направленность источника Dc, дБ	Dc	DΩ + Di	**3**	3	3	3	3	3	3	3	3		
Затухание из-за геометрической дивергенции, Adiv, дБ	расстояние = 170.46 м	ф-ла (7) [10]	**55,6**										
Коэффициент затухания звука в атмосфере α, дБ/км	Ta=20,°C Pa=101.33,кПа hотн.=70%	ф-ла (5) [9]	0,02	0,09	0,33	1,12	2,79	4,98	9,04	23,09	77,63		
Учет затухания звука в атмосфере Aatm, дБ		ф-ла (8) [10]	0	0	0,1	0,2	0,5	0,8	1,5	3,9	13,2		
Снижение поверхностью земли возле источника As, дБ	Gs = 0 hs = 1м	ф-лы таб.3 [10]	-1,5	-1,5	-1,5	-1,5	-1,5	-1,5	-1,5	-1,5	-1,5		
Снижение поверхностью земли возле приёмника Ar, дБ	Gr = 1 hr = 1.5м	ф-лы таб.3 [10]	-1,5	-1,5	1	6,8	4,8	0,6	0	0	0		
Снижение поверхностью земли в средней зоне, Am дБ	Gm = 1	ф-лы таб.3 [10]	-1,7	-1,7	0	0	0	0	0	0	0		
Суммарное снижение поверхностью земли на траектории распространения звука Agr, дБ		ф-ла (9) [10]	-4,7	-4,7	-0,5	5,3	3,3	-0,9	-1,5	-1,5	-1,5		
Уровни звукового давления прямого звука от источника ИШ-1-31 в расчётной точке днём, дБ		**ф-ла(3)[10]**	**0**	**45,3**	**42,5**	**37,9**	**39,9**	**43,3**	**39,9**	**33,3**	**19,5**	**46,3**	**46,3**
Расчёт отражённого звука													
Уровни звукового давления от мнимого источника ИШ-1-31_мн.(1) в расчётной точке днём, дБ		**ф-ла(3)[10]**	**0**	**0**	**0**	**0**	**0**	**37,9**	**36,4**	**29,6**	**14,9**	**41,2**	**41,2**
Уровни звукового давления от мнимого источника ИШ-1-31_мн.(2) в расчётной точке днём, дБ		**ф-ла(3)[10]**	**0**	**44,2**	**39**	**27,6**	**28,7**	**38,7**	**37,3**	**30,6**	**16,7**	**42,2**	**42,2**

1		2	3	4	5	6	7	8	9	10	11	12	13
Уровни звукового давления от мнимого источника ИШ-1-31_мн.(3) в расчётной точке днём, дБ		**ф-ла(3)[10]**	**0**	**0**	**0**	**0**	**28,5**	**38,5**	**37,1**	**30,4**	**16,3**	**41,9**	**41,9**
Суммарные уровни звукового давления от мнимых источников в расчётной точке днём, дБ		**ф-ла (19) [1]**	**0**	**44,2**	**39**	**27,6**	**31,6**	**43,1**	**41,7**	**35**	**20,8**	**0**	**46,6**
Уровни звукового давления от источника ИШ-1-31 в расчётной точке днём, дБ		**ф-ла(3)[10]**	**0**	**47,8**	**44,1**	**38,3**	**40,5**	**46,2**	**43,9**	**37,3**	**23,2**	**49,5**	**49,5**
Источник шума: ИШ-1-32, координаты источника (x,y,z), м =[871.21,281.99,50.00]													
Уровни звуковой мощности источника днём, Lw, дБ		**исходные данные**	**125**	**119,6**	**113,4**	**111,4**	**110,8**	**112,7**	**113,8**	**109,2**	**97,4**		
Поправка на телесный угол DΩ, дБ	Ω = 12.57	10Lg(4π/Ω)	**0**	0	0	0	0	0	0	0	0		
Показатель направленности источника Di, дБ		исходные данные	**0**	0	0	0	0	0	0	0	0		
Поправка на направленность источника Dc, дБ	Dc	DΩ + Di	**0**	0	0	0	0	0	0	0	0		
Затухание из-за геометрической дивергенции, Adiv, дБ	расстояние = 528.68 м	ф-ла (7) [10]	**65,5**										
Коэффициент затухания звука в атмосфере α, дБ/км	Ta=20,°C Pa=101.33,кПа hотн.=70%	ф-ла (5) [9]	0,02	0,09	0,33	1,12	2,79	4,98	9,04	23,09	77,63		
Учет затухания звука в атмосфере Aatm, дБ		ф-ла (8) [10]	0	0	0,2	0,6	1,5	2,6	4,8	12,2	41		
Снижение уровня звукового давления из-за влияния застройки между источником шума и расчетной точкой													
Снижение уровня звукового давления на пути над экраном, Dz1, дБ	z = 0.01м (разность путей)	ф-лы (14-18) [10]	4,8	4,8	4,8	4,8	4,8	4,8	4,8	4,8	4,8		
Снижение уровня звукового давления на пути слева от экрана, Dz2, дБ	z = 6.45м (разность путей)	ф-лы (14-18) [10]	14,3	17,1	19,9	22,9	25,8	28,8	31,8	34,8	37,8		
Снижение уровня звукового давления на пути справа от экрана, Dz3, дБ	z = 1.04м (разность путей)	ф-лы (14-18) [10]	8,4	10,3	12,6	15,3	18,1	21	23,9	26,9	29,9		
Общее снижение уровня звука препятствием Dz, дБ		Эн.сумма(-Dzi)	2,9	3,5	4	4,3	4,5	4,7	4,7	4,7	4,8		

1		2	3	4	5	6	7	8	9	10	11	12	13
Уровни звукового давления от источника ИШ-1-32 в расчётной точке днём, дБ		**ф-ла(3)[10]**	**56,7**	**50,6**	**43,8**	**41**	**39,4**	**40**	**38,9**	**26,8**	**0**	**44,4**	**44,4**
Источник шума: ИШ-1-33, координаты источника (x,y,z), м =[743.42,374.85,1.00]													
Уровни звуковой мощности источника днём, Lw, дБ		**исходные данные**	**0**	**88,7**	**90,1**	**93,1**	**96,4**	**103**	**112**	**108**	**99,2**		
Поправка на телесный угол DΩ, дБ	Ω = 6.28	10Lg(4π/Ω)	**3**	3	3	3	3	3	3	3	3		
Показатель направленности источника Di, дБ		исходные данные	**0**	0	0	0	0	0	0	0	0		
Поправка на направленность источника Dc, дБ	Dc	DΩ + Di	**3**	3	3	3	3	3	3	3	3		
Затухание из-за геометрической дивергенции, Adiv, дБ	расстояние = 475.96 м	ф-ла (7) [10]	**64,6**										
Коэффициент затухания звука в атмосфере α, дБ/км	Ta=20,°C Pa=101.33,кПа hотн.=70%	ф-ла (5) [9]	0,02	0,09	0,33	1,12	2,79	4,98	9,04	23,09	77,63		
Учет затухания звука в атмосфере Aatm, дБ		ф-ла (8) [10]	0	0	0,2	0,5	1,3	2,4	4,3	11	37		
Снижение уровня звукового давления из-за влияния застройки между источником шума и расчетной точкой													
Снижение уровня звукового давления на пути над экраном, Dz1, дБ	z = 0.43м (разность путей)	ф-лы (14-18) [10]	5,1	5,5	6,6	8,1	10,1	12,5	15,1	17,9	20,8		
Снижение уровня звукового давления на пути слева от экрана, Dz2, дБ	z = 20.61м (разность путей)	ф-лы (14-18) [10]	19	21,9	24,9	27,8	30,8	33,9	36,9	39,9	42,9		
Снижение уровня звукового давления на пути справа от экрана, Dz3, дБ	z = 3.14м (разность путей)	ф-лы (14-18) [10]	11,7	14,2	16,9	19,8	22,7	25,7	28,7	31,7	34,7		
Общее снижение уровня звука препятствием Dz, дБ		Эн.сумма(-Dzi)	4,1	4,9	6,1	7,8	9,9	12,3	14,9	17,7	20,6		
Уровни звукового давления прямого звука от источника ИШ-1-33 в расчётной точке днём, дБ		**ф-ла(3)[10]**	**0**	**22,2**	**22,3**	**23,2**	**23,7**	**26,8**	**31,2**	**17,7**	**0**	**33,9**	**33,9**
Расчёт отражённого звука													

1		2	3	4	5	6	7	8	9	10	11	12	13
Уровни звукового давления от мнимого источника ИШ-1-33_мн.(1) в расчётной точке днём, дБ		**ф-ла(3)[10]**	**0**	**0**	**0**	**0**	**0**	**0**	**0**	**0**	**0**	**0**	**0**
Уровни звукового давления от источника ИШ-1-33 в расчётной точке днём, дБ		**ф-ла(3)[10]**	**0**	**22,2**	**22,3**	**23,2**	**23,7**	**26,8**	**31,2**	**17,7**	**0**	**33,9**	**33,9**
Источник шума: ИШ-1-34, координаты источника (x,y,z), м =[1042.35,199.07,1.00]													
Уровни звуковой мощности источника днём, Lw, дБ		**исходные данные**	**0**	**88,7**	**90,1**	**93,1**	**96,4**	**103**	**112**	**108**	**99,2**		
Поправка на телесный угол DΩ, дБ	Ω = 6.28	10Lg(4π/Ω)	**3**	3	3	3	3	3	3	3	3		
Показатель направленности источника Di, дБ		исходные данные	**0**	0	0	0	0	0	0	0	0		
Поправка на направленность источника Dc, дБ	Dc	DΩ + Di	**3**	3	3	3	3	3	3	3	3		
Затухание из-за геометрической дивергенции, Adiv, дБ	расстояние = 659.01 м	ф-ла (7) [10]	**67,4**										
Коэффициент затухания звука в атмосфере α, дБ/км	Ta=20,°C Pa=101.33,кПа hотн.=70%	ф-ла (5) [9]	0,02	0,09	0,33	1,12	2,79	4,98	9,04	23,09	77,63		
Учет затухания звука в атмосфере Aatm, дБ		ф-ла (8) [10]	0	0,1	0,2	0,7	1,8	3,3	6	15,2	51,2		
Снижение уровня звукового давления из-за влияния застройки между источником шума и расчетной точкой													
Снижение уровня звукового давления на пути над экраном, Dz1, дБ	z = 0.62м (разность путей)	ф-лы (14-18) [10]	5,1	5,6	6,8	8,9	11,4	14,1	16,9	19,8	22,7		
Снижение уровня звукового давления на пути слева от экрана, Dz2, дБ	z = 0.90м (разность путей)	ф-лы (14-18) [10]	8	9,9	12,1	14,7	17,5	20,4	23,3	26,3	29,3		
Снижение уровня звукового давления на пути справа от экрана, Dz3, дБ	z = 50.70м (разность путей)	ф-лы (14-18) [10]	22,8	25,8	28,7	31,7	34,7	37,8	40,8	43,8	46,8		
Общее снижение уровня звука препятствием Dz, дБ		Эн.сумма(-Dzi)	3,3	4,2	5,7	7,9	10,5	13,2	16	18,9	21,8		
Уровни звукового давления от источника ИШ-1-34 в расчётной точке днём, дБ		**ф-ла(3)[10]**	**0**	**20,1**	**19,8**	**20,1**	**19,7**	**22,2**	**25,7**	**9,5**	**0**	**28,6**	**28,6**

1		2	3	4	5	6	7	8	9	10	11	12	13
Источник шума: ИШ-2-1, координаты источника (x,y,z), м =[696.50,124.40,3.00]													
Уровни звуковой мощности источника днём, Lw, дБ		**исходные данные**	**105**	**104**	**104**	**101**	**102**	**106**	**101**	**95**	**87**		
Поправка на телесный угол DΩ, дБ	Ω = 6.28	10Lg(4π/Ω)	**3**	3	3	3	3	3	3	3	3		
Показатель направленности источника Di, дБ		исходные данные	**0**	0	0	0	0	0	0	0	0		
Поправка на направленность источника Dc, дБ	Dc	DΩ + Di	**3**	3	3	3	3	3	3	3	3		
Затухание из-за геометрической дивергенции, Adiv, дБ	расстояние = 305.46 м	ф-ла (7) [10]	**60,7**										
Коэффициент затухания звука в атмосфере α, дБ/км	Ta=20,°C Pa=101.33,кПа hотн.=70%	ф-ла (5) [9]	0,02	0,09	0,33	1,12	2,79	4,98	9,04	23,09	77,63		
Учет затухания звука в атмосфере Aatm, дБ		ф-ла (8) [10]	0	0	0,1	0,3	0,9	1,5	2,8	7,1	23,7		
Снижение уровня звукового давления из-за влияния застройки между источником шума и расчетной точкой													
Снижение уровня звукового давления на пути над экраном, Dz1, дБ	z = 0.65м (разность путей)	ф-лы (14-18) [10]	6,1	7,4	10,1	13,4	16,6	19,6	22,6	25,6	28,6		
Снижение уровня звукового давления на пути слева от экрана, Dz2, дБ	z = 1.92м (разность путей)	ф-лы (14-18) [10]	12,9	16,3	19,3	22,3	25,3	28,3	31,3	34,3	37,3		
Снижение уровня звукового давления на пути справа от экрана, Dz3, дБ	z = 67.96м (разность путей)	ф-лы (14-18) [10]	27,9	31,5	34,7	37,8	40,8	43,8	46,8	49,8	52,8		
Общее снижение уровня звука препятствием Dz, дБ		Эн.сумма(-Dzi)	5,2	6,9	9,6	12,9	16,1	19,1	22	25	28		
Общее снижение уровня звука препятствием с учётом ограничения (25 дБ) для октавных полос Dz, дБ		Раздел 7.4 [10]	5,2	6,9	9,6	12,9	16,1	19,1	22	25	25		
Уровни звукового давления от источника ИШ-2-1 в расчётной точке днём, дБ		**ф-ла(3)[10]**	**42,1**	**39,4**	**36,6**	**30,1**	**27,4**	**27,7**	**18,5**	**5,3**	**0**	**30,9**	**30,9**
Источник шума: ИШ-2-2, координаты источника (x,y,z), м =[682.20,81.60,3.00]													

1		2	3	4	5	6	7	8	9	10	11	12	13
Уровни звуковой мощности источника днём, Lw, дБ		**исходные данные**	**105**	**104**	**104**	**101**	**102**	**106**	**101**	**95**	**87**		
Поправка на телесный угол DΩ, дБ	Ω = 6.28	10Lg(4π/Ω)	**3**	3	3	3	3	3	3	3	3		
Показатель направленности источника Di, дБ		исходные данные	**0**	0	0	0	0	0	0	0	0		
Поправка на направленность источника Dc, дБ	Dc	DΩ + Di	**3**	3	3	3	3	3	3	3	3		
Затухание из-за геометрической дивергенции, Adiv, дБ	расстояние = 282.78 м	ф-ла (7) [10]	**60**										
Коэффициент затухания звука в атмосфере α, дБ/км	Ta=20,°C Pa=101.33,кПа hотн.=70%	ф-ла (5) [9]	0,02	0,09	0,33	1,12	2,79	4,98	9,04	23,09	77,63		
Учет затухания звука в атмосфере Aatm, дБ		ф-ла (8) [10]	0	0	0,1	0,3	0,8	1,4	2,6	6,5	22		
Снижение уровня звукового давления из-за влияния застройки между источником шума и расчетной точкой													
Снижение уровня звукового давления на пути над экраном, Dz1, дБ	z = 0.60м (разность путей)	ф-лы (14-18) [10]	5,9	6,8	8,5	11,5	15,3	19	22,2	25,2	28,2		
Снижение уровня звукового давления на пути слева от экрана, Dz2, дБ	z = 0.08м (разность путей)	ф-лы (14-18) [10]	5,2	5,6	6,2	7,3	8,9	10,9	13,4	16,1	18,9		
Снижение уровня звукового давления на пути справа от экрана, Dz3, дБ	z = 94.34м (разность путей)	ф-лы (14-18) [10]	29,1	32,9	36,1	39,2	42,2	45,2	48,2	51,2	54,3		
Общее снижение уровня звука препятствием Dz, дБ		Эн.сумма(-Dzi)	2,5	3,1	4,2	5,9	8	10,3	12,8	15,6	18,4		
Уровни звукового давления от источника ИШ-2-2 в расчётной точке днём, дБ		**ф-ла(3)[10]**	**45,5**	**43,8**	**42,7**	**37,8**	**36,2**	**37,3**	**28,6**	**15,9**	**0**	**39,9**	**39,9**
Источник шума: ИШ-2-3, координаты источника (x,y,z), м =[667.80,38.90,3.00]													
Уровни звуковой мощности источника днём, Lw, дБ		**исходные данные**	**105**	**104**	**104**	**101**	**102**	**106**	**101**	**95**	**87**		
Поправка на телесный угол DΩ, дБ	Ω = 6.28	10Lg(4π/Ω)	**3**	3	3	3	3	3	3	3	3		

1		2	3	4	5	6	7	8	9	10	11	12	13
Показатель направленности источника Di, дБ		исходные данные	**0**	0	0	0	0	0	0	0	0		
Поправка на направленность источника Dc, дБ	Dc	DΩ + Di	**3**	3	3	3	3	3	3	3	3		
Затухание из-за геометрической дивергенции, Adiv, дБ	расстояние = 265.80 м	ф-ла (7) [10]	**59,5**										
Коэффициент затухания звука в атмосфере α, дБ/км	Ta=20,°C Pa=101.33,кПа hотн.=70%	ф-ла (5) [9]	0,02	0,09	0,33	1,12	2,79	4,98	9,04	23,09	77,63		
Учет затухания звука в атмосфере Aatm, дБ		ф-ла (8) [10]	0	0	0,1	0,3	0,7	1,3	2,4	6,1	20,6		
Снижение поверхностью земли возле источника As, дБ	Gs = 0 hs = 3м	ф-лы таб.3 [10]	-1,5	-1,5	-1,5	-1,5	-1,5	-1,5	-1,5	-1,5	-1,5		
Снижение поверхностью земли возле приёмника Ar, дБ	Gr = 1 hr = 1.5м	ф-лы таб.3 [10]	-1,5	-1,5	1,5	7	4,9	0,7	0	0	0		
Снижение поверхностью земли в средней зоне, Am дБ	Gm = 1	ф-лы таб.3 [10]	-1,5	-1,5	0	0	0	0	0	0	0		
Суммарное снижение поверхностью земли на траектории распространения звука Agr, дБ		ф-ла (9) [10]	-4,5	-4,5	0	5,5	3,4	-0,8	-1,5	-1,5	-1,5		
Уровни звукового давления прямого звука от источника ИШ-2-3 в расчётной точке днём, дБ		**ф-ла(3)[10]**	**53**	**52**	**47,4**	**38,7**	**41,3**	**49**	**43,6**	**33,9**	**11,4**	**50,9**	**50,9**
Расчёт отражённого звука													
Уровни звукового давления от мнимого источника ИШ-2-3_мн.(1) в расчётной точке днём, дБ		**ф-ла(3)[10]**	**0**	**51**	**42,6**	**32,4**	**38,6**	**46,5**	**41,1**	**31,4**	**8,8**	**48,3**	**48,3**
Уровни звукового давления от мнимого источника ИШ-2-3_мн.(2) в расчётной точке днём, дБ		**ф-ла(3)[10]**	**0**	**0**	**0**	**0**	**0**	**0**	**0**	**0**	**0**	**0**	**0**
Суммарные уровни звукового давления от мнимых источников в расчётной точке днём, дБ		**ф-ла (19) [1]**	**0**	**51**	**42,6**	**32,4**	**38,6**	**46,5**	**41,1**	**31,4**	**8,8**	**0**	**48,3**
Уровни звукового давления от источника ИШ-2-3 в расчётной точке днём, дБ		**ф-ла(3)[10]**	**53**	**54,5**	**48,6**	**39,6**	**43,2**	**51**	**45,6**	**35,8**	**13,3**	**52,8**	**52,8**
Источник шума: ИШ-2-6, координаты источника (x,y,z), м =[765.97,112.43,1.00]													

1		2	3	4	5	6	7	8	9	10	11	12	13
Уровни звуковой мощности источника днём, Lw, дБ		**исходные данные**	**0**	**93,3**	**94,7**	**96**	**96,3**	**95,9**	**92,6**	**88,4**	**83,9**		
Поправка на телесный угол DΩ, дБ	Ω = 6.28	10Lg(4π/Ω)	**3**	3	3	3	3	3	3	3	3		
Показатель направленности источника Di, дБ		исходные данные	**0**	0	0	0	0	0	0	0	0		
Поправка на направленность источника Dc, дБ	Dc	DΩ + Di	**3**	3	3	3	3	3	3	3	3		
Затухание из-за геометрической дивергенции, Adiv, дБ	расстояние = 370.46 м	ф-ла (7) [10]	**62,4**										
Коэффициент затухания звука в атмосфере α, дБ/км	Ta=20,°C Pa=101.33,кПа hотн.=70%	ф-ла (5) [9]	0,02	0,09	0,33	1,12	2,79	4,98	9,04	23,09	77,63		
Учет затухания звука в атмосфере Aatm, дБ		ф-ла (8) [10]	0	0	0,1	0,4	1	1,8	3,3	8,6	28,8		
Снижение уровня звукового давления из-за влияния застройки между источником шума и расчетной точкой													
Снижение уровня звукового давления на пути над экраном, Dz1, дБ	z = 0.67м (разность путей)	ф-лы (14-18) [10]	5,8	6,9	9,2	12,5	15,8	18,8	21,8	24,8	27,8		
Снижение уровня звукового давления на пути слева от экрана, Dz2, дБ	z = 0.41м (разность путей)	ф-лы (14-18) [10]	6,6	7,8	9,6	11,8	14,3	17,1	20	22,9	25,9		
Снижение уровня звукового давления на пути справа от экрана, Dz3, дБ	z = 72.03м (разность путей)	ф-лы (14-18) [10]	28,1	31,8	34,9	38	41	44,1	47,1	50,1	53,1		
Общее снижение уровня звука препятствием Dz, дБ		Эн.сумма(-Dzi)	3,2	4,3	6,3	9,1	12	14,9	17,8	20,7	23,7		
Уровни звукового давления от источника ИШ-2-6 в расчётной точке днём, дБ		**ф-ла(3)[10]**	**0**	**29,6**	**28,9**	**27,1**	**23,9**	**19,8**	**12,1**	**0**	**0**	**25,1**	**25,1**
Источник шума: ИШ-2-7, координаты источника (x,y,z), м =[764.91,109.54,1.00]													
Уровни звуковой мощности источника днём, Lw, дБ		**исходные данные**	**0**	**93,3**	**94,7**	**96**	**96,3**	**95,9**	**92,6**	**88,4**	**83,9**		
Поправка на телесный угол DΩ, дБ	Ω = 6.28	10Lg(4π/Ω)	**3**	3	3	3	3	3	3	3	3		

1		2	3	4	5	6	7	8	9	10	11	12	13
Показатель направленности источника Di, дБ		исходные данные	**0**	0	0	0	0	0	0	0	0		
Поправка на направленность источника Dc, дБ	Dc	DΩ + Di	**3**	3	3	3	3	3	3	3	3		
Затухание из-за геометрической дивергенции, Adiv, дБ	расстояние = 368.88 м	ф-ла (7) [10]	**62,3**										
Коэффициент затухания звука в атмосфере α, дБ/км	Ta=20,°C Pa=101.33,кПа hотн.=70%	ф-ла (5) [9]	0,02	0,09	0,33	1,12	2,79	4,98	9,04	23,09	77,63		
Учет затухания звука в атмосфере Aatm, дБ		ф-ла (8) [10]	0	0	0,1	0,4	1	1,8	3,3	8,5	28,6		
Снижение уровня звукового давления из-за влияния застройки между источником шума и расчетной точкой													
Снижение уровня звукового давления на пути над экраном, Dz1, дБ	z = 0.67м (разность путей)	ф-лы (14-18) [10]	5,8	6,9	9	12,3	15,6	18,7	21,7	24,7	27,7		
Снижение уровня звукового давления на пути слева от экрана, Dz2, дБ	z = 0.35м (разность путей)	ф-лы (14-18) [10]	6,3	7,5	9,1	11,2	13,7	16,4	19,3	22,2	25,2		
Снижение уровня звукового давления на пути справа от экрана, Dz3, дБ	z = 73.45м (разность путей)	ф-лы (14-18) [10]	28,3	31,9	35	38,1	41,1	44,1	47,1	50,2	53,2		
Общее снижение уровня звука препятствием Dz, дБ		Эн.сумма(-Dzi)	3	4,1	6	8,7	11,6	14,4	17,3	20,3	23,3		
Уровни звукового давления от источника ИШ-2-7 в расчётной точке днём, дБ		**ф-ла(3)[10]**	**0**	**29,8**	**29,2**	**27,5**	**24,4**	**20,3**	**12,6**	**0,3**	**0**	**25,6**	**25,6**
Источник шума: ИШ-2-8, координаты источника (x,y,z), м =[764.03,106.58,1.00]													
Уровни звуковой мощности источника днём, Lw, дБ		**исходные данные**	**0**	**93,3**	**94,7**	**96**	**96,3**	**95,9**	**92,6**	**88,4**	**83,9**		
Поправка на телесный угол DΩ, дБ	Ω = 6.28	10Lg(4π/Ω)	**3**	3	3	3	3	3	3	3	3		
Показатель направленности источника Di, дБ		исходные данные	**0**	0	0	0	0	0	0	0	0		
Поправка на направленность источника Dc, дБ	Dc	DΩ + Di	**3**	3	3	3	3	3	3	3	3		

1		2	3	4	5	6	7	8	9	10	11	12	13
Затухание из-за геометрической дивергенции, Adiv, дБ	расстояние = 367.50 м	ф-ла (7) [10]	**62,3**										
Коэффициент затухания звука в атмосфере α, дБ/км	Ta=20,°C Pa=101.33,кПа hотн.=70%	ф-ла (5) [9]	0,02	0,09	0,33	1,12	2,79	4,98	9,04	23,09	77,63		
Учет затухания звука в атмосфере Aatm, дБ		ф-ла (8) [10]	0	0	0,1	0,4	1	1,8	3,3	8,5	28,5		
Снижение уровня звукового давления из-за влияния застройки между источником шума и расчетной точкой													
Снижение уровня звукового давления на пути над экраном, Dz1, дБ	z = 0.66м (разность путей)	ф-лы (14-18) [10]	5,8	6,8	8,8	12,1	15,5	18,6	21,6	24,6	27,6		
Снижение уровня звукового давления на пути слева от экрана, Dz2, дБ	z = 0.29м (разность путей)	ф-лы (14-18) [10]	6,1	7,1	8,6	10,6	13	15,7	18,5	21,4	24,4		
Снижение уровня звукового давления на пути справа от экрана, Dz3, дБ	z = 74.99м (разность путей)	ф-лы (14-18) [10]	28,4	32	35,1	38,2	41,2	44,2	47,2	50,2	53,3		
Общее снижение уровня звука препятствием Dz, дБ		Эн.сумма(-Dzi)	2,9	3,9	5,7	8,3	11,1	13,9	16,8	19,7	22,7		
Уровни звукового давления от источника ИШ-2-8 в расчётной точке днём, дБ		**ф-ла(3)[10]**	**0**	**30**	**29,6**	**28**	**24,9**	**20,9**	**13,2**	**0,9**	**0**	**26,1**	**26,1**
Источник шума: ИШ-2-9, координаты источника (x,y,z), м =[763.26,103.71,1.00]													
Уровни звуковой мощности источника днём, Lw, дБ		**исходные данные**	**0**	**93,3**	**94,7**	**96**	**96,3**	**95,9**	**92,6**	**88,4**	**83,9**		
Поправка на телесный угол DΩ, дБ	Ω = 6.28	10Lg(4π/Ω)	**3**	3	3	3	3	3	3	3	3		
Показатель направленности источника Di, дБ		исходные данные	**0**	0	0	0	0	0	0	0	0		
Поправка на направленность источника Dc, дБ	Dc	DΩ + Di	**3**	3	3	3	3	3	3	3	3		
Затухание из-за геометрической дивергенции, Adiv, дБ	расстояние = 366.25 м	ф-ла (7) [10]	**62,3**										
Коэффициент затухания звука в атмосфере α, дБ/км	Ta=20,°C Pa=101.33,кПа hотн.=70%	ф-ла (5) [9]	0,02	0,09	0,33	1,12	2,79	4,98	9,04	23,09	77,63		

1		2	3	4	5	6	7	8	9	10	11	12	13
Учет затухания звука в атмосфере Aatm, дБ		ф-ла (8) [10]	0	0	0,1	0,4	1	1,8	3,3	8,5	28,4		
Снижение уровня звукового давления из-за влияния застройки между источником шума и расчетной точкой													
Снижение уровня звукового давления на пути над экраном, Dz1, дБ	z = 0.65м (разность путей)	ф-лы (14-18) [10]	5,8	6,7	8,7	11,9	15,4	18,5	21,6	24,5	27,5		
Снижение уровня звукового давления на пути слева от экрана, Dz2, дБ	z = 0.23м (разность путей)	ф-лы (14-18) [10]	5,9	6,8	8,1	10	12,3	14,9	17,6	20,5	23,5		
Снижение уровня звукового давления на пути справа от экрана, Dz3, дБ	z = 76.54м (разность путей)	ф-лы (14-18) [10]	28,4	32,1	35,2	38,3	41,3	44,3	47,3	50,3	53,3		
Общее снижение уровня звука препятствием Dz, дБ		Эн.сумма(-Dzi)	2,8	3,7	5,3	7,8	10,5	13,3	16,2	19,1	22,1		
Уровни звукового давления от источника ИШ-2-9 в расчётной точке днём, дБ		**ф-ла(3)[10]**	**0**	**30,3**	**29,9**	**28,5**	**25,5**	**21,5**	**13,8**	**1,6**	**0**	**26,7**	**26,7**
Источник шума: ИШ-2-10, координаты источника (x,y,z), м =[762.14,100.75,1.00]													
Уровни звуковой мощности источника днём, Lw, дБ		**исходные данные**	**0**	**93,3**	**94,7**	**96**	**96,3**	**95,9**	**92,6**	**88,4**	**83,9**		
Поправка на телесный угол DΩ, дБ	Ω = 6.28	10Lg(4π/Ω)	**3**	3	3	3	3	3	3	3	3		
Показатель направленности источника Di, дБ		исходные данные	**0**	0	0	0	0	0	0	0	0		
Поправка на направленность источника Dc, дБ	Dc	DΩ + Di	**3**	3	3	3	3	3	3	3	3		
Затухание из-за геометрической дивергенции, Adiv, дБ	расстояние = 364.67 м	ф-ла (7) [10]	**62,2**										
Коэффициент затухания звука в атмосфере α, дБ/км	Ta=20,°C Pa=101.33,кПа hотн.=70%	ф-ла (5) [9]	0,02	0,09	0,33	1,12	2,79	4,98	9,04	23,09	77,63		
Учет затухания звука в атмосфере Aatm, дБ		ф-ла (8) [10]	0	0	0,1	0,4	1	1,8	3,3	8,4	28,3		
Снижение уровня звукового давления из-за влияния застройки между источником шума и расчетной точкой													

1		2	3	4	5	6	7	8	9	10	11	12	13
Снижение уровня звукового давления на пути над экраном, Dz1, дБ	z = 0.65м (разность путей)	ф-лы (14-18) [10]	5,7	6,7	8,5	11,6	15,2	18,4	21,5	24,5	27,5		
Снижение уровня звукового давления на пути слева от экрана, Dz2, дБ	z = 0.19м (разность путей)	ф-лы (14-18) [10]	5,7	6,4	7,6	9,3	11,4	13,9	16,7	19,6	22,5		
Снижение уровня звукового давления на пути справа от экрана, Dz3, дБ	z = 78.22м (разность путей)	ф-лы (14-18) [10]	28,5	32,2	35,3	38,4	41,4	44,4	47,4	50,4	53,4		
Общее снижение уровня звука препятствием Dz, дБ		Эн.сумма(-Dzi)	2,7	3,5	5	7,3	9,9	12,6	15,4	18,3	21,3		
Уровни звукового давления от источника ИШ-2-10 в расчётной точке днём, дБ		**ф-ла(3)[10]**	**0**	**30,5**	**30,3**	**29,1**	**26,1**	**22,2**	**14,6**	**2,4**	**0**	**27,4**	**27,4**
Источник шума: ИШ-2-11, координаты источника (x,y,z), м =[761.13,97.90,1.00]													
Уровни звуковой мощности источника днём, Lw, дБ		**исходные данные**	**0**	**93,3**	**94,7**	**96**	**96,3**	**95,9**	**92,6**	**88,4**	**83,9**		
Поправка на телесный угол DΩ, дБ	Ω = 6.28	10Lg(4π/Ω)	**3**	3	3	3	3	3	3	3	3		
Показатель направленности источника Di, дБ		исходные данные	**0**	0	0	0	0	0	0	0	0		
Поправка на направленность источника Dc, дБ	Dc	DΩ + Di	**3**	3	3	3	3	3	3	3	3		
Затухание из-за геометрической дивергенции, Adiv, дБ	расстояние = 363.23 м	ф-ла (7) [10]	**62,2**										
Коэффициент затухания звука в атмосфере α, дБ/км	Ta=20,°C Pa=101.33,кПа hотн.=70%	ф-ла (5) [9]	0,02	0,09	0,33	1,12	2,79	4,98	9,04	23,09	77,63		
Учет затухания звука в атмосфере Aatm, дБ		ф-ла (8) [10]	0	0	0,1	0,4	1	1,8	3,3	8,4	28,2		
Снижение уровня звукового давления из-за влияния застройки между источником шума и расчетной точкой													
Снижение уровня звукового давления на пути над экраном, Dz1, дБ	z = 0.64м (разность путей)	ф-лы (14-18) [10]	5,7	6,6	8,3	11,3	15	18,3	21,4	24,4	27,4		
Снижение уровня звукового давления на пути слева от экрана, Dz2, дБ	z = 0.14м (разность путей)	ф-лы (14-18) [10]	5,5	6,1	7,1	8,6	10,6	13	15,6	18,5	21,4		

1		2	3	4	5	6	7	8	9	10	11	12	13
Снижение уровня звукового давления на пути справа от экрана, Dz3, дБ	z = 79.88м (разность путей)	ф-лы (14-18) [10]	28,6	32,2	35,4	38,5	41,5	44,5	47,5	50,5	53,5		
Общее снижение уровня звука препятствием Dz, дБ		Эн.сумма(-Dzi)	2,6	3,3	4,6	6,7	9,2	11,9	14,6	17,5	20,4		
Уровни звукового давления от источника ИШ-2-11 в расчётной точке днём, дБ		**ф-ла(3)[10]**	**0**	**30,7**	**30,7**	**29,6**	**26,8**	**23**	**15,5**	**3,3**	**0**	**28,1**	**28,1**
Источник шума: ИШ-2-12, координаты источника (x,y,z), м =[760.25,95.02,1.00]													
Уровни звуковой мощности источника днём, Lw, дБ		**исходные данные**	**0**	**93,3**	**94,7**	**96**	**96,3**	**95,9**	**92,6**	**88,4**	**83,9**		
Поправка на телесный угол DΩ, дБ	Ω = 6.28	10Lg(4π/Ω)	**3**	3	3	3	3	3	3	3	3		
Показатель направленности источника Di, дБ		исходные данные	**0**	0	0	0	0	0	0	0	0		
Поправка на направленность источника Dc, дБ	Dc	DΩ + Di	**3**	3	3	3	3	3	3	3	3		
Затухание из-за геометрической дивергенции, Adiv, дБ	расстояние = 361.94 м	ф-ла (7) [10]	**62,2**										
Коэффициент затухания звука в атмосфере α, дБ/км	Ta=20,°C Pa=101.33,кПа hотн.=70%	ф-ла (5) [9]	0,02	0,09	0,33	1,12	2,79	4,98	9,04	23,09	77,63		
Учет затухания звука в атмосфере Aatm, дБ		ф-ла (8) [10]	0	0	0,1	0,4	1	1,8	3,3	8,4	28,1		
Снижение уровня звукового давления из-за влияния застройки между источником шума и расчетной точкой													
Снижение уровня звукового давления на пути над экраном, Dz1, дБ	z = 0.63м (разность путей)	ф-лы (14-18) [10]	5,7	6,5	8,1	11	14,7	18,1	21,3	24,3	27,3		
Снижение уровня звукового давления на пути слева от экрана, Dz2, дБ	z = 0.11м (разность путей)	ф-лы (14-18) [10]	5,3	5,8	6,6	7,8	9,6	11,9	14,4	17,2	20,1		
Снижение уровня звукового давления на пути справа от экрана, Dz3, дБ	z = 81.62м (разность путей)	ф-лы (14-18) [10]	28,7	32,3	35,5	38,6	41,6	44,6	47,6	50,6	53,6		
Общее снижение уровня звука препятствием Dz, дБ		Эн.сумма(-Dzi)	2,5	3,1	4,3	6,1	8,5	10,9	13,6	16,4	19,3		

1		2	3	4	5	6	7	8	9	10	11	12	13
Уровни звукового давления от источника ИШ-2-12 в расчётной точке днём, дБ		**ф-ла(3)[10]**	**0**	**31**	**31,1**	**30,3**	**27,7**	**24**	**16,5**	**4,4**	**0**	**28,9**	**28,9**
Источник шума: ИШ-2-13, координаты источника (x,y,z), м =[759.28,92.25,1.00]													
Уровни звуковой мощности источника днём, Lw, дБ		**исходные данные**	**0**	**93,3**	**94,7**	**96**	**96,3**	**95,9**	**92,6**	**88,4**	**83,9**		
Поправка на телесный угол DΩ, дБ	Ω = 6.28	10Lg(4π/Ω)	**3**	3	3	3	3	3	3	3	3		
Показатель направленности источника Di, дБ		исходные данные	**0**	0	0	0	0	0	0	0	0		
Поправка на направленность источника Dc, дБ	Dc	DΩ + Di	**3**	3	3	3	3	3	3	3	3		
Затухание из-за геометрической дивергенции, Adiv, дБ	расстояние = 360.59 м	ф-ла (7) [10]	**62,1**										
Коэффициент затухания звука в атмосфере α, дБ/км	Ta=20,°C Pa=101.33,кПа hотн.=70%	ф-ла (5) [9]	0,02	0,09	0,33	1,12	2,79	4,98	9,04	23,09	77,63		
Учет затухания звука в атмосфере Aatm, дБ		ф-ла (8) [10]	0	0	0,1	0,4	1	1,8	3,3	8,3	28		
Снижение уровня звукового давления из-за влияния застройки между источником шума и расчетной точкой													
Снижение уровня звукового давления на пути над экраном, Dz1, дБ	z = 0.63м (разность путей)	ф-лы (14-18) [10]	5,7	6,5	7,9	10,7	14,4	18	21,1	24,2	27,2		
Снижение уровня звукового давления на пути слева от экрана, Dz2, дБ	z = 0.07м (разность путей)	ф-лы (14-18) [10]	5,2	5,5	6,1	7,1	8,7	10,7	13,1	15,8	18,6		
Снижение уровня звукового давления на пути справа от экрана, Dz3, дБ	z = 83.35м (разность путей)	ф-лы (14-18) [10]	28,8	32,4	35,6	38,7	41,7	44,7	47,7	50,7	53,7		
Общее снижение уровня звука препятствием Dz, дБ		Эн.сумма(-Dzi)	2,4	2,9	3,9	5,5	7,6	9,9	12,5	15,2	18,1		
Уровни звукового давления от источника ИШ-2-13 в расчётной точке днём, дБ		**ф-ла(3)[10]**	**0**	**31,2**	**31,5**	**30,9**	**28,5**	**25**	**17,7**	**5,7**	**0**	**29,8**	**29,8**
Источник шума: ИШ-2-14, координаты источника (x,y,z), м =[751.62,69.73,1.00]													

1		2	3	4	5	6	7	8	9	10	11	12	13
Уровни звуковой мощности источника днём, Lw, дБ		**исходные данные**	**0**	**93,3**	**94,7**	**96**	**96,3**	**95,9**	**92,6**	**88,4**	**83,9**		
Поправка на телесный угол DΩ, дБ	Ω = 6.28	10Lg(4π/Ω)	**3**	3	3	3	3	3	3	3	3		
Показатель направленности источника Di, дБ		исходные данные	**0**	0	0	0	0	0	0	0	0		
Поправка на направленность источника Dc, дБ	Dc	DΩ + Di	**3**	3	3	3	3	3	3	3	3		
Затухание из-за геометрической дивергенции, Adiv, дБ	расстояние = 350.58 м	ф-ла (7) [10]	**61,9**										
Коэффициент затухания звука в атмосфере α, дБ/км	Ta=20,°C Pa=101.33,кПа hотн.=70%	ф-ла (5) [9]	0,02	0,09	0,33	1,12	2,79	4,98	9,04	23,09	77,63		
Учет затухания звука в атмосфере Aatm, дБ		ф-ла (8) [10]	0	0	0,1	0,4	1	1,7	3,2	8,1	27,2		
Снижение поверхностью земли возле источника As, дБ	Gs = 0 hs = 1м	ф-лы таб.3 [10]	-1,5	-1,5	-1,5	-1,5	-1,5	-1,5	-1,5	-1,5	-1,5		
Снижение поверхностью земли возле приёмника Ar, дБ	Gr = 1 hr = 1.5м	ф-лы таб.3 [10]	-1,5	-1,5	2	7	5	0,7	0	0	0		
Снижение поверхностью земли в средней зоне, Am дБ	Gm = 1	ф-лы таб.3 [10]	-2,4	-2,4	0	0	0	0	0	0	0		
Суммарное снижение поверхностью земли на траектории распространения звука Agr, дБ		ф-ла (9) [10]	-5,4	-5,4	0,5	5,5	3,5	-0,8	-1,5	-1,5	-1,5		
Уровни звукового давления прямого звука от источника ИШ-2-14 в расчётной точке днём, дБ		**ф-ла(3)[10]**	**0**	**39,7**	**35,1**	**31,2**	**32,9**	**36,1**	**32**	**22,9**	**0**	**38,8**	**38,8**
Расчёт отражённого звука													
Уровни звукового давления от мнимого источника ИШ-2-14_мн.(1) в расчётной точке днём, дБ		**ф-ла(3)[10]**	**0**	**38,7**	**30,7**	**20,8**	**21,6**	**31,6**	**29,5**	**20,4**	**0**	**34,6**	**34,6**
Уровни звукового давления от источника ИШ-2-14 в расчётной точке днём, дБ		**ф-ла(3)[10]**	**0**	**42,3**	**36,5**	**31,6**	**33,3**	**37,4**	**34**	**24,8**	**0**	**40,2**	**40,2**

Источник шума: ИШ-2-15, координаты источника (x,y,z), м =[750.74,66.89,1.00]

1		2	3	4	5	6	7	8	9	10	11	12	13
Уровни звуковой мощности источника днём, Lw, дБ		**исходные данные**	**0**	**93,3**	**94,7**	**96**	**96,3**	**95,9**	**92,6**	**88,4**	**83,9**		
Поправка на телесный угол DΩ, дБ	Ω = 6.28	10Lg(4π/Ω)	**3**	3	3	3	3	3	3	3	3		
Показатель направленности источника Di, дБ		исходные данные	**0**	0	0	0	0	0	0	0	0		
Поправка на направленность источника Dc, дБ	Dc	DΩ + Di	**3**	3	3	3	3	3	3	3	3		
Затухание из-за геометрической дивергенции, Adiv, дБ	расстояние = 349.51 м	ф-ла (7) [10]	**61,9**										
Коэффициент затухания звука в атмосфере α, дБ/км	Ta=20,°C Pa=101.33,кПа hотн.=70%	ф-ла (5) [9]	0,02	0,09	0,33	1,12	2,79	4,98	9,04	23,09	77,63		
Учет затухания звука в атмосфере Aatm, дБ		ф-ла (8) [10]	0	0	0,1	0,4	1	1,7	3,2	8,1	27,1		
Снижение поверхностью земли возле источника As, дБ	Gs = 0 hs = 1м	ф-лы таб.3 [10]	-1,5	-1,5	-1,5	-1,5	-1,5	-1,5	-1,5	-1,5	-1,5		
Снижение поверхностью земли возле приёмника Ar, дБ	Gr = 1 hr = 1.5м	ф-лы таб.3 [10]	-1,5	-1,5	2	7	5	0,7	0	0	0		
Снижение поверхностью земли в средней зоне, Am дБ	Gm = 1	ф-лы таб.3 [10]	-2,4	-2,4	0	0	0	0	0	0	0		
Суммарное снижение поверхностью земли на траектории распространения звука Agr, дБ		ф-ла (9) [10]	-5,4	-5,4	0,5	5,5	3,5	-0,8	-1,5	-1,5	-1,5		
Уровни звукового давления прямого звука от источника ИШ-2-15 в расчётной точке днём, дБ		**ф-ла(3)[10]**	**0**	**39,7**	**35,2**	**31,2**	**33**	**36,1**	**32,1**	**23**	**0**	**38,9**	**38,9**
Расчёт отражённого звука													
Уровни звукового давления от мнимого источника ИШ-2-15_мн.(1) в расчётной точке днём, дБ		**ф-ла(3)[10]**	**0**	**38,8**	**30,7**	**20,9**	**21,6**	**31,6**	**29,6**	**20,4**	**0**	**34,6**	**34,6**
Уровни звукового давления от источника ИШ-2-15 в расчётной точке днём, дБ		**ф-ла(3)[10]**	**0**	**42,3**	**36,5**	**31,6**	**33,3**	**37,4**	**34**	**24,9**	**0**	**40,3**	**40,3**
Источник шума: ИШ-2-16, координаты источника (x,y,z), м =[749.73,64.02,1.00]													

1		2	3	4	5	6	7	8	9	10	11	12	13
Уровни звуковой мощности источника днём, Lw, дБ		**исходные данные**	**0**	**93,3**	**94,7**	**96**	**96,3**	**95,9**	**92,6**	**88,4**	**83,9**		
Поправка на телесный угол DΩ, дБ	Ω = 6.28	10Lg(4π/Ω)	**3**	3	3	3	3	3	3	3	3		
Показатель направленности источника Di, дБ		исходные данные	**0**	0	0	0	0	0	0	0	0		
Поправка на направленность источника Dc, дБ	Dc	DΩ + Di	**3**	3	3	3	3	3	3	3	3		
Затухание из-за геометрической дивергенции, Adiv, дБ	расстояние = 348.31 м	ф-ла (7) [10]	**61,8**										
Коэффициент затухания звука в атмосфере α, дБ/км	Ta=20,°C Pa=101.33,кПа hотн.=70%	ф-ла (5) [9]	0,02	0,09	0,33	1,12	2,79	4,98	9,04	23,09	77,63		
Учет затухания звука в атмосфере Aatm, дБ		ф-ла (8) [10]	0	0	0,1	0,4	1	1,7	3,1	8	27		
Снижение поверхностью земли возле источника As, дБ	Gs = 0 hs = 1м	ф-лы таб.3 [10]	-1,5	-1,5	-1,5	-1,5	-1,5	-1,5	-1,5	-1,5	-1,5		
Снижение поверхностью земли возле приёмника Ar, дБ	Gr = 1 hr = 1.5м	ф-лы таб.3 [10]	-1,5	-1,5	2	7	5	0,7	0	0	0		
Снижение поверхностью земли в средней зоне, Am дБ	Gm = 1	ф-лы таб.3 [10]	-2,4	-2,4	0	0	0	0	0	0	0		
Суммарное снижение поверхностью земли на траектории распространения звука Agr, дБ		ф-ла (9) [10]	-5,4	-5,4	0,5	5,5	3,5	-0,8	-1,5	-1,5	-1,5		
Уровни звукового давления прямого звука от источника ИШ-2-16 в расчётной точке днём, дБ		**ф-ла(3)[10]**	**0**	**39,8**	**35,2**	**31,2**	**33**	**36,2**	**32,1**	**23**	**0**	**38,9**	**38,9**
Расчёт отражённого звука													
Уровни звукового давления от мнимого источника ИШ-2-16_мн.(1) в расчётной точке днём, дБ		**ф-ла(3)[10]**	**0**	**38,8**	**30,8**	**20,9**	**21,7**	**31,6**	**29,6**	**20,5**	**0**	**34,7**	**34,7**
Уровни звукового давления от источника ИШ-2-16 в расчётной точке днём, дБ		**ф-ла(3)[10]**	**0**	**42,3**	**36,5**	**31,6**	**33,3**	**37,5**	**34**	**24,9**	**0**	**40,3**	**40,3**
Источник шума: ИШ-2-17, координаты источника (x,y,z), м =[748.87,61.06,1.00]													

1		2	3	4	5	6	7	8	9	10	11	12	13
Уровни звуковой мощности источника днём, Lw, дБ		**исходные данные**	**0**	**93,3**	**94,7**	**96**	**96,3**	**95,9**	**92,6**	**88,4**	**83,9**		
Поправка на телесный угол DΩ, дБ	Ω = 6.28	10Lg(4π/Ω)	**3**	3	3	3	3	3	3	3	3		
Показатель направленности источника Di, дБ		исходные данные	**0**	0	0	0	0	0	0	0	0		
Поправка на направленность источника Dc, дБ	Dc	DΩ + Di	**3**	3	3	3	3	3	3	3	3		
Затухание из-за геометрической дивергенции, Adiv, дБ	расстояние = 347.29 м	ф-ла (7) [10]	**61,8**										
Коэффициент затухания звука в атмосфере α, дБ/км	Ta=20,°C Pa=101.33,кПа hотн.=70%	ф-ла (5) [9]	0,02	0,09	0,33	1,12	2,79	4,98	9,04	23,09	77,63		
Учет затухания звука в атмосфере Aatm, дБ		ф-ла (8) [10]	0	0	0,1	0,4	1	1,7	3,1	8	27		
Снижение поверхностью земли возле источника As, дБ	Gs = 0 hs = 1м	ф-лы таб.3 [10]	-1,5	-1,5	-1,5	-1,5	-1,5	-1,5	-1,5	-1,5	-1,5		
Снижение поверхностью земли возле приёмника Ar, дБ	Gr = 1 hr = 1.5м	ф-лы таб.3 [10]	-1,5	-1,5	2	7	5	0,7	0	0	0		
Снижение поверхностью земли в средней зоне, Am дБ	Gm = 1	ф-лы таб.3 [10]	-2,4	-2,4	0	0	0	0	0	0	0		
Суммарное снижение поверхностью земли на траектории распространения звука Agr, дБ		ф-ла (9) [10]	-5,4	-5,4	0,5	5,5	3,5	-0,8	-1,5	-1,5	-1,5		
Уровни звукового давления прямого звука от источника ИШ-2-17 в расчётной точке днём, дБ		**ф-ла(3)[10]**	**0**	**39,8**	**35,2**	**31,3**	**33**	**36,2**	**32,1**	**23,1**	**0**	**38,9**	**38,9**
Расчёт отражённого звука													
Уровни звукового давления от мнимого источника ИШ-2-17_мн.(1) в расчётной точке днём, дБ		**ф-ла(3)[10]**	**0**	**38,8**	**30,8**	**20,9**	**21,7**	**31,7**	**29,6**	**20,5**	**0**	**34,7**	**34,7**
Уровни звукового давления от источника ИШ-2-17 в расчётной точке днём, дБ		**ф-ла(3)[10]**	**0**	**42,3**	**36,6**	**31,7**	**33,3**	**37,5**	**34,1**	**25**	**0**	**40,3**	**40,3**
Источник шума: ИШ-2-18, координаты источника (x,y,z), м =[747.72,58.17,1.00]													

1		2	3	4	5	6	7	8	9	10	11	12	13
Уровни звуковой мощности источника днём, Lw, дБ		**исходные данные**	**0**	**93,3**	**94,7**	**96**	**96,3**	**95,9**	**92,6**	**88,4**	**83,9**		
Поправка на телесный угол DΩ, дБ	Ω = 6.28	10Lg(4π/Ω)	**3**	3	3	3	3	3	3	3	3		
Показатель направленности источника Di, дБ		исходные данные	**0**	0	0	0	0	0	0	0	0		
Поправка на направленность источника Dc, дБ	Dc	DΩ + Di	**3**	3	3	3	3	3	3	3	3		
Затухание из-за геометрической дивергенции, Adiv, дБ	расстояние = 346.00 м	ф-ла (7) [10]	**61,8**										
Коэффициент затухания звука в атмосфере α, дБ/км	Ta=20,°C Pa=101.33,кПа hотн.=70%	ф-ла (5) [9]	0,02	0,09	0,33	1,12	2,79	4,98	9,04	23,09	77,63		
Учет затухания звука в атмосфере Aatm, дБ		ф-ла (8) [10]	0	0	0,1	0,4	1	1,7	3,1	8	26,9		
Снижение поверхностью земли возле источника As, дБ	Gs = 0 hs = 1м	ф-лы таб.3 [10]	-1,5	-1,5	-1,5	-1,5	-1,5	-1,5	-1,5	-1,5	-1,5		
Снижение поверхностью земли возле приёмника Ar, дБ	Gr = 1 hr = 1.5м	ф-лы таб.3 [10]	-1,5	-1,5	2	7	5	0,7	0	0	0		
Снижение поверхностью земли в средней зоне, Am дБ	Gm = 1	ф-лы таб.3 [10]	-2,3	-2,3	0	0	0	0	0	0	0		
Суммарное снижение поверхностью земли на траектории распространения звука Agr, дБ		ф-ла (9) [10]	-5,3	-5,3	0,5	5,5	3,5	-0,8	-1,5	-1,5	-1,5		
Уровни звукового давления прямого звука от источника ИШ-2-18 в расчётной точке днём, дБ		**ф-ла(3)[10]**	**0**	**39,8**	**35,3**	**31,3**	**33,1**	**36,2**	**32,2**	**23,1**	**0**	**39**	**39**
Расчёт отражённого звука													
Уровни звукового давления от мнимого источника ИШ-2-18_мн.(1) в расчётной точке днём, дБ		**ф-ла(3)[10]**	**0**	**38,8**	**30,8**	**21**	**21,7**	**31,7**	**29,7**	**20,6**	**0**	**34,7**	**34,7**
Уровни звукового давления от источника ИШ-2-18 в расчётной точке днём, дБ		**ф-ла(3)[10]**	**0**	**42,4**	**36,6**	**31,7**	**33,4**	**37,5**	**34,1**	**25,1**	**0**	**40,4**	**40,4**
Источник шума: ИШ-2-19, координаты источника (x,y,z), м =[746.80,55.25,1.00]													

1		2	3	4	5	6	7	8	9	10	11	12	13
Уровни звуковой мощности источника днём, Lw, дБ		**исходные данные**	**0**	**93,3**	**94,7**	**96**	**96,3**	**95,9**	**92,6**	**88,4**	**83,9**		
Поправка на телесный угол DΩ, дБ	Ω = 6.28	10Lg(4π/Ω)	**3**	3	3	3	3	3	3	3	3		
Показатель направленности источника Di, дБ		исходные данные	**0**	0	0	0	0	0	0	0	0		
Поправка на направленность источника Dc, дБ	Dc	DΩ + Di	**3**	3	3	3	3	3	3	3	3		
Затухание из-за геометрической дивергенции, Adiv, дБ	расстояние = 344.97 м	ф-ла (7) [10]	**61,8**										
Коэффициент затухания звука в атмосфере α, дБ/км	Ta=20,°C Pa=101.33,кПа hотн.=70%	ф-ла (5) [9]	0,02	0,09	0,33	1,12	2,79	4,98	9,04	23,09	77,63		
Учет затухания звука в атмосфере Aatm, дБ		ф-ла (8) [10]	0	0	0,1	0,4	1	1,7	3,1	8	26,8		
Снижение поверхностью земли возле источника As, дБ	Gs = 0 hs = 1м	ф-лы таб.3 [10]	-1,5	-1,5	-1,5	-1,5	-1,5	-1,5	-1,5	-1,5	-1,5		
Снижение поверхностью земли возле приёмника Ar, дБ	Gr = 1 hr = 1.5м	ф-лы таб.3 [10]	-1,5	-1,5	2	7	5	0,7	0	0	0		
Снижение поверхностью земли в средней зоне, Am дБ	Gm = 1	ф-лы таб.3 [10]	-2,3	-2,3	0	0	0	0	0	0	0		
Суммарное снижение поверхностью земли на траектории распространения звука Agr, дБ		ф-ла (9) [10]	-5,3	-5,3	0,5	5,5	3,5	-0,8	-1,5	-1,5	-1,5		
Уровни звукового давления прямого звука от источника ИШ-2-19 в расчётной точке днём, дБ		**ф-ла(3)[10]**	**0**	**39,9**	**35,3**	**31,3**	**33,1**	**36,3**	**32,2**	**23,2**	**0**	**39**	**39**
Расчёт отражённого звука													
Уровни звукового давления от мнимого источника ИШ-2-19_мн.(1) в расчётной точке днём, дБ		**ф-ла(3)[10]**	**0**	**38,9**	**30,9**	**21**	**21,8**	**31,7**	**29,7**	**20,6**	**0**	**34,8**	**34,8**
Уровни звукового давления от источника ИШ-2-19 в расчётной точке днём, дБ		**ф-ла(3)[10]**	**0**	**42,4**	**36,7**	**31,7**	**33,4**	**37,6**	**34,2**	**25,1**	**0**	**40,4**	**40,4**
Источник шума: ИШ-2-20, координаты источника (x,y,z), м =[745.71,52.44,1.00]													

1		2	3	4	5	6	7	8	9	10	11	12	13
Уровни звуковой мощности источника днём, Lw, дБ		**исходные данные**	**0**	**93,3**	**94,7**	**96**	**96,3**	**95,9**	**92,6**	**88,4**	**83,9**		
Поправка на телесный угол DΩ, дБ	Ω = 6.28	10Lg(4π/Ω)	**3**	3	3	3	3	3	3	3	3		
Показатель направленности источника Di, дБ		исходные данные	**0**	0	0	0	0	0	0	0	0		
Поправка на направленность источника Dc, дБ	Dc	DΩ + Di	**3**	3	3	3	3	3	3	3	3		
Затухание из-за геометрической дивергенции, Adiv, дБ	расстояние = 343.79 м	ф-ла (7) [10]	**61,7**										
Коэффициент затухания звука в атмосфере α, дБ/км	Ta=20,°C Pa=101.33,кПа hотн.=70%	ф-ла (5) [9]	0,02	0,09	0,33	1,12	2,79	4,98	9,04	23,09	77,63		
Учет затухания звука в атмосфере Aatm, дБ		ф-ла (8) [10]	0	0	0,1	0,4	1	1,7	3,1	7,9	26,7		
Снижение поверхностью земли возле источника As, дБ	Gs = 0 hs = 1м	ф-лы таб.3 [10]	-1,5	-1,5	-1,5	-1,5	-1,5	-1,5	-1,5	-1,5	-1,5		
Снижение поверхностью земли возле приёмника Ar, дБ	Gr = 1 hr = 1.5м	ф-лы таб.3 [10]	-1,5	-1,5	2	7	5	0,7	0	0	0		
Снижение поверхностью земли в средней зоне, Am дБ	Gm = 1	ф-лы таб.3 [10]	-2,3	-2,3	0	0	0	0	0	0	0		
Суммарное снижение поверхностью земли на траектории распространения звука Agr, дБ		ф-ла (9) [10]	-5,3	-5,3	0,5	5,5	3,5	-0,8	-1,5	-1,5	-1,5		
Уровни звукового давления прямого звука от источника ИШ-2-20 в расчётной точке днём, дБ		**ф-ла(3)[10]**	**0**	**39,9**	**35,4**	**31,4**	**33,1**	**36,3**	**32,3**	**23,2**	**0**	**39**	**39**
Расчёт отражённого звука													
Уровни звукового давления от мнимого источника ИШ-2-20_мн.(1) в расчётной точке днём, дБ		**ф-ла(3)[10]**	**0**	**38,9**	**30,9**	**21**	**21,8**	**31,8**	**29,8**	**20,7**	**0**	**34,8**	**34,8**
Уровни звукового давления от источника ИШ-2-20 в расчётной точке днём, дБ		**ф-ла(3)[10]**	**0**	**42,4**	**36,7**	**31,7**	**33,4**	**37,6**	**34,2**	**25,2**	**0**	**40,4**	**40,4**
Источник шума: ИШ-2-21, координаты источника (x,y,z), м =[744.89,49.62,1.00]													

1		2	3	4	5	6	7	8	9	10	11	12	13
Уровни звуковой мощности источника днём, Lw, дБ		**исходные данные**	**0**	**93,3**	**94,7**	**96**	**96,3**	**95,9**	**92,6**	**88,4**	**83,9**		
Поправка на телесный угол DΩ, дБ	Ω = 6.28	10Lg(4π/Ω)	**3**	3	3	3	3	3	3	3	3		
Показатель направленности источника Di, дБ		исходные данные	**0**	0	0	0	0	0	0	0	0		
Поправка на направленность источника Dc, дБ	Dc	DΩ + Di	**3**	3	3	3	3	3	3	3	3		
Затухание из-за геометрической дивергенции, Adiv, дБ	расстояние = 342.91 м	ф-ла (7) [10]	**61,7**										
Коэффициент затухания звука в атмосфере α, дБ/км	Ta=20,°C Pa=101.33,кПа hотн.=70%	ф-ла (5) [9]	0,02	0,09	0,33	1,12	2,79	4,98	9,04	23,09	77,63		
Учет затухания звука в атмосфере Aatm, дБ		ф-ла (8) [10]	0	0	0,1	0,4	1	1,7	3,1	7,9	26,6		
Снижение поверхностью земли возле источника As, дБ	Gs = 0 hs = 1м	ф-лы таб.3 [10]	-1,5	-1,5	-1,5	-1,5	-1,5	-1,5	-1,5	-1,5	-1,5		
Снижение поверхностью земли возле приёмника Ar, дБ	Gr = 1 hr = 1.5м	ф-лы таб.3 [10]	-1,5	-1,5	2	7	5	0,7	0	0	0		
Снижение поверхностью земли в средней зоне, Am дБ	Gm = 1	ф-лы таб.3 [10]	-2,3	-2,3	0	0	0	0	0	0	0		
Суммарное снижение поверхностью земли на траектории распространения звука Agr, дБ		ф-ла (9) [10]	-5,3	-5,3	0,5	5,5	3,5	-0,8	-1,5	-1,5	-1,5		
Уровни звукового давления прямого звука от источника ИШ-2-21 в расчётной точке днём, дБ		**ф-ла(3)[10]**	**0**	**39,9**	**35,4**	**31,4**	**33,2**	**36,3**	**32,3**	**23,3**	**0**	**39,1**	**39,1**
Расчёт отражённого звука													
Уровни звукового давления от мнимого источника ИШ-2-21_мн.(1) в расчётной точке днём, дБ		**ф-ла(3)[10]**	**0**	**38,9**	**31**	**21**	**21,8**	**31,8**	**29,8**	**20,8**	**0**	**34,8**	**34,8**
Уровни звукового давления от источника ИШ-2-21 в расчётной точке днём, дБ		**ф-ла(3)[10]**	**0**	**42,4**	**36,7**	**31,8**	**33,5**	**37,6**	**34,2**	**25,2**	**0**	**40,5**	**40,5**
Источник шума: ИШ-2-22, координаты источника (x,y,z), м =[737.40,27.07,1.00]													

1		2	3	4	5	6	7	8	9	10	11	12	13
Уровни звуковой мощности источника днём, Lw, дБ		**исходные данные**	**0**	**93,3**	**94,7**	**96**	**96,3**	**95,9**	**92,6**	**88,4**	**83,9**		
Поправка на телесный угол DΩ, дБ	Ω = 6.28	10Lg(4π/Ω)	**3**	3	3	3	3	3	3	3	3		
Показатель направленности источника Di, дБ		исходные данные	**0**	0	0	0	0	0	0	0	0		
Поправка на направленность источника Dc, дБ	Dc	DΩ + Di	**3**	3	3	3	3	3	3	3	3		
Затухание из-за геометрической дивергенции, Adiv, дБ	расстояние = 335.74 м	ф-ла (7) [10]	**61,5**										
Коэффициент затухания звука в атмосфере α, дБ/км	Ta=20,°C Pa=101.33,кПа hотн.=70%	ф-ла (5) [9]	0,02	0,09	0,33	1,12	2,79	4,98	9,04	23,09	77,63		
Учет затухания звука в атмосфере Aatm, дБ		ф-ла (8) [10]	0	0	0,1	0,4	0,9	1,7	3	7,8	26,1		
Снижение поверхностью земли возле источника As, дБ	Gs = 0 hs = 1м	ф-лы таб.3 [10]	-1,5	-1,5	-1,5	-1,5	-1,5	-1,5	-1,5	-1,5	-1,5		
Снижение поверхностью земли возле приёмника Ar, дБ	Gr = 1 hr = 1.5м	ф-лы таб.3 [10]	-1,5	-1,5	1,9	7	5	0,7	0	0	0		
Снижение поверхностью земли в средней зоне, Am дБ	Gm = 1	ф-лы таб.3 [10]	-2,3	-2,3	0	0	0	0	0	0	0		
Суммарное снижение поверхностью земли на траектории распространения звука Agr, дБ		ф-ла (9) [10]	-5,3	-5,3	0,4	5,5	3,5	-0,8	-1,5	-1,5	-1,5		
Уровни звукового давления прямого звука от источника ИШ-2-22 в расчётной точке днём, дБ		**ф-ла(3)[10]**	**0**	**40,1**	**35,6**	**31,6**	**33,4**	**36,5**	**32,5**	**23,6**	**0**	**39,3**	**39,3**
Расчёт отражённого звука													
Уровни звукового давления от мнимого источника ИШ-2-22_мн.(1) в расчётной точке днём, дБ		**ф-ла(3)[10]**	**0**	**39,1**	**31,3**	**21,2**	**22**	**32**	**30**	**21,1**	**0**	**35,1**	**35,1**
Уровни звукового давления от источника ИШ-2-22 в расчётной точке днём, дБ		**ф-ла(3)[10]**	**0**	**42,6**	**37**	**32**	**33,7**	**37,9**	**34,5**	**25,6**	**0**	**40,7**	**40,7**
Источник шума: ИШ-2-23, координаты источника (x,y,z), м =[736.46,24.18,1.00]													

1		2	3	4	5	6	7	8	9	10	11	12	13
Уровни звуковой мощности источника днём, Lw, дБ		**исходные данные**	**0**	**93,3**	**94,7**	**96**	**96,3**	**95,9**	**92,6**	**88,4**	**83,9**		
Поправка на телесный угол DΩ, дБ	Ω = 6.28	10Lg(4π/Ω)	**3**	3	3	3	3	3	3	3	3		
Показатель направленности источника Di, дБ		исходные данные	**0**	0	0	0	0	0	0	0	0		
Поправка на направленность источника Dc, дБ	Dc	DΩ + Di	**3**	3	3	3	3	3	3	3	3		
Затухание из-за геометрической дивергенции, Adiv, дБ	расстояние = 334.96 м	ф-ла (7) [10]	**61,5**										
Коэффициент затухания звука в атмосфере α, дБ/км	Ta=20,°C Pa=101.33,кПа hотн.=70%	ф-ла (5) [9]	0,02	0,09	0,33	1,12	2,79	4,98	9,04	23,09	77,63		
Учет затухания звука в атмосфере Aatm, дБ		ф-ла (8) [10]	0	0	0,1	0,4	0,9	1,7	3	7,7	26		
Снижение поверхностью земли возле источника As, дБ	Gs = 0 hs = 1м	ф-лы таб.3 [10]	-1,5	-1,5	-1,5	-1,5	-1,5	-1,5	-1,5	-1,5	-1,5		
Снижение поверхностью земли возле приёмника Ar, дБ	Gr = 1 hr = 1.5м	ф-лы таб.3 [10]	-1,5	-1,5	1,9	7	5	0,7	0	0	0		
Снижение поверхностью земли в средней зоне, Am дБ	Gm = 1	ф-лы таб.3 [10]	-2,3	-2,3	0	0	0	0	0	0	0		
Суммарное снижение поверхностью земли на траектории распространения звука Agr, дБ		ф-ла (9) [10]	-5,3	-5,3	0,4	5,5	3,5	-0,8	-1,5	-1,5	-1,5		
Уровни звукового давления прямого звука от источника ИШ-2-23 в расчётной точке днём, дБ		**ф-ла(3)[10]**	**0**	**40,1**	**35,6**	**31,6**	**33,4**	**36,6**	**32,6**	**23,7**	**0**	**39,3**	**39,3**
Расчёт отражённого звука													
Уровни звукового давления от мнимого источника ИШ-2-23_мн.(1) в расчётной точке днём, дБ		**ф-ла(3)[10]**	**0**	**39,1**	**31,3**	**21,3**	**22,1**	**32**	**30,1**	**21,1**	**0**	**35,1**	**35,1**
Уровни звукового давления от источника ИШ-2-23 в расчётной точке днём, дБ		**ф-ла(3)[10]**	**0**	**42,6**	**37**	**32**	**33,7**	**37,9**	**34,5**	**25,6**	**0**	**40,7**	**40,7**
Источник шума: ИШ-2-24, координаты источника (x,y,z), м =[735.45,21.21,1.00]													

1		2	3	4	5	6	7	8	9	10	11	12	13
Уровни звуковой мощности источника днём, Lw, дБ		**исходные данные**	**0**	**93,3**	**94,7**	**96**	**96,3**	**95,9**	**92,6**	**88,4**	**83,9**		
Поправка на телесный угол DΩ, дБ	Ω = 6.28	10Lg(4π/Ω)	**3**	3	3	3	3	3	3	3	3		
Показатель направленности источника Di, дБ		исходные данные	**0**	0	0	0	0	0	0	0	0		
Поправка на направленность источника Dc, дБ	Dc	DΩ + Di	**3**	3	3	3	3	3	3	3	3		
Затухание из-за геометрической дивергенции, Adiv, дБ	расстояние = 334.13 м	ф-ла (7) [10]	**61,5**										
Коэффициент затухания звука в атмосфере α, дБ/км	Ta=20,°C Pa=101.33,кПа hотн.=70%	ф-ла (5) [9]	0,02	0,09	0,33	1,12	2,79	4,98	9,04	23,09	77,63		
Учет затухания звука в атмосфере Aatm, дБ		ф-ла (8) [10]	0	0	0,1	0,4	0,9	1,7	3	7,7	25,9		
Снижение поверхностью земли возле источника As, дБ	Gs = 0 hs = 1м	ф-лы таб.3 [10]	-1,5	-1,5	-1,5	-1,5	-1,5	-1,5	-1,5	-1,5	-1,5		
Снижение поверхностью земли возле приёмника Ar, дБ	Gr = 1 hr = 1.5м	ф-лы таб.3 [10]	-1,5	-1,5	1,9	7	5	0,7	0	0	0		
Снижение поверхностью земли в средней зоне, Am дБ	Gm = 1	ф-лы таб.3 [10]	-2,3	-2,3	0	0	0	0	0	0	0		
Суммарное снижение поверхностью земли на траектории распространения звука Agr, дБ		ф-ла (9) [10]	-5,3	-5,3	0,4	5,5	3,5	-0,8	-1,5	-1,5	-1,5		
Уровни звукового давления прямого звука от источника ИШ-2-24 в расчётной точке днём, дБ		**ф-ла(3)[10]**	**0**	**40,1**	**35,7**	**31,6**	**33,4**	**36,6**	**32,6**	**23,7**	**0**	**39,4**	**39,4**
Расчёт отражённого звука													
Уровни звукового давления от мнимого источника ИШ-2-24_мн.(1) в расчётной точке днём, дБ		**ф-ла(3)[10]**	**0**	**39,1**	**31,3**	**21,3**	**22,1**	**32,1**	**30,1**	**21,2**	**0**	**35,1**	**35,1**
Уровни звукового давления от источника ИШ-2-24 в расчётной точке днём, дБ		**ф-ла(3)[10]**	**0**	**42,7**	**37**	**32**	**33,7**	**37,9**	**34,5**	**25,6**	**0**	**40,8**	**40,8**
Источник шума: ИШ-2-25, координаты источника (x,y,z), м =[734.58,18.32,1.00]													

1		2	3	4	5	6	7	8	9	10	11	12	13
Уровни звуковой мощности источника днём, Lw, дБ		**исходные данные**	**0**	**93,3**	**94,7**	**96**	**96,3**	**95,9**	**92,6**	**88,4**	**83,9**		
Поправка на телесный угол DΩ, дБ	Ω = 6.28	10Lg(4π/Ω)	**3**	3	3	3	3	3	3	3	3		
Показатель направленности источника Di, дБ		исходные данные	**0**	0	0	0	0	0	0	0	0		
Поправка на направленность источника Dc, дБ	Dc	DΩ + Di	**3**	3	3	3	3	3	3	3	3		
Затухание из-за геометрической дивергенции, Adiv, дБ	расстояние = 333.47 м	ф-ла (7) [10]	**61,5**										
Коэффициент затухания звука в атмосфере α, дБ/км	Ta=20,°C Pa=101.33,кПа hотн.=70%	ф-ла (5) [9]	0,02	0,09	0,33	1,12	2,79	4,98	9,04	23,09	77,63		
Учет затухания звука в атмосфере Aatm, дБ		ф-ла (8) [10]	0	0	0,1	0,4	0,9	1,7	3	7,7	25,9		
Снижение поверхностью земли возле источника As, дБ	Gs = 0 hs = 1м	ф-лы таб.3 [10]	-1,5	-1,5	-1,5	-1,5	-1,5	-1,5	-1,5	-1,5	-1,5		
Снижение поверхностью земли возле приёмника Ar, дБ	Gr = 1 hr = 1.5м	ф-лы таб.3 [10]	-1,5	-1,5	1,9	7	5	0,7	0	0	0		
Снижение поверхностью земли в средней зоне, Am дБ	Gm = 1	ф-лы таб.3 [10]	-2,3	-2,3	0	0	0	0	0	0	0		
Суммарное снижение поверхностью земли на траектории распространения звука Agr, дБ		ф-ла (9) [10]	-5,3	-5,3	0,4	5,5	3,5	-0,8	-1,5	-1,5	-1,5		
Уровни звукового давления прямого звука от источника ИШ-2-25 в расчётной точке днём, дБ		**ф-ла(3)[10]**	**0**	**40,1**	**35,7**	**31,6**	**33,4**	**36,6**	**32,6**	**23,7**	**0**	**39,4**	**39,4**
Расчёт отражённого звука													
Уровни звукового давления от мнимого источника ИШ-2-25_мн.(1) в расчётной точке днём, дБ		**ф-ла(3)[10]**	**0**	**39,1**	**31,4**	**21,3**	**22,1**	**32,1**	**30,1**	**21,2**	**0**	**35,2**	**35,2**
Уровни звукового давления от источника ИШ-2-25 в расчётной точке днём, дБ		**ф-ла(3)[10]**	**0**	**42,7**	**37**	**32**	**33,7**	**37,9**	**34,6**	**25,7**	**0**	**40,8**	**40,8**
Источник шума: ИШ-2-26, координаты источника (x,y,z), м =[733.57,15.41,1.00]													

1		2	3	4	5	6	7	8	9	10	11	12	13
Уровни звуковой мощности источника днём, Lw, дБ		**исходные данные**	**0**	**93,3**	**94,7**	**96**	**96,3**	**95,9**	**92,6**	**88,4**	**83,9**		
Поправка на телесный угол DΩ, дБ	Ω = 6.28	10Lg(4π/Ω)	**3**	3	3	3	3	3	3	3	3		
Показатель направленности источника Di, дБ		исходные данные	**0**	0	0	0	0	0	0	0	0		
Поправка на направленность источника Dc, дБ	Dc	DΩ + Di	**3**	3	3	3	3	3	3	3	3		
Затухание из-за геометрической дивергенции, Adiv, дБ	расстояние = 332.69 м	ф-ла (7) [10]	**61,4**										
Коэффициент затухания звука в атмосфере α, дБ/км	Ta=20,°C Pa=101.33,кПа hотн.=70%	ф-ла (5) [9]	0,02	0,09	0,33	1,12	2,79	4,98	9,04	23,09	77,63		
Учет затухания звука в атмосфере Aatm, дБ		ф-ла (8) [10]	0	0	0,1	0,4	0,9	1,7	3	7,7	25,8		
Снижение поверхностью земли возле источника As, дБ	Gs = 0 hs = 1м	ф-лы таб.3 [10]	-1,5	-1,5	-1,5	-1,5	-1,5	-1,5	-1,5	-1,5	-1,5		
Снижение поверхностью земли возле приёмника Ar, дБ	Gr = 1 hr = 1.5м	ф-лы таб.3 [10]	-1,5	-1,5	1,9	7	5	0,7	0	0	0		
Снижение поверхностью земли в средней зоне, Am дБ	Gm = 1	ф-лы таб.3 [10]	-2,3	-2,3	0	0	0	0	0	0	0		
Суммарное снижение поверхностью земли на траектории распространения звука Agr, дБ		ф-ла (9) [10]	-5,3	-5,3	0,4	5,5	3,5	-0,8	-1,5	-1,5	-1,5		
Уровни звукового давления прямого звука от источника ИШ-2-26 в расчётной точке днём, дБ		**ф-ла(3)[10]**	**0**	**40,1**	**35,7**	**31,7**	**33,5**	**36,6**	**32,6**	**23,8**	**0**	**39,4**	**39,4**
Расчёт отражённого звука													
Уровни звукового давления от мнимого источника ИШ-2-26_мн.(1) в расчётной точке днём, дБ		**ф-ла(3)[10]**	**0**	**39,2**	**31,4**	**21,3**	**22,1**	**32,1**	**30,1**	**21,3**	**0**	**35,2**	**35,2**
Уровни звукового давления от источника ИШ-2-26 в расчётной точке днём, дБ		**ф-ла(3)[10]**	**0**	**42,7**	**37,1**	**32**	**33,8**	**37,9**	**34,6**	**25,7**	**0**	**40,8**	**40,8**
Источник шума: ИШ-2-27, координаты источника (x,y,z), м =[732.43,12.66,1.00]													

1		2	3	4	5	6	7	8	9	10	11	12	13
Уровни звуковой мощности источника днём, Lw, дБ		**исходные данные**	**0**	**93,3**	**94,7**	**96**	**96,3**	**95,9**	**92,6**	**88,4**	**83,9**		
Поправка на телесный угол DΩ, дБ	Ω = 6.28	10Lg(4π/Ω)	**3**	3	3	3	3	3	3	3	3		
Показатель направленности источника Di, дБ		исходные данные	**0**	0	0	0	0	0	0	0	0		
Поправка на направленность источника Dc, дБ	Dc	DΩ + Di	**3**	3	3	3	3	3	3	3	3		
Затухание из-за геометрической дивергенции, Adiv, дБ	расстояние = 331.79 м	ф-ла (7) [10]	**61,4**										
Коэффициент затухания звука в атмосфере α, дБ/км	Ta=20,°C Pa=101.33,кПа hотн.=70%	ф-ла (5) [9]	0,02	0,09	0,33	1,12	2,79	4,98	9,04	23,09	77,63		
Учет затухания звука в атмосфере Aatm, дБ		ф-ла (8) [10]	0	0	0,1	0,4	0,9	1,7	3	7,7	25,8		
Снижение поверхностью земли возле источника As, дБ	Gs = 0 hs = 1м	ф-лы таб.3 [10]	-1,5	-1,5	-1,5	-1,5	-1,5	-1,5	-1,5	-1,5	-1,5		
Снижение поверхностью земли возле приёмника Ar, дБ	Gr = 1 hr = 1.5м	ф-лы таб.3 [10]	-1,5	-1,5	1,9	7	5	0,7	0	0	0		
Снижение поверхностью земли в средней зоне, Am дБ	Gm = 1	ф-лы таб.3 [10]	-2,3	-2,3	0	0	0	0	0	0	0		
Суммарное снижение поверхностью земли на траектории распространения звука Agr, дБ		ф-ла (9) [10]	-5,3	-5,3	0,4	5,5	3,5	-0,8	-1,5	-1,5	-1,5		
Уровни звукового давления прямого звука от источника ИШ-2-27 в расчётной точке днём, дБ		**ф-ла(3)[10]**	**0**	**40,2**	**35,7**	**31,7**	**33,5**	**36,7**	**32,7**	**23,8**	**0**	**39,4**	**39,4**
Расчёт отражённого звука													
Уровни звукового давления от мнимого источника ИШ-2-27_мн.(1) в расчётной точке днём, дБ		**ф-ла(3)[10]**	**0**	**39,2**	**31,4**	**21,3**	**22,2**	**32,1**	**30,2**	**21,3**	**0**	**35,2**	**35,2**
Уровни звукового давления от источника ИШ-2-27 в расчётной точке днём, дБ		**ф-ла(3)[10]**	**0**	**42,7**	**37,1**	**32,1**	**33,8**	**38**	**34,6**	**25,8**	**0**	**40,8**	**40,8**
Источник шума: ИШ-2-28, координаты источника (x,y,z), м =[731.54,9.78,1.00]													

1		2	3	4	5	6	7	8	9	10	11	12	13
Уровни звуковой мощности источника днём, Lw, дБ		**исходные данные**	**0**	**93,3**	**94,7**	**96**	**96,3**	**95,9**	**92,6**	**88,4**	**83,9**		
Поправка на телесный угол DΩ, дБ	Ω = 6.28	10Lg(4π/Ω)	**3**	3	3	3	3	3	3	3	3		
Показатель направленности источника Di, дБ		исходные данные	**0**	0	0	0	0	0	0	0	0		
Поправка на направленность источника Dc, дБ	Dc	DΩ + Di	**3**	3	3	3	3	3	3	3	3		
Затухание из-за геометрической дивергенции, Adiv, дБ	расстояние = 331.19 м	ф-ла (7) [10]	**61,4**										
Коэффициент затухания звука в атмосфере α, дБ/км	Ta=20,°C Pa=101.33,кПа hотн.=70%	ф-ла (5) [9]	0,02	0,09	0,33	1,12	2,79	4,98	9,04	23,09	77,63		
Учет затухания звука в атмосфере Aatm, дБ		ф-ла (8) [10]	0	0	0,1	0,4	0,9	1,6	3	7,6	25,7		
Снижение поверхностью земли возле источника As, дБ	Gs = 0 hs = 1м	ф-лы таб.3 [10]	-1,5	-1,5	-1,5	-1,5	-1,5	-1,5	-1,5	-1,5	-1,5		
Снижение поверхностью земли возле приёмника Ar, дБ	Gr = 1 hr = 1.5м	ф-лы таб.3 [10]	-1,5	-1,5	1,9	7	5	0,7	0	0	0		
Снижение поверхностью земли в средней зоне, Am дБ	Gm = 1	ф-лы таб.3 [10]	-2,3	-2,3	0	0	0	0	0	0	0		
Суммарное снижение поверхностью земли на траектории распространения звука Agr, дБ		ф-ла (9) [10]	-5,3	-5,3	0,4	5,5	3,5	-0,8	-1,5	-1,5	-1,5		
Уровни звукового давления прямого звука от источника ИШ-2-28 в расчётной точке днём, дБ		**ф-ла(3)[10]**	**0**	**40,2**	**35,8**	**31,7**	**33,5**	**36,7**	**32,7**	**23,8**	**0**	**39,5**	**39,5**
Расчёт отражённого звука													
Уровни звукового давления от мнимого источника ИШ-2-28_мн.(1) в расчётной точке днём, дБ		**ф-ла(3)[10]**	**0**	**39,2**	**31,4**	**21,4**	**22,2**	**32,2**	**30,2**	**21,3**	**0**	**35,3**	**35,3**
Уровни звукового давления от источника ИШ-2-28 в расчётной точке днём, дБ		**ф-ла(3)[10]**	**0**	**42,7**	**37,1**	**32,1**	**33,8**	**38**	**34,6**	**25,8**	**0**	**40,8**	**40,8**
Источник шума: ИШ-2-29, координаты источника (x,y,z), м =[730.57,6.88,1.00]													

1		2	3	4	5	6	7	8	9	10	11	12	13
Уровни звуковой мощности источника днём, Lw, дБ		**исходные данные**	**0**	**93,3**	**94,7**	**96**	**96,3**	**95,9**	**92,6**	**88,4**	**83,9**		
Поправка на телесный угол DΩ, дБ	Ω = 6.28	10Lg(4π/Ω)	**3**	3	3	3	3	3	3	3	3		
Показатель направленности источника Di, дБ		исходные данные	**0**	0	0	0	0	0	0	0	0		
Поправка на направленность источника Dc, дБ	Dc	DΩ + Di	**3**	3	3	3	3	3	3	3	3		
Затухание из-за геометрической дивергенции, Adiv, дБ	расстояние = 330.53 м	ф-ла (7) [10]	**61,4**										
Коэффициент затухания звука в атмосфере α, дБ/км	Ta=20,°C Pa=101.33,кПа hотн.=70%	ф-ла (5) [9]	0,02	0,09	0,33	1,12	2,79	4,98	9,04	23,09	77,63		
Учет затухания звука в атмосфере Aatm, дБ		ф-ла (8) [10]	0	0	0,1	0,4	0,9	1,6	3	7,6	25,7		
Снижение поверхностью земли возле источника As, дБ	Gs = 0 hs = 1м	ф-лы таб.3 [10]	-1,5	-1,5	-1,5	-1,5	-1,5	-1,5	-1,5	-1,5	-1,5		
Снижение поверхностью земли возле приёмника Ar, дБ	Gr = 1 hr = 1.5м	ф-лы таб.3 [10]	-1,5	-1,5	1,9	7	5	0,7	0	0	0		
Снижение поверхностью земли в средней зоне, Am дБ	Gm = 1	ф-лы таб.3 [10]	-2,3	-2,3	0	0	0	0	0	0	0		
Суммарное снижение поверхностью земли на траектории распространения звука Agr, дБ		ф-ла (9) [10]	-5,3	-5,3	0,4	5,5	3,5	-0,8	-1,5	-1,5	-1,5		
Уровни звукового давления прямого звука от источника ИШ-2-29 в расчётной точке днём, дБ		**ф-ла(3)[10]**	**0**	**40,2**	**35,8**	**31,7**	**33,5**	**36,7**	**32,7**	**23,9**	**0**	**39,5**	**39,5**
Расчёт отражённого звука													
Уровни звукового давления от мнимого источника ИШ-2-29_мн.(1) в расчётной точке днём, дБ		**ф-ла(3)[10]**	**0**	**39,2**	**31,5**	**21,4**	**22,2**	**32,2**	**30,2**	**21,4**	**0**	**35,3**	**35,3**
Уровни звукового давления от источника ИШ-2-29 в расчётной точке днём, дБ		**ф-ла(3)[10]**	**0**	**42,7**	**37,2**	**32,1**	**33,8**	**38**	**34,7**	**25,8**	**0**	**40,9**	**40,9**
Источник шума: ИШ-2-4, координаты источника (x,y,z), м =[632.70,-65.30,3.00]													

1		2	3	4	5	6	7	8	9	10	11	12	13
Уровни звуковой мощности источника днём, Lw, дБ		**исходные данные**	**105**	**104**	**104**	**101**	**102**	**106**	**101**	**95**	**87**		
Поправка на телесный угол DΩ, дБ	Ω = 6.28	10Lg(4π/Ω)	**3**	3	3	3	3	3	3	3	3		
Показатель направленности источника Di, дБ		исходные данные	**0**	0	0	0	0	0	0	0	0		
Поправка на направленность источника Dc, дБ	Dc	DΩ + Di	**3**	3	3	3	3	3	3	3	3		
Затухание из-за геометрической дивергенции, Adiv, дБ	расстояние = 254.90 м	ф-ла (7) [10]	**59,1**										
Коэффициент затухания звука в атмосфере α, дБ/км	Ta=20,°C Pa=101.33,кПа hотн.=70%	ф-ла (5) [9]	0,02	0,09	0,33	1,12	2,79	4,98	9,04	23,09	77,63		
Учет затухания звука в атмосфере Aatm, дБ		ф-ла (8) [10]	0	0	0,1	0,3	0,7	1,3	2,3	5,9	19,8		
Снижение уровня звукового давления из-за влияния застройки между источником шума и расчетной точкой													
Снижение уровня звукового давления на пути над экраном, Dz1, дБ	z = 2.56м (разность путей)	ф-лы (14-18) [10]	14,1	17,2	20,2	23,2	26,1	29,1	32,1	35,1	38,2		
Снижение уровня звукового давления на пути слева от экрана, Dz2, дБ	z = 69.88м (разность путей)	ф-лы (14-18) [10]	28,5	31,8	34,9	37,9	40,9	43,9	46,9	49,9	53		
Снижение уровня звукового давления на пути справа от экрана, Dz3, дБ	z = 3.11м (разность путей)	ф-лы (14-18) [10]	11,6	14,2	16,9	19,8	22,7	25,7	28,7	31,7	34,7		
Общее снижение уровня звука препятствием Dz, дБ		Эн.сумма(-Dzi)	9,6	12,4	15,2	18,1	21	24	27	30	33		
Общее снижение уровня звука препятствием с учётом ограничения (25 дБ) для октавных полос Dz, дБ		Раздел 7.4 [10]	9,6	12,4	15,2	18,1	21	24	25	25	25		
Уровни звукового давления от источника ИШ-2-4 в расчётной точке днём, дБ		**ф-ла(3)[10]**	**39,3**	**35,5**	**32,6**	**26,5**	**24,1**	**24,6**	**17,6**	**8**	**0**	**27,9**	**27,9**
Источник шума: ИШ-2-30, координаты источника (x,y,z), м =[702.44,-77.23,1.00]													
Уровни звуковой мощности источника днём, Lw, дБ		**исходные данные**	**0**	**93,3**	**94,7**	**96**	**96,3**	**95,9**	**92,6**	**88,4**	**83,9**		

1		2	3	4	5	6	7	8	9	10	11	12	13
Поправка на телесный угол DΩ, дБ	Ω = 6.28	10Lg(4π/Ω)	**3**	3	3	3	3	3	3	3	3		
Показатель направленности источника Di, дБ		исходные данные	**0**	0	0	0	0	0	0	0	0		
Поправка на направленность источника Dc, дБ	Dc	DΩ + Di	**3**	3	3	3	3	3	3	3	3		
Затухание из-за геометрической дивергенции, Adiv, дБ	расстояние = 323.63 м	ф-ла (7) [10]	**61,2**										
Коэффициент затухания звука в атмосфере α, дБ/км	Ta=20,°C Pa=101.33,кПа hотн.=70%	ф-ла (5) [9]	0,02	0,09	0,33	1,12	2,79	4,98	9,04	23,09	77,63		
Учет затухания звука в атмосфере Aatm, дБ		ф-ла (8) [10]	0	0	0,1	0,4	0,9	1,6	2,9	7,5	25,1		
Снижение уровня звукового давления из-за влияния застройки между источником шума и расчетной точкой													
Снижение уровня звукового давления на пути над экраном, Dz1, дБ	z = 1.43м (разность путей)	ф-лы (14-18) [10]	11,1	14	16,8	19,7	22,7	25,7	28,7	31,7	34,7		
Снижение уровня звукового давления на пути слева от экрана, Dz2, дБ	z = 70.72м (разность путей)	ф-лы (14-18) [10]	28,6	31,9	34,9	37,9	41	44	47	50	53		
Снижение уровня звукового давления на пути справа от экрана, Dz3, дБ	z = 0.12м (разность путей)	ф-лы (14-18) [10]	5,4	5,9	6,8	8,1	10	12,3	14,9	17,7	20,6		
Общее снижение уровня звука препятствием Dz, дБ		Эн.сумма(-Dzi)	4,3	5,3	6,4	7,8	9,8	12,1	14,8	17,6	20,5		
Уровни звукового давления прямого звука от источника ИШ-2-30 в расчётной точке днём, дБ		**ф-ла(3)[10]**	**0**	**29,8**	**30**	**29,6**	**27,4**	**24**	**16,7**	**5,2**	**0**	**28,6**	**28,6**
Расчёт отражённого звука													
Уровни звукового давления от мнимого источника ИШ-2-30_мн.(1) в расчётной точке днём, дБ		**ф-ла(3)[10]**	**0**	**0**	**0**	**0**	**0**	**0**	**0**	**0**	**0**	**0**	**0**
Уровни звукового давления от источника ИШ-2-30 в расчётной точке днём, дБ		**ф-ла(3)[10]**	**0**	**29,8**	**30**	**29,6**	**27,4**	**24**	**16,7**	**5,2**	**0**	**28,6**	**28,6**
Источник шума: ИШ-2-31, координаты источника (x,y,z), м =[701.42,-80.17,1.00]													

1		2	3	4	5	6	7	8	9	10	11	12	13
Уровни звуковой мощности источника днём, Lw, дБ		**исходные данные**	**0**	**93,3**	**94,7**	**96**	**96,3**	**95,9**	**92,6**	**88,4**	**83,9**		
Поправка на телесный угол DΩ, дБ	Ω = 6.28	10Lg(4π/Ω)	**3**	3	3	3	3	3	3	3	3		
Показатель направленности источника Di, дБ		исходные данные	**0**	0	0	0	0	0	0	0	0		
Поправка на направленность источника Dc, дБ	Dc	DΩ + Di	**3**	3	3	3	3	3	3	3	3		
Затухание из-за геометрической дивергенции, Adiv, дБ	расстояние = 323.80 м	ф-ла (7) [10]	**61,2**										
Коэффициент затухания звука в атмосфере α, дБ/км	Ta=20,°C Pa=101.33,кПа hотн.=70%	ф-ла (5) [9]	0,02	0,09	0,33	1,12	2,79	4,98	9,04	23,09	77,63		
Учет затухания звука в атмосфере Aatm, дБ		ф-ла (8) [10]	0	0	0,1	0,4	0,9	1,6	2,9	7,5	25,1		
Снижение уровня звукового давления из-за влияния застройки между источником шума и расчетной точкой													
Снижение уровня звукового давления на пути над экраном, Dz1, дБ	z = 1.62м (разность путей)	ф-лы (14-18) [10]	11,7	14,6	17,5	20,4	23,4	26,4	29,4	32,4	35,4		
Снижение уровня звукового давления на пути слева от экрана, Dz2, дБ	z = 69.72м (разность путей)	ф-лы (14-18) [10]	28,5	31,8	34,9	37,9	40,9	43,9	46,9	49,9	52,9		
Снижение уровня звукового давления на пути справа от экрана, Dz3, дБ	z = 0.26м (разность путей)	ф-лы (14-18) [10]	6	6,9	8,3	10,2	12,6	15,2	18	20,9	23,9		
Общее снижение уровня звука препятствием Dz, дБ		Эн.сумма(-Dzi)	4,9	6,2	7,8	9,8	12,2	14,9	17,7	20,6	23,6		
Уровни звукового давления прямого звука от источника ИШ-2-31 в расчётной точке днём, дБ		**ф-ла(3)[10]**	**0**	**28,9**	**28,6**	**27,6**	**25**	**21,2**	**13,8**	**2,1**	**0**	**26,2**	**26,2**
Расчёт отражённого звука													
Уровни звукового давления от мнимого источника ИШ-2-31_мн.(1) в расчётной точке днём, дБ		**ф-ла(3)[10]**	**0**	**0**	**0**	**0**	**0**	**0**	**0**	**0**	**0**	**0**	**0**
Уровни звукового давления от источника ИШ-2-31 в расчётной точке днём, дБ		**ф-ла(3)[10]**	**0**	**28,9**	**28,6**	**27,6**	**25**	**21,2**	**13,8**	**2,1**	**0**	**26,2**	**26,2**

1		2	3	4	5	6	7	8	9	10	11	12	13
Источник шума: ИШ-2-32, координаты источника (x,y,z), м =[700.38,-83.01,1.00]													
Уровни звуковой мощности источника днём, Lw, дБ		**исходные данные**	**0**	**93,3**	**94,7**	**96**	**96,3**	**95,9**	**92,6**	**88,4**	**83,9**		
Поправка на телесный угол DΩ, дБ	Ω = 6.28	10Lg(4π/Ω)	**3**	3	3	3	3	3	3	3	3		
Показатель направленности источника Di, дБ		исходные данные	**0**	0	0	0	0	0	0	0	0		
Поправка на направленность источника Dc, дБ	Dc	DΩ + Di	**3**	3	3	3	3	3	3	3	3		
Затухание из-за геометрической дивергенции, Adiv, дБ	расстояние = 323.93 м	ф-ла (7) [10]	**61,2**										
Коэффициент затухания звука в атмосфере α, дБ/км	Ta=20,°C Pa=101.33,кПа hотн.=70%	ф-ла (5) [9]	0,02	0,09	0,33	1,12	2,79	4,98	9,04	23,09	77,63		
Учет затухания звука в атмосфере Aatm, дБ		ф-ла (8) [10]	0	0	0,1	0,4	0,9	1,6	2,9	7,5	25,1		
Снижение уровня звукового давления из-за влияния застройки между источником шума и расчетной точкой													
Снижение уровня звукового давления на пути над экраном, Dz1, дБ	z = 1.80м (разность путей)	ф-лы (14-18) [10]	12,2	15,2	18,1	21	24	27	30	33	36		
Снижение уровня звукового давления на пути слева от экрана, Dz2, дБ	z = 68.79м (разность путей)	ф-лы (14-18) [10]	28,5	31,7	34,8	37,8	40,8	43,9	46,9	49,9	52,9		
Снижение уровня звукового давления на пути справа от экрана, Dz3, дБ	z = 0.43м (разность путей)	ф-лы (14-18) [10]	6,6	7,9	9,7	12	14,6	17,3	20,2	23,2	26,2		
Общее снижение уровня звука препятствием Dz, дБ		Эн.сумма(-Dzi)	5,5	7,2	9,1	11,5	14,1	16,9	19,8	22,7	25,7		
Общее снижение уровня звука препятствием с учётом ограничения (25 дБ) для октавных полос Dz, дБ		Раздел 7.4 [10]	5,5	7,2	9,1	11,5	14,1	16,9	19,8	22,7	25		
Уровни звукового давления прямого звука от источника ИШ-2-32 в расчётной точке днём, дБ		**ф-ла(3)[10]**	**0**	**27,9**	**27,3**	**26**	**23,1**	**19,2**	**11,7**	**0**	**0**	**24,3**	**24,3**
Расчёт отражённого звука													

1		2	3	4	5	6	7	8	9	10	11	12	13
Уровни звукового давления от мнимого источника ИШ-2-32_мн.(1) в расчётной точке днём, дБ		**ф-ла(3)[10]**	**0**	**0**	**0**	**0**	**0**	**0**	**0**	**0**	**0**	**0**	**0**
Уровни звукового давления от источника ИШ-2-32 в расчётной точке днём, дБ		**ф-ла(3)[10]**	**0**	**27,9**	**27,3**	**26**	**23,1**	**19,2**	**11,7**	**0**	**0**	**24,3**	**24,3**
Источник шума: ИШ-2-33, координаты источника (x,y,z), м =[699.52,-85.98,1.00]													
Уровни звуковой мощности источника днём, Lw, дБ		**исходные данные**	**0**	**93,3**	**94,7**	**96**	**96,3**	**95,9**	**92,6**	**88,4**	**83,9**		
Поправка на телесный угол DΩ, дБ	Ω = 6.28	10Lg(4π/Ω)	**3**	3	3	3	3	3	3	3	3		
Показатель направленности источника Di, дБ		исходные данные	**0**	0	0	0	0	0	0	0	0		
Поправка на направленность источника Dc, дБ	Dc	DΩ + Di	**3**	3	3	3	3	3	3	3	3		
Затухание из-за геометрической дивергенции, Adiv, дБ	расстояние = 324.31 м	ф-ла (7) [10]	**61,2**										
Коэффициент затухания звука в атмосфере α, дБ/км	Ta=20,°C Pa=101.33,кПа hотн.=70%	ф-ла (5) [9]	0,02	0,09	0,33	1,12	2,79	4,98	9,04	23,09	77,63		
Учет затухания звука в атмосфере Aatm, дБ		ф-ла (8) [10]	0	0	0,1	0,4	0,9	1,6	2,9	7,5	25,2		
Снижение уровня звукового давления из-за влияния застройки между источником шума и расчетной точкой													
Снижение уровня звукового давления на пути над экраном, Dz1, дБ	z = 1.98м (разность путей)	ф-лы (14-18) [10]	12,6	15,6	18,6	21,5	24,5	27,5	30,5	33,5	36,5		
Снижение уровня звукового давления на пути слева от экрана, Dz2, дБ	z = 67.88м (разность путей)	ф-лы (14-18) [10]	28,4	31,7	34,7	37,8	40,8	43,8	46,8	49,8	52,8		
Снижение уровня звукового давления на пути справа от экрана, Dz3, дБ	z = 0.66м (разность путей)	ф-лы (14-18) [10]	7,4	9	11,1	13,5	16,2	19,1	22	25	28		
Общее снижение уровня звука препятствием Dz, дБ		Эн.сумма(-Dzi)	6,2	8,1	10,3	12,9	15,6	18,5	21,4	24,4	27,4		
Общее снижение уровня звука препятствием с учётом ограничения (25 дБ) для октавных полос Dz, дБ		Раздел 7.4 [10]	6,2	8,1	10,3	12,9	15,6	18,5	21,4	24,4	25		

1		2	3	4	5	6	7	8	9	10	11	12	13
Уровни звукового давления прямого звука от источника ИШ-2-33 в расчётной точке днём, дБ		**ф-ла(3)[10]**	**0**	**26,9**	**26**	**24,5**	**21,5**	**17,6**	**10**	**0**	**0**	**22,8**	**22,8**
Расчёт отражённого звука													
Уровни звукового давления от мнимого источника ИШ-2-33_мн.(1) в расчётной точке днём, дБ		**ф-ла(3)[10]**	**0**	**0**	**0**	**0**	**0**	**0**	**0**	**0**	**0**	**0**	**0**
Уровни звукового давления от источника ИШ-2-33 в расчётной точке днём, дБ		**ф-ла(3)[10]**	**0**	**26,9**	**26**	**24,5**	**21,5**	**17,6**	**10**	**0**	**0**	**22,8**	**22,8**
Источник шума: ИШ-2-34, координаты источника (x,y,z), м =[698.43,-88.85,1.00]													
Уровни звуковой мощности источника днём, Lw, дБ		**исходные данные**	**0**	**93,3**	**94,7**	**96**	**96,3**	**95,9**	**92,6**	**88,4**	**83,9**		
Поправка на телесный угол DΩ, дБ	Ω = 6.28	10Lg(4π/Ω)	**3**	3	3	3	3	3	3	3	3		
Показатель направленности источника Di, дБ		исходные данные	**0**	0	0	0	0	0	0	0	0		
Поправка на направленность источника Dc, дБ	Dc	DΩ + Di	**3**	3	3	3	3	3	3	3	3		
Затухание из-за геометрической дивергенции, Adiv, дБ	расстояние = 324.47 м	ф-ла (7) [10]	**61,2**										
Коэффициент затухания звука в атмосфере α, дБ/км	Ta=20,°C Pa=101.33,кПа hотн.=70%	ф-ла (5) [9]	0,02	0,09	0,33	1,12	2,79	4,98	9,04	23,09	77,63		
Учет затухания звука в атмосфере Aatm, дБ		ф-ла (8) [10]	0	0	0,1	0,4	0,9	1,6	2,9	7,5	25,2		
Снижение уровня звукового давления из-за влияния застройки между источником шума и расчетной точкой													
Снижение уровня звукового давления на пути над экраном, Dz1, дБ	z = 2.16м (разность путей)	ф-лы (14-18) [10]	13	16,1	19	22	24,9	27,9	30,9	33,9	36,9		
Снижение уровня звукового давления на пути слева от экрана, Dz2, дБ	z = 67.03м (разность путей)	ф-лы (14-18) [10]	28,3	31,6	34,7	37,7	40,7	43,7	46,8	49,8	52,8		
Снижение уровня звукового давления на пути справа от экрана, Dz3, дБ	z = 0.94м (разность путей)	ф-лы (14-18) [10]	8,1	10	12,3	14,9	17,7	20,6	23,5	26,5	29,5		

1		2	3	4	5	6	7	8	9	10	11	12	13
Общее снижение уровня звука препятствием Dz, дБ		Эн.сумма(-Dzi)	6,9	9	11,4	14,1	16,9	19,8	22,8	25,8	28,8		
Общее снижение уровня звука препятствием с учётом ограничения (25 дБ) для октавных полос Dz, дБ		Раздел 7.4 [10]	6,9	9	11,4	14,1	16,9	19,8	22,8	25	25		
Уровни звукового давления от источника ИШ-2-34 в расчётной точке днём, дБ		**ф-ла(3)[10]**	**0**	**26**	**25**	**23,3**	**20,3**	**16,2**	**8,7**	**0**	**0**	**21,5**	**21,5**
Источник шума: ИШ-2-35, координаты источника (x,y,z), м =[697.52,-91.66,1.00]													
Уровни звуковой мощности источника днём, Lw, дБ		**исходные данные**	**0**	**93,3**	**94,7**	**96**	**96,3**	**95,9**	**92,6**	**88,4**	**83,9**		
Поправка на телесный угол DΩ, дБ	Ω = 6.28	10Lg(4π/Ω)	**3**	3	3	3	3	3	3	3	3		
Показатель направленности источника Di, дБ		исходные данные	**0**	0	0	0	0	0	0	0	0		
Поправка на направленность источника Dc, дБ	Dc	DΩ + Di	**3**	3	3	3	3	3	3	3	3		
Затухание из-за геометрической дивергенции, Adiv, дБ	расстояние = 324.79 м	ф-ла (7) [10]	**61,2**										
Коэффициент затухания звука в атмосфере α, дБ/км	Ta=20,°C Pa=101.33,кПа hотн.=70%	ф-ла (5) [9]	0,02	0,09	0,33	1,12	2,79	4,98	9,04	23,09	77,63		
Учет затухания звука в атмосфере Aatm, дБ		ф-ла (8) [10]	0	0	0,1	0,4	0,9	1,6	2,9	7,5	25,2		
Снижение уровня звукового давления из-за влияния застройки между источником шума и расчетной точкой													
Снижение уровня звукового давления на пути над экраном, Dz1, дБ	z = 2.32м (разность путей)	ф-лы (14-18) [10]	13,3	16,4	19,4	22,3	25,3	28,3	31,3	34,3	37,3		
Снижение уровня звукового давления на пути слева от экрана, Dz2, дБ	z = 66.25м (разность путей)	ф-лы (14-18) [10]	28,3	31,6	34,6	37,7	40,7	43,7	46,7	49,7	52,7		
Снижение уровня звукового давления на пути справа от экрана, Dz3, дБ	z = 1.25м (разность путей)	ф-лы (14-18) [10]	8,8	10,9	13,3	16	18,8	21,8	24,7	27,7	30,7		
Общее снижение уровня звука препятствием Dz, дБ		Эн.сумма(-Dzi)	7,5	9,8	12,3	15,1	17,9	20,9	23,8	26,8	29,8		

1		2	3	4	5	6	7	8	9	10	11	12	13
Общее снижение уровня звука препятствием с учётом ограничения (25 дБ) для октавных полос Dz, дБ		Раздел 7.4 [10]	7,5	9,8	12,3	15,1	17,9	20,9	23,8	25	25		
Уровни звукового давления от источника ИШ-2-35 в расчётной точке днём, дБ		**ф-ла(3)[10]**	**0**	**25,2**	**24**	**22,3**	**19,2**	**15,2**	**7,6**	**0**	**0**	**20,5**	**20,5**
Источник шума: ИШ-2-36, координаты источника (x,y,z), м =[696.58,-94.55,1.00]													
Уровни звуковой мощности источника днём, Lw, дБ		**исходные данные**	**0**	**93,3**	**94,7**	**96**	**96,3**	**95,9**	**92,6**	**88,4**	**83,9**		
Поправка на телесный угол DΩ, дБ	Ω = 6.28	10Lg(4π/Ω)	**3**	3	3	3	3	3	3	3	3		
Показатель направленности источника Di, дБ		исходные данные	**0**	0	0	0	0	0	0	0	0		
Поправка на направленность источника Dc, дБ	Dc	DΩ + Di	**3**	3	3	3	3	3	3	3	3		
Затухание из-за геометрической дивергенции, Adiv, дБ	расстояние = 325.15 м	ф-ла (7) [10]	**61,2**										
Коэффициент затухания звука в атмосфере α, дБ/км	Ta=20,°C Pa=101.33,кПа hотн.=70%	ф-ла (5) [9]	0,02	0,09	0,33	1,12	2,79	4,98	9,04	23,09	77,63		
Учет затухания звука в атмосфере Aatm, дБ		ф-ла (8) [10]	0	0	0,1	0,4	0,9	1,6	2,9	7,5	25,2		
Снижение уровня звукового давления из-за влияния застройки между источником шума и расчетной точкой													
Снижение уровня звукового давления на пути над экраном, Dz1, дБ	z = 2.48м (разность путей)	ф-лы (14-18) [10]	13,6	16,7	19,7	22,7	25,7	28,6	31,7	34,7	37,7		
Снижение уровня звукового давления на пути слева от экрана, Dz2, дБ	z = 65.49м (разность путей)	ф-лы (14-18) [10]	28,2	31,5	34,6	37,6	40,6	43,6	46,6	49,7	52,7		
Снижение уровня звукового давления на пути справа от экрана, Dz3, дБ	z = 1.61м (разность путей)	ф-лы (14-18) [10]	9,5	11,7	14,3	17	19,9	22,9	25,8	28,8	31,8		
Общее снижение уровня звука препятствием Dz, дБ		Эн.сумма(-Dzi)	8,1	10,5	13,1	16	18,9	21,8	24,8	27,8	30,8		
Общее снижение уровня звука препятствием с учётом ограничения (25 дБ) для октавных полос Dz, дБ		Раздел 7.4 [10]	8,1	10,5	13,1	16	18,9	21,8	24,8	25	25		

1		2	3	4	5	6	7	8	9	10	11	12	13
Уровни звукового давления от источника ИШ-2-36 в расчётной точке днём, дБ		**ф-ла(3)[10]**	**0**	**24,5**	**23,2**	**21,4**	**18,3**	**14,2**	**6,6**	**0**	**0**	**19,5**	**19,5**
Источник шума: ИШ-2-37, координаты источника (x,y,z), м =[695.57,-97.37,1.00]													
Уровни звуковой мощности источника днём, Lw, дБ		**исходные данные**	**0**	**93,3**	**94,7**	**96**	**96,3**	**95,9**	**92,6**	**88,4**	**83,9**		
Поправка на телесный угол DΩ, дБ	Ω = 6.28	10Lg(4π/Ω)	**3**	3	3	3	3	3	3	3	3		
Показатель направленности источника Di, дБ		исходные данные	**0**	0	0	0	0	0	0	0	0		
Поправка на направленность источника Dc, дБ	Dc	DΩ + Di	**3**	3	3	3	3	3	3	3	3		
Затухание из-за геометрической дивергенции, Adiv, дБ	расстояние = 325.44 м	ф-ла (7) [10]	**61,2**										
Коэффициент затухания звука в атмосфере α, дБ/км	Ta=20,°C Pa=101.33,кПа hотн.=70%	ф-ла (5) [9]	0,02	0,09	0,33	1,12	2,79	4,98	9,04	23,09	77,63		
Учет затухания звука в атмосфере Aatm, дБ		ф-ла (8) [10]	0	0	0,1	0,4	0,9	1,6	2,9	7,5	25,3		
Снижение уровня звукового давления из-за влияния застройки между источником шума и расчетной точкой													
Снижение уровня звукового давления на пути над экраном, Dz1, дБ	z = 2.64м (разность путей)	ф-лы (14-18) [10]	13,9	17	20	23	26	29	32	35	38		
Снижение уровня звукового давления на пути слева от экрана, Dz2, дБ	z = 64.80м (разность путей)	ф-лы (14-18) [10]	28,2	31,5	34,5	37,6	40,6	43,6	46,6	49,6	52,6		
Снижение уровня звукового давления на пути справа от экрана, Dz3, дБ	z = 2.01м (разность путей)	ф-лы (14-18) [10]	10,2	12,5	15,1	17,9	20,8	23,8	26,8	29,8	32,8		
Общее снижение уровня звука препятствием Dz, дБ		Эн.сумма(-Dzi)	8,6	11,2	13,9	16,7	19,6	22,6	25,6	28,6	31,6		
Общее снижение уровня звука препятствием с учётом ограничения (25 дБ) для октавных полос Dz, дБ		Раздел 7.4 [10]	8,6	11,2	13,9	16,7	19,6	22,6	25	25	25		
Уровни звукового давления от источника ИШ-2-37 в расчётной точке днём, дБ		**ф-ла(3)[10]**	**0**	**23,8**	**22,5**	**20,7**	**17,5**	**13,4**	**6,4**	**0**	**0**	**18,8**	**18,8**

1		2	3	4	5	6	7	8	9	10	11	12	13
Источник шума: ИШ-2-5, координаты источника (x,y,z), м =[618.60,-108.00,3.00]													
Уровни звуковой мощности источника днём, Lw, дБ		**исходные данные**	**105**	**104**	**104**	**101**	**102**	**106**	**101**	**95**	**87**		
Поправка на телесный угол DΩ, дБ	Ω = 6.28	10Lg(4π/Ω)	**3**	3	3	3	3	3	3	3	3		
Показатель направленности источника Di, дБ		исходные данные	**0**	0	0	0	0	0	0	0	0		
Поправка на направленность источника Dc, дБ	Dc	DΩ + Di	**3**	3	3	3	3	3	3	3	3		
Затухание из-за геометрической дивергенции, Adiv, дБ	расстояние = 264.12 м	ф-ла (7) [10]	**59,4**										
Коэффициент затухания звука в атмосфере α, дБ/км	Ta=20,°C Pa=101.33,кПа hотн.=70%	ф-ла (5) [9]	0,02	0,09	0,33	1,12	2,79	4,98	9,04	23,09	77,63		
Учет затухания звука в атмосфере Aatm, дБ		ф-ла (8) [10]	0	0	0,1	0,3	0,7	1,3	2,4	6,1	20,5		
Снижение уровня звукового давления из-за влияния застройки между источником шума и расчетной точкой													
Снижение уровня звукового давления на пути над экраном, Dz1, дБ	z = 4.54м (разность путей)	ф-лы (14-18) [10]	16,3	19,6	22,7	25,7	28,7	31,7	34,7	37,7	40,7		
Снижение уровня звукового давления на пути слева от экрана, Dz2, дБ	z = 79.06м (разность путей)	ф-лы (14-18) [10]	25,2	29,2	33,7	37,9	41,3	44,4	47,5	50,5	53,5		
Снижение уровня звукового давления на пути справа от экрана, Dz3, дБ	z = 23.19м (разность путей)	ф-лы (14-18) [10]	19,5	22,4	25,4	28,4	31,4	34,4	37,4	40,4	43,4		
Общее снижение уровня звука препятствием Dz, дБ		Эн.сумма(-Dzi)	14,2	17,5	20,6	23,6	26,7	29,7	32,7	35,7	38,7		
Общее снижение уровня звука препятствием с учётом ограничения (25 дБ) для октавных полос Dz, дБ		Раздел 7.4 [10]	14,2	17,5	20,6	23,6	25	25	25	25	25		
Уровни звукового давления от источника ИШ-2-5 в расчётной точке днём, дБ		**ф-ла(3)[10]**	**34,4**	**30,1**	**26,9**	**20,6**	**19,8**	**23,3**	**17,2**	**7,5**	**0**	**25,6**	**25,6**
Источник шума: ИШ-2-38, координаты источника (x,y,z), м =[688.13,-119.94,1.00]													

1		2	3	4	5	6	7	8	9	10	11	12	13
Уровни звуковой мощности источника днём, Lw, дБ		**исходные данные**	**0**	**93,3**	**94,7**	**96**	**96,3**	**95,9**	**92,6**	**88,4**	**83,9**		
Поправка на телесный угол DΩ, дБ	Ω = 6.28	10Lg(4π/Ω)	**3**	3	3	3	3	3	3	3	3		
Показатель направленности источника Di, дБ		исходные данные	**0**	0	0	0	0	0	0	0	0		
Поправка на направленность источника Dc, дБ	Dc	DΩ + Di	**3**	3	3	3	3	3	3	3	3		
Затухание из-за геометрической дивергенции, Adiv, дБ	расстояние = 329.32 м	ф-ла (7) [10]	**61,4**										
Коэффициент затухания звука в атмосфере α, дБ/км	Ta=20,°C Pa=101.33,кПа hотн.=70%	ф-ла (5) [9]	0,02	0,09	0,33	1,12	2,79	4,98	9,04	23,09	77,63		
Учет затухания звука в атмосфере Aatm, дБ		ф-ла (8) [10]	0	0	0,1	0,4	0,9	1,6	3	7,6	25,6		
Снижение уровня звукового давления из-за влияния застройки между источником шума и расчетной точкой													
Снижение уровня звукового давления на пути над экраном, Dz1, дБ	z = 3.68м (разность путей)	ф-лы (14-18) [10]	15,4	18,6	21,6	24,6	27,6	30,6	33,6	36,6	39,6		
Снижение уровня звукового давления на пути слева от экрана, Dz2, дБ	z = 61.61м (разность путей)	ф-лы (14-18) [10]	27,8	31,2	34,3	37,3	40,4	43,4	46,4	49,4	52,4		
Снижение уровня звукового давления на пути справа от экрана, Dz3, дБ	z = 6.49м (разность путей)	ф-лы (14-18) [10]	14,3	17,1	19,9	22,9	25,9	28,8	31,9	34,9	37,9		
Общее снижение уровня звука препятствием Dz, дБ		Эн.сумма(-Dzi)	11,7	14,7	17,6	20,5	23,5	26,5	29,5	32,5	35,5		
Общее снижение уровня звука препятствием с учётом ограничения (25 дБ) для октавных полос Dz, дБ		Раздел 7.4 [10]	11,7	14,7	17,6	20,5	23,5	25	25	25	25		
Уровни звукового давления от источника ИШ-2-38 в расчётной точке днём, дБ		**ф-ла(3)[10]**	**0**	**20,2**	**18,6**	**16,7**	**13,5**	**10,9**	**6,3**	**0**	**0**	**15,7**	**15,7**
Источник шума: ИШ-2-39, координаты источника (x,y,z), м =[687.11,-122.83,1.00]													
Уровни звуковой мощности источника днём, Lw, дБ		**исходные данные**	**0**	**93,3**	**94,7**	**96**	**96,3**	**95,9**	**92,6**	**88,4**	**83,9**		

1		2	3	4	5	6	7	8	9	10	11	12	13
Поправка на телесный угол DΩ, дБ	Ω = 6.28	10Lg(4π/Ω)	**3**	3	3	3	3	3	3	3	3		
Показатель направленности источника Di, дБ		исходные данные	**0**	0	0	0	0	0	0	0	0		
Поправка на направленность источника Dc, дБ	Dc	DΩ + Di	**3**	3	3	3	3	3	3	3	3		
Затухание из-за геометрической дивергенции, Adiv, дБ	расстояние = 329.89 м	ф-ла (7) [10]	**61,4**										
Коэффициент затухания звука в атмосфере α, дБ/км	Ta=20,°C Pa=101.33,кПа hотн.=70%	ф-ла (5) [9]	0,02	0,09	0,33	1,12	2,79	4,98	9,04	23,09	77,63		
Учет затухания звука в атмосфере Aatm, дБ		ф-ла (8) [10]	0	0	0,1	0,4	0,9	1,6	3	7,6	25,6		
Снижение уровня звукового давления из-за влияния застройки между источником шума и расчетной точкой													
Снижение уровня звукового давления на пути над экраном, Dz1, дБ	z = 3.79м (разность путей)	ф-лы (14-18) [10]	15,5	18,7	21,7	24,7	27,7	30,7	33,7	36,7	39,8		
Снижение уровня звукового давления на пути слева от экрана, Dz2, дБ	z = 61.30м (разность путей)	ф-лы (14-18) [10]	27,8	31,2	34,3	37,3	40,3	43,4	46,4	49,4	52,4		
Снижение уровня звукового давления на пути справа от экрана, Dz3, дБ	z = 7.23м (разность путей)	ф-лы (14-18) [10]	14,7	17,5	20,4	23,3	26,3	29,3	32,3	35,3	38,3		
Общее снижение уровня звука препятствием Dz, дБ		Эн.сумма(-Dzi)	12	15	17,9	20,9	23,9	26,9	29,9	32,9	35,9		
Общее снижение уровня звука препятствием с учётом ограничения (25 дБ) для октавных полос Dz, дБ		Раздел 7.4 [10]	12	15	17,9	20,9	23,9	25	25	25	25		
Уровни звукового давления от источника ИШ-2-39 в расчётной точке днём, дБ		**ф-ла(3)[10]**	**0**	**19,9**	**18,3**	**16,4**	**13,1**	**10,9**	**6,2**	**0**	**0**	**15,5**	**15,5**
Источник шума: ИШ-2-40, координаты источника (x,y,z), м =[686.10,-125.67,1.00]													
Уровни звуковой мощности источника днём, Lw, дБ		**исходные данные**	**0**	**93,3**	**94,7**	**96**	**96,3**	**95,9**	**92,6**	**88,4**	**83,9**		
Поправка на телесный угол DΩ, дБ	Ω = 6.28	10Lg(4π/Ω)	**3**	3	3	3	3	3	3	3	3		

1		2	3	4	5	6	7	8	9	10	11	12	13
Показатель направленности источника Di, дБ		исходные данные	**0**	0	0	0	0	0	0	0	0		
Поправка на направленность источника Dc, дБ	Dc	DΩ + Di	**3**	3	3	3	3	3	3	3	3		
Затухание из-за геометрической дивергенции, Adiv, дБ	расстояние = 330.46 м	ф-ла (7) [10]	**61,4**										
Коэффициент затухания звука в атмосфере α, дБ/км	Ta=20,°C Pa=101.33,кПа hотн.=70%	ф-ла (5) [9]	0,02	0,09	0,33	1,12	2,79	4,98	9,04	23,09	77,63		
Учет затухания звука в атмосфере Aatm, дБ		ф-ла (8) [10]	0	0	0,1	0,4	0,9	1,6	3	7,6	25,7		
Снижение уровня звукового давления из-за влияния застройки между источником шума и расчетной точкой													
Снижение уровня звукового давления на пути над экраном, Dz1, дБ	z = 3.90м (разность путей)	ф-лы (14-18) [10]	15,7	18,9	21,9	24,9	27,9	30,9	33,9	36,9	39,9		
Снижение уровня звукового давления на пути слева от экрана, Dz2, дБ	z = 61.01м (разность путей)	ф-лы (14-18) [10]	27,8	31,2	34,3	37,3	40,3	43,3	46,3	49,4	52,4		
Снижение уровня звукового давления на пути справа от экрана, Dz3, дБ	z = 7.98м (разность путей)	ф-лы (14-18) [10]	15,1	17,9	20,8	23,8	26,7	29,7	32,7	35,7	38,8		
Общее снижение уровня звука препятствием Dz, дБ		Эн.сумма(-Dzi)	12,3	15,3	18,2	21,2	24,2	27,1	30,2	33,2	36,2		
Общее снижение уровня звука препятствием с учётом ограничения (25 дБ) для октавных полос Dz, дБ		Раздел 7.4 [10]	12,3	15,3	18,2	21,2	24,2	25	25	25	25		
Уровни звукового давления от источника ИШ-2-40 в расчётной точке днём, дБ		**ф-ла(3)[10]**	**0**	**19,6**	**18**	**16,1**	**12,8**	**10,9**	**6,2**	**0**	**0**	**15,4**	**15,4**
Источник шума: ИШ-2-41, координаты источника (x,y,z), м =[685.14,-128.64,1.00]													
Уровни звуковой мощности источника днём, Lw, дБ		**исходные данные**	**0**	**93,3**	**94,7**	**96**	**96,3**	**95,9**	**92,6**	**88,4**	**83,9**		
Поправка на телесный угол DΩ, дБ	Ω = 6.28	10Lg(4π/Ω)	**3**	3	3	3	3	3	3	3	3		
Показатель направленности источника Di, дБ		исходные данные	**0**	0	0	0	0	0	0	0	0		

1		2	3	4	5	6	7	8	9	10	11	12	13
Поправка на направленность источника Dc, дБ	Dc	DΩ + Di	**3**	3	3	3	3	3	3	3	3		
Затухание из-за геометрической дивергенции, Adiv, дБ	расстояние = 331.16 м	ф-ла (7) [10]	**61,4**										
Коэффициент затухания звука в атмосфере α, дБ/км	Ta=20,°C Pa=101.33,кПа hотн.=70%	ф-ла (5) [9]	0,02	0,09	0,33	1,12	2,79	4,98	9,04	23,09	77,63		
Учет затухания звука в атмосфере Aatm, дБ		ф-ла (8) [10]	0	0	0,1	0,4	0,9	1,6	3	7,6	25,7		
Снижение уровня звукового давления из-за влияния застройки между источником шума и расчетной точкой													
Снижение уровня звукового давления на пути над экраном, Dz1, дБ	z = 4.01м (разность путей)	ф-лы (14-18) [10]	15,8	19	22	25	28	31	34	37	40		
Снижение уровня звукового давления на пути слева от экрана, Dz2, дБ	z = 80.65м (разность путей)	ф-лы (14-18) [10]	25,3	29,3	33,8	37,9	41,4	44,5	47,5	50,6	53,6		
Снижение уровня звукового давления на пути справа от экрана, Dz3, дБ	z = 8.78м (разность путей)	ф-лы (14-18) [10]	15,5	18,3	21,2	24,2	27,2	30,2	33,2	36,2	39,2		
Общее снижение уровня звука препятствием Dz, дБ		Эн.сумма(-Dzi)	12,4	15,5	18,4	21,5	24,5	27,5	30,5	33,5	36,5		
Общее снижение уровня звука препятствием с учётом ограничения (25 дБ) для октавных полос Dz, дБ		Раздел 7.4 [10]	12,4	15,5	18,4	21,5	24,5	25	25	25	25		
Уровни звукового давления от источника ИШ-2-41 в расчётной точке днём, дБ		**ф-ла(3)[10]**	**0**	**19,4**	**17,7**	**15,8**	**12,5**	**10,8**	**6,2**	**0**	**0**	**15,2**	**15,2**
Источник шума: ИШ-2-42, координаты источника (x,y,z), м =[684.20,-131.46,1.00]													
Уровни звуковой мощности источника днём, Lw, дБ		**исходные данные**	**0**	**93,3**	**94,7**	**96**	**96,3**	**95,9**	**92,6**	**88,4**	**83,9**		
Поправка на телесный угол DΩ, дБ	Ω = 6.28	10Lg(4π/Ω)	**3**	3	3	3	3	3	3	3	3		
Показатель направленности источника Di, дБ		исходные данные	**0**	0	0	0	0	0	0	0	0		
Поправка на направленность источника Dc, дБ	Dc	DΩ + Di	**3**	3	3	3	3	3	3	3	3		

1		2	3	4	5	6	7	8	9	10	11	12	13
Затухание из-за геометрической дивергенции, Adiv, дБ	расстояние = 331.83 м	ф-ла (7) [10]	**61,4**										
Коэффициент затухания звука в атмосфере α, дБ/км	Ta=20,°C Pa=101.33,кПа hотн.=70%	ф-ла (5) [9]	0,02	0,09	0,33	1,12	2,79	4,98	9,04	23,09	77,63		
Учет затухания звука в атмосфере Aatm, дБ		ф-ла (8) [10]	0	0	0,1	0,4	0,9	1,7	3	7,7	25,8		
Снижение уровня звукового давления из-за влияния застройки между источником шума и расчетной точкой													
Снижение уровня звукового давления на пути над экраном, Dz1, дБ	z = 4.10м (разность путей)	ф-лы (14-18) [10]	15,9	19,1	22,1	25,1	28,1	31,1	34,1	37,1	40,1		
Снижение уровня звукового давления на пути слева от экрана, Dz2, дБ	z = 80.38м (разность путей)	ф-лы (14-18) [10]	25,3	29,3	33,8	37,9	41,4	44,5	47,5	50,5	53,6		
Снижение уровня звукового давления на пути справа от экрана, Dz3, дБ	z = 9.56м (разность путей)	ф-лы (14-18) [10]	15,8	18,7	21,6	24,5	27,5	30,5	33,5	36,5	39,5		
Общее снижение уровня звука препятствием Dz, дБ		Эн.сумма(-Dzi)	12,6	15,7	18,7	21,7	24,7	27,7	30,7	33,7	36,7		
Общее снижение уровня звука препятствием с учётом ограничения (25 дБ) для октавных полос Dz, дБ		Раздел 7.4 [10]	12,6	15,7	18,7	21,7	24,7	25	25	25	25		
Уровни звукового давления от источника ИШ-2-42 в расчётной точке днём, дБ		**ф-ла(3)[10]**	**0**	**19,2**	**17,5**	**15,5**	**12,2**	**10,8**	**6,2**	**0**	**0**	**15,1**	**15,1**
Источник шума: ИШ-2-43, координаты источника (x,y,z), м =[683.13,-134.37,1.00]													
Уровни звуковой мощности источника днём, Lw, дБ		**исходные данные**	**0**	**93,3**	**94,7**	**96**	**96,3**	**95,9**	**92,6**	**88,4**	**83,9**		
Поправка на телесный угол DΩ, дБ	Ω = 6.28	10Lg(4π/Ω)	**3**	3	3	3	3	3	3	3	3		
Показатель направленности источника Di, дБ		исходные данные	**0**	0	0	0	0	0	0	0	0		
Поправка на направленность источника Dc, дБ	Dc	DΩ + Di	**3**	3	3	3	3	3	3	3	3		
Затухание из-за геометрической дивергенции, Adiv, дБ	расстояние = 332.48 м	ф-ла (7) [10]	**61,4**										

1		2	3	4	5	6	7	8	9	10	11	12	13
Коэффициент затухания звука в атмосфере α, дБ/км	Ta=20,°C Pa=101.33,кПа hотн.=70%	ф-ла (5) [9]	0,02	0,09	0,33	1,12	2,79	4,98	9,04	23,09	77,63		
Учет затухания звука в атмосфере Aatm, дБ		ф-ла (8) [10]	0	0	0,1	0,4	0,9	1,7	3	7,7	25,8		
Снижение уровня звукового давления из-за влияния застройки между источником шума и расчетной точкой													
Снижение уровня звукового давления на пути над экраном, Dz1, дБ	z = 4.20м (разность путей)	ф-лы (14-18) [10]	16	19,2	22,2	25,2	28,2	31,2	34,2	37,2	40,2		
Снижение уровня звукового давления на пути слева от экрана, Dz2, дБ	z = 80.10м (разность путей)	ф-лы (14-18) [10]	25,3	29,3	33,8	37,9	41,3	44,5	47,5	50,5	53,5		
Снижение уровня звукового давления на пути справа от экрана, Dz3, дБ	z = 10.42м (разность путей)	ф-лы (14-18) [10]	16,2	19	21,9	24,9	27,9	30,9	33,9	36,9	39,9		
Общее снижение уровня звука препятствием Dz, дБ		Эн.сумма(-Dzi)	12,8	15,9	18,9	21,9	24,9	27,9	30,9	34	37		
Общее снижение уровня звука препятствием с учётом ограничения (25 дБ) для октавных полос Dz, дБ		Раздел 7.4 [10]	12,8	15,9	18,9	21,9	24,9	25	25	25	25		
Уровни звукового давления от источника ИШ-2-43 в расчётной точке днём, дБ		**ф-ла(3)[10]**	**0**	**18,9**	**17,2**	**15,2**	**12**	**10,8**	**6,2**	**0**	**0**	**14,9**	**14,9**
Источник шума: ИШ-2-44, координаты источника (x,y,z), м =[682.20,-137.16,1.00]													
Уровни звуковой мощности источника днём, Lw, дБ		**исходные данные**	**0**	**93,3**	**94,7**	**96**	**96,3**	**95,9**	**92,6**	**88,4**	**83,9**		
Поправка на телесный угол DΩ, дБ	Ω = 6.28	10Lg(4π/Ω)	**3**	3	3	3	3	3	3	3	3		
Показатель направленности источника Di, дБ		исходные данные	**0**	0	0	0	0	0	0	0	0		
Поправка на направленность источника Dc, дБ	Dc	DΩ + Di	**3**	3	3	3	3	3	3	3	3		
Затухание из-за геометрической дивергенции, Adiv, дБ	расстояние = 333.19 м	ф-ла (7) [10]	**61,5**										
Коэффициент затухания звука в атмосфере α, дБ/км	Ta=20,°C Pa=101.33,кПа hотн.=70%	ф-ла (5) [9]	0,02	0,09	0,33	1,12	2,79	4,98	9,04	23,09	77,63		

1		2	3	4	5	6	7	8	9	10	11	12	13
Учет затухания звука в атмосфере Aatm, дБ		ф-ла (8) [10]	0	0	0,1	0,4	0,9	1,7	3	7,7	25,9		
Снижение уровня звукового давления из-за влияния застройки между источником шума и расчетной точкой													
Снижение уровня звукового давления на пути над экраном, Dz1, дБ	z = 4.29м (разность путей)	ф-лы (14-18) [10]	16,1	19,3	22,3	25,3	28,3	31,3	34,3	37,3	40,3		
Снижение уровня звукового давления на пути слева от экрана, Dz2, дБ	z = 79.84м (разность путей)	ф-лы (14-18) [10]	25,3	29,3	33,8	37,9	41,3	44,5	47,5	50,5	53,5		
Снижение уровня звукового давления на пути справа от экрана, Dz3, дБ	z = 11.24м (разность путей)	ф-лы (14-18) [10]	16,5	19,4	22,3	25,2	28,2	31,2	34,2	37,2	40,2		
Общее снижение уровня звука препятствием Dz, дБ		Эн.сумма(-Dzi)	13	16,1	19,1	22,1	25,1	28,2	31,2	34,2	37,2		
Общее снижение уровня звука препятствием с учётом ограничения (25 дБ) для октавных полос Dz, дБ		Раздел 7.4 [10]	13	16,1	19,1	22,1	25	25	25	25	25		
Уровни звукового давления от источника ИШ-2-44 в расчётной точке днём, дБ		**ф-ла(3)[10]**	**0**	**18,7**	**17**	**15**	**11,9**	**10,8**	**6,1**	**0**	**0**	**14,9**	**14,9**
Источник шума: ИШ-2-45, координаты источника (x,y,z), м =[681.26,-139.98,1.00]													
Уровни звуковой мощности источника днём, Lw, дБ		**исходные данные**	**0**	**93,3**	**94,7**	**96**	**96,3**	**95,9**	**92,6**	**88,4**	**83,9**		
Поправка на телесный угол DΩ, дБ	Ω = 6.28	10Lg(4π/Ω)	**3**	3	3	3	3	3	3	3	3		
Показатель направленности источника Di, дБ		исходные данные	**0**	0	0	0	0	0	0	0	0		
Поправка на направленность источника Dc, дБ	Dc	DΩ + Di	**3**	3	3	3	3	3	3	3	3		
Затухание из-за геометрической дивергенции, Adiv, дБ	расстояние = 333.93 м	ф-ла (7) [10]	**61,5**										
Коэффициент затухания звука в атмосфере α, дБ/км	Ta=20,°C Pa=101.33,кПа hотн.=70%	ф-ла (5) [9]	0,02	0,09	0,33	1,12	2,79	4,98	9,04	23,09	77,63		
Учет затухания звука в атмосфере Aatm, дБ		ф-ла (8) [10]	0	0	0,1	0,4	0,9	1,7	3	7,7	25,9		

1		2	3	4	5	6	7	8	9	10	11	12	13
Снижение уровня звукового давления из-за влияния застройки между источником шума и расчетной точкой													
Снижение уровня звукового давления на пути над экраном, Dz1, дБ	z = 4.36м (разность путей)	ф-лы (14-18) [10]	16,1	19,4	22,4	25,4	28,4	31,4	34,4	37,4	40,4		
Снижение уровня звукового давления на пути слева от экрана, Dz2, дБ	z = 79.57м (разность путей)	ф-лы (14-18) [10]	25,3	29,3	33,8	37,9	41,3	44,4	47,5	50,5	53,5		
Снижение уровня звукового давления на пути справа от экрана, Dz3, дБ	z = 12.10м (разность путей)	ф-лы (14-18) [10]	16,8	19,7	22,6	25,5	28,5	31,5	34,5	37,6	40,6		
Общее снижение уровня звука препятствием Dz, дБ		Эн.сумма(-Dzi)	13,2	16,3	19,3	22,3	25,3	28,3	31,4	34,4	37,4		
Общее снижение уровня звука препятствием с учётом ограничения (25 дБ) для октавных полос Dz, дБ		Раздел 7.4 [10]	13,2	16,3	19,3	22,3	25	25	25	25	25		
Уровни звукового давления прямого звука от источника ИШ-2-45 в расчётной точке днём, дБ		**ф-ла(3)[10]**	**0**	**18,5**	**16,8**	**14,8**	**11,9**	**10,8**	**6,1**	**0**	**0**	**14,8**	**14,8**
Расчёт отражённого звука													
Уровни звукового давления от мнимого источника ИШ-2-45_мн.(1) в расчётной точке днём, дБ		**ф-ла(3)[10]**	**0**	**0**	**0**	**0**	**0**	**0**	**0**	**0**	**0**	**0**	**0**
Уровни звукового давления от источника ИШ-2-45 в расчётной точке днём, дБ		**ф-ла(3)[10]**	**0**	**18,5**	**16,8**	**14,8**	**11,9**	**10,8**	**6,1**	**0**	**0**	**14,8**	**14,8**
Источник шума: ИШ-4-1, координаты источника (x,y,z), м =[141.82,201.03,1.00]													
Уровни звуковой мощности источника днём, Lw, дБ		**исходные данные**	**0**	**90,3**	**91,7**	**93**	**93,3**	**92,9**	**89,6**	**85,4**	**80,9**		
Поправка на телесный угол DΩ, дБ	Ω = 6.28	10Lg(4π/Ω)	**3**	3	3	3	3	3	3	3	3		
Показатель направленности источника Di, дБ		исходные данные	**0**	0	0	0	0	0	0	0	0		
Поправка на направленность источника Dc, дБ	Dc	DΩ + Di	**3**	3	3	3	3	3	3	3	3		
Затухание из-за геометрической дивергенции, Adiv, дБ	расстояние = 304.35 м	ф-ла (7) [10]	**60,7**										
Коэффициент затухания звука в атмосфере α, дБ/км	Та=20,°С Ра=101.33,кПа hотн.=70%	ф-ла (5) [9]	0,02	0,09	0,33	1,12	2,79	4,98	9,04	23,09	77,63		

1		2	3	4	5	6	7	8	9	10	11	12	13
Учет затухания звука в атмосфере Aatm, дБ		ф-ла (8) [10]	0	0	0,1	0,3	0,8	1,5	2,8	7	23,6		
Снижение поверхностью земли возле источника As, дБ	Gs = 0 hs = 1м	ф-лы таб.3 [10]	-1,5	-1,5	-1,5	-1,5	-1,5	-1,5	-1,5	-1,5	-1,5		
Снижение поверхностью земли возле приёмника Ar, дБ	Gr = 1 hr = 1.5м	ф-лы таб.3 [10]	-1,5	-1,5	1,8	7	5	0,7	0	0	0		
Снижение поверхностью земли в средней зоне, Am дБ	Gm = 1	ф-лы таб.3 [10]	-2,3	-2,3	0	0	0	0	0	0	0		
Суммарное снижение поверхностью земли на траектории распространения звука Agr, дБ		ф-ла (9) [10]	-5,3	-5,3	0,3	5,5	3,5	-0,8	-1,5	-1,5	-1,5		
Уровни звукового давления прямого звука от источника ИШ-4-1 в расчётной точке днём, дБ		**ф-ла(3)[10]**	**0**	**37,9**	**33,7**	**29,5**	**31,3**	**34,6**	**30,7**	**22,2**	**0**	**37,4**	**37,4**
Расчёт отражённого звука													
Уровни звукового давления от мнимого источника ИШ-4-1_мн.(1) в расчётной точке днём, дБ		**ф-ла(3)[10]**	**0**	**36,9**	**29,5**	**19,1**	**20**	**30**	**28,2**	**19,7**	**0**	**33,2**	**33,2**
Уровни звукового давления от мнимого источника ИШ-4-1_мн.(2) в расчётной точке днём, дБ		**ф-ла(3)[10]**	**0**	**0**	**0**	**0**	**0**	**0**	**0**	**0**	**0**	**0**	**0**
Уровни звукового давления от мнимого источника ИШ-4-1_мн.(3) в расчётной точке днём, дБ		**ф-ла(3)[10]**	**0**	**0**	**0**	**18,2**	**19**	**29**	**27**	**18,1**	**0**	**32**	**32**
Уровни звукового давления от мнимого источника ИШ-4-1_мн.(4) в расчётной точке днём, дБ		**ф-ла(3)[10]**	**0**	**0**	**0**	**0**	**29,5**	**27,8**	**22,6**	**13,4**	**0**	**31,1**	**31,1**
Уровни звукового давления от мнимого источника ИШ-4-1_мн.(5) в расчётной точке днём, дБ		**ф-ла(3)[10]**	**0**	**0**	**0**	**0**	**0**	**0**	**0**	**0**	**0**	**0**	**0**
Суммарные уровни звукового давления от мнимых источников в расчётной точке днём, дБ		**ф-ла (19) [1]**	**0**	**36,9**	**29,5**	**21,7**	**30,3**	**33,8**	**31,3**	**22,5**	**0**	**0**	**37**
Уровни звукового давления от источника ИШ-4-1 в расчётной точке днём, дБ		**ф-ла(3)[10]**	**0**	**40,4**	**35,1**	**30,1**	**33,8**	**37,2**	**34**	**25,4**	**0**	**40,2**	**40,2**
Источник шума: ИШ-4-2, координаты источника (x,y,z), м =[133.85,183.21,1.00]													
Уровни звуковой мощности источника днём, Lw, дБ		**исходные данные**	**0**	**90,3**	**91,7**	**93**	**93,3**	**92,9**	**89,6**	**85,4**	**80,9**		
Поправка на телесный угол DΩ, дБ	Ω = 6.28	10Lg(4π/Ω)	**3**	3	3	3	3	3	3	3	3		

1		2	3	4	5	6	7	8	9	10	11	12	13
Показатель направленности источника Di, дБ		исходные данные	**0**	0	0	0	0	0	0	0	0		
Поправка на направленность источника Dc, дБ	Dc	DΩ + Di	**3**	3	3	3	3	3	3	3	3		
Затухание из-за геометрической дивергенции, Adiv, дБ	расстояние = 302.54 м	ф-ла (7) [10]	**60,6**										
Коэффициент затухания звука в атмосфере α, дБ/км	Ta=20,°C Pa=101.33,кПа hотн.=70%	ф-ла (5) [9]	0,02	0,09	0,33	1,12	2,79	4,98	9,04	23,09	77,63		
Учет затухания звука в атмосфере Aatm, дБ		ф-ла (8) [10]	0	0	0,1	0,3	0,8	1,5	2,7	7	23,5		
Снижение поверхностью земли возле источника As, дБ	Gs = 0 hs = 1м	ф-лы таб.3 [10]	-1,5	-1,5	-1,5	-1,5	-1,5	-1,5	-1,5	-1,5	-1,5		
Снижение поверхностью земли возле приёмника Ar, дБ	Gr = 1 hr = 1.5м	ф-лы таб.3 [10]	-1,5	-1,5	1,7	7	5	0,7	0	0	0		
Снижение поверхностью земли в средней зоне, Am дБ	Gm = 1	ф-лы таб.3 [10]	-2,3	-2,3	0	0	0	0	0	0	0		
Суммарное снижение поверхностью земли на траектории распространения звука Agr, дБ		ф-ла (9) [10]	-5,3	-5,3	0,2	5,5	3,5	-0,8	-1,5	-1,5	-1,5		
Уровни звукового давления прямого звука от источника ИШ-4-2 в расчётной точке днём, дБ		**ф-ла(3)[10]**	**0**	**37,9**	**33,7**	**29,5**	**31,4**	**34,6**	**30,7**	**22,3**	**0**	**37,4**	**37,4**
Расчёт отражённого звука													
Уровни звукового давления от мнимого источника ИШ-4-2_мн.(1) в расчётной точке днём, дБ		**ф-ла(3)[10]**	**0**	**0**	**29,6**	**19,2**	**20,1**	**30,1**	**28,3**	**19,8**	**0**	**33,2**	**33,2**
Уровни звукового давления от мнимого источника ИШ-4-2_мн.(2) в расчётной точке днём, дБ		**ф-ла(3)[10]**	**0**	**0**	**0**	**0**	**15,2**	**11,2**	**3,6**	**0**	**0**	**15**	**15**
Уровни звукового давления от мнимого источника ИШ-4-2_мн.(3) в расчётной точке днём, дБ		**ф-ла(3)[10]**	**0**	**0**	**28,6**	**18,4**	**19,2**	**29,1**	**27,2**	**18,3**	**0**	**32,2**	**32,2**
Уровни звукового давления от мнимого источника ИШ-4-2_мн.(4) в расчётной точке днём, дБ		**ф-ла(3)[10]**	**0**	**0**	**0**	**0**	**0**	**0**	**0**	**0**	**0**	**0**	**0**
Суммарные уровни звукового давления от мнимых источников в расчётной точке днём, дБ		**ф-ла (19) [1]**	**0**	**0**	**32,2**	**21,8**	**23,4**	**32,7**	**30,8**	**22,1**	**0**	**0**	**35,8**
Уровни звукового давления от источника ИШ-4-2 в расчётной точке днём, дБ		**ф-ла(3)[10]**	**0**	**37,9**	**36**	**30,2**	**32**	**36,8**	**33,8**	**25,2**	**0**	**39,7**	**39,7**

1		2	3	4	5	6	7	8	9	10	11	12	13
Источник шума: ИШ-4-3, координаты источника (x,y,z), м =[152.61,172.66,1.00]													
Уровни звуковой мощности источника днём, Lw, дБ		**исходные данные**	**0**	**90,3**	**91,7**	**93**	**93,3**	**92,9**	**89,6**	**85,4**	**80,9**		
Поправка на телесный угол DΩ, дБ	Ω = 6.28	10Lg(4π/Ω)	**3**	3	3	3	3	3	3	3	3		
Показатель направленности источника Di, дБ		исходные данные	**0**	0	0	0	0	0	0	0	0		
Поправка на направленность источника Dc, дБ	Dc	DΩ + Di	**3**	3	3	3	3	3	3	3	3		
Затухание из-за геометрической дивергенции, Adiv, дБ	расстояние = 281.03 м	ф-ла (7) [10]	**60**										
Коэффициент затухания звука в атмосфере α, дБ/км	Ta=20,°C Pa=101.33,кПа hотн.=70%	ф-ла (5) [9]	0,02	0,09	0,33	1,12	2,79	4,98	9,04	23,09	77,63		
Учет затухания звука в атмосфере Aatm, дБ		ф-ла (8) [10]	0	0	0,1	0,3	0,8	1,4	2,5	6,5	21,8		
Снижение поверхностью земли возле источника As, дБ	Gs = 0 hs = 1м	ф-лы таб.3 [10]	-1,5	-1,5	-1,5	-1,5	-1,5	-1,5	-1,5	-1,5	-1,5		
Снижение поверхностью земли возле приёмника Ar, дБ	Gr = 1 hr = 1.5м	ф-лы таб.3 [10]	-1,5	-1,5	1,6	7	5	0,7	0	0	0		
Снижение поверхностью земли в средней зоне, Am дБ	Gm = 1	ф-лы таб.3 [10]	-2,2	-2,2	0	0	0	0	0	0	0		
Суммарное снижение поверхностью земли на траектории распространения звука Agr, дБ		ф-ла (9) [10]	-5,2	-5,2	0,1	5,5	3,5	-0,8	-1,5	-1,5	-1,5		
Уровни звукового давления прямого звука от источника ИШ-4-3 в расчётной точке днём, дБ		**ф-ла(3)[10]**	**0**	**38,5**	**34,5**	**30,2**	**32,1**	**35,4**	**31,6**	**23,4**	**3,6**	**38,2**	**38,2**
Расчёт отражённого звука													
Уровни звукового давления от мнимого источника ИШ-4-3_мн.(1) в расчётной точке днём, дБ		**ф-ла(3)[10]**	**0**	**0**	**30,5**	**19,9**	**20,8**	**30,8**	**29,1**	**20,9**	**1,1**	**34**	**34**
Уровни звукового давления от мнимого источника ИШ-4-3_мн.(2) в расчётной точке днём, дБ		**ф-ла(3)[10]**	**0**	**0**	**0**	**0**	**15,6**	**11,6**	**4,2**	**0**	**0**	**15,5**	**15,5**

1		2	3	4	5	6	7	8	9	10	11	12	13
Уровни звукового давления от мнимого источника ИШ-4-3_мн.(3) в расчётной точке днём, дБ		**ф-ла(3)[10]**	**0**	**0**	**0**	**0**	**0**	**0**	**0**	**0**	**0**	**0**	**0**
Уровни звукового давления от мнимого источника ИШ-4-3_мн.(4) в расчётной точке днём, дБ		**ф-ла(3)[10]**	**0**	**0**	**0**	**0**	**0**	**0**	**0**	**0**	**0**	**0**	**0**
Суммарные уровни звукового давления от мнимых источников в расчётной точке днём, дБ		**ф-ла (19) [1]**	**0**	**0**	**30,5**	**19,9**	**21,9**	**30,9**	**29,1**	**20,9**	**1,1**	**0**	**34,1**
Уровни звукового давления от источника ИШ-4-3 в расчётной точке днём, дБ		**ф-ла(3)[10]**	**0**	**38,5**	**36**	**30,6**	**32,5**	**36,7**	**33,5**	**25,4**	**5,5**	**39,6**	**39,6**
Источник шума: ИШ-4-4, координаты источника (x,y,z), м =[156.83,171.25,1.00]													
Уровни звуковой мощности источника днём, Lw, дБ		**исходные данные**	**0**	**90,3**	**91,7**	**93**	**93,3**	**92,9**	**89,6**	**85,4**	**80,9**		
Поправка на телесный угол DΩ, дБ	Ω = 6.28	10Lg(4π/Ω)	**3**	3	3	3	3	3	3	3	3		
Показатель направленности источника Di, дБ		исходные данные	**0**	0	0	0	0	0	0	0	0		
Поправка на направленность источника Dc, дБ	Dc	DΩ + Di	**3**	3	3	3	3	3	3	3	3		
Затухание из-за геометрической дивергенции, Adiv, дБ	расстояние = 276.64 м	ф-ла (7) [10]	**59,8**										
Коэффициент затухания звука в атмосфере α, дБ/км	Ta=20,°C Pa=101.33,кПа hотн.=70%	ф-ла (5) [9]	0,02	0,09	0,33	1,12	2,79	4,98	9,04	23,09	77,63		
Учет затухания звука в атмосфере Aatm, дБ		ф-ла (8) [10]	0	0	0,1	0,3	0,8	1,4	2,5	6,4	21,5		
Снижение поверхностью земли возле источника As, дБ	Gs = 0 hs = 1м	ф-лы таб.3 [10]	-1,5	-1,5	-1,5	-1,5	-1,5	-1,5	-1,5	-1,5	-1,5		
Снижение поверхностью земли возле приёмника Ar, дБ	Gr = 1 hr = 1.5м	ф-лы таб.3 [10]	-1,5	-1,5	1,6	7	5	0,7	0	0	0		
Снижение поверхностью земли в средней зоне, Am дБ	Gm = 1	ф-лы таб.3 [10]	-2,2	-2,2	0	0	0	0	0	0	0		
Суммарное снижение поверхностью земли на траектории распространения звука Agr, дБ		ф-ла (9) [10]	-5,2	-5,2	0,1	5,5	3,5	-0,8	-1,5	-1,5	-1,5		

1		2	3	4	5	6	7	8	9	10	11	12	13
Уровни звукового давления прямого звука от источника ИШ-4-4 в расчётной точке днём, дБ		**ф-ла(3)[10]**	**0**	**38,6**	**34,7**	**30,3**	**32,2**	**35,5**	**31,8**	**23,7**	**4,1**	**38,4**	**38,4**
Расчёт отражённого звука													
Уровни звукового давления от мнимого источника ИШ-4-4_мн.(1) в расчётной точке днём, дБ		**ф-ла(3)[10]**	**0**	**0**	**30,7**	**20**	**20,9**	**31**	**29,3**	**21,2**	**1,6**	**34,2**	**34,2**
Уровни звукового давления от мнимого источника ИШ-4-4_мн.(2) в расчётной точке днём, дБ		**ф-ла(3)[10]**	**0**	**0**	**0**	**0**	**15,5**	**11,5**	**4,1**	**0**	**0**	**15,4**	**15,4**
Уровни звукового давления от мнимого источника ИШ-4-4_мн.(3) в расчётной точке днём, дБ		**ф-ла(3)[10]**	**0**	**0**	**0**	**0**	**0**	**0**	**0**	**0**	**0**	**0**	**0**
Уровни звукового давления от мнимого источника ИШ-4-4_мн.(4) в расчётной точке днём, дБ		**ф-ла(3)[10]**	**0**	**0**	**0**	**0**	**0**	**0**	**0**	**0**	**0**	**0**	**0**
Суммарные уровни звукового давления от мнимых источников в расчётной точке днём, дБ		**ф-ла (19) [1]**	**0**	**0**	**30,7**	**20**	**22**	**31,1**	**29,3**	**21,2**	**1,6**	**0**	**34,3**
Уровни звукового давления от источника ИШ-4-4 в расчётной точке днём, дБ		**ф-ла(3)[10]**	**0**	**38,6**	**36,2**	**30,7**	**32,6**	**36,8**	**33,7**	**25,6**	**6**	**39,8**	**39,8**
Источник шума: ИШ-4-5, координаты источника (x,y,z), м =[126.48,222.66,11.00]													
Уровни звуковой мощности источника днём, Lw, дБ		**исходные данные**	**0**	**90,3**	**91,7**	**93**	**93,3**	**92,9**	**89,6**	**85,4**	**80,9**		
Поправка на телесный угол DΩ, дБ	Ω = 6.28	10Lg(4π/Ω)	**3**	3	3	3	3	3	3	3	3		
Показатель направленности источника Di, дБ		исходные данные	**0**	0	0	0	0	0	0	0	0		
Поправка на направленность источника Dc, дБ	Dc	DΩ + Di	**3**	3	3	3	3	3	3	3	3		
Затухание из-за геометрической дивергенции, Adiv, дБ	расстояние = 328.99 м	ф-ла (7) [10]	**61,3**										
Коэффициент затухания звука в атмосфере α, дБ/км	Та=20,°С Ра=101.33,кПа hотн.=70%	ф-ла (5) [9]	0,02	0,09	0,33	1,12	2,79	4,98	9,04	23,09	77,63		
Учет затухания звука в атмосфере Aatm, дБ		ф-ла (8) [10]	0	0	0,1	0,4	0,9	1,6	3	7,6	25,5		

1		2	3	4	5	6	7	8	9	10	11	12	13
Снижение поверхностью земли возле источника As, дБ	Gs = 0 hs = 1м	ф-лы таб.3 [10]	-1,5	-1,5	-1,5	-1,5	-1,5	-1,5	-1,5	-1,5	-1,5		
Снижение поверхностью земли возле приёмника Ar, дБ	Gr = 1 hr = 1.5м	ф-лы таб.3 [10]	-1,5	-1,5	1,9	7	5	0,7	0	0	0		
Снижение поверхностью земли в средней зоне, Am дБ	Gm = 1	ф-лы таб.3 [10]	-2,3	-2,3	0	0	0	0	0	0	0		
Суммарное снижение поверхностью земли на траектории распространения звука Agr, дБ		ф-ла (9) [10]	-5,3	-5,3	0,4	5,5	3,5	-0,8	-1,5	-1,5	-1,5		
Уровни звукового давления прямого звука от источника ИШ-4-5 в расчётной точке днём, дБ		**ф-ла(3)[10]**	**0**	**37,2**	**32,8**	**28,8**	**30,6**	**33,8**	**29,8**	**21**	**0**	**36,5**	**36,5**
Расчёт отражённого звука													
Уровни звукового давления от мнимого источника ИШ-4-5_мн.(1) в расчётной точке днём, дБ		**ф-ла(3)[10]**	**0**	**36,2**	**28,5**	**18,4**	**19,2**	**29,2**	**27,3**	**18,4**	**0**	**32,3**	**32,3**
Уровни звукового давления от мнимого источника ИШ-4-5_мн.(2) в расчётной точке днём, дБ		**ф-ла(3)[10]**	**0**	**0**	**0**	**0**	**0**	**0**	**0**	**0**	**0**	**0**	**0**
Суммарные уровни звукового давления от мнимых источников в расчётной точке днём, дБ		**ф-ла (19) [1]**	**0**	**36,2**	**28,5**	**18,4**	**19,2**	**29,2**	**27,3**	**18,4**	**0**	**0**	**32,3**
Уровни звукового давления от источника ИШ-4-5 в расчётной точке днём, дБ		**ф-ла(3)[10]**	**0**	**39,8**	**34,2**	**29,1**	**30,9**	**35,1**	**31,7**	**22,9**	**0**	**37,9**	**37,9**
Источник шума: ИШ-4-6, координаты источника (x,y,z), м =[125.17,218.57,11.00]													
Уровни звуковой мощности источника днём, Lw, дБ		**исходные данные**	**0**	**90,3**	**91,7**	**93**	**93,3**	**92,9**	**89,6**	**85,4**	**80,9**		
Поправка на телесный угол DΩ, дБ	Ω = 6.28	10Lg(4π/Ω)	**3**	3	3	3	3	3	3	3	3		
Показатель направленности источника Di, дБ		исходные данные	**0**	0	0	0	0	0	0	0	0		
Поправка на направленность источника Dc, дБ	Dc	DΩ + Di	**3**	3	3	3	3	3	3	3	3		
Затухание из-за геометрической дивергенции, Adiv, дБ	расстояние = 327.88 м	ф-ла (7) [10]	**61,3**										
Коэффициент затухания звука в атмосфере α, дБ/км	Ta=20,°C Pa=101.33,кПа hотн.=70%	ф-ла (5) [9]	0,02	0,09	0,33	1,12	2,79	4,98	9,04	23,09	77,63		

1		2	3	4	5	6	7	8	9	10	11	12	13
Учет затухания звука в атмосфере Aatm, дБ		ф-ла (8) [10]	0	0	0,1	0,4	0,9	1,6	3	7,6	25,5		
Снижение поверхностью земли возле источника As, дБ	Gs = 0 hs = 1м	ф-лы таб.3 [10]	-1,5	-1,5	-1,5	-1,5	-1,5	-1,5	-1,5	-1,5	-1,5		
Снижение поверхностью земли возле приёмника Ar, дБ	Gr = 1 hr = 1.5м	ф-лы таб.3 [10]	-1,5	-1,5	1,9	7	5	0,7	0	0	0		
Снижение поверхностью земли в средней зоне, Am дБ	Gm = 1	ф-лы таб.3 [10]	-2,3	-2,3	0	0	0	0	0	0	0		
Суммарное снижение поверхностью земли на траектории распространения звука Agr, дБ		ф-ла (9) [10]	-5,3	-5,3	0,4	5,5	3,5	-0,8	-1,5	-1,5	-1,5		
Уровни звукового давления прямого звука от источника ИШ-4-6 в расчётной точке днём, дБ		**ф-ла(3)[10]**	**0**	**37,3**	**32,9**	**28,8**	**30,6**	**33,8**	**29,8**	**21**	**0**	**36,6**	**36,6**
Расчёт отражённого звука													
Уровни звукового давления от мнимого источника ИШ-4-6_мн.(1) в расчётной точке днём, дБ		**ф-ла(3)[10]**	**0**	**36,3**	**28,6**	**18,5**	**19,3**	**29,3**	**27,3**	**18,5**	**0**	**32,4**	**32,4**
Уровни звукового давления от мнимого источника ИШ-4-6_мн.(2) в расчётной точке днём, дБ		**ф-ла(3)[10]**	**0**	**0**	**0**	**0**	**0**	**0**	**0**	**0**	**0**	**0**	**0**
Уровни звукового давления от мнимого источника ИШ-4-6_мн.(3) в расчётной точке днём, дБ		**ф-ла(3)[10]**	**0**	**0**	**0**	**0**	**0**	**0**	**0**	**0**	**0**	**0**	**0**
Суммарные уровни звукового давления от мнимых источников в расчётной точке днём, дБ		**ф-ла (19) [1]**	**0**	**36,3**	**28,6**	**18,5**	**19,3**	**29,3**	**27,3**	**18,5**	**0**	**0**	**32,4**
Уровни звукового давления от источника ИШ-4-6 в расчётной точке днём, дБ		**ф-ла(3)[10]**	**0**	**39,8**	**34,2**	**29,2**	**30,9**	**35,1**	**31,8**	**22,9**	**0**	**38**	**38**
Источник шума: ИШ-4-7, координаты источника (x,y,z), м =[177.91,257.92,11.00]													
Уровни звуковой мощности источника днём, Lw, дБ		**исходные данные**	**0**	**90,3**	**91,7**	**93**	**93,3**	**92,9**	**89,6**	**85,4**	**80,9**		
Поправка на телесный угол DΩ, дБ	Ω = 6.28	10Lg(4π/Ω)	**3**	3	3	3	3	3	3	3	3		
Показатель направленности источника Di, дБ		исходные данные	**0**	0	0	0	0	0	0	0	0		
Поправка на направленность источника Dc, дБ	Dc	DΩ + Di	**3**	3	3	3	3	3	3	3	3		

1		2	3	4	5	6	7	8	9	10	11	12	13
Затухание из-за геометрической дивергенции, Adiv, дБ	расстояние = 310.54 м	ф-ла (7) [10]	**60,8**										
Коэффициент затухания звука в атмосфере α, дБ/км	Та=20,°С Ра=101.33,кПа hотн.=70%	ф-ла (5) [9]	0,02	0,09	0,33	1,12	2,79	4,98	9,04	23,09	77,63		
Учет затухания звука в атмосфере Aatm, дБ		ф-ла (8) [10]	0	0	0,1	0,3	0,9	1,5	2,8	7,2	24,1		
Снижение уровня звукового давления из-за влияния застройки между источником шума и расчетной точкой													
Снижение уровня звукового давления на пути над экраном, Dz1, дБ	z = 0.17м (разность путей)	ф-лы (14-18) [10]	4,9	4,9	5,1	5,4	6	7	8,4	10,4	12,8		
Снижение уровня звукового давления на пути слева от экрана, Dz2, дБ	z = 130.23м (разность путей)	ф-лы (14-18) [10]	30,3	34,2	37,5	40,6	43,6	46,6	49,6	52,6	55,7		
Снижение уровня звукового давления на пути справа от экрана, Dz3, дБ	z = 3.76м (разность путей)	ф-лы (14-18) [10]	12,3	14,9	17,7	20,6	23,5	26,5	29,5	32,5	35,5		
Общее снижение уровня звука препятствием Dz, дБ		Эн.сумма(-Dzi)	4,1	4,5	4,9	5,3	5,9	6,9	8,4	10,4	12,7		
Уровни звукового давления прямого звука от источника ИШ-4-7 в расчётной точке днём, дБ		**ф-ла(3)[10]**	**0**	**27,9**	**28,9**	**29,5**	**28,7**	**26,6**	**20,6**	**10**	**0**	**30,5**	**30,5**
Расчёт отражённого звука													
Уровни звукового давления от мнимого источника ИШ-4-7_мн.(1) в расчётной точке днём, дБ		**ф-ла(3)[10]**	**0**	**0**	**0**	**0**	**0**	**0**	**0**	**0**	**0**	**0**	**0**
Уровни звукового давления от источника ИШ-4-7 в расчётной точке днём, дБ		**ф-ла(3)[10]**	**0**	**27,9**	**28,9**	**29,5**	**28,7**	**26,6**	**20,6**	**10**	**0**	**30,5**	**30,5**
Источник шума: ИШ-4-8, координаты источника (x,y,z), м =[178.24,257.77,13.00]													
Уровни звуковой мощности источника днём, Lw, дБ		**исходные данные**	**0**	**90,3**	**91,7**	**93**	**93,3**	**92,9**	**89,6**	**85,4**	**80,9**		
Поправка на телесный угол DΩ, дБ	Ω = 6.28	10Lg(4π/Ω)	**3**	3	3	3	3	3	3	3	3		
Показатель направленности источника Di, дБ		исходные данные	**0**	0	0	0	0	0	0	0	0		

1		2	3	4	5	6	7	8	9	10	11	12	13
Поправка на направленность источника Dc, дБ	Dc	DΩ + Di	**3**	3	3	3	3	3	3	3	3		
Затухание из-за геометрической дивергенции, Adiv, дБ	расстояние = 310.27 м	ф-ла (7) [10]	**60,8**										
Коэффициент затухания звука в атмосфере α, дБ/км	Ta=20,°C Pa=101.33,кПа hотн.=70%	ф-ла (5) [9]	0,02	0,09	0,33	1,12	2,79	4,98	9,04	23,09	77,63		
Учет затухания звука в атмосфере Aatm, дБ		ф-ла (8) [10]	0	0	0,1	0,3	0,9	1,5	2,8	7,2	24,1		
Снижение уровня звукового давления из-за влияния застройки между источником шума и расчетной точкой													
Снижение уровня звукового давления на пути над экраном, Dz1, дБ	z = 0.12м (разность путей)	ф-лы (14-18) [10]	4,8	4,9	4,9	5,1	5,4	6	6,9	8,3	10,2		
Снижение уровня звукового давления на пути слева от экрана, Dz2, дБ	z = 130.22м (разность путей)	ф-лы (14-18) [10]	30,3	34,2	37,5	40,6	43,6	46,6	49,6	52,6	55,7		
Снижение уровня звукового давления на пути справа от экрана, Dz3, дБ	z = 3.78м (разность путей)	ф-лы (14-18) [10]	12,3	14,9	17,7	20,6	23,5	26,5	29,5	32,5	35,5		
Общее снижение уровня звука препятствием Dz, дБ		Эн.сумма(-Dzi)	4,1	4,4	4,7	5	5,3	5,9	6,9	8,3	10,2		
Уровни звукового давления прямого звука от источника ИШ-4-8 в расчётной точке днём, дБ		**ф-ла(3)[10]**	**0**	**28**	**29**	**29,8**	**29,3**	**27,6**	**22,1**	**12,1**	**0**	**31,4**	**31,4**
Расчёт отражённого звука													
Уровни звукового давления от мнимого источника ИШ-4-8_мн.(1) в расчётной точке днём, дБ		**ф-ла(3)[10]**	**0**	**0**	**0**	**0**	**0**	**0**	**0**	**0**	**0**	**0**	**0**
Уровни звукового давления от источника ИШ-4-8 в расчётной точке днём, дБ		**ф-ла(3)[10]**	**0**	**28**	**29**	**29,8**	**29,3**	**27,6**	**22,1**	**12,1**	**0**	**31,4**	**31,4**
Источник шума: ИШ-4-9, координаты источника (x,y,z), м =[178.68,257.63,15.50]													
Уровни звуковой мощности источника днём, Lw, дБ		**исходные данные**	**0**	**90,3**	**91,7**	**93**	**93,3**	**92,9**	**89,6**	**85,4**	**80,9**		
Поправка на телесный угол DΩ, дБ	Ω = 6.28	10Lg(4π/Ω)	**3**	3	3	3	3	3	3	3	3		

1		2	3	4	5	6	7	8	9	10	11	12	13
Показатель направленности источника Di, дБ		исходные данные	**0**	0	0	0	0	0	0	0	0		
Поправка на направленность источника Dc, дБ	Dc	DΩ + Di	**3**	3	3	3	3	3	3	3	3		
Затухание из-за геометрической дивергенции, Adiv, дБ	расстояние = 309.96 м	ф-ла (7) [10]	**60,8**										
Коэффициент затухания звука в атмосфере α, дБ/км	Ta=20,°C Pa=101.33,кПа hотн.=70%	ф-ла (5) [9]	0,02	0,09	0,33	1,12	2,79	4,98	9,04	23,09	77,63		
Учет затухания звука в атмосфере Aatm, дБ		ф-ла (8) [10]	0	0	0,1	0,3	0,9	1,5	2,8	7,2	24,1		
Снижение уровня звукового давления из-за влияния застройки между источником шума и расчетной точкой													
Снижение уровня звукового давления на пути над экраном, Dz1, дБ	z = 0.07м (разность путей)	ф-лы (14-18) [10]	4,8	4,8	4,8	4,9	5	5,1	5,5	6	7		
Снижение уровня звукового давления на пути слева от экрана, Dz2, дБ	z = 130.12м (разность путей)	ф-лы (14-18) [10]	30,2	34,2	37,5	40,6	43,6	46,6	49,6	52,6	55,7		
Снижение уровня звукового давления на пути справа от экрана, Dz3, дБ	z = 3.81м (разность путей)	ф-лы (14-18) [10]	12,3	14,9	17,7	20,6	23,6	26,5	29,5	32,5	35,5		
Общее снижение уровня звука препятствием Dz, дБ		Эн.сумма(-Dzi)	4,1	4,4	4,6	4,7	4,9	5,1	5,4	6	7		
Уровни звукового давления прямого звука от источника ИШ-4-9 в расчётной точке днём, дБ		**ф-ла(3)[10]**	**0**	**28**	**29,2**	**30,1**	**29,7**	**28,4**	**23,5**	**14,4**	**0**	**32,1**	**32,1**
Расчёт отражённого звука													
Уровни звукового давления от мнимого источника ИШ-4-9_мн.(1) в расчётной точке днём, дБ		**ф-ла(3)[10]**	**0**	**0**	**0**	**0**	**0**	**0**	**0**	**0**	**0**	**0**	**0**
Уровни звукового давления от источника ИШ-4-9 в расчётной точке днём, дБ		**ф-ла(3)[10]**	**0**	**28**	**29,2**	**30,1**	**29,7**	**28,4**	**23,5**	**14,4**	**0**	**32,1**	**32,1**
Источник шума: ИШ-4-10, координаты источника (x,y,z), м =[185.65,255.31,11.00]													
Уровни звуковой мощности источника днём, Lw, дБ		**исходные данные**	**0**	**90,3**	**91,7**	**93**	**93,3**	**92,9**	**89,6**	**85,4**	**80,9**		

1		2	3	4	5	6	7	8	9	10	11	12	13
Поправка на телесный угол DΩ, дБ	Ω = 6.28	10Lg(4π/Ω)	**3**	3	3	3	3	3	3	3	3		
Показатель направленности источника Di, дБ		исходные данные	**0**	0	0	0	0	0	0	0	0		
Поправка на направленность источника Dc, дБ	Dc	DΩ + Di	**3**	3	3	3	3	3	3	3	3		
Затухание из-за геометрической дивергенции, Adiv, дБ	расстояние = 303.17 м	ф-ла (7) [10]	**60,6**										
Коэффициент затухания звука в атмосфере α, дБ/км	Ta=20,°C Pa=101.33,кПа hотн.=70%	ф-ла (5) [9]	0,02	0,09	0,33	1,12	2,79	4,98	9,04	23,09	77,63		
Учет затухания звука в атмосфере Aatm, дБ		ф-ла (8) [10]	0	0	0,1	0,3	0,8	1,5	2,7	7	23,5		
Снижение уровня звукового давления из-за влияния застройки между источником шума и расчетной точкой													
Снижение уровня звукового давления на пути над экраном, Dz1, дБ	z = 0.16м (разность путей)	ф-лы (14-18) [10]	4,9	4,9	5,1	5,4	6	7	8,4	10,4	12,8		
Снижение уровня звукового давления на пути слева от экрана, Dz2, дБ	z = 129.76м (разность путей)	ф-лы (14-18) [10]	30,3	34,2	37,5	40,6	43,6	46,6	49,6	52,6	55,6		
Снижение уровня звукового давления на пути справа от экрана, Dz3, дБ	z = 4.31м (разность путей)	ф-лы (14-18) [10]	12,8	15,4	18,2	21,1	24,1	27,1	30,1	33,1	36,1		
Общее снижение уровня звука препятствием Dz, дБ		Эн.сумма(-Dzi)	4,2	4,6	4,9	5,3	5,9	6,9	8,4	10,4	12,7		
Уровни звукового давления прямого звука от источника ИШ-4-10 в расчётной точке днём, дБ		**ф-ла(3)[10]**	**0**	**28,1**	**29,1**	**29,7**	**28,9**	**26,8**	**20,8**	**10,4**	**0**	**30,7**	**30,7**
Расчёт отражённого звука													
Уровни звукового давления от мнимого источника ИШ-4-10_мн.(1) в расчётной точке днём, дБ		**ф-ла(3)[10]**	**0**	**0**	**0**	**0**	**0**	**0**	**0**	**0**	**0**	**0**	**0**
Уровни звукового давления от мнимого источника ИШ-4-10_мн.(2) в расчётной точке днём, дБ		**ф-ла(3)[10]**	**0**	**0**	**0**	**0**	**23,4**	**20**	**12,6**	**0,3**	**0**	**23,6**	**23,6**
Уровни звукового давления от мнимого источника ИШ-4-10_мн.(3) в расчётной точке днём, дБ		**ф-ла(3)[10]**	**0**	**0**	**0**	**0**	**0**	**0**	**0**	**0**	**0**	**0**	**0**
Суммарные уровни звукового давления от мнимых источников в расчётной точке днём, дБ		**ф-ла (19) [1]**	**0**	**0**	**0**	**0**	**23,4**	**20**	**12,6**	**0,3**	**0**	**0**	**23,6**

1		2	3	4	5	6	7	8	9	10	11	12	13
Уровни звукового давления от источника ИШ-4-10 в расчётной точке днём, дБ		**ф-ла(3)[10]**	**0**	**28,1**	**29,1**	**29,7**	**30**	**27,6**	**21,4**	**10,8**	**0**	**31,5**	**31,5**
Источник шума: ИШ-4-11, координаты источника (x,y,z), м =[185.89,255.16,13.00]													
Уровни звуковой мощности источника днём, Lw, дБ		**исходные данные**	**0**	**90,3**	**91,7**	**93**	**93,3**	**92,9**	**89,6**	**85,4**	**80,9**		
Поправка на телесный угол DΩ, дБ	Ω = 6.28	10Lg(4π/Ω)	**3**	3	3	3	3	3	3	3	3		
Показатель направленности источника Di, дБ		исходные данные	**0**	0	0	0	0	0	0	0	0		
Поправка на направленность источника Dc, дБ	Dc	DΩ + Di	**3**	3	3	3	3	3	3	3	3		
Затухание из-за геометрической дивергенции, Adiv, дБ	расстояние = 302.96 м	ф-ла (7) [10]	**60,6**										
Коэффициент затухания звука в атмосфере α, дБ/км	Ta=20,°C Pa=101.33,кПа hотн.=70%	ф-ла (5) [9]	0,02	0,09	0,33	1,12	2,79	4,98	9,04	23,09	77,63		
Учет затухания звука в атмосфере Aatm, дБ		ф-ла (8) [10]	0	0	0,1	0,3	0,8	1,5	2,7	7	23,5		
Снижение уровня звукового давления из-за влияния застройки между источником шума и расчетной точкой													
Снижение уровня звукового давления на пути над экраном, Dz1, дБ	z = 0.11м (разность путей)	ф-лы (14-18) [10]	4,8	4,9	4,9	5,1	5,4	5,9	6,8	8,2	10,1		
Снижение уровня звукового давления на пути слева от экрана, Dz2, дБ	z = 129.77м (разность путей)	ф-лы (14-18) [10]	30,3	34,2	37,5	40,6	43,6	46,6	49,6	52,6	55,6		
Снижение уровня звукового давления на пути справа от экрана, Dz3, дБ	z = 4.32м (разность путей)	ф-лы (14-18) [10]	12,8	15,4	18,2	21,1	24,1	27,1	30,1	33,1	36,1		
Общее снижение уровня звука препятствием Dz, дБ		Эн.сумма(-Dzi)	4,2	4,5	4,7	5	5,3	5,9	6,8	8,2	10,1		
Уровни звукового давления прямого звука от источника ИШ-4-11 в расчётной точке днём, дБ		**ф-ла(3)[10]**	**0**	**28,2**	**29,2**	**30**	**29,5**	**27,9**	**22,4**	**12,6**	**0**	**31,6**	**31,6**
Расчёт отражённого звука													

1		2	3	4	5	6	7	8	9	10	11	12	13
Уровни звукового давления от мнимого источника ИШ-4-11_мн.(1) в расчётной точке днём, дБ		**ф-ла(3)[10]**	**0**	**0**	**0**	**0**	**0**	**0**	**0**	**0**	**0**	**0**	**0**
Уровни звукового давления от мнимого источника ИШ-4-11_мн.(2) в расчётной точке днём, дБ		**ф-ла(3)[10]**	**0**	**0**	**0**	**0**	**0**	**0**	**0**	**0**	**0**	**0**	**0**
Суммарные уровни звукового давления от мнимых источников в расчётной точке днём, дБ		**ф-ла (19) [1]**	**0**	**0**	**0**	**0**	**0**	**0**	**0**	**0**	**0**	**0**	**0**
Уровни звукового давления от источника ИШ-4-11 в расчётной точке днём, дБ		**ф-ла(3)[10]**	**0**	**28,2**	**29,2**	**30**	**29,5**	**27,9**	**22,4**	**12,6**	**0**	**31,6**	**31,6**
Источник шума: ИШ-4-12, координаты источника (x,y,z), м =[186.18,255.02,15.50]													
Уровни звуковой мощности источника днём, Lw, дБ		**исходные данные**	**0**	**90,3**	**91,7**	**93**	**93,3**	**92,9**	**89,6**	**85,4**	**80,9**		
Поправка на телесный угол DΩ, дБ	Ω = 6.28	10Lg(4π/Ω)	**3**	3	3	3	3	3	3	3	3		
Показатель направленности источника Di, дБ		исходные данные	**0**	0	0	0	0	0	0	0	0		
Поправка на направленность источника Dc, дБ	Dc	DΩ + Di	**3**	3	3	3	3	3	3	3	3		
Затухание из-за геометрической дивергенции, Adiv, дБ	расстояние = 302.76 м	ф-ла (7) [10]	**60,6**										
Коэффициент затухания звука в атмосфере α, дБ/км	Ta=20,°C Pa=101.33,кПа hотн.=70%	ф-ла (5) [9]	0,02	0,09	0,33	1,12	2,79	4,98	9,04	23,09	77,63		
Учет затухания звука в атмосфере Aatm, дБ		ф-ла (8) [10]	0	0	0,1	0,3	0,8	1,5	2,7	7	23,5		
Снижение уровня звукового давления из-за влияния застройки между источником шума и расчетной точкой													
Снижение уровня звукового давления на пути над экраном, Dz1, дБ	z = 0.07м (разность путей)	ф-лы (14-18) [10]	4,8	4,8	4,8	4,9	4,9	5,1	5,4	5,9	6,8		
Снижение уровня звукового давления на пути слева от экрана, Dz2, дБ	z = 129.49м (разность путей)	ф-лы (14-18) [10]	30,1	34,1	37,4	40,5	43,6	46,6	49,6	52,6	55,6		
Снижение уровня звукового давления на пути справа от экрана, Dz3, дБ	z = 4.34м (разность путей)	ф-лы (14-18) [10]	12,8	15,5	18,2	21,2	24,1	27,1	30,1	33,1	36,1		

1		2	3	4	5	6	7	8	9	10	11	12	13
Общее снижение уровня звука препятствием Dz, дБ		Эн.сумма(-Dzi)	4,1	4,4	4,6	4,7	4,9	5,1	5,4	5,9	6,8		
Уровни звукового давления прямого звука от источника ИШ-4-12 в расчётной точке днём, дБ		**ф-ла(3)[10]**	**0**	**28,2**	**29,4**	**30,3**	**29,9**	**28,7**	**23,9**	**14,9**	**0**	**32,4**	**32,4**
Расчёт отражённого звука													
Уровни звукового давления от мнимого источника ИШ-4-12_мн.(1) в расчётной точке днём, дБ		**ф-ла(3)[10]**	**0**	**0**	**0**	**0**	**0**	**0**	**0**	**0**	**0**	**0**	**0**
Уровни звукового давления от источника ИШ-4-12 в расчётной точке днём, дБ		**ф-ла(3)[10]**	**0**	**28,2**	**29,4**	**30,3**	**29,9**	**28,7**	**23,9**	**14,9**	**0**	**32,4**	**32,4**
Источник шума: ИШ-4-13, координаты источника (x,y,z), м =[94.56,229.10,1.00]													
Уровни звуковой мощности источника днём, Lw, дБ		**исходные данные**	**0**	**81,3**	**82,7**	**84**	**84,3**	**83,9**	**80,6**	**76,4**	**71,9**		
Поправка на телесный угол DΩ, дБ	Ω = 6.28	10Lg(4π/Ω)	**3**	3	3	3	3	3	3	3	3		
Показатель направленности источника Di, дБ		исходные данные	**0**	0	0	0	0	0	0	0	0		
Поправка на направленность источника Dc, дБ	Dc	DΩ + Di	**3**	3	3	3	3	3	3	3	3		
Затухание из-за геометрической дивергенции, Adiv, дБ	расстояние = 359.31 м	ф-ла (7) [10]	**62,1**										
Коэффициент затухания звука в атмосфере α, дБ/км	Ta=20,°C Pa=101.33,кПа hотн.=70%	ф-ла (5) [9]	0,02	0,09	0,33	1,12	2,79	4,98	9,04	23,09	77,63		
Учет затухания звука в атмосфере Aatm, дБ		ф-ла (8) [10]	0	0	0,1	0,4	1	1,8	3,2	8,3	27,9		
Снижение уровня звукового давления из-за влияния застройки между источником шума и расчетной точкой													
Снижение уровня звукового давления на пути над экраном, Dz1, дБ	z = 4.90м (разность путей)	ф-лы (14-18) [10]	13,3	17,2	21,5	25,2	28,5	31,6	34,6	37,6	40,6		
Снижение уровня звукового давления на пути слева от экрана, Dz2, дБ	z = 202.29м (разность путей)	ф-лы (14-18) [10]	33,3	36,5	39,5	42,5	45,5	48,5	51,5	54,6	57,6		

1		2	3	4	5	6	7	8	9	10	11	12	13
Снижение уровня звукового давления на пути справа от экрана, Dz3, дБ	z = 23.81м (разность путей)	ф-лы (14-18) [10]	19,6	22,5	25,5	28,5	31,5	34,5	37,5	40,5	43,5		
Общее снижение уровня звука препятствием Dz, дБ		Эн.сумма(-Dzi)	12,3	16	20	23,5	26,7	29,7	32,7	35,8	38,8		
Общее снижение уровня звука препятствием с учётом ограничения (25 дБ) для октавных полос Dz, дБ		Раздел 7.4 [10]	12,3	16	20	23,5	25	25	25	25	25		
Уровни звукового давления от источника ИШ-4-13 в расчётной точке днём, дБ		**ф-ла(3)[10]**	**0**	**6,1**	**3,5**	**1**	**0**	**0**	**0**	**0**	**0**	**0**	**0**
Источник шума: ИШ-4-14, координаты источника (x,y,z), м =[91.88,221.30,1.00]													
Уровни звуковой мощности источника днём, Lw, дБ		**исходные данные**	**0**	**81,3**	**82,7**	**84**	**84,3**	**83,9**	**80,6**	**76,4**	**71,9**		
Поправка на телесный угол DΩ, дБ	Ω = 6.28	10Lg(4π/Ω)	**3**	3	3	3	3	3	3	3	3		
Показатель направленности источника Di, дБ		исходные данные	**0**	0	0	0	0	0	0	0	0		
Поправка на направленность источника Dc, дБ	Dc	DΩ + Di	**3**	3	3	3	3	3	3	3	3		
Затухание из-за геометрической дивергенции, Adiv, дБ	расстояние = 357.66 м	ф-ла (7) [10]	**62,1**										
Коэффициент затухания звука в атмосфере α, дБ/км	Ta=20,°C Pa=101.33,кПа hотн.=70%	ф-ла (5) [9]	0,02	0,09	0,33	1,12	2,79	4,98	9,04	23,09	77,63		
Учет затухания звука в атмосфере Aatm, дБ		ф-ла (8) [10]	0	0	0,1	0,4	1	1,8	3,2	8,3	27,8		
Снижение уровня звукового давления из-за влияния застройки между источником шума и расчетной точкой													
Снижение уровня звукового давления на пути над экраном, Dz1, дБ	z = 4.89м (разность путей)	ф-лы (14-18) [10]	13,3	17,2	21,5	25,2	28,5	31,6	34,6	37,6	40,6		
Снижение уровня звукового давления на пути слева от экрана, Dz2, дБ	z = 212.16м (разность путей)	ф-лы (14-18) [10]	33,5	36,7	39,7	42,7	45,7	48,7	51,8	54,8	57,8		
Снижение уровня звукового давления на пути справа от экрана, Dz3, дБ	z = 17.38м (разность путей)	ф-лы (14-18) [10]	18,3	21,2	24,1	27,1	30,1	33,1	36,1	39,1	42,1		

1		2	3	4	5	6	7	8	9	10	11	12	13
Общее снижение уровня звука препятствием Dz, дБ		Эн.сумма(-Dzi)	12	15,7	19,5	23	26,2	29,2	32,2	35,2	38,3		
Общее снижение уровня звука препятствием с учётом ограничения (25 дБ) для октавных полос Dz, дБ		Раздел 7.4 [10]	12	15,7	19,5	23	25	25	25	25	25		
Уровни звукового давления от источника ИШ-4-14 в расчётной точке днём, дБ		**ф-ла(3)[10]**	**0**	**6,5**	**4**	**1,5**	**0**	**0**	**0**	**0**	**0**	**0**	**0**
Источник шума: ИШ-5-1, координаты источника (x,y,z), м =[626.70,162.36,1.00]													
Уровни звуковой мощности источника днём, Lw, дБ		**исходные данные**	**0**	**93,3**	**94,7**	**96**	**96,3**	**95,9**	**92,6**	**88,4**	**83,9**		
Поправка на телесный угол DΩ, дБ	Ω = 6.28	10Lg(4π/Ω)	**3**	3	3	3	3	3	3	3	3		
Показатель направленности источника Di, дБ		исходные данные	**0**	0	0	0	0	0	0	0	0		
Поправка на направленность источника Dc, дБ	Dc	DΩ + Di	**3**	3	3	3	3	3	3	3	3		
Затухание из-за геометрической дивергенции, Adiv, дБ	расстояние = 254.31 м	ф-ла (7) [10]	**59,1**										
Коэффициент затухания звука в атмосфере α, дБ/км	Ta=20,°C Pa=101.33,кПа hотн.=70%	ф-ла (5) [9]	0,02	0,09	0,33	1,12	2,79	4,98	9,04	23,09	77,63		
Учет затухания звука в атмосфере Aatm, дБ		ф-ла (8) [10]	0	0	0,1	0,3	0,7	1,3	2,3	5,9	19,7		
Снижение уровня звукового давления из-за влияния застройки между источником шума и расчетной точкой													
Снижение уровня звукового давления на пути над экраном, Dz1, дБ	z = 0.72м (разность путей)	ф-лы (14-18) [10]	6,5	8,3	11,4	14,8	18	21	23,9	26,9	29,9		
Снижение уровня звукового давления на пути слева от экрана, Dz2, дБ	z = 8.62м (разность путей)	ф-лы (14-18) [10]	15,4	18,3	21,1	24,1	27,1	30,1	33,1	36,1	39,1		
Снижение уровня звукового давления на пути справа от экрана, Dz3, дБ	z = 41.14м (разность путей)	ф-лы (14-18) [10]	21,9	24,9	27,8	30,8	33,8	36,9	39,9	42,9	45,9		
Общее снижение уровня звука препятствием Dz, дБ		Эн.сумма(-Dzi)	5,9	7,8	10,9	14,2	17,4	20,4	23,3	26,3	29,3		

1		2	3	4	5	6	7	8	9	10	11	12	13
Общее снижение уровня звука препятствием с учётом ограничения (25 дБ) для октавных полос Dz, дБ		Раздел 7.4 [10]	5,9	7,8	10,9	14,2	17,4	20,4	23,3	25	25		
Уровни звукового давления прямого звука от источника ИШ-5-1 в расчётной точке днём, дБ		**ф-ла(3)[10]**	**0**	**29,3**	**27,6**	**25,4**	**22,1**	**18,2**	**10,8**	**1,4**	**0**	**23,5**	**23,5**
Расчёт отражённого звука													
Уровни звукового давления от мнимого источника ИШ-5-1_мн.(1) в расчётной точке днём, дБ		**ф-ла(3)[10]**	**0**	**0**	**0**	**0**	**0**	**0**	**0**	**0**	**0**	**0**	**0**
Уровни звукового давления от источника ИШ-5-1 в расчётной точке днём, дБ		**ф-ла(3)[10]**	**0**	**29,3**	**27,6**	**25,4**	**22,1**	**18,2**	**10,8**	**1,4**	**0**	**23,5**	**23,5**
Источник шума: ИШ-5-2, координаты источника (x,y,z), м =[625.81,159.52,1.00]													
Уровни звуковой мощности источника днём, Lw, дБ		**исходные данные**	**0**	**93,3**	**94,7**	**96**	**96,3**	**95,9**	**92,6**	**88,4**	**83,9**		
Поправка на телесный угол DΩ, дБ	Ω = 6.28	10Lg(4π/Ω)	**3**	3	3	3	3	3	3	3	3		
Показатель направленности источника Di, дБ		исходные данные	**0**	0	0	0	0	0	0	0	0		
Поправка на направленность источника Dc, дБ	Dc	DΩ + Di	**3**	3	3	3	3	3	3	3	3		
Затухание из-за геометрической дивергенции, Adiv, дБ	расстояние = 252.20 м	ф-ла (7) [10]	**59**										
Коэффициент затухания звука в атмосфере α, дБ/км	Ta=20,°C Pa=101.33,кПа hотн.=70%	ф-ла (5) [9]	0,02	0,09	0,33	1,12	2,79	4,98	9,04	23,09	77,63		
Учет затухания звука в атмосфере Aatm, дБ		ф-ла (8) [10]	0	0	0,1	0,3	0,7	1,3	2,3	5,8	19,6		
Снижение уровня звукового давления из-за влияния застройки между источником шума и расчетной точкой													
Снижение уровня звукового давления на пути над экраном, Dz1, дБ	z = 0.73м (разность путей)	ф-лы (14-18) [10]	6,5	8,4	11,4	14,9	18	21	24	27	30		
Снижение уровня звукового давления на пути слева от экрана, Dz2, дБ	z = 8.30м (разность путей)	ф-лы (14-18) [10]	15,3	18,1	21	23,9	26,9	29,9	32,9	35,9	38,9		

1		2	3	4	5	6	7	8	9	10	11	12	13
Снижение уровня звукового давления на пути справа от экрана, Dz3, дБ	z = 42.87м (разность путей)	ф-лы (14-18) [10]	22,1	25,1	28	31	34	37	40	43	46,1		
Общее снижение уровня звука препятствием Dz, дБ		Эн.сумма(-Dzi)	5,9	7,8	10,9	14,3	17,4	20,4	23,4	26,4	29,4		
Общее снижение уровня звука препятствием с учётом ограничения (25 дБ) для октавных полос Dz, дБ		Раздел 7.4 [10]	5,9	7,8	10,9	14,3	17,4	20,4	23,4	25	25		
Уровни звукового давления прямого звука от источника ИШ-5-2 в расчётной точке днём, дБ		**ф-ла(3)[10]**	**0**	**29,4**	**27,7**	**25,4**	**22,1**	**18,2**	**10,9**	**1,5**	**0**	**23,5**	**23,5**
Расчёт отражённого звука													
Уровни звукового давления от мнимого источника ИШ-5-2_мн.(1) в расчётной точке днём, дБ		**ф-ла(3)[10]**	**0**	**0**	**0**	**0**	**0**	**0**	**0**	**0**	**0**	**0**	**0**
Уровни звукового давления от источника ИШ-5-2 в расчётной точке днём, дБ		**ф-ла(3)[10]**	**0**	**29,4**	**27,7**	**25,4**	**22,1**	**18,2**	**10,9**	**1,5**	**0**	**23,5**	**23,5**
Источник шума: ИШ-5-3, координаты источника (x,y,z), м =[624.84,156.69,1.00]													
Уровни звуковой мощности источника днём, Lw, дБ		**исходные данные**	**0**	**93,3**	**94,7**	**96**	**96,3**	**95,9**	**92,6**	**88,4**	**83,9**		
Поправка на телесный угол DΩ, дБ	Ω = 6.28	10Lg(4π/Ω)	**3**	3	3	3	3	3	3	3	3		
Показатель направленности источника Di, дБ		исходные данные	**0**	0	0	0	0	0	0	0	0		
Поправка на направленность источника Dc, дБ	Dc	DΩ + Di	**3**	3	3	3	3	3	3	3	3		
Затухание из-за геометрической дивергенции, Adiv, дБ	расстояние = 250.05 м	ф-ла (7) [10]	**59**										
Коэффициент затухания звука в атмосфере α, дБ/км	Ta=20,°C Pa=101.33,кПа hотн.=70%	ф-ла (5) [9]	0,02	0,09	0,33	1,12	2,79	4,98	9,04	23,09	77,63		
Учет затухания звука в атмосфере Aatm, дБ		ф-ла (8) [10]	0	0	0,1	0,3	0,7	1,2	2,3	5,8	19,4		
Снижение уровня звукового давления из-за влияния застройки между источником шума и расчетной точкой													

1		2	3	4	5	6	7	8	9	10	11	12	13
Снижение уровня звукового давления на пути над экраном, Dz1, дБ	z = 0.73м (разность путей)	ф-лы (14-18) [10]	6,6	8,4	11,5	15	18,1	21,1	24,1	27,1	30,1		
Снижение уровня звукового давления на пути слева от экрана, Dz2, дБ	z = 7.99м (разность путей)	ф-лы (14-18) [10]	15,1	17,9	20,8	23,8	26,7	29,7	32,7	35,8	38,8		
Снижение уровня звукового давления на пути справа от экрана, Dz3, дБ	z = 44.65м (разность путей)	ф-лы (14-18) [10]	22,3	25,2	28,2	31,2	34,2	37,2	40,2	43,2	46,2		
Общее снижение уровня звука препятствием Dz, дБ		Эн.сумма(-Dzi)	5,9	7,9	10,9	14,3	17,5	20,5	23,5	26,5	29,5		
Общее снижение уровня звука препятствием с учётом ограничения (25 дБ) для октавных полос Dz, дБ		Раздел 7.4 [10]	5,9	7,9	10,9	14,3	17,5	20,5	23,5	25	25		
Уровни звукового давления прямого звука от источника ИШ-5-3 в расчётной точке днём, дБ		**ф-ла(3)[10]**	**0**	**29,4**	**27,7**	**25,4**	**22,2**	**18,2**	**10,9**	**1,7**	**0**	**23,6**	**23,6**
Расчёт отражённого звука													
Уровни звукового давления от мнимого источника ИШ-5-3_мн.(1) в расчётной точке днём, дБ		**ф-ла(3)[10]**	**0**	**0**	**0**	**0**	**0**	**0**	**0**	**0**	**0**	**0**	**0**
Уровни звукового давления от источника ИШ-5-3 в расчётной точке днём, дБ		**ф-ла(3)[10]**	**0**	**29,4**	**27,7**	**25,4**	**22,2**	**18,2**	**10,9**	**1,7**	**0**	**23,6**	**23,6**
Источник шума: ИШ-6-1, координаты источника (x,y,z), м =[836.30,122.24,1.00]													
Уровни звуковой мощности источника днём, Lw, дБ		**исходные данные**	**0**	**96,3**	**97,7**	**99**	**99,3**	**98,9**	**95,6**	**91,4**	**86,9**		
Поправка на телесный угол DΩ, дБ	Ω = 12.57	10Lg(4π/Ω)	**0**	0	0	0	0	0	0	0	0		
Показатель направленности источника Di, дБ		исходные данные	**0**	0	0	0	0	0	0	0	0		
Поправка на направленность источника Dc, дБ	Dc	DΩ + Di	**0**	0	0	0	0	0	0	0	0		
Затухание из-за геометрической дивергенции, Adiv, дБ	расстояние = 441.40 м	ф-ла (7) [10]	**63,9**										
Коэффициент затухания звука в атмосфере α, дБ/км	Ta=20,°C Pa=101.33,кПа hотн.=70%	ф-ла (5) [9]	0,02	0,09	0,33	1,12	2,79	4,98	9,04	23,09	77,63		

1		2	3	4	5	6	7	8	9	10	11	12	13
Учет затухания звука в атмосфере Aatm, дБ		ф-ла (8) [10]	0	0	0,1	0,5	1,2	2,2	4	10,2	34,3		
Снижение уровня звукового давления из-за влияния застройки между источником шума и расчетной точкой													
Снижение уровня звукового давления на пути над экраном, Dz1, дБ	z = 0.64м (разность путей)	ф-лы (14-18) [10]	5,5	6,3	8,1	11,1	14,3	17,3	20,3	23,3	26,2		
Снижение уровня звукового давления на пути слева от экрана, Dz2, дБ	z = 0.33м (разность путей)	ф-лы (14-18) [10]	6,2	7,3	8,9	11	13,5	16,2	19	22	24,9		
Снижение уровня звукового давления на пути справа от экрана, Dz3, дБ	z = 67.44м (разность путей)	ф-лы (14-18) [10]	24	27	30	33	36	39	42	45	48		
Общее снижение уровня звука препятствием Dz, дБ		Эн.сумма(-Dzi)	2,8	3,8	5,5	8	10,8	13,7	16,6	19,5	22,5		
Уровни звукового давления от источника ИШ-6-1 в расчётной точке днём, дБ		**ф-ла(3)[10]**	**0**	**28,6**	**28,2**	**26,6**	**23,3**	**19,1**	**11,1**	**0**	**0**	**24,5**	**24,5**
Источник шума: ИШ-6-2, координаты источника (x,y,z), м =[835.37,119.30,1.00]													
Уровни звуковой мощности источника днём, Lw, дБ		**исходные данные**	**0**	**96,3**	**97,7**	**99**	**99,3**	**98,9**	**95,6**	**91,4**	**86,9**		
Поправка на телесный угол DΩ, дБ	Ω = 12.57	10Lg(4π/Ω)	**0**	0	0	0	0	0	0	0	0		
Показатель направленности источника Di, дБ		исходные данные	**0**	0	0	0	0	0	0	0	0		
Поправка на направленность источника Dc, дБ	Dc	DΩ + Di	**0**	0	0	0	0	0	0	0	0		
Затухание из-за геометрической дивергенции, Adiv, дБ	расстояние = 439.96 м	ф-ла (7) [10]	**63,9**										
Коэффициент затухания звука в атмосфере α, дБ/км	Ta=20,°C Pa=101.33,кПа hотн.=70%	ф-ла (5) [9]	0,02	0,09	0,33	1,12	2,79	4,98	9,04	23,09	77,63		
Учет затухания звука в атмосфере Aatm, дБ		ф-ла (8) [10]	0	0	0,1	0,5	1,2	2,2	4	10,2	34,2		
Снижение уровня звукового давления из-за влияния застройки между источником шума и расчетной точкой													

1		2	3	4	5	6	7	8	9	10	11	12	13
Снижение уровня звукового давления на пути над экраном, Dz1, дБ	z = 0.63м (разность путей)	ф-лы (14-18) [10]	5,5	6,3	8	10,9	14,2	17,2	20,2	23,2	26,2		
Снижение уровня звукового давления на пути слева от экрана, Dz2, дБ	z = 0.28м (разность путей)	ф-лы (14-18) [10]	6,1	7	8,5	10,5	12,9	15,5	18,4	21,3	24,2		
Снижение уровня звукового давления на пути справа от экрана, Dz3, дБ	z = 68.50м (разность путей)	ф-лы (14-18) [10]	24,1	27,1	30	33	36,1	39,1	42,1	45,1	48,1		
Общее снижение уровня звука препятствием Dz, дБ		Эн.сумма(-Dzi)	2,7	3,6	5,2	7,7	10,5	13,3	16,2	19,1	22,1		
Уровни звукового давления от источника ИШ-6-2 в расчётной точке днём, дБ		**ф-ла(3)[10]**	**0**	**28,8**	**28,5**	**26,9**	**23,7**	**19,5**	**11,6**	**0**	**0**	**24,9**	**24,9**
Источник шума: ИШ-6-3, координаты источника (x,y,z), м =[834.03,116.36,1.00]													
Уровни звуковой мощности источника днём, Lw, дБ		**исходные данные**	**0**	**96,3**	**97,7**	**99**	**99,3**	**98,9**	**95,6**	**91,4**	**86,9**		
Поправка на телесный угол DΩ, дБ	Ω = 12.57	10Lg(4π/Ω)	**0**	0	0	0	0	0	0	0	0		
Показатель направленности источника Di, дБ		исходные данные	**0**	0	0	0	0	0	0	0	0		
Поправка на направленность источника Dc, дБ	Dc	DΩ + Di	**0**	0	0	0	0	0	0	0	0		
Затухание из-за геометрической дивергенции, Adiv, дБ	расстояние = 438.15 м	ф-ла (7) [10]	**63,8**										
Коэффициент затухания звука в атмосфере α, дБ/км	Ta=20,°C Pa=101.33,кПа hотн.=70%	ф-ла (5) [9]	0,02	0,09	0,33	1,12	2,79	4,98	9,04	23,09	77,63		
Учет затухания звука в атмосфере Aatm, дБ		ф-ла (8) [10]	0	0	0,1	0,5	1,2	2,2	4	10,1	34		
Снижение уровня звукового давления из-за влияния застройки между источником шума и расчетной точкой													
Снижение уровня звукового давления на пути над экраном, Dz1, дБ	z = 0.63м (разность путей)	ф-лы (14-18) [10]	5,5	6,3	7,9	10,8	14,1	17,2	20,1	23,1	26,1		
Снижение уровня звукового давления на пути слева от экрана, Dz2, дБ	z = 0.24м (разность путей)	ф-лы (14-18) [10]	5,9	6,8	8,1	10	12,3	14,9	17,7	20,6	23,5		

1		2	3	4	5	6	7	8	9	10	11	12	13
Снижение уровня звукового давления на пути справа от экрана, Dz3, дБ	z = 69.57м (разность путей)	ф-лы (14-18) [10]	24,2	27,1	30,1	33,1	36,1	39,1	42,1	45,2	48,2		
Общее снижение уровня звука препятствием Dz, дБ		Эн.сумма(-Dzi)	2,6	3,5	5	7,3	10,1	12,8	15,7	18,6	21,6		
Уровни звукового давления от источника ИШ-6-3 в расчётной точке днём, дБ		**ф-ла(3)[10]**	**0**	**28,9**	**28,7**	**27,3**	**24,2**	**20**	**12,1**	**0**	**0**	**25,3**	**25,3**
Источник шума: ИШ-6-4, координаты источника (x,y,z), м =[833.23,113.30,1.00]													
Уровни звуковой мощности источника днём, Lw, дБ		**исходные данные**	**0**	**96,3**	**97,7**	**99**	**99,3**	**98,9**	**95,6**	**91,4**	**86,9**		
Поправка на телесный угол DΩ, дБ	Ω = 12.57	10Lg(4π/Ω)	**0**	0	0	0	0	0	0	0	0		
Показатель направленности источника Di, дБ		исходные данные	**0**	0	0	0	0	0	0	0	0		
Поправка на направленность источника Dc, дБ	Dc	DΩ + Di	**0**	0	0	0	0	0	0	0	0		
Затухание из-за геометрической дивергенции, Adiv, дБ	расстояние = 436.86 м	ф-ла (7) [10]	**63,8**										
Коэффициент затухания звука в атмосфере α, дБ/км	Ta=20,°C Pa=101.33,кПа hотн.=70%	ф-ла (5) [9]	0,02	0,09	0,33	1,12	2,79	4,98	9,04	23,09	77,63		
Учет затухания звука в атмосфере Aatm, дБ		ф-ла (8) [10]	0	0	0,1	0,5	1,2	2,2	3,9	10,1	33,9		
Снижение уровня звукового давления из-за влияния застройки между источником шума и расчетной точкой													
Снижение уровня звукового давления на пути над экраном, Dz1, дБ	z = 0.62м (разность путей)	ф-лы (14-18) [10]	5,5	6,2	7,7	10,6	13,9	17	20	23	26		
Снижение уровня звукового давления на пути слева от экрана, Dz2, дБ	z = 0.19м (разность путей)	ф-лы (14-18) [10]	5,7	6,5	7,7	9,4	11,6	14,1	16,9	19,7	22,7		
Снижение уровня звукового давления на пути справа от экрана, Dz3, дБ	z = 70.70м (разность путей)	ф-лы (14-18) [10]	24,2	27,2	30,2	33,2	36,2	39,2	42,2	45,2	48,2		
Общее снижение уровня звука препятствием Dz, дБ		Эн.сумма(-Dzi)	2,6	3,3	4,7	6,9	9,6	12,3	15,1	18	21		

1		2	3	4	5	6	7	8	9	10	11	12	13
Уровни звукового давления от источника ИШ-6-4 в расчётной точке днём, дБ		**ф-ла(3)[10]**	**0**	**29,1**	**29,1**	**27,8**	**24,7**	**20,6**	**12,7**	**0**	**0**	**25,9**	**25,9**
Источник шума: ИШ-6-5, координаты источника (x,y,z), м =[832.03,110.36,1.00]													
Уровни звуковой мощности источника днём, Lw, дБ		**исходные данные**	**0**	**96,3**	**97,7**	**99**	**99,3**	**98,9**	**95,6**	**91,4**	**86,9**		
Поправка на телесный угол DΩ, дБ	Ω = 12.57	10Lg(4π/Ω)	**0**	0	0	0	0	0	0	0	0		
Показатель направленности источника Di, дБ		исходные данные	**0**	0	0	0	0	0	0	0	0		
Поправка на направленность источника Dc, дБ	Dc	DΩ + Di	**0**	0	0	0	0	0	0	0	0		
Затухание из-за геометрической дивергенции, Adiv, дБ	расстояние = 435.21 м	ф-ла (7) [10]	**63,8**										
Коэффициент затухания звука в атмосфере α, дБ/км	Ta=20,°C Pa=101.33,кПа hотн.=70%	ф-ла (5) [9]	0,02	0,09	0,33	1,12	2,79	4,98	9,04	23,09	77,63		
Учет затухания звука в атмосфере Aatm, дБ		ф-ла (8) [10]	0	0	0,1	0,5	1,2	2,2	3,9	10	33,8		
Снижение уровня звукового давления из-за влияния застройки между источником шума и расчетной точкой													
Снижение уровня звукового давления на пути над экраном, Dz1, дБ	z = 0.62м (разность путей)	ф-лы (14-18) [10]	5,5	6,2	7,6	10,3	13,7	16,9	19,9	22,9	25,9		
Снижение уровня звукового давления на пути слева от экрана, Dz2, дБ	z = 0.16м (разность путей)	ф-лы (14-18) [10]	5,5	6,2	7,2	8,8	10,9	13,3	16	18,9	21,8		
Снижение уровня звукового давления на пути справа от экрана, Dz3, дБ	z = 71.80м (разность путей)	ф-лы (14-18) [10]	24,3	27,3	30,2	33,3	36,3	39,3	42,3	45,3	48,3		
Общее снижение уровня звука препятствием Dz, дБ		Эн.сумма(-Dzi)	2,5	3,1	4,4	6,5	9,1	11,7	14,5	17,4	20,4		
Уровни звукового давления от источника ИШ-6-5 в расчётной точке днём, дБ		**ф-ла(3)[10]**	**0**	**29,3**	**29,4**	**28,2**	**25,2**	**21,2**	**13,4**	**0,2**	**0**	**26,4**	**26,4**
Источник шума: ИШ-6-6, координаты источника (x,y,z), м =[830.97,107.42,1.00]													

1		2	3	4	5	6	7	8	9	10	11	12	13
Уровни звуковой мощности источника днём, Lw, дБ		**исходные данные**	**0**	**96,3**	**97,7**	**99**	**99,3**	**98,9**	**95,6**	**91,4**	**86,9**		
Поправка на телесный угол DΩ, дБ	Ω = 12.57	10Lg(4π/Ω)	**0**	0	0	0	0	0	0	0	0		
Показатель направленности источника Di, дБ		исходные данные	**0**	0	0	0	0	0	0	0	0		
Поправка на направленность источника Dc, дБ	Dc	DΩ + Di	**0**	0	0	0	0	0	0	0	0		
Затухание из-за геометрической дивергенции, Adiv, дБ	расстояние = 433.71 м	ф-ла (7) [10]	**63,7**										
Коэффициент затухания звука в атмосфере α, дБ/км	Ta=20,°C Pa=101.33,кПа hотн.=70%	ф-ла (5) [9]	0,02	0,09	0,33	1,12	2,79	4,98	9,04	23,09	77,63		
Учет затухания звука в атмосфере Aatm, дБ		ф-ла (8) [10]	0	0	0,1	0,5	1,2	2,2	3,9	10	33,7		
Снижение уровня звукового давления из-за влияния застройки между источником шума и расчетной точкой													
Снижение уровня звукового давления на пути над экраном, Dz1, дБ	z = 0.61м (разность путей)	ф-лы (14-18) [10]	5,5	6,1	7,5	10,1	13,5	16,8	19,9	22,8	25,8		
Снижение уровня звукового давления на пути слева от экрана, Dz2, дБ	z = 0.12м (разность путей)	ф-лы (14-18) [10]	5,4	5,9	6,8	8,2	10,1	12,4	15,1	17,9	20,8		
Снижение уровня звукового давления на пути справа от экрана, Dz3, дБ	z = 72.90м (разность путей)	ф-лы (14-18) [10]	24,4	27,4	30,3	33,3	36,3	39,3	42,3	45,4	48,4		
Общее снижение уровня звука препятствием Dz, дБ		Эн.сумма(-Dzi)	2,4	3	4,1	6	8,5	11,1	13,8	16,7	19,6		
Уровни звукового давления от источника ИШ-6-6 в расчётной точке днём, дБ		**ф-ла(3)[10]**	**0**	**29,5**	**29,7**	**28,7**	**25,9**	**21,9**	**14,1**	**1**	**0**	**27**	**27**
Источник шума: ИШ-6-7, координаты источника (x,y,z), м =[830.30,104.49,1.00]													
Уровни звуковой мощности источника днём, Lw, дБ		**исходные данные**	**0**	**96,3**	**97,7**	**99**	**99,3**	**98,9**	**95,6**	**91,4**	**86,9**		
Поправка на телесный угол DΩ, дБ	Ω = 12.57	10Lg(4π/Ω)	**0**	0	0	0	0	0	0	0	0		

1		2	3	4	5	6	7	8	9	10	11	12	13
Показатель направленности источника Di, дБ		исходные данные	**0**	0	0	0	0	0	0	0	0		
Поправка на направленность источника Dc, дБ	Dc	DΩ + Di	**0**	0	0	0	0	0	0	0	0		
Затухание из-за геометрической дивергенции, Adiv, дБ	расстояние = 432.62 м	ф-ла (7) [10]	**63,7**										
Коэффициент затухания звука в атмосфере α, дБ/км	Ta=20,°C Pa=101.33,кПа hотн.=70%	ф-ла (5) [9]	0,02	0,09	0,33	1,12	2,79	4,98	9,04	23,09	77,63		
Учет затухания звука в атмосфере Aatm, дБ		ф-ла (8) [10]	0	0	0,1	0,5	1,2	2,2	3,9	10	33,6		
Снижение уровня звукового давления из-за влияния застройки между источником шума и расчетной точкой													
Снижение уровня звукового давления на пути над экраном, Dz1, дБ	z = 0.60м (разность путей)	ф-лы (14-18) [10]	5,4	6,1	7,3	9,8	13,3	16,7	19,7	22,7	25,7		
Снижение уровня звукового давления на пути слева от экрана, Dz2, дБ	z = 0.09м (разность путей)	ф-лы (14-18) [10]	5,2	5,7	6,4	7,6	9,3	11,5	14	16,7	19,6		
Снижение уровня звукового давления на пути справа от экрана, Dz3, дБ	z = 74.01м (разность путей)	ф-лы (14-18) [10]	28,2	31,9	35,1	38,1	41,2	44,2	47,2	50,2	53,2		
Общее снижение уровня звука препятствием Dz, дБ		Эн.сумма(-Dzi)	2,3	2,9	3,8	5,6	7,8	10,3	13	15,8	18,7		
Уровни звукового давления от источника ИШ-6-7 в расчётной точке днём, дБ		**ф-ла(3)[10]**	**0**	**29,7**	**30**	**29,2**	**26,5**	**22,7**	**15**	**1,9**	**0**	**27,7**	**27,7**
Источник шума: ИШ-6-8, координаты источника (x,y,z), м =[829.36,101.42,1.00]													
Уровни звуковой мощности источника днём, Lw, дБ		**исходные данные**	**0**	**96,3**	**97,7**	**99**	**99,3**	**98,9**	**95,6**	**91,4**	**86,9**		
Поправка на телесный угол DΩ, дБ	Ω = 12.57	10Lg(4π/Ω)	**0**	0	0	0	0	0	0	0	0		
Показатель направленности источника Di, дБ		исходные данные	**0**	0	0	0	0	0	0	0	0		
Поправка на направленность источника Dc, дБ	Dc	DΩ + Di	**0**	0	0	0	0	0	0	0	0		

1		2	3	4	5	6	7	8	9	10	11	12	13
Затухание из-за геометрической дивергенции, Adiv, дБ	расстояние = 431.27 м	ф-ла (7) [10]	**63,7**										
Коэффициент затухания звука в атмосфере α, дБ/км	Ta=20,°C Pa=101.33,кПа hотн.=70%	ф-ла (5) [9]	0,02	0,09	0,33	1,12	2,79	4,98	9,04	23,09	77,63		
Учет затухания звука в атмосфере Aatm, дБ		ф-ла (8) [10]	0	0	0,1	0,5	1,2	2,1	3,9	10	33,5		
Снижение уровня звукового давления из-за влияния застройки между источником шума и расчетной точкой													
Снижение уровня звукового давления на пути над экраном, Dz1, дБ	z = 0.60м (разность путей)	ф-лы (14-18) [10]	5,4	6	7,2	9,5	13	16,5	19,6	22,6	25,6		
Снижение уровня звукового давления на пути слева от экрана, Dz2, дБ	z = 0.07м (разность путей)	ф-лы (14-18) [10]	5,1	5,4	6	7	8,4	10,4	12,7	15,4	18,2		
Снижение уровня звукового давления на пути справа от экрана, Dz3, дБ	z = 75.21м (разность путей)	ф-лы (14-18) [10]	28,3	32	35,1	38,2	41,2	44,2	47,3	50,3	53,3		
Общее снижение уровня звука препятствием Dz, дБ		Эн.сумма(-Dzi)	2,2	2,7	3,5	5	7,1	9,4	11,9	14,6	17,5		
Уровни звукового давления от источника ИШ-6-8 в расчётной точке днём, дБ		**ф-ла(3)[10]**	**0**	**29,9**	**30,3**	**29,8**	**27,3**	**23,6**	**16,1**	**3,1**	**0**	**28,5**	**28,5**
Источник шума: ИШ-6-9, координаты источника (x,y,z), м =[828.03,98.62,1.00]													
Уровни звуковой мощности источника днём, Lw, дБ		**исходные данные**	**0**	**96,3**	**97,7**	**99**	**99,3**	**98,9**	**95,6**	**91,4**	**86,9**		
Поправка на телесный угол DΩ, дБ	Ω = 12.57	10Lg(4π/Ω)	**0**	0	0	0	0	0	0	0	0		
Показатель направленности источника Di, дБ		исходные данные	**0**	0	0	0	0	0	0	0	0		
Поправка на направленность источника Dc, дБ	Dc	DΩ + Di	**0**	0	0	0	0	0	0	0	0		
Затухание из-за геометрической дивергенции, Adiv, дБ	расстояние = 429.58 м	ф-ла (7) [10]	**63,7**										
Коэффициент затухания звука в атмосфере α, дБ/км	Ta=20,°C Pa=101.33,кПа hотн.=70%	ф-ла (5) [9]	0,02	0,09	0,33	1,12	2,79	4,98	9,04	23,09	77,63		

1		2	3	4	5	6	7	8	9	10	11	12	13
Учет затухания звука в атмосфере Aatm, дБ		ф-ла (8) [10]	0	0	0,1	0,5	1,2	2,1	3,9	9,9	33,3		
Снижение уровня звукового давления из-за влияния застройки между источником шума и расчетной точкой													
Снижение уровня звукового давления на пути над экраном, Dz1, дБ	z = 0.59м (разность путей)	ф-лы (14-18) [10]	5,4	6	7,1	9,2	12,6	16,2	19,5	22,5	25,5		
Снижение уровня звукового давления на пути слева от экрана, Dz2, дБ	z = 0.05м (разность путей)	ф-лы (14-18) [10]	5	5,2	5,7	6,4	7,6	9,3	11,5	14	16,7		
Снижение уровня звукового давления на пути справа от экрана, Dz3, дБ	z = 76.35м (разность путей)	ф-лы (14-18) [10]	28,4	32	35,2	38,3	41,3	44,3	47,3	50,3	53,3		
Общее снижение уровня звука препятствием Dz, дБ		Эн.сумма(-Dzi)	2,2	2,6	3,3	4,6	6,4	8,5	10,8	13,4	16,2		
Уровни звукового давления от источника ИШ-6-9 в расчётной точке днём, дБ		**ф-ла(3)[10]**	**0**	**30**	**30,6**	**30,3**	**28**	**24,6**	**17,2**	**4,4**	**0**	**29,3**	**29,3**
Источник шума: ИШ-6-10, координаты источника (x,y,z), м =[827.23,95.55,1.00]													
Уровни звуковой мощности источника днём, Lw, дБ		**исходные данные**	**0**	**96,3**	**97,7**	**99**	**99,3**	**98,9**	**95,6**	**91,4**	**86,9**		
Поправка на телесный угол DΩ, дБ	Ω = 12.57	10Lg(4π/Ω)	**0**	0	0	0	0	0	0	0	0		
Показатель направленности источника Di, дБ		исходные данные	**0**	0	0	0	0	0	0	0	0		
Поправка на направленность источника Dc, дБ	Dc	DΩ + Di	**0**	0	0	0	0	0	0	0	0		
Затухание из-за геометрической дивергенции, Adiv, дБ	расстояние = 428.40 м	ф-ла (7) [10]	**63,6**										
Коэффициент затухания звука в атмосфере α, дБ/км	Ta=20,°C Pa=101.33,кПа hотн.=70%	ф-ла (5) [9]	0,02	0,09	0,33	1,12	2,79	4,98	9,04	23,09	77,63		
Учет затухания звука в атмосфере Aatm, дБ		ф-ла (8) [10]	0	0	0,1	0,5	1,2	2,1	3,9	9,9	33,3		
Снижение уровня звукового давления из-за влияния застройки между источником шума и расчетной точкой													

1		2	3	4	5	6	7	8	9	10	11	12	13
Снижение уровня звукового давления на пути над экраном, Dz1, дБ	z = 0.59м (разность путей)	ф-лы (14-18) [10]	5,4	5,9	7	8,9	12,1	15,9	19,3	22,4	25,4		
Снижение уровня звукового давления на пути слева от экрана, Dz2, дБ	z = 0.03м (разность путей)	ф-лы (14-18) [10]	4,9	5,1	5,3	5,8	6,7	8	9,8	12,1	14,7		
Снижение уровня звукового давления на пути справа от экрана, Dz3, дБ	z = 77.61м (разность путей)	ф-лы (14-18) [10]	28,4	32,1	35,3	38,3	41,4	44,4	47,4	50,4	53,4		
Общее снижение уровня звука препятствием Dz, дБ		Эн.сумма(-Dzi)	2,1	2,5	3,1	4,1	5,6	7,4	9,4	11,7	14,4		
Уровни звукового давления прямого звука от источника ИШ-6-10 в расчётной точке днём, дБ		**ф-ла(3)[10]**	**0**	**30,2**	**30,9**	**30,8**	**28,9**	**25,8**	**18,7**	**6,1**	**0**	**30,2**	**30,2**
Расчёт отражённого звука													
Уровни звукового давления от мнимого источника ИШ-6-10_мн.(1) в расчётной точке днём, дБ		**ф-ла(3)[10]**	**0**	**0**	**27,8**	**19**	**19,7**	**29,4**	**27,1**	**16,8**	**0**	**32,3**	**32,3**
Уровни звукового давления от источника ИШ-6-10 в расчётной точке днём, дБ		**ф-ла(3)[10]**	**0**	**30,2**	**32,6**	**31,1**	**29,4**	**31**	**27,7**	**17,2**	**0**	**34,4**	**34,4**
Источник шума: ИШ-6-11, координаты источника (x,y,z), м =[826.30,92.48,1.00]													
Уровни звуковой мощности источника днём, Lw, дБ		**исходные данные**	**0**	**96,3**	**97,7**	**99**	**99,3**	**98,9**	**95,6**	**91,4**	**86,9**		
Поправка на телесный угол DΩ, дБ	Ω = 12.57	10Lg(4π/Ω)	**0**	0	0	0	0	0	0	0	0		
Показатель направленности источника Di, дБ		исходные данные	**0**	0	0	0	0	0	0	0	0		
Поправка на направленность источника Dc, дБ	Dc	DΩ + Di	**0**	0	0	0	0	0	0	0	0		
Затухание из-за геометрической дивергенции, Adiv, дБ	расстояние = 427.11 м	ф-ла (7) [10]	**63,6**										
Коэффициент затухания звука в атмосфере α, дБ/км	Та=20,°С Ра=101.33,кПа hотн.=70%	ф-ла (5) [9]	0,02	0,09	0,33	1,12	2,79	4,98	9,04	23,09	77,63		
Учет затухания звука в атмосфере Aatm, дБ		ф-ла (8) [10]	0	0	0,1	0,5	1,2	2,1	3,9	9,9	33,2		

1		2	3	4	5	6	7	8	9	10	11	12	13
Снижение уровня звукового давления из-за влияния застройки между источником шума и расчетной точкой													
Снижение уровня звукового давления на пути над экраном, Dz1, дБ	z = 0.58м (разность путей)	ф-лы (14-18) [10]	5,4	5,9	6,8	8,5	11,4	15,3	19	22,2	25,3		
Снижение уровня звукового давления на пути слева от экрана, Dz2, дБ	z = 0.01м (разность путей)	ф-лы (14-18) [10]	4,8	4,9	5,1	5,3	5,8	6,7	8	9,9	12,2		
Снижение уровня звукового давления на пути справа от экрана, Dz3, дБ	z = 78.91м (разность путей)	ф-лы (14-18) [10]	28,5	32,2	35,3	38,4	41,4	44,4	47,5	50,5	53,5		
Общее снижение уровня звука препятствием Dz, дБ		Эн.сумма(-Dzi)	2,1	2,4	2,9	3,6	4,8	6,1	7,7	9,6	12		
Уровни звукового давления прямого звука от источника ИШ-6-11 в расчётной точке днём, дБ		**ф-ла(3)[10]**	**0**	**30,3**	**31,1**	**31,3**	**29,7**	**27**	**20,4**	**8,3**	**0**	**31,2**	**31,2**
Расчёт отражённого звука													
Уровни звукового давления от мнимого источника ИШ-6-11_мн.(1) в расчётной точке днём, дБ		**ф-ла(3)[10]**	**0**	**37,1**	**27,8**	**19**	**19,7**	**29,5**	**27,1**	**16,9**	**0**	**32,3**	**32,3**
Уровни звукового давления от источника ИШ-6-11 в расчётной точке днём, дБ		**ф-ла(3)[10]**	**0**	**37,9**	**32,8**	**31,5**	**30,1**	**31,4**	**28**	**17,5**	**0**	**34,8**	**34,8**
Источник шума: ИШ-6-12, координаты источника (x,y,z), м =[825.09,89.54,1.00]													
Уровни звуковой мощности источника днём, Lw, дБ		**исходные данные**	**0**	**96,3**	**97,7**	**99**	**99,3**	**98,9**	**95,6**	**91,4**	**86,9**		
Поправка на телесный угол DΩ, дБ	Ω = 12.57	10Lg(4π/Ω)	**0**	0	0	0	0	0	0	0	0		
Показатель направленности источника Di, дБ		исходные данные	**0**	0	0	0	0	0	0	0	0		
Поправка на направленность источника Dc, дБ	Dc	DΩ + Di	**0**	0	0	0	0	0	0	0	0		
Затухание из-за геометрической дивергенции, Adiv, дБ	расстояние = 425.59 м	ф-ла (7) [10]	**63,6**										
Коэффициент затухания звука в атмосфере α, дБ/км	Ta=20,°C Pa=101.33,кПа hотн.=70%	ф-ла (5) [9]	0,02	0,09	0,33	1,12	2,79	4,98	9,04	23,09	77,63		

1		2	3	4	5	6	7	8	9	10	11	12	13
Учет затухания звука в атмосфере Aatm, дБ		ф-ла (8) [10]	0	0	0,1	0,5	1,2	2,1	3,8	9,8	33		
Снижение уровня звукового давления из-за влияния застройки между источником шума и расчетной точкой													
Снижение уровня звукового давления на пути над экраном, Dz1, дБ	z = 0.57м (разность путей)	ф-лы (14-18) [10]	5,4	5,9	6,8	8,2	10,6	14,3	18,4	22	25,1		
Снижение уровня звукового давления на пути слева от экрана, Dz2, дБ	z = 0.01м (разность путей)	ф-лы (14-18) [10]	4,8	4,8	4,9	5	5,2	5,6	6,3	7,4	9,1		
Снижение уровня звукового давления на пути справа от экрана, Dz3, дБ	z = 80.20м (разность путей)	ф-лы (14-18) [10]	28,6	32,2	35,4	38,5	41,5	44,5	47,5	50,5	53,5		
Общее снижение уровня звука препятствием Dz, дБ		Эн.сумма(-Dzi)	2	2,3	2,7	3,3	4,1	5,1	6	7,3	9		
Уровни звукового давления прямого звука от источника ИШ-6-12 в расчётной точке днём, дБ		**ф-ла(3)[10]**	**0**	**30,4**	**31,3**	**31,6**	**30,4**	**28,1**	**22,1**	**10,7**	**0**	**32,2**	**32,2**
Расчёт отражённого звука													
Уровни звукового давления от мнимого источника ИШ-6-12_мн.(1) в расчётной точке днём, дБ		**ф-ла(3)[10]**	**0**	**37,2**	**27,9**	**19,1**	**19,7**	**29,5**	**27,2**	**17**	**0**	**32,4**	**32,4**
Уровни звукового давления от источника ИШ-6-12 в расчётной точке днём, дБ		**ф-ла(3)[10]**	**0**	**38**	**32,9**	**31,9**	**30,8**	**31,9**	**28,3**	**17,9**	**0**	**35,3**	**35,3**
Источник шума: ИШ-6-13, координаты источника (x,y,z), м =[767.76,-114.15,1.00]													
Уровни звуковой мощности источника днём, Lw, дБ		**исходные данные**	**0**	**96,3**	**97,7**	**99**	**99,3**	**98,9**	**95,6**	**91,4**	**86,9**		
Поправка на телесный угол DΩ, дБ	Ω = 12.57	10Lg(4π/Ω)	**0**	0	0	0	0	0	0	0	0		
Показатель направленности источника Di, дБ		исходные данные	**0**	0	0	0	0	0	0	0	0		
Поправка на направленность источника Dc, дБ	Dc	DΩ + Di	**0**	0	0	0	0	0	0	0	0		
Затухание из-за геометрической дивергенции, Adiv, дБ	расстояние = 398.13 м	ф-ла (7) [10]	**63**										

1		2	3	4	5	6	7	8	9	10	11	12	13
Коэффициент затухания звука в атмосфере α, дБ/км	Та=20,°С Ра=101.33,кПа hотн.=70%	ф-ла (5) [9]	0,02	0,09	0,33	1,12	2,79	4,98	9,04	23,09	77,63		
Учет затухания звука в атмосфере Aatm, дБ		ф-ла (8) [10]	0	0	0,1	0,4	1,1	2	3,6	9,2	30,9		
Снижение уровня звукового давления из-за влияния застройки между источником шума и расчетной точкой													
Снижение уровня звукового давления на пути над экраном, Dz1, дБ	z = 1.84м (разность путей)	ф-лы (14-18) [10]	11,9	14,9	17,8	20,7	23,7	26,7	29,7	32,7	35,7		
Снижение уровня звукового давления на пути слева от экрана, Dz2, дБ	z = 66.23м (разность путей)	ф-лы (14-18) [10]	28,3	31,6	34,6	37,7	40,7	43,7	46,7	49,7	52,7		
Снижение уровня звукового давления на пути справа от экрана, Dz3, дБ	z = 0.44м (разность путей)	ф-лы (14-18) [10]	6,7	8	9,8	12	14,6	17,4	20,3	23,2	26,2		
Общее снижение уровня звука препятствием Dz, дБ		Эн.сумма(-Dzi)	5,5	7,2	9,1	11,5	14,1	16,9	19,8	22,7	25,7		
Общее снижение уровня звука препятствием с учётом ограничения (25 дБ) для октавных полос Dz, дБ		Раздел 7.4 [10]	5,5	7,2	9,1	11,5	14,1	16,9	19,8	22,7	25		
Уровни звукового давления прямого звука от источника ИШ-6-13 в расчётной точке днём, дБ		**ф-ла(3)[10]**	**0**	**26,1**	**25,4**	**24,1**	**21,1**	**17**	**9,2**	**0**	**0**	**22,2**	**22,2**
Расчёт отражённого звука													
Уровни звукового давления от мнимого источника ИШ-6-13_мн.(1) в расчётной точке днём, дБ		**ф-ла(3)[10]**	**0**	**0**	**0**	**0**	**0**	**0**	**0**	**0**	**0**	**0**	**0**
Уровни звукового давления от мнимого источника ИШ-6-13_мн.(2) в расчётной точке днём, дБ		**ф-ла(3)[10]**	**0**	**0**	**0**	**0**	**0**	**0**	**0**	**0**	**0**	**0**	**0**
Суммарные уровни звукового давления от мнимых источников в расчётной точке днём, дБ		**ф-ла (19) [1]**	**0**	**0**	**0**	**0**	**0**	**0**	**0**	**0**	**0**	**0**	**0**
Уровни звукового давления от источника ИШ-6-13 в расчётной точке днём, дБ		**ф-ла(3)[10]**	**0**	**26,1**	**25,4**	**24,1**	**21,1**	**17**	**9,2**	**0**	**0**	**22,2**	**22,2**
Источник шума: ИШ-6-14, координаты источника (x,y,z), м =[766.82,-117.10,1.00]													
Уровни звуковой мощности источника днём, Lw, дБ		**исходные данные**	**0**	**96,3**	**97,7**	**99**	**99,3**	**98,9**	**95,6**	**91,4**	**86,9**		

1		2	3	4	5	6	7	8	9	10	11	12	13
Поправка на телесный угол DΩ, дБ	Ω = 12.57	10Lg(4π/Ω)	**0**	0	0	0	0	0	0	0	0		
Показатель направленности источника Di, дБ		исходные данные	**0**	0	0	0	0	0	0	0	0		
Поправка на направленность источника Dc, дБ	Dc	DΩ + Di	**0**	0	0	0	0	0	0	0	0		
Затухание из-за геометрической дивергенции, Adiv, дБ	расстояние = 398.44 м	ф-ла (7) [10]	**63**										
Коэффициент затухания звука в атмосфере α, дБ/км	Ta=20,°C Pa=101.33,кПа hотн.=70%	ф-ла (5) [9]	0,02	0,09	0,33	1,12	2,79	4,98	9,04	23,09	77,63		
Учет затухания звука в атмосфере Aatm, дБ		ф-ла (8) [10]	0	0	0,1	0,4	1,1	2	3,6	9,2	30,9		
Снижение уровня звукового давления из-за влияния застройки между источником шума и расчетной точкой													
Снижение уровня звукового давления на пути над экраном, Dz1, дБ	z = 1.99м (разность путей)	ф-лы (14-18) [10]	12,3	15,3	18,2	21,2	24,1	27,1	30,1	33,1	36,1		
Снижение уровня звукового давления на пути слева от экрана, Dz2, дБ	z = 65.68м (разность путей)	ф-лы (14-18) [10]	28,3	31,5	34,6	37,6	40,6	43,7	46,7	49,7	52,7		
Снижение уровня звукового давления на пути справа от экрана, Dz3, дБ	z = 0.60м (разность путей)	ф-лы (14-18) [10]	7,2	8,7	10,7	13,1	15,8	18,7	21,6	24,6	27,5		
Общее снижение уровня звука препятствием Dz, дБ		Эн.сумма(-Dzi)	6	7,8	10	12,5	15,2	18,1	21	24	27		
Общее снижение уровня звука препятствием с учётом ограничения (25 дБ) для октавных полос Dz, дБ		Раздел 7.4 [10]	6	7,8	10	12,5	15,2	18,1	21	24	25		
Уровни звукового давления прямого звука от источника ИШ-6-14 в расчётной точке днём, дБ		**ф-ла(3)[10]**	**0**	**25,4**	**24,6**	**23**	**20**	**15,8**	**8**	**0**	**0**	**21,1**	**21,1**
Расчёт отражённого звука													
Уровни звукового давления от мнимого источника ИШ-6-14_мн.(1) в расчётной точке днём, дБ		**ф-ла(3)[10]**	**0**	**0**	**0**	**0**	**0**	**0**	**0**	**0**	**0**	**0**	**0**
Уровни звукового давления от мнимого источника ИШ-6-14_мн.(2) в расчётной точке днём, дБ		**ф-ла(3)[10]**	**0**	**0**	**0**	**0**	**0**	**0**	**0**	**0**	**0**	**0**	**0**
Суммарные уровни звукового давления от мнимых источников в расчётной точке днём, дБ		**ф-ла (19) [1]**	**0**	**0**	**0**	**0**	**0**	**0**	**0**	**0**	**0**	**0**	**0**

1		2	3	4	5	6	7	8	9	10	11	12	13
Уровни звукового давления от источника ИШ-6-14 в расчётной точке днём, дБ		**ф-ла(3)[10]**	**0**	**25,4**	**24,6**	**23**	**20**	**15,8**	**8**	**0**	**0**	**21,1**	**21,1**
Источник шума: ИШ-6-15, координаты источника (x,y,z), м =[765.71,-120.27,1.00]													
Уровни звуковой мощности источника днём, Lw, дБ		**исходные данные**	**0**	**96,3**	**97,7**	**99**	**99,3**	**98,9**	**95,6**	**91,4**	**86,9**		
Поправка на телесный угол DΩ, дБ	Ω = 12.57	10Lg(4π/Ω)	**0**	0	0	0	0	0	0	0	0		
Показатель направленности источника Di, дБ		исходные данные	**0**	0	0	0	0	0	0	0	0		
Поправка на направленность источника Dc, дБ	Dc	DΩ + Di	**0**	0	0	0	0	0	0	0	0		
Затухание из-за геометрической дивергенции, Adiv, дБ	расстояние = 398.72 м	ф-ла (7) [10]	**63**										
Коэффициент затухания звука в атмосфере α, дБ/км	Ta=20,°C Pa=101.33,кПа hотн.=70%	ф-ла (5) [9]	0,02	0,09	0,33	1,12	2,79	4,98	9,04	23,09	77,63		
Учет затухания звука в атмосфере Aatm, дБ		ф-ла (8) [10]	0	0	0,1	0,4	1,1	2	3,6	9,2	31		
Снижение уровня звукового давления из-за влияния застройки между источником шума и расчетной точкой													
Снижение уровня звукового давления на пути над экраном, Dz1, дБ	z = 2.14м (разность путей)	ф-лы (14-18) [10]	12,6	15,7	18,6	21,6	24,5	27,5	30,5	33,5	36,5		
Снижение уровня звукового давления на пути слева от экрана, Dz2, дБ	z = 65.11м (разность путей)	ф-лы (14-18) [10]	28,2	31,5	34,6	37,6	40,6	43,6	46,6	49,6	52,6		
Снижение уровня звукового давления на пути справа от экрана, Dz3, дБ	z = 0.80м (разность путей)	ф-лы (14-18) [10]	7,8	9,5	11,7	14,2	17	19,9	22,8	25,8	28,8		
Общее снижение уровня звука препятствием Dz, дБ		Эн.сумма(-Dzi)	6,5	8,6	10,9	13,5	16,3	19,2	22,1	25,1	28,1		
Общее снижение уровня звука препятствием с учётом ограничения (25 дБ) для октавных полос Dz, дБ		Раздел 7.4 [10]	6,5	8,6	10,9	13,5	16,3	19,2	22,1	25	25		
Уровни звукового давления прямого звука от источника ИШ-6-15 в расчётной точке днём, дБ		**ф-ла(3)[10]**	**0**	**24,7**	**23,7**	**22**	**18,9**	**14,7**	**6,8**	**0**	**0**	**20,1**	**20,1**

1		2	3	4	5	6	7	8	9	10	11	12	13
Расчёт отражённого звука													
Уровни звукового давления от мнимого источника ИШ-6-15_мн.(1) в расчётной точке днём, дБ		**ф-ла(3)[10]**	**0**	**0**	**0**	**0**	**0**	**0**	**0**	**0**	**0**	**0**	**0**
Уровни звукового давления от источника ИШ-6-15 в расчётной точке днём, дБ		**ф-ла(3)[10]**	**0**	**24,7**	**23,7**	**22**	**18,9**	**14,7**	**6,8**	**0**	**0**	**20,1**	**20,1**
Источник шума: ИШ-6-16, координаты источника (x,y,z), м =[764.57,-123.22,1.00]													
Уровни звуковой мощности источника днём, Lw, дБ		**исходные данные**	**0**	**96,3**	**97,7**	**99**	**99,3**	**98,9**	**95,6**	**91,4**	**86,9**		
Поправка на телесный угол DΩ, дБ	Ω = 12.57	10Lg(4π/Ω)	**0**	0	0	0	0	0	0	0	0		
Показатель направленности источника Di, дБ		исходные данные	**0**	0	0	0	0	0	0	0	0		
Поправка на направленность источника Dc, дБ	Dc	DΩ + Di	**0**	0	0	0	0	0	0	0	0		
Затухание из-за геометрической дивергенции, Adiv, дБ	расстояние = 398.89 м	ф-ла (7) [10]	**63**										
Коэффициент затухания звука в атмосфере α, дБ/км	Ta=20,°C Pa=101.33,кПа hотн.=70%	ф-ла (5) [9]	0,02	0,09	0,33	1,12	2,79	4,98	9,04	23,09	77,63		
Учет затухания звука в атмосфере Aatm, дБ		ф-ла (8) [10]	0	0	0,1	0,4	1,1	2	3,6	9,2	31		
Снижение уровня звукового давления из-за влияния застройки между источником шума и расчетной точкой													
Снижение уровня звукового давления на пути над экраном, Dz1, дБ	z = 2.28м (разность путей)	ф-лы (14-18) [10]	13	16	19	21,9	24,9	27,9	30,9	33,9	36,9		
Снижение уровня звукового давления на пути слева от экрана, Dz2, дБ	z = 64.60м (разность путей)	ф-лы (14-18) [10]	28,2	31,5	34,5	37,6	40,6	43,6	46,6	49,6	52,6		
Снижение уровня звукового давления на пути справа от экрана, Dz3, дБ	z = 1.02м (разность путей)	ф-лы (14-18) [10]	8,3	10,2	12,5	15,2	18	20,9	23,8	26,8	29,8		
Общее снижение уровня звука препятствием Dz, дБ		Эн.сумма(-Dzi)	7	9,2	11,6	14,3	17,2	20,1	23	26	29		

1		2	3	4	5	6	7	8	9	10	11	12	13
Общее снижение уровня звука препятствием с учётом ограничения (25 дБ) для октавных полос Dz, дБ		Раздел 7.4 [10]	7	9,2	11,6	14,3	17,2	20,1	23	25	25		
Уровни звукового давления прямого звука от источника ИШ-6-16 в расчётной точке днём, дБ		**ф-ла(3)[10]**	**0**	**24,1**	**22,9**	**21,2**	**18**	**13,8**	**5,9**	**0**	**0**	**19,2**	**19,2**
Расчёт отражённого звука													
Уровни звукового давления от мнимого источника ИШ-6-16_мн.(1) в расчётной точке днём, дБ		**ф-ла(3)[10]**	**0**	**0**	**0**	**0**	**0**	**0**	**0**	**0**	**0**	**0**	**0**
Уровни звукового давления от мнимого источника ИШ-6-16_мн.(2) в расчётной точке днём, дБ		**ф-ла(3)[10]**	**0**	**0**	**0**	**0**	**0**	**0**	**0**	**0**	**0**	**0**	**0**
Суммарные уровни звукового давления от мнимых источников в расчётной точке днём, дБ		**ф-ла (19) [1]**	**0**	**0**	**0**	**0**	**0**	**0**	**0**	**0**	**0**	**0**	**0**
Уровни звукового давления от источника ИШ-6-16 в расчётной точке днём, дБ		**ф-ла(3)[10]**	**0**	**24,1**	**22,9**	**21,2**	**18**	**13,8**	**5,9**	**0**	**0**	**19,2**	**19,2**
Источник шума: ИШ-6-17, координаты источника (x,y,z), м =[763.57,-126.18,1.00]													
Уровни звуковой мощности источника днём, Lw, дБ		**исходные данные**	**0**	**96,3**	**97,7**	**99**	**99,3**	**98,9**	**95,6**	**91,4**	**86,9**		
Поправка на телесный угол DΩ, дБ	Ω = 12.57	10Lg(4π/Ω)	**0**	0	0	0	0	0	0	0	0		
Показатель направленности источника Di, дБ		исходные данные	**0**	0	0	0	0	0	0	0	0		
Поправка на направленность источника Dc, дБ	Dc	DΩ + Di	**0**	0	0	0	0	0	0	0	0		
Затухание из-за геометрической дивергенции, Adiv, дБ	расстояние = 399.23 м	ф-ла (7) [10]	**63**										
Коэффициент затухания звука в атмосфере α, дБ/км	Ta=20,°C Pa=101.33,кПа hотн.=70%	ф-ла (5) [9]	0,02	0,09	0,33	1,12	2,79	4,98	9,04	23,09	77,63		
Учет затухания звука в атмосфере Aatm, дБ		ф-ла (8) [10]	0	0	0,1	0,4	1,1	2	3,6	9,2	31		
Снижение уровня звукового давления из-за влияния застройки между источником шума и расчетной точкой													

1		2	3	4	5	6	7	8	9	10	11	12	13
Снижение уровня звукового давления на пути над экраном, Dz1, дБ	z = 2.42м (разность путей)	ф-лы (14-18) [10]	13,2	16,3	19,3	22,2	25,2	28,2	31,2	34,2	37,2		
Снижение уровня звукового давления на пути слева от экрана, Dz2, дБ	z = 64.12м (разность путей)	ф-лы (14-18) [10]	28,2	31,4	34,5	37,5	40,5	43,5	46,6	49,6	52,6		
Снижение уровня звукового давления на пути справа от экрана, Dz3, дБ	z = 1.26м (разность путей)	ф-лы (14-18) [10]	8,8	10,9	13,3	16	18,9	21,8	24,7	27,7	30,7		
Общее снижение уровня звука препятствием Dz, дБ		Эн.сумма(-Dzi)	7,5	9,8	12,3	15,1	17,9	20,9	23,8	26,8	29,8		
Общее снижение уровня звука препятствием с учётом ограничения (25 дБ) для октавных полос Dz, дБ		Раздел 7.4 [10]	7,5	9,8	12,3	15,1	17,9	20,9	23,8	25	25		
Уровни звукового давления прямого звука от источника ИШ-6-17 в расчётной точке днём, дБ		**ф-ла(3)[10]**	**0**	**23,5**	**22,2**	**20,5**	**17,2**	**13**	**5,1**	**0**	**0**	**18,4**	**18,4**
Расчёт отражённого звука													
Уровни звукового давления от мнимого источника ИШ-6-17_мн.(1) в расчётной точке днём, дБ		**ф-ла(3)[10]**	**0**	**0**	**0**	**0**	**0**	**0**	**0**	**0**	**0**	**0**	**0**
Уровни звукового давления от мнимого источника ИШ-6-17_мн.(2) в расчётной точке днём, дБ		**ф-ла(3)[10]**	**0**	**0**	**0**	**0**	**0**	**0**	**0**	**0**	**0**	**0**	**0**
Суммарные уровни звукового давления от мнимых источников в расчётной точке днём, дБ		**ф-ла (19) [1]**	**0**	**0**	**0**	**0**	**0**	**0**	**0**	**0**	**0**	**0**	**0**
Уровни звукового давления от источника ИШ-6-17 в расчётной точке днём, дБ		**ф-ла(3)[10]**	**0**	**23,5**	**22,2**	**20,5**	**17,2**	**13**	**5,1**	**0**	**0**	**18,4**	**18,4**
Источник шума: ИШ-6-18, координаты источника (x,y,z), м =[804.77,-126.28,1.00]													
Уровни звуковой мощности источника днём, Lw, дБ		**исходные данные**	**0**	**96,3**	**97,7**	**99**	**99,3**	**98,9**	**95,6**	**91,4**	**86,9**		
Поправка на телесный угол DΩ, дБ	Ω = 12.57	10Lg(4π/Ω)	**0**	0	0	0	0	0	0	0	0		
Показатель направленности источника Di, дБ		исходные данные	**0**	0	0	0	0	0	0	0	0		
Поправка на направленность источника Dc, дБ	Dc	DΩ + Di	**0**	0	0	0	0	0	0	0	0		
Затухание из-за геометрической дивергенции, Adiv, дБ	расстояние = 436.93 м	ф-ла (7) [10]	**63,8**										

1		2	3	4	5	6	7	8	9	10	11	12	13
Коэффициент затухания звука в атмосфере α, дБ/км	Ta=20,°C Pa=101.33,кПа hотн.=70%	ф-ла (5) [9]	0,02	0,09	0,33	1,12	2,79	4,98	9,04	23,09	77,63		
Учет затухания звука в атмосфере Aatm, дБ		ф-ла (8) [10]	0	0	0,1	0,5	1,2	2,2	3,9	10,1	33,9		
Снижение уровня звукового давления из-за влияния застройки между источником шума и расчетной точкой													
Снижение уровня звукового давления на пути над экраном, Dz1, дБ	z = 1.67м (разность путей)	ф-лы (14-18) [10]	11,3	14,2	17	19,9	22,9	25,9	28,9	31,9	34,9		
Снижение уровня звукового давления на пути слева от экрана, Dz2, дБ	z = 66.23м (разность путей)	ф-лы (14-18) [10]	28,3	31,6	34,6	37,7	40,7	43,7	46,7	49,7	52,7		
Снижение уровня звукового давления на пути справа от экрана, Dz3, дБ	z = 0.27м (разность путей)	ф-лы (14-18) [10]	6	7	8,5	10,4	12,8	15,5	18,3	21,2	24,2		
Общее снижение уровня звука препятствием Dz, дБ		Эн.сумма(-Dzi)	4,9	6,2	7,9	10	12,4	15,1	17,9	20,8	23,8		
Уровни звукового давления от источника ИШ-6-18 в расчётной точке днём, дБ		**ф-ла(3)[10]**	**0**	**26,2**	**25,8**	**24,7**	**21,9**	**17,8**	**9,9**	**0**	**0**	**23**	**23**
Источник шума: ИШ-6-19, координаты источника (x,y,z), м =[803.81,-129.30,1.00]													
Уровни звуковой мощности источника днём, Lw, дБ		**исходные данные**	**0**	**96,3**	**97,7**	**99**	**99,3**	**98,9**	**95,6**	**91,4**	**86,9**		
Поправка на телесный угол DΩ, дБ	Ω = 12.57	10Lg(4π/Ω)	**0**	0	0	0	0	0	0	0	0		
Показатель направленности источника Di, дБ		исходные данные	**0**	0	0	0	0	0	0	0	0		
Поправка на направленность источника Dc, дБ	Dc	DΩ + Di	**0**	0	0	0	0	0	0	0	0		
Затухание из-за геометрической дивергенции, Adiv, дБ	расстояние = 437.23 м	ф-ла (7) [10]	**63,8**										
Коэффициент затухания звука в атмосфере α, дБ/км	Ta=20,°C Pa=101.33,кПа hотн.=70%	ф-ла (5) [9]	0,02	0,09	0,33	1,12	2,79	4,98	9,04	23,09	77,63		
Учет затухания звука в атмосфере Aatm, дБ		ф-ла (8) [10]	0	0	0,1	0,5	1,2	2,2	4	10,1	33,9		

1		2	3	4	5	6	7	8	9	10	11	12	13
Снижение уровня звукового давления из-за влияния застройки между источником шума и расчетной точкой													
Снижение уровня звукового давления на пути над экраном, Dz1, дБ	z = 1.81м (разность путей)	ф-лы (14-18) [10]	11,7	14,6	17,5	20,4	23,4	26,4	29,3	32,4	35,4		
Снижение уровня звукового давления на пути слева от экрана, Dz2, дБ	z = 65.74м (разность путей)	ф-лы (14-18) [10]	28,3	31,6	34,6	37,6	40,6	43,7	46,7	49,7	52,7		
Снижение уровня звукового давления на пути справа от экрана, Dz3, дБ	z = 0.39м (разность путей)	ф-лы (14-18) [10]	6,5	7,7	9,4	11,6	14,1	16,9	19,8	22,7	25,7		
Общее снижение уровня звука препятствием Dz, дБ		Эн.сумма(-Dzi)	5,3	6,9	8,8	11,1	13,6	16,4	19,3	22,2	25,2		
Общее снижение уровня звука препятствием с учётом ограничения (25 дБ) для октавных полос Dz, дБ		Раздел 7.4 [10]	5,3	6,9	8,8	11,1	13,6	16,4	19,3	22,2	25		
Уровни звукового давления от источника ИШ-6-19 в расчётной точке днём, дБ		**ф-ла(3)[10]**	**0**	**25,6**	**25**	**23,6**	**20,6**	**16,5**	**8,5**	**0**	**0**	**21,8**	**21,8**
Источник шума: ИШ-6-20, координаты источника (x,y,z), м =[802.67,-132.35,1.00]													
Уровни звуковой мощности источника днём, Lw, дБ		**исходные данные**	**0**	**96,3**	**97,7**	**99**	**99,3**	**98,9**	**95,6**	**91,4**	**86,9**		
Поправка на телесный угол DΩ, дБ	Ω = 12.57	10Lg(4π/Ω)	**0**	0	0	0	0	0	0	0	0		
Показатель направленности источника Di, дБ		исходные данные	**0**	0	0	0	0	0	0	0	0		
Поправка на направленность источника Dc, дБ	Dc	DΩ + Di	**0**	0	0	0	0	0	0	0	0		
Затухание из-за геометрической дивергенции, Adiv, дБ	расстояние = 437.40 м	ф-ла (7) [10]	**63,8**										
Коэффициент затухания звука в атмосфере α, дБ/км	Ta=20,°C Pa=101.33,кПа hотн.=70%	ф-ла (5) [9]	0,02	0,09	0,33	1,12	2,79	4,98	9,04	23,09	77,63		
Учет затухания звука в атмосфере Aatm, дБ		ф-ла (8) [10]	0	0	0,1	0,5	1,2	2,2	4	10,1	34		
Снижение уровня звукового давления из-за влияния застройки между источником шума и расчетной точкой													

1		2	3	4	5	6	7	8	9	10	11	12	13
Снижение уровня звукового давления на пути над экраном, Dz1, дБ	z = 1.95м (разность путей)	ф-лы (14-18) [10]	12	15	17,9	20,8	23,8	26,8	29,8	32,8	35,8		
Снижение уровня звукового давления на пути слева от экрана, Dz2, дБ	z = 65.25м (разность путей)	ф-лы (14-18) [10]	28,2	31,5	34,6	37,6	40,6	43,6	46,6	49,6	52,7		
Снижение уровня звукового давления на пути справа от экрана, Dz3, дБ	z = 0.53м (разность путей)	ф-лы (14-18) [10]	6,9	8,4	10,3	12,7	15,3	18,1	21	24	27		
Общее снижение уровня звука препятствием Dz, дБ		Эн.сумма(-Dzi)	5,8	7,5	9,6	12	14,7	17,6	20,5	23,5	26,4		
Общее снижение уровня звука препятствием с учётом ограничения (25 дБ) для октавных полос Dz, дБ		Раздел 7.4 [10]	5,8	7,5	9,6	12	14,7	17,6	20,5	23,5	25		
Уровни звукового давления прямого звука от источника ИШ-6-20 в расчётной точке днём, дБ		**ф-ла(3)[10]**	**0**	**24,9**	**24,1**	**22,6**	**19,5**	**15,3**	**7,3**	**0**	**0**	**20,7**	**20,7**
Расчёт отражённого звука													
Уровни звукового давления от мнимого источника ИШ-6-20_мн.(1) в расчётной точке днём, дБ		**ф-ла(3)[10]**	**0**	**0**	**0**	**0**	**0**	**0**	**0**	**0**	**0**	**0**	**0**
Уровни звукового давления от источника ИШ-6-20 в расчётной точке днём, дБ		**ф-ла(3)[10]**	**0**	**24,9**	**24,1**	**22,6**	**19,5**	**15,3**	**7,3**	**0**	**0**	**20,7**	**20,7**
Источник шума: ИШ-6-21, координаты источника (x,y,z), м =[801.69,-135.42,1.00]													
Уровни звуковой мощности источника днём, Lw, дБ		**исходные данные**	**0**	**96,3**	**97,7**	**99**	**99,3**	**98,9**	**95,6**	**91,4**	**86,9**		
Поправка на телесный угол DΩ, дБ	Ω = 12.57	10Lg(4π/Ω)	**0**	0	0	0	0	0	0	0	0		
Показатель направленности источника Di, дБ		исходные данные	**0**	0	0	0	0	0	0	0	0		
Поправка на направленность источника Dc, дБ	Dc	DΩ + Di	**0**	0	0	0	0	0	0	0	0		
Затухание из-за геометрической дивергенции, Adiv, дБ	расстояние = 437.74 м	ф-ла (7) [10]	**63,8**										
Коэффициент затухания звука в атмосфере α, дБ/км	Ta=20,°C Pa=101.33,кПа hотн.=70%	ф-ла (5) [9]	0,02	0,09	0,33	1,12	2,79	4,98	9,04	23,09	77,63		

1		2	3	4	5	6	7	8	9	10	11	12	13
Учет затухания звука в атмосфере Aatm, дБ		ф-ла (8) [10]	0	0	0,1	0,5	1,2	2,2	4	10,1	34		
Снижение уровня звукового давления из-за влияния застройки между источником шума и расчетной точкой													
Снижение уровня звукового давления на пути над экраном, Dz1, дБ	z = 2.08м (разность путей)	ф-лы (14-18) [10]	12,4	15,4	18,3	21,2	24,2	27,2	30,2	33,2	36,2		
Снижение уровня звукового давления на пути слева от экрана, Dz2, дБ	z = 64.79м (разность путей)	ф-лы (14-18) [10]	28,2	31,5	34,5	37,6	40,6	43,6	46,6	49,6	52,6		
Снижение уровня звукового давления на пути справа от экрана, Dz3, дБ	z = 0.68м (разность путей)	ф-лы (14-18) [10]	7,4	9,1	11,2	13,6	16,4	19,2	22,1	25,1	28,1		
Общее снижение уровня звука препятствием Dz, дБ		Эн.сумма(-Dzi)	6,2	8,1	10,4	12,9	15,7	18,6	21,5	24,5	27,5		
Общее снижение уровня звука препятствием с учётом ограничения (25 дБ) для октавных полос Dz, дБ		Раздел 7.4 [10]	6,2	8,1	10,4	12,9	15,7	18,6	21,5	24,5	25		
Уровни звукового давления прямого звука от источника ИШ-6-21 в расчётной точке днём, дБ		**ф-ла(3)[10]**	**0**	**24,3**	**23,3**	**21,8**	**18,6**	**14,3**	**6,3**	**0**	**0**	**19,7**	**19,7**
Расчёт отражённого звука													
Уровни звукового давления от мнимого источника ИШ-6-21_мн.(1) в расчётной точке днём, дБ		**ф-ла(3)[10]**	**0**	**0**	**0**	**0**	**0**	**0**	**0**	**0**	**0**	**0**	**0**
Уровни звукового давления от источника ИШ-6-21 в расчётной точке днём, дБ		**ф-ла(3)[10]**	**0**	**24,3**	**23,3**	**21,8**	**18,6**	**14,3**	**6,3**	**0**	**0**	**19,7**	**19,7**
Источник шума: ИШ-6-22, координаты источника (x,y,z), м =[800.65,-138.47,1.00]													
Уровни звуковой мощности источника днём, Lw, дБ		**исходные данные**	**0**	**96,3**	**97,7**	**99**	**99,3**	**98,9**	**95,6**	**91,4**	**86,9**		
Поправка на телесный угол DΩ, дБ	Ω = 12.57	10Lg(4π/Ω)	**0**	0	0	0	0	0	0	0	0		
Показатель направленности источника Di, дБ		исходные данные	**0**	0	0	0	0	0	0	0	0		
Поправка на направленность источника Dc, дБ	Dc	DΩ + Di	**0**	0	0	0	0	0	0	0	0		
Затухание из-за геометрической дивергенции, Adiv, дБ	расстояние = 438.04 м	ф-ла (7) [10]	**63,8**										

1		2	3	4	5	6	7	8	9	10	11	12	13
Коэффициент затухания звука в атмосфере α, дБ/км	Та=20,°С Ра=101.33,кПа hотн.=70%	ф-ла (5) [9]	0,02	0,09	0,33	1,12	2,79	4,98	9,04	23,09	77,63		
Учет затухания звука в атмосфере Aatm, дБ		ф-ла (8) [10]	0	0	0,1	0,5	1,2	2,2	4	10,1	34		
Снижение уровня звукового давления из-за влияния застройки между источником шума и расчетной точкой													
Снижение уровня звукового давления на пути над экраном, Dz1, дБ	z = 2.21м (разность путей)	ф-лы (14-18) [10]	12,7	15,7	18,6	21,6	24,5	27,5	30,5	33,5	36,5		
Снижение уровня звукового давления на пути слева от экрана, Dz2, дБ	z = 64.36м (разность путей)	ф-лы (14-18) [10]	28,2	31,5	34,5	37,5	40,6	43,6	46,6	49,6	52,6		
Снижение уровня звукового давления на пути справа от экрана, Dz3, дБ	z = 0.86м (разность путей)	ф-лы (14-18) [10]	7,9	9,7	11,9	14,5	17,3	20,2	23,1	26,1	29,1		
Общее снижение уровня звука препятствием Dz, дБ		Эн.сумма(-Dzi)	6,6	8,7	11,1	13,7	16,5	19,4	22,4	25,4	28,4		
Общее снижение уровня звука препятствием с учётом ограничения (25 дБ) для октавных полос Dz, дБ		Раздел 7.4 [10]	6,6	8,7	11,1	13,7	16,5	19,4	22,4	25	25		
Уровни звукового давления прямого звука от источника ИШ-6-22 в расчётной точке днём, дБ		**ф-ла(3)[10]**	**0**	**23,7**	**22,6**	**21**	**17,7**	**13,5**	**5,4**	**0**	**0**	**18,9**	**18,9**
Расчёт отражённого звука													
Уровни звукового давления от мнимого источника ИШ-6-22_мн.(1) в расчётной точке днём, дБ		**ф-ла(3)[10]**	**0**	**0**	**0**	**0**	**0**	**0**	**0**	**0**	**0**	**0**	**0**
Уровни звукового давления от источника ИШ-6-22 в расчётной точке днём, дБ		**ф-ла(3)[10]**	**0**	**23,7**	**22,6**	**21**	**17,7**	**13,5**	**5,4**	**0**	**0**	**18,9**	**18,9**
Источник шума: ИШ-7-1, координаты источника (x,y,z), м =[821.44,63.31,1.00]													
Уровни звуковой мощности источника днём, Lw, дБ		**исходные данные**	**77**	**75**	**67**	**66**	**63**	**55**	**53**	**48**	**51**		
Поправка на телесный угол DΩ, дБ	Ω = 12.57	10Lg(4π/Ω)	**0**	0	0	0	0	0	0	0	0		
Показатель направленности источника Di, дБ		исходные данные	**0**	0	0	0	0	0	0	0	0		

1		2	3	4	5	6	7	8	9	10	11	12	13
Поправка на направленность источника Dc, дБ	Dc	DΩ + Di	**0**	0	0	0	0	0	0	0	0		
Затухание из-за геометрической дивергенции, Adiv, дБ	расстояние = 419.88 м	ф-ла (7) [10]	**63,5**										
Коэффициент затухания звука в атмосфере α, дБ/км	Ta=20,°C Pa=101.33,кПа hотн.=70%	ф-ла (5) [9]	0,02	0,09	0,33	1,12	2,79	4,98	9,04	23,09	77,63		
Учет затухания звука в атмосфере Aatm, дБ		ф-ла (8) [10]	0	0	0,1	0,5	1,2	2,1	3,8	9,7	32,6		
Снижение поверхностью земли возле источника As, дБ	Gs = 0 hs = 1м	ф-лы таб.3 [10]	-1,5	-1,5	-1,5	-1,5	-1,5	-1,5	-1,5	-1,5	-1,5		
Снижение поверхностью земли возле приёмника Ar, дБ	Gr = 1 hr = 1.5м	ф-лы таб.3 [10]	-1,5	-1,5	2,5	7	5	0,7	0	0	0		
Снижение поверхностью земли в средней зоне, Am дБ	Gm = 1	ф-лы таб.3 [10]	-2,5	-2,5	0	0	0	0	0	0	0		
Суммарное снижение поверхностью земли на траектории распространения звука Agr, дБ		ф-ла (9) [10]	-5,5	-5,5	1	5,5	3,5	-0,8	-1,5	-1,5	-1,5		
Уровни звукового давления прямого звука от источника ИШ-7-1 в расчётной точке днём, дБ		**ф-ла(3)[10]**	**19**	**17**	**2,4**	**0**	**0**	**0**	**0**	**0**	**0**	**0**	**0**
Расчёт отражённого звука													
Уровни звукового давления от мнимого источника ИШ-7-1_мн.(1) в расчётной точке днём, дБ		**ф-ла(3)[10]**	**0**	**16**	**0**	**0**	**0**	**0**	**0**	**0**	**0**	**0**	**0**
Уровни звукового давления от источника ИШ-7-1 в расчётной точке днём, дБ		**ф-ла(3)[10]**	**19**	**19,5**	**2,4**	**0**	**0**	**0**	**0**	**0**	**0**	**0**	**0**
Источник шума: ИШ-7-2, координаты источника (x,y,z), м =[768.90,-86.75,1.00]													
Уровни звуковой мощности источника днём, Lw, дБ		**исходные данные**	**77**	**75**	**67**	**66**	**63**	**55**	**53**	**48**	**51**		
Поправка на телесный угол DΩ, дБ	Ω = 12.57	10Lg(4π/Ω)	**0**	0	0	0	0	0	0	0	0		
Показатель направленности источника Di, дБ		исходные данные	**0**	0	0	0	0	0	0	0	0		

1		2	3	4	5	6	7	8	9	10	11	12	13
Поправка на направленность источника Dc, дБ	Dc	DΩ + Di	**0**	0	0	0	0	0	0	0	0		
Затухание из-за геометрической дивергенции, Adiv, дБ	расстояние = 389.19 м	ф-ла (7) [10]	**62,8**										
Коэффициент затухания звука в атмосфере α, дБ/км	Ta=20,°C Pa=101.33,кПа hотн.=70%	ф-ла (5) [9]	0,02	0,09	0,33	1,12	2,79	4,98	9,04	23,09	77,63		
Учет затухания звука в атмосфере Aatm, дБ		ф-ла (8) [10]	0	0	0,1	0,4	1,1	1,9	3,5	9	30,2		
Снижение уровня звукового давления из-за влияния застройки между источником шума и расчетной точкой													
Снижение уровня звукового давления препятствием слева от трассы ИШ-РТ, Dz2, дБ	z = -0.03м (разность путей)	ф-лы (14-18) [10]	4,6	4,5	4,2	3,5	1,8	0	NAN	NAN	NAN		
* отрицательное значение z означает прохождение траектории вблизи экрана, в этом случае дополнительно производится учёт снижения подстилающей поверхностью (см.ниже)													
Снижение поверхностью земли возле источника As, дБ	Gs = 0 hs = 1м	ф-лы таб.3 [10]	-1,5	-1,5	-1,5	-1,5	-1,5	-1,5	-1,5	-1,5	-1,5		
Снижение поверхностью земли возле приёмника Ar, дБ	Gr = 1 hr = 1.5м	ф-лы таб.3 [10]	-1,5	-1,5	2,3	7	5	0,7	0	0	0		
Снижение поверхностью земли в средней зоне, Am дБ	Gm = 1	ф-лы таб.3 [10]	-2,4	-2,4	0	0	0	0	0	0	0		
Суммарное снижение поверхностью земли на траектории распространения звука Agr, дБ		ф-ла (9) [10]	-5,4	-5,4	0,8	5,5	3,5	-0,8	-1,5	-1,5	-1,5		
Уровни звукового давления от источника ИШ-7-2 в расчётной точке днём, дБ		**ф-ла(3)[10]**	**15**	**13,1**	**0**	**0**	**0**	**0**	**0**	**0**	**0**	**0**	**0**
Источник шума: ИШ-7-3, координаты источника (x,y,z), м =[766.80,-93.20,1.00]													
Уровни звуковой мощности источника днём, Lw, дБ		**исходные данные**	**77**	**75**	**67**	**66**	**63**	**55**	**53**	**48**	**51**		
Поправка на телесный угол DΩ, дБ	Ω = 12.57	10Lg(4π/Ω)	**0**	0	0	0	0	0	0	0	0		
Показатель направленности источника Di, дБ		исходные данные	**0**	0	0	0	0	0	0	0	0		
Поправка на направленность источника Dc, дБ	Dc	DΩ + Di	**0**	0	0	0	0	0	0	0	0		

1		2	3	4	5	6	7	8	9	10	11	12	13
Затухание из-за геометрической дивергенции, Adiv, дБ	расстояние = 389.43 м	ф-ла (7) [10]	**62,8**										
Коэффициент затухания звука в атмосфере α, дБ/км	Ta=20,°C Pa=101.33,кПа hотн.=70%	ф-ла (5) [9]	0,02	0,09	0,33	1,12	2,79	4,98	9,04	23,09	77,63		
Учет затухания звука в атмосфере Aatm, дБ		ф-ла (8) [10]	0	0	0,1	0,4	1,1	1,9	3,5	9	30,2		
Снижение уровня звукового давления из-за влияния застройки между источником шума и расчетной точкой													
Снижение уровня звукового давления препятствием слева от трассы ИШ-РТ, Dz2, дБ	z = 0.00м (разность путей)	ф-лы (14-18) [10]	4,8	4,8	4,7	4,7	4,6	4,5	4,3	3,7	2,2		
* отрицательное значение z означает прохождение траектории вблизи экрана, в этом случае дополнительно производится учёт снижения подстилающей поверхностью (см.ниже)													
Снижение поверхностью земли возле источника As, дБ	Gs = 0 hs = 1м	ф-лы таб.3 [10]	-1,5	-1,5	-1,5	-1,5	-1,5	-1,5	-1,5	-1,5	-1,5		
Снижение поверхностью земли возле приёмника Ar, дБ	Gr = 1 hr = 1.5м	ф-лы таб.3 [10]	-1,5	-1,5	2,3	7	5	0,7	0	0	0		
Снижение поверхностью земли в средней зоне, Am дБ	Gm = 1	ф-лы таб.3 [10]	-2,4	-2,4	0	0	0	0	0	0	0		
Суммарное снижение поверхностью земли на траектории распространения звука Agr, дБ		ф-ла (9) [10]	-5,4	-5,4	0,8	5,5	3,5	-0,8	-1,5	-1,5	-1,5		
Уровни звукового давления от источника ИШ-7-3 в расчётной точке днём, дБ		**ф-ла(3)[10]**	**14,8**	**12,8**	**0**	**0**	**0**	**0**	**0**	**0**	**0**	**0**	**0**
Источник шума: ИШ-7-4, координаты источника (x,y,z), м =[866.76,37.18,1.00]													
Уровни звуковой мощности источника днём, Lw, дБ		**исходные данные**	**77**	**75**	**67**	**66**	**63**	**55**	**53**	**48**	**51**		
Поправка на телесный угол DΩ, дБ	Ω = 12.57	10Lg(4π/Ω)	**0**	0	0	0	0	0	0	0	0		
Показатель направленности источника Di, дБ		исходные данные	**0**	0	0	0	0	0	0	0	0		
Поправка на направленность источника Dc, дБ	Dc	DΩ + Di	**0**	0	0	0	0	0	0	0	0		
Затухание из-за геометрической дивергенции, Adiv, дБ	расстояние = 464.76 м	ф-ла (7) [10]	**64,3**										

1		2	3	4	5	6	7	8	9	10	11	12	13
Коэффициент затухания звука в атмосфере α, дБ/км	Ta=20,°C Pa=101.33,кПа hотн.=70%	ф-ла (5) [9]	0,02	0,09	0,33	1,12	2,79	4,98	9,04	23,09	77,63		
Учет затухания звука в атмосфере Aatm, дБ		ф-ла (8) [10]	0	0	0,2	0,5	1,3	2,3	4,2	10,7	36,1		
Снижение поверхностью земли возле источника As, дБ	Gs = 0 hs = 1м	ф-лы таб.3 [10]	-1,5	-1,5	-1,5	-1,5	-1,5	-1,5	-1,5	-1,5	-1,5		
Снижение поверхностью земли возле приёмника Ar, дБ	Gr = 1 hr = 1.5м	ф-лы таб.3 [10]	-1,5	-1,5	2,8	7	5	0,7	0	0	0		
Снижение поверхностью земли в средней зоне, Am дБ	Gm = 1	ф-лы таб.3 [10]	-2,5	-2,5	0	0	0	0	0	0	0		
Суммарное снижение поверхностью земли на траектории распространения звука Agr, дБ		ф-ла (9) [10]	-5,5	-5,5	1,3	5,5	3,5	-0,8	-1,5	-1,5	-1,5		
Уровни звукового давления от источника ИШ-7-4 в расчётной точке днём, дБ		**ф-ла(3)[10]**	**18,2**	**16,1**	**1,2**	**0**	**0**	**0**	**0**	**0**	**0**	**0**	**0**
Источник шума: ИШ-7-5, координаты источника (x,y,z), м =[861.80,21.34,1.00]													
Уровни звуковой мощности источника днём, Lw, дБ		**исходные данные**	**77**	**75**	**67**	**66**	**63**	**55**	**53**	**48**	**51**		
Поправка на телесный угол DΩ, дБ	Ω = 12.57	10Lg(4π/Ω)	**0**	0	0	0	0	0	0	0	0		
Показатель направленности источника Di, дБ		исходные данные	**0**	0	0	0	0	0	0	0	0		
Поправка на направленность источника Dc, дБ	Dc	DΩ + Di	**0**	0	0	0	0	0	0	0	0		
Затухание из-за геометрической дивергенции, Adiv, дБ	расстояние = 460.28 м	ф-ла (7) [10]	**64,3**										
Коэффициент затухания звука в атмосфере α, дБ/км	Ta=20,°C Pa=101.33,кПа hотн.=70%	ф-ла (5) [9]	0,02	0,09	0,33	1,12	2,79	4,98	9,04	23,09	77,63		
Учет затухания звука в атмосфере Aatm, дБ		ф-ла (8) [10]	0	0	0,2	0,5	1,3	2,3	4,2	10,6	35,7		
Снижение поверхностью земли возле источника As, дБ	Gs = 0 hs = 1м	ф-лы таб.3 [10]	-1,5	-1,5	-1,5	-1,5	-1,5	-1,5	-1,5	-1,5	-1,5		

1		2	3	4	5	6	7	8	9	10	11	12	13
Снижение поверхностью земли возле приёмника Ar, дБ	Gr = 1 hr = 1.5м	ф-лы таб.3 [10]	-1,5	-1,5	2,8	7	5	0,7	0	0	0		
Снижение поверхностью земли в средней зоне, Am дБ	Gm = 1	ф-лы таб.3 [10]	-2,5	-2,5	0	0	0	0	0	0	0		
Суммарное снижение поверхностью земли на траектории распространения звука Agr, дБ		ф-ла (9) [10]	-5,5	-5,5	1,3	5,5	3,5	-0,8	-1,5	-1,5	-1,5		
Уровни звукового давления от источника ИШ-7-5 в расчётной точке днём, дБ		**ф-ла(3)[10]**	**18,2**	**16,2**	**1,3**	**0**	**0**	**0**	**0**	**0**	**0**	**0**	**0**
Источник шума: ИШ-7-6, координаты источника (x,y,z), м =[856.52,5.94,1.00]													
Уровни звуковой мощности источника днём, Lw, дБ		**исходные данные**	**77**	**75**	**67**	**66**	**63**	**55**	**53**	**48**	**51**		
Поправка на телесный угол DΩ, дБ	Ω = 12.57	10Lg(4π/Ω)	**0**	0	0	0	0	0	0	0	0		
Показатель направленности источника Di, дБ		исходные данные	**0**	0	0	0	0	0	0	0	0		
Поправка на направленность источника Dc, дБ	Dc	DΩ + Di	**0**	0	0	0	0	0	0	0	0		
Затухание из-за геометрической дивергенции, Adiv, дБ	расстояние = 456.00 м	ф-ла (7) [10]	**64,2**										
Коэффициент затухания звука в атмосфере α, дБ/км	Ta=20,°C Pa=101.33,кПа hотн.=70%	ф-ла (5) [9]	0,02	0,09	0,33	1,12	2,79	4,98	9,04	23,09	77,63		
Учет затухания звука в атмосфере Aatm, дБ		ф-ла (8) [10]	0	0	0,2	0,5	1,3	2,3	4,1	10,5	35,4		
Снижение поверхностью земли возле источника As, дБ	Gs = 0 hs = 1м	ф-лы таб.3 [10]	-1,5	-1,5	-1,5	-1,5	-1,5	-1,5	-1,5	-1,5	-1,5		
Снижение поверхностью земли возле приёмника Ar, дБ	Gr = 1 hr = 1.5м	ф-лы таб.3 [10]	-1,5	-1,5	2,7	7	5	0,7	0	0	0		
Снижение поверхностью земли в средней зоне, Am дБ	Gm = 1	ф-лы таб.3 [10]	-2,5	-2,5	0	0	0	0	0	0	0		
Суммарное снижение поверхностью земли на траектории распространения звука Agr, дБ		ф-ла (9) [10]	-5,5	-5,5	1,2	5,5	3,5	-0,8	-1,5	-1,5	-1,5		

1		2	3	4	5	6	7	8	9	10	11	12	13
Уровни звукового давления от источника ИШ-7-6 в расчётной точке днём, дБ		**ф-ла(3)[10]**	**18,3**	**16,3**	**1,4**	**0**	**0**	**0**	**0**	**0**	**0**	**0**	**0**
Источник шума: ИШ-7-7, координаты источника (x,y,z), м =[851.06,-9.89,1.00]													
Уровни звуковой мощности источника днём, Lw, дБ		**исходные данные**	**77**	**75**	**67**	**66**	**63**	**55**	**53**	**48**	**51**		
Поправка на телесный угол DΩ, дБ	Ω = 12.57	10Lg(4π/Ω)	**0**	0	0	0	0	0	0	0	0		
Показатель направленности источника Di, дБ		исходные данные	**0**	0	0	0	0	0	0	0	0		
Поправка на направленность источника Dc, дБ	Dc	DΩ + Di	**0**	0	0	0	0	0	0	0	0		
Затухание из-за геометрической дивергенции, Adiv, дБ	расстояние = 452.14 м	ф-ла (7) [10]	**64,1**										
Коэффициент затухания звука в атмосфере α, дБ/км	Ta=20,°C Pa=101.33,кПа hотн.=70%	ф-ла (5) [9]	0,02	0,09	0,33	1,12	2,79	4,98	9,04	23,09	77,63		
Учет затухания звука в атмосфере Aatm, дБ		ф-ла (8) [10]	0	0	0,2	0,5	1,3	2,3	4,1	10,4	35,1		
Снижение поверхностью земли возле источника As, дБ	Gs = 0 hs = 1м	ф-лы таб.3 [10]	-1,5	-1,5	-1,5	-1,5	-1,5	-1,5	-1,5	-1,5	-1,5		
Снижение поверхностью земли возле приёмника Ar, дБ	Gr = 1 hr = 1.5м	ф-лы таб.3 [10]	-1,5	-1,5	2,7	7	5	0,7	0	0	0		
Снижение поверхностью земли в средней зоне, Am дБ	Gm = 1	ф-лы таб.3 [10]	-2,5	-2,5	0	0	0	0	0	0	0		
Суммарное снижение поверхностью земли на траектории распространения звука Agr, дБ		ф-ла (9) [10]	-5,5	-5,5	1,2	5,5	3,5	-0,8	-1,5	-1,5	-1,5		
Уровни звукового давления от источника ИШ-7-7 в расчётной точке днём, дБ		**ф-ла(3)[10]**	**18,4**	**16,4**	**1,5**	**0**	**0**	**0**	**0**	**0**	**0**	**0**	**0**
Источник шума: ИШ-7-8, координаты источника (x,y,z), м =[821.90,-104.30,1.00]													
Уровни звуковой мощности источника днём, Lw, дБ		**исходные данные**	**77**	**75**	**67**	**66**	**63**	**55**	**53**	**48**	**51**		

1		2	3	4	5	6	7	8	9	10	11	12	13
Поправка на телесный угол DΩ, дБ	Ω = 12.57	10Lg(4π/Ω)	**0**	0	0	0	0	0	0	0	0		
Показатель направленности источника Di, дБ		исходные данные	**0**	0	0	0	0	0	0	0	0		
Поправка на направленность источника Dc, дБ	Dc	DΩ + Di	**0**	0	0	0	0	0	0	0	0		
Затухание из-за геометрической дивергенции, Adiv, дБ	расстояние = 445.01 м	ф-ла (7) [10]	**64**										
Коэффициент затухания звука в атмосфере α, дБ/км	Ta=20,°C Pa=101.33,кПа hотн.=70%	ф-ла (5) [9]	0,02	0,09	0,33	1,12	2,79	4,98	9,04	23,09	77,63		
Учет затухания звука в атмосфере Aatm, дБ		ф-ла (8) [10]	0	0	0,1	0,5	1,2	2,2	4	10,3	34,5		
Снижение уровня звукового давления из-за влияния застройки между источником шума и расчетной точкой													
Снижение уровня звукового давления препятствием слева от трассы ИШ-РТ, Dz2, дБ	z = -0.03м (разность путей)	ф-лы (14-18) [10]	4,6	4,5	4,1	3,4	1,2	NAN	NAN	NAN	NAN		
* отрицательное значение z означает прохождение траектории вблизи экрана, в этом случае дополнительно производится учёт снижения подстилающей поверхностью (см.ниже)													
Снижение поверхностью земли возле источника As, дБ	Gs = 0 hs = 1м	ф-лы таб.3 [10]	-1,5	-1,5	-1,5	-1,5	-1,5	-1,5	-1,5	-1,5	-1,5		
Снижение поверхностью земли возле приёмника Ar, дБ	Gr = 1 hr = 1.5м	ф-лы таб.3 [10]	-1,5	-1,5	2,7	7	5	0,7	0	0	0		
Снижение поверхностью земли в средней зоне, Am дБ	Gm = 1	ф-лы таб.3 [10]	-2,5	-2,5	0	0	0	0	0	0	0		
Суммарное снижение поверхностью земли на траектории распространения звука Agr, дБ		ф-ла (9) [10]	-5,5	-5,5	1,2	5,5	3,5	-0,8	-1,5	-1,5	-1,5		
Уровни звукового давления от источника ИШ-7-8 в расчётной точке днём, дБ		**ф-ла(3)[10]**	**13,9**	**12**	**0**	**0**	**0**	**0**	**0**	**0**	**0**	**0**	**0**
Источник шума: ИШ-7-9, координаты источника (x,y,z), м =[819.93,-110.97,1.00]													
Уровни звуковой мощности источника днём, Lw, дБ		**исходные данные**	**77**	**75**	**67**	**66**	**63**	**55**	**53**	**48**	**51**		
Поправка на телесный угол DΩ, дБ	Ω = 12.57	10Lg(4π/Ω)	**0**	0	0	0	0	0	0	0	0		

1		2	3	4	5	6	7	8	9	10	11	12	13
Показатель направленности источника Di, дБ		исходные данные	**0**	0	0	0	0	0	0	0	0		
Поправка на направленность источника Dc, дБ	Dc	DΩ + Di	**0**	0	0	0	0	0	0	0	0		
Затухание из-за геометрической дивергенции, Adiv, дБ	расстояние = 445.41 м	ф-ла (7) [10]	**64**										
Коэффициент затухания звука в атмосфере α, дБ/км	Ta=20,°C Pa=101.33,кПа hотн.=70%	ф-ла (5) [9]	0,02	0,09	0,33	1,12	2,79	4,98	9,04	23,09	77,63		
Учет затухания звука в атмосфере Aatm, дБ		ф-ла (8) [10]	0	0	0,1	0,5	1,2	2,2	4	10,3	34,6		
Снижение уровня звукового давления из-за влияния застройки между источником шума и расчетной точкой													
Снижение уровня звукового давления препятствием слева от трассы ИШ-РТ, Dz2, дБ	z = -0.01м (разность путей)	ф-лы (14-18) [10]	4,7	4,6	4,5	4,3	3,7	2,2	0	NAN	NAN		
* отрицательное значение z означает прохождение траектории вблизи экрана, в этом случае дополнительно производится учёт снижения подстилающей поверхностью (см.ниже)													
Снижение поверхностью земли возле источника As, дБ	Gs = 0 hs = 1м	ф-лы таб.3 [10]	-1,5	-1,5	-1,5	-1,5	-1,5	-1,5	-1,5	-1,5	-1,5		
Снижение поверхностью земли возле приёмника Ar, дБ	Gr = 1 hr = 1.5м	ф-лы таб.3 [10]	-1,5	-1,5	2,7	7	5	0,7	0	0	0		
Снижение поверхностью земли в средней зоне, Am дБ	Gm = 1	ф-лы таб.3 [10]	-2,5	-2,5	0	0	0	0	0	0	0		
Суммарное снижение поверхностью земли на траектории распространения звука Agr, дБ		ф-ла (9) [10]	-5,5	-5,5	1,2	5,5	3,5	-0,8	-1,5	-1,5	-1,5		
Уровни звукового давления от источника ИШ-7-9 в расчётной точке днём, дБ		**ф-ла(3)[10]**	**13,8**	**11,8**	**0**	**0**	**0**	**0**	**0**	**0**	**0**	**0**	**0**
Источник шума: ИШ-7-10, координаты источника (x,y,z), м =[868.68,92.66,1.00]													
Уровни звуковой мощности источника днём, Lw, дБ		**исходные данные**	**77**	**75**	**67**	**66**	**63**	**55**	**53**	**48**	**51**		
Поправка на телесный угол DΩ, дБ	Ω = 12.57	10Lg(4π/Ω)	**0**	0	0	0	0	0	0	0	0		
Показатель направленности источника Di, дБ		исходные данные	**0**	0	0	0	0	0	0	0	0		

1		2	3	4	5	6	7	8	9	10	11	12	13
Поправка на направленность источника Dc, дБ	Dc	DΩ + Di	**0**	0	0	0	0	0	0	0	0		
Затухание из-за геометрической дивергенции, Adiv, дБ	расстояние = 469.25 м	ф-ла (7) [10]	**64,4**										
Коэффициент затухания звука в атмосфере α, дБ/км	Ta=20,°C Pa=101.33,кПа hотн.=70%	ф-ла (5) [9]	0,02	0,09	0,33	1,12	2,79	4,98	9,04	23,09	77,63		
Учет затухания звука в атмосфере Aatm, дБ		ф-ла (8) [10]	0	0	0,2	0,5	1,3	2,3	4,2	10,8	36,4		
Снижение уровня звукового давления из-за влияния застройки между источником шума и расчетной точкой													
Снижение уровня звукового давления на пути над экраном, Dz1, дБ	z = 0.56м (разность путей)	ф-лы (14-18) [10]	5,2	5,7	6,4	7,6	9,5	12,6	16,6	20,6	24		
Уровни звукового давления от источника ИШ-7-10 в расчётной точке днём, дБ		**ф-ла(3)[10]**	**7,3**	**4,9**	**0**	**0**	**0**	**0**	**0**	**0**	**0**	**0**	**0**
Источник шума: ИШ-7-11, координаты источника (x,y,z), м =[877.95,88.75,1.00]													
Уровни звуковой мощности источника днём, Lw, дБ		**исходные данные**	**77**	**75**	**67**	**66**	**63**	**55**	**53**	**48**	**51**		
Поправка на телесный угол DΩ, дБ	Ω = 12.57	10Lg(4π/Ω)	**0**	0	0	0	0	0	0	0	0		
Показатель направленности источника Di, дБ		исходные данные	**0**	0	0	0	0	0	0	0	0		
Поправка на направленность источника Dc, дБ	Dc	DΩ + Di	**0**	0	0	0	0	0	0	0	0		
Затухание из-за геометрической дивергенции, Adiv, дБ	расстояние = 478.08 м	ф-ла (7) [10]	**64,6**										
Коэффициент затухания звука в атмосфере α, дБ/км	Ta=20,°C Pa=101.33,кПа hотн.=70%	ф-ла (5) [9]	0,02	0,09	0,33	1,12	2,79	4,98	9,04	23,09	77,63		
Учет затухания звука в атмосфере Aatm, дБ		ф-ла (8) [10]	0	0	0,2	0,5	1,3	2,4	4,3	11	37,1		
Снижение поверхностью земли возле источника As, дБ	Gs = 0 hs = 1м	ф-лы таб.3 [10]	-1,5	-1,5	-1,5	-1,5	-1,5	-1,5	-1,5	-1,5	-1,5		

1		2	3	4	5	6	7	8	9	10	11	12	13
Снижение поверхностью земли возле приёмника Ar, дБ	Gr = 1 hr = 1.5м	ф-лы таб.3 [10]	-1,5	-1,5	2,9	7	5	0,7	0	0	0		
Снижение поверхностью земли в средней зоне, Am дБ	Gm = 1	ф-лы таб.3 [10]	-2,5	-2,5	0	0	0	0	0	0	0		
Суммарное снижение поверхностью земли на траектории распространения звука Agr, дБ		ф-ла (9) [10]	-5,5	-5,5	1,4	5,5	3,5	-0,8	-1,5	-1,5	-1,5		
Уровни звукового давления от источника ИШ-7-11 в расчётной точке днём, дБ		**ф-ла(3)[10]**	**17,9**	**15,9**	**0,9**	**0**	**0**	**0**	**0**	**0**	**0**	**0**	**0**
Источник шума: ИШ-7-12, координаты источника (x,y,z), м =[887.42,85.45,1.00]													
Уровни звуковой мощности источника днём, Lw, дБ		**исходные данные**	**77**	**75**	**67**	**66**	**63**	**55**	**53**	**48**	**51**		
Поправка на телесный угол DΩ, дБ	Ω = 12.57	10Lg(4π/Ω)	**0**	0	0	0	0	0	0	0	0		
Показатель направленности источника Di, дБ		исходные данные	**0**	0	0	0	0	0	0	0	0		
Поправка на направленность источника Dc, дБ	Dc	DΩ + Di	**0**	0	0	0	0	0	0	0	0		
Затухание из-за геометрической дивергенции, Adiv, дБ	расстояние = 487.22 м	ф-ла (7) [10]	**64,8**										
Коэффициент затухания звука в атмосфере α, дБ/км	Ta=20,°C Pa=101.33,кПа hотн.=70%	ф-ла (5) [9]	0,02	0,09	0,33	1,12	2,79	4,98	9,04	23,09	77,63		
Учет затухания звука в атмосфере Aatm, дБ		ф-ла (8) [10]	0	0	0,2	0,5	1,4	2,4	4,4	11,2	37,8		
Снижение поверхностью земли возле источника As, дБ	Gs = 0 hs = 1м	ф-лы таб.3 [10]	-1,5	-1,5	-1,5	-1,5	-1,5	-1,5	-1,5	-1,5	-1,5		
Снижение поверхностью земли возле приёмника Ar, дБ	Gr = 1 hr = 1.5м	ф-лы таб.3 [10]	-1,5	-1,5	3	7	5	0,7	0	0	0		
Снижение поверхностью земли в средней зоне, Am дБ	Gm = 1	ф-лы таб.3 [10]	-2,5	-2,5	0	0	0	0	0	0	0		
Суммарное снижение поверхностью земли на траектории распространения звука Agr, дБ		ф-ла (9) [10]	-5,5	-5,5	1,5	5,5	3,5	-0,8	-1,5	-1,5	-1,5		

1		2	3	4	5	6	7	8	9	10	11	12	13
Уровни звукового давления от источника ИШ-7-12 в расчётной точке днём, дБ		**ф-ла(3)[10]**	**17,8**	**15,7**	**0,6**	**0**	**0**	**0**	**0**	**0**	**0**	**0**	**0**
Источник шума: ИШ-6-23, координаты источника (x,y,z), м =[756.16,-136.23,3.00]													
Уровни звуковой мощности источника днём, Lw, дБ		**исходные данные**	**91**	**91**	**91**	**91**	**91**	**91**	**91**	**91**	**91**		
Поправка на телесный угол DΩ, дБ	Ω = 12.57	10Lg(4π/Ω)	**0**	0	0	0	0	0	0	0	0		
Показатель направленности источника Di, дБ		исходные данные	**0**	0	0	0	0	0	0	0	0		
Поправка на направленность источника Dc, дБ	Dc	DΩ + Di	**0**	0	0	0	0	0	0	0	0		
Затухание из-за геометрической дивергенции, Adiv, дБ	расстояние = 396.98 м	ф-ла (7) [10]	**63**										
Коэффициент затухания звука в атмосфере α, дБ/км	Ta=20,°C Pa=101.33,кПа hотн.=70%	ф-ла (5) [9]	0,02	0,09	0,33	1,12	2,79	4,98	9,04	23,09	77,63		
Учет затухания звука в атмосфере Aatm, дБ		ф-ла (8) [10]	0	0	0,1	0,4	1,1	2	3,6	9,2	30,8		
Снижение уровня звукового давления из-за влияния застройки между источником шума и расчетной точкой													
Снижение уровня звукового давления на пути над экраном, Dz1, дБ	z = 2.86м (разность путей)	ф-лы (14-18) [10]	14	17,2	20,1	23,1	26,1	29,1	32,1	35,1	38,1		
Снижение уровня звукового давления на пути слева от экрана, Dz2, дБ	z = 62.79м (разность путей)	ф-лы (14-18) [10]	28	31,3	34,4	37,4	40,4	43,5	46,5	49,5	52,5		
Снижение уровня звукового давления на пути справа от экрана, Dz3, дБ	z = 2.46м (разность путей)	ф-лы (14-18) [10]	10,8	13,3	15,9	18,8	21,7	24,7	27,6	30,6	33,6		
Общее снижение уровня звука препятствием Dz, дБ		Эн.сумма(-Dzi)	9,1	11,7	14,5	17,4	20,3	23,3	26,3	29,3	32,3		
Общее снижение уровня звука препятствием с учётом ограничения (25 дБ) для октавных полос Dz, дБ		Раздел 7.4 [10]	9,1	11,7	14,5	17,4	20,3	23,3	25	25	25		
Уровни звукового давления от источника ИШ-6-23 в расчётной точке днём, дБ		**ф-ла(3)[10]**	**18,9**	**16,2**	**13,4**	**10,2**	**6,6**	**2,8**	**0**	**0**	**0**	**7,9**	**7,9**

1		2	3	4	5	6	7	8	9	10	11	12	13
Источник шума: ИШ-6-24, координаты источника (x,y,z), м =[800.98,-151.27,3.00]													
Уровни звуковой мощности источника днём, Lw, дБ		**исходные данные**	**91**	**91**	**91**	**91**	**91**	**91**	**91**	**91**	**91**		
Поправка на телесный угол DΩ, дБ	Ω = 12.57	10Lg(4π/Ω)	**0**	0	0	0	0	0	0	0	0		
Показатель направленности источника Di, дБ		исходные данные	**0**	0	0	0	0	0	0	0	0		
Поправка на направленность источника Dc, дБ	Dc	DΩ + Di	**0**	0	0	0	0	0	0	0	0		
Затухание из-за геометрической дивергенции, Adiv, дБ	расстояние = 443.81 м	ф-ла (7) [10]	**63,9**										
Коэффициент затухания звука в атмосфере α, дБ/км	Ta=20,°C Pa=101.33,кПа hотн.=70%	ф-ла (5) [9]	0,02	0,09	0,33	1,12	2,79	4,98	9,04	23,09	77,63		
Учет затухания звука в атмосфере Aatm, дБ		ф-ла (8) [10]	0	0	0,1	0,5	1,2	2,2	4	10,2	34,5		
Снижение уровня звукового давления из-за влияния застройки между источником шума и расчетной точкой													
Снижение уровня звукового давления на пути над экраном, Dz1, дБ	z = 2.60м (разность путей)	ф-лы (14-18) [10]	13,4	16,5	19,5	22,5	25,4	28,4	31,4	34,4	37,4		
Снижение уровня звукового давления на пути слева от экрана, Dz2, дБ	z = 63.22м (разность путей)	ф-лы (14-18) [10]	28,1	31,4	34,4	37,5	40,5	43,5	46,5	49,5	52,5		
Снижение уровня звукового давления на пути справа от экрана, Dz3, дБ	z = 1.63м (разность путей)	ф-лы (14-18) [10]	9,6	11,8	14,3	17,1	20	22,9	25,9	28,9	31,9		
Общее снижение уровня звука препятствием Dz, дБ		Эн.сумма(-Dzi)	8	10,5	13,1	15,9	18,8	21,8	24,8	27,8	30,8		
Общее снижение уровня звука препятствием с учётом ограничения (25 дБ) для октавных полос Dz, дБ		Раздел 7.4 [10]	8	10,5	13,1	15,9	18,8	21,8	24,8	25	25		
Уровни звукового давления прямого звука от источника ИШ-6-24 в расчётной точке днём, дБ		**ф-ла(3)[10]**	**19**	**16,5**	**13,8**	**10,6**	**7**	**3**	**0**	**0**	**0**	**8,3**	**8,3**
Расчёт отражённого звука													

1		2	3	4	5	6	7	8	9	10	11	12	13
Уровни звукового давления от мнимого источника ИШ-6-24_мн.(1) в расчётной точке днём, дБ		**ф-ла(3)[10]**	**0**	**0**	**0**	**0**	**0**	**0**	**0**	**0**	**0**	**0**	**0**
Уровни звукового давления от источника ИШ-6-24 в расчётной точке днём, дБ		**ф-ла(3)[10]**	**19**	**16,5**	**13,8**	**10,6**	**7**	**3**	**0**	**0**	**0**	**8,3**	**8,3**
Источник шума: ИШ-8-1, координаты источника (x,y,z), м =[612.60,-227.70,3.00]													
Уровни звуковой мощности источника днём, Lw, дБ		**исходные данные**	**105**	**104**	**104**	**101**	**102**	**106**	**101**	**95**	**87**		
Поправка на телесный угол DΩ, дБ	Ω = 6.28	10Lg(4π/Ω)	**3**	3	3	3	3	3	3	3	3		
Показатель направленности источника Di, дБ		исходные данные	**0**	0	0	0	0	0	0	0	0		
Поправка на направленность источника Dc, дБ	Dc	DΩ + Di	**3**	3	3	3	3	3	3	3	3		
Затухание из-за геометрической дивергенции, Adiv, дБ	расстояние = 343.10 м	ф-ла (7) [10]	**61,7**										
Коэффициент затухания звука в атмосфере α, дБ/км	Ta=20,°C Pa=101.33,кПа hотн.=70%	ф-ла (5) [9]	0,02	0,09	0,33	1,12	2,79	4,98	9,04	23,09	77,63		
Учет затухания звука в атмосфере Aatm, дБ		ф-ла (8) [10]	0	0	0,1	0,4	1	1,7	3,1	7,9	26,6		
Снижение уровня звукового давления из-за влияния застройки между источником шума и расчетной точкой													
Снижение уровня звукового давления на пути над экраном, Dz1, дБ	z = 6.07м (разность путей)	ф-лы (14-18) [10]	14,3	18,3	22,6	26,4	29,6	32,7	35,7	38,7	41,7		
Снижение уровня звукового давления на пути слева от экрана, Dz2, дБ	z = 68.23м (разность путей)	ф-лы (14-18) [10]	24,6	28,6	33,1	37,2	40,6	43,8	46,8	49,8	52,8		
Снижение уровня звукового давления на пути справа от экрана, Dz3, дБ	z = 9.07м (разность путей)	ф-лы (14-18) [10]	19,8	23	26	29	32,1	35,1	38,1	41,1	44,1		
Общее снижение уровня звука препятствием Dz, дБ		Эн.сумма(-Dzi)	12,9	16,8	20,7	24,3	27,4	30,5	33,5	36,5	39,5		
Общее снижение уровня звука препятствием с учётом ограничения (25 дБ) для октавных полос Dz, дБ		Раздел 7.4 [10]	12,9	16,8	20,7	24,3	25	25	25	25	25		

1		2	3	4	5	6	7	8	9	10	11	12	13
Уровни звукового давления прямого звука от источника ИШ-8-1 в расчётной точке днём, дБ		**ф-ла(3)[10]**	**33,4**	**28,5**	**24,5**	**17,7**	**17,3**	**20,6**	**14,2**	**3,4**	**0**	**22,9**	**22,9**
Расчёт отражённого звука													
Уровни звукового давления от мнимого источника ИШ-8-1_мн.(1) в расчётной точке днём, дБ		**ф-ла(3)[10]**	**0**	**0**	**0**	**0**	**0**	**16,8**	**10**	**0**	**0**	**17,9**	**17,9**
Уровни звукового давления от источника ИШ-8-1 в расчётной точке днём, дБ		**ф-ла(3)[10]**	**33,4**	**28,5**	**24,5**	**17,7**	**17,3**	**22,1**	**15,6**	**3,4**	**0**	**24,1**	**24,1**
Источник шума: ИШ-8-2, координаты источника (x,y,z), м =[596.60,-275.00,3.00]													
Уровни звуковой мощности источника днём, Lw, дБ		**исходные данные**	**105**	**104**	**104**	**101**	**102**	**106**	**101**	**95**	**87**		
Поправка на телесный угол DΩ, дБ	Ω = 6.28	10Lg(4π/Ω)	**3**	3	3	3	3	3	3	3	3		
Показатель направленности источника Di, дБ		исходные данные	**0**	0	0	0	0	0	0	0	0		
Поправка на направленность источника Dc, дБ	Dc	DΩ + Di	**3**	3	3	3	3	3	3	3	3		
Затухание из-за геометрической дивергенции, Adiv, дБ	расстояние = 372.96 м	ф-ла (7) [10]	**62,4**										
Коэффициент затухания звука в атмосфере α, дБ/км	Ta=20,°C Pa=101.33,кПа hотн.=70%	ф-ла (5) [9]	0,02	0,09	0,33	1,12	2,79	4,98	9,04	23,09	77,63		
Учет затухания звука в атмосфере Aatm, дБ		ф-ла (8) [10]	0	0	0,1	0,4	1	1,9	3,4	8,6	29		
Снижение уровня звукового давления из-за влияния застройки между источником шума и расчетной точкой													
Снижение уровня звукового давления на пути над экраном, Dz1, дБ	z = 6.35м (разность путей)	ф-лы (14-18) [10]	14,6	18,7	22,9	26,6	29,8	32,9	35,9	38,9	41,9		
Снижение уровня звукового давления на пути слева от экрана, Dz2, дБ	z = 63.81м (разность путей)	ф-лы (14-18) [10]	24,3	28,3	32,8	36,9	40,4	43,5	46,5	49,5	52,6		
Снижение уровня звукового давления на пути справа от экрана, Dz3, дБ	z = 6.41м (разность путей)	ф-лы (14-18) [10]	14,3	17	19,9	22,8	25,8	28,8	31,8	34,8	37,8		

1		2	3	4	5	6	7	8	9	10	11	12	13
Общее снижение уровня звука препятствием Dz, дБ		Эн.сумма(-Dzi)	11,2	14,6	18	21,2	24,2	27,2	30,3	33,3	36,3		
Общее снижение уровня звука препятствием с учётом ограничения (25 дБ) для октавных полос Dz, дБ		Раздел 7.4 [10]	11,2	14,6	18	21,2	24,2	25	25	25	25		
Уровни звукового давления от источника ИШ-8-2 в расчётной точке днём, дБ		**ф-ла(3)[10]**	**34,4**	**30**	**26,5**	**20**	**17,3**	**19,7**	**13,2**	**2**	**0**	**22,5**	**22,5**
Источник шума: ИШ-8-3, координаты источника (x,y,z), м =[564.90,-369.90,3.00]													
Уровни звуковой мощности источника днём, Lw, дБ		**исходные данные**	**105**	**104**	**104**	**101**	**102**	**106**	**101**	**95**	**87**		
Поправка на телесный угол DΩ, дБ	Ω = 6.28	10Lg(4π/Ω)	**3**	3	3	3	3	3	3	3	3		
Показатель направленности источника Di, дБ		исходные данные	**0**	0	0	0	0	0	0	0	0		
Поправка на направленность источника Dc, дБ	Dc	DΩ + Di	**3**	3	3	3	3	3	3	3	3		
Затухание из-за геометрической дивергенции, Adiv, дБ	расстояние = 444.03 м	ф-ла (7) [10]	**63,9**										
Коэффициент затухания звука в атмосфере α, дБ/км	Ta=20,°C Pa=101.33,кПа hотн.=70%	ф-ла (5) [9]	0,02	0,09	0,33	1,12	2,79	4,98	9,04	23,09	77,63		
Учет затухания звука в атмосфере Aatm, дБ		ф-ла (8) [10]	0	0	0,1	0,5	1,2	2,2	4	10,3	34,5		
Снижение уровня звукового давления из-за влияния застройки между источником шума и расчетной точкой													
Снижение уровня звукового давления на пути над экраном, Dz1, дБ	z = 6.68м (разность путей)	ф-лы (14-18) [10]	17,7	21,1	24,1	27,1	30,1	33,1	36,1	39,2	42,2		
Снижение уровня звукового давления на пути слева от экрана, Dz2, дБ	z = 54.24м (разность путей)	ф-лы (14-18) [10]	27,7	30,8	33,8	36,8	39,8	42,8	45,8	48,8	51,9		
Снижение уровня звукового давления на пути справа от экрана, Dz3, дБ	z = 9.95м (разность путей)	ф-лы (14-18) [10]	16	18,9	21,7	24,7	27,7	30,7	33,7	36,7	39,7		
Общее снижение уровня звука препятствием Dz, дБ		Эн.сумма(-Dzi)	13,6	16,6	19,6	22,6	25,6	28,6	31,6	34,6	37,6		

1		2	3	4	5	6	7	8	9	10	11	12	13
Общее снижение уровня звука препятствием с учётом ограничения (25 дБ) для октавных полос Dz, дБ		Раздел 7.4 [10]	13,6	16,6	19,6	22,6	25	25	25	25	25		
Уровни звукового давления от источника ИШ-8-3 в расчётной точке днём, дБ		**ф-ла(3)[10]**	**30,5**	**26,4**	**23,3**	**17**	**14,8**	**17,9**	**11,1**	**0**	**0**	**20,2**	**20,2**
Источник шума: ИШ-9-1, координаты источника (x,y,z), м =[642.94,-357.54,1.00]													
Уровни звуковой мощности источника днём, Lw, дБ		**исходные данные**	**0**	**93,3**	**94,7**	**96**	**96,3**	**95,9**	**92,6**	**88,4**	**83,9**		
Поправка на телесный угол DΩ, дБ	Ω = 6.28	10Lg(4π/Ω)	**3**	3	3	3	3	3	3	3	3		
Показатель направленности источника Di, дБ		исходные данные	**0**	0	0	0	0	0	0	0	0		
Поправка на направленность источника Dc, дБ	Dc	DΩ + Di	**3**	3	3	3	3	3	3	3	3		
Затухание из-за геометрической дивергенции, Adiv, дБ	расстояние = 467.56 м	ф-ла (7) [10]	**64,4**										
Коэффициент затухания звука в атмосфере α, дБ/км	Ta=20,°C Pa=101.33,кПа hотн.=70%	ф-ла (5) [9]	0,02	0,09	0,33	1,12	2,79	4,98	9,04	23,09	77,63		
Учет затухания звука в атмосфере Aatm, дБ		ф-ла (8) [10]	0	0	0,2	0,5	1,3	2,3	4,2	10,8	36,3		
Снижение уровня звукового давления из-за влияния застройки между источником шума и расчетной точкой													
Снижение уровня звукового давления на пути над экраном, Dz1, дБ	z = 6.40м (разность путей)	ф-лы (14-18) [10]	14,5	18,6	22,8	26,5	29,7	32,7	35,7	38,7	41,8		
Снижение уровня звукового давления на пути слева от экрана, Dz2, дБ	z = 63.10м (разность путей)	ф-лы (14-18) [10]	24,3	28,3	32,8	36,9	40,3	43,4	46,5	49,5	52,5		
Снижение уровня звукового давления на пути справа от экрана, Dz3, дБ	z = 6.46м (разность путей)	ф-лы (14-18) [10]	14,3	17,1	19,9	22,9	25,8	28,8	31,8	34,8	37,8		
Общее снижение уровня звука препятствием Dz, дБ		Эн.сумма(-Dzi)	11,2	14,6	18	21,2	24,2	27,2	30,2	33,2	36,3		
Общее снижение уровня звука препятствием с учётом ограничения (25 дБ) для октавных полос Dz, дБ		Раздел 7.4 [10]	11,2	14,6	18	21,2	24,2	25	25	25	25		

1		2	3	4	5	6	7	8	9	10	11	12	13
Уровни звукового давления прямого звука от источника ИШ-9-1 в расчётной точке днём, дБ		**ф-ла(3)[10]**	**0**	**17,3**	**15,2**	**12,9**	**9,4**	**7,2**	**2**	**0**	**0**	**11,8**	**11,8**
Расчёт отражённого звука													
Уровни звукового давления от мнимого источника ИШ-9-1_мн.(1) в расчётной точке днём, дБ		**ф-ла(3)[10]**	**0**	**0**	**0**	**0**	**0**	**0**	**0**	**0**	**0**	**0**	**0**
Уровни звукового давления от источника ИШ-9-1 в расчётной точке днём, дБ		**ф-ла(3)[10]**	**0**	**17,3**	**15,2**	**12,9**	**9,4**	**7,2**	**2**	**0**	**0**	**11,8**	**11,8**
Источник шума: ИШ-9-2, координаты источника (x,y,z), м =[644.14,-354.83,1.00]													
Уровни звуковой мощности источника днём, Lw, дБ		**исходные данные**	**0**	**93,3**	**94,7**	**96**	**96,3**	**95,9**	**92,6**	**88,4**	**83,9**		
Поправка на телесный угол DΩ, дБ	Ω = 6.28	10Lg(4π/Ω)	**3**	3	3	3	3	3	3	3	3		
Показатель направленности источника Di, дБ		исходные данные	**0**	0	0	0	0	0	0	0	0		
Поправка на направленность источника Dc, дБ	Dc	DΩ + Di	**3**	3	3	3	3	3	3	3	3		
Затухание из-за геометрической дивергенции, Adiv, дБ	расстояние = 465.87 м	ф-ла (7) [10]	**64,4**										
Коэффициент затухания звука в атмосфере α, дБ/км	Ta=20,°C Pa=101.33,кПа hотн.=70%	ф-ла (5) [9]	0,02	0,09	0,33	1,12	2,79	4,98	9,04	23,09	77,63		
Учет затухания звука в атмосфере Aatm, дБ		ф-ла (8) [10]	0	0	0,2	0,5	1,3	2,3	4,2	10,8	36,2		
Снижение уровня звукового давления из-за влияния застройки между источником шума и расчетной точкой													
Снижение уровня звукового давления на пути над экраном, Dz1, дБ	z = 6.38м (разность путей)	ф-лы (14-18) [10]	14,4	18,6	22,8	26,4	29,6	32,7	35,7	38,7	41,8		
Снижение уровня звукового давления на пути слева от экрана, Dz2, дБ	z = 63.31м (разность путей)	ф-лы (14-18) [10]	24,3	28,3	32,8	36,9	40,3	43,5	46,5	49,5	52,5		
Снижение уровня звукового давления на пути справа от экрана, Dz3, дБ	z = 6.36м (разность путей)	ф-лы (14-18) [10]	14,2	17	19,8	22,8	25,8	28,8	31,8	34,8	37,8		

1		2	3	4	5	6	7	8	9	10	11	12	13
Общее снижение уровня звука препятствием Dz, дБ		Эн.сумма(-Dzi)	11,1	14,5	17,9	21,1	24,2	27,2	30,2	33,2	36,2		
Общее снижение уровня звука препятствием с учётом ограничения (25 дБ) для октавных полос Dz, дБ		Раздел 7.4 [10]	11,1	14,5	17,9	21,1	24,2	25	25	25	25		
Уровни звукового давления прямого звука от источника ИШ-9-2 в расчётной точке днём, дБ		**ф-ла(3)[10]**	**0**	**17,4**	**15,2**	**13**	**9,5**	**7,2**	**2**	**0**	**0**	**11,8**	**11,8**
Расчёт отражённого звука													
Уровни звукового давления от мнимого источника ИШ-9-2_мн.(1) в расчётной точке днём, дБ		**ф-ла(3)[10]**	**0**	**0**	**0**	**0**	**0**	**0**	**0**	**0**	**0**	**0**	**0**
Уровни звукового давления от источника ИШ-9-2 в расчётной точке днём, дБ		**ф-ла(3)[10]**	**0**	**17,4**	**15,2**	**13**	**9,5**	**7,2**	**2**	**0**	**0**	**11,8**	**11,8**
Источник шума: ИШ-9-3, координаты источника (x,y,z), м =[644.98,-351.85,1.00]													
Уровни звуковой мощности источника днём, Lw, дБ		**исходные данные**	**0**	**93,3**	**94,7**	**96**	**96,3**	**95,9**	**92,6**	**88,4**	**83,9**		
Поправка на телесный угол DΩ, дБ	Ω = 6.28	10Lg(4π/Ω)	**3**	3	3	3	3	3	3	3	3		
Показатель направленности источника Di, дБ		исходные данные	**0**	0	0	0	0	0	0	0	0		
Поправка на направленность источника Dc, дБ	Dc	DΩ + Di	**3**	3	3	3	3	3	3	3	3		
Затухание из-за геометрической дивергенции, Adiv, дБ	расстояние = 463.76 м	ф-ла (7) [10]	**64,3**										
Коэффициент затухания звука в атмосфере α, дБ/км	Ta=20,°C Pa=101.33,кПа hотн.=70%	ф-ла (5) [9]	0,02	0,09	0,33	1,12	2,79	4,98	9,04	23,09	77,63		
Учет затухания звука в атмосфере Aatm, дБ		ф-ла (8) [10]	0	0	0,2	0,5	1,3	2,3	4,2	10,7	36		
Снижение уровня звукового давления из-за влияния застройки между источником шума и расчетной точкой													
Снижение уровня звукового давления на пути над экраном, Dz1, дБ	z = 6.37м (разность путей)	ф-лы (14-18) [10]	14,4	18,6	22,8	26,4	29,6	32,7	35,7	38,7	41,7		

1		2	3	4	5	6	7	8	9	10	11	12	13
Снижение уровня звукового давления на пути слева от экрана, Dz2, дБ	z = 63.51м (разность путей)	ф-лы (14-18) [10]	24,3	28,3	32,8	36,9	40,3	43,5	46,5	49,5	52,5		
Снижение уровня звукового давления на пути справа от экрана, Dz3, дБ	z = 6.27м (разность путей)	ф-лы (14-18) [10]	14,2	16,9	19,8	22,7	25,7	28,7	31,7	34,7	37,7		
Общее снижение уровня звука препятствием Dz, дБ		Эн.сумма(-Dzi)	11,1	14,5	17,9	21,1	24,1	27,1	30,1	33,2	36,2		
Общее снижение уровня звука препятствием с учётом ограничения (25 дБ) для октавных полос Dz, дБ		Раздел 7.4 [10]	11,1	14,5	17,9	21,1	24,1	25	25	25	25		
Уровни звукового давления прямого звука от источника ИШ-9-3 в расчётной точке днём, дБ		**ф-ла(3)[10]**	**0**	**17,4**	**15,3**	**13,1**	**9,5**	**7,3**	**2,1**	**0**	**0**	**11,9**	**11,9**
Расчёт отражённого звука													
Уровни звукового давления от мнимого источника ИШ-9-3_мн.(1) в расчётной точке днём, дБ		**ф-ла(3)[10]**	**0**	**0**	**0**	**0**	**0**	**0**	**0**	**0**	**0**	**0**	**0**
Уровни звукового давления от источника ИШ-9-3 в расчётной точке днём, дБ		**ф-ла(3)[10]**	**0**	**17,4**	**15,3**	**13,1**	**9,5**	**7,3**	**2,1**	**0**	**0**	**11,9**	**11,9**
Источник шума: ИШ-9-4, координаты источника (x,y,z), м =[646.01,-349.15,1.00]													
Уровни звуковой мощности источника днём, Lw, дБ		**исходные данные**	**0**	**93,3**	**94,7**	**96**	**96,3**	**95,9**	**92,6**	**88,4**	**83,9**		
Поправка на телесный угол DΩ, дБ	Ω = 6.28	10Lg(4π/Ω)	**3**	3	3	3	3	3	3	3	3		
Показатель направленности источника Di, дБ		исходные данные	**0**	0	0	0	0	0	0	0	0		
Поправка на направленность источника Dc, дБ	Dc	DΩ + Di	**3**	3	3	3	3	3	3	3	3		
Затухание из-за геометрической дивергенции, Adiv, дБ	расстояние = 462.00 м	ф-ла (7) [10]	**64,3**										
Коэффициент затухания звука в атмосфере α, дБ/км	Ta=20,°C Pa=101.33,кПа hотн.=70%	ф-ла (5) [9]	0,02	0,09	0,33	1,12	2,79	4,98	9,04	23,09	77,63		
Учет затухания звука в атмосфере Aatm, дБ		ф-ла (8) [10]	0	0	0,2	0,5	1,3	2,3	4,2	10,7	35,9		

1		2	3	4	5	6	7	8	9	10	11	12	13
Снижение уровня звукового давления из-за влияния застройки между источником шума и расчетной точкой													
Снижение уровня звукового давления на пути над экраном, Dz1, дБ	z = 6.36м (разность путей)	ф-лы (14-18) [10]	14,4	18,5	22,8	26,4	29,6	32,7	35,7	38,7	41,7		
Снижение уровня звукового давления на пути слева от экрана, Dz2, дБ	z = 63.71м (разность путей)	ф-лы (14-18) [10]	24,3	28,3	32,8	36,9	40,3	43,5	46,5	49,5	52,5		
Снижение уровня звукового давления на пути справа от экрана, Dz3, дБ	z = 6.18м (разность путей)	ф-лы (14-18) [10]	14,1	16,9	19,7	22,7	25,6	28,6	31,6	34,6	37,6		
Общее снижение уровня звука препятствием Dz, дБ		Эн.сумма(-Dzi)	11,1	14,4	17,8	21	24,1	27,1	30,1	33,1	36,1		
Общее снижение уровня звука препятствием с учётом ограничения (25 дБ) для октавных полос Dz, дБ		Раздел 7.4 [10]	11,1	14,4	17,8	21	24,1	25	25	25	25		
Уровни звукового давления прямого звука от источника ИШ-9-4 в расчётной точке днём, дБ		**ф-ла(3)[10]**	**0**	**17,5**	**15,4**	**13,2**	**9,6**	**7,3**	**2,1**	**0**	**0**	**12**	**12**
Расчёт отражённого звука													
Уровни звукового давления от мнимого источника ИШ-9-4_мн.(1) в расчётной точке днём, дБ		**ф-ла(3)[10]**	**0**	**0**	**0**	**0**	**0**	**0**	**0**	**0**	**0**	**0**	**0**
Уровни звукового давления от источника ИШ-9-4 в расчётной точке днём, дБ		**ф-ла(3)[10]**	**0**	**17,5**	**15,4**	**13,2**	**9,6**	**7,3**	**2,1**	**0**	**0**	**12**	**12**
Источник шума: ИШ-9-5, координаты источника (x,y,z), м =[646.84,-346.17,1.00]													
Уровни звуковой мощности источника днём, Lw, дБ		**исходные данные**	**0**	**93,3**	**94,7**	**96**	**96,3**	**95,9**	**92,6**	**88,4**	**83,9**		
Поправка на телесный угол DΩ, дБ	Ω = 6.28	10Lg(4π/Ω)	**3**	3	3	3	3	3	3	3	3		
Показатель направленности источника Di, дБ		исходные данные	**0**	0	0	0	0	0	0	0	0		
Поправка на направленность источника Dc, дБ	Dc	DΩ + Di	**3**	3	3	3	3	3	3	3	3		
Затухание из-за геометрической дивергенции, Adiv, дБ	расстояние = 459.92 м	ф-ла (7) [10]	**64,3**										
Коэффициент затухания звука в атмосфере α, дБ/км	Ta=20,°C Pa=101.33,кПа hотн.=70%	ф-ла (5) [9]	0,02	0,09	0,33	1,12	2,79	4,98	9,04	23,09	77,63		

1		2	3	4	5	6	7	8	9	10	11	12	13
Учет затухания звука в атмосфере Aatm, дБ		ф-ла (8) [10]	0	0	0,2	0,5	1,3	2,3	4,2	10,6	35,7		
Снижение уровня звукового давления из-за влияния застройки между источником шума и расчетной точкой													
Снижение уровня звукового давления на пути над экраном, Dz1, дБ	z = 6.35м (разность путей)	ф-лы (14-18) [10]	14,4	18,5	22,8	26,4	29,6	32,7	35,7	38,7	41,7		
Снижение уровня звукового давления на пути слева от экрана, Dz2, дБ	z = 63.91м (разность путей)	ф-лы (14-18) [10]	24,3	28,3	32,8	36,9	40,4	43,5	46,5	49,6	52,6		
Снижение уровня звукового давления на пути справа от экрана, Dz3, дБ	z = 6.09м (разность путей)	ф-лы (14-18) [10]	14,1	16,8	19,7	22,6	25,6	28,6	31,6	34,6	37,6		
Общее снижение уровня звука препятствием Dz, дБ		Эн.сумма(-Dzi)	11	14,4	17,8	21	24	27	30,1	33,1	36,1		
Общее снижение уровня звука препятствием с учётом ограничения (25 дБ) для октавных полос Dz, дБ		Раздел 7.4 [10]	11	14,4	17,8	21	24	25	25	25	25		
Уровни звукового давления прямого звука от источника ИШ-9-5 в расчётной точке днём, дБ		**ф-ла(3)[10]**	**0**	**17,6**	**15,5**	**13,2**	**9,7**	**7,3**	**2,2**	**0**	**0**	**12**	**12**
Расчёт отражённого звука													
Уровни звукового давления от мнимого источника ИШ-9-5_мн.(1) в расчётной точке днём, дБ		**ф-ла(3)[10]**	**0**	**0**	**0**	**0**	**0**	**0**	**0**	**0**	**0**	**0**	**0**
Уровни звукового давления от источника ИШ-9-5 в расчётной точке днём, дБ		**ф-ла(3)[10]**	**0**	**17,6**	**15,5**	**13,2**	**9,7**	**7,3**	**2,2**	**0**	**0**	**12**	**12**
Источник шума: ИШ-9-6, координаты источника (x,y,z), м =[647.87,-343.47,1.00]													
Уровни звуковой мощности источника днём, Lw, дБ		**исходные данные**	**0**	**93,3**	**94,7**	**96**	**96,3**	**95,9**	**92,6**	**88,4**	**83,9**		
Поправка на телесный угол DΩ, дБ	Ω = 6.28	10Lg(4π/Ω)	**3**	3	3	3	3	3	3	3	3		
Показатель направленности источника Di, дБ		исходные данные	**0**	0	0	0	0	0	0	0	0		
Поправка на направленность источника Dc, дБ	Dc	DΩ + Di	**3**	3	3	3	3	3	3	3	3		
Затухание из-за геометрической дивергенции, Adiv, дБ	расстояние = 458.18 м	ф-ла (7) [10]	**64,2**										

1		2	3	4	5	6	7	8	9	10	11	12	13
Коэффициент затухания звука в атмосфере α, дБ/км	Та=20,°С Ра=101.33,кПа hотн.=70%	ф-ла (5) [9]	0,02	0,09	0,33	1,12	2,79	4,98	9,04	23,09	77,63		
Учет затухания звука в атмосфере Aatm, дБ		ф-ла (8) [10]	0	0	0,2	0,5	1,3	2,3	4,1	10,6	35,6		
Снижение уровня звукового давления из-за влияния застройки между источником шума и расчетной точкой													
Снижение уровня звукового давления на пути над экраном, Dz1, дБ	z = 6.34м (разность путей)	ф-лы (14-18) [10]	14,4	18,5	22,8	26,4	29,6	32,7	35,7	38,7	41,7		
Снижение уровня звукового давления на пути слева от экрана, Dz2, дБ	z = 64.11м (разность путей)	ф-лы (14-18) [10]	24,3	28,3	32,8	36,9	40,4	43,5	46,5	49,6	52,6		
Снижение уровня звукового давления на пути справа от экрана, Dz3, дБ	z = 5.99м (разность путей)	ф-лы (14-18) [10]	14	16,8	19,6	22,5	25,5	28,5	31,5	34,5	37,5		
Общее снижение уровня звука препятствием Dz, дБ		Эн.сумма(-Dzi)	11	14,4	17,8	20,9	24	27	30	33	36		
Общее снижение уровня звука препятствием с учётом ограничения (25 дБ) для октавных полос Dz, дБ		Раздел 7.4 [10]	11	14,4	17,8	20,9	24	25	25	25	25		
Уровни звукового давления прямого звука от источника ИШ-9-6 в расчётной точке днём, дБ		**ф-ла(3)[10]**	**0**	**17,7**	**15,6**	**13,3**	**9,8**	**7,4**	**2,2**	**0**	**0**	**12,1**	**12,1**
Расчёт отражённого звука													
Уровни звукового давления от мнимого источника ИШ-9-6_мн.(1) в расчётной точке днём, дБ		**ф-ла(3)[10]**	**0**	**0**	**0**	**0**	**0**	**0**	**0**	**0**	**0**	**0**	**0**
Уровни звукового давления от источника ИШ-9-6 в расчётной точке днём, дБ		**ф-ла(3)[10]**	**0**	**17,7**	**15,6**	**13,3**	**9,8**	**7,4**	**2,2**	**0**	**0**	**12,1**	**12,1**
Источник шума: ИШ-9-7, координаты источника (x,y,z), м =[648.71,-340.49,1.00]													
Уровни звуковой мощности источника днём, Lw, дБ		**исходные данные**	**0**	**93,3**	**94,7**	**96**	**96,3**	**95,9**	**92,6**	**88,4**	**83,9**		
Поправка на телесный угол DΩ, дБ	Ω = 6.28	10Lg(4π/Ω)	**3**	3	3	3	3	3	3	3	3		
Показатель направленности источника Di, дБ		исходные данные	**0**	0	0	0	0	0	0	0	0		

1		2	3	4	5	6	7	8	9	10	11	12	13
Поправка на направленность источника Dc, дБ	Dc	DΩ + Di	**3**	3	3	3	3	3	3	3	3		
Затухание из-за геометрической дивергенции, Adiv, дБ	расстояние = 456.12 м	ф-ла (7) [10]	**64,2**										
Коэффициент затухания звука в атмосфере α, дБ/км	Ta=20,°C Pa=101.33,кПа hотн.=70%	ф-ла (5) [9]	0,02	0,09	0,33	1,12	2,79	4,98	9,04	23,09	77,63		
Учет затухания звука в атмосфере Aatm, дБ		ф-ла (8) [10]	0	0	0,2	0,5	1,3	2,3	4,1	10,5	35,4		
Снижение уровня звукового давления из-за влияния застройки между источником шума и расчетной точкой													
Снижение уровня звукового давления на пути над экраном, Dz1, дБ	z = 6.33м (разность путей)	ф-лы (14-18) [10]	14,4	18,5	22,7	26,4	29,6	32,7	35,7	38,7	41,7		
Снижение уровня звукового давления на пути слева от экрана, Dz2, дБ	z = 64.31м (разность путей)	ф-лы (14-18) [10]	24,3	28,4	32,9	37	40,4	43,5	46,6	49,6	52,6		
Снижение уровня звукового давления на пути справа от экрана, Dz3, дБ	z = 5.90м (разность путей)	ф-лы (14-18) [10]	14	16,7	19,5	22,5	25,4	28,4	31,4	34,4	37,4		
Общее снижение уровня звука препятствием Dz, дБ		Эн.сумма(-Dzi)	11	14,3	17,7	20,9	23,9	27	30	33	36		
Общее снижение уровня звука препятствием с учётом ограничения (25 дБ) для октавных полос Dz, дБ		Раздел 7.4 [10]	11	14,3	17,7	20,9	23,9	25	25	25	25		
Уровни звукового давления прямого звука от источника ИШ-9-7 в расчётной точке днём, дБ		**ф-ла(3)[10]**	**0**	**17,8**	**15,7**	**13,4**	**9,9**	**7,4**	**2,3**	**0**	**0**	**12,2**	**12,2**
Расчёт отражённого звука													
Уровни звукового давления от мнимого источника ИШ-9-7_мн.(1) в расчётной точке днём, дБ		**ф-ла(3)[10]**	**0**	**0**	**0**	**0**	**0**	**0**	**0**	**0**	**0**	**0**	**0**
Уровни звукового давления от источника ИШ-9-7 в расчётной точке днём, дБ		**ф-ла(3)[10]**	**0**	**17,8**	**15,7**	**13,4**	**9,9**	**7,4**	**2,3**	**0**	**0**	**12,2**	**12,2**
Источник шума: ИШ-9-8, координаты источника (x,y,z), м =[649.92,-337.69,1.00]													
Уровни звуковой мощности источника днём, Lw, дБ		**исходные данные**	**0**	**93,3**	**94,7**	**96**	**96,3**	**95,9**	**92,6**	**88,4**	**83,9**		

1		2	3	4	5	6	7	8	9	10	11	12	13
Поправка на телесный угол DΩ, дБ	Ω = 6.28	10Lg(4π/Ω)	**3**	3	3	3	3	3	3	3	3		
Показатель направленности источника Di, дБ		исходные данные	**0**	0	0	0	0	0	0	0	0		
Поправка на направленность источника Dc, дБ	Dc	DΩ + Di	**3**	3	3	3	3	3	3	3	3		
Затухание из-за геометрической дивергенции, Adiv, дБ	расстояние = 454.44 м	ф-ла (7) [10]	**64,1**										
Коэффициент затухания звука в атмосфере α, дБ/км	Ta=20,°C Pa=101.33,кПа hотн.=70%	ф-ла (5) [9]	0,02	0,09	0,33	1,12	2,79	4,98	9,04	23,09	77,63		
Учет затухания звука в атмосфере Aatm, дБ		ф-ла (8) [10]	0	0	0,2	0,5	1,3	2,3	4,1	10,5	35,3		
Снижение уровня звукового давления из-за влияния застройки между источником шума и расчетной точкой													
Снижение уровня звукового давления на пути над экраном, Dz1, дБ	z = 6.32м (разность путей)	ф-лы (14-18) [10]	14,4	18,5	22,7	26,4	29,6	32,7	35,7	38,7	41,7		
Снижение уровня звукового давления на пути слева от экрана, Dz2, дБ	z = 64.53м (разность путей)	ф-лы (14-18) [10]	24,4	28,4	32,9	37	40,4	43,5	46,6	49,6	52,6		
Снижение уровня звукового давления на пути справа от экрана, Dz3, дБ	z = 5.80м (разность путей)	ф-лы (14-18) [10]	13,9	16,6	19,5	22,4	25,4	28,4	31,4	34,4	37,4		
Общее снижение уровня звука препятствием Dz, дБ		Эн.сумма(-Dzi)	10,9	14,3	17,7	20,8	23,9	26,9	29,9	32,9	35,9		
Общее снижение уровня звука препятствием с учётом ограничения (25 дБ) для октавных полос Dz, дБ		Раздел 7.4 [10]	10,9	14,3	17,7	20,8	23,9	25	25	25	25		
Уровни звукового давления прямого звука от источника ИШ-9-8 в расчётной точке днём, дБ		**ф-ла(3)[10]**	**0**	**17,8**	**15,7**	**13,5**	**10**	**7,5**	**2,3**	**0**	**0**	**12,2**	**12,2**
Расчёт отражённого звука													
Уровни звукового давления от мнимого источника ИШ-9-8_мн.(1) в расчётной точке днём, дБ		**ф-ла(3)[10]**	**0**	**0**	**0**	**0**	**0**	**0**	**0**	**0**	**0**	**0**	**0**
Уровни звукового давления от источника ИШ-9-8 в расчётной точке днём, дБ		**ф-ла(3)[10]**	**0**	**17,8**	**15,7**	**13,5**	**10**	**7,5**	**2,3**	**0**	**0**	**12,2**	**12,2**

1		2	3	4	5	6	7	8	9	10	11	12	13
Источник шума: ИШ-9-9, координаты источника (x,y,z), м =[650.66,-334.90,1.00]													
Уровни звуковой мощности источника днём, Lw, дБ		**исходные данные**	**0**	**93,3**	**94,7**	**96**	**96,3**	**95,9**	**92,6**	**88,4**	**83,9**		
Поправка на телесный угол DΩ, дБ	Ω = 6.28	10Lg(4π/Ω)	**3**	3	3	3	3	3	3	3	3		
Показатель направленности источника Di, дБ		исходные данные	**0**	0	0	0	0	0	0	0	0		
Поправка на направленность источника Dc, дБ	Dc	DΩ + Di	**3**	3	3	3	3	3	3	3	3		
Затухание из-за геометрической дивергенции, Adiv, дБ	расстояние = 452.51 м	ф-ла (7) [10]	**64,1**										
Коэффициент затухания звука в атмосфере α, дБ/км	Ta=20,°C Pa=101.33,кПа hотн.=70%	ф-ла (5) [9]	0,02	0,09	0,33	1,12	2,79	4,98	9,04	23,09	77,63		
Учет затухания звука в атмосфере Aatm, дБ		ф-ла (8) [10]	0	0	0,2	0,5	1,3	2,3	4,1	10,4	35,1		
Снижение уровня звукового давления из-за влияния застройки между источником шума и расчетной точкой													
Снижение уровня звукового давления на пути над экраном, Dz1, дБ	z = 6.31м (разность путей)	ф-лы (14-18) [10]	14,4	18,5	22,7	26,4	29,6	32,7	35,7	38,7	41,7		
Снижение уровня звукового давления на пути слева от экрана, Dz2, дБ	z = 64.72м (разность путей)	ф-лы (14-18) [10]	24,4	28,4	32,9	37	40,4	43,5	46,6	49,6	52,6		
Снижение уровня звукового давления на пути справа от экрана, Dz3, дБ	z = 5.72м (разность путей)	ф-лы (14-18) [10]	13,8	16,6	19,4	22,3	25,3	28,3	31,3	34,3	37,3		
Общее снижение уровня звука препятствием Dz, дБ		Эн.сумма(-Dzi)	10,9	14,2	17,6	20,8	23,8	26,9	29,9	32,9	35,9		
Общее снижение уровня звука препятствием с учётом ограничения (25 дБ) для октавных полос Dz, дБ		Раздел 7.4 [10]	10,9	14,2	17,6	20,8	23,8	25	25	25	25		
Уровни звукового давления прямого звука от источника ИШ-9-9 в расчётной точке днём, дБ		**ф-ла(3)[10]**	**0**	**17,9**	**15,8**	**13,6**	**10,1**	**7,5**	**2,4**	**0**	**0**	**12,3**	**12,3**
Расчёт отражённого звука													

1		2	3	4	5	6	7	8	9	10	11	12	13
Уровни звукового давления от мнимого источника ИШ-9-9_мн.(1) в расчётной точке днём, дБ		**ф-ла(3)[10]**	**0**	**0**	**0**	**0**	**0**	**0**	**0**	**0**	**0**	**0**	**0**
Уровни звукового давления от источника ИШ-9-9 в расчётной точке днём, дБ		**ф-ла(3)[10]**	**0**	**17,9**	**15,8**	**13,6**	**10,1**	**7,5**	**2,4**	**0**	**0**	**12,3**	**12,3**
Источник шума: ИШ-9-10, координаты источника (x,y,z), м =[651.59,-332.01,1.00]													
Уровни звуковой мощности источника днём, Lw, дБ		**исходные данные**	**0**	**93,3**	**94,7**	**96**	**96,3**	**95,9**	**92,6**	**88,4**	**83,9**		
Поправка на телесный угол DΩ, дБ	Ω = 6.28	10Lg(4π/Ω)	**3**	3	3	3	3	3	3	3	3		
Показатель направленности источника Di, дБ		исходные данные	**0**	0	0	0	0	0	0	0	0		
Поправка на направленность источника Dc, дБ	Dc	DΩ + Di	**3**	3	3	3	3	3	3	3	3		
Затухание из-за геометрической дивергенции, Adiv, дБ	расстояние = 450.61 м	ф-ла (7) [10]	**64,1**										
Коэффициент затухания звука в атмосфере α, дБ/км	Ta=20,°C Pa=101.33,кПа hотн.=70%	ф-ла (5) [9]	0,02	0,09	0,33	1,12	2,79	4,98	9,04	23,09	77,63		
Учет затухания звука в атмосфере Aatm, дБ		ф-ла (8) [10]	0	0	0,2	0,5	1,3	2,2	4,1	10,4	35		
Снижение уровня звукового давления из-за влияния застройки между источником шума и расчетной точкой													
Снижение уровня звукового давления на пути над экраном, Dz1, дБ	z = 6.29м (разность путей)	ф-лы (14-18) [10]	14,4	18,4	22,7	26,4	29,6	32,7	35,7	38,7	41,7		
Снижение уровня звукового давления на пути слева от экрана, Dz2, дБ	z = 64.93м (разность путей)	ф-лы (14-18) [10]	24,4	28,4	32,9	37	40,4	43,6	46,6	49,6	52,6		
Снижение уровня звукового давления на пути справа от экрана, Dz3, дБ	z = 5.63м (разность путей)	ф-лы (14-18) [10]	13,8	16,5	19,3	22,3	25,2	28,2	31,2	34,2	37,2		
Общее снижение уровня звука препятствием Dz, дБ		Эн.сумма(-Dzi)	10,8	14,2	17,6	20,7	23,8	26,8	29,8	32,8	35,8		
Общее снижение уровня звука препятствием с учётом ограничения (25 дБ) для октавных полос Dz, дБ		Раздел 7.4 [10]	10,8	14,2	17,6	20,7	23,8	25	25	25	25		

1		2	3	4	5	6	7	8	9	10	11	12	13
Уровни звукового давления от источника ИШ-9-10 в расчётной точке днём, дБ		**ф-ла(3)[10]**	**0**	**18**	**15,9**	**13,7**	**10,2**	**7,6**	**2,4**	**0**	**0**	**12,4**	**12,4**
Источник шума: ИШ-9-11, координаты источника (x,y,z), м =[652.71,-329.22,1.00]													
Уровни звуковой мощности источника днём, Lw, дБ		**исходные данные**	**0**	**93,3**	**94,7**	**96**	**96,3**	**95,9**	**92,6**	**88,4**	**83,9**		
Поправка на телесный угол DΩ, дБ	Ω = 6.28	10Lg(4π/Ω)	**3**	3	3	3	3	3	3	3	3		
Показатель направленности источника Di, дБ		исходные данные	**0**	0	0	0	0	0	0	0	0		
Поправка на направленность источника Dc, дБ	Dc	DΩ + Di	**3**	3	3	3	3	3	3	3	3		
Затухание из-за геометрической дивергенции, Adiv, дБ	расстояние = 448.91 м	ф-ла (7) [10]	**64**										
Коэффициент затухания звука в атмосфере α, дБ/км	Ta=20,°C Pa=101.33,кПа hотн.=70%	ф-ла (5) [9]	0,02	0,09	0,33	1,12	2,79	4,98	9,04	23,09	77,63		
Учет затухания звука в атмосфере Aatm, дБ		ф-ла (8) [10]	0	0	0,2	0,5	1,3	2,2	4,1	10,4	34,9		
Снижение уровня звукового давления из-за влияния застройки между источником шума и расчетной точкой													
Снижение уровня звукового давления на пути над экраном, Dz1, дБ	z = 6.28м (разность путей)	ф-лы (14-18) [10]	14,3	18,4	22,7	26,4	29,6	32,7	35,7	38,7	41,7		
Снижение уровня звукового давления на пути слева от экрана, Dz2, дБ	z = 65.15м (разность путей)	ф-лы (14-18) [10]	24,4	28,4	32,9	37	40,4	43,6	46,6	49,6	52,6		
Снижение уровня звукового давления на пути справа от экрана, Dz3, дБ	z = 5.53м (разность путей)	ф-лы (14-18) [10]	13,7	16,4	19,3	22,2	25,2	28,2	31,2	34,2	37,2		
Общее снижение уровня звука препятствием Dz, дБ		Эн.сумма(-Dzi)	10,8	14,1	17,5	20,7	23,7	26,7	29,7	32,8	35,8		
Общее снижение уровня звука препятствием с учётом ограничения (25 дБ) для октавных полос Dz, дБ		Раздел 7.4 [10]	10,8	14,1	17,5	20,7	23,7	25	25	25	25		
Уровни звукового давления прямого звука от источника ИШ-9-11 в расчётной точке днём, дБ		**ф-ла(3)[10]**	**0**	**18,1**	**16**	**13,8**	**10,3**	**7,6**	**2,5**	**0**	**0**	**12,5**	**12,5**

1		2	3	4	5	6	7	8	9	10	11	12	13
Расчёт отражённого звука													
Уровни звукового давления от мнимого источника ИШ-9-11_мн.(1) в расчётной точке днём, дБ		**ф-ла(3)[10]**	**0**	**0**	**0**	**0**	**0**	**0**	**0**	**0**	**0**	**0**	**0**
Уровни звукового давления от источника ИШ-9-11 в расчётной точке днём, дБ		**ф-ла(3)[10]**	**0**	**18,1**	**16**	**13,8**	**10,3**	**7,6**	**2,5**	**0**	**0**	**12,5**	**12,5**
Источник шума: ИШ-9-12, координаты источника (x,y,z), м =[653.46,-326.33,1.00]													
Уровни звуковой мощности источника днём, Lw, дБ		**исходные данные**	**0**	**93,3**	**94,7**	**96**	**96,3**	**95,9**	**92,6**	**88,4**	**83,9**		
Поправка на телесный угол DΩ, дБ	Ω = 6.28	10Lg(4π/Ω)	**3**	3	3	3	3	3	3	3	3		
Показатель направленности источника Di, дБ		исходные данные	**0**	0	0	0	0	0	0	0	0		
Поправка на направленность источника Dc, дБ	Dc	DΩ + Di	**3**	3	3	3	3	3	3	3	3		
Затухание из-за геометрической дивергенции, Adiv, дБ	расстояние = 446.94 м	ф-ла (7) [10]	**64**										
Коэффициент затухания звука в атмосфере α, дБ/км	Ta=20,°C Pa=101.33,кПа hотн.=70%	ф-ла (5) [9]	0,02	0,09	0,33	1,12	2,79	4,98	9,04	23,09	77,63		
Учет затухания звука в атмосфере Aatm, дБ		ф-ла (8) [10]	0	0	0,1	0,5	1,2	2,2	4	10,3	34,7		
Снижение уровня звукового давления из-за влияния застройки между источником шума и расчетной точкой													
Снижение уровня звукового давления на пути над экраном, Dz1, дБ	z = 6.27м (разность путей)	ф-лы (14-18) [10]	14,3	18,4	22,7	26,4	29,6	32,7	35,7	38,7	41,7		
Снижение уровня звукового давления на пути слева от экрана, Dz2, дБ	z = 65.35м (разность путей)	ф-лы (14-18) [10]	24,4	28,4	32,9	37	40,5	43,6	46,6	49,6	52,7		
Снижение уровня звукового давления на пути справа от экрана, Dz3, дБ	z = 5.44м (разность путей)	ф-лы (14-18) [10]	13,6	16,4	19,2	22,1	25,1	28,1	31,1	34,1	37,1		
Общее снижение уровня звука препятствием Dz, дБ		Эн.сумма(-Dzi)	10,8	14,1	17,5	20,6	23,7	26,7	29,7	32,7	35,7		

1		2	3	4	5	6	7	8	9	10	11	12	13
Общее снижение уровня звука препятствием с учётом ограничения (25 дБ) для октавных полос Dz, дБ		Раздел 7.4 [10]	10,8	14,1	17,5	20,6	23,7	25	25	25	25		
Уровни звукового давления прямого звука от источника ИШ-9-12 в расчётной точке днём, дБ		**ф-ла(3)[10]**	**0**	**18,2**	**16,1**	**13,9**	**10,4**	**7,7**	**2,5**	**0**	**0**	**12,5**	**12,5**
Расчёт отражённого звука													
Уровни звукового давления от мнимого источника ИШ-9-12_мн.(1) в расчётной точке днём, дБ		**ф-ла(3)[10]**	**0**	**0**	**0**	**0**	**0**	**0**	**0**	**0**	**0**	**0**	**0**
Уровни звукового давления от источника ИШ-9-12 в расчётной точке днём, дБ		**ф-ла(3)[10]**	**0**	**18,2**	**16,1**	**13,9**	**10,4**	**7,7**	**2,5**	**0**	**0**	**12,5**	**12,5**
Источник шума: ИШ-9-13, координаты источника (x,y,z), м =[654.48,-323.54,1.00]													
Уровни звуковой мощности источника днём, Lw, дБ		**исходные данные**	**0**	**93,3**	**94,7**	**96**	**96,3**	**95,9**	**92,6**	**88,4**	**83,9**		
Поправка на телесный угол DΩ, дБ	Ω = 6.28	10Lg(4π/Ω)	**3**	3	3	3	3	3	3	3	3		
Показатель направленности источника Di, дБ		исходные данные	**0**	0	0	0	0	0	0	0	0		
Поправка на направленность источника Dc, дБ	Dc	DΩ + Di	**3**	3	3	3	3	3	3	3	3		
Затухание из-за геометрической дивергенции, Adiv, дБ	расстояние = 445.21 м	ф-ла (7) [10]	**64**										
Коэффициент затухания звука в атмосфере α, дБ/км	Ta=20,°C Pa=101.33,кПа hотн.=70%	ф-ла (5) [9]	0,02	0,09	0,33	1,12	2,79	4,98	9,04	23,09	77,63		
Учет затухания звука в атмосфере Aatm, дБ		ф-ла (8) [10]	0	0	0,1	0,5	1,2	2,2	4	10,3	34,6		
Снижение уровня звукового давления из-за влияния застройки между источником шума и расчетной точкой													
Снижение уровня звукового давления на пути над экраном, Dz1, дБ	z = 6.26м (разность путей)	ф-лы (14-18) [10]	14,3	18,4	22,7	26,4	29,6	32,6	35,7	38,7	41,7		
Снижение уровня звукового давления на пути слева от экрана, Dz2, дБ	z = 65.57м (разность путей)	ф-лы (14-18) [10]	24,4	28,4	32,9	37	40,5	43,6	46,6	49,7	52,7		

1		2	3	4	5	6	7	8	9	10	11	12	13
Снижение уровня звукового давления на пути справа от экрана, Dz3, дБ	z = 5.35м (разность путей)	ф-лы (14-18) [10]	13,6	16,3	19,1	22	25	28	31	34	37		
Общее снижение уровня звука препятствием Dz, дБ		Эн.сумма(-Dzi)	10,7	14	17,4	20,6	23,6	26,6	29,6	32,6	35,7		
Общее снижение уровня звука препятствием с учётом ограничения (25 дБ) для октавных полос Dz, дБ		Раздел 7.4 [10]	10,7	14	17,4	20,6	23,6	25	25	25	25		
Уровни звукового давления прямого звука от источника ИШ-9-13 в расчётной точке днём, дБ		**ф-ла(3)[10]**	**0**	**18,2**	**16,2**	**13,9**	**10,5**	**7,7**	**2,6**	**0**	**0**	**12,6**	**12,6**
Расчёт отражённого звука													
Уровни звукового давления от мнимого источника ИШ-9-13_мн.(1) в расчётной точке днём, дБ		**ф-ла(3)[10]**	**0**	**0**	**0**	**0**	**0**	**0**	**0**	**0**	**0**	**0**	**0**
Уровни звукового давления от источника ИШ-9-13 в расчётной точке днём, дБ		**ф-ла(3)[10]**	**0**	**18,2**	**16,2**	**13,9**	**10,5**	**7,7**	**2,6**	**0**	**0**	**12,6**	**12,6**
Источник шума: ИШ-9-14, координаты источника (x,y,z), м =[655.60,-320.74,1.00]													
Уровни звуковой мощности источника днём, Lw, дБ		**исходные данные**	**0**	**93,3**	**94,7**	**96**	**96,3**	**95,9**	**92,6**	**88,4**	**83,9**		
Поправка на телесный угол DΩ, дБ	Ω = 6.28	10Lg(4π/Ω)	**3**	3	3	3	3	3	3	3	3		
Показатель направленности источника Di, дБ		исходные данные	**0**	0	0	0	0	0	0	0	0		
Поправка на направленность источника Dc, дБ	Dc	DΩ + Di	**3**	3	3	3	3	3	3	3	3		
Затухание из-за геометрической дивергенции, Adiv, дБ	расстояние = 443.55 м	ф-ла (7) [10]	**63,9**										
Коэффициент затухания звука в атмосфере α, дБ/км	Ta=20,°C Pa=101.33,кПа hотн.=70%	ф-ла (5) [9]	0,02	0,09	0,33	1,12	2,79	4,98	9,04	23,09	77,63		
Учет затухания звука в атмосфере Aatm, дБ		ф-ла (8) [10]	0	0	0,1	0,5	1,2	2,2	4	10,2	34,4		
Снижение уровня звукового давления из-за влияния застройки между источником шума и расчетной точкой													

1		2	3	4	5	6	7	8	9	10	11	12	13
Снижение уровня звукового давления на пути над экраном, Dz1, дБ	z = 6.24м (разность путей)	ф-лы (14-18) [10]	14,3	18,4	22,6	26,3	29,6	32,6	35,7	38,7	41,7		
Снижение уровня звукового давления на пути слева от экрана, Dz2, дБ	z = 65.79м (разность путей)	ф-лы (14-18) [10]	24,4	28,5	33	37,1	40,5	43,6	46,7	49,7	52,7		
Снижение уровня звукового давления на пути справа от экрана, Dz3, дБ	z = 5.25м (разность путей)	ф-лы (14-18) [10]	13,5	16,2	19	22	24,9	27,9	30,9	33,9	36,9		
Общее снижение уровня звука препятствием Dz, дБ		Эн.сумма(-Dzi)	10,7	14	17,3	20,5	23,6	26,6	29,6	32,6	35,6		
Общее снижение уровня звука препятствием с учётом ограничения (25 дБ) для октавных полос Dz, дБ		Раздел 7.4 [10]	10,7	14	17,3	20,5	23,6	25	25	25	25		
Уровни звукового давления прямого звука от источника ИШ-9-14 в расчётной точке днём, дБ		**ф-ла(3)[10]**	**0**	**18,3**	**16,3**	**14**	**10,6**	**7,7**	**2,6**	**0**	**0**	**12,7**	**12,7**
Расчёт отражённого звука													
Уровни звукового давления от мнимого источника ИШ-9-14_мн.(1) в расчётной точке днём, дБ		**ф-ла(3)[10]**	**0**	**0**	**0**	**0**	**0**	**0**	**0**	**0**	**0**	**0**	**0**
Уровни звукового давления от источника ИШ-9-14 в расчётной точке днём, дБ		**ф-ла(3)[10]**	**0**	**18,3**	**16,3**	**14**	**10,6**	**7,7**	**2,6**	**0**	**0**	**12,7**	**12,7**
Источник шума: ИШ-9-15, координаты источника (x,y,z), м =[656.44,-317.86,1.00]													
Уровни звуковой мощности источника днём, Lw, дБ		**исходные данные**	**0**	**93,3**	**94,7**	**96**	**96,3**	**95,9**	**92,6**	**88,4**	**83,9**		
Поправка на телесный угол DΩ, дБ	Ω = 6.28	10Lg(4π/Ω)	**3**	3	3	3	3	3	3	3	3		
Показатель направленности источника Di, дБ		исходные данные	**0**	0	0	0	0	0	0	0	0		
Поправка на направленность источника Dc, дБ	Dc	DΩ + Di	**3**	3	3	3	3	3	3	3	3		
Затухание из-за геометрической дивергенции, Adiv, дБ	расстояние = 441.67 м	ф-ла (7) [10]	**63,9**										
Коэффициент затухания звука в атмосфере α, дБ/км	Ta=20,°C Pa=101.33,кПа hотн.=70%	ф-ла (5) [9]	0,02	0,09	0,33	1,12	2,79	4,98	9,04	23,09	77,63		

1		2	3	4	5	6	7	8	9	10	11	12	13
Учет затухания звука в атмосфере Aatm, дБ		ф-ла (8) [10]	0	0	0,1	0,5	1,2	2,2	4	10,2	34,3		
Снижение уровня звукового давления из-за влияния застройки между источником шума и расчетной точкой													
Снижение уровня звукового давления на пути над экраном, Dz1, дБ	z = 6.23м (разность путей)	ф-лы (14-18) [10]	14,3	18,4	22,6	26,3	29,6	32,6	35,7	38,7	41,7		
Снижение уровня звукового давления на пути слева от экрана, Dz2, дБ	z = 66.00м (разность путей)	ф-лы (14-18) [10]	24,5	28,5	33	37,1	40,5	43,6	46,7	49,7	52,7		
Снижение уровня звукового давления на пути справа от экрана, Dz3, дБ	z = 5.16м (разность путей)	ф-лы (14-18) [10]	13,4	16,2	19	21,9	24,9	27,9	30,9	33,9	36,9		
Общее снижение уровня звука препятствием Dz, дБ		Эн.сумма(-Dzi)	10,7	13,9	17,3	20,5	23,5	26,5	29,5	32,5	35,5		
Общее снижение уровня звука препятствием с учётом ограничения (25 дБ) для октавных полос Dz, дБ		Раздел 7.4 [10]	10,7	13,9	17,3	20,5	23,5	25	25	25	25		
Уровни звукового давления прямого звука от источника ИШ-9-15 в расчётной точке днём, дБ		**ф-ла(3)[10]**	**0**	**18,4**	**16,3**	**14,1**	**10,6**	**7,8**	**2,7**	**0**	**0**	**12,7**	**12,7**
Расчёт отражённого звука													
Уровни звукового давления от мнимого источника ИШ-9-15_мн.(1) в расчётной точке днём, дБ		**ф-ла(3)[10]**	**0**	**0**	**0**	**0**	**0**	**0**	**0**	**0**	**0**	**0**	**0**
Уровни звукового давления от источника ИШ-9-15 в расчётной точке днём, дБ		**ф-ла(3)[10]**	**0**	**18,4**	**16,3**	**14,1**	**10,6**	**7,8**	**2,7**	**0**	**0**	**12,7**	**12,7**
Источник шума: ИШ-9-16, координаты источника (x,y,z), м =[657.46,-314.97,1.00]													
Уровни звуковой мощности источника днём, Lw, дБ		**исходные данные**	**0**	**93,3**	**94,7**	**96**	**96,3**	**95,9**	**92,6**	**88,4**	**83,9**		
Поправка на телесный угол DΩ, дБ	Ω = 6.28	10Lg(4π/Ω)	**3**	3	3	3	3	3	3	3	3		
Показатель направленности источника Di, дБ		исходные данные	**0**	0	0	0	0	0	0	0	0		
Поправка на направленность источника Dc, дБ	Dc	DΩ + Di	**3**	3	3	3	3	3	3	3	3		
Затухание из-за геометрической дивергенции, Adiv, дБ	расстояние = 439.90 м	ф-ла (7) [10]	**63,9**										

1		2	3	4	5	6	7	8	9	10	11	12	13
Коэффициент затухания звука в атмосфере α, дБ/км	Та=20,°С Ра=101.33,кПа hотн.=70%	ф-ла (5) [9]	0,02	0,09	0,33	1,12	2,79	4,98	9,04	23,09	77,63		
Учет затухания звука в атмосфере Aatm, дБ		ф-ла (8) [10]	0	0	0,1	0,5	1,2	2,2	4	10,2	34,2		
Снижение уровня звукового давления из-за влияния застройки между источником шума и расчетной точкой													
Снижение уровня звукового давления на пути над экраном, Dz1, дБ	z = 6.21м (разность путей)	ф-лы (14-18) [10]	14,3	18,3	22,6	26,3	29,6	32,6	35,6	38,7	41,7		
Снижение уровня звукового давления на пути слева от экрана, Dz2, дБ	z = 66.22м (разность путей)	ф-лы (14-18) [10]	24,5	28,5	33	37,1	40,5	43,6	46,7	49,7	52,7		
Снижение уровня звукового давления на пути справа от экрана, Dz3, дБ	z = 5.06м (разность путей)	ф-лы (14-18) [10]	13,4	16,1	18,9	21,8	24,8	27,8	30,8	33,8	36,8		
Общее снижение уровня звука препятствием Dz, дБ		Эн.сумма(-Dzi)	10,6	13,9	17,2	20,4	23,4	26,5	29,5	32,5	35,5		
Общее снижение уровня звука препятствием с учётом ограничения (25 дБ) для октавных полос Dz, дБ		Раздел 7.4 [10]	10,6	13,9	17,2	20,4	23,4	25	25	25	25		
Уровни звукового давления прямого звука от источника ИШ-9-16 в расчётной точке днём, дБ		**ф-ла(3)[10]**	**0**	**18,5**	**16,4**	**14,2**	**10,8**	**7,8**	**2,7**	**0**	**0**	**12,8**	**12,8**
Расчёт отражённого звука													
Уровни звукового давления от мнимого источника ИШ-9-16_мн.(1) в расчётной точке днём, дБ		**ф-ла(3)[10]**	**0**	**0**	**0**	**0**	**0**	**0**	**0**	**0**	**0**	**0**	**0**
Уровни звукового давления от источника ИШ-9-16 в расчётной точке днём, дБ		**ф-ла(3)[10]**	**0**	**18,5**	**16,4**	**14,2**	**10,8**	**7,8**	**2,7**	**0**	**0**	**12,8**	**12,8**
Источник шума: ИШ-9-17, координаты источника (x,y,z), м =[658.49,-312.18,1.00]													
Уровни звуковой мощности источника днём, Lw, дБ		**исходные данные**	**0**	**93,3**	**94,7**	**96**	**96,3**	**95,9**	**92,6**	**88,4**	**83,9**		
Поправка на телесный угол DΩ, дБ	Ω = 6.28	10Lg(4π/Ω)	**3**	3	3	3	3	3	3	3	3		
Показатель направленности источника Di, дБ		исходные данные	**0**	0	0	0	0	0	0	0	0		

1		2	3	4	5	6	7	8	9	10	11	12	13
Поправка на направленность источника Dc, дБ	Dc	DΩ + Di	**3**	3	3	3	3	3	3	3	3		
Затухание из-за геометрической дивергенции, Adiv, дБ	расстояние = 438.23 м	ф-ла (7) [10]	**63,8**										
Коэффициент затухания звука в атмосфере α, дБ/км	Ta=20,°C Pa=101.33,кПа hотн.=70%	ф-ла (5) [9]	0,02	0,09	0,33	1,12	2,79	4,98	9,04	23,09	77,63		
Учет затухания звука в атмосфере Aatm, дБ		ф-ла (8) [10]	0	0	0,1	0,5	1,2	2,2	4	10,1	34		
Снижение уровня звукового давления из-за влияния застройки между источником шума и расчетной точкой													
Снижение уровня звукового давления на пути над экраном, Dz1, дБ	z = 6.20м (разность путей)	ф-лы (14-18) [10]	14,3	18,3	22,6	26,3	29,5	32,6	35,6	38,6	41,7		
Снижение уровня звукового давления на пути слева от экрана, Dz2, дБ	z = 66.44м (разность путей)	ф-лы (14-18) [10]	24,5	28,5	33	37,1	40,5	43,7	46,7	49,7	52,7		
Снижение уровня звукового давления на пути справа от экрана, Dz3, дБ	z = 4.97м (разность путей)	ф-лы (14-18) [10]	13,3	16	18,8	21,7	24,7	27,7	30,7	33,7	36,7		
Общее снижение уровня звука препятствием Dz, дБ		Эн.сумма(-Dzi)	10,6	13,8	17,2	20,3	23,4	26,4	29,4	32,4	35,4		
Общее снижение уровня звука препятствием с учётом ограничения (25 дБ) для октавных полос Dz, дБ		Раздел 7.4 [10]	10,6	13,8	17,2	20,3	23,4	25	25	25	25		
Уровни звукового давления прямого звука от источника ИШ-9-17 в расчётной точке днём, дБ		**ф-ла(3)[10]**	**0**	**18,6**	**16,5**	**14,3**	**10,8**	**7,9**	**2,8**	**0**	**0**	**12,9**	**12,9**
Расчёт отражённого звука													
Уровни звукового давления от мнимого источника ИШ-9-17_мн.(1) в расчётной точке днём, дБ		**ф-ла(3)[10]**	**0**	**0**	**0**	**0**	**0**	**0**	**0**	**0**	**0**	**0**	**0**
Уровни звукового давления от источника ИШ-9-17 в расчётной точке днём, дБ		**ф-ла(3)[10]**	**0**	**18,6**	**16,5**	**14,3**	**10,8**	**7,9**	**2,8**	**0**	**0**	**12,9**	**12,9**
Источник шума: ИШ-9-18, координаты источника (x,y,z), м =[659.42,-309.20,1.00]													
Уровни звуковой мощности источника днём, Lw, дБ		**исходные данные**	**0**	**93,3**	**94,7**	**96**	**96,3**	**95,9**	**92,6**	**88,4**	**83,9**		

1		2	3	4	5	6	7	8	9	10	11	12	13
Поправка на телесный угол DΩ, дБ	Ω = 6.28	10Lg(4π/Ω)	**3**	3	3	3	3	3	3	3	3		
Показатель направленности источника Di, дБ		исходные данные	**0**	0	0	0	0	0	0	0	0		
Поправка на направленность источника Dc, дБ	Dc	DΩ + Di	**3**	3	3	3	3	3	3	3	3		
Затухание из-за геометрической дивергенции, Adiv, дБ	расстояние = 436.37 м	ф-ла (7) [10]	**63,8**										
Коэффициент затухания звука в атмосфере α, дБ/км	Ta=20,°C Pa=101.33,кПа hотн.=70%	ф-ла (5) [9]	0,02	0,09	0,33	1,12	2,79	4,98	9,04	23,09	77,63		
Учет затухания звука в атмосфере Aatm, дБ		ф-ла (8) [10]	0	0	0,1	0,5	1,2	2,2	3,9	10,1	33,9		
Снижение уровня звукового давления из-за влияния застройки между источником шума и расчетной точкой													
Снижение уровня звукового давления на пути над экраном, Dz1, дБ	z = 6.18м (разность путей)	ф-лы (14-18) [10]	14,2	18,3	22,6	26,3	29,5	32,6	35,6	38,6	41,6		
Снижение уровня звукового давления на пути слева от экрана, Dz2, дБ	z = 66.67м (разность путей)	ф-лы (14-18) [10]	24,5	28,5	33	37,1	40,5	43,7	46,7	49,7	52,7		
Снижение уровня звукового давления на пути справа от экрана, Dz3, дБ	z = 4.87м (разность путей)	ф-лы (14-18) [10]	13,2	15,9	18,7	21,7	24,6	27,6	30,6	33,6	36,6		
Общее снижение уровня звука препятствием Dz, дБ		Эн.сумма(-Dzi)	10,5	13,8	17,1	20,3	23,3	26,3	29,3	32,3	35,4		
Общее снижение уровня звука препятствием с учётом ограничения (25 дБ) для октавных полос Dz, дБ		Раздел 7.4 [10]	10,5	13,8	17,1	20,3	23,3	25	25	25	25		
Уровни звукового давления прямого звука от источника ИШ-9-18 в расчётной точке днём, дБ		**ф-ла(3)[10]**	**0**	**18,7**	**16,6**	**14,4**	**11**	**7,9**	**2,9**	**0**	**0**	**13**	**13**
Расчёт отражённого звука													
Уровни звукового давления от мнимого источника ИШ-9-18_мн.(1) в расчётной точке днём, дБ		**ф-ла(3)[10]**	**0**	**0**	**0**	**0**	**0**	**0**	**0**	**0**	**0**	**0**	**0**
Уровни звукового давления от источника ИШ-9-18 в расчётной точке днём, дБ		**ф-ла(3)[10]**	**0**	**18,7**	**16,6**	**14,4**	**11**	**7,9**	**2,9**	**0**	**0**	**13**	**13**

1		2	3	4	5	6	7	8	9	10	11	12	13
Источник шума: ИШ-9-19, координаты источника (x,y,z), м =[660.44,-306.50,1.00]													
Уровни звуковой мощности источника днём, Lw, дБ		**исходные данные**	**0**	**93,3**	**94,7**	**96**	**96,3**	**95,9**	**92,6**	**88,4**	**83,9**		
Поправка на телесный угол DΩ, дБ	Ω = 6.28	10Lg(4π/Ω)	**3**	3	3	3	3	3	3	3	3		
Показатель направленности источника Di, дБ		исходные данные	**0**	0	0	0	0	0	0	0	0		
Поправка на направленность источника Dc, дБ	Dc	DΩ + Di	**3**	3	3	3	3	3	3	3	3		
Затухание из-за геометрической дивергенции, Adiv, дБ	расстояние = 434.80 м	ф-ла (7) [10]	**63,8**										
Коэффициент затухания звука в атмосфере α, дБ/км	Ta=20,°C Pa=101.33,кПа hотн.=70%	ф-ла (5) [9]	0,02	0,09	0,33	1,12	2,79	4,98	9,04	23,09	77,63		
Учет затухания звука в атмосфере Aatm, дБ		ф-ла (8) [10]	0	0	0,1	0,5	1,2	2,2	3,9	10	33,8		
Снижение уровня звукового давления из-за влияния застройки между источником шума и расчетной точкой													
Снижение уровня звукового давления на пути над экраном, Dz1, дБ	z = 6.17м (разность путей)	ф-лы (14-18) [10]	14,2	18,3	22,6	26,3	29,5	32,6	35,6	38,6	41,6		
Снижение уровня звукового давления на пути слева от экрана, Dz2, дБ	z = 66.88м (разность путей)	ф-лы (14-18) [10]	24,5	28,5	33	37,1	40,6	43,7	46,7	49,7	52,8		
Снижение уровня звукового давления на пути справа от экрана, Dz3, дБ	z = 4.78м (разность путей)	ф-лы (14-18) [10]	13,2	15,8	18,7	21,6	24,5	27,5	30,5	33,5	36,5		
Общее снижение уровня звука препятствием Dz, дБ		Эн.сумма(-Dzi)	10,5	13,7	17,1	20,2	23,3	26,3	29,3	32,3	35,3		
Общее снижение уровня звука препятствием с учётом ограничения (25 дБ) для октавных полос Dz, дБ		Раздел 7.4 [10]	10,5	13,7	17,1	20,2	23,3	25	25	25	25		
Уровни звукового давления прямого звука от источника ИШ-9-19 в расчётной точке днём, дБ		**ф-ла(3)[10]**	**0**	**18,8**	**16,7**	**14,5**	**11,1**	**8**	**2,9**	**0**	**0**	**13**	**13**
Расчёт отражённого звука													

1		2	3	4	5	6	7	8	9	10	11	12	13
Уровни звукового давления от мнимого источника ИШ-9-19_мн.(1) в расчётной точке днём, дБ		**ф-ла(3)[10]**	**0**	**0**	**0**	**0**	**0**	**0**	**0**	**0**	**0**	**0**	**0**
Уровни звукового давления от источника ИШ-9-19 в расчётной точке днём, дБ		**ф-ла(3)[10]**	**0**	**18,8**	**16,7**	**14,5**	**11,1**	**8**	**2,9**	**0**	**0**	**13**	**13**
Источник шума: ИШ-9-20, координаты источника (x,y,z), м =[661.28,-303.61,1.00]													
Уровни звуковой мощности источника днём, Lw, дБ		**исходные данные**	**0**	**93,3**	**94,7**	**96**	**96,3**	**95,9**	**92,6**	**88,4**	**83,9**		
Поправка на телесный угол DΩ, дБ	Ω = 6.28	10Lg(4π/Ω)	**3**	3	3	3	3	3	3	3	3		
Показатель направленности источника Di, дБ		исходные данные	**0**	0	0	0	0	0	0	0	0		
Поправка на направленность источника Dc, дБ	Dc	DΩ + Di	**3**	3	3	3	3	3	3	3	3		
Затухание из-за геометрической дивергенции, Adiv, дБ	расстояние = 432.98 м	ф-ла (7) [10]	**63,7**										
Коэффициент затухания звука в атмосфере α, дБ/км	Ta=20,°C Pa=101.33,кПа hотн.=70%	ф-ла (5) [9]	0,02	0,09	0,33	1,12	2,79	4,98	9,04	23,09	77,63		
Учет затухания звука в атмосфере Aatm, дБ		ф-ла (8) [10]	0	0	0,1	0,5	1,2	2,2	3,9	10	33,6		
Снижение уровня звукового давления из-за влияния застройки между источником шума и расчетной точкой													
Снижение уровня звукового давления на пути над экраном, Dz1, дБ	z = 6.15м (разность путей)	ф-лы (14-18) [10]	14,2	18,3	22,5	26,3	29,5	32,6	35,6	38,6	41,6		
Снижение уровня звукового давления на пути слева от экрана, Dz2, дБ	z = 67.10м (разность путей)	ф-лы (14-18) [10]	24,5	28,5	33	37,1	40,6	43,7	46,7	49,8	52,8		
Снижение уровня звукового давления на пути справа от экрана, Dz3, дБ	z = 4.69м (разность путей)	ф-лы (14-18) [10]	13,1	15,8	18,6	21,5	24,5	27,4	30,4	33,4	36,5		
Общее снижение уровня звука препятствием Dz, дБ		Эн.сумма(-Dzi)	10,4	13,7	17	20,2	23,2	26,2	29,2	32,2	35,2		
Общее снижение уровня звука препятствием с учётом ограничения (25 дБ) для октавных полос Dz, дБ		Раздел 7.4 [10]	10,4	13,7	17	20,2	23,2	25	25	25	25		

1		2	3	4	5	6	7	8	9	10	11	12	13
Уровни звукового давления прямого звука от источника ИШ-9-20 в расчётной точке днём, дБ		**ф-ла(3)[10]**	**0**	**18,8**	**16,8**	**14,6**	**11,2**	**8**	**2,9**	**0**	**0**	**13,1**	**13,1**
Расчёт отражённого звука													
Уровни звукового давления от мнимого источника ИШ-9-20_мн.(1) в расчётной точке днём, дБ		**ф-ла(3)[10]**	**0**	**0**	**0**	**0**	**0**	**0**	**0**	**0**	**0**	**0**	**0**
Уровни звукового давления от источника ИШ-9-20 в расчётной точке днём, дБ		**ф-ла(3)[10]**	**0**	**18,8**	**16,8**	**14,6**	**11,2**	**8**	**2,9**	**0**	**0**	**13,1**	**13,1**
Источник шума: ИШ-9-21, координаты источника (x,y,z), м =[661.93,-300.72,1.00]													
Уровни звуковой мощности источника днём, Lw, дБ		**исходные данные**	**0**	**93,3**	**94,7**	**96**	**96,3**	**95,9**	**92,6**	**88,4**	**83,9**		
Поправка на телесный угол DΩ, дБ	Ω = 6.28	10Lg(4π/Ω)	**3**	3	3	3	3	3	3	3	3		
Показатель направленности источника Di, дБ		исходные данные	**0**	0	0	0	0	0	0	0	0		
Поправка на направленность источника Dc, дБ	Dc	DΩ + Di	**3**	3	3	3	3	3	3	3	3		
Затухание из-за геометрической дивергенции, Adiv, дБ	расстояние = 431.06 м	ф-ла (7) [10]	**63,7**										
Коэффициент затухания звука в атмосфере α, дБ/км	Ta=20,°C Pa=101.33,кПа hотн.=70%	ф-ла (5) [9]	0,02	0,09	0,33	1,12	2,79	4,98	9,04	23,09	77,63		
Учет затухания звука в атмосфере Aatm, дБ		ф-ла (8) [10]	0	0	0,1	0,5	1,2	2,1	3,9	10	33,5		
Снижение уровня звукового давления из-за влияния застройки между источником шума и расчетной точкой													
Снижение уровня звукового давления на пути над экраном, Dz1, дБ	z = 6.14м (разность путей)	ф-лы (14-18) [10]	14,2	18,2	22,5	26,3	29,5	32,6	35,6	38,6	41,6		
Снижение уровня звукового давления на пути слева от экрана, Dz2, дБ	z = 67.30м (разность путей)	ф-лы (14-18) [10]	24,5	28,5	33,1	37,2	40,6	43,7	46,8	49,8	52,8		
Снижение уровня звукового давления на пути справа от экрана, Dz3, дБ	z = 7.48м (разность путей)	ф-лы (14-18) [10]	19	22,2	25,2	28,2	31,2	34,2	37,2	40,2	43,2		

1		2	3	4	5	6	7	8	9	10	11	12	13
Общее снижение уровня звука препятствием Dz, дБ		Эн.сумма(-Dzi)	12,7	16,5	20,4	23,9	27,1	30,1	33,1	36,1	39,2		
Общее снижение уровня звука препятствием с учётом ограничения (25 дБ) для октавных полос Dz, дБ		Раздел 7.4 [10]	12,7	16,5	20,4	23,9	25	25	25	25	25		
Уровни звукового давления прямого звука от источника ИШ-9-21 в расчётной точке днём, дБ		**ф-ла(3)[10]**	**0**	**16,1**	**13,4**	**10,9**	**9,4**	**8,1**	**3**	**0**	**0**	**11,9**	**11,9**
Расчёт отражённого звука													
Уровни звукового давления от мнимого источника ИШ-9-21_мн.(1) в расчётной точке днём, дБ		**ф-ла(3)[10]**	**0**	**0**	**0**	**0**	**0**	**0**	**0**	**0**	**0**	**0**	**0**
Уровни звукового давления от источника ИШ-9-21 в расчётной точке днём, дБ		**ф-ла(3)[10]**	**0**	**16,1**	**13,4**	**10,9**	**9,4**	**8,1**	**3**	**0**	**0**	**11,9**	**11,9**
Источник шума: ИШ-9-22, координаты источника (x,y,z), м =[663.14,-297.83,1.00]													
Уровни звуковой мощности источника днём, Lw, дБ		**исходные данные**	**0**	**93,3**	**94,7**	**96**	**96,3**	**95,9**	**92,6**	**88,4**	**83,9**		
Поправка на телесный угол DΩ, дБ	Ω = 6.28	10Lg(4π/Ω)	**3**	3	3	3	3	3	3	3	3		
Показатель направленности источника Di, дБ		исходные данные	**0**	0	0	0	0	0	0	0	0		
Поправка на направленность источника Dc, дБ	Dc	DΩ + Di	**3**	3	3	3	3	3	3	3	3		
Затухание из-за геометрической дивергенции, Adiv, дБ	расстояние = 429.50 м	ф-ла (7) [10]	**63,7**										
Коэффициент затухания звука в атмосфере α, дБ/км	Ta=20,°C Pa=101.33,кПа hотн.=70%	ф-ла (5) [9]	0,02	0,09	0,33	1,12	2,79	4,98	9,04	23,09	77,63		
Учет затухания звука в атмосфере Aatm, дБ		ф-ла (8) [10]	0	0	0,1	0,5	1,2	2,1	3,9	9,9	33,3		
Снижение уровня звукового давления из-за влияния застройки между источником шума и расчетной точкой													
Снижение уровня звукового давления на пути над экраном, Dz1, дБ	z = 6.12м (разность путей)	ф-лы (14-18) [10]	14,2	18,2	22,5	26,2	29,5	32,6	35,6	38,6	41,6		

1		2	3	4	5	6	7	8	9	10	11	12	13
Снижение уровня звукового давления на пути слева от экрана, Dz2, дБ	z = 67.55м (разность путей)	ф-лы (14-18) [10]	24,6	28,6	33,1	37,2	40,6	43,7	46,8	49,8	52,8		
Снижение уровня звукового давления на пути справа от экрана, Dz3, дБ	z = 7.01м (разность путей)	ф-лы (14-18) [10]	18,7	21,9	24,9	27,9	30,9	33,9	36,9	40	43		
Общее снижение уровня звука препятствием Dz, дБ		Эн.сумма(-Dzi)	12,6	16,4	20,3	23,8	27	30	33	36	39		
Общее снижение уровня звука препятствием с учётом ограничения (25 дБ) для октавных полос Dz, дБ		Раздел 7.4 [10]	12,6	16,4	20,3	23,8	25	25	25	25	25		
Уровни звукового давления прямого звука от источника ИШ-9-22 в расчётной точке днём, дБ		**ф-ла(3)[10]**	**0**	**16,2**	**13,6**	**11,1**	**9,4**	**8,1**	**3,1**	**0**	**0**	**12**	**12**
Расчёт отражённого звука													
Уровни звукового давления от мнимого источника ИШ-9-22_мн.(1) в расчётной точке днём, дБ		**ф-ла(3)[10]**	**0**	**0**	**0**	**0**	**0**	**0**	**0**	**0**	**0**	**0**	**0**
Уровни звукового давления от источника ИШ-9-22 в расчётной точке днём, дБ		**ф-ла(3)[10]**	**0**	**16,2**	**13,6**	**11,1**	**9,4**	**8,1**	**3,1**	**0**	**0**	**12**	**12**
Источник шума: ИШ-9-23, координаты источника (x,y,z), м =[664.07,-295.13,1.00]													
Уровни звуковой мощности источника днём, Lw, дБ		**исходные данные**	**0**	**93,3**	**94,7**	**96**	**96,3**	**95,9**	**92,6**	**88,4**	**83,9**		
Поправка на телесный угол DΩ, дБ	Ω = 6.28	10Lg(4π/Ω)	**3**	3	3	3	3	3	3	3	3		
Показатель направленности источника Di, дБ		исходные данные	**0**	0	0	0	0	0	0	0	0		
Поправка на направленность источника Dc, дБ	Dc	DΩ + Di	**3**	3	3	3	3	3	3	3	3		
Затухание из-за геометрической дивергенции, Adiv, дБ	расстояние = 427.92 м	ф-ла (7) [10]	**63,6**										
Коэффициент затухания звука в атмосфере α, дБ/км	Ta=20,°C Pa=101.33,кПа hотн.=70%	ф-ла (5) [9]	0,02	0,09	0,33	1,12	2,79	4,98	9,04	23,09	77,63		
Учет затухания звука в атмосфере Aatm, дБ		ф-ла (8) [10]	0	0	0,1	0,5	1,2	2,1	3,9	9,9	33,2		

1		2	3	4	5	6	7	8	9	10	11	12	13
Снижение уровня звукового давления из-за влияния застройки между источником шума и расчетной точкой													
Снижение уровня звукового давления на пути над экраном, Dz1, дБ	z = 6.10м (разность путей)	ф-лы (14-18) [10]	14,2	18,2	22,5	26,2	29,5	32,6	35,6	38,6	41,6		
Снижение уровня звукового давления на пути слева от экрана, Dz2, дБ	z = 67.76м (разность путей)	ф-лы (14-18) [10]	24,6	28,6	33,1	37,2	40,6	43,7	46,8	49,8	52,8		
Снижение уровня звукового давления на пути справа от экрана, Dz3, дБ	z = 6.62м (разность путей)	ф-лы (14-18) [10]	18,5	21,7	24,7	27,7	30,7	33,7	36,7	39,7	42,7		
Общее снижение уровня звука препятствием Dz, дБ		Эн.сумма(-Dzi)	12,5	16,3	20,2	23,7	26,8	29,9	32,9	35,9	38,9		
Общее снижение уровня звука препятствием с учётом ограничения (25 дБ) для октавных полос Dz, дБ		Раздел 7.4 [10]	12,5	16,3	20,2	23,7	25	25	25	25	25		
Уровни звукового давления прямого звука от источника ИШ-9-23 в расчётной точке днём, дБ		**ф-ла(3)[10]**	**0**	**16,3**	**13,7**	**11,2**	**9,5**	**8,1**	**3,1**	**0**	**0**	**12**	**12**
Расчёт отражённого звука													
Уровни звукового давления от мнимого источника ИШ-9-23_мн.(1) в расчётной точке днём, дБ		**ф-ла(3)[10]**	**0**	**0**	**0**	**0**	**0**	**0**	**0**	**0**	**0**	**0**	**0**
Уровни звукового давления от источника ИШ-9-23 в расчётной точке днём, дБ		**ф-ла(3)[10]**	**0**	**16,3**	**13,7**	**11,2**	**9,5**	**8,1**	**3,1**	**0**	**0**	**12**	**12**
Источник шума: ИШ-9-24, координаты источника (x,y,z), м =[665.19,-292.34,1.00]													
Уровни звуковой мощности источника днём, Lw, дБ		**исходные данные**	**0**	**93,3**	**94,7**	**96**	**96,3**	**95,9**	**92,6**	**88,4**	**83,9**		
Поправка на телесный угол DΩ, дБ	Ω = 6.28	10Lg(4π/Ω)	**3**	3	3	3	3	3	3	3	3		
Показатель направленности источника Di, дБ		исходные данные	**0**	0	0	0	0	0	0	0	0		
Поправка на направленность источника Dc, дБ	Dc	DΩ + Di	**3**	3	3	3	3	3	3	3	3		
Затухание из-за геометрической дивергенции, Adiv, дБ	расстояние = 426.41 м	ф-ла (7) [10]	**63,6**										
Коэффициент затухания звука в атмосфере α, дБ/км	Ta=20,°C Pa=101.33,кПа hотн.=70%	ф-ла (5) [9]	0,02	0,09	0,33	1,12	2,79	4,98	9,04	23,09	77,63		

1		2	3	4	5	6	7	8	9	10	11	12	13
Учет затухания звука в атмосфере Aatm, дБ		ф-ла (8) [10]	0	0	0,1	0,5	1,2	2,1	3,9	9,8	33,1		
Снижение уровня звукового давления из-за влияния застройки между источником шума и расчетной точкой													
Снижение уровня звукового давления на пути над экраном, Dz1, дБ	z = 6.09м (разность путей)	ф-лы (14-18) [10]	14,2	18,2	22,5	26,2	29,5	32,5	35,6	38,6	41,6		
Снижение уровня звукового давления на пути слева от экрана, Dz2, дБ	z = 68.00м (разность путей)	ф-лы (14-18) [10]	24,6	28,6	33,1	37,2	40,6	43,8	46,8	49,8	52,8		
Снижение уровня звукового давления на пути справа от экрана, Dz3, дБ	z = 6.21м (разность путей)	ф-лы (14-18) [10]	18,2	21,4	24,4	27,4	30,4	33,4	36,4	39,4	42,4		
Общее снижение уровня звука препятствием Dz, дБ		Эн.сумма(-Dzi)	12,4	16,2	20,1	23,6	26,7	29,8	32,8	35,8	38,8		
Общее снижение уровня звука препятствием с учётом ограничения (25 дБ) для октавных полос Dz, дБ		Раздел 7.4 [10]	12,4	16,2	20,1	23,6	25	25	25	25	25		
Уровни звукового давления прямого звука от источника ИШ-9-24 в расчётной точке днём, дБ		**ф-ла(3)[10]**	**0**	**16,4**	**13,9**	**11,3**	**9,5**	**8,2**	**3,1**	**0**	**0**	**12,1**	**12,1**
Расчёт отражённого звука													
Уровни звукового давления от мнимого источника ИШ-9-24_мн.(1) в расчётной точке днём, дБ		**ф-ла(3)[10]**	**0**	**0**	**0**	**0**	**0**	**0**	**0**	**0**	**0**	**0**	**0**
Уровни звукового давления от источника ИШ-9-24 в расчётной точке днём, дБ		**ф-ла(3)[10]**	**0**	**16,4**	**13,9**	**11,3**	**9,5**	**8,2**	**3,1**	**0**	**0**	**12,1**	**12,1**
Источник шума: ИШ-9-25, координаты источника (x,y,z), м =[683.46,-239.16,1.00]													
Уровни звуковой мощности источника днём, Lw, дБ		**исходные данные**	**77**	**75**	**67**	**66**	**63**	**55**	**53**	**48**	**51**		
Поправка на телесный угол DΩ, дБ	Ω = 6.28	10Lg(4π/Ω)	**3**	3	3	3	3	3	3	3	3		
Показатель направленности источника Di, дБ		исходные данные	**0**	0	0	0	0	0	0	0	0		
Поправка на направленность источника Dc, дБ	Dc	DΩ + Di	**3**	3	3	3	3	3	3	3	3		
Затухание из-за геометрической дивергенции, Adiv, дБ	расстояние = 398.64 м	ф-ла (7) [10]	**63**										

1		2	3	4	5	6	7	8	9	10	11	12	13
Коэффициент затухания звука в атмосфере α, дБ/км	Та=20,°С Ра=101.33,кПа hотн.=70%	ф-ла (5) [9]	0,02	0,09	0,33	1,12	2,79	4,98	9,04	23,09	77,63		
Учет затухания звука в атмосфере Aatm, дБ		ф-ла (8) [10]	0	0	0,1	0,4	1,1	2	3,6	9,2	30,9		
Снижение уровня звукового давления из-за влияния застройки между источником шума и расчетной точкой													
Снижение уровня звукового давления на пути над экраном, Dz1, дБ	z = 5.65м (разность путей)	ф-лы (14-18) [10]	13,8	17,7	22	25,8	29,1	32,2	35,3	38,3	41,3		
Снижение уровня звукового давления на пути слева от экрана, Dz2, дБ	z = 62.67м (разность путей)	ф-лы (14-18) [10]	28,2	31,4	34,4	37,4	40,4	43,4	46,5	49,5	52,5		
Снижение уровня звукового давления на пути справа от экрана, Dz3, дБ	z = 2.63м (разность путей)	ф-лы (14-18) [10]	11,1	13,5	16,2	19,1	22	24,9	27,9	30,9	33,9		
Общее снижение уровня звука препятствием Dz, дБ		Эн.сумма(-Dzi)	9,1	12,1	15,1	18,2	21,2	24,2	27,1	30,2	33,2		
Общее снижение уровня звука препятствием с учётом ограничения (25 дБ) для октавных полос Dz, дБ		Раздел 7.4 [10]	9,1	12,1	15,1	18,2	21,2	24,2	25	25	25		
Уровни звукового давления от источника ИШ-9-25 в расчётной точке днём, дБ		**ф-ла(3)[10]**	**7,9**	**2,9**	**0**	**0**	**0**	**0**	**0**	**0**	**0**	**0**	**0**
Источник шума: ИШ-9-26, координаты источника (x,y,z), м =[680.09,-249.52,1.00]													
Уровни звуковой мощности источника днём, Lw, дБ		**исходные данные**	**77**	**75**	**67**	**66**	**63**	**55**	**53**	**48**	**51**		
Поправка на телесный угол DΩ, дБ	Ω = 6.28	10Lg(4π/Ω)	**3**	3	3	3	3	3	3	3	3		
Показатель направленности источника Di, дБ		исходные данные	**0**	0	0	0	0	0	0	0	0		
Поправка на направленность источника Dc, дБ	Dc	DΩ + Di	**3**	3	3	3	3	3	3	3	3		
Затухание из-за геометрической дивергенции, Adiv, дБ	расстояние = 403.72 м	ф-ла (7) [10]	**63,1**										
Коэффициент затухания звука в атмосфере α, дБ/км	Та=20,°С Ра=101.33,кПа hотн.=70%	ф-ла (5) [9]	0,02	0,09	0,33	1,12	2,79	4,98	9,04	23,09	77,63		

1		2	3	4	5	6	7	8	9	10	11	12	13
Учет затухания звука в атмосфере Aatm, дБ		ф-ла (8) [10]	0	0	0,1	0,5	1,1	2	3,6	9,3	31,3		
Снижение уровня звукового давления из-за влияния застройки между источником шума и расчетной точкой													
Снижение уровня звукового давления на пути над экраном, Dz1, дБ	z = 5.75м (разность путей)	ф-лы (14-18) [10]	13,9	17,8	22,1	25,9	29,2	32,3	35,3	38,3	41,4		
Снижение уровня звукового давления на пути слева от экрана, Dz2, дБ	z = 60.13м (разность путей)	ф-лы (14-18) [10]	28	31,2	34,2	37,2	40,3	43,3	46,3	49,3	52,3		
Снижение уровня звукового давления на пути справа от экрана, Dz3, дБ	z = 2.94м (разность путей)	ф-лы (14-18) [10]	11,4	13,9	16,7	19,5	22,5	25,4	28,4	31,4	34,4		
Общее снижение уровня звука препятствием Dz, дБ		Эн.сумма(-Dzi)	9,4	12,4	15,5	18,6	21,6	24,6	27,6	30,6	33,6		
Общее снижение уровня звука препятствием с учётом ограничения (25 дБ) для октавных полос Dz, дБ		Раздел 7.4 [10]	9,4	12,4	15,5	18,6	21,6	24,6	25	25	25		
Уровни звукового давления от источника ИШ-9-26 в расчётной точке днём, дБ		**ф-ла(3)[10]**	**7,5**	**2,5**	**0**	**0**	**0**	**0**	**0**	**0**	**0**	**0**	**0**
Источник шума: ИШ-9-27, координаты источника (x,y,z), м =[676.46,-260.14,1.00]													
Уровни звуковой мощности источника днём, Lw, дБ		**исходные данные**	**77**	**75**	**67**	**66**	**63**	**55**	**53**	**48**	**51**		
Поправка на телесный угол DΩ, дБ	Ω = 6.28	10Lg(4π/Ω)	**3**	3	3	3	3	3	3	3	3		
Показатель направленности источника Di, дБ		исходные данные	**0**	0	0	0	0	0	0	0	0		
Поправка на направленность источника Dc, дБ	Dc	DΩ + Di	**3**	3	3	3	3	3	3	3	3		
Затухание из-за геометрической дивергенции, Adiv, дБ	расстояние = 409.04 м	ф-ла (7) [10]	**63,2**										
Коэффициент затухания звука в атмосфере α, дБ/км	Ta=20,°C Pa=101.33,кПа hотн.=70%	ф-ла (5) [9]	0,02	0,09	0,33	1,12	2,79	4,98	9,04	23,09	77,63		
Учет затухания звука в атмосфере Aatm, дБ		ф-ла (8) [10]	0	0	0,1	0,5	1,1	2	3,7	9,4	31,8		

1		2	3	4	5	6	7	8	9	10	11	12	13
Снижение уровня звукового давления из-за влияния застройки между источником шума и расчетной точкой													
Снижение уровня звукового давления на пути над экраном, Dz1, дБ	z = 5.85м (разность путей)	ф-лы (14-18) [10]	13,9	17,9	22,2	26	29,3	32,4	35,4	38,4	41,4		
Снижение уровня звукового давления на пути слева от экрана, Dz2, дБ	z = 58.18м (разность путей)	ф-лы (14-18) [10]	27,9	31,1	34,1	37,1	40,1	43,1	46,1	49,1	52,2		
Снижение уровня звукового давления на пути справа от экрана, Dz3, дБ	z = 3.28м (разность путей)	ф-лы (14-18) [10]	15,6	18,7	21,7	24,6	27,6	30,6	33,6	36,7	39,7		
Общее снижение уровня звука препятствием Dz, дБ		Эн.сумма(-Dzi)	11,6	15,2	18,8	22,1	25,2	28,3	31,3	34,3	37,3		
Общее снижение уровня звука препятствием с учётом ограничения (25 дБ) для октавных полос Dz, дБ		Раздел 7.4 [10]	11,6	15,2	18,8	22,1	25	25	25	25	25		
Уровни звукового давления от источника ИШ-9-27 в расчётной точке днём, дБ		**ф-ла(3)[10]**	**5,2**	**0**	**0**	**0**	**0**	**0**	**0**	**0**	**0**	**0**	**0**
Источник шума: ИШ-10-1, координаты источника (x,y,z), м =[17.37,413.17,1.00]													
Уровни звуковой мощности источника днём, Lw, дБ		**исходные данные**	**0**	**98,3**	**99,7**	**101**	**101,3**	**100,9**	**97,6**	**93,4**	**88,9**		
Поправка на телесный угол DΩ, дБ	Ω = 6.28	10Lg(4π/Ω)	**3**	3	3	3	3	3	3	3	3		
Показатель направленности источника Di, дБ		исходные данные	**0**	0	0	0	0	0	0	0	0		
Поправка на направленность источника Dc, дБ	Dc	DΩ + Di	**3**	3	3	3	3	3	3	3	3		
Затухание из-за геометрической дивергенции, Adiv, дБ	расстояние = 533.73 м	ф-ла (7) [10]	**65,5**										
Коэффициент затухания звука в атмосфере α, дБ/км	Ta=20,°C Pa=101.33,кПа hотн.=70%	ф-ла (5) [9]	0,02	0,09	0,33	1,12	2,79	4,98	9,04	23,09	77,63		
Учет затухания звука в атмосфере Aatm, дБ		ф-ла (8) [10]	0	0	0,2	0,6	1,5	2,7	4,8	12,3	41,4		
Снижение уровня звукового давления из-за влияния застройки между источником шума и расчетной точкой													

1		2	3	4	5	6	7	8	9	10	11	12	13
Снижение уровня звукового давления на пути над экраном, Dz1, дБ	z = 0.43м (разность путей)	ф-лы (14-18) [10]	5,5	6,3	7,5	9,1	11,3	13,8	16,5	19,3	22,3		
Снижение уровня звукового давления на пути слева от экрана, Dz2, дБ	z = 108.12м (разность путей)	ф-лы (14-18) [10]	30,7	33,8	36,8	39,8	42,8	45,8	48,8	51,8	54,8		
Снижение уровня звукового давления на пути справа от экрана, Dz3, дБ	z = 44.42м (разность путей)	ф-лы (14-18) [10]	22,2	25,2	28,2	31,2	34,2	37,2	40,2	43,2	46,2		
Общее снижение уровня звука препятствием Dz, дБ		Эн.сумма(-Dzi)	5,4	6,2	7,4	9,1	11,2	13,7	16,5	19,3	22,3		
Уровни звукового давления прямого звука от источника ИШ-10-1 в расчётной точке днём, дБ		**ф-ла(3)[10]**	**0**	**29,5**	**29,6**	**28,8**	**26**	**22**	**13,8**	**0**	**0**	**27,1**	**27,1**
Расчёт отражённого звука													
Уровни звукового давления от мнимого источника ИШ-10-1_мн.(1) в расчётной точке днём, дБ		**ф-ла(3)[10]**	**0**	**0**	**0**	**0**	**0**	**0**	**0**	**0**	**0**	**0**	**0**
Уровни звукового давления от источника ИШ-10-1 в расчётной точке днём, дБ		**ф-ла(3)[10]**	**0**	**29,5**	**29,6**	**28,8**	**26**	**22**	**13,8**	**0**	**0**	**27,1**	**27,1**
Источник шума: ИШ-10-2, координаты источника (x,y,z), м =[27.87,443.46,1.00]													
Уровни звуковой мощности источника днём, Lw, дБ		**исходные данные**	**0**	**98,3**	**99,7**	**101**	**101,3**	**100,9**	**97,6**	**93,4**	**88,9**		
Поправка на телесный угол DΩ, дБ	Ω = 6.28	10Lg(4π/Ω)	**3**	3	3	3	3	3	3	3	3		
Показатель направленности источника Di, дБ		исходные данные	**0**	0	0	0	0	0	0	0	0		
Поправка на направленность источника Dc, дБ	Dc	DΩ + Di	**3**	3	3	3	3	3	3	3	3		
Затухание из-за геометрической дивергенции, Adiv, дБ	расстояние = 547.93 м	ф-ла (7) [10]	**65,8**										
Коэффициент затухания звука в атмосфере α, дБ/км	Ta=20,°C Pa=101.33,кПа hотн.=70%	ф-ла (5) [9]	0,02	0,09	0,33	1,12	2,79	4,98	9,04	23,09	77,63		
Учет затухания звука в атмосфере Aatm, дБ		ф-ла (8) [10]	0	0	0,2	0,6	1,5	2,7	5	12,6	42,5		

1		2	3	4	5	6	7	8	9	10	11	12	13
Снижение уровня звукового давления из-за влияния застройки между источником шума и расчетной точкой													
Снижение уровня звукового давления на пути над экраном, Dz1, дБ	z = 0.43м (разность путей)	ф-лы (14-18) [10]	6,7	8	9,9	12,2	14,8	17,6	20,5	23,4	26,4		
Снижение уровня звукового давления на пути слева от экрана, Dz2, дБ	z = 99.66м (разность путей)	ф-лы (14-18) [10]	30,3	33,4	36,4	39,4	42,5	45,5	48,5	51,5	54,5		
Снижение уровня звукового давления на пути справа от экрана, Dz3, дБ	z = 56.49м (разность путей)	ф-лы (14-18) [10]	27,5	30,9	33,9	37	40	43	46	49	52		
Общее снижение уровня звука препятствием Dz, дБ		Эн.сумма(-Dzi)	6,6	8	9,9	12,2	14,8	17,6	20,5	23,4	26,4		
Общее снижение уровня звука препятствием с учётом ограничения (25 дБ) для октавных полос Dz, дБ		Раздел 7.4 [10]	6,6	8	9,9	12,2	14,8	17,6	20,5	23,4	25		
Уровни звукового давления прямого звука от источника ИШ-10-2 в расчётной точке днём, дБ		**ф-ла(3)[10]**	**0**	**27,5**	**26,9**	**25,5**	**22,2**	**17,9**	**9,4**	**0**	**0**	**23,3**	**23,3**
Расчёт отражённого звука													
Уровни звукового давления от мнимого источника ИШ-10-2_мн.(1) в расчётной точке днём, дБ		**ф-ла(3)[10]**	**0**	**0**	**0**	**0**	**0**	**0**	**0**	**0**	**0**	**0**	**0**
Уровни звукового давления от источника ИШ-10-2 в расчётной точке днём, дБ		**ф-ла(3)[10]**	**0**	**27,5**	**26,9**	**25,5**	**22,2**	**17,9**	**9,4**	**0**	**0**	**23,3**	**23,3**
Уровни звукового давления в расчётной точке													
Суммарные уровни звукового давления в расчётной точке от всех источников шума днём, Lрт, дБ		**ф-ла (19) [1]**	**58,7**	**64,8**	**62,2**	**57,5**	**59**	**62,9**	**60,5**	**54,8**	**45,6**	**66,4**	**66,4**
Допускаемые УЗД днём, Lдоп, дБ	Территории предприятий с постоянными рабочими местами	Табл. 1[3]	107	95	87	82	78	75	73	71	69	80	95
Превышение днём, дБ		**Lрт - Lдоп**	**-48,3**	**-30,2**	**-24,8**	**-24,5**	**-19**	**-12,1**	**-12,5**	**-16,2**	**-23,4**	**-13,6**	**-28,6**

Определение уровней звукового давления в точке РТ-3-3 (координаты точки, м: x = 427.31, y = 19.91, z = 1.50)

Наименование величин и их описание		Ссылка	Расчётные уровни в октавных полосах, со среднегеометрическими частотами, Гц									La, дБА	Lмакс, дБА
			31,5	63	125	250	500	1000	2000	4000	8000		
1		2	3	4	5	6	7	8	9	10	11	12	13
Источник шума: ИШ-1-1, координаты источника (x,y,z), м =[271.72,229.68,1.00]													
Уровни звуковой мощности источника днём, Lw, дБ		**исходные данные**	**97**	**97**	**104**	**106**	**105**	**105**	**98**	**87**	**81**		
Поправка на телесный угол DΩ, дБ	Ω = 6.28	10Lg(4π/Ω)	**3**	3	3	3	3	3	3	3	3		
Показатель направленности источника Di, дБ		исходные данные	**0**	0	0	0	0	0	0	0	0		
Поправка на направленность источника Dc, дБ	Dc	DΩ + Di	**3**	3	3	3	3	3	3	3	3		
Затухание из-за геометрической дивергенции, Adiv, дБ	расстояние = 261.17 м	ф-ла (7) [10]	**59,3**										
Коэффициент затухания звука в атмосфере α, дБ/км	Ta=20,°C Pa=101.33,кПа hотн.=70%	ф-ла (5) [9]	0,02	0,09	0,33	1,12	2,79	4,98	9,04	23,09	77,63		
Учет затухания звука в атмосфере Aatm, дБ		ф-ла (8) [10]	0	0	0,1	0,3	0,7	1,3	2,4	6	20,3		
Снижение уровня звукового давления из-за влияния застройки между источником шума и расчетной точкой													
Снижение уровня звукового давления на пути над экраном, Dz1, дБ	z = 7.44м (разность путей)	ф-лы (14-18) [10]	18,5	21,9	24,9	28	31	34	37	40	43		
Снижение уровня звукового давления на пути слева от экрана, Dz2, дБ	z = 56.70м (разность путей)	ф-лы (14-18) [10]	27,6	30,9	34	37	40	43	46	49	52		
Снижение уровня звукового давления на пути справа от экрана, Dz3, дБ	z = 34.89м (разность путей)	ф-лы (14-18) [10]	25,2	28,7	31,8	34,9	37,9	40,9	43,9	46,9	49,9		
Общее снижение уровня звука препятствием Dz, дБ		Эн.сумма(-Dzi)	17,3	20,6	23,7	26,7	29,7	32,7	35,8	38,8	41,8		

1		2	3	4	5	6	7	8	9	10	11	12	13
Общее снижение уровня звука препятствием с учётом ограничения (25 дБ) для октавных полос Dz, дБ		Раздел 7.4 [10]	17,3	20,6	23,7	25	25	25	25	25	25		
Уровни звукового давления прямого звука от источника ИШ-1-1 в расчётной точке днём, дБ		**ф-ла(3)[10]**	**23,4**	**20**	**23,9**	**24,4**	**22,9**	**22,4**	**14,3**	**0**	**0**	**25,4**	**25,4**
Расчёт отражённого звука													
Уровни звукового давления от мнимого источника ИШ-1-1_мн.(1) в расчётной точке днём, дБ		**ф-ла(3)[10]**	**0**	**0**	**0**	**0**	**0**	**0**	**0**	**0**	**0**	**0**	**0**
Уровни звукового давления от мнимого источника ИШ-1-1_мн.(2) в расчётной точке днём, дБ		**ф-ла(3)[10]**	**0**	**0**	**0**	**0**	**0**	**0**	**5,6**	**0**	**0**	**6,8**	**6,8**
Уровни звукового давления от мнимого источника ИШ-1-1_мн.(3) в расчётной точке днём, дБ		**ф-ла(3)[10]**	**0**	**0**	**0**	**0**	**0**	**0**	**8,5**	**0**	**0**	**9,7**	**9,7**
Суммарные уровни звукового давления от мнимых источников в расчётной точке днём, дБ		**ф-ла (19) [1]**	**0**	**0**	**0**	**0**	**0**	**0**	**10,3**	**0**	**0**	**0**	**11,5**
Уровни звукового давления от источника ИШ-1-1 в расчётной точке днём, дБ		**ф-ла(3)[10]**	**23,4**	**20**	**23,9**	**24,4**	**22,9**	**22,4**	**15,8**	**0**	**0**	**25,6**	**25,6**
Источник шума: ИШ-1-2, координаты источника (x,y,z), м =[261.74,199.14,1.00]													
Уровни звуковой мощности источника днём, Lw, дБ		**исходные данные**	**97**	**97**	**104**	**106**	**105**	**105**	**98**	**87**	**81**		
Поправка на телесный угол DΩ, дБ	Ω = 6.28	10Lg(4π/Ω)	**3**	3	3	3	3	3	3	3	3		
Показатель направленности источника Di, дБ		исходные данные	**0**	0	0	0	0	0	0	0	0		
Поправка на направленность источника Dc, дБ	Dc	DΩ + Di	**3**	3	3	3	3	3	3	3	3		
Затухание из-за геометрической дивергенции, Adiv, дБ	расстояние = 244.00 м	ф-ла (7) [10]	**58,7**										
Коэффициент затухания звука в атмосфере α, дБ/км	Ta=20,°C Pa=101.33,кПа hотн.=70%	ф-ла (5) [9]	0,02	0,09	0,33	1,12	2,79	4,98	9,04	23,09	77,63		
Учет затухания звука в атмосфере Aatm, дБ		ф-ла (8) [10]	0	0	0,1	0,3	0,7	1,2	2,2	5,6	18,9		

1		2	3	4	5	6	7	8	9	10	11	12	13
Снижение уровня звукового давления из-за влияния застройки между источником шума и расчетной точкой													
Снижение уровня звукового давления на пути над экраном, Dz1, дБ	z = 7.57м (разность путей)	ф-лы (14-18) [10]	18,6	22	25	28,1	31,1	34,1	37,1	40,1	43,1		
Снижение уровня звукового давления на пути слева от экрана, Dz2, дБ	z = 96.12м (разность путей)	ф-лы (14-18) [10]	29,9	33,2	36,2	39,3	42,3	45,3	48,3	51,3	54,3		
Снижение уровня звукового давления на пути справа от экрана, Dz3, дБ	z = 25.13м (разность путей)	ф-лы (14-18) [10]	23,8	27,3	30,4	33,5	36,5	39,5	42,5	45,5	48,5		
Общее снижение уровня звука препятствием Dz, дБ		Эн.сумма(-Dzi)	17,2	20,6	23,7	26,7	29,7	32,7	35,7	38,7	41,8		
Общее снижение уровня звука препятствием с учётом ограничения (25 дБ) для октавных полос Dz, дБ		Раздел 7.4 [10]	17,2	20,6	23,7	25	25	25	25	25	25		
Уровни звукового давления прямого звука от источника ИШ-1-2 в расчётной точке днём, дБ		**ф-ла(3)[10]**	**24,1**	**20,7**	**24,5**	**25**	**23,6**	**23**	**15,1**	**0,6**	**0**	**26,1**	**26,1**
Расчёт отражённого звука													
Уровни звукового давления от мнимого источника ИШ-1-2_мн.(1) в расчётной точке днём, дБ		**ф-ла(3)[10]**	**0**	**0**	**0**	**0**	**0**	**0**	**0**	**0**	**0**	**0**	**0**
Уровни звукового давления от мнимого источника ИШ-1-2_мн.(2) в расчётной точке днём, дБ		**ф-ла(3)[10]**	**0**	**0**	**0**	**0**	**0**	**0**	**8,6**	**0**	**0**	**9,8**	**9,8**
Уровни звукового давления от мнимого источника ИШ-1-2_мн.(3) в расчётной точке днём, дБ		**ф-ла(3)[10]**	**0**	**0**	**0**	**0**	**0**	**0**	**3,9**	**0**	**0**	**5,1**	**5,1**
Суммарные уровни звукового давления от мнимых источников в расчётной точке днём, дБ		**ф-ла (19) [1]**	**0**	**0**	**0**	**0**	**0**	**0**	**9,9**	**0**	**0**	**0**	**11,1**
Уровни звукового давления от источника ИШ-1-2 в расчётной точке днём, дБ		**ф-ла(3)[10]**	**24,1**	**20,7**	**24,5**	**25**	**23,6**	**23**	**16,2**	**0,6**	**0**	**26,2**	**26,2**
Источник шума: ИШ-1-3, координаты источника (x,y,z), м =[251.75,236.44,1.00]													
Уровни звуковой мощности источника днём, Lw, дБ		**исходные данные**	**0**	**91,3**	**92,7**	**94**	**94,3**	**93,9**	**90,6**	**86,4**	**81,9**		
Поправка на телесный угол DΩ, дБ	Ω = 6.28	10Lg(4π/Ω)	**3**	3	3	3	3	3	3	3	3		
Показатель направленности источника Di, дБ		исходные данные	**0**	0	0	0	0	0	0	0	0		

1		2	3	4	5	6	7	8	9	10	11	12	13
Поправка на направленность источника Dc, дБ	Dc	DΩ + Di	**3**	3	3	3	3	3	3	3	3		
Затухание из-за геометрической дивергенции, Adiv, дБ	расстояние = 278.75 м	ф-ла (7) [10]	**59,9**										
Коэффициент затухания звука в атмосфере α, дБ/км	Ta=20,°C Pa=101.33,кПа hотн.=70%	ф-ла (5) [9]	0,02	0,09	0,33	1,12	2,79	4,98	9,04	23,09	77,63		
Учет затухания звука в атмосфере Aatm, дБ		ф-ла (8) [10]	0	0	0,1	0,3	0,8	1,4	2,5	6,4	21,6		
Снижение уровня звукового давления из-за влияния застройки между источником шума и расчетной точкой													
Снижение уровня звукового давления на пути над экраном, Dz1, дБ	z = 7.33м (разность путей)	ф-лы (14-18) [10]	18,4	21,8	24,8	27,9	30,9	33,9	36,9	39,9	42,9		
Снижение уровня звукового давления на пути слева от экрана, Dz2, дБ	z = 57.15м (разность путей)	ф-лы (14-18) [10]	27,6	30,9	34	37	40	43	46,1	49,1	52,1		
Снижение уровня звукового давления на пути справа от экрана, Dz3, дБ	z = 28.88м (разность путей)	ф-лы (14-18) [10]	24,4	27,9	31	34,1	37,1	40,1	43,1	46,1	49,1		
Общее снижение уровня звука препятствием Dz, дБ		Эн.сумма(-Dzi)	17	20,4	23,5	26,5	29,5	32,5	35,5	38,5	41,6		
Общее снижение уровня звука препятствием с учётом ограничения (25 дБ) для октавных полос Dz, дБ		Раздел 7.4 [10]	17	20,4	23,5	25	25	25	25	25	25		
Уровни звукового давления прямого звука от источника ИШ-1-3 в расчётной точке днём, дБ		**ф-ла(3)[10]**	**0**	**14**	**12,2**	**11,8**	**11,6**	**10,6**	**6,2**	**0**	**0**	**14,2**	**14,2**
Расчёт отражённого звука													
Уровни звукового давления от мнимого источника ИШ-1-3_мн.(1) в расчётной точке днём, дБ		**ф-ла(3)[10]**	**0**	**0**	**0**	**0**	**0**	**0**	**0**	**0**	**0**	**0**	**0**
Уровни звукового давления от мнимого источника ИШ-1-3_мн.(2) в расчётной точке днём, дБ		**ф-ла(3)[10]**	**0**	**0**	**0**	**0**	**0**	**3,9**	**0**	**0**	**0**	**3,9**	**3,9**
Уровни звукового давления от мнимого источника ИШ-1-3_мн.(3) в расчётной точке днём, дБ		**ф-ла(3)[10]**	**0**	**0**	**0**	**0**	**0**	**0**	**0**	**0**	**0**	**0**	**0**
Суммарные уровни звукового давления от мнимых источников в расчётной точке днём, дБ		**ф-ла (19) [1]**	**0**	**0**	**0**	**0**	**0**	**3,9**	**0**	**0**	**0**	**0**	**3,9**
Уровни звукового давления от источника ИШ-1-3 в расчётной точке днём, дБ		**ф-ла(3)[10]**	**0**	**14**	**12,2**	**11,8**	**11,6**	**11,4**	**6,2**	**0**	**0**	**14,6**	**14,6**

1		2	3	4	5	6	7	8	9	10	11	12	13
Источник шума: ИШ-1-4, координаты источника (x,y,z), м =[290.25,223.25,1.00]													
Уровни звуковой мощности источника днём, Lw, дБ		**исходные данные**	**0**	**91,3**	**92,7**	**94**	**94,3**	**93,9**	**90,6**	**86,4**	**81,9**		
Поправка на телесный угол DΩ, дБ	Ω = 6.28	10Lg(4π/Ω)	**3**	3	3	3	3	3	3	3	3		
Показатель направленности источника Di, дБ		исходные данные	**0**	0	0	0	0	0	0	0	0		
Поправка на направленность источника Dc, дБ	Dc	DΩ + Di	**3**	3	3	3	3	3	3	3	3		
Затухание из-за геометрической дивергенции, Adiv, дБ	расстояние = 245.21 м	ф-ла (7) [10]	**58,8**										
Коэффициент затухания звука в атмосфере α, дБ/км	Ta=20,°C Pa=101.33,кПа hотн.=70%	ф-ла (5) [9]	0,02	0,09	0,33	1,12	2,79	4,98	9,04	23,09	77,63		
Учет затухания звука в атмосфере Aatm, дБ		ф-ла (8) [10]	0	0	0,1	0,3	0,7	1,2	2,2	5,7	19		
Снижение уровня звукового давления из-за влияния застройки между источником шума и расчетной точкой													
Снижение уровня звукового давления на пути над экраном, Dz1, дБ	z = 7.67м (разность путей)	ф-лы (14-18) [10]	18,7	22,1	25,1	28,1	31,1	34,2	37,2	40,2	43,2		
Снижение уровня звукового давления на пути слева от экрана, Dz2, дБ	z = 58.00м (разность путей)	ф-лы (14-18) [10]	27,7	31	34,1	37,1	40,1	43,1	46,1	49,1	52,1		
Снижение уровня звукового давления на пути справа от экрана, Dz3, дБ	z = 42.53м (разность путей)	ф-лы (14-18) [10]	26	29,6	32,7	35,7	38,8	41,8	44,8	47,8	50,8		
Общее снижение уровня звука препятствием Dz, дБ		Эн.сумма(-Dzi)	17,6	20,9	24	27	30	33	36	39	42		
Общее снижение уровня звука препятствием с учётом ограничения (25 дБ) для октавных полос Dz, дБ		Раздел 7.4 [10]	17,6	20,9	24	25	25	25	25	25	25		
Уровни звукового давления прямого звука от источника ИШ-1-4 в расчётной точке днём, дБ		**ф-ла(3)[10]**	**0**	**14,6**	**12,9**	**12,9**	**12,8**	**11,9**	**7,6**	**0**	**0**	**15,5**	**15,5**
Расчёт отражённого звука													

1		2	3	4	5	6	7	8	9	10	11	12	13
Уровни звукового давления от мнимого источника ИШ-1-4_мн.(1) в расчётной точке днём, дБ		**ф-ла(3)[10]**	**0**	**0**	**0**	**0**	**0**	**0**	**0**	**0**	**0**	**0**	**0**
Уровни звукового давления от мнимого источника ИШ-1-4_мн.(2) в расчётной точке днём, дБ		**ф-ла(3)[10]**	**0**	**0**	**0**	**0**	**0**	**0**	**0**	**0**	**0**	**0**	**0**
Суммарные уровни звукового давления от мнимых источников в расчётной точке днём, дБ		**ф-ла (19) [1]**	**0**	**0**	**0**	**0**	**0**	**0**	**0**	**0**	**0**	**0**	**0**
Уровни звукового давления от источника ИШ-1-4 в расчётной точке днём, дБ		**ф-ла(3)[10]**	**0**	**14,6**	**12,9**	**12,9**	**12,8**	**11,9**	**7,6**	**0**	**0**	**15,5**	**15,5**
Источник шума: ИШ-1-5, координаты источника (x,y,z), м =[241.49,205.86,1.00]													
Уровни звуковой мощности источника днём, Lw, дБ		**исходные данные**	**0**	**91,3**	**92,7**	**94**	**94,3**	**93,9**	**90,6**	**86,4**	**81,9**		
Поправка на телесный угол DΩ, дБ	Ω = 6.28	10Lg(4π/Ω)	**3**	3	3	3	3	3	3	3	3		
Показатель направленности источника Di, дБ		исходные данные	**0**	0	0	0	0	0	0	0	0		
Поправка на направленность источника Dc, дБ	Dc	DΩ + Di	**3**	3	3	3	3	3	3	3	3		
Затухание из-за геометрической дивергенции, Adiv, дБ	расстояние = 262.88 м	ф-ла (7) [10]	**59,4**										
Коэффициент затухания звука в атмосфере α, дБ/км	Ta=20,°C Pa=101.33,кПа hотн.=70%	ф-ла (5) [9]	0,02	0,09	0,33	1,12	2,79	4,98	9,04	23,09	77,63		
Учет затухания звука в атмосфере Aatm, дБ		ф-ла (8) [10]	0	0	0,1	0,3	0,7	1,3	2,4	6,1	20,4		
Снижение уровня звукового давления из-за влияния застройки между источником шума и расчетной точкой													
Снижение уровня звукового давления на пути над экраном, Dz1, дБ	z = 7.44м (разность путей)	ф-лы (14-18) [10]	18,4	21,8	24,9	27,9	30,9	33,9	37	40	43		
Снижение уровня звукового давления на пути слева от экрана, Dz2, дБ	z = 91.76м (разность путей)	ф-лы (14-18) [10]	29,7	33	36	39,1	42,1	45,1	48,1	51,1	54,1		
Снижение уровня звукового давления на пути справа от экрана, Dz3, дБ	z = 20.89м (разность путей)	ф-лы (14-18) [10]	23	26,5	29,6	32,6	35,7	38,7	41,7	44,7	47,7		

1		2	3	4	5	6	7	8	9	10	11	12	13
Общее снижение уровня звука препятствием Dz, дБ		Эн.сумма(-Dzi)	16,9	20,3	23,4	26,4	29,4	32,4	35,5	38,5	41,5		
Общее снижение уровня звука препятствием с учётом ограничения (25 дБ) для октавных полос Dz, дБ		Раздел 7.4 [10]	16,9	20,3	23,4	25	25	25	25	25	25		
Уровни звукового давления прямого звука от источника ИШ-1-5 в расчётной точке днём, дБ		**ф-ла(3)[10]**	**0**	**14,6**	**12,8**	**12,3**	**12,2**	**11,2**	**6,8**	**0**	**0**	**14,8**	**14,8**
Расчёт отражённого звука													
Уровни звукового давления от мнимого источника ИШ-1-5_мн.(1) в расчётной точке днём, дБ		**ф-ла(3)[10]**	**0**	**0**	**0**	**0**	**0**	**0**	**0**	**0**	**0**	**0**	**0**
Уровни звукового давления от мнимого источника ИШ-1-5_мн.(2) в расчётной точке днём, дБ		**ф-ла(3)[10]**	**0**	**0**	**0**	**0**	**0**	**6,7**	**1,9**	**0**	**0**	**8,2**	**8,2**
Уровни звукового давления от мнимого источника ИШ-1-5_мн.(3) в расчётной точке днём, дБ		**ф-ла(3)[10]**	**0**	**0**	**0**	**0**	**0**	**0**	**0**	**0**	**0**	**0**	**0**
Суммарные уровни звукового давления от мнимых источников в расчётной точке днём, дБ		**ф-ла (19) [1]**	**0**	**0**	**0**	**0**	**0**	**6,7**	**1,9**	**0**	**0**	**0**	**8,2**
Уровни звукового давления от источника ИШ-1-5 в расчётной точке днём, дБ		**ф-ла(3)[10]**	**0**	**14,6**	**12,8**	**12,3**	**12,2**	**12,5**	**8**	**0**	**0**	**15,7**	**15,7**
Источник шума: ИШ-1-6, координаты источника (x,y,z), м =[279.85,192.97,1.00]													
Уровни звуковой мощности источника днём, Lw, дБ		**исходные данные**	**0**	**91,3**	**92,7**	**94**	**94,3**	**93,9**	**90,6**	**86,4**	**81,9**		
Поправка на телесный угол DΩ, дБ	Ω = 6.28	10Lg(4π/Ω)	**3**	3	3	3	3	3	3	3	3		
Показатель направленности источника Di, дБ		исходные данные	**0**	0	0	0	0	0	0	0	0		
Поправка на направленность источника Dc, дБ	Dc	DΩ + Di	**3**	3	3	3	3	3	3	3	3		
Затухание из-за геометрической дивергенции, Adiv, дБ	расстояние = 227.36 м	ф-ла (7) [10]	**58,1**										
Коэффициент затухания звука в атмосфере α, дБ/км	Ta=20,°C Pa=101.33,кПа hотн.=70%	ф-ла (5) [9]	0,02	0,09	0,33	1,12	2,79	4,98	9,04	23,09	77,63		

1		2	3	4	5	6	7	8	9	10	11	12	13
Учет затухания звука в атмосфере Aatm, дБ		ф-ла (8) [10]	0	0	0,1	0,3	0,6	1,1	2,1	5,2	17,7		
Снижение уровня звукового давления из-за влияния застройки между источником шума и расчетной точкой													
Снижение уровня звукового давления на пути над экраном, Dz1, дБ	z = 7.84м (разность путей)	ф-лы (14-18) [10]	18,8	22,1	25,2	28,2	31,3	34,3	37,3	40,3	43,3		
Снижение уровня звукового давления на пути слева от экрана, Dz2, дБ	z = 102.50м (разность путей)	ф-лы (14-18) [10]	30,2	33,5	36,5	39,6	42,6	45,6	48,6	51,6	54,6		
Снижение уровня звукового давления на пути справа от экрана, Dz3, дБ	z = 31.13м (разность путей)	ф-лы (14-18) [10]	24,7	28,2	31,3	34,4	37,4	40,4	43,4	46,4	49,4		
Общее снижение уровня звука препятствием Dz, дБ		Эн.сумма(-Dzi)	17,5	20,9	24	27	30,1	33,1	36,1	39,1	42,1		
Общее снижение уровня звука препятствием с учётом ограничения (25 дБ) для октавных полос Dz, дБ		Раздел 7.4 [10]	17,5	20,9	24	25	25	25	25	25	25		
Уровни звукового давления прямого звука от источника ИШ-1-6 в расчётной точке днём, дБ		**ф-ла(3)[10]**	**0**	**15,2**	**13,5**	**13,6**	**13,5**	**12,6**	**8,4**	**1**	**0**	**16,4**	**16,4**
Расчёт отражённого звука													
Уровни звукового давления от мнимого источника ИШ-1-6_мн.(1) в расчётной точке днём, дБ		**ф-ла(3)[10]**	**0**	**0**	**0**	**0**	**0**	**0**	**0,6**	**0**	**0**	**1,8**	**1,8**
Уровни звукового давления от мнимого источника ИШ-1-6_мн.(2) в расчётной точке днём, дБ		**ф-ла(3)[10]**	**0**	**0**	**0**	**0**	**0**	**0**	**2,4**	**0**	**0**	**3,6**	**3,6**
Суммарные уровни звукового давления от мнимых источников в расчётной точке днём, дБ		**ф-ла (19) [1]**	**0**	**0**	**0**	**0**	**0**	**0**	**4,6**	**0**	**0**	**0**	**5,8**
Уровни звукового давления от источника ИШ-1-6 в расчётной точке днём, дБ		**ф-ла(3)[10]**	**0**	**15,2**	**13,5**	**13,6**	**13,5**	**12,6**	**9,9**	**1**	**0**	**16,8**	**16,8**
Источник шума: ИШ-1-7, координаты источника (x,y,z), м =[451.87,146.66,1.00]													
Уровни звуковой мощности источника днём, Lw, дБ		**исходные данные**	**0**	**93,3**	**94,7**	**96**	**96,3**	**95,9**	**92,6**	**88,4**	**83,9**		
Поправка на телесный угол DΩ, дБ	Ω = 6.28	10Lg(4π/Ω)	**3**	3	3	3	3	3	3	3	3		
Показатель направленности источника Di, дБ		исходные данные	**0**	0	0	0	0	0	0	0	0		

1		2	3	4	5	6	7	8	9	10	11	12	13
Поправка на направленность источника Dc, дБ	Dc	DΩ + Di	**3**	3	3	3	3	3	3	3	3		
Затухание из-за геометрической дивергенции, Adiv, дБ	расстояние = 129.11 м	ф-ла (7) [10]	**53,2**										
Коэффициент затухания звука в атмосфере α, дБ/км	Ta=20,°C Pa=101.33,кПа hотн.=70%	ф-ла (5) [9]	0,02	0,09	0,33	1,12	2,79	4,98	9,04	23,09	77,63		
Учет затухания звука в атмосфере Aatm, дБ		ф-ла (8) [10]	0	0	0	0,1	0,4	0,6	1,2	3	10		
Снижение уровня звукового давления из-за влияния застройки между источником шума и расчетной точкой													
Снижение уровня звукового давления на пути над экраном, Dz1, дБ	z = 3.15м (разность путей)	ф-лы (14-18) [10]	11,4	13,9	16,6	19,5	22,6	26,1	30,4	34,9	38,7		
Снижение уровня звукового давления на пути слева от экрана, Dz2, дБ	z = 0.00м (разность путей)	ф-лы (14-18) [10]	4,8	4,8	4,8	4,8	4,8	4,9	5	5,3	5,7		
Снижение уровня звукового давления на пути справа от экрана, Dz3, дБ	z = 137.16м (разность путей)	ф-лы (14-18) [10]	31,3	34,7	37,8	40,8	43,8	46,8	49,9	52,9	55,9		
Общее снижение уровня звука препятствием Dz, дБ		Эн.сумма(-Dzi)	3,9	4,3	4,5	4,7	4,8	4,9	5	5,3	5,7		
Уровни звукового давления прямого звука от источника ИШ-1-7 в расчётной точке днём, дБ		**ф-ла(3)[10]**	**0**	**38,8**	**39,9**	**41**	**41**	**40,2**	**36,2**	**29,9**	**18**	**44**	**44**
Расчёт отражённого звука													
Уровни звукового давления от мнимого источника ИШ-1-7_мн.(1) в расчётной точке днём, дБ		**ф-ла(3)[10]**	**0**	**0**	**0**	**0**	**0**	**41,3**	**39,2**	**33**	**20,6**	**44,3**	**44,3**
Уровни звукового давления от мнимого источника ИШ-1-7_мн.(2) в расчётной точке днём, дБ		**ф-ла(3)[10]**	**0**	**0**	**0**	**0**	**0**	**22,3**	**15,4**	**7,8**	**0**	**23,4**	**23,4**
Суммарные уровни звукового давления от мнимых источников в расчётной точке днём, дБ		**ф-ла (19) [1]**	**0**	**0**	**0**	**0**	**0**	**41,3**	**39,2**	**33**	**20,6**	**0**	**44,3**
Уровни звукового давления от источника ИШ-1-7 в расчётной точке днём, дБ		**ф-ла(3)[10]**	**0**	**38,8**	**39,9**	**41**	**41**	**43,8**	**41**	**34,7**	**22,5**	**47,2**	**47,2**
Источник шума: ИШ-1-8, координаты источника (x,y,z), м =[454.99,145.29,1.00]													

1		2	3	4	5	6	7	8	9	10	11	12	13
Уровни звуковой мощности источника днём, Lw, дБ		**исходные данные**	**0**	**93,3**	**94,7**	**96**	**96,3**	**95,9**	**92,6**	**88,4**	**83,9**		
Поправка на телесный угол DΩ, дБ	Ω = 6.28	10Lg(4π/Ω)	**3**	3	3	3	3	3	3	3	3		
Показатель направленности источника Di, дБ		исходные данные	**0**	0	0	0	0	0	0	0	0		
Поправка на направленность источника Dc, дБ	Dc	DΩ + Di	**3**	3	3	3	3	3	3	3	3		
Затухание из-за геометрической дивергенции, Adiv, дБ	расстояние = 128.40 м	ф-ла (7) [10]	**53,2**										
Коэффициент затухания звука в атмосфере α, дБ/км	Ta=20,°C Pa=101.33,кПа hотн.=70%	ф-ла (5) [9]	0,02	0,09	0,33	1,12	2,79	4,98	9,04	23,09	77,63		
Учет затухания звука в атмосфере Aatm, дБ		ф-ла (8) [10]	0	0	0	0,1	0,4	0,6	1,2	3	10		
Снижение уровня звукового давления из-за влияния застройки между источником шума и расчетной точкой													
Снижение уровня звукового давления препятствием справа от трассы ИШ-РТ, Dz3, дБ	z = 0.00м (разность путей)	ф-лы (14-18) [10]	0	0	0	0	0	0	4,2	3,5	1,6		
* отрицательное значение z означает прохождение траектории вблизи экрана, в этом случае дополнительно производится учёт снижения подстилающей поверхностью (см.ниже)													
Снижение поверхностью земли возле источника As, дБ	Gs = 0 hs = 1м	ф-лы таб.3 [10]	-1,5	-1,5	-1,5	-1,5	-1,5	-1,5	-1,5	-1,5	-1,5		
Снижение поверхностью земли возле приёмника Ar, дБ	Gr = 1 hr = 1.5м	ф-лы таб.3 [10]	-1,5	-1,5	0,8	6,5	4,6	0,6	0	0	0		
Снижение поверхностью земли в средней зоне, Am дБ	Gm = 1	ф-лы таб.3 [10]	-1,2	-1,2	0	0	0	0	0	0	0		
Суммарное снижение поверхностью земли на траектории распространения звука Agr, дБ		ф-ла (9) [10]	-4,2	-4,2	-0,7	5	3,1	-0,9	-1,5	-1,5	-1,5		
Уровни звукового давления прямого звука от источника ИШ-1-8 в расчётной точке днём, дБ		**ф-ла(3)[10]**	**0**	**47,4**	**45,1**	**40,7**	**42,7**	**46**	**38,6**	**33,3**	**23,6**	**48**	**48**
Расчёт отражённого звука													
Уровни звукового давления от мнимого источника ИШ-1-8_мн.(1) в расчётной точке днём, дБ		**ф-ла(3)[10]**	**0**	**0**	**0**	**0**	**0**	**41,4**	**39,3**	**33,1**	**20,9**	**44,4**	**44,4**
Уровни звукового давления от мнимого источника ИШ-1-8_мн.(2) в расчётной точке днём, дБ		**ф-ла(3)[10]**	**0**	**0**	**0**	**0**	**0**	**21,7**	**14,8**	**7,7**	**0**	**22,9**	**22,9**

1		2	3	4	5	6	7	8	9	10	11	12	13
Суммарные уровни звукового давления от мнимых источников в расчётной точке днём, дБ		**ф-ла (19) [1]**	**0**	**0**	**0**	**0**	**0**	**41,4**	**39,3**	**33,1**	**20,9**	**0**	**44,4**
Уровни звукового давления от источника ИШ-1-8 в расчётной точке днём, дБ		**ф-ла(3)[10]**	**0**	**47,4**	**45,1**	**40,7**	**42,7**	**47,3**	**42**	**36,2**	**25,5**	**49,6**	**49,6**
Источник шума: ИШ-1-9, координаты источника (x,y,z), м =[458.12,144.31,1.00]													
Уровни звуковой мощности источника днём, Lw, дБ		**исходные данные**	**0**	**93,3**	**94,7**	**96**	**96,3**	**95,9**	**92,6**	**88,4**	**83,9**		
Поправка на телесный угол DΩ, дБ	Ω = 6.28	10Lg(4π/Ω)	**3**	3	3	3	3	3	3	3	3		
Показатель направленности источника Di, дБ		исходные данные	**0**	0	0	0	0	0	0	0	0		
Поправка на направленность источника Dc, дБ	Dc	DΩ + Di	**3**	3	3	3	3	3	3	3	3		
Затухание из-за геометрической дивергенции, Adiv, дБ	расстояние = 128.16 м	ф-ла (7) [10]	**53,2**										
Коэффициент затухания звука в атмосфере α, дБ/км	Ta=20,°C Pa=101.33,кПа hотн.=70%	ф-ла (5) [9]	0,02	0,09	0,33	1,12	2,79	4,98	9,04	23,09	77,63		
Учет затухания звука в атмосфере Aatm, дБ		ф-ла (8) [10]	0	0	0	0,1	0,4	0,6	1,2	3	9,9		
Снижение уровня звукового давления из-за влияния застройки между источником шума и расчетной точкой													
Снижение уровня звукового давления препятствием справа от трассы ИШ-РТ, Dz3, дБ	z = -0.01м (разность путей)	ф-лы (14-18) [10]	0	0	0	0	0	2,2	0	NAN	NAN		
* отрицательное значение z означает прохождение траектории вблизи экрана, в этом случае дополнительно производится учёт снижения подстилающей поверхностью (см.ниже)													
Снижение поверхностью земли возле источника As, дБ	Gs = 0 hs = 1м	ф-лы таб.3 [10]	-1,5	-1,5	-1,5	-1,5	-1,5	-1,5	-1,5	-1,5	-1,5		
Снижение поверхностью земли возле приёмника Ar, дБ	Gr = 1 hr = 1.5м	ф-лы таб.3 [10]	-1,5	-1,5	0,8	6,5	4,6	0,6	0	0	0		
Снижение поверхностью земли в средней зоне, Am дБ	Gm = 1	ф-лы таб.3 [10]	-1,2	-1,2	0	0	0	0	0	0	0		
Суммарное снижение поверхностью земли на траектории распространения звука Agr, дБ		ф-ла (9) [10]	-4,2	-4,2	-0,7	5	3,1	-0,9	-1,5	-1,5	-1,5		

1		2	3	4	5	6	7	8	9	10	11	12	13
Уровни звукового давления прямого звука от источника ИШ-1-9 в расчётной точке днём, дБ		**ф-ла(3)[10]**	**0**	**47,4**	**45,1**	**40,7**	**42,7**	**43,8**	**42,8**	**36,8**	**25,3**	**48,3**	**48,3**
Расчёт отражённого звука													
Уровни звукового давления от мнимого источника ИШ-1-9_мн.(1) в расчётной точке днём, дБ		**ф-ла(3)[10]**	**0**	**0**	**0**	**0**	**0**	**41,4**	**39,4**	**33,2**	**21,1**	**44,5**	**44,5**
Уровни звукового давления от мнимого источника ИШ-1-9_мн.(2) в расчётной точке днём, дБ		**ф-ла(3)[10]**	**0**	**0**	**0**	**0**	**0**	**0**	**14,3**	**7,5**	**0**	**16,3**	**16,3**
Суммарные уровни звукового давления от мнимых источников в расчётной точке днём, дБ		**ф-ла (19) [1]**	**0**	**0**	**0**	**0**	**0**	**41,4**	**39,4**	**33,2**	**21,1**	**0**	**44,5**
Уровни звукового давления от источника ИШ-1-9 в расчётной точке днём, дБ		**ф-ла(3)[10]**	**0**	**47,4**	**45,1**	**40,7**	**42,7**	**45,8**	**44,4**	**38,4**	**26,7**	**49,8**	**49,8**
Источник шума: ИШ-1-10, координаты источника (x,y,z), м =[461.05,143.53,1.00]													
Уровни звуковой мощности источника днём, Lw, дБ		**исходные данные**	**0**	**93,3**	**94,7**	**96**	**96,3**	**95,9**	**92,6**	**88,4**	**83,9**		
Поправка на телесный угол DΩ, дБ	Ω = 6.28	10Lg(4π/Ω)	**3**	3	3	3	3	3	3	3	3		
Показатель направленности источника Di, дБ		исходные данные	**0**	0	0	0	0	0	0	0	0		
Поправка на направленность источника Dc, дБ	Dc	DΩ + Di	**3**	3	3	3	3	3	3	3	3		
Затухание из-за геометрической дивергенции, Adiv, дБ	расстояние = 128.14 м	ф-ла (7) [10]	**53,2**										
Коэффициент затухания звука в атмосфере α, дБ/км	Ta=20,°C Pa=101.33,кПа hотн.=70%	ф-ла (5) [9]	0,02	0,09	0,33	1,12	2,79	4,98	9,04	23,09	77,63		
Учет затухания звука в атмосфере Aatm, дБ		ф-ла (8) [10]	0	0	0	0,1	0,4	0,6	1,2	3	9,9		
Снижение уровня звукового давления из-за влияния застройки между источником шума и расчетной точкой													
Снижение уровня звукового давления препятствием справа от трассы ИШ-РТ, Dz3, дБ	z = -0.03м (разность путей)	ф-лы (14-18) [10]	0	0	0	0	1,2	NAN	NAN	NAN	NAN		

* отрицательное значение z означает прохождение траектории вблизи экрана, в этом случае дополнительно производится учёт снижения подстилающей поверхностью (см.ниже)

1		2	3	4	5	6	7	8	9	10	11	12	13
Снижение поверхностью земли возле источника As, дБ	Gs = 0 hs = 1м	ф-лы таб.3 [10]	-1,5	-1,5	-1,5	-1,5	-1,5	-1,5	-1,5	-1,5	-1,5		
Снижение поверхностью земли возле приёмника Ar, дБ	Gr = 1 hr = 1.5м	ф-лы таб.3 [10]	-1,5	-1,5	0,8	6,5	4,6	0,6	0	0	0		
Снижение поверхностью земли в средней зоне, Am дБ	Gm = 1	ф-лы таб.3 [10]	-1,2	-1,2	0	0	0	0	0	0	0		
Суммарное снижение поверхностью земли на траектории распространения звука Agr, дБ		ф-ла (9) [10]	-4,2	-4,2	-0,7	5	3,1	-0,9	-1,5	-1,5	-1,5		
Уровни звукового давления прямого звука от источника ИШ-1-10 в расчётной точке днём, дБ		**ф-ла(3)[10]**	**0**	**47,4**	**45,1**	**40,7**	**41,5**	**46**	**42,8**	**36,8**	**25,3**	**49,1**	**49,1**
Расчёт отражённого звука													
Уровни звукового давления от мнимого источника ИШ-1-10_мн.(1) в расчётной точке днём, дБ		**ф-ла(3)[10]**	**0**	**0**	**0**	**0**	**0**	**41,4**	**39,5**	**33,3**	**21,2**	**44,5**	**44,5**
Уровни звукового давления от мнимого источника ИШ-1-10_мн.(2) в расчётной точке днём, дБ		**ф-ла(3)[10]**	**0**	**0**	**0**	**0**	**0**	**0**	**13,9**	**7,4**	**0**	**15,9**	**15,9**
Суммарные уровни звукового давления от мнимых источников в расчётной точке днём, дБ		**ф-ла (19) [1]**	**0**	**0**	**0**	**0**	**0**	**41,4**	**39,5**	**33,3**	**21,2**	**0**	**44,5**
Уровни звукового давления от источника ИШ-1-10 в расчётной точке днём, дБ		**ф-ла(3)[10]**	**0**	**47,4**	**45,1**	**40,7**	**41,5**	**47,3**	**44,4**	**38,4**	**26,7**	**50,4**	**50,4**
Источник шума: ИШ-1-11, координаты источника (x,y,z), м =[464.18,142.55,1.00]													
Уровни звуковой мощности источника днём, Lw, дБ		**исходные данные**	**0**	**93,3**	**94,7**	**96**	**96,3**	**95,9**	**92,6**	**88,4**	**83,9**		
Поправка на телесный угол DΩ, дБ	Ω = 6.28	10Lg(4π/Ω)	**3**	3	3	3	3	3	3	3	3		
Показатель направленности источника Di, дБ		исходные данные	**0**	0	0	0	0	0	0	0	0		
Поправка на направленность источника Dc, дБ	Dc	DΩ + Di	**3**	3	3	3	3	3	3	3	3		
Затухание из-за геометрической дивергенции, Adiv, дБ	расстояние = 128.07 м	ф-ла (7) [10]	**53,1**										
Коэффициент затухания звука в атмосфере α, дБ/км	Ta=20,°C Pa=101.33,кПа hотн.=70%	ф-ла (5) [9]	0,02	0,09	0,33	1,12	2,79	4,98	9,04	23,09	77,63		

1		2	3	4	5	6	7	8	9	10	11	12	13
Учет затухания звука в атмосфере Aatm, дБ		ф-ла (8) [10]	0	0	0	0,1	0,4	0,6	1,2	3	9,9		
Снижение поверхностью земли возле источника As, дБ	Gs = 0 hs = 1м	ф-лы таб.3 [10]	-1,5	-1,5	-1,5	-1,5	-1,5	-1,5	-1,5	-1,5	-1,5		
Снижение поверхностью земли возле приёмника Ar, дБ	Gr = 1 hr = 1.5м	ф-лы таб.3 [10]	-1,5	-1,5	0,8	6,5	4,6	0,6	0	0	0		
Снижение поверхностью земли в средней зоне, Am дБ	Gm = 1	ф-лы таб.3 [10]	-1,2	-1,2	0	0	0	0	0	0	0		
Суммарное снижение поверхностью земли на траектории распространения звука Agr, дБ		ф-ла (9) [10]	-4,2	-4,2	-0,7	5	3,1	-0,9	-1,5	-1,5	-1,5		
Уровни звукового давления прямого звука от источника ИШ-1-11 в расчётной точке днём, дБ		**ф-ла(3)[10]**	**0**	**47,4**	**45,2**	**40,7**	**42,7**	**46**	**42,8**	**36,8**	**25,3**	**49,2**	**49,2**
Расчёт отражённого звука													
Уровни звукового давления от мнимого источника ИШ-1-11_мн.(1) в расчётной точке днём, дБ		**ф-ла(3)[10]**	**0**	**0**	**0**	**0**	**34,2**	**41,5**	**39,6**	**33,4**	**21,4**	**44,8**	**44,8**
Уровни звукового давления от мнимого источника ИШ-1-11_мн.(2) в расчётной точке днём, дБ		**ф-ла(3)[10]**	**0**	**0**	**0**	**0**	**0**	**0**	**13,6**	**7,2**	**0**	**15,6**	**15,6**
Суммарные уровни звукового давления от мнимых источников в расчётной точке днём, дБ		**ф-ла (19) [1]**	**0**	**0**	**0**	**0**	**34,2**	**41,5**	**39,6**	**33,4**	**21,4**	**0**	**44,8**
Уровни звукового давления от источника ИШ-1-11 в расчётной точке днём, дБ		**ф-ла(3)[10]**	**0**	**47,4**	**45,2**	**40,7**	**43,3**	**47,3**	**44,5**	**38,4**	**26,8**	**50,5**	**50,5**
Источник шума: ИШ-1-12, координаты источника (x,y,z), м =[435.45,97.79,1.00]													
Уровни звуковой мощности источника днём, Lw, дБ		**исходные данные**	**0**	**93,3**	**94,7**	**96**	**96,3**	**95,9**	**92,6**	**88,4**	**83,9**		
Поправка на телесный угол DΩ, дБ	Ω = 6.28	10Lg(4π/Ω)	**3**	3	3	3	3	3	3	3	3		
Показатель направленности источника Di, дБ		исходные данные	**0**	0	0	0	0	0	0	0	0		
Поправка на направленность источника Dc, дБ	Dc	DΩ + Di	**3**	3	3	3	3	3	3	3	3		
Затухание из-за геометрической дивергенции, Adiv, дБ	расстояние = 78.31 м	ф-ла (7) [10]	**48,9**										

1		2	3	4	5	6	7	8	9	10	11	12	13
Коэффициент затухания звука в атмосфере α, дБ/км	Та=20,°С Ра=101.33,кПа hотн.=70%	ф-ла (5) [9]	0,02	0,09	0,33	1,12	2,79	4,98	9,04	23,09	77,63		
Учет затухания звука в атмосфере Aatm, дБ		ф-ла (8) [10]	0	0	0	0,1	0,2	0,4	0,7	1,8	6,1		
Снижение уровня звукового давления из-за влияния застройки между источником шума и расчетной точкой													
Снижение уровня звукового давления на пути над экраном, Dz1, дБ	z = 4.64м (разность путей)	ф-лы (14-18) [10]	12,9	15,7	18,8	22,7	27,2	31,3	34,8	37,9	41		
Снижение уровня звукового давления на пути слева от экрана, Dz2, дБ	z = 0.07м (разность путей)	ф-лы (14-18) [10]	5,1	5,5	6,1	7,1	8,5	10,5	12,9	15,6	18,4		
Снижение уровня звукового давления на пути справа от экрана, Dz3, дБ	z = 77.31м (разность путей)	ф-лы (14-18) [10]	26,8	31,2	35	38,2	41,3	44,4	47,4	50,4	53,4		
Общее снижение уровня звука препятствием Dz, дБ		Эн.сумма(-Dzi)	4,4	5,1	5,8	6,9	8,5	10,5	12,9	15,6	18,4		
Уровни звукового давления прямого звука от источника ИШ-1-12 в расчётной точке днём, дБ		**ф-ла(3)[10]**	**0**	**42,3**	**43**	**43,1**	**41,7**	**39,1**	**33,1**	**25,2**	**13,6**	**43,4**	**43,4**
Расчёт отражённого звука													
Уровни звукового давления от мнимого источника ИШ-1-12_мн.(1) в расчётной точке днём, дБ		**ф-ла(3)[10]**	**0**	**0**	**0**	**0**	**0**	**0**	**0**	**0**	**0**	**0**	**0**
Уровни звукового давления от источника ИШ-1-12 в расчётной точке днём, дБ		**ф-ла(3)[10]**	**0**	**42,3**	**43**	**43,1**	**41,7**	**39,1**	**33,1**	**25,2**	**13,6**	**43,4**	**43,4**
Источник шума: ИШ-1-13, координаты источника (x,y,z), м =[438.77,96.82,1.00]													
Уровни звуковой мощности источника днём, Lw, дБ		**исходные данные**	**0**	**93,3**	**94,7**	**96**	**96,3**	**95,9**	**92,6**	**88,4**	**83,9**		
Поправка на телесный угол DΩ, дБ	Ω = 6.28	10Lg(4π/Ω)	**3**	3	3	3	3	3	3	3	3		
Показатель направленности источника Di, дБ		исходные данные	**0**	0	0	0	0	0	0	0	0		
Поправка на направленность источника Dc, дБ	Dc	DΩ + Di	**3**	3	3	3	3	3	3	3	3		

1		2	3	4	5	6	7	8	9	10	11	12	13
Затухание из-за геометрической дивергенции, Adiv, дБ	расстояние = 77.76 м	ф-ла (7) [10]	**48,8**										
Коэффициент затухания звука в атмосфере α, дБ/км	Ta=20,°C Pa=101.33,кПа hотн.=70%	ф-ла (5) [9]	0,02	0,09	0,33	1,12	2,79	4,98	9,04	23,09	77,63		
Учет затухания звука в атмосфере Aatm, дБ		ф-ла (8) [10]	0	0	0	0,1	0,2	0,4	0,7	1,8	6		
Снижение уровня звукового давления из-за влияния застройки между источником шума и расчетной точкой													
Снижение уровня звукового давления на пути над экраном, Dz1, дБ	z = 4.09м (разность путей)	ф-лы (14-18) [10]	12,4	15,1	18	21,5	25,7	30,2	34	37,3	40,4		
Снижение уровня звукового давления на пути слева от экрана, Dz2, дБ	z = 0.02м (разность путей)	ф-лы (14-18) [10]	4,9	5	5,2	5,6	6,3	7,4	9,1	11,2	13,7		
Снижение уровня звукового давления на пути справа от экрана, Dz3, дБ	z = 80.00м (разность путей)	ф-лы (14-18) [10]	26,9	31,4	35,1	38,4	41,5	44,5	47,5	50,5	53,5		
Общее снижение уровня звука препятствием Dz, дБ		Эн.сумма(-Dzi)	4,2	4,6	5	5,5	6,2	7,4	9	11,2	13,7		
Уровни звукового давления от источника ИШ-1-13 в расчётной точке днём, дБ		**ф-ла(3)[10]**	**0**	**42,9**	**43,9**	**44,6**	**44**	**42,3**	**37**	**29,6**	**18,4**	**46,2**	**46,2**
Источник шума: ИШ-1-14, координаты источника (x,y,z), м =[441.70,96.03,1.00]													
Уровни звуковой мощности источника днём, Lw, дБ		**исходные данные**	**0**	**93,3**	**94,7**	**96**	**96,3**	**95,9**	**92,6**	**88,4**	**83,9**		
Поправка на телесный угол DΩ, дБ	Ω = 6.28	10Lg(4π/Ω)	**3**	3	3	3	3	3	3	3	3		
Показатель направленности источника Di, дБ		исходные данные	**0**	0	0	0	0	0	0	0	0		
Поправка на направленность источника Dc, дБ	Dc	DΩ + Di	**3**	3	3	3	3	3	3	3	3		
Затухание из-за геометрической дивергенции, Adiv, дБ	расстояние = 77.47 м	ф-ла (7) [10]	**48,8**										
Коэффициент затухания звука в атмосфере α, дБ/км	Ta=20,°C Pa=101.33,кПа hотн.=70%	ф-ла (5) [9]	0,02	0,09	0,33	1,12	2,79	4,98	9,04	23,09	77,63		

1		2	3	4	5	6	7	8	9	10	11	12	13
Учет затухания звука в атмосфере Aatm, дБ		ф-ла (8) [10]	0	0	0	0,1	0,2	0,4	0,7	1,8	6		
Снижение уровня звукового давления из-за влияния застройки между источником шума и расчетной точкой													
Снижение уровня звукового давления на пути над экраном, Dz1, дБ	z = 3.50м (разность путей)	ф-лы (14-18) [10]	11,9	14,4	17,2	20,2	23,4	27,3	31,8	36	39,5		
Снижение уровня звукового давления на пути слева от экрана, Dz2, дБ	z = 0.00м (разность путей)	ф-лы (14-18) [10]	4,8	4,8	4,8	4,8	4,9	5	5,3	5,8	6,6		
Снижение уровня звукового давления на пути справа от экрана, Dz3, дБ	z = 82.29м (разность путей)	ф-лы (14-18) [10]	27,1	31,5	35,3	38,5	41,6	44,6	47,6	50,7	53,7		
Общее снижение уровня звука препятствием Dz, дБ		Эн.сумма(-Dzi)	4	4,3	4,6	4,7	4,8	5	5,3	5,8	6,6		
Уровни звукового давления от источника ИШ-1-14 в расчётной точке днём, дБ		**ф-ла(3)[10]**	**0**	**43,2**	**44,3**	**45,4**	**45,4**	**44,7**	**40,8**	**35,1**	**25,5**	**48,6**	**48,6**
Источник шума: ИШ-1-15, координаты источника (x,y,z), м =[445.03,95.25,1.00]													
Уровни звуковой мощности источника днём, Lw, дБ		**исходные данные**	**0**	**93,3**	**94,7**	**96**	**96,3**	**95,9**	**92,6**	**88,4**	**83,9**		
Поправка на телесный угол DΩ, дБ	Ω = 6.28	10Lg(4π/Ω)	**3**	3	3	3	3	3	3	3	3		
Показатель направленности источника Di, дБ		исходные данные	**0**	0	0	0	0	0	0	0	0		
Поправка на направленность источника Dc, дБ	Dc	DΩ + Di	**3**	3	3	3	3	3	3	3	3		
Затухание из-за геометрической дивергенции, Adiv, дБ	расстояние = 77.40 м	ф-ла (7) [10]	**48,8**										
Коэффициент затухания звука в атмосфере α, дБ/км	Ta=20,°C Pa=101.33,кПа hотн.=70%	ф-ла (5) [9]	0,02	0,09	0,33	1,12	2,79	4,98	9,04	23,09	77,63		
Учет затухания звука в атмосфере Aatm, дБ		ф-ла (8) [10]	0	0	0	0,1	0,2	0,4	0,7	1,8	6		
Снижение уровня звукового давления из-за влияния застройки между источником шума и расчетной точкой													

1		2	3	4	5	6	7	8	9	10	11	12	13
Снижение уровня звукового давления препятствием справа от трассы ИШ-РТ, Dz3, дБ	z = -0.01м (разность путей)	ф-лы (14-18) [10]	0	0	0	0	0	3,5	1,8	0	NAN		
* отрицательное значение z означает прохождение траектории вблизи экрана, в этом случае дополнительно производится учёт снижения подстилающей поверхностью (см.ниже)													
Снижение поверхностью земли возле источника As, дБ	Gs = 0 hs = 1м	ф-лы таб.3 [10]	-1,5	-1,5	-1,5	-1,5	-1,5	-1,5	-1,5	-1,5	-1,5		
Снижение поверхностью земли возле приёмника Ar, дБ	Gr = 1 hr = 1.5м	ф-лы таб.3 [10]	-1,5	-1,5	0,6	5,5	3,9	0,5	0	0	0		
Снижение поверхностью земли в средней зоне, Am дБ	Gm = 1	ф-лы таб.3 [10]	-0,1	-0,1	0	0	0	0	0	0	0		
Суммарное снижение поверхностью земли на траектории распространения звука Agr, дБ		ф-ла (9) [10]	-3,1	-3,1	-0,9	4	2,4	-1	-1,5	-1,5	-1,5		
Уровни звукового давления от источника ИШ-1-15 в расчётной точке днём, дБ		**ф-ла(3)[10]**	**0**	**50,6**	**49,8**	**46,1**	**47,9**	**47,2**	**45,8**	**42,3**	**33,6**	**52,1**	**52,1**
Источник шума: ИШ-1-16, координаты источника (x,y,z), м =[447.96,94.28,1.00]													
Уровни звуковой мощности источника днём, Lw, дБ		**исходные данные**	**0**	**93,3**	**94,7**	**96**	**96,3**	**95,9**	**92,6**	**88,4**	**83,9**		
Поправка на телесный угол DΩ, дБ	Ω = 6.28	10Lg(4π/Ω)	**3**	3	3	3	3	3	3	3	3		
Показатель направленности источника Di, дБ		исходные данные	**0**	0	0	0	0	0	0	0	0		
Поправка на направленность источника Dc, дБ	Dc	DΩ + Di	**3**	3	3	3	3	3	3	3	3		
Затухание из-за геометрической дивергенции, Adiv, дБ	расстояние = 77.18 м	ф-ла (7) [10]	**48,8**										
Коэффициент затухания звука в атмосфере α, дБ/км	Ta=20,°C Pa=101.33,кПа hотн.=70%	ф-ла (5) [9]	0,02	0,09	0,33	1,12	2,79	4,98	9,04	23,09	77,63		
Учет затухания звука в атмосфере Aatm, дБ		ф-ла (8) [10]	0	0	0	0,1	0,2	0,4	0,7	1,8	6		
Снижение поверхностью земли возле источника As, дБ	Gs = 0 hs = 1м	ф-лы таб.3 [10]	-1,5	-1,5	-1,5	-1,5	-1,5	-1,5	-1,5	-1,5	-1,5		
Снижение поверхностью земли возле приёмника Ar, дБ	Gr = 1 hr = 1.5м	ф-лы таб.3 [10]	-1,5	-1,5	0,6	5,5	3,9	0,5	0	0	0		

1		2	3	4	5	6	7	8	9	10	11	12	13
Снижение поверхностью земли в средней зоне, Am дБ	Gm = 1	ф-лы таб.3 [10]	-0,1	-0,1	0	0	0	0	0	0	0		
Суммарное снижение поверхностью земли на траектории распространения звука Agr, дБ		ф-ла (9) [10]	-3,1	-3,1	-0,9	4	2,4	-1	-1,5	-1,5	-1,5		
Уровни звукового давления от источника ИШ-1-16 в расчётной точке днём, дБ		**ф-ла(3)[10]**	**0**	**50,6**	**49,8**	**46,1**	**47,9**	**50,7**	**47,6**	**42,4**	**33,7**	**54,1**	**54,1**
Источник шума: ИШ-1-17, координаты источника (x,y,z), м =[540.99,141.77,1.00]													
Уровни звуковой мощности источника днём, Lw, дБ		**исходные данные**	**0**	**93,3**	**94,7**	**96**	**96,3**	**95,9**	**92,6**	**88,4**	**83,9**		
Поправка на телесный угол DΩ, дБ	Ω = 6.28	10Lg(4π/Ω)	**3**	3	3	3	3	3	3	3	3		
Показатель направленности источника Di, дБ		исходные данные	**0**	0	0	0	0	0	0	0	0		
Поправка на направленность источника Dc, дБ	Dc	DΩ + Di	**3**	3	3	3	3	3	3	3	3		
Затухание из-за геометрической дивергенции, Adiv, дБ	расстояние = 166.66 м	ф-ла (7) [10]	**55,4**										
Коэффициент затухания звука в атмосфере α, дБ/км	Ta=20,°C Pa=101.33,кПа hотн.=70%	ф-ла (5) [9]	0,02	0,09	0,33	1,12	2,79	4,98	9,04	23,09	77,63		
Учет затухания звука в атмосфере Aatm, дБ		ф-ла (8) [10]	0	0	0,1	0,2	0,5	0,8	1,5	3,8	12,9		
Снижение уровня звукового давления из-за влияния застройки между источником шума и расчетной точкой													
Снижение уровня звукового давления на пути над экраном, Dz1, дБ	z = 1.24м (разность путей)	ф-лы (14-18) [10]	8,9	12,2	15,9	19,2	22,3	25,3	28,3	31,3	34,3		
Снижение уровня звукового давления на пути слева от экрана, Dz2, дБ	z = 4.58м (разность путей)	ф-лы (14-18) [10]	13	15,7	18,5	21,4	24,4	27,3	30,3	33,3	36,4		
Снижение уровня звукового давления на пути справа от экрана, Dz3, дБ	z = 70.92м (разность путей)	ф-лы (14-18) [10]	24,5	28,2	32,6	37	40,7	43,9	47	50	53		
Общее снижение уровня звука препятствием Dz, дБ		Эн.сумма(-Dzi)	7,4	10,5	13,9	17,1	20,2	23,2	26,2	29,2	32,2		

1		2	3	4	5	6	7	8	9	10	11	12	13
Общее снижение уровня звука препятствием с учётом ограничения (25 дБ) для октавных полос Dz, дБ		Раздел 7.4 [10]	7,4	10,5	13,9	17,1	20,2	23,2	25	25	25		
Уровни звукового давления от источника ИШ-1-17 в расчётной точке днём, дБ		**ф-ла(3)[10]**	**0**	**30,3**	**28,3**	**26,2**	**23,2**	**19,5**	**13,6**	**7,1**	**0**	**24,8**	**24,8**
Источник шума: ИШ-1-18, координаты источника (x,y,z), м =[543.53,140.79,1.00]													
Уровни звуковой мощности источника днём, Lw, дБ		**исходные данные**	**0**	**93,3**	**94,7**	**96**	**96,3**	**95,9**	**92,6**	**88,4**	**83,9**		
Поправка на телесный угол DΩ, дБ	Ω = 6.28	10Lg(4π/Ω)	**3**	3	3	3	3	3	3	3	3		
Показатель направленности источника Di, дБ		исходные данные	**0**	0	0	0	0	0	0	0	0		
Поправка на направленность источника Dc, дБ	Dc	DΩ + Di	**3**	3	3	3	3	3	3	3	3		
Затухание из-за геометрической дивергенции, Adiv, дБ	расстояние = 167.70 м	ф-ла (7) [10]	**55,5**										
Коэффициент затухания звука в атмосфере α, дБ/км	Ta=20,°C Pa=101.33,кПа hотн.=70%	ф-ла (5) [9]	0,02	0,09	0,33	1,12	2,79	4,98	9,04	23,09	77,63		
Учет затухания звука в атмосфере Aatm, дБ		ф-ла (8) [10]	0	0	0,1	0,2	0,5	0,8	1,5	3,9	13		
Снижение уровня звукового давления из-за влияния застройки между источником шума и расчетной точкой													
Снижение уровня звукового давления на пути над экраном, Dz1, дБ	z = 1.22м (разность путей)	ф-лы (14-18) [10]	8,8	12,1	15,8	19,1	22,2	25,2	28,2	31,2	34,2		
Снижение уровня звукового давления на пути слева от экрана, Dz2, дБ	z = 4.14м (разность путей)	ф-лы (14-18) [10]	12,6	15,3	18,1	21	23,9	26,9	29,9	32,9	35,9		
Снижение уровня звукового давления на пути справа от экрана, Dz3, дБ	z = 71.90м (разность путей)	ф-лы (14-18) [10]	24,6	28,3	32,6	37,1	40,7	44	47	50,1	53,1		
Общее снижение уровня звука препятствием Dz, дБ		Эн.сумма(-Dzi)	7,2	10,3	13,7	16,9	19,9	22,9	25,9	28,9	31,9		
Общее снижение уровня звука препятствием с учётом ограничения (25 дБ) для октавных полос Dz, дБ		Раздел 7.4 [10]	7,2	10,3	13,7	16,9	19,9	22,9	25	25	25		

1		2	3	4	5	6	7	8	9	10	11	12	13
Уровни звукового давления от источника ИШ-1-18 в расчётной точке днём, дБ		**ф-ла(3)[10]**	**0**	**30,5**	**28,4**	**26,4**	**23,4**	**19,6**	**13,6**	**7**	**0**	**25**	**25**
Источник шума: ИШ-1-19, координаты источника (x,y,z), м =[547.25,139.62,1.00]													
Уровни звуковой мощности источника днём, Lw, дБ		**исходные данные**	**0**	**93,3**	**94,7**	**96**	**96,3**	**95,9**	**92,6**	**88,4**	**83,9**		
Поправка на телесный угол DΩ, дБ	Ω = 6.28	10Lg(4π/Ω)	**3**	3	3	3	3	3	3	3	3		
Показатель направленности источника Di, дБ		исходные данные	**0**	0	0	0	0	0	0	0	0		
Поправка на направленность источника Dc, дБ	Dc	DΩ + Di	**3**	3	3	3	3	3	3	3	3		
Затухание из-за геометрической дивергенции, Adiv, дБ	расстояние = 169.46 м	ф-ла (7) [10]	**55,6**										
Коэффициент затухания звука в атмосфере α, дБ/км	Ta=20,°C Pa=101.33,кПа hотн.=70%	ф-ла (5) [9]	0,02	0,09	0,33	1,12	2,79	4,98	9,04	23,09	77,63		
Учет затухания звука в атмосфере Aatm, дБ		ф-ла (8) [10]	0	0	0,1	0,2	0,5	0,8	1,5	3,9	13,2		
Снижение уровня звукового давления из-за влияния застройки между источником шума и расчетной точкой													
Снижение уровня звукового давления на пути над экраном, Dz1, дБ	z = 1.20м (разность путей)	ф-лы (14-18) [10]	8,7	11,9	15,6	19	22,1	25,1	28,1	31,1	34,1		
Снижение уровня звукового давления на пути слева от экрана, Dz2, дБ	z = 3.56м (разность путей)	ф-лы (14-18) [10]	12,1	14,7	17,4	20,3	23,3	26,3	29,2	32,2	35,3		
Снижение уровня звукового давления на пути справа от экрана, Dz3, дБ	z = 73.00м (разность путей)	ф-лы (14-18) [10]	24,7	28,3	32,7	37,1	40,8	44	47,1	50,1	53,1		
Общее снижение уровня звука препятствием Dz, дБ		Эн.сумма(-Dzi)	7	10	13,4	16,6	19,6	22,6	25,6	28,6	31,6		
Общее снижение уровня звука препятствием с учётом ограничения (25 дБ) для октавных полос Dz, дБ		Раздел 7.4 [10]	7	10	13,4	16,6	19,6	22,6	25	25	25		
Уровни звукового давления прямого звука от источника ИШ-1-19 в расчётной точке днём, дБ		**ф-ла(3)[10]**	**0**	**30,7**	**28,7**	**26,7**	**23,6**	**19,9**	**13,5**	**6,9**	**0**	**25,2**	**25,2**

1		2	3	4	5	6	7	8	9	10	11	12	13
Расчёт отражённого звука													
Уровни звукового давления от мнимого источника ИШ-1-19_мн.(1) в расчётной точке днём, дБ		**ф-ла(3)[10]**	**0**	**0**	**0**	**0**	**0**	**0**	**0**	**0**	**0**	**0**	**0**
Уровни звукового давления от источника ИШ-1-19 в расчётной точке днём, дБ		**ф-ла(3)[10]**	**0**	**30,7**	**28,7**	**26,7**	**23,6**	**19,9**	**13,5**	**6,9**	**0**	**25,2**	**25,2**
Источник шума: ИШ-1-20, координаты источника (x,y,z), м =[550.38,138.64,1.00]													
Уровни звуковой мощности источника днём, Lw, дБ		**исходные данные**	**0**	**93,3**	**94,7**	**96**	**96,3**	**95,9**	**92,6**	**88,4**	**83,9**		
Поправка на телесный угол DΩ, дБ	Ω = 6.28	10Lg(4π/Ω)	**3**	3	3	3	3	3	3	3	3		
Показатель направленности источника Di, дБ		исходные данные	**0**	0	0	0	0	0	0	0	0		
Поправка на направленность источника Dc, дБ	Dc	DΩ + Di	**3**	3	3	3	3	3	3	3	3		
Затухание из-за геометрической дивергенции, Adiv, дБ	расстояние = 171.01 м	ф-ла (7) [10]	**55,7**										
Коэффициент затухания звука в атмосфере α, дБ/км	Ta=20,°C Pa=101.33,кПа hотн.=70%	ф-ла (5) [9]	0,02	0,09	0,33	1,12	2,79	4,98	9,04	23,09	77,63		
Учет затухания звука в атмосфере Aatm, дБ		ф-ла (8) [10]	0	0	0,1	0,2	0,5	0,9	1,5	3,9	13,3		
Снижение уровня звукового давления из-за влияния застройки между источником шума и расчетной точкой													
Снижение уровня звукового давления на пути над экраном, Dz1, дБ	z = 1.18м (разность путей)	ф-лы (14-18) [10]	8,6	11,8	15,5	18,9	22	25	28	31	34		
Снижение уровня звукового давления на пути слева от экрана, Dz2, дБ	z = 3.12м (разность путей)	ф-лы (14-18) [10]	11,6	14,2	16,9	19,8	22,7	25,7	28,7	31,7	34,7		
Снижение уровня звукового давления на пути справа от экрана, Dz3, дБ	z = 73.97м (разность путей)	ф-лы (14-18) [10]	24,7	28,4	32,8	37,2	40,9	44,1	47,2	50,2	53,2		
Общее снижение уровня звука препятствием Dz, дБ		Эн.сумма(-Dzi)	6,8	9,7	13,1	16,3	19,3	22,3	25,3	28,3	31,3		

1		2	3	4	5	6	7	8	9	10	11	12	13
Общее снижение уровня звука препятствием с учётом ограничения (25 дБ) для октавных полос Dz, дБ		Раздел 7.4 [10]	6,8	9,7	13,1	16,3	19,3	22,3	25	25	25		
Уровни звукового давления прямого звука от источника ИШ-1-20 в расчётной точке днём, дБ		**ф-ла(3)[10]**	**0**	**30,9**	**28,9**	**26,9**	**23,9**	**20,1**	**13,4**	**6,8**	**0**	**25,3**	**25,3**
Расчёт отражённого звука													
Уровни звукового давления от мнимого источника ИШ-1-20_мн.(1) в расчётной точке днём, дБ		**ф-ла(3)[10]**	**0**	**0**	**0**	**0**	**0**	**0**	**0**	**0**	**0**	**0**	**0**
Уровни звукового давления от источника ИШ-1-20 в расчётной точке днём, дБ		**ф-ла(3)[10]**	**0**	**30,9**	**28,9**	**26,9**	**23,9**	**20,1**	**13,4**	**6,8**	**0**	**25,3**	**25,3**
Источник шума: ИШ-1-21, координаты источника (x,y,z), м =[553.31,137.67,1.00]													
Уровни звуковой мощности источника днём, Lw, дБ		**исходные данные**	**0**	**93,3**	**94,7**	**96**	**96,3**	**95,9**	**92,6**	**88,4**	**83,9**		
Поправка на телесный угол DΩ, дБ	Ω = 6.28	10Lg(4π/Ω)	**3**	3	3	3	3	3	3	3	3		
Показатель направленности источника Di, дБ		исходные данные	**0**	0	0	0	0	0	0	0	0		
Поправка на направленность источника Dc, дБ	Dc	DΩ + Di	**3**	3	3	3	3	3	3	3	3		
Затухание из-за геометрической дивергенции, Adiv, дБ	расстояние = 172.46 м	ф-ла (7) [10]	**55,7**										
Коэффициент затухания звука в атмосфере α, дБ/км	Ta=20,°C Pa=101.33,кПа hотн.=70%	ф-ла (5) [9]	0,02	0,09	0,33	1,12	2,79	4,98	9,04	23,09	77,63		
Учет затухания звука в атмосфере Aatm, дБ		ф-ла (8) [10]	0	0	0,1	0,2	0,5	0,9	1,6	4	13,4		
Снижение уровня звукового давления из-за влияния застройки между источником шума и расчетной точкой													
Снижение уровня звукового давления на пути над экраном, Dz1, дБ	z = 1.15м (разность путей)	ф-лы (14-18) [10]	8,4	11,5	15,2	18,7	21,8	24,8	27,9	30,9	33,9		
Снижение уровня звукового давления на пути слева от экрана, Dz2, дБ	z = 2.73м (разность путей)	ф-лы (14-18) [10]	11,2	13,7	16,3	19,2	22,1	25,1	28,1	31,1	34,1		

1		2	3	4	5	6	7	8	9	10	11	12	13
Снижение уровня звукового давления на пути справа от экрана, Dz3, дБ	z = 75.02м (разность путей)	ф-лы (14-18) [10]	24,8	28,5	32,8	37,2	40,9	44,2	47,2	50,2	53,3		
Общее снижение уровня звука препятствием Dz, дБ		Эн.сумма(-Dzi)	6,5	9,4	12,7	15,9	18,9	21,9	24,9	27,9	30,9		
Общее снижение уровня звука препятствием с учётом ограничения (25 дБ) для октавных полос Dz, дБ		Раздел 7.4 [10]	6,5	9,4	12,7	15,9	18,9	21,9	24,9	25	25		
Уровни звукового давления прямого звука от источника ИШ-1-21 в расчётной точке днём, дБ		**ф-ла(3)[10]**	**0**	**31,2**	**29,2**	**27,2**	**24,1**	**20,4**	**13,4**	**6,7**	**0**	**25,6**	**25,6**
Расчёт отражённого звука													
Уровни звукового давления от мнимого источника ИШ-1-21_мн.(1) в расчётной точке днём, дБ		**ф-ла(3)[10]**	**0**	**0**	**0**	**0**	**0**	**0**	**0**	**0**	**0**	**0**	**0**
Уровни звукового давления от источника ИШ-1-21 в расчётной точке днём, дБ		**ф-ла(3)[10]**	**0**	**31,2**	**29,2**	**27,2**	**24,1**	**20,4**	**13,4**	**6,7**	**0**	**25,6**	**25,6**
Источник шума: ИШ-1-22, координаты источника (x,y,z), м =[522.03,85.28,1.00]													
Уровни звуковой мощности источника днём, Lw, дБ		**исходные данные**	**0**	**93,3**	**94,7**	**96**	**96,3**	**95,9**	**92,6**	**88,4**	**83,9**		
Поправка на телесный угол DΩ, дБ	Ω = 6.28	10Lg(4π/Ω)	**3**	3	3	3	3	3	3	3	3		
Показатель направленности источника Di, дБ		исходные данные	**0**	0	0	0	0	0	0	0	0		
Поправка на направленность источника Dc, дБ	Dc	DΩ + Di	**3**	3	3	3	3	3	3	3	3		
Затухание из-за геометрической дивергенции, Adiv, дБ	расстояние = 115.10 м	ф-ла (7) [10]	**52,2**										
Коэффициент затухания звука в атмосфере α, дБ/км	Ta=20,°C Pa=101.33,кПа hотн.=70%	ф-ла (5) [9]	0,02	0,09	0,33	1,12	2,79	4,98	9,04	23,09	77,63		
Учет затухания звука в атмосфере Aatm, дБ		ф-ла (8) [10]	0	0	0	0,1	0,3	0,6	1	2,7	8,9		
Снижение уровня звукового давления из-за влияния застройки между источником шума и расчетной точкой													

1		2	3	4	5	6	7	8	9	10	11	12	13
Снижение уровня звукового давления на пути над экраном, Dz1, дБ	z = 1.51м (разность путей)	ф-лы (14-18) [10]	9	11,3	14,7	18,9	23	26,4	29,5	32,6	35,6		
Снижение уровня звукового давления на пути слева от экрана, Dz2, дБ	z = 0.54м (разность путей)	ф-лы (14-18) [10]	7	8,5	10,4	12,8	15,4	18,3	21,2	24,1	27,1		
Снижение уровня звукового давления на пути справа от экрана, Dz3, дБ	z = 175.27м (разность путей)	ф-лы (14-18) [10]	28,4	32,1	36,5	40,9	44,6	47,8	50,9	53,9	56,9		
Общее снижение уровня звука препятствием Dz, дБ		Эн.сумма(-Dzi)	4,8	6,6	9	11,8	14,7	17,6	20,6	23,5	26,5		
Общее снижение уровня звука препятствием с учётом ограничения (25 дБ) для октавных полос Dz, дБ		Раздел 7.4 [10]	4,8	6,6	9	11,8	14,7	17,6	20,6	23,5	25		
Уровни звукового давления от источника ИШ-1-22 в расчётной точке днём, дБ		**ф-ла(3)[10]**	**0**	**37,4**	**36,4**	**34,8**	**32**	**28,5**	**21,8**	**13**	**0,7**	**33,5**	**33,5**
Источник шума: ИШ-1-23, координаты источника (x,y,z), м =[525.16,84.11,1.00]													
Уровни звуковой мощности источника днём, Lw, дБ		**исходные данные**	**0**	**93,3**	**94,7**	**96**	**96,3**	**95,9**	**92,6**	**88,4**	**83,9**		
Поправка на телесный угол DΩ, дБ	Ω = 6.28	10Lg(4π/Ω)	**3**	3	3	3	3	3	3	3	3		
Показатель направленности источника Di, дБ		исходные данные	**0**	0	0	0	0	0	0	0	0		
Поправка на направленность источника Dc, дБ	Dc	DΩ + Di	**3**	3	3	3	3	3	3	3	3		
Затухание из-за геометрической дивергенции, Adiv, дБ	расстояние = 117.04 м	ф-ла (7) [10]	**52,4**										
Коэффициент затухания звука в атмосфере α, дБ/км	Ta=20,°C Pa=101.33,кПа hотн.=70%	ф-ла (5) [9]	0,02	0,09	0,33	1,12	2,79	4,98	9,04	23,09	77,63		
Учет затухания звука в атмосфере Aatm, дБ		ф-ла (8) [10]	0	0	0	0,1	0,3	0,6	1,1	2,7	9,1		
Снижение уровня звукового давления из-за влияния застройки между источником шума и расчетной точкой													
Снижение уровня звукового давления на пути над экраном, Dz1, дБ	z = 1.42м (разность путей)	ф-лы (14-18) [10]	8,7	10,9	13,9	17,9	22,2	26	29,2	32,3	35,3		

1		2	3	4	5	6	7	8	9	10	11	12	13
Снижение уровня звукового давления на пути слева от экрана, Dz2, дБ	z = 0.29м (разность путей)	ф-лы (14-18) [10]	6,1	7,1	8,6	10,6	13	15,7	18,5	21,4	24,4		
Снижение уровня звукового давления на пути справа от экрана, Dz3, дБ	z = 174.48м (разность путей)	ф-лы (14-18) [10]	28,4	32,1	36,5	40,9	44,6	47,8	50,9	53,9	56,9		
Общее снижение уровня звука препятствием Dz, дБ		Эн.сумма(-Dzi)	4,2	5,6	7,5	9,9	12,5	15,3	18,1	21,1	24		
Уровни звукового давления от источника ИШ-1-23 в расчётной точке днём, дБ		**ф-ла(3)[10]**	**0**	**38,3**	**37,8**	**36,6**	**34,1**	**30,7**	**24**	**15,3**	**1,4**	**35,5**	**35,5**
Источник шума: ИШ-1-24, координаты источника (x,y,z), м =[528.48,82.94,1.00]													
Уровни звуковой мощности источника днём, Lw, дБ		**исходные данные**	**0**	**93,3**	**94,7**	**96**	**96,3**	**95,9**	**92,6**	**88,4**	**83,9**		
Поправка на телесный угол DΩ, дБ	Ω = 6.28	10Lg(4π/Ω)	**3**	3	3	3	3	3	3	3	3		
Показатель направленности источника Di, дБ		исходные данные	**0**	0	0	0	0	0	0	0	0		
Поправка на направленность источника Dc, дБ	Dc	DΩ + Di	**3**	3	3	3	3	3	3	3	3		
Затухание из-за геометрической дивергенции, Adiv, дБ	расстояние = 119.21 м	ф-ла (7) [10]	**52,5**										
Коэффициент затухания звука в атмосфере α, дБ/км	Ta=20,°C Pa=101.33,кПа hотн.=70%	ф-ла (5) [9]	0,02	0,09	0,33	1,12	2,79	4,98	9,04	23,09	77,63		
Учет затухания звука в атмосфере Aatm, дБ		ф-ла (8) [10]	0	0	0	0,1	0,3	0,6	1,1	2,8	9,3		
Снижение уровня звукового давления из-за влияния застройки между источником шума и расчетной точкой													
Снижение уровня звукового давления на пути над экраном, Dz1, дБ	z = 1.35м (разность путей)	ф-лы (14-18) [10]	8,5	10,6	13,2	16,7	21	25,2	28,8	31,9	35		
Снижение уровня звукового давления на пути слева от экрана, Dz2, дБ	z = 0.11м (разность путей)	ф-лы (14-18) [10]	5,3	5,9	6,7	8	9,9	12,2	14,8	17,5	20,4		
Снижение уровня звукового давления на пути справа от экрана, Dz3, дБ	z = 173.56м (разность путей)	ф-лы (14-18) [10]	28,4	32,1	36,5	40,9	44,6	47,8	50,9	53,9	56,9		

1		2	3	4	5	6	7	8	9	10	11	12	13
Общее снижение уровня звука препятствием Dz, дБ		Эн.сумма(-Dzi)	3,6	4,6	5,8	7,5	9,6	12	14,6	17,4	20,3		
Уровни звукового давления от источника ИШ-1-24 в расчётной точке днём, дБ		**ф-ла(3)[10]**	**0**	**39,2**	**39,3**	**38,9**	**36,9**	**33,8**	**27,4**	**18,7**	**4,8**	**38,4**	**38,4**
Источник шума: ИШ-1-25, координаты источника (x,y,z), м =[531.22,82.16,1.00]													
Уровни звуковой мощности источника днём, Lw, дБ		**исходные данные**	**0**	**93,3**	**94,7**	**96**	**96,3**	**95,9**	**92,6**	**88,4**	**83,9**		
Поправка на телесный угол DΩ, дБ	Ω = 6.28	10Lg(4π/Ω)	**3**	3	3	3	3	3	3	3	3		
Показатель направленности источника Di, дБ		исходные данные	**0**	0	0	0	0	0	0	0	0		
Поправка на направленность источника Dc, дБ	Dc	DΩ + Di	**3**	3	3	3	3	3	3	3	3		
Затухание из-за геометрической дивергенции, Adiv, дБ	расстояние = 121.13 м	ф-ла (7) [10]	**52,7**										
Коэффициент затухания звука в атмосфере α, дБ/км	Ta=20,°C Pa=101.33,кПа hотн.=70%	ф-ла (5) [9]	0,02	0,09	0,33	1,12	2,79	4,98	9,04	23,09	77,63		
Учет затухания звука в атмосфере Aatm, дБ		ф-ла (8) [10]	0	0	0	0,1	0,3	0,6	1,1	2,8	9,4		
Снижение уровня звукового давления из-за влияния застройки между источником шума и расчетной точкой													
Снижение уровня звукового давления на пути над экраном, Dz1, дБ	z = 1.30м (разность путей)	ф-лы (14-18) [10]	8,4	10,4	12,8	15,8	19,6	24,1	28,2	31,6	34,7		
Снижение уровня звукового давления на пути слева от экрана, Dz2, дБ	z = 0.04м (разность путей)	ф-лы (14-18) [10]	5	5,2	5,5	6,1	7,2	8,7	10,7	13,1	15,8		
Снижение уровня звукового давления на пути справа от экрана, Dz3, дБ	z = 172.57м (разность путей)	ф-лы (14-18) [10]	28,4	32,1	36,4	40,9	44,5	47,8	50,8	53,9	56,9		
Общее снижение уровня звука препятствием Dz, дБ		Эн.сумма(-Dzi)	3,3	4	4,8	5,7	6,9	8,6	10,6	13,1	15,8		
Уровни звукового давления от источника ИШ-1-25 в расчётной точке днём, дБ		**ф-ла(3)[10]**	**0**	**39,6**	**40,2**	**40,5**	**39,4**	**37,1**	**31,2**	**22,9**	**9,1**	**41,1**	**41,1**

1		2	3	4	5	6	7	8	9	10	11	12	13
Источник шума: ИШ-1-26, координаты источника (x,y,z), м =[534.15,80.79,1.00]													
Уровни звуковой мощности источника днём, Lw, дБ		**исходные данные**	**0**	**93,3**	**94,7**	**96**	**96,3**	**95,9**	**92,6**	**88,4**	**83,9**		
Поправка на телесный угол DΩ, дБ	Ω = 6.28	10Lg(4π/Ω)	**3**	3	3	3	3	3	3	3	3		
Показатель направленности источника Di, дБ		исходные данные	**0**	0	0	0	0	0	0	0	0		
Поправка на направленность источника Dc, дБ	Dc	DΩ + Di	**3**	3	3	3	3	3	3	3	3		
Затухание из-за геометрической дивергенции, Adiv, дБ	расстояние = 122.97 м	ф-ла (7) [10]	**52,8**										
Коэффициент затухания звука в атмосфере α, дБ/км	Ta=20,°C Pa=101.33,кПа hотн.=70%	ф-ла (5) [9]	0,02	0,09	0,33	1,12	2,79	4,98	9,04	23,09	77,63		
Учет затухания звука в атмосфере Aatm, дБ		ф-ла (8) [10]	0	0	0	0,1	0,3	0,6	1,1	2,8	9,5		
Снижение уровня звукового давления из-за влияния застройки между источником шума и расчетной точкой													
Снижение уровня звукового давления на пути над экраном, Dz1, дБ	z = 1.24м (разность путей)	ф-лы (14-18) [10]	8,3	10,2	12,5	15,1	17,9	20,9	24	27,6	31,9		
Снижение уровня звукового давления на пути слева от экрана, Dz2, дБ	z = 0.00м (разность путей)	ф-лы (14-18) [10]	4,8	4,8	4,8	4,8	4,8	4,8	4,9	4,9	5,1		
Снижение уровня звукового давления на пути справа от экрана, Dz3, дБ	z = 172.35м (разность путей)	ф-лы (14-18) [10]	28,4	32,1	36,4	40,9	44,5	47,8	50,8	53,9	56,9		
Общее снижение уровня звука препятствием Dz, дБ		Эн.сумма(-Dzi)	3,2	3,7	4,1	4,4	4,6	4,7	4,8	4,9	5,1		
Уровни звукового давления от источника ИШ-1-26 в расчётной точке днём, дБ		**ф-ла(3)[10]**	**0**	**39,8**	**40,8**	**41,7**	**41,6**	**40,8**	**36,9**	**30,8**	**19,5**	**44,7**	**44,7**
Источник шума: ИШ-1-27, координаты источника (x,y,z), м =[469.65,197.67,1.00]													
Уровни звуковой мощности источника днём, Lw, дБ		**исходные данные**	**0**	**93,3**	**94,7**	**96**	**96,3**	**95,9**	**92,6**	**88,4**	**83,9**		

1		2	3	4	5	6	7	8	9	10	11	12	13
Поправка на телесный угол DΩ, дБ	Ω = 6.28	10Lg(4π/Ω)	**3**	3	3	3	3	3	3	3	3		
Показатель направленности источника Di, дБ		исходные данные	**0**	0	0	0	0	0	0	0	0		
Поправка на направленность источника Dc, дБ	Dc	DΩ + Di	**3**	3	3	3	3	3	3	3	3		
Затухание из-за геометрической дивергенции, Adiv, дБ	расстояние = 182.73 м	ф-ла (7) [10]	**56,2**										
Коэффициент затухания звука в атмосфере α, дБ/км	Ta=20,°C Pa=101.33,кПа hотн.=70%	ф-ла (5) [9]	0,02	0,09	0,33	1,12	2,79	4,98	9,04	23,09	77,63		
Учет затухания звука в атмосфере Aatm, дБ		ф-ла (8) [10]	0	0	0,1	0,2	0,5	0,9	1,7	4,2	14,2		
Снижение уровня звукового давления из-за влияния застройки между источником шума и расчетной точкой													
Снижение уровня звукового давления препятствием справа от трассы ИШ-РТ, Dz3, дБ	z = -0.01м (разность путей)	ф-лы (14-18) [10]	0	0	0	0	0	3,4	1,4	NAN	NAN		
* отрицательное значение z означает прохождение траектории вблизи экрана, в этом случае дополнительно производится учёт снижения подстилающей поверхностью (см.ниже)													
Снижение поверхностью земли возле источника As, дБ	Gs = 0 hs = 1м	ф-лы таб.3 [10]	-1,5	-1,5	-1,5	-1,5	-1,5	-1,5	-1,5	-1,5	-1,5		
Снижение поверхностью земли возле приёмника Ar, дБ	Gr = 1 hr = 1.5м	ф-лы таб.3 [10]	-1,5	-1,5	1,1	6,8	4,8	0,6	0	0	0		
Снижение поверхностью земли в средней зоне, Am дБ	Gm = 1	ф-лы таб.3 [10]	-1,8	-1,8	0	0	0	0	0	0	0		
Суммарное снижение поверхностью земли на траектории распространения звука Agr, дБ		ф-ла (9) [10]	-4,8	-4,8	-0,4	5,3	3,3	-0,9	-1,5	-1,5	-1,5		
Уровни звукового давления прямого звука от источника ИШ-1-27 в расчётной точке днём, дБ		**ф-ла(3)[10]**	**0**	**44,8**	**41,8**	**37,2**	**39,2**	**39,2**	**37,8**	**32,4**	**18**	**43,7**	**43,7**
Расчёт отражённого звука													
Уровни звукового давления от мнимого источника ИШ-1-27_мн.(1) в расчётной точке днём, дБ		**ф-ла(3)[10]**	**0**	**0**	**0**	**0**	**0**	**38,2**	**36,2**	**29,2**	**14,2**	**41,2**	**41,2**
Уровни звукового давления от мнимого источника ИШ-1-27_мн.(2) в расчётной точке днём, дБ		**ф-ла(3)[10]**	**0**	**0**	**0**	**0**	**0**	**23**	**16**	**6,1**	**0**	**24,1**	**24,1**
Суммарные уровни звукового давления от мнимых источников в расчётной точке днём, дБ		**ф-ла (19) [1]**	**0**	**0**	**0**	**0**	**0**	**38,3**	**36,2**	**29,3**	**14,2**	**0**	**41,3**

1		2	3	4	5	6	7	8	9	10	11	12	13
Уровни звукового давления от источника ИШ-1-27 в расчётной точке днём, дБ		**ф-ла(3)[10]**	**0**	**44,8**	**41,8**	**37,2**	**39,2**	**41,8**	**40,1**	**34,1**	**19,5**	**45,7**	**45,7**
Источник шума: ИШ-1-28, координаты источника (x,y,z), м =[472.78,196.69,1.00]													
Уровни звуковой мощности источника днём, Lw, дБ		**исходные данные**	**0**	**93,3**	**94,7**	**96**	**96,3**	**95,9**	**92,6**	**88,4**	**83,9**		
Поправка на телесный угол DΩ, дБ	Ω = 6.28	10Lg(4π/Ω)	**3**	3	3	3	3	3	3	3	3		
Показатель направленности источника Di, дБ		исходные данные	**0**	0	0	0	0	0	0	0	0		
Поправка на направленность источника Dc, дБ	Dc	DΩ + Di	**3**	3	3	3	3	3	3	3	3		
Затухание из-за геометрической дивергенции, Adiv, дБ	расстояние = 182.54 м	ф-ла (7) [10]	**56,2**										
Коэффициент затухания звука в атмосфере α, дБ/км	Ta=20,°C Pa=101.33,кПа hотн.=70%	ф-ла (5) [9]	0,02	0,09	0,33	1,12	2,79	4,98	9,04	23,09	77,63		
Учет затухания звука в атмосфере Aatm, дБ		ф-ла (8) [10]	0	0	0,1	0,2	0,5	0,9	1,7	4,2	14,2		
Снижение уровня звукового давления из-за влияния застройки между источником шума и расчетной точкой													
Снижение уровня звукового давления препятствием справа от трассы ИШ-РТ, Dz3, дБ	z = -0.02м (разность путей)	ф-лы (14-18) [10]	0	0	0	0	0	0,2	NAN	NAN	NAN		
* отрицательное значение z означает прохождение траектории вблизи экрана, в этом случае дополнительно производится учёт снижения подстилающей поверхностью (см.ниже)													
Снижение поверхностью земли возле источника As, дБ	Gs = 0 hs = 1м	ф-лы таб.3 [10]	-1,5	-1,5	-1,5	-1,5	-1,5	-1,5	-1,5	-1,5	-1,5		
Снижение поверхностью земли возле приёмника Ar, дБ	Gr = 1 hr = 1.5м	ф-лы таб.3 [10]	-1,5	-1,5	1,1	6,8	4,8	0,6	0	0	0		
Снижение поверхностью земли в средней зоне, Am дБ	Gm = 1	ф-лы таб.3 [10]	-1,8	-1,8	0	0	0	0	0	0	0		
Суммарное снижение поверхностью земли на траектории распространения звука Agr, дБ		ф-ла (9) [10]	-4,8	-4,8	-0,4	5,3	3,3	-0,9	-1,5	-1,5	-1,5		
Уровни звукового давления прямого звука от источника ИШ-1-28 в расчётной точке днём, дБ		**ф-ла(3)[10]**	**0**	**44,8**	**41,8**	**37,2**	**39,2**	**42,4**	**39,2**	**32,5**	**18**	**45,6**	**45,6**

1		2	3	4	5	6	7	8	9	10	11	12	13
Расчёт отражённого звука													
Уровни звукового давления от мнимого источника ИШ-1-28_мн.(1) в расчётной точке днём, дБ		**ф-ла(3)[10]**	**0**	**0**	**0**	**0**	**30,3**	**38,2**	**36,2**	**29,3**	**14,3**	**41,4**	**41,4**
Уровни звукового давления от мнимого источника ИШ-1-28_мн.(2) в расчётной точке днём, дБ		**ф-ла(3)[10]**	**0**	**0**	**0**	**0**	**0**	**22,4**	**15,4**	**5,5**	**0**	**23,5**	**23,5**
Суммарные уровни звукового давления от мнимых источников в расчётной точке днём, дБ		**ф-ла (19) [1]**	**0**	**0**	**0**	**0**	**30,3**	**38,3**	**36,2**	**29,3**	**14,3**	**0**	**41,4**
Уровни звукового давления от источника ИШ-1-28 в расчётной точке днём, дБ		**ф-ла(3)[10]**	**0**	**44,8**	**41,8**	**37,2**	**39,7**	**43,8**	**41**	**34,2**	**19,5**	**47**	**47**
Источник шума: ИШ-1-29, координаты источника (x,y,z), м =[475.52,195.72,1.00]													
Уровни звуковой мощности источника днём, Lw, дБ		**исходные данные**	**0**	**93,3**	**94,7**	**96**	**96,3**	**95,9**	**92,6**	**88,4**	**83,9**		
Поправка на телесный угол DΩ, дБ	Ω = 6.28	10Lg(4π/Ω)	**3**	3	3	3	3	3	3	3	3		
Показатель направленности источника Di, дБ		исходные данные	**0**	0	0	0	0	0	0	0	0		
Поправка на направленность источника Dc, дБ	Dc	DΩ + Di	**3**	3	3	3	3	3	3	3	3		
Затухание из-за геометрической дивергенции, Adiv, дБ	расстояние = 182.30 м	ф-ла (7) [10]	**56,2**										
Коэффициент затухания звука в атмосфере α, дБ/км	Ta=20,°C Pa=101.33,кПа hотн.=70%	ф-ла (5) [9]	0,02	0,09	0,33	1,12	2,79	4,98	9,04	23,09	77,63		
Учет затухания звука в атмосфере Aatm, дБ		ф-ла (8) [10]	0	0	0,1	0,2	0,5	0,9	1,6	4,2	14,2		
Снижение уровня звукового давления из-за влияния застройки между источником шума и расчетной точкой													
Снижение уровня звукового давления препятствием справа от трассы ИШ-РТ, Dz3, дБ	z = -0.03м (разность путей)	ф-лы (14-18) [10]	0	0	0	0	1,1	NAN	NAN	NAN	NAN		
* отрицательное значение z означает прохождение траектории вблизи экрана, в этом случае дополнительно производится учёт снижения подстилающей поверхностью (см.ниже)													
Снижение поверхностью земли возле источника As, дБ	Gs = 0 hs = 1м	ф-лы таб.3 [10]	-1,5	-1,5	-1,5	-1,5	-1,5	-1,5	-1,5	-1,5	-1,5		

1		2	3	4	5	6	7	8	9	10	11	12	13
Снижение поверхностью земли возле приёмника Ar, дБ	Gr = 1 hr = 1.5м	ф-лы таб.3 [10]	-1,5	-1,5	1,1	6,8	4,8	0,6	0	0	0		
Снижение поверхностью земли в средней зоне, Am дБ	Gm = 1	ф-лы таб.3 [10]	-1,8	-1,8	0	0	0	0	0	0	0		
Суммарное снижение поверхностью земли на траектории распространения звука Agr, дБ		ф-ла (9) [10]	-4,8	-4,8	-0,4	5,3	3,3	-0,9	-1,5	-1,5	-1,5		
Уровни звукового давления прямого звука от источника ИШ-1-29 в расчётной точке днём, дБ		**ф-ла(3)[10]**	**0**	**44,8**	**41,8**	**37,2**	**38,1**	**42,6**	**39,2**	**32,5**	**18**	**45,5**	**45,5**
Расчёт отражённого звука													
Уровни звукового давления от мнимого источника ИШ-1-29_мн.(1) в расчётной точке днём, дБ		**ф-ла(3)[10]**	**0**	**0**	**0**	**0**	**30,2**	**38,2**	**36,3**	**29,4**	**14,4**	**41,4**	**41,4**
Уровни звукового давления от мнимого источника ИШ-1-29_мн.(2) в расчётной точке днём, дБ		**ф-ла(3)[10]**	**0**	**0**	**0**	**0**	**0**	**22**	**14,9**	**5**	**0**	**23,1**	**23,1**
Суммарные уровни звукового давления от мнимых источников в расчётной точке днём, дБ		**ф-ла (19) [1]**	**0**	**0**	**0**	**0**	**30,2**	**38,3**	**36,3**	**29,4**	**14,4**	**0**	**41,5**
Уровни звукового давления от источника ИШ-1-29 в расчётной точке днём, дБ		**ф-ла(3)[10]**	**0**	**44,8**	**41,8**	**37,2**	**38,7**	**44**	**41**	**34,2**	**19,6**	**47**	**47**
Источник шума: ИШ-1-30, координаты источника (x,y,z), м =[478.45,194.54,1.00]													
Уровни звуковой мощности источника днём, Lw, дБ		**исходные данные**	**0**	**93,3**	**94,7**	**96**	**96,3**	**95,9**	**92,6**	**88,4**	**83,9**		
Поправка на телесный угол DΩ, дБ	Ω = 6.28	10Lg(4π/Ω)	**3**	3	3	3	3	3	3	3	3		
Показатель направленности источника Di, дБ		исходные данные	**0**	0	0	0	0	0	0	0	0		
Поправка на направленность источника Dc, дБ	Dc	DΩ + Di	**3**	3	3	3	3	3	3	3	3		
Затухание из-за геометрической дивергенции, Adiv, дБ	расстояние = 181.97 м	ф-ла (7) [10]	**56,2**										
Коэффициент затухания звука в атмосфере α, дБ/км	Ta=20,°C Pa=101.33,кПа hотн.=70%	ф-ла (5) [9]	0,02	0,09	0,33	1,12	2,79	4,98	9,04	23,09	77,63		

1		2	3	4	5	6	7	8	9	10	11	12	13
Учет затухания звука в атмосфере Aatm, дБ		ф-ла (8) [10]	0	0	0,1	0,2	0,5	0,9	1,6	4,2	14,1		
Снижение поверхностью земли возле источника As, дБ	Gs = 0 hs = 1м	ф-лы таб.3 [10]	-1,5	-1,5	-1,5	-1,5	-1,5	-1,5	-1,5	-1,5	-1,5		
Снижение поверхностью земли возле приёмника Ar, дБ	Gr = 1 hr = 1.5м	ф-лы таб.3 [10]	-1,5	-1,5	1,1	6,8	4,8	0,6	0	0	0		
Снижение поверхностью земли в средней зоне, Am дБ	Gm = 1	ф-лы таб.3 [10]	-1,8	-1,8	0	0	0	0	0	0	0		
Суммарное снижение поверхностью земли на траектории распространения звука Agr, дБ		ф-ла (9) [10]	-4,8	-4,8	-0,4	5,3	3,3	-0,9	-1,5	-1,5	-1,5		
Уровни звукового давления прямого звука от источника ИШ-1-30 в расчётной точке днём, дБ		**ф-ла(3)[10]**	**0**	**44,8**	**41,8**	**37,2**	**39,2**	**42,6**	**39,2**	**32,5**	**18,1**	**45,7**	**45,7**
Расчёт отражённого звука													
Уровни звукового давления от мнимого источника ИШ-1-30_мн.(1) в расчётной точке днём, дБ		**ф-ла(3)[10]**	**0**	**0**	**0**	**0**	**30**	**38,2**	**36,3**	**29,5**	**14,6**	**41,4**	**41,4**
Уровни звукового давления от мнимого источника ИШ-1-30_мн.(2) в расчётной точке днём, дБ		**ф-ла(3)[10]**	**0**	**0**	**0**	**0**	**0**	**21,5**	**14,4**	**4,5**	**0**	**22,6**	**22,6**
Суммарные уровни звукового давления от мнимых источников в расчётной точке днём, дБ		**ф-ла (19) [1]**	**0**	**0**	**0**	**0**	**30**	**38,3**	**36,4**	**29,5**	**14,6**	**0**	**41,5**
Уровни звукового давления от источника ИШ-1-30 в расчётной точке днём, дБ		**ф-ла(3)[10]**	**0**	**44,8**	**41,8**	**37,2**	**39,7**	**44**	**41**	**34,2**	**19,7**	**47,1**	**47,1**
Источник шума: ИШ-1-31, координаты источника (x,y,z), м =[481.58,193.96,1.00]													
Уровни звуковой мощности источника днём, Lw, дБ		**исходные данные**	**0**	**93,3**	**94,7**	**96**	**96,3**	**95,9**	**92,6**	**88,4**	**83,9**		
Поправка на телесный угол DΩ, дБ	Ω = 6.28	10Lg(4π/Ω)	**3**	3	3	3	3	3	3	3	3		
Показатель направленности источника Di, дБ		исходные данные	**0**	0	0	0	0	0	0	0	0		
Поправка на направленность источника Dc, дБ	Dc	DΩ + Di	**3**	3	3	3	3	3	3	3	3		
Затухание из-за геометрической дивергенции, Adiv, дБ	расстояние = 182.31 м	ф-ла (7) [10]	**56,2**										

1		2	3	4	5	6	7	8	9	10	11	12	13
Коэффициент затухания звука в атмосфере α, дБ/км	Та=20,°С Ра=101.33,кПа hотн.=70%	ф-ла (5) [9]	0,02	0,09	0,33	1,12	2,79	4,98	9,04	23,09	77,63		
Учет затухания звука в атмосфере Aatm, дБ		ф-ла (8) [10]	0	0	0,1	0,2	0,5	0,9	1,6	4,2	14,2		
Снижение поверхностью земли возле источника As, дБ	Gs = 0 hs = 1м	ф-лы таб.3 [10]	-1,5	-1,5	-1,5	-1,5	-1,5	-1,5	-1,5	-1,5	-1,5		
Снижение поверхностью земли возле приёмника Ar, дБ	Gr = 1 hr = 1.5м	ф-лы таб.3 [10]	-1,5	-1,5	1,1	6,8	4,8	0,6	0	0	0		
Снижение поверхностью земли в средней зоне, Am дБ	Gm = 1	ф-лы таб.3 [10]	-1,8	-1,8	0	0	0	0	0	0	0		
Суммарное снижение поверхностью земли на траектории распространения звука Agr, дБ		ф-ла (9) [10]	-4,8	-4,8	-0,4	5,3	3,3	-0,9	-1,5	-1,5	-1,5		
Уровни звукового давления прямого звука от источника ИШ-1-31 в расчётной точке днём, дБ		**ф-ла(3)[10]**	**0**	**44,8**	**41,8**	**37,2**	**39,2**	**42,6**	**39,2**	**32,5**	**18**	**45,7**	**45,7**
Расчёт отражённого звука													
Уровни звукового давления от мнимого источника ИШ-1-31_мн.(1) в расчётной точке днём, дБ		**ф-ла(3)[10]**	**0**	**0**	**0**	**0**	**29,8**	**38,2**	**36,4**	**29,5**	**14,6**	**41,4**	**41,4**
Уровни звукового давления от мнимого источника ИШ-1-31_мн.(2) в расчётной точке днём, дБ		**ф-ла(3)[10]**	**0**	**0**	**0**	**0**	**0**	**21**	**14**	**4**	**0**	**22,1**	**22,1**
Суммарные уровни звукового давления от мнимых источников в расчётной точке днём, дБ		**ф-ла (19) [1]**	**0**	**0**	**0**	**0**	**29,8**	**38,3**	**36,4**	**29,5**	**14,6**	**0**	**41,5**
Уровни звукового давления от источника ИШ-1-31 в расчётной точке днём, дБ		**ф-ла(3)[10]**	**0**	**44,8**	**41,8**	**37,2**	**39,7**	**44**	**41**	**34,2**	**19,7**	**47,1**	**47,1**
Источник шума: ИШ-1-32, координаты источника (x,y,z), м =[871.21,281.99,50.00]													
Уровни звуковой мощности источника днём, Lw, дБ		**исходные данные**	**125**	**119,6**	**113,4**	**111,4**	**110,8**	**112,7**	**113,8**	**109,2**	**97,4**		
Поправка на телесный угол DΩ, дБ	Ω = 12.57	10Lg(4π/Ω)	**0**	0	0	0	0	0	0	0	0		
Показатель направленности источника Di, дБ		исходные данные	**0**	0	0	0	0	0	0	0	0		

1		2	3	4	5	6	7	8	9	10	11	12	13
Поправка на направленность источника Dc, дБ	Dc	DΩ + Di	**0**	0	0	0	0	0	0	0	0		
Затухание из-за геометрической дивергенции, Adiv, дБ	расстояние = 517.77 м	ф-ла (7) [10]	**65,3**										
Коэффициент затухания звука в атмосфере α, дБ/км	Ta=20,°C Pa=101.33,кПа hотн.=70%	ф-ла (5) [9]	0,02	0,09	0,33	1,12	2,79	4,98	9,04	23,09	77,63		
Учет затухания звука в атмосфере Aatm, дБ		ф-ла (8) [10]	0	0	0,2	0,6	1,4	2,6	4,7	12	40,2		
Снижение уровня звукового давления из-за влияния застройки между источником шума и расчетной точкой													
Снижение уровня звукового давления на пути над экраном, Dz1, дБ	z = 0.06м (разность путей)	ф-лы (14-18) [10]	4,8	4,8	4,8	4,8	4,8	4,8	4,9	4,9	5,1		
Снижение уровня звукового давления на пути слева от экрана, Dz2, дБ	z = 0.01м (разность путей)	ф-лы (14-18) [10]	4,8	4,9	5	5,2	5,6	6,3	7,4	9,1	11,2		
Снижение уровня звукового давления на пути справа от экрана, Dz3, дБ	z = 13.54м (разность путей)	ф-лы (14-18) [10]	17,3	20,1	23,1	26	29	32	35	38	41,1		
Общее снижение уровня звука препятствием Dz, дБ		Эн.сумма(-Dzi)	1,7	1,8	1,8	2	2,2	2,5	3	3,5	4,2		
Уровни звукового давления от источника ИШ-1-32 в расчётной точке днём, дБ		**ф-ла(3)[10]**	**58,1**	**52,5**	**46,1**	**43,6**	**41,9**	**42,4**	**40,9**	**28,5**	**0**	**46,7**	**46,7**
Источник шума: ИШ-1-33, координаты источника (x,y,z), м =[743.42,374.85,1.00]													
Уровни звуковой мощности источника днём, Lw, дБ		**исходные данные**	**0**	**88,7**	**90,1**	**93,1**	**96,4**	**103**	**112**	**108**	**99,2**		
Поправка на телесный угол DΩ, дБ	Ω = 6.28	10Lg(4π/Ω)	**3**	3	3	3	3	3	3	3	3		
Показатель направленности источника Di, дБ		исходные данные	**0**	0	0	0	0	0	0	0	0		
Поправка на направленность источника Dc, дБ	Dc	DΩ + Di	**3**	3	3	3	3	3	3	3	3		
Затухание из-за геометрической дивергенции, Adiv, дБ	расстояние = 475.30 м	ф-ла (7) [10]	**64,5**										

1		2	3	4	5	6	7	8	9	10	11	12	13
Коэффициент затухания звука в атмосфере α, дБ/км	Та=20,°С Ра=101.33,кПа hотн.=70%	ф-ла (5) [9]	0,02	0,09	0,33	1,12	2,79	4,98	9,04	23,09	77,63		
Учет затухания звука в атмосфере Aatm, дБ		ф-ла (8) [10]	0	0	0,2	0,5	1,3	2,4	4,3	11	36,9		
Снижение уровня звукового давления из-за влияния застройки между источником шума и расчетной точкой													
Снижение уровня звукового давления на пути над экраном, Dz1, дБ	z = 0.69м (разность путей)	ф-лы (14-18) [10]	5,9	7,4	9,8	12,4	15,1	18	20,9	23,9	26,8		
Снижение уровня звукового давления на пути слева от экрана, Dz2, дБ	z = 3.86м (разность путей)	ф-лы (14-18) [10]	12,4	15	17,8	20,7	23,6	26,6	29,6	32,6	35,6		
Снижение уровня звукового давления на пути справа от экрана, Dz3, дБ	z = 10.36м (разность путей)	ф-лы (14-18) [10]	16,2	19	21,9	24,9	27,9	30,9	33,9	36,9	39,9		
Общее снижение уровня звука препятствием Dz, дБ		Эн.сумма(-Dzi)	4,7	6,5	8,9	11,6	14,4	17,2	20,2	23,1	26,1		
Общее снижение уровня звука препятствием с учётом ограничения (25 дБ) для октавных полос Dz, дБ		Раздел 7.4 [10]	4,7	6,5	8,9	11,6	14,4	17,2	20,2	23,1	25		
Уровни звукового давления прямого звука от источника ИШ-1-33 в расчётной точке днём, дБ		**ф-ла(3)[10]**	**0**	**20,7**	**19,5**	**19,4**	**19,2**	**21,9**	**26**	**12,4**	**0**	**28,8**	**28,8**
Расчёт отражённого звука													
Уровни звукового давления от мнимого источника ИШ-1-33_мн.(1) в расчётной точке днём, дБ		**ф-ла(3)[10]**	**0**	**0**	**0**	**0**	**0**	**0**	**0**	**0**	**0**	**0**	**0**
Уровни звукового давления от источника ИШ-1-33 в расчётной точке днём, дБ		**ф-ла(3)[10]**	**0**	**20,7**	**19,5**	**19,4**	**19,2**	**21,9**	**26**	**12,4**	**0**	**28,8**	**28,8**
Источник шума: ИШ-1-34, координаты источника (x,y,z), м =[1042.35,199.07,1.00]													
Уровни звуковой мощности источника днём, Lw, дБ		**исходные данные**	**0**	**88,7**	**90,1**	**93,1**	**96,4**	**103**	**112**	**108**	**99,2**		
Поправка на телесный угол DΩ, дБ	Ω = 6.28	10Lg(4π/Ω)	**3**	3	3	3	3	3	3	3	3		
Показатель направленности источника Di, дБ		исходные данные	**0**	0	0	0	0	0	0	0	0		

1		2	3	4	5	6	7	8	9	10	11	12	13
Поправка на направленность источника Dc, дБ	Dc	DΩ + Di	**3**	3	3	3	3	3	3	3	3		
Затухание из-за геометрической дивергенции, Adiv, дБ	расстояние = 640.61 м	ф-ла (7) [10]	**67,1**										
Коэффициент затухания звука в атмосфере α, дБ/км	Ta=20,°C Pa=101.33,кПа hотн.=70%	ф-ла (5) [9]	0,02	0,09	0,33	1,12	2,79	4,98	9,04	23,09	77,63		
Учет затухания звука в атмосфере Aatm, дБ		ф-ла (8) [10]	0	0,1	0,2	0,7	1,8	3,2	5,8	14,8	49,7		
Снижение поверхностью земли возле источника As, дБ	Gs = 0 hs = 1м	ф-лы таб.3 [10]	-1,5	-1,5	-1,5	-1,5	-1,5	-1,5	-1,5	-1,5	-1,5		
Снижение поверхностью земли возле приёмника Ar, дБ	Gr = 1 hr = 1.5м	ф-лы таб.3 [10]	-1,5	-1,5	3,9	7	5	0,7	0	0	0		
Снижение поверхностью земли в средней зоне, Am дБ	Gm = 1	ф-лы таб.3 [10]	-2,6	-2,6	0	0	0	0	0	0	0		
Суммарное снижение поверхностью земли на траектории распространения звука Agr, дБ		ф-ла (9) [10]	-5,6	-5,6	2,4	5,5	3,5	-0,8	-1,5	-1,5	-1,5		
Уровни звукового давления прямого звука от источника ИШ-1-34 в расчётной точке днём, дБ		**ф-ла(3)[10]**	**0**	**30,2**	**23,4**	**22,7**	**27**	**36,5**	**43,6**	**30,6**	**0**	**45,6**	**45,6**
Расчёт отражённого звука													
Уровни звукового давления от мнимого источника ИШ-1-34_мн.(1) в расчётной точке днём, дБ		**ф-ла(3)[10]**	**0**	**0**	**16,9**	**12,4**	**15,7**	**32**	**41,1**	**28**	**0**	**42,8**	**42,8**
Уровни звукового давления от источника ИШ-1-34 в расчётной точке днём, дБ		**ф-ла(3)[10]**	**0**	**30,2**	**24,3**	**23,1**	**27,3**	**37,8**	**45,5**	**32,5**	**0**	**47,5**	**47,5**
Источник шума: ИШ-2-1, координаты источника (x,y,z), м =[696.50,124.40,3.00]													
Уровни звуковой мощности источника днём, Lw, дБ		**исходные данные**	**105**	**104**	**104**	**101**	**102**	**106**	**101**	**95**	**87**		
Поправка на телесный угол DΩ, дБ	Ω = 6.28	10Lg(4π/Ω)	**3**	3	3	3	3	3	3	3	3		
Показатель направленности источника Di, дБ		исходные данные	**0**	0	0	0	0	0	0	0	0		

1		2	3	4	5	6	7	8	9	10	11	12	13
Поправка на направленность источника Dc, дБ	Dc	DΩ + Di	**3**	3	3	3	3	3	3	3	3		
Затухание из-за геометрической дивергенции, Adiv, дБ	расстояние = 288.77 м	ф-ла (7) [10]	**60,2**										
Коэффициент затухания звука в атмосфере α, дБ/км	Ta=20,°C Pa=101.33,кПа hотн.=70%	ф-ла (5) [9]	0,02	0,09	0,33	1,12	2,79	4,98	9,04	23,09	77,63		
Учет затухания звука в атмосфере Aatm, дБ		ф-ла (8) [10]	0	0	0,1	0,3	0,8	1,4	2,6	6,7	22,4		
Снижение уровня звукового давления из-за влияния застройки между источником шума и расчетной точкой													
Снижение уровня звукового давления на пути над экраном, Dz1, дБ	z = 0.02м (разность путей)	ф-лы (14-18) [10]	4,8	4,8	4,8	4,8	4,8	4,8	4,8	4,9	4,9		
Снижение уровня звукового давления на пути слева от экрана, Dz2, дБ	z = 0.04м (разность путей)	ф-лы (14-18) [10]	5	5,1	5,5	6,1	7	8,5	10,5	12,9	15,6		
Снижение уровня звукового давления на пути справа от экрана, Dz3, дБ	z = 91.21м (разность путей)	ф-лы (14-18) [10]	29,2	32,8	36	39	42,1	45,1	48,1	51,1	54,1		
Общее снижение уровня звука препятствием Dz, дБ		Эн.сумма(-Dzi)	1,8	1,9	2,1	2,4	2,8	3,3	3,8	4,2	4,6		
Уровни звукового давления от источника ИШ-2-1 в расчётной точке днём, дБ		**ф-ла(3)[10]**	**46**	**44,8**	**44,6**	**41,1**	**41,2**	**44,1**	**37,4**	**26,9**	**2,8**	**46,3**	**46,3**
Источник шума: ИШ-2-2, координаты источника (x,y,z), м =[682.20,81.60,3.00]													
Уровни звуковой мощности источника днём, Lw, дБ		**исходные данные**	**105**	**104**	**104**	**101**	**102**	**106**	**101**	**95**	**87**		
Поправка на телесный угол DΩ, дБ	Ω = 6.28	10Lg(4π/Ω)	**3**	3	3	3	3	3	3	3	3		
Показатель направленности источника Di, дБ		исходные данные	**0**	0	0	0	0	0	0	0	0		
Поправка на направленность источника Dc, дБ	Dc	DΩ + Di	**3**	3	3	3	3	3	3	3	3		
Затухание из-за геометрической дивергенции, Adiv, дБ	расстояние = 262.26 м	ф-ла (7) [10]	**59,4**										

1		2	3	4	5	6	7	8	9	10	11	12	13
Коэффициент затухания звука в атмосфере α, дБ/км	Ta=20,°C Pa=101.33,кПа hотн.=70%	ф-ла (5) [9]	0,02	0,09	0,33	1,12	2,79	4,98	9,04	23,09	77,63		
Учет затухания звука в атмосфере Aatm, дБ		ф-ла (8) [10]	0	0	0,1	0,3	0,7	1,3	2,4	6,1	20,4		
Снижение поверхностью земли возле источника As, дБ	Gs = 0 hs = 3м	ф-лы таб.3 [10]	-1,5	-1,5	-1,5	-1,5	-1,5	-1,5	-1,5	-1,5	-1,5		
Снижение поверхностью земли возле приёмника Ar, дБ	Gr = 1 hr = 1.5м	ф-лы таб.3 [10]	-1,5	-1,5	1,5	7	4,9	0,7	0	0	0		
Снижение поверхностью земли в средней зоне, Am дБ	Gm = 1	ф-лы таб.3 [10]	-1,5	-1,5	0	0	0	0	0	0	0		
Суммарное снижение поверхностью земли на траектории распространения звука Agr, дБ		ф-ла (9) [10]	-4,5	-4,5	0	5,5	3,4	-0,8	-1,5	-1,5	-1,5		
Уровни звукового давления прямого звука от источника ИШ-2-2 в расчётной точке днём, дБ		**ф-ла(3)[10]**	**53,1**	**52,1**	**47,5**	**38,9**	**41,5**	**49,2**	**43,8**	**34,1**	**11,8**	**51**	**51**
Расчёт отражённого звука													
Уровни звукового давления от мнимого источника ИШ-2-2_мн.(1) в расчётной точке днём, дБ		**ф-ла(3)[10]**	**0**	**0**	**42,7**	**32,5**	**38,7**	**46,6**	**41,2**	**31,5**	**9**	**48,4**	**48,4**
Уровни звукового давления от источника ИШ-2-2 в расчётной точке днём, дБ		**ф-ла(3)[10]**	**53,1**	**52,1**	**48,8**	**39,8**	**43,3**	**51,1**	**45,7**	**36**	**13,6**	**52,9**	**52,9**
Источник шума: ИШ-2-3, координаты источника (x,y,z), м =[667.80,38.90,3.00]													
Уровни звуковой мощности источника днём, Lw, дБ		**исходные данные**	**105**	**104**	**104**	**101**	**102**	**106**	**101**	**95**	**87**		
Поправка на телесный угол DΩ, дБ	Ω = 6.28	10Lg(4π/Ω)	**3**	3	3	3	3	3	3	3	3		
Показатель направленности источника Di, дБ		исходные данные	**0**	0	0	0	0	0	0	0	0		
Поправка на направленность источника Dc, дБ	Dc	DΩ + Di	**3**	3	3	3	3	3	3	3	3		
Затухание из-за геометрической дивергенции, Adiv, дБ	расстояние = 241.25 м	ф-ла (7) [10]	**58,6**										

1		2	3	4	5	6	7	8	9	10	11	12	13
Коэффициент затухания звука в атмосфере α, дБ/км	Ta=20,°C Pa=101.33,кПа hотн.=70%	ф-ла (5) [9]	0,02	0,09	0,33	1,12	2,79	4,98	9,04	23,09	77,63		
Учет затухания звука в атмосфере Aatm, дБ		ф-ла (8) [10]	0	0	0,1	0,3	0,7	1,2	2,2	5,6	18,7		
Снижение поверхностью земли возле источника As, дБ	Gs = 0 hs = 3м	ф-лы таб.3 [10]	-1,5	-1,5	-1,5	-1,5	-1,5	-1,5	-1,5	-1,5	-1,5		
Снижение поверхностью земли возле приёмника Ar, дБ	Gr = 1 hr = 1.5м	ф-лы таб.3 [10]	-1,5	-1,5	1,4	7	4,9	0,7	0	0	0		
Снижение поверхностью земли в средней зоне, Am дБ	Gm = 1	ф-лы таб.3 [10]	-1,3	-1,3	0	0	0	0	0	0	0		
Суммарное снижение поверхностью земли на траектории распространения звука Agr, дБ		ф-ла (9) [10]	-4,3	-4,3	-0,1	5,5	3,4	-0,8	-1,5	-1,5	-1,5		
Уровни звукового давления прямого звука от источника ИШ-2-3 в расчётной точке днём, дБ		**ф-ла(3)[10]**	**53,7**	**52,7**	**48,4**	**39,6**	**42,3**	**50**	**44,7**	**35,3**	**14,1**	**51,9**	**51,9**
Расчёт отражённого звука													
Уровни звукового давления от мнимого источника ИШ-2-3_мн.(1) в расчётной точке днём, дБ		**ф-ла(3)[10]**	**52,6**	**51,6**	**43,6**	**33,3**	**39,5**	**47,4**	**42,1**	**32,7**	**11,4**	**49,3**	**49,3**
Уровни звукового давления от источника ИШ-2-3 в расчётной точке днём, дБ		**ф-ла(3)[10]**	**56,2**	**55,2**	**49,6**	**40,5**	**44,1**	**51,9**	**46,6**	**37,2**	**16**	**53,8**	**53,8**
Источник шума: ИШ-2-6, координаты источника (x,y,z), м =[765.97,112.43,1.00]													
Уровни звуковой мощности источника днём, Lw, дБ		**исходные данные**	**0**	**93,3**	**94,7**	**96**	**96,3**	**95,9**	**92,6**	**88,4**	**83,9**		
Поправка на телесный угол DΩ, дБ	Ω = 6.28	10Lg(4π/Ω)	**3**	3	3	3	3	3	3	3	3		
Показатель направленности источника Di, дБ		исходные данные	**0**	0	0	0	0	0	0	0	0		
Поправка на направленность источника Dc, дБ	Dc	DΩ + Di	**3**	3	3	3	3	3	3	3	3		
Затухание из-за геометрической дивергенции, Adiv, дБ	расстояние = 351.08 м	ф-ла (7) [10]	**61,9**										

1		2	3	4	5	6	7	8	9	10	11	12	13
Коэффициент затухания звука в атмосфере α, дБ/км	Ta=20,°C Pa=101.33,кПа hотн.=70%	ф-ла (5) [9]	0,02	0,09	0,33	1,12	2,79	4,98	9,04	23,09	77,63		
Учет затухания звука в атмосфере Aatm, дБ		ф-ла (8) [10]	0	0	0,1	0,4	1	1,7	3,2	8,1	27,3		
Снижение поверхностью земли возле источника As, дБ	Gs = 0 hs = 1м	ф-лы таб.3 [10]	-1,5	-1,5	-1,5	-1,5	-1,5	-1,5	-1,5	-1,5	-1,5		
Снижение поверхностью земли возле приёмника Ar, дБ	Gr = 1 hr = 1.5м	ф-лы таб.3 [10]	-1,5	-1,5	2	7	5	0,7	0	0	0		
Снижение поверхностью земли в средней зоне, Am дБ	Gm = 1	ф-лы таб.3 [10]	-2,4	-2,4	0	0	0	0	0	0	0		
Суммарное снижение поверхностью земли на траектории распространения звука Agr, дБ		ф-ла (9) [10]	-5,4	-5,4	0,5	5,5	3,5	-0,8	-1,5	-1,5	-1,5		
Уровни звукового давления прямого звука от источника ИШ-2-6 в расчётной точке днём, дБ		**ф-ла(3)[10]**	**0**	**39,7**	**35,1**	**31,2**	**32,9**	**36,1**	**32**	**22,9**	**0**	**38,8**	**38,8**
Расчёт отражённого звука													
Уровни звукового давления от мнимого источника ИШ-2-6_мн.(1) в расчётной точке днём, дБ		**ф-ла(3)[10]**	**0**	**0**	**30,6**	**20,8**	**21,6**	**31,5**	**29,5**	**20,3**	**0**	**34,5**	**34,5**
Уровни звукового давления от источника ИШ-2-6 в расчётной точке днём, дБ		**ф-ла(3)[10]**	**0**	**39,7**	**36,4**	**31,6**	**33,2**	**37,4**	**33,9**	**24,8**	**0**	**40,2**	**40,2**
Источник шума: ИШ-2-7, координаты источника (x,y,z), м =[764.91,109.54,1.00]													
Уровни звуковой мощности источника днём, Lw, дБ		**исходные данные**	**0**	**93,3**	**94,7**	**96**	**96,3**	**95,9**	**92,6**	**88,4**	**83,9**		
Поправка на телесный угол DΩ, дБ	Ω = 6.28	10Lg(4π/Ω)	**3**	3	3	3	3	3	3	3	3		
Показатель направленности источника Di, дБ		исходные данные	**0**	0	0	0	0	0	0	0	0		
Поправка на направленность источника Dc, дБ	Dc	DΩ + Di	**3**	3	3	3	3	3	3	3	3		
Затухание из-за геометрической дивергенции, Adiv, дБ	расстояние = 349.30 м	ф-ла (7) [10]	**61,9**										

1		2	3	4	5	6	7	8	9	10	11	12	13
Коэффициент затухания звука в атмосфере α, дБ/км	Ta=20,°C Pa=101.33,кПа hотн.=70%	ф-ла (5) [9]	0,02	0,09	0,33	1,12	2,79	4,98	9,04	23,09	77,63		
Учет затухания звука в атмосфере Aatm, дБ		ф-ла (8) [10]	0	0	0,1	0,4	1	1,7	3,2	8,1	27,1		
Снижение поверхностью земли возле источника As, дБ	Gs = 0 hs = 1м	ф-лы таб.3 [10]	-1,5	-1,5	-1,5	-1,5	-1,5	-1,5	-1,5	-1,5	-1,5		
Снижение поверхностью земли возле приёмника Ar, дБ	Gr = 1 hr = 1.5м	ф-лы таб.3 [10]	-1,5	-1,5	2	7	5	0,7	0	0	0		
Снижение поверхностью земли в средней зоне, Am дБ	Gm = 1	ф-лы таб.3 [10]	-2,4	-2,4	0	0	0	0	0	0	0		
Суммарное снижение поверхностью земли на траектории распространения звука Agr, дБ		ф-ла (9) [10]	-5,4	-5,4	0,5	5,5	3,5	-0,8	-1,5	-1,5	-1,5		
Уровни звукового давления прямого звука от источника ИШ-2-7 в расчётной точке днём, дБ		**ф-ла(3)[10]**	**0**	**39,8**	**35,2**	**31,2**	**33**	**36,1**	**32,1**	**23**	**0**	**38,9**	**38,9**
Расчёт отражённого звука													
Уровни звукового давления от мнимого источника ИШ-2-7_мн.(1) в расчётной точке днём, дБ		**ф-ла(3)[10]**	**0**	**0**	**30,7**	**20,8**	**21,6**	**31,6**	**29,5**	**20,4**	**0**	**34,6**	**34,6**
Уровни звукового давления от источника ИШ-2-7 в расчётной точке днём, дБ		**ф-ла(3)[10]**	**0**	**39,8**	**36,5**	**31,6**	**33,3**	**37,4**	**34**	**24,9**	**0**	**40,2**	**40,2**
Источник шума: ИШ-2-8, координаты источника (x,y,z), м =[764.03,106.58,1.00]													
Уровни звуковой мощности источника днём, Lw, дБ		**исходные данные**	**0**	**93,3**	**94,7**	**96**	**96,3**	**95,9**	**92,6**	**88,4**	**83,9**		
Поправка на телесный угол DΩ, дБ	Ω = 6.28	10Lg(4π/Ω)	**3**	3	3	3	3	3	3	3	3		
Показатель направленности источника Di, дБ		исходные данные	**0**	0	0	0	0	0	0	0	0		
Поправка на направленность источника Dc, дБ	Dc	DΩ + Di	**3**	3	3	3	3	3	3	3	3		
Затухание из-за геометрической дивергенции, Adiv, дБ	расстояние = 347.70 м	ф-ла (7) [10]	**61,8**										

1		2	3	4	5	6	7	8	9	10	11	12	13
Коэффициент затухания звука в атмосфере α, дБ/км	Ta=20,°C Pa=101.33,кПа hотн.=70%	ф-ла (5) [9]	0,02	0,09	0,33	1,12	2,79	4,98	9,04	23,09	77,63		
Учет затухания звука в атмосфере Aatm, дБ		ф-ла (8) [10]	0	0	0,1	0,4	1	1,7	3,1	8	27		
Снижение поверхностью земли возле источника As, дБ	Gs = 0 hs = 1м	ф-лы таб.3 [10]	-1,5	-1,5	-1,5	-1,5	-1,5	-1,5	-1,5	-1,5	-1,5		
Снижение поверхностью земли возле приёмника Ar, дБ	Gr = 1 hr = 1.5м	ф-лы таб.3 [10]	-1,5	-1,5	2	7	5	0,7	0	0	0		
Снижение поверхностью земли в средней зоне, Am дБ	Gm = 1	ф-лы таб.3 [10]	-2,4	-2,4	0	0	0	0	0	0	0		
Суммарное снижение поверхностью земли на траектории распространения звука Agr, дБ		ф-ла (9) [10]	-5,4	-5,4	0,5	5,5	3,5	-0,8	-1,5	-1,5	-1,5		
Уровни звукового давления прямого звука от источника ИШ-2-8 в расчётной точке днём, дБ		**ф-ла(3)[10]**	**0**	**39,8**	**35,2**	**31,3**	**33**	**36,2**	**32,1**	**23**	**0**	**38,9**	**38,9**
Расчёт отражённого звука													
Уровни звукового давления от мнимого источника ИШ-2-8_мн.(1) в расчётной точке днём, дБ		**ф-ла(3)[10]**	**0**	**0**	**30,7**	**20,9**	**21,7**	**31,6**	**29,6**	**20,5**	**0**	**34,6**	**34,6**
Уровни звукового давления от источника ИШ-2-8 в расчётной точке днём, дБ		**ф-ла(3)[10]**	**0**	**39,8**	**36,5**	**31,6**	**33,3**	**37,5**	**34**	**24,9**	**0**	**40,3**	**40,3**
Источник шума: ИШ-2-9, координаты источника (x,y,z), м =[763.26,103.71,1.00]													
Уровни звуковой мощности источника днём, Lw, дБ		**исходные данные**	**0**	**93,3**	**94,7**	**96**	**96,3**	**95,9**	**92,6**	**88,4**	**83,9**		
Поправка на телесный угол DΩ, дБ	Ω = 6.28	10Lg(4π/Ω)	**3**	3	3	3	3	3	3	3	3		
Показатель направленности источника Di, дБ		исходные данные	**0**	0	0	0	0	0	0	0	0		
Поправка на направленность источника Dc, дБ	Dc	DΩ + Di	**3**	3	3	3	3	3	3	3	3		
Затухание из-за геометрической дивергенции, Adiv, дБ	расстояние = 346.24 м	ф-ла (7) [10]	**61,8**										

1		2	3	4	5	6	7	8	9	10	11	12	13
Коэффициент затухания звука в атмосфере α, дБ/км	Ta=20,°C Pa=101.33,кПа hотн.=70%	ф-ла (5) [9]	0,02	0,09	0,33	1,12	2,79	4,98	9,04	23,09	77,63		
Учет затухания звука в атмосфере Aatm, дБ		ф-ла (8) [10]	0	0	0,1	0,4	1	1,7	3,1	8	26,9		
Снижение поверхностью земли возле источника As, дБ	Gs = 0 hs = 1м	ф-лы таб.3 [10]	-1,5	-1,5	-1,5	-1,5	-1,5	-1,5	-1,5	-1,5	-1,5		
Снижение поверхностью земли возле приёмника Ar, дБ	Gr = 1 hr = 1.5м	ф-лы таб.3 [10]	-1,5	-1,5	2	7	5	0,7	0	0	0		
Снижение поверхностью земли в средней зоне, Am дБ	Gm = 1	ф-лы таб.3 [10]	-2,4	-2,4	0	0	0	0	0	0	0		
Суммарное снижение поверхностью земли на траектории распространения звука Agr, дБ		ф-ла (9) [10]	-5,4	-5,4	0,5	5,5	3,5	-0,8	-1,5	-1,5	-1,5		
Уровни звукового давления прямого звука от источника ИШ-2-9 в расчётной точке днём, дБ		**ф-ла(3)[10]**	**0**	**39,8**	**35,3**	**31,3**	**33,1**	**36,2**	**32,2**	**23,1**	**0**	**39**	**39**
Расчёт отражённого звука													
Уровни звукового давления от мнимого источника ИШ-2-9_мн.(1) в расчётной точке днём, дБ		**ф-ла(3)[10]**	**0**	**0**	**30,8**	**20,9**	**21,7**	**31,6**	**29,6**	**20,5**	**0**	**34,7**	**34,7**
Уровни звукового давления от источника ИШ-2-9 в расчётной точке днём, дБ		**ф-ла(3)[10]**	**0**	**39,8**	**36,6**	**31,7**	**33,4**	**37,5**	**34,1**	**25**	**0**	**40,3**	**40,3**
Источник шума: ИШ-2-10, координаты источника (x,y,z), м =[762.14,100.75,1.00]													
Уровни звуковой мощности источника днём, Lw, дБ		**исходные данные**	**0**	**93,3**	**94,7**	**96**	**96,3**	**95,9**	**92,6**	**88,4**	**83,9**		
Поправка на телесный угол DΩ, дБ	Ω = 6.28	10Lg(4π/Ω)	**3**	3	3	3	3	3	3	3	3		
Показатель направленности источника Di, дБ		исходные данные	**0**	0	0	0	0	0	0	0	0		
Поправка на направленность источника Dc, дБ	Dc	DΩ + Di	**3**	3	3	3	3	3	3	3	3		
Затухание из-за геометрической дивергенции, Adiv, дБ	расстояние = 344.46 м	ф-ла (7) [10]	**61,7**										

1		2	3	4	5	6	7	8	9	10	11	12	13
Коэффициент затухания звука в атмосфере α, дБ/км	Ta=20,°C Pa=101.33,кПа hотн.=70%	ф-ла (5) [9]	0,02	0,09	0,33	1,12	2,79	4,98	9,04	23,09	77,63		
Учет затухания звука в атмосфере Aatm, дБ		ф-ла (8) [10]	0	0	0,1	0,4	1	1,7	3,1	8	26,7		
Снижение поверхностью земли возле источника As, дБ	Gs = 0 hs = 1м	ф-лы таб.3 [10]	-1,5	-1,5	-1,5	-1,5	-1,5	-1,5	-1,5	-1,5	-1,5		
Снижение поверхностью земли возле приёмника Ar, дБ	Gr = 1 hr = 1.5м	ф-лы таб.3 [10]	-1,5	-1,5	2	7	5	0,7	0	0	0		
Снижение поверхностью земли в средней зоне, Am дБ	Gm = 1	ф-лы таб.3 [10]	-2,3	-2,3	0	0	0	0	0	0	0		
Суммарное снижение поверхностью земли на траектории распространения звука Agr, дБ		ф-ла (9) [10]	-5,3	-5,3	0,5	5,5	3,5	-0,8	-1,5	-1,5	-1,5		
Уровни звукового давления прямого звука от источника ИШ-2-10 в расчётной точке днём, дБ		**ф-ла(3)[10]**	**0**	**39,9**	**35,3**	**31,3**	**33,1**	**36,3**	**32,2**	**23,2**	**0**	**39**	**39**
Расчёт отражённого звука													
Уровни звукового давления от мнимого источника ИШ-2-10_мн.(1) в расчётной точке днём, дБ		**ф-ла(3)[10]**	**0**	**0**	**30,9**	**21**	**21,8**	**31,7**	**29,7**	**20,6**	**0**	**34,7**	**34,7**
Уровни звукового давления от источника ИШ-2-10 в расчётной точке днём, дБ		**ф-ла(3)[10]**	**0**	**39,9**	**36,7**	**31,7**	**33,4**	**37,6**	**34,2**	**25,1**	**0**	**40,4**	**40,4**
Источник шума: ИШ-2-11, координаты источника (x,y,z), м =[761.13,97.90,1.00]													
Уровни звуковой мощности источника днём, Lw, дБ		**исходные данные**	**0**	**93,3**	**94,7**	**96**	**96,3**	**95,9**	**92,6**	**88,4**	**83,9**		
Поправка на телесный угол DΩ, дБ	Ω = 6.28	10Lg(4π/Ω)	**3**	3	3	3	3	3	3	3	3		
Показатель направленности источника Di, дБ		исходные данные	**0**	0	0	0	0	0	0	0	0		
Поправка на направленность источника Dc, дБ	Dc	DΩ + Di	**3**	3	3	3	3	3	3	3	3		
Затухание из-за геометрической дивергенции, Adiv, дБ	расстояние = 342.81 м	ф-ла (7) [10]	**61,7**										

1		2	3	4	5	6	7	8	9	10	11	12	13
Коэффициент затухания звука в атмосфере α, дБ/км	Ta=20,°C Pa=101.33,кПа hотн.=70%	ф-ла (5) [9]	0,02	0,09	0,33	1,12	2,79	4,98	9,04	23,09	77,63		
Учет затухания звука в атмосфере Aatm, дБ		ф-ла (8) [10]	0	0	0,1	0,4	1	1,7	3,1	7,9	26,6		
Снижение поверхностью земли возле источника As, дБ	Gs = 0 hs = 1м	ф-лы таб.3 [10]	-1,5	-1,5	-1,5	-1,5	-1,5	-1,5	-1,5	-1,5	-1,5		
Снижение поверхностью земли возле приёмника Ar, дБ	Gr = 1 hr = 1.5м	ф-лы таб.3 [10]	-1,5	-1,5	2	7	5	0,7	0	0	0		
Снижение поверхностью земли в средней зоне, Am дБ	Gm = 1	ф-лы таб.3 [10]	-2,3	-2,3	0	0	0	0	0	0	0		
Суммарное снижение поверхностью земли на траектории распространения звука Agr, дБ		ф-ла (9) [10]	-5,3	-5,3	0,5	5,5	3,5	-0,8	-1,5	-1,5	-1,5		
Уровни звукового давления прямого звука от источника ИШ-2-11 в расчётной точке днём, дБ		**ф-ла(3)[10]**	**0**	**39,9**	**35,4**	**31,4**	**33,2**	**36,3**	**32,3**	**23,3**	**0**	**39,1**	**39,1**
Расчёт отражённого звука													
Уровни звукового давления от мнимого источника ИШ-2-11_мн.(1) в расчётной точке днём, дБ		**ф-ла(3)[10]**	**0**	**38,9**	**30,9**	**21**	**21,8**	**31,8**	**29,7**	**20,7**	**0**	**34,8**	**34,8**
Уровни звукового давления от источника ИШ-2-11 в расчётной точке днём, дБ		**ф-ла(3)[10]**	**0**	**42,4**	**36,7**	**31,8**	**33,5**	**37,6**	**34,2**	**25,2**	**0**	**40,5**	**40,5**
Источник шума: ИШ-2-12, координаты источника (x,y,z), м =[760.25,95.02,1.00]													
Уровни звуковой мощности источника днём, Lw, дБ		**исходные данные**	**0**	**93,3**	**94,7**	**96**	**96,3**	**95,9**	**92,6**	**88,4**	**83,9**		
Поправка на телесный угол DΩ, дБ	Ω = 6.28	10Lg(4π/Ω)	**3**	3	3	3	3	3	3	3	3		
Показатель направленности источника Di, дБ		исходные данные	**0**	0	0	0	0	0	0	0	0		
Поправка на направленность источника Dc, дБ	Dc	DΩ + Di	**3**	3	3	3	3	3	3	3	3		
Затухание из-за геометрической дивергенции, Adiv, дБ	расстояние = 341.31 м	ф-ла (7) [10]	**61,7**										

1		2	3	4	5	6	7	8	9	10	11	12	13
Коэффициент затухания звука в атмосфере α, дБ/км	Ta=20,°C Pa=101.33,кПа hотн.=70%	ф-ла (5) [9]	0,02	0,09	0,33	1,12	2,79	4,98	9,04	23,09	77,63		
Учет затухания звука в атмосфере Aatm, дБ		ф-ла (8) [10]	0	0	0,1	0,4	1	1,7	3,1	7,9	26,5		
Снижение поверхностью земли возле источника As, дБ	Gs = 0 hs = 1м	ф-лы таб.3 [10]	-1,5	-1,5	-1,5	-1,5	-1,5	-1,5	-1,5	-1,5	-1,5		
Снижение поверхностью земли возле приёмника Ar, дБ	Gr = 1 hr = 1.5м	ф-лы таб.3 [10]	-1,5	-1,5	2	7	5	0,7	0	0	0		
Снижение поверхностью земли в средней зоне, Am дБ	Gm = 1	ф-лы таб.3 [10]	-2,3	-2,3	0	0	0	0	0	0	0		
Суммарное снижение поверхностью земли на траектории распространения звука Agr, дБ		ф-ла (9) [10]	-5,3	-5,3	0,5	5,5	3,5	-0,8	-1,5	-1,5	-1,5		
Уровни звукового давления прямого звука от источника ИШ-2-12 в расчётной точке днём, дБ		**ф-ла(3)[10]**	**0**	**39,9**	**35,4**	**31,4**	**33,2**	**36,4**	**32,3**	**23,3**	**0**	**39,1**	**39,1**
Расчёт отражённого звука													
Уровни звукового давления от мнимого источника ИШ-2-12_мн.(1) в расчётной точке днём, дБ		**ф-ла(3)[10]**	**0**	**38,9**	**31**	**21**	**21,8**	**31,8**	**29,8**	**20,8**	**0**	**34,9**	**34,9**
Уровни звукового давления от источника ИШ-2-12 в расчётной точке днём, дБ		**ф-ла(3)[10]**	**0**	**42,5**	**36,8**	**31,8**	**33,5**	**37,7**	**34,3**	**25,3**	**0**	**40,5**	**40,5**
Источник шума: ИШ-2-13, координаты источника (x,y,z), м =[759.28,92.25,1.00]													
Уровни звуковой мощности источника днём, Lw, дБ		**исходные данные**	**0**	**93,3**	**94,7**	**96**	**96,3**	**95,9**	**92,6**	**88,4**	**83,9**		
Поправка на телесный угол DΩ, дБ	Ω = 6.28	10Lg(4π/Ω)	**3**	3	3	3	3	3	3	3	3		
Показатель направленности источника Di, дБ		исходные данные	**0**	0	0	0	0	0	0	0	0		
Поправка на направленность источника Dc, дБ	Dc	DΩ + Di	**3**	3	3	3	3	3	3	3	3		
Затухание из-за геометрической дивергенции, Adiv, дБ	расстояние = 339.76 м	ф-ла (7) [10]	**61,6**										

1		2	3	4	5	6	7	8	9	10	11	12	13
Коэффициент затухания звука в атмосфере α, дБ/км	Ta=20,°C Pa=101.33,кПа hотн.=70%	ф-ла (5) [9]	0,02	0,09	0,33	1,12	2,79	4,98	9,04	23,09	77,63		
Учет затухания звука в атмосфере Aatm, дБ		ф-ла (8) [10]	0	0	0,1	0,4	0,9	1,7	3,1	7,8	26,4		
Снижение поверхностью земли возле источника As, дБ	Gs = 0 hs = 1м	ф-лы таб.3 [10]	-1,5	-1,5	-1,5	-1,5	-1,5	-1,5	-1,5	-1,5	-1,5		
Снижение поверхностью земли возле приёмника Ar, дБ	Gr = 1 hr = 1.5м	ф-лы таб.3 [10]	-1,5	-1,5	2	7	5	0,7	0	0	0		
Снижение поверхностью земли в средней зоне, Am дБ	Gm = 1	ф-лы таб.3 [10]	-2,3	-2,3	0	0	0	0	0	0	0		
Суммарное снижение поверхностью земли на траектории распространения звука Agr, дБ		ф-ла (9) [10]	-5,3	-5,3	0,5	5,5	3,5	-0,8	-1,5	-1,5	-1,5		
Уровни звукового давления прямого звука от источника ИШ-2-13 в расчётной точке днём, дБ		**ф-ла(3)[10]**	**0**	**40**	**35,5**	**31,5**	**33,3**	**36,4**	**32,4**	**23,4**	**0**	**39,2**	**39,2**
Расчёт отражённого звука													
Уровни звукового давления от мнимого источника ИШ-2-13_мн.(1) в расчётной точке днём, дБ		**ф-ла(3)[10]**	**0**	**38,9**	**31**	**21,1**	**21,9**	**31,8**	**29,8**	**20,8**	**0**	**34,9**	**34,9**
Уровни звукового давления от источника ИШ-2-13 в расчётной точке днём, дБ		**ф-ла(3)[10]**	**0**	**42,5**	**36,8**	**31,9**	**33,6**	**37,7**	**34,3**	**25,3**	**0**	**40,6**	**40,6**
Источник шума: ИШ-2-14, координаты источника (x,y,z), м =[751.62,69.73,1.00]													
Уровни звуковой мощности источника днём, Lw, дБ		**исходные данные**	**0**	**93,3**	**94,7**	**96**	**96,3**	**95,9**	**92,6**	**88,4**	**83,9**		
Поправка на телесный угол DΩ, дБ	Ω = 6.28	10Lg(4π/Ω)	**3**	3	3	3	3	3	3	3	3		
Показатель направленности источника Di, дБ		исходные данные	**0**	0	0	0	0	0	0	0	0		
Поправка на направленность источника Dc, дБ	Dc	DΩ + Di	**3**	3	3	3	3	3	3	3	3		
Затухание из-за геометрической дивергенции, Adiv, дБ	расстояние = 328.12 м	ф-ла (7) [10]	**61,3**										

1		2	3	4	5	6	7	8	9	10	11	12	13
Коэффициент затухания звука в атмосфере α, дБ/км	Ta=20,°C Pa=101.33,кПа hотн.=70%	ф-ла (5) [9]	0,02	0,09	0,33	1,12	2,79	4,98	9,04	23,09	77,63		
Учет затухания звука в атмосфере Aatm, дБ		ф-ла (8) [10]	0	0	0,1	0,4	0,9	1,6	3	7,6	25,5		
Снижение поверхностью земли возле источника As, дБ	Gs = 0 hs = 1м	ф-лы таб.3 [10]	-1,5	-1,5	-1,5	-1,5	-1,5	-1,5	-1,5	-1,5	-1,5		
Снижение поверхностью земли возле приёмника Ar, дБ	Gr = 1 hr = 1.5м	ф-лы таб.3 [10]	-1,5	-1,5	1,9	7	5	0,7	0	0	0		
Снижение поверхностью земли в средней зоне, Am дБ	Gm = 1	ф-лы таб.3 [10]	-2,3	-2,3	0	0	0	0	0	0	0		
Суммарное снижение поверхностью земли на траектории распространения звука Agr, дБ		ф-ла (9) [10]	-5,3	-5,3	0,4	5,5	3,5	-0,8	-1,5	-1,5	-1,5		
Уровни звукового давления прямого звука от источника ИШ-2-14 в расчётной точке днём, дБ		**ф-ла(3)[10]**	**0**	**40,3**	**35,9**	**31,8**	**33,6**	**36,8**	**32,8**	**24**	**1,6**	**39,6**	**39,6**
Расчёт отражённого звука													
Уровни звукового давления от мнимого источника ИШ-2-14_мн.(1) в расчётной точке днём, дБ		**ф-ла(3)[10]**	**0**	**39,2**	**31,5**	**21,4**	**22,2**	**32,2**	**30,2**	**21,4**	**0**	**35,3**	**35,3**
Уровни звукового давления от источника ИШ-2-14 в расчётной точке днём, дБ		**ф-ла(3)[10]**	**0**	**42,8**	**37,2**	**32,2**	**33,9**	**38,1**	**34,7**	**25,9**	**1,6**	**40,9**	**40,9**
Источник шума: ИШ-2-15, координаты источника (x,y,z), м =[750.74,66.89,1.00]													
Уровни звуковой мощности источника днём, Lw, дБ		**исходные данные**	**0**	**93,3**	**94,7**	**96**	**96,3**	**95,9**	**92,6**	**88,4**	**83,9**		
Поправка на телесный угол DΩ, дБ	Ω = 6.28	10Lg(4π/Ω)	**3**	3	3	3	3	3	3	3	3		
Показатель направленности источника Di, дБ		исходные данные	**0**	0	0	0	0	0	0	0	0		
Поправка на направленность источника Dc, дБ	Dc	DΩ + Di	**3**	3	3	3	3	3	3	3	3		
Затухание из-за геометрической дивергенции, Adiv, дБ	расстояние = 326.83 м	ф-ла (7) [10]	**61,3**										

1		2	3	4	5	6	7	8	9	10	11	12	13
Коэффициент затухания звука в атмосфере α, дБ/км	Ta=20,°C Pa=101.33,кПа hотн.=70%	ф-ла (5) [9]	0,02	0,09	0,33	1,12	2,79	4,98	9,04	23,09	77,63		
Учет затухания звука в атмосфере Aatm, дБ		ф-ла (8) [10]	0	0	0,1	0,4	0,9	1,6	3	7,5	25,4		
Снижение поверхностью земли возле источника As, дБ	Gs = 0 hs = 1м	ф-лы таб.3 [10]	-1,5	-1,5	-1,5	-1,5	-1,5	-1,5	-1,5	-1,5	-1,5		
Снижение поверхностью земли возле приёмника Ar, дБ	Gr = 1 hr = 1.5м	ф-лы таб.3 [10]	-1,5	-1,5	1,9	7	5	0,7	0	0	0		
Снижение поверхностью земли в средней зоне, Am дБ	Gm = 1	ф-лы таб.3 [10]	-2,3	-2,3	0	0	0	0	0	0	0		
Суммарное снижение поверхностью земли на траектории распространения звука Agr, дБ		ф-ла (9) [10]	-5,3	-5,3	0,4	5,5	3,5	-0,8	-1,5	-1,5	-1,5		
Уровни звукового давления прямого звука от источника ИШ-2-15 в расчётной точке днём, дБ		**ф-ла(3)[10]**	**0**	**40,3**	**35,9**	**31,8**	**33,6**	**36,8**	**32,9**	**24,1**	**1,7**	**39,6**	**39,6**
Расчёт отражённого звука													
Уровни звукового давления от мнимого источника ИШ-2-15_мн.(1) в расчётной точке днём, дБ		**ф-ла(3)[10]**	**0**	**39,3**	**31,5**	**21,4**	**22,3**	**32,2**	**30,3**	**21,5**	**0**	**35,3**	**35,3**
Уровни звукового давления от источника ИШ-2-15 в расчётной точке днём, дБ		**ф-ла(3)[10]**	**0**	**42,8**	**37,3**	**32,2**	**33,9**	**38,1**	**34,8**	**26**	**1,7**	**41**	**41**
Источник шума: ИШ-2-16, координаты источника (x,y,z), м =[749.73,64.02,1.00]													
Уровни звуковой мощности источника днём, Lw, дБ		**исходные данные**	**0**	**93,3**	**94,7**	**96**	**96,3**	**95,9**	**92,6**	**88,4**	**83,9**		
Поправка на телесный угол DΩ, дБ	Ω = 6.28	10Lg(4π/Ω)	**3**	3	3	3	3	3	3	3	3		
Показатель направленности источника Di, дБ		исходные данные	**0**	0	0	0	0	0	0	0	0		
Поправка на направленность источника Dc, дБ	Dc	DΩ + Di	**3**	3	3	3	3	3	3	3	3		
Затухание из-за геометрической дивергенции, Adiv, дБ	расстояние = 325.43 м	ф-ла (7) [10]	**61,2**										

1		2	3	4	5	6	7	8	9	10	11	12	13
Коэффициент затухания звука в атмосфере α, дБ/км	Ta=20,°C Pa=101.33,кПа hотн.=70%	ф-ла (5) [9]	0,02	0,09	0,33	1,12	2,79	4,98	9,04	23,09	77,63		
Учет затухания звука в атмосфере Aatm, дБ		ф-ла (8) [10]	0	0	0,1	0,4	0,9	1,6	2,9	7,5	25,3		
Снижение поверхностью земли возле источника As, дБ	Gs = 0 hs = 1м	ф-лы таб.3 [10]	-1,5	-1,5	-1,5	-1,5	-1,5	-1,5	-1,5	-1,5	-1,5		
Снижение поверхностью земли возле приёмника Ar, дБ	Gr = 1 hr = 1.5м	ф-лы таб.3 [10]	-1,5	-1,5	1,9	7	5	0,7	0	0	0		
Снижение поверхностью земли в средней зоне, Am дБ	Gm = 1	ф-лы таб.3 [10]	-2,3	-2,3	0	0	0	0	0	0	0		
Суммарное снижение поверхностью земли на траектории распространения звука Agr, дБ		ф-ла (9) [10]	-5,3	-5,3	0,4	5,5	3,5	-0,8	-1,5	-1,5	-1,5		
Уровни звукового давления прямого звука от источника ИШ-2-16 в расчётной точке днём, дБ		**ф-ла(3)[10]**	**0**	**40,3**	**36**	**31,9**	**33,7**	**36,9**	**32,9**	**24,1**	**1,9**	**39,6**	**39,6**
Расчёт отражённого звука													
Уровни звукового давления от мнимого источника ИШ-2-16_мн.(1) в расчётной точке днём, дБ		**ф-ла(3)[10]**	**0**	**39,3**	**31,6**	**21,5**	**22,3**	**32,3**	**30,3**	**21,5**	**0**	**35,4**	**35,4**
Уровни звукового давления от источника ИШ-2-16 в расчётной точке днём, дБ		**ф-ла(3)[10]**	**0**	**42,8**	**37,3**	**32,2**	**34**	**38,2**	**34,8**	**26**	**1,9**	**41**	**41**
Источник шума: ИШ-2-17, координаты источника (x,y,z), м =[748.87,61.06,1.00]													
Уровни звуковой мощности источника днём, Lw, дБ		**исходные данные**	**0**	**93,3**	**94,7**	**96**	**96,3**	**95,9**	**92,6**	**88,4**	**83,9**		
Поправка на телесный угол DΩ, дБ	Ω = 6.28	10Lg(4π/Ω)	**3**	3	3	3	3	3	3	3	3		
Показатель направленности источника Di, дБ		исходные данные	**0**	0	0	0	0	0	0	0	0		
Поправка на направленность источника Dc, дБ	Dc	DΩ + Di	**3**	3	3	3	3	3	3	3	3		
Затухание из-за геометрической дивергенции, Adiv, дБ	расстояние = 324.19 м	ф-ла (7) [10]	**61,2**										

1		2	3	4	5	6	7	8	9	10	11	12	13
Коэффициент затухания звука в атмосфере α, дБ/км	Ta=20,°C Pa=101.33,кПа hотн.=70%	ф-ла (5) [9]	0,02	0,09	0,33	1,12	2,79	4,98	9,04	23,09	77,63		
Учет затухания звука в атмосфере Aatm, дБ		ф-ла (8) [10]	0	0	0,1	0,4	0,9	1,6	2,9	7,5	25,2		
Снижение поверхностью земли возле источника As, дБ	Gs = 0 hs = 1м	ф-лы таб.3 [10]	-1,5	-1,5	-1,5	-1,5	-1,5	-1,5	-1,5	-1,5	-1,5		
Снижение поверхностью земли возле приёмника Ar, дБ	Gr = 1 hr = 1.5м	ф-лы таб.3 [10]	-1,5	-1,5	1,9	7	5	0,7	0	0	0		
Снижение поверхностью земли в средней зоне, Am дБ	Gm = 1	ф-лы таб.3 [10]	-2,3	-2,3	0	0	0	0	0	0	0		
Суммарное снижение поверхностью земли на траектории распространения звука Agr, дБ		ф-ла (9) [10]	-5,3	-5,3	0,4	5,5	3,5	-0,8	-1,5	-1,5	-1,5		
Уровни звукового давления прямого звука от источника ИШ-2-17 в расчётной точке днём, дБ		**ф-ла(3)[10]**	**0**	**40,4**	**36**	**31,9**	**33,7**	**36,9**	**32,9**	**24,2**	**2**	**39,7**	**39,7**
Расчёт отражённого звука													
Уровни звукового давления от мнимого источника ИШ-2-17_мн.(1) в расчётной точке днём, дБ		**ф-ла(3)[10]**	**0**	**39,3**	**31,7**	**21,5**	**22,3**	**32,3**	**30,4**	**21,6**	**0**	**35,4**	**35,4**
Уровни звукового давления от источника ИШ-2-17 в расчётной точке днём, дБ		**ф-ла(3)[10]**	**0**	**42,9**	**37,4**	**32,3**	**34**	**38,2**	**34,9**	**26,1**	**2**	**41,1**	**41,1**
Источник шума: ИШ-2-18, координаты источника (x,y,z), м =[747.72,58.17,1.00]													
Уровни звуковой мощности источника днём, Lw, дБ		**исходные данные**	**0**	**93,3**	**94,7**	**96**	**96,3**	**95,9**	**92,6**	**88,4**	**83,9**		
Поправка на телесный угол DΩ, дБ	Ω = 6.28	10Lg(4π/Ω)	**3**	3	3	3	3	3	3	3	3		
Показатель направленности источника Di, дБ		исходные данные	**0**	0	0	0	0	0	0	0	0		
Поправка на направленность источника Dc, дБ	Dc	DΩ + Di	**3**	3	3	3	3	3	3	3	3		
Затухание из-за геометрической дивергенции, Adiv, дБ	расстояние = 322.69 м	ф-ла (7) [10]	**61,2**										

1		2	3	4	5	6	7	8	9	10	11	12	13
Коэффициент затухания звука в атмосфере α, дБ/км	Ta=20,°C Pa=101.33,кПа hотн.=70%	ф-ла (5) [9]	0,02	0,09	0,33	1,12	2,79	4,98	9,04	23,09	77,63		
Учет затухания звука в атмосфере Aatm, дБ		ф-ла (8) [10]	0	0	0,1	0,4	0,9	1,6	2,9	7,4	25,1		
Снижение поверхностью земли возле источника As, дБ	Gs = 0 hs = 1м	ф-лы таб.3 [10]	-1,5	-1,5	-1,5	-1,5	-1,5	-1,5	-1,5	-1,5	-1,5		
Снижение поверхностью земли возле приёмника Ar, дБ	Gr = 1 hr = 1.5м	ф-лы таб.3 [10]	-1,5	-1,5	1,9	7	5	0,7	0	0	0		
Снижение поверхностью земли в средней зоне, Am дБ	Gm = 1	ф-лы таб.3 [10]	-2,3	-2,3	0	0	0	0	0	0	0		
Суммарное снижение поверхностью земли на траектории распространения звука Agr, дБ		ф-ла (9) [10]	-5,3	-5,3	0,4	5,5	3,5	-0,8	-1,5	-1,5	-1,5		
Уровни звукового давления прямого звука от источника ИШ-2-18 в расчётной точке днём, дБ		**ф-ла(3)[10]**	**0**	**40,4**	**36**	**31,9**	**33,8**	**37**	**33**	**24,3**	**2,2**	**39,7**	**39,7**
Расчёт отражённого звука													
Уровни звукового давления от мнимого источника ИШ-2-18_мн.(1) в расчётной точке днём, дБ		**ф-ла(3)[10]**	**0**	**39,4**	**31,7**	**21,6**	**22,4**	**32,4**	**30,4**	**21,7**	**0**	**35,5**	**35,5**
Уровни звукового давления от источника ИШ-2-18 в расчётной точке днём, дБ		**ф-ла(3)[10]**	**0**	**42,9**	**37,4**	**32,3**	**34,1**	**38,2**	**34,9**	**26,2**	**2,2**	**41,1**	**41,1**
Источник шума: ИШ-2-19, координаты источника (x,y,z), м =[746.80,55.25,1.00]													
Уровни звуковой мощности источника днём, Lw, дБ		**исходные данные**	**0**	**93,3**	**94,7**	**96**	**96,3**	**95,9**	**92,6**	**88,4**	**83,9**		
Поправка на телесный угол DΩ, дБ	Ω = 6.28	10Lg(4π/Ω)	**3**	3	3	3	3	3	3	3	3		
Показатель направленности источника Di, дБ		исходные данные	**0**	0	0	0	0	0	0	0	0		
Поправка на направленность источника Dc, дБ	Dc	DΩ + Di	**3**	3	3	3	3	3	3	3	3		
Затухание из-за геометрической дивергенции, Adiv, дБ	расстояние = 321.45 м	ф-ла (7) [10]	**61,1**										

1		2	3	4	5	6	7	8	9	10	11	12	13
Коэффициент затухания звука в атмосфере α, дБ/км	Ta=20,°C Pa=101.33,кПа hотн.=70%	ф-ла (5) [9]	0,02	0,09	0,33	1,12	2,79	4,98	9,04	23,09	77,63		
Учет затухания звука в атмосфере Aatm, дБ		ф-ла (8) [10]	0	0	0,1	0,4	0,9	1,6	2,9	7,4	25		
Снижение поверхностью земли возле источника As, дБ	Gs = 0 hs = 1м	ф-лы таб.3 [10]	-1,5	-1,5	-1,5	-1,5	-1,5	-1,5	-1,5	-1,5	-1,5		
Снижение поверхностью земли возле приёмника Ar, дБ	Gr = 1 hr = 1.5м	ф-лы таб.3 [10]	-1,5	-1,5	1,9	7	5	0,7	0	0	0		
Снижение поверхностью земли в средней зоне, Am дБ	Gm = 1	ф-лы таб.3 [10]	-2,3	-2,3	0	0	0	0	0	0	0		
Суммарное снижение поверхностью земли на траектории распространения звука Agr, дБ		ф-ла (9) [10]	-5,3	-5,3	0,4	5,5	3,5	-0,8	-1,5	-1,5	-1,5		
Уровни звукового давления прямого звука от источника ИШ-2-19 в расчётной точке днём, дБ		**ф-ла(3)[10]**	**0**	**40,4**	**36,1**	**32**	**33,8**	**37**	**33**	**24,3**	**2,3**	**39,8**	**39,8**
Расчёт отражённого звука													
Уровни звукового давления от мнимого источника ИШ-2-19_мн.(1) в расчётной точке днём, дБ		**ф-ла(3)[10]**	**0**	**39,4**	**31,8**	**21,6**	**22,4**	**32,4**	**30,5**	**21,7**	**0**	**35,5**	**35,5**
Уровни звукового давления от источника ИШ-2-19 в расчётной точке днём, дБ		**ф-ла(3)[10]**	**0**	**42,9**	**37,5**	**32,4**	**34,1**	**38,3**	**35**	**26,2**	**2,3**	**41,2**	**41,2**
Источник шума: ИШ-2-20, координаты источника (x,y,z), м =[745.71,52.44,1.00]													
Уровни звуковой мощности источника днём, Lw, дБ		**исходные данные**	**0**	**93,3**	**94,7**	**96**	**96,3**	**95,9**	**92,6**	**88,4**	**83,9**		
Поправка на телесный угол DΩ, дБ	Ω = 6.28	10Lg(4π/Ω)	**3**	3	3	3	3	3	3	3	3		
Показатель направленности источника Di, дБ		исходные данные	**0**	0	0	0	0	0	0	0	0		
Поправка на направленность источника Dc, дБ	Dc	DΩ + Di	**3**	3	3	3	3	3	3	3	3		
Затухание из-за геометрической дивергенции, Adiv, дБ	расстояние = 320.06 м	ф-ла (7) [10]	**61,1**										

1		2	3	4	5	6	7	8	9	10	11	12	13
Коэффициент затухания звука в атмосфере α, дБ/км	Ta=20,°C Pa=101.33,кПа hотн.=70%	ф-ла (5) [9]	0,02	0,09	0,33	1,12	2,79	4,98	9,04	23,09	77,63		
Учет затухания звука в атмосфере Aatm, дБ		ф-ла (8) [10]	0	0	0,1	0,4	0,9	1,6	2,9	7,4	24,8		
Снижение поверхностью земли возле источника As, дБ	Gs = 0 hs = 1м	ф-лы таб.3 [10]	-1,5	-1,5	-1,5	-1,5	-1,5	-1,5	-1,5	-1,5	-1,5		
Снижение поверхностью земли возле приёмника Ar, дБ	Gr = 1 hr = 1.5м	ф-лы таб.3 [10]	-1,5	-1,5	1,8	7	5	0,7	0	0	0		
Снижение поверхностью земли в средней зоне, Am дБ	Gm = 1	ф-лы таб.3 [10]	-2,3	-2,3	0	0	0	0	0	0	0		
Суммарное снижение поверхностью земли на траектории распространения звука Agr, дБ		ф-ла (9) [10]	-5,3	-5,3	0,3	5,5	3,5	-0,8	-1,5	-1,5	-1,5		
Уровни звукового давления прямого звука от источника ИШ-2-20 в расчётной точке днём, дБ		**ф-ла(3)[10]**	**0**	**40,5**	**36,1**	**32**	**33,8**	**37**	**33,1**	**24,4**	**2,4**	**39,8**	**39,8**
Расчёт отражённого звука													
Уровни звукового давления от мнимого источника ИШ-2-20_мн.(1) в расчётной точке днём, дБ		**ф-ла(3)[10]**	**0**	**39,4**	**31,8**	**21,6**	**22,5**	**32,5**	**30,5**	**21,8**	**0**	**35,6**	**35,6**
Уровни звукового давления от источника ИШ-2-20 в расчётной точке днём, дБ		**ф-ла(3)[10]**	**0**	**43**	**37,5**	**32,4**	**34,1**	**38,3**	**35**	**26,3**	**2,4**	**41,2**	**41,2**
Источник шума: ИШ-2-21, координаты источника (x,y,z), м =[744.89,49.62,1.00]													
Уровни звуковой мощности источника днём, Lw, дБ		**исходные данные**	**0**	**93,3**	**94,7**	**96**	**96,3**	**95,9**	**92,6**	**88,4**	**83,9**		
Поправка на телесный угол DΩ, дБ	Ω = 6.28	10Lg(4π/Ω)	**3**	3	3	3	3	3	3	3	3		
Показатель направленности источника Di, дБ		исходные данные	**0**	0	0	0	0	0	0	0	0		
Поправка на направленность источника Dc, дБ	Dc	DΩ + Di	**3**	3	3	3	3	3	3	3	3		
Затухание из-за геометрической дивергенции, Adiv, дБ	расстояние = 318.98 м	ф-ла (7) [10]	**61,1**										

1		2	3	4	5	6	7	8	9	10	11	12	13
Коэффициент затухания звука в атмосфере α, дБ/км	Ta=20,°C Pa=101.33,кПа hотн.=70%	ф-ла (5) [9]	0,02	0,09	0,33	1,12	2,79	4,98	9,04	23,09	77,63		
Учет затухания звука в атмосфере Aatm, дБ		ф-ла (8) [10]	0	0	0,1	0,4	0,9	1,6	2,9	7,4	24,8		
Снижение поверхностью земли возле источника As, дБ	Gs = 0 hs = 1м	ф-лы таб.3 [10]	-1,5	-1,5	-1,5	-1,5	-1,5	-1,5	-1,5	-1,5	-1,5		
Снижение поверхностью земли возле приёмника Ar, дБ	Gr = 1 hr = 1.5м	ф-лы таб.3 [10]	-1,5	-1,5	1,8	7	5	0,7	0	0	0		
Снижение поверхностью земли в средней зоне, Am дБ	Gm = 1	ф-лы таб.3 [10]	-2,3	-2,3	0	0	0	0	0	0	0		
Суммарное снижение поверхностью земли на траектории распространения звука Agr, дБ		ф-ла (9) [10]	-5,3	-5,3	0,3	5,5	3,5	-0,8	-1,5	-1,5	-1,5		
Уровни звукового давления прямого звука от источника ИШ-2-21 в расчётной точке днём, дБ		**ф-ла(3)[10]**	**0**	**40,5**	**36,2**	**32**	**33,9**	**37,1**	**33,1**	**24,5**	**2,6**	**39,9**	**39,9**
Расчёт отражённого звука													
Уровни звукового давления от мнимого источника ИШ-2-21_мн.(1) в расчётной точке днём, дБ		**ф-ла(3)[10]**	**0**	**39,4**	**31,9**	**21,7**	**22,5**	**32,5**	**30,6**	**21,9**	**0**	**35,6**	**35,6**
Уровни звукового давления от источника ИШ-2-21 в расчётной точке днём, дБ		**ф-ла(3)[10]**	**0**	**43**	**37,5**	**32,4**	**34,2**	**38,4**	**35**	**26,4**	**2,6**	**41,2**	**41,2**
Источник шума: ИШ-2-22, координаты источника (x,y,z), м =[737.40,27.07,1.00]													
Уровни звуковой мощности источника днём, Lw, дБ		**исходные данные**	**0**	**93,3**	**94,7**	**96**	**96,3**	**95,9**	**92,6**	**88,4**	**83,9**		
Поправка на телесный угол DΩ, дБ	Ω = 6.28	10Lg(4π/Ω)	**3**	3	3	3	3	3	3	3	3		
Показатель направленности источника Di, дБ		исходные данные	**0**	0	0	0	0	0	0	0	0		
Поправка на направленность источника Dc, дБ	Dc	DΩ + Di	**3**	3	3	3	3	3	3	3	3		
Затухание из-за геометрической дивергенции, Adiv, дБ	расстояние = 310.17 м	ф-ла (7) [10]	**60,8**										

1		2	3	4	5	6	7	8	9	10	11	12	13
Коэффициент затухания звука в атмосфере α, дБ/км	Ta=20,°C Pa=101.33,кПа hотн.=70%	ф-ла (5) [9]	0,02	0,09	0,33	1,12	2,79	4,98	9,04	23,09	77,63		
Учет затухания звука в атмосфере Aatm, дБ		ф-ла (8) [10]	0	0	0,1	0,3	0,9	1,5	2,8	7,2	24,1		
Снижение поверхностью земли возле источника As, дБ	Gs = 0 hs = 1м	ф-лы таб.3 [10]	-1,5	-1,5	-1,5	-1,5	-1,5	-1,5	-1,5	-1,5	-1,5		
Снижение поверхностью земли возле приёмника Ar, дБ	Gr = 1 hr = 1.5м	ф-лы таб.3 [10]	-1,5	-1,5	1,8	7	5	0,7	0	0	0		
Снижение поверхностью земли в средней зоне, Am дБ	Gm = 1	ф-лы таб.3 [10]	-2,3	-2,3	0	0	0	0	0	0	0		
Суммарное снижение поверхностью земли на траектории распространения звука Agr, дБ		ф-ла (9) [10]	-5,3	-5,3	0,3	5,5	3,5	-0,8	-1,5	-1,5	-1,5		
Уровни звукового давления прямого звука от источника ИШ-2-22 в расчётной точке днём, дБ		**ф-ла(3)[10]**	**0**	**40,7**	**36,5**	**32,3**	**34,1**	**37,4**	**33,5**	**24,9**	**3,5**	**40,2**	**40,2**
Расчёт отражённого звука													
Уровни звукового давления от мнимого источника ИШ-2-22_мн.(1) в расчётной точке днём, дБ		**ф-ла(3)[10]**	**0**	**39,7**	**32,2**	**21,9**	**22,8**	**32,8**	**30,9**	**22,3**	**0,7**	**35,9**	**35,9**
Уровни звукового давления от источника ИШ-2-22 в расчётной точке днём, дБ		**ф-ла(3)[10]**	**0**	**43,2**	**37,9**	**32,7**	**34,4**	**38,7**	**35,4**	**26,8**	**5,3**	**41,5**	**41,5**
Источник шума: ИШ-2-23, координаты источника (x,y,z), м =[736.46,24.18,1.00]													
Уровни звуковой мощности источника днём, Lw, дБ		**исходные данные**	**0**	**93,3**	**94,7**	**96**	**96,3**	**95,9**	**92,6**	**88,4**	**83,9**		
Поправка на телесный угол DΩ, дБ	Ω = 6.28	10Lg(4π/Ω)	**3**	3	3	3	3	3	3	3	3		
Показатель направленности источника Di, дБ		исходные данные	**0**	0	0	0	0	0	0	0	0		
Поправка на направленность источника Dc, дБ	Dc	DΩ + Di	**3**	3	3	3	3	3	3	3	3		
Затухание из-за геометрической дивергенции, Adiv, дБ	расстояние = 309.18 м	ф-ла (7) [10]	**60,8**										

1		2	3	4	5	6	7	8	9	10	11	12	13
Коэффициент затухания звука в атмосфере α, дБ/км	Ta=20,°C Pa=101.33,кПа hотн.=70%	ф-ла (5) [9]	0,02	0,09	0,33	1,12	2,79	4,98	9,04	23,09	77,63		
Учет затухания звука в атмосфере Aatm, дБ		ф-ла (8) [10]	0	0	0,1	0,3	0,9	1,5	2,8	7,1	24		
Снижение поверхностью земли возле источника As, дБ	Gs = 0 hs = 1м	ф-лы таб.3 [10]	-1,5	-1,5	-1,5	-1,5	-1,5	-1,5	-1,5	-1,5	-1,5		
Снижение поверхностью земли возле приёмника Ar, дБ	Gr = 1 hr = 1.5м	ф-лы таб.3 [10]	-1,5	-1,5	1,8	7	5	0,7	0	0	0		
Снижение поверхностью земли в средней зоне, Am дБ	Gm = 1	ф-лы таб.3 [10]	-2,3	-2,3	0	0	0	0	0	0	0		
Суммарное снижение поверхностью земли на траектории распространения звука Agr, дБ		ф-ла (9) [10]	-5,3	-5,3	0,3	5,5	3,5	-0,8	-1,5	-1,5	-1,5		
Уровни звукового давления прямого звука от источника ИШ-2-23 в расчётной точке днём, дБ		**ф-ла(3)[10]**	**0**	**40,7**	**36,5**	**32,3**	**34,2**	**37,4**	**33,5**	**25**	**3,6**	**40,2**	**40,2**
Расчёт отражённого звука													
Уровни звукового давления от мнимого источника ИШ-2-23_мн.(1) в расчётной точке днём, дБ		**ф-ла(3)[10]**	**0**	**39,7**	**32,3**	**21,9**	**22,8**	**32,8**	**30,9**	**22,3**	**0,8**	**35,9**	**35,9**
Уровни звукового давления от источника ИШ-2-23 в расчётной точке днём, дБ		**ф-ла(3)[10]**	**0**	**43,3**	**37,9**	**32,7**	**34,5**	**38,7**	**35,4**	**26,9**	**5,4**	**41,6**	**41,6**
Источник шума: ИШ-2-24, координаты источника (x,y,z), м =[735.45,21.21,1.00]													
Уровни звуковой мощности источника днём, Lw, дБ		**исходные данные**	**0**	**93,3**	**94,7**	**96**	**96,3**	**95,9**	**92,6**	**88,4**	**83,9**		
Поправка на телесный угол DΩ, дБ	Ω = 6.28	10Lg(4π/Ω)	**3**	3	3	3	3	3	3	3	3		
Показатель направленности источника Di, дБ		исходные данные	**0**	0	0	0	0	0	0	0	0		
Поправка на направленность источника Dc, дБ	Dc	DΩ + Di	**3**	3	3	3	3	3	3	3	3		
Затухание из-за геометрической дивергенции, Adiv, дБ	расстояние = 308.14 м	ф-ла (7) [10]	**60,8**										

1		2	3	4	5	6	7	8	9	10	11	12	13
Коэффициент затухания звука в атмосфере α, дБ/км	Ta=20,°C Pa=101.33,кПа hотн.=70%	ф-ла (5) [9]	0,02	0,09	0,33	1,12	2,79	4,98	9,04	23,09	77,63		
Учет затухания звука в атмосфере Aatm, дБ		ф-ла (8) [10]	0	0	0,1	0,3	0,9	1,5	2,8	7,1	23,9		
Снижение поверхностью земли возле источника As, дБ	Gs = 0 hs = 1м	ф-лы таб.3 [10]	-1,5	-1,5	-1,5	-1,5	-1,5	-1,5	-1,5	-1,5	-1,5		
Снижение поверхностью земли возле приёмника Ar, дБ	Gr = 1 hr = 1.5м	ф-лы таб.3 [10]	-1,5	-1,5	1,8	7	5	0,7	0	0	0		
Снижение поверхностью земли в средней зоне, Am дБ	Gm = 1	ф-лы таб.3 [10]	-2,3	-2,3	0	0	0	0	0	0	0		
Суммарное снижение поверхностью земли на траектории распространения звука Agr, дБ		ф-ла (9) [10]	-5,3	-5,3	0,3	5,5	3,5	-0,8	-1,5	-1,5	-1,5		
Уровни звукового давления прямого звука от источника ИШ-2-24 в расчётной точке днём, дБ		**ф-ла(3)[10]**	**0**	**40,8**	**36,5**	**32,4**	**34,2**	**37,4**	**33,5**	**25**	**3,7**	**40,2**	**40,2**
Расчёт отражённого звука													
Уровни звукового давления от мнимого источника ИШ-2-24_мн.(1) в расчётной точке днём, дБ		**ф-ла(3)[10]**	**0**	**39,7**	**32,3**	**22**	**22,8**	**32,8**	**31**	**22,4**	**0,9**	**36**	**36**
Уровни звукового давления от источника ИШ-2-24 в расчётной точке днём, дБ		**ф-ла(3)[10]**	**0**	**43,3**	**37,9**	**32,7**	**34,5**	**38,7**	**35,4**	**26,9**	**5,5**	**41,6**	**41,6**
Источник шума: ИШ-2-25, координаты источника (x,y,z), м =[734.58,18.32,1.00]													
Уровни звуковой мощности источника днём, Lw, дБ		**исходные данные**	**0**	**93,3**	**94,7**	**96**	**96,3**	**95,9**	**92,6**	**88,4**	**83,9**		
Поправка на телесный угол DΩ, дБ	Ω = 6.28	10Lg(4π/Ω)	**3**	3	3	3	3	3	3	3	3		
Показатель направленности источника Di, дБ		исходные данные	**0**	0	0	0	0	0	0	0	0		
Поправка на направленность источника Dc, дБ	Dc	DΩ + Di	**3**	3	3	3	3	3	3	3	3		
Затухание из-за геометрической дивергенции, Adiv, дБ	расстояние = 307.28 м	ф-ла (7) [10]	**60,8**										

1		2	3	4	5	6	7	8	9	10	11	12	13
Коэффициент затухания звука в атмосфере α, дБ/км	Ta=20,°C Pa=101.33,кПа hотн.=70%	ф-ла (5) [9]	0,02	0,09	0,33	1,12	2,79	4,98	9,04	23,09	77,63		
Учет затухания звука в атмосфере Aatm, дБ		ф-ла (8) [10]	0	0	0,1	0,3	0,9	1,5	2,8	7,1	23,9		
Снижение поверхностью земли возле источника As, дБ	Gs = 0 hs = 1м	ф-лы таб.3 [10]	-1,5	-1,5	-1,5	-1,5	-1,5	-1,5	-1,5	-1,5	-1,5		
Снижение поверхностью земли возле приёмника Ar, дБ	Gr = 1 hr = 1.5м	ф-лы таб.3 [10]	-1,5	-1,5	1,8	7	5	0,7	0	0	0		
Снижение поверхностью земли в средней зоне, Am дБ	Gm = 1	ф-лы таб.3 [10]	-2,3	-2,3	0	0	0	0	0	0	0		
Суммарное снижение поверхностью земли на траектории распространения звука Agr, дБ		ф-ла (9) [10]	-5,3	-5,3	0,3	5,5	3,5	-0,8	-1,5	-1,5	-1,5		
Уровни звукового давления прямого звука от источника ИШ-2-25 в расчётной точке днём, дБ		**ф-ла(3)[10]**	**0**	**40,8**	**36,6**	**32,4**	**34,2**	**37,5**	**33,6**	**25**	**3,8**	**40,3**	**40,3**
Расчёт отражённого звука													
Уровни звукового давления от мнимого источника ИШ-2-25_мн.(1) в расчётной точке днём, дБ		**ф-ла(3)[10]**	**0**	**39,7**	**32,3**	**22**	**22,8**	**32,9**	**31**	**22,4**	**1**	**36**	**36**
Уровни звукового давления от источника ИШ-2-25 в расчётной точке днём, дБ		**ф-ла(3)[10]**	**0**	**43,3**	**38**	**32,8**	**34,5**	**38,7**	**35,5**	**26,9**	**5,6**	**41,6**	**41,6**
Источник шума: ИШ-2-26, координаты источника (x,y,z), м =[733.57,15.41,1.00]													
Уровни звуковой мощности источника днём, Lw, дБ		**исходные данные**	**0**	**93,3**	**94,7**	**96**	**96,3**	**95,9**	**92,6**	**88,4**	**83,9**		
Поправка на телесный угол DΩ, дБ	Ω = 6.28	10Lg(4π/Ω)	**3**	3	3	3	3	3	3	3	3		
Показатель направленности источника Di, дБ		исходные данные	**0**	0	0	0	0	0	0	0	0		
Поправка на направленность источника Dc, дБ	Dc	DΩ + Di	**3**	3	3	3	3	3	3	3	3		
Затухание из-за геометрической дивергенции, Adiv, дБ	расстояние = 306.29 м	ф-ла (7) [10]	**60,7**										

1		2	3	4	5	6	7	8	9	10	11	12	13
Коэффициент затухания звука в атмосфере α, дБ/км	Ta=20,°C Pa=101.33,кПа hотн.=70%	ф-ла (5) [9]	0,02	0,09	0,33	1,12	2,79	4,98	9,04	23,09	77,63		
Учет затухания звука в атмосфере Aatm, дБ		ф-ла (8) [10]	0	0	0,1	0,3	0,9	1,5	2,8	7,1	23,8		
Снижение поверхностью земли возле источника As, дБ	Gs = 0 hs = 1м	ф-лы таб.3 [10]	-1,5	-1,5	-1,5	-1,5	-1,5	-1,5	-1,5	-1,5	-1,5		
Снижение поверхностью земли возле приёмника Ar, дБ	Gr = 1 hr = 1.5м	ф-лы таб.3 [10]	-1,5	-1,5	1,8	7	5	0,7	0	0	0		
Снижение поверхностью земли в средней зоне, Am дБ	Gm = 1	ф-лы таб.3 [10]	-2,3	-2,3	0	0	0	0	0	0	0		
Суммарное снижение поверхностью земли на траектории распространения звука Agr, дБ		ф-ла (9) [10]	-5,3	-5,3	0,3	5,5	3,5	-0,8	-1,5	-1,5	-1,5		
Уровни звукового давления прямого звука от источника ИШ-2-26 в расчётной точке днём, дБ		**ф-ла(3)[10]**	**0**	**40,8**	**36,6**	**32,4**	**34,3**	**37,5**	**33,6**	**25,1**	**3,9**	**40,3**	**40,3**
Расчёт отражённого звука													
Уровни звукового давления от мнимого источника ИШ-2-26_мн.(1) в расчётной точке днём, дБ		**ф-ла(3)[10]**	**0**	**39,8**	**32,4**	**22**	**22,9**	**32,9**	**31**	**22,5**	**1,1**	**36**	**36**
Уровни звукового давления от источника ИШ-2-26 в расчётной точке днём, дБ		**ф-ла(3)[10]**	**0**	**43,3**	**38**	**32,8**	**34,6**	**38,8**	**35,5**	**27**	**5,7**	**41,7**	**41,7**
Источник шума: ИШ-2-27, координаты источника (x,y,z), м =[732.43,12.66,1.00]													
Уровни звуковой мощности источника днём, Lw, дБ		**исходные данные**	**0**	**93,3**	**94,7**	**96**	**96,3**	**95,9**	**92,6**	**88,4**	**83,9**		
Поправка на телесный угол DΩ, дБ	Ω = 6.28	10Lg(4π/Ω)	**3**	3	3	3	3	3	3	3	3		
Показатель направленности источника Di, дБ		исходные данные	**0**	0	0	0	0	0	0	0	0		
Поправка на направленность источника Dc, дБ	Dc	DΩ + Di	**3**	3	3	3	3	3	3	3	3		
Затухание из-за геометрической дивергенции, Adiv, дБ	расстояние = 305.21 м	ф-ла (7) [10]	**60,7**										

1		2	3	4	5	6	7	8	9	10	11	12	13
Коэффициент затухания звука в атмосфере α, дБ/км	Ta=20,°C Pa=101.33,кПа hотн.=70%	ф-ла (5) [9]	0,02	0,09	0,33	1,12	2,79	4,98	9,04	23,09	77,63		
Учет затухания звука в атмосфере Aatm, дБ		ф-ла (8) [10]	0	0	0,1	0,3	0,9	1,5	2,8	7	23,7		
Снижение поверхностью земли возле источника As, дБ	Gs = 0 hs = 1м	ф-лы таб.3 [10]	-1,5	-1,5	-1,5	-1,5	-1,5	-1,5	-1,5	-1,5	-1,5		
Снижение поверхностью земли возле приёмника Ar, дБ	Gr = 1 hr = 1.5м	ф-лы таб.3 [10]	-1,5	-1,5	1,8	7	5	0,7	0	0	0		
Снижение поверхностью земли в средней зоне, Am дБ	Gm = 1	ф-лы таб.3 [10]	-2,3	-2,3	0	0	0	0	0	0	0		
Суммарное снижение поверхностью земли на траектории распространения звука Agr, дБ		ф-ла (9) [10]	-5,3	-5,3	0,3	5,5	3,5	-0,8	-1,5	-1,5	-1,5		
Уровни звукового давления прямого звука от источника ИШ-2-27 в расчётной точке днём, дБ		**ф-ла(3)[10]**	**0**	**40,8**	**36,6**	**32,4**	**34,3**	**37,5**	**33,6**	**25,2**	**4**	**40,3**	**40,3**
Расчёт отражённого звука													
Уровни звукового давления от мнимого источника ИШ-2-27_мн.(1) в расчётной точке днём, дБ		**ф-ла(3)[10]**	**0**	**39,8**	**32,4**	**22,1**	**22,9**	**32,9**	**31,1**	**22,5**	**1,3**	**36,1**	**36,1**
Уровни звукового давления от источника ИШ-2-27 в расчётной точке днём, дБ		**ф-ла(3)[10]**	**0**	**43,4**	**38**	**32,8**	**34,6**	**38,8**	**35,6**	**27,1**	**5,9**	**41,7**	**41,7**
Источник шума: ИШ-2-28, координаты источника (x,y,z), м =[731.54,9.78,1.00]													
Уровни звуковой мощности источника днём, Lw, дБ		**исходные данные**	**0**	**93,3**	**94,7**	**96**	**96,3**	**95,9**	**92,6**	**88,4**	**83,9**		
Поправка на телесный угол DΩ, дБ	Ω = 6.28	10Lg(4π/Ω)	**3**	3	3	3	3	3	3	3	3		
Показатель направленности источника Di, дБ		исходные данные	**0**	0	0	0	0	0	0	0	0		
Поправка на направленность источника Dc, дБ	Dc	DΩ + Di	**3**	3	3	3	3	3	3	3	3		
Затухание из-за геометрической дивергенции, Adiv, дБ	расстояние = 304.40 м	ф-ла (7) [10]	**60,7**										

1		2	3	4	5	6	7	8	9	10	11	12	13
Коэффициент затухания звука в атмосфере α, дБ/км	Ta=20,°C Pa=101.33,кПа hотн.=70%	ф-ла (5) [9]	0,02	0,09	0,33	1,12	2,79	4,98	9,04	23,09	77,63		
Учет затухания звука в атмосфере Aatm, дБ		ф-ла (8) [10]	0	0	0,1	0,3	0,8	1,5	2,8	7	23,6		
Снижение поверхностью земли возле источника As, дБ	Gs = 0 hs = 1м	ф-лы таб.3 [10]	-1,5	-1,5	-1,5	-1,5	-1,5	-1,5	-1,5	-1,5	-1,5		
Снижение поверхностью земли возле приёмника Ar, дБ	Gr = 1 hr = 1.5м	ф-лы таб.3 [10]	-1,5	-1,5	1,8	7	5	0,7	0	0	0		
Снижение поверхностью земли в средней зоне, Am дБ	Gm = 1	ф-лы таб.3 [10]	-2,3	-2,3	0	0	0	0	0	0	0		
Суммарное снижение поверхностью земли на траектории распространения звука Agr, дБ		ф-ла (9) [10]	-5,3	-5,3	0,3	5,5	3,5	-0,8	-1,5	-1,5	-1,5		
Уровни звукового давления прямого звука от источника ИШ-2-28 в расчётной точке днём, дБ		**ф-ла(3)[10]**	**0**	**40,9**	**36,7**	**32,5**	**34,3**	**37,5**	**33,7**	**25,2**	**4,1**	**40,4**	**40,4**
Расчёт отражённого звука													
Уровни звукового давления от мнимого источника ИШ-2-28_мн.(1) в расчётной точке днём, дБ		**ф-ла(3)[10]**	**0**	**39,8**	**32,5**	**22,1**	**22,9**	**33**	**31,1**	**22,6**	**1,3**	**36,1**	**36,1**
Уровни звукового давления от источника ИШ-2-28 в расчётной точке днём, дБ		**ф-ла(3)[10]**	**0**	**43,4**	**38,1**	**32,9**	**34,6**	**38,8**	**35,6**	**27,1**	**5,9**	**41,7**	**41,7**
Источник шума: ИШ-2-29, координаты источника (x,y,z), м =[730.57,6.88,1.00]													
Уровни звуковой мощности источника днём, Lw, дБ		**исходные данные**	**0**	**93,3**	**94,7**	**96**	**96,3**	**95,9**	**92,6**	**88,4**	**83,9**		
Поправка на телесный угол DΩ, дБ	Ω = 6.28	10Lg(4π/Ω)	**3**	3	3	3	3	3	3	3	3		
Показатель направленности источника Di, дБ		исходные данные	**0**	0	0	0	0	0	0	0	0		
Поправка на направленность источника Dc, дБ	Dc	DΩ + Di	**3**	3	3	3	3	3	3	3	3		
Затухание из-за геометрической дивергенции, Adiv, дБ	расстояние = 303.55 м	ф-ла (7) [10]	**60,6**										

1		2	3	4	5	6	7	8	9	10	11	12	13
Коэффициент затухания звука в атмосфере α, дБ/км	Ta=20,°C Pa=101.33,кПа hотн.=70%	ф-ла (5) [9]	0,02	0,09	0,33	1,12	2,79	4,98	9,04	23,09	77,63		
Учет затухания звука в атмосфере Aatm, дБ		ф-ла (8) [10]	0	0	0,1	0,3	0,8	1,5	2,7	7	23,6		
Снижение поверхностью земли возле источника As, дБ	Gs = 0 hs = 1м	ф-лы таб.3 [10]	-1,5	-1,5	-1,5	-1,5	-1,5	-1,5	-1,5	-1,5	-1,5		
Снижение поверхностью земли возле приёмника Ar, дБ	Gr = 1 hr = 1.5м	ф-лы таб.3 [10]	-1,5	-1,5	1,7	7	5	0,7	0	0	0		
Снижение поверхностью земли в средней зоне, Am дБ	Gm = 1	ф-лы таб.3 [10]	-2,3	-2,3	0	0	0	0	0	0	0		
Суммарное снижение поверхностью земли на траектории распространения звука Agr, дБ		ф-ла (9) [10]	-5,3	-5,3	0,2	5,5	3,5	-0,8	-1,5	-1,5	-1,5		
Уровни звукового давления прямого звука от источника ИШ-2-29 в расчётной точке днём, дБ		**ф-ла(3)[10]**	**0**	**40,9**	**36,7**	**32,5**	**34,3**	**37,6**	**33,7**	**25,2**	**4,2**	**40,4**	**40,4**
Расчёт отражённого звука													
Уровни звукового давления от мнимого источника ИШ-2-29_мн.(1) в расчётной точке днём, дБ		**ф-ла(3)[10]**	**0**	**39,8**	**32,5**	**22,1**	**23**	**33**	**31,1**	**22,6**	**1,4**	**36,1**	**36,1**
Уровни звукового давления от источника ИШ-2-29 в расчётной точке днём, дБ		**ф-ла(3)[10]**	**0**	**43,4**	**38,1**	**32,9**	**34,6**	**38,9**	**35,6**	**27,1**	**6**	**41,8**	**41,8**
Источник шума: ИШ-2-4, координаты источника (x,y,z), м =[632.70,-65.30,3.00]													
Уровни звуковой мощности источника днём, Lw, дБ		**исходные данные**	**105**	**104**	**104**	**101**	**102**	**106**	**101**	**95**	**87**		
Поправка на телесный угол DΩ, дБ	Ω = 6.28	10Lg(4π/Ω)	**3**	3	3	3	3	3	3	3	3		
Показатель направленности источника Di, дБ		исходные данные	**0**	0	0	0	0	0	0	0	0		
Поправка на направленность источника Dc, дБ	Dc	DΩ + Di	**3**	3	3	3	3	3	3	3	3		
Затухание из-за геометрической дивергенции, Adiv, дБ	расстояние = 222.37 м	ф-ла (7) [10]	**57,9**										

1		2	3	4	5	6	7	8	9	10	11	12	13
Коэффициент затухания звука в атмосфере α, дБ/км	Ta=20,°C Pa=101.33,кПа hотн.=70%	ф-ла (5) [9]	0,02	0,09	0,33	1,12	2,79	4,98	9,04	23,09	77,63		
Учет затухания звука в атмосфере Aatm, дБ		ф-ла (8) [10]	0	0	0,1	0,2	0,6	1,1	2	5,1	17,3		
Снижение уровня звукового давления из-за влияния застройки между источником шума и расчетной точкой													
Снижение уровня звукового давления на пути над экраном, Dz1, дБ	z = 0.38м (разность путей)	ф-лы (14-18) [10]	6	7,6	10,1	12,8	15,6	18,5	21,4	24,4	27,3		
Снижение уровня звукового давления на пути слева от экрана, Dz2, дБ	z = 9.39м (разность путей)	ф-лы (14-18) [10]	17,1	21,5	25,6	29	32,2	35,2	38,2	41,2	44,2		
Снижение уровня звукового давления на пути справа от экрана, Dz3, дБ	z = 4.32м (разность путей)	ф-лы (14-18) [10]	14	18,2	22,2	25,7	28,8	31,8	34,8	37,9	40,9		
Общее снижение уровня звука препятствием Dz, дБ		Эн.сумма(-Dzi)	5,1	7,1	9,7	12,5	15,3	18,2	21,1	24,1	27,1		
Общее снижение уровня звука препятствием с учётом ограничения (25 дБ) для октавных полос Dz, дБ		Раздел 7.4 [10]	5,1	7,1	9,7	12,5	15,3	18,2	21,1	24,1	25		
Уровни звукового давления от источника ИШ-2-4 в расчётной точке днём, дБ		**ф-ла(3)[10]**	**45**	**41,9**	**39,3**	**33,3**	**31,1**	**31,8**	**22,9**	**10,9**	**0**	**34,7**	**34,7**
Источник шума: ИШ-2-30, координаты источника (x,y,z), м =[702.44,-77.23,1.00]													
Уровни звуковой мощности источника днём, Lw, дБ		**исходные данные**	**0**	**93,3**	**94,7**	**96**	**96,3**	**95,9**	**92,6**	**88,4**	**83,9**		
Поправка на телесный угол DΩ, дБ	Ω = 6.28	10Lg(4π/Ω)	**3**	3	3	3	3	3	3	3	3		
Показатель направленности источника Di, дБ		исходные данные	**0**	0	0	0	0	0	0	0	0		
Поправка на направленность источника Dc, дБ	Dc	DΩ + Di	**3**	3	3	3	3	3	3	3	3		
Затухание из-за геометрической дивергенции, Adiv, дБ	расстояние = 291.78 м	ф-ла (7) [10]	**60,3**										
Коэффициент затухания звука в атмосфере α, дБ/км	Ta=20,°C Pa=101.33,кПа hотн.=70%	ф-ла (5) [9]	0,02	0,09	0,33	1,12	2,79	4,98	9,04	23,09	77,63		

1		2	3	4	5	6	7	8	9	10	11	12	13
Учет затухания звука в атмосфере Aatm, дБ		ф-ла (8) [10]	0	0	0,1	0,3	0,8	1,5	2,6	6,7	22,7		
Снижение уровня звукового давления из-за влияния застройки между источником шума и расчетной точкой													
Снижение уровня звукового давления на пути над экраном, Dz1, дБ	z = 0.34м (разность путей)	ф-лы (14-18) [10]	5,4	6,4	8,2	10,4	12,8	15,5	18,4	21,3	24,2		
Снижение уровня звукового давления на пути слева от экрана, Dz2, дБ	z = 9.56м (разность путей)	ф-лы (14-18) [10]	17,2	21,6	25,6	29,1	32,2	35,3	38,3	41,3	44,3		
Снижение уровня звукового давления на пути справа от экрана, Dz3, дБ	z = 0.65м (разность путей)	ф-лы (14-18) [10]	8	11	14,4	17,6	20,7	23,7	26,7	29,7	32,7		
Общее снижение уровня звука препятствием Dz, дБ		Эн.сумма(-Dzi)	3,3	5	7,2	9,6	12,1	14,9	17,7	20,7	23,6		
Уровни звукового давления прямого звука от источника ИШ-2-30 в расчётной точке днём, дБ		**ф-ла(3)[10]**	**0**	**30,9**	**30,1**	**28,8**	**26**	**22,3**	**14,9**	**3,7**	**0**	**27,3**	**27,3**
Расчёт отражённого звука													
Уровни звукового давления от мнимого источника ИШ-2-30_мн.(1) в расчётной точке днём, дБ		**ф-ла(3)[10]**	**0**	**0**	**0**	**0**	**0**	**0**	**0**	**0**	**0**	**0**	**0**
Уровни звукового давления от мнимого источника ИШ-2-30_мн.(2) в расчётной точке днём, дБ		**ф-ла(3)[10]**	**0**	**0**	**0**	**0**	**0**	**0**	**0**	**0**	**0**	**0**	**0**
Суммарные уровни звукового давления от мнимых источников в расчётной точке днём, дБ		**ф-ла (19) [1]**	**0**	**0**	**0**	**0**	**0**	**0**	**0**	**0**	**0**	**0**	**0**
Уровни звукового давления от источника ИШ-2-30 в расчётной точке днём, дБ		**ф-ла(3)[10]**	**0**	**30,9**	**30,1**	**28,8**	**26**	**22,3**	**14,9**	**3,7**	**0**	**27,3**	**27,3**
Источник шума: ИШ-2-31, координаты источника (x,y,z), м =[701.42,-80.17,1.00]													
Уровни звуковой мощности источника днём, Lw, дБ		**исходные данные**	**0**	**93,3**	**94,7**	**96**	**96,3**	**95,9**	**92,6**	**88,4**	**83,9**		
Поправка на телесный угол DΩ, дБ	Ω = 6.28	10Lg(4π/Ω)	**3**	3	3	3	3	3	3	3	3		
Показатель направленности источника Di, дБ		исходные данные	**0**	0	0	0	0	0	0	0	0		
Поправка на направленность источника Dc, дБ	Dc	DΩ + Di	**3**	3	3	3	3	3	3	3	3		

1		2	3	4	5	6	7	8	9	10	11	12	13
Затухание из-за геометрической дивергенции, Adiv, дБ	расстояние = 291.82 м	ф-ла (7) [10]	**60,3**										
Коэффициент затухания звука в атмосфере α, дБ/км	Ta=20,°C Pa=101.33,кПа hотн.=70%	ф-ла (5) [9]	0,02	0,09	0,33	1,12	2,79	4,98	9,04	23,09	77,63		
Учет затухания звука в атмосфере Aatm, дБ		ф-ла (8) [10]	0	0	0,1	0,3	0,8	1,5	2,6	6,7	22,7		
Снижение уровня звукового давления из-за влияния застройки между источником шума и расчетной точкой													
Снижение уровня звукового давления на пути над экраном, Dz1, дБ	z = 0.34м (разность путей)	ф-лы (14-18) [10]	5,4	6,4	8,2	10,4	12,8	15,5	18,4	21,3	24,2		
Снижение уровня звукового давления на пути слева от экрана, Dz2, дБ	z = 8.69м (разность путей)	ф-лы (14-18) [10]	16,8	21,2	25,2	28,7	31,8	34,9	37,9	40,9	43,9		
Снижение уровня звукового давления на пути справа от экрана, Dz3, дБ	z = 0.92м (разность путей)	ф-лы (14-18) [10]	8,9	12,2	15,8	19,1	22,1	25,1	28,1	31,1	34,1		
Общее снижение уровня звука препятствием Dz, дБ		Эн.сумма(-Dzi)	3,6	5,3	7,4	9,8	12,3	15	17,9	20,8	23,8		
Уровни звукового давления прямого звука от источника ИШ-2-31 в расчётной точке днём, дБ		**ф-ла(3)[10]**	**0**	**30,7**	**29,9**	**28,6**	**25,9**	**22,1**	**14,8**	**3,5**	**0**	**27,1**	**27,1**
Расчёт отражённого звука													
Уровни звукового давления от мнимого источника ИШ-2-31_мн.(1) в расчётной точке днём, дБ		**ф-ла(3)[10]**	**0**	**0**	**0**	**0**	**0**	**0**	**0**	**0**	**0**	**0**	**0**
Уровни звукового давления от мнимого источника ИШ-2-31_мн.(2) в расчётной точке днём, дБ		**ф-ла(3)[10]**	**0**	**0**	**0**	**0**	**0**	**0**	**0**	**0**	**0**	**0**	**0**
Суммарные уровни звукового давления от мнимых источников в расчётной точке днём, дБ		**ф-ла (19) [1]**	**0**	**0**	**0**	**0**	**0**	**0**	**0**	**0**	**0**	**0**	**0**
Уровни звукового давления от источника ИШ-2-31 в расчётной точке днём, дБ		**ф-ла(3)[10]**	**0**	**30,7**	**29,9**	**28,6**	**25,9**	**22,1**	**14,8**	**3,5**	**0**	**27,1**	**27,1**
Источник шума: ИШ-2-32, координаты источника (x,y,z), м =[700.38,-83.01,1.00]													
Уровни звуковой мощности источника днём, Lw, дБ		**исходные данные**	**0**	**93,3**	**94,7**	**96**	**96,3**	**95,9**	**92,6**	**88,4**	**83,9**		

1		2	3	4	5	6	7	8	9	10	11	12	13
Поправка на телесный угол DΩ, дБ	Ω = 6.28	10Lg(4π/Ω)	**3**	3	3	3	3	3	3	3	3		
Показатель направленности источника Di, дБ		исходные данные	**0**	0	0	0	0	0	0	0	0		
Поправка на направленность источника Dc, дБ	Dc	DΩ + Di	**3**	3	3	3	3	3	3	3	3		
Затухание из-за геометрической дивергенции, Adiv, дБ	расстояние = 291.83 м	ф-ла (7) [10]	**60,3**										
Коэффициент затухания звука в атмосфере α, дБ/км	Ta=20,°C Pa=101.33,кПа hотн.=70%	ф-ла (5) [9]	0,02	0,09	0,33	1,12	2,79	4,98	9,04	23,09	77,63		
Учет затухания звука в атмосфере Aatm, дБ		ф-ла (8) [10]	0	0	0,1	0,3	0,8	1,5	2,6	6,7	22,7		
Снижение уровня звукового давления из-за влияния застройки между источником шума и расчетной точкой													
Снижение уровня звукового давления на пути над экраном, Dz1, дБ	z = 0.34м (разность путей)	ф-лы (14-18) [10]	5,4	6,4	8,2	10,4	12,8	15,5	18,4	21,3	24,2		
Снижение уровня звукового давления на пути слева от экрана, Dz2, дБ	z = 7.88м (разность путей)	ф-лы (14-18) [10]	16,4	20,8	24,8	28,3	31,4	34,4	37,5	40,5	43,5		
Снижение уровня звукового давления на пути справа от экрана, Dz3, дБ	z = 1.22м (разность путей)	ф-лы (14-18) [10]	9,7	13,2	16,9	20,3	23,3	26,4	29,4	32,4	35,4		
Общее снижение уровня звука препятствием Dz, дБ		Эн.сумма(-Dzi)	3,8	5,5	7,5	9,9	12,4	15,1	18	20,9	23,9		
Уровни звукового давления прямого звука от источника ИШ-2-32 в расчётной точке днём, дБ		**ф-ла(3)[10]**	**0**	**30,5**	**29,8**	**28,5**	**25,8**	**22**	**14,7**	**3,4**	**0**	**27**	**27**
Расчёт отражённого звука													
Уровни звукового давления от мнимого источника ИШ-2-32_мн.(1) в расчётной точке днём, дБ		**ф-ла(3)[10]**	**0**	**0**	**0**	**0**	**0**	**0**	**0**	**0**	**0**	**0**	**0**
Уровни звукового давления от мнимого источника ИШ-2-32_мн.(2) в расчётной точке днём, дБ		**ф-ла(3)[10]**	**0**	**0**	**0**	**0**	**0**	**0**	**0**	**0**	**0**	**0**	**0**
Суммарные уровни звукового давления от мнимых источников в расчётной точке днём, дБ		**ф-ла (19) [1]**	**0**	**0**	**0**	**0**	**0**	**0**	**0**	**0**	**0**	**0**	**0**
Уровни звукового давления от источника ИШ-2-32 в расчётной точке днём, дБ		**ф-ла(3)[10]**	**0**	**30,5**	**29,8**	**28,5**	**25,8**	**22**	**14,7**	**3,4**	**0**	**27**	**27**

1		2	3	4	5	6	7	8	9	10	11	12	13
Источник шума: ИШ-2-33, координаты источника (x,y,z), м =[699.52,-85.98,1.00]													
Уровни звуковой мощности источника днём, Lw, дБ		**исходные данные**	**0**	**93,3**	**94,7**	**96**	**96,3**	**95,9**	**92,6**	**88,4**	**83,9**		
Поправка на телесный угол DΩ, дБ	Ω = 6.28	10Lg(4π/Ω)	**3**	3	3	3	3	3	3	3	3		
Показатель направленности источника Di, дБ		исходные данные	**0**	0	0	0	0	0	0	0	0		
Поправка на направленность источника Dc, дБ	Dc	DΩ + Di	**3**	3	3	3	3	3	3	3	3		
Затухание из-за геометрической дивергенции, Adiv, дБ	расстояние = 292.09 м	ф-ла (7) [10]	**60,3**										
Коэффициент затухания звука в атмосфере α, дБ/км	Ta=20,°C Pa=101.33,кПа hотн.=70%	ф-ла (5) [9]	0,02	0,09	0,33	1,12	2,79	4,98	9,04	23,09	77,63		
Учет затухания звука в атмосфере Aatm, дБ		ф-ла (8) [10]	0	0	0,1	0,3	0,8	1,5	2,6	6,7	22,7		
Снижение уровня звукового давления из-за влияния застройки между источником шума и расчетной точкой													
Снижение уровня звукового давления на пути над экраном, Dz1, дБ	z = 0.34м (разность путей)	ф-лы (14-18) [10]	5,4	6,4	8,2	10,4	12,8	15,5	18,4	21,3	24,2		
Снижение уровня звукового давления на пути слева от экрана, Dz2, дБ	z = 7.09м (разность путей)	ф-лы (14-18) [10]	16	20,3	24,4	27,8	30,9	34	37	40	43		
Снижение уровня звукового давления на пути справа от экрана, Dz3, дБ	z = 1.57м (разность путей)	ф-лы (14-18) [10]	10,5	14,2	18	21,3	24,4	27,4	30,4	33,5	36,5		
Общее снижение уровня звука препятствием Dz, дБ		Эн.сумма(-Dzi)	3,9	5,6	7,6	10	12,5	15,2	18	21	23,9		
Уровни звукового давления прямого звука от источника ИШ-2-33 в расчётной точке днём, дБ		**ф-ла(3)[10]**	**0**	**30,4**	**29,7**	**28,4**	**25,7**	**21,9**	**14,6**	**3,4**	**0**	**26,9**	**26,9**
Расчёт отражённого звука													
Уровни звукового давления от мнимого источника ИШ-2-33_мн.(1) в расчётной точке днём, дБ		**ф-ла(3)[10]**	**0**	**0**	**0**	**0**	**0**	**0**	**0**	**0**	**0**	**0**	**0**

1		2	3	4	5	6	7	8	9	10	11	12	13
Уровни звукового давления от мнимого источника ИШ-2-33_мн.(2) в расчётной точке днём, дБ		**ф-ла(3)[10]**	**0**	**0**	**0**	**0**	**0**	**0**	**0**	**0**	**0**	**0**	**0**
Суммарные уровни звукового давления от мнимых источников в расчётной точке днём, дБ		**ф-ла (19) [1]**	**0**	**0**	**0**	**0**	**0**	**0**	**0**	**0**	**0**	**0**	**0**
Уровни звукового давления от источника ИШ-2-33 в расчётной точке днём, дБ		**ф-ла(3)[10]**	**0**	**30,4**	**29,7**	**28,4**	**25,7**	**21,9**	**14,6**	**3,4**	**0**	**26,9**	**26,9**
Источник шума: ИШ-2-34, координаты источника (x,y,z), м =[698.43,-88.85,1.00]													
Уровни звуковой мощности источника днём, Lw, дБ		**исходные данные**	**0**	**93,3**	**94,7**	**96**	**96,3**	**95,9**	**92,6**	**88,4**	**83,9**		
Поправка на телесный угол DΩ, дБ	Ω = 6.28	10Lg(4π/Ω)	**3**	3	3	3	3	3	3	3	3		
Показатель направленности источника Di, дБ		исходные данные	**0**	0	0	0	0	0	0	0	0		
Поправка на направленность источника Dc, дБ	Dc	DΩ + Di	**3**	3	3	3	3	3	3	3	3		
Затухание из-за геометрической дивергенции, Adiv, дБ	расстояние = 292.13 м	ф-ла (7) [10]	**60,3**										
Коэффициент затухания звука в атмосфере α, дБ/км	Та=20,°С Ра=101.33,кПа hотн.=70%	ф-ла (5) [9]	0,02	0,09	0,33	1,12	2,79	4,98	9,04	23,09	77,63		
Учет затухания звука в атмосфере Aatm, дБ		ф-ла (8) [10]	0	0	0,1	0,3	0,8	1,5	2,6	6,7	22,7		
Снижение уровня звукового давления из-за влияния застройки между источником шума и расчетной точкой													
Снижение уровня звукового давления на пути над экраном, Dz1, дБ	z = 0.34м (разность путей)	ф-лы (14-18) [10]	5,4	6,4	8,2	10,4	12,8	15,5	18,4	21,3	24,2		
Снижение уровня звукового давления на пути слева от экрана, Dz2, дБ	z = 6.36м (разность путей)	ф-лы (14-18) [10]	15,5	19,9	23,9	27,3	30,5	33,5	36,5	39,5	42,5		
Снижение уровня звукового давления на пути справа от экрана, Dz3, дБ	z = 1.96м (разность путей)	ф-лы (14-18) [10]	11,2	15	18,9	22,3	25,4	28,4	31,4	34,4	37,4		
Общее снижение уровня звука препятствием Dz, дБ		Эн.сумма(-Dzi)	4,1	5,7	7,7	10	12,5	15,2	18,1	21	24		

1		2	3	4	5	6	7	8	9	10	11	12	13
Уровни звукового давления от источника ИШ-2-34 в расчётной точке днём, дБ		**ф-ла(3)[10]**	**0**	**30,3**	**29,6**	**28,3**	**25,6**	**21,9**	**14,6**	**3,3**	**0**	**26,9**	**26,9**
Источник шума: ИШ-2-35, координаты источника (x,y,z), м =[697.52,-91.66,1.00]													
Уровни звуковой мощности источника днём, Lw, дБ		**исходные данные**	**0**	**93,3**	**94,7**	**96**	**96,3**	**95,9**	**92,6**	**88,4**	**83,9**		
Поправка на телесный угол DΩ, дБ	Ω = 6.28	10Lg(4π/Ω)	**3**	3	3	3	3	3	3	3	3		
Показатель направленности источника Di, дБ		исходные данные	**0**	0	0	0	0	0	0	0	0		
Поправка на направленность источника Dc, дБ	Dc	DΩ + Di	**3**	3	3	3	3	3	3	3	3		
Затухание из-за геометрической дивергенции, Adiv, дБ	расстояние = 292.34 м	ф-ла (7) [10]	**60,3**										
Коэффициент затухания звука в атмосфере α, дБ/км	Ta=20,°C Pa=101.33,кПа hотн.=70%	ф-ла (5) [9]	0,02	0,09	0,33	1,12	2,79	4,98	9,04	23,09	77,63		
Учет затухания звука в атмосфере Aatm, дБ		ф-ла (8) [10]	0	0	0,1	0,3	0,8	1,5	2,6	6,7	22,7		
Снижение уровня звукового давления из-за влияния застройки между источником шума и расчетной точкой													
Снижение уровня звукового давления на пути над экраном, Dz1, дБ	z = 0.33м (разность путей)	ф-лы (14-18) [10]	5,4	6,4	8,1	10,3	12,8	15,5	18,3	21,3	24,2		
Снижение уровня звукового давления на пути слева от экрана, Dz2, дБ	z = 5.69м (разность путей)	ф-лы (14-18) [10]	15,1	19,4	23,4	26,9	30	33	36	39	42,1		
Снижение уровня звукового давления на пути справа от экрана, Dz3, дБ	z = 2.38м (разность путей)	ф-лы (14-18) [10]	11,8	15,8	19,7	23,1	26,2	29,2	32,3	35,3	38,3		
Общее снижение уровня звука препятствием Dz, дБ		Эн.сумма(-Dzi)	4,2	5,7	7,7	10	12,5	15,3	18,1	21	24		
Уровни звукового давления от источника ИШ-2-35 в расчётной точке днём, дБ		**ф-ла(3)[10]**	**0**	**30,2**	**29,5**	**28,3**	**25,6**	**21,9**	**14,5**	**3,3**	**0**	**26,9**	**26,9**
Источник шума: ИШ-2-36, координаты источника (x,y,z), м =[696.58,-94.55,1.00]													

1		2	3	4	5	6	7	8	9	10	11	12	13
Уровни звуковой мощности источника днём, Lw, дБ		**исходные данные**	**0**	**93,3**	**94,7**	**96**	**96,3**	**95,9**	**92,6**	**88,4**	**83,9**		
Поправка на телесный угол DΩ, дБ	Ω = 6.28	10Lg(4π/Ω)	**3**	3	3	3	3	3	3	3	3		
Показатель направленности источника Di, дБ		исходные данные	**0**	0	0	0	0	0	0	0	0		
Поправка на направленность источника Dc, дБ	Dc	DΩ + Di	**3**	3	3	3	3	3	3	3	3		
Затухание из-за геометрической дивергенции, Adiv, дБ	расстояние = 292.59 м	ф-ла (7) [10]	**60,3**										
Коэффициент затухания звука в атмосфере α, дБ/км	Ta=20,°C Pa=101.33,кПа hотн.=70%	ф-ла (5) [9]	0,02	0,09	0,33	1,12	2,79	4,98	9,04	23,09	77,63		
Учет затухания звука в атмосфере Aatm, дБ		ф-ла (8) [10]	0	0	0,1	0,3	0,8	1,5	2,6	6,8	22,7		
Снижение уровня звукового давления из-за влияния застройки между источником шума и расчетной точкой													
Снижение уровня звукового давления на пути над экраном, Dz1, дБ	z = 0.33м (разность путей)	ф-лы (14-18) [10]	5,4	6,4	8,1	10,3	12,8	15,5	18,3	21,2	24,2		
Снижение уровня звукового давления на пути слева от экрана, Dz2, дБ	z = 5.04м (разность путей)	ф-лы (14-18) [10]	14,6	18,9	22,9	26,3	29,5	32,5	35,5	38,5	41,5		
Снижение уровня звукового давления на пути справа от экрана, Dz3, дБ	z = 2.85м (разность путей)	ф-лы (14-18) [10]	12,5	16,5	20,5	23,9	27	30	33	36,1	39,1		
Общее снижение уровня звука препятствием Dz, дБ		Эн.сумма(-Dzi)	4,2	5,8	7,8	10	12,6	15,3	18,1	21	24		
Уровни звукового давления от источника ИШ-2-36 в расчётной точке днём, дБ		**ф-ла(3)[10]**	**0**	**30,2**	**29,5**	**28,3**	**25,6**	**21,8**	**14,5**	**3,3**	**0**	**26,8**	**26,8**
Источник шума: ИШ-2-37, координаты источника (x,y,z), м =[695.57,-97.37,1.00]													
Уровни звуковой мощности источника днём, Lw, дБ		**исходные данные**	**0**	**93,3**	**94,7**	**96**	**96,3**	**95,9**	**92,6**	**88,4**	**83,9**		
Поправка на телесный угол DΩ, дБ	Ω = 6.28	10Lg(4π/Ω)	**3**	3	3	3	3	3	3	3	3		

1		2	3	4	5	6	7	8	9	10	11	12	13
Показатель направленности источника Di, дБ		исходные данные	**0**	0	0	0	0	0	0	0	0		
Поправка на направленность источника Dc, дБ	Dc	DΩ + Di	**3**	3	3	3	3	3	3	3	3		
Затухание из-за геометрической дивергенции, Adiv, дБ	расстояние = 292.78 м	ф-ла (7) [10]	**60,3**										
Коэффициент затухания звука в атмосфере α, дБ/км	Ta=20,°C Pa=101.33,кПа hотн.=70%	ф-ла (5) [9]	0,02	0,09	0,33	1,12	2,79	4,98	9,04	23,09	77,63		
Учет затухания звука в атмосфере Aatm, дБ		ф-ла (8) [10]	0	0	0,1	0,3	0,8	1,5	2,6	6,8	22,7		
Снижение уровня звукового давления из-за влияния застройки между источником шума и расчетной точкой													
Снижение уровня звукового давления на пути над экраном, Dz1, дБ	z = 0.33м (разность путей)	ф-лы (14-18) [10]	5,4	6,4	8,1	10,3	12,8	15,5	18,3	21,2	24,2		
Снижение уровня звукового давления на пути слева от экрана, Dz2, дБ	z = 4.45м (разность путей)	ф-лы (14-18) [10]	14,1	18,4	22,4	25,8	28,9	32	35	38	41		
Снижение уровня звукового давления на пути справа от экрана, Dz3, дБ	z = 3.36м (разность путей)	ф-лы (14-18) [10]	13,1	17,2	21,2	24,6	27,7	30,7	33,7	36,8	39,8		
Общее снижение уровня звука препятствием Dz, дБ		Эн.сумма(-Dzi)	4,3	5,8	7,8	10,1	12,6	15,3	18,1	21	24		
Уровни звукового давления от источника ИШ-2-37 в расчётной точке днём, дБ		**ф-ла(3)[10]**	**0**	**30,1**	**29,5**	**28,3**	**25,6**	**21,8**	**14,5**	**3,3**	**0**	**26,8**	**26,8**
Источник шума: ИШ-2-5, координаты источника (x,y,z), м =[618.60,-108.00,3.00]													
Уровни звуковой мощности источника днём, Lw, дБ		**исходные данные**	**105**	**104**	**104**	**101**	**102**	**106**	**101**	**95**	**87**		
Поправка на телесный угол DΩ, дБ	Ω = 6.28	10Lg(4π/Ω)	**3**	3	3	3	3	3	3	3	3		
Показатель направленности источника Di, дБ		исходные данные	**0**	0	0	0	0	0	0	0	0		
Поправка на направленность источника Dc, дБ	Dc	DΩ + Di	**3**	3	3	3	3	3	3	3	3		

1		2	3	4	5	6	7	8	9	10	11	12	13
Затухание из-за геометрической дивергенции, Adiv, дБ	расстояние = 230.12 м	ф-ла (7) [10]	**58,2**										
Коэффициент затухания звука в атмосфере α, дБ/км	Ta=20,°C Pa=101.33,кПа hотн.=70%	ф-ла (5) [9]	0,02	0,09	0,33	1,12	2,79	4,98	9,04	23,09	77,63		
Учет затухания звука в атмосфере Aatm, дБ		ф-ла (8) [10]	0	0	0,1	0,3	0,6	1,1	2,1	5,3	17,9		
Снижение уровня звукового давления из-за влияния застройки между источником шума и расчетной точкой													
Снижение уровня звукового давления на пути над экраном, Dz1, дБ	z = 0.19м (разность путей)	ф-лы (14-18) [10]	5	5,3	5,8	6,8	9	12,2	15,5	18,6	21,6		
Снижение уровня звукового давления на пути слева от экрана, Dz2, дБ	z = 0.01м (разность путей)	ф-лы (14-18) [10]	4,8	4,9	5	5,2	5,5	6,2	7,2	8,8	10,9		
Снижение уровня звукового давления на пути справа от экрана, Dz3, дБ	z = 25.86м (разность путей)	ф-лы (14-18) [10]	21,4	25,8	29,9	33,4	36,6	39,6	42,6	45,6	48,6		
Общее снижение уровня звука препятствием Dz, дБ		Эн.сумма(-Dzi)	1,9	2	2,3	2,9	3,9	5,2	6,6	8,4	10,5		
Уровни звукового давления прямого звука от источника ИШ-2-5 в расчётной точке днём, дБ		**ф-ла(3)[10]**	**47,9**	**46,7**	**46,4**	**42,6**	**42,2**	**44,4**	**37**	**26,1**	**3,4**	**46,7**	**46,7**
Расчёт отражённого звука													
Уровни звукового давления от мнимого источника ИШ-2-5_мн.(1) в расчётной точке днём, дБ		**ф-ла(3)[10]**	**0**	**0**	**0**	**0**	**0**	**17,8**	**11,2**	**0**	**0**	**18,9**	**18,9**
Уровни звукового давления от источника ИШ-2-5 в расчётной точке днём, дБ		**ф-ла(3)[10]**	**47,9**	**46,7**	**46,4**	**42,6**	**42,2**	**44,4**	**37,1**	**26,1**	**3,4**	**46,7**	**46,7**
Источник шума: ИШ-2-38, координаты источника (x,y,z), м =[688.13,-119.94,1.00]													
Уровни звуковой мощности источника днём, Lw, дБ		**исходные данные**	**0**	**93,3**	**94,7**	**96**	**96,3**	**95,9**	**92,6**	**88,4**	**83,9**		
Поправка на телесный угол DΩ, дБ	Ω = 6.28	10Lg(4π/Ω)	**3**	3	3	3	3	3	3	3	3		
Показатель направленности источника Di, дБ		исходные данные	**0**	0	0	0	0	0	0	0	0		

1		2	3	4	5	6	7	8	9	10	11	12	13
Поправка на направленность источника Dc, дБ	Dc	DΩ + Di	**3**	3	3	3	3	3	3	3	3		
Затухание из-за геометрической дивергенции, Adiv, дБ	расстояние = 295.95 м	ф-ла (7) [10]	**60,4**										
Коэффициент затухания звука в атмосфере α, дБ/км	Ta=20,°C Pa=101.33,кПа hотн.=70%	ф-ла (5) [9]	0,02	0,09	0,33	1,12	2,79	4,98	9,04	23,09	77,63		
Учет затухания звука в атмосфере Aatm, дБ		ф-ла (8) [10]	0	0	0,1	0,3	0,8	1,5	2,7	6,8	23		
Снижение уровня звукового давления из-за влияния застройки между источником шума и расчетной точкой													
Снижение уровня звукового давления на пути над экраном, Dz1, дБ	z = 0.33м (разность путей)	ф-лы (14-18) [10]	5,4	6,3	8	10,2	12,7	15,3	18,2	21,1	24		
Снижение уровня звукового давления на пути слева от экрана, Dz2, дБ	z = 1.30м (разность путей)	ф-лы (14-18) [10]	8,9	11	13,4	16,1	19	21,9	24,9	27,9	30,9		
Снижение уровня звукового давления на пути справа от экрана, Dz3, дБ	z = 8.55м (разность путей)	ф-лы (14-18) [10]	16,7	21,1	25,2	28,6	31,7	34,8	37,8	40,8	43,8		
Общее снижение уровня звука препятствием Dz, дБ		Эн.сумма(-Dzi)	3,6	5	6,9	9,2	11,7	14,4	17,3	20,2	23,2		
Уровни звукового давления прямого звука от источника ИШ-2-38 в расчётной точке днём, дБ		**ф-ла(3)[10]**	**0**	**30,9**	**30,3**	**29,1**	**26,3**	**22,6**	**15,2**	**3,9**	**0**	**27,6**	**27,6**
Расчёт отражённого звука													
Уровни звукового давления от мнимого источника ИШ-2-38_мн.(1) в расчётной точке днём, дБ		**ф-ла(3)[10]**	**0**	**0**	**0**	**0**	**0**	**0**	**0**	**0**	**0**	**0**	**0**
Уровни звукового давления от источника ИШ-2-38 в расчётной точке днём, дБ		**ф-ла(3)[10]**	**0**	**30,9**	**30,3**	**29,1**	**26,3**	**22,6**	**15,2**	**3,9**	**0**	**27,6**	**27,6**
Источник шума: ИШ-2-39, координаты источника (x,y,z), м =[687.11,-122.83,1.00]													
Уровни звуковой мощности источника днём, Lw, дБ		**исходные данные**	**0**	**93,3**	**94,7**	**96**	**96,3**	**95,9**	**92,6**	**88,4**	**83,9**		
Поправка на телесный угол DΩ, дБ	Ω = 6.28	10Lg(4π/Ω)	**3**	3	3	3	3	3	3	3	3		

1		2	3	4	5	6	7	8	9	10	11	12	13
Показатель направленности источника Di, дБ		исходные данные	**0**	0	0	0	0	0	0	0	0		
Поправка на направленность источника Dc, дБ	Dc	DΩ + Di	**3**	3	3	3	3	3	3	3	3		
Затухание из-за геометрической дивергенции, Adiv, дБ	расстояние = 296.44 м	ф-ла (7) [10]	**60,4**										
Коэффициент затухания звука в атмосфере α, дБ/км	Ta=20,°C Pa=101.33,кПа hотн.=70%	ф-ла (5) [9]	0,02	0,09	0,33	1,12	2,79	4,98	9,04	23,09	77,63		
Учет затухания звука в атмосфере Aatm, дБ		ф-ла (8) [10]	0	0	0,1	0,3	0,8	1,5	2,7	6,8	23		
Снижение уровня звукового давления из-за влияния застройки между источником шума и расчетной точкой													
Снижение уровня звукового давления на пути над экраном, Dz1, дБ	z = 0.33м (разность путей)	ф-лы (14-18) [10]	5,4	6,3	8	10,2	12,6	15,3	18,1	21	24		
Снижение уровня звукового давления на пути слева от экрана, Dz2, дБ	z = 1.06м (разность путей)	ф-лы (14-18) [10]	8,4	10,3	12,7	15,3	18,1	21,1	24	27	30		
Снижение уровня звукового давления на пути справа от экрана, Dz3, дБ	z = 9.36м (разность путей)	ф-лы (14-18) [10]	17,1	21,5	25,6	29	32,1	35,2	38,2	41,2	44,2		
Общее снижение уровня звука препятствием Dz, дБ		Эн.сумма(-Dzi)	3,4	4,8	6,7	9	11,5	14,2	17,1	20	23		
Уровни звукового давления прямого звука от источника ИШ-2-39 в расчётной точке днём, дБ		**ф-ла(3)[10]**	**0**	**31**	**30,5**	**29,2**	**26,5**	**22,7**	**15,4**	**4,1**	**0**	**27,8**	**27,8**
Расчёт отражённого звука													
Уровни звукового давления от мнимого источника ИШ-2-39_мн.(1) в расчётной точке днём, дБ		**ф-ла(3)[10]**	**0**	**0**	**0**	**0**	**0**	**0**	**0**	**0**	**0**	**0**	**0**
Уровни звукового давления от источника ИШ-2-39 в расчётной точке днём, дБ		**ф-ла(3)[10]**	**0**	**31**	**30,5**	**29,2**	**26,5**	**22,7**	**15,4**	**4,1**	**0**	**27,8**	**27,8**
Источник шума: ИШ-2-40, координаты источника (x,y,z), м =[686.10,-125.67,1.00]													
Уровни звуковой мощности источника днём, Lw, дБ		**исходные данные**	**0**	**93,3**	**94,7**	**96**	**96,3**	**95,9**	**92,6**	**88,4**	**83,9**		

1		2	3	4	5	6	7	8	9	10	11	12	13
Поправка на телесный угол DΩ, дБ	Ω = 6.28	10Lg(4π/Ω)	**3**	3	3	3	3	3	3	3	3		
Показатель направленности источника Di, дБ		исходные данные	**0**	0	0	0	0	0	0	0	0		
Поправка на направленность источника Dc, дБ	Dc	DΩ + Di	**3**	3	3	3	3	3	3	3	3		
Затухание из-за геометрической дивергенции, Adiv, дБ	расстояние = 296.93 м	ф-ла (7) [10]	**60,5**										
Коэффициент затухания звука в атмосфере α, дБ/км	Ta=20,°C Pa=101.33,кПа hотн.=70%	ф-ла (5) [9]	0,02	0,09	0,33	1,12	2,79	4,98	9,04	23,09	77,63		
Учет затухания звука в атмосфере Aatm, дБ		ф-ла (8) [10]	0	0	0,1	0,3	0,8	1,5	2,7	6,9	23,1		
Снижение уровня звукового давления из-за влияния застройки между источником шума и расчетной точкой													
Снижение уровня звукового давления на пути над экраном, Dz1, дБ	z = 0.33м (разность путей)	ф-лы (14-18) [10]	5,4	6,3	8	10,2	12,6	15,3	18,1	21	24		
Снижение уровня звукового давления на пути слева от экрана, Dz2, дБ	z = 0.85м (разность путей)	ф-лы (14-18) [10]	7,9	9,7	11,9	14,4	17,2	20,1	23,1	26	29		
Снижение уровня звукового давления на пути справа от экрана, Dz3, дБ	z = 10.18м (разность путей)	ф-лы (14-18) [10]	17,4	21,9	25,9	29,4	32,5	35,5	38,6	41,6	44,6		
Общее снижение уровня звука препятствием Dz, дБ		Эн.сумма(-Dzi)	3,3	4,6	6,5	8,8	11,3	14	16,9	19,8	22,8		
Уровни звукового давления прямого звука от источника ИШ-2-40 в расчётной точке днём, дБ		**ф-ла(3)[10]**	**0**	**31,2**	**30,7**	**29,4**	**26,7**	**22,9**	**15,6**	**4,3**	**0**	**28**	**28**
Расчёт отражённого звука													
Уровни звукового давления от мнимого источника ИШ-2-40_мн.(1) в расчётной точке днём, дБ		**ф-ла(3)[10]**	**0**	**0**	**0**	**0**	**0**	**6**	**0,8**	**0**	**0**	**7,5**	**7,5**
Уровни звукового давления от мнимого источника ИШ-2-40_мн.(2) в расчётной точке днём, дБ		**ф-ла(3)[10]**	**0**	**0**	**0**	**0**	**0**	**0**	**0**	**0**	**0**	**0**	**0**
Суммарные уровни звукового давления от мнимых источников в расчётной точке днём, дБ		**ф-ла (19) [1]**	**0**	**0**	**0**	**0**	**0**	**6**	**0,8**	**0**	**0**	**0**	**7,5**
Уровни звукового давления от источника ИШ-2-40 в расчётной точке днём, дБ		**ф-ла(3)[10]**	**0**	**31,2**	**30,7**	**29,4**	**26,7**	**23**	**15,7**	**4,3**	**0**	**28**	**28**

1		2	3	4	5	6	7	8	9	10	11	12	13
Источник шума: ИШ-2-41, координаты источника (x,y,z), м =[685.14,-128.64,1.00]													
Уровни звуковой мощности источника днём, Lw, дБ		**исходные данные**	**0**	**93,3**	**94,7**	**96**	**96,3**	**95,9**	**92,6**	**88,4**	**83,9**		
Поправка на телесный угол DΩ, дБ	Ω = 6.28	10Lg(4π/Ω)	**3**	3	3	3	3	3	3	3	3		
Показатель направленности источника Di, дБ		исходные данные	**0**	0	0	0	0	0	0	0	0		
Поправка на направленность источника Dc, дБ	Dc	DΩ + Di	**3**	3	3	3	3	3	3	3	3		
Затухание из-за геометрической дивергенции, Adiv, дБ	расстояние = 297.57 м	ф-ла (7) [10]	**60,5**										
Коэффициент затухания звука в атмосфере α, дБ/км	Ta=20,°C Pa=101.33,кПа hотн.=70%	ф-ла (5) [9]	0,02	0,09	0,33	1,12	2,79	4,98	9,04	23,09	77,63		
Учет затухания звука в атмосфере Aatm, дБ		ф-ла (8) [10]	0	0	0,1	0,3	0,8	1,5	2,7	6,9	23,1		
Снижение уровня звукового давления из-за влияния застройки между источником шума и расчетной точкой													
Снижение уровня звукового давления на пути над экраном, Dz1, дБ	z = 0.33м (разность путей)	ф-лы (14-18) [10]	5,4	6,3	8	10,2	12,6	15,3	18,1	21	23,9		
Снижение уровня звукового давления на пути слева от экрана, Dz2, дБ	z = 0.65м (разность путей)	ф-лы (14-18) [10]	7,3	8,9	11	13,5	16,2	19	21,9	24,9	27,9		
Снижение уровня звукового давления на пути справа от экрана, Dz3, дБ	z = 11.05м (разность путей)	ф-лы (14-18) [10]	17,8	22,2	26,3	29,7	32,9	35,9	38,9	41,9	44,9		
Общее снижение уровня звука препятствием Dz, дБ		Эн.сумма(-Dzi)	3,1	4,4	6,2	8,5	11	13,7	16,6	19,5	22,5		
Уровни звукового давления прямого звука от источника ИШ-2-41 в расчётной точке днём, дБ		**ф-ла(3)[10]**	**0**	**31,4**	**30,9**	**29,7**	**27**	**23,2**	**15,9**	**4,6**	**0**	**28,3**	**28,3**
Расчёт отражённого звука													
Уровни звукового давления от мнимого источника ИШ-2-41_мн.(1) в расчётной точке днём, дБ		**ф-ла(3)[10]**	**0**	**0**	**0**	**0**	**0**	**6**	**0,8**	**0**	**0**	**7,5**	**7,5**

1		2	3	4	5	6	7	8	9	10	11	12	13
Уровни звукового давления от мнимого источника ИШ-2-41_мн.(2) в расчётной точке днём, дБ		**ф-ла(3)[10]**	**0**	**0**	**0**	**0**	**0**	**0**	**0**	**0**	**0**	**0**	**0**
Суммарные уровни звукового давления от мнимых источников в расчётной точке днём, дБ		**ф-ла (19) [1]**	**0**	**0**	**0**	**0**	**0**	**6**	**0,8**	**0**	**0**	**0**	**7,5**
Уровни звукового давления от источника ИШ-2-41 в расчётной точке днём, дБ		**ф-ла(3)[10]**	**0**	**31,4**	**30,9**	**29,7**	**27**	**23,3**	**16**	**4,6**	**0**	**28,3**	**28,3**
Источник шума: ИШ-2-42, координаты источника (x,y,z), м =[684.20,-131.46,1.00]													
Уровни звуковой мощности источника днём, Lw, дБ		**исходные данные**	**0**	**93,3**	**94,7**	**96**	**96,3**	**95,9**	**92,6**	**88,4**	**83,9**		
Поправка на телесный угол DΩ, дБ	Ω = 6.28	10Lg(4π/Ω)	**3**	3	3	3	3	3	3	3	3		
Показатель направленности источника Di, дБ		исходные данные	**0**	0	0	0	0	0	0	0	0		
Поправка на направленность источника Dc, дБ	Dc	DΩ + Di	**3**	3	3	3	3	3	3	3	3		
Затухание из-за геометрической дивергенции, Adiv, дБ	расстояние = 298.17 м	ф-ла (7) [10]	**60,5**										
Коэффициент затухания звука в атмосфере α, дБ/км	Ta=20,°C Pa=101.33,кПа hотн.=70%	ф-ла (5) [9]	0,02	0,09	0,33	1,12	2,79	4,98	9,04	23,09	77,63		
Учет затухания звука в атмосфере Aatm, дБ		ф-ла (8) [10]	0	0	0,1	0,3	0,8	1,5	2,7	6,9	23,1		
Снижение уровня звукового давления из-за влияния застройки между источником шума и расчетной точкой													
Снижение уровня звукового давления на пути над экраном, Dz1, дБ	z = 0.33м (разность путей)	ф-лы (14-18) [10]	5,4	6,3	8	10,1	12,6	15,2	18	21	23,9		
Снижение уровня звукового давления на пути слева от экрана, Dz2, дБ	z = 0.49м (разность путей)	ф-лы (14-18) [10]	6,8	8,2	10,1	12,4	15	17,9	20,8	23,7	26,7		
Снижение уровня звукового давления на пути справа от экрана, Dz3, дБ	z = 11.90м (разность путей)	ф-лы (14-18) [10]	18,1	22,5	26,6	30	33,2	36,2	39,2	42,3	45,3		
Общее снижение уровня звука препятствием Dz, дБ		Эн.сумма(-Dzi)	2,9	4,1	5,9	8,1	10,6	13,3	16,2	19,1	22,1		

1		2	3	4	5	6	7	8	9	10	11	12	13
Уровни звукового давления прямого звука от источника ИШ-2-42 в расчётной точке днём, дБ		**ф-ла(3)[10]**	**0**	**31,7**	**31,2**	**30,1**	**27,4**	**23,6**	**16,2**	**4,9**	**0**	**28,6**	**28,6**
Расчёт отражённого звука													
Уровни звукового давления от мнимого источника ИШ-2-42_мн.(1) в расчётной точке днём, дБ		**ф-ла(3)[10]**	**0**	**0**	**0**	**0**	**0**	**6**	**0,8**	**0**	**0**	**7,4**	**7,4**
Уровни звукового давления от мнимого источника ИШ-2-42_мн.(2) в расчётной точке днём, дБ		**ф-ла(3)[10]**	**0**	**0**	**0**	**0**	**0**	**0**	**0**	**0**	**0**	**0**	**0**
Суммарные уровни звукового давления от мнимых источников в расчётной точке днём, дБ		**ф-ла (19) [1]**	**0**	**0**	**0**	**0**	**0**	**6**	**0,8**	**0**	**0**	**0**	**7,4**
Уровни звукового давления от источника ИШ-2-42 в расчётной точке днём, дБ		**ф-ла(3)[10]**	**0**	**31,7**	**31,2**	**30,1**	**27,4**	**23,7**	**16,4**	**4,9**	**0**	**28,6**	**28,6**
Источник шума: ИШ-2-43, координаты источника (x,y,z), м =[683.13,-134.37,1.00]													
Уровни звуковой мощности источника днём, Lw, дБ		**исходные данные**	**0**	**93,3**	**94,7**	**96**	**96,3**	**95,9**	**92,6**	**88,4**	**83,9**		
Поправка на телесный угол DΩ, дБ	Ω = 6.28	10Lg(4π/Ω)	**3**	3	3	3	3	3	3	3	3		
Показатель направленности источника Di, дБ		исходные данные	**0**	0	0	0	0	0	0	0	0		
Поправка на направленность источника Dc, дБ	Dc	DΩ + Di	**3**	3	3	3	3	3	3	3	3		
Затухание из-за геометрической дивергенции, Adiv, дБ	расстояние = 298.75 м	ф-ла (7) [10]	**60,5**										
Коэффициент затухания звука в атмосфере α, дБ/км	Ta=20,°C Pa=101.33,кПа hотн.=70%	ф-ла (5) [9]	0,02	0,09	0,33	1,12	2,79	4,98	9,04	23,09	77,63		
Учет затухания звука в атмосфере Aatm, дБ		ф-ла (8) [10]	0	0	0,1	0,3	0,8	1,5	2,7	6,9	23,2		
Снижение уровня звукового давления из-за влияния застройки между источником шума и расчетной точкой													
Снижение уровня звукового давления на пути над экраном, Dz1, дБ	z = 0.33м (разность путей)	ф-лы (14-18) [10]	5,4	6,3	7,9	10,1	12,5	15,1	18	20,9	23,8		

1		2	3	4	5	6	7	8	9	10	11	12	13
Снижение уровня звукового давления на пути слева от экрана, Dz2, дБ	z = 0.35м (разность путей)	ф-лы (14-18) [10]	6,3	7,5	9,1	11,2	13,7	16,4	19,3	22,2	25,2		
Снижение уровня звукового давления на пути справа от экрана, Dz3, дБ	z = 12.82м (разность путей)	ф-лы (14-18) [10]	18,4	22,8	26,9	30,4	33,5	36,5	39,6	42,6	45,6		
Общее снижение уровня звука препятствием Dz, дБ		Эн.сумма(-Dzi)	2,7	3,8	5,4	7,6	10	12,7	15,6	18,5	21,4		
Уровни звукового давления прямого звука от источника ИШ-2-43 в расчётной точке днём, дБ		**ф-ла(3)[10]**	**0**	**32**	**31,6**	**30,6**	**27,9**	**24,2**	**16,8**	**5,5**	**0**	**29,2**	**29,2**
Расчёт отражённого звука													
Уровни звукового давления от мнимого источника ИШ-2-43_мн.(1) в расчётной точке днём, дБ		**ф-ла(3)[10]**	**0**	**0**	**0**	**0**	**0**	**6**	**0,8**	**0**	**0**	**7,4**	**7,4**
Уровни звукового давления от мнимого источника ИШ-2-43_мн.(2) в расчётной точке днём, дБ		**ф-ла(3)[10]**	**0**	**0**	**0**	**0**	**0**	**0**	**0**	**0**	**0**	**0**	**0**
Суммарные уровни звукового давления от мнимых источников в расчётной точке днём, дБ		**ф-ла (19) [1]**	**0**	**0**	**0**	**0**	**0**	**6**	**0,8**	**0**	**0**	**0**	**7,4**
Уровни звукового давления от источника ИШ-2-43 в расчётной точке днём, дБ		**ф-ла(3)[10]**	**0**	**32**	**31,6**	**30,6**	**27,9**	**24,2**	**16,9**	**5,5**	**0**	**29,2**	**29,2**
Источник шума: ИШ-2-44, координаты источника (x,y,z), м =[682.20,-137.16,1.00]													
Уровни звуковой мощности источника днём, Lw, дБ		**исходные данные**	**0**	**93,3**	**94,7**	**96**	**96,3**	**95,9**	**92,6**	**88,4**	**83,9**		
Поправка на телесный угол DΩ, дБ	Ω = 6.28	10Lg(4π/Ω)	**3**	3	3	3	3	3	3	3	3		
Показатель направленности источника Di, дБ		исходные данные	**0**	0	0	0	0	0	0	0	0		
Поправка на направленность источника Dc, дБ	Dc	DΩ + Di	**3**	3	3	3	3	3	3	3	3		
Затухание из-за геометрической дивергенции, Adiv, дБ	расстояние = 299.40 м	ф-ла (7) [10]	**60,5**										
Коэффициент затухания звука в атмосфере α, дБ/км	Ta=20,°C Pa=101.33,кПа hотн.=70%	ф-ла (5) [9]	0,02	0,09	0,33	1,12	2,79	4,98	9,04	23,09	77,63		

1		2	3	4	5	6	7	8	9	10	11	12	13
Учет затухания звука в атмосфере Aatm, дБ		ф-ла (8) [10]	0	0	0,1	0,3	0,8	1,5	2,7	6,9	23,2		
Снижение уровня звукового давления из-за влияния застройки между источником шума и расчетной точкой													
Снижение уровня звукового давления на пути над экраном, Dz1, дБ	z = 0.32м (разность путей)	ф-лы (14-18) [10]	5,3	6,1	7,6	9,7	12,1	14,7	17,5	20,4	23,4		
Снижение уровня звукового давления на пути слева от экрана, Dz2, дБ	z = 0.24м (разность путей)	ф-лы (14-18) [10]	5,9	6,8	8,1	10	12,3	14,9	17,7	20,6	23,5		
Снижение уровня звукового давления на пути справа от экрана, Dz3, дБ	z = 13.71м (разность путей)	ф-лы (14-18) [10]	18,7	23,1	27,2	30,7	33,8	36,8	39,9	42,9	45,9		
Общее снижение уровня звука препятствием Dz, дБ		Эн.сумма(-Dzi)	2,5	3,3	4,8	6,8	9,2	11,8	14,6	17,5	20,4		
Уровни звукового давления прямого звука от источника ИШ-2-44 в расчётной точке днём, дБ		**ф-ла(3)[10]**	**0**	**32,4**	**32,2**	**31,3**	**28,8**	**25,1**	**17,8**	**6,5**	**0**	**30**	**30**
Расчёт отражённого звука													
Уровни звукового давления от мнимого источника ИШ-2-44_мн.(1) в расчётной точке днём, дБ		**ф-ла(3)[10]**	**0**	**0**	**0**	**0**	**0**	**6**	**0,7**	**0**	**0**	**7,4**	**7,4**
Уровни звукового давления от мнимого источника ИШ-2-44_мн.(2) в расчётной точке днём, дБ		**ф-ла(3)[10]**	**0**	**0**	**0**	**0**	**0**	**0**	**0**	**0**	**0**	**0**	**0**
Уровни звукового давления от мнимого источника ИШ-2-44_мн.(3) в расчётной точке днём, дБ		**ф-ла(3)[10]**	**0**	**0**	**0**	**0**	**0**	**0**	**0**	**0**	**0**	**0**	**0**
Суммарные уровни звукового давления от мнимых источников в расчётной точке днём, дБ		**ф-ла (19) [1]**	**0**	**0**	**0**	**0**	**0**	**6**	**0,7**	**0**	**0**	**0**	**7,4**
Уровни звукового давления от источника ИШ-2-44 в расчётной точке днём, дБ		**ф-ла(3)[10]**	**0**	**32,4**	**32,2**	**31,3**	**28,8**	**25,1**	**17,8**	**6,5**	**0**	**30**	**30**
Источник шума: ИШ-2-45, координаты источника (x,y,z), м =[681.26,-139.98,1.00]													
Уровни звуковой мощности источника днём, Lw, дБ		**исходные данные**	**0**	**93,3**	**94,7**	**96**	**96,3**	**95,9**	**92,6**	**88,4**	**83,9**		
Поправка на телесный угол DΩ, дБ	Ω = 6.28	10Lg(4π/Ω)	**3**	3	3	3	3	3	3	3	3		
Показатель направленности источника Di, дБ		исходные данные	**0**	0	0	0	0	0	0	0	0		

1		2	3	4	5	6	7	8	9	10	11	12	13
Поправка на направленность источника Dc, дБ	Dc	DΩ + Di	**3**	3	3	3	3	3	3	3	3		
Затухание из-за геометрической дивергенции, Adiv, дБ	расстояние = 300.10 м	ф-ла (7) [10]	**60,5**										
Коэффициент затухания звука в атмосфере α, дБ/км	Ta=20,°C Pa=101.33,кПа hотн.=70%	ф-ла (5) [9]	0,02	0,09	0,33	1,12	2,79	4,98	9,04	23,09	77,63		
Учет затухания звука в атмосфере Aatm, дБ		ф-ла (8) [10]	0	0	0,1	0,3	0,8	1,5	2,7	6,9	23,3		
Снижение уровня звукового давления из-за влияния застройки между источником шума и расчетной точкой													
Снижение уровня звукового давления на пути над экраном, Dz1, дБ	z = 0.23м (разность путей)	ф-лы (14-18) [10]	5	5,2	5,8	7,2	9,4	11,9	14,6	17,4	20,3		
Снижение уровня звукового давления на пути слева от экрана, Dz2, дБ	z = 0.15м (разность путей)	ф-лы (14-18) [10]	5,5	6,1	7,1	8,6	10,7	13,1	15,7	18,6	21,5		
Снижение уровня звукового давления на пути справа от экрана, Dz3, дБ	z = 14.61м (разность путей)	ф-лы (14-18) [10]	18,9	23,4	27,5	30,9	34,1	37,1	40,1	43,1	46,2		
Общее снижение уровня звука препятствием Dz, дБ		Эн.сумма(-Dzi)	2,1	2,6	3,4	4,8	7	9,4	12,1	14,9	17,8		
Уровни звукового давления прямого звука от источника ИШ-2-45 в расчётной точке днём, дБ		**ф-ла(3)[10]**	**0**	**33,1**	**33,7**	**33,3**	**30,9**	**27,4**	**20,2**	**9**	**0**	**32,2**	**32,2**
Расчёт отражённого звука													
Уровни звукового давления от мнимого источника ИШ-2-45_мн.(1) в расчётной точке днём, дБ		**ф-ла(3)[10]**	**0**	**0**	**0**	**0**	**0**	**6**	**0,7**	**0**	**0**	**7,4**	**7,4**
Уровни звукового давления от мнимого источника ИШ-2-45_мн.(2) в расчётной точке днём, дБ		**ф-ла(3)[10]**	**0**	**0**	**0**	**0**	**0**	**0**	**0**	**0**	**0**	**0**	**0**
Уровни звукового давления от мнимого источника ИШ-2-45_мн.(3) в расчётной точке днём, дБ		**ф-ла(3)[10]**	**0**	**0**	**0**	**0**	**0**	**0**	**0**	**0**	**0**	**0**	**0**
Суммарные уровни звукового давления от мнимых источников в расчётной точке днём, дБ		**ф-ла (19) [1]**	**0**	**0**	**0**	**0**	**0**	**6**	**0,7**	**0**	**0**	**0**	**7,4**
Уровни звукового давления от источника ИШ-2-45 в расчётной точке днём, дБ		**ф-ла(3)[10]**	**0**	**33,1**	**33,7**	**33,3**	**30,9**	**27,4**	**20,3**	**9**	**0**	**32,2**	**32,2**

1		2	3	4	5	6	7	8	9	10	11	12	13
Источник шума: ИШ-4-1, координаты источника (x,y,z), м =[141.82,201.03,1.00]													
Уровни звуковой мощности источника днём, Lw, дБ		**исходные данные**	**0**	**90,3**	**91,7**	**93**	**93,3**	**92,9**	**89,6**	**85,4**	**80,9**		
Поправка на телесный угол DΩ, дБ	Ω = 6.28	10Lg(4π/Ω)	**3**	3	3	3	3	3	3	3	3		
Показатель направленности источника Di, дБ		исходные данные	**0**	0	0	0	0	0	0	0	0		
Поправка на направленность источника Dc, дБ	Dc	DΩ + Di	**3**	3	3	3	3	3	3	3	3		
Затухание из-за геометрической дивергенции, Adiv, дБ	расстояние = 338.09 м	ф-ла (7) [10]	**61,6**										
Коэффициент затухания звука в атмосфере α, дБ/км	Ta=20,°C Pa=101.33,кПа hотн.=70%	ф-ла (5) [9]	0,02	0,09	0,33	1,12	2,79	4,98	9,04	23,09	77,63		
Учет затухания звука в атмосфере Aatm, дБ		ф-ла (8) [10]	0	0	0,1	0,4	0,9	1,7	3,1	7,8	26,2		
Снижение уровня звукового давления из-за влияния застройки между источником шума и расчетной точкой													
Снижение уровня звукового давления на пути над экраном, Dz1, дБ	z = 7.22м (разность путей)	ф-лы (14-18) [10]	15,7	20,1	24	27,4	30,5	33,5	36,6	39,6	42,6		
Снижение уровня звукового давления на пути слева от экрана, Dz2, дБ	z = 8.22м (разность путей)	ф-лы (14-18) [10]	15,2	18,1	20,9	23,9	26,9	29,9	32,9	35,9	38,9		
Снижение уровня звукового давления на пути справа от экрана, Dz3, дБ	z = 16.61м (разность путей)	ф-лы (14-18) [10]	20	24,5	28,3	31,6	34,6	37,7	40,7	43,7	46,7		
Общее снижение уровня звука препятствием Dz, дБ		Эн.сумма(-Dzi)	11,8	15,4	18,7	21,8	24,8	27,8	30,8	33,9	36,9		
Общее снижение уровня звука препятствием с учётом ограничения (25 дБ) для октавных полос Dz, дБ		Раздел 7.4 [10]	11,8	15,4	18,7	21,8	24,8	25	25	25	25		
Уровни звукового давления прямого звука от источника ИШ-4-1 в расчётной точке днём, дБ		**ф-ла(3)[10]**	**0**	**16,3**	**14,3**	**12,2**	**8,9**	**7,6**	**3**	**0**	**0**	**11,8**	**11,8**
Расчёт отражённого звука													

1		2	3	4	5	6	7	8	9	10	11	12	13
Уровни звукового давления от мнимого источника ИШ-4-1_мн.(1) в расчётной точке днём, дБ		**ф-ла(3)[10]**	**0**	**0**	**0**	**0**	**0**	**0**	**0**	**0**	**0**	**0**	**0**
Уровни звукового давления от мнимого источника ИШ-4-1_мн.(2) в расчётной точке днём, дБ		**ф-ла(3)[10]**	**0**	**0**	**0**	**10**	**6,9**	**5,7**	**0,9**	**0**	**0**	**9,6**	**9,6**
Уровни звукового давления от мнимого источника ИШ-4-1_мн.(3) в расчётной точке днём, дБ		**ф-ла(3)[10]**	**0**	**0**	**0**	**0**	**7,7**	**6,6**	**1,9**	**0**	**0**	**9,7**	**9,7**
Уровни звукового давления от мнимого источника ИШ-4-1_мн.(4) в расчётной точке днём, дБ		**ф-ла(3)[10]**	**0**	**0**	**0**	**0**	**0**	**0**	**0**	**0**	**0**	**0**	**0**
Суммарные уровни звукового давления от мнимых источников в расчётной точке днём, дБ		**ф-ла (19) [1]**	**0**	**0**	**0**	**10**	**10,3**	**9,2**	**4,4**	**0**	**0**	**0**	**12,7**
Уровни звукового давления от источника ИШ-4-1 в расчётной точке днём, дБ		**ф-ла(3)[10]**	**0**	**16,3**	**14,3**	**14,3**	**12,7**	**11,5**	**6,8**	**0**	**0**	**15,3**	**15,3**
Источник шума: ИШ-4-2, координаты источника (x,y,z), м =[133.85,183.21,1.00]													
Уровни звуковой мощности источника днём, Lw, дБ		**исходные данные**	**0**	**90,3**	**91,7**	**93**	**93,3**	**92,9**	**89,6**	**85,4**	**80,9**		
Поправка на телесный угол DΩ, дБ	Ω = 6.28	10Lg(4π/Ω)	**3**	3	3	3	3	3	3	3	3		
Показатель направленности источника Di, дБ		исходные данные	**0**	0	0	0	0	0	0	0	0		
Поправка на направленность источника Dc, дБ	Dc	DΩ + Di	**3**	3	3	3	3	3	3	3	3		
Затухание из-за геометрической дивергенции, Adiv, дБ	расстояние = 335.83 м	ф-ла (7) [10]	**61,5**										
Коэффициент затухания звука в атмосфере α, дБ/км	Ta=20,°C Pa=101.33,кПа hотн.=70%	ф-ла (5) [9]	0,02	0,09	0,33	1,12	2,79	4,98	9,04	23,09	77,63		
Учет затухания звука в атмосфере Aatm, дБ		ф-ла (8) [10]	0	0	0,1	0,4	0,9	1,7	3	7,8	26,1		
Снижение уровня звукового давления из-за влияния застройки между источником шума и расчетной точкой													
Снижение уровня звукового давления на пути над экраном, Dz1, дБ	z = 7.25м (разность путей)	ф-лы (14-18) [10]	16,2	20,5	24,2	27,5	30,5	33,6	36,6	39,6	42,6		

1		2	3	4	5	6	7	8	9	10	11	12	13
Снижение уровня звукового давления на пути слева от экрана, Dz2, дБ	z = 8.91м (разность путей)	ф-лы (14-18) [10]	15,6	18,4	21,3	24,2	27,2	30,2	33,2	36,2	39,2		
Снижение уровня звукового давления на пути справа от экрана, Dz3, дБ	z = 49.48м (разность путей)	ф-лы (14-18) [10]	26,2	30,1	33,3	36,4	39,4	42,4	45,4	48,4	51,5		
Общее снижение уровня звука препятствием Dz, дБ		Эн.сумма(-Dzi)	12,6	16,1	19,3	22,4	25,4	28,4	31,4	34,4	37,4		
Общее снижение уровня звука препятствием с учётом ограничения (25 дБ) для октавных полос Dz, дБ		Раздел 7.4 [10]	12,6	16,1	19,3	22,4	25	25	25	25	25		
Уровни звукового давления прямого звука от источника ИШ-4-2 в расчётной точке днём, дБ		**ф-ла(3)[10]**	**0**	**15,6**	**13,8**	**11,7**	**8,8**	**7,7**	**3**	**0**	**0**	**11,7**	**11,7**
Расчёт отражённого звука													
Уровни звукового давления от мнимого источника ИШ-4-2_мн.(1) в расчётной точке днём, дБ		**ф-ла(3)[10]**	**0**	**0**	**12**	**9,9**	**7**	**5,8**	**1,1**	**0**	**0**	**9,9**	**9,9**
Уровни звукового давления от мнимого источника ИШ-4-2_мн.(2) в расчётной точке днём, дБ		**ф-ла(3)[10]**	**0**	**0**	**0**	**0**	**0**	**0**	**0**	**0**	**0**	**0**	**0**
Суммарные уровни звукового давления от мнимых источников в расчётной точке днём, дБ		**ф-ла (19) [1]**	**0**	**0**	**12**	**9,9**	**7**	**5,8**	**1,1**	**0**	**0**	**0**	**9,9**
Уровни звукового давления от источника ИШ-4-2 в расчётной точке днём, дБ		**ф-ла(3)[10]**	**0**	**15,6**	**16**	**13,9**	**11**	**9,9**	**5,2**	**0**	**0**	**13,9**	**13,9**
Источник шума: ИШ-4-3, координаты источника (x,y,z), м =[152.61,172.66,1.00]													
Уровни звуковой мощности источника днём, Lw, дБ		**исходные данные**	**0**	**90,3**	**91,7**	**93**	**93,3**	**92,9**	**89,6**	**85,4**	**80,9**		
Поправка на телесный угол DΩ, дБ	Ω = 6.28	10Lg(4π/Ω)	**3**	3	3	3	3	3	3	3	3		
Показатель направленности источника Di, дБ		исходные данные	**0**	0	0	0	0	0	0	0	0		
Поправка на направленность источника Dc, дБ	Dc	DΩ + Di	**3**	3	3	3	3	3	3	3	3		
Затухание из-за геометрической дивергенции, Adiv, дБ	расстояние = 314.31 м	ф-ла (7) [10]	**60,9**										
Коэффициент затухания звука в атмосфере α, дБ/км	Ta=20,°C Pa=101.33,кПа hотн.=70%	ф-ла (5) [9]	0,02	0,09	0,33	1,12	2,79	4,98	9,04	23,09	77,63		

1		2	3	4	5	6	7	8	9	10	11	12	13
Учет затухания звука в атмосфере Aatm, дБ		ф-ла (8) [10]	0	0	0,1	0,4	0,9	1,6	2,8	7,3	24,4		
Снижение уровня звукового давления из-за влияния застройки между источником шума и расчетной точкой													
Снижение уровня звукового давления на пути над экраном, Dz1, дБ	z = 7.26м (разность путей)	ф-лы (14-18) [10]	16,2	20,5	24,2	27,5	30,6	33,6	36,6	39,6	42,6		
Снижение уровня звукового давления на пути слева от экрана, Dz2, дБ	z = 8.92м (разность путей)	ф-лы (14-18) [10]	15,6	18,4	21,3	24,2	27,2	30,2	33,2	36,2	39,2		
Снижение уровня звукового давления на пути справа от экрана, Dz3, дБ	z = 50.80м (разность путей)	ф-лы (14-18) [10]	26,4	30,2	33,4	36,5	39,5	42,5	45,5	48,6	51,6		
Общее снижение уровня звука препятствием Dz, дБ		Эн.сумма(-Dzi)	12,7	16,1	19,3	22,4	25,4	28,4	31,4	34,4	37,4		
Общее снижение уровня звука препятствием с учётом ограничения (25 дБ) для октавных полос Dz, дБ		Раздел 7.4 [10]	12,7	16,1	19,3	22,4	25	25	25	25	25		
Уровни звукового давления прямого звука от источника ИШ-4-3 в расчётной точке днём, дБ		**ф-ла(3)[10]**	**0**	**16,2**	**14,3**	**12,3**	**9,5**	**8,4**	**3,8**	**0**	**0**	**12,4**	**12,4**
Расчёт отражённого звука													
Уровни звукового давления от мнимого источника ИШ-4-3_мн.(1) в расчётной точке днём, дБ		**ф-ла(3)[10]**	**0**	**0**	**0**	**0**	**0**	**0**	**0**	**0**	**0**	**0**	**0**
Уровни звукового давления от мнимого источника ИШ-4-3_мн.(2) в расчётной точке днём, дБ		**ф-ла(3)[10]**	**0**	**0**	**0**	**0**	**0**	**0**	**0**	**0**	**0**	**0**	**0**
Суммарные уровни звукового давления от мнимых источников в расчётной точке днём, дБ		**ф-ла (19) [1]**	**0**	**0**	**0**	**0**	**0**	**0**	**0**	**0**	**0**	**0**	**0**
Уровни звукового давления от источника ИШ-4-3 в расчётной точке днём, дБ		**ф-ла(3)[10]**	**0**	**16,2**	**14,3**	**12,3**	**9,5**	**8,4**	**3,8**	**0**	**0**	**12,4**	**12,4**
Источник шума: ИШ-4-4, координаты источника (x,y,z), м =[156.83,171.25,1.00]													
Уровни звуковой мощности источника днём, Lw, дБ		**исходные данные**	**0**	**90,3**	**91,7**	**93**	**93,3**	**92,9**	**89,6**	**85,4**	**80,9**		
Поправка на телесный угол DΩ, дБ	Ω = 6.28	10Lg(4π/Ω)	**3**	3	3	3	3	3	3	3	3		
Показатель направленности источника Di, дБ		исходные данные	**0**	0	0	0	0	0	0	0	0		

1		2	3	4	5	6	7	8	9	10	11	12	13
Поправка на направленность источника Dc, дБ	Dc	DΩ + Di	**3**	3	3	3	3	3	3	3	3		
Затухание из-за геометрической дивергенции, Adiv, дБ	расстояние = 309.94 м	ф-ла (7) [10]	**60,8**										
Коэффициент затухания звука в атмосфере α, дБ/км	Ta=20,°C Pa=101.33,кПа hотн.=70%	ф-ла (5) [9]	0,02	0,09	0,33	1,12	2,79	4,98	9,04	23,09	77,63		
Учет затухания звука в атмосфере Aatm, дБ		ф-ла (8) [10]	0	0	0,1	0,3	0,9	1,5	2,8	7,2	24,1		
Снижение уровня звукового давления из-за влияния застройки между источником шума и расчетной точкой													
Снижение уровня звукового давления на пути над экраном, Dz1, дБ	z = 7.26м (разность путей)	ф-лы (14-18) [10]	16,2	20,5	24,3	27,5	30,6	33,6	36,6	39,6	42,7		
Снижение уровня звукового давления на пути слева от экрана, Dz2, дБ	z = 8.90м (разность путей)	ф-лы (14-18) [10]	15,6	18,4	21,3	24,2	27,2	30,2	33,2	36,2	39,2		
Снижение уровня звукового давления на пути справа от экрана, Dz3, дБ	z = 51.40м (разность путей)	ф-лы (14-18) [10]	26,4	30,2	33,5	36,5	39,6	42,6	45,6	48,6	51,6		
Общее снижение уровня звука препятствием Dz, дБ		Эн.сумма(-Dzi)	12,7	16,1	19,3	22,4	25,4	28,4	31,4	34,4	37,4		
Общее снижение уровня звука препятствием с учётом ограничения (25 дБ) для октавных полос Dz, дБ		Раздел 7.4 [10]	12,7	16,1	19,3	22,4	25	25	25	25	25		
Уровни звукового давления прямого звука от источника ИШ-4-4 в расчётной точке днём, дБ		**ф-ла(3)[10]**	**0**	**16,3**	**14,4**	**12,4**	**9,6**	**8,5**	**4**	**0**	**0**	**12,5**	**12,5**
Расчёт отражённого звука													
Уровни звукового давления от мнимого источника ИШ-4-4_мн.(1) в расчётной точке днём, дБ		**ф-ла(3)[10]**	**0**	**0**	**0**	**0**	**0**	**0**	**0**	**0**	**0**	**0**	**0**
Уровни звукового давления от мнимого источника ИШ-4-4_мн.(2) в расчётной точке днём, дБ		**ф-ла(3)[10]**	**0**	**0**	**0**	**0**	**0**	**0**	**0**	**0**	**0**	**0**	**0**
Суммарные уровни звукового давления от мнимых источников в расчётной точке днём, дБ		**ф-ла (19) [1]**	**0**	**0**	**0**	**0**	**0**	**0**	**0**	**0**	**0**	**0**	**0**
Уровни звукового давления от источника ИШ-4-4 в расчётной точке днём, дБ		**ф-ла(3)[10]**	**0**	**16,3**	**14,4**	**12,4**	**9,6**	**8,5**	**4**	**0**	**0**	**12,5**	**12,5**

1		2	3	4	5	6	7	8	9	10	11	12	13
Источник шума: ИШ-4-5, координаты источника (x,y,z), м =[126.48,222.66,11.00]													
Уровни звуковой мощности источника днём, Lw, дБ		**исходные данные**	**0**	**90,3**	**91,7**	**93**	**93,3**	**92,9**	**89,6**	**85,4**	**80,9**		
Поправка на телесный угол DΩ, дБ	Ω = 6.28	10Lg(4π/Ω)	**3**	3	3	3	3	3	3	3	3		
Показатель направленности источника Di, дБ		исходные данные	**0**	0	0	0	0	0	0	0	0		
Поправка на направленность источника Dc, дБ	Dc	DΩ + Di	**3**	3	3	3	3	3	3	3	3		
Затухание из-за геометрической дивергенции, Adiv, дБ	расстояние = 362.90 м	ф-ла (7) [10]	**62,2**										
Коэффициент затухания звука в атмосфере α, дБ/км	Ta=20,°C Pa=101.33,кПа hотн.=70%	ф-ла (5) [9]	0,02	0,09	0,33	1,12	2,79	4,98	9,04	23,09	77,63		
Учет затухания звука в атмосфере Aatm, дБ		ф-ла (8) [10]	0	0	0,1	0,4	1	1,8	3,3	8,4	28,2		
Снижение уровня звукового давления из-за влияния застройки между источником шума и расчетной точкой													
Снижение уровня звукового давления на пути над экраном, Dz1, дБ	z = 6.95м (разность путей)	ф-лы (14-18) [10]	14	16,8	19,6	22,6	25,5	28,5	31,5	34,5	37,5		
Снижение уровня звукового давления на пути слева от экрана, Dz2, дБ	z = 99.08м (разность путей)	ф-лы (14-18) [10]	30	33,3	36,4	39,4	42,4	45,4	48,4	51,5	54,5		
Снижение уровня звукового давления на пути справа от экрана, Dz3, дБ	z = 17.41м (разность путей)	ф-лы (14-18) [10]	20,2	24,7	28,5	31,8	34,9	37,9	40,9	43,9	46,9		
Общее снижение уровня звука препятствием Dz, дБ		Эн.сумма(-Dzi)	13	16	19	22	25	28	31	34	37		
Общее снижение уровня звука препятствием с учётом ограничения (25 дБ) для октавных полос Dz, дБ		Раздел 7.4 [10]	13	16	19	22	25	25	25	25	25		
Уровни звукового давления прямого звука от источника ИШ-4-5 в расчётной точке днём, дБ		**ф-ла(3)[10]**	**0**	**15**	**13,4**	**11,4**	**8,1**	**6,9**	**2,1**	**0**	**0**	**11**	**11**
Расчёт отражённого звука													

1		2	3	4	5	6	7	8	9	10	11	12	13
Уровни звукового давления от мнимого источника ИШ-4-5_мн.(1) в расчётной точке днём, дБ		**ф-ла(3)[10]**	**0**	**0**	**0**	**0**	**0**	**0**	**0**	**0**	**0**	**0**	**0**
Уровни звукового давления от мнимого источника ИШ-4-5_мн.(2) в расчётной точке днём, дБ		**ф-ла(3)[10]**	**0**	**0**	**0**	**0**	**0**	**0**	**0**	**0**	**0**	**0**	**0**
Суммарные уровни звукового давления от мнимых источников в расчётной точке днём, дБ		**ф-ла (19) [1]**	**0**	**0**	**0**	**0**	**0**	**0**	**0**	**0**	**0**	**0**	**0**
Уровни звукового давления от источника ИШ-4-5 в расчётной точке днём, дБ		**ф-ла(3)[10]**	**0**	**15**	**13,4**	**11,4**	**8,1**	**6,9**	**2,1**	**0**	**0**	**11**	**11**
Источник шума: ИШ-4-6, координаты источника (x,y,z), м =[125.17,218.57,11.00]													
Уровни звуковой мощности источника днём, Lw, дБ		**исходные данные**	**0**	**90,3**	**91,7**	**93**	**93,3**	**92,9**	**89,6**	**85,4**	**80,9**		
Поправка на телесный угол DΩ, дБ	Ω = 6.28	10Lg(4π/Ω)	**3**	3	3	3	3	3	3	3	3		
Показатель направленности источника Di, дБ		исходные данные	**0**	0	0	0	0	0	0	0	0		
Поправка на направленность источника Dc, дБ	Dc	DΩ + Di	**3**	3	3	3	3	3	3	3	3		
Затухание из-за геометрической дивергенции, Adiv, дБ	расстояние = 361.72 м	ф-ла (7) [10]	**62,2**										
Коэффициент затухания звука в атмосфере α, дБ/км	Ta=20,°C Pa=101.33,кПа hотн.=70%	ф-ла (5) [9]	0,02	0,09	0,33	1,12	2,79	4,98	9,04	23,09	77,63		
Учет затухания звука в атмосфере Aatm, дБ		ф-ла (8) [10]	0	0	0,1	0,4	1	1,8	3,3	8,4	28,1		
Снижение уровня звукового давления из-за влияния застройки между источником шума и расчетной точкой													
Снижение уровня звукового давления на пути над экраном, Dz1, дБ	z = 6.95м (разность путей)	ф-лы (14-18) [10]	14	16,8	19,6	22,6	25,5	28,5	31,5	34,5	37,5		
Снижение уровня звукового давления на пути слева от экрана, Dz2, дБ	z = 102.11м (разность путей)	ф-лы (14-18) [10]	30,2	33,5	36,5	39,5	42,6	45,6	48,6	51,6	54,6		
Снижение уровня звукового давления на пути справа от экрана, Dz3, дБ	z = 17.04м (разность путей)	ф-лы (14-18) [10]	20,1	24,6	28,4	31,7	34,8	37,8	40,8	43,8	46,8		

1		2	3	4	5	6	7	8	9	10	11	12	13
Общее снижение уровня звука препятствием Dz, дБ		Эн.сумма(-Dzi)	13	16	19	22	25	28	31	34	37		
Общее снижение уровня звука препятствием с учётом ограничения (25 дБ) для октавных полос Dz, дБ		Раздел 7.4 [10]	13	16	19	22	25	25	25	25	25		
Уровни звукового давления прямого звука от источника ИШ-4-6 в расчётной точке днём, дБ		**ф-ла(3)[10]**	**0**	**15,1**	**13,4**	**11,4**	**8,1**	**6,9**	**2,2**	**0**	**0**	**11,1**	**11,1**
Расчёт отражённого звука													
Уровни звукового давления от мнимого источника ИШ-4-6_мн.(1) в расчётной точке днём, дБ		**ф-ла(3)[10]**	**0**	**0**	**0**	**0**	**0**	**0**	**0**	**0**	**0**	**0**	**0**
Уровни звукового давления от мнимого источника ИШ-4-6_мн.(2) в расчётной точке днём, дБ		**ф-ла(3)[10]**	**0**	**0**	**0**	**0**	**0**	**0**	**0**	**0**	**0**	**0**	**0**
Суммарные уровни звукового давления от мнимых источников в расчётной точке днём, дБ		**ф-ла (19) [1]**	**0**	**0**	**0**	**0**	**0**	**0**	**0**	**0**	**0**	**0**	**0**
Уровни звукового давления от источника ИШ-4-6 в расчётной точке днём, дБ		**ф-ла(3)[10]**	**0**	**15,1**	**13,4**	**11,4**	**8,1**	**6,9**	**2,2**	**0**	**0**	**11,1**	**11,1**
Источник шума: ИШ-4-7, координаты источника (x,y,z), м =[177.91,257.92,11.00]													
Уровни звуковой мощности источника днём, Lw, дБ		**исходные данные**	**0**	**90,3**	**91,7**	**93**	**93,3**	**92,9**	**89,6**	**85,4**	**80,9**		
Поправка на телесный угол DΩ, дБ	Ω = 6.28	10Lg(4π/Ω)	**3**	3	3	3	3	3	3	3	3		
Показатель направленности источника Di, дБ		исходные данные	**0**	0	0	0	0	0	0	0	0		
Поправка на направленность источника Dc, дБ	Dc	DΩ + Di	**3**	3	3	3	3	3	3	3	3		
Затухание из-за геометрической дивергенции, Adiv, дБ	расстояние = 344.88 м	ф-ла (7) [10]	**61,8**										
Коэффициент затухания звука в атмосфере α, дБ/км	Ta=20,°C Pa=101.33,кПа hотн.=70%	ф-ла (5) [9]	0,02	0,09	0,33	1,12	2,79	4,98	9,04	23,09	77,63		
Учет затухания звука в атмосфере Aatm, дБ		ф-ла (8) [10]	0	0	0,1	0,4	1	1,7	3,1	8	26,8		

1		2	3	4	5	6	7	8	9	10	11	12	13
Снижение уровня звукового давления из-за влияния застройки между источником шума и расчетной точкой													
Снижение уровня звукового давления на пути над экраном, Dz1, дБ	z = 6.86м (разность путей)	ф-лы (14-18) [10]	14	16,8	19,6	22,5	25,5	28,5	31,5	34,5	37,5		
Снижение уровня звукового давления на пути слева от экрана, Dz2, дБ	z = 64.18м (разность путей)	ф-лы (14-18) [10]	28,1	31,4	34,5	37,5	40,5	43,6	46,6	49,6	52,6		
Снижение уровня звукового давления на пути справа от экрана, Dz3, дБ	z = 18.03м (разность путей)	ф-лы (14-18) [10]	22,3	25,8	29	32	35	38	41	44,1	47,1		
Общее снижение уровня звука препятствием Dz, дБ		Эн.сумма(-Dzi)	13,3	16,1	19	21,9	24,9	27,9	30,9	33,9	36,9		
Общее снижение уровня звука препятствием с учётом ограничения (25 дБ) для октавных полос Dz, дБ		Раздел 7.4 [10]	13,3	16,1	19	21,9	24,9	25	25	25	25		
Уровни звукового давления прямого звука от источника ИШ-4-7 в расчётной точке днём, дБ		**ф-ла(3)[10]**	**0**	**15,4**	**13,8**	**11,9**	**8,7**	**7,4**	**2,7**	**0**	**0**	**11,6**	**11,6**
Расчёт отражённого звука													
Уровни звукового давления от мнимого источника ИШ-4-7_мн.(1) в расчётной точке днём, дБ		**ф-ла(3)[10]**	**0**	**0**	**0**	**0**	**0**	**0**	**0**	**0**	**0**	**0**	**0**
Уровни звукового давления от мнимого источника ИШ-4-7_мн.(2) в расчётной точке днём, дБ		**ф-ла(3)[10]**	**0**	**0**	**0**	**0**	**0**	**0**	**0**	**0**	**0**	**0**	**0**
Суммарные уровни звукового давления от мнимых источников в расчётной точке днём, дБ		**ф-ла (19) [1]**	**0**	**0**	**0**	**0**	**0**	**0**	**0**	**0**	**0**	**0**	**0**
Уровни звукового давления от источника ИШ-4-7 в расчётной точке днём, дБ		**ф-ла(3)[10]**	**0**	**15,4**	**13,8**	**11,9**	**8,7**	**7,4**	**2,7**	**0**	**0**	**11,6**	**11,6**
Источник шума: ИШ-4-8, координаты источника (x,y,z), м =[178.24,257.77,13.00]													
Уровни звуковой мощности источника днём, Lw, дБ		**исходные данные**	**0**	**90,3**	**91,7**	**93**	**93,3**	**92,9**	**89,6**	**85,4**	**80,9**		
Поправка на телесный угол DΩ, дБ	Ω = 6.28	10Lg(4π/Ω)	**3**	3	3	3	3	3	3	3	3		
Показатель направленности источника Di, дБ		исходные данные	**0**	0	0	0	0	0	0	0	0		
Поправка на направленность источника Dc, дБ	Dc	DΩ + Di	**3**	3	3	3	3	3	3	3	3		

1		2	3	4	5	6	7	8	9	10	11	12	13
Затухание из-за геометрической дивергенции, Adiv, дБ	расстояние = 344.59 м	ф-ла (7) [10]	**61,7**										
Коэффициент затухания звука в атмосфере α, дБ/км	Ta=20,°C Pa=101.33,кПа hотн.=70%	ф-ла (5) [9]	0,02	0,09	0,33	1,12	2,79	4,98	9,04	23,09	77,63		
Учет затухания звука в атмосфере Aatm, дБ		ф-ла (8) [10]	0	0	0,1	0,4	1	1,7	3,1	8	26,8		
Снижение уровня звукового давления из-за влияния застройки между источником шума и расчетной точкой													
Снижение уровня звукового давления на пути над экраном, Dz1, дБ	z = 6.81м (разность путей)	ф-лы (14-18) [10]	14	16,7	19,6	22,5	25,5	28,5	31,5	34,5	37,5		
Снижение уровня звукового давления на пути слева от экрана, Dz2, дБ	z = 64.17м (разность путей)	ф-лы (14-18) [10]	28,1	31,4	34,5	37,5	40,5	43,6	46,6	49,6	52,6		
Снижение уровня звукового давления на пути справа от экрана, Dz3, дБ	z = 18.05м (разность путей)	ф-лы (14-18) [10]	22,4	25,9	29	32	35	38	41,1	44,1	47,1		
Общее снижение уровня звука препятствием Dz, дБ		Эн.сумма(-Dzi)	13,2	16,1	19	21,9	24,9	27,9	30,9	33,9	36,9		
Общее снижение уровня звука препятствием с учётом ограничения (25 дБ) для октавных полос Dz, дБ		Раздел 7.4 [10]	13,2	16,1	19	21,9	24,9	25	25	25	25		
Уровни звукового давления прямого звука от источника ИШ-4-8 в расчётной точке днём, дБ		**ф-ла(3)[10]**	**0**	**15,4**	**13,9**	**11,9**	**8,7**	**7,4**	**2,7**	**0**	**0**	**11,6**	**11,6**
Расчёт отражённого звука													
Уровни звукового давления от мнимого источника ИШ-4-8_мн.(1) в расчётной точке днём, дБ		**ф-ла(3)[10]**	**0**	**0**	**0**	**0**	**0**	**0**	**0**	**0**	**0**	**0**	**0**
Уровни звукового давления от мнимого источника ИШ-4-8_мн.(2) в расчётной точке днём, дБ		**ф-ла(3)[10]**	**0**	**0**	**0**	**0**	**0**	**0**	**0**	**0**	**0**	**0**	**0**
Уровни звукового давления от мнимого источника ИШ-4-8_мн.(3) в расчётной точке днём, дБ		**ф-ла(3)[10]**	**0**	**0**	**0**	**0**	**0**	**0**	**0**	**0**	**0**	**0**	**0**
Суммарные уровни звукового давления от мнимых источников в расчётной точке днём, дБ		**ф-ла (19) [1]**	**0**	**0**	**0**	**0**	**0**	**0**	**0**	**0**	**0**	**0**	**0**
Уровни звукового давления от источника ИШ-4-8 в расчётной точке днём, дБ		**ф-ла(3)[10]**	**0**	**15,4**	**13,9**	**11,9**	**8,7**	**7,4**	**2,7**	**0**	**0**	**11,6**	**11,6**

1		2	3	4	5	6	7	8	9	10	11	12	13
Источник шума: ИШ-4-9, координаты источника (x,y,z), м =[178.68,257.63,15.50]													
Уровни звуковой мощности источника днём, Lw, дБ		**исходные данные**	**0**	**90,3**	**91,7**	**93**	**93,3**	**92,9**	**89,6**	**85,4**	**80,9**		
Поправка на телесный угол DΩ, дБ	Ω = 6.28	10Lg(4π/Ω)	**3**	3	3	3	3	3	3	3	3		
Показатель направленности источника Di, дБ		исходные данные	**0**	0	0	0	0	0	0	0	0		
Поправка на направленность источника Dc, дБ	Dc	DΩ + Di	**3**	3	3	3	3	3	3	3	3		
Затухание из-за геометрической дивергенции, Adiv, дБ	расстояние = 344.27 м	ф-ла (7) [10]	**61,7**										
Коэффициент затухания звука в атмосфере α, дБ/км	Ta=20,°C Pa=101.33,кПа hотн.=70%	ф-ла (5) [9]	0,02	0,09	0,33	1,12	2,79	4,98	9,04	23,09	77,63		
Учет затухания звука в атмосфере Aatm, дБ		ф-ла (8) [10]	0	0	0,1	0,4	1	1,7	3,1	7,9	26,7		
Снижение уровня звукового давления из-за влияния застройки между источником шума и расчетной точкой													
Снижение уровня звукового давления на пути над экраном, Dz1, дБ	z = 6.75м (разность путей)	ф-лы (14-18) [10]	13,9	16,7	19,5	22,5	25,4	28,4	31,4	34,4	37,4		
Снижение уровня звукового давления на пути слева от экрана, Dz2, дБ	z = 69.31м (разность путей)	ф-лы (14-18) [10]	28,4	31,8	34,8	37,9	40,9	43,9	46,9	49,9	52,9		
Снижение уровня звукового давления на пути справа от экрана, Dz3, дБ	z = 18.08м (разность путей)	ф-лы (14-18) [10]	22,4	25,9	29	32	35	38,1	41,1	44,1	47,1		
Общее снижение уровня звука препятствием Dz, дБ		Эн.сумма(-Dzi)	13,2	16,1	18,9	21,9	24,9	27,9	30,9	33,9	36,9		
Общее снижение уровня звука препятствием с учётом ограничения (25 дБ) для октавных полос Dz, дБ		Раздел 7.4 [10]	13,2	16,1	18,9	21,9	24,9	25	25	25	25		
Уровни звукового давления прямого звука от источника ИШ-4-9 в расчётной точке днём, дБ		**ф-ла(3)[10]**	**0**	**15,5**	**13,9**	**12**	**8,7**	**7,4**	**2,7**	**0**	**0**	**11,6**	**11,6**
Расчёт отражённого звука													

1		2	3	4	5	6	7	8	9	10	11	12	13
Уровни звукового давления от мнимого источника ИШ-4-9_мн.(1) в расчётной точке днём, дБ		**ф-ла(3)[10]**	**0**	**0**	**0**	**0**	**0**	**0**	**0**	**0**	**0**	**0**	**0**
Уровни звукового давления от мнимого источника ИШ-4-9_мн.(2) в расчётной точке днём, дБ		**ф-ла(3)[10]**	**0**	**0**	**0**	**0**	**0**	**0**	**0**	**0**	**0**	**0**	**0**
Суммарные уровни звукового давления от мнимых источников в расчётной точке днём, дБ		**ф-ла (19) [1]**	**0**	**0**	**0**	**0**	**0**	**0**	**0**	**0**	**0**	**0**	**0**
Уровни звукового давления от источника ИШ-4-9 в расчётной точке днём, дБ		**ф-ла(3)[10]**	**0**	**15,5**	**13,9**	**12**	**8,7**	**7,4**	**2,7**	**0**	**0**	**11,6**	**11,6**
Источник шума: ИШ-4-10, координаты источника (x,y,z), м =[185.65,255.31,11.00]													
Уровни звуковой мощности источника днём, Lw, дБ		**исходные данные**	**0**	**90,3**	**91,7**	**93**	**93,3**	**92,9**	**89,6**	**85,4**	**80,9**		
Поправка на телесный угол DΩ, дБ	Ω = 6.28	10Lg(4π/Ω)	**3**	3	3	3	3	3	3	3	3		
Показатель направленности источника Di, дБ		исходные данные	**0**	0	0	0	0	0	0	0	0		
Поправка на направленность источника Dc, дБ	Dc	DΩ + Di	**3**	3	3	3	3	3	3	3	3		
Затухание из-за геометрической дивергенции, Adiv, дБ	расстояние = 337.49 м	ф-ла (7) [10]	**61,6**										
Коэффициент затухания звука в атмосфере α, дБ/км	Ta=20,°C Pa=101.33,кПа hотн.=70%	ф-ла (5) [9]	0,02	0,09	0,33	1,12	2,79	4,98	9,04	23,09	77,63		
Учет затухания звука в атмосфере Aatm, дБ		ф-ла (8) [10]	0	0	0,1	0,4	0,9	1,7	3,1	7,8	26,2		
Снижение уровня звукового давления из-за влияния застройки между источником шума и расчетной точкой													
Снижение уровня звукового давления на пути над экраном, Dz1, дБ	z = 6.85м (разность путей)	ф-лы (14-18) [10]	14	16,8	19,6	22,5	25,5	28,5	31,5	34,5	37,5		
Снижение уровня звукового давления на пути слева от экрана, Dz2, дБ	z = 63.72м (разность путей)	ф-лы (14-18) [10]	28,1	31,4	34,5	37,5	40,5	43,5	46,5	49,5	52,6		
Снижение уровня звукового давления на пути справа от экрана, Dz3, дБ	z = 18.59м (разность путей)	ф-лы (14-18) [10]	22,5	26	29,1	32,1	35,2	38,2	41,2	44,2	47,2		

1		2	3	4	5	6	7	8	9	10	11	12	13
Общее снижение уровня звука препятствием Dz, дБ		Эн.сумма(-Dzi)	13,3	16,1	19	22	24,9	27,9	30,9	33,9	37		
Общее снижение уровня звука препятствием с учётом ограничения (25 дБ) для октавных полос Dz, дБ		Раздел 7.4 [10]	13,3	16,1	19	22	24,9	25	25	25	25		
Уровни звукового давления прямого звука от источника ИШ-4-10 в расчётной точке днём, дБ		**ф-ла(3)[10]**	**0**	**15,6**	**14**	**12,1**	**8,8**	**7,6**	**3**	**0**	**0**	**11,8**	**11,8**
Расчёт отражённого звука													
Уровни звукового давления от мнимого источника ИШ-4-10_мн.(1) в расчётной точке днём, дБ		**ф-ла(3)[10]**	**0**	**0**	**0**	**0**	**0**	**0**	**0**	**0**	**0**	**0**	**0**
Уровни звукового давления от мнимого источника ИШ-4-10_мн.(2) в расчётной точке днём, дБ		**ф-ла(3)[10]**	**0**	**0**	**0**	**0**	**0**	**0**	**0**	**0**	**0**	**0**	**0**
Уровни звукового давления от мнимого источника ИШ-4-10_мн.(3) в расчётной точке днём, дБ		**ф-ла(3)[10]**	**0**	**0**	**0**	**0**	**5,8**	**4,5**	**0**	**0**	**0**	**6,7**	**6,7**
Уровни звукового давления от мнимого источника ИШ-4-10_мн.(4) в расчётной точке днём, дБ		**ф-ла(3)[10]**	**0**	**0**	**0**	**0**	**0**	**0**	**0**	**0**	**0**	**0**	**0**
Суммарные уровни звукового давления от мнимых источников в расчётной точке днём, дБ		**ф-ла (19) [1]**	**0**	**0**	**0**	**0**	**5,8**	**4,5**	**0**	**0**	**0**	**0**	**6,7**
Уровни звукового давления от источника ИШ-4-10 в расчётной точке днём, дБ		**ф-ла(3)[10]**	**0**	**15,6**	**14**	**12,1**	**10,6**	**9,4**	**3**	**0**	**0**	**12,9**	**12,9**
Источник шума: ИШ-4-11, координаты источника (x,y,z), м =[185.89,255.16,13.00]													
Уровни звуковой мощности источника днём, Lw, дБ		**исходные данные**	**0**	**90,3**	**91,7**	**93**	**93,3**	**92,9**	**89,6**	**85,4**	**80,9**		
Поправка на телесный угол DΩ, дБ	Ω = 6.28	10Lg(4π/Ω)	**3**	3	3	3	3	3	3	3	3		
Показатель направленности источника Di, дБ		исходные данные	**0**	0	0	0	0	0	0	0	0		
Поправка на направленность источника Dc, дБ	Dc	DΩ + Di	**3**	3	3	3	3	3	3	3	3		
Затухание из-за геометрической дивергенции, Adiv, дБ	расстояние = 337.28 м	ф-ла (7) [10]	**61,6**										
Коэффициент затухания звука в атмосфере α, дБ/км	Ta=20,°C Pa=101.33,кПа hотн.=70%	ф-ла (5) [9]	0,02	0,09	0,33	1,12	2,79	4,98	9,04	23,09	77,63		

1		2	3	4	5	6	7	8	9	10	11	12	13
Учет затухания звука в атмосфере Aatm, дБ		ф-ла (8) [10]	0	0	0,1	0,4	0,9	1,7	3	7,8	26,2		
Снижение уровня звукового давления из-за влияния застройки между источником шума и расчетной точкой													
Снижение уровня звукового давления на пути над экраном, Dz1, дБ	z = 6.80м (разность путей)	ф-лы (14-18) [10]	14	16,7	19,6	22,5	25,5	28,5	31,5	34,5	37,5		
Снижение уровня звукового давления на пути слева от экрана, Dz2, дБ	z = 63.74м (разность путей)	ф-лы (14-18) [10]	28,1	31,4	34,5	37,5	40,5	43,5	46,5	49,5	52,6		
Снижение уровня звукового давления на пути справа от экрана, Dz3, дБ	z = 18.60м (разность путей)	ф-лы (14-18) [10]	22,5	26	29,1	32,1	35,2	38,2	41,2	44,2	47,2		
Общее снижение уровня звука препятствием Dz, дБ		Эн.сумма(-Dzi)	13,3	16,1	19	21,9	24,9	27,9	30,9	33,9	36,9		
Общее снижение уровня звука препятствием с учётом ограничения (25 дБ) для октавных полос Dz, дБ		Раздел 7.4 [10]	13,3	16,1	19	21,9	24,9	25	25	25	25		
Уровни звукового давления прямого звука от источника ИШ-4-11 в расчётной точке днём, дБ		**ф-ла(3)[10]**	**0**	**15,6**	**14**	**12,1**	**8,9**	**7,7**	**3**	**0**	**0**	**11,8**	**11,8**
Расчёт отражённого звука													
Уровни звукового давления от мнимого источника ИШ-4-11_мн.(1) в расчётной точке днём, дБ		**ф-ла(3)[10]**	**0**	**0**	**0**	**0**	**0**	**0**	**0**	**0**	**0**	**0**	**0**
Уровни звукового давления от мнимого источника ИШ-4-11_мн.(2) в расчётной точке днём, дБ		**ф-ла(3)[10]**	**0**	**0**	**0**	**0**	**0**	**0**	**0**	**0**	**0**	**0**	**0**
Уровни звукового давления от мнимого источника ИШ-4-11_мн.(3) в расчётной точке днём, дБ		**ф-ла(3)[10]**	**0**	**0**	**0**	**0**	**0**	**0**	**0**	**0**	**0**	**0**	**0**
Суммарные уровни звукового давления от мнимых источников в расчётной точке днём, дБ		**ф-ла (19) [1]**	**0**	**0**	**0**	**0**	**0**	**0**	**0**	**0**	**0**	**0**	**0**
Уровни звукового давления от источника ИШ-4-11 в расчётной точке днём, дБ		**ф-ла(3)[10]**	**0**	**15,6**	**14**	**12,1**	**8,9**	**7,7**	**3**	**0**	**0**	**11,8**	**11,8**
Источник шума: ИШ-4-12, координаты источника (x,y,z), м =[186.18,255.02,15.50]													
Уровни звуковой мощности источника днём, Lw, дБ		**исходные данные**	**0**	**90,3**	**91,7**	**93**	**93,3**	**92,9**	**89,6**	**85,4**	**80,9**		
Поправка на телесный угол DΩ, дБ	Ω = 6.28	10Lg(4π/Ω)	**3**	3	3	3	3	3	3	3	3		

1		2	3	4	5	6	7	8	9	10	11	12	13
Показатель направленности источника Di, дБ		исходные данные	**0**	0	0	0	0	0	0	0	0		
Поправка на направленность источника Dc, дБ	Dc	DΩ + Di	**3**	3	3	3	3	3	3	3	3		
Затухание из-за геометрической дивергенции, Adiv, дБ	расстояние = 337.06 м	ф-ла (7) [10]	**61,6**										
Коэффициент затухания звука в атмосфере α, дБ/км	Ta=20,°C Pa=101.33,кПа hотн.=70%	ф-ла (5) [9]	0,02	0,09	0,33	1,12	2,79	4,98	9,04	23,09	77,63		
Учет затухания звука в атмосфере Aatm, дБ		ф-ла (8) [10]	0	0	0,1	0,4	0,9	1,7	3	7,8	26,2		
Снижение уровня звукового давления из-за влияния застройки между источником шума и расчетной точкой													
Снижение уровня звукового давления на пути над экраном, Dz1, дБ	z = 6.74м (разность путей)	ф-лы (14-18) [10]	13,9	16,7	19,5	22,5	25,4	28,4	31,4	34,4	37,4		
Снижение уровня звукового давления на пути слева от экрана, Dz2, дБ	z = 68.42м (разность путей)	ф-лы (14-18) [10]	28,4	31,7	34,8	37,8	40,8	43,8	46,8	49,8	52,9		
Снижение уровня звукового давления на пути справа от экрана, Dz3, дБ	z = 18.62м (разность путей)	ф-лы (14-18) [10]	22,5	26	29,1	32,2	35,2	38,2	41,2	44,2	47,2		
Общее снижение уровня звука препятствием Dz, дБ		Эн.сумма(-Dzi)	13,2	16,1	19	21,9	24,9	27,9	30,9	33,9	36,9		
Общее снижение уровня звука препятствием с учётом ограничения (25 дБ) для октавных полос Dz, дБ		Раздел 7.4 [10]	13,2	16,1	19	21,9	24,9	25	25	25	25		
Уровни звукового давления прямого звука от источника ИШ-4-12 в расчётной точке днём, дБ		**ф-ла(3)[10]**	**0**	**15,6**	**14,1**	**12,2**	**8,9**	**7,7**	**3**	**0**	**0**	**11,8**	**11,8**
Расчёт отражённого звука													
Уровни звукового давления от мнимого источника ИШ-4-12_мн.(1) в расчётной точке днём, дБ		**ф-ла(3)[10]**	**0**	**0**	**0**	**0**	**0**	**0**	**0**	**0**	**0**	**0**	**0**
Уровни звукового давления от мнимого источника ИШ-4-12_мн.(2) в расчётной точке днём, дБ		**ф-ла(3)[10]**	**0**	**0**	**0**	**0**	**0**	**0**	**0**	**0**	**0**	**0**	**0**
Суммарные уровни звукового давления от мнимых источников в расчётной точке днём, дБ		**ф-ла (19) [1]**	**0**	**0**	**0**	**0**	**0**	**0**	**0**	**0**	**0**	**0**	**0**
Уровни звукового давления от источника ИШ-4-12 в расчётной точке днём, дБ		**ф-ла(3)[10]**	**0**	**15,6**	**14,1**	**12,2**	**8,9**	**7,7**	**3**	**0**	**0**	**11,8**	**11,8**

1		2	3	4	5	6	7	8	9	10	11	12	13
Источник шума: ИШ-4-13, координаты источника (x,y,z), м =[94.56,229.10,1.00]													
Уровни звуковой мощности источника днём, Lw, дБ		**исходные данные**	**0**	**81,3**	**82,7**	**84**	**84,3**	**83,9**	**80,6**	**76,4**	**71,9**		
Поправка на телесный угол DΩ, дБ	Ω = 6.28	10Lg(4π/Ω)	**3**	3	3	3	3	3	3	3	3		
Показатель направленности источника Di, дБ		исходные данные	**0**	0	0	0	0	0	0	0	0		
Поправка на направленность источника Dc, дБ	Dc	DΩ + Di	**3**	3	3	3	3	3	3	3	3		
Затухание из-за геометрической дивергенции, Adiv, дБ	расстояние = 393.03 м	ф-ла (7) [10]	**62,9**										
Коэффициент затухания звука в атмосфере α, дБ/км	Ta=20,°C Pa=101.33,кПа hотн.=70%	ф-ла (5) [9]	0,02	0,09	0,33	1,12	2,79	4,98	9,04	23,09	77,63		
Учет затухания звука в атмосфере Aatm, дБ		ф-ла (8) [10]	0	0	0,1	0,4	1,1	2	3,6	9,1	30,5		
Снижение уровня звукового давления из-за влияния застройки между источником шума и расчетной точкой													
Снижение уровня звукового давления на пути над экраном, Dz1, дБ	z = 11.86м (разность путей)	ф-лы (14-18) [10]	21,1	24,1	27,1	30,1	33,1	36,1	39,1	42,2	45,2		
Снижение уровня звукового давления на пути слева от экрана, Dz2, дБ	z = 82.54м (разность путей)	ф-лы (14-18) [10]	29,5	32,6	35,6	38,6	41,6	44,6	47,7	50,7	53,7		
Снижение уровня звукового давления на пути справа от экрана, Dz3, дБ	z = 35.78м (разность путей)	ф-лы (14-18) [10]	25,9	29	32	35	38	41	44	47	50		
Общее снижение уровня звука препятствием Dz, дБ		Эн.сумма(-Dzi)	19,4	22,5	25,4	28,5	31,5	34,5	37,5	40,5	43,5		
Общее снижение уровня звука препятствием с учётом ограничения (25 дБ) для октавных полос Dz, дБ		Раздел 7.4 [10]	19,4	22,5	25	25	25	25	25	25	25		
Уровни звукового давления от источника ИШ-4-13 в расчётной точке днём, дБ		**ф-ла(3)[10]**	**0**	**0**	**0**	**0**	**0**	**0**	**0**	**0**	**0**	**0**	**0**
Источник шума: ИШ-4-14, координаты источника (x,y,z), м =[91.88,221.30,1.00]													

1		2	3	4	5	6	7	8	9	10	11	12	13
Уровни звуковой мощности источника днём, Lw, дБ		**исходные данные**	**0**	**81,3**	**82,7**	**84**	**84,3**	**83,9**	**80,6**	**76,4**	**71,9**		
Поправка на телесный угол DΩ, дБ	Ω = 6.28	10Lg(4π/Ω)	**3**	3	3	3	3	3	3	3	3		
Показатель направленности источника Di, дБ		исходные данные	**0**	0	0	0	0	0	0	0	0		
Поправка на направленность источника Dc, дБ	Dc	DΩ + Di	**3**	3	3	3	3	3	3	3	3		
Затухание из-за геометрической дивергенции, Adiv, дБ	расстояние = 391.24 м	ф-ла (7) [10]	**62,8**										
Коэффициент затухания звука в атмосфере α, дБ/км	Ta=20,°C Pa=101.33,кПа hотн.=70%	ф-ла (5) [9]	0,02	0,09	0,33	1,12	2,79	4,98	9,04	23,09	77,63		
Учет затухания звука в атмосфере Aatm, дБ		ф-ла (8) [10]	0	0	0,1	0,4	1,1	1,9	3,5	9	30,4		
Снижение уровня звукового давления из-за влияния застройки между источником шума и расчетной точкой													
Снижение уровня звукового давления на пути над экраном, Dz1, дБ	z = 11.85м (разность путей)	ф-лы (14-18) [10]	21,1	24,1	27,1	30,1	33,1	36,1	39,1	42,2	45,2		
Снижение уровня звукового давления на пути слева от экрана, Dz2, дБ	z = 92.55м (разность путей)	ф-лы (14-18) [10]	30	33,1	36,1	39,1	42,1	45,1	48,2	51,2	54,2		
Снижение уровня звукового давления на пути справа от экрана, Dz3, дБ	z = 29.50м (разность путей)	ф-лы (14-18) [10]	25	28,1	31,1	34,2	37,2	40,2	43,2	46,2	49,2		
Общее снижение уровня звука препятствием Dz, дБ		Эн.сумма(-Dzi)	19,2	22,3	25,3	28,3	31,3	34,3	37,3	40,3	43,3		
Общее снижение уровня звука препятствием с учётом ограничения (25 дБ) для октавных полос Dz, дБ		Раздел 7.4 [10]	19,2	22,3	25	25	25	25	25	25	25		
Уровни звукового давления от источника ИШ-4-14 в расчётной точке днём, дБ		**ф-ла(3)[10]**	**0**	**0**	**0**	**0**	**0**	**0**	**0**	**0**	**0**	**0**	**0**
Источник шума: ИШ-5-1, координаты источника (x,y,z), м =[626.70,162.36,1.00]													
Уровни звуковой мощности источника днём, Lw, дБ		**исходные данные**	**0**	**93,3**	**94,7**	**96**	**96,3**	**95,9**	**92,6**	**88,4**	**83,9**		

1		2	3	4	5	6	7	8	9	10	11	12	13
Поправка на телесный угол DΩ, дБ	Ω = 6.28	10Lg(4π/Ω)	**3**	3	3	3	3	3	3	3	3		
Показатель направленности источника Di, дБ		исходные данные	**0**	0	0	0	0	0	0	0	0		
Поправка на направленность источника Dc, дБ	Dc	DΩ + Di	**3**	3	3	3	3	3	3	3	3		
Затухание из-за геометрической дивергенции, Adiv, дБ	расстояние = 245.05 м	ф-ла (7) [10]	**58,8**										
Коэффициент затухания звука в атмосфере α, дБ/км	Ta=20,°C Pa=101.33,кПа hотн.=70%	ф-ла (5) [9]	0,02	0,09	0,33	1,12	2,79	4,98	9,04	23,09	77,63		
Учет затухания звука в атмосфере Aatm, дБ		ф-ла (8) [10]	0	0	0,1	0,3	0,7	1,2	2,2	5,7	19		
Снижение уровня звукового давления из-за влияния застройки между источником шума и расчетной точкой													
Снижение уровня звукового давления на пути над экраном, Dz1, дБ	z = 0.85м (разность путей)	ф-лы (14-18) [10]	6,8	8,5	11,3	15,1	18,8	22,1	25,2	28,2	31,2		
Снижение уровня звукового давления на пути слева от экрана, Dz2, дБ	z = 0.46м (разность путей)	ф-лы (14-18) [10]	6,7	8,1	9,9	12,2	14,8	17,6	20,5	23,5	26,4		
Снижение уровня звукового давления на пути справа от экрана, Dz3, дБ	z = 56.96м (разность путей)	ф-лы (14-18) [10]	23,3	26,3	29,2	32,2	35,3	38,3	41,3	44,3	47,3		
Общее снижение уровня звука препятствием Dz, дБ		Эн.сумма(-Dzi)	3,7	5,2	7,5	10,4	13,3	16,3	19,2	22,2	25,2		
Общее снижение уровня звука препятствием с учётом ограничения (25 дБ) для октавных полос Dz, дБ		Раздел 7.4 [10]	3,7	5,2	7,5	10,4	13,3	16,3	19,2	22,2	25		
Уровни звукового давления прямого звука от источника ИШ-5-1 в расчётной точке днём, дБ		**ф-ла(3)[10]**	**0**	**32,3**	**31,3**	**29,5**	**26,5**	**22,6**	**15,4**	**4,8**	**0**	**27,8**	**27,8**
Расчёт отражённого звука													
Уровни звукового давления от мнимого источника ИШ-5-1_мн.(1) в расчётной точке днём, дБ		**ф-ла(3)[10]**	**0**	**0**	**0**	**0**	**0**	**0**	**0**	**0**	**0**	**0**	**0**
Уровни звукового давления от источника ИШ-5-1 в расчётной точке днём, дБ		**ф-ла(3)[10]**	**0**	**32,3**	**31,3**	**29,5**	**26,5**	**22,6**	**15,4**	**4,8**	**0**	**27,8**	**27,8**

1		2	3	4	5	6	7	8	9	10	11	12	13
Источник шума: ИШ-5-2, координаты источника (x,y,z), м =[625.81,159.52,1.00]													
Уровни звуковой мощности источника днём, Lw, дБ		**исходные данные**	**0**	**93,3**	**94,7**	**96**	**96,3**	**95,9**	**92,6**	**88,4**	**83,9**		
Поправка на телесный угол DΩ, дБ	Ω = 6.28	10Lg(4π/Ω)	**3**	3	3	3	3	3	3	3	3		
Показатель направленности источника Di, дБ		исходные данные	**0**	0	0	0	0	0	0	0	0		
Поправка на направленность источника Dc, дБ	Dc	DΩ + Di	**3**	3	3	3	3	3	3	3	3		
Затухание из-за геометрической дивергенции, Adiv, дБ	расстояние = 242.68 м	ф-ла (7) [10]	**58,7**										
Коэффициент затухания звука в атмосфере α, дБ/км	Ta=20,°C Pa=101.33,кПа hотн.=70%	ф-ла (5) [9]	0,02	0,09	0,33	1,12	2,79	4,98	9,04	23,09	77,63		
Учет затухания звука в атмосфере Aatm, дБ		ф-ла (8) [10]	0	0	0,1	0,3	0,7	1,2	2,2	5,6	18,8		
Снижение уровня звукового давления из-за влияния застройки между источником шума и расчетной точкой													
Снижение уровня звукового давления на пути над экраном, Dz1, дБ	z = 0.85м (разность путей)	ф-лы (14-18) [10]	6,8	8,4	11,1	15	18,8	22,1	25,2	28,2	31,2		
Снижение уровня звукового давления на пути слева от экрана, Dz2, дБ	z = 0.40м (разность путей)	ф-лы (14-18) [10]	6,5	7,8	9,5	11,7	14,3	17	19,9	22,8	25,8		
Снижение уровня звукового давления на пути справа от экрана, Dz3, дБ	z = 58.95м (разность путей)	ф-лы (14-18) [10]	23,5	26,4	29,4	32,4	35,4	38,4	41,4	44,4	47,4		
Общее снижение уровня звука препятствием Dz, дБ		Эн.сумма(-Dzi)	3,6	5	7,2	10	12,9	15,8	18,7	21,7	24,7		
Уровни звукового давления прямого звука от источника ИШ-5-2 в расчётной точке днём, дБ		**ф-ла(3)[10]**	**0**	**32,5**	**31,7**	**30**	**27**	**23,2**	**16**	**5,4**	**0**	**28,3**	**28,3**
Расчёт отражённого звука													
Уровни звукового давления от мнимого источника ИШ-5-2_мн.(1) в расчётной точке днём, дБ		**ф-ла(3)[10]**	**0**	**0**	**0**	**0**	**0**	**0**	**0**	**0**	**0**	**0**	**0**

1		2	3	4	5	6	7	8	9	10	11	12	13
Уровни звукового давления от источника ИШ-5-2 в расчётной точке днём, дБ		**ф-ла(3)[10]**	**0**	**32,5**	**31,7**	**30**	**27**	**23,2**	**16**	**5,4**	**0**	**28,3**	**28,3**
Источник шума: ИШ-5-3, координаты источника (x,y,z), м =[624.84,156.69,1.00]													
Уровни звуковой мощности источника днём, Lw, дБ		**исходные данные**	**0**	**93,3**	**94,7**	**96**	**96,3**	**95,9**	**92,6**	**88,4**	**83,9**		
Поправка на телесный угол DΩ, дБ	Ω = 6.28	10Lg(4π/Ω)	**3**	3	3	3	3	3	3	3	3		
Показатель направленности источника Di, дБ		исходные данные	**0**	0	0	0	0	0	0	0	0		
Поправка на направленность источника Dc, дБ	Dc	DΩ + Di	**3**	3	3	3	3	3	3	3	3		
Затухание из-за геометрической дивергенции, Adiv, дБ	расстояние = 240.27 м	ф-ла (7) [10]	**58,6**										
Коэффициент затухания звука в атмосфере α, дБ/км	Ta=20,°C Pa=101.33,кПа hотн.=70%	ф-ла (5) [9]	0,02	0,09	0,33	1,12	2,79	4,98	9,04	23,09	77,63		
Учет затухания звука в атмосфере Aatm, дБ		ф-ла (8) [10]	0	0	0,1	0,3	0,7	1,2	2,2	5,5	18,7		
Снижение уровня звукового давления из-за влияния застройки между источником шума и расчетной точкой													
Снижение уровня звукового давления на пути над экраном, Dz1, дБ	z = 0.85м (разность путей)	ф-лы (14-18) [10]	6,8	8,4	11	14,8	18,7	22,1	25,2	28,2	31,2		
Снижение уровня звукового давления на пути слева от экрана, Dz2, дБ	z = 0.35м (разность путей)	ф-лы (14-18) [10]	6,3	7,4	9,1	11,2	13,7	16,4	19,3	22,2	25,2		
Снижение уровня звукового давления на пути справа от экрана, Dz3, дБ	z = 60.98м (разность путей)	ф-лы (14-18) [10]	23,6	26,6	29,5	32,5	35,6	38,6	41,6	44,6	47,6		
Общее снижение уровня звука препятствием Dz, дБ		Эн.сумма(-Dzi)	3,5	4,8	6,9	9,6	12,5	15,3	18,2	21,2	24,2		
Уровни звукового давления прямого звука от источника ИШ-5-3 в расчётной точке днём, дБ		**ф-ла(3)[10]**	**0**	**32,8**	**32,1**	**30,5**	**27,5**	**23,7**	**16,6**	**6**	**0**	**28,9**	**28,9**
Расчёт отражённого звука													

1		2	3	4	5	6	7	8	9	10	11	12	13
Уровни звукового давления от мнимого источника ИШ-5-3_мн.(1) в расчётной точке днём, дБ		**ф-ла(3)[10]**	**0**	**0**	**0**	**0**	**0**	**0**	**0**	**0**	**0**	**0**	**0**
Уровни звукового давления от источника ИШ-5-3 в расчётной точке днём, дБ		**ф-ла(3)[10]**	**0**	**32,8**	**32,1**	**30,5**	**27,5**	**23,7**	**16,6**	**6**	**0**	**28,9**	**28,9**
Источник шума: ИШ-6-1, координаты источника (x,y,z), м =[836.30,122.24,1.00]													
Уровни звуковой мощности источника днём, Lw, дБ		**исходные данные**	**0**	**96,3**	**97,7**	**99**	**99,3**	**98,9**	**95,6**	**91,4**	**86,9**		
Поправка на телесный угол DΩ, дБ	Ω = 12.57	10Lg(4π/Ω)	**0**	0	0	0	0	0	0	0	0		
Показатель направленности источника Di, дБ		исходные данные	**0**	0	0	0	0	0	0	0	0		
Поправка на направленность источника Dc, дБ	Dc	DΩ + Di	**0**	0	0	0	0	0	0	0	0		
Затухание из-за геометрической дивергенции, Adiv, дБ	расстояние = 421.60 м	ф-ла (7) [10]	**63,5**										
Коэффициент затухания звука в атмосфере α, дБ/км	Ta=20,°C Pa=101.33,кПа hотн.=70%	ф-ла (5) [9]	0,02	0,09	0,33	1,12	2,79	4,98	9,04	23,09	77,63		
Учет затухания звука в атмосфере Aatm, дБ		ф-ла (8) [10]	0	0	0,1	0,5	1,2	2,1	3,8	9,7	32,7		
Снижение поверхностью земли возле источника As, дБ	Gs = 0 hs = 1м	ф-лы таб.3 [10]	-1,5	-1,5	-1,5	-1,5	-1,5	-1,5	-1,5	-1,5	-1,5		
Снижение поверхностью земли возле приёмника Ar, дБ	Gr = 1 hr = 1.5м	ф-лы таб.3 [10]	-1,5	-1,5	2,5	7	5	0,7	0	0	0		
Снижение поверхностью земли в средней зоне, Am дБ	Gm = 1	ф-лы таб.3 [10]	-2,5	-2,5	0	0	0	0	0	0	0		
Суммарное снижение поверхностью земли на траектории распространения звука Agr, дБ		ф-ла (9) [10]	-5,5	-5,5	1	5,5	3,5	-0,8	-1,5	-1,5	-1,5		
Уровни звукового давления прямого звука от источника ИШ-6-1 в расчётной точке днём, дБ		**ф-ла(3)[10]**	**0**	**38,2**	**33**	**29,5**	**31,1**	**34,1**	**29,8**	**19,7**	**0**	**36,8**	**36,8**
Расчёт отражённого звука													

1		2	3	4	5	6	7	8	9	10	11	12	13
Уровни звукового давления от мнимого источника ИШ-6-1_мн.(1) в расчётной точке днём, дБ		**ф-ла(3)[10]**	**0**	**0**	**28**	**19,1**	**19,8**	**29,6**	**27,2**	**17,1**	**0**	**32,4**	**32,4**
Уровни звукового давления от источника ИШ-6-1 в расчётной точке днём, дБ		**ф-ла(3)[10]**	**0**	**38,2**	**34,2**	**29,9**	**31,5**	**35,4**	**31,7**	**21,6**	**0**	**38,1**	**38,1**
Источник шума: ИШ-6-2, координаты источника (x,y,z), м =[835.37,119.30,1.00]													
Уровни звуковой мощности источника днём, Lw, дБ		**исходные данные**	**0**	**96,3**	**97,7**	**99**	**99,3**	**98,9**	**95,6**	**91,4**	**86,9**		
Поправка на телесный угол DΩ, дБ	Ω = 12.57	10Lg(4π/Ω)	**0**	0	0	0	0	0	0	0	0		
Показатель направленности источника Di, дБ		исходные данные	**0**	0	0	0	0	0	0	0	0		
Поправка на направленность источника Dc, дБ	Dc	DΩ + Di	**0**	0	0	0	0	0	0	0	0		
Затухание из-за геометрической дивергенции, Adiv, дБ	расстояние = 419.99 м	ф-ла (7) [10]	**63,5**										
Коэффициент затухания звука в атмосфере α, дБ/км	Ta=20,°C Pa=101.33,кПа hотн.=70%	ф-ла (5) [9]	0,02	0,09	0,33	1,12	2,79	4,98	9,04	23,09	77,63		
Учет затухания звука в атмосфере Aatm, дБ		ф-ла (8) [10]	0	0	0,1	0,5	1,2	2,1	3,8	9,7	32,6		
Снижение поверхностью земли возле источника As, дБ	Gs = 0 hs = 1м	ф-лы таб.3 [10]	-1,5	-1,5	-1,5	-1,5	-1,5	-1,5	-1,5	-1,5	-1,5		
Снижение поверхностью земли возле приёмника Ar, дБ	Gr = 1 hr = 1.5м	ф-лы таб.3 [10]	-1,5	-1,5	2,5	7	5	0,7	0	0	0		
Снижение поверхностью земли в средней зоне, Am дБ	Gm = 1	ф-лы таб.3 [10]	-2,5	-2,5	0	0	0	0	0	0	0		
Суммарное снижение поверхностью земли на траектории распространения звука Agr, дБ		ф-ла (9) [10]	-5,5	-5,5	1	5,5	3,5	-0,8	-1,5	-1,5	-1,5		
Уровни звукового давления прямого звука от источника ИШ-6-2 в расчётной точке днём, дБ		**ф-ла(3)[10]**	**0**	**38,3**	**33,1**	**29,5**	**31,2**	**34,2**	**29,8**	**19,7**	**0**	**36,8**	**36,8**
Расчёт отражённого звука													

1		2	3	4	5	6	7	8	9	10	11	12	13
Уровни звукового давления от мнимого источника ИШ-6-2_мн.(1) в расчётной точке днём, дБ		**ф-ла(3)[10]**	**0**	**0**	**28,1**	**19,2**	**19,8**	**29,6**	**27,3**	**17,2**	**0**	**32,5**	**32,5**
Уровни звукового давления от источника ИШ-6-2 в расчётной точке днём, дБ		**ф-ла(3)[10]**	**0**	**38,3**	**34,3**	**29,9**	**31,5**	**35,5**	**31,8**	**21,6**	**0**	**38,2**	**38,2**
Источник шума: ИШ-6-3, координаты источника (x,y,z), м =[834.03,116.36,1.00]													
Уровни звуковой мощности источника днём, Lw, дБ		**исходные данные**	**0**	**96,3**	**97,7**	**99**	**99,3**	**98,9**	**95,6**	**91,4**	**86,9**		
Поправка на телесный угол DΩ, дБ	Ω = 12.57	10Lg(4π/Ω)	**0**	0	0	0	0	0	0	0	0		
Показатель направленности источника Di, дБ		исходные данные	**0**	0	0	0	0	0	0	0	0		
Поправка на направленность источника Dc, дБ	Dc	DΩ + Di	**0**	0	0	0	0	0	0	0	0		
Затухание из-за геометрической дивергенции, Adiv, дБ	расстояние = 418.01 м	ф-ла (7) [10]	**63,4**										
Коэффициент затухания звука в атмосфере α, дБ/км	Ta=20,°C Pa=101.33,кПа hотн.=70%	ф-ла (5) [9]	0,02	0,09	0,33	1,12	2,79	4,98	9,04	23,09	77,63		
Учет затухания звука в атмосфере Aatm, дБ		ф-ла (8) [10]	0	0	0,1	0,5	1,2	2,1	3,8	9,7	32,5		
Снижение поверхностью земли возле источника As, дБ	Gs = 0 hs = 1м	ф-лы таб.3 [10]	-1,5	-1,5	-1,5	-1,5	-1,5	-1,5	-1,5	-1,5	-1,5		
Снижение поверхностью земли возле приёмника Ar, дБ	Gr = 1 hr = 1.5м	ф-лы таб.3 [10]	-1,5	-1,5	2,5	7	5	0,7	0	0	0		
Снижение поверхностью земли в средней зоне, Am дБ	Gm = 1	ф-лы таб.3 [10]	-2,5	-2,5	0	0	0	0	0	0	0		
Суммарное снижение поверхностью земли на траектории распространения звука Agr, дБ		ф-ла (9) [10]	-5,5	-5,5	1	5,5	3,5	-0,8	-1,5	-1,5	-1,5		
Уровни звукового давления прямого звука от источника ИШ-6-3 в расчётной точке днём, дБ		**ф-ла(3)[10]**	**0**	**38,3**	**33,1**	**29,6**	**31,2**	**34,2**	**29,9**	**19,8**	**0**	**36,9**	**36,9**
Расчёт отражённого звука													

1		2	3	4	5	6	7	8	9	10	11	12	13
Уровни звукового давления от мнимого источника ИШ-6-3_мн.(1) в расчётной точке днём, дБ		**ф-ла(3)[10]**	**0**	**0**	**28,1**	**19,2**	**19,9**	**29,7**	**27,3**	**17,2**	**0**	**32,5**	**32,5**
Уровни звукового давления от источника ИШ-6-3 в расчётной точке днём, дБ		**ф-ла(3)[10]**	**0**	**38,3**	**34,3**	**30**	**31,5**	**35,5**	**31,8**	**21,7**	**0**	**38,2**	**38,2**
Источник шума: ИШ-6-4, координаты источника (x,y,z), м =[833.23,113.30,1.00]													
Уровни звуковой мощности источника днём, Lw, дБ		**исходные данные**	**0**	**96,3**	**97,7**	**99**	**99,3**	**98,9**	**95,6**	**91,4**	**86,9**		
Поправка на телесный угол DΩ, дБ	Ω = 12.57	10Lg(4π/Ω)	**0**	0	0	0	0	0	0	0	0		
Показатель направленности источника Di, дБ		исходные данные	**0**	0	0	0	0	0	0	0	0		
Поправка на направленность источника Dc, дБ	Dc	DΩ + Di	**0**	0	0	0	0	0	0	0	0		
Затухание из-за геометрической дивергенции, Adiv, дБ	расстояние = 416.53 м	ф-ла (7) [10]	**63,4**										
Коэффициент затухания звука в атмосфере α, дБ/км	Ta=20,°C Pa=101.33,кПа hотн.=70%	ф-ла (5) [9]	0,02	0,09	0,33	1,12	2,79	4,98	9,04	23,09	77,63		
Учет затухания звука в атмосфере Aatm, дБ		ф-ла (8) [10]	0	0	0,1	0,5	1,2	2,1	3,8	9,6	32,3		
Снижение поверхностью земли возле источника As, дБ	Gs = 0 hs = 1м	ф-лы таб.3 [10]	-1,5	-1,5	-1,5	-1,5	-1,5	-1,5	-1,5	-1,5	-1,5		
Снижение поверхностью земли возле приёмника Ar, дБ	Gr = 1 hr = 1.5м	ф-лы таб.3 [10]	-1,5	-1,5	2,5	7	5	0,7	0	0	0		
Снижение поверхностью земли в средней зоне, Am дБ	Gm = 1	ф-лы таб.3 [10]	-2,5	-2,5	0	0	0	0	0	0	0		
Суммарное снижение поверхностью земли на траектории распространения звука Agr, дБ		ф-ла (9) [10]	-5,5	-5,5	1	5,5	3,5	-0,8	-1,5	-1,5	-1,5		
Уровни звукового давления прямого звука от источника ИШ-6-4 в расчётной точке днём, дБ		**ф-ла(3)[10]**	**0**	**38,3**	**33,2**	**29,6**	**31,3**	**34,3**	**29,9**	**19,9**	**0**	**36,9**	**36,9**
Расчёт отражённого звука													

1		2	3	4	5	6	7	8	9	10	11	12	13
Уровни звукового давления от мнимого источника ИШ-6-4_мн.(1) в расчётной точке днём, дБ		**ф-ла(3)[10]**	**0**	**37,3**	**28,2**	**19,2**	**19,9**	**29,7**	**27,4**	**17,3**	**0**	**32,6**	**32,6**
Уровни звукового давления от источника ИШ-6-4 в расчётной точке днём, дБ		**ф-ла(3)[10]**	**0**	**40,9**	**34,4**	**30**	**31,6**	**35,6**	**31,9**	**21,8**	**0**	**38,3**	**38,3**
Источник шума: ИШ-6-5, координаты источника (x,y,z), м =[832.03,110.36,1.00]													
Уровни звуковой мощности источника днём, Lw, дБ		**исходные данные**	**0**	**96,3**	**97,7**	**99**	**99,3**	**98,9**	**95,6**	**91,4**	**86,9**		
Поправка на телесный угол DΩ, дБ	Ω = 12.57	10Lg(4π/Ω)	**0**	0	0	0	0	0	0	0	0		
Показатель направленности источника Di, дБ		исходные данные	**0**	0	0	0	0	0	0	0	0		
Поправка на направленность источника Dc, дБ	Dc	DΩ + Di	**0**	0	0	0	0	0	0	0	0		
Затухание из-за геометрической дивергенции, Adiv, дБ	расстояние = 414.71 м	ф-ла (7) [10]	**63,4**										
Коэффициент затухания звука в атмосфере α, дБ/км	Ta=20,°C Pa=101.33,кПа hотн.=70%	ф-ла (5) [9]	0,02	0,09	0,33	1,12	2,79	4,98	9,04	23,09	77,63		
Учет затухания звука в атмосфере Aatm, дБ		ф-ла (8) [10]	0	0	0,1	0,5	1,2	2,1	3,7	9,6	32,2		
Снижение поверхностью земли возле источника As, дБ	Gs = 0 hs = 1м	ф-лы таб.3 [10]	-1,5	-1,5	-1,5	-1,5	-1,5	-1,5	-1,5	-1,5	-1,5		
Снижение поверхностью земли возле приёмника Ar, дБ	Gr = 1 hr = 1.5м	ф-лы таб.3 [10]	-1,5	-1,5	2,5	7	5	0,7	0	0	0		
Снижение поверхностью земли в средней зоне, Am дБ	Gm = 1	ф-лы таб.3 [10]	-2,5	-2,5	0	0	0	0	0	0	0		
Суммарное снижение поверхностью земли на траектории распространения звука Agr, дБ		ф-ла (9) [10]	-5,5	-5,5	1	5,5	3,5	-0,8	-1,5	-1,5	-1,5		
Уровни звукового давления прямого звука от источника ИШ-6-5 в расчётной точке днём, дБ		**ф-ла(3)[10]**	**0**	**38,4**	**33,2**	**29,6**	**31,3**	**34,3**	**30**	**20**	**0**	**37**	**37**
Расчёт отражённого звука													

1		2	3	4	5	6	7	8	9	10	11	12	13
Уровни звукового давления от мнимого источника ИШ-6-5_мн.(1) в расчётной точке днём, дБ		**ф-ла(3)[10]**	**0**	**37,3**	**28,2**	**19,3**	**19,9**	**29,7**	**27,4**	**17,4**	**0**	**32,6**	**32,6**
Уровни звукового давления от источника ИШ-6-5 в расчётной точке днём, дБ		**ф-ла(3)[10]**	**0**	**40,9**	**34,4**	**30**	**31,6**	**35,6**	**31,9**	**21,9**	**0**	**38,3**	**38,3**
Источник шума: ИШ-6-6, координаты источника (x,y,z), м =[830.97,107.42,1.00]													
Уровни звуковой мощности источника днём, Lw, дБ		**исходные данные**	**0**	**96,3**	**97,7**	**99**	**99,3**	**98,9**	**95,6**	**91,4**	**86,9**		
Поправка на телесный угол DΩ, дБ	Ω = 12.57	10Lg(4π/Ω)	**0**	0	0	0	0	0	0	0	0		
Показатель направленности источника Di, дБ		исходные данные	**0**	0	0	0	0	0	0	0	0		
Поправка на направленность источника Dc, дБ	Dc	DΩ + Di	**0**	0	0	0	0	0	0	0	0		
Затухание из-за геометрической дивергенции, Adiv, дБ	расстояние = 413.04 м	ф-ла (7) [10]	**63,3**										
Коэффициент затухания звука в атмосфере α, дБ/км	Ta=20,°C Pa=101.33,кПа hотн.=70%	ф-ла (5) [9]	0,02	0,09	0,33	1,12	2,79	4,98	9,04	23,09	77,63		
Учет затухания звука в атмосфере Aatm, дБ		ф-ла (8) [10]	0	0	0,1	0,5	1,2	2,1	3,7	9,5	32,1		
Снижение поверхностью земли возле источника As, дБ	Gs = 0 hs = 1м	ф-лы таб.3 [10]	-1,5	-1,5	-1,5	-1,5	-1,5	-1,5	-1,5	-1,5	-1,5		
Снижение поверхностью земли возле приёмника Ar, дБ	Gr = 1 hr = 1.5м	ф-лы таб.3 [10]	-1,5	-1,5	2,5	7	5	0,7	0	0	0		
Снижение поверхностью земли в средней зоне, Am дБ	Gm = 1	ф-лы таб.3 [10]	-2,5	-2,5	0	0	0	0	0	0	0		
Суммарное снижение поверхностью земли на траектории распространения звука Agr, дБ		ф-ла (9) [10]	-5,5	-5,5	1	5,5	3,5	-0,8	-1,5	-1,5	-1,5		
Уровни звукового давления прямого звука от источника ИШ-6-6 в расчётной точке днём, дБ		**ф-ла(3)[10]**	**0**	**38,4**	**33,3**	**29,7**	**31,3**	**34,4**	**30**	**20**	**0**	**37**	**37**
Расчёт отражённого звука													

1		2	3	4	5	6	7	8	9	10	11	12	13
Уровни звукового давления от мнимого источника ИШ-6-6_мн.(1) в расчётной точке днём, дБ		**ф-ла(3)[10]**	**0**	**37,4**	**28,3**	**19,3**	**20**	**29,8**	**27,5**	**17,5**	**0**	**32,7**	**32,7**
Уровни звукового давления от источника ИШ-6-6 в расчётной точке днём, дБ		**ф-ла(3)[10]**	**0**	**40,9**	**34,5**	**30,1**	**31,7**	**35,7**	**32**	**21,9**	**0**	**38,4**	**38,4**
Источник шума: ИШ-6-7, координаты источника (x,y,z), м =[830.30,104.49,1.00]													
Уровни звуковой мощности источника днём, Lw, дБ		**исходные данные**	**0**	**96,3**	**97,7**	**99**	**99,3**	**98,9**	**95,6**	**91,4**	**86,9**		
Поправка на телесный угол DΩ, дБ	Ω = 12.57	10Lg(4π/Ω)	**0**	0	0	0	0	0	0	0	0		
Показатель направленности источника Di, дБ		исходные данные	**0**	0	0	0	0	0	0	0	0		
Поправка на направленность источника Dc, дБ	Dc	DΩ + Di	**0**	0	0	0	0	0	0	0	0		
Затухание из-за геометрической дивергенции, Adiv, дБ	расстояние = 411.77 м	ф-ла (7) [10]	**63,3**										
Коэффициент затухания звука в атмосфере α, дБ/км	Ta=20,°C Pa=101.33,кПа hотн.=70%	ф-ла (5) [9]	0,02	0,09	0,33	1,12	2,79	4,98	9,04	23,09	77,63		
Учет затухания звука в атмосфере Aatm, дБ		ф-ла (8) [10]	0	0	0,1	0,5	1,1	2	3,7	9,5	32		
Снижение поверхностью земли возле источника As, дБ	Gs = 0 hs = 1м	ф-лы таб.3 [10]	-1,5	-1,5	-1,5	-1,5	-1,5	-1,5	-1,5	-1,5	-1,5		
Снижение поверхностью земли возле приёмника Ar, дБ	Gr = 1 hr = 1.5м	ф-лы таб.3 [10]	-1,5	-1,5	2,4	7	5	0,7	0	0	0		
Снижение поверхностью земли в средней зоне, Am дБ	Gm = 1	ф-лы таб.3 [10]	-2,5	-2,5	0	0	0	0	0	0	0		
Суммарное снижение поверхностью земли на траектории распространения звука Agr, дБ		ф-ла (9) [10]	-5,5	-5,5	0,9	5,5	3,5	-0,8	-1,5	-1,5	-1,5		
Уровни звукового давления прямого звука от источника ИШ-6-7 в расчётной точке днём, дБ		**ф-ла(3)[10]**	**0**	**38,4**	**33,3**	**29,7**	**31,4**	**34,4**	**30,1**	**20,1**	**0**	**37,1**	**37,1**
Расчёт отражённого звука													

1		2	3	4	5	6	7	8	9	10	11	12	13
Уровни звукового давления от мнимого источника ИШ-6-7_мн.(1) в расчётной точке днём, дБ		**ф-ла(3)[10]**	**0**	**37,4**	**28,3**	**19,3**	**20**	**29,8**	**27,5**	**17,5**	**0**	**32,7**	**32,7**
Уровни звукового давления от источника ИШ-6-7 в расчётной точке днём, дБ		**ф-ла(3)[10]**	**0**	**40,9**	**34,5**	**30,1**	**31,7**	**35,7**	**32**	**22**	**0**	**38,4**	**38,4**
Источник шума: ИШ-6-8, координаты источника (x,y,z), м =[829.36,101.42,1.00]													
Уровни звуковой мощности источника днём, Lw, дБ		**исходные данные**	**0**	**96,3**	**97,7**	**99**	**99,3**	**98,9**	**95,6**	**91,4**	**86,9**		
Поправка на телесный угол DΩ, дБ	Ω = 12.57	10Lg(4π/Ω)	**0**	0	0	0	0	0	0	0	0		
Показатель направленности источника Di, дБ		исходные данные	**0**	0	0	0	0	0	0	0	0		
Поправка на направленность источника Dc, дБ	Dc	DΩ + Di	**0**	0	0	0	0	0	0	0	0		
Затухание из-за геометрической дивергенции, Adiv, дБ	расстояние = 410.24 м	ф-ла (7) [10]	**63,3**										
Коэффициент затухания звука в атмосфере α, дБ/км	Ta=20,°C Pa=101.33,кПа hотн.=70%	ф-ла (5) [9]	0,02	0,09	0,33	1,12	2,79	4,98	9,04	23,09	77,63		
Учет затухания звука в атмосфере Aatm, дБ		ф-ла (8) [10]	0	0	0,1	0,5	1,1	2	3,7	9,5	31,8		
Снижение поверхностью земли возле источника As, дБ	Gs = 0 hs = 1м	ф-лы таб.3 [10]	-1,5	-1,5	-1,5	-1,5	-1,5	-1,5	-1,5	-1,5	-1,5		
Снижение поверхностью земли возле приёмника Ar, дБ	Gr = 1 hr = 1.5м	ф-лы таб.3 [10]	-1,5	-1,5	2,4	7	5	0,7	0	0	0		
Снижение поверхностью земли в средней зоне, Am дБ	Gm = 1	ф-лы таб.3 [10]	-2,5	-2,5	0	0	0	0	0	0	0		
Суммарное снижение поверхностью земли на траектории распространения звука Agr, дБ		ф-ла (9) [10]	-5,5	-5,5	0,9	5,5	3,5	-0,8	-1,5	-1,5	-1,5		
Уровни звукового давления прямого звука от источника ИШ-6-8 в расчётной точке днём, дБ		**ф-ла(3)[10]**	**0**	**38,4**	**33,4**	**29,7**	**31,4**	**34,4**	**30,1**	**20,2**	**0**	**37,1**	**37,1**
Расчёт отражённого звука													

1		2	3	4	5	6	7	8	9	10	11	12	13
Уровни звукового давления от мнимого источника ИШ-6-8_мн.(1) в расчётной точке днём, дБ		**ф-ла(3)[10]**	**0**	**37,4**	**28,4**	**19,4**	**20,1**	**29,9**	**27,6**	**17,6**	**0**	**32,8**	**32,8**
Уровни звукового давления от источника ИШ-6-8 в расчётной точке днём, дБ		**ф-ла(3)[10]**	**0**	**41**	**34,6**	**30,1**	**31,7**	**35,7**	**32**	**22,1**	**0**	**38,5**	**38,5**
Источник шума: ИШ-6-9, координаты источника (x,y,z), м =[828.03,98.62,1.00]													
Уровни звуковой мощности источника днём, Lw, дБ		**исходные данные**	**0**	**96,3**	**97,7**	**99**	**99,3**	**98,9**	**95,6**	**91,4**	**86,9**		
Поправка на телесный угол DΩ, дБ	Ω = 12.57	10Lg(4π/Ω)	**0**	0	0	0	0	0	0	0	0		
Показатель направленности источника Di, дБ		исходные данные	**0**	0	0	0	0	0	0	0	0		
Поправка на направленность источника Dc, дБ	Dc	DΩ + Di	**0**	0	0	0	0	0	0	0	0		
Затухание из-за геометрической дивергенции, Adiv, дБ	расстояние = 408.38 м	ф-ла (7) [10]	**63,2**										
Коэффициент затухания звука в атмосфере α, дБ/км	Ta=20,°C Pa=101.33,кПа hотн.=70%	ф-ла (5) [9]	0,02	0,09	0,33	1,12	2,79	4,98	9,04	23,09	77,63		
Учет затухания звука в атмосфере Aatm, дБ		ф-ла (8) [10]	0	0	0,1	0,5	1,1	2	3,7	9,4	31,7		
Снижение поверхностью земли возле источника As, дБ	Gs = 0 hs = 1м	ф-лы таб.3 [10]	-1,5	-1,5	-1,5	-1,5	-1,5	-1,5	-1,5	-1,5	-1,5		
Снижение поверхностью земли возле приёмника Ar, дБ	Gr = 1 hr = 1.5м	ф-лы таб.3 [10]	-1,5	-1,5	2,4	7	5	0,7	0	0	0		
Снижение поверхностью земли в средней зоне, Am дБ	Gm = 1	ф-лы таб.3 [10]	-2,4	-2,4	0	0	0	0	0	0	0		
Суммарное снижение поверхностью земли на траектории распространения звука Agr, дБ		ф-ла (9) [10]	-5,4	-5,4	0,9	5,5	3,5	-0,8	-1,5	-1,5	-1,5		
Уровни звукового давления прямого звука от источника ИШ-6-9 в расчётной точке днём, дБ		**ф-ла(3)[10]**	**0**	**38,5**	**33,4**	**29,8**	**31,5**	**34,5**	**30,2**	**20,2**	**0**	**37,1**	**37,1**
Расчёт отражённого звука													

1		2	3	4	5	6	7	8	9	10	11	12	13
Уровни звукового давления от мнимого источника ИШ-6-9_мн.(1) в расчётной точке днём, дБ		**ф-ла(3)[10]**	**0**	**37,5**	**28,5**	**19,4**	**20,1**	**29,9**	**27,6**	**17,7**	**0**	**32,8**	**32,8**
Уровни звукового давления от источника ИШ-6-9 в расчётной точке днём, дБ		**ф-ла(3)[10]**	**0**	**41**	**34,6**	**30,2**	**31,8**	**35,8**	**32,1**	**22,2**	**0**	**38,5**	**38,5**
Источник шума: ИШ-6-10, координаты источника (x,y,z), м =[827.23,95.55,1.00]													
Уровни звуковой мощности источника днём, Lw, дБ		**исходные данные**	**0**	**96,3**	**97,7**	**99**	**99,3**	**98,9**	**95,6**	**91,4**	**86,9**		
Поправка на телесный угол DΩ, дБ	Ω = 12.57	10Lg(4π/Ω)	**0**	0	0	0	0	0	0	0	0		
Показатель направленности источника Di, дБ		исходные данные	**0**	0	0	0	0	0	0	0	0		
Поправка на направленность источника Dc, дБ	Dc	DΩ + Di	**0**	0	0	0	0	0	0	0	0		
Затухание из-за геометрической дивергенции, Adiv, дБ	расстояние = 407.01 м	ф-ла (7) [10]	**63,2**										
Коэффициент затухания звука в атмосфере α, дБ/км	Ta=20,°C Pa=101.33,кПа hотн.=70%	ф-ла (5) [9]	0,02	0,09	0,33	1,12	2,79	4,98	9,04	23,09	77,63		
Учет затухания звука в атмосфере Aatm, дБ		ф-ла (8) [10]	0	0	0,1	0,5	1,1	2	3,7	9,4	31,6		
Снижение поверхностью земли возле источника As, дБ	Gs = 0 hs = 1м	ф-лы таб.3 [10]	-1,5	-1,5	-1,5	-1,5	-1,5	-1,5	-1,5	-1,5	-1,5		
Снижение поверхностью земли возле приёмника Ar, дБ	Gr = 1 hr = 1.5м	ф-лы таб.3 [10]	-1,5	-1,5	2,4	7	5	0,7	0	0	0		
Снижение поверхностью земли в средней зоне, Am дБ	Gm = 1	ф-лы таб.3 [10]	-2,4	-2,4	0	0	0	0	0	0	0		
Суммарное снижение поверхностью земли на траектории распространения звука Agr, дБ		ф-ла (9) [10]	-5,4	-5,4	0,9	5,5	3,5	-0,8	-1,5	-1,5	-1,5		
Уровни звукового давления прямого звука от источника ИШ-6-10 в расчётной точке днём, дБ		**ф-ла(3)[10]**	**0**	**38,5**	**33,4**	**29,8**	**31,5**	**34,5**	**30,2**	**20,3**	**0**	**37,2**	**37,2**
Расчёт отражённого звука													

1		2	3	4	5	6	7	8	9	10	11	12	13
Уровни звукового давления от мнимого источника ИШ-6-10_мн.(1) в расчётной точке днём, дБ		**ф-ла(3)[10]**	**0**	**37,5**	**28,5**	**19,4**	**20,1**	**29,9**	**27,7**	**17,7**	**0**	**32,8**	**32,8**
Уровни звукового давления от источника ИШ-6-10 в расчётной точке днём, дБ		**ф-ла(3)[10]**	**0**	**41**	**34,7**	**30,2**	**31,8**	**35,8**	**32,1**	**22,2**	**0**	**38,5**	**38,5**
Источник шума: ИШ-6-11, координаты источника (x,y,z), м =[826.30,92.48,1.00]													
Уровни звуковой мощности источника днём, Lw, дБ		**исходные данные**	**0**	**96,3**	**97,7**	**99**	**99,3**	**98,9**	**95,6**	**91,4**	**86,9**		
Поправка на телесный угол DΩ, дБ	Ω = 12.57	10Lg(4π/Ω)	**0**	0	0	0	0	0	0	0	0		
Показатель направленности источника Di, дБ		исходные данные	**0**	0	0	0	0	0	0	0	0		
Поправка на направленность источника Dc, дБ	Dc	DΩ + Di	**0**	0	0	0	0	0	0	0	0		
Затухание из-за геометрической дивергенции, Adiv, дБ	расстояние = 405.54 м	ф-ла (7) [10]	**63,2**										
Коэффициент затухания звука в атмосфере α, дБ/км	Ta=20,°C Pa=101.33,кПа hотн.=70%	ф-ла (5) [9]	0,02	0,09	0,33	1,12	2,79	4,98	9,04	23,09	77,63		
Учет затухания звука в атмосфере Aatm, дБ		ф-ла (8) [10]	0	0	0,1	0,5	1,1	2	3,7	9,4	31,5		
Снижение поверхностью земли возле источника As, дБ	Gs = 0 hs = 1м	ф-лы таб.3 [10]	-1,5	-1,5	-1,5	-1,5	-1,5	-1,5	-1,5	-1,5	-1,5		
Снижение поверхностью земли возле приёмника Ar, дБ	Gr = 1 hr = 1.5м	ф-лы таб.3 [10]	-1,5	-1,5	2,4	7	5	0,7	0	0	0		
Снижение поверхностью земли в средней зоне, Am дБ	Gm = 1	ф-лы таб.3 [10]	-2,4	-2,4	0	0	0	0	0	0	0		
Суммарное снижение поверхностью земли на траектории распространения звука Agr, дБ		ф-ла (9) [10]	-5,4	-5,4	0,9	5,5	3,5	-0,8	-1,5	-1,5	-1,5		
Уровни звукового давления прямого звука от источника ИШ-6-11 в расчётной точке днём, дБ		**ф-ла(3)[10]**	**0**	**38,5**	**33,5**	**29,9**	**31,5**	**34,6**	**30,3**	**20,4**	**0**	**37,2**	**37,2**
Расчёт отражённого звука													

1		2	3	4	5	6	7	8	9	10	11	12	13
Уровни звукового давления от мнимого источника ИШ-6-11_мн.(1) в расчётной точке днём, дБ		**ф-ла(3)[10]**	**0**	**37,5**	**28,6**	**19,5**	**20,2**	**30**	**27,7**	**17,8**	**0**	**32,9**	**32,9**
Уровни звукового давления от источника ИШ-6-11 в расчётной точке днём, дБ		**ф-ла(3)[10]**	**0**	**41,1**	**34,7**	**30,2**	**31,8**	**35,9**	**32,2**	**22,3**	**0**	**38,6**	**38,6**
Источник шума: ИШ-6-12, координаты источника (x,y,z), м =[825.09,89.54,1.00]													
Уровни звуковой мощности источника днём, Lw, дБ		**исходные данные**	**0**	**96,3**	**97,7**	**99**	**99,3**	**98,9**	**95,6**	**91,4**	**86,9**		
Поправка на телесный угол DΩ, дБ	Ω = 12.57	10Lg(4π/Ω)	**0**	0	0	0	0	0	0	0	0		
Показатель направленности источника Di, дБ		исходные данные	**0**	0	0	0	0	0	0	0	0		
Поправка на направленность источника Dc, дБ	Dc	DΩ + Di	**0**	0	0	0	0	0	0	0	0		
Затухание из-за геометрической дивергенции, Adiv, дБ	расстояние = 403.84 м	ф-ла (7) [10]	**63,1**										
Коэффициент затухания звука в атмосфере α, дБ/км	Ta=20,°C Pa=101.33,кПа hотн.=70%	ф-ла (5) [9]	0,02	0,09	0,33	1,12	2,79	4,98	9,04	23,09	77,63		
Учет затухания звука в атмосфере Aatm, дБ		ф-ла (8) [10]	0	0	0,1	0,5	1,1	2	3,7	9,3	31,4		
Снижение поверхностью земли возле источника As, дБ	Gs = 0 hs = 1м	ф-лы таб.3 [10]	-1,5	-1,5	-1,5	-1,5	-1,5	-1,5	-1,5	-1,5	-1,5		
Снижение поверхностью земли возле приёмника Ar, дБ	Gr = 1 hr = 1.5м	ф-лы таб.3 [10]	-1,5	-1,5	2,4	7	5	0,7	0	0	0		
Снижение поверхностью земли в средней зоне, Am дБ	Gm = 1	ф-лы таб.3 [10]	-2,4	-2,4	0	0	0	0	0	0	0		
Суммарное снижение поверхностью земли на траектории распространения звука Agr, дБ		ф-ла (9) [10]	-5,4	-5,4	0,9	5,5	3,5	-0,8	-1,5	-1,5	-1,5		
Уровни звукового давления прямого звука от источника ИШ-6-12 в расчётной точке днём, дБ		**ф-ла(3)[10]**	**0**	**38,6**	**33,5**	**29,9**	**31,6**	**34,6**	**30,3**	**20,4**	**0**	**37,3**	**37,3**
Расчёт отражённого звука													

1		2	3	4	5	6	7	8	9	10	11	12	13
Уровни звукового давления от мнимого источника ИШ-6-12_мн.(1) в расчётной точке днём, дБ		**ф-ла(3)[10]**	**0**	**37,6**	**28,6**	**19,5**	**20,2**	**30**	**27,8**	**17,9**	**0**	**32,9**	**32,9**
Уровни звукового давления от источника ИШ-6-12 в расчётной точке днём, дБ		**ф-ла(3)[10]**	**0**	**41,1**	**34,8**	**30,3**	**31,9**	**35,9**	**32,2**	**22,4**	**0**	**38,6**	**38,6**
Источник шума: ИШ-6-13, координаты источника (x,y,z), м =[767.76,-114.15,1.00]													
Уровни звуковой мощности источника днём, Lw, дБ		**исходные данные**	**0**	**96,3**	**97,7**	**99**	**99,3**	**98,9**	**95,6**	**91,4**	**86,9**		
Поправка на телесный угол DΩ, дБ	Ω = 12.57	10Lg(4π/Ω)	**0**	0	0	0	0	0	0	0	0		
Показатель направленности источника Di, дБ		исходные данные	**0**	0	0	0	0	0	0	0	0		
Поправка на направленность источника Dc, дБ	Dc	DΩ + Di	**0**	0	0	0	0	0	0	0	0		
Затухание из-за геометрической дивергенции, Adiv, дБ	расстояние = 365.90 м	ф-ла (7) [10]	**62,3**										
Коэффициент затухания звука в атмосфере α, дБ/км	Ta=20,°C Pa=101.33,кПа hотн.=70%	ф-ла (5) [9]	0,02	0,09	0,33	1,12	2,79	4,98	9,04	23,09	77,63		
Учет затухания звука в атмосфере Aatm, дБ		ф-ла (8) [10]	0	0	0,1	0,4	1	1,8	3,3	8,4	28,4		
Снижение уровня звукового давления из-за влияния застройки между источником шума и расчетной точкой													
Снижение уровня звукового давления на пути над экраном, Dz1, дБ	z = 0.26м (разность путей)	ф-лы (14-18) [10]	5	5,4	6,2	7,6	9,3	11,5	14,1	16,8	19,7		
Снижение уровня звукового давления на пути слева от экрана, Dz2, дБ	z = 5.44м (разность путей)	ф-лы (14-18) [10]	14,9	19,2	23,2	26,7	29,8	32,8	35,8	38,9	41,9		
Снижение уровня звукового давления на пути справа от экрана, Dz3, дБ	z = 1.35м (разность путей)	ф-лы (14-18) [10]	10	13,6	17,3	20,7	23,8	26,8	29,8	32,8	35,8		
Общее снижение уровня звука препятствием Dz, дБ		Эн.сумма(-Dzi)	3,5	4,6	5,8	7,3	9,1	11,4	13,9	16,7	19,6		
Уровни звукового давления прямого звука от источника ИШ-6-13 в расчётной точке днём, дБ		**ф-ла(3)[10]**	**0**	**29,4**	**29,5**	**29**	**26,9**	**23,4**	**16,1**	**4**	**0**	**28,1**	**28,1**

1		2	3	4	5	6	7	8	9	10	11	12	13
Расчёт отражённого звука													
Уровни звукового давления от мнимого источника ИШ-6-13_мн.(1) в расчётной точке днём, дБ		**ф-ла(3)[10]**	**0**	**0**	**0**	**0**	**0**	**0**	**0**	**0**	**0**	**0**	**0**
Уровни звукового давления от источника ИШ-6-13 в расчётной точке днём, дБ		**ф-ла(3)[10]**	**0**	**29,4**	**29,5**	**29**	**26,9**	**23,4**	**16,1**	**4**	**0**	**28,1**	**28,1**
Источник шума: ИШ-6-14, координаты источника (x,y,z), м =[766.82,-117.10,1.00]													
Уровни звуковой мощности источника днём, Lw, дБ		**исходные данные**	**0**	**96,3**	**97,7**	**99**	**99,3**	**98,9**	**95,6**	**91,4**	**86,9**		
Поправка на телесный угол DΩ, дБ	Ω = 12.57	10Lg(4π/Ω)	**0**	0	0	0	0	0	0	0	0		
Показатель направленности источника Di, дБ		исходные данные	**0**	0	0	0	0	0	0	0	0		
Поправка на направленность источника Dc, дБ	Dc	DΩ + Di	**0**	0	0	0	0	0	0	0	0		
Затухание из-за геометрической дивергенции, Adiv, дБ	расстояние = 366.11 м	ф-ла (7) [10]	**62,3**										
Коэффициент затухания звука в атмосфере α, дБ/км	Ta=20,°C Pa=101.33,кПа hотн.=70%	ф-ла (5) [9]	0,02	0,09	0,33	1,12	2,79	4,98	9,04	23,09	77,63		
Учет затухания звука в атмосфере Aatm, дБ		ф-ла (8) [10]	0	0	0,1	0,4	1	1,8	3,3	8,5	28,4		
Снижение уровня звукового давления из-за влияния застройки между источником шума и расчетной точкой													
Снижение уровня звукового давления на пути над экраном, Dz1, дБ	z = 0.26м (разность путей)	ф-лы (14-18) [10]	5	5,4	6,2	7,6	9,3	11,5	14,1	16,8	19,7		
Снижение уровня звукового давления на пути слева от экрана, Dz2, дБ	z = 4.99м (разность путей)	ф-лы (14-18) [10]	14,6	18,8	22,9	26,3	29,4	32,4	35,5	38,5	41,5		
Снижение уровня звукового давления на пути справа от экрана, Dz3, дБ	z = 1.60м (разность путей)	ф-лы (14-18) [10]	10,5	14,3	18,1	21,4	24,5	27,5	30,5	33,5	36,6		
Общее снижение уровня звука препятствием Dz, дБ		Эн.сумма(-Dzi)	3,6	4,7	5,9	7,3	9,1	11,4	13,9	16,7	19,6		

1		2	3	4	5	6	7	8	9	10	11	12	13
Уровни звукового давления прямого звука от источника ИШ-6-14 в расчётной точке днём, дБ		**ф-ла(3)[10]**	**0**	**29,3**	**29,4**	**29**	**26,9**	**23,4**	**16,1**	**4**	**0**	**28,1**	**28,1**
Расчёт отражённого звука													
Уровни звукового давления от мнимого источника ИШ-6-14_мн.(1) в расчётной точке днём, дБ		**ф-ла(3)[10]**	**0**	**0**	**0**	**0**	**0**	**0**	**0**	**0**	**0**	**0**	**0**
Уровни звукового давления от источника ИШ-6-14 в расчётной точке днём, дБ		**ф-ла(3)[10]**	**0**	**29,3**	**29,4**	**29**	**26,9**	**23,4**	**16,1**	**4**	**0**	**28,1**	**28,1**
Источник шума: ИШ-6-15, координаты источника (x,y,z), м =[765.71,-120.27,1.00]													
Уровни звуковой мощности источника днём, Lw, дБ		**исходные данные**	**0**	**96,3**	**97,7**	**99**	**99,3**	**98,9**	**95,6**	**91,4**	**86,9**		
Поправка на телесный угол DΩ, дБ	Ω = 12.57	10Lg(4π/Ω)	**0**	0	0	0	0	0	0	0	0		
Показатель направленности источника Di, дБ		исходные данные	**0**	0	0	0	0	0	0	0	0		
Поправка на направленность источника Dc, дБ	Dc	DΩ + Di	**0**	0	0	0	0	0	0	0	0		
Затухание из-за геометрической дивергенции, Adiv, дБ	расстояние = 366.29 м	ф-ла (7) [10]	**62,3**										
Коэффициент затухания звука в атмосфере α, дБ/км	Ta=20,°C Pa=101.33,кПа hотн.=70%	ф-ла (5) [9]	0,02	0,09	0,33	1,12	2,79	4,98	9,04	23,09	77,63		
Учет затухания звука в атмосфере Aatm, дБ		ф-ла (8) [10]	0	0	0,1	0,4	1	1,8	3,3	8,5	28,4		
Снижение уровня звукового давления из-за влияния застройки между источником шума и расчетной точкой													
Снижение уровня звукового давления на пути над экраном, Dz1, дБ	z = 0.26м (разность путей)	ф-лы (14-18) [10]	5	5,4	6,2	7,5	9,3	11,5	14	16,8	19,7		
Снижение уровня звукового давления на пути слева от экрана, Dz2, дБ	z = 4.52м (разность путей)	ф-лы (14-18) [10]	14,2	18,4	22,4	25,9	29	32	35	38	41,1		
Снижение уровня звукового давления на пути справа от экрана, Dz3, дБ	z = 1.90м (разность путей)	ф-лы (14-18) [10]	11,1	14,9	18,8	22,2	25,3	28,3	31,3	34,3	37,3		

1		2	3	4	5	6	7	8	9	10	11	12	13
Общее снижение уровня звука препятствием Dz, дБ		Эн.сумма(-Dzi)	3,6	4,8	5,9	7,3	9,2	11,4	13,9	16,7	19,6		
Уровни звукового давления прямого звука от источника ИШ-6-15 в расчётной точке днём, дБ		**ф-ла(3)[10]**	**0**	**29,2**	**29,4**	**29**	**26,8**	**23,4**	**16,1**	**4**	**0**	**28,1**	**28,1**
Расчёт отражённого звука													
Уровни звукового давления от мнимого источника ИШ-6-15_мн.(1) в расчётной точке днём, дБ		**ф-ла(3)[10]**	**0**	**0**	**0**	**0**	**0**	**0**	**0**	**0**	**0**	**0**	**0**
Уровни звукового давления от мнимого источника ИШ-6-15_мн.(2) в расчётной точке днём, дБ		**ф-ла(3)[10]**	**0**	**0**	**0**	**0**	**0**	**0**	**0**	**0**	**0**	**0**	**0**
Суммарные уровни звукового давления от мнимых источников в расчётной точке днём, дБ		**ф-ла (19) [1]**	**0**	**0**	**0**	**0**	**0**	**0**	**0**	**0**	**0**	**0**	**0**
Уровни звукового давления от источника ИШ-6-15 в расчётной точке днём, дБ		**ф-ла(3)[10]**	**0**	**29,2**	**29,4**	**29**	**26,8**	**23,4**	**16,1**	**4**	**0**	**28,1**	**28,1**
Источник шума: ИШ-6-16, координаты источника (x,y,z), м =[764.57,-123.22,1.00]													
Уровни звуковой мощности источника днём, Lw, дБ		**исходные данные**	**0**	**96,3**	**97,7**	**99**	**99,3**	**98,9**	**95,6**	**91,4**	**86,9**		
Поправка на телесный угол DΩ, дБ	Ω = 12.57	10Lg(4π/Ω)	**0**	0	0	0	0	0	0	0	0		
Показатель направленности источника Di, дБ		исходные данные	**0**	0	0	0	0	0	0	0	0		
Поправка на направленность источника Dc, дБ	Dc	DΩ + Di	**0**	0	0	0	0	0	0	0	0		
Затухание из-за геометрической дивергенции, Adiv, дБ	расстояние = 366.38 м	ф-ла (7) [10]	**62,3**										
Коэффициент затухания звука в атмосфере α, дБ/км	Ta=20,°C Pa=101.33,кПа hотн.=70%	ф-ла (5) [9]	0,02	0,09	0,33	1,12	2,79	4,98	9,04	23,09	77,63		
Учет затухания звука в атмосфере Aatm, дБ		ф-ла (8) [10]	0	0	0,1	0,4	1	1,8	3,3	8,5	28,4		
Снижение уровня звукового давления из-за влияния застройки между источником шума и расчетной точкой													

1		2	3	4	5	6	7	8	9	10	11	12	13
Снижение уровня звукового давления на пути над экраном, Dz1, дБ	z = 0.26м (разность путей)	ф-лы (14-18) [10]	5	5,4	6,2	7,5	9,3	11,5	14	16,8	19,7		
Снижение уровня звукового давления на пути слева от экрана, Dz2, дБ	z = 4.10м (разность путей)	ф-лы (14-18) [10]	13,8	18	22	25,4	28,6	31,6	34,6	37,6	40,6		
Снижение уровня звукового давления на пути справа от экрана, Dz3, дБ	z = 2.21м (разность путей)	ф-лы (14-18) [10]	11,6	15,5	19,4	22,8	25,9	28,9	31,9	34,9	38		
Общее снижение уровня звука препятствием Dz, дБ		Эн.сумма(-Dzi)	3,7	4,8	5,9	7,3	9,2	11,4	13,9	16,7	19,6		
Уровни звукового давления прямого звука от источника ИШ-6-16 в расчётной точке днём, дБ		**ф-ла(3)[10]**	**0**	**29,2**	**29,4**	**29**	**26,8**	**23,4**	**16,1**	**4**	**0**	**28**	**28**
Расчёт отражённого звука													
Уровни звукового давления от мнимого источника ИШ-6-16_мн.(1) в расчётной точке днём, дБ		**ф-ла(3)[10]**	**0**	**0**	**0**	**0**	**0**	**0**	**0**	**0**	**0**	**0**	**0**
Уровни звукового давления от мнимого источника ИШ-6-16_мн.(2) в расчётной точке днём, дБ		**ф-ла(3)[10]**	**0**	**0**	**0**	**0**	**0**	**0**	**0**	**0**	**0**	**0**	**0**
Суммарные уровни звукового давления от мнимых источников в расчётной точке днём, дБ		**ф-ла (19) [1]**	**0**	**0**	**0**	**0**	**0**	**0**	**0**	**0**	**0**	**0**	**0**
Уровни звукового давления от источника ИШ-6-16 в расчётной точке днём, дБ		**ф-ла(3)[10]**	**0**	**29,2**	**29,4**	**29**	**26,8**	**23,4**	**16,1**	**4**	**0**	**28**	**28**
Источник шума: ИШ-6-17, координаты источника (x,y,z), м =[763.57,-126.18,1.00]													
Уровни звуковой мощности источника днём, Lw, дБ		**исходные данные**	**0**	**96,3**	**97,7**	**99**	**99,3**	**98,9**	**95,6**	**91,4**	**86,9**		
Поправка на телесный угол DΩ, дБ	Ω = 12.57	10Lg(4π/Ω)	**0**	0	0	0	0	0	0	0	0		
Показатель направленности источника Di, дБ		исходные данные	**0**	0	0	0	0	0	0	0	0		
Поправка на направленность источника Dc, дБ	Dc	DΩ + Di	**0**	0	0	0	0	0	0	0	0		
Затухание из-за геометрической дивергенции, Adiv, дБ	расстояние = 366.63 м	ф-ла (7) [10]	**62,3**										
Коэффициент затухания звука в атмосфере α, дБ/км	Ta=20,°C Pa=101.33,кПа hотн.=70%	ф-ла (5) [9]	0,02	0,09	0,33	1,12	2,79	4,98	9,04	23,09	77,63		

1		2	3	4	5	6	7	8	9	10	11	12	13
Учет затухания звука в атмосфере Aatm, дБ		ф-ла (8) [10]	0	0	0,1	0,4	1	1,8	3,3	8,5	28,5		
Снижение уровня звукового давления из-за влияния застройки между источником шума и расчетной точкой													
Снижение уровня звукового давления на пути над экраном, Dz1, дБ	z = 0.26м (разность путей)	ф-лы (14-18) [10]	5	5,4	6,2	7,5	9,3	11,5	14	16,8	19,6		
Снижение уровня звукового давления на пути слева от экрана, Dz2, дБ	z = 3.71м (разность путей)	ф-лы (14-18) [10]	13,5	17,6	21,6	25	28,1	31,2	34,2	37,2	40,2		
Снижение уровня звукового давления на пути справа от экрана, Dz3, дБ	z = 2.54м (разность путей)	ф-лы (14-18) [10]	12,1	16,1	20	23,4	26,5	29,5	32,5	35,5	38,6		
Общее снижение уровня звука препятствием Dz, дБ		Эн.сумма(-Dzi)	3,7	4,8	5,9	7,3	9,2	11,4	13,9	16,7	19,5		
Уровни звукового давления прямого звука от источника ИШ-6-17 в расчётной точке днём, дБ		**ф-ла(3)[10]**	**0**	**29,2**	**29,3**	**28,9**	**26,8**	**23,4**	**16,1**	**4**	**0**	**28**	**28**
Расчёт отражённого звука													
Уровни звукового давления от мнимого источника ИШ-6-17_мн.(1) в расчётной точке днём, дБ		**ф-ла(3)[10]**	**0**	**0**	**0**	**0**	**0**	**0**	**0**	**0**	**0**	**0**	**0**
Уровни звукового давления от источника ИШ-6-17 в расчётной точке днём, дБ		**ф-ла(3)[10]**	**0**	**29,2**	**29,3**	**28,9**	**26,8**	**23,4**	**16,1**	**4**	**0**	**28**	**28**
Источник шума: ИШ-6-18, координаты источника (x,y,z), м =[804.77,-126.28,1.00]													
Уровни звуковой мощности источника днём, Lw, дБ		**исходные данные**	**0**	**96,3**	**97,7**	**99**	**99,3**	**98,9**	**95,6**	**91,4**	**86,9**		
Поправка на телесный угол DΩ, дБ	Ω = 12.57	10Lg(4π/Ω)	**0**	0	0	0	0	0	0	0	0		
Показатель направленности источника Di, дБ		исходные данные	**0**	0	0	0	0	0	0	0	0		
Поправка на направленность источника Dc, дБ	Dc	DΩ + Di	**0**	0	0	0	0	0	0	0	0		
Затухание из-за геометрической дивергенции, Adiv, дБ	расстояние = 404.79 м	ф-ла (7) [10]	**63,1**										

1		2	3	4	5	6	7	8	9	10	11	12	13
Коэффициент затухания звука в атмосфере α, дБ/км	Ta=20,°C Pa=101.33,кПа hотн.=70%	ф-ла (5) [9]	0,02	0,09	0,33	1,12	2,79	4,98	9,04	23,09	77,63		
Учет затухания звука в атмосфере Aatm, дБ		ф-ла (8) [10]	0	0	0,1	0,5	1,1	2	3,7	9,3	31,4		
Снижение уровня звукового давления из-за влияния застройки между источником шума и расчетной точкой													
Снижение уровня звукового давления на пути над экраном, Dz1, дБ	z = 0.24м (разность путей)	ф-лы (14-18) [10]	4,9	5,2	5,7	6,6	8	9,9	12,2	14,8	17,6		
Снижение уровня звукового давления на пути слева от экрана, Dz2, дБ	z = 5.36м (разность путей)	ф-лы (14-18) [10]	14,9	19,1	23,2	26,6	29,7	32,8	35,8	38,8	41,8		
Снижение уровня звукового давления на пути справа от экрана, Dz3, дБ	z = 1.10м (разность путей)	ф-лы (14-18) [10]	9,4	12,8	16,5	19,8	22,9	25,9	28,9	31,9	34,9		
Общее снижение уровня звука препятствием Dz, дБ		Эн.сумма(-Dzi)	3,3	4,3	5,3	6,4	7,9	9,8	12,1	14,7	17,5		
Уровни звукового давления прямого звука от источника ИШ-6-18 в расчётной точке днём, дБ		**ф-ла(3)[10]**	**0**	**28,8**	**29,1**	**29**	**27,2**	**24**	**16,7**	**4,2**	**0**	**28,4**	**28,4**
Расчёт отражённого звука													
Уровни звукового давления от мнимого источника ИШ-6-18_мн.(1) в расчётной точке днём, дБ		**ф-ла(3)[10]**	**0**	**0**	**0**	**0**	**0**	**0**	**0**	**0**	**0**	**0**	**0**
Уровни звукового давления от источника ИШ-6-18 в расчётной точке днём, дБ		**ф-ла(3)[10]**	**0**	**28,8**	**29,1**	**29**	**27,2**	**24**	**16,7**	**4,2**	**0**	**28,4**	**28,4**
Источник шума: ИШ-6-19, координаты источника (x,y,z), м =[803.81,-129.30,1.00]													
Уровни звуковой мощности источника днём, Lw, дБ		**исходные данные**	**0**	**96,3**	**97,7**	**99**	**99,3**	**98,9**	**95,6**	**91,4**	**86,9**		
Поправка на телесный угол DΩ, дБ	Ω = 12.57	10Lg(4π/Ω)	**0**	0	0	0	0	0	0	0	0		
Показатель направленности источника Di, дБ		исходные данные	**0**	0	0	0	0	0	0	0	0		
Поправка на направленность источника Dc, дБ	Dc	DΩ + Di	**0**	0	0	0	0	0	0	0	0		

1		2	3	4	5	6	7	8	9	10	11	12	13
Затухание из-за геометрической дивергенции, Adiv, дБ	расстояние = 405.00 м	ф-ла (7) [10]	**63,1**										
Коэффициент затухания звука в атмосфере α, дБ/км	Ta=20,°C Pa=101.33,кПа hотн.=70%	ф-ла (5) [9]	0,02	0,09	0,33	1,12	2,79	4,98	9,04	23,09	77,63		
Учет затухания звука в атмосфере Aatm, дБ		ф-ла (8) [10]	0	0	0,1	0,5	1,1	2	3,7	9,3	31,4		
Снижение уровня звукового давления из-за влияния застройки между источником шума и расчетной точкой													
Снижение уровня звукового давления на пути над экраном, Dz1, дБ	z = 0.24м (разность путей)	ф-лы (14-18) [10]	4,9	5,2	5,7	6,6	8	9,9	12,2	14,8	17,5		
Снижение уровня звукового давления на пути слева от экрана, Dz2, дБ	z = 4.96м (разность путей)	ф-лы (14-18) [10]	14,6	18,8	22,8	26,3	29,4	32,4	35,4	38,5	41,5		
Снижение уровня звукового давления на пути справа от экрана, Dz3, дБ	z = 1.30м (разность путей)	ф-лы (14-18) [10]	9,9	13,5	17,2	20,5	23,6	26,6	29,6	32,7	35,7		
Общее снижение уровня звука препятствием Dz, дБ		Эн.сумма(-Dzi)	3,4	4,4	5,3	6,4	7,9	9,8	12,1	14,7	17,5		
Уровни звукового давления от источника ИШ-6-19 в расчётной точке днём, дБ		**ф-ла(3)[10]**	**0**	**28,7**	**29,1**	**29**	**27,1**	**24**	**16,7**	**4,2**	**0**	**28,4**	**28,4**
Источник шума: ИШ-6-20, координаты источника (x,y,z), м =[802.67,-132.35,1.00]													
Уровни звуковой мощности источника днём, Lw, дБ		**исходные данные**	**0**	**96,3**	**97,7**	**99**	**99,3**	**98,9**	**95,6**	**91,4**	**86,9**		
Поправка на телесный угол DΩ, дБ	Ω = 12.57	10Lg(4π/Ω)	**0**	0	0	0	0	0	0	0	0		
Показатель направленности источника Di, дБ		исходные данные	**0**	0	0	0	0	0	0	0	0		
Поправка на направленность источника Dc, дБ	Dc	DΩ + Di	**0**	0	0	0	0	0	0	0	0		
Затухание из-за геометрической дивергенции, Adiv, дБ	расстояние = 405.07 м	ф-ла (7) [10]	**63,2**										
Коэффициент затухания звука в атмосфере α, дБ/км	Ta=20,°C Pa=101.33,кПа hотн.=70%	ф-ла (5) [9]	0,02	0,09	0,33	1,12	2,79	4,98	9,04	23,09	77,63		

1		2	3	4	5	6	7	8	9	10	11	12	13
Учет затухания звука в атмосфере Aatm, дБ		ф-ла (8) [10]	0	0	0,1	0,5	1,1	2	3,7	9,4	31,4		
Снижение уровня звукового давления из-за влияния застройки между источником шума и расчетной точкой													
Снижение уровня звукового давления на пути над экраном, Dz1, дБ	z = 0.24м (разность путей)	ф-лы (14-18) [10]	4,9	5,2	5,7	6,6	8	9,9	12,2	14,8	17,5		
Снижение уровня звукового давления на пути слева от экрана, Dz2, дБ	z = 4.56м (разность путей)	ф-лы (14-18) [10]	14,2	18,5	22,5	25,9	29	32,1	35,1	38,1	41,1		
Снижение уровня звукового давления на пути справа от экрана, Dz3, дБ	z = 1.53м (разность путей)	ф-лы (14-18) [10]	10,4	14,1	17,9	21,2	24,3	27,3	30,3	33,4	36,4		
Общее снижение уровня звука препятствием Dz, дБ		Эн.сумма(-Dzi)	3,4	4,5	5,4	6,4	7,9	9,8	12,1	14,7	17,5		
Уровни звукового давления от источника ИШ-6-20 в расчётной точке днём, дБ		**ф-ла(3)[10]**	**0**	**28,6**	**29**	**28,9**	**27,1**	**24**	**16,7**	**4,2**	**0**	**28,4**	**28,4**
Источник шума: ИШ-6-21, координаты источника (x,y,z), м =[801.69,-135.42,1.00]													
Уровни звуковой мощности источника днём, Lw, дБ		**исходные данные**	**0**	**96,3**	**97,7**	**99**	**99,3**	**98,9**	**95,6**	**91,4**	**86,9**		
Поправка на телесный угол DΩ, дБ	Ω = 12.57	10Lg(4π/Ω)	**0**	0	0	0	0	0	0	0	0		
Показатель направленности источника Di, дБ		исходные данные	**0**	0	0	0	0	0	0	0	0		
Поправка на направленность источника Dc, дБ	Dc	DΩ + Di	**0**	0	0	0	0	0	0	0	0		
Затухание из-за геометрической дивергенции, Adiv, дБ	расстояние = 405.32 м	ф-ла (7) [10]	**63,2**										
Коэффициент затухания звука в атмосфере α, дБ/км	Ta=20,°C Pa=101.33,кПа hотн.=70%	ф-ла (5) [9]	0,02	0,09	0,33	1,12	2,79	4,98	9,04	23,09	77,63		
Учет затухания звука в атмосфере Aatm, дБ		ф-ла (8) [10]	0	0	0,1	0,5	1,1	2	3,7	9,4	31,5		
Снижение уровня звукового давления из-за влияния застройки между источником шума и расчетной точкой													

1		2	3	4	5	6	7	8	9	10	11	12	13
Снижение уровня звукового давления на пути над экраном, Dz1, дБ	z = 0.24м (разность путей)	ф-лы (14-18) [10]	4,9	5,2	5,7	6,6	8	9,9	12,1	14,7	17,5		
Снижение уровня звукового давления на пути слева от экрана, Dz2, дБ	z = 4.19м (разность путей)	ф-лы (14-18) [10]	13,9	18,1	22,1	25,5	28,7	31,7	34,7	37,7	40,7		
Снижение уровня звукового давления на пути справа от экрана, Dz3, дБ	z = 1.78м (разность путей)	ф-лы (14-18) [10]	10,9	14,7	18,5	21,9	25	28	31	34	37		
Общее снижение уровня звука препятствием Dz, дБ		Эн.сумма(-Dzi)	3,5	4,5	5,4	6,5	7,9	9,8	12,1	14,7	17,5		
Уровни звукового давления от источника ИШ-6-21 в расчётной точке днём, дБ		**ф-ла(3)[10]**	**0**	**28,6**	**29**	**28,9**	**27,1**	**24**	**16,7**	**4,2**	**0**	**28,4**	**28,4**
Источник шума: ИШ-6-22, координаты источника (x,y,z), м =[800.65,-138.47,1.00]													
Уровни звуковой мощности источника днём, Lw, дБ		**исходные данные**	**0**	**96,3**	**97,7**	**99**	**99,3**	**98,9**	**95,6**	**91,4**	**86,9**		
Поправка на телесный угол DΩ, дБ	Ω = 12.57	10Lg(4π/Ω)	**0**	0	0	0	0	0	0	0	0		
Показатель направленности источника Di, дБ		исходные данные	**0**	0	0	0	0	0	0	0	0		
Поправка на направленность источника Dc, дБ	Dc	DΩ + Di	**0**	0	0	0	0	0	0	0	0		
Затухание из-за геометрической дивергенции, Adiv, дБ	расстояние = 405.54 м	ф-ла (7) [10]	**63,2**										
Коэффициент затухания звука в атмосфере α, дБ/км	Ta=20,°C Pa=101.33,кПа hотн.=70%	ф-ла (5) [9]	0,02	0,09	0,33	1,12	2,79	4,98	9,04	23,09	77,63		
Учет затухания звука в атмосфере Aatm, дБ		ф-ла (8) [10]	0	0	0,1	0,5	1,1	2	3,7	9,4	31,5		
Снижение уровня звукового давления из-за влияния застройки между источником шума и расчетной точкой													
Снижение уровня звукового давления на пути над экраном, Dz1, дБ	z = 0.24м (разность путей)	ф-лы (14-18) [10]	4,9	5,2	5,7	6,6	8	9,8	12,1	14,7	17,5		
Снижение уровня звукового давления на пути слева от экрана, Dz2, дБ	z = 3.84м (разность путей)	ф-лы (14-18) [10]	13,6	17,8	21,7	25,2	28,3	31,3	34,3	37,3	40,4		

1		2	3	4	5	6	7	8	9	10	11	12	13
Снижение уровня звукового давления на пути справа от экрана, Dz3, дБ	z = 2.04м (разность путей)	ф-лы (14-18) [10]	11,3	15,2	19,1	22,4	25,5	28,6	31,6	34,6	37,6		
Общее снижение уровня звука препятствием Dz, дБ		Эн.сумма(-Dzi)	3,6	4,5	5,4	6,5	7,9	9,8	12,1	14,7	17,4		
Уровни звукового давления от источника ИШ-6-22 в расчётной точке днём, дБ		**ф-ла(3)[10]**	**0**	**28,6**	**29**	**28,9**	**27,1**	**24**	**16,7**	**4,2**	**0**	**28,4**	**28,4**
Источник шума: ИШ-7-1, координаты источника (x,y,z), м =[821.44,63.31,1.00]													
Уровни звуковой мощности источника днём, Lw, дБ		**исходные данные**	**77**	**75**	**67**	**66**	**63**	**55**	**53**	**48**	**51**		
Поправка на телесный угол DΩ, дБ	Ω = 12.57	10Lg(4π/Ω)	**0**	0	0	0	0	0	0	0	0		
Показатель направленности источника Di, дБ		исходные данные	**0**	0	0	0	0	0	0	0	0		
Поправка на направленность источника Dc, дБ	Dc	DΩ + Di	**0**	0	0	0	0	0	0	0	0		
Затухание из-за геометрической дивергенции, Adiv, дБ	расстояние = 396.52 м	ф-ла (7) [10]	**63**										
Коэффициент затухания звука в атмосфере α, дБ/км	Ta=20,°C Pa=101.33,кПа hотн.=70%	ф-ла (5) [9]	0,02	0,09	0,33	1,12	2,79	4,98	9,04	23,09	77,63		
Учет затухания звука в атмосфере Aatm, дБ		ф-ла (8) [10]	0	0	0,1	0,4	1,1	2	3,6	9,2	30,8		
Снижение поверхностью земли возле источника As, дБ	Gs = 0 hs = 1м	ф-лы таб.3 [10]	-1,5	-1,5	-1,5	-1,5	-1,5	-1,5	-1,5	-1,5	-1,5		
Снижение поверхностью земли возле приёмника Ar, дБ	Gr = 1 hr = 1.5м	ф-лы таб.3 [10]	-1,5	-1,5	2,3	7	5	0,7	0	0	0		
Снижение поверхностью земли в средней зоне, Am дБ	Gm = 1	ф-лы таб.3 [10]	-2,4	-2,4	0	0	0	0	0	0	0		
Суммарное снижение поверхностью земли на траектории распространения звука Agr, дБ		ф-ла (9) [10]	-5,4	-5,4	0,8	5,5	3,5	-0,8	-1,5	-1,5	-1,5		
Уровни звукового давления прямого звука от источника ИШ-7-1 в расчётной точке днём, дБ		**ф-ла(3)[10]**	**19,5**	**17,4**	**3,1**	**0**	**0**	**0**	**0**	**0**	**0**	**0**	**0**

1		2	3	4	5	6	7	8	9	10	11	12	13
Расчёт отражённого звука													
Уровни звукового давления от мнимого источника ИШ-7-1_мн.(1) в расчётной точке днём, дБ		**ф-ла(3)[10]**	**18,4**	**16,4**	**0**	**0**	**0**	**0**	**0**	**0**	**0**	**0**	**0**
Уровни звукового давления от источника ИШ-7-1 в расчётной точке днём, дБ		**ф-ла(3)[10]**	**22**	**20**	**3,1**	**0**	**0**	**0**	**0**	**0**	**0**	**0**	**0**
Источник шума: ИШ-7-2, координаты источника (x,y,z), м =[768.90,-86.75,1.00]													
Уровни звуковой мощности источника днём, Lw, дБ		**исходные данные**	**77**	**75**	**67**	**66**	**63**	**55**	**53**	**48**	**51**		
Поправка на телесный угол DΩ, дБ	Ω = 12.57	10Lg(4π/Ω)	**0**	0	0	0	0	0	0	0	0		
Показатель направленности источника Di, дБ		исходные данные	**0**	0	0	0	0	0	0	0	0		
Поправка на направленность источника Dc, дБ	Dc	DΩ + Di	**0**	0	0	0	0	0	0	0	0		
Затухание из-за геометрической дивергенции, Adiv, дБ	расстояние = 357.86 м	ф-ла (7) [10]	**62,1**										
Коэффициент затухания звука в атмосфере α, дБ/км	Ta=20,°C Pa=101.33,кПа hотн.=70%	ф-ла (5) [9]	0,02	0,09	0,33	1,12	2,79	4,98	9,04	23,09	77,63		
Учет затухания звука в атмосфере Aatm, дБ		ф-ла (8) [10]	0	0	0,1	0,4	1	1,8	3,2	8,3	27,8		
Снижение уровня звукового давления из-за влияния застройки между источником шума и расчетной точкой													
Снижение уровня звукового давления на пути над экраном, Dz1, дБ	z = 0.26м (разность путей)	ф-лы (14-18) [10]	5	5,5	6,4	7,8	9,6	11,9	14,5	17,3	20,1		
Снижение уровня звукового давления на пути слева от экрана, Dz2, дБ	z = 10.43м (разность путей)	ф-лы (14-18) [10]	17,5	22	26	29,5	32,6	35,7	38,7	41,7	44,7		
Снижение уровня звукового давления на пути справа от экрана, Dz3, дБ	z = 0.09м (разность путей)	ф-лы (14-18) [10]	5,2	5,7	6,4	7,6	9,3	11,4	14	16,7	19,6		
Общее снижение уровня звука препятствием Dz, дБ		Эн.сумма(-Dzi)	2	2,5	3,4	4,7	6,4	8,7	11,2	14	16,8		

1		2	3	4	5	6	7	8	9	10	11	12	13
Уровни звукового давления от источника ИШ-7-2 в расчётной точке днём, дБ		**ф-ла(3)[10]**	**12,9**	**10,4**	**1,4**	**0**	**0**	**0**	**0**	**0**	**0**	**0**	**0**
Источник шума: ИШ-7-3, координаты источника (x,y,z), м =[766.80,-93.20,1.00]													
Уровни звуковой мощности источника днём, Lw, дБ		**исходные данные**	**77**	**75**	**67**	**66**	**63**	**55**	**53**	**48**	**51**		
Поправка на телесный угол DΩ, дБ	Ω = 12.57	10Lg(4π/Ω)	**0**	0	0	0	0	0	0	0	0		
Показатель направленности источника Di, дБ		исходные данные	**0**	0	0	0	0	0	0	0	0		
Поправка на направленность источника Dc, дБ	Dc	DΩ + Di	**0**	0	0	0	0	0	0	0	0		
Затухание из-за геометрической дивергенции, Adiv, дБ	расстояние = 357.85 м	ф-ла (7) [10]	**62,1**										
Коэффициент затухания звука в атмосфере α, дБ/км	Ta=20,°C Pa=101.33,кПа hотн.=70%	ф-ла (5) [9]	0,02	0,09	0,33	1,12	2,79	4,98	9,04	23,09	77,63		
Учет затухания звука в атмосфере Aatm, дБ		ф-ла (8) [10]	0	0	0,1	0,4	1	1,8	3,2	8,3	27,8		
Снижение уровня звукового давления из-за влияния застройки между источником шума и расчетной точкой													
Снижение уровня звукового давления на пути над экраном, Dz1, дБ	z = 0.26м (разность путей)	ф-лы (14-18) [10]	5	5,5	6,4	7,8	9,6	11,9	14,5	17,3	20,1		
Снижение уровня звукового давления на пути слева от экрана, Dz2, дБ	z = 9.00м (разность путей)	ф-лы (14-18) [10]	16,9	21,3	25,4	28,8	32	35	38	41	44		
Снижение уровня звукового давления на пути справа от экрана, Dz3, дБ	z = 0.26м (разность путей)	ф-лы (14-18) [10]	6,4	8,3	11,1	14	16,8	19,8	22,7	25,7	28,7		
Общее снижение уровня звука препятствием Dz, дБ		Эн.сумма(-Dzi)	2,5	3,6	5,1	6,8	8,9	11,2	13,9	16,7	19,6		
Уровни звукового давления от источника ИШ-7-3 в расчётной точке днём, дБ		**ф-ла(3)[10]**	**12,4**	**9,3**	**0**	**0**	**0**	**0**	**0**	**0**	**0**	**0**	**0**
Источник шума: ИШ-7-4, координаты источника (x,y,z), м =[866.76,37.18,1.00]													

1		2	3	4	5	6	7	8	9	10	11	12	13
Уровни звуковой мощности источника днём, Lw, дБ		**исходные данные**	**77**	**75**	**67**	**66**	**63**	**55**	**53**	**48**	**51**		
Поправка на телесный угол DΩ, дБ	Ω = 12.57	10Lg(4π/Ω)	**0**	0	0	0	0	0	0	0	0		
Показатель направленности источника Di, дБ		исходные данные	**0**	0	0	0	0	0	0	0	0		
Поправка на направленность источника Dc, дБ	Dc	DΩ + Di	**0**	0	0	0	0	0	0	0	0		
Затухание из-за геометрической дивергенции, Adiv, дБ	расстояние = 439.80 м	ф-ла (7) [10]	**63,9**										
Коэффициент затухания звука в атмосфере α, дБ/км	Ta=20,°C Pa=101.33,кПа hотн.=70%	ф-ла (5) [9]	0,02	0,09	0,33	1,12	2,79	4,98	9,04	23,09	77,63		
Учет затухания звука в атмосфере Aatm, дБ		ф-ла (8) [10]	0	0	0,1	0,5	1,2	2,2	4	10,2	34,1		
Снижение поверхностью земли возле источника As, дБ	Gs = 0 hs = 1м	ф-лы таб.3 [10]	-1,5	-1,5	-1,5	-1,5	-1,5	-1,5	-1,5	-1,5	-1,5		
Снижение поверхностью земли возле приёмника Ar, дБ	Gr = 1 hr = 1.5м	ф-лы таб.3 [10]	-1,5	-1,5	2,6	7	5	0,7	0	0	0		
Снижение поверхностью земли в средней зоне, Am дБ	Gm = 1	ф-лы таб.3 [10]	-2,5	-2,5	0	0	0	0	0	0	0		
Суммарное снижение поверхностью земли на траектории распространения звука Agr, дБ		ф-ла (9) [10]	-5,5	-5,5	1,1	5,5	3,5	-0,8	-1,5	-1,5	-1,5		
Уровни звукового давления от источника ИШ-7-4 в расчётной точке днём, дБ		**ф-ла(3)[10]**	**18,6**	**16,6**	**1,9**	**0**	**0**	**0**	**0**	**0**	**0**	**0**	**0**
Источник шума: ИШ-7-5, координаты источника (x,y,z), м =[861.80,21.34,1.00]													
Уровни звуковой мощности источника днём, Lw, дБ		**исходные данные**	**77**	**75**	**67**	**66**	**63**	**55**	**53**	**48**	**51**		
Поправка на телесный угол DΩ, дБ	Ω = 12.57	10Lg(4π/Ω)	**0**	0	0	0	0	0	0	0	0		
Показатель направленности источника Di, дБ		исходные данные	**0**	0	0	0	0	0	0	0	0		

1		2	3	4	5	6	7	8	9	10	11	12	13
Поправка на направленность источника Dc, дБ	Dc	DΩ + Di	**0**	0	0	0	0	0	0	0	0		
Затухание из-за геометрической дивергенции, Adiv, дБ	расстояние = 434.50 м	ф-ла (7) [10]	**63,8**										
Коэффициент затухания звука в атмосфере α, дБ/км	Ta=20,°C Pa=101.33,кПа hотн.=70%	ф-ла (5) [9]	0,02	0,09	0,33	1,12	2,79	4,98	9,04	23,09	77,63		
Учет затухания звука в атмосфере Aatm, дБ		ф-ла (8) [10]	0	0	0,1	0,5	1,2	2,2	3,9	10	33,7		
Снижение поверхностью земли возле источника As, дБ	Gs = 0 hs = 1м	ф-лы таб.3 [10]	-1,5	-1,5	-1,5	-1,5	-1,5	-1,5	-1,5	-1,5	-1,5		
Снижение поверхностью земли возле приёмника Ar, дБ	Gr = 1 hr = 1.5м	ф-лы таб.3 [10]	-1,5	-1,5	2,6	7	5	0,7	0	0	0		
Снижение поверхностью земли в средней зоне, Am дБ	Gm = 1	ф-лы таб.3 [10]	-2,5	-2,5	0	0	0	0	0	0	0		
Суммарное снижение поверхностью земли на траектории распространения звука Agr, дБ		ф-ла (9) [10]	-5,5	-5,5	1,1	5,5	3,5	-0,8	-1,5	-1,5	-1,5		
Уровни звукового давления прямого звука от источника ИШ-7-5 в расчётной точке днём, дБ		**ф-ла(3)[10]**	**18,7**	**16,7**	**2**	**0**	**0**	**0**	**0**	**0**	**0**	**0**	**0**
Расчёт отражённого звука													
Уровни звукового давления от мнимого источника ИШ-7-5_мн.(1) в расчётной точке днём, дБ		**ф-ла(3)[10]**	**17,7**	**15,7**	**0**	**0**	**0**	**0**	**0**	**0**	**0**	**0**	**0**
Уровни звукового давления от источника ИШ-7-5 в расчётной точке днём, дБ		**ф-ла(3)[10]**	**21,2**	**19,2**	**2**	**0**	**0**	**0**	**0**	**0**	**0**	**0**	**0**
Источник шума: ИШ-7-6, координаты источника (x,y,z), м =[856.52,5.94,1.00]													
Уровни звуковой мощности источника днём, Lw, дБ		**исходные данные**	**77**	**75**	**67**	**66**	**63**	**55**	**53**	**48**	**51**		
Поправка на телесный угол DΩ, дБ	Ω = 12.57	10Lg(4π/Ω)	**0**	0	0	0	0	0	0	0	0		
Показатель направленности источника Di, дБ		исходные данные	**0**	0	0	0	0	0	0	0	0		

1		2	3	4	5	6	7	8	9	10	11	12	13
Поправка на направленность источника Dc, дБ	Dc	DΩ + Di	**0**	0	0	0	0	0	0	0	0		
Затухание из-за геометрической дивергенции, Adiv, дБ	расстояние = 429.44 м	ф-ла (7) [10]	**63,7**										
Коэффициент затухания звука в атмосфере α, дБ/км	Ta=20,°C Pa=101.33,кПа hотн.=70%	ф-ла (5) [9]	0,02	0,09	0,33	1,12	2,79	4,98	9,04	23,09	77,63		
Учет затухания звука в атмосфере Aatm, дБ		ф-ла (8) [10]	0	0	0,1	0,5	1,2	2,1	3,9	9,9	33,3		
Снижение поверхностью земли возле источника As, дБ	Gs = 0 hs = 1м	ф-лы таб.3 [10]	-1,5	-1,5	-1,5	-1,5	-1,5	-1,5	-1,5	-1,5	-1,5		
Снижение поверхностью земли возле приёмника Ar, дБ	Gr = 1 hr = 1.5м	ф-лы таб.3 [10]	-1,5	-1,5	2,6	7	5	0,7	0	0	0		
Снижение поверхностью земли в средней зоне, Am дБ	Gm = 1	ф-лы таб.3 [10]	-2,5	-2,5	0	0	0	0	0	0	0		
Суммарное снижение поверхностью земли на траектории распространения звука Agr, дБ		ф-ла (9) [10]	-5,5	-5,5	1,1	5,5	3,5	-0,8	-1,5	-1,5	-1,5		
Уровни звукового давления прямого звука от источника ИШ-7-6 в расчётной точке днём, дБ		**ф-ла(3)[10]**	**18,8**	**16,8**	**2,1**	**0**	**0**	**0**	**0**	**0**	**0**	**0**	**0**
Расчёт отражённого звука													
Уровни звукового давления от мнимого источника ИШ-7-6_мн.(1) в расчётной точке днём, дБ		**ф-ла(3)[10]**	**17,8**	**15,8**	**0**	**0**	**0**	**0**	**0**	**0**	**0**	**0**	**0**
Уровни звукового давления от источника ИШ-7-6 в расчётной точке днём, дБ		**ф-ла(3)[10]**	**21,3**	**19,3**	**2,1**	**0**	**0**	**0**	**0**	**0**	**0**	**0**	**0**
Источник шума: ИШ-7-7, координаты источника (x,y,z), м =[851.06,-9.89,1.00]													
Уровни звуковой мощности источника днём, Lw, дБ		**исходные данные**	**77**	**75**	**67**	**66**	**63**	**55**	**53**	**48**	**51**		
Поправка на телесный угол DΩ, дБ	Ω = 12.57	10Lg(4π/Ω)	**0**	0	0	0	0	0	0	0	0		
Показатель направленности источника Di, дБ		исходные данные	**0**	0	0	0	0	0	0	0	0		

1		2	3	4	5	6	7	8	9	10	11	12	13
Поправка на направленность источника Dc, дБ	Dc	DΩ + Di	**0**	0	0	0	0	0	0	0	0		
Затухание из-за геометрической дивергенции, Adiv, дБ	расстояние = 424.80 м	ф-ла (7) [10]	**63,6**										
Коэффициент затухания звука в атмосфере α, дБ/км	Ta=20,°C Pa=101.33,кПа hотн.=70%	ф-ла (5) [9]	0,02	0,09	0,33	1,12	2,79	4,98	9,04	23,09	77,63		
Учет затухания звука в атмосфере Aatm, дБ		ф-ла (8) [10]	0	0	0,1	0,5	1,2	2,1	3,8	9,8	33		
Снижение поверхностью земли возле источника As, дБ	Gs = 0 hs = 1м	ф-лы таб.3 [10]	-1,5	-1,5	-1,5	-1,5	-1,5	-1,5	-1,5	-1,5	-1,5		
Снижение поверхностью земли возле приёмника Ar, дБ	Gr = 1 hr = 1.5м	ф-лы таб.3 [10]	-1,5	-1,5	2,5	7	5	0,7	0	0	0		
Снижение поверхностью земли в средней зоне, Am дБ	Gm = 1	ф-лы таб.3 [10]	-2,5	-2,5	0	0	0	0	0	0	0		
Суммарное снижение поверхностью земли на траектории распространения звука Agr, дБ		ф-ла (9) [10]	-5,5	-5,5	1	5,5	3,5	-0,8	-1,5	-1,5	-1,5		
Уровни звукового давления прямого звука от источника ИШ-7-7 в расчётной точке днём, дБ		**ф-ла(3)[10]**	**18,9**	**16,9**	**2,3**	**0**	**0**	**0**	**0**	**0**	**0**	**0**	**0**
Расчёт отражённого звука													
Уровни звукового давления от мнимого источника ИШ-7-7_мн.(1) в расчётной точке днём, дБ		**ф-ла(3)[10]**	**17,9**	**15,8**	**0**	**0**	**0**	**0**	**0**	**0**	**0**	**0**	**0**
Уровни звукового давления от источника ИШ-7-7 в расчётной точке днём, дБ		**ф-ла(3)[10]**	**21,4**	**19,4**	**2,3**	**0**	**0**	**0**	**0**	**0**	**0**	**0**	**0**
Источник шума: ИШ-7-8, координаты источника (x,y,z), м =[821.90,-104.30,1.00]													
Уровни звуковой мощности источника днём, Lw, дБ		**исходные данные**	**77**	**75**	**67**	**66**	**63**	**55**	**53**	**48**	**51**		
Поправка на телесный угол DΩ, дБ	Ω = 12.57	10Lg(4π/Ω)	**0**	0	0	0	0	0	0	0	0		
Показатель направленности источника Di, дБ		исходные данные	**0**	0	0	0	0	0	0	0	0		

1		2	3	4	5	6	7	8	9	10	11	12	13
Поправка на направленность источника Dc, дБ	Dc	DΩ + Di	**0**	0	0	0	0	0	0	0	0		
Затухание из-за геометрической дивергенции, Adiv, дБ	расстояние = 413.68 м	ф-ла (7) [10]	**63,3**										
Коэффициент затухания звука в атмосфере α, дБ/км	Ta=20,°C Pa=101.33,кПа hотн.=70%	ф-ла (5) [9]	0,02	0,09	0,33	1,12	2,79	4,98	9,04	23,09	77,63		
Учет затухания звука в атмосфере Aatm, дБ		ф-ла (8) [10]	0	0	0,1	0,5	1,2	2,1	3,7	9,6	32,1		
Снижение уровня звукового давления из-за влияния застройки между источником шума и расчетной точкой													
Снижение уровня звукового давления на пути над экраном, Dz1, дБ	z = 0.23м (разность путей)	ф-лы (14-18) [10]	4,9	5,1	5,6	6,5	7,8	9,5	11,8	14,3	17,1		
Снижение уровня звукового давления на пути слева от экрана, Dz2, дБ	z = 9.22м (разность путей)	ф-лы (14-18) [10]	17	21,4	25,5	28,9	32,1	35,1	38,1	41,1	44,2		
Снижение уровня звукового давления на пути справа от экрана, Dz3, дБ	z = 0.10м (разность путей)	ф-лы (14-18) [10]	5,3	5,7	6,5	7,7	9,5	11,7	14,2	17	19,9		
Общее снижение уровня звука препятствием Dz, дБ		Эн.сумма(-Dzi)	1,9	2,4	3	4	5,5	7,5	9,8	12,4	15,3		
Уровни звукового давления от источника ИШ-7-8 в расчётной точке днём, дБ		**ф-ла(3)[10]**	**11,7**	**9,3**	**0,5**	**0**	**0**	**0**	**0**	**0**	**0**	**0**	**0**
Источник шума: ИШ-7-9, координаты источника (x,y,z), м =[819.93,-110.97,1.00]													
Уровни звуковой мощности источника днём, Lw, дБ		**исходные данные**	**77**	**75**	**67**	**66**	**63**	**55**	**53**	**48**	**51**		
Поправка на телесный угол DΩ, дБ	Ω = 12.57	10Lg(4π/Ω)	**0**	0	0	0	0	0	0	0	0		
Показатель направленности источника Di, дБ		исходные данные	**0**	0	0	0	0	0	0	0	0		
Поправка на направленность источника Dc, дБ	Dc	DΩ + Di	**0**	0	0	0	0	0	0	0	0		
Затухание из-за геометрической дивергенции, Adiv, дБ	расстояние = 413.86 м	ф-ла (7) [10]	**63,3**										

1		2	3	4	5	6	7	8	9	10	11	12	13
Коэффициент затухания звука в атмосфере α, дБ/км	Ta=20,°C Pa=101.33,кПа hотн.=70%	ф-ла (5) [9]	0,02	0,09	0,33	1,12	2,79	4,98	9,04	23,09	77,63		
Учет затухания звука в атмосфере Aatm, дБ		ф-ла (8) [10]	0	0	0,1	0,5	1,2	2,1	3,7	9,6	32,1		
Снижение уровня звукового давления из-за влияния застройки между источником шума и расчетной точкой													
Снижение уровня звукового давления на пути над экраном, Dz1, дБ	z = 0.23м (разность путей)	ф-лы (14-18) [10]	4,9	5,1	5,6	6,5	7,8	9,5	11,8	14,3	17,1		
Снижение уровня звукового давления на пути слева от экрана, Dz2, дБ	z = 8.08м (разность путей)	ф-лы (14-18) [10]	16,5	20,9	24,9	28,4	31,5	34,5	37,6	40,6	43,6		
Снижение уровня звукового давления на пути справа от экрана, Dz3, дБ	z = 0.24м (разность путей)	ф-лы (14-18) [10]	6,3	8,1	10,8	13,6	16,5	19,4	22,3	25,3	28,3		
Общее снижение уровня звука препятствием Dz, дБ		Эн.сумма(-Dzi)	2,3	3,3	4,4	5,7	7,2	9,1	11,4	14	16,8		
Уровни звукового давления от источника ИШ-7-9 в расчётной точке днём, дБ		**ф-ла(3)[10]**	**11,3**	**8,3**	**0**	**0**	**0**	**0**	**0**	**0**	**0**	**0**	**0**
Источник шума: ИШ-7-10, координаты источника (x,y,z), м =[868.68,92.66,1.00]													
Уровни звуковой мощности источника днём, Lw, дБ		**исходные данные**	**77**	**75**	**67**	**66**	**63**	**55**	**53**	**48**	**51**		
Поправка на телесный угол DΩ, дБ	Ω = 12.57	10Lg(4π/Ω)	**0**	0	0	0	0	0	0	0	0		
Показатель направленности источника Di, дБ		исходные данные	**0**	0	0	0	0	0	0	0	0		
Поправка на направленность источника Dc, дБ	Dc	DΩ + Di	**0**	0	0	0	0	0	0	0	0		
Затухание из-за геометрической дивергенции, Adiv, дБ	расстояние = 447.32 м	ф-ла (7) [10]	**64**										
Коэффициент затухания звука в атмосфере α, дБ/км	Ta=20,°C Pa=101.33,кПа hотн.=70%	ф-ла (5) [9]	0,02	0,09	0,33	1,12	2,79	4,98	9,04	23,09	77,63		
Учет затухания звука в атмосфере Aatm, дБ		ф-ла (8) [10]	0	0	0,1	0,5	1,2	2,2	4	10,3	34,7		

1		2	3	4	5	6	7	8	9	10	11	12	13
Снижение поверхностью земли возле источника As, дБ	Gs = 0 hs = 1м	ф-лы таб.3 [10]	-1,5	-1,5	-1,5	-1,5	-1,5	-1,5	-1,5	-1,5	-1,5		
Снижение поверхностью земли возле приёмника Ar, дБ	Gr = 1 hr = 1.5м	ф-лы таб.3 [10]	-1,5	-1,5	2,7	7	5	0,7	0	0	0		
Снижение поверхностью земли в средней зоне, Am дБ	Gm = 1	ф-лы таб.3 [10]	-2,5	-2,5	0	0	0	0	0	0	0		
Суммарное снижение поверхностью земли на траектории распространения звука Agr, дБ		ф-ла (9) [10]	-5,5	-5,5	1,2	5,5	3,5	-0,8	-1,5	-1,5	-1,5		
Уровни звукового давления от источника ИШ-7-10 в расчётной точке днём, дБ		**ф-ла(3)[10]**	**18,5**	**16,4**	**1,6**	**0**	**0**	**0**	**0**	**0**	**0**	**0**	**0**
Источник шума: ИШ-7-11, координаты источника (x,y,z), м =[877.95,88.75,1.00]													
Уровни звуковой мощности источника днём, Lw, дБ		**исходные данные**	**77**	**75**	**67**	**66**	**63**	**55**	**53**	**48**	**51**		
Поправка на телесный угол DΩ, дБ	Ω = 12.57	10Lg(4π/Ω)	**0**	0	0	0	0	0	0	0	0		
Показатель направленности источника Di, дБ		исходные данные	**0**	0	0	0	0	0	0	0	0		
Поправка на направленность источника Dc, дБ	Dc	DΩ + Di	**0**	0	0	0	0	0	0	0	0		
Затухание из-за геометрической дивергенции, Adiv, дБ	расстояние = 455.87 м	ф-ла (7) [10]	**64,2**										
Коэффициент затухания звука в атмосфере α, дБ/км	Ta=20,°C Pa=101.33,кПа hотн.=70%	ф-ла (5) [9]	0,02	0,09	0,33	1,12	2,79	4,98	9,04	23,09	77,63		
Учет затухания звука в атмосфере Aatm, дБ		ф-ла (8) [10]	0	0	0,2	0,5	1,3	2,3	4,1	10,5	35,4		
Снижение поверхностью земли возле источника As, дБ	Gs = 0 hs = 1м	ф-лы таб.3 [10]	-1,5	-1,5	-1,5	-1,5	-1,5	-1,5	-1,5	-1,5	-1,5		
Снижение поверхностью земли возле приёмника Ar, дБ	Gr = 1 hr = 1.5м	ф-лы таб.3 [10]	-1,5	-1,5	2,7	7	5	0,7	0	0	0		
Снижение поверхностью земли в средней зоне, Am дБ	Gm = 1	ф-лы таб.3 [10]	-2,5	-2,5	0	0	0	0	0	0	0		

1		2	3	4	5	6	7	8	9	10	11	12	13
Суммарное снижение поверхностью земли на траектории распространения звука Agr, дБ		ф-ла (9) [10]	-5,5	-5,5	1,2	5,5	3,5	-0,8	-1,5	-1,5	-1,5		
Уровни звукового давления от источника ИШ-7-11 в расчётной точке днём, дБ		**ф-ла(3)[10]**	**18,3**	**16,3**	**1,4**	**0**	**0**	**0**	**0**	**0**	**0**	**0**	**0**
Источник шума: ИШ-7-12, координаты источника (x,y,z), м =[887.42,85.45,1.00]													
Уровни звуковой мощности источника днём, Lw, дБ		**исходные данные**	**77**	**75**	**67**	**66**	**63**	**55**	**53**	**48**	**51**		
Поправка на телесный угол DΩ, дБ	Ω = 12.57	10Lg(4π/Ω)	**0**	0	0	0	0	0	0	0	0		
Показатель направленности источника Di, дБ		исходные данные	**0**	0	0	0	0	0	0	0	0		
Поправка на направленность источника Dc, дБ	Dc	DΩ + Di	**0**	0	0	0	0	0	0	0	0		
Затухание из-за геометрической дивергенции, Adiv, дБ	расстояние = 464.76 м	ф-ла (7) [10]	**64,3**										
Коэффициент затухания звука в атмосфере α, дБ/км	Ta=20,°C Pa=101.33,кПа hотн.=70%	ф-ла (5) [9]	0,02	0,09	0,33	1,12	2,79	4,98	9,04	23,09	77,63		
Учет затухания звука в атмосфере Aatm, дБ		ф-ла (8) [10]	0	0	0,2	0,5	1,3	2,3	4,2	10,7	36,1		
Снижение поверхностью земли возле источника As, дБ	Gs = 0 hs = 1м	ф-лы таб.3 [10]	-1,5	-1,5	-1,5	-1,5	-1,5	-1,5	-1,5	-1,5	-1,5		
Снижение поверхностью земли возле приёмника Ar, дБ	Gr = 1 hr = 1.5м	ф-лы таб.3 [10]	-1,5	-1,5	2,8	7	5	0,7	0	0	0		
Снижение поверхностью земли в средней зоне, Am дБ	Gm = 1	ф-лы таб.3 [10]	-2,5	-2,5	0	0	0	0	0	0	0		
Суммарное снижение поверхностью земли на траектории распространения звука Agr, дБ		ф-ла (9) [10]	-5,5	-5,5	1,3	5,5	3,5	-0,8	-1,5	-1,5	-1,5		
Уровни звукового давления от источника ИШ-7-12 в расчётной точке днём, дБ		**ф-ла(3)[10]**	**18,2**	**16,1**	**1,2**	**0**	**0**	**0**	**0**	**0**	**0**	**0**	**0**
Источник шума: ИШ-6-23, координаты источника (x,y,z), м =[756.16,-136.23,3.00]													

1		2	3	4	5	6	7	8	9	10	11	12	13
Уровни звуковой мощности источника днём, Lw, дБ		**исходные данные**	**91**	**91**	**91**	**91**	**91**	**91**	**91**	**91**	**91**		
Поправка на телесный угол DΩ, дБ	Ω = 12.57	10Lg(4π/Ω)	**0**	0	0	0	0	0	0	0	0		
Показатель направленности источника Di, дБ		исходные данные	**0**	0	0	0	0	0	0	0	0		
Поправка на направленность источника Dc, дБ	Dc	DΩ + Di	**0**	0	0	0	0	0	0	0	0		
Затухание из-за геометрической дивергенции, Adiv, дБ	расстояние = 364.04 м	ф-ла (7) [10]	**62,2**										
Коэффициент затухания звука в атмосфере α, дБ/км	Ta=20,°C Pa=101.33,кПа hотн.=70%	ф-ла (5) [9]	0,02	0,09	0,33	1,12	2,79	4,98	9,04	23,09	77,63		
Учет затухания звука в атмосфере Aatm, дБ		ф-ла (8) [10]	0	0	0,1	0,4	1	1,8	3,3	8,4	28,3		
Снижение уровня звукового давления из-за влияния застройки между источником шума и расчетной точкой													
Снижение уровня звукового давления на пути над экраном, Dz1, дБ	z = 0.19м (разность путей)	ф-лы (14-18) [10]	4,9	5,1	5,6	6,5	7,8	9,6	11,9	14,4	17,2		
Снижение уровня звукового давления на пути слева от экрана, Dz2, дБ	z = 2.46м (разность путей)	ф-лы (14-18) [10]	11,5	15,3	19,5	23,1	26,3	29,4	32,4	35,4	38,4		
Снижение уровня звукового давления на пути справа от экрана, Dz3, дБ	z = 4.07м (разность путей)	ф-лы (14-18) [10]	13,8	18	22	25,4	28,5	31,6	34,6	37,6	40,6		
Общее снижение уровня звука препятствием Dz, дБ		Эн.сумма(-Dzi)	3,6	4,5	5,4	6,4	7,7	9,6	11,8	14,4	17,1		
Уровни звукового давления от источника ИШ-6-23 в расчётной точке днём, дБ		**ф-ла(3)[10]**	**25,1**	**24,2**	**23,3**	**22**	**20**	**17,4**	**13,7**	**6**	**0**	**22,2**	**22,2**
Источник шума: ИШ-6-24, координаты источника (x,y,z), м =[800.98,-151.27,3.00]													
Уровни звуковой мощности источника днём, Lw, дБ		**исходные данные**	**91**	**91**	**91**	**91**	**91**	**91**	**91**	**91**	**91**		
Поправка на телесный угол DΩ, дБ	Ω = 12.57	10Lg(4π/Ω)	**0**	0	0	0	0	0	0	0	0		

1		2	3	4	5	6	7	8	9	10	11	12	13
Показатель направленности источника Di, дБ		исходные данные	**0**	0	0	0	0	0	0	0	0		
Поправка на направленность источника Dc, дБ	Dc	DΩ + Di	**0**	0	0	0	0	0	0	0	0		
Затухание из-за геометрической дивергенции, Adiv, дБ	расстояние = 411.02 м	ф-ла (7) [10]	**63,3**										
Коэффициент затухания звука в атмосфере α, дБ/км	Ta=20,°C Pa=101.33,кПа hотн.=70%	ф-ла (5) [9]	0,02	0,09	0,33	1,12	2,79	4,98	9,04	23,09	77,63		
Учет затухания звука в атмосфере Aatm, дБ		ф-ла (8) [10]	0	0	0,1	0,5	1,1	2	3,7	9,5	31,9		
Снижение уровня звукового давления из-за влияния застройки между источником шума и расчетной точкой													
Снижение уровня звукового давления на пути над экраном, Dz1, дБ	z = 0.18м (разность путей)	ф-лы (14-18) [10]	4,8	5	5,3	5,8	6,7	8	9,9	12,2	14,8		
Снижение уровня звукового давления на пути слева от экрана, Dz2, дБ	z = 2.74м (разность путей)	ф-лы (14-18) [10]	11,9	15,8	19,9	23,6	26,8	29,9	32,9	35,9	38,9		
Снижение уровня звукового давления на пути справа от экрана, Dz3, дБ	z = 3.10м (разность путей)	ф-лы (14-18) [10]	12,8	16,9	20,8	24,2	27,4	30,4	33,4	36,4	39,4		
Общее снижение уровня звука препятствием Dz, дБ		Эн.сумма(-Dzi)	3,5	4,4	5	5,7	6,6	8	9,8	12,1	14,7		
Уровни звукового давления от источника ИШ-6-24 в расчётной точке днём, дБ		**ф-ла(3)[10]**	**24,2**	**23,3**	**22,6**	**21,6**	**20**	**17,7**	**14,2**	**6,1**	**0**	**22,3**	**22,3**
Источник шума: ИШ-8-1, координаты источника (x,y,z), м =[612.60,-227.70,3.00]													
Уровни звуковой мощности источника днём, Lw, дБ		**исходные данные**	**105**	**104**	**104**	**101**	**102**	**106**	**101**	**95**	**87**		
Поправка на телесный угол DΩ, дБ	Ω = 6.28	10Lg(4π/Ω)	**3**	3	3	3	3	3	3	3	3		
Показатель направленности источника Di, дБ		исходные данные	**0**	0	0	0	0	0	0	0	0		
Поправка на направленность источника Dc, дБ	Dc	DΩ + Di	**3**	3	3	3	3	3	3	3	3		

1		2	3	4	5	6	7	8	9	10	11	12	13
Затухание из-за геометрической дивергенции, Adiv, дБ	расстояние = 309.27 м	ф-ла (7) [10]	**60,8**										
Коэффициент затухания звука в атмосфере α, дБ/км	Та=20,°С Ра=101.33,кПа hотн.=70%	ф-ла (5) [9]	0,02	0,09	0,33	1,12	2,79	4,98	9,04	23,09	77,63		
Учет затухания звука в атмосфере Aatm, дБ		ф-ла (8) [10]	0	0	0,1	0,3	0,9	1,5	2,8	7,1	24		
Снижение уровня звукового давления из-за влияния застройки между источником шума и расчетной точкой													
Снижение уровня звукового давления на пути над экраном, Dz1, дБ	z = 0.02м (разность путей)	ф-лы (14-18) [10]	4,8	4,8	4,8	4,8	4,8	4,8	4,8	4,9	5		
Снижение уровня звукового давления на пути слева от экрана, Dz2, дБ	z = 0.00м (разность путей)	ф-лы (14-18) [10]	4,8	4,8	4,8	4,9	5	5,3	5,8	6,6	7,9		
Снижение уровня звукового давления на пути справа от экрана, Dz3, дБ	z = 5.53м (разность путей)	ф-лы (14-18) [10]	13,7	16,4	19,3	22,2	25,2	28,2	31,2	34,2	37,2		
Общее снижение уровня звука препятствием Dz, дБ		Эн.сумма(-Dzi)	1,5	1,6	1,7	1,8	1,9	2	2,2	2,6	3,2		
Уровни звукового давления прямого звука от источника ИШ-8-1 в расчётной точке днём, дБ		**ф-ла(3)[10]**	**45,7**	**44,5**	**44,4**	**41,1**	**41,5**	**44,7**	**38,2**	**27,4**	**2**	**46,8**	**46,8**
Расчёт отражённого звука													
Уровни звукового давления от мнимого источника ИШ-8-1_мн.(1) в расчётной точке днём, дБ		**ф-ла(3)[10]**	**0**	**0**	**0**	**0**	**0**	**0**	**9,4**	**0**	**0**	**10,6**	**10,6**
Уровни звукового давления от источника ИШ-8-1 в расчётной точке днём, дБ		**ф-ла(3)[10]**	**45,7**	**44,5**	**44,4**	**41,1**	**41,5**	**44,7**	**38,2**	**27,4**	**2**	**46,8**	**46,8**
Источник шума: ИШ-8-2, координаты источника (x,y,z), м =[596.60,-275.00,3.00]													
Уровни звуковой мощности источника днём, Lw, дБ		**исходные данные**	**105**	**104**	**104**	**101**	**102**	**106**	**101**	**95**	**87**		
Поправка на телесный угол DΩ, дБ	Ω = 6.28	10Lg(4π/Ω)	**3**	3	3	3	3	3	3	3	3		
Показатель направленности источника Di, дБ		исходные данные	**0**	0	0	0	0	0	0	0	0		

1		2	3	4	5	6	7	8	9	10	11	12	13
Поправка на направленность источника Dc, дБ	Dc	DΩ + Di	**3**	3	3	3	3	3	3	3	3		
Затухание из-за геометрической дивергенции, Adiv, дБ	расстояние = 340.05 м	ф-ла (7) [10]	**61,6**										
Коэффициент затухания звука в атмосфере α, дБ/км	Ta=20,°C Pa=101.33,кПа hотн.=70%	ф-ла (5) [9]	0,02	0,09	0,33	1,12	2,79	4,98	9,04	23,09	77,63		
Учет затухания звука в атмосфере Aatm, дБ		ф-ла (8) [10]	0	0	0,1	0,4	0,9	1,7	3,1	7,9	26,4		
Снижение поверхностью земли возле источника As, дБ	Gs = 0 hs = 3м	ф-лы таб.3 [10]	-1,5	-1,5	-1,5	-1,5	-1,5	-1,5	-1,5	-1,5	-1,5		
Снижение поверхностью земли возле приёмника Ar, дБ	Gr = 1 hr = 1.5м	ф-лы таб.3 [10]	-1,5	-1,5	2	7	5	0,7	0	0	0		
Снижение поверхностью земли в средней зоне, Am дБ	Gm = 1	ф-лы таб.3 [10]	-1,8	-1,8	0	0	0	0	0	0	0		
Суммарное снижение поверхностью земли на траектории распространения звука Agr, дБ		ф-ла (9) [10]	-4,8	-4,8	0,5	5,5	3,5	-0,8	-1,5	-1,5	-1,5		
Уровни звукового давления прямого звука от источника ИШ-8-2 в расчётной точке днём, дБ		**ф-ла(3)[10]**	**51,2**	**50,2**	**44,8**	**36,5**	**39**	**46,5**	**40,8**	**30**	**3,5**	**48,3**	**48,3**
Расчёт отражённого звука													
Уровни звукового давления от мнимого источника ИШ-8-2_мн.(1) в расчётной точке днём, дБ		**ф-ла(3)[10]**	**0**	**0**	**0**	**0**	**0**	**0**	**0**	**0**	**0**	**0**	**0**
Уровни звукового давления от мнимого источника ИШ-8-2_мн.(2) в расчётной точке днём, дБ		**ф-ла(3)[10]**	**0**	**0**	**0**	**0**	**0**	**0**	**38,3**	**27,5**	**0,8**	**39,8**	**39,8**
Суммарные уровни звукового давления от мнимых источников в расчётной точке днём, дБ		**ф-ла (19) [1]**	**0**	**0**	**0**	**0**	**0**	**0**	**38,3**	**27,5**	**0,8**	**0**	**39,8**
Уровни звукового давления от источника ИШ-8-2 в расчётной точке днём, дБ		**ф-ла(3)[10]**	**51,2**	**50,2**	**44,8**	**36,5**	**39**	**46,5**	**42,7**	**31,9**	**5,4**	**48,9**	**48,9**
Источник шума: ИШ-8-3, координаты источника (x,y,z), м =[564.90,-369.90,3.00]													
Уровни звуковой мощности источника днём, Lw, дБ		**исходные данные**	**105**	**104**	**104**	**101**	**102**	**106**	**101**	**95**	**87**		

1		2	3	4	5	6	7	8	9	10	11	12	13
Поправка на телесный угол DΩ, дБ	Ω = 6.28	10Lg(4π/Ω)	**3**	3	3	3	3	3	3	3	3		
Показатель направленности источника Di, дБ		исходные данные	**0**	0	0	0	0	0	0	0	0		
Поправка на направленность источника Dc, дБ	Dc	DΩ + Di	**3**	3	3	3	3	3	3	3	3		
Затухание из-за геометрической дивергенции, Adiv, дБ	расстояние = 413.38 м	ф-ла (7) [10]	**63,3**										
Коэффициент затухания звука в атмосфере α, дБ/км	Ta=20,°C Pa=101.33,кПа hотн.=70%	ф-ла (5) [9]	0,02	0,09	0,33	1,12	2,79	4,98	9,04	23,09	77,63		
Учет затухания звука в атмосфере Aatm, дБ		ф-ла (8) [10]	0	0	0,1	0,5	1,2	2,1	3,7	9,5	32,1		
Снижение уровня звукового давления из-за влияния застройки между источником шума и расчетной точкой													
Снижение уровня звукового давления препятствием слева от трассы ИШ-РТ, Dz2, дБ	z = -0.19м (разность путей)	ф-лы (14-18) [10]	3,6	1,9	0	NAN	NAN	NAN	NAN	NAN	NAN		
* отрицательное значение z означает прохождение траектории вблизи экрана, в этом случае дополнительно производится учёт снижения подстилающей поверхностью (см.ниже)													
Снижение поверхностью земли возле источника As, дБ	Gs = 0 hs = 3м	ф-лы таб.3 [10]	-1,5	-1,5	-1,5	-1,5	-1,5	-1,5	-1,5	-1,5	-1,5		
Снижение поверхностью земли возле приёмника Ar, дБ	Gr = 1 hr = 1.5м	ф-лы таб.3 [10]	-1,5	-1,5	2,5	7	5	0,7	0	0	0		
Снижение поверхностью земли в средней зоне, Am дБ	Gm = 1	ф-лы таб.3 [10]	-2	-2	0	0	0	0	0	0	0		
Суммарное снижение поверхностью земли на траектории распространения звука Agr, дБ		ф-ла (9) [10]	-5	-5	1	5,5	3,5	-0,8	-1,5	-1,5	-1,5		
Уровни звукового давления прямого звука от источника ИШ-8-3 в расчётной точке днём, дБ		**ф-ла(3)[10]**	**46,1**	**46,7**	**42,6**	**34,7**	**37,1**	**44,5**	**38,4**	**26,6**	**0**	**46,1**	**46,1**
Расчёт отражённого звука													
Уровни звукового давления от мнимого источника ИШ-8-3_мн.(1) в расчётной точке днём, дБ		**ф-ла(3)[10]**	**0**	**0**	**0**	**0**	**0**	**0**	**33,8**	**20,9**	**0**	**35,2**	**35,2**
Уровни звукового давления от мнимого источника ИШ-8-3_мн.(2) в расчётной точке днём, дБ		**ф-ла(3)[10]**	**0**	**0**	**0**	**28,4**	**34,3**	**42**	**35,9**	**24,1**	**0**	**43,5**	**43,5**
Суммарные уровни звукового давления от мнимых источников в расчётной точке днём, дБ		**ф-ла (19) [1]**	**0**	**0**	**0**	**28,4**	**34,3**	**42**	**38**	**25,8**	**0**	**0**	**44,1**

1		2	3	4	5	6	7	8	9	10	11	12	13
Уровни звукового давления от источника ИШ-8-3 в расчётной точке днём, дБ		**ф-ла(3)[10]**	**46,1**	**46,7**	**42,6**	**35,6**	**38,9**	**46,4**	**41,2**	**29,2**	**0**	**48,3**	**48,3**
Источник шума: ИШ-9-1, координаты источника (x,y,z), м =[642.94,-357.54,1.00]													
Уровни звуковой мощности источника днём, Lw, дБ		**исходные данные**	**0**	**93,3**	**94,7**	**96**	**96,3**	**95,9**	**92,6**	**88,4**	**83,9**		
Поправка на телесный угол DΩ, дБ	Ω = 6.28	10Lg(4π/Ω)	**3**	3	3	3	3	3	3	3	3		
Показатель направленности источника Di, дБ		исходные данные	**0**	0	0	0	0	0	0	0	0		
Поправка на направленность источника Dc, дБ	Dc	DΩ + Di	**3**	3	3	3	3	3	3	3	3		
Затухание из-за геометрической дивергенции, Adiv, дБ	расстояние = 434.70 м	ф-ла (7) [10]	**63,8**										
Коэффициент затухания звука в атмосфере α, дБ/км	Ta=20,°C Pa=101.33,кПа hотн.=70%	ф-ла (5) [9]	0,02	0,09	0,33	1,12	2,79	4,98	9,04	23,09	77,63		
Учет затухания звука в атмосфере Aatm, дБ		ф-ла (8) [10]	0	0	0,1	0,5	1,2	2,2	3,9	10	33,7		
Снижение поверхностью земли возле источника As, дБ	Gs = 0 hs = 1м	ф-лы таб.3 [10]	-1,5	-1,5	-1,5	-1,5	-1,5	-1,5	-1,5	-1,5	-1,5		
Снижение поверхностью земли возле приёмника Ar, дБ	Gr = 1 hr = 1.5м	ф-лы таб.3 [10]	-1,5	-1,5	2,6	7	5	0,7	0	0	0		
Снижение поверхностью земли в средней зоне, Am дБ	Gm = 1	ф-лы таб.3 [10]	-2,5	-2,5	0	0	0	0	0	0	0		
Суммарное снижение поверхностью земли на траектории распространения звука Agr, дБ		ф-ла (9) [10]	-5,5	-5,5	1,1	5,5	3,5	-0,8	-1,5	-1,5	-1,5		
Уровни звукового давления прямого звука от источника ИШ-9-1 в расчётной точке днём, дБ		**ф-ла(3)[10]**	**0**	**38**	**32,7**	**29,2**	**30,8**	**33,8**	**29,4**	**19,1**	**0**	**36,4**	**36,4**
Расчёт отражённого звука													
Уровни звукового давления от мнимого источника ИШ-9-1_мн.(1) в расчётной точке днём, дБ		**ф-ла(3)[10]**	**0**	**0**	**0**	**0**	**0**	**0**	**0**	**0**	**0**	**0**	**0**

1		2	3	4	5	6	7	8	9	10	11	12	13
Уровни звукового давления от мнимого источника ИШ-9-1_мн.(2) в расчётной точке днём, дБ		**ф-ла(3)[10]**	**0**	**0**	**0**	**0**	**0**	**0**	**26,9**	**16,5**	**0**	**28,4**	**28,4**
Уровни звукового давления от мнимого источника ИШ-9-1_мн.(3) в расчётной точке днём, дБ		**ф-ла(3)[10]**	**0**	**0**	**0**	**0**	**0**	**0**	**0**	**0**	**0**	**0**	**0**
Суммарные уровни звукового давления от мнимых источников в расчётной точке днём, дБ		**ф-ла (19) [1]**	**0**	**0**	**0**	**0**	**0**	**0**	**26,9**	**16,5**	**0**	**0**	**28,4**
Уровни звукового давления от источника ИШ-9-1 в расчётной точке днём, дБ		**ф-ла(3)[10]**	**0**	**38**	**32,7**	**29,2**	**30,8**	**33,8**	**31,3**	**21**	**0**	**37,1**	**37,1**
Источник шума: ИШ-9-2, координаты источника (x,y,z), м =[644.14,-354.83,1.00]													
Уровни звуковой мощности источника днём, Lw, дБ		**исходные данные**	**0**	**93,3**	**94,7**	**96**	**96,3**	**95,9**	**92,6**	**88,4**	**83,9**		
Поправка на телесный угол DΩ, дБ	Ω = 6.28	10Lg(4π/Ω)	**3**	3	3	3	3	3	3	3	3		
Показатель направленности источника Di, дБ		исходные данные	**0**	0	0	0	0	0	0	0	0		
Поправка на направленность источника Dc, дБ	Dc	DΩ + Di	**3**	3	3	3	3	3	3	3	3		
Затухание из-за геометрической дивергенции, Adiv, дБ	расстояние = 432.95 м	ф-ла (7) [10]	**63,7**										
Коэффициент затухания звука в атмосфере α, дБ/км	Ta=20,°C Pa=101.33,кПа hотн.=70%	ф-ла (5) [9]	0,02	0,09	0,33	1,12	2,79	4,98	9,04	23,09	77,63		
Учет затухания звука в атмосфере Aatm, дБ		ф-ла (8) [10]	0	0	0,1	0,5	1,2	2,2	3,9	10	33,6		
Снижение поверхностью земли возле источника As, дБ	Gs = 0 hs = 1м	ф-лы таб.3 [10]	-1,5	-1,5	-1,5	-1,5	-1,5	-1,5	-1,5	-1,5	-1,5		
Снижение поверхностью земли возле приёмника Ar, дБ	Gr = 1 hr = 1.5м	ф-лы таб.3 [10]	-1,5	-1,5	2,6	7	5	0,7	0	0	0		
Снижение поверхностью земли в средней зоне, Am дБ	Gm = 1	ф-лы таб.3 [10]	-2,5	-2,5	0	0	0	0	0	0	0		
Суммарное снижение поверхностью земли на траектории распространения звука Agr, дБ		ф-ла (9) [10]	-5,5	-5,5	1,1	5,5	3,5	-0,8	-1,5	-1,5	-1,5		

1		2	3	4	5	6	7	8	9	10	11	12	13
Уровни звукового давления прямого звука от источника ИШ-9-2 в расчётной точке днём, дБ		**ф-ла(3)[10]**	**0**	**38**	**32,7**	**29,3**	**30,9**	**33,8**	**29,4**	**19,2**	**0**	**36,5**	**36,5**
Расчёт отражённого звука													
Уровни звукового давления от мнимого источника ИШ-9-2_мн.(1) в расчётной точке днём, дБ		**ф-ла(3)[10]**	**0**	**0**	**0**	**0**	**0**	**0**	**0**	**0**	**0**	**0**	**0**
Уровни звукового давления от мнимого источника ИШ-9-2_мн.(2) в расчётной точке днём, дБ		**ф-ла(3)[10]**	**0**	**0**	**0**	**0**	**0**	**0**	**26,9**	**16,6**	**0**	**28,5**	**28,5**
Уровни звукового давления от мнимого источника ИШ-9-2_мн.(3) в расчётной точке днём, дБ		**ф-ла(3)[10]**	**0**	**0**	**0**	**0**	**0**	**0**	**0**	**0**	**0**	**0**	**0**
Суммарные уровни звукового давления от мнимых источников в расчётной точке днём, дБ		**ф-ла (19) [1]**	**0**	**0**	**0**	**0**	**0**	**0**	**26,9**	**16,6**	**0**	**0**	**28,5**
Уровни звукового давления от источника ИШ-9-2 в расчётной точке днём, дБ		**ф-ла(3)[10]**	**0**	**38**	**32,7**	**29,3**	**30,9**	**33,8**	**31,4**	**21,1**	**0**	**37,1**	**37,1**
Источник шума: ИШ-9-3, координаты источника (x,y,z), м =[644.98,-351.85,1.00]													
Уровни звуковой мощности источника днём, Lw, дБ		**исходные данные**	**0**	**93,3**	**94,7**	**96**	**96,3**	**95,9**	**92,6**	**88,4**	**83,9**		
Поправка на телесный угол DΩ, дБ	Ω = 6.28	10Lg(4π/Ω)	**3**	3	3	3	3	3	3	3	3		
Показатель направленности источника Di, дБ		исходные данные	**0**	0	0	0	0	0	0	0	0		
Поправка на направленность источника Dc, дБ	Dc	DΩ + Di	**3**	3	3	3	3	3	3	3	3		
Затухание из-за геометрической дивергенции, Adiv, дБ	расстояние = 430.80 м	ф-ла (7) [10]	**63,7**										
Коэффициент затухания звука в атмосфере α, дБ/км	Ta=20,°C Pa=101.33,кПа hотн.=70%	ф-ла (5) [9]	0,02	0,09	0,33	1,12	2,79	4,98	9,04	23,09	77,63		
Учет затухания звука в атмосфере Aatm, дБ		ф-ла (8) [10]	0	0	0,1	0,5	1,2	2,1	3,9	9,9	33,4		
Снижение поверхностью земли возле источника As, дБ	Gs = 0 hs = 1м	ф-лы таб.3 [10]	-1,5	-1,5	-1,5	-1,5	-1,5	-1,5	-1,5	-1,5	-1,5		

1		2	3	4	5	6	7	8	9	10	11	12	13
Снижение поверхностью земли возле приёмника Ar, дБ	Gr = 1 hr = 1.5м	ф-лы таб.3 [10]	-1,5	-1,5	2,6	7	5	0,7	0	0	0		
Снижение поверхностью земли в средней зоне, Am дБ	Gm = 1	ф-лы таб.3 [10]	-2,5	-2,5	0	0	0	0	0	0	0		
Суммарное снижение поверхностью земли на траектории распространения звука Agr, дБ		ф-ла (9) [10]	-5,5	-5,5	1,1	5,5	3,5	-0,8	-1,5	-1,5	-1,5		
Уровни звукового давления прямого звука от источника ИШ-9-3 в расчётной точке днём, дБ		**ф-ла(3)[10]**	**0**	**38**	**32,8**	**29,3**	**30,9**	**33,9**	**29,5**	**19,3**	**0**	**36,5**	**36,5**
Расчёт отражённого звука													
Уровни звукового давления от мнимого источника ИШ-9-3_мн.(1) в расчётной точке днём, дБ		**ф-ла(3)[10]**	**0**	**0**	**0**	**0**	**0**	**0**	**0**	**0**	**0**	**0**	**0**
Уровни звукового давления от мнимого источника ИШ-9-3_мн.(2) в расчётной точке днём, дБ		**ф-ла(3)[10]**	**0**	**0**	**0**	**0**	**0**	**0**	**27**	**16,7**	**0**	**28,6**	**28,6**
Уровни звукового давления от мнимого источника ИШ-9-3_мн.(3) в расчётной точке днём, дБ		**ф-ла(3)[10]**	**0**	**0**	**0**	**0**	**0**	**0**	**0**	**0**	**0**	**0**	**0**
Суммарные уровни звукового давления от мнимых источников в расчётной точке днём, дБ		**ф-ла (19) [1]**	**0**	**0**	**0**	**0**	**0**	**0**	**27**	**16,7**	**0**	**0**	**28,6**
Уровни звукового давления от источника ИШ-9-3 в расчётной точке днём, дБ		**ф-ла(3)[10]**	**0**	**38**	**32,8**	**29,3**	**30,9**	**33,9**	**31,4**	**21,2**	**0**	**37,2**	**37,2**
Источник шума: ИШ-9-4, координаты источника (x,y,z), м =[646.01,-349.15,1.00]													
Уровни звуковой мощности источника днём, Lw, дБ		**исходные данные**	**0**	**93,3**	**94,7**	**96**	**96,3**	**95,9**	**92,6**	**88,4**	**83,9**		
Поправка на телесный угол DΩ, дБ	Ω = 6.28	10Lg(4π/Ω)	**3**	3	3	3	3	3	3	3	3		
Показатель направленности источника Di, дБ		исходные данные	**0**	0	0	0	0	0	0	0	0		
Поправка на направленность источника Dc, дБ	Dc	DΩ + Di	**3**	3	3	3	3	3	3	3	3		
Затухание из-за геометрической дивергенции, Adiv, дБ	расстояние = 428.99 м	ф-ла (7) [10]	**63,6**										
Коэффициент затухания звука в атмосфере α, дБ/км	Ta=20,°C Pa=101.33,кПа hотн.=70%	ф-ла (5) [9]	0,02	0,09	0,33	1,12	2,79	4,98	9,04	23,09	77,63		

1		2	3	4	5	6	7	8	9	10	11	12	13
Учет затухания звука в атмосфере Aatm, дБ		ф-ла (8) [10]	0	0	0,1	0,5	1,2	2,1	3,9	9,9	33,3		
Снижение поверхностью земли возле источника As, дБ	Gs = 0 hs = 1м	ф-лы таб.3 [10]	-1,5	-1,5	-1,5	-1,5	-1,5	-1,5	-1,5	-1,5	-1,5		
Снижение поверхностью земли возле приёмника Ar, дБ	Gr = 1 hr = 1.5м	ф-лы таб.3 [10]	-1,5	-1,5	2,6	7	5	0,7	0	0	0		
Снижение поверхностью земли в средней зоне, Am дБ	Gm = 1	ф-лы таб.3 [10]	-2,5	-2,5	0	0	0	0	0	0	0		
Суммарное снижение поверхностью земли на траектории распространения звука Agr, дБ		ф-ла (9) [10]	-5,5	-5,5	1,1	5,5	3,5	-0,8	-1,5	-1,5	-1,5		
Уровни звукового давления прямого звука от источника ИШ-9-4 в расчётной точке днём, дБ		**ф-ла(3)[10]**	**0**	**38,1**	**32,8**	**29,3**	**31**	**33,9**	**29,6**	**19,3**	**0**	**36,6**	**36,6**
Расчёт отражённого звука													
Уровни звукового давления от мнимого источника ИШ-9-4_мн.(1) в расчётной точке днём, дБ		**ф-ла(3)[10]**	**0**	**0**	**0**	**0**	**0**	**29,4**	**27**	**16,8**	**0**	**32**	**32**
Уровни звукового давления от мнимого источника ИШ-9-4_мн.(2) в расчётной точке днём, дБ		**ф-ла(3)[10]**	**0**	**0**	**0**	**0**	**0**	**0**	**0**	**0**	**0**	**0**	**0**
Суммарные уровни звукового давления от мнимых источников в расчётной точке днём, дБ		**ф-ла (19) [1]**	**0**	**0**	**0**	**0**	**0**	**29,4**	**27**	**16,8**	**0**	**0**	**32**
Уровни звукового давления от источника ИШ-9-4 в расчётной точке днём, дБ		**ф-ла(3)[10]**	**0**	**38,1**	**32,8**	**29,3**	**31**	**35,3**	**31,5**	**21,3**	**0**	**37,9**	**37,9**
Источник шума: ИШ-9-5, координаты источника (x,y,z), м =[646.84,-346.17,1.00]													
Уровни звуковой мощности источника днём, Lw, дБ		**исходные данные**	**0**	**93,3**	**94,7**	**96**	**96,3**	**95,9**	**92,6**	**88,4**	**83,9**		
Поправка на телесный угол DΩ, дБ	Ω = 6.28	10Lg(4π/Ω)	**3**	3	3	3	3	3	3	3	3		
Показатель направленности источника Di, дБ		исходные данные	**0**	0	0	0	0	0	0	0	0		
Поправка на направленность источника Dc, дБ	Dc	DΩ + Di	**3**	3	3	3	3	3	3	3	3		
Затухание из-за геометрической дивергенции, Adiv, дБ	расстояние = 426.86 м	ф-ла (7) [10]	**63,6**										

1		2	3	4	5	6	7	8	9	10	11	12	13
Коэффициент затухания звука в атмосфере α, дБ/км	Ta=20,°C Pa=101.33,кПа hотн.=70%	ф-ла (5) [9]	0,02	0,09	0,33	1,12	2,79	4,98	9,04	23,09	77,63		
Учет затухания звука в атмосфере Aatm, дБ		ф-ла (8) [10]	0	0	0,1	0,5	1,2	2,1	3,9	9,9	33,1		
Снижение поверхностью земли возле источника As, дБ	Gs = 0 hs = 1м	ф-лы таб.3 [10]	-1,5	-1,5	-1,5	-1,5	-1,5	-1,5	-1,5	-1,5	-1,5		
Снижение поверхностью земли возле приёмника Ar, дБ	Gr = 1 hr = 1.5м	ф-лы таб.3 [10]	-1,5	-1,5	2,5	7	5	0,7	0	0	0		
Снижение поверхностью земли в средней зоне, Am дБ	Gm = 1	ф-лы таб.3 [10]	-2,5	-2,5	0	0	0	0	0	0	0		
Суммарное снижение поверхностью земли на траектории распространения звука Agr, дБ		ф-ла (9) [10]	-5,5	-5,5	1	5,5	3,5	-0,8	-1,5	-1,5	-1,5		
Уровни звукового давления прямого звука от источника ИШ-9-5 в расчётной точке днём, дБ		**ф-ла(3)[10]**	**0**	**38,1**	**32,9**	**29,4**	**31**	**34**	**29,6**	**19,4**	**0**	**36,6**	**36,6**
Расчёт отражённого звука													
Уровни звукового давления от мнимого источника ИШ-9-5_мн.(1) в расчётной точке днём, дБ		**ф-ла(3)[10]**	**0**	**0**	**0**	**0**	**0**	**29,4**	**27,1**	**16,9**	**0**	**32,1**	**32,1**
Уровни звукового давления от источника ИШ-9-5 в расчётной точке днём, дБ		**ф-ла(3)[10]**	**0**	**38,1**	**32,9**	**29,4**	**31**	**35,3**	**31,6**	**21,3**	**0**	**38**	**38**
Источник шума: ИШ-9-6, координаты источника (x,y,z), м =[647.87,-343.47,1.00]													
Уровни звуковой мощности источника днём, Lw, дБ		**исходные данные**	**0**	**93,3**	**94,7**	**96**	**96,3**	**95,9**	**92,6**	**88,4**	**83,9**		
Поправка на телесный угол DΩ, дБ	Ω = 6.28	10Lg(4π/Ω)	**3**	3	3	3	3	3	3	3	3		
Показатель направленности источника Di, дБ		исходные данные	**0**	0	0	0	0	0	0	0	0		
Поправка на направленность источника Dc, дБ	Dc	DΩ + Di	**3**	3	3	3	3	3	3	3	3		
Затухание из-за геометрической дивергенции, Adiv, дБ	расстояние = 425.08 м	ф-ла (7) [10]	**63,6**										

1		2	3	4	5	6	7	8	9	10	11	12	13
Коэффициент затухания звука в атмосфере α, дБ/км	Ta=20,°C Pa=101.33,кПа hотн.=70%	ф-ла (5) [9]	0,02	0,09	0,33	1,12	2,79	4,98	9,04	23,09	77,63		
Учет затухания звука в атмосфере Aatm, дБ		ф-ла (8) [10]	0	0	0,1	0,5	1,2	2,1	3,8	9,8	33		
Снижение поверхностью земли возле источника As, дБ	Gs = 0 hs = 1м	ф-лы таб.3 [10]	-1,5	-1,5	-1,5	-1,5	-1,5	-1,5	-1,5	-1,5	-1,5		
Снижение поверхностью земли возле приёмника Ar, дБ	Gr = 1 hr = 1.5м	ф-лы таб.3 [10]	-1,5	-1,5	2,5	7	5	0,7	0	0	0		
Снижение поверхностью земли в средней зоне, Am дБ	Gm = 1	ф-лы таб.3 [10]	-2,5	-2,5	0	0	0	0	0	0	0		
Суммарное снижение поверхностью земли на траектории распространения звука Agr, дБ		ф-ла (9) [10]	-5,5	-5,5	1	5,5	3,5	-0,8	-1,5	-1,5	-1,5		
Уровни звукового давления прямого звука от источника ИШ-9-6 в расчётной точке днём, дБ		**ф-ла(3)[10]**	**0**	**38,2**	**32,9**	**29,4**	**31,1**	**34**	**29,7**	**19,5**	**0**	**36,7**	**36,7**
Расчёт отражённого звука													
Уровни звукового давления от мнимого источника ИШ-9-6_мн.(1) в расчётной точке днём, дБ		**ф-ла(3)[10]**	**0**	**0**	**0**	**0**	**0**	**29,5**	**27,1**	**16,9**	**0**	**32,1**	**32,1**
Уровни звукового давления от источника ИШ-9-6 в расчётной точке днём, дБ		**ф-ла(3)[10]**	**0**	**38,2**	**32,9**	**29,4**	**31,1**	**35,4**	**31,6**	**21,4**	**0**	**38**	**38**
Источник шума: ИШ-9-7, координаты источника (x,y,z), м =[648.71,-340.49,1.00]													
Уровни звуковой мощности источника днём, Lw, дБ		**исходные данные**	**0**	**93,3**	**94,7**	**96**	**96,3**	**95,9**	**92,6**	**88,4**	**83,9**		
Поправка на телесный угол DΩ, дБ	Ω = 6.28	10Lg(4π/Ω)	**3**	3	3	3	3	3	3	3	3		
Показатель направленности источника Di, дБ		исходные данные	**0**	0	0	0	0	0	0	0	0		
Поправка на направленность источника Dc, дБ	Dc	DΩ + Di	**3**	3	3	3	3	3	3	3	3		
Затухание из-за геометрической дивергенции, Adiv, дБ	расстояние = 422.97 м	ф-ла (7) [10]	**63,5**										

1		2	3	4	5	6	7	8	9	10	11	12	13
Коэффициент затухания звука в атмосфере α, дБ/км	Та=20,°С Ра=101.33,кПа hотн.=70%	ф-ла (5) [9]	0,02	0,09	0,33	1,12	2,79	4,98	9,04	23,09	77,63		
Учет затухания звука в атмосфере Aatm, дБ		ф-ла (8) [10]	0	0	0,1	0,5	1,2	2,1	3,8	9,8	32,8		
Снижение поверхностью земли возле источника As, дБ	Gs = 0 hs = 1м	ф-лы таб.3 [10]	-1,5	-1,5	-1,5	-1,5	-1,5	-1,5	-1,5	-1,5	-1,5		
Снижение поверхностью земли возле приёмника Ar, дБ	Gr = 1 hr = 1.5м	ф-лы таб.3 [10]	-1,5	-1,5	2,5	7	5	0,7	0	0	0		
Снижение поверхностью земли в средней зоне, Am дБ	Gm = 1	ф-лы таб.3 [10]	-2,5	-2,5	0	0	0	0	0	0	0		
Суммарное снижение поверхностью земли на траектории распространения звука Agr, дБ		ф-ла (9) [10]	-5,5	-5,5	1	5,5	3,5	-0,8	-1,5	-1,5	-1,5		
Уровни звукового давления прямого звука от источника ИШ-9-7 в расчётной точке днём, дБ		**ф-ла(3)[10]**	**0**	**38,2**	**33**	**29,5**	**31,1**	**34,1**	**29,7**	**19,6**	**0**	**36,8**	**36,8**
Расчёт отражённого звука													
Уровни звукового давления от мнимого источника ИШ-9-7_мн.(1) в расчётной точке днём, дБ		**ф-ла(3)[10]**	**0**	**0**	**0**	**0**	**0**	**29,5**	**27,2**	**17**	**0**	**32,2**	**32,2**
Уровни звукового давления от мнимого источника ИШ-9-7_мн.(2) в расчётной точке днём, дБ		**ф-ла(3)[10]**	**0**	**0**	**0**	**0**	**0**	**0**	**0**	**0**	**0**	**0**	**0**
Суммарные уровни звукового давления от мнимых источников в расчётной точке днём, дБ		**ф-ла (19) [1]**	**0**	**0**	**0**	**0**	**0**	**29,5**	**27,2**	**17**	**0**	**0**	**32,2**
Уровни звукового давления от источника ИШ-9-7 в расчётной точке днём, дБ		**ф-ла(3)[10]**	**0**	**38,2**	**33**	**29,5**	**31,1**	**35,4**	**31,7**	**21,5**	**0**	**38,1**	**38,1**
Источник шума: ИШ-9-8, координаты источника (x,y,z), м =[649.92,-337.69,1.00]													
Уровни звуковой мощности источника днём, Lw, дБ		**исходные данные**	**0**	**93,3**	**94,7**	**96**	**96,3**	**95,9**	**92,6**	**88,4**	**83,9**		
Поправка на телесный угол DΩ, дБ	Ω = 6.28	10Lg(4π/Ω)	**3**	3	3	3	3	3	3	3	3		
Показатель направленности источника Di, дБ		исходные данные	**0**	0	0	0	0	0	0	0	0		

1		2	3	4	5	6	7	8	9	10	11	12	13
Поправка на направленность источника Dc, дБ	Dc	DΩ + Di	**3**	3	3	3	3	3	3	3	3		
Затухание из-за геометрической дивергенции, Adiv, дБ	расстояние = 421.23 м	ф-ла (7) [10]	**63,5**										
Коэффициент затухания звука в атмосфере α, дБ/км	Ta=20,°C Pa=101.33,кПа hотн.=70%	ф-ла (5) [9]	0,02	0,09	0,33	1,12	2,79	4,98	9,04	23,09	77,63		
Учет затухания звука в атмосфере Aatm, дБ		ф-ла (8) [10]	0	0	0,1	0,5	1,2	2,1	3,8	9,7	32,7		
Снижение поверхностью земли возле источника As, дБ	Gs = 0 hs = 1м	ф-лы таб.3 [10]	-1,5	-1,5	-1,5	-1,5	-1,5	-1,5	-1,5	-1,5	-1,5		
Снижение поверхностью земли возле приёмника Ar, дБ	Gr = 1 hr = 1.5м	ф-лы таб.3 [10]	-1,5	-1,5	2,5	7	5	0,7	0	0	0		
Снижение поверхностью земли в средней зоне, Am дБ	Gm = 1	ф-лы таб.3 [10]	-2,5	-2,5	0	0	0	0	0	0	0		
Суммарное снижение поверхностью земли на траектории распространения звука Agr, дБ		ф-ла (9) [10]	-5,5	-5,5	1	5,5	3,5	-0,8	-1,5	-1,5	-1,5		
Уровни звукового давления прямого звука от источника ИШ-9-8 в расчётной точке днём, дБ		**ф-ла(3)[10]**	**0**	**38,2**	**33**	**29,5**	**31,2**	**34,1**	**29,8**	**19,7**	**0**	**36,8**	**36,8**
Расчёт отражённого звука													
Уровни звукового давления от мнимого источника ИШ-9-8_мн.(1) в расчётной точке днём, дБ		**ф-ла(3)[10]**	**0**	**0**	**0**	**0**	**19,8**	**29,6**	**27,3**	**17,1**	**0**	**32,4**	**32,4**
Уровни звукового давления от мнимого источника ИШ-9-8_мн.(2) в расчётной точке днём, дБ		**ф-ла(3)[10]**	**0**	**0**	**0**	**0**	**0**	**0**	**0**	**0**	**0**	**0**	**0**
Суммарные уровни звукового давления от мнимых источников в расчётной точке днём, дБ		**ф-ла (19) [1]**	**0**	**0**	**0**	**0**	**19,8**	**29,6**	**27,3**	**17,1**	**0**	**0**	**32,4**
Уровни звукового давления от источника ИШ-9-8 в расчётной точке днём, дБ		**ф-ла(3)[10]**	**0**	**38,2**	**33**	**29,5**	**31,5**	**35,4**	**31,7**	**21,6**	**0**	**38,1**	**38,1**
Источник шума: ИШ-9-9, координаты источника (x,y,z), м =[650.66,-334.90,1.00]													
Уровни звуковой мощности источника днём, Lw, дБ		**исходные данные**	**0**	**93,3**	**94,7**	**96**	**96,3**	**95,9**	**92,6**	**88,4**	**83,9**		

1		2	3	4	5	6	7	8	9	10	11	12	13
Поправка на телесный угол DΩ, дБ	Ω = 6.28	10Lg(4π/Ω)	**3**	3	3	3	3	3	3	3	3		
Показатель направленности источника Di, дБ		исходные данные	**0**	0	0	0	0	0	0	0	0		
Поправка на направленность источника Dc, дБ	Dc	DΩ + Di	**3**	3	3	3	3	3	3	3	3		
Затухание из-за геометрической дивергенции, Adiv, дБ	расстояние = 419.26 м	ф-ла (7) [10]	**63,4**										
Коэффициент затухания звука в атмосфере α, дБ/км	Ta=20,°C Pa=101.33,кПа hотн.=70%	ф-ла (5) [9]	0,02	0,09	0,33	1,12	2,79	4,98	9,04	23,09	77,63		
Учет затухания звука в атмосфере Aatm, дБ		ф-ла (8) [10]	0	0	0,1	0,5	1,2	2,1	3,8	9,7	32,5		
Снижение поверхностью земли возле источника As, дБ	Gs = 0 hs = 1м	ф-лы таб.3 [10]	-1,5	-1,5	-1,5	-1,5	-1,5	-1,5	-1,5	-1,5	-1,5		
Снижение поверхностью земли возле приёмника Ar, дБ	Gr = 1 hr = 1.5м	ф-лы таб.3 [10]	-1,5	-1,5	2,5	7	5	0,7	0	0	0		
Снижение поверхностью земли в средней зоне, Am дБ	Gm = 1	ф-лы таб.3 [10]	-2,5	-2,5	0	0	0	0	0	0	0		
Суммарное снижение поверхностью земли на траектории распространения звука Agr, дБ		ф-ла (9) [10]	-5,5	-5,5	1	5,5	3,5	-0,8	-1,5	-1,5	-1,5		
Уровни звукового давления прямого звука от источника ИШ-9-9 в расчётной точке днём, дБ		**ф-ла(3)[10]**	**0**	**38,3**	**33,1**	**29,5**	**31,2**	**34,2**	**29,9**	**19,8**	**0**	**36,9**	**36,9**
Расчёт отражённого звука													
Уровни звукового давления от мнимого источника ИШ-9-9_мн.(1) в расчётной точке днём, дБ		**ф-ла(3)[10]**	**0**	**0**	**0**	**0**	**19,8**	**29,6**	**27,3**	**17,2**	**0**	**32,4**	**32,4**
Уровни звукового давления от мнимого источника ИШ-9-9_мн.(2) в расчётной точке днём, дБ		**ф-ла(3)[10]**	**0**	**0**	**0**	**0**	**0**	**0**	**0**	**0**	**0**	**0**	**0**
Суммарные уровни звукового давления от мнимых источников в расчётной точке днём, дБ		**ф-ла (19) [1]**	**0**	**0**	**0**	**0**	**19,8**	**29,6**	**27,3**	**17,2**	**0**	**0**	**32,4**
Уровни звукового давления от источника ИШ-9-9 в расчётной точке днём, дБ		**ф-ла(3)[10]**	**0**	**38,3**	**33,1**	**29,5**	**31,5**	**35,5**	**31,8**	**21,7**	**0**	**38,2**	**38,2**

1		2	3	4	5	6	7	8	9	10	11	12	13
Источник шума: ИШ-9-10, координаты источника (x,y,z), м =[651.59,-332.01,1.00]													
Уровни звуковой мощности источника днём, Lw, дБ		**исходные данные**	**0**	**93,3**	**94,7**	**96**	**96,3**	**95,9**	**92,6**	**88,4**	**83,9**		
Поправка на телесный угол DΩ, дБ	Ω = 6.28	10Lg(4π/Ω)	**3**	3	3	3	3	3	3	3	3		
Показатель направленности источника Di, дБ		исходные данные	**0**	0	0	0	0	0	0	0	0		
Поправка на направленность источника Dc, дБ	Dc	DΩ + Di	**3**	3	3	3	3	3	3	3	3		
Затухание из-за геометрической дивергенции, Adiv, дБ	расстояние = 417.32 м	ф-ла (7) [10]	**63,4**										
Коэффициент затухания звука в атмосфере α, дБ/км	Ta=20,°C Pa=101.33,кПа hотн.=70%	ф-ла (5) [9]	0,02	0,09	0,33	1,12	2,79	4,98	9,04	23,09	77,63		
Учет затухания звука в атмосфере Aatm, дБ		ф-ла (8) [10]	0	0	0,1	0,5	1,2	2,1	3,8	9,6	32,4		
Снижение поверхностью земли возле источника As, дБ	Gs = 0 hs = 1м	ф-лы таб.3 [10]	-1,5	-1,5	-1,5	-1,5	-1,5	-1,5	-1,5	-1,5	-1,5		
Снижение поверхностью земли возле приёмника Ar, дБ	Gr = 1 hr = 1.5м	ф-лы таб.3 [10]	-1,5	-1,5	2,5	7	5	0,7	0	0	0		
Снижение поверхностью земли в средней зоне, Am дБ	Gm = 1	ф-лы таб.3 [10]	-2,5	-2,5	0	0	0	0	0	0	0		
Суммарное снижение поверхностью земли на траектории распространения звука Agr, дБ		ф-ла (9) [10]	-5,5	-5,5	1	5,5	3,5	-0,8	-1,5	-1,5	-1,5		
Уровни звукового давления прямого звука от источника ИШ-9-10 в расчётной точке днём, дБ		**ф-ла(3)[10]**	**0**	**38,3**	**33,2**	**29,6**	**31,2**	**34,2**	**29,9**	**19,8**	**0**	**36,9**	**36,9**
Расчёт отражённого звука													
Уровни звукового давления от мнимого источника ИШ-9-10_мн.(1) в расчётной точке днём, дБ		**ф-ла(3)[10]**	**0**	**0**	**0**	**0**	**19,9**	**29,7**	**27,4**	**17,3**	**0**	**32,5**	**32,5**
Уровни звукового давления от мнимого источника ИШ-9-10_мн.(2) в расчётной точке днём, дБ		**ф-ла(3)[10]**	**0**	**0**	**0**	**0**	**0**	**0**	**0**	**0**	**0**	**0**	**0**

1		2	3	4	5	6	7	8	9	10	11	12	13
Суммарные уровни звукового давления от мнимых источников в расчётной точке днём, дБ		**ф-ла (19) [1]**	**0**	**0**	**0**	**0**	**19,9**	**29,7**	**27,4**	**17,3**	**0**	**0**	**32,5**
Уровни звукового давления от источника ИШ-9-10 в расчётной точке днём, дБ		**ф-ла(3)[10]**	**0**	**38,3**	**33,2**	**29,6**	**31,6**	**35,5**	**31,8**	**21,8**	**0**	**38,2**	**38,2**
Источник шума: ИШ-9-11, координаты источника (x,y,z), м =[652.71,-329.22,1.00]													
Уровни звуковой мощности источника днём, Lw, дБ		**исходные данные**	**0**	**93,3**	**94,7**	**96**	**96,3**	**95,9**	**92,6**	**88,4**	**83,9**		
Поправка на телесный угол DΩ, дБ	Ω = 6.28	10Lg(4π/Ω)	**3**	3	3	3	3	3	3	3	3		
Показатель направленности источника Di, дБ		исходные данные	**0**	0	0	0	0	0	0	0	0		
Поправка на направленность источника Dc, дБ	Dc	DΩ + Di	**3**	3	3	3	3	3	3	3	3		
Затухание из-за геометрической дивергенции, Adiv, дБ	расстояние = 415.57 м	ф-ла (7) [10]	**63,4**										
Коэффициент затухания звука в атмосфере α, дБ/км	Ta=20,°C Pa=101.33,кПа hотн.=70%	ф-ла (5) [9]	0,02	0,09	0,33	1,12	2,79	4,98	9,04	23,09	77,63		
Учет затухания звука в атмосфере Aatm, дБ		ф-ла (8) [10]	0	0	0,1	0,5	1,2	2,1	3,8	9,6	32,3		
Снижение поверхностью земли возле источника As, дБ	Gs = 0 hs = 1м	ф-лы таб.3 [10]	-1,5	-1,5	-1,5	-1,5	-1,5	-1,5	-1,5	-1,5	-1,5		
Снижение поверхностью земли возле приёмника Ar, дБ	Gr = 1 hr = 1.5м	ф-лы таб.3 [10]	-1,5	-1,5	2,5	7	5	0,7	0	0	0		
Снижение поверхностью земли в средней зоне, Am дБ	Gm = 1	ф-лы таб.3 [10]	-2,5	-2,5	0	0	0	0	0	0	0		
Суммарное снижение поверхностью земли на траектории распространения звука Agr, дБ		ф-ла (9) [10]	-5,5	-5,5	1	5,5	3,5	-0,8	-1,5	-1,5	-1,5		
Уровни звукового давления прямого звука от источника ИШ-9-11 в расчётной точке днём, дБ		**ф-ла(3)[10]**	**0**	**38,3**	**33,2**	**29,6**	**31,3**	**34,3**	**30**	**19,9**	**0**	**37**	**37**
Расчёт отражённого звука													

1		2	3	4	5	6	7	8	9	10	11	12	13
Уровни звукового давления от мнимого источника ИШ-9-11_мн.(1) в расчётной точке днём, дБ		**ф-ла(3)[10]**	**0**	**0**	**0**	**0**	**19,9**	**29,7**	**27,4**	**17,4**	**0**	**32,5**	**32,5**
Уровни звукового давления от мнимого источника ИШ-9-11_мн.(2) в расчётной точке днём, дБ		**ф-ла(3)[10]**	**0**	**0**	**0**	**0**	**0**	**0**	**0**	**0**	**0**	**0**	**0**
Суммарные уровни звукового давления от мнимых источников в расчётной точке днём, дБ		**ф-ла (19) [1]**	**0**	**0**	**0**	**0**	**19,9**	**29,7**	**27,4**	**17,4**	**0**	**0**	**32,5**
Уровни звукового давления от источника ИШ-9-11 в расчётной точке днём, дБ		**ф-ла(3)[10]**	**0**	**38,3**	**33,2**	**29,6**	**31,6**	**35,6**	**31,9**	**21,8**	**0**	**38,3**	**38,3**
Источник шума: ИШ-9-12, координаты источника (x,y,z), м =[653.46,-326.33,1.00]													
Уровни звуковой мощности источника днём, Lw, дБ		**исходные данные**	**0**	**93,3**	**94,7**	**96**	**96,3**	**95,9**	**92,6**	**88,4**	**83,9**		
Поправка на телесный угол DΩ, дБ	Ω = 6.28	10Lg(4π/Ω)	**3**	3	3	3	3	3	3	3	3		
Показатель направленности источника Di, дБ		исходные данные	**0**	0	0	0	0	0	0	0	0		
Поправка на направленность источника Dc, дБ	Dc	DΩ + Di	**3**	3	3	3	3	3	3	3	3		
Затухание из-за геометрической дивергенции, Adiv, дБ	расстояние = 413.56 м	ф-ла (7) [10]	**63,3**										
Коэффициент затухания звука в атмосфере α, дБ/км	Ta=20,°C Pa=101.33,кПа hотн.=70%	ф-ла (5) [9]	0,02	0,09	0,33	1,12	2,79	4,98	9,04	23,09	77,63		
Учет затухания звука в атмосфере Aatm, дБ		ф-ла (8) [10]	0	0	0,1	0,5	1,2	2,1	3,7	9,5	32,1		
Снижение поверхностью земли возле источника As, дБ	Gs = 0 hs = 1м	ф-лы таб.3 [10]	-1,5	-1,5	-1,5	-1,5	-1,5	-1,5	-1,5	-1,5	-1,5		
Снижение поверхностью земли возле приёмника Ar, дБ	Gr = 1 hr = 1.5м	ф-лы таб.3 [10]	-1,5	-1,5	2,5	7	5	0,7	0	0	0		
Снижение поверхностью земли в средней зоне, Am дБ	Gm = 1	ф-лы таб.3 [10]	-2,5	-2,5	0	0	0	0	0	0	0		
Суммарное снижение поверхностью земли на траектории распространения звука Agr, дБ		ф-ла (9) [10]	-5,5	-5,5	1	5,5	3,5	-0,8	-1,5	-1,5	-1,5		

1		2	3	4	5	6	7	8	9	10	11	12	13
Уровни звукового давления прямого звука от источника ИШ-9-12 в расчётной точке днём, дБ		**ф-ла(3)[10]**	**0**	**38,4**	**33,3**	**29,7**	**31,3**	**34,3**	**30**	**20**	**0**	**37**	**37**
Расчёт отражённого звука													
Уровни звукового давления от мнимого источника ИШ-9-12_мн.(1) в расчётной точке днём, дБ		**ф-ла(3)[10]**	**0**	**0**	**0**	**0**	**20**	**29,8**	**27,5**	**17,4**	**0**	**32,6**	**32,6**
Уровни звукового давления от мнимого источника ИШ-9-12_мн.(2) в расчётной точке днём, дБ		**ф-ла(3)[10]**	**0**	**0**	**0**	**0**	**0**	**0**	**0**	**0**	**0**	**0**	**0**
Суммарные уровни звукового давления от мнимых источников в расчётной точке днём, дБ		**ф-ла (19) [1]**	**0**	**0**	**0**	**0**	**20**	**29,8**	**27,5**	**17,4**	**0**	**0**	**32,6**
Уровни звукового давления от источника ИШ-9-12 в расчётной точке днём, дБ		**ф-ла(3)[10]**	**0**	**38,4**	**33,3**	**29,7**	**31,6**	**35,6**	**31,9**	**21,9**	**0**	**38,3**	**38,3**
Источник шума: ИШ-9-13, координаты источника (x,y,z), м =[654.48,-323.54,1.00]													
Уровни звуковой мощности источника днём, Lw, дБ		**исходные данные**	**0**	**93,3**	**94,7**	**96**	**96,3**	**95,9**	**92,6**	**88,4**	**83,9**		
Поправка на телесный угол DΩ, дБ	Ω = 6.28	10Lg(4π/Ω)	**3**	3	3	3	3	3	3	3	3		
Показатель направленности источника Di, дБ		исходные данные	**0**	0	0	0	0	0	0	0	0		
Поправка на направленность источника Dc, дБ	Dc	DΩ + Di	**3**	3	3	3	3	3	3	3	3		
Затухание из-за геометрической дивергенции, Adiv, дБ	расстояние = 411.78 м	ф-ла (7) [10]	**63,3**										
Коэффициент затухания звука в атмосфере α, дБ/км	Ta=20,°C Pa=101.33,кПа hотн.=70%	ф-ла (5) [9]	0,02	0,09	0,33	1,12	2,79	4,98	9,04	23,09	77,63		
Учет затухания звука в атмосфере Aatm, дБ		ф-ла (8) [10]	0	0	0,1	0,5	1,1	2	3,7	9,5	32		
Снижение поверхностью земли возле источника As, дБ	Gs = 0 hs = 1м	ф-лы таб.3 [10]	-1,5	-1,5	-1,5	-1,5	-1,5	-1,5	-1,5	-1,5	-1,5		
Снижение поверхностью земли возле приёмника Ar, дБ	Gr = 1 hr = 1.5м	ф-лы таб.3 [10]	-1,5	-1,5	2,4	7	5	0,7	0	0	0		

1		2	3	4	5	6	7	8	9	10	11	12	13
Снижение поверхностью земли в средней зоне, Am дБ	Gm = 1	ф-лы таб.3 [10]	-2,5	-2,5	0	0	0	0	0	0	0		
Суммарное снижение поверхностью земли на траектории распространения звука Agr, дБ		ф-ла (9) [10]	-5,5	-5,5	0,9	5,5	3,5	-0,8	-1,5	-1,5	-1,5		
Уровни звукового давления прямого звука от источника ИШ-9-13 в расчётной точке днём, дБ		**ф-ла(3)[10]**	**0**	**38,4**	**33,3**	**29,7**	**31,4**	**34,4**	**30,1**	**20,1**	**0**	**37,1**	**37,1**
Расчёт отражённого звука													
Уровни звукового давления от мнимого источника ИШ-9-13_мн.(1) в расчётной точке днём, дБ		**ф-ла(3)[10]**	**0**	**0**	**0**	**0**	**20**	**29,8**	**27,5**	**17,5**	**0**	**32,6**	**32,6**
Уровни звукового давления от мнимого источника ИШ-9-13_мн.(2) в расчётной точке днём, дБ		**ф-ла(3)[10]**	**0**	**0**	**0**	**0**	**0**	**0**	**0**	**0**	**0**	**0**	**0**
Суммарные уровни звукового давления от мнимых источников в расчётной точке днём, дБ		**ф-ла (19) [1]**	**0**	**0**	**0**	**0**	**20**	**29,8**	**27,5**	**17,5**	**0**	**0**	**32,6**
Уровни звукового давления от источника ИШ-9-13 в расчётной точке днём, дБ		**ф-ла(3)[10]**	**0**	**38,4**	**33,3**	**29,7**	**31,7**	**35,7**	**32**	**22**	**0**	**38,4**	**38,4**
Источник шума: ИШ-9-14, координаты источника (x,y,z), м =[655.60,-320.74,1.00]													
Уровни звуковой мощности источника днём, Lw, дБ		**исходные данные**	**0**	**93,3**	**94,7**	**96**	**96,3**	**95,9**	**92,6**	**88,4**	**83,9**		
Поправка на телесный угол DΩ, дБ	Ω = 6.28	10Lg(4π/Ω)	**3**	3	3	3	3	3	3	3	3		
Показатель направленности источника Di, дБ		исходные данные	**0**	0	0	0	0	0	0	0	0		
Поправка на направленность источника Dc, дБ	Dc	DΩ + Di	**3**	3	3	3	3	3	3	3	3		
Затухание из-за геометрической дивергенции, Adiv, дБ	расстояние = 410.08 м	ф-ла (7) [10]	**63,3**										
Коэффициент затухания звука в атмосфере α, дБ/км	Ta=20,°C Pa=101.33,кПа hотн.=70%	ф-ла (5) [9]	0,02	0,09	0,33	1,12	2,79	4,98	9,04	23,09	77,63		
Учет затухания звука в атмосфере Aatm, дБ		ф-ла (8) [10]	0	0	0,1	0,5	1,1	2	3,7	9,5	31,8		

1		2	3	4	5	6	7	8	9	10	11	12	13
Снижение поверхностью земли возле источника As, дБ	Gs = 0 hs = 1м	ф-лы таб.3 [10]	-1,5	-1,5	-1,5	-1,5	-1,5	-1,5	-1,5	-1,5	-1,5		
Снижение поверхностью земли возле приёмника Ar, дБ	Gr = 1 hr = 1.5м	ф-лы таб.3 [10]	-1,5	-1,5	2,4	7	5	0,7	0	0	0		
Снижение поверхностью земли в средней зоне, Am дБ	Gm = 1	ф-лы таб.3 [10]	-2,5	-2,5	0	0	0	0	0	0	0		
Суммарное снижение поверхностью земли на траектории распространения звука Agr, дБ		ф-ла (9) [10]	-5,5	-5,5	0,9	5,5	3,5	-0,8	-1,5	-1,5	-1,5		
Уровни звукового давления прямого звука от источника ИШ-9-14 в расчётной точке днём, дБ		**ф-ла(3)[10]**	**0**	**38,4**	**33,4**	**29,8**	**31,4**	**34,4**	**30,1**	**20,2**	**0**	**37,1**	**37,1**
Расчёт отражённого звука													
Уровни звукового давления от мнимого источника ИШ-9-14_мн.(1) в расчётной точке днём, дБ		**ф-ла(3)[10]**	**0**	**0**	**0**	**19,4**	**20,1**	**29,9**	**27,6**	**17,6**	**0**	**32,7**	**32,7**
Уровни звукового давления от источника ИШ-9-14 в расчётной точке днём, дБ		**ф-ла(3)[10]**	**0**	**38,4**	**33,4**	**30,1**	**31,7**	**35,7**	**32,1**	**22,1**	**0**	**38,4**	**38,4**
Источник шума: ИШ-9-15, координаты источника (x,y,z), м =[656.44,-317.86,1.00]													
Уровни звуковой мощности источника днём, Lw, дБ		**исходные данные**	**0**	**93,3**	**94,7**	**96**	**96,3**	**95,9**	**92,6**	**88,4**	**83,9**		
Поправка на телесный угол DΩ, дБ	Ω = 6.28	10Lg(4π/Ω)	**3**	3	3	3	3	3	3	3	3		
Показатель направленности источника Di, дБ		исходные данные	**0**	0	0	0	0	0	0	0	0		
Поправка на направленность источника Dc, дБ	Dc	DΩ + Di	**3**	3	3	3	3	3	3	3	3		
Затухание из-за геометрической дивергенции, Adiv, дБ	расстояние = 408.15 м	ф-ла (7) [10]	**63,2**										
Коэффициент затухания звука в атмосфере α, дБ/км	Ta=20,°C Pa=101.33,кПа hотн.=70%	ф-ла (5) [9]	0,02	0,09	0,33	1,12	2,79	4,98	9,04	23,09	77,63		
Учет затухания звука в атмосфере Aatm, дБ		ф-ла (8) [10]	0	0	0,1	0,5	1,1	2	3,7	9,4	31,7		

1		2	3	4	5	6	7	8	9	10	11	12	13
Снижение поверхностью земли возле источника As, дБ	Gs = 0 hs = 1м	ф-лы таб.3 [10]	-1,5	-1,5	-1,5	-1,5	-1,5	-1,5	-1,5	-1,5	-1,5		
Снижение поверхностью земли возле приёмника Ar, дБ	Gr = 1 hr = 1.5м	ф-лы таб.3 [10]	-1,5	-1,5	2,4	7	5	0,7	0	0	0		
Снижение поверхностью земли в средней зоне, Am дБ	Gm = 1	ф-лы таб.3 [10]	-2,4	-2,4	0	0	0	0	0	0	0		
Суммарное снижение поверхностью земли на траектории распространения звука Agr, дБ		ф-ла (9) [10]	-5,4	-5,4	0,9	5,5	3,5	-0,8	-1,5	-1,5	-1,5		
Уровни звукового давления прямого звука от источника ИШ-9-15 в расчётной точке днём, дБ		**ф-ла(3)[10]**	**0**	**38,5**	**33,4**	**29,8**	**31,5**	**34,5**	**30,2**	**20,3**	**0**	**37,2**	**37,2**
Расчёт отражённого звука													
Уровни звукового давления от мнимого источника ИШ-9-15_мн.(1) в расчётной точке днём, дБ		**ф-ла(3)[10]**	**0**	**0**	**0**	**19,4**	**20,1**	**29,9**	**27,6**	**17,7**	**0**	**32,8**	**32,8**
Уровни звукового давления от источника ИШ-9-15 в расчётной точке днём, дБ		**ф-ла(3)[10]**	**0**	**38,5**	**33,4**	**30,2**	**31,8**	**35,8**	**32,1**	**22,2**	**0**	**38,5**	**38,5**
Источник шума: ИШ-9-16, координаты источника (x,y,z), м =[657.46,-314.97,1.00]													
Уровни звуковой мощности источника днём, Lw, дБ		**исходные данные**	**0**	**93,3**	**94,7**	**96**	**96,3**	**95,9**	**92,6**	**88,4**	**83,9**		
Поправка на телесный угол DΩ, дБ	Ω = 6.28	10Lg(4π/Ω)	**3**	3	3	3	3	3	3	3	3		
Показатель направленности источника Di, дБ		исходные данные	**0**	0	0	0	0	0	0	0	0		
Поправка на направленность источника Dc, дБ	Dc	DΩ + Di	**3**	3	3	3	3	3	3	3	3		
Затухание из-за геометрической дивергенции, Adiv, дБ	расстояние = 406.35 м	ф-ла (7) [10]	**63,2**										
Коэффициент затухания звука в атмосфере α, дБ/км	Ta=20,°C Pa=101.33,кПа hотн.=70%	ф-ла (5) [9]	0,02	0,09	0,33	1,12	2,79	4,98	9,04	23,09	77,63		
Учет затухания звука в атмосфере Aatm, дБ		ф-ла (8) [10]	0	0	0,1	0,5	1,1	2	3,7	9,4	31,5		

1		2	3	4	5	6	7	8	9	10	11	12	13
Снижение поверхностью земли возле источника As, дБ	Gs = 0 hs = 1м	ф-лы таб.3 [10]	-1,5	-1,5	-1,5	-1,5	-1,5	-1,5	-1,5	-1,5	-1,5		
Снижение поверхностью земли возле приёмника Ar, дБ	Gr = 1 hr = 1.5м	ф-лы таб.3 [10]	-1,5	-1,5	2,4	7	5	0,7	0	0	0		
Снижение поверхностью земли в средней зоне, Am дБ	Gm = 1	ф-лы таб.3 [10]	-2,4	-2,4	0	0	0	0	0	0	0		
Суммарное снижение поверхностью земли на траектории распространения звука Agr, дБ		ф-ла (9) [10]	-5,4	-5,4	0,9	5,5	3,5	-0,8	-1,5	-1,5	-1,5		
Уровни звукового давления прямого звука от источника ИШ-9-16 в расчётной точке днём, дБ		**ф-ла(3)[10]**	**0**	**38,5**	**33,5**	**29,8**	**31,5**	**34,5**	**30,2**	**20,3**	**0**	**37,2**	**37,2**
Расчёт отражённого звука													
Уровни звукового давления от мнимого источника ИШ-9-16_мн.(1) в расчётной точке днём, дБ		**ф-ла(3)[10]**	**0**	**0**	**0**	**19,5**	**20,1**	**30**	**27,7**	**17,8**	**0**	**32,8**	**32,8**
Уровни звукового давления от источника ИШ-9-16 в расчётной точке днём, дБ		**ф-ла(3)[10]**	**0**	**38,5**	**33,5**	**30,2**	**31,8**	**35,8**	**32,2**	**22,2**	**0**	**38,5**	**38,5**
Источник шума: ИШ-9-17, координаты источника (x,y,z), м =[658.49,-312.18,1.00]													
Уровни звуковой мощности источника днём, Lw, дБ		**исходные данные**	**0**	**93,3**	**94,7**	**96**	**96,3**	**95,9**	**92,6**	**88,4**	**83,9**		
Поправка на телесный угол DΩ, дБ	Ω = 6.28	10Lg(4π/Ω)	**3**	3	3	3	3	3	3	3	3		
Показатель направленности источника Di, дБ		исходные данные	**0**	0	0	0	0	0	0	0	0		
Поправка на направленность источника Dc, дБ	Dc	DΩ + Di	**3**	3	3	3	3	3	3	3	3		
Затухание из-за геометрической дивергенции, Adiv, дБ	расстояние = 404.63 м	ф-ла (7) [10]	**63,1**										
Коэффициент затухания звука в атмосфере α, дБ/км	Ta=20,°C Pa=101.33,кПа hотн.=70%	ф-ла (5) [9]	0,02	0,09	0,33	1,12	2,79	4,98	9,04	23,09	77,63		
Учет затухания звука в атмосфере Aatm, дБ		ф-ла (8) [10]	0	0	0,1	0,5	1,1	2	3,7	9,3	31,4		

1		2	3	4	5	6	7	8	9	10	11	12	13
Снижение поверхностью земли возле источника As, дБ	Gs = 0 hs = 1м	ф-лы таб.3 [10]	-1,5	-1,5	-1,5	-1,5	-1,5	-1,5	-1,5	-1,5	-1,5		
Снижение поверхностью земли возле приёмника Ar, дБ	Gr = 1 hr = 1.5м	ф-лы таб.3 [10]	-1,5	-1,5	2,4	7	5	0,7	0	0	0		
Снижение поверхностью земли в средней зоне, Am дБ	Gm = 1	ф-лы таб.3 [10]	-2,4	-2,4	0	0	0	0	0	0	0		
Суммарное снижение поверхностью земли на траектории распространения звука Agr, дБ		ф-ла (9) [10]	-5,4	-5,4	0,9	5,5	3,5	-0,8	-1,5	-1,5	-1,5		
Уровни звукового давления прямого звука от источника ИШ-9-17 в расчётной точке днём, дБ		**ф-ла(3)[10]**	**0**	**38,6**	**33,5**	**29,9**	**31,5**	**34,6**	**30,3**	**20,4**	**0**	**37,2**	**37,2**
Расчёт отражённого звука													
Уровни звукового давления от мнимого источника ИШ-9-17_мн.(1) в расчётной точке днём, дБ		**ф-ла(3)[10]**	**0**	**0**	**0**	**19,5**	**20,2**	**30**	**27,8**	**17,8**	**0**	**32,9**	**32,9**
Уровни звукового давления от источника ИШ-9-17 в расчётной точке днём, дБ		**ф-ла(3)[10]**	**0**	**38,6**	**33,5**	**30,3**	**31,9**	**35,9**	**32,2**	**22,3**	**0**	**38,6**	**38,6**
Источник шума: ИШ-9-18, координаты источника (x,y,z), м =[659.42,-309.20,1.00]													
Уровни звуковой мощности источника днём, Lw, дБ		**исходные данные**	**0**	**93,3**	**94,7**	**96**	**96,3**	**95,9**	**92,6**	**88,4**	**83,9**		
Поправка на телесный угол DΩ, дБ	Ω = 6.28	10Lg(4π/Ω)	**3**	3	3	3	3	3	3	3	3		
Показатель направленности источника Di, дБ		исходные данные	**0**	0	0	0	0	0	0	0	0		
Поправка на направленность источника Dc, дБ	Dc	DΩ + Di	**3**	3	3	3	3	3	3	3	3		
Затухание из-за геометрической дивергенции, Adiv, дБ	расстояние = 402.72 м	ф-ла (7) [10]	**63,1**										
Коэффициент затухания звука в атмосфере α, дБ/км	Ta=20,°C Pa=101.33,кПа hотн.=70%	ф-ла (5) [9]	0,02	0,09	0,33	1,12	2,79	4,98	9,04	23,09	77,63		
Учет затухания звука в атмосфере Aatm, дБ		ф-ла (8) [10]	0	0	0,1	0,5	1,1	2	3,6	9,3	31,3		

1		2	3	4	5	6	7	8	9	10	11	12	13
Снижение поверхностью земли возле источника As, дБ	Gs = 0 hs = 1м	ф-лы таб.3 [10]	-1,5	-1,5	-1,5	-1,5	-1,5	-1,5	-1,5	-1,5	-1,5		
Снижение поверхностью земли возле приёмника Ar, дБ	Gr = 1 hr = 1.5м	ф-лы таб.3 [10]	-1,5	-1,5	2,4	7	5	0,7	0	0	0		
Снижение поверхностью земли в средней зоне, Am дБ	Gm = 1	ф-лы таб.3 [10]	-2,4	-2,4	0	0	0	0	0	0	0		
Суммарное снижение поверхностью земли на траектории распространения звука Agr, дБ		ф-ла (9) [10]	-5,4	-5,4	0,9	5,5	3,5	-0,8	-1,5	-1,5	-1,5		
Уровни звукового давления прямого звука от источника ИШ-9-18 в расчётной точке днём, дБ		**ф-ла(3)[10]**	**0**	**38,6**	**33,6**	**29,9**	**31,6**	**34,6**	**30,4**	**20,5**	**0**	**37,3**	**37,3**
Расчёт отражённого звука													
Уровни звукового давления от мнимого источника ИШ-9-18_мн.(1) в расчётной точке днём, дБ		**ф-ла(3)[10]**	**0**	**0**	**0**	**19,5**	**20,2**	**30,1**	**27,8**	**17,9**	**0**	**32,9**	**32,9**
Уровни звукового давления от источника ИШ-9-18 в расчётной точке днём, дБ		**ф-ла(3)[10]**	**0**	**38,6**	**33,6**	**30,3**	**31,9**	**35,9**	**32,3**	**22,4**	**0**	**38,6**	**38,6**
Источник шума: ИШ-9-19, координаты источника (x,y,z), м =[660.44,-306.50,1.00]													
Уровни звуковой мощности источника днём, Lw, дБ		**исходные данные**	**0**	**93,3**	**94,7**	**96**	**96,3**	**95,9**	**92,6**	**88,4**	**83,9**		
Поправка на телесный угол DΩ, дБ	Ω = 6.28	10Lg(4π/Ω)	**3**	3	3	3	3	3	3	3	3		
Показатель направленности источника Di, дБ		исходные данные	**0**	0	0	0	0	0	0	0	0		
Поправка на направленность источника Dc, дБ	Dc	DΩ + Di	**3**	3	3	3	3	3	3	3	3		
Затухание из-за геометрической дивергенции, Adiv, дБ	расстояние = 401.11 м	ф-ла (7) [10]	**63,1**										
Коэффициент затухания звука в атмосфере α, дБ/км	Ta=20,°C Pa=101.33,кПа hотн.=70%	ф-ла (5) [9]	0,02	0,09	0,33	1,12	2,79	4,98	9,04	23,09	77,63		
Учет затухания звука в атмосфере Aatm, дБ		ф-ла (8) [10]	0	0	0,1	0,5	1,1	2	3,6	9,3	31,1		

1		2	3	4	5	6	7	8	9	10	11	12	13
Снижение поверхностью земли возле источника As, дБ	Gs = 0 hs = 1м	ф-лы таб.3 [10]	-1,5	-1,5	-1,5	-1,5	-1,5	-1,5	-1,5	-1,5	-1,5		
Снижение поверхностью земли возле приёмника Ar, дБ	Gr = 1 hr = 1.5м	ф-лы таб.3 [10]	-1,5	-1,5	2,4	7	5	0,7	0	0	0		
Снижение поверхностью земли в средней зоне, Am дБ	Gm = 1	ф-лы таб.3 [10]	-2,4	-2,4	0	0	0	0	0	0	0		
Суммарное снижение поверхностью земли на траектории распространения звука Agr, дБ		ф-ла (9) [10]	-5,4	-5,4	0,9	5,5	3,5	-0,8	-1,5	-1,5	-1,5		
Уровни звукового давления прямого звука от источника ИШ-9-19 в расчётной точке днём, дБ		**ф-ла(3)[10]**	**0**	**38,6**	**33,6**	**30**	**31,6**	**34,7**	**30,4**	**20,6**	**0**	**37,3**	**37,3**
Расчёт отражённого звука													
Уровни звукового давления от мнимого источника ИШ-9-19_мн.(1) в расчётной точке днём, дБ		**ф-ла(3)[10]**	**0**	**0**	**0**	**19,6**	**20,3**	**30,1**	**27,9**	**18**	**0**	**33**	**33**
Уровни звукового давления от источника ИШ-9-19 в расчётной точке днём, дБ		**ф-ла(3)[10]**	**0**	**38,6**	**33,6**	**30,3**	**31,9**	**36**	**32,3**	**22,5**	**0**	**38,7**	**38,7**
Источник шума: ИШ-9-20, координаты источника (x,y,z), м =[661.28,-303.61,1.00]													
Уровни звуковой мощности источника днём, Lw, дБ		**исходные данные**	**0**	**93,3**	**94,7**	**96**	**96,3**	**95,9**	**92,6**	**88,4**	**83,9**		
Поправка на телесный угол DΩ, дБ	Ω = 6.28	10Lg(4π/Ω)	**3**	3	3	3	3	3	3	3	3		
Показатель направленности источника Di, дБ		исходные данные	**0**	0	0	0	0	0	0	0	0		
Поправка на направленность источника Dc, дБ	Dc	DΩ + Di	**3**	3	3	3	3	3	3	3	3		
Затухание из-за геометрической дивергенции, Adiv, дБ	расстояние = 399.26 м	ф-ла (7) [10]	**63**										
Коэффициент затухания звука в атмосфере α, дБ/км	Ta=20,°C Pa=101.33,кПа hотн.=70%	ф-ла (5) [9]	0,02	0,09	0,33	1,12	2,79	4,98	9,04	23,09	77,63		
Учет затухания звука в атмосфере Aatm, дБ		ф-ла (8) [10]	0	0	0,1	0,4	1,1	2	3,6	9,2	31		

1		2	3	4	5	6	7	8	9	10	11	12	13
Снижение поверхностью земли возле источника As, дБ	Gs = 0 hs = 1м	ф-лы таб.3 [10]	-1,5	-1,5	-1,5	-1,5	-1,5	-1,5	-1,5	-1,5	-1,5		
Снижение поверхностью земли возле приёмника Ar, дБ	Gr = 1 hr = 1.5м	ф-лы таб.3 [10]	-1,5	-1,5	2,4	7	5	0,7	0	0	0		
Снижение поверхностью земли в средней зоне, Am дБ	Gm = 1	ф-лы таб.3 [10]	-2,4	-2,4	0	0	0	0	0	0	0		
Суммарное снижение поверхностью земли на траектории распространения звука Agr, дБ		ф-ла (9) [10]	-5,4	-5,4	0,9	5,5	3,5	-0,8	-1,5	-1,5	-1,5		
Уровни звукового давления прямого звука от источника ИШ-9-20 в расчётной точке днём, дБ		**ф-ла(3)[10]**	**0**	**38,7**	**33,7**	**30**	**31,7**	**34,7**	**30,5**	**20,6**	**0**	**37,4**	**37,4**
Расчёт отражённого звука													
Уровни звукового давления от мнимого источника ИШ-9-20_мн.(1) в расчётной точке днём, дБ		**ф-ла(3)[10]**	**0**	**0**	**0**	**19,6**	**20,3**	**30,2**	**27,9**	**18,1**	**0**	**33**	**33**
Уровни звукового давления от источника ИШ-9-20 в расчётной точке днём, дБ		**ф-ла(3)[10]**	**0**	**38,7**	**33,7**	**30,4**	**32**	**36**	**32,4**	**22,6**	**0**	**38,7**	**38,7**
Источник шума: ИШ-9-21, координаты источника (x,y,z), м =[661.93,-300.72,1.00]													
Уровни звуковой мощности источника днём, Lw, дБ		**исходные данные**	**0**	**93,3**	**94,7**	**96**	**96,3**	**95,9**	**92,6**	**88,4**	**83,9**		
Поправка на телесный угол DΩ, дБ	Ω = 6.28	10Lg(4π/Ω)	**3**	3	3	3	3	3	3	3	3		
Показатель направленности источника Di, дБ		исходные данные	**0**	0	0	0	0	0	0	0	0		
Поправка на направленность источника Dc, дБ	Dc	DΩ + Di	**3**	3	3	3	3	3	3	3	3		
Затухание из-за геометрической дивергенции, Adiv, дБ	расстояние = 397.31 м	ф-ла (7) [10]	**63**										
Коэффициент затухания звука в атмосфере α, дБ/км	Ta=20,°C Pa=101.33,кПа hотн.=70%	ф-ла (5) [9]	0,02	0,09	0,33	1,12	2,79	4,98	9,04	23,09	77,63		
Учет затухания звука в атмосфере Aatm, дБ		ф-ла (8) [10]	0	0	0,1	0,4	1,1	2	3,6	9,2	30,8		

1		2	3	4	5	6	7	8	9	10	11	12	13
Снижение поверхностью земли возле источника As, дБ	Gs = 0 hs = 1м	ф-лы таб.3 [10]	-1,5	-1,5	-1,5	-1,5	-1,5	-1,5	-1,5	-1,5	-1,5		
Снижение поверхностью земли возле приёмника Ar, дБ	Gr = 1 hr = 1.5м	ф-лы таб.3 [10]	-1,5	-1,5	2,4	7	5	0,7	0	0	0		
Снижение поверхностью земли в средней зоне, Am дБ	Gm = 1	ф-лы таб.3 [10]	-2,4	-2,4	0	0	0	0	0	0	0		
Суммарное снижение поверхностью земли на траектории распространения звука Agr, дБ		ф-ла (9) [10]	-5,4	-5,4	0,9	5,5	3,5	-0,8	-1,5	-1,5	-1,5		
Уровни звукового давления прямого звука от источника ИШ-9-21 в расчётной точке днём, дБ		**ф-ла(3)[10]**	**0**	**38,7**	**33,7**	**30**	**31,7**	**34,8**	**30,5**	**20,7**	**0**	**37,5**	**37,5**
Расчёт отражённого звука													
Уровни звукового давления от мнимого источника ИШ-9-21_мн.(1) в расчётной точке днём, дБ		**ф-ла(3)[10]**	**0**	**0**	**28,9**	**19,7**	**20,4**	**30,2**	**28**	**18,2**	**0**	**33,1**	**33,1**
Уровни звукового давления от мнимого источника ИШ-9-21_мн.(2) в расчётной точке днём, дБ		**ф-ла(3)[10]**	**0**	**0**	**0**	**0**	**0**	**0**	**0**	**0**	**0**	**0**	**0**
Суммарные уровни звукового давления от мнимых источников в расчётной точке днём, дБ		**ф-ла (19) [1]**	**0**	**0**	**28,9**	**19,7**	**20,4**	**30,2**	**28**	**18,2**	**0**	**0**	**33,1**
Уровни звукового давления от источника ИШ-9-21 в расчётной точке днём, дБ		**ф-ла(3)[10]**	**0**	**38,7**	**35**	**30,4**	**32**	**36,1**	**32,4**	**22,6**	**0**	**38,8**	**38,8**
Источник шума: ИШ-9-22, координаты источника (x,y,z), м =[663.14,-297.83,1.00]													
Уровни звуковой мощности источника днём, Lw, дБ		**исходные данные**	**0**	**93,3**	**94,7**	**96**	**96,3**	**95,9**	**92,6**	**88,4**	**83,9**		
Поправка на телесный угол DΩ, дБ	Ω = 6.28	10Lg(4π/Ω)	**3**	3	3	3	3	3	3	3	3		
Показатель направленности источника Di, дБ		исходные данные	**0**	0	0	0	0	0	0	0	0		
Поправка на направленность источника Dc, дБ	Dc	DΩ + Di	**3**	3	3	3	3	3	3	3	3		
Затухание из-за геометрической дивергенции, Adiv, дБ	расстояние = 395.70 м	ф-ла (7) [10]	**62,9**										
Коэффициент затухания звука в атмосфере α, дБ/км	Ta=20,°C Pa=101.33,кПа hотн.=70%	ф-ла (5) [9]	0,02	0,09	0,33	1,12	2,79	4,98	9,04	23,09	77,63		

1		2	3	4	5	6	7	8	9	10	11	12	13
Учет затухания звука в атмосфере Aatm, дБ		ф-ла (8) [10]	0	0	0,1	0,4	1,1	2	3,6	9,1	30,7		
Снижение поверхностью земли возле источника As, дБ	Gs = 0 hs = 1м	ф-лы таб.3 [10]	-1,5	-1,5	-1,5	-1,5	-1,5	-1,5	-1,5	-1,5	-1,5		
Снижение поверхностью земли возле приёмника Ar, дБ	Gr = 1 hr = 1.5м	ф-лы таб.3 [10]	-1,5	-1,5	2,3	7	5	0,7	0	0	0		
Снижение поверхностью земли в средней зоне, Am дБ	Gm = 1	ф-лы таб.3 [10]	-2,4	-2,4	0	0	0	0	0	0	0		
Суммарное снижение поверхностью земли на траектории распространения звука Agr, дБ		ф-ла (9) [10]	-5,4	-5,4	0,8	5,5	3,5	-0,8	-1,5	-1,5	-1,5		
Уровни звукового давления прямого звука от источника ИШ-9-22 в расчётной точке днём, дБ		**ф-ла(3)[10]**	**0**	**38,7**	**33,8**	**30,1**	**31,8**	**34,8**	**30,6**	**20,8**	**0**	**37,5**	**37,5**
Расчёт отражённого звука													
Уровни звукового давления от мнимого источника ИШ-9-22_мн.(1) в расчётной точке днём, дБ		**ф-ла(3)[10]**	**0**	**0**	**28,9**	**19,7**	**20,4**	**30,3**	**28**	**18,2**	**0**	**33,1**	**33,1**
Уровни звукового давления от мнимого источника ИШ-9-22_мн.(2) в расчётной точке днём, дБ		**ф-ла(3)[10]**	**0**	**0**	**0**	**0**	**0**	**0**	**0**	**0**	**0**	**0**	**0**
Суммарные уровни звукового давления от мнимых источников в расчётной точке днём, дБ		**ф-ла (19) [1]**	**0**	**0**	**28,9**	**19,7**	**20,4**	**30,3**	**28**	**18,2**	**0**	**0**	**33,1**
Уровни звукового давления от источника ИШ-9-22 в расчётной точке днём, дБ		**ф-ла(3)[10]**	**0**	**38,7**	**35**	**30,5**	**32,1**	**36,1**	**32,5**	**22,7**	**0**	**38,9**	**38,9**
Источник шума: ИШ-9-23, координаты источника (x,y,z), м =[664.07,-295.13,1.00]													
Уровни звуковой мощности источника днём, Lw, дБ		**исходные данные**	**0**	**93,3**	**94,7**	**96**	**96,3**	**95,9**	**92,6**	**88,4**	**83,9**		
Поправка на телесный угол DΩ, дБ	Ω = 6.28	10Lg(4π/Ω)	**3**	3	3	3	3	3	3	3	3		
Показатель направленности источника Di, дБ		исходные данные	**0**	0	0	0	0	0	0	0	0		
Поправка на направленность источника Dc, дБ	Dc	DΩ + Di	**3**	3	3	3	3	3	3	3	3		
Затухание из-за геометрической дивергенции, Adiv, дБ	расстояние = 394.09 м	ф-ла (7) [10]	**62,9**										

1		2	3	4	5	6	7	8	9	10	11	12	13
Коэффициент затухания звука в атмосфере α, дБ/км	Ta=20,°C Pa=101.33,кПа hотн.=70%	ф-ла (5) [9]	0,02	0,09	0,33	1,12	2,79	4,98	9,04	23,09	77,63		
Учет затухания звука в атмосфере Aatm, дБ		ф-ла (8) [10]	0	0	0,1	0,4	1,1	2	3,6	9,1	30,6		
Снижение уровня звукового давления из-за влияния застройки между источником шума и расчетной точкой													
Снижение уровня звукового давления на пути над экраном, Dz1, дБ	z = 0.04м (разность путей)	ф-лы (14-18) [10]	4,8	4,8	4,8	4,8	4,8	4,8	4,8	4,9	5,1		
Снижение уровня звукового давления на пути слева от экрана, Dz2, дБ	z = 0.01м (разность путей)	ф-лы (14-18) [10]	4,8	4,8	4,9	5	5,3	5,7	6,5	7,8	9,5		
Снижение уровня звукового давления на пути справа от экрана, Dz3, дБ	z = 3.08м (разность путей)	ф-лы (14-18) [10]	11,6	14,1	16,8	19,7	22,6	25,6	28,6	31,6	34,6		
Общее снижение уровня звука препятствием Dz, дБ		Эн.сумма(-Dzi)	1,3	1,5	1,7	1,8	2	2,2	2,6	3,1	3,7		
Уровни звукового давления прямого звука от источника ИШ-9-23 в расчётной точке днём, дБ		**ф-ла(3)[10]**	**0**	**31,8**	**33**	**33,8**	**33,3**	**31,8**	**26,5**	**16,3**	**0**	**35,5**	**35,5**
Расчёт отражённого звука													
Уровни звукового давления от мнимого источника ИШ-9-23_мн.(1) в расчётной точке днём, дБ		**ф-ла(3)[10]**	**0**	**0**	**0**	**0**	**0**	**0**	**0**	**0**	**0**	**0**	**0**
Уровни звукового давления от источника ИШ-9-23 в расчётной точке днём, дБ		**ф-ла(3)[10]**	**0**	**31,8**	**33**	**33,8**	**33,3**	**31,8**	**26,5**	**16,3**	**0**	**35,5**	**35,5**
Источник шума: ИШ-9-24, координаты источника (x,y,z), м =[665.19,-292.34,1.00]													
Уровни звуковой мощности источника днём, Lw, дБ		**исходные данные**	**0**	**93,3**	**94,7**	**96**	**96,3**	**95,9**	**92,6**	**88,4**	**83,9**		
Поправка на телесный угол DΩ, дБ	Ω = 6.28	10Lg(4π/Ω)	**3**	3	3	3	3	3	3	3	3		
Показатель направленности источника Di, дБ		исходные данные	**0**	0	0	0	0	0	0	0	0		
Поправка на направленность источника Dc, дБ	Dc	DΩ + Di	**3**	3	3	3	3	3	3	3	3		

1		2	3	4	5	6	7	8	9	10	11	12	13
Затухание из-за геометрической дивергенции, Adiv, дБ	расстояние = 392.54 м	ф-ла (7) [10]	**62,9**										
Коэффициент затухания звука в атмосфере α, дБ/км	Ta=20,°C Pa=101.33,кПа hотн.=70%	ф-ла (5) [9]	0,02	0,09	0,33	1,12	2,79	4,98	9,04	23,09	77,63		
Учет затухания звука в атмосфере Aatm, дБ		ф-ла (8) [10]	0	0	0,1	0,4	1,1	2	3,5	9,1	30,5		
Снижение уровня звукового давления из-за влияния застройки между источником шума и расчетной точкой													
Снижение уровня звукового давления на пути над экраном, Dz1, дБ	z = 0.04м (разность путей)	ф-лы (14-18) [10]	4,8	4,8	4,8	4,8	4,8	4,8	4,9	5	5,1		
Снижение уровня звукового давления на пути слева от экрана, Dz2, дБ	z = 0.04м (разность путей)	ф-лы (14-18) [10]	5	5,2	5,6	6,2	7,3	8,9	11	13,4	16,1		
Снижение уровня звукового давления на пути справа от экрана, Dz3, дБ	z = 2.71м (разность путей)	ф-лы (14-18) [10]	11,1	13,6	16,3	19,2	22,1	25,1	28,1	31,1	34,1		
Общее снижение уровня звука препятствием Dz, дБ		Эн.сумма(-Dzi)	1,4	1,7	2	2,3	2,8	3,3	3,9	4,4	4,8		
Уровни звукового давления прямого звука от источника ИШ-9-24 в расчётной точке днём, дБ		**ф-ла(3)[10]**	**0**	**31,7**	**32,7**	**33,3**	**32,5**	**30,7**	**25,3**	**15,1**	**0**	**34,6**	**34,6**
Расчёт отражённого звука													
Уровни звукового давления от мнимого источника ИШ-9-24_мн.(1) в расчётной точке днём, дБ		**ф-ла(3)[10]**	**0**	**0**	**0**	**0**	**0**	**0**	**0**	**0**	**0**	**0**	**0**
Уровни звукового давления от источника ИШ-9-24 в расчётной точке днём, дБ		**ф-ла(3)[10]**	**0**	**31,7**	**32,7**	**33,3**	**32,5**	**30,7**	**25,3**	**15,1**	**0**	**34,6**	**34,6**
Источник шума: ИШ-9-25, координаты источника (x,y,z), м =[683.46,-239.16,1.00]													
Уровни звуковой мощности источника днём, Lw, дБ		**исходные данные**	**77**	**75**	**67**	**66**	**63**	**55**	**53**	**48**	**51**		
Поправка на телесный угол DΩ, дБ	Ω = 6.28	10Lg(4π/Ω)	**3**	3	3	3	3	3	3	3	3		
Показатель направленности источника Di, дБ		исходные данные	**0**	0	0	0	0	0	0	0	0		

1		2	3	4	5	6	7	8	9	10	11	12	13
Поправка на направленность источника Dc, дБ	Dc	DΩ + Di	**3**	3	3	3	3	3	3	3	3		
Затухание из-за геометрической дивергенции, Adiv, дБ	расстояние = 364.32 м	ф-ла (7) [10]	**62,2**										
Коэффициент затухания звука в атмосфере α, дБ/км	Ta=20,°C Pa=101.33,кПа hотн.=70%	ф-ла (5) [9]	0,02	0,09	0,33	1,12	2,79	4,98	9,04	23,09	77,63		
Учет затухания звука в атмосфере Aatm, дБ		ф-ла (8) [10]	0	0	0,1	0,4	1	1,8	3,3	8,4	28,3		
Снижение уровня звукового давления из-за влияния застройки между источником шума и расчетной точкой													
Снижение уровня звукового давления препятствием слева от трассы ИШ-РТ, Dz2, дБ	z = -0.46м (разность путей)	ф-лы (14-18) [10]	1,1	NAN	NAN	NAN	NAN	NAN	NAN	NAN	NAN		
* отрицательное значение z означает прохождение траектории вблизи экрана, в этом случае дополнительно производится учёт снижения подстилающей поверхностью (см.ниже)													
Снижение поверхностью земли возле источника As, дБ	Gs = 0 hs = 1м	ф-лы таб.3 [10]	-1,5	-1,5	-1,5	-1,5	-1,5	-1,5	-1,5	-1,5	-1,5		
Снижение поверхностью земли возле приёмника Ar, дБ	Gr = 1 hr = 1.5м	ф-лы таб.3 [10]	-1,5	-1,5	2,1	7	5	0,7	0	0	0		
Снижение поверхностью земли в средней зоне, Am дБ	Gm = 1	ф-лы таб.3 [10]	-2,4	-2,4	0	0	0	0	0	0	0		
Суммарное снижение поверхностью земли на траектории распространения звука Agr, дБ		ф-ла (9) [10]	-5,4	-5,4	0,6	5,5	3,5	-0,8	-1,5	-1,5	-1,5		
Уровни звукового давления прямого звука от источника ИШ-9-25 в расчётной точке днём, дБ		**ф-ла(3)[10]**	**22**	**21,1**	**7**	**0,9**	**0**	**0**	**0**	**0**	**0**	**0**	**0**
Расчёт отражённого звука													
Уровни звукового давления от мнимого источника ИШ-9-25_мн.(1) в расчётной точке днём, дБ		**ф-ла(3)[10]**	**0**	**20,1**	**2,4**	**0**	**0**	**0**	**0**	**0**	**0**	**0**	**0**
Уровни звукового давления от источника ИШ-9-25 в расчётной точке днём, дБ		**ф-ла(3)[10]**	**22**	**23,7**	**8,3**	**0,9**	**0**	**0**	**0**	**0**	**0**	**0**	**0**
Источник шума: ИШ-9-26, координаты источника (x,y,z), м =[680.09,-249.52,1.00]													
Уровни звуковой мощности источника днём, Lw, дБ		**исходные данные**	**77**	**75**	**67**	**66**	**63**	**55**	**53**	**48**	**51**		

1		2	3	4	5	6	7	8	9	10	11	12	13
Поправка на телесный угол DΩ, дБ	Ω = 6.28	10Lg(4π/Ω)	**3**	3	3	3	3	3	3	3	3		
Показатель направленности источника Di, дБ		исходные данные	**0**	0	0	0	0	0	0	0	0		
Поправка на направленность источника Dc, дБ	Dc	DΩ + Di	**3**	3	3	3	3	3	3	3	3		
Затухание из-за геометрической дивергенции, Adiv, дБ	расстояние = 369.45 м	ф-ла (7) [10]	**62,4**										
Коэффициент затухания звука в атмосфере α, дБ/км	Ta=20,°C Pa=101.33,кПа hотн.=70%	ф-ла (5) [9]	0,02	0,09	0,33	1,12	2,79	4,98	9,04	23,09	77,63		
Учет затухания звука в атмосфере Aatm, дБ		ф-ла (8) [10]	0	0	0,1	0,4	1	1,8	3,3	8,5	28,7		
Снижение уровня звукового давления из-за влияния застройки между источником шума и расчетной точкой													
Снижение уровня звукового давления препятствием слева от трассы ИШ-РТ, Dz2, дБ	z = -0.03м (разность путей)	ф-лы (14-18) [10]	4,6	4,4	4	3,1	0,4	NAN	NAN	NAN	NAN		
* отрицательное значение z означает прохождение траектории вблизи экрана, в этом случае дополнительно производится учёт снижения подстилающей поверхностью (см.ниже)													
Снижение поверхностью земли возле источника As, дБ	Gs = 0 hs = 1м	ф-лы таб.3 [10]	-1,5	-1,5	-1,5	-1,5	-1,5	-1,5	-1,5	-1,5	-1,5		
Снижение поверхностью земли возле приёмника Ar, дБ	Gr = 1 hr = 1.5м	ф-лы таб.3 [10]	-1,5	-1,5	2,2	7	5	0,7	0	0	0		
Снижение поверхностью земли в средней зоне, Am дБ	Gm = 1	ф-лы таб.3 [10]	-2,4	-2,4	0	0	0	0	0	0	0		
Суммарное снижение поверхностью земли на траектории распространения звука Agr, дБ		ф-ла (9) [10]	-5,4	-5,4	0,7	5,5	3,5	-0,8	-1,5	-1,5	-1,5		
Уровни звукового давления прямого звука от источника ИШ-9-26 в расчётной точке днём, дБ		**ф-ла(3)[10]**	**18,4**	**16,6**	**2,8**	**0**	**0**	**0**	**0**	**0**	**0**	**0**	**0**
Расчёт отражённого звука													
Уровни звукового давления от мнимого источника ИШ-9-26_мн.(1) в расчётной точке днём, дБ		**ф-ла(3)[10]**	**0**	**20**	**2,2**	**0**	**0**	**0**	**0**	**0**	**0**	**0**	**0**
Уровни звукового давления от источника ИШ-9-26 в расчётной точке днём, дБ		**ф-ла(3)[10]**	**18,4**	**21,6**	**5,6**	**0**	**0**	**0**	**0**	**0**	**0**	**0**	**0**

1		2	3	4	5	6	7	8	9	10	11	12	13
Источник шума: ИШ-9-27, координаты источника (x,y,z), м =[676.46,-260.14,1.00]													
Уровни звуковой мощности источника днём, Lw, дБ		**исходные данные**	**77**	**75**	**67**	**66**	**63**	**55**	**53**	**48**	**51**		
Поправка на телесный угол DΩ, дБ	Ω = 6.28	10Lg(4π/Ω)	**3**	3	3	3	3	3	3	3	3		
Показатель направленности источника Di, дБ		исходные данные	**0**	0	0	0	0	0	0	0	0		
Поправка на направленность источника Dc, дБ	Dc	DΩ + Di	**3**	3	3	3	3	3	3	3	3		
Затухание из-за геометрической дивергенции, Adiv, дБ	расстояние = 374.84 м	ф-ла (7) [10]	**62,5**										
Коэффициент затухания звука в атмосфере α, дБ/км	Ta=20,°C Pa=101.33,кПа hотн.=70%	ф-ла (5) [9]	0,02	0,09	0,33	1,12	2,79	4,98	9,04	23,09	77,63		
Учет затухания звука в атмосфере Aatm, дБ		ф-ла (8) [10]	0	0	0,1	0,4	1	1,9	3,4	8,7	29,1		
Снижение уровня звукового давления из-за влияния застройки между источником шума и расчетной точкой													
Снижение уровня звукового давления на пути над экраном, Dz1, дБ	z = 0.05м (разность путей)	ф-лы (14-18) [10]	4,8	4,8	4,8	4,8	4,8	4,9	5	5,1	5,5		
Снижение уровня звукового давления на пути слева от экрана, Dz2, дБ	z = 2.76м (разность путей)	ф-лы (14-18) [10]	11,2	13,7	16,4	19,2	22,2	25,2	28,1	31,1	34,1		
Снижение уровня звукового давления на пути справа от экрана, Dz3, дБ	z = 0.10м (разность путей)	ф-лы (14-18) [10]	5,3	5,7	6,5	7,7	9,4	11,6	14,1	16,9	19,8		
Общее снижение уровня звука препятствием Dz, дБ		Эн.сумма(-Dzi)	1,5	1,9	2,4	2,9	3,5	4	4,4	4,9	5,3		
Уровни звукового давления от источника ИШ-9-27 в расчётной точке днём, дБ		**ф-ла(3)[10]**	**16**	**13,6**	**5,1**	**3,2**	**0**	**0**	**0**	**0**	**0**	**0**	**0**
Источник шума: ИШ-10-1, координаты источника (x,y,z), м =[17.37,413.17,1.00]													
Уровни звуковой мощности источника днём, Lw, дБ		**исходные данные**	**0**	**98,3**	**99,7**	**101**	**101,3**	**100,9**	**97,6**	**93,4**	**88,9**		

1		2	3	4	5	6	7	8	9	10	11	12	13
Поправка на телесный угол DΩ, дБ	Ω = 6.28	10Lg(4π/Ω)	**3**	3	3	3	3	3	3	3	3		
Показатель направленности источника Di, дБ		исходные данные	**0**	0	0	0	0	0	0	0	0		
Поправка на направленность источника Dc, дБ	Dc	DΩ + Di	**3**	3	3	3	3	3	3	3	3		
Затухание из-за геометрической дивергенции, Adiv, дБ	расстояние = 568.07 м	ф-ла (7) [10]	**66,1**										
Коэффициент затухания звука в атмосфере α, дБ/км	Ta=20,°C Pa=101.33,кПа hотн.=70%	ф-ла (5) [9]	0,02	0,09	0,33	1,12	2,79	4,98	9,04	23,09	77,63		
Учет затухания звука в атмосфере Aatm, дБ		ф-ла (8) [10]	0	0,1	0,2	0,6	1,6	2,8	5,1	13,1	44,1		
Снижение уровня звукового давления из-за влияния застройки между источником шума и расчетной точкой													
Снижение уровня звукового давления на пути над экраном, Dz1, дБ	z = 7.11м (разность путей)	ф-лы (14-18) [10]	18,4	21,4	24,4	27,4	30,4	33,4	36,4	39,4	42,4		
Снижение уровня звукового давления на пути слева от экрана, Dz2, дБ	z = 11.28м (разность путей)	ф-лы (14-18) [10]	21	24	27	30	33	36	39	42	45		
Снижение уровня звукового давления на пути справа от экрана, Dz3, дБ	z = 55.77м (разность путей)	ф-лы (14-18) [10]	27,8	30,9	33,9	36,9	39,9	42,9	46	49	52		
Общее снижение уровня звука препятствием Dz, дБ		Эн.сумма(-Dzi)	16,2	19,2	22,2	25,2	28,2	31,2	34,2	37,2	40,2		
Общее снижение уровня звука препятствием с учётом ограничения (25 дБ) для октавных полос Dz, дБ		Раздел 7.4 [10]	16,2	19,2	22,2	25	25	25	25	25	25		
Уровни звукового давления прямого звука от источника ИШ-10-1 в расчётной точке днём, дБ		**ф-ла(3)[10]**	**0**	**16**	**14,2**	**12,3**	**11,6**	**10**	**4,4**	**0**	**0**	**13,7**	**13,7**
Расчёт отражённого звука													
Уровни звукового давления от мнимого источника ИШ-10-1_мн.(1) в расчётной точке днём, дБ		**ф-ла(3)[10]**	**0**	**0**	**0**	**0**	**0**	**0**	**0**	**0**	**0**	**0**	**0**
Уровни звукового давления от источника ИШ-10-1 в расчётной точке днём, дБ		**ф-ла(3)[10]**	**0**	**16**	**14,2**	**12,3**	**11,6**	**10**	**4,4**	**0**	**0**	**13,7**	**13,7**

1		2	3	4	5	6	7	8	9	10	11	12	13
Источник шума: ИШ-10-2, координаты источника (x,y,z), м =[27.87,443.46,1.00]													
Уровни звуковой мощности источника днём, Lw, дБ		**исходные данные**	**0**	**98,3**	**99,7**	**101**	**101,3**	**100,9**	**97,6**	**93,4**	**88,9**		
Поправка на телесный угол DΩ, дБ	Ω = 6.28	10Lg(4π/Ω)	**3**	3	3	3	3	3	3	3	3		
Показатель направленности источника Di, дБ		исходные данные	**0**	0	0	0	0	0	0	0	0		
Поправка на направленность источника Dc, дБ	Dc	DΩ + Di	**3**	3	3	3	3	3	3	3	3		
Затухание из-за геометрической дивергенции, Adiv, дБ	расстояние = 582.19 м	ф-ла (7) [10]	**66,3**										
Коэффициент затухания звука в атмосфере α, дБ/км	Ta=20,°C Pa=101.33,кПа hотн.=70%	ф-ла (5) [9]	0,02	0,09	0,33	1,12	2,79	4,98	9,04	23,09	77,63		
Учет затухания звука в атмосфере Aatm, дБ		ф-ла (8) [10]	0	0,1	0,2	0,7	1,6	2,9	5,3	13,4	45,2		
Снижение уровня звукового давления из-за влияния застройки между источником шума и расчетной точкой													
Снижение уровня звукового давления на пути над экраном, Dz1, дБ	z = 7.07м (разность путей)	ф-лы (14-18) [10]	18,7	21,7	24,7	27,7	30,7	33,7	36,7	39,7	42,7		
Снижение уровня звукового давления на пути слева от экрана, Dz2, дБ	z = 11.65м (разность путей)	ф-лы (14-18) [10]	21,1	24,2	27,1	30,1	33,1	36,1	39,2	42,2	45,2		
Снижение уровня звукового давления на пути справа от экрана, Dz3, дБ	z = 22.69м (разность путей)	ф-лы (14-18) [10]	24	27	30	33	36	39	42	45,1	48,1		
Общее снижение уровня звука препятствием Dz, дБ		Эн.сумма(-Dzi)	16	19	22	25	28	31	34	37	40		
Общее снижение уровня звука препятствием с учётом ограничения (25 дБ) для октавных полос Dz, дБ		Раздел 7.4 [10]	16	19	22	25	25	25	25	25	25		
Уровни звукового давления прямого звука от источника ИШ-10-2 в расчётной точке днём, дБ		**ф-ла(3)[10]**	**0**	**15,9**	**14,2**	**12,1**	**11,4**	**9,7**	**4**	**0**	**0**	**13,5**	**13,5**
Расчёт отражённого звука													

1		2	3	4	5	6	7	8	9	10	11	12	13
Уровни звукового давления от мнимого источника ИШ-10-2_мн.(1) в расчётной точке днём, дБ		**ф-ла(3)[10]**	**0**	**0**	**0**	**0**	**0**	**0**	**0**	**0**	**0**	**0**	**0**
Уровни звукового давления от источника ИШ-10-2 в расчётной точке днём, дБ		**ф-ла(3)[10]**	**0**	**15,9**	**14,2**	**12,1**	**11,4**	**9,7**	**4**	**0**	**0**	**13,5**	**13,5**
Уровни звукового давления в расчётной точке													
Суммарные уровни звукового давления в расчётной точке от всех источников шума днём, Lрт, дБ		**ф-ла (19) [1]**	**62,1**	**63,8**	**60,6**	**57**	**57,9**	**61,3**	**57,8**	**50,5**	**38,9**	**64,3**	**64,3**
Допускаемые УЗД днём, Lдоп, дБ	Территории предприятий с постоянными рабочими местами	Табл. 1[3]	107	95	87	82	78	75	73	71	69	80	95
Превышение днём, дБ		**Lрт - Lдоп**	**-44,9**	**-31,2**	**-26,4**	**-25**	**-20,1**	**-13,7**	**-15,2**	**-20,5**	**-30,1**	**-15,7**	**-30,7**

Определение уровней звукового давления в точке РТ-3-4 (координаты точки, м: x = 393.82, y = 16.91, z = 1.50)

Наименование величин и их описание		Ссылка	Расчётные уровни в октавных полосах, со среднегеометрическими частотами, Гц									La, дБА	Lмакс, дБА
			31,5	63	125	250	500	1000	2000	4000	8000		
1		2	3	4	5	6	7	8	9	10	11	12	13
Источник шума: ИШ-1-1, координаты источника (x,y,z), м =[271.72,229.68,1.00]													
Уровни звуковой мощности источника днём, Lw, дБ		**исходные данные**	**97**	**97**	**104**	**106**	**105**	**105**	**98**	**87**	**81**		
Поправка на телесный угол DΩ, дБ	Ω = 6.28	10Lg(4π/Ω)	**3**	3	3	3	3	3	3	3	3		
Показатель направленности источника Di, дБ		исходные данные	**0**	0	0	0	0	0	0	0	0		
Поправка на направленность источника Dc, дБ	Dc	DΩ + Di	**3**	3	3	3	3	3	3	3	3		
Затухание из-за геометрической дивергенции, Adiv, дБ	расстояние = 245.31 м	ф-ла (7) [10]	**58,8**										
Коэффициент затухания звука в атмосфере α, дБ/км	Ta=20,°C Pa=101.33,кПа hотн.=70%	ф-ла (5) [9]	0,02	0,09	0,33	1,12	2,79	4,98	9,04	23,09	77,63		
Учет затухания звука в атмосфере Aatm, дБ		ф-ла (8) [10]	0	0	0,1	0,3	0,7	1,2	2,2	5,7	19		
Снижение уровня звукового давления из-за влияния застройки между источником шума и расчетной точкой													
Снижение уровня звукового давления на пути над экраном, Dz1, дБ	z = 7.17м (разность путей)	ф-лы (14-18) [10]	18,2	21,7	24,8	27,8	30,8	33,8	36,8	39,8	42,8		
Снижение уровня звукового давления на пути слева от экрана, Dz2, дБ	z = 108.27м (разность путей)	ф-лы (14-18) [10]	30,5	33,7	36,8	39,8	42,8	45,8	48,8	51,8	54,9		
Снижение уровня звукового давления на пути справа от экрана, Dz3, дБ	z = 15.30м (разность путей)	ф-лы (14-18) [10]	21	24,9	28,2	31,3	34,3	37,3	40,3	43,3	46,4		
Общее снижение уровня звука препятствием Dz, дБ		Эн.сумма(-Dzi)	16,2	19,8	22,9	26	29	32	35	38	41,1		

1		2	3	4	5	6	7	8	9	10	11	12	13
Общее снижение уровня звука препятствием с учётом ограничения (25 дБ) для октавных полос Dz, дБ		Раздел 7.4 [10]	16,2	19,8	22,9	25	25	25	25	25	25		
Уровни звукового давления прямого звука от источника ИШ-1-1 в расчётной точке днём, дБ		**ф-ла(3)[10]**	**25**	**21,4**	**25,2**	**24,9**	**23,5**	**23**	**15**	**0,6**	**0**	**26**	**26**
Расчёт отражённого звука													
Уровни звукового давления от мнимого источника ИШ-1-1_мн.(1) в расчётной точке днём, дБ		**ф-ла(3)[10]**	**0**	**0**	**0**	**0**	**0**	**0**	**9,1**	**0**	**0**	**10,3**	**10,3**
Уровни звукового давления от мнимого источника ИШ-1-1_мн.(2) в расчётной точке днём, дБ		**ф-ла(3)[10]**	**0**	**0**	**0**	**0**	**0**	**0**	**6,2**	**0**	**0**	**7,4**	**7,4**
Уровни звукового давления от мнимого источника ИШ-1-1_мн.(3) в расчётной точке днём, дБ		**ф-ла(3)[10]**	**0**	**0**	**0**	**0**	**0**	**0**	**3,6**	**0**	**0**	**4,8**	**4,8**
Суммарные уровни звукового давления от мнимых источников в расчётной точке днём, дБ		**ф-ла (19) [1]**	**0**	**0**	**0**	**0**	**0**	**0**	**11,6**	**0**	**0**	**0**	**12,8**
Уровни звукового давления от источника ИШ-1-1 в расчётной точке днём, дБ		**ф-ла(3)[10]**	**25**	**21,4**	**25,2**	**24,9**	**23,5**	**23**	**16,6**	**0,6**	**0**	**26,2**	**26,2**
Источник шума: ИШ-1-2, координаты источника (x,y,z), м =[261.74,199.14,1.00]													
Уровни звуковой мощности источника днём, Lw, дБ		**исходные данные**	**97**	**97**	**104**	**106**	**105**	**105**	**98**	**87**	**81**		
Поправка на телесный угол DΩ, дБ	Ω = 6.28	10Lg(4π/Ω)	**3**	3	3	3	3	3	3	3	3		
Показатель направленности источника Di, дБ		исходные данные	**0**	0	0	0	0	0	0	0	0		
Поправка на направленность источника Dc, дБ	Dc	DΩ + Di	**3**	3	3	3	3	3	3	3	3		
Затухание из-за геометрической дивергенции, Adiv, дБ	расстояние = 225.06 м	ф-ла (7) [10]	**58**										
Коэффициент затухания звука в атмосфере α, дБ/км	Ta=20,°C Pa=101.33,кПа hотн.=70%	ф-ла (5) [9]	0,02	0,09	0,33	1,12	2,79	4,98	9,04	23,09	77,63		
Учет затухания звука в атмосфере Aatm, дБ		ф-ла (8) [10]	0	0	0,1	0,3	0,6	1,1	2	5,2	17,5		

1		2	3	4	5	6	7	8	9	10	11	12	13
Снижение уровня звукового давления из-за влияния застройки между источником шума и расчетной точкой													
Снижение уровня звукового давления на пути над экраном, Dz1, дБ	z = 7.00м (разность путей)	ф-лы (14-18) [10]	18	21,5	24,7	27,7	30,7	33,7	36,7	39,7	42,7		
Снижение уровня звукового давления на пути слева от экрана, Dz2, дБ	z = 150.78м (разность путей)	ф-лы (14-18) [10]	31,9	35,2	38,2	41,2	44,2	47,3	50,3	53,3	56,3		
Снижение уровня звукового давления на пути справа от экрана, Dz3, дБ	z = 8.62м (разность путей)	ф-лы (14-18) [10]	18,6	22,5	25,7	28,8	31,8	34,8	37,8	40,9	43,9		
Общее снижение уровня звука препятствием Dz, дБ		Эн.сумма(-Dzi)	15,2	18,9	22	25,1	28,1	31,1	34,1	37,1	40,1		
Общее снижение уровня звука препятствием с учётом ограничения (25 дБ) для октавных полос Dz, дБ		Раздел 7.4 [10]	15,2	18,9	22	25	25	25	25	25	25		
Уровни звукового давления прямого звука от источника ИШ-1-2 в расчётной точке днём, дБ		**ф-ла(3)[10]**	**26,7**	**23,1**	**26,9**	**25,7**	**24,3**	**23,8**	**15,9**	**1,8**	**0**	**26,9**	**26,9**
Расчёт отражённого звука													
Уровни звукового давления от мнимого источника ИШ-1-2_мн.(1) в расчётной точке днём, дБ		**ф-ла(3)[10]**	**0**	**0**	**0**	**0**	**0**	**0**	**8,2**	**0**	**0**	**9,4**	**9,4**
Уровни звукового давления от мнимого источника ИШ-1-2_мн.(2) в расчётной точке днём, дБ		**ф-ла(3)[10]**	**0**	**0**	**0**	**0**	**0**	**0**	**4,5**	**0**	**0**	**5,7**	**5,7**
Суммарные уровни звукового давления от мнимых источников в расчётной точке днём, дБ		**ф-ла (19) [1]**	**0**	**0**	**0**	**0**	**0**	**0**	**9,8**	**0**	**0**	**0**	**11**
Уровни звукового давления от источника ИШ-1-2 в расчётной точке днём, дБ		**ф-ла(3)[10]**	**26,7**	**23,1**	**26,9**	**25,7**	**24,3**	**23,8**	**16,9**	**1,8**	**0**	**27**	**27**
Источник шума: ИШ-1-3, координаты источника (x,y,z), м =[251.75,236.44,1.00]													
Уровни звуковой мощности источника днём, Lw, дБ		**исходные данные**	**0**	**91,3**	**92,7**	**94**	**94,3**	**93,9**	**90,6**	**86,4**	**81,9**		
Поправка на телесный угол DΩ, дБ	Ω = 6.28	10Lg(4π/Ω)	**3**	3	3	3	3	3	3	3	3		
Показатель направленности источника Di, дБ		исходные данные	**0**	0	0	0	0	0	0	0	0		
Поправка на направленность источника Dc, дБ	Dc	DΩ + Di	**3**	3	3	3	3	3	3	3	3		

1		2	3	4	5	6	7	8	9	10	11	12	13
Затухание из-за геометрической дивергенции, Adiv, дБ	расстояние = 261.48 м	ф-ла (7) [10]	**59,3**										
Коэффициент затухания звука в атмосфере α, дБ/км	Ta=20,°C Pa=101.33,кПа hотн.=70%	ф-ла (5) [9]	0,02	0,09	0,33	1,12	2,79	4,98	9,04	23,09	77,63		
Учет затухания звука в атмосфере Aatm, дБ		ф-ла (8) [10]	0	0	0,1	0,3	0,7	1,3	2,4	6	20,3		
Снижение уровня звукового давления из-за влияния застройки между источником шума и расчетной точкой													
Снижение уровня звукового давления на пути над экраном, Dz1, дБ	z = 6.94м (разность путей)	ф-лы (14-18) [10]	18	21,5	24,6	27,6	30,6	33,6	36,6	39,6	42,6		
Снижение уровня звукового давления на пути слева от экрана, Dz2, дБ	z = 110.13м (разность путей)	ф-лы (14-18) [10]	30,5	33,8	36,8	39,9	42,9	45,9	48,9	51,9	54,9		
Снижение уровня звукового давления на пути справа от экрана, Dz3, дБ	z = 10.70м (разность путей)	ф-лы (14-18) [10]	19,5	23,4	26,6	29,7	32,8	35,8	38,8	41,8	44,8		
Общее снижение уровня звука препятствием Dz, дБ		Эн.сумма(-Dzi)	15,5	19,2	22,3	25,4	28,4	31,4	34,4	37,4	40,4		
Общее снижение уровня звука препятствием с учётом ограничения (25 дБ) для октавных полос Dz, дБ		Раздел 7.4 [10]	15,5	19,2	22,3	25	25	25	25	25	25		
Уровни звукового давления прямого звука от источника ИШ-1-3 в расчётной точке днём, дБ		**ф-ла(3)[10]**	**0**	**15,8**	**13,9**	**12,3**	**12,2**	**11,2**	**6,9**	**0**	**0**	**14,9**	**14,9**
Расчёт отражённого звука													
Уровни звукового давления от мнимого источника ИШ-1-3_мн.(1) в расчётной точке днём, дБ		**ф-ла(3)[10]**	**0**	**0**	**0**	**0**	**0**	**0**	**0**	**0**	**0**	**0**	**0**
Уровни звукового давления от мнимого источника ИШ-1-3_мн.(2) в расчётной точке днём, дБ		**ф-ла(3)[10]**	**0**	**0**	**0**	**0**	**0**	**0**	**0**	**0**	**0**	**0**	**0**
Уровни звукового давления от мнимого источника ИШ-1-3_мн.(3) в расчётной точке днём, дБ		**ф-ла(3)[10]**	**0**	**0**	**0**	**0**	**0**	**0**	**0**	**0**	**0**	**0**	**0**
Суммарные уровни звукового давления от мнимых источников в расчётной точке днём, дБ		**ф-ла (19) [1]**	**0**	**0**	**0**	**0**	**0**	**0**	**0**	**0**	**0**	**0**	**0**
Уровни звукового давления от источника ИШ-1-3 в расчётной точке днём, дБ		**ф-ла(3)[10]**	**0**	**15,8**	**13,9**	**12,3**	**12,2**	**11,2**	**6,9**	**0**	**0**	**14,9**	**14,9**

1		2	3	4	5	6	7	8	9	10	11	12	13
Источник шума: ИШ-1-4, координаты источника (x,y,z), м =[290.25,223.25,1.00]													
Уровни звуковой мощности источника днём, Lw, дБ		**исходные данные**	**0**	**91,3**	**92,7**	**94**	**94,3**	**93,9**	**90,6**	**86,4**	**81,9**		
Поправка на телесный угол DΩ, дБ	Ω = 6.28	10Lg(4π/Ω)	**3**	3	3	3	3	3	3	3	3		
Показатель направленности источника Di, дБ		исходные данные	**0**	0	0	0	0	0	0	0	0		
Поправка на направленность источника Dc, дБ	Dc	DΩ + Di	**3**	3	3	3	3	3	3	3	3		
Затухание из-за геометрической дивергенции, Adiv, дБ	расстояние = 230.87 м	ф-ла (7) [10]	**58,3**										
Коэффициент затухания звука в атмосфере α, дБ/км	Ta=20,°C Pa=101.33,кПа hотн.=70%	ф-ла (5) [9]	0,02	0,09	0,33	1,12	2,79	4,98	9,04	23,09	77,63		
Учет затухания звука в атмосфере Aatm, дБ		ф-ла (8) [10]	0	0	0,1	0,3	0,6	1,1	2,1	5,3	17,9		
Снижение уровня звукового давления из-за влияния застройки между источником шума и расчетной точкой													
Снижение уровня звукового давления на пути над экраном, Dz1, дБ	z = 7.50м (разность путей)	ф-лы (14-18) [10]	18,5	21,9	25	28	31	34,1	37,1	40,1	43,1		
Снижение уровня звукового давления на пути слева от экрана, Dz2, дБ	z = 108.06м (разность путей)	ф-лы (14-18) [10]	30,5	33,7	36,8	39,8	42,8	45,8	48,8	51,8	54,8		
Снижение уровня звукового давления на пути справа от экрана, Dz3, дБ	z = 21.43м (разность путей)	ф-лы (14-18) [10]	22,5	26,4	29,6	32,7	35,8	38,8	41,8	44,8	47,8		
Общее снижение уровня звука препятствием Dz, дБ		Эн.сумма(-Dzi)	16,9	20,4	23,5	26,6	29,6	32,6	35,6	38,6	41,6		
Общее снижение уровня звука препятствием с учётом ограничения (25 дБ) для октавных полос Dz, дБ		Раздел 7.4 [10]	16,9	20,4	23,5	25	25	25	25	25	25		
Уровни звукового давления прямого звука от источника ИШ-1-4 в расчётной точке днём, дБ		**ф-ла(3)[10]**	**0**	**15,6**	**13,8**	**13,5**	**13,4**	**12,5**	**8,2**	**0,8**	**0**	**16,2**	**16,2**
Расчёт отражённого звука													

1		2	3	4	5	6	7	8	9	10	11	12	13
Уровни звукового давления от мнимого источника ИШ-1-4_мн.(1) в расчётной точке днём, дБ		**ф-ла(3)[10]**	**0**	**0**	**0**	**0**	**0**	**0**	**2**	**0**	**0**	**3,2**	**3,2**
Уровни звукового давления от мнимого источника ИШ-1-4_мн.(2) в расчётной точке днём, дБ		**ф-ла(3)[10]**	**0**	**0**	**0**	**0**	**0**	**0**	**0**	**0**	**0**	**0**	**0**
Уровни звукового давления от мнимого источника ИШ-1-4_мн.(3) в расчётной точке днём, дБ		**ф-ла(3)[10]**	**0**	**0**	**0**	**0**	**0**	**0**	**0**	**0**	**0**	**0**	**0**
Суммарные уровни звукового давления от мнимых источников в расчётной точке днём, дБ		**ф-ла (19) [1]**	**0**	**0**	**0**	**0**	**0**	**0**	**2**	**0**	**0**	**0**	**3,2**
Уровни звукового давления от источника ИШ-1-4 в расчётной точке днём, дБ		**ф-ла(3)[10]**	**0**	**15,6**	**13,8**	**13,5**	**13,4**	**12,5**	**9,2**	**0,8**	**0**	**16,5**	**16,5**
Источник шума: ИШ-1-5, координаты источника (x,y,z), м =[241.49,205.86,1.00]													
Уровни звуковой мощности источника днём, Lw, дБ		**исходные данные**	**0**	**91,3**	**92,7**	**94**	**94,3**	**93,9**	**90,6**	**86,4**	**81,9**		
Поправка на телесный угол DΩ, дБ	Ω = 6.28	10Lg(4π/Ω)	**3**	3	3	3	3	3	3	3	3		
Показатель направленности источника Di, дБ		исходные данные	**0**	0	0	0	0	0	0	0	0		
Поправка на направленность источника Dc, дБ	Dc	DΩ + Di	**3**	3	3	3	3	3	3	3	3		
Затухание из-за геометрической дивергенции, Adiv, дБ	расстояние = 242.70 м	ф-ла (7) [10]	**58,7**										
Коэффициент затухания звука в атмосфере α, дБ/км	Ta=20,°C Pa=101.33,кПа hотн.=70%	ф-ла (5) [9]	0,02	0,09	0,33	1,12	2,79	4,98	9,04	23,09	77,63		
Учет затухания звука в атмосфере Aatm, дБ		ф-ла (8) [10]	0	0	0,1	0,3	0,7	1,2	2,2	5,6	18,8		
Снижение уровня звукового давления из-за влияния застройки между источником шума и расчетной точкой													
Снижение уровня звукового давления на пути над экраном, Dz1, дБ	z = 6.71м (разность путей)	ф-лы (14-18) [10]	17,8	21,3	24,4	27,5	30,5	33,5	36,5	39,5	42,5		
Снижение уровня звукового давления на пути слева от экрана, Dz2, дБ	z = 147.65м (разность путей)	ф-лы (14-18) [10]	31,8	35,1	38,1	41,1	44,2	47,2	50,2	53,2	56,2		

1		2	3	4	5	6	7	8	9	10	11	12	13
Снижение уровня звукового давления на пути справа от экрана, Dz3, дБ	z = 5.62м (разность путей)	ф-лы (14-18) [10]	16,9	20,6	23,9	26,9	30	33	36	39	42		
Общее снижение уровня звука препятствием Dz, дБ		Эн.сумма(-Dzi)	14,2	17,9	21	24,1	27,1	30,1	33,1	36,1	39,2		
Общее снижение уровня звука препятствием с учётом ограничения (25 дБ) для октавных полос Dz, дБ		Раздел 7.4 [10]	14,2	17,9	21	24,1	25	25	25	25	25		
Уровни звукового давления прямого звука от источника ИШ-1-5 в расчётной точке днём, дБ		**ф-ла(3)[10]**	**0**	**17,7**	**15,9**	**13,9**	**12,9**	**12**	**7,7**	**0,1**	**0**	**15,9**	**15,9**
Расчёт отражённого звука													
Уровни звукового давления от мнимого источника ИШ-1-5_мн.(1) в расчётной точке днём, дБ		**ф-ла(3)[10]**	**0**	**0**	**0**	**0**	**0**	**0**	**0**	**16,4**	**0**	**17,4**	**17,4**
Уровни звукового давления от мнимого источника ИШ-1-5_мн.(2) в расчётной точке днём, дБ		**ф-ла(3)[10]**	**0**	**0**	**0**	**0**	**0**	**0**	**0**	**0**	**0**	**0**	**0**
Уровни звукового давления от мнимого источника ИШ-1-5_мн.(3) в расчётной точке днём, дБ		**ф-ла(3)[10]**	**0**	**0**	**0**	**0**	**0**	**0**	**2,7**	**0**	**0**	**3,9**	**3,9**
Уровни звукового давления от мнимого источника ИШ-1-5_мн.(4) в расчётной точке днём, дБ		**ф-ла(3)[10]**	**0**	**0**	**0**	**0**	**0**	**0**	**0**	**0**	**0**	**0**	**0**
Суммарные уровни звукового давления от мнимых источников в расчётной точке днём, дБ		**ф-ла (19) [1]**	**0**	**0**	**0**	**0**	**0**	**0**	**2,7**	**16,4**	**0**	**0**	**17,6**
Уровни звукового давления от источника ИШ-1-5 в расчётной точке днём, дБ		**ф-ла(3)[10]**	**0**	**17,7**	**15,9**	**13,9**	**12,9**	**12**	**8,9**	**16,5**	**0**	**19,8**	**19,8**
Источник шума: ИШ-1-6, координаты источника (x,y,z), м =[279.85,192.97,1.00]													
Уровни звуковой мощности источника днём, Lw, дБ		**исходные данные**	**0**	**91,3**	**92,7**	**94**	**94,3**	**93,9**	**90,6**	**86,4**	**81,9**		
Поправка на телесный угол DΩ, дБ	Ω = 6.28	10Lg(4π/Ω)	**3**	3	3	3	3	3	3	3	3		
Показатель направленности источника Di, дБ		исходные данные	**0**	0	0	0	0	0	0	0	0		
Поправка на направленность источника Dc, дБ	Dc	DΩ + Di	**3**	3	3	3	3	3	3	3	3		
Затухание из-за геометрической дивергенции, Adiv, дБ	расстояние = 209.72 м	ф-ла (7) [10]	**57,4**										

1		2	3	4	5	6	7	8	9	10	11	12	13
Коэффициент затухания звука в атмосфере α, дБ/км	Та=20,°С Ра=101.33,кПа hотн.=70%	ф-ла (5) [9]	0,02	0,09	0,33	1,12	2,79	4,98	9,04	23,09	77,63		
Учет затухания звука в атмосфере Aatm, дБ		ф-ла (8) [10]	0	0	0,1	0,2	0,6	1	1,9	4,8	16,3		
Снижение уровня звукового давления из-за влияния застройки между источником шума и расчетной точкой													
Снижение уровня звукового давления на пути над экраном, Dz1, дБ	z = 7.38м (разность путей)	ф-лы (14-18) [10]	18,4	21,8	24,9	28	31	34	37	40	43		
Снижение уровня звукового давления на пути слева от экрана, Dz2, дБ	z = 155.86м (разность путей)	ф-лы (14-18) [10]	32	35,3	38,4	41,4	44,4	47,4	50,4	53,4	56,4		
Снижение уровня звукового давления на пути справа от экрана, Dz3, дБ	z = 13.32м (разность путей)	ф-лы (14-18) [10]	20,4	24,3	27,6	30,7	33,7	36,7	39,7	42,7	45,8		
Общее снижение уровня звука препятствием Dz, дБ		Эн.сумма(-Dzi)	16,2	19,8	22,9	26	29	32	35	38	41		
Общее снижение уровня звука препятствием с учётом ограничения (25 дБ) для октавных полос Dz, дБ		Раздел 7.4 [10]	16,2	19,8	22,9	25	25	25	25	25	25		
Уровни звукового давления прямого звука от источника ИШ-1-6 в расчётной точке днём, дБ		**ф-ла(3)[10]**	**0**	**17,1**	**15,3**	**14,3**	**14,3**	**13,4**	**9,3**	**2,1**	**0**	**17,2**	**17,2**
Расчёт отражённого звука													
Уровни звукового давления от мнимого источника ИШ-1-6_мн.(1) в расчётной точке днём, дБ		**ф-ла(3)[10]**	**0**	**0**	**0**	**0**	**0**	**0**	**1**	**0**	**0**	**2,2**	**2,2**
Уровни звукового давления от мнимого источника ИШ-1-6_мн.(2) в расчётной точке днём, дБ		**ф-ла(3)[10]**	**0**	**0**	**0**	**0**	**0**	**0**	**0**	**0**	**0**	**0**	**0**
Суммарные уровни звукового давления от мнимых источников в расчётной точке днём, дБ		**ф-ла (19) [1]**	**0**	**0**	**0**	**0**	**0**	**0**	**1**	**0**	**0**	**0**	**2,2**
Уровни звукового давления от источника ИШ-1-6 в расчётной точке днём, дБ		**ф-ла(3)[10]**	**0**	**17,1**	**15,3**	**14,3**	**14,3**	**13,4**	**9,9**	**2,1**	**0**	**17,3**	**17,3**
Источник шума: ИШ-1-7, координаты источника (x,y,z), м =[451.87,146.66,1.00]													
Уровни звуковой мощности источника днём, Lw, дБ		**исходные данные**	**0**	**93,3**	**94,7**	**96**	**96,3**	**95,9**	**92,6**	**88,4**	**83,9**		

1		2	3	4	5	6	7	8	9	10	11	12	13
Поправка на телесный угол DΩ, дБ	Ω = 6.28	10Lg(4π/Ω)	**3**	3	3	3	3	3	3	3	3		
Показатель направленности источника Di, дБ		исходные данные	**0**	0	0	0	0	0	0	0	0		
Поправка на направленность источника Dc, дБ	Dc	DΩ + Di	**3**	3	3	3	3	3	3	3	3		
Затухание из-за геометрической дивергенции, Adiv, дБ	расстояние = 142.14 м	ф-ла (7) [10]	**54,1**										
Коэффициент затухания звука в атмосфере α, дБ/км	Ta=20,°C Pa=101.33,кПа hотн.=70%	ф-ла (5) [9]	0,02	0,09	0,33	1,12	2,79	4,98	9,04	23,09	77,63		
Учет затухания звука в атмосфере Aatm, дБ		ф-ла (8) [10]	0	0	0	0,2	0,4	0,7	1,3	3,3	11		
Снижение уровня звукового давления из-за влияния застройки между источником шума и расчетной точкой													
Снижение уровня звукового давления на пути над экраном, Dz1, дБ	z = 7.55м (разность путей)	ф-лы (14-18) [10]	15,2	19	23,4	27,5	30,9	34	37	40,1	43,1		
Снижение уровня звукового давления на пути слева от экрана, Dz2, дБ	z = 28.28м (разность путей)	ф-лы (14-18) [10]	20,8	24,8	29,3	33,4	36,8	40	43	46	49		
Снижение уровня звукового давления на пути справа от экрана, Dz3, дБ	z = 139.40м (разность путей)	ф-лы (14-18) [10]	31,3	34,8	37,8	40,9	43,9	46,9	49,9	52,9	56		
Общее снижение уровня звука препятствием Dz, дБ		Эн.сумма(-Dzi)	14,1	17,9	22,3	26,3	29,7	32,9	35,9	38,9	41,9		
Общее снижение уровня звука препятствием с учётом ограничения (25 дБ) для октавных полос Dz, дБ		Раздел 7.4 [10]	14,1	17,9	22,3	25	25	25	25	25	25		
Уровни звукового давления прямого звука от источника ИШ-1-7 в расчётной точке днём, дБ		**ф-ла(3)[10]**	**0**	**24,3**	**21,3**	**19,8**	**19,8**	**19,1**	**15,3**	**9,1**	**0**	**23**	**23**
Расчёт отражённого звука													
Уровни звукового давления от мнимого источника ИШ-1-7_мн.(1) в расчётной точке днём, дБ		**ф-ла(3)[10]**	**0**	**0**	**0**	**0**	**0**	**0**	**0**	**5,8**	**0**	**6,8**	**6,8**
Уровни звукового давления от источника ИШ-1-7 в расчётной точке днём, дБ		**ф-ла(3)[10]**	**0**	**24,3**	**21,3**	**19,8**	**19,8**	**19,1**	**15,3**	**10,7**	**0**	**23,1**	**23,1**

1		2	3	4	5	6	7	8	9	10	11	12	13
Источник шума: ИШ-1-8, координаты источника (x,y,z), м =[454.99,145.29,1.00]													
Уровни звуковой мощности источника днём, Lw, дБ		**исходные данные**	**0**	**93,3**	**94,7**	**96**	**96,3**	**95,9**	**92,6**	**88,4**	**83,9**		
Поправка на телесный угол DΩ, дБ	Ω = 6.28	10Lg(4π/Ω)	**3**	3	3	3	3	3	3	3	3		
Показатель направленности источника Di, дБ		исходные данные	**0**	0	0	0	0	0	0	0	0		
Поправка на направленность источника Dc, дБ	Dc	DΩ + Di	**3**	3	3	3	3	3	3	3	3		
Затухание из-за геометрической дивергенции, Adiv, дБ	расстояние = 142.21 м	ф-ла (7) [10]	**54,1**										
Коэффициент затухания звука в атмосфере α, дБ/км	Ta=20,°C Pa=101.33,кПа hотн.=70%	ф-ла (5) [9]	0,02	0,09	0,33	1,12	2,79	4,98	9,04	23,09	77,63		
Учет затухания звука в атмосфере Aatm, дБ		ф-ла (8) [10]	0	0	0	0,2	0,4	0,7	1,3	3,3	11		
Снижение уровня звукового давления из-за влияния застройки между источником шума и расчетной точкой													
Снижение уровня звукового давления на пути над экраном, Dz1, дБ	z = 7.55м (разность путей)	ф-лы (14-18) [10]	15,2	19	23,4	27,5	30,9	34	37	40,1	43,1		
Снижение уровня звукового давления на пути слева от экрана, Dz2, дБ	z = 27.51м (разность путей)	ф-лы (14-18) [10]	20,7	24,7	29,2	33,3	36,7	39,8	42,9	45,9	48,9		
Снижение уровня звукового давления на пути справа от экрана, Dz3, дБ	z = 141.24м (разность путей)	ф-лы (14-18) [10]	31,4	34,8	37,9	40,9	44	47	50	53	56		
Общее снижение уровня звука препятствием Dz, дБ		Эн.сумма(-Dzi)	14	17,9	22,3	26,3	29,7	32,8	35,9	38,9	41,9		
Общее снижение уровня звука препятствием с учётом ограничения (25 дБ) для октавных полос Dz, дБ		Раздел 7.4 [10]	14	17,9	22,3	25	25	25	25	25	25		
Уровни звукового давления прямого звука от источника ИШ-1-8 в расчётной точке днём, дБ		**ф-ла(3)[10]**	**0**	**24,3**	**21,3**	**19,8**	**19,8**	**19,1**	**15,2**	**9,1**	**0**	**23**	**23**
Расчёт отражённого звука													

1		2	3	4	5	6	7	8	9	10	11	12	13
Уровни звукового давления от мнимого источника ИШ-1-8_мн.(1) в расчётной точке днём, дБ		**ф-ла(3)[10]**	**0**	**0**	**0**	**0**	**0**	**0**	**12,5**	**6**	**0**	**14,6**	**14,6**
Уровни звукового давления от источника ИШ-1-8 в расчётной точке днём, дБ		**ф-ла(3)[10]**	**0**	**24,3**	**21,3**	**19,8**	**19,8**	**19,1**	**17,1**	**10,8**	**0**	**23,6**	**23,6**
Источник шума: ИШ-1-9, координаты источника (x,y,z), м =[458.12,144.31,1.00]													
Уровни звуковой мощности источника днём, Lw, дБ		**исходные данные**	**0**	**93,3**	**94,7**	**96**	**96,3**	**95,9**	**92,6**	**88,4**	**83,9**		
Поправка на телесный угол DΩ, дБ	Ω = 6.28	10Lg(4π/Ω)	**3**	3	3	3	3	3	3	3	3		
Показатель направленности источника Di, дБ		исходные данные	**0**	0	0	0	0	0	0	0	0		
Поправка на направленность источника Dc, дБ	Dc	DΩ + Di	**3**	3	3	3	3	3	3	3	3		
Затухание из-за геометрической дивергенции, Adiv, дБ	расстояние = 142.71 м	ф-ла (7) [10]	**54,1**										
Коэффициент затухания звука в атмосфере α, дБ/км	Ta=20,°C Pa=101.33,кПа hотн.=70%	ф-ла (5) [9]	0,02	0,09	0,33	1,12	2,79	4,98	9,04	23,09	77,63		
Учет затухания звука в атмосфере Aatm, дБ		ф-ла (8) [10]	0	0	0	0,2	0,4	0,7	1,3	3,3	11,1		
Снижение уровня звукового давления из-за влияния застройки между источником шума и расчетной точкой													
Снижение уровня звукового давления на пути над экраном, Dz1, дБ	z = 7.54м (разность путей)	ф-лы (14-18) [10]	15,2	19	23,4	27,5	30,9	34	37	40,1	43,1		
Снижение уровня звукового давления на пути слева от экрана, Dz2, дБ	z = 26.78м (разность путей)	ф-лы (14-18) [10]	20,6	24,6	29,1	33,2	36,6	39,7	42,8	45,8	48,8		
Снижение уровня звукового давления на пути справа от экрана, Dz3, дБ	z = 142.39м (разность путей)	ф-лы (14-18) [10]	31,4	34,8	37,9	41	44	47	50	53	56		
Общее снижение уровня звука препятствием Dz, дБ		Эн.сумма(-Dzi)	14	17,9	22,2	26,3	29,7	32,8	35,8	38,9	41,9		
Общее снижение уровня звука препятствием с учётом ограничения (25 дБ) для октавных полос Dz, дБ		Раздел 7.4 [10]	14	17,9	22,2	25	25	25	25	25	25		

1		2	3	4	5	6	7	8	9	10	11	12	13
Уровни звукового давления прямого звука от источника ИШ-1-9 в расчётной точке днём, дБ		**ф-ла(3)[10]**	**0**	**24,3**	**21,3**	**19,7**	**19,8**	**19,1**	**15,2**	**9**	**0**	**23**	**23**
Расчёт отражённого звука													
Уровни звукового давления от мнимого источника ИШ-1-9_мн.(1) в расчётной точке днём, дБ		**ф-ла(3)[10]**	**0**	**0**	**0**	**0**	**0**	**0**	**12,6**	**6,1**	**0**	**14,7**	**14,7**
Уровни звукового давления от источника ИШ-1-9 в расчётной точке днём, дБ		**ф-ла(3)[10]**	**0**	**24,3**	**21,3**	**19,7**	**19,8**	**19,1**	**17,1**	**10,8**	**0**	**23,6**	**23,6**
Источник шума: ИШ-1-10, координаты источника (x,y,z), м =[461.05,143.53,1.00]													
Уровни звуковой мощности источника днём, Lw, дБ		**исходные данные**	**0**	**93,3**	**94,7**	**96**	**96,3**	**95,9**	**92,6**	**88,4**	**83,9**		
Поправка на телесный угол DΩ, дБ	Ω = 6.28	10Lg(4π/Ω)	**3**	3	3	3	3	3	3	3	3		
Показатель направленности источника Di, дБ		исходные данные	**0**	0	0	0	0	0	0	0	0		
Поправка на направленность источника Dc, дБ	Dc	DΩ + Di	**3**	3	3	3	3	3	3	3	3		
Затухание из-за геометрической дивергенции, Adiv, дБ	расстояние = 143.36 м	ф-ла (7) [10]	**54,1**										
Коэффициент затухания звука в атмосфере α, дБ/км	Ta=20,°C Pa=101.33,кПа hотн.=70%	ф-ла (5) [9]	0,02	0,09	0,33	1,12	2,79	4,98	9,04	23,09	77,63		
Учет затухания звука в атмосфере Aatm, дБ		ф-ла (8) [10]	0	0	0	0,2	0,4	0,7	1,3	3,3	11,1		
Снижение уровня звукового давления из-за влияния застройки между источником шума и расчетной точкой													
Снижение уровня звукового давления на пути над экраном, Dz1, дБ	z = 7.54м (разность путей)	ф-лы (14-18) [10]	15,2	19	23,4	27,5	30,9	34	37	40,1	43,1		
Снижение уровня звукового давления на пути слева от экрана, Dz2, дБ	z = 26.12м (разность путей)	ф-лы (14-18) [10]	20,5	24,5	29	33	36,5	39,6	42,6	45,7	48,7		
Снижение уровня звукового давления на пути справа от экрана, Dz3, дБ	z = 143.27м (разность путей)	ф-лы (14-18) [10]	31,4	34,9	38	41	44	47	50	53,1	56,1		

1		2	3	4	5	6	7	8	9	10	11	12	13
Общее снижение уровня звука препятствием Dz, дБ		Эн.сумма(-Dzi)	14	17,8	22,2	26,3	29,7	32,8	35,8	38,8	41,8		
Общее снижение уровня звука препятствием с учётом ограничения (25 дБ) для октавных полос Dz, дБ		Раздел 7.4 [10]	14	17,8	22,2	25	25	25	25	25	25		
Уровни звукового давления прямого звука от источника ИШ-1-10 в расчётной точке днём, дБ		**ф-ла(3)[10]**	**0**	**24,3**	**21,3**	**19,7**	**19,8**	**19**	**15,2**	**9**	**0**	**22,9**	**22,9**
Расчёт отражённого звука													
Уровни звукового давления от мнимого источника ИШ-1-10_мн.(1) в расчётной точке днём, дБ		**ф-ла(3)[10]**	**0**	**0**	**0**	**0**	**0**	**0**	**12,7**	**6,2**	**0**	**14,8**	**14,8**
Уровни звукового давления от источника ИШ-1-10 в расчётной точке днём, дБ		**ф-ла(3)[10]**	**0**	**24,3**	**21,3**	**19,7**	**19,8**	**19**	**17,1**	**10,8**	**0**	**23,5**	**23,5**
Источник шума: ИШ-1-11, координаты источника (x,y,z), м =[464.18,142.55,1.00]													
Уровни звуковой мощности источника днём, Lw, дБ		**исходные данные**	**0**	**93,3**	**94,7**	**96**	**96,3**	**95,9**	**92,6**	**88,4**	**83,9**		
Поправка на телесный угол DΩ, дБ	Ω = 6.28	10Lg(4π/Ω)	**3**	3	3	3	3	3	3	3	3		
Показатель направленности источника Di, дБ		исходные данные	**0**	0	0	0	0	0	0	0	0		
Поправка на направленность источника Dc, дБ	Dc	DΩ + Di	**3**	3	3	3	3	3	3	3	3		
Затухание из-за геометрической дивергенции, Adiv, дБ	расстояние = 144.00 м	ф-ла (7) [10]	**54,2**										
Коэффициент затухания звука в атмосфере α, дБ/км	Ta=20,°C Pa=101.33,кПа hотн.=70%	ф-ла (5) [9]	0,02	0,09	0,33	1,12	2,79	4,98	9,04	23,09	77,63		
Учет затухания звука в атмосфере Aatm, дБ		ф-ла (8) [10]	0	0	0	0,2	0,4	0,7	1,3	3,3	11,2		
Снижение уровня звукового давления из-за влияния застройки между источником шума и расчетной точкой													
Снижение уровня звукового давления на пути над экраном, Dz1, дБ	z = 7.53м (разность путей)	ф-лы (14-18) [10]	15,2	19	23,4	27,5	30,9	34	37	40	43,1		

1		2	3	4	5	6	7	8	9	10	11	12	13
Снижение уровня звукового давления на пути слева от экрана, Dz2, дБ	z = 25.43м (разность путей)	ф-лы (14-18) [10]	20,4	24,4	28,8	32,9	36,4	39,5	42,5	45,5	48,6		
Снижение уровня звукового давления на пути справа от экрана, Dz3, дБ	z = 144.52м (разность путей)	ф-лы (14-18) [10]	31,5	34,9	38	41	44,1	47,1	50,1	53,1	56,1		
Общее снижение уровня звука препятствием Dz, дБ		Эн.сумма(-Dzi)	14	17,8	22,2	26,2	29,6	32,8	35,8	38,8	41,8		
Общее снижение уровня звука препятствием с учётом ограничения (25 дБ) для октавных полос Dz, дБ		Раздел 7.4 [10]	14	17,8	22,2	25	25	25	25	25	25		
Уровни звукового давления прямого звука от источника ИШ-1-11 в расчётной точке днём, дБ		**ф-ла(3)[10]**	**0**	**24,3**	**21,3**	**19,7**	**19,7**	**19**	**15,1**	**8,9**	**0**	**22,9**	**22,9**
Расчёт отражённого звука													
Уровни звукового давления от мнимого источника ИШ-1-11_мн.(1) в расчётной точке днём, дБ		**ф-ла(3)[10]**	**0**	**0**	**0**	**0**	**0**	**0**	**12,8**	**6,3**	**0**	**14,9**	**14,9**
Уровни звукового давления от источника ИШ-1-11 в расчётной точке днём, дБ		**ф-ла(3)[10]**	**0**	**24,3**	**21,3**	**19,7**	**19,7**	**19**	**17,1**	**10,8**	**0**	**23,5**	**23,5**
Источник шума: ИШ-1-12, координаты источника (x,y,z), м =[435.45,97.79,1.00]													
Уровни звуковой мощности источника днём, Lw, дБ		**исходные данные**	**0**	**93,3**	**94,7**	**96**	**96,3**	**95,9**	**92,6**	**88,4**	**83,9**		
Поправка на телесный угол DΩ, дБ	Ω = 6.28	10Lg(4π/Ω)	**3**	3	3	3	3	3	3	3	3		
Показатель направленности источника Di, дБ		исходные данные	**0**	0	0	0	0	0	0	0	0		
Поправка на направленность источника Dc, дБ	Dc	DΩ + Di	**3**	3	3	3	3	3	3	3	3		
Затухание из-за геометрической дивергенции, Adiv, дБ	расстояние = 90.97 м	ф-ла (7) [10]	**50,2**										
Коэффициент затухания звука в атмосфере α, дБ/км	Ta=20,°C Pa=101.33,кПа hотн.=70%	ф-ла (5) [9]	0,02	0,09	0,33	1,12	2,79	4,98	9,04	23,09	77,63		
Учет затухания звука в атмосфере Aatm, дБ		ф-ла (8) [10]	0	0	0	0,1	0,3	0,5	0,8	2,1	7,1		

1		2	3	4	5	6	7	8	9	10	11	12	13
Снижение уровня звукового давления из-за влияния застройки между источником шума и расчетной точкой													
Снижение уровня звукового давления на пути над экраном, Dz1, дБ	z = 7.81м (разность путей)	ф-лы (14-18) [10]	15,4	19,2	23,6	27,7	31,1	34,2	37,3	40,3	43,3		
Снижение уровня звукового давления на пути слева от экрана, Dz2, дБ	z = 28.72м (разность путей)	ф-лы (14-18) [10]	20,9	24,9	29,4	33,5	36,9	40	43,1	46,1	49,1		
Снижение уровня звукового давления на пути справа от экрана, Dz3, дБ	z = 42.90м (разность путей)	ф-лы (14-18) [10]	22,6	26,6	31,1	35,2	38,6	41,8	44,8	47,8	50,8		
Общее снижение уровня звука препятствием Dz, дБ		Эн.сумма(-Dzi)	13,7	17,6	22	26,1	29,5	32,7	35,7	38,7	41,7		
Общее снижение уровня звука препятствием с учётом ограничения (25 дБ) для октавных полос Dz, дБ		Раздел 7.4 [10]	13,7	17,6	22	25	25	25	25	25	25		
Уровни звукового давления от источника ИШ-1-12 в расчётной точке днём, дБ		**ф-ла(3)[10]**	**0**	**28,5**	**25,4**	**23,7**	**23,9**	**23,3**	**19,6**	**14,1**	**4,7**	**27,2**	**27,2**
Источник шума: ИШ-1-13, координаты источника (x,y,z), м =[438.77,96.82,1.00]													
Уровни звуковой мощности источника днём, Lw, дБ		**исходные данные**	**0**	**93,3**	**94,7**	**96**	**96,3**	**95,9**	**92,6**	**88,4**	**83,9**		
Поправка на телесный угол DΩ, дБ	Ω = 6.28	10Lg(4π/Ω)	**3**	3	3	3	3	3	3	3	3		
Показатель направленности источника Di, дБ		исходные данные	**0**	0	0	0	0	0	0	0	0		
Поправка на направленность источника Dc, дБ	Dc	DΩ + Di	**3**	3	3	3	3	3	3	3	3		
Затухание из-за геометрической дивергенции, Adiv, дБ	расстояние = 91.68 м	ф-ла (7) [10]	**50,2**										
Коэффициент затухания звука в атмосфере α, дБ/км	Ta=20,°C Pa=101.33,кПа hотн.=70%	ф-ла (5) [9]	0,02	0,09	0,33	1,12	2,79	4,98	9,04	23,09	77,63		
Учет затухания звука в атмосфере Aatm, дБ		ф-ла (8) [10]	0	0	0	0,1	0,3	0,5	0,8	2,1	7,1		
Снижение уровня звукового давления из-за влияния застройки между источником шума и расчетной точкой													

1		2	3	4	5	6	7	8	9	10	11	12	13
Снижение уровня звукового давления на пути над экраном, Dz1, дБ	z = 7.80м (разность путей)	ф-лы (14-18) [10]	15,4	19,2	23,7	27,7	31,1	34,2	37,3	40,3	43,3		
Снижение уровня звукового давления на пути слева от экрана, Dz2, дБ	z = 27.41м (разность путей)	ф-лы (14-18) [10]	20,7	24,7	29,2	33,3	36,7	39,8	42,9	45,9	48,9		
Снижение уровня звукового давления на пути справа от экрана, Dz3, дБ	z = 44.33м (разность путей)	ф-лы (14-18) [10]	22,7	26,7	31,2	35,3	38,8	41,9	44,9	48	51		
Общее снижение уровня звука препятствием Dz, дБ		Эн.сумма(-Dzi)	13,7	17,6	22	26,1	29,5	32,6	35,7	38,7	41,7		
Общее снижение уровня звука препятствием с учётом ограничения (25 дБ) для октавных полос Dz, дБ		Раздел 7.4 [10]	13,7	17,6	22	25	25	25	25	25	25		
Уровни звукового давления от источника ИШ-1-13 в расчётной точке днём, дБ		**ф-ла(3)[10]**	**0**	**28,5**	**25,4**	**23,6**	**23,8**	**23,2**	**19,5**	**14**	**4,5**	**27,1**	**27,1**
Источник шума: ИШ-1-14, координаты источника (x,y,z), м =[441.70,96.03,1.00]													
Уровни звуковой мощности источника днём, Lw, дБ		**исходные данные**	**0**	**93,3**	**94,7**	**96**	**96,3**	**95,9**	**92,6**	**88,4**	**83,9**		
Поправка на телесный угол DΩ, дБ	Ω = 6.28	10Lg(4π/Ω)	**3**	3	3	3	3	3	3	3	3		
Показатель направленности источника Di, дБ		исходные данные	**0**	0	0	0	0	0	0	0	0		
Поправка на направленность источника Dc, дБ	Dc	DΩ + Di	**3**	3	3	3	3	3	3	3	3		
Затухание из-за геометрической дивергенции, Adiv, дБ	расстояние = 92.49 м	ф-ла (7) [10]	**50,3**										
Коэффициент затухания звука в атмосфере α, дБ/км	Ta=20,°C Pa=101.33,кПа hотн.=70%	ф-ла (5) [9]	0,02	0,09	0,33	1,12	2,79	4,98	9,04	23,09	77,63		
Учет затухания звука в атмосфере Aatm, дБ		ф-ла (8) [10]	0	0	0	0,1	0,3	0,5	0,8	2,1	7,2		
Снижение уровня звукового давления из-за влияния застройки между источником шума и расчетной точкой													
Снижение уровня звукового давления на пути над экраном, Dz1, дБ	z = 7.79м (разность путей)	ф-лы (14-18) [10]	15,4	19,2	23,7	27,7	31,1	34,2	37,3	40,3	43,3		

1		2	3	4	5	6	7	8	9	10	11	12	13
Снижение уровня звукового давления на пути слева от экрана, Dz2, дБ	z = 26.30м (разность путей)	ф-лы (14-18) [10]	20,5	24,5	29	33,1	36,5	39,6	42,7	45,7	48,7		
Снижение уровня звукового давления на пути справа от экрана, Dz3, дБ	z = 45.53м (разность путей)	ф-лы (14-18) [10]	22,9	26,9	31,4	35,5	38,9	42	45,1	48,1	51,1		
Общее снижение уровня звука препятствием Dz, дБ		Эн.сумма(-Dzi)	13,7	17,6	22	26,1	29,5	32,6	35,6	38,7	41,7		
Общее снижение уровня звука препятствием с учётом ограничения (25 дБ) для октавных полос Dz, дБ		Раздел 7.4 [10]	13,7	17,6	22	25	25	25	25	25	25		
Уровни звукового давления от источника ИШ-1-14 в расчётной точке днём, дБ		**ф-ла(3)[10]**	**0**	**28,4**	**25,3**	**23,6**	**23,7**	**23,1**	**19,4**	**13,9**	**4,4**	**27,1**	**27,1**
Источник шума: ИШ-1-15, координаты источника (x,y,z), м =[445.03,95.25,1.00]													
Уровни звуковой мощности источника днём, Lw, дБ		**исходные данные**	**0**	**93,3**	**94,7**	**96**	**96,3**	**95,9**	**92,6**	**88,4**	**83,9**		
Поправка на телесный угол DΩ, дБ	Ω = 6.28	10Lg(4π/Ω)	**3**	3	3	3	3	3	3	3	3		
Показатель направленности источника Di, дБ		исходные данные	**0**	0	0	0	0	0	0	0	0		
Поправка на направленность источника Dc, дБ	Dc	DΩ + Di	**3**	3	3	3	3	3	3	3	3		
Затухание из-за геометрической дивергенции, Adiv, дБ	расстояние = 93.59 м	ф-ла (7) [10]	**50,4**										
Коэффициент затухания звука в атмосфере α, дБ/км	Ta=20,°C Pa=101.33,кПа hотн.=70%	ф-ла (5) [9]	0,02	0,09	0,33	1,12	2,79	4,98	9,04	23,09	77,63		
Учет затухания звука в атмосфере Aatm, дБ		ф-ла (8) [10]	0	0	0	0,1	0,3	0,5	0,8	2,2	7,3		
Снижение уровня звукового давления из-за влияния застройки между источником шума и расчетной точкой													
Снижение уровня звукового давления на пути над экраном, Dz1, дБ	z = 7.77м (разность путей)	ф-лы (14-18) [10]	15,4	19,3	23,7	27,7	31,1	34,2	37,3	40,3	43,3		
Снижение уровня звукового давления на пути слева от экрана, Dz2, дБ	z = 25.12м (разность путей)	ф-лы (14-18) [10]	20,3	24,3	28,8	32,9	36,3	39,4	42,5	45,5	48,5		

1		2	3	4	5	6	7	8	9	10	11	12	13
Снижение уровня звукового давления на пути справа от экрана, Dz3, дБ	z = 46.83м (разность путей)	ф-лы (14-18) [10]	23	27	31,5	35,6	39	42,1	45,2	48,2	51,2		
Общее снижение уровня звука препятствием Dz, дБ		Эн.сумма(-Dzi)	13,7	17,5	22	26	29,4	32,6	35,6	38,6	41,6		
Общее снижение уровня звука препятствием с учётом ограничения (25 дБ) для октавных полос Dz, дБ		Раздел 7.4 [10]	13,7	17,5	22	25	25	25	25	25	25		
Уровни звукового давления от источника ИШ-1-15 в расчётной точке днём, дБ		**ф-ла(3)[10]**	**0**	**28,3**	**25,3**	**23,5**	**23,6**	**23**	**19,3**	**13,8**	**4,2**	**26,9**	**26,9**
Источник шума: ИШ-1-16, координаты источника (x,y,z), м =[447.96,94.28,1.00]													
Уровни звуковой мощности источника днём, Lw, дБ		**исходные данные**	**0**	**93,3**	**94,7**	**96**	**96,3**	**95,9**	**92,6**	**88,4**	**83,9**		
Поправка на телесный угол DΩ, дБ	Ω = 6.28	10Lg(4π/Ω)	**3**	3	3	3	3	3	3	3	3		
Показатель направленности источника Di, дБ		исходные данные	**0**	0	0	0	0	0	0	0	0		
Поправка на направленность источника Dc, дБ	Dc	DΩ + Di	**3**	3	3	3	3	3	3	3	3		
Затухание из-за геометрической дивергенции, Adiv, дБ	расстояние = 94.43 м	ф-ла (7) [10]	**50,5**										
Коэффициент затухания звука в атмосфере α, дБ/км	Ta=20,°C Pa=101.33,кПа hотн.=70%	ф-ла (5) [9]	0,02	0,09	0,33	1,12	2,79	4,98	9,04	23,09	77,63		
Учет затухания звука в атмосфере Aatm, дБ		ф-ла (8) [10]	0	0	0	0,1	0,3	0,5	0,9	2,2	7,3		
Снижение уровня звукового давления из-за влияния застройки между источником шума и расчетной точкой													
Снижение уровня звукового давления на пути над экраном, Dz1, дБ	z = 7.75м (разность путей)	ф-лы (14-18) [10]	15,4	19,3	23,7	27,7	31,1	34,2	37,2	40,3	43,3		
Снижение уровня звукового давления на пути слева от экрана, Dz2, дБ	z = 24.10м (разность путей)	ф-лы (14-18) [10]	20,2	24,1	28,6	32,7	36,1	39,3	42,3	45,3	48,3		
Снижение уровня звукового давления на пути справа от экрана, Dz3, дБ	z = 48.03м (разность путей)	ф-лы (14-18) [10]	23,1	27,1	31,6	35,7	39,1	42,3	45,3	48,3	51,3		

1		2	3	4	5	6	7	8	9	10	11	12	13
Общее снижение уровня звука препятствием Dz, дБ		Эн.сумма(-Dzi)	13,6	17,5	22	26	29,4	32,5	35,6	38,6	41,6		
Общее снижение уровня звука препятствием с учётом ограничения (25 дБ) для октавных полос Dz, дБ		Раздел 7.4 [10]	13,6	17,5	22	25	25	25	25	25	25		
Уровни звукового давления от источника ИШ-1-16 в расчётной точке днём, дБ		**ф-ла(3)[10]**	**0**	**28,3**	**25,2**	**23,4**	**23,5**	**22,9**	**19,2**	**13,7**	**4,1**	**26,9**	**26,9**
Источник шума: ИШ-1-17, координаты источника (x,y,z), м =[540.99,141.77,1.00]													
Уровни звуковой мощности источника днём, Lw, дБ		**исходные данные**	**0**	**93,3**	**94,7**	**96**	**96,3**	**95,9**	**92,6**	**88,4**	**83,9**		
Поправка на телесный угол DΩ, дБ	Ω = 6.28	10Lg(4π/Ω)	**3**	3	3	3	3	3	3	3	3		
Показатель направленности источника Di, дБ		исходные данные	**0**	0	0	0	0	0	0	0	0		
Поправка на направленность источника Dc, дБ	Dc	DΩ + Di	**3**	3	3	3	3	3	3	3	3		
Затухание из-за геометрической дивергенции, Adiv, дБ	расстояние = 193.00 м	ф-ла (7) [10]	**56,7**										
Коэффициент затухания звука в атмосфере α, дБ/км	Ta=20,°C Pa=101.33,кПа hотн.=70%	ф-ла (5) [9]	0,02	0,09	0,33	1,12	2,79	4,98	9,04	23,09	77,63		
Учет затухания звука в атмосфере Aatm, дБ		ф-ла (8) [10]	0	0	0,1	0,2	0,5	1	1,7	4,5	15		
Снижение уровня звукового давления из-за влияния застройки между источником шума и расчетной точкой													
Снижение уровня звукового давления на пути над экраном, Dz1, дБ	z = 7.79м (разность путей)	ф-лы (14-18) [10]	18,4	22	25,2	28,2	31,2	34,2	37,2	40,3	43,3		
Снижение уровня звукового давления на пути слева от экрана, Dz2, дБ	z = 17.89м (разность путей)	ф-лы (14-18) [10]	20,8	25,1	28,7	31,9	35	38	41	44	47		
Снижение уровня звукового давления на пути справа от экрана, Dz3, дБ	z = 94.74м (разность путей)	ф-лы (14-18) [10]	29,8	33,1	36,2	39,2	42,2	45,2	48,3	51,3	54,3		
Общее снижение уровня звука препятствием Dz, дБ		Эн.сумма(-Dzi)	16,2	20,1	23,3	26,4	29,5	32,5	35,5	38,5	41,5		

1		2	3	4	5	6	7	8	9	10	11	12	13
Общее снижение уровня звука препятствием с учётом ограничения (25 дБ) для октавных полос Dz, дБ		Раздел 7.4 [10]	16,2	20,1	23,3	25	25	25	25	25	25		
Уровни звукового давления от источника ИШ-1-17 в расчётной точке днём, дБ		**ф-ла(3)[10]**	**0**	**19,5**	**17,6**	**17,1**	**17**	**16,2**	**12,1**	**5,2**	**0**	**20**	**20**
Источник шума: ИШ-1-18, координаты источника (x,y,z), м =[543.53,140.79,1.00]													
Уровни звуковой мощности источника днём, Lw, дБ		**исходные данные**	**0**	**93,3**	**94,7**	**96**	**96,3**	**95,9**	**92,6**	**88,4**	**83,9**		
Поправка на телесный угол DΩ, дБ	Ω = 6.28	10Lg(4π/Ω)	**3**	3	3	3	3	3	3	3	3		
Показатель направленности источника Di, дБ		исходные данные	**0**	0	0	0	0	0	0	0	0		
Поправка на направленность источника Dc, дБ	Dc	DΩ + Di	**3**	3	3	3	3	3	3	3	3		
Затухание из-за геометрической дивергенции, Adiv, дБ	расстояние = 194.32 м	ф-ла (7) [10]	**56,8**										
Коэффициент затухания звука в атмосфере α, дБ/км	Ta=20,°C Pa=101.33,кПа hотн.=70%	ф-ла (5) [9]	0,02	0,09	0,33	1,12	2,79	4,98	9,04	23,09	77,63		
Учет затухания звука в атмосфере Aatm, дБ		ф-ла (8) [10]	0	0	0,1	0,2	0,5	1	1,8	4,5	15,1		
Снижение уровня звукового давления из-за влияния застройки между источником шума и расчетной точкой													
Снижение уровня звукового давления на пути над экраном, Dz1, дБ	z = 7.72м (разность путей)	ф-лы (14-18) [10]	18,3	21,9	25,1	28,2	31,2	34,2	37,2	40,2	43,2		
Снижение уровня звукового давления на пути слева от экрана, Dz2, дБ	z = 17.16м (разность путей)	ф-лы (14-18) [10]	20,6	24,9	28,5	31,7	34,8	37,8	40,8	43,8	46,9		
Снижение уровня звукового давления на пути справа от экрана, Dz3, дБ	z = 95.44м (разность путей)	ф-лы (14-18) [10]	29,8	33,1	36,2	39,2	42,3	45,3	48,3	51,3	54,3		
Общее снижение уровня звука препятствием Dz, дБ		Эн.сумма(-Dzi)	16,1	20	23,3	26,4	29,4	32,4	35,4	38,4	41,4		
Общее снижение уровня звука препятствием с учётом ограничения (25 дБ) для октавных полос Dz, дБ		Раздел 7.4 [10]	16,1	20	23,3	25	25	25	25	25	25		

1		2	3	4	5	6	7	8	9	10	11	12	13
Уровни звукового давления прямого звука от источника ИШ-1-18 в расчётной точке днём, дБ		**ф-ла(3)[10]**	**0**	**19,5**	**17,6**	**17**	**17**	**16,2**	**12,1**	**5,1**	**0**	**20**	**20**
Расчёт отражённого звука													
Уровни звукового давления от мнимого источника ИШ-1-18_мн.(1) в расчётной точке днём, дБ		**ф-ла(3)[10]**	**0**	**0**	**0**	**0**	**0**	**0**	**0**	**0**	**0**	**0**	**0**
Уровни звукового давления от источника ИШ-1-18 в расчётной точке днём, дБ		**ф-ла(3)[10]**	**0**	**19,5**	**17,6**	**17**	**17**	**16,2**	**12,1**	**5,1**	**0**	**20**	**20**
Источник шума: ИШ-1-19, координаты источника (x,y,z), м =[547.25,139.62,1.00]													
Уровни звуковой мощности источника днём, Lw, дБ		**исходные данные**	**0**	**93,3**	**94,7**	**96**	**96,3**	**95,9**	**92,6**	**88,4**	**83,9**		
Поправка на телесный угол DΩ, дБ	Ω = 6.28	10Lg(4π/Ω)	**3**	3	3	3	3	3	3	3	3		
Показатель направленности источника Di, дБ		исходные данные	**0**	0	0	0	0	0	0	0	0		
Поправка на направленность источника Dc, дБ	Dc	DΩ + Di	**3**	3	3	3	3	3	3	3	3		
Затухание из-за геометрической дивергенции, Adiv, дБ	расстояние = 196.46 м	ф-ла (7) [10]	**56,9**										
Коэффициент затухания звука в атмосфере α, дБ/км	Ta=20,°C Pa=101.33,кПа hотн.=70%	ф-ла (5) [9]	0,02	0,09	0,33	1,12	2,79	4,98	9,04	23,09	77,63		
Учет затухания звука в атмосфере Aatm, дБ		ф-ла (8) [10]	0	0	0,1	0,2	0,5	1	1,8	4,5	15,3		
Снижение уровня звукового давления из-за влияния застройки между источником шума и расчетной точкой													
Снижение уровня звукового давления на пути над экраном, Dz1, дБ	z = 7.64м (разность путей)	ф-лы (14-18) [10]	18,2	21,9	25	28,1	31,1	34,1	37,1	40,1	43,2		
Снижение уровня звукового давления на пути слева от экрана, Dz2, дБ	z = 16.21м (разность путей)	ф-лы (14-18) [10]	20,4	24,7	28,3	31,5	34,6	37,6	40,6	43,6	46,6		
Снижение уровня звукового давления на пути справа от экрана, Dz3, дБ	z = 96.16м (разность путей)	ф-лы (14-18) [10]	29,8	33,2	36,2	39,3	42,3	45,3	48,3	51,3	54,3		

1		2	3	4	5	6	7	8	9	10	11	12	13
Общее снижение уровня звука препятствием Dz, дБ		Эн.сумма(-Dzi)	16	19,8	23,1	26,2	29,3	32,3	35,3	38,3	41,3		
Общее снижение уровня звука препятствием с учётом ограничения (25 дБ) для октавных полос Dz, дБ		Раздел 7.4 [10]	16	19,8	23,1	25	25	25	25	25	25		
Уровни звукового давления прямого звука от источника ИШ-1-19 в расчётной точке днём, дБ		**ф-ла(3)[10]**	**0**	**19,6**	**17,6**	**16,9**	**16,9**	**16**	**12**	**5**	**0**	**19,9**	**19,9**
Расчёт отражённого звука													
Уровни звукового давления от мнимого источника ИШ-1-19_мн.(1) в расчётной точке днём, дБ		**ф-ла(3)[10]**	**0**	**0**	**0**	**0**	**0**	**0**	**0**	**0**	**0**	**0**	**0**
Уровни звукового давления от источника ИШ-1-19 в расчётной точке днём, дБ		**ф-ла(3)[10]**	**0**	**19,6**	**17,6**	**16,9**	**16,9**	**16**	**12**	**5**	**0**	**19,9**	**19,9**
Источник шума: ИШ-1-20, координаты источника (x,y,z), м =[550.38,138.64,1.00]													
Уровни звуковой мощности источника днём, Lw, дБ		**исходные данные**	**0**	**93,3**	**94,7**	**96**	**96,3**	**95,9**	**92,6**	**88,4**	**83,9**		
Поправка на телесный угол DΩ, дБ	Ω = 6.28	10Lg(4π/Ω)	**3**	3	3	3	3	3	3	3	3		
Показатель направленности источника Di, дБ		исходные данные	**0**	0	0	0	0	0	0	0	0		
Поправка на направленность источника Dc, дБ	Dc	DΩ + Di	**3**	3	3	3	3	3	3	3	3		
Затухание из-за геометрической дивергенции, Adiv, дБ	расстояние = 198.32 м	ф-ла (7) [10]	**56,9**										
Коэффициент затухания звука в атмосфере α, дБ/км	Ta=20,°C Pa=101.33,кПа hотн.=70%	ф-ла (5) [9]	0,02	0,09	0,33	1,12	2,79	4,98	9,04	23,09	77,63		
Учет затухания звука в атмосфере Aatm, дБ		ф-ла (8) [10]	0	0	0,1	0,2	0,6	1	1,8	4,6	15,4		
Снижение уровня звукового давления из-за влияния застройки между источником шума и расчетной точкой													
Снижение уровня звукового давления на пути над экраном, Dz1, дБ	z = 7.58м (разность путей)	ф-лы (14-18) [10]	18,2	21,8	25	28,1	31,1	34,1	37,1	40,1	43,1		

1		2	3	4	5	6	7	8	9	10	11	12	13
Снижение уровня звукового давления на пути слева от экрана, Dz2, дБ	z = 15.46м (разность путей)	ф-лы (14-18) [10]	20,2	24,5	28,1	31,3	34,3	37,4	40,4	43,4	46,4		
Снижение уровня звукового давления на пути справа от экрана, Dz3, дБ	z = 96.84м (разность путей)	ф-лы (14-18) [10]	29,9	33,2	36,3	39,3	42,3	45,3	48,3	51,4	54,4		
Общее снижение уровня звука препятствием Dz, дБ		Эн.сумма(-Dzi)	15,9	19,7	23,1	26,2	29,2	32,2	35,2	38,2	41,2		
Общее снижение уровня звука препятствием с учётом ограничения (25 дБ) для октавных полос Dz, дБ		Раздел 7.4 [10]	15,9	19,7	23,1	25	25	25	25	25	25		
Уровни звукового давления прямого звука от источника ИШ-1-20 в расчётной точке днём, дБ		**ф-ла(3)[10]**	**0**	**19,6**	**17,6**	**16,8**	**16,8**	**16**	**11,9**	**4,9**	**0**	**19,8**	**19,8**
Расчёт отражённого звука													
Уровни звукового давления от мнимого источника ИШ-1-20_мн.(1) в расчётной точке днём, дБ		**ф-ла(3)[10]**	**0**	**0**	**0**	**0**	**0**	**0**	**0**	**0**	**0**	**0**	**0**
Уровни звукового давления от источника ИШ-1-20 в расчётной точке днём, дБ		**ф-ла(3)[10]**	**0**	**19,6**	**17,6**	**16,8**	**16,8**	**16**	**11,9**	**4,9**	**0**	**19,8**	**19,8**
Источник шума: ИШ-1-21, координаты источника (x,y,z), м =[553.31,137.67,1.00]													
Уровни звуковой мощности источника днём, Lw, дБ		**исходные данные**	**0**	**93,3**	**94,7**	**96**	**96,3**	**95,9**	**92,6**	**88,4**	**83,9**		
Поправка на телесный угол DΩ, дБ	Ω = 6.28	10Lg(4π/Ω)	**3**	3	3	3	3	3	3	3	3		
Показатель направленности источника Di, дБ		исходные данные	**0**	0	0	0	0	0	0	0	0		
Поправка на направленность источника Dc, дБ	Dc	DΩ + Di	**3**	3	3	3	3	3	3	3	3		
Затухание из-за геометрической дивергенции, Adiv, дБ	расстояние = 200.05 м	ф-ла (7) [10]	**57**										
Коэффициент затухания звука в атмосфере α, дБ/км	Ta=20,°C Pa=101.33,кПа hотн.=70%	ф-ла (5) [9]	0,02	0,09	0,33	1,12	2,79	4,98	9,04	23,09	77,63		
Учет затухания звука в атмосфере Aatm, дБ		ф-ла (8) [10]	0	0	0,1	0,2	0,6	1	1,8	4,6	15,5		

1		2	3	4	5	6	7	8	9	10	11	12	13
Снижение уровня звукового давления из-за влияния застройки между источником шума и расчетной точкой													
Снижение уровня звукового давления на пути над экраном, Dz1, дБ	z = 7.54м (разность путей)	ф-лы (14-18) [10]	18,1	21,8	25	28	31	34,1	37,1	40,1	43,1		
Снижение уровня звукового давления на пути слева от экрана, Dz2, дБ	z = 14.80м (разность путей)	ф-лы (14-18) [10]	20	24,3	27,9	31,1	34,2	37,2	40,2	43,2	46,2		
Снижение уровня звукового давления на пути справа от экрана, Dz3, дБ	z = 97.60м (разность путей)	ф-лы (14-18) [10]	29,9	33,2	36,3	39,3	42,4	45,4	48,4	51,4	54,4		
Общее снижение уровня звука препятствием Dz, дБ		Эн.сумма(-Dzi)	15,8	19,7	23	26,1	29,1	32,1	35,1	38,1	41,2		
Общее снижение уровня звука препятствием с учётом ограничения (25 дБ) для октавных полос Dz, дБ		Раздел 7.4 [10]	15,8	19,7	23	25	25	25	25	25	25		
Уровни звукового давления прямого звука от источника ИШ-1-21 в расчётной точке днём, дБ		**ф-ла(3)[10]**	**0**	**19,6**	**17,6**	**16,7**	**16,7**	**15,9**	**11,8**	**4,8**	**0**	**19,7**	**19,7**
Расчёт отражённого звука													
Уровни звукового давления от мнимого источника ИШ-1-21_мн.(1) в расчётной точке днём, дБ		**ф-ла(3)[10]**	**0**	**0**	**0**	**0**	**0**	**0**	**0**	**0**	**0**	**0**	**0**
Уровни звукового давления от источника ИШ-1-21 в расчётной точке днём, дБ		**ф-ла(3)[10]**	**0**	**19,6**	**17,6**	**16,7**	**16,7**	**15,9**	**11,8**	**4,8**	**0**	**19,7**	**19,7**
Источник шума: ИШ-1-22, координаты источника (x,y,z), м =[522.03,85.28,1.00]													
Уровни звуковой мощности источника днём, Lw, дБ		**исходные данные**	**0**	**93,3**	**94,7**	**96**	**96,3**	**95,9**	**92,6**	**88,4**	**83,9**		
Поправка на телесный угол DΩ, дБ	Ω = 6.28	10Lg(4π/Ω)	**3**	3	3	3	3	3	3	3	3		
Показатель направленности источника Di, дБ		исходные данные	**0**	0	0	0	0	0	0	0	0		
Поправка на направленность источника Dc, дБ	Dc	DΩ + Di	**3**	3	3	3	3	3	3	3	3		
Затухание из-за геометрической дивергенции, Adiv, дБ	расстояние = 145.31 м	ф-ла (7) [10]	**54,2**										
Коэффициент затухания звука в атмосфере α, дБ/км	Ta=20,°C Pa=101.33,кПа hотн.=70%	ф-ла (5) [9]	0,02	0,09	0,33	1,12	2,79	4,98	9,04	23,09	77,63		

1		2	3	4	5	6	7	8	9	10	11	12	13
Учет затухания звука в атмосфере Aatm, дБ		ф-ла (8) [10]	0	0	0	0,2	0,4	0,7	1,3	3,4	11,3		
Снижение уровня звукового давления из-за влияния застройки между источником шума и расчетной точкой													
Снижение уровня звукового давления на пути над экраном, Dz1, дБ	z = 7.81м (разность путей)	ф-лы (14-18) [10]	17,9	21,8	25,1	28,2	31,3	34,3	37,3	40,3	43,3		
Снижение уровня звукового давления на пути слева от экрана, Dz2, дБ	z = 9.99м (разность путей)	ф-лы (14-18) [10]	18,3	22,6	26,2	29,4	32,4	35,5	38,5	41,5	44,5		
Снижение уровня звукового давления на пути справа от экрана, Dz3, дБ	z = 195.23м (разность путей)	ф-лы (14-18) [10]	32,9	36,2	39,3	42,4	45,4	48,4	51,4	54,4	57,4		
Общее снижение уровня звука препятствием Dz, дБ		Эн.сумма(-Dzi)	15,1	19,1	22,5	25,7	28,7	31,7	34,7	37,7	40,8		
Общее снижение уровня звука препятствием с учётом ограничения (25 дБ) для октавных полос Dz, дБ		Раздел 7.4 [10]	15,1	19,1	22,5	25	25	25	25	25	25		
Уровни звукового давления от источника ИШ-1-22 в расчётной точке днём, дБ		**ф-ла(3)[10]**	**0**	**22,9**	**20,9**	**19,6**	**19,6**	**18,9**	**15**	**8,8**	**0**	**22,8**	**22,8**
Источник шума: ИШ-1-23, координаты источника (x,y,z), м =[525.16,84.11,1.00]													
Уровни звуковой мощности источника днём, Lw, дБ		**исходные данные**	**0**	**93,3**	**94,7**	**96**	**96,3**	**95,9**	**92,6**	**88,4**	**83,9**		
Поправка на телесный угол DΩ, дБ	Ω = 6.28	10Lg(4π/Ω)	**3**	3	3	3	3	3	3	3	3		
Показатель направленности источника Di, дБ		исходные данные	**0**	0	0	0	0	0	0	0	0		
Поправка на направленность источника Dc, дБ	Dc	DΩ + Di	**3**	3	3	3	3	3	3	3	3		
Затухание из-за геометрической дивергенции, Adiv, дБ	расстояние = 147.54 м	ф-ла (7) [10]	**54,4**										
Коэффициент затухания звука в атмосфере α, дБ/км	Ta=20,°C Pa=101.33,кПа hотн.=70%	ф-ла (5) [9]	0,02	0,09	0,33	1,12	2,79	4,98	9,04	23,09	77,63		
Учет затухания звука в атмосфере Aatm, дБ		ф-ла (8) [10]	0	0	0	0,2	0,4	0,7	1,3	3,4	11,5		

1		2	3	4	5	6	7	8	9	10	11	12	13
Снижение уровня звукового давления из-за влияния застройки между источником шума и расчетной точкой													
Снижение уровня звукового давления на пути над экраном, Dz1, дБ	z = 7.69м (разность путей)	ф-лы (14-18) [10]	17,8	21,8	25,1	28,2	31,2	34,2	37,2	40,2	43,2		
Снижение уровня звукового давления на пути слева от экрана, Dz2, дБ	z = 9.44м (разность путей)	ф-лы (14-18) [10]	18,1	22,4	26	29,2	32,2	35,2	38,2	41,2	44,3		
Снижение уровня звукового давления на пути справа от экрана, Dz3, дБ	z = 194.14м (разность путей)	ф-лы (14-18) [10]	32,9	36,2	39,3	42,3	45,3	48,4	51,4	54,4	57,4		
Общее снижение уровня звука препятствием Dz, дБ		Эн.сумма(-Dzi)	14,9	19	22,4	25,5	28,6	31,6	34,6	37,6	40,6		
Общее снижение уровня звука препятствием с учётом ограничения (25 дБ) для октавных полос Dz, дБ		Раздел 7.4 [10]	14,9	19	22,4	25	25	25	25	25	25		
Уровни звукового давления от источника ИШ-1-23 в расчётной точке днём, дБ		**ф-ла(3)[10]**	**0**	**22,9**	**20,9**	**19,4**	**19,5**	**18,8**	**14,9**	**8,6**	**0**	**22,6**	**22,6**
Источник шума: ИШ-1-24, координаты источника (x,y,z), м =[528.48,82.94,1.00]													
Уровни звуковой мощности источника днём, Lw, дБ		**исходные данные**	**0**	**93,3**	**94,7**	**96**	**96,3**	**95,9**	**92,6**	**88,4**	**83,9**		
Поправка на телесный угол DΩ, дБ	Ω = 6.28	10Lg(4π/Ω)	**3**	3	3	3	3	3	3	3	3		
Показатель направленности источника Di, дБ		исходные данные	**0**	0	0	0	0	0	0	0	0		
Поправка на направленность источника Dc, дБ	Dc	DΩ + Di	**3**	3	3	3	3	3	3	3	3		
Затухание из-за геометрической дивергенции, Adiv, дБ	расстояние = 149.98 м	ф-ла (7) [10]	**54,5**										
Коэффициент затухания звука в атмосфере α, дБ/км	Ta=20,°C Pa=101.33,кПа hотн.=70%	ф-ла (5) [9]	0,02	0,09	0,33	1,12	2,79	4,98	9,04	23,09	77,63		
Учет затухания звука в атмосфере Aatm, дБ		ф-ла (8) [10]	0	0	0,1	0,2	0,4	0,7	1,4	3,5	11,6		
Снижение уровня звукового давления из-за влияния застройки между источником шума и расчетной точкой													

1		2	3	4	5	6	7	8	9	10	11	12	13
Снижение уровня звукового давления на пути над экраном, Dz1, дБ	z = 7.58м (разность путей)	ф-лы (14-18) [10]	17,7	21,7	25	28,1	31,1	34,1	37,1	40,2	43,2		
Снижение уровня звукового давления на пути слева от экрана, Dz2, дБ	z = 8.99м (разность путей)	ф-лы (14-18) [10]	15,6	18,4	21,3	24,3	27,3	30,3	33,3	36,3	39,3		
Снижение уровня звукового давления на пути справа от экрана, Dz3, дБ	z = 192.95м (разность путей)	ф-лы (14-18) [10]	32,8	36,2	39,3	42,3	45,3	48,3	51,3	54,4	57,4		
Общее снижение уровня звука препятствием Dz, дБ		Эн.сумма(-Dzi)	13,5	16,7	19,7	22,7	25,7	28,7	31,7	34,7	37,7		
Общее снижение уровня звука препятствием с учётом ограничения (25 дБ) для октавных полос Dz, дБ		Раздел 7.4 [10]	13,5	16,7	19,7	22,7	25	25	25	25	25		
Уровни звукового давления от источника ИШ-1-24 в расчётной точке днём, дБ		**ф-ла(3)[10]**	**0**	**25,1**	**23,4**	**21,6**	**19,4**	**18,6**	**14,7**	**8,4**	**0**	**22,7**	**22,7**
Источник шума: ИШ-1-25, координаты источника (x,y,z), м =[531.22,82.16,1.00]													
Уровни звуковой мощности источника днём, Lw, дБ		**исходные данные**	**0**	**93,3**	**94,7**	**96**	**96,3**	**95,9**	**92,6**	**88,4**	**83,9**		
Поправка на телесный угол DΩ, дБ	Ω = 6.28	10Lg(4π/Ω)	**3**	3	3	3	3	3	3	3	3		
Показатель направленности источника Di, дБ		исходные данные	**0**	0	0	0	0	0	0	0	0		
Поправка на направленность источника Dc, дБ	Dc	DΩ + Di	**3**	3	3	3	3	3	3	3	3		
Затухание из-за геометрической дивергенции, Adiv, дБ	расстояние = 152.11 м	ф-ла (7) [10]	**54,6**										
Коэффициент затухания звука в атмосфере α, дБ/км	Ta=20,°C Pa=101.33,кПа hотн.=70%	ф-ла (5) [9]	0,02	0,09	0,33	1,12	2,79	4,98	9,04	23,09	77,63		
Учет затухания звука в атмосфере Aatm, дБ		ф-ла (8) [10]	0	0	0,1	0,2	0,4	0,8	1,4	3,5	11,8		
Снижение уровня звукового давления из-за влияния застройки между источником шума и расчетной точкой													
Снижение уровня звукового давления на пути над экраном, Dz1, дБ	z = 7.50м (разность путей)	ф-лы (14-18) [10]	17,7	21,6	24,9	28	31,1	34,1	37,1	40,1	43,1		

1		2	3	4	5	6	7	8	9	10	11	12	13
Снижение уровня звукового давления на пути слева от экрана, Dz2, дБ	z = 8.68м (разность путей)	ф-лы (14-18) [10]	15,5	18,3	21,2	24,1	27,1	30,1	33,1	36,1	39,1		
Снижение уровня звукового давления на пути справа от экрана, Dz3, дБ	z = 191.77м (разность путей)	ф-лы (14-18) [10]	32,8	36,2	39,2	42,3	45,3	48,3	51,3	54,3	57,3		
Общее снижение уровня звука препятствием Dz, дБ		Эн.сумма(-Dzi)	13,4	16,6	19,6	22,6	25,6	28,6	31,6	34,6	37,6		
Общее снижение уровня звука препятствием с учётом ограничения (25 дБ) для октавных полос Dz, дБ		Раздел 7.4 [10]	13,4	16,6	19,6	22,6	25	25	25	25	25		
Уровни звукового давления от источника ИШ-1-25 в расчётной точке днём, дБ		**ф-ла(3)[10]**	**0**	**25,1**	**23,4**	**21,6**	**19,2**	**18,5**	**14,6**	**8,2**	**0**	**22,6**	**22,6**
Источник шума: ИШ-1-26, координаты источника (x,y,z), м =[534.15,80.79,1.00]													
Уровни звуковой мощности источника днём, Lw, дБ		**исходные данные**	**0**	**93,3**	**94,7**	**96**	**96,3**	**95,9**	**92,6**	**88,4**	**83,9**		
Поправка на телесный угол DΩ, дБ	Ω = 6.28	10Lg(4π/Ω)	**3**	3	3	3	3	3	3	3	3		
Показатель направленности источника Di, дБ		исходные данные	**0**	0	0	0	0	0	0	0	0		
Поправка на направленность источника Dc, дБ	Dc	DΩ + Di	**3**	3	3	3	3	3	3	3	3		
Затухание из-за геометрической дивергенции, Adiv, дБ	расстояние = 154.19 м	ф-ла (7) [10]	**54,8**										
Коэффициент затухания звука в атмосфере α, дБ/км	Ta=20,°C Pa=101.33,кПа hотн.=70%	ф-ла (5) [9]	0,02	0,09	0,33	1,12	2,79	4,98	9,04	23,09	77,63		
Учет затухания звука в атмосфере Aatm, дБ		ф-ла (8) [10]	0	0	0,1	0,2	0,4	0,8	1,4	3,6	12		
Снижение уровня звукового давления из-за влияния застройки между источником шума и расчетной точкой													
Снижение уровня звукового давления на пути над экраном, Dz1, дБ	z = 7.42м (разность путей)	ф-лы (14-18) [10]	17,6	21,5	24,9	28	31	34	37	40,1	43,1		
Снижение уровня звукового давления на пути слева от экрана, Dz2, дБ	z = 8.30м (разность путей)	ф-лы (14-18) [10]	15,3	18,1	21	23,9	26,9	29,9	32,9	35,9	38,9		

1		2	3	4	5	6	7	8	9	10	11	12	13
Снижение уровня звукового давления на пути справа от экрана, Dz3, дБ	z = 191.30м (разность путей)	ф-лы (14-18) [10]	32,8	36,2	39,2	42,3	45,3	48,3	51,3	54,3	57,3		
Общее снижение уровня звука препятствием Dz, дБ		Эн.сумма(-Dzi)	13,2	16,4	19,4	22,4	25,4	28,4	31,5	34,5	37,5		
Общее снижение уровня звука препятствием с учётом ограничения (25 дБ) для октавных полос Dz, дБ		Раздел 7.4 [10]	13,2	16,4	19,4	22,4	25	25	25	25	25		
Уровни звукового давления от источника ИШ-1-26 в расчётной точке днём, дБ		**ф-ла(3)[10]**	**0**	**25,1**	**23,4**	**21,6**	**19,1**	**18,4**	**14,4**	**8,1**	**0**	**22,5**	**22,5**
Источник шума: ИШ-1-27, координаты источника (x,y,z), м =[469.65,197.67,1.00]													
Уровни звуковой мощности источника днём, Lw, дБ		**исходные данные**	**0**	**93,3**	**94,7**	**96**	**96,3**	**95,9**	**92,6**	**88,4**	**83,9**		
Поправка на телесный угол DΩ, дБ	Ω = 6.28	10Lg(4π/Ω)	**3**	3	3	3	3	3	3	3	3		
Показатель направленности источника Di, дБ		исходные данные	**0**	0	0	0	0	0	0	0	0		
Поправка на направленность источника Dc, дБ	Dc	DΩ + Di	**3**	3	3	3	3	3	3	3	3		
Затухание из-за геометрической дивергенции, Adiv, дБ	расстояние = 196.02 м	ф-ла (7) [10]	**56,8**										
Коэффициент затухания звука в атмосфере α, дБ/км	Ta=20,°C Pa=101.33,кПа hотн.=70%	ф-ла (5) [9]	0,02	0,09	0,33	1,12	2,79	4,98	9,04	23,09	77,63		
Учет затухания звука в атмосфере Aatm, дБ		ф-ла (8) [10]	0	0	0,1	0,2	0,5	1	1,8	4,5	15,2		
Снижение уровня звукового давления из-за влияния застройки между источником шума и расчетной точкой													
Снижение уровня звукового давления на пути над экраном, Dz1, дБ	z = 7.44м (разность путей)	ф-лы (14-18) [10]	15,1	18,8	23,2	27,3	30,7	33,9	36,9	39,9	42,9		
Снижение уровня звукового давления на пути слева от экрана, Dz2, дБ	z = 28.03м (разность путей)	ф-лы (14-18) [10]	20,8	24,8	29,3	33,4	36,8	39,9	43	46	49		
Снижение уровня звукового давления на пути справа от экрана, Dz3, дБ	z = 72.07м (разность путей)	ф-лы (14-18) [10]	28,5	31,9	35	38	41	44,1	47,1	50,1	53,1		

1		2	3	4	5	6	7	8	9	10	11	12	13
Общее снижение уровня звука препятствием Dz, дБ		Эн.сумма(-Dzi)	13,9	17,7	22	26,1	29,5	32,6	35,6	38,6	41,6		
Общее снижение уровня звука препятствием с учётом ограничения (25 дБ) для октавных полос Dz, дБ		Раздел 7.4 [10]	13,9	17,7	22	25	25	25	25	25	25		
Уровни звукового давления прямого звука от источника ИШ-1-27 в расчётной точке днём, дБ		**ф-ла(3)[10]**	**0**	**21,7**	**18,7**	**16,9**	**16,9**	**16,1**	**12**	**5**	**0**	**19,9**	**19,9**
Расчёт отражённого звука													
Уровни звукового давления от мнимого источника ИШ-1-27_мн.(1) в расчётной точке днём, дБ		**ф-ла(3)[10]**	**0**	**0**	**0**	**0**	**0**	**14,1**	**9,9**	**2,6**	**0**	**16,1**	**16,1**
Уровни звукового давления от мнимого источника ИШ-1-27_мн.(2) в расчётной точке днём, дБ		**ф-ла(3)[10]**	**0**	**0**	**0**	**0**	**15,8**	**14,9**	**10,8**	**3,8**	**0**	**18,3**	**18,3**
Суммарные уровни звукового давления от мнимых источников в расчётной точке днём, дБ		**ф-ла (19) [1]**	**0**	**0**	**0**	**0**	**15,8**	**17,5**	**13,4**	**6,3**	**0**	**0**	**20,4**
Уровни звукового давления от источника ИШ-1-27 в расчётной точке днём, дБ		**ф-ла(3)[10]**	**0**	**21,7**	**18,7**	**16,9**	**19,4**	**19,9**	**15,8**	**8,7**	**0**	**23,2**	**23,2**
Источник шума: ИШ-1-28, координаты источника (x,y,z), м =[472.78,196.69,1.00]													
Уровни звуковой мощности источника днём, Lw, дБ		**исходные данные**	**0**	**93,3**	**94,7**	**96**	**96,3**	**95,9**	**92,6**	**88,4**	**83,9**		
Поправка на телесный угол DΩ, дБ	Ω = 6.28	10Lg(4π/Ω)	**3**	3	3	3	3	3	3	3	3		
Показатель направленности источника Di, дБ		исходные данные	**0**	0	0	0	0	0	0	0	0		
Поправка на направленность источника Dc, дБ	Dc	DΩ + Di	**3**	3	3	3	3	3	3	3	3		
Затухание из-за геометрической дивергенции, Adiv, дБ	расстояние = 196.36 м	ф-ла (7) [10]	**56,9**										
Коэффициент затухания звука в атмосфере α, дБ/км	Ta=20,°C Pa=101.33,кПа hотн.=70%	ф-ла (5) [9]	0,02	0,09	0,33	1,12	2,79	4,98	9,04	23,09	77,63		
Учет затухания звука в атмосфере Aatm, дБ		ф-ла (8) [10]	0	0	0,1	0,2	0,5	1	1,8	4,5	15,2		

1		2	3	4	5	6	7	8	9	10	11	12	13
Снижение уровня звукового давления из-за влияния застройки между источником шума и расчетной точкой													
Снижение уровня звукового давления на пути над экраном, Dz1, дБ	z = 7.44м (разность путей)	ф-лы (14-18) [10]	15,1	18,8	23,2	27,3	30,7	33,9	36,9	39,9	42,9		
Снижение уровня звукового давления на пути слева от экрана, Dz2, дБ	z = 27.51м (разность путей)	ф-лы (14-18) [10]	20,7	24,7	29,2	33,3	36,7	39,8	42,9	45,9	48,9		
Снижение уровня звукового давления на пути справа от экрана, Dz3, дБ	z = 75.01м (разность путей)	ф-лы (14-18) [10]	28,6	32,1	35,2	38,2	41,2	44,2	47,2	50,2	53,3		
Общее снижение уровня звука препятствием Dz, дБ		Эн.сумма(-Dzi)	13,9	17,7	22	26,1	29,5	32,6	35,6	38,6	41,6		
Общее снижение уровня звука препятствием с учётом ограничения (25 дБ) для октавных полос Dz, дБ		Раздел 7.4 [10]	13,9	17,7	22	25	25	25	25	25	25		
Уровни звукового давления прямого звука от источника ИШ-1-28 в расчётной точке днём, дБ		**ф-ла(3)[10]**	**0**	**21,7**	**18,7**	**16,9**	**16,9**	**16,1**	**12**	**5**	**0**	**19,9**	**19,9**
Расчёт отражённого звука													
Уровни звукового давления от мнимого источника ИШ-1-28_мн.(1) в расчётной точке днём, дБ		**ф-ла(3)[10]**	**0**	**0**	**0**	**0**	**0**	**14,1**	**10**	**2,7**	**0**	**16,2**	**16,2**
Уровни звукового давления от источника ИШ-1-28 в расчётной точке днём, дБ		**ф-ла(3)[10]**	**0**	**21,7**	**18,7**	**16,9**	**16,9**	**18,2**	**14,1**	**7**	**0**	**21,4**	**21,4**
Источник шума: ИШ-1-29, координаты источника (x,y,z), м =[475.52,195.72,1.00]													
Уровни звуковой мощности источника днём, Lw, дБ		**исходные данные**	**0**	**93,3**	**94,7**	**96**	**96,3**	**95,9**	**92,6**	**88,4**	**83,9**		
Поправка на телесный угол DΩ, дБ	Ω = 6.28	10Lg(4π/Ω)	**3**	3	3	3	3	3	3	3	3		
Показатель направленности источника Di, дБ		исходные данные	**0**	0	0	0	0	0	0	0	0		
Поправка на направленность источника Dc, дБ	Dc	DΩ + Di	**3**	3	3	3	3	3	3	3	3		
Затухание из-за геометрической дивергенции, Adiv, дБ	расстояние = 196.59 м	ф-ла (7) [10]	**56,9**										
Коэффициент затухания звука в атмосфере α, дБ/км	Ta=20,°C Pa=101.33,кПа hотн.=70%	ф-ла (5) [9]	0,02	0,09	0,33	1,12	2,79	4,98	9,04	23,09	77,63		

1		2	3	4	5	6	7	8	9	10	11	12	13
Учет затухания звука в атмосфере Aatm, дБ		ф-ла (8) [10]	0	0	0,1	0,2	0,5	1	1,8	4,5	15,3		
Снижение уровня звукового давления из-за влияния застройки между источником шума и расчетной точкой													
Снижение уровня звукового давления на пути над экраном, Dz1, дБ	z = 7.44м (разность путей)	ф-лы (14-18) [10]	15,1	18,8	23,2	27,3	30,7	33,9	36,9	39,9	42,9		
Снижение уровня звукового давления на пути слева от экрана, Dz2, дБ	z = 27.05м (разность путей)	ф-лы (14-18) [10]	20,6	24,6	29,1	33,2	36,6	39,8	42,8	45,8	48,8		
Снижение уровня звукового давления на пути справа от экрана, Dz3, дБ	z = 77.68м (разность путей)	ф-лы (14-18) [10]	28,8	32,2	35,3	38,4	41,4	44,4	47,4	50,4	53,4		
Общее снижение уровня звука препятствием Dz, дБ		Эн.сумма(-Dzi)	13,9	17,7	22	26,1	29,4	32,6	35,6	38,6	41,6		
Общее снижение уровня звука препятствием с учётом ограничения (25 дБ) для октавных полос Dz, дБ		Раздел 7.4 [10]	13,9	17,7	22	25	25	25	25	25	25		
Уровни звукового давления прямого звука от источника ИШ-1-29 в расчётной точке днём, дБ		**ф-ла(3)[10]**	**0**	**21,7**	**18,7**	**16,9**	**16,9**	**16**	**11,9**	**5**	**0**	**19,9**	**19,9**
Расчёт отражённого звука													
Уровни звукового давления от мнимого источника ИШ-1-29_мн.(1) в расчётной точке днём, дБ		**ф-ла(3)[10]**	**0**	**0**	**0**	**0**	**0**	**14,2**	**10**	**2,8**	**0**	**16,2**	**16,2**
Уровни звукового давления от источника ИШ-1-29 в расчётной точке днём, дБ		**ф-ла(3)[10]**	**0**	**21,7**	**18,7**	**16,9**	**16,9**	**18,2**	**14,1**	**7**	**0**	**21,4**	**21,4**
Источник шума: ИШ-1-30, координаты источника (x,y,z), м =[478.45,194.54,1.00]													
Уровни звуковой мощности источника днём, Lw, дБ		**исходные данные**	**0**	**93,3**	**94,7**	**96**	**96,3**	**95,9**	**92,6**	**88,4**	**83,9**		
Поправка на телесный угол DΩ, дБ	Ω = 6.28	10Lg(4π/Ω)	**3**	3	3	3	3	3	3	3	3		
Показатель направленности источника Di, дБ		исходные данные	**0**	0	0	0	0	0	0	0	0		
Поправка на направленность источника Dc, дБ	Dc	DΩ + Di	**3**	3	3	3	3	3	3	3	3		
Затухание из-за геометрической дивергенции, Adiv, дБ	расстояние = 196.76 м	ф-ла (7) [10]	**56,9**										

1		2	3	4	5	6	7	8	9	10	11	12	13
Коэффициент затухания звука в атмосфере α, дБ/км	Та=20,°С Ра=101.33,кПа hотн.=70%	ф-ла (5) [9]	0,02	0,09	0,33	1,12	2,79	4,98	9,04	23,09	77,63		
Учет затухания звука в атмосфере Aatm, дБ		ф-ла (8) [10]	0	0	0,1	0,2	0,5	1	1,8	4,5	15,3		
Снижение уровня звукового давления из-за влияния застройки между источником шума и расчетной точкой													
Снижение уровня звукового давления на пути над экраном, Dz1, дБ	z = 7.43м (разность путей)	ф-лы (14-18) [10]	15,1	18,8	23,3	27,3	30,7	33,9	36,9	39,9	42,9		
Снижение уровня звукового давления на пути слева от экрана, Dz2, дБ	z = 26.56м (разность путей)	ф-лы (14-18) [10]	20,6	24,5	29	33,1	36,6	39,7	42,7	45,7	48,8		
Снижение уровня звукового давления на пути справа от экрана, Dz3, дБ	z = 80.65м (разность путей)	ф-лы (14-18) [10]	28,9	32,4	35,5	38,5	41,5	44,5	47,6	50,6	53,6		
Общее снижение уровня звука препятствием Dz, дБ		Эн.сумма(-Dzi)	13,8	17,7	22	26	29,4	32,6	35,6	38,6	41,6		
Общее снижение уровня звука препятствием с учётом ограничения (25 дБ) для октавных полос Dz, дБ		Раздел 7.4 [10]	13,8	17,7	22	25	25	25	25	25	25		
Уровни звукового давления прямого звука от источника ИШ-1-30 в расчётной точке днём, дБ		**ф-ла(3)[10]**	**0**	**21,7**	**18,7**	**16,9**	**16,9**	**16**	**11,9**	**5**	**0**	**19,9**	**19,9**
Расчёт отражённого звука													
Уровни звукового давления от мнимого источника ИШ-1-30_мн.(1) в расчётной точке днём, дБ		**ф-ла(3)[10]**	**0**	**0**	**0**	**0**	**0**	**14,3**	**10,1**	**2,9**	**0**	**16,3**	**16,3**
Уровни звукового давления от источника ИШ-1-30 в расчётной точке днём, дБ		**ф-ла(3)[10]**	**0**	**21,7**	**18,7**	**16,9**	**16,9**	**18,3**	**14,1**	**7,1**	**0**	**21,4**	**21,4**
Источник шума: ИШ-1-31, координаты источника (x,y,z), м =[481.58,193.96,1.00]													
Уровни звуковой мощности источника днём, Lw, дБ		**исходные данные**	**0**	**93,3**	**94,7**	**96**	**96,3**	**95,9**	**92,6**	**88,4**	**83,9**		
Поправка на телесный угол DΩ, дБ	Ω = 6.28	10Lg(4π/Ω)	**3**	3	3	3	3	3	3	3	3		
Показатель направленности источника Di, дБ		исходные данные	**0**	0	0	0	0	0	0	0	0		

1		2	3	4	5	6	7	8	9	10	11	12	13
Поправка на направленность источника Dc, дБ	Dc	DΩ + Di	**3**	3	3	3	3	3	3	3	3		
Затухание из-за геометрической дивергенции, Adiv, дБ	расстояние = 197.60 м	ф-ла (7) [10]	**56,9**										
Коэффициент затухания звука в атмосфере α, дБ/км	Ta=20,°C Pa=101.33,кПа hотн.=70%	ф-ла (5) [9]	0,02	0,09	0,33	1,12	2,79	4,98	9,04	23,09	77,63		
Учет затухания звука в атмосфере Aatm, дБ		ф-ла (8) [10]	0	0	0,1	0,2	0,6	1	1,8	4,6	15,3		
Снижение уровня звукового давления из-за влияния застройки между источником шума и расчетной точкой													
Снижение уровня звукового давления на пути над экраном, Dz1, дБ	z = 7.43м (разность путей)	ф-лы (14-18) [10]	15,1	18,8	23,3	27,3	30,7	33,8	36,9	39,9	42,9		
Снижение уровня звукового давления на пути слева от экрана, Dz2, дБ	z = 26.09м (разность путей)	ф-лы (14-18) [10]	20,5	24,5	28,9	33	36,5	39,6	42,6	45,7	48,7		
Снижение уровня звукового давления на пути справа от экрана, Dz3, дБ	z = 82.98м (разность путей)	ф-лы (14-18) [10]	29,1	32,5	35,6	38,6	41,7	44,7	47,7	50,7	53,7		
Общее снижение уровня звука препятствием Dz, дБ		Эн.сумма(-Dzi)	13,8	17,7	22	26	29,4	32,5	35,6	38,6	41,6		
Общее снижение уровня звука препятствием с учётом ограничения (25 дБ) для октавных полос Dz, дБ		Раздел 7.4 [10]	13,8	17,7	22	25	25	25	25	25	25		
Уровни звукового давления прямого звука от источника ИШ-1-31 в расчётной точке днём, дБ		**ф-ла(3)[10]**	**0**	**21,7**	**18,7**	**16,9**	**16,8**	**16**	**11,9**	**4,9**	**0**	**19,8**	**19,8**
Расчёт отражённого звука													
Уровни звукового давления от мнимого источника ИШ-1-31_мн.(1) в расчётной точке днём, дБ		**ф-ла(3)[10]**	**0**	**0**	**0**	**0**	**0**	**14,3**	**10,1**	**3**	**0**	**16,3**	**16,3**
Уровни звукового давления от источника ИШ-1-31 в расчётной точке днём, дБ		**ф-ла(3)[10]**	**0**	**21,7**	**18,7**	**16,9**	**16,8**	**18,2**	**14,1**	**7,1**	**0**	**21,4**	**21,4**
Источник шума: ИШ-1-32, координаты источника (x,y,z), м =[871.21,281.99,50.00]													
Уровни звуковой мощности источника днём, Lw, дБ		**исходные данные**	**125**	**119,6**	**113,4**	**111,4**	**110,8**	**112,7**	**113,8**	**109,2**	**97,4**		

1		2	3	4	5	6	7	8	9	10	11	12	13
Поправка на телесный угол DΩ, дБ	Ω = 12.57	10Lg(4π/Ω)	**0**	0	0	0	0	0	0	0	0		
Показатель направленности источника Di, дБ		исходные данные	**0**	0	0	0	0	0	0	0	0		
Поправка на направленность источника Dc, дБ	Dc	DΩ + Di	**0**	0	0	0	0	0	0	0	0		
Затухание из-за геометрической дивергенции, Adiv, дБ	расстояние = 548.20 м	ф-ла (7) [10]	**65,8**										
Коэффициент затухания звука в атмосфере α, дБ/км	Ta=20,°C Pa=101.33,кПа hотн.=70%	ф-ла (5) [9]	0,02	0,09	0,33	1,12	2,79	4,98	9,04	23,09	77,63		
Учет затухания звука в атмосфере Aatm, дБ		ф-ла (8) [10]	0	0	0,2	0,6	1,5	2,7	5	12,7	42,6		
Снижение уровня звукового давления из-за влияния застройки между источником шума и расчетной точкой													
Снижение уровня звукового давления на пути над экраном, Dz1, дБ	z = 6.12м (разность путей)	ф-лы (14-18) [10]	13,2	15,9	18,7	21,6	24,6	27,6	30,6	33,6	36,6		
Снижение уровня звукового давления на пути слева от экрана, Dz2, дБ	z = 8.91м (разность путей)	ф-лы (14-18) [10]	15,6	18,4	21,3	24,2	27,2	30,2	33,2	36,2	39,2		
Общее снижение уровня звука препятствием Dz, дБ		Эн.сумма(-Dzi)	11,2	14	16,8	19,7	22,7	25,7	28,7	31,7	34,7		
Общее снижение уровня звука препятствием с учётом ограничения (20 дБ) для октавных полос Dz, дБ		Раздел 7.4 [10]	11,2	14	16,8	19,7	20	20	20	20	20		
Уровни звукового давления от источника ИШ-1-32 в расчётной точке днём, дБ		**ф-ла(3)[10]**	**48**	**39,8**	**30,7**	**25,3**	**23,5**	**24,2**	**23,1**	**10,8**	**0**	**28,8**	**28,8**
Источник шума: ИШ-1-33, координаты источника (x,y,z), м =[743.42,374.85,1.00]													
Уровни звуковой мощности источника днём, Lw, дБ		**исходные данные**	**0**	**88,7**	**90,1**	**93,1**	**96,4**	**103**	**112**	**108**	**99,2**		
Поправка на телесный угол DΩ, дБ	Ω = 6.28	10Lg(4π/Ω)	**3**	3	3	3	3	3	3	3	3		
Показатель направленности источника Di, дБ		исходные данные	**0**	0	0	0	0	0	0	0	0		

1		2	3	4	5	6	7	8	9	10	11	12	13
Поправка на направленность источника Dc, дБ	Dc	DΩ + Di	**3**	3	3	3	3	3	3	3	3		
Затухание из-за геометрической дивергенции, Adiv, дБ	расстояние = 500.34 м	ф-ла (7) [10]	**65**										
Коэффициент затухания звука в атмосфере α, дБ/км	Ta=20,°C Pa=101.33,кПа hотн.=70%	ф-ла (5) [9]	0,02	0,09	0,33	1,12	2,79	4,98	9,04	23,09	77,63		
Учет затухания звука в атмосфере Aatm, дБ		ф-ла (8) [10]	0	0	0,2	0,6	1,4	2,5	4,5	11,6	38,8		
Снижение уровня звукового давления из-за влияния застройки между источником шума и расчетной точкой													
Снижение уровня звукового давления на пути над экраном, Dz1, дБ	z = 7.20м (разность путей)	ф-лы (14-18) [10]	17,8	21,2	24,3	27,4	30,4	33,4	36,4	39,4	42,4		
Снижение уровня звукового давления на пути слева от экрана, Dz2, дБ	z = 18.47м (разность путей)	ф-лы (14-18) [10]	20,9	25,3	28,9	32,1	35,1	38,1	41,2	44,2	47,2		
Снижение уровня звукового давления на пути справа от экрана, Dz3, дБ	z = 80.31м (разность путей)	ф-лы (14-18) [10]	28,9	32,4	35,5	38,5	41,5	44,5	47,5	50,5	53,6		
Общее снижение уровня звука препятствием Dz, дБ		Эн.сумма(-Dzi)	15,9	19,6	22,8	25,8	28,9	31,9	34,9	37,9	40,9		
Общее снижение уровня звука препятствием с учётом ограничения (25 дБ) для октавных полос Dz, дБ		Раздел 7.4 [10]	15,9	19,6	22,8	25	25	25	25	25	25		
Уровни звукового давления от источника ИШ-1-33 в расчётной точке днём, дБ		**ф-ла(3)[10]**	**0**	**7,1**	**5,2**	**5,6**	**8**	**13,5**	**20,5**	**9,5**	**0**	**22,7**	**22,7**
Источник шума: ИШ-1-34, координаты источника (x,y,z), м =[1042.35,199.07,1.00]													
Уровни звуковой мощности источника днём, Lw, дБ		**исходные данные**	**0**	**88,7**	**90,1**	**93,1**	**96,4**	**103**	**112**	**108**	**99,2**		
Поправка на телесный угол DΩ, дБ	Ω = 6.28	10Lg(4π/Ω)	**3**	3	3	3	3	3	3	3	3		
Показатель направленности источника Di, дБ		исходные данные	**0**	0	0	0	0	0	0	0	0		
Поправка на направленность источника Dc, дБ	Dc	DΩ + Di	**3**	3	3	3	3	3	3	3	3		

1		2	3	4	5	6	7	8	9	10	11	12	13
Затухание из-за геометрической дивергенции, Adiv, дБ	расстояние = 673.63 м	ф-ла (7) [10]	**67,6**										
Коэффициент затухания звука в атмосфере α, дБ/км	Ta=20,°C Pa=101.33,кПа hотн.=70%	ф-ла (5) [9]	0,02	0,09	0,33	1,12	2,79	4,98	9,04	23,09	77,63		
Учет затухания звука в атмосфере Aatm, дБ		ф-ла (8) [10]	0	0,1	0,2	0,8	1,9	3,4	6,1	15,6	52,3		
Снижение уровня звукового давления из-за влияния застройки между источником шума и расчетной точкой													
Снижение уровня звукового давления на пути над экраном, Dz1, дБ	z = 6.42м (разность путей)	ф-лы (14-18) [10]	14	18	22,3	26	29,3	32,4	35,4	38,4	41,4		
Снижение уровня звукового давления на пути слева от экрана, Dz2, дБ	z = 4.50м (разность путей)	ф-лы (14-18) [10]	12,9	15,6	18,4	21,3	24,3	27,3	30,3	33,3	36,3		
Снижение уровня звукового давления на пути справа от экрана, Dz3, дБ	z = 165.64м (разность путей)	ф-лы (14-18) [10]	32,1	35,5	38,6	41,6	44,7	47,7	50,7	53,7	56,7		
Общее снижение уровня звука препятствием Dz, дБ		Эн.сумма(-Dzi)	10,4	13,6	16,9	20	23,1	26,1	29,1	32,1	35,1		
Общее снижение уровня звука препятствием с учётом ограничения (25 дБ) для октавных полос Dz, дБ		Раздел 7.4 [10]	10,4	13,6	16,9	20	23,1	25	25	25	25		
Уровни звукового давления от источника ИШ-1-34 в расчётной точке днём, дБ		**ф-ла(3)[10]**	**0**	**10,5**	**8,4**	**7,8**	**6,9**	**10,1**	**16,4**	**2,9**	**0**	**18,6**	**18,6**
Источник шума: ИШ-2-1, координаты источника (x,y,z), м =[696.50,124.40,3.00]													
Уровни звуковой мощности источника днём, Lw, дБ		**исходные данные**	**105**	**104**	**104**	**101**	**102**	**106**	**101**	**95**	**87**		
Поправка на телесный угол DΩ, дБ	Ω = 6.28	10Lg(4π/Ω)	**3**	3	3	3	3	3	3	3	3		
Показатель направленности источника Di, дБ		исходные данные	**0**	0	0	0	0	0	0	0	0		
Поправка на направленность источника Dc, дБ	Dc	DΩ + Di	**3**	3	3	3	3	3	3	3	3		
Затухание из-за геометрической дивергенции, Adiv, дБ	расстояние = 321.21 м	ф-ла (7) [10]	**61,1**										

1		2	3	4	5	6	7	8	9	10	11	12	13
Коэффициент затухания звука в атмосфере α, дБ/км	Ta=20,°C Pa=101.33,кПа hотн.=70%	ф-ла (5) [9]	0,02	0,09	0,33	1,12	2,79	4,98	9,04	23,09	77,63		
Учет затухания звука в атмосфере Aatm, дБ		ф-ла (8) [10]	0	0	0,1	0,4	0,9	1,6	2,9	7,4	24,9		
Снижение уровня звукового давления из-за влияния застройки между источником шума и расчетной точкой													
Снижение уровня звукового давления на пути над экраном, Dz1, дБ	z = 6.60м (разность путей)	ф-лы (14-18) [10]	14,8	18,9	23,2	26,8	30,1	33,1	36,1	39,2	42,2		
Снижение уровня звукового давления на пути слева от экрана, Dz2, дБ	z = 5.89м (разность путей)	ф-лы (14-18) [10]	13,9	16,7	19,5	22,5	25,4	28,4	31,4	34,4	37,4		
Снижение уровня звукового давления на пути справа от экрана, Dz3, дБ	z = 70.37м (разность путей)	ф-лы (14-18) [10]	28,7	31,9	34,9	37,9	40,9	44	47	50	53		
Общее снижение уровня звука препятствием Dz, дБ		Эн.сумма(-Dzi)	11,2	14,6	17,9	21	24,1	27,1	30,1	33,1	36,1		
Общее снижение уровня звука препятствием с учётом ограничения (25 дБ) для октавных полос Dz, дБ		Раздел 7.4 [10]	11,2	14,6	17,9	21	24,1	25	25	25	25		
Уровни звукового давления от источника ИШ-2-1 в расчётной точке днём, дБ		**ф-ла(3)[10]**	**35,6**	**31,3**	**27,9**	**21,5**	**18,9**	**21,3**	**15**	**4,5**	**0**	**24,1**	**24,1**
Источник шума: ИШ-2-2, координаты источника (x,y,z), м =[682.20,81.60,3.00]													
Уровни звуковой мощности источника днём, Lw, дБ		**исходные данные**	**105**	**104**	**104**	**101**	**102**	**106**	**101**	**95**	**87**		
Поправка на телесный угол DΩ, дБ	Ω = 6.28	10Lg(4π/Ω)	**3**	3	3	3	3	3	3	3	3		
Показатель направленности источника Di, дБ		исходные данные	**0**	0	0	0	0	0	0	0	0		
Поправка на направленность источника Dc, дБ	Dc	DΩ + Di	**3**	3	3	3	3	3	3	3	3		
Затухание из-за геометрической дивергенции, Adiv, дБ	расстояние = 295.55 м	ф-ла (7) [10]	**60,4**										
Коэффициент затухания звука в атмосфере α, дБ/км	Ta=20,°C Pa=101.33,кПа hотн.=70%	ф-ла (5) [9]	0,02	0,09	0,33	1,12	2,79	4,98	9,04	23,09	77,63		

1		2	3	4	5	6	7	8	9	10	11	12	13
Учет затухания звука в атмосфере Aatm, дБ		ф-ла (8) [10]	0	0	0,1	0,3	0,8	1,5	2,7	6,8	22,9		
Снижение уровня звукового давления из-за влияния застройки между источником шума и расчетной точкой													
Снижение уровня звукового давления на пути над экраном, Dz1, дБ	z = 6.29м (разность путей)	ф-лы (14-18) [10]	14,5	18,5	22,8	26,6	29,9	32,9	36	39	42		
Снижение уровня звукового давления на пути слева от экрана, Dz2, дБ	z = 3.90м (разность путей)	ф-лы (14-18) [10]	12,4	15	17,8	20,7	23,7	26,6	29,6	32,6	35,7		
Снижение уровня звукового давления на пути справа от экрана, Dz3, дБ	z = 86.87м (разность путей)	ф-лы (14-18) [10]	29,6	32,8	35,8	38,8	41,9	44,9	47,9	50,9	53,9		
Общее снижение уровня звука препятствием Dz, дБ		Эн.сумма(-Dzi)	10,3	13,4	16,6	19,7	22,7	25,7	28,7	31,7	34,7		
Общее снижение уровня звука препятствием с учётом ограничения (25 дБ) для октавных полос Dz, дБ		Раздел 7.4 [10]	10,3	13,4	16,6	19,7	22,7	25	25	25	25		
Уровни звукового давления от источника ИШ-2-2 в расчётной точке днём, дБ		**ф-ла(3)[10]**	**37,3**	**33,2**	**29,9**	**23,6**	**21,1**	**22,1**	**15,9**	**5,8**	**0**	**25,4**	**25,4**
Источник шума: ИШ-2-3, координаты источника (x,y,z), м =[667.80,38.90,3.00]													
Уровни звуковой мощности источника днём, Lw, дБ		**исходные данные**	**105**	**104**	**104**	**101**	**102**	**106**	**101**	**95**	**87**		
Поправка на телесный угол DΩ, дБ	Ω = 6.28	10Lg(4π/Ω)	**3**	3	3	3	3	3	3	3	3		
Показатель направленности источника Di, дБ		исходные данные	**0**	0	0	0	0	0	0	0	0		
Поправка на направленность источника Dc, дБ	Dc	DΩ + Di	**3**	3	3	3	3	3	3	3	3		
Затухание из-за геометрической дивергенции, Adiv, дБ	расстояние = 274.87 м	ф-ла (7) [10]	**59,8**										
Коэффициент затухания звука в атмосфере α, дБ/км	Ta=20,°C Pa=101.33,кПа hотн.=70%	ф-ла (5) [9]	0,02	0,09	0,33	1,12	2,79	4,98	9,04	23,09	77,63		
Учет затухания звука в атмосфере Aatm, дБ		ф-ла (8) [10]	0	0	0,1	0,3	0,8	1,4	2,5	6,3	21,3		

1		2	3	4	5	6	7	8	9	10	11	12	13
Снижение уровня звукового давления из-за влияния застройки между источником шума и расчетной точкой													
Снижение уровня звукового давления на пути над экраном, Dz1, дБ	z = 5.74м (разность путей)	ф-лы (14-18) [10]	14	17,9	22,2	26,1	29,4	32,5	35,6	38,6	41,6		
Снижение уровня звукового давления на пути слева от экрана, Dz2, дБ	z = 2.05м (разность путей)	ф-лы (14-18) [10]	10,2	12,6	15,2	18	20,9	23,9	26,9	29,9	32,9		
Снижение уровня звукового давления на пути справа от экрана, Dz3, дБ	z = 76.33м (разность путей)	ф-лы (14-18) [10]	25,1	29,1	33,6	37,7	41,1	44,3	47,3	50,3	53,3		
Общее снижение уровня звука препятствием Dz, дБ		Эн.сумма(-Dzi)	8,6	11,4	14,4	17,3	20,3	23,3	26,3	29,3	32,3		
Общее снижение уровня звука препятствием с учётом ограничения (25 дБ) для октавных полос Dz, дБ		Раздел 7.4 [10]	8,6	11,4	14,4	17,3	20,3	23,3	25	25	25		
Уровни звукового давления от источника ИШ-2-3 в расчётной точке днём, дБ		**ф-ла(3)[10]**	**39,6**	**35,8**	**32,8**	**26,6**	**24,2**	**24,6**	**16,7**	**6,9**	**0**	**27,8**	**27,8**
Источник шума: ИШ-2-6, координаты источника (x,y,z), м =[765.97,112.43,1.00]													
Уровни звуковой мощности источника днём, Lw, дБ		**исходные данные**	**0**	**93,3**	**94,7**	**96**	**96,3**	**95,9**	**92,6**	**88,4**	**83,9**		
Поправка на телесный угол DΩ, дБ	Ω = 6.28	10Lg(4π/Ω)	**3**	3	3	3	3	3	3	3	3		
Показатель направленности источника Di, дБ		исходные данные	**0**	0	0	0	0	0	0	0	0		
Поправка на направленность источника Dc, дБ	Dc	DΩ + Di	**3**	3	3	3	3	3	3	3	3		
Затухание из-за геометрической дивергенции, Adiv, дБ	расстояние = 384.22 м	ф-ла (7) [10]	**62,7**										
Коэффициент затухания звука в атмосфере α, дБ/км	Ta=20,°C Pa=101.33,кПа hотн.=70%	ф-ла (5) [9]	0,02	0,09	0,33	1,12	2,79	4,98	9,04	23,09	77,63		
Учет затухания звука в атмосфере Aatm, дБ		ф-ла (8) [10]	0	0	0,1	0,4	1,1	1,9	3,5	8,9	29,8		
Снижение уровня звукового давления из-за влияния застройки между источником шума и расчетной точкой													

1		2	3	4	5	6	7	8	9	10	11	12	13
Снижение уровня звукового давления на пути над экраном, Dz1, дБ	z = 6.41м (разность путей)	ф-лы (14-18) [10]	14,4	18,5	22,8	26,5	29,8	32,9	35,9	38,9	41,9		
Снижение уровня звукового давления на пути слева от экрана, Dz2, дБ	z = 4.28м (разность путей)	ф-лы (14-18) [10]	12,8	15,4	18,2	21,1	24,1	27	30	33	36,1		
Снижение уровня звукового давления на пути справа от экрана, Dz3, дБ	z = 78.38м (разность путей)	ф-лы (14-18) [10]	29,2	32,4	35,4	38,4	41,4	44,4	47,4	50,4	53,4		
Общее снижение уровня звука препятствием Dz, дБ		Эн.сумма(-Dzi)	10,4	13,6	16,8	19,9	23	26	29	32	35		
Общее снижение уровня звука препятствием с учётом ограничения (25 дБ) для октавных полос Dz, дБ		Раздел 7.4 [10]	10,4	13,6	16,8	19,9	23	25	25	25	25		
Уровни звукового давления от источника ИШ-2-6 в расчётной точке днём, дБ		**ф-ла(3)[10]**	**0**	**20**	**18**	**15,9**	**12,6**	**9,3**	**4,4**	**0**	**0**	**14,5**	**14,5**
Источник шума: ИШ-2-7, координаты источника (x,y,z), м =[764.91,109.54,1.00]													
Уровни звуковой мощности источника днём, Lw, дБ		**исходные данные**	**0**	**93,3**	**94,7**	**96**	**96,3**	**95,9**	**92,6**	**88,4**	**83,9**		
Поправка на телесный угол DΩ, дБ	Ω = 6.28	10Lg(4π/Ω)	**3**	3	3	3	3	3	3	3	3		
Показатель направленности источника Di, дБ		исходные данные	**0**	0	0	0	0	0	0	0	0		
Поправка на направленность источника Dc, дБ	Dc	DΩ + Di	**3**	3	3	3	3	3	3	3	3		
Затухание из-за геометрической дивергенции, Adiv, дБ	расстояние = 382.48 м	ф-ла (7) [10]	**62,7**										
Коэффициент затухания звука в атмосфере α, дБ/км	Ta=20,°C Pa=101.33,кПа hотн.=70%	ф-ла (5) [9]	0,02	0,09	0,33	1,12	2,79	4,98	9,04	23,09	77,63		
Учет затухания звука в атмосфере Aatm, дБ		ф-ла (8) [10]	0	0	0,1	0,4	1,1	1,9	3,5	8,8	29,7		
Снижение уровня звукового давления из-за влияния застройки между источником шума и расчетной точкой													
Снижение уровня звукового давления на пути над экраном, Dz1, дБ	z = 6.39м (разность путей)	ф-лы (14-18) [10]	14,4	18,4	22,8	26,5	29,8	32,9	35,9	38,9	41,9		

1		2	3	4	5	6	7	8	9	10	11	12	13
Снижение уровня звукового давления на пути слева от экрана, Dz2, дБ	z = 4.18м (разность путей)	ф-лы (14-18) [10]	12,7	15,3	18,1	21	24	26,9	29,9	32,9	36		
Снижение уровня звукового давления на пути справа от экрана, Dz3, дБ	z = 78.02м (разность путей)	ф-лы (14-18) [10]	29,2	32,3	35,4	38,4	41,4	44,4	47,4	50,4	53,4		
Общее снижение уровня звука препятствием Dz, дБ		Эн.сумма(-Dzi)	10,4	13,5	16,8	19,9	22,9	25,9	28,9	31,9	34,9		
Общее снижение уровня звука препятствием с учётом ограничения (25 дБ) для октавных полос Dz, дБ		Раздел 7.4 [10]	10,4	13,5	16,8	19,9	22,9	25	25	25	25		
Уровни звукового давления от источника ИШ-2-7 в расчётной точке днём, дБ		**ф-ла(3)[10]**	**0**	**20,1**	**18,2**	**16**	**12,7**	**9,3**	**4,5**	**0**	**0**	**14,6**	**14,6**
Источник шума: ИШ-2-8, координаты источника (x,y,z), м =[764.03,106.58,1.00]													
Уровни звуковой мощности источника днём, Lw, дБ		**исходные данные**	**0**	**93,3**	**94,7**	**96**	**96,3**	**95,9**	**92,6**	**88,4**	**83,9**		
Поправка на телесный угол DΩ, дБ	Ω = 6.28	10Lg(4π/Ω)	**3**	3	3	3	3	3	3	3	3		
Показатель направленности источника Di, дБ		исходные данные	**0**	0	0	0	0	0	0	0	0		
Поправка на направленность источника Dc, дБ	Dc	DΩ + Di	**3**	3	3	3	3	3	3	3	3		
Затухание из-за геометрической дивергенции, Adiv, дБ	расстояние = 380.92 м	ф-ла (7) [10]	**62,6**										
Коэффициент затухания звука в атмосфере α, дБ/км	Ta=20,°C Pa=101.33,кПа hотн.=70%	ф-ла (5) [9]	0,02	0,09	0,33	1,12	2,79	4,98	9,04	23,09	77,63		
Учет затухания звука в атмосфере Aatm, дБ		ф-ла (8) [10]	0	0	0,1	0,4	1,1	1,9	3,4	8,8	29,6		
Снижение уровня звукового давления из-за влияния застройки между источником шума и расчетной точкой													
Снижение уровня звукового давления на пути над экраном, Dz1, дБ	z = 6.37м (разность путей)	ф-лы (14-18) [10]	14,4	18,4	22,7	26,5	29,8	32,8	35,9	38,9	41,9		
Снижение уровня звукового давления на пути слева от экрана, Dz2, дБ	z = 4.07м (разность путей)	ф-лы (14-18) [10]	12,6	15,2	18	20,9	23,8	26,8	29,8	32,8	35,8		

1		2	3	4	5	6	7	8	9	10	11	12	13
Снижение уровня звукового давления на пути справа от экрана, Dz3, дБ	z = 79.73м (разность путей)	ф-лы (14-18) [10]	29,2	32,4	35,4	38,5	41,5	44,5	47,5	50,5	53,5		
Общее снижение уровня звука препятствием Dz, дБ		Эн.сумма(-Dzi)	10,3	13,5	16,7	19,8	22,8	25,8	28,8	31,8	34,8		
Общее снижение уровня звука препятствием с учётом ограничения (25 дБ) для октавных полос Dz, дБ		Раздел 7.4 [10]	10,3	13,5	16,7	19,8	22,8	25	25	25	25		
Уровни звукового давления от источника ИШ-2-8 в расчётной точке днём, дБ		**ф-ла(3)[10]**	**0**	**20,2**	**18,3**	**16,2**	**12,8**	**9,4**	**4,5**	**0**	**0**	**14,7**	**14,7**
Источник шума: ИШ-2-9, координаты источника (x,y,z), м =[763.26,103.71,1.00]													
Уровни звуковой мощности источника днём, Lw, дБ		**исходные данные**	**0**	**93,3**	**94,7**	**96**	**96,3**	**95,9**	**92,6**	**88,4**	**83,9**		
Поправка на телесный угол DΩ, дБ	Ω = 6.28	10Lg(4π/Ω)	**3**	3	3	3	3	3	3	3	3		
Показатель направленности источника Di, дБ		исходные данные	**0**	0	0	0	0	0	0	0	0		
Поправка на направленность источника Dc, дБ	Dc	DΩ + Di	**3**	3	3	3	3	3	3	3	3		
Затухание из-за геометрической дивергенции, Adiv, дБ	расстояние = 379.50 м	ф-ла (7) [10]	**62,6**										
Коэффициент затухания звука в атмосфере α, дБ/км	Ta=20,°C Pa=101.33,кПа hотн.=70%	ф-ла (5) [9]	0,02	0,09	0,33	1,12	2,79	4,98	9,04	23,09	77,63		
Учет затухания звука в атмосфере Aatm, дБ		ф-ла (8) [10]	0	0	0,1	0,4	1,1	1,9	3,4	8,8	29,5		
Снижение уровня звукового давления из-за влияния застройки между источником шума и расчетной точкой													
Снижение уровня звукового давления на пути над экраном, Dz1, дБ	z = 6.35м (разность путей)	ф-лы (14-18) [10]	14,4	18,4	22,7	26,5	29,8	32,8	35,9	38,9	41,9		
Снижение уровня звукового давления на пути слева от экрана, Dz2, дБ	z = 3.97м (разность путей)	ф-лы (14-18) [10]	12,5	15,1	17,9	20,8	23,7	26,7	29,7	32,7	35,7		
Снижение уровня звукового давления на пути справа от экрана, Dz3, дБ	z = 81.45м (разность путей)	ф-лы (14-18) [10]	29,3	32,5	35,5	38,6	41,6	44,6	47,6	50,6	53,6		

1		2	3	4	5	6	7	8	9	10	11	12	13
Общее снижение уровня звука препятствием Dz, дБ		Эн.сумма(-Dzi)	10,3	13,4	16,6	19,7	22,7	25,7	28,7	31,7	34,7		
Общее снижение уровня звука препятствием с учётом ограничения (25 дБ) для октавных полос Dz, дБ		Раздел 7.4 [10]	10,3	13,4	16,6	19,7	22,7	25	25	25	25		
Уровни звукового давления от источника ИШ-2-9 в расчётной точке днём, дБ		**ф-ла(3)[10]**	**0**	**20,3**	**18,4**	**16,3**	**12,9**	**9,4**	**4,6**	**0**	**0**	**14,7**	**14,7**
Источник шума: ИШ-2-10, координаты источника (x,y,z), м =[762.14,100.75,1.00]													
Уровни звуковой мощности источника днём, Lw, дБ		**исходные данные**	**0**	**93,3**	**94,7**	**96**	**96,3**	**95,9**	**92,6**	**88,4**	**83,9**		
Поправка на телесный угол DΩ, дБ	Ω = 6.28	10Lg(4π/Ω)	**3**	3	3	3	3	3	3	3	3		
Показатель направленности источника Di, дБ		исходные данные	**0**	0	0	0	0	0	0	0	0		
Поправка на направленность источника Dc, дБ	Dc	DΩ + Di	**3**	3	3	3	3	3	3	3	3		
Затухание из-за геометрической дивергенции, Adiv, дБ	расстояние = 377.75 м	ф-ла (7) [10]	**62,5**										
Коэффициент затухания звука в атмосфере α, дБ/км	Ta=20,°C Pa=101.33,кПа hотн.=70%	ф-ла (5) [9]	0,02	0,09	0,33	1,12	2,79	4,98	9,04	23,09	77,63		
Учет затухания звука в атмосфере Aatm, дБ		ф-ла (8) [10]	0	0	0,1	0,4	1,1	1,9	3,4	8,7	29,3		
Снижение уровня звукового давления из-за влияния застройки между источником шума и расчетной точкой													
Снижение уровня звукового давления на пути над экраном, Dz1, дБ	z = 6.33м (разность путей)	ф-лы (14-18) [10]	14,4	18,4	22,7	26,5	29,7	32,8	35,8	38,9	41,9		
Снижение уровня звукового давления на пути слева от экрана, Dz2, дБ	z = 3.86м (разность путей)	ф-лы (14-18) [10]	12,4	15	17,8	20,7	23,6	26,6	29,6	32,6	35,6		
Снижение уровня звукового давления на пути справа от экрана, Dz3, дБ	z = 83.30м (разность путей)	ф-лы (14-18) [10]	29,4	32,6	35,6	38,7	41,7	44,7	47,7	50,7	53,7		
Общее снижение уровня звука препятствием Dz, дБ		Эн.сумма(-Dzi)	10,2	13,3	16,5	19,6	22,6	25,6	28,6	31,6	34,6		

1		2	3	4	5	6	7	8	9	10	11	12	13
Общее снижение уровня звука препятствием с учётом ограничения (25 дБ) для октавных полос Dz, дБ		Раздел 7.4 [10]	10,2	13,3	16,5	19,6	22,6	25	25	25	25		
Уровни звукового давления от источника ИШ-2-10 в расчётной точке днём, дБ		**ф-ла(3)[10]**	**0**	**20,4**	**18,5**	**16,4**	**13,1**	**9,5**	**4,6**	**0**	**0**	**14,8**	**14,8**
Источник шума: ИШ-2-11, координаты источника (x,y,z), м =[761.13,97.90,1.00]													
Уровни звуковой мощности источника днём, Lw, дБ		**исходные данные**	**0**	**93,3**	**94,7**	**96**	**96,3**	**95,9**	**92,6**	**88,4**	**83,9**		
Поправка на телесный угол DΩ, дБ	Ω = 6.28	10Lg(4π/Ω)	**3**	3	3	3	3	3	3	3	3		
Показатель направленности источника Di, дБ		исходные данные	**0**	0	0	0	0	0	0	0	0		
Поправка на направленность источника Dc, дБ	Dc	DΩ + Di	**3**	3	3	3	3	3	3	3	3		
Затухание из-за геометрической дивергенции, Adiv, дБ	расстояние = 376.13 м	ф-ла (7) [10]	**62,5**										
Коэффициент затухания звука в атмосфере α, дБ/км	Ta=20,°C Pa=101.33,кПа hотн.=70%	ф-ла (5) [9]	0,02	0,09	0,33	1,12	2,79	4,98	9,04	23,09	77,63		
Учет затухания звука в атмосфере Aatm, дБ		ф-ла (8) [10]	0	0	0,1	0,4	1	1,9	3,4	8,7	29,2		
Снижение уровня звукового давления из-за влияния застройки между источником шума и расчетной точкой													
Снижение уровня звукового давления на пути над экраном, Dz1, дБ	z = 6.31м (разность путей)	ф-лы (14-18) [10]	14,3	18,3	22,7	26,5	29,7	32,8	35,8	38,8	41,9		
Снижение уровня звукового давления на пути слева от экрана, Dz2, дБ	z = 3.76м (разность путей)	ф-лы (14-18) [10]	12,3	14,9	17,7	20,6	23,5	26,5	29,5	32,5	35,5		
Снижение уровня звукового давления на пути справа от экрана, Dz3, дБ	z = 85.14м (разность путей)	ф-лы (14-18) [10]	29,5	32,7	35,7	38,8	41,8	44,8	47,8	50,8	53,8		
Общее снижение уровня звука препятствием Dz, дБ		Эн.сумма(-Dzi)	10,1	13,2	16,4	19,5	22,5	25,5	28,5	31,5	34,5		
Общее снижение уровня звука препятствием с учётом ограничения (25 дБ) для октавных полос Dz, дБ		Раздел 7.4 [10]	10,1	13,2	16,4	19,5	22,5	25	25	25	25		

1		2	3	4	5	6	7	8	9	10	11	12	13
Уровни звукового давления от источника ИШ-2-11 в расчётной точке днём, дБ		**ф-ла(3)[10]**	**0**	**20,5**	**18,6**	**16,6**	**13,2**	**9,5**	**4,7**	**0**	**0**	**14,9**	**14,9**
Источник шума: ИШ-2-12, координаты источника (x,y,z), м =[760.25,95.02,1.00]													
Уровни звуковой мощности источника днём, Lw, дБ		**исходные данные**	**0**	**93,3**	**94,7**	**96**	**96,3**	**95,9**	**92,6**	**88,4**	**83,9**		
Поправка на телесный угол DΩ, дБ	Ω = 6.28	10Lg(4π/Ω)	**3**	3	3	3	3	3	3	3	3		
Показатель направленности источника Di, дБ		исходные данные	**0**	0	0	0	0	0	0	0	0		
Поправка на направленность источника Dc, дБ	Dc	DΩ + Di	**3**	3	3	3	3	3	3	3	3		
Затухание из-за геометрической дивергенции, Adiv, дБ	расстояние = 374.67 м	ф-ла (7) [10]	**62,5**										
Коэффициент затухания звука в атмосфере α, дБ/км	Ta=20,°C Pa=101.33,кПа hотн.=70%	ф-ла (5) [9]	0,02	0,09	0,33	1,12	2,79	4,98	9,04	23,09	77,63		
Учет затухания звука в атмосфере Aatm, дБ		ф-ла (8) [10]	0	0	0,1	0,4	1	1,9	3,4	8,6	29,1		
Снижение уровня звукового давления из-за влияния застройки между источником шума и расчетной точкой													
Снижение уровня звукового давления на пути над экраном, Dz1, дБ	z = 6.29м (разность путей)	ф-лы (14-18) [10]	14,3	18,3	22,6	26,4	29,7	32,8	35,8	38,8	41,8		
Снижение уровня звукового давления на пути слева от экрана, Dz2, дБ	z = 3.66м (разность путей)	ф-лы (14-18) [10]	12,2	14,8	17,5	20,4	23,4	26,4	29,4	32,4	35,4		
Снижение уровня звукового давления на пути справа от экрана, Dz3, дБ	z = 87.05м (разность путей)	ф-лы (14-18) [10]	29,6	32,8	35,8	38,9	41,9	44,9	47,9	50,9	53,9		
Общее снижение уровня звука препятствием Dz, дБ		Эн.сумма(-Dzi)	10,1	13,1	16,3	19,4	22,4	25,4	28,4	31,4	34,4		
Общее снижение уровня звука препятствием с учётом ограничения (25 дБ) для октавных полос Dz, дБ		Раздел 7.4 [10]	10,1	13,1	16,3	19,4	22,4	25	25	25	25		
Уровни звукового давления от источника ИШ-2-12 в расчётной точке днём, дБ		**ф-ла(3)[10]**	**0**	**20,6**	**18,8**	**16,7**	**13,3**	**9,6**	**4,7**	**0**	**0**	**15**	**15**

1		2	3	4	5	6	7	8	9	10	11	12	13
Источник шума: ИШ-2-13, координаты источника (x,y,z), м =[759.28,92.25,1.00]													
Уровни звуковой мощности источника днём, Lw, дБ		**исходные данные**	**0**	**93,3**	**94,7**	**96**	**96,3**	**95,9**	**92,6**	**88,4**	**83,9**		
Поправка на телесный угол DΩ, дБ	Ω = 6.28	10Lg(4π/Ω)	**3**	3	3	3	3	3	3	3	3		
Показатель направленности источника Di, дБ		исходные данные	**0**	0	0	0	0	0	0	0	0		
Поправка на направленность источника Dc, дБ	Dc	DΩ + Di	**3**	3	3	3	3	3	3	3	3		
Затухание из-за геометрической дивергенции, Adiv, дБ	расстояние = 373.15 м	ф-ла (7) [10]	**62,4**										
Коэффициент затухания звука в атмосфере α, дБ/км	Ta=20,°C Pa=101.33,кПа hотн.=70%	ф-ла (5) [9]	0,02	0,09	0,33	1,12	2,79	4,98	9,04	23,09	77,63		
Учет затухания звука в атмосфере Aatm, дБ		ф-ла (8) [10]	0	0	0,1	0,4	1	1,9	3,4	8,6	29		
Снижение уровня звукового давления из-за влияния застройки между источником шума и расчетной точкой													
Снижение уровня звукового давления на пути над экраном, Dz1, дБ	z = 6.27м (разность путей)	ф-лы (14-18) [10]	14,3	18,3	22,6	26,4	29,7	32,8	35,8	38,8	41,8		
Снижение уровня звукового давления на пути слева от экрана, Dz2, дБ	z = 3.56м (разность путей)	ф-лы (14-18) [10]	12,1	14,7	17,4	20,3	23,3	26,3	29,3	32,3	35,3		
Снижение уровня звукового давления на пути справа от экрана, Dz3, дБ	z = 88.96м (разность путей)	ф-лы (14-18) [10]	29,7	32,9	35,9	38,9	42	45	48	51	54		
Общее снижение уровня звука препятствием Dz, дБ		Эн.сумма(-Dzi)	10	13,1	16,2	19,3	22,3	25,3	28,3	31,3	34,3		
Общее снижение уровня звука препятствием с учётом ограничения (25 дБ) для октавных полос Dz, дБ		Раздел 7.4 [10]	10	13,1	16,2	19,3	22,3	25	25	25	25		
Уровни звукового давления от источника ИШ-2-13 в расчётной точке днём, дБ		**ф-ла(3)[10]**	**0**	**20,8**	**18,9**	**16,8**	**13,5**	**9,6**	**4,8**	**0**	**0**	**15,1**	**15,1**
Источник шума: ИШ-2-14, координаты источника (x,y,z), м =[751.62,69.73,1.00]													

1		2	3	4	5	6	7	8	9	10	11	12	13
Уровни звуковой мощности источника днём, Lw, дБ		**исходные данные**	**0**	**93,3**	**94,7**	**96**	**96,3**	**95,9**	**92,6**	**88,4**	**83,9**		
Поправка на телесный угол DΩ, дБ	Ω = 6.28	10Lg(4π/Ω)	**3**	3	3	3	3	3	3	3	3		
Показатель направленности источника Di, дБ		исходные данные	**0**	0	0	0	0	0	0	0	0		
Поправка на направленность источника Dc, дБ	Dc	DΩ + Di	**3**	3	3	3	3	3	3	3	3		
Затухание из-за геометрической дивергенции, Adiv, дБ	расстояние = 361.68 м	ф-ла (7) [10]	**62,2**										
Коэффициент затухания звука в атмосфере α, дБ/км	Ta=20,°C Pa=101.33,кПа hотн.=70%	ф-ла (5) [9]	0,02	0,09	0,33	1,12	2,79	4,98	9,04	23,09	77,63		
Учет затухания звука в атмосфере Aatm, дБ		ф-ла (8) [10]	0	0	0,1	0,4	1	1,8	3,3	8,3	28,1		
Снижение уровня звукового давления из-за влияния застройки между источником шума и расчетной точкой													
Снижение уровня звукового давления на пути над экраном, Dz1, дБ	z = 6.07м (разность путей)	ф-лы (14-18) [10]	14,1	18,1	22,4	26,3	29,6	32,6	35,7	38,7	41,7		
Снижение уровня звукового давления на пути слева от экрана, Dz2, дБ	z = 2.79м (разность путей)	ф-лы (14-18) [10]	11,3	13,7	16,4	19,3	22,2	25,2	28,2	31,2	34,2		
Снижение уровня звукового давления на пути справа от экрана, Dz3, дБ	z = 138.56м (разность путей)	ф-лы (14-18) [10]	31,4	34,8	37,8	40,9	43,9	46,9	49,9	52,9	55,9		
Общее снижение уровня звука препятствием Dz, дБ		Эн.сумма(-Dzi)	9,4	12,4	15,4	18,5	21,5	24,5	27,5	30,5	33,5		
Общее снижение уровня звука препятствием с учётом ограничения (25 дБ) для октавных полос Dz, дБ		Раздел 7.4 [10]	9,4	12,4	15,4	18,5	21,5	24,5	25	25	25		
Уровни звукового давления от источника ИШ-2-14 в расчётной точке днём, дБ		**ф-ла(3)[10]**	**0**	**21,7**	**20**	**17,9**	**14,6**	**10,5**	**5,2**	**0**	**0**	**16,1**	**16,1**
Источник шума: ИШ-2-15, координаты источника (x,y,z), м =[750.74,66.89,1.00]													
Уровни звуковой мощности источника днём, Lw, дБ		**исходные данные**	**0**	**93,3**	**94,7**	**96**	**96,3**	**95,9**	**92,6**	**88,4**	**83,9**		

1		2	3	4	5	6	7	8	9	10	11	12	13
Поправка на телесный угол DΩ, дБ	Ω = 6.28	10Lg(4π/Ω)	**3**	3	3	3	3	3	3	3	3		
Показатель направленности источника Di, дБ		исходные данные	**0**	0	0	0	0	0	0	0	0		
Поправка на направленность источника Dc, дБ	Dc	DΩ + Di	**3**	3	3	3	3	3	3	3	3		
Затухание из-за геометрической дивергенции, Adiv, дБ	расстояние = 360.41 м	ф-ла (7) [10]	**62,1**										
Коэффициент затухания звука в атмосфере α, дБ/км	Ta=20,°C Pa=101.33,кПа hотн.=70%	ф-ла (5) [9]	0,02	0,09	0,33	1,12	2,79	4,98	9,04	23,09	77,63		
Учет затухания звука в атмосфере Aatm, дБ		ф-ла (8) [10]	0	0	0,1	0,4	1	1,8	3,3	8,3	28		
Снижение уровня звукового давления из-за влияния застройки между источником шума и расчетной точкой													
Снижение уровня звукового давления на пути над экраном, Dz1, дБ	z = 6.04м (разность путей)	ф-лы (14-18) [10]	14,1	18	22,4	26,2	29,5	32,6	35,6	38,7	41,7		
Снижение уровня звукового давления на пути слева от экрана, Dz2, дБ	z = 2.70м (разность путей)	ф-лы (14-18) [10]	11,1	13,6	16,3	19,2	22,1	25,1	28	31	34,1		
Снижение уровня звукового давления на пути справа от экрана, Dz3, дБ	z = 140.27м (разность путей)	ф-лы (14-18) [10]	31,5	34,8	37,9	40,9	43,9	46,9	50	53	56		
Общее снижение уровня звука препятствием Dz, дБ		Эн.сумма(-Dzi)	9,3	12,3	15,3	18,4	21,3	24,3	27,3	30,3	33,3		
Общее снижение уровня звука препятствием с учётом ограничения (25 дБ) для октавных полос Dz, дБ		Раздел 7.4 [10]	9,3	12,3	15,3	18,4	21,3	24,3	25	25	25		
Уровни звукового давления от источника ИШ-2-15 в расчётной точке днём, дБ		**ф-ла(3)[10]**	**0**	**21,9**	**20,1**	**18,1**	**14,8**	**10,6**	**5,2**	**0**	**0**	**16,3**	**16,3**
Источник шума: ИШ-2-16, координаты источника (x,y,z), м =[749.73,64.02,1.00]													
Уровни звуковой мощности источника днём, Lw, дБ		**исходные данные**	**0**	**93,3**	**94,7**	**96**	**96,3**	**95,9**	**92,6**	**88,4**	**83,9**		
Поправка на телесный угол DΩ, дБ	Ω = 6.28	10Lg(4π/Ω)	**3**	3	3	3	3	3	3	3	3		

1		2	3	4	5	6	7	8	9	10	11	12	13
Показатель направленности источника Di, дБ		исходные данные	**0**	0	0	0	0	0	0	0	0		
Поправка на направленность источника Dc, дБ	Dc	DΩ + Di	**3**	3	3	3	3	3	3	3	3		
Затухание из-за геометрической дивергенции, Adiv, дБ	расстояние = 359.02 м	ф-ла (7) [10]	**62,1**										
Коэффициент затухания звука в атмосфере α, дБ/км	Ta=20,°C Pa=101.33,кПа hотн.=70%	ф-ла (5) [9]	0,02	0,09	0,33	1,12	2,79	4,98	9,04	23,09	77,63		
Учет затухания звука в атмосфере Aatm, дБ		ф-ла (8) [10]	0	0	0,1	0,4	1	1,8	3,2	8,3	27,9		
Снижение уровня звукового давления из-за влияния застройки между источником шума и расчетной точкой													
Снижение уровня звукового давления на пути над экраном, Dz1, дБ	z = 6.00м (разность путей)	ф-лы (14-18) [10]	14,1	18	22,3	26,2	29,5	32,6	35,6	38,6	41,6		
Снижение уровня звукового давления на пути слева от экрана, Dz2, дБ	z = 2.60м (разность путей)	ф-лы (14-18) [10]	11	13,5	16,2	19	21,9	24,9	27,9	30,9	33,9		
Снижение уровня звукового давления на пути справа от экрана, Dz3, дБ	z = 142.02м (разность путей)	ф-лы (14-18) [10]	31,5	34,9	37,9	41	44	47	50	53	56		
Общее снижение уровня звука препятствием Dz, дБ		Эн.сумма(-Dzi)	9,3	12,1	15,2	18,2	21,2	24,2	27,2	30,2	33,2		
Общее снижение уровня звука препятствием с учётом ограничения (25 дБ) для октавных полос Dz, дБ		Раздел 7.4 [10]	9,3	12,1	15,2	18,2	21,2	24,2	25	25	25		
Уровни звукового давления от источника ИШ-2-16 в расчётной точке днём, дБ		**ф-ла(3)[10]**	**0**	**22**	**20,3**	**18,3**	**15**	**10,8**	**5,2**	**0**	**0**	**16,4**	**16,4**
Источник шума: ИШ-2-17, координаты источника (x,y,z), м =[748.87,61.06,1.00]													
Уровни звуковой мощности источника днём, Lw, дБ		**исходные данные**	**0**	**93,3**	**94,7**	**96**	**96,3**	**95,9**	**92,6**	**88,4**	**83,9**		
Поправка на телесный угол DΩ, дБ	Ω = 6.28	10Lg(4π/Ω)	**3**	3	3	3	3	3	3	3	3		
Показатель направленности источника Di, дБ		исходные данные	**0**	0	0	0	0	0	0	0	0		

1		2	3	4	5	6	7	8	9	10	11	12	13
Поправка на направленность источника Dc, дБ	Dc	DΩ + Di	**3**	3	3	3	3	3	3	3	3		
Затухание из-за геометрической дивергенции, Adiv, дБ	расстояние = 357.79 м	ф-ла (7) [10]	**62,1**										
Коэффициент затухания звука в атмосфере α, дБ/км	Ta=20,°C Pa=101.33,кПа hотн.=70%	ф-ла (5) [9]	0,02	0,09	0,33	1,12	2,79	4,98	9,04	23,09	77,63		
Учет затухания звука в атмосфере Aatm, дБ		ф-ла (8) [10]	0	0	0,1	0,4	1	1,8	3,2	8,3	27,8		
Снижение уровня звукового давления из-за влияния застройки между источником шума и расчетной точкой													
Снижение уровня звукового давления на пути над экраном, Dz1, дБ	z = 5.97м (разность путей)	ф-лы (14-18) [10]	14,1	18	22,3	26,2	29,5	32,6	35,6	38,6	41,6		
Снижение уровня звукового давления на пути слева от экрана, Dz2, дБ	z = 2.50м (разность путей)	ф-лы (14-18) [10]	10,9	13,3	16	18,8	21,8	24,7	27,7	30,7	33,7		
Снижение уровня звукового давления на пути справа от экрана, Dz3, дБ	z = 92.22м (разность путей)	ф-лы (14-18) [10]	29,8	33	36,1	39,1	42,1	45,1	48,1	51,1	54,2		
Общее снижение уровня звука препятствием Dz, дБ		Эн.сумма(-Dzi)	9,1	12	15,1	18,1	21,1	24	27	30	33		
Общее снижение уровня звука препятствием с учётом ограничения (25 дБ) для октавных полос Dz, дБ		Раздел 7.4 [10]	9,1	12	15,1	18,1	21,1	24	25	25	25		
Уровни звукового давления от источника ИШ-2-17 в расчётной точке днём, дБ		**ф-ла(3)[10]**	**0**	**22,2**	**20,4**	**18,4**	**15,2**	**11**	**5,3**	**0**	**0**	**16,6**	**16,6**
Источник шума: ИШ-2-18, координаты источника (x,y,z), м =[747.72,58.17,1.00]													
Уровни звуковой мощности источника днём, Lw, дБ		**исходные данные**	**0**	**93,3**	**94,7**	**96**	**96,3**	**95,9**	**92,6**	**88,4**	**83,9**		
Поправка на телесный угол DΩ, дБ	Ω = 6.28	10Lg(4π/Ω)	**3**	3	3	3	3	3	3	3	3		
Показатель направленности источника Di, дБ		исходные данные	**0**	0	0	0	0	0	0	0	0		
Поправка на направленность источника Dc, дБ	Dc	DΩ + Di	**3**	3	3	3	3	3	3	3	3		

1		2	3	4	5	6	7	8	9	10	11	12	13
Затухание из-за геометрической дивергенции, Adiv, дБ	расстояние = 356.30 м	ф-ла (7) [10]	**62**										
Коэффициент затухания звука в атмосфере α, дБ/км	Ta=20,°C Pa=101.33,кПа hотн.=70%	ф-ла (5) [9]	0,02	0,09	0,33	1,12	2,79	4,98	9,04	23,09	77,63		
Учет затухания звука в атмосфере Aatm, дБ		ф-ла (8) [10]	0	0	0,1	0,4	1	1,8	3,2	8,2	27,7		
Снижение уровня звукового давления из-за влияния застройки между источником шума и расчетной точкой													
Снижение уровня звукового давления на пути над экраном, Dz1, дБ	z = 5.94м (разность путей)	ф-лы (14-18) [10]	14	17,9	22,3	26,1	29,5	32,5	35,6	38,6	41,6		
Снижение уровня звукового давления на пути слева от экрана, Dz2, дБ	z = 2.41м (разность путей)	ф-лы (14-18) [10]	10,8	13,2	15,9	18,7	21,6	24,6	27,6	30,6	33,6		
Снижение уровня звукового давления на пути справа от экрана, Dz3, дБ	z = 94.05м (разность путей)	ф-лы (14-18) [10]	29,9	33,1	36,2	39,2	42,2	45,2	48,2	51,2	54,2		
Общее снижение уровня звука препятствием Dz, дБ		Эн.сумма(-Dzi)	9,1	11,9	14,9	17,9	20,9	23,9	26,9	29,9	32,9		
Общее снижение уровня звука препятствием с учётом ограничения (25 дБ) для октавных полос Dz, дБ		Раздел 7.4 [10]	9,1	11,9	14,9	17,9	20,9	23,9	25	25	25		
Уровни звукового давления от источника ИШ-2-18 в расчётной точке днём, дБ		**ф-ла(3)[10]**	**0**	**22,3**	**20,6**	**18,6**	**15,3**	**11,2**	**5,3**	**0**	**0**	**16,7**	**16,7**
Источник шума: ИШ-2-19, координаты источника (x,y,z), м =[746.80,55.25,1.00]													
Уровни звуковой мощности источника днём, Lw, дБ		**исходные данные**	**0**	**93,3**	**94,7**	**96**	**96,3**	**95,9**	**92,6**	**88,4**	**83,9**		
Поправка на телесный угол DΩ, дБ	Ω = 6.28	10Lg(4π/Ω)	**3**	3	3	3	3	3	3	3	3		
Показатель направленности источника Di, дБ		исходные данные	**0**	0	0	0	0	0	0	0	0		
Поправка на направленность источника Dc, дБ	Dc	DΩ + Di	**3**	3	3	3	3	3	3	3	3		
Затухание из-за геометрической дивергенции, Adiv, дБ	расстояние = 355.06 м	ф-ла (7) [10]	**62**										

1		2	3	4	5	6	7	8	9	10	11	12	13
Коэффициент затухания звука в атмосфере α, дБ/км	Ta=20,°C Pa=101.33,кПа hотн.=70%	ф-ла (5) [9]	0,02	0,09	0,33	1,12	2,79	4,98	9,04	23,09	77,63		
Учет затухания звука в атмосфере Aatm, дБ		ф-ла (8) [10]	0	0	0,1	0,4	1	1,8	3,2	8,2	27,6		
Снижение уровня звукового давления из-за влияния застройки между источником шума и расчетной точкой													
Снижение уровня звукового давления на пути над экраном, Dz1, дБ	z = 5.90м (разность путей)	ф-лы (14-18) [10]	14	17,9	22,2	26,1	29,4	32,5	35,5	38,6	41,6		
Снижение уровня звукового давления на пути слева от экрана, Dz2, дБ	z = 2.32м (разность путей)	ф-лы (14-18) [10]	10,6	13,1	15,7	18,5	21,4	24,4	27,4	30,4	33,4		
Снижение уровня звукового давления на пути справа от экрана, Dz3, дБ	z = 95.92м (разность путей)	ф-лы (14-18) [10]	30	33,2	36,2	39,3	42,3	45,3	48,3	51,3	54,3		
Общее снижение уровня звука препятствием Dz, дБ		Эн.сумма(-Dzi)	9	11,8	14,8	17,8	20,8	23,8	26,7	29,7	32,7		
Общее снижение уровня звука препятствием с учётом ограничения (25 дБ) для октавных полос Dz, дБ		Раздел 7.4 [10]	9	11,8	14,8	17,8	20,8	23,8	25	25	25		
Уровни звукового давления от источника ИШ-2-19 в расчётной точке днём, дБ		**ф-ла(3)[10]**	**0**	**22,5**	**20,8**	**18,8**	**15,5**	**11,4**	**5,4**	**0**	**0**	**16,9**	**16,9**
Источник шума: ИШ-2-20, координаты источника (x,y,z), м =[745.71,52.44,1.00]													
Уровни звуковой мощности источника днём, Lw, дБ		**исходные данные**	**0**	**93,3**	**94,7**	**96**	**96,3**	**95,9**	**92,6**	**88,4**	**83,9**		
Поправка на телесный угол DΩ, дБ	Ω = 6.28	10Lg(4π/Ω)	**3**	3	3	3	3	3	3	3	3		
Показатель направленности источника Di, дБ		исходные данные	**0**	0	0	0	0	0	0	0	0		
Поправка на направленность источника Dc, дБ	Dc	DΩ + Di	**3**	3	3	3	3	3	3	3	3		
Затухание из-за геометрической дивергенции, Adiv, дБ	расстояние = 353.68 м	ф-ла (7) [10]	**62**										
Коэффициент затухания звука в атмосфере α, дБ/км	Ta=20,°C Pa=101.33,кПа hотн.=70%	ф-ла (5) [9]	0,02	0,09	0,33	1,12	2,79	4,98	9,04	23,09	77,63		

1		2	3	4	5	6	7	8	9	10	11	12	13
Учет затухания звука в атмосфере Aatm, дБ		ф-ла (8) [10]	0	0	0,1	0,4	1	1,8	3,2	8,2	27,5		
Снижение уровня звукового давления из-за влияния застройки между источником шума и расчетной точкой													
Снижение уровня звукового давления на пути над экраном, Dz1, дБ	z = 5.87м (разность путей)	ф-лы (14-18) [10]	14	17,9	22,2	26,1	29,4	32,5	35,5	38,5	41,5		
Снижение уровня звукового давления на пути слева от экрана, Dz2, дБ	z = 2.23м (разность путей)	ф-лы (14-18) [10]	10,5	12,9	15,5	18,4	21,3	24,2	27,2	30,2	33,2		
Снижение уровня звукового давления на пути справа от экрана, Dz3, дБ	z = 97.78м (разность путей)	ф-лы (14-18) [10]	30,1	33,3	36,3	39,4	42,4	45,4	48,4	51,4	54,4		
Общее снижение уровня звука препятствием Dz, дБ		Эн.сумма(-Dzi)	8,9	11,7	14,7	17,7	20,6	23,6	26,6	29,6	32,6		
Общее снижение уровня звука препятствием с учётом ограничения (25 дБ) для октавных полос Dz, дБ		Раздел 7.4 [10]	8,9	11,7	14,7	17,7	20,6	23,6	25	25	25		
Уровни звукового давления от источника ИШ-2-20 в расчётной точке днём, дБ		**ф-ла(3)[10]**	**0**	**22,6**	**20,9**	**19**	**15,7**	**11,6**	**5,4**	**0**	**0**	**17,1**	**17,1**
Источник шума: ИШ-2-21, координаты источника (x,y,z), м =[744.89,49.62,1.00]													
Уровни звуковой мощности источника днём, Lw, дБ		**исходные данные**	**0**	**93,3**	**94,7**	**96**	**96,3**	**95,9**	**92,6**	**88,4**	**83,9**		
Поправка на телесный угол DΩ, дБ	Ω = 6.28	10Lg(4π/Ω)	**3**	3	3	3	3	3	3	3	3		
Показатель направленности источника Di, дБ		исходные данные	**0**	0	0	0	0	0	0	0	0		
Поправка на направленность источника Dc, дБ	Dc	DΩ + Di	**3**	3	3	3	3	3	3	3	3		
Затухание из-за геометрической дивергенции, Adiv, дБ	расстояние = 352.60 м	ф-ла (7) [10]	**61,9**										
Коэффициент затухания звука в атмосфере α, дБ/км	Ta=20,°C Pa=101.33,кПа hотн.=70%	ф-ла (5) [9]	0,02	0,09	0,33	1,12	2,79	4,98	9,04	23,09	77,63		
Учет затухания звука в атмосфере Aatm, дБ		ф-ла (8) [10]	0	0	0,1	0,4	1	1,8	3,2	8,1	27,4		

1		2	3	4	5	6	7	8	9	10	11	12	13
Снижение уровня звукового давления из-за влияния застройки между источником шума и расчетной точкой													
Снижение уровня звукового давления на пути над экраном, Dz1, дБ	z = 5.83м (разность путей)	ф-лы (14-18) [10]	13,9	17,8	22,2	26,1	29,4	32,5	35,5	38,5	41,5		
Снижение уровня звукового давления на пути слева от экрана, Dz2, дБ	z = 2.14м (разность путей)	ф-лы (14-18) [10]	10,4	12,8	15,4	18,2	21,1	24,1	27	30	33,1		
Снижение уровня звукового давления на пути справа от экрана, Dz3, дБ	z = 75.43м (разность путей)	ф-лы (14-18) [10]	25	29	33,5	37,7	41,1	44,2	47,3	50,3	53,3		
Общее снижение уровня звука препятствием Dz, дБ		Эн.сумма(-Dzi)	8,7	11,5	14,5	17,5	20,5	23,4	26,4	29,4	32,4		
Общее снижение уровня звука препятствием с учётом ограничения (25 дБ) для октавных полос Dz, дБ		Раздел 7.4 [10]	8,7	11,5	14,5	17,5	20,5	23,4	25	25	25		
Уровни звукового давления от источника ИШ-2-21 в расчётной точке днём, дБ		**ф-ла(3)[10]**	**0**	**22,8**	**21,1**	**19,2**	**15,9**	**11,7**	**5,5**	**0**	**0**	**17,3**	**17,3**
Источник шума: ИШ-2-22, координаты источника (x,y,z), м =[737.40,27.07,1.00]													
Уровни звуковой мощности источника днём, Lw, дБ		**исходные данные**	**0**	**93,3**	**94,7**	**96**	**96,3**	**95,9**	**92,6**	**88,4**	**83,9**		
Поправка на телесный угол DΩ, дБ	Ω = 6.28	10Lg(4π/Ω)	**3**	3	3	3	3	3	3	3	3		
Показатель направленности источника Di, дБ		исходные данные	**0**	0	0	0	0	0	0	0	0		
Поправка на направленность источника Dc, дБ	Dc	DΩ + Di	**3**	3	3	3	3	3	3	3	3		
Затухание из-за геометрической дивергенции, Adiv, дБ	расстояние = 343.73 м	ф-ла (7) [10]	**61,7**										
Коэффициент затухания звука в атмосфере α, дБ/км	Ta=20,°C Pa=101.33,кПа hотн.=70%	ф-ла (5) [9]	0,02	0,09	0,33	1,12	2,79	4,98	9,04	23,09	77,63		
Учет затухания звука в атмосфере Aatm, дБ		ф-ла (8) [10]	0	0	0,1	0,4	1	1,7	3,1	7,9	26,7		
Снижение уровня звукового давления из-за влияния застройки между источником шума и расчетной точкой													

1		2	3	4	5	6	7	8	9	10	11	12	13
Снижение уровня звукового давления на пути над экраном, Dz1, дБ	z = 5.48м (разность путей)	ф-лы (14-18) [10]	13,6	17,4	21,8	25,7	29,1	32,2	35,2	38,2	41,2		
Снижение уровня звукового давления на пути слева от экрана, Dz2, дБ	z = 1.48м (разность путей)	ф-лы (14-18) [10]	9,3	11,4	13,9	16,7	19,5	22,5	25,5	28,4	31,4		
Снижение уровня звукового давления на пути справа от экрана, Dz3, дБ	z = 77.60м (разность путей)	ф-лы (14-18) [10]	25,2	29,2	33,7	37,8	41,2	44,3	47,4	50,4	53,4		
Общее снижение уровня звука препятствием Dz, дБ		Эн.сумма(-Dzi)	7,8	10,4	13,2	16,1	19,1	22	25	28	31		
Общее снижение уровня звука препятствием с учётом ограничения (25 дБ) для октавных полос Dz, дБ		Раздел 7.4 [10]	7,8	10,4	13,2	16,1	19,1	22	25	25	25		
Уровни звукового давления от источника ИШ-2-22 в расчётной точке днём, дБ		**ф-ла(3)[10]**	**0**	**24,1**	**22,6**	**20,7**	**17,6**	**13,4**	**5,8**	**0**	**0**	**18,8**	**18,8**
Источник шума: ИШ-2-23, координаты источника (x,y,z), м =[736.46,24.18,1.00]													
Уровни звуковой мощности источника днём, Lw, дБ		**исходные данные**	**0**	**93,3**	**94,7**	**96**	**96,3**	**95,9**	**92,6**	**88,4**	**83,9**		
Поправка на телесный угол DΩ, дБ	Ω = 6.28	10Lg(4π/Ω)	**3**	3	3	3	3	3	3	3	3		
Показатель направленности источника Di, дБ		исходные данные	**0**	0	0	0	0	0	0	0	0		
Поправка на направленность источника Dc, дБ	Dc	DΩ + Di	**3**	3	3	3	3	3	3	3	3		
Затухание из-за геометрической дивергенции, Adiv, дБ	расстояние = 342.72 м	ф-ла (7) [10]	**61,7**										
Коэффициент затухания звука в атмосфере α, дБ/км	Ta=20,°C Pa=101.33,кПа hотн.=70%	ф-ла (5) [9]	0,02	0,09	0,33	1,12	2,79	4,98	9,04	23,09	77,63		
Учет затухания звука в атмосфере Aatm, дБ		ф-ла (8) [10]	0	0	0,1	0,4	1	1,7	3,1	7,9	26,6		
Снижение уровня звукового давления из-за влияния застройки между источником шума и расчетной точкой													
Снижение уровня звукового давления на пути над экраном, Dz1, дБ	z = 5.43м (разность путей)	ф-лы (14-18) [10]	13,6	17,4	21,7	25,7	29	32,1	35,2	38,2	41,2		

1		2	3	4	5	6	7	8	9	10	11	12	13
Снижение уровня звукового давления на пути слева от экрана, Dz2, дБ	z = 1.40м (разность путей)	ф-лы (14-18) [10]	9,1	11,3	13,7	16,5	19,3	22,2	25,2	28,2	31,2		
Снижение уровня звукового давления на пути справа от экрана, Dz3, дБ	z = 77.88м (разность путей)	ф-лы (14-18) [10]	25,2	29,2	33,7	37,8	41,2	44,4	47,4	50,4	53,4		
Общее снижение уровня звука препятствием Dz, дБ		Эн.сумма(-Dzi)	7,7	10,3	13,1	15,9	18,8	21,8	24,8	27,8	30,8		
Общее снижение уровня звука препятствием с учётом ограничения (25 дБ) для октавных полос Dz, дБ		Раздел 7.4 [10]	7,7	10,3	13,1	15,9	18,8	21,8	24,8	25	25		
Уровни звукового давления от источника ИШ-2-23 в расчётной точке днём, дБ		**ф-ла(3)[10]**	**0**	**24,3**	**22,8**	**21**	**17,8**	**13,7**	**6**	**0**	**0**	**19**	**19**
Источник шума: ИШ-2-24, координаты источника (x,y,z), м =[735.45,21.21,1.00]													
Уровни звуковой мощности источника днём, Lw, дБ		**исходные данные**	**0**	**93,3**	**94,7**	**96**	**96,3**	**95,9**	**92,6**	**88,4**	**83,9**		
Поправка на телесный угол DΩ, дБ	Ω = 6.28	10Lg(4π/Ω)	**3**	3	3	3	3	3	3	3	3		
Показатель направленности источника Di, дБ		исходные данные	**0**	0	0	0	0	0	0	0	0		
Поправка на направленность источника Dc, дБ	Dc	DΩ + Di	**3**	3	3	3	3	3	3	3	3		
Затухание из-за геометрической дивергенции, Adiv, дБ	расстояние = 341.66 м	ф-ла (7) [10]	**61,7**										
Коэффициент затухания звука в атмосфере α, дБ/км	Ta=20,°C Pa=101.33,кПа hотн.=70%	ф-ла (5) [9]	0,02	0,09	0,33	1,12	2,79	4,98	9,04	23,09	77,63		
Учет затухания звука в атмосфере Aatm, дБ		ф-ла (8) [10]	0	0	0,1	0,4	1	1,7	3,1	7,9	26,5		
Снижение уровня звукового давления из-за влияния застройки между источником шума и расчетной точкой													
Снижение уровня звукового давления на пути над экраном, Dz1, дБ	z = 5.37м (разность путей)	ф-лы (14-18) [10]	13,6	17,3	21,7	25,6	29	32,1	35,1	38,1	41,1		
Снижение уровня звукового давления на пути слева от экрана, Dz2, дБ	z = 1.32м (разность путей)	ф-лы (14-18) [10]	9	11,1	13,5	16,2	19,1	22	25	28	31		

1		2	3	4	5	6	7	8	9	10	11	12	13
Снижение уровня звукового давления на пути справа от экрана, Dz3, дБ	z = 78.17м (разность путей)	ф-лы (14-18) [10]	25,2	29,2	33,7	37,8	41,2	44,4	47,4	50,4	53,4		
Общее снижение уровня звука препятствием Dz, дБ		Эн.сумма(-Dzi)	7,6	10,1	12,9	15,7	18,6	21,6	24,5	27,5	30,5		
Общее снижение уровня звука препятствием с учётом ограничения (25 дБ) для октавных полос Dz, дБ		Раздел 7.4 [10]	7,6	10,1	12,9	15,7	18,6	21,6	24,5	25	25		
Уровни звукового давления от источника ИШ-2-24 в расчётной точке днём, дБ		**ф-ла(3)[10]**	**0**	**24,5**	**23**	**21,2**	**18**	**13,9**	**6,3**	**0**	**0**	**19,3**	**19,3**
Источник шума: ИШ-2-25, координаты источника (x,y,z), м =[734.58,18.32,1.00]													
Уровни звуковой мощности источника днём, Lw, дБ		**исходные данные**	**0**	**93,3**	**94,7**	**96**	**96,3**	**95,9**	**92,6**	**88,4**	**83,9**		
Поправка на телесный угол DΩ, дБ	Ω = 6.28	10Lg(4π/Ω)	**3**	3	3	3	3	3	3	3	3		
Показатель направленности источника Di, дБ		исходные данные	**0**	0	0	0	0	0	0	0	0		
Поправка на направленность источника Dc, дБ	Dc	DΩ + Di	**3**	3	3	3	3	3	3	3	3		
Затухание из-за геометрической дивергенции, Adiv, дБ	расстояние = 340.77 м	ф-ла (7) [10]	**61,6**										
Коэффициент затухания звука в атмосфере α, дБ/км	Ta=20,°C Pa=101.33,кПа hотн.=70%	ф-ла (5) [9]	0,02	0,09	0,33	1,12	2,79	4,98	9,04	23,09	77,63		
Учет затухания звука в атмосфере Aatm, дБ		ф-ла (8) [10]	0	0	0,1	0,4	1	1,7	3,1	7,9	26,5		
Снижение уровня звукового давления из-за влияния застройки между источником шума и расчетной точкой													
Снижение уровня звукового давления на пути над экраном, Dz1, дБ	z = 5.32м (разность путей)	ф-лы (14-18) [10]	13,5	17,3	21,6	25,6	28,9	32	35,1	38,1	41,1		
Снижение уровня звукового давления на пути слева от экрана, Dz2, дБ	z = 1.25м (разность путей)	ф-лы (14-18) [10]	8,8	10,9	13,3	16	18,8	21,7	24,7	27,7	30,7		
Снижение уровня звукового давления на пути справа от экрана, Dz3, дБ	z = 78.45м (разность путей)	ф-лы (14-18) [10]	25,2	29,2	33,7	37,8	41,3	44,4	47,4	50,4	53,5		

1		2	3	4	5	6	7	8	9	10	11	12	13
Общее снижение уровня звука препятствием Dz, дБ		Эн.сумма(-Dzi)	7,5	9,9	12,7	15,5	18,4	21,3	24,3	27,3	30,3		
Общее снижение уровня звука препятствием с учётом ограничения (25 дБ) для октавных полос Dz, дБ		Раздел 7.4 [10]	7,5	9,9	12,7	15,5	18,4	21,3	24,3	25	25		
Уровни звукового давления от источника ИШ-2-25 в расчётной точке днём, дБ		**ф-ла(3)[10]**	**0**	**24,7**	**23,3**	**21,5**	**18,3**	**14,2**	**6,6**	**0**	**0**	**19,5**	**19,5**
Источник шума: ИШ-2-26, координаты источника (x,y,z), м =[733.57,15.41,1.00]													
Уровни звуковой мощности источника днём, Lw, дБ		**исходные данные**	**0**	**93,3**	**94,7**	**96**	**96,3**	**95,9**	**92,6**	**88,4**	**83,9**		
Поправка на телесный угол DΩ, дБ	Ω = 6.28	10Lg(4π/Ω)	**3**	3	3	3	3	3	3	3	3		
Показатель направленности источника Di, дБ		исходные данные	**0**	0	0	0	0	0	0	0	0		
Поправка на направленность источника Dc, дБ	Dc	DΩ + Di	**3**	3	3	3	3	3	3	3	3		
Затухание из-за геометрической дивергенции, Adiv, дБ	расстояние = 339.76 м	ф-ла (7) [10]	**61,6**										
Коэффициент затухания звука в атмосфере α, дБ/км	Ta=20,°C Pa=101.33,кПа hотн.=70%	ф-ла (5) [9]	0,02	0,09	0,33	1,12	2,79	4,98	9,04	23,09	77,63		
Учет затухания звука в атмосфере Aatm, дБ		ф-ла (8) [10]	0	0	0,1	0,4	0,9	1,7	3,1	7,8	26,4		
Снижение уровня звукового давления из-за влияния застройки между источником шума и расчетной точкой													
Снижение уровня звукового давления на пути над экраном, Dz1, дБ	z = 5.26м (разность путей)	ф-лы (14-18) [10]	13,5	17,2	21,5	25,5	28,9	32	35	38	41		
Снижение уровня звукового давления на пути слева от экрана, Dz2, дБ	z = 1.17м (разность путей)	ф-лы (14-18) [10]	8,7	10,7	13,1	15,7	18,6	21,5	24,5	27,4	30,4		
Снижение уровня звукового давления на пути справа от экрана, Dz3, дБ	z = 78.73м (разность путей)	ф-лы (14-18) [10]	25,2	29,2	33,7	37,8	41,3	44,4	47,4	50,5	53,5		
Общее снижение уровня звука препятствием Dz, дБ		Эн.сумма(-Dzi)	7,3	9,8	12,5	15,3	18,2	21,1	24,1	27,1	30,1		

1		2	3	4	5	6	7	8	9	10	11	12	13
Общее снижение уровня звука препятствием с учётом ограничения (25 дБ) для октавных полос Dz, дБ		Раздел 7.4 [10]	7,3	9,8	12,5	15,3	18,2	21,1	24,1	25	25		
Уровни звукового давления от источника ИШ-2-26 в расчётной точке днём, дБ		**ф-ла(3)[10]**	**0**	**24,9**	**23,5**	**21,7**	**18,6**	**14,5**	**6,8**	**0**	**0**	**19,8**	**19,8**
Источник шума: ИШ-2-27, координаты источника (x,y,z), м =[732.43,12.66,1.00]													
Уровни звуковой мощности источника днём, Lw, дБ		**исходные данные**	**0**	**93,3**	**94,7**	**96**	**96,3**	**95,9**	**92,6**	**88,4**	**83,9**		
Поправка на телесный угол DΩ, дБ	Ω = 6.28	10Lg(4π/Ω)	**3**	3	3	3	3	3	3	3	3		
Показатель направленности источника Di, дБ		исходные данные	**0**	0	0	0	0	0	0	0	0		
Поправка на направленность источника Dc, дБ	Dc	DΩ + Di	**3**	3	3	3	3	3	3	3	3		
Затухание из-за геометрической дивергенции, Adiv, дБ	расстояние = 338.64 м	ф-ла (7) [10]	**61,6**										
Коэффициент затухания звука в атмосфере α, дБ/км	Ta=20,°C Pa=101.33,кПа hотн.=70%	ф-ла (5) [9]	0,02	0,09	0,33	1,12	2,79	4,98	9,04	23,09	77,63		
Учет затухания звука в атмосфере Aatm, дБ		ф-ла (8) [10]	0	0	0,1	0,4	0,9	1,7	3,1	7,8	26,3		
Снижение уровня звукового давления из-за влияния застройки между источником шума и расчетной точкой													
Снижение уровня звукового давления на пути над экраном, Dz1, дБ	z = 5.20м (разность путей)	ф-лы (14-18) [10]	13,4	17,1	21,5	25,5	28,8	31,9	35	38	41		
Снижение уровня звукового давления на пути слева от экрана, Dz2, дБ	z = 1.10м (разность путей)	ф-лы (14-18) [10]	8,5	10,5	12,8	15,5	18,3	21,2	24,2	27,2	30,2		
Снижение уровня звукового давления на пути справа от экрана, Dz3, дБ	z = 78.99м (разность путей)	ф-лы (14-18) [10]	25,2	29,2	33,7	37,9	41,3	44,4	47,5	50,5	53,5		
Общее снижение уровня звука препятствием Dz, дБ		Эн.сумма(-Dzi)	7,2	9,6	12,3	15,1	17,9	20,9	23,8	26,8	29,8		
Общее снижение уровня звука препятствием с учётом ограничения (25 дБ) для октавных полос Dz, дБ		Раздел 7.4 [10]	7,2	9,6	12,3	15,1	17,9	20,9	23,8	25	25		

1		2	3	4	5	6	7	8	9	10	11	12	13
Уровни звукового давления от источника ИШ-2-27 в расчётной точке днём, дБ		**ф-ла(3)[10]**	**0**	**25,1**	**23,7**	**22**	**18,8**	**14,8**	**7,1**	**0**	**0**	**20,1**	**20,1**
Источник шума: ИШ-2-28, координаты источника (x,y,z), м =[731.54,9.78,1.00]													
Уровни звуковой мощности источника днём, Lw, дБ		**исходные данные**	**0**	**93,3**	**94,7**	**96**	**96,3**	**95,9**	**92,6**	**88,4**	**83,9**		
Поправка на телесный угол DΩ, дБ	Ω = 6.28	10Lg(4π/Ω)	**3**	3	3	3	3	3	3	3	3		
Показатель направленности источника Di, дБ		исходные данные	**0**	0	0	0	0	0	0	0	0		
Поправка на направленность источника Dc, дБ	Dc	DΩ + Di	**3**	3	3	3	3	3	3	3	3		
Затухание из-за геометрической дивергенции, Adiv, дБ	расстояние = 337.80 м	ф-ла (7) [10]	**61,6**										
Коэффициент затухания звука в атмосфере α, дБ/км	Ta=20,°C Pa=101.33,кПа hотн.=70%	ф-ла (5) [9]	0,02	0,09	0,33	1,12	2,79	4,98	9,04	23,09	77,63		
Учет затухания звука в атмосфере Aatm, дБ		ф-ла (8) [10]	0	0	0,1	0,4	0,9	1,7	3,1	7,8	26,2		
Снижение уровня звукового давления из-за влияния застройки между источником шума и расчетной точкой													
Снижение уровня звукового давления на пути над экраном, Dz1, дБ	z = 5.13м (разность путей)	ф-лы (14-18) [10]	13,3	17,1	21,4	25,4	28,8	31,9	34,9	37,9	40,9		
Снижение уровня звукового давления на пути слева от экрана, Dz2, дБ	z = 1.03м (разность путей)	ф-лы (14-18) [10]	8,3	10,3	12,6	15,2	18	21	23,9	26,9	29,9		
Снижение уровня звукового давления на пути справа от экрана, Dz3, дБ	z = 79.27м (разность путей)	ф-лы (14-18) [10]	25,2	29,3	33,8	37,9	41,3	44,4	47,5	50,5	53,5		
Общее снижение уровня звука препятствием Dz, дБ		Эн.сумма(-Dzi)	7,1	9,4	12	14,8	17,7	20,6	23,6	26,5	29,5		
Общее снижение уровня звука препятствием с учётом ограничения (25 дБ) для октавных полос Dz, дБ		Раздел 7.4 [10]	7,1	9,4	12	14,8	17,7	20,6	23,6	25	25		
Уровни звукового давления от источника ИШ-2-28 в расчётной точке днём, дБ		**ф-ла(3)[10]**	**0**	**25,3**	**24**	**22,2**	**19,1**	**15**	**7,4**	**0**	**0**	**20,3**	**20,3**

1		2	3	4	5	6	7	8	9	10	11	12	13
Источник шума: ИШ-2-29, координаты источника (x,y,z), м =[730.57,6.88,1.00]													
Уровни звуковой мощности источника днём, Lw, дБ		**исходные данные**	**0**	**93,3**	**94,7**	**96**	**96,3**	**95,9**	**92,6**	**88,4**	**83,9**		
Поправка на телесный угол DΩ, дБ	Ω = 6.28	10Lg(4π/Ω)	**3**	3	3	3	3	3	3	3	3		
Показатель направленности источника Di, дБ		исходные данные	**0**	0	0	0	0	0	0	0	0		
Поправка на направленность источника Dc, дБ	Dc	DΩ + Di	**3**	3	3	3	3	3	3	3	3		
Затухание из-за геометрической дивергенции, Adiv, дБ	расстояние = 336.91 м	ф-ла (7) [10]	**61,6**										
Коэффициент затухания звука в атмосфере α, дБ/км	Ta=20,°C Pa=101.33,кПа hотн.=70%	ф-ла (5) [9]	0,02	0,09	0,33	1,12	2,79	4,98	9,04	23,09	77,63		
Учет затухания звука в атмосфере Aatm, дБ		ф-ла (8) [10]	0	0	0,1	0,4	0,9	1,7	3	7,8	26,2		
Снижение уровня звукового давления из-за влияния застройки между источником шума и расчетной точкой													
Снижение уровня звукового давления на пути над экраном, Dz1, дБ	z = 5.06м (разность путей)	ф-лы (14-18) [10]	13,3	17	21,3	25,3	28,7	31,8	34,8	37,9	40,9		
Снижение уровня звукового давления на пути слева от экрана, Dz2, дБ	z = 0.97м (разность путей)	ф-лы (14-18) [10]	8,2	10,1	12,4	15	17,8	20,7	23,6	26,6	29,6		
Снижение уровня звукового давления на пути справа от экрана, Dz3, дБ	z = 79.55м (разность путей)	ф-лы (14-18) [10]	25,3	29,3	33,8	37,9	41,3	44,4	47,5	50,5	53,5		
Общее снижение уровня звука препятствием Dz, дБ		Эн.сумма(-Dzi)	6,9	9,2	11,8	14,6	17,4	20,3	23,3	26,3	29,3		
Общее снижение уровня звука препятствием с учётом ограничения (25 дБ) для октавных полос Dz, дБ		Раздел 7.4 [10]	6,9	9,2	11,8	14,6	17,4	20,3	23,3	25	25		
Уровни звукового давления от источника ИШ-2-29 в расчётной точке днём, дБ		**ф-ла(3)[10]**	**0**	**25,5**	**24,2**	**22,5**	**19,4**	**15,3**	**7,7**	**0**	**0**	**20,6**	**20,6**
Источник шума: ИШ-2-4, координаты источника (x,y,z), м =[632.70,-65.30,3.00]													

1		2	3	4	5	6	7	8	9	10	11	12	13
Уровни звуковой мощности источника днём, Lw, дБ		**исходные данные**	**105**	**104**	**104**	**101**	**102**	**106**	**101**	**95**	**87**		
Поправка на телесный угол DΩ, дБ	Ω = 6.28	10Lg(4π/Ω)	**3**	3	3	3	3	3	3	3	3		
Показатель направленности источника Di, дБ		исходные данные	**0**	0	0	0	0	0	0	0	0		
Поправка на направленность источника Dc, дБ	Dc	DΩ + Di	**3**	3	3	3	3	3	3	3	3		
Затухание из-за геометрической дивергенции, Adiv, дБ	расстояние = 252.64 м	ф-ла (7) [10]	**59,1**										
Коэффициент затухания звука в атмосфере α, дБ/км	Ta=20,°C Pa=101.33,кПа hотн.=70%	ф-ла (5) [9]	0,02	0,09	0,33	1,12	2,79	4,98	9,04	23,09	77,63		
Учет затухания звука в атмосфере Aatm, дБ		ф-ла (8) [10]	0	0	0,1	0,3	0,7	1,3	2,3	5,8	19,6		
Снижение уровня звукового давления из-за влияния застройки между источником шума и расчетной точкой													
Снижение уровня звукового давления на пути над экраном, Dz1, дБ	z = 0.36м (разность путей)	ф-лы (14-18) [10]	5,8	7,2	9,5	12,1	14,8	17,6	20,5	23,4	26,4		
Снижение уровня звукового давления на пути слева от экрана, Dz2, дБ	z = 6.56м (разность путей)	ф-лы (14-18) [10]	15,7	20	24	27,5	30,6	33,6	36,7	39,7	42,7		
Снижение уровня звукового давления на пути справа от экрана, Dz3, дБ	z = 67.77м (разность путей)	ф-лы (14-18) [10]	28,4	31,7	34,7	37,8	40,8	43,8	46,8	49,8	52,8		
Общее снижение уровня звука препятствием Dz, дБ		Эн.сумма(-Dzi)	5,3	7	9,3	11,9	14,6	17,5	20,4	23,3	26,3		
Общее снижение уровня звука препятствием с учётом ограничения (25 дБ) для октавных полос Dz, дБ		Раздел 7.4 [10]	5,3	7	9,3	11,9	14,6	17,5	20,4	23,3	25		
Уровни звукового давления от источника ИШ-2-4 в расчётной точке днём, дБ		**ф-ла(3)[10]**	**43,6**	**41**	**38,6**	**32,7**	**30,6**	**31,2**	**22,3**	**9,8**	**0**	**34,1**	**34,1**
Источник шума: ИШ-2-30, координаты источника (x,y,z), м =[702.44,-77.23,1.00]													
Уровни звуковой мощности источника днём, Lw, дБ		**исходные данные**	**0**	**93,3**	**94,7**	**96**	**96,3**	**95,9**	**92,6**	**88,4**	**83,9**		

1		2	3	4	5	6	7	8	9	10	11	12	13
Поправка на телесный угол DΩ, дБ	Ω = 6.28	10Lg(4π/Ω)	**3**	3	3	3	3	3	3	3	3		
Показатель направленности источника Di, дБ		исходные данные	**0**	0	0	0	0	0	0	0	0		
Поправка на направленность источника Dc, дБ	Dc	DΩ + Di	**3**	3	3	3	3	3	3	3	3		
Затухание из-за геометрической дивергенции, Adiv, дБ	расстояние = 322.66 м	ф-ла (7) [10]	**61,2**										
Коэффициент затухания звука в атмосфере α, дБ/км	Ta=20,°C Pa=101.33,кПа hотн.=70%	ф-ла (5) [9]	0,02	0,09	0,33	1,12	2,79	4,98	9,04	23,09	77,63		
Учет затухания звука в атмосфере Aatm, дБ		ф-ла (8) [10]	0	0	0,1	0,4	0,9	1,6	2,9	7,4	25		
Снижение уровня звукового давления из-за влияния застройки между источником шума и расчетной точкой													
Снижение уровня звукового давления на пути над экраном, Dz1, дБ	z = 0.31м (разность путей)	ф-лы (14-18) [10]	5,2	6	7,4	9,3	11,6	14,2	16,9	19,8	22,7		
Снижение уровня звукового давления на пути слева от экрана, Dz2, дБ	z = 6.12м (разность путей)	ф-лы (14-18) [10]	15,4	19,7	23,7	27,2	30,3	33,3	36,4	39,4	42,4		
Снижение уровня звукового давления на пути справа от экрана, Dz3, дБ	z = 63.49м (разность путей)	ф-лы (14-18) [10]	28,1	31,4	34,4	37,5	40,5	43,5	46,5	49,5	52,5		
Общее снижение уровня звука препятствием Dz, дБ		Эн.сумма(-Dzi)	4,8	5,8	7,3	9,2	11,5	14,1	16,9	19,8	22,7		
Уровни звукового давления от источника ИШ-2-30 в расчётной точке днём, дБ		**ф-ла(3)[10]**	**0**	**29,3**	**29,1**	**28,2**	**25,7**	**22**	**14,6**	**3**	**0**	**26,9**	**26,9**
Источник шума: ИШ-2-31, координаты источника (x,y,z), м =[701.42,-80.17,1.00]													
Уровни звуковой мощности источника днём, Lw, дБ		**исходные данные**	**0**	**93,3**	**94,7**	**96**	**96,3**	**95,9**	**92,6**	**88,4**	**83,9**		
Поправка на телесный угол DΩ, дБ	Ω = 6.28	10Lg(4π/Ω)	**3**	3	3	3	3	3	3	3	3		
Показатель направленности источника Di, дБ		исходные данные	**0**	0	0	0	0	0	0	0	0		

1		2	3	4	5	6	7	8	9	10	11	12	13
Поправка на направленность источника Dc, дБ	Dc	DΩ + Di	**3**	3	3	3	3	3	3	3	3		
Затухание из-за геометрической дивергенции, Adiv, дБ	расстояние = 322.57 м	ф-ла (7) [10]	**61,2**										
Коэффициент затухания звука в атмосфере α, дБ/км	Ta=20,°C Pa=101.33,кПа hотн.=70%	ф-ла (5) [9]	0,02	0,09	0,33	1,12	2,79	4,98	9,04	23,09	77,63		
Учет затухания звука в атмосфере Aatm, дБ		ф-ла (8) [10]	0	0	0,1	0,4	0,9	1,6	2,9	7,4	25		
Снижение уровня звукового давления из-за влияния застройки между источником шума и расчетной точкой													
Снижение уровня звукового давления на пути над экраном, Dz1, дБ	z = 0.31м (разность путей)	ф-лы (14-18) [10]	5,2	6	7,4	9,3	11,6	14,2	16,9	19,8	22,8		
Снижение уровня звукового давления на пути слева от экрана, Dz2, дБ	z = 5.38м (разность путей)	ф-лы (14-18) [10]	14,9	19,2	23,2	26,6	29,7	32,8	35,8	38,8	41,8		
Снижение уровня звукового давления на пути справа от экрана, Dz3, дБ	z = 63.89м (разность путей)	ф-лы (14-18) [10]	28,1	31,4	34,5	37,5	40,5	43,5	46,5	49,6	52,6		
Общее снижение уровня звука препятствием Dz, дБ		Эн.сумма(-Dzi)	4,8	5,8	7,3	9,2	11,5	14,1	16,9	19,8	22,7		
Уровни звукового давления от источника ИШ-2-31 в расчётной точке днём, дБ		**ф-ла(3)[10]**	**0**	**29,3**	**29,1**	**28,2**	**25,7**	**22**	**14,6**	**3**	**0**	**26,9**	**26,9**
Источник шума: ИШ-2-32, координаты источника (x,y,z), м =[700.38,-83.01,1.00]													
Уровни звуковой мощности источника днём, Lw, дБ		**исходные данные**	**0**	**93,3**	**94,7**	**96**	**96,3**	**95,9**	**92,6**	**88,4**	**83,9**		
Поправка на телесный угол DΩ, дБ	Ω = 6.28	10Lg(4π/Ω)	**3**	3	3	3	3	3	3	3	3		
Показатель направленности источника Di, дБ		исходные данные	**0**	0	0	0	0	0	0	0	0		
Поправка на направленность источника Dc, дБ	Dc	DΩ + Di	**3**	3	3	3	3	3	3	3	3		
Затухание из-за геометрической дивергенции, Adiv, дБ	расстояние = 322.44 м	ф-ла (7) [10]	**61,2**										

1		2	3	4	5	6	7	8	9	10	11	12	13
Коэффициент затухания звука в атмосфере α, дБ/км	Ta=20,°C Pa=101.33,кПа hотн.=70%	ф-ла (5) [9]	0,02	0,09	0,33	1,12	2,79	4,98	9,04	23,09	77,63		
Учет затухания звука в атмосфере Aatm, дБ		ф-ла (8) [10]	0	0	0,1	0,4	0,9	1,6	2,9	7,4	25		
Снижение уровня звукового давления из-за влияния застройки между источником шума и расчетной точкой													
Снижение уровня звукового давления на пути над экраном, Dz1, дБ	z = 0.31м (разность путей)	ф-лы (14-18) [10]	5,2	6	7,4	9,3	11,6	14,2	16,9	19,8	22,8		
Снижение уровня звукового давления на пути слева от экрана, Dz2, дБ	z = 4.71м (разность путей)	ф-лы (14-18) [10]	14,4	18,6	22,6	26	29,2	32,2	35,2	38,2	41,2		
Снижение уровня звукового давления на пути справа от экрана, Dz3, дБ	z = 64.32м (разность путей)	ф-лы (14-18) [10]	28,1	31,5	34,5	37,5	40,5	43,6	46,6	49,6	52,6		
Общее снижение уровня звука препятствием Dz, дБ		Эн.сумма(-Dzi)	4,7	5,7	7,3	9,2	11,5	14,1	16,9	19,8	22,7		
Уровни звукового давления от источника ИШ-2-32 в расчётной точке днём, дБ		**ф-ла(3)[10]**	**0**	**29,3**	**29,1**	**28,2**	**25,7**	**22**	**14,6**	**3**	**0**	**26,9**	**26,9**
Источник шума: ИШ-2-33, координаты источника (x,y,z), м =[699.52,-85.98,1.00]													
Уровни звуковой мощности источника днём, Lw, дБ		**исходные данные**	**0**	**93,3**	**94,7**	**96**	**96,3**	**95,9**	**92,6**	**88,4**	**83,9**		
Поправка на телесный угол DΩ, дБ	Ω = 6.28	10Lg(4π/Ω)	**3**	3	3	3	3	3	3	3	3		
Показатель направленности источника Di, дБ		исходные данные	**0**	0	0	0	0	0	0	0	0		
Поправка на направленность источника Dc, дБ	Dc	DΩ + Di	**3**	3	3	3	3	3	3	3	3		
Затухание из-за геометрической дивергенции, Adiv, дБ	расстояние = 322.56 м	ф-ла (7) [10]	**61,2**										
Коэффициент затухания звука в атмосфере α, дБ/км	Ta=20,°C Pa=101.33,кПа hотн.=70%	ф-ла (5) [9]	0,02	0,09	0,33	1,12	2,79	4,98	9,04	23,09	77,63		
Учет затухания звука в атмосфере Aatm, дБ		ф-ла (8) [10]	0	0	0,1	0,4	0,9	1,6	2,9	7,4	25		

1		2	3	4	5	6	7	8	9	10	11	12	13
Снижение уровня звукового давления из-за влияния застройки между источником шума и расчетной точкой													
Снижение уровня звукового давления на пути над экраном, Dz1, дБ	z = 0.31м (разность путей)	ф-лы (14-18) [10]	5,2	6	7,4	9,3	11,6	14,2	16,9	19,8	22,8		
Снижение уровня звукового давления на пути слева от экрана, Dz2, дБ	z = 4.06м (разность путей)	ф-лы (14-18) [10]	13,8	18	22	25,4	28,5	31,6	34,6	37,6	40,6		
Снижение уровня звукового давления на пути справа от экрана, Dz3, дБ	z = 64.82м (разность путей)	ф-лы (14-18) [10]	28,2	31,5	34,5	37,6	40,6	43,6	46,6	49,6	52,6		
Общее снижение уровня звука препятствием Dz, дБ		Эн.сумма(-Dzi)	4,7	5,7	7,2	9,2	11,5	14,1	16,9	19,7	22,7		
Уровни звукового давления от источника ИШ-2-33 в расчётной точке днём, дБ		**ф-ла(3)[10]**	**0**	**29,4**	**29,2**	**28,2**	**25,7**	**22**	**14,6**	**3**	**0**	**26,9**	**26,9**
Источник шума: ИШ-2-34, координаты источника (x,y,z), м =[698.43,-88.85,1.00]													
Уровни звуковой мощности источника днём, Lw, дБ		**исходные данные**	**0**	**93,3**	**94,7**	**96**	**96,3**	**95,9**	**92,6**	**88,4**	**83,9**		
Поправка на телесный угол DΩ, дБ	Ω = 6.28	10Lg(4π/Ω)	**3**	3	3	3	3	3	3	3	3		
Показатель направленности источника Di, дБ		исходные данные	**0**	0	0	0	0	0	0	0	0		
Поправка на направленность источника Dc, дБ	Dc	DΩ + Di	**3**	3	3	3	3	3	3	3	3		
Затухание из-за геометрической дивергенции, Adiv, дБ	расстояние = 322.45 м	ф-ла (7) [10]	**61,2**										
Коэффициент затухания звука в атмосфере α, дБ/км	Ta=20,°C Pa=101.33,кПа hотн.=70%	ф-ла (5) [9]	0,02	0,09	0,33	1,12	2,79	4,98	9,04	23,09	77,63		
Учет затухания звука в атмосфере Aatm, дБ		ф-ла (8) [10]	0	0	0,1	0,4	0,9	1,6	2,9	7,4	25		
Снижение уровня звукового давления из-за влияния застройки между источником шума и расчетной точкой													
Снижение уровня звукового давления на пути над экраном, Dz1, дБ	z = 0.31м (разность путей)	ф-лы (14-18) [10]	5,2	6	7,4	9,3	11,6	14,2	16,9	19,8	22,8		

1		2	3	4	5	6	7	8	9	10	11	12	13
Снижение уровня звукового давления на пути слева от экрана, Dz2, дБ	z = 3.47м (разность путей)	ф-лы (14-18) [10]	13,2	17,3	21,3	24,7	27,8	30,9	33,9	36,9	39,9		
Снижение уровня звукового давления на пути справа от экрана, Dz3, дБ	z = 65.35м (разность путей)	ф-лы (14-18) [10]	28,2	31,5	34,6	37,6	40,6	43,6	46,6	49,7	52,7		
Общее снижение уровня звука препятствием Dz, дБ		Эн.сумма(-Dzi)	4,6	5,7	7,2	9,2	11,5	14,1	16,9	19,7	22,7		
Уровни звукового давления от источника ИШ-2-34 в расчётной точке днём, дБ		**ф-ла(3)[10]**	**0**	**29,4**	**29,2**	**28,3**	**25,7**	**22**	**14,7**	**3**	**0**	**26,9**	**26,9**
Источник шума: ИШ-2-35, координаты источника (x,y,z), м =[697.52,-91.66,1.00]													
Уровни звуковой мощности источника днём, Lw, дБ		**исходные данные**	**0**	**93,3**	**94,7**	**96**	**96,3**	**95,9**	**92,6**	**88,4**	**83,9**		
Поправка на телесный угол DΩ, дБ	Ω = 6.28	10Lg(4π/Ω)	**3**	3	3	3	3	3	3	3	3		
Показатель направленности источника Di, дБ		исходные данные	**0**	0	0	0	0	0	0	0	0		
Поправка на направленность источника Dc, дБ	Dc	DΩ + Di	**3**	3	3	3	3	3	3	3	3		
Затухание из-за геометрической дивергенции, Adiv, дБ	расстояние = 322.52 м	ф-ла (7) [10]	**61,2**										
Коэффициент затухания звука в атмосфере α, дБ/км	Ta=20,°C Pa=101.33,кПа hотн.=70%	ф-ла (5) [9]	0,02	0,09	0,33	1,12	2,79	4,98	9,04	23,09	77,63		
Учет затухания звука в атмосфере Aatm, дБ		ф-ла (8) [10]	0	0	0,1	0,4	0,9	1,6	2,9	7,4	25		
Снижение уровня звукового давления из-за влияния застройки между источником шума и расчетной точкой													
Снижение уровня звукового давления на пути над экраном, Dz1, дБ	z = 0.31м (разность путей)	ф-лы (14-18) [10]	5,2	6	7,4	9,3	11,6	14,2	16,9	19,8	22,8		
Снижение уровня звукового давления на пути слева от экрана, Dz2, дБ	z = 2.94м (разность путей)	ф-лы (14-18) [10]	12,6	16,7	20,6	24	27,1	30,2	33,2	36,2	39,2		
Снижение уровня звукового давления на пути справа от экрана, Dz3, дБ	z = 65.91м (разность путей)	ф-лы (14-18) [10]	28,3	31,6	34,6	37,6	40,7	43,7	46,7	49,7	52,7		

1		2	3	4	5	6	7	8	9	10	11	12	13
Общее снижение уровня звука препятствием Dz, дБ		Эн.сумма(-Dzi)	4,5	5,6	7,2	9,2	11,5	14,1	16,8	19,7	22,7		
Уровни звукового давления от источника ИШ-2-35 в расчётной точке днём, дБ		**ф-ла(3)[10]**	**0**	**29,5**	**29,2**	**28,3**	**25,7**	**22,1**	**14,7**	**3,1**	**0**	**27**	**27**
Источник шума: ИШ-2-36, координаты источника (x,y,z), м =[696.58,-94.55,1.00]													
Уровни звуковой мощности источника днём, Lw, дБ		**исходные данные**	**0**	**93,3**	**94,7**	**96**	**96,3**	**95,9**	**92,6**	**88,4**	**83,9**		
Поправка на телесный угол DΩ, дБ	Ω = 6.28	10Lg(4π/Ω)	**3**	3	3	3	3	3	3	3	3		
Показатель направленности источника Di, дБ		исходные данные	**0**	0	0	0	0	0	0	0	0		
Поправка на направленность источника Dc, дБ	Dc	DΩ + Di	**3**	3	3	3	3	3	3	3	3		
Затухание из-за геометрической дивергенции, Adiv, дБ	расстояние = 322.63 м	ф-ла (7) [10]	**61,2**										
Коэффициент затухания звука в атмосфере α, дБ/км	Ta=20,°C Pa=101.33,кПа hотн.=70%	ф-ла (5) [9]	0,02	0,09	0,33	1,12	2,79	4,98	9,04	23,09	77,63		
Учет затухания звука в атмосфере Aatm, дБ		ф-ла (8) [10]	0	0	0,1	0,4	0,9	1,6	2,9	7,4	25		
Снижение уровня звукового давления из-за влияния застройки между источником шума и расчетной точкой													
Снижение уровня звукового давления на пути над экраном, Dz1, дБ	z = 0.31м (разность путей)	ф-лы (14-18) [10]	5,2	6	7,4	9,3	11,6	14,2	16,9	19,8	22,8		
Снижение уровня звукового давления на пути слева от экрана, Dz2, дБ	z = 2.44м (разность путей)	ф-лы (14-18) [10]	11,9	15,9	19,8	23,2	26,3	29,4	32,4	35,4	38,4		
Снижение уровня звукового давления на пути справа от экрана, Dz3, дБ	z = 66.53м (разность путей)	ф-лы (14-18) [10]	28,3	31,6	34,7	37,7	40,7	43,7	46,7	49,7	52,7		
Общее снижение уровня звука препятствием Dz, дБ		Эн.сумма(-Dzi)	4,4	5,6	7,2	9,1	11,5	14	16,8	19,7	22,6		
Уровни звукового давления от источника ИШ-2-36 в расчётной точке днём, дБ		**ф-ла(3)[10]**	**0**	**29,5**	**29,3**	**28,3**	**25,8**	**22,1**	**14,7**	**3,1**	**0**	**27**	**27**

1		2	3	4	5	6	7	8	9	10	11	12	13
Источник шума: ИШ-2-37, координаты источника (x,y,z), м =[695.57,-97.37,1.00]													
Уровни звуковой мощности источника днём, Lw, дБ		**исходные данные**	**0**	**93,3**	**94,7**	**96**	**96,3**	**95,9**	**92,6**	**88,4**	**83,9**		
Поправка на телесный угол DΩ, дБ	Ω = 6.28	10Lg(4π/Ω)	**3**	3	3	3	3	3	3	3	3		
Показатель направленности источника Di, дБ		исходные данные	**0**	0	0	0	0	0	0	0	0		
Поправка на направленность источника Dc, дБ	Dc	DΩ + Di	**3**	3	3	3	3	3	3	3	3		
Затухание из-за геометрической дивергенции, Adiv, дБ	расстояние = 322.67 м	ф-ла (7) [10]	**61,2**										
Коэффициент затухания звука в атмосфере α, дБ/км	Ta=20,°C Pa=101.33,кПа hотн.=70%	ф-ла (5) [9]	0,02	0,09	0,33	1,12	2,79	4,98	9,04	23,09	77,63		
Учет затухания звука в атмосфере Aatm, дБ		ф-ла (8) [10]	0	0	0,1	0,4	0,9	1,6	2,9	7,4	25		
Снижение уровня звукового давления из-за влияния застройки между источником шума и расчетной точкой													
Снижение уровня звукового давления на пути над экраном, Dz1, дБ	z = 0.31м (разность путей)	ф-лы (14-18) [10]	5,2	6	7,4	9,3	11,6	14,2	16,9	19,8	22,8		
Снижение уровня звукового давления на пути слева от экрана, Dz2, дБ	z = 2.00м (разность путей)	ф-лы (14-18) [10]	11,2	15,1	19	22,4	25,5	28,5	31,5	34,5	37,5		
Снижение уровня звукового давления на пути справа от экрана, Dz3, дБ	z = 67.18м (разность путей)	ф-лы (14-18) [10]	28,3	31,6	34,7	37,7	40,7	43,7	46,8	49,8	52,8		
Общее снижение уровня звука препятствием Dz, дБ		Эн.сумма(-Dzi)	4,2	5,5	7,1	9,1	11,4	14	16,8	19,7	22,6		
Уровни звукового давления от источника ИШ-2-37 в расчётной точке днём, дБ		**ф-ла(3)[10]**	**0**	**29,6**	**29,3**	**28,3**	**25,8**	**22,1**	**14,7**	**3,1**	**0**	**27**	**27**
Источник шума: ИШ-2-5, координаты источника (x,y,z), м =[618.60,-108.00,3.00]													
Уровни звуковой мощности источника днём, Lw, дБ		**исходные данные**	**105**	**104**	**104**	**101**	**102**	**106**	**101**	**95**	**87**		

1		2	3	4	5	6	7	8	9	10	11	12	13
Поправка на телесный угол DΩ, дБ	Ω = 6.28	10Lg(4π/Ω)	**3**	3	3	3	3	3	3	3	3		
Показатель направленности источника Di, дБ		исходные данные	**0**	0	0	0	0	0	0	0	0		
Поправка на направленность источника Dc, дБ	Dc	DΩ + Di	**3**	3	3	3	3	3	3	3	3		
Затухание из-за геометрической дивергенции, Adiv, дБ	расстояние = 257.16 м	ф-ла (7) [10]	**59,2**										
Коэффициент затухания звука в атмосфере α, дБ/км	Ta=20,°C Pa=101.33,кПа hотн.=70%	ф-ла (5) [9]	0,02	0,09	0,33	1,12	2,79	4,98	9,04	23,09	77,63		
Учет затухания звука в атмосфере Aatm, дБ		ф-ла (8) [10]	0	0	0,1	0,3	0,7	1,3	2,3	5,9	20		
Снижение поверхностью земли возле источника As, дБ	Gs = 0 hs = 3м	ф-лы таб.3 [10]	-1,5	-1,5	-1,5	-1,5	-1,5	-1,5	-1,5	-1,5	-1,5		
Снижение поверхностью земли возле приёмника Ar, дБ	Gr = 1 hr = 1.5м	ф-лы таб.3 [10]	-1,5	-1,5	1,5	7	4,9	0,7	0	0	0		
Снижение поверхностью земли в средней зоне, Am дБ	Gm = 1	ф-лы таб.3 [10]	-1,4	-1,4	0	0	0	0	0	0	0		
Суммарное снижение поверхностью земли на траектории распространения звука Agr, дБ		ф-ла (9) [10]	-4,4	-4,4	0	5,5	3,4	-0,8	-1,5	-1,5	-1,5		
Уровни звукового давления прямого звука от источника ИШ-2-5 в расчётной точке днём, дБ		**ф-ла(3)[10]**	**53,2**	**52,2**	**47,7**	**39**	**41,6**	**49,4**	**44**	**34,4**	**12,3**	**51,2**	**51,2**
Расчёт отражённого звука													
Уровни звукового давления от мнимого источника ИШ-2-5_мн.(1) в расчётной точке днём, дБ		**ф-ла(3)[10]**	**0**	**51,2**	**43**	**32,7**	**38,9**	**46,9**	**41,5**	**31,9**	**9,8**	**48,7**	**48,7**
Уровни звукового давления от мнимого источника ИШ-2-5_мн.(2) в расчётной точке днём, дБ		**ф-ла(3)[10]**	**0**	**0**	**0**	**0**	**36,9**	**43,2**	**37,2**	**25,9**	**0**	**44,9**	**44,9**
Суммарные уровни звукового давления от мнимых источников в расчётной точке днём, дБ		**ф-ла (19) [1]**	**0**	**51,2**	**43**	**32,7**	**41**	**48,4**	**42,9**	**32,9**	**9,8**	**0**	**50,2**
Уровни звукового давления от источника ИШ-2-5 в расчётной точке днём, дБ		**ф-ла(3)[10]**	**53,2**	**54,8**	**49**	**40**	**44,4**	**51,9**	**46,5**	**36,7**	**14,3**	**53,8**	**53,8**

1		2	3	4	5	6	7	8	9	10	11	12	13
Источник шума: ИШ-2-38, координаты источника (x,y,z), м =[688.13,-119.94,1.00]													
Уровни звуковой мощности источника днём, Lw, дБ		**исходные данные**	**0**	**93,3**	**94,7**	**96**	**96,3**	**95,9**	**92,6**	**88,4**	**83,9**		
Поправка на телесный угол DΩ, дБ	Ω = 6.28	10Lg(4π/Ω)	**3**	3	3	3	3	3	3	3	3		
Показатель направленности источника Di, дБ		исходные данные	**0**	0	0	0	0	0	0	0	0		
Поправка на направленность источника Dc, дБ	Dc	DΩ + Di	**3**	3	3	3	3	3	3	3	3		
Затухание из-за геометрической дивергенции, Adiv, дБ	расстояние = 324.57 м	ф-ла (7) [10]	**61,2**										
Коэффициент затухания звука в атмосфере α, дБ/км	Ta=20,°C Pa=101.33,кПа hотн.=70%	ф-ла (5) [9]	0,02	0,09	0,33	1,12	2,79	4,98	9,04	23,09	77,63		
Учет затухания звука в атмосфере Aatm, дБ		ф-ла (8) [10]	0	0	0,1	0,4	0,9	1,6	2,9	7,5	25,2		
Снижение уровня звукового давления из-за влияния застройки между источником шума и расчетной точкой													
Снижение уровня звукового давления на пути над экраном, Dz1, дБ	z = 0.31м (разность путей)	ф-лы (14-18) [10]	5,2	6	7,4	9,3	11,5	14,1	16,8	19,7	22,6		
Снижение уровня звукового давления на пути слева от экрана, Dz2, дБ	z = 0.12м (разность путей)	ф-лы (14-18) [10]	5,4	5,9	6,7	8,1	9,9	12,2	14,8	17,6	20,5		
Снижение уровня звукового давления на пути справа от экрана, Dz3, дБ	z = 73.64м (разность путей)	ф-лы (14-18) [10]	28,7	32	35,1	38,1	41,1	44,1	47,2	50,2	53,2		
Общее снижение уровня звука препятствием Dz, дБ		Эн.сумма(-Dzi)	2,3	2,9	4	5,6	7,6	10	12,7	15,5	18,4		
Уровни звукового давления прямого звука от источника ИШ-2-38 в расчётной точке днём, дБ		**ф-ла(3)[10]**	**0**	**32,1**	**32,3**	**31,8**	**29,5**	**26**	**18,7**	**7,2**	**0**	**30,8**	**30,8**
Расчёт отражённого звука													
Уровни звукового давления от мнимого источника ИШ-2-38_мн.(1) в расчётной точке днём, дБ		**ф-ла(3)[10]**	**0**	**0**	**0**	**0**	**23,6**	**29,9**	**26,7**	**16,3**	**0**	**32,5**	**32,5**

1		2	3	4	5	6	7	8	9	10	11	12	13
Уровни звукового давления от мнимого источника ИШ-2-38_мн.(2) в расчётной точке днём, дБ		**ф-ла(3)[10]**	**0**	**0**	**0**	**0**	**0**	**0**	**0**	**0**	**0**	**0**	**0**
Суммарные уровни звукового давления от мнимых источников в расчётной точке днём, дБ		**ф-ла (19) [1]**	**0**	**0**	**0**	**0**	**23,6**	**29,9**	**26,7**	**16,3**	**0**	**0**	**32,5**
Уровни звукового давления от источника ИШ-2-38 в расчётной точке днём, дБ		**ф-ла(3)[10]**	**0**	**32,1**	**32,3**	**31,8**	**30,5**	**31,4**	**27,3**	**16,8**	**0**	**34,7**	**34,7**
Источник шума: ИШ-2-39, координаты источника (x,y,z), м =[687.11,-122.83,1.00]													
Уровни звуковой мощности источника днём, Lw, дБ		**исходные данные**	**0**	**93,3**	**94,7**	**96**	**96,3**	**95,9**	**92,6**	**88,4**	**83,9**		
Поправка на телесный угол DΩ, дБ	Ω = 6.28	10Lg(4π/Ω)	**3**	3	3	3	3	3	3	3	3		
Показатель направленности источника Di, дБ		исходные данные	**0**	0	0	0	0	0	0	0	0		
Поправка на направленность источника Dc, дБ	Dc	DΩ + Di	**3**	3	3	3	3	3	3	3	3		
Затухание из-за геометрической дивергенции, Adiv, дБ	расстояние = 324.89 м	ф-ла (7) [10]	**61,2**										
Коэффициент затухания звука в атмосфере α, дБ/км	Ta=20,°C Pa=101.33,кПа hотн.=70%	ф-ла (5) [9]	0,02	0,09	0,33	1,12	2,79	4,98	9,04	23,09	77,63		
Учет затухания звука в атмосфере Aatm, дБ		ф-ла (8) [10]	0	0	0,1	0,4	0,9	1,6	2,9	7,5	25,2		
Снижение уровня звукового давления из-за влияния застройки между источником шума и расчетной точкой													
Снижение уровня звукового давления на пути над экраном, Dz1, дБ	z = 0.31м (разность путей)	ф-лы (14-18) [10]	5,2	5,9	7,3	9,2	11,5	14	16,8	19,7	22,6		
Снижение уровня звукового давления на пути слева от экрана, Dz2, дБ	z = 0.05м (разность путей)	ф-лы (14-18) [10]	5	5,3	5,7	6,5	7,7	9,5	11,7	14,2	17		
Снижение уровня звукового давления на пути справа от экрана, Dz3, дБ	z = 74.63м (разность путей)	ф-лы (14-18) [10]	28,8	32,1	35,2	38,2	41,2	44,2	47,2	50,2	53,2		
Общее снижение уровня звука препятствием Dz, дБ		Эн.сумма(-Dzi)	2,1	2,6	3,4	4,6	6,2	8,2	10,5	13,1	15,9		

1		2	3	4	5	6	7	8	9	10	11	12	13
Уровни звукового давления прямого звука от источника ИШ-2-39 в расчётной точке днём, дБ		**ф-ла(3)[10]**	**0**	**32,4**	**32,9**	**32,8**	**31**	**27,9**	**20,9**	**9,5**	**0**	**32,3**	**32,3**
Расчёт отражённого звука													
Уровни звукового давления от мнимого источника ИШ-2-39_мн.(1) в расчётной точке днём, дБ		**ф-ла(3)[10]**	**0**	**0**	**0**	**0**	**23,5**	**29,9**	**26,7**	**16,3**	**0**	**32,5**	**32,5**
Уровни звукового давления от источника ИШ-2-39 в расчётной точке днём, дБ		**ф-ла(3)[10]**	**0**	**32,4**	**32,9**	**32,8**	**31,7**	**32**	**27,7**	**17,1**	**0**	**35,4**	**35,4**
Источник шума: ИШ-2-40, координаты источника (x,y,z), м =[686.10,-125.67,1.00]													
Уровни звуковой мощности источника днём, Lw, дБ		**исходные данные**	**0**	**93,3**	**94,7**	**96**	**96,3**	**95,9**	**92,6**	**88,4**	**83,9**		
Поправка на телесный угол DΩ, дБ	Ω = 6.28	10Lg(4π/Ω)	**3**	3	3	3	3	3	3	3	3		
Показатель направленности источника Di, дБ		исходные данные	**0**	0	0	0	0	0	0	0	0		
Поправка на направленность источника Dc, дБ	Dc	DΩ + Di	**3**	3	3	3	3	3	3	3	3		
Затухание из-за геометрической дивергенции, Adiv, дБ	расстояние = 325.21 м	ф-ла (7) [10]	**61,2**										
Коэффициент затухания звука в атмосфере α, дБ/км	Ta=20,°C Pa=101.33,кПа hотн.=70%	ф-ла (5) [9]	0,02	0,09	0,33	1,12	2,79	4,98	9,04	23,09	77,63		
Учет затухания звука в атмосфере Aatm, дБ		ф-ла (8) [10]	0	0	0,1	0,4	0,9	1,6	2,9	7,5	25,2		
Снижение уровня звукового давления из-за влияния застройки между источником шума и расчетной точкой													
Снижение уровня звукового давления на пути над экраном, Dz1, дБ	z = 0.21м (разность путей)	ф-лы (14-18) [10]	4,9	5	5,4	6,4	8,1	10,4	12,9	15,6	18,4		
Снижение уровня звукового давления на пути слева от экрана, Dz2, дБ	z = 0.01м (разность путей)	ф-лы (14-18) [10]	4,8	4,9	5	5,2	5,7	6,4	7,6	9,3	11,5		
Снижение уровня звукового давления на пути справа от экрана, Dz3, дБ	z = 75.62м (разность путей)	ф-лы (14-18) [10]	28,8	32,2	35,2	38,2	41,3	44,3	47,3	50,3	53,3		

1		2	3	4	5	6	7	8	9	10	11	12	13
Общее снижение уровня звука препятствием Dz, дБ		Эн.сумма(-Dzi)	1,8	2	2,2	2,8	3,7	4,9	6,5	8,4	10,7		
Уровни звукового давления прямого звука от источника ИШ-2-40 в расчётной точке днём, дБ		**ф-ла(3)[10]**	**0**	**33,1**	**34,2**	**34,6**	**33,4**	**31,1**	**24,9**	**14,3**	**0**	**35,1**	**35,1**
Расчёт отражённого звука													
Уровни звукового давления от мнимого источника ИШ-2-40_мн.(1) в расчётной точке днём, дБ		**ф-ла(3)[10]**	**0**	**0**	**0**	**0**	**23,5**	**29,9**	**26,7**	**16,3**	**0**	**32,4**	**32,4**
Уровни звукового давления от источника ИШ-2-40 в расчётной точке днём, дБ		**ф-ла(3)[10]**	**0**	**33,1**	**34,2**	**34,6**	**33,8**	**33,5**	**28,9**	**18,4**	**0**	**37**	**37**
Источник шума: ИШ-2-41, координаты источника (x,y,z), м =[685.14,-128.64,1.00]													
Уровни звуковой мощности источника днём, Lw, дБ		**исходные данные**	**0**	**93,3**	**94,7**	**96**	**96,3**	**95,9**	**92,6**	**88,4**	**83,9**		
Поправка на телесный угол DΩ, дБ	Ω = 6.28	10Lg(4π/Ω)	**3**	3	3	3	3	3	3	3	3		
Показатель направленности источника Di, дБ		исходные данные	**0**	0	0	0	0	0	0	0	0		
Поправка на направленность источника Dc, дБ	Dc	DΩ + Di	**3**	3	3	3	3	3	3	3	3		
Затухание из-за геометрической дивергенции, Adiv, дБ	расстояние = 325.66 м	ф-ла (7) [10]	**61,3**										
Коэффициент затухания звука в атмосфере α, дБ/км	Ta=20,°C Pa=101.33,кПа hотн.=70%	ф-ла (5) [9]	0,02	0,09	0,33	1,12	2,79	4,98	9,04	23,09	77,63		
Учет затухания звука в атмосфере Aatm, дБ		ф-ла (8) [10]	0	0	0,1	0,4	0,9	1,6	2,9	7,5	25,3		
Снижение уровня звукового давления из-за влияния застройки между источником шума и расчетной точкой													
Снижение уровня звукового давления препятствием справа от трассы ИШ-РТ, Dz3, дБ	z = 0.00м (разность путей)	ф-лы (14-18) [10]	0	0	0	0	0	0	0	4,7	4,6		
* отрицательное значение z означает прохождение траектории вблизи экрана, в этом случае дополнительно производится учёт снижения подстилающей поверхностью (см.ниже)													
Снижение поверхностью земли возле источника As, дБ	Gs = 0 hs = 1м	ф-лы таб.3 [10]	-1,5	-1,5	-1,5	-1,5	-1,5	-1,5	-1,5	-1,5	-1,5		

1		2	3	4	5	6	7	8	9	10	11	12	13
Снижение поверхностью земли возле приёмника Ar, дБ	Gr = 1 hr = 1.5м	ф-лы таб.3 [10]	-1,5	-1,5	1,9	7	5	0,7	0	0	0		
Снижение поверхностью земли в средней зоне, Am дБ	Gm = 1	ф-лы таб.3 [10]	-2,3	-2,3	0	0	0	0	0	0	0		
Суммарное снижение поверхностью земли на траектории распространения звука Agr, дБ		ф-ла (9) [10]	-5,3	-5,3	0,4	5,5	3,5	-0,8	-1,5	-1,5	-1,5		
Уровни звукового давления прямого звука от источника ИШ-2-41 в расчётной точке днём, дБ		**ф-ла(3)[10]**	**0**	**40,3**	**35,9**	**31,9**	**33,7**	**36,9**	**32,9**	**19,4**	**0**	**39,5**	**39,5**
Расчёт отражённого звука													
Уровни звукового давления от мнимого источника ИШ-2-41_мн.(1) в расчётной точке днём, дБ		**ф-ла(3)[10]**	**0**	**0**	**0**	**0**	**23,5**	**29,9**	**26,7**	**16,2**	**0**	**32,4**	**32,4**
Уровни звукового давления от источника ИШ-2-41 в расчётной точке днём, дБ		**ф-ла(3)[10]**	**0**	**40,3**	**35,9**	**31,9**	**34,1**	**37,7**	**33,8**	**21,1**	**0**	**40,3**	**40,3**
Источник шума: ИШ-2-42, координаты источника (x,y,z), м =[684.20,-131.46,1.00]													
Уровни звуковой мощности источника днём, Lw, дБ		**исходные данные**	**0**	**93,3**	**94,7**	**96**	**96,3**	**95,9**	**92,6**	**88,4**	**83,9**		
Поправка на телесный угол DΩ, дБ	Ω = 6.28	10Lg(4π/Ω)	**3**	3	3	3	3	3	3	3	3		
Показатель направленности источника Di, дБ		исходные данные	**0**	0	0	0	0	0	0	0	0		
Поправка на направленность источника Dc, дБ	Dc	DΩ + Di	**3**	3	3	3	3	3	3	3	3		
Затухание из-за геометрической дивергенции, Adiv, дБ	расстояние = 326.09 м	ф-ла (7) [10]	**61,3**										
Коэффициент затухания звука в атмосфере α, дБ/км	Ta=20,°C Pa=101.33,кПа hотн.=70%	ф-ла (5) [9]	0,02	0,09	0,33	1,12	2,79	4,98	9,04	23,09	77,63		
Учет затухания звука в атмосфере Aatm, дБ		ф-ла (8) [10]	0	0	0,1	0,4	0,9	1,6	2,9	7,5	25,3		
Снижение уровня звукового давления из-за влияния застройки между источником шума и расчетной точкой													

1		2	3	4	5	6	7	8	9	10	11	12	13
Снижение уровня звукового давления препятствием справа от трассы ИШ-РТ, Dz3, дБ	z = -0.01м (разность путей)	ф-лы (14-18) [10]	0	0	0	4,1	3,3	1	NAN	NAN	NAN		
* отрицательное значение z означает прохождение траектории вблизи экрана, в этом случае дополнительно производится учёт снижения подстилающей поверхностью (см.ниже)													
Снижение поверхностью земли возле источника As, дБ	Gs = 0 hs = 1м	ф-лы таб.3 [10]	-1,5	-1,5	-1,5	-1,5	-1,5	-1,5	-1,5	-1,5	-1,5		
Снижение поверхностью земли возле приёмника Ar, дБ	Gr = 1 hr = 1.5м	ф-лы таб.3 [10]	-1,5	-1,5	1,9	7	5	0,7	0	0	0		
Снижение поверхностью земли в средней зоне, Am дБ	Gm = 1	ф-лы таб.3 [10]	-2,3	-2,3	0	0	0	0	0	0	0		
Суммарное снижение поверхностью земли на траектории распространения звука Agr, дБ		ф-ла (9) [10]	-5,3	-5,3	0,4	5,5	3,5	-0,8	-1,5	-1,5	-1,5		
Уровни звукового давления прямого звука от источника ИШ-2-42 в расчётной точке днём, дБ		**ф-ла(3)[10]**	**0**	**40,3**	**35,9**	**27,8**	**30,4**	**35,9**	**32,9**	**24,1**	**1,8**	**38,7**	**38,7**
Расчёт отражённого звука													
Уровни звукового давления от мнимого источника ИШ-2-42_мн.(1) в расчётной точке днём, дБ		**ф-ла(3)[10]**	**0**	**0**	**31,7**	**21,5**	**22,3**	**32,3**	**30,4**	**21,6**	**0**	**35,4**	**35,4**
Уровни звукового давления от мнимого источника ИШ-2-42_мн.(2) в расчётной точке днём, дБ		**ф-ла(3)[10]**	**0**	**0**	**0**	**0**	**23,5**	**29,9**	**26,7**	**16,2**	**0**	**32,4**	**32,4**
Суммарные уровни звукового давления от мнимых источников в расчётной точке днём, дБ		**ф-ла (19) [1]**	**0**	**0**	**31,7**	**21,5**	**26**	**34,3**	**31,9**	**22,7**	**0**	**0**	**37,2**
Уровни звукового давления от источника ИШ-2-42 в расчётной точке днём, дБ		**ф-ла(3)[10]**	**0**	**40,3**	**37,3**	**28,7**	**31,7**	**38,2**	**35,4**	**26,5**	**1,8**	**41**	**41**
Источник шума: ИШ-2-43, координаты источника (x,y,z), м =[683.13,-134.37,1.00]													
Уровни звуковой мощности источника днём, Lw, дБ		**исходные данные**	**0**	**93,3**	**94,7**	**96**	**96,3**	**95,9**	**92,6**	**88,4**	**83,9**		
Поправка на телесный угол DΩ, дБ	Ω = 6.28	10Lg(4π/Ω)	**3**	3	3	3	3	3	3	3	3		
Показатель направленности источника Di, дБ		исходные данные	**0**	0	0	0	0	0	0	0	0		
Поправка на направленность источника Dc, дБ	Dc	DΩ + Di	**3**	3	3	3	3	3	3	3	3		
Затухание из-за геометрической дивергенции, Adiv, дБ	расстояние = 326.48 м	ф-ла (7) [10]	**61,3**										

1		2	3	4	5	6	7	8	9	10	11	12	13
Коэффициент затухания звука в атмосфере α, дБ/км	Ta=20,°C Pa=101.33,кПа hотн.=70%	ф-ла (5) [9]	0,02	0,09	0,33	1,12	2,79	4,98	9,04	23,09	77,63		
Учет затухания звука в атмосфере Aatm, дБ		ф-ла (8) [10]	0	0	0,1	0,4	0,9	1,6	3	7,5	25,3		
Снижение уровня звукового давления из-за влияния застройки между источником шума и расчетной точкой													
Снижение уровня звукового давления препятствием справа от трассы ИШ-РТ, Dz3, дБ	z = -0.06м (разность путей)	ф-лы (14-18) [10]	0	0	3,3	1,2	NAN	NAN	NAN	NAN	NAN		
* отрицательное значение z означает прохождение траектории вблизи экрана, в этом случае дополнительно производится учёт снижения подстилающей поверхностью (см.ниже)													
Снижение поверхностью земли возле источника As, дБ	Gs = 0 hs = 1м	ф-лы таб.3 [10]	-1,5	-1,5	-1,5	-1,5	-1,5	-1,5	-1,5	-1,5	-1,5		
Снижение поверхностью земли возле приёмника Ar, дБ	Gr = 1 hr = 1.5м	ф-лы таб.3 [10]	-1,5	-1,5	1,9	7	5	0,7	0	0	0		
Снижение поверхностью земли в средней зоне, Am дБ	Gm = 1	ф-лы таб.3 [10]	-2,3	-2,3	0	0	0	0	0	0	0		
Суммарное снижение поверхностью земли на траектории распространения звука Agr, дБ		ф-ла (9) [10]	-5,3	-5,3	0,4	5,5	3,5	-0,8	-1,5	-1,5	-1,5		
Уровни звукового давления прямого звука от источника ИШ-2-43 в расчётной точке днём, дБ		**ф-ла(3)[10]**	**0**	**40,3**	**32,6**	**30,6**	**33,6**	**36,8**	**32,9**	**24,1**	**1,8**	**39,6**	**39,6**
Расчёт отражённого звука													
Уровни звукового давления от мнимого источника ИШ-2-43_мн.(1) в расчётной точке днём, дБ		**ф-ла(3)[10]**	**0**	**39,3**	**31,6**	**21,5**	**22,3**	**32,3**	**30,4**	**21,6**	**0**	**35,4**	**35,4**
Уровни звукового давления от мнимого источника ИШ-2-43_мн.(2) в расчётной точке днём, дБ		**ф-ла(3)[10]**	**0**	**0**	**0**	**0**	**23,5**	**29,9**	**26,7**	**16,2**	**0**	**32,4**	**32,4**
Суммарные уровни звукового давления от мнимых источников в расчётной точке днём, дБ		**ф-ла (19) [1]**	**0**	**39,3**	**31,6**	**21,5**	**26**	**34,3**	**31,9**	**22,7**	**0**	**0**	**37,2**
Уровни звукового давления от источника ИШ-2-43 в расчётной точке днём, дБ		**ф-ла(3)[10]**	**0**	**42,8**	**35,1**	**31,1**	**34,3**	**38,8**	**35,4**	**26,5**	**1,8**	**41,5**	**41,5**
Источник шума: ИШ-2-44, координаты источника (x,y,z), м =[682.20,-137.16,1.00]													
Уровни звуковой мощности источника днём, Lw, дБ		**исходные данные**	**0**	**93,3**	**94,7**	**96**	**96,3**	**95,9**	**92,6**	**88,4**	**83,9**		

1		2	3	4	5	6	7	8	9	10	11	12	13
Поправка на телесный угол DΩ, дБ	Ω = 6.28	10Lg(4π/Ω)	**3**	3	3	3	3	3	3	3	3		
Показатель направленности источника Di, дБ		исходные данные	**0**	0	0	0	0	0	0	0	0		
Поправка на направленность источника Dc, дБ	Dc	DΩ + Di	**3**	3	3	3	3	3	3	3	3		
Затухание из-за геометрической дивергенции, Adiv, дБ	расстояние = 326.96 м	ф-ла (7) [10]	**61,3**										
Коэффициент затухания звука в атмосфере α, дБ/км	Ta=20,°C Pa=101.33,кПа hотн.=70%	ф-ла (5) [9]	0,02	0,09	0,33	1,12	2,79	4,98	9,04	23,09	77,63		
Учет затухания звука в атмосфере Aatm, дБ		ф-ла (8) [10]	0	0	0,1	0,4	0,9	1,6	3	7,5	25,4		
Снижение уровня звукового давления из-за влияния застройки между источником шума и расчетной точкой													
Снижение уровня звукового давления препятствием справа от трассы ИШ-РТ, Dz3, дБ	z = -0.12м (разность путей)	ф-лы (14-18) [10]	0	0	0,8	NAN	NAN	NAN	NAN	NAN	NAN		
* отрицательное значение z означает прохождение траектории вблизи экрана, в этом случае дополнительно производится учёт снижения подстилающей поверхностью (см.ниже)													
Снижение поверхностью земли возле источника As, дБ	Gs = 0 hs = 1м	ф-лы таб.3 [10]	-1,5	-1,5	-1,5	-1,5	-1,5	-1,5	-1,5	-1,5	-1,5		
Снижение поверхностью земли возле приёмника Ar, дБ	Gr = 1 hr = 1.5м	ф-лы таб.3 [10]	-1,5	-1,5	1,9	7	5	0,7	0	0	0		
Снижение поверхностью земли в средней зоне, Am дБ	Gm = 1	ф-лы таб.3 [10]	-2,3	-2,3	0	0	0	0	0	0	0		
Суммарное снижение поверхностью земли на траектории распространения звука Agr, дБ		ф-ла (9) [10]	-5,3	-5,3	0,4	5,5	3,5	-0,8	-1,5	-1,5	-1,5		
Уровни звукового давления прямого звука от источника ИШ-2-44 в расчётной точке днём, дБ		**ф-ла(3)[10]**	**0**	**40,3**	**35,1**	**31,8**	**33,6**	**36,8**	**32,8**	**24,1**	**1,7**	**39,6**	**39,6**
Расчёт отражённого звука													
Уровни звукового давления от мнимого источника ИШ-2-44_мн.(1) в расчётной точке днём, дБ		**ф-ла(3)[10]**	**0**	**39,3**	**31,6**	**21,5**	**22,3**	**32,3**	**30,4**	**21,6**	**0**	**35,4**	**35,4**
Уровни звукового давления от мнимого источника ИШ-2-44_мн.(2) в расчётной точке днём, дБ		**ф-ла(3)[10]**	**0**	**0**	**0**	**0**	**23,5**	**29,9**	**26,7**	**16,2**	**0**	**32,4**	**32,4**
Суммарные уровни звукового давления от мнимых источников в расчётной точке днём, дБ		**ф-ла (19) [1]**	**0**	**39,3**	**31,6**	**21,5**	**26**	**34,3**	**31,9**	**22,7**	**0**	**0**	**37,2**

1		2	3	4	5	6	7	8	9	10	11	12	13
Уровни звукового давления от источника ИШ-2-44 в расчётной точке днём, дБ		**ф-ла(3)[10]**	**0**	**42,8**	**36,7**	**32,2**	**34,3**	**38,7**	**35,4**	**26,4**	**1,7**	**41,6**	**41,6**
Источник шума: ИШ-2-45, координаты источника (x,y,z), м =[681.26,-139.98,1.00]													
Уровни звуковой мощности источника днём, Lw, дБ		**исходные данные**	**0**	**93,3**	**94,7**	**96**	**96,3**	**95,9**	**92,6**	**88,4**	**83,9**		
Поправка на телесный угол DΩ, дБ	Ω = 6.28	10Lg(4π/Ω)	**3**	3	3	3	3	3	3	3	3		
Показатель направленности источника Di, дБ		исходные данные	**0**	0	0	0	0	0	0	0	0		
Поправка на направленность источника Dc, дБ	Dc	DΩ + Di	**3**	3	3	3	3	3	3	3	3		
Затухание из-за геометрической дивергенции, Adiv, дБ	расстояние = 327.47 м	ф-ла (7) [10]	**61,3**										
Коэффициент затухания звука в атмосфере α, дБ/км	Ta=20,°C Pa=101.33,кПа hотн.=70%	ф-ла (5) [9]	0,02	0,09	0,33	1,12	2,79	4,98	9,04	23,09	77,63		
Учет затухания звука в атмосфере Aatm, дБ		ф-ла (8) [10]	0	0	0,1	0,4	0,9	1,6	3	7,6	25,4		
Снижение поверхностью земли возле источника As, дБ	Gs = 0 hs = 1м	ф-лы таб.3 [10]	-1,5	-1,5	-1,5	-1,5	-1,5	-1,5	-1,5	-1,5	-1,5		
Снижение поверхностью земли возле приёмника Ar, дБ	Gr = 1 hr = 1.5м	ф-лы таб.3 [10]	-1,5	-1,5	1,9	7	5	0,7	0	0	0		
Снижение поверхностью земли в средней зоне, Am дБ	Gm = 1	ф-лы таб.3 [10]	-2,3	-2,3	0	0	0	0	0	0	0		
Суммарное снижение поверхностью земли на траектории распространения звука Agr, дБ		ф-ла (9) [10]	-5,3	-5,3	0,4	5,5	3,5	-0,8	-1,5	-1,5	-1,5		
Уровни звукового давления прямого звука от источника ИШ-2-45 в расчётной точке днём, дБ		**ф-ла(3)[10]**	**0**	**40,3**	**35,9**	**31,8**	**33,6**	**36,8**	**32,8**	**24**	**1,7**	**39,6**	**39,6**
Расчёт отражённого звука													
Уровни звукового давления от мнимого источника ИШ-2-45_мн.(1) в расчётной точке днём, дБ		**ф-ла(3)[10]**	**0**	**39,3**	**31,6**	**21,5**	**22,3**	**32,3**	**30,3**	**21,5**	**0**	**35,4**	**35,4**

1		2	3	4	5	6	7	8	9	10	11	12	13
Уровни звукового давления от мнимого источника ИШ-2-45_мн.(2) в расчётной точке днём, дБ		**ф-ла(3)[10]**	**0**	**0**	**0**	**0**	**23,5**	**29,9**	**26,6**	**16,2**	**0**	**32,4**	**32,4**
Суммарные уровни звукового давления от мнимых источников в расчётной точке днём, дБ		**ф-ла (19) [1]**	**0**	**39,3**	**31,6**	**21,5**	**25,9**	**34,3**	**31,9**	**22,6**	**0**	**0**	**37,2**
Уровни звукового давления от источника ИШ-2-45 в расчётной точке днём, дБ		**ф-ла(3)[10]**	**0**	**42,8**	**37,3**	**32,2**	**34,3**	**38,7**	**35,4**	**26,4**	**1,7**	**41,5**	**41,5**
Источник шума: ИШ-4-1, координаты источника (x,y,z), м =[141.82,201.03,1.00]													
Уровни звуковой мощности источника днём, Lw, дБ		**исходные данные**	**0**	**90,3**	**91,7**	**93**	**93,3**	**92,9**	**89,6**	**85,4**	**80,9**		
Поправка на телесный угол DΩ, дБ	Ω = 6.28	10Lg(4π/Ω)	**3**	3	3	3	3	3	3	3	3		
Показатель направленности источника Di, дБ		исходные данные	**0**	0	0	0	0	0	0	0	0		
Поправка на направленность источника Dc, дБ	Dc	DΩ + Di	**3**	3	3	3	3	3	3	3	3		
Затухание из-за геометрической дивергенции, Adiv, дБ	расстояние = 312.09 м	ф-ла (7) [10]	**60,9**										
Коэффициент затухания звука в атмосфере α, дБ/км	Ta=20,°C Pa=101.33,кПа hотн.=70%	ф-ла (5) [9]	0,02	0,09	0,33	1,12	2,79	4,98	9,04	23,09	77,63		
Учет затухания звука в атмосфере Aatm, дБ		ф-ла (8) [10]	0	0	0,1	0,4	0,9	1,6	2,8	7,2	24,2		
Снижение уровня звукового давления из-за влияния застройки между источником шума и расчетной точкой													
Снижение уровня звукового давления на пути над экраном, Dz1, дБ	z = 5.18м (разность путей)	ф-лы (14-18) [10]	13,5	17,3	21,7	25,6	28,9	32	35	38	41		
Снижение уровня звукового давления на пути слева от экрана, Dz2, дБ	z = 75.53м (разность путей)	ф-лы (14-18) [10]	25	29	33,6	37,7	41,1	44,2	47,3	50,3	53,3		
Снижение уровня звукового давления на пути справа от экрана, Dz3, дБ	z = 1.18м (разность путей)	ф-лы (14-18) [10]	8,7	10,7	13,1	15,8	18,6	21,5	24,5	27,5	30,5		
Общее снижение уровня звука препятствием Dz, дБ		Эн.сумма(-Dzi)	7,4	9,8	12,5	15,3	18,2	21,1	24,1	27,1	30,1		

1		2	3	4	5	6	7	8	9	10	11	12	13
Общее снижение уровня звука препятствием с учётом ограничения (25 дБ) для октавных полос Dz, дБ		Раздел 7.4 [10]	7,4	9,8	12,5	15,3	18,2	21,1	24,1	25	25		
Уровни звукового давления прямого звука от источника ИШ-4-1 в расчётной точке днём, дБ		**ф-ла(3)[10]**	**0**	**22,6**	**21,2**	**19,5**	**16,4**	**12,3**	**4,8**	**0**	**0**	**17,6**	**17,6**
Расчёт отражённого звука													
Уровни звукового давления от мнимого источника ИШ-4-1_мн.(1) в расчётной точке днём, дБ		**ф-ла(3)[10]**	**0**	**0**	**0**	**0**	**0**	**0**	**0**	**0**	**0**	**0**	**0**
Уровни звукового давления от мнимого источника ИШ-4-1_мн.(2) в расчётной точке днём, дБ		**ф-ла(3)[10]**	**0**	**0**	**0**	**8,3**	**7,6**	**6,5**	**1,8**	**0**	**0**	**10**	**10**
Уровни звукового давления от мнимого источника ИШ-4-1_мн.(3) в расчётной точке днём, дБ		**ф-ла(3)[10]**	**0**	**0**	**0**	**0**	**0**	**0**	**0**	**0**	**0**	**0**	**0**
Суммарные уровни звукового давления от мнимых источников в расчётной точке днём, дБ		**ф-ла (19) [1]**	**0**	**0**	**0**	**8,3**	**7,6**	**6,5**	**1,8**	**0**	**0**	**0**	**10**
Уровни звукового давления от источника ИШ-4-1 в расчётной точке днём, дБ		**ф-ла(3)[10]**	**0**	**22,6**	**21,2**	**19,8**	**16,9**	**13,3**	**6,5**	**0**	**0**	**18,3**	**18,3**
Источник шума: ИШ-4-2, координаты источника (x,y,z), м =[133.85,183.21,1.00]													
Уровни звуковой мощности источника днём, Lw, дБ		**исходные данные**	**0**	**90,3**	**91,7**	**93**	**93,3**	**92,9**	**89,6**	**85,4**	**80,9**		
Поправка на телесный угол DΩ, дБ	Ω = 6.28	10Lg(4π/Ω)	**3**	3	3	3	3	3	3	3	3		
Показатель направленности источника Di, дБ		исходные данные	**0**	0	0	0	0	0	0	0	0		
Поправка на направленность источника Dc, дБ	Dc	DΩ + Di	**3**	3	3	3	3	3	3	3	3		
Затухание из-за геометрической дивергенции, Adiv, дБ	расстояние = 308.60 м	ф-ла (7) [10]	**60,8**										
Коэффициент затухания звука в атмосфере α, дБ/км	Ta=20,°C Pa=101.33,кПа hотн.=70%	ф-ла (5) [9]	0,02	0,09	0,33	1,12	2,79	4,98	9,04	23,09	77,63		
Учет затухания звука в атмосфере Aatm, дБ		ф-ла (8) [10]	0	0	0,1	0,3	0,9	1,5	2,8	7,1	24		

1		2	3	4	5	6	7	8	9	10	11	12	13
Снижение уровня звукового давления из-за влияния застройки между источником шума и расчетной точкой													
Снижение уровня звукового давления на пути над экраном, Dz1, дБ	z = 4.63м (разность путей)	ф-лы (14-18) [10]	13	16,7	21	25	28,3	31,4	34,5	37,5	40,5		
Снижение уровня звукового давления на пути слева от экрана, Dz2, дБ	z = 77.45м (разность путей)	ф-лы (14-18) [10]	25,1	29,2	33,7	37,8	41,2	44,3	47,4	50,4	53,4		
Снижение уровня звукового давления на пути справа от экрана, Dz3, дБ	z = 42.29м (разность путей)	ф-лы (14-18) [10]	22,5	26,5	31	35,1	38,6	41,7	44,7	47,8	50,8		
Общее снижение уровня звука препятствием Dz, дБ		Эн.сумма(-Dzi)	12,3	16	20,4	24,4	27,7	30,9	33,9	36,9	39,9		
Общее снижение уровня звука препятствием с учётом ограничения (25 дБ) для октавных полос Dz, дБ		Раздел 7.4 [10]	12,3	16	20,4	24,4	25	25	25	25	25		
Уровни звукового давления прямого звука от источника ИШ-4-2 в расчётной точке днём, дБ		**ф-ла(3)[10]**	**0**	**16,4**	**13,4**	**10,5**	**9,6**	**8,6**	**4**	**0**	**0**	**12,3**	**12,3**
Расчёт отражённого звука													
Уровни звукового давления от мнимого источника ИШ-4-2_мн.(1) в расчётной точке днём, дБ		**ф-ла(3)[10]**	**0**	**0**	**12**	**9**	**7,8**	**6,7**	**2**	**0**	**0**	**10,4**	**10,4**
Уровни звукового давления от мнимого источника ИШ-4-2_мн.(2) в расчётной точке днём, дБ		**ф-ла(3)[10]**	**0**	**0**	**0**	**0**	**0**	**0**	**0**	**4,9**	**0**	**5,9**	**5,9**
Уровни звукового давления от мнимого источника ИШ-4-2_мн.(3) в расчётной точке днём, дБ		**ф-ла(3)[10]**	**0**	**0**	**0**	**0**	**0**	**0**	**5,2**	**0**	**0**	**6,4**	**6,4**
Суммарные уровни звукового давления от мнимых источников в расчётной точке днём, дБ		**ф-ла (19) [1]**	**0**	**0**	**12**	**9**	**7,8**	**6,7**	**6,9**	**4,9**	**0**	**0**	**12,9**
Уровни звукового давления от источника ИШ-4-2 в расчётной точке днём, дБ		**ф-ла(3)[10]**	**0**	**16,4**	**15,8**	**12,8**	**11,8**	**10,7**	**8,7**	**4,9**	**0**	**15,6**	**15,6**
Источник шума: ИШ-4-3, координаты источника (x,y,z), м =[152.61,172.66,1.00]													
Уровни звуковой мощности источника днём, Lw, дБ		**исходные данные**	**0**	**90,3**	**91,7**	**93**	**93,3**	**92,9**	**89,6**	**85,4**	**80,9**		
Поправка на телесный угол DΩ, дБ	Ω = 6.28	10Lg(4π/Ω)	**3**	3	3	3	3	3	3	3	3		
Показатель направленности источника Di, дБ		исходные данные	**0**	0	0	0	0	0	0	0	0		

1		2	3	4	5	6	7	8	9	10	11	12	13
Поправка на направленность источника Dc, дБ	Dc	DΩ + Di	**3**	3	3	3	3	3	3	3	3		
Затухание из-за геометрической дивергенции, Adiv, дБ	расстояние = 287.12 м	ф-ла (7) [10]	**60,2**										
Коэффициент затухания звука в атмосфере α, дБ/км	Ta=20,°C Pa=101.33,кПа hотн.=70%	ф-ла (5) [9]	0,02	0,09	0,33	1,12	2,79	4,98	9,04	23,09	77,63		
Учет затухания звука в атмосфере Aatm, дБ		ф-ла (8) [10]	0	0	0,1	0,3	0,8	1,4	2,6	6,6	22,3		
Снижение уровня звукового давления из-за влияния застройки между источником шума и расчетной точкой													
Снижение уровня звукового давления на пути над экраном, Dz1, дБ	z = 4.69м (разность путей)	ф-лы (14-18) [10]	13,1	16,8	21,1	25,1	28,4	31,5	34,6	37,6	40,6		
Снижение уровня звукового давления на пути слева от экрана, Dz2, дБ	z = 77.43м (разность путей)	ф-лы (14-18) [10]	25,1	29,2	33,7	37,8	41,2	44,3	47,4	50,4	53,4		
Снижение уровня звукового давления на пути справа от экрана, Dz3, дБ	z = 43.56м (разность путей)	ф-лы (14-18) [10]	22,7	26,7	31,2	35,3	38,7	41,8	44,9	47,9	50,9		
Общее снижение уровня звука препятствием Dz, дБ		Эн.сумма(-Dzi)	12,4	16,1	20,5	24,5	27,8	31	34	37	40		
Общее снижение уровня звука препятствием с учётом ограничения (25 дБ) для октавных полос Dz, дБ		Раздел 7.4 [10]	12,4	16,1	20,5	24,5	25	25	25	25	25		
Уровни звукового давления прямого звука от источника ИШ-4-3 в расчётной точке днём, дБ		**ф-ла(3)[10]**	**0**	**17**	**13,9**	**11**	**10,3**	**9,3**	**4,8**	**0**	**0**	**13**	**13**
Расчёт отражённого звука													
Уровни звукового давления от мнимого источника ИШ-4-3_мн.(1) в расчётной точке днём, дБ		**ф-ла(3)[10]**	**0**	**0**	**0**	**0**	**0**	**0**	**0**	**0**	**0**	**0**	**0**
Уровни звукового давления от мнимого источника ИШ-4-3_мн.(2) в расчётной точке днём, дБ		**ф-ла(3)[10]**	**0**	**0**	**0**	**0**	**0**	**0**	**0**	**0**	**0**	**0**	**0**
Уровни звукового давления от мнимого источника ИШ-4-3_мн.(3) в расчётной точке днём, дБ		**ф-ла(3)[10]**	**0**	**0**	**0**	**0**	**0**	**0**	**5,9**	**0**	**0**	**7,1**	**7,1**
Суммарные уровни звукового давления от мнимых источников в расчётной точке днём, дБ		**ф-ла (19) [1]**	**0**	**0**	**0**	**0**	**0**	**0**	**5,9**	**0**	**0**	**0**	**7,1**
Уровни звукового давления от источника ИШ-4-3 в расчётной точке днём, дБ		**ф-ла(3)[10]**	**0**	**17**	**13,9**	**11**	**10,3**	**9,3**	**8,4**	**0**	**0**	**14**	**14**

1		2	3	4	5	6	7	8	9	10	11	12	13
Источник шума: ИШ-4-4, координаты источника (x,y,z), м =[156.83,171.25,1.00]													
Уровни звуковой мощности источника днём, Lw, дБ		**исходные данные**	**0**	**90,3**	**91,7**	**93**	**93,3**	**92,9**	**89,6**	**85,4**	**80,9**		
Поправка на телесный угол DΩ, дБ	Ω = 6.28	10Lg(4π/Ω)	**3**	3	3	3	3	3	3	3	3		
Показатель направленности источника Di, дБ		исходные данные	**0**	0	0	0	0	0	0	0	0		
Поправка на направленность источника Dc, дБ	Dc	DΩ + Di	**3**	3	3	3	3	3	3	3	3		
Затухание из-за геометрической дивергенции, Adiv, дБ	расстояние = 282.81 м	ф-ла (7) [10]	**60**										
Коэффициент затухания звука в атмосфере α, дБ/км	Ta=20,°C Pa=101.33,кПа hотн.=70%	ф-ла (5) [9]	0,02	0,09	0,33	1,12	2,79	4,98	9,04	23,09	77,63		
Учет затухания звука в атмосфере Aatm, дБ		ф-ла (8) [10]	0	0	0,1	0,3	0,8	1,4	2,6	6,5	22		
Снижение уровня звукового давления из-за влияния застройки между источником шума и расчетной точкой													
Снижение уровня звукового давления на пути над экраном, Dz1, дБ	z = 4.73м (разность путей)	ф-лы (14-18) [10]	13,1	16,9	21,2	25,1	28,5	31,6	34,6	37,6	40,7		
Снижение уровня звукового давления на пути слева от экрана, Dz2, дБ	z = 77.33м (разность путей)	ф-лы (14-18) [10]	25,1	29,2	33,7	37,8	41,2	44,3	47,4	50,4	53,4		
Снижение уровня звукового давления на пути справа от экрана, Dz3, дБ	z = 44.11м (разность путей)	ф-лы (14-18) [10]	22,7	26,7	31,2	35,3	38,8	41,9	44,9	47,9	51		
Общее снижение уровня звука препятствием Dz, дБ		Эн.сумма(-Dzi)	12,4	16,2	20,6	24,5	27,9	31	34	37,1	40,1		
Общее снижение уровня звука препятствием с учётом ограничения (25 дБ) для октавных полос Dz, дБ		Раздел 7.4 [10]	12,4	16,2	20,6	24,5	25	25	25	25	25		
Уровни звукового давления прямого звука от источника ИШ-4-4 в расчётной точке днём, дБ		**ф-ла(3)[10]**	**0**	**17**	**14**	**11,1**	**10,5**	**9,5**	**5**	**0**	**0**	**13,2**	**13,2**
Расчёт отражённого звука													

1		2	3	4	5	6	7	8	9	10	11	12	13
Уровни звукового давления от мнимого источника ИШ-4-4_мн.(1) в расчётной точке днём, дБ		**ф-ла(3)[10]**	**0**	**0**	**0**	**0**	**0**	**0**	**0**	**0**	**0**	**0**	**0**
Уровни звукового давления от мнимого источника ИШ-4-4_мн.(2) в расчётной точке днём, дБ		**ф-ла(3)[10]**	**0**	**0**	**0**	**0**	**0**	**0**	**0**	**0**	**0**	**0**	**0**
Уровни звукового давления от мнимого источника ИШ-4-4_мн.(3) в расчётной точке днём, дБ		**ф-ла(3)[10]**	**0**	**0**	**0**	**0**	**0**	**0**	**5,9**	**0**	**0**	**7,1**	**7,1**
Суммарные уровни звукового давления от мнимых источников в расчётной точке днём, дБ		**ф-ла (19) [1]**	**0**	**0**	**0**	**0**	**0**	**0**	**5,9**	**0**	**0**	**0**	**7,1**
Уровни звукового давления от источника ИШ-4-4 в расчётной точке днём, дБ		**ф-ла(3)[10]**	**0**	**17**	**14**	**11,1**	**10,5**	**9,5**	**8,5**	**0**	**0**	**14,2**	**14,2**
Источник шума: ИШ-4-5, координаты источника (x,y,z), м =[126.48,222.66,11.00]													
Уровни звуковой мощности источника днём, Lw, дБ		**исходные данные**	**0**	**90,3**	**91,7**	**93**	**93,3**	**92,9**	**89,6**	**85,4**	**80,9**		
Поправка на телесный угол DΩ, дБ	Ω = 6.28	10Lg(4π/Ω)	**3**	3	3	3	3	3	3	3	3		
Показатель направленности источника Di, дБ		исходные данные	**0**	0	0	0	0	0	0	0	0		
Поправка на направленность источника Dc, дБ	Dc	DΩ + Di	**3**	3	3	3	3	3	3	3	3		
Затухание из-за геометрической дивергенции, Adiv, дБ	расстояние = 337.48 м	ф-ла (7) [10]	**61,6**										
Коэффициент затухания звука в атмосфере α, дБ/км	Ta=20,°C Pa=101.33,кПа hотн.=70%	ф-ла (5) [9]	0,02	0,09	0,33	1,12	2,79	4,98	9,04	23,09	77,63		
Учет затухания звука в атмосфере Aatm, дБ		ф-ла (8) [10]	0	0	0,1	0,4	0,9	1,7	3,1	7,8	26,2		
Снижение уровня звукового давления из-за влияния застройки между источником шума и расчетной точкой													
Снижение уровня звукового давления на пути над экраном, Dz1, дБ	z = 5.08м (разность путей)	ф-лы (14-18) [10]	12,8	15,4	18,2	21,1	24,1	27,1	30,1	33,1	36,1		
Снижение уровня звукового давления на пути слева от экрана, Dz2, дБ	z = 160.24м (разность путей)	ф-лы (14-18) [10]	32,2	35,4	38,5	41,5	44,5	47,5	50,5	53,5	56,6		

1		2	3	4	5	6	7	8	9	10	11	12	13
Снижение уровня звукового давления на пути справа от экрана, Dz3, дБ	z = 1.40м (разность путей)	ф-лы (14-18) [10]	9,1	11,3	13,7	16,5	19,3	22,2	25,2	28,2	31,2		
Общее снижение уровня звука препятствием Dz, дБ		Эн.сумма(-Dzi)	7,6	9,8	12,4	15,2	18,1	21	24	27	30		
Общее снижение уровня звука препятствием с учётом ограничения (25 дБ) для октавных полос Dz, дБ		Раздел 7.4 [10]	7,6	9,8	12,4	15,2	18,1	21	24	25	25		
Уровни звукового давления прямого звука от источника ИШ-4-5 в расчётной точке днём, дБ		**ф-ла(3)[10]**	**0**	**21,8**	**20,6**	**18,9**	**15,7**	**11,6**	**4**	**0**	**0**	**17**	**17**
Расчёт отражённого звука													
Уровни звукового давления от мнимого источника ИШ-4-5_мн.(1) в расчётной точке днём, дБ		**ф-ла(3)[10]**	**0**	**0**	**0**	**0**	**0**	**0**	**0**	**0**	**0**	**0**	**0**
Уровни звукового давления от источника ИШ-4-5 в расчётной точке днём, дБ		**ф-ла(3)[10]**	**0**	**21,8**	**20,6**	**18,9**	**15,7**	**11,6**	**4**	**0**	**0**	**17**	**17**
Источник шума: ИШ-4-6, координаты источника (x,y,z), м =[125.17,218.57,11.00]													
Уровни звуковой мощности источника днём, Lw, дБ		**исходные данные**	**0**	**90,3**	**91,7**	**93**	**93,3**	**92,9**	**89,6**	**85,4**	**80,9**		
Поправка на телесный угол DΩ, дБ	Ω = 6.28	10Lg(4π/Ω)	**3**	3	3	3	3	3	3	3	3		
Показатель направленности источника Di, дБ		исходные данные	**0**	0	0	0	0	0	0	0	0		
Поправка на направленность источника Dc, дБ	Dc	DΩ + Di	**3**	3	3	3	3	3	3	3	3		
Затухание из-за геометрической дивергенции, Adiv, дБ	расстояние = 336.04 м	ф-ла (7) [10]	**61,5**										
Коэффициент затухания звука в атмосфере α, дБ/км	Ta=20,°C Pa=101.33,кПа hотн.=70%	ф-ла (5) [9]	0,02	0,09	0,33	1,12	2,79	4,98	9,04	23,09	77,63		
Учет затухания звука в атмосфере Aatm, дБ		ф-ла (8) [10]	0	0	0,1	0,4	0,9	1,7	3	7,8	26,1		
Снижение уровня звукового давления из-за влияния застройки между источником шума и расчетной точкой													

1		2	3	4	5	6	7	8	9	10	11	12	13
Снижение уровня звукового давления на пути над экраном, Dz1, дБ	z = 5.00м (разность путей)	ф-лы (14-18) [10]	12,7	15,4	18,2	21,1	24	27	30	33	36		
Снижение уровня звукового давления на пути слева от экрана, Dz2, дБ	z = 163.52м (разность путей)	ф-лы (14-18) [10]	32,2	35,5	38,6	41,6	44,6	47,6	50,6	53,6	56,6		
Снижение уровня звукового давления на пути справа от экрана, Dz3, дБ	z = 1.29м (разность путей)	ф-лы (14-18) [10]	8,9	11	13,4	16,1	19	21,9	24,9	27,8	30,8		
Общее снижение уровня звука препятствием Dz, дБ		Эн.сумма(-Dzi)	7,4	9,6	12,1	14,9	17,8	20,7	23,7	26,7	29,7		
Общее снижение уровня звука препятствием с учётом ограничения (25 дБ) для октавных полос Dz, дБ		Раздел 7.4 [10]	7,4	9,6	12,1	14,9	17,8	20,7	23,7	25	25		
Уровни звукового давления прямого звука от источника ИШ-4-6 в расчётной точке днём, дБ		**ф-ла(3)[10]**	**0**	**22,1**	**20,9**	**19,2**	**16,1**	**12**	**4,3**	**0**	**0**	**17,3**	**17,3**
Расчёт отражённого звука													
Уровни звукового давления от мнимого источника ИШ-4-6_мн.(1) в расчётной точке днём, дБ		**ф-ла(3)[10]**	**0**	**0**	**0**	**0**	**0**	**0**	**0**	**0**	**0**	**0**	**0**
Уровни звукового давления от источника ИШ-4-6 в расчётной точке днём, дБ		**ф-ла(3)[10]**	**0**	**22,1**	**20,9**	**19,2**	**16,1**	**12**	**4,3**	**0**	**0**	**17,3**	**17,3**
Источник шума: ИШ-4-7, координаты источника (x,y,z), м =[177.91,257.92,11.00]													
Уровни звуковой мощности источника днём, Lw, дБ		**исходные данные**	**0**	**90,3**	**91,7**	**93**	**93,3**	**92,9**	**89,6**	**85,4**	**80,9**		
Поправка на телесный угол DΩ, дБ	Ω = 6.28	10Lg(4π/Ω)	**3**	3	3	3	3	3	3	3	3		
Показатель направленности источника Di, дБ		исходные данные	**0**	0	0	0	0	0	0	0	0		
Поправка на направленность источника Dc, дБ	Dc	DΩ + Di	**3**	3	3	3	3	3	3	3	3		
Затухание из-за геометрической дивергенции, Adiv, дБ	расстояние = 323.71 м	ф-ла (7) [10]	**61,2**										
Коэффициент затухания звука в атмосфере α, дБ/км	Ta=20,°C Pa=101.33,кПа hотн.=70%	ф-ла (5) [9]	0,02	0,09	0,33	1,12	2,79	4,98	9,04	23,09	77,63		

1		2	3	4	5	6	7	8	9	10	11	12	13
Учет затухания звука в атмосфере Aatm, дБ		ф-ла (8) [10]	0	0	0,1	0,4	0,9	1,6	2,9	7,5	25,1		
Снижение уровня звукового давления из-за влияния застройки между источником шума и расчетной точкой													
Снижение уровня звукового давления на пути над экраном, Dz1, дБ	z = 5.97м (разность путей)	ф-лы (14-18) [10]	13,5	16,2	19	21,9	24,9	27,9	30,9	33,9	36,9		
Снижение уровня звукового давления на пути слева от экрана, Dz2, дБ	z = 121.08м (разность путей)	ф-лы (14-18) [10]	30,9	34,2	37,3	40,3	43,3	46,3	49,3	52,3	55,3		
Снижение уровня звукового давления на пути справа от экрана, Dz3, дБ	z = 3.75м (разность путей)	ф-лы (14-18) [10]	15,2	18,9	22,1	25,2	28,2	31,2	34,2	37,2	40,2		
Общее снижение уровня звука препятствием Dz, дБ		Эн.сумма(-Dzi)	11,2	14,3	17,2	20,2	23,2	26,2	29,2	32,2	35,2		
Общее снижение уровня звука препятствием с учётом ограничения (25 дБ) для октавных полос Dz, дБ		Раздел 7.4 [10]	11,2	14,3	17,2	20,2	23,2	25	25	25	25		
Уровни звукового давления прямого звука от источника ИШ-4-7 в расчётной точке днём, дБ		**ф-ла(3)[10]**	**0**	**17,8**	**16,1**	**14,2**	**11**	**8,1**	**3,5**	**0**	**0**	**13**	**13**
Расчёт отражённого звука													
Уровни звукового давления от мнимого источника ИШ-4-7_мн.(1) в расчётной точке днём, дБ		**ф-ла(3)[10]**	**0**	**0**	**0**	**0**	**0**	**0**	**0**	**0**	**0**	**0**	**0**
Уровни звукового давления от мнимого источника ИШ-4-7_мн.(2) в расчётной точке днём, дБ		**ф-ла(3)[10]**	**0**	**0**	**0**	**0**	**0**	**0**	**0**	**0**	**0**	**0**	**0**
Суммарные уровни звукового давления от мнимых источников в расчётной точке днём, дБ		**ф-ла (19) [1]**	**0**	**0**	**0**	**0**	**0**	**0**	**0**	**0**	**0**	**0**	**0**
Уровни звукового давления от источника ИШ-4-7 в расчётной точке днём, дБ		**ф-ла(3)[10]**	**0**	**17,8**	**16,1**	**14,2**	**11**	**8,1**	**3,5**	**0**	**0**	**13**	**13**
Источник шума: ИШ-4-8, координаты источника (x,y,z), м =[178.24,257.77,13.00]													
Уровни звуковой мощности источника днём, Lw, дБ		**исходные данные**	**0**	**90,3**	**91,7**	**93**	**93,3**	**92,9**	**89,6**	**85,4**	**80,9**		
Поправка на телесный угол DΩ, дБ	Ω = 6.28	10Lg(4π/Ω)	**3**	3	3	3	3	3	3	3	3		
Показатель направленности источника Di, дБ		исходные данные	**0**	0	0	0	0	0	0	0	0		

1		2	3	4	5	6	7	8	9	10	11	12	13
Поправка на направленность источника Dc, дБ	Dc	DΩ + Di	**3**	3	3	3	3	3	3	3	3		
Затухание из-за геометрической дивергенции, Adiv, дБ	расстояние = 323.45 м	ф-ла (7) [10]	**61,2**										
Коэффициент затухания звука в атмосфере α, дБ/км	Ta=20,°C Pa=101.33,кПа hотн.=70%	ф-ла (5) [9]	0,02	0,09	0,33	1,12	2,79	4,98	9,04	23,09	77,63		
Учет затухания звука в атмосфере Aatm, дБ		ф-ла (8) [10]	0	0	0,1	0,4	0,9	1,6	2,9	7,5	25,1		
Снижение уровня звукового давления из-за влияния застройки между источником шума и расчетной точкой													
Снижение уровня звукового давления на пути над экраном, Dz1, дБ	z = 5.92м (разность путей)	ф-лы (14-18) [10]	13,4	16,1	19	21,9	24,9	27,8	30,8	33,8	36,9		
Снижение уровня звукового давления на пути слева от экрана, Dz2, дБ	z = 121.07м (разность путей)	ф-лы (14-18) [10]	30,9	34,2	37,3	40,3	43,3	46,3	49,3	52,3	55,3		
Снижение уровня звукового давления на пути справа от экрана, Dz3, дБ	z = 3.75м (разность путей)	ф-лы (14-18) [10]	15,2	18,9	22,1	25,2	28,2	31,2	34,2	37,2	40,3		
Общее снижение уровня звука препятствием Dz, дБ		Эн.сумма(-Dzi)	11,2	14,3	17,2	20,2	23,2	26,2	29,2	32,2	35,2		
Общее снижение уровня звука препятствием с учётом ограничения (25 дБ) для октавных полос Dz, дБ		Раздел 7.4 [10]	11,2	14,3	17,2	20,2	23,2	25	25	25	25		
Уровни звукового давления прямого звука от источника ИШ-4-8 в расчётной точке днём, дБ		**ф-ла(3)[10]**	**0**	**17,8**	**16,2**	**14,2**	**11**	**8,1**	**3,5**	**0**	**0**	**13,1**	**13,1**
Расчёт отражённого звука													
Уровни звукового давления от мнимого источника ИШ-4-8_мн.(1) в расчётной точке днём, дБ		**ф-ла(3)[10]**	**0**	**0**	**0**	**0**	**0**	**0**	**0**	**0**	**0**	**0**	**0**
Уровни звукового давления от мнимого источника ИШ-4-8_мн.(2) в расчётной точке днём, дБ		**ф-ла(3)[10]**	**0**	**0**	**0**	**0**	**0**	**0**	**0**	**0**	**0**	**0**	**0**
Суммарные уровни звукового давления от мнимых источников в расчётной точке днём, дБ		**ф-ла (19) [1]**	**0**	**0**	**0**	**0**	**0**	**0**	**0**	**0**	**0**	**0**	**0**
Уровни звукового давления от источника ИШ-4-8 в расчётной точке днём, дБ		**ф-ла(3)[10]**	**0**	**17,8**	**16,2**	**14,2**	**11**	**8,1**	**3,5**	**0**	**0**	**13,1**	**13,1**

1		2	3	4	5	6	7	8	9	10	11	12	13
Источник шума: ИШ-4-9, координаты источника (x,y,z), м =[178.68,257.63,15.50]													
Уровни звуковой мощности источника днём, Lw, дБ		**исходные данные**	**0**	**90,3**	**91,7**	**93**	**93,3**	**92,9**	**89,6**	**85,4**	**80,9**		
Поправка на телесный угол DΩ, дБ	Ω = 6.28	10Lg(4π/Ω)	**3**	3	3	3	3	3	3	3	3		
Показатель направленности источника Di, дБ		исходные данные	**0**	0	0	0	0	0	0	0	0		
Поправка на направленность источника Dc, дБ	Dc	DΩ + Di	**3**	3	3	3	3	3	3	3	3		
Затухание из-за геометрической дивергенции, Adiv, дБ	расстояние = 323.15 м	ф-ла (7) [10]	**61,2**										
Коэффициент затухания звука в атмосфере α, дБ/км	Ta=20,°C Pa=101.33,кПа hотн.=70%	ф-ла (5) [9]	0,02	0,09	0,33	1,12	2,79	4,98	9,04	23,09	77,63		
Учет затухания звука в атмосфере Aatm, дБ		ф-ла (8) [10]	0	0	0,1	0,4	0,9	1,6	2,9	7,5	25,1		
Снижение уровня звукового давления из-за влияния застройки между источником шума и расчетной точкой													
Снижение уровня звукового давления на пути над экраном, Dz1, дБ	z = 5.86м (разность путей)	ф-лы (14-18) [10]	13,4	16,1	18,9	21,8	24,8	27,8	30,8	33,8	36,8		
Снижение уровня звукового давления на пути слева от экрана, Dz2, дБ	z = 127.37м (разность путей)	ф-лы (14-18) [10]	31,1	34,4	37,5	40,5	43,5	46,5	49,5	52,5	55,6		
Снижение уровня звукового давления на пути справа от экрана, Dz3, дБ	z = 3.77м (разность путей)	ф-лы (14-18) [10]	15,3	19	22,2	25,2	28,2	31,2	34,3	37,3	40,3		
Общее снижение уровня звука препятствием Dz, дБ		Эн.сумма(-Dzi)	11,2	14,2	17,2	20,2	23,1	26,1	29,1	32,1	35,2		
Общее снижение уровня звука препятствием с учётом ограничения (25 дБ) для октавных полос Dz, дБ		Раздел 7.4 [10]	11,2	14,2	17,2	20,2	23,1	25	25	25	25		
Уровни звукового давления прямого звука от источника ИШ-4-9 в расчётной точке днём, дБ		**ф-ла(3)[10]**	**0**	**17,8**	**16,2**	**14,3**	**11,1**	**8,1**	**3,5**	**0**	**0**	**13,1**	**13,1**
Расчёт отражённого звука													

1		2	3	4	5	6	7	8	9	10	11	12	13
Уровни звукового давления от мнимого источника ИШ-4-9_мн.(1) в расчётной точке днём, дБ		**ф-ла(3)[10]**	**0**	**0**	**0**	**0**	**0**	**0**	**0**	**0**	**0**	**0**	**0**
Уровни звукового давления от мнимого источника ИШ-4-9_мн.(2) в расчётной точке днём, дБ		**ф-ла(3)[10]**	**0**	**0**	**0**	**0**	**0**	**0**	**0**	**0**	**0**	**0**	**0**
Суммарные уровни звукового давления от мнимых источников в расчётной точке днём, дБ		**ф-ла (19) [1]**	**0**	**0**	**0**	**0**	**0**	**0**	**0**	**0**	**0**	**0**	**0**
Уровни звукового давления от источника ИШ-4-9 в расчётной точке днём, дБ		**ф-ла(3)[10]**	**0**	**17,8**	**16,2**	**14,3**	**11,1**	**8,1**	**3,5**	**0**	**0**	**13,1**	**13,1**
Источник шума: ИШ-4-10, координаты источника (x,y,z), м =[185.65,255.31,11.00]													
Уровни звуковой мощности источника днём, Lw, дБ		**исходные данные**	**0**	**90,3**	**91,7**	**93**	**93,3**	**92,9**	**89,6**	**85,4**	**80,9**		
Поправка на телесный угол DΩ, дБ	Ω = 6.28	10Lg(4π/Ω)	**3**	3	3	3	3	3	3	3	3		
Показатель направленности источника Di, дБ		исходные данные	**0**	0	0	0	0	0	0	0	0		
Поправка на направленность источника Dc, дБ	Dc	DΩ + Di	**3**	3	3	3	3	3	3	3	3		
Затухание из-за геометрической дивергенции, Adiv, дБ	расстояние = 316.63 м	ф-ла (7) [10]	**61**										
Коэффициент затухания звука в атмосфере α, дБ/км	Ta=20,°C Pa=101.33,кПа hотн.=70%	ф-ла (5) [9]	0,02	0,09	0,33	1,12	2,79	4,98	9,04	23,09	77,63		
Учет затухания звука в атмосфере Aatm, дБ		ф-ла (8) [10]	0	0	0,1	0,4	0,9	1,6	2,9	7,3	24,6		
Снижение уровня звукового давления из-за влияния застройки между источником шума и расчетной точкой													
Снижение уровня звукового давления на пути над экраном, Dz1, дБ	z = 6.01м (разность путей)	ф-лы (14-18) [10]	13,5	16,2	19	22	24,9	27,9	30,9	33,9	36,9		
Снижение уровня звукового давления на пути слева от экрана, Dz2, дБ	z = 120.32м (разность путей)	ф-лы (14-18) [10]	30,9	34,2	37,2	40,3	43,3	46,3	49,3	52,3	55,3		
Снижение уровня звукового давления на пути справа от экрана, Dz3, дБ	z = 4.00м (разность путей)	ф-лы (14-18) [10]	15,5	19,2	22,4	25,5	28,5	31,5	34,5	37,5	40,5		

1		2	3	4	5	6	7	8	9	10	11	12	13
Общее снижение уровня звука препятствием Dz, дБ		Эн.сумма(-Dzi)	11,3	14,4	17,4	20,3	23,3	26,3	29,3	32,3	35,3		
Общее снижение уровня звука препятствием с учётом ограничения (25 дБ) для октавных полос Dz, дБ		Раздел 7.4 [10]	11,3	14,4	17,4	20,3	23,3	25	25	25	25		
Уровни звукового давления прямого звука от источника ИШ-4-10 в расчётной точке днём, дБ		**ф-ла(3)[10]**	**0**	**17,8**	**16,2**	**14,3**	**11,1**	**8,3**	**3,7**	**0**	**0**	**13,2**	**13,2**
Расчёт отражённого звука													
Уровни звукового давления от мнимого источника ИШ-4-10_мн.(1) в расчётной точке днём, дБ		**ф-ла(3)[10]**	**0**	**0**	**0**	**0**	**0**	**0**	**0**	**0**	**0**	**0**	**0**
Уровни звукового давления от мнимого источника ИШ-4-10_мн.(2) в расчётной точке днём, дБ		**ф-ла(3)[10]**	**0**	**0**	**0**	**0**	**0**	**6,3**	**0,3**	**0**	**0**	**7,5**	**7,5**
Уровни звукового давления от мнимого источника ИШ-4-10_мн.(3) в расчётной точке днём, дБ		**ф-ла(3)[10]**	**0**	**0**	**0**	**0**	**0**	**0**	**0**	**0**	**0**	**0**	**0**
Суммарные уровни звукового давления от мнимых источников в расчётной точке днём, дБ		**ф-ла (19) [1]**	**0**	**0**	**0**	**0**	**0**	**6,3**	**0,3**	**0**	**0**	**0**	**7,5**
Уровни звукового давления от источника ИШ-4-10 в расчётной точке днём, дБ		**ф-ла(3)[10]**	**0**	**17,8**	**16,2**	**14,3**	**11,1**	**10,4**	**5,3**	**0**	**0**	**14,2**	**14,2**
Источник шума: ИШ-4-11, координаты источника (x,y,z), м =[185.89,255.16,13.00]													
Уровни звуковой мощности источника днём, Lw, дБ		**исходные данные**	**0**	**90,3**	**91,7**	**93**	**93,3**	**92,9**	**89,6**	**85,4**	**80,9**		
Поправка на телесный угол DΩ, дБ	Ω = 6.28	10Lg(4π/Ω)	**3**	3	3	3	3	3	3	3	3		
Показатель направленности источника Di, дБ		исходные данные	**0**	0	0	0	0	0	0	0	0		
Поправка на направленность источника Dc, дБ	Dc	DΩ + Di	**3**	3	3	3	3	3	3	3	3		
Затухание из-за геометрической дивергенции, Adiv, дБ	расстояние = 316.43 м	ф-ла (7) [10]	**61**										
Коэффициент затухания звука в атмосфере α, дБ/км	Ta=20,°C Pa=101.33,кПа hотн.=70%	ф-ла (5) [9]	0,02	0,09	0,33	1,12	2,79	4,98	9,04	23,09	77,63		

1		2	3	4	5	6	7	8	9	10	11	12	13
Учет затухания звука в атмосфере Aatm, дБ		ф-ла (8) [10]	0	0	0,1	0,4	0,9	1,6	2,9	7,3	24,6		
Снижение уровня звукового давления из-за влияния застройки между источником шума и расчетной точкой													
Снижение уровня звукового давления на пути над экраном, Dz1, дБ	z = 5.96м (разность путей)	ф-лы (14-18) [10]	13,5	16,2	19	21,9	24,9	27,9	30,9	33,9	36,9		
Снижение уровня звукового давления на пути слева от экрана, Dz2, дБ	z = 120.34м (разность путей)	ф-лы (14-18) [10]	30,9	34,2	37,2	40,3	43,3	46,3	49,3	52,3	55,3		
Снижение уровня звукового давления на пути справа от экрана, Dz3, дБ	z = 4.01м (разность путей)	ф-лы (14-18) [10]	15,5	19,2	22,4	25,5	28,5	31,5	34,5	37,5	40,5		
Общее снижение уровня звука препятствием Dz, дБ		Эн.сумма(-Dzi)	11,3	14,4	17,3	20,3	23,3	26,3	29,3	32,3	35,3		
Общее снижение уровня звука препятствием с учётом ограничения (25 дБ) для октавных полос Dz, дБ		Раздел 7.4 [10]	11,3	14,4	17,3	20,3	23,3	25	25	25	25		
Уровни звукового давления прямого звука от источника ИШ-4-11 в расчётной точке днём, дБ		**ф-ла(3)[10]**	**0**	**17,9**	**16,2**	**14,3**	**11,1**	**8,3**	**3,7**	**0**	**0**	**13,2**	**13,2**
Расчёт отражённого звука													
Уровни звукового давления от мнимого источника ИШ-4-11_мн.(1) в расчётной точке днём, дБ		**ф-ла(3)[10]**	**0**	**0**	**0**	**0**	**0**	**0**	**0**	**0**	**0**	**0**	**0**
Уровни звукового давления от мнимого источника ИШ-4-11_мн.(2) в расчётной точке днём, дБ		**ф-ла(3)[10]**	**0**	**0**	**0**	**0**	**0**	**0**	**0**	**0**	**0**	**0**	**0**
Суммарные уровни звукового давления от мнимых источников в расчётной точке днём, дБ		**ф-ла (19) [1]**	**0**	**0**	**0**	**0**	**0**	**0**	**0**	**0**	**0**	**0**	**0**
Уровни звукового давления от источника ИШ-4-11 в расчётной точке днём, дБ		**ф-ла(3)[10]**	**0**	**17,9**	**16,2**	**14,3**	**11,1**	**8,3**	**3,7**	**0**	**0**	**13,2**	**13,2**
Источник шума: ИШ-4-12, координаты источника (x,y,z), м =[186.18,255.02,15.50]													
Уровни звуковой мощности источника днём, Lw, дБ		**исходные данные**	**0**	**90,3**	**91,7**	**93**	**93,3**	**92,9**	**89,6**	**85,4**	**80,9**		
Поправка на телесный угол DΩ, дБ	Ω = 6.28	10Lg(4π/Ω)	**3**	3	3	3	3	3	3	3	3		
Показатель направленности источника Di, дБ		исходные данные	**0**	0	0	0	0	0	0	0	0		

1		2	3	4	5	6	7	8	9	10	11	12	13
Поправка на направленность источника Dc, дБ	Dc	DΩ + Di	**3**	3	3	3	3	3	3	3	3		
Затухание из-за геометрической дивергенции, Adiv, дБ	расстояние = 316.23 м	ф-ла (7) [10]	**61**										
Коэффициент затухания звука в атмосфере α, дБ/км	Ta=20,°C Pa=101.33,кПа hотн.=70%	ф-ла (5) [9]	0,02	0,09	0,33	1,12	2,79	4,98	9,04	23,09	77,63		
Учет затухания звука в атмосфере Aatm, дБ		ф-ла (8) [10]	0	0	0,1	0,4	0,9	1,6	2,9	7,3	24,5		
Снижение уровня звукового давления из-за влияния застройки между источником шума и расчетной точкой													
Снижение уровня звукового давления на пути над экраном, Dz1, дБ	z = 5.90м (разность путей)	ф-лы (14-18) [10]	13,4	16,1	19	21,9	24,8	27,8	30,8	33,8	36,8		
Снижение уровня звукового давления на пути слева от экрана, Dz2, дБ	z = 123.72м (разность путей)	ф-лы (14-18) [10]	31	34,3	37,3	40,4	43,4	46,4	49,4	52,4	55,4		
Снижение уровня звукового давления на пути справа от экрана, Dz3, дБ	z = 4.02м (разность путей)	ф-лы (14-18) [10]	15,5	19,2	22,4	25,5	28,5	31,5	34,5	37,5	40,5		
Общее снижение уровня звука препятствием Dz, дБ		Эн.сумма(-Dzi)	11,3	14,4	17,3	20,3	23,3	26,2	29,3	32,3	35,3		
Общее снижение уровня звука препятствием с учётом ограничения (25 дБ) для октавных полос Dz, дБ		Раздел 7.4 [10]	11,3	14,4	17,3	20,3	23,3	25	25	25	25		
Уровни звукового давления прямого звука от источника ИШ-4-12 в расчётной точке днём, дБ		**ф-ла(3)[10]**	**0**	**17,9**	**16,3**	**14,4**	**11,2**	**8,3**	**3,7**	**0**	**0**	**13,2**	**13,2**
Расчёт отражённого звука													
Уровни звукового давления от мнимого источника ИШ-4-12_мн.(1) в расчётной точке днём, дБ		**ф-ла(3)[10]**	**0**	**0**	**0**	**0**	**0**	**0**	**0**	**0**	**0**	**0**	**0**
Уровни звукового давления от мнимого источника ИШ-4-12_мн.(2) в расчётной точке днём, дБ		**ф-ла(3)[10]**	**0**	**0**	**0**	**0**	**0**	**0**	**0**	**0**	**0**	**0**	**0**
Суммарные уровни звукового давления от мнимых источников в расчётной точке днём, дБ		**ф-ла (19) [1]**	**0**	**0**	**0**	**0**	**0**	**0**	**0**	**0**	**0**	**0**	**0**
Уровни звукового давления от источника ИШ-4-12 в расчётной точке днём, дБ		**ф-ла(3)[10]**	**0**	**17,9**	**16,3**	**14,4**	**11,2**	**8,3**	**3,7**	**0**	**0**	**13,2**	**13,2**

1		2	3	4	5	6	7	8	9	10	11	12	13
Источник шума: ИШ-4-13, координаты источника (x,y,z), м =[94.56,229.10,1.00]													
Уровни звуковой мощности источника днём, Lw, дБ		**исходные данные**	**0**	**81,3**	**82,7**	**84**	**84,3**	**83,9**	**80,6**	**76,4**	**71,9**		
Поправка на телесный угол DΩ, дБ	Ω = 6.28	10Lg(4π/Ω)	**3**	3	3	3	3	3	3	3	3		
Показатель направленности источника Di, дБ		исходные данные	**0**	0	0	0	0	0	0	0	0		
Поправка на направленность источника Dc, дБ	Dc	DΩ + Di	**3**	3	3	3	3	3	3	3	3		
Затухание из-за геометрической дивергенции, Adiv, дБ	расстояние = 366.84 м	ф-ла (7) [10]	**62,3**										
Коэффициент затухания звука в атмосфере α, дБ/км	Ta=20,°C Pa=101.33,кПа hотн.=70%	ф-ла (5) [9]	0,02	0,09	0,33	1,12	2,79	4,98	9,04	23,09	77,63		
Учет затухания звука в атмосфере Aatm, дБ		ф-ла (8) [10]	0	0	0,1	0,4	1	1,8	3,3	8,5	28,5		
Снижение уровня звукового давления из-за влияния застройки между источником шума и расчетной точкой													
Снижение уровня звукового давления на пути над экраном, Dz1, дБ	z = 9.66м (разность путей)	ф-лы (14-18) [10]	20,1	23,2	26,2	29,2	32,2	35,2	38,2	41,2	44,3		
Снижение уровня звукового давления на пути слева от экрана, Dz2, дБ	z = 134.91м (разность путей)	ф-лы (14-18) [10]	31,6	34,7	37,7	40,8	43,8	46,8	49,8	52,8	55,8		
Снижение уровня звукового давления на пути справа от экрана, Dz3, дБ	z = 56.55м (разность путей)	ф-лы (14-18) [10]	27,8	30,9	34	37	40	43	46	49	52		
Общее снижение уровня звука препятствием Dz, дБ		Эн.сумма(-Dzi)	19,2	22,3	25,3	28,3	31,3	34,3	37,3	40,3	43,3		
Общее снижение уровня звука препятствием с учётом ограничения (25 дБ) для октавных полос Dz, дБ		Раздел 7.4 [10]	19,2	22,3	25	25	25	25	25	25	25		
Уровни звукового давления от источника ИШ-4-13 в расчётной точке днём, дБ		**ф-ла(3)[10]**	**0**	**0**	**0**	**0**	**0**	**0**	**0**	**0**	**0**	**0**	**0**
Источник шума: ИШ-4-14, координаты источника (x,y,z), м =[91.88,221.30,1.00]													

1		2	3	4	5	6	7	8	9	10	11	12	13
Уровни звуковой мощности источника днём, Lw, дБ		**исходные данные**	**0**	**81,3**	**82,7**	**84**	**84,3**	**83,9**	**80,6**	**76,4**	**71,9**		
Поправка на телесный угол DΩ, дБ	Ω = 6.28	10Lg(4π/Ω)	**3**	3	3	3	3	3	3	3	3		
Показатель направленности источника Di, дБ		исходные данные	**0**	0	0	0	0	0	0	0	0		
Поправка на направленность источника Dc, дБ	Dc	DΩ + Di	**3**	3	3	3	3	3	3	3	3		
Затухание из-за геометрической дивергенции, Adiv, дБ	расстояние = 364.61 м	ф-ла (7) [10]	**62,2**										
Коэффициент затухания звука в атмосфере α, дБ/км	Ta=20,°C Pa=101.33,кПа hотн.=70%	ф-ла (5) [9]	0,02	0,09	0,33	1,12	2,79	4,98	9,04	23,09	77,63		
Учет затухания звука в атмосфере Aatm, дБ		ф-ла (8) [10]	0	0	0,1	0,4	1	1,8	3,3	8,4	28,3		
Снижение уровня звукового давления из-за влияния застройки между источником шума и расчетной точкой													
Снижение уровня звукового давления на пути над экраном, Dz1, дБ	z = 9.46м (разность путей)	ф-лы (14-18) [10]	20,1	23,1	26,1	29,1	32,1	35,1	38,2	41,2	44,2		
Снижение уровня звукового давления на пути слева от экрана, Dz2, дБ	z = 145.36м (разность путей)	ф-лы (14-18) [10]	31,9	35,1	38,1	41,1	44,1	47,1	50,1	53,1	56,1		
Снижение уровня звукового давления на пути справа от экрана, Dz3, дБ	z = 50.71м (разность путей)	ф-лы (14-18) [10]	27,3	30,5	33,5	36,5	39,5	42,5	45,5	48,5	51,6		
Общее снижение уровня звука препятствием Dz, дБ		Эн.сумма(-Dzi)	19,1	22,2	25,2	28,2	31,2	34,2	37,2	40,2	43,2		
Общее снижение уровня звука препятствием с учётом ограничения (25 дБ) для октавных полос Dz, дБ		Раздел 7.4 [10]	19,1	22,2	25	25	25	25	25	25	25		
Уровни звукового давления от источника ИШ-4-14 в расчётной точке днём, дБ		**ф-ла(3)[10]**	**0**	**0**	**0**	**0**	**0**	**0**	**0**	**0**	**0**	**0**	**0**
Источник шума: ИШ-5-1, координаты источника (x,y,z), м =[626.70,162.36,1.00]													
Уровни звуковой мощности источника днём, Lw, дБ		**исходные данные**	**0**	**93,3**	**94,7**	**96**	**96,3**	**95,9**	**92,6**	**88,4**	**83,9**		

1		2	3	4	5	6	7	8	9	10	11	12	13
Поправка на телесный угол DΩ, дБ	Ω = 6.28	10Lg(4π/Ω)	**3**	3	3	3	3	3	3	3	3		
Показатель направленности источника Di, дБ		исходные данные	**0**	0	0	0	0	0	0	0	0		
Поправка на направленность источника Dc, дБ	Dc	DΩ + Di	**3**	3	3	3	3	3	3	3	3		
Затухание из-за геометрической дивергенции, Adiv, дБ	расстояние = 274.57 м	ф-ла (7) [10]	**59,8**										
Коэффициент затухания звука в атмосфере α, дБ/км	Ta=20,°C Pa=101.33,кПа hотн.=70%	ф-ла (5) [9]	0,02	0,09	0,33	1,12	2,79	4,98	9,04	23,09	77,63		
Учет затухания звука в атмосфере Aatm, дБ		ф-ла (8) [10]	0	0	0,1	0,3	0,8	1,4	2,5	6,3	21,3		
Снижение уровня звукового давления из-за влияния застройки между источником шума и расчетной точкой													
Снижение уровня звукового давления на пути над экраном, Dz1, дБ	z = 7.12м (разность путей)	ф-лы (14-18) [10]	17,5	21,3	24,5	27,6	30,6	33,7	36,7	39,7	42,7		
Снижение уровня звукового давления на пути слева от экрана, Dz2, дБ	z = 10.60м (разность путей)	ф-лы (14-18) [10]	18,6	22,9	26,5	29,7	32,7	35,7	38,7	41,8	44,8		
Снижение уровня звукового давления на пути справа от экрана, Dz3, дБ	z = 154.45м (разность путей)	ф-лы (14-18) [10]	31,8	35,2	38,3	41,3	44,4	47,4	50,4	53,4	56,4		
Общее снижение уровня звука препятствием Dz, дБ		Эн.сумма(-Dzi)	14,9	18,9	22,3	25,4	28,4	31,4	34,5	37,5	40,5		
Общее снижение уровня звука препятствием с учётом ограничения (25 дБ) для октавных полос Dz, дБ		Раздел 7.4 [10]	14,9	18,9	22,3	25	25	25	25	25	25		
Уровни звукового давления прямого звука от источника ИШ-5-1 в расчётной точке днём, дБ		**ф-ла(3)[10]**	**0**	**17,6**	**15,6**	**13,9**	**13,8**	**12,8**	**8,3**	**0,3**	**0**	**16,5**	**16,5**
Расчёт отражённого звука													
Уровни звукового давления от мнимого источника ИШ-5-1_мн.(1) в расчётной точке днём, дБ		**ф-ла(3)[10]**	**0**	**0**	**0**	**0**	**0**	**0**	**0**	**0**	**0**	**0**	**0**
Уровни звукового давления от источника ИШ-5-1 в расчётной точке днём, дБ		**ф-ла(3)[10]**	**0**	**17,6**	**15,6**	**13,9**	**13,8**	**12,8**	**8,3**	**0,3**	**0**	**16,5**	**16,5**

1		2	3	4	5	6	7	8	9	10	11	12	13
Источник шума: ИШ-5-2, координаты источника (x,y,z), м =[625.81,159.52,1.00]													
Уровни звуковой мощности источника днём, Lw, дБ		**исходные данные**	**0**	**93,3**	**94,7**	**96**	**96,3**	**95,9**	**92,6**	**88,4**	**83,9**		
Поправка на телесный угол DΩ, дБ	Ω = 6.28	10Lg(4π/Ω)	**3**	3	3	3	3	3	3	3	3		
Показатель направленности источника Di, дБ		исходные данные	**0**	0	0	0	0	0	0	0	0		
Поправка на направленность источника Dc, дБ	Dc	DΩ + Di	**3**	3	3	3	3	3	3	3	3		
Затухание из-за геометрической дивергенции, Adiv, дБ	расстояние = 272.32 м	ф-ла (7) [10]	**59,7**										
Коэффициент затухания звука в атмосфере α, дБ/км	Ta=20,°C Pa=101.33,кПа hотн.=70%	ф-ла (5) [9]	0,02	0,09	0,33	1,12	2,79	4,98	9,04	23,09	77,63		
Учет затухания звука в атмосфере Aatm, дБ		ф-ла (8) [10]	0	0	0,1	0,3	0,8	1,4	2,5	6,3	21,1		
Снижение уровня звукового давления из-за влияния застройки между источником шума и расчетной точкой													
Снижение уровня звукового давления на пути над экраном, Dz1, дБ	z = 7.12м (разность путей)	ф-лы (14-18) [10]	17,5	21,3	24,5	27,6	30,6	33,6	36,7	39,7	42,7		
Снижение уровня звукового давления на пути слева от экрана, Dz2, дБ	z = 10.42м (разность путей)	ф-лы (14-18) [10]	18,5	22,8	26,4	29,6	32,6	35,7	38,7	41,7	44,7		
Снижение уровня звукового давления на пути справа от экрана, Dz3, дБ	z = 156.51м (разность путей)	ф-лы (14-18) [10]	31,8	35,3	38,4	41,4	44,4	47,4	50,4	53,4	56,5		
Общее снижение уровня звука препятствием Dz, дБ		Эн.сумма(-Dzi)	14,9	18,9	22,2	25,4	28,4	31,4	34,4	37,4	40,4		
Общее снижение уровня звука препятствием с учётом ограничения (25 дБ) для октавных полос Dz, дБ		Раздел 7.4 [10]	14,9	18,9	22,2	25	25	25	25	25	25		
Уровни звукового давления прямого звука от источника ИШ-5-2 в расчётной точке днём, дБ		**ф-ла(3)[10]**	**0**	**17,7**	**15,7**	**14**	**13,8**	**12,8**	**8,4**	**0,4**	**0**	**16,6**	**16,6**
Расчёт отражённого звука													

1		2	3	4	5	6	7	8	9	10	11	12	13
Уровни звукового давления от мнимого источника ИШ-5-2_мн.(1) в расчётной точке днём, дБ		**ф-ла(3)[10]**	**0**	**0**	**0**	**0**	**0**	**0**	**0**	**0**	**0**	**0**	**0**
Уровни звукового давления от источника ИШ-5-2 в расчётной точке днём, дБ		**ф-ла(3)[10]**	**0**	**17,7**	**15,7**	**14**	**13,8**	**12,8**	**8,4**	**0,4**	**0**	**16,6**	**16,6**
Источник шума: ИШ-5-3, координаты источника (x,y,z), м =[624.84,156.69,1.00]													
Уровни звуковой мощности источника днём, Lw, дБ		**исходные данные**	**0**	**93,3**	**94,7**	**96**	**96,3**	**95,9**	**92,6**	**88,4**	**83,9**		
Поправка на телесный угол DΩ, дБ	Ω = 6.28	10Lg(4π/Ω)	**3**	3	3	3	3	3	3	3	3		
Показатель направленности источника Di, дБ		исходные данные	**0**	0	0	0	0	0	0	0	0		
Поправка на направленность источника Dc, дБ	Dc	DΩ + Di	**3**	3	3	3	3	3	3	3	3		
Затухание из-за геометрической дивергенции, Adiv, дБ	расстояние = 270.02 м	ф-ла (7) [10]	**59,6**										
Коэффициент затухания звука в атмосфере α, дБ/км	Ta=20,°C Pa=101.33,кПа hотн.=70%	ф-ла (5) [9]	0,02	0,09	0,33	1,12	2,79	4,98	9,04	23,09	77,63		
Учет затухания звука в атмосфере Aatm, дБ		ф-ла (8) [10]	0	0	0,1	0,3	0,8	1,3	2,4	6,2	21		
Снижение уровня звукового давления из-за влияния застройки между источником шума и расчетной точкой													
Снижение уровня звукового давления на пути над экраном, Dz1, дБ	z = 7.11м (разность путей)	ф-лы (14-18) [10]	17,5	21,3	24,5	27,6	30,6	33,6	36,7	39,7	42,7		
Снижение уровня звукового давления на пути слева от экрана, Dz2, дБ	z = 10.25м (разность путей)	ф-лы (14-18) [10]	18,5	22,7	26,3	29,5	32,6	35,6	38,6	41,6	44,6		
Снижение уровня звукового давления на пути справа от экрана, Dz3, дБ	z = 158.58м (разность путей)	ф-лы (14-18) [10]	31,9	35,3	38,4	41,4	44,5	47,5	50,5	53,5	56,5		
Общее снижение уровня звука препятствием Dz, дБ		Эн.сумма(-Dzi)	14,8	18,8	22,2	25,3	28,4	31,4	34,4	37,4	40,4		
Общее снижение уровня звука препятствием с учётом ограничения (25 дБ) для октавных полос Dz, дБ		Раздел 7.4 [10]	14,8	18,8	22,2	25	25	25	25	25	25		

1		2	3	4	5	6	7	8	9	10	11	12	13
Уровни звукового давления прямого звука от источника ИШ-5-3 в расчётной точке днём, дБ		**ф-ла(3)[10]**	**0**	**17,8**	**15,8**	**14,1**	**13,9**	**12,9**	**8,5**	**0,5**	**0**	**16,7**	**16,7**
Расчёт отражённого звука													
Уровни звукового давления от мнимого источника ИШ-5-3_мн.(1) в расчётной точке днём, дБ		**ф-ла(3)[10]**	**0**	**0**	**0**	**0**	**0**	**0**	**0**	**0**	**0**	**0**	**0**
Уровни звукового давления от источника ИШ-5-3 в расчётной точке днём, дБ		**ф-ла(3)[10]**	**0**	**17,8**	**15,8**	**14,1**	**13,9**	**12,9**	**8,5**	**0,5**	**0**	**16,7**	**16,7**
Источник шума: ИШ-6-1, координаты источника (x,y,z), м =[836.30,122.24,1.00]													
Уровни звуковой мощности источника днём, Lw, дБ		**исходные данные**	**0**	**96,3**	**97,7**	**99**	**99,3**	**98,9**	**95,6**	**91,4**	**86,9**		
Поправка на телесный угол DΩ, дБ	Ω = 12.57	10Lg(4π/Ω)	**0**	0	0	0	0	0	0	0	0		
Показатель направленности источника Di, дБ		исходные данные	**0**	0	0	0	0	0	0	0	0		
Поправка на направленность источника Dc, дБ	Dc	DΩ + Di	**0**	0	0	0	0	0	0	0	0		
Затухание из-за геометрической дивергенции, Adiv, дБ	расстояние = 454.85 м	ф-ла (7) [10]	**64,2**										
Коэффициент затухания звука в атмосфере α, дБ/км	Ta=20,°C Pa=101.33,кПа hотн.=70%	ф-ла (5) [9]	0,02	0,09	0,33	1,12	2,79	4,98	9,04	23,09	77,63		
Учет затухания звука в атмосфере Aatm, дБ		ф-ла (8) [10]	0	0	0,2	0,5	1,3	2,3	4,1	10,5	35,3		
Снижение уровня звукового давления из-за влияния застройки между источником шума и расчетной точкой													
Снижение уровня звукового давления на пути над экраном, Dz1, дБ	z = 6.34м (разность путей)	ф-лы (14-18) [10]	14,3	18,3	22,6	26,3	29,6	32,7	35,7	38,7	41,7		
Снижение уровня звукового давления на пути слева от экрана, Dz2, дБ	z = 3.96м (разность путей)	ф-лы (14-18) [10]	12,5	15,1	17,9	20,8	23,7	26,7	29,7	32,7	35,7		
Снижение уровня звукового давления на пути справа от экрана, Dz3, дБ	z = 187.49м (разность путей)	ф-лы (14-18) [10]	32,6	36	39,1	42,2	45,2	48,2	51,2	54,2	57,2		

1		2	3	4	5	6	7	8	9	10	11	12	13
Общее снижение уровня звука препятствием Dz, дБ		Эн.сумма(-Dzi)	10,2	13,4	16,6	19,7	22,7	25,7	28,7	31,7	34,7		
Общее снижение уровня звука препятствием с учётом ограничения (25 дБ) для октавных полос Dz, дБ		Раздел 7.4 [10]	10,2	13,4	16,6	19,7	22,7	25	25	25	25		
Уровни звукового давления от источника ИШ-6-1 в расчётной точке днём, дБ		**ф-ла(3)[10]**	**0**	**18,7**	**16,8**	**14,6**	**11,2**	**7,5**	**2,3**	**0**	**0**	**12,9**	**12,9**
Источник шума: ИШ-6-2, координаты источника (x,y,z), м =[835.37,119.30,1.00]													
Уровни звуковой мощности источника днём, Lw, дБ		**исходные данные**	**0**	**96,3**	**97,7**	**99**	**99,3**	**98,9**	**95,6**	**91,4**	**86,9**		
Поправка на телесный угол DΩ, дБ	Ω = 12.57	10Lg(4π/Ω)	**0**	0	0	0	0	0	0	0	0		
Показатель направленности источника Di, дБ		исходные данные	**0**	0	0	0	0	0	0	0	0		
Поправка на направленность источника Dc, дБ	Dc	DΩ + Di	**0**	0	0	0	0	0	0	0	0		
Затухание из-за геометрической дивергенции, Adiv, дБ	расстояние = 453.27 м	ф-ла (7) [10]	**64,1**										
Коэффициент затухания звука в атмосфере α, дБ/км	Ta=20,°C Pa=101.33,кПа hотн.=70%	ф-ла (5) [9]	0,02	0,09	0,33	1,12	2,79	4,98	9,04	23,09	77,63		
Учет затухания звука в атмосфере Aatm, дБ		ф-ла (8) [10]	0	0	0,2	0,5	1,3	2,3	4,1	10,5	35,2		
Снижение уровня звукового давления из-за влияния застройки между источником шума и расчетной точкой													
Снижение уровня звукового давления на пути над экраном, Dz1, дБ	z = 6.32м (разность путей)	ф-лы (14-18) [10]	14,2	18,2	22,6	26,3	29,6	32,7	35,7	38,7	41,7		
Снижение уровня звукового давления на пути слева от экрана, Dz2, дБ	z = 3.87м (разность путей)	ф-лы (14-18) [10]	12,4	15	17,8	20,7	23,6	26,6	29,6	32,6	35,6		
Снижение уровня звукового давления на пути справа от экрана, Dz3, дБ	z = 188.78м (разность путей)	ф-лы (14-18) [10]	32,6	36,1	39,2	42,2	45,2	48,2	51,2	54,3	57,3		
Общее снижение уровня звука препятствием Dz, дБ		Эн.сумма(-Dzi)	10,2	13,3	16,5	19,6	22,6	25,6	28,6	31,6	34,6		

1		2	3	4	5	6	7	8	9	10	11	12	13
Общее снижение уровня звука препятствием с учётом ограничения (25 дБ) для октавных полос Dz, дБ		Раздел 7.4 [10]	10,2	13,3	16,5	19,6	22,6	25	25	25	25		
Уровни звукового давления от источника ИШ-6-2 в расчётной точке днём, дБ		**ф-ла(3)[10]**	**0**	**18,8**	**16,9**	**14,7**	**11,3**	**7,5**	**2,4**	**0**	**0**	**13**	**13**
Источник шума: ИШ-6-3, координаты источника (x,y,z), м =[834.03,116.36,1.00]													
Уровни звуковой мощности источника днём, Lw, дБ		**исходные данные**	**0**	**96,3**	**97,7**	**99**	**99,3**	**98,9**	**95,6**	**91,4**	**86,9**		
Поправка на телесный угол DΩ, дБ	Ω = 12.57	10Lg(4π/Ω)	**0**	0	0	0	0	0	0	0	0		
Показатель направленности источника Di, дБ		исходные данные	**0**	0	0	0	0	0	0	0	0		
Поправка на направленность источника Dc, дБ	Dc	DΩ + Di	**0**	0	0	0	0	0	0	0	0		
Затухание из-за геометрической дивергенции, Adiv, дБ	расстояние = 451.31 м	ф-ла (7) [10]	**64,1**										
Коэффициент затухания звука в атмосфере α, дБ/км	Ta=20,°C Pa=101.33,кПа hотн.=70%	ф-ла (5) [9]	0,02	0,09	0,33	1,12	2,79	4,98	9,04	23,09	77,63		
Учет затухания звука в атмосфере Aatm, дБ		ф-ла (8) [10]	0	0	0,2	0,5	1,3	2,2	4,1	10,4	35		
Снижение уровня звукового давления из-за влияния застройки между источником шума и расчетной точкой													
Снижение уровня звукового давления на пути над экраном, Dz1, дБ	z = 6.31м (разность путей)	ф-лы (14-18) [10]	14,2	18,2	22,5	26,3	29,6	32,7	35,7	38,7	41,7		
Снижение уровня звукового давления на пути слева от экрана, Dz2, дБ	z = 3.79м (разность путей)	ф-лы (14-18) [10]	12,3	14,9	17,7	20,6	23,5	26,5	29,5	32,5	35,5		
Снижение уровня звукового давления на пути справа от экрана, Dz3, дБ	z = 190.08м (разность путей)	ф-лы (14-18) [10]	32,7	36,1	39,2	42,2	45,3	48,3	51,3	54,3	57,3		
Общее снижение уровня звука препятствием Dz, дБ		Эн.сумма(-Dzi)	10,1	13,2	16,4	19,5	22,6	25,6	28,6	31,6	34,6		
Общее снижение уровня звука препятствием с учётом ограничения (25 дБ) для октавных полос Dz, дБ		Раздел 7.4 [10]	10,1	13,2	16,4	19,5	22,6	25	25	25	25		

1		2	3	4	5	6	7	8	9	10	11	12	13
Уровни звукового давления от источника ИШ-6-3 в расчётной точке днём, дБ		**ф-ла(3)[10]**	**0**	**18,9**	**17**	**14,9**	**11,4**	**7,6**	**2,4**	**0**	**0**	**13,1**	**13,1**
Источник шума: ИШ-6-4, координаты источника (x,y,z), м =[833.23,113.30,1.00]													
Уровни звуковой мощности источника днём, Lw, дБ		**исходные данные**	**0**	**96,3**	**97,7**	**99**	**99,3**	**98,9**	**95,6**	**91,4**	**86,9**		
Поправка на телесный угол DΩ, дБ	Ω = 12.57	10Lg(4π/Ω)	**0**	0	0	0	0	0	0	0	0		
Показатель направленности источника Di, дБ		исходные данные	**0**	0	0	0	0	0	0	0	0		
Поправка на направленность источника Dc, дБ	Dc	DΩ + Di	**0**	0	0	0	0	0	0	0	0		
Затухание из-за геометрической дивергенции, Adiv, дБ	расстояние = 449.86 м	ф-ла (7) [10]	**64,1**										
Коэффициент затухания звука в атмосфере α, дБ/км	Ta=20,°C Pa=101.33,кПа hотн.=70%	ф-ла (5) [9]	0,02	0,09	0,33	1,12	2,79	4,98	9,04	23,09	77,63		
Учет затухания звука в атмосфере Aatm, дБ		ф-ла (8) [10]	0	0	0,2	0,5	1,3	2,2	4,1	10,4	34,9		
Снижение уровня звукового давления из-за влияния застройки между источником шума и расчетной точкой													
Снижение уровня звукового давления на пути над экраном, Dz1, дБ	z = 6.29м (разность путей)	ф-лы (14-18) [10]	14,2	18,2	22,5	26,3	29,6	32,7	35,7	38,7	41,7		
Снижение уровня звукового давления на пути слева от экрана, Dz2, дБ	z = 3.70м (разность путей)	ф-лы (14-18) [10]	12,2	14,8	17,6	20,5	23,4	26,4	29,4	32,4	35,4		
Снижение уровня звукового давления на пути справа от экрана, Dz3, дБ	z = 191.44м (разность путей)	ф-лы (14-18) [10]	32,7	36,1	39,2	42,3	45,3	48,3	51,3	54,3	57,3		
Общее снижение уровня звука препятствием Dz, дБ		Эн.сумма(-Dzi)	10,1	13,2	16,4	19,5	22,5	25,5	28,5	31,5	34,5		
Общее снижение уровня звука препятствием с учётом ограничения (25 дБ) для октавных полос Dz, дБ		Раздел 7.4 [10]	10,1	13,2	16,4	19,5	22,5	25	25	25	25		
Уровни звукового давления от источника ИШ-6-4 в расчётной точке днём, дБ		**ф-ла(3)[10]**	**0**	**19**	**17,1**	**15**	**11,5**	**7,6**	**2,5**	**0**	**0**	**13,1**	**13,1**

1		2	3	4	5	6	7	8	9	10	11	12	13
Источник шума: ИШ-6-5, координаты источника (x,y,z), м =[832.03,110.36,1.00]													
Уровни звуковой мощности источника днём, Lw, дБ		**исходные данные**	**0**	**96,3**	**97,7**	**99**	**99,3**	**98,9**	**95,6**	**91,4**	**86,9**		
Поправка на телесный угол DΩ, дБ	Ω = 12.57	10Lg(4π/Ω)	**0**	0	0	0	0	0	0	0	0		
Показатель направленности источника Di, дБ		исходные данные	**0**	0	0	0	0	0	0	0	0		
Поправка на направленность источника Dc, дБ	Dc	DΩ + Di	**0**	0	0	0	0	0	0	0	0		
Затухание из-за геометрической дивергенции, Adiv, дБ	расстояние = 448.07 м	ф-ла (7) [10]	**64**										
Коэффициент затухания звука в атмосфере α, дБ/км	Ta=20,°C Pa=101.33,кПа hотн.=70%	ф-ла (5) [9]	0,02	0,09	0,33	1,12	2,79	4,98	9,04	23,09	77,63		
Учет затухания звука в атмосфере Aatm, дБ		ф-ла (8) [10]	0	0	0,2	0,5	1,3	2,2	4,1	10,3	34,8		
Снижение уровня звукового давления из-за влияния застройки между источником шума и расчетной точкой													
Снижение уровня звукового давления на пути над экраном, Dz1, дБ	z = 6.27м (разность путей)	ф-лы (14-18) [10]	14,2	18,2	22,5	26,3	29,6	32,6	35,7	38,7	41,7		
Снижение уровня звукового давления на пути слева от экрана, Dz2, дБ	z = 3.62м (разность путей)	ф-лы (14-18) [10]	12,1	14,7	17,5	20,4	23,3	26,3	29,3	32,3	35,3		
Снижение уровня звукового давления на пути справа от экрана, Dz3, дБ	z = 192.76м (разность путей)	ф-лы (14-18) [10]	32,7	36,2	39,3	42,3	45,3	48,3	51,3	54,3	57,4		
Общее снижение уровня звука препятствием Dz, дБ		Эн.сумма(-Dzi)	10	13,1	16,3	19,4	22,4	25,4	28,4	31,4	34,4		
Общее снижение уровня звука препятствием с учётом ограничения (25 дБ) для октавных полос Dz, дБ		Раздел 7.4 [10]	10	13,1	16,3	19,4	22,4	25	25	25	25		
Уровни звукового давления от источника ИШ-6-5 в расчётной точке днём, дБ		**ф-ла(3)[10]**	**0**	**19,1**	**17,2**	**15,1**	**11,6**	**7,6**	**2,5**	**0**	**0**	**13,2**	**13,2**
Источник шума: ИШ-6-6, координаты источника (x,y,z), м =[830.97,107.42,1.00]													

1		2	3	4	5	6	7	8	9	10	11	12	13
Уровни звуковой мощности источника днём, Lw, дБ		**исходные данные**	**0**	**96,3**	**97,7**	**99**	**99,3**	**98,9**	**95,6**	**91,4**	**86,9**		
Поправка на телесный угол DΩ, дБ	Ω = 12.57	10Lg(4π/Ω)	**0**	0	0	0	0	0	0	0	0		
Показатель направленности источника Di, дБ		исходные данные	**0**	0	0	0	0	0	0	0	0		
Поправка на направленность источника Dc, дБ	Dc	DΩ + Di	**0**	0	0	0	0	0	0	0	0		
Затухание из-за геометрической дивергенции, Adiv, дБ	расстояние = 446.42 м	ф-ла (7) [10]	**64**										
Коэффициент затухания звука в атмосфере α, дБ/км	Ta=20,°C Pa=101.33,кПа hотн.=70%	ф-ла (5) [9]	0,02	0,09	0,33	1,12	2,79	4,98	9,04	23,09	77,63		
Учет затухания звука в атмосфере Aatm, дБ		ф-ла (8) [10]	0	0	0,1	0,5	1,2	2,2	4	10,3	34,7		
Снижение уровня звукового давления из-за влияния застройки между источником шума и расчетной точкой													
Снижение уровня звукового давления на пути над экраном, Dz1, дБ	z = 6.25м (разность путей)	ф-лы (14-18) [10]	14,2	18,2	22,5	26,3	29,5	32,6	35,7	38,7	41,7		
Снижение уровня звукового давления на пути слева от экрана, Dz2, дБ	z = 3.53м (разность путей)	ф-лы (14-18) [10]	12,1	14,6	17,4	20,3	23,2	26,2	29,2	32,2	35,2		
Снижение уровня звукового давления на пути справа от экрана, Dz3, дБ	z = 194.08м (разность путей)	ф-лы (14-18) [10]	32,8	36,2	39,3	42,3	45,3	48,4	51,4	54,4	57,4		
Общее снижение уровня звука препятствием Dz, дБ		Эн.сумма(-Dzi)	10	13	16,2	19,3	22,3	25,3	28,3	31,3	34,3		
Общее снижение уровня звука препятствием с учётом ограничения (25 дБ) для октавных полос Dz, дБ		Раздел 7.4 [10]	10	13	16,2	19,3	22,3	25	25	25	25		
Уровни звукового давления от источника ИШ-6-6 в расчётной точке днём, дБ		**ф-ла(3)[10]**	**0**	**19,2**	**17,3**	**15,2**	**11,7**	**7,7**	**2,6**	**0**	**0**	**13,3**	**13,3**
Источник шума: ИШ-6-7, координаты источника (x,y,z), м =[830.30,104.49,1.00]													
Уровни звуковой мощности источника днём, Lw, дБ		**исходные данные**	**0**	**96,3**	**97,7**	**99**	**99,3**	**98,9**	**95,6**	**91,4**	**86,9**		

1		2	3	4	5	6	7	8	9	10	11	12	13
Поправка на телесный угол DΩ, дБ	Ω = 12.57	10Lg(4π/Ω)	**0**	0	0	0	0	0	0	0	0		
Показатель направленности источника Di, дБ		исходные данные	**0**	0	0	0	0	0	0	0	0		
Поправка на направленность источника Dc, дБ	Dc	DΩ + Di	**0**	0	0	0	0	0	0	0	0		
Затухание из-за геометрической дивергенции, Adiv, дБ	расстояние = 445.18 м	ф-ла (7) [10]	**64**										
Коэффициент затухания звука в атмосфере α, дБ/км	Ta=20,°C Pa=101.33,кПа hотн.=70%	ф-ла (5) [9]	0,02	0,09	0,33	1,12	2,79	4,98	9,04	23,09	77,63		
Учет затухания звука в атмосфере Aatm, дБ		ф-ла (8) [10]	0	0	0,1	0,5	1,2	2,2	4	10,3	34,6		
Снижение уровня звукового давления из-за влияния застройки между источником шума и расчетной точкой													
Снижение уровня звукового давления на пути над экраном, Dz1, дБ	z = 6.23м (разность путей)	ф-лы (14-18) [10]	14,2	18,1	22,5	26,3	29,5	32,6	35,6	38,7	41,7		
Снижение уровня звукового давления на пути слева от экрана, Dz2, дБ	z = 3.44м (разность путей)	ф-лы (14-18) [10]	12	14,6	17,3	20,2	23,1	26,1	29,1	32,1	35,1		
Снижение уровня звукового давления на пути справа от экрана, Dz3, дБ	z = 195.40м (разность путей)	ф-лы (14-18) [10]	32,8	36,2	39,3	42,4	45,4	48,4	51,4	54,4	57,4		
Общее снижение уровня звука препятствием Dz, дБ		Эн.сумма(-Dzi)	9,9	13	16,1	19,2	22,2	25,2	28,2	31,2	34,2		
Общее снижение уровня звука препятствием с учётом ограничения (25 дБ) для октавных полос Dz, дБ		Раздел 7.4 [10]	9,9	13	16,1	19,2	22,2	25	25	25	25		
Уровни звукового давления от источника ИШ-6-7 в расчётной точке днём, дБ		**ф-ла(3)[10]**	**0**	**19,3**	**17,5**	**15,3**	**11,9**	**7,7**	**2,6**	**0**	**0**	**13,4**	**13,4**
Источник шума: ИШ-6-8, координаты источника (x,y,z), м =[829.36,101.42,1.00]													
Уровни звуковой мощности источника днём, Lw, дБ		**исходные данные**	**0**	**96,3**	**97,7**	**99**	**99,3**	**98,9**	**95,6**	**91,4**	**86,9**		
Поправка на телесный угол DΩ, дБ	Ω = 12.57	10Lg(4π/Ω)	**0**	0	0	0	0	0	0	0	0		

1		2	3	4	5	6	7	8	9	10	11	12	13
Показатель направленности источника Di, дБ		исходные данные	**0**	0	0	0	0	0	0	0	0		
Поправка на направленность источника Dc, дБ	Dc	DΩ + Di	**0**	0	0	0	0	0	0	0	0		
Затухание из-за геометрической дивергенции, Adiv, дБ	расстояние = 443.67 м	ф-ла (7) [10]	**63,9**										
Коэффициент затухания звука в атмосфере α, дБ/км	Ta=20,°C Pa=101.33,кПа hотн.=70%	ф-ла (5) [9]	0,02	0,09	0,33	1,12	2,79	4,98	9,04	23,09	77,63		
Учет затухания звука в атмосфере Aatm, дБ		ф-ла (8) [10]	0	0	0,1	0,5	1,2	2,2	4	10,2	34,4		
Снижение уровня звукового давления из-за влияния застройки между источником шума и расчетной точкой													
Снижение уровня звукового давления на пути над экраном, Dz1, дБ	z = 6.21м (разность путей)	ф-лы (14-18) [10]	14,1	18,1	22,4	26,2	29,5	32,6	35,6	38,6	41,7		
Снижение уровня звукового давления на пути слева от экрана, Dz2, дБ	z = 3.35м (разность путей)	ф-лы (14-18) [10]	11,9	14,4	17,2	20,1	23	26	29	32	35		
Снижение уровня звукового давления на пути справа от экрана, Dz3, дБ	z = 196.79м (разность путей)	ф-лы (14-18) [10]	32,8	36,2	39,3	42,4	45,4	48,4	51,4	54,4	57,4		
Общее снижение уровня звука препятствием Dz, дБ		Эн.сумма(-Dzi)	9,8	12,9	16	19,1	22,1	25,1	28,1	31,1	34,1		
Общее снижение уровня звука препятствием с учётом ограничения (25 дБ) для октавных полос Dz, дБ		Раздел 7.4 [10]	9,8	12,9	16	19,1	22,1	25	25	25	25		
Уровни звукового давления от источника ИШ-6-8 в расчётной точке днём, дБ		**ф-ла(3)[10]**	**0**	**19,4**	**17,6**	**15,4**	**12**	**7,7**	**2,6**	**0**	**0**	**13,5**	**13,5**
Источник шума: ИШ-6-9, координаты источника (x,y,z), м =[828.03,98.62,1.00]													
Уровни звуковой мощности источника днём, Lw, дБ		**исходные данные**	**0**	**96,3**	**97,7**	**99**	**99,3**	**98,9**	**95,6**	**91,4**	**86,9**		
Поправка на телесный угол DΩ, дБ	Ω = 12.57	10Lg(4π/Ω)	**0**	0	0	0	0	0	0	0	0		
Показатель направленности источника Di, дБ		исходные данные	**0**	0	0	0	0	0	0	0	0		

1		2	3	4	5	6	7	8	9	10	11	12	13
Поправка на направленность источника Dc, дБ	Dc	DΩ + Di	**0**	0	0	0	0	0	0	0	0		
Затухание из-за геометрической дивергенции, Adiv, дБ	расстояние = 441.83 м	ф-ла (7) [10]	**63,9**										
Коэффициент затухания звука в атмосфере α, дБ/км	Ta=20,°C Pa=101.33,кПа hотн.=70%	ф-ла (5) [9]	0,02	0,09	0,33	1,12	2,79	4,98	9,04	23,09	77,63		
Учет затухания звука в атмосфере Aatm, дБ		ф-ла (8) [10]	0	0	0,1	0,5	1,2	2,2	4	10,2	34,3		
Снижение уровня звукового давления из-за влияния застройки между источником шума и расчетной точкой													
Снижение уровня звукового давления на пути над экраном, Dz1, дБ	z = 6.19м (разность путей)	ф-лы (14-18) [10]	14,1	18,1	22,4	26,2	29,5	32,6	35,6	38,6	41,6		
Снижение уровня звукового давления на пути слева от экрана, Dz2, дБ	z = 3.28м (разность путей)	ф-лы (14-18) [10]	11,8	14,4	17,1	20	22,9	25,9	28,9	31,9	34,9		
Снижение уровня звукового давления на пути справа от экрана, Dz3, дБ	z = 84.20м (разность путей)	ф-лы (14-18) [10]	29,5	32,7	35,7	38,7	41,7	44,7	47,7	50,8	53,8		
Общее снижение уровня звука препятствием Dz, дБ		Эн.сумма(-Dzi)	9,8	12,8	15,9	19	22	25	28	31	34		
Общее снижение уровня звука препятствием с учётом ограничения (25 дБ) для октавных полос Dz, дБ		Раздел 7.4 [10]	9,8	12,8	15,9	19	22	25	25	25	25		
Уровни звукового давления от источника ИШ-6-9 в расчётной точке днём, дБ		**ф-ла(3)[10]**	**0**	**19,6**	**17,7**	**15,6**	**12,1**	**7,8**	**2,7**	**0**	**0**	**13,6**	**13,6**
Источник шума: ИШ-6-10, координаты источника (x,y,z), м =[827.23,95.55,1.00]													
Уровни звуковой мощности источника днём, Lw, дБ		**исходные данные**	**0**	**96,3**	**97,7**	**99**	**99,3**	**98,9**	**95,6**	**91,4**	**86,9**		
Поправка на телесный угол DΩ, дБ	Ω = 12.57	10Lg(4π/Ω)	**0**	0	0	0	0	0	0	0	0		
Показатель направленности источника Di, дБ		исходные данные	**0**	0	0	0	0	0	0	0	0		
Поправка на направленность источника Dc, дБ	Dc	DΩ + Di	**0**	0	0	0	0	0	0	0	0		

1		2	3	4	5	6	7	8	9	10	11	12	13
Затухание из-за геометрической дивергенции, Adiv, дБ	расстояние = 440.49 м	ф-ла (7) [10]	**63,9**										
Коэффициент затухания звука в атмосфере α, дБ/км	Ta=20,°C Pa=101.33,кПа hотн.=70%	ф-ла (5) [9]	0,02	0,09	0,33	1,12	2,79	4,98	9,04	23,09	77,63		
Учет затухания звука в атмосфере Aatm, дБ		ф-ла (8) [10]	0	0	0,1	0,5	1,2	2,2	4	10,2	34,2		
Снижение уровня звукового давления из-за влияния застройки между источником шума и расчетной точкой													
Снижение уровня звукового давления на пути над экраном, Dz1, дБ	z = 6.17м (разность путей)	ф-лы (14-18) [10]	14,1	18,1	22,4	26,2	29,5	32,6	35,6	38,6	41,6		
Снижение уровня звукового давления на пути слева от экрана, Dz2, дБ	z = 3.19м (разность путей)	ф-лы (14-18) [10]	11,7	14,3	17	19,9	22,8	25,8	28,8	31,8	34,8		
Снижение уровня звукового давления на пути справа от экрана, Dz3, дБ	z = 85.62м (разность путей)	ф-лы (14-18) [10]	29,5	32,7	35,8	38,8	41,8	44,8	47,8	50,8	53,8		
Общее снижение уровня звука препятствием Dz, дБ		Эн.сумма(-Dzi)	9,7	12,7	15,8	18,9	21,9	24,9	27,9	30,9	33,9		
Общее снижение уровня звука препятствием с учётом ограничения (25 дБ) для октавных полос Dz, дБ		Раздел 7.4 [10]	9,7	12,7	15,8	18,9	21,9	24,9	25	25	25		
Уровни звукового давления от источника ИШ-6-10 в расчётной точке днём, дБ		**ф-ла(3)[10]**	**0**	**19,7**	**17,8**	**15,7**	**12,3**	**7,9**	**2,7**	**0**	**0**	**13,7**	**13,7**
Источник шума: ИШ-6-11, координаты источника (x,y,z), м =[826.30,92.48,1.00]													
Уровни звуковой мощности источника днём, Lw, дБ		**исходные данные**	**0**	**96,3**	**97,7**	**99**	**99,3**	**98,9**	**95,6**	**91,4**	**86,9**		
Поправка на телесный угол DΩ, дБ	Ω = 12.57	10Lg(4π/Ω)	**0**	0	0	0	0	0	0	0	0		
Показатель направленности источника Di, дБ		исходные данные	**0**	0	0	0	0	0	0	0	0		
Поправка на направленность источника Dc, дБ	Dc	DΩ + Di	**0**	0	0	0	0	0	0	0	0		
Затухание из-за геометрической дивергенции, Adiv, дБ	расстояние = 439.03 м	ф-ла (7) [10]	**63,8**										

1		2	3	4	5	6	7	8	9	10	11	12	13
Коэффициент затухания звука в атмосфере α, дБ/км	Ta=20,°C Pa=101.33,кПа hотн.=70%	ф-ла (5) [9]	0,02	0,09	0,33	1,12	2,79	4,98	9,04	23,09	77,63		
Учет затухания звука в атмосфере Aatm, дБ		ф-ла (8) [10]	0	0	0,1	0,5	1,2	2,2	4	10,1	34,1		
Снижение уровня звукового давления из-за влияния застройки между источником шума и расчетной точкой													
Снижение уровня звукового давления на пути над экраном, Dz1, дБ	z = 6.14м (разность путей)	ф-лы (14-18) [10]	14,1	18	22,4	26,2	29,5	32,6	35,6	38,6	41,6		
Снижение уровня звукового давления на пути слева от экрана, Dz2, дБ	z = 3.10м (разность путей)	ф-лы (14-18) [10]	11,6	14,1	16,9	19,7	22,7	25,7	28,6	31,6	34,7		
Снижение уровня звукового давления на пути справа от экрана, Dz3, дБ	z = 87.09м (разность путей)	ф-лы (14-18) [10]	29,6	32,8	35,8	38,9	41,9	44,9	47,9	50,9	53,9		
Общее снижение уровня звука препятствием Dz, дБ		Эн.сумма(-Dzi)	9,6	12,6	15,7	18,8	21,8	24,8	27,8	30,8	33,8		
Общее снижение уровня звука препятствием с учётом ограничения (25 дБ) для октавных полос Dz, дБ		Раздел 7.4 [10]	9,6	12,6	15,7	18,8	21,8	24,8	25	25	25		
Уровни звукового давления от источника ИШ-6-11 в расчётной точке днём, дБ		**ф-ла(3)[10]**	**0**	**19,8**	**18**	**15,8**	**12,4**	**8,1**	**2,8**	**0**	**0**	**13,9**	**13,9**
Источник шума: ИШ-6-12, координаты источника (x,y,z), м =[825.09,89.54,1.00]													
Уровни звуковой мощности источника днём, Lw, дБ		**исходные данные**	**0**	**96,3**	**97,7**	**99**	**99,3**	**98,9**	**95,6**	**91,4**	**86,9**		
Поправка на телесный угол DΩ, дБ	Ω = 12.57	10Lg(4π/Ω)	**0**	0	0	0	0	0	0	0	0		
Показатель направленности источника Di, дБ		исходные данные	**0**	0	0	0	0	0	0	0	0		
Поправка на направленность источника Dc, дБ	Dc	DΩ + Di	**0**	0	0	0	0	0	0	0	0		
Затухание из-за геометрической дивергенции, Adiv, дБ	расстояние = 437.35 м	ф-ла (7) [10]	**63,8**										
Коэффициент затухания звука в атмосфере α, дБ/км	Ta=20,°C Pa=101.33,кПа hотн.=70%	ф-ла (5) [9]	0,02	0,09	0,33	1,12	2,79	4,98	9,04	23,09	77,63		

1		2	3	4	5	6	7	8	9	10	11	12	13
Учет затухания звука в атмосфере Aatm, дБ		ф-ла (8) [10]	0	0	0,1	0,5	1,2	2,2	4	10,1	34		
Снижение уровня звукового давления из-за влияния застройки между источником шума и расчетной точкой													
Снижение уровня звукового давления на пути над экраном, Dz1, дБ	z = 6.12м (разность путей)	ф-лы (14-18) [10]	14,1	18	22,3	26,2	29,5	32,5	35,6	38,6	41,6		
Снижение уровня звукового давления на пути слева от экрана, Dz2, дБ	z = 3.02м (разность путей)	ф-лы (14-18) [10]	11,5	14	16,8	19,6	22,6	25,5	28,5	31,5	34,5		
Снижение уровня звукового давления на пути справа от экрана, Dz3, дБ	z = 88.54м (разность путей)	ф-лы (14-18) [10]	29,7	32,9	35,9	38,9	41,9	44,9	48	51	54		
Общее снижение уровня звука препятствием Dz, дБ		Эн.сумма(-Dzi)	9,6	12,5	15,7	18,7	21,7	24,7	27,7	30,7	33,7		
Общее снижение уровня звука препятствием с учётом ограничения (25 дБ) для октавных полос Dz, дБ		Раздел 7.4 [10]	9,6	12,5	15,7	18,7	21,7	24,7	25	25	25		
Уровни звукового давления от источника ИШ-6-12 в расчётной точке днём, дБ		**ф-ла(3)[10]**	**0**	**19,9**	**18,1**	**16**	**12,5**	**8,2**	**2,8**	**0**	**0**	**14**	**14**
Источник шума: ИШ-6-13, координаты источника (x,y,z), м =[767.76,-114.15,1.00]													
Уровни звуковой мощности источника днём, Lw, дБ		**исходные данные**	**0**	**96,3**	**97,7**	**99**	**99,3**	**98,9**	**95,6**	**91,4**	**86,9**		
Поправка на телесный угол DΩ, дБ	Ω = 12.57	10Lg(4π/Ω)	**0**	0	0	0	0	0	0	0	0		
Показатель направленности источника Di, дБ		исходные данные	**0**	0	0	0	0	0	0	0	0		
Поправка на направленность источника Dc, дБ	Dc	DΩ + Di	**0**	0	0	0	0	0	0	0	0		
Затухание из-за геометрической дивергенции, Adiv, дБ	расстояние = 396.25 м	ф-ла (7) [10]	**63**										
Коэффициент затухания звука в атмосфере α, дБ/км	Ta=20,°C Pa=101.33,кПа hотн.=70%	ф-ла (5) [9]	0,02	0,09	0,33	1,12	2,79	4,98	9,04	23,09	77,63		
Учет затухания звука в атмосфере Aatm, дБ		ф-ла (8) [10]	0	0	0,1	0,4	1,1	2	3,6	9,1	30,8		

1		2	3	4	5	6	7	8	9	10	11	12	13
Снижение уровня звукового давления из-за влияния застройки между источником шума и расчетной точкой													
Снижение уровня звукового давления на пути над экраном, Dz1, дБ	z = 0.23м (разность путей)	ф-лы (14-18) [10]	4,9	5,1	5,7	6,6	7,9	9,8	12,1	14,6	17,4		
Снижение уровня звукового давления на пути слева от экрана, Dz2, дБ	z = 2.54м (разность путей)	ф-лы (14-18) [10]	12,1	16,1	20	23,4	26,5	29,5	32,5	35,5	38,6		
Снижение уровня звукового давления на пути справа от экрана, Dz3, дБ	z = 64.72м (разность путей)	ф-лы (14-18) [10]	28,2	31,5	34,5	37,6	40,6	43,6	46,6	49,6	52,6		
Общее снижение уровня звука препятствием Dz, дБ		Эн.сумма(-Dzi)	4,1	4,8	5,5	6,5	7,9	9,7	12	14,6	17,4		
Уровни звукового давления от источника ИШ-6-13 в расчётной точке днём, дБ		**ф-ла(3)[10]**	**0**	**28,5**	**29,1**	**29,1**	**27,3**	**24,2**	**17**	**4,7**	**0**	**28,6**	**28,6**
Источник шума: ИШ-6-14, координаты источника (x,y,z), м =[766.82,-117.10,1.00]													
Уровни звуковой мощности источника днём, Lw, дБ		**исходные данные**	**0**	**96,3**	**97,7**	**99**	**99,3**	**98,9**	**95,6**	**91,4**	**86,9**		
Поправка на телесный угол DΩ, дБ	Ω = 12.57	10Lg(4π/Ω)	**0**	0	0	0	0	0	0	0	0		
Показатель направленности источника Di, дБ		исходные данные	**0**	0	0	0	0	0	0	0	0		
Поправка на направленность источника Dc, дБ	Dc	DΩ + Di	**0**	0	0	0	0	0	0	0	0		
Затухание из-за геометрической дивергенции, Adiv, дБ	расстояние = 396.34 м	ф-ла (7) [10]	**63**										
Коэффициент затухания звука в атмосфере α, дБ/км	Ta=20,°C Pa=101.33,кПа hотн.=70%	ф-ла (5) [9]	0,02	0,09	0,33	1,12	2,79	4,98	9,04	23,09	77,63		
Учет затухания звука в атмосфере Aatm, дБ		ф-ла (8) [10]	0	0	0,1	0,4	1,1	2	3,6	9,1	30,8		
Снижение уровня звукового давления из-за влияния застройки между источником шума и расчетной точкой													
Снижение уровня звукового давления на пути над экраном, Dz1, дБ	z = 0.23м (разность путей)	ф-лы (14-18) [10]	4,9	5,1	5,7	6,6	7,9	9,8	12,1	14,6	17,4		

1		2	3	4	5	6	7	8	9	10	11	12	13
Снижение уровня звукового давления на пути слева от экрана, Dz2, дБ	z = 2.20м (разность путей)	ф-лы (14-18) [10]	11,6	15,5	19,4	22,8	25,9	28,9	31,9	34,9	37,9		
Снижение уровня звукового давления на пути справа от экрана, Dz3, дБ	z = 65.09м (разность путей)	ф-лы (14-18) [10]	28,2	31,5	34,6	37,6	40,6	43,6	46,6	49,6	52,6		
Общее снижение уровня звука препятствием Dz, дБ		Эн.сумма(-Dzi)	4	4,8	5,5	6,5	7,9	9,7	12	14,6	17,4		
Уровни звукового давления от источника ИШ-6-14 в расчётной точке днём, дБ		**ф-ла(3)[10]**	**0**	**28,5**	**29,1**	**29,1**	**27,4**	**24,2**	**17**	**4,7**	**0**	**28,6**	**28,6**
Источник шума: ИШ-6-15, координаты источника (x,y,z), м =[765.71,-120.27,1.00]													
Уровни звуковой мощности источника днём, Lw, дБ		**исходные данные**	**0**	**96,3**	**97,7**	**99**	**99,3**	**98,9**	**95,6**	**91,4**	**86,9**		
Поправка на телесный угол DΩ, дБ	Ω = 12.57	10Lg(4π/Ω)	**0**	0	0	0	0	0	0	0	0		
Показатель направленности источника Di, дБ		исходные данные	**0**	0	0	0	0	0	0	0	0		
Поправка на направленность источника Dc, дБ	Dc	DΩ + Di	**0**	0	0	0	0	0	0	0	0		
Затухание из-за геометрической дивергенции, Adiv, дБ	расстояние = 396.39 м	ф-ла (7) [10]	**63**										
Коэффициент затухания звука в атмосфере α, дБ/км	Ta=20,°C Pa=101.33,кПа hотн.=70%	ф-ла (5) [9]	0,02	0,09	0,33	1,12	2,79	4,98	9,04	23,09	77,63		
Учет затухания звука в атмосфере Aatm, дБ		ф-ла (8) [10]	0	0	0,1	0,4	1,1	2	3,6	9,2	30,8		
Снижение уровня звукового давления из-за влияния застройки между источником шума и расчетной точкой													
Снижение уровня звукового давления на пути над экраном, Dz1, дБ	z = 0.23м (разность путей)	ф-лы (14-18) [10]	4,9	5,1	5,7	6,6	7,9	9,8	12	14,6	17,4		
Снижение уровня звукового давления на пути слева от экрана, Dz2, дБ	z = 1.86м (разность путей)	ф-лы (14-18) [10]	11	14,8	18,7	22,1	25,2	28,2	31,2	34,2	37,2		
Снижение уровня звукового давления на пути справа от экрана, Dz3, дБ	z = 65.52м (разность путей)	ф-лы (14-18) [10]	28,2	31,5	34,6	37,6	40,6	43,6	46,7	49,7	52,7		

1		2	3	4	5	6	7	8	9	10	11	12	13
Общее снижение уровня звука препятствием Dz, дБ		Эн.сумма(-Dzi)	3,9	4,7	5,5	6,5	7,9	9,7	12	14,6	17,4		
Уровни звукового давления от источника ИШ-6-15 в расчётной точке днём, дБ		**ф-ла(3)[10]**	**0**	**28,6**	**29,1**	**29,1**	**27,4**	**24,2**	**17,1**	**4,7**	**0**	**28,6**	**28,6**
Источник шума: ИШ-6-16, координаты источника (x,y,z), м =[764.57,-123.22,1.00]													
Уровни звуковой мощности источника днём, Lw, дБ		**исходные данные**	**0**	**96,3**	**97,7**	**99**	**99,3**	**98,9**	**95,6**	**91,4**	**86,9**		
Поправка на телесный угол DΩ, дБ	Ω = 12.57	10Lg(4π/Ω)	**0**	0	0	0	0	0	0	0	0		
Показатель направленности источника Di, дБ		исходные данные	**0**	0	0	0	0	0	0	0	0		
Поправка на направленность источника Dc, дБ	Dc	DΩ + Di	**0**	0	0	0	0	0	0	0	0		
Затухание из-за геометрической дивергенции, Adiv, дБ	расстояние = 396.35 м	ф-ла (7) [10]	**63**										
Коэффициент затухания звука в атмосфере α, дБ/км	Ta=20,°C Pa=101.33,кПа hотн.=70%	ф-ла (5) [9]	0,02	0,09	0,33	1,12	2,79	4,98	9,04	23,09	77,63		
Учет затухания звука в атмосфере Aatm, дБ		ф-ла (8) [10]	0	0	0,1	0,4	1,1	2	3,6	9,2	30,8		
Снижение уровня звукового давления из-за влияния застройки между источником шума и расчетной точкой													
Снижение уровня звукового давления на пути над экраном, Dz1, дБ	z = 0.23м (разность путей)	ф-лы (14-18) [10]	4,9	5,1	5,7	6,6	7,9	9,8	12,1	14,6	17,4		
Снижение уровня звукового давления на пути слева от экрана, Dz2, дБ	z = 1.57м (разность путей)	ф-лы (14-18) [10]	10,5	14,2	18	21,3	24,4	27,4	30,5	33,5	36,5		
Снижение уровня звукового давления на пути справа от экрана, Dz3, дБ	z = 65.96м (разность путей)	ф-лы (14-18) [10]	28,3	31,6	34,6	37,6	40,7	43,7	46,7	49,7	52,7		
Общее снижение уровня звука препятствием Dz, дБ		Эн.сумма(-Dzi)	3,8	4,6	5,4	6,4	7,8	9,7	12	14,6	17,4		
Уровни звукового давления от источника ИШ-6-16 в расчётной точке днём, дБ		**ф-ла(3)[10]**	**0**	**28,7**	**29,2**	**29,1**	**27,4**	**24,3**	**17,1**	**4,7**	**0**	**28,7**	**28,7**

1		2	3	4	5	6	7	8	9	10	11	12	13
Источник шума: ИШ-6-17, координаты источника (x,y,z), м =[763.57,-126.18,1.00]													
Уровни звуковой мощности источника днём, Lw, дБ		**исходные данные**	**0**	**96,3**	**97,7**	**99**	**99,3**	**98,9**	**95,6**	**91,4**	**86,9**		
Поправка на телесный угол DΩ, дБ	Ω = 12.57	10Lg(4π/Ω)	**0**	0	0	0	0	0	0	0	0		
Показатель направленности источника Di, дБ		исходные данные	**0**	0	0	0	0	0	0	0	0		
Поправка на направленность источника Dc, дБ	Dc	DΩ + Di	**0**	0	0	0	0	0	0	0	0		
Затухание из-за геометрической дивергенции, Adiv, дБ	расстояние = 396.48 м	ф-ла (7) [10]	**63**										
Коэффициент затухания звука в атмосфере α, дБ/км	Ta=20,°C Pa=101.33,кПа hотн.=70%	ф-ла (5) [9]	0,02	0,09	0,33	1,12	2,79	4,98	9,04	23,09	77,63		
Учет затухания звука в атмосфере Aatm, дБ		ф-ла (8) [10]	0	0	0,1	0,4	1,1	2	3,6	9,2	30,8		
Снижение уровня звукового давления из-за влияния застройки между источником шума и расчетной точкой													
Снижение уровня звукового давления на пути над экраном, Dz1, дБ	z = 0.23м (разность путей)	ф-лы (14-18) [10]	4,9	5,1	5,7	6,6	7,9	9,8	12	14,6	17,4		
Снижение уровня звукового давления на пути слева от экрана, Dz2, дБ	z = 1.31м (разность путей)	ф-лы (14-18) [10]	9,9	13,5	17,2	20,6	23,6	26,7	29,7	32,7	35,7		
Снижение уровня звукового давления на пути справа от экрана, Dz3, дБ	z = 66.41м (разность путей)	ф-лы (14-18) [10]	28,3	31,6	34,6	37,7	40,7	43,7	46,7	49,7	52,7		
Общее снижение уровня звука препятствием Dz, дБ		Эн.сумма(-Dzi)	3,7	4,5	5,4	6,4	7,8	9,7	12	14,6	17,3		
Уровни звукового давления от источника ИШ-6-17 в расчётной точке днём, дБ		**ф-ла(3)[10]**	**0**	**28,7**	**29,2**	**29,2**	**27,4**	**24,3**	**17,1**	**4,7**	**0**	**28,7**	**28,7**
Источник шума: ИШ-6-18, координаты источника (x,y,z), м =[804.77,-126.28,1.00]													
Уровни звуковой мощности источника днём, Lw, дБ		**исходные данные**	**0**	**96,3**	**97,7**	**99**	**99,3**	**98,9**	**95,6**	**91,4**	**86,9**		

1		2	3	4	5	6	7	8	9	10	11	12	13
Поправка на телесный угол DΩ, дБ	Ω = 12.57	10Lg(4π/Ω)	**0**	0	0	0	0	0	0	0	0		
Показатель направленности источника Di, дБ		исходные данные	**0**	0	0	0	0	0	0	0	0		
Поправка на направленность источника Dc, дБ	Dc	DΩ + Di	**0**	0	0	0	0	0	0	0	0		
Затухание из-за геометрической дивергенции, Adiv, дБ	расстояние = 435.19 м	ф-ла (7) [10]	**63,8**										
Коэффициент затухания звука в атмосфере α, дБ/км	Ta=20,°C Pa=101.33,кПа hотн.=70%	ф-ла (5) [9]	0,02	0,09	0,33	1,12	2,79	4,98	9,04	23,09	77,63		
Учет затухания звука в атмосфере Aatm, дБ		ф-ла (8) [10]	0	0	0,1	0,5	1,2	2,2	3,9	10	33,8		
Снижение уровня звукового давления из-за влияния застройки между источником шума и расчетной точкой													
Снижение уровня звукового давления на пути над экраном, Dz1, дБ	z = 0.21м (разность путей)	ф-лы (14-18) [10]	4,8	5	5,3	5,9	6,8	8,1	10	12,3	14,9		
Снижение уровня звукового давления на пути слева от экрана, Dz2, дБ	z = 2.40м (разность путей)	ф-лы (14-18) [10]	11,9	15,9	19,8	23,2	26,3	29,3	32,3	35,3	38,3		
Снижение уровня звукового давления на пути справа от экрана, Dz3, дБ	z = 64.41м (разность путей)	ф-лы (14-18) [10]	28,2	31,5	34,5	37,5	40,6	43,6	46,6	49,6	52,6		
Общее снижение уровня звука препятствием Dz, дБ		Эн.сумма(-Dzi)	4	4,6	5,1	5,8	6,7	8,1	10	12,3	14,9		
Уровни звукового давления от источника ИШ-6-18 в расчётной точке днём, дБ		**ф-ла(3)[10]**	**0**	**27,9**	**28,6**	**29**	**27,6**	**24,8**	**17,9**	**5,3**	**0**	**29**	**29**
Источник шума: ИШ-6-19, координаты источника (x,y,z), м =[803.81,-129.30,1.00]													
Уровни звуковой мощности источника днём, Lw, дБ		**исходные данные**	**0**	**96,3**	**97,7**	**99**	**99,3**	**98,9**	**95,6**	**91,4**	**86,9**		
Поправка на телесный угол DΩ, дБ	Ω = 12.57	10Lg(4π/Ω)	**0**	0	0	0	0	0	0	0	0		
Показатель направленности источника Di, дБ		исходные данные	**0**	0	0	0	0	0	0	0	0		

1		2	3	4	5	6	7	8	9	10	11	12	13
Поправка на направленность источника Dc, дБ	Dc	DΩ + Di	**0**	0	0	0	0	0	0	0	0		
Затухание из-за геометрической дивергенции, Adiv, дБ	расстояние = 435.29 м	ф-ла (7) [10]	**63,8**										
Коэффициент затухания звука в атмосфере α, дБ/км	Ta=20,°C Pa=101.33,кПа hотн.=70%	ф-ла (5) [9]	0,02	0,09	0,33	1,12	2,79	4,98	9,04	23,09	77,63		
Учет затухания звука в атмосфере Aatm, дБ		ф-ла (8) [10]	0	0	0,1	0,5	1,2	2,2	3,9	10	33,8		
Снижение уровня звукового давления из-за влияния застройки между источником шума и расчетной точкой													
Снижение уровня звукового давления на пути над экраном, Dz1, дБ	z = 0.21м (разность путей)	ф-лы (14-18) [10]	4,8	5	5,3	5,8	6,8	8,1	10	12,3	14,9		
Снижение уровня звукового давления на пути слева от экрана, Dz2, дБ	z = 2.11м (разность путей)	ф-лы (14-18) [10]	11,4	15,3	19,2	22,6	25,7	28,7	31,7	34,7	37,8		
Снижение уровня звукового давления на пути справа от экрана, Dz3, дБ	z = 64.73м (разность путей)	ф-лы (14-18) [10]	28,2	31,5	34,5	37,6	40,6	43,6	46,6	49,6	52,6		
Общее снижение уровня звука препятствием Dz, дБ		Эн.сумма(-Dzi)	4	4,6	5,1	5,8	6,7	8,1	10	12,3	14,9		
Уровни звукового давления от источника ИШ-6-19 в расчётной точке днём, дБ		**ф-ла(3)[10]**	**0**	**27,9**	**28,7**	**29**	**27,6**	**24,8**	**17,9**	**5,3**	**0**	**29**	**29**
Источник шума: ИШ-6-20, координаты источника (x,y,z), м =[802.67,-132.35,1.00]													
Уровни звуковой мощности источника днём, Lw, дБ		**исходные данные**	**0**	**96,3**	**97,7**	**99**	**99,3**	**98,9**	**95,6**	**91,4**	**86,9**		
Поправка на телесный угол DΩ, дБ	Ω = 12.57	10Lg(4π/Ω)	**0**	0	0	0	0	0	0	0	0		
Показатель направленности источника Di, дБ		исходные данные	**0**	0	0	0	0	0	0	0	0		
Поправка на направленность источника Dc, дБ	Dc	DΩ + Di	**0**	0	0	0	0	0	0	0	0		
Затухание из-за геометрической дивергенции, Adiv, дБ	расстояние = 435.25 м	ф-ла (7) [10]	**63,8**										

1		2	3	4	5	6	7	8	9	10	11	12	13
Коэффициент затухания звука в атмосфере α, дБ/км	Ta=20,°C Pa=101.33,кПа hотн.=70%	ф-ла (5) [9]	0,02	0,09	0,33	1,12	2,79	4,98	9,04	23,09	77,63		
Учет затухания звука в атмосфере Aatm, дБ		ф-ла (8) [10]	0	0	0,1	0,5	1,2	2,2	3,9	10	33,8		
Снижение уровня звукового давления из-за влияния застройки между источником шума и расчетной точкой													
Снижение уровня звукового давления на пути над экраном, Dz1, дБ	z = 0.21м (разность путей)	ф-лы (14-18) [10]	4,8	5	5,3	5,9	6,8	8,1	10	12,3	14,9		
Снижение уровня звукового давления на пути слева от экрана, Dz2, дБ	z = 1.83м (разность путей)	ф-лы (14-18) [10]	11	14,8	18,6	22	25,1	28,1	31,1	34,1	37,1		
Снижение уровня звукового давления на пути справа от экрана, Dz3, дБ	z = 65.07м (разность путей)	ф-лы (14-18) [10]	28,2	31,5	34,6	37,6	40,6	43,6	46,6	49,6	52,6		
Общее снижение уровня звука препятствием Dz, дБ		Эн.сумма(-Dzi)	3,9	4,5	5,1	5,7	6,7	8,1	10	12,3	14,9		
Уровни звукового давления от источника ИШ-6-20 в расчётной точке днём, дБ		**ф-ла(3)[10]**	**0**	**27,9**	**28,7**	**29**	**27,6**	**24,9**	**17,9**	**5,3**	**0**	**29**	**29**
Источник шума: ИШ-6-21, координаты источника (x,y,z), м =[801.69,-135.42,1.00]													
Уровни звуковой мощности источника днём, Lw, дБ		**исходные данные**	**0**	**96,3**	**97,7**	**99**	**99,3**	**98,9**	**95,6**	**91,4**	**86,9**		
Поправка на телесный угол DΩ, дБ	Ω = 12.57	10Lg(4π/Ω)	**0**	0	0	0	0	0	0	0	0		
Показатель направленности источника Di, дБ		исходные данные	**0**	0	0	0	0	0	0	0	0		
Поправка на направленность источника Dc, дБ	Dc	DΩ + Di	**0**	0	0	0	0	0	0	0	0		
Затухание из-за геометрической дивергенции, Adiv, дБ	расстояние = 435.39 м	ф-ла (7) [10]	**63,8**										
Коэффициент затухания звука в атмосфере α, дБ/км	Ta=20,°C Pa=101.33,кПа hотн.=70%	ф-ла (5) [9]	0,02	0,09	0,33	1,12	2,79	4,98	9,04	23,09	77,63		
Учет затухания звука в атмосфере Aatm, дБ		ф-ла (8) [10]	0	0	0,1	0,5	1,2	2,2	3,9	10,1	33,8		

1		2	3	4	5	6	7	8	9	10	11	12	13
Снижение уровня звукового давления из-за влияния застройки между источником шума и расчетной точкой													
Снижение уровня звукового давления на пути над экраном, Dz1, дБ	z = 0.21м (разность путей)	ф-лы (14-18) [10]	4,8	5	5,3	5,8	6,8	8,1	10	12,3	14,9		
Снижение уровня звукового давления на пути слева от экрана, Dz2, дБ	z = 1.57м (разность путей)	ф-лы (14-18) [10]	10,5	14,2	18	21,3	24,4	27,5	30,5	33,5	36,5		
Снижение уровня звукового давления на пути справа от экрана, Dz3, дБ	z = 65.43м (разность путей)	ф-лы (14-18) [10]	28,2	31,5	34,6	37,6	40,6	43,6	46,6	49,7	52,7		
Общее снижение уровня звука препятствием Dz, дБ		Эн.сумма(-Dzi)	3,8	4,5	5,1	5,7	6,7	8,1	10	12,3	14,9		
Уровни звукового давления от источника ИШ-6-21 в расчётной точке днём, дБ		**ф-ла(3)[10]**	**0**	**28**	**28,7**	**29**	**27,6**	**24,9**	**17,9**	**5,3**	**0**	**29**	**29**
Источник шума: ИШ-6-22, координаты источника (x,y,z), м =[800.65,-138.47,1.00]													
Уровни звуковой мощности источника днём, Lw, дБ		**исходные данные**	**0**	**96,3**	**97,7**	**99**	**99,3**	**98,9**	**95,6**	**91,4**	**86,9**		
Поправка на телесный угол DΩ, дБ	Ω = 12.57	10Lg(4π/Ω)	**0**	0	0	0	0	0	0	0	0		
Показатель направленности источника Di, дБ		исходные данные	**0**	0	0	0	0	0	0	0	0		
Поправка на направленность источника Dc, дБ	Dc	DΩ + Di	**0**	0	0	0	0	0	0	0	0		
Затухание из-за геометрической дивергенции, Adiv, дБ	расстояние = 435.49 м	ф-ла (7) [10]	**63,8**										
Коэффициент затухания звука в атмосфере α, дБ/км	Ta=20,°C Pa=101.33,кПа hотн.=70%	ф-ла (5) [9]	0,02	0,09	0,33	1,12	2,79	4,98	9,04	23,09	77,63		
Учет затухания звука в атмосфере Aatm, дБ		ф-ла (8) [10]	0	0	0,1	0,5	1,2	2,2	3,9	10,1	33,8		
Снижение уровня звукового давления из-за влияния застройки между источником шума и расчетной точкой													
Снижение уровня звукового давления на пути над экраном, Dz1, дБ	z = 0.21м (разность путей)	ф-лы (14-18) [10]	4,8	5	5,3	5,8	6,8	8,1	10	12,3	14,9		

1		2	3	4	5	6	7	8	9	10	11	12	13
Снижение уровня звукового давления на пути слева от экрана, Dz2, дБ	z = 1.34м (разность путей)	ф-лы (14-18) [10]	10	13,6	17,3	20,6	23,7	26,7	29,8	32,8	35,8		
Снижение уровня звукового давления на пути справа от экрана, Dz3, дБ	z = 65.81м (разность путей)	ф-лы (14-18) [10]	28,2	31,6	34,6	37,6	40,6	43,7	46,7	49,7	52,7		
Общее снижение уровня звука препятствием Dz, дБ		Эн.сумма(-Dzi)	3,7	4,4	5	5,7	6,7	8,1	10	12,3	14,9		
Уровни звукового давления прямого звука от источника ИШ-6-22 в расчётной точке днём, дБ		**ф-ла(3)[10]**	**0**	**28,1**	**28,7**	**29**	**27,6**	**24,9**	**17,9**	**5,3**	**0**	**29**	**29**
Расчёт отражённого звука													
Уровни звукового давления от мнимого источника ИШ-6-22_мн.(1) в расчётной точке днём, дБ		**ф-ла(3)[10]**	**0**	**0**	**0**	**0**	**0**	**0**	**0**	**0**	**0**	**0**	**0**
Уровни звукового давления от источника ИШ-6-22 в расчётной точке днём, дБ		**ф-ла(3)[10]**	**0**	**28,1**	**28,7**	**29**	**27,6**	**24,9**	**17,9**	**5,3**	**0**	**29**	**29**
Источник шума: ИШ-7-1, координаты источника (x,y,z), м =[821.44,63.31,1.00]													
Уровни звуковой мощности источника днём, Lw, дБ		**исходные данные**	**77**	**75**	**67**	**66**	**63**	**55**	**53**	**48**	**51**		
Поправка на телесный угол DΩ, дБ	Ω = 12.57	10Lg(4π/Ω)	**0**	0	0	0	0	0	0	0	0		
Показатель направленности источника Di, дБ		исходные данные	**0**	0	0	0	0	0	0	0	0		
Поправка на направленность источника Dc, дБ	Dc	DΩ + Di	**0**	0	0	0	0	0	0	0	0		
Затухание из-за геометрической дивергенции, Adiv, дБ	расстояние = 430.14 м	ф-ла (7) [10]	**63,7**										
Коэффициент затухания звука в атмосфере α, дБ/км	Ta=20,°C Pa=101.33,кПа hотн.=70%	ф-ла (5) [9]	0,02	0,09	0,33	1,12	2,79	4,98	9,04	23,09	77,63		
Учет затухания звука в атмосфере Aatm, дБ		ф-ла (8) [10]	0	0	0,1	0,5	1,2	2,1	3,9	9,9	33,4		
Снижение уровня звукового давления из-за влияния застройки между источником шума и расчетной точкой													

1		2	3	4	5	6	7	8	9	10	11	12	13
Снижение уровня звукового давления на пути над экраном, Dz1, дБ	z = 5.88м (разность путей)	ф-лы (14-18) [10]	13,9	17,7	22,1	26	29,3	32,4	35,4	38,4	41,4		
Снижение уровня звукового давления на пути слева от экрана, Dz2, дБ	z = 2.28м (разность путей)	ф-лы (14-18) [10]	10,6	13	15,6	18,5	21,4	24,3	27,3	30,3	33,3		
Общее снижение уровня звука препятствием Dz, дБ		Эн.сумма(-Dzi)	8,9	11,7	14,7	17,7	20,7	23,7	26,7	29,7	32,7		
Общее снижение уровня звука препятствием с учётом ограничения (25 дБ) для октавных полос Dz, дБ		Раздел 7.4 [10]	8,9	11,7	14,7	17,7	20,7	23,7	25	25	25		
Уровни звукового давления от источника ИШ-7-1 в расчётной точке днём, дБ		**ф-ла(3)[10]**	**4,4**	**0**	**0**	**0**	**0**	**0**	**0**	**0**	**0**	**0**	**0**
Источник шума: ИШ-7-2, координаты источника (x,y,z), м =[768.90,-86.75,1.00]													
Уровни звуковой мощности источника днём, Lw, дБ		**исходные данные**	**77**	**75**	**67**	**66**	**63**	**55**	**53**	**48**	**51**		
Поправка на телесный угол DΩ, дБ	Ω = 12.57	10Lg(4π/Ω)	**0**	0	0	0	0	0	0	0	0		
Показатель направленности источника Di, дБ		исходные данные	**0**	0	0	0	0	0	0	0	0		
Поправка на направленность источника Dc, дБ	Dc	DΩ + Di	**0**	0	0	0	0	0	0	0	0		
Затухание из-за геометрической дивергенции, Adiv, дБ	расстояние = 389.14 м	ф-ла (7) [10]	**62,8**										
Коэффициент затухания звука в атмосфере α, дБ/км	Ta=20,°C Pa=101.33,кПа hотн.=70%	ф-ла (5) [9]	0,02	0,09	0,33	1,12	2,79	4,98	9,04	23,09	77,63		
Учет затухания звука в атмосфере Aatm, дБ		ф-ла (8) [10]	0	0	0,1	0,4	1,1	1,9	3,5	9	30,2		
Снижение уровня звукового давления из-за влияния застройки между источником шума и расчетной точкой													
Снижение уровня звукового давления на пути над экраном, Dz1, дБ	z = 1.50м (разность путей)	ф-лы (14-18) [10]	11	13,8	16,7	19,6	22,5	25,5	28,5	31,5	34,5		
Снижение уровня звукового давления на пути слева от экрана, Dz2, дБ	z = 6.58м (разность путей)	ф-лы (14-18) [10]	15,7	20	24	27,5	30,6	33,7	36,7	39,7	42,7		

1		2	3	4	5	6	7	8	9	10	11	12	13
Общее снижение уровня звука препятствием Dz, дБ		Эн.сумма(-Dzi)	9,7	12,9	15,9	18,9	21,9	24,9	27,9	30,9	33,9		
Общее снижение уровня звука препятствием с учётом ограничения (25 дБ) для октавных полос Dz, дБ		Раздел 7.4 [10]	9,7	12,9	15,9	18,9	21,9	24,9	25	25	25		
Уровни звукового давления от источника ИШ-7-2 в расчётной точке днём, дБ		**ф-ла(3)[10]**	**4,5**	**0**	**0**	**0**	**0**	**0**	**0**	**0**	**0**	**0**	**0**
Источник шума: ИШ-7-3, координаты источника (x,y,z), м =[766.80,-93.20,1.00]													
Уровни звуковой мощности источника днём, Lw, дБ		**исходные данные**	**77**	**75**	**67**	**66**	**63**	**55**	**53**	**48**	**51**		
Поправка на телесный угол DΩ, дБ	Ω = 12.57	10Lg(4π/Ω)	**0**	0	0	0	0	0	0	0	0		
Показатель направленности источника Di, дБ		исходные данные	**0**	0	0	0	0	0	0	0	0		
Поправка на направленность источника Dc, дБ	Dc	DΩ + Di	**0**	0	0	0	0	0	0	0	0		
Затухание из-за геометрической дивергенции, Adiv, дБ	расстояние = 388.90 м	ф-ла (7) [10]	**62,8**										
Коэффициент затухания звука в атмосфере α, дБ/км	Ta=20,°C Pa=101.33,кПа hотн.=70%	ф-ла (5) [9]	0,02	0,09	0,33	1,12	2,79	4,98	9,04	23,09	77,63		
Учет затухания звука в атмосфере Aatm, дБ		ф-ла (8) [10]	0	0	0,1	0,4	1,1	1,9	3,5	9	30,2		
Снижение уровня звукового давления из-за влияния застройки между источником шума и расчетной точкой													
Снижение уровня звукового давления на пути над экраном, Dz1, дБ	z = 0.24м (разность путей)	ф-лы (14-18) [10]	4,9	5,2	5,8	6,8	8,2	10,1	12,5	15,1	17,9		
Снижение уровня звукового давления на пути слева от экрана, Dz2, дБ	z = 5.38м (разность путей)	ф-лы (14-18) [10]	14,9	19,2	23,2	26,6	29,7	32,8	35,8	38,8	41,8		
Общее снижение уровня звука препятствием Dz, дБ		Эн.сумма(-Dzi)	4,5	5	5,7	6,7	8,2	10,1	12,5	15,1	17,9		
Уровни звукового давления от источника ИШ-7-3 в расчётной точке днём, дБ		**ф-ла(3)[10]**	**9,7**	**7,1**	**0**	**0**	**0**	**0**	**0**	**0**	**0**	**0**	**0**

1		2	3	4	5	6	7	8	9	10	11	12	13
Источник шума: ИШ-7-4, координаты источника (x,y,z), м =[866.76,37.18,1.00]													
Уровни звуковой мощности источника днём, Lw, дБ		**исходные данные**	**77**	**75**	**67**	**66**	**63**	**55**	**53**	**48**	**51**		
Поправка на телесный угол DΩ, дБ	Ω = 12.57	10Lg(4π/Ω)	**0**	0	0	0	0	0	0	0	0		
Показатель направленности источника Di, дБ		исходные данные	**0**	0	0	0	0	0	0	0	0		
Поправка на направленность источника Dc, дБ	Dc	DΩ + Di	**0**	0	0	0	0	0	0	0	0		
Затухание из-за геометрической дивергенции, Adiv, дБ	расстояние = 473.38 м	ф-ла (7) [10]	**64,5**										
Коэффициент затухания звука в атмосфере α, дБ/км	Ta=20,°C Pa=101.33,кПа hотн.=70%	ф-ла (5) [9]	0,02	0,09	0,33	1,12	2,79	4,98	9,04	23,09	77,63		
Учет затухания звука в атмосфере Aatm, дБ		ф-ла (8) [10]	0	0	0,2	0,5	1,3	2,4	4,3	10,9	36,8		
Снижение уровня звукового давления из-за влияния застройки между источником шума и расчетной точкой													
Снижение уровня звукового давления на пути над экраном, Dz1, дБ	z = 5.53м (разность путей)	ф-лы (14-18) [10]	13,5	17,3	21,6	25,5	28,9	32	35	38	41		
Общее снижение уровня звука препятствием с учётом ограничения (25 дБ) для октавных полос Dz, дБ		Раздел 7.4 [10]	13,5	17,3	21,6	25	25	25	25	25	25		
Уровни звукового давления от источника ИШ-7-4 в расчётной точке днём, дБ		**ф-ла(3)[10]**	**0**	**0**	**0**	**0**	**0**	**0**	**0**	**0**	**0**	**0**	**0**
Источник шума: ИШ-7-5, координаты источника (x,y,z), м =[861.80,21.34,1.00]													
Уровни звуковой мощности источника днём, Lw, дБ		**исходные данные**	**77**	**75**	**67**	**66**	**63**	**55**	**53**	**48**	**51**		
Поправка на телесный угол DΩ, дБ	Ω = 12.57	10Lg(4π/Ω)	**0**	0	0	0	0	0	0	0	0		
Показатель направленности источника Di, дБ		исходные данные	**0**	0	0	0	0	0	0	0	0		

1		2	3	4	5	6	7	8	9	10	11	12	13
Поправка на направленность источника Dc, дБ	Dc	DΩ + Di	**0**	0	0	0	0	0	0	0	0		
Затухание из-за геометрической дивергенции, Adiv, дБ	расстояние = 468.01 м	ф-ла (7) [10]	**64,4**										
Коэффициент затухания звука в атмосфере α, дБ/км	Ta=20,°C Pa=101.33,кПа hотн.=70%	ф-ла (5) [9]	0,02	0,09	0,33	1,12	2,79	4,98	9,04	23,09	77,63		
Учет затухания звука в атмосфере Aatm, дБ		ф-ла (8) [10]	0	0	0,2	0,5	1,3	2,3	4,2	10,8	36,3		
Снижение уровня звукового давления из-за влияния застройки между источником шума и расчетной точкой													
Снижение уровня звукового давления на пути над экраном, Dz1, дБ	z = 5.32м (разность путей)	ф-лы (14-18) [10]	13,3	17	21,4	25,3	28,7	31,8	34,8	37,8	40,8		
Общее снижение уровня звука препятствием с учётом ограничения (25 дБ) для октавных полос Dz, дБ		Раздел 7.4 [10]	13,3	17	21,4	25	25	25	25	25	25		
Уровни звукового давления от источника ИШ-7-5 в расчётной точке днём, дБ		**ф-ла(3)[10]**	**0**	**0**	**0**	**0**	**0**	**0**	**0**	**0**	**0**	**0**	**0**
Источник шума: ИШ-7-6, координаты источника (x,y,z), м =[856.52,5.94,1.00]													
Уровни звуковой мощности источника днём, Lw, дБ		**исходные данные**	**77**	**75**	**67**	**66**	**63**	**55**	**53**	**48**	**51**		
Поправка на телесный угол DΩ, дБ	Ω = 12.57	10Lg(4π/Ω)	**0**	0	0	0	0	0	0	0	0		
Показатель направленности источника Di, дБ		исходные данные	**0**	0	0	0	0	0	0	0	0		
Поправка на направленность источника Dc, дБ	Dc	DΩ + Di	**0**	0	0	0	0	0	0	0	0		
Затухание из-за геометрической дивергенции, Adiv, дБ	расстояние = 462.83 м	ф-ла (7) [10]	**64,3**										
Коэффициент затухания звука в атмосфере α, дБ/км	Ta=20,°C Pa=101.33,кПа hотн.=70%	ф-ла (5) [9]	0,02	0,09	0,33	1,12	2,79	4,98	9,04	23,09	77,63		
Учет затухания звука в атмосфере Aatm, дБ		ф-ла (8) [10]	0	0	0,2	0,5	1,3	2,3	4,2	10,7	35,9		

1		2	3	4	5	6	7	8	9	10	11	12	13
Снижение уровня звукового давления из-за влияния застройки между источником шума и расчетной точкой													
Снижение уровня звукового давления на пути над экраном, Dz1, дБ	z = 5.07м (разность путей)	ф-лы (14-18) [10]	13,1	16,8	21,1	25,1	28,4	31,5	34,6	37,6	40,6		
Общее снижение уровня звука препятствием с учётом ограничения (25 дБ) для октавных полос Dz, дБ		Раздел 7.4 [10]	13,1	16,8	21,1	25	25	25	25	25	25		
Уровни звукового давления от источника ИШ-7-6 в расчётной точке днём, дБ		**ф-ла(3)[10]**	**0**	**0**	**0**	**0**	**0**	**0**	**0**	**0**	**0**	**0**	**0**
Источник шума: ИШ-7-7, координаты источника (x,y,z), м =[851.06,-9.89,1.00]													
Уровни звуковой мощности источника днём, Lw, дБ		**исходные данные**	**77**	**75**	**67**	**66**	**63**	**55**	**53**	**48**	**51**		
Поправка на телесный угол DΩ, дБ	Ω = 12.57	10Lg(4π/Ω)	**0**	0	0	0	0	0	0	0	0		
Показатель направленности источника Di, дБ		исходные данные	**0**	0	0	0	0	0	0	0	0		
Поправка на направленность источника Dc, дБ	Dc	DΩ + Di	**0**	0	0	0	0	0	0	0	0		
Затухание из-за геометрической дивергенции, Adiv, дБ	расстояние = 458.03 м	ф-ла (7) [10]	**64,2**										
Коэффициент затухания звука в атмосфере α, дБ/км	Ta=20,°C Pa=101.33,кПа hотн.=70%	ф-ла (5) [9]	0,02	0,09	0,33	1,12	2,79	4,98	9,04	23,09	77,63		
Учет затухания звука в атмосфере Aatm, дБ		ф-ла (8) [10]	0	0	0,2	0,5	1,3	2,3	4,1	10,6	35,6		
Снижение уровня звукового давления из-за влияния застройки между источником шума и расчетной точкой													
Снижение уровня звукового давления на пути над экраном, Dz1, дБ	z = 4.78м (разность путей)	ф-лы (14-18) [10]	12,8	16,4	20,7	24,7	28,1	31,3	34,3	37,3	40,3		
Общее снижение уровня звука препятствием с учётом ограничения (25 дБ) для октавных полос Dz, дБ		Раздел 7.4 [10]	12,8	16,4	20,7	24,7	25	25	25	25	25		
Уровни звукового давления от источника ИШ-7-7 в расчётной точке днём, дБ		**ф-ла(3)[10]**	**0**	**0**	**0**	**0**	**0**	**0**	**0**	**0**	**0**	**0**	**0**

1		2	3	4	5	6	7	8	9	10	11	12	13
Источник шума: ИШ-7-8, координаты источника (x,y,z), м =[821.90,-104.30,1.00]													
Уровни звуковой мощности источника днём, Lw, дБ		**исходные данные**	**77**	**75**	**67**	**66**	**63**	**55**	**53**	**48**	**51**		
Поправка на телесный угол DΩ, дБ	Ω = 12.57	10Lg(4π/Ω)	**0**	0	0	0	0	0	0	0	0		
Показатель направленности источника Di, дБ		исходные данные	**0**	0	0	0	0	0	0	0	0		
Поправка на направленность источника Dc, дБ	Dc	DΩ + Di	**0**	0	0	0	0	0	0	0	0		
Затухание из-за геометрической дивергенции, Adiv, дБ	расстояние = 444.91 м	ф-ла (7) [10]	**64**										
Коэффициент затухания звука в атмосфере α, дБ/км	Ta=20,°C Pa=101.33,кПа hотн.=70%	ф-ла (5) [9]	0,02	0,09	0,33	1,12	2,79	4,98	9,04	23,09	77,63		
Учет затухания звука в атмосфере Aatm, дБ		ф-ла (8) [10]	0	0	0,1	0,5	1,2	2,2	4	10,3	34,5		
Снижение уровня звукового давления из-за влияния застройки между источником шума и расчетной точкой													
Снижение уровня звукового давления на пути над экраном, Dz1, дБ	z = 0.21м (разность путей)	ф-лы (14-18) [10]	4,8	5	5,2	5,7	6,5	7,8	9,6	11,8	14,4		
Уровни звукового давления от источника ИШ-7-8 в расчётной точке днём, дБ		**ф-ла(3)[10]**	**8,2**	**6**	**0**	**0**	**0**	**0**	**0**	**0**	**0**	**0**	**0**
Источник шума: ИШ-7-9, координаты источника (x,y,z), м =[819.93,-110.97,1.00]													
Уровни звуковой мощности источника днём, Lw, дБ		**исходные данные**	**77**	**75**	**67**	**66**	**63**	**55**	**53**	**48**	**51**		
Поправка на телесный угол DΩ, дБ	Ω = 12.57	10Lg(4π/Ω)	**0**	0	0	0	0	0	0	0	0		
Показатель направленности источника Di, дБ		исходные данные	**0**	0	0	0	0	0	0	0	0		
Поправка на направленность источника Dc, дБ	Dc	DΩ + Di	**0**	0	0	0	0	0	0	0	0		

1		2	3	4	5	6	7	8	9	10	11	12	13
Затухание из-за геометрической дивергенции, Adiv, дБ	расстояние = 444.89 м	ф-ла (7) [10]	**64**										
Коэффициент затухания звука в атмосфере α, дБ/км	Ta=20,°C Pa=101.33,кПа hотн.=70%	ф-ла (5) [9]	0,02	0,09	0,33	1,12	2,79	4,98	9,04	23,09	77,63		
Учет затухания звука в атмосфере Aatm, дБ		ф-ла (8) [10]	0	0	0,1	0,5	1,2	2,2	4	10,3	34,5		
Снижение уровня звукового давления из-за влияния застройки между источником шума и расчетной точкой													
Снижение уровня звукового давления на пути над экраном, Dz1, дБ	z = 0.21м (разность путей)	ф-лы (14-18) [10]	4,8	5	5,2	5,7	6,5	7,8	9,6	11,8	14,4		
Уровни звукового давления от источника ИШ-7-9 в расчётной точке днём, дБ		**ф-ла(3)[10]**	**8,2**	**6**	**0**	**0**	**0**	**0**	**0**	**0**	**0**	**0**	**0**
Источник шума: ИШ-7-10, координаты источника (x,y,z), м =[868.68,92.66,1.00]													
Уровни звуковой мощности источника днём, Lw, дБ		**исходные данные**	**77**	**75**	**67**	**66**	**63**	**55**	**53**	**48**	**51**		
Поправка на телесный угол DΩ, дБ	Ω = 12.57	10Lg(4π/Ω)	**0**	0	0	0	0	0	0	0	0		
Показатель направленности источника Di, дБ		исходные данные	**0**	0	0	0	0	0	0	0	0		
Поправка на направленность источника Dc, дБ	Dc	DΩ + Di	**0**	0	0	0	0	0	0	0	0		
Затухание из-за геометрической дивергенции, Adiv, дБ	расстояние = 480.86 м	ф-ла (7) [10]	**64,6**										
Коэффициент затухания звука в атмосфере α, дБ/км	Ta=20,°C Pa=101.33,кПа hотн.=70%	ф-ла (5) [9]	0,02	0,09	0,33	1,12	2,79	4,98	9,04	23,09	77,63		
Учет затухания звука в атмосфере Aatm, дБ		ф-ла (8) [10]	0	0	0,2	0,5	1,3	2,4	4,3	11,1	37,3		
Снижение уровня звукового давления из-за влияния застройки между источником шума и расчетной точкой													
Снижение уровня звукового давления на пути над экраном, Dz1, дБ	z = 6.08м (разность путей)	ф-лы (14-18) [10]	14	17,9	22,2	26,1	29,3	32,4	35,5	38,5	41,5		

1		2	3	4	5	6	7	8	9	10	11	12	13
Общее снижение уровня звука препятствием с учётом ограничения (25 дБ) для октавных полос Dz, дБ		Раздел 7.4 [10]	14	17,9	22,2	25	25	25	25	25	25		
Уровни звукового давления от источника ИШ-7-10 в расчётной точке днём, дБ		**ф-ла(3)[10]**	**0**	**0**	**0**	**0**	**0**	**0**	**0**	**0**	**0**	**0**	**0**
Источник шума: ИШ-7-11, координаты источника (x,y,z), м =[877.95,88.75,1.00]													
Уровни звуковой мощности источника днём, Lw, дБ		**исходные данные**	**77**	**75**	**67**	**66**	**63**	**55**	**53**	**48**	**51**		
Поправка на телесный угол DΩ, дБ	Ω = 12.57	10Lg(4π/Ω)	**0**	0	0	0	0	0	0	0	0		
Показатель направленности источника Di, дБ		исходные данные	**0**	0	0	0	0	0	0	0	0		
Поправка на направленность источника Dc, дБ	Dc	DΩ + Di	**0**	0	0	0	0	0	0	0	0		
Затухание из-за геометрической дивергенции, Adiv, дБ	расстояние = 489.43 м	ф-ла (7) [10]	**64,8**										
Коэффициент затухания звука в атмосфере α, дБ/км	Ta=20,°C Pa=101.33,кПа hотн.=70%	ф-ла (5) [9]	0,02	0,09	0,33	1,12	2,79	4,98	9,04	23,09	77,63		
Учет затухания звука в атмосфере Aatm, дБ		ф-ла (8) [10]	0	0	0,2	0,6	1,4	2,4	4,4	11,3	38		
Снижение уровня звукового давления из-за влияния застройки между источником шума и расчетной точкой													
Снижение уровня звукового давления на пути над экраном, Dz1, дБ	z = 6.03м (разность путей)	ф-лы (14-18) [10]	13,9	17,8	22,2	26	29,3	32,4	35,4	38,4	41,4		
Общее снижение уровня звука препятствием с учётом ограничения (25 дБ) для октавных полос Dz, дБ		Раздел 7.4 [10]	13,9	17,8	22,2	25	25	25	25	25	25		
Уровни звукового давления от источника ИШ-7-11 в расчётной точке днём, дБ		**ф-ла(3)[10]**	**0**	**0**	**0**	**0**	**0**	**0**	**0**	**0**	**0**	**0**	**0**
Источник шума: ИШ-7-12, координаты источника (x,y,z), м =[887.42,85.45,1.00]													
Уровни звуковой мощности источника днём, Lw, дБ		**исходные данные**	**77**	**75**	**67**	**66**	**63**	**55**	**53**	**48**	**51**		

1		2	3	4	5	6	7	8	9	10	11	12	13
Поправка на телесный угол DΩ, дБ	Ω = 12.57	10Lg(4π/Ω)	**0**	0	0	0	0	0	0	0	0		
Показатель направленности источника Di, дБ		исходные данные	**0**	0	0	0	0	0	0	0	0		
Поправка на направленность источника Dc, дБ	Dc	DΩ + Di	**0**	0	0	0	0	0	0	0	0		
Затухание из-за геометрической дивергенции, Adiv, дБ	расстояние = 498.34 м	ф-ла (7) [10]	**65**										
Коэффициент затухания звука в атмосфере α, дБ/км	Ta=20,°C Pa=101.33,кПа hотн.=70%	ф-ла (5) [9]	0,02	0,09	0,33	1,12	2,79	4,98	9,04	23,09	77,63		
Учет затухания звука в атмосфере Aatm, дБ		ф-ла (8) [10]	0	0	0,2	0,6	1,4	2,5	4,5	11,5	38,7		
Снижение уровня звукового давления из-за влияния застройки между источником шума и расчетной точкой													
Снижение уровня звукового давления на пути над экраном, Dz1, дБ	z = 5.99м (разность путей)	ф-лы (14-18) [10]	13,9	17,8	22,1	25,9	29,2	32,3	35,4	38,4	41,4		
Общее снижение уровня звука препятствием с учётом ограничения (25 дБ) для октавных полос Dz, дБ		Раздел 7.4 [10]	13,9	17,8	22,1	25	25	25	25	25	25		
Уровни звукового давления от источника ИШ-7-12 в расчётной точке днём, дБ		**ф-ла(3)[10]**	**0**	**0**	**0**	**0**	**0**	**0**	**0**	**0**	**0**	**0**	**0**
Источник шума: ИШ-6-23, координаты источника (x,y,z), м =[756.16,-136.23,3.00]													
Уровни звуковой мощности источника днём, Lw, дБ		**исходные данные**	**91**	**91**	**91**	**91**	**91**	**91**	**91**	**91**	**91**		
Поправка на телесный угол DΩ, дБ	Ω = 12.57	10Lg(4π/Ω)	**0**	0	0	0	0	0	0	0	0		
Показатель направленности источника Di, дБ		исходные данные	**0**	0	0	0	0	0	0	0	0		
Поправка на направленность источника Dc, дБ	Dc	DΩ + Di	**0**	0	0	0	0	0	0	0	0		
Затухание из-за геометрической дивергенции, Adiv, дБ	расстояние = 393.38 м	ф-ла (7) [10]	**62,9**										

1		2	3	4	5	6	7	8	9	10	11	12	13
Коэффициент затухания звука в атмосфере α, дБ/км	Та=20,°С Ра=101.33,кПа hотн.=70%	ф-ла (5) [9]	0,02	0,09	0,33	1,12	2,79	4,98	9,04	23,09	77,63		
Учет затухания звука в атмосфере Aatm, дБ		ф-ла (8) [10]	0	0	0,1	0,4	1,1	2	3,6	9,1	30,5		
Снижение уровня звукового давления из-за влияния застройки между источником шума и расчетной точкой													
Снижение уровня звукового давления на пути над экраном, Dz1, дБ	z = 0.17м (разность путей)	ф-лы (14-18) [10]	4,8	5	5,2	5,8	6,6	7,9	9,7	12	14,5		
Снижение уровня звукового давления на пути слева от экрана, Dz2, дБ	z = 0.56м (разность путей)	ф-лы (14-18) [10]	7,5	10	13,5	16,9	20	23	26	29	32		
Снижение уровня звукового давления на пути справа от экрана, Dz3, дБ	z = 68.45м (разность путей)	ф-лы (14-18) [10]	28,4	31,7	34,8	37,8	40,8	43,8	46,8	49,9	52,9		
Общее снижение уровня звука препятствием Dz, дБ		Эн.сумма(-Dzi)	2,9	3,8	4,6	5,4	6,4	7,8	9,6	11,9	14,4		
Уровни звукового давления прямого звука от источника ИШ-6-23 в расчётной точке днём, дБ		**ф-ла(3)[10]**	**25,2**	**24,3**	**23,3**	**22,2**	**20,6**	**18,4**	**14,9**	**7,1**	**0**	**23**	**23**
Расчёт отражённого звука													
Уровни звукового давления от мнимого источника ИШ-6-23_мн.(1) в расчётной точке днём, дБ		**ф-ла(3)[10]**	**0**	**0**	**0**	**0**	**0**	**0**	**0**	**0**	**0**	**0**	**0**
Уровни звукового давления от мнимого источника ИШ-6-23_мн.(2) в расчётной точке днём, дБ		**ф-ла(3)[10]**	**0**	**0**	**0**	**0**	**0**	**0**	**0**	**0**	**0**	**0**	**0**
Суммарные уровни звукового давления от мнимых источников в расчётной точке днём, дБ		**ф-ла (19) [1]**	**0**	**0**	**0**	**0**	**0**	**0**	**0**	**0**	**0**	**0**	**0**
Уровни звукового давления от источника ИШ-6-23 в расчётной точке днём, дБ		**ф-ла(3)[10]**	**25,2**	**24,3**	**23,3**	**22,2**	**20,6**	**18,4**	**14,9**	**7,1**	**0**	**23**	**23**
Источник шума: ИШ-6-24, координаты источника (x,y,z), м =[800.98,-151.27,3.00]													
Уровни звуковой мощности источника днём, Lw, дБ		**исходные данные**	**91**	**91**	**91**	**91**	**91**	**91**	**91**	**91**	**91**		
Поправка на телесный угол DΩ, дБ	Ω = 12.57	10Lg(4π/Ω)	**0**	0	0	0	0	0	0	0	0		

1		2	3	4	5	6	7	8	9	10	11	12	13
Показатель направленности источника Di, дБ		исходные данные	**0**	0	0	0	0	0	0	0	0		
Поправка на направленность источника Dc, дБ	Dc	DΩ + Di	**0**	0	0	0	0	0	0	0	0		
Затухание из-за геометрической дивергенции, Adiv, дБ	расстояние = 440.53 м	ф-ла (7) [10]	**63,9**										
Коэффициент затухания звука в атмосфере α, дБ/км	Ta=20,°C Pa=101.33,кПа hотн.=70%	ф-ла (5) [9]	0,02	0,09	0,33	1,12	2,79	4,98	9,04	23,09	77,63		
Учет затухания звука в атмосфере Aatm, дБ		ф-ла (8) [10]	0	0	0,1	0,5	1,2	2,2	4	10,2	34,2		
Снижение уровня звукового давления из-за влияния застройки между источником шума и расчетной точкой													
Снижение уровня звукового давления на пути над экраном, Dz1, дБ	z = 0.16м (разность путей)	ф-лы (14-18) [10]	4,8	4,9	5	5,3	5,7	6,5	7,8	9,5	11,7		
Снижение уровня звукового давления на пути слева от экрана, Dz2, дБ	z = 0.67м (разность путей)	ф-лы (14-18) [10]	7,8	10,6	14,2	17,6	20,8	23,8	26,8	29,8	32,8		
Снижение уровня звукового давления на пути справа от экрана, Dz3, дБ	z = 67.30м (разность путей)	ф-лы (14-18) [10]	28,3	31,6	34,7	37,7	40,7	43,8	46,8	49,8	52,8		
Общее снижение уровня звука препятствием Dz, дБ		Эн.сумма(-Dzi)	3	3,8	4,5	5	5,6	6,4	7,7	9,5	11,7		
Уровни звукового давления прямого звука от источника ИШ-6-24 в расчётной точке днём, дБ		**ф-ла(3)[10]**	**24,1**	**23,2**	**22,5**	**21,6**	**20,3**	**18,5**	**15,4**	**7,5**	**0**	**23**	**23**
Расчёт отражённого звука													
Уровни звукового давления от мнимого источника ИШ-6-24_мн.(1) в расчётной точке днём, дБ		**ф-ла(3)[10]**	**0**	**0**	**0**	**0**	**0**	**0**	**0**	**0**	**0**	**0**	**0**
Уровни звукового давления от мнимого источника ИШ-6-24_мн.(2) в расчётной точке днём, дБ		**ф-ла(3)[10]**	**0**	**0**	**0**	**0**	**0**	**0**	**0**	**0**	**0**	**0**	**0**
Суммарные уровни звукового давления от мнимых источников в расчётной точке днём, дБ		**ф-ла (19) [1]**	**0**	**0**	**0**	**0**	**0**	**0**	**0**	**0**	**0**	**0**	**0**
Уровни звукового давления от источника ИШ-6-24 в расчётной точке днём, дБ		**ф-ла(3)[10]**	**24,1**	**23,2**	**22,5**	**21,6**	**20,3**	**18,5**	**15,4**	**7,5**	**0**	**23**	**23**

1		2	3	4	5	6	7	8	9	10	11	12	13
Источник шума: ИШ-8-1, координаты источника (x,y,z), м =[612.60,-227.70,3.00]													
Уровни звуковой мощности источника днём, Lw, дБ		**исходные данные**	**105**	**104**	**104**	**101**	**102**	**106**	**101**	**95**	**87**		
Поправка на телесный угол DΩ, дБ	Ω = 6.28	10Lg(4π/Ω)	**3**	3	3	3	3	3	3	3	3		
Показатель направленности источника Di, дБ		исходные данные	**0**	0	0	0	0	0	0	0	0		
Поправка на направленность источника Dc, дБ	Dc	DΩ + Di	**3**	3	3	3	3	3	3	3	3		
Затухание из-за геометрической дивергенции, Adiv, дБ	расстояние = 328.18 м	ф-ла (7) [10]	**61,3**										
Коэффициент затухания звука в атмосфере α, дБ/км	Ta=20,°C Pa=101.33,кПа hотн.=70%	ф-ла (5) [9]	0,02	0,09	0,33	1,12	2,79	4,98	9,04	23,09	77,63		
Учет затухания звука в атмосфере Aatm, дБ		ф-ла (8) [10]	0	0	0,1	0,4	0,9	1,6	3	7,6	25,5		
Снижение поверхностью земли возле источника As, дБ	Gs = 0 hs = 3м	ф-лы таб.3 [10]	-1,5	-1,5	-1,5	-1,5	-1,5	-1,5	-1,5	-1,5	-1,5		
Снижение поверхностью земли возле приёмника Ar, дБ	Gr = 1 hr = 1.5м	ф-лы таб.3 [10]	-1,5	-1,5	1,9	7	5	0,7	0	0	0		
Снижение поверхностью земли в средней зоне, Am дБ	Gm = 1	ф-лы таб.3 [10]	-1,8	-1,8	0	0	0	0	0	0	0		
Суммарное снижение поверхностью земли на траектории распространения звука Agr, дБ		ф-ла (9) [10]	-4,8	-4,8	0,4	5,5	3,5	-0,8	-1,5	-1,5	-1,5		
Уровни звукового давления прямого звука от источника ИШ-8-1 в расчётной точке днём, дБ		**ф-ла(3)[10]**	**51,4**	**50,4**	**45,2**	**36,8**	**39,3**	**46,9**	**41,2**	**30,6**	**4,7**	**48,7**	**48,7**
Расчёт отражённого звука													
Уровни звукового давления от мнимого источника ИШ-8-1_мн.(1) в расчётной точке днём, дБ		**ф-ла(3)[10]**	**0**	**0**	**40,1**	**30,5**	**36,6**	**44,4**	**38,7**	**28,1**	**2,1**	**46,1**	**46,1**
Уровни звукового давления от мнимого источника ИШ-8-1_мн.(2) в расчётной точке днём, дБ		**ф-ла(3)[10]**	**0**	**0**	**0**	**0**	**0**	**41,4**	**35,3**	**23,2**	**0**	**42,7**	**42,7**

1		2	3	4	5	6	7	8	9	10	11	12	13
Суммарные уровни звукового давления от мнимых источников в расчётной точке днём, дБ		**ф-ла (19) [1]**	**0**	**0**	**40,1**	**30,5**	**36,6**	**46,2**	**40,4**	**29,3**	**2,1**	**0**	**47,7**
Уровни звукового давления от источника ИШ-8-1 в расчётной точке днём, дБ		**ф-ла(3)[10]**	**51,4**	**50,4**	**46,4**	**37,7**	**41,2**	**49,6**	**43,8**	**33**	**6,6**	**51,2**	**51,2**
Источник шума: ИШ-8-2, координаты источника (x,y,z), м =[596.60,-275.00,3.00]													
Уровни звуковой мощности источника днём, Lw, дБ		**исходные данные**	**105**	**104**	**104**	**101**	**102**	**106**	**101**	**95**	**87**		
Поправка на телесный угол DΩ, дБ	Ω = 6.28	10Lg(4π/Ω)	**3**	3	3	3	3	3	3	3	3		
Показатель направленности источника Di, дБ		исходные данные	**0**	0	0	0	0	0	0	0	0		
Поправка на направленность источника Dc, дБ	Dc	DΩ + Di	**3**	3	3	3	3	3	3	3	3		
Затухание из-за геометрической дивергенции, Adiv, дБ	расстояние = 355.44 м	ф-ла (7) [10]	**62**										
Коэффициент затухания звука в атмосфере α, дБ/км	Ta=20,°C Pa=101.33,кПа hотн.=70%	ф-ла (5) [9]	0,02	0,09	0,33	1,12	2,79	4,98	9,04	23,09	77,63		
Учет затухания звука в атмосфере Aatm, дБ		ф-ла (8) [10]	0	0	0,1	0,4	1	1,8	3,2	8,2	27,6		
Снижение поверхностью земли возле источника As, дБ	Gs = 0 hs = 3м	ф-лы таб.3 [10]	-1,5	-1,5	-1,5	-1,5	-1,5	-1,5	-1,5	-1,5	-1,5		
Снижение поверхностью земли возле приёмника Ar, дБ	Gr = 1 hr = 1.5м	ф-лы таб.3 [10]	-1,5	-1,5	2,1	7	5	0,7	0	0	0		
Снижение поверхностью земли в средней зоне, Am дБ	Gm = 1	ф-лы таб.3 [10]	-1,9	-1,9	0	0	0	0	0	0	0		
Суммарное снижение поверхностью земли на траектории распространения звука Agr, дБ		ф-ла (9) [10]	-4,9	-4,9	0,6	5,5	3,5	-0,8	-1,5	-1,5	-1,5		
Уровни звукового давления прямого звука от источника ИШ-8-2 в расчётной точке днём, дБ		**ф-ла(3)[10]**	**50,8**	**49,8**	**44,3**	**36,1**	**38,5**	**46,1**	**40,3**	**29,3**	**1,9**	**47,8**	**47,8**
Расчёт отражённого звука													

1		2	3	4	5	6	7	8	9	10	11	12	13
Уровни звукового давления от мнимого источника ИШ-8-2_мн.(1) в расчётной точке днём, дБ		**ф-ла(3)[10]**	**0**	**0**	**0**	**29,7**	**35,8**	**43,6**	**37,8**	**26,7**	**0**	**45,2**	**45,2**
Уровни звукового давления от мнимого источника ИШ-8-2_мн.(2) в расчётной точке днём, дБ		**ф-ла(3)[10]**	**0**	**0**	**0**	**0**	**0**	**0**	**0**	**0**	**0**	**0**	**0**
Суммарные уровни звукового давления от мнимых источников в расчётной точке днём, дБ		**ф-ла (19) [1]**	**0**	**0**	**0**	**29,7**	**35,8**	**43,6**	**37,8**	**26,7**	**0**	**0**	**45,2**
Уровни звукового давления от источника ИШ-8-2 в расчётной точке днём, дБ		**ф-ла(3)[10]**	**50,8**	**49,8**	**44,3**	**37**	**40,4**	**48**	**42,2**	**31,2**	**1,9**	**49,7**	**49,7**
Источник шума: ИШ-8-3, координаты источника (x,y,z), м =[564.90,-369.90,3.00]													
Уровни звуковой мощности источника днём, Lw, дБ		**исходные данные**	**105**	**104**	**104**	**101**	**102**	**106**	**101**	**95**	**87**		
Поправка на телесный угол DΩ, дБ	Ω = 6.28	10Lg(4π/Ω)	**3**	3	3	3	3	3	3	3	3		
Показатель направленности источника Di, дБ		исходные данные	**0**	0	0	0	0	0	0	0	0		
Поправка на направленность источника Dc, дБ	Dc	DΩ + Di	**3**	3	3	3	3	3	3	3	3		
Затухание из-за геометрической дивергенции, Adiv, дБ	расстояние = 422.96 м	ф-ла (7) [10]	**63,5**										
Коэффициент затухания звука в атмосфере α, дБ/км	Ta=20,°C Pa=101.33,кПа hотн.=70%	ф-ла (5) [9]	0,02	0,09	0,33	1,12	2,79	4,98	9,04	23,09	77,63		
Учет затухания звука в атмосфере Aatm, дБ		ф-ла (8) [10]	0	0	0,1	0,5	1,2	2,1	3,8	9,8	32,8		
Снижение уровня звукового давления из-за влияния застройки между источником шума и расчетной точкой													
Снижение уровня звукового давления на пути над экраном, Dz1, дБ	z = 0.33м (разность путей)	ф-лы (14-18) [10]	4,9	5,1	5,7	6,9	8,8	11	13,6	16,3	19,2		
Снижение уровня звукового давления на пути слева от экрана, Dz2, дБ	z = 4.92м (разность путей)	ф-лы (14-18) [10]	17,1	20,4	23,4	26,4	29,4	32,4	35,4	38,4	41,4		
Снижение уровня звукового давления на пути справа от экрана, Dz3, дБ	z = 1.05м (разность путей)	ф-лы (14-18) [10]	8,4	10,3	12,7	15,3	18,1	21	24	27	30		

1		2	3	4	5	6	7	8	9	10	11	12	13
Общее снижение уровня звука препятствием Dz, дБ		Эн.сумма(-Dzi)	3,1	3,9	4,8	6,3	8,3	10,6	13,2	15,9	18,8		
Уровни звукового давления от источника ИШ-8-3 в расчётной точке днём, дБ		**ф-ла(3)[10]**	**41,3**	**39,6**	**38,5**	**33,7**	**32**	**32,8**	**23,5**	**8,8**	**0**	**35,4**	**35,4**
Источник шума: ИШ-9-1, координаты источника (x,y,z), м =[642.94,-357.54,1.00]													
Уровни звуковой мощности источника днём, Lw, дБ		**исходные данные**	**0**	**93,3**	**94,7**	**96**	**96,3**	**95,9**	**92,6**	**88,4**	**83,9**		
Поправка на телесный угол DΩ, дБ	Ω = 6.28	10Lg(4π/Ω)	**3**	3	3	3	3	3	3	3	3		
Показатель направленности источника Di, дБ		исходные данные	**0**	0	0	0	0	0	0	0	0		
Поправка на направленность источника Dc, дБ	Dc	DΩ + Di	**3**	3	3	3	3	3	3	3	3		
Затухание из-за геометрической дивергенции, Adiv, дБ	расстояние = 449.75 м	ф-ла (7) [10]	**64,1**										
Коэффициент затухания звука в атмосфере α, дБ/км	Ta=20,°C Pa=101.33,кПа hотн.=70%	ф-ла (5) [9]	0,02	0,09	0,33	1,12	2,79	4,98	9,04	23,09	77,63		
Учет затухания звука в атмосфере Aatm, дБ		ф-ла (8) [10]	0	0	0,2	0,5	1,3	2,2	4,1	10,4	34,9		
Снижение поверхностью земли возле источника As, дБ	Gs = 0 hs = 1м	ф-лы таб.3 [10]	-1,5	-1,5	-1,5	-1,5	-1,5	-1,5	-1,5	-1,5	-1,5		
Снижение поверхностью земли возле приёмника Ar, дБ	Gr = 1 hr = 1.5м	ф-лы таб.3 [10]	-1,5	-1,5	2,7	7	5	0,7	0	0	0		
Снижение поверхностью земли в средней зоне, Am дБ	Gm = 1	ф-лы таб.3 [10]	-2,5	-2,5	0	0	0	0	0	0	0		
Суммарное снижение поверхностью земли на траектории распространения звука Agr, дБ		ф-ла (9) [10]	-5,5	-5,5	1,2	5,5	3,5	-0,8	-1,5	-1,5	-1,5		
Уровни звукового давления прямого звука от источника ИШ-9-1 в расчётной точке днём, дБ		**ф-ла(3)[10]**	**0**	**37,7**	**32,3**	**28,9**	**30,5**	**33,4**	**29**	**18,4**	**0**	**36,1**	**36,1**
Расчёт отражённого звука													

1		2	3	4	5	6	7	8	9	10	11	12	13
Уровни звукового давления от мнимого источника ИШ-9-1_мн.(1) в расчётной точке днём, дБ		**ф-ла(3)[10]**	**0**	**0**	**0**	**18,5**	**19,2**	**28,9**	**26,5**	**15,9**	**0**	**31,6**	**31,6**
Уровни звукового давления от мнимого источника ИШ-9-1_мн.(2) в расчётной точке днём, дБ		**ф-ла(3)[10]**	**0**	**0**	**0**	**0**	**0**	**0**	**23,9**	**12**	**0**	**25,3**	**25,3**
Суммарные уровни звукового давления от мнимых источников в расчётной точке днём, дБ		**ф-ла (19) [1]**	**0**	**0**	**0**	**18,5**	**19,2**	**28,9**	**28,4**	**17,4**	**0**	**0**	**32,5**
Уровни звукового давления от источника ИШ-9-1 в расчётной точке днём, дБ		**ф-ла(3)[10]**	**0**	**37,7**	**32,3**	**29,3**	**30,8**	**34,7**	**31,7**	**21**	**0**	**37,7**	**37,7**
Источник шума: ИШ-9-2, координаты источника (x,y,z), м =[644.14,-354.83,1.00]													
Уровни звуковой мощности источника днём, Lw, дБ		**исходные данные**	**0**	**93,3**	**94,7**	**96**	**96,3**	**95,9**	**92,6**	**88,4**	**83,9**		
Поправка на телесный угол DΩ, дБ	Ω = 6.28	10Lg(4π/Ω)	**3**	3	3	3	3	3	3	3	3		
Показатель направленности источника Di, дБ		исходные данные	**0**	0	0	0	0	0	0	0	0		
Поправка на направленность источника Dc, дБ	Dc	DΩ + Di	**3**	3	3	3	3	3	3	3	3		
Затухание из-за геометрической дивергенции, Adiv, дБ	расстояние = 448.17 м	ф-ла (7) [10]	**64**										
Коэффициент затухания звука в атмосфере α, дБ/км	Ta=20,°C Pa=101.33,кПа hотн.=70%	ф-ла (5) [9]	0,02	0,09	0,33	1,12	2,79	4,98	9,04	23,09	77,63		
Учет затухания звука в атмосфере Aatm, дБ		ф-ла (8) [10]	0	0	0,2	0,5	1,3	2,2	4,1	10,3	34,8		
Снижение поверхностью земли возле источника As, дБ	Gs = 0 hs = 1м	ф-лы таб.3 [10]	-1,5	-1,5	-1,5	-1,5	-1,5	-1,5	-1,5	-1,5	-1,5		
Снижение поверхностью земли возле приёмника Ar, дБ	Gr = 1 hr = 1.5м	ф-лы таб.3 [10]	-1,5	-1,5	2,7	7	5	0,7	0	0	0		
Снижение поверхностью земли в средней зоне, Am дБ	Gm = 1	ф-лы таб.3 [10]	-2,5	-2,5	0	0	0	0	0	0	0		
Суммарное снижение поверхностью земли на траектории распространения звука Agr, дБ		ф-ла (9) [10]	-5,5	-5,5	1,2	5,5	3,5	-0,8	-1,5	-1,5	-1,5		

1		2	3	4	5	6	7	8	9	10	11	12	13
Уровни звукового давления прямого звука от источника ИШ-9-2 в расчётной точке днём, дБ		**ф-ла(3)[10]**	**0**	**37,7**	**32,3**	**28,9**	**30,5**	**33,5**	**29**	**18,5**	**0**	**36,1**	**36,1**
Расчёт отражённого звука													
Уровни звукового давления от мнимого источника ИШ-9-2_мн.(1) в расчётной точке днём, дБ		**ф-ла(3)[10]**	**0**	**0**	**0**	**18,6**	**19,2**	**28,9**	**26,5**	**16**	**0**	**31,7**	**31,7**
Уровни звукового давления от мнимого источника ИШ-9-2_мн.(2) в расчётной точке днём, дБ		**ф-ла(3)[10]**	**0**	**0**	**0**	**0**	**0**	**0**	**23,9**	**12**	**0**	**25,4**	**25,4**
Суммарные уровни звукового давления от мнимых источников в расчётной точке днём, дБ		**ф-ла (19) [1]**	**0**	**0**	**0**	**18,6**	**19,2**	**28,9**	**28,4**	**17,4**	**0**	**0**	**32,6**
Уровни звукового давления от источника ИШ-9-2 в расчётной точке днём, дБ		**ф-ла(3)[10]**	**0**	**37,7**	**32,3**	**29,3**	**30,8**	**34,8**	**31,7**	**21**	**0**	**37,7**	**37,7**
Источник шума: ИШ-9-3, координаты источника (x,y,z), м =[644.98,-351.85,1.00]													
Уровни звуковой мощности источника днём, Lw, дБ		**исходные данные**	**0**	**93,3**	**94,7**	**96**	**96,3**	**95,9**	**92,6**	**88,4**	**83,9**		
Поправка на телесный угол DΩ, дБ	Ω = 6.28	10Lg(4π/Ω)	**3**	3	3	3	3	3	3	3	3		
Показатель направленности источника Di, дБ		исходные данные	**0**	0	0	0	0	0	0	0	0		
Поправка на направленность источника Dc, дБ	Dc	DΩ + Di	**3**	3	3	3	3	3	3	3	3		
Затухание из-за геометрической дивергенции, Adiv, дБ	расстояние = 446.17 м	ф-ла (7) [10]	**64**										
Коэффициент затухания звука в атмосфере α, дБ/км	Ta=20,°C Pa=101.33,кПа hотн.=70%	ф-ла (5) [9]	0,02	0,09	0,33	1,12	2,79	4,98	9,04	23,09	77,63		
Учет затухания звука в атмосфере Aatm, дБ		ф-ла (8) [10]	0	0	0,1	0,5	1,2	2,2	4	10,3	34,6		
Снижение поверхностью земли возле источника As, дБ	Gs = 0 hs = 1м	ф-лы таб.3 [10]	-1,5	-1,5	-1,5	-1,5	-1,5	-1,5	-1,5	-1,5	-1,5		
Снижение поверхностью земли возле приёмника Ar, дБ	Gr = 1 hr = 1.5м	ф-лы таб.3 [10]	-1,5	-1,5	2,7	7	5	0,7	0	0	0		

1		2	3	4	5	6	7	8	9	10	11	12	13
Снижение поверхностью земли в средней зоне, Am дБ	Gm = 1	ф-лы таб.3 [10]	-2,5	-2,5	0	0	0	0	0	0	0		
Суммарное снижение поверхностью земли на траектории распространения звука Agr, дБ		ф-ла (9) [10]	-5,5	-5,5	1,2	5,5	3,5	-0,8	-1,5	-1,5	-1,5		
Уровни звукового давления прямого звука от источника ИШ-9-3 в расчётной точке днём, дБ		**ф-ла(3)[10]**	**0**	**37,8**	**32,4**	**29**	**30,6**	**33,5**	**29,1**	**18,6**	**0**	**36,1**	**36,1**
Расчёт отражённого звука													
Уровни звукового давления от мнимого источника ИШ-9-3_мн.(1) в расчётной точке днём, дБ		**ф-ла(3)[10]**	**0**	**0**	**0**	**0**	**0**	**0**	**0**	**0**	**0**	**0**	**0**
Уровни звукового давления от мнимого источника ИШ-9-3_мн.(2) в расчётной точке днём, дБ		**ф-ла(3)[10]**	**0**	**0**	**0**	**18,6**	**19,2**	**29**	**26,6**	**16,1**	**0**	**31,7**	**31,7**
Уровни звукового давления от мнимого источника ИШ-9-3_мн.(3) в расчётной точке днём, дБ		**ф-ла(3)[10]**	**0**	**0**	**0**	**0**	**0**	**0**	**0**	**0**	**0**	**0**	**0**
Суммарные уровни звукового давления от мнимых источников в расчётной точке днём, дБ		**ф-ла (19) [1]**	**0**	**0**	**0**	**18,6**	**19,2**	**29**	**26,6**	**16,1**	**0**	**0**	**31,7**
Уровни звукового давления от источника ИШ-9-3 в расчётной точке днём, дБ		**ф-ла(3)[10]**	**0**	**37,8**	**32,4**	**29,4**	**30,9**	**34,8**	**31**	**20,5**	**0**	**37,5**	**37,5**
Источник шума: ИШ-9-4, координаты источника (x,y,z), м =[646.01,-349.15,1.00]													
Уровни звуковой мощности источника днём, Lw, дБ		**исходные данные**	**0**	**93,3**	**94,7**	**96**	**96,3**	**95,9**	**92,6**	**88,4**	**83,9**		
Поправка на телесный угол DΩ, дБ	Ω = 6.28	10Lg(4π/Ω)	**3**	3	3	3	3	3	3	3	3		
Показатель направленности источника Di, дБ		исходные данные	**0**	0	0	0	0	0	0	0	0		
Поправка на направленность источника Dc, дБ	Dc	DΩ + Di	**3**	3	3	3	3	3	3	3	3		
Затухание из-за геометрической дивергенции, Adiv, дБ	расстояние = 444.52 м	ф-ла (7) [10]	**64**										
Коэффициент затухания звука в атмосфере α, дБ/км	Ta=20,°C Pa=101.33,кПа hотн.=70%	ф-ла (5) [9]	0,02	0,09	0,33	1,12	2,79	4,98	9,04	23,09	77,63		

1		2	3	4	5	6	7	8	9	10	11	12	13
Учет затухания звука в атмосфере Aatm, дБ		ф-ла (8) [10]	0	0	0,1	0,5	1,2	2,2	4	10,3	34,5		
Снижение поверхностью земли возле источника As, дБ	Gs = 0 hs = 1м	ф-лы таб.3 [10]	-1,5	-1,5	-1,5	-1,5	-1,5	-1,5	-1,5	-1,5	-1,5		
Снижение поверхностью земли возле приёмника Ar, дБ	Gr = 1 hr = 1.5м	ф-лы таб.3 [10]	-1,5	-1,5	2,7	7	5	0,7	0	0	0		
Снижение поверхностью земли в средней зоне, Am дБ	Gm = 1	ф-лы таб.3 [10]	-2,5	-2,5	0	0	0	0	0	0	0		
Суммарное снижение поверхностью земли на траектории распространения звука Agr, дБ		ф-ла (9) [10]	-5,5	-5,5	1,2	5,5	3,5	-0,8	-1,5	-1,5	-1,5		
Уровни звукового давления прямого звука от источника ИШ-9-4 в расчётной точке днём, дБ		**ф-ла(3)[10]**	**0**	**37,8**	**32,4**	**29**	**30,6**	**33,6**	**29,1**	**18,7**	**0**	**36,2**	**36,2**
Расчёт отражённого звука													
Уровни звукового давления от мнимого источника ИШ-9-4_мн.(1) в расчётной точке днём, дБ		**ф-ла(3)[10]**	**0**	**0**	**0**	**0**	**0**	**0**	**0**	**0**	**0**	**0**	**0**
Уровни звукового давления от мнимого источника ИШ-9-4_мн.(2) в расчётной точке днём, дБ		**ф-ла(3)[10]**	**0**	**0**	**0**	**18,7**	**19,3**	**29**	**26,6**	**16,1**	**0**	**31,8**	**31,8**
Уровни звукового давления от мнимого источника ИШ-9-4_мн.(3) в расчётной точке днём, дБ		**ф-ла(3)[10]**	**0**	**0**	**0**	**0**	**0**	**0**	**0**	**0**	**0**	**0**	**0**
Суммарные уровни звукового давления от мнимых источников в расчётной точке днём, дБ		**ф-ла (19) [1]**	**0**	**0**	**0**	**18,7**	**19,3**	**29**	**26,6**	**16,1**	**0**	**0**	**31,8**
Уровни звукового давления от источника ИШ-9-4 в расчётной точке днём, дБ		**ф-ла(3)[10]**	**0**	**37,8**	**32,4**	**29,4**	**30,9**	**34,9**	**31**	**20,6**	**0**	**37,5**	**37,5**
Источник шума: ИШ-9-5, координаты источника (x,y,z), м =[646.84,-346.17,1.00]													
Уровни звуковой мощности источника днём, Lw, дБ		**исходные данные**	**0**	**93,3**	**94,7**	**96**	**96,3**	**95,9**	**92,6**	**88,4**	**83,9**		
Поправка на телесный угол DΩ, дБ	Ω = 6.28	10Lg(4π/Ω)	**3**	3	3	3	3	3	3	3	3		
Показатель направленности источника Di, дБ		исходные данные	**0**	0	0	0	0	0	0	0	0		
Поправка на направленность источника Dc, дБ	Dc	DΩ + Di	**3**	3	3	3	3	3	3	3	3		

1		2	3	4	5	6	7	8	9	10	11	12	13
Затухание из-за геометрической дивергенции, Adiv, дБ	расстояние = 442.55 м	ф-ла (7) [10]	**63,9**										
Коэффициент затухания звука в атмосфере α, дБ/км	Ta=20,°C Pa=101.33,кПа hотн.=70%	ф-ла (5) [9]	0,02	0,09	0,33	1,12	2,79	4,98	9,04	23,09	77,63		
Учет затухания звука в атмосфере Aatm, дБ		ф-ла (8) [10]	0	0	0,1	0,5	1,2	2,2	4	10,2	34,4		
Снижение поверхностью земли возле источника As, дБ	Gs = 0 hs = 1м	ф-лы таб.3 [10]	-1,5	-1,5	-1,5	-1,5	-1,5	-1,5	-1,5	-1,5	-1,5		
Снижение поверхностью земли возле приёмника Ar, дБ	Gr = 1 hr = 1.5м	ф-лы таб.3 [10]	-1,5	-1,5	2,7	7	5	0,7	0	0	0		
Снижение поверхностью земли в средней зоне, Am дБ	Gm = 1	ф-лы таб.3 [10]	-2,5	-2,5	0	0	0	0	0	0	0		
Суммарное снижение поверхностью земли на траектории распространения звука Agr, дБ		ф-ла (9) [10]	-5,5	-5,5	1,2	5,5	3,5	-0,8	-1,5	-1,5	-1,5		
Уровни звукового давления прямого звука от источника ИШ-9-5 в расчётной точке днём, дБ		**ф-ла(3)[10]**	**0**	**37,8**	**32,5**	**29,1**	**30,7**	**33,6**	**29,2**	**18,8**	**0**	**36,2**	**36,2**
Расчёт отражённого звука													
Уровни звукового давления от мнимого источника ИШ-9-5_мн.(1) в расчётной точке днём, дБ		**ф-ла(3)[10]**	**0**	**0**	**0**	**0**	**0**	**0**	**0**	**0**	**0**	**0**	**0**
Уровни звукового давления от мнимого источника ИШ-9-5_мн.(2) в расчётной точке днём, дБ		**ф-ла(3)[10]**	**0**	**0**	**0**	**18,7**	**19,3**	**29,1**	**26,7**	**16,2**	**0**	**31,8**	**31,8**
Уровни звукового давления от мнимого источника ИШ-9-5_мн.(3) в расчётной точке днём, дБ		**ф-ла(3)[10]**	**0**	**0**	**0**	**0**	**0**	**0**	**0**	**0**	**0**	**0**	**0**
Суммарные уровни звукового давления от мнимых источников в расчётной точке днём, дБ		**ф-ла (19) [1]**	**0**	**0**	**0**	**18,7**	**19,3**	**29,1**	**26,7**	**16,2**	**0**	**0**	**31,8**
Уровни звукового давления от источника ИШ-9-5 в расчётной точке днём, дБ		**ф-ла(3)[10]**	**0**	**37,8**	**32,5**	**29,4**	**31**	**34,9**	**31,1**	**20,7**	**0**	**37,6**	**37,6**
Источник шума: ИШ-9-6, координаты источника (x,y,z), м =[647.87,-343.47,1.00]													
Уровни звуковой мощности источника днём, Lw, дБ		**исходные данные**	**0**	**93,3**	**94,7**	**96**	**96,3**	**95,9**	**92,6**	**88,4**	**83,9**		

1		2	3	4	5	6	7	8	9	10	11	12	13
Поправка на телесный угол DΩ, дБ	Ω = 6.28	10Lg(4π/Ω)	**3**	3	3	3	3	3	3	3	3		
Показатель направленности источника Di, дБ		исходные данные	**0**	0	0	0	0	0	0	0	0		
Поправка на направленность источника Dc, дБ	Dc	DΩ + Di	**3**	3	3	3	3	3	3	3	3		
Затухание из-за геометрической дивергенции, Adiv, дБ	расстояние = 440.93 м	ф-ла (7) [10]	**63,9**										
Коэффициент затухания звука в атмосфере α, дБ/км	Ta=20,°C Pa=101.33,кПа hотн.=70%	ф-ла (5) [9]	0,02	0,09	0,33	1,12	2,79	4,98	9,04	23,09	77,63		
Учет затухания звука в атмосфере Aatm, дБ		ф-ла (8) [10]	0	0	0,1	0,5	1,2	2,2	4	10,2	34,2		
Снижение поверхностью земли возле источника As, дБ	Gs = 0 hs = 1м	ф-лы таб.3 [10]	-1,5	-1,5	-1,5	-1,5	-1,5	-1,5	-1,5	-1,5	-1,5		
Снижение поверхностью земли возле приёмника Ar, дБ	Gr = 1 hr = 1.5м	ф-лы таб.3 [10]	-1,5	-1,5	2,6	7	5	0,7	0	0	0		
Снижение поверхностью земли в средней зоне, Am дБ	Gm = 1	ф-лы таб.3 [10]	-2,5	-2,5	0	0	0	0	0	0	0		
Суммарное снижение поверхностью земли на траектории распространения звука Agr, дБ		ф-ла (9) [10]	-5,5	-5,5	1,1	5,5	3,5	-0,8	-1,5	-1,5	-1,5		
Уровни звукового давления прямого звука от источника ИШ-9-6 в расчётной точке днём, дБ		**ф-ла(3)[10]**	**0**	**37,9**	**32,5**	**29,1**	**30,7**	**33,6**	**29,2**	**18,8**	**0**	**36,3**	**36,3**
Расчёт отражённого звука													
Уровни звукового давления от мнимого источника ИШ-9-6_мн.(1) в расчётной точке днём, дБ		**ф-ла(3)[10]**	**0**	**0**	**0**	**0**	**0**	**0**	**0**	**0**	**0**	**0**	**0**
Уровни звукового давления от мнимого источника ИШ-9-6_мн.(2) в расчётной точке днём, дБ		**ф-ла(3)[10]**	**0**	**0**	**0**	**18,7**	**19,4**	**29,1**	**26,7**	**16,3**	**0**	**31,9**	**31,9**
Суммарные уровни звукового давления от мнимых источников в расчётной точке днём, дБ		**ф-ла (19) [1]**	**0**	**0**	**0**	**18,7**	**19,4**	**29,1**	**26,7**	**16,3**	**0**	**0**	**31,9**
Уровни звукового давления от источника ИШ-9-6 в расчётной точке днём, дБ		**ф-ла(3)[10]**	**0**	**37,9**	**32,5**	**29,5**	**31**	**35**	**31,2**	**20,8**	**0**	**37,6**	**37,6**

1		2	3	4	5	6	7	8	9	10	11	12	13
Источник шума: ИШ-9-7, координаты источника (x,y,z), м =[648.71,-340.49,1.00]													
Уровни звуковой мощности источника днём, Lw, дБ		**исходные данные**	**0**	**93,3**	**94,7**	**96**	**96,3**	**95,9**	**92,6**	**88,4**	**83,9**		
Поправка на телесный угол DΩ, дБ	Ω = 6.28	10Lg(4π/Ω)	**3**	3	3	3	3	3	3	3	3		
Показатель направленности источника Di, дБ		исходные данные	**0**	0	0	0	0	0	0	0	0		
Поправка на направленность источника Dc, дБ	Dc	DΩ + Di	**3**	3	3	3	3	3	3	3	3		
Затухание из-за геометрической дивергенции, Adiv, дБ	расстояние = 438.98 м	ф-ла (7) [10]	**63,8**										
Коэффициент затухания звука в атмосфере α, дБ/км	Ta=20,°C Pa=101.33,кПа hотн.=70%	ф-ла (5) [9]	0,02	0,09	0,33	1,12	2,79	4,98	9,04	23,09	77,63		
Учет затухания звука в атмосфере Aatm, дБ		ф-ла (8) [10]	0	0	0,1	0,5	1,2	2,2	4	10,1	34,1		
Снижение поверхностью земли возле источника As, дБ	Gs = 0 hs = 1м	ф-лы таб.3 [10]	-1,5	-1,5	-1,5	-1,5	-1,5	-1,5	-1,5	-1,5	-1,5		
Снижение поверхностью земли возле приёмника Ar, дБ	Gr = 1 hr = 1.5м	ф-лы таб.3 [10]	-1,5	-1,5	2,6	7	5	0,7	0	0	0		
Снижение поверхностью земли в средней зоне, Am дБ	Gm = 1	ф-лы таб.3 [10]	-2,5	-2,5	0	0	0	0	0	0	0		
Суммарное снижение поверхностью земли на траектории распространения звука Agr, дБ		ф-ла (9) [10]	-5,5	-5,5	1,1	5,5	3,5	-0,8	-1,5	-1,5	-1,5		
Уровни звукового давления прямого звука от источника ИШ-9-7 в расчётной точке днём, дБ		**ф-ла(3)[10]**	**0**	**37,9**	**32,6**	**29,1**	**30,7**	**33,7**	**29,3**	**18,9**	**0**	**36,3**	**36,3**
Расчёт отражённого звука													
Уровни звукового давления от мнимого источника ИШ-9-7_мн.(1) в расчётной точке днём, дБ		**ф-ла(3)[10]**	**0**	**0**	**0**	**0**	**0**	**0**	**0**	**0**	**0**	**0**	**0**
Уровни звукового давления от мнимого источника ИШ-9-7_мн.(2) в расчётной точке днём, дБ		**ф-ла(3)[10]**	**0**	**0**	**0**	**18,8**	**19,4**	**29,2**	**26,8**	**16,4**	**0**	**31,9**	**31,9**

1		2	3	4	5	6	7	8	9	10	11	12	13
Суммарные уровни звукового давления от мнимых источников в расчётной точке днём, дБ		**ф-ла (19) [1]**	**0**	**0**	**0**	**18,8**	**19,4**	**29,2**	**26,8**	**16,4**	**0**	**0**	**31,9**
Уровни звукового давления от источника ИШ-9-7 в расчётной точке днём, дБ		**ф-ла(3)[10]**	**0**	**37,9**	**32,6**	**29,5**	**31,1**	**35**	**31,2**	**20,8**	**0**	**37,7**	**37,7**
Источник шума: ИШ-9-8, координаты источника (x,y,z), м =[649.92,-337.69,1.00]													
Уровни звуковой мощности источника днём, Lw, дБ		**исходные данные**	**0**	**93,3**	**94,7**	**96**	**96,3**	**95,9**	**92,6**	**88,4**	**83,9**		
Поправка на телесный угол DΩ, дБ	Ω = 6.28	10Lg(4π/Ω)	**3**	3	3	3	3	3	3	3	3		
Показатель направленности источника Di, дБ		исходные данные	**0**	0	0	0	0	0	0	0	0		
Поправка на направленность источника Dc, дБ	Dc	DΩ + Di	**3**	3	3	3	3	3	3	3	3		
Затухание из-за геометрической дивергенции, Adiv, дБ	расстояние = 437.42 м	ф-ла (7) [10]	**63,8**										
Коэффициент затухания звука в атмосфере α, дБ/км	Ta=20,°C Pa=101.33,кПа hотн.=70%	ф-ла (5) [9]	0,02	0,09	0,33	1,12	2,79	4,98	9,04	23,09	77,63		
Учет затухания звука в атмосфере Aatm, дБ		ф-ла (8) [10]	0	0	0,1	0,5	1,2	2,2	4	10,1	34		
Снижение поверхностью земли возле источника As, дБ	Gs = 0 hs = 1м	ф-лы таб.3 [10]	-1,5	-1,5	-1,5	-1,5	-1,5	-1,5	-1,5	-1,5	-1,5		
Снижение поверхностью земли возле приёмника Ar, дБ	Gr = 1 hr = 1.5м	ф-лы таб.3 [10]	-1,5	-1,5	2,6	7	5	0,7	0	0	0		
Снижение поверхностью земли в средней зоне, Am дБ	Gm = 1	ф-лы таб.3 [10]	-2,5	-2,5	0	0	0	0	0	0	0		
Суммарное снижение поверхностью земли на траектории распространения звука Agr, дБ		ф-ла (9) [10]	-5,5	-5,5	1,1	5,5	3,5	-0,8	-1,5	-1,5	-1,5		
Уровни звукового давления прямого звука от источника ИШ-9-8 в расчётной точке днём, дБ		**ф-ла(3)[10]**	**0**	**37,9**	**32,6**	**29,2**	**30,8**	**33,7**	**29,3**	**19**	**0**	**36,4**	**36,4**
Расчёт отражённого звука													

1		2	3	4	5	6	7	8	9	10	11	12	13
Уровни звукового давления от мнимого источника ИШ-9-8_мн.(1) в расчётной точке днём, дБ		**ф-ла(3)[10]**	**0**	**0**	**0**	**18,8**	**19,4**	**29,2**	**26,8**	**16,4**	**0**	**32**	**32**
Уровни звукового давления от источника ИШ-9-8 в расчётной точке днём, дБ		**ф-ла(3)[10]**	**0**	**37,9**	**32,6**	**29,5**	**31,1**	**35**	**31,3**	**20,9**	**0**	**37,7**	**37,7**
Источник шума: ИШ-9-9, координаты источника (x,y,z), м =[650.66,-334.90,1.00]													
Уровни звуковой мощности источника днём, Lw, дБ		**исходные данные**	**0**	**93,3**	**94,7**	**96**	**96,3**	**95,9**	**92,6**	**88,4**	**83,9**		
Поправка на телесный угол DΩ, дБ	Ω = 6.28	10Lg(4π/Ω)	**3**	3	3	3	3	3	3	3	3		
Показатель направленности источника Di, дБ		исходные данные	**0**	0	0	0	0	0	0	0	0		
Поправка на направленность источника Dc, дБ	Dc	DΩ + Di	**3**	3	3	3	3	3	3	3	3		
Затухание из-за геометрической дивергенции, Adiv, дБ	расстояние = 435.59 м	ф-ла (7) [10]	**63,8**										
Коэффициент затухания звука в атмосфере α, дБ/км	Ta=20,°C Pa=101.33,кПа hотн.=70%	ф-ла (5) [9]	0,02	0,09	0,33	1,12	2,79	4,98	9,04	23,09	77,63		
Учет затухания звука в атмосфере Aatm, дБ		ф-ла (8) [10]	0	0	0,1	0,5	1,2	2,2	3,9	10,1	33,8		
Снижение поверхностью земли возле источника As, дБ	Gs = 0 hs = 1м	ф-лы таб.3 [10]	-1,5	-1,5	-1,5	-1,5	-1,5	-1,5	-1,5	-1,5	-1,5		
Снижение поверхностью земли возле приёмника Ar, дБ	Gr = 1 hr = 1.5м	ф-лы таб.3 [10]	-1,5	-1,5	2,6	7	5	0,7	0	0	0		
Снижение поверхностью земли в средней зоне, Am дБ	Gm = 1	ф-лы таб.3 [10]	-2,5	-2,5	0	0	0	0	0	0	0		
Суммарное снижение поверхностью земли на траектории распространения звука Agr, дБ		ф-ла (9) [10]	-5,5	-5,5	1,1	5,5	3,5	-0,8	-1,5	-1,5	-1,5		
Уровни звукового давления прямого звука от источника ИШ-9-9 в расчётной точке днём, дБ		**ф-ла(3)[10]**	**0**	**38**	**32,7**	**29,2**	**30,8**	**33,8**	**29,4**	**19,1**	**0**	**36,4**	**36,4**
Расчёт отражённого звука													

1		2	3	4	5	6	7	8	9	10	11	12	13
Уровни звукового давления от мнимого источника ИШ-9-9_мн.(1) в расчётной точке днём, дБ		**ф-ла(3)[10]**	**0**	**0**	**0**	**18,8**	**19,5**	**29,2**	**26,9**	**16,5**	**0**	**32**	**32**
Уровни звукового давления от источника ИШ-9-9 в расчётной точке днём, дБ		**ф-ла(3)[10]**	**0**	**38**	**32,7**	**29,6**	**31,1**	**35,1**	**31,3**	**21**	**0**	**37,8**	**37,8**
Источник шума: ИШ-9-10, координаты источника (x,y,z), м =[651.59,-332.01,1.00]													
Уровни звуковой мощности источника днём, Lw, дБ		**исходные данные**	**0**	**93,3**	**94,7**	**96**	**96,3**	**95,9**	**92,6**	**88,4**	**83,9**		
Поправка на телесный угол DΩ, дБ	Ω = 6.28	10Lg(4π/Ω)	**3**	3	3	3	3	3	3	3	3		
Показатель направленности источника Di, дБ		исходные данные	**0**	0	0	0	0	0	0	0	0		
Поправка на направленность источника Dc, дБ	Dc	DΩ + Di	**3**	3	3	3	3	3	3	3	3		
Затухание из-за геометрической дивергенции, Adiv, дБ	расстояние = 433.82 м	ф-ла (7) [10]	**63,7**										
Коэффициент затухания звука в атмосфере α, дБ/км	Ta=20,°C Pa=101.33,кПа hотн.=70%	ф-ла (5) [9]	0,02	0,09	0,33	1,12	2,79	4,98	9,04	23,09	77,63		
Учет затухания звука в атмосфере Aatm, дБ		ф-ла (8) [10]	0	0	0,1	0,5	1,2	2,2	3,9	10	33,7		
Снижение поверхностью земли возле источника As, дБ	Gs = 0 hs = 1м	ф-лы таб.3 [10]	-1,5	-1,5	-1,5	-1,5	-1,5	-1,5	-1,5	-1,5	-1,5		
Снижение поверхностью земли возле приёмника Ar, дБ	Gr = 1 hr = 1.5м	ф-лы таб.3 [10]	-1,5	-1,5	2,6	7	5	0,7	0	0	0		
Снижение поверхностью земли в средней зоне, Am дБ	Gm = 1	ф-лы таб.3 [10]	-2,5	-2,5	0	0	0	0	0	0	0		
Суммарное снижение поверхностью земли на траектории распространения звука Agr, дБ		ф-ла (9) [10]	-5,5	-5,5	1,1	5,5	3,5	-0,8	-1,5	-1,5	-1,5		
Уровни звукового давления прямого звука от источника ИШ-9-10 в расчётной точке днём, дБ		**ф-ла(3)[10]**	**0**	**38**	**32,7**	**29,2**	**30,9**	**33,8**	**29,4**	**19,1**	**0**	**36,5**	**36,5**
Расчёт отражённого звука													

1		2	3	4	5	6	7	8	9	10	11	12	13
Уровни звукового давления от мнимого источника ИШ-9-10_мн.(1) в расчётной точке днём, дБ		**ф-ла(3)[10]**	**0**	**0**	**27,6**	**18,9**	**19,5**	**29,3**	**26,9**	**16,6**	**0**	**32,1**	**32,1**
Уровни звукового давления от источника ИШ-9-10 в расчётной точке днём, дБ		**ф-ла(3)[10]**	**0**	**38**	**33,9**	**29,6**	**31,2**	**35,1**	**31,4**	**21,1**	**0**	**37,8**	**37,8**
Источник шума: ИШ-9-11, координаты источника (x,y,z), м =[652.71,-329.22,1.00]													
Уровни звуковой мощности источника днём, Lw, дБ		**исходные данные**	**0**	**93,3**	**94,7**	**96**	**96,3**	**95,9**	**92,6**	**88,4**	**83,9**		
Поправка на телесный угол DΩ, дБ	Ω = 6.28	10Lg(4π/Ω)	**3**	3	3	3	3	3	3	3	3		
Показатель направленности источника Di, дБ		исходные данные	**0**	0	0	0	0	0	0	0	0		
Поправка на направленность источника Dc, дБ	Dc	DΩ + Di	**3**	3	3	3	3	3	3	3	3		
Затухание из-за геометрической дивергенции, Adiv, дБ	расстояние = 432.24 м	ф-ла (7) [10]	**63,7**										
Коэффициент затухания звука в атмосфере α, дБ/км	Ta=20,°C Pa=101.33,кПа hотн.=70%	ф-ла (5) [9]	0,02	0,09	0,33	1,12	2,79	4,98	9,04	23,09	77,63		
Учет затухания звука в атмосфере Aatm, дБ		ф-ла (8) [10]	0	0	0,1	0,5	1,2	2,2	3,9	10	33,6		
Снижение поверхностью земли возле источника As, дБ	Gs = 0 hs = 1м	ф-лы таб.3 [10]	-1,5	-1,5	-1,5	-1,5	-1,5	-1,5	-1,5	-1,5	-1,5		
Снижение поверхностью земли возле приёмника Ar, дБ	Gr = 1 hr = 1.5м	ф-лы таб.3 [10]	-1,5	-1,5	2,6	7	5	0,7	0	0	0		
Снижение поверхностью земли в средней зоне, Am дБ	Gm = 1	ф-лы таб.3 [10]	-2,5	-2,5	0	0	0	0	0	0	0		
Суммарное снижение поверхностью земли на траектории распространения звука Agr, дБ		ф-ла (9) [10]	-5,5	-5,5	1,1	5,5	3,5	-0,8	-1,5	-1,5	-1,5		
Уровни звукового давления прямого звука от источника ИШ-9-11 в расчётной точке днём, дБ		**ф-ла(3)[10]**	**0**	**38**	**32,7**	**29,3**	**30,9**	**33,9**	**29,5**	**19,2**	**0**	**36,5**	**36,5**
Расчёт отражённого звука													

1		2	3	4	5	6	7	8	9	10	11	12	13
Уровни звукового давления от мнимого источника ИШ-9-11_мн.(1) в расчётной точке днём, дБ		**ф-ла(3)[10]**	**0**	**0**	**27,7**	**18,9**	**19,6**	**29,3**	**27**	**16,7**	**0**	**32,1**	**32,1**
Уровни звукового давления от мнимого источника ИШ-9-11_мн.(2) в расчётной точке днём, дБ		**ф-ла(3)[10]**	**0**	**0**	**0**	**0**	**0**	**0**	**0**	**0**	**0**	**0**	**0**
Суммарные уровни звукового давления от мнимых источников в расчётной точке днём, дБ		**ф-ла (19) [1]**	**0**	**0**	**27,7**	**18,9**	**19,6**	**29,3**	**27**	**16,7**	**0**	**0**	**32,1**
Уровни звукового давления от источника ИШ-9-11 в расчётной точке днём, дБ		**ф-ла(3)[10]**	**0**	**38**	**33,9**	**29,7**	**31,2**	**35,2**	**31,4**	**21,1**	**0**	**37,9**	**37,9**
Источник шума: ИШ-9-12, координаты источника (x,y,z), м =[653.46,-326.33,1.00]													
Уровни звуковой мощности источника днём, Lw, дБ		**исходные данные**	**0**	**93,3**	**94,7**	**96**	**96,3**	**95,9**	**92,6**	**88,4**	**83,9**		
Поправка на телесный угол DΩ, дБ	Ω = 6.28	10Lg(4π/Ω)	**3**	3	3	3	3	3	3	3	3		
Показатель направленности источника Di, дБ		исходные данные	**0**	0	0	0	0	0	0	0	0		
Поправка на направленность источника Dc, дБ	Dc	DΩ + Di	**3**	3	3	3	3	3	3	3	3		
Затухание из-за геометрической дивергенции, Adiv, дБ	расстояние = 430.38 м	ф-ла (7) [10]	**63,7**										
Коэффициент затухания звука в атмосфере α, дБ/км	Ta=20,°C Pa=101.33,кПа hотн.=70%	ф-ла (5) [9]	0,02	0,09	0,33	1,12	2,79	4,98	9,04	23,09	77,63		
Учет затухания звука в атмосфере Aatm, дБ		ф-ла (8) [10]	0	0	0,1	0,5	1,2	2,1	3,9	9,9	33,4		
Снижение поверхностью земли возле источника As, дБ	Gs = 0 hs = 1м	ф-лы таб.3 [10]	-1,5	-1,5	-1,5	-1,5	-1,5	-1,5	-1,5	-1,5	-1,5		
Снижение поверхностью земли возле приёмника Ar, дБ	Gr = 1 hr = 1.5м	ф-лы таб.3 [10]	-1,5	-1,5	2,6	7	5	0,7	0	0	0		
Снижение поверхностью земли в средней зоне, Am дБ	Gm = 1	ф-лы таб.3 [10]	-2,5	-2,5	0	0	0	0	0	0	0		
Суммарное снижение поверхностью земли на траектории распространения звука Agr, дБ		ф-ла (9) [10]	-5,5	-5,5	1,1	5,5	3,5	-0,8	-1,5	-1,5	-1,5		

1		2	3	4	5	6	7	8	9	10	11	12	13
Уровни звукового давления прямого звука от источника ИШ-9-12 в расчётной точке днём, дБ		**ф-ла(3)[10]**	**0**	**38,1**	**32,8**	**29,3**	**30,9**	**33,9**	**29,5**	**19,3**	**0**	**36,6**	**36,6**
Расчёт отражённого звука													
Уровни звукового давления от мнимого источника ИШ-9-12_мн.(1) в расчётной точке днём, дБ		**ф-ла(3)[10]**	**0**	**0**	**27,7**	**18,9**	**19,6**	**29,4**	**27**	**16,7**	**0**	**32,2**	**32,2**
Уровни звукового давления от мнимого источника ИШ-9-12_мн.(2) в расчётной точке днём, дБ		**ф-ла(3)[10]**	**0**	**0**	**0**	**0**	**0**	**0**	**0**	**0**	**0**	**0**	**0**
Суммарные уровни звукового давления от мнимых источников в расчётной точке днём, дБ		**ф-ла (19) [1]**	**0**	**0**	**27,7**	**18,9**	**19,6**	**29,4**	**27**	**16,7**	**0**	**0**	**32,2**
Уровни звукового давления от источника ИШ-9-12 в расчётной точке днём, дБ		**ф-ла(3)[10]**	**0**	**38,1**	**34**	**29,7**	**31,2**	**35,2**	**31,5**	**21,2**	**0**	**37,9**	**37,9**
Источник шума: ИШ-9-13, координаты источника (x,y,z), м =[654.48,-323.54,1.00]													
Уровни звуковой мощности источника днём, Lw, дБ		**исходные данные**	**0**	**93,3**	**94,7**	**96**	**96,3**	**95,9**	**92,6**	**88,4**	**83,9**		
Поправка на телесный угол DΩ, дБ	Ω = 6.28	10Lg(4π/Ω)	**3**	3	3	3	3	3	3	3	3		
Показатель направленности источника Di, дБ		исходные данные	**0**	0	0	0	0	0	0	0	0		
Поправка на направленность источника Dc, дБ	Dc	DΩ + Di	**3**	3	3	3	3	3	3	3	3		
Затухание из-за геометрической дивергенции, Adiv, дБ	расстояние = 428.78 м	ф-ла (7) [10]	**63,6**										
Коэффициент затухания звука в атмосфере α, дБ/км	Ta=20,°C Pa=101.33,кПа hотн.=70%	ф-ла (5) [9]	0,02	0,09	0,33	1,12	2,79	4,98	9,04	23,09	77,63		
Учет затухания звука в атмосфере Aatm, дБ		ф-ла (8) [10]	0	0	0,1	0,5	1,2	2,1	3,9	9,9	33,3		
Снижение поверхностью земли возле источника As, дБ	Gs = 0 hs = 1м	ф-лы таб.3 [10]	-1,5	-1,5	-1,5	-1,5	-1,5	-1,5	-1,5	-1,5	-1,5		
Снижение поверхностью земли возле приёмника Ar, дБ	Gr = 1 hr = 1.5м	ф-лы таб.3 [10]	-1,5	-1,5	2,6	7	5	0,7	0	0	0		

1		2	3	4	5	6	7	8	9	10	11	12	13
Снижение поверхностью земли в средней зоне, Am дБ	Gm = 1	ф-лы таб.3 [10]	-2,5	-2,5	0	0	0	0	0	0	0		
Суммарное снижение поверхностью земли на траектории распространения звука Agr, дБ		ф-ла (9) [10]	-5,5	-5,5	1,1	5,5	3,5	-0,8	-1,5	-1,5	-1,5		
Уровни звукового давления прямого звука от источника ИШ-9-13 в расчётной точке днём, дБ		**ф-ла(3)[10]**	**0**	**38,1**	**32,8**	**29,3**	**31**	**34**	**29,6**	**19,3**	**0**	**36,6**	**36,6**
Расчёт отражённого звука													
Уровни звукового давления от мнимого источника ИШ-9-13_мн.(1) в расчётной точке днём, дБ		**ф-ла(3)[10]**	**0**	**0**	**27,8**	**19**	**19,6**	**29,4**	**27,1**	**16,8**	**0**	**32,2**	**32,2**
Уровни звукового давления от мнимого источника ИШ-9-13_мн.(2) в расчётной точке днём, дБ		**ф-ла(3)[10]**	**0**	**0**	**0**	**0**	**0**	**0**	**0**	**0**	**0**	**0**	**0**
Суммарные уровни звукового давления от мнимых источников в расчётной точке днём, дБ		**ф-ла (19) [1]**	**0**	**0**	**27,8**	**19**	**19,6**	**29,4**	**27,1**	**16,8**	**0**	**0**	**32,2**
Уровни звукового давления от источника ИШ-9-13 в расчётной точке днём, дБ		**ф-ла(3)[10]**	**0**	**38,1**	**34**	**29,7**	**31,3**	**35,3**	**31,5**	**21,3**	**0**	**38**	**38**
Источник шума: ИШ-9-14, координаты источника (x,y,z), м =[655.60,-320.74,1.00]													
Уровни звуковой мощности источника днём, Lw, дБ		**исходные данные**	**0**	**93,3**	**94,7**	**96**	**96,3**	**95,9**	**92,6**	**88,4**	**83,9**		
Поправка на телесный угол DΩ, дБ	Ω = 6.28	10Lg(4π/Ω)	**3**	3	3	3	3	3	3	3	3		
Показатель направленности источника Di, дБ		исходные данные	**0**	0	0	0	0	0	0	0	0		
Поправка на направленность источника Dc, дБ	Dc	DΩ + Di	**3**	3	3	3	3	3	3	3	3		
Затухание из-за геометрической дивергенции, Adiv, дБ	расстояние = 427.25 м	ф-ла (7) [10]	**63,6**										
Коэффициент затухания звука в атмосфере α, дБ/км	Ta=20,°C Pa=101.33,кПа hотн.=70%	ф-ла (5) [9]	0,02	0,09	0,33	1,12	2,79	4,98	9,04	23,09	77,63		
Учет затухания звука в атмосфере Aatm, дБ		ф-ла (8) [10]	0	0	0,1	0,5	1,2	2,1	3,9	9,9	33,2		

1		2	3	4	5	6	7	8	9	10	11	12	13
Снижение поверхностью земли возле источника As, дБ	Gs = 0 hs = 1м	ф-лы таб.3 [10]	-1,5	-1,5	-1,5	-1,5	-1,5	-1,5	-1,5	-1,5	-1,5		
Снижение поверхностью земли возле приёмника Ar, дБ	Gr = 1 hr = 1.5м	ф-лы таб.3 [10]	-1,5	-1,5	2,6	7	5	0,7	0	0	0		
Снижение поверхностью земли в средней зоне, Am дБ	Gm = 1	ф-лы таб.3 [10]	-2,5	-2,5	0	0	0	0	0	0	0		
Суммарное снижение поверхностью земли на траектории распространения звука Agr, дБ		ф-ла (9) [10]	-5,5	-5,5	1,1	5,5	3,5	-0,8	-1,5	-1,5	-1,5		
Уровни звукового давления прямого звука от источника ИШ-9-14 в расчётной точке днём, дБ		**ф-ла(3)[10]**	**0**	**38,1**	**32,9**	**29,4**	**31**	**34**	**29,6**	**19,4**	**0**	**36,6**	**36,6**
Расчёт отражённого звука													
Уровни звукового давления от мнимого источника ИШ-9-14_мн.(1) в расчётной точке днём, дБ		**ф-ла(3)[10]**	**0**	**0**	**27,8**	**19**	**19,7**	**29,5**	**27,1**	**16,9**	**0**	**32,3**	**32,3**
Уровни звукового давления от мнимого источника ИШ-9-14_мн.(2) в расчётной точке днём, дБ		**ф-ла(3)[10]**	**0**	**0**	**0**	**0**	**0**	**0**	**0**	**0**	**0**	**0**	**0**
Суммарные уровни звукового давления от мнимых источников в расчётной точке днём, дБ		**ф-ла (19) [1]**	**0**	**0**	**27,8**	**19**	**19,7**	**29,5**	**27,1**	**16,9**	**0**	**0**	**32,3**
Уровни звукового давления от источника ИШ-9-14 в расчётной точке днём, дБ		**ф-ла(3)[10]**	**0**	**38,1**	**34,1**	**29,8**	**31,3**	**35,3**	**31,5**	**21,3**	**0**	**38**	**38**
Источник шума: ИШ-9-15, координаты источника (x,y,z), м =[656.44,-317.86,1.00]													
Уровни звуковой мощности источника днём, Lw, дБ		**исходные данные**	**0**	**93,3**	**94,7**	**96**	**96,3**	**95,9**	**92,6**	**88,4**	**83,9**		
Поправка на телесный угол DΩ, дБ	Ω = 6.28	10Lg(4π/Ω)	**3**	3	3	3	3	3	3	3	3		
Показатель направленности источника Di, дБ		исходные данные	**0**	0	0	0	0	0	0	0	0		
Поправка на направленность источника Dc, дБ	Dc	DΩ + Di	**3**	3	3	3	3	3	3	3	3		
Затухание из-за геометрической дивергенции, Adiv, дБ	расстояние = 425.49 м	ф-ла (7) [10]	**63,6**										
Коэффициент затухания звука в атмосфере α, дБ/км	Ta=20,°C Pa=101.33,кПа hотн.=70%	ф-ла (5) [9]	0,02	0,09	0,33	1,12	2,79	4,98	9,04	23,09	77,63		

1		2	3	4	5	6	7	8	9	10	11	12	13
Учет затухания звука в атмосфере Aatm, дБ		ф-ла (8) [10]	0	0	0,1	0,5	1,2	2,1	3,8	9,8	33		
Снижение поверхностью земли возле источника As, дБ	Gs = 0 hs = 1м	ф-лы таб.3 [10]	-1,5	-1,5	-1,5	-1,5	-1,5	-1,5	-1,5	-1,5	-1,5		
Снижение поверхностью земли возле приёмника Ar, дБ	Gr = 1 hr = 1.5м	ф-лы таб.3 [10]	-1,5	-1,5	2,5	7	5	0,7	0	0	0		
Снижение поверхностью земли в средней зоне, Am дБ	Gm = 1	ф-лы таб.3 [10]	-2,5	-2,5	0	0	0	0	0	0	0		
Суммарное снижение поверхностью земли на траектории распространения звука Agr, дБ		ф-ла (9) [10]	-5,5	-5,5	1	5,5	3,5	-0,8	-1,5	-1,5	-1,5		
Уровни звукового давления прямого звука от источника ИШ-9-15 в расчётной точке днём, дБ		**ф-ла(3)[10]**	**0**	**38,1**	**32,9**	**29,4**	**31,1**	**34**	**29,7**	**19,5**	**0**	**36,7**	**36,7**
Расчёт отражённого звука													
Уровни звукового давления от мнимого источника ИШ-9-15_мн.(1) в расчётной точке днём, дБ		**ф-ла(3)[10]**	**0**	**0**	**27,9**	**19,1**	**19,7**	**29,5**	**27,2**	**17**	**0**	**32,3**	**32,3**
Уровни звукового давления от источника ИШ-9-15 в расчётной точке днём, дБ		**ф-ла(3)[10]**	**0**	**38,1**	**34,1**	**29,8**	**31,4**	**35,3**	**31,6**	**21,4**	**0**	**38**	**38**
Источник шума: ИШ-9-16, координаты источника (x,y,z), м =[657.46,-314.97,1.00]													
Уровни звуковой мощности источника днём, Lw, дБ		**исходные данные**	**0**	**93,3**	**94,7**	**96**	**96,3**	**95,9**	**92,6**	**88,4**	**83,9**		
Поправка на телесный угол DΩ, дБ	Ω = 6.28	10Lg(4π/Ω)	**3**	3	3	3	3	3	3	3	3		
Показатель направленности источника Di, дБ		исходные данные	**0**	0	0	0	0	0	0	0	0		
Поправка на направленность источника Dc, дБ	Dc	DΩ + Di	**3**	3	3	3	3	3	3	3	3		
Затухание из-за геометрической дивергенции, Adiv, дБ	расстояние = 423.86 м	ф-ла (7) [10]	**63,5**										
Коэффициент затухания звука в атмосфере α, дБ/км	Ta=20,°C Pa=101.33,кПа hотн.=70%	ф-ла (5) [9]	0,02	0,09	0,33	1,12	2,79	4,98	9,04	23,09	77,63		

1		2	3	4	5	6	7	8	9	10	11	12	13
Учет затухания звука в атмосфере Aatm, дБ		ф-ла (8) [10]	0	0	0,1	0,5	1,2	2,1	3,8	9,8	32,9		
Снижение поверхностью земли возле источника As, дБ	Gs = 0 hs = 1м	ф-лы таб.3 [10]	-1,5	-1,5	-1,5	-1,5	-1,5	-1,5	-1,5	-1,5	-1,5		
Снижение поверхностью земли возле приёмника Ar, дБ	Gr = 1 hr = 1.5м	ф-лы таб.3 [10]	-1,5	-1,5	2,5	7	5	0,7	0	0	0		
Снижение поверхностью земли в средней зоне, Am дБ	Gm = 1	ф-лы таб.3 [10]	-2,5	-2,5	0	0	0	0	0	0	0		
Суммарное снижение поверхностью земли на траектории распространения звука Agr, дБ		ф-ла (9) [10]	-5,5	-5,5	1	5,5	3,5	-0,8	-1,5	-1,5	-1,5		
Уровни звукового давления прямого звука от источника ИШ-9-16 в расчётной точке днём, дБ		**ф-ла(3)[10]**	**0**	**38,2**	**33**	**29,4**	**31,1**	**34,1**	**29,7**	**19,6**	**0**	**36,7**	**36,7**
Расчёт отражённого звука													
Уровни звукового давления от мнимого источника ИШ-9-16_мн.(1) в расчётной точке днём, дБ		**ф-ла(3)[10]**	**0**	**0**	**28**	**19,1**	**19,8**	**29,5**	**27,2**	**17**	**0**	**32,4**	**32,4**
Уровни звукового давления от источника ИШ-9-16 в расчётной точке днём, дБ		**ф-ла(3)[10]**	**0**	**38,2**	**34,2**	**29,8**	**31,4**	**35,4**	**31,6**	**21,5**	**0**	**38,1**	**38,1**
Источник шума: ИШ-9-17, координаты источника (x,y,z), м =[658.49,-312.18,1.00]													
Уровни звуковой мощности источника днём, Lw, дБ		**исходные данные**	**0**	**93,3**	**94,7**	**96**	**96,3**	**95,9**	**92,6**	**88,4**	**83,9**		
Поправка на телесный угол DΩ, дБ	Ω = 6.28	10Lg(4π/Ω)	**3**	3	3	3	3	3	3	3	3		
Показатель направленности источника Di, дБ		исходные данные	**0**	0	0	0	0	0	0	0	0		
Поправка на направленность источника Dc, дБ	Dc	DΩ + Di	**3**	3	3	3	3	3	3	3	3		
Затухание из-за геометрической дивергенции, Adiv, дБ	расстояние = 422.31 м	ф-ла (7) [10]	**63,5**										
Коэффициент затухания звука в атмосфере α, дБ/км	Ta=20,°C Pa=101.33,кПа hотн.=70%	ф-ла (5) [9]	0,02	0,09	0,33	1,12	2,79	4,98	9,04	23,09	77,63		

1		2	3	4	5	6	7	8	9	10	11	12	13
Учет затухания звука в атмосфере Aatm, дБ		ф-ла (8) [10]	0	0	0,1	0,5	1,2	2,1	3,8	9,7	32,8		
Снижение поверхностью земли возле источника As, дБ	Gs = 0 hs = 1м	ф-лы таб.3 [10]	-1,5	-1,5	-1,5	-1,5	-1,5	-1,5	-1,5	-1,5	-1,5		
Снижение поверхностью земли возле приёмника Ar, дБ	Gr = 1 hr = 1.5м	ф-лы таб.3 [10]	-1,5	-1,5	2,5	7	5	0,7	0	0	0		
Снижение поверхностью земли в средней зоне, Am дБ	Gm = 1	ф-лы таб.3 [10]	-2,5	-2,5	0	0	0	0	0	0	0		
Суммарное снижение поверхностью земли на траектории распространения звука Agr, дБ		ф-ла (9) [10]	-5,5	-5,5	1	5,5	3,5	-0,8	-1,5	-1,5	-1,5		
Уровни звукового давления прямого звука от источника ИШ-9-17 в расчётной точке днём, дБ		**ф-ла(3)[10]**	**0**	**38,2**	**33**	**29,5**	**31,1**	**34,1**	**29,8**	**19,6**	**0**	**36,8**	**36,8**
Расчёт отражённого звука													
Уровни звукового давления от мнимого источника ИШ-9-17_мн.(1) в расчётной точке днём, дБ		**ф-ла(3)[10]**	**0**	**0**	**28**	**19,1**	**19,8**	**29,6**	**27,3**	**17,1**	**0**	**32,4**	**32,4**
Уровни звукового давления от источника ИШ-9-17 в расчётной точке днём, дБ		**ф-ла(3)[10]**	**0**	**38,2**	**34,2**	**29,9**	**31,4**	**35,4**	**31,7**	**21,6**	**0**	**38,1**	**38,1**
Источник шума: ИШ-9-18, координаты источника (x,y,z), м =[659.42,-309.20,1.00]													
Уровни звуковой мощности источника днём, Lw, дБ		**исходные данные**	**0**	**93,3**	**94,7**	**96**	**96,3**	**95,9**	**92,6**	**88,4**	**83,9**		
Поправка на телесный угол DΩ, дБ	Ω = 6.28	10Lg(4π/Ω)	**3**	3	3	3	3	3	3	3	3		
Показатель направленности источника Di, дБ		исходные данные	**0**	0	0	0	0	0	0	0	0		
Поправка на направленность источника Dc, дБ	Dc	DΩ + Di	**3**	3	3	3	3	3	3	3	3		
Затухание из-за геометрической дивергенции, Adiv, дБ	расстояние = 420.58 м	ф-ла (7) [10]	**63,5**										
Коэффициент затухания звука в атмосфере α, дБ/км	Ta=20,°C Pa=101.33,кПа hотн.=70%	ф-ла (5) [9]	0,02	0,09	0,33	1,12	2,79	4,98	9,04	23,09	77,63		

1		2	3	4	5	6	7	8	9	10	11	12	13
Учет затухания звука в атмосфере Aatm, дБ		ф-ла (8) [10]	0	0	0,1	0,5	1,2	2,1	3,8	9,7	32,7		
Снижение поверхностью земли возле источника As, дБ	Gs = 0 hs = 1м	ф-лы таб.3 [10]	-1,5	-1,5	-1,5	-1,5	-1,5	-1,5	-1,5	-1,5	-1,5		
Снижение поверхностью земли возле приёмника Ar, дБ	Gr = 1 hr = 1.5м	ф-лы таб.3 [10]	-1,5	-1,5	2,5	7	5	0,7	0	0	0		
Снижение поверхностью земли в средней зоне, Am дБ	Gm = 1	ф-лы таб.3 [10]	-2,5	-2,5	0	0	0	0	0	0	0		
Суммарное снижение поверхностью земли на траектории распространения звука Agr, дБ		ф-ла (9) [10]	-5,5	-5,5	1	5,5	3,5	-0,8	-1,5	-1,5	-1,5		
Уровни звукового давления прямого звука от источника ИШ-9-18 в расчётной точке днём, дБ		**ф-ла(3)[10]**	**0**	**38,2**	**33,1**	**29,5**	**31,2**	**34,2**	**29,8**	**19,7**	**0**	**36,8**	**36,8**
Расчёт отражённого звука													
Уровни звукового давления от мнимого источника ИШ-9-18_мн.(1) в расчётной точке днём, дБ		**ф-ла(3)[10]**	**0**	**0**	**28,1**	**19,2**	**19,8**	**29,6**	**27,3**	**17,2**	**0**	**32,5**	**32,5**
Уровни звукового давления от источника ИШ-9-18 в расчётной точке днём, дБ		**ф-ла(3)[10]**	**0**	**38,2**	**34,3**	**29,9**	**31,5**	**35,5**	**31,7**	**21,6**	**0**	**38,2**	**38,2**
Источник шума: ИШ-9-19, координаты источника (x,y,z), м =[660.44,-306.50,1.00]													
Уровни звуковой мощности источника днём, Lw, дБ		**исходные данные**	**0**	**93,3**	**94,7**	**96**	**96,3**	**95,9**	**92,6**	**88,4**	**83,9**		
Поправка на телесный угол DΩ, дБ	Ω = 6.28	10Lg(4π/Ω)	**3**	3	3	3	3	3	3	3	3		
Показатель направленности источника Di, дБ		исходные данные	**0**	0	0	0	0	0	0	0	0		
Поправка на направленность источника Dc, дБ	Dc	DΩ + Di	**3**	3	3	3	3	3	3	3	3		
Затухание из-за геометрической дивергенции, Adiv, дБ	расстояние = 419.14 м	ф-ла (7) [10]	**63,4**										
Коэффициент затухания звука в атмосфере α, дБ/км	Ta=20,°C Pa=101.33,кПа hотн.=70%	ф-ла (5) [9]	0,02	0,09	0,33	1,12	2,79	4,98	9,04	23,09	77,63		

1		2	3	4	5	6	7	8	9	10	11	12	13
Учет затухания звука в атмосфере Aatm, дБ		ф-ла (8) [10]	0	0	0,1	0,5	1,2	2,1	3,8	9,7	32,5		
Снижение поверхностью земли возле источника As, дБ	Gs = 0 hs = 1м	ф-лы таб.3 [10]	-1,5	-1,5	-1,5	-1,5	-1,5	-1,5	-1,5	-1,5	-1,5		
Снижение поверхностью земли возле приёмника Ar, дБ	Gr = 1 hr = 1.5м	ф-лы таб.3 [10]	-1,5	-1,5	2,5	7	5	0,7	0	0	0		
Снижение поверхностью земли в средней зоне, Am дБ	Gm = 1	ф-лы таб.3 [10]	-2,5	-2,5	0	0	0	0	0	0	0		
Суммарное снижение поверхностью земли на траектории распространения звука Agr, дБ		ф-ла (9) [10]	-5,5	-5,5	1	5,5	3,5	-0,8	-1,5	-1,5	-1,5		
Уровни звукового давления прямого звука от источника ИШ-9-19 в расчётной точке днём, дБ		**ф-ла(3)[10]**	**0**	**38,3**	**33,1**	**29,6**	**31,2**	**34,2**	**29,9**	**19,8**	**0**	**36,9**	**36,9**
Расчёт отражённого звука													
Уровни звукового давления от мнимого источника ИШ-9-19_мн.(1) в расчётной точке днём, дБ		**ф-ла(3)[10]**	**0**	**0**	**28,1**	**19,2**	**19,9**	**29,7**	**27,3**	**17,2**	**0**	**32,5**	**32,5**
Уровни звукового давления от источника ИШ-9-19 в расчётной точке днём, дБ		**ф-ла(3)[10]**	**0**	**38,3**	**34,3**	**29,9**	**31,5**	**35,5**	**31,8**	**21,7**	**0**	**38,2**	**38,2**
Источник шума: ИШ-9-20, координаты источника (x,y,z), м =[661.28,-303.61,1.00]													
Уровни звуковой мощности источника днём, Lw, дБ		**исходные данные**	**0**	**93,3**	**94,7**	**96**	**96,3**	**95,9**	**92,6**	**88,4**	**83,9**		
Поправка на телесный угол DΩ, дБ	Ω = 6.28	10Lg(4π/Ω)	**3**	3	3	3	3	3	3	3	3		
Показатель направленности источника Di, дБ		исходные данные	**0**	0	0	0	0	0	0	0	0		
Поправка на направленность источника Dc, дБ	Dc	DΩ + Di	**3**	3	3	3	3	3	3	3	3		
Затухание из-за геометрической дивергенции, Adiv, дБ	расстояние = 417.46 м	ф-ла (7) [10]	**63,4**										
Коэффициент затухания звука в атмосфере α, дБ/км	Ta=20,°C Pa=101.33,кПа hотн.=70%	ф-ла (5) [9]	0,02	0,09	0,33	1,12	2,79	4,98	9,04	23,09	77,63		

1		2	3	4	5	6	7	8	9	10	11	12	13
Учет затухания звука в атмосфере Aatm, дБ		ф-ла (8) [10]	0	0	0,1	0,5	1,2	2,1	3,8	9,6	32,4		
Снижение поверхностью земли возле источника As, дБ	Gs = 0 hs = 1м	ф-лы таб.3 [10]	-1,5	-1,5	-1,5	-1,5	-1,5	-1,5	-1,5	-1,5	-1,5		
Снижение поверхностью земли возле приёмника Ar, дБ	Gr = 1 hr = 1.5м	ф-лы таб.3 [10]	-1,5	-1,5	2,5	7	5	0,7	0	0	0		
Снижение поверхностью земли в средней зоне, Am дБ	Gm = 1	ф-лы таб.3 [10]	-2,5	-2,5	0	0	0	0	0	0	0		
Суммарное снижение поверхностью земли на траектории распространения звука Agr, дБ		ф-ла (9) [10]	-5,5	-5,5	1	5,5	3,5	-0,8	-1,5	-1,5	-1,5		
Уровни звукового давления прямого звука от источника ИШ-9-20 в расчётной точке днём, дБ		**ф-ла(3)[10]**	**0**	**38,3**	**33,2**	**29,6**	**31,2**	**34,2**	**29,9**	**19,8**	**0**	**36,9**	**36,9**
Расчёт отражённого звука													
Уровни звукового давления от мнимого источника ИШ-9-20_мн.(1) в расчётной точке днём, дБ		**ф-ла(3)[10]**	**0**	**0**	**28,2**	**19,2**	**19,9**	**29,7**	**27,4**	**17,3**	**0**	**32,6**	**32,6**
Уровни звукового давления от мнимого источника ИШ-9-20_мн.(2) в расчётной точке днём, дБ		**ф-ла(3)[10]**	**0**	**0**	**0**	**0**	**0**	**27,3**	**24,5**	**13**	**0**	**29,7**	**29,7**
Суммарные уровни звукового давления от мнимых источников в расчётной точке днём, дБ		**ф-ла (19) [1]**	**0**	**0**	**28,2**	**19,2**	**19,9**	**31,7**	**29,2**	**18,7**	**0**	**0**	**34,4**
Уровни звукового давления от источника ИШ-9-20 в расчётной точке днём, дБ		**ф-ла(3)[10]**	**0**	**38,3**	**34,4**	**30**	**31,6**	**36,2**	**32,6**	**22,3**	**0**	**38,8**	**38,8**
Источник шума: ИШ-9-21, координаты источника (x,y,z), м =[661.93,-300.72,1.00]													
Уровни звуковой мощности источника днём, Lw, дБ		**исходные данные**	**0**	**93,3**	**94,7**	**96**	**96,3**	**95,9**	**92,6**	**88,4**	**83,9**		
Поправка на телесный угол DΩ, дБ	Ω = 6.28	10Lg(4π/Ω)	**3**	3	3	3	3	3	3	3	3		
Показатель направленности источника Di, дБ		исходные данные	**0**	0	0	0	0	0	0	0	0		
Поправка на направленность источника Dc, дБ	Dc	DΩ + Di	**3**	3	3	3	3	3	3	3	3		
Затухание из-за геометрической дивергенции, Adiv, дБ	расстояние = 415.66 м	ф-ла (7) [10]	**63,4**										

1		2	3	4	5	6	7	8	9	10	11	12	13
Коэффициент затухания звука в атмосфере α, дБ/км	Та=20,°С Ра=101.33,кПа hотн.=70%	ф-ла (5) [9]	0,02	0,09	0,33	1,12	2,79	4,98	9,04	23,09	77,63		
Учет затухания звука в атмосфере Aatm, дБ		ф-ла (8) [10]	0	0	0,1	0,5	1,2	2,1	3,8	9,6	32,3		
Снижение поверхностью земли возле источника As, дБ	Gs = 0 hs = 1м	ф-лы таб.3 [10]	-1,5	-1,5	-1,5	-1,5	-1,5	-1,5	-1,5	-1,5	-1,5		
Снижение поверхностью земли возле приёмника Ar, дБ	Gr = 1 hr = 1.5м	ф-лы таб.3 [10]	-1,5	-1,5	2,5	7	5	0,7	0	0	0		
Снижение поверхностью земли в средней зоне, Am дБ	Gm = 1	ф-лы таб.3 [10]	-2,5	-2,5	0	0	0	0	0	0	0		
Суммарное снижение поверхностью земли на траектории распространения звука Agr, дБ		ф-ла (9) [10]	-5,5	-5,5	1	5,5	3,5	-0,8	-1,5	-1,5	-1,5		
Уровни звукового давления прямого звука от источника ИШ-9-21 в расчётной точке днём, дБ		**ф-ла(3)[10]**	**0**	**38,3**	**33,2**	**29,6**	**31,3**	**34,3**	**30**	**19,9**	**0**	**36,9**	**36,9**
Расчёт отражённого звука													
Уровни звукового давления от мнимого источника ИШ-9-21_мн.(1) в расчётной точке днём, дБ		**ф-ла(3)[10]**	**0**	**0**	**28,2**	**19,3**	**19,9**	**29,8**	**27,4**	**17,4**	**0**	**32,6**	**32,6**
Уровни звукового давления от мнимого источника ИШ-9-21_мн.(2) в расчётной точке днём, дБ		**ф-ла(3)[10]**	**0**	**0**	**0**	**0**	**0**	**27,3**	**24,6**	**13,1**	**0**	**29,7**	**29,7**
Суммарные уровни звукового давления от мнимых источников в расчётной точке днём, дБ		**ф-ла (19) [1]**	**0**	**0**	**28,2**	**19,3**	**19,9**	**31,7**	**29,3**	**18,8**	**0**	**0**	**34,4**
Уровни звукового давления от источника ИШ-9-21 в расчётной точке днём, дБ		**ф-ла(3)[10]**	**0**	**38,3**	**34,4**	**30**	**31,6**	**36,2**	**32,6**	**22,4**	**0**	**38,9**	**38,9**
Источник шума: ИШ-9-22, координаты источника (x,y,z), м =[663.14,-297.83,1.00]													
Уровни звуковой мощности источника днём, Lw, дБ		**исходные данные**	**0**	**93,3**	**94,7**	**96**	**96,3**	**95,9**	**92,6**	**88,4**	**83,9**		
Поправка на телесный угол DΩ, дБ	Ω = 6.28	10Lg(4π/Ω)	**3**	3	3	3	3	3	3	3	3		
Показатель направленности источника Di, дБ		исходные данные	**0**	0	0	0	0	0	0	0	0		

1		2	3	4	5	6	7	8	9	10	11	12	13
Поправка на направленность источника Dc, дБ	Dc	DΩ + Di	**3**	3	3	3	3	3	3	3	3		
Затухание из-за геометрической дивергенции, Adiv, дБ	расстояние = 414.25 м	ф-ла (7) [10]	**63,3**										
Коэффициент затухания звука в атмосфере α, дБ/км	Ta=20,°C Pa=101.33,кПа hотн.=70%	ф-ла (5) [9]	0,02	0,09	0,33	1,12	2,79	4,98	9,04	23,09	77,63		
Учет затухания звука в атмосфере Aatm, дБ		ф-ла (8) [10]	0	0	0,1	0,5	1,2	2,1	3,7	9,6	32,2		
Снижение поверхностью земли возле источника As, дБ	Gs = 0 hs = 1м	ф-лы таб.3 [10]	-1,5	-1,5	-1,5	-1,5	-1,5	-1,5	-1,5	-1,5	-1,5		
Снижение поверхностью земли возле приёмника Ar, дБ	Gr = 1 hr = 1.5м	ф-лы таб.3 [10]	-1,5	-1,5	2,5	7	5	0,7	0	0	0		
Снижение поверхностью земли в средней зоне, Am дБ	Gm = 1	ф-лы таб.3 [10]	-2,5	-2,5	0	0	0	0	0	0	0		
Суммарное снижение поверхностью земли на траектории распространения звука Agr, дБ		ф-ла (9) [10]	-5,5	-5,5	1	5,5	3,5	-0,8	-1,5	-1,5	-1,5		
Уровни звукового давления прямого звука от источника ИШ-9-22 в расчётной точке днём, дБ		**ф-ла(3)[10]**	**0**	**38,4**	**33,2**	**29,7**	**31,3**	**34,3**	**30**	**20**	**0**	**37**	**37**
Расчёт отражённого звука													
Уровни звукового давления от мнимого источника ИШ-9-22_мн.(1) в расчётной точке днём, дБ		**ф-ла(3)[10]**	**0**	**0**	**28,3**	**19,3**	**20**	**29,8**	**27,5**	**17,5**	**0**	**32,6**	**32,6**
Уровни звукового давления от мнимого источника ИШ-9-22_мн.(2) в расчётной точке днём, дБ		**ф-ла(3)[10]**	**0**	**0**	**0**	**0**	**0**	**27,3**	**24,6**	**13,1**	**0**	**29,8**	**29,8**
Суммарные уровни звукового давления от мнимых источников в расчётной точке днём, дБ		**ф-ла (19) [1]**	**0**	**0**	**28,3**	**19,3**	**20**	**31,7**	**29,3**	**18,8**	**0**	**0**	**34,5**
Уровни звукового давления от источника ИШ-9-22 в расчётной точке днём, дБ		**ф-ла(3)[10]**	**0**	**38,4**	**34,4**	**30**	**31,6**	**36,2**	**32,7**	**22,4**	**0**	**38,9**	**38,9**
Источник шума: ИШ-9-23, координаты источника (x,y,z), м =[664.07,-295.13,1.00]													
Уровни звуковой мощности источника днём, Lw, дБ		**исходные данные**	**0**	**93,3**	**94,7**	**96**	**96,3**	**95,9**	**92,6**	**88,4**	**83,9**		

1		2	3	4	5	6	7	8	9	10	11	12	13
Поправка на телесный угол DΩ, дБ	Ω = 6.28	10Lg(4π/Ω)	**3**	3	3	3	3	3	3	3	3		
Показатель направленности источника Di, дБ		исходные данные	**0**	0	0	0	0	0	0	0	0		
Поправка на направленность источника Dc, дБ	Dc	DΩ + Di	**3**	3	3	3	3	3	3	3	3		
Затухание из-за геометрической дивергенции, Adiv, дБ	расстояние = 412.81 м	ф-ла (7) [10]	**63,3**										
Коэффициент затухания звука в атмосфере α, дБ/км	Ta=20,°C Pa=101.33,кПа hотн.=70%	ф-ла (5) [9]	0,02	0,09	0,33	1,12	2,79	4,98	9,04	23,09	77,63		
Учет затухания звука в атмосфере Aatm, дБ		ф-ла (8) [10]	0	0	0,1	0,5	1,2	2,1	3,7	9,5	32		
Снижение поверхностью земли возле источника As, дБ	Gs = 0 hs = 1м	ф-лы таб.3 [10]	-1,5	-1,5	-1,5	-1,5	-1,5	-1,5	-1,5	-1,5	-1,5		
Снижение поверхностью земли возле приёмника Ar, дБ	Gr = 1 hr = 1.5м	ф-лы таб.3 [10]	-1,5	-1,5	2,5	7	5	0,7	0	0	0		
Снижение поверхностью земли в средней зоне, Am дБ	Gm = 1	ф-лы таб.3 [10]	-2,5	-2,5	0	0	0	0	0	0	0		
Суммарное снижение поверхностью земли на траектории распространения звука Agr, дБ		ф-ла (9) [10]	-5,5	-5,5	1	5,5	3,5	-0,8	-1,5	-1,5	-1,5		
Уровни звукового давления прямого звука от источника ИШ-9-23 в расчётной точке днём, дБ		**ф-ла(3)[10]**	**0**	**38,4**	**33,3**	**29,7**	**31,4**	**34,4**	**30**	**20**	**0**	**37**	**37**
Расчёт отражённого звука													
Уровни звукового давления от мнимого источника ИШ-9-23_мн.(1) в расчётной точке днём, дБ		**ф-ла(3)[10]**	**0**	**0**	**28,3**	**19,3**	**20**	**29,8**	**27,5**	**17,5**	**0**	**32,7**	**32,7**
Уровни звукового давления от мнимого источника ИШ-9-23_мн.(2) в расчётной точке днём, дБ		**ф-ла(3)[10]**	**0**	**0**	**0**	**0**	**0**	**27,4**	**24,6**	**13,2**	**0**	**29,8**	**29,8**
Уровни звукового давления от мнимого источника ИШ-9-23_мн.(3) в расчётной точке днём, дБ		**ф-ла(3)[10]**	**0**	**0**	**0**	**0**	**0**	**0**	**0**	**0**	**0**	**0**	**0**
Суммарные уровни звукового давления от мнимых источников в расчётной точке днём, дБ		**ф-ла (19) [1]**	**0**	**0**	**28,3**	**19,3**	**20**	**31,8**	**29,3**	**18,9**	**0**	**0**	**34,5**
Уровни звукового давления от источника ИШ-9-23 в расчётной точке днём, дБ		**ф-ла(3)[10]**	**0**	**38,4**	**34,5**	**30,1**	**31,7**	**36,3**	**32,7**	**22,5**	**0**	**38,9**	**38,9**

1		2	3	4	5	6	7	8	9	10	11	12	13
Источник шума: ИШ-9-24, координаты источника (x,y,z), м =[665.19,-292.34,1.00]													
Уровни звуковой мощности источника днём, Lw, дБ		**исходные данные**	**0**	**93,3**	**94,7**	**96**	**96,3**	**95,9**	**92,6**	**88,4**	**83,9**		
Поправка на телесный угол DΩ, дБ	Ω = 6.28	10Lg(4π/Ω)	**3**	3	3	3	3	3	3	3	3		
Показатель направленности источника Di, дБ		исходные данные	**0**	0	0	0	0	0	0	0	0		
Поправка на направленность источника Dc, дБ	Dc	DΩ + Di	**3**	3	3	3	3	3	3	3	3		
Затухание из-за геометрической дивергенции, Adiv, дБ	расстояние = 411.44 м	ф-ла (7) [10]	**63,3**										
Коэффициент затухания звука в атмосфере α, дБ/км	Ta=20,°C Pa=101.33,кПа hотн.=70%	ф-ла (5) [9]	0,02	0,09	0,33	1,12	2,79	4,98	9,04	23,09	77,63		
Учет затухания звука в атмосфере Aatm, дБ		ф-ла (8) [10]	0	0	0,1	0,5	1,1	2	3,7	9,5	31,9		
Снижение поверхностью земли возле источника As, дБ	Gs = 0 hs = 1м	ф-лы таб.3 [10]	-1,5	-1,5	-1,5	-1,5	-1,5	-1,5	-1,5	-1,5	-1,5		
Снижение поверхностью земли возле приёмника Ar, дБ	Gr = 1 hr = 1.5м	ф-лы таб.3 [10]	-1,5	-1,5	2,4	7	5	0,7	0	0	0		
Снижение поверхностью земли в средней зоне, Am дБ	Gm = 1	ф-лы таб.3 [10]	-2,5	-2,5	0	0	0	0	0	0	0		
Суммарное снижение поверхностью земли на траектории распространения звука Agr, дБ		ф-ла (9) [10]	-5,5	-5,5	0,9	5,5	3,5	-0,8	-1,5	-1,5	-1,5		
Уровни звукового давления прямого звука от источника ИШ-9-24 в расчётной точке днём, дБ		**ф-ла(3)[10]**	**0**	**38,4**	**33,3**	**29,7**	**31,4**	**34,4**	**30,1**	**20,1**	**0**	**37,1**	**37,1**
Расчёт отражённого звука													
Уровни звукового давления от мнимого источника ИШ-9-24_мн.(1) в расчётной точке днём, дБ		**ф-ла(3)[10]**	**0**	**0**	**0**	**0**	**0**	**0**	**0**	**0**	**0**	**0**	**0**
Уровни звукового давления от мнимого источника ИШ-9-24_мн.(2) в расчётной точке днём, дБ		**ф-ла(3)[10]**	**0**	**0**	**28,4**	**19,4**	**20**	**29,9**	**27,6**	**17,6**	**0**	**32,7**	**32,7**

1		2	3	4	5	6	7	8	9	10	11	12	13
Уровни звукового давления от мнимого источника ИШ-9-24_мн.(3) в расчётной точке днём, дБ		**ф-ла(3)[10]**	**0**	**0**	**0**	**0**	**0**	**27,4**	**24,7**	**13,2**	**0**	**29,8**	**29,8**
Суммарные уровни звукового давления от мнимых источников в расчётной точке днём, дБ		**ф-ла (19) [1]**	**0**	**0**	**28,4**	**19,4**	**20**	**31,8**	**29,4**	**18,9**	**0**	**0**	**34,5**
Уровни звукового давления от источника ИШ-9-24 в расчётной точке днём, дБ		**ф-ла(3)[10]**	**0**	**38,4**	**34,5**	**30,1**	**31,7**	**36,3**	**32,8**	**22,6**	**0**	**39**	**39**
Источник шума: ИШ-9-25, координаты источника (x,y,z), м =[683.46,-239.16,1.00]													
Уровни звуковой мощности источника днём, Lw, дБ		**исходные данные**	**77**	**75**	**67**	**66**	**63**	**55**	**53**	**48**	**51**		
Поправка на телесный угол DΩ, дБ	Ω = 6.28	10Lg(4π/Ω)	**3**	3	3	3	3	3	3	3	3		
Показатель направленности источника Di, дБ		исходные данные	**0**	0	0	0	0	0	0	0	0		
Поправка на направленность источника Dc, дБ	Dc	DΩ + Di	**3**	3	3	3	3	3	3	3	3		
Затухание из-за геометрической дивергенции, Adiv, дБ	расстояние = 386.61 м	ф-ла (7) [10]	**62,7**										
Коэффициент затухания звука в атмосфере α, дБ/км	Ta=20,°C Pa=101.33,кПа hотн.=70%	ф-ла (5) [9]	0,02	0,09	0,33	1,12	2,79	4,98	9,04	23,09	77,63		
Учет затухания звука в атмосфере Aatm, дБ		ф-ла (8) [10]	0	0	0,1	0,4	1,1	1,9	3,5	8,9	30		
Снижение поверхностью земли возле источника As, дБ	Gs = 0 hs = 1м	ф-лы таб.3 [10]	-1,5	-1,5	-1,5	-1,5	-1,5	-1,5	-1,5	-1,5	-1,5		
Снижение поверхностью земли возле приёмника Ar, дБ	Gr = 1 hr = 1.5м	ф-лы таб.3 [10]	-1,5	-1,5	2,3	7	5	0,7	0	0	0		
Снижение поверхностью земли в средней зоне, Am дБ	Gm = 1	ф-лы таб.3 [10]	-2,4	-2,4	0	0	0	0	0	0	0		
Суммарное снижение поверхностью земли на траектории распространения звука Agr, дБ		ф-ла (9) [10]	-5,4	-5,4	0,8	5,5	3,5	-0,8	-1,5	-1,5	-1,5		
Уровни звукового давления прямого звука от источника ИШ-9-25 в расчётной точке днём, дБ		**ф-ла(3)[10]**	**22,7**	**20,7**	**6,4**	**0,3**	**0**	**0**	**0**	**0**	**0**	**0**	**0**

1		2	3	4	5	6	7	8	9	10	11	12	13
Расчёт отражённого звука													
Уровни звукового давления от мнимого источника ИШ-9-25_мн.(1) в расчётной точке днём, дБ		**ф-ла(3)[10]**	**0**	**19,7**	**1,6**	**0**	**0**	**0**	**0**	**0**	**0**	**0**	**0**
Уровни звукового давления от источника ИШ-9-25 в расчётной точке днём, дБ		**ф-ла(3)[10]**	**22,7**	**23,2**	**7,6**	**0,3**	**0**	**0**	**0**	**0**	**0**	**0**	**0**
Источник шума: ИШ-9-26, координаты источника (x,y,z), м =[680.09,-249.52,1.00]													
Уровни звуковой мощности источника днём, Lw, дБ		**исходные данные**	**77**	**75**	**67**	**66**	**63**	**55**	**53**	**48**	**51**		
Поправка на телесный угол DΩ, дБ	Ω = 6.28	10Lg(4π/Ω)	**3**	3	3	3	3	3	3	3	3		
Показатель направленности источника Di, дБ		исходные данные	**0**	0	0	0	0	0	0	0	0		
Поправка на направленность источника Dc, дБ	Dc	DΩ + Di	**3**	3	3	3	3	3	3	3	3		
Затухание из-за геометрической дивергенции, Adiv, дБ	расстояние = 391.08 м	ф-ла (7) [10]	**62,8**										
Коэффициент затухания звука в атмосфере α, дБ/км	Ta=20,°C Pa=101.33,кПа hотн.=70%	ф-ла (5) [9]	0,02	0,09	0,33	1,12	2,79	4,98	9,04	23,09	77,63		
Учет затухания звука в атмосфере Aatm, дБ		ф-ла (8) [10]	0	0	0,1	0,4	1,1	1,9	3,5	9	30,4		
Снижение уровня звукового давления из-за влияния застройки между источником шума и расчетной точкой													
Снижение уровня звукового давления на пути над экраном, Dz1, дБ	z = 0.05м (разность путей)	ф-лы (14-18) [10]	4,8	4,8	4,8	4,8	4,8	4,8	4,9	5,1	5,4		
Снижение уровня звукового давления на пути слева от экрана, Dz2, дБ	z = 2.30м (разность путей)	ф-лы (14-18) [10]	10,6	13	15,7	18,5	21,4	24,4	27,4	30,4	33,4		
Снижение уровня звукового давления на пути справа от экрана, Dz3, дБ	z = 0.23м (разность путей)	ф-лы (14-18) [10]	5,9	6,7	8,1	9,9	12,2	14,8	17,6	20,5	23,4		
Общее снижение уровня звука препятствием Dz, дБ		Эн.сумма(-Dzi)	1,7	2,3	2,9	3,5	4	4,4	4,7	4,9	5,3		

1		2	3	4	5	6	7	8	9	10	11	12	13
Уровни звукового давления от источника ИШ-9-26 в расчётной точке днём, дБ		**ф-ла(3)[10]**	**15,5**	**12,9**	**4,2**	**2,2**	**0**	**0**	**0**	**0**	**0**	**0**	**0**
Источник шума: ИШ-9-27, координаты источника (x,y,z), м =[676.46,-260.14,1.00]													
Уровни звуковой мощности источника днём, Lw, дБ		**исходные данные**	**77**	**75**	**67**	**66**	**63**	**55**	**53**	**48**	**51**		
Поправка на телесный угол DΩ, дБ	Ω = 6.28	10Lg(4π/Ω)	**3**	3	3	3	3	3	3	3	3		
Показатель направленности источника Di, дБ		исходные данные	**0**	0	0	0	0	0	0	0	0		
Поправка на направленность источника Dc, дБ	Dc	DΩ + Di	**3**	3	3	3	3	3	3	3	3		
Затухание из-за геометрической дивергенции, Adiv, дБ	расстояние = 395.79 м	ф-ла (7) [10]	**62,9**										
Коэффициент затухания звука в атмосфере α, дБ/км	Ta=20,°C Pa=101.33,кПа hотн.=70%	ф-ла (5) [9]	0,02	0,09	0,33	1,12	2,79	4,98	9,04	23,09	77,63		
Учет затухания звука в атмосфере Aatm, дБ		ф-ла (8) [10]	0	0	0,1	0,4	1,1	2	3,6	9,1	30,7		
Снижение уровня звукового давления из-за влияния застройки между источником шума и расчетной точкой													
Снижение уровня звукового давления на пути над экраном, Dz1, дБ	z = 0.05м (разность путей)	ф-лы (14-18) [10]	4,8	4,8	4,8	4,8	4,8	4,8	4,9	5	5,3		
Снижение уровня звукового давления на пути слева от экрана, Dz2, дБ	z = 0.95м (разность путей)	ф-лы (14-18) [10]	8,1	10	12,3	14,9	17,7	20,6	23,6	26,5	29,5		
Снижение уровня звукового давления на пути справа от экрана, Dz3, дБ	z = 0.98м (разность путей)	ф-лы (14-18) [10]	8,2	10,1	12,4	15	17,8	20,7	23,7	26,7	29,7		
Общее снижение уровня звука препятствием Dz, дБ		Эн.сумма(-Dzi)	2	2,8	3,5	4	4,4	4,6	4,8	5	5,3		
Уровни звукового давления прямого звука от источника ИШ-9-27 в расчётной точке днём, дБ		**ф-ла(3)[10]**	**15,1**	**12,3**	**3,5**	**1,6**	**0**	**0**	**0**	**0**	**0**	**0**	**0**
Расчёт отражённого звука													

1		2	3	4	5	6	7	8	9	10	11	12	13
Уровни звукового давления от мнимого источника ИШ-9-27_мн.(1) в расчётной точке днём, дБ		**ф-ла(3)[10]**	**0**	**0**	**0**	**0**	**0**	**0**	**0**	**0**	**0**	**0**	**0**
Уровни звукового давления от источника ИШ-9-27 в расчётной точке днём, дБ		**ф-ла(3)[10]**	**15,1**	**12,3**	**3,5**	**1,6**	**0**	**0**	**0**	**0**	**0**	**0**	**0**
Источник шума: ИШ-10-1, координаты источника (x,y,z), м =[17.37,413.17,1.00]													
Уровни звуковой мощности источника днём, Lw, дБ		**исходные данные**	**0**	**98,3**	**99,7**	**101**	**101,3**	**100,9**	**97,6**	**93,4**	**88,9**		
Поправка на телесный угол DΩ, дБ	Ω = 6.28	10Lg(4π/Ω)	**3**	3	3	3	3	3	3	3	3		
Показатель направленности источника Di, дБ		исходные данные	**0**	0	0	0	0	0	0	0	0		
Поправка на направленность источника Dc, дБ	Dc	DΩ + Di	**3**	3	3	3	3	3	3	3	3		
Затухание из-за геометрической дивергенции, Adiv, дБ	расстояние = 546.57 м	ф-ла (7) [10]	**65,8**										
Коэффициент затухания звука в атмосфере α, дБ/км	Ta=20,°C Pa=101.33,кПа hотн.=70%	ф-ла (5) [9]	0,02	0,09	0,33	1,12	2,79	4,98	9,04	23,09	77,63		
Учет затухания звука в атмосфере Aatm, дБ		ф-ла (8) [10]	0	0	0,2	0,6	1,5	2,7	4,9	12,6	42,4		
Снижение уровня звукового давления из-за влияния застройки между источником шума и расчетной точкой													
Снижение уровня звукового давления на пути над экраном, Dz1, дБ	z = 6.22м (разность путей)	ф-лы (14-18) [10]	17,8	20,9	23,8	26,8	29,8	32,8	35,8	38,8	41,9		
Снижение уровня звукового давления на пути слева от экрана, Dz2, дБ	z = 60.73м (разность путей)	ф-лы (14-18) [10]	28,2	31,3	34,3	37,3	40,3	43,3	46,3	49,3	52,3		
Снижение уровня звукового давления на пути справа от экрана, Dz3, дБ	z = 71.86м (разность путей)	ф-лы (14-18) [10]	28,8	32	35	38	41	44	47,1	50,1	53,1		
Общее снижение уровня звука препятствием Dz, дБ		Эн.сумма(-Dzi)	17,1	20,2	23,2	26,2	29,2	32,2	35,2	38,2	41,2		
Общее снижение уровня звука препятствием с учётом ограничения (25 дБ) для октавных полос Dz, дБ		Раздел 7.4 [10]	17,1	20,2	23,2	25	25	25	25	25	25		

1		2	3	4	5	6	7	8	9	10	11	12	13
Уровни звукового давления прямого звука от источника ИШ-10-1 в расчётной точке днём, дБ		**ф-ла(3)[10]**	**0**	**15,3**	**13,6**	**12,6**	**12**	**10,4**	**4,9**	**0**	**0**	**14,1**	**14,1**
Расчёт отражённого звука													
Уровни звукового давления от мнимого источника ИШ-10-1_мн.(1) в расчётной точке днём, дБ		**ф-ла(3)[10]**	**0**	**0**	**0**	**0**	**0**	**0**	**0**	**0**	**0**	**0**	**0**
Уровни звукового давления от мнимого источника ИШ-10-1_мн.(2) в расчётной точке днём, дБ		**ф-ла(3)[10]**	**0**	**0**	**0**	**0**	**0**	**0**	**0**	**0**	**0**	**0**	**0**
Суммарные уровни звукового давления от мнимых источников в расчётной точке днём, дБ		**ф-ла (19) [1]**	**0**	**0**	**0**	**0**	**0**	**0**	**0**	**0**	**0**	**0**	**0**
Уровни звукового давления от источника ИШ-10-1 в расчётной точке днём, дБ		**ф-ла(3)[10]**	**0**	**15,3**	**13,6**	**12,6**	**12**	**10,4**	**4,9**	**0**	**0**	**14,1**	**14,1**
Источник шума: ИШ-10-2, координаты источника (x,y,z), м =[27.87,443.46,1.00]													
Уровни звуковой мощности источника днём, Lw, дБ		**исходные данные**	**0**	**98,3**	**99,7**	**101**	**101,3**	**100,9**	**97,6**	**93,4**	**88,9**		
Поправка на телесный угол DΩ, дБ	Ω = 6.28	10Lg(4π/Ω)	**3**	3	3	3	3	3	3	3	3		
Показатель направленности источника Di, дБ		исходные данные	**0**	0	0	0	0	0	0	0	0		
Поправка на направленность источника Dc, дБ	Dc	DΩ + Di	**3**	3	3	3	3	3	3	3	3		
Затухание из-за геометрической дивергенции, Adiv, дБ	расстояние = 562.01 м	ф-ла (7) [10]	**66**										
Коэффициент затухания звука в атмосфере α, дБ/км	Ta=20,°C Pa=101.33,кПа hотн.=70%	ф-ла (5) [9]	0,02	0,09	0,33	1,12	2,79	4,98	9,04	23,09	77,63		
Учет затухания звука в атмосфере Aatm, дБ		ф-ла (8) [10]	0	0,1	0,2	0,6	1,6	2,8	5,1	13	43,6		
Снижение уровня звукового давления из-за влияния застройки между источником шума и расчетной точкой													
Снижение уровня звукового давления на пути над экраном, Dz1, дБ	z = 6.31м (разность путей)	ф-лы (14-18) [10]	18,3	21,2	24,2	27,2	30,2	33,2	36,2	39,2	42,2		

1		2	3	4	5	6	7	8	9	10	11	12	13
Снижение уровня звукового давления на пути слева от экрана, Dz2, дБ	z = 60.87м (разность путей)	ф-лы (14-18) [10]	28,2	31,3	34,3	37,3	40,3	43,3	46,3	49,3	52,4		
Снижение уровня звукового давления на пути справа от экрана, Dz3, дБ	z = 59.71м (разность путей)	ф-лы (14-18) [10]	28,1	31,2	34,2	37,2	40,2	43,2	46,2	49,3	52,3		
Общее снижение уровня звука препятствием Dz, дБ		Эн.сумма(-Dzi)	17,4	20,4	23,4	26,4	29,4	32,4	35,4	38,4	41,4		
Общее снижение уровня звука препятствием с учётом ограничения (25 дБ) для октавных полос Dz, дБ		Раздел 7.4 [10]	17,4	20,4	23,4	25	25	25	25	25	25		
Уровни звукового давления прямого звука от источника ИШ-10-2 в расчётной точке днём, дБ		**ф-ла(3)[10]**	**0**	**14,8**	**13,1**	**12,4**	**11,7**	**10,1**	**4,5**	**0**	**0**	**13,8**	**13,8**
Расчёт отражённого звука													
Уровни звукового давления от мнимого источника ИШ-10-2_мн.(1) в расчётной точке днём, дБ		**ф-ла(3)[10]**	**0**	**0**	**0**	**0**	**0**	**0**	**0**	**0**	**0**	**0**	**0**
Уровни звукового давления от источника ИШ-10-2 в расчётной точке днём, дБ		**ф-ла(3)[10]**	**0**	**14,8**	**13,1**	**12,4**	**11,7**	**10,1**	**4,5**	**0**	**0**	**13,8**	**13,8**
Уровни звукового давления в расчётной точке													
Суммарные уровни звукового давления в расчётной точке от всех источников шума днём, Lрт, дБ		**ф-ла (19) [1]**	**57,7**	**59,1**	**54,4**	**49,1**	**50,7**	**56,5**	**51,5**	**41,4**	**17,2**	**58,6**	**58,6**
Допускаемые УЗД днём, Lдоп, дБ	Территории предприятий с постоянными рабочими местами	Табл. 1[3]	107	95	87	82	78	75	73	71	69	80	95
Превышение днём, дБ		**Lрт - Lдоп**	**-49,3**	**-35,9**	**-32,6**	**-32,9**	**-27,3**	**-18,5**	**-21,5**	**-29,6**	**-51,8**	**-21,4**	**-36,4**

Расчетные точки

возле здания ВЖК

(РТ-4-1 ÷ РТ-4-6)

Определение уровней звукового давления в точке РТ-4-1 (координаты точки, м: x = 184.27, y = -179.07, z = 1.60)

Наименование величин и их описание		Ссылка	Расчётные уровни в октавных полосах, со среднегеометрическими частотами, Гц									La, дБА	Lмакс, дБА
			31,5	63	125	250	500	1000	2000	4000	8000		
1		2	3	4	5	6	7	8	9	10	11	12	13
Источник шума: ИШ-1-1, координаты источника (x,y,z), м =[271.72,229.68,1.00]													
Уровни звуковой мощности источника днём, Lw, дБ		**исходные данные**	**97**	**97**	**104**	**106**	**105**	**105**	**98**	**87**	**81**		
Уровни звуковой мощности источника ночью, Lw, дБ		**исходные данные**	**97**	**97**	**104**	**106**	**105**	**105**	**98**	**87**	**81**		
Поправка на телесный угол DΩ, дБ	Ω = 6.28	10Lg(4π/Ω)	**3**	3	3	3	3	3	3	3	3		
Показатель направленности источника Di, дБ		исходные данные	**0**	0	0	0	0	0	0	0	0		
Поправка на направленность источника Dc, дБ	Dc	DΩ + Di	**3**	3	3	3	3	3	3	3	3		
Затухание из-за геометрической дивергенции, Adiv, дБ	расстояние = 418.00 м	ф-ла (7) [10]	**63,4**										
Коэффициент затухания звука в атмосфере α, дБ/км	Ta=20,°C Pa=101.33,кПа hотн.=70%	ф-ла (5) [9]	0,02	0,09	0,33	1,12	2,79	4,98	9,04	23,09	77,63		
Учет затухания звука в атмосфере Aatm, дБ		ф-ла (8) [10]	0	0	0,1	0,5	1,2	2,1	3,8	9,6	32,5		
Снижение уровня звукового давления из-за влияния застройки между источником шума и расчетной точкой													
Снижение уровня звукового давления на пути над экраном, Dz1, дБ	z = 0.04м (разность путей)	ф-лы (14-18) [10]	4,8	4,8	4,8	4,8	4,8	4,8	4,8	4,8	4,8		
Снижение уровня звукового давления на пути слева от экрана, Dz2, дБ	z = 0.13м (разность путей)	ф-лы (14-18) [10]	5,4	5,9	6,8	8,2	10,2	12,5	15,1	17,9	20,8		
Снижение уровня звукового давления на пути справа от экрана, Dz3, дБ	z = 0.96м (разность путей)	ф-лы (14-18) [10]	8,2	10	12,3	14,9	17,7	20,6	23,6	26,6	29,6		

1		2	3	4	5	6	7	8	9	10	11	12	13
Общее снижение уровня звука препятствием Dz, дБ		Эн.сумма(-Dzi)	1,1	1,6	2,2	2,9	3,5	4	4,3	4,6	4,7		
Уровни звукового давления прямого звука от источника ИШ-1-1 в расчётной точке днём, дБ		**ф-ла(3)[10]**	**35,5**	**34,9**	**41,2**	**42,2**	**39,9**	**38,5**	**29,5**	**12,4**	**0**	**41,9**	**41,9**
Уровни звукового давления прямого звука от источника ИШ-1-1 в расчётной точке ночью, дБ		**ф-ла(3)[10]**	**35,5**	**34,9**	**41,2**	**42,2**	**39,9**	**38,5**	**29,5**	**12,4**	**0**	**41,9**	**41,9**
Расчёт отражённого звука													
Уровни звукового давления от мнимого источника ИШ-1-1_мн.(1) в расчётной точке днём, дБ		**ф-ла(3)[10]**	**0**	**0**	**0**	**0**	**0**	**0**	**32,2**	**15**	**0**	**33,5**	**33,5**
Уровни звукового давления от мнимого источника ИШ-1-1_мн.(1) в расчётной точке ночью, дБ		**ф-ла(3)[10]**	**0**	**0**	**0**	**0**	**0**	**0**	**0**	**0**	**0**	**33,5**	**33,5**
Уровни звукового давления от мнимого источника ИШ-1-1_мн.(2) в расчётной точке днём, дБ		**ф-ла(3)[10]**	**0**	**0**	**0**	**0**	**0**	**33,2**	**28,4**	**9,2**	**0**	**34,8**	**34,8**
Уровни звукового давления от мнимого источника ИШ-1-1_мн.(2) в расчётной точке ночью, дБ		**ф-ла(3)[10]**	**0**	**0**	**0**	**0**	**0**	**0**	**0**	**0**	**0**	**34,8**	**34,8**
Суммарные уровни звукового давления от мнимых источников в расчётной точке днём, дБ		**ф-ла (19) [1]**	**0**	**0**	**0**	**0**	**0**	**33,2**	**33,7**	**16**	**0**	**0**	**37,2**
Суммарные уровни звукового давления от мнимых источников в расчётной точке ночью, дБ		**ф-ла (19) [1]**	**0**	**0**	**0**	**0**	**0**	**33,2**	**33,7**	**16**	**0**	**0**	**37,2**
Уровни звукового давления от источника ИШ-1-1 в расчётной точке днём, дБ		**ф-ла(3)[10]**	**35,5**	**34,9**	**41,2**	**42,2**	**39,9**	**39,6**	**35,1**	**17,6**	**0**	**43,2**	**43,2**
Уровни звукового давления от источника ИШ-1-1 в расчётной точке ночью, дБ		**ф-ла(3)[10]**	**35,5**	**34,9**	**41,2**	**42,2**	**39,9**	**39,6**	**35,1**	**17,6**	**0**	**43,2**	**43,2**
Источник шума: ИШ-1-2, координаты источника (x,y,z), м =[261.74,199.14,1.00]													
Уровни звуковой мощности источника днём, Lw, дБ		**исходные данные**	**97**	**97**	**104**	**106**	**105**	**105**	**98**	**87**	**81**		
Уровни звуковой мощности источника ночью, Lw, дБ		**исходные данные**	**97**	**97**	**104**	**106**	**105**	**105**	**98**	**87**	**81**		
Поправка на телесный угол DΩ, дБ	Ω = 6.28	10Lg(4π/Ω)	**3**	3	3	3	3	3	3	3	3		
Показатель направленности источника Di, дБ		исходные данные	**0**	0	0	0	0	0	0	0	0		

1		2	3	4	5	6	7	8	9	10	11	12	13
Поправка на направленность источника Dc, дБ	Dc	DΩ + Di	**3**	3	3	3	3	3	3	3	3		
Затухание из-за геометрической дивергенции, Adiv, дБ	расстояние = 386.06 м	ф-ла (7) [10]	**62,7**										
Коэффициент затухания звука в атмосфере α, дБ/км	Ta=20,°C Pa=101.33,кПа hотн.=70%	ф-ла (5) [9]	0,02	0,09	0,33	1,12	2,79	4,98	9,04	23,09	77,63		
Учет затухания звука в атмосфере Aatm, дБ		ф-ла (8) [10]	0	0	0,1	0,4	1,1	1,9	3,5	8,9	30		
Снижение уровня звукового давления из-за влияния застройки между источником шума и расчетной точкой													
Снижение уровня звукового давления на пути над экраном, Dz1, дБ	z = 0.04м (разность путей)	ф-лы (14-18) [10]	4,8	4,8	4,8	4,8	4,8	4,8	4,8	4,9	5		
Снижение уровня звукового давления на пути слева от экрана, Dz2, дБ	z = 0.25м (разность путей)	ф-лы (14-18) [10]	5,9	6,9	8,3	10,2	12,5	15,1	18	20,9	23,8		
Снижение уровня звукового давления на пути справа от экрана, Dz3, дБ	z = 0.79м (разность путей)	ф-лы (14-18) [10]	7,7	9,5	11,7	14,2	17	19,8	22,8	25,8	28,7		
Общее снижение уровня звука препятствием Dz, дБ		Эн.сумма(-Dzi)	1,2	1,9	2,6	3,3	3,9	4,3	4,6	4,7	4,9		
Уровни звукового давления прямого звука от источника ИШ-1-2 в расчётной точке днём, дБ		**ф-ла(3)[10]**	**36,1**	**35,4**	**41,6**	**42,5**	**40,3**	**39,1**	**30,2**	**13,6**	**0**	**42,4**	**42,4**
Уровни звукового давления прямого звука от источника ИШ-1-2 в расчётной точке ночью, дБ		**ф-ла(3)[10]**	**36,1**	**35,4**	**41,6**	**42,5**	**40,3**	**39,1**	**30,2**	**13,6**	**0**	**42,4**	**42,4**
Расчёт отражённого звука													
Уровни звукового давления от мнимого источника ИШ-1-2_мн.(1) в расчётной точке днём, дБ		**ф-ла(3)[10]**	**0**	**0**	**0**	**0**	**0**	**34,6**	**27,7**	**8**	**0**	**35,7**	**35,7**
Уровни звукового давления от мнимого источника ИШ-1-2_мн.(1) в расчётной точке ночью, дБ		**ф-ла(3)[10]**	**0**	**0**	**0**	**0**	**0**	**0**	**0**	**0**	**0**	**35,7**	**35,7**
Уровни звукового давления от источника ИШ-1-2 в расчётной точке днём, дБ		**ф-ла(3)[10]**	**36,1**	**35,4**	**41,6**	**42,5**	**40,3**	**40,4**	**32,1**	**14,7**	**0**	**43,3**	**43,3**
Уровни звукового давления от источника ИШ-1-2 в расчётной точке ночью, дБ		**ф-ла(3)[10]**	**36,1**	**35,4**	**41,6**	**42,5**	**40,3**	**40,4**	**32,1**	**14,7**	**0**	**43,3**	**43,3**

1		2	3	4	5	6	7	8	9	10	11	12	13
Источник шума: ИШ-1-3, координаты источника (x,y,z), м =[251.75,236.44,1.00]													
Уровни звуковой мощности источника днём, Lw, дБ		**исходные данные**	**0**	**91,3**	**92,7**	**94**	**94,3**	**93,9**	**90,6**	**86,4**	**81,9**		
Уровни звуковой мощности источника ночью, Lw, дБ		**исходные данные**	**0**	**91,3**	**92,7**	**94**	**94,3**	**93,9**	**90,6**	**86,4**	**81,9**		
Поправка на телесный угол DΩ, дБ	Ω = 6.28	10Lg(4π/Ω)	**3**	3	3	3	3	3	3	3	3		
Показатель направленности источника Di, дБ		исходные данные	**0**	0	0	0	0	0	0	0	0		
Поправка на направленность источника Dc, дБ	Dc	DΩ + Di	**3**	3	3	3	3	3	3	3	3		
Затухание из-за геометрической дивергенции, Adiv, дБ	расстояние = 420.95 м	ф-ла (7) [10]	**63,5**										
Коэффициент затухания звука в атмосфере α, дБ/км	Ta=20,°C Pa=101.33,кПа hотн.=70%	ф-ла (5) [9]	0,02	0,09	0,33	1,12	2,79	4,98	9,04	23,09	77,63		
Учет затухания звука в атмосфере Aatm, дБ		ф-ла (8) [10]	0	0	0,1	0,5	1,2	2,1	3,8	9,7	32,7		
Снижение уровня звукового давления из-за влияния застройки между источником шума и расчетной точкой													
Снижение уровня звукового давления на пути над экраном, Dz1, дБ	z = 0.04м (разность путей)	ф-лы (14-18) [10]	4,8	4,8	4,8	4,8	4,8	4,8	4,8	4,8	4,8		
Снижение уровня звукового давления на пути слева от экрана, Dz2, дБ	z = 1.15м (разность путей)	ф-лы (14-18) [10]	8,6	10,6	13	15,7	18,5	21,4	24,4	27,4	30,4		
Снижение уровня звукового давления на пути справа от экрана, Dz3, дБ	z = 0.08м (разность путей)	ф-лы (14-18) [10]	5,2	5,6	6,2	7,3	8,9	11	13,5	16,2	19		
Общее снижение уровня звука препятствием Dz, дБ		Эн.сумма(-Dzi)	1,1	1,6	2,1	2,6	3,2	3,8	4,2	4,5	4,7		
Уровни звукового давления прямого звука от источника ИШ-1-3 в расчётной точке днём, дБ		**ф-ла(3)[10]**	**0**	**29,2**	**30**	**30,4**	**29,4**	**27,5**	**22,1**	**11,7**	**0**	**31,4**	**31,4**
Уровни звукового давления прямого звука от источника ИШ-1-3 в расчётной точке ночью, дБ		**ф-ла(3)[10]**	**0**	**29,2**	**30**	**30,4**	**29,4**	**27,5**	**22,1**	**11,7**	**0**	**31,4**	**31,4**

1		2	3	4	5	6	7	8	9	10	11	12	13
Расчёт отражённого звука													
Уровни звукового давления от мнимого источника ИШ-1-3_мн.(1) в расчётной точке днём, дБ		**ф-ла(3)[10]**	**0**	**0**	**0**	**0**	**0**	**22,6**	**16,6**	**4**	**0**	**23,9**	**23,9**
Уровни звукового давления от мнимого источника ИШ-1-3_мн.(1) в расчётной точке ночью, дБ		**ф-ла(3)[10]**	**0**	**0**	**0**	**0**	**0**	**0**	**0**	**0**	**0**	**23,9**	**23,9**
Уровни звукового давления от источника ИШ-1-3 в расчётной точке днём, дБ		**ф-ла(3)[10]**	**0**	**29,2**	**30**	**30,4**	**29,4**	**28,8**	**23,2**	**12,4**	**0**	**32,2**	**32,2**
Уровни звукового давления от источника ИШ-1-3 в расчётной точке ночью, дБ		**ф-ла(3)[10]**	**0**	**29,2**	**30**	**30,4**	**29,4**	**28,8**	**23,2**	**12,4**	**0**	**32,2**	**32,2**
Источник шума: ИШ-1-4, координаты источника (x,y,z), м =[290.25,223.25,1.00]													
Уровни звуковой мощности источника днём, Lw, дБ		**исходные данные**	**0**	**91,3**	**92,7**	**94**	**94,3**	**93,9**	**90,6**	**86,4**	**81,9**		
Уровни звуковой мощности источника ночью, Lw, дБ		**исходные данные**	**0**	**91,3**	**92,7**	**94**	**94,3**	**93,9**	**90,6**	**86,4**	**81,9**		
Поправка на телесный угол DΩ, дБ	Ω = 6.28	10Lg(4π/Ω)	**3**	3	3	3	3	3	3	3	3		
Показатель направленности источника Di, дБ		исходные данные	**0**	0	0	0	0	0	0	0	0		
Поправка на направленность источника Dc, дБ	Dc	DΩ + Di	**3**	3	3	3	3	3	3	3	3		
Затухание из-за геометрической дивергенции, Adiv, дБ	расстояние = 416.04 м	ф-ла (7) [10]	**63,4**										
Коэффициент затухания звука в атмосфере α, дБ/км	Ta=20,°C Pa=101.33,кПа hотн.=70%	ф-ла (5) [9]	0,02	0,09	0,33	1,12	2,79	4,98	9,04	23,09	77,63		
Учет затухания звука в атмосфере Aatm, дБ		ф-ла (8) [10]	0	0	0,1	0,5	1,2	2,1	3,8	9,6	32,3		
Снижение уровня звукового давления из-за влияния застройки между источником шума и расчетной точкой													
Снижение уровня звукового давления препятствием справа от трассы ИШ-РТ, Dz3, дБ	z = -0.11м (разность путей)	ф-лы (14-18) [10]	0	0	1,5	NAN	NAN	NAN	NAN	NAN	NAN		

* отрицательное значение z означает прохождение траектории вблизи экрана, в этом случае дополнительно производится учёт снижения подстилающей поверхностью (см.ниже)

1		2	3	4	5	6	7	8	9	10	11	12	13
Снижение поверхностью земли возле источника As, дБ	Gs = 0 hs = 1м	ф-лы таб.3 [10]	-1,5	-1,5	-1,5	-1,5	-1,5	-1,5	-1,5	-1,5	-1,5		
Снижение поверхностью земли возле приёмника Ar, дБ	Gr = 1 hr = 1.6м	ф-лы таб.3 [10]	-1,5	-1,5	2,5	6,8	4,3	0,5	0	0	0		
Снижение поверхностью земли в средней зоне, Am дБ	Gm = 1	ф-лы таб.3 [10]	-2,4	-2,4	0	0	0	0	0	0	0		
Суммарное снижение поверхностью земли на траектории распространения звука Agr, дБ		ф-ла (9) [10]	-5,4	-5,4	1	5,3	2,8	-1	-1,5	-1,5	-1,5		
Уровни звукового давления прямого звука от источника ИШ-1-4 в расчётной точке днём, дБ		**ф-ла(3)[10]**	**0**	**36,3**	**29,7**	**27,8**	**29,9**	**32,4**	**27,9**	**17,9**	**0**	**35,1**	**35,1**
Уровни звукового давления прямого звука от источника ИШ-1-4 в расчётной точке ночью, дБ		**ф-ла(3)[10]**	**0**	**36,3**	**29,7**	**27,8**	**29,9**	**32,4**	**27,9**	**17,9**	**0**	**35,1**	**35,1**
Расчёт отражённого звука													
Уровни звукового давления от мнимого источника ИШ-1-4_мн.(1) в расчётной точке днём, дБ		**ф-ла(3)[10]**	**0**	**0**	**0**	**0**	**15,2**	**24,2**	**21**	**8,6**	**0**	**26,6**	**26,6**
Уровни звукового давления от мнимого источника ИШ-1-4_мн.(1) в расчётной точке ночью, дБ		**ф-ла(3)[10]**	**0**	**0**	**0**	**0**	**0**	**0**	**0**	**0**	**0**	**26,6**	**26,6**
Уровни звукового давления от мнимого источника ИШ-1-4_мн.(2) в расчётной точке днём, дБ		**ф-ла(3)[10]**	**0**	**35,3**	**26,1**	**17,4**	**18,5**	**27,8**	**25,4**	**15,3**	**0**	**30,7**	**30,7**
Уровни звукового давления от мнимого источника ИШ-1-4_мн.(2) в расчётной точке ночью, дБ		**ф-ла(3)[10]**	**35,3**	**35,3**	**35,3**	**35,3**	**35,3**	**35,3**	**35,3**	**35,3**	**35,3**	**30,7**	**30,7**
Суммарные уровни звукового давления от мнимых источников в расчётной точке днём, дБ		**ф-ла (19) [1]**	**0**	**35,3**	**26,1**	**17,4**	**20,2**	**29,4**	**26,7**	**16,1**	**0**	**0**	**32,1**
Суммарные уровни звукового давления от мнимых источников в расчётной точке ночью, дБ		**ф-ла (19) [1]**	**0**	**35,3**	**26,1**	**17,4**	**20,2**	**29,4**	**26,7**	**16,1**	**0**	**0**	**32,1**
Уровни звукового давления от источника ИШ-1-4 в расчётной точке днём, дБ		**ф-ла(3)[10]**	**0**	**38,8**	**31,3**	**28,2**	**30,4**	**34,2**	**30,4**	**20,1**	**0**	**36,9**	**36,9**
Уровни звукового давления от источника ИШ-1-4 в расчётной точке ночью, дБ		**ф-ла(3)[10]**	**0**	**38,8**	**31,3**	**28,2**	**30,4**	**34,2**	**30,4**	**20,1**	**0**	**36,9**	**36,9**
Источник шума: ИШ-1-5, координаты источника (x,y,z), м =[241.49,205.86,1.00]													
Уровни звуковой мощности источника днём, Lw, дБ		**исходные данные**	**0**	**91,3**	**92,7**	**94**	**94,3**	**93,9**	**90,6**	**86,4**	**81,9**		

1		2	3	4	5	6	7	8	9	10	11	12	13
Уровни звуковой мощности источника ночью, Lw, дБ		**исходные данные**	**0**	**91,3**	**92,7**	**94**	**94,3**	**93,9**	**90,6**	**86,4**	**81,9**		
Поправка на телесный угол DΩ, дБ	Ω = 6.28	10Lg(4π/Ω)	**3**	3	3	3	3	3	3	3	3		
Показатель направленности источника Di, дБ		исходные данные	**0**	0	0	0	0	0	0	0	0		
Поправка на направленность источника Dc, дБ	Dc	DΩ + Di	**3**	3	3	3	3	3	3	3	3		
Затухание из-за геометрической дивергенции, Adiv, дБ	расстояние = 389.15 м	ф-ла (7) [10]	**62,8**										
Коэффициент затухания звука в атмосфере α, дБ/км	Ta=20,°C Pa=101.33,кПа hотн.=70%	ф-ла (5) [9]	0,02	0,09	0,33	1,12	2,79	4,98	9,04	23,09	77,63		
Учет затухания звука в атмосфере Aatm, дБ		ф-ла (8) [10]	0	0	0,1	0,4	1,1	1,9	3,5	9	30,2		
Снижение уровня звукового давления из-за влияния застройки между источником шума и расчетной точкой													
Снижение уровня звукового давления на пути над экраном, Dz1, дБ	z = 0.04м (разность путей)	ф-лы (14-18) [10]	4,8	4,8	4,8	4,8	4,8	4,8	4,8	4,9	5		
Снижение уровня звукового давления на пути слева от экрана, Dz2, дБ	z = 1.74м (разность путей)	ф-лы (14-18) [10]	9,8	12	14,6	17,3	20,2	23,2	26,2	29,2	32,2		
Снижение уровня звукового давления на пути справа от экрана, Dz3, дБ	z = 0.01м (разность путей)	ф-лы (14-18) [10]	4,8	4,9	5	5,2	5,6	6,3	7,4	9	11,1		
Общее снижение уровня звука препятствием Dz, дБ		Эн.сумма(-Dzi)	1,1	1,4	1,6	1,8	2,1	2,4	2,9	3,4	4		
Уровни звукового давления прямого звука от источника ИШ-1-5 в расчётной точке днём, дБ		**ф-ла(3)[10]**	**0**	**30**	**31,1**	**31,9**	**31,3**	**29,7**	**24,4**	**14,2**	**0**	**33,5**	**33,5**
Уровни звукового давления прямого звука от источника ИШ-1-5 в расчётной точке ночью, дБ		**ф-ла(3)[10]**	**0**	**30**	**31,1**	**31,9**	**31,3**	**29,7**	**24,4**	**14,2**	**0**	**33,5**	**33,5**
Расчёт отражённого звука													
Уровни звукового давления от мнимого источника ИШ-1-5_мн.(1) в расчётной точке днём, дБ		**ф-ла(3)[10]**	**0**	**0**	**0**	**0**	**0**	**22,2**	**16**	**2,9**	**0**	**23,5**	**23,5**
Уровни звукового давления от мнимого источника ИШ-1-5_мн.(1) в расчётной точке ночью, дБ		**ф-ла(3)[10]**	**0**	**0**	**0**	**0**	**0**	**0**	**0**	**0**	**0**	**23,5**	**23,5**

1		2	3	4	5	6	7	8	9	10	11	12	13
Уровни звукового давления от источника ИШ-1-5 в расчётной точке днём, дБ		**ф-ла(3)[10]**	**0**	**30**	**31,1**	**31,9**	**31,3**	**30,4**	**25**	**14,5**	**0**	**33,9**	**33,9**
Уровни звукового давления от источника ИШ-1-5 в расчётной точке ночью, дБ		**ф-ла(3)[10]**	**0**	**30**	**31,1**	**31,9**	**31,3**	**30,4**	**25**	**14,5**	**0**	**33,9**	**33,9**
Источник шума: ИШ-1-6, координаты источника (x,y,z), м =[279.85,192.97,1.00]													
Уровни звуковой мощности источника днём, Lw, дБ		**исходные данные**	**0**	**91,3**	**92,7**	**94**	**94,3**	**93,9**	**90,6**	**86,4**	**81,9**		
Уровни звуковой мощности источника ночью, Lw, дБ		**исходные данные**	**0**	**91,3**	**92,7**	**94**	**94,3**	**93,9**	**90,6**	**86,4**	**81,9**		
Поправка на телесный угол DΩ, дБ	Ω = 6.28	10Lg(4π/Ω)	**3**	3	3	3	3	3	3	3	3		
Показатель направленности источника Di, дБ		исходные данные	**0**	0	0	0	0	0	0	0	0		
Поправка на направленность источника Dc, дБ	Dc	DΩ + Di	**3**	3	3	3	3	3	3	3	3		
Затухание из-за геометрической дивергенции, Adiv, дБ	расстояние = 384.11 м	ф-ла (7) [10]	**62,7**										
Коэффициент затухания звука в атмосфере α, дБ/км	Ta=20,°C Pa=101.33,кПа hотн.=70%	ф-ла (5) [9]	0,02	0,09	0,33	1,12	2,79	4,98	9,04	23,09	77,63		
Учет затухания звука в атмосфере Aatm, дБ		ф-ла (8) [10]	0	0	0,1	0,4	1,1	1,9	3,5	8,9	29,8		
Снижение уровня звукового давления из-за влияния застройки между источником шума и расчетной точкой													
Снижение уровня звукового давления препятствием справа от трассы ИШ-РТ, Dz3, дБ	z = -0.06м (разность путей)	ф-лы (14-18) [10]	0	0	3,2	0,6	NAN	NAN	NAN	NAN	NAN		
* отрицательное значение z означает прохождение траектории вблизи экрана, в этом случае дополнительно производится учёт снижения подстилающей поверхностью (см.ниже)													
Снижение поверхностью земли возле источника As, дБ	Gs = 0 hs = 1м	ф-лы таб.3 [10]	-1,5	-1,5	-1,5	-1,5	-1,5	-1,5	-1,5	-1,5	-1,5		
Снижение поверхностью земли возле приёмника Ar, дБ	Gr = 1 hr = 1.6м	ф-лы таб.3 [10]	-1,5	-1,5	2,3	6,8	4,3	0,5	0	0	0		
Снижение поверхностью земли в средней зоне, Am дБ	Gm = 1	ф-лы таб.3 [10]	-2,4	-2,4	0	0	0	0	0	0	0		

1	2	3	4	5	6	7	8	9	10	11	12	13
Суммарное снижение поверхностью земли на траектории распространения звука Agr, дБ	ф-ла (9) [10]	-5,4	-5,4	0,8	5,3	2,8	-1	-1,5	-1,5	-1,5		
Уровни звукового давления прямого звука от источника ИШ-1-6 в расчётной точке днём, дБ	**ф-ла(3)[10]**	**0**	**37**	**28,9**	**27,9**	**30,7**	**33,3**	**28,9**	**19,3**	**0**	**36**	**36**
Уровни звукового давления прямого звука от источника ИШ-1-6 в расчётной точке ночью, дБ	**ф-ла(3)[10]**	**0**	**37**	**28,9**	**27,9**	**30,7**	**33,3**	**28,9**	**19,3**	**0**	**36**	**36**
Расчёт отражённого звука												
Уровни звукового давления от мнимого источника ИШ-1-6_мн.(1) в расчётной точке днём, дБ	**ф-ла(3)[10]**	**0**	**0**	**0**	**0**	**0**	**0**	**0**	**14,6**	**0**	**15,6**	**15,6**
Уровни звукового давления от мнимого источника ИШ-1-6_мн.(1) в расчётной точке ночью, дБ	**ф-ла(3)[10]**	**0**	**0**	**0**	**0**	**0**	**0**	**0**	**0**	**0**	**15,6**	**15,6**
Уровни звукового давления от мнимого источника ИШ-1-6_мн.(2) в расчётной точке днём, дБ	**ф-ла(3)[10]**	**0**	**0**	**0**	**0**	**0**	**0**	**0**	**0**	**0**	**0**	**0**
Уровни звукового давления от мнимого источника ИШ-1-6_мн.(2) в расчётной точке ночью, дБ	**ф-ла(3)[10]**	**0**	**0**	**0**	**0**	**0**	**0**	**0**	**0**	**0**	**0**	**0**
Уровни звукового давления от мнимого источника ИШ-1-6_мн.(3) в расчётной точке днём, дБ	**ф-ла(3)[10]**	**0**	**0**	**0**	**0**	**0**	**23,5**	**20,3**	**7,4**	**0**	**25,7**	**25,7**
Уровни звукового давления от мнимого источника ИШ-1-6_мн.(3) в расчётной точке ночью, дБ	**ф-ла(3)[10]**	**0**	**0**	**0**	**0**	**0**	**0**	**0**	**0**	**0**	**25,7**	**25,7**
Уровни звукового давления от мнимого источника ИШ-1-6_мн.(4) в расчётной точке днём, дБ	**ф-ла(3)[10]**	**0**	**35,9**	**27,3**	**18,1**	**19,3**	**28,7**	**26,3**	**16,7**	**0**	**31,6**	**31,6**
Уровни звукового давления от мнимого источника ИШ-1-6_мн.(4) в расчётной точке ночью, дБ	**ф-ла(3)[10]**	**18,1**	**18,1**	**18,1**	**18,1**	**18,1**	**18,1**	**18,1**	**18,1**	**18,1**	**31,6**	**31,6**
Суммарные уровни звукового давления от мнимых источников в расчётной точке днём, дБ	**ф-ла (19) [1]**	**0**	**35,9**	**27,3**	**18,1**	**19,3**	**29,8**	**27,3**	**19,1**	**0**	**0**	**32,7**
Суммарные уровни звукового давления от мнимых источников в расчётной точке ночью, дБ	**ф-ла (19) [1]**	**0**	**35,9**	**27,3**	**18,1**	**19,3**	**29,8**	**27,3**	**19,1**	**0**	**0**	**32,7**
Уровни звукового давления от источника ИШ-1-6 в расчётной точке днём, дБ	**ф-ла(3)[10]**	**0**	**39,5**	**31,2**	**28,3**	**31**	**34,9**	**31,2**	**22,2**	**0**	**37,6**	**37,6**
Уровни звукового давления от источника ИШ-1-6 в расчётной точке ночью, дБ	**ф-ла(3)[10]**	**0**	**39,5**	**31,2**	**28,3**	**31**	**34,9**	**31,2**	**22,2**	**0**	**37,6**	**37,6**
Источник шума: ИШ-1-7, координаты источника (x,y,z), м =[451.87,146.66,1.00]												

1		2	3	4	5	6	7	8	9	10	11	12	13
Уровни звуковой мощности источника днём, Lw, дБ		**исходные данные**	**0**	**93,3**	**94,7**	**96**	**96,3**	**95,9**	**92,6**	**88,4**	**83,9**		
Уровни звуковой мощности источника ночью, Lw, дБ		**исходные данные**	**0**	**93,3**	**94,7**	**96**	**96,3**	**95,9**	**92,6**	**88,4**	**83,9**		
Поправка на телесный угол DΩ, дБ	Ω = 6.28	10Lg(4π/Ω)	**3**	3	3	3	3	3	3	3	3		
Показатель направленности источника Di, дБ		исходные данные	**0**	0	0	0	0	0	0	0	0		
Поправка на направленность источника Dc, дБ	Dc	DΩ + Di	**3**	3	3	3	3	3	3	3	3		
Затухание из-за геометрической дивергенции, Adiv, дБ	расстояние = 421.55 м	ф-ла (7) [10]	**63,5**										
Коэффициент затухания звука в атмосфере α, дБ/км	Ta=20,°C Pa=101.33,кПа hотн.=70%	ф-ла (5) [9]	0,02	0,09	0,33	1,12	2,79	4,98	9,04	23,09	77,63		
Учет затухания звука в атмосфере Aatm, дБ		ф-ла (8) [10]	0	0	0,1	0,5	1,2	2,1	3,8	9,7	32,7		
Снижение уровня звукового давления из-за влияния застройки между источником шума и расчетной точкой													
Снижение уровня звукового давления на пути над экраном, Dz1, дБ	z = 0.78м (разность путей)	ф-лы (14-18) [10]	7,9	10	12,4	15	17,9	20,8	23,7	26,7	29,7		
Снижение уровня звукового давления на пути слева от экрана, Dz2, дБ	z = 31.74м (разность путей)	ф-лы (14-18) [10]	24,8	28,3	31,4	34,5	37,5	40,5	43,5	46,5	49,5		
Снижение уровня звукового давления на пути справа от экрана, Dz3, дБ	z = 100.31м (разность путей)	ф-лы (14-18) [10]	29,9	33,3	36,4	39,5	42,5	45,5	48,5	51,5	54,5		
Общее снижение уровня звука препятствием Dz, дБ		Эн.сумма(-Dzi)	7,8	9,9	12,3	15	17,8	20,7	23,7	26,6	29,6		
Общее снижение уровня звука препятствием с учётом ограничения (25 дБ) для октавных полос Dz, дБ		Раздел 7.4 [10]	7,8	9,9	12,3	15	17,8	20,7	23,7	25	25		
Уровни звукового давления прямого звука от источника ИШ-1-7 в расчётной точке днём, дБ		**ф-ла(3)[10]**	**0**	**22,8**	**21,7**	**20**	**16,8**	**12,6**	**4,6**	**0**	**0**	**18**	**18**
Уровни звукового давления прямого звука от источника ИШ-1-7 в расчётной точке ночью, дБ		**ф-ла(3)[10]**	**0**	**22,8**	**21,7**	**20**	**16,8**	**12,6**	**4,6**	**0**	**0**	**18**	**18**
Расчёт отражённого звука													

1		2	3	4	5	6	7	8	9	10	11	12	13
Уровни звукового давления от мнимого источника ИШ-1-7_мн.(1) в расчётной точке днём, дБ		**ф-ла(3)[10]**	**0**	**0**	**0**	**0**	**0**	**0**	**2**	**0**	**0**	**3,2**	**3,2**
Уровни звукового давления от мнимого источника ИШ-1-7_мн.(1) в расчётной точке ночью, дБ		**ф-ла(3)[10]**	**0**	**0**	**0**	**0**	**0**	**0**	**0**	**0**	**0**	**3,2**	**3,2**
Уровни звукового давления от источника ИШ-1-7 в расчётной точке днём, дБ		**ф-ла(3)[10]**	**0**	**22,8**	**21,7**	**20**	**16,8**	**12,6**	**6,5**	**0**	**0**	**18,1**	**18,1**
Уровни звукового давления от источника ИШ-1-7 в расчётной точке ночью, дБ		**ф-ла(3)[10]**	**0**	**22,8**	**21,7**	**20**	**16,8**	**12,6**	**6,5**	**0**	**0**	**18,1**	**18,1**
Источник шума: ИШ-1-8, координаты источника (x,y,z), м =[454.99,145.29,1.00]													
Уровни звуковой мощности источника днём, Lw, дБ		**исходные данные**	**0**	**93,3**	**94,7**	**96**	**96,3**	**95,9**	**92,6**	**88,4**	**83,9**		
Уровни звуковой мощности источника ночью, Lw, дБ		**исходные данные**	**0**	**93,3**	**94,7**	**96**	**96,3**	**95,9**	**92,6**	**88,4**	**83,9**		
Поправка на телесный угол DΩ, дБ	Ω = 6.28	10Lg(4π/Ω)	**3**	3	3	3	3	3	3	3	3		
Показатель направленности источника Di, дБ		исходные данные	**0**	0	0	0	0	0	0	0	0		
Поправка на направленность источника Dc, дБ	Dc	DΩ + Di	**3**	3	3	3	3	3	3	3	3		
Затухание из-за геометрической дивергенции, Adiv, дБ	расстояние = 422.49 м	ф-ла (7) [10]	**63,5**										
Коэффициент затухания звука в атмосфере α, дБ/км	Ta=20,°C Pa=101.33,кПа hотн.=70%	ф-ла (5) [9]	0,02	0,09	0,33	1,12	2,79	4,98	9,04	23,09	77,63		
Учет затухания звука в атмосфере Aatm, дБ		ф-ла (8) [10]	0	0	0,1	0,5	1,2	2,1	3,8	9,8	32,8		
Снижение уровня звукового давления из-за влияния застройки между источником шума и расчетной точкой													
Снижение уровня звукового давления на пути над экраном, Dz1, дБ	z = 0.73м (разность путей)	ф-лы (14-18) [10]	7,6	9,6	11,9	14,5	17,3	20,1	23,1	26,1	29,1		
Снижение уровня звукового давления на пути слева от экрана, Dz2, дБ	z = 30.10м (разность путей)	ф-лы (14-18) [10]	24,6	28,1	31,2	34,2	37,3	40,3	43,3	46,3	49,3		

1		2	3	4	5	6	7	8	9	10	11	12	13
Снижение уровня звукового давления на пути справа от экрана, Dz3, дБ	z = 101.27м (разность путей)	ф-лы (14-18) [10]	30	33,4	36,5	39,5	42,5	45,5	48,5	51,6	54,6		
Общее снижение уровня звука препятствием Dz, дБ		Эн.сумма(-Dzi)	7,5	9,5	11,8	14,4	17,2	20,1	23	26	29		
Общее снижение уровня звука препятствием с учётом ограничения (25 дБ) для октавных полос Dz, дБ		Раздел 7.4 [10]	7,5	9,5	11,8	14,4	17,2	20,1	23	25	25		
Уровни звукового давления прямого звука от источника ИШ-1-8 в расчётной точке днём, дБ		**ф-ла(3)[10]**	**0**	**23,2**	**22,2**	**20,6**	**17,4**	**13,2**	**5,2**	**0**	**0**	**18,6**	**18,6**
Уровни звукового давления прямого звука от источника ИШ-1-8 в расчётной точке ночью, дБ		**ф-ла(3)[10]**	**0**	**23,2**	**22,2**	**20,6**	**17,4**	**13,2**	**5,2**	**0**	**0**	**18,6**	**18,6**
Расчёт отражённого звука													
Уровни звукового давления от мнимого источника ИШ-1-8_мн.(1) в расчётной точке днём, дБ		**ф-ла(3)[10]**	**0**	**0**	**0**	**0**	**0**	**0**	**2,6**	**0**	**0**	**3,8**	**3,8**
Уровни звукового давления от мнимого источника ИШ-1-8_мн.(1) в расчётной точке ночью, дБ		**ф-ла(3)[10]**	**0**	**0**	**0**	**0**	**0**	**0**	**0**	**0**	**0**	**3,8**	**3,8**
Уровни звукового давления от источника ИШ-1-8 в расчётной точке днём, дБ		**ф-ла(3)[10]**	**0**	**23,2**	**22,2**	**20,6**	**17,4**	**13,2**	**7,1**	**0**	**0**	**18,7**	**18,7**
Уровни звукового давления от источника ИШ-1-8 в расчётной точке ночью, дБ		**ф-ла(3)[10]**	**0**	**23,2**	**22,2**	**20,6**	**17,4**	**13,2**	**7,1**	**0**	**0**	**18,7**	**18,7**
Источник шума: ИШ-1-9, координаты источника (x,y,z), м =[458.12,144.31,1.00]													
Уровни звуковой мощности источника днём, Lw, дБ		**исходные данные**	**0**	**93,3**	**94,7**	**96**	**96,3**	**95,9**	**92,6**	**88,4**	**83,9**		
Уровни звуковой мощности источника ночью, Lw, дБ		**исходные данные**	**0**	**93,3**	**94,7**	**96**	**96,3**	**95,9**	**92,6**	**88,4**	**83,9**		
Поправка на телесный угол DΩ, дБ	Ω = 6.28	10Lg(4π/Ω)	**3**	3	3	3	3	3	3	3	3		
Показатель направленности источника Di, дБ		исходные данные	**0**	0	0	0	0	0	0	0	0		
Поправка на направленность источника Dc, дБ	Dc	DΩ + Di	**3**	3	3	3	3	3	3	3	3		
Затухание из-за геометрической дивергенции, Adiv, дБ	расстояние = 423.75 м	ф-ла (7) [10]	**63,5**										

1		2	3	4	5	6	7	8	9	10	11	12	13
Коэффициент затухания звука в атмосфере α, дБ/км	Та=20,°С Ра=101.33,кПа hотн.=70%	ф-ла (5) [9]	0,02	0,09	0,33	1,12	2,79	4,98	9,04	23,09	77,63		
Учет затухания звука в атмосфере Aatm, дБ		ф-ла (8) [10]	0	0	0,1	0,5	1,2	2,1	3,8	9,8	32,9		
Снижение уровня звукового давления из-за влияния застройки между источником шума и расчетной точкой													
Снижение уровня звукового давления на пути над экраном, Dz1, дБ	z = 0.57м (разность путей)	ф-лы (14-18) [10]	6,4	7,9	9,8	12,2	14,8	17,6	20,4	23,4	26,4		
Снижение уровня звукового давления на пути слева от экрана, Dz2, дБ	z = 28.61м (разность путей)	ф-лы (14-18) [10]	24,4	27,9	31	34	37	40	43,1	46,1	49,1		
Снижение уровня звукового давления на пути справа от экрана, Dz3, дБ	z = 101.66м (разность путей)	ф-лы (14-18) [10]	30	33,4	36,5	39,5	42,5	45,5	48,6	51,6	54,6		
Общее снижение уровня звука препятствием Dz, дБ		Эн.сумма(-Dzi)	6,3	7,9	9,8	12,1	14,7	17,5	20,4	23,4	26,3		
Общее снижение уровня звука препятствием с учётом ограничения (25 дБ) для октавных полос Dz, дБ		Раздел 7.4 [10]	6,3	7,9	9,8	12,1	14,7	17,5	20,4	23,4	25		
Уровни звукового давления прямого звука от источника ИШ-1-9 в расчётной точке днём, дБ		**ф-ла(3)[10]**	**0**	**24,8**	**24,2**	**22,9**	**19,8**	**15,7**	**7,8**	**0**	**0**	**21**	**21**
Уровни звукового давления прямого звука от источника ИШ-1-9 в расчётной точке ночью, дБ		**ф-ла(3)[10]**	**0**	**24,8**	**24,2**	**22,9**	**19,8**	**15,7**	**7,8**	**0**	**0**	**21**	**21**
Расчёт отражённого звука													
Уровни звукового давления от мнимого источника ИШ-1-9_мн.(1) в расчётной точке днём, дБ		**ф-ла(3)[10]**	**0**	**0**	**0**	**0**	**0**	**0**	**3**	**0**	**0**	**4,2**	**4,2**
Уровни звукового давления от мнимого источника ИШ-1-9_мн.(1) в расчётной точке ночью, дБ		**ф-ла(3)[10]**	**0**	**0**	**0**	**0**	**0**	**0**	**0**	**0**	**0**	**4,2**	**4,2**
Уровни звукового давления от источника ИШ-1-9 в расчётной точке днём, дБ		**ф-ла(3)[10]**	**0**	**24,8**	**24,2**	**22,9**	**19,8**	**15,7**	**9,1**	**0**	**0**	**21,1**	**21,1**
Уровни звукового давления от источника ИШ-1-9 в расчётной точке ночью, дБ		**ф-ла(3)[10]**	**0**	**24,8**	**24,2**	**22,9**	**19,8**	**15,7**	**9,1**	**0**	**0**	**21,1**	**21,1**
Источник шума: ИШ-1-10, координаты источника (x,y,z), м =[461.05,143.53,1.00]													

1		2	3	4	5	6	7	8	9	10	11	12	13
Уровни звуковой мощности источника днём, Lw, дБ		**исходные данные**	**0**	**93,3**	**94,7**	**96**	**96,3**	**95,9**	**92,6**	**88,4**	**83,9**		
Уровни звуковой мощности источника ночью, Lw, дБ		**исходные данные**	**0**	**93,3**	**94,7**	**96**	**96,3**	**95,9**	**92,6**	**88,4**	**83,9**		
Поправка на телесный угол DΩ, дБ	Ω = 6.28	10Lg(4π/Ω)	**3**	3	3	3	3	3	3	3	3		
Показатель направленности источника Di, дБ		исходные данные	**0**	0	0	0	0	0	0	0	0		
Поправка на направленность источника Dc, дБ	Dc	DΩ + Di	**3**	3	3	3	3	3	3	3	3		
Затухание из-за геометрической дивергенции, Adiv, дБ	расстояние = 425.06 м	ф-ла (7) [10]	**63,6**										
Коэффициент затухания звука в атмосфере α, дБ/км	Ta=20,°C Pa=101.33,кПа hотн.=70%	ф-ла (5) [9]	0,02	0,09	0,33	1,12	2,79	4,98	9,04	23,09	77,63		
Учет затухания звука в атмосфере Aatm, дБ		ф-ла (8) [10]	0	0	0,1	0,5	1,2	2,1	3,8	9,8	33		
Снижение уровня звукового давления из-за влияния застройки между источником шума и расчетной точкой													
Снижение уровня звукового давления на пути над экраном, Dz1, дБ	z = 0.56м (разность путей)	ф-лы (14-18) [10]	6,4	7,9	9,8	12,1	14,7	17,5	20,4	23,3	26,3		
Снижение уровня звукового давления на пути слева от экрана, Dz2, дБ	z = 27.30м (разность путей)	ф-лы (14-18) [10]	24,2	27,7	30,8	33,8	36,8	39,8	42,8	45,9	48,9		
Снижение уровня звукового давления на пути справа от экрана, Dz3, дБ	z = 101.89м (разность путей)	ф-лы (14-18) [10]	30	33,4	36,5	39,5	42,5	45,6	48,6	51,6	54,6		
Общее снижение уровня звука препятствием Dz, дБ		Эн.сумма(-Dzi)	6,3	7,8	9,8	12,1	14,7	17,5	20,4	23,3	26,3		
Общее снижение уровня звука препятствием с учётом ограничения (25 дБ) для октавных полос Dz, дБ		Раздел 7.4 [10]	6,3	7,8	9,8	12,1	14,7	17,5	20,4	23,3	25		
Уровни звукового давления прямого звука от источника ИШ-1-10 в расчётной точке днём, дБ		**ф-ла(3)[10]**	**0**	**24,8**	**24,2**	**22,9**	**19,9**	**15,7**	**7,8**	**0**	**0**	**21**	**21**
Уровни звукового давления прямого звука от источника ИШ-1-10 в расчётной точке ночью, дБ		**ф-ла(3)[10]**	**0**	**24,8**	**24,2**	**22,9**	**19,9**	**15,7**	**7,8**	**0**	**0**	**21**	**21**
Расчёт отражённого звука													

1		2	3	4	5	6	7	8	9	10	11	12	13
Уровни звукового давления от мнимого источника ИШ-1-10_мн.(1) в расчётной точке днём, дБ		**ф-ла(3)[10]**	**0**	**0**	**0**	**0**	**0**	**0**	**3,6**	**0**	**0**	**4,8**	**4,8**
Уровни звукового давления от мнимого источника ИШ-1-10_мн.(1) в расчётной точке ночью, дБ		**ф-ла(3)[10]**	**0**	**0**	**0**	**0**	**0**	**0**	**0**	**0**	**0**	**4,8**	**4,8**
Уровни звукового давления от источника ИШ-1-10 в расчётной точке днём, дБ		**ф-ла(3)[10]**	**0**	**24,8**	**24,2**	**22,9**	**19,9**	**15,7**	**9,2**	**0**	**0**	**21,1**	**21,1**
Уровни звукового давления от источника ИШ-1-10 в расчётной точке ночью, дБ		**ф-ла(3)[10]**	**0**	**24,8**	**24,2**	**22,9**	**19,9**	**15,7**	**9,2**	**0**	**0**	**21,1**	**21,1**
Источник шума: ИШ-1-11, координаты источника (x,y,z), м =[464.18,142.55,1.00]													
Уровни звуковой мощности источника днём, Lw, дБ		**исходные данные**	**0**	**93,3**	**94,7**	**96**	**96,3**	**95,9**	**92,6**	**88,4**	**83,9**		
Уровни звуковой мощности источника ночью, Lw, дБ		**исходные данные**	**0**	**93,3**	**94,7**	**96**	**96,3**	**95,9**	**92,6**	**88,4**	**83,9**		
Поправка на телесный угол DΩ, дБ	Ω = 6.28	10Lg(4π/Ω)	**3**	3	3	3	3	3	3	3	3		
Показатель направленности источника Di, дБ		исходные данные	**0**	0	0	0	0	0	0	0	0		
Поправка на направленность источника Dc, дБ	Dc	DΩ + Di	**3**	3	3	3	3	3	3	3	3		
Затухание из-за геометрической дивергенции, Adiv, дБ	расстояние = 426.37 м	ф-ла (7) [10]	**63,6**										
Коэффициент затухания звука в атмосфере α, дБ/км	Ta=20,°C Pa=101.33,кПа hотн.=70%	ф-ла (5) [9]	0,02	0,09	0,33	1,12	2,79	4,98	9,04	23,09	77,63		
Учет затухания звука в атмосфере Aatm, дБ		ф-ла (8) [10]	0	0	0,1	0,5	1,2	2,1	3,9	9,8	33,1		
Снижение уровня звукового давления из-за влияния застройки между источником шума и расчетной точкой													
Снижение уровня звукового давления на пути над экраном, Dz1, дБ	z = 0.56м (разность путей)	ф-лы (14-18) [10]	6,4	7,9	9,8	12,1	14,7	17,5	20,3	23,3	26,3		
Снижение уровня звукового давления на пути слева от экрана, Dz2, дБ	z = 25.94м (разность путей)	ф-лы (14-18) [10]	24	27,4	30,5	33,6	36,6	39,6	42,6	45,6	48,6		

1		2	3	4	5	6	7	8	9	10	11	12	13
Снижение уровня звукового давления на пути справа от экрана, Dz3, дБ	z = 102.47м (разность путей)	ф-лы (14-18) [10]	30	33,4	36,5	39,6	42,6	45,6	48,6	51,6	54,6		
Общее снижение уровня звука препятствием Dz, дБ		Эн.сумма(-Dzi)	6,3	7,8	9,7	12	14,6	17,4	20,3	23,3	26,2		
Общее снижение уровня звука препятствием с учётом ограничения (25 дБ) для октавных полос Dz, дБ		Раздел 7.4 [10]	6,3	7,8	9,7	12	14,6	17,4	20,3	23,3	25		
Уровни звукового давления прямого звука от источника ИШ-1-11 в расчётной точке днём, дБ		**ф-ла(3)[10]**	**0**	**24,8**	**24,2**	**22,9**	**19,9**	**15,8**	**7,8**	**0**	**0**	**21**	**21**
Уровни звукового давления прямого звука от источника ИШ-1-11 в расчётной точке ночью, дБ		**ф-ла(3)[10]**	**0**	**24,8**	**24,2**	**22,9**	**19,9**	**15,8**	**7,8**	**0**	**0**	**21**	**21**
Расчёт отражённого звука													
Уровни звукового давления от мнимого источника ИШ-1-11_мн.(1) в расчётной точке днём, дБ		**ф-ла(3)[10]**	**0**	**0**	**0**	**0**	**0**	**0**	**3,1**	**0**	**0**	**4,3**	**4,3**
Уровни звукового давления от мнимого источника ИШ-1-11_мн.(1) в расчётной точке ночью, дБ		**ф-ла(3)[10]**	**0**	**0**	**0**	**0**	**0**	**0**	**0**	**0**	**0**	**4,3**	**4,3**
Уровни звукового давления от источника ИШ-1-11 в расчётной точке днём, дБ		**ф-ла(3)[10]**	**0**	**24,8**	**24,2**	**22,9**	**19,9**	**15,8**	**9,1**	**0**	**0**	**21,1**	**21,1**
Уровни звукового давления от источника ИШ-1-11 в расчётной точке ночью, дБ		**ф-ла(3)[10]**	**0**	**24,8**	**24,2**	**22,9**	**19,9**	**15,8**	**9,1**	**0**	**0**	**21,1**	**21,1**
Источник шума: ИШ-1-12, координаты источника (x,y,z), м =[435.45,97.79,1.00]													
Уровни звуковой мощности источника днём, Lw, дБ		**исходные данные**	**0**	**93,3**	**94,7**	**96**	**96,3**	**95,9**	**92,6**	**88,4**	**83,9**		
Уровни звуковой мощности источника ночью, Lw, дБ		**исходные данные**	**0**	**93,3**	**94,7**	**96**	**96,3**	**95,9**	**92,6**	**88,4**	**83,9**		
Поправка на телесный угол DΩ, дБ	Ω = 6.28	10Lg(4π/Ω)	**3**	3	3	3	3	3	3	3	3		
Показатель направленности источника Di, дБ		исходные данные	**0**	0	0	0	0	0	0	0	0		
Поправка на направленность источника Dc, дБ	Dc	DΩ + Di	**3**	3	3	3	3	3	3	3	3		
Затухание из-за геометрической дивергенции, Adiv, дБ	расстояние = 373.82 м	ф-ла (7) [10]	**62,5**										

1		2	3	4	5	6	7	8	9	10	11	12	13
Коэффициент затухания звука в атмосфере α, дБ/км	Та=20,°С Ра=101.33,кПа hотн.=70%	ф-ла (5) [9]	0,02	0,09	0,33	1,12	2,79	4,98	9,04	23,09	77,63		
Учет затухания звука в атмосфере Aatm, дБ		ф-ла (8) [10]	0	0	0,1	0,4	1	1,9	3,4	8,6	29		
Снижение уровня звукового давления из-за влияния застройки между источником шума и расчетной точкой													
Снижение уровня звукового давления на пути над экраном, Dz1, дБ	z = 0.81м (разность путей)	ф-лы (14-18) [10]	8,1	10,4	12,8	15,5	18,4	21,3	24,3	27,2	30,2		
Снижение уровня звукового давления на пути слева от экрана, Dz2, дБ	z = 28.74м (разность путей)	ф-лы (14-18) [10]	24,4	27,9	31	34	37,1	40,1	43,1	46,1	49,1		
Снижение уровня звукового давления на пути справа от экрана, Dz3, дБ	z = 196.47м (разность путей)	ф-лы (14-18) [10]	32,8	36,2	39,3	42,4	45,4	48,4	51,4	54,4	57,4		
Общее снижение уровня звука препятствием Dz, дБ		Эн.сумма(-Dzi)	8	10,3	12,8	15,5	18,3	21,2	24,2	27,2	30,2		
Общее снижение уровня звука препятствием с учётом ограничения (25 дБ) для октавных полос Dz, дБ		Раздел 7.4 [10]	8	10,3	12,8	15,5	18,3	21,2	24,2	25	25		
Уровни звукового давления от источника ИШ-1-12 в расчётной точке днём, дБ		**ф-ла(3)[10]**	**0**	**23,5**	**22,3**	**20,6**	**17,5**	**13,3**	**5,6**	**0**	**0**	**18,7**	**18,7**
Уровни звукового давления от источника ИШ-1-12 в расчётной точке ночью, дБ		**ф-ла(3)[10]**	**0**	**23,5**	**22,3**	**20,6**	**17,5**	**13,3**	**5,6**	**0**	**0**	**18,7**	**18,7**
Источник шума: ИШ-1-13, координаты источника (x,y,z), м =[438.77,96.82,1.00]													
Уровни звуковой мощности источника днём, Lw, дБ		**исходные данные**	**0**	**93,3**	**94,7**	**96**	**96,3**	**95,9**	**92,6**	**88,4**	**83,9**		
Уровни звуковой мощности источника ночью, Lw, дБ		**исходные данные**	**0**	**93,3**	**94,7**	**96**	**96,3**	**95,9**	**92,6**	**88,4**	**83,9**		
Поправка на телесный угол DΩ, дБ	Ω = 6.28	10Lg($4\pi/\Omega$)	**3**	3	3	3	3	3	3	3	3		
Показатель направленности источника Di, дБ		исходные данные	**0**	0	0	0	0	0	0	0	0		
Поправка на направленность источника Dc, дБ	Dc	DΩ + Di	**3**	3	3	3	3	3	3	3	3		

1		2	3	4	5	6	7	8	9	10	11	12	13
Затухание из-за геометрической дивергенции, Adiv, дБ	расстояние = 375.34 м	ф-ла (7) [10]	**62,5**										
Коэффициент затухания звука в атмосфере α, дБ/км	Ta=20,°C Pa=101.33,кПа hотн.=70%	ф-ла (5) [9]	0,02	0,09	0,33	1,12	2,79	4,98	9,04	23,09	77,63		
Учет затухания звука в атмосфере Aatm, дБ		ф-ла (8) [10]	0	0	0,1	0,4	1	1,9	3,4	8,7	29,1		
Снижение уровня звукового давления из-за влияния застройки между источником шума и расчетной точкой													
Снижение уровня звукового давления на пути над экраном, Dz1, дБ	z = 0.81м (разность путей)	ф-лы (14-18) [10]	8	10,3	12,8	15,5	18,3	21,2	24,2	27,2	30,2		
Снижение уровня звукового давления на пути слева от экрана, Dz2, дБ	z = 26.62м (разность путей)	ф-лы (14-18) [10]	24,1	27,6	30,7	33,7	36,7	39,7	42,7	45,8	48,8		
Снижение уровня звукового давления на пути справа от экрана, Dz3, дБ	z = 195.74м (разность путей)	ф-лы (14-18) [10]	32,8	36,2	39,3	42,4	45,4	48,4	51,4	54,4	57,4		
Общее снижение уровня звука препятствием Dz, дБ		Эн.сумма(-Dzi)	7,9	10,2	12,7	15,4	18,3	21,2	24,1	27,1	30,1		
Общее снижение уровня звука препятствием с учётом ограничения (25 дБ) для октавных полос Dz, дБ		Раздел 7.4 [10]	7,9	10,2	12,7	15,4	18,3	21,2	24,1	25	25		
Уровни звукового давления прямого звука от источника ИШ-1-13 в расчётной точке днём, дБ		**ф-ла(3)[10]**	**0**	**23,5**	**22,4**	**20,7**	**17,5**	**13,4**	**5,6**	**0**	**0**	**18,7**	**18,7**
Уровни звукового давления прямого звука от источника ИШ-1-13 в расчётной точке ночью, дБ		**ф-ла(3)[10]**	**0**	**23,5**	**22,4**	**20,7**	**17,5**	**13,4**	**5,6**	**0**	**0**	**18,7**	**18,7**
Расчёт отражённого звука													
Уровни звукового давления от мнимого источника ИШ-1-13_мн.(1) в расчётной точке днём, дБ		**ф-ла(3)[10]**	**0**	**0**	**0**	**0**	**0**	**0**	**0**	**0**	**0**	**0**	**0**
Уровни звукового давления от мнимого источника ИШ-1-13_мн.(1) в расчётной точке ночью, дБ		**ф-ла(3)[10]**	**0**	**0**	**0**	**0**	**0**	**0**	**0**	**0**	**0**	**0**	**0**
Уровни звукового давления от источника ИШ-1-13 в расчётной точке днём, дБ		**ф-ла(3)[10]**	**0**	**23,5**	**22,4**	**20,7**	**17,5**	**13,4**	**5,6**	**0**	**0**	**18,7**	**18,7**
Уровни звукового давления от источника ИШ-1-13 в расчётной точке ночью, дБ		**ф-ла(3)[10]**	**0**	**23,5**	**22,4**	**20,7**	**17,5**	**13,4**	**5,6**	**0**	**0**	**18,7**	**18,7**

1		2	3	4	5	6	7	8	9	10	11	12	13
Источник шума: ИШ-1-14, координаты источника (x,y,z), м =[441.70,96.03,1.00]													
Уровни звуковой мощности источника днём, Lw, дБ		**исходные данные**	**0**	**93,3**	**94,7**	**96**	**96,3**	**95,9**	**92,6**	**88,4**	**83,9**		
Уровни звуковой мощности источника ночью, Lw, дБ		**исходные данные**	**0**	**93,3**	**94,7**	**96**	**96,3**	**95,9**	**92,6**	**88,4**	**83,9**		
Поправка на телесный угол DΩ, дБ	Ω = 6.28	10Lg(4π/Ω)	**3**	3	3	3	3	3	3	3	3		
Показатель направленности источника Di, дБ		исходные данные	**0**	0	0	0	0	0	0	0	0		
Поправка на направленность источника Dc, дБ	Dc	DΩ + Di	**3**	3	3	3	3	3	3	3	3		
Затухание из-за геометрической дивергенции, Adiv, дБ	расстояние = 376.77 м	ф-ла (7) [10]	**62,5**										
Коэффициент затухания звука в атмосфере α, дБ/км	Ta=20,°C Pa=101.33,кПа hотн.=70%	ф-ла (5) [9]	0,02	0,09	0,33	1,12	2,79	4,98	9,04	23,09	77,63		
Учет затухания звука в атмосфере Aatm, дБ		ф-ла (8) [10]	0	0	0,1	0,4	1,1	1,9	3,4	8,7	29,2		
Снижение уровня звукового давления из-за влияния застройки между источником шума и расчетной точкой													
Снижение уровня звукового давления на пути над экраном, Dz1, дБ	z = 0.80м (разность путей)	ф-лы (14-18) [10]	8	10,3	12,8	15,4	18,3	21,2	24,2	27,1	30,1		
Снижение уровня звукового давления на пути слева от экрана, Dz2, дБ	z = 24.90м (разность путей)	ф-лы (14-18) [10]	23,8	27,3	30,4	33,4	36,4	39,4	42,4	45,5	48,5		
Снижение уровня звукового давления на пути справа от экрана, Dz3, дБ	z = 195.03м (разность путей)	ф-лы (14-18) [10]	32,8	36,2	39,3	42,3	45,4	48,4	51,4	54,4	57,4		
Общее снижение уровня звука препятствием Dz, дБ		Эн.сумма(-Dzi)	7,9	10,2	12,7	15,4	18,2	21,1	24,1	27,1	30,1		
Общее снижение уровня звука препятствием с учётом ограничения (25 дБ) для октавных полос Dz, дБ		Раздел 7.4 [10]	7,9	10,2	12,7	15,4	18,2	21,1	24,1	25	25		
Уровни звукового давления от источника ИШ-1-14 в расчётной точке днём, дБ		**ф-ла(3)[10]**	**0**	**23,6**	**22,4**	**20,7**	**17,5**	**13,4**	**5,6**	**0**	**0**	**18,7**	**18,7**

1		2	3	4	5	6	7	8	9	10	11	12	13
Уровни звукового давления от источника ИШ-1-14 в расчётной точке ночью, дБ		**ф-ла(3)[10]**	**0**	**23,6**	**22,4**	**20,7**	**17,5**	**13,4**	**5,6**	**0**	**0**	**18,7**	**18,7**
Источник шума: ИШ-1-15, координаты источника (x,y,z), м =[445.03,95.25,1.00]													
Уровни звуковой мощности источника днём, Lw, дБ		**исходные данные**	**0**	**93,3**	**94,7**	**96**	**96,3**	**95,9**	**92,6**	**88,4**	**83,9**		
Уровни звуковой мощности источника ночью, Lw, дБ		**исходные данные**	**0**	**93,3**	**94,7**	**96**	**96,3**	**95,9**	**92,6**	**88,4**	**83,9**		
Поправка на телесный угол DΩ, дБ	Ω = 6.28	10Lg(4π/Ω)	**3**	3	3	3	3	3	3	3	3		
Показатель направленности источника Di, дБ		исходные данные	**0**	0	0	0	0	0	0	0	0		
Поправка на направленность источника Dc, дБ	Dc	DΩ + Di	**3**	3	3	3	3	3	3	3	3		
Затухание из-за геометрической дивергенции, Adiv, дБ	расстояние = 378.48 м	ф-ла (7) [10]	**62,6**										
Коэффициент затухания звука в атмосфере α, дБ/км	Ta=20,°C Pa=101.33,кПа hотн.=70%	ф-ла (5) [9]	0,02	0,09	0,33	1,12	2,79	4,98	9,04	23,09	77,63		
Учет затухания звука в атмосфере Aatm, дБ		ф-ла (8) [10]	0	0	0,1	0,4	1,1	1,9	3,4	8,7	29,4		
Снижение уровня звукового давления из-за влияния застройки между источником шума и расчетной точкой													
Снижение уровня звукового давления на пути над экраном, Dz1, дБ	z = 0.80м (разность путей)	ф-лы (14-18) [10]	8	10,2	12,7	15,4	18,2	21,1	24,1	27,1	30,1		
Снижение уровня звукового давления на пути слева от экрана, Dz2, дБ	z = 23.12м (разность путей)	ф-лы (14-18) [10]	23,5	26,9	30	33,1	36,1	39,1	42,1	45,1	48,1		
Снижение уровня звукового давления на пути справа от экрана, Dz3, дБ	z = 194.11м (разность путей)	ф-лы (14-18) [10]	32,8	36,2	39,3	42,3	45,3	48,4	51,4	54,4	57,4		
Общее снижение уровня звука препятствием Dz, дБ		Эн.сумма(-Dzi)	7,9	10,1	12,6	15,3	18,1	21	24	27	30		
Общее снижение уровня звука препятствием с учётом ограничения (25 дБ) для октавных полос Dz, дБ		Раздел 7.4 [10]	7,9	10,1	12,6	15,3	18,1	21	24	25	25		

1		2	3	4	5	6	7	8	9	10	11	12	13
Уровни звукового давления от источника ИШ-1-15 в расчётной точке днём, дБ		**ф-ла(3)[10]**	**0**	**23,6**	**22,4**	**20,7**	**17,5**	**13,4**	**5,6**	**0**	**0**	**18,7**	**18,7**
Уровни звукового давления от источника ИШ-1-15 в расчётной точке ночью, дБ		**ф-ла(3)[10]**	**0**	**23,6**	**22,4**	**20,7**	**17,5**	**13,4**	**5,6**	**0**	**0**	**18,7**	**18,7**
Источник шума: ИШ-1-16, координаты источника (x,y,z), м =[447.96,94.28,1.00]													
Уровни звуковой мощности источника днём, Lw, дБ		**исходные данные**	**0**	**93,3**	**94,7**	**96**	**96,3**	**95,9**	**92,6**	**88,4**	**83,9**		
Уровни звуковой мощности источника ночью, Lw, дБ		**исходные данные**	**0**	**93,3**	**94,7**	**96**	**96,3**	**95,9**	**92,6**	**88,4**	**83,9**		
Поправка на телесный угол DΩ, дБ	Ω = 6.28	10Lg(4π/Ω)	**3**	3	3	3	3	3	3	3	3		
Показатель направленности источника Di, дБ		исходные данные	**0**	0	0	0	0	0	0	0	0		
Поправка на направленность источника Dc, дБ	Dc	DΩ + Di	**3**	3	3	3	3	3	3	3	3		
Затухание из-за геометрической дивергенции, Adiv, дБ	расстояние = 379.80 м	ф-ла (7) [10]	**62,6**										
Коэффициент затухания звука в атмосфере α, дБ/км	Та=20,°С Ра=101.33,кПа hотн.=70%	ф-ла (5) [9]	0,02	0,09	0,33	1,12	2,79	4,98	9,04	23,09	77,63		
Учет затухания звука в атмосфере Aatm, дБ		ф-ла (8) [10]	0	0	0,1	0,4	1,1	1,9	3,4	8,8	29,5		
Снижение уровня звукового давления из-за влияния застройки между источником шума и расчетной точкой													
Снижение уровня звукового давления на пути над экраном, Dz1, дБ	z = 0.80м (разность путей)	ф-лы (14-18) [10]	8	10,2	12,7	15,3	18,2	21,1	24	27	30		
Снижение уровня звукового давления на пути слева от экрана, Dz2, дБ	z = 21.60м (разность путей)	ф-лы (14-18) [10]	23,2	26,7	29,8	32,8	35,8	38,8	41,8	44,8	47,9		
Снижение уровня звукового давления на пути справа от экрана, Dz3, дБ	z = 193.86м (разность путей)	ф-лы (14-18) [10]	32,8	36,2	39,3	42,3	45,3	48,4	51,4	54,4	57,4		
Общее снижение уровня звука препятствием Dz, дБ		Эн.сумма(-Dzi)	7,8	10,1	12,6	15,3	18,1	21	24	27	29,9		

1		2	3	4	5	6	7	8	9	10	11	12	13
Общее снижение уровня звука препятствием с учётом ограничения (25 дБ) для октавных полос Dz, дБ		Раздел 7.4 [10]	7,8	10,1	12,6	15,3	18,1	21	24	25	25		
Уровни звукового давления от источника ИШ-1-16 в расчётной точке днём, дБ		**ф-ла(3)[10]**	**0**	**23,6**	**22,4**	**20,7**	**17,6**	**13,4**	**5,6**	**0**	**0**	**18,8**	**18,8**
Уровни звукового давления от источника ИШ-1-16 в расчётной точке ночью, дБ		**ф-ла(3)[10]**	**0**	**23,6**	**22,4**	**20,7**	**17,6**	**13,4**	**5,6**	**0**	**0**	**18,8**	**18,8**
Источник шума: ИШ-1-17, координаты источника (x,y,z), м =[540.99,141.77,1.00]													
Уровни звуковой мощности источника днём, Lw, дБ		**исходные данные**	**0**	**93,3**	**94,7**	**96**	**96,3**	**95,9**	**92,6**	**88,4**	**83,9**		
Уровни звуковой мощности источника ночью, Lw, дБ		**исходные данные**	**0**	**93,3**	**94,7**	**96**	**96,3**	**95,9**	**92,6**	**88,4**	**83,9**		
Поправка на телесный угол DΩ, дБ	Ω = 6.28	10Lg(4π/Ω)	**3**	3	3	3	3	3	3	3	3		
Показатель направленности источника Di, дБ		исходные данные	**0**	0	0	0	0	0	0	0	0		
Поправка на направленность источника Dc, дБ	Dc	DΩ + Di	**3**	3	3	3	3	3	3	3	3		
Затухание из-за геометрической дивергенции, Adiv, дБ	расстояние = 479.78 м	ф-ла (7) [10]	**64,6**										
Коэффициент затухания звука в атмосфере α, дБ/км	Ta=20,°C Pa=101.33,кПа hотн.=70%	ф-ла (5) [9]	0,02	0,09	0,33	1,12	2,79	4,98	9,04	23,09	77,63		
Учет затухания звука в атмосфере Aatm, дБ		ф-ла (8) [10]	0	0	0,2	0,5	1,3	2,4	4,3	11,1	37,2		
Снижение уровня звукового давления из-за влияния застройки между источником шума и расчетной точкой													
Снижение уровня звукового давления на пути над экраном, Dz1, дБ	z = 0.91м (разность путей)	ф-лы (14-18) [10]	8,3	10,4	12,9	15,6	18,4	21,3	24,3	27,3	30,3		
Снижение уровня звукового давления на пути слева от экрана, Dz2, дБ	z = 12.53м (разность путей)	ф-лы (14-18) [10]	21,1	24,4	27,4	30,4	33,4	36,5	39,5	42,5	45,5		
Снижение уровня звукового давления на пути справа от экрана, Dz3, дБ	z = 67.56м (разность путей)	ф-лы (14-18) [10]	28,4	31,7	34,7	37,7	40,8	43,8	46,8	49,8	52,8		

1		2	3	4	5	6	7	8	9	10	11	12	13
Общее снижение уровня звука препятствием Dz, дБ		Эн.сумма(-Dzi)	8	10,2	12,7	15,4	18,2	21,2	24,1	27,1	30,1		
Общее снижение уровня звука препятствием с учётом ограничения (25 дБ) для октавных полос Dz, дБ		Раздел 7.4 [10]	8	10,2	12,7	15,4	18,2	21,2	24,1	25	25		
Уровни звукового давления от источника ИШ-1-17 в расчётной точке днём, дБ		**ф-ла(3)[10]**	**0**	**21,4**	**20,2**	**18,4**	**15,1**	**10,7**	**2,5**	**0**	**0**	**16,3**	**16,3**
Уровни звукового давления от источника ИШ-1-17 в расчётной точке ночью, дБ		**ф-ла(3)[10]**	**0**	**21,4**	**20,2**	**18,4**	**15,1**	**10,7**	**2,5**	**0**	**0**	**16,3**	**16,3**
Источник шума: ИШ-1-18, координаты источника (x,y,z), м =[543.53,140.79,1.00]													
Уровни звуковой мощности источника днём, Lw, дБ		**исходные данные**	**0**	**93,3**	**94,7**	**96**	**96,3**	**95,9**	**92,6**	**88,4**	**83,9**		
Уровни звуковой мощности источника ночью, Lw, дБ		**исходные данные**	**0**	**93,3**	**94,7**	**96**	**96,3**	**95,9**	**92,6**	**88,4**	**83,9**		
Поправка на телесный угол DΩ, дБ	Ω = 6.28	10Lg(4π/Ω)	**3**	3	3	3	3	3	3	3	3		
Показатель направленности источника Di, дБ		исходные данные	**0**	0	0	0	0	0	0	0	0		
Поправка на направленность источника Dc, дБ	Dc	DΩ + Di	**3**	3	3	3	3	3	3	3	3		
Затухание из-за геометрической дивергенции, Adiv, дБ	расстояние = 481.02 м	ф-ла (7) [10]	**64,6**										
Коэффициент затухания звука в атмосфере α, дБ/км	Ta=20,°C Pa=101.33,кПа hотн.=70%	ф-ла (5) [9]	0,02	0,09	0,33	1,12	2,79	4,98	9,04	23,09	77,63		
Учет затухания звука в атмосфере Aatm, дБ		ф-ла (8) [10]	0	0	0,2	0,5	1,3	2,4	4,3	11,1	37,3		
Снижение уровня звукового давления из-за влияния застройки между источником шума и расчетной точкой													
Снижение уровня звукового давления на пути над экраном, Dz1, дБ	z = 0.84м (разность путей)	ф-лы (14-18) [10]	7,9	10	12,4	15	17,8	20,7	23,7	26,7	29,7		
Снижение уровня звукового давления на пути слева от экрана, Dz2, дБ	z = 11.88м (разность путей)	ф-лы (14-18) [10]	20,9	24,1	27,2	30,2	33,2	36,2	39,2	42,2	45,3		

1		2	3	4	5	6	7	8	9	10	11	12	13
Снижение уровня звукового давления на пути справа от экрана, Dz3, дБ	z = 68.34м (разность путей)	ф-лы (14-18) [10]	28,4	31,7	34,8	37,8	40,8	43,8	46,8	49,8	52,9		
Общее снижение уровня звука препятствием Dz, дБ		Эн.сумма(-Dzi)	7,7	9,8	12,2	14,9	17,7	20,6	23,5	26,5	29,5		
Общее снижение уровня звука препятствием с учётом ограничения (25 дБ) для октавных полос Dz, дБ		Раздел 7.4 [10]	7,7	9,8	12,2	14,9	17,7	20,6	23,5	25	25		
Уровни звукового давления от источника ИШ-1-18 в расчётной точке днём, дБ		**ф-ла(3)[10]**	**0**	**21,8**	**20,7**	**18,9**	**15,6**	**11,3**	**3,1**	**0**	**0**	**16,8**	**16,8**
Уровни звукового давления от источника ИШ-1-18 в расчётной точке ночью, дБ		**ф-ла(3)[10]**	**0**	**21,8**	**20,7**	**18,9**	**15,6**	**11,3**	**3,1**	**0**	**0**	**16,8**	**16,8**
Источник шума: ИШ-1-19, координаты источника (x,y,z), м =[547.25,139.62,1.00]													
Уровни звуковой мощности источника днём, Lw, дБ		**исходные данные**	**0**	**93,3**	**94,7**	**96**	**96,3**	**95,9**	**92,6**	**88,4**	**83,9**		
Уровни звуковой мощности источника ночью, Lw, дБ		**исходные данные**	**0**	**93,3**	**94,7**	**96**	**96,3**	**95,9**	**92,6**	**88,4**	**83,9**		
Поправка на телесный угол DΩ, дБ	Ω = 6.28	10Lg(4π/Ω)	**3**	3	3	3	3	3	3	3	3		
Показатель направленности источника Di, дБ		исходные данные	**0**	0	0	0	0	0	0	0	0		
Поправка на направленность источника Dc, дБ	Dc	DΩ + Di	**3**	3	3	3	3	3	3	3	3		
Затухание из-за геометрической дивергенции, Adiv, дБ	расстояние = 483.03 м	ф-ла (7) [10]	**64,7**										
Коэффициент затухания звука в атмосфере α, дБ/км	Ta=20,°C Pa=101.33,кПа hотн.=70%	ф-ла (5) [9]	0,02	0,09	0,33	1,12	2,79	4,98	9,04	23,09	77,63		
Учет затухания звука в атмосфере Aatm, дБ		ф-ла (8) [10]	0	0	0,2	0,5	1,3	2,4	4,4	11,2	37,5		
Снижение уровня звукового давления из-за влияния застройки между источником шума и расчетной точкой													
Снижение уровня звукового давления на пути над экраном, Dz1, дБ	z = 0.78м (разность путей)	ф-лы (14-18) [10]	7,6	9,5	11,7	14,3	17,1	20	22,9	25,9	28,9		

1		2	3	4	5	6	7	8	9	10	11	12	13
Снижение уровня звукового давления на пути слева от экрана, Dz2, дБ	z = 11.06м (разность путей)	ф-лы (14-18) [10]	20,6	23,8	26,9	29,9	32,9	35,9	38,9	41,9	44,9		
Снижение уровня звукового давления на пути справа от экрана, Dz3, дБ	z = 69.20м (разность путей)	ф-лы (14-18) [10]	28,5	31,8	34,8	37,9	40,9	43,9	46,9	49,9	52,9		
Общее снижение уровня звука препятствием Dz, дБ		Эн.сумма(-Dzi)	7,3	9,3	11,6	14,2	17	19,8	22,8	25,8	28,8		
Общее снижение уровня звука препятствием с учётом ограничения (25 дБ) для октавных полос Dz, дБ		Раздел 7.4 [10]	7,3	9,3	11,6	14,2	17	19,8	22,8	25	25		
Уровни звукового давления от источника ИШ-1-19 в расчётной точке днём, дБ		**ф-ла(3)[10]**	**0**	**22,3**	**21,3**	**19,6**	**16,3**	**12**	**3,8**	**0**	**0**	**17,4**	**17,4**
Уровни звукового давления от источника ИШ-1-19 в расчётной точке ночью, дБ		**ф-ла(3)[10]**	**0**	**22,3**	**21,3**	**19,6**	**16,3**	**12**	**3,8**	**0**	**0**	**17,4**	**17,4**
Источник шума: ИШ-1-20, координаты источника (x,y,z), м =[550.38,138.64,1.00]													
Уровни звуковой мощности источника днём, Lw, дБ		**исходные данные**	**0**	**93,3**	**94,7**	**96**	**96,3**	**95,9**	**92,6**	**88,4**	**83,9**		
Уровни звуковой мощности источника ночью, Lw, дБ		**исходные данные**	**0**	**93,3**	**94,7**	**96**	**96,3**	**95,9**	**92,6**	**88,4**	**83,9**		
Поправка на телесный угол DΩ, дБ	Ω = 6.28	10Lg(4π/Ω)	**3**	3	3	3	3	3	3	3	3		
Показатель направленности источника Di, дБ		исходные данные	**0**	0	0	0	0	0	0	0	0		
Поправка на направленность источника Dc, дБ	Dc	DΩ + Di	**3**	3	3	3	3	3	3	3	3		
Затухание из-за геометрической дивергенции, Adiv, дБ	расстояние = 484.74 м	ф-ла (7) [10]	**64,7**										
Коэффициент затухания звука в атмосфере α, дБ/км	Ta=20,°C Pa=101.33,кПа hотн.=70%	ф-ла (5) [9]	0,02	0,09	0,33	1,12	2,79	4,98	9,04	23,09	77,63		
Учет затухания звука в атмосфере Aatm, дБ		ф-ла (8) [10]	0	0	0,2	0,5	1,4	2,4	4,4	11,2	37,6		
Снижение уровня звукового давления из-за влияния застройки между источником шума и расчетной точкой													

1		2	3	4	5	6	7	8	9	10	11	12	13
Снижение уровня звукового давления на пути над экраном, Dz1, дБ	z = 0.73м (разность путей)	ф-лы (14-18) [10]	7,3	9,1	11,3	13,8	16,5	19,4	22,3	25,3	28,3		
Снижение уровня звукового давления на пути слева от экрана, Dz2, дБ	z = 10.45м (разность путей)	ф-лы (14-18) [10]	20,3	23,6	26,6	29,7	32,7	35,7	38,7	41,7	44,7		
Снижение уровня звукового давления на пути справа от экрана, Dz3, дБ	z = 70.01м (разность путей)	ф-лы (14-18) [10]	28,5	31,8	34,9	37,9	40,9	43,9	46,9	49,9	53		
Общее снижение уровня звука препятствием Dz, дБ		Эн.сумма(-Dzi)	7	8,9	11,1	13,7	16,4	19,3	22,2	25,2	28,2		
Общее снижение уровня звука препятствием с учётом ограничения (25 дБ) для октавных полос Dz, дБ		Раздел 7.4 [10]	7	8,9	11,1	13,7	16,4	19,3	22,2	25	25		
Уровни звукового давления от источника ИШ-1-20 в расчётной точке днём, дБ		**ф-ла(3)[10]**	**0**	**22,6**	**21,7**	**20,1**	**16,8**	**12,5**	**4,3**	**0**	**0**	**18**	**18**
Уровни звукового давления от источника ИШ-1-20 в расчётной точке ночью, дБ		**ф-ла(3)[10]**	**0**	**22,6**	**21,7**	**20,1**	**16,8**	**12,5**	**4,3**	**0**	**0**	**18**	**18**
Источник шума: ИШ-1-21, координаты источника (x,y,z), м =[553.31,137.67,1.00]													
Уровни звуковой мощности источника днём, Lw, дБ		**исходные данные**	**0**	**93,3**	**94,7**	**96**	**96,3**	**95,9**	**92,6**	**88,4**	**83,9**		
Уровни звуковой мощности источника ночью, Lw, дБ		**исходные данные**	**0**	**93,3**	**94,7**	**96**	**96,3**	**95,9**	**92,6**	**88,4**	**83,9**		
Поправка на телесный угол DΩ, дБ	Ω = 6.28	10Lg(4π/Ω)	**3**	3	3	3	3	3	3	3	3		
Показатель направленности источника Di, дБ		исходные данные	**0**	0	0	0	0	0	0	0	0		
Поправка на направленность источника Dc, дБ	Dc	DΩ + Di	**3**	3	3	3	3	3	3	3	3		
Затухание из-за геометрической дивергенции, Adiv, дБ	расстояние = 486.32 м	ф-ла (7) [10]	**64,7**										
Коэффициент затухания звука в атмосфере α, дБ/км	Ta=20,°C Pa=101.33,кПа hотн.=70%	ф-ла (5) [9]	0,02	0,09	0,33	1,12	2,79	4,98	9,04	23,09	77,63		
Учет затухания звука в атмосфере Aatm, дБ		ф-ла (8) [10]	0	0	0,2	0,5	1,4	2,4	4,4	11,2	37,8		

1		2	3	4	5	6	7	8	9	10	11	12	13
Снижение уровня звукового давления из-за влияния застройки между источником шума и расчетной точкой													
Снижение уровня звукового давления на пути над экраном, Dz1, дБ	z = 0.69м (разность путей)	ф-лы (14-18) [10]	7,1	8,8	10,9	13,3	16	18,9	21,8	24,8	27,8		
Снижение уровня звукового давления на пути слева от экрана, Dz2, дБ	z = 9.93м (разность путей)	ф-лы (14-18) [10]	20,1	23,4	26,4	29,4	32,4	35,5	38,5	41,5	44,5		
Снижение уровня звукового давления на пути справа от экрана, Dz3, дБ	z = 70.92м (разность путей)	ф-лы (14-18) [10]	28,6	31,9	34,9	38	41	44	47	50	53		
Общее снижение уровня звука препятствием Dz, дБ		Эн.сумма(-Dzi)	6,8	8,6	10,7	13,2	15,9	18,8	21,7	24,7	27,7		
Общее снижение уровня звука препятствием с учётом ограничения (25 дБ) для октавных полос Dz, дБ		Раздел 7.4 [10]	6,8	8,6	10,7	13,2	15,9	18,8	21,7	24,7	25		
Уровни звукового давления от источника ИШ-1-21 в расчётной точке днём, дБ		**ф-ла(3)[10]**	**0**	**22,9**	**22,1**	**20,5**	**17,3**	**12,9**	**4,7**	**0**	**0**	**18,4**	**18,4**
Уровни звукового давления от источника ИШ-1-21 в расчётной точке ночью, дБ		**ф-ла(3)[10]**	**0**	**22,9**	**22,1**	**20,5**	**17,3**	**12,9**	**4,7**	**0**	**0**	**18,4**	**18,4**
Источник шума: ИШ-1-22, координаты источника (x,y,z), м =[522.03,85.28,1.00]													
Уровни звуковой мощности источника днём, Lw, дБ		**исходные данные**	**0**	**93,3**	**94,7**	**96**	**96,3**	**95,9**	**92,6**	**88,4**	**83,9**		
Уровни звуковой мощности источника ночью, Lw, дБ		**исходные данные**	**0**	**93,3**	**94,7**	**96**	**96,3**	**95,9**	**92,6**	**88,4**	**83,9**		
Поправка на телесный угол DΩ, дБ	Ω = 6.28	10Lg(4π/Ω)	**3**	3	3	3	3	3	3	3	3		
Показатель направленности источника Di, дБ		исходные данные	**0**	0	0	0	0	0	0	0	0		
Поправка на направленность источника Dc, дБ	Dc	DΩ + Di	**3**	3	3	3	3	3	3	3	3		
Затухание из-за геометрической дивергенции, Adiv, дБ	расстояние = 428.91 м	ф-ла (7) [10]	**63,6**										
Коэффициент затухания звука в атмосфере α, дБ/км	Ta=20,°C Pa=101.33,кПа hотн.=70%	ф-ла (5) [9]	0,02	0,09	0,33	1,12	2,79	4,98	9,04	23,09	77,63		

1		2	3	4	5	6	7	8	9	10	11	12	13
Учет затухания звука в атмосфере Aatm, дБ		ф-ла (8) [10]	0	0	0,1	0,5	1,2	2,1	3,9	9,9	33,3		
Снижение уровня звукового давления из-за влияния застройки между источником шума и расчетной точкой													
Снижение уровня звукового давления на пути над экраном, Dz1, дБ	z = 1.01м (разность путей)	ф-лы (14-18) [10]	8,9	11,4	13,9	16,7	19,6	22,5	25,5	28,5	31,5		
Снижение уровня звукового давления на пути слева от экрана, Dz2, дБ	z = 7.51м (разность путей)	ф-лы (14-18) [10]	14,9	17,7	20,5	23,5	26,5	29,5	32,5	35,5	38,5		
Снижение уровня звукового давления на пути справа от экрана, Dz3, дБ	z = 171.22м (разность путей)	ф-лы (14-18) [10]	32,4	35,7	38,8	41,8	44,8	47,8	50,8	53,8	56,8		
Общее снижение уровня звука препятствием Dz, дБ		Эн.сумма(-Dzi)	7,9	10,4	13,1	15,9	18,8	21,7	24,7	27,7	30,7		
Общее снижение уровня звука препятствием с учётом ограничения (25 дБ) для октавных полос Dz, дБ		Раздел 7.4 [10]	7,9	10,4	13,1	15,9	18,8	21,7	24,7	25	25		
Уровни звукового давления от источника ИШ-1-22 в расчётной точке днём, дБ		**ф-ла(3)[10]**	**0**	**22,2**	**20,8**	**19**	**15,7**	**11,4**	**3,4**	**0**	**0**	**16,9**	**16,9**
Уровни звукового давления от источника ИШ-1-22 в расчётной точке ночью, дБ		**ф-ла(3)[10]**	**0**	**22,2**	**20,8**	**19**	**15,7**	**11,4**	**3,4**	**0**	**0**	**16,9**	**16,9**
Источник шума: ИШ-1-23, координаты источника (x,y,z), м =[525.16,84.11,1.00]													
Уровни звуковой мощности источника днём, Lw, дБ		**исходные данные**	**0**	**93,3**	**94,7**	**96**	**96,3**	**95,9**	**92,6**	**88,4**	**83,9**		
Уровни звуковой мощности источника ночью, Lw, дБ		**исходные данные**	**0**	**93,3**	**94,7**	**96**	**96,3**	**95,9**	**92,6**	**88,4**	**83,9**		
Поправка на телесный угол DΩ, дБ	Ω = 6.28	10Lg(4π/Ω)	**3**	3	3	3	3	3	3	3	3		
Показатель направленности источника Di, дБ		исходные данные	**0**	0	0	0	0	0	0	0	0		
Поправка на направленность источника Dc, дБ	Dc	DΩ + Di	**3**	3	3	3	3	3	3	3	3		
Затухание из-за геометрической дивергенции, Adiv, дБ	расстояние = 430.66 м	ф-ла (7) [10]	**63,7**										

1		2	3	4	5	6	7	8	9	10	11	12	13
Коэффициент затухания звука в атмосфере α, дБ/км	Та=20,°С Ра=101.33,кПа hотн.=70%	ф-ла (5) [9]	0,02	0,09	0,33	1,12	2,79	4,98	9,04	23,09	77,63		
Учет затухания звука в атмосфере Aatm, дБ		ф-ла (8) [10]	0	0	0,1	0,5	1,2	2,1	3,9	9,9	33,4		
Снижение уровня звукового давления из-за влияния застройки между источником шума и расчетной точкой													
Снижение уровня звукового давления на пути над экраном, Dz1, дБ	z = 0.38м (разность путей)	ф-лы (14-18) [10]	5	5,4	6,3	7,7	9,6	11,9	14,5	17,3	20,2		
Снижение уровня звукового давления на пути слева от экрана, Dz2, дБ	z = 7.10м (разность путей)	ф-лы (14-18) [10]	14,7	17,5	20,3	23,3	26,2	29,2	32,2	35,2	38,3		
Снижение уровня звукового давления на пути справа от экрана, Dz3, дБ	z = 170.62м (разность путей)	ф-лы (14-18) [10]	32,4	35,7	38,7	41,8	44,8	47,8	50,8	53,8	56,8		
Общее снижение уровня звука препятствием Dz, дБ		Эн.сумма(-Dzi)	4,5	5,1	6,1	7,6	9,5	11,8	14,4	17,2	20,1		
Уровни звукового давления от источника ИШ-1-23 в расчётной точке днём, дБ		**ф-ла(3)[10]**	**0**	**27,5**	**27,8**	**27,2**	**24,9**	**21,2**	**13,6**	**0,6**	**0**	**26**	**26**
Уровни звукового давления от источника ИШ-1-23 в расчётной точке ночью, дБ		**ф-ла(3)[10]**	**0**	**27,5**	**27,8**	**27,2**	**24,9**	**21,2**	**13,6**	**0,6**	**0**	**26**	**26**
Источник шума: ИШ-1-24, координаты источника (x,y,z), м =[528.48,82.94,1.00]													
Уровни звуковой мощности источника днём, Lw, дБ		**исходные данные**	**0**	**93,3**	**94,7**	**96**	**96,3**	**95,9**	**92,6**	**88,4**	**83,9**		
Уровни звуковой мощности источника ночью, Lw, дБ		**исходные данные**	**0**	**93,3**	**94,7**	**96**	**96,3**	**95,9**	**92,6**	**88,4**	**83,9**		
Поправка на телесный угол DΩ, дБ	Ω = 6.28	10Lg(4π/Ω)	**3**	3	3	3	3	3	3	3	3		
Показатель направленности источника Di, дБ		исходные данные	**0**	0	0	0	0	0	0	0	0		
Поправка на направленность источника Dc, дБ	Dc	DΩ + Di	**3**	3	3	3	3	3	3	3	3		
Затухание из-за геометрической дивергенции, Adiv, дБ	расстояние = 432.59 м	ф-ла (7) [10]	**63,7**										

1		2	3	4	5	6	7	8	9	10	11	12	13
Коэффициент затухания звука в атмосфере α, дБ/км	Та=20,°С Ра=101.33,кПа hотн.=70%	ф-ла (5) [9]	0,02	0,09	0,33	1,12	2,79	4,98	9,04	23,09	77,63		
Учет затухания звука в атмосфере Aatm, дБ		ф-ла (8) [10]	0	0	0,1	0,5	1,2	2,2	3,9	10	33,6		
Снижение уровня звукового давления из-за влияния застройки между источником шума и расчетной точкой													
Снижение уровня звукового давления на пути над экраном, Dz1, дБ	z = 0.38м (разность путей)	ф-лы (14-18) [10]	5	5,4	6,2	7,7	9,5	11,8	14,4	17,2	20,1		
Снижение уровня звукового давления на пути слева от экрана, Dz2, дБ	z = 6.69м (разность путей)	ф-лы (14-18) [10]	14,4	17,2	20,1	23	26	29	32	35	38		
Снижение уровня звукового давления на пути справа от экрана, Dz3, дБ	z = 169.95м (разность путей)	ф-лы (14-18) [10]	32,4	35,7	38,7	41,8	44,8	47,8	50,8	53,8	56,8		
Общее снижение уровня звука препятствием Dz, дБ		Эн.сумма(-Dzi)	4,5	5,1	6	7,5	9,5	11,7	14,3	17,1	20		
Уровни звукового давления от источника ИШ-1-24 в расчётной точке днём, дБ		**ф-ла(3)[10]**	**0**	**27,5**	**27,8**	**27,2**	**24,9**	**21,3**	**13,6**	**0,6**	**0**	**26,1**	**26,1**
Уровни звукового давления от источника ИШ-1-24 в расчётной точке ночью, дБ		**ф-ла(3)[10]**	**0**	**27,5**	**27,8**	**27,2**	**24,9**	**21,3**	**13,6**	**0,6**	**0**	**26,1**	**26,1**
Источник шума: ИШ-1-25, координаты источника (x,y,z), м =[531.22,82.16,1.00]													
Уровни звуковой мощности источника днём, Lw, дБ		**исходные данные**	**0**	**93,3**	**94,7**	**96**	**96,3**	**95,9**	**92,6**	**88,4**	**83,9**		
Уровни звуковой мощности источника ночью, Lw, дБ		**исходные данные**	**0**	**93,3**	**94,7**	**96**	**96,3**	**95,9**	**92,6**	**88,4**	**83,9**		
Поправка на телесный угол DΩ, дБ	Ω = 6.28	10Lg(4π/Ω)	**3**	3	3	3	3	3	3	3	3		
Показатель направленности источника Di, дБ		исходные данные	**0**	0	0	0	0	0	0	0	0		
Поправка на направленность источника Dc, дБ	Dc	DΩ + Di	**3**	3	3	3	3	3	3	3	3		
Затухание из-за геометрической дивергенции, Adiv, дБ	расстояние = 434.30 м	ф-ла (7) [10]	**63,8**										

1		2	3	4	5	6	7	8	9	10	11	12	13
Коэффициент затухания звука в атмосфере α, дБ/км	Та=20,°С Ра=101.33,кПа hотн.=70%	ф-ла (5) [9]	0,02	0,09	0,33	1,12	2,79	4,98	9,04	23,09	77,63		
Учет затухания звука в атмосфере Aatm, дБ		ф-ла (8) [10]	0	0	0,1	0,5	1,2	2,2	3,9	10	33,7		
Снижение уровня звукового давления из-за влияния застройки между источником шума и расчетной точкой													
Снижение уровня звукового давления на пути над экраном, Dz1, дБ	z = 0.38м (разность путей)	ф-лы (14-18) [10]	5	5,3	6,2	7,6	9,5	11,7	14,3	17,1	20		
Снижение уровня звукового давления на пути слева от экрана, Dz2, дБ	z = 6.38м (разность путей)	ф-лы (14-18) [10]	14,3	17	19,9	22,8	25,8	28,8	31,8	34,8	37,8		
Снижение уровня звукового давления на пути справа от экрана, Dz3, дБ	z = 169.18м (разность путей)	ф-лы (14-18) [10]	32,4	35,7	38,7	41,7	44,7	47,8	50,8	53,8	56,8		
Общее снижение уровня звука препятствием Dz, дБ		Эн.сумма(-Dzi)	4,5	5	6	7,5	9,4	11,7	14,2	17	19,9		
Уровни звукового давления от источника ИШ-1-25 в расчётной точке днём, дБ		**ф-ла(3)[10]**	**0**	**27,5**	**27,8**	**27,3**	**24,9**	**21,3**	**13,7**	**0,6**	**0**	**26,1**	**26,1**
Уровни звукового давления от источника ИШ-1-25 в расчётной точке ночью, дБ		**ф-ла(3)[10]**	**0**	**27,5**	**27,8**	**27,3**	**24,9**	**21,3**	**13,7**	**0,6**	**0**	**26,1**	**26,1**
Источник шума: ИШ-1-26, координаты источника (x,y,z), м =[534.15,80.79,1.00]													
Уровни звуковой мощности источника днём, Lw, дБ		**исходные данные**	**0**	**93,3**	**94,7**	**96**	**96,3**	**95,9**	**92,6**	**88,4**	**83,9**		
Уровни звуковой мощности источника ночью, Lw, дБ		**исходные данные**	**0**	**93,3**	**94,7**	**96**	**96,3**	**95,9**	**92,6**	**88,4**	**83,9**		
Поправка на телесный угол DΩ, дБ	Ω = 6.28	10Lg(4π/Ω)	**3**	3	3	3	3	3	3	3	3		
Показатель направленности источника Di, дБ		исходные данные	**0**	0	0	0	0	0	0	0	0		
Поправка на направленность источника Dc, дБ	Dc	DΩ + Di	**3**	3	3	3	3	3	3	3	3		
Затухание из-за геометрической дивергенции, Adiv, дБ	расстояние = 435.82 м	ф-ла (7) [10]	**63,8**										

1		2	3	4	5	6	7	8	9	10	11	12	13
Коэффициент затухания звука в атмосфере α, дБ/км	Та=20,°С Ра=101.33,кПа hотн.=70%	ф-ла (5) [9]	0,02	0,09	0,33	1,12	2,79	4,98	9,04	23,09	77,63		
Учет затухания звука в атмосфере Aatm, дБ		ф-ла (8) [10]	0	0	0,1	0,5	1,2	2,2	3,9	10,1	33,8		
Снижение уровня звукового давления из-за влияния застройки между источником шума и расчетной точкой													
Снижение уровня звукового давления на пути над экраном, Dz1, дБ	z = 0.38м (разность путей)	ф-лы (14-18) [10]	5	5,3	6,2	7,6	9,4	11,7	14,2	17	19,9		
Снижение уровня звукового давления на пути слева от экрана, Dz2, дБ	z = 6.01м (разность путей)	ф-лы (14-18) [10]	14	16,8	19,6	22,5	25,5	28,5	31,5	34,5	37,5		
Снижение уровня звукового давления на пути справа от экрана, Dz3, дБ	z = 169.26м (разность путей)	ф-лы (14-18) [10]	32,4	35,7	38,7	41,7	44,8	47,8	50,8	53,8	56,8		
Общее снижение уровня звука препятствием Dz, дБ		Эн.сумма(-Dzi)	4,5	5	6	7,4	9,3	11,6	14,1	16,9	19,8		
Уровни звукового давления от источника ИШ-1-26 в расчётной точке днём, дБ		**ф-ла(3)[10]**	**0**	**27,4**	**27,8**	**27,3**	**25**	**21,4**	**13,7**	**0,6**	**0**	**26,1**	**26,1**
Уровни звукового давления от источника ИШ-1-26 в расчётной точке ночью, дБ		**ф-ла(3)[10]**	**0**	**27,4**	**27,8**	**27,3**	**25**	**21,4**	**13,7**	**0,6**	**0**	**26,1**	**26,1**
Источник шума: ИШ-1-27, координаты источника (x,y,z), м =[469.65,197.67,1.00]													
Уровни звуковой мощности источника днём, Lw, дБ		**исходные данные**	**0**	**93,3**	**94,7**	**96**	**96,3**	**95,9**	**92,6**	**88,4**	**83,9**		
Уровни звуковой мощности источника ночью, Lw, дБ		**исходные данные**	**0**	**93,3**	**94,7**	**96**	**96,3**	**95,9**	**92,6**	**88,4**	**83,9**		
Поправка на телесный угол DΩ, дБ	Ω = 6.28	10Lg(4π/Ω)	**3**	3	3	3	3	3	3	3	3		
Показатель направленности источника Di, дБ		исходные данные	**0**	0	0	0	0	0	0	0	0		
Поправка на направленность источника Dc, дБ	Dc	DΩ + Di	**3**	3	3	3	3	3	3	3	3		
Затухание из-за геометрической дивергенции, Adiv, дБ	расстояние = 472.62 м	ф-ла (7) [10]	**64,5**										

1		2	3	4	5	6	7	8	9	10	11	12	13
Коэффициент затухания звука в атмосфере α, дБ/км	Та=20,°С Ра=101.33,кПа hотн.=70%	ф-ла (5) [9]	0,02	0,09	0,33	1,12	2,79	4,98	9,04	23,09	77,63		
Учет затухания звука в атмосфере Aatm, дБ		ф-ла (8) [10]	0	0	0,2	0,5	1,3	2,4	4,3	10,9	36,7		
Снижение уровня звукового давления из-за влияния застройки между источником шума и расчетной точкой													
Снижение уровня звукового давления на пути над экраном, Dz1, дБ	z = 0.70м (разность путей)	ф-лы (14-18) [10]	7,3	9,1	11,3	13,8	16,6	19,4	22,4	25,3	28,3		
Снижение уровня звукового давления на пути слева от экрана, Dz2, дБ	z = 34.30м (разность путей)	ф-лы (14-18) [10]	25,2	28,6	31,8	34,8	37,8	40,8	43,8	46,9	49,9		
Снижение уровня звукового давления на пути справа от экрана, Dz3, дБ	z = 30.86м (разность путей)	ф-лы (14-18) [10]	24,8	28,2	31,3	34,3	37,4	40,4	43,4	46,4	49,4		
Общее снижение уровня звука препятствием Dz, дБ		Эн.сумма(-Dzi)	7,2	9	11,2	13,8	16,5	19,4	22,3	25,3	28,3		
Общее снижение уровня звука препятствием с учётом ограничения (25 дБ) для октавных полос Dz, дБ		Раздел 7.4 [10]	7,2	9	11,2	13,8	16,5	19,4	22,3	25	25		
Уровни звукового давления прямого звука от источника ИШ-1-27 в расчётной точке днём, дБ		**ф-ла(3)[10]**	**0**	**22,7**	**21,8**	**20,2**	**17**	**12,7**	**4,5**	**0**	**0**	**18,1**	**18,1**
Уровни звукового давления прямого звука от источника ИШ-1-27 в расчётной точке ночью, дБ		**ф-ла(3)[10]**	**0**	**22,7**	**21,8**	**20,2**	**17**	**12,7**	**4,5**	**0**	**0**	**18,1**	**18,1**
Расчёт отражённого звука													
Уровни звукового давления от мнимого источника ИШ-1-27_мн.(1) в расчётной точке днём, дБ		**ф-ла(3)[10]**	**0**	**0**	**0**	**0**	**0**	**0**	**3,6**	**0**	**0**	**4,8**	**4,8**
Уровни звукового давления от мнимого источника ИШ-1-27_мн.(1) в расчётной точке ночью, дБ		**ф-ла(3)[10]**	**0**	**0**	**0**	**0**	**0**	**0**	**0**	**0**	**0**	**4,8**	**4,8**
Уровни звукового давления от источника ИШ-1-27 в расчётной точке днём, дБ		**ф-ла(3)[10]**	**0**	**22,7**	**21,8**	**20,2**	**17**	**12,7**	**7,1**	**0**	**0**	**18,3**	**18,3**
Уровни звукового давления от источника ИШ-1-27 в расчётной точке ночью, дБ		**ф-ла(3)[10]**	**0**	**22,7**	**21,8**	**20,2**	**17**	**12,7**	**7,1**	**0**	**0**	**18,3**	**18,3**
Источник шума: ИШ-1-28, координаты источника (x,y,z), м =[472.78,196.69,1.00]													

1		2	3	4	5	6	7	8	9	10	11	12	13
Уровни звуковой мощности источника днём, Lw, дБ		**исходные данные**	**0**	**93,3**	**94,7**	**96**	**96,3**	**95,9**	**92,6**	**88,4**	**83,9**		
Уровни звуковой мощности источника ночью, Lw, дБ		**исходные данные**	**0**	**93,3**	**94,7**	**96**	**96,3**	**95,9**	**92,6**	**88,4**	**83,9**		
Поправка на телесный угол DΩ, дБ	Ω = 6.28	10Lg(4π/Ω)	**3**	3	3	3	3	3	3	3	3		
Показатель направленности источника Di, дБ		исходные данные	**0**	0	0	0	0	0	0	0	0		
Поправка на направленность источника Dc, дБ	Dc	DΩ + Di	**3**	3	3	3	3	3	3	3	3		
Затухание из-за геометрической дивергенции, Adiv, дБ	расстояние = 473.74 м	ф-ла (7) [10]	**64,5**										
Коэффициент затухания звука в атмосфере α, дБ/км	Ta=20,°C Pa=101.33,кПа hотн.=70%	ф-ла (5) [9]	0,02	0,09	0,33	1,12	2,79	4,98	9,04	23,09	77,63		
Учет затухания звука в атмосфере Aatm, дБ		ф-ла (8) [10]	0	0	0,2	0,5	1,3	2,4	4,3	10,9	36,8		
Снижение уровня звукового давления из-за влияния застройки между источником шума и расчетной точкой													
Снижение уровня звукового давления на пути над экраном, Dz1, дБ	z = 0.66м (разность путей)	ф-лы (14-18) [10]	7,1	8,8	10,9	13,3	16	18,9	21,8	24,8	27,8		
Снижение уровня звукового давления на пути слева от экрана, Dz2, дБ	z = 33.00м (разность путей)	ф-лы (14-18) [10]	25	28,5	31,6	34,6	37,7	40,7	43,7	46,7	49,7		
Снижение уровня звукового давления на пути справа от экрана, Dz3, дБ	z = 33.02м (разность путей)	ф-лы (14-18) [10]	25,1	28,5	31,6	34,6	37,7	40,7	43,7	46,7	49,7		
Общее снижение уровня звука препятствием Dz, дБ		Эн.сумма(-Dzi)	7	8,7	10,8	13,3	16	18,8	21,8	24,7	27,7		
Общее снижение уровня звука препятствием с учётом ограничения (25 дБ) для октавных полос Dz, дБ		Раздел 7.4 [10]	7	8,7	10,8	13,3	16	18,8	21,8	24,7	25		
Уровни звукового давления прямого звука от источника ИШ-1-28 в расчётной точке днём, дБ		**ф-ла(3)[10]**	**0**	**23**	**22,2**	**20,7**	**17,5**	**13,2**	**5**	**0**	**0**	**18,6**	**18,6**
Уровни звукового давления прямого звука от источника ИШ-1-28 в расчётной точке ночью, дБ		**ф-ла(3)[10]**	**0**	**23**	**22,2**	**20,7**	**17,5**	**13,2**	**5**	**0**	**0**	**18,6**	**18,6**
Расчёт отражённого звука													

1		2	3	4	5	6	7	8	9	10	11	12	13
Уровни звукового давления от мнимого источника ИШ-1-28_мн.(1) в расчётной точке днём, дБ		**ф-ла(3)[10]**	**0**	**0**	**0**	**0**	**0**	**0**	**4**	**0**	**0**	**5,2**	**5,2**
Уровни звукового давления от мнимого источника ИШ-1-28_мн.(1) в расчётной точке ночью, дБ		**ф-ла(3)[10]**	**0**	**0**	**0**	**0**	**0**	**0**	**0**	**0**	**0**	**5,2**	**5,2**
Уровни звукового давления от источника ИШ-1-28 в расчётной точке днём, дБ		**ф-ла(3)[10]**	**0**	**23**	**22,2**	**20,7**	**17,5**	**13,2**	**7,6**	**0**	**0**	**18,8**	**18,8**
Уровни звукового давления от источника ИШ-1-28 в расчётной точке ночью, дБ		**ф-ла(3)[10]**	**0**	**23**	**22,2**	**20,7**	**17,5**	**13,2**	**7,6**	**0**	**0**	**18,8**	**18,8**
Источник шума: ИШ-1-29, координаты источника (x,y,z), м =[475.52,195.72,1.00]													
Уровни звуковой мощности источника днём, Lw, дБ		**исходные данные**	**0**	**93,3**	**94,7**	**96**	**96,3**	**95,9**	**92,6**	**88,4**	**83,9**		
Уровни звуковой мощности источника ночью, Lw, дБ		**исходные данные**	**0**	**93,3**	**94,7**	**96**	**96,3**	**95,9**	**92,6**	**88,4**	**83,9**		
Поправка на телесный угол DΩ, дБ	Ω = 6.28	10Lg(4π/Ω)	**3**	3	3	3	3	3	3	3	3		
Показатель направленности источника Di, дБ		исходные данные	**0**	0	0	0	0	0	0	0	0		
Поправка на направленность источника Dc, дБ	Dc	DΩ + Di	**3**	3	3	3	3	3	3	3	3		
Затухание из-за геометрической дивергенции, Adiv, дБ	расстояние = 474.64 м	ф-ла (7) [10]	**64,5**										
Коэффициент затухания звука в атмосфере α, дБ/км	Ta=20,°C Pa=101.33,кПа hотн.=70%	ф-ла (5) [9]	0,02	0,09	0,33	1,12	2,79	4,98	9,04	23,09	77,63		
Учет затухания звука в атмосфере Aatm, дБ		ф-ла (8) [10]	0	0	0,2	0,5	1,3	2,4	4,3	11	36,8		
Снижение уровня звукового давления из-за влияния застройки между источником шума и расчетной точкой													
Снижение уровня звукового давления на пути над экраном, Dz1, дБ	z = 0.63м (разность путей)	ф-лы (14-18) [10]	6,9	8,5	10,6	13	15,6	18,5	21,4	24,4	27,3		
Снижение уровня звукового давления на пути слева от экрана, Dz2, дБ	z = 31.87м (разность путей)	ф-лы (14-18) [10]	24,9	28,3	31,4	34,5	37,5	40,5	43,5	46,5	49,5		

1		2	3	4	5	6	7	8	9	10	11	12	13
Снижение уровня звукового давления на пути справа от экрана, Dz3, дБ	z = 35.02м (разность путей)	ф-лы (14-18) [10]	25,3	28,8	31,9	34,9	37,9	40,9	43,9	46,9	50		
Общее снижение уровня звука препятствием Dz, дБ		Эн.сумма(-Dzi)	6,8	8,4	10,5	12,9	15,6	18,4	21,3	24,3	27,3		
Общее снижение уровня звука препятствием с учётом ограничения (25 дБ) для октавных полос Dz, дБ		Раздел 7.4 [10]	6,8	8,4	10,5	12,9	15,6	18,4	21,3	24,3	25		
Уровни звукового давления прямого звука от источника ИШ-1-29 в расчётной точке днём, дБ		**ф-ла(3)[10]**	**0**	**23,3**	**22,5**	**21**	**17,8**	**13,6**	**5,4**	**0**	**0**	**19**	**19**
Уровни звукового давления прямого звука от источника ИШ-1-29 в расчётной точке ночью, дБ		**ф-ла(3)[10]**	**0**	**23,3**	**22,5**	**21**	**17,8**	**13,6**	**5,4**	**0**	**0**	**19**	**19**
Расчёт отражённого звука													
Уровни звукового давления от мнимого источника ИШ-1-29_мн.(1) в расчётной точке днём, дБ		**ф-ла(3)[10]**	**0**	**0**	**0**	**0**	**0**	**0**	**4,4**	**0**	**0**	**5,6**	**5,6**
Уровни звукового давления от мнимого источника ИШ-1-29_мн.(1) в расчётной точке ночью, дБ		**ф-ла(3)[10]**	**0**	**0**	**0**	**0**	**0**	**0**	**0**	**0**	**0**	**5,6**	**5,6**
Уровни звукового давления от источника ИШ-1-29 в расчётной точке днём, дБ		**ф-ла(3)[10]**	**0**	**23,3**	**22,5**	**21**	**17,8**	**13,6**	**7,9**	**0**	**0**	**19,2**	**19,2**
Уровни звукового давления от источника ИШ-1-29 в расчётной точке ночью, дБ		**ф-ла(3)[10]**	**0**	**23,3**	**22,5**	**21**	**17,8**	**13,6**	**7,9**	**0**	**0**	**19,2**	**19,2**
Источник шума: ИШ-1-30, координаты источника (x,y,z), м =[478.45,194.54,1.00]													
Уровни звуковой мощности источника днём, Lw, дБ		**исходные данные**	**0**	**93,3**	**94,7**	**96**	**96,3**	**95,9**	**92,6**	**88,4**	**83,9**		
Уровни звуковой мощности источника ночью, Lw, дБ		**исходные данные**	**0**	**93,3**	**94,7**	**96**	**96,3**	**95,9**	**92,6**	**88,4**	**83,9**		
Поправка на телесный угол DΩ, дБ	Ω = 6.28	10Lg(4π/Ω)	**3**	3	3	3	3	3	3	3	3		
Показатель направленности источника Di, дБ		исходные данные	**0**	0	0	0	0	0	0	0	0		
Поправка на направленность источника Dc, дБ	Dc	DΩ + Di	**3**	3	3	3	3	3	3	3	3		
Затухание из-за геометрической дивергенции, Adiv, дБ	расстояние = 475.53 м	ф-ла (7) [10]	**64,5**										

1		2	3	4	5	6	7	8	9	10	11	12	13
Коэффициент затухания звука в атмосфере α, дБ/км	Та=20,°С Ра=101.33,кПа hотн.=70%	ф-ла (5) [9]	0,02	0,09	0,33	1,12	2,79	4,98	9,04	23,09	77,63		
Учет затухания звука в атмосфере Aatm, дБ		ф-ла (8) [10]	0	0	0,2	0,5	1,3	2,4	4,3	11	36,9		
Снижение уровня звукового давления из-за влияния застройки между источником шума и расчетной точкой													
Снижение уровня звукового давления на пути над экраном, Dz1, дБ	z = 0.61м (разность путей)	ф-лы (14-18) [10]	6,8	8,3	10,3	12,6	15,3	18,1	21	24	26,9		
Снижение уровня звукового давления на пути слева от экрана, Dz2, дБ	z = 30.68м (разность путей)	ф-лы (14-18) [10]	24,7	28,2	31,3	34,3	37,3	40,3	43,4	46,4	49,4		
Снижение уровня звукового давления на пути справа от экрана, Dz3, дБ	z = 37.28м (разность путей)	ф-лы (14-18) [10]	25,6	29	32,1	35,2	38,2	41,2	44,2	47,2	50,2		
Общее снижение уровня звука препятствием Dz, дБ		Эн.сумма(-Dzi)	6,6	8,2	10,2	12,6	15,2	18	20,9	23,9	26,9		
Общее снижение уровня звука препятствием с учётом ограничения (25 дБ) для октавных полос Dz, дБ		Раздел 7.4 [10]	6,6	8,2	10,2	12,6	15,2	18	20,9	23,9	25		
Уровни звукового давления прямого звука от источника ИШ-1-30 в расчётной точке днём, дБ		**ф-ла(3)[10]**	**0**	**23,5**	**22,8**	**21,3**	**18,2**	**13,9**	**5,8**	**0**	**0**	**19,3**	**19,3**
Уровни звукового давления прямого звука от источника ИШ-1-30 в расчётной точке ночью, дБ		**ф-ла(3)[10]**	**0**	**23,5**	**22,8**	**21,3**	**18,2**	**13,9**	**5,8**	**0**	**0**	**19,3**	**19,3**
Расчёт отражённого звука													
Уровни звукового давления от мнимого источника ИШ-1-30_мн.(1) в расчётной точке днём, дБ		**ф-ла(3)[10]**	**0**	**0**	**0**	**0**	**0**	**0**	**4,7**	**0**	**0**	**5,9**	**5,9**
Уровни звукового давления от мнимого источника ИШ-1-30_мн.(1) в расчётной точке ночью, дБ		**ф-ла(3)[10]**	**0**	**0**	**0**	**0**	**0**	**0**	**0**	**0**	**0**	**5,9**	**5,9**
Уровни звукового давления от источника ИШ-1-30 в расчётной точке днём, дБ		**ф-ла(3)[10]**	**0**	**23,5**	**22,8**	**21,3**	**18,2**	**13,9**	**8,3**	**0**	**0**	**19,5**	**19,5**
Уровни звукового давления от источника ИШ-1-30 в расчётной точке ночью, дБ		**ф-ла(3)[10]**	**0**	**23,5**	**22,8**	**21,3**	**18,2**	**13,9**	**8,3**	**0**	**0**	**19,5**	**19,5**
Источник шума: ИШ-1-31, координаты источника (x,y,z), м =[481.58,193.96,1.00]													

1		2	3	4	5	6	7	8	9	10	11	12	13
Уровни звуковой мощности источника днём, Lw, дБ		**исходные данные**	**0**	**93,3**	**94,7**	**96**	**96,3**	**95,9**	**92,6**	**88,4**	**83,9**		
Уровни звуковой мощности источника ночью, Lw, дБ		**исходные данные**	**0**	**93,3**	**94,7**	**96**	**96,3**	**95,9**	**92,6**	**88,4**	**83,9**		
Поправка на телесный угол DΩ, дБ	Ω = 6.28	10Lg(4π/Ω)	**3**	3	3	3	3	3	3	3	3		
Показатель направленности источника Di, дБ		исходные данные	**0**	0	0	0	0	0	0	0	0		
Поправка на направленность источника Dc, дБ	Dc	DΩ + Di	**3**	3	3	3	3	3	3	3	3		
Затухание из-за геометрической дивергенции, Adiv, дБ	расстояние = 477.01 м	ф-ла (7) [10]	**64,6**										
Коэффициент затухания звука в атмосфере α, дБ/км	Ta=20,°C Pa=101.33,кПа hотн.=70%	ф-ла (5) [9]	0,02	0,09	0,33	1,12	2,79	4,98	9,04	23,09	77,63		
Учет затухания звука в атмосфере Aatm, дБ		ф-ла (8) [10]	0	0	0,2	0,5	1,3	2,4	4,3	11	37		
Снижение уровня звукового давления из-за влияния застройки между источником шума и расчетной точкой													
Снижение уровня звукового давления на пути над экраном, Dz1, дБ	z = 0.59м (разность путей)	ф-лы (14-18) [10]	6,6	8,1	10	12,3	14,9	17,7	20,6	23,6	26,6		
Снижение уровня звукового давления на пути слева от экрана, Dz2, дБ	z = 29.56м (разность путей)	ф-лы (14-18) [10]	24,5	28	31,1	34,2	37,2	40,2	43,2	46,2	49,2		
Снижение уровня звукового давления на пути справа от экрана, Dz3, дБ	z = 38.96м (разность путей)	ф-лы (14-18) [10]	25,8	29,2	32,3	35,4	38,4	41,4	44,4	47,4	50,4		
Общее снижение уровня звука препятствием Dz, дБ		Эн.сумма(-Dzi)	6,5	8	9,9	12,3	14,9	17,7	20,6	23,5	26,5		
Общее снижение уровня звука препятствием с учётом ограничения (25 дБ) для октавных полос Dz, дБ		Раздел 7.4 [10]	6,5	8	9,9	12,3	14,9	17,7	20,6	23,5	25		
Уровни звукового давления прямого звука от источника ИШ-1-31 в расчётной точке днём, дБ		**ф-ла(3)[10]**	**0**	**23,7**	**23**	**21,6**	**18,5**	**14,3**	**6,1**	**0**	**0**	**19,6**	**19,6**
Уровни звукового давления прямого звука от источника ИШ-1-31 в расчётной точке ночью, дБ		**ф-ла(3)[10]**	**0**	**23,7**	**23**	**21,6**	**18,5**	**14,3**	**6,1**	**0**	**0**	**19,6**	**19,6**
Расчёт отражённого звука													

1		2	3	4	5	6	7	8	9	10	11	12	13
Уровни звукового давления от мнимого источника ИШ-1-31_мн.(1) в расчётной точке днём, дБ		**ф-ла(3)[10]**	**0**	**0**	**0**	**0**	**0**	**0**	**5,1**	**0**	**0**	**6,3**	**6,3**
Уровни звукового давления от мнимого источника ИШ-1-31_мн.(1) в расчётной точке ночью, дБ		**ф-ла(3)[10]**	**0**	**0**	**0**	**0**	**0**	**0**	**0**	**0**	**0**	**6,3**	**6,3**
Уровни звукового давления от источника ИШ-1-31 в расчётной точке днём, дБ		**ф-ла(3)[10]**	**0**	**23,7**	**23**	**21,6**	**18,5**	**14,3**	**8,7**	**0**	**0**	**19,8**	**19,8**
Уровни звукового давления от источника ИШ-1-31 в расчётной точке ночью, дБ		**ф-ла(3)[10]**	**0**	**23,7**	**23**	**21,6**	**18,5**	**14,3**	**8,7**	**0**	**0**	**19,8**	**19,8**
Источник шума: ИШ-1-32, координаты источника (x,y,z), м =[871.21,281.99,50.00]													
Уровни звуковой мощности источника днём, Lw, дБ		**исходные данные**	**125**	**119,6**	**113,4**	**111,4**	**110,8**	**112,7**	**113,8**	**109,2**	**97,4**		
Уровни звуковой мощности источника ночью, Lw, дБ		**исходные данные**	**0**	**0**	**0**	**0**	**0**	**0**	**0**	**0**	**0**		
Поправка на телесный угол DΩ, дБ	Ω = 12.57	10Lg(4π/Ω)	**0**	0	0	0	0	0	0	0	0		
Показатель направленности источника Di, дБ		исходные данные	**0**	0	0	0	0	0	0	0	0		
Поправка на направленность источника Dc, дБ	Dc	DΩ + Di	**0**	0	0	0	0	0	0	0	0		
Затухание из-за геометрической дивергенции, Adiv, дБ	расстояние = 828.74 м	ф-ла (7) [10]	**69,4**										
Коэффициент затухания звука в атмосфере α, дБ/км	Ta=20,°C Pa=101.33,кПа hотн.=70%	ф-ла (5) [9]	0,02	0,09	0,33	1,12	2,79	4,98	9,04	23,09	77,63		
Учет затухания звука в атмосфере Aatm, дБ		ф-ла (8) [10]	0	0,1	0,3	0,9	2,3	4,1	7,5	19,1	64,3		
Снижение поверхностью земли возле источника As, дБ	Gs = 0 hs = 50м	ф-лы таб.3 [10]	-1,5	-1,5	-1,5	-1,5	-1,5	-1,5	-1,5	-1,5	-1,5		
Снижение поверхностью земли возле приёмника Ar, дБ	Gr = 1 hr = 1.6м	ф-лы таб.3 [10]	-1,5	-1,5	4,6	6,8	4,3	0,5	0	0	0		
Снижение поверхностью земли в средней зоне, Am дБ	Gm = 1	ф-лы таб.3 [10]	0	0	0	0	0	0	0	0	0		

1		2	3	4	5	6	7	8	9	10	11	12	13
Суммарное снижение поверхностью земли на траектории распространения звука Agr, дБ		ф-ла (9) [10]	-3	-3	3,1	5,3	2,8	-1	-1,5	-1,5	-1,5		
Уровни звукового давления прямого звука от источника ИШ-1-32 в расчётной точке днём, дБ		**ф-ла(3)[10]**	**58,6**	**53,2**	**40,7**	**35,8**	**36,3**	**40,2**	**38,5**	**22,2**	**0**	**43,7**	**43,7**
Уровни звукового давления прямого звука от источника ИШ-1-32 в расчётной точке ночью, дБ		**ф-ла(3)[10]**	**0**	**0**	**0**	**0**	**0**	**0**	**0**	**0**	**0**	**0**	**0**
Расчёт отражённого звука													
Уровни звукового давления от мнимого источника ИШ-1-32_мн.(1) в расчётной точке днём, дБ		**ф-ла(3)[10]**	**0**	**0**	**0**	**0**	**33,8**	**37,7**	**35,9**	**19,7**	**0**	**40,9**	**40,9**
Уровни звукового давления от мнимого источника ИШ-1-32_мн.(1) в расчётной точке ночью, дБ		**ф-ла(3)[10]**	**0**	**0**	**0**	**0**	**0**	**0**	**0**	**0**	**0**	**0**	**0**
Уровни звукового давления от источника ИШ-1-32 в расчётной точке днём, дБ		**ф-ла(3)[10]**	**58,6**	**53,2**	**40,7**	**35,8**	**38,3**	**42,2**	**40,4**	**24,1**	**0**	**45,5**	**45,5**
Уровни звукового давления от источника ИШ-1-32 в расчётной точке ночью, дБ		**ф-ла(3)[10]**	**0**	**0**	**0**	**0**	**0**	**0**	**0**	**0**	**0**	**0**	**0**
Источник шума: ИШ-1-33, координаты источника (x,y,z), м =[743.42,374.85,1.00]													
Уровни звуковой мощности источника днём, Lw, дБ		**исходные данные**	**0**	**88,7**	**90,1**	**93,1**	**96,4**	**103**	**112**	**108**	**99,2**		
Уровни звуковой мощности источника ночью, Lw, дБ		**исходные данные**	**0**	**0**	**0**	**0**	**0**	**0**	**0**	**0**	**0**		
Поправка на телесный угол DΩ, дБ	Ω = 6.28	10Lg(4π/Ω)	**3**	3	3	3	3	3	3	3	3		
Показатель направленности источника Di, дБ		исходные данные	**0**	0	0	0	0	0	0	0	0		
Поправка на направленность источника Dc, дБ	Dc	DΩ + Di	**3**	3	3	3	3	3	3	3	3		
Затухание из-за геометрической дивергенции, Adiv, дБ	расстояние = 787.07 м	ф-ла (7) [10]	**68,9**										
Коэффициент затухания звука в атмосфере α, дБ/км	Ta=20,°C Pa=101.33,кПа hотн.=70%	ф-ла (5) [9]	0,02	0,09	0,33	1,12	2,79	4,98	9,04	23,09	77,63		

1		2	3	4	5	6	7	8	9	10	11	12	13
Учет затухания звука в атмосфере Aatm, дБ		ф-ла (8) [10]	0	0,1	0,3	0,9	2,2	3,9	7,1	18,2	61,1		
Снижение уровня звукового давления из-за влияния застройки между источником шума и расчетной точкой													
Снижение уровня звукового давления на пути над экраном, Dz1, дБ	z = 0.36м (разность путей)	ф-лы (14-18) [10]	4,9	5	5,3	5,8	6,6	7,9	9,7	12	14,5		
Снижение уровня звукового давления на пути слева от экрана, Dz2, дБ	z = 13.16м (разность путей)	ф-лы (14-18) [10]	21,3	24,6	27,6	30,7	33,7	36,7	39,7	42,7	45,7		
Снижение уровня звукового давления на пути справа от экрана, Dz3, дБ	z = 28.98м (разность путей)	ф-лы (14-18) [10]	24,5	27,9	31	34,1	37,1	40,1	43,1	46,1	49,1		
Общее снижение уровня звука препятствием Dz, дБ		Эн.сумма(-Dzi)	4,8	5	5,3	5,8	6,6	7,9	9,7	12	14,5		
Уровни звукового давления от источника ИШ-1-33 в расчётной точке днём, дБ		**ф-ла(3)[10]**	**0**	**17,7**	**18,7**	**20,5**	**21,7**	**25,3**	**29,3**	**12**	**0**	**31,9**	**31,9**
Уровни звукового давления от источника ИШ-1-33 в расчётной точке ночью, дБ		**ф-ла(3)[10]**	**0**	**0**	**0**	**0**	**0**	**0**	**0**	**0**	**0**	**0**	**0**
Источник шума: ИШ-1-34, координаты источника (x,y,z), м =[1042.35,199.07,1.00]													
Уровни звуковой мощности источника днём, Lw, дБ		**исходные данные**	**0**	**88,7**	**90,1**	**93,1**	**96,4**	**103**	**112**	**108**	**99,2**		
Уровни звуковой мощности источника ночью, Lw, дБ		**исходные данные**	**0**	**0**	**0**	**0**	**0**	**0**	**0**	**0**	**0**		
Поправка на телесный угол DΩ, дБ	Ω = 6.28	10Lg(4π/Ω)	**3**	3	3	3	3	3	3	3	3		
Показатель направленности источника Di, дБ		исходные данные	**0**	0	0	0	0	0	0	0	0		
Поправка на направленность источника Dc, дБ	Dc	DΩ + Di	**3**	3	3	3	3	3	3	3	3		
Затухание из-за геометрической дивергенции, Adiv, дБ	расстояние = 937.70 м	ф-ла (7) [10]	**70,4**										
Коэффициент затухания звука в атмосфере α, дБ/км	Ta=20,°C Pa=101.33,кПа hотн.=70%	ф-ла (5) [9]	0,02	0,09	0,33	1,12	2,79	4,98	9,04	23,09	77,63		

1		2	3	4	5	6	7	8	9	10	11	12	13
Учет затухания звука в атмосфере Aatm, дБ		ф-ла (8) [10]	0	0,1	0,3	1,1	2,6	4,7	8,5	21,6	72,8		
Снижение уровня звукового давления из-за влияния застройки между источником шума и расчетной точкой													
Снижение уровня звукового давления на пути над экраном, Dz1, дБ	z = 0.07м (разность путей)	ф-лы (14-18) [10]	4,8	4,8	4,8	4,8	4,8	4,8	4,8	4,8	4,8		
Снижение уровня звукового давления на пути слева от экрана, Dz2, дБ	z = 7.86м (разность путей)	ф-лы (14-18) [10]	15,1	17,9	20,7	23,7	26,7	29,7	32,7	35,7	38,7		
Снижение уровня звукового давления на пути справа от экрана, Dz3, дБ	z = 23.76м (разность путей)	ф-лы (14-18) [10]	19,6	22,5	25,5	28,5	31,5	34,5	37,5	40,5	43,5		
Общее снижение уровня звука препятствием Dz, дБ		Эн.сумма(-Dzi)	4,3	4,5	4,6	4,7	4,7	4,8	4,8	4,8	4,8		
Уровни звукового давления от источника ИШ-1-34 в расчётной точке днём, дБ		**ф-ла(3)[10]**	**0**	**16,7**	**17,7**	**19,9**	**21,6**	**26,2**	**31,3**	**14,2**	**0**	**33,7**	**33,7**
Уровни звукового давления от источника ИШ-1-34 в расчётной точке ночью, дБ		**ф-ла(3)[10]**	**0**	**0**	**0**	**0**	**0**	**0**	**0**	**0**	**0**	**0**	**0**
Источник шума: ИШ-2-1, координаты источника (x,y,z), м =[696.50,124.40,3.00]													
Уровни звуковой мощности источника днём, Lw, дБ		**исходные данные**	**105**	**104**	**104**	**101**	**102**	**106**	**101**	**95**	**87**		
Уровни звуковой мощности источника ночью, Lw, дБ		**исходные данные**	**105**	**104**	**104**	**101**	**102**	**106**	**101**	**95**	**87**		
Поправка на телесный угол DΩ, дБ	Ω = 6.28	10Lg(4π/Ω)	**3**	3	3	3	3	3	3	3	3		
Показатель направленности источника Di, дБ		исходные данные	**0**	0	0	0	0	0	0	0	0		
Поправка на направленность источника Dc, дБ	Dc	DΩ + Di	**3**	3	3	3	3	3	3	3	3		
Затухание из-за геометрической дивергенции, Adiv, дБ	расстояние = 595.38 м	ф-ла (7) [10]	**66,5**										
Коэффициент затухания звука в атмосфере α, дБ/км	Ta=20,°C Pa=101.33,кПа hотн.=70%	ф-ла (5) [9]	0,02	0,09	0,33	1,12	2,79	4,98	9,04	23,09	77,63		

1		2	3	4	5	6	7	8	9	10	11	12	13
Учет затухания звука в атмосфере Aatm, дБ		ф-ла (8) [10]	0	0,1	0,2	0,7	1,7	3	5,4	13,7	46,2		
Снижение уровня звукового давления из-за влияния застройки между источником шума и расчетной точкой													
Снижение уровня звукового давления на пути над экраном, Dz1, дБ	z = 0.25м (разность путей)	ф-лы (14-18) [10]	4,8	4,8	4,8	5	5,3	5,8	6,8	8,2	10		
Снижение уровня звукового давления на пути слева от экрана, Dz2, дБ	z = 1.47м (разность путей)	ф-лы (14-18) [10]	9,3	11,4	13,9	16,6	19,5	22,4	25,4	28,4	31,4		
Снижение уровня звукового давления на пути справа от экрана, Dz3, дБ	z = 15.85м (разность путей)	ф-лы (14-18) [10]	17,9	20,8	23,7	26,7	29,7	32,7	35,7	38,7	41,7		
Общее снижение уровня звука препятствием Dz, дБ		Эн.сумма(-Dzi)	3,3	3,9	4,3	4,6	5,1	5,7	6,7	8,1	10		
Уровни звукового давления от источника ИШ-2-1 в расчётной точке днём, дБ		**ф-ла(3)[10]**	**38,2**	**36,6**	**36**	**32,2**	**31,8**	**33,8**	**25,4**	**9,7**	**0**	**36**	**36**
Уровни звукового давления от источника ИШ-2-1 в расчётной точке ночью, дБ		**ф-ла(3)[10]**	**38,2**	**36,6**	**36**	**32,2**	**31,8**	**33,8**	**25,4**	**9,7**	**0**	**36**	**36**
Источник шума: ИШ-2-2, координаты источника (x,y,z), м =[682.20,81.60,3.00]													
Уровни звуковой мощности источника днём, Lw, дБ		**исходные данные**	**105**	**104**	**104**	**101**	**102**	**106**	**101**	**95**	**87**		
Уровни звуковой мощности источника ночью, Lw, дБ		**исходные данные**	**105**	**104**	**104**	**101**	**102**	**106**	**101**	**95**	**87**		
Поправка на телесный угол DΩ, дБ	Ω = 6.28	10Lg(4π/Ω)	**3**	3	3	3	3	3	3	3	3		
Показатель направленности источника Di, дБ		исходные данные	**0**	0	0	0	0	0	0	0	0		
Поправка на направленность источника Dc, дБ	Dc	DΩ + Di	**3**	3	3	3	3	3	3	3	3		
Затухание из-за геометрической дивергенции, Adiv, дБ	расстояние = 562.04 м	ф-ла (7) [10]	**66**										
Коэффициент затухания звука в атмосфере α, дБ/км	Ta=20,°C Pa=101.33,кПа hотн.=70%	ф-ла (5) [9]	0,02	0,09	0,33	1,12	2,79	4,98	9,04	23,09	77,63		

1		2	3	4	5	6	7	8	9	10	11	12	13
Учет затухания звука в атмосфере Aatm, дБ		ф-ла (8) [10]	0	0,1	0,2	0,6	1,6	2,8	5,1	13	43,6		
Снижение уровня звукового давления из-за влияния застройки между источником шума и расчетной точкой													
Снижение уровня звукового давления на пути над экраном, Dz1, дБ	z = 0.29м (разность путей)	ф-лы (14-18) [10]	4,8	4,9	5	5,4	6,1	7,2	8,8	10,9	13,3		
Снижение уровня звукового давления на пути слева от экрана, Dz2, дБ	z = 0.45м (разность путей)	ф-лы (14-18) [10]	6,7	8	9,8	12,1	14,7	17,5	20,4	23,3	26,3		
Снижение уровня звукового давления на пути справа от экрана, Dz3, дБ	z = 20.61м (разность путей)	ф-лы (14-18) [10]	19	21,9	24,9	27,8	30,8	33,9	36,9	39,9	42,9		
Общее снижение уровня звука препятствием Dz, дБ		Эн.сумма(-Dzi)	2,5	3,1	3,7	4,5	5,5	6,8	8,5	10,6	13,1		
Уровни звукового давления от источника ИШ-2-2 в расчётной точке днём, дБ		**ф-ла(3)[10]**	**39,5**	**37,9**	**37,1**	**32,9**	**31,9**	**33,4**	**24,4**	**8,4**	**0**	**35,7**	**35,7**
Уровни звукового давления от источника ИШ-2-2 в расчётной точке ночью, дБ		**ф-ла(3)[10]**	**39,5**	**37,9**	**37,1**	**32,9**	**31,9**	**33,4**	**24,4**	**8,4**	**0**	**35,7**	**35,7**
Источник шума: ИШ-2-3, координаты источника (x,y,z), м =[667.80,38.90,3.00]													
Уровни звуковой мощности источника днём, Lw, дБ		**исходные данные**	**105**	**104**	**104**	**101**	**102**	**106**	**101**	**95**	**87**		
Уровни звуковой мощности источника ночью, Lw, дБ		**исходные данные**	**105**	**104**	**104**	**101**	**102**	**106**	**101**	**95**	**87**		
Поправка на телесный угол DΩ, дБ	Ω = 6.28	10Lg(4π/Ω)	**3**	3	3	3	3	3	3	3	3		
Показатель направленности источника Di, дБ		исходные данные	**0**	0	0	0	0	0	0	0	0		
Поправка на направленность источника Dc, дБ	Dc	DΩ + Di	**3**	3	3	3	3	3	3	3	3		
Затухание из-за геометрической дивергенции, Adiv, дБ	расстояние = 530.39 м	ф-ла (7) [10]	**65,5**										
Коэффициент затухания звука в атмосфере α, дБ/км	Ta=20,°C Pa=101.33,кПа hотн.=70%	ф-ла (5) [9]	0,02	0,09	0,33	1,12	2,79	4,98	9,04	23,09	77,63		

1		2	3	4	5	6	7	8	9	10	11	12	13
Учет затухания звука в атмосфере Aatm, дБ		ф-ла (8) [10]	0	0	0,2	0,6	1,5	2,6	4,8	12,2	41,2		
Снижение уровня звукового давления из-за влияния застройки между источником шума и расчетной точкой													
Снижение уровня звукового давления на пути над экраном, Dz1, дБ	z = 0.30м (разность путей)	ф-лы (14-18) [10]	5,3	5,8	6,6	7,9	9,7	11,9	14,5	17,3	20,2		
Снижение уровня звукового давления на пути слева от экрана, Dz2, дБ	z = 20.12м (разность путей)	ф-лы (14-18) [10]	18,9	21,8	24,8	27,7	30,7	33,7	36,8	39,8	42,8		
Снижение уровня звукового давления на пути справа от экрана, Dz3, дБ	z = 1.27м (разность путей)	ф-лы (14-18) [10]	8,9	10,9	13,3	16	18,9	21,8	24,8	27,8	30,8		
Общее снижение уровня звука препятствием Dz, дБ		Эн.сумма(-Dzi)	3,6	4,5	5,7	7,2	9,2	11,5	14,1	16,9	19,8		
Уровни звукового давления от источника ИШ-2-3 в расчётной точке днём, дБ		**ф-ла(3)[10]**	**38,9**	**36,9**	**35,6**	**30,7**	**28,9**	**29,4**	**19,6**	**3,4**	**0**	**32,1**	**32,1**
Уровни звукового давления от источника ИШ-2-3 в расчётной точке ночью, дБ		**ф-ла(3)[10]**	**38,9**	**36,9**	**35,6**	**30,7**	**28,9**	**29,4**	**19,6**	**3,4**	**0**	**32,1**	**32,1**
Источник шума: ИШ-2-6, координаты источника (x,y,z), м =[765.97,112.43,1.00]													
Уровни звуковой мощности источника днём, Lw, дБ		**исходные данные**	**0**	**93,3**	**94,7**	**96**	**96,3**	**95,9**	**92,6**	**88,4**	**83,9**		
Уровни звуковой мощности источника ночью, Lw, дБ		**исходные данные**	**0**	**93,3**	**94,7**	**96**	**96,3**	**95,9**	**92,6**	**88,4**	**83,9**		
Поправка на телесный угол DΩ, дБ	Ω = 6.28	10Lg(4π/Ω)	**3**	3	3	3	3	3	3	3	3		
Показатель направленности источника Di, дБ		исходные данные	**0**	0	0	0	0	0	0	0	0		
Поправка на направленность источника Dc, дБ	Dc	DΩ + Di	**3**	3	3	3	3	3	3	3	3		
Затухание из-за геометрической дивергенции, Adiv, дБ	расстояние = 650.65 м	ф-ла (7) [10]	**67,3**										
Коэффициент затухания звука в атмосфере α, дБ/км	Ta=20,°C Pa=101.33,кПа hотн.=70%	ф-ла (5) [9]	0,02	0,09	0,33	1,12	2,79	4,98	9,04	23,09	77,63		

1		2	3	4	5	6	7	8	9	10	11	12	13
Учет затухания звука в атмосфере Aatm, дБ		ф-ла (8) [10]	0	0,1	0,2	0,7	1,8	3,2	5,9	15	50,5		
Снижение уровня звукового давления из-за влияния застройки между источником шума и расчетной точкой													
Снижение уровня звукового давления на пути над экраном, Dz1, дБ	z = 0.32м (разность путей)	ф-лы (14-18) [10]	4,8	4,8	4,9	5,1	5,6	6,4	7,6	9,4	11,6		
Снижение уровня звукового давления на пути слева от экрана, Dz2, дБ	z = 0.22м (разность путей)	ф-лы (14-18) [10]	5,8	6,7	8	9,8	12,1	14,6	17,4	20,3	23,3		
Снижение уровня звукового давления на пути справа от экрана, Dz3, дБ	z = 21.23м (разность путей)	ф-лы (14-18) [10]	19,1	22,1	25	28	31	34	37	40	43		
Общее снижение уровня звука препятствием Dz, дБ		Эн.сумма(-Dzi)	2,2	2,6	3,1	3,8	4,7	5,8	7,2	9	11,3		
Уровни звукового давления от источника ИШ-2-6 в расчётной точке днём, дБ		**ф-ла(3)[10]**	**0**	**26,4**	**27,1**	**27,2**	**25,5**	**22,6**	**15,2**	**0,1**	**0**	**26,8**	**26,8**
Уровни звукового давления от источника ИШ-2-6 в расчётной точке ночью, дБ		**ф-ла(3)[10]**	**0**	**26,4**	**27,1**	**27,2**	**25,5**	**22,6**	**15,2**	**0,1**	**0**	**26,8**	**26,8**
Источник шума: ИШ-2-7, координаты источника (x,y,z), м =[764.91,109.54,1.00]													
Уровни звуковой мощности источника днём, Lw, дБ		**исходные данные**	**0**	**93,3**	**94,7**	**96**	**96,3**	**95,9**	**92,6**	**88,4**	**83,9**		
Уровни звуковой мощности источника ночью, Lw, дБ		**исходные данные**	**0**	**93,3**	**94,7**	**96**	**96,3**	**95,9**	**92,6**	**88,4**	**83,9**		
Поправка на телесный угол DΩ, дБ	Ω = 6.28	10Lg(4π/Ω)	**3**	3	3	3	3	3	3	3	3		
Показатель направленности источника Di, дБ		исходные данные	**0**	0	0	0	0	0	0	0	0		
Поправка на направленность источника Dc, дБ	Dc	DΩ + Di	**3**	3	3	3	3	3	3	3	3		
Затухание из-за геометрической дивергенции, Adiv, дБ	расстояние = 648.41 м	ф-ла (7) [10]	**67,2**										
Коэффициент затухания звука в атмосфере α, дБ/км	Ta=20,°C Pa=101.33,кПа hотн.=70%	ф-ла (5) [9]	0,02	0,09	0,33	1,12	2,79	4,98	9,04	23,09	77,63		

1		2	3	4	5	6	7	8	9	10	11	12	13
Учет затухания звука в атмосфере Aatm, дБ		ф-ла (8) [10]	0	0,1	0,2	0,7	1,8	3,2	5,9	15	50,3		
Снижение уровня звукового давления из-за влияния застройки между источником шума и расчетной точкой													
Снижение уровня звукового давления на пути над экраном, Dz1, дБ	z = 0.31м (разность путей)	ф-лы (14-18) [10]	4,8	4,8	4,9	5,1	5,6	6,4	7,7	9,4	11,6		
Снижение уровня звукового давления на пути слева от экрана, Dz2, дБ	z = 0.19м (разность путей)	ф-лы (14-18) [10]	5,7	6,5	7,7	9,4	11,6	14,1	16,8	19,7	22,6		
Снижение уровня звукового давления на пути справа от экрана, Dz3, дБ	z = 21.54м (разность путей)	ф-лы (14-18) [10]	19,2	22,1	25	28	31	34	37,1	40,1	43,1		
Общее снижение уровня звука препятствием Dz, дБ		Эн.сумма(-Dzi)	2,1	2,5	3	3,7	4,6	5,7	7,2	9	11,2		
Уровни звукового давления от источника ИШ-2-7 в расчётной точке днём, дБ		**ф-ла(3)[10]**	**0**	**26,5**	**27,2**	**27,3**	**25,6**	**22,7**	**15,3**	**0,2**	**0**	**27**	**27**
Уровни звукового давления от источника ИШ-2-7 в расчётной точке ночью, дБ		**ф-ла(3)[10]**	**0**	**26,5**	**27,2**	**27,3**	**25,6**	**22,7**	**15,3**	**0,2**	**0**	**27**	**27**
Источник шума: ИШ-2-8, координаты источника (x,y,z), м =[764.03,106.58,1.00]													
Уровни звуковой мощности источника днём, Lw, дБ		**исходные данные**	**0**	**93,3**	**94,7**	**96**	**96,3**	**95,9**	**92,6**	**88,4**	**83,9**		
Уровни звуковой мощности источника ночью, Lw, дБ		**исходные данные**	**0**	**93,3**	**94,7**	**96**	**96,3**	**95,9**	**92,6**	**88,4**	**83,9**		
Поправка на телесный угол DΩ, дБ	Ω = 6.28	10Lg(4π/Ω)	**3**	3	3	3	3	3	3	3	3		
Показатель направленности источника Di, дБ		исходные данные	**0**	0	0	0	0	0	0	0	0		
Поправка на направленность источника Dc, дБ	Dc	DΩ + Di	**3**	3	3	3	3	3	3	3	3		
Затухание из-за геометрической дивергенции, Adiv, дБ	расстояние = 646.31 м	ф-ла (7) [10]	**67,2**										
Коэффициент затухания звука в атмосфере α, дБ/км	Ta=20,°C Pa=101.33,кПа hотн.=70%	ф-ла (5) [9]	0,02	0,09	0,33	1,12	2,79	4,98	9,04	23,09	77,63		

1		2	3	4	5	6	7	8	9	10	11	12	13
Учет затухания звука в атмосфере Aatm, дБ		ф-ла (8) [10]	0	0,1	0,2	0,7	1,8	3,2	5,8	14,9	50,2		
Снижение уровня звукового давления из-за влияния застройки между источником шума и расчетной точкой													
Снижение уровня звукового давления на пути над экраном, Dz1, дБ	z = 0.31м (разность путей)	ф-лы (14-18) [10]	4,8	4,8	4,9	5,1	5,6	6,4	7,7	9,4	11,6		
Снижение уровня звукового давления на пути слева от экрана, Dz2, дБ	z = 0.16м (разность путей)	ф-лы (14-18) [10]	5,6	6,2	7,3	8,9	11	13,4	16,1	19	21,9		
Снижение уровня звукового давления на пути справа от экрана, Dz3, дБ	z = 21.87м (разность путей)	ф-лы (14-18) [10]	19,2	22,2	25,1	28,1	31,1	34,1	37,1	40,1	43,1		
Общее снижение уровня звука препятствием Dz, дБ		Эн.сумма(-Dzi)	2,1	2,4	2,9	3,6	4,5	5,6	7,1	8,9	11,2		
Уровни звукового давления от источника ИШ-2-8 в расчётной точке днём, дБ		**ф-ла(3)[10]**	**0**	**26,6**	**27,4**	**27,5**	**25,8**	**22,8**	**15,5**	**0,3**	**0**	**27,1**	**27,1**
Уровни звукового давления от источника ИШ-2-8 в расчётной точке ночью, дБ		**ф-ла(3)[10]**	**0**	**26,6**	**27,4**	**27,5**	**25,8**	**22,8**	**15,5**	**0,3**	**0**	**27,1**	**27,1**
Источник шума: ИШ-2-9, координаты источника (x,y,z), м =[763.26,103.71,1.00]													
Уровни звуковой мощности источника днём, Lw, дБ		**исходные данные**	**0**	**93,3**	**94,7**	**96**	**96,3**	**95,9**	**92,6**	**88,4**	**83,9**		
Уровни звуковой мощности источника ночью, Lw, дБ		**исходные данные**	**0**	**93,3**	**94,7**	**96**	**96,3**	**95,9**	**92,6**	**88,4**	**83,9**		
Поправка на телесный угол DΩ, дБ	Ω = 6.28	10Lg(4π/Ω)	**3**	3	3	3	3	3	3	3	3		
Показатель направленности источника Di, дБ		исходные данные	**0**	0	0	0	0	0	0	0	0		
Поправка на направленность источника Dc, дБ	Dc	DΩ + Di	**3**	3	3	3	3	3	3	3	3		
Затухание из-за геометрической дивергенции, Adiv, дБ	расстояние = 644.35 м	ф-ла (7) [10]	**67,2**										
Коэффициент затухания звука в атмосфере α, дБ/км	Ta=20,°C Pa=101.33,кПа hотн.=70%	ф-ла (5) [9]	0,02	0,09	0,33	1,12	2,79	4,98	9,04	23,09	77,63		

1		2	3	4	5	6	7	8	9	10	11	12	13
Учет затухания звука в атмосфере Aatm, дБ		ф-ла (8) [10]	0	0,1	0,2	0,7	1,8	3,2	5,8	14,9	50		
Снижение уровня звукового давления из-за влияния застройки между источником шума и расчетной точкой													
Снижение уровня звукового давления на пути над экраном, Dz1, дБ	z = 0.31м (разность путей)	ф-лы (14-18) [10]	4,8	4,8	4,9	5,1	5,6	6,4	7,6	9,4	11,6		
Снижение уровня звукового давления на пути слева от экрана, Dz2, дБ	z = 0.13м (разность путей)	ф-лы (14-18) [10]	5,4	6	7	8,4	10,4	12,8	15,4	18,2	21,1		
Снижение уровня звукового давления на пути справа от экрана, Dz3, дБ	z = 22.20м (разность путей)	ф-лы (14-18) [10]	21,6	25,9	29,6	32,8	35,9	38,9	42	45	48		
Общее снижение уровня звука препятствием Dz, дБ		Эн.сумма(-Dzi)	2	2,3	2,8	3,4	4,3	5,5	7	8,9	11,1		
Уровни звукового давления от источника ИШ-2-9 в расчётной точке днём, дБ		**ф-ла(3)[10]**	**0**	**26,7**	**27,5**	**27,6**	**26**	**23**	**15,6**	**0,5**	**0**	**27,3**	**27,3**
Уровни звукового давления от источника ИШ-2-9 в расчётной точке ночью, дБ		**ф-ла(3)[10]**	**0**	**26,7**	**27,5**	**27,6**	**26**	**23**	**15,6**	**0,5**	**0**	**27,3**	**27,3**
Источник шума: ИШ-2-10, координаты источника (x,y,z), м =[762.14,100.75,1.00]													
Уровни звуковой мощности источника днём, Lw, дБ		**исходные данные**	**0**	**93,3**	**94,7**	**96**	**96,3**	**95,9**	**92,6**	**88,4**	**83,9**		
Уровни звуковой мощности источника ночью, Lw, дБ		**исходные данные**	**0**	**93,3**	**94,7**	**96**	**96,3**	**95,9**	**92,6**	**88,4**	**83,9**		
Поправка на телесный угол DΩ, дБ	Ω = 6.28	10Lg(4π/Ω)	**3**	3	3	3	3	3	3	3	3		
Показатель направленности источника Di, дБ		исходные данные	**0**	0	0	0	0	0	0	0	0		
Поправка на направленность источника Dc, дБ	Dc	DΩ + Di	**3**	3	3	3	3	3	3	3	3		
Затухание из-за геометрической дивергенции, Adiv, дБ	расстояние = 642.05 м	ф-ла (7) [10]	**67,2**										
Коэффициент затухания звука в атмосфере α, дБ/км	Ta=20,°C Pa=101.33,кПа hотн.=70%	ф-ла (5) [9]	0,02	0,09	0,33	1,12	2,79	4,98	9,04	23,09	77,63		

1		2	3	4	5	6	7	8	9	10	11	12	13
Учет затухания звука в атмосфере Aatm, дБ		ф-ла (8) [10]	0	0,1	0,2	0,7	1,8	3,2	5,8	14,8	49,8		
Снижение уровня звукового давления из-за влияния застройки между источником шума и расчетной точкой													
Снижение уровня звукового давления на пути над экраном, Dz1, дБ	z = 0.31м (разность путей)	ф-лы (14-18) [10]	4,8	4,8	4,9	5,1	5,6	6,4	7,6	9,4	11,6		
Снижение уровня звукового давления на пути слева от экрана, Dz2, дБ	z = 0.11м (разность путей)	ф-лы (14-18) [10]	5,3	5,8	6,7	8	9,8	12	14,6	17,4	20,3		
Снижение уровня звукового давления на пути справа от экрана, Dz3, дБ	z = 22.53м (разность путей)	ф-лы (14-18) [10]	21,6	26	29,7	32,9	36	39	42	45	48		
Общее снижение уровня звука препятствием Dz, дБ		Эн.сумма(-Dzi)	2	2,3	2,7	3,3	4,2	5,3	6,9	8,8	11		
Уровни звукового давления от источника ИШ-2-10 в расчётной точке днём, дБ		**ф-ла(3)[10]**	**0**	**26,8**	**27,7**	**27,8**	**26,2**	**23,2**	**15,8**	**0,7**	**0**	**27,5**	**27,5**
Уровни звукового давления от источника ИШ-2-10 в расчётной точке ночью, дБ		**ф-ла(3)[10]**	**0**	**26,8**	**27,7**	**27,8**	**26,2**	**23,2**	**15,8**	**0,7**	**0**	**27,5**	**27,5**
Источник шума: ИШ-2-11, координаты источника (x,y,z), м =[761.13,97.90,1.00]													
Уровни звуковой мощности источника днём, Lw, дБ		**исходные данные**	**0**	**93,3**	**94,7**	**96**	**96,3**	**95,9**	**92,6**	**88,4**	**83,9**		
Уровни звуковой мощности источника ночью, Lw, дБ		**исходные данные**	**0**	**93,3**	**94,7**	**96**	**96,3**	**95,9**	**92,6**	**88,4**	**83,9**		
Поправка на телесный угол DΩ, дБ	Ω = 6.28	10Lg(4π/Ω)	**3**	3	3	3	3	3	3	3	3		
Показатель направленности источника Di, дБ		исходные данные	**0**	0	0	0	0	0	0	0	0		
Поправка на направленность источника Dc, дБ	Dc	DΩ + Di	**3**	3	3	3	3	3	3	3	3		
Затухание из-за геометрической дивергенции, Adiv, дБ	расстояние = 639.90 м	ф-ла (7) [10]	**67,1**										
Коэффициент затухания звука в атмосфере α, дБ/км	Ta=20,°C Pa=101.33,кПа hотн.=70%	ф-ла (5) [9]	0,02	0,09	0,33	1,12	2,79	4,98	9,04	23,09	77,63		

1		2	3	4	5	6	7	8	9	10	11	12	13
Учет затухания звука в атмосфере Aatm, дБ		ф-ла (8) [10]	0	0,1	0,2	0,7	1,8	3,2	5,8	14,8	49,7		
Снижение уровня звукового давления из-за влияния застройки между источником шума и расчетной точкой													
Снижение уровня звукового давления на пути над экраном, Dz1, дБ	z = 0.31м (разность путей)	ф-лы (14-18) [10]	4,8	4,8	4,9	5,1	5,5	6,4	7,6	9,4	11,6		
Снижение уровня звукового давления на пути слева от экрана, Dz2, дБ	z = 0.09м (разность путей)	ф-лы (14-18) [10]	5,2	5,6	6,3	7,5	9,2	11,3	13,8	16,5	19,4		
Снижение уровня звукового давления на пути справа от экрана, Dz3, дБ	z = 22.86м (разность путей)	ф-лы (14-18) [10]	21,7	26,1	29,7	33	36	39,1	42,1	45,1	48,1		
Общее снижение уровня звука препятствием Dz, дБ		Эн.сумма(-Dzi)	1,9	2,2	2,5	3,1	4	5,2	6,7	8,6	10,9		
Уровни звукового давления от источника ИШ-2-11 в расчётной точке днём, дБ		**ф-ла(3)[10]**	**0**	**26,9**	**27,8**	**28,1**	**26,4**	**23,4**	**16**	**0,9**	**0**	**27,7**	**27,7**
Уровни звукового давления от источника ИШ-2-11 в расчётной точке ночью, дБ		**ф-ла(3)[10]**	**0**	**26,9**	**27,8**	**28,1**	**26,4**	**23,4**	**16**	**0,9**	**0**	**27,7**	**27,7**
Источник шума: ИШ-2-12, координаты источника (x,y,z), м =[760.25,95.02,1.00]													
Уровни звуковой мощности источника днём, Lw, дБ		**исходные данные**	**0**	**93,3**	**94,7**	**96**	**96,3**	**95,9**	**92,6**	**88,4**	**83,9**		
Уровни звуковой мощности источника ночью, Lw, дБ		**исходные данные**	**0**	**93,3**	**94,7**	**96**	**96,3**	**95,9**	**92,6**	**88,4**	**83,9**		
Поправка на телесный угол DΩ, дБ	Ω = 6.28	10Lg(4π/Ω)	**3**	3	3	3	3	3	3	3	3		
Показатель направленности источника Di, дБ		исходные данные	**0**	0	0	0	0	0	0	0	0		
Поправка на направленность источника Dc, дБ	Dc	DΩ + Di	**3**	3	3	3	3	3	3	3	3		
Затухание из-за геометрической дивергенции, Adiv, дБ	расстояние = 637.87 м	ф-ла (7) [10]	**67,1**										
Коэффициент затухания звука в атмосфере α, дБ/км	Ta=20,°C Pa=101.33,кПа hотн.=70%	ф-ла (5) [9]	0,02	0,09	0,33	1,12	2,79	4,98	9,04	23,09	77,63		

1		2	3	4	5	6	7	8	9	10	11	12	13
Учет затухания звука в атмосфере Aatm, дБ		ф-ла (8) [10]	0	0,1	0,2	0,7	1,8	3,2	5,8	14,7	49,5		
Снижение уровня звукового давления из-за влияния застройки между источником шума и расчетной точкой													
Снижение уровня звукового давления на пути над экраном, Dz1, дБ	z = 0.31м (разность путей)	ф-лы (14-18) [10]	4,8	4,8	4,9	5	5,5	6,4	7,6	9,4	11,6		
Снижение уровня звукового давления на пути слева от экрана, Dz2, дБ	z = 0.07м (разность путей)	ф-лы (14-18) [10]	5,1	5,5	6	7	8,5	10,5	12,8	15,5	18,3		
Снижение уровня звукового давления на пути справа от экрана, Dz3, дБ	z = 23.21м (разность путей)	ф-лы (14-18) [10]	21,8	26,1	29,8	33	36,1	39,1	42,1	45,2	48,2		
Общее снижение уровня звука препятствием Dz, дБ		Эн.сумма(-Dzi)	1,9	2,1	2,4	2,9	3,7	4,9	6,5	8,4	10,8		
Уровни звукового давления от источника ИШ-2-12 в расчётной точке днём, дБ		**ф-ла(3)[10]**	**0**	**27**	**28**	**28,3**	**26,7**	**23,7**	**16,2**	**1,1**	**0**	**27,9**	**27,9**
Уровни звукового давления от источника ИШ-2-12 в расчётной точке ночью, дБ		**ф-ла(3)[10]**	**0**	**27**	**28**	**28,3**	**26,7**	**23,7**	**16,2**	**1,1**	**0**	**27,9**	**27,9**
Источник шума: ИШ-2-13, координаты источника (x,y,z), м =[759.28,92.25,1.00]													
Уровни звуковой мощности источника днём, Lw, дБ		**исходные данные**	**0**	**93,3**	**94,7**	**96**	**96,3**	**95,9**	**92,6**	**88,4**	**83,9**		
Уровни звуковой мощности источника ночью, Lw, дБ		**исходные данные**	**0**	**93,3**	**94,7**	**96**	**96,3**	**95,9**	**92,6**	**88,4**	**83,9**		
Поправка на телесный угол DΩ, дБ	Ω = 6.28	10Lg(4π/Ω)	**3**	3	3	3	3	3	3	3	3		
Показатель направленности источника Di, дБ		исходные данные	**0**	0	0	0	0	0	0	0	0		
Поправка на направленность источника Dc, дБ	Dc	DΩ + Di	**3**	3	3	3	3	3	3	3	3		
Затухание из-за геометрической дивергенции, Adiv, дБ	расстояние = 635.80 м	ф-ла (7) [10]	**67,1**										
Коэффициент затухания звука в атмосфере α, дБ/км	Ta=20,°C Pa=101.33,кПа hотн.=70%	ф-ла (5) [9]	0,02	0,09	0,33	1,12	2,79	4,98	9,04	23,09	77,63		

1		2	3	4	5	6	7	8	9	10	11	12	13
Учет затухания звука в атмосфере Aatm, дБ		ф-ла (8) [10]	0	0,1	0,2	0,7	1,8	3,2	5,7	14,7	49,4		
Снижение уровня звукового давления из-за влияния застройки между источником шума и расчетной точкой													
Снижение уровня звукового давления на пути над экраном, Dz1, дБ	z = 0.31м (разность путей)	ф-лы (14-18) [10]	4,8	4,8	4,9	5	5,5	6,3	7,6	9,4	11,6		
Снижение уровня звукового давления на пути слева от экрана, Dz2, дБ	z = 0.05м (разность путей)	ф-лы (14-18) [10]	5	5,3	5,8	6,6	7,8	9,6	11,9	14,4	17,2		
Снижение уровня звукового давления на пути справа от экрана, Dz3, дБ	z = 23.54м (разность путей)	ф-лы (14-18) [10]	21,8	26,2	29,9	33,1	36,2	39,2	42,2	45,2	48,2		
Общее снижение уровня звука препятствием Dz, дБ		Эн.сумма(-Dzi)	1,9	2	2,3	2,7	3,5	4,7	6,2	8,2	10,5		
Уровни звукового давления от источника ИШ-2-13 в расчётной точке днём, дБ		**ф-ла(3)[10]**	**0**	**27,1**	**28,1**	**28,5**	**27**	**24**	**16,5**	**1,4**	**0**	**28,2**	**28,2**
Уровни звукового давления от источника ИШ-2-13 в расчётной точке ночью, дБ		**ф-ла(3)[10]**	**0**	**27,1**	**28,1**	**28,5**	**27**	**24**	**16,5**	**1,4**	**0**	**28,2**	**28,2**
Источник шума: ИШ-2-14, координаты источника (x,y,z), м =[751.62,69.73,1.00]													
Уровни звуковой мощности источника днём, Lw, дБ		**исходные данные**	**0**	**93,3**	**94,7**	**96**	**96,3**	**95,9**	**92,6**	**88,4**	**83,9**		
Уровни звуковой мощности источника ночью, Lw, дБ		**исходные данные**	**0**	**93,3**	**94,7**	**96**	**96,3**	**95,9**	**92,6**	**88,4**	**83,9**		
Поправка на телесный угол DΩ, дБ	Ω = 6.28	10Lg(4π/Ω)	**3**	3	3	3	3	3	3	3	3		
Показатель направленности источника Di, дБ		исходные данные	**0**	0	0	0	0	0	0	0	0		
Поправка на направленность источника Dc, дБ	Dc	DΩ + Di	**3**	3	3	3	3	3	3	3	3		
Затухание из-за геометрической дивергенции, Adiv, дБ	расстояние = 619.50 м	ф-ла (7) [10]	**66,8**										
Коэффициент затухания звука в атмосфере α, дБ/км	Ta=20,°C Pa=101.33,кПа hотн.=70%	ф-ла (5) [9]	0,02	0,09	0,33	1,12	2,79	4,98	9,04	23,09	77,63		

1		2	3	4	5	6	7	8	9	10	11	12	13
Учет затухания звука в атмосфере Aatm, дБ		ф-ла (8) [10]	0	0,1	0,2	0,7	1,7	3,1	5,6	14,3	48,1		
Снижение уровня звукового давления из-за влияния застройки между источником шума и расчетной точкой													
Снижение уровня звукового давления на пути над экраном, Dz1, дБ	z = 0.12м (разность путей)	ф-лы (14-18) [10]	4,8	4,8	4,8	4,8	4,8	4,8	4,8	4,9	5,1		
Снижение уровня звукового давления на пути слева от экрана, Dz2, дБ	z = 12.45м (разность путей)	ф-лы (14-18) [10]	16,9	19,8	22,7	25,7	28,7	31,7	34,7	37,7	40,7		
Снижение уровня звукового давления на пути справа от экрана, Dz3, дБ	z = 1.44м (разность путей)	ф-лы (14-18) [10]	9,2	11,3	13,8	16,6	19,4	22,4	25,3	28,3	31,3		
Общее снижение уровня звука препятствием Dz, дБ		Эн.сумма(-Dzi)	3,2	3,8	4,2	4,5	4,6	4,7	4,8	4,9	5,1		
Уровни звукового давления от источника ИШ-2-14 в расчётной точке днём, дБ		**ф-ла(3)[10]**	**0**	**25,6**	**26,4**	**27**	**26,1**	**24,2**	**18,3**	**5,4**	**0**	**28**	**28**
Уровни звукового давления от источника ИШ-2-14 в расчётной точке ночью, дБ		**ф-ла(3)[10]**	**0**	**25,6**	**26,4**	**27**	**26,1**	**24,2**	**18,3**	**5,4**	**0**	**28**	**28**
Источник шума: ИШ-2-15, координаты источника (x,y,z), м =[750.74,66.89,1.00]													
Уровни звуковой мощности источника днём, Lw, дБ		**исходные данные**	**0**	**93,3**	**94,7**	**96**	**96,3**	**95,9**	**92,6**	**88,4**	**83,9**		
Уровни звуковой мощности источника ночью, Lw, дБ		**исходные данные**	**0**	**93,3**	**94,7**	**96**	**96,3**	**95,9**	**92,6**	**88,4**	**83,9**		
Поправка на телесный угол DΩ, дБ	Ω = 6.28	10Lg(4π/Ω)	**3**	3	3	3	3	3	3	3	3		
Показатель направленности источника Di, дБ		исходные данные	**0**	0	0	0	0	0	0	0	0		
Поправка на направленность источника Dc, дБ	Dc	DΩ + Di	**3**	3	3	3	3	3	3	3	3		
Затухание из-за геометрической дивергенции, Adiv, дБ	расстояние = 617.56 м	ф-ла (7) [10]	**66,8**										
Коэффициент затухания звука в атмосфере α, дБ/км	Ta=20,°C Pa=101.33,кПа hотн.=70%	ф-ла (5) [9]	0,02	0,09	0,33	1,12	2,79	4,98	9,04	23,09	77,63		

1		2	3	4	5	6	7	8	9	10	11	12	13
Учет затухания звука в атмосфере Aatm, дБ		ф-ла (8) [10]	0	0,1	0,2	0,7	1,7	3,1	5,6	14,3	47,9		
Снижение уровня звукового давления из-за влияния застройки между источником шума и расчетной точкой													
Снижение уровня звукового давления на пути над экраном, Dz1, дБ	z = 0.12м (разность путей)	ф-лы (14-18) [10]	4,8	4,8	4,8	4,8	4,8	4,8	4,9	4,9	5,1		
Снижение уровня звукового давления на пути слева от экрана, Dz2, дБ	z = 11.92м (разность путей)	ф-лы (14-18) [10]	16,7	19,6	22,5	25,5	28,5	31,5	34,5	37,5	40,5		
Снижение уровня звукового давления на пути справа от экрана, Dz3, дБ	z = 1.53м (разность путей)	ф-лы (14-18) [10]	9,4	11,6	14,1	16,8	19,7	22,6	25,6	28,6	31,6		
Общее снижение уровня звука препятствием Dz, дБ		Эн.сумма(-Dzi)	3,3	3,8	4,2	4,5	4,6	4,7	4,8	4,9	5,1		
Уровни звукового давления от источника ИШ-2-15 в расчётной точке днём, дБ		**ф-ла(3)[10]**	**0**	**25,6**	**26,4**	**27**	**26,1**	**24,3**	**18,4**	**5,4**	**0**	**28,1**	**28,1**
Уровни звукового давления от источника ИШ-2-15 в расчётной точке ночью, дБ		**ф-ла(3)[10]**	**0**	**25,6**	**26,4**	**27**	**26,1**	**24,3**	**18,4**	**5,4**	**0**	**28,1**	**28,1**
Источник шума: ИШ-2-16, координаты источника (x,y,z), м =[749.73,64.02,1.00]													
Уровни звуковой мощности источника днём, Lw, дБ		**исходные данные**	**0**	**93,3**	**94,7**	**96**	**96,3**	**95,9**	**92,6**	**88,4**	**83,9**		
Уровни звуковой мощности источника ночью, Lw, дБ		**исходные данные**	**0**	**93,3**	**94,7**	**96**	**96,3**	**95,9**	**92,6**	**88,4**	**83,9**		
Поправка на телесный угол DΩ, дБ	Ω = 6.28	10Lg(4π/Ω)	**3**	3	3	3	3	3	3	3	3		
Показатель направленности источника Di, дБ		исходные данные	**0**	0	0	0	0	0	0	0	0		
Поправка на направленность источника Dc, дБ	Dc	DΩ + Di	**3**	3	3	3	3	3	3	3	3		
Затухание из-за геометрической дивергенции, Adiv, дБ	расстояние = 615.50 м	ф-ла (7) [10]	**66,8**										
Коэффициент затухания звука в атмосфере α, дБ/км	Ta=20,°C Pa=101.33,кПа hотн.=70%	ф-ла (5) [9]	0,02	0,09	0,33	1,12	2,79	4,98	9,04	23,09	77,63		

1		2	3	4	5	6	7	8	9	10	11	12	13
Учет затухания звука в атмосфере Aatm, дБ		ф-ла (8) [10]	0	0,1	0,2	0,7	1,7	3,1	5,6	14,2	47,8		
Снижение уровня звукового давления из-за влияния застройки между источником шума и расчетной точкой													
Снижение уровня звукового давления на пути над экраном, Dz1, дБ	z = 0.12м (разность путей)	ф-лы (14-18) [10]	4,8	4,8	4,8	4,8	4,8	4,8	4,9	5	5,2		
Снижение уровня звукового давления на пути слева от экрана, Dz2, дБ	z = 11.41м (разность путей)	ф-лы (14-18) [10]	16,6	19,4	22,3	25,3	28,3	31,3	34,3	37,3	40,3		
Снижение уровня звукового давления на пути справа от экрана, Dz3, дБ	z = 1.62м (разность путей)	ф-лы (14-18) [10]	9,6	11,8	14,3	17,1	19,9	22,9	25,9	28,8	31,9		
Общее снижение уровня звука препятствием Dz, дБ		Эн.сумма(-Dzi)	3,3	3,9	4,2	4,5	4,6	4,7	4,8	5	5,2		
Уровни звукового давления от источника ИШ-2-16 в расчётной точке днём, дБ		**ф-ла(3)[10]**	**0**	**25,6**	**26,5**	**27**	**26,1**	**24,3**	**18,4**	**5,4**	**0**	**28,1**	**28,1**
Уровни звукового давления от источника ИШ-2-16 в расчётной точке ночью, дБ		**ф-ла(3)[10]**	**0**	**25,6**	**26,5**	**27**	**26,1**	**24,3**	**18,4**	**5,4**	**0**	**28,1**	**28,1**
Источник шума: ИШ-2-17, координаты источника (x,y,z), м =[748.87,61.06,1.00]													
Уровни звуковой мощности источника днём, Lw, дБ		**исходные данные**	**0**	**93,3**	**94,7**	**96**	**96,3**	**95,9**	**92,6**	**88,4**	**83,9**		
Уровни звуковой мощности источника ночью, Lw, дБ		**исходные данные**	**0**	**93,3**	**94,7**	**96**	**96,3**	**95,9**	**92,6**	**88,4**	**83,9**		
Поправка на телесный угол DΩ, дБ	Ω = 6.28	10Lg(4π/Ω)	**3**	3	3	3	3	3	3	3	3		
Показатель направленности источника Di, дБ		исходные данные	**0**	0	0	0	0	0	0	0	0		
Поправка на направленность источника Dc, дБ	Dc	DΩ + Di	**3**	3	3	3	3	3	3	3	3		
Затухание из-за геометрической дивергенции, Adiv, дБ	расстояние = 613.54 м	ф-ла (7) [10]	**66,8**										
Коэффициент затухания звука в атмосфере α, дБ/км	Ta=20,°C Pa=101.33,кПа hотн.=70%	ф-ла (5) [9]	0,02	0,09	0,33	1,12	2,79	4,98	9,04	23,09	77,63		

1		2	3	4	5	6	7	8	9	10	11	12	13
Учет затухания звука в атмосфере Aatm, дБ		ф-ла (8) [10]	0	0,1	0,2	0,7	1,7	3,1	5,5	14,2	47,6		
Снижение уровня звукового давления из-за влияния застройки между источником шума и расчетной точкой													
Снижение уровня звукового давления на пути над экраном, Dz1, дБ	z = 0.12м (разность путей)	ф-лы (14-18) [10]	4,8	4,8	4,8	4,8	4,8	4,8	4,9	5	5,2		
Снижение уровня звукового давления на пути слева от экрана, Dz2, дБ	z = 10.86м (разность путей)	ф-лы (14-18) [10]	16,4	19,2	22,1	25,1	28,1	31,1	34,1	37,1	40,1		
Снижение уровня звукового давления на пути справа от экрана, Dz3, дБ	z = 1.73м (разность путей)	ф-лы (14-18) [10]	9,7	12	14,5	17,3	20,2	23,2	26,1	29,1	32,1		
Общее снижение уровня звука препятствием Dz, дБ		Эн.сумма(-Dzi)	3,3	3,9	4,3	4,5	4,7	4,8	4,8	5	5,2		
Уровни звукового давления от источника ИШ-2-17 в расчётной точке днём, дБ		**ф-ла(3)[10]**	**0**	**25,6**	**26,5**	**27**	**26,2**	**24,3**	**18,4**	**5,5**	**0**	**28,1**	**28,1**
Уровни звукового давления от источника ИШ-2-17 в расчётной точке ночью, дБ		**ф-ла(3)[10]**	**0**	**25,6**	**26,5**	**27**	**26,2**	**24,3**	**18,4**	**5,5**	**0**	**28,1**	**28,1**
Источник шума: ИШ-2-18, координаты источника (x,y,z), м =[747.72,58.17,1.00]													
Уровни звуковой мощности источника днём, Lw, дБ		**исходные данные**	**0**	**93,3**	**94,7**	**96**	**96,3**	**95,9**	**92,6**	**88,4**	**83,9**		
Уровни звуковой мощности источника ночью, Lw, дБ		**исходные данные**	**0**	**93,3**	**94,7**	**96**	**96,3**	**95,9**	**92,6**	**88,4**	**83,9**		
Поправка на телесный угол DΩ, дБ	Ω = 6.28	10Lg(4π/Ω)	**3**	3	3	3	3	3	3	3	3		
Показатель направленности источника Di, дБ		исходные данные	**0**	0	0	0	0	0	0	0	0		
Поправка на направленность источника Dc, дБ	Dc	DΩ + Di	**3**	3	3	3	3	3	3	3	3		
Затухание из-за геометрической дивергенции, Adiv, дБ	расстояние = 611.36 м	ф-ла (7) [10]	**66,7**										
Коэффициент затухания звука в атмосфере α, дБ/км	Ta=20,°C Pa=101.33,кПа hотн.=70%	ф-ла (5) [9]	0,02	0,09	0,33	1,12	2,79	4,98	9,04	23,09	77,63		

1		2	3	4	5	6	7	8	9	10	11	12	13
Учет затухания звука в атмосфере Aatm, дБ		ф-ла (8) [10]	0	0,1	0,2	0,7	1,7	3	5,5	14,1	47,5		
Снижение уровня звукового давления из-за влияния застройки между источником шума и расчетной точкой													
Снижение уровня звукового давления на пути над экраном, Dz1, дБ	z = 0.13м (разность путей)	ф-лы (14-18) [10]	4,8	4,8	4,8	4,8	4,8	4,8	4,9	5	5,2		
Снижение уровня звукового давления на пути слева от экрана, Dz2, дБ	z = 10.38м (разность путей)	ф-лы (14-18) [10]	16,2	19	21,9	24,9	27,9	30,9	33,9	36,9	39,9		
Снижение уровня звукового давления на пути справа от экрана, Dz3, дБ	z = 1.84м (разность путей)	ф-лы (14-18) [10]	13,4	16,3	19,2	22,2	25,1	28,1	31,1	34,1	37,1		
Общее снижение уровня звука препятствием Dz, дБ		Эн.сумма(-Dzi)	3,9	4,3	4,5	4,7	4,7	4,8	4,9	5	5,2		
Уровни звукового давления от источника ИШ-2-18 в расчётной точке днём, дБ		**ф-ла(3)[10]**	**0**	**25,2**	**26,2**	**26,9**	**26,1**	**24,3**	**18,5**	**5,6**	**0**	**28,1**	**28,1**
Уровни звукового давления от источника ИШ-2-18 в расчётной точке ночью, дБ		**ф-ла(3)[10]**	**0**	**25,2**	**26,2**	**26,9**	**26,1**	**24,3**	**18,5**	**5,6**	**0**	**28,1**	**28,1**
Источник шума: ИШ-2-19, координаты источника (x,y,z), м =[746.80,55.25,1.00]													
Уровни звуковой мощности источника днём, Lw, дБ		**исходные данные**	**0**	**93,3**	**94,7**	**96**	**96,3**	**95,9**	**92,6**	**88,4**	**83,9**		
Уровни звуковой мощности источника ночью, Lw, дБ		**исходные данные**	**0**	**93,3**	**94,7**	**96**	**96,3**	**95,9**	**92,6**	**88,4**	**83,9**		
Поправка на телесный угол DΩ, дБ	Ω = 6.28	10Lg(4π/Ω)	**3**	3	3	3	3	3	3	3	3		
Показатель направленности источника Di, дБ		исходные данные	**0**	0	0	0	0	0	0	0	0		
Поправка на направленность источника Dc, дБ	Dc	DΩ + Di	**3**	3	3	3	3	3	3	3	3		
Затухание из-за геометрической дивергенции, Adiv, дБ	расстояние = 609.38 м	ф-ла (7) [10]	**66,7**										
Коэффициент затухания звука в атмосфере α, дБ/км	Ta=20,°C Pa=101.33,кПа hотн.=70%	ф-ла (5) [9]	0,02	0,09	0,33	1,12	2,79	4,98	9,04	23,09	77,63		

1		2	3	4	5	6	7	8	9	10	11	12	13
Учет затухания звука в атмосфере Aatm, дБ		ф-ла (8) [10]	0	0,1	0,2	0,7	1,7	3	5,5	14,1	47,3		
Снижение уровня звукового давления из-за влияния застройки между источником шума и расчетной точкой													
Снижение уровня звукового давления на пути над экраном, Dz1, дБ	z = 0.13м (разность путей)	ф-лы (14-18) [10]	4,8	4,8	4,8	4,8	4,8	4,8	4,9	5	5,2		
Снижение уровня звукового давления на пути слева от экрана, Dz2, дБ	z = 9.85м (разность путей)	ф-лы (14-18) [10]	16	18,8	21,7	24,7	27,7	30,7	33,7	36,7	39,7		
Снижение уровня звукового давления на пути справа от экрана, Dz3, дБ	z = 1.96м (разность путей)	ф-лы (14-18) [10]	13,6	16,6	19,5	22,5	25,4	28,4	31,4	34,4	37,4		
Общее снижение уровня звука препятствием Dz, дБ		Эн.сумма(-Dzi)	4	4,3	4,5	4,7	4,7	4,8	4,9	5	5,2		
Уровни звукового давления от источника ИШ-2-19 в расчётной точке днём, дБ		**ф-ла(3)[10]**	**0**	**25,2**	**26,2**	**26,9**	**26,2**	**24,4**	**18,5**	**5,6**	**0**	**28,1**	**28,1**
Уровни звукового давления от источника ИШ-2-19 в расчётной точке ночью, дБ		**ф-ла(3)[10]**	**0**	**25,2**	**26,2**	**26,9**	**26,2**	**24,4**	**18,5**	**5,6**	**0**	**28,1**	**28,1**
Источник шума: ИШ-2-20, координаты источника (x,y,z), м =[745.71,52.44,1.00]													
Уровни звуковой мощности источника днём, Lw, дБ		**исходные данные**	**0**	**93,3**	**94,7**	**96**	**96,3**	**95,9**	**92,6**	**88,4**	**83,9**		
Уровни звуковой мощности источника ночью, Lw, дБ		**исходные данные**	**0**	**93,3**	**94,7**	**96**	**96,3**	**95,9**	**92,6**	**88,4**	**83,9**		
Поправка на телесный угол DΩ, дБ	Ω = 6.28	10Lg(4π/Ω)	**3**	3	3	3	3	3	3	3	3		
Показатель направленности источника Di, дБ		исходные данные	**0**	0	0	0	0	0	0	0	0		
Поправка на направленность источника Dc, дБ	Dc	DΩ + Di	**3**	3	3	3	3	3	3	3	3		
Затухание из-за геометрической дивергенции, Adiv, дБ	расстояние = 607.30 м	ф-ла (7) [10]	**66,7**										
Коэффициент затухания звука в атмосфере α, дБ/км	Ta=20,°C Pa=101.33,кПа hотн.=70%	ф-ла (5) [9]	0,02	0,09	0,33	1,12	2,79	4,98	9,04	23,09	77,63		

1		2	3	4	5	6	7	8	9	10	11	12	13
Учет затухания звука в атмосфере Aatm, дБ		ф-ла (8) [10]	0	0,1	0,2	0,7	1,7	3	5,5	14	47,1		
Снижение уровня звукового давления из-за влияния застройки между источником шума и расчетной точкой													
Снижение уровня звукового давления на пути над экраном, Dz1, дБ	z = 0.13м (разность путей)	ф-лы (14-18) [10]	4,8	4,8	4,8	4,8	4,8	4,8	4,9	5	5,3		
Снижение уровня звукового давления на пути слева от экрана, Dz2, дБ	z = 9.38м (разность путей)	ф-лы (14-18) [10]	15,8	18,6	21,5	24,5	27,4	30,4	33,4	36,5	39,5		
Снижение уровня звукового давления на пути справа от экрана, Dz3, дБ	z = 2.10м (разность путей)	ф-лы (14-18) [10]	13,9	16,9	19,8	22,7	25,7	28,7	31,7	34,7	37,7		
Общее снижение уровня звука препятствием Dz, дБ		Эн.сумма(-Dzi)	4	4,3	4,6	4,7	4,7	4,8	4,9	5	5,3		
Уровни звукового давления от источника ИШ-2-20 в расчётной точке днём, дБ		**ф-ла(3)[10]**	**0**	**25,2**	**26,3**	**27**	**26,2**	**24,4**	**18,6**	**5,7**	**0**	**28,1**	**28,1**
Уровни звукового давления от источника ИШ-2-20 в расчётной точке ночью, дБ		**ф-ла(3)[10]**	**0**	**25,2**	**26,3**	**27**	**26,2**	**24,4**	**18,6**	**5,7**	**0**	**28,1**	**28,1**
Источник шума: ИШ-2-21, координаты источника (x,y,z), м =[744.89,49.62,1.00]													
Уровни звуковой мощности источника днём, Lw, дБ		**исходные данные**	**0**	**93,3**	**94,7**	**96**	**96,3**	**95,9**	**92,6**	**88,4**	**83,9**		
Уровни звуковой мощности источника ночью, Lw, дБ		**исходные данные**	**0**	**93,3**	**94,7**	**96**	**96,3**	**95,9**	**92,6**	**88,4**	**83,9**		
Поправка на телесный угол DΩ, дБ	Ω = 6.28	10Lg(4π/Ω)	**3**	3	3	3	3	3	3	3	3		
Показатель направленности источника Di, дБ		исходные данные	**0**	0	0	0	0	0	0	0	0		
Поправка на направленность источника Dc, дБ	Dc	DΩ + Di	**3**	3	3	3	3	3	3	3	3		
Затухание из-за геометрической дивергенции, Adiv, дБ	расстояние = 605.47 м	ф-ла (7) [10]	**66,6**										
Коэффициент затухания звука в атмосфере α, дБ/км	Ta=20,°C Pa=101.33,кПа hотн.=70%	ф-ла (5) [9]	0,02	0,09	0,33	1,12	2,79	4,98	9,04	23,09	77,63		

1		2	3	4	5	6	7	8	9	10	11	12	13
Учет затухания звука в атмосфере Aatm, дБ		ф-ла (8) [10]	0	0,1	0,2	0,7	1,7	3	5,5	14	47		
Снижение уровня звукового давления из-за влияния застройки между источником шума и расчетной точкой													
Снижение уровня звукового давления на пути над экраном, Dz1, дБ	z = 0.13м (разность путей)	ф-лы (14-18) [10]	4,8	4,8	4,8	4,8	4,8	4,8	4,9	5	5,3		
Снижение уровня звукового давления на пути слева от экрана, Dz2, дБ	z = 8.88м (разность путей)	ф-лы (14-18) [10]	15,6	18,4	21,3	24,2	27,2	30,2	33,2	36,2	39,2		
Снижение уровня звукового давления на пути справа от экрана, Dz3, дБ	z = 2.26м (разность путей)	ф-лы (14-18) [10]	14,1	17,2	20,1	23,1	26	29	32	35,1	38,1		
Общее снижение уровня звука препятствием Dz, дБ		Эн.сумма(-Dzi)	4	4,4	4,6	4,7	4,7	4,8	4,9	5	5,3		
Уровни звукового давления от источника ИШ-2-21 в расчётной точке днём, дБ		**ф-ла(3)[10]**	**0**	**25,2**	**26,3**	**27**	**26,2**	**24,4**	**18,6**	**5,7**	**0**	**28,2**	**28,2**
Уровни звукового давления от источника ИШ-2-21 в расчётной точке ночью, дБ		**ф-ла(3)[10]**	**0**	**25,2**	**26,3**	**27**	**26,2**	**24,4**	**18,6**	**5,7**	**0**	**28,2**	**28,2**
Источник шума: ИШ-2-22, координаты источника (x,y,z), м =[737.40,27.07,1.00]													
Уровни звуковой мощности источника днём, Lw, дБ		**исходные данные**	**0**	**93,3**	**94,7**	**96**	**96,3**	**95,9**	**92,6**	**88,4**	**83,9**		
Уровни звуковой мощности источника ночью, Lw, дБ		**исходные данные**	**0**	**93,3**	**94,7**	**96**	**96,3**	**95,9**	**92,6**	**88,4**	**83,9**		
Поправка на телесный угол DΩ, дБ	Ω = 6.28	10Lg(4π/Ω)	**3**	3	3	3	3	3	3	3	3		
Показатель направленности источника Di, дБ		исходные данные	**0**	0	0	0	0	0	0	0	0		
Поправка на направленность источника Dc, дБ	Dc	DΩ + Di	**3**	3	3	3	3	3	3	3	3		
Затухание из-за геометрической дивергенции, Adiv, дБ	расстояние = 590.29 м	ф-ла (7) [10]	**66,4**										
Коэффициент затухания звука в атмосфере α, дБ/км	Ta=20,°C Pa=101.33,кПа hотн.=70%	ф-ла (5) [9]	0,02	0,09	0,33	1,12	2,79	4,98	9,04	23,09	77,63		

1		2	3	4	5	6	7	8	9	10	11	12	13
Учет затухания звука в атмосфере Aatm, дБ		ф-ла (8) [10]	0	0,1	0,2	0,7	1,6	2,9	5,3	13,6	45,8		
Снижение уровня звукового давления из-за влияния застройки между источником шума и расчетной точкой													
Снижение уровня звукового давления на пути над экраном, Dz1, дБ	z = 0.20м (разность путей)	ф-лы (14-18) [10]	4,8	4,8	4,8	4,9	5,1	5,5	6,1	7,1	8,6		
Снижение уровня звукового давления на пути слева от экрана, Dz2, дБ	z = 5.26м (разность путей)	ф-лы (14-18) [10]	13,5	16,2	19,1	22	24,9	27,9	30,9	33,9	37		
Снижение уровня звукового давления на пути справа от экрана, Dz3, дБ	z = 4.30м (разность путей)	ф-лы (14-18) [10]	16,7	19,8	22,8	25,8	28,8	31,8	34,8	37,8	40,8		
Общее снижение уровня звука препятствием Dz, дБ		Эн.сумма(-Dzi)	4	4,4	4,6	4,8	5	5,4	6,1	7,1	8,6		
Уровни звукового давления от источника ИШ-2-22 в расчётной точке днём, дБ		**ф-ла(3)[10]**	**0**	**25,5**	**26,5**	**27,1**	**26,2**	**24,1**	**17,8**	**4,2**	**0**	**27,9**	**27,9**
Уровни звукового давления от источника ИШ-2-22 в расчётной точке ночью, дБ		**ф-ла(3)[10]**	**0**	**25,5**	**26,5**	**27,1**	**26,2**	**24,1**	**17,8**	**4,2**	**0**	**27,9**	**27,9**
Источник шума: ИШ-2-23, координаты источника (x,y,z), м =[736.46,24.18,1.00]													
Уровни звуковой мощности источника днём, Lw, дБ		**исходные данные**	**0**	**93,3**	**94,7**	**96**	**96,3**	**95,9**	**92,6**	**88,4**	**83,9**		
Уровни звуковой мощности источника ночью, Lw, дБ		**исходные данные**	**0**	**93,3**	**94,7**	**96**	**96,3**	**95,9**	**92,6**	**88,4**	**83,9**		
Поправка на телесный угол DΩ, дБ	Ω = 6.28	10Lg(4π/Ω)	**3**	3	3	3	3	3	3	3	3		
Показатель направленности источника Di, дБ		исходные данные	**0**	0	0	0	0	0	0	0	0		
Поправка на направленность источника Dc, дБ	Dc	DΩ + Di	**3**	3	3	3	3	3	3	3	3		
Затухание из-за геометрической дивергенции, Adiv, дБ	расстояние = 588.41 м	ф-ла (7) [10]	**66,4**										
Коэффициент затухания звука в атмосфере α, дБ/км	Ta=20,°C Pa=101.33,кПа hотн.=70%	ф-ла (5) [9]	0,02	0,09	0,33	1,12	2,79	4,98	9,04	23,09	77,63		

1		2	3	4	5	6	7	8	9	10	11	12	13
Учет затухания звука в атмосфере Aatm, дБ		ф-ла (8) [10]	0	0,1	0,2	0,7	1,6	2,9	5,3	13,6	45,7		
Снижение уровня звукового давления из-за влияния застройки между источником шума и расчетной точкой													
Снижение уровня звукового давления на пути над экраном, Dz1, дБ	z = 0.21м (разность путей)	ф-лы (14-18) [10]	4,8	4,8	4,8	4,9	5,2	5,6	6,3	7,4	9		
Снижение уровня звукового давления на пути слева от экрана, Dz2, дБ	z = 4.84м (разность путей)	ф-лы (14-18) [10]	13,2	15,9	18,7	21,6	24,6	27,6	30,6	33,6	36,6		
Снижение уровня звукового давления на пути справа от экрана, Dz3, дБ	z = 4.67м (разность путей)	ф-лы (14-18) [10]	17	20,2	23,2	26,2	29,2	32,2	35,2	38,2	41,2		
Общее снижение уровня звука препятствием Dz, дБ		Эн.сумма(-Dzi)	4	4,4	4,6	4,8	5,1	5,5	6,3	7,4	9		
Уровни звукового давления от источника ИШ-2-23 в расчётной точке днём, дБ		**ф-ла(3)[10]**	**0**	**25,5**	**26,5**	**27,1**	**26,2**	**24**	**17,6**	**4**	**0**	**27,9**	**27,9**
Уровни звукового давления от источника ИШ-2-23 в расчётной точке ночью, дБ		**ф-ла(3)[10]**	**0**	**25,5**	**26,5**	**27,1**	**26,2**	**24**	**17,6**	**4**	**0**	**27,9**	**27,9**
Источник шума: ИШ-2-24, координаты источника (x,y,z), м =[735.45,21.21,1.00]													
Уровни звуковой мощности источника днём, Lw, дБ		**исходные данные**	**0**	**93,3**	**94,7**	**96**	**96,3**	**95,9**	**92,6**	**88,4**	**83,9**		
Уровни звуковой мощности источника ночью, Lw, дБ		**исходные данные**	**0**	**93,3**	**94,7**	**96**	**96,3**	**95,9**	**92,6**	**88,4**	**83,9**		
Поправка на телесный угол DΩ, дБ	Ω = 6.28	10Lg(4π/Ω)	**3**	3	3	3	3	3	3	3	3		
Показатель направленности источника Di, дБ		исходные данные	**0**	0	0	0	0	0	0	0	0		
Поправка на направленность источника Dc, дБ	Dc	DΩ + Di	**3**	3	3	3	3	3	3	3	3		
Затухание из-за геометрической дивергенции, Adiv, дБ	расстояние = 586.44 м	ф-ла (7) [10]	**66,4**										
Коэффициент затухания звука в атмосфере α, дБ/км	Ta=20,°C Pa=101.33,кПа hотн.=70%	ф-ла (5) [9]	0,02	0,09	0,33	1,12	2,79	4,98	9,04	23,09	77,63		

1		2	3	4	5	6	7	8	9	10	11	12	13
Учет затухания звука в атмосфере Aatm, дБ		ф-ла (8) [10]	0	0,1	0,2	0,7	1,6	2,9	5,3	13,5	45,5		
Снижение уровня звукового давления из-за влияния застройки между источником шума и расчетной точкой													
Снижение уровня звукового давления на пути над экраном, Dz1, дБ	z = 0.21м (разность путей)	ф-лы (14-18) [10]	4,8	4,8	4,8	4,9	5,2	5,6	6,3	7,5	9,1		
Снижение уровня звукового давления на пути слева от экрана, Dz2, дБ	z = 4.42м (разность путей)	ф-лы (14-18) [10]	12,9	15,5	18,3	21,2	24,2	27,2	30,2	33,2	36,2		
Снижение уровня звукового давления на пути справа от экрана, Dz3, дБ	z = 5.07м (разность путей)	ф-лы (14-18) [10]	17,4	20,5	23,5	26,5	29,5	32,5	35,5	38,6	41,6		
Общее снижение уровня звука препятствием Dz, дБ		Эн.сумма(-Dzi)	4	4,3	4,6	4,8	5,1	5,6	6,3	7,5	9,1		
Уровни звукового давления от источника ИШ-2-24 в расчётной точке днём, дБ		**ф-ла(3)[10]**	**0**	**25,5**	**26,5**	**27,2**	**26,2**	**24**	**17,6**	**4**	**0**	**27,9**	**27,9**
Уровни звукового давления от источника ИШ-2-24 в расчётной точке ночью, дБ		**ф-ла(3)[10]**	**0**	**25,5**	**26,5**	**27,2**	**26,2**	**24**	**17,6**	**4**	**0**	**27,9**	**27,9**
Источник шума: ИШ-2-25, координаты источника (x,y,z), м =[734.58,18.32,1.00]													
Уровни звуковой мощности источника днём, Lw, дБ		**исходные данные**	**0**	**93,3**	**94,7**	**96**	**96,3**	**95,9**	**92,6**	**88,4**	**83,9**		
Уровни звуковой мощности источника ночью, Lw, дБ		**исходные данные**	**0**	**93,3**	**94,7**	**96**	**96,3**	**95,9**	**92,6**	**88,4**	**83,9**		
Поправка на телесный угол DΩ, дБ	Ω = 6.28	10Lg(4π/Ω)	**3**	3	3	3	3	3	3	3	3		
Показатель направленности источника Di, дБ		исходные данные	**0**	0	0	0	0	0	0	0	0		
Поправка на направленность источника Dc, дБ	Dc	DΩ + Di	**3**	3	3	3	3	3	3	3	3		
Затухание из-за геометрической дивергенции, Adiv, дБ	расстояние = 584.64 м	ф-ла (7) [10]	**66,3**										
Коэффициент затухания звука в атмосфере α, дБ/км	Ta=20,°C Pa=101.33,кПа hотн.=70%	ф-ла (5) [9]	0,02	0,09	0,33	1,12	2,79	4,98	9,04	23,09	77,63		

1		2	3	4	5	6	7	8	9	10	11	12	13
Учет затухания звука в атмосфере Aatm, дБ		ф-ла (8) [10]	0	0,1	0,2	0,7	1,6	2,9	5,3	13,5	45,4		
Снижение уровня звукового давления из-за влияния застройки между источником шума и расчетной точкой													
Снижение уровня звукового давления на пути над экраном, Dz1, дБ	z = 0.21м (разность путей)	ф-лы (14-18) [10]	4,8	4,8	4,8	5	5,2	5,6	6,4	7,5	9,2		
Снижение уровня звукового давления на пути слева от экрана, Dz2, дБ	z = 4.01м (разность путей)	ф-лы (14-18) [10]	12,5	15,1	17,9	20,8	23,8	26,8	29,8	32,8	35,8		
Снижение уровня звукового давления на пути справа от экрана, Dz3, дБ	z = 5.50м (разность путей)	ф-лы (14-18) [10]	17,7	20,9	23,9	26,9	29,9	32,9	35,9	38,9	41,9		
Общее снижение уровня звука препятствием Dz, дБ		Эн.сумма(-Dzi)	3,9	4,3	4,6	4,8	5,1	5,6	6,3	7,5	9,2		
Уровни звукового давления от источника ИШ-2-25 в расчётной точке днём, дБ		**ф-ла(3)[10]**	**0**	**25,6**	**26,6**	**27,2**	**26,2**	**24,1**	**17,6**	**4**	**0**	**27,9**	**27,9**
Уровни звукового давления от источника ИШ-2-25 в расчётной точке ночью, дБ		**ф-ла(3)[10]**	**0**	**25,6**	**26,6**	**27,2**	**26,2**	**24,1**	**17,6**	**4**	**0**	**27,9**	**27,9**
Источник шума: ИШ-2-26, координаты источника (x,y,z), м =[733.57,15.41,1.00]													
Уровни звуковой мощности источника днём, Lw, дБ		**исходные данные**	**0**	**93,3**	**94,7**	**96**	**96,3**	**95,9**	**92,6**	**88,4**	**83,9**		
Уровни звуковой мощности источника ночью, Lw, дБ		**исходные данные**	**0**	**93,3**	**94,7**	**96**	**96,3**	**95,9**	**92,6**	**88,4**	**83,9**		
Поправка на телесный угол DΩ, дБ	Ω = 6.28	10Lg(4π/Ω)	**3**	3	3	3	3	3	3	3	3		
Показатель направленности источника Di, дБ		исходные данные	**0**	0	0	0	0	0	0	0	0		
Поправка на направленность источника Dc, дБ	Dc	DΩ + Di	**3**	3	3	3	3	3	3	3	3		
Затухание из-за геометрической дивергенции, Adiv, дБ	расстояние = 582.71 м	ф-ла (7) [10]	**66,3**										
Коэффициент затухания звука в атмосфере α, дБ/км	Ta=20,°C Pa=101.33,кПа hотн.=70%	ф-ла (5) [9]	0,02	0,09	0,33	1,12	2,79	4,98	9,04	23,09	77,63		

1		2	3	4	5	6	7	8	9	10	11	12	13
Учет затухания звука в атмосфере Aatm, дБ		ф-ла (8) [10]	0	0,1	0,2	0,7	1,6	2,9	5,3	13,5	45,2		
Снижение уровня звукового давления из-за влияния застройки между источником шума и расчетной точкой													
Снижение уровня звукового давления на пути над экраном, Dz1, дБ	z = 0.21м (разность путей)	ф-лы (14-18) [10]	4,8	4,8	4,8	5	5,2	5,7	6,4	7,6	9,3		
Снижение уровня звукового давления на пути слева от экрана, Dz2, дБ	z = 3.63м (разность путей)	ф-лы (14-18) [10]	12,2	14,8	17,5	20,4	23,4	26,3	29,3	32,3	35,3		
Снижение уровня звукового давления на пути справа от экрана, Dz3, дБ	z = 5.95м (разность путей)	ф-лы (14-18) [10]	18	21,2	24,2	27,2	30,2	33,2	36,2	39,2	42,3		
Общее снижение уровня звука препятствием Dz, дБ		Эн.сумма(-Dzi)	3,9	4,3	4,6	4,8	5,1	5,6	6,4	7,6	9,3		
Уровни звукового давления от источника ИШ-2-26 в расчётной точке днём, дБ		**ф-ла(3)[10]**	**0**	**25,6**	**26,6**	**27,2**	**26,2**	**24,1**	**17,6**	**4**	**0**	**27,9**	**27,9**
Уровни звукового давления от источника ИШ-2-26 в расчётной точке ночью, дБ		**ф-ла(3)[10]**	**0**	**25,6**	**26,6**	**27,2**	**26,2**	**24,1**	**17,6**	**4**	**0**	**27,9**	**27,9**
Источник шума: ИШ-2-27, координаты источника (x,y,z), м =[732.43,12.66,1.00]													
Уровни звуковой мощности источника днём, Lw, дБ		**исходные данные**	**0**	**93,3**	**94,7**	**96**	**96,3**	**95,9**	**92,6**	**88,4**	**83,9**		
Уровни звуковой мощности источника ночью, Lw, дБ		**исходные данные**	**0**	**93,3**	**94,7**	**96**	**96,3**	**95,9**	**92,6**	**88,4**	**83,9**		
Поправка на телесный угол DΩ, дБ	Ω = 6.28	10Lg(4π/Ω)	**3**	3	3	3	3	3	3	3	3		
Показатель направленности источника Di, дБ		исходные данные	**0**	0	0	0	0	0	0	0	0		
Поправка на направленность источника Dc, дБ	Dc	DΩ + Di	**3**	3	3	3	3	3	3	3	3		
Затухание из-за геометрической дивергенции, Adiv, дБ	расстояние = 580.72 м	ф-ла (7) [10]	**66,3**										
Коэффициент затухания звука в атмосфере α, дБ/км	Ta=20,°C Pa=101.33,кПа hотн.=70%	ф-ла (5) [9]	0,02	0,09	0,33	1,12	2,79	4,98	9,04	23,09	77,63		

1		2	3	4	5	6	7	8	9	10	11	12	13
Учет затухания звука в атмосфере Aatm, дБ		ф-ла (8) [10]	0	0,1	0,2	0,7	1,6	2,9	5,2	13,4	45,1		
Снижение уровня звукового давления из-за влияния застройки между источником шума и расчетной точкой													
Снижение уровня звукового давления на пути над экраном, Dz1, дБ	z = 0.21м (разность путей)	ф-лы (14-18) [10]	4,8	4,8	4,8	5	5,2	5,7	6,5	7,7	9,4		
Снижение уровня звукового давления на пути слева от экрана, Dz2, дБ	z = 3.29м (разность путей)	ф-лы (14-18) [10]	11,8	14,4	17,1	20	22,9	25,9	28,9	31,9	34,9		
Снижение уровня звукового давления на пути справа от экрана, Dz3, дБ	z = 6.40м (разность путей)	ф-лы (14-18) [10]	18,3	21,5	24,5	27,5	30,5	33,5	36,5	39,6	42,6		
Общее снижение уровня звука препятствием Dz, дБ		Эн.сумма(-Dzi)	3,8	4,3	4,5	4,8	5,1	5,6	6,4	7,7	9,4		
Уровни звукового давления от источника ИШ-2-27 в расчётной точке днём, дБ		**ф-ла(3)[10]**	**0**	**25,7**	**26,7**	**27,3**	**26,3**	**24,1**	**17,6**	**4**	**0**	**27,9**	**27,9**
Уровни звукового давления от источника ИШ-2-27 в расчётной точке ночью, дБ		**ф-ла(3)[10]**	**0**	**25,7**	**26,7**	**27,3**	**26,3**	**24,1**	**17,6**	**4**	**0**	**27,9**	**27,9**
Источник шума: ИШ-2-28, координаты источника (x,y,z), м =[731.54,9.78,1.00]													
Уровни звуковой мощности источника днём, Lw, дБ		**исходные данные**	**0**	**93,3**	**94,7**	**96**	**96,3**	**95,9**	**92,6**	**88,4**	**83,9**		
Уровни звуковой мощности источника ночью, Lw, дБ		**исходные данные**	**0**	**93,3**	**94,7**	**96**	**96,3**	**95,9**	**92,6**	**88,4**	**83,9**		
Поправка на телесный угол DΩ, дБ	Ω = 6.28	10Lg(4π/Ω)	**3**	3	3	3	3	3	3	3	3		
Показатель направленности источника Di, дБ		исходные данные	**0**	0	0	0	0	0	0	0	0		
Поправка на направленность источника Dc, дБ	Dc	DΩ + Di	**3**	3	3	3	3	3	3	3	3		
Затухание из-за геометрической дивергенции, Adiv, дБ	расстояние = 578.93 м	ф-ла (7) [10]	**66,3**										
Коэффициент затухания звука в атмосфере α, дБ/км	Ta=20,°C Pa=101.33,кПа hотн.=70%	ф-ла (5) [9]	0,02	0,09	0,33	1,12	2,79	4,98	9,04	23,09	77,63		

1		2	3	4	5	6	7	8	9	10	11	12	13
Учет затухания звука в атмосфере Aatm, дБ		ф-ла (8) [10]	0	0,1	0,2	0,7	1,6	2,9	5,2	13,4	44,9		
Снижение уровня звукового давления из-за влияния застройки между источником шума и расчетной точкой													
Снижение уровня звукового давления на пути над экраном, Dz1, дБ	z = 0.21м (разность путей)	ф-лы (14-18) [10]	4,8	4,8	4,8	5	5,2	5,7	6,5	7,8	9,5		
Снижение уровня звукового давления на пути слева от экрана, Dz2, дБ	z = 2.93м (разность путей)	ф-лы (14-18) [10]	11,4	13,9	16,6	19,5	22,4	25,4	28,4	31,4	34,4		
Снижение уровня звукового давления на пути справа от экрана, Dz3, дБ	z = 6.91м (разность путей)	ф-лы (14-18) [10]	18,6	21,8	24,9	27,9	30,9	33,9	36,9	39,9	42,9		
Общее снижение уровня звука препятствием Dz, дБ		Эн.сумма(-Dzi)	3,8	4,2	4,5	4,8	5,1	5,7	6,5	7,7	9,5		
Уровни звукового давления от источника ИШ-2-28 в расчётной точке днём, дБ		**ф-ла(3)[10]**	**0**	**25,8**	**26,7**	**27,3**	**26,3**	**24,1**	**17,6**	**4**	**0**	**28**	**28**
Уровни звукового давления от источника ИШ-2-28 в расчётной точке ночью, дБ		**ф-ла(3)[10]**	**0**	**25,8**	**26,7**	**27,3**	**26,3**	**24,1**	**17,6**	**4**	**0**	**28**	**28**
Источник шума: ИШ-2-29, координаты источника (x,y,z), м =[730.57,6.88,1.00]													
Уровни звуковой мощности источника днём, Lw, дБ		**исходные данные**	**0**	**93,3**	**94,7**	**96**	**96,3**	**95,9**	**92,6**	**88,4**	**83,9**		
Уровни звуковой мощности источника ночью, Lw, дБ		**исходные данные**	**0**	**93,3**	**94,7**	**96**	**96,3**	**95,9**	**92,6**	**88,4**	**83,9**		
Поправка на телесный угол DΩ, дБ	Ω = 6.28	10Lg(4π/Ω)	**3**	3	3	3	3	3	3	3	3		
Показатель направленности источника Di, дБ		исходные данные	**0**	0	0	0	0	0	0	0	0		
Поправка на направленность источника Dc, дБ	Dc	DΩ + Di	**3**	3	3	3	3	3	3	3	3		
Затухание из-за геометрической дивергенции, Adiv, дБ	расстояние = 577.08 м	ф-ла (7) [10]	**66,2**										
Коэффициент затухания звука в атмосфере α, дБ/км	Ta=20,°C Pa=101.33,кПа hотн.=70%	ф-ла (5) [9]	0,02	0,09	0,33	1,12	2,79	4,98	9,04	23,09	77,63		

1		2	3	4	5	6	7	8	9	10	11	12	13
Учет затухания звука в атмосфере Aatm, дБ		ф-ла (8) [10]	0	0,1	0,2	0,6	1,6	2,9	5,2	13,3	44,8		
Снижение уровня звукового давления из-за влияния застройки между источником шума и расчетной точкой													
Снижение уровня звукового давления на пути над экраном, Dz1, дБ	z = 0.21м (разность путей)	ф-лы (14-18) [10]	4,8	4,8	4,8	5	5,3	5,7	6,6	7,8	9,6		
Снижение уровня звукового давления на пути слева от экрана, Dz2, дБ	z = 2.58м (разность путей)	ф-лы (14-18) [10]	11	13,5	16,1	19	21,9	24,9	27,9	30,9	33,9		
Снижение уровня звукового давления на пути справа от экрана, Dz3, дБ	z = 7.45м (разность путей)	ф-лы (14-18) [10]	19	22,2	25,2	28,2	31,2	34,2	37,2	40,2	43,2		
Общее снижение уровня звука препятствием Dz, дБ		Эн.сумма(-Dzi)	3,7	4,2	4,5	4,8	5,1	5,7	6,5	7,8	9,6		
Уровни звукового давления от источника ИШ-2-29 в расчётной точке днём, дБ		**ф-ла(3)[10]**	**0**	**25,8**	**26,8**	**27,3**	**26,3**	**24,1**	**17,6**	**4**	**0**	**28**	**28**
Уровни звукового давления от источника ИШ-2-29 в расчётной точке ночью, дБ		**ф-ла(3)[10]**	**0**	**25,8**	**26,8**	**27,3**	**26,3**	**24,1**	**17,6**	**4**	**0**	**28**	**28**
Источник шума: ИШ-2-4, координаты источника (x,y,z), м =[632.70,-65.30,3.00]													
Уровни звуковой мощности источника днём, Lw, дБ		**исходные данные**	**105**	**104**	**104**	**101**	**102**	**106**	**101**	**95**	**87**		
Уровни звуковой мощности источника ночью, Lw, дБ		**исходные данные**	**105**	**104**	**104**	**101**	**102**	**106**	**101**	**95**	**87**		
Поправка на телесный угол DΩ, дБ	Ω = 6.28	10Lg(4π/Ω)	**3**	3	3	3	3	3	3	3	3		
Показатель направленности источника Di, дБ		исходные данные	**0**	0	0	0	0	0	0	0	0		
Поправка на направленность источника Dc, дБ	Dc	DΩ + Di	**3**	3	3	3	3	3	3	3	3		
Затухание из-за геометрической дивергенции, Adiv, дБ	расстояние = 462.64 м	ф-ла (7) [10]	**64,3**										
Коэффициент затухания звука в атмосфере α, дБ/км	Ta=20,°C Pa=101.33,кПа hотн.=70%	ф-ла (5) [9]	0,02	0,09	0,33	1,12	2,79	4,98	9,04	23,09	77,63		

1		2	3	4	5	6	7	8	9	10	11	12	13
Учет затухания звука в атмосфере Aatm, дБ		ф-ла (8) [10]	0	0	0,2	0,5	1,3	2,3	4,2	10,7	35,9		
Снижение поверхностью земли возле источника As, дБ	Gs = 0 hs = 3м	ф-лы таб.3 [10]	-1,5	-1,5	-1,5	-1,5	-1,5	-1,5	-1,5	-1,5	-1,5		
Снижение поверхностью земли возле приёмника Ar, дБ	Gr = 1 hr = 1.6м	ф-лы таб.3 [10]	-1,5	-1,5	2,8	6,8	4,3	0,5	0	0	0		
Снижение поверхностью земли в средней зоне, Am дБ	Gm = 1	ф-лы таб.3 [10]	-2,1	-2,1	0	0	0	0	0	0	0		
Суммарное снижение поверхностью земли на траектории распространения звука Agr, дБ		ф-ла (9) [10]	-5,1	-5,1	1,3	5,3	2,8	-1	-1,5	-1,5	-1,5		
Уровни звукового давления прямого звука от источника ИШ-2-4 в расчётной точке днём, дБ		**ф-ла(3)[10]**	**48,8**	**47,8**	**41,3**	**33,9**	**36,6**	**43,4**	**37**	**24,5**	**0**	**45**	**45**
Уровни звукового давления прямого звука от источника ИШ-2-4 в расчётной точке ночью, дБ		**ф-ла(3)[10]**	**48,8**	**47,8**	**41,3**	**33,9**	**36,6**	**43,4**	**37**	**24,5**	**0**	**45**	**45**
Расчёт отражённого звука													
Уровни звукового давления от мнимого источника ИШ-2-4_мн.(1) в расчётной точке днём, дБ		**ф-ла(3)[10]**	**0**	**0**	**0**	**0**	**0**	**0**	**0**	**0**	**0**	**0**	**0**
Уровни звукового давления от мнимого источника ИШ-2-4_мн.(1) в расчётной точке ночью, дБ		**ф-ла(3)[10]**	**0**	**0**	**0**	**0**	**0**	**0**	**0**	**0**	**0**	**0**	**0**
Уровни звукового давления от мнимого источника ИШ-2-4_мн.(2) в расчётной точке днём, дБ		**ф-ла(3)[10]**	**0**	**0**	**0**	**27,5**	**33,9**	**40,9**	**34,5**	**22**	**0**	**42,4**	**42,4**
Уровни звукового давления от мнимого источника ИШ-2-4_мн.(2) в расчётной точке ночью, дБ		**ф-ла(3)[10]**	**0**	**0**	**0**	**0**	**0**	**0**	**0**	**0**	**0**	**42,4**	**42,4**
Суммарные уровни звукового давления от мнимых источников в расчётной точке днём, дБ		**ф-ла (19) [1]**	**0**	**0**	**0**	**27,5**	**33,9**	**40,9**	**34,5**	**22**	**0**	**0**	**42,4**
Суммарные уровни звукового давления от мнимых источников в расчётной точке ночью, дБ		**ф-ла (19) [1]**	**0**	**0**	**0**	**27,5**	**33,9**	**40,9**	**34,5**	**22**	**0**	**0**	**42,4**
Уровни звукового давления от источника ИШ-2-4 в расчётной точке днём, дБ		**ф-ла(3)[10]**	**48,8**	**47,8**	**41,3**	**34,8**	**38,5**	**45,3**	**39**	**26,4**	**0**	**46,9**	**46,9**
Уровни звукового давления от источника ИШ-2-4 в расчётной точке ночью, дБ		**ф-ла(3)[10]**	**48,8**	**47,8**	**41,3**	**34,8**	**38,5**	**45,3**	**39**	**26,4**	**0**	**46,9**	**46,9**

Источник шума: ИШ-2-30, координаты источника (x,y,z), м =[702.44,-77.23,1.00]

1		2	3	4	5	6	7	8	9	10	11	12	13
Уровни звуковой мощности источника днём, Lw, дБ		**исходные данные**	**0**	**93,3**	**94,7**	**96**	**96,3**	**95,9**	**92,6**	**88,4**	**83,9**		
Уровни звуковой мощности источника ночью, Lw, дБ		**исходные данные**	**0**	**93,3**	**94,7**	**96**	**96,3**	**95,9**	**92,6**	**88,4**	**83,9**		
Поправка на телесный угол DΩ, дБ	Ω = 6.28	10Lg(4π/Ω)	**3**	3	3	3	3	3	3	3	3		
Показатель направленности источника Di, дБ		исходные данные	**0**	0	0	0	0	0	0	0	0		
Поправка на направленность источника Dc, дБ	Dc	DΩ + Di	**3**	3	3	3	3	3	3	3	3		
Затухание из-за геометрической дивергенции, Adiv, дБ	расстояние = 528.08 м	ф-ла (7) [10]	**65,5**										
Коэффициент затухания звука в атмосфере α, дБ/км	Ta=20,°C Pa=101.33,кПа hотн.=70%	ф-ла (5) [9]	0,02	0,09	0,33	1,12	2,79	4,98	9,04	23,09	77,63		
Учет затухания звука в атмосфере Aatm, дБ		ф-ла (8) [10]	0	0	0,2	0,6	1,5	2,6	4,8	12,2	41		
Снижение уровня звукового давления из-за влияния застройки между источником шума и расчетной точкой													
Снижение уровня звукового давления на пути над экраном, Dz1, дБ	z = 0.30м (разность путей)	ф-лы (14-18) [10]	4,8	4,9	5	5,4	6,2	7,3	8,9	11	13,5		
Снижение уровня звукового давления на пути слева от экрана, Dz2, дБ	z = 0.79м (разность путей)	ф-лы (14-18) [10]	7,7	9,5	11,7	14,2	17	19,8	22,8	25,8	28,8		
Снижение уровня звукового давления на пути справа от экрана, Dz3, дБ	z = 0.24м (разность путей)	ф-лы (14-18) [10]	5,9	6,8	8,1	10	12,3	14,9	17,7	20,6	23,5		
Общее снижение уровня звука препятствием Dz, дБ		Эн.сумма(-Dzi)	1,2	1,9	2,7	3,7	4,9	6,4	8,2	10,4	12,9		
Уровни звукового давления от источника ИШ-2-30 в расчётной точке днём, дБ		**ф-ла(3)[10]**	**0**	**28,9**	**29,4**	**29,2**	**27,4**	**24,4**	**17,2**	**3,3**	**0**	**28,8**	**28,8**
Уровни звукового давления от источника ИШ-2-30 в расчётной точке ночью, дБ		**ф-ла(3)[10]**	**0**	**28,9**	**29,4**	**29,2**	**27,4**	**24,4**	**17,2**	**3,3**	**0**	**28,8**	**28,8**
Источник шума: ИШ-2-31, координаты источника (x,y,z), м =[701.42,-80.17,1.00]													

1		2	3	4	5	6	7	8	9	10	11	12	13
Уровни звуковой мощности источника днём, Lw, дБ		**исходные данные**	**0**	**93,3**	**94,7**	**96**	**96,3**	**95,9**	**92,6**	**88,4**	**83,9**		
Уровни звуковой мощности источника ночью, Lw, дБ		**исходные данные**	**0**	**93,3**	**94,7**	**96**	**96,3**	**95,9**	**92,6**	**88,4**	**83,9**		
Поправка на телесный угол DΩ, дБ	Ω = 6.28	10Lg(4π/Ω)	**3**	3	3	3	3	3	3	3	3		
Показатель направленности источника Di, дБ		исходные данные	**0**	0	0	0	0	0	0	0	0		
Поправка на направленность источника Dc, дБ	Dc	DΩ + Di	**3**	3	3	3	3	3	3	3	3		
Затухание из-за геометрической дивергенции, Adiv, дБ	расстояние = 526.53 м	ф-ла (7) [10]	**65,4**										
Коэффициент затухания звука в атмосфере α, дБ/км	Ta=20,°C Pa=101.33,кПа hотн.=70%	ф-ла (5) [9]	0,02	0,09	0,33	1,12	2,79	4,98	9,04	23,09	77,63		
Учет затухания звука в атмосфере Aatm, дБ		ф-ла (8) [10]	0	0	0,2	0,6	1,5	2,6	4,8	12,2	40,9		
Снижение уровня звукового давления из-за влияния застройки между источником шума и расчетной точкой													
Снижение уровня звукового давления на пути над экраном, Dz1, дБ	z = 0.30м (разность путей)	ф-лы (14-18) [10]	4,8	4,9	5,1	5,5	6,3	7,4	9,1	11,2	13,7		
Снижение уровня звукового давления на пути слева от экрана, Dz2, дБ	z = 0.64м (разность путей)	ф-лы (14-18) [10]	7,3	8,9	11	13,4	16,1	19	21,9	24,9	27,8		
Снижение уровня звукового давления на пути справа от экрана, Dz3, дБ	z = 0.33м (разность путей)	ф-лы (14-18) [10]	6,2	7,3	8,9	11	13,5	16,2	19	22	24,9		
Общее снижение уровня звука препятствием Dz, дБ		Эн.сумма(-Dzi)	1,2	1,9	2,8	3,9	5,1	6,6	8,5	10,7	13,3		
Уровни звукового давления от источника ИШ-2-31 в расчётной точке днём, дБ		**ф-ла(3)[10]**	**0**	**28,9**	**29,2**	**29,1**	**27,2**	**24,2**	**16,9**	**3,1**	**0**	**28,6**	**28,6**
Уровни звукового давления от источника ИШ-2-31 в расчётной точке ночью, дБ		**ф-ла(3)[10]**	**0**	**28,9**	**29,2**	**29,1**	**27,2**	**24,2**	**16,9**	**3,1**	**0**	**28,6**	**28,6**
Источник шума: ИШ-2-32, координаты источника (x,y,z), м =[700.38,-83.01,1.00]													

1		2	3	4	5	6	7	8	9	10	11	12	13
Уровни звуковой мощности источника днём, Lw, дБ		**исходные данные**	**0**	**93,3**	**94,7**	**96**	**96,3**	**95,9**	**92,6**	**88,4**	**83,9**		
Уровни звуковой мощности источника ночью, Lw, дБ		**исходные данные**	**0**	**93,3**	**94,7**	**96**	**96,3**	**95,9**	**92,6**	**88,4**	**83,9**		
Поправка на телесный угол DΩ, дБ	Ω = 6.28	10Lg(4π/Ω)	**3**	3	3	3	3	3	3	3	3		
Показатель направленности источника Di, дБ		исходные данные	**0**	0	0	0	0	0	0	0	0		
Поправка на направленность источника Dc, дБ	Dc	DΩ + Di	**3**	3	3	3	3	3	3	3	3		
Затухание из-за геометрической дивергенции, Adiv, дБ	расстояние = 524.98 м	ф-ла (7) [10]	**65,4**										
Коэффициент затухания звука в атмосфере α, дБ/км	Ta=20,°C Pa=101.33,кПа hотн.=70%	ф-ла (5) [9]	0,02	0,09	0,33	1,12	2,79	4,98	9,04	23,09	77,63		
Учет затухания звука в атмосфере Aatm, дБ		ф-ла (8) [10]	0	0	0,2	0,6	1,5	2,6	4,7	12,1	40,8		
Снижение уровня звукового давления из-за влияния застройки между источником шума и расчетной точкой													
Снижение уровня звукового давления на пути над экраном, Dz1, дБ	z = 0.31м (разность путей)	ф-лы (14-18) [10]	4,8	4,9	5,1	5,6	6,4	7,6	9,3	11,5	14		
Снижение уровня звукового давления на пути слева от экрана, Dz2, дБ	z = 0.51м (разность путей)	ф-лы (14-18) [10]	6,9	8,3	10,2	12,6	15,2	18	20,9	23,9	26,9		
Снижение уровня звукового давления на пути справа от экрана, Dz3, дБ	z = 0.43м (разность путей)	ф-лы (14-18) [10]	6,6	7,9	9,7	11,9	14,5	17,3	20,2	23,1	26,1		
Общее снижение уровня звука препятствием Dz, дБ		Эн.сумма(-Dzi)	1,2	2	2,9	4	5,3	6,8	8,7	11	13,5		
Уровни звукового давления от источника ИШ-2-32 в расчётной точке днём, дБ		**ф-ла(3)[10]**	**0**	**28,9**	**29,2**	**29**	**27,1**	**24,1**	**16,7**	**2,9**	**0**	**28,4**	**28,4**
Уровни звукового давления от источника ИШ-2-32 в расчётной точке ночью, дБ		**ф-ла(3)[10]**	**0**	**28,9**	**29,2**	**29**	**27,1**	**24,1**	**16,7**	**2,9**	**0**	**28,4**	**28,4**
Источник шума: ИШ-2-33, координаты источника (x,y,z), м =[699.52,-85.98,1.00]													

1		2	3	4	5	6	7	8	9	10	11	12	13
Уровни звуковой мощности источника днём, Lw, дБ		**исходные данные**	**0**	**93,3**	**94,7**	**96**	**96,3**	**95,9**	**92,6**	**88,4**	**83,9**		
Уровни звуковой мощности источника ночью, Lw, дБ		**исходные данные**	**0**	**93,3**	**94,7**	**96**	**96,3**	**95,9**	**92,6**	**88,4**	**83,9**		
Поправка на телесный угол DΩ, дБ	Ω = 6.28	10Lg(4π/Ω)	**3**	3	3	3	3	3	3	3	3		
Показатель направленности источника Di, дБ		исходные данные	**0**	0	0	0	0	0	0	0	0		
Поправка на направленность источника Dc, дБ	Dc	DΩ + Di	**3**	3	3	3	3	3	3	3	3		
Затухание из-за геометрической дивергенции, Adiv, дБ	расстояние = 523.60 м	ф-ла (7) [10]	**65,4**										
Коэффициент затухания звука в атмосфере α, дБ/км	Ta=20,°C Pa=101.33,кПа hотн.=70%	ф-ла (5) [9]	0,02	0,09	0,33	1,12	2,79	4,98	9,04	23,09	77,63		
Учет затухания звука в атмосфере Aatm, дБ		ф-ла (8) [10]	0	0	0,2	0,6	1,5	2,6	4,7	12,1	40,6		
Снижение уровня звукового давления из-за влияния застройки между источником шума и расчетной точкой													
Снижение уровня звукового давления на пути над экраном, Dz1, дБ	z = 0.31м (разность путей)	ф-лы (14-18) [10]	4,8	4,9	5,1	5,6	6,4	7,6	9,4	11,6	14,1		
Снижение уровня звукового давления на пути слева от экрана, Dz2, дБ	z = 0.39м (разность путей)	ф-лы (14-18) [10]	6,5	7,7	9,4	11,6	14,1	16,9	19,7	22,7	25,7		
Снижение уровня звукового давления на пути справа от экрана, Dz3, дБ	z = 0.56м (разность путей)	ф-лы (14-18) [10]	7	8,5	10,5	12,9	15,5	18,3	21,3	24,2	27,2		
Общее снижение уровня звука препятствием Dz, дБ		Эн.сумма(-Dzi)	1,2	2	2,9	4	5,3	6,8	8,7	11	13,6		
Уровни звукового давления от источника ИШ-2-33 в расчётной точке днём, дБ		**ф-ла(3)[10]**	**0**	**28,9**	**29,2**	**29**	**27,2**	**24,1**	**16,7**	**2,9**	**0**	**28,5**	**28,5**
Уровни звукового давления от источника ИШ-2-33 в расчётной точке ночью, дБ		**ф-ла(3)[10]**	**0**	**28,9**	**29,2**	**29**	**27,2**	**24,1**	**16,7**	**2,9**	**0**	**28,5**	**28,5**

Источник шума: ИШ-2-34, координаты источника (x,y,z), м =[698.43,-88.85,1.00]

1		2	3	4	5	6	7	8	9	10	11	12	13
Уровни звуковой мощности источника днём, Lw, дБ		**исходные данные**	**0**	**93,3**	**94,7**	**96**	**96,3**	**95,9**	**92,6**	**88,4**	**83,9**		
Уровни звуковой мощности источника ночью, Lw, дБ		**исходные данные**	**0**	**93,3**	**94,7**	**96**	**96,3**	**95,9**	**92,6**	**88,4**	**83,9**		
Поправка на телесный угол DΩ, дБ	Ω = 6.28	10Lg(4π/Ω)	**3**	3	3	3	3	3	3	3	3		
Показатель направленности источника Di, дБ		исходные данные	**0**	0	0	0	0	0	0	0	0		
Поправка на направленность источника Dc, дБ	Dc	DΩ + Di	**3**	3	3	3	3	3	3	3	3		
Затухание из-за геометрической дивергенции, Adiv, дБ	расстояние = 522.02 м	ф-ла (7) [10]	**65,4**										
Коэффициент затухания звука в атмосфере α, дБ/км	Ta=20,°C Pa=101.33,кПа hотн.=70%	ф-ла (5) [9]	0,02	0,09	0,33	1,12	2,79	4,98	9,04	23,09	77,63		
Учет затухания звука в атмосфере Aatm, дБ		ф-ла (8) [10]	0	0	0,2	0,6	1,5	2,6	4,7	12,1	40,5		
Снижение уровня звукового давления из-за влияния застройки между источником шума и расчетной точкой													
Снижение уровня звукового давления на пути над экраном, Dz1, дБ	z = 0.31м (разность путей)	ф-лы (14-18) [10]	4,8	4,9	5,1	5,5	6,4	7,6	9,3	11,5	14		
Снижение уровня звукового давления на пути слева от экрана, Dz2, дБ	z = 0.28м (разность путей)	ф-лы (14-18) [10]	6,1	7,1	8,6	10,6	13	15,6	18,4	21,4	24,3		
Снижение уровня звукового давления на пути справа от экрана, Dz3, дБ	z = 0.69м (разность путей)	ф-лы (14-18) [10]	7,5	9,1	11,2	13,7	16,4	19,3	22,2	25,2	28,2		
Общее снижение уровня звука препятствием Dz, дБ		Эн.сумма(-Dzi)	1,2	1,9	2,8	3,9	5,2	6,7	8,6	10,9	13,5		
Уровни звукового давления от источника ИШ-2-34 в расчётной точке днём, дБ		**ф-ла(3)[10]**	**0**	**29**	**29,4**	**29,2**	**27,3**	**24,2**	**16,9**	**3,1**	**0**	**28,6**	**28,6**
Уровни звукового давления от источника ИШ-2-34 в расчётной точке ночью, дБ		**ф-ла(3)[10]**	**0**	**29**	**29,4**	**29,2**	**27,3**	**24,2**	**16,9**	**3,1**	**0**	**28,6**	**28,6**

Источник шума: ИШ-2-35, координаты источника (x,y,z), м =[697.52,-91.66,1.00]

1		2	3	4	5	6	7	8	9	10	11	12	13
Уровни звуковой мощности источника днём, Lw, дБ		**исходные данные**	**0**	**93,3**	**94,7**	**96**	**96,3**	**95,9**	**92,6**	**88,4**	**83,9**		
Уровни звуковой мощности источника ночью, Lw, дБ		**исходные данные**	**0**	**93,3**	**94,7**	**96**	**96,3**	**95,9**	**92,6**	**88,4**	**83,9**		
Поправка на телесный угол DΩ, дБ	Ω = 6.28	10Lg(4π/Ω)	**3**	3	3	3	3	3	3	3	3		
Показатель направленности источника Di, дБ		исходные данные	**0**	0	0	0	0	0	0	0	0		
Поправка на направленность источника Dc, дБ	Dc	DΩ + Di	**3**	3	3	3	3	3	3	3	3		
Затухание из-за геометрической дивергенции, Adiv, дБ	расстояние = 520.64 м	ф-ла (7) [10]	**65,3**										
Коэффициент затухания звука в атмосфере α, дБ/км	Ta=20,°C Pa=101.33,кПа hотн.=70%	ф-ла (5) [9]	0,02	0,09	0,33	1,12	2,79	4,98	9,04	23,09	77,63		
Учет затухания звука в атмосфере Aatm, дБ		ф-ла (8) [10]	0	0	0,2	0,6	1,5	2,6	4,7	12	40,4		
Снижение уровня звукового давления из-за влияния застройки между источником шума и расчетной точкой													
Снижение уровня звукового давления на пути над экраном, Dz1, дБ	z = 0.30м (разность путей)	ф-лы (14-18) [10]	4,8	4,9	5	5,5	6,3	7,6	9,3	11,5	14		
Снижение уровня звукового давления на пути слева от экрана, Dz2, дБ	z = 0.20м (разность путей)	ф-лы (14-18) [10]	5,7	6,5	7,7	9,4	11,6	14,2	16,9	19,8	22,8		
Снижение уровня звукового давления на пути справа от экрана, Dz3, дБ	z = 0.84м (разность путей)	ф-лы (14-18) [10]	7,9	9,7	11,9	14,4	17,2	20,1	23	26	29		
Общее снижение уровня звука препятствием Dz, дБ		Эн.сумма(-Dzi)	1,2	1,8	2,6	3,6	4,9	6,5	8,4	10,7	13,3		
Уровни звукового давления от источника ИШ-2-35 в расчётной точке днём, дБ		**ф-ла(3)[10]**	**0**	**29,1**	**29,6**	**29,4**	**27,6**	**24,5**	**17,1**	**3,3**	**0**	**28,9**	**28,9**
Уровни звукового давления от источника ИШ-2-35 в расчётной точке ночью, дБ		**ф-ла(3)[10]**	**0**	**29,1**	**29,6**	**29,4**	**27,6**	**24,5**	**17,1**	**3,3**	**0**	**28,9**	**28,9**
Источник шума: ИШ-2-36, координаты источника (x,y,z), м =[696.58,-94.55,1.00]													

1		2	3	4	5	6	7	8	9	10	11	12	13
Уровни звуковой мощности источника днём, Lw, дБ		**исходные данные**	**0**	**93,3**	**94,7**	**96**	**96,3**	**95,9**	**92,6**	**88,4**	**83,9**		
Уровни звуковой мощности источника ночью, Lw, дБ		**исходные данные**	**0**	**93,3**	**94,7**	**96**	**96,3**	**95,9**	**92,6**	**88,4**	**83,9**		
Поправка на телесный угол DΩ, дБ	Ω = 6.28	10Lg(4π/Ω)	**3**	3	3	3	3	3	3	3	3		
Показатель направленности источника Di, дБ		исходные данные	**0**	0	0	0	0	0	0	0	0		
Поправка на направленность источника Dc, дБ	Dc	DΩ + Di	**3**	3	3	3	3	3	3	3	3		
Затухание из-за геометрической дивергенции, Adiv, дБ	расстояние = 519.23 м	ф-ла (7) [10]	**65,3**										
Коэффициент затухания звука в атмосфере α, дБ/км	Ta=20,°C Pa=101.33,кПа hотн.=70%	ф-ла (5) [9]	0,02	0,09	0,33	1,12	2,79	4,98	9,04	23,09	77,63		
Учет затухания звука в атмосфере Aatm, дБ		ф-ла (8) [10]	0	0	0,2	0,6	1,4	2,6	4,7	12	40,3		
Снижение уровня звукового давления из-за влияния застройки между источником шума и расчетной точкой													
Снижение уровня звукового давления на пути над экраном, Dz1, дБ	z = 0.30м (разность путей)	ф-лы (14-18) [10]	4,8	4,9	5	5,4	6,2	7,5	9,2	11,4	13,9		
Снижение уровня звукового давления на пути слева от экрана, Dz2, дБ	z = 0.12м (разность путей)	ф-лы (14-18) [10]	5,4	5,9	6,8	8,2	10,1	12,4	15,1	17,9	20,8		
Снижение уровня звукового давления на пути справа от экрана, Dz3, дБ	z = 1.01м (разность путей)	ф-лы (14-18) [10]	8,3	10,2	12,5	15,2	18	20,9	23,8	26,8	29,8		
Общее снижение уровня звука препятствием Dz, дБ		Эн.сумма(-Dzi)	1,2	1,7	2,4	3,3	4,6	6,1	8,1	10,4	13		
Уровни звукового давления от источника ИШ-2-36 в расчётной точке днём, дБ		**ф-ла(3)[10]**	**0**	**29,2**	**29,8**	**29,8**	**28**	**24,9**	**17,5**	**3,7**	**0**	**29,2**	**29,2**
Уровни звукового давления от источника ИШ-2-36 в расчётной точке ночью, дБ		**ф-ла(3)[10]**	**0**	**29,2**	**29,8**	**29,8**	**28**	**24,9**	**17,5**	**3,7**	**0**	**29,2**	**29,2**
Источник шума: ИШ-2-37, координаты источника (x,y,z), м =[695.57,-97.37,1.00]													

1		2	3	4	5	6	7	8	9	10	11	12	13
Уровни звуковой мощности источника днём, Lw, дБ		**исходные данные**	**0**	**93,3**	**94,7**	**96**	**96,3**	**95,9**	**92,6**	**88,4**	**83,9**		
Уровни звуковой мощности источника ночью, Lw, дБ		**исходные данные**	**0**	**93,3**	**94,7**	**96**	**96,3**	**95,9**	**92,6**	**88,4**	**83,9**		
Поправка на телесный угол DΩ, дБ	Ω = 6.28	10Lg(4π/Ω)	**3**	3	3	3	3	3	3	3	3		
Показатель направленности источника Di, дБ		исходные данные	**0**	0	0	0	0	0	0	0	0		
Поправка на направленность источника Dc, дБ	Dc	DΩ + Di	**3**	3	3	3	3	3	3	3	3		
Затухание из-за геометрической дивергенции, Adiv, дБ	расстояние = 517.78 м	ф-ла (7) [10]	**65,3**										
Коэффициент затухания звука в атмосфере α, дБ/км	Ta=20,°C Pa=101.33,кПа hотн.=70%	ф-ла (5) [9]	0,02	0,09	0,33	1,12	2,79	4,98	9,04	23,09	77,63		
Учет затухания звука в атмосфере Aatm, дБ		ф-ла (8) [10]	0	0	0,2	0,6	1,4	2,6	4,7	12	40,2		
Снижение уровня звукового давления из-за влияния застройки между источником шума и расчетной точкой													
Снижение уровня звукового давления на пути над экраном, Dz1, дБ	z = 0.30м (разность путей)	ф-лы (14-18) [10]	4,8	4,9	5	5,3	6,1	7,4	9,2	11,4	13,9		
Снижение уровня звукового давления на пути слева от экрана, Dz2, дБ	z = 0.07м (разность путей)	ф-лы (14-18) [10]	5,1	5,4	6	7	8,5	10,4	12,8	15,5	18,3		
Снижение уровня звукового давления на пути справа от экрана, Dz3, дБ	z = 1.20м (разность путей)	ф-лы (14-18) [10]	8,7	10,7	13,1	15,8	18,7	21,6	24,5	27,5	30,5		
Общее снижение уровня звука препятствием Dz, дБ		Эн.сумма(-Dzi)	1,1	1,6	2,1	2,9	4	5,6	7,5	9,9	12,5		
Уровни звукового давления от источника ИШ-2-37 в расчётной точке днём, дБ		**ф-ла(3)[10]**	**0**	**29,4**	**30,1**	**30,3**	**28,6**	**25,5**	**18,1**	**4,3**	**0**	**29,8**	**29,8**
Уровни звукового давления от источника ИШ-2-37 в расчётной точке ночью, дБ		**ф-ла(3)[10]**	**0**	**29,4**	**30,1**	**30,3**	**28,6**	**25,5**	**18,1**	**4,3**	**0**	**29,8**	**29,8**

Источник шума: ИШ-2-5, координаты источника (x,y,z), м =[618.60,-108.00,3.00]

1		2	3	4	5	6	7	8	9	10	11	12	13
Уровни звуковой мощности источника днём, Lw, дБ		**исходные данные**	**105**	**104**	**104**	**101**	**102**	**106**	**101**	**95**	**87**		
Уровни звуковой мощности источника ночью, Lw, дБ		**исходные данные**	**105**	**104**	**104**	**101**	**102**	**106**	**101**	**95**	**87**		
Поправка на телесный угол DΩ, дБ	Ω = 6.28	10Lg(4π/Ω)	**3**	3	3	3	3	3	3	3	3		
Показатель направленности источника Di, дБ		исходные данные	**0**	0	0	0	0	0	0	0	0		
Поправка на направленность источника Dc, дБ	Dc	DΩ + Di	**3**	3	3	3	3	3	3	3	3		
Затухание из-за геометрической дивергенции, Adiv, дБ	расстояние = 440.11 м	ф-ла (7) [10]	**63,9**										
Коэффициент затухания звука в атмосфере α, дБ/км	Ta=20,°C Pa=101.33,кПа hотн.=70%	ф-ла (5) [9]	0,02	0,09	0,33	1,12	2,79	4,98	9,04	23,09	77,63		
Учет затухания звука в атмосфере Aatm, дБ		ф-ла (8) [10]	0	0	0,1	0,5	1,2	2,2	4	10,2	34,2		
Снижение уровня звукового давления из-за влияния застройки между источником шума и расчетной точкой													
Снижение уровня звукового давления на пути над экраном, Dz1, дБ	z = 0.29м (разность путей)	ф-лы (14-18) [10]	4,9	5	5,3	6,1	7,6	9,5	11,8	14,4	17,1		
Снижение уровня звукового давления на пути слева от экрана, Dz2, дБ	z = 0.14м (разность путей)	ф-лы (14-18) [10]	5,5	6,1	7	8,5	10,5	12,9	15,5	18,3	21,3		
Снижение уровня звукового давления на пути справа от экрана, Dz3, дБ	z = 1.32м (разность путей)	ф-лы (14-18) [10]	9	11,1	13,5	16,2	19,1	22	25	27,9	30,9		
Общее снижение уровня звука препятствием Dz, дБ		Эн.сумма(-Dzi)	1,3	1,9	2,7	3,9	5,6	7,7	10,1	12,8	15,6		
Уровни звукового давления прямого звука от источника ИШ-2-5 в расчётной точке днём, дБ		**ф-ла(3)[10]**	**42,8**	**41,2**	**40,3**	**35,8**	**34,3**	**35,3**	**26,1**	**11,2**	**0**	**37,8**	**37,8**
Уровни звукового давления прямого звука от источника ИШ-2-5 в расчётной точке ночью, дБ		**ф-ла(3)[10]**	**42,8**	**41,2**	**40,3**	**35,8**	**34,3**	**35,3**	**26,1**	**11,2**	**0**	**37,8**	**37,8**
Расчёт отражённого звука													
Уровни звукового давления от мнимого источника ИШ-2-5_мн.(1) в расчётной точке днём, дБ		**ф-ла(3)[10]**	**0**	**0**	**0**	**0**	**0**	**0**	**0**	**0**	**0**	**0**	**0**

1		2	3	4	5	6	7	8	9	10	11	12	13
Уровни звукового давления от мнимого источника ИШ-2-5_мн.(1) в расчётной точке ночью, дБ		**ф-ла(3)[10]**	**0**	**0**	**0**	**0**	**0**	**0**	**0**	**0**	**0**	**0**	**0**
Уровни звукового давления от источника ИШ-2-5 в расчётной точке днём, дБ		**ф-ла(3)[10]**	**42,8**	**41,2**	**40,3**	**35,8**	**34,3**	**35,3**	**26,1**	**11,2**	**0**	**37,8**	**37,8**
Уровни звукового давления от источника ИШ-2-5 в расчётной точке ночью, дБ		**ф-ла(3)[10]**	**42,8**	**41,2**	**40,3**	**35,8**	**34,3**	**35,3**	**26,1**	**11,2**	**0**	**37,8**	**37,8**
Источник шума: ИШ-2-38, координаты источника (x,y,z), м =[688.13,-119.94,1.00]													
Уровни звуковой мощности источника днём, Lw, дБ		**исходные данные**	**0**	**93,3**	**94,7**	**96**	**96,3**	**95,9**	**92,6**	**88,4**	**83,9**		
Уровни звуковой мощности источника ночью, Lw, дБ		**исходные данные**	**0**	**93,3**	**94,7**	**96**	**96,3**	**95,9**	**92,6**	**88,4**	**83,9**		
Поправка на телесный угол DΩ, дБ	Ω = 6.28	10Lg(4π/Ω)	**3**	3	3	3	3	3	3	3	3		
Показатель направленности источника Di, дБ		исходные данные	**0**	0	0	0	0	0	0	0	0		
Поправка на направленность источника Dc, дБ	Dc	DΩ + Di	**3**	3	3	3	3	3	3	3	3		
Затухание из-за геометрической дивергенции, Adiv, дБ	расстояние = 507.32 м	ф-ла (7) [10]	**65,1**										
Коэффициент затухания звука в атмосфере α, дБ/км	Ta=20,°C Pa=101.33,кПа hотн.=70%	ф-ла (5) [9]	0,02	0,09	0,33	1,12	2,79	4,98	9,04	23,09	77,63		
Учет затухания звука в атмосфере Aatm, дБ		ф-ла (8) [10]	0	0	0,2	0,6	1,4	2,5	4,6	11,7	39,4		
Снижение поверхностью земли возле источника As, дБ	Gs = 0 hs = 1м	ф-лы таб.3 [10]	-1,5	-1,5	-1,5	-1,5	-1,5	-1,5	-1,5	-1,5	-1,5		
Снижение поверхностью земли возле приёмника Ar, дБ	Gr = 1 hr = 1.6м	ф-лы таб.3 [10]	-1,5	-1,5	3,1	6,8	4,3	0,5	0	0	0		
Снижение поверхностью земли в средней зоне, Am дБ	Gm = 1	ф-лы таб.3 [10]	-2,5	-2,5	0	0	0	0	0	0	0		
Суммарное снижение поверхностью земли на траектории распространения звука Agr, дБ		ф-ла (9) [10]	-5,5	-5,5	1,6	5,3	2,8	-1	-1,5	-1,5	-1,5		

1		2	3	4	5	6	7	8	9	10	11	12	13
Уровни звукового давления прямого звука от источника ИШ-2-38 в расчётной точке днём, дБ		**ф-ла(3)[10]**	**0**	**36,7**	**30,8**	**28**	**30**	**32,3**	**27,4**	**16,1**	**0**	**34,9**	**34,9**
Уровни звукового давления прямого звука от источника ИШ-2-38 в расчётной точке ночью, дБ		**ф-ла(3)[10]**	**0**	**36,7**	**30,8**	**28**	**30**	**32,3**	**27,4**	**16,1**	**0**	**34,9**	**34,9**
Расчёт отражённого звука													
Уровни звукового давления от мнимого источника ИШ-2-38_мн.(1) в расчётной точке днём, дБ		**ф-ла(3)[10]**	**0**	**0**	**0**	**0**	**0**	**0**	**0**	**0**	**0**	**0**	**0**
Уровни звукового давления от мнимого источника ИШ-2-38_мн.(1) в расчётной точке ночью, дБ		**ф-ла(3)[10]**	**0**	**0**	**0**	**0**	**0**	**0**	**0**	**0**	**0**	**0**	**0**
Уровни звукового давления от мнимого источника ИШ-2-38_мн.(2) в расчётной точке днём, дБ		**ф-ла(3)[10]**	**0**	**0**	**0**	**0**	**0**	**0**	**0**	**0**	**0**	**0**	**0**
Уровни звукового давления от мнимого источника ИШ-2-38_мн.(2) в расчётной точке ночью, дБ		**ф-ла(3)[10]**	**0**	**0**	**0**	**0**	**0**	**0**	**0**	**0**	**0**	**0**	**0**
Уровни звукового давления от мнимого источника ИШ-2-38_мн.(3) в расчётной точке днём, дБ		**ф-ла(3)[10]**	**0**	**0**	**25,2**	**17,6**	**18,6**	**27,7**	**24,9**	**13,5**	**0**	**30,3**	**30,3**
Уровни звукового давления от мнимого источника ИШ-2-38_мн.(3) в расчётной точке ночью, дБ		**ф-ла(3)[10]**	**25,2**	**25,2**	**25,2**	**25,2**	**25,2**	**25,2**	**25,2**	**25,2**	**25,2**	**30,3**	**30,3**
Суммарные уровни звукового давления от мнимых источников в расчётной точке днём, дБ		**ф-ла (19) [1]**	**0**	**0**	**25,2**	**17,6**	**18,6**	**27,7**	**24,9**	**13,5**	**0**	**0**	**30,3**
Суммарные уровни звукового давления от мнимых источников в расчётной точке ночью, дБ		**ф-ла (19) [1]**	**0**	**0**	**25,2**	**17,6**	**18,6**	**27,7**	**24,9**	**13,5**	**0**	**0**	**30,3**
Уровни звукового давления от источника ИШ-2-38 в расчётной точке днём, дБ		**ф-ла(3)[10]**	**0**	**36,7**	**31,9**	**28,4**	**30,3**	**33,6**	**29,3**	**18**	**0**	**36,2**	**36,2**
Уровни звукового давления от источника ИШ-2-38 в расчётной точке ночью, дБ		**ф-ла(3)[10]**	**0**	**36,7**	**31,9**	**28,4**	**30,3**	**33,6**	**29,3**	**18**	**0**	**36,2**	**36,2**
Источник шума: ИШ-2-39, координаты источника (x,y,z), м =[687.11,-122.83,1.00]													
Уровни звуковой мощности источника днём, Lw, дБ		**исходные данные**	**0**	**93,3**	**94,7**	**96**	**96,3**	**95,9**	**92,6**	**88,4**	**83,9**		
Уровни звуковой мощности источника ночью, Lw, дБ		**исходные данные**	**0**	**93,3**	**94,7**	**96**	**96,3**	**95,9**	**92,6**	**88,4**	**83,9**		
Поправка на телесный угол DΩ, дБ	Ω = 6.28	10Lg(4π/Ω)	**3**	3	3	3	3	3	3	3	3		

1		2	3	4	5	6	7	8	9	10	11	12	13
Показатель направленности источника Di, дБ		исходные данные	**0**	0	0	0	0	0	0	0	0		
Поправка на направленность источника Dc, дБ	Dc	DΩ + Di	**3**	3	3	3	3	3	3	3	3		
Затухание из-за геометрической дивергенции, Adiv, дБ	расстояние = 505.98 м	ф-ла (7) [10]	**65,1**										
Коэффициент затухания звука в атмосфере α, дБ/км	Ta=20,°C Pa=101.33,кПа hотн.=70%	ф-ла (5) [9]	0,02	0,09	0,33	1,12	2,79	4,98	9,04	23,09	77,63		
Учет затухания звука в атмосфере Aatm, дБ		ф-ла (8) [10]	0	0	0,2	0,6	1,4	2,5	4,6	11,7	39,3		
Снижение поверхностью земли возле источника As, дБ	Gs = 0 hs = 1м	ф-лы таб.3 [10]	-1,5	-1,5	-1,5	-1,5	-1,5	-1,5	-1,5	-1,5	-1,5		
Снижение поверхностью земли возле приёмника Ar, дБ	Gr = 1 hr = 1.6м	ф-лы таб.3 [10]	-1,5	-1,5	3,1	6,8	4,3	0,5	0	0	0		
Снижение поверхностью земли в средней зоне, Am дБ	Gm = 1	ф-лы таб.3 [10]	-2,5	-2,5	0	0	0	0	0	0	0		
Суммарное снижение поверхностью земли на траектории распространения звука Agr, дБ		ф-ла (9) [10]	-5,5	-5,5	1,6	5,3	2,8	-1	-1,5	-1,5	-1,5		
Уровни звукового давления прямого звука от источника ИШ-2-39 в расчётной точке днём, дБ		**ф-ла(3)[10]**	**0**	**36,7**	**30,9**	**28**	**30**	**32,3**	**27,4**	**16,1**	**0**	**34,9**	**34,9**
Уровни звукового давления прямого звука от источника ИШ-2-39 в расчётной точке ночью, дБ		**ф-ла(3)[10]**	**0**	**36,7**	**30,9**	**28**	**30**	**32,3**	**27,4**	**16,1**	**0**	**34,9**	**34,9**
Расчёт отражённого звука													
Уровни звукового давления от мнимого источника ИШ-2-39_мн.(1) в расчётной точке днём, дБ		**ф-ла(3)[10]**	**0**	**0**	**0**	**0**	**0**	**0**	**0**	**0**	**0**	**0**	**0**
Уровни звукового давления от мнимого источника ИШ-2-39_мн.(1) в расчётной точке ночью, дБ		**ф-ла(3)[10]**	**0**	**0**	**0**	**0**	**0**	**0**	**0**	**0**	**0**	**0**	**0**
Уровни звукового давления от мнимого источника ИШ-2-39_мн.(2) в расчётной точке днём, дБ		**ф-ла(3)[10]**	**0**	**0**	**0**	**0**	**0**	**0**	**0**	**0**	**0**	**0**	**0**
Уровни звукового давления от мнимого источника ИШ-2-39_мн.(2) в расчётной точке ночью, дБ		**ф-ла(3)[10]**	**0**	**0**	**0**	**0**	**0**	**0**	**0**	**0**	**0**	**0**	**0**
Уровни звукового давления от мнимого источника ИШ-2-39_мн.(3) в расчётной точке днём, дБ		**ф-ла(3)[10]**	**0**	**0**	**25,2**	**17,6**	**18,6**	**27,8**	**24,9**	**13,6**	**0**	**30,4**	**30,4**

1		2	3	4	5	6	7	8	9	10	11	12	13
Уровни звукового давления от мнимого источника ИШ-2-39_мн.(3) в расчётной точке ночью, дБ		**ф-ла(3)[10]**	**25,2**	**25,2**	**25,2**	**25,2**	**25,2**	**25,2**	**25,2**	**25,2**	**25,2**	**30,4**	**30,4**
Суммарные уровни звукового давления от мнимых источников в расчётной точке днём, дБ		**ф-ла (19) [1]**	**0**	**0**	**25,2**	**17,6**	**18,6**	**27,8**	**24,9**	**13,6**	**0**	**0**	**30,4**
Суммарные уровни звукового давления от мнимых источников в расчётной точке ночью, дБ		**ф-ла (19) [1]**	**0**	**0**	**25,2**	**17,6**	**18,6**	**27,8**	**24,9**	**13,6**	**0**	**0**	**30,4**
Уровни звукового давления от источника ИШ-2-39 в расчётной точке днём, дБ		**ф-ла(3)[10]**	**0**	**36,7**	**31,9**	**28,4**	**30,3**	**33,6**	**29,4**	**18,1**	**0**	**36,2**	**36,2**
Уровни звукового давления от источника ИШ-2-39 в расчётной точке ночью, дБ		**ф-ла(3)[10]**	**0**	**36,7**	**31,9**	**28,4**	**30,3**	**33,6**	**29,4**	**18,1**	**0**	**36,2**	**36,2**
Источник шума: ИШ-2-40, координаты источника (x,y,z), м =[686.10,-125.67,1.00]													
Уровни звуковой мощности источника днём, Lw, дБ		**исходные данные**	**0**	**93,3**	**94,7**	**96**	**96,3**	**95,9**	**92,6**	**88,4**	**83,9**		
Уровни звуковой мощности источника ночью, Lw, дБ		**исходные данные**	**0**	**93,3**	**94,7**	**96**	**96,3**	**95,9**	**92,6**	**88,4**	**83,9**		
Поправка на телесный угол DΩ, дБ	Ω = 6.28	10Lg(4π/Ω)	**3**	3	3	3	3	3	3	3	3		
Показатель направленности источника Di, дБ		исходные данные	**0**	0	0	0	0	0	0	0	0		
Поправка на направленность источника Dc, дБ	Dc	DΩ + Di	**3**	3	3	3	3	3	3	3	3		
Затухание из-за геометрической дивергенции, Adiv, дБ	расстояние = 504.67 м	ф-ла (7) [10]	**65,1**										
Коэффициент затухания звука в атмосфере α, дБ/км	Ta=20,°C Pa=101.33,кПа hотн.=70%	ф-ла (5) [9]	0,02	0,09	0,33	1,12	2,79	4,98	9,04	23,09	77,63		
Учет затухания звука в атмосфере Aatm, дБ		ф-ла (8) [10]	0	0	0,2	0,6	1,4	2,5	4,6	11,7	39,2		
Снижение поверхностью земли возле источника As, дБ	Gs = 0 hs = 1м	ф-лы таб.3 [10]	-1,5	-1,5	-1,5	-1,5	-1,5	-1,5	-1,5	-1,5	-1,5		
Снижение поверхностью земли возле приёмника Ar, дБ	Gr = 1 hr = 1.6м	ф-лы таб.3 [10]	-1,5	-1,5	3,1	6,8	4,3	0,5	0	0	0		

1		2	3	4	5	6	7	8	9	10	11	12	13
Снижение поверхностью земли в средней зоне, Am дБ	Gm = 1	ф-лы таб.3 [10]	-2,5	-2,5	0	0	0	0	0	0	0		
Суммарное снижение поверхностью земли на траектории распространения звука Agr, дБ		ф-ла (9) [10]	-5,5	-5,5	1,6	5,3	2,8	-1	-1,5	-1,5	-1,5		
Уровни звукового давления прямого звука от источника ИШ-2-40 в расчётной точке днём, дБ		**ф-ла(3)[10]**	**0**	**36,7**	**30,9**	**28**	**30**	**32,3**	**27,5**	**16,2**	**0**	**34,9**	**34,9**
Уровни звукового давления прямого звука от источника ИШ-2-40 в расчётной точке ночью, дБ		**ф-ла(3)[10]**	**0**	**36,7**	**30,9**	**28**	**30**	**32,3**	**27,5**	**16,2**	**0**	**34,9**	**34,9**
Расчёт отражённого звука													
Уровни звукового давления от мнимого источника ИШ-2-40_мн.(1) в расчётной точке днём, дБ		**ф-ла(3)[10]**	**0**	**0**	**0**	**0**	**0**	**0**	**0**	**0**	**0**	**0**	**0**
Уровни звукового давления от мнимого источника ИШ-2-40_мн.(1) в расчётной точке ночью, дБ		**ф-ла(3)[10]**	**0**	**0**	**0**	**0**	**0**	**0**	**0**	**0**	**0**	**0**	**0**
Уровни звукового давления от мнимого источника ИШ-2-40_мн.(2) в расчётной точке днём, дБ		**ф-ла(3)[10]**	**0**	**0**	**25,3**	**17,7**	**18,7**	**27,8**	**25**	**13,6**	**0**	**30,4**	**30,4**
Уровни звукового давления от мнимого источника ИШ-2-40_мн.(2) в расчётной точке ночью, дБ		**ф-ла(3)[10]**	**0**	**0**	**0**	**0**	**0**	**0**	**0**	**0**	**0**	**30,4**	**30,4**
Суммарные уровни звукового давления от мнимых источников в расчётной точке днём, дБ		**ф-ла (19) [1]**	**0**	**0**	**25,3**	**17,7**	**18,7**	**27,8**	**25**	**13,6**	**0**	**0**	**30,4**
Суммарные уровни звукового давления от мнимых источников в расчётной точке ночью, дБ		**ф-ла (19) [1]**	**0**	**0**	**25,3**	**17,7**	**18,7**	**27,8**	**25**	**13,6**	**0**	**0**	**30,4**
Уровни звукового давления от источника ИШ-2-40 в расчётной точке днём, дБ		**ф-ла(3)[10]**	**0**	**36,7**	**32**	**28,4**	**30,3**	**33,6**	**29,4**	**18,1**	**0**	**36,2**	**36,2**
Уровни звукового давления от источника ИШ-2-40 в расчётной точке ночью, дБ		**ф-ла(3)[10]**	**0**	**36,7**	**32**	**28,4**	**30,3**	**33,6**	**29,4**	**18,1**	**0**	**36,2**	**36,2**
Источник шума: ИШ-2-41, координаты источника (x,y,z), м =[685.14,-128.64,1.00]													
Уровни звуковой мощности источника днём, Lw, дБ		**исходные данные**	**0**	**93,3**	**94,7**	**96**	**96,3**	**95,9**	**92,6**	**88,4**	**83,9**		
Уровни звуковой мощности источника ночью, Lw, дБ		**исходные данные**	**0**	**93,3**	**94,7**	**96**	**96,3**	**95,9**	**92,6**	**88,4**	**83,9**		
Поправка на телесный угол DΩ, дБ	Ω = 6.28	10Lg(4π/Ω)	**3**	3	3	3	3	3	3	3	3		

1		2	3	4	5	6	7	8	9	10	11	12	13
Показатель направленности источника Di, дБ		исходные данные	**0**	0	0	0	0	0	0	0	0		
Поправка на направленность источника Dc, дБ	Dc	DΩ + Di	**3**	3	3	3	3	3	3	3	3		
Затухание из-за геометрической дивергенции, Adiv, дБ	расстояние = 503.40 м	ф-ла (7) [10]	**65**										
Коэффициент затухания звука в атмосфере α, дБ/км	Ta=20,°C Pa=101.33,кПа hотн.=70%	ф-ла (5) [9]	0,02	0,09	0,33	1,12	2,79	4,98	9,04	23,09	77,63		
Учет затухания звука в атмосфере Aatm, дБ		ф-ла (8) [10]	0	0	0,2	0,6	1,4	2,5	4,6	11,6	39,1		
Снижение поверхностью земли возле источника As, дБ	Gs = 0 hs = 1м	ф-лы таб.3 [10]	-1,5	-1,5	-1,5	-1,5	-1,5	-1,5	-1,5	-1,5	-1,5		
Снижение поверхностью земли возле приёмника Ar, дБ	Gr = 1 hr = 1.6м	ф-лы таб.3 [10]	-1,5	-1,5	3	6,8	4,3	0,5	0	0	0		
Снижение поверхностью земли в средней зоне, Am дБ	Gm = 1	ф-лы таб.3 [10]	-2,5	-2,5	0	0	0	0	0	0	0		
Суммарное снижение поверхностью земли на траектории распространения звука Agr, дБ		ф-ла (9) [10]	-5,5	-5,5	1,5	5,3	2,8	-1	-1,5	-1,5	-1,5		
Уровни звукового давления прямого звука от источника ИШ-2-41 в расчётной точке днём, дБ		**ф-ла(3)[10]**	**0**	**36,7**	**30,9**	**28,1**	**30**	**32,3**	**27,5**	**16,2**	**0**	**34,9**	**34,9**
Уровни звукового давления прямого звука от источника ИШ-2-41 в расчётной точке ночью, дБ		**ф-ла(3)[10]**	**0**	**36,7**	**30,9**	**28,1**	**30**	**32,3**	**27,5**	**16,2**	**0**	**34,9**	**34,9**
Расчёт отражённого звука													
Уровни звукового давления от мнимого источника ИШ-2-41_мн.(1) в расчётной точке днём, дБ		**ф-ла(3)[10]**	**0**	**0**	**0**	**0**	**0**	**0**	**0**	**0**	**0**	**0**	**0**
Уровни звукового давления от мнимого источника ИШ-2-41_мн.(1) в расчётной точке ночью, дБ		**ф-ла(3)[10]**	**0**	**0**	**0**	**0**	**0**	**0**	**0**	**0**	**0**	**0**	**0**
Уровни звукового давления от мнимого источника ИШ-2-41_мн.(2) в расчётной точке днём, дБ		**ф-ла(3)[10]**	**0**	**0**	**25,3**	**17,7**	**18,7**	**27,8**	**25**	**13,7**	**0**	**30,4**	**30,4**
Уровни звукового давления от мнимого источника ИШ-2-41_мн.(2) в расчётной точке ночью, дБ		**ф-ла(3)[10]**	**0**	**0**	**0**	**0**	**0**	**0**	**0**	**0**	**0**	**30,4**	**30,4**
Суммарные уровни звукового давления от мнимых источников в расчётной точке днём, дБ		**ф-ла (19) [1]**	**0**	**0**	**25,3**	**17,7**	**18,7**	**27,8**	**25**	**13,7**	**0**	**0**	**30,4**

1		2	3	4	5	6	7	8	9	10	11	12	13
Суммарные уровни звукового давления от мнимых источников в расчётной точке ночью, дБ		**ф-ла (19) [1]**	**0**	**0**	**25,3**	**17,7**	**18,7**	**27,8**	**25**	**13,7**	**0**	**0**	**30,4**
Уровни звукового давления от источника ИШ-2-41 в расчётной точке днём, дБ		**ф-ла(3)[10]**	**0**	**36,7**	**32**	**28,4**	**30,3**	**33,7**	**29,4**	**18,2**	**0**	**36,3**	**36,3**
Уровни звукового давления от источника ИШ-2-41 в расчётной точке ночью, дБ		**ф-ла(3)[10]**	**0**	**36,7**	**32**	**28,4**	**30,3**	**33,7**	**29,4**	**18,2**	**0**	**36,3**	**36,3**
Источник шума: ИШ-2-42, координаты источника (x,y,z), м =[684.20,-131.46,1.00]													
Уровни звуковой мощности источника днём, Lw, дБ		**исходные данные**	**0**	**93,3**	**94,7**	**96**	**96,3**	**95,9**	**92,6**	**88,4**	**83,9**		
Уровни звуковой мощности источника ночью, Lw, дБ		**исходные данные**	**0**	**93,3**	**94,7**	**96**	**96,3**	**95,9**	**92,6**	**88,4**	**83,9**		
Поправка на телесный угол DΩ, дБ	Ω = 6.28	10Lg(4π/Ω)	**3**	3	3	3	3	3	3	3	3		
Показатель направленности источника Di, дБ		исходные данные	**0**	0	0	0	0	0	0	0	0		
Поправка на направленность источника Dc, дБ	Dc	DΩ + Di	**3**	3	3	3	3	3	3	3	3		
Затухание из-за геометрической дивергенции, Adiv, дБ	расстояние = 502.19 м	ф-ла (7) [10]	**65**										
Коэффициент затухания звука в атмосфере α, дБ/км	Ta=20,°C Pa=101.33,кПа hотн.=70%	ф-ла (5) [9]	0,02	0,09	0,33	1,12	2,79	4,98	9,04	23,09	77,63		
Учет затухания звука в атмосфере Aatm, дБ		ф-ла (8) [10]	0	0	0,2	0,6	1,4	2,5	4,5	11,6	39		
Снижение поверхностью земли возле источника As, дБ	Gs = 0 hs = 1м	ф-лы таб.3 [10]	-1,5	-1,5	-1,5	-1,5	-1,5	-1,5	-1,5	-1,5	-1,5		
Снижение поверхностью земли возле приёмника Ar, дБ	Gr = 1 hr = 1.6м	ф-лы таб.3 [10]	-1,5	-1,5	3	6,8	4,3	0,5	0	0	0		
Снижение поверхностью земли в средней зоне, Am дБ	Gm = 1	ф-лы таб.3 [10]	-2,5	-2,5	0	0	0	0	0	0	0		
Суммарное снижение поверхностью земли на траектории распространения звука Agr, дБ		ф-ла (9) [10]	-5,5	-5,5	1,5	5,3	2,8	-1	-1,5	-1,5	-1,5		

1		2	3	4	5	6	7	8	9	10	11	12	13
Уровни звукового давления прямого звука от источника ИШ-2-42 в расчётной точке днём, дБ		**ф-ла(3)[10]**	**0**	**36,8**	**31**	**28,1**	**30,1**	**32,4**	**27,5**	**16,3**	**0**	**35**	**35**
Уровни звукового давления прямого звука от источника ИШ-2-42 в расчётной точке ночью, дБ		**ф-ла(3)[10]**	**0**	**36,8**	**31**	**28,1**	**30,1**	**32,4**	**27,5**	**16,3**	**0**	**35**	**35**
Расчёт отражённого звука													
Уровни звукового давления от мнимого источника ИШ-2-42_мн.(1) в расчётной точке днём, дБ		**ф-ла(3)[10]**	**0**	**0**	**0**	**0**	**0**	**0**	**0**	**0**	**0**	**0**	**0**
Уровни звукового давления от мнимого источника ИШ-2-42_мн.(1) в расчётной точке ночью, дБ		**ф-ла(3)[10]**	**0**	**0**	**0**	**0**	**0**	**0**	**0**	**0**	**0**	**0**	**0**
Уровни звукового давления от мнимого источника ИШ-2-42_мн.(2) в расчётной точке днём, дБ		**ф-ла(3)[10]**	**0**	**0**	**25,4**	**17,7**	**18,7**	**27,8**	**25**	**13,7**	**0**	**30,4**	**30,4**
Уровни звукового давления от мнимого источника ИШ-2-42_мн.(2) в расчётной точке ночью, дБ		**ф-ла(3)[10]**	**0**	**0**	**0**	**0**	**0**	**0**	**0**	**0**	**0**	**30,4**	**30,4**
Суммарные уровни звукового давления от мнимых источников в расчётной точке днём, дБ		**ф-ла (19) [1]**	**0**	**0**	**25,4**	**17,7**	**18,7**	**27,8**	**25**	**13,7**	**0**	**0**	**30,4**
Суммарные уровни звукового давления от мнимых источников в расчётной точке ночью, дБ		**ф-ла (19) [1]**	**0**	**0**	**25,4**	**17,7**	**18,7**	**27,8**	**25**	**13,7**	**0**	**0**	**30,4**
Уровни звукового давления от источника ИШ-2-42 в расчётной точке днём, дБ		**ф-ла(3)[10]**	**0**	**36,8**	**32**	**28,5**	**30,4**	**33,7**	**29,5**	**18,2**	**0**	**36,3**	**36,3**
Уровни звукового давления от источника ИШ-2-42 в расчётной точке ночью, дБ		**ф-ла(3)[10]**	**0**	**36,8**	**32**	**28,5**	**30,4**	**33,7**	**29,5**	**18,2**	**0**	**36,3**	**36,3**
Источник шума: ИШ-2-43, координаты источника (x,y,z), м =[683.13,-134.37,1.00]													
Уровни звуковой мощности источника днём, Lw, дБ		**исходные данные**	**0**	**93,3**	**94,7**	**96**	**96,3**	**95,9**	**92,6**	**88,4**	**83,9**		
Уровни звуковой мощности источника ночью, Lw, дБ		**исходные данные**	**0**	**93,3**	**94,7**	**96**	**96,3**	**95,9**	**92,6**	**88,4**	**83,9**		
Поправка на телесный угол DΩ, дБ	Ω = 6.28	10Lg(4π/Ω)	**3**	3	3	3	3	3	3	3	3		
Показатель направленности источника Di, дБ		исходные данные	**0**	0	0	0	0	0	0	0	0		
Поправка на направленность источника Dc, дБ	Dc	DΩ + Di	**3**	3	3	3	3	3	3	3	3		

1		2	3	4	5	6	7	8	9	10	11	12	13
Затухание из-за геометрической дивергенции, Adiv, дБ	расстояние = 500.86 м	ф-ла (7) [10]	**65**										
Коэффициент затухания звука в атмосфере α, дБ/км	Ta=20,°C Pa=101.33,кПа hотн.=70%	ф-ла (5) [9]	0,02	0,09	0,33	1,12	2,79	4,98	9,04	23,09	77,63		
Учет затухания звука в атмосфере Aatm, дБ		ф-ла (8) [10]	0	0	0,2	0,6	1,4	2,5	4,5	11,6	38,9		
Снижение поверхностью земли возле источника As, дБ	Gs = 0 hs = 1м	ф-лы таб.3 [10]	-1,5	-1,5	-1,5	-1,5	-1,5	-1,5	-1,5	-1,5	-1,5		
Снижение поверхностью земли возле приёмника Ar, дБ	Gr = 1 hr = 1.6м	ф-лы таб.3 [10]	-1,5	-1,5	3	6,8	4,3	0,5	0	0	0		
Снижение поверхностью земли в средней зоне, Am дБ	Gm = 1	ф-лы таб.3 [10]	-2,5	-2,5	0	0	0	0	0	0	0		
Суммарное снижение поверхностью земли на траектории распространения звука Agr, дБ		ф-ла (9) [10]	-5,5	-5,5	1,5	5,3	2,8	-1	-1,5	-1,5	-1,5		
Уровни звукового давления прямого звука от источника ИШ-2-43 в расчётной точке днём, дБ		**ф-ла(3)[10]**	**0**	**36,8**	**31**	**28,1**	**30,1**	**32,4**	**27,6**	**16,3**	**0**	**35**	**35**
Уровни звукового давления прямого звука от источника ИШ-2-43 в расчётной точке ночью, дБ		**ф-ла(3)[10]**	**0**	**36,8**	**31**	**28,1**	**30,1**	**32,4**	**27,6**	**16,3**	**0**	**35**	**35**
Расчёт отражённого звука													
Уровни звукового давления от мнимого источника ИШ-2-43_мн.(1) в расчётной точке днём, дБ		**ф-ла(3)[10]**	**0**	**0**	**0**	**0**	**0**	**0**	**0**	**0**	**0**	**0**	**0**
Уровни звукового давления от мнимого источника ИШ-2-43_мн.(1) в расчётной точке ночью, дБ		**ф-ла(3)[10]**	**0**	**0**	**0**	**0**	**0**	**0**	**0**	**0**	**0**	**0**	**0**
Уровни звукового давления от мнимого источника ИШ-2-43_мн.(2) в расчётной точке днём, дБ		**ф-ла(3)[10]**	**0**	**0**	**25,4**	**17,7**	**18,7**	**27,9**	**25,1**	**13,8**	**0**	**30,5**	**30,5**
Уровни звукового давления от мнимого источника ИШ-2-43_мн.(2) в расчётной точке ночью, дБ		**ф-ла(3)[10]**	**0**	**0**	**0**	**0**	**0**	**0**	**0**	**0**	**0**	**30,5**	**30,5**
Суммарные уровни звукового давления от мнимых источников в расчётной точке днём, дБ		**ф-ла (19) [1]**	**0**	**0**	**25,4**	**17,7**	**18,7**	**27,9**	**25,1**	**13,8**	**0**	**0**	**30,5**
Суммарные уровни звукового давления от мнимых источников в расчётной точке ночью, дБ		**ф-ла (19) [1]**	**0**	**0**	**25,4**	**17,7**	**18,7**	**27,9**	**25,1**	**13,8**	**0**	**0**	**30,5**
Уровни звукового давления от источника ИШ-2-43 в расчётной точке днём, дБ		**ф-ла(3)[10]**	**0**	**36,8**	**32,1**	**28,5**	**30,4**	**33,7**	**29,5**	**18,3**	**0**	**36,3**	**36,3**

1		2	3	4	5	6	7	8	9	10	11	12	13
Уровни звукового давления от источника ИШ-2-43 в расчётной точке ночью, дБ		**ф-ла(3)[10]**	**0**	**36,8**	**32,1**	**28,5**	**30,4**	**33,7**	**29,5**	**18,3**	**0**	**36,3**	**36,3**
Источник шума: ИШ-2-44, координаты источника (x,y,z), м =[682.20,-137.16,1.00]													
Уровни звуковой мощности источника днём, Lw, дБ		**исходные данные**	**0**	**93,3**	**94,7**	**96**	**96,3**	**95,9**	**92,6**	**88,4**	**83,9**		
Уровни звуковой мощности источника ночью, Lw, дБ		**исходные данные**	**0**	**93,3**	**94,7**	**96**	**96,3**	**95,9**	**92,6**	**88,4**	**83,9**		
Поправка на телесный угол DΩ, дБ	Ω = 6.28	10Lg(4π/Ω)	**3**	3	3	3	3	3	3	3	3		
Показатель направленности источника Di, дБ		исходные данные	**0**	0	0	0	0	0	0	0	0		
Поправка на направленность источника Dc, дБ	Dc	DΩ + Di	**3**	3	3	3	3	3	3	3	3		
Затухание из-за геометрической дивергенции, Adiv, дБ	расстояние = 499.69 м	ф-ла (7) [10]	**65**										
Коэффициент затухания звука в атмосфере α, дБ/км	Ta=20,°C Pa=101.33,кПа hотн.=70%	ф-ла (5) [9]	0,02	0,09	0,33	1,12	2,79	4,98	9,04	23,09	77,63		
Учет затухания звука в атмосфере Aatm, дБ		ф-ла (8) [10]	0	0	0,2	0,6	1,4	2,5	4,5	11,5	38,8		
Снижение поверхностью земли возле источника As, дБ	Gs = 0 hs = 1м	ф-лы таб.3 [10]	-1,5	-1,5	-1,5	-1,5	-1,5	-1,5	-1,5	-1,5	-1,5		
Снижение поверхностью земли возле приёмника Ar, дБ	Gr = 1 hr = 1.6м	ф-лы таб.3 [10]	-1,5	-1,5	3	6,8	4,3	0,5	0	0	0		
Снижение поверхностью земли в средней зоне, Am дБ	Gm = 1	ф-лы таб.3 [10]	-2,5	-2,5	0	0	0	0	0	0	0		
Суммарное снижение поверхностью земли на траектории распространения звука Agr, дБ		ф-ла (9) [10]	-5,5	-5,5	1,5	5,3	2,8	-1	-1,5	-1,5	-1,5		
Уровни звукового давления прямого звука от источника ИШ-2-44 в расчётной точке днём, дБ		**ф-ла(3)[10]**	**0**	**36,8**	**31**	**28,1**	**30,1**	**32,4**	**27,6**	**16,4**	**0**	**35**	**35**
Уровни звукового давления прямого звука от источника ИШ-2-44 в расчётной точке ночью, дБ		**ф-ла(3)[10]**	**0**	**36,8**	**31**	**28,1**	**30,1**	**32,4**	**27,6**	**16,4**	**0**	**35**	**35**

1		2	3	4	5	6	7	8	9	10	11	12	13
Расчёт отражённого звука													
Уровни звукового давления от мнимого источника ИШ-2-44_мн.(1) в расчётной точке днём, дБ		**ф-ла(3)[10]**	**0**	**0**	**0**	**0**	**0**	**0**	**0**	**0**	**0**	**0**	**0**
Уровни звукового давления от мнимого источника ИШ-2-44_мн.(1) в расчётной точке ночью, дБ		**ф-ла(3)[10]**	**0**	**0**	**0**	**0**	**0**	**0**	**0**	**0**	**0**	**0**	**0**
Уровни звукового давления от мнимого источника ИШ-2-44_мн.(2) в расчётной точке днём, дБ		**ф-ла(3)[10]**	**0**	**0**	**25,4**	**17,8**	**18,8**	**27,9**	**25,1**	**13,8**	**0**	**30,5**	**30,5**
Уровни звукового давления от мнимого источника ИШ-2-44_мн.(2) в расчётной точке ночью, дБ		**ф-ла(3)[10]**	**0**	**0**	**0**	**0**	**0**	**0**	**0**	**0**	**0**	**30,5**	**30,5**
Суммарные уровни звукового давления от мнимых источников в расчётной точке днём, дБ		**ф-ла (19) [1]**	**0**	**0**	**25,4**	**17,8**	**18,8**	**27,9**	**25,1**	**13,8**	**0**	**0**	**30,5**
Суммарные уровни звукового давления от мнимых источников в расчётной точке ночью, дБ		**ф-ла (19) [1]**	**0**	**0**	**25,4**	**17,8**	**18,8**	**27,9**	**25,1**	**13,8**	**0**	**0**	**30,5**
Уровни звукового давления от источника ИШ-2-44 в расчётной точке днём, дБ		**ф-ла(3)[10]**	**0**	**36,8**	**32,1**	**28,5**	**30,4**	**33,7**	**29,5**	**18,3**	**0**	**36,3**	**36,3**
Уровни звукового давления от источника ИШ-2-44 в расчётной точке ночью, дБ		**ф-ла(3)[10]**	**0**	**36,8**	**32,1**	**28,5**	**30,4**	**33,7**	**29,5**	**18,3**	**0**	**36,3**	**36,3**
Источник шума: ИШ-2-45, координаты источника (x,y,z), м =[681.26,-139.98,1.00]													
Уровни звуковой мощности источника днём, Lw, дБ		**исходные данные**	**0**	**93,3**	**94,7**	**96**	**96,3**	**95,9**	**92,6**	**88,4**	**83,9**		
Уровни звуковой мощности источника ночью, Lw, дБ		**исходные данные**	**0**	**93,3**	**94,7**	**96**	**96,3**	**95,9**	**92,6**	**88,4**	**83,9**		
Поправка на телесный угол DΩ, дБ	Ω = 6.28	10Lg(4π/Ω)	**3**	3	3	3	3	3	3	3	3		
Показатель направленности источника Di, дБ		исходные данные	**0**	0	0	0	0	0	0	0	0		
Поправка на направленность источника Dc, дБ	Dc	DΩ + Di	**3**	3	3	3	3	3	3	3	3		
Затухание из-за геометрической дивергенции, Adiv, дБ	расстояние = 498.53 м	ф-ла (7) [10]	**65**										
Коэффициент затухания звука в атмосфере α, дБ/км	Ta=20,°C Pa=101.33,кПа hотн.=70%	ф-ла (5) [9]	0,02	0,09	0,33	1,12	2,79	4,98	9,04	23,09	77,63		

1		2	3	4	5	6	7	8	9	10	11	12	13
Учет затухания звука в атмосфере Aatm, дБ		ф-ла (8) [10]	0	0	0,2	0,6	1,4	2,5	4,5	11,5	38,7		
Снижение поверхностью земли возле источника As, дБ	Gs = 0 hs = 1м	ф-лы таб.3 [10]	-1,5	-1,5	-1,5	-1,5	-1,5	-1,5	-1,5	-1,5	-1,5		
Снижение поверхностью земли возле приёмника Ar, дБ	Gr = 1 hr = 1.6м	ф-лы таб.3 [10]	-1,5	-1,5	3	6,8	4,3	0,5	0	0	0		
Снижение поверхностью земли в средней зоне, Am дБ	Gm = 1	ф-лы таб.3 [10]	-2,5	-2,5	0	0	0	0	0	0	0		
Суммарное снижение поверхностью земли на траектории распространения звука Agr, дБ		ф-ла (9) [10]	-5,5	-5,5	1,5	5,3	2,8	-1	-1,5	-1,5	-1,5		
Уровни звукового давления прямого звука от источника ИШ-2-45 в расчётной точке днём, дБ		**ф-ла(3)[10]**	**0**	**36,8**	**31,1**	**28,1**	**30,1**	**32,5**	**27,6**	**16,4**	**0**	**35,1**	**35,1**
Уровни звукового давления прямого звука от источника ИШ-2-45 в расчётной точке ночью, дБ		**ф-ла(3)[10]**	**0**	**36,8**	**31,1**	**28,1**	**30,1**	**32,5**	**27,6**	**16,4**	**0**	**35,1**	**35,1**
Расчёт отражённого звука													
Уровни звукового давления от мнимого источника ИШ-2-45_мн.(1) в расчётной точке днём, дБ		**ф-ла(3)[10]**	**0**	**0**	**0**	**0**	**0**	**0**	**0**	**0**	**0**	**0**	**0**
Уровни звукового давления от мнимого источника ИШ-2-45_мн.(1) в расчётной точке ночью, дБ		**ф-ла(3)[10]**	**0**	**0**	**0**	**0**	**0**	**0**	**0**	**0**	**0**	**0**	**0**
Уровни звукового давления от мнимого источника ИШ-2-45_мн.(2) в расчётной точке днём, дБ		**ф-ла(3)[10]**	**0**	**0**	**25,5**	**17,8**	**18,8**	**27,9**	**25,1**	**13,9**	**0**	**30,5**	**30,5**
Уровни звукового давления от мнимого источника ИШ-2-45_мн.(2) в расчётной точке ночью, дБ		**ф-ла(3)[10]**	**0**	**0**	**0**	**0**	**0**	**0**	**0**	**0**	**0**	**30,5**	**30,5**
Суммарные уровни звукового давления от мнимых источников в расчётной точке днём, дБ		**ф-ла (19) [1]**	**0**	**0**	**25,5**	**17,8**	**18,8**	**27,9**	**25,1**	**13,9**	**0**	**0**	**30,5**
Суммарные уровни звукового давления от мнимых источников в расчётной точке ночью, дБ		**ф-ла (19) [1]**	**0**	**0**	**25,5**	**17,8**	**18,8**	**27,9**	**25,1**	**13,9**	**0**	**0**	**30,5**
Уровни звукового давления от источника ИШ-2-45 в расчётной точке днём, дБ		**ф-ла(3)[10]**	**0**	**36,8**	**32,1**	**28,5**	**30,4**	**33,8**	**29,6**	**18,4**	**0**	**36,4**	**36,4**
Уровни звукового давления от источника ИШ-2-45 в расчётной точке ночью, дБ		**ф-ла(3)[10]**	**0**	**36,8**	**32,1**	**28,5**	**30,4**	**33,8**	**29,6**	**18,4**	**0**	**36,4**	**36,4**

Источник шума: ИШ-4-1, координаты источника (x,y,z), м =[141.82,201.03,1.00]

1		2	3	4	5	6	7	8	9	10	11	12	13
Уровни звуковой мощности источника днём, Lw, дБ		**исходные данные**	**0**	**90,3**	**91,7**	**93**	**93,3**	**92,9**	**89,6**	**85,4**	**80,9**		
Уровни звуковой мощности источника ночью, Lw, дБ		**исходные данные**	**0**	**90,3**	**91,7**	**93**	**93,3**	**92,9**	**89,6**	**85,4**	**80,9**		
Поправка на телесный угол DΩ, дБ	Ω = 6.28	10Lg(4π/Ω)	**3**	3	3	3	3	3	3	3	3		
Показатель направленности источника Di, дБ		исходные данные	**0**	0	0	0	0	0	0	0	0		
Поправка на направленность источника Dc, дБ	Dc	DΩ + Di	**3**	3	3	3	3	3	3	3	3		
Затухание из-за геометрической дивергенции, Adiv, дБ	расстояние = 382.46 м	ф-ла (7) [10]	**62,7**										
Коэффициент затухания звука в атмосфере α, дБ/км	Ta=20,°C Pa=101.33,кПа hотн.=70%	ф-ла (5) [9]	0,02	0,09	0,33	1,12	2,79	4,98	9,04	23,09	77,63		
Учет затухания звука в атмосфере Aatm, дБ		ф-ла (8) [10]	0	0	0,1	0,4	1,1	1,9	3,5	8,8	29,7		
Снижение поверхностью земли возле источника As, дБ	Gs = 0 hs = 1м	ф-лы таб.3 [10]	-1,5	-1,5	-1,5	-1,5	-1,5	-1,5	-1,5	-1,5	-1,5		
Снижение поверхностью земли возле приёмника Ar, дБ	Gr = 1 hr = 1.6м	ф-лы таб.3 [10]	-1,5	-1,5	2,3	6,8	4,3	0,5	0	0	0		
Снижение поверхностью земли в средней зоне, Am дБ	Gm = 1	ф-лы таб.3 [10]	-2,4	-2,4	0	0	0	0	0	0	0		
Суммарное снижение поверхностью земли на траектории распространения звука Agr, дБ		ф-ла (9) [10]	-5,4	-5,4	0,8	5,3	2,8	-1	-1,5	-1,5	-1,5		
Уровни звукового давления прямого звука от источника ИШ-4-1 в расчётной точке днём, дБ		**ф-ла(3)[10]**	**0**	**36**	**31,1**	**27,6**	**29,8**	**32,3**	**28**	**18,4**	**0**	**35,1**	**35,1**
Уровни звукового давления прямого звука от источника ИШ-4-1 в расчётной точке ночью, дБ		**ф-ла(3)[10]**	**0**	**36**	**31,1**	**27,6**	**29,8**	**32,3**	**28**	**18,4**	**0**	**35,1**	**35,1**
Расчёт отражённого звука													
Уровни звукового давления от мнимого источника ИШ-4-1_мн.(1) в расчётной точке днём, дБ		**ф-ла(3)[10]**	**0**	**0**	**0**	**0**	**0**	**16,2**	**8,2**	**0**	**0**	**17**	**17**
Уровни звукового давления от мнимого источника ИШ-4-1_мн.(1) в расчётной точке ночью, дБ		**ф-ла(3)[10]**	**0**	**0**	**0**	**0**	**0**	**0**	**0**	**0**	**0**	**17**	**17**

1		2	3	4	5	6	7	8	9	10	11	12	13
Уровни звукового давления от мнимого источника ИШ-4-1_мн.(2) в расчётной точке днём, дБ		**ф-ла(3)[10]**	**0**	**34,9**	**26,3**	**17,2**	**18,4**	**27,7**	**25,4**	**15,8**	**0**	**30,6**	**30,6**
Уровни звукового давления от мнимого источника ИШ-4-1_мн.(2) в расчётной точке ночью, дБ		**ф-ла(3)[10]**	**34,9**	**34,9**	**34,9**	**34,9**	**34,9**	**34,9**	**34,9**	**34,9**	**34,9**	**30,6**	**30,6**
Суммарные уровни звукового давления от мнимых источников в расчётной точке днём, дБ		**ф-ла (19) [1]**	**0**	**34,9**	**26,3**	**17,2**	**18,4**	**28**	**25,5**	**15,8**	**0**	**0**	**30,8**
Суммарные уровни звукового давления от мнимых источников в расчётной точке ночью, дБ		**ф-ла (19) [1]**	**0**	**34,9**	**26,3**	**17,2**	**18,4**	**28**	**25,5**	**15,8**	**0**	**0**	**30,8**
Уровни звукового давления от источника ИШ-4-1 в расчётной точке днём, дБ		**ф-ла(3)[10]**	**0**	**38,5**	**32,4**	**28**	**30,1**	**33,7**	**29,9**	**20,3**	**0**	**36,4**	**36,4**
Уровни звукового давления от источника ИШ-4-1 в расчётной точке ночью, дБ		**ф-ла(3)[10]**	**0**	**38,5**	**32,4**	**28**	**30,1**	**33,7**	**29,9**	**20,3**	**0**	**36,4**	**36,4**
Источник шума: ИШ-4-2, координаты источника (x,y,z), м =[133.85,183.21,1.00]													
Уровни звуковой мощности источника днём, Lw, дБ		**исходные данные**	**0**	**90,3**	**91,7**	**93**	**93,3**	**92,9**	**89,6**	**85,4**	**80,9**		
Уровни звуковой мощности источника ночью, Lw, дБ		**исходные данные**	**0**	**90,3**	**91,7**	**93**	**93,3**	**92,9**	**89,6**	**85,4**	**80,9**		
Поправка на телесный угол DΩ, дБ	Ω = 6.28	10Lg(4π/Ω)	**3**	3	3	3	3	3	3	3	3		
Показатель направленности источника Di, дБ		исходные данные	**0**	0	0	0	0	0	0	0	0		
Поправка на направленность источника Dc, дБ	Dc	DΩ + Di	**3**	3	3	3	3	3	3	3	3		
Затухание из-за геометрической дивергенции, Adiv, дБ	расстояние = 365.77 м	ф-ла (7) [10]	**62,3**										
Коэффициент затухания звука в атмосфере α, дБ/км	Ta=20,°C Pa=101.33,кПа hотн.=70%	ф-ла (5) [9]	0,02	0,09	0,33	1,12	2,79	4,98	9,04	23,09	77,63		
Учет затухания звука в атмосфере Aatm, дБ		ф-ла (8) [10]	0	0	0,1	0,4	1	1,8	3,3	8,4	28,4		
Снижение уровня звукового давления из-за влияния застройки между источником шума и расчетной точкой													

1		2	3	4	5	6	7	8	9	10	11	12	13
Снижение уровня звукового давления препятствием справа от трассы ИШ-РТ, Dz3, дБ	z = -0.27м (разность путей)	ф-лы (14-18) [10]	0	0	NAN	NAN	NAN	NAN	NAN	NAN	NAN		
* отрицательное значение z означает прохождение траектории вблизи экрана, в этом случае дополнительно производится учёт снижения подстилающей поверхностью (см.ниже)													
Снижение поверхностью земли возле источника As, дБ	Gs = 0 hs = 1м	ф-лы таб.3 [10]	-1,5	-1,5	-1,5	-1,5	-1,5	-1,5	-1,5	-1,5	-1,5		
Снижение поверхностью земли возле приёмника Ar, дБ	Gr = 1 hr = 1.6м	ф-лы таб.3 [10]	-1,5	-1,5	2,2	6,8	4,3	0,5	0	0	0		
Снижение поверхностью земли в средней зоне, Am дБ	Gm = 1	ф-лы таб.3 [10]	-2,4	-2,4	0	0	0	0	0	0	0		
Суммарное снижение поверхностью земли на траектории распространения звука Agr, дБ		ф-ла (9) [10]	-5,4	-5,4	0,7	5,3	2,8	-1	-1,5	-1,5	-1,5		
Уровни звукового давления прямого звука от источника ИШ-4-2 в расчётной точке днём, дБ		**ф-ла(3)[10]**	**0**	**36,3**	**31,6**	**28**	**30,2**	**32,8**	**28,5**	**19,2**	**0**	**35,5**	**35,5**
Уровни звукового давления прямого звука от источника ИШ-4-2 в расчётной точке ночью, дБ		**ф-ла(3)[10]**	**0**	**36,3**	**31,6**	**28**	**30,2**	**32,8**	**28,5**	**19,2**	**0**	**35,5**	**35,5**
Расчёт отражённого звука													
Уровни звукового давления от мнимого источника ИШ-4-2_мн.(1) в расчётной точке днём, дБ		**ф-ла(3)[10]**	**0**	**0**	**0**	**0**	**0**	**0**	**22**	**10,7**	**0**	**23,5**	**23,5**
Уровни звукового давления от мнимого источника ИШ-4-2_мн.(1) в расчётной точке ночью, дБ		**ф-ла(3)[10]**	**0**	**0**	**0**	**0**	**0**	**0**	**0**	**0**	**0**	**23,5**	**23,5**
Уровни звукового давления от мнимого источника ИШ-4-2_мн.(2) в расчётной точке днём, дБ		**ф-ла(3)[10]**	**0**	**35,3**	**27**	**17,6**	**18,8**	**28,2**	**25,9**	**16,5**	**0**	**31,1**	**31,1**
Уровни звукового давления от мнимого источника ИШ-4-2_мн.(2) в расчётной точке ночью, дБ		**ф-ла(3)[10]**	**35,3**	**35,3**	**35,3**	**35,3**	**35,3**	**35,3**	**35,3**	**35,3**	**35,3**	**31,1**	**31,1**
Суммарные уровни звукового давления от мнимых источников в расчётной точке днём, дБ		**ф-ла (19) [1]**	**0**	**35,3**	**27**	**17,6**	**18,8**	**28,2**	**27,4**	**17,5**	**0**	**0**	**31,8**
Суммарные уровни звукового давления от мнимых источников в расчётной точке ночью, дБ		**ф-ла (19) [1]**	**0**	**35,3**	**27**	**17,6**	**18,8**	**28,2**	**27,4**	**17,5**	**0**	**0**	**31,8**
Уровни звукового давления от источника ИШ-4-2 в расчётной точке днём, дБ		**ф-ла(3)[10]**	**0**	**38,8**	**32,9**	**28,4**	**30,5**	**34,1**	**31**	**21,5**	**0**	**37,1**	**37,1**
Уровни звукового давления от источника ИШ-4-2 в расчётной точке ночью, дБ		**ф-ла(3)[10]**	**0**	**38,8**	**32,9**	**28,4**	**30,5**	**34,1**	**31**	**21,5**	**0**	**37,1**	**37,1**
Источник шума: ИШ-4-3, координаты источника (x,y,z), м =[152.61,172.66,1.00]													

1		2	3	4	5	6	7	8	9	10	11	12	13
Уровни звуковой мощности источника днём, Lw, дБ		**исходные данные**	**0**	**90,3**	**91,7**	**93**	**93,3**	**92,9**	**89,6**	**85,4**	**80,9**		
Уровни звуковой мощности источника ночью, Lw, дБ		**исходные данные**	**0**	**90,3**	**91,7**	**93**	**93,3**	**92,9**	**89,6**	**85,4**	**80,9**		
Поправка на телесный угол DΩ, дБ	Ω = 6.28	10Lg(4π/Ω)	**3**	3	3	3	3	3	3	3	3		
Показатель направленности источника Di, дБ		исходные данные	**0**	0	0	0	0	0	0	0	0		
Поправка на направленность источника Dc, дБ	Dc	DΩ + Di	**3**	3	3	3	3	3	3	3	3		
Затухание из-за геометрической дивергенции, Adiv, дБ	расстояние = 353.15 м	ф-ла (7) [10]	**62**										
Коэффициент затухания звука в атмосфере α, дБ/км	Ta=20,°C Pa=101.33,кПа hотн.=70%	ф-ла (5) [9]	0,02	0,09	0,33	1,12	2,79	4,98	9,04	23,09	77,63		
Учет затухания звука в атмосфере Aatm, дБ		ф-ла (8) [10]	0	0	0,1	0,4	1	1,8	3,2	8,2	27,4		
Снижение поверхностью земли возле источника As, дБ	Gs = 0 hs = 1м	ф-лы таб.3 [10]	-1,5	-1,5	-1,5	-1,5	-1,5	-1,5	-1,5	-1,5	-1,5		
Снижение поверхностью земли возле приёмника Ar, дБ	Gr = 1 hr = 1.6м	ф-лы таб.3 [10]	-1,5	-1,5	2,1	6,8	4,3	0,5	0	0	0		
Снижение поверхностью земли в средней зоне, Am дБ	Gm = 1	ф-лы таб.3 [10]	-2,3	-2,3	0	0	0	0	0	0	0		
Суммарное снижение поверхностью земли на траектории распространения звука Agr, дБ		ф-ла (9) [10]	-5,3	-5,3	0,6	5,3	2,8	-1	-1,5	-1,5	-1,5		
Уровни звукового давления прямого звука от источника ИШ-4-3 в расчётной точке днём, дБ		**ф-ла(3)[10]**	**0**	**36,6**	**32**	**28,3**	**30,5**	**33,2**	**28,9**	**19,8**	**0**	**35,9**	**35,9**
Уровни звукового давления прямого звука от источника ИШ-4-3 в расчётной точке ночью, дБ		**ф-ла(3)[10]**	**0**	**36,6**	**32**	**28,3**	**30,5**	**33,2**	**28,9**	**19,8**	**0**	**35,9**	**35,9**
Расчёт отражённого звука													
Уровни звукового давления от мнимого источника ИШ-4-3_мн.(1) в расчётной точке днём, дБ		**ф-ла(3)[10]**	**0**	**0**	**0**	**0**	**0**	**27,1**	**24,7**	**14,8**	**0**	**29,8**	**29,8**
Уровни звукового давления от мнимого источника ИШ-4-3_мн.(1) в расчётной точке ночью, дБ		**ф-ла(3)[10]**	**0**	**0**	**0**	**0**	**0**	**0**	**0**	**0**	**0**	**29,8**	**29,8**

1		2	3	4	5	6	7	8	9	10	11	12	13
Уровни звукового давления от мнимого источника ИШ-4-3_мн.(2) в расчётной точке днём, дБ		**ф-ла(3)[10]**	**0**	**35,6**	**27,4**	**17,9**	**19,1**	**28,6**	**26,3**	**17,1**	**0**	**31,5**	**31,5**
Уровни звукового давления от мнимого источника ИШ-4-3_мн.(2) в расчётной точке ночью, дБ		**ф-ла(3)[10]**	**35,6**	**35,6**	**35,6**	**35,6**	**35,6**	**35,6**	**35,6**	**35,6**	**35,6**	**31,5**	**31,5**
Уровни звукового давления от мнимого источника ИШ-4-3_мн.(3) в расчётной точке днём, дБ		**ф-ла(3)[10]**	**0**	**0**	**0**	**0**	**0**	**0**	**0**	**0**	**0**	**0**	**0**
Уровни звукового давления от мнимого источника ИШ-4-3_мн.(3) в расчётной точке ночью, дБ		**ф-ла(3)[10]**	**0**	**0**	**0**	**0**	**0**	**0**	**0**	**0**	**0**	**0**	**0**
Суммарные уровни звукового давления от мнимых источников в расчётной точке днём, дБ		**ф-ла (19) [1]**	**0**	**35,6**	**27,4**	**17,9**	**19,1**	**30,9**	**28,6**	**19,1**	**0**	**0**	**33,7**
Суммарные уровни звукового давления от мнимых источников в расчётной точке ночью, дБ		**ф-ла (19) [1]**	**0**	**35,6**	**27,4**	**17,9**	**19,1**	**30,9**	**28,6**	**19,1**	**0**	**0**	**33,7**
Уровни звукового давления от источника ИШ-4-3 в расчётной точке днём, дБ		**ф-ла(3)[10]**	**0**	**39,2**	**33,3**	**28,7**	**30,8**	**35,2**	**31,8**	**22,5**	**0**	**38**	**38**
Уровни звукового давления от источника ИШ-4-3 в расчётной точке ночью, дБ		**ф-ла(3)[10]**	**0**	**39,2**	**33,3**	**28,7**	**30,8**	**35,2**	**31,8**	**22,5**	**0**	**38**	**38**
Источник шума: ИШ-4-4, координаты источника (x,y,z), м =[156.83,171.25,1.00]													
Уровни звуковой мощности источника днём, Lw, дБ		**исходные данные**	**0**	**90,3**	**91,7**	**93**	**93,3**	**92,9**	**89,6**	**85,4**	**80,9**		
Уровни звуковой мощности источника ночью, Lw, дБ		**исходные данные**	**0**	**90,3**	**91,7**	**93**	**93,3**	**92,9**	**89,6**	**85,4**	**80,9**		
Поправка на телесный угол DΩ, дБ	Ω = 6.28	10Lg(4π/Ω)	**3**	3	3	3	3	3	3	3	3		
Показатель направленности источника Di, дБ		исходные данные	**0**	0	0	0	0	0	0	0	0		
Поправка на направленность источника Dc, дБ	Dc	DΩ + Di	**3**	3	3	3	3	3	3	3	3		
Затухание из-за геометрической дивергенции, Adiv, дБ	расстояние = 351.39 м	ф-ла (7) [10]	**61,9**										
Коэффициент затухания звука в атмосфере α, дБ/км	Ta=20,°C Pa=101.33,кПа hотн.=70%	ф-ла (5) [9]	0,02	0,09	0,33	1,12	2,79	4,98	9,04	23,09	77,63		

1		2	3	4	5	6	7	8	9	10	11	12	13
Учет затухания звука в атмосфере Aatm, дБ		ф-ла (8) [10]	0	0	0,1	0,4	1	1,7	3,2	8,1	27,3		
Снижение поверхностью земли возле источника As, дБ	Gs = 0 hs = 1м	ф-лы таб.3 [10]	-1,5	-1,5	-1,5	-1,5	-1,5	-1,5	-1,5	-1,5	-1,5		
Снижение поверхностью земли возле приёмника Ar, дБ	Gr = 1 hr = 1.6м	ф-лы таб.3 [10]	-1,5	-1,5	2,1	6,8	4,3	0,5	0	0	0		
Снижение поверхностью земли в средней зоне, Am дБ	Gm = 1	ф-лы таб.3 [10]	-2,3	-2,3	0	0	0	0	0	0	0		
Суммарное снижение поверхностью земли на траектории распространения звука Agr, дБ		ф-ла (9) [10]	-5,3	-5,3	0,6	5,3	2,8	-1	-1,5	-1,5	-1,5		
Уровни звукового давления прямого звука от источника ИШ-4-4 в расчётной точке днём, дБ		**ф-ла(3)[10]**	**0**	**36,7**	**32,1**	**28,4**	**30,6**	**33,2**	**29**	**19,9**	**0**	**36**	**36**
Уровни звукового давления прямого звука от источника ИШ-4-4 в расчётной точке ночью, дБ		**ф-ла(3)[10]**	**0**	**36,7**	**32,1**	**28,4**	**30,6**	**33,2**	**29**	**19,9**	**0**	**36**	**36**
Расчёт отражённого звука													
Уровни звукового давления от мнимого источника ИШ-4-4_мн.(1) в расчётной точке днём, дБ		**ф-ла(3)[10]**	**0**	**35,6**	**27,5**	**17,9**	**19,2**	**28,6**	**26,4**	**17,2**	**0**	**31,6**	**31,6**
Уровни звукового давления от мнимого источника ИШ-4-4_мн.(1) в расчётной точке ночью, дБ		**ф-ла(3)[10]**	**0**	**0**	**0**	**0**	**0**	**0**	**0**	**0**	**0**	**31,6**	**31,6**
Уровни звукового давления от источника ИШ-4-4 в расчётной точке днём, дБ		**ф-ла(3)[10]**	**0**	**39,2**	**33,4**	**28,7**	**30,9**	**34,5**	**30,9**	**21,7**	**0**	**37,3**	**37,3**
Уровни звукового давления от источника ИШ-4-4 в расчётной точке ночью, дБ		**ф-ла(3)[10]**	**0**	**39,2**	**33,4**	**28,7**	**30,9**	**34,5**	**30,9**	**21,7**	**0**	**37,3**	**37,3**
Источник шума: ИШ-4-5, координаты источника (x,y,z), м =[126.48,222.66,11.00]													
Уровни звуковой мощности источника днём, Lw, дБ		**исходные данные**	**0**	**90,3**	**91,7**	**93**	**93,3**	**92,9**	**89,6**	**85,4**	**80,9**		
Уровни звуковой мощности источника ночью, Lw, дБ		**исходные данные**	**0**	**90,3**	**91,7**	**93**	**93,3**	**92,9**	**89,6**	**85,4**	**80,9**		
Поправка на телесный угол DΩ, дБ	Ω = 6.28	10Lg(4π/Ω)	**3**	3	3	3	3	3	3	3	3		
Показатель направленности источника Di, дБ		исходные данные	**0**	0	0	0	0	0	0	0	0		

1		2	3	4	5	6	7	8	9	10	11	12	13
Поправка на направленность источника Dc, дБ	Dc	DΩ + Di	**3**	3	3	3	3	3	3	3	3		
Затухание из-за геометрической дивергенции, Adiv, дБ	расстояние = 405.97 м	ф-ла (7) [10]	**63,2**										
Коэффициент затухания звука в атмосфере α, дБ/км	Ta=20,°C Pa=101.33,кПа hотн.=70%	ф-ла (5) [9]	0,02	0,09	0,33	1,12	2,79	4,98	9,04	23,09	77,63		
Учет затухания звука в атмосфере Aatm, дБ		ф-ла (8) [10]	0	0	0,1	0,5	1,1	2	3,7	9,4	31,5		
Снижение поверхностью земли возле источника As, дБ	Gs = 0 hs = 1м	ф-лы таб.3 [10]	-1,5	-1,5	-1,5	-1,5	-1,5	-1,5	-1,5	-1,5	-1,5		
Снижение поверхностью земли возле приёмника Ar, дБ	Gr = 1 hr = 1.6м	ф-лы таб.3 [10]	-1,5	-1,5	2,4	6,8	4,3	0,5	0	0	0		
Снижение поверхностью земли в средней зоне, Am дБ	Gm = 1	ф-лы таб.3 [10]	-2,4	-2,4	0	0	0	0	0	0	0		
Суммарное снижение поверхностью земли на траектории распространения звука Agr, дБ		ф-ла (9) [10]	-5,4	-5,4	0,9	5,3	2,8	-1	-1,5	-1,5	-1,5		
Уровни звукового давления прямого звука от источника ИШ-4-5 в расчётной точке днём, дБ		**ф-ла(3)[10]**	**0**	**35,5**	**30,5**	**27**	**29,2**	**31,7**	**27,3**	**17,4**	**0**	**34,4**	**34,4**
Уровни звукового давления прямого звука от источника ИШ-4-5 в расчётной точке ночью, дБ		**ф-ла(3)[10]**	**0**	**35,5**	**30,5**	**27**	**29,2**	**31,7**	**27,3**	**17,4**	**0**	**34,4**	**34,4**
Расчёт отражённого звука													
Уровни звукового давления от мнимого источника ИШ-4-5_мн.(1) в расчётной точке днём, дБ		**ф-ла(3)[10]**	**0**	**34,5**	**25,5**	**16,6**	**17,8**	**27,1**	**24,7**	**14,7**	**0**	**29,9**	**29,9**
Уровни звукового давления от мнимого источника ИШ-4-5_мн.(1) в расчётной точке ночью, дБ		**ф-ла(3)[10]**	**0**	**0**	**0**	**0**	**0**	**0**	**0**	**0**	**0**	**29,9**	**29,9**
Уровни звукового давления от источника ИШ-4-5 в расчётной точке днём, дБ		**ф-ла(3)[10]**	**0**	**38**	**31,7**	**27,4**	**29,5**	**33**	**29,2**	**19,2**	**0**	**35,7**	**35,7**
Уровни звукового давления от источника ИШ-4-5 в расчётной точке ночью, дБ		**ф-ла(3)[10]**	**0**	**38**	**31,7**	**27,4**	**29,5**	**33**	**29,2**	**19,2**	**0**	**35,7**	**35,7**
Источник шума: ИШ-4-6, координаты источника (x,y,z), м =[125.17,218.57,11.00]													

1		2	3	4	5	6	7	8	9	10	11	12	13
Уровни звуковой мощности источника днём, Lw, дБ		**исходные данные**	**0**	**90,3**	**91,7**	**93**	**93,3**	**92,9**	**89,6**	**85,4**	**80,9**		
Уровни звуковой мощности источника ночью, Lw, дБ		**исходные данные**	**0**	**90,3**	**91,7**	**93**	**93,3**	**92,9**	**89,6**	**85,4**	**80,9**		
Поправка на телесный угол DΩ, дБ	Ω = 6.28	10Lg(4π/Ω)	**3**	3	3	3	3	3	3	3	3		
Показатель направленности источника Di, дБ		исходные данные	**0**	0	0	0	0	0	0	0	0		
Поправка на направленность источника Dc, дБ	Dc	DΩ + Di	**3**	3	3	3	3	3	3	3	3		
Затухание из-за геометрической дивергенции, Adiv, дБ	расстояние = 402.11 м	ф-ла (7) [10]	**63,1**										
Коэффициент затухания звука в атмосфере α, дБ/км	Ta=20,°C Pa=101.33,кПа hотн.=70%	ф-ла (5) [9]	0,02	0,09	0,33	1,12	2,79	4,98	9,04	23,09	77,63		
Учет затухания звука в атмосфере Aatm, дБ		ф-ла (8) [10]	0	0	0,1	0,5	1,1	2	3,6	9,3	31,2		
Снижение уровня звукового давления из-за влияния застройки между источником шума и расчетной точкой													
Снижение уровня звукового давления препятствием справа от трассы ИШ-РТ, Dz3, дБ	z = -0.09м (разность путей)	ф-лы (14-18) [10]	0	0	2,1	0	NAN	NAN	NAN	NAN	NAN		
* отрицательное значение z означает прохождение траектории вблизи экрана, в этом случае дополнительно производится учёт снижения подстилающей поверхностью (см.ниже)													
Снижение поверхностью земли возле источника As, дБ	Gs = 0 hs = 1м	ф-лы таб.3 [10]	-1,5	-1,5	-1,5	-1,5	-1,5	-1,5	-1,5	-1,5	-1,5		
Снижение поверхностью земли возле приёмника Ar, дБ	Gr = 1 hr = 1.6м	ф-лы таб.3 [10]	-1,5	-1,5	2,4	6,8	4,3	0,5	0	0	0		
Снижение поверхностью земли в средней зоне, Am дБ	Gm = 1	ф-лы таб.3 [10]	-2,4	-2,4	0	0	0	0	0	0	0		
Суммарное снижение поверхностью земли на траектории распространения звука Agr, дБ		ф-ла (9) [10]	-5,4	-5,4	0,9	5,3	2,8	-1	-1,5	-1,5	-1,5		
Уровни звукового давления прямого звука от источника ИШ-4-6 в расчётной точке днём, дБ		**ф-ла(3)[10]**	**0**	**35,6**	**28,5**	**27,1**	**29,3**	**31,8**	**27,4**	**17,5**	**0**	**34,5**	**34,5**
Уровни звукового давления прямого звука от источника ИШ-4-6 в расчётной точке ночью, дБ		**ф-ла(3)[10]**	**0**	**35,6**	**28,5**	**27,1**	**29,3**	**31,8**	**27,4**	**17,5**	**0**	**34,5**	**34,5**
Расчёт отражённого звука													

1		2	3	4	5	6	7	8	9	10	11	12	13
Уровни звукового давления от мнимого источника ИШ-4-6_мн.(1) в расчётной точке днём, дБ		**ф-ла(3)[10]**	**0**	**34,5**	**25,6**	**16,7**	**17,9**	**27,2**	**24,8**	**14,9**	**0**	**30,1**	**30,1**
Уровни звукового давления от мнимого источника ИШ-4-6_мн.(1) в расчётной точке ночью, дБ		**ф-ла(3)[10]**	**0**	**0**	**0**	**0**	**0**	**0**	**0**	**0**	**0**	**30,1**	**30,1**
Уровни звукового давления от источника ИШ-4-6 в расчётной точке днём, дБ		**ф-ла(3)[10]**	**0**	**38,1**	**30,3**	**27,5**	**29,6**	**33,1**	**29,3**	**19,4**	**0**	**35,8**	**35,8**
Уровни звукового давления от источника ИШ-4-6 в расчётной точке ночью, дБ		**ф-ла(3)[10]**	**0**	**38,1**	**30,3**	**27,5**	**29,6**	**33,1**	**29,3**	**19,4**	**0**	**35,8**	**35,8**
Источник шума: ИШ-4-7, координаты источника (x,y,z), м =[177.91,257.92,11.00]													
Уровни звуковой мощности источника днём, Lw, дБ		**исходные данные**	**0**	**90,3**	**91,7**	**93**	**93,3**	**92,9**	**89,6**	**85,4**	**80,9**		
Уровни звуковой мощности источника ночью, Lw, дБ		**исходные данные**	**0**	**90,3**	**91,7**	**93**	**93,3**	**92,9**	**89,6**	**85,4**	**80,9**		
Поправка на телесный угол DΩ, дБ	Ω = 6.28	10Lg(4π/Ω)	**3**	3	3	3	3	3	3	3	3		
Показатель направленности источника Di, дБ		исходные данные	**0**	0	0	0	0	0	0	0	0		
Поправка на направленность источника Dc, дБ	Dc	DΩ + Di	**3**	3	3	3	3	3	3	3	3		
Затухание из-за геометрической дивергенции, Adiv, дБ	расстояние = 437.13 м	ф-ла (7) [10]	**63,8**										
Коэффициент затухания звука в атмосфере α, дБ/км	Ta=20,°C Pa=101.33,кПа hотн.=70%	ф-ла (5) [9]	0,02	0,09	0,33	1,12	2,79	4,98	9,04	23,09	77,63		
Учет затухания звука в атмосфере Aatm, дБ		ф-ла (8) [10]	0	0	0,1	0,5	1,2	2,2	4	10,1	33,9		
Снижение поверхностью земли возле источника As, дБ	Gs = 0 hs = 3м	ф-лы таб.3 [10]	-1,5	-1,5	-1,5	-1,5	-1,5	-1,5	-1,5	-1,5	-1,5		
Снижение поверхностью земли возле приёмника Ar, дБ	Gr = 1 hr = 1.6м	ф-лы таб.3 [10]	-1,5	-1,5	2,6	6,8	4,3	0,5	0	0	0		
Снижение поверхностью земли в средней зоне, Am дБ	Gm = 1	ф-лы таб.3 [10]	-2,1	-2,1	0	0	0	0	0	0	0		

1		2	3	4	5	6	7	8	9	10	11	12	13
Суммарное снижение поверхностью земли на траектории распространения звука Agr, дБ		ф-ла (9) [10]	-5,1	-5,1	1,1	5,3	2,8	-1	-1,5	-1,5	-1,5		
Уровни звукового давления прямого звука от источника ИШ-4-7 в расчётной точке днём, дБ		**ф-ла(3)[10]**	**0**	**34,5**	**29,6**	**26,4**	**28,4**	**30,9**	**26,3**	**16**	**0**	**33,6**	**33,6**
Уровни звукового давления прямого звука от источника ИШ-4-7 в расчётной точке ночью, дБ		**ф-ла(3)[10]**	**0**	**34,5**	**29,6**	**26,4**	**28,4**	**30,9**	**26,3**	**16**	**0**	**33,6**	**33,6**
Расчёт отражённого звука													
Уровни звукового давления от мнимого источника ИШ-4-7_мн.(1) в расчётной точке днём, дБ		**ф-ла(3)[10]**	**0**	**0**	**0**	**0**	**0**	**0**	**23,1**	**12,4**	**0**	**24,7**	**24,7**
Уровни звукового давления от мнимого источника ИШ-4-7_мн.(1) в расчётной точке ночью, дБ		**ф-ла(3)[10]**	**0**	**0**	**0**	**0**	**0**	**0**	**0**	**0**	**0**	**24,7**	**24,7**
Уровни звукового давления от мнимого источника ИШ-4-7_мн.(2) в расчётной точке днём, дБ		**ф-ла(3)[10]**	**0**	**33,5**	**24,1**	**20**	**25,7**	**28,3**	**23,7**	**13,4**	**0**	**30,9**	**30,9**
Уровни звукового давления от мнимого источника ИШ-4-7_мн.(2) в расчётной точке ночью, дБ		**ф-ла(3)[10]**	**33,5**	**33,5**	**33,5**	**33,5**	**33,5**	**33,5**	**33,5**	**33,5**	**33,5**	**30,9**	**30,9**
Суммарные уровни звукового давления от мнимых источников в расчётной точке днём, дБ		**ф-ла (19) [1]**	**0**	**33,5**	**24,1**	**20**	**25,7**	**28,3**	**26,5**	**15,9**	**0**	**0**	**31,8**
Суммарные уровни звукового давления от мнимых источников в расчётной точке ночью, дБ		**ф-ла (19) [1]**	**0**	**33,5**	**24,1**	**20**	**25,7**	**28,3**	**26,5**	**15,9**	**0**	**0**	**31,8**
Уровни звукового давления от источника ИШ-4-7 в расчётной точке днём, дБ		**ф-ла(3)[10]**	**0**	**37**	**30,7**	**27,3**	**30,3**	**32,8**	**29,4**	**19**	**0**	**35,8**	**35,8**
Уровни звукового давления от источника ИШ-4-7 в расчётной точке ночью, дБ		**ф-ла(3)[10]**	**0**	**37**	**30,7**	**27,3**	**30,3**	**32,8**	**29,4**	**19**	**0**	**35,8**	**35,8**
Источник шума: ИШ-4-8, координаты источника (x,y,z), м =[178.24,257.77,13.00]													
Уровни звуковой мощности источника днём, Lw, дБ		**исходные данные**	**0**	**90,3**	**91,7**	**93**	**93,3**	**92,9**	**89,6**	**85,4**	**80,9**		
Уровни звуковой мощности источника ночью, Lw, дБ		**исходные данные**	**0**	**90,3**	**91,7**	**93**	**93,3**	**92,9**	**89,6**	**85,4**	**80,9**		
Поправка на телесный угол DΩ, дБ	Ω = 6.28	10Lg(4π/Ω)	**3**	3	3	3	3	3	3	3	3		
Показатель направленности источника Di, дБ		исходные данные	**0**	0	0	0	0	0	0	0	0		

1		2	3	4	5	6	7	8	9	10	11	12	13
Поправка на направленность источника Dc, дБ	Dc	DΩ + Di	**3**	3	3	3	3	3	3	3	3		
Затухание из-за геометрической дивергенции, Adiv, дБ	расстояние = 437.03 м	ф-ла (7) [10]	**63,8**										
Коэффициент затухания звука в атмосфере α, дБ/км	Ta=20,°C Pa=101.33,кПа hотн.=70%	ф-ла (5) [9]	0,02	0,09	0,33	1,12	2,79	4,98	9,04	23,09	77,63		
Учет затухания звука в атмосфере Aatm, дБ		ф-ла (8) [10]	0	0	0,1	0,5	1,2	2,2	4	10,1	33,9		
Снижение уровня звукового давления из-за влияния застройки между источником шума и расчетной точкой													
Снижение уровня звукового давления препятствием снизу от трассы ИШ-РТ, Dz4, дБ	z = -0.14м (разность путей)	ф-лы (14-18) [10]	3,9	2,9	0	NAN	NAN	NAN	NAN	NAN	NAN		
* отрицательное значение z означает прохождение траектории вблизи экрана, в этом случае дополнительно производится учёт снижения подстилающей поверхностью (см.ниже)													
Снижение поверхностью земли возле источника As, дБ	Gs = 0 hs = 5м	ф-лы таб.3 [10]	-1,5	-1,5	-1,5	-1,5	-1,5	-1,5	-1,5	-1,5	-1,5		
Снижение поверхностью земли возле приёмника Ar, дБ	Gr = 1 hr = 1.6м	ф-лы таб.3 [10]	-1,5	-1,5	2,6	6,8	4,3	0,5	0	0	0		
Снижение поверхностью земли в средней зоне, Am дБ	Gm = 1	ф-лы таб.3 [10]	-1,6	-1,6	0	0	0	0	0	0	0		
Суммарное снижение поверхностью земли на траектории распространения звука Agr, дБ		ф-ла (9) [10]	-4,6	-4,6	1,1	5,3	2,8	-1	-1,5	-1,5	-1,5		
Уровни звукового давления прямого звука от источника ИШ-4-8 в расчётной точке днём, дБ		**ф-ла(3)[10]**	**0**	**31,2**	**29,6**	**26,4**	**28,5**	**30,9**	**26,3**	**16**	**0**	**33,6**	**33,6**
Уровни звукового давления прямого звука от источника ИШ-4-8 в расчётной точке ночью, дБ		**ф-ла(3)[10]**	**0**	**31,2**	**29,6**	**26,4**	**28,5**	**30,9**	**26,3**	**16**	**0**	**33,6**	**33,6**
Расчёт отражённого звука													
Уровни звукового давления от мнимого источника ИШ-4-8_мн.(1) в расчётной точке днём, дБ		**ф-ла(3)[10]**	**0**	**33**	**23,8**	**22,9**	**25,9**	**28,3**	**23,7**	**13,4**	**0**	**31**	**31**
Уровни звукового давления от мнимого источника ИШ-4-8_мн.(1) в расчётной точке ночью, дБ		**ф-ла(3)[10]**	**0**	**0**	**0**	**0**	**0**	**0**	**0**	**0**	**0**	**31**	**31**
Уровни звукового давления от источника ИШ-4-8 в расчётной точке днём, дБ		**ф-ла(3)[10]**	**0**	**35,2**	**30,6**	**28**	**30,4**	**32,8**	**28,2**	**17,9**	**0**	**35,5**	**35,5**
Уровни звукового давления от источника ИШ-4-8 в расчётной точке ночью, дБ		**ф-ла(3)[10]**	**0**	**35,2**	**30,6**	**28**	**30,4**	**32,8**	**28,2**	**17,9**	**0**	**35,5**	**35,5**

1		2	3	4	5	6	7	8	9	10	11	12	13
Источник шума: ИШ-4-9, координаты источника (x,y,z), м =[178.68,257.63,15.50]													
Уровни звуковой мощности источника днём, Lw, дБ		**исходные данные**	**0**	**90,3**	**91,7**	**93**	**93,3**	**92,9**	**89,6**	**85,4**	**80,9**		
Уровни звуковой мощности источника ночью, Lw, дБ		**исходные данные**	**0**	**90,3**	**91,7**	**93**	**93,3**	**92,9**	**89,6**	**85,4**	**80,9**		
Поправка на телесный угол DΩ, дБ	Ω = 6.28	10Lg(4π/Ω)	**3**	3	3	3	3	3	3	3	3		
Показатель направленности источника Di, дБ		исходные данные	**0**	0	0	0	0	0	0	0	0		
Поправка на направленность источника Dc, дБ	Dc	DΩ + Di	**3**	3	3	3	3	3	3	3	3		
Затухание из-за геометрической дивергенции, Adiv, дБ	расстояние = 436.95 м	ф-ла (7) [10]	**63,8**										
Коэффициент затухания звука в атмосфере α, дБ/км	Ta=20,°C Pa=101.33,кПа hотн.=70%	ф-ла (5) [9]	0,02	0,09	0,33	1,12	2,79	4,98	9,04	23,09	77,63		
Учет затухания звука в атмосфере Aatm, дБ		ф-ла (8) [10]	0	0	0,1	0,5	1,2	2,2	3,9	10,1	33,9		
Снижение уровня звукового давления из-за влияния застройки между источником шума и расчетной точкой													
Снижение уровня звукового давления препятствием снизу от трассы ИШ-РТ, Dz4, дБ	z = -0.37м (разность путей)	ф-лы (14-18) [10]	2,1	0	NAN	NAN	NAN	NAN	NAN	NAN	NAN		
* отрицательное значение z означает прохождение траектории вблизи экрана, в этом случае дополнительно производится учёт снижения подстилающей поверхностью (см.ниже)													
Снижение поверхностью земли возле источника As, дБ	Gs = 0 hs = 7.5м	ф-лы таб.3 [10]	-1,5	-1,5	-1,5	-1,5	-1,5	-1,5	-1,5	-1,5	-1,5		
Снижение поверхностью земли возле приёмника Ar, дБ	Gr = 1 hr = 1.6м	ф-лы таб.3 [10]	-1,5	-1,5	2,6	6,8	4,3	0,5	0	0	0		
Снижение поверхностью земли в средней зоне, Am дБ	Gm = 1	ф-лы таб.3 [10]	-1,1	-1,1	0	0	0	0	0	0	0		
Суммарное снижение поверхностью земли на траектории распространения звука Agr, дБ		ф-ла (9) [10]	-4,1	-4,1	1,1	5,3	2,8	-1	-1,5	-1,5	-1,5		
Уровни звукового давления прямого звука от источника ИШ-4-9 в расчётной точке днём, дБ		**ф-ла(3)[10]**	**0**	**33,6**	**29,6**	**26,4**	**28,5**	**30,9**	**26,3**	**16**	**0**	**33,6**	**33,6**

1		2	3	4	5	6	7	8	9	10	11	12	13
Уровни звукового давления прямого звука от источника ИШ-4-9 в расчётной точке ночью, дБ		**ф-ла(3)[10]**	**0**	**33,6**	**29,6**	**26,4**	**28,5**	**30,9**	**26,3**	**16**	**0**	**33,6**	**33,6**
Расчёт отражённого звука													
Уровни звукового давления от мнимого источника ИШ-4-9_мн.(1) в расчётной точке днём, дБ		**ф-ла(3)[10]**	**0**	**32,5**	**25,6**	**23,8**	**25,9**	**28,3**	**23,8**	**13,4**	**0**	**31**	**31**
Уровни звукового давления от мнимого источника ИШ-4-9_мн.(1) в расчётной точке ночью, дБ		**ф-ла(3)[10]**	**0**	**0**	**0**	**0**	**0**	**0**	**0**	**0**	**0**	**31**	**31**
Уровни звукового давления от источника ИШ-4-9 в расчётной точке днём, дБ		**ф-ла(3)[10]**	**0**	**36,1**	**31,1**	**28,3**	**30,4**	**32,8**	**28,2**	**17,9**	**0**	**35,5**	**35,5**
Уровни звукового давления от источника ИШ-4-9 в расчётной точке ночью, дБ		**ф-ла(3)[10]**	**0**	**36,1**	**31,1**	**28,3**	**30,4**	**32,8**	**28,2**	**17,9**	**0**	**35,5**	**35,5**
Источник шума: ИШ-4-10, координаты источника (x,y,z), м =[185.65,255.31,11.00]													
Уровни звуковой мощности источника днём, Lw, дБ		**исходные данные**	**0**	**90,3**	**91,7**	**93**	**93,3**	**92,9**	**89,6**	**85,4**	**80,9**		
Уровни звуковой мощности источника ночью, Lw, дБ		**исходные данные**	**0**	**90,3**	**91,7**	**93**	**93,3**	**92,9**	**89,6**	**85,4**	**80,9**		
Поправка на телесный угол DΩ, дБ	Ω = 6.28	10Lg(4π/Ω)	**3**	3	3	3	3	3	3	3	3		
Показатель направленности источника Di, дБ		исходные данные	**0**	0	0	0	0	0	0	0	0		
Поправка на направленность источника Dc, дБ	Dc	DΩ + Di	**3**	3	3	3	3	3	3	3	3		
Затухание из-за геометрической дивергенции, Adiv, дБ	расстояние = 434.48 м	ф-ла (7) [10]	**63,8**										
Коэффициент затухания звука в атмосфере α, дБ/км	Ta=20,°C Pa=101.33,кПа hотн.=70%	ф-ла (5) [9]	0,02	0,09	0,33	1,12	2,79	4,98	9,04	23,09	77,63		
Учет затухания звука в атмосфере Aatm, дБ		ф-ла (8) [10]	0	0	0,1	0,5	1,2	2,2	3,9	10	33,7		
Снижение поверхностью земли возле источника As, дБ	Gs = 0 hs = 3м	ф-лы таб.3 [10]	-1,5	-1,5	-1,5	-1,5	-1,5	-1,5	-1,5	-1,5	-1,5		

1		2	3	4	5	6	7	8	9	10	11	12	13
Снижение поверхностью земли возле приёмника Ar, дБ	Gr = 1 hr = 1.6м	ф-лы таб.3 [10]	-1,5	-1,5	2,6	6,8	4,3	0,5	0	0	0		
Снижение поверхностью земли в средней зоне, Am дБ	Gm = 1	ф-лы таб.3 [10]	-2	-2	0	0	0	0	0	0	0		
Суммарное снижение поверхностью земли на траектории распространения звука Agr, дБ		ф-ла (9) [10]	-5	-5	1,1	5,3	2,8	-1	-1,5	-1,5	-1,5		
Уровни звукового давления прямого звука от источника ИШ-4-10 в расчётной точке днём, дБ		**ф-ла(3)[10]**	**0**	**34,5**	**29,7**	**26,4**	**28,5**	**31**	**26,4**	**16,1**	**0**	**33,6**	**33,6**
Уровни звукового давления прямого звука от источника ИШ-4-10 в расчётной точке ночью, дБ		**ф-ла(3)[10]**	**0**	**34,5**	**29,7**	**26,4**	**28,5**	**31**	**26,4**	**16,1**	**0**	**33,6**	**33,6**
Расчёт отражённого звука													
Уровни звукового давления от мнимого источника ИШ-4-10_мн.(1) в расчётной точке днём, дБ		**ф-ла(3)[10]**	**0**	**0**	**0**	**0**	**0**	**0**	**21**	**9,9**	**0**	**22,5**	**22,5**
Уровни звукового давления от мнимого источника ИШ-4-10_мн.(1) в расчётной точке ночью, дБ		**ф-ла(3)[10]**	**0**	**0**	**0**	**0**	**0**	**0**	**0**	**0**	**0**	**22,5**	**22,5**
Уровни звукового давления от мнимого источника ИШ-4-10_мн.(2) в расчётной точке днём, дБ		**ф-ла(3)[10]**	**0**	**33,5**	**24,2**	**20**	**25,7**	**28,4**	**23,8**	**13,5**	**0**	**30,9**	**30,9**
Уровни звукового давления от мнимого источника ИШ-4-10_мн.(2) в расчётной точке ночью, дБ		**ф-ла(3)[10]**	**33,5**	**33,5**	**33,5**	**33,5**	**33,5**	**33,5**	**33,5**	**33,5**	**33,5**	**30,9**	**30,9**
Суммарные уровни звукового давления от мнимых источников в расчётной точке днём, дБ		**ф-ла (19) [1]**	**0**	**33,5**	**24,2**	**20**	**25,7**	**28,4**	**25,6**	**15**	**0**	**0**	**31,5**
Суммарные уровни звукового давления от мнимых источников в расчётной точке ночью, дБ		**ф-ла (19) [1]**	**0**	**33,5**	**24,2**	**20**	**25,7**	**28,4**	**25,6**	**15**	**0**	**0**	**31,5**
Уровни звукового давления от источника ИШ-4-10 в расчётной точке днём, дБ		**ф-ла(3)[10]**	**0**	**37,1**	**30,8**	**27,3**	**30,3**	**32,9**	**29,1**	**18,6**	**0**	**35,7**	**35,7**
Уровни звукового давления от источника ИШ-4-10 в расчётной точке ночью, дБ		**ф-ла(3)[10]**	**0**	**37,1**	**30,8**	**27,3**	**30,3**	**32,9**	**29,1**	**18,6**	**0**	**35,7**	**35,7**
Источник шума: ИШ-4-11, координаты источника (x,y,z), м =[185.89,255.16,13.00]													
Уровни звуковой мощности источника днём, Lw, дБ		**исходные данные**	**0**	**90,3**	**91,7**	**93**	**93,3**	**92,9**	**89,6**	**85,4**	**80,9**		
Уровни звуковой мощности источника ночью, Lw, дБ		**исходные данные**	**0**	**90,3**	**91,7**	**93**	**93,3**	**92,9**	**89,6**	**85,4**	**80,9**		

1		2	3	4	5	6	7	8	9	10	11	12	13
Поправка на телесный угол DΩ, дБ	Ω = 6.28	10Lg(4π/Ω)	**3**	3	3	3	3	3	3	3	3		
Показатель направленности источника Di, дБ		исходные данные	**0**	0	0	0	0	0	0	0	0		
Поправка на направленность источника Dc, дБ	Dc	DΩ + Di	**3**	3	3	3	3	3	3	3	3		
Затухание из-за геометрической дивергенции, Adiv, дБ	расстояние = 434.38 м	ф-ла (7) [10]	**63,8**										
Коэффициент затухания звука в атмосфере α, дБ/км	Ta=20,°C Pa=101.33,кПа hотн.=70%	ф-ла (5) [9]	0,02	0,09	0,33	1,12	2,79	4,98	9,04	23,09	77,63		
Учет затухания звука в атмосфере Aatm, дБ		ф-ла (8) [10]	0	0	0,1	0,5	1,2	2,2	3,9	10	33,7		
Снижение поверхностью земли возле источника As, дБ	Gs = 0 hs = 5м	ф-лы таб.3 [10]	-1,5	-1,5	-1,5	-1,5	-1,5	-1,5	-1,5	-1,5	-1,5		
Снижение поверхностью земли возле приёмника Ar, дБ	Gr = 1 hr = 1.6м	ф-лы таб.3 [10]	-1,5	-1,5	2,6	6,8	4,3	0,5	0	0	0		
Снижение поверхностью земли в средней зоне, Am дБ	Gm = 1	ф-лы таб.3 [10]	-1,6	-1,6	0	0	0	0	0	0	0		
Суммарное снижение поверхностью земли на траектории распространения звука Agr, дБ		ф-ла (9) [10]	-4,6	-4,6	1,1	5,3	2,8	-1	-1,5	-1,5	-1,5		
Уровни звукового давления прямого звука от источника ИШ-4-11 в расчётной точке днём, дБ		**ф-ла(3)[10]**	**0**	**34,1**	**29,7**	**26,4**	**28,5**	**31**	**26,4**	**16,1**	**0**	**33,6**	**33,6**
Уровни звукового давления прямого звука от источника ИШ-4-11 в расчётной точке ночью, дБ		**ф-ла(3)[10]**	**0**	**34,1**	**29,7**	**26,4**	**28,5**	**31**	**26,4**	**16,1**	**0**	**33,6**	**33,6**
Расчёт отражённого звука													
Уровни звукового давления от мнимого источника ИШ-4-11_мн.(1) в расчётной точке днём, дБ		**ф-ла(3)[10]**	**0**	**33,1**	**23,9**	**23**	**26**	**28,4**	**23,8**	**13,5**	**0**	**31**	**31**
Уровни звукового давления от мнимого источника ИШ-4-11_мн.(1) в расчётной точке ночью, дБ		**ф-ла(3)[10]**	**0**	**0**	**0**	**0**	**0**	**0**	**0**	**0**	**0**	**31**	**31**
Уровни звукового давления от источника ИШ-4-11 в расчётной точке днём, дБ		**ф-ла(3)[10]**	**0**	**36,7**	**30,7**	**28**	**30,4**	**32,9**	**28,3**	**18**	**0**	**35,5**	**35,5**
Уровни звукового давления от источника ИШ-4-11 в расчётной точке ночью, дБ		**ф-ла(3)[10]**	**0**	**36,7**	**30,7**	**28**	**30,4**	**32,9**	**28,3**	**18**	**0**	**35,5**	**35,5**

1		2	3	4	5	6	7	8	9	10	11	12	13
Источник шума: ИШ-4-12, координаты источника (x,y,z), м =[186.18,255.02,15.50]													
Уровни звуковой мощности источника днём, Lw, дБ		**исходные данные**	**0**	**90,3**	**91,7**	**93**	**93,3**	**92,9**	**89,6**	**85,4**	**80,9**		
Уровни звуковой мощности источника ночью, Lw, дБ		**исходные данные**	**0**	**90,3**	**91,7**	**93**	**93,3**	**92,9**	**89,6**	**85,4**	**80,9**		
Поправка на телесный угол DΩ, дБ	Ω = 6.28	10Lg(4π/Ω)	**3**	3	3	3	3	3	3	3	3		
Показатель направленности источника Di, дБ		исходные данные	**0**	0	0	0	0	0	0	0	0		
Поправка на направленность источника Dc, дБ	Dc	DΩ + Di	**3**	3	3	3	3	3	3	3	3		
Затухание из-за геометрической дивергенции, Adiv, дБ	расстояние = 434.31 м	ф-ла (7) [10]	**63,8**										
Коэффициент затухания звука в атмосфере α, дБ/км	Ta=20,°C Pa=101.33,кПа hотн.=70%	ф-ла (5) [9]	0,02	0,09	0,33	1,12	2,79	4,98	9,04	23,09	77,63		
Учет затухания звука в атмосфере Aatm, дБ		ф-ла (8) [10]	0	0	0,1	0,5	1,2	2,2	3,9	10	33,7		
Снижение поверхностью земли возле источника As, дБ	Gs = 0 hs = 7.5м	ф-лы таб.3 [10]	-1,5	-1,5	-1,5	-1,5	-1,5	-1,5	-1,5	-1,5	-1,5		
Снижение поверхностью земли возле приёмника Ar, дБ	Gr = 1 hr = 1.6м	ф-лы таб.3 [10]	-1,5	-1,5	2,6	6,8	4,3	0,5	0	0	0		
Снижение поверхностью земли в средней зоне, Am дБ	Gm = 1	ф-лы таб.3 [10]	-1,1	-1,1	0	0	0	0	0	0	0		
Суммарное снижение поверхностью земли на траектории распространения звука Agr, дБ		ф-ла (9) [10]	-4,1	-4,1	1,1	5,3	2,8	-1	-1,5	-1,5	-1,5		
Уровни звукового давления прямого звука от источника ИШ-4-12 в расчётной точке днём, дБ		**ф-ла(3)[10]**	**0**	**33,6**	**29,7**	**26,4**	**28,5**	**31**	**26,4**	**16,1**	**0**	**33,6**	**33,6**
Уровни звукового давления прямого звука от источника ИШ-4-12 в расчётной точке ночью, дБ		**ф-ла(3)[10]**	**0**	**33,6**	**29,7**	**26,4**	**28,5**	**31**	**26,4**	**16,1**	**0**	**33,6**	**33,6**
Расчёт отражённого звука													

1		2	3	4	5	6	7	8	9	10	11	12	13
Уровни звукового давления от мнимого источника ИШ-4-12_мн.(1) в расчётной точке днём, дБ		**ф-ла(3)[10]**	**0**	**32,6**	**25,7**	**23,8**	**26**	**28,4**	**23,8**	**13,5**	**0**	**31,1**	**31,1**
Уровни звукового давления от мнимого источника ИШ-4-12_мн.(1) в расчётной точке ночью, дБ		**ф-ла(3)[10]**	**0**	**0**	**0**	**0**	**0**	**0**	**0**	**0**	**0**	**31,1**	**31,1**
Уровни звукового давления от источника ИШ-4-12 в расчётной точке днём, дБ		**ф-ла(3)[10]**	**0**	**36,1**	**31,1**	**28,3**	**30,4**	**32,9**	**28,3**	**18**	**0**	**35,5**	**35,5**
Уровни звукового давления от источника ИШ-4-12 в расчётной точке ночью, дБ		**ф-ла(3)[10]**	**0**	**36,1**	**31,1**	**28,3**	**30,4**	**32,9**	**28,3**	**18**	**0**	**35,5**	**35,5**
Источник шума: ИШ-4-13, координаты источника (x,y,z), м =[94.56,229.10,1.00]													
Уровни звуковой мощности источника днём, Lw, дБ		**исходные данные**	**0**	**81,3**	**82,7**	**84**	**84,3**	**83,9**	**80,6**	**76,4**	**71,9**		
Уровни звуковой мощности источника ночью, Lw, дБ		**исходные данные**	**0**	**81,3**	**82,7**	**84**	**84,3**	**83,9**	**80,6**	**76,4**	**71,9**		
Поправка на телесный угол DΩ, дБ	Ω = 6.28	10Lg(4π/Ω)	**3**	3	3	3	3	3	3	3	3		
Показатель направленности источника Di, дБ		исходные данные	**0**	0	0	0	0	0	0	0	0		
Поправка на направленность источника Dc, дБ	Dc	DΩ + Di	**3**	3	3	3	3	3	3	3	3		
Затухание из-за геометрической дивергенции, Adiv, дБ	расстояние = 417.90 м	ф-ла (7) [10]	**63,4**										
Коэффициент затухания звука в атмосфере α, дБ/км	Ta=20,°C Pa=101.33,кПа hотн.=70%	ф-ла (5) [9]	0,02	0,09	0,33	1,12	2,79	4,98	9,04	23,09	77,63		
Учет затухания звука в атмосфере Aatm, дБ		ф-ла (8) [10]	0	0	0,1	0,5	1,2	2,1	3,8	9,6	32,4		
Снижение уровня звукового давления из-за влияния застройки между источником шума и расчетной точкой													
Снижение уровня звукового давления на пути над экраном, Dz1, дБ	z = 3.26м (разность путей)	ф-лы (14-18) [10]	14,4	17,6	20,6	23,6	26,6	29,6	32,6	35,6	38,6		
Снижение уровня звукового давления на пути слева от экрана, Dz2, дБ	z = 132.03м (разность путей)	ф-лы (14-18) [10]	27,7	32	36,4	40,3	43,6	46,7	49,7	52,7	55,7		

1		2	3	4	5	6	7	8	9	10	11	12	13
Снижение уровня звукового давления на пути справа от экрана, Dz3, дБ	z = 3.60м (разность путей)	ф-лы (14-18) [10]	15,7	19	22	25	28	31	34,1	37,1	40,1		
Общее снижение уровня звука препятствием Dz, дБ		Эн.сумма(-Dzi)	11,9	15,2	18,2	21,2	24,2	27,2	30,2	33,2	36,2		
Общее снижение уровня звука препятствием с учётом ограничения (25 дБ) для октавных полос Dz, дБ		Раздел 7.4 [10]	11,9	15,2	18,2	21,2	24,2	25	25	25	25		
Уровни звукового давления от источника ИШ-4-13 в расчётной точке днём, дБ		**ф-ла(3)[10]**	**0**	**5,7**	**3,9**	**1,9**	**0**	**0**	**0**	**0**	**0**	**0**	**0**
Уровни звукового давления от источника ИШ-4-13 в расчётной точке ночью, дБ		**ф-ла(3)[10]**	**0**	**5,7**	**3,9**	**1,9**	**0**	**0**	**0**	**0**	**0**	**0**	**0**
Источник шума: ИШ-4-14, координаты источника (x,y,z), м =[91.88,221.30,1.00]													
Уровни звуковой мощности источника днём, Lw, дБ		**исходные данные**	**0**	**81,3**	**82,7**	**84**	**84,3**	**83,9**	**80,6**	**76,4**	**71,9**		
Уровни звуковой мощности источника ночью, Lw, дБ		**исходные данные**	**0**	**81,3**	**82,7**	**84**	**84,3**	**83,9**	**80,6**	**76,4**	**71,9**		
Поправка на телесный угол DΩ, дБ	Ω = 6.28	10Lg(4π/Ω)	**3**	3	3	3	3	3	3	3	3		
Показатель направленности источника Di, дБ		исходные данные	**0**	0	0	0	0	0	0	0	0		
Поправка на направленность источника Dc, дБ	Dc	DΩ + Di	**3**	3	3	3	3	3	3	3	3		
Затухание из-за геометрической дивергенции, Adiv, дБ	расстояние = 410.89 м	ф-ла (7) [10]	**63,3**										
Коэффициент затухания звука в атмосфере α, дБ/км	Ta=20,°C Pa=101.33,кПа hотн.=70%	ф-ла (5) [9]	0,02	0,09	0,33	1,12	2,79	4,98	9,04	23,09	77,63		
Учет затухания звука в атмосфере Aatm, дБ		ф-ла (8) [10]	0	0	0,1	0,5	1,1	2	3,7	9,5	31,9		
Снижение уровня звукового давления из-за влияния застройки между источником шума и расчетной точкой													
Снижение уровня звукового давления на пути над экраном, Dz1, дБ	z = 3.28м (разность путей)	ф-лы (14-18) [10]	14,4	17,7	20,7	23,7	26,7	29,7	32,7	35,7	38,7		

1		2	3	4	5	6	7	8	9	10	11	12	13
Снижение уровня звукового давления на пути слева от экрана, Dz2, дБ	z = 147.26м (разность путей)	ф-лы (14-18) [10]	28,2	32,4	36,9	40,7	44	47,1	50,2	53,2	56,2		
Снижение уровня звукового давления на пути справа от экрана, Dz3, дБ	z = 2.53м (разность путей)	ф-лы (14-18) [10]	14,3	17,5	20,5	23,5	26,5	29,5	32,5	35,5	38,5		
Общее снижение уровня звука препятствием Dz, дБ		Эн.сумма(-Dzi)	11,3	14,5	17,6	20,6	23,5	26,5	29,5	32,6	35,6		
Общее снижение уровня звука препятствием с учётом ограничения (25 дБ) для октавных полос Dz, дБ		Раздел 7.4 [10]	11,3	14,5	17,6	20,6	23,5	25	25	25	25		
Уровни звукового давления от источника ИШ-4-14 в расчётной точке днём, дБ		**ф-ла(3)[10]**	**0**	**6,5**	**4,7**	**2,7**	**0**	**0**	**0**	**0**	**0**	**0**	**0**
Уровни звукового давления от источника ИШ-4-14 в расчётной точке ночью, дБ		**ф-ла(3)[10]**	**0**	**6,5**	**4,7**	**2,7**	**0**	**0**	**0**	**0**	**0**	**0**	**0**
Источник шума: ИШ-5-1, координаты источника (x,y,z), м =[626.70,162.36,1.00]													
Уровни звуковой мощности источника днём, Lw, дБ		**исходные данные**	**0**	**93,3**	**94,7**	**96**	**96,3**	**95,9**	**92,6**	**88,4**	**83,9**		
Уровни звуковой мощности источника ночью, Lw, дБ		**исходные данные**	**0**	**93,3**	**94,7**	**96**	**96,3**	**95,9**	**92,6**	**88,4**	**83,9**		
Поправка на телесный угол DΩ, дБ	Ω = 6.28	10Lg(4π/Ω)	**3**	3	3	3	3	3	3	3	3		
Показатель направленности источника Di, дБ		исходные данные	**0**	0	0	0	0	0	0	0	0		
Поправка на направленность источника Dc, дБ	Dc	DΩ + Di	**3**	3	3	3	3	3	3	3	3		
Затухание из-за геометрической дивергенции, Adiv, дБ	расстояние = 558.85 м	ф-ла (7) [10]	**65,9**										
Коэффициент затухания звука в атмосфере α, дБ/км	Ta=20,°C Pa=101.33,кПа hотн.=70%	ф-ла (5) [9]	0,02	0,09	0,33	1,12	2,79	4,98	9,04	23,09	77,63		
Учет затухания звука в атмосфере Aatm, дБ		ф-ла (8) [10]	0	0	0,2	0,6	1,6	2,8	5,1	12,9	43,4		
Снижение уровня звукового давления из-за влияния застройки между источником шума и расчетной точкой													

1		2	3	4	5	6	7	8	9	10	11	12	13
Снижение уровня звукового давления на пути над экраном, Dz1, дБ	z = 0.31м (разность путей)	ф-лы (14-18) [10]	4,8	4,9	5,1	5,5	6,2	7,3	8,9	11	13,5		
Снижение уровня звукового давления на пути слева от экрана, Dz2, дБ	z = 6.28м (разность путей)	ф-лы (14-18) [10]	14,2	16,9	19,8	22,7	25,7	28,7	31,7	34,7	37,7		
Снижение уровня звукового давления на пути справа от экрана, Dz3, дБ	z = 105.57м (разность путей)	ф-лы (14-18) [10]	30,1	33,5	36,6	39,7	42,7	45,7	48,7	51,7	54,7		
Общее снижение уровня звука препятствием Dz, дБ		Эн.сумма(-Dzi)	4,3	4,6	4,9	5,4	6,2	7,3	8,9	11	13,4		
Уровни звукового давления от источника ИШ-5-1 в расчётной точке днём, дБ		**ф-ла(3)[10]**	**0**	**25,7**	**26,6**	**27**	**25,6**	**22,9**	**15,7**	**1,6**	**0**	**27**	**27**
Уровни звукового давления от источника ИШ-5-1 в расчётной точке ночью, дБ		**ф-ла(3)[10]**	**0**	**25,7**	**26,6**	**27**	**25,6**	**22,9**	**15,7**	**1,6**	**0**	**27**	**27**
Источник шума: ИШ-5-2, координаты источника (x,y,z), м =[625.81,159.52,1.00]													
Уровни звуковой мощности источника днём, Lw, дБ		**исходные данные**	**0**	**93,3**	**94,7**	**96**	**96,3**	**95,9**	**92,6**	**88,4**	**83,9**		
Уровни звуковой мощности источника ночью, Lw, дБ		**исходные данные**	**0**	**93,3**	**94,7**	**96**	**96,3**	**95,9**	**92,6**	**88,4**	**83,9**		
Поправка на телесный угол DΩ, дБ	Ω = 6.28	10Lg(4π/Ω)	**3**	3	3	3	3	3	3	3	3		
Показатель направленности источника Di, дБ		исходные данные	**0**	0	0	0	0	0	0	0	0		
Поправка на направленность источника Dc, дБ	Dc	DΩ + Di	**3**	3	3	3	3	3	3	3	3		
Затухание из-за геометрической дивергенции, Adiv, дБ	расстояние = 556.42 м	ф-ла (7) [10]	**65,9**										
Коэффициент затухания звука в атмосфере α, дБ/км	Ta=20,°C Pa=101.33,кПа hотн.=70%	ф-ла (5) [9]	0,02	0,09	0,33	1,12	2,79	4,98	9,04	23,09	77,63		
Учет затухания звука в атмосфере Aatm, дБ		ф-ла (8) [10]	0	0	0,2	0,6	1,6	2,8	5	12,8	43,2		
Снижение уровня звукового давления из-за влияния застройки между источником шума и расчетной точкой													

1		2	3	4	5	6	7	8	9	10	11	12	13
Снижение уровня звукового давления на пути над экраном, Dz1, дБ	z = 0.31м (разность путей)	ф-лы (14-18) [10]	4,8	4,9	5,1	5,5	6,3	7,4	9	11,1	13,6		
Снижение уровня звукового давления на пути слева от экрана, Dz2, дБ	z = 6.13м (разность путей)	ф-лы (14-18) [10]	14,1	16,9	19,7	22,6	25,6	28,6	31,6	34,6	37,6		
Снижение уровня звукового давления на пути справа от экрана, Dz3, дБ	z = 107.81м (разность путей)	ф-лы (14-18) [10]	30,2	33,6	36,7	39,8	42,8	45,8	48,8	51,8	54,8		
Общее снижение уровня звука препятствием Dz, дБ		Эн.сумма(-Dzi)	4,3	4,6	5	5,4	6,2	7,3	9	11,1	13,6		
Уровни звукового давления от источника ИШ-5-2 в расчётной точке днём, дБ		**ф-ла(3)[10]**	**0**	**25,7**	**26,6**	**27**	**25,6**	**22,9**	**15,7**	**1,5**	**0**	**27**	**27**
Уровни звукового давления от источника ИШ-5-2 в расчётной точке ночью, дБ		**ф-ла(3)[10]**	**0**	**25,7**	**26,6**	**27**	**25,6**	**22,9**	**15,7**	**1,5**	**0**	**27**	**27**
Источник шума: ИШ-5-3, координаты источника (x,y,z), м =[624.84,156.69,1.00]													
Уровни звуковой мощности источника днём, Lw, дБ		**исходные данные**	**0**	**93,3**	**94,7**	**96**	**96,3**	**95,9**	**92,6**	**88,4**	**83,9**		
Уровни звуковой мощности источника ночью, Lw, дБ		**исходные данные**	**0**	**93,3**	**94,7**	**96**	**96,3**	**95,9**	**92,6**	**88,4**	**83,9**		
Поправка на телесный угол DΩ, дБ	Ω = 6.28	10Lg(4π/Ω)	**3**	3	3	3	3	3	3	3	3		
Показатель направленности источника Di, дБ		исходные данные	**0**	0	0	0	0	0	0	0	0		
Поправка на направленность источника Dc, дБ	Dc	DΩ + Di	**3**	3	3	3	3	3	3	3	3		
Затухание из-за геометрической дивергенции, Adiv, дБ	расстояние = 553.93 м	ф-ла (7) [10]	**65,9**										
Коэффициент затухания звука в атмосфере α, дБ/км	Ta=20,°C Pa=101.33,кПа hотн.=70%	ф-ла (5) [9]	0,02	0,09	0,33	1,12	2,79	4,98	9,04	23,09	77,63		
Учет затухания звука в атмосфере Aatm, дБ		ф-ла (8) [10]	0	0	0,2	0,6	1,5	2,8	5	12,8	43		
Снижение уровня звукового давления из-за влияния застройки между источником шума и расчетной точкой													

1		2	3	4	5	6	7	8	9	10	11	12	13
Снижение уровня звукового давления на пути над экраном, Dz1, дБ	z = 0.31м (разность путей)	ф-лы (14-18) [10]	4,8	4,9	5,1	5,6	6,3	7,5	9,1	11,2	13,7		
Снижение уровня звукового давления на пути слева от экрана, Dz2, дБ	z = 5.99м (разность путей)	ф-лы (14-18) [10]	14	16,8	19,6	22,5	25,5	28,5	31,5	34,5	37,5		
Снижение уровня звукового давления на пути справа от экрана, Dz3, дБ	z = 110.07м (разность путей)	ф-лы (14-18) [10]	30,3	33,7	36,8	39,9	42,9	45,9	48,9	51,9	54,9		
Общее снижение уровня звука препятствием Dz, дБ		Эн.сумма(-Dzi)	4,3	4,6	5	5,5	6,2	7,4	9,1	11,2	13,7		
Уровни звукового давления от источника ИШ-5-3 в расчётной точке днём, дБ		**ф-ла(3)[10]**	**0**	**25,8**	**26,7**	**27**	**25,6**	**22,8**	**15,6**	**1,5**	**0**	**27**	**27**
Уровни звукового давления от источника ИШ-5-3 в расчётной точке ночью, дБ		**ф-ла(3)[10]**	**0**	**25,8**	**26,7**	**27**	**25,6**	**22,8**	**15,6**	**1,5**	**0**	**27**	**27**
Источник шума: ИШ-6-1, координаты источника (x,y,z), м =[836.30,122.24,1.00]													
Уровни звуковой мощности источника днём, Lw, дБ		**исходные данные**	**0**	**96,3**	**97,7**	**99**	**99,3**	**98,9**	**95,6**	**91,4**	**86,9**		
Уровни звуковой мощности источника ночью, Lw, дБ		**исходные данные**	**0**	**96,3**	**97,7**	**99**	**99,3**	**98,9**	**95,6**	**91,4**	**86,9**		
Поправка на телесный угол DΩ, дБ	Ω = 12.57	10Lg(4π/Ω)	**0**	0	0	0	0	0	0	0	0		
Показатель направленности источника Di, дБ		исходные данные	**0**	0	0	0	0	0	0	0	0		
Поправка на направленность источника Dc, дБ	Dc	DΩ + Di	**0**	0	0	0	0	0	0	0	0		
Затухание из-за геометрической дивергенции, Adiv, дБ	расстояние = 718.28 м	ф-ла (7) [10]	**68,1**										
Коэффициент затухания звука в атмосфере α, дБ/км	Ta=20,°C Pa=101.33,кПа hотн.=70%	ф-ла (5) [9]	0,02	0,09	0,33	1,12	2,79	4,98	9,04	23,09	77,63		
Учет затухания звука в атмосфере Aatm, дБ		ф-ла (8) [10]	0	0,1	0,2	0,8	2	3,6	6,5	16,6	55,8		
Снижение уровня звукового давления из-за влияния застройки между источником шума и расчетной точкой													

1		2	3	4	5	6	7	8	9	10	11	12	13
Снижение уровня звукового давления на пути над экраном, Dz1, дБ	z = 0.30м (разность путей)	ф-лы (14-18) [10]	4,8	4,8	4,8	4,9	5	5,4	6,2	7,3	9		
Снижение уровня звукового давления на пути слева от экрана, Dz2, дБ	z = 0.02м (разность путей)	ф-лы (14-18) [10]	4,9	5	5,2	5,6	6,3	7,4	9	11,1	13,5		
Снижение уровня звукового давления на пути справа от экрана, Dz3, дБ	z = 23.49м (разность путей)	ф-лы (14-18) [10]	21,8	26,2	29,9	33,1	36,2	39,2	42,2	45,2	48,2		
Общее снижение уровня звука препятствием Dz, дБ		Эн.сумма(-Dzi)	1,8	1,9	2	2,2	2,6	3,3	4,3	5,8	7,6		
Уровни звукового давления прямого звука от источника ИШ-6-1 в расчётной точке днём, дБ		**ф-ла(3)[10]**	**0**	**26,2**	**27,3**	**27,9**	**26,6**	**23,9**	**16,6**	**0,9**	**0**	**28**	**28**
Уровни звукового давления прямого звука от источника ИШ-6-1 в расчётной точке ночью, дБ		**ф-ла(3)[10]**	**0**	**26,2**	**27,3**	**27,9**	**26,6**	**23,9**	**16,6**	**0,9**	**0**	**28**	**28**
Расчёт отражённого звука													
Уровни звукового давления от мнимого источника ИШ-6-1_мн.(1) в расчётной точке днём, дБ		**ф-ла(3)[10]**	**0**	**0**	**0**	**0**	**0**	**0**	**0**	**0**	**0**	**0**	**0**
Уровни звукового давления от мнимого источника ИШ-6-1_мн.(1) в расчётной точке ночью, дБ		**ф-ла(3)[10]**	**0**	**0**	**0**	**0**	**0**	**0**	**0**	**0**	**0**	**0**	**0**
Уровни звукового давления от источника ИШ-6-1 в расчётной точке днём, дБ		**ф-ла(3)[10]**	**0**	**26,2**	**27,3**	**27,9**	**26,6**	**23,9**	**16,6**	**0,9**	**0**	**28**	**28**
Уровни звукового давления от источника ИШ-6-1 в расчётной точке ночью, дБ		**ф-ла(3)[10]**	**0**	**26,2**	**27,3**	**27,9**	**26,6**	**23,9**	**16,6**	**0,9**	**0**	**28**	**28**
Источник шума: ИШ-6-2, координаты источника (x,y,z), м =[835.37,119.30,1.00]													
Уровни звуковой мощности источника днём, Lw, дБ		**исходные данные**	**0**	**96,3**	**97,7**	**99**	**99,3**	**98,9**	**95,6**	**91,4**	**86,9**		
Уровни звуковой мощности источника ночью, Lw, дБ		**исходные данные**	**0**	**96,3**	**97,7**	**99**	**99,3**	**98,9**	**95,6**	**91,4**	**86,9**		
Поправка на телесный угол DΩ, дБ	Ω = 12.57	10Lg(4π/Ω)	**0**	0	0	0	0	0	0	0	0		
Показатель направленности источника Di, дБ		исходные данные	**0**	0	0	0	0	0	0	0	0		
Поправка на направленность источника Dc, дБ	Dc	DΩ + Di	**0**	0	0	0	0	0	0	0	0		

1		2	3	4	5	6	7	8	9	10	11	12	13
Затухание из-за геометрической дивергенции, Adiv, дБ	расстояние = 716.21 м	ф-ла (7) [10]	**68,1**										
Коэффициент затухания звука в атмосфере α, дБ/км	Та=20,°С Ра=101.33,кПа hотн.=70%	ф-ла (5) [9]	0,02	0,09	0,33	1,12	2,79	4,98	9,04	23,09	77,63		
Учет затухания звука в атмосфере Aatm, дБ		ф-ла (8) [10]	0	0,1	0,2	0,8	2	3,6	6,5	16,5	55,6		
Снижение уровня звукового давления из-за влияния застройки между источником шума и расчетной точкой													
Снижение уровня звукового давления на пути над экраном, Dz1, дБ	z = 0.30м (разность путей)	ф-лы (14-18) [10]	4,8	4,8	4,8	4,9	5	5,4	6,1	7,3	8,9		
Снижение уровня звукового давления на пути слева от экрана, Dz2, дБ	z = 0.01м (разность путей)	ф-лы (14-18) [10]	4,8	4,9	5	5,3	5,7	6,5	7,7	9,5	11,7		
Снижение уровня звукового давления на пути справа от экрана, Dz3, дБ	z = 23.81м (разность путей)	ф-лы (14-18) [10]	21,9	26,2	29,9	33,1	36,2	39,2	42,3	45,3	48,3		
Общее снижение уровня звука препятствием Dz, дБ		Эн.сумма(-Dzi)	1,8	1,8	1,9	2	2,3	2,9	3,8	5,2	7,1		
Уровни звукового давления прямого звука от источника ИШ-6-2 в расчётной точке днём, дБ		**ф-ла(3)[10]**	**0**	**26,3**	**27,5**	**28**	**26,9**	**24,3**	**17,2**	**1,5**	**0**	**28,3**	**28,3**
Уровни звукового давления прямого звука от источника ИШ-6-2 в расчётной точке ночью, дБ		**ф-ла(3)[10]**	**0**	**26,3**	**27,5**	**28**	**26,9**	**24,3**	**17,2**	**1,5**	**0**	**28,3**	**28,3**
Расчёт отражённого звука													
Уровни звукового давления от мнимого источника ИШ-6-2_мн.(1) в расчётной точке днём, дБ		**ф-ла(3)[10]**	**0**	**0**	**0**	**0**	**0**	**0**	**0**	**5,7**	**0**	**6,7**	**6,7**
Уровни звукового давления от мнимого источника ИШ-6-2_мн.(1) в расчётной точке ночью, дБ		**ф-ла(3)[10]**	**0**	**0**	**0**	**0**	**0**	**0**	**0**	**0**	**0**	**6,7**	**6,7**
Уровни звукового давления от источника ИШ-6-2 в расчётной точке днём, дБ		**ф-ла(3)[10]**	**0**	**26,3**	**27,5**	**28**	**26,9**	**24,3**	**17,2**	**7,1**	**0**	**28,3**	**28,3**
Уровни звукового давления от источника ИШ-6-2 в расчётной точке ночью, дБ		**ф-ла(3)[10]**	**0**	**26,3**	**27,5**	**28**	**26,9**	**24,3**	**17,2**	**7,1**	**0**	**28,3**	**28,3**
Источник шума: ИШ-6-3, координаты источника (x,y,z), м =[834.03,116.36,1.00]													

1		2	3	4	5	6	7	8	9	10	11	12	13
Уровни звуковой мощности источника днём, Lw, дБ		**исходные данные**	**0**	**96,3**	**97,7**	**99**	**99,3**	**98,9**	**95,6**	**91,4**	**86,9**		
Уровни звуковой мощности источника ночью, Lw, дБ		**исходные данные**	**0**	**96,3**	**97,7**	**99**	**99,3**	**98,9**	**95,6**	**91,4**	**86,9**		
Поправка на телесный угол DΩ, дБ	Ω = 12.57	10Lg(4π/Ω)	**0**	0	0	0	0	0	0	0	0		
Показатель направленности источника Di, дБ		исходные данные	**0**	0	0	0	0	0	0	0	0		
Поправка на направленность источника Dc, дБ	Dc	DΩ + Di	**0**	0	0	0	0	0	0	0	0		
Затухание из-за геометрической дивергенции, Adiv, дБ	расстояние = 713.77 м	ф-ла (7) [10]	**68,1**										
Коэффициент затухания звука в атмосфере α, дБ/км	Ta=20,°C Pa=101.33,кПа hотн.=70%	ф-ла (5) [9]	0,02	0,09	0,33	1,12	2,79	4,98	9,04	23,09	77,63		
Учет затухания звука в атмосфере Aatm, дБ		ф-ла (8) [10]	0	0,1	0,2	0,8	2	3,6	6,5	16,5	55,4		
Снижение уровня звукового давления из-за влияния застройки между источником шума и расчетной точкой													
Снижение уровня звукового давления на пути над экраном, Dz1, дБ	z = 0.30м (разность путей)	ф-лы (14-18) [10]	4,8	4,8	4,8	4,9	5	5,3	6	7,3	8,9		
Снижение уровня звукового давления на пути слева от экрана, Dz2, дБ	z = 0.01м (разность путей)	ф-лы (14-18) [10]	4,8	4,8	4,9	5	5,3	5,8	6,6	7,9	9,7		
Снижение уровня звукового давления на пути справа от экрана, Dz3, дБ	z = 24.11м (разность путей)	ф-лы (14-18) [10]	21,9	26,3	30	33,2	36,3	39,3	42,3	45,3	48,3		
Общее снижение уровня звука препятствием Dz, дБ		Эн.сумма(-Dzi)	1,7	1,8	1,8	1,9	2,1	2,5	3,3	4,6	6,3		
Уровни звукового давления от источника ИШ-6-3 в расчётной точке днём, дБ		**ф-ла(3)[10]**	**0**	**26,4**	**27,5**	**28,2**	**27,1**	**24,7**	**17,8**	**2,3**	**0**	**28,6**	**28,6**
Уровни звукового давления от источника ИШ-6-3 в расчётной точке ночью, дБ		**ф-ла(3)[10]**	**0**	**26,4**	**27,5**	**28,2**	**27,1**	**24,7**	**17,8**	**2,3**	**0**	**28,6**	**28,6**

Источник шума: ИШ-6-4, координаты источника (x,y,z), м =[833.23,113.30,1.00]

1		2	3	4	5	6	7	8	9	10	11	12	13
Уровни звуковой мощности источника днём, Lw, дБ		**исходные данные**	**0**	**96,3**	**97,7**	**99**	**99,3**	**98,9**	**95,6**	**91,4**	**86,9**		
Уровни звуковой мощности источника ночью, Lw, дБ		**исходные данные**	**0**	**96,3**	**97,7**	**99**	**99,3**	**98,9**	**95,6**	**91,4**	**86,9**		
Поправка на телесный угол DΩ, дБ	Ω = 12.57	10Lg(4π/Ω)	**0**	0	0	0	0	0	0	0	0		
Показатель направленности источника Di, дБ		исходные данные	**0**	0	0	0	0	0	0	0	0		
Поправка на направленность источника Dc, дБ	Dc	DΩ + Di	**0**	0	0	0	0	0	0	0	0		
Затухание из-за геометрической дивергенции, Adiv, дБ	расстояние = 711.78 м	ф-ла (7) [10]	**68**										
Коэффициент затухания звука в атмосфере α, дБ/км	Ta=20,°C Pa=101.33,кПа hотн.=70%	ф-ла (5) [9]	0,02	0,09	0,33	1,12	2,79	4,98	9,04	23,09	77,63		
Учет затухания звука в атмосфере Aatm, дБ		ф-ла (8) [10]	0	0,1	0,2	0,8	2	3,5	6,4	16,4	55,3		
Снижение уровня звукового давления из-за влияния застройки между источником шума и расчетной точкой													
Снижение уровня звукового давления на пути над экраном, Dz1, дБ	z = 0.30м (разность путей)	ф-лы (14-18) [10]	4,9	5	5,2	5,5	6,2	7,2	8,8	10,8	13,2		
Снижение уровня звукового давления на пути слева от экрана, Dz2, дБ	z = 11.47м (разность путей)	ф-лы (14-18) [10]	16,6	19,4	22,3	25,3	28,3	31,3	34,3	37,3	40,3		
Снижение уровня звукового давления на пути справа от экрана, Dz3, дБ	z = 24.45м (разность путей)	ф-лы (14-18) [10]	22	26,4	30	33,3	36,3	39,4	42,4	45,4	48,4		
Общее снижение уровня звука препятствием Dz, дБ		Эн.сумма(-Dzi)	4,5	4,8	5,1	5,5	6,1	7,2	8,8	10,8	13,2		
Уровни звукового давления от источника ИШ-6-4 в расчётной точке днём, дБ		**ф-ла(3)[10]**	**0**	**23,4**	**24,3**	**24,7**	**23,1**	**20,1**	**12,4**	**0**	**0**	**24,3**	**24,3**
Уровни звукового давления от источника ИШ-6-4 в расчётной точке ночью, дБ		**ф-ла(3)[10]**	**0**	**23,4**	**24,3**	**24,7**	**23,1**	**20,1**	**12,4**	**0**	**0**	**24,3**	**24,3**

Источник шума: ИШ-6-5, координаты источника (x,y,z), м =[832.03,110.36,1.00]

1		2	3	4	5	6	7	8	9	10	11	12	13
Уровни звуковой мощности источника днём, Lw, дБ		**исходные данные**	**0**	**96,3**	**97,7**	**99**	**99,3**	**98,9**	**95,6**	**91,4**	**86,9**		
Уровни звуковой мощности источника ночью, Lw, дБ		**исходные данные**	**0**	**96,3**	**97,7**	**99**	**99,3**	**98,9**	**95,6**	**91,4**	**86,9**		
Поправка на телесный угол DΩ, дБ	Ω = 12.57	10Lg(4π/Ω)	**0**	0	0	0	0	0	0	0	0		
Показатель направленности источника Di, дБ		исходные данные	**0**	0	0	0	0	0	0	0	0		
Поправка на направленность источника Dc, дБ	Dc	DΩ + Di	**0**	0	0	0	0	0	0	0	0		
Затухание из-за геометрической дивергенции, Adiv, дБ	расстояние = 709.48 м	ф-ла (7) [10]	**68**										
Коэффициент затухания звука в атмосфере α, дБ/км	Ta=20,°C Pa=101.33,кПа hотн.=70%	ф-ла (5) [9]	0,02	0,09	0,33	1,12	2,79	4,98	9,04	23,09	77,63		
Учет затухания звука в атмосфере Aatm, дБ		ф-ла (8) [10]	0	0,1	0,2	0,8	2	3,5	6,4	16,4	55,1		
Снижение уровня звукового давления из-за влияния застройки между источником шума и расчетной точкой													
Снижение уровня звукового давления на пути над экраном, Dz1, дБ	z = 0.30м (разность путей)	ф-лы (14-18) [10]	4,9	5	5,2	5,5	6,2	7,3	8,8	10,9	13,3		
Снижение уровня звукового давления на пути слева от экрана, Dz2, дБ	z = 11.08м (разность путей)	ф-лы (14-18) [10]	16,4	19,3	22,2	25,2	28,2	31,2	34,2	37,2	40,2		
Снижение уровня звукового давления на пути справа от экрана, Dz3, дБ	z = 24.77м (разность путей)	ф-лы (14-18) [10]	22	26,4	30,1	33,3	36,4	39,4	42,4	45,4	48,4		
Общее снижение уровня звука препятствием Dz, дБ		Эн.сумма(-Dzi)	4,5	4,8	5,1	5,5	6,2	7,2	8,8	10,9	13,3		
Уровни звукового давления от источника ИШ-6-5 в расчётной точке днём, дБ		**ф-ла(3)[10]**	**0**	**23,4**	**24,4**	**24,7**	**23,1**	**20,1**	**12,3**	**0**	**0**	**24,3**	**24,3**
Уровни звукового давления от источника ИШ-6-5 в расчётной точке ночью, дБ		**ф-ла(3)[10]**	**0**	**23,4**	**24,4**	**24,7**	**23,1**	**20,1**	**12,3**	**0**	**0**	**24,3**	**24,3**
Источник шума: ИШ-6-6, координаты источника (x,y,z), м =[830.97,107.42,1.00]													

1		2	3	4	5	6	7	8	9	10	11	12	13
Уровни звуковой мощности источника днём, Lw, дБ		**исходные данные**	**0**	**96,3**	**97,7**	**99**	**99,3**	**98,9**	**95,6**	**91,4**	**86,9**		
Уровни звуковой мощности источника ночью, Lw, дБ		**исходные данные**	**0**	**96,3**	**97,7**	**99**	**99,3**	**98,9**	**95,6**	**91,4**	**86,9**		
Поправка на телесный угол DΩ, дБ	Ω = 12.57	10Lg(4π/Ω)	**0**	0	0	0	0	0	0	0	0		
Показатель направленности источника Di, дБ		исходные данные	**0**	0	0	0	0	0	0	0	0		
Поправка на направленность источника Dc, дБ	Dc	DΩ + Di	**0**	0	0	0	0	0	0	0	0		
Затухание из-за геометрической дивергенции, Adiv, дБ	расстояние = 707.31 м	ф-ла (7) [10]	**68**										
Коэффициент затухания звука в атмосфере α, дБ/км	Ta=20,°C Pa=101.33,кПа hотн.=70%	ф-ла (5) [9]	0,02	0,09	0,33	1,12	2,79	4,98	9,04	23,09	77,63		
Учет затухания звука в атмосфере Aatm, дБ		ф-ла (8) [10]	0	0,1	0,2	0,8	2	3,5	6,4	16,3	54,9		
Снижение уровня звукового давления из-за влияния застройки между источником шума и расчетной точкой													
Снижение уровня звукового давления на пути над экраном, Dz1, дБ	z = 0.10м (разность путей)	ф-лы (14-18) [10]	4,8	4,8	4,8	4,8	4,8	4,8	4,8	4,8	4,8		
Снижение уровня звукового давления на пути слева от экрана, Dz2, дБ	z = 10.68м (разность путей)	ф-лы (14-18) [10]	16,3	19,1	22	25	28	31	34	37	40		
Снижение уровня звукового давления на пути справа от экрана, Dz3, дБ	z = 25.10м (разность путей)	ф-лы (14-18) [10]	22,1	26,5	30,1	33,4	36,4	39,5	42,5	45,5	48,5		
Общее снижение уровня звука препятствием Dz, дБ		Эн.сумма(-Dzi)	4,4	4,6	4,7	4,7	4,7	4,8	4,8	4,8	4,8		
Уровни звукового давления от источника ИШ-6-6 в расчётной точке днём, дБ		**ф-ла(3)[10]**	**0**	**23,6**	**24,8**	**25,5**	**24,6**	**22,6**	**16,4**	**2,3**	**0**	**26,4**	**26,4**
Уровни звукового давления от источника ИШ-6-6 в расчётной точке ночью, дБ		**ф-ла(3)[10]**	**0**	**23,6**	**24,8**	**25,5**	**24,6**	**22,6**	**16,4**	**2,3**	**0**	**26,4**	**26,4**
Источник шума: ИШ-6-7, координаты источника (x,y,z), м =[830.30,104.49,1.00]													

1		2	3	4	5	6	7	8	9	10	11	12	13
Уровни звуковой мощности источника днём, Lw, дБ		**исходные данные**	**0**	**96,3**	**97,7**	**99**	**99,3**	**98,9**	**95,6**	**91,4**	**86,9**		
Уровни звуковой мощности источника ночью, Lw, дБ		**исходные данные**	**0**	**96,3**	**97,7**	**99**	**99,3**	**98,9**	**95,6**	**91,4**	**86,9**		
Поправка на телесный угол DΩ, дБ	Ω = 12.57	10Lg(4π/Ω)	**0**	0	0	0	0	0	0	0	0		
Показатель направленности источника Di, дБ		исходные данные	**0**	0	0	0	0	0	0	0	0		
Поправка на направленность источника Dc, дБ	Dc	DΩ + Di	**0**	0	0	0	0	0	0	0	0		
Затухание из-за геометрической дивергенции, Adiv, дБ	расстояние = 705.52 м	ф-ла (7) [10]	**68**										
Коэффициент затухания звука в атмосфере α, дБ/км	Ta=20,°C Pa=101.33,кПа hотн.=70%	ф-ла (5) [9]	0,02	0,09	0,33	1,12	2,79	4,98	9,04	23,09	77,63		
Учет затухания звука в атмосфере Aatm, дБ		ф-ла (8) [10]	0	0,1	0,2	0,8	2	3,5	6,4	16,3	54,8		
Снижение уровня звукового давления из-за влияния застройки между источником шума и расчетной точкой													
Снижение уровня звукового давления на пути над экраном, Dz1, дБ	z = 0.10м (разность путей)	ф-лы (14-18) [10]	4,8	4,8	4,8	4,8	4,8	4,8	4,8	4,8	4,8		
Снижение уровня звукового давления на пути слева от экрана, Dz2, дБ	z = 10.24м (разность путей)	ф-лы (14-18) [10]	16,1	19	21,9	24,8	27,8	30,8	33,8	36,8	39,8		
Снижение уровня звукового давления на пути справа от экрана, Dz3, дБ	z = 1.37м (разность путей)	ф-лы (14-18) [10]	9,1	11,2	13,6	16,4	19,2	22,2	25,1	28,1	31,1		
Общее снижение уровня звука препятствием Dz, дБ		Эн.сумма(-Dzi)	3,2	3,7	4,2	4,4	4,6	4,7	4,7	4,8	4,8		
Уровни звукового давления от источника ИШ-6-7 в расчётной точке днём, дБ		**ф-ла(3)[10]**	**0**	**24,5**	**25,3**	**25,8**	**24,8**	**22,7**	**16,5**	**2,4**	**0**	**26,6**	**26,6**
Уровни звукового давления от источника ИШ-6-7 в расчётной точке ночью, дБ		**ф-ла(3)[10]**	**0**	**24,5**	**25,3**	**25,8**	**24,8**	**22,7**	**16,5**	**2,4**	**0**	**26,6**	**26,6**
Источник шума: ИШ-6-8, координаты источника (x,y,z), м =[829.36,101.42,1.00]													

1		2	3	4	5	6	7	8	9	10	11	12	13
Уровни звуковой мощности источника днём, Lw, дБ		**исходные данные**	**0**	**96,3**	**97,7**	**99**	**99,3**	**98,9**	**95,6**	**91,4**	**86,9**		
Уровни звуковой мощности источника ночью, Lw, дБ		**исходные данные**	**0**	**96,3**	**97,7**	**99**	**99,3**	**98,9**	**95,6**	**91,4**	**86,9**		
Поправка на телесный угол DΩ, дБ	Ω = 12.57	10Lg(4π/Ω)	**0**	0	0	0	0	0	0	0	0		
Показатель направленности источника Di, дБ		исходные данные	**0**	0	0	0	0	0	0	0	0		
Поправка на направленность источника Dc, дБ	Dc	DΩ + Di	**0**	0	0	0	0	0	0	0	0		
Затухание из-за геометрической дивергенции, Adiv, дБ	расстояние = 703.44 м	ф-ла (7) [10]	**67,9**										
Коэффициент затухания звука в атмосфере α, дБ/км	Ta=20,°C Pa=101.33,кПа hотн.=70%	ф-ла (5) [9]	0,02	0,09	0,33	1,12	2,79	4,98	9,04	23,09	77,63		
Учет затухания звука в атмосфере Aatm, дБ		ф-ла (8) [10]	0	0,1	0,2	0,8	2	3,5	6,4	16,2	54,6		
Снижение уровня звукового давления из-за влияния застройки между источником шума и расчетной точкой													
Снижение уровня звукового давления на пути над экраном, Dz1, дБ	z = 0.10м (разность путей)	ф-лы (14-18) [10]	4,8	4,8	4,8	4,8	4,8	4,8	4,8	4,8	4,8		
Снижение уровня звукового давления на пути слева от экрана, Dz2, дБ	z = 9.81м (разность путей)	ф-лы (14-18) [10]	15,9	18,8	21,7	24,6	27,6	30,6	33,6	36,6	39,7		
Снижение уровня звукового давления на пути справа от экрана, Dz3, дБ	z = 1.45м (разность путей)	ф-лы (14-18) [10]	9,2	11,4	13,9	16,6	19,5	22,4	25,4	28,4	31,4		
Общее снижение уровня звука препятствием Dz, дБ		Эн.сумма(-Dzi)	3,2	3,8	4,2	4,5	4,6	4,7	4,7	4,8	4,8		
Уровни звукового давления от источника ИШ-6-8 в расчётной точке днём, дБ		**ф-ла(3)[10]**	**0**	**24,5**	**25,3**	**25,8**	**24,8**	**22,8**	**16,6**	**2,5**	**0**	**26,6**	**26,6**
Уровни звукового давления от источника ИШ-6-8 в расчётной точке ночью, дБ		**ф-ла(3)[10]**	**0**	**24,5**	**25,3**	**25,8**	**24,8**	**22,8**	**16,6**	**2,5**	**0**	**26,6**	**26,6**
Источник шума: ИШ-6-9, координаты источника (x,y,z), м =[828.03,98.62,1.00]													

1		2	3	4	5	6	7	8	9	10	11	12	13
Уровни звуковой мощности источника днём, Lw, дБ		**исходные данные**	**0**	**96,3**	**97,7**	**99**	**99,3**	**98,9**	**95,6**	**91,4**	**86,9**		
Уровни звуковой мощности источника ночью, Lw, дБ		**исходные данные**	**0**	**96,3**	**97,7**	**99**	**99,3**	**98,9**	**95,6**	**91,4**	**86,9**		
Поправка на телесный угол DΩ, дБ	Ω = 12.57	10Lg(4π/Ω)	**0**	0	0	0	0	0	0	0	0		
Показатель направленности источника Di, дБ		исходные данные	**0**	0	0	0	0	0	0	0	0		
Поправка на направленность источника Dc, дБ	Dc	DΩ + Di	**0**	0	0	0	0	0	0	0	0		
Затухание из-за геометрической дивергенции, Adiv, дБ	расстояние = 701.10 м	ф-ла (7) [10]	**67,9**										
Коэффициент затухания звука в атмосфере α, дБ/км	Ta=20,°C Pa=101.33,кПа hотн.=70%	ф-ла (5) [9]	0,02	0,09	0,33	1,12	2,79	4,98	9,04	23,09	77,63		
Учет затухания звука в атмосфере Aatm, дБ		ф-ла (8) [10]	0	0,1	0,2	0,8	2	3,5	6,3	16,2	54,4		
Снижение уровня звукового давления из-за влияния застройки между источником шума и расчетной точкой													
Снижение уровня звукового давления на пути над экраном, Dz1, дБ	z = 0.10м (разность путей)	ф-лы (14-18) [10]	4,8	4,8	4,8	4,8	4,8	4,8	4,8	4,8	4,8		
Снижение уровня звукового давления на пути слева от экрана, Dz2, дБ	z = 9.46м (разность путей)	ф-лы (14-18) [10]	15,8	18,6	21,5	24,5	27,5	30,5	33,5	36,5	39,5		
Снижение уровня звукового давления на пути справа от экрана, Dz3, дБ	z = 1.53м (разность путей)	ф-лы (14-18) [10]	9,4	11,6	14,1	16,8	19,7	22,6	25,6	28,6	31,6		
Общее снижение уровня звука препятствием Dz, дБ		Эн.сумма(-Dzi)	3,2	3,8	4,2	4,5	4,6	4,7	4,7	4,8	4,8		
Уровни звукового давления от источника ИШ-6-9 в расчётной точке днём, дБ		**ф-ла(3)[10]**	**0**	**24,5**	**25,3**	**25,8**	**24,8**	**22,8**	**16,6**	**2,5**	**0**	**26,6**	**26,6**
Уровни звукового давления от источника ИШ-6-9 в расчётной точке ночью, дБ		**ф-ла(3)[10]**	**0**	**24,5**	**25,3**	**25,8**	**24,8**	**22,8**	**16,6**	**2,5**	**0**	**26,6**	**26,6**

Источник шума: ИШ-6-10, координаты источника (x,y,z), м =[827.23,95.55,1.00]

1		2	3	4	5	6	7	8	9	10	11	12	13
Уровни звуковой мощности источника днём, Lw, дБ		**исходные данные**	**0**	**96,3**	**97,7**	**99**	**99,3**	**98,9**	**95,6**	**91,4**	**86,9**		
Уровни звуковой мощности источника ночью, Lw, дБ		**исходные данные**	**0**	**96,3**	**97,7**	**99**	**99,3**	**98,9**	**95,6**	**91,4**	**86,9**		
Поправка на телесный угол DΩ, дБ	Ω = 12.57	10Lg(4π/Ω)	**0**	0	0	0	0	0	0	0	0		
Показатель направленности источника Di, дБ		исходные данные	**0**	0	0	0	0	0	0	0	0		
Поправка на направленность источника Dc, дБ	Dc	DΩ + Di	**0**	0	0	0	0	0	0	0	0		
Затухание из-за геометрической дивергенции, Adiv, дБ	расстояние = 699.15 м	ф-ла (7) [10]	**67,9**										
Коэффициент затухания звука в атмосфере α, дБ/км	Ta=20,°C Pa=101.33,кПа hотн.=70%	ф-ла (5) [9]	0,02	0,09	0,33	1,12	2,79	4,98	9,04	23,09	77,63		
Учет затухания звука в атмосфере Aatm, дБ		ф-ла (8) [10]	0	0,1	0,2	0,8	2	3,5	6,3	16,1	54,3		
Снижение уровня звукового давления из-за влияния застройки между источником шума и расчетной точкой													
Снижение уровня звукового давления на пути над экраном, Dz1, дБ	z = 0.10м (разность путей)	ф-лы (14-18) [10]	4,8	4,8	4,8	4,8	4,8	4,8	4,8	4,8	4,8		
Снижение уровня звукового давления на пути слева от экрана, Dz2, дБ	z = 9.02м (разность путей)	ф-лы (14-18) [10]	15,6	18,4	21,3	24,3	27,3	30,3	33,3	36,3	39,3		
Снижение уровня звукового давления на пути справа от экрана, Dz3, дБ	z = 1.62м (разность путей)	ф-лы (14-18) [10]	9,5	11,8	14,3	17	19,9	22,9	25,8	28,8	31,8		
Общее снижение уровня звука препятствием Dz, дБ		Эн.сумма(-Dzi)	3,3	3,8	4,2	4,5	4,6	4,7	4,7	4,8	4,8		
Уровни звукового давления от источника ИШ-6-10 в расчётной точке днём, дБ		**ф-ла(3)[10]**	**0**	**24,5**	**25,3**	**25,8**	**24,8**	**22,8**	**16,6**	**2,6**	**0**	**26,7**	**26,7**
Уровни звукового давления от источника ИШ-6-10 в расчётной точке ночью, дБ		**ф-ла(3)[10]**	**0**	**24,5**	**25,3**	**25,8**	**24,8**	**22,8**	**16,6**	**2,6**	**0**	**26,7**	**26,7**
Источник шума: ИШ-6-11, координаты источника (x,y,z), м =[826.30,92.48,1.00]													

1		2	3	4	5	6	7	8	9	10	11	12	13
Уровни звуковой мощности источника днём, Lw, дБ		**исходные данные**	**0**	**96,3**	**97,7**	**99**	**99,3**	**98,9**	**95,6**	**91,4**	**86,9**		
Уровни звуковой мощности источника ночью, Lw, дБ		**исходные данные**	**0**	**96,3**	**97,7**	**99**	**99,3**	**98,9**	**95,6**	**91,4**	**86,9**		
Поправка на телесный угол DΩ, дБ	Ω = 12.57	10Lg(4π/Ω)	**0**	0	0	0	0	0	0	0	0		
Показатель направленности источника Di, дБ		исходные данные	**0**	0	0	0	0	0	0	0	0		
Поправка на направленность источника Dc, дБ	Dc	DΩ + Di	**0**	0	0	0	0	0	0	0	0		
Затухание из-за геометрической дивергенции, Adiv, дБ	расстояние = 697.09 м	ф-ла (7) [10]	**67,9**										
Коэффициент затухания звука в атмосфере α, дБ/км	Ta=20,°C Pa=101.33,кПа hотн.=70%	ф-ла (5) [9]	0,02	0,09	0,33	1,12	2,79	4,98	9,04	23,09	77,63		
Учет затухания звука в атмосфере Aatm, дБ		ф-ла (8) [10]	0	0,1	0,2	0,8	1,9	3,5	6,3	16,1	54,1		
Снижение уровня звукового давления из-за влияния застройки между источником шума и расчетной точкой													
Снижение уровня звукового давления на пути над экраном, Dz1, дБ	z = 0.10м (разность путей)	ф-лы (14-18) [10]	4,8	4,8	4,8	4,8	4,8	4,8	4,8	4,8	4,8		
Снижение уровня звукового давления на пути слева от экрана, Dz2, дБ	z = 8.61м (разность путей)	ф-лы (14-18) [10]	15,4	18,2	21,1	24,1	27,1	30,1	33,1	36,1	39,1		
Снижение уровня звукового давления на пути справа от экрана, Dz3, дБ	z = 1.71м (разность путей)	ф-лы (14-18) [10]	9,7	12	14,5	17,3	20,2	23,1	26,1	29,1	32,1		
Общее снижение уровня звука препятствием Dz, дБ		Эн.сумма(-Dzi)	3,3	3,9	4,2	4,5	4,6	4,7	4,7	4,8	4,8		
Уровни звукового давления от источника ИШ-6-11 в расчётной точке днём, дБ		**ф-ла(3)[10]**	**0**	**24,5**	**25,4**	**25,9**	**24,9**	**22,9**	**16,7**	**2,7**	**0**	**26,7**	**26,7**
Уровни звукового давления от источника ИШ-6-11 в расчётной точке ночью, дБ		**ф-ла(3)[10]**	**0**	**24,5**	**25,4**	**25,9**	**24,9**	**22,9**	**16,7**	**2,7**	**0**	**26,7**	**26,7**
Источник шума: ИШ-6-12, координаты источника (x,y,z), м =[825.09,89.54,1.00]													

1		2	3	4	5	6	7	8	9	10	11	12	13
Уровни звуковой мощности источника днём, Lw, дБ		**исходные данные**	**0**	**96,3**	**97,7**	**99**	**99,3**	**98,9**	**95,6**	**91,4**	**86,9**		
Уровни звуковой мощности источника ночью, Lw, дБ		**исходные данные**	**0**	**96,3**	**97,7**	**99**	**99,3**	**98,9**	**95,6**	**91,4**	**86,9**		
Поправка на телесный угол DΩ, дБ	Ω = 12.57	10Lg(4π/Ω)	**0**	0	0	0	0	0	0	0	0		
Показатель направленности источника Di, дБ		исходные данные	**0**	0	0	0	0	0	0	0	0		
Поправка на направленность источника Dc, дБ	Dc	DΩ + Di	**0**	0	0	0	0	0	0	0	0		
Затухание из-за геометрической дивергенции, Adiv, дБ	расстояние = 694.84 м	ф-ла (7) [10]	**67,8**										
Коэффициент затухания звука в атмосфере α, дБ/км	Ta=20,°C Pa=101.33,кПа hотн.=70%	ф-ла (5) [9]	0,02	0,09	0,33	1,12	2,79	4,98	9,04	23,09	77,63		
Учет затухания звука в атмосфере Aatm, дБ		ф-ла (8) [10]	0	0,1	0,2	0,8	1,9	3,5	6,3	16	53,9		
Снижение уровня звукового давления из-за влияния застройки между источником шума и расчетной точкой													
Снижение уровня звукового давления на пути над экраном, Dz1, дБ	z = 0.10м (разность путей)	ф-лы (14-18) [10]	4,8	4,8	4,8	4,8	4,8	4,8	4,8	4,8	4,8		
Снижение уровня звукового давления на пути слева от экрана, Dz2, дБ	z = 8.24м (разность путей)	ф-лы (14-18) [10]	15,3	18,1	20,9	23,9	26,9	29,9	32,9	35,9	38,9		
Снижение уровня звукового давления на пути справа от экрана, Dz3, дБ	z = 1.80м (разность путей)	ф-лы (14-18) [10]	9,9	12,1	14,7	17,5	20,4	23,3	26,3	29,3	32,3		
Общее снижение уровня звука препятствием Dz, дБ		Эн.сумма(-Dzi)	3,3	3,9	4,3	4,5	4,6	4,7	4,7	4,8	4,8		
Уровни звукового давления от источника ИШ-6-12 в расчётной точке днём, дБ		**ф-ла(3)[10]**	**0**	**24,5**	**25,4**	**25,9**	**24,9**	**22,9**	**16,7**	**2,8**	**0**	**26,7**	**26,7**
Уровни звукового давления от источника ИШ-6-12 в расчётной точке ночью, дБ		**ф-ла(3)[10]**	**0**	**24,5**	**25,4**	**25,9**	**24,9**	**22,9**	**16,7**	**2,8**	**0**	**26,7**	**26,7**
Источник шума: ИШ-6-13, координаты источника (x,y,z), м =[767.76,-114.15,1.00]													

1		2	3	4	5	6	7	8	9	10	11	12	13
Уровни звуковой мощности источника днём, Lw, дБ		**исходные данные**	**0**	**96,3**	**97,7**	**99**	**99,3**	**98,9**	**95,6**	**91,4**	**86,9**		
Уровни звуковой мощности источника ночью, Lw, дБ		**исходные данные**	**0**	**96,3**	**97,7**	**99**	**99,3**	**98,9**	**95,6**	**91,4**	**86,9**		
Поправка на телесный угол DΩ, дБ	Ω = 12.57	10Lg(4π/Ω)	**0**	0	0	0	0	0	0	0	0		
Показатель направленности источника Di, дБ		исходные данные	**0**	0	0	0	0	0	0	0	0		
Поправка на направленность источника Dc, дБ	Dc	DΩ + Di	**0**	0	0	0	0	0	0	0	0		
Затухание из-за геометрической дивергенции, Adiv, дБ	расстояние = 587.09 м	ф-ла (7) [10]	**66,4**										
Коэффициент затухания звука в атмосфере α, дБ/км	Ta=20,°C Pa=101.33,кПа hотн.=70%	ф-ла (5) [9]	0,02	0,09	0,33	1,12	2,79	4,98	9,04	23,09	77,63		
Учет затухания звука в атмосфере Aatm, дБ		ф-ла (8) [10]	0	0,1	0,2	0,7	1,6	2,9	5,3	13,6	45,6		
Снижение поверхностью земли возле источника As, дБ	Gs = 0 hs = 1м	ф-лы таб.3 [10]	-1,5	-1,5	-1,5	-1,5	-1,5	-1,5	-1,5	-1,5	-1,5		
Снижение поверхностью земли возле приёмника Ar, дБ	Gr = 1 hr = 1.6м	ф-лы таб.3 [10]	-1,5	-1,5	3,6	6,8	4,3	0,5	0	0	0		
Снижение поверхностью земли в средней зоне, Am дБ	Gm = 1	ф-лы таб.3 [10]	-2,6	-2,6	0	0	0	0	0	0	0		
Суммарное снижение поверхностью земли на траектории распространения звука Agr, дБ		ф-ла (9) [10]	-5,6	-5,6	2,1	5,3	2,8	-1	-1,5	-1,5	-1,5		
Уровни звукового давления прямого звука от источника ИШ-6-13 в расчётной точке днём, дБ		**ф-ла(3)[10]**	**0**	**35,5**	**29,1**	**26,6**	**28,5**	**30,6**	**25,4**	**13**	**0**	**33,1**	**33,1**
Уровни звукового давления прямого звука от источника ИШ-6-13 в расчётной точке ночью, дБ		**ф-ла(3)[10]**	**0**	**35,5**	**29,1**	**26,6**	**28,5**	**30,6**	**25,4**	**13**	**0**	**33,1**	**33,1**
Расчёт отражённого звука													
Уровни звукового давления от мнимого источника ИШ-6-13_мн.(1) в расчётной точке днём, дБ		**ф-ла(3)[10]**	**0**	**0**	**22,9**	**16,3**	**17,1**	**26,1**	**22,9**	**10,4**	**0**	**28,5**	**28,5**
Уровни звукового давления от мнимого источника ИШ-6-13_мн.(1) в расчётной точке ночью, дБ		**ф-ла(3)[10]**	**0**	**0**	**0**	**0**	**0**	**0**	**0**	**0**	**0**	**28,5**	**28,5**

1		2	3	4	5	6	7	8	9	10	11	12	13
Уровни звукового давления от источника ИШ-6-13 в расчётной точке днём, дБ		**ф-ла(3)[10]**	**0**	**35,5**	**30**	**27**	**28,8**	**31,9**	**27,3**	**14,9**	**0**	**34,4**	**34,4**
Уровни звукового давления от источника ИШ-6-13 в расчётной точке ночью, дБ		**ф-ла(3)[10]**	**0**	**35,5**	**30**	**27**	**28,8**	**31,9**	**27,3**	**14,9**	**0**	**34,4**	**34,4**
Источник шума: ИШ-6-14, координаты источника (x,y,z), м =[766.82,-117.10,1.00]													
Уровни звуковой мощности источника днём, Lw, дБ		**исходные данные**	**0**	**96,3**	**97,7**	**99**	**99,3**	**98,9**	**95,6**	**91,4**	**86,9**		
Уровни звуковой мощности источника ночью, Lw, дБ		**исходные данные**	**0**	**96,3**	**97,7**	**99**	**99,3**	**98,9**	**95,6**	**91,4**	**86,9**		
Поправка на телесный угол DΩ, дБ	Ω = 12.57	10Lg(4π/Ω)	**0**	0	0	0	0	0	0	0	0		
Показатель направленности источника Di, дБ		исходные данные	**0**	0	0	0	0	0	0	0	0		
Поправка на направленность источника Dc, дБ	Dc	DΩ + Di	**0**	0	0	0	0	0	0	0	0		
Затухание из-за геометрической дивергенции, Adiv, дБ	расстояние = 585.83 м	ф-ла (7) [10]	**66,4**										
Коэффициент затухания звука в атмосфере α, дБ/км	Ta=20,°C Pa=101.33,кПа hотн.=70%	ф-ла (5) [9]	0,02	0,09	0,33	1,12	2,79	4,98	9,04	23,09	77,63		
Учет затухания звука в атмосфере Aatm, дБ		ф-ла (8) [10]	0	0,1	0,2	0,7	1,6	2,9	5,3	13,5	45,5		
Снижение поверхностью земли возле источника As, дБ	Gs = 0 hs = 1м	ф-лы таб.3 [10]	-1,5	-1,5	-1,5	-1,5	-1,5	-1,5	-1,5	-1,5	-1,5		
Снижение поверхностью земли возле приёмника Ar, дБ	Gr = 1 hr = 1.6м	ф-лы таб.3 [10]	-1,5	-1,5	3,5	6,8	4,3	0,5	0	0	0		
Снижение поверхностью земли в средней зоне, Am дБ	Gm = 1	ф-лы таб.3 [10]	-2,6	-2,6	0	0	0	0	0	0	0		
Суммарное снижение поверхностью земли на траектории распространения звука Agr, дБ		ф-ла (9) [10]	-5,6	-5,6	2	5,3	2,8	-1	-1,5	-1,5	-1,5		
Уровни звукового давления прямого звука от источника ИШ-6-14 в расчётной точке днём, дБ		**ф-ла(3)[10]**	**0**	**35,5**	**29,1**	**26,6**	**28,5**	**30,6**	**25,4**	**13**	**0**	**33,2**	**33,2**

1		2	3	4	5	6	7	8	9	10	11	12	13
Уровни звукового давления прямого звука от источника ИШ-6-14 в расчётной точке ночью, дБ		**ф-ла(3)[10]**	**0**	**35,5**	**29,1**	**26,6**	**28,5**	**30,6**	**25,4**	**13**	**0**	**33,2**	**33,2**
Расчёт отражённого звука													
Уровни звукового давления от мнимого источника ИШ-6-14_мн.(1) в расчётной точке днём, дБ		**ф-ла(3)[10]**	**0**	**0**	**22,9**	**16,3**	**17,2**	**26,1**	**22,9**	**10,5**	**0**	**28,5**	**28,5**
Уровни звукового давления от мнимого источника ИШ-6-14_мн.(1) в расчётной точке ночью, дБ		**ф-ла(3)[10]**	**0**	**0**	**0**	**0**	**0**	**0**	**0**	**0**	**0**	**28,5**	**28,5**
Уровни звукового давления от источника ИШ-6-14 в расчётной точке днём, дБ		**ф-ла(3)[10]**	**0**	**35,5**	**30**	**27**	**28,8**	**31,9**	**27,4**	**14,9**	**0**	**34,4**	**34,4**
Уровни звукового давления от источника ИШ-6-14 в расчётной точке ночью, дБ		**ф-ла(3)[10]**	**0**	**35,5**	**30**	**27**	**28,8**	**31,9**	**27,4**	**14,9**	**0**	**34,4**	**34,4**
Источник шума: ИШ-6-15, координаты источника (x,y,z), м =[765.71,-120.27,1.00]													
Уровни звуковой мощности источника днём, Lw, дБ		**исходные данные**	**0**	**96,3**	**97,7**	**99**	**99,3**	**98,9**	**95,6**	**91,4**	**86,9**		
Уровни звуковой мощности источника ночью, Lw, дБ		**исходные данные**	**0**	**96,3**	**97,7**	**99**	**99,3**	**98,9**	**95,6**	**91,4**	**86,9**		
Поправка на телесный угол DΩ, дБ	Ω = 12.57	10Lg(4π/Ω)	**0**	0	0	0	0	0	0	0	0		
Показатель направленности источника Di, дБ		исходные данные	**0**	0	0	0	0	0	0	0	0		
Поправка на направленность источника Dc, дБ	Dc	DΩ + Di	**0**	0	0	0	0	0	0	0	0		
Затухание из-за геометрической дивергенции, Adiv, дБ	расстояние = 584.41 м	ф-ла (7) [10]	**66,3**										
Коэффициент затухания звука в атмосфере α, дБ/км	Ta=20,°C Pa=101.33,кПа hотн.=70%	ф-ла (5) [9]	0,02	0,09	0,33	1,12	2,79	4,98	9,04	23,09	77,63		
Учет затухания звука в атмосфере Aatm, дБ		ф-ла (8) [10]	0	0,1	0,2	0,7	1,6	2,9	5,3	13,5	45,4		
Снижение поверхностью земли возле источника As, дБ	Gs = 0 hs = 1м	ф-лы таб.3 [10]	-1,5	-1,5	-1,5	-1,5	-1,5	-1,5	-1,5	-1,5	-1,5		

1		2	3	4	5	6	7	8	9	10	11	12	13
Снижение поверхностью земли возле приёмника Ar, дБ	Gr = 1 hr = 1.6м	ф-лы таб.3 [10]	-1,5	-1,5	3,5	6,8	4,3	0,5	0	0	0		
Снижение поверхностью земли в средней зоне, Am дБ	Gm = 1	ф-лы таб.3 [10]	-2,6	-2,6	0	0	0	0	0	0	0		
Суммарное снижение поверхностью земли на траектории распространения звука Agr, дБ		ф-ла (9) [10]	-5,6	-5,6	2	5,3	2,8	-1	-1,5	-1,5	-1,5		
Уровни звукового давления прямого звука от источника ИШ-6-15 в расчётной точке днём, дБ		**ф-ла(3)[10]**	**0**	**35,5**	**29,1**	**26,7**	**28,5**	**30,6**	**25,5**	**13,1**	**0**	**33,2**	**33,2**
Уровни звукового давления прямого звука от источника ИШ-6-15 в расчётной точке ночью, дБ		**ф-ла(3)[10]**	**0**	**35,5**	**29,1**	**26,7**	**28,5**	**30,6**	**25,5**	**13,1**	**0**	**33,2**	**33,2**
Расчёт отражённого звука													
Уровни звукового давления от мнимого источника ИШ-6-15_мн.(1) в расчётной точке днём, дБ		**ф-ла(3)[10]**	**0**	**0**	**23**	**16,3**	**17,2**	**26,1**	**23**	**10,5**	**0**	**28,6**	**28,6**
Уровни звукового давления от мнимого источника ИШ-6-15_мн.(1) в расчётной точке ночью, дБ		**ф-ла(3)[10]**	**0**	**0**	**0**	**0**	**0**	**0**	**0**	**0**	**0**	**28,6**	**28,6**
Уровни звукового давления от источника ИШ-6-15 в расчётной точке днём, дБ		**ф-ла(3)[10]**	**0**	**35,5**	**30,1**	**27,1**	**28,8**	**32**	**27,4**	**15**	**0**	**34,5**	**34,5**
Уровни звукового давления от источника ИШ-6-15 в расчётной точке ночью, дБ		**ф-ла(3)[10]**	**0**	**35,5**	**30,1**	**27,1**	**28,8**	**32**	**27,4**	**15**	**0**	**34,5**	**34,5**
Источник шума: ИШ-6-16, координаты источника (x,y,z), м =[764.57,-123.22,1.00]													
Уровни звуковой мощности источника днём, Lw, дБ		**исходные данные**	**0**	**96,3**	**97,7**	**99**	**99,3**	**98,9**	**95,6**	**91,4**	**86,9**		
Уровни звуковой мощности источника ночью, Lw, дБ		**исходные данные**	**0**	**96,3**	**97,7**	**99**	**99,3**	**98,9**	**95,6**	**91,4**	**86,9**		
Поправка на телесный угол DΩ, дБ	Ω = 12.57	10Lg(4π/Ω)	**0**	0	0	0	0	0	0	0	0		
Показатель направленности источника Di, дБ		исходные данные	**0**	0	0	0	0	0	0	0	0		
Поправка на направленность источника Dc, дБ	Dc	DΩ + Di	**0**	0	0	0	0	0	0	0	0		
Затухание из-за геометрической дивергенции, Adiv, дБ	расстояние = 582.98 м	ф-ла (7) [10]	**66,3**										

1		2	3	4	5	6	7	8	9	10	11	12	13
Коэффициент затухания звука в атмосфере α, дБ/км	Ta=20,°C Pa=101.33,кПа hотн.=70%	ф-ла (5) [9]	0,02	0,09	0,33	1,12	2,79	4,98	9,04	23,09	77,63		
Учет затухания звука в атмосфере Aatm, дБ		ф-ла (8) [10]	0	0,1	0,2	0,7	1,6	2,9	5,3	13,5	45,3		
Снижение поверхностью земли возле источника As, дБ	Gs = 0 hs = 1м	ф-лы таб.3 [10]	-1,5	-1,5	-1,5	-1,5	-1,5	-1,5	-1,5	-1,5	-1,5		
Снижение поверхностью земли возле приёмника Ar, дБ	Gr = 1 hr = 1.6м	ф-лы таб.3 [10]	-1,5	-1,5	3,5	6,8	4,3	0,5	0	0	0		
Снижение поверхностью земли в средней зоне, Am дБ	Gm = 1	ф-лы таб.3 [10]	-2,6	-2,6	0	0	0	0	0	0	0		
Суммарное снижение поверхностью земли на траектории распространения звука Agr, дБ		ф-ла (9) [10]	-5,6	-5,6	2	5,3	2,8	-1	-1,5	-1,5	-1,5		
Уровни звукового давления прямого звука от источника ИШ-6-16 в расчётной точке днём, дБ		**ф-ла(3)[10]**	**0**	**35,5**	**29,2**	**26,7**	**28,5**	**30,7**	**25,5**	**13,1**	**0**	**33,2**	**33,2**
Уровни звукового давления прямого звука от источника ИШ-6-16 в расчётной точке ночью, дБ		**ф-ла(3)[10]**	**0**	**35,5**	**29,2**	**26,7**	**28,5**	**30,7**	**25,5**	**13,1**	**0**	**33,2**	**33,2**
Расчёт отражённого звука													
Уровни звукового давления от мнимого источника ИШ-6-16_мн.(1) в расчётной точке днём, дБ		**ф-ла(3)[10]**	**0**	**0**	**23**	**16,3**	**17,2**	**26,1**	**23**	**10,6**	**0**	**28,6**	**28,6**
Уровни звукового давления от мнимого источника ИШ-6-16_мн.(1) в расчётной точке ночью, дБ		**ф-ла(3)[10]**	**0**	**0**	**0**	**0**	**0**	**0**	**0**	**0**	**0**	**28,6**	**28,6**
Уровни звукового давления от источника ИШ-6-16 в расчётной точке днём, дБ		**ф-ла(3)[10]**	**0**	**35,5**	**30,1**	**27,1**	**28,8**	**32**	**27,4**	**15**	**0**	**34,5**	**34,5**
Уровни звукового давления от источника ИШ-6-16 в расчётной точке ночью, дБ		**ф-ла(3)[10]**	**0**	**35,5**	**30,1**	**27,1**	**28,8**	**32**	**27,4**	**15**	**0**	**34,5**	**34,5**
Источник шума: ИШ-6-17, координаты источника (x,y,z), м =[763.57,-126.18,1.00]													
Уровни звуковой мощности источника днём, Lw, дБ		**исходные данные**	**0**	**96,3**	**97,7**	**99**	**99,3**	**98,9**	**95,6**	**91,4**	**86,9**		
Уровни звуковой мощности источника ночью, Lw, дБ		**исходные данные**	**0**	**96,3**	**97,7**	**99**	**99,3**	**98,9**	**95,6**	**91,4**	**86,9**		

1		2	3	4	5	6	7	8	9	10	11	12	13
Поправка на телесный угол DΩ, дБ	Ω = 12.57	10Lg(4π/Ω)	**0**	0	0	0	0	0	0	0	0		
Показатель направленности источника Di, дБ		исходные данные	**0**	0	0	0	0	0	0	0	0		
Поправка на направленность источника Dc, дБ	Dc	DΩ + Di	**0**	0	0	0	0	0	0	0	0		
Затухание из-за геометрической дивергенции, Adiv, дБ	расстояние = 581.71 м	ф-ла (7) [10]	**66,3**										
Коэффициент затухания звука в атмосфере α, дБ/км	Ta=20,°C Pa=101.33,кПа hотн.=70%	ф-ла (5) [9]	0,02	0,09	0,33	1,12	2,79	4,98	9,04	23,09	77,63		
Учет затухания звука в атмосфере Aatm, дБ		ф-ла (8) [10]	0	0,1	0,2	0,7	1,6	2,9	5,3	13,4	45,2		
Снижение поверхностью земли возле источника As, дБ	Gs = 0 hs = 1м	ф-лы таб.3 [10]	-1,5	-1,5	-1,5	-1,5	-1,5	-1,5	-1,5	-1,5	-1,5		
Снижение поверхностью земли возле приёмника Ar, дБ	Gr = 1 hr = 1.6м	ф-лы таб.3 [10]	-1,5	-1,5	3,5	6,8	4,3	0,5	0	0	0		
Снижение поверхностью земли в средней зоне, Am дБ	Gm = 1	ф-лы таб.3 [10]	-2,6	-2,6	0	0	0	0	0	0	0		
Суммарное снижение поверхностью земли на траектории распространения звука Agr, дБ		ф-ла (9) [10]	-5,6	-5,6	2	5,3	2,8	-1	-1,5	-1,5	-1,5		
Уровни звукового давления прямого звука от источника ИШ-6-17 в расчётной точке днём, дБ		**ф-ла(3)[10]**	**0**	**35,5**	**29,2**	**26,7**	**28,6**	**30,7**	**25,5**	**13,2**	**0**	**33,2**	**33,2**
Уровни звукового давления прямого звука от источника ИШ-6-17 в расчётной точке ночью, дБ		**ф-ла(3)[10]**	**0**	**35,5**	**29,2**	**26,7**	**28,6**	**30,7**	**25,5**	**13,2**	**0**	**33,2**	**33,2**
Расчёт отражённого звука													
Уровни звукового давления от мнимого источника ИШ-6-17_мн.(1) в расчётной точке днём, дБ		**ф-ла(3)[10]**	**0**	**0**	**23**	**16,4**	**17,2**	**26,2**	**23**	**10,6**	**0**	**28,6**	**28,6**
Уровни звукового давления от мнимого источника ИШ-6-17_мн.(1) в расчётной точке ночью, дБ		**ф-ла(3)[10]**	**0**	**0**	**0**	**0**	**0**	**0**	**0**	**0**	**0**	**28,6**	**28,6**
Уровни звукового давления от источника ИШ-6-17 в расчётной точке днём, дБ		**ф-ла(3)[10]**	**0**	**35,5**	**30,1**	**27,1**	**28,9**	**32**	**27,5**	**15,1**	**0**	**34,5**	**34,5**
Уровни звукового давления от источника ИШ-6-17 в расчётной точке ночью, дБ		**ф-ла(3)[10]**	**0**	**35,5**	**30,1**	**27,1**	**28,9**	**32**	**27,5**	**15,1**	**0**	**34,5**	**34,5**

1		2	3	4	5	6	7	8	9	10	11	12	13
Источник шума: ИШ-6-18, координаты источника (x,y,z), м =[804.77,-126.28,1.00]													
Уровни звуковой мощности источника днём, Lw, дБ		**исходные данные**	**0**	**96,3**	**97,7**	**99**	**99,3**	**98,9**	**95,6**	**91,4**	**86,9**		
Уровни звуковой мощности источника ночью, Lw, дБ		**исходные данные**	**0**	**96,3**	**97,7**	**99**	**99,3**	**98,9**	**95,6**	**91,4**	**86,9**		
Поправка на телесный угол DΩ, дБ	Ω = 12.57	10Lg(4π/Ω)	**0**	0	0	0	0	0	0	0	0		
Показатель направленности источника Di, дБ		исходные данные	**0**	0	0	0	0	0	0	0	0		
Поправка на направленность источника Dc, дБ	Dc	DΩ + Di	**0**	0	0	0	0	0	0	0	0		
Затухание из-за геометрической дивергенции, Adiv, дБ	расстояние = 622.75 м	ф-ла (7) [10]	**66,9**										
Коэффициент затухания звука в атмосфере α, дБ/км	Ta=20,°C Pa=101.33,кПа hотн.=70%	ф-ла (5) [9]	0,02	0,09	0,33	1,12	2,79	4,98	9,04	23,09	77,63		
Учет затухания звука в атмосфере Aatm, дБ		ф-ла (8) [10]	0	0,1	0,2	0,7	1,7	3,1	5,6	14,4	48,3		
Снижение поверхностью земли возле источника As, дБ	Gs = 0 hs = 1м	ф-лы таб.3 [10]	-1,5	-1,5	-1,5	-1,5	-1,5	-1,5	-1,5	-1,5	-1,5		
Снижение поверхностью земли возле приёмника Ar, дБ	Gr = 1 hr = 1.6м	ф-лы таб.3 [10]	-1,5	-1,5	3,7	6,8	4,3	0,5	0	0	0		
Снижение поверхностью земли в средней зоне, Am дБ	Gm = 1	ф-лы таб.3 [10]	-2,6	-2,6	0	0	0	0	0	0	0		
Суммарное снижение поверхностью земли на траектории распространения звука Agr, дБ		ф-ла (9) [10]	-5,6	-5,6	2,2	5,3	2,8	-1	-1,5	-1,5	-1,5		
Уровни звукового давления прямого звука от источника ИШ-6-18 в расчётной точке днём, дБ		**ф-ла(3)[10]**	**0**	**35**	**28,3**	**26,1**	**27,9**	**29,9**	**24,6**	**11,6**	**0**	**32,4**	**32,4**
Уровни звукового давления прямого звука от источника ИШ-6-18 в расчётной точке ночью, дБ		**ф-ла(3)[10]**	**0**	**35**	**28,3**	**26,1**	**27,9**	**29,9**	**24,6**	**11,6**	**0**	**32,4**	**32,4**
Расчёт отражённого звука													

1		2	3	4	5	6	7	8	9	10	11	12	13
Уровни звукового давления от мнимого источника ИШ-6-18_мн.(1) в расчётной точке днём, дБ		**ф-ла(3)[10]**	**0**	**0**	**21,9**	**15,7**	**16,5**	**25,4**	**22,1**	**9,1**	**0**	**27,8**	**27,8**
Уровни звукового давления от мнимого источника ИШ-6-18_мн.(1) в расчётной точке ночью, дБ		**ф-ла(3)[10]**	**0**	**0**	**0**	**0**	**0**	**0**	**0**	**0**	**0**	**27,8**	**27,8**
Уровни звукового давления от источника ИШ-6-18 в расчётной точке днём, дБ		**ф-ла(3)[10]**	**0**	**35**	**29,2**	**26,5**	**28,2**	**31,2**	**26,5**	**13,6**	**0**	**33,7**	**33,7**
Уровни звукового давления от источника ИШ-6-18 в расчётной точке ночью, дБ		**ф-ла(3)[10]**	**0**	**35**	**29,2**	**26,5**	**28,2**	**31,2**	**26,5**	**13,6**	**0**	**33,7**	**33,7**
Источник шума: ИШ-6-19, координаты источника (x,y,z), м =[803.81,-129.30,1.00]													
Уровни звуковой мощности источника днём, Lw, дБ		**исходные данные**	**0**	**96,3**	**97,7**	**99**	**99,3**	**98,9**	**95,6**	**91,4**	**86,9**		
Уровни звуковой мощности источника ночью, Lw, дБ		**исходные данные**	**0**	**96,3**	**97,7**	**99**	**99,3**	**98,9**	**95,6**	**91,4**	**86,9**		
Поправка на телесный угол DΩ, дБ	Ω = 12.57	10Lg(4π/Ω)	**0**	0	0	0	0	0	0	0	0		
Показатель направленности источника Di, дБ		исходные данные	**0**	0	0	0	0	0	0	0	0		
Поправка на направленность источника Dc, дБ	Dc	DΩ + Di	**0**	0	0	0	0	0	0	0	0		
Затухание из-за геометрической дивергенции, Adiv, дБ	расстояние = 621.54 м	ф-ла (7) [10]	**66,9**										
Коэффициент затухания звука в атмосфере α, дБ/км	Ta=20,°C Pa=101.33,кПа hотн.=70%	ф-ла (5) [9]	0,02	0,09	0,33	1,12	2,79	4,98	9,04	23,09	77,63		
Учет затухания звука в атмосфере Aatm, дБ		ф-ла (8) [10]	0	0,1	0,2	0,7	1,7	3,1	5,6	14,3	48,3		
Снижение поверхностью земли возле источника As, дБ	Gs = 0 hs = 1м	ф-лы таб.3 [10]	-1,5	-1,5	-1,5	-1,5	-1,5	-1,5	-1,5	-1,5	-1,5		
Снижение поверхностью земли возле приёмника Ar, дБ	Gr = 1 hr = 1.6м	ф-лы таб.3 [10]	-1,5	-1,5	3,7	6,8	4,3	0,5	0	0	0		
Снижение поверхностью земли в средней зоне, Am дБ	Gm = 1	ф-лы таб.3 [10]	-2,6	-2,6	0	0	0	0	0	0	0		

1		2	3	4	5	6	7	8	9	10	11	12	13
Суммарное снижение поверхностью земли на траектории распространения звука Agr, дБ		ф-ла (9) [10]	-5,6	-5,6	2,2	5,3	2,8	-1	-1,5	-1,5	-1,5		
Уровни звукового давления прямого звука от источника ИШ-6-19 в расчётной точке днём, дБ		**ф-ла(3)[10]**	**0**	**35**	**28,4**	**26,1**	**27,9**	**29,9**	**24,6**	**11,7**	**0**	**32,4**	**32,4**
Уровни звукового давления прямого звука от источника ИШ-6-19 в расчётной точке ночью, дБ		**ф-ла(3)[10]**	**0**	**35**	**28,4**	**26,1**	**27,9**	**29,9**	**24,6**	**11,7**	**0**	**32,4**	**32,4**
Расчёт отражённого звука													
Уровни звукового давления от мнимого источника ИШ-6-19_мн.(1) в расчётной точке днём, дБ		**ф-ла(3)[10]**	**0**	**0**	**22**	**15,7**	**16,5**	**25,4**	**22,1**	**9,1**	**0**	**27,8**	**27,8**
Уровни звукового давления от мнимого источника ИШ-6-19_мн.(1) в расчётной точке ночью, дБ		**ф-ла(3)[10]**	**0**	**0**	**0**	**0**	**0**	**0**	**0**	**0**	**0**	**27,8**	**27,8**
Уровни звукового давления от источника ИШ-6-19 в расчётной точке днём, дБ		**ф-ла(3)[10]**	**0**	**35**	**29,3**	**26,5**	**28,2**	**31,2**	**26,5**	**13,6**	**0**	**33,7**	**33,7**
Уровни звукового давления от источника ИШ-6-19 в расчётной точке ночью, дБ		**ф-ла(3)[10]**	**0**	**35**	**29,3**	**26,5**	**28,2**	**31,2**	**26,5**	**13,6**	**0**	**33,7**	**33,7**
Источник шума: ИШ-6-20, координаты источника (x,y,z), м =[802.67,-132.35,1.00]													
Уровни звуковой мощности источника днём, Lw, дБ		**исходные данные**	**0**	**96,3**	**97,7**	**99**	**99,3**	**98,9**	**95,6**	**91,4**	**86,9**		
Уровни звуковой мощности источника ночью, Lw, дБ		**исходные данные**	**0**	**96,3**	**97,7**	**99**	**99,3**	**98,9**	**95,6**	**91,4**	**86,9**		
Поправка на телесный угол DΩ, дБ	Ω = 12.57	10Lg(4π/Ω)	**0**	0	0	0	0	0	0	0	0		
Показатель направленности источника Di, дБ		исходные данные	**0**	0	0	0	0	0	0	0	0		
Поправка на направленность источника Dc, дБ	Dc	DΩ + Di	**0**	0	0	0	0	0	0	0	0		
Затухание из-за геометрической дивергенции, Adiv, дБ	расстояние = 620.16 м	ф-ла (7) [10]	**66,9**										
Коэффициент затухания звука в атмосфере α, дБ/км	Ta=20,°C Pa=101.33,кПа hотн.=70%	ф-ла (5) [9]	0,02	0,09	0,33	1,12	2,79	4,98	9,04	23,09	77,63		

1		2	3	4	5	6	7	8	9	10	11	12	13
Учет затухания звука в атмосфере Aatm, дБ		ф-ла (8) [10]	0	0,1	0,2	0,7	1,7	3,1	5,6	14,3	48,1		
Снижение поверхностью земли возле источника As, дБ	Gs = 0 hs = 1м	ф-лы таб.3 [10]	-1,5	-1,5	-1,5	-1,5	-1,5	-1,5	-1,5	-1,5	-1,5		
Снижение поверхностью земли возле приёмника Ar, дБ	Gr = 1 hr = 1.6м	ф-лы таб.3 [10]	-1,5	-1,5	3,7	6,8	4,3	0,5	0	0	0		
Снижение поверхностью земли в средней зоне, Am дБ	Gm = 1	ф-лы таб.3 [10]	-2,6	-2,6	0	0	0	0	0	0	0		
Суммарное снижение поверхностью земли на траектории распространения звука Agr, дБ		ф-ла (9) [10]	-5,6	-5,6	2,2	5,3	2,8	-1	-1,5	-1,5	-1,5		
Уровни звукового давления прямого звука от источника ИШ-6-20 в расчётной точке днём, дБ		**ф-ла(3)[10]**	**0**	**35**	**28,4**	**26,1**	**27,9**	**30**	**24,6**	**11,7**	**0**	**32,5**	**32,5**
Уровни звукового давления прямого звука от источника ИШ-6-20 в расчётной точке ночью, дБ		**ф-ла(3)[10]**	**0**	**35**	**28,4**	**26,1**	**27,9**	**30**	**24,6**	**11,7**	**0**	**32,5**	**32,5**
Расчёт отражённого звука													
Уровни звукового давления от мнимого источника ИШ-6-20_мн.(1) в расчётной точке днём, дБ		**ф-ла(3)[10]**	**0**	**0**	**22**	**15,8**	**16,6**	**25,4**	**22,1**	**9,2**	**0**	**27,8**	**27,8**
Уровни звукового давления от мнимого источника ИШ-6-20_мн.(1) в расчётной точке ночью, дБ		**ф-ла(3)[10]**	**0**	**0**	**0**	**0**	**0**	**0**	**0**	**0**	**0**	**27,8**	**27,8**
Уровни звукового давления от источника ИШ-6-20 в расчётной точке днём, дБ		**ф-ла(3)[10]**	**0**	**35**	**29,3**	**26,5**	**28,2**	**31,3**	**26,6**	**13,7**	**0**	**33,8**	**33,8**
Уровни звукового давления от источника ИШ-6-20 в расчётной точке ночью, дБ		**ф-ла(3)[10]**	**0**	**35**	**29,3**	**26,5**	**28,2**	**31,3**	**26,6**	**13,7**	**0**	**33,8**	**33,8**
Источник шума: ИШ-6-21, координаты источника (x,y,z), м =[801.69,-135.42,1.00]													
Уровни звуковой мощности источника днём, Lw, дБ		**исходные данные**	**0**	**96,3**	**97,7**	**99**	**99,3**	**98,9**	**95,6**	**91,4**	**86,9**		
Уровни звуковой мощности источника ночью, Lw, дБ		**исходные данные**	**0**	**96,3**	**97,7**	**99**	**99,3**	**98,9**	**95,6**	**91,4**	**86,9**		
Поправка на телесный угол DΩ, дБ	Ω = 12.57	10Lg(4π/Ω)	**0**	0	0	0	0	0	0	0	0		
Показатель направленности источника Di, дБ		исходные данные	**0**	0	0	0	0	0	0	0	0		

1		2	3	4	5	6	7	8	9	10	11	12	13
Поправка на направленность источника Dc, дБ	Dc	DΩ + Di	**0**	0	0	0	0	0	0	0	0		
Затухание из-за геометрической дивергенции, Adiv, дБ	расстояние = 618.96 м	ф-ла (7) [10]	**66,8**										
Коэффициент затухания звука в атмосфере α, дБ/км	Ta=20,°C Pa=101.33,кПа hотн.=70%	ф-ла (5) [9]	0,02	0,09	0,33	1,12	2,79	4,98	9,04	23,09	77,63		
Учет затухания звука в атмосфере Aatm, дБ		ф-ла (8) [10]	0	0,1	0,2	0,7	1,7	3,1	5,6	14,3	48,1		
Снижение уровня звукового давления из-за влияния застройки между источником шума и расчетной точкой													
Снижение уровня звукового давления препятствием слева от трассы ИШ-РТ, Dz2, дБ	z = -0.09м (разность путей)	ф-лы (14-18) [10]	4,3	3,7	2,4	0	NAN	NAN	NAN	NAN	NAN		
* отрицательное значение z означает прохождение траектории вблизи экрана, в этом случае дополнительно производится учёт снижения подстилающей поверхностью (см.ниже)													
Снижение поверхностью земли возле источника As, дБ	Gs = 0 hs = 1м	ф-лы таб.3 [10]	-1,5	-1,5	-1,5	-1,5	-1,5	-1,5	-1,5	-1,5	-1,5		
Снижение поверхностью земли возле приёмника Ar, дБ	Gr = 1 hr = 1.6м	ф-лы таб.3 [10]	-1,5	-1,5	3,7	6,8	4,3	0,5	0	0	0		
Снижение поверхностью земли в средней зоне, Am дБ	Gm = 1	ф-лы таб.3 [10]	-2,6	-2,6	0	0	0	0	0	0	0		
Суммарное снижение поверхностью земли на траектории распространения звука Agr, дБ		ф-ла (9) [10]	-5,6	-5,6	2,2	5,3	2,8	-1	-1,5	-1,5	-1,5		
Уровни звукового давления прямого звука от источника ИШ-6-21 в расчётной точке днём, дБ		**ф-ла(3)[10]**	**0**	**31,3**	**26,1**	**26,1**	**27,9**	**30**	**24,7**	**11,8**	**0**	**32,5**	**32,5**
Уровни звукового давления прямого звука от источника ИШ-6-21 в расчётной точке ночью, дБ		**ф-ла(3)[10]**	**0**	**31,3**	**26,1**	**26,1**	**27,9**	**30**	**24,7**	**11,8**	**0**	**32,5**	**32,5**
Расчёт отражённого звука													
Уровни звукового давления от мнимого источника ИШ-6-21_мн.(1) в расчётной точке днём, дБ		**ф-ла(3)[10]**	**0**	**0**	**22**	**15,8**	**16,6**	**25,4**	**22,2**	**9,2**	**0**	**27,8**	**27,8**
Уровни звукового давления от мнимого источника ИШ-6-21_мн.(1) в расчётной точке ночью, дБ		**ф-ла(3)[10]**	**0**	**0**	**0**	**0**	**0**	**0**	**0**	**0**	**0**	**27,8**	**27,8**
Уровни звукового давления от источника ИШ-6-21 в расчётной точке днём, дБ		**ф-ла(3)[10]**	**0**	**31,3**	**27,5**	**26,5**	**28,2**	**31,3**	**26,6**	**13,7**	**0**	**33,8**	**33,8**
Уровни звукового давления от источника ИШ-6-21 в расчётной точке ночью, дБ		**ф-ла(3)[10]**	**0**	**31,3**	**27,5**	**26,5**	**28,2**	**31,3**	**26,6**	**13,7**	**0**	**33,8**	**33,8**

1		2	3	4	5	6	7	8	9	10	11	12	13
Источник шума: ИШ-6-22, координаты источника (x,y,z), м =[800.65,-138.47,1.00]													
Уровни звуковой мощности источника днём, Lw, дБ		**исходные данные**	**0**	**96,3**	**97,7**	**99**	**99,3**	**98,9**	**95,6**	**91,4**	**86,9**		
Уровни звуковой мощности источника ночью, Lw, дБ		**исходные данные**	**0**	**96,3**	**97,7**	**99**	**99,3**	**98,9**	**95,6**	**91,4**	**86,9**		
Поправка на телесный угол DΩ, дБ	Ω = 12.57	10Lg(4π/Ω)	**0**	0	0	0	0	0	0	0	0		
Показатель направленности источника Di, дБ		исходные данные	**0**	0	0	0	0	0	0	0	0		
Поправка на направленность источника Dc, дБ	Dc	DΩ + Di	**0**	0	0	0	0	0	0	0	0		
Затухание из-за геометрической дивергенции, Adiv, дБ	расстояние = 617.71 м	ф-ла (7) [10]	**66,8**										
Коэффициент затухания звука в атмосфере α, дБ/км	Ta=20,°C Pa=101.33,кПа hотн.=70%	ф-ла (5) [9]	0,02	0,09	0,33	1,12	2,79	4,98	9,04	23,09	77,63		
Учет затухания звука в атмосфере Aatm, дБ		ф-ла (8) [10]	0	0,1	0,2	0,7	1,7	3,1	5,6	14,3	48		
Снижение уровня звукового давления из-за влияния застройки между источником шума и расчетной точкой													
Снижение уровня звукового давления препятствием слева от трассы ИШ-РТ, Dz2, дБ	z = -0.03м (разность путей)	ф-лы (14-18) [10]	4,6	4,4	4	3,1	0,4	NAN	NAN	NAN	NAN		
* отрицательное значение z означает прохождение траектории вблизи экрана, в этом случае дополнительно производится учёт снижения подстилающей поверхностью (см.ниже)													
Снижение поверхностью земли возле источника As, дБ	Gs = 0 hs = 1м	ф-лы таб.3 [10]	-1,5	-1,5	-1,5	-1,5	-1,5	-1,5	-1,5	-1,5	-1,5		
Снижение поверхностью земли возле приёмника Ar, дБ	Gr = 1 hr = 1.6м	ф-лы таб.3 [10]	-1,5	-1,5	3,7	6,8	4,3	0,5	0	0	0		
Снижение поверхностью земли в средней зоне, Am дБ	Gm = 1	ф-лы таб.3 [10]	-2,6	-2,6	0	0	0	0	0	0	0		
Суммарное снижение поверхностью земли на траектории распространения звука Agr, дБ		ф-ла (9) [10]	-5,6	-5,6	2,2	5,3	2,8	-1	-1,5	-1,5	-1,5		
Уровни звукового давления прямого звука от источника ИШ-6-22 в расчётной точке днём, дБ		**ф-ла(3)[10]**	**0**	**30,6**	**24,4**	**23**	**27,6**	**30**	**24,7**	**11,8**	**0**	**32,4**	**32,4**

1		2	3	4	5	6	7	8	9	10	11	12	13
Уровни звукового давления прямого звука от источника ИШ-6-22 в расчётной точке ночью, дБ		**ф-ла(3)[10]**	**0**	**30,6**	**24,4**	**23**	**27,6**	**30**	**24,7**	**11,8**	**0**	**32,4**	**32,4**
Расчёт отражённого звука													
Уровни звукового давления от мнимого источника ИШ-6-22_мн.(1) в расчётной точке днём, дБ		**ф-ла(3)[10]**	**0**	**0**	**22,1**	**15,8**	**16,6**	**25,5**	**22,2**	**9,3**	**0**	**27,9**	**27,9**
Уровни звукового давления от мнимого источника ИШ-6-22_мн.(1) в расчётной точке ночью, дБ		**ф-ла(3)[10]**	**0**	**0**	**0**	**0**	**0**	**0**	**0**	**0**	**0**	**27,9**	**27,9**
Уровни звукового давления от источника ИШ-6-22 в расчётной точке днём, дБ		**ф-ла(3)[10]**	**0**	**30,6**	**26,4**	**23,8**	**27,9**	**31,3**	**26,6**	**13,7**	**0**	**33,7**	**33,7**
Уровни звукового давления от источника ИШ-6-22 в расчётной точке ночью, дБ		**ф-ла(3)[10]**	**0**	**30,6**	**26,4**	**23,8**	**27,9**	**31,3**	**26,6**	**13,7**	**0**	**33,7**	**33,7**
Источник шума: ИШ-7-1, координаты источника (x,y,z), м =[821.44,63.31,1.00]													
Уровни звуковой мощности источника днём, Lw, дБ		**исходные данные**	**77**	**75**	**67**	**66**	**63**	**55**	**53**	**48**	**51**		
Уровни звуковой мощности источника ночью, Lw, дБ		**исходные данные**	**77**	**75**	**67**	**66**	**63**	**55**	**53**	**48**	**51**		
Поправка на телесный угол DΩ, дБ	Ω = 12.57	10Lg(4π/Ω)	**0**	0	0	0	0	0	0	0	0		
Показатель направленности источника Di, дБ		исходные данные	**0**	0	0	0	0	0	0	0	0		
Поправка на направленность источника Dc, дБ	Dc	DΩ + Di	**0**	0	0	0	0	0	0	0	0		
Затухание из-за геометрической дивергенции, Adiv, дБ	расстояние = 681.72 м	ф-ла (7) [10]	**67,7**										
Коэффициент затухания звука в атмосфере α, дБ/км	Ta=20,°C Pa=101.33,кПа hотн.=70%	ф-ла (5) [9]	0,02	0,09	0,33	1,12	2,79	4,98	9,04	23,09	77,63		
Учет затухания звука в атмосфере Aatm, дБ		ф-ла (8) [10]	0	0,1	0,2	0,8	1,9	3,4	6,2	15,7	52,9		
Снижение уровня звукового давления из-за влияния застройки между источником шума и расчетной точкой													

1		2	3	4	5	6	7	8	9	10	11	12	13
Снижение уровня звукового давления на пути над экраном, Dz1, дБ	z = 0.15м (разность путей)	ф-лы (14-18) [10]	4,8	4,8	4,8	4,8	4,8	4,8	4,8	4,9	5		
Уровни звукового давления от источника ИШ-7-1 в расчётной точке днём, дБ		**ф-ла(3)[10]**	**4,5**	**2,5**	**0**	**0**	**0**	**0**	**0**	**0**	**0**	**0**	**0**
Уровни звукового давления от источника ИШ-7-1 в расчётной точке ночью, дБ		**ф-ла(3)[10]**	**4,5**	**2,5**	**0**	**0**	**0**	**0**	**0**	**0**	**0**	**0**	**0**
Источник шума: ИШ-7-2, координаты источника (x,y,z), м =[768.90,-86.75,1.00]													
Уровни звуковой мощности источника днём, Lw, дБ		**исходные данные**	**77**	**75**	**67**	**66**	**63**	**55**	**53**	**48**	**51**		
Уровни звуковой мощности источника ночью, Lw, дБ		**исходные данные**	**77**	**75**	**67**	**66**	**63**	**55**	**53**	**48**	**51**		
Поправка на телесный угол DΩ, дБ	Ω = 12.57	10Lg(4π/Ω)	**0**	0	0	0	0	0	0	0	0		
Показатель направленности источника Di, дБ		исходные данные	**0**	0	0	0	0	0	0	0	0		
Поправка на направленность источника Dc, дБ	Dc	DΩ + Di	**0**	0	0	0	0	0	0	0	0		
Затухание из-за геометрической дивергенции, Adiv, дБ	расстояние = 591.87 м	ф-ла (7) [10]	**66,4**										
Коэффициент затухания звука в атмосфере α, дБ/км	Ta=20,°C Pa=101.33,кПа hотн.=70%	ф-ла (5) [9]	0,02	0,09	0,33	1,12	2,79	4,98	9,04	23,09	77,63		
Учет затухания звука в атмосфере Aatm, дБ		ф-ла (8) [10]	0	0,1	0,2	0,7	1,7	2,9	5,4	13,7	45,9		
Снижение уровня звукового давления из-за влияния застройки между источником шума и расчетной точкой													
Снижение уровня звукового давления на пути над экраном, Dz1, дБ	z = 0.26м (разность путей)	ф-лы (14-18) [10]	4,8	4,8	4,8	4,9	5,1	5,6	6,3	7,5	9,2		
Уровни звукового давления от источника ИШ-7-2 в расчётной точке днём, дБ		**ф-ла(3)[10]**	**5,8**	**3,7**	**0**	**0**	**0**	**0**	**0**	**0**	**0**	**0**	**0**
Уровни звукового давления от источника ИШ-7-2 в расчётной точке ночью, дБ		**ф-ла(3)[10]**	**5,8**	**3,7**	**0**	**0**	**0**	**0**	**0**	**0**	**0**	**0**	**0**

1		2	3	4	5	6	7	8	9	10	11	12	13
Источник шума: ИШ-7-3, координаты источника (x,y,z), м =[766.80,-93.20,1.00]													
Уровни звуковой мощности источника днём, Lw, дБ		**исходные данные**	**77**	**75**	**67**	**66**	**63**	**55**	**53**	**48**	**51**		
Уровни звуковой мощности источника ночью, Lw, дБ		**исходные данные**	**77**	**75**	**67**	**66**	**63**	**55**	**53**	**48**	**51**		
Поправка на телесный угол DΩ, дБ	Ω = 12.57	10Lg(4π/Ω)	**0**	0	0	0	0	0	0	0	0		
Показатель направленности источника Di, дБ		исходные данные	**0**	0	0	0	0	0	0	0	0		
Поправка на направленность источника Dc, дБ	Dc	DΩ + Di	**0**	0	0	0	0	0	0	0	0		
Затухание из-за геометрической дивергенции, Adiv, дБ	расстояние = 588.83 м	ф-ла (7) [10]	**66,4**										
Коэффициент затухания звука в атмосфере α, дБ/км	Ta=20,°C Pa=101.33,кПа hотн.=70%	ф-ла (5) [9]	0,02	0,09	0,33	1,12	2,79	4,98	9,04	23,09	77,63		
Учет затухания звука в атмосфере Aatm, дБ		ф-ла (8) [10]	0	0,1	0,2	0,7	1,6	2,9	5,3	13,6	45,7		
Снижение уровня звукового давления из-за влияния застройки между источником шума и расчетной точкой													
Снижение уровня звукового давления на пути над экраном, Dz1, дБ	z = 0.26м (разность путей)	ф-лы (14-18) [10]	4,8	4,8	4,8	4,9	4,9	5,2	5,9	7,2	9		
Уровни звукового давления от источника ИШ-7-3 в расчётной точке днём, дБ		**ф-ла(3)[10]**	**5,8**	**3,8**	**0**	**0**	**0**	**0**	**0**	**0**	**0**	**0**	**0**
Уровни звукового давления от источника ИШ-7-3 в расчётной точке ночью, дБ		**ф-ла(3)[10]**	**5,8**	**3,8**	**0**	**0**	**0**	**0**	**0**	**0**	**0**	**0**	**0**
Источник шума: ИШ-7-4, координаты источника (x,y,z), м =[866.76,37.18,1.00]													
Уровни звуковой мощности источника днём, Lw, дБ		**исходные данные**	**77**	**75**	**67**	**66**	**63**	**55**	**53**	**48**	**51**		
Уровни звуковой мощности источника ночью, Lw, дБ		**исходные данные**	**77**	**75**	**67**	**66**	**63**	**55**	**53**	**48**	**51**		

1		2	3	4	5	6	7	8	9	10	11	12	13
Поправка на телесный угол DΩ, дБ	Ω = 12.57	10Lg(4π/Ω)	**0**	0	0	0	0	0	0	0	0		
Показатель направленности источника Di, дБ		исходные данные	**0**	0	0	0	0	0	0	0	0		
Поправка на направленность источника Dc, дБ	Dc	DΩ + Di	**0**	0	0	0	0	0	0	0	0		
Затухание из-за геометрической дивергенции, Adiv, дБ	расстояние = 715.93 м	ф-ла (7) [10]	**68,1**										
Коэффициент затухания звука в атмосфере α, дБ/км	Ta=20,°C Pa=101.33,кПа hотн.=70%	ф-ла (5) [9]	0,02	0,09	0,33	1,12	2,79	4,98	9,04	23,09	77,63		
Учет затухания звука в атмосфере Aatm, дБ		ф-ла (8) [10]	0	0,1	0,2	0,8	2	3,6	6,5	16,5	55,6		
Снижение уровня звукового давления из-за влияния застройки между источником шума и расчетной точкой													
Снижение уровня звукового давления на пути над экраном, Dz1, дБ	z = 0.13м (разность путей)	ф-лы (14-18) [10]	4,8	4,8	4,8	4,8	4,8	4,8	4,8	4,8	4,8		
Уровни звукового давления от источника ИШ-7-4 в расчётной точке днём, дБ		**ф-ла(3)[10]**	**4,1**	**2,1**	**0**	**0**	**0**	**0**	**0**	**0**	**0**	**0**	**0**
Уровни звукового давления от источника ИШ-7-4 в расчётной точке ночью, дБ		**ф-ла(3)[10]**	**4,1**	**2,1**	**0**	**0**	**0**	**0**	**0**	**0**	**0**	**0**	**0**
Источник шума: ИШ-7-5, координаты источника (x,y,z), м =[861.80,21.34,1.00]													
Уровни звуковой мощности источника днём, Lw, дБ		**исходные данные**	**77**	**75**	**67**	**66**	**63**	**55**	**53**	**48**	**51**		
Уровни звуковой мощности источника ночью, Lw, дБ		**исходные данные**	**77**	**75**	**67**	**66**	**63**	**55**	**53**	**48**	**51**		
Поправка на телесный угол DΩ, дБ	Ω = 12.57	10Lg(4π/Ω)	**0**	0	0	0	0	0	0	0	0		
Показатель направленности источника Di, дБ		исходные данные	**0**	0	0	0	0	0	0	0	0		
Поправка на направленность источника Dc, дБ	Dc	DΩ + Di	**0**	0	0	0	0	0	0	0	0		

1		2	3	4	5	6	7	8	9	10	11	12	13
Затухание из-за геометрической дивергенции, Adiv, дБ	расстояние = 706.55 м	ф-ла (7) [10]	**68**										
Коэффициент затухания звука в атмосфере α, дБ/км	Ta=20,°C Pa=101.33,кПа hотн.=70%	ф-ла (5) [9]	0,02	0,09	0,33	1,12	2,79	4,98	9,04	23,09	77,63		
Учет затухания звука в атмосфере Aatm, дБ		ф-ла (8) [10]	0	0,1	0,2	0,8	2	3,5	6,4	16,3	54,9		
Снижение уровня звукового давления из-за влияния застройки между источником шума и расчетной точкой													
Снижение уровня звукового давления на пути над экраном, Dz1, дБ	z = 0.13м (разность путей)	ф-лы (14-18) [10]	4,8	4,8	4,8	4,8	4,8	4,8	4,8	4,8	4,9		
Уровни звукового давления от источника ИШ-7-5 в расчётной точке днём, дБ		**ф-ла(3)[10]**	**4,2**	**2,2**	**0**	**0**	**0**	**0**	**0**	**0**	**0**	**0**	**0**
Уровни звукового давления от источника ИШ-7-5 в расчётной точке ночью, дБ		**ф-ла(3)[10]**	**4,2**	**2,2**	**0**	**0**	**0**	**0**	**0**	**0**	**0**	**0**	**0**
Источник шума: ИШ-7-6, координаты источника (x,y,z), м =[856.52,5.94,1.00]													
Уровни звуковой мощности источника днём, Lw, дБ		**исходные данные**	**77**	**75**	**67**	**66**	**63**	**55**	**53**	**48**	**51**		
Уровни звуковой мощности источника ночью, Lw, дБ		**исходные данные**	**77**	**75**	**67**	**66**	**63**	**55**	**53**	**48**	**51**		
Поправка на телесный угол DΩ, дБ	Ω = 12.57	10Lg(4π/Ω)	**0**	0	0	0	0	0	0	0	0		
Показатель направленности источника Di, дБ		исходные данные	**0**	0	0	0	0	0	0	0	0		
Поправка на направленность источника Dc, дБ	Dc	DΩ + Di	**0**	0	0	0	0	0	0	0	0		
Затухание из-за геометрической дивергенции, Adiv, дБ	расстояние = 697.24 м	ф-ла (7) [10]	**67,9**										
Коэффициент затухания звука в атмосфере α, дБ/км	Ta=20,°C Pa=101.33,кПа hотн.=70%	ф-ла (5) [9]	0,02	0,09	0,33	1,12	2,79	4,98	9,04	23,09	77,63		
Учет затухания звука в атмосфере Aatm, дБ		ф-ла (8) [10]	0	0,1	0,2	0,8	1,9	3,5	6,3	16,1	54,1		

1		2	3	4	5	6	7	8	9	10	11	12	13
Снижение уровня звукового давления из-за влияния застройки между источником шума и расчетной точкой													
Снижение уровня звукового давления на пути над экраном, Dz1, дБ	z = 0.14м (разность путей)	ф-лы (14-18) [10]	4,8	4,8	4,8	4,8	4,8	4,8	4,8	4,8	4,9		
Уровни звукового давления от источника ИШ-7-6 в расчётной точке днём, дБ		**ф-ла(3)[10]**	**4,3**	**2,3**	**0**	**0**	**0**	**0**	**0**	**0**	**0**	**0**	**0**
Уровни звукового давления от источника ИШ-7-6 в расчётной точке ночью, дБ		**ф-ла(3)[10]**	**4,3**	**2,3**	**0**	**0**	**0**	**0**	**0**	**0**	**0**	**0**	**0**
Источник шума: ИШ-7-7, координаты источника (x,y,z), м =[851.06,-9.89,1.00]													
Уровни звуковой мощности источника днём, Lw, дБ		**исходные данные**	**77**	**75**	**67**	**66**	**63**	**55**	**53**	**48**	**51**		
Уровни звуковой мощности источника ночью, Lw, дБ		**исходные данные**	**77**	**75**	**67**	**66**	**63**	**55**	**53**	**48**	**51**		
Поправка на телесный угол DΩ, дБ	Ω = 12.57	10Lg(4π/Ω)	**0**	0	0	0	0	0	0	0	0		
Показатель направленности источника Di, дБ		исходные данные	**0**	0	0	0	0	0	0	0	0		
Поправка на направленность источника Dc, дБ	Dc	DΩ + Di	**0**	0	0	0	0	0	0	0	0		
Затухание из-за геометрической дивергенции, Adiv, дБ	расстояние = 687.91 м	ф-ла (7) [10]	**67,8**										
Коэффициент затухания звука в атмосфере α, дБ/км	Ta=20,°C Pa=101.33,кПа hотн.=70%	ф-ла (5) [9]	0,02	0,09	0,33	1,12	2,79	4,98	9,04	23,09	77,63		
Учет затухания звука в атмосфере Aatm, дБ		ф-ла (8) [10]	0	0,1	0,2	0,8	1,9	3,4	6,2	15,9	53,4		
Снижение поверхностью земли возле источника As, дБ	Gs = 0 hs = 1м	ф-лы таб.3 [10]	-1,5	-1,5	-1,5	-1,5	-1,5	-1,5	-1,5	-1,5	-1,5		
Снижение поверхностью земли возле приёмника Ar, дБ	Gr = 1 hr = 1.6м	ф-лы таб.3 [10]	-1,5	-1,5	4,1	6,8	4,3	0,5	0	0	0		
Снижение поверхностью земли в средней зоне, Am дБ	Gm = 1	ф-лы таб.3 [10]	-2,7	-2,7	0	0	0	0	0	0	0		

1		2	3	4	5	6	7	8	9	10	11	12	13
Суммарное снижение поверхностью земли на траектории распространения звука Agr, дБ		ф-ла (9) [10]	-5,7	-5,7	2,6	5,3	2,8	-1	-1,5	-1,5	-1,5		
Уровни звукового давления от источника ИШ-7-7 в расчётной точке днём, дБ		**ф-ла(3)[10]**	**14,9**	**12,8**	**0**	**0**	**0**	**0**	**0**	**0**	**0**	**0**	**0**
Уровни звукового давления от источника ИШ-7-7 в расчётной точке ночью, дБ		**ф-ла(3)[10]**	**14,9**	**12,8**	**0**	**0**	**0**	**0**	**0**	**0**	**0**	**0**	**0**
Источник шума: ИШ-7-8, координаты источника (x,y,z), м =[821.90,-104.30,1.00]													
Уровни звуковой мощности источника днём, Lw, дБ		**исходные данные**	**77**	**75**	**67**	**66**	**63**	**55**	**53**	**48**	**51**		
Уровни звуковой мощности источника ночью, Lw, дБ		**исходные данные**	**77**	**75**	**67**	**66**	**63**	**55**	**53**	**48**	**51**		
Поправка на телесный угол DΩ, дБ	Ω = 12.57	10Lg(4π/Ω)	**0**	0	0	0	0	0	0	0	0		
Показатель направленности источника Di, дБ		исходные данные	**0**	0	0	0	0	0	0	0	0		
Поправка на направленность источника Dc, дБ	Dc	DΩ + Di	**0**	0	0	0	0	0	0	0	0		
Затухание из-за геометрической дивергенции, Adiv, дБ	расстояние = 642.00 м	ф-ла (7) [10]	**67,2**										
Коэффициент затухания звука в атмосфере α, дБ/км	Ta=20,°C Pa=101.33,кПа hотн.=70%	ф-ла (5) [9]	0,02	0,09	0,33	1,12	2,79	4,98	9,04	23,09	77,63		
Учет затухания звука в атмосфере Aatm, дБ		ф-ла (8) [10]	0	0,1	0,2	0,7	1,8	3,2	5,8	14,8	49,8		
Снижение поверхностью земли возле источника As, дБ	Gs = 0 hs = 1м	ф-лы таб.3 [10]	-1,5	-1,5	-1,5	-1,5	-1,5	-1,5	-1,5	-1,5	-1,5		
Снижение поверхностью земли возле приёмника Ar, дБ	Gr = 1 hr = 1.6м	ф-лы таб.3 [10]	-1,5	-1,5	3,8	6,8	4,3	0,5	0	0	0		
Снижение поверхностью земли в средней зоне, Am дБ	Gm = 1	ф-лы таб.3 [10]	-2,6	-2,6	0	0	0	0	0	0	0		
Суммарное снижение поверхностью земли на траектории распространения звука Agr, дБ		ф-ла (9) [10]	-5,6	-5,6	2,3	5,3	2,8	-1	-1,5	-1,5	-1,5		

1		2	3	4	5	6	7	8	9	10	11	12	13
Уровни звукового давления от источника ИШ-7-8 в расчётной точке днём, дБ		**ф-ла(3)[10]**	**15,5**	**13,4**	**0**	**0**	**0**	**0**	**0**	**0**	**0**	**0**	**0**
Уровни звукового давления от источника ИШ-7-8 в расчётной точке ночью, дБ		**ф-ла(3)[10]**	**15,5**	**13,4**	**0**	**0**	**0**	**0**	**0**	**0**	**0**	**0**	**0**
Источник шума: ИШ-7-9, координаты источника (x,y,z), м =[819.93,-110.97,1.00]													
Уровни звуковой мощности источника днём, Lw, дБ		**исходные данные**	**77**	**75**	**67**	**66**	**63**	**55**	**53**	**48**	**51**		
Уровни звуковой мощности источника ночью, Lw, дБ		**исходные данные**	**77**	**75**	**67**	**66**	**63**	**55**	**53**	**48**	**51**		
Поправка на телесный угол DΩ, дБ	Ω = 12.57	10Lg(4π/Ω)	**0**	0	0	0	0	0	0	0	0		
Показатель направленности источника Di, дБ		исходные данные	**0**	0	0	0	0	0	0	0	0		
Поправка на направленность источника Dc, дБ	Dc	DΩ + Di	**0**	0	0	0	0	0	0	0	0		
Затухание из-за геометрической дивергенции, Adiv, дБ	расстояние = 639.30 м	ф-ла (7) [10]	**67,1**										
Коэффициент затухания звука в атмосфере α, дБ/км	Ta=20,°C Pa=101.33,кПа hотн.=70%	ф-ла (5) [9]	0,02	0,09	0,33	1,12	2,79	4,98	9,04	23,09	77,63		
Учет затухания звука в атмосфере Aatm, дБ		ф-ла (8) [10]	0	0,1	0,2	0,7	1,8	3,2	5,8	14,8	49,6		
Снижение поверхностью земли возле источника As, дБ	Gs = 0 hs = 1м	ф-лы таб.3 [10]	-1,5	-1,5	-1,5	-1,5	-1,5	-1,5	-1,5	-1,5	-1,5		
Снижение поверхностью земли возле приёмника Ar, дБ	Gr = 1 hr = 1.6м	ф-лы таб.3 [10]	-1,5	-1,5	3,8	6,8	4,3	0,5	0	0	0		
Снижение поверхностью земли в средней зоне, Am дБ	Gm = 1	ф-лы таб.3 [10]	-2,6	-2,6	0	0	0	0	0	0	0		
Суммарное снижение поверхностью земли на траектории распространения звука Agr, дБ		ф-ла (9) [10]	-5,6	-5,6	2,3	5,3	2,8	-1	-1,5	-1,5	-1,5		
Уровни звукового давления от источника ИШ-7-9 в расчётной точке днём, дБ		**ф-ла(3)[10]**	**15,5**	**13,5**	**0**	**0**	**0**	**0**	**0**	**0**	**0**	**0**	**0**

1		2	3	4	5	6	7	8	9	10	11	12	13
Уровни звукового давления от источника ИШ-7-9 в расчётной точке ночью, дБ		**ф-ла(3)[10]**	**15,5**	**13,5**	**0**	**0**	**0**	**0**	**0**	**0**	**0**	**0**	**0**
Источник шума: ИШ-7-10, координаты источника (x,y,z), м =[868.68,92.66,1.00]													
Уровни звуковой мощности источника днём, Lw, дБ		**исходные данные**	**77**	**75**	**67**	**66**	**63**	**55**	**53**	**48**	**51**		
Уровни звуковой мощности источника ночью, Lw, дБ		**исходные данные**	**77**	**75**	**67**	**66**	**63**	**55**	**53**	**48**	**51**		
Поправка на телесный угол DΩ, дБ	Ω = 12.57	10Lg(4π/Ω)	**0**	0	0	0	0	0	0	0	0		
Показатель направленности источника Di, дБ		исходные данные	**0**	0	0	0	0	0	0	0	0		
Поправка на направленность источника Dc, дБ	Dc	DΩ + Di	**0**	0	0	0	0	0	0	0	0		
Затухание из-за геометрической дивергенции, Adiv, дБ	расстояние = 736.37 м	ф-ла (7) [10]	**68,3**										
Коэффициент затухания звука в атмосфере α, дБ/км	Ta=20,°C Pa=101.33,кПа hотн.=70%	ф-ла (5) [9]	0,02	0,09	0,33	1,12	2,79	4,98	9,04	23,09	77,63		
Учет затухания звука в атмосфере Aatm, дБ		ф-ла (8) [10]	0	0,1	0,2	0,8	2,1	3,7	6,7	17	57,2		
Снижение уровня звукового давления из-за влияния застройки между источником шума и расчетной точкой													
Снижение уровня звукового давления на пути над экраном, Dz1, дБ	z = 0.09м (разность путей)	ф-лы (14-18) [10]	4,8	4,8	4,8	4,8	4,8	4,8	4,8	4,8	4,8		
Уровни звукового давления от источника ИШ-7-10 в расчётной точке днём, дБ		**ф-ла(3)[10]**	**3,9**	**1,8**	**0**	**0**	**0**	**0**	**0**	**0**	**0**	**0**	**0**
Уровни звукового давления от источника ИШ-7-10 в расчётной точке ночью, дБ		**ф-ла(3)[10]**	**3,9**	**1,8**	**0**	**0**	**0**	**0**	**0**	**0**	**0**	**0**	**0**
Источник шума: ИШ-7-11, координаты источника (x,y,z), м =[877.95,88.75,1.00]													
Уровни звуковой мощности источника днём, Lw, дБ		**исходные данные**	**77**	**75**	**67**	**66**	**63**	**55**	**53**	**48**	**51**		

1		2	3	4	5	6	7	8	9	10	11	12	13
Уровни звуковой мощности источника ночью, Lw, дБ		**исходные данные**	**77**	**75**	**67**	**66**	**63**	**55**	**53**	**48**	**51**		
Поправка на телесный угол DΩ, дБ	Ω = 12.57	10Lg(4π/Ω)	**0**	0	0	0	0	0	0	0	0		
Показатель направленности источника Di, дБ		исходные данные	**0**	0	0	0	0	0	0	0	0		
Поправка на направленность источника Dc, дБ	Dc	DΩ + Di	**0**	0	0	0	0	0	0	0	0		
Затухание из-за геометрической дивергенции, Adiv, дБ	расстояние = 743.59 м	ф-ла (7) [10]	**68,4**										
Коэффициент затухания звука в атмосфере α, дБ/км	Ta=20,°C Pa=101.33,кПа hотн.=70%	ф-ла (5) [9]	0,02	0,09	0,33	1,12	2,79	4,98	9,04	23,09	77,63		
Учет затухания звука в атмосфере Aatm, дБ		ф-ла (8) [10]	0	0,1	0,2	0,8	2,1	3,7	6,7	17,2	57,7		
Снижение уровня звукового давления из-за влияния застройки между источником шума и расчетной точкой													
Снижение уровня звукового давления на пути над экраном, Dz1, дБ	z = 0.13м (разность путей)	ф-лы (14-18) [10]	4,8	4,8	4,8	4,8	4,8	4,8	4,8	4,8	4,8		
Уровни звукового давления от источника ИШ-7-11 в расчётной точке днём, дБ		**ф-ла(3)[10]**	**3,8**	**1,7**	**0**	**0**	**0**	**0**	**0**	**0**	**0**	**0**	**0**
Уровни звукового давления от источника ИШ-7-11 в расчётной точке ночью, дБ		**ф-ла(3)[10]**	**3,8**	**1,7**	**0**	**0**	**0**	**0**	**0**	**0**	**0**	**0**	**0**
Источник шума: ИШ-7-12, координаты источника (x,y,z), м =[887.42,85.45,1.00]													
Уровни звуковой мощности источника днём, Lw, дБ		**исходные данные**	**77**	**75**	**67**	**66**	**63**	**55**	**53**	**48**	**51**		
Уровни звуковой мощности источника ночью, Lw, дБ		**исходные данные**	**77**	**75**	**67**	**66**	**63**	**55**	**53**	**48**	**51**		
Поправка на телесный угол DΩ, дБ	Ω = 12.57	10Lg(4π/Ω)	**0**	0	0	0	0	0	0	0	0		
Показатель направленности источника Di, дБ		исходные данные	**0**	0	0	0	0	0	0	0	0		

1		2	3	4	5	6	7	8	9	10	11	12	13
Поправка на направленность источника Dc, дБ	Dc	DΩ + Di	**0**	0	0	0	0	0	0	0	0		
Затухание из-за геометрической дивергенции, Adiv, дБ	расстояние = 751.26 м	ф-ла (7) [10]	**68,5**										
Коэффициент затухания звука в атмосфере α, дБ/км	Ta=20,°C Pa=101.33,кПа hотн.=70%	ф-ла (5) [9]	0,02	0,09	0,33	1,12	2,79	4,98	9,04	23,09	77,63		
Учет затухания звука в атмосфере Aatm, дБ		ф-ла (8) [10]	0	0,1	0,3	0,8	2,1	3,7	6,8	17,3	58,3		
Снижение уровня звукового давления из-за влияния застройки между источником шума и расчетной точкой													
Снижение уровня звукового давления на пути над экраном, Dz1, дБ	z = 0.12м (разность путей)	ф-лы (14-18) [10]	4,8	4,8	4,8	4,8	4,8	4,8	4,8	4,8	4,8		
Уровни звукового давления от источника ИШ-7-12 в расчётной точке днём, дБ		**ф-ла(3)[10]**	**3,7**	**1,6**	**0**	**0**	**0**	**0**	**0**	**0**	**0**	**0**	**0**
Уровни звукового давления от источника ИШ-7-12 в расчётной точке ночью, дБ		**ф-ла(3)[10]**	**3,7**	**1,6**	**0**	**0**	**0**	**0**	**0**	**0**	**0**	**0**	**0**
Источник шума: ИШ-6-23, координаты источника (x,y,z), м =[756.16,-136.23,3.00]													
Уровни звуковой мощности источника днём, Lw, дБ		**исходные данные**	**91**	**91**	**91**	**91**	**91**	**91**	**91**	**91**	**91**		
Уровни звуковой мощности источника ночью, Lw, дБ		**исходные данные**	**91**	**91**	**91**	**91**	**91**	**91**	**91**	**91**	**91**		
Поправка на телесный угол DΩ, дБ	Ω = 12.57	10Lg(4π/Ω)	**0**	0	0	0	0	0	0	0	0		
Показатель направленности источника Di, дБ		исходные данные	**0**	0	0	0	0	0	0	0	0		
Поправка на направленность источника Dc, дБ	Dc	DΩ + Di	**0**	0	0	0	0	0	0	0	0		
Затухание из-за геометрической дивергенции, Adiv, дБ	расстояние = 573.49 м	ф-ла (7) [10]	**66,2**										
Коэффициент затухания звука в атмосфере α, дБ/км	Ta=20,°C Pa=101.33,кПа hотн.=70%	ф-ла (5) [9]	0,02	0,09	0,33	1,12	2,79	4,98	9,04	23,09	77,63		

1		2	3	4	5	6	7	8	9	10	11	12	13
Учет затухания звука в атмосфере Aatm, дБ		ф-ла (8) [10]	0	0,1	0,2	0,6	1,6	2,9	5,2	13,2	44,5		
Снижение поверхностью земли возле источника As, дБ	Gs = 0 hs = 3м	ф-лы таб.3 [10]	-1,5	-1,5	-1,5	-1,5	-1,5	-1,5	-1,5	-1,5	-1,5		
Снижение поверхностью земли возле приёмника Ar, дБ	Gr = 1 hr = 1.6м	ф-лы таб.3 [10]	-1,5	-1,5	3,5	6,8	4,3	0,5	0	0	0		
Снижение поверхностью земли в средней зоне, Am дБ	Gm = 1	ф-лы таб.3 [10]	-2,3	-2,3	0	0	0	0	0	0	0		
Суммарное снижение поверхностью земли на траектории распространения звука Agr, дБ		ф-ла (9) [10]	-5,3	-5,3	2	5,3	2,8	-1	-1,5	-1,5	-1,5		
Уровни звукового давления прямого звука от источника ИШ-6-23 в расчётной точке днём, дБ		**ф-ла(3)[10]**	**30,1**	**30**	**22,7**	**18,8**	**20,4**	**23**	**21,1**	**13,1**	**0**	**26,7**	**26,7**
Уровни звукового давления прямого звука от источника ИШ-6-23 в расчётной точке ночью, дБ		**ф-ла(3)[10]**	**30,1**	**30**	**22,7**	**18,8**	**20,4**	**23**	**21,1**	**13,1**	**0**	**26,7**	**26,7**
Расчёт отражённого звука													
Уровни звукового давления от мнимого источника ИШ-6-23_мн.(1) в расчётной точке днём, дБ		**ф-ла(3)[10]**	**0**	**0**	**16,8**	**12,5**	**17,7**	**20,5**	**18,6**	**10,6**	**0**	**24**	**24**
Уровни звукового давления от мнимого источника ИШ-6-23_мн.(1) в расчётной точке ночью, дБ		**ф-ла(3)[10]**	**0**	**0**	**0**	**0**	**0**	**0**	**0**	**0**	**0**	**24**	**24**
Уровни звукового давления от источника ИШ-6-23 в расчётной точке днём, дБ		**ф-ла(3)[10]**	**30,1**	**30**	**23,7**	**19,8**	**22,3**	**24,9**	**23,1**	**15**	**0**	**28,6**	**28,6**
Уровни звукового давления от источника ИШ-6-23 в расчётной точке ночью, дБ		**ф-ла(3)[10]**	**30,1**	**30**	**23,7**	**19,8**	**22,3**	**24,9**	**23,1**	**15**	**0**	**28,6**	**28,6**
Источник шума: ИШ-6-24, координаты источника (x,y,z), м =[800.98,-151.27,3.00]													
Уровни звуковой мощности источника днём, Lw, дБ		**исходные данные**	**91**	**91**	**91**	**91**	**91**	**91**	**91**	**91**	**91**		
Уровни звуковой мощности источника ночью, Lw, дБ		**исходные данные**	**91**	**91**	**91**	**91**	**91**	**91**	**91**	**91**	**91**		
Поправка на телесный угол DΩ, дБ	Ω = 12.57	10Lg(4π/Ω)	**0**	0	0	0	0	0	0	0	0		
Показатель направленности источника Di, дБ		исходные данные	**0**	0	0	0	0	0	0	0	0		

1		2	3	4	5	6	7	8	9	10	11	12	13
Поправка на направленность источника Dc, дБ	Dc	DΩ + Di	**0**	0	0	0	0	0	0	0	0		
Затухание из-за геометрической дивергенции, Adiv, дБ	расстояние = 617.34 м	ф-ла (7) [10]	**66,8**										
Коэффициент затухания звука в атмосфере α, дБ/км	Ta=20,°C Pa=101.33,кПа hотн.=70%	ф-ла (5) [9]	0,02	0,09	0,33	1,12	2,79	4,98	9,04	23,09	77,63		
Учет затухания звука в атмосфере Aatm, дБ		ф-ла (8) [10]	0	0,1	0,2	0,7	1,7	3,1	5,6	14,3	47,9		
Снижение уровня звукового давления из-за влияния застройки между источником шума и расчетной точкой													
Снижение уровня звукового давления на пути над экраном, Dz1, дБ	z = 0.01м (разность путей)	ф-лы (14-18) [10]	4,8	4,8	4,8	4,8	4,8	4,8	4,8	4,8	4,8		
Снижение уровня звукового давления на пути слева от экрана, Dz2, дБ	z = 1.55м (разность путей)	ф-лы (14-18) [10]	9,4	11,6	14,1	16,9	19,7	22,7	25,7	28,6	31,6		
Снижение уровня звукового давления на пути справа от экрана, Dz3, дБ	z = 0.10м (разность путей)	ф-лы (14-18) [10]	5,3	5,7	6,5	7,7	9,4	11,6	14,2	16,9	19,8		
Общее снижение уровня звука препятствием Dz, дБ		Эн.сумма(-Dzi)	1,3	1,7	2,2	2,8	3,4	3,9	4,3	4,5	4,6		
Уровни звукового давления от источника ИШ-6-24 в расчётной точке днём, дБ		**ф-ла(3)[10]**	**22,9**	**22,4**	**21,7**	**20,7**	**19,1**	**17,2**	**14,3**	**5,4**	**0**	**21,8**	**21,8**
Уровни звукового давления от источника ИШ-6-24 в расчётной точке ночью, дБ		**ф-ла(3)[10]**	**22,9**	**22,4**	**21,7**	**20,7**	**19,1**	**17,2**	**14,3**	**5,4**	**0**	**21,8**	**21,8**
Источник шума: ИШ-8-1, координаты источника (x,y,z), м =[612.60,-227.70,3.00]													
Уровни звуковой мощности источника днём, Lw, дБ		**исходные данные**	**105**	**104**	**104**	**101**	**102**	**106**	**101**	**95**	**87**		
Уровни звуковой мощности источника ночью, Lw, дБ		**исходные данные**	**105**	**104**	**104**	**101**	**102**	**106**	**101**	**95**	**87**		
Поправка на телесный угол DΩ, дБ	Ω = 6.28	10Lg(4π/Ω)	**3**	3	3	3	3	3	3	3	3		
Показатель направленности источника Di, дБ		исходные данные	**0**	0	0	0	0	0	0	0	0		

1		2	3	4	5	6	7	8	9	10	11	12	13
Поправка на направленность источника Dc, дБ	Dc	DΩ + Di	**3**	3	3	3	3	3	3	3	3		
Затухание из-за геометрической дивергенции, Adiv, дБ	расстояние = 431.09 м	ф-ла (7) [10]	**63,7**										
Коэффициент затухания звука в атмосфере α, дБ/км	Ta=20,°C Pa=101.33,кПа hотн.=70%	ф-ла (5) [9]	0,02	0,09	0,33	1,12	2,79	4,98	9,04	23,09	77,63		
Учет затухания звука в атмосфере Aatm, дБ		ф-ла (8) [10]	0	0	0,1	0,5	1,2	2,1	3,9	10	33,5		
Снижение поверхностью земли возле источника As, дБ	Gs = 0 hs = 3м	ф-лы таб.3 [10]	-1,5	-1,5	-1,5	-1,5	-1,5	-1,5	-1,5	-1,5	-1,5		
Снижение поверхностью земли возле приёмника Ar, дБ	Gr = 1 hr = 1.6м	ф-лы таб.3 [10]	-1,5	-1,5	2,6	6,8	4,3	0,5	0	0	0		
Снижение поверхностью земли в средней зоне, Am дБ	Gm = 1	ф-лы таб.3 [10]	-2	-2	0	0	0	0	0	0	0		
Суммарное снижение поверхностью земли на траектории распространения звука Agr, дБ		ф-ла (9) [10]	-5	-5	1,1	5,3	2,8	-1	-1,5	-1,5	-1,5		
Уровни звукового давления прямого звука от источника ИШ-8-1 в расчётной точке днём, дБ		**ф-ла(3)[10]**	**49,4**	**48,3**	**42,1**	**34,5**	**37,3**	**44,2**	**37,9**	**25,9**	**0**	**45,8**	**45,8**
Уровни звукового давления прямого звука от источника ИШ-8-1 в расчётной точке ночью, дБ		**ф-ла(3)[10]**	**49,4**	**48,3**	**42,1**	**34,5**	**37,3**	**44,2**	**37,9**	**25,9**	**0**	**45,8**	**45,8**
Расчёт отражённого звука													
Уровни звукового давления от мнимого источника ИШ-8-1_мн.(1) в расчётной точке днём, дБ		**ф-ла(3)[10]**	**0**	**0**	**36,7**	**28,2**	**34,6**	**41,7**	**35,4**	**23,4**	**0**	**43,3**	**43,3**
Уровни звукового давления от мнимого источника ИШ-8-1_мн.(1) в расчётной точке ночью, дБ		**ф-ла(3)[10]**	**0**	**0**	**0**	**0**	**0**	**0**	**0**	**0**	**0**	**43,3**	**43,3**
Уровни звукового давления от источника ИШ-8-1 в расчётной точке днём, дБ		**ф-ла(3)[10]**	**49,4**	**48,3**	**43,2**	**35,4**	**39,2**	**46,1**	**39,9**	**27,8**	**0**	**47,7**	**47,7**
Уровни звукового давления от источника ИШ-8-1 в расчётной точке ночью, дБ		**ф-ла(3)[10]**	**49,4**	**48,3**	**43,2**	**35,4**	**39,2**	**46,1**	**39,9**	**27,8**	**0**	**47,7**	**47,7**
Источник шума: ИШ-8-2, координаты источника (x,y,z), м =[596.60,-275.00,3.00]													

1		2	3	4	5	6	7	8	9	10	11	12	13
Уровни звуковой мощности источника днём, Lw, дБ		**исходные данные**	**105**	**104**	**104**	**101**	**102**	**106**	**101**	**95**	**87**		
Уровни звуковой мощности источника ночью, Lw, дБ		**исходные данные**	**105**	**104**	**104**	**101**	**102**	**106**	**101**	**95**	**87**		
Поправка на телесный угол DΩ, дБ	Ω = 6.28	10Lg(4π/Ω)	**3**	3	3	3	3	3	3	3	3		
Показатель направленности источника Di, дБ		исходные данные	**0**	0	0	0	0	0	0	0	0		
Поправка на направленность источника Dc, дБ	Dc	DΩ + Di	**3**	3	3	3	3	3	3	3	3		
Затухание из-за геометрической дивергенции, Adiv, дБ	расстояние = 423.35 м	ф-ла (7) [10]	**63,5**										
Коэффициент затухания звука в атмосфере α, дБ/км	Ta=20,°C Pa=101.33,кПа hотн.=70%	ф-ла (5) [9]	0,02	0,09	0,33	1,12	2,79	4,98	9,04	23,09	77,63		
Учет затухания звука в атмосфере Aatm, дБ		ф-ла (8) [10]	0	0	0,1	0,5	1,2	2,1	3,8	9,8	32,9		
Снижение уровня звукового давления из-за влияния застройки между источником шума и расчетной точкой													
Снижение уровня звукового давления на пути над экраном, Dz1, дБ	z = 0.02м (разность путей)	ф-лы (14-18) [10]	4,8	4,8	4,8	4,8	4,8	4,8	4,8	4,8	4,8		
Снижение уровня звукового давления на пути слева от экрана, Dz2, дБ	z = 22.95м (разность путей)	ф-лы (14-18) [10]	23,2	26,8	30	33,1	36,1	39,1	42,1	45,1	48,1		
Снижение уровня звукового давления на пути справа от экрана, Dz3, дБ	z = 0.14м (разность путей)	ф-лы (14-18) [10]	5,5	6,1	7,1	8,5	10,5	12,9	15,6	18,4	21,3		
Общее снижение уровня звука препятствием Dz, дБ		Эн.сумма(-Dzi)	2,1	2,3	2,7	3,2	3,7	4,2	4,4	4,6	4,7		
Уровни звукового давления прямого звука от источника ИШ-8-2 в расчётной точке днём, дБ		**ф-ла(3)[10]**	**42,4**	**41,1**	**40,6**	**36,8**	**36,6**	**39,2**	**32,2**	**20,1**	**0**	**41,4**	**41,4**
Уровни звукового давления прямого звука от источника ИШ-8-2 в расчётной точке ночью, дБ		**ф-ла(3)[10]**	**42,4**	**41,1**	**40,6**	**36,8**	**36,6**	**39,2**	**32,2**	**20,1**	**0**	**41,4**	**41,4**
Расчёт отражённого звука													
Уровни звукового давления от мнимого источника ИШ-8-2_мн.(1) в расчётной точке днём, дБ		**ф-ла(3)[10]**	**0**	**0**	**0**	**0**	**0**	**0**	**0**	**21,5**	**0**	**22,5**	**22,5**

1		2	3	4	5	6	7	8	9	10	11	12	13
Уровни звукового давления от мнимого источника ИШ-8-2_мн.(1) в расчётной точке ночью, дБ		**ф-ла(3)[10]**	**0**	**0**	**0**	**0**	**0**	**0**	**0**	**0**	**0**	**22,5**	**22,5**
Уровни звукового давления от источника ИШ-8-2 в расчётной точке днём, дБ		**ф-ла(3)[10]**	**42,4**	**41,1**	**40,6**	**36,8**	**36,6**	**39,2**	**32,2**	**23,9**	**0**	**41,5**	**41,5**
Уровни звукового давления от источника ИШ-8-2 в расчётной точке ночью, дБ		**ф-ла(3)[10]**	**42,4**	**41,1**	**40,6**	**36,8**	**36,6**	**39,2**	**32,2**	**23,9**	**0**	**41,5**	**41,5**
Источник шума: ИШ-8-3, координаты источника (x,y,z), м =[564.90,-369.90,3.00]													
Уровни звуковой мощности источника днём, Lw, дБ		**исходные данные**	**105**	**104**	**104**	**101**	**102**	**106**	**101**	**95**	**87**		
Уровни звуковой мощности источника ночью, Lw, дБ		**исходные данные**	**105**	**104**	**104**	**101**	**102**	**106**	**101**	**95**	**87**		
Поправка на телесный угол DΩ, дБ	Ω = 6.28	10Lg(4π/Ω)	**3**	3	3	3	3	3	3	3	3		
Показатель направленности источника Di, дБ		исходные данные	**0**	0	0	0	0	0	0	0	0		
Поправка на направленность источника Dc, дБ	Dc	DΩ + Di	**3**	3	3	3	3	3	3	3	3		
Затухание из-за геометрической дивергенции, Adiv, дБ	расстояние = 425.79 м	ф-ла (7) [10]	**63,6**										
Коэффициент затухания звука в атмосфере α, дБ/км	Ta=20,°C Pa=101.33,кПа hотн.=70%	ф-ла (5) [9]	0,02	0,09	0,33	1,12	2,79	4,98	9,04	23,09	77,63		
Учет затухания звука в атмосфере Aatm, дБ		ф-ла (8) [10]	0	0	0,1	0,5	1,2	2,1	3,8	9,8	33,1		
Снижение уровня звукового давления из-за влияния застройки между источником шума и расчетной точкой													
Снижение уровня звукового давления на пути над экраном, Dz1, дБ	z = 2.21м (разность путей)	ф-лы (14-18) [10]	11,3	15	18,2	21,3	24,3	27,3	30,3	33,3	36,3		
Снижение уровня звукового давления на пути слева от экрана, Dz2, дБ	z = 32.86м (разность путей)	ф-лы (14-18) [10]	21,2	24,9	29,2	33,6	37,3	40,6	43,6	46,7	49,7		
Снижение уровня звукового давления на пути справа от экрана, Dz3, дБ	z = 6.56м (разность путей)	ф-лы (14-18) [10]	14,6	18,1	22,3	26,7	30,4	33,6	36,6	39,7	42,7		

1		2	3	4	5	6	7	8	9	10	11	12	13
Общее снижение уровня звука препятствием Dz, дБ		Эн.сумма(-Dzi)	9,4	12,9	16,6	20	23,2	26,2	29,2	32,3	35,3		
Общее снижение уровня звука препятствием с учётом ограничения (25 дБ) для октавных полос Dz, дБ		Раздел 7.4 [10]	9,4	12,9	16,6	20	23,2	25	25	25	25		
Уровни звукового давления прямого звука от источника ИШ-8-3 в расчётной точке днём, дБ		**ф-ла(3)[10]**	**35**	**30,4**	**26,7**	**19,9**	**17,1**	**18,3**	**11,6**	**0**	**0**	**21,4**	**21,4**
Уровни звукового давления прямого звука от источника ИШ-8-3 в расчётной точке ночью, дБ		**ф-ла(3)[10]**	**35**	**30,4**	**26,7**	**19,9**	**17,1**	**18,3**	**11,6**	**0**	**0**	**21,4**	**21,4**
Расчёт отражённого звука													
Уровни звукового давления от мнимого источника ИШ-8-3_мн.(1) в расчётной точке днём, дБ		**ф-ла(3)[10]**	**0**	**0**	**0**	**0**	**0**	**0**	**0**	**0**	**0**	**0**	**0**
Уровни звукового давления от мнимого источника ИШ-8-3_мн.(1) в расчётной точке ночью, дБ		**ф-ла(3)[10]**	**0**	**0**	**0**	**0**	**0**	**0**	**0**	**0**	**0**	**0**	**0**
Уровни звукового давления от источника ИШ-8-3 в расчётной точке днём, дБ		**ф-ла(3)[10]**	**35**	**30,4**	**26,7**	**19,9**	**17,1**	**18,3**	**11,6**	**0**	**0**	**21,4**	**21,4**
Уровни звукового давления от источника ИШ-8-3 в расчётной точке ночью, дБ		**ф-ла(3)[10]**	**35**	**30,4**	**26,7**	**19,9**	**17,1**	**18,3**	**11,6**	**0**	**0**	**21,4**	**21,4**
Источник шума: ИШ-9-1, координаты источника (x,y,z), м =[642.94,-357.54,1.00]													
Уровни звуковой мощности источника днём, Lw, дБ		**исходные данные**	**0**	**93,3**	**94,7**	**96**	**96,3**	**95,9**	**92,6**	**88,4**	**83,9**		
Уровни звуковой мощности источника ночью, Lw, дБ		**исходные данные**	**0**	**93,3**	**94,7**	**96**	**96,3**	**95,9**	**92,6**	**88,4**	**83,9**		
Поправка на телесный угол DΩ, дБ	Ω = 6.28	10Lg(4π/Ω)	**3**	3	3	3	3	3	3	3	3		
Показатель направленности источника Di, дБ		исходные данные	**0**	0	0	0	0	0	0	0	0		
Поправка на направленность источника Dc, дБ	Dc	DΩ + Di	**3**	3	3	3	3	3	3	3	3		
Затухание из-за геометрической дивергенции, Adiv, дБ	расстояние = 492.17 м	ф-ла (7) [10]	**64,8**										
Коэффициент затухания звука в атмосфере α, дБ/км	Ta=20,°C Pa=101.33,кПа hотн.=70%	ф-ла (5) [9]	0,02	0,09	0,33	1,12	2,79	4,98	9,04	23,09	77,63		

1		2	3	4	5	6	7	8	9	10	11	12	13
Учет затухания звука в атмосфере Aatm, дБ		ф-ла (8) [10]	0	0	0,2	0,6	1,4	2,4	4,4	11,4	38,2		
Снижение уровня звукового давления из-за влияния застройки между источником шума и расчетной точкой													
Снижение уровня звукового давления на пути над экраном, Dz1, дБ	z = 0.85м (разность путей)	ф-лы (14-18) [10]	8,9	11,2	13,6	16,4	19,2	22,2	25,1	28,1	31,1		
Снижение уровня звукового давления на пути слева от экрана, Dz2, дБ	z = 19.08м (разность путей)	ф-лы (14-18) [10]	23,2	26,3	29,3	32,3	35,3	38,3	41,3	44,3	47,3		
Снижение уровня звукового давления на пути справа от экрана, Dz3, дБ	z = 2.56м (разность путей)	ф-лы (14-18) [10]	14,7	17,7	20,6	23,6	26,6	29,6	32,6	35,6	38,6		
Общее снижение уровня звука препятствием Dz, дБ		Эн.сумма(-Dzi)	7,8	10,2	12,8	15,5	18,4	21,4	24,3	27,3	30,3		
Общее снижение уровня звука препятствием с учётом ограничения (25 дБ) для октавных полос Dz, дБ		Раздел 7.4 [10]	7,8	10,2	12,8	15,5	18,4	21,4	24,3	25	25		
Уровни звукового давления от источника ИШ-9-1 в расчётной точке днём, дБ		**ф-ла(3)[10]**	**0**	**21,2**	**19,9**	**18,1**	**14,7**	**10,2**	**2**	**0**	**0**	**15,8**	**15,8**
Уровни звукового давления от источника ИШ-9-1 в расчётной точке ночью, дБ		**ф-ла(3)[10]**	**0**	**21,2**	**19,9**	**18,1**	**14,7**	**10,2**	**2**	**0**	**0**	**15,8**	**15,8**
Источник шума: ИШ-9-2, координаты источника (x,y,z), м =[644.14,-354.83,1.00]													
Уровни звуковой мощности источника днём, Lw, дБ		**исходные данные**	**0**	**93,3**	**94,7**	**96**	**96,3**	**95,9**	**92,6**	**88,4**	**83,9**		
Уровни звуковой мощности источника ночью, Lw, дБ		**исходные данные**	**0**	**93,3**	**94,7**	**96**	**96,3**	**95,9**	**92,6**	**88,4**	**83,9**		
Поправка на телесный угол DΩ, дБ	Ω = 6.28	10Lg(4π/Ω)	**3**	3	3	3	3	3	3	3	3		
Показатель направленности источника Di, дБ		исходные данные	**0**	0	0	0	0	0	0	0	0		
Поправка на направленность источника Dc, дБ	Dc	DΩ + Di	**3**	3	3	3	3	3	3	3	3		
Затухание из-за геометрической дивергенции, Adiv, дБ	расстояние = 492.32 м	ф-ла (7) [10]	**64,8**										

1		2	3	4	5	6	7	8	9	10	11	12	13
Коэффициент затухания звука в атмосфере α, дБ/км	Та=20,°С Ра=101.33,кПа hотн.=70%	ф-ла (5) [9]	0,02	0,09	0,33	1,12	2,79	4,98	9,04	23,09	77,63		
Учет затухания звука в атмосфере Aatm, дБ		ф-ла (8) [10]	0	0	0,2	0,6	1,4	2,5	4,5	11,4	38,2		
Снижение уровня звукового давления из-за влияния застройки между источником шума и расчетной точкой													
Снижение уровня звукового давления на пути над экраном, Dz1, дБ	z = 0.76м (разность путей)	ф-лы (14-18) [10]	8,4	10,5	12,9	15,6	18,4	21,3	24,3	27,3	30,3		
Снижение уровня звукового давления на пути слева от экрана, Dz2, дБ	z = 19.52м (разность путей)	ф-лы (14-18) [10]	23,3	26,4	29,4	32,4	35,4	38,4	41,4	44,4	47,4		
Снижение уровня звукового давления на пути справа от экрана, Dz3, дБ	z = 2.47м (разность путей)	ф-лы (14-18) [10]	11,1	14,1	18,2	22,5	26,1	29,3	32,4	35,4	38,4		
Общее снижение уровня звука препятствием Dz, дБ		Эн.сумма(-Dzi)	6,4	8,9	11,7	14,7	17,6	20,6	23,6	26,6	29,6		
Общее снижение уровня звука препятствием с учётом ограничения (25 дБ) для октавных полос Dz, дБ		Раздел 7.4 [10]	6,4	8,9	11,7	14,7	17,6	20,6	23,6	25	25		
Уровни звукового давления от источника ИШ-9-2 в расчётной точке днём, дБ		**ф-ла(3)[10]**	**0**	**22,5**	**21**	**18,9**	**15,4**	**11**	**2,7**	**0**	**0**	**16,6**	**16,6**
Уровни звукового давления от источника ИШ-9-2 в расчётной точке ночью, дБ		**ф-ла(3)[10]**	**0**	**22,5**	**21**	**18,9**	**15,4**	**11**	**2,7**	**0**	**0**	**16,6**	**16,6**
Источник шума: ИШ-9-3, координаты источника (x,y,z), м =[644.98,-351.85,1.00]													
Уровни звуковой мощности источника днём, Lw, дБ		**исходные данные**	**0**	**93,3**	**94,7**	**96**	**96,3**	**95,9**	**92,6**	**88,4**	**83,9**		
Уровни звуковой мощности источника ночью, Lw, дБ		**исходные данные**	**0**	**93,3**	**94,7**	**96**	**96,3**	**95,9**	**92,6**	**88,4**	**83,9**		
Поправка на телесный угол DΩ, дБ	Ω = 6.28	10Lg(4π/Ω)	**3**	3	3	3	3	3	3	3	3		
Показатель направленности источника Di, дБ		исходные данные	**0**	0	0	0	0	0	0	0	0		
Поправка на направленность источника Dc, дБ	Dc	DΩ + Di	**3**	3	3	3	3	3	3	3	3		

1		2	3	4	5	6	7	8	9	10	11	12	13
Затухание из-за геометрической дивергенции, Adiv, дБ	расстояние = 492.05 м	ф-ла (7) [10]	**64,8**										
Коэффициент затухания звука в атмосфере α, дБ/км	Ta=20,°C Pa=101.33,кПа hотн.=70%	ф-ла (5) [9]	0,02	0,09	0,33	1,12	2,79	4,98	9,04	23,09	77,63		
Учет затухания звука в атмосфере Aatm, дБ		ф-ла (8) [10]	0	0	0,2	0,6	1,4	2,4	4,4	11,4	38,2		
Снижение уровня звукового давления из-за влияния застройки между источником шума и расчетной точкой													
Снижение уровня звукового давления на пути над экраном, Dz1, дБ	z = 0.66м (разность путей)	ф-лы (14-18) [10]	7,8	9,7	12	14,6	17,4	20,2	23,2	26,2	29,2		
Снижение уровня звукового давления на пути слева от экрана, Dz2, дБ	z = 20.05м (разность путей)	ф-лы (14-18) [10]	23,4	26,5	29,5	32,5	35,5	38,5	41,5	44,5	47,5		
Снижение уровня звукового давления на пути справа от экрана, Dz3, дБ	z = 2.29м (разность путей)	ф-лы (14-18) [10]	10,8	13,9	17,9	22,2	25,8	29	32,1	35,1	38,1		
Общее снижение уровня звука препятствием Dz, дБ		Эн.сумма(-Dzi)	6	8,2	10,9	13,8	16,7	19,6	22,6	25,6	28,6		
Общее снижение уровня звука препятствием с учётом ограничения (25 дБ) для октавных полос Dz, дБ		Раздел 7.4 [10]	6	8,2	10,9	13,8	16,7	19,6	22,6	25	25		
Уровни звукового давления от источника ИШ-9-3 в расчётной точке днём, дБ		**ф-ла(3)[10]**	**0**	**23,2**	**21,8**	**19,8**	**16,4**	**12**	**3,7**	**0**	**0**	**17,5**	**17,5**
Уровни звукового давления от источника ИШ-9-3 в расчётной точке ночью, дБ		**ф-ла(3)[10]**	**0**	**23,2**	**21,8**	**19,8**	**16,4**	**12**	**3,7**	**0**	**0**	**17,5**	**17,5**
Источник шума: ИШ-9-4, координаты источника (x,y,z), м =[646.01,-349.15,1.00]													
Уровни звуковой мощности источника днём, Lw, дБ		**исходные данные**	**0**	**93,3**	**94,7**	**96**	**96,3**	**95,9**	**92,6**	**88,4**	**83,9**		
Уровни звуковой мощности источника ночью, Lw, дБ		**исходные данные**	**0**	**93,3**	**94,7**	**96**	**96,3**	**95,9**	**92,6**	**88,4**	**83,9**		
Поправка на телесный угол DΩ, дБ	Ω = 6.28	10Lg(4π/Ω)	**3**	3	3	3	3	3	3	3	3		
Показатель направленности источника Di, дБ		исходные данные	**0**	0	0	0	0	0	0	0	0		

1		2	3	4	5	6	7	8	9	10	11	12	13
Поправка на направленность источника Dc, дБ	Dc	DΩ + Di	**3**	3	3	3	3	3	3	3	3		
Затухание из-за геометрической дивергенции, Adiv, дБ	расстояние = 492.07 м	ф-ла (7) [10]	**64,8**										
Коэффициент затухания звука в атмосфере α, дБ/км	Ta=20,°C Pa=101.33,кПа hотн.=70%	ф-ла (5) [9]	0,02	0,09	0,33	1,12	2,79	4,98	9,04	23,09	77,63		
Учет затухания звука в атмосфере Aatm, дБ		ф-ла (8) [10]	0	0	0,2	0,6	1,4	2,4	4,4	11,4	38,2		
Снижение уровня звукового давления из-за влияния застройки между источником шума и расчетной точкой													
Снижение уровня звукового давления на пути над экраном, Dz1, дБ	z = 0.57м (разность путей)	ф-лы (14-18) [10]	7,2	8,9	11	13,4	16,1	19	21,9	24,9	27,9		
Снижение уровня звукового давления на пути слева от экрана, Dz2, дБ	z = 20.60м (разность путей)	ф-лы (14-18) [10]	23,5	26,6	29,6	32,6	35,6	38,6	41,6	44,6	47,6		
Снижение уровня звукового давления на пути справа от экрана, Dz3, дБ	z = 2.13м (разность путей)	ф-лы (14-18) [10]	10,6	13,6	17,6	21,9	25,5	28,7	31,8	34,8	37,8		
Общее снижение уровня звука препятствием Dz, дБ		Эн.сумма(-Dzi)	5,5	7,6	10,1	12,8	15,6	18,5	21,4	24,4	27,4		
Общее снижение уровня звука препятствием с учётом ограничения (25 дБ) для октавных полос Dz, дБ		Раздел 7.4 [10]	5,5	7,6	10,1	12,8	15,6	18,5	21,4	24,4	25		
Уровни звукового давления прямого звука от источника ИШ-9-4 в расчётной точке днём, дБ		**ф-ла(3)[10]**	**0**	**23,8**	**22,6**	**20,8**	**17,5**	**13,1**	**4,9**	**0**	**0**	**18,6**	**18,6**
Уровни звукового давления прямого звука от источника ИШ-9-4 в расчётной точке ночью, дБ		**ф-ла(3)[10]**	**0**	**23,8**	**22,6**	**20,8**	**17,5**	**13,1**	**4,9**	**0**	**0**	**18,6**	**18,6**
Расчёт отражённого звука													
Уровни звукового давления от мнимого источника ИШ-9-4_мн.(1) в расчётной точке днём, дБ		**ф-ла(3)[10]**	**0**	**0**	**0**	**0**	**0**	**0**	**0**	**11,4**	**0**	**12,4**	**12,4**
Уровни звукового давления от мнимого источника ИШ-9-4_мн.(1) в расчётной точке ночью, дБ		**ф-ла(3)[10]**	**0**	**0**	**0**	**0**	**0**	**0**	**0**	**0**	**0**	**12,4**	**12,4**
Уровни звукового давления от источника ИШ-9-4 в расчётной точке днём, дБ		**ф-ла(3)[10]**	**0**	**23,8**	**22,6**	**20,8**	**17,5**	**13,1**	**4,9**	**11,4**	**0**	**19,6**	**19,6**
Уровни звукового давления от источника ИШ-9-4 в расчётной точке ночью, дБ		**ф-ла(3)[10]**	**0**	**23,8**	**22,6**	**20,8**	**17,5**	**13,1**	**4,9**	**11,4**	**0**	**19,6**	**19,6**

1		2	3	4	5	6	7	8	9	10	11	12	13
Источник шума: ИШ-9-5, координаты источника (x,y,z), м =[646.84,-346.17,1.00]													
Уровни звуковой мощности источника днём, Lw, дБ		**исходные данные**	**0**	**93,3**	**94,7**	**96**	**96,3**	**95,9**	**92,6**	**88,4**	**83,9**		
Уровни звуковой мощности источника ночью, Lw, дБ		**исходные данные**	**0**	**93,3**	**94,7**	**96**	**96,3**	**95,9**	**92,6**	**88,4**	**83,9**		
Поправка на телесный угол DΩ, дБ	Ω = 6.28	10Lg(4π/Ω)	**3**	3	3	3	3	3	3	3	3		
Показатель направленности источника Di, дБ		исходные данные	**0**	0	0	0	0	0	0	0	0		
Поправка на направленность источника Dc, дБ	Dc	DΩ + Di	**3**	3	3	3	3	3	3	3	3		
Затухание из-за геометрической дивергенции, Adiv, дБ	расстояние = 491.83 м	ф-ла (7) [10]	**64,8**										
Коэффициент затухания звука в атмосфере α, дБ/км	Ta=20,°C Pa=101.33,кПа hотн.=70%	ф-ла (5) [9]	0,02	0,09	0,33	1,12	2,79	4,98	9,04	23,09	77,63		
Учет затухания звука в атмосфере Aatm, дБ		ф-ла (8) [10]	0	0	0,2	0,6	1,4	2,4	4,4	11,4	38,2		
Снижение уровня звукового давления из-за влияния застройки между источником шума и расчетной точкой													
Снижение уровня звукового давления на пути над экраном, Dz1, дБ	z = 0.47м (разность путей)	ф-лы (14-18) [10]	5	5,3	5,8	6,6	8,3	11,2	14,9	18,5	21,6		
Снижение уровня звукового давления на пути слева от экрана, Dz2, дБ	z = 21.24м (разность путей)	ф-лы (14-18) [10]	23,6	26,7	29,7	32,7	35,7	38,8	41,8	44,8	47,8		
Снижение уровня звукового давления на пути справа от экрана, Dz3, дБ	z = 1.97м (разность путей)	ф-лы (14-18) [10]	10,3	13,3	17,3	21,5	25,2	28,4	31,4	34,4	37,5		
Общее снижение уровня звука препятствием Dz, дБ		Эн.сумма(-Dzi)	3,9	4,6	5,4	6,5	8,2	11,1	14,8	18,3	21,5		
Уровни звукового давления прямого звука от источника ИШ-9-5 в расчётной точке днём, дБ		**ф-ла(3)[10]**	**0**	**26,8**	**27,2**	**27,1**	**24,9**	**20,5**	**11,5**	**0**	**0**	**25,6**	**25,6**
Уровни звукового давления прямого звука от источника ИШ-9-5 в расчётной точке ночью, дБ		**ф-ла(3)[10]**	**0**	**26,8**	**27,2**	**27,1**	**24,9**	**20,5**	**11,5**	**0**	**0**	**25,6**	**25,6**

1		2	3	4	5	6	7	8	9	10	11	12	13
Расчёт отражённого звука													
Уровни звукового давления от мнимого источника ИШ-9-5_мн.(1) в расчётной точке днём, дБ		**ф-ла(3)[10]**	**0**	**0**	**0**	**0**	**0**	**0**	**0**	**11,5**	**0**	**12,5**	**12,5**
Уровни звукового давления от мнимого источника ИШ-9-5_мн.(1) в расчётной точке ночью, дБ		**ф-ла(3)[10]**	**0**	**0**	**0**	**0**	**0**	**0**	**0**	**0**	**0**	**12,5**	**12,5**
Уровни звукового давления от источника ИШ-9-5 в расчётной точке днём, дБ		**ф-ла(3)[10]**	**0**	**26,8**	**27,2**	**27,1**	**24,9**	**20,5**	**11,5**	**11,5**	**0**	**25,8**	**25,8**
Уровни звукового давления от источника ИШ-9-5 в расчётной точке ночью, дБ		**ф-ла(3)[10]**	**0**	**26,8**	**27,2**	**27,1**	**24,9**	**20,5**	**11,5**	**11,5**	**0**	**25,8**	**25,8**
Источник шума: ИШ-9-6, координаты источника (x,y,z), м =[647.87,-343.47,1.00]													
Уровни звуковой мощности источника днём, Lw, дБ		**исходные данные**	**0**	**93,3**	**94,7**	**96**	**96,3**	**95,9**	**92,6**	**88,4**	**83,9**		
Уровни звуковой мощности источника ночью, Lw, дБ		**исходные данные**	**0**	**93,3**	**94,7**	**96**	**96,3**	**95,9**	**92,6**	**88,4**	**83,9**		
Поправка на телесный угол DΩ, дБ	Ω = 6.28	10Lg(4π/Ω)	**3**	3	3	3	3	3	3	3	3		
Показатель направленности источника Di, дБ		исходные данные	**0**	0	0	0	0	0	0	0	0		
Поправка на направленность источника Dc, дБ	Dc	DΩ + Di	**3**	3	3	3	3	3	3	3	3		
Затухание из-за геометрической дивергенции, Adiv, дБ	расстояние = 491.89 м	ф-ла (7) [10]	**64,8**										
Коэффициент затухания звука в атмосфере α, дБ/км	Ta=20,°C Pa=101.33,кПа hотн.=70%	ф-ла (5) [9]	0,02	0,09	0,33	1,12	2,79	4,98	9,04	23,09	77,63		
Учет затухания звука в атмосфере Aatm, дБ		ф-ла (8) [10]	0	0	0,2	0,6	1,4	2,4	4,4	11,4	38,2		
Снижение уровня звукового давления из-за влияния застройки между источником шума и расчетной точкой													
Снижение уровня звукового давления на пути над экраном, Dz1, дБ	z = 0.04м (разность путей)	ф-лы (14-18) [10]	4,8	4,8	4,8	4,8	4,8	4,8	4,8	4,8	4,8		

1		2	3	4	5	6	7	8	9	10	11	12	13
Снижение уровня звукового давления на пути слева от экрана, Dz2, дБ	z = 21.90м (разность путей)	ф-лы (14-18) [10]	23,8	26,9	29,9	32,9	35,9	38,9	41,9	44,9	47,9		
Снижение уровня звукового давления на пути справа от экрана, Dz3, дБ	z = 1.82м (разность путей)	ф-лы (14-18) [10]	10,1	13	16,9	21,2	24,8	28	31,1	34,1	37,1		
Общее снижение уровня звука препятствием Dz, дБ		Эн.сумма(-Dzi)	3,6	4,1	4,5	4,7	4,7	4,8	4,8	4,8	4,8		
Уровни звукового давления прямого звука от источника ИШ-9-6 в расчётной точке днём, дБ		**ф-ла(3)[10]**	**0**	**27,3**	**28,2**	**28,9**	**28,4**	**26,9**	**21,5**	**10,4**	**0**	**30,6**	**30,6**
Уровни звукового давления прямого звука от источника ИШ-9-6 в расчётной точке ночью, дБ		**ф-ла(3)[10]**	**0**	**27,3**	**28,2**	**28,9**	**28,4**	**26,9**	**21,5**	**10,4**	**0**	**30,6**	**30,6**
Расчёт отражённого звука													
Уровни звукового давления от мнимого источника ИШ-9-6_мн.(1) в расчётной точке днём, дБ		**ф-ла(3)[10]**	**0**	**0**	**0**	**0**	**0**	**0**	**0**	**11,5**	**0**	**12,5**	**12,5**
Уровни звукового давления от мнимого источника ИШ-9-6_мн.(1) в расчётной точке ночью, дБ		**ф-ла(3)[10]**	**0**	**0**	**0**	**0**	**0**	**0**	**0**	**0**	**0**	**12,5**	**12,5**
Уровни звукового давления от источника ИШ-9-6 в расчётной точке днём, дБ		**ф-ла(3)[10]**	**0**	**27,3**	**28,2**	**28,9**	**28,4**	**26,9**	**21,5**	**14**	**0**	**30,6**	**30,6**
Уровни звукового давления от источника ИШ-9-6 в расчётной точке ночью, дБ		**ф-ла(3)[10]**	**0**	**27,3**	**28,2**	**28,9**	**28,4**	**26,9**	**21,5**	**14**	**0**	**30,6**	**30,6**
Источник шума: ИШ-9-7, координаты источника (x,y,z), м =[648.71,-340.49,1.00]													
Уровни звуковой мощности источника днём, Lw, дБ		**исходные данные**	**0**	**93,3**	**94,7**	**96**	**96,3**	**95,9**	**92,6**	**88,4**	**83,9**		
Уровни звуковой мощности источника ночью, Lw, дБ		**исходные данные**	**0**	**93,3**	**94,7**	**96**	**96,3**	**95,9**	**92,6**	**88,4**	**83,9**		
Поправка на телесный угол DΩ, дБ	Ω = 6.28	10Lg(4π/Ω)	**3**	3	3	3	3	3	3	3	3		
Показатель направленности источника Di, дБ		исходные данные	**0**	0	0	0	0	0	0	0	0		
Поправка на направленность источника Dc, дБ	Dc	DΩ + Di	**3**	3	3	3	3	3	3	3	3		
Затухание из-за геометрической дивергенции, Adiv, дБ	расстояние = 491.69 м	ф-ла (7) [10]	**64,8**										

1		2	3	4	5	6	7	8	9	10	11	12	13
Коэффициент затухания звука в атмосфере α, дБ/км	Та=20,°С Ра=101.33,кПа hотн.=70%	ф-ла (5) [9]	0,02	0,09	0,33	1,12	2,79	4,98	9,04	23,09	77,63		
Учет затухания звука в атмосфере Aatm, дБ		ф-ла (8) [10]	0	0	0,2	0,6	1,4	2,4	4,4	11,4	38,2		
Снижение уровня звукового давления из-за влияния застройки между источником шума и расчетной точкой													
Снижение уровня звукового давления на пути над экраном, Dz1, дБ	z = 0.04м (разность путей)	ф-лы (14-18) [10]	4,8	4,8	4,8	4,8	4,8	4,8	4,8	4,8	4,8		
Снижение уровня звукового давления на пути слева от экрана, Dz2, дБ	z = 19.07м (разность путей)	ф-лы (14-18) [10]	22,4	26	29,2	32,2	35,3	38,3	41,3	44,3	47,3		
Снижение уровня звукового давления на пути справа от экрана, Dz3, дБ	z = 1.67м (разность путей)	ф-лы (14-18) [10]	9,8	12,7	16,6	20,8	24,5	27,7	30,7	33,7	36,7		
Общее снижение уровня звука препятствием Dz, дБ		Эн.сумма(-Dzi)	3,5	4,1	4,5	4,7	4,7	4,8	4,8	4,8	4,8		
Уровни звукового давления прямого звука от источника ИШ-9-7 в расчётной точке днём, дБ		**ф-ла(3)[10]**	**0**	**27,3**	**28,2**	**28,9**	**28,4**	**26,9**	**21,5**	**10,4**	**0**	**30,6**	**30,6**
Уровни звукового давления прямого звука от источника ИШ-9-7 в расчётной точке ночью, дБ		**ф-ла(3)[10]**	**0**	**27,3**	**28,2**	**28,9**	**28,4**	**26,9**	**21,5**	**10,4**	**0**	**30,6**	**30,6**
Расчёт отражённого звука													
Уровни звукового давления от мнимого источника ИШ-9-7_мн.(1) в расчётной точке днём, дБ		**ф-ла(3)[10]**	**0**	**0**	**0**	**0**	**0**	**0**	**0**	**11,6**	**0**	**12,6**	**12,6**
Уровни звукового давления от мнимого источника ИШ-9-7_мн.(1) в расчётной точке ночью, дБ		**ф-ла(3)[10]**	**0**	**0**	**0**	**0**	**0**	**0**	**0**	**0**	**0**	**12,6**	**12,6**
Уровни звукового давления от источника ИШ-9-7 в расчётной точке днём, дБ		**ф-ла(3)[10]**	**0**	**27,3**	**28,2**	**28,9**	**28,4**	**26,9**	**21,5**	**14,1**	**0**	**30,6**	**30,6**
Уровни звукового давления от источника ИШ-9-7 в расчётной точке ночью, дБ		**ф-ла(3)[10]**	**0**	**27,3**	**28,2**	**28,9**	**28,4**	**26,9**	**21,5**	**14,1**	**0**	**30,6**	**30,6**
Источник шума: ИШ-9-8, координаты источника (x,y,z), м =[649.92,-337.69,1.00]													
Уровни звуковой мощности источника днём, Lw, дБ		**исходные данные**	**0**	**93,3**	**94,7**	**96**	**96,3**	**95,9**	**92,6**	**88,4**	**83,9**		

1		2	3	4	5	6	7	8	9	10	11	12	13
Уровни звуковой мощности источника ночью, Lw, дБ		**исходные данные**	**0**	**93,3**	**94,7**	**96**	**96,3**	**95,9**	**92,6**	**88,4**	**83,9**		
Поправка на телесный угол DΩ, дБ	Ω = 6.28	10Lg(4π/Ω)	**3**	3	3	3	3	3	3	3	3		
Показатель направленности источника Di, дБ		исходные данные	**0**	0	0	0	0	0	0	0	0		
Поправка на направленность источника Dc, дБ	Dc	DΩ + Di	**3**	3	3	3	3	3	3	3	3		
Затухание из-за геометрической дивергенции, Adiv, дБ	расстояние = 491.93 м	ф-ла (7) [10]	**64,8**										
Коэффициент затухания звука в атмосфере α, дБ/км	Ta=20,°C Pa=101.33,кПа hотн.=70%	ф-ла (5) [9]	0,02	0,09	0,33	1,12	2,79	4,98	9,04	23,09	77,63		
Учет затухания звука в атмосфере Aatm, дБ		ф-ла (8) [10]	0	0	0,2	0,6	1,4	2,4	4,4	11,4	38,2		
Снижение уровня звукового давления из-за влияния застройки между источником шума и расчетной точкой													
Снижение уровня звукового давления на пути над экраном, Dz1, дБ	z = 0.04м (разность путей)	ф-лы (14-18) [10]	4,8	4,8	4,8	4,8	4,8	4,8	4,8	4,8	4,8		
Снижение уровня звукового давления на пути слева от экрана, Dz2, дБ	z = 19.22м (разность путей)	ф-лы (14-18) [10]	22,4	26	29,2	32,3	35,3	38,3	41,3	44,3	47,3		
Снижение уровня звукового давления на пути справа от экрана, Dz3, дБ	z = 1.53м (разность путей)	ф-лы (14-18) [10]	9,6	12,4	16,2	20,4	24,1	27,3	30,3	33,3	36,4		
Общее снижение уровня звука препятствием Dz, дБ		Эн.сумма(-Dzi)	3,5	4	4,5	4,6	4,7	4,7	4,8	4,8	4,8		
Уровни звукового давления прямого звука от источника ИШ-9-8 в расчётной точке днём, дБ		**ф-ла(3)[10]**	**0**	**27,4**	**28,2**	**29**	**28,4**	**26,9**	**21,5**	**10,4**	**0**	**30,6**	**30,6**
Уровни звукового давления прямого звука от источника ИШ-9-8 в расчётной точке ночью, дБ		**ф-ла(3)[10]**	**0**	**27,4**	**28,2**	**29**	**28,4**	**26,9**	**21,5**	**10,4**	**0**	**30,6**	**30,6**
Расчёт отражённого звука													
Уровни звукового давления от мнимого источника ИШ-9-8_мн.(1) в расчётной точке днём, дБ		**ф-ла(3)[10]**	**0**	**0**	**0**	**0**	**0**	**0**	**0**	**11,6**	**0**	**12,6**	**12,6**
Уровни звукового давления от мнимого источника ИШ-9-8_мн.(1) в расчётной точке ночью, дБ		**ф-ла(3)[10]**	**0**	**0**	**0**	**0**	**0**	**0**	**0**	**0**	**0**	**12,6**	**12,6**

1		2	3	4	5	6	7	8	9	10	11	12	13
Уровни звукового давления от источника ИШ-9-8 в расчётной точке днём, дБ		**ф-ла(3)[10]**	**0**	**27,4**	**28,2**	**29**	**28,4**	**26,9**	**21,5**	**14,1**	**0**	**30,6**	**30,6**
Уровни звукового давления от источника ИШ-9-8 в расчётной точке ночью, дБ		**ф-ла(3)[10]**	**0**	**27,4**	**28,2**	**29**	**28,4**	**26,9**	**21,5**	**14,1**	**0**	**30,6**	**30,6**
Источник шума: ИШ-9-9, координаты источника (x,y,z), м =[650.66,-334.90,1.00]													
Уровни звуковой мощности источника днём, Lw, дБ		**исходные данные**	**0**	**93,3**	**94,7**	**96**	**96,3**	**95,9**	**92,6**	**88,4**	**83,9**		
Уровни звуковой мощности источника ночью, Lw, дБ		**исходные данные**	**0**	**93,3**	**94,7**	**96**	**96,3**	**95,9**	**92,6**	**88,4**	**83,9**		
Поправка на телесный угол DΩ, дБ	Ω = 6.28	10Lg(4π/Ω)	**3**	3	3	3	3	3	3	3	3		
Показатель направленности источника Di, дБ		исходные данные	**0**	0	0	0	0	0	0	0	0		
Поправка на направленность источника Dc, дБ	Dc	DΩ + Di	**3**	3	3	3	3	3	3	3	3		
Затухание из-за геометрической дивергенции, Adiv, дБ	расстояние = 491.74 м	ф-ла (7) [10]	**64,8**										
Коэффициент затухания звука в атмосфере α, дБ/км	Ta=20,°C Pa=101.33,кПа hотн.=70%	ф-ла (5) [9]	0,02	0,09	0,33	1,12	2,79	4,98	9,04	23,09	77,63		
Учет затухания звука в атмосфере Aatm, дБ		ф-ла (8) [10]	0	0	0,2	0,6	1,4	2,4	4,4	11,4	38,2		
Снижение уровня звукового давления из-за влияния застройки между источником шума и расчетной точкой													
Снижение уровня звукового давления на пути над экраном, Dz1, дБ	z = 0.04м (разность путей)	ф-лы (14-18) [10]	4,8	4,8	4,8	4,8	4,8	4,8	4,8	4,8	4,8		
Снижение уровня звукового давления на пути слева от экрана, Dz2, дБ	z = 19.37м (разность путей)	ф-лы (14-18) [10]	22,4	26,1	29,3	32,3	35,3	38,3	41,4	44,4	47,4		
Снижение уровня звукового давления на пути справа от экрана, Dz3, дБ	z = 1.40м (разность путей)	ф-лы (14-18) [10]	9,3	12,1	15,9	20,1	23,7	26,9	29,9	33	36		
Общее снижение уровня звука препятствием Dz, дБ		Эн.сумма(-Dzi)	3,4	4	4,4	4,6	4,7	4,7	4,8	4,8	4,8		

1		2	3	4	5	6	7	8	9	10	11	12	13
Уровни звукового давления прямого звука от источника ИШ-9-9 в расчётной точке днём, дБ		**ф-ла(3)[10]**	**0**	**27,4**	**28,3**	**29**	**28,4**	**26,9**	**21,5**	**10,4**	**0**	**30,6**	**30,6**
Уровни звукового давления прямого звука от источника ИШ-9-9 в расчётной точке ночью, дБ		**ф-ла(3)[10]**	**0**	**27,4**	**28,3**	**29**	**28,4**	**26,9**	**21,5**	**10,4**	**0**	**30,6**	**30,6**
Расчёт отражённого звука													
Уровни звукового давления от мнимого источника ИШ-9-9_мн.(1) в расчётной точке днём, дБ		**ф-ла(3)[10]**	**0**	**0**	**0**	**0**	**0**	**0**	**0**	**11,7**	**0**	**12,7**	**12,7**
Уровни звукового давления от мнимого источника ИШ-9-9_мн.(1) в расчётной точке ночью, дБ		**ф-ла(3)[10]**	**0**	**0**	**0**	**0**	**0**	**0**	**0**	**0**	**0**	**12,7**	**12,7**
Уровни звукового давления от источника ИШ-9-9 в расчётной точке днём, дБ		**ф-ла(3)[10]**	**0**	**27,4**	**28,3**	**29**	**28,4**	**26,9**	**21,5**	**14,1**	**0**	**30,7**	**30,7**
Уровни звукового давления от источника ИШ-9-9 в расчётной точке ночью, дБ		**ф-ла(3)[10]**	**0**	**27,4**	**28,3**	**29**	**28,4**	**26,9**	**21,5**	**14,1**	**0**	**30,7**	**30,7**
Источник шума: ИШ-9-10, координаты источника (x,y,z), м =[651.59,-332.01,1.00]													
Уровни звуковой мощности источника днём, Lw, дБ		**исходные данные**	**0**	**93,3**	**94,7**	**96**	**96,3**	**95,9**	**92,6**	**88,4**	**83,9**		
Уровни звуковой мощности источника ночью, Lw, дБ		**исходные данные**	**0**	**93,3**	**94,7**	**96**	**96,3**	**95,9**	**92,6**	**88,4**	**83,9**		
Поправка на телесный угол DΩ, дБ	Ω = 6.28	10Lg(4π/Ω)	**3**	3	3	3	3	3	3	3	3		
Показатель направленности источника Di, дБ		исходные данные	**0**	0	0	0	0	0	0	0	0		
Поправка на направленность источника Dc, дБ	Dc	DΩ + Di	**3**	3	3	3	3	3	3	3	3		
Затухание из-за геометрической дивергенции, Adiv, дБ	расстояние = 491.72 м	ф-ла (7) [10]	**64,8**										
Коэффициент затухания звука в атмосфере α, дБ/км	Ta=20,°C Pa=101.33,кПа hотн.=70%	ф-ла (5) [9]	0,02	0,09	0,33	1,12	2,79	4,98	9,04	23,09	77,63		
Учет затухания звука в атмосфере Aatm, дБ		ф-ла (8) [10]	0	0	0,2	0,6	1,4	2,4	4,4	11,4	38,2		

1		2	3	4	5	6	7	8	9	10	11	12	13
Снижение уровня звукового давления из-за влияния застройки между источником шума и расчетной точкой													
Снижение уровня звукового давления на пути над экраном, Dz1, дБ	z = 0.04м (разность путей)	ф-лы (14-18) [10]	4,8	4,8	4,8	4,8	4,8	4,8	4,8	4,8	4,8		
Снижение уровня звукового давления на пути слева от экрана, Dz2, дБ	z = 19.54м (разность путей)	ф-лы (14-18) [10]	22,5	26,1	29,3	32,4	35,4	38,4	41,4	44,4	47,4		
Снижение уровня звукового давления на пути справа от экрана, Dz3, дБ	z = 1.27м (разность путей)	ф-лы (14-18) [10]	9,1	11,7	15,5	19,7	23,3	26,5	29,5	32,6	35,6		
Общее снижение уровня звука препятствием Dz, дБ		Эн.сумма(-Dzi)	3,3	3,9	4,4	4,6	4,7	4,7	4,8	4,8	4,8		
Уровни звукового давления прямого звука от источника ИШ-9-10 в расчётной точке днём, дБ		**ф-ла(3)[10]**	**0**	**27,5**	**28,3**	**29**	**28,4**	**26,9**	**21,5**	**10,4**	**0**	**30,6**	**30,6**
Уровни звукового давления прямого звука от источника ИШ-9-10 в расчётной точке ночью, дБ		**ф-ла(3)[10]**	**0**	**27,5**	**28,3**	**29**	**28,4**	**26,9**	**21,5**	**10,4**	**0**	**30,6**	**30,6**
Расчёт отражённого звука													
Уровни звукового давления от мнимого источника ИШ-9-10_мн.(1) в расчётной точке днём, дБ		**ф-ла(3)[10]**	**0**	**0**	**0**	**0**	**0**	**0**	**0**	**11,8**	**0**	**12,8**	**12,8**
Уровни звукового давления от мнимого источника ИШ-9-10_мн.(1) в расчётной точке ночью, дБ		**ф-ла(3)[10]**	**0**	**0**	**0**	**0**	**0**	**0**	**0**	**0**	**0**	**12,8**	**12,8**
Уровни звукового давления от источника ИШ-9-10 в расчётной точке днём, дБ		**ф-ла(3)[10]**	**0**	**27,5**	**28,3**	**29**	**28,4**	**26,9**	**21,5**	**14,1**	**0**	**30,7**	**30,7**
Уровни звукового давления от источника ИШ-9-10 в расчётной точке ночью, дБ		**ф-ла(3)[10]**	**0**	**27,5**	**28,3**	**29**	**28,4**	**26,9**	**21,5**	**14,1**	**0**	**30,7**	**30,7**
Источник шума: ИШ-9-11, координаты источника (x,y,z), м =[652.71,-329.22,1.00]													
Уровни звуковой мощности источника днём, Lw, дБ		**исходные данные**	**0**	**93,3**	**94,7**	**96**	**96,3**	**95,9**	**92,6**	**88,4**	**83,9**		
Уровни звуковой мощности источника ночью, Lw, дБ		**исходные данные**	**0**	**93,3**	**94,7**	**96**	**96,3**	**95,9**	**92,6**	**88,4**	**83,9**		
Поправка на телесный угол DΩ, дБ	Ω = 6.28	10Lg(4π/Ω)	**3**	3	3	3	3	3	3	3	3		
Показатель направленности источника Di, дБ		исходные данные	**0**	0	0	0	0	0	0	0	0		

1		2	3	4	5	6	7	8	9	10	11	12	13
Поправка на направленность источника Dc, дБ	Dc	DΩ + Di	**3**	3	3	3	3	3	3	3	3		
Затухание из-за геометрической дивергенции, Adiv, дБ	расстояние = 491.92 м	ф-ла (7) [10]	**64,8**										
Коэффициент затухания звука в атмосфере α, дБ/км	Ta=20,°C Pa=101.33,кПа hотн.=70%	ф-ла (5) [9]	0,02	0,09	0,33	1,12	2,79	4,98	9,04	23,09	77,63		
Учет затухания звука в атмосфере Aatm, дБ		ф-ла (8) [10]	0	0	0,2	0,6	1,4	2,4	4,4	11,4	38,2		
Снижение уровня звукового давления из-за влияния застройки между источником шума и расчетной точкой													
Снижение уровня звукового давления на пути над экраном, Dz1, дБ	z = 0.04м (разность путей)	ф-лы (14-18) [10]	4,8	4,8	4,8	4,8	4,8	4,8	4,8	4,8	4,8		
Снижение уровня звукового давления на пути слева от экрана, Dz2, дБ	z = 19.71м (разность путей)	ф-лы (14-18) [10]	22,5	26,2	29,3	32,4	35,4	38,4	41,4	44,4	47,5		
Снижение уровня звукового давления на пути справа от экрана, Dz3, дБ	z = 1.15м (разность путей)	ф-лы (14-18) [10]	8,8	11,4	15,1	19,3	22,9	26,1	29,1	32,1	35,1		
Общее снижение уровня звука препятствием Dz, дБ		Эн.сумма(-Dzi)	3,3	3,9	4,4	4,6	4,7	4,7	4,8	4,8	4,8		
Уровни звукового давления прямого звука от источника ИШ-9-11 в расчётной точке днём, дБ		**ф-ла(3)[10]**	**0**	**27,5**	**28,3**	**29**	**28,4**	**26,9**	**21,5**	**10,4**	**0**	**30,6**	**30,6**
Уровни звукового давления прямого звука от источника ИШ-9-11 в расчётной точке ночью, дБ		**ф-ла(3)[10]**	**0**	**27,5**	**28,3**	**29**	**28,4**	**26,9**	**21,5**	**10,4**	**0**	**30,6**	**30,6**
Расчёт отражённого звука													
Уровни звукового давления от мнимого источника ИШ-9-11_мн.(1) в расчётной точке днём, дБ		**ф-ла(3)[10]**	**0**	**0**	**0**	**0**	**0**	**0**	**0**	**11,8**	**0**	**12,8**	**12,8**
Уровни звукового давления от мнимого источника ИШ-9-11_мн.(1) в расчётной точке ночью, дБ		**ф-ла(3)[10]**	**0**	**0**	**0**	**0**	**0**	**0**	**0**	**0**	**0**	**12,8**	**12,8**
Уровни звукового давления от источника ИШ-9-11 в расчётной точке днём, дБ		**ф-ла(3)[10]**	**0**	**27,5**	**28,3**	**29**	**28,4**	**26,9**	**21,5**	**14,2**	**0**	**30,7**	**30,7**
Уровни звукового давления от источника ИШ-9-11 в расчётной точке ночью, дБ		**ф-ла(3)[10]**	**0**	**27,5**	**28,3**	**29**	**28,4**	**26,9**	**21,5**	**14,2**	**0**	**30,7**	**30,7**

1		2	3	4	5	6	7	8	9	10	11	12	13
Источник шума: ИШ-9-12, координаты источника (x,y,z), м =[653.46,-326.33,1.00]													
Уровни звуковой мощности источника днём, Lw, дБ		**исходные данные**	**0**	**93,3**	**94,7**	**96**	**96,3**	**95,9**	**92,6**	**88,4**	**83,9**		
Уровни звуковой мощности источника ночью, Lw, дБ		**исходные данные**	**0**	**93,3**	**94,7**	**96**	**96,3**	**95,9**	**92,6**	**88,4**	**83,9**		
Поправка на телесный угол DΩ, дБ	Ω = 6.28	10Lg(4π/Ω)	**3**	3	3	3	3	3	3	3	3		
Показатель направленности источника Di, дБ		исходные данные	**0**	0	0	0	0	0	0	0	0		
Поправка на направленность источника Dc, дБ	Dc	DΩ + Di	**3**	3	3	3	3	3	3	3	3		
Затухание из-за геометрической дивергенции, Adiv, дБ	расстояние = 491.76 м	ф-ла (7) [10]	**64,8**										
Коэффициент затухания звука в атмосфере α, дБ/км	Ta=20,°C Pa=101.33,кПа hотн.=70%	ф-ла (5) [9]	0,02	0,09	0,33	1,12	2,79	4,98	9,04	23,09	77,63		
Учет затухания звука в атмосфере Aatm, дБ		ф-ла (8) [10]	0	0	0,2	0,6	1,4	2,4	4,4	11,4	38,2		
Снижение уровня звукового давления из-за влияния застройки между источником шума и расчетной точкой													
Снижение уровня звукового давления на пути над экраном, Dz1, дБ	z = 0.04м (разность путей)	ф-лы (14-18) [10]	4,8	4,8	4,8	4,8	4,8	4,8	4,8	4,8	4,8		
Снижение уровня звукового давления на пути слева от экрана, Dz2, дБ	z = 19.89м (разность путей)	ф-лы (14-18) [10]	22,5	26,2	29,4	32,4	35,5	38,5	41,5	44,5	47,5		
Снижение уровня звукового давления на пути справа от экрана, Dz3, дБ	z = 1.04м (разность путей)	ф-лы (14-18) [10]	8,5	11	14,7	18,8	22,4	25,6	28,7	31,7	34,7		
Общее снижение уровня звука препятствием Dz, дБ		Эн.сумма(-Dzi)	3,2	3,8	4,3	4,6	4,7	4,7	4,8	4,8	4,8		
Уровни звукового давления прямого звука от источника ИШ-9-12 в расчётной точке днём, дБ		**ф-ла(3)[10]**	**0**	**27,6**	**28,4**	**29**	**28,4**	**26,9**	**21,5**	**10,4**	**0**	**30,6**	**30,6**
Уровни звукового давления прямого звука от источника ИШ-9-12 в расчётной точке ночью, дБ		**ф-ла(3)[10]**	**0**	**27,6**	**28,4**	**29**	**28,4**	**26,9**	**21,5**	**10,4**	**0**	**30,6**	**30,6**

1		2	3	4	5	6	7	8	9	10	11	12	13
Расчёт отражённого звука													
Уровни звукового давления от мнимого источника ИШ-9-12_мн.(1) в расчётной точке днём, дБ		**ф-ла(3)[10]**	**0**	**0**	**0**	**0**	**0**	**0**	**0**	**11,9**	**0**	**12,9**	**12,9**
Уровни звукового давления от мнимого источника ИШ-9-12_мн.(1) в расчётной точке ночью, дБ		**ф-ла(3)[10]**	**0**	**0**	**0**	**0**	**0**	**0**	**0**	**0**	**0**	**12,9**	**12,9**
Уровни звукового давления от источника ИШ-9-12 в расчётной точке днём, дБ		**ф-ла(3)[10]**	**0**	**27,6**	**28,4**	**29**	**28,4**	**26,9**	**21,5**	**14,2**	**0**	**30,7**	**30,7**
Уровни звукового давления от источника ИШ-9-12 в расчётной точке ночью, дБ		**ф-ла(3)[10]**	**0**	**27,6**	**28,4**	**29**	**28,4**	**26,9**	**21,5**	**14,2**	**0**	**30,7**	**30,7**
Источник шума: ИШ-9-13, координаты источника (x,y,z), м =[654.48,-323.54,1.00]													
Уровни звуковой мощности источника днём, Lw, дБ		**исходные данные**	**0**	**93,3**	**94,7**	**96**	**96,3**	**95,9**	**92,6**	**88,4**	**83,9**		
Уровни звуковой мощности источника ночью, Lw, дБ		**исходные данные**	**0**	**93,3**	**94,7**	**96**	**96,3**	**95,9**	**92,6**	**88,4**	**83,9**		
Поправка на телесный угол DΩ, дБ	Ω = 6.28	10Lg(4π/Ω)	**3**	3	3	3	3	3	3	3	3		
Показатель направленности источника Di, дБ		исходные данные	**0**	0	0	0	0	0	0	0	0		
Поправка на направленность источника Dc, дБ	Dc	DΩ + Di	**3**	3	3	3	3	3	3	3	3		
Затухание из-за геометрической дивергенции, Adiv, дБ	расстояние = 491.91 м	ф-ла (7) [10]	**64,8**										
Коэффициент затухания звука в атмосфере α, дБ/км	Ta=20,°C Pa=101.33,кПа hотн.=70%	ф-ла (5) [9]	0,02	0,09	0,33	1,12	2,79	4,98	9,04	23,09	77,63		
Учет затухания звука в атмосфере Aatm, дБ		ф-ла (8) [10]	0	0	0,2	0,6	1,4	2,4	4,4	11,4	38,2		
Снижение уровня звукового давления из-за влияния застройки между источником шума и расчетной точкой													
Снижение уровня звукового давления на пути над экраном, Dz1, дБ	z = 0.04м (разность путей)	ф-лы (14-18) [10]	4,8	4,8	4,8	4,8	4,8	4,8	4,8	4,8	4,8		

1		2	3	4	5	6	7	8	9	10	11	12	13
Снижение уровня звукового давления на пути слева от экрана, Dz2, дБ	z = 20.07м (разность путей)	ф-лы (14-18) [10]	22,6	26,2	29,4	32,5	35,5	38,5	41,5	44,5	47,5		
Снижение уровня звукового давления на пути справа от экрана, Dz3, дБ	z = 0.94м (разность путей)	ф-лы (14-18) [10]	8,3	10,7	14,3	18,4	22	25,2	28,2	31,2	34,2		
Общее снижение уровня звука препятствием Dz, дБ		Эн.сумма(-Dzi)	3,1	3,8	4,3	4,6	4,7	4,7	4,8	4,8	4,8		
Уровни звукового давления от источника ИШ-9-13 в расчётной точке днём, дБ		**ф-ла(3)[10]**	**0**	**27,7**	**28,4**	**29**	**28,4**	**26,9**	**21,5**	**10,4**	**0**	**30,6**	**30,6**
Уровни звукового давления от источника ИШ-9-13 в расчётной точке ночью, дБ		**ф-ла(3)[10]**	**0**	**27,7**	**28,4**	**29**	**28,4**	**26,9**	**21,5**	**10,4**	**0**	**30,6**	**30,6**
Источник шума: ИШ-9-14, координаты источника (x,y,z), м =[655.60,-320.74,1.00]													
Уровни звуковой мощности источника днём, Lw, дБ		**исходные данные**	**0**	**93,3**	**94,7**	**96**	**96,3**	**95,9**	**92,6**	**88,4**	**83,9**		
Уровни звуковой мощности источника ночью, Lw, дБ		**исходные данные**	**0**	**93,3**	**94,7**	**96**	**96,3**	**95,9**	**92,6**	**88,4**	**83,9**		
Поправка на телесный угол DΩ, дБ	Ω = 6.28	10Lg(4π/Ω)	**3**	3	3	3	3	3	3	3	3		
Показатель направленности источника Di, дБ		исходные данные	**0**	0	0	0	0	0	0	0	0		
Поправка на направленность источника Dc, дБ	Dc	DΩ + Di	**3**	3	3	3	3	3	3	3	3		
Затухание из-за геометрической дивергенции, Adiv, дБ	расстояние = 492.16 м	ф-ла (7) [10]	**64,8**										
Коэффициент затухания звука в атмосфере α, дБ/км	Ta=20,°C Pa=101.33,кПа hотн.=70%	ф-ла (5) [9]	0,02	0,09	0,33	1,12	2,79	4,98	9,04	23,09	77,63		
Учет затухания звука в атмосфере Aatm, дБ		ф-ла (8) [10]	0	0	0,2	0,6	1,4	2,4	4,4	11,4	38,2		
Снижение уровня звукового давления из-за влияния застройки между источником шума и расчетной точкой													
Снижение уровня звукового давления на пути над экраном, Dz1, дБ	z = 0.04м (разность путей)	ф-лы (14-18) [10]	4,8	4,8	4,8	4,8	4,8	4,8	4,8	4,8	4,8		

1		2	3	4	5	6	7	8	9	10	11	12	13
Снижение уровня звукового давления на пути слева от экрана, Dz2, дБ	z = 20.26м (разность путей)	ф-лы (14-18) [10]	22,6	26,3	29,4	32,5	35,5	38,5	41,6	44,6	47,6		
Снижение уровня звукового давления на пути справа от экрана, Dz3, дБ	z = 0.84м (разность путей)	ф-лы (14-18) [10]	7,9	9,6	11,8	14,4	17,2	20,1	23	26	29		
Общее снижение уровня звука препятствием Dz, дБ		Эн.сумма(-Dzi)	3	3,5	4	4,3	4,5	4,6	4,7	4,8	4,8		
Уровни звукового давления от источника ИШ-9-14 в расчётной точке днём, дБ		**ф-ла(3)[10]**	**0**	**27,9**	**28,7**	**29,3**	**28,5**	**27**	**21,6**	**10,4**	**0**	**30,7**	**30,7**
Уровни звукового давления от источника ИШ-9-14 в расчётной точке ночью, дБ		**ф-ла(3)[10]**	**0**	**27,9**	**28,7**	**29,3**	**28,5**	**27**	**21,6**	**10,4**	**0**	**30,7**	**30,7**
Источник шума: ИШ-9-15, координаты источника (x,y,z), м =[656.44,-317.86,1.00]													
Уровни звуковой мощности источника днём, Lw, дБ		**исходные данные**	**0**	**93,3**	**94,7**	**96**	**96,3**	**95,9**	**92,6**	**88,4**	**83,9**		
Уровни звуковой мощности источника ночью, Lw, дБ		**исходные данные**	**0**	**93,3**	**94,7**	**96**	**96,3**	**95,9**	**92,6**	**88,4**	**83,9**		
Поправка на телесный угол DΩ, дБ	Ω = 6.28	10Lg(4π/Ω)	**3**	3	3	3	3	3	3	3	3		
Показатель направленности источника Di, дБ		исходные данные	**0**	0	0	0	0	0	0	0	0		
Поправка на направленность источника Dc, дБ	Dc	DΩ + Di	**3**	3	3	3	3	3	3	3	3		
Затухание из-за геометрической дивергенции, Adiv, дБ	расстояние = 492.14 м	ф-ла (7) [10]	**64,8**										
Коэффициент затухания звука в атмосфере α, дБ/км	Ta=20,°C Pa=101.33,кПа hотн.=70%	ф-ла (5) [9]	0,02	0,09	0,33	1,12	2,79	4,98	9,04	23,09	77,63		
Учет затухания звука в атмосфере Aatm, дБ		ф-ла (8) [10]	0	0	0,2	0,6	1,4	2,4	4,4	11,4	38,2		
Снижение уровня звукового давления из-за влияния застройки между источником шума и расчетной точкой													
Снижение уровня звукового давления на пути над экраном, Dz1, дБ	z = 0.04м (разность путей)	ф-лы (14-18) [10]	4,8	4,8	4,8	4,8	4,8	4,8	4,8	4,8	4,8		

1		2	3	4	5	6	7	8	9	10	11	12	13
Снижение уровня звукового давления на пути слева от экрана, Dz2, дБ	z = 20.46м (разность путей)	ф-лы (14-18) [10]	22,7	26,3	29,5	32,6	35,6	38,6	41,6	44,6	47,6		
Снижение уровня звукового давления на пути справа от экрана, Dz3, дБ	z = 0.74м (разность путей)	ф-лы (14-18) [10]	7,6	9,3	11,4	14	16,7	19,6	22,5	25,5	28,5		
Общее снижение уровня звука препятствием Dz, дБ		Эн.сумма(-Dzi)	2,9	3,4	3,9	4,3	4,5	4,6	4,7	4,8	4,8		
Уровни звукового давления от источника ИШ-9-15 в расчётной точке днём, дБ		**ф-ла(3)[10]**	**0**	**28**	**28,8**	**29,3**	**28,6**	**27**	**21,6**	**10,4**	**0**	**30,7**	**30,7**
Уровни звукового давления от источника ИШ-9-15 в расчётной точке ночью, дБ		**ф-ла(3)[10]**	**0**	**28**	**28,8**	**29,3**	**28,6**	**27**	**21,6**	**10,4**	**0**	**30,7**	**30,7**
Источник шума: ИШ-9-16, координаты источника (x,y,z), м =[657.46,-314.97,1.00]													
Уровни звуковой мощности источника днём, Lw, дБ		**исходные данные**	**0**	**93,3**	**94,7**	**96**	**96,3**	**95,9**	**92,6**	**88,4**	**83,9**		
Уровни звуковой мощности источника ночью, Lw, дБ		**исходные данные**	**0**	**93,3**	**94,7**	**96**	**96,3**	**95,9**	**92,6**	**88,4**	**83,9**		
Поправка на телесный угол DΩ, дБ	Ω = 6.28	10Lg(4π/Ω)	**3**	3	3	3	3	3	3	3	3		
Показатель направленности источника Di, дБ		исходные данные	**0**	0	0	0	0	0	0	0	0		
Поправка на направленность источника Dc, дБ	Dc	DΩ + Di	**3**	3	3	3	3	3	3	3	3		
Затухание из-за геометрической дивергенции, Adiv, дБ	расстояние = 492.32 м	ф-ла (7) [10]	**64,8**										
Коэффициент затухания звука в атмосфере α, дБ/км	Ta=20,°C Pa=101.33,кПа hотн.=70%	ф-ла (5) [9]	0,02	0,09	0,33	1,12	2,79	4,98	9,04	23,09	77,63		
Учет затухания звука в атмосфере Aatm, дБ		ф-ла (8) [10]	0	0	0,2	0,6	1,4	2,5	4,5	11,4	38,2		
Снижение уровня звукового давления из-за влияния застройки между источником шума и расчетной точкой													
Снижение уровня звукового давления на пути над экраном, Dz1, дБ	z = 0.04м (разность путей)	ф-лы (14-18) [10]	4,8	4,8	4,8	4,8	4,8	4,8	4,8	4,8	4,8		

1		2	3	4	5	6	7	8	9	10	11	12	13
Снижение уровня звукового давления на пути слева от экрана, Dz2, дБ	z = 20.67м (разность путей)	ф-лы (14-18) [10]	22,7	26,4	29,5	32,6	35,6	38,6	41,6	44,7	47,7		
Снижение уровня звукового давления на пути справа от экрана, Dz3, дБ	z = 0.65м (разность путей)	ф-лы (14-18) [10]	7,3	8,9	11	13,5	16,2	19	21,9	24,9	27,9		
Общее снижение уровня звука препятствием Dz, дБ		Эн.сумма(-Dzi)	2,8	3,3	3,8	4,2	4,5	4,6	4,7	4,7	4,8		
Уровни звукового давления от источника ИШ-9-16 в расчётной точке днём, дБ		**ф-ла(3)[10]**	**0**	**28,1**	**28,8**	**29,4**	**28,6**	**27**	**21,6**	**10,4**	**0**	**30,8**	**30,8**
Уровни звукового давления от источника ИШ-9-16 в расчётной точке ночью, дБ		**ф-ла(3)[10]**	**0**	**28,1**	**28,8**	**29,4**	**28,6**	**27**	**21,6**	**10,4**	**0**	**30,8**	**30,8**
Источник шума: ИШ-9-17, координаты источника (x,y,z), м =[658.49,-312.18,1.00]													
Уровни звуковой мощности источника днём, Lw, дБ		**исходные данные**	**0**	**93,3**	**94,7**	**96**	**96,3**	**95,9**	**92,6**	**88,4**	**83,9**		
Уровни звуковой мощности источника ночью, Lw, дБ		**исходные данные**	**0**	**93,3**	**94,7**	**96**	**96,3**	**95,9**	**92,6**	**88,4**	**83,9**		
Поправка на телесный угол DΩ, дБ	Ω = 6.28	10Lg(4π/Ω)	**3**	3	3	3	3	3	3	3	3		
Показатель направленности источника Di, дБ		исходные данные	**0**	0	0	0	0	0	0	0	0		
Поправка на направленность источника Dc, дБ	Dc	DΩ + Di	**3**	3	3	3	3	3	3	3	3		
Затухание из-за геометрической дивергенции, Adiv, дБ	расстояние = 492.54 м	ф-ла (7) [10]	**64,8**										
Коэффициент затухания звука в атмосфере α, дБ/км	Ta=20,°C Pa=101.33,кПа hотн.=70%	ф-ла (5) [9]	0,02	0,09	0,33	1,12	2,79	4,98	9,04	23,09	77,63		
Учет затухания звука в атмосфере Aatm, дБ		ф-ла (8) [10]	0	0	0,2	0,6	1,4	2,5	4,5	11,4	38,2		
Снижение уровня звукового давления из-за влияния застройки между источником шума и расчетной точкой													
Снижение уровня звукового давления на пути над экраном, Dz1, дБ	z = 0.04м (разность путей)	ф-лы (14-18) [10]	4,8	4,8	4,8	4,8	4,8	4,8	4,8	4,8	4,8		

1		2	3	4	5	6	7	8	9	10	11	12	13
Снижение уровня звукового давления на пути слева от экрана, Dz2, дБ	z = 20.87м (разность путей)	ф-лы (14-18) [10]	22,7	26,4	29,6	32,6	35,7	38,7	41,7	44,7	47,7		
Снижение уровня звукового давления на пути справа от экрана, Dz3, дБ	z = 0.57м (разность путей)	ф-лы (14-18) [10]	7,1	8,6	10,6	13	15,6	18,5	21,4	24,3	27,3		
Общее снижение уровня звука препятствием Dz, дБ		Эн.сумма(-Dzi)	2,7	3,2	3,7	4,2	4,4	4,6	4,7	4,7	4,8		
Уровни звукового давления от источника ИШ-9-17 в расчётной точке днём, дБ		**ф-ла(3)[10]**	**0**	**28,2**	**28,9**	**29,4**	**28,6**	**27**	**21,6**	**10,4**	**0**	**30,8**	**30,8**
Уровни звукового давления от источника ИШ-9-17 в расчётной точке ночью, дБ		**ф-ла(3)[10]**	**0**	**28,2**	**28,9**	**29,4**	**28,6**	**27**	**21,6**	**10,4**	**0**	**30,8**	**30,8**
Источник шума: ИШ-9-18, координаты источника (x,y,z), м =[659.42,-309.20,1.00]													
Уровни звуковой мощности источника днём, Lw, дБ		**исходные данные**	**0**	**93,3**	**94,7**	**96**	**96,3**	**95,9**	**92,6**	**88,4**	**83,9**		
Уровни звуковой мощности источника ночью, Lw, дБ		**исходные данные**	**0**	**93,3**	**94,7**	**96**	**96,3**	**95,9**	**92,6**	**88,4**	**83,9**		
Поправка на телесный угол DΩ, дБ	Ω = 6.28	10Lg(4π/Ω)	**3**	3	3	3	3	3	3	3	3		
Показатель направленности источника Di, дБ		исходные данные	**0**	0	0	0	0	0	0	0	0		
Поправка на направленность источника Dc, дБ	Dc	DΩ + Di	**3**	3	3	3	3	3	3	3	3		
Затухание из-за геометрической дивергенции, Adiv, дБ	расстояние = 492.65 м	ф-ла (7) [10]	**64,9**										
Коэффициент затухания звука в атмосфере α, дБ/км	Ta=20,°C Pa=101.33,кПа hотн.=70%	ф-ла (5) [9]	0,02	0,09	0,33	1,12	2,79	4,98	9,04	23,09	77,63		
Учет затухания звука в атмосфере Aatm, дБ		ф-ла (8) [10]	0	0	0,2	0,6	1,4	2,5	4,5	11,4	38,2		
Снижение уровня звукового давления из-за влияния застройки между источником шума и расчетной точкой													
Снижение уровня звукового давления на пути над экраном, Dz1, дБ	z = 0.04м (разность путей)	ф-лы (14-18) [10]	4,8	4,8	4,8	4,8	4,8	4,8	4,8	4,8	4,8		

1		2	3	4	5	6	7	8	9	10	11	12	13
Снижение уровня звукового давления на пути слева от экрана, Dz2, дБ	z = 21.10м (разность путей)	ф-лы (14-18) [10]	22,8	26,4	29,6	32,7	35,7	38,7	41,7	44,7	47,8		
Снижение уровня звукового давления на пути справа от экрана, Dz3, дБ	z = 0.49м (разность путей)	ф-лы (14-18) [10]	6,8	8,2	10,1	12,4	15	17,8	20,7	23,7	26,7		
Общее снижение уровня звука препятствием Dz, дБ		Эн.сумма(-Dzi)	2,6	3,1	3,6	4,1	4,4	4,6	4,7	4,7	4,8		
Уровни звукового давления от источника ИШ-9-18 в расчётной точке днём, дБ		**ф-ла(3)[10]**	**0**	**28,3**	**29**	**29,5**	**28,7**	**27**	**21,6**	**10,4**	**0**	**30,8**	**30,8**
Уровни звукового давления от источника ИШ-9-18 в расчётной точке ночью, дБ		**ф-ла(3)[10]**	**0**	**28,3**	**29**	**29,5**	**28,7**	**27**	**21,6**	**10,4**	**0**	**30,8**	**30,8**
Источник шума: ИШ-9-19, координаты источника (x,y,z), м =[660.44,-306.50,1.00]													
Уровни звуковой мощности источника днём, Lw, дБ		**исходные данные**	**0**	**93,3**	**94,7**	**96**	**96,3**	**95,9**	**92,6**	**88,4**	**83,9**		
Уровни звуковой мощности источника ночью, Lw, дБ		**исходные данные**	**0**	**93,3**	**94,7**	**96**	**96,3**	**95,9**	**92,6**	**88,4**	**83,9**		
Поправка на телесный угол DΩ, дБ	Ω = 6.28	10Lg(4π/Ω)	**3**	3	3	3	3	3	3	3	3		
Показатель направленности источника Di, дБ		исходные данные	**0**	0	0	0	0	0	0	0	0		
Поправка на направленность источника Dc, дБ	Dc	DΩ + Di	**3**	3	3	3	3	3	3	3	3		
Затухание из-за геометрической дивергенции, Adiv, дБ	расстояние = 492.93 м	ф-ла (7) [10]	**64,9**										
Коэффициент затухания звука в атмосфере α, дБ/км	Ta=20,°C Pa=101.33,кПа hотн.=70%	ф-ла (5) [9]	0,02	0,09	0,33	1,12	2,79	4,98	9,04	23,09	77,63		
Учет затухания звука в атмосфере Aatm, дБ		ф-ла (8) [10]	0	0	0,2	0,6	1,4	2,5	4,5	11,4	38,3		
Снижение уровня звукового давления из-за влияния застройки между источником шума и расчетной точкой													
Снижение уровня звукового давления на пути над экраном, Dz1, дБ	z = 0.04м (разность путей)	ф-лы (14-18) [10]	4,8	4,8	4,8	4,8	4,8	4,8	4,8	4,8	4,8		

1		2	3	4	5	6	7	8	9	10	11	12	13
Снижение уровня звукового давления на пути слева от экрана, Dz2, дБ	z = 21.31м (разность путей)	ф-лы (14-18) [10]	22,8	26,5	29,7	32,7	35,8	38,8	41,8	44,8	47,8		
Снижение уровня звукового давления на пути справа от экрана, Dz3, дБ	z = 0.42м (разность путей)	ф-лы (14-18) [10]	6,6	7,9	9,6	11,9	14,5	17,2	20,1	23,1	26		
Общее снижение уровня звука препятствием Dz, дБ		Эн.сумма(-Dzi)	2,5	3	3,5	4	4,3	4,5	4,7	4,7	4,8		
Уровни звукового давления от источника ИШ-9-19 в расчётной точке днём, дБ		**ф-ла(3)[10]**	**0**	**28,4**	**29,1**	**29,6**	**28,7**	**27**	**21,6**	**10,4**	**0**	**30,9**	**30,9**
Уровни звукового давления от источника ИШ-9-19 в расчётной точке ночью, дБ		**ф-ла(3)[10]**	**0**	**28,4**	**29,1**	**29,6**	**28,7**	**27**	**21,6**	**10,4**	**0**	**30,9**	**30,9**
Источник шума: ИШ-9-20, координаты источника (x,y,z), м =[661.28,-303.61,1.00]													
Уровни звуковой мощности источника днём, Lw, дБ		**исходные данные**	**0**	**93,3**	**94,7**	**96**	**96,3**	**95,9**	**92,6**	**88,4**	**83,9**		
Уровни звуковой мощности источника ночью, Lw, дБ		**исходные данные**	**0**	**93,3**	**94,7**	**96**	**96,3**	**95,9**	**92,6**	**88,4**	**83,9**		
Поправка на телесный угол DΩ, дБ	Ω = 6.28	10Lg(4π/Ω)	**3**	3	3	3	3	3	3	3	3		
Показатель направленности источника Di, дБ		исходные данные	**0**	0	0	0	0	0	0	0	0		
Поправка на направленность источника Dc, дБ	Dc	DΩ + Di	**3**	3	3	3	3	3	3	3	3		
Затухание из-за геометрической дивергенции, Adiv, дБ	расстояние = 493.00 м	ф-ла (7) [10]	**64,9**										
Коэффициент затухания звука в атмосфере α, дБ/км	Ta=20,°C Pa=101.33,кПа hотн.=70%	ф-ла (5) [9]	0,02	0,09	0,33	1,12	2,79	4,98	9,04	23,09	77,63		
Учет затухания звука в атмосфере Aatm, дБ		ф-ла (8) [10]	0	0	0,2	0,6	1,4	2,5	4,5	11,4	38,3		
Снижение уровня звукового давления из-за влияния застройки между источником шума и расчетной точкой													
Снижение уровня звукового давления на пути над экраном, Dz1, дБ	z = 0.04м (разность путей)	ф-лы (14-18) [10]	4,8	4,8	4,8	4,8	4,8	4,8	4,8	4,8	4,8		

1		2	3	4	5	6	7	8	9	10	11	12	13
Снижение уровня звукового давления на пути слева от экрана, Dz2, дБ	z = 21.54м (разность путей)	ф-лы (14-18) [10]	22,9	26,5	29,7	32,8	35,8	38,8	41,8	44,8	47,8		
Снижение уровня звукового давления на пути справа от экрана, Dz3, дБ	z = 0.36м (разность путей)	ф-лы (14-18) [10]	6,4	7,5	9,2	11,3	13,8	16,5	19,4	22,3	25,3		
Общее снижение уровня звука препятствием Dz, дБ		Эн.сумма(-Dzi)	2,4	2,9	3,4	3,9	4,3	4,5	4,6	4,7	4,8		
Уровни звукового давления от источника ИШ-9-20 в расчётной точке днём, дБ		**ф-ла(3)[10]**	**0**	**28,5**	**29,3**	**29,7**	**28,8**	**27,1**	**21,6**	**10,4**	**0**	**30,9**	**30,9**
Уровни звукового давления от источника ИШ-9-20 в расчётной точке ночью, дБ		**ф-ла(3)[10]**	**0**	**28,5**	**29,3**	**29,7**	**28,8**	**27,1**	**21,6**	**10,4**	**0**	**30,9**	**30,9**
Источник шума: ИШ-9-21, координаты источника (x,y,z), м =[661.93,-300.72,1.00]													
Уровни звуковой мощности источника днём, Lw, дБ		**исходные данные**	**0**	**93,3**	**94,7**	**96**	**96,3**	**95,9**	**92,6**	**88,4**	**83,9**		
Уровни звуковой мощности источника ночью, Lw, дБ		**исходные данные**	**0**	**93,3**	**94,7**	**96**	**96,3**	**95,9**	**92,6**	**88,4**	**83,9**		
Поправка на телесный угол DΩ, дБ	Ω = 6.28	10Lg(4π/Ω)	**3**	3	3	3	3	3	3	3	3		
Показатель направленности источника Di, дБ		исходные данные	**0**	0	0	0	0	0	0	0	0		
Поправка на направленность источника Dc, дБ	Dc	DΩ + Di	**3**	3	3	3	3	3	3	3	3		
Затухание из-за геометрической дивергенции, Adiv, дБ	расстояние = 492.91 м	ф-ла (7) [10]	**64,9**										
Коэффициент затухания звука в атмосфере α, дБ/км	Ta=20,°C Pa=101.33,кПа hотн.=70%	ф-ла (5) [9]	0,02	0,09	0,33	1,12	2,79	4,98	9,04	23,09	77,63		
Учет затухания звука в атмосфере Aatm, дБ		ф-ла (8) [10]	0	0	0,2	0,6	1,4	2,5	4,5	11,4	38,3		
Снижение уровня звукового давления из-за влияния застройки между источником шума и расчетной точкой													
Снижение уровня звукового давления на пути над экраном, Dz1, дБ	z = 0.04м (разность путей)	ф-лы (14-18) [10]	4,8	4,8	4,8	4,8	4,8	4,8	4,8	4,8	4,8		

1		2	3	4	5	6	7	8	9	10	11	12	13
Снижение уровня звукового давления на пути слева от экрана, Dz2, дБ	z = 21.77м (разность путей)	ф-лы (14-18) [10]	22,9	26,6	29,8	32,8	35,8	38,9	41,9	44,9	47,9		
Снижение уровня звукового давления на пути справа от экрана, Dz3, дБ	z = 0.30м (разность путей)	ф-лы (14-18) [10]	6,1	7,2	8,7	10,7	13,1	15,8	18,6	21,6	24,5		
Общее снижение уровня звука препятствием Dz, дБ		Эн.сумма(-Dzi)	2,4	2,8	3,3	3,8	4,2	4,4	4,6	4,7	4,8		
Уровни звукового давления от источника ИШ-9-21 в расчётной точке днём, дБ		**ф-ла(3)[10]**	**0**	**28,6**	**29,4**	**29,8**	**28,9**	**27,1**	**21,7**	**10,5**	**0**	**31**	**31**
Уровни звукового давления от источника ИШ-9-21 в расчётной точке ночью, дБ		**ф-ла(3)[10]**	**0**	**28,6**	**29,4**	**29,8**	**28,9**	**27,1**	**21,7**	**10,5**	**0**	**31**	**31**
Источник шума: ИШ-9-22, координаты источника (x,y,z), м =[663.14,-297.83,1.00]													
Уровни звуковой мощности источника днём, Lw, дБ		**исходные данные**	**0**	**93,3**	**94,7**	**96**	**96,3**	**95,9**	**92,6**	**88,4**	**83,9**		
Уровни звуковой мощности источника ночью, Lw, дБ		**исходные данные**	**0**	**93,3**	**94,7**	**96**	**96,3**	**95,9**	**92,6**	**88,4**	**83,9**		
Поправка на телесный угол DΩ, дБ	Ω = 6.28	10Lg(4π/Ω)	**3**	3	3	3	3	3	3	3	3		
Показатель направленности источника Di, дБ		исходные данные	**0**	0	0	0	0	0	0	0	0		
Поправка на направленность источника Dc, дБ	Dc	DΩ + Di	**3**	3	3	3	3	3	3	3	3		
Затухание из-за геометрической дивергенции, Adiv, дБ	расстояние = 493.38 м	ф-ла (7) [10]	**64,9**										
Коэффициент затухания звука в атмосфере α, дБ/км	Ta=20,°C Pa=101.33,кПа hотн.=70%	ф-ла (5) [9]	0,02	0,09	0,33	1,12	2,79	4,98	9,04	23,09	77,63		
Учет затухания звука в атмосфере Aatm, дБ		ф-ла (8) [10]	0	0	0,2	0,6	1,4	2,5	4,5	11,4	38,3		
Снижение уровня звукового давления из-за влияния застройки между источником шума и расчетной точкой													
Снижение уровня звукового давления на пути над экраном, Dz1, дБ	z = 0.04м (разность путей)	ф-лы (14-18) [10]	4,8	4,8	4,8	4,8	4,8	4,8	4,8	4,8	4,8		

1		2	3	4	5	6	7	8	9	10	11	12	13
Снижение уровня звукового давления на пути слева от экрана, Dz2, дБ	z = 22.02м (разность путей)	ф-лы (14-18) [10]	23	26,6	29,8	32,9	35,9	38,9	41,9	44,9	47,9		
Снижение уровня звукового давления на пути справа от экрана, Dz3, дБ	z = 0.24м (разность путей)	ф-лы (14-18) [10]	5,9	6,8	8,2	10	12,4	15	17,8	20,7	23,6		
Общее снижение уровня звука препятствием Dz, дБ		Эн.сумма(-Dzi)	2,3	2,6	3,1	3,6	4,1	4,4	4,6	4,7	4,8		
Уровни звукового давления от источника ИШ-9-22 в расчётной точке днём, дБ		**ф-ла(3)[10]**	**0**	**28,7**	**29,5**	**29,9**	**29**	**27,2**	**21,7**	**10,5**	**0**	**31**	**31**
Уровни звукового давления от источника ИШ-9-22 в расчётной точке ночью, дБ		**ф-ла(3)[10]**	**0**	**28,7**	**29,5**	**29,9**	**29**	**27,2**	**21,7**	**10,5**	**0**	**31**	**31**
Источник шума: ИШ-9-23, координаты источника (x,y,z), м =[664.07,-295.13,1.00]													
Уровни звуковой мощности источника днём, Lw, дБ		**исходные данные**	**0**	**93,3**	**94,7**	**96**	**96,3**	**95,9**	**92,6**	**88,4**	**83,9**		
Уровни звуковой мощности источника ночью, Lw, дБ		**исходные данные**	**0**	**93,3**	**94,7**	**96**	**96,3**	**95,9**	**92,6**	**88,4**	**83,9**		
Поправка на телесный угол DΩ, дБ	Ω = 6.28	10Lg(4π/Ω)	**3**	3	3	3	3	3	3	3	3		
Показатель направленности источника Di, дБ		исходные данные	**0**	0	0	0	0	0	0	0	0		
Поправка на направленность источника Dc, дБ	Dc	DΩ + Di	**3**	3	3	3	3	3	3	3	3		
Затухание из-за геометрической дивергенции, Adiv, дБ	расстояние = 493.64 м	ф-ла (7) [10]	**64,9**										
Коэффициент затухания звука в атмосфере α, дБ/км	Ta=20,°C Pa=101.33,кПа hотн.=70%	ф-ла (5) [9]	0,02	0,09	0,33	1,12	2,79	4,98	9,04	23,09	77,63		
Учет затухания звука в атмосфере Aatm, дБ		ф-ла (8) [10]	0	0	0,2	0,6	1,4	2,5	4,5	11,4	38,3		
Снижение уровня звукового давления из-за влияния застройки между источником шума и расчетной точкой													
Снижение уровня звукового давления на пути над экраном, Dz1, дБ	z = 0.04м (разность путей)	ф-лы (14-18) [10]	4,8	4,8	4,8	4,8	4,8	4,8	4,8	4,8	4,8		

1		2	3	4	5	6	7	8	9	10	11	12	13
Снижение уровня звукового давления на пути слева от экрана, Dz2, дБ	z = 22.26м (разность путей)	ф-лы (14-18) [10]	23	26,7	29,9	32,9	35,9	39	42	45	48		
Снижение уровня звукового давления на пути справа от экрана, Dz3, дБ	z = 0.19м (разность путей)	ф-лы (14-18) [10]	5,7	6,5	7,7	9,4	11,6	14,1	16,9	19,8	22,7		
Общее снижение уровня звука препятствием Dz, дБ		Эн.сумма(-Dzi)	2,2	2,5	3	3,5	4	4,3	4,5	4,7	4,7		
Уровни звукового давления от источника ИШ-9-23 в расчётной точке днём, дБ		**ф-ла(3)[10]**	**0**	**28,9**	**29,7**	**30,1**	**29,1**	**27,3**	**21,7**	**10,5**	**0**	**31,1**	**31,1**
Уровни звукового давления от источника ИШ-9-23 в расчётной точке ночью, дБ		**ф-ла(3)[10]**	**0**	**28,9**	**29,7**	**30,1**	**29,1**	**27,3**	**21,7**	**10,5**	**0**	**31,1**	**31,1**
Источник шума: ИШ-9-24, координаты источника (x,y,z), м =[665.19,-292.34,1.00]													
Уровни звуковой мощности источника днём, Lw, дБ		**исходные данные**	**0**	**93,3**	**94,7**	**96**	**96,3**	**95,9**	**92,6**	**88,4**	**83,9**		
Уровни звуковой мощности источника ночью, Lw, дБ		**исходные данные**	**0**	**93,3**	**94,7**	**96**	**96,3**	**95,9**	**92,6**	**88,4**	**83,9**		
Поправка на телесный угол DΩ, дБ	Ω = 6.28	10Lg(4π/Ω)	**3**	3	3	3	3	3	3	3	3		
Показатель направленности источника Di, дБ		исходные данные	**0**	0	0	0	0	0	0	0	0		
Поправка на направленность источника Dc, дБ	Dc	DΩ + Di	**3**	3	3	3	3	3	3	3	3		
Затухание из-за геометрической дивергенции, Adiv, дБ	расстояние = 494.08 м	ф-ла (7) [10]	**64,9**										
Коэффициент затухания звука в атмосфере α, дБ/км	Ta=20,°C Pa=101.33,кПа hотн.=70%	ф-ла (5) [9]	0,02	0,09	0,33	1,12	2,79	4,98	9,04	23,09	77,63		
Учет затухания звука в атмосфере Aatm, дБ		ф-ла (8) [10]	0	0	0,2	0,6	1,4	2,5	4,5	11,4	38,4		
Снижение уровня звукового давления из-за влияния застройки между источником шума и расчетной точкой													
Снижение уровня звукового давления на пути над экраном, Dz1, дБ	z = 0.04м (разность путей)	ф-лы (14-18) [10]	4,8	4,8	4,8	4,8	4,8	4,8	4,8	4,8	4,8		

1		2	3	4	5	6	7	8	9	10	11	12	13
Снижение уровня звукового давления на пути слева от экрана, Dz2, дБ	z = 22.51м (разность путей)	ф-лы (14-18) [10]	23,1	26,7	29,9	33	36	39	42	45	48		
Снижение уровня звукового давления на пути справа от экрана, Dz3, дБ	z = 0.15м (разность путей)	ф-лы (14-18) [10]	5,5	6,2	7,2	8,7	10,8	13,2	15,9	18,7	21,6		
Общее снижение уровня звука препятствием Dz, дБ		Эн.сумма(-Dzi)	2,1	2,4	2,8	3,3	3,8	4,2	4,5	4,6	4,7		
Уровни звукового давления от источника ИШ-9-24 в расчётной точке днём, дБ		**ф-ла(3)[10]**	**0**	**29**	**29,9**	**30,3**	**29,2**	**27,4**	**21,8**	**10,5**	**0**	**31,2**	**31,2**
Уровни звукового давления от источника ИШ-9-24 в расчётной точке ночью, дБ		**ф-ла(3)[10]**	**0**	**29**	**29,9**	**30,3**	**29,2**	**27,4**	**21,8**	**10,5**	**0**	**31,2**	**31,2**
Источник шума: ИШ-9-25, координаты источника (x,y,z), м =[683.46,-239.16,1.00]													
Уровни звуковой мощности источника днём, Lw, дБ		**исходные данные**	**77**	**75**	**67**	**66**	**63**	**55**	**53**	**48**	**51**		
Уровни звуковой мощности источника ночью, Lw, дБ		**исходные данные**	**77**	**75**	**67**	**66**	**63**	**55**	**53**	**48**	**51**		
Поправка на телесный угол DΩ, дБ	Ω = 6.28	10Lg(4π/Ω)	**3**	3	3	3	3	3	3	3	3		
Показатель направленности источника Di, дБ		исходные данные	**0**	0	0	0	0	0	0	0	0		
Поправка на направленность источника Dc, дБ	Dc	DΩ + Di	**3**	3	3	3	3	3	3	3	3		
Затухание из-за геометрической дивергенции, Adiv, дБ	расстояние = 502.79 м	ф-ла (7) [10]	**65**										
Коэффициент затухания звука в атмосфере α, дБ/км	Ta=20,°C Pa=101.33,кПа hотн.=70%	ф-ла (5) [9]	0,02	0,09	0,33	1,12	2,79	4,98	9,04	23,09	77,63		
Учет затухания звука в атмосфере Aatm, дБ		ф-ла (8) [10]	0	0	0,2	0,6	1,4	2,5	4,5	11,6	39		
Снижение поверхностью земли возле источника As, дБ	Gs = 0 hs = 1м	ф-лы таб.3 [10]	-1,5	-1,5	-1,5	-1,5	-1,5	-1,5	-1,5	-1,5	-1,5		
Снижение поверхностью земли возле приёмника Ar, дБ	Gr = 1 hr = 1.6м	ф-лы таб.3 [10]	-1,5	-1,5	3	6,8	4,3	0,5	0	0	0		

1		2	3	4	5	6	7	8	9	10	11	12	13
Снижение поверхностью земли в средней зоне, Am дБ	Gm = 1	ф-лы таб.3 [10]	-2,5	-2,5	0	0	0	0	0	0	0		
Суммарное снижение поверхностью земли на траектории распространения звука Agr, дБ		ф-ла (9) [10]	-5,5	-5,5	1,5	5,3	2,8	-1	-1,5	-1,5	-1,5		
Уровни звукового давления прямого звука от источника ИШ-9-25 в расчётной точке днём, дБ		**ф-ла(3)[10]**	**20,5**	**18,5**	**3,3**	**0**	**0**	**0**	**0**	**0**	**0**	**0**	**0**
Уровни звукового давления прямого звука от источника ИШ-9-25 в расчётной точке ночью, дБ		**ф-ла(3)[10]**	**20,5**	**18,5**	**3,3**	**0**	**0**	**0**	**0**	**0**	**0**	**0**	**0**
Расчёт отражённого звука													
Уровни звукового давления от мнимого источника ИШ-9-25_мн.(1) в расчётной точке днём, дБ		**ф-ла(3)[10]**	**0**	**0**	**0**	**0**	**0**	**0**	**0**	**0**	**0**	**0**	**0**
Уровни звукового давления от мнимого источника ИШ-9-25_мн.(1) в расчётной точке ночью, дБ		**ф-ла(3)[10]**	**0**	**0**	**0**	**0**	**0**	**0**	**0**	**0**	**0**	**0**	**0**
Уровни звукового давления от источника ИШ-9-25 в расчётной точке днём, дБ		**ф-ла(3)[10]**	**20,5**	**18,5**	**3,3**	**0**	**0**	**0**	**0**	**0**	**0**	**0**	**0**
Уровни звукового давления от источника ИШ-9-25 в расчётной точке ночью, дБ		**ф-ла(3)[10]**	**20,5**	**18,5**	**3,3**	**0**	**0**	**0**	**0**	**0**	**0**	**0**	**0**
Источник шума: ИШ-9-26, координаты источника (x,y,z), м =[680.09,-249.52,1.00]													
Уровни звуковой мощности источника днём, Lw, дБ		**исходные данные**	**77**	**75**	**67**	**66**	**63**	**55**	**53**	**48**	**51**		
Уровни звуковой мощности источника ночью, Lw, дБ		**исходные данные**	**77**	**75**	**67**	**66**	**63**	**55**	**53**	**48**	**51**		
Поправка на телесный угол DΩ, дБ	Ω = 6.28	10Lg(4π/Ω)	**3**	3	3	3	3	3	3	3	3		
Показатель направленности источника Di, дБ		исходные данные	**0**	0	0	0	0	0	0	0	0		
Поправка на направленность источника Dc, дБ	Dc	DΩ + Di	**3**	3	3	3	3	3	3	3	3		
Затухание из-за геометрической дивергенции, Adiv, дБ	расстояние = 500.81 м	ф-ла (7) [10]	**65**										
Коэффициент затухания звука в атмосфере α, дБ/км	Ta=20,°C Pa=101.33,кПа hотн.=70%	ф-ла (5) [9]	0,02	0,09	0,33	1,12	2,79	4,98	9,04	23,09	77,63		

1		2	3	4	5	6	7	8	9	10	11	12	13
Учет затухания звука в атмосфере Aatm, дБ		ф-ла (8) [10]	0	0	0,2	0,6	1,4	2,5	4,5	11,6	38,9		
Снижение поверхностью земли возле источника As, дБ	Gs = 0 hs = 1м	ф-лы таб.3 [10]	-1,5	-1,5	-1,5	-1,5	-1,5	-1,5	-1,5	-1,5	-1,5		
Снижение поверхностью земли возле приёмника Ar, дБ	Gr = 1 hr = 1.6м	ф-лы таб.3 [10]	-1,5	-1,5	3	6,8	4,3	0,5	0	0	0		
Снижение поверхностью земли в средней зоне, Am дБ	Gm = 1	ф-лы таб.3 [10]	-2,5	-2,5	0	0	0	0	0	0	0		
Суммарное снижение поверхностью земли на траектории распространения звука Agr, дБ		ф-ла (9) [10]	-5,5	-5,5	1,5	5,3	2,8	-1	-1,5	-1,5	-1,5		
Уровни звукового давления прямого звука от источника ИШ-9-26 в расчётной точке днём, дБ		**ф-ла(3)[10]**	**20,5**	**18,5**	**3,3**	**0**	**0**	**0**	**0**	**0**	**0**	**0**	**0**
Уровни звукового давления прямого звука от источника ИШ-9-26 в расчётной точке ночью, дБ		**ф-ла(3)[10]**	**20,5**	**18,5**	**3,3**	**0**	**0**	**0**	**0**	**0**	**0**	**0**	**0**
Расчёт отражённого звука													
Уровни звукового давления от мнимого источника ИШ-9-26_мн.(1) в расчётной точке днём, дБ		**ф-ла(3)[10]**	**0**	**0**	**0**	**0**	**0**	**0**	**0**	**0**	**0**	**0**	**0**
Уровни звукового давления от мнимого источника ИШ-9-26_мн.(1) в расчётной точке ночью, дБ		**ф-ла(3)[10]**	**0**	**0**	**0**	**0**	**0**	**0**	**0**	**0**	**0**	**0**	**0**
Уровни звукового давления от источника ИШ-9-26 в расчётной точке днём, дБ		**ф-ла(3)[10]**	**20,5**	**18,5**	**3,3**	**0**	**0**	**0**	**0**	**0**	**0**	**0**	**0**
Уровни звукового давления от источника ИШ-9-26 в расчётной точке ночью, дБ		**ф-ла(3)[10]**	**20,5**	**18,5**	**3,3**	**0**	**0**	**0**	**0**	**0**	**0**	**0**	**0**
Источник шума: ИШ-9-27, координаты источника (x,y,z), м =[676.46,-260.14,1.00]													
Уровни звуковой мощности источника днём, Lw, дБ		**исходные данные**	**77**	**75**	**67**	**66**	**63**	**55**	**53**	**48**	**51**		
Уровни звуковой мощности источника ночью, Lw, дБ		**исходные данные**	**77**	**75**	**67**	**66**	**63**	**55**	**53**	**48**	**51**		
Поправка на телесный угол DΩ, дБ	Ω = 6.28	10Lg(4π/Ω)	**3**	3	3	3	3	3	3	3	3		
Показатель направленности источника Di, дБ		исходные данные	**0**	0	0	0	0	0	0	0	0		

1		2	3	4	5	6	7	8	9	10	11	12	13
Поправка на направленность источника Dc, дБ	Dc	DΩ + Di	**3**	3	3	3	3	3	3	3	3		
Затухание из-за геометрической дивергенции, Adiv, дБ	расстояние = 498.83 м	ф-ла (7) [10]	**65**										
Коэффициент затухания звука в атмосфере α, дБ/км	Ta=20,°C Pa=101.33,кПа hотн.=70%	ф-ла (5) [9]	0,02	0,09	0,33	1,12	2,79	4,98	9,04	23,09	77,63		
Учет затухания звука в атмосфере Aatm, дБ		ф-ла (8) [10]	0	0	0,2	0,6	1,4	2,5	4,5	11,5	38,7		
Снижение уровня звукового давления из-за влияния застройки между источником шума и расчетной точкой													
Снижение уровня звукового давления препятствием слева от трассы ИШ-РТ, Dz2, дБ	z = -0.04м (разность путей)	ф-лы (14-18) [10]	4,6	4,3	3,8	2,6	0	NAN	NAN	NAN	NAN		
* отрицательное значение z означает прохождение траектории вблизи экрана, в этом случае дополнительно производится учёт снижения подстилающей поверхностью (см.ниже)													
Снижение поверхностью земли возле источника As, дБ	Gs = 0 hs = 1м	ф-лы таб.3 [10]	-1,5	-1,5	-1,5	-1,5	-1,5	-1,5	-1,5	-1,5	-1,5		
Снижение поверхностью земли возле приёмника Ar, дБ	Gr = 1 hr = 1.6м	ф-лы таб.3 [10]	-1,5	-1,5	3	6,8	4,3	0,5	0	0	0		
Снижение поверхностью земли в средней зоне, Am дБ	Gm = 1	ф-лы таб.3 [10]	-2,5	-2,5	0	0	0	0	0	0	0		
Суммарное снижение поверхностью земли на траектории распространения звука Agr, дБ		ф-ла (9) [10]	-5,5	-5,5	1,5	5,3	2,8	-1	-1,5	-1,5	-1,5		
Уровни звукового давления прямого звука от источника ИШ-9-27 в расчётной точке днём, дБ		**ф-ла(3)[10]**	**16**	**14,2**	**0**	**0**	**0**	**0**	**0**	**0**	**0**	**0**	**0**
Уровни звукового давления прямого звука от источника ИШ-9-27 в расчётной точке ночью, дБ		**ф-ла(3)[10]**	**16**	**14,2**	**0**	**0**	**0**	**0**	**0**	**0**	**0**	**0**	**0**
Расчёт отражённого звука													
Уровни звукового давления от мнимого источника ИШ-9-27_мн.(1) в расчётной точке днём, дБ		**ф-ла(3)[10]**	**0**	**0**	**0**	**0**	**0**	**0**	**0**	**0**	**0**	**0**	**0**
Уровни звукового давления от мнимого источника ИШ-9-27_мн.(1) в расчётной точке ночью, дБ		**ф-ла(3)[10]**	**0**	**0**	**0**	**0**	**0**	**0**	**0**	**0**	**0**	**0**	**0**
Уровни звукового давления от источника ИШ-9-27 в расчётной точке днём, дБ		**ф-ла(3)[10]**	**16**	**14,2**	**0**	**0**	**0**	**0**	**0**	**0**	**0**	**0**	**0**
Уровни звукового давления от источника ИШ-9-27 в расчётной точке ночью, дБ		**ф-ла(3)[10]**	**16**	**14,2**	**0**	**0**	**0**	**0**	**0**	**0**	**0**	**0**	**0**

1		2	3	4	5	6	7	8	9	10	11	12	13
Источник шума: ИШ-10-1, координаты источника (x,y,z), м =[17.37,413.17,1.00]													
Уровни звуковой мощности источника днём, Lw, дБ		**исходные данные**	**0**	**98,3**	**99,7**	**101**	**101,3**	**100,9**	**97,6**	**93,4**	**88,9**		
Уровни звуковой мощности источника ночью, Lw, дБ		**исходные данные**	**0**	**98,3**	**99,7**	**101**	**101,3**	**100,9**	**97,6**	**93,4**	**88,9**		
Поправка на телесный угол DΩ, дБ	Ω = 6.28	10Lg(4π/Ω)	**3**	3	3	3	3	3	3	3	3		
Показатель направленности источника Di, дБ		исходные данные	**0**	0	0	0	0	0	0	0	0		
Поправка на направленность источника Dc, дБ	Dc	DΩ + Di	**3**	3	3	3	3	3	3	3	3		
Затухание из-за геометрической дивергенции, Adiv, дБ	расстояние = 615.30 м	ф-ла (7) [10]	**66,8**										
Коэффициент затухания звука в атмосфере α, дБ/км	Ta=20,°C Pa=101.33,кПа hотн.=70%	ф-ла (5) [9]	0,02	0,09	0,33	1,12	2,79	4,98	9,04	23,09	77,63		
Учет затухания звука в атмосфере Aatm, дБ		ф-ла (8) [10]	0	0,1	0,2	0,7	1,7	3,1	5,6	14,2	47,8		
Снижение уровня звукового давления из-за влияния застройки между источником шума и расчетной точкой													
Снижение уровня звукового давления на пути над экраном, Dz1, дБ	z = 0.27м (разность путей)	ф-лы (14-18) [10]	4,8	4,8	4,9	5	5,3	5,8	6,6	7,9	9,7		
Снижение уровня звукового давления на пути слева от экрана, Dz2, дБ	z = 31.36м (разность путей)	ф-лы (14-18) [10]	20,8	23,7	26,7	29,7	32,7	35,7	38,7	41,7	44,7		
Снижение уровня звукового давления на пути справа от экрана, Dz3, дБ	z = 0.23м (разность путей)	ф-лы (14-18) [10]	5,8	6,7	8	9,9	12,1	14,7	17,5	20,4	23,4		
Общее снижение уровня звука препятствием Dz, дБ		Эн.сумма(-Dzi)	2,2	2,6	3,1	3,8	4,5	5,3	6,3	7,7	9,5		
Уровни звукового давления от источника ИШ-10-1 в расчётной точке днём, дБ		**ф-ла(3)[10]**	**0**	**31,9**	**32,6**	**32,8**	**31,4**	**28,8**	**22**	**7,7**	**0**	**32,9**	**32,9**
Уровни звукового давления от источника ИШ-10-1 в расчётной точке ночью, дБ		**ф-ла(3)[10]**	**0**	**31,9**	**32,6**	**32,8**	**31,4**	**28,8**	**22**	**7,7**	**0**	**32,9**	**32,9**

1		2	3	4	5	6	7	8	9	10	11	12	13
Источник шума: ИШ-10-2, координаты источника (x,y,z), м =[27.87,443.46,1.00]													
Уровни звуковой мощности источника днём, Lw, дБ		**исходные данные**	**0**	**98,3**	**99,7**	**101**	**101,3**	**100,9**	**97,6**	**93,4**	**88,9**		
Уровни звуковой мощности источника ночью, Lw, дБ		**исходные данные**	**0**	**98,3**	**99,7**	**101**	**101,3**	**100,9**	**97,6**	**93,4**	**88,9**		
Поправка на телесный угол DΩ, дБ	Ω = 6.28	10Lg(4π/Ω)	**3**	3	3	3	3	3	3	3	3		
Показатель направленности источника Di, дБ		исходные данные	**0**	0	0	0	0	0	0	0	0		
Поправка на направленность источника Dc, дБ	Dc	DΩ + Di	**3**	3	3	3	3	3	3	3	3		
Затухание из-за геометрической дивергенции, Adiv, дБ	расстояние = 641.87 м	ф-ла (7) [10]	**67,1**										
Коэффициент затухания звука в атмосфере α, дБ/км	Ta=20,°C Pa=101.33,кПа hотн.=70%	ф-ла (5) [9]	0,02	0,09	0,33	1,12	2,79	4,98	9,04	23,09	77,63		
Учет затухания звука в атмосфере Aatm, дБ		ф-ла (8) [10]	0	0,1	0,2	0,7	1,8	3,2	5,8	14,8	49,8		
Снижение уровня звукового давления из-за влияния застройки между источником шума и расчетной точкой													
Снижение уровня звукового давления на пути над экраном, Dz1, дБ	z = 0.31м (разность путей)	ф-лы (14-18) [10]	5,7	6,4	7,7	9,4	11,6	14,1	16,8	19,7	22,6		
Снижение уровня звукового давления на пути слева от экрана, Dz2, дБ	z = 22.24м (разность путей)	ф-лы (14-18) [10]	23,1	26,7	29,9	32,9	35,9	38,9	42	45	48		
Снижение уровня звукового давления на пути справа от экрана, Dz3, дБ	z = 0.69м (разность путей)	ф-лы (14-18) [10]	7,5	9,1	11,2	13,7	16,4	19,3	22,2	25,2	28,2		
Общее снижение уровня звука препятствием Dz, дБ		Эн.сумма(-Dzi)	3,4	4,5	6	8	10,3	12,9	15,7	18,6	21,6		
Уровни звукового давления от источника ИШ-10-2 в расчётной точке днём, дБ		**ф-ла(3)[10]**	**0**	**29,6**	**29,3**	**28,1**	**25,1**	**20,6**	**11,9**	**0**	**0**	**26,1**	**26,1**
Уровни звукового давления от источника ИШ-10-2 в расчётной точке ночью, дБ		**ф-ла(3)[10]**	**0**	**29,6**	**29,3**	**28,1**	**25,1**	**20,6**	**11,9**	**0**	**0**	**26,1**	**26,1**

1		2	3	4	5	6	7	8	9	10	11	12	13
Уровни звукового давления в расчётной точке													
Суммарные уровни звукового давления в расчётной точке от всех источников шума днём, Lрт, дБ		**ф-ла (19) [1]**	**59,9**	**57,7**	**53,1**	**51,2**	**51**	**53,4**	**48,5**	**36,5**	**0**	**56,1**	**56,1**
Суммарные уровни звукового давления в расчётной точке от всех источников шума ночью, Lрт, дБ		**ф-ла (19) [1]**	**53,7**	**55,8**	**52,8**	**51,1**	**50,7**	**53,1**	**47,6**	**36,2**	**0**	**55,6**	**55,6**
Допускаемые УЗД днём, Lдоп, дБ	Территории предприятий с постоянными рабочими местами	Табл. 1[3]	107	95	87	82	78	75	73	71	69	80	95
Допускаемые УЗД ночью, Lдоп, дБ	Территории предприятий с постоянными рабочими местами	Табл. 1[3]	107	95	87	82	78	75	73	71	69	80	95
Превышение днём, дБ		**Lрт - Lдоп**	**-47,1**	**-37,3**	**-33,9**	**-30,8**	**-27**	**-21,6**	**-24,5**	**-34,5**	**-69**	**-23,9**	**-38,9**
Превышение ночью, дБ		**Lрт - Lдоп**	**-53,3**	**-39,2**	**-34,2**	**-30,9**	**-27,3**	**-21,9**	**-25,4**	**-34,8**	**-69**	**-24,4**	**-39,4**

Определение уровней звукового давления в точке РТ-4-2 (координаты точки, м: x = 225.18, y = -192.82, z = 1.60)													
Наименование величин и их описание		**Ссылка**	**Расчётные уровни в октавных полосах, со среднегеометрическими частотами, Гц**									**La, дБА**	**Lмакс, дБА**
			31,5	**63**	**125**	**250**	**500**	**1000**	**2000**	**4000**	**8000**		
1		**2**	**3**	**4**	**5**	**6**	**7**	**8**	**9**	**10**	**11**	**12**	**13**
Источник шума: ИШ-1-1, координаты источника (x,y,z), м =[271.72,229.68,1.00]													
Уровни звуковой мощности источника днём, Lw, дБ		**исходные данные**	**97**	**97**	**104**	**106**	**105**	**105**	**98**	**87**	**81**		
Уровни звуковой мощности источника ночью, Lw, дБ		**исходные данные**	**97**	**97**	**104**	**106**	**105**	**105**	**98**	**87**	**81**		
Поправка на телесный угол DΩ, дБ	Ω = 6.28	10Lg(4π/Ω)	**3**	3	3	3	3	3	3	3	3		
Показатель направленности источника Di, дБ		исходные данные	**0**	0	0	0	0	0	0	0	0		
Поправка на направленность источника Dc, дБ	Dc	DΩ + Di	**3**	3	3	3	3	3	3	3	3		
Затухание из-за геометрической дивергенции, Adiv, дБ	расстояние = 425.06 м	ф-ла (7) [10]	**63,6**										
Коэффициент затухания звука в атмосфере α, дБ/км	Ta=20,°C Pa=101.33,кПа hотн.=70%	ф-ла (5) [9]	0,02	0,09	0,33	1,12	2,79	4,98	9,04	23,09	77,63		
Учет затухания звука в атмосфере Aatm, дБ		ф-ла (8) [10]	0	0	0,1	0,5	1,2	2,1	3,8	9,8	33		
Снижение поверхностью земли возле источника As, дБ	Gs = 0 hs = 1м	ф-лы таб.3 [10]	-1,5	-1,5	-1,5	-1,5	-1,5	-1,5	-1,5	-1,5	-1,5		
Снижение поверхностью земли возле приёмника Ar, дБ	Gr = 1 hr = 1.6м	ф-лы таб.3 [10]	-1,5	-1,5	2,5	6,8	4,3	0,5	0	0	0		
Снижение поверхностью земли в средней зоне, Am дБ	Gm = 1	ф-лы таб.3 [10]	-2,4	-2,4	0	0	0	0	0	0	0		
Суммарное снижение поверхностью земли на траектории распространения звука Agr, дБ		ф-ла (9) [10]	-5,4	-5,4	1	5,3	2,8	-1	-1,5	-1,5	-1,5		

1	2	3	4	5	6	7	8	9	10	11	12	13
Уровни звукового давления прямого звука от источника ИШ-1-1 в расчётной точке днём, дБ	**ф-ла(3)[10]**	**41,9**	**41,9**	**42,3**	**39,6**	**40,4**	**43,3**	**35,1**	**18,1**	**0**	**45,2**	**45,2**
Уровни звукового давления прямого звука от источника ИШ-1-1 в расчётной точке ночью, дБ	**ф-ла(3)[10]**	**41,9**	**41,9**	**42,3**	**39,6**	**40,4**	**43,3**	**35,1**	**18,1**	**0**	**45,2**	**45,2**
Расчёт отражённого звука												
Уровни звукового давления от мнимого источника ИШ-1-1_мн.(1) в расчётной точке днём, дБ	**ф-ла(3)[10]**	**0**	**0**	**0**	**0**	**0**	**35,2**	**28,3**	**9**	**0**	**36,2**	**36,2**
Уровни звукового давления от мнимого источника ИШ-1-1_мн.(1) в расчётной точке ночью, дБ	**ф-ла(3)[10]**	**0**	**0**	**0**	**0**	**0**	**0**	**0**	**0**	**0**	**36,2**	**36,2**
Уровни звукового давления от мнимого источника ИШ-1-1_мн.(2) в расчётной точке днём, дБ	**ф-ла(3)[10]**	**40,8**	**40,8**	**37,1**	**29,2**	**29**	**38,7**	**32,5**	**15,5**	**0**	**40,2**	**40,2**
Уровни звукового давления от мнимого источника ИШ-1-1_мн.(2) в расчётной точке ночью, дБ	**ф-ла(3)[10]**	**40,8**	**40,8**	**40,8**	**40,8**	**40,8**	**40,8**	**40,8**	**40,8**	**40,8**	**40,2**	**40,2**
Уровни звукового давления от мнимого источника ИШ-1-1_мн.(3) в расчётной точке днём, дБ	**ф-ла(3)[10]**	**0**	**0**	**0**	**0**	**0**	**0**	**0**	**0**	**0**	**0**	**0**
Уровни звукового давления от мнимого источника ИШ-1-1_мн.(3) в расчётной точке ночью, дБ	**ф-ла(3)[10]**	**0**	**0**	**0**	**0**	**0**	**0**	**0**	**0**	**0**	**0**	**0**
Суммарные уровни звукового давления от мнимых источников в расчётной точке днём, дБ	**ф-ла (19) [1]**	**40,8**	**40,8**	**37,1**	**29,2**	**29**	**40,3**	**33,9**	**16,4**	**0**	**0**	**41,7**
Суммарные уровни звукового давления от мнимых источников в расчётной точке ночью, дБ	**ф-ла (19) [1]**	**40,8**	**40,8**	**37,1**	**29,2**	**29**	**40,3**	**33,9**	**16,4**	**0**	**0**	**41,7**
Уровни звукового давления от источника ИШ-1-1 в расчётной точке днём, дБ	**ф-ла(3)[10]**	**44,4**	**44,4**	**43,4**	**40**	**40,7**	**45,1**	**37,6**	**20,3**	**0**	**46,8**	**46,8**
Уровни звукового давления от источника ИШ-1-1 в расчётной точке ночью, дБ	**ф-ла(3)[10]**	**44,4**	**44,4**	**43,4**	**40**	**40,7**	**45,1**	**37,6**	**20,3**	**0**	**46,8**	**46,8**
Источник шума: ИШ-1-2, координаты источника (x,y,z), м =[261.74,199.14,1.00]												
Уровни звуковой мощности источника днём, Lw, дБ	**исходные данные**	**97**	**97**	**104**	**106**	**105**	**105**	**98**	**87**	**81**		
Уровни звуковой мощности источника ночью, Lw, дБ	**исходные данные**	**97**	**97**	**104**	**106**	**105**	**105**	**98**	**87**	**81**		
Поправка на телесный угол DΩ, дБ, Ω = 6.28	10Lg(4π/Ω)	**3**	3	3	3	3	3	3	3	3		

1		2	3	4	5	6	7	8	9	10	11	12	13
Показатель направленности источника Di, дБ		исходные данные	**0**	0	0	0	0	0	0	0	0		
Поправка на направленность источника Dc, дБ	Dc	DΩ + Di	**3**	3	3	3	3	3	3	3	3		
Затухание из-за геометрической дивергенции, Adiv, дБ	расстояние = 393.66 м	ф-ла (7) [10]	**62,9**										
Коэффициент затухания звука в атмосфере α, дБ/км	Ta=20,°C Pa=101.33,кПа hотн.=70%	ф-ла (5) [9]	0,02	0,09	0,33	1,12	2,79	4,98	9,04	23,09	77,63		
Учет затухания звука в атмосфере Aatm, дБ		ф-ла (8) [10]	0	0	0,1	0,4	1,1	2	3,6	9,1	30,6		
Снижение поверхностью земли возле источника As, дБ	Gs = 0 hs = 1м	ф-лы таб.3 [10]	-1,5	-1,5	-1,5	-1,5	-1,5	-1,5	-1,5	-1,5	-1,5		
Снижение поверхностью земли возле приёмника Ar, дБ	Gr = 1 hr = 1.6м	ф-лы таб.3 [10]	-1,5	-1,5	2,3	6,8	4,3	0,5	0	0	0		
Снижение поверхностью земли в средней зоне, Am дБ	Gm = 1	ф-лы таб.3 [10]	-2,4	-2,4	0	0	0	0	0	0	0		
Суммарное снижение поверхностью земли на траектории распространения звука Agr, дБ		ф-ла (9) [10]	-5,4	-5,4	0,8	5,3	2,8	-1	-1,5	-1,5	-1,5		
Уровни звукового давления прямого звука от источника ИШ-1-2 в расчётной точке днём, дБ		**ф-ла(3)[10]**	**42,5**	**42,5**	**43,1**	**40,3**	**41,2**	**44,2**	**36,1**	**19,5**	**0**	**46**	**46**
Уровни звукового давления прямого звука от источника ИШ-1-2 в расчётной точке ночью, дБ		**ф-ла(3)[10]**	**42,5**	**42,5**	**43,1**	**40,3**	**41,2**	**44,2**	**36,1**	**19,5**	**0**	**46**	**46**
Расчёт отражённого звука													
Уровни звукового давления от мнимого источника ИШ-1-2_мн.(1) в расчётной точке днём, дБ		**ф-ла(3)[10]**	**0**	**0**	**0**	**0**	**0**	**34,6**	**27,6**	**7,8**	**0**	**35,6**	**35,6**
Уровни звукового давления от мнимого источника ИШ-1-2_мн.(1) в расчётной точке ночью, дБ		**ф-ла(3)[10]**	**0**	**0**	**0**	**0**	**0**	**0**	**0**	**0**	**0**	**35,6**	**35,6**
Уровни звукового давления от мнимого источника ИШ-1-2_мн.(2) в расчётной точке днём, дБ		**ф-ла(3)[10]**	**41,5**	**41,4**	**38,2**	**29,9**	**29,8**	**39,5**	**33,5**	**16,9**	**0**	**41,1**	**41,1**
Уровни звукового давления от мнимого источника ИШ-1-2_мн.(2) в расчётной точке ночью, дБ		**ф-ла(3)[10]**	**41,4**	**41,4**	**41,4**	**41,4**	**41,4**	**41,4**	**41,4**	**41,4**	**41,4**	**41,1**	**41,1**
Суммарные уровни звукового давления от мнимых источников в расчётной точке днём, дБ		**ф-ла (19) [1]**	**41,5**	**41,4**	**38,2**	**29,9**	**29,8**	**40,7**	**34,5**	**17,4**	**0**	**0**	**42,1**

1		2	3	4	5	6	7	8	9	10	11	12	13
Суммарные уровни звукового давления от мнимых источников в расчётной точке ночью, дБ		**ф-ла (19) [1]**	**41,5**	**41,4**	**38,2**	**29,9**	**29,8**	**40,7**	**34,5**	**17,4**	**0**	**0**	**42,1**
Уровни звукового давления от источника ИШ-1-2 в расчётной точке днём, дБ		**ф-ла(3)[10]**	**45**	**45**	**44,4**	**40,7**	**41,5**	**45,8**	**38,3**	**21,6**	**0**	**47,5**	**47,5**
Уровни звукового давления от источника ИШ-1-2 в расчётной точке ночью, дБ		**ф-ла(3)[10]**	**45**	**45**	**44,4**	**40,7**	**41,5**	**45,8**	**38,3**	**21,6**	**0**	**47,5**	**47,5**
Источник шума: ИШ-1-3, координаты источника (x,y,z), м =[251.75,236.44,1.00]													
Уровни звуковой мощности источника днём, Lw, дБ		**исходные данные**	**0**	**91,3**	**92,7**	**94**	**94,3**	**93,9**	**90,6**	**86,4**	**81,9**		
Уровни звуковой мощности источника ночью, Lw, дБ		**исходные данные**	**0**	**91,3**	**92,7**	**94**	**94,3**	**93,9**	**90,6**	**86,4**	**81,9**		
Поправка на телесный угол DΩ, дБ	Ω = 6.28	10Lg(4π/Ω)	**3**	3	3	3	3	3	3	3	3		
Показатель направленности источника Di, дБ		исходные данные	**0**	0	0	0	0	0	0	0	0		
Поправка на направленность источника Dc, дБ	Dc	DΩ + Di	**3**	3	3	3	3	3	3	3	3		
Затухание из-за геометрической дивергенции, Adiv, дБ	расстояние = 430.08 м	ф-ла (7) [10]	**63,7**										
Коэффициент затухания звука в атмосфере α, дБ/км	Ta=20,°C Pa=101.33,кПа hотн.=70%	ф-ла (5) [9]	0,02	0,09	0,33	1,12	2,79	4,98	9,04	23,09	77,63		
Учет затухания звука в атмосфере Aatm, дБ		ф-ла (8) [10]	0	0	0,1	0,5	1,2	2,1	3,9	9,9	33,4		
Снижение уровня звукового давления из-за влияния застройки между источником шума и расчетной точкой													
Снижение уровня звукового давления препятствием справа от трассы ИШ-РТ, Dz3, дБ	z = -0.14м (разность путей)	ф-лы (14-18) [10]	0	3	0	NAN	NAN	NAN	NAN	NAN	NAN		
* отрицательное значение z означает прохождение траектории вблизи экрана, в этом случае дополнительно производится учёт снижения подстилающей поверхностью (см.ниже)													
Снижение поверхностью земли возле источника As, дБ	Gs = 0 hs = 1м	ф-лы таб.3 [10]	-1,5	-1,5	-1,5	-1,5	-1,5	-1,5	-1,5	-1,5	-1,5		
Снижение поверхностью земли возле приёмника Ar, дБ	Gr = 1 hr = 1.6м	ф-лы таб.3 [10]	-1,5	-1,5	2,6	6,8	4,3	0,5	0	0	0		

1		2	3	4	5	6	7	8	9	10	11	12	13
Снижение поверхностью земли в средней зоне, Am дБ	Gm = 1	ф-лы таб.3 [10]	-2,5	-2,5	0	0	0	0	0	0	0		
Суммарное снижение поверхностью земли на траектории распространения звука Agr, дБ		ф-ла (9) [10]	-5,5	-5,5	1,1	5,3	2,8	-1	-1,5	-1,5	-1,5		
Уровни звукового давления прямого звука от источника ИШ-1-3 в расчётной точке днём, дБ		**ф-ла(3)[10]**	**0**	**33**	**30,8**	**27,5**	**29,6**	**32,1**	**27,5**	**17,3**	**0**	**34,7**	**34,7**
Уровни звукового давления прямого звука от источника ИШ-1-3 в расчётной точке ночью, дБ		**ф-ла(3)[10]**	**0**	**33**	**30,8**	**27,5**	**29,6**	**32,1**	**27,5**	**17,3**	**0**	**34,7**	**34,7**
Расчёт отражённого звука													
Уровни звукового давления от мнимого источника ИШ-1-3_мн.(1) в расчётной точке днём, дБ		**ф-ла(3)[10]**	**0**	**0**	**0**	**0**	**0**	**0**	**0**	**12,8**	**0**	**13,8**	**13,8**
Уровни звукового давления от мнимого источника ИШ-1-3_мн.(1) в расчётной точке ночью, дБ		**ф-ла(3)[10]**	**0**	**0**	**0**	**0**	**0**	**0**	**0**	**0**	**0**	**13,8**	**13,8**
Уровни звукового давления от мнимого источника ИШ-1-3_мн.(2) в расчётной точке днём, дБ		**ф-ла(3)[10]**	**0**	**0**	**0**	**0**	**0**	**24**	**20,8**	**8,3**	**0**	**26,2**	**26,2**
Уровни звукового давления от мнимого источника ИШ-1-3_мн.(2) в расчётной точке ночью, дБ		**ф-ла(3)[10]**	**0**	**0**	**0**	**0**	**0**	**0**	**0**	**0**	**0**	**26,2**	**26,2**
Уровни звукового давления от мнимого источника ИШ-1-3_мн.(3) в расчётной точке днём, дБ		**ф-ла(3)[10]**	**0**	**35**	**25,6**	**17,1**	**18,2**	**27,5**	**24,9**	**14,7**	**0**	**30,3**	**30,3**
Уровни звукового давления от мнимого источника ИШ-1-3_мн.(3) в расчётной точке ночью, дБ		**ф-ла(3)[10]**	**25,6**	**25,6**	**25,6**	**25,6**	**25,6**	**25,6**	**25,6**	**25,6**	**25,6**	**30,3**	**30,3**
Суммарные уровни звукового давления от мнимых источников в расчётной точке днём, дБ		**ф-ла (19) [1]**	**0**	**35**	**25,6**	**17,1**	**18,2**	**29,1**	**26,4**	**17,4**	**0**	**0**	**31,8**
Суммарные уровни звукового давления от мнимых источников в расчётной точке ночью, дБ		**ф-ла (19) [1]**	**0**	**35**	**25,6**	**17,1**	**18,2**	**29,1**	**26,4**	**17,4**	**0**	**0**	**31,8**
Уровни звукового давления от источника ИШ-1-3 в расчётной точке днём, дБ		**ф-ла(3)[10]**	**0**	**37,1**	**32**	**27,9**	**29,9**	**33,8**	**30**	**20,4**	**0**	**36,5**	**36,5**
Уровни звукового давления от источника ИШ-1-3 в расчётной точке ночью, дБ		**ф-ла(3)[10]**	**0**	**37,1**	**32**	**27,9**	**29,9**	**33,8**	**30**	**20,4**	**0**	**36,5**	**36,5**
Источник шума: ИШ-1-4, координаты источника (x,y,z), м =[290.25,223.25,1.00]													
Уровни звуковой мощности источника днём, Lw, дБ		**исходные данные**	**0**	**91,3**	**92,7**	**94**	**94,3**	**93,9**	**90,6**	**86,4**	**81,9**		

1		2	3	4	5	6	7	8	9	10	11	12	13
Уровни звуковой мощности источника ночью, Lw, дБ		**исходные данные**	**0**	**91,3**	**92,7**	**94**	**94,3**	**93,9**	**90,6**	**86,4**	**81,9**		
Поправка на телесный угол DΩ, дБ	Ω = 6.28	10Lg(4π/Ω)	**3**	3	3	3	3	3	3	3	3		
Показатель направленности источника Di, дБ		исходные данные	**0**	0	0	0	0	0	0	0	0		
Поправка на направленность источника Dc, дБ	Dc	DΩ + Di	**3**	3	3	3	3	3	3	3	3		
Затухание из-за геометрической дивергенции, Adiv, дБ	расстояние = 421.13 м	ф-ла (7) [10]	**63,5**										
Коэффициент затухания звука в атмосфере α, дБ/км	Ta=20,°C Pa=101.33,кПа hотн.=70%	ф-ла (5) [9]	0,02	0,09	0,33	1,12	2,79	4,98	9,04	23,09	77,63		
Учет затухания звука в атмосфере Aatm, дБ		ф-ла (8) [10]	0	0	0,1	0,5	1,2	2,1	3,8	9,7	32,7		
Снижение поверхностью земли возле источника As, дБ	Gs = 0 hs = 1м	ф-лы таб.3 [10]	-1,5	-1,5	-1,5	-1,5	-1,5	-1,5	-1,5	-1,5	-1,5		
Снижение поверхностью земли возле приёмника Ar, дБ	Gr = 1 hr = 1.6м	ф-лы таб.3 [10]	-1,5	-1,5	2,5	6,8	4,3	0,5	0	0	0		
Снижение поверхностью земли в средней зоне, Am дБ	Gm = 1	ф-лы таб.3 [10]	-2,4	-2,4	0	0	0	0	0	0	0		
Суммарное снижение поверхностью земли на траектории распространения звука Agr, дБ		ф-ла (9) [10]	-5,4	-5,4	1	5,3	2,8	-1	-1,5	-1,5	-1,5		
Уровни звукового давления прямого звука от источника ИШ-1-4 в расчётной точке днём, дБ		**ф-ла(3)[10]**	**0**	**36,2**	**31**	**27,7**	**29,8**	**32,3**	**27,8**	**17,7**	**0**	**35**	**35**
Уровни звукового давления прямого звука от источника ИШ-1-4 в расчётной точке ночью, дБ		**ф-ла(3)[10]**	**0**	**36,2**	**31**	**27,7**	**29,8**	**32,3**	**27,8**	**17,7**	**0**	**35**	**35**
Расчёт отражённого звука													
Уровни звукового давления от мнимого источника ИШ-1-4_мн.(1) в расчётной точке днём, дБ		**ф-ла(3)[10]**	**0**	**0**	**0**	**0**	**0**	**24,1**	**20,9**	**8,5**	**0**	**26,3**	**26,3**
Уровни звукового давления от мнимого источника ИШ-1-4_мн.(1) в расчётной точке ночью, дБ		**ф-ла(3)[10]**	**0**	**0**	**0**	**0**	**0**	**0**	**0**	**0**	**0**	**26,3**	**26,3**
Уровни звукового давления от мнимого источника ИШ-1-4_мн.(2) в расчётной точке днём, дБ		**ф-ла(3)[10]**	**0**	**35,2**	**26**	**17,3**	**18,4**	**27,7**	**25,2**	**15**	**0**	**30,5**	**30,5**

1		2	3	4	5	6	7	8	9	10	11	12	13
Уровни звукового давления от мнимого источника ИШ-1-4_мн.(2) в расчётной точке ночью, дБ		**ф-ла(3)[10]**	**35,2**	**35,2**	**35,2**	**35,2**	**35,2**	**35,2**	**35,2**	**35,2**	**35,2**	**30,5**	**30,5**
Суммарные уровни звукового давления от мнимых источников в расчётной точке днём, дБ		**ф-ла (19) [1]**	**0**	**35,2**	**26**	**17,3**	**18,4**	**29,3**	**26,6**	**15,9**	**0**	**0**	**31,9**
Суммарные уровни звукового давления от мнимых источников в расчётной точке ночью, дБ		**ф-ла (19) [1]**	**0**	**35,2**	**26**	**17,3**	**18,4**	**29,3**	**26,6**	**15,9**	**0**	**0**	**31,9**
Уровни звукового давления от источника ИШ-1-4 в расчётной точке днём, дБ		**ф-ла(3)[10]**	**0**	**38,7**	**32,2**	**28,1**	**30,1**	**34,1**	**30,2**	**19,9**	**0**	**36,7**	**36,7**
Уровни звукового давления от источника ИШ-1-4 в расчётной точке ночью, дБ		**ф-ла(3)[10]**	**0**	**38,7**	**32,2**	**28,1**	**30,1**	**34,1**	**30,2**	**19,9**	**0**	**36,7**	**36,7**
Источник шума: ИШ-1-5, координаты источника (x,y,z), м =[241.49,205.86,1.00]													
Уровни звуковой мощности источника днём, Lw, дБ		**исходные данные**	**0**	**91,3**	**92,7**	**94**	**94,3**	**93,9**	**90,6**	**86,4**	**81,9**		
Уровни звуковой мощности источника ночью, Lw, дБ		**исходные данные**	**0**	**91,3**	**92,7**	**94**	**94,3**	**93,9**	**90,6**	**86,4**	**81,9**		
Поправка на телесный угол DΩ, дБ	Ω = 6.28	10Lg(4π/Ω)	**3**	3	3	3	3	3	3	3	3		
Показатель направленности источника Di, дБ		исходные данные	**0**	0	0	0	0	0	0	0	0		
Поправка на направленность источника Dc, дБ	Dc	DΩ + Di	**3**	3	3	3	3	3	3	3	3		
Затухание из-за геометрической дивергенции, Adiv, дБ	расстояние = 399.01 м	ф-ла (7) [10]	**63**										
Коэффициент затухания звука в атмосфере α, дБ/км	Ta=20,°C Pa=101.33,кПа hотн.=70%	ф-ла (5) [9]	0,02	0,09	0,33	1,12	2,79	4,98	9,04	23,09	77,63		
Учет затухания звука в атмосфере Aatm, дБ		ф-ла (8) [10]	0	0	0,1	0,4	1,1	2	3,6	9,2	31		
Снижение уровня звукового давления из-за влияния застройки между источником шума и расчетной точкой													
Снижение уровня звукового давления препятствием справа от трассы ИШ-РТ, Dz3, дБ	z = 0.00м (разность путей)	ф-лы (14-18) [10]	0	0	0	0	4,5	4,1	3,4	1,4	NAN		

* отрицательное значение z означает прохождение траектории вблизи экрана, в этом случае дополнительно производится учёт снижения подстилающей поверхностью (см.ниже)

1		2	3	4	5	6	7	8	9	10	11	12	13
Снижение поверхностью земли возле источника As, дБ	Gs = 0 hs = 1м	ф-лы таб.3 [10]	-1,5	-1,5	-1,5	-1,5	-1,5	-1,5	-1,5	-1,5	-1,5		
Снижение поверхностью земли возле приёмника Ar, дБ	Gr = 1 hr = 1.6м	ф-лы таб.3 [10]	-1,5	-1,5	2,4	6,8	4,3	0,5	0	0	0		
Снижение поверхностью земли в средней зоне, Am дБ	Gm = 1	ф-лы таб.3 [10]	-2,4	-2,4	0	0	0	0	0	0	0		
Суммарное снижение поверхностью земли на траектории распространения звука Agr, дБ		ф-ла (9) [10]	-5,4	-5,4	0,9	5,3	2,8	-1	-1,5	-1,5	-1,5		
Уровни звукового давления прямого звука от источника ИШ-1-5 в расчётной точке днём, дБ		**ф-ла(3)[10]**	**0**	**36,7**	**31,7**	**28,2**	**25,9**	**28,8**	**25,1**	**17,3**	**0**	**31,9**	**31,9**
Уровни звукового давления прямого звука от источника ИШ-1-5 в расчётной точке ночью, дБ		**ф-ла(3)[10]**	**0**	**36,7**	**31,7**	**28,2**	**25,9**	**28,8**	**25,1**	**17,3**	**0**	**31,9**	**31,9**
Расчёт отражённого звука													
Уровни звукового давления от мнимого источника ИШ-1-5_мн.(1) в расчётной точке днём, дБ		**ф-ла(3)[10]**	**0**	**0**	**0**	**0**	**0**	**23,4**	**20,1**	**7,1**	**0**	**25,5**	**25,5**
Уровни звукового давления от мнимого источника ИШ-1-5_мн.(1) в расчётной точке ночью, дБ		**ф-ла(3)[10]**	**0**	**0**	**0**	**0**	**0**	**0**	**0**	**0**	**0**	**25,5**	**25,5**
Уровни звукового давления от мнимого источника ИШ-1-5_мн.(2) в расчётной точке днём, дБ		**ф-ла(3)[10]**	**0**	**35,6**	**26,7**	**17,8**	**18,9**	**28,3**	**25,9**	**16**	**0**	**31,1**	**31,1**
Уровни звукового давления от мнимого источника ИШ-1-5_мн.(2) в расчётной точке ночью, дБ		**ф-ла(3)[10]**	**35,6**	**35,6**	**35,6**	**35,6**	**35,6**	**35,6**	**35,6**	**35,6**	**35,6**	**31,1**	**31,1**
Суммарные уровни звукового давления от мнимых источников в расчётной точке днём, дБ		**ф-ла (19) [1]**	**0**	**35,6**	**26,7**	**17,8**	**18,9**	**29,5**	**26,9**	**16,5**	**0**	**0**	**32,2**
Суммарные уровни звукового давления от мнимых источников в расчётной точке ночью, дБ		**ф-ла (19) [1]**	**0**	**35,6**	**26,7**	**17,8**	**18,9**	**29,5**	**26,9**	**16,5**	**0**	**0**	**32,2**
Уровни звукового давления от источника ИШ-1-5 в расчётной точке днём, дБ		**ф-ла(3)[10]**	**0**	**39,2**	**32,9**	**28,6**	**26,7**	**32,1**	**29,1**	**20**	**0**	**35,1**	**35,1**
Уровни звукового давления от источника ИШ-1-5 в расчётной точке ночью, дБ		**ф-ла(3)[10]**	**0**	**39,2**	**32,9**	**28,6**	**26,7**	**32,1**	**29,1**	**20**	**0**	**35,1**	**35,1**
Источник шума: ИШ-1-6, координаты источника (x,y,z), м =[279.85,192.97,1.00]													
Уровни звуковой мощности источника днём, Lw, дБ		**исходные данные**	**0**	**91,3**	**92,7**	**94**	**94,3**	**93,9**	**90,6**	**86,4**	**81,9**		

1		2	3	4	5	6	7	8	9	10	11	12	13
Уровни звуковой мощности источника ночью, Lw, дБ		**исходные данные**	**0**	**91,3**	**92,7**	**94**	**94,3**	**93,9**	**90,6**	**86,4**	**81,9**		
Поправка на телесный угол DΩ, дБ	Ω = 6.28	10Lg(4π/Ω)	**3**	3	3	3	3	3	3	3	3		
Показатель направленности источника Di, дБ		исходные данные	**0**	0	0	0	0	0	0	0	0		
Поправка на направленность источника Dc, дБ	Dc	DΩ + Di	**3**	3	3	3	3	3	3	3	3		
Затухание из-за геометрической дивергенции, Adiv, дБ	расстояние = 389.64 м	ф-ла (7) [10]	**62,8**										
Коэффициент затухания звука в атмосфере α, дБ/км	Ta=20,°C Pa=101.33,кПа hотн.=70%	ф-ла (5) [9]	0,02	0,09	0,33	1,12	2,79	4,98	9,04	23,09	77,63		
Учет затухания звука в атмосфере Aatm, дБ		ф-ла (8) [10]	0	0	0,1	0,4	1,1	1,9	3,5	9	30,2		
Снижение поверхностью земли возле источника As, дБ	Gs = 0 hs = 1м	ф-лы таб.3 [10]	-1,5	-1,5	-1,5	-1,5	-1,5	-1,5	-1,5	-1,5	-1,5		
Снижение поверхностью земли возле приёмника Ar, дБ	Gr = 1 hr = 1.6м	ф-лы таб.3 [10]	-1,5	-1,5	2,3	6,8	4,3	0,5	0	0	0		
Снижение поверхностью земли в средней зоне, Am дБ	Gm = 1	ф-лы таб.3 [10]	-2,4	-2,4	0	0	0	0	0	0	0		
Суммарное снижение поверхностью земли на траектории распространения звука Agr, дБ		ф-ла (9) [10]	-5,4	-5,4	0,8	5,3	2,8	-1	-1,5	-1,5	-1,5		
Уровни звукового давления прямого звука от источника ИШ-1-6 в расчётной точке днём, дБ		**ф-ла(3)[10]**	**0**	**36,8**	**31,9**	**28,4**	**30,6**	**33,1**	**28,8**	**19,1**	**0**	**35,8**	**35,8**
Уровни звукового давления прямого звука от источника ИШ-1-6 в расчётной точке ночью, дБ		**ф-ла(3)[10]**	**0**	**36,8**	**31,9**	**28,4**	**30,6**	**33,1**	**28,8**	**19,1**	**0**	**35,8**	**35,8**
Расчёт отражённого звука													
Уровни звукового давления от мнимого источника ИШ-1-6_мн.(1) в расчётной точке днём, дБ		**ф-ла(3)[10]**	**0**	**0**	**0**	**0**	**0**	**23,5**	**20,2**	**7,3**	**0**	**25,6**	**25,6**
Уровни звукового давления от мнимого источника ИШ-1-6_мн.(1) в расчётной точке ночью, дБ		**ф-ла(3)[10]**	**0**	**0**	**0**	**0**	**0**	**0**	**0**	**0**	**0**	**25,6**	**25,6**
Уровни звукового давления от мнимого источника ИШ-1-6_мн.(2) в расчётной точке днём, дБ		**ф-ла(3)[10]**	**0**	**35,8**	**27,1**	**18**	**19,2**	**28,5**	**26,2**	**16,4**	**0**	**31,4**	**31,4**

1		2	3	4	5	6	7	8	9	10	11	12	13
Уровни звукового давления от мнимого источника ИШ-1-6_мн.(2) в расчётной точке ночью, дБ		**ф-ла(3)[10]**	**35,8**	**35,8**	**35,8**	**35,8**	**35,8**	**35,8**	**35,8**	**35,8**	**35,8**	**31,4**	**31,4**
Суммарные уровни звукового давления от мнимых источников в расчётной точке днём, дБ		**ф-ла (19) [1]**	**0**	**35,8**	**27,1**	**18**	**19,2**	**29,7**	**27,1**	**16,9**	**0**	**0**	**32,4**
Суммарные уровни звукового давления от мнимых источников в расчётной точке ночью, дБ		**ф-ла (19) [1]**	**0**	**35,8**	**27,1**	**18**	**19,2**	**29,7**	**27,1**	**16,9**	**0**	**0**	**32,4**
Уровни звукового давления от источника ИШ-1-6 в расчётной точке днём, дБ		**ф-ла(3)[10]**	**0**	**39,4**	**33,2**	**28,8**	**30,9**	**34,8**	**31**	**21,2**	**0**	**37,5**	**37,5**
Уровни звукового давления от источника ИШ-1-6 в расчётной точке ночью, дБ		**ф-ла(3)[10]**	**0**	**39,4**	**33,2**	**28,8**	**30,9**	**34,8**	**31**	**21,2**	**0**	**37,5**	**37,5**
Источник шума: ИШ-1-7, координаты источника (x,y,z), м =[451.87,146.66,1.00]													
Уровни звуковой мощности источника днём, Lw, дБ		**исходные данные**	**0**	**93,3**	**94,7**	**96**	**96,3**	**95,9**	**92,6**	**88,4**	**83,9**		
Уровни звуковой мощности источника ночью, Lw, дБ		**исходные данные**	**0**	**93,3**	**94,7**	**96**	**96,3**	**95,9**	**92,6**	**88,4**	**83,9**		
Поправка на телесный угол DΩ, дБ	Ω = 6.28	10Lg(4π/Ω)	**3**	3	3	3	3	3	3	3	3		
Показатель направленности источника Di, дБ		исходные данные	**0**	0	0	0	0	0	0	0	0		
Поправка на направленность источника Dc, дБ	Dc	DΩ + Di	**3**	3	3	3	3	3	3	3	3		
Затухание из-за геометрической дивергенции, Adiv, дБ	расстояние = 408.20 м	ф-ла (7) [10]	**63,2**										
Коэффициент затухания звука в атмосфере α, дБ/км	Ta=20,°C Pa=101.33,кПа hотн.=70%	ф-ла (5) [9]	0,02	0,09	0,33	1,12	2,79	4,98	9,04	23,09	77,63		
Учет затухания звука в атмосфере Aatm, дБ		ф-ла (8) [10]	0	0	0,1	0,5	1,1	2	3,7	9,4	31,7		
Снижение уровня звукового давления из-за влияния застройки между источником шума и расчетной точкой													
Снижение уровня звукового давления на пути над экраном, Dz1, дБ	z = 0.47м (разность путей)	ф-лы (14-18) [10]	5,2	5,8	7,2	9,4	11,9	14,6	17,4	20,3	23,3		

1		2	3	4	5	6	7	8	9	10	11	12	13
Снижение уровня звукового давления на пути слева от экрана, Dz2, дБ	z = 16.60м (разность путей)	ф-лы (14-18) [10]	22,1	25,5	28,6	31,7	34,7	37,7	40,7	43,7	46,7		
Снижение уровня звукового давления на пути справа от экрана, Dz3, дБ	z = 108.66м (разность путей)	ф-лы (14-18) [10]	30,3	33,7	36,8	39,8	42,8	45,8	48,8	51,9	54,9		
Общее снижение уровня звука препятствием Dz, дБ		Эн.сумма(-Dzi)	5,1	5,7	7,2	9,4	11,9	14,6	17,4	20,3	23,2		
Уровни звукового давления от источника ИШ-1-7 в расчётной точке днём, дБ		**ф-ла(3)[10]**	**0**	**27,3**	**27,2**	**25,9**	**23**	**19,1**	**11,3**	**0**	**0**	**24,2**	**24,2**
Уровни звукового давления от источника ИШ-1-7 в расчётной точке ночью, дБ		**ф-ла(3)[10]**	**0**	**27,3**	**27,2**	**25,9**	**23**	**19,1**	**11,3**	**0**	**0**	**24,2**	**24,2**
Источник шума: ИШ-1-8, координаты источника (x,y,z), м =[454.99,145.29,1.00]													
Уровни звуковой мощности источника днём, Lw, дБ		**исходные данные**	**0**	**93,3**	**94,7**	**96**	**96,3**	**95,9**	**92,6**	**88,4**	**83,9**		
Уровни звуковой мощности источника ночью, Lw, дБ		**исходные данные**	**0**	**93,3**	**94,7**	**96**	**96,3**	**95,9**	**92,6**	**88,4**	**83,9**		
Поправка на телесный угол DΩ, дБ	Ω = 6.28	10Lg(4π/Ω)	**3**	3	3	3	3	3	3	3	3		
Показатель направленности источника Di, дБ		исходные данные	**0**	0	0	0	0	0	0	0	0		
Поправка на направленность источника Dc, дБ	Dc	DΩ + Di	**3**	3	3	3	3	3	3	3	3		
Затухание из-за геометрической дивергенции, Adiv, дБ	расстояние = 408.82 м	ф-ла (7) [10]	**63,2**										
Коэффициент затухания звука в атмосфере α, дБ/км	Ta=20,°C Pa=101.33,кПа hотн.=70%	ф-ла (5) [9]	0,02	0,09	0,33	1,12	2,79	4,98	9,04	23,09	77,63		
Учет затухания звука в атмосфере Aatm, дБ		ф-ла (8) [10]	0	0	0,1	0,5	1,1	2	3,7	9,4	31,7		
Снижение уровня звукового давления из-за влияния застройки между источником шума и расчетной точкой													
Снижение уровня звукового давления на пути над экраном, Dz1, дБ	z = 0.47м (разность путей)	ф-лы (14-18) [10]	5,2	5,8	7,2	9,4	11,9	14,6	17,4	20,3	23,2		

1		2	3	4	5	6	7	8	9	10	11	12	13
Снижение уровня звукового давления на пути слева от экрана, Dz2, дБ	z = 15.28м (разность путей)	ф-лы (14-18) [10]	21,7	25,2	28,3	31,3	34,3	37,3	40,3	43,3	46,3		
Снижение уровня звукового давления на пути справа от экрана, Dz3, дБ	z = 109.95м (разность путей)	ф-лы (14-18) [10]	30,3	33,7	36,8	39,9	42,9	45,9	48,9	51,9	54,9		
Общее снижение уровня звука препятствием Dz, дБ		Эн.сумма(-Dzi)	5,1	5,7	7,2	9,4	11,9	14,6	17,4	20,3	23,2		
Уровни звукового давления прямого звука от источника ИШ-1-8 в расчётной точке днём, дБ		**ф-ла(3)[10]**	**0**	**27,3**	**27,2**	**25,9**	**23**	**19,1**	**11,3**	**0**	**0**	**24,2**	**24,2**
Уровни звукового давления прямого звука от источника ИШ-1-8 в расчётной точке ночью, дБ		**ф-ла(3)[10]**	**0**	**27,3**	**27,2**	**25,9**	**23**	**19,1**	**11,3**	**0**	**0**	**24,2**	**24,2**
Расчёт отражённого звука													
Уровни звукового давления от мнимого источника ИШ-1-8_мн.(1) в расчётной точке днём, дБ		**ф-ла(3)[10]**	**0**	**0**	**0**	**0**	**0**	**0**	**3,6**	**0**	**0**	**4,8**	**4,8**
Уровни звукового давления от мнимого источника ИШ-1-8_мн.(1) в расчётной точке ночью, дБ		**ф-ла(3)[10]**	**0**	**0**	**0**	**0**	**0**	**0**	**0**	**0**	**0**	**4,8**	**4,8**
Уровни звукового давления от источника ИШ-1-8 в расчётной точке днём, дБ		**ф-ла(3)[10]**	**0**	**27,3**	**27,2**	**25,9**	**23**	**19,1**	**12**	**0**	**0**	**24,2**	**24,2**
Уровни звукового давления от источника ИШ-1-8 в расчётной точке ночью, дБ		**ф-ла(3)[10]**	**0**	**27,3**	**27,2**	**25,9**	**23**	**19,1**	**12**	**0**	**0**	**24,2**	**24,2**
Источник шума: ИШ-1-9, координаты источника (x,y,z), м =[458.12,144.31,1.00]													
Уровни звуковой мощности источника днём, Lw, дБ		**исходные данные**	**0**	**93,3**	**94,7**	**96**	**96,3**	**95,9**	**92,6**	**88,4**	**83,9**		
Уровни звуковой мощности источника ночью, Lw, дБ		**исходные данные**	**0**	**93,3**	**94,7**	**96**	**96,3**	**95,9**	**92,6**	**88,4**	**83,9**		
Поправка на телесный угол DΩ, дБ	Ω = 6.28	10Lg(4π/Ω)	**3**	3	3	3	3	3	3	3	3		
Показатель направленности источника Di, дБ		исходные данные	**0**	0	0	0	0	0	0	0	0		
Поправка на направленность источника Dc, дБ	Dc	DΩ + Di	**3**	3	3	3	3	3	3	3	3		
Затухание из-за геометрической дивергенции, Adiv, дБ	расстояние = 409.78 м	ф-ла (7) [10]	**63,3**										

1		2	3	4	5	6	7	8	9	10	11	12	13
Коэффициент затухания звука в атмосфере α, дБ/км	Та=20,°С Ра=101.33,кПа hотн.=70%	ф-ла (5) [9]	0,02	0,09	0,33	1,12	2,79	4,98	9,04	23,09	77,63		
Учет затухания звука в атмосфере Aatm, дБ		ф-ла (8) [10]	0	0	0,1	0,5	1,1	2	3,7	9,5	31,8		
Снижение уровня звукового давления из-за влияния застройки между источником шума и расчетной точкой													
Снижение уровня звукового давления на пути над экраном, Dz1, дБ	z = 0.47м (разность путей)	ф-лы (14-18) [10]	5,2	5,8	7,2	9,4	11,9	14,5	17,4	20,2	23,2		
Снижение уровня звукового давления на пути слева от экрана, Dz2, дБ	z = 14.09м (разность путей)	ф-лы (14-18) [10]	21,4	24,8	27,9	30,9	34	37	40	43	46		
Снижение уровня звукового давления на пути справа от экрана, Dz3, дБ	z = 110.65м (разность путей)	ф-лы (14-18) [10]	30,3	33,8	36,8	39,9	42,9	45,9	48,9	51,9	54,9		
Общее снижение уровня звука препятствием Dz, дБ		Эн.сумма(-Dzi)	5,1	5,7	7,1	9,3	11,9	14,5	17,3	20,2	23,2		
Уровни звукового давления прямого звука от источника ИШ-1-9 в расчётной точке днём, дБ		**ф-ла(3)[10]**	**0**	**27,3**	**27,2**	**25,9**	**23**	**19,1**	**11,3**	**0**	**0**	**24,2**	**24,2**
Уровни звукового давления прямого звука от источника ИШ-1-9 в расчётной точке ночью, дБ		**ф-ла(3)[10]**	**0**	**27,3**	**27,2**	**25,9**	**23**	**19,1**	**11,3**	**0**	**0**	**24,2**	**24,2**
Расчёт отражённого звука													
Уровни звукового давления от мнимого источника ИШ-1-9_мн.(1) в расчётной точке днём, дБ		**ф-ла(3)[10]**	**0**	**0**	**0**	**0**	**0**	**0**	**3,6**	**0**	**0**	**4,8**	**4,8**
Уровни звукового давления от мнимого источника ИШ-1-9_мн.(1) в расчётной точке ночью, дБ		**ф-ла(3)[10]**	**0**	**0**	**0**	**0**	**0**	**0**	**0**	**0**	**0**	**4,8**	**4,8**
Уровни звукового давления от источника ИШ-1-9 в расчётной точке днём, дБ		**ф-ла(3)[10]**	**0**	**27,3**	**27,2**	**25,9**	**23**	**19,1**	**12**	**0**	**0**	**24,3**	**24,3**
Уровни звукового давления от источника ИШ-1-9 в расчётной точке ночью, дБ		**ф-ла(3)[10]**	**0**	**27,3**	**27,2**	**25,9**	**23**	**19,1**	**12**	**0**	**0**	**24,3**	**24,3**
Источник шума: ИШ-1-10, координаты источника (x,y,z), м =[461.05,143.53,1.00]													
Уровни звуковой мощности источника днём, Lw, дБ		**исходные данные**	**0**	**93,3**	**94,7**	**96**	**96,3**	**95,9**	**92,6**	**88,4**	**83,9**		

1		2	3	4	5	6	7	8	9	10	11	12	13
Уровни звуковой мощности источника ночью, Lw, дБ		**исходные данные**	**0**	**93,3**	**94,7**	**96**	**96,3**	**95,9**	**92,6**	**88,4**	**83,9**		
Поправка на телесный угол DΩ, дБ	Ω = 6.28	10Lg(4π/Ω)	**3**	3	3	3	3	3	3	3	3		
Показатель направленности источника Di, дБ		исходные данные	**0**	0	0	0	0	0	0	0	0		
Поправка на направленность источника Dc, дБ	Dc	DΩ + Di	**3**	3	3	3	3	3	3	3	3		
Затухание из-за геометрической дивергенции, Adiv, дБ	расстояние = 410.81 м	ф-ла (7) [10]	**63,3**										
Коэффициент затухания звука в атмосфере α, дБ/км	Ta=20,°C Pa=101.33,кПа hотн.=70%	ф-ла (5) [9]	0,02	0,09	0,33	1,12	2,79	4,98	9,04	23,09	77,63		
Учет затухания звука в атмосфере Aatm, дБ		ф-ла (8) [10]	0	0	0,1	0,5	1,1	2	3,7	9,5	31,9		
Снижение уровня звукового давления из-за влияния застройки между источником шума и расчетной точкой													
Снижение уровня звукового давления на пути над экраном, Dz1, дБ	z = 0.47м (разность путей)	ф-лы (14-18) [10]	5,2	5,8	7,2	9,3	11,8	14,5	17,3	20,2	23,1		
Снижение уровня звукового давления на пути слева от экрана, Dz2, дБ	z = 13.05м (разность путей)	ф-лы (14-18) [10]	21	24,5	27,6	30,6	33,6	36,6	39,6	42,7	45,7		
Снижение уровня звукового давления на пути справа от экрана, Dz3, дБ	z = 111.15м (разность путей)	ф-лы (14-18) [10]	30,4	33,8	36,9	39,9	42,9	45,9	48,9	52	55		
Общее снижение уровня звука препятствием Dz, дБ		Эн.сумма(-Dzi)	5,1	5,7	7,1	9,3	11,8	14,5	17,3	20,2	23,1		
Уровни звукового давления прямого звука от источника ИШ-1-10 в расчётной точке днём, дБ		**ф-ла(3)[10]**	**0**	**27,3**	**27,2**	**25,9**	**23,1**	**19,1**	**11,3**	**0**	**0**	**24,2**	**24,2**
Уровни звукового давления прямого звука от источника ИШ-1-10 в расчётной точке ночью, дБ		**ф-ла(3)[10]**	**0**	**27,3**	**27,2**	**25,9**	**23,1**	**19,1**	**11,3**	**0**	**0**	**24,2**	**24,2**
Расчёт отражённого звука													
Уровни звукового давления от мнимого источника ИШ-1-10_мн.(1) в расчётной точке днём, дБ		**ф-ла(3)[10]**	**0**	**0**	**0**	**0**	**0**	**11,7**	**3,6**	**0**	**0**	**12,5**	**12,5**
Уровни звукового давления от мнимого источника ИШ-1-10_мн.(1) в расчётной точке ночью, дБ		**ф-ла(3)[10]**	**0**	**0**	**0**	**0**	**0**	**0**	**0**	**0**	**0**	**12,5**	**12,5**

1		2	3	4	5	6	7	8	9	10	11	12	13
Уровни звукового давления от источника ИШ-1-10 в расчётной точке днём, дБ		**ф-ла(3)[10]**	**0**	**27,3**	**27,2**	**25,9**	**23,1**	**19,8**	**12**	**0**	**0**	**24,5**	**24,5**
Уровни звукового давления от источника ИШ-1-10 в расчётной точке ночью, дБ		**ф-ла(3)[10]**	**0**	**27,3**	**27,2**	**25,9**	**23,1**	**19,8**	**12**	**0**	**0**	**24,5**	**24,5**
Источник шума: ИШ-1-11, координаты источника (x,y,z), м =[464.18,142.55,1.00]													
Уровни звуковой мощности источника днём, Lw, дБ		**исходные данные**	**0**	**93,3**	**94,7**	**96**	**96,3**	**95,9**	**92,6**	**88,4**	**83,9**		
Уровни звуковой мощности источника ночью, Lw, дБ		**исходные данные**	**0**	**93,3**	**94,7**	**96**	**96,3**	**95,9**	**92,6**	**88,4**	**83,9**		
Поправка на телесный угол DΩ, дБ	Ω = 6.28	10Lg(4π/Ω)	**3**	3	3	3	3	3	3	3	3		
Показатель направленности источника Di, дБ		исходные данные	**0**	0	0	0	0	0	0	0	0		
Поправка на направленность источника Dc, дБ	Dc	DΩ + Di	**3**	3	3	3	3	3	3	3	3		
Затухание из-за геометрической дивергенции, Adiv, дБ	расстояние = 411.82 м	ф-ла (7) [10]	**63,3**										
Коэффициент затухания звука в атмосфере α, дБ/км	Ta=20,°C Pa=101.33,кПа hотн.=70%	ф-ла (5) [9]	0,02	0,09	0,33	1,12	2,79	4,98	9,04	23,09	77,63		
Учет затухания звука в атмосфере Aatm, дБ		ф-ла (8) [10]	0	0	0,1	0,5	1,1	2	3,7	9,5	32		
Снижение уровня звукового давления из-за влияния застройки между источником шума и расчетной точкой													
Снижение уровня звукового давления на пути над экраном, Dz1, дБ	z = 0.47м (разность путей)	ф-лы (14-18) [10]	5,2	5,8	7,1	9,3	11,8	14,4	17,2	20,1	23,1		
Снижение уровня звукового давления на пути слева от экрана, Dz2, дБ	z = 12.00м (разность путей)	ф-лы (14-18) [10]	20,7	24,1	27,2	30,2	33,3	36,3	39,3	42,3	45,3		
Снижение уровня звукового давления на пути справа от экрана, Dz3, дБ	z = 112.03м (разность путей)	ф-лы (14-18) [10]	30,4	33,8	36,9	39,9	43	46	49	52	55		
Общее снижение уровня звука препятствием Dz, дБ		Эн.сумма(-Dzi)	5,1	5,7	7,1	9,3	11,8	14,4	17,2	20,1	23,1		

1		2	3	4	5	6	7	8	9	10	11	12	13
Уровни звукового давления прямого звука от источника ИШ-1-11 в расчётной точке днём, дБ		**ф-ла(3)[10]**	**0**	**27,3**	**27,2**	**26**	**23,1**	**19,1**	**11,4**	**0**	**0**	**24,2**	**24,2**
Уровни звукового давления прямого звука от источника ИШ-1-11 в расчётной точке ночью, дБ		**ф-ла(3)[10]**	**0**	**27,3**	**27,2**	**26**	**23,1**	**19,1**	**11,4**	**0**	**0**	**24,2**	**24,2**
Расчёт отражённого звука													
Уровни звукового давления от мнимого источника ИШ-1-11_мн.(1) в расчётной точке днём, дБ		**ф-ла(3)[10]**	**0**	**0**	**0**	**0**	**0**	**11,7**	**3,7**	**0**	**0**	**12,5**	**12,5**
Уровни звукового давления от мнимого источника ИШ-1-11_мн.(1) в расчётной точке ночью, дБ		**ф-ла(3)[10]**	**0**	**0**	**0**	**0**	**0**	**0**	**0**	**0**	**0**	**12,5**	**12,5**
Уровни звукового давления от источника ИШ-1-11 в расчётной точке днём, дБ		**ф-ла(3)[10]**	**0**	**27,3**	**27,2**	**26**	**23,1**	**19,9**	**12**	**0**	**0**	**24,5**	**24,5**
Уровни звукового давления от источника ИШ-1-11 в расчётной точке ночью, дБ		**ф-ла(3)[10]**	**0**	**27,3**	**27,2**	**26**	**23,1**	**19,9**	**12**	**0**	**0**	**24,5**	**24,5**
Источник шума: ИШ-1-12, координаты источника (x,y,z), м =[435.45,97.79,1.00]													
Уровни звуковой мощности источника днём, Lw, дБ		**исходные данные**	**0**	**93,3**	**94,7**	**96**	**96,3**	**95,9**	**92,6**	**88,4**	**83,9**		
Уровни звуковой мощности источника ночью, Lw, дБ		**исходные данные**	**0**	**93,3**	**94,7**	**96**	**96,3**	**95,9**	**92,6**	**88,4**	**83,9**		
Поправка на телесный угол DΩ, дБ	Ω = 6.28	10Lg(4π/Ω)	**3**	3	3	3	3	3	3	3	3		
Показатель направленности источника Di, дБ		исходные данные	**0**	0	0	0	0	0	0	0	0		
Поправка на направленность источника Dc, дБ	Dc	DΩ + Di	**3**	3	3	3	3	3	3	3	3		
Затухание из-за геометрической дивергенции, Adiv, дБ	расстояние = 358.70 м	ф-ла (7) [10]	**62,1**										
Коэффициент затухания звука в атмосфере α, дБ/км	Ta=20,°C Pa=101.33,кПа hотн.=70%	ф-ла (5) [9]	0,02	0,09	0,33	1,12	2,79	4,98	9,04	23,09	77,63		
Учет затухания звука в атмосфере Aatm, дБ		ф-ла (8) [10]	0	0	0,1	0,4	1	1,8	3,2	8,3	27,8		

1		2	3	4	5	6	7	8	9	10	11	12	13
Снижение уровня звукового давления из-за влияния застройки между источником шума и расчетной точкой													
Снижение уровня звукового давления на пути над экраном, Dz1, дБ	z = 0.73м (разность путей)	ф-лы (14-18) [10]	6,1	7,6	10,4	13,6	16,7	19,7	22,6	25,6	28,6		
Снижение уровня звукового давления на пути слева от экрана, Dz2, дБ	z = 15.37м (разность путей)	ф-лы (14-18) [10]	21,7	25,2	28,3	31,3	34,3	37,3	40,4	43,4	46,4		
Снижение уровня звукового давления на пути справа от экрана, Dz3, дБ	z = 206.60м (разность путей)	ф-лы (14-18) [10]	33	36,5	39,6	42,6	45,6	48,6	51,6	54,6	57,7		
Общее снижение уровня звука препятствием Dz, дБ		Эн.сумма(-Dzi)	6	7,5	10,3	13,5	16,6	19,6	22,6	25,5	28,5		
Общее снижение уровня звука препятствием с учётом ограничения (25 дБ) для октавных полос Dz, дБ		Раздел 7.4 [10]	6	7,5	10,3	13,5	16,6	19,6	22,6	25	25		
Уровни звукового давления от источника ИШ-1-12 в расчётной точке днём, дБ		**ф-ла(3)[10]**	**0**	**26,6**	**25,2**	**23**	**19,6**	**15,4**	**7,7**	**0**	**0**	**20,9**	**20,9**
Уровни звукового давления от источника ИШ-1-12 в расчётной точке ночью, дБ		**ф-ла(3)[10]**	**0**	**26,6**	**25,2**	**23**	**19,6**	**15,4**	**7,7**	**0**	**0**	**20,9**	**20,9**
Источник шума: ИШ-1-13, координаты источника (x,y,z), м =[438.77,96.82,1.00]													
Уровни звуковой мощности источника днём, Lw, дБ		**исходные данные**	**0**	**93,3**	**94,7**	**96**	**96,3**	**95,9**	**92,6**	**88,4**	**83,9**		
Уровни звуковой мощности источника ночью, Lw, дБ		**исходные данные**	**0**	**93,3**	**94,7**	**96**	**96,3**	**95,9**	**92,6**	**88,4**	**83,9**		
Поправка на телесный угол DΩ, дБ	Ω = 6.28	10Lg(4π/Ω)	**3**	3	3	3	3	3	3	3	3		
Показатель направленности источника Di, дБ		исходные данные	**0**	0	0	0	0	0	0	0	0		
Поправка на направленность источника Dc, дБ	Dc	DΩ + Di	**3**	3	3	3	3	3	3	3	3		
Затухание из-за геометрической дивергенции, Adiv, дБ	расстояние = 359.87 м	ф-ла (7) [10]	**62,1**										
Коэффициент затухания звука в атмосфере α, дБ/км	Ta=20,°C Pa=101.33,кПа hотн.=70%	ф-ла (5) [9]	0,02	0,09	0,33	1,12	2,79	4,98	9,04	23,09	77,63		

1		2	3	4	5	6	7	8	9	10	11	12	13
Учет затухания звука в атмосфере Aatm, дБ		ф-ла (8) [10]	0	0	0,1	0,4	1	1,8	3,3	8,3	27,9		
Снижение уровня звукового давления из-за влияния застройки между источником шума и расчетной точкой													
Снижение уровня звукового давления на пути над экраном, Dz1, дБ	z = 0.73м (разность путей)	ф-лы (14-18) [10]	6,1	7,6	10,3	13,6	16,6	19,6	22,6	25,6	28,6		
Снижение уровня звукового давления на пути слева от экрана, Dz2, дБ	z = 13.60м (разность путей)	ф-лы (14-18) [10]	21,2	24,7	27,8	30,8	33,8	36,8	39,8	42,8	45,8		
Снижение уровня звукового давления на пути справа от экрана, Dz3, дБ	z = 206.22м (разность путей)	ф-лы (14-18) [10]	33	36,5	39,5	42,6	45,6	48,6	51,6	54,6	57,7		
Общее снижение уровня звука препятствием Dz, дБ		Эн.сумма(-Dzi)	6	7,5	10,2	13,5	16,6	19,5	22,5	25,5	28,5		
Общее снижение уровня звука препятствием с учётом ограничения (25 дБ) для октавных полос Dz, дБ		Раздел 7.4 [10]	6	7,5	10,2	13,5	16,6	19,5	22,5	25	25		
Уровни звукового давления от источника ИШ-1-13 в расчётной точке днём, дБ		**ф-ла(3)[10]**	**0**	**26,6**	**25,2**	**23**	**19,6**	**15,4**	**7,7**	**0**	**0**	**20,9**	**20,9**
Уровни звукового давления от источника ИШ-1-13 в расчётной точке ночью, дБ		**ф-ла(3)[10]**	**0**	**26,6**	**25,2**	**23**	**19,6**	**15,4**	**7,7**	**0**	**0**	**20,9**	**20,9**
Источник шума: ИШ-1-14, координаты источника (x,y,z), м =[441.70,96.03,1.00]													
Уровни звуковой мощности источника днём, Lw, дБ		**исходные данные**	**0**	**93,3**	**94,7**	**96**	**96,3**	**95,9**	**92,6**	**88,4**	**83,9**		
Уровни звуковой мощности источника ночью, Lw, дБ		**исходные данные**	**0**	**93,3**	**94,7**	**96**	**96,3**	**95,9**	**92,6**	**88,4**	**83,9**		
Поправка на телесный угол DΩ, дБ	Ω = 6.28	10Lg(4π/Ω)	**3**	3	3	3	3	3	3	3	3		
Показатель направленности источника Di, дБ		исходные данные	**0**	0	0	0	0	0	0	0	0		
Поправка на направленность источника Dc, дБ	Dc	DΩ + Di	**3**	3	3	3	3	3	3	3	3		
Затухание из-за геометрической дивергенции, Adiv, дБ	расстояние = 361.00 м	ф-ла (7) [10]	**62,2**										

1		2	3	4	5	6	7	8	9	10	11	12	13
Коэффициент затухания звука в атмосфере α, дБ/км	Та=20,°С Ра=101.33,кПа hотн.=70%	ф-ла (5) [9]	0,02	0,09	0,33	1,12	2,79	4,98	9,04	23,09	77,63		
Учет затухания звука в атмосфере Aatm, дБ		ф-ла (8) [10]	0	0	0,1	0,4	1	1,8	3,3	8,3	28		
Снижение уровня звукового давления из-за влияния застройки между источником шума и расчетной точкой													
Снижение уровня звукового давления на пути над экраном, Dz1, дБ	z = 0.77м (разность путей)	ф-лы (14-18) [10]	7,3	9,6	12,2	14,9	17,7	20,6	23,6	26,5	29,5		
Снижение уровня звукового давления на пути слева от экрана, Dz2, дБ	z = 12.17м (разность путей)	ф-лы (14-18) [10]	20,7	24,2	27,3	30,3	33,3	36,3	39,3	42,4	45,4		
Снижение уровня звукового давления на пути справа от экрана, Dz3, дБ	z = 205.81м (разность путей)	ф-лы (14-18) [10]	33	36,4	39,5	42,6	45,6	48,6	51,6	54,6	57,6		
Общее снижение уровня звука препятствием Dz, дБ		Эн.сумма(-Dzi)	7,1	9,5	12	14,8	17,6	20,5	23,4	26,4	29,4		
Общее снижение уровня звука препятствием с учётом ограничения (25 дБ) для октавных полос Dz, дБ		Раздел 7.4 [10]	7,1	9,5	12	14,8	17,6	20,5	23,4	25	25		
Уровни звукового давления от источника ИШ-1-14 в расчётной точке днём, дБ		**ф-ла(3)[10]**	**0**	**24,6**	**23,4**	**21,7**	**18,6**	**14,5**	**6,7**	**0**	**0**	**19,8**	**19,8**
Уровни звукового давления от источника ИШ-1-14 в расчётной точке ночью, дБ		**ф-ла(3)[10]**	**0**	**24,6**	**23,4**	**21,7**	**18,6**	**14,5**	**6,7**	**0**	**0**	**19,8**	**19,8**
Источник шума: ИШ-1-15, координаты источника (x,y,z), м =[445.03,95.25,1.00]													
Уровни звуковой мощности источника днём, Lw, дБ		**исходные данные**	**0**	**93,3**	**94,7**	**96**	**96,3**	**95,9**	**92,6**	**88,4**	**83,9**		
Уровни звуковой мощности источника ночью, Lw, дБ		**исходные данные**	**0**	**93,3**	**94,7**	**96**	**96,3**	**95,9**	**92,6**	**88,4**	**83,9**		
Поправка на телесный угол DΩ, дБ	Ω = 6.28	10Lg($4\pi/\Omega$)	**3**	3	3	3	3	3	3	3	3		
Показатель направленности источника Di, дБ		исходные данные	**0**	0	0	0	0	0	0	0	0		
Поправка на направленность источника Dc, дБ	Dc	DΩ + Di	**3**	3	3	3	3	3	3	3	3		

1		2	3	4	5	6	7	8	9	10	11	12	13
Затухание из-за геометрической дивергенции, Adiv, дБ	расстояние = 362.38 м	ф-ла (7) [10]	**62,2**										
Коэффициент затухания звука в атмосфере α, дБ/км	Ta=20,°C Pa=101.33,кПа hотн.=70%	ф-ла (5) [9]	0,02	0,09	0,33	1,12	2,79	4,98	9,04	23,09	77,63		
Учет затухания звука в атмосфере Aatm, дБ		ф-ла (8) [10]	0	0	0,1	0,4	1	1,8	3,3	8,4	28,1		
Снижение уровня звукового давления из-за влияния застройки между источником шума и расчетной точкой													
Снижение уровня звукового давления на пути над экраном, Dz1, дБ	z = 0.77м (разность путей)	ф-лы (14-18) [10]	7,4	9,7	12,2	14,9	17,7	20,6	23,6	26,6	29,6		
Снижение уровня звукового давления на пути слева от экрана, Dz2, дБ	z = 10.72м (разность путей)	ф-лы (14-18) [10]	20,2	23,6	26,7	29,8	32,8	35,8	38,8	41,8	44,8		
Снижение уровня звукового давления на пути справа от экрана, Dz3, дБ	z = 205.22м (разность путей)	ф-лы (14-18) [10]	33	36,4	39,5	42,6	45,6	48,6	51,6	54,6	57,6		
Общее снижение уровня звука препятствием Dz, дБ		Эн.сумма(-Dzi)	7,1	9,5	12,1	14,8	17,6	20,5	23,5	26,4	29,4		
Общее снижение уровня звука препятствием с учётом ограничения (25 дБ) для октавных полос Dz, дБ		Раздел 7.4 [10]	7,1	9,5	12,1	14,8	17,6	20,5	23,5	25	25		
Уровни звукового давления от источника ИШ-1-15 в расчётной точке днём, дБ		**ф-ла(3)[10]**	**0**	**24,6**	**23,3**	**21,6**	**18,5**	**14,4**	**6,7**	**0**	**0**	**19,7**	**19,7**
Уровни звукового давления от источника ИШ-1-15 в расчётной точке ночью, дБ		**ф-ла(3)[10]**	**0**	**24,6**	**23,3**	**21,6**	**18,5**	**14,4**	**6,7**	**0**	**0**	**19,7**	**19,7**
Источник шума: ИШ-1-16, координаты источника (x,y,z), м =[447.96,94.28,1.00]													
Уровни звуковой мощности источника днём, Lw, дБ		**исходные данные**	**0**	**93,3**	**94,7**	**96**	**96,3**	**95,9**	**92,6**	**88,4**	**83,9**		
Уровни звуковой мощности источника ночью, Lw, дБ		**исходные данные**	**0**	**93,3**	**94,7**	**96**	**96,3**	**95,9**	**92,6**	**88,4**	**83,9**		
Поправка на телесный угол DΩ, дБ	Ω = 6.28	10Lg(4π/Ω)	**3**	3	3	3	3	3	3	3	3		
Показатель направленности источника Di, дБ		исходные данные	**0**	0	0	0	0	0	0	0	0		

1		2	3	4	5	6	7	8	9	10	11	12	13
Поправка на направленность источника Dc, дБ	Dc	DΩ + Di	**3**	3	3	3	3	3	3	3	3		
Затухание из-за геометрической дивергенции, Adiv, дБ	расстояние = 363.39 м	ф-ла (7) [10]	**62,2**										
Коэффициент затухания звука в атмосфере α, дБ/км	Ta=20,°C Pa=101.33,кПа hотн.=70%	ф-ла (5) [9]	0,02	0,09	0,33	1,12	2,79	4,98	9,04	23,09	77,63		
Учет затухания звука в атмосфере Aatm, дБ		ф-ла (8) [10]	0	0	0,1	0,4	1	1,8	3,3	8,4	28,2		
Снижение уровня звукового давления из-за влияния застройки между источником шума и расчетной точкой													
Снижение уровня звукового давления на пути над экраном, Dz1, дБ	z = 0.78м (разность путей)	ф-лы (14-18) [10]	7,5	9,7	12,3	15	17,8	20,7	23,6	26,6	29,6		
Снижение уровня звукового давления на пути слева от экрана, Dz2, дБ	z = 9.52м (разность путей)	ф-лы (14-18) [10]	19,7	23,1	26,2	29,2	32,3	35,3	38,3	41,3	44,3		
Снижение уровня звукового давления на пути справа от экрана, Dz3, дБ	z = 205.28м (разность путей)	ф-лы (14-18) [10]	33	36,4	39,5	42,6	45,6	48,6	51,6	54,6	57,6		
Общее снижение уровня звука препятствием Dz, дБ		Эн.сумма(-Dzi)	7,2	9,5	12,1	14,8	17,6	20,5	23,5	26,5	29,5		
Общее снижение уровня звука препятствием с учётом ограничения (25 дБ) для октавных полос Dz, дБ		Раздел 7.4 [10]	7,2	9,5	12,1	14,8	17,6	20,5	23,5	25	25		
Уровни звукового давления от источника ИШ-1-16 в расчётной точке днём, дБ		**ф-ла(3)[10]**	**0**	**24,5**	**23,3**	**21,6**	**18,4**	**14,3**	**6,6**	**0**	**0**	**19,7**	**19,7**
Уровни звукового давления от источника ИШ-1-16 в расчётной точке ночью, дБ		**ф-ла(3)[10]**	**0**	**24,5**	**23,3**	**21,6**	**18,4**	**14,3**	**6,6**	**0**	**0**	**19,7**	**19,7**
Источник шума: ИШ-1-17, координаты источника (x,y,z), м =[540.99,141.77,1.00]													
Уровни звуковой мощности источника днём, Lw, дБ		**исходные данные**	**0**	**93,3**	**94,7**	**96**	**96,3**	**95,9**	**92,6**	**88,4**	**83,9**		
Уровни звуковой мощности источника ночью, Lw, дБ		**исходные данные**	**0**	**93,3**	**94,7**	**96**	**96,3**	**95,9**	**92,6**	**88,4**	**83,9**		
Поправка на телесный угол DΩ, дБ	Ω = 6.28	10Lg(4π/Ω)	**3**	3	3	3	3	3	3	3	3		

1		2	3	4	5	6	7	8	9	10	11	12	13
Показатель направленности источника Di, дБ		исходные данные	**0**	0	0	0	0	0	0	0	0		
Поправка на направленность источника Dc, дБ	Dc	DΩ + Di	**3**	3	3	3	3	3	3	3	3		
Затухание из-за геометрической дивергенции, Adiv, дБ	расстояние = 460.09 м	ф-ла (7) [10]	**64,3**										
Коэффициент затухания звука в атмосфере α, дБ/км	Ta=20,°C Pa=101.33,кПа hотн.=70%	ф-ла (5) [9]	0,02	0,09	0,33	1,12	2,79	4,98	9,04	23,09	77,63		
Учет затухания звука в атмосфере Aatm, дБ		ф-ла (8) [10]	0	0	0,2	0,5	1,3	2,3	4,2	10,6	35,7		
Снижение уровня звукового давления из-за влияния застройки между источником шума и расчетной точкой													
Снижение уровня звукового давления на пути над экраном, Dz1, дБ	z = 0.87м (разность путей)	ф-лы (14-18) [10]	8,4	10,6	13	15,7	18,6	21,5	24,4	27,4	30,4		
Снижение уровня звукового давления на пути слева от экрана, Dz2, дБ	z = 3.72м (разность путей)	ф-лы (14-18) [10]	16	19,2	22,2	25,2	28,2	31,2	34,2	37,2	40,2		
Снижение уровня звукового давления на пути справа от экрана, Dz3, дБ	z = 82.26м (разность путей)	ф-лы (14-18) [10]	29,2	32,5	35,6	38,6	41,6	44,6	47,6	50,6	53,7		
Общее снижение уровня звука препятствием Dz, дБ		Эн.сумма(-Dzi)	7,7	10	12,5	15,2	18,1	21	24	27	30		
Общее снижение уровня звука препятствием с учётом ограничения (25 дБ) для октавных полос Dz, дБ		Раздел 7.4 [10]	7,7	10	12,5	15,2	18,1	21	24	25	25		
Уровни звукового давления от источника ИШ-1-17 в расчётной точке днём, дБ		**ф-ла(3)[10]**	**0**	**22**	**20,8**	**19**	**15,7**	**11,3**	**3,2**	**0**	**0**	**16,8**	**16,8**
Уровни звукового давления от источника ИШ-1-17 в расчётной точке ночью, дБ		**ф-ла(3)[10]**	**0**	**22**	**20,8**	**19**	**15,7**	**11,3**	**3,2**	**0**	**0**	**16,8**	**16,8**
Источник шума: ИШ-1-18, координаты источника (x,y,z), м =[543.53,140.79,1.00]													
Уровни звуковой мощности источника днём, Lw, дБ		**исходные данные**	**0**	**93,3**	**94,7**	**96**	**96,3**	**95,9**	**92,6**	**88,4**	**83,9**		
Уровни звуковой мощности источника ночью, Lw, дБ		**исходные данные**	**0**	**93,3**	**94,7**	**96**	**96,3**	**95,9**	**92,6**	**88,4**	**83,9**		

1		2	3	4	5	6	7	8	9	10	11	12	13
Поправка на телесный угол DΩ, дБ	Ω = 6.28	10Lg(4π/Ω)	**3**	3	3	3	3	3	3	3	3		
Показатель направленности источника Di, дБ		исходные данные	**0**	0	0	0	0	0	0	0	0		
Поправка на направленность источника Dc, дБ	Dc	DΩ + Di	**3**	3	3	3	3	3	3	3	3		
Затухание из-за геометрической дивергенции, Adiv, дБ	расстояние = 461.14 м	ф-ла (7) [10]	**64,3**										
Коэффициент затухания звука в атмосфере α, дБ/км	Ta=20,°C Pa=101.33,кПа hотн.=70%	ф-ла (5) [9]	0,02	0,09	0,33	1,12	2,79	4,98	9,04	23,09	77,63		
Учет затухания звука в атмосфере Aatm, дБ		ф-ла (8) [10]	0	0	0,2	0,5	1,3	2,3	4,2	10,6	35,8		
Снижение уровня звукового давления из-за влияния застройки между источником шума и расчетной точкой													
Снижение уровня звукового давления на пути над экраном, Dz1, дБ	z = 0.82м (разность путей)	ф-лы (14-18) [10]	8,1	10,2	12,6	15,2	18	20,9	23,9	26,9	29,9		
Снижение уровня звукового давления на пути слева от экрана, Dz2, дБ	z = 3.27м (разность путей)	ф-лы (14-18) [10]	15,5	18,7	21,6	24,6	27,6	30,6	33,6	36,6	39,7		
Снижение уровня звукового давления на пути справа от экрана, Dz3, дБ	z = 83.23м (разность путей)	ф-лы (14-18) [10]	29,3	32,6	35,6	38,7	41,7	44,7	47,7	50,7	53,7		
Общее снижение уровня звука препятствием Dz, дБ		Эн.сумма(-Dzi)	7,4	9,6	12	14,7	17,6	20,5	23,4	26,4	29,4		
Общее снижение уровня звука препятствием с учётом ограничения (25 дБ) для октавных полос Dz, дБ		Раздел 7.4 [10]	7,4	9,6	12	14,7	17,6	20,5	23,4	25	25		
Уровни звукового давления от источника ИШ-1-18 в расчётной точке днём, дБ		**ф-ла(3)[10]**	**0**	**22,4**	**21,2**	**19,5**	**16,2**	**11,8**	**3,7**	**0**	**0**	**17,3**	**17,3**
Уровни звукового давления от источника ИШ-1-18 в расчётной точке ночью, дБ		**ф-ла(3)[10]**	**0**	**22,4**	**21,2**	**19,5**	**16,2**	**11,8**	**3,7**	**0**	**0**	**17,3**	**17,3**
Источник шума: ИШ-1-19, координаты источника (x,y,z), м =[547.25,139.62,1.00]													
Уровни звуковой мощности источника днём, Lw, дБ		**исходные данные**	**0**	**93,3**	**94,7**	**96**	**96,3**	**95,9**	**92,6**	**88,4**	**83,9**		

1		2	3	4	5	6	7	8	9	10	11	12	13
Уровни звуковой мощности источника ночью, Lw, дБ		**исходные данные**	**0**	**93,3**	**94,7**	**96**	**96,3**	**95,9**	**92,6**	**88,4**	**83,9**		
Поправка на телесный угол DΩ, дБ	Ω = 6.28	10Lg(4π/Ω)	**3**	3	3	3	3	3	3	3	3		
Показатель направленности источника Di, дБ		исходные данные	**0**	0	0	0	0	0	0	0	0		
Поправка на направленность источника Dc, дБ	Dc	DΩ + Di	**3**	3	3	3	3	3	3	3	3		
Затухание из-за геометрической дивергенции, Adiv, дБ	расстояние = 462.86 м	ф-ла (7) [10]	**64,3**										
Коэффициент затухания звука в атмосфере α, дБ/км	Ta=20,°C Pa=101.33,кПа hотн.=70%	ф-ла (5) [9]	0,02	0,09	0,33	1,12	2,79	4,98	9,04	23,09	77,63		
Учет затухания звука в атмосфере Aatm, дБ		ф-ла (8) [10]	0	0	0,2	0,5	1,3	2,3	4,2	10,7	35,9		
Снижение уровня звукового давления из-за влияния застройки между источником шума и расчетной точкой													
Снижение уровня звукового давления на пути над экраном, Dz1, дБ	z = 0.76м (разность путей)	ф-лы (14-18) [10]	7,7	9,7	12	14,6	17,4	20,3	23,2	26,2	29,2		
Снижение уровня звукового давления на пути слева от экрана, Dz2, дБ	z = 2.73м (разность путей)	ф-лы (14-18) [10]	14,8	17,9	20,9	23,9	26,8	29,8	32,9	35,9	38,9		
Снижение уровня звукового давления на пути справа от экрана, Dz3, дБ	z = 84.37м (разность путей)	ф-лы (14-18) [10]	29,3	32,6	35,7	38,7	41,7	44,7	47,7	50,8	53,8		
Общее снижение уровня звука препятствием Dz, дБ		Эн.сумма(-Dzi)	6,9	9,1	11,4	14,1	16,9	19,8	22,7	25,7	28,7		
Общее снижение уровня звука препятствием с учётом ограничения (25 дБ) для октавных полос Dz, дБ		Раздел 7.4 [10]	6,9	9,1	11,4	14,1	16,9	19,8	22,7	25	25		
Уровни звукового давления от источника ИШ-1-19 в расчётной точке днём, дБ		**ф-ла(3)[10]**	**0**	**22,9**	**21,8**	**20,1**	**16,8**	**12,5**	**4,4**	**0**	**0**	**18**	**18**
Уровни звукового давления от источника ИШ-1-19 в расчётной точке ночью, дБ		**ф-ла(3)[10]**	**0**	**22,9**	**21,8**	**20,1**	**16,8**	**12,5**	**4,4**	**0**	**0**	**18**	**18**

Источник шума: ИШ-1-20, координаты источника (x,y,z), м =[550.38,138.64,1.00]

1		2	3	4	5	6	7	8	9	10	11	12	13
Уровни звуковой мощности источника днём, Lw, дБ		**исходные данные**	**0**	**93,3**	**94,7**	**96**	**96,3**	**95,9**	**92,6**	**88,4**	**83,9**		
Уровни звуковой мощности источника ночью, Lw, дБ		**исходные данные**	**0**	**93,3**	**94,7**	**96**	**96,3**	**95,9**	**92,6**	**88,4**	**83,9**		
Поправка на телесный угол DΩ, дБ	Ω = 6.28	10Lg(4π/Ω)	**3**	3	3	3	3	3	3	3	3		
Показатель направленности источника Di, дБ		исходные данные	**0**	0	0	0	0	0	0	0	0		
Поправка на направленность источника Dc, дБ	Dc	DΩ + Di	**3**	3	3	3	3	3	3	3	3		
Затухание из-за геометрической дивергенции, Adiv, дБ	расстояние = 464.35 м	ф-ла (7) [10]	**64,3**										
Коэффициент затухания звука в атмосфере α, дБ/км	Ta=20,°C Pa=101.33,кПа hотн.=70%	ф-ла (5) [9]	0,02	0,09	0,33	1,12	2,79	4,98	9,04	23,09	77,63		
Учет затухания звука в атмосфере Aatm, дБ		ф-ла (8) [10]	0	0	0,2	0,5	1,3	2,3	4,2	10,7	36		
Снижение уровня звукового давления из-за влияния застройки между источником шума и расчетной точкой													
Снижение уровня звукового давления на пути над экраном, Dz1, дБ	z = 0.71м (разность путей)	ф-лы (14-18) [10]	7,5	9,3	11,6	14,1	16,9	19,7	22,7	25,6	28,6		
Снижение уровня звукового давления на пути слева от экрана, Dz2, дБ	z = 2.35м (разность путей)	ф-лы (14-18) [10]	14,2	17,3	20,2	23,2	26,2	29,2	32,2	35,2	38,2		
Снижение уровня звукового давления на пути справа от экрана, Dz3, дБ	z = 85.41м (разность путей)	ф-лы (14-18) [10]	29,4	32,7	35,7	38,8	41,8	44,8	47,8	50,8	53,8		
Общее снижение уровня звука препятствием Dz, дБ		Эн.сумма(-Dzi)	6,6	8,7	11	13,6	16,4	19,3	22,2	25,2	28,2		
Общее снижение уровня звука препятствием с учётом ограничения (25 дБ) для октавных полос Dz, дБ		Раздел 7.4 [10]	6,6	8,7	11	13,6	16,4	19,3	22,2	25	25		
Уровни звукового давления от источника ИШ-1-20 в расчётной точке днём, дБ		**ф-ла(3)[10]**	**0**	**23,2**	**22,2**	**20,5**	**17,3**	**13**	**4,9**	**0**	**0**	**18,4**	**18,4**
Уровни звукового давления от источника ИШ-1-20 в расчётной точке ночью, дБ		**ф-ла(3)[10]**	**0**	**23,2**	**22,2**	**20,5**	**17,3**	**13**	**4,9**	**0**	**0**	**18,4**	**18,4**

1		2	3	4	5	6	7	8	9	10	11	12	13
Источник шума: ИШ-1-21, координаты источника (x,y,z), м =[553.31,137.67,1.00]													
Уровни звуковой мощности источника днём, Lw, дБ		**исходные данные**	**0**	**93,3**	**94,7**	**96**	**96,3**	**95,9**	**92,6**	**88,4**	**83,9**		
Уровни звуковой мощности источника ночью, Lw, дБ		**исходные данные**	**0**	**93,3**	**94,7**	**96**	**96,3**	**95,9**	**92,6**	**88,4**	**83,9**		
Поправка на телесный угол DΩ, дБ	Ω = 6.28	10Lg(4π/Ω)	**3**	3	3	3	3	3	3	3	3		
Показатель направленности источника Di, дБ		исходные данные	**0**	0	0	0	0	0	0	0	0		
Поправка на направленность источника Dc, дБ	Dc	DΩ + Di	**3**	3	3	3	3	3	3	3	3		
Затухание из-за геометрической дивергенции, Adiv, дБ	расстояние = 465.71 м	ф-ла (7) [10]	**64,4**										
Коэффициент затухания звука в атмосфере α, дБ/км	Ta=20,°C Pa=101.33,кПа hотн.=70%	ф-ла (5) [9]	0,02	0,09	0,33	1,12	2,79	4,98	9,04	23,09	77,63		
Учет затухания звука в атмосфере Aatm, дБ		ф-ла (8) [10]	0	0	0,2	0,5	1,3	2,3	4,2	10,8	36,2		
Снижение уровня звукового давления из-за влияния застройки между источником шума и расчетной точкой													
Снижение уровня звукового давления на пути над экраном, Dz1, дБ	z = 0.68м (разность путей)	ф-лы (14-18) [10]	7,3	9	11,2	13,7	16,4	19,3	22,2	25,2	28,2		
Снижение уровня звукового давления на пути слева от экрана, Dz2, дБ	z = 2.05м (разность путей)	ф-лы (14-18) [10]	13,7	16,8	19,7	22,6	25,6	28,6	31,6	34,6	37,6		
Снижение уровня звукового давления на пути справа от экрана, Dz3, дБ	z = 86.55м (разность путей)	ф-лы (14-18) [10]	29,4	32,7	35,8	38,8	41,8	44,8	47,9	50,9	53,9		
Общее снижение уровня звука препятствием Dz, дБ		Эн.сумма(-Dzi)	6,4	8,3	10,6	13,2	15,9	18,8	21,7	24,7	27,7		
Общее снижение уровня звука препятствием с учётом ограничения (25 дБ) для октавных полос Dz, дБ		Раздел 7.4 [10]	6,4	8,3	10,6	13,2	15,9	18,8	21,7	24,7	25		
Уровни звукового давления от источника ИШ-1-21 в расчётной точке днём, дБ		**ф-ла(3)[10]**	**0**	**23,6**	**22,6**	**21**	**17,7**	**13,4**	**5,3**	**0**	**0**	**18,9**	**18,9**

1		2	3	4	5	6	7	8	9	10	11	12	13
Уровни звукового давления от источника ИШ-1-21 в расчётной точке ночью, дБ		**ф-ла(3)[10]**	**0**	**23,6**	**22,6**	**21**	**17,7**	**13,4**	**5,3**	**0**	**0**	**18,9**	**18,9**
Источник шума: ИШ-1-22, координаты источника (x,y,z), м =[522.03,85.28,1.00]													
Уровни звуковой мощности источника днём, Lw, дБ		**исходные данные**	**0**	**93,3**	**94,7**	**96**	**96,3**	**95,9**	**92,6**	**88,4**	**83,9**		
Уровни звуковой мощности источника ночью, Lw, дБ		**исходные данные**	**0**	**93,3**	**94,7**	**96**	**96,3**	**95,9**	**92,6**	**88,4**	**83,9**		
Поправка на телесный угол DΩ, дБ	Ω = 6.28	10Lg(4π/Ω)	**3**	3	3	3	3	3	3	3	3		
Показатель направленности источника Di, дБ		исходные данные	**0**	0	0	0	0	0	0	0	0		
Поправка на направленность источника Dc, дБ	Dc	DΩ + Di	**3**	3	3	3	3	3	3	3	3		
Затухание из-за геометрической дивергенции, Adiv, дБ	расстояние = 406.77 м	ф-ла (7) [10]	**63,2**										
Коэффициент затухания звука в атмосфере α, дБ/км	Ta=20,°C Pa=101.33,кПа hотн.=70%	ф-ла (5) [9]	0,02	0,09	0,33	1,12	2,79	4,98	9,04	23,09	77,63		
Учет затухания звука в атмосфере Aatm, дБ		ф-ла (8) [10]	0	0	0,1	0,5	1,1	2	3,7	9,4	31,6		
Снижение уровня звукового давления из-за влияния застройки между источником шума и расчетной точкой													
Снижение уровня звукового давления на пути над экраном, Dz1, дБ	z = 0.44м (разность путей)	ф-лы (14-18) [10]	5,2	5,9	7,3	9,3	11,6	14,2	17	19,8	22,8		
Снижение уровня звукового давления на пути слева от экрана, Dz2, дБ	z = 1.16м (разность путей)	ф-лы (14-18) [10]	8,6	10,6	13	15,7	18,5	21,4	24,4	27,4	30,4		
Снижение уровня звукового давления на пути справа от экрана, Dz3, дБ	z = 188.38м (разность путей)	ф-лы (14-18) [10]	32,8	36,1	39,2	42,2	45,2	48,2	51,2	54,2	57,3		
Общее снижение уровня звука препятствием Dz, дБ		Эн.сумма(-Dzi)	3,6	4,6	6,3	8,4	10,8	13,4	16,2	19,1	22,1		
Уровни звукового давления прямого звука от источника ИШ-1-22 в расчётной точке днём, дБ		**ф-ла(3)[10]**	**0**	**28,4**	**28,1**	**27**	**24,2**	**20,2**	**12,5**	**0**	**0**	**25,3**	**25,3**

1		2	3	4	5	6	7	8	9	10	11	12	13
Уровни звукового давления прямого звука от источника ИШ-1-22 в расчётной точке ночью, дБ		**ф-ла(3)[10]**	**0**	**28,4**	**28,1**	**27**	**24,2**	**20,2**	**12,5**	**0**	**0**	**25,3**	**25,3**
Расчёт отражённого звука													
Уровни звукового давления от мнимого источника ИШ-1-22_мн.(1) в расчётной точке днём, дБ		**ф-ла(3)[10]**	**0**	**0**	**0**	**0**	**0**	**0**	**0**	**0**	**0**	**0**	**0**
Уровни звукового давления от мнимого источника ИШ-1-22_мн.(1) в расчётной точке ночью, дБ		**ф-ла(3)[10]**	**0**	**0**	**0**	**0**	**0**	**0**	**0**	**0**	**0**	**0**	**0**
Уровни звукового давления от источника ИШ-1-22 в расчётной точке днём, дБ		**ф-ла(3)[10]**	**0**	**28,4**	**28,1**	**27**	**24,2**	**20,2**	**12,5**	**0**	**0**	**25,3**	**25,3**
Уровни звукового давления от источника ИШ-1-22 в расчётной точке ночью, дБ		**ф-ла(3)[10]**	**0**	**28,4**	**28,1**	**27**	**24,2**	**20,2**	**12,5**	**0**	**0**	**25,3**	**25,3**
Источник шума: ИШ-1-23, координаты источника (x,y,z), м =[525.16,84.11,1.00]													
Уровни звуковой мощности источника днём, Lw, дБ		**исходные данные**	**0**	**93,3**	**94,7**	**96**	**96,3**	**95,9**	**92,6**	**88,4**	**83,9**		
Уровни звуковой мощности источника ночью, Lw, дБ		**исходные данные**	**0**	**93,3**	**94,7**	**96**	**96,3**	**95,9**	**92,6**	**88,4**	**83,9**		
Поправка на телесный угол DΩ, дБ	Ω = 6.28	10Lg(4π/Ω)	**3**	3	3	3	3	3	3	3	3		
Показатель направленности источника Di, дБ		исходные данные	**0**	0	0	0	0	0	0	0	0		
Поправка на направленность источника Dc, дБ	Dc	DΩ + Di	**3**	3	3	3	3	3	3	3	3		
Затухание из-за геометрической дивергенции, Adiv, дБ	расстояние = 408.26 м	ф-ла (7) [10]	**63,2**										
Коэффициент затухания звука в атмосфере α, дБ/км	Ta=20,°C Pa=101.33,кПа hотн.=70%	ф-ла (5) [9]	0,02	0,09	0,33	1,12	2,79	4,98	9,04	23,09	77,63		
Учет затухания звука в атмосфере Aatm, дБ		ф-ла (8) [10]	0	0	0,1	0,5	1,1	2	3,7	9,4	31,7		
Снижение уровня звукового давления из-за влияния застройки между источником шума и расчетной точкой													

1		2	3	4	5	6	7	8	9	10	11	12	13
Снижение уровня звукового давления на пути над экраном, Dz1, дБ	z = 0.44м (разность путей)	ф-лы (14-18) [10]	5,2	5,9	7,3	9,3	11,6	14,2	17	19,8	22,8		
Снижение уровня звукового давления на пути слева от экрана, Dz2, дБ	z = 1.00м (разность путей)	ф-лы (14-18) [10]	8,3	10,2	12,5	15,1	17,9	20,8	23,8	26,8	29,8		
Снижение уровня звукового давления на пути справа от экрана, Dz3, дБ	z = 188.03м (разность путей)	ф-лы (14-18) [10]	32,8	36,1	39,2	42,2	45,2	48,2	51,2	54,2	57,3		
Общее снижение уровня звука препятствием Dz, дБ		Эн.сумма(-Dzi)	3,5	4,5	6,2	8,3	10,7	13,3	16,1	19	22		
Уровни звукового давления от источника ИШ-1-23 в расчётной точке днём, дБ		**ф-ла(3)[10]**	**0**	**28,5**	**28,2**	**27**	**24,2**	**20,3**	**12,5**	**0**	**0**	**25,4**	**25,4**
Уровни звукового давления от источника ИШ-1-23 в расчётной точке ночью, дБ		**ф-ла(3)[10]**	**0**	**28,5**	**28,2**	**27**	**24,2**	**20,3**	**12,5**	**0**	**0**	**25,4**	**25,4**
Источник шума: ИШ-1-24, координаты источника (x,y,z), м =[528.48,82.94,1.00]													
Уровни звуковой мощности источника днём, Lw, дБ		**исходные данные**	**0**	**93,3**	**94,7**	**96**	**96,3**	**95,9**	**92,6**	**88,4**	**83,9**		
Уровни звуковой мощности источника ночью, Lw, дБ		**исходные данные**	**0**	**93,3**	**94,7**	**96**	**96,3**	**95,9**	**92,6**	**88,4**	**83,9**		
Поправка на телесный угол DΩ, дБ	Ω = 6.28	10Lg(4π/Ω)	**3**	3	3	3	3	3	3	3	3		
Показатель направленности источника Di, дБ		исходные данные	**0**	0	0	0	0	0	0	0	0		
Поправка на направленность источника Dc, дБ	Dc	DΩ + Di	**3**	3	3	3	3	3	3	3	3		
Затухание из-за геометрической дивергенции, Adiv, дБ	расстояние = 409.92 м	ф-ла (7) [10]	**63,3**										
Коэффициент затухания звука в атмосфере α, дБ/км	Ta=20,°C Pa=101.33,кПа hотн.=70%	ф-ла (5) [9]	0,02	0,09	0,33	1,12	2,79	4,98	9,04	23,09	77,63		
Учет затухания звука в атмосфере Aatm, дБ		ф-ла (8) [10]	0	0	0,1	0,5	1,1	2	3,7	9,5	31,8		
Снижение уровня звукового давления из-за влияния застройки между источником шума и расчетной точкой													

1		2	3	4	5	6	7	8	9	10	11	12	13
Снижение уровня звукового давления на пути над экраном, Dz1, дБ	z = 0.44м (разность путей)	ф-лы (14-18) [10]	5,2	5,9	7,3	9,3	11,6	14,2	16,9	19,8	22,8		
Снижение уровня звукового давления на пути слева от экрана, Dz2, дБ	z = 0.86м (разность путей)	ф-лы (14-18) [10]	7,9	9,7	11,9	14,5	17,3	20,2	23,1	26,1	29,1		
Снижение уровня звукового давления на пути справа от экрана, Dz3, дБ	z = 187.63м (разность путей)	ф-лы (14-18) [10]	32,8	36,1	39,2	42,2	45,2	48,2	51,2	54,2	57,2		
Общее снижение уровня звука препятствием Dz, дБ		Эн.сумма(-Dzi)	3,3	4,4	6	8,1	10,6	13,2	16	18,9	21,9		
Уровни звукового давления от источника ИШ-1-24 в расчётной точке днём, дБ		**ф-ла(3)[10]**	**0**	**28,6**	**28,3**	**27,1**	**24,3**	**20,4**	**12,6**	**0**	**0**	**25,5**	**25,5**
Уровни звукового давления от источника ИШ-1-24 в расчётной точке ночью, дБ		**ф-ла(3)[10]**	**0**	**28,6**	**28,3**	**27,1**	**24,3**	**20,4**	**12,6**	**0**	**0**	**25,5**	**25,5**
Источник шума: ИШ-1-25, координаты источника (x,y,z), м =[531.22,82.16,1.00]													
Уровни звуковой мощности источника днём, Lw, дБ		**исходные данные**	**0**	**93,3**	**94,7**	**96**	**96,3**	**95,9**	**92,6**	**88,4**	**83,9**		
Уровни звуковой мощности источника ночью, Lw, дБ		**исходные данные**	**0**	**93,3**	**94,7**	**96**	**96,3**	**95,9**	**92,6**	**88,4**	**83,9**		
Поправка на телесный угол DΩ, дБ	Ω = 6.28	10Lg(4π/Ω)	**3**	3	3	3	3	3	3	3	3		
Показатель направленности источника Di, дБ		исходные данные	**0**	0	0	0	0	0	0	0	0		
Поправка на направленность источника Dc, дБ	Dc	DΩ + Di	**3**	3	3	3	3	3	3	3	3		
Затухание из-за геометрической дивергенции, Adiv, дБ	расстояние = 411.43 м	ф-ла (7) [10]	**63,3**										
Коэффициент затухания звука в атмосфере α, дБ/км	Ta=20,°C Pa=101.33,кПа hотн.=70%	ф-ла (5) [9]	0,02	0,09	0,33	1,12	2,79	4,98	9,04	23,09	77,63		
Учет затухания звука в атмосфере Aatm, дБ		ф-ла (8) [10]	0	0	0,1	0,5	1,1	2	3,7	9,5	31,9		
Снижение уровня звукового давления из-за влияния застройки между источником шума и расчетной точкой													

1		2	3	4	5	6	7	8	9	10	11	12	13
Снижение уровня звукового давления на пути над экраном, Dz1, дБ	z = 0.44м (разность путей)	ф-лы (14-18) [10]	5,2	5,9	7,3	9,3	11,6	14,2	16,9	19,8	22,8		
Снижение уровня звукового давления на пути слева от экрана, Dz2, дБ	z = 0.75м (разность путей)	ф-лы (14-18) [10]	7,6	9,3	11,5	14	16,8	19,6	22,6	25,5	28,5		
Снижение уровня звукового давления на пути справа от экрана, Dz3, дБ	z = 187.06м (разность путей)	ф-лы (14-18) [10]	32,8	36,1	39,1	42,2	45,2	48,2	51,2	54,2	57,2		
Общее снижение уровня звука препятствием Dz, дБ		Эн.сумма(-Dzi)	3,2	4,3	5,9	8	10,4	13,1	15,9	18,8	21,7		
Уровни звукового давления от источника ИШ-1-25 в расчётной точке днём, дБ		**ф-ла(3)[10]**	**0**	**28,7**	**28,4**	**27,2**	**24,4**	**20,5**	**12,7**	**0**	**0**	**25,6**	**25,6**
Уровни звукового давления от источника ИШ-1-25 в расчётной точке ночью, дБ		**ф-ла(3)[10]**	**0**	**28,7**	**28,4**	**27,2**	**24,4**	**20,5**	**12,7**	**0**	**0**	**25,6**	**25,6**
Источник шума: ИШ-1-26, координаты источника (x,y,z), м =[534.15,80.79,1.00]													
Уровни звуковой мощности источника днём, Lw, дБ		**исходные данные**	**0**	**93,3**	**94,7**	**96**	**96,3**	**95,9**	**92,6**	**88,4**	**83,9**		
Уровни звуковой мощности источника ночью, Lw, дБ		**исходные данные**	**0**	**93,3**	**94,7**	**96**	**96,3**	**95,9**	**92,6**	**88,4**	**83,9**		
Поправка на телесный угол DΩ, дБ	Ω = 6.28	10Lg(4π/Ω)	**3**	3	3	3	3	3	3	3	3		
Показатель направленности источника Di, дБ		исходные данные	**0**	0	0	0	0	0	0	0	0		
Поправка на направленность источника Dc, дБ	Dc	DΩ + Di	**3**	3	3	3	3	3	3	3	3		
Затухание из-за геометрической дивергенции, Adiv, дБ	расстояние = 412.70 м	ф-ла (7) [10]	**63,3**										
Коэффициент затухания звука в атмосфере α, дБ/км	Ta=20,°C Pa=101.33,кПа hотн.=70%	ф-ла (5) [9]	0,02	0,09	0,33	1,12	2,79	4,98	9,04	23,09	77,63		
Учет затухания звука в атмосфере Aatm, дБ		ф-ла (8) [10]	0	0	0,1	0,5	1,2	2,1	3,7	9,5	32		
Снижение уровня звукового давления из-за влияния застройки между источником шума и расчетной точкой													

1		2	3	4	5	6	7	8	9	10	11	12	13
Снижение уровня звукового давления на пути над экраном, Dz1, дБ	z = 0.44м (разность путей)	ф-лы (14-18) [10]	5,2	5,9	7,3	9,3	11,6	14,2	16,9	19,8	22,7		
Снижение уровня звукового давления на пути слева от экрана, Dz2, дБ	z = 0.64м (разность путей)	ф-лы (14-18) [10]	7,3	8,9	10,9	13,4	16,1	18,9	21,8	24,8	27,8		
Снижение уровня звукового давления на пути справа от экрана, Dz3, дБ	z = 187.39м (разность путей)	ф-лы (14-18) [10]	32,8	36,1	39,1	42,2	45,2	48,2	51,2	54,2	57,2		
Общее снижение уровня звука препятствием Dz, дБ		Эн.сумма(-Dzi)	3,1	4,1	5,7	7,8	10,3	12,9	15,7	18,6	21,6		
Уровни звукового давления от источника ИШ-1-26 в расчётной точке днём, дБ		**ф-ла(3)[10]**	**0**	**28,8**	**28,5**	**27,4**	**24,6**	**20,6**	**12,8**	**0**	**0**	**25,7**	**25,7**
Уровни звукового давления от источника ИШ-1-26 в расчётной точке ночью, дБ		**ф-ла(3)[10]**	**0**	**28,8**	**28,5**	**27,4**	**24,6**	**20,6**	**12,8**	**0**	**0**	**25,7**	**25,7**
Источник шума: ИШ-1-27, координаты источника (x,y,z), м =[469.65,197.67,1.00]													
Уровни звуковой мощности источника днём, Lw, дБ		**исходные данные**	**0**	**93,3**	**94,7**	**96**	**96,3**	**95,9**	**92,6**	**88,4**	**83,9**		
Уровни звуковой мощности источника ночью, Lw, дБ		**исходные данные**	**0**	**93,3**	**94,7**	**96**	**96,3**	**95,9**	**92,6**	**88,4**	**83,9**		
Поправка на телесный угол DΩ, дБ	Ω = 6.28	10Lg(4π/Ω)	**3**	3	3	3	3	3	3	3	3		
Показатель направленности источника Di, дБ		исходные данные	**0**	0	0	0	0	0	0	0	0		
Поправка на направленность источника Dc, дБ	Dc	DΩ + Di	**3**	3	3	3	3	3	3	3	3		
Затухание из-за геометрической дивергенции, Adiv, дБ	расстояние = 460.70 м	ф-ла (7) [10]	**64,3**										
Коэффициент затухания звука в атмосфере α, дБ/км	Ta=20,°C Pa=101.33,кПа hотн.=70%	ф-ла (5) [9]	0,02	0,09	0,33	1,12	2,79	4,98	9,04	23,09	77,63		
Учет затухания звука в атмосфере Aatm, дБ		ф-ла (8) [10]	0	0	0,2	0,5	1,3	2,3	4,2	10,6	35,8		
Снижение уровня звукового давления из-за влияния застройки между источником шума и расчетной точкой													

1		2	3	4	5	6	7	8	9	10	11	12	13
Снижение уровня звукового давления на пути над экраном, Dz1, дБ	z = 0.60м (разность путей)	ф-лы (14-18) [10]	6,7	8,2	10,2	12,5	15,2	18	20,9	23,8	26,8		
Снижение уровня звукового давления на пути слева от экрана, Dz2, дБ	z = 17.73м (разность путей)	ф-лы (14-18) [10]	22,3	25,8	28,9	31,9	35	38	41	44	47		
Снижение уровня звукового давления на пути справа от экрана, Dz3, дБ	z = 37.80м (разность путей)	ф-лы (14-18) [10]	25,7	29,1	32,2	35,2	38,2	41,3	44,3	47,3	50,3		
Общее снижение уровня звука препятствием Dz, дБ		Эн.сумма(-Dzi)	6,5	8,1	10,1	12,5	15,1	17,9	20,8	23,8	26,8		
Общее снижение уровня звука препятствием с учётом ограничения (25 дБ) для октавных полос Dz, дБ		Раздел 7.4 [10]	6,5	8,1	10,1	12,5	15,1	17,9	20,8	23,8	25		
Уровни звукового давления прямого звука от источника ИШ-1-27 в расчётной точке днём, дБ		**ф-ла(3)[10]**	**0**	**23,9**	**23,2**	**21,8**	**18,6**	**14,4**	**6,3**	**0**	**0**	**19,8**	**19,8**
Уровни звукового давления прямого звука от источника ИШ-1-27 в расчётной точке ночью, дБ		**ф-ла(3)[10]**	**0**	**23,9**	**23,2**	**21,8**	**18,6**	**14,4**	**6,3**	**0**	**0**	**19,8**	**19,8**
Расчёт отражённого звука													
Уровни звукового давления от мнимого источника ИШ-1-27_мн.(1) в расчётной точке днём, дБ		**ф-ла(3)[10]**	**0**	**0**	**0**	**0**	**0**	**0**	**2,8**	**0**	**0**	**4**	**4**
Уровни звукового давления от мнимого источника ИШ-1-27_мн.(1) в расчётной точке ночью, дБ		**ф-ла(3)[10]**	**0**	**0**	**0**	**0**	**0**	**0**	**0**	**0**	**0**	**4**	**4**
Уровни звукового давления от источника ИШ-1-27 в расчётной точке днём, дБ		**ф-ла(3)[10]**	**0**	**23,9**	**23,2**	**21,8**	**18,6**	**14,4**	**7,9**	**0**	**0**	**19,9**	**19,9**
Уровни звукового давления от источника ИШ-1-27 в расчётной точке ночью, дБ		**ф-ла(3)[10]**	**0**	**23,9**	**23,2**	**21,8**	**18,6**	**14,4**	**7,9**	**0**	**0**	**19,9**	**19,9**
Источник шума: ИШ-1-28, координаты источника (x,y,z), м =[472.78,196.69,1.00]													
Уровни звуковой мощности источника днём, Lw, дБ		**исходные данные**	**0**	**93,3**	**94,7**	**96**	**96,3**	**95,9**	**92,6**	**88,4**	**83,9**		
Уровни звуковой мощности источника ночью, Lw, дБ		**исходные данные**	**0**	**93,3**	**94,7**	**96**	**96,3**	**95,9**	**92,6**	**88,4**	**83,9**		
Поправка на телесный угол DΩ, дБ	Ω = 6.28	10Lg(4π/Ω)	**3**	3	3	3	3	3	3	3	3		
Показатель направленности источника Di, дБ		исходные данные	**0**	0	0	0	0	0	0	0	0		

1		2	3	4	5	6	7	8	9	10	11	12	13
Поправка на направленность источника Dc, дБ	Dc	DΩ + Di	**3**	3	3	3	3	3	3	3	3		
Затухание из-за геометрической дивергенции, Adiv, дБ	расстояние = 461.55 м	ф-ла (7) [10]	**64,3**										
Коэффициент затухания звука в атмосфере α, дБ/км	Ta=20,°C Pa=101.33,кПа hотн.=70%	ф-ла (5) [9]	0,02	0,09	0,33	1,12	2,79	4,98	9,04	23,09	77,63		
Учет затухания звука в атмосфере Aatm, дБ		ф-ла (8) [10]	0	0	0,2	0,5	1,3	2,3	4,2	10,7	35,8		
Снижение уровня звукового давления из-за влияния застройки между источником шума и расчетной точкой													
Снижение уровня звукового давления на пути над экраном, Dz1, дБ	z = 0.45м (разность путей)	ф-лы (14-18) [10]	5,3	6	7,3	9	11,2	13,7	16,4	19,2	22,2		
Снижение уровня звукового давления на пути слева от экрана, Dz2, дБ	z = 16.70м (разность путей)	ф-лы (14-18) [10]	22,1	25,5	28,6	31,7	34,7	37,7	40,7	43,7	46,7		
Снижение уровня звукового давления на пути справа от экрана, Dz3, дБ	z = 40.23м (разность путей)	ф-лы (14-18) [10]	25,9	29,4	32,5	35,5	38,5	41,5	44,5	47,5	50,6		
Общее снижение уровня звука препятствием Dz, дБ		Эн.сумма(-Dzi)	5,2	6	7,3	9	11,1	13,6	16,4	19,2	22,1		
Уровни звукового давления прямого звука от источника ИШ-1-28 в расчётной точке днём, дБ		**ф-ла(3)[10]**	**0**	**26**	**26**	**25,2**	**22,6**	**18,7**	**10,8**	**0**	**0**	**23,7**	**23,7**
Уровни звукового давления прямого звука от источника ИШ-1-28 в расчётной точке ночью, дБ		**ф-ла(3)[10]**	**0**	**26**	**26**	**25,2**	**22,6**	**18,7**	**10,8**	**0**	**0**	**23,7**	**23,7**
Расчёт отражённого звука													
Уровни звукового давления от мнимого источника ИШ-1-28_мн.(1) в расчётной точке днём, дБ		**ф-ла(3)[10]**	**0**	**0**	**0**	**0**	**0**	**0**	**3,3**	**0**	**0**	**4,5**	**4,5**
Уровни звукового давления от мнимого источника ИШ-1-28_мн.(1) в расчётной точке ночью, дБ		**ф-ла(3)[10]**	**0**	**0**	**0**	**0**	**0**	**0**	**0**	**0**	**0**	**4,5**	**4,5**
Уровни звукового давления от источника ИШ-1-28 в расчётной точке днём, дБ		**ф-ла(3)[10]**	**0**	**26**	**26**	**25,2**	**22,6**	**18,7**	**11,5**	**0**	**0**	**23,7**	**23,7**
Уровни звукового давления от источника ИШ-1-28 в расчётной точке ночью, дБ		**ф-ла(3)[10]**	**0**	**26**	**26**	**25,2**	**22,6**	**18,7**	**11,5**	**0**	**0**	**23,7**	**23,7**

1		2	3	4	5	6	7	8	9	10	11	12	13
Источник шума: ИШ-1-29, координаты источника (x,y,z), м =[475.52,195.72,1.00]													
Уровни звуковой мощности источника днём, Lw, дБ		**исходные данные**	**0**	**93,3**	**94,7**	**96**	**96,3**	**95,9**	**92,6**	**88,4**	**83,9**		
Уровни звуковой мощности источника ночью, Lw, дБ		**исходные данные**	**0**	**93,3**	**94,7**	**96**	**96,3**	**95,9**	**92,6**	**88,4**	**83,9**		
Поправка на телесный угол DΩ, дБ	Ω = 6.28	10Lg(4π/Ω)	**3**	3	3	3	3	3	3	3	3		
Показатель направленности источника Di, дБ		исходные данные	**0**	0	0	0	0	0	0	0	0		
Поправка на направленность источника Dc, дБ	Dc	DΩ + Di	**3**	3	3	3	3	3	3	3	3		
Затухание из-за геометрической дивергенции, Adiv, дБ	расстояние = 462.20 м	ф-ла (7) [10]	**64,3**										
Коэффициент затухания звука в атмосфере α, дБ/км	Ta=20,°C Pa=101.33,кПа hотн.=70%	ф-ла (5) [9]	0,02	0,09	0,33	1,12	2,79	4,98	9,04	23,09	77,63		
Учет затухания звука в атмосфере Aatm, дБ		ф-ла (8) [10]	0	0	0,2	0,5	1,3	2,3	4,2	10,7	35,9		
Снижение уровня звукового давления из-за влияния застройки между источником шума и расчетной точкой													
Снижение уровня звукового давления на пути над экраном, Dz1, дБ	z = 0.43м (разность путей)	ф-лы (14-18) [10]	5,2	5,8	7	8,6	10,6	13	15,7	18,5	21,4		
Снижение уровня звукового давления на пути слева от экрана, Dz2, дБ	z = 15.82м (разность путей)	ф-лы (14-18) [10]	21,9	25,3	28,4	31,4	34,5	37,5	40,5	43,5	46,5		
Снижение уровня звукового давления на пути справа от экрана, Dz3, дБ	z = 42.47м (разность путей)	ф-лы (14-18) [10]	26,2	29,6	32,7	35,7	38,7	41,8	44,8	47,8	50,8		
Общее снижение уровня звука препятствием Dz, дБ		Эн.сумма(-Dzi)	5,1	5,8	6,9	8,5	10,6	13	15,7	18,5	21,4		
Уровни звукового давления прямого звука от источника ИШ-1-29 в расчётной точке днём, дБ		**ф-ла(3)[10]**	**0**	**26,2**	**26,3**	**25,7**	**23,1**	**19,3**	**11,4**	**0**	**0**	**24,2**	**24,2**
Уровни звукового давления прямого звука от источника ИШ-1-29 в расчётной точке ночью, дБ		**ф-ла(3)[10]**	**0**	**26,2**	**26,3**	**25,7**	**23,1**	**19,3**	**11,4**	**0**	**0**	**24,2**	**24,2**

1		2	3	4	5	6	7	8	9	10	11	12	13
Расчёт отражённого звука													
Уровни звукового давления от мнимого источника ИШ-1-29_мн.(1) в расчётной точке днём, дБ		**ф-ла(3)[10]**	**0**	**0**	**0**	**0**	**0**	**12**	**3,8**	**0**	**0**	**12,8**	**12,8**
Уровни звукового давления от мнимого источника ИШ-1-29_мн.(1) в расчётной точке ночью, дБ		**ф-ла(3)[10]**	**0**	**0**	**0**	**0**	**0**	**0**	**0**	**0**	**0**	**12,8**	**12,8**
Уровни звукового давления от источника ИШ-1-29 в расчётной точке днём, дБ		**ф-ла(3)[10]**	**0**	**26,2**	**26,3**	**25,7**	**23,1**	**20**	**12,1**	**0**	**0**	**24,5**	**24,5**
Уровни звукового давления от источника ИШ-1-29 в расчётной точке ночью, дБ		**ф-ла(3)[10]**	**0**	**26,2**	**26,3**	**25,7**	**23,1**	**20**	**12,1**	**0**	**0**	**24,5**	**24,5**
Источник шума: ИШ-1-30, координаты источника (x,y,z), м =[478.45,194.54,1.00]													
Уровни звуковой мощности источника днём, Lw, дБ		**исходные данные**	**0**	**93,3**	**94,7**	**96**	**96,3**	**95,9**	**92,6**	**88,4**	**83,9**		
Уровни звуковой мощности источника ночью, Lw, дБ		**исходные данные**	**0**	**93,3**	**94,7**	**96**	**96,3**	**95,9**	**92,6**	**88,4**	**83,9**		
Поправка на телесный угол DΩ, дБ	Ω = 6.28	10Lg(4π/Ω)	**3**	3	3	3	3	3	3	3	3		
Показатель направленности источника Di, дБ		исходные данные	**0**	0	0	0	0	0	0	0	0		
Поправка на направленность источника Dc, дБ	Dc	DΩ + Di	**3**	3	3	3	3	3	3	3	3		
Затухание из-за геометрической дивергенции, Adiv, дБ	расстояние = 462.81 м	ф-ла (7) [10]	**64,3**										
Коэффициент затухания звука в атмосфере α, дБ/км	Ta=20,°C Pa=101.33,кПа hотн.=70%	ф-ла (5) [9]	0,02	0,09	0,33	1,12	2,79	4,98	9,04	23,09	77,63		
Учет затухания звука в атмосфере Aatm, дБ		ф-ла (8) [10]	0	0	0,2	0,5	1,3	2,3	4,2	10,7	35,9		
Снижение уровня звукового давления из-за влияния застройки между источником шума и расчетной точкой													
Снижение уровня звукового давления на пути над экраном, Dz1, дБ	z = 0.37м (разность путей)	ф-лы (14-18) [10]	4,9	5,1	5,7	6,9	8,6	10,6	13,1	15,7	18,6		

1		2	3	4	5	6	7	8	9	10	11	12	13
Снижение уровня звукового давления на пути слева от экрана, Dz2, дБ	z = 14.90м (разность путей)	ф-лы (14-18) [10]	21,6	25	28,1	31,2	34,2	37,2	40,2	43,2	46,2		
Снижение уровня звукового давления на пути справа от экрана, Dz3, дБ	z = 45.00м (разность путей)	ф-лы (14-18) [10]	26,4	29,8	32,9	36	39	42	45	48	51		
Общее снижение уровня звука препятствием Dz, дБ		Эн.сумма(-Dzi)	4,8	5,1	5,7	6,9	8,5	10,6	13,1	15,7	18,6		
Уровни звукового давления прямого звука от источника ИШ-1-30 в расчётной точке днём, дБ		**ф-ла(3)[10]**	**0**	**26,9**	**27,5**	**27,3**	**25,1**	**21,7**	**14**	**0,7**	**0**	**26,3**	**26,3**
Уровни звукового давления прямого звука от источника ИШ-1-30 в расчётной точке ночью, дБ		**ф-ла(3)[10]**	**0**	**26,9**	**27,5**	**27,3**	**25,1**	**21,7**	**14**	**0,7**	**0**	**26,3**	**26,3**
Расчёт отражённого звука													
Уровни звукового давления от мнимого источника ИШ-1-30_мн.(1) в расчётной точке днём, дБ		**ф-ла(3)[10]**	**0**	**0**	**0**	**0**	**0**	**12,5**	**4,3**	**0**	**0**	**13,3**	**13,3**
Уровни звукового давления от мнимого источника ИШ-1-30_мн.(1) в расчётной точке ночью, дБ		**ф-ла(3)[10]**	**0**	**0**	**0**	**0**	**0**	**0**	**0**	**0**	**0**	**13,3**	**13,3**
Уровни звукового давления от источника ИШ-1-30 в расчётной точке днём, дБ		**ф-ла(3)[10]**	**0**	**26,9**	**27,5**	**27,3**	**25,1**	**22,2**	**14,5**	**0,7**	**0**	**26,5**	**26,5**
Уровни звукового давления от источника ИШ-1-30 в расчётной точке ночью, дБ		**ф-ла(3)[10]**	**0**	**26,9**	**27,5**	**27,3**	**25,1**	**22,2**	**14,5**	**0,7**	**0**	**26,5**	**26,5**
Источник шума: ИШ-1-31, координаты источника (x,y,z), м =[481.58,193.96,1.00]													
Уровни звуковой мощности источника днём, Lw, дБ		**исходные данные**	**0**	**93,3**	**94,7**	**96**	**96,3**	**95,9**	**92,6**	**88,4**	**83,9**		
Уровни звуковой мощности источника ночью, Lw, дБ		**исходные данные**	**0**	**93,3**	**94,7**	**96**	**96,3**	**95,9**	**92,6**	**88,4**	**83,9**		
Поправка на телесный угол DΩ, дБ	Ω = 6.28	10Lg(4π/Ω)	**3**	3	3	3	3	3	3	3	3		
Показатель направленности источника Di, дБ		исходные данные	**0**	0	0	0	0	0	0	0	0		
Поправка на направленность источника Dc, дБ	Dc	DΩ + Di	**3**	3	3	3	3	3	3	3	3		
Затухание из-за геометрической дивергенции, Adiv, дБ	расстояние = 464.04 м	ф-ла (7) [10]	**64,3**										

1		2	3	4	5	6	7	8	9	10	11	12	13
Коэффициент затухания звука в атмосфере α, дБ/км	Та=20,°С Ра=101.33,кПа hотн.=70%	ф-ла (5) [9]	0,02	0,09	0,33	1,12	2,79	4,98	9,04	23,09	77,63		
Учет затухания звука в атмосфере Aatm, дБ		ф-ла (8) [10]	0	0	0,2	0,5	1,3	2,3	4,2	10,7	36		
Снижение уровня звукового давления из-за влияния застройки между источником шума и расчетной точкой													
Снижение уровня звукового давления на пути над экраном, Dz1, дБ	z = 0.36м (разность путей)	ф-лы (14-18) [10]	4,9	5,1	5,7	6,9	8,5	10,6	13	15,7	18,5		
Снижение уровня звукового давления на пути слева от экрана, Dz2, дБ	z = 14.03м (разность путей)	ф-лы (14-18) [10]	21,3	24,8	27,9	30,9	33,9	37	40	43	46		
Снижение уровня звукового давления на пути справа от экрана, Dz3, дБ	z = 46.94м (разность путей)	ф-лы (14-18) [10]	26,6	30	33,1	36,2	39,2	42,2	45,2	48,2	51,2		
Общее снижение уровня звука препятствием Dz, дБ		Эн.сумма(-Dzi)	4,8	5,1	5,7	6,9	8,5	10,6	13	15,7	18,5		
Уровни звукового давления прямого звука от источника ИШ-1-31 в расчётной точке днём, дБ		**ф-ла(3)[10]**	**0**	**26,8**	**27,5**	**27,3**	**25,2**	**21,7**	**14,1**	**0,7**	**0**	**26,3**	**26,3**
Уровни звукового давления прямого звука от источника ИШ-1-31 в расчётной точке ночью, дБ		**ф-ла(3)[10]**	**0**	**26,8**	**27,5**	**27,3**	**25,2**	**21,7**	**14,1**	**0,7**	**0**	**26,3**	**26,3**
Расчёт отражённого звука													
Уровни звукового давления от мнимого источника ИШ-1-31_мн.(1) в расчётной точке днём, дБ		**ф-ла(3)[10]**	**0**	**0**	**0**	**0**	**0**	**13,1**	**4,9**	**0**	**0**	**13,9**	**13,9**
Уровни звукового давления от мнимого источника ИШ-1-31_мн.(1) в расчётной точке ночью, дБ		**ф-ла(3)[10]**	**0**	**0**	**0**	**0**	**0**	**0**	**0**	**0**	**0**	**13,9**	**13,9**
Уровни звукового давления от источника ИШ-1-31 в расчётной точке днём, дБ		**ф-ла(3)[10]**	**0**	**26,8**	**27,5**	**27,3**	**25,2**	**22,3**	**14,6**	**0,7**	**0**	**26,6**	**26,6**
Уровни звукового давления от источника ИШ-1-31 в расчётной точке ночью, дБ		**ф-ла(3)[10]**	**0**	**26,8**	**27,5**	**27,3**	**25,2**	**22,3**	**14,6**	**0,7**	**0**	**26,6**	**26,6**
Источник шума: ИШ-1-32, координаты источника (x,y,z), м =[871.21,281.99,50.00]													
Уровни звуковой мощности источника днём, Lw, дБ		**исходные данные**	**125**	**119,6**	**113,4**	**111,4**	**110,8**	**112,7**	**113,8**	**109,2**	**97,4**		

1		2	3	4	5	6	7	8	9	10	11	12	13
Уровни звуковой мощности источника ночью, Lw, дБ		**исходные данные**	**0**	**0**	**0**	**0**	**0**	**0**	**0**	**0**	**0**		
Поправка на телесный угол DΩ, дБ	Ω = 12.57	10Lg(4π/Ω)	**0**	0	0	0	0	0	0	0	0		
Показатель направленности источника Di, дБ		исходные данные	**0**	0	0	0	0	0	0	0	0		
Поправка на направленность источника Dc, дБ	Dc	DΩ + Di	**0**	0	0	0	0	0	0	0	0		
Затухание из-за геометрической дивергенции, Adiv, дБ	расстояние = 803.20 м	ф-ла (7) [10]	**69,1**										
Коэффициент затухания звука в атмосфере α, дБ/км	Ta=20,°C Pa=101.33,кПа hотн.=70%	ф-ла (5) [9]	0,02	0,09	0,33	1,12	2,79	4,98	9,04	23,09	77,63		
Учет затухания звука в атмосфере Aatm, дБ		ф-ла (8) [10]	0	0,1	0,3	0,9	2,2	4	7,3	18,5	62,4		
Снижение поверхностью земли возле источника As, дБ	Gs = 0 hs = 50м	ф-лы таб.3 [10]	-1,5	-1,5	-1,5	-1,5	-1,5	-1,5	-1,5	-1,5	-1,5		
Снижение поверхностью земли возле приёмника Ar, дБ	Gr = 1 hr = 1.6м	ф-лы таб.3 [10]	-1,5	-1,5	4,5	6,8	4,3	0,5	0	0	0		
Снижение поверхностью земли в средней зоне, Am дБ	Gm = 1	ф-лы таб.3 [10]	0	0	0	0	0	0	0	0	0		
Суммарное снижение поверхностью земли на траектории распространения звука Agr, дБ		ф-ла (9) [10]	-3	-3	3	5,3	2,8	-1	-1,5	-1,5	-1,5		
Уровни звукового давления прямого звука от источника ИШ-1-32 в расчётной точке днём, дБ		**ф-ла(3)[10]**	**58,9**	**53,5**	**41**	**36,1**	**36,7**	**40,6**	**39**	**23,1**	**0**	**44,1**	**44,1**
Уровни звукового давления прямого звука от источника ИШ-1-32 в расчётной точке ночью, дБ		**ф-ла(3)[10]**	**0**	**0**	**0**	**0**	**0**	**0**	**0**	**0**	**0**	**0**	**0**
Расчёт отражённого звука													
Уровни звукового давления от мнимого источника ИШ-1-32_мн.(1) в расчётной точке днём, дБ		**ф-ла(3)[10]**	**0**	**0**	**0**	**33,6**	**34,2**	**38,1**	**36,4**	**20,5**	**0**	**41,5**	**41,5**
Уровни звукового давления от мнимого источника ИШ-1-32_мн.(1) в расчётной точке ночью, дБ		**ф-ла(3)[10]**	**0**	**0**	**0**	**0**	**0**	**0**	**0**	**0**	**0**	**0**	**0**
Уровни звукового давления от источника ИШ-1-32 в расчётной точке днём, дБ		**ф-ла(3)[10]**	**58,9**	**53,5**	**41**	**38**	**38,6**	**42,6**	**40,9**	**25**	**0**	**46**	**46**

1		2	3	4	5	6	7	8	9	10	11	12	13
Уровни звукового давления от источника ИШ-1-32 в расчётной точке ночью, дБ		**ф-ла(3)[10]**	**0**	**0**	**0**	**0**	**0**	**0**	**0**	**0**	**0**	**0**	**0**
Источник шума: ИШ-1-33, координаты источника (x,y,z), м =[743.42,374.85,1.00]													
Уровни звуковой мощности источника днём, Lw, дБ		**исходные данные**	**0**	**88,7**	**90,1**	**93,1**	**96,4**	**103**	**112**	**108**	**99,2**		
Уровни звуковой мощности источника ночью, Lw, дБ		**исходные данные**	**0**	**0**	**0**	**0**	**0**	**0**	**0**	**0**	**0**		
Поправка на телесный угол DΩ, дБ	Ω = 6.28	10Lg(4π/Ω)	**3**	3	3	3	3	3	3	3	3		
Показатель направленности источника Di, дБ		исходные данные	**0**	0	0	0	0	0	0	0	0		
Поправка на направленность источника Dc, дБ	Dc	DΩ + Di	**3**	3	3	3	3	3	3	3	3		
Затухание из-за геометрической дивергенции, Adiv, дБ	расстояние = 768.65 м	ф-ла (7) [10]	**68,7**										
Коэффициент затухания звука в атмосфере α, дБ/км	Ta=20,°C Pa=101.33,кПа hотн.=70%	ф-ла (5) [9]	0,02	0,09	0,33	1,12	2,79	4,98	9,04	23,09	77,63		
Учет затухания звука в атмосфере Aatm, дБ		ф-ла (8) [10]	0	0,1	0,3	0,9	2,1	3,8	6,9	17,7	59,7		
Снижение уровня звукового давления из-за влияния застройки между источником шума и расчетной точкой													
Снижение уровня звукового давления на пути над экраном, Dz1, дБ	z = 0.34м (разность путей)	ф-лы (14-18) [10]	4,9	5	5,2	5,6	6,2	7,3	8,9	11	13,5		
Снижение уровня звукового давления на пути слева от экрана, Dz2, дБ	z = 3.08м (разность путей)	ф-лы (14-18) [10]	15,3	18,4	21,4	24,4	27,4	30,4	33,4	36,4	39,4		
Снижение уровня звукового давления на пути справа от экрана, Dz3, дБ	z = 42.41м (разность путей)	ф-лы (14-18) [10]	26,2	29,6	32,7	35,7	38,7	41,8	44,8	47,8	50,8		
Общее снижение уровня звука препятствием Dz, дБ		Эн.сумма(-Dzi)	4,5	4,8	5,1	5,5	6,2	7,3	8,9	11	13,5		
Уровни звукового давления от источника ИШ-1-33 в расчётной точке днём, дБ		**ф-ла(3)[10]**	**0**	**18,2**	**19,1**	**21**	**22,4**	**26,2**	**30,4**	**13,6**	**0**	**33**	**33**

1		2	3	4	5	6	7	8	9	10	11	12	13
Уровни звукового давления от источника ИШ-1-33 в расчётной точке ночью, дБ		**ф-ла(3)[10]**	**0**	**0**	**0**	**0**	**0**	**0**	**0**	**0**	**0**	**0**	**0**
Источник шума: ИШ-1-34, координаты источника (x,y,z), м =[1042.35,199.07,1.00]													
Уровни звуковой мощности источника днём, Lw, дБ		**исходные данные**	**0**	**88,7**	**90,1**	**93,1**	**96,4**	**103**	**112**	**108**	**99,2**		
Уровни звуковой мощности источника ночью, Lw, дБ		**исходные данные**	**0**	**0**	**0**	**0**	**0**	**0**	**0**	**0**	**0**		
Поправка на телесный угол DΩ, дБ	Ω = 6.28	10Lg(4π/Ω)	**3**	3	3	3	3	3	3	3	3		
Показатель направленности источника Di, дБ		исходные данные	**0**	0	0	0	0	0	0	0	0		
Поправка на направленность источника Dc, дБ	Dc	DΩ + Di	**3**	3	3	3	3	3	3	3	3		
Затухание из-за геометрической дивергенции, Adiv, дБ	расстояние = 906.28 м	ф-ла (7) [10]	**70,1**										
Коэффициент затухания звука в атмосфере α, дБ/км	Ta=20,°C Pa=101.33,кПа hотн.=70%	ф-ла (5) [9]	0,02	0,09	0,33	1,12	2,79	4,98	9,04	23,09	77,63		
Учет затухания звука в атмосфере Aatm, дБ		ф-ла (8) [10]	0	0,1	0,3	1	2,5	4,5	8,2	20,9	70,4		
Снижение уровня звукового давления из-за влияния застройки между источником шума и расчетной точкой													
Снижение уровня звукового давления на пути над экраном, Dz1, дБ	z = 0.07м (разность путей)	ф-лы (14-18) [10]	4,8	4,8	4,8	4,8	4,8	4,8	4,8	4,8	4,8		
Снижение уровня звукового давления на пути слева от экрана, Dz2, дБ	z = 4.23м (разность путей)	ф-лы (14-18) [10]	12,7	15,4	18,1	21,1	24	27	30	33	36		
Снижение уровня звукового давления на пути справа от экрана, Dz3, дБ	z = 1.02м (разность путей)	ф-лы (14-18) [10]	8,3	10,2	12,6	15,2	18	20,9	23,9	26,8	29,8		
Общее снижение уровня звука препятствием Dz, дБ		Эн.сумма(-Dzi)	2,7	3,4	3,9	4,3	4,5	4,6	4,7	4,7	4,8		
Уровни звукового давления от источника ИШ-1-34 в расчётной точке днём, дБ		**ф-ла(3)[10]**	**0**	**18,1**	**18,7**	**20,6**	**22,2**	**26,7**	**32**	**15,2**	**0**	**34,3**	**34,3**

1		2	3	4	5	6	7	8	9	10	11	12	13
Уровни звукового давления от источника ИШ-1-34 в расчётной точке ночью, дБ		**ф-ла(3)[10]**	**0**	**0**	**0**	**0**	**0**	**0**	**0**	**0**	**0**	**0**	**0**
Источник шума: ИШ-2-1, координаты источника (x,y,z), м =[696.50,124.40,3.00]													
Уровни звуковой мощности источника днём, Lw, дБ		**исходные данные**	**105**	**104**	**104**	**101**	**102**	**106**	**101**	**95**	**87**		
Уровни звуковой мощности источника ночью, Lw, дБ		**исходные данные**	**105**	**104**	**104**	**101**	**102**	**106**	**101**	**95**	**87**		
Поправка на телесный угол DΩ, дБ	Ω = 6.28	10Lg(4π/Ω)	**3**	3	3	3	3	3	3	3	3		
Показатель направленности источника Di, дБ		исходные данные	**0**	0	0	0	0	0	0	0	0		
Поправка на направленность источника Dc, дБ	Dc	DΩ + Di	**3**	3	3	3	3	3	3	3	3		
Затухание из-за геометрической дивергенции, Adiv, дБ	расстояние = 568.13 м	ф-ла (7) [10]	**66,1**										
Коэффициент затухания звука в атмосфере α, дБ/км	Ta=20,°C Pa=101.33,кПа hотн.=70%	ф-ла (5) [9]	0,02	0,09	0,33	1,12	2,79	4,98	9,04	23,09	77,63		
Учет затухания звука в атмосфере Aatm, дБ		ф-ла (8) [10]	0	0,1	0,2	0,6	1,6	2,8	5,1	13,1	44,1		
Снижение поверхностью земли возле источника As, дБ	Gs = 0 hs = 3м	ф-лы таб.3 [10]	-1,5	-1,5	-1,5	-1,5	-1,5	-1,5	-1,5	-1,5	-1,5		
Снижение поверхностью земли возле приёмника Ar, дБ	Gr = 1 hr = 1.6м	ф-лы таб.3 [10]	-1,5	-1,5	3,4	6,8	4,3	0,5	0	0	0		
Снижение поверхностью земли в средней зоне, Am дБ	Gm = 1	ф-лы таб.3 [10]	-2,3	-2,3	0	0	0	0	0	0	0		
Суммарное снижение поверхностью земли на траектории распространения звука Agr, дБ		ф-ла (9) [10]	-5,3	-5,3	1,9	5,3	2,8	-1	-1,5	-1,5	-1,5		
Уровни звукового давления прямого звука от источника ИШ-2-1 в расчётной точке днём, дБ		**ф-ла(3)[10]**	**47,2**	**46,1**	**38,8**	**32**	**34,5**	**41,1**	**34,3**	**20,3**	**0**	**42,7**	**42,7**
Уровни звукового давления прямого звука от источника ИШ-2-1 в расчётной точке ночью, дБ		**ф-ла(3)[10]**	**47,2**	**46,1**	**38,8**	**32**	**34,5**	**41,1**	**34,3**	**20,3**	**0**	**42,7**	**42,7**

1		2	3	4	5	6	7	8	9	10	11	12	13
Расчёт отражённого звука													
Уровни звукового давления от мнимого источника ИШ-2-1_мн.(1) в расчётной точке днём, дБ		**ф-ла(3)[10]**	**0**	**0**	**0**	**0**	**31,8**	**38,6**	**31,7**	**17,7**	**0**	**40**	**40**
Уровни звукового давления от мнимого источника ИШ-2-1_мн.(1) в расчётной точке ночью, дБ		**ф-ла(3)[10]**	**0**	**0**	**0**	**0**	**0**	**0**	**0**	**0**	**0**	**40**	**40**
Уровни звукового давления от источника ИШ-2-1 в расчётной точке днём, дБ		**ф-ла(3)[10]**	**47,2**	**46,1**	**38,8**	**32**	**36,4**	**43**	**36,2**	**22,2**	**0**	**44,5**	**44,5**
Уровни звукового давления от источника ИШ-2-1 в расчётной точке ночью, дБ		**ф-ла(3)[10]**	**47,2**	**46,1**	**38,8**	**32**	**36,4**	**43**	**36,2**	**22,2**	**0**	**44,5**	**44,5**
Источник шума: ИШ-2-2, координаты источника (x,y,z), м =[682.20,81.60,3.00]													
Уровни звуковой мощности источника днём, Lw, дБ		**исходные данные**	**105**	**104**	**104**	**101**	**102**	**106**	**101**	**95**	**87**		
Уровни звуковой мощности источника ночью, Lw, дБ		**исходные данные**	**105**	**104**	**104**	**101**	**102**	**106**	**101**	**95**	**87**		
Поправка на телесный угол DΩ, дБ	Ω = 6.28	10Lg(4π/Ω)	**3**	3	3	3	3	3	3	3	3		
Показатель направленности источника Di, дБ		исходные данные	**0**	0	0	0	0	0	0	0	0		
Поправка на направленность источника Dc, дБ	Dc	DΩ + Di	**3**	3	3	3	3	3	3	3	3		
Затухание из-за геометрической дивергенции, Adiv, дБ	расстояние = 533.08 м	ф-ла (7) [10]	**65,5**										
Коэффициент затухания звука в атмосфере α, дБ/км	Ta=20,°C Pa=101.33,кПа hотн.=70%	ф-ла (5) [9]	0,02	0,09	0,33	1,12	2,79	4,98	9,04	23,09	77,63		
Учет затухания звука в атмосфере Aatm, дБ		ф-ла (8) [10]	0	0	0,2	0,6	1,5	2,7	4,8	12,3	41,4		
Снижение поверхностью земли возле источника As, дБ	Gs = 0 hs = 3м	ф-лы таб.3 [10]	-1,5	-1,5	-1,5	-1,5	-1,5	-1,5	-1,5	-1,5	-1,5		
Снижение поверхностью земли возле приёмника Ar, дБ	Gr = 1 hr = 1.6м	ф-лы таб.3 [10]	-1,5	-1,5	3,2	6,8	4,3	0,5	0	0	0		

1		2	3	4	5	6	7	8	9	10	11	12	13
Снижение поверхностью земли в средней зоне, Am дБ	Gm = 1	ф-лы таб.3 [10]	-2,2	-2,2	0	0	0	0	0	0	0		
Суммарное снижение поверхностью земли на траектории распространения звука Agr, дБ		ф-ла (9) [10]	-5,2	-5,2	1,7	5,3	2,8	-1	-1,5	-1,5	-1,5		
Уровни звукового давления прямого звука от источника ИШ-2-2 в расчётной точке днём, дБ		**ф-ла(3)[10]**	**47,7**	**46,7**	**39,6**	**32,5**	**35,2**	**41,8**	**35,2**	**21,7**	**0**	**43,4**	**43,4**
Уровни звукового давления прямого звука от источника ИШ-2-2 в расчётной точке ночью, дБ		**ф-ла(3)[10]**	**47,7**	**46,7**	**39,6**	**32,5**	**35,2**	**41,8**	**35,2**	**21,7**	**0**	**43,4**	**43,4**
Расчёт отражённого звука													
Уровни звукового давления от мнимого источника ИШ-2-2_мн.(1) в расчётной точке днём, дБ		**ф-ла(3)[10]**	**0**	**0**	**0**	**0**	**0**	**39,3**	**32,6**	**19,1**	**0**	**40,4**	**40,4**
Уровни звукового давления от мнимого источника ИШ-2-2_мн.(1) в расчётной точке ночью, дБ		**ф-ла(3)[10]**	**0**	**0**	**0**	**0**	**0**	**0**	**0**	**0**	**0**	**40,4**	**40,4**
Уровни звукового давления от источника ИШ-2-2 в расчётной точке днём, дБ		**ф-ла(3)[10]**	**47,7**	**46,7**	**39,6**	**32,5**	**35,2**	**43,7**	**37,1**	**23,6**	**0**	**45,2**	**45,2**
Уровни звукового давления от источника ИШ-2-2 в расчётной точке ночью, дБ		**ф-ла(3)[10]**	**47,7**	**46,7**	**39,6**	**32,5**	**35,2**	**43,7**	**37,1**	**23,6**	**0**	**45,2**	**45,2**
Источник шума: ИШ-2-3, координаты источника (x,y,z), м =[667.80,38.90,3.00]													
Уровни звуковой мощности источника днём, Lw, дБ		**исходные данные**	**105**	**104**	**104**	**101**	**102**	**106**	**101**	**95**	**87**		
Уровни звуковой мощности источника ночью, Lw, дБ		**исходные данные**	**105**	**104**	**104**	**101**	**102**	**106**	**101**	**95**	**87**		
Поправка на телесный угол DΩ, дБ	Ω = 6.28	10Lg(4π/Ω)	**3**	3	3	3	3	3	3	3	3		
Показатель направленности источника Di, дБ		исходные данные	**0**	0	0	0	0	0	0	0	0		
Поправка на направленность источника Dc, дБ	Dc	DΩ + Di	**3**	3	3	3	3	3	3	3	3		
Затухание из-за геометрической дивергенции, Adiv, дБ	расстояние = 499.61 м	ф-ла (7) [10]	**65**										
Коэффициент затухания звука в атмосфере α, дБ/км	Ta=20,°C Pa=101.33,кПа hотн.=70%	ф-ла (5) [9]	0,02	0,09	0,33	1,12	2,79	4,98	9,04	23,09	77,63		

1		2	3	4	5	6	7	8	9	10	11	12	13
Учет затухания звука в атмосфере Aatm, дБ		ф-ла (8) [10]	0	0	0,2	0,6	1,4	2,5	4,5	11,5	38,8		
Снижение уровня звукового давления из-за влияния застройки между источником шума и расчетной точкой													
Снижение уровня звукового давления на пути над экраном, Dz1, дБ	z = 0.10м (разность путей)	ф-лы (14-18) [10]	4,8	4,8	4,8	4,8	4,9	5,1	5,3	5,9	6,7		
Снижение уровня звукового давления на пути слева от экрана, Dz2, дБ	z = 15.85м (разность путей)	ф-лы (14-18) [10]	17,9	20,8	23,7	26,7	29,7	32,7	35,7	38,7	41,7		
Снижение уровня звукового давления на пути справа от экрана, Dz3, дБ	z = 0.35м (разность путей)	ф-лы (14-18) [10]	6,3	7,5	9,1	11,2	13,7	16,4	19,3	22,2	25,2		
Общее снижение уровня звука препятствием Dz, дБ		Эн.сумма(-Dzi)	2,3	2,8	3,4	3,9	4,4	4,8	5,2	5,8	6,7		
Уровни звукового давления прямого звука от источника ИШ-2-3 в расчётной точке днём, дБ		**ф-ла(3)[10]**	**40,7**	**39,2**	**38,5**	**34,6**	**34,3**	**36,8**	**29,4**	**15,7**	**0**	**38,9**	**38,9**
Уровни звукового давления прямого звука от источника ИШ-2-3 в расчётной точке ночью, дБ		**ф-ла(3)[10]**	**40,7**	**39,2**	**38,5**	**34,6**	**34,3**	**36,8**	**29,4**	**15,7**	**0**	**38,9**	**38,9**
Расчёт отражённого звука													
Уровни звукового давления от мнимого источника ИШ-2-3_мн.(1) в расчётной точке днём, дБ		**ф-ла(3)[10]**	**0**	**0**	**0**	**0**	**0**	**0**	**0**	**0**	**0**	**0**	**0**
Уровни звукового давления от мнимого источника ИШ-2-3_мн.(1) в расчётной точке ночью, дБ		**ф-ла(3)[10]**	**0**	**0**	**0**	**0**	**0**	**0**	**0**	**0**	**0**	**0**	**0**
Уровни звукового давления от источника ИШ-2-3 в расчётной точке днём, дБ		**ф-ла(3)[10]**	**40,7**	**39,2**	**38,5**	**34,6**	**34,3**	**36,8**	**29,4**	**15,7**	**0**	**38,9**	**38,9**
Уровни звукового давления от источника ИШ-2-3 в расчётной точке ночью, дБ		**ф-ла(3)[10]**	**40,7**	**39,2**	**38,5**	**34,6**	**34,3**	**36,8**	**29,4**	**15,7**	**0**	**38,9**	**38,9**
Источник шума: ИШ-2-6, координаты источника (x,y,z), м =[765.97,112.43,1.00]													
Уровни звуковой мощности источника днём, Lw, дБ		**исходные данные**	**0**	**93,3**	**94,7**	**96**	**96,3**	**95,9**	**92,6**	**88,4**	**83,9**		
Уровни звуковой мощности источника ночью, Lw, дБ		**исходные данные**	**0**	**93,3**	**94,7**	**96**	**96,3**	**95,9**	**92,6**	**88,4**	**83,9**		
Поправка на телесный угол DΩ, дБ	Ω = 6.28	10Lg(4π/Ω)	**3**	3	3	3	3	3	3	3	3		

1		2	3	4	5	6	7	8	9	10	11	12	13
Показатель направленности источника Di, дБ		исходные данные	**0**	0	0	0	0	0	0	0	0		
Поправка на направленность источника Dc, дБ	Dc	DΩ + Di	**3**	3	3	3	3	3	3	3	3		
Затухание из-за геометрической дивергенции, Adiv, дБ	расстояние = 620.99 м	ф-ла (7) [10]	**66,9**										
Коэффициент затухания звука в атмосфере α, дБ/км	Ta=20,°C Pa=101.33,кПа hотн.=70%	ф-ла (5) [9]	0,02	0,09	0,33	1,12	2,79	4,98	9,04	23,09	77,63		
Учет затухания звука в атмосфере Aatm, дБ		ф-ла (8) [10]	0	0,1	0,2	0,7	1,7	3,1	5,6	14,3	48,2		
Снижение уровня звукового давления из-за влияния застройки между источником шума и расчетной точкой													
Снижение уровня звукового давления препятствием слева от трассы ИШ-РТ, Dz2, дБ	z = -0.04м (разность путей)	ф-лы (14-18) [10]	4,5	4,3	3,8	2,5	0	NAN	NAN	NAN	NAN		
* отрицательное значение z означает прохождение траектории вблизи экрана, в этом случае дополнительно производится учёт снижения подстилающей поверхностью (см.ниже)													
Снижение поверхностью земли возле источника As, дБ	Gs = 0 hs = 1м	ф-лы таб.3 [10]	-1,5	-1,5	-1,5	-1,5	-1,5	-1,5	-1,5	-1,5	-1,5		
Снижение поверхностью земли возле приёмника Ar, дБ	Gr = 1 hr = 1.6м	ф-лы таб.3 [10]	-1,5	-1,5	3,7	6,8	4,3	0,5	0	0	0		
Снижение поверхностью земли в средней зоне, Am дБ	Gm = 1	ф-лы таб.3 [10]	-2,6	-2,6	0	0	0	0	0	0	0		
Суммарное снижение поверхностью земли на траектории распространения звука Agr, дБ		ф-ла (9) [10]	-5,6	-5,6	2,2	5,3	2,8	-1	-1,5	-1,5	-1,5		
Уровни звукового давления прямого звука от источника ИШ-2-6 в расчётной точке днём, дБ		**ф-ла(3)[10]**	**0**	**30,7**	**24,6**	**23,6**	**27,9**	**29,9**	**24,6**	**11,7**	**0**	**32,4**	**32,4**
Уровни звукового давления прямого звука от источника ИШ-2-6 в расчётной точке ночью, дБ		**ф-ла(3)[10]**	**0**	**30,7**	**24,6**	**23,6**	**27,9**	**29,9**	**24,6**	**11,7**	**0**	**32,4**	**32,4**
Расчёт отражённого звука													
Уровни звукового давления от мнимого источника ИШ-2-6_мн.(1) в расчётной точке днём, дБ		**ф-ла(3)[10]**	**0**	**0**	**0**	**0**	**0**	**0**	**0**	**9,1**	**0**	**10,1**	**10,1**
Уровни звукового давления от мнимого источника ИШ-2-6_мн.(1) в расчётной точке ночью, дБ		**ф-ла(3)[10]**	**0**	**0**	**0**	**0**	**0**	**0**	**0**	**0**	**0**	**10,1**	**10,1**
Уровни звукового давления от источника ИШ-2-6 в расчётной точке днём, дБ		**ф-ла(3)[10]**	**0**	**30,7**	**24,6**	**23,6**	**27,9**	**29,9**	**24,6**	**13,6**	**0**	**32,4**	**32,4**

1		2	3	4	5	6	7	8	9	10	11	12	13
Уровни звукового давления от источника ИШ-2-6 в расчётной точке ночью, дБ		**ф-ла(3)[10]**	**0**	**30,7**	**24,6**	**23,6**	**27,9**	**29,9**	**24,6**	**13,6**	**0**	**32,4**	**32,4**
Источник шума: ИШ-2-7, координаты источника (x,y,z), м =[764.91,109.54,1.00]													
Уровни звуковой мощности источника днём, Lw, дБ		**исходные данные**	**0**	**93,3**	**94,7**	**96**	**96,3**	**95,9**	**92,6**	**88,4**	**83,9**		
Уровни звуковой мощности источника ночью, Lw, дБ		**исходные данные**	**0**	**93,3**	**94,7**	**96**	**96,3**	**95,9**	**92,6**	**88,4**	**83,9**		
Поправка на телесный угол DΩ, дБ	Ω = 6.28	10Lg(4π/Ω)	**3**	3	3	3	3	3	3	3	3		
Показатель направленности источника Di, дБ		исходные данные	**0**	0	0	0	0	0	0	0	0		
Поправка на направленность источника Dc, дБ	Dc	DΩ + Di	**3**	3	3	3	3	3	3	3	3		
Затухание из-за геометрической дивергенции, Adiv, дБ	расстояние = 618.65 м	ф-ла (7) [10]	**66,8**										
Коэффициент затухания звука в атмосфере α, дБ/км	Ta=20,°C Pa=101.33,кПа hотн.=70%	ф-ла (5) [9]	0,02	0,09	0,33	1,12	2,79	4,98	9,04	23,09	77,63		
Учет затухания звука в атмосфере Aatm, дБ		ф-ла (8) [10]	0	0,1	0,2	0,7	1,7	3,1	5,6	14,3	48		
Снижение уровня звукового давления из-за влияния застройки между источником шума и расчетной точкой													
Снижение уровня звукового давления препятствием слева от трассы ИШ-РТ, Dz2, дБ	z = -0.02м (разность путей)	ф-лы (14-18) [10]	4,7	4,6	4,4	3,9	2,9	0	NAN	NAN	NAN		
* отрицательное значение z означает прохождение траектории вблизи экрана, в этом случае дополнительно производится учёт снижения подстилающей поверхностью (см.ниже)													
Снижение поверхностью земли возле источника As, дБ	Gs = 0 hs = 1м	ф-лы таб.3 [10]	-1,5	-1,5	-1,5	-1,5	-1,5	-1,5	-1,5	-1,5	-1,5		
Снижение поверхностью земли возле приёмника Ar, дБ	Gr = 1 hr = 1.6м	ф-лы таб.3 [10]	-1,5	-1,5	3,7	6,8	4,3	0,5	0	0	0		
Снижение поверхностью земли в средней зоне, Am дБ	Gm = 1	ф-лы таб.3 [10]	-2,6	-2,6	0	0	0	0	0	0	0		
Суммарное снижение поверхностью земли на траектории распространения звука Agr, дБ		ф-ла (9) [10]	-5,6	-5,6	2,2	5,3	2,8	-1	-1,5	-1,5	-1,5		

1		2	3	4	5	6	7	8	9	10	11	12	13
Уровни звукового давления прямого звука от источника ИШ-2-7 в расчётной точке днём, дБ		**ф-ла(3)[10]**	**0**	**30,5**	**24,1**	**22,2**	**25,1**	**30**	**24,7**	**11,8**	**0**	**32**	**32**
Уровни звукового давления прямого звука от источника ИШ-2-7 в расчётной точке ночью, дБ		**ф-ла(3)[10]**	**0**	**30,5**	**24,1**	**22,2**	**25,1**	**30**	**24,7**	**11,8**	**0**	**32**	**32**
Расчёт отражённого звука													
Уровни звукового давления от мнимого источника ИШ-2-7_мн.(1) в расчётной точке днём, дБ		**ф-ла(3)[10]**	**0**	**0**	**0**	**0**	**0**	**0**	**0**	**9,2**	**0**	**10,2**	**10,2**
Уровни звукового давления от мнимого источника ИШ-2-7_мн.(1) в расчётной точке ночью, дБ		**ф-ла(3)[10]**	**0**	**0**	**0**	**0**	**0**	**0**	**0**	**0**	**0**	**10,2**	**10,2**
Уровни звукового давления от источника ИШ-2-7 в расчётной точке днём, дБ		**ф-ла(3)[10]**	**0**	**30,5**	**24,1**	**22,2**	**25,1**	**30**	**24,7**	**13,7**	**0**	**32**	**32**
Уровни звукового давления от источника ИШ-2-7 в расчётной точке ночью, дБ		**ф-ла(3)[10]**	**0**	**30,5**	**24,1**	**22,2**	**25,1**	**30**	**24,7**	**13,7**	**0**	**32**	**32**
Источник шума: ИШ-2-8, координаты источника (x,y,z), м =[764.03,106.58,1.00]													
Уровни звуковой мощности источника днём, Lw, дБ		**исходные данные**	**0**	**93,3**	**94,7**	**96**	**96,3**	**95,9**	**92,6**	**88,4**	**83,9**		
Уровни звуковой мощности источника ночью, Lw, дБ		**исходные данные**	**0**	**93,3**	**94,7**	**96**	**96,3**	**95,9**	**92,6**	**88,4**	**83,9**		
Поправка на телесный угол DΩ, дБ	Ω = 6.28	10Lg(4π/Ω)	**3**	3	3	3	3	3	3	3	3		
Показатель направленности источника Di, дБ		исходные данные	**0**	0	0	0	0	0	0	0	0		
Поправка на направленность источника Dc, дБ	Dc	DΩ + Di	**3**	3	3	3	3	3	3	3	3		
Затухание из-за геометрической дивергенции, Adiv, дБ	расстояние = 616.44 м	ф-ла (7) [10]	**66,8**										
Коэффициент затухания звука в атмосфере α, дБ/км	Та=20,°С Ра=101.33,кПа hотн.=70%	ф-ла (5) [9]	0,02	0,09	0,33	1,12	2,79	4,98	9,04	23,09	77,63		
Учет затухания звука в атмосфере Aatm, дБ		ф-ла (8) [10]	0	0,1	0,2	0,7	1,7	3,1	5,6	14,2	47,9		

1		2	3	4	5	6	7	8	9	10	11	12	13
Снижение уровня звукового давления из-за влияния застройки между источником шума и расчетной точкой													
Снижение уровня звукового давления препятствием слева от трассы ИШ-РТ, Dz2, дБ	z = 0.00м (разность путей)	ф-лы (14-18) [10]	4,8	4,7	4,7	4,6	4,5	4,1	3,3	1,2	NAN		
* отрицательное значение z означает прохождение траектории вблизи экрана, в этом случае дополнительно производится учёт снижения подстилающей поверхностью (см.ниже)													
Снижение поверхностью земли возле источника As, дБ	Gs = 0 hs = 1м	ф-лы таб.3 [10]	-1,5	-1,5	-1,5	-1,5	-1,5	-1,5	-1,5	-1,5	-1,5		
Снижение поверхностью земли возле приёмника Ar, дБ	Gr = 1 hr = 1.6м	ф-лы таб.3 [10]	-1,5	-1,5	3,7	6,8	4,3	0,5	0	0	0		
Снижение поверхностью земли в средней зоне, Am дБ	Gm = 1	ф-лы таб.3 [10]	-2,6	-2,6	0	0	0	0	0	0	0		
Суммарное снижение поверхностью земли на траектории распространения звука Agr, дБ		ф-ла (9) [10]	-5,6	-5,6	2,2	5,3	2,8	-1	-1,5	-1,5	-1,5		
Уровни звукового давления от источника ИШ-2-8 в расчётной точке днём, дБ		**ф-ла(3)[10]**	**0**	**30,3**	**23,8**	**21,6**	**23,5**	**25,9**	**21,4**	**10,7**	**0**	**28,6**	**28,6**
Уровни звукового давления от источника ИШ-2-8 в расчётной точке ночью, дБ		**ф-ла(3)[10]**	**0**	**30,3**	**23,8**	**21,6**	**23,5**	**25,9**	**21,4**	**10,7**	**0**	**28,6**	**28,6**
Источник шума: ИШ-2-9, координаты источника (x,y,z), м =[763.26,103.71,1.00]													
Уровни звуковой мощности источника днём, Lw, дБ		**исходные данные**	**0**	**93,3**	**94,7**	**96**	**96,3**	**95,9**	**92,6**	**88,4**	**83,9**		
Уровни звуковой мощности источника ночью, Lw, дБ		**исходные данные**	**0**	**93,3**	**94,7**	**96**	**96,3**	**95,9**	**92,6**	**88,4**	**83,9**		
Поправка на телесный угол DΩ, дБ	Ω = 6.28	10Lg(4π/Ω)	**3**	3	3	3	3	3	3	3	3		
Показатель направленности источника Di, дБ		исходные данные	**0**	0	0	0	0	0	0	0	0		
Поправка на направленность источника Dc, дБ	Dc	DΩ + Di	**3**	3	3	3	3	3	3	3	3		
Затухание из-за геометрической дивергенции, Adiv, дБ	расстояние = 614.37 м	ф-ла (7) [10]	**66,8**										
Коэффициент затухания звука в атмосфере α, дБ/км	Ta=20,°C Pa=101.33,кПа hотн.=70%	ф-ла (5) [9]	0,02	0,09	0,33	1,12	2,79	4,98	9,04	23,09	77,63		

1		2	3	4	5	6	7	8	9	10	11	12	13
Учет затухания звука в атмосфере Aatm, дБ		ф-ла (8) [10]	0	0,1	0,2	0,7	1,7	3,1	5,6	14,2	47,7		
Снижение уровня звукового давления из-за влияния застройки между источником шума и расчетной точкой													
Снижение уровня звукового давления на пути над экраном, Dz1, дБ	z = 0.11м (разность путей)	ф-лы (14-18) [10]	4,8	4,8	4,8	4,8	4,8	4,8	4,8	4,8	4,9		
Снижение уровня звукового давления на пути слева от экрана, Dz2, дБ	z = 13.72м (разность путей)	ф-лы (14-18) [10]	17,3	20,2	23,1	26,1	29,1	32,1	35,1	38,1	41,1		
Снижение уровня звукового давления на пути справа от экрана, Dz3, дБ	z = 0.00м (разность путей)	ф-лы (14-18) [10]	4,8	4,8	4,8	4,8	4,8	4,8	4,8	4,9	5,1		
Общее снижение уровня звука препятствием Dz, дБ		Эн.сумма(-Dzi)	1,6	1,7	1,7	1,8	1,8	1,8	1,8	1,9	2		
Уровни звукового давления от источника ИШ-2-9 в расчётной точке днём, дБ		**ф-ла(3)[10]**	**0**	**27,8**	**29**	**29,8**	**29**	**27,3**	**21,5**	**8,6**	**0**	**31**	**31**
Уровни звукового давления от источника ИШ-2-9 в расчётной точке ночью, дБ		**ф-ла(3)[10]**	**0**	**27,8**	**29**	**29,8**	**29**	**27,3**	**21,5**	**8,6**	**0**	**31**	**31**
Источник шума: ИШ-2-10, координаты источника (x,y,z), м =[762.14,100.75,1.00]													
Уровни звуковой мощности источника днём, Lw, дБ		**исходные данные**	**0**	**93,3**	**94,7**	**96**	**96,3**	**95,9**	**92,6**	**88,4**	**83,9**		
Уровни звуковой мощности источника ночью, Lw, дБ		**исходные данные**	**0**	**93,3**	**94,7**	**96**	**96,3**	**95,9**	**92,6**	**88,4**	**83,9**		
Поправка на телесный угол DΩ, дБ	Ω = 6.28	10Lg(4π/Ω)	**3**	3	3	3	3	3	3	3	3		
Показатель направленности источника Di, дБ		исходные данные	**0**	0	0	0	0	0	0	0	0		
Поправка на направленность источника Dc, дБ	Dc	DΩ + Di	**3**	3	3	3	3	3	3	3	3		
Затухание из-за геометрической дивергенции, Adiv, дБ	расстояние = 611.97 м	ф-ла (7) [10]	**66,7**										
Коэффициент затухания звука в атмосфере α, дБ/км	Ta=20,°C Pa=101.33,кПа hотн.=70%	ф-ла (5) [9]	0,02	0,09	0,33	1,12	2,79	4,98	9,04	23,09	77,63		

1		2	3	4	5	6	7	8	9	10	11	12	13
Учет затухания звука в атмосфере Aatm, дБ		ф-ла (8) [10]	0	0,1	0,2	0,7	1,7	3	5,5	14,1	47,5		
Снижение уровня звукового давления из-за влияния застройки между источником шума и расчетной точкой													
Снижение уровня звукового давления на пути над экраном, Dz1, дБ	z = 0.11м (разность путей)	ф-лы (14-18) [10]	4,8	4,8	4,8	4,8	4,8	4,8	4,8	4,9	5		
Снижение уровня звукового давления на пути слева от экрана, Dz2, дБ	z = 13.28м (разность путей)	ф-лы (14-18) [10]	17,2	20,1	23	26	28,9	31,9	35	38	41		
Снижение уровня звукового давления на пути справа от экрана, Dz3, дБ	z = 0.01м (разность путей)	ф-лы (14-18) [10]	4,8	4,9	4,9	5,1	5,4	5,9	6,8	8,2	10,1		
Общее снижение уровня звука препятствием Dz, дБ		Эн.сумма(-Dzi)	1,7	1,7	1,8	1,9	2	2,3	2,7	3,2	3,8		
Уровни звукового давления от источника ИШ-2-10 в расчётной точке днём, дБ		**ф-ла(3)[10]**	**0**	**27,8**	**28,9**	**29,7**	**28,8**	**26,8**	**20,6**	**7,3**	**0**	**30,6**	**30,6**
Уровни звукового давления от источника ИШ-2-10 в расчётной точке ночью, дБ		**ф-ла(3)[10]**	**0**	**27,8**	**28,9**	**29,7**	**28,8**	**26,8**	**20,6**	**7,3**	**0**	**30,6**	**30,6**
Источник шума: ИШ-2-11, координаты источника (x,y,z), м =[761.13,97.90,1.00]													
Уровни звуковой мощности источника днём, Lw, дБ		**исходные данные**	**0**	**93,3**	**94,7**	**96**	**96,3**	**95,9**	**92,6**	**88,4**	**83,9**		
Уровни звуковой мощности источника ночью, Lw, дБ		**исходные данные**	**0**	**93,3**	**94,7**	**96**	**96,3**	**95,9**	**92,6**	**88,4**	**83,9**		
Поправка на телесный угол DΩ, дБ	Ω = 6.28	10Lg(4π/Ω)	**3**	3	3	3	3	3	3	3	3		
Показатель направленности источника Di, дБ		исходные данные	**0**	0	0	0	0	0	0	0	0		
Поправка на направленность источника Dc, дБ	Dc	DΩ + Di	**3**	3	3	3	3	3	3	3	3		
Затухание из-за геометрической дивергенции, Adiv, дБ	расстояние = 609.72 м	ф-ла (7) [10]	**66,7**										
Коэффициент затухания звука в атмосфере α, дБ/км	Ta=20,°C Pa=101.33,кПа hотн.=70%	ф-ла (5) [9]	0,02	0,09	0,33	1,12	2,79	4,98	9,04	23,09	77,63		

1		2	3	4	5	6	7	8	9	10	11	12	13
Учет затухания звука в атмосфере Aatm, дБ		ф-ла (8) [10]	0	0,1	0,2	0,7	1,7	3	5,5	14,1	47,3		
Снижение уровня звукового давления из-за влияния застройки между источником шума и расчетной точкой													
Снижение уровня звукового давления на пути над экраном, Dz1, дБ	z = 0.12м (разность путей)	ф-лы (14-18) [10]	4,8	4,8	4,8	4,8	4,8	4,8	4,8	4,9	5		
Снижение уровня звукового давления на пути слева от экрана, Dz2, дБ	z = 12.85м (разность путей)	ф-лы (14-18) [10]	17	19,9	22,8	25,8	28,8	31,8	34,8	37,8	40,8		
Снижение уровня звукового давления на пути справа от экрана, Dz3, дБ	z = 0.03м (разность путей)	ф-лы (14-18) [10]	4,9	5	5,3	5,7	6,5	7,8	9,5	11,7	14,3		
Общее снижение уровня звука препятствием Dz, дБ		Эн.сумма(-Dzi)	1,7	1,8	2	2,2	2,5	3	3,6	4,1	4,5		
Уровни звукового давления от источника ИШ-2-11 в расчётной точке днём, дБ		**ф-ла(3)[10]**	**0**	**27,7**	**28,8**	**29,4**	**28,3**	**26,1**	**19,8**	**6,5**	**0**	**30**	**30**
Уровни звукового давления от источника ИШ-2-11 в расчётной точке ночью, дБ		**ф-ла(3)[10]**	**0**	**27,7**	**28,8**	**29,4**	**28,3**	**26,1**	**19,8**	**6,5**	**0**	**30**	**30**
Источник шума: ИШ-2-12, координаты источника (x,y,z), м =[760.25,95.02,1.00]													
Уровни звуковой мощности источника днём, Lw, дБ		**исходные данные**	**0**	**93,3**	**94,7**	**96**	**96,3**	**95,9**	**92,6**	**88,4**	**83,9**		
Уровни звуковой мощности источника ночью, Lw, дБ		**исходные данные**	**0**	**93,3**	**94,7**	**96**	**96,3**	**95,9**	**92,6**	**88,4**	**83,9**		
Поправка на телесный угол DΩ, дБ	Ω = 6.28	10Lg(4π/Ω)	**3**	3	3	3	3	3	3	3	3		
Показатель направленности источника Di, дБ		исходные данные	**0**	0	0	0	0	0	0	0	0		
Поправка на направленность источника Dc, дБ	Dc	DΩ + Di	**3**	3	3	3	3	3	3	3	3		
Затухание из-за геометрической дивергенции, Adiv, дБ	расстояние = 607.58 м	ф-ла (7) [10]	**66,7**										
Коэффициент затухания звука в атмосфере α, дБ/км	Ta=20,°C Pa=101.33,кПа hотн.=70%	ф-ла (5) [9]	0,02	0,09	0,33	1,12	2,79	4,98	9,04	23,09	77,63		

1		2	3	4	5	6	7	8	9	10	11	12	13
Учет затухания звука в атмосфере Aatm, дБ		ф-ла (8) [10]	0	0,1	0,2	0,7	1,7	3	5,5	14	47,2		
Снижение уровня звукового давления из-за влияния застройки между источником шума и расчетной точкой													
Снижение уровня звукового давления на пути над экраном, Dz1, дБ	z = 0.12м (разность путей)	ф-лы (14-18) [10]	4,8	4,8	4,8	4,8	4,8	4,8	4,8	4,9	5		
Снижение уровня звукового давления на пути слева от экрана, Dz2, дБ	z = 12.40м (разность путей)	ф-лы (14-18) [10]	16,9	19,8	22,7	25,7	28,6	31,6	34,7	37,7	40,7		
Снижение уровня звукового давления на пути справа от экрана, Dz3, дБ	z = 0.06м (разность путей)	ф-лы (14-18) [10]	5,1	5,3	5,8	6,7	8	9,8	12,1	14,6	17,4		
Общее снижение уровня звука препятствием Dz, дБ		Эн.сумма(-Dzi)	1,8	2	2,2	2,6	3,1	3,6	4,1	4,5	4,8		
Уровни звукового давления от источника ИШ-2-12 в расчётной точке днём, дБ		**ф-ла(3)[10]**	**0**	**27,6**	**28,6**	**29,1**	**27,9**	**25,6**	**19,3**	**6,2**	**0**	**29,6**	**29,6**
Уровни звукового давления от источника ИШ-2-12 в расчётной точке ночью, дБ		**ф-ла(3)[10]**	**0**	**27,6**	**28,6**	**29,1**	**27,9**	**25,6**	**19,3**	**6,2**	**0**	**29,6**	**29,6**
Источник шума: ИШ-2-13, координаты источника (x,y,z), м =[759.28,92.25,1.00]													
Уровни звуковой мощности источника днём, Lw, дБ		**исходные данные**	**0**	**93,3**	**94,7**	**96**	**96,3**	**95,9**	**92,6**	**88,4**	**83,9**		
Уровни звуковой мощности источника ночью, Lw, дБ		**исходные данные**	**0**	**93,3**	**94,7**	**96**	**96,3**	**95,9**	**92,6**	**88,4**	**83,9**		
Поправка на телесный угол DΩ, дБ	Ω = 6.28	10Lg(4π/Ω)	**3**	3	3	3	3	3	3	3	3		
Показатель направленности источника Di, дБ		исходные данные	**0**	0	0	0	0	0	0	0	0		
Поправка на направленность источника Dc, дБ	Dc	DΩ + Di	**3**	3	3	3	3	3	3	3	3		
Затухание из-за геометрической дивергенции, Adiv, дБ	расстояние = 605.41 м	ф-ла (7) [10]	**66,6**										
Коэффициент затухания звука в атмосфере α, дБ/км	Ta=20,°C Pa=101.33,кПа hотн.=70%	ф-ла (5) [9]	0,02	0,09	0,33	1,12	2,79	4,98	9,04	23,09	77,63		

1		2	3	4	5	6	7	8	9	10	11	12	13
Учет затухания звука в атмосфере Aatm, дБ		ф-ла (8) [10]	0	0,1	0,2	0,7	1,7	3	5,5	14	47		
Снижение уровня звукового давления из-за влияния застройки между источником шума и расчетной точкой													
Снижение уровня звукового давления на пути над экраном, Dz1, дБ	z = 0.12м (разность путей)	ф-лы (14-18) [10]	4,8	4,8	4,8	4,8	4,8	4,8	4,8	4,9	5,1		
Снижение уровня звукового давления на пути слева от экрана, Dz2, дБ	z = 11.98м (разность путей)	ф-лы (14-18) [10]	16,8	19,6	22,5	25,5	28,5	31,5	34,5	37,5	40,5		
Снижение уровня звукового давления на пути справа от экрана, Dz3, дБ	z = 0.09м (разность путей)	ф-лы (14-18) [10]	5,3	5,7	6,4	7,6	9,3	11,5	14	16,8	19,6		
Общее снижение уровня звука препятствием Dz, дБ		Эн.сумма(-Dzi)	1,9	2,1	2,5	2,9	3,5	4	4,3	4,6	4,9		
Уровни звукового давления от источника ИШ-2-13 в расчётной точке днём, дБ		**ф-ла(3)[10]**	**0**	**27,5**	**28,4**	**28,7**	**27,5**	**25,3**	**19,1**	**6,1**	**0**	**29,2**	**29,2**
Уровни звукового давления от источника ИШ-2-13 в расчётной точке ночью, дБ		**ф-ла(3)[10]**	**0**	**27,5**	**28,4**	**28,7**	**27,5**	**25,3**	**19,1**	**6,1**	**0**	**29,2**	**29,2**
Источник шума: ИШ-2-14, координаты источника (x,y,z), м =[751.62,69.73,1.00]													
Уровни звуковой мощности источника днём, Lw, дБ		**исходные данные**	**0**	**93,3**	**94,7**	**96**	**96,3**	**95,9**	**92,6**	**88,4**	**83,9**		
Уровни звуковой мощности источника ночью, Lw, дБ		**исходные данные**	**0**	**93,3**	**94,7**	**96**	**96,3**	**95,9**	**92,6**	**88,4**	**83,9**		
Поправка на телесный угол DΩ, дБ	Ω = 6.28	10Lg(4π/Ω)	**3**	3	3	3	3	3	3	3	3		
Показатель направленности источника Di, дБ		исходные данные	**0**	0	0	0	0	0	0	0	0		
Поправка на направленность источника Dc, дБ	Dc	DΩ + Di	**3**	3	3	3	3	3	3	3	3		
Затухание из-за геометрической дивергенции, Adiv, дБ	расстояние = 588.28 м	ф-ла (7) [10]	**66,4**										
Коэффициент затухания звука в атмосфере α, дБ/км	Ta=20,°C Pa=101.33,кПа hотн.=70%	ф-ла (5) [9]	0,02	0,09	0,33	1,12	2,79	4,98	9,04	23,09	77,63		

1		2	3	4	5	6	7	8	9	10	11	12	13
Учет затухания звука в атмосфере Aatm, дБ		ф-ла (8) [10]	0	0,1	0,2	0,7	1,6	2,9	5,3	13,6	45,7		
Снижение уровня звукового давления из-за влияния застройки между источником шума и расчетной точкой													
Снижение уровня звукового давления на пути над экраном, Dz1, дБ	z = 0.12м (разность путей)	ф-лы (14-18) [10]	4,8	4,8	4,8	4,8	4,8	4,8	4,9	5,1	5,3		
Снижение уровня звукового давления на пути слева от экрана, Dz2, дБ	z = 8.63м (разность путей)	ф-лы (14-18) [10]	15,4	18,3	21,1	24,1	27,1	30,1	33,1	36,1	39,1		
Снижение уровня звукового давления на пути справа от экрана, Dz3, дБ	z = 0.87м (разность путей)	ф-лы (14-18) [10]	7,9	9,7	12	14,5	17,3	20,2	23,2	26,1	29,1		
Общее снижение уровня звука препятствием Dz, дБ		Эн.сумма(-Dzi)	2,8	3,4	3,9	4,3	4,5	4,7	4,8	5	5,3		
Уровни звукового давления от источника ИШ-2-14 в расчётной точке днём, дБ		**ф-ла(3)[10]**	**0**	**26,4**	**27,2**	**27,6**	**26,7**	**24,9**	**19**	**6,4**	**0**	**28,7**	**28,7**
Уровни звукового давления от источника ИШ-2-14 в расчётной точке ночью, дБ		**ф-ла(3)[10]**	**0**	**26,4**	**27,2**	**27,6**	**26,7**	**24,9**	**19**	**6,4**	**0**	**28,7**	**28,7**
Источник шума: ИШ-2-15, координаты источника (x,y,z), м =[750.74,66.89,1.00]													
Уровни звуковой мощности источника днём, Lw, дБ		**исходные данные**	**0**	**93,3**	**94,7**	**96**	**96,3**	**95,9**	**92,6**	**88,4**	**83,9**		
Уровни звуковой мощности источника ночью, Lw, дБ		**исходные данные**	**0**	**93,3**	**94,7**	**96**	**96,3**	**95,9**	**92,6**	**88,4**	**83,9**		
Поправка на телесный угол DΩ, дБ	Ω = 6.28	10Lg(4π/Ω)	**3**	3	3	3	3	3	3	3	3		
Показатель направленности источника Di, дБ		исходные данные	**0**	0	0	0	0	0	0	0	0		
Поправка на направленность источника Dc, дБ	Dc	DΩ + Di	**3**	3	3	3	3	3	3	3	3		
Затухание из-за геометрической дивергенции, Adiv, дБ	расстояние = 586.23 м	ф-ла (7) [10]	**66,4**										
Коэффициент затухания звука в атмосфере α, дБ/км	Ta=20,°C Pa=101.33,кПа hотн.=70%	ф-ла (5) [9]	0,02	0,09	0,33	1,12	2,79	4,98	9,04	23,09	77,63		

1		2	3	4	5	6	7	8	9	10	11	12	13
Учет затухания звука в атмосфере Aatm, дБ		ф-ла (8) [10]	0	0,1	0,2	0,7	1,6	2,9	5,3	13,5	45,5		
Снижение уровня звукового давления из-за влияния застройки между источником шума и расчетной точкой													
Снижение уровня звукового давления на пути над экраном, Dz1, дБ	z = 0.12м (разность путей)	ф-лы (14-18) [10]	4,8	4,8	4,8	4,8	4,8	4,8	4,9	5,1	5,3		
Снижение уровня звукового давления на пути слева от экрана, Dz2, дБ	z = 8.21м (разность путей)	ф-лы (14-18) [10]	15,2	18,1	20,9	23,9	26,9	29,9	32,9	35,9	38,9		
Снижение уровня звукового давления на пути справа от экрана, Dz3, дБ	z = 1.03м (разность путей)	ф-лы (14-18) [10]	8,3	10,3	12,6	15,2	18	20,9	23,9	26,9	29,9		
Общее снижение уровня звука препятствием Dz, дБ		Эн.сумма(-Dzi)	2,9	3,5	4	4,4	4,6	4,7	4,9	5	5,3		
Уровни звукового давления от источника ИШ-2-15 в расчётной точке днём, дБ		**ф-ла(3)[10]**	**0**	**26,3**	**27,1**	**27,6**	**26,7**	**24,9**	**19,1**	**6,5**	**0**	**28,7**	**28,7**
Уровни звукового давления от источника ИШ-2-15 в расчётной точке ночью, дБ		**ф-ла(3)[10]**	**0**	**26,3**	**27,1**	**27,6**	**26,7**	**24,9**	**19,1**	**6,5**	**0**	**28,7**	**28,7**
Источник шума: ИШ-2-16, координаты источника (x,y,z), м =[749.73,64.02,1.00]													
Уровни звуковой мощности источника днём, Lw, дБ		**исходные данные**	**0**	**93,3**	**94,7**	**96**	**96,3**	**95,9**	**92,6**	**88,4**	**83,9**		
Уровни звуковой мощности источника ночью, Lw, дБ		**исходные данные**	**0**	**93,3**	**94,7**	**96**	**96,3**	**95,9**	**92,6**	**88,4**	**83,9**		
Поправка на телесный угол DΩ, дБ	Ω = 6.28	10Lg(4π/Ω)	**3**	3	3	3	3	3	3	3	3		
Показатель направленности источника Di, дБ		исходные данные	**0**	0	0	0	0	0	0	0	0		
Поправка на направленность источника Dc, дБ	Dc	DΩ + Di	**3**	3	3	3	3	3	3	3	3		
Затухание из-за геометрической дивергенции, Adiv, дБ	расстояние = 584.05 м	ф-ла (7) [10]	**66,3**										
Коэффициент затухания звука в атмосфере α, дБ/км	Ta=20,°C Pa=101.33,кПа hотн.=70%	ф-ла (5) [9]	0,02	0,09	0,33	1,12	2,79	4,98	9,04	23,09	77,63		

1		2	3	4	5	6	7	8	9	10	11	12	13
Учет затухания звука в атмосфере Aatm, дБ		ф-ла (8) [10]	0	0,1	0,2	0,7	1,6	2,9	5,3	13,5	45,3		
Снижение уровня звукового давления из-за влияния застройки между источником шума и расчетной точкой													
Снижение уровня звукового давления на пути над экраном, Dz1, дБ	z = 0.12м (разность путей)	ф-лы (14-18) [10]	4,8	4,8	4,8	4,8	4,8	4,9	4,9	5,1	5,4		
Снижение уровня звукового давления на пути слева от экрана, Dz2, дБ	z = 7.80м (разность путей)	ф-лы (14-18) [10]	15	17,8	20,7	23,7	26,6	29,6	32,6	35,7	38,7		
Снижение уровня звукового давления на пути справа от экрана, Dz3, дБ	z = 1.21м (разность путей)	ф-лы (14-18) [10]	8,7	10,8	13,2	15,9	18,7	21,6	24,6	27,6	30,6		
Общее снижение уровня звука препятствием Dz, дБ		Эн.сумма(-Dzi)	3	3,6	4,1	4,4	4,6	4,7	4,9	5,1	5,4		
Уровни звукового давления от источника ИШ-2-16 в расчётной точке днём, дБ		**ф-ла(3)[10]**	**0**	**26,3**	**27,1**	**27,6**	**26,7**	**24,9**	**19,1**	**6,5**	**0**	**28,7**	**28,7**
Уровни звукового давления от источника ИШ-2-16 в расчётной точке ночью, дБ		**ф-ла(3)[10]**	**0**	**26,3**	**27,1**	**27,6**	**26,7**	**24,9**	**19,1**	**6,5**	**0**	**28,7**	**28,7**
Источник шума: ИШ-2-17, координаты источника (x,y,z), м =[748.87,61.06,1.00]													
Уровни звуковой мощности источника днём, Lw, дБ		**исходные данные**	**0**	**93,3**	**94,7**	**96**	**96,3**	**95,9**	**92,6**	**88,4**	**83,9**		
Уровни звуковой мощности источника ночью, Lw, дБ		**исходные данные**	**0**	**93,3**	**94,7**	**96**	**96,3**	**95,9**	**92,6**	**88,4**	**83,9**		
Поправка на телесный угол DΩ, дБ	Ω = 6.28	10Lg(4π/Ω)	**3**	3	3	3	3	3	3	3	3		
Показатель направленности источника Di, дБ		исходные данные	**0**	0	0	0	0	0	0	0	0		
Поправка на направленность источника Dc, дБ	Dc	DΩ + Di	**3**	3	3	3	3	3	3	3	3		
Затухание из-за геометрической дивергенции, Adiv, дБ	расстояние = 581.99 м	ф-ла (7) [10]	**66,3**										
Коэффициент затухания звука в атмосфере α, дБ/км	Ta=20,°C Pa=101.33,кПа hотн.=70%	ф-ла (5) [9]	0,02	0,09	0,33	1,12	2,79	4,98	9,04	23,09	77,63		

1		2	3	4	5	6	7	8	9	10	11	12	13
Учет затухания звука в атмосфере Aatm, дБ		ф-ла (8) [10]	0	0,1	0,2	0,7	1,6	2,9	5,3	13,4	45,2		
Снижение уровня звукового давления из-за влияния застройки между источником шума и расчетной точкой													
Снижение уровня звукового давления на пути над экраном, Dz1, дБ	z = 0.13м (разность путей)	ф-лы (14-18) [10]	4,8	4,8	4,8	4,8	4,8	4,9	4,9	5,1	5,4		
Снижение уровня звукового давления на пути слева от экрана, Dz2, дБ	z = 7.37м (разность путей)	ф-лы (14-18) [10]	14,8	17,6	20,5	23,4	26,4	29,4	32,4	35,4	38,4		
Снижение уровня звукового давления на пути справа от экрана, Dz3, дБ	z = 1.42м (разность путей)	ф-лы (14-18) [10]	9,2	11,3	13,8	16,5	19,4	22,3	25,3	28,3	31,3		
Общее снижение уровня звука препятствием Dz, дБ		Эн.сумма(-Dzi)	3,1	3,7	4,2	4,4	4,6	4,8	4,9	5,1	5,4		
Уровни звукового давления от источника ИШ-2-17 в расчётной точке днём, дБ		**ф-ла(3)[10]**	**0**	**26,2**	**27**	**27,6**	**26,7**	**24,9**	**19,1**	**6,6**	**0**	**28,7**	**28,7**
Уровни звукового давления от источника ИШ-2-17 в расчётной точке ночью, дБ		**ф-ла(3)[10]**	**0**	**26,2**	**27**	**27,6**	**26,7**	**24,9**	**19,1**	**6,6**	**0**	**28,7**	**28,7**
Источник шума: ИШ-2-18, координаты источника (x,y,z), м =[747.72,58.17,1.00]													
Уровни звуковой мощности источника днём, Lw, дБ		**исходные данные**	**0**	**93,3**	**94,7**	**96**	**96,3**	**95,9**	**92,6**	**88,4**	**83,9**		
Уровни звуковой мощности источника ночью, Lw, дБ		**исходные данные**	**0**	**93,3**	**94,7**	**96**	**96,3**	**95,9**	**92,6**	**88,4**	**83,9**		
Поправка на телесный угол DΩ, дБ	Ω = 6.28	10Lg(4π/Ω)	**3**	3	3	3	3	3	3	3	3		
Показатель направленности источника Di, дБ		исходные данные	**0**	0	0	0	0	0	0	0	0		
Поправка на направленность источника Dc, дБ	Dc	DΩ + Di	**3**	3	3	3	3	3	3	3	3		
Затухание из-за геометрической дивергенции, Adiv, дБ	расстояние = 579.69 м	ф-ла (7) [10]	**66,3**										
Коэффициент затухания звука в атмосфере α, дБ/км	Ta=20,°C Pa=101.33,кПа hотн.=70%	ф-ла (5) [9]	0,02	0,09	0,33	1,12	2,79	4,98	9,04	23,09	77,63		

1		2	3	4	5	6	7	8	9	10	11	12	13
Учет затухания звука в атмосфере Aatm, дБ		ф-ла (8) [10]	0	0,1	0,2	0,7	1,6	2,9	5,2	13,4	45		
Снижение уровня звукового давления из-за влияния застройки между источником шума и расчетной точкой													
Снижение уровня звукового давления на пути над экраном, Dz1, дБ	z = 0.13м (разность путей)	ф-лы (14-18) [10]	4,8	4,8	4,8	4,8	4,8	4,9	4,9	5,1	5,4		
Снижение уровня звукового давления на пути слева от экрана, Dz2, дБ	z = 6.99м (разность путей)	ф-лы (14-18) [10]	14,6	17,4	20,2	23,2	26,2	29,2	32,2	35,2	38,2		
Снижение уровня звукового давления на пути справа от экрана, Dz3, дБ	z = 1.63м (разность путей)	ф-лы (14-18) [10]	9,6	11,8	14,3	17,1	20	22,9	25,9	28,9	31,9		
Общее снижение уровня звука препятствием Dz, дБ		Эн.сумма(-Dzi)	3,2	3,8	4,2	4,5	4,7	4,8	4,9	5,1	5,4		
Уровни звукового давления от источника ИШ-2-18 в расчётной точке днём, дБ		**ф-ла(3)[10]**	**0**	**26,2**	**27**	**27,6**	**26,8**	**25**	**19,2**	**6,7**	**0**	**28,7**	**28,7**
Уровни звукового давления от источника ИШ-2-18 в расчётной точке ночью, дБ		**ф-ла(3)[10]**	**0**	**26,2**	**27**	**27,6**	**26,8**	**25**	**19,2**	**6,7**	**0**	**28,7**	**28,7**
Источник шума: ИШ-2-19, координаты источника (x,y,z), м =[746.80,55.25,1.00]													
Уровни звуковой мощности источника днём, Lw, дБ		**исходные данные**	**0**	**93,3**	**94,7**	**96**	**96,3**	**95,9**	**92,6**	**88,4**	**83,9**		
Уровни звуковой мощности источника ночью, Lw, дБ		**исходные данные**	**0**	**93,3**	**94,7**	**96**	**96,3**	**95,9**	**92,6**	**88,4**	**83,9**		
Поправка на телесный угол DΩ, дБ	Ω = 6.28	10Lg(4π/Ω)	**3**	3	3	3	3	3	3	3	3		
Показатель направленности источника Di, дБ		исходные данные	**0**	0	0	0	0	0	0	0	0		
Поправка на направленность источника Dc, дБ	Dc	DΩ + Di	**3**	3	3	3	3	3	3	3	3		
Затухание из-за геометрической дивергенции, Adiv, дБ	расстояние = 577.61 м	ф-ла (7) [10]	**66,2**										
Коэффициент затухания звука в атмосфере α, дБ/км	Ta=20,°C Pa=101.33,кПа hотн.=70%	ф-ла (5) [9]	0,02	0,09	0,33	1,12	2,79	4,98	9,04	23,09	77,63		

1		2	3	4	5	6	7	8	9	10	11	12	13
Учет затухания звука в атмосфере Aatm, дБ		ф-ла (8) [10]	0	0,1	0,2	0,6	1,6	2,9	5,2	13,3	44,8		
Снижение уровня звукового давления из-за влияния застройки между источником шума и расчетной точкой													
Снижение уровня звукового давления на пути над экраном, Dz1, дБ	z = 0.13м (разность путей)	ф-лы (14-18) [10]	4,8	4,8	4,8	4,8	4,8	4,9	5	5,1	5,5		
Снижение уровня звукового давления на пути слева от экрана, Dz2, дБ	z = 6.58м (разность путей)	ф-лы (14-18) [10]	14,4	17,1	20	22,9	25,9	28,9	31,9	34,9	37,9		
Снижение уровня звукового давления на пути справа от экрана, Dz3, дБ	z = 1.87м (разность путей)	ф-лы (14-18) [10]	10	12,3	14,8	17,6	20,5	23,5	26,5	29,5	32,5		
Общее снижение уровня звука препятствием Dz, дБ		Эн.сумма(-Dzi)	3,3	3,9	4,3	4,5	4,7	4,8	4,9	5,1	5,5		
Уровни звукового давления от источника ИШ-2-19 в расчётной точке днём, дБ		**ф-ла(3)[10]**	**0**	**26,2**	**27**	**27,6**	**26,8**	**25**	**19,2**	**6,7**	**0**	**28,8**	**28,8**
Уровни звукового давления от источника ИШ-2-19 в расчётной точке ночью, дБ		**ф-ла(3)[10]**	**0**	**26,2**	**27**	**27,6**	**26,8**	**25**	**19,2**	**6,7**	**0**	**28,8**	**28,8**
Источник шума: ИШ-2-20, координаты источника (x,y,z), м =[745.71,52.44,1.00]													
Уровни звуковой мощности источника днём, Lw, дБ		**исходные данные**	**0**	**93,3**	**94,7**	**96**	**96,3**	**95,9**	**92,6**	**88,4**	**83,9**		
Уровни звуковой мощности источника ночью, Lw, дБ		**исходные данные**	**0**	**93,3**	**94,7**	**96**	**96,3**	**95,9**	**92,6**	**88,4**	**83,9**		
Поправка на телесный угол DΩ, дБ	Ω = 6.28	10Lg(4π/Ω)	**3**	3	3	3	3	3	3	3	3		
Показатель направленности источника Di, дБ		исходные данные	**0**	0	0	0	0	0	0	0	0		
Поправка на направленность источника Dc, дБ	Dc	DΩ + Di	**3**	3	3	3	3	3	3	3	3		
Затухание из-за геометрической дивергенции, Adiv, дБ	расстояние = 575.42 м	ф-ла (7) [10]	**66,2**										
Коэффициент затухания звука в атмосфере α, дБ/км	Ta=20,°C Pa=101.33,кПа hотн.=70%	ф-ла (5) [9]	0,02	0,09	0,33	1,12	2,79	4,98	9,04	23,09	77,63		

1		2	3	4	5	6	7	8	9	10	11	12	13
Учет затухания звука в атмосфере Aatm, дБ		ф-ла (8) [10]	0	0,1	0,2	0,6	1,6	2,9	5,2	13,3	44,7		
Снижение уровня звукового давления из-за влияния застройки между источником шума и расчетной точкой													
Снижение уровня звукового давления на пути над экраном, Dz1, дБ	z = 0.13м (разность путей)	ф-лы (14-18) [10]	4,8	4,8	4,8	4,8	4,8	4,9	5	5,2	5,5		
Снижение уровня звукового давления на пути слева от экрана, Dz2, дБ	z = 6.21м (разность путей)	ф-лы (14-18) [10]	14,2	16,9	19,7	22,7	25,7	28,7	31,7	34,7	37,7		
Снижение уровня звукового давления на пути справа от экрана, Dz3, дБ	z = 2.11м (разность путей)	ф-лы (14-18) [10]	10,3	12,7	15,3	18,1	21	24	27	30	33		
Общее снижение уровня звука препятствием Dz, дБ		Эн.сумма(-Dzi)	3,3	3,9	4,3	4,5	4,7	4,8	4,9	5,1	5,5		
Уровни звукового давления от источника ИШ-2-20 в расчётной точке днём, дБ		**ф-ла(3)[10]**	**0**	**26,1**	**27**	**27,6**	**26,8**	**25**	**19,3**	**6,8**	**0**	**28,8**	**28,8**
Уровни звукового давления от источника ИШ-2-20 в расчётной точке ночью, дБ		**ф-ла(3)[10]**	**0**	**26,1**	**27**	**27,6**	**26,8**	**25**	**19,3**	**6,8**	**0**	**28,8**	**28,8**
Источник шума: ИШ-2-21, координаты источника (x,y,z), м =[744.89,49.62,1.00]													
Уровни звуковой мощности источника днём, Lw, дБ		**исходные данные**	**0**	**93,3**	**94,7**	**96**	**96,3**	**95,9**	**92,6**	**88,4**	**83,9**		
Уровни звуковой мощности источника ночью, Lw, дБ		**исходные данные**	**0**	**93,3**	**94,7**	**96**	**96,3**	**95,9**	**92,6**	**88,4**	**83,9**		
Поправка на телесный угол DΩ, дБ	Ω = 6.28	10Lg(4π/Ω)	**3**	3	3	3	3	3	3	3	3		
Показатель направленности источника Di, дБ		исходные данные	**0**	0	0	0	0	0	0	0	0		
Поправка на направленность источника Dc, дБ	Dc	DΩ + Di	**3**	3	3	3	3	3	3	3	3		
Затухание из-за геометрической дивергенции, Adiv, дБ	расстояние = 573.48 м	ф-ла (7) [10]	**66,2**										
Коэффициент затухания звука в атмосфере α, дБ/км	Ta=20,°C Pa=101.33,кПа hотн.=70%	ф-ла (5) [9]	0,02	0,09	0,33	1,12	2,79	4,98	9,04	23,09	77,63		

1		2	3	4	5	6	7	8	9	10	11	12	13
Учет затухания звука в атмосфере Aatm, дБ		ф-ла (8) [10]	0	0,1	0,2	0,6	1,6	2,9	5,2	13,2	44,5		
Снижение уровня звукового давления из-за влияния застройки между источником шума и расчетной точкой													
Снижение уровня звукового давления на пути над экраном, Dz1, дБ	z = 0.19м (разность путей)	ф-лы (14-18) [10]	4,8	4,8	4,8	4,8	4,9	5,1	5,7	6,5	7,8		
Снижение уровня звукового давления на пути слева от экрана, Dz2, дБ	z = 5.82м (разность путей)	ф-лы (14-18) [10]	13,9	16,6	19,5	22,4	25,4	28,4	31,4	34,4	37,4		
Снижение уровня звукового давления на пути справа от экрана, Dz3, дБ	z = 2.39м (разность путей)	ф-лы (14-18) [10]	10,7	13,2	15,8	18,6	21,6	24,5	27,5	30,5	33,5		
Общее снижение уровня звука препятствием Dz, дБ		Эн.сумма(-Dzi)	3,4	4	4,3	4,6	4,8	5,1	5,6	6,5	7,8		
Уровни звукового давления от источника ИШ-2-21 в расчётной точке днём, дБ		**ф-ла(3)[10]**	**0**	**26,1**	**27**	**27,6**	**26,8**	**24,8**	**18,6**	**5,5**	**0**	**28,6**	**28,6**
Уровни звукового давления от источника ИШ-2-21 в расчётной точке ночью, дБ		**ф-ла(3)[10]**	**0**	**26,1**	**27**	**27,6**	**26,8**	**24,8**	**18,6**	**5,5**	**0**	**28,6**	**28,6**
Источник шума: ИШ-2-22, координаты источника (x,y,z), м =[737.40,27.07,1.00]													
Уровни звуковой мощности источника днём, Lw, дБ		**исходные данные**	**0**	**93,3**	**94,7**	**96**	**96,3**	**95,9**	**92,6**	**88,4**	**83,9**		
Уровни звуковой мощности источника ночью, Lw, дБ		**исходные данные**	**0**	**93,3**	**94,7**	**96**	**96,3**	**95,9**	**92,6**	**88,4**	**83,9**		
Поправка на телесный угол DΩ, дБ	Ω = 6.28	10Lg(4π/Ω)	**3**	3	3	3	3	3	3	3	3		
Показатель направленности источника Di, дБ		исходные данные	**0**	0	0	0	0	0	0	0	0		
Поправка на направленность источника Dc, дБ	Dc	DΩ + Di	**3**	3	3	3	3	3	3	3	3		
Затухание из-за геометрической дивергенции, Adiv, дБ	расстояние = 557.42 м	ф-ла (7) [10]	**65,9**										
Коэффициент затухания звука в атмосфере α, дБ/км	Ta=20,°C Pa=101.33,кПа hотн.=70%	ф-ла (5) [9]	0,02	0,09	0,33	1,12	2,79	4,98	9,04	23,09	77,63		

1		2	3	4	5	6	7	8	9	10	11	12	13
Учет затухания звука в атмосфере Aatm, дБ		ф-ла (8) [10]	0	0	0,2	0,6	1,6	2,8	5	12,9	43,3		
Снижение уровня звукового давления из-за влияния застройки между источником шума и расчетной точкой													
Снижение уровня звукового давления на пути над экраном, Dz1, дБ	z = 0.21м (разность путей)	ф-лы (14-18) [10]	4,8	4,8	4,8	5	5,3	5,8	6,6	7,9	9,7		
Снижение уровня звукового давления на пути слева от экрана, Dz2, дБ	z = 3.08м (разность путей)	ф-лы (14-18) [10]	11,6	14,1	16,8	19,7	22,6	25,6	28,6	31,6	34,6		
Снижение уровня звукового давления на пути справа от экрана, Dz3, дБ	z = 5.30м (разность путей)	ф-лы (14-18) [10]	13,5	16,3	19,1	22	25	28	31	34	37		
Общее снижение уровня звука препятствием Dz, дБ		Эн.сумма(-Dzi)	3,5	4	4,4	4,8	5,1	5,7	6,5	7,8	9,6		
Уровни звукового давления от источника ИШ-2-22 в расчётной точке днём, дБ		**ф-ла(3)[10]**	**0**	**26,3**	**27,2**	**27,7**	**26,7**	**24,5**	**18,1**	**4,8**	**0**	**28,4**	**28,4**
Уровни звукового давления от источника ИШ-2-22 в расчётной точке ночью, дБ		**ф-ла(3)[10]**	**0**	**26,3**	**27,2**	**27,7**	**26,7**	**24,5**	**18,1**	**4,8**	**0**	**28,4**	**28,4**
Источник шума: ИШ-2-23, координаты источника (x,y,z), м =[736.46,24.18,1.00]													
Уровни звуковой мощности источника днём, Lw, дБ		**исходные данные**	**0**	**93,3**	**94,7**	**96**	**96,3**	**95,9**	**92,6**	**88,4**	**83,9**		
Уровни звуковой мощности источника ночью, Lw, дБ		**исходные данные**	**0**	**93,3**	**94,7**	**96**	**96,3**	**95,9**	**92,6**	**88,4**	**83,9**		
Поправка на телесный угол DΩ, дБ	Ω = 6.28	10Lg(4π/Ω)	**3**	3	3	3	3	3	3	3	3		
Показатель направленности источника Di, дБ		исходные данные	**0**	0	0	0	0	0	0	0	0		
Поправка на направленность источника Dc, дБ	Dc	DΩ + Di	**3**	3	3	3	3	3	3	3	3		
Затухание из-за геометрической дивергенции, Adiv, дБ	расстояние = 555.42 м	ф-ла (7) [10]	**65,9**										
Коэффициент затухания звука в атмосфере α, дБ/км	Ta=20,°C Pa=101.33,кПа hотн.=70%	ф-ла (5) [9]	0,02	0,09	0,33	1,12	2,79	4,98	9,04	23,09	77,63		

1		2	3	4	5	6	7	8	9	10	11	12	13
Учет затухания звука в атмосфере Aatm, дБ		ф-ла (8) [10]	0	0	0,2	0,6	1,6	2,8	5	12,8	43,1		
Снижение уровня звукового давления из-за влияния застройки между источником шума и расчетной точкой													
Снижение уровня звукового давления на пути над экраном, Dz1, дБ	z = 0.21м (разность путей)	ф-лы (14-18) [10]	4,8	4,8	4,9	5	5,3	5,8	6,6	7,9	9,8		
Снижение уровня звукового давления на пути слева от экрана, Dz2, дБ	z = 2.77м (разность путей)	ф-лы (14-18) [10]	11,2	13,7	16,4	19,3	22,2	25,2	28,2	31,2	34,2		
Снижение уровня звукового давления на пути справа от экрана, Dz3, дБ	z = 5.78м (разность путей)	ф-лы (14-18) [10]	13,9	16,6	19,4	22,4	25,4	28,3	31,3	34,4	37,4		
Общее снижение уровня звука препятствием Dz, дБ		Эн.сумма(-Dzi)	3,5	4	4,4	4,8	5,1	5,7	6,6	7,9	9,7		
Уровни звукового давления от источника ИШ-2-23 в расчётной точке днём, дБ		**ф-ла(3)[10]**	**0**	**26,3**	**27,2**	**27,7**	**26,7**	**24,5**	**18,1**	**4,8**	**0**	**28,4**	**28,4**
Уровни звукового давления от источника ИШ-2-23 в расчётной точке ночью, дБ		**ф-ла(3)[10]**	**0**	**26,3**	**27,2**	**27,7**	**26,7**	**24,5**	**18,1**	**4,8**	**0**	**28,4**	**28,4**
Источник шума: ИШ-2-24, координаты источника (x,y,z), м =[735.45,21.21,1.00]													
Уровни звуковой мощности источника днём, Lw, дБ		**исходные данные**	**0**	**93,3**	**94,7**	**96**	**96,3**	**95,9**	**92,6**	**88,4**	**83,9**		
Уровни звуковой мощности источника ночью, Lw, дБ		**исходные данные**	**0**	**93,3**	**94,7**	**96**	**96,3**	**95,9**	**92,6**	**88,4**	**83,9**		
Поправка на телесный угол DΩ, дБ	Ω = 6.28	10Lg(4π/Ω)	**3**	3	3	3	3	3	3	3	3		
Показатель направленности источника Di, дБ		исходные данные	**0**	0	0	0	0	0	0	0	0		
Поправка на направленность источника Dc, дБ	Dc	DΩ + Di	**3**	3	3	3	3	3	3	3	3		
Затухание из-за геометрической дивергенции, Adiv, дБ	расстояние = 553.34 м	ф-ла (7) [10]	**65,9**										
Коэффициент затухания звука в атмосфере α, дБ/км	Ta=20,°C Pa=101.33,кПа hотн.=70%	ф-ла (5) [9]	0,02	0,09	0,33	1,12	2,79	4,98	9,04	23,09	77,63		

1		2	3	4	5	6	7	8	9	10	11	12	13
Учет затухания звука в атмосфере Aatm, дБ		ф-ла (8) [10]	0	0	0,2	0,6	1,5	2,8	5	12,8	43		
Снижение уровня звукового давления из-за влияния застройки между источником шума и расчетной точкой													
Снижение уровня звукового давления на пути над экраном, Dz1, дБ	z = 0.21м (разность путей)	ф-лы (14-18) [10]	4,8	4,8	4,9	5	5,3	5,8	6,7	8	9,9		
Снижение уровня звукового давления на пути слева от экрана, Dz2, дБ	z = 2.46м (разность путей)	ф-лы (14-18) [10]	10,8	13,3	15,9	18,8	21,7	24,7	27,7	30,7	33,7		
Снижение уровня звукового давления на пути справа от экрана, Dz3, дБ	z = 6.30м (разность путей)	ф-лы (14-18) [10]	14,2	17	19,8	22,7	25,7	28,7	31,7	34,7	37,7		
Общее снижение уровня звука препятствием Dz, дБ		Эн.сумма(-Dzi)	3,4	4	4,4	4,7	5,2	5,7	6,6	8	9,8		
Уровни звукового давления от источника ИШ-2-24 в расчётной точке днём, дБ		**ф-ла(3)[10]**	**0**	**26,4**	**27,2**	**27,8**	**26,7**	**24,5**	**18,1**	**4,8**	**0**	**28,4**	**28,4**
Уровни звукового давления от источника ИШ-2-24 в расчётной точке ночью, дБ		**ф-ла(3)[10]**	**0**	**26,4**	**27,2**	**27,8**	**26,7**	**24,5**	**18,1**	**4,8**	**0**	**28,4**	**28,4**
Источник шума: ИШ-2-25, координаты источника (x,y,z), м =[734.58,18.32,1.00]													
Уровни звуковой мощности источника днём, Lw, дБ		**исходные данные**	**0**	**93,3**	**94,7**	**96**	**96,3**	**95,9**	**92,6**	**88,4**	**83,9**		
Уровни звуковой мощности источника ночью, Lw, дБ		**исходные данные**	**0**	**93,3**	**94,7**	**96**	**96,3**	**95,9**	**92,6**	**88,4**	**83,9**		
Поправка на телесный угол DΩ, дБ	Ω = 6.28	10Lg(4π/Ω)	**3**	3	3	3	3	3	3	3	3		
Показатель направленности источника Di, дБ		исходные данные	**0**	0	0	0	0	0	0	0	0		
Поправка на направленность источника Dc, дБ	Dc	DΩ + Di	**3**	3	3	3	3	3	3	3	3		
Затухание из-за геометрической дивергенции, Adiv, дБ	расстояние = 551.42 м	ф-ла (7) [10]	**65,8**										
Коэффициент затухания звука в атмосфере α, дБ/км	Ta=20,°C Pa=101.33,кПа hотн.=70%	ф-ла (5) [9]	0,02	0,09	0,33	1,12	2,79	4,98	9,04	23,09	77,63		

1		2	3	4	5	6	7	8	9	10	11	12	13
Учет затухания звука в атмосфере Aatm, дБ		ф-ла (8) [10]	0	0	0,2	0,6	1,5	2,7	5	12,7	42,8		
Снижение уровня звукового давления из-за влияния застройки между источником шума и расчетной точкой													
Снижение уровня звукового давления на пути над экраном, Dz1, дБ	z = 0.21м (разность путей)	ф-лы (14-18) [10]	4,8	4,8	4,9	5	5,3	5,9	6,7	8,1	10		
Снижение уровня звукового давления на пути слева от экрана, Dz2, дБ	z = 2.17м (разность путей)	ф-лы (14-18) [10]	10,4	12,8	15,4	18,3	21,2	24,1	27,1	30,1	33,1		
Снижение уровня звукового давления на пути справа от экрана, Dz3, дБ	z = 6.84м (разность путей)	ф-лы (14-18) [10]	14,5	17,3	20,2	23,1	26,1	29,1	32,1	35,1	38,1		
Общее снижение уровня звука препятствием Dz, дБ		Эн.сумма(-Dzi)	3,4	4	4,4	4,7	5,2	5,8	6,7	8,1	9,9		
Уровни звукового давления от источника ИШ-2-25 в расчётной точке днём, дБ		**ф-ла(3)[10]**	**0**	**26,5**	**27,3**	**27,8**	**26,8**	**24,6**	**18,1**	**4,8**	**0**	**28,4**	**28,4**
Уровни звукового давления от источника ИШ-2-25 в расчётной точке ночью, дБ		**ф-ла(3)[10]**	**0**	**26,5**	**27,3**	**27,8**	**26,8**	**24,6**	**18,1**	**4,8**	**0**	**28,4**	**28,4**
Источник шума: ИШ-2-26, координаты источника (x,y,z), м =[733.57,15.41,1.00]													
Уровни звуковой мощности источника днём, Lw, дБ		**исходные данные**	**0**	**93,3**	**94,7**	**96**	**96,3**	**95,9**	**92,6**	**88,4**	**83,9**		
Уровни звуковой мощности источника ночью, Lw, дБ		**исходные данные**	**0**	**93,3**	**94,7**	**96**	**96,3**	**95,9**	**92,6**	**88,4**	**83,9**		
Поправка на телесный угол DΩ, дБ	Ω = 6.28	10Lg(4π/Ω)	**3**	3	3	3	3	3	3	3	3		
Показатель направленности источника Di, дБ		исходные данные	**0**	0	0	0	0	0	0	0	0		
Поправка на направленность источника Dc, дБ	Dc	DΩ + Di	**3**	3	3	3	3	3	3	3	3		
Затухание из-за геометрической дивергенции, Adiv, дБ	расстояние = 549.38 м	ф-ла (7) [10]	**65,8**										
Коэффициент затухания звука в атмосфере α, дБ/км	Ta=20,°C Pa=101.33,кПа hотн.=70%	ф-ла (5) [9]	0,02	0,09	0,33	1,12	2,79	4,98	9,04	23,09	77,63		

1		2	3	4	5	6	7	8	9	10	11	12	13
Учет затухания звука в атмосфере Aatm, дБ		ф-ла (8) [10]	0	0	0,2	0,6	1,5	2,7	5	12,7	42,6		
Снижение уровня звукового давления из-за влияния застройки между источником шума и расчетной точкой													
Снижение уровня звукового давления на пути над экраном, Dz1, дБ	z = 0.21м (разность путей)	ф-лы (14-18) [10]	4,8	4,8	4,9	5	5,3	5,9	6,8	8,2	10,1		
Снижение уровня звукового давления на пути слева от экрана, Dz2, дБ	z = 1.90м (разность путей)	ф-лы (14-18) [10]	10	12,3	14,9	17,7	20,6	23,6	26,5	29,5	32,5		
Снижение уровня звукового давления на пути справа от экрана, Dz3, дБ	z = 7.41м (разность путей)	ф-лы (14-18) [10]	14,8	17,6	20,5	23,4	26,4	29,4	32,4	35,4	38,4		
Общее снижение уровня звука препятствием Dz, дБ		Эн.сумма(-Dzi)	3,3	3,9	4,3	4,7	5,2	5,8	6,7	8,2	10,1		
Уровни звукового давления от источника ИШ-2-26 в расчётной точке днём, дБ		**ф-ла(3)[10]**	**0**	**26,5**	**27,4**	**27,9**	**26,8**	**24,6**	**18,1**	**4,8**	**0**	**28,5**	**28,5**
Уровни звукового давления от источника ИШ-2-26 в расчётной точке ночью, дБ		**ф-ла(3)[10]**	**0**	**26,5**	**27,4**	**27,9**	**26,8**	**24,6**	**18,1**	**4,8**	**0**	**28,5**	**28,5**
Источник шума: ИШ-2-27, координаты источника (x,y,z), м =[732.43,12.66,1.00]													
Уровни звуковой мощности источника днём, Lw, дБ		**исходные данные**	**0**	**93,3**	**94,7**	**96**	**96,3**	**95,9**	**92,6**	**88,4**	**83,9**		
Уровни звуковой мощности источника ночью, Lw, дБ		**исходные данные**	**0**	**93,3**	**94,7**	**96**	**96,3**	**95,9**	**92,6**	**88,4**	**83,9**		
Поправка на телесный угол DΩ, дБ	Ω = 6.28	10Lg(4π/Ω)	**3**	3	3	3	3	3	3	3	3		
Показатель направленности источника Di, дБ		исходные данные	**0**	0	0	0	0	0	0	0	0		
Поправка на направленность источника Dc, дБ	Dc	DΩ + Di	**3**	3	3	3	3	3	3	3	3		
Затухание из-за геометрической дивергенции, Adiv, дБ	расстояние = 547.28 м	ф-ла (7) [10]	**65,8**										
Коэффициент затухания звука в атмосфере α, дБ/км	Ta=20,°C Pa=101.33,кПа hотн.=70%	ф-ла (5) [9]	0,02	0,09	0,33	1,12	2,79	4,98	9,04	23,09	77,63		

1		2	3	4	5	6	7	8	9	10	11	12	13
Учет затухания звука в атмосфере Aatm, дБ		ф-ла (8) [10]	0	0	0,2	0,6	1,5	2,7	4,9	12,6	42,5		
Снижение уровня звукового давления из-за влияния застройки между источником шума и расчетной точкой													
Снижение уровня звукового давления на пути над экраном, Dz1, дБ	z = 0.21м (разность путей)	ф-лы (14-18) [10]	4,8	4,8	4,9	5	5,4	5,9	6,9	8,3	10,2		
Снижение уровня звукового давления на пути слева от экрана, Dz2, дБ	z = 1.67м (разность путей)	ф-лы (14-18) [10]	9,6	11,9	14,4	17,2	20,1	23	26	29	32		
Снижение уровня звукового давления на пути справа от экрана, Dz3, дБ	z = 7.96м (разность путей)	ф-лы (14-18) [10]	15,1	17,9	20,8	23,8	26,7	29,7	32,7	35,7	38,7		
Общее снижение уровня звука препятствием Dz, дБ		Эн.сумма(-Dzi)	3,3	3,9	4,3	4,7	5,2	5,8	6,8	8,2	10,2		
Уровни звукового давления от источника ИШ-2-27 в расчётной точке днём, дБ		**ф-ла(3)[10]**	**0**	**26,6**	**27,4**	**27,9**	**26,8**	**24,6**	**18,1**	**4,7**	**0**	**28,5**	**28,5**
Уровни звукового давления от источника ИШ-2-27 в расчётной точке ночью, дБ		**ф-ла(3)[10]**	**0**	**26,6**	**27,4**	**27,9**	**26,8**	**24,6**	**18,1**	**4,7**	**0**	**28,5**	**28,5**
Источник шума: ИШ-2-28, координаты источника (x,y,z), м =[731.54,9.78,1.00]													
Уровни звуковой мощности источника днём, Lw, дБ		**исходные данные**	**0**	**93,3**	**94,7**	**96**	**96,3**	**95,9**	**92,6**	**88,4**	**83,9**		
Уровни звуковой мощности источника ночью, Lw, дБ		**исходные данные**	**0**	**93,3**	**94,7**	**96**	**96,3**	**95,9**	**92,6**	**88,4**	**83,9**		
Поправка на телесный угол DΩ, дБ	Ω = 6.28	10Lg(4π/Ω)	**3**	3	3	3	3	3	3	3	3		
Показатель направленности источника Di, дБ		исходные данные	**0**	0	0	0	0	0	0	0	0		
Поправка на направленность источника Dc, дБ	Dc	DΩ + Di	**3**	3	3	3	3	3	3	3	3		
Затухание из-за геометрической дивергенции, Adiv, дБ	расстояние = 545.38 м	ф-ла (7) [10]	**65,7**										
Коэффициент затухания звука в атмосфере α, дБ/км	Ta=20,°C Pa=101.33,кПа hотн.=70%	ф-ла (5) [9]	0,02	0,09	0,33	1,12	2,79	4,98	9,04	23,09	77,63		

1		2	3	4	5	6	7	8	9	10	11	12	13
Учет затухания звука в атмосфере Aatm, дБ		ф-ла (8) [10]	0	0	0,2	0,6	1,5	2,7	4,9	12,6	42,3		
Снижение уровня звукового давления из-за влияния застройки между источником шума и расчетной точкой													
Снижение уровня звукового давления на пути над экраном, Dz1, дБ	z = 0.21м (разность путей)	ф-лы (14-18) [10]	4,8	4,8	4,9	5	5,4	6	6,9	8,4	10,3		
Снижение уровня звукового давления на пути слева от экрана, Dz2, дБ	z = 1.42м (разность путей)	ф-лы (14-18) [10]	9,2	11,3	13,8	16,5	19,4	22,3	25,3	28,3	31,3		
Снижение уровня звукового давления на пути справа от экрана, Dz3, дБ	z = 8.59м (разность путей)	ф-лы (14-18) [10]	15,4	18,2	21,1	24,1	27,1	30,1	33,1	36,1	39,1		
Общее снижение уровня звука препятствием Dz, дБ		Эн.сумма(-Dzi)	3,2	3,8	4,3	4,7	5,2	5,8	6,9	8,3	10,3		
Уровни звукового давления от источника ИШ-2-28 в расчётной точке днём, дБ		**ф-ла(3)[10]**	**0**	**26,7**	**27,5**	**28**	**26,9**	**24,6**	**18,1**	**4,8**	**0**	**28,5**	**28,5**
Уровни звукового давления от источника ИШ-2-28 в расчётной точке ночью, дБ		**ф-ла(3)[10]**	**0**	**26,7**	**27,5**	**28**	**26,9**	**24,6**	**18,1**	**4,8**	**0**	**28,5**	**28,5**
Источник шума: ИШ-2-29, координаты источника (x,y,z), м =[730.57,6.88,1.00]													
Уровни звуковой мощности источника днём, Lw, дБ		**исходные данные**	**0**	**93,3**	**94,7**	**96**	**96,3**	**95,9**	**92,6**	**88,4**	**83,9**		
Уровни звуковой мощности источника ночью, Lw, дБ		**исходные данные**	**0**	**93,3**	**94,7**	**96**	**96,3**	**95,9**	**92,6**	**88,4**	**83,9**		
Поправка на телесный угол DΩ, дБ	Ω = 6.28	10Lg(4π/Ω)	**3**	3	3	3	3	3	3	3	3		
Показатель направленности источника Di, дБ		исходные данные	**0**	0	0	0	0	0	0	0	0		
Поправка на направленность источника Dc, дБ	Dc	DΩ + Di	**3**	3	3	3	3	3	3	3	3		
Затухание из-за геометрической дивергенции, Adiv, дБ	расстояние = 543.42 м	ф-ла (7) [10]	**65,7**										
Коэффициент затухания звука в атмосфере α, дБ/км	Ta=20,°C Pa=101.33,кПа hотн.=70%	ф-ла (5) [9]	0,02	0,09	0,33	1,12	2,79	4,98	9,04	23,09	77,63		

1		2	3	4	5	6	7	8	9	10	11	12	13
Учет затухания звука в атмосфере Aatm, дБ		ф-ла (8) [10]	0	0	0,2	0,6	1,5	2,7	4,9	12,5	42,2		
Снижение уровня звукового давления из-за влияния застройки между источником шума и расчетной точкой													
Снижение уровня звукового давления на пути над экраном, Dz1, дБ	z = 0.21м (разность путей)	ф-лы (14-18) [10]	4,8	4,8	4,9	5	5,4	6	7	8,5	10,4		
Снижение уровня звукового давления на пути слева от экрана, Dz2, дБ	z = 1.20м (разность путей)	ф-лы (14-18) [10]	8,7	10,7	13,1	15,8	18,7	21,6	24,5	27,5	30,5		
Снижение уровня звукового давления на пути справа от экрана, Dz3, дБ	z = 9.24м (разность путей)	ф-лы (14-18) [10]	15,7	18,5	21,4	24,4	27,4	30,4	33,4	36,4	39,4		
Общее снижение уровня звука препятствием Dz, дБ		Эн.сумма(-Dzi)	3,1	3,7	4,2	4,6	5,2	5,9	6,9	8,4	10,4		
Уровни звукового давления от источника ИШ-2-29 в расчётной точке днём, дБ		**ф-ла(3)[10]**	**0**	**26,9**	**27,6**	**28**	**26,9**	**24,6**	**18,1**	**4,8**	**0**	**28,6**	**28,6**
Уровни звукового давления от источника ИШ-2-29 в расчётной точке ночью, дБ		**ф-ла(3)[10]**	**0**	**26,9**	**27,6**	**28**	**26,9**	**24,6**	**18,1**	**4,8**	**0**	**28,6**	**28,6**
Источник шума: ИШ-2-4, координаты источника (x,y,z), м =[632.70,-65.30,3.00]													
Уровни звуковой мощности источника днём, Lw, дБ		**исходные данные**	**105**	**104**	**104**	**101**	**102**	**106**	**101**	**95**	**87**		
Уровни звуковой мощности источника ночью, Lw, дБ		**исходные данные**	**105**	**104**	**104**	**101**	**102**	**106**	**101**	**95**	**87**		
Поправка на телесный угол DΩ, дБ	Ω = 6.28	10Lg(4π/Ω)	**3**	3	3	3	3	3	3	3	3		
Показатель направленности источника Di, дБ		исходные данные	**0**	0	0	0	0	0	0	0	0		
Поправка на направленность источника Dc, дБ	Dc	DΩ + Di	**3**	3	3	3	3	3	3	3	3		
Затухание из-за геометрической дивергенции, Adiv, дБ	расстояние = 427.01 м	ф-ла (7) [10]	**63,6**										
Коэффициент затухания звука в атмосфере α, дБ/км	Ta=20,°C Pa=101.33,кПа hотн.=70%	ф-ла (5) [9]	0,02	0,09	0,33	1,12	2,79	4,98	9,04	23,09	77,63		

1		2	3	4	5	6	7	8	9	10	11	12	13
Учет затухания звука в атмосфере Aatm, дБ		ф-ла (8) [10]	0	0	0,1	0,5	1,2	2,1	3,9	9,9	33,1		
Снижение уровня звукового давления из-за влияния застройки между источником шума и расчетной точкой													
Снижение уровня звукового давления на пути над экраном, Dz1, дБ	z = 0.28м (разность путей)	ф-лы (14-18) [10]	4,9	4,9	5,1	5,7	7	9,1	11,4	14	16,8		
Снижение уровня звукового давления на пути слева от экрана, Dz2, дБ	z = 1.99м (разность путей)	ф-лы (14-18) [10]	10,2	12,5	15,1	17,9	20,8	23,8	26,7	29,7	32,7		
Снижение уровня звукового давления на пути справа от экрана, Dz3, дБ	z = 0.06м (разность путей)	ф-лы (14-18) [10]	5,1	5,3	5,8	6,7	8	9,8	12,1	14,7	17,5		
Общее снижение уровня звука препятствием Dz, дБ		Эн.сумма(-Dzi)	1,3	1,7	2,2	3	4,4	6,3	8,7	11,3	14		
Уровни звукового давления прямого звука от источника ИШ-2-4 в расчётной точке днём, дБ		**ф-ла(3)[10]**	**43,1**	**41,6**	**41**	**36,9**	**35,8**	**36,9**	**27,9**	**13,3**	**0**	**39,4**	**39,4**
Уровни звукового давления прямого звука от источника ИШ-2-4 в расчётной точке ночью, дБ		**ф-ла(3)[10]**	**43,1**	**41,6**	**41**	**36,9**	**35,8**	**36,9**	**27,9**	**13,3**	**0**	**39,4**	**39,4**
Расчёт отражённого звука													
Уровни звукового давления от мнимого источника ИШ-2-4_мн.(1) в расчётной точке днём, дБ		**ф-ла(3)[10]**	**0**	**0**	**0**	**0**	**0**	**0**	**0**	**0**	**0**	**0**	**0**
Уровни звукового давления от мнимого источника ИШ-2-4_мн.(1) в расчётной точке ночью, дБ		**ф-ла(3)[10]**	**0**	**0**	**0**	**0**	**0**	**0**	**0**	**0**	**0**	**0**	**0**
Уровни звукового давления от источника ИШ-2-4 в расчётной точке днём, дБ		**ф-ла(3)[10]**	**43,1**	**41,6**	**41**	**36,9**	**35,8**	**36,9**	**27,9**	**13,3**	**0**	**39,4**	**39,4**
Уровни звукового давления от источника ИШ-2-4 в расчётной точке ночью, дБ		**ф-ла(3)[10]**	**43,1**	**41,6**	**41**	**36,9**	**35,8**	**36,9**	**27,9**	**13,3**	**0**	**39,4**	**39,4**
Источник шума: ИШ-2-30, координаты источника (x,y,z), м =[702.44,-77.23,1.00]													
Уровни звуковой мощности источника днём, Lw, дБ		**исходные данные**	**0**	**93,3**	**94,7**	**96**	**96,3**	**95,9**	**92,6**	**88,4**	**83,9**		
Уровни звуковой мощности источника ночью, Lw, дБ		**исходные данные**	**0**	**93,3**	**94,7**	**96**	**96,3**	**95,9**	**92,6**	**88,4**	**83,9**		
Поправка на телесный угол DΩ, дБ	Ω = 6.28	10Lg(4π/Ω)	**3**	3	3	3	3	3	3	3	3		

1		2	3	4	5	6	7	8	9	10	11	12	13
Показатель направленности источника Di, дБ		исходные данные	**0**	0	0	0	0	0	0	0	0		
Поправка на направленность источника Dc, дБ	Dc	DΩ + Di	**3**	3	3	3	3	3	3	3	3		
Затухание из-за геометрической дивергенции, Adiv, дБ	расстояние = 491.06 м	ф-ла (7) [10]	**64,8**										
Коэффициент затухания звука в атмосфере α, дБ/км	Ta=20,°C Pa=101.33,кПа hотн.=70%	ф-ла (5) [9]	0,02	0,09	0,33	1,12	2,79	4,98	9,04	23,09	77,63		
Учет затухания звука в атмосфере Aatm, дБ		ф-ла (8) [10]	0	0	0,2	0,6	1,4	2,4	4,4	11,3	38,1		
Снижение уровня звукового давления из-за влияния застройки между источником шума и расчетной точкой													
Снижение уровня звукового давления на пути над экраном, Dz1, дБ	z = 0.31м (разность путей)	ф-лы (14-18) [10]	4,8	4,9	5	5,5	6,5	8,2	10,2	12,6	15,2		
Снижение уровня звукового давления на пути слева от экрана, Dz2, дБ	z = 0.06м (разность путей)	ф-лы (14-18) [10]	5,1	5,4	5,9	6,9	8,3	10,2	12,5	15,2	18		
Снижение уровня звукового давления на пути справа от экрана, Dz3, дБ	z = 1.47м (разность путей)	ф-лы (14-18) [10]	9,3	11,4	13,9	16,6	19,5	22,4	25,4	28,4	31,4		
Общее снижение уровня звука препятствием Dz, дБ		Эн.сумма(-Dzi)	1,2	1,6	2,2	2,9	4,2	5,9	8,1	10,6	13,3		
Уровни звукового давления прямого звука от источника ИШ-2-30 в расчётной точке днём, дБ		**ф-ла(3)[10]**	**0**	**29,8**	**30,5**	**30,7**	**28,9**	**25,7**	**18,2**	**4,6**	**0**	**30,1**	**30,1**
Уровни звукового давления прямого звука от источника ИШ-2-30 в расчётной точке ночью, дБ		**ф-ла(3)[10]**	**0**	**29,8**	**30,5**	**30,7**	**28,9**	**25,7**	**18,2**	**4,6**	**0**	**30,1**	**30,1**
Расчёт отражённого звука													
Уровни звукового давления от мнимого источника ИШ-2-30_мн.(1) в расчётной точке днём, дБ		**ф-ла(3)[10]**	**0**	**0**	**0**	**0**	**0**	**0**	**0**	**0**	**0**	**0**	**0**
Уровни звукового давления от мнимого источника ИШ-2-30_мн.(1) в расчётной точке ночью, дБ		**ф-ла(3)[10]**	**0**	**0**	**0**	**0**	**0**	**0**	**0**	**0**	**0**	**0**	**0**
Уровни звукового давления от источника ИШ-2-30 в расчётной точке днём, дБ		**ф-ла(3)[10]**	**0**	**29,8**	**30,5**	**30,7**	**28,9**	**25,7**	**18,2**	**4,6**	**0**	**30,1**	**30,1**
Уровни звукового давления от источника ИШ-2-30 в расчётной точке ночью, дБ		**ф-ла(3)[10]**	**0**	**29,8**	**30,5**	**30,7**	**28,9**	**25,7**	**18,2**	**4,6**	**0**	**30,1**	**30,1**

1		2	3	4	5	6	7	8	9	10	11	12	13
Источник шума: ИШ-2-31, координаты источника (x,y,z), м =[701.42,-80.17,1.00]													
Уровни звуковой мощности источника днём, Lw, дБ		**исходные данные**	**0**	**93,3**	**94,7**	**96**	**96,3**	**95,9**	**92,6**	**88,4**	**83,9**		
Уровни звуковой мощности источника ночью, Lw, дБ		**исходные данные**	**0**	**93,3**	**94,7**	**96**	**96,3**	**95,9**	**92,6**	**88,4**	**83,9**		
Поправка на телесный угол DΩ, дБ	Ω = 6.28	10Lg(4π/Ω)	**3**	3	3	3	3	3	3	3	3		
Показатель направленности источника Di, дБ		исходные данные	**0**	0	0	0	0	0	0	0	0		
Поправка на направленность источника Dc, дБ	Dc	DΩ + Di	**3**	3	3	3	3	3	3	3	3		
Затухание из-за геометрической дивергенции, Adiv, дБ	расстояние = 489.39 м	ф-ла (7) [10]	**64,8**										
Коэффициент затухания звука в атмосфере α, дБ/км	Ta=20,°C Pa=101.33,кПа hотн.=70%	ф-ла (5) [9]	0,02	0,09	0,33	1,12	2,79	4,98	9,04	23,09	77,63		
Учет затухания звука в атмосфере Aatm, дБ		ф-ла (8) [10]	0	0	0,2	0,6	1,4	2,4	4,4	11,3	38		
Снижение уровня звукового давления из-за влияния застройки между источником шума и расчетной точкой													
Снижение уровня звукового давления на пути над экраном, Dz1, дБ	z = 0.31м (разность путей)	ф-лы (14-18) [10]	4,8	4,9	5	5,4	6,3	8	10,1	12,5	15,2		
Снижение уровня звукового давления на пути слева от экрана, Dz2, дБ	z = 0.03м (разность путей)	ф-лы (14-18) [10]	4,9	5,1	5,3	5,8	6,7	8	9,8	12,1	14,6		
Снижение уровня звукового давления на пути справа от экрана, Dz3, дБ	z = 1.68м (разность путей)	ф-лы (14-18) [10]	9,6	11,9	14,4	17,2	20,1	23	26	29	32		
Общее снижение уровня звука препятствием Dz, дБ		Эн.сумма(-Dzi)	1,2	1,5	1,9	2,4	3,4	4,9	6,9	9,2	11,9		
Уровни звукового давления прямого звука от источника ИШ-2-31 в расчётной точке днём, дБ		**ф-ла(3)[10]**	**0**	**29,9**	**30,8**	**31,2**	**29,8**	**26,8**	**19,5**	**6,1**	**0**	**31**	**31**
Уровни звукового давления прямого звука от источника ИШ-2-31 в расчётной точке ночью, дБ		**ф-ла(3)[10]**	**0**	**29,9**	**30,8**	**31,2**	**29,8**	**26,8**	**19,5**	**6,1**	**0**	**31**	**31**

1		2	3	4	5	6	7	8	9	10	11	12	13
Расчёт отражённого звука													
Уровни звукового давления от мнимого источника ИШ-2-31_мн.(1) в расчётной точке днём, дБ		**ф-ла(3)[10]**	**0**	**0**	**0**	**0**	**0**	**0**	**0**	**0**	**0**	**0**	**0**
Уровни звукового давления от мнимого источника ИШ-2-31_мн.(1) в расчётной точке ночью, дБ		**ф-ла(3)[10]**	**0**	**0**	**0**	**0**	**0**	**0**	**0**	**0**	**0**	**0**	**0**
Уровни звукового давления от источника ИШ-2-31 в расчётной точке днём, дБ		**ф-ла(3)[10]**	**0**	**29,9**	**30,8**	**31,2**	**29,8**	**26,8**	**19,5**	**6,1**	**0**	**31**	**31**
Уровни звукового давления от источника ИШ-2-31 в расчётной точке ночью, дБ		**ф-ла(3)[10]**	**0**	**29,9**	**30,8**	**31,2**	**29,8**	**26,8**	**19,5**	**6,1**	**0**	**31**	**31**
Источник шума: ИШ-2-32, координаты источника (x,y,z), м =[700.38,-83.01,1.00]													
Уровни звуковой мощности источника днём, Lw, дБ		**исходные данные**	**0**	**93,3**	**94,7**	**96**	**96,3**	**95,9**	**92,6**	**88,4**	**83,9**		
Уровни звуковой мощности источника ночью, Lw, дБ		**исходные данные**	**0**	**93,3**	**94,7**	**96**	**96,3**	**95,9**	**92,6**	**88,4**	**83,9**		
Поправка на телесный угол DΩ, дБ	Ω = 6.28	10Lg(4π/Ω)	**3**	3	3	3	3	3	3	3	3		
Показатель направленности источника Di, дБ		исходные данные	**0**	0	0	0	0	0	0	0	0		
Поправка на направленность источника Dc, дБ	Dc	DΩ + Di	**3**	3	3	3	3	3	3	3	3		
Затухание из-за геометрической дивергенции, Adiv, дБ	расстояние = 487.73 м	ф-ла (7) [10]	**64,8**										
Коэффициент затухания звука в атмосфере α, дБ/км	Ta=20,°C Pa=101.33,кПа hотн.=70%	ф-ла (5) [9]	0,02	0,09	0,33	1,12	2,79	4,98	9,04	23,09	77,63		
Учет затухания звука в атмосфере Aatm, дБ		ф-ла (8) [10]	0	0	0,2	0,5	1,4	2,4	4,4	11,3	37,9		
Снижение уровня звукового давления из-за влияния застройки между источником шума и расчетной точкой													
Снижение уровня звукового давления на пути над экраном, Dz1, дБ	z = 0.31м (разность путей)	ф-лы (14-18) [10]	4,8	4,9	5	5,2	5,9	7,4	9,8	12,4	15,1		

1		2	3	4	5	6	7	8	9	10	11	12	13
Снижение уровня звукового давления на пути слева от экрана, Dz2, дБ	z = 0.01м (разность путей)	ф-лы (14-18) [10]	4,8	4,8	4,9	5,1	5,3	5,8	6,7	8	9,8		
Снижение уровня звукового давления на пути справа от экрана, Dz3, дБ	z = 1.89м (разность путей)	ф-лы (14-18) [10]	10	12,3	14,9	17,7	20,6	23,5	26,5	29,5	32,5		
Общее снижение уровня звука препятствием Dz, дБ		Эн.сумма(-Dzi)	1,2	1,5	1,7	2	2,5	3,5	4,9	6,6	8,7		
Уровни звукового давления прямого звука от источника ИШ-2-32 в расчётной точке днём, дБ		**ф-ла(3)[10]**	**0**	**30**	**31**	**31,7**	**30,6**	**28,2**	**21,5**	**8,7**	**0**	**32,2**	**32,2**
Уровни звукового давления прямого звука от источника ИШ-2-32 в расчётной точке ночью, дБ		**ф-ла(3)[10]**	**0**	**30**	**31**	**31,7**	**30,6**	**28,2**	**21,5**	**8,7**	**0**	**32,2**	**32,2**
Расчёт отражённого звука													
Уровни звукового давления от мнимого источника ИШ-2-32_мн.(1) в расчётной точке днём, дБ		**ф-ла(3)[10]**	**0**	**0**	**0**	**0**	**0**	**0**	**0**	**0**	**0**	**0**	**0**
Уровни звукового давления от мнимого источника ИШ-2-32_мн.(1) в расчётной точке ночью, дБ		**ф-ла(3)[10]**	**0**	**0**	**0**	**0**	**0**	**0**	**0**	**0**	**0**	**0**	**0**
Уровни звукового давления от мнимого источника ИШ-2-32_мн.(2) в расчётной точке днём, дБ		**ф-ла(3)[10]**	**0**	**0**	**0**	**18**	**19**	**28,2**	**25,4**	**14,3**	**0**	**30,8**	**30,8**
Уровни звукового давления от мнимого источника ИШ-2-32_мн.(2) в расчётной точке ночью, дБ		**ф-ла(3)[10]**	**0**	**0**	**0**	**0**	**0**	**0**	**0**	**0**	**0**	**30,8**	**30,8**
Суммарные уровни звукового давления от мнимых источников в расчётной точке днём, дБ		**ф-ла (19) [1]**	**0**	**0**	**0**	**18**	**19**	**28,2**	**25,4**	**14,3**	**0**	**0**	**30,8**
Суммарные уровни звукового давления от мнимых источников в расчётной точке ночью, дБ		**ф-ла (19) [1]**	**0**	**0**	**0**	**18**	**19**	**28,2**	**25,4**	**14,3**	**0**	**0**	**30,8**
Уровни звукового давления от источника ИШ-2-32 в расчётной точке днём, дБ		**ф-ла(3)[10]**	**0**	**30**	**31**	**31,8**	**30,9**	**31,2**	**26,9**	**15,4**	**0**	**34,5**	**34,5**
Уровни звукового давления от источника ИШ-2-32 в расчётной точке ночью, дБ		**ф-ла(3)[10]**	**0**	**30**	**31**	**31,8**	**30,9**	**31,2**	**26,9**	**15,4**	**0**	**34,5**	**34,5**
Источник шума: ИШ-2-33, координаты источника (x,y,z), м =[699.52,-85.98,1.00]													
Уровни звуковой мощности источника днём, Lw, дБ		**исходные данные**	**0**	**93,3**	**94,7**	**96**	**96,3**	**95,9**	**92,6**	**88,4**	**83,9**		
Уровни звуковой мощности источника ночью, Lw, дБ		**исходные данные**	**0**	**93,3**	**94,7**	**96**	**96,3**	**95,9**	**92,6**	**88,4**	**83,9**		

1		2	3	4	5	6	7	8	9	10	11	12	13
Поправка на телесный угол DΩ, дБ	Ω = 6.28	10Lg(4π/Ω)	**3**	3	3	3	3	3	3	3	3		
Показатель направленности источника Di, дБ		исходные данные	**0**	0	0	0	0	0	0	0	0		
Поправка на направленность источника Dc, дБ	Dc	DΩ + Di	**3**	3	3	3	3	3	3	3	3		
Затухание из-за геометрической дивергенции, Adiv, дБ	расстояние = 486.23 м	ф-ла (7) [10]	**64,7**										
Коэффициент затухания звука в атмосфере α, дБ/км	Ta=20,°C Pa=101.33,кПа hотн.=70%	ф-ла (5) [9]	0,02	0,09	0,33	1,12	2,79	4,98	9,04	23,09	77,63		
Учет затухания звука в атмосфере Aatm, дБ		ф-ла (8) [10]	0	0	0,2	0,5	1,4	2,4	4,4	11,2	37,7		
Снижение поверхностью земли возле источника As, дБ	Gs = 0 hs = 1м	ф-лы таб.3 [10]	-1,5	-1,5	-1,5	-1,5	-1,5	-1,5	-1,5	-1,5	-1,5		
Снижение поверхностью земли возле приёмника Ar, дБ	Gr = 1 hr = 1.6м	ф-лы таб.3 [10]	-1,5	-1,5	2,9	6,8	4,3	0,5	0	0	0		
Снижение поверхностью земли в средней зоне, Am дБ	Gm = 1	ф-лы таб.3 [10]	-2,5	-2,5	0	0	0	0	0	0	0		
Суммарное снижение поверхностью земли на траектории распространения звука Agr, дБ		ф-ла (9) [10]	-5,5	-5,5	1,4	5,3	2,8	-1	-1,5	-1,5	-1,5		
Уровни звукового давления прямого звука от источника ИШ-2-33 в расчётной точке днём, дБ		**ф-ла(3)[10]**	**0**	**37**	**31,4**	**28,4**	**30,4**	**32,7**	**28**	**16,9**	**0**	**35,3**	**35,3**
Уровни звукового давления прямого звука от источника ИШ-2-33 в расчётной точке ночью, дБ		**ф-ла(3)[10]**	**0**	**37**	**31,4**	**28,4**	**30,4**	**32,7**	**28**	**16,9**	**0**	**35,3**	**35,3**
Расчёт отражённого звука													
Уровни звукового давления от мнимого источника ИШ-2-33_мн.(1) в расчётной точке днём, дБ		**ф-ла(3)[10]**	**0**	**0**	**0**	**0**	**0**	**0**	**0**	**0**	**0**	**0**	**0**
Уровни звукового давления от мнимого источника ИШ-2-33_мн.(1) в расчётной точке ночью, дБ		**ф-ла(3)[10]**	**0**	**0**	**0**	**0**	**0**	**0**	**0**	**0**	**0**	**0**	**0**
Уровни звукового давления от мнимого источника ИШ-2-33_мн.(2) в расчётной точке днём, дБ		**ф-ла(3)[10]**	**0**	**0**	**0**	**18**	**19**	**28,2**	**25,4**	**14,4**	**0**	**30,8**	**30,8**
Уровни звукового давления от мнимого источника ИШ-2-33_мн.(2) в расчётной точке ночью, дБ		**ф-ла(3)[10]**	**0**	**0**	**0**	**0**	**0**	**0**	**0**	**0**	**0**	**30,8**	**30,8**

1		2	3	4	5	6	7	8	9	10	11	12	13
Суммарные уровни звукового давления от мнимых источников в расчётной точке днём, дБ		**ф-ла (19) [1]**	**0**	**0**	**0**	**18**	**19**	**28,2**	**25,4**	**14,4**	**0**	**0**	**30,8**
Суммарные уровни звукового давления от мнимых источников в расчётной точке ночью, дБ		**ф-ла (19) [1]**	**0**	**0**	**0**	**18**	**19**	**28,2**	**25,4**	**14,4**	**0**	**0**	**30,8**
Уровни звукового давления от источника ИШ-2-33 в расчётной точке днём, дБ		**ф-ла(3)[10]**	**0**	**37**	**31,4**	**28,8**	**30,7**	**34**	**29,9**	**18,8**	**0**	**36,7**	**36,7**
Уровни звукового давления от источника ИШ-2-33 в расчётной точке ночью, дБ		**ф-ла(3)[10]**	**0**	**37**	**31,4**	**28,8**	**30,7**	**34**	**29,9**	**18,8**	**0**	**36,7**	**36,7**
Источник шума: ИШ-2-34, координаты источника (x,y,z), м =[698.43,-88.85,1.00]													
Уровни звуковой мощности источника днём, Lw, дБ		**исходные данные**	**0**	**93,3**	**94,7**	**96**	**96,3**	**95,9**	**92,6**	**88,4**	**83,9**		
Уровни звуковой мощности источника ночью, Lw, дБ		**исходные данные**	**0**	**93,3**	**94,7**	**96**	**96,3**	**95,9**	**92,6**	**88,4**	**83,9**		
Поправка на телесный угол DΩ, дБ	Ω = 6.28	10Lg(4π/Ω)	**3**	3	3	3	3	3	3	3	3		
Показатель направленности источника Di, дБ		исходные данные	**0**	0	0	0	0	0	0	0	0		
Поправка на направленность источника Dc, дБ	Dc	DΩ + Di	**3**	3	3	3	3	3	3	3	3		
Затухание из-за геометрической дивергенции, Adiv, дБ	расстояние = 484.54 м	ф-ла (7) [10]	**64,7**										
Коэффициент затухания звука в атмосфере α, дБ/км	Ta=20,°C Pa=101.33,кПа hотн.=70%	ф-ла (5) [9]	0,02	0,09	0,33	1,12	2,79	4,98	9,04	23,09	77,63		
Учет затухания звука в атмосфере Aatm, дБ		ф-ла (8) [10]	0	0	0,2	0,5	1,4	2,4	4,4	11,2	37,6		
Снижение поверхностью земли возле источника As, дБ	Gs = 0 hs = 1м	ф-лы таб.3 [10]	-1,5	-1,5	-1,5	-1,5	-1,5	-1,5	-1,5	-1,5	-1,5		
Снижение поверхностью земли возле приёмника Ar, дБ	Gr = 1 hr = 1.6м	ф-лы таб.3 [10]	-1,5	-1,5	2,9	6,8	4,3	0,5	0	0	0		
Снижение поверхностью земли в средней зоне, Am дБ	Gm = 1	ф-лы таб.3 [10]	-2,5	-2,5	0	0	0	0	0	0	0		

1		2	3	4	5	6	7	8	9	10	11	12	13
Суммарное снижение поверхностью земли на траектории распространения звука Agr, дБ		ф-ла (9) [10]	-5,5	-5,5	1,4	5,3	2,8	-1	-1,5	-1,5	-1,5		
Уровни звукового давления прямого звука от источника ИШ-2-34 в расчётной точке днём, дБ		**ф-ла(3)[10]**	**0**	**37,1**	**31,4**	**28,4**	**30,4**	**32,8**	**28**	**17**	**0**	**35,4**	**35,4**
Уровни звукового давления прямого звука от источника ИШ-2-34 в расчётной точке ночью, дБ		**ф-ла(3)[10]**	**0**	**37,1**	**31,4**	**28,4**	**30,4**	**32,8**	**28**	**17**	**0**	**35,4**	**35,4**
Расчёт отражённого звука													
Уровни звукового давления от мнимого источника ИШ-2-34_мн.(1) в расчётной точке днём, дБ		**ф-ла(3)[10]**	**0**	**0**	**25,9**	**18**	**19,1**	**28,2**	**25,5**	**14,4**	**0**	**30,9**	**30,9**
Уровни звукового давления от мнимого источника ИШ-2-34_мн.(1) в расчётной точке ночью, дБ		**ф-ла(3)[10]**	**0**	**0**	**0**	**0**	**0**	**0**	**0**	**0**	**0**	**30,9**	**30,9**
Уровни звукового давления от источника ИШ-2-34 в расчётной точке днём, дБ		**ф-ла(3)[10]**	**0**	**37,1**	**32,5**	**28,8**	**30,7**	**34,1**	**29,9**	**18,9**	**0**	**36,7**	**36,7**
Уровни звукового давления от источника ИШ-2-34 в расчётной точке ночью, дБ		**ф-ла(3)[10]**	**0**	**37,1**	**32,5**	**28,8**	**30,7**	**34,1**	**29,9**	**18,9**	**0**	**36,7**	**36,7**
Источник шума: ИШ-2-35, координаты источника (x,y,z), м =[697.52,-91.66,1.00]													
Уровни звуковой мощности источника днём, Lw, дБ		**исходные данные**	**0**	**93,3**	**94,7**	**96**	**96,3**	**95,9**	**92,6**	**88,4**	**83,9**		
Уровни звуковой мощности источника ночью, Lw, дБ		**исходные данные**	**0**	**93,3**	**94,7**	**96**	**96,3**	**95,9**	**92,6**	**88,4**	**83,9**		
Поправка на телесный угол DΩ, дБ	Ω = 6.28	10Lg(4π/Ω)	**3**	3	3	3	3	3	3	3	3		
Показатель направленности источника Di, дБ		исходные данные	**0**	0	0	0	0	0	0	0	0		
Поправка на направленность источника Dc, дБ	Dc	DΩ + Di	**3**	3	3	3	3	3	3	3	3		
Затухание из-за геометрической дивергенции, Adiv, дБ	расстояние = 483.05 м	ф-ла (7) [10]	**64,7**										
Коэффициент затухания звука в атмосфере α, дБ/км	Ta=20,°C Pa=101.33,кПа hотн.=70%	ф-ла (5) [9]	0,02	0,09	0,33	1,12	2,79	4,98	9,04	23,09	77,63		

1		2	3	4	5	6	7	8	9	10	11	12	13
Учет затухания звука в атмосфере Aatm, дБ		ф-ла (8) [10]	0	0	0,2	0,5	1,3	2,4	4,4	11,2	37,5		
Снижение поверхностью земли возле источника As, дБ	Gs = 0 hs = 1м	ф-лы таб.3 [10]	-1,5	-1,5	-1,5	-1,5	-1,5	-1,5	-1,5	-1,5	-1,5		
Снижение поверхностью земли возле приёмника Ar, дБ	Gr = 1 hr = 1.6м	ф-лы таб.3 [10]	-1,5	-1,5	2,9	6,8	4,3	0,5	0	0	0		
Снижение поверхностью земли в средней зоне, Am дБ	Gm = 1	ф-лы таб.3 [10]	-2,5	-2,5	0	0	0	0	0	0	0		
Суммарное снижение поверхностью земли на траектории распространения звука Agr, дБ		ф-ла (9) [10]	-5,5	-5,5	1,4	5,3	2,8	-1	-1,5	-1,5	-1,5		
Уровни звукового давления прямого звука от источника ИШ-2-35 в расчётной точке днём, дБ		**ф-ла(3)[10]**	**0**	**37,1**	**31,4**	**28,4**	**30,5**	**32,8**	**28**	**17,1**	**0**	**35,4**	**35,4**
Уровни звукового давления прямого звука от источника ИШ-2-35 в расчётной точке ночью, дБ		**ф-ла(3)[10]**	**0**	**37,1**	**31,4**	**28,4**	**30,5**	**32,8**	**28**	**17,1**	**0**	**35,4**	**35,4**
Расчёт отражённого звука													
Уровни звукового давления от мнимого источника ИШ-2-35_мн.(1) в расчётной точке днём, дБ		**ф-ла(3)[10]**	**0**	**0**	**26**	**18,1**	**19,1**	**28,3**	**25,5**	**14,5**	**0**	**30,9**	**30,9**
Уровни звукового давления от мнимого источника ИШ-2-35_мн.(1) в расчётной точке ночью, дБ		**ф-ла(3)[10]**	**0**	**0**	**0**	**0**	**0**	**0**	**0**	**0**	**0**	**30,9**	**30,9**
Уровни звукового давления от источника ИШ-2-35 в расчётной точке днём, дБ		**ф-ла(3)[10]**	**0**	**37,1**	**32,5**	**28,8**	**30,8**	**34,1**	**30**	**19**	**0**	**36,7**	**36,7**
Уровни звукового давления от источника ИШ-2-35 в расчётной точке ночью, дБ		**ф-ла(3)[10]**	**0**	**37,1**	**32,5**	**28,8**	**30,8**	**34,1**	**30**	**19**	**0**	**36,7**	**36,7**
Источник шума: ИШ-2-36, координаты источника (x,y,z), м =[696.58,-94.55,1.00]													
Уровни звуковой мощности источника днём, Lw, дБ		**исходные данные**	**0**	**93,3**	**94,7**	**96**	**96,3**	**95,9**	**92,6**	**88,4**	**83,9**		
Уровни звуковой мощности источника ночью, Lw, дБ		**исходные данные**	**0**	**93,3**	**94,7**	**96**	**96,3**	**95,9**	**92,6**	**88,4**	**83,9**		
Поправка на телесный угол DΩ, дБ	Ω = 6.28	10Lg(4π/Ω)	**3**	3	3	3	3	3	3	3	3		
Показатель направленности источника Di, дБ		исходные данные	**0**	0	0	0	0	0	0	0	0		

1		2	3	4	5	6	7	8	9	10	11	12	13
Поправка на направленность источника Dc, дБ	Dc	DΩ + Di	**3**	3	3	3	3	3	3	3	3		
Затухание из-за геометрической дивергенции, Adiv, дБ	расстояние = 481.53 м	ф-ла (7) [10]	**64,7**										
Коэффициент затухания звука в атмосфере α, дБ/км	Ta=20,°C Pa=101.33,кПа hотн.=70%	ф-ла (5) [9]	0,02	0,09	0,33	1,12	2,79	4,98	9,04	23,09	77,63		
Учет затухания звука в атмосфере Aatm, дБ		ф-ла (8) [10]	0	0	0,2	0,5	1,3	2,4	4,4	11,1	37,4		
Снижение поверхностью земли возле источника As, дБ	Gs = 0 hs = 1м	ф-лы таб.3 [10]	-1,5	-1,5	-1,5	-1,5	-1,5	-1,5	-1,5	-1,5	-1,5		
Снижение поверхностью земли возле приёмника Ar, дБ	Gr = 1 hr = 1.6м	ф-лы таб.3 [10]	-1,5	-1,5	2,9	6,8	4,3	0,5	0	0	0		
Снижение поверхностью земли в средней зоне, Am дБ	Gm = 1	ф-лы таб.3 [10]	-2,5	-2,5	0	0	0	0	0	0	0		
Суммарное снижение поверхностью земли на траектории распространения звука Agr, дБ		ф-ла (9) [10]	-5,5	-5,5	1,4	5,3	2,8	-1	-1,5	-1,5	-1,5		
Уровни звукового давления прямого звука от источника ИШ-2-36 в расчётной точке днём, дБ		**ф-ла(3)[10]**	**0**	**37,1**	**31,5**	**28,5**	**30,5**	**32,8**	**28,1**	**17,1**	**0**	**35,5**	**35,5**
Уровни звукового давления прямого звука от источника ИШ-2-36 в расчётной точке ночью, дБ		**ф-ла(3)[10]**	**0**	**37,1**	**31,5**	**28,5**	**30,5**	**32,8**	**28,1**	**17,1**	**0**	**35,5**	**35,5**
Расчёт отражённого звука													
Уровни звукового давления от мнимого источника ИШ-2-36_мн.(1) в расчётной точке днём, дБ		**ф-ла(3)[10]**	**0**	**0**	**26**	**18,1**	**19,1**	**28,3**	**25,6**	**14,6**	**0**	**30,9**	**30,9**
Уровни звукового давления от мнимого источника ИШ-2-36_мн.(1) в расчётной точке ночью, дБ		**ф-ла(3)[10]**	**0**	**0**	**0**	**0**	**0**	**0**	**0**	**0**	**0**	**30,9**	**30,9**
Уровни звукового давления от источника ИШ-2-36 в расчётной точке днём, дБ		**ф-ла(3)[10]**	**0**	**37,1**	**32,6**	**28,9**	**30,8**	**34,1**	**30**	**19**	**0**	**36,8**	**36,8**
Уровни звукового давления от источника ИШ-2-36 в расчётной точке ночью, дБ		**ф-ла(3)[10]**	**0**	**37,1**	**32,6**	**28,9**	**30,8**	**34,1**	**30**	**19**	**0**	**36,8**	**36,8**

Источник шума: ИШ-2-37, координаты источника (x,y,z), м =[695.57,-97.37,1.00]

1		2	3	4	5	6	7	8	9	10	11	12	13
Уровни звуковой мощности источника днём, Lw, дБ		**исходные данные**	**0**	**93,3**	**94,7**	**96**	**96,3**	**95,9**	**92,6**	**88,4**	**83,9**		
Уровни звуковой мощности источника ночью, Lw, дБ		**исходные данные**	**0**	**93,3**	**94,7**	**96**	**96,3**	**95,9**	**92,6**	**88,4**	**83,9**		
Поправка на телесный угол DΩ, дБ	Ω = 6.28	10Lg(4π/Ω)	**3**	3	3	3	3	3	3	3	3		
Показатель направленности источника Di, дБ		исходные данные	**0**	0	0	0	0	0	0	0	0		
Поправка на направленность источника Dc, дБ	Dc	DΩ + Di	**3**	3	3	3	3	3	3	3	3		
Затухание из-за геометрической дивергенции, Adiv, дБ	расстояние = 479.97 м	ф-ла (7) [10]	**64,6**										
Коэффициент затухания звука в атмосфере α, дБ/км	Ta=20,°C Pa=101.33,кПа hотн.=70%	ф-ла (5) [9]	0,02	0,09	0,33	1,12	2,79	4,98	9,04	23,09	77,63		
Учет затухания звука в атмосфере Aatm, дБ		ф-ла (8) [10]	0	0	0,2	0,5	1,3	2,4	4,3	11,1	37,3		
Снижение поверхностью земли возле источника As, дБ	Gs = 0 hs = 1м	ф-лы таб.3 [10]	-1,5	-1,5	-1,5	-1,5	-1,5	-1,5	-1,5	-1,5	-1,5		
Снижение поверхностью земли возле приёмника Ar, дБ	Gr = 1 hr = 1.6м	ф-лы таб.3 [10]	-1,5	-1,5	2,9	6,8	4,3	0,5	0	0	0		
Снижение поверхностью земли в средней зоне, Am дБ	Gm = 1	ф-лы таб.3 [10]	-2,5	-2,5	0	0	0	0	0	0	0		
Суммарное снижение поверхностью земли на траектории распространения звука Agr, дБ		ф-ла (9) [10]	-5,5	-5,5	1,4	5,3	2,8	-1	-1,5	-1,5	-1,5		
Уровни звукового давления прямого звука от источника ИШ-2-37 в расчётной точке днём, дБ		**ф-ла(3)[10]**	**0**	**37,1**	**31,5**	**28,5**	**30,5**	**32,9**	**28,1**	**17,2**	**0**	**35,5**	**35,5**
Уровни звукового давления прямого звука от источника ИШ-2-37 в расчётной точке ночью, дБ		**ф-ла(3)[10]**	**0**	**37,1**	**31,5**	**28,5**	**30,5**	**32,9**	**28,1**	**17,2**	**0**	**35,5**	**35,5**
Расчёт отражённого звука													
Уровни звукового давления от мнимого источника ИШ-2-37_мн.(1) в расчётной точке днём, дБ		**ф-ла(3)[10]**	**0**	**0**	**26,1**	**18,1**	**19,2**	**28,3**	**25,6**	**14,6**	**0**	**31**	**31**
Уровни звукового давления от мнимого источника ИШ-2-37_мн.(1) в расчётной точке ночью, дБ		**ф-ла(3)[10]**	**0**	**0**	**0**	**0**	**0**	**0**	**0**	**0**	**0**	**31**	**31**

1		2	3	4	5	6	7	8	9	10	11	12	13
Уровни звукового давления от источника ИШ-2-37 в расчётной точке днём, дБ		**ф-ла(3)[10]**	**0**	**37,1**	**32,6**	**28,9**	**30,8**	**34,2**	**30,1**	**19,1**	**0**	**36,8**	**36,8**
Уровни звукового давления от источника ИШ-2-37 в расчётной точке ночью, дБ		**ф-ла(3)[10]**	**0**	**37,1**	**32,6**	**28,9**	**30,8**	**34,2**	**30,1**	**19,1**	**0**	**36,8**	**36,8**
Источник шума: ИШ-2-5, координаты источника (x,y,z), м =[618.60,-108.00,3.00]													
Уровни звуковой мощности источника днём, Lw, дБ		**исходные данные**	**105**	**104**	**104**	**101**	**102**	**106**	**101**	**95**	**87**		
Уровни звуковой мощности источника ночью, Lw, дБ		**исходные данные**	**105**	**104**	**104**	**101**	**102**	**106**	**101**	**95**	**87**		
Поправка на телесный угол DΩ, дБ	Ω = 6.28	10Lg(4π/Ω)	**3**	3	3	3	3	3	3	3	3		
Показатель направленности источника Di, дБ		исходные данные	**0**	0	0	0	0	0	0	0	0		
Поправка на направленность источника Dc, дБ	Dc	DΩ + Di	**3**	3	3	3	3	3	3	3	3		
Затухание из-за геометрической дивергенции, Adiv, дБ	расстояние = 402.46 м	ф-ла (7) [10]	**63,1**										
Коэффициент затухания звука в атмосфере α, дБ/км	Ta=20,°C Pa=101.33,кПа hотн.=70%	ф-ла (5) [9]	0,02	0,09	0,33	1,12	2,79	4,98	9,04	23,09	77,63		
Учет затухания звука в атмосфере Aatm, дБ		ф-ла (8) [10]	0	0	0,1	0,5	1,1	2	3,6	9,3	31,2		
Снижение поверхностью земли возле источника As, дБ	Gs = 0 hs = 3м	ф-лы таб.3 [10]	-1,5	-1,5	-1,5	-1,5	-1,5	-1,5	-1,5	-1,5	-1,5		
Снижение поверхностью земли возле приёмника Ar, дБ	Gr = 1 hr = 1.6м	ф-лы таб.3 [10]	-1,5	-1,5	2,4	6,8	4,3	0,5	0	0	0		
Снижение поверхностью земли в средней зоне, Am дБ	Gm = 1	ф-лы таб.3 [10]	-2	-2	0	0	0	0	0	0	0		
Суммарное снижение поверхностью земли на траектории распространения звука Agr, дБ		ф-ла (9) [10]	-5	-5	0,9	5,3	2,8	-1	-1,5	-1,5	-1,5		
Уровни звукового давления прямого звука от источника ИШ-2-5 в расчётной точке днём, дБ		**ф-ла(3)[10]**	**49,9**	**48,9**	**42,9**	**35,1**	**38**	**44,9**	**38,8**	**27,1**	**0**	**46,6**	**46,6**

1		2	3	4	5	6	7	8	9	10	11	12	13
Уровни звукового давления прямого звука от источника ИШ-2-5 в расчётной точке ночью, дБ		**ф-ла(3)[10]**	**49,9**	**48,9**	**42,9**	**35,1**	**38**	**44,9**	**38,8**	**27,1**	**0**	**46,6**	**46,6**
Расчёт отражённого звука													
Уровни звукового давления от мнимого источника ИШ-2-5_мн.(1) в расчётной точке днём, дБ		**ф-ла(3)[10]**	**0**	**0**	**0**	**0**	**0**	**0**	**0**	**0**	**0**	**0**	**0**
Уровни звукового давления от мнимого источника ИШ-2-5_мн.(1) в расчётной точке ночью, дБ		**ф-ла(3)[10]**	**0**	**0**	**0**	**0**	**0**	**0**	**0**	**0**	**0**	**0**	**0**
Уровни звукового давления от мнимого источника ИШ-2-5_мн.(2) в расчётной точке днём, дБ		**ф-ла(3)[10]**	**0**	**0**	**0**	**0**	**0**	**0**	**0**	**0**	**0**	**0**	**0**
Уровни звукового давления от мнимого источника ИШ-2-5_мн.(2) в расчётной точке ночью, дБ		**ф-ла(3)[10]**	**0**	**0**	**0**	**0**	**0**	**0**	**0**	**0**	**0**	**0**	**0**
Уровни звукового давления от мнимого источника ИШ-2-5_мн.(3) в расчётной точке днём, дБ		**ф-ла(3)[10]**	**0**	**0**	**37,6**	**28,8**	**35,2**	**42,4**	**36,2**	**24,6**	**0**	**44**	**44**
Уровни звукового давления от мнимого источника ИШ-2-5_мн.(3) в расчётной точке ночью, дБ		**ф-ла(3)[10]**	**37,6**	**37,6**	**37,6**	**37,6**	**37,6**	**37,6**	**37,6**	**37,6**	**37,6**	**44**	**44**
Суммарные уровни звукового давления от мнимых источников в расчётной точке днём, дБ		**ф-ла (19) [1]**	**0**	**0**	**37,6**	**28,8**	**35,2**	**42,4**	**36,2**	**24,6**	**0**	**0**	**44**
Суммарные уровни звукового давления от мнимых источников в расчётной точке ночью, дБ		**ф-ла (19) [1]**	**0**	**0**	**37,6**	**28,8**	**35,2**	**42,4**	**36,2**	**24,6**	**0**	**0**	**44**
Уровни звукового давления от источника ИШ-2-5 в расчётной точке днём, дБ		**ф-ла(3)[10]**	**49,9**	**48,9**	**44**	**36**	**39,8**	**46,8**	**40,7**	**29**	**0**	**48,5**	**48,5**
Уровни звукового давления от источника ИШ-2-5 в расчётной точке ночью, дБ		**ф-ла(3)[10]**	**49,9**	**48,9**	**44**	**36**	**39,8**	**46,8**	**40,7**	**29**	**0**	**48,5**	**48,5**
Источник шума: ИШ-2-38, координаты источника (x,y,z), м =[688.13,-119.94,1.00]													
Уровни звуковой мощности источника днём, Lw, дБ		**исходные данные**	**0**	**93,3**	**94,7**	**96**	**96,3**	**95,9**	**92,6**	**88,4**	**83,9**		
Уровни звуковой мощности источника ночью, Lw, дБ		**исходные данные**	**0**	**93,3**	**94,7**	**96**	**96,3**	**95,9**	**92,6**	**88,4**	**83,9**		
Поправка на телесный угол DΩ, дБ	Ω = 6.28	10Lg(4π/Ω)	**3**	3	3	3	3	3	3	3	3		
Показатель направленности источника Di, дБ		исходные данные	**0**	0	0	0	0	0	0	0	0		

1		2	3	4	5	6	7	8	9	10	11	12	13
Поправка на направленность источника Dc, дБ	Dc	DΩ + Di	**3**	3	3	3	3	3	3	3	3		
Затухание из-за геометрической дивергенции, Adiv, дБ	расстояние = 468.65 м	ф-ла (7) [10]	**64,4**										
Коэффициент затухания звука в атмосфере α, дБ/км	Ta=20,°C Pa=101.33,кПа hотн.=70%	ф-ла (5) [9]	0,02	0,09	0,33	1,12	2,79	4,98	9,04	23,09	77,63		
Учет затухания звука в атмосфере Aatm, дБ		ф-ла (8) [10]	0	0	0,2	0,5	1,3	2,3	4,2	10,8	36,4		
Снижение поверхностью земли возле источника As, дБ	Gs = 0 hs = 1м	ф-лы таб.3 [10]	-1,5	-1,5	-1,5	-1,5	-1,5	-1,5	-1,5	-1,5	-1,5		
Снижение поверхностью земли возле приёмника Ar, дБ	Gr = 1 hr = 1.6м	ф-лы таб.3 [10]	-1,5	-1,5	2,8	6,8	4,3	0,5	0	0	0		
Снижение поверхностью земли в средней зоне, Am дБ	Gm = 1	ф-лы таб.3 [10]	-2,5	-2,5	0	0	0	0	0	0	0		
Суммарное снижение поверхностью земли на траектории распространения звука Agr, дБ		ф-ла (9) [10]	-5,5	-5,5	1,3	5,3	2,8	-1	-1,5	-1,5	-1,5		
Уровни звукового давления прямого звука от источника ИШ-2-38 в расчётной точке днём, дБ		**ф-ла(3)[10]**	**0**	**37,3**	**31,8**	**28,7**	**30,8**	**33,1**	**28,4**	**17,7**	**0**	**35,8**	**35,8**
Уровни звукового давления прямого звука от источника ИШ-2-38 в расчётной точке ночью, дБ		**ф-ла(3)[10]**	**0**	**37,3**	**31,8**	**28,7**	**30,8**	**33,1**	**28,4**	**17,7**	**0**	**35,8**	**35,8**
Расчёт отражённого звука													
Уровни звукового давления от мнимого источника ИШ-2-38_мн.(1) в расчётной точке днём, дБ		**ф-ла(3)[10]**	**0**	**0**	**0**	**0**	**0**	**0**	**0**	**0**	**0**	**0**	**0**
Уровни звукового давления от мнимого источника ИШ-2-38_мн.(1) в расчётной точке ночью, дБ		**ф-ла(3)[10]**	**0**	**0**	**0**	**0**	**0**	**0**	**0**	**0**	**0**	**0**	**0**
Уровни звукового давления от мнимого источника ИШ-2-38_мн.(2) в расчётной точке днём, дБ		**ф-ла(3)[10]**	**0**	**0**	**26,4**	**18,4**	**19,4**	**28,6**	**25,9**	**15,1**	**0**	**31,3**	**31,3**
Уровни звукового давления от мнимого источника ИШ-2-38_мн.(2) в расчётной точке ночью, дБ		**ф-ла(3)[10]**	**0**	**0**	**0**	**0**	**0**	**0**	**0**	**0**	**0**	**31,3**	**31,3**
Суммарные уровни звукового давления от мнимых источников в расчётной точке днём, дБ		**ф-ла (19) [1]**	**0**	**0**	**26,4**	**18,4**	**19,4**	**28,6**	**25,9**	**15,1**	**0**	**0**	**31,3**
Суммарные уровни звукового давления от мнимых источников в расчётной точке ночью, дБ		**ф-ла (19) [1]**	**0**	**0**	**26,4**	**18,4**	**19,4**	**28,6**	**25,9**	**15,1**	**0**	**0**	**31,3**

1		2	3	4	5	6	7	8	9	10	11	12	13
Уровни звукового давления от источника ИШ-2-38 в расчётной точке днём, дБ		**ф-ла(3)[10]**	**0**	**37,3**	**32,9**	**29,1**	**31,1**	**34,4**	**30,4**	**19,6**	**0**	**37,1**	**37,1**
Уровни звукового давления от источника ИШ-2-38 в расчётной точке ночью, дБ		**ф-ла(3)[10]**	**0**	**37,3**	**32,9**	**29,1**	**31,1**	**34,4**	**30,4**	**19,6**	**0**	**37,1**	**37,1**
Источник шума: ИШ-2-39, координаты источника (x,y,z), м =[687.11,-122.83,1.00]													
Уровни звуковой мощности источника днём, Lw, дБ		**исходные данные**	**0**	**93,3**	**94,7**	**96**	**96,3**	**95,9**	**92,6**	**88,4**	**83,9**		
Уровни звуковой мощности источника ночью, Lw, дБ		**исходные данные**	**0**	**93,3**	**94,7**	**96**	**96,3**	**95,9**	**92,6**	**88,4**	**83,9**		
Поправка на телесный угол DΩ, дБ	Ω = 6.28	10Lg(4π/Ω)	**3**	3	3	3	3	3	3	3	3		
Показатель направленности источника Di, дБ		исходные данные	**0**	0	0	0	0	0	0	0	0		
Поправка на направленность источника Dc, дБ	Dc	DΩ + Di	**3**	3	3	3	3	3	3	3	3		
Затухание из-за геометрической дивергенции, Adiv, дБ	расстояние = 467.21 м	ф-ла (7) [10]	**64,4**										
Коэффициент затухания звука в атмосфере α, дБ/км	Ta=20,°C Pa=101.33,кПа hотн.=70%	ф-ла (5) [9]	0,02	0,09	0,33	1,12	2,79	4,98	9,04	23,09	77,63		
Учет затухания звука в атмосфере Aatm, дБ		ф-ла (8) [10]	0	0	0,2	0,5	1,3	2,3	4,2	10,8	36,3		
Снижение поверхностью земли возле источника As, дБ	Gs = 0 hs = 1м	ф-лы таб.3 [10]	-1,5	-1,5	-1,5	-1,5	-1,5	-1,5	-1,5	-1,5	-1,5		
Снижение поверхностью земли возле приёмника Ar, дБ	Gr = 1 hr = 1.6м	ф-лы таб.3 [10]	-1,5	-1,5	2,8	6,8	4,3	0,5	0	0	0		
Снижение поверхностью земли в средней зоне, Am дБ	Gm = 1	ф-лы таб.3 [10]	-2,5	-2,5	0	0	0	0	0	0	0		
Суммарное снижение поверхностью земли на траектории распространения звука Agr, дБ		ф-ла (9) [10]	-5,5	-5,5	1,3	5,3	2,8	-1	-1,5	-1,5	-1,5		
Уровни звукового давления прямого звука от источника ИШ-2-39 в расчётной точке днём, дБ		**ф-ла(3)[10]**	**0**	**37,4**	**31,8**	**28,7**	**30,8**	**33,2**	**28,5**	**17,7**	**0**	**35,8**	**35,8**

1		2	3	4	5	6	7	8	9	10	11	12	13
Уровни звукового давления прямого звука от источника ИШ-2-39 в расчётной точке ночью, дБ		**ф-ла(3)[10]**	**0**	**37,4**	**31,8**	**28,7**	**30,8**	**33,2**	**28,5**	**17,7**	**0**	**35,8**	**35,8**
Расчёт отражённого звука													
Уровни звукового давления от мнимого источника ИШ-2-39_мн.(1) в расчётной точке днём, дБ		**ф-ла(3)[10]**	**0**	**0**	**26,5**	**18,4**	**19,4**	**28,6**	**26**	**15,2**	**0**	**31,3**	**31,3**
Уровни звукового давления от мнимого источника ИШ-2-39_мн.(1) в расчётной точке ночью, дБ		**ф-ла(3)[10]**	**0**	**0**	**0**	**0**	**0**	**0**	**0**	**0**	**0**	**31,3**	**31,3**
Уровни звукового давления от источника ИШ-2-39 в расчётной точке днём, дБ		**ф-ла(3)[10]**	**0**	**37,4**	**32,9**	**29,1**	**31,1**	**34,5**	**30,4**	**19,6**	**0**	**37,1**	**37,1**
Уровни звукового давления от источника ИШ-2-39 в расчётной точке ночью, дБ		**ф-ла(3)[10]**	**0**	**37,4**	**32,9**	**29,1**	**31,1**	**34,5**	**30,4**	**19,6**	**0**	**37,1**	**37,1**
Источник шума: ИШ-2-40, координаты источника (x,y,z), м =[686.10,-125.67,1.00]													
Уровни звуковой мощности источника днём, Lw, дБ		**исходные данные**	**0**	**93,3**	**94,7**	**96**	**96,3**	**95,9**	**92,6**	**88,4**	**83,9**		
Уровни звуковой мощности источника ночью, Lw, дБ		**исходные данные**	**0**	**93,3**	**94,7**	**96**	**96,3**	**95,9**	**92,6**	**88,4**	**83,9**		
Поправка на телесный угол DΩ, дБ	Ω = 6.28	10Lg(4π/Ω)	**3**	3	3	3	3	3	3	3	3		
Показатель направленности источника Di, дБ		исходные данные	**0**	0	0	0	0	0	0	0	0		
Поправка на направленность источника Dc, дБ	Dc	DΩ + Di	**3**	3	3	3	3	3	3	3	3		
Затухание из-за геометрической дивергенции, Adiv, дБ	расстояние = 465.79 м	ф-ла (7) [10]	**64,4**										
Коэффициент затухания звука в атмосфере α, дБ/км	Ta=20,°C Pa=101.33,кПа hотн.=70%	ф-ла (5) [9]	0,02	0,09	0,33	1,12	2,79	4,98	9,04	23,09	77,63		
Учет затухания звука в атмосфере Aatm, дБ		ф-ла (8) [10]	0	0	0,2	0,5	1,3	2,3	4,2	10,8	36,2		
Снижение поверхностью земли возле источника As, дБ	Gs = 0 hs = 1м	ф-лы таб.3 [10]	-1,5	-1,5	-1,5	-1,5	-1,5	-1,5	-1,5	-1,5	-1,5		

1		2	3	4	5	6	7	8	9	10	11	12	13
Снижение поверхностью земли возле приёмника Ar, дБ	Gr = 1 hr = 1.6м	ф-лы таб.3 [10]	-1,5	-1,5	2,8	6,8	4,3	0,5	0	0	0		
Снижение поверхностью земли в средней зоне, Am дБ	Gm = 1	ф-лы таб.3 [10]	-2,5	-2,5	0	0	0	0	0	0	0		
Суммарное снижение поверхностью земли на траектории распространения звука Agr, дБ		ф-ла (9) [10]	-5,5	-5,5	1,3	5,3	2,8	-1	-1,5	-1,5	-1,5		
Уровни звукового давления прямого звука от источника ИШ-2-40 в расчётной точке днём, дБ		**ф-ла(3)[10]**	**0**	**37,4**	**31,9**	**28,8**	**30,8**	**33,2**	**28,5**	**17,8**	**0**	**35,8**	**35,8**
Уровни звукового давления прямого звука от источника ИШ-2-40 в расчётной точке ночью, дБ		**ф-ла(3)[10]**	**0**	**37,4**	**31,9**	**28,8**	**30,8**	**33,2**	**28,5**	**17,8**	**0**	**35,8**	**35,8**
Расчёт отражённого звука													
Уровни звукового давления от мнимого источника ИШ-2-40_мн.(1) в расчётной точке днём, дБ		**ф-ла(3)[10]**	**0**	**0**	**26,5**	**18,4**	**19,5**	**28,7**	**26**	**15,2**	**0**	**31,4**	**31,4**
Уровни звукового давления от мнимого источника ИШ-2-40_мн.(1) в расчётной точке ночью, дБ		**ф-ла(3)[10]**	**0**	**0**	**0**	**0**	**0**	**0**	**0**	**0**	**0**	**31,4**	**31,4**
Уровни звукового давления от источника ИШ-2-40 в расчётной точке днём, дБ		**ф-ла(3)[10]**	**0**	**37,4**	**33**	**29,2**	**31,1**	**34,5**	**30,4**	**19,7**	**0**	**37,2**	**37,2**
Уровни звукового давления от источника ИШ-2-40 в расчётной точке ночью, дБ		**ф-ла(3)[10]**	**0**	**37,4**	**33**	**29,2**	**31,1**	**34,5**	**30,4**	**19,7**	**0**	**37,2**	**37,2**
Источник шума: ИШ-2-41, координаты источника (x,y,z), м =[685.14,-128.64,1.00]													
Уровни звуковой мощности источника днём, Lw, дБ		**исходные данные**	**0**	**93,3**	**94,7**	**96**	**96,3**	**95,9**	**92,6**	**88,4**	**83,9**		
Уровни звуковой мощности источника ночью, Lw, дБ		**исходные данные**	**0**	**93,3**	**94,7**	**96**	**96,3**	**95,9**	**92,6**	**88,4**	**83,9**		
Поправка на телесный угол DΩ, дБ	Ω = 6.28	10Lg(4π/Ω)	**3**	3	3	3	3	3	3	3	3		
Показатель направленности источника Di, дБ		исходные данные	**0**	0	0	0	0	0	0	0	0		
Поправка на направленность источника Dc, дБ	Dc	DΩ + Di	**3**	3	3	3	3	3	3	3	3		
Затухание из-за геометрической дивергенции, Adiv, дБ	расстояние = 464.42 м	ф-ла (7) [10]	**64,3**										

1		2	3	4	5	6	7	8	9	10	11	12	13
Коэффициент затухания звука в атмосфере α, дБ/км	Ta=20,°C Pa=101.33,кПа hотн.=70%	ф-ла (5) [9]	0,02	0,09	0,33	1,12	2,79	4,98	9,04	23,09	77,63		
Учет затухания звука в атмосфере Aatm, дБ		ф-ла (8) [10]	0	0	0,2	0,5	1,3	2,3	4,2	10,7	36,1		
Снижение поверхностью земли возле источника As, дБ	Gs = 0 hs = 1м	ф-лы таб.3 [10]	-1,5	-1,5	-1,5	-1,5	-1,5	-1,5	-1,5	-1,5	-1,5		
Снижение поверхностью земли возле приёмника Ar, дБ	Gr = 1 hr = 1.6м	ф-лы таб.3 [10]	-1,5	-1,5	2,8	6,8	4,3	0,5	0	0	0		
Снижение поверхностью земли в средней зоне, Am дБ	Gm = 1	ф-лы таб.3 [10]	-2,5	-2,5	0	0	0	0	0	0	0		
Суммарное снижение поверхностью земли на траектории распространения звука Agr, дБ		ф-ла (9) [10]	-5,5	-5,5	1,3	5,3	2,8	-1	-1,5	-1,5	-1,5		
Уровни звукового давления прямого звука от источника ИШ-2-41 в расчётной точке днём, дБ		**ф-ла(3)[10]**	**0**	**37,4**	**31,9**	**28,8**	**30,8**	**33,2**	**28,6**	**17,8**	**0**	**35,9**	**35,9**
Уровни звукового давления прямого звука от источника ИШ-2-41 в расчётной точке ночью, дБ		**ф-ла(3)[10]**	**0**	**37,4**	**31,9**	**28,8**	**30,8**	**33,2**	**28,6**	**17,8**	**0**	**35,9**	**35,9**
Расчёт отражённого звука													
Уровни звукового давления от мнимого источника ИШ-2-41_мн.(1) в расчётной точке днём, дБ		**ф-ла(3)[10]**	**0**	**0**	**26,6**	**18,4**	**19,5**	**28,7**	**26**	**15,3**	**0**	**31,4**	**31,4**
Уровни звукового давления от мнимого источника ИШ-2-41_мн.(1) в расчётной точке ночью, дБ		**ф-ла(3)[10]**	**0**	**0**	**0**	**0**	**0**	**0**	**0**	**0**	**0**	**31,4**	**31,4**
Уровни звукового давления от источника ИШ-2-41 в расчётной точке днём, дБ		**ф-ла(3)[10]**	**0**	**37,4**	**33**	**29,2**	**31,2**	**34,5**	**30,5**	**19,8**	**0**	**37,2**	**37,2**
Уровни звукового давления от источника ИШ-2-41 в расчётной точке ночью, дБ		**ф-ла(3)[10]**	**0**	**37,4**	**33**	**29,2**	**31,2**	**34,5**	**30,5**	**19,8**	**0**	**37,2**	**37,2**
Источник шума: ИШ-2-42, координаты источника (x,y,z), м =[684.20,-131.46,1.00]													
Уровни звуковой мощности источника днём, Lw, дБ		**исходные данные**	**0**	**93,3**	**94,7**	**96**	**96,3**	**95,9**	**92,6**	**88,4**	**83,9**		
Уровни звуковой мощности источника ночью, Lw, дБ		**исходные данные**	**0**	**93,3**	**94,7**	**96**	**96,3**	**95,9**	**92,6**	**88,4**	**83,9**		

1		2	3	4	5	6	7	8	9	10	11	12	13
Поправка на телесный угол DΩ, дБ	Ω = 6.28	10Lg(4π/Ω)	**3**	3	3	3	3	3	3	3	3		
Показатель направленности источника Di, дБ		исходные данные	**0**	0	0	0	0	0	0	0	0		
Поправка на направленность источника Dc, дБ	Dc	DΩ + Di	**3**	3	3	3	3	3	3	3	3		
Затухание из-за геометрической дивергенции, Adiv, дБ	расстояние = 463.10 м	ф-ла (7) [10]	**64,3**										
Коэффициент затухания звука в атмосфере α, дБ/км	Ta=20,°C Pa=101.33,кПа hотн.=70%	ф-ла (5) [9]	0,02	0,09	0,33	1,12	2,79	4,98	9,04	23,09	77,63		
Учет затухания звука в атмосфере Aatm, дБ		ф-ла (8) [10]	0	0	0,2	0,5	1,3	2,3	4,2	10,7	36		
Снижение поверхностью земли возле источника As, дБ	Gs = 0 hs = 1м	ф-лы таб.3 [10]	-1,5	-1,5	-1,5	-1,5	-1,5	-1,5	-1,5	-1,5	-1,5		
Снижение поверхностью земли возле приёмника Ar, дБ	Gr = 1 hr = 1.6м	ф-лы таб.3 [10]	-1,5	-1,5	2,8	6,8	4,3	0,5	0	0	0		
Снижение поверхностью земли в средней зоне, Am дБ	Gm = 1	ф-лы таб.3 [10]	-2,5	-2,5	0	0	0	0	0	0	0		
Суммарное снижение поверхностью земли на траектории распространения звука Agr, дБ		ф-ла (9) [10]	-5,5	-5,5	1,3	5,3	2,8	-1	-1,5	-1,5	-1,5		
Уровни звукового давления прямого звука от источника ИШ-2-42 в расчётной точке днём, дБ		**ф-ла(3)[10]**	**0**	**37,4**	**31,9**	**28,8**	**30,9**	**33,3**	**28,6**	**17,9**	**0**	**35,9**	**35,9**
Уровни звукового давления прямого звука от источника ИШ-2-42 в расчётной точке ночью, дБ		**ф-ла(3)[10]**	**0**	**37,4**	**31,9**	**28,8**	**30,9**	**33,3**	**28,6**	**17,9**	**0**	**35,9**	**35,9**
Расчёт отражённого звука													
Уровни звукового давления от мнимого источника ИШ-2-42_мн.(1) в расчётной точке днём, дБ		**ф-ла(3)[10]**	**0**	**0**	**26,6**	**18,5**	**19,5**	**28,7**	**26,1**	**15,3**	**0**	**31,4**	**31,4**
Уровни звукового давления от мнимого источника ИШ-2-42_мн.(1) в расчётной точке ночью, дБ		**ф-ла(3)[10]**	**0**	**0**	**0**	**0**	**0**	**0**	**0**	**0**	**0**	**31,4**	**31,4**
Уровни звукового давления от источника ИШ-2-42 в расчётной точке днём, дБ		**ф-ла(3)[10]**	**0**	**37,4**	**33**	**29,2**	**31,2**	**34,6**	**30,5**	**19,8**	**0**	**37,2**	**37,2**
Уровни звукового давления от источника ИШ-2-42 в расчётной точке ночью, дБ		**ф-ла(3)[10]**	**0**	**37,4**	**33**	**29,2**	**31,2**	**34,6**	**30,5**	**19,8**	**0**	**37,2**	**37,2**

1		2	3	4	5	6	7	8	9	10	11	12	13
Источник шума: ИШ-2-43, координаты источника (x,y,z), м =[683.13,-134.37,1.00]													
Уровни звуковой мощности источника днём, Lw, дБ		**исходные данные**	**0**	**93,3**	**94,7**	**96**	**96,3**	**95,9**	**92,6**	**88,4**	**83,9**		
Уровни звуковой мощности источника ночью, Lw, дБ		**исходные данные**	**0**	**93,3**	**94,7**	**96**	**96,3**	**95,9**	**92,6**	**88,4**	**83,9**		
Поправка на телесный угол DΩ, дБ	Ω = 6.28	10Lg(4π/Ω)	**3**	3	3	3	3	3	3	3	3		
Показатель направленности источника Di, дБ		исходные данные	**0**	0	0	0	0	0	0	0	0		
Поправка на направленность источника Dc, дБ	Dc	DΩ + Di	**3**	3	3	3	3	3	3	3	3		
Затухание из-за геометрической дивергенции, Adiv, дБ	расстояние = 461.67 м	ф-ла (7) [10]	**64,3**										
Коэффициент затухания звука в атмосфере α, дБ/км	Ta=20,°C Pa=101.33,кПа hотн.=70%	ф-ла (5) [9]	0,02	0,09	0,33	1,12	2,79	4,98	9,04	23,09	77,63		
Учет затухания звука в атмосфере Aatm, дБ		ф-ла (8) [10]	0	0	0,2	0,5	1,3	2,3	4,2	10,7	35,8		
Снижение уровня звукового давления из-за влияния застройки между источником шума и расчетной точкой													
Снижение уровня звукового давления препятствием слева от трассы ИШ-РТ, Dz2, дБ	z = -0.47м (разность путей)	ф-лы (14-18) [10]	0,9	NAN	NAN	NAN	NAN	NAN	NAN	NAN	NAN		
* отрицательное значение z означает прохождение траектории вблизи экрана, в этом случае дополнительно производится учёт снижения подстилающей поверхностью (см.ниже)													
Снижение поверхностью земли возле источника As, дБ	Gs = 0 hs = 1м	ф-лы таб.3 [10]	-1,5	-1,5	-1,5	-1,5	-1,5	-1,5	-1,5	-1,5	-1,5		
Снижение поверхностью земли возле приёмника Ar, дБ	Gr = 1 hr = 1.6м	ф-лы таб.3 [10]	-1,5	-1,5	2,8	6,8	4,3	0,5	0	0	0		
Снижение поверхностью земли в средней зоне, Am дБ	Gm = 1	ф-лы таб.3 [10]	-2,5	-2,5	0	0	0	0	0	0	0		
Суммарное снижение поверхностью земли на траектории распространения звука Agr, дБ		ф-ла (9) [10]	-5,5	-5,5	1,3	5,3	2,8	-1	-1,5	-1,5	-1,5		
Уровни звукового давления прямого звука от источника ИШ-2-43 в расчётной точке днём, дБ		**ф-ла(3)[10]**	**0**	**37,5**	**32**	**28,9**	**30,9**	**33,3**	**28,6**	**17,9**	**0**	**35,9**	**35,9**

1		2	3	4	5	6	7	8	9	10	11	12	13
Уровни звукового давления прямого звука от источника ИШ-2-43 в расчётной точке ночью, дБ		**ф-ла(3)[10]**	**0**	**37,5**	**32**	**28,9**	**30,9**	**33,3**	**28,6**	**17,9**	**0**	**35,9**	**35,9**
Расчёт отражённого звука													
Уровни звукового давления от мнимого источника ИШ-2-43_мн.(1) в расчётной точке днём, дБ		**ф-ла(3)[10]**	**0**	**0**	**26,7**	**18,5**	**19,6**	**28,8**	**26,1**	**15,4**	**0**	**31,5**	**31,5**
Уровни звукового давления от мнимого источника ИШ-2-43_мн.(1) в расчётной точке ночью, дБ		**ф-ла(3)[10]**	**0**	**0**	**0**	**0**	**0**	**0**	**0**	**0**	**0**	**31,5**	**31,5**
Уровни звукового давления от источника ИШ-2-43 в расчётной точке днём, дБ		**ф-ла(3)[10]**	**0**	**37,5**	**33,1**	**29,2**	**31,2**	**34,6**	**30,6**	**19,9**	**0**	**37,3**	**37,3**
Уровни звукового давления от источника ИШ-2-43 в расчётной точке ночью, дБ		**ф-ла(3)[10]**	**0**	**37,5**	**33,1**	**29,2**	**31,2**	**34,6**	**30,6**	**19,9**	**0**	**37,3**	**37,3**
Источник шума: ИШ-2-44, координаты источника (x,y,z), м =[682.20,-137.16,1.00]													
Уровни звуковой мощности источника днём, Lw, дБ		**исходные данные**	**0**	**93,3**	**94,7**	**96**	**96,3**	**95,9**	**92,6**	**88,4**	**83,9**		
Уровни звуковой мощности источника ночью, Lw, дБ		**исходные данные**	**0**	**93,3**	**94,7**	**96**	**96,3**	**95,9**	**92,6**	**88,4**	**83,9**		
Поправка на телесный угол DΩ, дБ	Ω = 6.28	10Lg(4π/Ω)	**3**	3	3	3	3	3	3	3	3		
Показатель направленности источника Di, дБ		исходные данные	**0**	0	0	0	0	0	0	0	0		
Поправка на направленность источника Dc, дБ	Dc	DΩ + Di	**3**	3	3	3	3	3	3	3	3		
Затухание из-за геометрической дивергенции, Adiv, дБ	расстояние = 460.39 м	ф-ла (7) [10]	**64,3**										
Коэффициент затухания звука в атмосфере α, дБ/км	Ta=20,°C Pa=101.33,кПа hотн.=70%	ф-ла (5) [9]	0,02	0,09	0,33	1,12	2,79	4,98	9,04	23,09	77,63		
Учет затухания звука в атмосфере Aatm, дБ		ф-ла (8) [10]	0	0	0,2	0,5	1,3	2,3	4,2	10,6	35,7		
Снижение уровня звукового давления из-за влияния застройки между источником шума и расчетной точкой													

1		2	3	4	5	6	7	8	9	10	11	12	13
Снижение уровня звукового давления препятствием слева от трассы ИШ-РТ, Dz2, дБ	z = -0.28м (разность путей)	ф-лы (14-18) [10]	3	0	NAN	NAN	NAN	NAN	NAN	NAN	NAN		
* отрицательное значение z означает прохождение траектории вблизи экрана, в этом случае дополнительно производится учёт снижения подстилающей поверхностью (см.ниже)													
Снижение поверхностью земли возле источника As, дБ	Gs = 0 hs = 1м	ф-лы таб.3 [10]	-1,5	-1,5	-1,5	-1,5	-1,5	-1,5	-1,5	-1,5	-1,5		
Снижение поверхностью земли возле приёмника Ar, дБ	Gr = 1 hr = 1.6м	ф-лы таб.3 [10]	-1,5	-1,5	2,8	6,8	4,3	0,5	0	0	0		
Снижение поверхностью земли в средней зоне, Am дБ	Gm = 1	ф-лы таб.3 [10]	-2,5	-2,5	0	0	0	0	0	0	0		
Суммарное снижение поверхностью земли на траектории распространения звука Agr, дБ		ф-ла (9) [10]	-5,5	-5,5	1,3	5,3	2,8	-1	-1,5	-1,5	-1,5		
Уровни звукового давления прямого звука от источника ИШ-2-44 в расчётной точке днём, дБ		**ф-ла(3)[10]**	**0**	**37,5**	**32**	**28,9**	**30,9**	**33,3**	**28,7**	**18**	**0**	**36**	**36**
Уровни звукового давления прямого звука от источника ИШ-2-44 в расчётной точке ночью, дБ		**ф-ла(3)[10]**	**0**	**37,5**	**32**	**28,9**	**30,9**	**33,3**	**28,7**	**18**	**0**	**36**	**36**
Расчёт отражённого звука													
Уровни звукового давления от мнимого источника ИШ-2-44_мн.(1) в расчётной точке днём, дБ		**ф-ла(3)[10]**	**0**	**0**	**0**	**0**	**0**	**0**	**0**	**0**	**0**	**0**	**0**
Уровни звукового давления от мнимого источника ИШ-2-44_мн.(1) в расчётной точке ночью, дБ		**ф-ла(3)[10]**	**0**	**0**	**0**	**0**	**0**	**0**	**0**	**0**	**0**	**0**	**0**
Уровни звукового давления от мнимого источника ИШ-2-44_мн.(2) в расчётной точке днём, дБ		**ф-ла(3)[10]**	**0**	**0**	**26,7**	**18,5**	**19,6**	**28,8**	**26,1**	**15,5**	**0**	**31,5**	**31,5**
Уровни звукового давления от мнимого источника ИШ-2-44_мн.(2) в расчётной точке ночью, дБ		**ф-ла(3)[10]**	**0**	**0**	**0**	**0**	**0**	**0**	**0**	**0**	**0**	**31,5**	**31,5**
Суммарные уровни звукового давления от мнимых источников в расчётной точке днём, дБ		**ф-ла (19) [1]**	**0**	**0**	**26,7**	**18,5**	**19,6**	**28,8**	**26,1**	**15,5**	**0**	**0**	**31,5**
Суммарные уровни звукового давления от мнимых источников в расчётной точке ночью, дБ		**ф-ла (19) [1]**	**0**	**0**	**26,7**	**18,5**	**19,6**	**28,8**	**26,1**	**15,5**	**0**	**0**	**31,5**
Уровни звукового давления от источника ИШ-2-44 в расчётной точке днём, дБ		**ф-ла(3)[10]**	**0**	**37,5**	**33,1**	**29,3**	**31,2**	**34,6**	**30,6**	**19,9**	**0**	**37,3**	**37,3**
Уровни звукового давления от источника ИШ-2-44 в расчётной точке ночью, дБ		**ф-ла(3)[10]**	**0**	**37,5**	**33,1**	**29,3**	**31,2**	**34,6**	**30,6**	**19,9**	**0**	**37,3**	**37,3**

Источник шума: ИШ-2-45, координаты источника (x,y,z), м =[681.26,-139.98,1.00]

1		2	3	4	5	6	7	8	9	10	11	12	13
Уровни звуковой мощности источника днём, Lw, дБ		**исходные данные**	**0**	**93,3**	**94,7**	**96**	**96,3**	**95,9**	**92,6**	**88,4**	**83,9**		
Уровни звуковой мощности источника ночью, Lw, дБ		**исходные данные**	**0**	**93,3**	**94,7**	**96**	**96,3**	**95,9**	**92,6**	**88,4**	**83,9**		
Поправка на телесный угол DΩ, дБ	Ω = 6.28	10Lg(4π/Ω)	**3**	3	3	3	3	3	3	3	3		
Показатель направленности источника Di, дБ		исходные данные	**0**	0	0	0	0	0	0	0	0		
Поправка на направленность источника Dc, дБ	Dc	DΩ + Di	**3**	3	3	3	3	3	3	3	3		
Затухание из-за геометрической дивергенции, Adiv, дБ	расстояние = 459.13 м	ф-ла (7) [10]	**64,2**										
Коэффициент затухания звука в атмосфере α, дБ/км	Ta=20,°C Pa=101.33,кПа hотн.=70%	ф-ла (5) [9]	0,02	0,09	0,33	1,12	2,79	4,98	9,04	23,09	77,63		
Учет затухания звука в атмосфере Aatm, дБ		ф-ла (8) [10]	0	0	0,2	0,5	1,3	2,3	4,2	10,6	35,6		
Снижение уровня звукового давления из-за влияния застройки между источником шума и расчетной точкой													
Снижение уровня звукового давления препятствием слева от трассы ИШ-РТ, Dz2, дБ	z = -0.13м (разность путей)	ф-лы (14-18) [10]	4	3,1	0,4	NAN	NAN	NAN	NAN	NAN	NAN		
* отрицательное значение z означает прохождение траектории вблизи экрана, в этом случае дополнительно производится учёт снижения подстилающей поверхностью (см.ниже)													
Снижение поверхностью земли возле источника As, дБ	Gs = 0 hs = 1м	ф-лы таб.3 [10]	-1,5	-1,5	-1,5	-1,5	-1,5	-1,5	-1,5	-1,5	-1,5		
Снижение поверхностью земли возле приёмника Ar, дБ	Gr = 1 hr = 1.6м	ф-лы таб.3 [10]	-1,5	-1,5	2,8	6,8	4,3	0,5	0	0	0		
Снижение поверхностью земли в средней зоне, Am дБ	Gm = 1	ф-лы таб.3 [10]	-2,5	-2,5	0	0	0	0	0	0	0		
Суммарное снижение поверхностью земли на траектории распространения звука Agr, дБ		ф-ла (9) [10]	-5,5	-5,5	1,3	5,3	2,8	-1	-1,5	-1,5	-1,5		
Уровни звукового давления прямого звука от источника ИШ-2-45 в расчётной точке днём, дБ		**ф-ла(3)[10]**	**0**	**34,4**	**31,6**	**28,9**	**31**	**33,4**	**28,7**	**18,1**	**0**	**36**	**36**
Уровни звукового давления прямого звука от источника ИШ-2-45 в расчётной точке ночью, дБ		**ф-ла(3)[10]**	**0**	**34,4**	**31,6**	**28,9**	**31**	**33,4**	**28,7**	**18,1**	**0**	**36**	**36**
Расчёт отражённого звука													

1		2	3	4	5	6	7	8	9	10	11	12	13
Уровни звукового давления от мнимого источника ИШ-2-45_мн.(1) в расчётной точке днём, дБ		**ф-ла(3)[10]**	**0**	**0**	**0**	**0**	**0**	**0**	**0**	**0**	**0**	**0**	**0**
Уровни звукового давления от мнимого источника ИШ-2-45_мн.(1) в расчётной точке ночью, дБ		**ф-ла(3)[10]**	**0**	**0**	**0**	**0**	**0**	**0**	**0**	**0**	**0**	**0**	**0**
Уровни звукового давления от мнимого источника ИШ-2-45_мн.(2) в расчётной точке днём, дБ		**ф-ла(3)[10]**	**0**	**0**	**26,7**	**18,5**	**19,6**	**28,8**	**26,2**	**15,5**	**0**	**31,5**	**31,5**
Уровни звукового давления от мнимого источника ИШ-2-45_мн.(2) в расчётной точке ночью, дБ		**ф-ла(3)[10]**	**0**	**0**	**0**	**0**	**0**	**0**	**0**	**0**	**0**	**31,5**	**31,5**
Суммарные уровни звукового давления от мнимых источников в расчётной точке днём, дБ		**ф-ла (19) [1]**	**0**	**0**	**26,7**	**18,5**	**19,6**	**28,8**	**26,2**	**15,5**	**0**	**0**	**31,5**
Суммарные уровни звукового давления от мнимых источников в расчётной точке ночью, дБ		**ф-ла (19) [1]**	**0**	**0**	**26,7**	**18,5**	**19,6**	**28,8**	**26,2**	**15,5**	**0**	**0**	**31,5**
Уровни звукового давления от источника ИШ-2-45 в расчётной точке днём, дБ		**ф-ла(3)[10]**	**0**	**34,4**	**32,9**	**29,3**	**31,3**	**34,7**	**30,6**	**20**	**0**	**37,3**	**37,3**
Уровни звукового давления от источника ИШ-2-45 в расчётной точке ночью, дБ		**ф-ла(3)[10]**	**0**	**34,4**	**32,9**	**29,3**	**31,3**	**34,7**	**30,6**	**20**	**0**	**37,3**	**37,3**
Источник шума: ИШ-4-1, координаты источника (x,y,z), м =[141.82,201.03,1.00]													
Уровни звуковой мощности источника днём, Lw, дБ		**исходные данные**	**0**	**90,3**	**91,7**	**93**	**93,3**	**92,9**	**89,6**	**85,4**	**80,9**		
Уровни звуковой мощности источника ночью, Lw, дБ		**исходные данные**	**0**	**90,3**	**91,7**	**93**	**93,3**	**92,9**	**89,6**	**85,4**	**80,9**		
Поправка на телесный угол DΩ, дБ	Ω = 6.28	10Lg(4π/Ω)	**3**	3	3	3	3	3	3	3	3		
Показатель направленности источника Di, дБ		исходные данные	**0**	0	0	0	0	0	0	0	0		
Поправка на направленность источника Dc, дБ	Dc	DΩ + Di	**3**	3	3	3	3	3	3	3	3		
Затухание из-за геометрической дивергенции, Adiv, дБ	расстояние = 402.57 м	ф-ла (7) [10]	**63,1**										
Коэффициент затухания звука в атмосфере α, дБ/км	Ta=20,°C Pa=101.33,кПа hотн.=70%	ф-ла (5) [9]	0,02	0,09	0,33	1,12	2,79	4,98	9,04	23,09	77,63		

1		2	3	4	5	6	7	8	9	10	11	12	13
Учет затухания звука в атмосфере Aatm, дБ		ф-ла (8) [10]	0	0	0,1	0,5	1,1	2	3,6	9,3	31,3		
Снижение поверхностью земли возле источника As, дБ	Gs = 0 hs = 1м	ф-лы таб.3 [10]	-1,5	-1,5	-1,5	-1,5	-1,5	-1,5	-1,5	-1,5	-1,5		
Снижение поверхностью земли возле приёмника Ar, дБ	Gr = 1 hr = 1.6м	ф-лы таб.3 [10]	-1,5	-1,5	2,4	6,8	4,3	0,5	0	0	0		
Снижение поверхностью земли в средней зоне, Am дБ	Gm = 1	ф-лы таб.3 [10]	-2,4	-2,4	0	0	0	0	0	0	0		
Суммарное снижение поверхностью земли на траектории распространения звука Agr, дБ		ф-ла (9) [10]	-5,4	-5,4	0,9	5,3	2,8	-1	-1,5	-1,5	-1,5		
Уровни звукового давления прямого звука от источника ИШ-4-1 в расчётной точке днём, дБ		**ф-ла(3)[10]**	**0**	**35,6**	**30,6**	**27,1**	**29,3**	**31,8**	**27,4**	**17,5**	**0**	**34,5**	**34,5**
Уровни звукового давления прямого звука от источника ИШ-4-1 в расчётной точке ночью, дБ		**ф-ла(3)[10]**	**0**	**35,6**	**30,6**	**27,1**	**29,3**	**31,8**	**27,4**	**17,5**	**0**	**34,5**	**34,5**
Расчёт отражённого звука													
Уровни звукового давления от мнимого источника ИШ-4-1_мн.(1) в расчётной точке днём, дБ		**ф-ла(3)[10]**	**0**	**0**	**0**	**0**	**0**	**0**	**22,1**	**10,8**	**0**	**23,6**	**23,6**
Уровни звукового давления от мнимого источника ИШ-4-1_мн.(1) в расчётной точке ночью, дБ		**ф-ла(3)[10]**	**0**	**0**	**0**	**0**	**0**	**0**	**0**	**0**	**0**	**23,6**	**23,6**
Уровни звукового давления от мнимого источника ИШ-4-1_мн.(2) в расчётной точке днём, дБ		**ф-ла(3)[10]**	**0**	**0**	**25,6**	**16,7**	**17,9**	**27,2**	**24,8**	**14,9**	**0**	**30**	**30**
Уровни звукового давления от мнимого источника ИШ-4-1_мн.(2) в расчётной точке ночью, дБ		**ф-ла(3)[10]**	**0**	**0**	**0**	**0**	**0**	**0**	**0**	**0**	**0**	**30**	**30**
Суммарные уровни звукового давления от мнимых источников в расчётной точке днём, дБ		**ф-ла (19) [1]**	**0**	**0**	**25,6**	**16,7**	**17,9**	**27,2**	**26,6**	**16,3**	**0**	**0**	**30,9**
Суммарные уровни звукового давления от мнимых источников в расчётной точке ночью, дБ		**ф-ла (19) [1]**	**0**	**0**	**25,6**	**16,7**	**17,9**	**27,2**	**26,6**	**16,3**	**0**	**0**	**30,9**
Уровни звукового давления от источника ИШ-4-1 в расчётной точке днём, дБ		**ф-ла(3)[10]**	**0**	**35,6**	**31,8**	**27,5**	**29,6**	**33,1**	**30**	**20**	**0**	**36,1**	**36,1**
Уровни звукового давления от источника ИШ-4-1 в расчётной точке ночью, дБ		**ф-ла(3)[10]**	**0**	**35,6**	**31,8**	**27,5**	**29,6**	**33,1**	**30**	**20**	**0**	**36,1**	**36,1**
Источник шума: ИШ-4-2, координаты источника (x,y,z), м =[133.85,183.21,1.00]													

1		2	3	4	5	6	7	8	9	10	11	12	13
Уровни звуковой мощности источника днём, Lw, дБ		**исходные данные**	**0**	**90,3**	**91,7**	**93**	**93,3**	**92,9**	**89,6**	**85,4**	**80,9**		
Уровни звуковой мощности источника ночью, Lw, дБ		**исходные данные**	**0**	**90,3**	**91,7**	**93**	**93,3**	**92,9**	**89,6**	**85,4**	**80,9**		
Поправка на телесный угол DΩ, дБ	Ω = 6.28	10Lg(4π/Ω)	**3**	3	3	3	3	3	3	3	3		
Показатель направленности источника Di, дБ		исходные данные	**0**	0	0	0	0	0	0	0	0		
Поправка на направленность источника Dc, дБ	Dc	DΩ + Di	**3**	3	3	3	3	3	3	3	3		
Затухание из-за геометрической дивергенции, Adiv, дБ	расстояние = 386.96 м	ф-ла (7) [10]	**62,8**										
Коэффициент затухания звука в атмосфере α, дБ/км	Ta=20,°C Pa=101.33,кПа hотн.=70%	ф-ла (5) [9]	0,02	0,09	0,33	1,12	2,79	4,98	9,04	23,09	77,63		
Учет затухания звука в атмосфере Aatm, дБ		ф-ла (8) [10]	0	0	0,1	0,4	1,1	1,9	3,5	8,9	30		
Снижение поверхностью земли возле источника As, дБ	Gs = 0 hs = 1м	ф-лы таб.3 [10]	-1,5	-1,5	-1,5	-1,5	-1,5	-1,5	-1,5	-1,5	-1,5		
Снижение поверхностью земли возле приёмника Ar, дБ	Gr = 1 hr = 1.6м	ф-лы таб.3 [10]	-1,5	-1,5	2,3	6,8	4,3	0,5	0	0	0		
Снижение поверхностью земли в средней зоне, Am дБ	Gm = 1	ф-лы таб.3 [10]	-2,4	-2,4	0	0	0	0	0	0	0		
Суммарное снижение поверхностью земли на траектории распространения звука Agr, дБ		ф-ла (9) [10]	-5,4	-5,4	0,8	5,3	2,8	-1	-1,5	-1,5	-1,5		
Уровни звукового давления прямого звука от источника ИШ-4-2 в расчётной точке днём, дБ		**ф-ла(3)[10]**	**0**	**35,9**	**31**	**27,5**	**29,6**	**32,2**	**27,8**	**18,2**	**0**	**34,9**	**34,9**
Уровни звукового давления прямого звука от источника ИШ-4-2 в расчётной точке ночью, дБ		**ф-ла(3)[10]**	**0**	**35,9**	**31**	**27,5**	**29,6**	**32,2**	**27,8**	**18,2**	**0**	**34,9**	**34,9**
Расчёт отражённого звука													
Уровни звукового давления от мнимого источника ИШ-4-2_мн.(1) в расчётной точке днём, дБ		**ф-ла(3)[10]**	**0**	**0**	**26,2**	**17,1**	**18,3**	**27,6**	**25,3**	**15,6**	**0**	**30,5**	**30,5**
Уровни звукового давления от мнимого источника ИШ-4-2_мн.(1) в расчётной точке ночью, дБ		**ф-ла(3)[10]**	**0**	**0**	**0**	**0**	**0**	**0**	**0**	**0**	**0**	**30,5**	**30,5**

1		2	3	4	5	6	7	8	9	10	11	12	13
Уровни звукового давления от источника ИШ-4-2 в расчётной точке днём, дБ		**ф-ла(3)[10]**	**0**	**35,9**	**32,2**	**27,9**	**30**	**33,5**	**29,8**	**20,1**	**0**	**36,3**	**36,3**
Уровни звукового давления от источника ИШ-4-2 в расчётной точке ночью, дБ		**ф-ла(3)[10]**	**0**	**35,9**	**32,2**	**27,9**	**30**	**33,5**	**29,8**	**20,1**	**0**	**36,3**	**36,3**
Источник шума: ИШ-4-3, координаты источника (x,y,z), м =[152.61,172.66,1.00]													
Уровни звуковой мощности источника днём, Lw, дБ		**исходные данные**	**0**	**90,3**	**91,7**	**93**	**93,3**	**92,9**	**89,6**	**85,4**	**80,9**		
Уровни звуковой мощности источника ночью, Lw, дБ		**исходные данные**	**0**	**90,3**	**91,7**	**93**	**93,3**	**92,9**	**89,6**	**85,4**	**80,9**		
Поправка на телесный угол DΩ, дБ	Ω = 6.28	10Lg(4π/Ω)	**3**	3	3	3	3	3	3	3	3		
Показатель направленности источника Di, дБ		исходные данные	**0**	0	0	0	0	0	0	0	0		
Поправка на направленность источника Dc, дБ	Dc	DΩ + Di	**3**	3	3	3	3	3	3	3	3		
Затухание из-за геометрической дивергенции, Adiv, дБ	расстояние = 372.61 м	ф-ла (7) [10]	**62,4**										
Коэффициент затухания звука в атмосфере α, дБ/км	Ta=20,°C Pa=101.33,кПа hотн.=70%	ф-ла (5) [9]	0,02	0,09	0,33	1,12	2,79	4,98	9,04	23,09	77,63		
Учет затухания звука в атмосфере Aatm, дБ		ф-ла (8) [10]	0	0	0,1	0,4	1	1,9	3,4	8,6	28,9		
Снижение поверхностью земли возле источника As, дБ	Gs = 0 hs = 1м	ф-лы таб.3 [10]	-1,5	-1,5	-1,5	-1,5	-1,5	-1,5	-1,5	-1,5	-1,5		
Снижение поверхностью земли возле приёмника Ar, дБ	Gr = 1 hr = 1.6м	ф-лы таб.3 [10]	-1,5	-1,5	2,2	6,8	4,3	0,5	0	0	0		
Снижение поверхностью земли в средней зоне, Am дБ	Gm = 1	ф-лы таб.3 [10]	-2,4	-2,4	0	0	0	0	0	0	0		
Суммарное снижение поверхностью земли на траектории распространения звука Agr, дБ		ф-ла (9) [10]	-5,4	-5,4	0,7	5,3	2,8	-1	-1,5	-1,5	-1,5		
Уровни звукового давления прямого звука от источника ИШ-4-3 в расчётной точке днём, дБ		**ф-ла(3)[10]**	**0**	**36,2**	**31,4**	**27,8**	**30**	**32,6**	**28,3**	**18,9**	**0**	**35,3**	**35,3**

1		2	3	4	5	6	7	8	9	10	11	12	13
Уровни звукового давления прямого звука от источника ИШ-4-3 в расчётной точке ночью, дБ		**ф-ла(3)[10]**	**0**	**36,2**	**31,4**	**27,8**	**30**	**32,6**	**28,3**	**18,9**	**0**	**35,3**	**35,3**
Расчёт отражённого звука													
Уровни звукового давления от мнимого источника ИШ-4-3_мн.(1) в расчётной точке днём, дБ		**ф-ла(3)[10]**	**0**	**0**	**0**	**0**	**0**	**26,7**	**24,2**	**14**	**0**	**29,3**	**29,3**
Уровни звукового давления от мнимого источника ИШ-4-3_мн.(1) в расчётной точке ночью, дБ		**ф-ла(3)[10]**	**0**	**0**	**0**	**0**	**0**	**0**	**0**	**0**	**0**	**29,3**	**29,3**
Уровни звукового давления от мнимого источника ИШ-4-3_мн.(2) в расчётной точке днём, дБ		**ф-ла(3)[10]**	**0**	**0**	**26,7**	**17,4**	**18,6**	**28**	**25,7**	**16,2**	**0**	**30,9**	**30,9**
Уровни звукового давления от мнимого источника ИШ-4-3_мн.(2) в расчётной точке ночью, дБ		**ф-ла(3)[10]**	**0**	**0**	**0**	**0**	**0**	**0**	**0**	**0**	**0**	**30,9**	**30,9**
Суммарные уровни звукового давления от мнимых источников в расчётной точке днём, дБ		**ф-ла (19) [1]**	**0**	**0**	**26,7**	**17,4**	**18,6**	**30,4**	**28**	**18,3**	**0**	**0**	**33,2**
Суммарные уровни звукового давления от мнимых источников в расчётной точке ночью, дБ		**ф-ла (19) [1]**	**0**	**0**	**26,7**	**17,4**	**18,6**	**30,4**	**28**	**18,3**	**0**	**0**	**33,2**
Уровни звукового давления от источника ИШ-4-3 в расчётной точке днём, дБ		**ф-ла(3)[10]**	**0**	**36,2**	**32,7**	**28,2**	**30,3**	**34,7**	**31,2**	**21,6**	**0**	**37,4**	**37,4**
Уровни звукового давления от источника ИШ-4-3 в расчётной точке ночью, дБ		**ф-ла(3)[10]**	**0**	**36,2**	**32,7**	**28,2**	**30,3**	**34,7**	**31,2**	**21,6**	**0**	**37,4**	**37,4**
Источник шума: ИШ-4-4, координаты источника (x,y,z), м =[156.83,171.25,1.00]													
Уровни звуковой мощности источника днём, Lw, дБ		**исходные данные**	**0**	**90,3**	**91,7**	**93**	**93,3**	**92,9**	**89,6**	**85,4**	**80,9**		
Уровни звуковой мощности источника ночью, Lw, дБ		**исходные данные**	**0**	**90,3**	**91,7**	**93**	**93,3**	**92,9**	**89,6**	**85,4**	**80,9**		
Поправка на телесный угол DΩ, дБ	Ω = 6.28	10Lg(4π/Ω)	**3**	3	3	3	3	3	3	3	3		
Показатель направленности источника Di, дБ		исходные данные	**0**	0	0	0	0	0	0	0	0		
Поправка на направленность источника Dc, дБ	Dc	DΩ + Di	**3**	3	3	3	3	3	3	3	3		
Затухание из-за геометрической дивергенции, Adiv, дБ	расстояние = 370.43 м	ф-ла (7) [10]	**62,4**										

1		2	3	4	5	6	7	8	9	10	11	12	13
Коэффициент затухания звука в атмосфере α, дБ/км	Та=20,°С Ра=101.33,кПа hотн.=70%	ф-ла (5) [9]	0,02	0,09	0,33	1,12	2,79	4,98	9,04	23,09	77,63		
Учет затухания звука в атмосфере Aatm, дБ		ф-ла (8) [10]	0	0	0,1	0,4	1	1,8	3,3	8,6	28,8		
Снижение поверхностью земли возле источника As, дБ	Gs = 0 hs = 1м	ф-лы таб.3 [10]	-1,5	-1,5	-1,5	-1,5	-1,5	-1,5	-1,5	-1,5	-1,5		
Снижение поверхностью земли возле приёмника Ar, дБ	Gr = 1 hr = 1.6м	ф-лы таб.3 [10]	-1,5	-1,5	2,2	6,8	4,3	0,5	0	0	0		
Снижение поверхностью земли в средней зоне, Am дБ	Gm = 1	ф-лы таб.3 [10]	-2,4	-2,4	0	0	0	0	0	0	0		
Суммарное снижение поверхностью земли на траектории распространения звука Agr, дБ		ф-ла (9) [10]	-5,4	-5,4	0,7	5,3	2,8	-1	-1,5	-1,5	-1,5		
Уровни звукового давления прямого звука от источника ИШ-4-4 в расчётной точке днём, дБ		**ф-ла(3)[10]**	**0**	**36,3**	**31,5**	**27,9**	**30,1**	**32,7**	**28,4**	**19**	**0**	**35,4**	**35,4**
Уровни звукового давления прямого звука от источника ИШ-4-4 в расчётной точке ночью, дБ		**ф-ла(3)[10]**	**0**	**36,3**	**31,5**	**27,9**	**30,1**	**32,7**	**28,4**	**19**	**0**	**35,4**	**35,4**
Расчёт отражённого звука													
Уровни звукового давления от мнимого источника ИШ-4-4_мн.(1) в расчётной точке днём, дБ		**ф-ла(3)[10]**	**0**	**35,2**	**26,8**	**17,5**	**18,7**	**28,1**	**25,8**	**16,3**	**0**	**31**	**31**
Уровни звукового давления от мнимого источника ИШ-4-4_мн.(1) в расчётной точке ночью, дБ		**ф-ла(3)[10]**	**0**	**0**	**0**	**0**	**0**	**0**	**0**	**0**	**0**	**31**	**31**
Уровни звукового давления от мнимого источника ИШ-4-4_мн.(2) в расчётной точке днём, дБ		**ф-ла(3)[10]**	**0**	**0**	**0**	**0**	**0**	**0**	**0**	**0**	**0**	**0**	**0**
Уровни звукового давления от мнимого источника ИШ-4-4_мн.(2) в расчётной точке ночью, дБ		**ф-ла(3)[10]**	**0**	**0**	**0**	**0**	**0**	**0**	**0**	**0**	**0**	**0**	**0**
Суммарные уровни звукового давления от мнимых источников в расчётной точке днём, дБ		**ф-ла (19) [1]**	**0**	**35,2**	**26,8**	**17,5**	**18,7**	**28,1**	**25,8**	**16,3**	**0**	**0**	**31**
Суммарные уровни звукового давления от мнимых источников в расчётной точке ночью, дБ		**ф-ла (19) [1]**	**0**	**35,2**	**26,8**	**17,5**	**18,7**	**28,1**	**25,8**	**16,3**	**0**	**0**	**31**
Уровни звукового давления от источника ИШ-4-4 в расчётной точке днём, дБ		**ф-ла(3)[10]**	**0**	**38,8**	**32,8**	**28,3**	**30,4**	**34**	**30,3**	**20,9**	**0**	**36,7**	**36,7**
Уровни звукового давления от источника ИШ-4-4 в расчётной точке ночью, дБ		**ф-ла(3)[10]**	**0**	**38,8**	**32,8**	**28,3**	**30,4**	**34**	**30,3**	**20,9**	**0**	**36,7**	**36,7**

1		2	3	4	5	6	7	8	9	10	11	12	13
Источник шума: ИШ-4-5, координаты источника (x,y,z), м =[126.48,222.66,11.00]													
Уровни звуковой мощности источника днём, Lw, дБ		**исходные данные**	**0**	**90,3**	**91,7**	**93**	**93,3**	**92,9**	**89,6**	**85,4**	**80,9**		
Уровни звуковой мощности источника ночью, Lw, дБ		**исходные данные**	**0**	**90,3**	**91,7**	**93**	**93,3**	**92,9**	**89,6**	**85,4**	**80,9**		
Поправка на телесный угол DΩ, дБ	Ω = 6.28	10Lg(4π/Ω)	**3**	3	3	3	3	3	3	3	3		
Показатель направленности источника Di, дБ		исходные данные	**0**	0	0	0	0	0	0	0	0		
Поправка на направленность источника Dc, дБ	Dc	DΩ + Di	**3**	3	3	3	3	3	3	3	3		
Затухание из-за геометрической дивергенции, Adiv, дБ	расстояние = 427.14 м	ф-ла (7) [10]	**63,6**										
Коэффициент затухания звука в атмосфере α, дБ/км	Ta=20,°C Pa=101.33,кПа hотн.=70%	ф-ла (5) [9]	0,02	0,09	0,33	1,12	2,79	4,98	9,04	23,09	77,63		
Учет затухания звука в атмосфере Aatm, дБ		ф-ла (8) [10]	0	0	0,1	0,5	1,2	2,1	3,9	9,9	33,2		
Снижение поверхностью земли возле источника As, дБ	Gs = 0 hs = 1м	ф-лы таб.3 [10]	-1,5	-1,5	-1,5	-1,5	-1,5	-1,5	-1,5	-1,5	-1,5		
Снижение поверхностью земли возле приёмника Ar, дБ	Gr = 1 hr = 1.6м	ф-лы таб.3 [10]	-1,5	-1,5	2,6	6,8	4,3	0,5	0	0	0		
Снижение поверхностью земли в средней зоне, Am дБ	Gm = 1	ф-лы таб.3 [10]	-2,5	-2,5	0	0	0	0	0	0	0		
Суммарное снижение поверхностью земли на траектории распространения звука Agr, дБ		ф-ла (9) [10]	-5,5	-5,5	1,1	5,3	2,8	-1	-1,5	-1,5	-1,5		
Уровни звукового давления прямого звука от источника ИШ-4-5 в расчётной точке днём, дБ		**ф-ла(3)[10]**	**0**	**35,1**	**29,9**	**26,6**	**28,7**	**31,2**	**26,6**	**16,4**	**0**	**33,8**	**33,8**
Уровни звукового давления прямого звука от источника ИШ-4-5 в расчётной точке ночью, дБ		**ф-ла(3)[10]**	**0**	**35,1**	**29,9**	**26,6**	**28,7**	**31,2**	**26,6**	**16,4**	**0**	**33,8**	**33,8**
Расчёт отражённого звука													

1		2	3	4	5	6	7	8	9	10	11	12	13
Уровни звукового давления от мнимого источника ИШ-4-5_мн.(1) в расчётной точке днём, дБ		**ф-ла(3)[10]**	**0**	**0**	**24,8**	**16,2**	**17,3**	**26,6**	**24**	**13,8**	**0**	**29,3**	**29,3**
Уровни звукового давления от мнимого источника ИШ-4-5_мн.(1) в расчётной точке ночью, дБ		**ф-ла(3)[10]**	**0**	**0**	**0**	**0**	**0**	**0**	**0**	**0**	**0**	**29,3**	**29,3**
Уровни звукового давления от источника ИШ-4-5 в расчётной точке днём, дБ		**ф-ла(3)[10]**	**0**	**35,1**	**31**	**27**	**29**	**32,5**	**28,5**	**18,3**	**0**	**35,1**	**35,1**
Уровни звукового давления от источника ИШ-4-5 в расчётной точке ночью, дБ		**ф-ла(3)[10]**	**0**	**35,1**	**31**	**27**	**29**	**32,5**	**28,5**	**18,3**	**0**	**35,1**	**35,1**
Источник шума: ИШ-4-6, координаты источника (x,y,z), м =[125.17,218.57,11.00]													
Уровни звуковой мощности источника днём, Lw, дБ		**исходные данные**	**0**	**90,3**	**91,7**	**93**	**93,3**	**92,9**	**89,6**	**85,4**	**80,9**		
Уровни звуковой мощности источника ночью, Lw, дБ		**исходные данные**	**0**	**90,3**	**91,7**	**93**	**93,3**	**92,9**	**89,6**	**85,4**	**80,9**		
Поправка на телесный угол DΩ, дБ	Ω = 6.28	10Lg(4π/Ω)	**3**	3	3	3	3	3	3	3	3		
Показатель направленности источника Di, дБ		исходные данные	**0**	0	0	0	0	0	0	0	0		
Поправка на направленность источника Dc, дБ	Dc	DΩ + Di	**3**	3	3	3	3	3	3	3	3		
Затухание из-за геометрической дивергенции, Adiv, дБ	расстояние = 423.48 м	ф-ла (7) [10]	**63,5**										
Коэффициент затухания звука в атмосфере α, дБ/км	Ta=20,°C Pa=101.33,кПа hотн.=70%	ф-ла (5) [9]	0,02	0,09	0,33	1,12	2,79	4,98	9,04	23,09	77,63		
Учет затухания звука в атмосфере Aatm, дБ		ф-ла (8) [10]	0	0	0,1	0,5	1,2	2,1	3,8	9,8	32,9		
Снижение поверхностью земли возле источника As, дБ	Gs = 0 hs = 1м	ф-лы таб.3 [10]	-1,5	-1,5	-1,5	-1,5	-1,5	-1,5	-1,5	-1,5	-1,5		
Снижение поверхностью земли возле приёмника Ar, дБ	Gr = 1 hr = 1.6м	ф-лы таб.3 [10]	-1,5	-1,5	2,5	6,8	4,3	0,5	0	0	0		
Снижение поверхностью земли в средней зоне, Am дБ	Gm = 1	ф-лы таб.3 [10]	-2,4	-2,4	0	0	0	0	0	0	0		

1		2	3	4	5	6	7	8	9	10	11	12	13
Суммарное снижение поверхностью земли на траектории распространения звука Agr, дБ		ф-ла (9) [10]	-5,4	-5,4	1	5,3	2,8	-1	-1,5	-1,5	-1,5		
Уровни звукового давления прямого звука от источника ИШ-4-6 в расчётной точке днём, дБ		**ф-ла(3)[10]**	**0**	**35,2**	**30**	**26,7**	**28,8**	**31,2**	**26,7**	**16,6**	**0**	**33,9**	**33,9**
Уровни звукового давления прямого звука от источника ИШ-4-6 в расчётной точке ночью, дБ		**ф-ла(3)[10]**	**0**	**35,2**	**30**	**26,7**	**28,8**	**31,2**	**26,7**	**16,6**	**0**	**33,9**	**33,9**
Расчёт отражённого звука													
Уровни звукового давления от мнимого источника ИШ-4-6_мн.(1) в расчётной точке днём, дБ		**ф-ла(3)[10]**	**0**	**0**	**24,9**	**16,2**	**17,4**	**26,7**	**24,2**	**14**	**0**	**29,4**	**29,4**
Уровни звукового давления от мнимого источника ИШ-4-6_мн.(1) в расчётной точке ночью, дБ		**ф-ла(3)[10]**	**0**	**0**	**0**	**0**	**0**	**0**	**0**	**0**	**0**	**29,4**	**29,4**
Уровни звукового давления от источника ИШ-4-6 в расчётной точке днём, дБ		**ф-ла(3)[10]**	**0**	**35,2**	**31,2**	**27**	**29,1**	**32,5**	**28,6**	**18,5**	**0**	**35,2**	**35,2**
Уровни звукового давления от источника ИШ-4-6 в расчётной точке ночью, дБ		**ф-ла(3)[10]**	**0**	**35,2**	**31,2**	**27**	**29,1**	**32,5**	**28,6**	**18,5**	**0**	**35,2**	**35,2**
Источник шума: ИШ-4-7, координаты источника (x,y,z), м =[177.91,257.92,11.00]													
Уровни звуковой мощности источника днём, Lw, дБ		**исходные данные**	**0**	**90,3**	**91,7**	**93**	**93,3**	**92,9**	**89,6**	**85,4**	**80,9**		
Уровни звуковой мощности источника ночью, Lw, дБ		**исходные данные**	**0**	**90,3**	**91,7**	**93**	**93,3**	**92,9**	**89,6**	**85,4**	**80,9**		
Поправка на телесный угол DΩ, дБ	Ω = 6.28	10Lg(4π/Ω)	**3**	3	3	3	3	3	3	3	3		
Показатель направленности источника Di, дБ		исходные данные	**0**	0	0	0	0	0	0	0	0		
Поправка на направленность источника Dc, дБ	Dc	DΩ + Di	**3**	3	3	3	3	3	3	3	3		
Затухание из-за геометрической дивергенции, Adiv, дБ	расстояние = 453.31 м	ф-ла (7) [10]	**64,1**										
Коэффициент затухания звука в атмосфере α, дБ/км	Ta=20,°C Pa=101.33,кПа hотн.=70%	ф-ла (5) [9]	0,02	0,09	0,33	1,12	2,79	4,98	9,04	23,09	77,63		

1		2	3	4	5	6	7	8	9	10	11	12	13
Учет затухания звука в атмосфере Aatm, дБ		ф-ла (8) [10]	0	0	0,2	0,5	1,3	2,3	4,1	10,5	35,2		
Снижение поверхностью земли возле источника As, дБ	Gs = 0 hs = 3м	ф-лы таб.3 [10]	-1,5	-1,5	-1,5	-1,5	-1,5	-1,5	-1,5	-1,5	-1,5		
Снижение поверхностью земли возле приёмника Ar, дБ	Gr = 1 hr = 1.6м	ф-лы таб.3 [10]	-1,5	-1,5	2,7	6,8	4,3	0,5	0	0	0		
Снижение поверхностью земли в средней зоне, Am дБ	Gm = 1	ф-лы таб.3 [10]	-2,1	-2,1	0	0	0	0	0	0	0		
Суммарное снижение поверхностью земли на траектории распространения звука Agr, дБ		ф-ла (9) [10]	-5,1	-5,1	1,2	5,3	2,8	-1	-1,5	-1,5	-1,5		
Уровни звукового давления прямого звука от источника ИШ-4-7 в расчётной точке днём, дБ		**ф-ла(3)[10]**	**0**	**34,2**	**29,2**	**26**	**28,1**	**30,5**	**25,9**	**15,3**	**0**	**33,2**	**33,2**
Уровни звукового давления прямого звука от источника ИШ-4-7 в расчётной точке ночью, дБ		**ф-ла(3)[10]**	**0**	**34,2**	**29,2**	**26**	**28,1**	**30,5**	**25,9**	**15,3**	**0**	**33,2**	**33,2**
Расчёт отражённого звука													
Уровни звукового давления от мнимого источника ИШ-4-7_мн.(1) в расчётной точке днём, дБ		**ф-ла(3)[10]**	**0**	**0**	**0**	**0**	**0**	**0**	**22,5**	**11,5**	**0**	**24,1**	**24,1**
Уровни звукового давления от мнимого источника ИШ-4-7_мн.(1) в расчётной точке ночью, дБ		**ф-ла(3)[10]**	**0**	**0**	**0**	**0**	**0**	**0**	**0**	**0**	**0**	**24,1**	**24,1**
Уровни звукового давления от мнимого источника ИШ-4-7_мн.(2) в расчётной точке днём, дБ		**ф-ла(3)[10]**	**0**	**33,2**	**23,6**	**19,7**	**25,3**	**27,9**	**23,3**	**12,7**	**0**	**30,5**	**30,5**
Уровни звукового давления от мнимого источника ИШ-4-7_мн.(2) в расчётной точке ночью, дБ		**ф-ла(3)[10]**	**33,2**	**33,2**	**33,2**	**33,2**	**33,2**	**33,2**	**33,2**	**33,2**	**33,2**	**30,5**	**30,5**
Суммарные уровни звукового давления от мнимых источников в расчётной точке днём, дБ		**ф-ла (19) [1]**	**0**	**33,2**	**23,6**	**19,7**	**25,3**	**27,9**	**25,9**	**15,1**	**0**	**0**	**31,4**
Суммарные уровни звукового давления от мнимых источников в расчётной точке ночью, дБ		**ф-ла (19) [1]**	**0**	**33,2**	**23,6**	**19,7**	**25,3**	**27,9**	**25,9**	**15,1**	**0**	**0**	**31,4**
Уровни звукового давления от источника ИШ-4-7 в расчётной точке днём, дБ		**ф-ла(3)[10]**	**0**	**36,7**	**30,3**	**26,9**	**29,9**	**32,4**	**28,9**	**18,2**	**0**	**35,4**	**35,4**
Уровни звукового давления от источника ИШ-4-7 в расчётной точке ночью, дБ		**ф-ла(3)[10]**	**0**	**36,7**	**30,3**	**26,9**	**29,9**	**32,4**	**28,9**	**18,2**	**0**	**35,4**	**35,4**
Источник шума: ИШ-4-8, координаты источника (x,y,z), м =[178.24,257.77,13.00]													

1		2	3	4	5	6	7	8	9	10	11	12	13
Уровни звуковой мощности источника днём, Lw, дБ		**исходные данные**	**0**	**90,3**	**91,7**	**93**	**93,3**	**92,9**	**89,6**	**85,4**	**80,9**		
Уровни звуковой мощности источника ночью, Lw, дБ		**исходные данные**	**0**	**90,3**	**91,7**	**93**	**93,3**	**92,9**	**89,6**	**85,4**	**80,9**		
Поправка на телесный угол DΩ, дБ	Ω = 6.28	10Lg(4π/Ω)	**3**	3	3	3	3	3	3	3	3		
Показатель направленности источника Di, дБ		исходные данные	**0**	0	0	0	0	0	0	0	0		
Поправка на направленность источника Dc, дБ	Dc	DΩ + Di	**3**	3	3	3	3	3	3	3	3		
Затухание из-за геометрической дивергенции, Adiv, дБ	расстояние = 453.17 м	ф-ла (7) [10]	**64,1**										
Коэффициент затухания звука в атмосфере α, дБ/км	Ta=20,°C Pa=101.33,кПа hотн.=70%	ф-ла (5) [9]	0,02	0,09	0,33	1,12	2,79	4,98	9,04	23,09	77,63		
Учет затухания звука в атмосфере Aatm, дБ		ф-ла (8) [10]	0	0	0,2	0,5	1,3	2,3	4,1	10,5	35,2		
Снижение поверхностью земли возле источника As, дБ	Gs = 0 hs = 5м	ф-лы таб.3 [10]	-1,5	-1,5	-1,5	-1,5	-1,5	-1,5	-1,5	-1,5	-1,5		
Снижение поверхностью земли возле приёмника Ar, дБ	Gr = 1 hr = 1.6м	ф-лы таб.3 [10]	-1,5	-1,5	2,7	6,8	4,3	0,5	0	0	0		
Снижение поверхностью земли в средней зоне, Am дБ	Gm = 1	ф-лы таб.3 [10]	-1,7	-1,7	0	0	0	0	0	0	0		
Суммарное снижение поверхностью земли на траектории распространения звука Agr, дБ		ф-ла (9) [10]	-4,7	-4,7	1,2	5,3	2,8	-1	-1,5	-1,5	-1,5		
Уровни звукового давления прямого звука от источника ИШ-4-8 в расчётной точке днём, дБ		**ф-ла(3)[10]**	**0**	**33,8**	**29,2**	**26**	**28,1**	**30,5**	**25,9**	**15,3**	**0**	**33,2**	**33,2**
Уровни звукового давления прямого звука от источника ИШ-4-8 в расчётной точке ночью, дБ		**ф-ла(3)[10]**	**0**	**33,8**	**29,2**	**26**	**28,1**	**30,5**	**25,9**	**15,3**	**0**	**33,2**	**33,2**
Расчёт отражённого звука													
Уровни звукового давления от мнимого источника ИШ-4-8_мн.(1) в расчётной точке днём, дБ		**ф-ла(3)[10]**	**0**	**32,8**	**23,4**	**22,6**	**25,5**	**28**	**23,3**	**12,7**	**0**	**30,6**	**30,6**
Уровни звукового давления от мнимого источника ИШ-4-8_мн.(1) в расчётной точке ночью, дБ		**ф-ла(3)[10]**	**0**	**0**	**0**	**0**	**0**	**0**	**0**	**0**	**0**	**30,6**	**30,6**

1		2	3	4	5	6	7	8	9	10	11	12	13
Уровни звукового давления от источника ИШ-4-8 в расчётной точке днём, дБ		**ф-ла(3)[10]**	**0**	**36,3**	**30,2**	**27,6**	**30**	**32,4**	**27,8**	**17,2**	**0**	**35,1**	**35,1**
Уровни звукового давления от источника ИШ-4-8 в расчётной точке ночью, дБ		**ф-ла(3)[10]**	**0**	**36,3**	**30,2**	**27,6**	**30**	**32,4**	**27,8**	**17,2**	**0**	**35,1**	**35,1**
Источник шума: ИШ-4-9, координаты источника (x,y,z), м =[178.68,257.63,15.50]													
Уровни звуковой мощности источника днём, Lw, дБ		**исходные данные**	**0**	**90,3**	**91,7**	**93**	**93,3**	**92,9**	**89,6**	**85,4**	**80,9**		
Уровни звуковой мощности источника ночью, Lw, дБ		**исходные данные**	**0**	**90,3**	**91,7**	**93**	**93,3**	**92,9**	**89,6**	**85,4**	**80,9**		
Поправка на телесный угол DΩ, дБ	Ω = 6.28	10Lg(4π/Ω)	**3**	3	3	3	3	3	3	3	3		
Показатель направленности источника Di, дБ		исходные данные	**0**	0	0	0	0	0	0	0	0		
Поправка на направленность источника Dc, дБ	Dc	DΩ + Di	**3**	3	3	3	3	3	3	3	3		
Затухание из-за геометрической дивергенции, Adiv, дБ	расстояние = 453.05 м	ф-ла (7) [10]	**64,1**										
Коэффициент затухания звука в атмосфере α, дБ/км	Ta=20,°C Pa=101.33,кПа hотн.=70%	ф-ла (5) [9]	0,02	0,09	0,33	1,12	2,79	4,98	9,04	23,09	77,63		
Учет затухания звука в атмосфере Aatm, дБ		ф-ла (8) [10]	0	0	0,2	0,5	1,3	2,3	4,1	10,5	35,2		
Снижение поверхностью земли возле источника As, дБ	Gs = 0 hs = 7.5м	ф-лы таб.3 [10]	-1,5	-1,5	-1,5	-1,5	-1,5	-1,5	-1,5	-1,5	-1,5		
Снижение поверхностью земли возле приёмника Ar, дБ	Gr = 1 hr = 1.6м	ф-лы таб.3 [10]	-1,5	-1,5	2,7	6,8	4,3	0,5	0	0	0		
Снижение поверхностью земли в средней зоне, Am дБ	Gm = 1	ф-лы таб.3 [10]	-1,2	-1,2	0	0	0	0	0	0	0		
Суммарное снижение поверхностью земли на траектории распространения звука Agr, дБ		ф-ла (9) [10]	-4,2	-4,2	1,2	5,3	2,8	-1	-1,5	-1,5	-1,5		
Уровни звукового давления прямого звука от источника ИШ-4-9 в расчётной точке днём, дБ		**ф-ла(3)[10]**	**0**	**33,3**	**29,2**	**26**	**28,1**	**30,5**	**25,9**	**15,3**	**0**	**33,2**	**33,2**

1		2	3	4	5	6	7	8	9	10	11	12	13
Уровни звукового давления прямого звука от источника ИШ-4-9 в расчётной точке ночью, дБ		**ф-ла(3)[10]**	**0**	**33,3**	**29,2**	**26**	**28,1**	**30,5**	**25,9**	**15,3**	**0**	**33,2**	**33,2**
Расчёт отражённого звука													
Уровни звукового давления от мнимого источника ИШ-4-9_мн.(1) в расчётной точке днём, дБ		**ф-ла(3)[10]**	**0**	**0**	**0**	**0**	**0**	**0**	**0**	**0**	**0**	**0**	**0**
Уровни звукового давления от мнимого источника ИШ-4-9_мн.(1) в расчётной точке ночью, дБ		**ф-ла(3)[10]**	**0**	**0**	**0**	**0**	**0**	**0**	**0**	**0**	**0**	**0**	**0**
Уровни звукового давления от мнимого источника ИШ-4-9_мн.(2) в расчётной точке днём, дБ		**ф-ла(3)[10]**	**0**	**32,3**	**25,2**	**23,4**	**25,5**	**28**	**23,3**	**12,7**	**0**	**30,6**	**30,6**
Уровни звукового давления от мнимого источника ИШ-4-9_мн.(2) в расчётной точке ночью, дБ		**ф-ла(3)[10]**	**32,3**	**32,3**	**32,3**	**32,3**	**32,3**	**32,3**	**32,3**	**32,3**	**32,3**	**30,6**	**30,6**
Суммарные уровни звукового давления от мнимых источников в расчётной точке днём, дБ		**ф-ла (19) [1]**	**0**	**32,3**	**25,2**	**23,4**	**25,5**	**28**	**23,3**	**12,7**	**0**	**0**	**30,6**
Суммарные уровни звукового давления от мнимых источников в расчётной точке ночью, дБ		**ф-ла (19) [1]**	**0**	**32,3**	**25,2**	**23,4**	**25,5**	**28**	**23,3**	**12,7**	**0**	**0**	**30,6**
Уровни звукового давления от источника ИШ-4-9 в расчётной точке днём, дБ		**ф-ла(3)[10]**	**0**	**35,8**	**30,6**	**27,9**	**30**	**32,4**	**27,8**	**17,2**	**0**	**35,1**	**35,1**
Уровни звукового давления от источника ИШ-4-9 в расчётной точке ночью, дБ		**ф-ла(3)[10]**	**0**	**35,8**	**30,6**	**27,9**	**30**	**32,4**	**27,8**	**17,2**	**0**	**35,1**	**35,1**
Источник шума: ИШ-4-10, координаты источника (x,y,z), м =[185.65,255.31,11.00]													
Уровни звуковой мощности источника днём, Lw, дБ		**исходные данные**	**0**	**90,3**	**91,7**	**93**	**93,3**	**92,9**	**89,6**	**85,4**	**80,9**		
Уровни звуковой мощности источника ночью, Lw, дБ		**исходные данные**	**0**	**90,3**	**91,7**	**93**	**93,3**	**92,9**	**89,6**	**85,4**	**80,9**		
Поправка на телесный угол DΩ, дБ	Ω = 6.28	10Lg(4π/Ω)	**3**	3	3	3	3	3	3	3	3		
Показатель направленности источника Di, дБ		исходные данные	**0**	0	0	0	0	0	0	0	0		
Поправка на направленность источника Dc, дБ	Dc	DΩ + Di	**3**	3	3	3	3	3	3	3	3		
Затухание из-за геометрической дивергенции, Adiv, дБ	расстояние = 449.96 м	ф-ла (7) [10]	**64,1**										

1		2	3	4	5	6	7	8	9	10	11	12	13
Коэффициент затухания звука в атмосфере α, дБ/км	Та=20,°С Ра=101.33,кПа hотн.=70%	ф-ла (5) [9]	0,02	0,09	0,33	1,12	2,79	4,98	9,04	23,09	77,63		
Учет затухания звука в атмосфере Aatm, дБ		ф-ла (8) [10]	0	0	0,2	0,5	1,3	2,2	4,1	10,4	34,9		
Снижение поверхностью земли возле источника As, дБ	Gs = 0 hs = 3м	ф-лы таб.3 [10]	-1,5	-1,5	-1,5	-1,5	-1,5	-1,5	-1,5	-1,5	-1,5		
Снижение поверхностью земли возле приёмника Ar, дБ	Gr = 1 hr = 1.6м	ф-лы таб.3 [10]	-1,5	-1,5	2,7	6,8	4,3	0,5	0	0	0		
Снижение поверхностью земли в средней зоне, Am дБ	Gm = 1	ф-лы таб.3 [10]	-2,1	-2,1	0	0	0	0	0	0	0		
Суммарное снижение поверхностью земли на траектории распространения звука Agr, дБ		ф-ла (9) [10]	-5,1	-5,1	1,2	5,3	2,8	-1	-1,5	-1,5	-1,5		
Уровни звукового давления прямого звука от источника ИШ-4-10 в расчётной точке днём, дБ		**ф-ла(3)[10]**	**0**	**34,3**	**29,3**	**26,1**	**28,2**	**30,6**	**26**	**15,4**	**0**	**33,2**	**33,2**
Уровни звукового давления прямого звука от источника ИШ-4-10 в расчётной точке ночью, дБ		**ф-ла(3)[10]**	**0**	**34,3**	**29,3**	**26,1**	**28,2**	**30,6**	**26**	**15,4**	**0**	**33,2**	**33,2**
Расчёт отражённого звука													
Уровни звукового давления от мнимого источника ИШ-4-10_мн.(1) в расчётной точке днём, дБ		**ф-ла(3)[10]**	**0**	**0**	**0**	**0**	**0**	**0**	**0**	**11,3**	**0**	**12,3**	**12,3**
Уровни звукового давления от мнимого источника ИШ-4-10_мн.(1) в расчётной точке ночью, дБ		**ф-ла(3)[10]**	**0**	**0**	**0**	**0**	**0**	**0**	**0**	**0**	**0**	**12,3**	**12,3**
Уровни звукового давления от мнимого источника ИШ-4-10_мн.(2) в расчётной точке днём, дБ		**ф-ла(3)[10]**	**0**	**33,2**	**23,7**	**19,7**	**25,4**	**28**	**23,4**	**12,8**	**0**	**30,6**	**30,6**
Уровни звукового давления от мнимого источника ИШ-4-10_мн.(2) в расчётной точке ночью, дБ		**ф-ла(3)[10]**	**33,2**	**33,2**	**33,2**	**33,2**	**33,2**	**33,2**	**33,2**	**33,2**	**33,2**	**30,6**	**30,6**
Суммарные уровни звукового давления от мнимых источников в расчётной точке днём, дБ		**ф-ла (19) [1]**	**0**	**33,2**	**23,7**	**19,7**	**25,4**	**28**	**23,4**	**15,2**	**0**	**0**	**30,6**
Суммарные уровни звукового давления от мнимых источников в расчётной точке ночью, дБ		**ф-ла (19) [1]**	**0**	**33,2**	**23,7**	**19,7**	**25,4**	**28**	**23,4**	**15,2**	**0**	**0**	**30,6**
Уровни звукового давления от источника ИШ-4-10 в расчётной точке днём, дБ		**ф-ла(3)[10]**	**0**	**36,8**	**30,3**	**27**	**30**	**32,5**	**27,9**	**18,3**	**0**	**35,1**	**35,1**
Уровни звукового давления от источника ИШ-4-10 в расчётной точке ночью, дБ		**ф-ла(3)[10]**	**0**	**36,8**	**30,3**	**27**	**30**	**32,5**	**27,9**	**18,3**	**0**	**35,1**	**35,1**

1		2	3	4	5	6	7	8	9	10	11	12	13
Источник шума: ИШ-4-11, координаты источника (x,y,z), м =[185.89,255.16,13.00]													
Уровни звуковой мощности источника днём, Lw, дБ		**исходные данные**	**0**	**90,3**	**91,7**	**93**	**93,3**	**92,9**	**89,6**	**85,4**	**80,9**		
Уровни звуковой мощности источника ночью, Lw, дБ		**исходные данные**	**0**	**90,3**	**91,7**	**93**	**93,3**	**92,9**	**89,6**	**85,4**	**80,9**		
Поправка на телесный угол DΩ, дБ	Ω = 6.28	10Lg(4π/Ω)	**3**	3	3	3	3	3	3	3	3		
Показатель направленности источника Di, дБ		исходные данные	**0**	0	0	0	0	0	0	0	0		
Поправка на направленность источника Dc, дБ	Dc	DΩ + Di	**3**	3	3	3	3	3	3	3	3		
Затухание из-за геометрической дивергенции, Adiv, дБ	расстояние = 449.84 м	ф-ла (7) [10]	**64,1**										
Коэффициент затухания звука в атмосфере α, дБ/км	Ta=20,°C Pa=101.33,кПа hотн.=70%	ф-ла (5) [9]	0,02	0,09	0,33	1,12	2,79	4,98	9,04	23,09	77,63		
Учет затухания звука в атмосфере Aatm, дБ		ф-ла (8) [10]	0	0	0,2	0,5	1,3	2,2	4,1	10,4	34,9		
Снижение поверхностью земли возле источника As, дБ	Gs = 0 hs = 5м	ф-лы таб.3 [10]	-1,5	-1,5	-1,5	-1,5	-1,5	-1,5	-1,5	-1,5	-1,5		
Снижение поверхностью земли возле приёмника Ar, дБ	Gr = 1 hr = 1.6м	ф-лы таб.3 [10]	-1,5	-1,5	2,7	6,8	4,3	0,5	0	0	0		
Снижение поверхностью земли в средней зоне, Am дБ	Gm = 1	ф-лы таб.3 [10]	-1,7	-1,7	0	0	0	0	0	0	0		
Суммарное снижение поверхностью земли на траектории распространения звука Agr, дБ		ф-ла (9) [10]	-4,7	-4,7	1,2	5,3	2,8	-1	-1,5	-1,5	-1,5		
Уровни звукового давления прямого звука от источника ИШ-4-11 в расчётной точке днём, дБ		**ф-ла(3)[10]**	**0**	**33,9**	**29,3**	**26,1**	**28,2**	**30,6**	**26**	**15,4**	**0**	**33,2**	**33,2**
Уровни звукового давления прямого звука от источника ИШ-4-11 в расчётной точке ночью, дБ		**ф-ла(3)[10]**	**0**	**33,9**	**29,3**	**26,1**	**28,2**	**30,6**	**26**	**15,4**	**0**	**33,2**	**33,2**
Расчёт отражённого звука													

1		2	3	4	5	6	7	8	9	10	11	12	13
Уровни звукового давления от мнимого источника ИШ-4-11_мн.(1) в расчётной точке днём, дБ		**ф-ла(3)[10]**	**0**	**32,8**	**23,4**	**22,6**	**25,6**	**28**	**23,4**	**12,8**	**0**	**30,6**	**30,6**
Уровни звукового давления от мнимого источника ИШ-4-11_мн.(1) в расчётной точке ночью, дБ		**ф-ла(3)[10]**	**0**	**0**	**0**	**0**	**0**	**0**	**0**	**0**	**0**	**30,6**	**30,6**
Уровни звукового давления от источника ИШ-4-11 в расчётной точке днём, дБ		**ф-ла(3)[10]**	**0**	**36,4**	**30,3**	**27,7**	**30,1**	**32,5**	**27,9**	**17,3**	**0**	**35,1**	**35,1**
Уровни звукового давления от источника ИШ-4-11 в расчётной точке ночью, дБ		**ф-ла(3)[10]**	**0**	**36,4**	**30,3**	**27,7**	**30,1**	**32,5**	**27,9**	**17,3**	**0**	**35,1**	**35,1**
Источник шума: ИШ-4-12, координаты источника (x,y,z), м =[186.18,255.02,15.50]													
Уровни звуковой мощности источника днём, Lw, дБ		**исходные данные**	**0**	**90,3**	**91,7**	**93**	**93,3**	**92,9**	**89,6**	**85,4**	**80,9**		
Уровни звуковой мощности источника ночью, Lw, дБ		**исходные данные**	**0**	**90,3**	**91,7**	**93**	**93,3**	**92,9**	**89,6**	**85,4**	**80,9**		
Поправка на телесный угол DΩ, дБ	Ω = 6.28	10Lg(4π/Ω)	**3**	3	3	3	3	3	3	3	3		
Показатель направленности источника Di, дБ		исходные данные	**0**	0	0	0	0	0	0	0	0		
Поправка на направленность источника Dc, дБ	Dc	DΩ + Di	**3**	3	3	3	3	3	3	3	3		
Затухание из-за геометрической дивергенции, Adiv, дБ	расстояние = 449.74 м	ф-ла (7) [10]	**64,1**										
Коэффициент затухания звука в атмосфере α, дБ/км	Ta=20,°C Pa=101.33,кПа hотн.=70%	ф-ла (5) [9]	0,02	0,09	0,33	1,12	2,79	4,98	9,04	23,09	77,63		
Учет затухания звука в атмосфере Aatm, дБ		ф-ла (8) [10]	0	0	0,2	0,5	1,3	2,2	4,1	10,4	34,9		
Снижение поверхностью земли возле источника As, дБ	Gs = 0 hs = 7.5м	ф-лы таб.3 [10]	-1,5	-1,5	-1,5	-1,5	-1,5	-1,5	-1,5	-1,5	-1,5		
Снижение поверхностью земли возле приёмника Ar, дБ	Gr = 1 hr = 1.6м	ф-лы таб.3 [10]	-1,5	-1,5	2,7	6,8	4,3	0,5	0	0	0		
Снижение поверхностью земли в средней зоне, Am дБ	Gm = 1	ф-лы таб.3 [10]	-1,2	-1,2	0	0	0	0	0	0	0		

1		2	3	4	5	6	7	8	9	10	11	12	13
Суммарное снижение поверхностью земли на траектории распространения звука Agr, дБ		ф-ла (9) [10]	-4,2	-4,2	1,2	5,3	2,8	-1	-1,5	-1,5	-1,5		
Уровни звукового давления прямого звука от источника ИШ-4-12 в расчётной точке днём, дБ		**ф-ла(3)[10]**	**0**	**33,4**	**29,3**	**26,1**	**28,2**	**30,6**	**26**	**15,5**	**0**	**33,2**	**33,2**
Уровни звукового давления прямого звука от источника ИШ-4-12 в расчётной точке ночью, дБ		**ф-ла(3)[10]**	**0**	**33,4**	**29,3**	**26,1**	**28,2**	**30,6**	**26**	**15,5**	**0**	**33,2**	**33,2**
Расчёт отражённого звука													
Уровни звукового давления от мнимого источника ИШ-4-12_мн.(1) в расчётной точке днём, дБ		**ф-ла(3)[10]**	**0**	**0**	**0**	**0**	**0**	**0**	**0**	**0**	**0**	**0**	**0**
Уровни звукового давления от мнимого источника ИШ-4-12_мн.(1) в расчётной точке ночью, дБ		**ф-ла(3)[10]**	**0**	**0**	**0**	**0**	**0**	**0**	**0**	**0**	**0**	**0**	**0**
Уровни звукового давления от мнимого источника ИШ-4-12_мн.(2) в расчётной точке днём, дБ		**ф-ла(3)[10]**	**0**	**32,3**	**25,3**	**23,5**	**25,6**	**28**	**23,4**	**12,8**	**0**	**30,7**	**30,7**
Уровни звукового давления от мнимого источника ИШ-4-12_мн.(2) в расчётной точке ночью, дБ		**ф-ла(3)[10]**	**32,3**	**32,3**	**32,3**	**32,3**	**32,3**	**32,3**	**32,3**	**32,3**	**32,3**	**30,7**	**30,7**
Суммарные уровни звукового давления от мнимых источников в расчётной точке днём, дБ		**ф-ла (19) [1]**	**0**	**32,3**	**25,3**	**23,5**	**25,6**	**28**	**23,4**	**12,8**	**0**	**0**	**30,7**
Суммарные уровни звукового давления от мнимых источников в расчётной точке ночью, дБ		**ф-ла (19) [1]**	**0**	**32,3**	**25,3**	**23,5**	**25,6**	**28**	**23,4**	**12,8**	**0**	**0**	**30,7**
Уровни звукового давления от источника ИШ-4-12 в расчётной точке днём, дБ		**ф-ла(3)[10]**	**0**	**35,9**	**30,7**	**28**	**30,1**	**32,5**	**27,9**	**17,3**	**0**	**35,1**	**35,1**
Уровни звукового давления от источника ИШ-4-12 в расчётной точке ночью, дБ		**ф-ла(3)[10]**	**0**	**35,9**	**30,7**	**28**	**30,1**	**32,5**	**27,9**	**17,3**	**0**	**35,1**	**35,1**
Источник шума: ИШ-4-13, координаты источника (x,y,z), м =[94.56,229.10,1.00]													
Уровни звуковой мощности источника днём, Lw, дБ		**исходные данные**	**0**	**81,3**	**82,7**	**84**	**84,3**	**83,9**	**80,6**	**76,4**	**71,9**		
Уровни звуковой мощности источника ночью, Lw, дБ		**исходные данные**	**0**	**81,3**	**82,7**	**84**	**84,3**	**83,9**	**80,6**	**76,4**	**71,9**		
Поправка на телесный угол DΩ, дБ	Ω = 6.28	10Lg(4π/Ω)	**3**	3	3	3	3	3	3	3	3		
Показатель направленности источника Di, дБ		исходные данные	**0**	0	0	0	0	0	0	0	0		

1		2	3	4	5	6	7	8	9	10	11	12	13
Поправка на направленность источника Dc, дБ	Dc	DΩ + Di	**3**	3	3	3	3	3	3	3	3		
Затухание из-за геометрической дивергенции, Adiv, дБ	расстояние = 441.67 м	ф-ла (7) [10]	**63,9**										
Коэффициент затухания звука в атмосфере α, дБ/км	Ta=20,°C Pa=101.33,кПа hотн.=70%	ф-ла (5) [9]	0,02	0,09	0,33	1,12	2,79	4,98	9,04	23,09	77,63		
Учет затухания звука в атмосфере Aatm, дБ		ф-ла (8) [10]	0	0	0,1	0,5	1,2	2,2	4	10,2	34,3		
Снижение уровня звукового давления из-за влияния застройки между источником шума и расчетной точкой													
Снижение уровня звукового давления на пути над экраном, Dz1, дБ	z = 3.51м (разность путей)	ф-лы (14-18) [10]	11,7	15,5	19,7	23,4	26,6	29,7	32,7	35,7	38,7		
Снижение уровня звукового давления на пути слева от экрана, Dz2, дБ	z = 126.79м (разность путей)	ф-лы (14-18) [10]	27,5	31,8	36,2	40,1	43,4	46,5	49,5	52,5	55,5		
Снижение уровня звукового давления на пути справа от экрана, Dz3, дБ	z = 7.98м (разность путей)	ф-лы (14-18) [10]	18,9	22,4	25,4	28,5	31,5	34,5	37,5	40,5	43,5		
Общее снижение уровня звука препятствием Dz, дБ		Эн.сумма(-Dzi)	10,9	14,6	18,6	22,1	25,3	28,4	31,4	34,4	37,4		
Общее снижение уровня звука препятствием с учётом ограничения (25 дБ) для октавных полос Dz, дБ		Раздел 7.4 [10]	10,9	14,6	18,6	22,1	25	25	25	25	25		
Уровни звукового давления от источника ИШ-4-13 в расчётной точке днём, дБ		**ф-ла(3)[10]**	**0**	**5,7**	**3,1**	**0,5**	**0**	**0**	**0**	**0**	**0**	**0**	**0**
Уровни звукового давления от источника ИШ-4-13 в расчётной точке ночью, дБ		**ф-ла(3)[10]**	**0**	**5,7**	**3,1**	**0,5**	**0**	**0**	**0**	**0**	**0**	**0**	**0**
Источник шума: ИШ-4-14, координаты источника (x,y,z), м =[91.88,221.30,1.00]													
Уровни звуковой мощности источника днём, Lw, дБ		**исходные данные**	**0**	**81,3**	**82,7**	**84**	**84,3**	**83,9**	**80,6**	**76,4**	**71,9**		
Уровни звуковой мощности источника ночью, Lw, дБ		**исходные данные**	**0**	**81,3**	**82,7**	**84**	**84,3**	**83,9**	**80,6**	**76,4**	**71,9**		
Поправка на телесный угол DΩ, дБ	Ω = 6.28	10Lg(4π/Ω)	**3**	3	3	3	3	3	3	3	3		

1		2	3	4	5	6	7	8	9	10	11	12	13
Показатель направленности источника Di, дБ		исходные данные	**0**	0	0	0	0	0	0	0	0		
Поправка на направленность источника Dc, дБ	Dc	DΩ + Di	**3**	3	3	3	3	3	3	3	3		
Затухание из-за геометрической дивергенции, Adiv, дБ	расстояние = 435.04 м	ф-ла (7) [10]	**63,8**										
Коэффициент затухания звука в атмосфере α, дБ/км	Ta=20,°C Pa=101.33,кПа hотн.=70%	ф-ла (5) [9]	0,02	0,09	0,33	1,12	2,79	4,98	9,04	23,09	77,63		
Учет затухания звука в атмосфере Aatm, дБ		ф-ла (8) [10]	0	0	0,1	0,5	1,2	2,2	3,9	10	33,8		
Снижение уровня звукового давления из-за влияния застройки между источником шума и расчетной точкой													
Снижение уровня звукового давления на пути над экраном, Dz1, дБ	z = 3.57м (разность путей)	ф-лы (14-18) [10]	14,6	17,9	21	24	27	30	33	36	39		
Снижение уровня звукового давления на пути слева от экрана, Dz2, дБ	z = 141.63м (разность путей)	ф-лы (14-18) [10]	28	32,3	36,7	40,6	43,9	47	50	53	56		
Снижение уровня звукового давления на пути справа от экрана, Dz3, дБ	z = 6.52м (разность путей)	ф-лы (14-18) [10]	18,1	21,5	24,6	27,6	30,6	33,6	36,6	39,6	42,7		
Общее снижение уровня звука препятствием Dz, дБ		Эн.сумма(-Dzi)	12,8	16,2	19,3	22,4	25,4	28,4	31,4	34,4	37,4		
Общее снижение уровня звука препятствием с учётом ограничения (25 дБ) для октавных полос Dz, дБ		Раздел 7.4 [10]	12,8	16,2	19,3	22,4	25	25	25	25	25		
Уровни звукового давления от источника ИШ-4-14 в расчётной точке днём, дБ		**ф-ла(3)[10]**	**0**	**4,2**	**2,4**	**0,4**	**0**	**0**	**0**	**0**	**0**	**0**	**0**
Уровни звукового давления от источника ИШ-4-14 в расчётной точке ночью, дБ		**ф-ла(3)[10]**	**0**	**4,2**	**2,4**	**0,4**	**0**	**0**	**0**	**0**	**0**	**0**	**0**
Источник шума: ИШ-5-1, координаты источника (x,y,z), м =[626.70,162.36,1.00]													
Уровни звуковой мощности источника днём, Lw, дБ		**исходные данные**	**0**	**93,3**	**94,7**	**96**	**96,3**	**95,9**	**92,6**	**88,4**	**83,9**		
Уровни звуковой мощности источника ночью, Lw, дБ		**исходные данные**	**0**	**93,3**	**94,7**	**96**	**96,3**	**95,9**	**92,6**	**88,4**	**83,9**		

1		2	3	4	5	6	7	8	9	10	11	12	13
Поправка на телесный угол DΩ, дБ	Ω = 6.28	10Lg(4π/Ω)	**3**	3	3	3	3	3	3	3	3		
Показатель направленности источника Di, дБ		исходные данные	**0**	0	0	0	0	0	0	0	0		
Поправка на направленность источника Dc, дБ	Dc	DΩ + Di	**3**	3	3	3	3	3	3	3	3		
Затухание из-за геометрической дивергенции, Adiv, дБ	расстояние = 536.07 м	ф-ла (7) [10]	**65,6**										
Коэффициент затухания звука в атмосфере α, дБ/км	Ta=20,°C Pa=101.33,кПа hотн.=70%	ф-ла (5) [9]	0,02	0,09	0,33	1,12	2,79	4,98	9,04	23,09	77,63		
Учет затухания звука в атмосфере Aatm, дБ		ф-ла (8) [10]	0	0	0,2	0,6	1,5	2,7	4,8	12,4	41,6		
Снижение уровня звукового давления из-за влияния застройки между источником шума и расчетной точкой													
Снижение уровня звукового давления на пути над экраном, Dz1, дБ	z = 0.39м (разность путей)	ф-лы (14-18) [10]	4,9	5,2	5,8	6,9	8,4	10,4	12,8	15,5	18,3		
Снижение уровня звукового давления на пути слева от экрана, Dz2, дБ	z = 0.57м (разность путей)	ф-лы (14-18) [10]	7,1	8,6	10,5	12,9	15,6	18,4	21,4	24,3	27,3		
Снижение уровня звукового давления на пути справа от экрана, Dz3, дБ	z = 123.36м (разность путей)	ф-лы (14-18) [10]	30,8	34,2	37,3	40,4	43,4	46,4	49,4	52,4	55,4		
Общее снижение уровня звука препятствием Dz, дБ		Эн.сумма(-Dzi)	2,9	3,5	4,6	5,9	7,7	9,8	12,3	15	17,8		
Уровни звукового давления от источника ИШ-5-1 в расчётной точке днём, дБ		**ф-ла(3)[10]**	**0**	**27,1**	**27,4**	**26,9**	**24,5**	**20,8**	**12,9**	**0**	**0**	**25,6**	**25,6**
Уровни звукового давления от источника ИШ-5-1 в расчётной точке ночью, дБ		**ф-ла(3)[10]**	**0**	**27,1**	**27,4**	**26,9**	**24,5**	**20,8**	**12,9**	**0**	**0**	**25,6**	**25,6**
Источник шума: ИШ-5-2, координаты источника (x,y,z), м =[625.81,159.52,1.00]													
Уровни звуковой мощности источника днём, Lw, дБ		**исходные данные**	**0**	**93,3**	**94,7**	**96**	**96,3**	**95,9**	**92,6**	**88,4**	**83,9**		
Уровни звуковой мощности источника ночью, Lw, дБ		**исходные данные**	**0**	**93,3**	**94,7**	**96**	**96,3**	**95,9**	**92,6**	**88,4**	**83,9**		

1		2	3	4	5	6	7	8	9	10	11	12	13
Поправка на телесный угол DΩ, дБ	Ω = 6.28	10Lg(4π/Ω)	**3**	3	3	3	3	3	3	3	3		
Показатель направленности источника Di, дБ		исходные данные	**0**	0	0	0	0	0	0	0	0		
Поправка на направленность источника Dc, дБ	Dc	DΩ + Di	**3**	3	3	3	3	3	3	3	3		
Затухание из-за геометрической дивергенции, Adiv, дБ	расстояние = 533.52 м	ф-ла (7) [10]	**65,5**										
Коэффициент затухания звука в атмосфере α, дБ/км	Ta=20,°C Pa=101.33,кПа hотн.=70%	ф-ла (5) [9]	0,02	0,09	0,33	1,12	2,79	4,98	9,04	23,09	77,63		
Учет затухания звука в атмосфере Aatm, дБ		ф-ла (8) [10]	0	0	0,2	0,6	1,5	2,7	4,8	12,3	41,4		
Снижение уровня звукового давления из-за влияния застройки между источником шума и расчетной точкой													
Снижение уровня звукового давления на пути над экраном, Dz1, дБ	z = 0.39м (разность путей)	ф-лы (14-18) [10]	4,9	5,2	5,8	6,9	8,5	10,5	12,9	15,5	18,4		
Снижение уровня звукового давления на пути слева от экрана, Dz2, дБ	z = 0.53м (разность путей)	ф-лы (14-18) [10]	7	8,4	10,3	12,7	15,3	18,1	21	24	27		
Снижение уровня звукового давления на пути справа от экрана, Dz3, дБ	z = 125.71м (разность путей)	ф-лы (14-18) [10]	30,9	34,3	37,4	40,4	43,5	46,5	49,5	52,5	55,5		
Общее снижение уровня звука препятствием Dz, дБ		Эн.сумма(-Dzi)	2,8	3,5	4,5	5,9	7,7	9,8	12,3	15	17,8		
Уровни звукового давления от источника ИШ-5-2 в расчётной точке днём, дБ		**ф-ла(3)[10]**	**0**	**27,2**	**27,5**	**27**	**24,6**	**20,9**	**13**	**0**	**0**	**25,7**	**25,7**
Уровни звукового давления от источника ИШ-5-2 в расчётной точке ночью, дБ		**ф-ла(3)[10]**	**0**	**27,2**	**27,5**	**27**	**24,6**	**20,9**	**13**	**0**	**0**	**25,7**	**25,7**
Источник шума: ИШ-5-3, координаты источника (x,y,z), м =[624.84,156.69,1.00]													
Уровни звуковой мощности источника днём, Lw, дБ		**исходные данные**	**0**	**93,3**	**94,7**	**96**	**96,3**	**95,9**	**92,6**	**88,4**	**83,9**		
Уровни звуковой мощности источника ночью, Lw, дБ		**исходные данные**	**0**	**93,3**	**94,7**	**96**	**96,3**	**95,9**	**92,6**	**88,4**	**83,9**		

1		2	3	4	5	6	7	8	9	10	11	12	13
Поправка на телесный угол DΩ, дБ	Ω = 6.28	10Lg(4π/Ω)	**3**	3	3	3	3	3	3	3	3		
Показатель направленности источника Di, дБ		исходные данные	**0**	0	0	0	0	0	0	0	0		
Поправка на направленность источника Dc, дБ	Dc	DΩ + Di	**3**	3	3	3	3	3	3	3	3		
Затухание из-за геометрической дивергенции, Adiv, дБ	расстояние = 530.93 м	ф-ла (7) [10]	**65,5**										
Коэффициент затухания звука в атмосфере α, дБ/км	Ta=20,°C Pa=101.33,кПа hотн.=70%	ф-ла (5) [9]	0,02	0,09	0,33	1,12	2,79	4,98	9,04	23,09	77,63		
Учет затухания звука в атмосфере Aatm, дБ		ф-ла (8) [10]	0	0	0,2	0,6	1,5	2,6	4,8	12,3	41,2		
Снижение уровня звукового давления из-за влияния застройки между источником шума и расчетной точкой													
Снижение уровня звукового давления на пути над экраном, Dz1, дБ	z = 0.39м (разность путей)	ф-лы (14-18) [10]	4,9	5,2	5,8	6,9	8,5	10,5	12,9	15,6	18,4		
Снижение уровня звукового давления на пути слева от экрана, Dz2, дБ	z = 0.49м (разность путей)	ф-лы (14-18) [10]	6,8	8,2	10,1	12,4	15	17,8	20,7	23,7	26,7		
Снижение уровня звукового давления на пути справа от экрана, Dz3, дБ	z = 128.08м (разность путей)	ф-лы (14-18) [10]	30,9	34,4	37,5	40,5	43,5	46,6	49,6	52,6	55,6		
Общее снижение уровня звука препятствием Dz, дБ		Эн.сумма(-Dzi)	2,8	3,4	4,4	5,8	7,6	9,8	12,3	15	17,8		
Уровни звукового давления от источника ИШ-5-3 в расчётной точке днём, дБ		**ф-ла(3)[10]**	**0**	**27,3**	**27,6**	**27**	**24,7**	**21**	**13**	**0**	**0**	**25,8**	**25,8**
Уровни звукового давления от источника ИШ-5-3 в расчётной точке ночью, дБ		**ф-ла(3)[10]**	**0**	**27,3**	**27,6**	**27**	**24,7**	**21**	**13**	**0**	**0**	**25,8**	**25,8**
Источник шума: ИШ-6-1, координаты источника (x,y,z), м =[836.30,122.24,1.00]													
Уровни звуковой мощности источника днём, Lw, дБ		**исходные данные**	**0**	**96,3**	**97,7**	**99**	**99,3**	**98,9**	**95,6**	**91,4**	**86,9**		
Уровни звуковой мощности источника ночью, Lw, дБ		**исходные данные**	**0**	**96,3**	**97,7**	**99**	**99,3**	**98,9**	**95,6**	**91,4**	**86,9**		

1		2	3	4	5	6	7	8	9	10	11	12	13
Поправка на телесный угол DΩ, дБ	Ω = 12.57	10Lg(4π/Ω)	**0**	0	0	0	0	0	0	0	0		
Показатель направленности источника Di, дБ		исходные данные	**0**	0	0	0	0	0	0	0	0		
Поправка на направленность источника Dc, дБ	Dc	DΩ + Di	**0**	0	0	0	0	0	0	0	0		
Затухание из-за геометрической дивергенции, Adiv, дБ	расстояние = 687.55 м	ф-ла (7) [10]	**67,7**										
Коэффициент затухания звука в атмосфере α, дБ/км	Ta=20,°C Pa=101.33,кПа hотн.=70%	ф-ла (5) [9]	0,02	0,09	0,33	1,12	2,79	4,98	9,04	23,09	77,63		
Учет затухания звука в атмосфере Aatm, дБ		ф-ла (8) [10]	0	0,1	0,2	0,8	1,9	3,4	6,2	15,9	53,4		
Снижение уровня звукового давления из-за влияния застройки между источником шума и расчетной точкой													
Снижение уровня звукового давления на пути над экраном, Dz1, дБ	z = 0.10м (разность путей)	ф-лы (14-18) [10]	4,8	4,8	4,8	4,8	4,8	4,8	4,8	4,8	4,8		
Снижение уровня звукового давления на пути слева от экрана, Dz2, дБ	z = 8.42м (разность путей)	ф-лы (14-18) [10]	15,3	18,2	21	24	27	30	33	36	39		
Снижение уровня звукового давления на пути справа от экрана, Dz3, дБ	z = 0.32м (разность путей)	ф-лы (14-18) [10]	6,2	7,3	8,9	11	13,4	16,1	19	21,9	24,9		
Общее снижение уровня звука препятствием Dz, дБ		Эн.сумма(-Dzi)	2,2	2,7	3,3	3,8	4,2	4,5	4,6	4,7	4,7		
Уровни звукового давления от источника ИШ-6-1 в расчётной точке днём, дБ		**ф-ла(3)[10]**	**0**	**25,8**	**26,4**	**26,7**	**25,4**	**23,3**	**17**	**3,1**	**0**	**27,2**	**27,2**
Уровни звукового давления от источника ИШ-6-1 в расчётной точке ночью, дБ		**ф-ла(3)[10]**	**0**	**25,8**	**26,4**	**26,7**	**25,4**	**23,3**	**17**	**3,1**	**0**	**27,2**	**27,2**
Источник шума: ИШ-6-2, координаты источника (x,y,z), м =[835.37,119.30,1.00]													
Уровни звуковой мощности источника днём, Lw, дБ		**исходные данные**	**0**	**96,3**	**97,7**	**99**	**99,3**	**98,9**	**95,6**	**91,4**	**86,9**		
Уровни звуковой мощности источника ночью, Lw, дБ		**исходные данные**	**0**	**96,3**	**97,7**	**99**	**99,3**	**98,9**	**95,6**	**91,4**	**86,9**		

1		2	3	4	5	6	7	8	9	10	11	12	13
Поправка на телесный угол DΩ, дБ	Ω = 12.57	10Lg(4π/Ω)	**0**	0	0	0	0	0	0	0	0		
Показатель направленности источника Di, дБ		исходные данные	**0**	0	0	0	0	0	0	0	0		
Поправка на направленность источника Dc, дБ	Dc	DΩ + Di	**0**	0	0	0	0	0	0	0	0		
Затухание из-за геометрической дивергенции, Adiv, дБ	расстояние = 685.38 м	ф-ла (7) [10]	**67,7**										
Коэффициент затухания звука в атмосфере α, дБ/км	Ta=20,°C Pa=101.33,кПа hотн.=70%	ф-ла (5) [9]	0,02	0,09	0,33	1,12	2,79	4,98	9,04	23,09	77,63		
Учет затухания звука в атмосфере Aatm, дБ		ф-ла (8) [10]	0	0,1	0,2	0,8	1,9	3,4	6,2	15,8	53,2		
Снижение уровня звукового давления из-за влияния застройки между источником шума и расчетной точкой													
Снижение уровня звукового давления на пути над экраном, Dz1, дБ	z = 0.10м (разность путей)	ф-лы (14-18) [10]	4,8	4,8	4,8	4,8	4,8	4,8	4,8	4,8	4,8		
Снижение уровня звукового давления на пути слева от экрана, Dz2, дБ	z = 8.09м (разность путей)	ф-лы (14-18) [10]	15,2	18	20,9	23,8	26,8	29,8	32,8	35,8	38,8		
Снижение уровня звукового давления на пути справа от экрана, Dz3, дБ	z = 0.40м (разность путей)	ф-лы (14-18) [10]	6,5	7,8	9,5	11,7	14,2	17	19,9	22,8	25,8		
Общее снижение уровня звука препятствием Dz, дБ		Эн.сумма(-Dzi)	2,3	2,9	3,4	3,9	4,3	4,5	4,6	4,7	4,8		
Уровни звукового давления от источника ИШ-6-2 в расчётной точке днём, дБ		**ф-ла(3)[10]**	**0**	**25,6**	**26,3**	**26,6**	**25,4**	**23,3**	**17**	**3,1**	**0**	**27,2**	**27,2**
Уровни звукового давления от источника ИШ-6-2 в расчётной точке ночью, дБ		**ф-ла(3)[10]**	**0**	**25,6**	**26,3**	**26,6**	**25,4**	**23,3**	**17**	**3,1**	**0**	**27,2**	**27,2**
Источник шума: ИШ-6-3, координаты источника (x,y,z), м =[834.03,116.36,1.00]													
Уровни звуковой мощности источника днём, Lw, дБ		**исходные данные**	**0**	**96,3**	**97,7**	**99**	**99,3**	**98,9**	**95,6**	**91,4**	**86,9**		
Уровни звуковой мощности источника ночью, Lw, дБ		**исходные данные**	**0**	**96,3**	**97,7**	**99**	**99,3**	**98,9**	**95,6**	**91,4**	**86,9**		

1		2	3	4	5	6	7	8	9	10	11	12	13
Поправка на телесный угол DΩ, дБ	Ω = 12.57	10Lg(4π/Ω)	**0**	0	0	0	0	0	0	0	0		
Показатель направленности источника Di, дБ		исходные данные	**0**	0	0	0	0	0	0	0	0		
Поправка на направленность источника Dc, дБ	Dc	DΩ + Di	**0**	0	0	0	0	0	0	0	0		
Затухание из-за геометрической дивергенции, Adiv, дБ	расстояние = 682.86 м	ф-ла (7) [10]	**67,7**										
Коэффициент затухания звука в атмосфере α, дБ/км	Ta=20,°C Pa=101.33,кПа hотн.=70%	ф-ла (5) [9]	0,02	0,09	0,33	1,12	2,79	4,98	9,04	23,09	77,63		
Учет затухания звука в атмосфере Aatm, дБ		ф-ла (8) [10]	0	0,1	0,2	0,8	1,9	3,4	6,2	15,8	53		
Снижение уровня звукового давления из-за влияния застройки между источником шума и расчетной точкой													
Снижение уровня звукового давления на пути над экраном, Dz1, дБ	z = 0.10м (разность путей)	ф-лы (14-18) [10]	4,8	4,8	4,8	4,8	4,8	4,8	4,8	4,8	4,8		
Снижение уровня звукового давления на пути слева от экрана, Dz2, дБ	z = 7.79м (разность путей)	ф-лы (14-18) [10]	15	17,8	20,7	23,7	26,6	29,6	32,6	35,6	38,7		
Снижение уровня звукового давления на пути справа от экрана, Dz3, дБ	z = 0.48м (разность путей)	ф-лы (14-18) [10]	6,8	8,2	10	12,3	14,9	17,7	20,6	23,6	26,6		
Общее снижение уровня звука препятствием Dz, дБ		Эн.сумма(-Dzi)	2,4	3	3,6	4	4,3	4,5	4,7	4,7	4,8		
Уровни звукового давления от источника ИШ-6-3 в расчётной точке днём, дБ		**ф-ла(3)[10]**	**0**	**25,6**	**26,2**	**26,5**	**25,4**	**23,3**	**17,1**	**3,2**	**0**	**27,1**	**27,1**
Уровни звукового давления от источника ИШ-6-3 в расчётной точке ночью, дБ		**ф-ла(3)[10]**	**0**	**25,6**	**26,2**	**26,5**	**25,4**	**23,3**	**17,1**	**3,2**	**0**	**27,1**	**27,1**
Источник шума: ИШ-6-4, координаты источника (x,y,z), м =[833.23,113.30,1.00]													
Уровни звуковой мощности источника днём, Lw, дБ		**исходные данные**	**0**	**96,3**	**97,7**	**99**	**99,3**	**98,9**	**95,6**	**91,4**	**86,9**		
Уровни звуковой мощности источника ночью, Lw, дБ		**исходные данные**	**0**	**96,3**	**97,7**	**99**	**99,3**	**98,9**	**95,6**	**91,4**	**86,9**		

1		2	3	4	5	6	7	8	9	10	11	12	13
Поправка на телесный угол DΩ, дБ	Ω = 12.57	10Lg(4π/Ω)	**0**	0	0	0	0	0	0	0	0		
Показатель направленности источника Di, дБ		исходные данные	**0**	0	0	0	0	0	0	0	0		
Поправка на направленность источника Dc, дБ	Dc	DΩ + Di	**0**	0	0	0	0	0	0	0	0		
Затухание из-за геометрической дивергенции, Adiv, дБ	расстояние = 680.76 м	ф-ла (7) [10]	**67,7**										
Коэффициент затухания звука в атмосфере α, дБ/км	Ta=20,°C Pa=101.33,кПа hотн.=70%	ф-ла (5) [9]	0,02	0,09	0,33	1,12	2,79	4,98	9,04	23,09	77,63		
Учет затухания звука в атмосфере Aatm, дБ		ф-ла (8) [10]	0	0,1	0,2	0,8	1,9	3,4	6,2	15,7	52,8		
Снижение уровня звукового давления из-за влияния застройки между источником шума и расчетной точкой													
Снижение уровня звукового давления на пути над экраном, Dz1, дБ	z = 0.10м (разность путей)	ф-лы (14-18) [10]	4,8	4,8	4,8	4,8	4,8	4,8	4,8	4,8	4,8		
Снижение уровня звукового давления на пути слева от экрана, Dz2, дБ	z = 7.44м (разность путей)	ф-лы (14-18) [10]	14,9	17,6	20,5	23,5	26,4	29,4	32,4	35,4	38,5		
Снижение уровня звукового давления на пути справа от экрана, Dz3, дБ	z = 0.58м (разность путей)	ф-лы (14-18) [10]	7,1	8,6	10,6	13	15,7	18,6	21,5	24,4	27,4		
Общее снижение уровня звука препятствием Dz, дБ		Эн.сумма(-Dzi)	2,5	3,1	3,7	4,1	4,4	4,6	4,7	4,7	4,8		
Уровни звукового давления от источника ИШ-6-4 в расчётной точке днём, дБ		**ф-ла(3)[10]**	**0**	**25,4**	**26,1**	**26,4**	**25,3**	**23,3**	**17,1**	**3,3**	**0**	**27,1**	**27,1**
Уровни звукового давления от источника ИШ-6-4 в расчётной точке ночью, дБ		**ф-ла(3)[10]**	**0**	**25,4**	**26,1**	**26,4**	**25,3**	**23,3**	**17,1**	**3,3**	**0**	**27,1**	**27,1**
Источник шума: ИШ-6-5, координаты источника (x,y,z), м =[832.03,110.36,1.00]													
Уровни звуковой мощности источника днём, Lw, дБ		**исходные данные**	**0**	**96,3**	**97,7**	**99**	**99,3**	**98,9**	**95,6**	**91,4**	**86,9**		
Уровни звуковой мощности источника ночью, Lw, дБ		**исходные данные**	**0**	**96,3**	**97,7**	**99**	**99,3**	**98,9**	**95,6**	**91,4**	**86,9**		

1		2	3	4	5	6	7	8	9	10	11	12	13
Поправка на телесный угол DΩ, дБ	Ω = 12.57	10Lg(4π/Ω)	**0**	0	0	0	0	0	0	0	0		
Показатель направленности источника Di, дБ		исходные данные	**0**	0	0	0	0	0	0	0	0		
Поправка на направленность источника Dc, дБ	Dc	DΩ + Di	**0**	0	0	0	0	0	0	0	0		
Затухание из-за геометрической дивергенции, Adiv, дБ	расстояние = 678.37 м	ф-ла (7) [10]	**67,6**										
Коэффициент затухания звука в атмосфере α, дБ/км	Ta=20,°C Pa=101.33,кПа hотн.=70%	ф-ла (5) [9]	0,02	0,09	0,33	1,12	2,79	4,98	9,04	23,09	77,63		
Учет затухания звука в атмосфере Aatm, дБ		ф-ла (8) [10]	0	0,1	0,2	0,8	1,9	3,4	6,1	15,7	52,7		
Снижение уровня звукового давления из-за влияния застройки между источником шума и расчетной точкой													
Снижение уровня звукового давления на пути над экраном, Dz1, дБ	z = 0.10м (разность путей)	ф-лы (14-18) [10]	4,8	4,8	4,8	4,8	4,8	4,8	4,8	4,8	4,8		
Снижение уровня звукового давления на пути слева от экрана, Dz2, дБ	z = 7.14м (разность путей)	ф-лы (14-18) [10]	14,7	17,5	20,3	23,3	26,3	29,3	32,3	35,3	38,3		
Снижение уровня звукового давления на пути справа от экрана, Dz3, дБ	z = 0.68м (разность путей)	ф-лы (14-18) [10]	7,4	9,1	11,2	13,6	16,4	19,2	22,2	25,1	28,1		
Общее снижение уровня звука препятствием Dz, дБ		Эн.сумма(-Dzi)	2,6	3,2	3,8	4,2	4,5	4,6	4,7	4,7	4,8		
Уровни звукового давления от источника ИШ-6-5 в расчётной точке днём, дБ		**ф-ла(3)[10]**	**0**	**25,4**	**26,1**	**26,4**	**25,3**	**23,3**	**17,1**	**3,4**	**0**	**27,1**	**27,1**
Уровни звукового давления от источника ИШ-6-5 в расчётной точке ночью, дБ		**ф-ла(3)[10]**	**0**	**25,4**	**26,1**	**26,4**	**25,3**	**23,3**	**17,1**	**3,4**	**0**	**27,1**	**27,1**
Источник шума: ИШ-6-6, координаты источника (x,y,z), м =[830.97,107.42,1.00]													
Уровни звуковой мощности источника днём, Lw, дБ		**исходные данные**	**0**	**96,3**	**97,7**	**99**	**99,3**	**98,9**	**95,6**	**91,4**	**86,9**		
Уровни звуковой мощности источника ночью, Lw, дБ		**исходные данные**	**0**	**96,3**	**97,7**	**99**	**99,3**	**98,9**	**95,6**	**91,4**	**86,9**		

1		2	3	4	5	6	7	8	9	10	11	12	13
Поправка на телесный угол DΩ, дБ	Ω = 12.57	10Lg(4π/Ω)	**0**	0	0	0	0	0	0	0	0		
Показатель направленности источника Di, дБ		исходные данные	**0**	0	0	0	0	0	0	0	0		
Поправка на направленность источника Dc, дБ	Dc	DΩ + Di	**0**	0	0	0	0	0	0	0	0		
Затухание из-за геометрической дивергенции, Adiv, дБ	расстояние = 676.11 м	ф-ла (7) [10]	**67,6**										
Коэффициент затухания звука в атмосфере α, дБ/км	Ta=20,°C Pa=101.33,кПа hотн.=70%	ф-ла (5) [9]	0,02	0,09	0,33	1,12	2,79	4,98	9,04	23,09	77,63		
Учет затухания звука в атмосфере Aatm, дБ		ф-ла (8) [10]	0	0,1	0,2	0,8	1,9	3,4	6,1	15,6	52,5		
Снижение уровня звукового давления из-за влияния застройки между источником шума и расчетной точкой													
Снижение уровня звукового давления на пути над экраном, Dz1, дБ	z = 0.10м (разность путей)	ф-лы (14-18) [10]	4,8	4,8	4,8	4,8	4,8	4,8	4,8	4,8	4,8		
Снижение уровня звукового давления на пути слева от экрана, Dz2, дБ	z = 6.83м (разность путей)	ф-лы (14-18) [10]	14,5	17,3	20,1	23,1	26,1	29,1	32,1	35,1	38,1		
Снижение уровня звукового давления на пути справа от экрана, Dz3, дБ	z = 0.80м (разность путей)	ф-лы (14-18) [10]	7,7	9,5	11,7	14,2	17	19,9	22,8	25,8	28,8		
Общее снижение уровня звука препятствием Dz, дБ		Эн.сумма(-Dzi)	2,7	3,3	3,9	4,2	4,5	4,6	4,7	4,7	4,8		
Уровни звукового давления от источника ИШ-6-6 в расчётной точке днём, дБ		**ф-ла(3)[10]**	**0**	**25,3**	**26**	**26,4**	**25,3**	**23,3**	**17,2**	**3,4**	**0**	**27,1**	**27,1**
Уровни звукового давления от источника ИШ-6-6 в расчётной точке ночью, дБ		**ф-ла(3)[10]**	**0**	**25,3**	**26**	**26,4**	**25,3**	**23,3**	**17,2**	**3,4**	**0**	**27,1**	**27,1**
Источник шума: ИШ-6-7, координаты источника (x,y,z), м =[830.30,104.49,1.00]													
Уровни звуковой мощности источника днём, Lw, дБ		**исходные данные**	**0**	**96,3**	**97,7**	**99**	**99,3**	**98,9**	**95,6**	**91,4**	**86,9**		
Уровни звуковой мощности источника ночью, Lw, дБ		**исходные данные**	**0**	**96,3**	**97,7**	**99**	**99,3**	**98,9**	**95,6**	**91,4**	**86,9**		

1		2	3	4	5	6	7	8	9	10	11	12	13
Поправка на телесный угол DΩ, дБ	Ω = 12.57	10Lg(4π/Ω)	**0**	0	0	0	0	0	0	0	0		
Показатель направленности источника Di, дБ		исходные данные	**0**	0	0	0	0	0	0	0	0		
Поправка на направленность источника Dc, дБ	Dc	DΩ + Di	**0**	0	0	0	0	0	0	0	0		
Затухание из-за геометрической дивергенции, Adiv, дБ	расстояние = 674.21 м	ф-ла (7) [10]	**67,6**										
Коэффициент затухания звука в атмосфере α, дБ/км	Ta=20,°C Pa=101.33,кПа hотн.=70%	ф-ла (5) [9]	0,02	0,09	0,33	1,12	2,79	4,98	9,04	23,09	77,63		
Учет затухания звука в атмосфере Aatm, дБ		ф-ла (8) [10]	0	0,1	0,2	0,8	1,9	3,4	6,1	15,6	52,3		
Снижение уровня звукового давления из-за влияния застройки между источником шума и расчетной точкой													
Снижение уровня звукового давления на пути над экраном, Dz1, дБ	z = 0.10м (разность путей)	ф-лы (14-18) [10]	4,8	4,8	4,8	4,8	4,8	4,8	4,8	4,8	4,8		
Снижение уровня звукового давления на пути слева от экрана, Dz2, дБ	z = 6.49м (разность путей)	ф-лы (14-18) [10]	14,3	17,1	19,9	22,9	25,9	28,8	31,8	34,9	37,9		
Снижение уровня звукового давления на пути справа от экрана, Dz3, дБ	z = 0.93м (разность путей)	ф-лы (14-18) [10]	8,1	10	12,2	14,8	17,6	20,5	23,5	26,4	29,4		
Общее снижение уровня звука препятствием Dz, дБ		Эн.сумма(-Dzi)	2,8	3,4	3,9	4,3	4,5	4,6	4,7	4,8	4,8		
Уровни звукового давления от источника ИШ-6-7 в расчётной точке днём, дБ		**ф-ла(3)[10]**	**0**	**25,2**	**25,9**	**26,4**	**25,3**	**23,3**	**17,2**	**3,5**	**0**	**27,2**	**27,2**
Уровни звукового давления от источника ИШ-6-7 в расчётной точке ночью, дБ		**ф-ла(3)[10]**	**0**	**25,2**	**25,9**	**26,4**	**25,3**	**23,3**	**17,2**	**3,5**	**0**	**27,2**	**27,2**
Источник шума: ИШ-6-8, координаты источника (x,y,z), м =[829.36,101.42,1.00]													
Уровни звуковой мощности источника днём, Lw, дБ		**исходные данные**	**0**	**96,3**	**97,7**	**99**	**99,3**	**98,9**	**95,6**	**91,4**	**86,9**		
Уровни звуковой мощности источника ночью, Lw, дБ		**исходные данные**	**0**	**96,3**	**97,7**	**99**	**99,3**	**98,9**	**95,6**	**91,4**	**86,9**		

1		2	3	4	5	6	7	8	9	10	11	12	13
Поправка на телесный угол DΩ, дБ	Ω = 12.57	10Lg(4π/Ω)	**0**	0	0	0	0	0	0	0	0		
Показатель направленности источника Di, дБ		исходные данные	**0**	0	0	0	0	0	0	0	0		
Поправка на направленность источника Dc, дБ	Dc	DΩ + Di	**0**	0	0	0	0	0	0	0	0		
Затухание из-за геометрической дивергенции, Adiv, дБ	расстояние = 672.02 м	ф-ла (7) [10]	**67,5**										
Коэффициент затухания звука в атмосфере α, дБ/км	Ta=20,°C Pa=101.33,кПа hотн.=70%	ф-ла (5) [9]	0,02	0,09	0,33	1,12	2,79	4,98	9,04	23,09	77,63		
Учет затухания звука в атмосфере Aatm, дБ		ф-ла (8) [10]	0	0,1	0,2	0,8	1,9	3,3	6,1	15,5	52,2		
Снижение уровня звукового давления из-за влияния застройки между источником шума и расчетной точкой													
Снижение уровня звукового давления на пути над экраном, Dz1, дБ	z = 0.10м (разность путей)	ф-лы (14-18) [10]	4,8	4,8	4,8	4,8	4,8	4,8	4,8	4,8	4,8		
Снижение уровня звукового давления на пути слева от экрана, Dz2, дБ	z = 6.16м (разность путей)	ф-лы (14-18) [10]	14,1	16,9	19,7	22,7	25,6	28,6	31,6	34,6	37,6		
Снижение уровня звукового давления на пути справа от экрана, Dz3, дБ	z = 1.08м (разность путей)	ф-лы (14-18) [10]	8,4	10,4	12,7	15,4	18,2	21,1	24,1	27,1	30,1		
Общее снижение уровня звука препятствием Dz, дБ		Эн.сумма(-Dzi)	2,9	3,5	4	4,3	4,5	4,7	4,7	4,8	4,8		
Уровни звукового давления от источника ИШ-6-8 в расчётной точке днём, дБ		**ф-ла(3)[10]**	**0**	**25,2**	**25,9**	**26,3**	**25,3**	**23,3**	**17,3**	**3,6**	**0**	**27,2**	**27,2**
Уровни звукового давления от источника ИШ-6-8 в расчётной точке ночью, дБ		**ф-ла(3)[10]**	**0**	**25,2**	**25,9**	**26,3**	**25,3**	**23,3**	**17,3**	**3,6**	**0**	**27,2**	**27,2**
Источник шума: ИШ-6-9, координаты источника (x,y,z), м =[828.03,98.62,1.00]													
Уровни звуковой мощности источника днём, Lw, дБ		**исходные данные**	**0**	**96,3**	**97,7**	**99**	**99,3**	**98,9**	**95,6**	**91,4**	**86,9**		
Уровни звуковой мощности источника ночью, Lw, дБ		**исходные данные**	**0**	**96,3**	**97,7**	**99**	**99,3**	**98,9**	**95,6**	**91,4**	**86,9**		

1		2	3	4	5	6	7	8	9	10	11	12	13
Поправка на телесный угол DΩ, дБ	Ω = 12.57	10Lg(4π/Ω)	**0**	0	0	0	0	0	0	0	0		
Показатель направленности источника Di, дБ		исходные данные	**0**	0	0	0	0	0	0	0	0		
Поправка на направленность источника Dc, дБ	Dc	DΩ + Di	**0**	0	0	0	0	0	0	0	0		
Затухание из-за геометрической дивергенции, Adiv, дБ	расстояние = 669.60 м	ф-ла (7) [10]	**67,5**										
Коэффициент затухания звука в атмосфере α, дБ/км	Ta=20,°C Pa=101.33,кПа hотн.=70%	ф-ла (5) [9]	0,02	0,09	0,33	1,12	2,79	4,98	9,04	23,09	77,63		
Учет затухания звука в атмосфере Aatm, дБ		ф-ла (8) [10]	0	0,1	0,2	0,8	1,9	3,3	6,1	15,5	52		
Снижение уровня звукового давления из-за влияния застройки между источником шума и расчетной точкой													
Снижение уровня звукового давления на пути над экраном, Dz1, дБ	z = 0.10м (разность путей)	ф-лы (14-18) [10]	4,8	4,8	4,8	4,8	4,8	4,8	4,8	4,8	4,8		
Снижение уровня звукового давления на пути слева от экрана, Dz2, дБ	z = 5.90м (разность путей)	ф-лы (14-18) [10]	14	16,7	19,5	22,5	25,4	28,4	31,4	34,4	37,4		
Снижение уровня звукового давления на пути справа от экрана, Dz3, дБ	z = 1.21м (разность путей)	ф-лы (14-18) [10]	8,7	10,8	13,2	15,8	18,7	21,6	24,6	27,6	30,6		
Общее снижение уровня звука препятствием Dz, дБ		Эн.сумма(-Dzi)	2,9	3,6	4,1	4,4	4,6	4,7	4,7	4,8	4,8		
Уровни звукового давления от источника ИШ-6-9 в расчётной точке днём, дБ		**ф-ла(3)[10]**	**0**	**25,1**	**25,9**	**26,3**	**25,3**	**23,4**	**17,3**	**3,7**	**0**	**27,2**	**27,2**
Уровни звукового давления от источника ИШ-6-9 в расчётной точке ночью, дБ		**ф-ла(3)[10]**	**0**	**25,1**	**25,9**	**26,3**	**25,3**	**23,4**	**17,3**	**3,7**	**0**	**27,2**	**27,2**
Источник шума: ИШ-6-10, координаты источника (x,y,z), м =[827.23,95.55,1.00]													
Уровни звуковой мощности источника днём, Lw, дБ		**исходные данные**	**0**	**96,3**	**97,7**	**99**	**99,3**	**98,9**	**95,6**	**91,4**	**86,9**		
Уровни звуковой мощности источника ночью, Lw, дБ		**исходные данные**	**0**	**96,3**	**97,7**	**99**	**99,3**	**98,9**	**95,6**	**91,4**	**86,9**		

1		2	3	4	5	6	7	8	9	10	11	12	13
Поправка на телесный угол DΩ, дБ	Ω = 12.57	10Lg(4π/Ω)	**0**	0	0	0	0	0	0	0	0		
Показатель направленности источника Di, дБ		исходные данные	**0**	0	0	0	0	0	0	0	0		
Поправка на направленность источника Dc, дБ	Dc	DΩ + Di	**0**	0	0	0	0	0	0	0	0		
Затухание из-за геометрической дивергенции, Adiv, дБ	расстояние = 667.55 м	ф-ла (7) [10]	**67,5**										
Коэффициент затухания звука в атмосфере α, дБ/км	Ta=20,°C Pa=101.33,кПа hотн.=70%	ф-ла (5) [9]	0,02	0,09	0,33	1,12	2,79	4,98	9,04	23,09	77,63		
Учет затухания звука в атмосфере Aatm, дБ		ф-ла (8) [10]	0	0,1	0,2	0,8	1,9	3,3	6	15,4	51,8		
Снижение уровня звукового давления из-за влияния застройки между источником шума и расчетной точкой													
Снижение уровня звукового давления на пути над экраном, Dz1, дБ	z = 0.10м (разность путей)	ф-лы (14-18) [10]	4,8	4,8	4,8	4,8	4,8	4,8	4,8	4,8	4,8		
Снижение уровня звукового давления на пути слева от экрана, Dz2, дБ	z = 5.57м (разность путей)	ф-лы (14-18) [10]	13,7	16,5	19,3	22,2	25,2	28,2	31,2	34,2	37,2		
Снижение уровня звукового давления на пути справа от экрана, Dz3, дБ	z = 1.38м (разность путей)	ф-лы (14-18) [10]	9,1	11,2	13,7	16,4	19,2	22,2	25,1	28,1	31,1		
Общее снижение уровня звука препятствием Dz, дБ		Эн.сумма(-Dzi)	3	3,6	4,1	4,4	4,6	4,7	4,7	4,8	4,8		
Уровни звукового давления от источника ИШ-6-10 в расчётной точке днём, дБ		**ф-ла(3)[10]**	**0**	**25,1**	**25,9**	**26,3**	**25,4**	**23,4**	**17,3**	**3,7**	**0**	**27,2**	**27,2**
Уровни звукового давления от источника ИШ-6-10 в расчётной точке ночью, дБ		**ф-ла(3)[10]**	**0**	**25,1**	**25,9**	**26,3**	**25,4**	**23,4**	**17,3**	**3,7**	**0**	**27,2**	**27,2**
Источник шума: ИШ-6-11, координаты источника (x,y,z), м =[826.30,92.48,1.00]													
Уровни звуковой мощности источника днём, Lw, дБ		**исходные данные**	**0**	**96,3**	**97,7**	**99**	**99,3**	**98,9**	**95,6**	**91,4**	**86,9**		
Уровни звуковой мощности источника ночью, Lw, дБ		**исходные данные**	**0**	**96,3**	**97,7**	**99**	**99,3**	**98,9**	**95,6**	**91,4**	**86,9**		

1		2	3	4	5	6	7	8	9	10	11	12	13
Поправка на телесный угол DΩ, дБ	Ω = 12.57	10Lg(4π/Ω)	**0**	0	0	0	0	0	0	0	0		
Показатель направленности источника Di, дБ		исходные данные	**0**	0	0	0	0	0	0	0	0		
Поправка на направленность источника Dc, дБ	Dc	DΩ + Di	**0**	0	0	0	0	0	0	0	0		
Затухание из-за геометрической дивергенции, Adiv, дБ	расстояние = 665.38 м	ф-ла (7) [10]	**67,5**										
Коэффициент затухания звука в атмосфере α, дБ/км	Ta=20,°C Pa=101.33,кПа hотн.=70%	ф-ла (5) [9]	0,02	0,09	0,33	1,12	2,79	4,98	9,04	23,09	77,63		
Учет затухания звука в атмосфере Aatm, дБ		ф-ла (8) [10]	0	0,1	0,2	0,7	1,9	3,3	6	15,4	51,7		
Снижение уровня звукового давления из-за влияния застройки между источником шума и расчетной точкой													
Снижение уровня звукового давления на пути над экраном, Dz1, дБ	z = 0.10м (разность путей)	ф-лы (14-18) [10]	4,8	4,8	4,8	4,8	4,8	4,8	4,8	4,8	4,8		
Снижение уровня звукового давления на пути слева от экрана, Dz2, дБ	z = 5.26м (разность путей)	ф-лы (14-18) [10]	13,5	16,2	19	22	24,9	27,9	30,9	33,9	36,9		
Снижение уровня звукового давления на пути справа от экрана, Dz3, дБ	z = 1.56м (разность путей)	ф-лы (14-18) [10]	9,4	11,6	14,1	16,9	19,8	22,7	25,7	28,7	31,7		
Общее снижение уровня звука препятствием Dz, дБ		Эн.сумма(-Dzi)	3,1	3,7	4,2	4,4	4,6	4,7	4,7	4,8	4,8		
Уровни звукового давления от источника ИШ-6-11 в расчётной точке днём, дБ		**ф-ла(3)[10]**	**0**	**25,1**	**25,9**	**26,3**	**25,4**	**23,4**	**17,4**	**3,8**	**0**	**27,2**	**27,2**
Уровни звукового давления от источника ИШ-6-11 в расчётной точке ночью, дБ		**ф-ла(3)[10]**	**0**	**25,1**	**25,9**	**26,3**	**25,4**	**23,4**	**17,4**	**3,8**	**0**	**27,2**	**27,2**
Источник шума: ИШ-6-12, координаты источника (x,y,z), м =[825.09,89.54,1.00]													
Уровни звуковой мощности источника днём, Lw, дБ		**исходные данные**	**0**	**96,3**	**97,7**	**99**	**99,3**	**98,9**	**95,6**	**91,4**	**86,9**		
Уровни звуковой мощности источника ночью, Lw, дБ		**исходные данные**	**0**	**96,3**	**97,7**	**99**	**99,3**	**98,9**	**95,6**	**91,4**	**86,9**		

1		2	3	4	5	6	7	8	9	10	11	12	13
Поправка на телесный угол DΩ, дБ	Ω = 12.57	10Lg(4π/Ω)	**0**	0	0	0	0	0	0	0	0		
Показатель направленности источника Di, дБ		исходные данные	**0**	0	0	0	0	0	0	0	0		
Поправка на направленность источника Dc, дБ	Dc	DΩ + Di	**0**	0	0	0	0	0	0	0	0		
Затухание из-за геометрической дивергенции, Adiv, дБ	расстояние = 663.04 м	ф-ла (7) [10]	**67,4**										
Коэффициент затухания звука в атмосфере α, дБ/км	Ta=20,°C Pa=101.33,кПа hотн.=70%	ф-ла (5) [9]	0,02	0,09	0,33	1,12	2,79	4,98	9,04	23,09	77,63		
Учет затухания звука в атмосфере Aatm, дБ		ф-ла (8) [10]	0	0,1	0,2	0,7	1,9	3,3	6	15,3	51,5		
Снижение уровня звукового давления из-за влияния застройки между источником шума и расчетной точкой													
Снижение уровня звукового давления на пути над экраном, Dz1, дБ	z = 0.14м (разность путей)	ф-лы (14-18) [10]	4,8	4,8	4,8	4,8	4,8	4,8	4,8	4,8	4,9		
Снижение уровня звукового давления на пути слева от экрана, Dz2, дБ	z = 4.98м (разность путей)	ф-лы (14-18) [10]	13,3	16	18,8	21,7	24,7	27,7	30,7	33,7	36,7		
Снижение уровня звукового давления на пути справа от экрана, Dz3, дБ	z = 1.73м (разность путей)	ф-лы (14-18) [10]	9,7	12	14,5	17,3	20,2	23,2	26,1	29,1	32,1		
Общее снижение уровня звука препятствием Dz, дБ		Эн.сумма(-Dzi)	3,1	3,8	4,2	4,5	4,6	4,7	4,7	4,8	4,9		
Уровни звукового давления от источника ИШ-6-12 в расчётной точке днём, дБ		**ф-ла(3)[10]**	**0**	**25**	**25,9**	**26,4**	**25,4**	**23,5**	**17,4**	**3,9**	**0**	**27,3**	**27,3**
Уровни звукового давления от источника ИШ-6-12 в расчётной точке ночью, дБ		**ф-ла(3)[10]**	**0**	**25**	**25,9**	**26,4**	**25,4**	**23,5**	**17,4**	**3,9**	**0**	**27,3**	**27,3**
Источник шума: ИШ-6-13, координаты источника (x,y,z), м =[767.76,-114.15,1.00]													
Уровни звуковой мощности источника днём, Lw, дБ		**исходные данные**	**0**	**96,3**	**97,7**	**99**	**99,3**	**98,9**	**95,6**	**91,4**	**86,9**		
Уровни звуковой мощности источника ночью, Lw, дБ		**исходные данные**	**0**	**96,3**	**97,7**	**99**	**99,3**	**98,9**	**95,6**	**91,4**	**86,9**		

1		2	3	4	5	6	7	8	9	10	11	12	13
Поправка на телесный угол DΩ, дБ	Ω = 12.57	10Lg(4π/Ω)	**0**	0	0	0	0	0	0	0	0		
Показатель направленности источника Di, дБ		исходные данные	**0**	0	0	0	0	0	0	0	0		
Поправка на направленность источника Dc, дБ	Dc	DΩ + Di	**0**	0	0	0	0	0	0	0	0		
Затухание из-за геометрической дивергенции, Adiv, дБ	расстояние = 548.25 м	ф-ла (7) [10]	**65,8**										
Коэффициент затухания звука в атмосфере α, дБ/км	Ta=20,°C Pa=101.33,кПа hотн.=70%	ф-ла (5) [9]	0,02	0,09	0,33	1,12	2,79	4,98	9,04	23,09	77,63		
Учет затухания звука в атмосфере Aatm, дБ		ф-ла (8) [10]	0	0	0,2	0,6	1,5	2,7	5	12,7	42,6		
Снижение поверхностью земли возле источника As, дБ	Gs = 0 hs = 1м	ф-лы таб.3 [10]	-1,5	-1,5	-1,5	-1,5	-1,5	-1,5	-1,5	-1,5	-1,5		
Снижение поверхностью земли возле приёмника Ar, дБ	Gr = 1 hr = 1.6м	ф-лы таб.3 [10]	-1,5	-1,5	3,3	6,8	4,3	0,5	0	0	0		
Снижение поверхностью земли в средней зоне, Am дБ	Gm = 1	ф-лы таб.3 [10]	-2,6	-2,6	0	0	0	0	0	0	0		
Суммарное снижение поверхностью земли на траектории распространения звука Agr, дБ		ф-ла (9) [10]	-5,6	-5,6	1,8	5,3	2,8	-1	-1,5	-1,5	-1,5		
Уровни звукового давления прямого звука от источника ИШ-6-13 в расчётной точке днём, дБ		**ф-ла(3)[10]**	**0**	**36**	**29,9**	**27,3**	**29,2**	**31,4**	**26,4**	**14,5**	**0**	**33,9**	**33,9**
Уровни звукового давления прямого звука от источника ИШ-6-13 в расчётной точке ночью, дБ		**ф-ла(3)[10]**	**0**	**36**	**29,9**	**27,3**	**29,2**	**31,4**	**26,4**	**14,5**	**0**	**33,9**	**33,9**
Расчёт отражённого звука													
Уровни звукового давления от мнимого источника ИШ-6-13_мн.(1) в расчётной точке днём, дБ		**ф-ла(3)[10]**	**0**	**0**	**24**	**16,9**	**17,8**	**26,8**	**23,8**	**11,9**	**0**	**29,4**	**29,4**
Уровни звукового давления от мнимого источника ИШ-6-13_мн.(1) в расчётной точке ночью, дБ		**ф-ла(3)[10]**	**0**	**0**	**0**	**0**	**0**	**0**	**0**	**0**	**0**	**29,4**	**29,4**
Уровни звукового давления от источника ИШ-6-13 в расчётной точке днём, дБ		**ф-ла(3)[10]**	**0**	**36**	**30,9**	**27,6**	**29,5**	**32,7**	**28,3**	**16,4**	**0**	**35,2**	**35,2**
Уровни звукового давления от источника ИШ-6-13 в расчётной точке ночью, дБ		**ф-ла(3)[10]**	**0**	**36**	**30,9**	**27,6**	**29,5**	**32,7**	**28,3**	**16,4**	**0**	**35,2**	**35,2**

1		2	3	4	5	6	7	8	9	10	11	12	13
Источник шума: ИШ-6-14, координаты источника (x,y,z), м =[766.82,-117.10,1.00]													
Уровни звуковой мощности источника днём, Lw, дБ		**исходные данные**	**0**	**96,3**	**97,7**	**99**	**99,3**	**98,9**	**95,6**	**91,4**	**86,9**		
Уровни звуковой мощности источника ночью, Lw, дБ		**исходные данные**	**0**	**96,3**	**97,7**	**99**	**99,3**	**98,9**	**95,6**	**91,4**	**86,9**		
Поправка на телесный угол DΩ, дБ	Ω = 12.57	10Lg(4π/Ω)	**0**	0	0	0	0	0	0	0	0		
Показатель направленности источника Di, дБ		исходные данные	**0**	0	0	0	0	0	0	0	0		
Поправка на направленность источника Dc, дБ	Dc	DΩ + Di	**0**	0	0	0	0	0	0	0	0		
Затухание из-за геометрической дивергенции, Adiv, дБ	расстояние = 546.90 м	ф-ла (7) [10]	**65,8**										
Коэффициент затухания звука в атмосфере α, дБ/км	Ta=20,°C Pa=101.33,кПа hотн.=70%	ф-ла (5) [9]	0,02	0,09	0,33	1,12	2,79	4,98	9,04	23,09	77,63		
Учет затухания звука в атмосфере Aatm, дБ		ф-ла (8) [10]	0	0	0,2	0,6	1,5	2,7	4,9	12,6	42,5		
Снижение поверхностью земли возле источника As, дБ	Gs = 0 hs = 1м	ф-лы таб.3 [10]	-1,5	-1,5	-1,5	-1,5	-1,5	-1,5	-1,5	-1,5	-1,5		
Снижение поверхностью земли возле приёмника Ar, дБ	Gr = 1 hr = 1.6м	ф-лы таб.3 [10]	-1,5	-1,5	3,3	6,8	4,3	0,5	0	0	0		
Снижение поверхностью земли в средней зоне, Am дБ	Gm = 1	ф-лы таб.3 [10]	-2,6	-2,6	0	0	0	0	0	0	0		
Суммарное снижение поверхностью земли на траектории распространения звука Agr, дБ		ф-ла (9) [10]	-5,6	-5,6	1,8	5,3	2,8	-1	-1,5	-1,5	-1,5		
Уровни звукового давления прямого звука от источника ИШ-6-14 в расчётной точке днём, дБ		**ф-ла(3)[10]**	**0**	**36,1**	**29,9**	**27,3**	**29,2**	**31,4**	**26,4**	**14,5**	**0**	**34**	**34**
Уровни звукового давления прямого звука от источника ИШ-6-14 в расчётной точке ночью, дБ		**ф-ла(3)[10]**	**0**	**36,1**	**29,9**	**27,3**	**29,2**	**31,4**	**26,4**	**14,5**	**0**	**34**	**34**
Расчёт отражённого звука													

1		2	3	4	5	6	7	8	9	10	11	12	13
Уровни звукового давления от мнимого источника ИШ-6-14_мн.(1) в расчётной точке днём, дБ		**ф-ла(3)[10]**	**0**	**0**	**24**	**16,9**	**17,9**	**26,9**	**23,9**	**12**	**0**	**29,4**	**29,4**
Уровни звукового давления от мнимого источника ИШ-6-14_мн.(1) в расчётной точке ночью, дБ		**ф-ла(3)[10]**	**0**	**0**	**0**	**0**	**0**	**0**	**0**	**0**	**0**	**29,4**	**29,4**
Уровни звукового давления от источника ИШ-6-14 в расчётной точке днём, дБ		**ф-ла(3)[10]**	**0**	**36,1**	**30,9**	**27,7**	**29,5**	**32,7**	**28,3**	**16,4**	**0**	**35,3**	**35,3**
Уровни звукового давления от источника ИШ-6-14 в расчётной точке ночью, дБ		**ф-ла(3)[10]**	**0**	**36,1**	**30,9**	**27,7**	**29,5**	**32,7**	**28,3**	**16,4**	**0**	**35,3**	**35,3**
Источник шума: ИШ-6-15, координаты источника (x,y,z), м =[765.71,-120.27,1.00]													
Уровни звуковой мощности источника днём, Lw, дБ		**исходные данные**	**0**	**96,3**	**97,7**	**99**	**99,3**	**98,9**	**95,6**	**91,4**	**86,9**		
Уровни звуковой мощности источника ночью, Lw, дБ		**исходные данные**	**0**	**96,3**	**97,7**	**99**	**99,3**	**98,9**	**95,6**	**91,4**	**86,9**		
Поправка на телесный угол DΩ, дБ	Ω = 12.57	10Lg(4π/Ω)	**0**	0	0	0	0	0	0	0	0		
Показатель направленности источника Di, дБ		исходные данные	**0**	0	0	0	0	0	0	0	0		
Поправка на направленность источника Dc, дБ	Dc	DΩ + Di	**0**	0	0	0	0	0	0	0	0		
Затухание из-за геометрической дивергенции, Adiv, дБ	расстояние = 545.38 м	ф-ла (7) [10]	**65,7**										
Коэффициент затухания звука в атмосфере α, дБ/км	Ta=20,°C Pa=101.33,кПа hотн.=70%	ф-ла (5) [9]	0,02	0,09	0,33	1,12	2,79	4,98	9,04	23,09	77,63		
Учет затухания звука в атмосфере Aatm, дБ		ф-ла (8) [10]	0	0	0,2	0,6	1,5	2,7	4,9	12,6	42,3		
Снижение уровня звукового давления из-за влияния застройки между источником шума и расчетной точкой													
Снижение уровня звукового давления препятствием слева от трассы ИШ-РТ, Dz2, дБ	z = -0.49м (разность путей)	ф-лы (14-18) [10]	0,7	NAN	NAN	NAN	NAN	NAN	NAN	NAN	NAN		
* отрицательное значение z означает прохождение траектории вблизи экрана, в этом случае дополнительно производится учёт снижения подстилающей поверхностью (см.ниже)													
Снижение поверхностью земли возле источника As, дБ	Gs = 0 hs = 1м	ф-лы таб.3 [10]	-1,5	-1,5	-1,5	-1,5	-1,5	-1,5	-1,5	-1,5	-1,5		

1		2	3	4	5	6	7	8	9	10	11	12	13
Снижение поверхностью земли возле приёмника Ar, дБ	Gr = 1 hr = 1.6м	ф-лы таб.3 [10]	-1,5	-1,5	3,3	6,8	4,3	0,5	0	0	0		
Снижение поверхностью земли в средней зоне, Am дБ	Gm = 1	ф-лы таб.3 [10]	-2,6	-2,6	0	0	0	0	0	0	0		
Суммарное снижение поверхностью земли на траектории распространения звука Agr, дБ		ф-ла (9) [10]	-5,6	-5,6	1,8	5,3	2,8	-1	-1,5	-1,5	-1,5		
Уровни звукового давления прямого звука от источника ИШ-6-15 в расчётной точке днём, дБ		**ф-ла(3)[10]**	**0**	**36,1**	**30**	**27,3**	**29,2**	**31,4**	**26,4**	**14,6**	**0**	**34**	**34**
Уровни звукового давления прямого звука от источника ИШ-6-15 в расчётной точке ночью, дБ		**ф-ла(3)[10]**	**0**	**36,1**	**30**	**27,3**	**29,2**	**31,4**	**26,4**	**14,6**	**0**	**34**	**34**
Расчёт отражённого звука													
Уровни звукового давления от мнимого источника ИШ-6-15_мн.(1) в расчётной точке днём, дБ		**ф-ла(3)[10]**	**0**	**0**	**24,1**	**17**	**17,9**	**26,9**	**23,9**	**12**	**0**	**29,4**	**29,4**
Уровни звукового давления от мнимого источника ИШ-6-15_мн.(1) в расчётной точке ночью, дБ		**ф-ла(3)[10]**	**0**	**0**	**0**	**0**	**0**	**0**	**0**	**0**	**0**	**29,4**	**29,4**
Уровни звукового давления от источника ИШ-6-15 в расчётной точке днём, дБ		**ф-ла(3)[10]**	**0**	**36,1**	**31**	**27,7**	**29,5**	**32,8**	**28,4**	**16,5**	**0**	**35,3**	**35,3**
Уровни звукового давления от источника ИШ-6-15 в расчётной точке ночью, дБ		**ф-ла(3)[10]**	**0**	**36,1**	**31**	**27,7**	**29,5**	**32,8**	**28,4**	**16,5**	**0**	**35,3**	**35,3**
Источник шума: ИШ-6-16, координаты источника (x,y,z), м =[764.57,-123.22,1.00]													
Уровни звуковой мощности источника днём, Lw, дБ		**исходные данные**	**0**	**96,3**	**97,7**	**99**	**99,3**	**98,9**	**95,6**	**91,4**	**86,9**		
Уровни звуковой мощности источника ночью, Lw, дБ		**исходные данные**	**0**	**96,3**	**97,7**	**99**	**99,3**	**98,9**	**95,6**	**91,4**	**86,9**		
Поправка на телесный угол DΩ, дБ	Ω = 12.57	10Lg(4π/Ω)	**0**	0	0	0	0	0	0	0	0		
Показатель направленности источника Di, дБ		исходные данные	**0**	0	0	0	0	0	0	0	0		
Поправка на направленность источника Dc, дБ	Dc	DΩ + Di	**0**	0	0	0	0	0	0	0	0		
Затухание из-за геометрической дивергенции, Adiv, дБ	расстояние = 543.86 м	ф-ла (7) [10]	**65,7**										

1		2	3	4	5	6	7	8	9	10	11	12	13
Коэффициент затухания звука в атмосфере α, дБ/км	Ta=20,°C Pa=101.33,кПа hотн.=70%	ф-ла (5) [9]	0,02	0,09	0,33	1,12	2,79	4,98	9,04	23,09	77,63		
Учет затухания звука в атмосфере Aatm, дБ		ф-ла (8) [10]	0	0	0,2	0,6	1,5	2,7	4,9	12,6	42,2		
Снижение уровня звукового давления из-за влияния застройки между источником шума и расчетной точкой													
Снижение уровня звукового давления препятствием слева от трассы ИШ-РТ, Dz2, дБ	z = -0.35м (разность путей)	ф-лы (14-18) [10]	2,4	0	NAN	NAN	NAN	NAN	NAN	NAN	NAN		
* отрицательное значение z означает прохождение траектории вблизи экрана, в этом случае дополнительно производится учёт снижения подстилающей поверхностью (см.ниже)													
Снижение поверхностью земли возле источника As, дБ	Gs = 0 hs = 1м	ф-лы таб.3 [10]	-1,5	-1,5	-1,5	-1,5	-1,5	-1,5	-1,5	-1,5	-1,5		
Снижение поверхностью земли возле приёмника Ar, дБ	Gr = 1 hr = 1.6м	ф-лы таб.3 [10]	-1,5	-1,5	3,3	6,8	4,3	0,5	0	0	0		
Снижение поверхностью земли в средней зоне, Am дБ	Gm = 1	ф-лы таб.3 [10]	-2,6	-2,6	0	0	0	0	0	0	0		
Суммарное снижение поверхностью земли на траектории распространения звука Agr, дБ		ф-ла (9) [10]	-5,6	-5,6	1,8	5,3	2,8	-1	-1,5	-1,5	-1,5		
Уровни звукового давления прямого звука от источника ИШ-6-16 в расчётной точке днём, дБ		**ф-ла(3)[10]**	**0**	**36,1**	**30**	**27,3**	**29,3**	**31,5**	**26,5**	**14,6**	**0**	**34**	**34**
Уровни звукового давления прямого звука от источника ИШ-6-16 в расчётной точке ночью, дБ		**ф-ла(3)[10]**	**0**	**36,1**	**30**	**27,3**	**29,3**	**31,5**	**26,5**	**14,6**	**0**	**34**	**34**
Расчёт отражённого звука													
Уровни звукового давления от мнимого источника ИШ-6-16_мн.(1) в расчётной точке днём, дБ		**ф-ла(3)[10]**	**0**	**0**	**24,1**	**17**	**17,9**	**26,9**	**24**	**12,1**	**0**	**29,5**	**29,5**
Уровни звукового давления от мнимого источника ИШ-6-16_мн.(1) в расчётной точке ночью, дБ		**ф-ла(3)[10]**	**0**	**0**	**0**	**0**	**0**	**0**	**0**	**0**	**0**	**29,5**	**29,5**
Уровни звукового давления от источника ИШ-6-16 в расчётной точке днём, дБ		**ф-ла(3)[10]**	**0**	**36,1**	**31**	**27,7**	**29,6**	**32,8**	**28,4**	**16,6**	**0**	**35,3**	**35,3**
Уровни звукового давления от источника ИШ-6-16 в расчётной точке ночью, дБ		**ф-ла(3)[10]**	**0**	**36,1**	**31**	**27,7**	**29,6**	**32,8**	**28,4**	**16,6**	**0**	**35,3**	**35,3**
Источник шума: ИШ-6-17, координаты источника (x,y,z), м =[763.57,-126.18,1.00]													

1		2	3	4	5	6	7	8	9	10	11	12	13
Уровни звуковой мощности источника днём, Lw, дБ		**исходные данные**	**0**	**96,3**	**97,7**	**99**	**99,3**	**98,9**	**95,6**	**91,4**	**86,9**		
Уровни звуковой мощности источника ночью, Lw, дБ		**исходные данные**	**0**	**96,3**	**97,7**	**99**	**99,3**	**98,9**	**95,6**	**91,4**	**86,9**		
Поправка на телесный угол DΩ, дБ	Ω = 12.57	10Lg(4π/Ω)	**0**	0	0	0	0	0	0	0	0		
Показатель направленности источника Di, дБ		исходные данные	**0**	0	0	0	0	0	0	0	0		
Поправка на направленность источника Dc, дБ	Dc	DΩ + Di	**0**	0	0	0	0	0	0	0	0		
Затухание из-за геометрической дивергенции, Adiv, дБ	расстояние = 542.50 м	ф-ла (7) [10]	**65,7**										
Коэффициент затухания звука в атмосфере α, дБ/км	Ta=20,°C Pa=101.33,кПа hотн.=70%	ф-ла (5) [9]	0,02	0,09	0,33	1,12	2,79	4,98	9,04	23,09	77,63		
Учет затухания звука в атмосфере Aatm, дБ		ф-ла (8) [10]	0	0	0,2	0,6	1,5	2,7	4,9	12,5	42,1		
Снижение уровня звукового давления из-за влияния застройки между источником шума и расчетной точкой													
Снижение уровня звукового давления препятствием слева от трассы ИШ-РТ, Dz2, дБ	z = -0.22м (разность путей)	ф-лы (14-18) [10]	3,4	1,4	NAN	NAN	NAN	NAN	NAN	NAN	NAN		
* отрицательное значение z означает прохождение траектории вблизи экрана, в этом случае дополнительно производится учёт снижения подстилающей поверхностью (см.ниже)													
Снижение поверхностью земли возле источника As, дБ	Gs = 0 hs = 1м	ф-лы таб.3 [10]	-1,5	-1,5	-1,5	-1,5	-1,5	-1,5	-1,5	-1,5	-1,5		
Снижение поверхностью земли возле приёмника Ar, дБ	Gr = 1 hr = 1.6м	ф-лы таб.3 [10]	-1,5	-1,5	3,3	6,8	4,3	0,5	0	0	0		
Снижение поверхностью земли в средней зоне, Am дБ	Gm = 1	ф-лы таб.3 [10]	-2,6	-2,6	0	0	0	0	0	0	0		
Суммарное снижение поверхностью земли на траектории распространения звука Agr, дБ		ф-ла (9) [10]	-5,6	-5,6	1,8	5,3	2,8	-1	-1,5	-1,5	-1,5		
Уровни звукового давления прямого звука от источника ИШ-6-17 в расчётной точке днём, дБ		**ф-ла(3)[10]**	**0**	**34,8**	**30**	**27,4**	**29,3**	**31,5**	**26,5**	**14,7**	**0**	**34,1**	**34,1**
Уровни звукового давления прямого звука от источника ИШ-6-17 в расчётной точке ночью, дБ		**ф-ла(3)[10]**	**0**	**34,8**	**30**	**27,4**	**29,3**	**31,5**	**26,5**	**14,7**	**0**	**34,1**	**34,1**
Расчёт отражённого звука													

1		2	3	4	5	6	7	8	9	10	11	12	13
Уровни звукового давления от мнимого источника ИШ-6-17_мн.(1) в расчётной точке днём, дБ		**ф-ла(3)[10]**	**0**	**0**	**24,1**	**17**	**17,9**	**27**	**24**	**12,1**	**0**	**29,5**	**29,5**
Уровни звукового давления от мнимого источника ИШ-6-17_мн.(1) в расчётной точке ночью, дБ		**ф-ла(3)[10]**	**0**	**0**	**0**	**0**	**0**	**0**	**0**	**0**	**0**	**29,5**	**29,5**
Уровни звукового давления от источника ИШ-6-17 в расчётной точке днём, дБ		**ф-ла(3)[10]**	**0**	**34,8**	**31**	**27,7**	**29,6**	**32,8**	**28,4**	**16,6**	**0**	**35,4**	**35,4**
Уровни звукового давления от источника ИШ-6-17 в расчётной точке ночью, дБ		**ф-ла(3)[10]**	**0**	**34,8**	**31**	**27,7**	**29,6**	**32,8**	**28,4**	**16,6**	**0**	**35,4**	**35,4**
Источник шума: ИШ-6-18, координаты источника (x,y,z), м =[804.77,-126.28,1.00]													
Уровни звуковой мощности источника днём, Lw, дБ		**исходные данные**	**0**	**96,3**	**97,7**	**99**	**99,3**	**98,9**	**95,6**	**91,4**	**86,9**		
Уровни звуковой мощности источника ночью, Lw, дБ		**исходные данные**	**0**	**96,3**	**97,7**	**99**	**99,3**	**98,9**	**95,6**	**91,4**	**86,9**		
Поправка на телесный угол DΩ, дБ	Ω = 12.57	10Lg(4π/Ω)	**0**	0	0	0	0	0	0	0	0		
Показатель направленности источника Di, дБ		исходные данные	**0**	0	0	0	0	0	0	0	0		
Поправка на направленность источника Dc, дБ	Dc	DΩ + Di	**0**	0	0	0	0	0	0	0	0		
Затухание из-за геометрической дивергенции, Adiv, дБ	расстояние = 583.40 м	ф-ла (7) [10]	**66,3**										
Коэффициент затухания звука в атмосфере α, дБ/км	Ta=20,°C Pa=101.33,кПа hотн.=70%	ф-ла (5) [9]	0,02	0,09	0,33	1,12	2,79	4,98	9,04	23,09	77,63		
Учет затухания звука в атмосфере Aatm, дБ		ф-ла (8) [10]	0	0,1	0,2	0,7	1,6	2,9	5,3	13,5	45,3		
Снижение уровня звукового давления из-за влияния застройки между источником шума и расчетной точкой													
Снижение уровня звукового давления препятствием слева от трассы ИШ-РТ, Dz2, дБ	z = -0.06м (разность путей)	ф-лы (14-18) [10]	4,4	4,1	3,2	0,8	NAN	NAN	NAN	NAN	NAN		
* отрицательное значение z означает прохождение траектории вблизи экрана, в этом случае дополнительно производится учёт снижения подстилающей поверхностью (см.ниже)													
Снижение поверхностью земли возле источника As, дБ	Gs = 0 hs = 1м	ф-лы таб.3 [10]	-1,5	-1,5	-1,5	-1,5	-1,5	-1,5	-1,5	-1,5	-1,5		

1		2	3	4	5	6	7	8	9	10	11	12	13
Снижение поверхностью земли возле приёмника Ar, дБ	Gr = 1 hr = 1.6м	ф-лы таб.3 [10]	-1,5	-1,5	3,5	6,8	4,3	0,5	0	0	0		
Снижение поверхностью земли в средней зоне, Am дБ	Gm = 1	ф-лы таб.3 [10]	-2,6	-2,6	0	0	0	0	0	0	0		
Суммарное снижение поверхностью земли на траектории распространения звука Agr, дБ		ф-ла (9) [10]	-5,6	-5,6	2	5,3	2,8	-1	-1,5	-1,5	-1,5		
Уровни звукового давления прямого звука от источника ИШ-6-18 в расчётной точке днём, дБ		**ф-ла(3)[10]**	**0**	**31,5**	**25,9**	**25,9**	**28,5**	**30,7**	**25,5**	**13,1**	**0**	**33,2**	**33,2**
Уровни звукового давления прямого звука от источника ИШ-6-18 в расчётной точке ночью, дБ		**ф-ла(3)[10]**	**0**	**31,5**	**25,9**	**25,9**	**28,5**	**30,7**	**25,5**	**13,1**	**0**	**33,2**	**33,2**
Расчёт отражённого звука													
Уровни звукового давления от мнимого источника ИШ-6-18_мн.(1) в расчётной точке днём, дБ		**ф-ла(3)[10]**	**0**	**0**	**23**	**16,3**	**17,2**	**26,1**	**23**	**10,6**	**0**	**28,6**	**28,6**
Уровни звукового давления от мнимого источника ИШ-6-18_мн.(1) в расчётной точке ночью, дБ		**ф-ла(3)[10]**	**0**	**0**	**0**	**0**	**0**	**0**	**0**	**0**	**0**	**28,6**	**28,6**
Уровни звукового давления от источника ИШ-6-18 в расчётной точке днём, дБ		**ф-ла(3)[10]**	**0**	**31,5**	**27,7**	**26,4**	**28,8**	**32**	**27,4**	**15**	**0**	**34,5**	**34,5**
Уровни звукового давления от источника ИШ-6-18 в расчётной точке ночью, дБ		**ф-ла(3)[10]**	**0**	**31,5**	**27,7**	**26,4**	**28,8**	**32**	**27,4**	**15**	**0**	**34,5**	**34,5**
Источник шума: ИШ-6-19, координаты источника (x,y,z), м =[803.81,-129.30,1.00]													
Уровни звуковой мощности источника днём, Lw, дБ		**исходные данные**	**0**	**96,3**	**97,7**	**99**	**99,3**	**98,9**	**95,6**	**91,4**	**86,9**		
Уровни звуковой мощности источника ночью, Lw, дБ		**исходные данные**	**0**	**96,3**	**97,7**	**99**	**99,3**	**98,9**	**95,6**	**91,4**	**86,9**		
Поправка на телесный угол DΩ, дБ	Ω = 12.57	10Lg(4π/Ω)	**0**	0	0	0	0	0	0	0	0		
Показатель направленности источника Di, дБ		исходные данные	**0**	0	0	0	0	0	0	0	0		
Поправка на направленность источника Dc, дБ	Dc	DΩ + Di	**0**	0	0	0	0	0	0	0	0		
Затухание из-за геометрической дивергенции, Adiv, дБ	расстояние = 582.11 м	ф-ла (7) [10]	**66,3**										

1		2	3	4	5	6	7	8	9	10	11	12	13
Коэффициент затухания звука в атмосфере α, дБ/км	Ta=20,°C Pa=101.33,кПа hотн.=70%	ф-ла (5) [9]	0,02	0,09	0,33	1,12	2,79	4,98	9,04	23,09	77,63		
Учет затухания звука в атмосфере Aatm, дБ		ф-ла (8) [10]	0	0,1	0,2	0,7	1,6	2,9	5,3	13,4	45,2		
Снижение уровня звукового давления из-за влияния застройки между источником шума и расчетной точкой													
Снижение уровня звукового давления препятствием слева от трассы ИШ-РТ, Dz2, дБ	z = -0.02м (разность путей)	ф-лы (14-18) [10]	4,7	4,6	4,3	3,8	2,7	0	NAN	NAN	NAN		
* отрицательное значение z означает прохождение траектории вблизи экрана, в этом случае дополнительно производится учёт снижения подстилающей поверхностью (см.ниже)													
Снижение поверхностью земли возле источника As, дБ	Gs = 0 hs = 1м	ф-лы таб.3 [10]	-1,5	-1,5	-1,5	-1,5	-1,5	-1,5	-1,5	-1,5	-1,5		
Снижение поверхностью земли возле приёмника Ar, дБ	Gr = 1 hr = 1.6м	ф-лы таб.3 [10]	-1,5	-1,5	3,5	6,8	4,3	0,5	0	0	0		
Снижение поверхностью земли в средней зоне, Am дБ	Gm = 1	ф-лы таб.3 [10]	-2,6	-2,6	0	0	0	0	0	0	0		
Суммарное снижение поверхностью земли на траектории распространения звука Agr, дБ		ф-ла (9) [10]	-5,6	-5,6	2	5,3	2,8	-1	-1,5	-1,5	-1,5		
Уровни звукового давления прямого звука от источника ИШ-6-19 в расчётной точке днём, дБ		**ф-ла(3)[10]**	**0**	**31**	**24,8**	**22,9**	**25,9**	**30,7**	**25,5**	**13,2**	**0**	**32,8**	**32,8**
Уровни звукового давления прямого звука от источника ИШ-6-19 в расчётной точке ночью, дБ		**ф-ла(3)[10]**	**0**	**31**	**24,8**	**22,9**	**25,9**	**30,7**	**25,5**	**13,2**	**0**	**32,8**	**32,8**
Расчёт отражённого звука													
Уровни звукового давления от мнимого источника ИШ-6-19_мн.(1) в расчётной точке днём, дБ		**ф-ла(3)[10]**	**0**	**0**	**23**	**16,4**	**17,2**	**26,2**	**23**	**10,6**	**0**	**28,6**	**28,6**
Уровни звукового давления от мнимого источника ИШ-6-19_мн.(1) в расчётной точке ночью, дБ		**ф-ла(3)[10]**	**0**	**0**	**0**	**0**	**0**	**0**	**0**	**0**	**0**	**28,6**	**28,6**
Уровни звукового давления от источника ИШ-6-19 в расчётной точке днём, дБ		**ф-ла(3)[10]**	**0**	**31**	**27**	**23,7**	**26,4**	**32**	**27,5**	**15,1**	**0**	**34,2**	**34,2**
Уровни звукового давления от источника ИШ-6-19 в расчётной точке ночью, дБ		**ф-ла(3)[10]**	**0**	**31**	**27**	**23,7**	**26,4**	**32**	**27,5**	**15,1**	**0**	**34,2**	**34,2**
Источник шума: ИШ-6-20, координаты источника (x,y,z), м =[802.67,-132.35,1.00]													

1		2	3	4	5	6	7	8	9	10	11	12	13
Уровни звуковой мощности источника днём, Lw, дБ		**исходные данные**	**0**	**96,3**	**97,7**	**99**	**99,3**	**98,9**	**95,6**	**91,4**	**86,9**		
Уровни звуковой мощности источника ночью, Lw, дБ		**исходные данные**	**0**	**96,3**	**97,7**	**99**	**99,3**	**98,9**	**95,6**	**91,4**	**86,9**		
Поправка на телесный угол DΩ, дБ	Ω = 12.57	10Lg(4π/Ω)	**0**	0	0	0	0	0	0	0	0		
Показатель направленности источника Di, дБ		исходные данные	**0**	0	0	0	0	0	0	0	0		
Поправка на направленность источника Dc, дБ	Dc	DΩ + Di	**0**	0	0	0	0	0	0	0	0		
Затухание из-за геометрической дивергенции, Adiv, дБ	расстояние = 580.65 м	ф-ла (7) [10]	**66,3**										
Коэффициент затухания звука в атмосфере α, дБ/км	Ta=20,°C Pa=101.33,кПа hотн.=70%	ф-ла (5) [9]	0,02	0,09	0,33	1,12	2,79	4,98	9,04	23,09	77,63		
Учет затухания звука в атмосфере Aatm, дБ		ф-ла (8) [10]	0	0,1	0,2	0,7	1,6	2,9	5,2	13,4	45,1		
Снижение уровня звукового давления из-за влияния застройки между источником шума и расчетной точкой													
Снижение уровня звукового давления препятствием слева от трассы ИШ-РТ, Dz2, дБ	z = 0.00м (разность путей)	ф-лы (14-18) [10]	4,8	4,8	4,8	4,7	4,7	4,6	4,4	4,1	3,2		
* отрицательное значение z означает прохождение траектории вблизи экрана, в этом случае дополнительно производится учёт снижения подстилающей поверхностью (см.ниже)													
Снижение поверхностью земли возле источника As, дБ	Gs = 0 hs = 1м	ф-лы таб.3 [10]	-1,5	-1,5	-1,5	-1,5	-1,5	-1,5	-1,5	-1,5	-1,5		
Снижение поверхностью земли возле приёмника Ar, дБ	Gr = 1 hr = 1.6м	ф-лы таб.3 [10]	-1,5	-1,5	3,5	6,8	4,3	0,5	0	0	0		
Снижение поверхностью земли в средней зоне, Am дБ	Gm = 1	ф-лы таб.3 [10]	-2,6	-2,6	0	0	0	0	0	0	0		
Суммарное снижение поверхностью земли на траектории распространения звука Agr, дБ		ф-ла (9) [10]	-5,6	-5,6	2	5,3	2,8	-1	-1,5	-1,5	-1,5		
Уровни звукового давления от источника ИШ-6-20 в расчётной точке днём, дБ		**ф-ла(3)[10]**	**0**	**30,8**	**24,5**	**22**	**23,9**	**26,1**	**21,1**	**9,1**	**0**	**28,7**	**28,7**
Уровни звукового давления от источника ИШ-6-20 в расчётной точке ночью, дБ		**ф-ла(3)[10]**	**0**	**30,8**	**24,5**	**22**	**23,9**	**26,1**	**21,1**	**9,1**	**0**	**28,7**	**28,7**

1		2	3	4	5	6	7	8	9	10	11	12	13
Источник шума: ИШ-6-21, координаты источника (x,y,z), м =[801.69,-135.42,1.00]													
Уровни звуковой мощности источника днём, Lw, дБ		**исходные данные**	**0**	**96,3**	**97,7**	**99**	**99,3**	**98,9**	**95,6**	**91,4**	**86,9**		
Уровни звуковой мощности источника ночью, Lw, дБ		**исходные данные**	**0**	**96,3**	**97,7**	**99**	**99,3**	**98,9**	**95,6**	**91,4**	**86,9**		
Поправка на телесный угол DΩ, дБ	Ω = 12.57	10Lg(4π/Ω)	**0**	0	0	0	0	0	0	0	0		
Показатель направленности источника Di, дБ		исходные данные	**0**	0	0	0	0	0	0	0	0		
Поправка на направленность источника Dc, дБ	Dc	DΩ + Di	**0**	0	0	0	0	0	0	0	0		
Затухание из-за геометрической дивергенции, Adiv, дБ	расстояние = 579.36 м	ф-ла (7) [10]	**66,3**										
Коэффициент затухания звука в атмосфере α, дБ/км	Ta=20,°C Pa=101.33,кПа hотн.=70%	ф-ла (5) [9]	0,02	0,09	0,33	1,12	2,79	4,98	9,04	23,09	77,63		
Учет затухания звука в атмосфере Aatm, дБ		ф-ла (8) [10]	0	0,1	0,2	0,7	1,6	2,9	5,2	13,4	45		
Снижение уровня звукового давления из-за влияния застройки между источником шума и расчетной точкой													
Снижение уровня звукового давления на пути над экраном, Dz1, дБ	z = 0.03м (разность путей)	ф-лы (14-18) [10]	4,8	4,8	4,8	4,8	4,8	4,8	4,8	4,8	4,8		
Снижение уровня звукового давления на пути слева от экрана, Dz2, дБ	z = 2.23м (разность путей)	ф-лы (14-18) [10]	10,5	12,9	15,5	18,4	21,3	24,2	27,2	30,2	33,2		
Снижение уровня звукового давления на пути справа от экрана, Dz3, дБ	z = 0.01м (разность путей)	ф-лы (14-18) [10]	4,8	4,8	4,9	5	5,3	5,7	6,5	7,8	9,6		
Общее снижение уровня звука препятствием Dz, дБ		Эн.сумма(-Dzi)	1,2	1,5	1,6	1,8	2	2,2	2,5	3	3,5		
Уровни звукового давления от источника ИШ-6-21 в расчётной точке днём, дБ		**ф-ла(3)[10]**	**0**	**28,5**	**29,6**	**30,3**	**29,5**	**27,6**	**21,6**	**8,8**	**0**	**31,3**	**31,3**
Уровни звукового давления от источника ИШ-6-21 в расчётной точке ночью, дБ		**ф-ла(3)[10]**	**0**	**28,5**	**29,6**	**30,3**	**29,5**	**27,6**	**21,6**	**8,8**	**0**	**31,3**	**31,3**

1		2	3	4	5	6	7	8	9	10	11	12	13
Источник шума: ИШ-6-22, координаты источника (x,y,z), м =[800.65,-138.47,1.00]													
Уровни звуковой мощности источника днём, Lw, дБ		**исходные данные**	**0**	**96,3**	**97,7**	**99**	**99,3**	**98,9**	**95,6**	**91,4**	**86,9**		
Уровни звуковой мощности источника ночью, Lw, дБ		**исходные данные**	**0**	**96,3**	**97,7**	**99**	**99,3**	**98,9**	**95,6**	**91,4**	**86,9**		
Поправка на телесный угол DΩ, дБ	Ω = 12.57	10Lg(4π/Ω)	**0**	0	0	0	0	0	0	0	0		
Показатель направленности источника Di, дБ		исходные данные	**0**	0	0	0	0	0	0	0	0		
Поправка на направленность источника Dc, дБ	Dc	DΩ + Di	**0**	0	0	0	0	0	0	0	0		
Затухание из-за геометрической дивергенции, Adiv, дБ	расстояние = 578.03 м	ф-ла (7) [10]	**66,2**										
Коэффициент затухания звука в атмосфере α, дБ/км	Ta=20,°C Pa=101.33,кПа hотн.=70%	ф-ла (5) [9]	0,02	0,09	0,33	1,12	2,79	4,98	9,04	23,09	77,63		
Учет затухания звука в атмосфере Aatm, дБ		ф-ла (8) [10]	0	0,1	0,2	0,6	1,6	2,9	5,2	13,3	44,9		
Снижение уровня звукового давления из-за влияния застройки между источником шума и расчетной точкой													
Снижение уровня звукового давления на пути над экраном, Dz1, дБ	z = 0.03м (разность путей)	ф-лы (14-18) [10]	4,8	4,8	4,8	4,8	4,8	4,8	4,8	4,8	4,8		
Снижение уровня звукового давления на пути слева от экрана, Dz2, дБ	z = 1.93м (разность путей)	ф-лы (14-18) [10]	10,1	12,4	15	17,8	20,7	23,6	26,6	29,6	32,6		
Снижение уровня звукового давления на пути справа от экрана, Dz3, дБ	z = 0.04м (разность путей)	ф-лы (14-18) [10]	5	5,1	5,5	6,1	7,1	8,6	10,6	13,1	15,7		
Общее снижение уровня звука препятствием Dz, дБ		Эн.сумма(-Dzi)	1,2	1,6	1,9	2,3	2,7	3,2	3,7	4,2	4,4		
Уровни звукового давления от источника ИШ-6-22 в расчётной точке днём, дБ		**ф-ла(3)[10]**	**0**	**28,4**	**29,4**	**29,9**	**28,7**	**26,5**	**20,4**	**7,7**	**0**	**30,5**	**30,5**
Уровни звукового давления от источника ИШ-6-22 в расчётной точке ночью, дБ		**ф-ла(3)[10]**	**0**	**28,4**	**29,4**	**29,9**	**28,7**	**26,5**	**20,4**	**7,7**	**0**	**30,5**	**30,5**

1		2	3	4	5	6	7	8	9	10	11	12	13
Источник шума: ИШ-7-1, координаты источника (x,y,z), м =[821.44,63.31,1.00]													
Уровни звуковой мощности источника днём, Lw, дБ		**исходные данные**	**77**	**75**	**67**	**66**	**63**	**55**	**53**	**48**	**51**		
Уровни звуковой мощности источника ночью, Lw, дБ		**исходные данные**	**77**	**75**	**67**	**66**	**63**	**55**	**53**	**48**	**51**		
Поправка на телесный угол DΩ, дБ	Ω = 12.57	10Lg(4π/Ω)	**0**	0	0	0	0	0	0	0	0		
Показатель направленности источника Di, дБ		исходные данные	**0**	0	0	0	0	0	0	0	0		
Поправка на направленность источника Dc, дБ	Dc	DΩ + Di	**0**	0	0	0	0	0	0	0	0		
Затухание из-за геометрической дивергенции, Adiv, дБ	расстояние = 648.94 м	ф-ла (7) [10]	**67,2**										
Коэффициент затухания звука в атмосфере α, дБ/км	Ta=20,°C Pa=101.33,кПа hотн.=70%	ф-ла (5) [9]	0,02	0,09	0,33	1,12	2,79	4,98	9,04	23,09	77,63		
Учет затухания звука в атмосфере Aatm, дБ		ф-ла (8) [10]	0	0,1	0,2	0,7	1,8	3,2	5,9	15	50,4		
Снижение уровня звукового давления из-за влияния застройки между источником шума и расчетной точкой													
Снижение уровня звукового давления на пути над экраном, Dz1, дБ	z = 0.15м (разность путей)	ф-лы (14-18) [10]	4,8	4,8	4,8	4,8	4,8	4,8	4,9	5	5,2		
Уровни звукового давления от источника ИШ-7-1 в расчётной точке днём, дБ		**ф-ла(3)[10]**	**5**	**2,9**	**0**	**0**	**0**	**0**	**0**	**0**	**0**	**0**	**0**
Уровни звукового давления от источника ИШ-7-1 в расчётной точке ночью, дБ		**ф-ла(3)[10]**	**5**	**2,9**	**0**	**0**	**0**	**0**	**0**	**0**	**0**	**0**	**0**
Источник шума: ИШ-7-2, координаты источника (x,y,z), м =[768.90,-86.75,1.00]													
Уровни звуковой мощности источника днём, Lw, дБ		**исходные данные**	**77**	**75**	**67**	**66**	**63**	**55**	**53**	**48**	**51**		
Уровни звуковой мощности источника ночью, Lw, дБ		**исходные данные**	**77**	**75**	**67**	**66**	**63**	**55**	**53**	**48**	**51**		

1		2	3	4	5	6	7	8	9	10	11	12	13
Поправка на телесный угол DΩ, дБ	Ω = 12.57	10Lg(4π/Ω)	**0**	0	0	0	0	0	0	0	0		
Показатель направленности источника Di, дБ		исходные данные	**0**	0	0	0	0	0	0	0	0		
Поправка на направленность источника Dc, дБ	Dc	DΩ + Di	**0**	0	0	0	0	0	0	0	0		
Затухание из-за геометрической дивергенции, Adiv, дБ	расстояние = 553.96 м	ф-ла (7) [10]	**65,9**										
Коэффициент затухания звука в атмосфере α, дБ/км	Ta=20,°C Pa=101.33,кПа hотн.=70%	ф-ла (5) [9]	0,02	0,09	0,33	1,12	2,79	4,98	9,04	23,09	77,63		
Учет затухания звука в атмосфере Aatm, дБ		ф-ла (8) [10]	0	0	0,2	0,6	1,5	2,8	5	12,8	43		
Снижение поверхностью земли возле источника As, дБ	Gs = 0 hs = 1м	ф-лы таб.3 [10]	-1,5	-1,5	-1,5	-1,5	-1,5	-1,5	-1,5	-1,5	-1,5		
Снижение поверхностью земли возле приёмника Ar, дБ	Gr = 1 hr = 1.6м	ф-лы таб.3 [10]	-1,5	-1,5	3,4	6,8	4,3	0,5	0	0	0		
Снижение поверхностью земли в средней зоне, Am дБ	Gm = 1	ф-лы таб.3 [10]	-2,6	-2,6	0	0	0	0	0	0	0		
Суммарное снижение поверхностью земли на траектории распространения звука Agr, дБ		ф-ла (9) [10]	-5,6	-5,6	1,9	5,3	2,8	-1	-1,5	-1,5	-1,5		
Уровни звукового давления от источника ИШ-7-2 в расчётной точке днём, дБ		**ф-ла(3)[10]**	**16,7**	**14,7**	**0**	**0**	**0**	**0**	**0**	**0**	**0**	**0**	**0**
Уровни звукового давления от источника ИШ-7-2 в расчётной точке ночью, дБ		**ф-ла(3)[10]**	**16,7**	**14,7**	**0**	**0**	**0**	**0**	**0**	**0**	**0**	**0**	**0**
Источник шума: ИШ-7-3, координаты источника (x,y,z), м =[766.80,-93.20,1.00]													
Уровни звуковой мощности источника днём, Lw, дБ		**исходные данные**	**77**	**75**	**67**	**66**	**63**	**55**	**53**	**48**	**51**		
Уровни звуковой мощности источника ночью, Lw, дБ		**исходные данные**	**77**	**75**	**67**	**66**	**63**	**55**	**53**	**48**	**51**		
Поправка на телесный угол DΩ, дБ	Ω = 12.57	10Lg(4π/Ω)	**0**	0	0	0	0	0	0	0	0		

1		2	3	4	5	6	7	8	9	10	11	12	13
Показатель направленности источника Di, дБ		исходные данные	**0**	0	0	0	0	0	0	0	0		
Поправка на направленность источника Dc, дБ	Dc	DΩ + Di	**0**	0	0	0	0	0	0	0	0		
Затухание из-за геометрической дивергенции, Adiv, дБ	расстояние = 550.71 м	ф-ла (7) [10]	**65,8**										
Коэффициент затухания звука в атмосфере α, дБ/км	Ta=20,°C Pa=101.33,кПа hотн.=70%	ф-ла (5) [9]	0,02	0,09	0,33	1,12	2,79	4,98	9,04	23,09	77,63		
Учет затухания звука в атмосфере Aatm, дБ		ф-ла (8) [10]	0	0	0,2	0,6	1,5	2,7	5	12,7	42,8		
Снижение поверхностью земли возле источника As, дБ	Gs = 0 hs = 1м	ф-лы таб.3 [10]	-1,5	-1,5	-1,5	-1,5	-1,5	-1,5	-1,5	-1,5	-1,5		
Снижение поверхностью земли возле приёмника Ar, дБ	Gr = 1 hr = 1.6м	ф-лы таб.3 [10]	-1,5	-1,5	3,3	6,8	4,3	0,5	0	0	0		
Снижение поверхностью земли в средней зоне, Am дБ	Gm = 1	ф-лы таб.3 [10]	-2,6	-2,6	0	0	0	0	0	0	0		
Суммарное снижение поверхностью земли на траектории распространения звука Agr, дБ		ф-ла (9) [10]	-5,6	-5,6	1,8	5,3	2,8	-1	-1,5	-1,5	-1,5		
Уровни звукового давления от источника ИШ-7-3 в расчётной точке днём, дБ		**ф-ла(3)[10]**	**16,7**	**14,7**	**0**	**0**	**0**	**0**	**0**	**0**	**0**	**0**	**0**
Уровни звукового давления от источника ИШ-7-3 в расчётной точке ночью, дБ		**ф-ла(3)[10]**	**16,7**	**14,7**	**0**	**0**	**0**	**0**	**0**	**0**	**0**	**0**	**0**
Источник шума: ИШ-7-4, координаты источника (x,y,z), м =[866.76,37.18,1.00]													
Уровни звуковой мощности источника днём, Lw, дБ		**исходные данные**	**77**	**75**	**67**	**66**	**63**	**55**	**53**	**48**	**51**		
Уровни звуковой мощности источника ночью, Lw, дБ		**исходные данные**	**77**	**75**	**67**	**66**	**63**	**55**	**53**	**48**	**51**		
Поправка на телесный угол DΩ, дБ	Ω = 12.57	10Lg(4π/Ω)	**0**	0	0	0	0	0	0	0	0		
Показатель направленности источника Di, дБ		исходные данные	**0**	0	0	0	0	0	0	0	0		

1		2	3	4	5	6	7	8	9	10	11	12	13
Поправка на направленность источника Dc, дБ	Dc	DΩ + Di	**0**	0	0	0	0	0	0	0	0		
Затухание из-за геометрической дивергенции, Adiv, дБ	расстояние = 681.56 м	ф-ла (7) [10]	**67,7**										
Коэффициент затухания звука в атмосфере α, дБ/км	Ta=20,°C Pa=101.33,кПа hотн.=70%	ф-ла (5) [9]	0,02	0,09	0,33	1,12	2,79	4,98	9,04	23,09	77,63		
Учет затухания звука в атмосфере Aatm, дБ		ф-ла (8) [10]	0	0,1	0,2	0,8	1,9	3,4	6,2	15,7	52,9		
Снижение уровня звукового давления из-за влияния застройки между источником шума и расчетной точкой													
Снижение уровня звукового давления на пути над экраном, Dz1, дБ	z = 0.14м (разность путей)	ф-лы (14-18) [10]	4,8	4,8	4,8	4,8	4,8	4,8	4,8	4,8	4,9		
Уровни звукового давления от источника ИШ-7-4 в расчётной точке днём, дБ		**ф-ла(3)[10]**	**4,5**	**2,5**	**0**	**0**	**0**	**0**	**0**	**0**	**0**	**0**	**0**
Уровни звукового давления от источника ИШ-7-4 в расчётной точке ночью, дБ		**ф-ла(3)[10]**	**4,5**	**2,5**	**0**	**0**	**0**	**0**	**0**	**0**	**0**	**0**	**0**
Источник шума: ИШ-7-5, координаты источника (x,y,z), м =[861.80,21.34,1.00]													
Уровни звуковой мощности источника днём, Lw, дБ		**исходные данные**	**77**	**75**	**67**	**66**	**63**	**55**	**53**	**48**	**51**		
Уровни звуковой мощности источника ночью, Lw, дБ		**исходные данные**	**77**	**75**	**67**	**66**	**63**	**55**	**53**	**48**	**51**		
Поправка на телесный угол DΩ, дБ	Ω = 12.57	10Lg(4π/Ω)	**0**	0	0	0	0	0	0	0	0		
Показатель направленности источника Di, дБ		исходные данные	**0**	0	0	0	0	0	0	0	0		
Поправка на направленность источника Dc, дБ	Dc	DΩ + Di	**0**	0	0	0	0	0	0	0	0		
Затухание из-за геометрической дивергенции, Adiv, дБ	расстояние = 671.68 м	ф-ла (7) [10]	**67,5**										
Коэффициент затухания звука в атмосфере α, дБ/км	Ta=20,°C Pa=101.33,кПа hотн.=70%	ф-ла (5) [9]	0,02	0,09	0,33	1,12	2,79	4,98	9,04	23,09	77,63		

1		2	3	4	5	6	7	8	9	10	11	12	13
Учет затухания звука в атмосфере Aatm, дБ		ф-ла (8) [10]	0	0,1	0,2	0,8	1,9	3,3	6,1	15,5	52,1		
Снижение уровня звукового давления из-за влияния застройки между источником шума и расчетной точкой													
Снижение уровня звукового давления препятствием слева от трассы ИШ-РТ, Dz2, дБ	z = -0.01м (разность путей)	ф-лы (14-18) [10]	0	0	0	4,4	4	3,1	0,3	NAN	NAN		
Снижение уровня звукового давления препятствием справа от трассы ИШ-РТ, Dz3, дБ	z = -0.02м (разность путей)	ф-лы (14-18) [10]	0	0	0	3,8	2,5	0	NAN	NAN	NAN		
Общее снижение уровня звука препятствием Dz, дБ		Эн.сумма(-Dzi)	0	0	0	1,1	0,2	0	0	0	0		
* отрицательное значение z означает прохождение траектории вблизи экрана, в этом случае дополнительно производится учёт снижения подстилающей поверхностью (см.ниже)													
Снижение поверхностью земли возле источника As, дБ	Gs = 0 hs = 1м	ф-лы таб.3 [10]	-1,5	-1,5	-1,5	-1,5	-1,5	-1,5	-1,5	-1,5	-1,5		
Снижение поверхностью земли возле приёмника Ar, дБ	Gr = 1 hr = 1.6м	ф-лы таб.3 [10]	-1,5	-1,5	4	6,8	4,3	0,5	0	0	0		
Снижение поверхностью земли в средней зоне, Am дБ	Gm = 1	ф-лы таб.3 [10]	-2,7	-2,7	0	0	0	0	0	0	0		
Суммарное снижение поверхностью земли на траектории распространения звука Agr, дБ		ф-ла (9) [10]	-5,7	-5,7	2,5	5,3	2,8	-1	-1,5	-1,5	-1,5		
Уровни звукового давления от источника ИШ-7-5 в расчётной точке днём, дБ		**ф-ла(3)[10]**	**15,1**	**13**	**0**	**0**	**0**	**0**	**0**	**0**	**0**	**0**	**0**
Уровни звукового давления от источника ИШ-7-5 в расчётной точке ночью, дБ		**ф-ла(3)[10]**	**15,1**	**13**	**0**	**0**	**0**	**0**	**0**	**0**	**0**	**0**	**0**
Источник шума: ИШ-7-6, координаты источника (x,y,z), м =[856.52,5.94,1.00]													
Уровни звуковой мощности источника днём, Lw, дБ		**исходные данные**	**77**	**75**	**67**	**66**	**63**	**55**	**53**	**48**	**51**		
Уровни звуковой мощности источника ночью, Lw, дБ		**исходные данные**	**77**	**75**	**67**	**66**	**63**	**55**	**53**	**48**	**51**		
Поправка на телесный угол DΩ, дБ	Ω = 12.57	10Lg(4π/Ω)	**0**	0	0	0	0	0	0	0	0		
Показатель направленности источника Di, дБ		исходные данные	**0**	0	0	0	0	0	0	0	0		

1		2	3	4	5	6	7	8	9	10	11	12	13
Поправка на направленность источника Dc, дБ	Dc	DΩ + Di	**0**	0	0	0	0	0	0	0	0		
Затухание из-за геометрической дивергенции, Adiv, дБ	расстояние = 661.88 м	ф-ла (7) [10]	**67,4**										
Коэффициент затухания звука в атмосфере α, дБ/км	Ta=20,°C Pa=101.33,кПа hотн.=70%	ф-ла (5) [9]	0,02	0,09	0,33	1,12	2,79	4,98	9,04	23,09	77,63		
Учет затухания звука в атмосфере Aatm, дБ		ф-ла (8) [10]	0	0,1	0,2	0,7	1,8	3,3	6	15,3	51,4		
Снижение уровня звукового давления из-за влияния застройки между источником шума и расчетной точкой													
Снижение уровня звукового давления на пути над экраном, Dz1, дБ	z = 0.25м (разность путей)	ф-лы (14-18) [10]	4,8	4,8	4,8	4,8	4,9	5,1	5,5	6,1	7,1		
Уровни звукового давления от источника ИШ-7-6 в расчётной точке днём, дБ		**ф-ла(3)[10]**	**4,8**	**2,7**	**0**	**0**	**0**	**0**	**0**	**0**	**0**	**0**	**0**
Уровни звукового давления от источника ИШ-7-6 в расчётной точке ночью, дБ		**ф-ла(3)[10]**	**4,8**	**2,7**	**0**	**0**	**0**	**0**	**0**	**0**	**0**	**0**	**0**
Источник шума: ИШ-7-7, координаты источника (x,y,z), м =[851.06,-9.89,1.00]													
Уровни звуковой мощности источника днём, Lw, дБ		**исходные данные**	**77**	**75**	**67**	**66**	**63**	**55**	**53**	**48**	**51**		
Уровни звуковой мощности источника ночью, Lw, дБ		**исходные данные**	**77**	**75**	**67**	**66**	**63**	**55**	**53**	**48**	**51**		
Поправка на телесный угол DΩ, дБ	Ω = 12.57	10Lg(4π/Ω)	**0**	0	0	0	0	0	0	0	0		
Показатель направленности источника Di, дБ		исходные данные	**0**	0	0	0	0	0	0	0	0		
Поправка на направленность источника Dc, дБ	Dc	DΩ + Di	**0**	0	0	0	0	0	0	0	0		
Затухание из-за геометрической дивергенции, Adiv, дБ	расстояние = 652.06 м	ф-ла (7) [10]	**67,3**										
Коэффициент затухания звука в атмосфере α, дБ/км	Ta=20,°C Pa=101.33,кПа hотн.=70%	ф-ла (5) [9]	0,02	0,09	0,33	1,12	2,79	4,98	9,04	23,09	77,63		

1		2	3	4	5	6	7	8	9	10	11	12	13
Учет затухания звука в атмосфере Aatm, дБ		ф-ла (8) [10]	0	0,1	0,2	0,7	1,8	3,2	5,9	15,1	50,6		
Снижение уровня звукового давления из-за влияния застройки между источником шума и расчетной точкой													
Снижение уровня звукового давления на пути над экраном, Dz1, дБ	z = 0.25м (разность путей)	ф-лы (14-18) [10]	4,8	4,8	4,8	4,9	5	5,3	5,7	6,5	7,7		
Уровни звукового давления от источника ИШ-7-7 в расчётной точке днём, дБ		**ф-ла(3)[10]**	**4,9**	**2,9**	**0**	**0**	**0**	**0**	**0**	**0**	**0**	**0**	**0**
Уровни звукового давления от источника ИШ-7-7 в расчётной точке ночью, дБ		**ф-ла(3)[10]**	**4,9**	**2,9**	**0**	**0**	**0**	**0**	**0**	**0**	**0**	**0**	**0**
Источник шума: ИШ-7-8, координаты источника (x,y,z), м =[821.90,-104.30,1.00]													
Уровни звуковой мощности источника днём, Lw, дБ		**исходные данные**	**77**	**75**	**67**	**66**	**63**	**55**	**53**	**48**	**51**		
Уровни звуковой мощности источника ночью, Lw, дБ		**исходные данные**	**77**	**75**	**67**	**66**	**63**	**55**	**53**	**48**	**51**		
Поправка на телесный угол DΩ, дБ	Ω = 12.57	10Lg(4π/Ω)	**0**	0	0	0	0	0	0	0	0		
Показатель направленности источника Di, дБ		исходные данные	**0**	0	0	0	0	0	0	0	0		
Поправка на направленность источника Dc, дБ	Dc	DΩ + Di	**0**	0	0	0	0	0	0	0	0		
Затухание из-за геометрической дивергенции, Adiv, дБ	расстояние = 603.24 м	ф-ла (7) [10]	**66,6**										
Коэффициент затухания звука в атмосфере α, дБ/км	Ta=20,°C Pa=101.33,кПа hотн.=70%	ф-ла (5) [9]	0,02	0,09	0,33	1,12	2,79	4,98	9,04	23,09	77,63		
Учет затухания звука в атмосфере Aatm, дБ		ф-ла (8) [10]	0	0,1	0,2	0,7	1,7	3	5,5	13,9	46,8		
Снижение поверхностью земли возле источника As, дБ	Gs = 0 hs = 1м	ф-лы таб.3 [10]	-1,5	-1,5	-1,5	-1,5	-1,5	-1,5	-1,5	-1,5	-1,5		
Снижение поверхностью земли возле приёмника Ar, дБ	Gr = 1 hr = 1.6м	ф-лы таб.3 [10]	-1,5	-1,5	3,6	6,8	4,3	0,5	0	0	0		

1		2	3	4	5	6	7	8	9	10	11	12	13
Снижение поверхностью земли в средней зоне, Am дБ	Gm = 1	ф-лы таб.3 [10]	-2,6	-2,6	0	0	0	0	0	0	0		
Суммарное снижение поверхностью земли на траектории распространения звука Agr, дБ		ф-ла (9) [10]	-5,6	-5,6	2,1	5,3	2,8	-1	-1,5	-1,5	-1,5		
Уровни звукового давления от источника ИШ-7-8 в расчётной точке днём, дБ		**ф-ла(3)[10]**	**16**	**13,9**	**0**	**0**	**0**	**0**	**0**	**0**	**0**	**0**	**0**
Уровни звукового давления от источника ИШ-7-8 в расчётной точке ночью, дБ		**ф-ла(3)[10]**	**16**	**13,9**	**0**	**0**	**0**	**0**	**0**	**0**	**0**	**0**	**0**
Источник шума: ИШ-7-9, координаты источника (x,y,z), м =[819.93,-110.97,1.00]													
Уровни звуковой мощности источника днём, Lw, дБ		**исходные данные**	**77**	**75**	**67**	**66**	**63**	**55**	**53**	**48**	**51**		
Уровни звуковой мощности источника ночью, Lw, дБ		**исходные данные**	**77**	**75**	**67**	**66**	**63**	**55**	**53**	**48**	**51**		
Поправка на телесный угол DΩ, дБ	Ω = 12.57	10Lg(4π/Ω)	**0**	0	0	0	0	0	0	0	0		
Показатель направленности источника Di, дБ		исходные данные	**0**	0	0	0	0	0	0	0	0		
Поправка на направленность источника Dc, дБ	Dc	DΩ + Di	**0**	0	0	0	0	0	0	0	0		
Затухание из-за геометрической дивергенции, Adiv, дБ	расстояние = 600.35 м	ф-ла (7) [10]	**66,6**										
Коэффициент затухания звука в атмосфере α, дБ/км	Ta=20,°C Pa=101.33,кПа hотн.=70%	ф-ла (5) [9]	0,02	0,09	0,33	1,12	2,79	4,98	9,04	23,09	77,63		
Учет затухания звука в атмосфере Aatm, дБ		ф-ла (8) [10]	0	0,1	0,2	0,7	1,7	3	5,4	13,9	46,6		
Снижение поверхностью земли возле источника As, дБ	Gs = 0 hs = 1м	ф-лы таб.3 [10]	-1,5	-1,5	-1,5	-1,5	-1,5	-1,5	-1,5	-1,5	-1,5		
Снижение поверхностью земли возле приёмника Ar, дБ	Gr = 1 hr = 1.6м	ф-лы таб.3 [10]	-1,5	-1,5	3,6	6,8	4,3	0,5	0	0	0		
Снижение поверхностью земли в средней зоне, Am дБ	Gm = 1	ф-лы таб.3 [10]	-2,6	-2,6	0	0	0	0	0	0	0		

1		2	3	4	5	6	7	8	9	10	11	12	13
Суммарное снижение поверхностью земли на траектории распространения звука Agr, дБ		ф-ла (9) [10]	-5,6	-5,6	2,1	5,3	2,8	-1	-1,5	-1,5	-1,5		
Уровни звукового давления от источника ИШ-7-9 в расчётной точке днём, дБ		**ф-ла(3)[10]**	**16**	**14**	**0**	**0**	**0**	**0**	**0**	**0**	**0**	**0**	**0**
Уровни звукового давления от источника ИШ-7-9 в расчётной точке ночью, дБ		**ф-ла(3)[10]**	**16**	**14**	**0**	**0**	**0**	**0**	**0**	**0**	**0**	**0**	**0**
Источник шума: ИШ-7-10, координаты источника (x,y,z), м =[868.68,92.66,1.00]													
Уровни звуковой мощности источника днём, Lw, дБ		**исходные данные**	**77**	**75**	**67**	**66**	**63**	**55**	**53**	**48**	**51**		
Уровни звуковой мощности источника ночью, Lw, дБ		**исходные данные**	**77**	**75**	**67**	**66**	**63**	**55**	**53**	**48**	**51**		
Поправка на телесный угол DΩ, дБ	Ω = 12.57	10Lg(4π/Ω)	**0**	0	0	0	0	0	0	0	0		
Показатель направленности источника Di, дБ		исходные данные	**0**	0	0	0	0	0	0	0	0		
Поправка на направленность источника Dc, дБ	Dc	DΩ + Di	**0**	0	0	0	0	0	0	0	0		
Затухание из-за геометрической дивергенции, Adiv, дБ	расстояние = 703.98 м	ф-ла (7) [10]	**68**										
Коэффициент затухания звука в атмосфере α, дБ/км	Ta=20,°C Pa=101.33,кПа hотн.=70%	ф-ла (5) [9]	0,02	0,09	0,33	1,12	2,79	4,98	9,04	23,09	77,63		
Учет затухания звука в атмосфере Aatm, дБ		ф-ла (8) [10]	0	0,1	0,2	0,8	2	3,5	6,4	16,3	54,7		
Снижение уровня звукового давления из-за влияния застройки между источником шума и расчетной точкой													
Снижение уровня звукового давления на пути над экраном, Dz1, дБ	z = 0.13м (разность путей)	ф-лы (14-18) [10]	4,8	4,8	4,8	4,8	4,8	4,8	4,8	4,8	4,9		
Уровни звукового давления от источника ИШ-7-10 в расчётной точке днём, дБ		**ф-ла(3)[10]**	**4,3**	**2,2**	**0**	**0**	**0**	**0**	**0**	**0**	**0**	**0**	**0**
Уровни звукового давления от источника ИШ-7-10 в расчётной точке ночью, дБ		**ф-ла(3)[10]**	**4,3**	**2,2**	**0**	**0**	**0**	**0**	**0**	**0**	**0**	**0**	**0**

1		2	3	4	5	6	7	8	9	10	11	12	13
Источник шума: ИШ-7-11, координаты источника (x,y,z), м =[877.95,88.75,1.00]													
Уровни звуковой мощности источника днём, Lw, дБ		**исходные данные**	**77**	**75**	**67**	**66**	**63**	**55**	**53**	**48**	**51**		
Уровни звуковой мощности источника ночью, Lw, дБ		**исходные данные**	**77**	**75**	**67**	**66**	**63**	**55**	**53**	**48**	**51**		
Поправка на телесный угол DΩ, дБ	Ω = 12.57	10Lg(4π/Ω)	**0**	0	0	0	0	0	0	0	0		
Показатель направленности источника Di, дБ		исходные данные	**0**	0	0	0	0	0	0	0	0		
Поправка на направленность источника Dc, дБ	Dc	DΩ + Di	**0**	0	0	0	0	0	0	0	0		
Затухание из-за геометрической дивергенции, Adiv, дБ	расстояние = 710.91 м	ф-ла (7) [10]	**68**										
Коэффициент затухания звука в атмосфере α, дБ/км	Ta=20,°C Pa=101.33,кПа hотн.=70%	ф-ла (5) [9]	0,02	0,09	0,33	1,12	2,79	4,98	9,04	23,09	77,63		
Учет затухания звука в атмосфере Aatm, дБ		ф-ла (8) [10]	0	0,1	0,2	0,8	2	3,5	6,4	16,4	55,2		
Снижение уровня звукового давления из-за влияния застройки между источником шума и расчетной точкой													
Снижение уровня звукового давления на пути над экраном, Dz1, дБ	z = 0.13м (разность путей)	ф-лы (14-18) [10]	4,8	4,8	4,8	4,8	4,8	4,8	4,8	4,8	4,8		
Уровни звукового давления от источника ИШ-7-11 в расчётной точке днём, дБ		**ф-ла(3)[10]**	**4,2**	**2,1**	**0**	**0**	**0**	**0**	**0**	**0**	**0**	**0**	**0**
Уровни звукового давления от источника ИШ-7-11 в расчётной точке ночью, дБ		**ф-ла(3)[10]**	**4,2**	**2,1**	**0**	**0**	**0**	**0**	**0**	**0**	**0**	**0**	**0**
Источник шума: ИШ-7-12, координаты источника (x,y,z), м =[887.42,85.45,1.00]													
Уровни звуковой мощности источника днём, Lw, дБ		**исходные данные**	**77**	**75**	**67**	**66**	**63**	**55**	**53**	**48**	**51**		
Уровни звуковой мощности источника ночью, Lw, дБ		**исходные данные**	**77**	**75**	**67**	**66**	**63**	**55**	**53**	**48**	**51**		

1		2	3	4	5	6	7	8	9	10	11	12	13
Поправка на телесный угол DΩ, дБ	Ω = 12.57	10Lg(4π/Ω)	**0**	0	0	0	0	0	0	0	0		
Показатель направленности источника Di, дБ		исходные данные	**0**	0	0	0	0	0	0	0	0		
Поправка на направленность источника Dc, дБ	Dc	DΩ + Di	**0**	0	0	0	0	0	0	0	0		
Затухание из-за геометрической дивергенции, Adiv, дБ	расстояние = 718.33 м	ф-ла (7) [10]	**68,1**										
Коэффициент затухания звука в атмосфере α, дБ/км	Ta=20,°C Pa=101.33,кПа hотн.=70%	ф-ла (5) [9]	0,02	0,09	0,33	1,12	2,79	4,98	9,04	23,09	77,63		
Учет затухания звука в атмосфере Aatm, дБ		ф-ла (8) [10]	0	0,1	0,2	0,8	2	3,6	6,5	16,6	55,8		
Снижение уровня звукового давления из-за влияния застройки между источником шума и расчетной точкой													
Снижение уровня звукового давления на пути над экраном, Dz1, дБ	z = 0.13м (разность путей)	ф-лы (14-18) [10]	4,8	4,8	4,8	4,8	4,8	4,8	4,8	4,8	4,8		
Уровни звукового давления от источника ИШ-7-12 в расчётной точке днём, дБ		**ф-ла(3)[10]**	**4,1**	**2**	**0**	**0**	**0**	**0**	**0**	**0**	**0**	**0**	**0**
Уровни звукового давления от источника ИШ-7-12 в расчётной точке ночью, дБ		**ф-ла(3)[10]**	**4,1**	**2**	**0**	**0**	**0**	**0**	**0**	**0**	**0**	**0**	**0**
Источник шума: ИШ-6-23, координаты источника (x,y,z), м =[756.16,-136.23,3.00]													
Уровни звуковой мощности источника днём, Lw, дБ		**исходные данные**	**91**	**91**	**91**	**91**	**91**	**91**	**91**	**91**	**91**		
Уровни звуковой мощности источника ночью, Lw, дБ		**исходные данные**	**91**	**91**	**91**	**91**	**91**	**91**	**91**	**91**	**91**		
Поправка на телесный угол DΩ, дБ	Ω = 12.57	10Lg(4π/Ω)	**0**	0	0	0	0	0	0	0	0		
Показатель направленности источника Di, дБ		исходные данные	**0**	0	0	0	0	0	0	0	0		
Поправка на направленность источника Dc, дБ	Dc	DΩ + Di	**0**	0	0	0	0	0	0	0	0		

1		2	3	4	5	6	7	8	9	10	11	12	13
Затухание из-за геометрической дивергенции, Adiv, дБ	расстояние = 533.99 м	ф-ла (7) [10]	**65,6**										
Коэффициент затухания звука в атмосфере α, дБ/км	Ta=20,°C Pa=101.33,кПа hотн.=70%	ф-ла (5) [9]	0,02	0,09	0,33	1,12	2,79	4,98	9,04	23,09	77,63		
Учет затухания звука в атмосфере Aatm, дБ		ф-ла (8) [10]	0	0	0,2	0,6	1,5	2,7	4,8	12,3	41,5		
Снижение уровня звукового давления из-за влияния застройки между источником шума и расчетной точкой													
Снижение уровня звукового давления препятствием слева от трассы ИШ-РТ, Dz2, дБ	z = -0.01м (разность путей)	ф-лы (14-18) [10]	4,7	4,7	4,6	4,5	4,2	3,6	2,1	0	NAN		
* отрицательное значение z означает прохождение траектории вблизи экрана, в этом случае дополнительно производится учёт снижения подстилающей поверхностью (см.ниже)													
Снижение поверхностью земли возле источника As, дБ	Gs = 0 hs = 3м	ф-лы таб.3 [10]	-1,5	-1,5	-1,5	-1,5	-1,5	-1,5	-1,5	-1,5	-1,5		
Снижение поверхностью земли возле приёмника Ar, дБ	Gr = 1 hr = 1.6м	ф-лы таб.3 [10]	-1,5	-1,5	3,2	6,8	4,3	0,5	0	0	0		
Снижение поверхностью земли в средней зоне, Am дБ	Gm = 1	ф-лы таб.3 [10]	-2,2	-2,2	0	0	0	0	0	0	0		
Суммарное снижение поверхностью земли на траектории распространения звука Agr, дБ		ф-ла (9) [10]	-5,2	-5,2	1,7	5,3	2,8	-1	-1,5	-1,5	-1,5		
Уровни звукового давления от источника ИШ-6-23 в расчётной точке днём, дБ		**ф-ла(3)[10]**	**25,9**	**25,9**	**18,9**	**15**	**16,9**	**20,2**	**20,1**	**14,6**	**0**	**24,8**	**24,8**
Уровни звукового давления от источника ИШ-6-23 в расчётной точке ночью, дБ		**ф-ла(3)[10]**	**25,9**	**25,9**	**18,9**	**15**	**16,9**	**20,2**	**20,1**	**14,6**	**0**	**24,8**	**24,8**
Источник шума: ИШ-6-24, координаты источника (x,y,z), м =[800.98,-151.27,3.00]													
Уровни звуковой мощности источника днём, Lw, дБ		**исходные данные**	**91**	**91**	**91**	**91**	**91**	**91**	**91**	**91**	**91**		
Уровни звуковой мощности источника ночью, Lw, дБ		**исходные данные**	**91**	**91**	**91**	**91**	**91**	**91**	**91**	**91**	**91**		
Поправка на телесный угол DΩ, дБ	Ω = 12.57	10Lg(4π/Ω)	**0**	0	0	0	0	0	0	0	0		
Показатель направленности источника Di, дБ		исходные данные	**0**	0	0	0	0	0	0	0	0		

1		2	3	4	5	6	7	8	9	10	11	12	13
Поправка на направленность источника Dc, дБ	Dc	DΩ + Di	**0**	0	0	0	0	0	0	0	0		
Затухание из-за геометрической дивергенции, Adiv, дБ	расстояние = 577.30 м	ф-ла (7) [10]	**66,2**										
Коэффициент затухания звука в атмосфере α, дБ/км	Ta=20,°C Pa=101.33,кПа hотн.=70%	ф-ла (5) [9]	0,02	0,09	0,33	1,12	2,79	4,98	9,04	23,09	77,63		
Учет затухания звука в атмосфере Aatm, дБ		ф-ла (8) [10]	0	0,1	0,2	0,6	1,6	2,9	5,2	13,3	44,8		
Снижение уровня звукового давления из-за влияния застройки между источником шума и расчетной точкой													
Снижение уровня звукового давления на пути над экраном, Dz1, дБ	z = 0.01м (разность путей)	ф-лы (14-18) [10]	4,8	4,8	4,8	4,8	4,8	4,8	4,8	4,8	4,8		
Снижение уровня звукового давления на пути слева от экрана, Dz2, дБ	z = 0.83м (разность путей)	ф-лы (14-18) [10]	7,8	9,6	11,8	14,4	17,1	20	23	25,9	28,9		
Снижение уровня звукового давления на пути справа от экрана, Dz3, дБ	z = 0.46м (разность путей)	ф-лы (14-18) [10]	6,7	8,1	9,9	12,2	14,8	17,5	20,4	23,4	26,4		
Общее снижение уровня звука препятствием Dz, дБ		Эн.сумма(-Dzi)	1,5	2,2	3	3,7	4,1	4,4	4,6	4,7	4,7		
Уровни звукового давления от источника ИШ-6-24 в расчётной точке днём, дБ		**ф-ла(3)[10]**	**23,3**	**22,5**	**21,6**	**20,5**	**19**	**17,5**	**15**	**6,8**	**0**	**22,1**	**22,1**
Уровни звукового давления от источника ИШ-6-24 в расчётной точке ночью, дБ		**ф-ла(3)[10]**	**23,3**	**22,5**	**21,6**	**20,5**	**19**	**17,5**	**15**	**6,8**	**0**	**22,1**	**22,1**
Источник шума: ИШ-8-1, координаты источника (x,y,z), м =[612.60,-227.70,3.00]													
Уровни звуковой мощности источника днём, Lw, дБ		**исходные данные**	**105**	**104**	**104**	**101**	**102**	**106**	**101**	**95**	**87**		
Уровни звуковой мощности источника ночью, Lw, дБ		**исходные данные**	**105**	**104**	**104**	**101**	**102**	**106**	**101**	**95**	**87**		
Поправка на телесный угол DΩ, дБ	Ω = 6.28	10Lg(4π/Ω)	**3**	3	3	3	3	3	3	3	3		
Показатель направленности источника Di, дБ		исходные данные	**0**	0	0	0	0	0	0	0	0		

1		2	3	4	5	6	7	8	9	10	11	12	13
Поправка на направленность источника Dc, дБ	Dc	DΩ + Di	**3**	3	3	3	3	3	3	3	3		
Затухание из-за геометрической дивергенции, Adiv, дБ	расстояние = 388.99 м	ф-ла (7) [10]	**62,8**										
Коэффициент затухания звука в атмосфере α, дБ/км	Ta=20,°C Pa=101.33,кПа hотн.=70%	ф-ла (5) [9]	0,02	0,09	0,33	1,12	2,79	4,98	9,04	23,09	77,63		
Учет затухания звука в атмосфере Aatm, дБ		ф-ла (8) [10]	0	0	0,1	0,4	1,1	1,9	3,5	9	30,2		
Снижение уровня звукового давления из-за влияния застройки между источником шума и расчетной точкой													
Снижение уровня звукового давления препятствием слева от трассы ИШ-РТ, Dz2, дБ	z = -0.01м (разность путей)	ф-лы (14-18) [10]	4,7	4,7	4,6	4,3	3,8	2,7	0	NAN	NAN		
* отрицательное значение z означает прохождение траектории вблизи экрана, в этом случае дополнительно производится учёт снижения подстилающей поверхностью (см.ниже)													
Снижение поверхностью земли возле источника As, дБ	Gs = 0 hs = 3м	ф-лы таб.3 [10]	-1,5	-1,5	-1,5	-1,5	-1,5	-1,5	-1,5	-1,5	-1,5		
Снижение поверхностью земли возле приёмника Ar, дБ	Gr = 1 hr = 1.6м	ф-лы таб.3 [10]	-1,5	-1,5	2,3	6,8	4,3	0,5	0	0	0		
Снижение поверхностью земли в средней зоне, Am дБ	Gm = 1	ф-лы таб.3 [10]	-1,9	-1,9	0	0	0	0	0	0	0		
Суммарное снижение поверхностью земли на траектории распространения звука Agr, дБ		ф-ла (9) [10]	-4,9	-4,9	0,8	5,3	2,8	-1	-1,5	-1,5	-1,5		
Уровни звукового давления от источника ИШ-8-1 в расчётной точке днём, дБ		**ф-ла(3)[10]**	**45,4**	**44,4**	**38,7**	**31,1**	**34,5**	**42,6**	**39,2**	**27,7**	**0**	**45**	**45**
Уровни звукового давления от источника ИШ-8-1 в расчётной точке ночью, дБ		**ф-ла(3)[10]**	**45,4**	**44,4**	**38,7**	**31,1**	**34,5**	**42,6**	**39,2**	**27,7**	**0**	**45**	**45**
Источник шума: ИШ-8-2, координаты источника (x,y,z), м =[596.60,-275.00,3.00]													
Уровни звуковой мощности источника днём, Lw, дБ		**исходные данные**	**105**	**104**	**104**	**101**	**102**	**106**	**101**	**95**	**87**		
Уровни звуковой мощности источника ночью, Lw, дБ		**исходные данные**	**105**	**104**	**104**	**101**	**102**	**106**	**101**	**95**	**87**		
Поправка на телесный угол DΩ, дБ	Ω = 6.28	10Lg(4π/Ω)	**3**	3	3	3	3	3	3	3	3		

1		2	3	4	5	6	7	8	9	10	11	12	13
Показатель направленности источника Di, дБ		исходные данные	**0**	0	0	0	0	0	0	0	0		
Поправка на направленность источника Dc, дБ	Dc	DΩ + Di	**3**	3	3	3	3	3	3	3	3		
Затухание из-за геометрической дивергенции, Adiv, дБ	расстояние = 380.41 м	ф-ла (7) [10]	**62,6**										
Коэффициент затухания звука в атмосфере α, дБ/км	Ta=20,°C Pa=101.33,кПа hотн.=70%	ф-ла (5) [9]	0,02	0,09	0,33	1,12	2,79	4,98	9,04	23,09	77,63		
Учет затухания звука в атмосфере Aatm, дБ		ф-ла (8) [10]	0	0	0,1	0,4	1,1	1,9	3,4	8,8	29,5		
Снижение уровня звукового давления из-за влияния застройки между источником шума и расчетной точкой													
Снижение уровня звукового давления на пути над экраном, Dz1, дБ	z = 0.04м (разность путей)	ф-лы (14-18) [10]	4,8	4,8	4,8	4,8	4,8	4,9	5	5,3	5,7		
Снижение уровня звукового давления на пути слева от экрана, Dz2, дБ	z = 108.84м (разность путей)	ф-лы (14-18) [10]	29,9	33,6	36,7	39,8	42,8	45,8	48,9	51,9	54,9		
Снижение уровня звукового давления на пути справа от экрана, Dz3, дБ	z = 0.57м (разность путей)	ф-лы (14-18) [10]	7,1	8,6	10,6	13	15,7	18,5	21,4	24,4	27,3		
Общее снижение уровня звука препятствием Dz, дБ		Эн.сумма(-Dzi)	2,8	3,3	3,8	4,2	4,5	4,7	4,9	5,2	5,7		
Уровни звукового давления от источника ИШ-8-2 в расчётной точке днём, дБ		**ф-ла(3)[10]**	**42,6**	**41,1**	**40,5**	**36,8**	**36,9**	**39,8**	**33**	**21,4**	**0**	**41,9**	**41,9**
Уровни звукового давления от источника ИШ-8-2 в расчётной точке ночью, дБ		**ф-ла(3)[10]**	**42,6**	**41,1**	**40,5**	**36,8**	**36,9**	**39,8**	**33**	**21,4**	**0**	**41,9**	**41,9**
Источник шума: ИШ-8-3, координаты источника (x,y,z), м =[564.90,-369.90,3.00]													
Уровни звуковой мощности источника днём, Lw, дБ		**исходные данные**	**105**	**104**	**104**	**101**	**102**	**106**	**101**	**95**	**87**		
Уровни звуковой мощности источника ночью, Lw, дБ		**исходные данные**	**105**	**104**	**104**	**101**	**102**	**106**	**101**	**95**	**87**		
Поправка на телесный угол DΩ, дБ	Ω = 6.28	10Lg(4π/Ω)	**3**	3	3	3	3	3	3	3	3		

1		2	3	4	5	6	7	8	9	10	11	12	13
Показатель направленности источника Di, дБ		исходные данные	**0**	0	0	0	0	0	0	0	0		
Поправка на направленность источника Dc, дБ	Dc	DΩ + Di	**3**	3	3	3	3	3	3	3	3		
Затухание из-за геометрической дивергенции, Adiv, дБ	расстояние = 383.11 м	ф-ла (7) [10]	**62,7**										
Коэффициент затухания звука в атмосфере α, дБ/км	Ta=20,°C Pa=101.33,кПа hотн.=70%	ф-ла (5) [9]	0,02	0,09	0,33	1,12	2,79	4,98	9,04	23,09	77,63		
Учет затухания звука в атмосфере Aatm, дБ		ф-ла (8) [10]	0	0	0,1	0,4	1,1	1,9	3,5	8,8	29,7		
Снижение уровня звукового давления из-за влияния застройки между источником шума и расчетной точкой													
Снижение уровня звукового давления на пути над экраном, Dz1, дБ	z = 2.43м (разность путей)	ф-лы (14-18) [10]	10,7	14,4	18,3	21,8	24,9	27,9	30,9	33,9	37		
Снижение уровня звукового давления на пути слева от экрана, Dz2, дБ	z = 118.49м (разность путей)	ф-лы (14-18) [10]	26,7	30,4	34,7	39,2	42,9	46,1	49,2	52,2	55,2		
Снижение уровня звукового давления на пути справа от экрана, Dz3, дБ	z = 6.74м (разность путей)	ф-лы (14-18) [10]	14,7	18,2	22,4	26,8	30,5	33,7	36,8	39,8	42,8		
Общее снижение уровня звука препятствием Dz, дБ		Эн.сумма(-Dzi)	9,1	12,8	16,8	20,5	23,8	26,9	29,9	32,9	35,9		
Общее снижение уровня звука препятствием с учётом ограничения (25 дБ) для октавных полос Dz, дБ		Раздел 7.4 [10]	9,1	12,8	16,8	20,5	23,8	25	25	25	25		
Уровни звукового давления от источника ИШ-8-3 в расчётной точке днём, дБ		**ф-ла(3)[10]**	**36,2**	**31,5**	**27,4**	**20,4**	**17,5**	**19,4**	**12,9**	**1,5**	**0**	**22,4**	**22,4**
Уровни звукового давления от источника ИШ-8-3 в расчётной точке ночью, дБ		**ф-ла(3)[10]**	**36,2**	**31,5**	**27,4**	**20,4**	**17,5**	**19,4**	**12,9**	**1,5**	**0**	**22,4**	**22,4**
Источник шума: ИШ-9-1, координаты источника (x,y,z), м =[642.94,-357.54,1.00]													
Уровни звуковой мощности источника днём, Lw, дБ		**исходные данные**	**0**	**93,3**	**94,7**	**96**	**96,3**	**95,9**	**92,6**	**88,4**	**83,9**		
Уровни звуковой мощности источника ночью, Lw, дБ		**исходные данные**	**0**	**93,3**	**94,7**	**96**	**96,3**	**95,9**	**92,6**	**88,4**	**83,9**		

1		2	3	4	5	6	7	8	9	10	11	12	13
Поправка на телесный угол DΩ, дБ	Ω = 6.28	10Lg(4π/Ω)	**3**	3	3	3	3	3	3	3	3		
Показатель направленности источника Di, дБ		исходные данные	**0**	0	0	0	0	0	0	0	0		
Поправка на направленность источника Dc, дБ	Dc	DΩ + Di	**3**	3	3	3	3	3	3	3	3		
Затухание из-за геометрической дивергенции, Adiv, дБ	расстояние = 449.06 м	ф-ла (7) [10]	**64**										
Коэффициент затухания звука в атмосфере α, дБ/км	Ta=20,°C Pa=101.33,кПа hотн.=70%	ф-ла (5) [9]	0,02	0,09	0,33	1,12	2,79	4,98	9,04	23,09	77,63		
Учет затухания звука в атмосфере Aatm, дБ		ф-ла (8) [10]	0	0	0,2	0,5	1,3	2,2	4,1	10,4	34,9		
Снижение уровня звукового давления из-за влияния застройки между источником шума и расчетной точкой													
Снижение уровня звукового давления на пути над экраном, Dz1, дБ	z = 0.94м (разность путей)	ф-лы (14-18) [10]	9,4	11,7	14,3	17,1	20	22,9	25,9	28,9	31,9		
Снижение уровня звукового давления на пути слева от экрана, Dz2, дБ	z = 105.13м (разность путей)	ф-лы (14-18) [10]	30,5	33,7	36,7	39,7	42,7	45,7	48,7	51,7	54,7		
Снижение уровня звукового давления на пути справа от экрана, Dz3, дБ	z = 3.16м (разность путей)	ф-лы (14-18) [10]	15,5	18,6	21,5	24,5	27,5	30,5	33,5	36,5	39,5		
Общее снижение уровня звука препятствием Dz, дБ		Эн.сумма(-Dzi)	8,4	10,9	13,5	16,3	19,2	22,2	25,2	28,2	31,2		
Общее снижение уровня звука препятствием с учётом ограничения (25 дБ) для октавных полос Dz, дБ		Раздел 7.4 [10]	8,4	10,9	13,5	16,3	19,2	22,2	25	25	25		
Уровни звукового давления прямого звука от источника ИШ-9-1 в расчётной точке днём, дБ		**ф-ла(3)[10]**	**0**	**21,3**	**20**	**18,1**	**14,7**	**10,4**	**2,5**	**0**	**0**	**15,9**	**15,9**
Уровни звукового давления прямого звука от источника ИШ-9-1 в расчётной точке ночью, дБ		**ф-ла(3)[10]**	**0**	**21,3**	**20**	**18,1**	**14,7**	**10,4**	**2,5**	**0**	**0**	**15,9**	**15,9**
Расчёт отражённого звука													
Уровни звукового давления от мнимого источника ИШ-9-1_мн.(1) в расчётной точке днём, дБ		**ф-ла(3)[10]**	**0**	**0**	**0**	**0**	**0**	**0**	**0**	**0**	**0**	**0**	**0**
Уровни звукового давления от мнимого источника ИШ-9-1_мн.(1) в расчётной точке ночью, дБ		**ф-ла(3)[10]**	**0**	**0**	**0**	**0**	**0**	**0**	**0**	**0**	**0**	**0**	**0**

1		2	3	4	5	6	7	8	9	10	11	12	13
Уровни звукового давления от источника ИШ-9-1 в расчётной точке днём, дБ		**ф-ла(3)[10]**	**0**	**21,3**	**20**	**18,1**	**14,7**	**10,4**	**2,5**	**0**	**0**	**15,9**	**15,9**
Уровни звукового давления от источника ИШ-9-1 в расчётной точке ночью, дБ		**ф-ла(3)[10]**	**0**	**21,3**	**20**	**18,1**	**14,7**	**10,4**	**2,5**	**0**	**0**	**15,9**	**15,9**
Источник шума: ИШ-9-2, координаты источника (x,y,z), м =[644.14,-354.83,1.00]													
Уровни звуковой мощности источника днём, Lw, дБ		**исходные данные**	**0**	**93,3**	**94,7**	**96**	**96,3**	**95,9**	**92,6**	**88,4**	**83,9**		
Уровни звуковой мощности источника ночью, Lw, дБ		**исходные данные**	**0**	**93,3**	**94,7**	**96**	**96,3**	**95,9**	**92,6**	**88,4**	**83,9**		
Поправка на телесный угол DΩ, дБ	Ω = 6.28	10Lg(4π/Ω)	**3**	3	3	3	3	3	3	3	3		
Показатель направленности источника Di, дБ		исходные данные	**0**	0	0	0	0	0	0	0	0		
Поправка на направленность источника Dc, дБ	Dc	DΩ + Di	**3**	3	3	3	3	3	3	3	3		
Затухание из-за геометрической дивергенции, Adiv, дБ	расстояние = 449.20 м	ф-ла (7) [10]	**64**										
Коэффициент затухания звука в атмосфере α, дБ/км	Ta=20,°C Pa=101.33,кПа hотн.=70%	ф-ла (5) [9]	0,02	0,09	0,33	1,12	2,79	4,98	9,04	23,09	77,63		
Учет затухания звука в атмосфере Aatm, дБ		ф-ла (8) [10]	0	0	0,2	0,5	1,3	2,2	4,1	10,4	34,9		
Снижение уровня звукового давления из-за влияния застройки между источником шума и расчетной точкой													
Снижение уровня звукового давления на пути над экраном, Dz1, дБ	z = 0.83м (разность путей)	ф-лы (14-18) [10]	8,9	11,1	13,6	16,3	19,2	22,1	25,1	28,1	31,1		
Снижение уровня звукового давления на пути слева от экрана, Dz2, дБ	z = 105.59м (разность путей)	ф-лы (14-18) [10]	30,5	33,7	36,7	39,7	42,7	45,7	48,7	51,7	54,7		
Снижение уровня звукового давления на пути справа от экрана, Dz3, дБ	z = 3.08м (разность путей)	ф-лы (14-18) [10]	11,8	15	19,1	23,4	27,1	30,3	33,4	36,4	39,4		
Общее снижение уровня звука препятствием Dz, дБ		Эн.сумма(-Dzi)	7,1	9,6	12,5	15,5	18,5	21,5	24,5	27,5	30,5		

1		2	3	4	5	6	7	8	9	10	11	12	13
Общее снижение уровня звука препятствием с учётом ограничения (25 дБ) для октавных полос Dz, дБ		Раздел 7.4 [10]	7,1	9,6	12,5	15,5	18,5	21,5	24,5	25	25		
Уровни звукового давления прямого звука от источника ИШ-9-2 в расчётной точке днём, дБ		**ф-ла(3)[10]**	**0**	**22,6**	**21**	**18,9**	**15,5**	**11,1**	**3**	**0**	**0**	**16,7**	**16,7**
Уровни звукового давления прямого звука от источника ИШ-9-2 в расчётной точке ночью, дБ		**ф-ла(3)[10]**	**0**	**22,6**	**21**	**18,9**	**15,5**	**11,1**	**3**	**0**	**0**	**16,7**	**16,7**
Расчёт отражённого звука													
Уровни звукового давления от мнимого источника ИШ-9-2_мн.(1) в расчётной точке днём, дБ		**ф-ла(3)[10]**	**0**	**0**	**0**	**0**	**0**	**0**	**0**	**0**	**0**	**0**	**0**
Уровни звукового давления от мнимого источника ИШ-9-2_мн.(1) в расчётной точке ночью, дБ		**ф-ла(3)[10]**	**0**	**0**	**0**	**0**	**0**	**0**	**0**	**0**	**0**	**0**	**0**
Уровни звукового давления от источника ИШ-9-2 в расчётной точке днём, дБ		**ф-ла(3)[10]**	**0**	**22,6**	**21**	**18,9**	**15,5**	**11,1**	**3**	**0**	**0**	**16,7**	**16,7**
Уровни звукового давления от источника ИШ-9-2 в расчётной точке ночью, дБ		**ф-ла(3)[10]**	**0**	**22,6**	**21**	**18,9**	**15,5**	**11,1**	**3**	**0**	**0**	**16,7**	**16,7**
Источник шума: ИШ-9-3, координаты источника (x,y,z), м =[644.98,-351.85,1.00]													
Уровни звуковой мощности источника днём, Lw, дБ		**исходные данные**	**0**	**93,3**	**94,7**	**96**	**96,3**	**95,9**	**92,6**	**88,4**	**83,9**		
Уровни звуковой мощности источника ночью, Lw, дБ		**исходные данные**	**0**	**93,3**	**94,7**	**96**	**96,3**	**95,9**	**92,6**	**88,4**	**83,9**		
Поправка на телесный угол DΩ, дБ	Ω = 6.28	10Lg(4π/Ω)	**3**	3	3	3	3	3	3	3	3		
Показатель направленности источника Di, дБ		исходные данные	**0**	0	0	0	0	0	0	0	0		
Поправка на направленность источника Dc, дБ	Dc	DΩ + Di	**3**	3	3	3	3	3	3	3	3		
Затухание из-за геометрической дивергенции, Adiv, дБ	расстояние = 448.91 м	ф-ла (7) [10]	**64**										
Коэффициент затухания звука в атмосфере α, дБ/км	Ta=20,°C Pa=101.33,кПа hотн.=70%	ф-ла (5) [9]	0,02	0,09	0,33	1,12	2,79	4,98	9,04	23,09	77,63		

1		2	3	4	5	6	7	8	9	10	11	12	13
Учет затухания звука в атмосфере Aatm, дБ		ф-ла (8) [10]	0	0	0,2	0,5	1,3	2,2	4,1	10,4	34,9		
Снижение уровня звукового давления из-за влияния застройки между источником шума и расчетной точкой													
Снижение уровня звукового давления на пути над экраном, Dz1, дБ	z = 0.08м (разность путей)	ф-лы (14-18) [10]	4,9	5	5,2	5,6	6,3	7,4	9,1	11,2	13,7		
Снижение уровня звукового давления на пути слева от экрана, Dz2, дБ	z = 106.13м (разность путей)	ф-лы (14-18) [10]	30,6	33,7	36,7	39,7	42,7	45,7	48,7	51,8	54,8		
Снижение уровня звукового давления на пути справа от экрана, Dz3, дБ	z = 2.92м (разность путей)	ф-лы (14-18) [10]	11,6	14,8	18,9	23,2	26,9	30,1	33,1	36,1	39,2		
Общее снижение уровня звука препятствием Dz, дБ		Эн.сумма(-Dzi)	4	4,6	5	5,5	6,3	7,4	9	11,2	13,7		
Уровни звукового давления прямого звука от источника ИШ-9-3 в расчётной точке днём, дБ		**ф-ла(3)[10]**	**0**	**27,7**	**28,5**	**28,9**	**27,7**	**25,2**	**18,4**	**5,8**	**0**	**29,2**	**29,2**
Уровни звукового давления прямого звука от источника ИШ-9-3 в расчётной точке ночью, дБ		**ф-ла(3)[10]**	**0**	**27,7**	**28,5**	**28,9**	**27,7**	**25,2**	**18,4**	**5,8**	**0**	**29,2**	**29,2**
Расчёт отражённого звука													
Уровни звукового давления от мнимого источника ИШ-9-3_мн.(1) в расчётной точке днём, дБ		**ф-ла(3)[10]**	**0**	**0**	**0**	**0**	**0**	**0**	**0**	**0**	**0**	**0**	**0**
Уровни звукового давления от мнимого источника ИШ-9-3_мн.(1) в расчётной точке ночью, дБ		**ф-ла(3)[10]**	**0**	**0**	**0**	**0**	**0**	**0**	**0**	**0**	**0**	**0**	**0**
Уровни звукового давления от источника ИШ-9-3 в расчётной точке днём, дБ		**ф-ла(3)[10]**	**0**	**27,7**	**28,5**	**28,9**	**27,7**	**25,2**	**18,4**	**5,8**	**0**	**29,2**	**29,2**
Уровни звукового давления от источника ИШ-9-3 в расчётной точке ночью, дБ		**ф-ла(3)[10]**	**0**	**27,7**	**28,5**	**28,9**	**27,7**	**25,2**	**18,4**	**5,8**	**0**	**29,2**	**29,2**
Источник шума: ИШ-9-4, координаты источника (x,y,z), м =[646.01,-349.15,1.00]													
Уровни звуковой мощности источника днём, Lw, дБ		**исходные данные**	**0**	**93,3**	**94,7**	**96**	**96,3**	**95,9**	**92,6**	**88,4**	**83,9**		
Уровни звуковой мощности источника ночью, Lw, дБ		**исходные данные**	**0**	**93,3**	**94,7**	**96**	**96,3**	**95,9**	**92,6**	**88,4**	**83,9**		
Поправка на телесный угол DΩ, дБ	Ω = 6.28	10Lg(4π/Ω)	**3**	3	3	3	3	3	3	3	3		

1		2	3	4	5	6	7	8	9	10	11	12	13
Показатель направленности источника Di, дБ		исходные данные	**0**	0	0	0	0	0	0	0	0		
Поправка на направленность источника Dc, дБ	Dc	DΩ + Di	**3**	3	3	3	3	3	3	3	3		
Затухание из-за геометрической дивергенции, Adiv, дБ	расстояние = 448.92 м	ф-ла (7) [10]	**64**										
Коэффициент затухания звука в атмосфере α, дБ/км	Ta=20,°C Pa=101.33,кПа hотн.=70%	ф-ла (5) [9]	0,02	0,09	0,33	1,12	2,79	4,98	9,04	23,09	77,63		
Учет затухания звука в атмосфере Aatm, дБ		ф-ла (8) [10]	0	0	0,2	0,5	1,3	2,2	4,1	10,4	34,9		
Снижение уровня звукового давления из-за влияния застройки между источником шума и расчетной точкой													
Снижение уровня звукового давления на пути над экраном, Dz1, дБ	z = 0.08м (разность путей)	ф-лы (14-18) [10]	4,9	5	5,2	5,6	6,3	7,4	9,1	11,2	13,7		
Снижение уровня звукового давления на пути слева от экрана, Dz2, дБ	z = 106.68м (разность путей)	ф-лы (14-18) [10]	30,6	33,7	36,7	39,7	42,7	45,8	48,8	51,8	54,8		
Снижение уровня звукового давления на пути справа от экрана, Dz3, дБ	z = 2.77м (разность путей)	ф-лы (14-18) [10]	11,5	14,6	18,7	23	26,6	29,8	32,9	35,9	38,9		
Общее снижение уровня звука препятствием Dz, дБ		Эн.сумма(-Dzi)	4	4,5	5	5,5	6,3	7,4	9	11,2	13,6		
Уровни звукового давления прямого звука от источника ИШ-9-4 в расчётной точке днём, дБ		**ф-ла(3)[10]**	**0**	**27,7**	**28,5**	**28,9**	**27,7**	**25,2**	**18,4**	**5,8**	**0**	**29,2**	**29,2**
Уровни звукового давления прямого звука от источника ИШ-9-4 в расчётной точке ночью, дБ		**ф-ла(3)[10]**	**0**	**27,7**	**28,5**	**28,9**	**27,7**	**25,2**	**18,4**	**5,8**	**0**	**29,2**	**29,2**
Расчёт отражённого звука													
Уровни звукового давления от мнимого источника ИШ-9-4_мн.(1) в расчётной точке днём, дБ		**ф-ла(3)[10]**	**0**	**0**	**0**	**0**	**0**	**0**	**0**	**0**	**0**	**0**	**0**
Уровни звукового давления от мнимого источника ИШ-9-4_мн.(1) в расчётной точке ночью, дБ		**ф-ла(3)[10]**	**0**	**0**	**0**	**0**	**0**	**0**	**0**	**0**	**0**	**0**	**0**
Уровни звукового давления от источника ИШ-9-4 в расчётной точке днём, дБ		**ф-ла(3)[10]**	**0**	**27,7**	**28,5**	**28,9**	**27,7**	**25,2**	**18,4**	**5,8**	**0**	**29,2**	**29,2**
Уровни звукового давления от источника ИШ-9-4 в расчётной точке ночью, дБ		**ф-ла(3)[10]**	**0**	**27,7**	**28,5**	**28,9**	**27,7**	**25,2**	**18,4**	**5,8**	**0**	**29,2**	**29,2**

1		2	3	4	5	6	7	8	9	10	11	12	13
Источник шума: ИШ-9-5, координаты источника (x,y,z), м =[646.84,-346.17,1.00]													
Уровни звуковой мощности источника днём, Lw, дБ		**исходные данные**	**0**	**93,3**	**94,7**	**96**	**96,3**	**95,9**	**92,6**	**88,4**	**83,9**		
Уровни звуковой мощности источника ночью, Lw, дБ		**исходные данные**	**0**	**93,3**	**94,7**	**96**	**96,3**	**95,9**	**92,6**	**88,4**	**83,9**		
Поправка на телесный угол DΩ, дБ	Ω = 6.28	10Lg(4π/Ω)	**3**	3	3	3	3	3	3	3	3		
Показатель направленности источника Di, дБ		исходные данные	**0**	0	0	0	0	0	0	0	0		
Поправка на направленность источника Dc, дБ	Dc	DΩ + Di	**3**	3	3	3	3	3	3	3	3		
Затухание из-за геометрической дивергенции, Adiv, дБ	расстояние = 448.68 м	ф-ла (7) [10]	**64**										
Коэффициент затухания звука в атмосфере α, дБ/км	Ta=20,°C Pa=101.33,кПа hотн.=70%	ф-ла (5) [9]	0,02	0,09	0,33	1,12	2,79	4,98	9,04	23,09	77,63		
Учет затухания звука в атмосфере Aatm, дБ		ф-ла (8) [10]	0	0	0,2	0,5	1,3	2,2	4,1	10,4	34,8		
Снижение уровня звукового давления из-за влияния застройки между источником шума и расчетной точкой													
Снижение уровня звукового давления на пути над экраном, Dz1, дБ	z = 0.05м (разность путей)	ф-лы (14-18) [10]	4,8	4,8	4,8	4,8	4,8	4,9	5,1	5,3	5,8		
Снижение уровня звукового давления на пути слева от экрана, Dz2, дБ	z = 107.34м (разность путей)	ф-лы (14-18) [10]	30,6	33,7	36,7	39,8	42,8	45,8	48,8	51,8	54,8		
Снижение уровня звукового давления на пути справа от экрана, Dz3, дБ	z = 2.61м (разность путей)	ф-лы (14-18) [10]	11,3	14,4	18,4	22,7	26,4	29,6	32,6	35,7	38,7		
Общее снижение уровня звука препятствием Dz, дБ		Эн.сумма(-Dzi)	3,9	4,3	4,6	4,7	4,8	4,9	5	5,3	5,8		
Уровни звукового давления от источника ИШ-9-5 в расчётной точке днём, дБ		**ф-ла(3)[10]**	**0**	**27,9**	**28,9**	**29,7**	**29,2**	**27,7**	**22,5**	**11,7**	**0**	**31,4**	**31,4**
Уровни звукового давления от источника ИШ-9-5 в расчётной точке ночью, дБ		**ф-ла(3)[10]**	**0**	**27,9**	**28,9**	**29,7**	**29,2**	**27,7**	**22,5**	**11,7**	**0**	**31,4**	**31,4**

1		2	3	4	5	6	7	8	9	10	11	12	13
Источник шума: ИШ-9-6, координаты источника (x,y,z), м =[647.87,-343.47,1.00]													
Уровни звуковой мощности источника днём, Lw, дБ		**исходные данные**	**0**	**93,3**	**94,7**	**96**	**96,3**	**95,9**	**92,6**	**88,4**	**83,9**		
Уровни звуковой мощности источника ночью, Lw, дБ		**исходные данные**	**0**	**93,3**	**94,7**	**96**	**96,3**	**95,9**	**92,6**	**88,4**	**83,9**		
Поправка на телесный угол DΩ, дБ	Ω = 6.28	10Lg(4π/Ω)	**3**	3	3	3	3	3	3	3	3		
Показатель направленности источника Di, дБ		исходные данные	**0**	0	0	0	0	0	0	0	0		
Поправка на направленность источника Dc, дБ	Dc	DΩ + Di	**3**	3	3	3	3	3	3	3	3		
Затухание из-за геометрической дивергенции, Adiv, дБ	расстояние = 448.73 м	ф-ла (7) [10]	**64**										
Коэффициент затухания звука в атмосфере α, дБ/км	Ta=20,°C Pa=101.33,кПа hотн.=70%	ф-ла (5) [9]	0,02	0,09	0,33	1,12	2,79	4,98	9,04	23,09	77,63		
Учет затухания звука в атмосфере Aatm, дБ		ф-ла (8) [10]	0	0	0,2	0,5	1,3	2,2	4,1	10,4	34,8		
Снижение уровня звукового давления из-за влияния застройки между источником шума и расчетной точкой													
Снижение уровня звукового давления на пути над экраном, Dz1, дБ	z = 0.05м (разность путей)	ф-лы (14-18) [10]	4,8	4,8	4,8	4,8	4,8	4,9	5,1	5,3	5,8		
Снижение уровня звукового давления на пути слева от экрана, Dz2, дБ	z = 107.99м (разность путей)	ф-лы (14-18) [10]	30,6	33,8	36,8	39,8	42,8	45,8	48,8	51,8	54,8		
Снижение уровня звукового давления на пути справа от экрана, Dz3, дБ	z = 2.47м (разность путей)	ф-лы (14-18) [10]	11,1	14,1	18,2	22,5	26,1	29,3	32,4	35,4	38,4		
Общее снижение уровня звука препятствием Dz, дБ		Эн.сумма(-Dzi)	3,8	4,3	4,6	4,7	4,8	4,9	5	5,3	5,8		
Уровни звукового давления от источника ИШ-9-6 в расчётной точке днём, дБ		**ф-ла(3)[10]**	**0**	**27,9**	**28,9**	**29,7**	**29,2**	**27,7**	**22,5**	**11,7**	**0**	**31,4**	**31,4**
Уровни звукового давления от источника ИШ-9-6 в расчётной точке ночью, дБ		**ф-ла(3)[10]**	**0**	**27,9**	**28,9**	**29,7**	**29,2**	**27,7**	**22,5**	**11,7**	**0**	**31,4**	**31,4**

1		2	3	4	5	6	7	8	9	10	11	12	13
Источник шума: ИШ-9-7, координаты источника (x,y,z), м =[648.71,-340.49,1.00]													
Уровни звуковой мощности источника днём, Lw, дБ		**исходные данные**	**0**	**93,3**	**94,7**	**96**	**96,3**	**95,9**	**92,6**	**88,4**	**83,9**		
Уровни звуковой мощности источника ночью, Lw, дБ		**исходные данные**	**0**	**93,3**	**94,7**	**96**	**96,3**	**95,9**	**92,6**	**88,4**	**83,9**		
Поправка на телесный угол DΩ, дБ	Ω = 6.28	10Lg(4π/Ω)	**3**	3	3	3	3	3	3	3	3		
Показатель направленности источника Di, дБ		исходные данные	**0**	0	0	0	0	0	0	0	0		
Поправка на направленность источника Dc, дБ	Dc	DΩ + Di	**3**	3	3	3	3	3	3	3	3		
Затухание из-за геометрической дивергенции, Adiv, дБ	расстояние = 448.53 м	ф-ла (7) [10]	**64**										
Коэффициент затухания звука в атмосфере α, дБ/км	Ta=20,°C Pa=101.33,кПа hотн.=70%	ф-ла (5) [9]	0,02	0,09	0,33	1,12	2,79	4,98	9,04	23,09	77,63		
Учет затухания звука в атмосфере Aatm, дБ		ф-ла (8) [10]	0	0	0,2	0,5	1,3	2,2	4,1	10,4	34,8		
Снижение уровня звукового давления из-за влияния застройки между источником шума и расчетной точкой													
Снижение уровня звукового давления на пути над экраном, Dz1, дБ	z = 0.05м (разность путей)	ф-лы (14-18) [10]	4,8	4,8	4,8	4,8	4,8	4,9	5,1	5,3	5,8		
Снижение уровня звукового давления на пути слева от экрана, Dz2, дБ	z = 105.17м (разность путей)	ф-лы (14-18) [10]	29,7	33,4	36,6	39,7	42,7	45,7	48,7	51,7	54,7		
Снижение уровня звукового давления на пути справа от экрана, Dz3, дБ	z = 2.32м (разность путей)	ф-лы (14-18) [10]	10,9	13,9	17,9	22,2	25,9	29,1	32,1	35,2	38,2		
Общее снижение уровня звука препятствием Dz, дБ		Эн.сумма(-Dzi)	3,8	4,3	4,6	4,7	4,8	4,9	5	5,3	5,8		
Уровни звукового давления от источника ИШ-9-7 в расчётной точке днём, дБ		**ф-ла(3)[10]**	**0**	**27,9**	**28,9**	**29,7**	**29,2**	**27,7**	**22,5**	**11,7**	**0**	**31,4**	**31,4**
Уровни звукового давления от источника ИШ-9-7 в расчётной точке ночью, дБ		**ф-ла(3)[10]**	**0**	**27,9**	**28,9**	**29,7**	**29,2**	**27,7**	**22,5**	**11,7**	**0**	**31,4**	**31,4**

1		2	3	4	5	6	7	8	9	10	11	12	13
Источник шума: ИШ-9-8, координаты источника (x,y,z), м =[649.92,-337.69,1.00]													
Уровни звуковой мощности источника днём, Lw, дБ		**исходные данные**	**0**	**93,3**	**94,7**	**96**	**96,3**	**95,9**	**92,6**	**88,4**	**83,9**		
Уровни звуковой мощности источника ночью, Lw, дБ		**исходные данные**	**0**	**93,3**	**94,7**	**96**	**96,3**	**95,9**	**92,6**	**88,4**	**83,9**		
Поправка на телесный угол DΩ, дБ	Ω = 6.28	10Lg(4π/Ω)	**3**	3	3	3	3	3	3	3	3		
Показатель направленности источника Di, дБ		исходные данные	**0**	0	0	0	0	0	0	0	0		
Поправка на направленность источника Dc, дБ	Dc	DΩ + Di	**3**	3	3	3	3	3	3	3	3		
Затухание из-за геометрической дивергенции, Adiv, дБ	расстояние = 448.77 м	ф-ла (7) [10]	**64**										
Коэффициент затухания звука в атмосфере α, дБ/км	Ta=20,°C Pa=101.33,кПа hотн.=70%	ф-ла (5) [9]	0,02	0,09	0,33	1,12	2,79	4,98	9,04	23,09	77,63		
Учет затухания звука в атмосфере Aatm, дБ		ф-ла (8) [10]	0	0	0,2	0,5	1,3	2,2	4,1	10,4	34,8		
Снижение уровня звукового давления из-за влияния застройки между источником шума и расчетной точкой													
Снижение уровня звукового давления на пути над экраном, Dz1, дБ	z = 0.05м (разность путей)	ф-лы (14-18) [10]	4,8	4,8	4,8	4,8	4,8	4,9	5,1	5,3	5,8		
Снижение уровня звукового давления на пути слева от экрана, Dz2, дБ	z = 105.32м (разность путей)	ф-лы (14-18) [10]	29,7	33,4	36,6	39,7	42,7	45,7	48,7	51,7	54,7		
Снижение уровня звукового давления на пути справа от экрана, Dz3, дБ	z = 2.18м (разность путей)	ф-лы (14-18) [10]	10,7	13,7	17,7	22	25,6	28,8	31,9	34,9	37,9		
Общее снижение уровня звука препятствием Dz, дБ		Эн.сумма(-Dzi)	3,8	4,2	4,6	4,7	4,8	4,9	5	5,3	5,8		
Уровни звукового давления от источника ИШ-9-8 в расчётной точке днём, дБ		**ф-ла(3)[10]**	**0**	**28**	**28,9**	**29,7**	**29,2**	**27,7**	**22,5**	**11,7**	**0**	**31,4**	**31,4**
Уровни звукового давления от источника ИШ-9-8 в расчётной точке ночью, дБ		**ф-ла(3)[10]**	**0**	**28**	**28,9**	**29,7**	**29,2**	**27,7**	**22,5**	**11,7**	**0**	**31,4**	**31,4**

1		2	3	4	5	6	7	8	9	10	11	12	13
Источник шума: ИШ-9-9, координаты источника (x,y,z), м =[650.66,-334.90,1.00]													
Уровни звуковой мощности источника днём, Lw, дБ		**исходные данные**	**0**	**93,3**	**94,7**	**96**	**96,3**	**95,9**	**92,6**	**88,4**	**83,9**		
Уровни звуковой мощности источника ночью, Lw, дБ		**исходные данные**	**0**	**93,3**	**94,7**	**96**	**96,3**	**95,9**	**92,6**	**88,4**	**83,9**		
Поправка на телесный угол DΩ, дБ	Ω = 6.28	10Lg(4π/Ω)	**3**	3	3	3	3	3	3	3	3		
Показатель направленности источника Di, дБ		исходные данные	**0**	0	0	0	0	0	0	0	0		
Поправка на направленность источника Dc, дБ	Dc	DΩ + Di	**3**	3	3	3	3	3	3	3	3		
Затухание из-за геометрической дивергенции, Adiv, дБ	расстояние = 448.58 м	ф-ла (7) [10]	**64**										
Коэффициент затухания звука в атмосфере α, дБ/км	Ta=20,°C Pa=101.33,кПа hотн.=70%	ф-ла (5) [9]	0,02	0,09	0,33	1,12	2,79	4,98	9,04	23,09	77,63		
Учет затухания звука в атмосфере Aatm, дБ		ф-ла (8) [10]	0	0	0,2	0,5	1,3	2,2	4,1	10,4	34,8		
Снижение уровня звукового давления из-за влияния застройки между источником шума и расчетной точкой													
Снижение уровня звукового давления на пути над экраном, Dz1, дБ	z = 0.05м (разность путей)	ф-лы (14-18) [10]	4,8	4,8	4,8	4,8	4,8	4,9	5,1	5,3	5,8		
Снижение уровня звукового давления на пути слева от экрана, Dz2, дБ	z = 105.48м (разность путей)	ф-лы (14-18) [10]	29,7	33,4	36,6	39,7	42,7	45,7	48,7	51,7	54,7		
Снижение уровня звукового давления на пути справа от экрана, Dz3, дБ	z = 2.05м (разность путей)	ф-лы (14-18) [10]	10,5	13,4	17,4	21,7	25,3	28,5	31,6	34,6	37,6		
Общее снижение уровня звука препятствием Dz, дБ		Эн.сумма(-Dzi)	3,7	4,2	4,5	4,7	4,8	4,9	5	5,3	5,8		
Уровни звукового давления от источника ИШ-9-9 в расчётной точке днём, дБ		**ф-ла(3)[10]**	**0**	**28**	**29**	**29,7**	**29,2**	**27,7**	**22,5**	**11,7**	**0**	**31,4**	**31,4**
Уровни звукового давления от источника ИШ-9-9 в расчётной точке ночью, дБ		**ф-ла(3)[10]**	**0**	**28**	**29**	**29,7**	**29,2**	**27,7**	**22,5**	**11,7**	**0**	**31,4**	**31,4**

1		2	3	4	5	6	7	8	9	10	11	12	13
Источник шума: ИШ-9-10, координаты источника (x,y,z), м =[651.59,-332.01,1.00]													
Уровни звуковой мощности источника днём, Lw, дБ		**исходные данные**	**0**	**93,3**	**94,7**	**96**	**96,3**	**95,9**	**92,6**	**88,4**	**83,9**		
Уровни звуковой мощности источника ночью, Lw, дБ		**исходные данные**	**0**	**93,3**	**94,7**	**96**	**96,3**	**95,9**	**92,6**	**88,4**	**83,9**		
Поправка на телесный угол DΩ, дБ	Ω = 6.28	10Lg(4π/Ω)	**3**	3	3	3	3	3	3	3	3		
Показатель направленности источника Di, дБ		исходные данные	**0**	0	0	0	0	0	0	0	0		
Поправка на направленность источника Dc, дБ	Dc	DΩ + Di	**3**	3	3	3	3	3	3	3	3		
Затухание из-за геометрической дивергенции, Adiv, дБ	расстояние = 448.56 м	ф-ла (7) [10]	**64**										
Коэффициент затухания звука в атмосфере α, дБ/км	Ta=20,°C Pa=101.33,кПа hотн.=70%	ф-ла (5) [9]	0,02	0,09	0,33	1,12	2,79	4,98	9,04	23,09	77,63		
Учет затухания звука в атмосфере Aatm, дБ		ф-ла (8) [10]	0	0	0,2	0,5	1,3	2,2	4,1	10,4	34,8		
Снижение уровня звукового давления из-за влияния застройки между источником шума и расчетной точкой													
Снижение уровня звукового давления на пути над экраном, Dz1, дБ	z = 0.05м (разность путей)	ф-лы (14-18) [10]	4,8	4,8	4,8	4,8	4,8	4,9	5,1	5,3	5,8		
Снижение уровня звукового давления на пути слева от экрана, Dz2, дБ	z = 105.64м (разность путей)	ф-лы (14-18) [10]	29,7	33,4	36,6	39,7	42,7	45,7	48,7	51,7	54,7		
Снижение уровня звукового давления на пути справа от экрана, Dz3, дБ	z = 1.93м (разность путей)	ф-лы (14-18) [10]	10,3	13,2	17,2	21,4	25,1	28,3	31,3	34,3	37,4		
Общее снижение уровня звука препятствием Dz, дБ		Эн.сумма(-Dzi)	3,7	4,2	4,5	4,7	4,8	4,9	5	5,3	5,8		
Уровни звукового давления от источника ИШ-9-10 в расчётной точке днём, дБ		**ф-ла(3)[10]**	**0**	**28**	**29**	**29,7**	**29,2**	**27,7**	**22,5**	**11,7**	**0**	**31,4**	**31,4**
Уровни звукового давления от источника ИШ-9-10 в расчётной точке ночью, дБ		**ф-ла(3)[10]**	**0**	**28**	**29**	**29,7**	**29,2**	**27,7**	**22,5**	**11,7**	**0**	**31,4**	**31,4**

1		2	3	4	5	6	7	8	9	10	11	12	13
Источник шума: ИШ-9-11, координаты источника (x,y,z), м =[652.71,-329.22,1.00]													
Уровни звуковой мощности источника днём, Lw, дБ		**исходные данные**	**0**	**93,3**	**94,7**	**96**	**96,3**	**95,9**	**92,6**	**88,4**	**83,9**		
Уровни звуковой мощности источника ночью, Lw, дБ		**исходные данные**	**0**	**93,3**	**94,7**	**96**	**96,3**	**95,9**	**92,6**	**88,4**	**83,9**		
Поправка на телесный угол DΩ, дБ	Ω = 6.28	10Lg(4π/Ω)	**3**	3	3	3	3	3	3	3	3		
Показатель направленности источника Di, дБ		исходные данные	**0**	0	0	0	0	0	0	0	0		
Поправка на направленность источника Dc, дБ	Dc	DΩ + Di	**3**	3	3	3	3	3	3	3	3		
Затухание из-за геометрической дивергенции, Adiv, дБ	расстояние = 448.76 м	ф-ла (7) [10]	**64**										
Коэффициент затухания звука в атмосфере α, дБ/км	Ta=20,°C Pa=101.33,кПа hотн.=70%	ф-ла (5) [9]	0,02	0,09	0,33	1,12	2,79	4,98	9,04	23,09	77,63		
Учет затухания звука в атмосфере Aatm, дБ		ф-ла (8) [10]	0	0	0,2	0,5	1,3	2,2	4,1	10,4	34,8		
Снижение уровня звукового давления из-за влияния застройки между источником шума и расчетной точкой													
Снижение уровня звукового давления на пути над экраном, Dz1, дБ	z = 0.05м (разность путей)	ф-лы (14-18) [10]	4,8	4,8	4,8	4,8	4,8	4,9	5,1	5,3	5,8		
Снижение уровня звукового давления на пути слева от экрана, Dz2, дБ	z = 105.81м (разность путей)	ф-лы (14-18) [10]	29,7	33,4	36,6	39,7	42,7	45,7	48,7	51,7	54,8		
Снижение уровня звукового давления на пути справа от экрана, Dz3, дБ	z = 1.80м (разность путей)	ф-лы (14-18) [10]	10,1	13	16,9	21,1	24,8	28	31	34,1	37,1		
Общее снижение уровня звука препятствием Dz, дБ		Эн.сумма(-Dzi)	3,6	4,2	4,5	4,7	4,8	4,9	5	5,3	5,8		
Уровни звукового давления от источника ИШ-9-11 в расчётной точке днём, дБ		**ф-ла(3)[10]**	**0**	**28,1**	**29**	**29,7**	**29,2**	**27,7**	**22,5**	**11,7**	**0**	**31,4**	**31,4**
Уровни звукового давления от источника ИШ-9-11 в расчётной точке ночью, дБ		**ф-ла(3)[10]**	**0**	**28,1**	**29**	**29,7**	**29,2**	**27,7**	**22,5**	**11,7**	**0**	**31,4**	**31,4**

1		2	3	4	5	6	7	8	9	10	11	12	13
Источник шума: ИШ-9-12, координаты источника (x,y,z), м =[653.46,-326.33,1.00]													
Уровни звуковой мощности источника днём, Lw, дБ		**исходные данные**	**0**	**93,3**	**94,7**	**96**	**96,3**	**95,9**	**92,6**	**88,4**	**83,9**		
Уровни звуковой мощности источника ночью, Lw, дБ		**исходные данные**	**0**	**93,3**	**94,7**	**96**	**96,3**	**95,9**	**92,6**	**88,4**	**83,9**		
Поправка на телесный угол DΩ, дБ	Ω = 6.28	10Lg(4π/Ω)	**3**	3	3	3	3	3	3	3	3		
Показатель направленности источника Di, дБ		исходные данные	**0**	0	0	0	0	0	0	0	0		
Поправка на направленность источника Dc, дБ	Dc	DΩ + Di	**3**	3	3	3	3	3	3	3	3		
Затухание из-за геометрической дивергенции, Adiv, дБ	расстояние = 448.61 м	ф-ла (7) [10]	**64**										
Коэффициент затухания звука в атмосфере α, дБ/км	Ta=20,°C Pa=101.33,кПа hотн.=70%	ф-ла (5) [9]	0,02	0,09	0,33	1,12	2,79	4,98	9,04	23,09	77,63		
Учет затухания звука в атмосфере Aatm, дБ		ф-ла (8) [10]	0	0	0,2	0,5	1,3	2,2	4,1	10,4	34,8		
Снижение уровня звукового давления из-за влияния застройки между источником шума и расчетной точкой													
Снижение уровня звукового давления на пути над экраном, Dz1, дБ	z = 0.05м (разность путей)	ф-лы (14-18) [10]	4,8	4,8	4,8	4,8	4,8	4,9	5,1	5,3	5,8		
Снижение уровня звукового давления на пути слева от экрана, Dz2, дБ	z = 105.98м (разность путей)	ф-лы (14-18) [10]	29,7	33,4	36,6	39,7	42,7	45,7	48,7	51,7	54,8		
Снижение уровня звукового давления на пути справа от экрана, Dz3, дБ	z = 1.68м (разность путей)	ф-лы (14-18) [10]	9,9	12,7	16,6	20,9	24,5	27,7	30,7	33,8	36,8		
Общее снижение уровня звука препятствием Dz, дБ		Эн.сумма(-Dzi)	3,6	4,1	4,5	4,7	4,8	4,9	5	5,3	5,8		
Уровни звукового давления от источника ИШ-9-12 в расчётной точке днём, дБ		**ф-ла(3)[10]**	**0**	**28,1**	**29**	**29,8**	**29,2**	**27,7**	**22,5**	**11,7**	**0**	**31,4**	**31,4**
Уровни звукового давления от источника ИШ-9-12 в расчётной точке ночью, дБ		**ф-ла(3)[10]**	**0**	**28,1**	**29**	**29,8**	**29,2**	**27,7**	**22,5**	**11,7**	**0**	**31,4**	**31,4**

1		2	3	4	5	6	7	8	9	10	11	12	13
Источник шума: ИШ-9-13, координаты источника (x,y,z), м =[654.48,-323.54,1.00]													
Уровни звуковой мощности источника днём, Lw, дБ		**исходные данные**	**0**	**93,3**	**94,7**	**96**	**96,3**	**95,9**	**92,6**	**88,4**	**83,9**		
Уровни звуковой мощности источника ночью, Lw, дБ		**исходные данные**	**0**	**93,3**	**94,7**	**96**	**96,3**	**95,9**	**92,6**	**88,4**	**83,9**		
Поправка на телесный угол DΩ, дБ	Ω = 6.28	10Lg(4π/Ω)	**3**	3	3	3	3	3	3	3	3		
Показатель направленности источника Di, дБ		исходные данные	**0**	0	0	0	0	0	0	0	0		
Поправка на направленность источника Dc, дБ	Dc	DΩ + Di	**3**	3	3	3	3	3	3	3	3		
Затухание из-за геометрической дивергенции, Adiv, дБ	расстояние = 448.76 м	ф-ла (7) [10]	**64**										
Коэффициент затухания звука в атмосфере α, дБ/км	Ta=20,°C Pa=101.33,кПа hотн.=70%	ф-ла (5) [9]	0,02	0,09	0,33	1,12	2,79	4,98	9,04	23,09	77,63		
Учет затухания звука в атмосфере Aatm, дБ		ф-ла (8) [10]	0	0	0,2	0,5	1,3	2,2	4,1	10,4	34,8		
Снижение уровня звукового давления из-за влияния застройки между источником шума и расчетной точкой													
Снижение уровня звукового давления на пути над экраном, Dz1, дБ	z = 0.05м (разность путей)	ф-лы (14-18) [10]	4,8	4,8	4,8	4,8	4,8	4,9	5,1	5,3	5,8		
Снижение уровня звукового давления на пути слева от экрана, Dz2, дБ	z = 106.16м (разность путей)	ф-лы (14-18) [10]	29,8	33,4	36,6	39,7	42,7	45,7	48,7	51,8	54,8		
Снижение уровня звукового давления на пути справа от экрана, Dz3, дБ	z = 1.57м (разность путей)	ф-лы (14-18) [10]	9,7	12,5	16,3	20,6	24,2	27,4	30,4	33,5	36,5		
Общее снижение уровня звука препятствием Dz, дБ		Эн.сумма(-Dzi)	3,5	4,1	4,5	4,7	4,8	4,9	5	5,3	5,8		
Уровни звукового давления от источника ИШ-9-13 в расчётной точке днём, дБ		**ф-ла(3)[10]**	**0**	**28,1**	**29**	**29,8**	**29,2**	**27,7**	**22,5**	**11,7**	**0**	**31,4**	**31,4**
Уровни звукового давления от источника ИШ-9-13 в расчётной точке ночью, дБ		**ф-ла(3)[10]**	**0**	**28,1**	**29**	**29,8**	**29,2**	**27,7**	**22,5**	**11,7**	**0**	**31,4**	**31,4**

1		2	3	4	5	6	7	8	9	10	11	12	13
Источник шума: ИШ-9-14, координаты источника (x,y,z), м =[655.60,-320.74,1.00]													
Уровни звуковой мощности источника днём, Lw, дБ		**исходные данные**	**0**	**93,3**	**94,7**	**96**	**96,3**	**95,9**	**92,6**	**88,4**	**83,9**		
Уровни звуковой мощности источника ночью, Lw, дБ		**исходные данные**	**0**	**93,3**	**94,7**	**96**	**96,3**	**95,9**	**92,6**	**88,4**	**83,9**		
Поправка на телесный угол DΩ, дБ	Ω = 6.28	10Lg(4π/Ω)	**3**	3	3	3	3	3	3	3	3		
Показатель направленности источника Di, дБ		исходные данные	**0**	0	0	0	0	0	0	0	0		
Поправка на направленность источника Dc, дБ	Dc	DΩ + Di	**3**	3	3	3	3	3	3	3	3		
Затухание из-за геометрической дивергенции, Adiv, дБ	расстояние = 449.03 м	ф-ла (7) [10]	**64**										
Коэффициент затухания звука в атмосфере α, дБ/км	Ta=20,°C Pa=101.33,кПа hотн.=70%	ф-ла (5) [9]	0,02	0,09	0,33	1,12	2,79	4,98	9,04	23,09	77,63		
Учет затухания звука в атмосфере Aatm, дБ		ф-ла (8) [10]	0	0	0,2	0,5	1,3	2,2	4,1	10,4	34,9		
Снижение уровня звукового давления из-за влияния застройки между источником шума и расчетной точкой													
Снижение уровня звукового давления на пути над экраном, Dz1, дБ	z = 0.05м (разность путей)	ф-лы (14-18) [10]	4,8	4,8	4,8	4,8	4,8	4,9	5,1	5,3	5,8		
Снижение уровня звукового давления на пути слева от экрана, Dz2, дБ	z = 106.34м (разность путей)	ф-лы (14-18) [10]	29,8	33,4	36,6	39,7	42,7	45,7	48,8	51,8	54,8		
Снижение уровня звукового давления на пути справа от экрана, Dz3, дБ	z = 1.46м (разность путей)	ф-лы (14-18) [10]	9,3	11,4	13,9	16,6	19,5	22,4	25,4	28,4	31,4		
Общее снижение уровня звука препятствием Dz, дБ		Эн.сумма(-Dzi)	3,4	3,9	4,3	4,5	4,7	4,8	5	5,3	5,8		
Уровни звукового давления от источника ИШ-9-14 в расчётной точке днём, дБ		**ф-ла(3)[10]**	**0**	**28,3**	**29,2**	**29,9**	**29,3**	**27,8**	**22,5**	**11,7**	**0**	**31,5**	**31,5**
Уровни звукового давления от источника ИШ-9-14 в расчётной точке ночью, дБ		**ф-ла(3)[10]**	**0**	**28,3**	**29,2**	**29,9**	**29,3**	**27,8**	**22,5**	**11,7**	**0**	**31,5**	**31,5**

1		2	3	4	5	6	7	8	9	10	11	12	13
Источник шума: ИШ-9-15, координаты источника (x,y,z), м =[656.44,-317.86,1.00]													
Уровни звуковой мощности источника днём, Lw, дБ		**исходные данные**	**0**	**93,3**	**94,7**	**96**	**96,3**	**95,9**	**92,6**	**88,4**	**83,9**		
Уровни звуковой мощности источника ночью, Lw, дБ		**исходные данные**	**0**	**93,3**	**94,7**	**96**	**96,3**	**95,9**	**92,6**	**88,4**	**83,9**		
Поправка на телесный угол DΩ, дБ	Ω = 6.28	10Lg(4π/Ω)	**3**	3	3	3	3	3	3	3	3		
Показатель направленности источника Di, дБ		исходные данные	**0**	0	0	0	0	0	0	0	0		
Поправка на направленность источника Dc, дБ	Dc	DΩ + Di	**3**	3	3	3	3	3	3	3	3		
Затухание из-за геометрической дивергенции, Adiv, дБ	расстояние = 449.02 м	ф-ла (7) [10]	**64**										
Коэффициент затухания звука в атмосфере α, дБ/км	Ta=20,°C Pa=101.33,кПа hотн.=70%	ф-ла (5) [9]	0,02	0,09	0,33	1,12	2,79	4,98	9,04	23,09	77,63		
Учет затухания звука в атмосфере Aatm, дБ		ф-ла (8) [10]	0	0	0,2	0,5	1,3	2,2	4,1	10,4	34,9		
Снижение уровня звукового давления из-за влияния застройки между источником шума и расчетной точкой													
Снижение уровня звукового давления на пути над экраном, Dz1, дБ	z = 0.05м (разность путей)	ф-лы (14-18) [10]	4,8	4,8	4,8	4,8	4,8	4,9	5,1	5,3	5,8		
Снижение уровня звукового давления на пути слева от экрана, Dz2, дБ	z = 106.53м (разность путей)	ф-лы (14-18) [10]	29,8	33,5	36,6	39,7	42,7	45,8	48,8	51,8	54,8		
Снижение уровня звукового давления на пути справа от экрана, Dz3, дБ	z = 1.36м (разность путей)	ф-лы (14-18) [10]	9,1	11,2	13,6	16,3	19,2	22,1	25,1	28,1	31,1		
Общее снижение уровня звука препятствием Dz, дБ		Эн.сумма(-Dzi)	3,4	3,9	4,2	4,5	4,7	4,8	5	5,3	5,8		
Уровни звукового давления от источника ИШ-9-15 в расчётной точке днём, дБ		**ф-ла(3)[10]**	**0**	**28,3**	**29,3**	**29,9**	**29,3**	**27,8**	**22,5**	**11,7**	**0**	**31,5**	**31,5**
Уровни звукового давления от источника ИШ-9-15 в расчётной точке ночью, дБ		**ф-ла(3)[10]**	**0**	**28,3**	**29,3**	**29,9**	**29,3**	**27,8**	**22,5**	**11,7**	**0**	**31,5**	**31,5**

1		2	3	4	5	6	7	8	9	10	11	12	13
Источник шума: ИШ-9-16, координаты источника (x,y,z), м =[657.46,-314.97,1.00]													
Уровни звуковой мощности источника днём, Lw, дБ		**исходные данные**	**0**	**93,3**	**94,7**	**96**	**96,3**	**95,9**	**92,6**	**88,4**	**83,9**		
Уровни звуковой мощности источника ночью, Lw, дБ		**исходные данные**	**0**	**93,3**	**94,7**	**96**	**96,3**	**95,9**	**92,6**	**88,4**	**83,9**		
Поправка на телесный угол DΩ, дБ	Ω = 6.28	10Lg(4π/Ω)	**3**	3	3	3	3	3	3	3	3		
Показатель направленности источника Di, дБ		исходные данные	**0**	0	0	0	0	0	0	0	0		
Поправка на направленность источника Dc, дБ	Dc	DΩ + Di	**3**	3	3	3	3	3	3	3	3		
Затухание из-за геометрической дивергенции, Adiv, дБ	расстояние = 449.21 м	ф-ла (7) [10]	**64**										
Коэффициент затухания звука в атмосфере α, дБ/км	Ta=20,°C Pa=101.33,кПа hотн.=70%	ф-ла (5) [9]	0,02	0,09	0,33	1,12	2,79	4,98	9,04	23,09	77,63		
Учет затухания звука в атмосфере Aatm, дБ		ф-ла (8) [10]	0	0	0,2	0,5	1,3	2,2	4,1	10,4	34,9		
Снижение уровня звукового давления из-за влияния застройки между источником шума и расчетной точкой													
Снижение уровня звукового давления на пути над экраном, Dz1, дБ	z = 0.05м (разность путей)	ф-лы (14-18) [10]	4,8	4,8	4,8	4,8	4,8	4,9	5,1	5,3	5,8		
Снижение уровня звукового давления на пути слева от экрана, Dz2, дБ	z = 106.72м (разность путей)	ф-лы (14-18) [10]	29,8	33,5	36,7	39,7	42,7	45,8	48,8	51,8	54,8		
Снижение уровня звукового давления на пути справа от экрана, Dz3, дБ	z = 1.26м (разность путей)	ф-лы (14-18) [10]	8,8	10,9	13,3	16	18,9	21,8	24,8	27,7	30,7		
Общее снижение уровня звука препятствием Dz, дБ		Эн.сумма(-Dzi)	3,3	3,8	4,2	4,5	4,7	4,8	5	5,3	5,8		
Уровни звукового давления от источника ИШ-9-16 в расчётной точке днём, дБ		**ф-ла(3)[10]**	**0**	**28,4**	**29,3**	**30**	**29,3**	**27,8**	**22,5**	**11,7**	**0**	**31,5**	**31,5**
Уровни звукового давления от источника ИШ-9-16 в расчётной точке ночью, дБ		**ф-ла(3)[10]**	**0**	**28,4**	**29,3**	**30**	**29,3**	**27,8**	**22,5**	**11,7**	**0**	**31,5**	**31,5**

1		2	3	4	5	6	7	8	9	10	11	12	13
Источник шума: ИШ-9-17, координаты источника (x,y,z), м =[658.49,-312.18,1.00]													
Уровни звуковой мощности источника днём, Lw, дБ		**исходные данные**	**0**	**93,3**	**94,7**	**96**	**96,3**	**95,9**	**92,6**	**88,4**	**83,9**		
Уровни звуковой мощности источника ночью, Lw, дБ		**исходные данные**	**0**	**93,3**	**94,7**	**96**	**96,3**	**95,9**	**92,6**	**88,4**	**83,9**		
Поправка на телесный угол DΩ, дБ	Ω = 6.28	10Lg(4π/Ω)	**3**	3	3	3	3	3	3	3	3		
Показатель направленности источника Di, дБ		исходные данные	**0**	0	0	0	0	0	0	0	0		
Поправка на направленность источника Dc, дБ	Dc	DΩ + Di	**3**	3	3	3	3	3	3	3	3		
Затухание из-за геометрической дивергенции, Adiv, дБ	расстояние = 449.44 м	ф-ла (7) [10]	**64,1**										
Коэффициент затухания звука в атмосфере α, дБ/км	Ta=20,°C Pa=101.33,кПа hотн.=70%	ф-ла (5) [9]	0,02	0,09	0,33	1,12	2,79	4,98	9,04	23,09	77,63		
Учет затухания звука в атмосфере Aatm, дБ		ф-ла (8) [10]	0	0	0,2	0,5	1,3	2,2	4,1	10,4	34,9		
Снижение уровня звукового давления из-за влияния застройки между источником шума и расчетной точкой													
Снижение уровня звукового давления на пути над экраном, Dz1, дБ	z = 0.05м (разность путей)	ф-лы (14-18) [10]	4,8	4,8	4,8	4,8	4,8	4,9	5	5,3	5,8		
Снижение уровня звукового давления на пути слева от экрана, Dz2, дБ	z = 106.92м (разность путей)	ф-лы (14-18) [10]	29,8	33,5	36,7	39,7	42,8	45,8	48,8	51,8	54,8		
Снижение уровня звукового давления на пути справа от экрана, Dz3, дБ	z = 1.16м (разность путей)	ф-лы (14-18) [10]	8,6	10,7	13	15,7	18,5	21,5	24,4	27,4	30,4		
Общее снижение уровня звука препятствием Dz, дБ		Эн.сумма(-Dzi)	3,3	3,8	4,2	4,5	4,7	4,8	5	5,3	5,8		
Уровни звукового давления от источника ИШ-9-17 в расчётной точке днём, дБ		**ф-ла(3)[10]**	**0**	**28,4**	**29,3**	**30**	**29,3**	**27,8**	**22,5**	**11,7**	**0**	**31,5**	**31,5**
Уровни звукового давления от источника ИШ-9-17 в расчётной точке ночью, дБ		**ф-ла(3)[10]**	**0**	**28,4**	**29,3**	**30**	**29,3**	**27,8**	**22,5**	**11,7**	**0**	**31,5**	**31,5**

1		2	3	4	5	6	7	8	9	10	11	12	13
Источник шума: ИШ-9-18, координаты источника (x,y,z), м =[659.42,-309.20,1.00]													
Уровни звуковой мощности источника днём, Lw, дБ		**исходные данные**	**0**	**93,3**	**94,7**	**96**	**96,3**	**95,9**	**92,6**	**88,4**	**83,9**		
Уровни звуковой мощности источника ночью, Lw, дБ		**исходные данные**	**0**	**93,3**	**94,7**	**96**	**96,3**	**95,9**	**92,6**	**88,4**	**83,9**		
Поправка на телесный угол DΩ, дБ	Ω = 6.28	10Lg(4π/Ω)	**3**	3	3	3	3	3	3	3	3		
Показатель направленности источника Di, дБ		исходные данные	**0**	0	0	0	0	0	0	0	0		
Поправка на направленность источника Dc, дБ	Dc	DΩ + Di	**3**	3	3	3	3	3	3	3	3		
Затухание из-за геометрической дивергенции, Adiv, дБ	расстояние = 449.56 м	ф-ла (7) [10]	**64,1**										
Коэффициент затухания звука в атмосфере α, дБ/км	Ta=20,°C Pa=101.33,кПа hотн.=70%	ф-ла (5) [9]	0,02	0,09	0,33	1,12	2,79	4,98	9,04	23,09	77,63		
Учет затухания звука в атмосфере Aatm, дБ		ф-ла (8) [10]	0	0	0,2	0,5	1,3	2,2	4,1	10,4	34,9		
Снижение уровня звукового давления из-за влияния застройки между источником шума и расчетной точкой													
Снижение уровня звукового давления на пути над экраном, Dz1, дБ	z = 0.05м (разность путей)	ф-лы (14-18) [10]	4,8	4,8	4,8	4,8	4,8	4,9	5	5,3	5,8		
Снижение уровня звукового давления на пути слева от экрана, Dz2, дБ	z = 107.13м (разность путей)	ф-лы (14-18) [10]	29,8	33,5	36,7	39,7	42,8	45,8	48,8	51,8	54,8		
Снижение уровня звукового давления на пути справа от экрана, Dz3, дБ	z = 1.07м (разность путей)	ф-лы (14-18) [10]	8,4	10,4	12,7	15,4	18,2	21,1	24,1	27	30		
Общее снижение уровня звука препятствием Dz, дБ		Эн.сумма(-Dzi)	3,2	3,7	4,1	4,4	4,6	4,8	5	5,3	5,8		
Уровни звукового давления от источника ИШ-9-18 в расчётной точке днём, дБ		**ф-ла(3)[10]**	**0**	**28,5**	**29,4**	**30**	**29,3**	**27,8**	**22,5**	**11,7**	**0**	**31,5**	**31,5**
Уровни звукового давления от источника ИШ-9-18 в расчётной точке ночью, дБ		**ф-ла(3)[10]**	**0**	**28,5**	**29,4**	**30**	**29,3**	**27,8**	**22,5**	**11,7**	**0**	**31,5**	**31,5**

1		2	3	4	5	6	7	8	9	10	11	12	13
Источник шума: ИШ-9-19, координаты источника (x,y,z), м =[660.44,-306.50,1.00]													
Уровни звуковой мощности источника днём, Lw, дБ		**исходные данные**	**0**	**93,3**	**94,7**	**96**	**96,3**	**95,9**	**92,6**	**88,4**	**83,9**		
Уровни звуковой мощности источника ночью, Lw, дБ		**исходные данные**	**0**	**93,3**	**94,7**	**96**	**96,3**	**95,9**	**92,6**	**88,4**	**83,9**		
Поправка на телесный угол DΩ, дБ	Ω = 6.28	10Lg(4π/Ω)	**3**	3	3	3	3	3	3	3	3		
Показатель направленности источника Di, дБ		исходные данные	**0**	0	0	0	0	0	0	0	0		
Поправка на направленность источника Dc, дБ	Dc	DΩ + Di	**3**	3	3	3	3	3	3	3	3		
Затухание из-за геометрической дивергенции, Adiv, дБ	расстояние = 449.86 м	ф-ла (7) [10]	**64,1**										
Коэффициент затухания звука в атмосфере α, дБ/км	Ta=20,°C Pa=101.33,кПа hотн.=70%	ф-ла (5) [9]	0,02	0,09	0,33	1,12	2,79	4,98	9,04	23,09	77,63		
Учет затухания звука в атмосфере Aatm, дБ		ф-ла (8) [10]	0	0	0,2	0,5	1,3	2,2	4,1	10,4	34,9		
Снижение уровня звукового давления из-за влияния застройки между источником шума и расчетной точкой													
Снижение уровня звукового давления на пути над экраном, Dz1, дБ	z = 0.05м (разность путей)	ф-лы (14-18) [10]	4,8	4,8	4,8	4,8	4,8	4,9	5	5,3	5,8		
Снижение уровня звукового давления на пути слева от экрана, Dz2, дБ	z = 107.32м (разность путей)	ф-лы (14-18) [10]	29,8	33,5	36,7	39,7	42,8	45,8	48,8	51,8	54,8		
Снижение уровня звукового давления на пути справа от экрана, Dz3, дБ	z = 0.98м (разность путей)	ф-лы (14-18) [10]	8,2	10,1	12,4	15	17,8	20,7	23,7	26,7	29,7		
Общее снижение уровня звука препятствием Dz, дБ		Эн.сумма(-Dzi)	3,1	3,7	4,1	4,4	4,6	4,8	5	5,3	5,8		
Уровни звукового давления прямого звука от источника ИШ-9-19 в расчётной точке днём, дБ		**ф-ла(3)[10]**	**0**	**28,5**	**29,4**	**30**	**29,4**	**27,8**	**22,5**	**11,7**	**0**	**31,5**	**31,5**
Уровни звукового давления прямого звука от источника ИШ-9-19 в расчётной точке ночью, дБ		**ф-ла(3)[10]**	**0**	**28,5**	**29,4**	**30**	**29,4**	**27,8**	**22,5**	**11,7**	**0**	**31,5**	**31,5**

1		2	3	4	5	6	7	8	9	10	11	12	13
Расчёт отражённого звука													
Уровни звукового давления от мнимого источника ИШ-9-19_мн.(1) в расчётной точке днём, дБ		**ф-ла(3)[10]**	**0**	**0**	**0**	**0**	**0**	**0**	**0**	**0**	**0**	**0**	**0**
Уровни звукового давления от мнимого источника ИШ-9-19_мн.(1) в расчётной точке ночью, дБ		**ф-ла(3)[10]**	**0**	**0**	**0**	**0**	**0**	**0**	**0**	**0**	**0**	**0**	**0**
Уровни звукового давления от источника ИШ-9-19 в расчётной точке днём, дБ		**ф-ла(3)[10]**	**0**	**28,5**	**29,4**	**30**	**29,4**	**27,8**	**22,5**	**11,7**	**0**	**31,5**	**31,5**
Уровни звукового давления от источника ИШ-9-19 в расчётной точке ночью, дБ		**ф-ла(3)[10]**	**0**	**28,5**	**29,4**	**30**	**29,4**	**27,8**	**22,5**	**11,7**	**0**	**31,5**	**31,5**
Источник шума: ИШ-9-20, координаты источника (x,y,z), м =[661.28,-303.61,1.00]													
Уровни звуковой мощности источника днём, Lw, дБ		**исходные данные**	**0**	**93,3**	**94,7**	**96**	**96,3**	**95,9**	**92,6**	**88,4**	**83,9**		
Уровни звуковой мощности источника ночью, Lw, дБ		**исходные данные**	**0**	**93,3**	**94,7**	**96**	**96,3**	**95,9**	**92,6**	**88,4**	**83,9**		
Поправка на телесный угол DΩ, дБ	Ω = 6.28	10Lg(4π/Ω)	**3**	3	3	3	3	3	3	3	3		
Показатель направленности источника Di, дБ		исходные данные	**0**	0	0	0	0	0	0	0	0		
Поправка на направленность источника Dc, дБ	Dc	DΩ + Di	**3**	3	3	3	3	3	3	3	3		
Затухание из-за геометрической дивергенции, Adiv, дБ	расстояние = 449.95 м	ф-ла (7) [10]	**64,1**										
Коэффициент затухания звука в атмосфере α, дБ/км	Ta=20,°C Pa=101.33,кПа hотн.=70%	ф-ла (5) [9]	0,02	0,09	0,33	1,12	2,79	4,98	9,04	23,09	77,63		
Учет затухания звука в атмосфере Aatm, дБ		ф-ла (8) [10]	0	0	0,2	0,5	1,3	2,2	4,1	10,4	34,9		
Снижение уровня звукового давления из-за влияния застройки между источником шума и расчетной точкой													
Снижение уровня звукового давления на пути над экраном, Dz1, дБ	z = 0.05м (разность путей)	ф-лы (14-18) [10]	4,8	4,8	4,8	4,8	4,8	4,9	5	5,3	5,8		

1		2	3	4	5	6	7	8	9	10	11	12	13
Снижение уровня звукового давления на пути слева от экрана, Dz2, дБ	z = 107.53м (разность путей)	ф-лы (14-18) [10]	29,8	33,5	36,7	39,8	42,8	45,8	48,8	51,8	54,8		
Снижение уровня звукового давления на пути справа от экрана, Dz3, дБ	z = 0.90м (разность путей)	ф-лы (14-18) [10]	8	9,8	12,1	14,7	17,5	20,4	23,3	26,3	29,3		
Общее снижение уровня звука препятствием Dz, дБ		Эн.сумма(-Dzi)	3,1	3,6	4	4,4	4,6	4,8	5	5,3	5,8		
Уровни звукового давления прямого звука от источника ИШ-9-20 в расчётной точке днём, дБ		**ф-ла(3)[10]**	**0**	**28,6**	**29,4**	**30**	**29,4**	**27,8**	**22,5**	**11,7**	**0**	**31,6**	**31,6**
Уровни звукового давления прямого звука от источника ИШ-9-20 в расчётной точке ночью, дБ		**ф-ла(3)[10]**	**0**	**28,6**	**29,4**	**30**	**29,4**	**27,8**	**22,5**	**11,7**	**0**	**31,6**	**31,6**
Расчёт отражённого звука													
Уровни звукового давления от мнимого источника ИШ-9-20_мн.(1) в расчётной точке днём, дБ		**ф-ла(3)[10]**	**0**	**0**	**0**	**0**	**0**	**0**	**0**	**0**	**0**	**0**	**0**
Уровни звукового давления от мнимого источника ИШ-9-20_мн.(1) в расчётной точке ночью, дБ		**ф-ла(3)[10]**	**0**	**0**	**0**	**0**	**0**	**0**	**0**	**0**	**0**	**0**	**0**
Уровни звукового давления от источника ИШ-9-20 в расчётной точке днём, дБ		**ф-ла(3)[10]**	**0**	**28,6**	**29,4**	**30**	**29,4**	**27,8**	**22,5**	**11,7**	**0**	**31,6**	**31,6**
Уровни звукового давления от источника ИШ-9-20 в расчётной точке ночью, дБ		**ф-ла(3)[10]**	**0**	**28,6**	**29,4**	**30**	**29,4**	**27,8**	**22,5**	**11,7**	**0**	**31,6**	**31,6**
Источник шума: ИШ-9-21, координаты источника (x,y,z), м =[661.93,-300.72,1.00]													
Уровни звуковой мощности источника днём, Lw, дБ		**исходные данные**	**0**	**93,3**	**94,7**	**96**	**96,3**	**95,9**	**92,6**	**88,4**	**83,9**		
Уровни звуковой мощности источника ночью, Lw, дБ		**исходные данные**	**0**	**93,3**	**94,7**	**96**	**96,3**	**95,9**	**92,6**	**88,4**	**83,9**		
Поправка на телесный угол DΩ, дБ	Ω = 6.28	10Lg(4π/Ω)	**3**	3	3	3	3	3	3	3	3		
Показатель направленности источника Di, дБ		исходные данные	**0**	0	0	0	0	0	0	0	0		
Поправка на направленность источника Dc, дБ	Dc	DΩ + Di	**3**	3	3	3	3	3	3	3	3		
Затухание из-за геометрической дивергенции, Adiv, дБ	расстояние = 449.88 м	ф-ла (7) [10]	**64,1**										

1		2	3	4	5	6	7	8	9	10	11	12	13
Коэффициент затухания звука в атмосфере α, дБ/км	Та=20,°С Ра=101.33,кПа hотн.=70%	ф-ла (5) [9]	0,02	0,09	0,33	1,12	2,79	4,98	9,04	23,09	77,63		
Учет затухания звука в атмосфере Aatm, дБ		ф-ла (8) [10]	0	0	0,2	0,5	1,3	2,2	4,1	10,4	34,9		
Снижение уровня звукового давления из-за влияния застройки между источником шума и расчетной точкой													
Снижение уровня звукового давления на пути над экраном, Dz1, дБ	z = 0.05м (разность путей)	ф-лы (14-18) [10]	4,8	4,8	4,8	4,8	4,8	4,9	5	5,3	5,8		
Снижение уровня звукового давления на пути слева от экрана, Dz2, дБ	z = 107.75м (разность путей)	ф-лы (14-18) [10]	29,8	33,5	36,7	39,8	42,8	45,8	48,8	51,8	54,8		
Снижение уровня звукового давления на пути справа от экрана, Dz3, дБ	z = 0.82м (разность путей)	ф-лы (14-18) [10]	7,8	9,6	11,8	14,3	17,1	20	22,9	25,9	28,9		
Общее снижение уровня звука препятствием Dz, дБ		Эн.сумма(-Dzi)	3	3,5	4	4,3	4,6	4,8	5	5,3	5,8		
Уровни звукового давления прямого звука от источника ИШ-9-21 в расчётной точке днём, дБ		**ф-ла(3)[10]**	**0**	**28,7**	**29,5**	**30,1**	**29,4**	**27,8**	**22,5**	**11,7**	**0**	**31,6**	**31,6**
Уровни звукового давления прямого звука от источника ИШ-9-21 в расчётной точке ночью, дБ		**ф-ла(3)[10]**	**0**	**28,7**	**29,5**	**30,1**	**29,4**	**27,8**	**22,5**	**11,7**	**0**	**31,6**	**31,6**
Расчёт отражённого звука													
Уровни звукового давления от мнимого источника ИШ-9-21_мн.(1) в расчётной точке днём, дБ		**ф-ла(3)[10]**	**0**	**0**	**0**	**0**	**0**	**0**	**0**	**0**	**0**	**0**	**0**
Уровни звукового давления от мнимого источника ИШ-9-21_мн.(1) в расчётной точке ночью, дБ		**ф-ла(3)[10]**	**0**	**0**	**0**	**0**	**0**	**0**	**0**	**0**	**0**	**0**	**0**
Уровни звукового давления от источника ИШ-9-21 в расчётной точке днём, дБ		**ф-ла(3)[10]**	**0**	**28,7**	**29,5**	**30,1**	**29,4**	**27,8**	**22,5**	**11,7**	**0**	**31,6**	**31,6**
Уровни звукового давления от источника ИШ-9-21 в расчётной точке ночью, дБ		**ф-ла(3)[10]**	**0**	**28,7**	**29,5**	**30,1**	**29,4**	**27,8**	**22,5**	**11,7**	**0**	**31,6**	**31,6**
Источник шума: ИШ-9-22, координаты источника (x,y,z), м =[663.14,-297.83,1.00]													
Уровни звуковой мощности источника днём, Lw, дБ		**исходные данные**	**0**	**93,3**	**94,7**	**96**	**96,3**	**95,9**	**92,6**	**88,4**	**83,9**		

1		2	3	4	5	6	7	8	9	10	11	12	13
Уровни звуковой мощности источника ночью, Lw, дБ		**исходные данные**	**0**	**93,3**	**94,7**	**96**	**96,3**	**95,9**	**92,6**	**88,4**	**83,9**		
Поправка на телесный угол DΩ, дБ	Ω = 6.28	10Lg(4π/Ω)	**3**	3	3	3	3	3	3	3	3		
Показатель направленности источника Di, дБ		исходные данные	**0**	0	0	0	0	0	0	0	0		
Поправка на направленность источника Dc, дБ	Dc	DΩ + Di	**3**	3	3	3	3	3	3	3	3		
Затухание из-за геометрической дивергенции, Adiv, дБ	расстояние = 450.38 м	ф-ла (7) [10]	**64,1**										
Коэффициент затухания звука в атмосфере α, дБ/км	Ta=20,°C Pa=101.33,кПа hотн.=70%	ф-ла (5) [9]	0,02	0,09	0,33	1,12	2,79	4,98	9,04	23,09	77,63		
Учет затухания звука в атмосфере Aatm, дБ		ф-ла (8) [10]	0	0	0,2	0,5	1,3	2,2	4,1	10,4	35		
Снижение уровня звукового давления из-за влияния застройки между источником шума и расчетной точкой													
Снижение уровня звукового давления на пути над экраном, Dz1, дБ	z = 0.05м (разность путей)	ф-лы (14-18) [10]	4,8	4,8	4,8	4,8	4,8	4,9	5	5,3	5,8		
Снижение уровня звукового давления на пути слева от экрана, Dz2, дБ	z = 107.97м (разность путей)	ф-лы (14-18) [10]	29,8	33,5	36,7	39,8	42,8	45,8	48,8	51,8	54,8		
Снижение уровня звукового давления на пути справа от экрана, Dz3, дБ	z = 0.74м (разность путей)	ф-лы (14-18) [10]	7,6	9,3	11,4	13,9	16,7	19,5	22,5	25,4	28,4		
Общее снижение уровня звука препятствием Dz, дБ		Эн.сумма(-Dzi)	2,9	3,5	3,9	4,3	4,6	4,8	5	5,3	5,7		
Уровни звукового давления прямого звука от источника ИШ-9-22 в расчётной точке днём, дБ		**ф-ла(3)[10]**	**0**	**28,7**	**29,5**	**30,1**	**29,4**	**27,8**	**22,5**	**11,7**	**0**	**31,6**	**31,6**
Уровни звукового давления прямого звука от источника ИШ-9-22 в расчётной точке ночью, дБ		**ф-ла(3)[10]**	**0**	**28,7**	**29,5**	**30,1**	**29,4**	**27,8**	**22,5**	**11,7**	**0**	**31,6**	**31,6**
Расчёт отражённого звука													
Уровни звукового давления от мнимого источника ИШ-9-22_мн.(1) в расчётной точке днём, дБ		**ф-ла(3)[10]**	**0**	**0**	**0**	**0**	**0**	**0**	**0**	**0**	**0**	**0**	**0**
Уровни звукового давления от мнимого источника ИШ-9-22_мн.(1) в расчётной точке ночью, дБ		**ф-ла(3)[10]**	**0**	**0**	**0**	**0**	**0**	**0**	**0**	**0**	**0**	**0**	**0**

1		2	3	4	5	6	7	8	9	10	11	12	13
Уровни звукового давления от источника ИШ-9-22 в расчётной точке днём, дБ		**ф-ла(3)[10]**	**0**	**28,7**	**29,5**	**30,1**	**29,4**	**27,8**	**22,5**	**11,7**	**0**	**31,6**	**31,6**
Уровни звукового давления от источника ИШ-9-22 в расчётной точке ночью, дБ		**ф-ла(3)[10]**	**0**	**28,7**	**29,5**	**30,1**	**29,4**	**27,8**	**22,5**	**11,7**	**0**	**31,6**	**31,6**
Источник шума: ИШ-9-23, координаты источника (x,y,z), м =[664.07,-295.13,1.00]													
Уровни звуковой мощности источника днём, Lw, дБ		**исходные данные**	**0**	**93,3**	**94,7**	**96**	**96,3**	**95,9**	**92,6**	**88,4**	**83,9**		
Уровни звуковой мощности источника ночью, Lw, дБ		**исходные данные**	**0**	**93,3**	**94,7**	**96**	**96,3**	**95,9**	**92,6**	**88,4**	**83,9**		
Поправка на телесный угол DΩ, дБ	Ω = 6.28	10Lg(4π/Ω)	**3**	3	3	3	3	3	3	3	3		
Показатель направленности источника Di, дБ		исходные данные	**0**	0	0	0	0	0	0	0	0		
Поправка на направленность источника Dc, дБ	Dc	DΩ + Di	**3**	3	3	3	3	3	3	3	3		
Затухание из-за геометрической дивергенции, Adiv, дБ	расстояние = 450.66 м	ф-ла (7) [10]	**64,1**										
Коэффициент затухания звука в атмосфере α, дБ/км	Ta=20,°C Pa=101.33,кПа hотн.=70%	ф-ла (5) [9]	0,02	0,09	0,33	1,12	2,79	4,98	9,04	23,09	77,63		
Учет затухания звука в атмосфере Aatm, дБ		ф-ла (8) [10]	0	0	0,2	0,5	1,3	2,2	4,1	10,4	35		
Снижение уровня звукового давления из-за влияния застройки между источником шума и расчетной точкой													
Снижение уровня звукового давления на пути над экраном, Dz1, дБ	z = 0.05м (разность путей)	ф-лы (14-18) [10]	4,8	4,8	4,8	4,8	4,8	4,9	5	5,3	5,8		
Снижение уровня звукового давления на пути слева от экрана, Dz2, дБ	z = 108.18м (разность путей)	ф-лы (14-18) [10]	29,8	33,5	36,7	39,8	42,8	45,8	48,8	51,8	54,8		
Снижение уровня звукового давления на пути справа от экрана, Dz3, дБ	z = 0.67м (разность путей)	ф-лы (14-18) [10]	7,4	9	11,1	13,6	16,3	19,1	22,1	25	28		
Общее снижение уровня звука препятствием Dz, дБ		Эн.сумма(-Dzi)	2,9	3,4	3,9	4,3	4,5	4,7	5	5,3	5,7		

1		2	3	4	5	6	7	8	9	10	11	12	13
Уровни звукового давления прямого звука от источника ИШ-9-23 в расчётной точке днём, дБ		**ф-ла(3)[10]**	**0**	**28,8**	**29,6**	**30,2**	**29,4**	**27,8**	**22,5**	**11,7**	**0**	**31,6**	**31,6**
Уровни звукового давления прямого звука от источника ИШ-9-23 в расчётной точке ночью, дБ		**ф-ла(3)[10]**	**0**	**28,8**	**29,6**	**30,2**	**29,4**	**27,8**	**22,5**	**11,7**	**0**	**31,6**	**31,6**
Расчёт отражённого звука													
Уровни звукового давления от мнимого источника ИШ-9-23_мн.(1) в расчётной точке днём, дБ		**ф-ла(3)[10]**	**0**	**0**	**0**	**0**	**0**	**0**	**0**	**0**	**0**	**0**	**0**
Уровни звукового давления от мнимого источника ИШ-9-23_мн.(1) в расчётной точке ночью, дБ		**ф-ла(3)[10]**	**0**	**0**	**0**	**0**	**0**	**0**	**0**	**0**	**0**	**0**	**0**
Уровни звукового давления от источника ИШ-9-23 в расчётной точке днём, дБ		**ф-ла(3)[10]**	**0**	**28,8**	**29,6**	**30,2**	**29,4**	**27,8**	**22,5**	**11,7**	**0**	**31,6**	**31,6**
Уровни звукового давления от источника ИШ-9-23 в расчётной точке ночью, дБ		**ф-ла(3)[10]**	**0**	**28,8**	**29,6**	**30,2**	**29,4**	**27,8**	**22,5**	**11,7**	**0**	**31,6**	**31,6**
Источник шума: ИШ-9-24, координаты источника (x,y,z), м =[665.19,-292.34,1.00]													
Уровни звуковой мощности источника днём, Lw, дБ		**исходные данные**	**0**	**93,3**	**94,7**	**96**	**96,3**	**95,9**	**92,6**	**88,4**	**83,9**		
Уровни звуковой мощности источника ночью, Lw, дБ		**исходные данные**	**0**	**93,3**	**94,7**	**96**	**96,3**	**95,9**	**92,6**	**88,4**	**83,9**		
Поправка на телесный угол DΩ, дБ	Ω = 6.28	10Lg(4π/Ω)	**3**	3	3	3	3	3	3	3	3		
Показатель направленности источника Di, дБ		исходные данные	**0**	0	0	0	0	0	0	0	0		
Поправка на направленность источника Dc, дБ	Dc	DΩ + Di	**3**	3	3	3	3	3	3	3	3		
Затухание из-за геометрической дивергенции, Adiv, дБ	расстояние = 451.13 м	ф-ла (7) [10]	**64,1**										
Коэффициент затухания звука в атмосфере α, дБ/км	Та=20,°С Ра=101.33,кПа hотн.=70%	ф-ла (5) [9]	0,02	0,09	0,33	1,12	2,79	4,98	9,04	23,09	77,63		
Учет затухания звука в атмосфере Aatm, дБ		ф-ла (8) [10]	0	0	0,2	0,5	1,3	2,2	4,1	10,4	35		

1		2	3	4	5	6	7	8	9	10	11	12	13
Снижение уровня звукового давления из-за влияния застройки между источником шума и расчетной точкой													
Снижение уровня звукового давления на пути над экраном, Dz1, дБ	z = 0.05м (разность путей)	ф-лы (14-18) [10]	4,8	4,8	4,8	4,8	4,8	4,9	5	5,3	5,8		
Снижение уровня звукового давления на пути слева от экрана, Dz2, дБ	z = 108.41м (разность путей)	ф-лы (14-18) [10]	29,8	33,5	36,7	39,8	42,8	45,8	48,8	51,8	54,9		
Снижение уровня звукового давления на пути справа от экрана, Dz3, дБ	z = 0.60м (разность путей)	ф-лы (14-18) [10]	7,2	8,7	10,7	13,1	15,8	18,7	21,6	24,6	27,5		
Общее снижение уровня звука препятствием Dz, дБ		Эн.сумма(-Dzi)	2,8	3,3	3,8	4,2	4,5	4,7	4,9	5,2	5,7		
Уровни звукового давления прямого звука от источника ИШ-9-24 в расчётной точке днём, дБ		**ф-ла(3)[10]**	**0**	**28,9**	**29,7**	**30,2**	**29,4**	**27,8**	**22,5**	**11,7**	**0**	**31,6**	**31,6**
Уровни звукового давления прямого звука от источника ИШ-9-24 в расчётной точке ночью, дБ		**ф-ла(3)[10]**	**0**	**28,9**	**29,7**	**30,2**	**29,4**	**27,8**	**22,5**	**11,7**	**0**	**31,6**	**31,6**
Расчёт отражённого звука													
Уровни звукового давления от мнимого источника ИШ-9-24_мн.(1) в расчётной точке днём, дБ		**ф-ла(3)[10]**	**0**	**0**	**0**	**0**	**0**	**0**	**0**	**0**	**0**	**0**	**0**
Уровни звукового давления от мнимого источника ИШ-9-24_мн.(1) в расчётной точке ночью, дБ		**ф-ла(3)[10]**	**0**	**0**	**0**	**0**	**0**	**0**	**0**	**0**	**0**	**0**	**0**
Уровни звукового давления от источника ИШ-9-24 в расчётной точке днём, дБ		**ф-ла(3)[10]**	**0**	**28,9**	**29,7**	**30,2**	**29,4**	**27,8**	**22,5**	**11,7**	**0**	**31,6**	**31,6**
Уровни звукового давления от источника ИШ-9-24 в расчётной точке ночью, дБ		**ф-ла(3)[10]**	**0**	**28,9**	**29,7**	**30,2**	**29,4**	**27,8**	**22,5**	**11,7**	**0**	**31,6**	**31,6**
Источник шума: ИШ-9-25, координаты источника (x,y,z), м =[683.46,-239.16,1.00]													
Уровни звуковой мощности источника днём, Lw, дБ		**исходные данные**	**77**	**75**	**67**	**66**	**63**	**55**	**53**	**48**	**51**		
Уровни звуковой мощности источника ночью, Lw, дБ		**исходные данные**	**77**	**75**	**67**	**66**	**63**	**55**	**53**	**48**	**51**		
Поправка на телесный угол DΩ, дБ	Ω = 6.28	10Lg(4π/Ω)	**3**	3	3	3	3	3	3	3	3		
Показатель направленности источника Di, дБ		исходные данные	**0**	0	0	0	0	0	0	0	0		

1		2	3	4	5	6	7	8	9	10	11	12	13
Поправка на направленность источника Dc, дБ	Dc	DΩ + Di	**3**	3	3	3	3	3	3	3	3		
Затухание из-за геометрической дивергенции, Adiv, дБ	расстояние = 460.61 м	ф-ла (7) [10]	**64,3**										
Коэффициент затухания звука в атмосфере α, дБ/км	Ta=20,°C Pa=101.33,кПа hотн.=70%	ф-ла (5) [9]	0,02	0,09	0,33	1,12	2,79	4,98	9,04	23,09	77,63		
Учет затухания звука в атмосфере Aatm, дБ		ф-ла (8) [10]	0	0	0,2	0,5	1,3	2,3	4,2	10,6	35,8		
Снижение уровня звукового давления из-за влияния застройки между источником шума и расчетной точкой													
Снижение уровня звукового давления препятствием слева от трассы ИШ-РТ, Dz2, дБ	z = 0.00м (разность путей)	ф-лы (14-18) [10]	4,8	4,8	4,8	4,7	4,7	4,7	4,6	4,3	3,8		
* отрицательное значение z означает прохождение траектории вблизи экрана, в этом случае дополнительно производится учёт снижения подстилающей поверхностью (см.ниже)													
Снижение поверхностью земли возле источника As, дБ	Gs = 0 hs = 1м	ф-лы таб.3 [10]	-1,5	-1,5	-1,5	-1,5	-1,5	-1,5	-1,5	-1,5	-1,5		
Снижение поверхностью земли возле приёмника Ar, дБ	Gr = 1 hr = 1.6м	ф-лы таб.3 [10]	-1,5	-1,5	2,8	6,8	4,3	0,5	0	0	0		
Снижение поверхностью земли в средней зоне, Am дБ	Gm = 1	ф-лы таб.3 [10]	-2,5	-2,5	0	0	0	0	0	0	0		
Суммарное снижение поверхностью земли на траектории распространения звука Agr, дБ		ф-ла (9) [10]	-5,5	-5,5	1,3	5,3	2,8	-1	-1,5	-1,5	-1,5		
Уровни звукового давления прямого звука от источника ИШ-9-25 в расчётной точке днём, дБ		**ф-ла(3)[10]**	**16,5**	**14,4**	**0**	**0**	**0**	**0**	**0**	**0**	**0**	**0**	**0**
Уровни звукового давления прямого звука от источника ИШ-9-25 в расчётной точке ночью, дБ		**ф-ла(3)[10]**	**16,5**	**14,4**	**0**	**0**	**0**	**0**	**0**	**0**	**0**	**0**	**0**
Расчёт отражённого звука													
Уровни звукового давления от мнимого источника ИШ-9-25_мн.(1) в расчётной точке днём, дБ		**ф-ла(3)[10]**	**0**	**0**	**0**	**0**	**0**	**0**	**0**	**0**	**0**	**0**	**0**
Уровни звукового давления от мнимого источника ИШ-9-25_мн.(1) в расчётной точке ночью, дБ		**ф-ла(3)[10]**	**0**	**0**	**0**	**0**	**0**	**0**	**0**	**0**	**0**	**0**	**0**
Уровни звукового давления от источника ИШ-9-25 в расчётной точке днём, дБ		**ф-ла(3)[10]**	**16,5**	**14,4**	**0**	**0**	**0**	**0**	**0**	**0**	**0**	**0**	**0**
Уровни звукового давления от источника ИШ-9-25 в расчётной точке ночью, дБ		**ф-ла(3)[10]**	**16,5**	**14,4**	**0**	**0**	**0**	**0**	**0**	**0**	**0**	**0**	**0**

1		2	3	4	5	6	7	8	9	10	11	12	13
Источник шума: ИШ-9-26, координаты источника (x,y,z), м =[680.09,-249.52,1.00]													
Уровни звуковой мощности источника днём, Lw, дБ		**исходные данные**	**77**	**75**	**67**	**66**	**63**	**55**	**53**	**48**	**51**		
Уровни звуковой мощности источника ночью, Lw, дБ		**исходные данные**	**77**	**75**	**67**	**66**	**63**	**55**	**53**	**48**	**51**		
Поправка на телесный угол DΩ, дБ	Ω = 6.28	10Lg(4π/Ω)	**3**	3	3	3	3	3	3	3	3		
Показатель направленности источника Di, дБ		исходные данные	**0**	0	0	0	0	0	0	0	0		
Поправка на направленность источника Dc, дБ	Dc	DΩ + Di	**3**	3	3	3	3	3	3	3	3		
Затухание из-за геометрической дивергенции, Adiv, дБ	расстояние = 458.43 м	ф-ла (7) [10]	**64,2**										
Коэффициент затухания звука в атмосфере α, дБ/км	Ta=20,°C Pa=101.33,кПа hотн.=70%	ф-ла (5) [9]	0,02	0,09	0,33	1,12	2,79	4,98	9,04	23,09	77,63		
Учет затухания звука в атмосфере Aatm, дБ		ф-ла (8) [10]	0	0	0,2	0,5	1,3	2,3	4,1	10,6	35,6		
Снижение уровня звукового давления из-за влияния застройки между источником шума и расчетной точкой													
Снижение уровня звукового давления на пути над экраном, Dz1, дБ	z = 0.05м (разность путей)	ф-лы (14-18) [10]	4,8	4,8	4,8	4,8	4,8	4,9	5	5,2	5,5		
Снижение уровня звукового давления на пути слева от экрана, Dz2, дБ	z = 112.27м (разность путей)	ф-лы (14-18) [10]	30	33,7	36,9	39,9	43	46	49	52	55		
Снижение уровня звукового давления на пути справа от экрана, Dz3, дБ	z = 0.02м (разность путей)	ф-лы (14-18) [10]	4,9	4,9	5,1	5,4	6	6,9	8,3	10,3	12,6		
Общее снижение уровня звука препятствием Dz, дБ		Эн.сумма(-Dzi)	1,8	1,8	1,9	2,1	2,3	2,8	3,3	4	4,8		
Уровни звукового давления от источника ИШ-9-26 в расчётной точке днём, дБ		**ф-ла(3)[10]**	**14**	**11,9**	**3,7**	**2,2**	**0**	**0**	**0**	**0**	**0**	**0**	**0**
Уровни звукового давления от источника ИШ-9-26 в расчётной точке ночью, дБ		**ф-ла(3)[10]**	**14**	**11,9**	**3,7**	**2,2**	**0**	**0**	**0**	**0**	**0**	**0**	**0**

1		2	3	4	5	6	7	8	9	10	11	12	13
Источник шума: ИШ-9-27, координаты источника (x,y,z), м =[676.46,-260.14,1.00]													
Уровни звуковой мощности источника днём, Lw, дБ		**исходные данные**	**77**	**75**	**67**	**66**	**63**	**55**	**53**	**48**	**51**		
Уровни звуковой мощности источника ночью, Lw, дБ		**исходные данные**	**77**	**75**	**67**	**66**	**63**	**55**	**53**	**48**	**51**		
Поправка на телесный угол DΩ, дБ	Ω = 6.28	10Lg(4π/Ω)	**3**	3	3	3	3	3	3	3	3		
Показатель направленности источника Di, дБ		исходные данные	**0**	0	0	0	0	0	0	0	0		
Поправка на направленность источника Dc, дБ	Dc	DΩ + Di	**3**	3	3	3	3	3	3	3	3		
Затухание из-за геометрической дивергенции, Adiv, дБ	расстояние = 456.28 м	ф-ла (7) [10]	**64,2**										
Коэффициент затухания звука в атмосфере α, дБ/км	Ta=20,°C Pa=101.33,кПа hотн.=70%	ф-ла (5) [9]	0,02	0,09	0,33	1,12	2,79	4,98	9,04	23,09	77,63		
Учет затухания звука в атмосфере Aatm, дБ		ф-ла (8) [10]	0	0	0,2	0,5	1,3	2,3	4,1	10,5	35,4		
Снижение уровня звукового давления из-за влияния застройки между источником шума и расчетной точкой													
Снижение уровня звукового давления на пути над экраном, Dz1, дБ	z = 0.05м (разность путей)	ф-лы (14-18) [10]	4,8	4,8	4,8	4,8	4,8	4,9	5	5,2	5,6		
Снижение уровня звукового давления на пути слева от экрана, Dz2, дБ	z = 111.24м (разность путей)	ф-лы (14-18) [10]	30	33,6	36,8	39,9	42,9	45,9	48,9	52	55		
Снижение уровня звукового давления на пути справа от экрана, Dz3, дБ	z = 0.08м (разность путей)	ф-лы (14-18) [10]	5,2	5,6	6,2	7,3	8,9	11	13,5	16,2	19		
Общее снижение уровня звука препятствием Dz, дБ		Эн.сумма(-Dzi)	2	2,1	2,4	2,9	3,4	3,9	4,4	4,9	5,5		
Уровни звукового давления прямого звука от источника ИШ-9-27 в расчётной точке днём, дБ		**ф-ла(3)[10]**	**13,9**	**11,6**	**3,2**	**1,4**	**0**	**0**	**0**	**0**	**0**	**0**	**0**
Уровни звукового давления прямого звука от источника ИШ-9-27 в расчётной точке ночью, дБ		**ф-ла(3)[10]**	**13,9**	**11,6**	**3,2**	**1,4**	**0**	**0**	**0**	**0**	**0**	**0**	**0**

1		2	3	4	5	6	7	8	9	10	11	12	13
Расчёт отражённого звука													
Уровни звукового давления от мнимого источника ИШ-9-27_мн.(1) в расчётной точке днём, дБ		**ф-ла(3)[10]**	**0**	**0**	**0**	**0**	**0**	**0**	**0**	**0**	**0**	**0**	**0**
Уровни звукового давления от мнимого источника ИШ-9-27_мн.(1) в расчётной точке ночью, дБ		**ф-ла(3)[10]**	**0**	**0**	**0**	**0**	**0**	**0**	**0**	**0**	**0**	**0**	**0**
Уровни звукового давления от источника ИШ-9-27 в расчётной точке днём, дБ		**ф-ла(3)[10]**	**13,9**	**11,6**	**3,2**	**1,4**	**0**	**0**	**0**	**0**	**0**	**0**	**0**
Уровни звукового давления от источника ИШ-9-27 в расчётной точке ночью, дБ		**ф-ла(3)[10]**	**13,9**	**11,6**	**3,2**	**1,4**	**0**	**0**	**0**	**0**	**0**	**0**	**0**
Источник шума: ИШ-10-1, координаты источника (x,y,z), м =[17.37,413.17,1.00]													
Уровни звуковой мощности источника днём, Lw, дБ		**исходные данные**	**0**	**98,3**	**99,7**	**101**	**101,3**	**100,9**	**97,6**	**93,4**	**88,9**		
Уровни звуковой мощности источника ночью, Lw, дБ		**исходные данные**	**0**	**98,3**	**99,7**	**101**	**101,3**	**100,9**	**97,6**	**93,4**	**88,9**		
Поправка на телесный угол DΩ, дБ	Ω = 6.28	10Lg(4π/Ω)	**3**	3	3	3	3	3	3	3	3		
Показатель направленности источника Di, дБ		исходные данные	**0**	0	0	0	0	0	0	0	0		
Поправка на направленность источника Dc, дБ	Dc	DΩ + Di	**3**	3	3	3	3	3	3	3	3		
Затухание из-за геометрической дивергенции, Adiv, дБ	расстояние = 640.63 м	ф-ла (7) [10]	**67,1**										
Коэффициент затухания звука в атмосфере α, дБ/км	Ta=20,°C Pa=101.33,кПа hотн.=70%	ф-ла (5) [9]	0,02	0,09	0,33	1,12	2,79	4,98	9,04	23,09	77,63		
Учет затухания звука в атмосфере Aatm, дБ		ф-ла (8) [10]	0	0,1	0,2	0,7	1,8	3,2	5,8	14,8	49,7		
Снижение уровня звукового давления из-за влияния застройки между источником шума и расчетной точкой													
Снижение уровня звукового давления на пути над экраном, Dz1, дБ	z = 0.31м (разность путей)	ф-лы (14-18) [10]	4,9	5	5,1	5,5	6,1	7,2	8,7	10,7	13,1		

1		2	3	4	5	6	7	8	9	10	11	12	13
Снижение уровня звукового давления на пути слева от экрана, Dz2, дБ	z = 24.57м (разность путей)	ф-лы (14-18) [10]	19,7	22,7	25,6	28,6	31,6	34,6	37,6	40,6	43,6		
Снижение уровня звукового давления на пути справа от экрана, Dz3, дБ	z = 3.04м (разность путей)	ф-лы (14-18) [10]	11,5	14,1	16,8	19,7	22,6	25,6	28,6	31,6	34,6		
Общее снижение уровня звука препятствием Dz, дБ		Эн.сумма(-Dzi)	3,9	4,4	4,8	5,3	6	7,1	8,6	10,7	13,1		
Уровни звукового давления от источника ИШ-10-1 в расчётной точке днём, дБ		**ф-ла(3)[10]**	**0**	**29,7**	**30,5**	**30,8**	**29,4**	**26,5**	**19**	**3,8**	**0**	**30,7**	**30,7**
Уровни звукового давления от источника ИШ-10-1 в расчётной точке ночью, дБ		**ф-ла(3)[10]**	**0**	**29,7**	**30,5**	**30,8**	**29,4**	**26,5**	**19**	**3,8**	**0**	**30,7**	**30,7**
Источник шума: ИШ-10-2, координаты источника (x,y,z), м =[27.87,443.46,1.00]													
Уровни звуковой мощности источника днём, Lw, дБ		**исходные данные**	**0**	**98,3**	**99,7**	**101**	**101,3**	**100,9**	**97,6**	**93,4**	**88,9**		
Уровни звуковой мощности источника ночью, Lw, дБ		**исходные данные**	**0**	**98,3**	**99,7**	**101**	**101,3**	**100,9**	**97,6**	**93,4**	**88,9**		
Поправка на телесный угол DΩ, дБ	Ω = 6.28	10Lg(4π/Ω)	**3**	3	3	3	3	3	3	3	3		
Показатель направленности источника Di, дБ		исходные данные	**0**	0	0	0	0	0	0	0	0		
Поправка на направленность источника Dc, дБ	Dc	DΩ + Di	**3**	3	3	3	3	3	3	3	3		
Затухание из-за геометрической дивергенции, Adiv, дБ	расстояние = 666.17 м	ф-ла (7) [10]	**67,5**										
Коэффициент затухания звука в атмосфере α, дБ/км	Ta=20,°C Pa=101.33,кПа hотн.=70%	ф-ла (5) [9]	0,02	0,09	0,33	1,12	2,79	4,98	9,04	23,09	77,63		
Учет затухания звука в атмосфере Aatm, дБ		ф-ла (8) [10]	0	0,1	0,2	0,7	1,9	3,3	6	15,4	51,7		
Снижение уровня звукового давления из-за влияния застройки между источником шума и расчетной точкой													
Снижение уровня звукового давления на пути над экраном, Dz1, дБ	z = 0.28м (разность путей)	ф-лы (14-18) [10]	5,2	5,6	6,4	7,5	9,2	11,4	13,9	16,6	19,5		

1		2	3	4	5	6	7	8	9	10	11	12	13
Снижение уровня звукового давления на пути слева от экрана, Dz2, дБ	z = 16.47м (разность путей)	ф-лы (14-18) [10]	21,8	25,4	28,6	31,6	34,6	37,6	40,7	43,7	46,7		
Снижение уровня звукового давления на пути справа от экрана, Dz3, дБ	z = 4.54м (разность путей)	ф-лы (14-18) [10]	13	15,6	18,4	21,4	24,3	27,3	30,3	33,3	36,3		
Общее снижение уровня звука препятствием Dz, дБ		Эн.сумма(-Dzi)	4,4	5,2	6,1	7,3	9,1	11,3	13,8	16,5	19,4		
Уровни звукового давления прямого звука от источника ИШ-10-2 в расчётной точке днём, дБ		**ф-ла(3)[10]**	**0**	**28,6**	**28,9**	**28,4**	**25,9**	**21,9**	**13,3**	**0**	**0**	**26,9**	**26,9**
Уровни звукового давления прямого звука от источника ИШ-10-2 в расчётной точке ночью, дБ		**ф-ла(3)[10]**	**0**	**28,6**	**28,9**	**28,4**	**25,9**	**21,9**	**13,3**	**0**	**0**	**26,9**	**26,9**
Расчёт отражённого звука													
Уровни звукового давления от мнимого источника ИШ-10-2_мн.(1) в расчётной точке днём, дБ		**ф-ла(3)[10]**	**0**	**0**	**0**	**0**	**0**	**0**	**0**	**0**	**0**	**0**	**0**
Уровни звукового давления от мнимого источника ИШ-10-2_мн.(1) в расчётной точке ночью, дБ		**ф-ла(3)[10]**	**0**	**0**	**0**	**0**	**0**	**0**	**0**	**0**	**0**	**0**	**0**
Уровни звукового давления от источника ИШ-10-2 в расчётной точке днём, дБ		**ф-ла(3)[10]**	**0**	**28,6**	**28,9**	**28,4**	**25,9**	**21,9**	**13,3**	**0**	**0**	**26,9**	**26,9**
Уровни звукового давления от источника ИШ-10-2 в расчётной точке ночью, дБ		**ф-ла(3)[10]**	**0**	**28,6**	**28,9**	**28,4**	**25,9**	**21,9**	**13,3**	**0**	**0**	**26,9**	**26,9**
Уровни звукового давления в расчётной точке													
Суммарные уровни звукового давления в расчётной точке от всех источников шума днём, Lрт, дБ		**ф-ла (19) [1]**	**60,6**	**58,7**	**54**	**51,2**	**51,7**	**55,2**	**50**	**37,8**	**0**	**57,6**	**57,6**
Суммарные уровни звукового давления в расчётной точке от всех источников шума ночью, Lрт, дБ		**ф-ла (19) [1]**	**55,5**	**57,1**	**53,8**	**51**	**51,5**	**54,9**	**49,3**	**37,5**	**0**	**57,2**	**57,2**
Допускаемые УЗД днём, Lдоп, дБ	Территории предприятий с постоянными рабочими местами	Табл. 1[3]	107	95	87	82	78	75	73	71	69	80	95
Допускаемые УЗД ночью, Lдоп, дБ	Территории предприятий с постоянными рабочими местами	Табл. 1[3]	107	95	87	82	78	75	73	71	69	80	95
Превышение днём, дБ		**Lрт - Lдоп**	**-46,4**	**-36,3**	**-33**	**-30,8**	**-26,3**	**-19,8**	**-23**	**-33,2**	**-69**	**-22,4**	**-37,4**

1	2	3	4	5	6	7	8	9	10	11	12	13
Превышение ночью, дБ	**Lрт - Lдоп**	**-51,5**	**-37,9**	**-33,2**	**-31**	**-26,5**	**-20,1**	**-23,7**	**-33,5**	**-69**	**-22,8**	**-37,8**

Определение уровней звукового давления в точке РТ-4-3 (координаты точки, м: x = 268.75, y = -207.38, z = 1.60)													
Наименование величин и их описание		**Ссылка**	**Расчётные уровни в октавных полосах, со среднегеометрическими частотами, Гц**									**La, дБА**	**Lмакс, дБА**
			31,5	**63**	**125**	**250**	**500**	**1000**	**2000**	**4000**	**8000**		
1		**2**	**3**	**4**	**5**	**6**	**7**	**8**	**9**	**10**	**11**	**12**	**13**
Источник шума: ИШ-1-1, координаты источника (x,y,z), м =[271.72,229.68,1.00]													
Уровни звуковой мощности источника днём, Lw, дБ		**исходные данные**	**97**	**97**	**104**	**106**	**105**	**105**	**98**	**87**	**81**		
Уровни звуковой мощности источника ночью, Lw, дБ		**исходные данные**	**97**	**97**	**104**	**106**	**105**	**105**	**98**	**87**	**81**		
Поправка на телесный угол DΩ, дБ	Ω = 6.28	10Lg(4π/Ω)	**3**	3	3	3	3	3	3	3	3		
Показатель направленности источника Di, дБ		исходные данные	**0**	0	0	0	0	0	0	0	0		
Поправка на направленность источника Dc, дБ	Dc	DΩ + Di	**3**	3	3	3	3	3	3	3	3		
Затухание из-за геометрической дивергенции, Adiv, дБ	расстояние = 437.07 м	ф-ла (7) [10]	**63,8**										
Коэффициент затухания звука в атмосфере α, дБ/км	Ta=20,°C Pa=101.33,кПа hотн.=70%	ф-ла (5) [9]	0,02	0,09	0,33	1,12	2,79	4,98	9,04	23,09	77,63		
Учет затухания звука в атмосфере Aatm, дБ		ф-ла (8) [10]	0	0	0,1	0,5	1,2	2,2	4	10,1	33,9		
Снижение поверхностью земли возле источника As, дБ	Gs = 0 hs = 1м	ф-лы таб.3 [10]	-1,5	-1,5	-1,5	-1,5	-1,5	-1,5	-1,5	-1,5	-1,5		
Снижение поверхностью земли возле приёмника Ar, дБ	Gr = 1 hr = 1.6м	ф-лы таб.3 [10]	-1,5	-1,5	2,6	6,8	4,3	0,5	0	0	0		
Снижение поверхностью земли в средней зоне, Am дБ	Gm = 1	ф-лы таб.3 [10]	-2,5	-2,5	0	0	0	0	0	0	0		
Суммарное снижение поверхностью земли на траектории распространения звука Agr, дБ		ф-ла (9) [10]	-5,5	-5,5	1,1	5,3	2,8	-1	-1,5	-1,5	-1,5		

1		2	3	4	5	6	7	8	9	10	11	12	13
Уровни звукового давления прямого звука от источника ИШ-1-1 в расчётной точке днём, дБ		**ф-ла(3)[10]**	**41,7**	**41,6**	**41,9**	**39,4**	**40,2**	**43**	**34,8**	**17,6**	**0**	**44,9**	**44,9**
Уровни звукового давления прямого звука от источника ИШ-1-1 в расчётной точке ночью, дБ		**ф-ла(3)[10]**	**41,7**	**41,6**	**41,9**	**39,4**	**40,2**	**43**	**34,8**	**17,6**	**0**	**44,9**	**44,9**
Расчёт отражённого звука													
Уровни звукового давления от мнимого источника ИШ-1-1_мн.(1) в расчётной точке днём, дБ		**ф-ла(3)[10]**	**0**	**0**	**0**	**0**	**0**	**23,3**	**11,1**	**0**	**0**	**23,7**	**23,7**
Уровни звукового давления от мнимого источника ИШ-1-1_мн.(1) в расчётной точке ночью, дБ		**ф-ла(3)[10]**	**0**	**0**	**0**	**0**	**0**	**0**	**0**	**0**	**0**	**23,7**	**23,7**
Уровни звукового давления от мнимого источника ИШ-1-1_мн.(2) в расчётной точке днём, дБ		**ф-ла(3)[10]**	**40,6**	**40,6**	**36,7**	**29**	**28,8**	**38,4**	**32,2**	**15**	**0**	**39,9**	**39,9**
Уровни звукового давления от мнимого источника ИШ-1-1_мн.(2) в расчётной точке ночью, дБ		**ф-ла(3)[10]**	**40,6**	**40,6**	**40,6**	**40,6**	**40,6**	**40,6**	**40,6**	**40,6**	**40,6**	**39,9**	**39,9**
Суммарные уровни звукового давления от мнимых источников в расчётной точке днём, дБ		**ф-ла (19) [1]**	**40,6**	**40,6**	**36,7**	**29**	**28,8**	**38,6**	**32,2**	**15**	**0**	**0**	**40**
Суммарные уровни звукового давления от мнимых источников в расчётной точке ночью, дБ		**ф-ла (19) [1]**	**40,6**	**40,6**	**36,7**	**29**	**28,8**	**38,6**	**32,2**	**15**	**0**	**0**	**40**
Уровни звукового давления от источника ИШ-1-1 в расчётной точке днём, дБ		**ф-ла(3)[10]**	**44,2**	**44,1**	**43,1**	**39,8**	**40,5**	**44,4**	**36,7**	**19,5**	**0**	**46,1**	**46,1**
Уровни звукового давления от источника ИШ-1-1 в расчётной точке ночью, дБ		**ф-ла(3)[10]**	**44,2**	**44,1**	**43,1**	**39,8**	**40,5**	**44,4**	**36,7**	**19,5**	**0**	**46,1**	**46,1**
Источник шума: ИШ-1-2, координаты источника (x,y,z), м =[261.74,199.14,1.00]													
Уровни звуковой мощности источника днём, Lw, дБ		**исходные данные**	**97**	**97**	**104**	**106**	**105**	**105**	**98**	**87**	**81**		
Уровни звуковой мощности источника ночью, Lw, дБ		**исходные данные**	**97**	**97**	**104**	**106**	**105**	**105**	**98**	**87**	**81**		
Поправка на телесный угол DΩ, дБ	Ω = 6.28	10Lg(4π/Ω)	**3**	3	3	3	3	3	3	3	3		
Показатель направленности источника Di, дБ		исходные данные	**0**	0	0	0	0	0	0	0	0		
Поправка на направленность источника Dc, дБ	Dc	DΩ + Di	**3**	3	3	3	3	3	3	3	3		

1		2	3	4	5	6	7	8	9	10	11	12	13
Затухание из-за геометрической дивергенции, Adiv, дБ	расстояние = 406.58 м	ф-ла (7) [10]	**63,2**										
Коэффициент затухания звука в атмосфере α, дБ/км	Ta=20,°C Pa=101.33,кПа hотн.=70%	ф-ла (5) [9]	0,02	0,09	0,33	1,12	2,79	4,98	9,04	23,09	77,63		
Учет затухания звука в атмосфере Aatm, дБ		ф-ла (8) [10]	0	0	0,1	0,5	1,1	2	3,7	9,4	31,6		
Снижение поверхностью земли возле источника As, дБ	Gs = 0 hs = 1м	ф-лы таб.3 [10]	-1,5	-1,5	-1,5	-1,5	-1,5	-1,5	-1,5	-1,5	-1,5		
Снижение поверхностью земли возле приёмника Ar, дБ	Gr = 1 hr = 1.6м	ф-лы таб.3 [10]	-1,5	-1,5	2,4	6,8	4,3	0,5	0	0	0		
Снижение поверхностью земли в средней зоне, Am дБ	Gm = 1	ф-лы таб.3 [10]	-2,4	-2,4	0	0	0	0	0	0	0		
Суммарное снижение поверхностью земли на траектории распространения звука Agr, дБ		ф-ла (9) [10]	-5,4	-5,4	0,9	5,3	2,8	-1	-1,5	-1,5	-1,5		
Уровни звукового давления прямого звука от источника ИШ-1-2 в расчётной точке днём, дБ		**ф-ла(3)[10]**	**42,2**	**42,2**	**42,8**	**40**	**40,9**	**43,8**	**35,7**	**18,9**	**0**	**45,7**	**45,7**
Уровни звукового давления прямого звука от источника ИШ-1-2 в расчётной точке ночью, дБ		**ф-ла(3)[10]**	**42,2**	**42,2**	**42,8**	**40**	**40,9**	**43,8**	**35,7**	**18,9**	**0**	**45,7**	**45,7**
Расчёт отражённого звука													
Уровни звукового давления от мнимого источника ИШ-1-2_мн.(1) в расчётной точке днём, дБ		**ф-ла(3)[10]**	**0**	**0**	**0**	**0**	**0**	**21,4**	**9**	**0**	**0**	**21,8**	**21,8**
Уровни звукового давления от мнимого источника ИШ-1-2_мн.(1) в расчётной точке ночью, дБ		**ф-ла(3)[10]**	**0**	**0**	**0**	**0**	**0**	**0**	**0**	**0**	**0**	**21,8**	**21,8**
Уровни звукового давления от мнимого источника ИШ-1-2_мн.(2) в расчётной точке днём, дБ		**ф-ла(3)[10]**	**41,2**	**41,2**	**37,8**	**29,6**	**29,5**	**39,2**	**33,1**	**16,3**	**0**	**40,7**	**40,7**
Уровни звукового давления от мнимого источника ИШ-1-2_мн.(2) в расчётной точке ночью, дБ		**ф-ла(3)[10]**	**41,2**	**41,2**	**41,2**	**41,2**	**41,2**	**41,2**	**41,2**	**41,2**	**41,2**	**40,7**	**40,7**
Суммарные уровни звукового давления от мнимых источников в расчётной точке днём, дБ		**ф-ла (19) [1]**	**41,2**	**41,2**	**37,8**	**29,6**	**29,5**	**39,3**	**33,1**	**16,3**	**0**	**0**	**40,8**
Суммарные уровни звукового давления от мнимых источников в расчётной точке ночью, дБ		**ф-ла (19) [1]**	**41,2**	**41,2**	**37,8**	**29,6**	**29,5**	**39,3**	**33,1**	**16,3**	**0**	**0**	**40,8**
Уровни звукового давления от источника ИШ-1-2 в расчётной точке днём, дБ		**ф-ла(3)[10]**	**44,8**	**44,7**	**44**	**40,4**	**41,2**	**45,1**	**37,6**	**20,8**	**0**	**46,9**	**46,9**

1		2	3	4	5	6	7	8	9	10	11	12	13
Уровни звукового давления от источника ИШ-1-2 в расчётной точке ночью, дБ		**ф-ла(3)[10]**	**44,8**	**44,7**	**44**	**40,4**	**41,2**	**45,1**	**37,6**	**20,8**	**0**	**46,9**	**46,9**
Источник шума: ИШ-1-3, координаты источника (x,y,z), м =[251.75,236.44,1.00]													
Уровни звуковой мощности источника днём, Lw, дБ		**исходные данные**	**0**	**91,3**	**92,7**	**94**	**94,3**	**93,9**	**90,6**	**86,4**	**81,9**		
Уровни звуковой мощности источника ночью, Lw, дБ		**исходные данные**	**0**	**91,3**	**92,7**	**94**	**94,3**	**93,9**	**90,6**	**86,4**	**81,9**		
Поправка на телесный угол DΩ, дБ	Ω = 6.28	10Lg(4π/Ω)	**3**	3	3	3	3	3	3	3	3		
Показатель направленности источника Di, дБ		исходные данные	**0**	0	0	0	0	0	0	0	0		
Поправка на направленность источника Dc, дБ	Dc	DΩ + Di	**3**	3	3	3	3	3	3	3	3		
Затухание из-за геометрической дивергенции, Adiv, дБ	расстояние = 444.14 м	ф-ла (7) [10]	**64**										
Коэффициент затухания звука в атмосфере α, дБ/км	Ta=20,°C Pa=101.33,кПа hотн.=70%	ф-ла (5) [9]	0,02	0,09	0,33	1,12	2,79	4,98	9,04	23,09	77,63		
Учет затухания звука в атмосфере Aatm, дБ		ф-ла (8) [10]	0	0	0,1	0,5	1,2	2,2	4	10,3	34,5		
Снижение поверхностью земли возле источника As, дБ	Gs = 0 hs = 1м	ф-лы таб.3 [10]	-1,5	-1,5	-1,5	-1,5	-1,5	-1,5	-1,5	-1,5	-1,5		
Снижение поверхностью земли возле приёмника Ar, дБ	Gr = 1 hr = 1.6м	ф-лы таб.3 [10]	-1,5	-1,5	2,7	6,8	4,3	0,5	0	0	0		
Снижение поверхностью земли в средней зоне, Am дБ	Gm = 1	ф-лы таб.3 [10]	-2,5	-2,5	0	0	0	0	0	0	0		
Суммарное снижение поверхностью земли на траектории распространения звука Agr, дБ		ф-ла (9) [10]	-5,5	-5,5	1,2	5,3	2,8	-1	-1,5	-1,5	-1,5		
Уровни звукового давления прямого звука от источника ИШ-1-3 в расчётной точке днём, дБ		**ф-ла(3)[10]**	**0**	**35,8**	**30,4**	**27,2**	**29,3**	**31,7**	**27,1**	**16,7**	**0**	**34,4**	**34,4**
Уровни звукового давления прямого звука от источника ИШ-1-3 в расчётной точке ночью, дБ		**ф-ла(3)[10]**	**0**	**35,8**	**30,4**	**27,2**	**29,3**	**31,7**	**27,1**	**16,7**	**0**	**34,4**	**34,4**

1		2	3	4	5	6	7	8	9	10	11	12	13
Расчёт отражённого звука													
Уровни звукового давления от мнимого источника ИШ-1-3_мн.(1) в расчётной точке днём, дБ		**ф-ла(3)[10]**	**0**	**0**	**0**	**0**	**0**	**20,5**	**12,6**	**0**	**0**	**21,3**	**21,3**
Уровни звукового давления от мнимого источника ИШ-1-3_мн.(1) в расчётной точке ночью, дБ		**ф-ла(3)[10]**	**0**	**0**	**0**	**0**	**0**	**0**	**0**	**0**	**0**	**21,3**	**21,3**
Уровни звукового давления от мнимого источника ИШ-1-3_мн.(2) в расчётной точке днём, дБ		**ф-ла(3)[10]**	**0**	**34,7**	**25,2**	**16,8**	**17,9**	**27,1**	**24,5**	**14,1**	**0**	**29,9**	**29,9**
Уровни звукового давления от мнимого источника ИШ-1-3_мн.(2) в расчётной точке ночью, дБ		**ф-ла(3)[10]**	**34,7**	**34,7**	**34,7**	**34,7**	**34,7**	**34,7**	**34,7**	**34,7**	**34,7**	**29,9**	**29,9**
Суммарные уровни звукового давления от мнимых источников в расчётной точке днём, дБ		**ф-ла (19) [1]**	**0**	**34,7**	**25,2**	**16,8**	**17,9**	**28**	**24,8**	**14,1**	**0**	**0**	**30,5**
Суммарные уровни звукового давления от мнимых источников в расчётной точке ночью, дБ		**ф-ла (19) [1]**	**0**	**34,7**	**25,2**	**16,8**	**17,9**	**28**	**24,8**	**14,1**	**0**	**0**	**30,5**
Уровни звукового давления от источника ИШ-1-3 в расчётной точке днём, дБ		**ф-ла(3)[10]**	**0**	**38,3**	**31,6**	**27,6**	**29,6**	**33,3**	**29,1**	**18,6**	**0**	**35,9**	**35,9**
Уровни звукового давления от источника ИШ-1-3 в расчётной точке ночью, дБ		**ф-ла(3)[10]**	**0**	**38,3**	**31,6**	**27,6**	**29,6**	**33,3**	**29,1**	**18,6**	**0**	**35,9**	**35,9**
Источник шума: ИШ-1-4, координаты источника (x,y,z), м =[290.25,223.25,1.00]													
Уровни звуковой мощности источника днём, Lw, дБ		**исходные данные**	**0**	**91,3**	**92,7**	**94**	**94,3**	**93,9**	**90,6**	**86,4**	**81,9**		
Уровни звуковой мощности источника ночью, Lw, дБ		**исходные данные**	**0**	**91,3**	**92,7**	**94**	**94,3**	**93,9**	**90,6**	**86,4**	**81,9**		
Поправка на телесный угол DΩ, дБ	Ω = 6.28	10Lg(4π/Ω)	**3**	3	3	3	3	3	3	3	3		
Показатель направленности источника Di, дБ		исходные данные	**0**	0	0	0	0	0	0	0	0		
Поправка на направленность источника Dc, дБ	Dc	DΩ + Di	**3**	3	3	3	3	3	3	3	3		
Затухание из-за геометрической дивергенции, Adiv, дБ	расстояние = 431.17 м	ф-ла (7) [10]	**63,7**										
Коэффициент затухания звука в атмосфере α, дБ/км	Ta=20,°C Pa=101.33,кПа hотн.=70%	ф-ла (5) [9]	0,02	0,09	0,33	1,12	2,79	4,98	9,04	23,09	77,63		

1		2	3	4	5	6	7	8	9	10	11	12	13
Учет затухания звука в атмосфере Aatm, дБ		ф-ла (8) [10]	0	0	0,1	0,5	1,2	2,1	3,9	10	33,5		
Снижение уровня звукового давления из-за влияния застройки между источником шума и расчетной точкой													
Снижение уровня звукового давления на пути над экраном, Dz1, дБ	z = 0.39м (разность путей)	ф-лы (14-18) [10]	5	5,2	5,5	6,4	8,3	11,2	14,3	17,3	20,3		
Снижение уровня звукового давления на пути слева от экрана, Dz2, дБ	z = 90.62м (разность путей)	ф-лы (14-18) [10]	29,5	32,9	36	39	42	45	48,1	51,1	54,1		
Снижение уровня звукового давления на пути справа от экрана, Dz3, дБ	z = 0.01м (разность путей)	ф-лы (14-18) [10]	4,8	4,8	4,9	5	5,3	5,8	6,6	7,9	9,7		
Общее снижение уровня звука препятствием Dz, дБ		Эн.сумма(-Dzi)	1,9	2	2,2	2,7	3,5	4,7	5,9	7,4	9,3		
Уровни звукового давления прямого звука от источника ИШ-1-4 в расчётной точке днём, дБ		**ф-ла(3)[10]**	**0**	**28,6**	**29,7**	**30,2**	**28,9**	**26,4**	**20,1**	**8,3**	**0**	**30,5**	**30,5**
Уровни звукового давления прямого звука от источника ИШ-1-4 в расчётной точке ночью, дБ		**ф-ла(3)[10]**	**0**	**28,6**	**29,7**	**30,2**	**28,9**	**26,4**	**20,1**	**8,3**	**0**	**30,5**	**30,5**
Расчёт отражённого звука													
Уровни звукового давления от мнимого источника ИШ-1-4_мн.(1) в расчётной точке днём, дБ		**ф-ла(3)[10]**	**0**	**0**	**0**	**0**	**0**	**8,6**	**0**	**0**	**0**	**8,6**	**8,6**
Уровни звукового давления от мнимого источника ИШ-1-4_мн.(1) в расчётной точке ночью, дБ		**ф-ла(3)[10]**	**0**	**0**	**0**	**0**	**0**	**0**	**0**	**0**	**0**	**8,6**	**8,6**
Уровни звукового давления от мнимого источника ИШ-1-4_мн.(2) в расчётной точке днём, дБ		**ф-ла(3)[10]**	**0**	**0**	**0**	**0**	**0**	**0**	**0**	**0**	**0**	**0**	**0**
Уровни звукового давления от мнимого источника ИШ-1-4_мн.(2) в расчётной точке ночью, дБ		**ф-ла(3)[10]**	**0**	**0**	**0**	**0**	**0**	**0**	**0**	**0**	**0**	**0**	**0**
Суммарные уровни звукового давления от мнимых источников в расчётной точке днём, дБ		**ф-ла (19) [1]**	**0**	**0**	**0**	**0**	**0**	**8,6**	**0**	**0**	**0**	**0**	**8,6**
Суммарные уровни звукового давления от мнимых источников в расчётной точке ночью, дБ		**ф-ла (19) [1]**	**0**	**0**	**0**	**0**	**0**	**8,6**	**0**	**0**	**0**	**0**	**8,6**
Уровни звукового давления от источника ИШ-1-4 в расчётной точке днём, дБ		**ф-ла(3)[10]**	**0**	**28,6**	**29,7**	**30,2**	**28,9**	**26,4**	**20,1**	**8,3**	**0**	**30,5**	**30,5**
Уровни звукового давления от источника ИШ-1-4 в расчётной точке ночью, дБ		**ф-ла(3)[10]**	**0**	**28,6**	**29,7**	**30,2**	**28,9**	**26,4**	**20,1**	**8,3**	**0**	**30,5**	**30,5**

1		2	3	4	5	6	7	8	9	10	11	12	13
Источник шума: ИШ-1-5, координаты источника (x,y,z), м =[241.49,205.86,1.00]													
Уровни звуковой мощности источника днём, Lw, дБ		**исходные данные**	**0**	**91,3**	**92,7**	**94**	**94,3**	**93,9**	**90,6**	**86,4**	**81,9**		
Уровни звуковой мощности источника ночью, Lw, дБ		**исходные данные**	**0**	**91,3**	**92,7**	**94**	**94,3**	**93,9**	**90,6**	**86,4**	**81,9**		
Поправка на телесный угол DΩ, дБ	Ω = 6.28	10Lg(4π/Ω)	**3**	3	3	3	3	3	3	3	3		
Показатель направленности источника Di, дБ		исходные данные	**0**	0	0	0	0	0	0	0	0		
Поправка на направленность источника Dc, дБ	Dc	DΩ + Di	**3**	3	3	3	3	3	3	3	3		
Затухание из-за геометрической дивергенции, Adiv, дБ	расстояние = 414.13 м	ф-ла (7) [10]	**63,3**										
Коэффициент затухания звука в атмосфере α, дБ/км	Ta=20,°C Pa=101.33,кПа hотн.=70%	ф-ла (5) [9]	0,02	0,09	0,33	1,12	2,79	4,98	9,04	23,09	77,63		
Учет затухания звука в атмосфере Aatm, дБ		ф-ла (8) [10]	0	0	0,1	0,5	1,2	2,1	3,7	9,6	32,2		
Снижение поверхностью земли возле источника As, дБ	Gs = 0 hs = 1м	ф-лы таб.3 [10]	-1,5	-1,5	-1,5	-1,5	-1,5	-1,5	-1,5	-1,5	-1,5		
Снижение поверхностью земли возле приёмника Ar, дБ	Gr = 1 hr = 1.6м	ф-лы таб.3 [10]	-1,5	-1,5	2,5	6,8	4,3	0,5	0	0	0		
Снижение поверхностью земли в средней зоне, Am дБ	Gm = 1	ф-лы таб.3 [10]	-2,4	-2,4	0	0	0	0	0	0	0		
Суммарное снижение поверхностью земли на траектории распространения звука Agr, дБ		ф-ла (9) [10]	-5,4	-5,4	1	5,3	2,8	-1	-1,5	-1,5	-1,5		
Уровни звукового давления прямого звука от источника ИШ-1-5 в расчётной точке днём, дБ		**ф-ла(3)[10]**	**0**	**36,3**	**31,2**	**27,9**	**30**	**32,5**	**28**	**18**	**0**	**35,2**	**35,2**
Уровни звукового давления прямого звука от источника ИШ-1-5 в расчётной точке ночью, дБ		**ф-ла(3)[10]**	**0**	**36,3**	**31,2**	**27,9**	**30**	**32,5**	**28**	**18**	**0**	**35,2**	**35,2**
Расчёт отражённого звука													

1		2	3	4	5	6	7	8	9	10	11	12	13
Уровни звукового давления от мнимого источника ИШ-1-5_мн.(1) в расчётной точке днём, дБ		**ф-ла(3)[10]**	**0**	**0**	**0**	**0**	**0**	**18,3**	**10**	**0**	**0**	**19,1**	**19,1**
Уровни звукового давления от мнимого источника ИШ-1-5_мн.(1) в расчётной точке ночью, дБ		**ф-ла(3)[10]**	**0**	**0**	**0**	**0**	**0**	**0**	**0**	**0**	**0**	**19,1**	**19,1**
Уровни звукового давления от мнимого источника ИШ-1-5_мн.(2) в расчётной точке днём, дБ		**ф-ла(3)[10]**	**0**	**35,3**	**26,2**	**17,4**	**18,6**	**27,9**	**25,4**	**15,3**	**0**	**30,7**	**30,7**
Уровни звукового давления от мнимого источника ИШ-1-5_мн.(2) в расчётной точке ночью, дБ		**ф-ла(3)[10]**	**35,3**	**35,3**	**35,3**	**35,3**	**35,3**	**35,3**	**35,3**	**35,3**	**35,3**	**30,7**	**30,7**
Суммарные уровни звукового давления от мнимых источников в расчётной точке днём, дБ		**ф-ла (19) [1]**	**0**	**35,3**	**26,2**	**17,4**	**18,6**	**28,3**	**25,5**	**15,3**	**0**	**0**	**31**
Суммарные уровни звукового давления от мнимых источников в расчётной точке ночью, дБ		**ф-ла (19) [1]**	**0**	**35,3**	**26,2**	**17,4**	**18,6**	**28,3**	**25,5**	**15,3**	**0**	**0**	**31**
Уровни звукового давления от источника ИШ-1-5 в расчётной точке днём, дБ		**ф-ла(3)[10]**	**0**	**38,9**	**32,4**	**28,2**	**30,3**	**33,9**	**30**	**19,9**	**0**	**36,6**	**36,6**
Уровни звукового давления от источника ИШ-1-5 в расчётной точке ночью, дБ		**ф-ла(3)[10]**	**0**	**38,9**	**32,4**	**28,2**	**30,3**	**33,9**	**30**	**19,9**	**0**	**36,6**	**36,6**
Источник шума: ИШ-1-6, координаты источника (x,y,z), м =[279.85,192.97,1.00]													
Уровни звуковой мощности источника днём, Lw, дБ		**исходные данные**	**0**	**91,3**	**92,7**	**94**	**94,3**	**93,9**	**90,6**	**86,4**	**81,9**		
Уровни звуковой мощности источника ночью, Lw, дБ		**исходные данные**	**0**	**91,3**	**92,7**	**94**	**94,3**	**93,9**	**90,6**	**86,4**	**81,9**		
Поправка на телесный угол DΩ, дБ	Ω = 6.28	10Lg(4π/Ω)	**3**	3	3	3	3	3	3	3	3		
Показатель направленности источника Di, дБ		исходные данные	**0**	0	0	0	0	0	0	0	0		
Поправка на направленность источника Dc, дБ	Dc	DΩ + Di	**3**	3	3	3	3	3	3	3	3		
Затухание из-за геометрической дивергенции, Adiv, дБ	расстояние = 400.50 м	ф-ла (7) [10]	**63,1**										
Коэффициент затухания звука в атмосфере α, дБ/км	Ta=20,°C Pa=101.33,кПа hотн.=70%	ф-ла (5) [9]	0,02	0,09	0,33	1,12	2,79	4,98	9,04	23,09	77,63		

1		2	3	4	5	6	7	8	9	10	11	12	13
Учет затухания звука в атмосфере Aatm, дБ		ф-ла (8) [10]	0	0	0,1	0,5	1,1	2	3,6	9,2	31,1		
Снижение поверхностью земли возле источника As, дБ	Gs = 0 hs = 1м	ф-лы таб.3 [10]	-1,5	-1,5	-1,5	-1,5	-1,5	-1,5	-1,5	-1,5	-1,5		
Снижение поверхностью земли возле приёмника Ar, дБ	Gr = 1 hr = 1.6м	ф-лы таб.3 [10]	-1,5	-1,5	2,4	6,8	4,3	0,5	0	0	0		
Снижение поверхностью земли в средней зоне, Am дБ	Gm = 1	ф-лы таб.3 [10]	-2,4	-2,4	0	0	0	0	0	0	0		
Суммарное снижение поверхностью земли на траектории распространения звука Agr, дБ		ф-ла (9) [10]	-5,4	-5,4	0,9	5,3	2,8	-1	-1,5	-1,5	-1,5		
Уровни звукового давления прямого звука от источника ИШ-1-6 в расчётной точке днём, дБ		**ф-ла(3)[10]**	**0**	**36,6**	**31,6**	**28,2**	**30,3**	**32,8**	**28,4**	**18,6**	**0**	**35,5**	**35,5**
Уровни звукового давления прямого звука от источника ИШ-1-6 в расчётной точке ночью, дБ		**ф-ла(3)[10]**	**0**	**36,6**	**31,6**	**28,2**	**30,3**	**32,8**	**28,4**	**18,6**	**0**	**35,5**	**35,5**
Расчёт отражённого звука													
Уровни звукового давления от мнимого источника ИШ-1-6_мн.(1) в расчётной точке днём, дБ		**ф-ла(3)[10]**	**0**	**0**	**0**	**0**	**0**	**6,6**	**0**	**0**	**0**	**6,6**	**6,6**
Уровни звукового давления от мнимого источника ИШ-1-6_мн.(1) в расчётной точке ночью, дБ		**ф-ла(3)[10]**	**0**	**0**	**0**	**0**	**0**	**0**	**0**	**0**	**0**	**6,6**	**6,6**
Уровни звукового давления от мнимого источника ИШ-1-6_мн.(2) в расчётной точке днём, дБ		**ф-ла(3)[10]**	**0**	**35,6**	**26,7**	**17,7**	**18,9**	**28,2**	**25,8**	**15,9**	**0**	**31,1**	**31,1**
Уровни звукового давления от мнимого источника ИШ-1-6_мн.(2) в расчётной точке ночью, дБ		**ф-ла(3)[10]**	**35,6**	**35,6**	**35,6**	**35,6**	**35,6**	**35,6**	**35,6**	**35,6**	**35,6**	**31,1**	**31,1**
Суммарные уровни звукового давления от мнимых источников в расчётной точке днём, дБ		**ф-ла (19) [1]**	**0**	**35,6**	**26,7**	**17,7**	**18,9**	**28,3**	**25,8**	**15,9**	**0**	**0**	**31,1**
Суммарные уровни звукового давления от мнимых источников в расчётной точке ночью, дБ		**ф-ла (19) [1]**	**0**	**35,6**	**26,7**	**17,7**	**18,9**	**28,3**	**25,8**	**15,9**	**0**	**0**	**31,1**
Уровни звукового давления от источника ИШ-1-6 в расчётной точке днём, дБ		**ф-ла(3)[10]**	**0**	**39,1**	**32,8**	**28,5**	**30,6**	**34,1**	**30,3**	**20,5**	**0**	**36,9**	**36,9**
Уровни звукового давления от источника ИШ-1-6 в расчётной точке ночью, дБ		**ф-ла(3)[10]**	**0**	**39,1**	**32,8**	**28,5**	**30,6**	**34,1**	**30,3**	**20,5**	**0**	**36,9**	**36,9**
Источник шума: ИШ-1-7, координаты источника (x,y,z), м =[451.87,146.66,1.00]													

1		2	3	4	5	6	7	8	9	10	11	12	13
Уровни звуковой мощности источника днём, Lw, дБ		**исходные данные**	**0**	**93,3**	**94,7**	**96**	**96,3**	**95,9**	**92,6**	**88,4**	**83,9**		
Уровни звуковой мощности источника ночью, Lw, дБ		**исходные данные**	**0**	**93,3**	**94,7**	**96**	**96,3**	**95,9**	**92,6**	**88,4**	**83,9**		
Поправка на телесный угол DΩ, дБ	Ω = 6.28	10Lg(4π/Ω)	**3**	3	3	3	3	3	3	3	3		
Показатель направленности источника Di, дБ		исходные данные	**0**	0	0	0	0	0	0	0	0		
Поправка на направленность источника Dc, дБ	Dc	DΩ + Di	**3**	3	3	3	3	3	3	3	3		
Затухание из-за геометрической дивергенции, Adiv, дБ	расстояние = 398.59 м	ф-ла (7) [10]	**63**										
Коэффициент затухания звука в атмосфере α, дБ/км	Ta=20,°C Pa=101.33,кПа hотн.=70%	ф-ла (5) [9]	0,02	0,09	0,33	1,12	2,79	4,98	9,04	23,09	77,63		
Учет затухания звука в атмосфере Aatm, дБ		ф-ла (8) [10]	0	0	0,1	0,4	1,1	2	3,6	9,2	30,9		
Снижение уровня звукового давления из-за влияния застройки между источником шума и расчетной точкой													
Снижение уровня звукового давления на пути над экраном, Dz1, дБ	z = 0.67м (разность путей)	ф-лы (14-18) [10]	7,3	9,2	11,4	14	16,7	19,6	22,6	25,5	28,5		
Снижение уровня звукового давления на пути слева от экрана, Dz2, дБ	z = 7.62м (разность путей)	ф-лы (14-18) [10]	15,4	19,2	23,6	27,7	31,1	34,3	37,3	40,3	43,3		
Снижение уровня звукового давления на пути справа от экрана, Dz3, дБ	z = 123.03м (разность путей)	ф-лы (14-18) [10]	26,9	30,6	35	39,4	43,1	46,3	49,4	52,4	55,4		
Общее снижение уровня звука препятствием Dz, дБ		Эн.сумма(-Dzi)	6,6	8,8	11,2	13,8	16,6	19,5	22,4	25,4	28,4		
Общее снижение уровня звука препятствием с учётом ограничения (25 дБ) для октавных полос Dz, дБ		Раздел 7.4 [10]	6,6	8,8	11,2	13,8	16,6	19,5	22,4	25	25		
Уровни звукового давления от источника ИШ-1-7 в расчётной точке днём, дБ		**ф-ла(3)[10]**	**0**	**24,5**	**23,4**	**21,7**	**18,6**	**14,4**	**6,6**	**0**	**0**	**19,8**	**19,8**
Уровни звукового давления от источника ИШ-1-7 в расчётной точке ночью, дБ		**ф-ла(3)[10]**	**0**	**24,5**	**23,4**	**21,7**	**18,6**	**14,4**	**6,6**	**0**	**0**	**19,8**	**19,8**

1		2	3	4	5	6	7	8	9	10	11	12	13
Источник шума: ИШ-1-8, координаты источника (x,y,z), м =[454.99,145.29,1.00]													
Уровни звуковой мощности источника днём, Lw, дБ		**исходные данные**	**0**	**93,3**	**94,7**	**96**	**96,3**	**95,9**	**92,6**	**88,4**	**83,9**		
Уровни звуковой мощности источника ночью, Lw, дБ		**исходные данные**	**0**	**93,3**	**94,7**	**96**	**96,3**	**95,9**	**92,6**	**88,4**	**83,9**		
Поправка на телесный угол DΩ, дБ	Ω = 6.28	10Lg(4π/Ω)	**3**	3	3	3	3	3	3	3	3		
Показатель направленности источника Di, дБ		исходные данные	**0**	0	0	0	0	0	0	0	0		
Поправка на направленность источника Dc, дБ	Dc	DΩ + Di	**3**	3	3	3	3	3	3	3	3		
Затухание из-за геометрической дивергенции, Adiv, дБ	расстояние = 398.83 м	ф-ла (7) [10]	**63**										
Коэффициент затухания звука в атмосфере α, дБ/км	Ta=20,°C Pa=101.33,кПа hотн.=70%	ф-ла (5) [9]	0,02	0,09	0,33	1,12	2,79	4,98	9,04	23,09	77,63		
Учет затухания звука в атмосфере Aatm, дБ		ф-ла (8) [10]	0	0	0,1	0,4	1,1	2	3,6	9,2	31		
Снижение уровня звукового давления из-за влияния застройки между источником шума и расчетной точкой													
Снижение уровня звукового давления на пути над экраном, Dz1, дБ	z = 0.67м (разность путей)	ф-лы (14-18) [10]	7,3	9,2	11,4	14	16,7	19,6	22,6	25,5	28,5		
Снижение уровня звукового давления на пути слева от экрана, Dz2, дБ	z = 6.68м (разность путей)	ф-лы (14-18) [10]	14,9	18,7	23,1	27,1	30,6	33,7	36,7	39,7	42,8		
Снижение уровня звукового давления на пути справа от экрана, Dz3, дБ	z = 124.70м (разность путей)	ф-лы (14-18) [10]	27	30,7	35	39,4	43,1	46,4	49,4	52,5	55,5		
Общее снижение уровня звука препятствием Dz, дБ		Эн.сумма(-Dzi)	6,6	8,7	11,1	13,8	16,6	19,4	22,4	25,4	28,4		
Общее снижение уровня звука препятствием с учётом ограничения (25 дБ) для октавных полос Dz, дБ		Раздел 7.4 [10]	6,6	8,7	11,1	13,8	16,6	19,4	22,4	25	25		
Уровни звукового давления от источника ИШ-1-8 в расчётной точке днём, дБ		**ф-ла(3)[10]**	**0**	**24,5**	**23,4**	**21,8**	**18,6**	**14,5**	**6,6**	**0**	**0**	**19,8**	**19,8**

1		2	3	4	5	6	7	8	9	10	11	12	13
Уровни звукового давления от источника ИШ-1-8 в расчётной точке ночью, дБ		**ф-ла(3)[10]**	**0**	**24,5**	**23,4**	**21,8**	**18,6**	**14,5**	**6,6**	**0**	**0**	**19,8**	**19,8**
Источник шума: ИШ-1-9, координаты источника (x,y,z), м =[458.12,144.31,1.00]													
Уровни звуковой мощности источника днём, Lw, дБ		**исходные данные**	**0**	**93,3**	**94,7**	**96**	**96,3**	**95,9**	**92,6**	**88,4**	**83,9**		
Уровни звуковой мощности источника ночью, Lw, дБ		**исходные данные**	**0**	**93,3**	**94,7**	**96**	**96,3**	**95,9**	**92,6**	**88,4**	**83,9**		
Поправка на телесный угол DΩ, дБ	Ω = 6.28	10Lg(4π/Ω)	**3**	3	3	3	3	3	3	3	3		
Показатель направленности источника Di, дБ		исходные данные	**0**	0	0	0	0	0	0	0	0		
Поправка на направленность источника Dc, дБ	Dc	DΩ + Di	**3**	3	3	3	3	3	3	3	3		
Затухание из-за геометрической дивергенции, Adiv, дБ	расстояние = 399.43 м	ф-ла (7) [10]	**63**										
Коэффициент затухания звука в атмосфере α, дБ/км	Ta=20,°C Pa=101.33,кПа hотн.=70%	ф-ла (5) [9]	0,02	0,09	0,33	1,12	2,79	4,98	9,04	23,09	77,63		
Учет затухания звука в атмосфере Aatm, дБ		ф-ла (8) [10]	0	0	0,1	0,4	1,1	2	3,6	9,2	31		
Снижение уровня звукового давления из-за влияния застройки между источником шума и расчетной точкой													
Снижение уровня звукового давления на пути над экраном, Dz1, дБ	z = 0.67м (разность путей)	ф-лы (14-18) [10]	7,3	9,2	11,4	14	16,7	19,6	22,5	25,5	28,5		
Снижение уровня звукового давления на пути слева от экрана, Dz2, дБ	z = 5.84м (разность путей)	ф-лы (14-18) [10]	14,4	18,1	22,5	26,6	30	33,1	36,1	39,2	42,2		
Снижение уровня звукового давления на пути справа от экрана, Dz3, дБ	z = 125.74м (разность путей)	ф-лы (14-18) [10]	27	30,7	35,1	39,5	43,2	46,4	49,5	52,5	55,5		
Общее снижение уровня звука препятствием Dz, дБ		Эн.сумма(-Dzi)	6,5	8,6	11,1	13,7	16,5	19,4	22,3	25,3	28,3		
Общее снижение уровня звука препятствием с учётом ограничения (25 дБ) для октавных полос Dz, дБ		Раздел 7.4 [10]	6,5	8,6	11,1	13,7	16,5	19,4	22,3	25	25		

1		2	3	4	5	6	7	8	9	10	11	12	13
Уровни звукового давления от источника ИШ-1-9 в расчётной точке днём, дБ		**ф-ла(3)[10]**	**0**	**24,6**	**23,4**	**21,8**	**18,6**	**14,5**	**6,6**	**0**	**0**	**19,8**	**19,8**
Уровни звукового давления от источника ИШ-1-9 в расчётной точке ночью, дБ		**ф-ла(3)[10]**	**0**	**24,6**	**23,4**	**21,8**	**18,6**	**14,5**	**6,6**	**0**	**0**	**19,8**	**19,8**
Источник шума: ИШ-1-10, координаты источника (x,y,z), м =[461.05,143.53,1.00]													
Уровни звуковой мощности источника днём, Lw, дБ		**исходные данные**	**0**	**93,3**	**94,7**	**96**	**96,3**	**95,9**	**92,6**	**88,4**	**83,9**		
Уровни звуковой мощности источника ночью, Lw, дБ		**исходные данные**	**0**	**93,3**	**94,7**	**96**	**96,3**	**95,9**	**92,6**	**88,4**	**83,9**		
Поправка на телесный угол DΩ, дБ	Ω = 6.28	10Lg(4π/Ω)	**3**	3	3	3	3	3	3	3	3		
Показатель направленности источника Di, дБ		исходные данные	**0**	0	0	0	0	0	0	0	0		
Поправка на направленность источника Dc, дБ	Dc	DΩ + Di	**3**	3	3	3	3	3	3	3	3		
Затухание из-за геометрической дивергенции, Adiv, дБ	расстояние = 400.15 м	ф-ла (7) [10]	**63**										
Коэффициент затухания звука в атмосфере α, дБ/км	Ta=20,°C Pa=101.33,кПа hотн.=70%	ф-ла (5) [9]	0,02	0,09	0,33	1,12	2,79	4,98	9,04	23,09	77,63		
Учет затухания звука в атмосфере Aatm, дБ		ф-ла (8) [10]	0	0	0,1	0,4	1,1	2	3,6	9,2	31,1		
Снижение уровня звукового давления из-за влияния застройки между источником шума и расчетной точкой													
Снижение уровня звукового давления на пути над экраном, Dz1, дБ	z = 0.67м (разность путей)	ф-лы (14-18) [10]	7,3	9,2	11,4	14	16,7	19,6	22,5	25,5	28,5		
Снижение уровня звукового давления на пути слева от экрана, Dz2, дБ	z = 5.13м (разность путей)	ф-лы (14-18) [10]	13,9	17,6	22	26	29,4	32,5	35,6	38,6	41,6		
Снижение уровня звукового давления на пути справа от экрана, Dz3, дБ	z = 126.57м (разность путей)	ф-лы (14-18) [10]	27	30,7	35,1	39,5	43,2	46,4	49,5	52,5	55,5		
Общее снижение уровня звука препятствием Dz, дБ		Эн.сумма(-Dzi)	6,4	8,6	11	13,7	16,5	19,3	22,3	25,3	28,3		

1		2	3	4	5	6	7	8	9	10	11	12	13
Общее снижение уровня звука препятствием с учётом ограничения (25 дБ) для октавных полос Dz, дБ		Раздел 7.4 [10]	6,4	8,6	11	13,7	16,5	19,3	22,3	25	25		
Уровни звукового давления от источника ИШ-1-10 в расчётной точке днём, дБ		**ф-ла(3)[10]**	**0**	**24,6**	**23,5**	**21,8**	**18,7**	**14,5**	**6,6**	**0**	**0**	**19,9**	**19,9**
Уровни звукового давления от источника ИШ-1-10 в расчётной точке ночью, дБ		**ф-ла(3)[10]**	**0**	**24,6**	**23,5**	**21,8**	**18,7**	**14,5**	**6,6**	**0**	**0**	**19,9**	**19,9**
Источник шума: ИШ-1-11, координаты источника (x,y,z), м =[464.18,142.55,1.00]													
Уровни звуковой мощности источника днём, Lw, дБ		**исходные данные**	**0**	**93,3**	**94,7**	**96**	**96,3**	**95,9**	**92,6**	**88,4**	**83,9**		
Уровни звуковой мощности источника ночью, Lw, дБ		**исходные данные**	**0**	**93,3**	**94,7**	**96**	**96,3**	**95,9**	**92,6**	**88,4**	**83,9**		
Поправка на телесный угол DΩ, дБ	Ω = 6.28	10Lg(4π/Ω)	**3**	3	3	3	3	3	3	3	3		
Показатель направленности источника Di, дБ		исходные данные	**0**	0	0	0	0	0	0	0	0		
Поправка на направленность источника Dc, дБ	Dc	DΩ + Di	**3**	3	3	3	3	3	3	3	3		
Затухание из-за геометрической дивергенции, Adiv, дБ	расстояние = 400.81 м	ф-ла (7) [10]	**63,1**										
Коэффициент затухания звука в атмосфере α, дБ/км	Ta=20,°C Pa=101.33,кПа hотн.=70%	ф-ла (5) [9]	0,02	0,09	0,33	1,12	2,79	4,98	9,04	23,09	77,63		
Учет затухания звука в атмосфере Aatm, дБ		ф-ла (8) [10]	0	0	0,1	0,5	1,1	2	3,6	9,3	31,1		
Снижение уровня звукового давления из-за влияния застройки между источником шума и расчетной точкой													
Снижение уровня звукового давления на пути над экраном, Dz1, дБ	z = 0.66м (разность путей)	ф-лы (14-18) [10]	7,3	9,2	11,4	13,9	16,7	19,5	22,5	25,5	28,5		
Снижение уровня звукового давления на пути слева от экрана, Dz2, дБ	z = 4.42м (разность путей)	ф-лы (14-18) [10]	13,3	17	21,3	25,4	28,8	31,9	34,9	38	41		
Снижение уровня звукового давления на пути справа от экрана, Dz3, дБ	z = 127.80м (разность путей)	ф-лы (14-18) [10]	27,1	30,8	35,1	39,6	43,2	46,5	49,5	52,6	55,6		

1		2	3	4	5	6	7	8	9	10	11	12	13
Общее снижение уровня звука препятствием Dz, дБ		Эн.сумма(-Dzi)	6,3	8,5	11	13,6	16,4	19,3	22,2	25,2	28,2		
Общее снижение уровня звука препятствием с учётом ограничения (25 дБ) для октавных полос Dz, дБ		Раздел 7.4 [10]	6,3	8,5	11	13,6	16,4	19,3	22,2	25	25		
Уровни звукового давления от источника ИШ-1-11 в расчётной точке днём, дБ		**ф-ла(3)[10]**	**0**	**24,7**	**23,5**	**21,9**	**18,7**	**14,5**	**6,7**	**0**	**0**	**19,9**	**19,9**
Уровни звукового давления от источника ИШ-1-11 в расчётной точке ночью, дБ		**ф-ла(3)[10]**	**0**	**24,7**	**23,5**	**21,9**	**18,7**	**14,5**	**6,7**	**0**	**0**	**19,9**	**19,9**
Источник шума: ИШ-1-12, координаты источника (x,y,z), м =[435.45,97.79,1.00]													
Уровни звуковой мощности источника днём, Lw, дБ		**исходные данные**	**0**	**93,3**	**94,7**	**96**	**96,3**	**95,9**	**92,6**	**88,4**	**83,9**		
Уровни звуковой мощности источника ночью, Lw, дБ		**исходные данные**	**0**	**93,3**	**94,7**	**96**	**96,3**	**95,9**	**92,6**	**88,4**	**83,9**		
Поправка на телесный угол DΩ, дБ	Ω = 6.28	10Lg(4π/Ω)	**3**	3	3	3	3	3	3	3	3		
Показатель направленности источника Di, дБ		исходные данные	**0**	0	0	0	0	0	0	0	0		
Поправка на направленность источника Dc, дБ	Dc	DΩ + Di	**3**	3	3	3	3	3	3	3	3		
Затухание из-за геометрической дивергенции, Adiv, дБ	расстояние = 347.73 м	ф-ла (7) [10]	**61,8**										
Коэффициент затухания звука в атмосфере α, дБ/км	Ta=20,°C Pa=101.33,кПа hотн.=70%	ф-ла (5) [9]	0,02	0,09	0,33	1,12	2,79	4,98	9,04	23,09	77,63		
Учет затухания звука в атмосфере Aatm, дБ		ф-ла (8) [10]	0	0	0,1	0,4	1	1,7	3,1	8	27		
Снижение уровня звукового давления из-за влияния застройки между источником шума и расчетной точкой													
Снижение уровня звукового давления на пути над экраном, Dz1, дБ	z = 0.94м (разность путей)	ф-лы (14-18) [10]	9	11,5	14,2	16,9	19,8	22,8	25,7	28,7	31,7		
Снижение уровня звукового давления на пути слева от экрана, Dz2, дБ	z = 7.75м (разность путей)	ф-лы (14-18) [10]	15,5	19,3	23,7	27,8	31,2	34,3	37,4	40,4	43,4		

1		2	3	4	5	6	7	8	9	10	11	12	13
Снижение уровня звукового давления на пути справа от экрана, Dz3, дБ	z = 9.24м (разность путей)	ф-лы (14-18) [10]	15,7	18,5	21,4	24,4	27,4	30,4	33,4	36,4	39,4		
Общее снижение уровня звука препятствием Dz, дБ		Эн.сумма(-Dzi)	7,4	10,2	13	15,9	18,9	21,8	24,8	27,8	30,8		
Общее снижение уровня звука препятствием с учётом ограничения (25 дБ) для октавных полос Dz, дБ		Раздел 7.4 [10]	7,4	10,2	13	15,9	18,9	21,8	24,8	25	25		
Уровни звукового давления от источника ИШ-1-12 в расчётной точке днём, дБ		**ф-ла(3)[10]**	**0**	**24,3**	**22,7**	**20,8**	**17,6**	**13,5**	**5,8**	**0**	**0**	**18,9**	**18,9**
Уровни звукового давления от источника ИШ-1-12 в расчётной точке ночью, дБ		**ф-ла(3)[10]**	**0**	**24,3**	**22,7**	**20,8**	**17,6**	**13,5**	**5,8**	**0**	**0**	**18,9**	**18,9**
Источник шума: ИШ-1-13, координаты источника (x,y,z), м =[438.77,96.82,1.00]													
Уровни звуковой мощности источника днём, Lw, дБ		**исходные данные**	**0**	**93,3**	**94,7**	**96**	**96,3**	**95,9**	**92,6**	**88,4**	**83,9**		
Уровни звуковой мощности источника ночью, Lw, дБ		**исходные данные**	**0**	**93,3**	**94,7**	**96**	**96,3**	**95,9**	**92,6**	**88,4**	**83,9**		
Поправка на телесный угол DΩ, дБ	Ω = 6.28	10Lg(4π/Ω)	**3**	3	3	3	3	3	3	3	3		
Показатель направленности источника Di, дБ		исходные данные	**0**	0	0	0	0	0	0	0	0		
Поправка на направленность источника Dc, дБ	Dc	DΩ + Di	**3**	3	3	3	3	3	3	3	3		
Затухание из-за геометрической дивергенции, Adiv, дБ	расстояние = 348.49 м	ф-ла (7) [10]	**61,8**										
Коэффициент затухания звука в атмосфере α, дБ/км	Ta=20,°C Pa=101.33,кПа hотн.=70%	ф-ла (5) [9]	0,02	0,09	0,33	1,12	2,79	4,98	9,04	23,09	77,63		
Учет затухания звука в атмосфере Aatm, дБ		ф-ла (8) [10]	0	0	0,1	0,4	1	1,7	3,2	8	27,1		
Снижение уровня звукового давления из-за влияния застройки между источником шума и расчетной точкой													
Снижение уровня звукового давления на пути над экраном, Dz1, дБ	z = 0.94м (разность путей)	ф-лы (14-18) [10]	9	11,5	14,1	16,9	19,8	22,7	25,7	28,7	31,7		

1		2	3	4	5	6	7	8	9	10	11	12	13
Снижение уровня звукового давления на пути слева от экрана, Dz2, дБ	z = 6.40м (разность путей)	ф-лы (14-18) [10]	14,7	18,5	22,9	27	30,4	33,5	36,5	39,6	42,6		
Снижение уровня звукового давления на пути справа от экрана, Dz3, дБ	z = 10.63м (разность путей)	ф-лы (14-18) [10]	16,3	19,1	22	25	28	31	34	37	40		
Общее снижение уровня звука препятствием Dz, дБ		Эн.сумма(-Dzi)	7,4	10,1	13	15,9	18,9	21,8	24,8	27,8	30,8		
Общее снижение уровня звука препятствием с учётом ограничения (25 дБ) для октавных полос Dz, дБ		Раздел 7.4 [10]	7,4	10,1	13	15,9	18,9	21,8	24,8	25	25		
Уровни звукового давления от источника ИШ-1-13 в расчётной точке днём, дБ		**ф-ла(3)[10]**	**0**	**24,3**	**22,7**	**20,8**	**17,6**	**13,5**	**5,8**	**0**	**0**	**18,9**	**18,9**
Уровни звукового давления от источника ИШ-1-13 в расчётной точке ночью, дБ		**ф-ла(3)[10]**	**0**	**24,3**	**22,7**	**20,8**	**17,6**	**13,5**	**5,8**	**0**	**0**	**18,9**	**18,9**
Источник шума: ИШ-1-14, координаты источника (x,y,z), м =[441.70,96.03,1.00]													
Уровни звуковой мощности источника днём, Lw, дБ		**исходные данные**	**0**	**93,3**	**94,7**	**96**	**96,3**	**95,9**	**92,6**	**88,4**	**83,9**		
Уровни звуковой мощности источника ночью, Lw, дБ		**исходные данные**	**0**	**93,3**	**94,7**	**96**	**96,3**	**95,9**	**92,6**	**88,4**	**83,9**		
Поправка на телесный угол DΩ, дБ	Ω = 6.28	10Lg(4π/Ω)	**3**	3	3	3	3	3	3	3	3		
Показатель направленности источника Di, дБ		исходные данные	**0**	0	0	0	0	0	0	0	0		
Поправка на направленность источника Dc, дБ	Dc	DΩ + Di	**3**	3	3	3	3	3	3	3	3		
Затухание из-за геометрической дивергенции, Adiv, дБ	расстояние = 349.25 м	ф-ла (7) [10]	**61,9**										
Коэффициент затухания звука в атмосфере α, дБ/км	Ta=20,°C Pa=101.33,кПа hотн.=70%	ф-ла (5) [9]	0,02	0,09	0,33	1,12	2,79	4,98	9,04	23,09	77,63		
Учет затухания звука в атмосфере Aatm, дБ		ф-ла (8) [10]	0	0	0,1	0,4	1	1,7	3,2	8,1	27,1		
Снижение уровня звукового давления из-за влияния застройки между источником шума и расчетной точкой													

1		2	3	4	5	6	7	8	9	10	11	12	13
Снижение уровня звукового давления на пути над экраном, Dz1, дБ	z = 0.93м (разность путей)	ф-лы (14-18) [10]	9	11,5	14,1	16,9	19,8	22,7	25,7	28,7	31,7		
Снижение уровня звукового давления на пути слева от экрана, Dz2, дБ	z = 5.34м (разность путей)	ф-лы (14-18) [10]	14	17,7	22,1	26,2	29,6	32,7	35,8	38,8	41,8		
Снижение уровня звукового давления на пути справа от экрана, Dz3, дБ	z = 11.88м (разность путей)	ф-лы (14-18) [10]	16,7	19,6	22,5	25,5	28,5	31,5	34,5	37,5	40,5		
Общее снижение уровня звука препятствием Dz, дБ		Эн.сумма(-Dzi)	7,3	10	13	15,9	18,8	21,8	24,8	27,8	30,8		
Общее снижение уровня звука препятствием с учётом ограничения (25 дБ) для октавных полос Dz, дБ		Раздел 7.4 [10]	7,3	10	13	15,9	18,8	21,8	24,8	25	25		
Уровни звукового давления от источника ИШ-1-14 в расчётной точке днём, дБ		**ф-ла(3)[10]**	**0**	**24,4**	**22,8**	**20,8**	**17,6**	**13,5**	**5,8**	**0**	**0**	**18,9**	**18,9**
Уровни звукового давления от источника ИШ-1-14 в расчётной точке ночью, дБ		**ф-ла(3)[10]**	**0**	**24,4**	**22,8**	**20,8**	**17,6**	**13,5**	**5,8**	**0**	**0**	**18,9**	**18,9**
Источник шума: ИШ-1-15, координаты источника (x,y,z), м =[445.03,95.25,1.00]													
Уровни звуковой мощности источника днём, Lw, дБ		**исходные данные**	**0**	**93,3**	**94,7**	**96**	**96,3**	**95,9**	**92,6**	**88,4**	**83,9**		
Уровни звуковой мощности источника ночью, Lw, дБ		**исходные данные**	**0**	**93,3**	**94,7**	**96**	**96,3**	**95,9**	**92,6**	**88,4**	**83,9**		
Поправка на телесный угол DΩ, дБ	Ω = 6.28	10Lg(4π/Ω)	**3**	3	3	3	3	3	3	3	3		
Показатель направленности источника Di, дБ		исходные данные	**0**	0	0	0	0	0	0	0	0		
Поправка на направленность источника Dc, дБ	Dc	DΩ + Di	**3**	3	3	3	3	3	3	3	3		
Затухание из-за геометрической дивергенции, Adiv, дБ	расстояние = 350.23 м	ф-ла (7) [10]	**61,9**										
Коэффициент затухания звука в атмосфере α, дБ/км	Та=20,°С Ра=101.33,кПа hотн.=70%	ф-ла (5) [9]	0,02	0,09	0,33	1,12	2,79	4,98	9,04	23,09	77,63		
Учет затухания звука в атмосфере Aatm, дБ		ф-ла (8) [10]	0	0	0,1	0,4	1	1,7	3,2	8,1	27,2		

1		2	3	4	5	6	7	8	9	10	11	12	13
Снижение уровня звукового давления из-за влияния застройки между источником шума и расчетной точкой													
Снижение уровня звукового давления на пути над экраном, Dz1, дБ	z = 0.93м (разность путей)	ф-лы (14-18) [10]	9	11,4	14,1	16,8	19,7	22,7	25,6	28,6	31,6		
Снижение уровня звукового давления на пути слева от экрана, Dz2, дБ	z = 4.28м (разность путей)	ф-лы (14-18) [10]	13,2	16,8	21,2	25,2	28,6	31,8	34,8	37,8	40,8		
Снижение уровня звукового давления на пути справа от экрана, Dz3, дБ	z = 13.30м (разность путей)	ф-лы (14-18) [10]	17,2	20,1	23	26	29	32	35	38	41		
Общее снижение уровня звука препятствием Dz, дБ		Эн.сумма(-Dzi)	7,1	9,9	12,8	15,8	18,8	21,7	24,7	27,7	30,7		
Общее снижение уровня звука препятствием с учётом ограничения (25 дБ) для октавных полос Dz, дБ		Раздел 7.4 [10]	7,1	9,9	12,8	15,8	18,8	21,7	24,7	25	25		
Уровни звукового давления от источника ИШ-1-15 в расчётной точке днём, дБ		**ф-ла(3)[10]**	**0**	**24,5**	**22,8**	**20,9**	**17,7**	**13,5**	**5,8**	**0**	**0**	**18,9**	**18,9**
Уровни звукового давления от источника ИШ-1-15 в расчётной точке ночью, дБ		**ф-ла(3)[10]**	**0**	**24,5**	**22,8**	**20,9**	**17,7**	**13,5**	**5,8**	**0**	**0**	**18,9**	**18,9**
Источник шума: ИШ-1-16, координаты источника (x,y,z), м =[447.96,94.28,1.00]													
Уровни звуковой мощности источника днём, Lw, дБ		**исходные данные**	**0**	**93,3**	**94,7**	**96**	**96,3**	**95,9**	**92,6**	**88,4**	**83,9**		
Уровни звуковой мощности источника ночью, Lw, дБ		**исходные данные**	**0**	**93,3**	**94,7**	**96**	**96,3**	**95,9**	**92,6**	**88,4**	**83,9**		
Поправка на телесный угол DΩ, дБ	Ω = 6.28	10Lg(4π/Ω)	**3**	3	3	3	3	3	3	3	3		
Показатель направленности источника Di, дБ		исходные данные	**0**	0	0	0	0	0	0	0	0		
Поправка на направленность источника Dc, дБ	Dc	DΩ + Di	**3**	3	3	3	3	3	3	3	3		
Затухание из-за геометрической дивергенции, Adiv, дБ	расстояние = 350.87 м	ф-ла (7) [10]	**61,9**										
Коэффициент затухания звука в атмосфере α, дБ/км	Ta=20,°C Pa=101.33,кПа hотн.=70%	ф-ла (5) [9]	0,02	0,09	0,33	1,12	2,79	4,98	9,04	23,09	77,63		

1		2	3	4	5	6	7	8	9	10	11	12	13
Учет затухания звука в атмосфере Aatm, дБ		ф-ла (8) [10]	0	0	0,1	0,4	1	1,7	3,2	8,1	27,2		
Снижение уровня звукового давления из-за влияния застройки между источником шума и расчетной точкой													
Снижение уровня звукового давления на пути над экраном, Dz1, дБ	z = 0.93м (разность путей)	ф-лы (14-18) [10]	9	11,4	14	16,8	19,7	22,7	25,6	28,6	31,6		
Снижение уровня звукового давления на пути слева от экрана, Dz2, дБ	z = 3.45м (разность путей)	ф-лы (14-18) [10]	12,4	16	20,3	24,3	27,7	30,8	33,9	36,9	39,9		
Снижение уровня звукового давления на пути справа от экрана, Dz3, дБ	z = 14.69м (разность путей)	ф-лы (14-18) [10]	17,6	20,5	23,4	26,4	29,4	32,4	35,4	38,4	41,4		
Общее снижение уровня звука препятствием Dz, дБ		Эн.сумма(-Dzi)	6,9	9,7	12,7	15,7	18,7	21,7	24,6	27,6	30,6		
Общее снижение уровня звука препятствием с учётом ограничения (25 дБ) для октавных полос Dz, дБ		Раздел 7.4 [10]	6,9	9,7	12,7	15,7	18,7	21,7	24,6	25	25		
Уровни звукового давления от источника ИШ-1-16 в расчётной точке днём, дБ		**ф-ла(3)[10]**	**0**	**24,6**	**22,9**	**21**	**17,7**	**13,6**	**5,9**	**0**	**0**	**19**	**19**
Уровни звукового давления от источника ИШ-1-16 в расчётной точке ночью, дБ		**ф-ла(3)[10]**	**0**	**24,6**	**22,9**	**21**	**17,7**	**13,6**	**5,9**	**0**	**0**	**19**	**19**
Источник шума: ИШ-1-17, координаты источника (x,y,z), м =[540.99,141.77,1.00]													
Уровни звуковой мощности источника днём, Lw, дБ		**исходные данные**	**0**	**93,3**	**94,7**	**96**	**96,3**	**95,9**	**92,6**	**88,4**	**83,9**		
Уровни звуковой мощности источника ночью, Lw, дБ		**исходные данные**	**0**	**93,3**	**94,7**	**96**	**96,3**	**95,9**	**92,6**	**88,4**	**83,9**		
Поправка на телесный угол DΩ, дБ	Ω = 6.28	10Lg(4π/Ω)	**3**	3	3	3	3	3	3	3	3		
Показатель направленности источника Di, дБ		исходные данные	**0**	0	0	0	0	0	0	0	0		
Поправка на направленность источника Dc, дБ	Dc	DΩ + Di	**3**	3	3	3	3	3	3	3	3		
Затухание из-за геометрической дивергенции, Adiv, дБ	расстояние = 442.74 м	ф-ла (7) [10]	**63,9**										

1		2	3	4	5	6	7	8	9	10	11	12	13
Коэффициент затухания звука в атмосфере α, дБ/км	Та=20,°С Ра=101.33,кПа hотн.=70%	ф-ла (5) [9]	0,02	0,09	0,33	1,12	2,79	4,98	9,04	23,09	77,63		
Учет затухания звука в атмосфере Aatm, дБ		ф-ла (8) [10]	0	0	0,1	0,5	1,2	2,2	4	10,2	34,4		
Снижение уровня звукового давления из-за влияния застройки между источником шума и расчетной точкой													
Снижение уровня звукового давления на пути над экраном, Dz1, дБ	z = 0.61м (разность путей)	ф-лы (14-18) [10]	5,5	6,5	8,6	11,2	14	16,8	19,7	22,6	25,6		
Снижение уровня звукового давления на пути слева от экрана, Dz2, дБ	z = 0.55м (разность путей)	ф-лы (14-18) [10]	7	8,5	10,5	12,8	15,5	18,3	21,2	24,2	27,2		
Снижение уровня звукового давления на пути справа от экрана, Dz3, дБ	z = 145.43м (разность путей)	ф-лы (14-18) [10]	30,6	34,6	37,9	41	44,1	47,1	50,1	53,1	56,1		
Общее снижение уровня звука препятствием Dz, дБ		Эн.сумма(-Dzi)	3,2	4,4	6,4	8,9	11,6	14,5	17,4	20,3	23,3		
Уровни звукового давления от источника ИШ-1-17 в расчётной точке днём, дБ		**ф-ла(3)[10]**	**0**	**27,9**	**27,2**	**25,6**	**22,5**	**18,3**	**10,3**	**0**	**0**	**23,6**	**23,6**
Уровни звукового давления от источника ИШ-1-17 в расчётной точке ночью, дБ		**ф-ла(3)[10]**	**0**	**27,9**	**27,2**	**25,6**	**22,5**	**18,3**	**10,3**	**0**	**0**	**23,6**	**23,6**
Источник шума: ИШ-1-18, координаты источника (x,y,z), м =[543.53,140.79,1.00]													
Уровни звуковой мощности источника днём, Lw, дБ		**исходные данные**	**0**	**93,3**	**94,7**	**96**	**96,3**	**95,9**	**92,6**	**88,4**	**83,9**		
Уровни звуковой мощности источника ночью, Lw, дБ		**исходные данные**	**0**	**93,3**	**94,7**	**96**	**96,3**	**95,9**	**92,6**	**88,4**	**83,9**		
Поправка на телесный угол DΩ, дБ	Ω = 6.28	10Lg(4π/Ω)	**3**	3	3	3	3	3	3	3	3		
Показатель направленности источника Di, дБ		исходные данные	**0**	0	0	0	0	0	0	0	0		
Поправка на направленность источника Dc, дБ	Dc	DΩ + Di	**3**	3	3	3	3	3	3	3	3		
Затухание из-за геометрической дивергенции, Adiv, дБ	расстояние = 443.54 м	ф-ла (7) [10]	**63,9**										

1		2	3	4	5	6	7	8	9	10	11	12	13
Коэффициент затухания звука в атмосфере α, дБ/км	Та=20,°С Ра=101.33,кПа hотн.=70%	ф-ла (5) [9]	0,02	0,09	0,33	1,12	2,79	4,98	9,04	23,09	77,63		
Учет затухания звука в атмосфере Aatm, дБ		ф-ла (8) [10]	0	0	0,1	0,5	1,2	2,2	4	10,2	34,4		
Снижение уровня звукового давления из-за влияния застройки между источником шума и расчетной точкой													
Снижение уровня звукового давления на пути над экраном, Dz1, дБ	z = 0.57м (разность путей)	ф-лы (14-18) [10]	5,4	6,1	7,9	10,4	13,2	16	18,9	21,8	24,8		
Снижение уровня звукового давления на пути слева от экрана, Dz2, дБ	z = 0.35м (разность путей)	ф-лы (14-18) [10]	6,3	7,5	9,1	11,2	13,7	16,4	19,3	22,2	25,2		
Снижение уровня звукового давления на пути справа от экрана, Dz3, дБ	z = 146.64м (разность путей)	ф-лы (14-18) [10]	30,6	34,6	38	41,1	44,1	47,1	50,1	53,2	56,2		
Общее снижение уровня звука препятствием Dz, дБ		Эн.сумма(-Dzi)	2,8	3,7	5,4	7,8	10,4	13,2	16	19	22		
Уровни звукового давления от источника ИШ-1-18 в расчётной точке днём, дБ		**ф-ла(3)[10]**	**0**	**28,6**	**28,2**	**26,8**	**23,7**	**19,6**	**11,6**	**0**	**0**	**24,8**	**24,8**
Уровни звукового давления от источника ИШ-1-18 в расчётной точке ночью, дБ		**ф-ла(3)[10]**	**0**	**28,6**	**28,2**	**26,8**	**23,7**	**19,6**	**11,6**	**0**	**0**	**24,8**	**24,8**
Источник шума: ИШ-1-19, координаты источника (x,y,z), м =[547.25,139.62,1.00]													
Уровни звуковой мощности источника днём, Lw, дБ		**исходные данные**	**0**	**93,3**	**94,7**	**96**	**96,3**	**95,9**	**92,6**	**88,4**	**83,9**		
Уровни звуковой мощности источника ночью, Lw, дБ		**исходные данные**	**0**	**93,3**	**94,7**	**96**	**96,3**	**95,9**	**92,6**	**88,4**	**83,9**		
Поправка на телесный угол DΩ, дБ	Ω = 6.28	10Lg(4π/Ω)	**3**	3	3	3	3	3	3	3	3		
Показатель направленности источника Di, дБ		исходные данные	**0**	0	0	0	0	0	0	0	0		
Поправка на направленность источника Dc, дБ	Dc	DΩ + Di	**3**	3	3	3	3	3	3	3	3		
Затухание из-за геометрической дивергенции, Adiv, дБ	расстояние = 444.94 м	ф-ла (7) [10]	**64**										

1		2	3	4	5	6	7	8	9	10	11	12	13
Коэффициент затухания звука в атмосфере α, дБ/км	Та=20,°С Ра=101.33,кПа hотн.=70%	ф-ла (5) [9]	0,02	0,09	0,33	1,12	2,79	4,98	9,04	23,09	77,63		
Учет затухания звука в атмосфере Aatm, дБ		ф-ла (8) [10]	0	0	0,1	0,5	1,2	2,2	4	10,3	34,5		
Снижение уровня звукового давления из-за влияния застройки между источником шума и расчетной точкой													
Снижение уровня звукового давления на пути над экраном, Dz1, дБ	z = 0.52м (разность путей)	ф-лы (14-18) [10]	5,2	5,7	6,9	9,2	12,1	14,9	17,8	20,7	23,7		
Снижение уровня звукового давления на пути слева от экрана, Dz2, дБ	z = 0.14м (разность путей)	ф-лы (14-18) [10]	5,5	6	7	8,5	10,5	12,9	15,5	18,3	21,2		
Снижение уровня звукового давления на пути справа от экрана, Dz3, дБ	z = 148.12м (разность путей)	ф-лы (14-18) [10]	30,6	34,7	38	41,1	44,2	47,2	50,2	53,2	56,2		
Общее снижение уровня звука препятствием Dz, дБ		Эн.сумма(-Dzi)	2,3	2,9	3,9	5,8	8,2	10,8	13,5	16,4	19,3		
Уровни звукового давления от источника ИШ-1-19 в расчётной точке днём, дБ		**ф-ла(3)[10]**	**0**	**29,4**	**29,6**	**28,7**	**25,9**	**22**	**14,1**	**0,8**	**0**	**27**	**27**
Уровни звукового давления от источника ИШ-1-19 в расчётной точке ночью, дБ		**ф-ла(3)[10]**	**0**	**29,4**	**29,6**	**28,7**	**25,9**	**22**	**14,1**	**0,8**	**0**	**27**	**27**
Источник шума: ИШ-1-20, координаты источника (x,y,z), м =[550.38,138.64,1.00]													
Уровни звуковой мощности источника днём, Lw, дБ		**исходные данные**	**0**	**93,3**	**94,7**	**96**	**96,3**	**95,9**	**92,6**	**88,4**	**83,9**		
Уровни звуковой мощности источника ночью, Lw, дБ		**исходные данные**	**0**	**93,3**	**94,7**	**96**	**96,3**	**95,9**	**92,6**	**88,4**	**83,9**		
Поправка на телесный угол DΩ, дБ	Ω = 6.28	10Lg(4π/Ω)	**3**	3	3	3	3	3	3	3	3		
Показатель направленности источника Di, дБ		исходные данные	**0**	0	0	0	0	0	0	0	0		
Поправка на направленность источника Dc, дБ	Dc	DΩ + Di	**3**	3	3	3	3	3	3	3	3		
Затухание из-за геометрической дивергенции, Adiv, дБ	расстояние = 446.14 м	ф-ла (7) [10]	**64**										

1		2	3	4	5	6	7	8	9	10	11	12	13
Коэффициент затухания звука в атмосфере α, дБ/км	Та=20,°С Ра=101.33,кПа hотн.=70%	ф-ла (5) [9]	0,02	0,09	0,33	1,12	2,79	4,98	9,04	23,09	77,63		
Учет затухания звука в атмосфере Aatm, дБ		ф-ла (8) [10]	0	0	0,1	0,5	1,2	2,2	4	10,3	34,6		
Снижение уровня звукового давления из-за влияния застройки между источником шума и расчетной точкой													
Снижение уровня звукового давления на пути над экраном, Dz1, дБ	z = 0.49м (разность путей)	ф-лы (14-18) [10]	5,1	5,5	6,2	7,9	10,8	13,9	16,9	19,9	22,9		
Снижение уровня звукового давления на пути слева от экрана, Dz2, дБ	z = 0.04м (разность путей)	ф-лы (14-18) [10]	5	5,2	5,5	6,1	7,2	8,7	10,7	13,1	15,8		
Снижение уровня звукового давления на пути справа от экрана, Dz3, дБ	z = 149.43м (разность путей)	ф-лы (14-18) [10]	30,7	34,7	38	41,2	44,2	47,2	50,2	53,2	56,3		
Общее снижение уровня звука препятствием Dz, дБ		Эн.сумма(-Dzi)	2	2,3	2,8	3,9	5,6	7,5	9,8	12,3	15		
Уровни звукового давления от источника ИШ-1-20 в расчётной точке днём, дБ		**ф-ла(3)[10]**	**0**	**30**	**30,7**	**30,6**	**28,5**	**25,1**	**17,8**	**4,8**	**0**	**29,7**	**29,7**
Уровни звукового давления от источника ИШ-1-20 в расчётной точке ночью, дБ		**ф-ла(3)[10]**	**0**	**30**	**30,7**	**30,6**	**28,5**	**25,1**	**17,8**	**4,8**	**0**	**29,7**	**29,7**
Источник шума: ИШ-1-21, координаты источника (x,y,z), м =[553.31,137.67,1.00]													
Уровни звуковой мощности источника днём, Lw, дБ		**исходные данные**	**0**	**93,3**	**94,7**	**96**	**96,3**	**95,9**	**92,6**	**88,4**	**83,9**		
Уровни звуковой мощности источника ночью, Lw, дБ		**исходные данные**	**0**	**93,3**	**94,7**	**96**	**96,3**	**95,9**	**92,6**	**88,4**	**83,9**		
Поправка на телесный угол DΩ, дБ	Ω = 6.28	10Lg(4π/Ω)	**3**	3	3	3	3	3	3	3	3		
Показатель направленности источника Di, дБ		исходные данные	**0**	0	0	0	0	0	0	0	0		
Поправка на направленность источника Dc, дБ	Dc	DΩ + Di	**3**	3	3	3	3	3	3	3	3		
Затухание из-за геометрической дивергенции, Adiv, дБ	расстояние = 447.25 м	ф-ла (7) [10]	**64**										

1		2	3	4	5	6	7	8	9	10	11	12	13
Коэффициент затухания звука в атмосфере α, дБ/км	Та=20,°С Ра=101.33,кПа hотн.=70%	ф-ла (5) [9]	0,02	0,09	0,33	1,12	2,79	4,98	9,04	23,09	77,63		
Учет затухания звука в атмосфере Aatm, дБ		ф-ла (8) [10]	0	0	0,1	0,5	1,2	2,2	4	10,3	34,7		
Снижение уровня звукового давления из-за влияния застройки между источником шума и расчетной точкой													
Снижение уровня звукового давления на пути над экраном, Dz1, дБ	z = 0.47м (разность путей)	ф-лы (14-18) [10]	5,1	5,3	5,8	6,7	8,1	10,4	13,9	18	21,8		
Снижение уровня звукового давления на пути слева от экрана, Dz2, дБ	z = 0.00м (разность путей)	ф-лы (14-18) [10]	4,8	4,8	4,8	4,8	4,8	4,9	5	5,2	5,5		
Снижение уровня звукового давления на пути справа от экрана, Dz3, дБ	z = 150.83м (разность путей)	ф-лы (14-18) [10]	30,7	34,7	38,1	41,2	44,2	47,3	50,3	53,3	56,3		
Общее снижение уровня звука препятствием Dz, дБ		Эн.сумма(-Dzi)	1,9	2	2,3	2,6	3,2	3,8	4,5	5	5,4		
Уровни звукового давления прямого звука от источника ИШ-1-21 в расчётной точке днём, дБ		**ф-ла(3)[10]**	**0**	**30,2**	**31,3**	**31,8**	**30,9**	**28,9**	**23,1**	**12,1**	**0**	**32,8**	**32,8**
Уровни звукового давления прямого звука от источника ИШ-1-21 в расчётной точке ночью, дБ		**ф-ла(3)[10]**	**0**	**30,2**	**31,3**	**31,8**	**30,9**	**28,9**	**23,1**	**12,1**	**0**	**32,8**	**32,8**
Расчёт отражённого звука													
Уровни звукового давления от мнимого источника ИШ-1-21_мн.(1) в расчётной точке днём, дБ		**ф-ла(3)[10]**	**0**	**36,7**	**27,1**	**18,7**	**19,8**	**29,1**	**26,5**	**15,9**	**0**	**31,8**	**31,8**
Уровни звукового давления от мнимого источника ИШ-1-21_мн.(1) в расчётной точке ночью, дБ		**ф-ла(3)[10]**	**0**	**0**	**0**	**0**	**0**	**0**	**0**	**0**	**0**	**31,8**	**31,8**
Уровни звукового давления от источника ИШ-1-21 в расчётной точке днём, дБ		**ф-ла(3)[10]**	**0**	**37,6**	**32,7**	**32**	**31,2**	**32**	**28,1**	**17,4**	**0**	**35,3**	**35,3**
Уровни звукового давления от источника ИШ-1-21 в расчётной точке ночью, дБ		**ф-ла(3)[10]**	**0**	**37,6**	**32,7**	**32**	**31,2**	**32**	**28,1**	**17,4**	**0**	**35,3**	**35,3**
Источник шума: ИШ-1-22, координаты источника (x,y,z), м =[522.03,85.28,1.00]													
Уровни звуковой мощности источника днём, Lw, дБ		**исходные данные**	**0**	**93,3**	**94,7**	**96**	**96,3**	**95,9**	**92,6**	**88,4**	**83,9**		

1		2	3	4	5	6	7	8	9	10	11	12	13
Уровни звуковой мощности источника ночью, Lw, дБ		**исходные данные**	**0**	**93,3**	**94,7**	**96**	**96,3**	**95,9**	**92,6**	**88,4**	**83,9**		
Поправка на телесный угол DΩ, дБ	Ω = 6.28	10Lg(4π/Ω)	**3**	3	3	3	3	3	3	3	3		
Показатель направленности источника Di, дБ		исходные данные	**0**	0	0	0	0	0	0	0	0		
Поправка на направленность источника Dc, дБ	Dc	DΩ + Di	**3**	3	3	3	3	3	3	3	3		
Затухание из-за геометрической дивергенции, Adiv, дБ	расстояние = 387.05 м	ф-ла (7) [10]	**62,8**										
Коэффициент затухания звука в атмосфере α, дБ/км	Ta=20,°C Pa=101.33,кПа hотн.=70%	ф-ла (5) [9]	0,02	0,09	0,33	1,12	2,79	4,98	9,04	23,09	77,63		
Учет затухания звука в атмосфере Aatm, дБ		ф-ла (8) [10]	0	0	0,1	0,4	1,1	1,9	3,5	8,9	30		
Снижение поверхностью земли возле источника As, дБ	Gs = 0 hs = 1м	ф-лы таб.3 [10]	-1,5	-1,5	-1,5	-1,5	-1,5	-1,5	-1,5	-1,5	-1,5		
Снижение поверхностью земли возле приёмника Ar, дБ	Gr = 1 hr = 1.6м	ф-лы таб.3 [10]	-1,5	-1,5	2,3	6,8	4,3	0,5	0	0	0		
Снижение поверхностью земли в средней зоне, Am дБ	Gm = 1	ф-лы таб.3 [10]	-2,4	-2,4	0	0	0	0	0	0	0		
Суммарное снижение поверхностью земли на траектории распространения звука Agr, дБ		ф-ла (9) [10]	-5,4	-5,4	0,8	5,3	2,8	-1	-1,5	-1,5	-1,5		
Уровни звукового давления прямого звука от источника ИШ-1-22 в расчётной точке днём, дБ		**ф-ла(3)[10]**	**0**	**38,9**	**34**	**30,5**	**32,6**	**35,2**	**30,8**	**21,2**	**0**	**37,9**	**37,9**
Уровни звукового давления прямого звука от источника ИШ-1-22 в расчётной точке ночью, дБ		**ф-ла(3)[10]**	**0**	**38,9**	**34**	**30,5**	**32,6**	**35,2**	**30,8**	**21,2**	**0**	**37,9**	**37,9**
Расчёт отражённого звука													
Уровни звукового давления от мнимого источника ИШ-1-22_мн.(1) в расчётной точке днём, дБ		**ф-ла(3)[10]**	**0**	**0**	**0**	**0**	**0**	**0**	**0**	**0**	**0**	**0**	**0**
Уровни звукового давления от мнимого источника ИШ-1-22_мн.(1) в расчётной точке ночью, дБ		**ф-ла(3)[10]**	**0**	**0**	**0**	**0**	**0**	**0**	**0**	**0**	**0**	**0**	**0**
Уровни звукового давления от мнимого источника ИШ-1-22_мн.(2) в расчётной точке днём, дБ		**ф-ла(3)[10]**	**0**	**37,8**	**29,2**	**20,1**	**21,2**	**30,6**	**28,2**	**18,6**	**0**	**33,5**	**33,5**

1		2	3	4	5	6	7	8	9	10	11	12	13
Уровни звукового давления от мнимого источника ИШ-1-22_мн.(2) в расчётной точке ночью, дБ		**ф-ла(3)[10]**	**37,8**	**37,8**	**37,8**	**37,8**	**37,8**	**37,8**	**37,8**	**37,8**	**37,8**	**33,5**	**33,5**
Суммарные уровни звукового давления от мнимых источников в расчётной точке днём, дБ		**ф-ла (19) [1]**	**0**	**37,8**	**29,2**	**20,1**	**21,2**	**30,6**	**28,2**	**18,6**	**0**	**0**	**33,5**
Суммарные уровни звукового давления от мнимых источников в расчётной точке ночью, дБ		**ф-ла (19) [1]**	**0**	**37,8**	**29,2**	**20,1**	**21,2**	**30,6**	**28,2**	**18,6**	**0**	**0**	**33,5**
Уровни звукового давления от источника ИШ-1-22 в расчётной точке днём, дБ		**ф-ла(3)[10]**	**0**	**41,4**	**35,2**	**30,9**	**32,9**	**36,5**	**32,7**	**23,1**	**0**	**39,3**	**39,3**
Уровни звукового давления от источника ИШ-1-22 в расчётной точке ночью, дБ		**ф-ла(3)[10]**	**0**	**41,4**	**35,2**	**30,9**	**32,9**	**36,5**	**32,7**	**23,1**	**0**	**39,3**	**39,3**
Источник шума: ИШ-1-23, координаты источника (x,y,z), м =[525.16,84.11,1.00]													
Уровни звуковой мощности источника днём, Lw, дБ		**исходные данные**	**0**	**93,3**	**94,7**	**96**	**96,3**	**95,9**	**92,6**	**88,4**	**83,9**		
Уровни звуковой мощности источника ночью, Lw, дБ		**исходные данные**	**0**	**93,3**	**94,7**	**96**	**96,3**	**95,9**	**92,6**	**88,4**	**83,9**		
Поправка на телесный угол DΩ, дБ	Ω = 6.28	10Lg(4π/Ω)	**3**	3	3	3	3	3	3	3	3		
Показатель направленности источника Di, дБ		исходные данные	**0**	0	0	0	0	0	0	0	0		
Поправка на направленность источника Dc, дБ	Dc	DΩ + Di	**3**	3	3	3	3	3	3	3	3		
Затухание из-за геометрической дивергенции, Adiv, дБ	расстояние = 388.22 м	ф-ла (7) [10]	**62,8**										
Коэффициент затухания звука в атмосфере α, дБ/км	Ta=20,°C Pa=101.33,кПа hотн.=70%	ф-ла (5) [9]	0,02	0,09	0,33	1,12	2,79	4,98	9,04	23,09	77,63		
Учет затухания звука в атмосфере Aatm, дБ		ф-ла (8) [10]	0	0	0,1	0,4	1,1	1,9	3,5	9	30,1		
Снижение поверхностью земли возле источника As, дБ	Gs = 0 hs = 1м	ф-лы таб.3 [10]	-1,5	-1,5	-1,5	-1,5	-1,5	-1,5	-1,5	-1,5	-1,5		
Снижение поверхностью земли возле приёмника Ar, дБ	Gr = 1 hr = 1.6м	ф-лы таб.3 [10]	-1,5	-1,5	2,3	6,8	4,3	0,5	0	0	0		

1		2	3	4	5	6	7	8	9	10	11	12	13
Снижение поверхностью земли в средней зоне, Am дБ	Gm = 1	ф-лы таб.3 [10]	-2,4	-2,4	0	0	0	0	0	0	0		
Суммарное снижение поверхностью земли на траектории распространения звука Agr, дБ		ф-ла (9) [10]	-5,4	-5,4	0,8	5,3	2,8	-1	-1,5	-1,5	-1,5		
Уровни звукового давления прямого звука от источника ИШ-1-23 в расчётной точке днём, дБ		**ф-ла(3)[10]**	**0**	**38,9**	**34**	**30,4**	**32,6**	**35,2**	**30,8**	**21,1**	**0**	**37,9**	**37,9**
Уровни звукового давления прямого звука от источника ИШ-1-23 в расчётной точке ночью, дБ		**ф-ла(3)[10]**	**0**	**38,9**	**34**	**30,4**	**32,6**	**35,2**	**30,8**	**21,1**	**0**	**37,9**	**37,9**
Расчёт отражённого звука													
Уровни звукового давления от мнимого источника ИШ-1-23_мн.(1) в расчётной точке днём, дБ		**ф-ла(3)[10]**	**0**	**0**	**0**	**0**	**0**	**0**	**0**	**0**	**0**	**0**	**0**
Уровни звукового давления от мнимого источника ИШ-1-23_мн.(1) в расчётной точке ночью, дБ		**ф-ла(3)[10]**	**0**	**0**	**0**	**0**	**0**	**0**	**0**	**0**	**0**	**0**	**0**
Уровни звукового давления от мнимого источника ИШ-1-23_мн.(2) в расчётной точке днём, дБ		**ф-ла(3)[10]**	**0**	**37,8**	**29,1**	**20**	**21,2**	**30,6**	**28,2**	**18,5**	**0**	**33,5**	**33,5**
Уровни звукового давления от мнимого источника ИШ-1-23_мн.(2) в расчётной точке ночью, дБ		**ф-ла(3)[10]**	**37,8**	**37,8**	**37,8**	**37,8**	**37,8**	**37,8**	**37,8**	**37,8**	**37,8**	**33,5**	**33,5**
Суммарные уровни звукового давления от мнимых источников в расчётной точке днём, дБ		**ф-ла (19) [1]**	**0**	**37,8**	**29,1**	**20**	**21,2**	**30,6**	**28,2**	**18,5**	**0**	**0**	**33,5**
Суммарные уровни звукового давления от мнимых источников в расчётной точке ночью, дБ		**ф-ла (19) [1]**	**0**	**37,8**	**29,1**	**20**	**21,2**	**30,6**	**28,2**	**18,5**	**0**	**0**	**33,5**
Уровни звукового давления от источника ИШ-1-23 в расчётной точке днём, дБ		**ф-ла(3)[10]**	**0**	**41,4**	**35,2**	**30,8**	**32,9**	**36,5**	**32,7**	**23**	**0**	**39,2**	**39,2**
Уровни звукового давления от источника ИШ-1-23 в расчётной точке ночью, дБ		**ф-ла(3)[10]**	**0**	**41,4**	**35,2**	**30,8**	**32,9**	**36,5**	**32,7**	**23**	**0**	**39,2**	**39,2**
Источник шума: ИШ-1-24, координаты источника (x,y,z), м =[528.48,82.94,1.00]													
Уровни звуковой мощности источника днём, Lw, дБ		**исходные данные**	**0**	**93,3**	**94,7**	**96**	**96,3**	**95,9**	**92,6**	**88,4**	**83,9**		
Уровни звуковой мощности источника ночью, Lw, дБ		**исходные данные**	**0**	**93,3**	**94,7**	**96**	**96,3**	**95,9**	**92,6**	**88,4**	**83,9**		
Поправка на телесный угол DΩ, дБ	Ω = 6.28	10Lg(4π/Ω)	**3**	3	3	3	3	3	3	3	3		

1		2	3	4	5	6	7	8	9	10	11	12	13
Показатель направленности источника Di, дБ		исходные данные	**0**	0	0	0	0	0	0	0	0		
Поправка на направленность источника Dc, дБ	Dc	DΩ + Di	**3**	3	3	3	3	3	3	3	3		
Затухание из-за геометрической дивергенции, Adiv, дБ	расстояние = 389.55 м	ф-ла (7) [10]	**62,8**										
Коэффициент затухания звука в атмосфере α, дБ/км	Ta=20,°C Pa=101.33,кПа hотн.=70%	ф-ла (5) [9]	0,02	0,09	0,33	1,12	2,79	4,98	9,04	23,09	77,63		
Учет затухания звука в атмосфере Aatm, дБ		ф-ла (8) [10]	0	0	0,1	0,4	1,1	1,9	3,5	9	30,2		
Снижение поверхностью земли возле источника As, дБ	Gs = 0 hs = 1м	ф-лы таб.3 [10]	-1,5	-1,5	-1,5	-1,5	-1,5	-1,5	-1,5	-1,5	-1,5		
Снижение поверхностью земли возле приёмника Ar, дБ	Gr = 1 hr = 1.6м	ф-лы таб.3 [10]	-1,5	-1,5	2,3	6,8	4,3	0,5	0	0	0		
Снижение поверхностью земли в средней зоне, Am дБ	Gm = 1	ф-лы таб.3 [10]	-2,4	-2,4	0	0	0	0	0	0	0		
Суммарное снижение поверхностью земли на траектории распространения звука Agr, дБ		ф-ла (9) [10]	-5,4	-5,4	0,8	5,3	2,8	-1	-1,5	-1,5	-1,5		
Уровни звукового давления прямого звука от источника ИШ-1-24 в расчётной точке днём, дБ		**ф-ла(3)[10]**	**0**	**38,8**	**33,9**	**30,4**	**32,6**	**35,1**	**30,8**	**21,1**	**0**	**37,9**	**37,9**
Уровни звукового давления прямого звука от источника ИШ-1-24 в расчётной точке ночью, дБ		**ф-ла(3)[10]**	**0**	**38,8**	**33,9**	**30,4**	**32,6**	**35,1**	**30,8**	**21,1**	**0**	**37,9**	**37,9**
Расчёт отражённого звука													
Уровни звукового давления от мнимого источника ИШ-1-24_мн.(1) в расчётной точке днём, дБ		**ф-ла(3)[10]**	**0**	**0**	**0**	**0**	**0**	**0**	**0**	**0**	**0**	**0**	**0**
Уровни звукового давления от мнимого источника ИШ-1-24_мн.(1) в расчётной точке ночью, дБ		**ф-ла(3)[10]**	**0**	**0**	**0**	**0**	**0**	**0**	**0**	**0**	**0**	**0**	**0**
Уровни звукового давления от мнимого источника ИШ-1-24_мн.(2) в расчётной точке днём, дБ		**ф-ла(3)[10]**	**0**	**37,8**	**29,1**	**20**	**21,2**	**30,5**	**28,2**	**18,4**	**0**	**33,4**	**33,4**
Уровни звукового давления от мнимого источника ИШ-1-24_мн.(2) в расчётной точке ночью, дБ		**ф-ла(3)[10]**	**37,8**	**37,8**	**37,8**	**37,8**	**37,8**	**37,8**	**37,8**	**37,8**	**37,8**	**33,4**	**33,4**
Суммарные уровни звукового давления от мнимых источников в расчётной точке днём, дБ		**ф-ла (19) [1]**	**0**	**37,8**	**29,1**	**20**	**21,2**	**30,5**	**28,2**	**18,4**	**0**	**0**	**33,4**

1		2	3	4	5	6	7	8	9	10	11	12	13
Суммарные уровни звукового давления от мнимых источников в расчётной точке ночью, дБ		**ф-ла (19) [1]**	**0**	**37,8**	**29,1**	**20**	**21,2**	**30,5**	**28,2**	**18,4**	**0**	**0**	**33,4**
Уровни звукового давления от источника ИШ-1-24 в расчётной точке днём, дБ		**ф-ла(3)[10]**	**0**	**41,4**	**35,2**	**30,8**	**32,9**	**36,4**	**32,7**	**23**	**0**	**39,2**	**39,2**
Уровни звукового давления от источника ИШ-1-24 в расчётной точке ночью, дБ		**ф-ла(3)[10]**	**0**	**41,4**	**35,2**	**30,8**	**32,9**	**36,4**	**32,7**	**23**	**0**	**39,2**	**39,2**
Источник шума: ИШ-1-25, координаты источника (x,y,z), м =[531.22,82.16,1.00]													
Уровни звуковой мощности источника днём, Lw, дБ		**исходные данные**	**0**	**93,3**	**94,7**	**96**	**96,3**	**95,9**	**92,6**	**88,4**	**83,9**		
Уровни звуковой мощности источника ночью, Lw, дБ		**исходные данные**	**0**	**93,3**	**94,7**	**96**	**96,3**	**95,9**	**92,6**	**88,4**	**83,9**		
Поправка на телесный угол DΩ, дБ	Ω = 6.28	10Lg(4π/Ω)	**3**	3	3	3	3	3	3	3	3		
Показатель направленности источника Di, дБ		исходные данные	**0**	0	0	0	0	0	0	0	0		
Поправка на направленность источника Dc, дБ	Dc	DΩ + Di	**3**	3	3	3	3	3	3	3	3		
Затухание из-за геометрической дивергенции, Adiv, дБ	расстояние = 390.80 м	ф-ла (7) [10]	**62,8**										
Коэффициент затухания звука в атмосфере α, дБ/км	Ta=20,°C Pa=101.33,кПа hотн.=70%	ф-ла (5) [9]	0,02	0,09	0,33	1,12	2,79	4,98	9,04	23,09	77,63		
Учет затухания звука в атмосфере Aatm, дБ		ф-ла (8) [10]	0	0	0,1	0,4	1,1	1,9	3,5	9	30,3		
Снижение поверхностью земли возле источника As, дБ	Gs = 0 hs = 1м	ф-лы таб.3 [10]	-1,5	-1,5	-1,5	-1,5	-1,5	-1,5	-1,5	-1,5	-1,5		
Снижение поверхностью земли возле приёмника Ar, дБ	Gr = 1 hr = 1.6м	ф-лы таб.3 [10]	-1,5	-1,5	2,3	6,8	4,3	0,5	0	0	0		
Снижение поверхностью земли в средней зоне, Am дБ	Gm = 1	ф-лы таб.3 [10]	-2,4	-2,4	0	0	0	0	0	0	0		
Суммарное снижение поверхностью земли на траектории распространения звука Agr, дБ		ф-ла (9) [10]	-5,4	-5,4	0,8	5,3	2,8	-1	-1,5	-1,5	-1,5		

1		2	3	4	5	6	7	8	9	10	11	12	13
Уровни звукового давления прямого звука от источника ИШ-1-25 в расчётной точке днём, дБ		**ф-ла(3)[10]**	**0**	**38,8**	**33,9**	**30,4**	**32,6**	**35,1**	**30,7**	**21**	**0**	**37,8**	**37,8**
Уровни звукового давления прямого звука от источника ИШ-1-25 в расчётной точке ночью, дБ		**ф-ла(3)[10]**	**0**	**38,8**	**33,9**	**30,4**	**32,6**	**35,1**	**30,7**	**21**	**0**	**37,8**	**37,8**
Расчёт отражённого звука													
Уровни звукового давления от мнимого источника ИШ-1-25_мн.(1) в расчётной точке днём, дБ		**ф-ла(3)[10]**	**0**	**0**	**0**	**0**	**0**	**0**	**0**	**0**	**0**	**0**	**0**
Уровни звукового давления от мнимого источника ИШ-1-25_мн.(1) в расчётной точке ночью, дБ		**ф-ла(3)[10]**	**0**	**0**	**0**	**0**	**0**	**0**	**0**	**0**	**0**	**0**	**0**
Уровни звукового давления от мнимого источника ИШ-1-25_мн.(2) в расчётной точке днём, дБ		**ф-ла(3)[10]**	**0**	**37,8**	**29**	**20**	**21,2**	**30,5**	**28,1**	**18,4**	**0**	**33,4**	**33,4**
Уровни звукового давления от мнимого источника ИШ-1-25_мн.(2) в расчётной точке ночью, дБ		**ф-ла(3)[10]**	**37,8**	**37,8**	**37,8**	**37,8**	**37,8**	**37,8**	**37,8**	**37,8**	**37,8**	**33,4**	**33,4**
Суммарные уровни звукового давления от мнимых источников в расчётной точке днём, дБ		**ф-ла (19) [1]**	**0**	**37,8**	**29**	**20**	**21,2**	**30,5**	**28,1**	**18,4**	**0**	**0**	**33,4**
Суммарные уровни звукового давления от мнимых источников в расчётной точке ночью, дБ		**ф-ла (19) [1]**	**0**	**37,8**	**29**	**20**	**21,2**	**30,5**	**28,1**	**18,4**	**0**	**0**	**33,4**
Уровни звукового давления от источника ИШ-1-25 в расчётной точке днём, дБ		**ф-ла(3)[10]**	**0**	**41,3**	**35,1**	**30,8**	**32,9**	**36,4**	**32,6**	**22,9**	**0**	**39,2**	**39,2**
Уровни звукового давления от источника ИШ-1-25 в расчётной точке ночью, дБ		**ф-ла(3)[10]**	**0**	**41,3**	**35,1**	**30,8**	**32,9**	**36,4**	**32,6**	**22,9**	**0**	**39,2**	**39,2**
Источник шума: ИШ-1-26, координаты источника (x,y,z), м =[534.15,80.79,1.00]													
Уровни звуковой мощности источника днём, Lw, дБ		**исходные данные**	**0**	**93,3**	**94,7**	**96**	**96,3**	**95,9**	**92,6**	**88,4**	**83,9**		
Уровни звуковой мощности источника ночью, Lw, дБ		**исходные данные**	**0**	**93,3**	**94,7**	**96**	**96,3**	**95,9**	**92,6**	**88,4**	**83,9**		
Поправка на телесный угол DΩ, дБ	Ω = 6.28	10Lg(4π/Ω)	**3**	3	3	3	3	3	3	3	3		
Показатель направленности источника Di, дБ		исходные данные	**0**	0	0	0	0	0	0	0	0		
Поправка на направленность источника Dc, дБ	Dc	DΩ + Di	**3**	3	3	3	3	3	3	3	3		

1		2	3	4	5	6	7	8	9	10	11	12	13
Затухание из-за геометрической дивергенции, Adiv, дБ	расстояние = 391.77 м	ф-ла (7) [10]	**62,9**										
Коэффициент затухания звука в атмосфере α, дБ/км	Ta=20,°C Pa=101.33,кПа hотн.=70%	ф-ла (5) [9]	0,02	0,09	0,33	1,12	2,79	4,98	9,04	23,09	77,63		
Учет затухания звука в атмосфере Aatm, дБ		ф-ла (8) [10]	0	0	0,1	0,4	1,1	2	3,5	9	30,4		
Снижение поверхностью земли возле источника As, дБ	Gs = 0 hs = 1м	ф-лы таб.3 [10]	-1,5	-1,5	-1,5	-1,5	-1,5	-1,5	-1,5	-1,5	-1,5		
Снижение поверхностью земли возле приёмника Ar, дБ	Gr = 1 hr = 1.6м	ф-лы таб.3 [10]	-1,5	-1,5	2,3	6,8	4,3	0,5	0	0	0		
Снижение поверхностью земли в средней зоне, Am дБ	Gm = 1	ф-лы таб.3 [10]	-2,4	-2,4	0	0	0	0	0	0	0		
Суммарное снижение поверхностью земли на траектории распространения звука Agr, дБ		ф-ла (9) [10]	-5,4	-5,4	0,8	5,3	2,8	-1	-1,5	-1,5	-1,5		
Уровни звукового давления прямого звука от источника ИШ-1-26 в расчётной точке днём, дБ		**ф-ла(3)[10]**	**0**	**38,8**	**33,9**	**30,4**	**32,5**	**35,1**	**30,7**	**21**	**0**	**37,8**	**37,8**
Уровни звукового давления прямого звука от источника ИШ-1-26 в расчётной точке ночью, дБ		**ф-ла(3)[10]**	**0**	**38,8**	**33,9**	**30,4**	**32,5**	**35,1**	**30,7**	**21**	**0**	**37,8**	**37,8**
Расчёт отражённого звука													
Уровни звукового давления от мнимого источника ИШ-1-26_мн.(1) в расчётной точке днём, дБ		**ф-ла(3)[10]**	**0**	**0**	**0**	**0**	**0**	**0**	**0**	**0**	**0**	**0**	**0**
Уровни звукового давления от мнимого источника ИШ-1-26_мн.(1) в расчётной точке ночью, дБ		**ф-ла(3)[10]**	**0**	**0**	**0**	**0**	**0**	**0**	**0**	**0**	**0**	**0**	**0**
Уровни звукового давления от мнимого источника ИШ-1-26_мн.(2) в расчётной точке днём, дБ		**ф-ла(3)[10]**	**0**	**37,8**	**29**	**19,9**	**21,1**	**30,5**	**28,1**	**18,3**	**0**	**33,4**	**33,4**
Уровни звукового давления от мнимого источника ИШ-1-26_мн.(2) в расчётной точке ночью, дБ		**ф-ла(3)[10]**	**37,8**	**37,8**	**37,8**	**37,8**	**37,8**	**37,8**	**37,8**	**37,8**	**37,8**	**33,4**	**33,4**
Суммарные уровни звукового давления от мнимых источников в расчётной точке днём, дБ		**ф-ла (19) [1]**	**0**	**37,8**	**29**	**19,9**	**21,1**	**30,5**	**28,1**	**18,3**	**0**	**0**	**33,4**
Суммарные уровни звукового давления от мнимых источников в расчётной точке ночью, дБ		**ф-ла (19) [1]**	**0**	**37,8**	**29**	**19,9**	**21,1**	**30,5**	**28,1**	**18,3**	**0**	**0**	**33,4**
Уровни звукового давления от источника ИШ-1-26 в расчётной точке днём, дБ		**ф-ла(3)[10]**	**0**	**41,3**	**35,1**	**30,7**	**32,8**	**36,4**	**32,6**	**22,9**	**0**	**39,1**	**39,1**

1		2	3	4	5	6	7	8	9	10	11	12	13
Уровни звукового давления от источника ИШ-1-26 в расчётной точке ночью, дБ		**ф-ла(3)[10]**	**0**	**41,3**	**35,1**	**30,7**	**32,8**	**36,4**	**32,6**	**22,9**	**0**	**39,1**	**39,1**
Источник шума: ИШ-1-27, координаты источника (x,y,z), м =[469.65,197.67,1.00]													
Уровни звуковой мощности источника днём, Lw, дБ		**исходные данные**	**0**	**93,3**	**94,7**	**96**	**96,3**	**95,9**	**92,6**	**88,4**	**83,9**		
Уровни звуковой мощности источника ночью, Lw, дБ		**исходные данные**	**0**	**93,3**	**94,7**	**96**	**96,3**	**95,9**	**92,6**	**88,4**	**83,9**		
Поправка на телесный угол DΩ, дБ	Ω = 6.28	10Lg(4π/Ω)	**3**	3	3	3	3	3	3	3	3		
Показатель направленности источника Di, дБ		исходные данные	**0**	0	0	0	0	0	0	0	0		
Поправка на направленность источника Dc, дБ	Dc	DΩ + Di	**3**	3	3	3	3	3	3	3	3		
Затухание из-за геометрической дивергенции, Adiv, дБ	расстояние = 452.14 м	ф-ла (7) [10]	**64,1**										
Коэффициент затухания звука в атмосфере α, дБ/км	Ta=20,°C Pa=101.33,кПа hотн.=70%	ф-ла (5) [9]	0,02	0,09	0,33	1,12	2,79	4,98	9,04	23,09	77,63		
Учет затухания звука в атмосфере Aatm, дБ		ф-ла (8) [10]	0	0	0,2	0,5	1,3	2,3	4,1	10,4	35,1		
Снижение уровня звукового давления из-за влияния застройки между источником шума и расчетной точкой													
Снижение уровня звукового давления на пути над экраном, Dz1, дБ	z = 0.54м (разность путей)	ф-лы (14-18) [10]	6,2	7,5	9,2	11,4	14	16,7	19,6	22,5	25,5		
Снижение уровня звукового давления на пути слева от экрана, Dz2, дБ	z = 7.71м (разность путей)	ф-лы (14-18) [10]	15,5	19,3	23,7	27,8	31,2	34,3	37,4	40,4	43,4		
Снижение уровня звукового давления на пути справа от экрана, Dz3, дБ	z = 38.91м (разность путей)	ф-лы (14-18) [10]	21,7	24,6	27,6	30,6	33,6	36,6	39,6	42,6	45,6		
Общее снижение уровня звука препятствием Dz, дБ		Эн.сумма(-Dzi)	5,6	7,1	9	11,3	13,8	16,6	19,5	22,4	25,4		
Общее снижение уровня звука препятствием с учётом ограничения (25 дБ) для октавных полос Dz, дБ		Раздел 7.4 [10]	5,6	7,1	9	11,3	13,8	16,6	19,5	22,4	25		

1		2	3	4	5	6	7	8	9	10	11	12	13
Уровни звукового давления прямого звука от источника ИШ-1-27 в расчётной точке днём, дБ		**ф-ла(3)[10]**	**0**	**25**	**24,4**	**23,1**	**20,1**	**15,9**	**7,9**	**0**	**0**	**21,2**	**21,2**
Уровни звукового давления прямого звука от источника ИШ-1-27 в расчётной точке ночью, дБ		**ф-ла(3)[10]**	**0**	**25**	**24,4**	**23,1**	**20,1**	**15,9**	**7,9**	**0**	**0**	**21,2**	**21,2**
Расчёт отражённого звука													
Уровни звукового давления от мнимого источника ИШ-1-27_мн.(1) в расчётной точке днём, дБ		**ф-ла(3)[10]**	**0**	**0**	**0**	**0**	**0**	**28,6**	**25,9**	**15,1**	**0**	**31,1**	**31,1**
Уровни звукового давления от мнимого источника ИШ-1-27_мн.(1) в расчётной точке ночью, дБ		**ф-ла(3)[10]**	**0**	**0**	**0**	**0**	**0**	**0**	**0**	**0**	**0**	**31,1**	**31,1**
Уровни звукового давления от источника ИШ-1-27 в расчётной точке днём, дБ		**ф-ла(3)[10]**	**0**	**25**	**24,4**	**23,1**	**20,1**	**28,8**	**26**	**15,1**	**0**	**31,5**	**31,5**
Уровни звукового давления от источника ИШ-1-27 в расчётной точке ночью, дБ		**ф-ла(3)[10]**	**0**	**25**	**24,4**	**23,1**	**20,1**	**28,8**	**26**	**15,1**	**0**	**31,5**	**31,5**
Источник шума: ИШ-1-28, координаты источника (x,y,z), м =[472.78,196.69,1.00]													
Уровни звуковой мощности источника днём, Lw, дБ		**исходные данные**	**0**	**93,3**	**94,7**	**96**	**96,3**	**95,9**	**92,6**	**88,4**	**83,9**		
Уровни звуковой мощности источника ночью, Lw, дБ		**исходные данные**	**0**	**93,3**	**94,7**	**96**	**96,3**	**95,9**	**92,6**	**88,4**	**83,9**		
Поправка на телесный угол DΩ, дБ	Ω = 6.28	10Lg(4π/Ω)	**3**	3	3	3	3	3	3	3	3		
Показатель направленности источника Di, дБ		исходные данные	**0**	0	0	0	0	0	0	0	0		
Поправка на направленность источника Dc, дБ	Dc	DΩ + Di	**3**	3	3	3	3	3	3	3	3		
Затухание из-за геометрической дивергенции, Adiv, дБ	расстояние = 452.66 м	ф-ла (7) [10]	**64,1**										
Коэффициент затухания звука в атмосфере α, дБ/км	Ta=20,°C Pa=101.33,кПа hотн.=70%	ф-ла (5) [9]	0,02	0,09	0,33	1,12	2,79	4,98	9,04	23,09	77,63		
Учет затухания звука в атмосфере Aatm, дБ		ф-ла (8) [10]	0	0	0,2	0,5	1,3	2,3	4,1	10,5	35,1		

1		2	3	4	5	6	7	8	9	10	11	12	13
Снижение уровня звукового давления из-за влияния застройки между источником шума и расчетной точкой													
Снижение уровня звукового давления на пути над экраном, Dz1, дБ	z = 0.55м (разность путей)	ф-лы (14-18) [10]	6,3	7,7	9,5	11,7	14,3	17	19,9	22,9	25,8		
Снижение уровня звукового давления на пути слева от экрана, Dz2, дБ	z = 7.00м (разность путей)	ф-лы (14-18) [10]	15,1	18,9	23,3	27,3	30,8	33,9	36,9	39,9	43		
Снижение уровня звукового давления на пути справа от экрана, Dz3, дБ	z = 41.65м (разность путей)	ф-лы (14-18) [10]	22	24,9	27,9	30,9	33,9	36,9	39,9	42,9	45,9		
Общее снижение уровня звука препятствием Dz, дБ		Эн.сумма(-Dzi)	5,7	7,3	9,2	11,6	14,1	16,9	19,8	22,7	25,7		
Общее снижение уровня звука препятствием с учётом ограничения (25 дБ) для октавных полос Dz, дБ		Раздел 7.4 [10]	5,7	7,3	9,2	11,6	14,1	16,9	19,8	22,7	25		
Уровни звукового давления прямого звука от источника ИШ-1-28 в расчётной точке днём, дБ		**ф-ла(3)[10]**	**0**	**24,9**	**24,2**	**22,8**	**19,8**	**15,6**	**7,6**	**0**	**0**	**20,9**	**20,9**
Уровни звукового давления прямого звука от источника ИШ-1-28 в расчётной точке ночью, дБ		**ф-ла(3)[10]**	**0**	**24,9**	**24,2**	**22,8**	**19,8**	**15,6**	**7,6**	**0**	**0**	**20,9**	**20,9**
Расчёт отражённого звука													
Уровни звукового давления от мнимого источника ИШ-1-28_мн.(1) в расчётной точке днём, дБ		**ф-ла(3)[10]**	**0**	**0**	**0**	**0**	**0**	**28,6**	**26**	**15,2**	**0**	**31,1**	**31,1**
Уровни звукового давления от мнимого источника ИШ-1-28_мн.(1) в расчётной точке ночью, дБ		**ф-ла(3)[10]**	**0**	**0**	**0**	**0**	**0**	**0**	**0**	**0**	**0**	**31,1**	**31,1**
Уровни звукового давления от источника ИШ-1-28 в расчётной точке днём, дБ		**ф-ла(3)[10]**	**0**	**24,9**	**24,2**	**22,8**	**19,8**	**28,8**	**26**	**15,2**	**0**	**31,5**	**31,5**
Уровни звукового давления от источника ИШ-1-28 в расчётной точке ночью, дБ		**ф-ла(3)[10]**	**0**	**24,9**	**24,2**	**22,8**	**19,8**	**28,8**	**26**	**15,2**	**0**	**31,5**	**31,5**
Источник шума: ИШ-1-29, координаты источника (x,y,z), м =[475.52,195.72,1.00]													
Уровни звуковой мощности источника днём, Lw, дБ		**исходные данные**	**0**	**93,3**	**94,7**	**96**	**96,3**	**95,9**	**92,6**	**88,4**	**83,9**		
Уровни звуковой мощности источника ночью, Lw, дБ		**исходные данные**	**0**	**93,3**	**94,7**	**96**	**96,3**	**95,9**	**92,6**	**88,4**	**83,9**		
Поправка на телесный угол DΩ, дБ	Ω = 6.28	10Lg(4π/Ω)	**3**	3	3	3	3	3	3	3	3		

1		2	3	4	5	6	7	8	9	10	11	12	13
Показатель направленности источника Di, дБ		исходные данные	**0**	0	0	0	0	0	0	0	0		
Поправка на направленность источника Dc, дБ	Dc	DΩ + Di	**3**	3	3	3	3	3	3	3	3		
Затухание из-за геометрической дивергенции, Adiv, дБ	расстояние = 453.03 м	ф-ла (7) [10]	**64,1**										
Коэффициент затухания звука в атмосфере α, дБ/км	Ta=20,°C Pa=101.33,кПа hотн.=70%	ф-ла (5) [9]	0,02	0,09	0,33	1,12	2,79	4,98	9,04	23,09	77,63		
Учет затухания звука в атмосфере Aatm, дБ		ф-ла (8) [10]	0	0	0,2	0,5	1,3	2,3	4,1	10,5	35,2		
Снижение уровня звукового давления из-за влияния застройки между источником шума и расчетной точкой													
Снижение уровня звукового давления на пути над экраном, Dz1, дБ	z = 0.56м (разность путей)	ф-лы (14-18) [10]	6,4	7,8	9,6	11,9	14,4	17,2	20,1	23	26		
Снижение уровня звукового давления на пути слева от экрана, Dz2, дБ	z = 6.40м (разность путей)	ф-лы (14-18) [10]	14,7	18,5	22,9	27	30,4	33,5	36,5	39,6	42,6		
Снижение уровня звукового давления на пути справа от экрана, Dz3, дБ	z = 44.18м (разность путей)	ф-лы (14-18) [10]	22,2	25,2	28,1	31,1	34,2	37,2	40,2	43,2	46,2		
Общее снижение уровня звука препятствием Dz, дБ		Эн.сумма(-Dzi)	5,7	7,3	9,3	11,7	14,3	17,1	20	22,9	25,9		
Общее снижение уровня звука препятствием с учётом ограничения (25 дБ) для октавных полос Dz, дБ		Раздел 7.4 [10]	5,7	7,3	9,3	11,7	14,3	17,1	20	22,9	25		
Уровни звукового давления прямого звука от источника ИШ-1-29 в расчётной точке днём, дБ		**ф-ла(3)[10]**	**0**	**24,8**	**24,1**	**22,7**	**19,6**	**15,5**	**7,4**	**0**	**0**	**20,8**	**20,8**
Уровни звукового давления прямого звука от источника ИШ-1-29 в расчётной точке ночью, дБ		**ф-ла(3)[10]**	**0**	**24,8**	**24,1**	**22,7**	**19,6**	**15,5**	**7,4**	**0**	**0**	**20,8**	**20,8**
Расчёт отражённого звука													
Уровни звукового давления от мнимого источника ИШ-1-29_мн.(1) в расчётной точке днём, дБ		**ф-ла(3)[10]**	**0**	**0**	**0**	**0**	**0**	**25,1**	**24,3**	**15,2**	**0**	**28,6**	**28,6**
Уровни звукового давления от мнимого источника ИШ-1-29_мн.(1) в расчётной точке ночью, дБ		**ф-ла(3)[10]**	**0**	**0**	**0**	**0**	**0**	**0**	**0**	**0**	**0**	**28,6**	**28,6**
Уровни звукового давления от источника ИШ-1-29 в расчётной точке днём, дБ		**ф-ла(3)[10]**	**0**	**24,8**	**24,1**	**22,7**	**19,6**	**25,6**	**24,4**	**15,2**	**0**	**29,2**	**29,2**

1		2	3	4	5	6	7	8	9	10	11	12	13
Уровни звукового давления от источника ИШ-1-29 в расчётной точке ночью, дБ		**ф-ла(3)[10]**	**0**	**24,8**	**24,1**	**22,7**	**19,6**	**25,6**	**24,4**	**15,2**	**0**	**29,2**	**29,2**
Источник шума: ИШ-1-30, координаты источника (x,y,z), м =[478.45,194.54,1.00]													
Уровни звуковой мощности источника днём, Lw, дБ		**исходные данные**	**0**	**93,3**	**94,7**	**96**	**96,3**	**95,9**	**92,6**	**88,4**	**83,9**		
Уровни звуковой мощности источника ночью, Lw, дБ		**исходные данные**	**0**	**93,3**	**94,7**	**96**	**96,3**	**95,9**	**92,6**	**88,4**	**83,9**		
Поправка на телесный угол DΩ, дБ	Ω = 6.28	10Lg(4π/Ω)	**3**	3	3	3	3	3	3	3	3		
Показатель направленности источника Di, дБ		исходные данные	**0**	0	0	0	0	0	0	0	0		
Поправка на направленность источника Dc, дБ	Dc	DΩ + Di	**3**	3	3	3	3	3	3	3	3		
Затухание из-за геометрической дивергенции, Adiv, дБ	расстояние = 453.34 м	ф-ла (7) [10]	**64,1**										
Коэффициент затухания звука в атмосфере α, дБ/км	Ta=20,°C Pa=101.33,кПа hотн.=70%	ф-ла (5) [9]	0,02	0,09	0,33	1,12	2,79	4,98	9,04	23,09	77,63		
Учет затухания звука в атмосфере Aatm, дБ		ф-ла (8) [10]	0	0	0,2	0,5	1,3	2,3	4,1	10,5	35,2		
Снижение уровня звукового давления из-за влияния застройки между источником шума и расчетной точкой													
Снижение уровня звукового давления на пути над экраном, Dz1, дБ	z = 0.56м (разность путей)	ф-лы (14-18) [10]	6,4	7,8	9,6	11,9	14,4	17,2	20,1	23	26		
Снижение уровня звукового давления на пути слева от экрана, Dz2, дБ	z = 5.78м (разность путей)	ф-лы (14-18) [10]	14,3	18,1	22,5	26,5	29,9	33,1	36,1	39,1	42,1		
Снижение уровня звукового давления на пути справа от экрана, Dz3, дБ	z = 47.02м (разность путей)	ф-лы (14-18) [10]	22,5	25,5	28,4	31,4	34,4	37,4	40,4	43,4	46,5		
Общее снижение уровня звука препятствием Dz, дБ		Эн.сумма(-Dzi)	5,6	7,3	9,3	11,7	14,3	17	19,9	22,9	25,9		
Общее снижение уровня звука препятствием с учётом ограничения (25 дБ) для октавных полос Dz, дБ		Раздел 7.4 [10]	5,6	7,3	9,3	11,7	14,3	17	19,9	22,9	25		

1		2	3	4	5	6	7	8	9	10	11	12	13
Уровни звукового давления прямого звука от источника ИШ-1-30 в расчётной точке днём, дБ		**ф-ла(3)[10]**	**0**	**24,8**	**24,1**	**22,7**	**19,6**	**15,5**	**7,4**	**0**	**0**	**20,8**	**20,8**
Уровни звукового давления прямого звука от источника ИШ-1-30 в расчётной точке ночью, дБ		**ф-ла(3)[10]**	**0**	**24,8**	**24,1**	**22,7**	**19,6**	**15,5**	**7,4**	**0**	**0**	**20,8**	**20,8**
Расчёт отражённого звука													
Уровни звукового давления от мнимого источника ИШ-1-30_мн.(1) в расчётной точке днём, дБ		**ф-ла(3)[10]**	**0**	**0**	**0**	**0**	**0**	**26,2**	**20,2**	**8,3**	**0**	**27,5**	**27,5**
Уровни звукового давления от мнимого источника ИШ-1-30_мн.(1) в расчётной точке ночью, дБ		**ф-ла(3)[10]**	**0**	**0**	**0**	**0**	**0**	**0**	**0**	**0**	**0**	**27,5**	**27,5**
Уровни звукового давления от источника ИШ-1-30 в расчётной точке днём, дБ		**ф-ла(3)[10]**	**0**	**24,8**	**24,1**	**22,7**	**19,6**	**26,5**	**20,4**	**8,3**	**0**	**28,3**	**28,3**
Уровни звукового давления от источника ИШ-1-30 в расчётной точке ночью, дБ		**ф-ла(3)[10]**	**0**	**24,8**	**24,1**	**22,7**	**19,6**	**26,5**	**20,4**	**8,3**	**0**	**28,3**	**28,3**
Источник шума: ИШ-1-31, координаты источника (x,y,z), м =[481.58,193.96,1.00]													
Уровни звуковой мощности источника днём, Lw, дБ		**исходные данные**	**0**	**93,3**	**94,7**	**96**	**96,3**	**95,9**	**92,6**	**88,4**	**83,9**		
Уровни звуковой мощности источника ночью, Lw, дБ		**исходные данные**	**0**	**93,3**	**94,7**	**96**	**96,3**	**95,9**	**92,6**	**88,4**	**83,9**		
Поправка на телесный угол DΩ, дБ	Ω = 6.28	10Lg(4π/Ω)	**3**	3	3	3	3	3	3	3	3		
Показатель направленности источника Di, дБ		исходные данные	**0**	0	0	0	0	0	0	0	0		
Поправка на направленность источника Dc, дБ	Dc	DΩ + Di	**3**	3	3	3	3	3	3	3	3		
Затухание из-за геометрической дивергенции, Adiv, дБ	расстояние = 454.28 м	ф-ла (7) [10]	**64,1**										
Коэффициент затухания звука в атмосфере α, дБ/км	Ta=20,°C Pa=101.33,кПа hотн.=70%	ф-ла (5) [9]	0,02	0,09	0,33	1,12	2,79	4,98	9,04	23,09	77,63		
Учет затухания звука в атмосфере Aatm, дБ		ф-ла (8) [10]	0	0	0,2	0,5	1,3	2,3	4,1	10,5	35,3		

1		2	3	4	5	6	7	8	9	10	11	12	13
Снижение уровня звукового давления из-за влияния застройки между источником шума и расчетной точкой													
Снижение уровня звукового давления на пути над экраном, Dz1, дБ	z = 0.56м (разность путей)	ф-лы (14-18) [10]	6,3	7,7	9,6	11,8	14,4	17,2	20	23	26		
Снижение уровня звукового давления на пути слева от экрана, Dz2, дБ	z = 5.21м (разность путей)	ф-лы (14-18) [10]	13,9	17,6	22	26,1	29,5	32,6	35,6	38,7	41,7		
Снижение уровня звукового давления на пути справа от экрана, Dz3, дБ	z = 49.25м (разность путей)	ф-лы (14-18) [10]	22,7	25,7	28,6	31,6	34,6	37,6	40,6	43,7	46,7		
Общее снижение уровня звука препятствием Dz, дБ		Эн.сумма(-Dzi)	5,6	7,3	9,3	11,6	14,2	17	19,9	22,8	25,8		
Общее снижение уровня звука препятствием с учётом ограничения (25 дБ) для октавных полос Dz, дБ		Раздел 7.4 [10]	5,6	7,3	9,3	11,6	14,2	17	19,9	22,8	25		
Уровни звукового давления прямого звука от источника ИШ-1-31 в расчётной точке днём, дБ		**ф-ла(3)[10]**	**0**	**24,8**	**24,1**	**22,7**	**19,7**	**15,5**	**7,4**	**0**	**0**	**20,8**	**20,8**
Уровни звукового давления прямого звука от источника ИШ-1-31 в расчётной точке ночью, дБ		**ф-ла(3)[10]**	**0**	**24,8**	**24,1**	**22,7**	**19,7**	**15,5**	**7,4**	**0**	**0**	**20,8**	**20,8**
Расчёт отражённого звука													
Уровни звукового давления от мнимого источника ИШ-1-31_мн.(1) в расчётной точке днём, дБ		**ф-ла(3)[10]**	**0**	**0**	**0**	**0**	**0**	**22,7**	**15,3**	**2**	**0**	**23,7**	**23,7**
Уровни звукового давления от мнимого источника ИШ-1-31_мн.(1) в расчётной точке ночью, дБ		**ф-ла(3)[10]**	**0**	**0**	**0**	**0**	**0**	**0**	**0**	**0**	**0**	**23,7**	**23,7**
Уровни звукового давления от источника ИШ-1-31 в расчётной точке днём, дБ		**ф-ла(3)[10]**	**0**	**24,8**	**24,1**	**22,7**	**19,7**	**23,5**	**16**	**2**	**0**	**25,5**	**25,5**
Уровни звукового давления от источника ИШ-1-31 в расчётной точке ночью, дБ		**ф-ла(3)[10]**	**0**	**24,8**	**24,1**	**22,7**	**19,7**	**23,5**	**16**	**2**	**0**	**25,5**	**25,5**
Источник шума: ИШ-1-32, координаты источника (x,y,z), м =[871.21,281.99,50.00]													
Уровни звуковой мощности источника днём, Lw, дБ		**исходные данные**	**125**	**119,6**	**113,4**	**111,4**	**110,8**	**112,7**	**113,8**	**109,2**	**97,4**		
Уровни звуковой мощности источника ночью, Lw, дБ		**исходные данные**	**0**	**0**	**0**	**0**	**0**	**0**	**0**	**0**	**0**		
Поправка на телесный угол DΩ, дБ	Ω = 12.57	10Lg(4π/Ω)	**0**	0	0	0	0	0	0	0	0		

1		2	3	4	5	6	7	8	9	10	11	12	13
Показатель направленности источника Di, дБ		исходные данные	**0**	0	0	0	0	0	0	0	0		
Поправка на направленность источника Dc, дБ	Dc	DΩ + Di	**0**	0	0	0	0	0	0	0	0		
Затухание из-за геометрической дивергенции, Adiv, дБ	расстояние = 777.68 м	ф-ла (7) [10]	**68,8**										
Коэффициент затухания звука в атмосфере α, дБ/км	Ta=20,°C Pa=101.33,кПа hотн.=70%	ф-ла (5) [9]	0,02	0,09	0,33	1,12	2,79	4,98	9,04	23,09	77,63		
Учет затухания звука в атмосфере Aatm, дБ		ф-ла (8) [10]	0	0,1	0,3	0,9	2,2	3,9	7	18	60,4		
Снижение поверхностью земли возле источника As, дБ	Gs = 0 hs = 50м	ф-лы таб.3 [10]	-1,5	-1,5	-1,5	-1,5	-1,5	-1,5	-1,5	-1,5	-1,5		
Снижение поверхностью земли возле приёмника Ar, дБ	Gr = 1 hr = 1.6м	ф-лы таб.3 [10]	-1,5	-1,5	4,4	6,8	4,3	0,5	0	0	0		
Снижение поверхностью земли в средней зоне, Am дБ	Gm = 1	ф-лы таб.3 [10]	0	0	0	0	0	0	0	0	0		
Суммарное снижение поверхностью земли на траектории распространения звука Agr, дБ		ф-ла (9) [10]	-3	-3	2,9	5,3	2,8	-1	-1,5	-1,5	-1,5		
Уровни звукового давления прямого звука от источника ИШ-1-32 в расчётной точке днём, дБ		**ф-ла(3)[10]**	**59,2**	**53,7**	**41,4**	**36,4**	**37**	**41**	**39,5**	**24**	**0**	**44,6**	**44,6**
Уровни звукового давления прямого звука от источника ИШ-1-32 в расчётной точке ночью, дБ		**ф-ла(3)[10]**	**0**	**0**	**0**	**0**	**0**	**0**	**0**	**0**	**0**	**0**	**0**
Расчёт отражённого звука													
Уровни звукового давления от мнимого источника ИШ-1-32_мн.(1) в расчётной точке днём, дБ		**ф-ла(3)[10]**	**0**	**0**	**38,9**	**33,9**	**34,5**	**38,5**	**36,9**	**21,4**	**0**	**42**	**42**
Уровни звукового давления от мнимого источника ИШ-1-32_мн.(1) в расчётной точке ночью, дБ		**ф-ла(3)[10]**	**0**	**0**	**0**	**0**	**0**	**0**	**0**	**0**	**0**	**0**	**0**
Уровни звукового давления от источника ИШ-1-32 в расчётной точке днём, дБ		**ф-ла(3)[10]**	**59,2**	**53,7**	**43,3**	**38,3**	**39**	**43**	**41,4**	**25,9**	**0**	**46,5**	**46,5**
Уровни звукового давления от источника ИШ-1-32 в расчётной точке ночью, дБ		**ф-ла(3)[10]**	**0**	**0**	**0**	**0**	**0**	**0**	**0**	**0**	**0**	**0**	**0**

1		2	3	4	5	6	7	8	9	10	11	12	13
Источник шума: ИШ-1-33, координаты источника (x,y,z), м =[743.42,374.85,1.00]													
Уровни звуковой мощности источника днём, Lw, дБ		**исходные данные**	**0**	**88,7**	**90,1**	**93,1**	**96,4**	**103**	**112**	**108**	**99,2**		
Уровни звуковой мощности источника ночью, Lw, дБ		**исходные данные**	**0**	**0**	**0**	**0**	**0**	**0**	**0**	**0**	**0**		
Поправка на телесный угол DΩ, дБ	Ω = 6.28	10Lg(4π/Ω)	**3**	3	3	3	3	3	3	3	3		
Показатель направленности источника Di, дБ		исходные данные	**0**	0	0	0	0	0	0	0	0		
Поправка на направленность источника Dc, дБ	Dc	DΩ + Di	**3**	3	3	3	3	3	3	3	3		
Затухание из-за геометрической дивергенции, Adiv, дБ	расстояние = 751.20 м	ф-ла (7) [10]	**68,5**										
Коэффициент затухания звука в атмосфере α, дБ/км	Ta=20,°C Pa=101.33,кПа hотн.=70%	ф-ла (5) [9]	0,02	0,09	0,33	1,12	2,79	4,98	9,04	23,09	77,63		
Учет затухания звука в атмосфере Aatm, дБ		ф-ла (8) [10]	0	0,1	0,3	0,8	2,1	3,7	6,8	17,3	58,3		
Снижение уровня звукового давления из-за влияния застройки между источником шума и расчетной точкой													
Снижение уровня звукового давления на пути над экраном, Dz1, дБ	z = 0.20м (разность путей)	ф-лы (14-18) [10]	4,8	4,8	4,8	4,8	4,8	4,8	4,8	4,9	5,1		
Снижение уровня звукового давления на пути слева от экрана, Dz2, дБ	z = 0.01м (разность путей)	ф-лы (14-18) [10]	4,8	4,9	5	5,3	5,8	6,6	7,9	9,6	11,9		
Снижение уровня звукового давления на пути справа от экрана, Dz3, дБ	z = 52.40м (разность путей)	ф-лы (14-18) [10]	22,9	25,9	28,9	31,9	34,9	37,9	40,9	43,9	46,9		
Общее снижение уровня звука препятствием Dz, дБ		Эн.сумма(-Dzi)	1,8	1,8	1,9	2	2,2	2,6	3,1	3,7	4,2		
Уровни звукового давления от источника ИШ-1-33 в расчётной точке днём, дБ		**ф-ла(3)[10]**	**0**	**21,3**	**22,5**	**24,7**	**26,6**	**31,2**	**36,6**	**21,5**	**0**	**38,9**	**38,9**
Уровни звукового давления от источника ИШ-1-33 в расчётной точке ночью, дБ		**ф-ла(3)[10]**	**0**	**0**	**0**	**0**	**0**	**0**	**0**	**0**	**0**	**0**	**0**

1		2	3	4	5	6	7	8	9	10	11	12	13
Источник шума: ИШ-1-34, координаты источника (x,y,z), м =[1042.35,199.07,1.00]													
Уровни звуковой мощности источника днём, Lw, дБ		**исходные данные**	**0**	**88,7**	**90,1**	**93,1**	**96,4**	**103**	**112**	**108**	**99,2**		
Уровни звуковой мощности источника ночью, Lw, дБ		**исходные данные**	**0**	**0**	**0**	**0**	**0**	**0**	**0**	**0**	**0**		
Поправка на телесный угол DΩ, дБ	Ω = 6.28	10Lg(4π/Ω)	**3**	3	3	3	3	3	3	3	3		
Показатель направленности источника Di, дБ		исходные данные	**0**	0	0	0	0	0	0	0	0		
Поправка на направленность источника Dc, дБ	Dc	DΩ + Di	**3**	3	3	3	3	3	3	3	3		
Затухание из-за геометрической дивергенции, Adiv, дБ	расстояние = 873.87 м	ф-ла (7) [10]	**69,8**										
Коэффициент затухания звука в атмосфере α, дБ/км	Ta=20,°C Pa=101.33,кПа hотн.=70%	ф-ла (5) [9]	0,02	0,09	0,33	1,12	2,79	4,98	9,04	23,09	77,63		
Учет затухания звука в атмосфере Aatm, дБ		ф-ла (8) [10]	0	0,1	0,3	1	2,4	4,3	7,9	20,2	67,8		
Снижение уровня звукового давления из-за влияния застройки между источником шума и расчетной точкой													
Снижение уровня звукового давления на пути над экраном, Dz1, дБ	z = 0.11м (разность путей)	ф-лы (14-18) [10]	4,8	4,8	4,8	4,8	4,8	4,8	4,8	4,8	4,8		
Снижение уровня звукового давления на пути слева от экрана, Dz2, дБ	z = 3.12м (разность путей)	ф-лы (14-18) [10]	11,6	14,2	16,9	19,8	22,7	25,7	28,7	31,7	34,7		
Снижение уровня звукового давления на пути справа от экрана, Dz3, дБ	z = 4.00м (разность путей)	ф-лы (14-18) [10]	12,5	15,1	17,9	20,8	23,8	26,8	29,8	32,8	35,8		
Общее снижение уровня звука препятствием Dz, дБ		Эн.сумма(-Dzi)	3,4	4	4,3	4,5	4,6	4,7	4,7	4,8	4,8		
Уровни звукового давления от источника ИШ-1-34 в расчётной точке днём, дБ		**ф-ла(3)[10]**	**0**	**17,8**	**18,7**	**20,8**	**22,5**	**27,1**	**32,5**	**16,3**	**0**	**34,8**	**34,8**
Уровни звукового давления от источника ИШ-1-34 в расчётной точке ночью, дБ		**ф-ла(3)[10]**	**0**	**0**	**0**	**0**	**0**	**0**	**0**	**0**	**0**	**0**	**0**

1		2	3	4	5	6	7	8	9	10	11	12	13
Источник шума: ИШ-2-1, координаты источника (x,y,z), м =[696.50,124.40,3.00]													
Уровни звуковой мощности источника днём, Lw, дБ		**исходные данные**	**105**	**104**	**104**	**101**	**102**	**106**	**101**	**95**	**87**		
Уровни звуковой мощности источника ночью, Lw, дБ		**исходные данные**	**105**	**104**	**104**	**101**	**102**	**106**	**101**	**95**	**87**		
Поправка на телесный угол DΩ, дБ	Ω = 6.28	10Lg(4π/Ω)	**3**	3	3	3	3	3	3	3	3		
Показатель направленности источника Di, дБ		исходные данные	**0**	0	0	0	0	0	0	0	0		
Поправка на направленность источника Dc, дБ	Dc	DΩ + Di	**3**	3	3	3	3	3	3	3	3		
Затухание из-за геометрической дивергенции, Adiv, дБ	расстояние = 541.34 м	ф-ла (7) [10]	**65,7**										
Коэффициент затухания звука в атмосфере α, дБ/км	Ta=20,°C Pa=101.33,кПа hотн.=70%	ф-ла (5) [9]	0,02	0,09	0,33	1,12	2,79	4,98	9,04	23,09	77,63		
Учет затухания звука в атмосфере Aatm, дБ		ф-ла (8) [10]	0	0	0,2	0,6	1,5	2,7	4,9	12,5	42		
Снижение поверхностью земли возле источника As, дБ	Gs = 0 hs = 3м	ф-лы таб.3 [10]	-1,5	-1,5	-1,5	-1,5	-1,5	-1,5	-1,5	-1,5	-1,5		
Снижение поверхностью земли возле приёмника Ar, дБ	Gr = 1 hr = 1.6м	ф-лы таб.3 [10]	-1,5	-1,5	3,3	6,8	4,3	0,5	0	0	0		
Снижение поверхностью земли в средней зоне, Am дБ	Gm = 1	ф-лы таб.3 [10]	-2,2	-2,2	0	0	0	0	0	0	0		
Суммарное снижение поверхностью земли на траектории распространения звука Agr, дБ		ф-ла (9) [10]	-5,2	-5,2	1,8	5,3	2,8	-1	-1,5	-1,5	-1,5		
Уровни звукового давления прямого звука от источника ИШ-2-1 в расчётной точке днём, дБ		**ф-ла(3)[10]**	**47,6**	**46,5**	**39,4**	**32,4**	**35**	**41,6**	**34,9**	**21,3**	**0**	**43,2**	**43,2**
Уровни звукового давления прямого звука от источника ИШ-2-1 в расчётной точке ночью, дБ		**ф-ла(3)[10]**	**47,6**	**46,5**	**39,4**	**32,4**	**35**	**41,6**	**34,9**	**21,3**	**0**	**43,2**	**43,2**
Расчёт отражённого звука													

1		2	3	4	5	6	7	8	9	10	11	12	13
Уровни звукового давления от мнимого источника ИШ-2-1_мн.(1) в расчётной точке днём, дБ		**ф-ла(3)[10]**	**0**	**0**	**33,5**	**26**	**32,3**	**39,1**	**32,4**	**18,7**	**0**	**40,6**	**40,6**
Уровни звукового давления от мнимого источника ИШ-2-1_мн.(1) в расчётной точке ночью, дБ		**ф-ла(3)[10]**	**0**	**0**	**0**	**0**	**0**	**0**	**0**	**0**	**0**	**40,6**	**40,6**
Уровни звукового давления от источника ИШ-2-1 в расчётной точке днём, дБ		**ф-ла(3)[10]**	**47,6**	**46,5**	**40,4**	**33,3**	**36,9**	**43,6**	**36,9**	**23,2**	**0**	**45,1**	**45,1**
Уровни звукового давления от источника ИШ-2-1 в расчётной точке ночью, дБ		**ф-ла(3)[10]**	**47,6**	**46,5**	**40,4**	**33,3**	**36,9**	**43,6**	**36,9**	**23,2**	**0**	**45,1**	**45,1**
Источник шума: ИШ-2-2, координаты источника (x,y,z), м =[682.20,81.60,3.00]													
Уровни звуковой мощности источника днём, Lw, дБ		**исходные данные**	**105**	**104**	**104**	**101**	**102**	**106**	**101**	**95**	**87**		
Уровни звуковой мощности источника ночью, Lw, дБ		**исходные данные**	**105**	**104**	**104**	**101**	**102**	**106**	**101**	**95**	**87**		
Поправка на телесный угол DΩ, дБ	Ω = 6.28	10Lg(4π/Ω)	**3**	3	3	3	3	3	3	3	3		
Показатель направленности источника Di, дБ		исходные данные	**0**	0	0	0	0	0	0	0	0		
Поправка на направленность источника Dc, дБ	Dc	DΩ + Di	**3**	3	3	3	3	3	3	3	3		
Затухание из-за геометрической дивергенции, Adiv, дБ	расстояние = 504.43 м	ф-ла (7) [10]	**65,1**										
Коэффициент затухания звука в атмосфере α, дБ/км	Ta=20,°C Pa=101.33,кПа hотн.=70%	ф-ла (5) [9]	0,02	0,09	0,33	1,12	2,79	4,98	9,04	23,09	77,63		
Учет затухания звука в атмосфере Aatm, дБ		ф-ла (8) [10]	0	0	0,2	0,6	1,4	2,5	4,6	11,6	39,2		
Снижение уровня звукового давления из-за влияния застройки между источником шума и расчетной точкой													
Снижение уровня звукового давления препятствием слева от трассы ИШ-РТ, Dz2, дБ	z = -0.02м (разность путей)	ф-лы (14-18) [10]	4,7	4,5	4,3	3,8	2,6	0	NAN	NAN	NAN		
* отрицательное значение z означает прохождение траектории вблизи экрана, в этом случае дополнительно производится учёт снижения подстилающей поверхностью (см.ниже)													
Снижение поверхностью земли возле источника As, дБ	Gs = 0 hs = 3м	ф-лы таб.3 [10]	-1,5	-1,5	-1,5	-1,5	-1,5	-1,5	-1,5	-1,5	-1,5		

1		2	3	4	5	6	7	8	9	10	11	12	13
Снижение поверхностью земли возле приёмника Ar, дБ	Gr = 1 hr = 1.6м	ф-лы таб.3 [10]	-1,5	-1,5	3,1	6,8	4,3	0,5	0	0	0		
Снижение поверхностью земли в средней зоне, Am дБ	Gm = 1	ф-лы таб.3 [10]	-2,2	-2,2	0	0	0	0	0	0	0		
Суммарное снижение поверхностью земли на траектории распространения звука Agr, дБ		ф-ла (9) [10]	-5,2	-5,2	1,6	5,3	2,8	-1	-1,5	-1,5	-1,5		
Уровни звукового давления прямого звука от источника ИШ-2-2 в расчётной точке днём, дБ		**ф-ла(3)[10]**	**43,5**	**42,5**	**35,9**	**29,3**	**33,2**	**42,4**	**35,9**	**22,8**	**0**	**43,8**	**43,8**
Уровни звукового давления прямого звука от источника ИШ-2-2 в расчётной точке ночью, дБ		**ф-ла(3)[10]**	**43,5**	**42,5**	**35,9**	**29,3**	**33,2**	**42,4**	**35,9**	**22,8**	**0**	**43,8**	**43,8**
Расчёт отражённого звука													
Уровни звукового давления от мнимого источника ИШ-2-2_мн.(1) в расчётной точке днём, дБ		**ф-ла(3)[10]**	**0**	**0**	**0**	**26,7**	**33**	**39,9**	**33,3**	**20,2**	**0**	**41,4**	**41,4**
Уровни звукового давления от мнимого источника ИШ-2-2_мн.(1) в расчётной точке ночью, дБ		**ф-ла(3)[10]**	**0**	**0**	**0**	**0**	**0**	**0**	**0**	**0**	**0**	**41,4**	**41,4**
Уровни звукового давления от источника ИШ-2-2 в расчётной точке днём, дБ		**ф-ла(3)[10]**	**43,5**	**42,5**	**35,9**	**31,2**	**36,1**	**44,4**	**37,8**	**24,7**	**0**	**45,8**	**45,8**
Уровни звукового давления от источника ИШ-2-2 в расчётной точке ночью, дБ		**ф-ла(3)[10]**	**43,5**	**42,5**	**35,9**	**31,2**	**36,1**	**44,4**	**37,8**	**24,7**	**0**	**45,8**	**45,8**
Источник шума: ИШ-2-3, координаты источника (x,y,z), м =[667.80,38.90,3.00]													
Уровни звуковой мощности источника днём, Lw, дБ		**исходные данные**	**105**	**104**	**104**	**101**	**102**	**106**	**101**	**95**	**87**		
Уровни звуковой мощности источника ночью, Lw, дБ		**исходные данные**	**105**	**104**	**104**	**101**	**102**	**106**	**101**	**95**	**87**		
Поправка на телесный угол DΩ, дБ	Ω = 6.28	10Lg(4π/Ω)	**3**	3	3	3	3	3	3	3	3		
Показатель направленности источника Di, дБ		исходные данные	**0**	0	0	0	0	0	0	0	0		
Поправка на направленность источника Dc, дБ	Dc	DΩ + Di	**3**	3	3	3	3	3	3	3	3		
Затухание из-за геометрической дивергенции, Adiv, дБ	расстояние = 468.93 м	ф-ла (7) [10]	**64,4**										

1		2	3	4	5	6	7	8	9	10	11	12	13
Коэффициент затухания звука в атмосфере α, дБ/км	Та=20,°С Ра=101.33,кПа hотн.=70%	ф-ла (5) [9]	0,02	0,09	0,33	1,12	2,79	4,98	9,04	23,09	77,63		
Учет затухания звука в атмосфере Aatm, дБ		ф-ла (8) [10]	0	0	0,2	0,5	1,3	2,3	4,2	10,8	36,4		
Снижение уровня звукового давления из-за влияния застройки между источником шума и расчетной точкой													
Снижение уровня звукового давления на пути над экраном, Dz1, дБ	z = 0.10м (разность путей)	ф-лы (14-18) [10]	4,8	4,8	4,8	4,9	5	5,2	5,5	6,2	7,3		
Снижение уровня звукового давления на пути слева от экрана, Dz2, дБ	z = 13.03м (разность путей)	ф-лы (14-18) [10]	20,6	24,3	27,5	30,6	33,6	36,6	39,6	42,6	45,7		
Снижение уровня звукового давления на пути справа от экрана, Dz3, дБ	z = 1.60м (разность путей)	ф-лы (14-18) [10]	9,5	11,7	14,2	17	19,9	22,8	25,8	28,8	31,8		
Общее снижение уровня звука препятствием Dz, дБ		Эн.сумма(-Dzi)	3,4	3,9	4,3	4,6	4,8	5,1	5,5	6,2	7,3		
Уровни звукового давления от источника ИШ-2-3 в расчётной точке днём, дБ		**ф-ла(3)[10]**	**40,1**	**38,6**	**38,1**	**34,5**	**34,5**	**37,2**	**29,9**	**16,6**	**0**	**39,3**	**39,3**
Уровни звукового давления от источника ИШ-2-3 в расчётной точке ночью, дБ		**ф-ла(3)[10]**	**40,1**	**38,6**	**38,1**	**34,5**	**34,5**	**37,2**	**29,9**	**16,6**	**0**	**39,3**	**39,3**
Источник шума: ИШ-2-6, координаты источника (x,y,z), м =[765.97,112.43,1.00]													
Уровни звуковой мощности источника днём, Lw, дБ		**исходные данные**	**0**	**93,3**	**94,7**	**96**	**96,3**	**95,9**	**92,6**	**88,4**	**83,9**		
Уровни звуковой мощности источника ночью, Lw, дБ		**исходные данные**	**0**	**93,3**	**94,7**	**96**	**96,3**	**95,9**	**92,6**	**88,4**	**83,9**		
Поправка на телесный угол DΩ, дБ	Ω = 6.28	10Lg(4π/Ω)	**3**	3	3	3	3	3	3	3	3		
Показатель направленности источника Di, дБ		исходные данные	**0**	0	0	0	0	0	0	0	0		
Поправка на направленность источника Dc, дБ	Dc	DΩ + Di	**3**	3	3	3	3	3	3	3	3		
Затухание из-за геометрической дивергенции, Adiv, дБ	расстояние = 591.19 м	ф-ла (7) [10]	**66,4**										

1		2	3	4	5	6	7	8	9	10	11	12	13
Коэффициент затухания звука в атмосфере α, дБ/км	Та=20,°С Ра=101.33,кПа hотн.=70%	ф-ла (5) [9]	0,02	0,09	0,33	1,12	2,79	4,98	9,04	23,09	77,63		
Учет затухания звука в атмосфере Aatm, дБ		ф-ла (8) [10]	0	0,1	0,2	0,7	1,7	2,9	5,3	13,6	45,9		
Снижение уровня звукового давления из-за влияния застройки между источником шума и расчетной точкой													
Снижение уровня звукового давления на пути над экраном, Dz1, дБ	z = 0.12м (разность путей)	ф-лы (14-18) [10]	4,8	4,8	4,8	4,8	4,8	4,8	4,9	5	5,2		
Снижение уровня звукового давления на пути слева от экрана, Dz2, дБ	z = 11.42м (разность путей)	ф-лы (14-18) [10]	20	23,7	27	30	33	36,1	39,1	42,1	45,1		
Снижение уровня звукового давления на пути справа от экрана, Dz3, дБ	z = 0.42м (разность путей)	ф-лы (14-18) [10]	6,6	7,8	9,6	11,8	14,4	17,2	20	23	26		
Общее снижение уровня звука препятствием Dz, дБ		Эн.сумма(-Dzi)	2,5	3	3,5	4	4,3	4,6	4,7	4,9	5,1		
Уровни звукового давления от источника ИШ-2-6 в расчётной точке днём, дБ		**ф-ла(3)[10]**	**0**	**26,8**	**27,5**	**27,9**	**26,9**	**24,9**	**19,1**	**6,4**	**0**	**28,8**	**28,8**
Уровни звукового давления от источника ИШ-2-6 в расчётной точке ночью, дБ		**ф-ла(3)[10]**	**0**	**26,8**	**27,5**	**27,9**	**26,9**	**24,9**	**19,1**	**6,4**	**0**	**28,8**	**28,8**
Источник шума: ИШ-2-7, координаты источника (x,y,z), м =[764.91,109.54,1.00]													
Уровни звуковой мощности источника днём, Lw, дБ		**исходные данные**	**0**	**93,3**	**94,7**	**96**	**96,3**	**95,9**	**92,6**	**88,4**	**83,9**		
Уровни звуковой мощности источника ночью, Lw, дБ		**исходные данные**	**0**	**93,3**	**94,7**	**96**	**96,3**	**95,9**	**92,6**	**88,4**	**83,9**		
Поправка на телесный угол DΩ, дБ	Ω = 6.28	10Lg(4π/Ω)	**3**	3	3	3	3	3	3	3	3		
Показатель направленности источника Di, дБ		исходные данные	**0**	0	0	0	0	0	0	0	0		
Поправка на направленность источника Dc, дБ	Dc	DΩ + Di	**3**	3	3	3	3	3	3	3	3		
Затухание из-за геометрической дивергенции, Adiv, дБ	расстояние = 588.74 м	ф-ла (7) [10]	**66,4**										

1		2	3	4	5	6	7	8	9	10	11	12	13
Коэффициент затухания звука в атмосфере α, дБ/км	Та=20,°С Ра=101.33,кПа hотн.=70%	ф-ла (5) [9]	0,02	0,09	0,33	1,12	2,79	4,98	9,04	23,09	77,63		
Учет затухания звука в атмосфере Aatm, дБ		ф-ла (8) [10]	0	0,1	0,2	0,7	1,6	2,9	5,3	13,6	45,7		
Снижение уровня звукового давления из-за влияния застройки между источником шума и расчетной точкой													
Снижение уровня звукового давления на пути над экраном, Dz1, дБ	z = 0.12м (разность путей)	ф-лы (14-18) [10]	4,8	4,8	4,8	4,8	4,8	4,8	4,9	5	5,2		
Снижение уровня звукового давления на пути слева от экрана, Dz2, дБ	z = 11.09м (разность путей)	ф-лы (14-18) [10]	19,9	23,6	26,8	29,9	32,9	35,9	38,9	41,9	45		
Снижение уровня звукового давления на пути справа от экрана, Dz3, дБ	z = 0.50м (разность путей)	ф-лы (14-18) [10]	6,9	8,3	10,2	12,5	15,1	17,9	20,9	23,8	26,8		
Общее снижение уровня звука препятствием Dz, дБ		Эн.сумма(-Dzi)	2,6	3,1	3,7	4,1	4,4	4,6	4,8	4,9	5,1		
Уровни звукового давления от источника ИШ-2-7 в расчётной точке днём, дБ		**ф-ла(3)[10]**	**0**	**26,7**	**27,4**	**27,8**	**26,8**	**24,9**	**19,1**	**6,5**	**0**	**28,8**	**28,8**
Уровни звукового давления от источника ИШ-2-7 в расчётной точке ночью, дБ		**ф-ла(3)[10]**	**0**	**26,7**	**27,4**	**27,8**	**26,8**	**24,9**	**19,1**	**6,5**	**0**	**28,8**	**28,8**
Источник шума: ИШ-2-8, координаты источника (x,y,z), м =[764.03,106.58,1.00]													
Уровни звуковой мощности источника днём, Lw, дБ		**исходные данные**	**0**	**93,3**	**94,7**	**96**	**96,3**	**95,9**	**92,6**	**88,4**	**83,9**		
Уровни звуковой мощности источника ночью, Lw, дБ		**исходные данные**	**0**	**93,3**	**94,7**	**96**	**96,3**	**95,9**	**92,6**	**88,4**	**83,9**		
Поправка на телесный угол DΩ, дБ	Ω = 6.28	10Lg(4π/Ω)	**3**	3	3	3	3	3	3	3	3		
Показатель направленности источника Di, дБ		исходные данные	**0**	0	0	0	0	0	0	0	0		
Поправка на направленность источника Dc, дБ	Dc	DΩ + Di	**3**	3	3	3	3	3	3	3	3		
Затухание из-за геометрической дивергенции, Adiv, дБ	расстояние = 586.40 м	ф-ла (7) [10]	**66,4**										

1		2	3	4	5	6	7	8	9	10	11	12	13
Коэффициент затухания звука в атмосфере α, дБ/км	Та=20,°С Ра=101.33,кПа hотн.=70%	ф-ла (5) [9]	0,02	0,09	0,33	1,12	2,79	4,98	9,04	23,09	77,63		
Учет затухания звука в атмосфере Aatm, дБ		ф-ла (8) [10]	0	0,1	0,2	0,7	1,6	2,9	5,3	13,5	45,5		
Снижение уровня звукового давления из-за влияния застройки между источником шума и расчетной точкой													
Снижение уровня звукового давления на пути над экраном, Dz1, дБ	z = 0.12м (разность путей)	ф-лы (14-18) [10]	4,8	4,8	4,8	4,8	4,8	4,8	4,9	5	5,2		
Снижение уровня звукового давления на пути слева от экрана, Dz2, дБ	z = 10.74м (разность путей)	ф-лы (14-18) [10]	19,8	23,5	26,7	29,8	32,8	35,8	38,8	41,8	44,8		
Снижение уровня звукового давления на пути справа от экрана, Dz3, дБ	z = 0.61м (разность путей)	ф-лы (14-18) [10]	7,2	8,8	10,8	13,2	15,9	18,7	21,7	24,6	27,6		
Общее снижение уровня звука препятствием Dz, дБ		Эн.сумма(-Dzi)	2,7	3,3	3,8	4,2	4,5	4,7	4,8	4,9	5,2		
Уровни звукового давления от источника ИШ-2-8 в расчётной точке днём, дБ		**ф-ла(3)[10]**	**0**	**26,6**	**27,3**	**27,8**	**26,8**	**25**	**19,1**	**6,5**	**0**	**28,8**	**28,8**
Уровни звукового давления от источника ИШ-2-8 в расчётной точке ночью, дБ		**ф-ла(3)[10]**	**0**	**26,6**	**27,3**	**27,8**	**26,8**	**25**	**19,1**	**6,5**	**0**	**28,8**	**28,8**
Источник шума: ИШ-2-9, координаты источника (x,y,z), м =[763.26,103.71,1.00]													
Уровни звуковой мощности источника днём, Lw, дБ		**исходные данные**	**0**	**93,3**	**94,7**	**96**	**96,3**	**95,9**	**92,6**	**88,4**	**83,9**		
Уровни звуковой мощности источника ночью, Lw, дБ		**исходные данные**	**0**	**93,3**	**94,7**	**96**	**96,3**	**95,9**	**92,6**	**88,4**	**83,9**		
Поправка на телесный угол DΩ, дБ	Ω = 6.28	10Lg(4π/Ω)	**3**	3	3	3	3	3	3	3	3		
Показатель направленности источника Di, дБ		исходные данные	**0**	0	0	0	0	0	0	0	0		
Поправка на направленность источника Dc, дБ	Dc	DΩ + Di	**3**	3	3	3	3	3	3	3	3		
Затухание из-за геометрической дивергенции, Adiv, дБ	расстояние = 584.22 м	ф-ла (7) [10]	**66,3**										

1		2	3	4	5	6	7	8	9	10	11	12	13
Коэффициент затухания звука в атмосфере α, дБ/км	Та=20,°С Ра=101.33,кПа hотн.=70%	ф-ла (5) [9]	0,02	0,09	0,33	1,12	2,79	4,98	9,04	23,09	77,63		
Учет затухания звука в атмосфере Aatm, дБ		ф-ла (8) [10]	0	0,1	0,2	0,7	1,6	2,9	5,3	13,5	45,4		
Снижение уровня звукового давления из-за влияния застройки между источником шума и расчетной точкой													
Снижение уровня звукового давления на пути над экраном, Dz1, дБ	z = 0.12м (разность путей)	ф-лы (14-18) [10]	4,8	4,8	4,8	4,8	4,8	4,8	4,9	5	5,2		
Снижение уровня звукового давления на пути слева от экрана, Dz2, дБ	z = 10.38м (разность путей)	ф-лы (14-18) [10]	19,6	23,3	26,5	29,6	32,6	35,6	38,7	41,7	44,7		
Снижение уровня звукового давления на пути справа от экрана, Dz3, дБ	z = 0.73м (разность путей)	ф-лы (14-18) [10]	7,6	9,2	11,4	13,9	16,6	19,5	22,4	25,4	28,4		
Общее снижение уровня звука препятствием Dz, дБ		Эн.сумма(-Dzi)	2,8	3,4	3,9	4,3	4,5	4,7	4,8	5	5,2		
Уровни звукового давления от источника ИШ-2-9 в расчётной точке днём, дБ		**ф-ла(3)[10]**	**0**	**26,5**	**27,3**	**27,7**	**26,8**	**25**	**19,2**	**6,6**	**0**	**28,8**	**28,8**
Уровни звукового давления от источника ИШ-2-9 в расчётной точке ночью, дБ		**ф-ла(3)[10]**	**0**	**26,5**	**27,3**	**27,7**	**26,8**	**25**	**19,2**	**6,6**	**0**	**28,8**	**28,8**
Источник шума: ИШ-2-10, координаты источника (x,y,z), м =[762.14,100.75,1.00]													
Уровни звуковой мощности источника днём, Lw, дБ		**исходные данные**	**0**	**93,3**	**94,7**	**96**	**96,3**	**95,9**	**92,6**	**88,4**	**83,9**		
Уровни звуковой мощности источника ночью, Lw, дБ		**исходные данные**	**0**	**93,3**	**94,7**	**96**	**96,3**	**95,9**	**92,6**	**88,4**	**83,9**		
Поправка на телесный угол DΩ, дБ	Ω = 6.28	10Lg(4π/Ω)	**3**	3	3	3	3	3	3	3	3		
Показатель направленности источника Di, дБ		исходные данные	**0**	0	0	0	0	0	0	0	0		
Поправка на направленность источника Dc, дБ	Dc	DΩ + Di	**3**	3	3	3	3	3	3	3	3		
Затухание из-за геометрической дивергенции, Adiv, дБ	расстояние = 581.70 м	ф-ла (7) [10]	**66,3**										

1		2	3	4	5	6	7	8	9	10	11	12	13
Коэффициент затухания звука в атмосфере α, дБ/км	Та=20,°С Ра=101.33,кПа hотн.=70%	ф-ла (5) [9]	0,02	0,09	0,33	1,12	2,79	4,98	9,04	23,09	77,63		
Учет затухания звука в атмосфере Aatm, дБ		ф-ла (8) [10]	0	0,1	0,2	0,7	1,6	2,9	5,3	13,4	45,2		
Снижение уровня звукового давления из-за влияния застройки между источником шума и расчетной точкой													
Снижение уровня звукового давления на пути над экраном, Dz1, дБ	z = 0.12м (разность путей)	ф-лы (14-18) [10]	4,8	4,8	4,8	4,8	4,8	4,8	4,9	5	5,3		
Снижение уровня звукового давления на пути слева от экрана, Dz2, дБ	z = 10.06м (разность путей)	ф-лы (14-18) [10]	19,5	23,2	26,4	29,5	32,5	35,5	38,5	41,5	44,5		
Снижение уровня звукового давления на пути справа от экрана, Dz3, дБ	z = 0.85м (разность путей)	ф-лы (14-18) [10]	7,9	9,7	11,9	14,5	17,2	20,1	23,1	26,1	29		
Общее снижение уровня звука препятствием Dz, дБ		Эн.сумма(-Dzi)	2,9	3,5	4	4,3	4,6	4,7	4,8	5	5,2		
Уровни звукового давления от источника ИШ-2-10 в расчётной точке днём, дБ		**ф-ла(3)[10]**	**0**	**26,4**	**27,2**	**27,7**	**26,8**	**25**	**19,2**	**6,7**	**0**	**28,8**	**28,8**
Уровни звукового давления от источника ИШ-2-10 в расчётной точке ночью, дБ		**ф-ла(3)[10]**	**0**	**26,4**	**27,2**	**27,7**	**26,8**	**25**	**19,2**	**6,7**	**0**	**28,8**	**28,8**
Источник шума: ИШ-2-11, координаты источника (x,y,z), м =[761.13,97.90,1.00]													
Уровни звуковой мощности источника днём, Lw, дБ		**исходные данные**	**0**	**93,3**	**94,7**	**96**	**96,3**	**95,9**	**92,6**	**88,4**	**83,9**		
Уровни звуковой мощности источника ночью, Lw, дБ		**исходные данные**	**0**	**93,3**	**94,7**	**96**	**96,3**	**95,9**	**92,6**	**88,4**	**83,9**		
Поправка на телесный угол DΩ, дБ	Ω = 6.28	10Lg(4π/Ω)	**3**	3	3	3	3	3	3	3	3		
Показатель направленности источника Di, дБ		исходные данные	**0**	0	0	0	0	0	0	0	0		
Поправка на направленность источника Dc, дБ	Dc	DΩ + Di	**3**	3	3	3	3	3	3	3	3		
Затухание из-за геометрической дивергенции, Adiv, дБ	расстояние = 579.34 м	ф-ла (7) [10]	**66,3**										

1		2	3	4	5	6	7	8	9	10	11	12	13
Коэффициент затухания звука в атмосфере α, дБ/км	Та=20,°С Ра=101.33,кПа hотн.=70%	ф-ла (5) [9]	0,02	0,09	0,33	1,12	2,79	4,98	9,04	23,09	77,63		
Учет затухания звука в атмосфере Aatm, дБ		ф-ла (8) [10]	0	0,1	0,2	0,7	1,6	2,9	5,2	13,4	45		
Снижение уровня звукового давления из-за влияния застройки между источником шума и расчетной точкой													
Снижение уровня звукового давления на пути над экраном, Dz1, дБ	z = 0.12м (разность путей)	ф-лы (14-18) [10]	4,8	4,8	4,8	4,8	4,8	4,8	4,9	5	5,3		
Снижение уровня звукового давления на пути слева от экрана, Dz2, дБ	z = 9.74м (разность путей)	ф-лы (14-18) [10]	19,4	23,1	26,3	29,3	32,4	35,4	38,4	41,4	44,4		
Снижение уровня звукового давления на пути справа от экрана, Dz3, дБ	z = 0.98м (разность путей)	ф-лы (14-18) [10]	8,2	10,1	12,4	15	17,8	20,7	23,7	26,7	29,7		
Общее снижение уровня звука препятствием Dz, дБ		Эн.сумма(-Dzi)	3	3,6	4,1	4,4	4,6	4,7	4,8	5	5,3		
Уровни звукового давления от источника ИШ-2-11 в расчётной точке днём, дБ		**ф-ла(3)[10]**	**0**	**26,4**	**27,2**	**27,7**	**26,8**	**25**	**19,3**	**6,8**	**0**	**28,8**	**28,8**
Уровни звукового давления от источника ИШ-2-11 в расчётной точке ночью, дБ		**ф-ла(3)[10]**	**0**	**26,4**	**27,2**	**27,7**	**26,8**	**25**	**19,3**	**6,8**	**0**	**28,8**	**28,8**
Источник шума: ИШ-2-12, координаты источника (x,y,z), м =[760.25,95.02,1.00]													
Уровни звуковой мощности источника днём, Lw, дБ		**исходные данные**	**0**	**93,3**	**94,7**	**96**	**96,3**	**95,9**	**92,6**	**88,4**	**83,9**		
Уровни звуковой мощности источника ночью, Lw, дБ		**исходные данные**	**0**	**93,3**	**94,7**	**96**	**96,3**	**95,9**	**92,6**	**88,4**	**83,9**		
Поправка на телесный угол DΩ, дБ	Ω = 6.28	10Lg(4π/Ω)	**3**	3	3	3	3	3	3	3	3		
Показатель направленности источника Di, дБ		исходные данные	**0**	0	0	0	0	0	0	0	0		
Поправка на направленность источника Dc, дБ	Dc	DΩ + Di	**3**	3	3	3	3	3	3	3	3		
Затухание из-за геометрической дивергенции, Adiv, дБ	расстояние = 577.08 м	ф-ла (7) [10]	**66,2**										

1		2	3	4	5	6	7	8	9	10	11	12	13
Коэффициент затухания звука в атмосфере α, дБ/км	Та=20,°С Ра=101.33,кПа hотн.=70%	ф-ла (5) [9]	0,02	0,09	0,33	1,12	2,79	4,98	9,04	23,09	77,63		
Учет затухания звука в атмосфере Aatm, дБ		ф-ла (8) [10]	0	0,1	0,2	0,6	1,6	2,9	5,2	13,3	44,8		
Снижение уровня звукового давления из-за влияния застройки между источником шума и расчетной точкой													
Снижение уровня звукового давления на пути над экраном, Dz1, дБ	z = 0.12м (разность путей)	ф-лы (14-18) [10]	4,8	4,8	4,8	4,8	4,8	4,8	4,9	5	5,3		
Снижение уровня звукового давления на пути слева от экрана, Dz2, дБ	z = 9.40м (разность путей)	ф-лы (14-18) [10]	19,2	22,9	26,1	29,2	32,2	35,2	38,2	41,2	44,2		
Снижение уровня звукового давления на пути справа от экрана, Dz3, дБ	z = 1.13м (разность путей)	ф-лы (14-18) [10]	8,6	10,6	12,9	15,6	18,4	21,3	24,3	27,3	30,3		
Общее снижение уровня звука препятствием Dz, дБ		Эн.сумма(-Dzi)	3,1	3,7	4,1	4,4	4,6	4,7	4,9	5	5,3		
Уровни звукового давления от источника ИШ-2-12 в расчётной точке днём, дБ		**ф-ла(3)[10]**	**0**	**26,3**	**27,1**	**27,7**	**26,8**	**25,1**	**19,3**	**6,8**	**0**	**28,8**	**28,8**
Уровни звукового давления от источника ИШ-2-12 в расчётной точке ночью, дБ		**ф-ла(3)[10]**	**0**	**26,3**	**27,1**	**27,7**	**26,8**	**25,1**	**19,3**	**6,8**	**0**	**28,8**	**28,8**
Источник шума: ИШ-2-13, координаты источника (x,y,z), м =[759.28,92.25,1.00]													
Уровни звуковой мощности источника днём, Lw, дБ		**исходные данные**	**0**	**93,3**	**94,7**	**96**	**96,3**	**95,9**	**92,6**	**88,4**	**83,9**		
Уровни звуковой мощности источника ночью, Lw, дБ		**исходные данные**	**0**	**93,3**	**94,7**	**96**	**96,3**	**95,9**	**92,6**	**88,4**	**83,9**		
Поправка на телесный угол DΩ, дБ	Ω = 6.28	10Lg(4π/Ω)	**3**	3	3	3	3	3	3	3	3		
Показатель направленности источника Di, дБ		исходные данные	**0**	0	0	0	0	0	0	0	0		
Поправка на направленность источника Dc, дБ	Dc	DΩ + Di	**3**	3	3	3	3	3	3	3	3		
Затухание из-за геометрической дивергенции, Adiv, дБ	расстояние = 574.80 м	ф-ла (7) [10]	**66,2**										

1		2	3	4	5	6	7	8	9	10	11	12	13
Коэффициент затухания звука в атмосфере α, дБ/км	Та=20,°С Ра=101.33,кПа hотн.=70%	ф-ла (5) [9]	0,02	0,09	0,33	1,12	2,79	4,98	9,04	23,09	77,63		
Учет затухания звука в атмосфере Aatm, дБ		ф-ла (8) [10]	0	0,1	0,2	0,6	1,6	2,9	5,2	13,3	44,6		
Снижение уровня звукового давления из-за влияния застройки между источником шума и расчетной точкой													
Снижение уровня звукового давления на пути над экраном, Dz1, дБ	z = 0.12м (разность путей)	ф-лы (14-18) [10]	4,8	4,8	4,8	4,8	4,8	4,8	4,9	5,1	5,3		
Снижение уровня звукового давления на пути слева от экрана, Dz2, дБ	z = 9.10м (разность путей)	ф-лы (14-18) [10]	19,1	22,8	26	29	32,1	35,1	38,1	41,1	44,1		
Снижение уровня звукового давления на пути справа от экрана, Dz3, дБ	z = 1.28м (разность путей)	ф-лы (14-18) [10]	8,9	11	13,4	16,1	18,9	21,9	24,8	27,8	30,8		
Общее снижение уровня звука препятствием Dz, дБ		Эн.сумма(-Dzi)	3,2	3,8	4,2	4,5	4,6	4,8	4,9	5	5,3		
Уровни звукового давления от источника ИШ-2-13 в расчётной точке днём, дБ		**ф-ла(3)[10]**	**0**	**26,3**	**27,1**	**27,7**	**26,9**	**25,1**	**19,3**	**6,9**	**0**	**28,9**	**28,9**
Уровни звукового давления от источника ИШ-2-13 в расчётной точке ночью, дБ		**ф-ла(3)[10]**	**0**	**26,3**	**27,1**	**27,7**	**26,9**	**25,1**	**19,3**	**6,9**	**0**	**28,9**	**28,9**
Источник шума: ИШ-2-14, координаты источника (x,y,z), м =[751.62,69.73,1.00]													
Уровни звуковой мощности источника днём, Lw, дБ		**исходные данные**	**0**	**93,3**	**94,7**	**96**	**96,3**	**95,9**	**92,6**	**88,4**	**83,9**		
Уровни звуковой мощности источника ночью, Lw, дБ		**исходные данные**	**0**	**93,3**	**94,7**	**96**	**96,3**	**95,9**	**92,6**	**88,4**	**83,9**		
Поправка на телесный угол DΩ, дБ	Ω = 6.28	10Lg(4π/Ω)	**3**	3	3	3	3	3	3	3	3		
Показатель направленности источника Di, дБ		исходные данные	**0**	0	0	0	0	0	0	0	0		
Поправка на направленность источника Dc, дБ	Dc	DΩ + Di	**3**	3	3	3	3	3	3	3	3		
Затухание из-за геометрической дивергенции, Adiv, дБ	расстояние = 556.73 м	ф-ла (7) [10]	**65,9**										

1		2	3	4	5	6	7	8	9	10	11	12	13
Коэффициент затухания звука в атмосфере α, дБ/км	Та=20,°С Ра=101.33,кПа hотн.=70%	ф-ла (5) [9]	0,02	0,09	0,33	1,12	2,79	4,98	9,04	23,09	77,63		
Учет затухания звука в атмосфере Aatm, дБ		ф-ла (8) [10]	0	0	0,2	0,6	1,6	2,8	5	12,9	43,2		
Снижение уровня звукового давления из-за влияния застройки между источником шума и расчетной точкой													
Снижение уровня звукового давления на пути над экраном, Dz1, дБ	z = 0.18м (разность путей)	ф-лы (14-18) [10]	4,8	4,8	4,8	4,8	4,9	5,2	5,7	6,6	7,9		
Снижение уровня звукового давления на пути слева от экрана, Dz2, дБ	z = 6.68м (разность путей)	ф-лы (14-18) [10]	17,8	21,5	24,6	27,7	30,7	33,7	36,7	39,7	42,8		
Снижение уровня звукового давления на пути справа от экрана, Dz3, дБ	z = 2.98м (разность путей)	ф-лы (14-18) [10]	11,5	14	16,7	19,6	22,5	25,5	28,5	31,5	34,5		
Общее снижение уровня звука препятствием Dz, дБ		Эн.сумма(-Dzi)	3,8	4,2	4,5	4,7	4,9	5,2	5,7	6,6	7,8		
Уровни звукового давления от источника ИШ-2-14 в расчётной точке днём, дБ		**ф-ла(3)[10]**	**0**	**26,1**	**27,1**	**27,8**	**27**	**25**	**18,9**	**6,1**	**0**	**28,8**	**28,8**
Уровни звукового давления от источника ИШ-2-14 в расчётной точке ночью, дБ		**ф-ла(3)[10]**	**0**	**26,1**	**27,1**	**27,8**	**27**	**25**	**18,9**	**6,1**	**0**	**28,8**	**28,8**
Источник шума: ИШ-2-15, координаты источника (x,y,z), м =[750.74,66.89,1.00]													
Уровни звуковой мощности источника днём, Lw, дБ		**исходные данные**	**0**	**93,3**	**94,7**	**96**	**96,3**	**95,9**	**92,6**	**88,4**	**83,9**		
Уровни звуковой мощности источника ночью, Lw, дБ		**исходные данные**	**0**	**93,3**	**94,7**	**96**	**96,3**	**95,9**	**92,6**	**88,4**	**83,9**		
Поправка на телесный угол DΩ, дБ	Ω = 6.28	10Lg(4π/Ω)	**3**	3	3	3	3	3	3	3	3		
Показатель направленности источника Di, дБ		исходные данные	**0**	0	0	0	0	0	0	0	0		
Поправка на направленность источника Dc, дБ	Dc	DΩ + Di	**3**	3	3	3	3	3	3	3	3		
Затухание из-за геометрической дивергенции, Adiv, дБ	расстояние = 554.56 м	ф-ла (7) [10]	**65,9**										

1		2	3	4	5	6	7	8	9	10	11	12	13
Коэффициент затухания звука в атмосфере α, дБ/км	Та=20,°С Ра=101.33,кПа hотн.=70%	ф-ла (5) [9]	0,02	0,09	0,33	1,12	2,79	4,98	9,04	23,09	77,63		
Учет затухания звука в атмосфере Aatm, дБ		ф-ла (8) [10]	0	0	0,2	0,6	1,5	2,8	5	12,8	43,1		
Снижение уровня звукового давления из-за влияния застройки между источником шума и расчетной точкой													
Снижение уровня звукового давления на пути над экраном, Dz1, дБ	z = 0.19м (разность путей)	ф-лы (14-18) [10]	4,8	4,8	4,8	4,9	5	5,3	5,9	6,8	8,1		
Снижение уровня звукового давления на пути слева от экрана, Dz2, дБ	z = 6.38м (разность путей)	ф-лы (14-18) [10]	17,6	21,3	24,4	27,5	30,5	33,5	36,5	39,5	42,6		
Снижение уровня звукового давления на пути справа от экрана, Dz3, дБ	z = 3.27м (разность путей)	ф-лы (14-18) [10]	11,8	14,4	17,1	20	22,9	25,9	28,9	31,9	34,9		
Общее снижение уровня звука препятствием Dz, дБ		Эн.сумма(-Dzi)	3,8	4,2	4,5	4,7	4,9	5,3	5,8	6,7	8,1		
Уровни звукового давления от источника ИШ-2-15 в расчётной точке днём, дБ		**ф-ла(3)[10]**	**0**	**26,1**	**27,1**	**27,8**	**26,9**	**25**	**18,9**	**6**	**0**	**28,8**	**28,8**
Уровни звукового давления от источника ИШ-2-15 в расчётной точке ночью, дБ		**ф-ла(3)[10]**	**0**	**26,1**	**27,1**	**27,8**	**26,9**	**25**	**18,9**	**6**	**0**	**28,8**	**28,8**
Источник шума: ИШ-2-16, координаты источника (x,y,z), м =[749.73,64.02,1.00]													
Уровни звуковой мощности источника днём, Lw, дБ		**исходные данные**	**0**	**93,3**	**94,7**	**96**	**96,3**	**95,9**	**92,6**	**88,4**	**83,9**		
Уровни звуковой мощности источника ночью, Lw, дБ		**исходные данные**	**0**	**93,3**	**94,7**	**96**	**96,3**	**95,9**	**92,6**	**88,4**	**83,9**		
Поправка на телесный угол DΩ, дБ	Ω = 6.28	10Lg(4π/Ω)	**3**	3	3	3	3	3	3	3	3		
Показатель направленности источника Di, дБ		исходные данные	**0**	0	0	0	0	0	0	0	0		
Поправка на направленность источника Dc, дБ	Dc	DΩ + Di	**3**	3	3	3	3	3	3	3	3		
Затухание из-за геометрической дивергенции, Adiv, дБ	расстояние = 552.27 м	ф-ла (7) [10]	**65,8**										

1		2	3	4	5	6	7	8	9	10	11	12	13
Коэффициент затухания звука в атмосфере α, дБ/км	Та=20,°С Ра=101.33,кПа hотн.=70%	ф-ла (5) [9]	0,02	0,09	0,33	1,12	2,79	4,98	9,04	23,09	77,63		
Учет затухания звука в атмосфере Aatm, дБ		ф-ла (8) [10]	0	0	0,2	0,6	1,5	2,7	5	12,7	42,9		
Снижение уровня звукового давления из-за влияния застройки между источником шума и расчетной точкой													
Снижение уровня звукового давления на пути над экраном, Dz1, дБ	z = 0.19м (разность путей)	ф-лы (14-18) [10]	4,8	4,8	4,8	4,9	5,1	5,4	6	6,9	8,4		
Снижение уровня звукового давления на пути слева от экрана, Dz2, дБ	z = 6.10м (разность путей)	ф-лы (14-18) [10]	17,4	21,1	24,2	27,3	30,3	33,3	36,3	39,3	42,4		
Снижение уровня звукового давления на пути справа от экрана, Dz3, дБ	z = 3.57м (разность путей)	ф-лы (14-18) [10]	12,1	14,7	17,4	20,3	23,3	26,3	29,3	32,3	35,3		
Общее снижение уровня звука препятствием Dz, дБ		Эн.сумма(-Dzi)	3,8	4,3	4,5	4,7	5	5,4	6	6,9	8,4		
Уровни звукового давления от источника ИШ-2-16 в расчётной точке днём, дБ		**ф-ла(3)[10]**	**0**	**26,1**	**27,1**	**27,8**	**26,9**	**24,9**	**18,8**	**5,9**	**0**	**28,7**	**28,7**
Уровни звукового давления от источника ИШ-2-16 в расчётной точке ночью, дБ		**ф-ла(3)[10]**	**0**	**26,1**	**27,1**	**27,8**	**26,9**	**24,9**	**18,8**	**5,9**	**0**	**28,7**	**28,7**
Источник шума: ИШ-2-17, координаты источника (x,y,z), м =[748.87,61.06,1.00]													
Уровни звуковой мощности источника днём, Lw, дБ		**исходные данные**	**0**	**93,3**	**94,7**	**96**	**96,3**	**95,9**	**92,6**	**88,4**	**83,9**		
Уровни звуковой мощности источника ночью, Lw, дБ		**исходные данные**	**0**	**93,3**	**94,7**	**96**	**96,3**	**95,9**	**92,6**	**88,4**	**83,9**		
Поправка на телесный угол DΩ, дБ	Ω = 6.28	10Lg(4π/Ω)	**3**	3	3	3	3	3	3	3	3		
Показатель направленности источника Di, дБ		исходные данные	**0**	0	0	0	0	0	0	0	0		
Поправка на направленность источника Dc, дБ	Dc	DΩ + Di	**3**	3	3	3	3	3	3	3	3		
Затухание из-за геометрической дивергенции, Adiv, дБ	расстояние = 550.07 м	ф-ла (7) [10]	**65,8**										

1		2	3	4	5	6	7	8	9	10	11	12	13
Коэффициент затухания звука в атмосфере α, дБ/км	Та=20,°С Ра=101.33,кПа hотн.=70%	ф-ла (5) [9]	0,02	0,09	0,33	1,12	2,79	4,98	9,04	23,09	77,63		
Учет затухания звука в атмосфере Aatm, дБ		ф-ла (8) [10]	0	0	0,2	0,6	1,5	2,7	5	12,7	42,7		
Снижение уровня звукового давления из-за влияния застройки между источником шума и расчетной точкой													
Снижение уровня звукового давления на пути над экраном, Dz1, дБ	z = 0.19м (разность путей)	ф-лы (14-18) [10]	4,8	4,8	4,8	4,9	5,1	5,5	6,1	7,2	8,7		
Снижение уровня звукового давления на пути слева от экрана, Dz2, дБ	z = 5.79м (разность путей)	ф-лы (14-18) [10]	17,2	20,9	24	27,1	30,1	33,1	36,1	39,1	42,1		
Снижение уровня звукового давления на пути справа от экрана, Dz3, дБ	z = 3.91м (разность путей)	ф-лы (14-18) [10]	12,4	15	17,8	20,7	23,7	26,7	29,7	32,7	35,7		
Общее снижение уровня звука препятствием Dz, дБ		Эн.сумма(-Dzi)	3,9	4,3	4,6	4,8	5	5,4	6,1	7,1	8,7		
Уровни звукового давления от источника ИШ-2-17 в расчётной точке днём, дБ		**ф-ла(3)[10]**	**0**	**26,1**	**27,1**	**27,8**	**26,9**	**24,9**	**18,7**	**5,7**	**0**	**28,7**	**28,7**
Уровни звукового давления от источника ИШ-2-17 в расчётной точке ночью, дБ		**ф-ла(3)[10]**	**0**	**26,1**	**27,1**	**27,8**	**26,9**	**24,9**	**18,7**	**5,7**	**0**	**28,7**	**28,7**
Источник шума: ИШ-2-18, координаты источника (x,y,z), м =[747.72,58.17,1.00]													
Уровни звуковой мощности источника днём, Lw, дБ		**исходные данные**	**0**	**93,3**	**94,7**	**96**	**96,3**	**95,9**	**92,6**	**88,4**	**83,9**		
Уровни звуковой мощности источника ночью, Lw, дБ		**исходные данные**	**0**	**93,3**	**94,7**	**96**	**96,3**	**95,9**	**92,6**	**88,4**	**83,9**		
Поправка на телесный угол DΩ, дБ	Ω = 6.28	10Lg(4π/Ω)	**3**	3	3	3	3	3	3	3	3		
Показатель направленности источника Di, дБ		исходные данные	**0**	0	0	0	0	0	0	0	0		
Поправка на направленность источника Dc, дБ	Dc	DΩ + Di	**3**	3	3	3	3	3	3	3	3		
Затухание из-за геометрической дивергенции, Adiv, дБ	расстояние = 547.66 м	ф-ла (7) [10]	**65,8**										

1		2	3	4	5	6	7	8	9	10	11	12	13
Коэффициент затухания звука в атмосфере α, дБ/км	Та=20,°С Ра=101.33,кПа hотн.=70%	ф-ла (5) [9]	0,02	0,09	0,33	1,12	2,79	4,98	9,04	23,09	77,63		
Учет затухания звука в атмосфере Aatm, дБ		ф-ла (8) [10]	0	0	0,2	0,6	1,5	2,7	5	12,6	42,5		
Снижение уровня звукового давления из-за влияния застройки между источником шума и расчетной точкой													
Снижение уровня звукового давления на пути над экраном, Dz1, дБ	z = 0.19м (разность путей)	ф-лы (14-18) [10]	4,8	4,8	4,8	4,9	5,2	5,6	6,3	7,4	9		
Снижение уровня звукового давления на пути слева от экрана, Dz2, дБ	z = 5.53м (разность путей)	ф-лы (14-18) [10]	17	20,7	23,8	26,9	29,9	32,9	35,9	38,9	41,9		
Снижение уровня звукового давления на пути справа от экрана, Dz3, дБ	z = 4.24м (разность путей)	ф-лы (14-18) [10]	12,7	15,4	18,2	21,1	24	27	30	33	36		
Общее снижение уровня звука препятствием Dz, дБ		Эн.сумма(-Dzi)	3,9	4,3	4,6	4,8	5,1	5,5	6,2	7,4	9		
Уровни звукового давления от источника ИШ-2-18 в расчётной точке днём, дБ		**ф-ла(3)[10]**	**0**	**26,1**	**27,2**	**27,8**	**26,9**	**24,9**	**18,6**	**5,6**	**0**	**28,7**	**28,7**
Уровни звукового давления от источника ИШ-2-18 в расчётной точке ночью, дБ		**ф-ла(3)[10]**	**0**	**26,1**	**27,2**	**27,8**	**26,9**	**24,9**	**18,6**	**5,6**	**0**	**28,7**	**28,7**
Источник шума: ИШ-2-19, координаты источника (x,y,z), м =[746.80,55.25,1.00]													
Уровни звуковой мощности источника днём, Lw, дБ		**исходные данные**	**0**	**93,3**	**94,7**	**96**	**96,3**	**95,9**	**92,6**	**88,4**	**83,9**		
Уровни звуковой мощности источника ночью, Lw, дБ		**исходные данные**	**0**	**93,3**	**94,7**	**96**	**96,3**	**95,9**	**92,6**	**88,4**	**83,9**		
Поправка на телесный угол DΩ, дБ	Ω = 6.28	10Lg(4π/Ω)	**3**	3	3	3	3	3	3	3	3		
Показатель направленности источника Di, дБ		исходные данные	**0**	0	0	0	0	0	0	0	0		
Поправка на направленность источника Dc, дБ	Dc	DΩ + Di	**3**	3	3	3	3	3	3	3	3		
Затухание из-за геометрической дивергенции, Adiv, дБ	расстояние = 545.44 м	ф-ла (7) [10]	**65,7**										

1		2	3	4	5	6	7	8	9	10	11	12	13
Коэффициент затухания звука в атмосфере α, дБ/км	Та=20,°С Ра=101.33,кПа hотн.=70%	ф-ла (5) [9]	0,02	0,09	0,33	1,12	2,79	4,98	9,04	23,09	77,63		
Учет затухания звука в атмосфере Aatm, дБ		ф-ла (8) [10]	0	0	0,2	0,6	1,5	2,7	4,9	12,6	42,3		
Снижение уровня звукового давления из-за влияния застройки между источником шума и расчетной точкой													
Снижение уровня звукового давления на пути над экраном, Dz1, дБ	z = 0.20м (разность путей)	ф-лы (14-18) [10]	4,8	4,8	4,8	5	5,2	5,6	6,4	7,6	9,3		
Снижение уровня звукового давления на пути слева от экрана, Dz2, дБ	z = 5.25м (разность путей)	ф-лы (14-18) [10]	16,8	20,4	23,6	26,7	29,7	32,7	35,7	38,7	41,7		
Снижение уровня звукового давления на пути справа от экрана, Dz3, дБ	z = 4.61м (разность путей)	ф-лы (14-18) [10]	13	15,7	18,5	21,4	24,4	27,4	30,4	33,4	36,4		
Общее снижение уровня звука препятствием Dz, дБ		Эн.сумма(-Dzi)	3,9	4,3	4,6	4,8	5,1	5,6	6,4	7,6	9,3		
Уровни звукового давления от источника ИШ-2-19 в расчётной точке днём, дБ		**ф-ла(3)[10]**	**0**	**26,2**	**27,2**	**27,8**	**26,9**	**24,8**	**18,6**	**5,5**	**0**	**28,7**	**28,7**
Уровни звукового давления от источника ИШ-2-19 в расчётной точке ночью, дБ		**ф-ла(3)[10]**	**0**	**26,2**	**27,2**	**27,8**	**26,9**	**24,8**	**18,6**	**5,5**	**0**	**28,7**	**28,7**
Источник шума: ИШ-2-20, координаты источника (x,y,z), м =[745.71,52.44,1.00]													
Уровни звуковой мощности источника днём, Lw, дБ		**исходные данные**	**0**	**93,3**	**94,7**	**96**	**96,3**	**95,9**	**92,6**	**88,4**	**83,9**		
Уровни звуковой мощности источника ночью, Lw, дБ		**исходные данные**	**0**	**93,3**	**94,7**	**96**	**96,3**	**95,9**	**92,6**	**88,4**	**83,9**		
Поправка на телесный угол DΩ, дБ	Ω = 6.28	10Lg(4π/Ω)	**3**	3	3	3	3	3	3	3	3		
Показатель направленности источника Di, дБ		исходные данные	**0**	0	0	0	0	0	0	0	0		
Поправка на направленность источника Dc, дБ	Dc	DΩ + Di	**3**	3	3	3	3	3	3	3	3		
Затухание из-за геометрической дивергенции, Adiv, дБ	расстояние = 543.14 м	ф-ла (7) [10]	**65,7**										

1		2	3	4	5	6	7	8	9	10	11	12	13
Коэффициент затухания звука в атмосфере α, дБ/км	Та=20,°С Ра=101.33,кПа hотн.=70%	ф-ла (5) [9]	0,02	0,09	0,33	1,12	2,79	4,98	9,04	23,09	77,63		
Учет затухания звука в атмосфере Aatm, дБ		ф-ла (8) [10]	0	0	0,2	0,6	1,5	2,7	4,9	12,5	42,2		
Снижение уровня звукового давления из-за влияния застройки между источником шума и расчетной точкой													
Снижение уровня звукового давления на пути над экраном, Dz1, дБ	z = 0.20м (разность путей)	ф-лы (14-18) [10]	4,8	4,8	4,8	5	5,2	5,7	6,5	7,7	9,4		
Снижение уровня звукового давления на пути слева от экрана, Dz2, дБ	z = 5.00м (разность путей)	ф-лы (14-18) [10]	16,6	20,2	23,4	26,4	29,5	32,5	35,5	38,5	41,5		
Снижение уровня звукового давления на пути справа от экрана, Dz3, дБ	z = 4.97м (разность путей)	ф-лы (14-18) [10]	13,3	16	18,8	21,7	24,7	27,7	30,7	33,7	36,7		
Общее снижение уровня звука препятствием Dz, дБ		Эн.сумма(-Dzi)	4	4,4	4,6	4,9	5,2	5,6	6,4	7,7	9,4		
Уровни звукового давления от источника ИШ-2-20 в расчётной точке днём, дБ		**ф-ла(3)[10]**	**0**	**26,2**	**27,2**	**27,8**	**26,9**	**24,8**	**18,6**	**5,5**	**0**	**28,7**	**28,7**
Уровни звукового давления от источника ИШ-2-20 в расчётной точке ночью, дБ		**ф-ла(3)[10]**	**0**	**26,2**	**27,2**	**27,8**	**26,9**	**24,8**	**18,6**	**5,5**	**0**	**28,7**	**28,7**
Источник шума: ИШ-2-21, координаты источника (x,y,z), м =[744.89,49.62,1.00]													
Уровни звуковой мощности источника днём, Lw, дБ		**исходные данные**	**0**	**93,3**	**94,7**	**96**	**96,3**	**95,9**	**92,6**	**88,4**	**83,9**		
Уровни звуковой мощности источника ночью, Lw, дБ		**исходные данные**	**0**	**93,3**	**94,7**	**96**	**96,3**	**95,9**	**92,6**	**88,4**	**83,9**		
Поправка на телесный угол DΩ, дБ	Ω = 6.28	10Lg(4π/Ω)	**3**	3	3	3	3	3	3	3	3		
Показатель направленности источника Di, дБ		исходные данные	**0**	0	0	0	0	0	0	0	0		
Поправка на направленность источника Dc, дБ	Dc	DΩ + Di	**3**	3	3	3	3	3	3	3	3		
Затухание из-за геометрической дивергенции, Adiv, дБ	расстояние = 541.07 м	ф-ла (7) [10]	**65,7**										

1		2	3	4	5	6	7	8	9	10	11	12	13
Коэффициент затухания звука в атмосфере α, дБ/км	Та=20,°С Ра=101.33,кПа hотн.=70%	ф-ла (5) [9]	0,02	0,09	0,33	1,12	2,79	4,98	9,04	23,09	77,63		
Учет затухания звука в атмосфере Aatm, дБ		ф-ла (8) [10]	0	0	0,2	0,6	1,5	2,7	4,9	12,5	42		
Снижение уровня звукового давления из-за влияния застройки между источником шума и расчетной точкой													
Снижение уровня звукового давления на пути над экраном, Dz1, дБ	z = 0.20м (разность путей)	ф-лы (14-18) [10]	4,8	4,8	4,8	5	5,2	5,7	6,5	7,7	9,5		
Снижение уровня звукового давления на пути слева от экрана, Dz2, дБ	z = 4.73м (разность путей)	ф-лы (14-18) [10]	16,4	20	23,2	26,2	29,2	32,2	35,2	38,3	41,3		
Снижение уровня звукового давления на пути справа от экрана, Dz3, дБ	z = 5.37м (разность путей)	ф-лы (14-18) [10]	13,6	16,3	19,1	22,1	25	28	31	34	37		
Общее снижение уровня звука препятствием Dz, дБ		Эн.сумма(-Dzi)	4	4,4	4,6	4,9	5,2	5,7	6,5	7,7	9,5		
Уровни звукового давления от источника ИШ-2-21 в расчётной точке днём, дБ		**ф-ла(3)[10]**	**0**	**26,2**	**27,2**	**27,9**	**26,9**	**24,9**	**18,6**	**5,5**	**0**	**28,7**	**28,7**
Уровни звукового давления от источника ИШ-2-21 в расчётной точке ночью, дБ		**ф-ла(3)[10]**	**0**	**26,2**	**27,2**	**27,9**	**26,9**	**24,9**	**18,6**	**5,5**	**0**	**28,7**	**28,7**
Источник шума: ИШ-2-22, координаты источника (x,y,z), м =[737.40,27.07,1.00]													
Уровни звуковой мощности источника днём, Lw, дБ		**исходные данные**	**0**	**93,3**	**94,7**	**96**	**96,3**	**95,9**	**92,6**	**88,4**	**83,9**		
Уровни звуковой мощности источника ночью, Lw, дБ		**исходные данные**	**0**	**93,3**	**94,7**	**96**	**96,3**	**95,9**	**92,6**	**88,4**	**83,9**		
Поправка на телесный угол DΩ, дБ	Ω = 6.28	10Lg(4π/Ω)	**3**	3	3	3	3	3	3	3	3		
Показатель направленности источника Di, дБ		исходные данные	**0**	0	0	0	0	0	0	0	0		
Поправка на направленность источника Dc, дБ	Dc	DΩ + Di	**3**	3	3	3	3	3	3	3	3		
Затухание из-за геометрической дивергенции, Adiv, дБ	расстояние = 524.02 м	ф-ла (7) [10]	**65,4**										

1		2	3	4	5	6	7	8	9	10	11	12	13
Коэффициент затухания звука в атмосфере α, дБ/км	Та=20,°С Ра=101.33,кПа hотн.=70%	ф-ла (5) [9]	0,02	0,09	0,33	1,12	2,79	4,98	9,04	23,09	77,63		
Учет затухания звука в атмосфере Aatm, дБ		ф-ла (8) [10]	0	0	0,2	0,6	1,5	2,6	4,7	12,1	40,7		
Снижение уровня звукового давления из-за влияния застройки между источником шума и расчетной точкой													
Снижение уровня звукового давления на пути над экраном, Dz1, дБ	z = 0.21м (разность путей)	ф-лы (14-18) [10]	4,8	4,8	4,9	5	5,4	6	7	8,5	10,4		
Снижение уровня звукового давления на пути слева от экрана, Dz2, дБ	z = 2.98м (разность путей)	ф-лы (14-18) [10]	14,5	18,1	21,2	24,2	27,2	30,2	33,2	36,2	39,3		
Снижение уровня звукового давления на пути справа от экрана, Dz3, дБ	z = 9.27м (разность путей)	ф-лы (14-18) [10]	15,7	18,6	21,4	24,4	27,4	30,4	33,4	36,4	39,4		
Общее снижение уровня звука препятствием Dz, дБ		Эн.сумма(-Dzi)	4	4,4	4,7	4,9	5,3	6	7	8,5	10,4		
Уровни звукового давления от источника ИШ-2-22 в расчётной точке днём, дБ		**ф-ла(3)[10]**	**0**	**26,4**	**27,4**	**28,1**	**27,1**	**24,9**	**18,5**	**5,4**	**0**	**28,8**	**28,8**
Уровни звукового давления от источника ИШ-2-22 в расчётной точке ночью, дБ		**ф-ла(3)[10]**	**0**	**26,4**	**27,4**	**28,1**	**27,1**	**24,9**	**18,5**	**5,4**	**0**	**28,8**	**28,8**
Источник шума: ИШ-2-23, координаты источника (x,y,z), м =[736.46,24.18,1.00]													
Уровни звуковой мощности источника днём, Lw, дБ		**исходные данные**	**0**	**93,3**	**94,7**	**96**	**96,3**	**95,9**	**92,6**	**88,4**	**83,9**		
Уровни звуковой мощности источника ночью, Lw, дБ		**исходные данные**	**0**	**93,3**	**94,7**	**96**	**96,3**	**95,9**	**92,6**	**88,4**	**83,9**		
Поправка на телесный угол DΩ, дБ	Ω = 6.28	10Lg(4π/Ω)	**3**	3	3	3	3	3	3	3	3		
Показатель направленности источника Di, дБ		исходные данные	**0**	0	0	0	0	0	0	0	0		
Поправка на направленность источника Dc, дБ	Dc	DΩ + Di	**3**	3	3	3	3	3	3	3	3		
Затухание из-за геометрической дивергенции, Adiv, дБ	расстояние = 521.89 м	ф-ла (7) [10]	**65,4**										

1		2	3	4	5	6	7	8	9	10	11	12	13
Коэффициент затухания звука в атмосфере α, дБ/км	Та=20,°С Ра=101.33,кПа hотн.=70%	ф-ла (5) [9]	0,02	0,09	0,33	1,12	2,79	4,98	9,04	23,09	77,63		
Учет затухания звука в атмосфере Aatm, дБ		ф-ла (8) [10]	0	0	0,2	0,6	1,5	2,6	4,7	12	40,5		
Снижение уровня звукового давления из-за влияния застройки между источником шума и расчетной точкой													
Снижение уровня звукового давления на пути над экраном, Dz1, дБ	z = 0.21м (разность путей)	ф-лы (14-18) [10]	4,8	4,8	4,9	5,1	5,4	6,1	7,1	8,6	10,6		
Снижение уровня звукового давления на пути слева от экрана, Dz2, дБ	z = 2.80м (разность путей)	ф-лы (14-18) [10]	11,3	13,8	16,5	19,3	22,2	25,2	28,2	31,2	34,2		
Снижение уровня звукового давления на пути справа от экрана, Dz3, дБ	z = 9.88м (разность путей)	ф-лы (14-18) [10]	16	18,8	21,7	24,7	27,7	30,7	33,7	36,7	39,7		
Общее снижение уровня звука препятствием Dz, дБ		Эн.сумма(-Dzi)	3,6	4,1	4,5	4,9	5,3	6	7	8,5	10,5		
Уровни звукового давления от источника ИШ-2-23 в расчётной точке днём, дБ		**ф-ла(3)[10]**	**0**	**26,8**	**27,7**	**28,2**	**27,2**	**25**	**18,5**	**5,5**	**0**	**28,8**	**28,8**
Уровни звукового давления от источника ИШ-2-23 в расчётной точке ночью, дБ		**ф-ла(3)[10]**	**0**	**26,8**	**27,7**	**28,2**	**27,2**	**25**	**18,5**	**5,5**	**0**	**28,8**	**28,8**
Источник шума: ИШ-2-24, координаты источника (x,y,z), м =[735.45,21.21,1.00]													
Уровни звуковой мощности источника днём, Lw, дБ		**исходные данные**	**0**	**93,3**	**94,7**	**96**	**96,3**	**95,9**	**92,6**	**88,4**	**83,9**		
Уровни звуковой мощности источника ночью, Lw, дБ		**исходные данные**	**0**	**93,3**	**94,7**	**96**	**96,3**	**95,9**	**92,6**	**88,4**	**83,9**		
Поправка на телесный угол DΩ, дБ	Ω = 6.28	10Lg(4π/Ω)	**3**	3	3	3	3	3	3	3	3		
Показатель направленности источника Di, дБ		исходные данные	**0**	0	0	0	0	0	0	0	0		
Поправка на направленность источника Dc, дБ	Dc	DΩ + Di	**3**	3	3	3	3	3	3	3	3		
Затухание из-за геометрической дивергенции, Adiv, дБ	расстояние = 519.67 м	ф-ла (7) [10]	**65,3**										

1		2	3	4	5	6	7	8	9	10	11	12	13
Коэффициент затухания звука в атмосфере α, дБ/км	Та=20,°С Ра=101.33,кПа hотн.=70%	ф-ла (5) [9]	0,02	0,09	0,33	1,12	2,79	4,98	9,04	23,09	77,63		
Учет затухания звука в атмосфере Aatm, дБ		ф-ла (8) [10]	0	0	0,2	0,6	1,5	2,6	4,7	12	40,3		
Снижение уровня звукового давления из-за влияния застройки между источником шума и расчетной точкой													
Снижение уровня звукового давления на пути над экраном, Dz1, дБ	z = 0.21м (разность путей)	ф-лы (14-18) [10]	4,8	4,8	4,9	5,1	5,4	6,1	7,1	8,7	10,7		
Снижение уровня звукового давления на пути слева от экрана, Dz2, дБ	z = 2.62м (разность путей)	ф-лы (14-18) [10]	11	13,5	16,2	19	22	24,9	27,9	30,9	33,9		
Снижение уровня звукового давления на пути справа от экрана, Dz3, дБ	z = 10.54м (разность путей)	ф-лы (14-18) [10]	16,2	19,1	22	25	27,9	30,9	33,9	37	40		
Общее снижение уровня звука препятствием Dz, дБ		Эн.сумма(-Dzi)	3,6	4,1	4,5	4,9	5,3	6	7,1	8,6	10,7		
Уровни звукового давления от источника ИШ-2-24 в расчётной точке днём, дБ		**ф-ла(3)[10]**	**0**	**26,8**	**27,7**	**28,2**	**27,2**	**25**	**18,5**	**5,4**	**0**	**28,9**	**28,9**
Уровни звукового давления от источника ИШ-2-24 в расчётной точке ночью, дБ		**ф-ла(3)[10]**	**0**	**26,8**	**27,7**	**28,2**	**27,2**	**25**	**18,5**	**5,4**	**0**	**28,9**	**28,9**
Источник шума: ИШ-2-25, координаты источника (x,y,z), м =[734.58,18.32,1.00]													
Уровни звуковой мощности источника днём, Lw, дБ		**исходные данные**	**0**	**93,3**	**94,7**	**96**	**96,3**	**95,9**	**92,6**	**88,4**	**83,9**		
Уровни звуковой мощности источника ночью, Lw, дБ		**исходные данные**	**0**	**93,3**	**94,7**	**96**	**96,3**	**95,9**	**92,6**	**88,4**	**83,9**		
Поправка на телесный угол DΩ, дБ	Ω = 6.28	10Lg(4π/Ω)	**3**	3	3	3	3	3	3	3	3		
Показатель направленности источника Di, дБ		исходные данные	**0**	0	0	0	0	0	0	0	0		
Поправка на направленность источника Dc, дБ	Dc	DΩ + Di	**3**	3	3	3	3	3	3	3	3		
Затухание из-за геометрической дивергенции, Adiv, дБ	расстояние = 517.63 м	ф-ла (7) [10]	**65,3**										

1		2	3	4	5	6	7	8	9	10	11	12	13
Коэффициент затухания звука в атмосфере α, дБ/км	Та=20,°С Ра=101.33,кПа hотн.=70%	ф-ла (5) [9]	0,02	0,09	0,33	1,12	2,79	4,98	9,04	23,09	77,63		
Учет затухания звука в атмосфере Aatm, дБ		ф-ла (8) [10]	0	0	0,2	0,6	1,4	2,6	4,7	11,9	40,2		
Снижение уровня звукового давления из-за влияния застройки между источником шума и расчетной точкой													
Снижение уровня звукового давления на пути над экраном, Dz1, дБ	z = 0.33м (разность путей)	ф-лы (14-18) [10]	5,1	5,5	6,2	7,2	8,8	10,9	13,3	16	18,8		
Снижение уровня звукового давления на пути слева от экрана, Dz2, дБ	z = 2.45м (разность путей)	ф-лы (14-18) [10]	10,8	13,3	15,9	18,8	21,7	24,6	27,6	30,6	33,6		
Снижение уровня звукового давления на пути справа от экрана, Dz3, дБ	z = 11.21м (разность путей)	ф-лы (14-18) [10]	16,5	19,4	22,3	25,2	28,2	31,2	34,2	37,2	40,2		
Общее снижение уровня звука препятствием Dz, дБ		Эн.сумма(-Dzi)	3,8	4,7	5,6	6,9	8,5	10,6	13,1	15,8	18,7		
Уровни звукового давления от источника ИШ-2-25 в расчётной точке днём, дБ		**ф-ла(3)[10]**	**0**	**26,3**	**26,6**	**26,3**	**24**	**20,4**	**12,5**	**0**	**0**	**25,1**	**25,1**
Уровни звукового давления от источника ИШ-2-25 в расчётной точке ночью, дБ		**ф-ла(3)[10]**	**0**	**26,3**	**26,6**	**26,3**	**24**	**20,4**	**12,5**	**0**	**0**	**25,1**	**25,1**
Источник шума: ИШ-2-26, координаты источника (x,y,z), м =[733.57,15.41,1.00]													
Уровни звуковой мощности источника днём, Lw, дБ		**исходные данные**	**0**	**93,3**	**94,7**	**96**	**96,3**	**95,9**	**92,6**	**88,4**	**83,9**		
Уровни звуковой мощности источника ночью, Lw, дБ		**исходные данные**	**0**	**93,3**	**94,7**	**96**	**96,3**	**95,9**	**92,6**	**88,4**	**83,9**		
Поправка на телесный угол DΩ, дБ	Ω = 6.28	10Lg(4π/Ω)	**3**	3	3	3	3	3	3	3	3		
Показатель направленности источника Di, дБ		исходные данные	**0**	0	0	0	0	0	0	0	0		
Поправка на направленность источника Dc, дБ	Dc	DΩ + Di	**3**	3	3	3	3	3	3	3	3		
Затухание из-за геометрической дивергенции, Adiv, дБ	расстояние = 515.45 м	ф-ла (7) [10]	**65,2**										

1		2	3	4	5	6	7	8	9	10	11	12	13
Коэффициент затухания звука в атмосфере α, дБ/км	Та=20,°С Ра=101.33,кПа hотн.=70%	ф-ла (5) [9]	0,02	0,09	0,33	1,12	2,79	4,98	9,04	23,09	77,63		
Учет затухания звука в атмосфере Aatm, дБ		ф-ла (8) [10]	0	0	0,2	0,6	1,4	2,6	4,7	11,9	40		
Снижение уровня звукового давления из-за влияния застройки между источником шума и расчетной точкой													
Снижение уровня звукового давления на пути над экраном, Dz1, дБ	z = 0.34м (разность путей)	ф-лы (14-18) [10]	5,1	5,5	6,2	7,3	8,9	10,9	13,4	16,1	19		
Снижение уровня звукового давления на пути слева от экрана, Dz2, дБ	z = 2.28м (разность путей)	ф-лы (14-18) [10]	10,6	13	15,6	18,5	21,4	24,3	27,3	30,3	33,3		
Снижение уровня звукового давления на пути справа от экрана, Dz3, дБ	z = 11.91м (разность путей)	ф-лы (14-18) [10]	16,7	19,6	22,5	25,5	28,5	31,5	34,5	37,5	40,5		
Общее снижение уровня звука препятствием Dz, дБ		Эн.сумма(-Dzi)	3,8	4,7	5,6	6,9	8,6	10,7	13,2	15,9	18,8		
Уровни звукового давления от источника ИШ-2-26 в расчётной точке днём, дБ		**ф-ла(3)[10]**	**0**	**26,3**	**26,6**	**26,3**	**24**	**20,4**	**12,5**	**0**	**0**	**25,1**	**25,1**
Уровни звукового давления от источника ИШ-2-26 в расчётной точке ночью, дБ		**ф-ла(3)[10]**	**0**	**26,3**	**26,6**	**26,3**	**24**	**20,4**	**12,5**	**0**	**0**	**25,1**	**25,1**
Источник шума: ИШ-2-27, координаты источника (x,y,z), м =[732.43,12.66,1.00]													
Уровни звуковой мощности источника днём, Lw, дБ		**исходные данные**	**0**	**93,3**	**94,7**	**96**	**96,3**	**95,9**	**92,6**	**88,4**	**83,9**		
Уровни звуковой мощности источника ночью, Lw, дБ		**исходные данные**	**0**	**93,3**	**94,7**	**96**	**96,3**	**95,9**	**92,6**	**88,4**	**83,9**		
Поправка на телесный угол DΩ, дБ	Ω = 6.28	10Lg(4π/Ω)	**3**	3	3	3	3	3	3	3	3		
Показатель направленности источника Di, дБ		исходные данные	**0**	0	0	0	0	0	0	0	0		
Поправка на направленность источника Dc, дБ	Dc	DΩ + Di	**3**	3	3	3	3	3	3	3	3		
Затухание из-за геометрической дивергенции, Adiv, дБ	расстояние = 513.24 м	ф-ла (7) [10]	**65,2**										

1		2	3	4	5	6	7	8	9	10	11	12	13
Коэффициент затухания звука в атмосфере α, дБ/км	Та=20,°С Ра=101.33,кПа hотн.=70%	ф-ла (5) [9]	0,02	0,09	0,33	1,12	2,79	4,98	9,04	23,09	77,63		
Учет затухания звука в атмосфере Aatm, дБ		ф-ла (8) [10]	0	0	0,2	0,6	1,4	2,6	4,6	11,8	39,8		
Снижение уровня звукового давления из-за влияния застройки между источником шума и расчетной точкой													
Снижение уровня звукового давления на пути над экраном, Dz1, дБ	z = 0.34м (разность путей)	ф-лы (14-18) [10]	5,1	5,5	6,2	7,3	8,9	11	13,5	16,2	19,1		
Снижение уровня звукового давления на пути слева от экрана, Dz2, дБ	z = 2.14м (разность путей)	ф-лы (14-18) [10]	10,4	12,8	15,4	18,2	21,1	24,1	27	30	33		
Снижение уровня звукового давления на пути справа от экрана, Dz3, дБ	z = 12.58м (разность путей)	ф-лы (14-18) [10]	17	19,8	22,7	25,7	28,7	31,7	34,7	37,7	40,7		
Общее снижение уровня звука препятствием Dz, дБ		Эн.сумма(-Dzi)	3,8	4,6	5,6	6,9	8,6	10,8	13,3	16	18,9		
Уровни звукового давления от источника ИШ-2-27 в расчётной точке днём, дБ		**ф-ла(3)[10]**	**0**	**26,4**	**26,7**	**26,3**	**24**	**20,3**	**12,5**	**0**	**0**	**25,1**	**25,1**
Уровни звукового давления от источника ИШ-2-27 в расчётной точке ночью, дБ		**ф-ла(3)[10]**	**0**	**26,4**	**26,7**	**26,3**	**24**	**20,3**	**12,5**	**0**	**0**	**25,1**	**25,1**
Источник шума: ИШ-2-28, координаты источника (x,y,z), м =[731.54,9.78,1.00]													
Уровни звуковой мощности источника днём, Lw, дБ		**исходные данные**	**0**	**93,3**	**94,7**	**96**	**96,3**	**95,9**	**92,6**	**88,4**	**83,9**		
Уровни звуковой мощности источника ночью, Lw, дБ		**исходные данные**	**0**	**93,3**	**94,7**	**96**	**96,3**	**95,9**	**92,6**	**88,4**	**83,9**		
Поправка на телесный угол DΩ, дБ	Ω = 6.28	10Lg(4π/Ω)	**3**	3	3	3	3	3	3	3	3		
Показатель направленности источника Di, дБ		исходные данные	**0**	0	0	0	0	0	0	0	0		
Поправка на направленность источника Dc, дБ	Dc	DΩ + Di	**3**	3	3	3	3	3	3	3	3		
Затухание из-за геометрической дивергенции, Adiv, дБ	расстояние = 511.20 м	ф-ла (7) [10]	**65,2**										

1		2	3	4	5	6	7	8	9	10	11	12	13
Коэффициент затухания звука в атмосфере α, дБ/км	Та=20,°С Ра=101.33,кПа hотн.=70%	ф-ла (5) [9]	0,02	0,09	0,33	1,12	2,79	4,98	9,04	23,09	77,63		
Учет затухания звука в атмосфере Aatm, дБ		ф-ла (8) [10]	0	0	0,2	0,6	1,4	2,5	4,6	11,8	39,7		
Снижение уровня звукового давления из-за влияния застройки между источником шума и расчетной точкой													
Снижение уровня звукового давления на пути над экраном, Dz1, дБ	z = 0.34м (разность путей)	ф-лы (14-18) [10]	5,1	5,5	6,3	7,4	9	11,1	13,6	16,3	19,2		
Снижение уровня звукового давления на пути слева от экрана, Dz2, дБ	z = 1.98м (разность путей)	ф-лы (14-18) [10]	10,1	12,5	15,1	17,9	20,8	23,7	26,7	29,7	32,7		
Снижение уровня звукового давления на пути справа от экрана, Dz3, дБ	z = 13.34м (разность путей)	ф-лы (14-18) [10]	17,2	20,1	23	26	29	32	35	38	41		
Общее снижение уровня звука препятствием Dz, дБ		Эн.сумма(-Dzi)	3,7	4,6	5,6	7	8,7	10,8	13,4	16,1	18,9		
Уровни звукового давления от источника ИШ-2-28 в расчётной точке днём, дБ		**ф-ла(3)[10]**	**0**	**26,5**	**26,7**	**26,3**	**24**	**20,3**	**12,4**	**0**	**0**	**25,1**	**25,1**
Уровни звукового давления от источника ИШ-2-28 в расчётной точке ночью, дБ		**ф-ла(3)[10]**	**0**	**26,5**	**26,7**	**26,3**	**24**	**20,3**	**12,4**	**0**	**0**	**25,1**	**25,1**
Источник шума: ИШ-2-29, координаты источника (x,y,z), м =[730.57,6.88,1.00]													
Уровни звуковой мощности источника днём, Lw, дБ		**исходные данные**	**0**	**93,3**	**94,7**	**96**	**96,3**	**95,9**	**92,6**	**88,4**	**83,9**		
Уровни звуковой мощности источника ночью, Lw, дБ		**исходные данные**	**0**	**93,3**	**94,7**	**96**	**96,3**	**95,9**	**92,6**	**88,4**	**83,9**		
Поправка на телесный угол DΩ, дБ	Ω = 6.28	10Lg(4π/Ω)	**3**	3	3	3	3	3	3	3	3		
Показатель направленности источника Di, дБ		исходные данные	**0**	0	0	0	0	0	0	0	0		
Поправка на направленность источника Dc, дБ	Dc	DΩ + Di	**3**	3	3	3	3	3	3	3	3		
Затухание из-за геометрической дивергенции, Adiv, дБ	расстояние = 509.10 м	ф-ла (7) [10]	**65,1**										

1		2	3	4	5	6	7	8	9	10	11	12	13
Коэффициент затухания звука в атмосфере α, дБ/км	Та=20,°С Ра=101.33,кПа hотн.=70%	ф-ла (5) [9]	0,02	0,09	0,33	1,12	2,79	4,98	9,04	23,09	77,63		
Учет затухания звука в атмосфере Aatm, дБ		ф-ла (8) [10]	0	0	0,2	0,6	1,4	2,5	4,6	11,8	39,5		
Снижение уровня звукового давления из-за влияния застройки между источником шума и расчетной точкой													
Снижение уровня звукового давления на пути над экраном, Dz1, дБ	z = 0.34м (разность путей)	ф-лы (14-18) [10]	5,1	5,6	6,3	7,4	9,1	11,2	13,7	16,4	19,3		
Снижение уровня звукового давления на пути слева от экрана, Dz2, дБ	z = 1.82м (разность путей)	ф-лы (14-18) [10]	9,9	12,2	14,7	17,5	20,4	23,4	26,3	29,3	32,3		
Снижение уровня звукового давления на пути справа от экрана, Dz3, дБ	z = 14.13м (разность путей)	ф-лы (14-18) [10]	17,4	20,3	23,2	26,2	29,2	32,2	35,2	38,2	41,2		
Общее снижение уровня звука препятствием Dz, дБ		Эн.сумма(-Dzi)	3,7	4,6	5,6	7	8,7	10,9	13,4	16,2	19		
Уровни звукового давления от источника ИШ-2-29 в расчётной точке днём, дБ		**ф-ла(3)[10]**	**0**	**26,5**	**26,8**	**26,3**	**24**	**20,3**	**12,4**	**0**	**0**	**25,1**	**25,1**
Уровни звукового давления от источника ИШ-2-29 в расчётной точке ночью, дБ		**ф-ла(3)[10]**	**0**	**26,5**	**26,8**	**26,3**	**24**	**20,3**	**12,4**	**0**	**0**	**25,1**	**25,1**
Источник шума: ИШ-2-4, координаты источника (x,y,z), м =[632.70,-65.30,3.00]													
Уровни звуковой мощности источника днём, Lw, дБ		**исходные данные**	**105**	**104**	**104**	**101**	**102**	**106**	**101**	**95**	**87**		
Уровни звуковой мощности источника ночью, Lw, дБ		**исходные данные**	**105**	**104**	**104**	**101**	**102**	**106**	**101**	**95**	**87**		
Поправка на телесный угол DΩ, дБ	Ω = 6.28	10Lg(4π/Ω)	**3**	3	3	3	3	3	3	3	3		
Показатель направленности источника Di, дБ		исходные данные	**0**	0	0	0	0	0	0	0	0		
Поправка на направленность источника Dc, дБ	Dc	DΩ + Di	**3**	3	3	3	3	3	3	3	3		
Затухание из-за геометрической дивергенции, Adiv, дБ	расстояние = 390.70 м	ф-ла (7) [10]	**62,8**										

1		2	3	4	5	6	7	8	9	10	11	12	13
Коэффициент затухания звука в атмосфере α, дБ/км	Ta=20,°C Pa=101.33,кПа hотн.=70%	ф-ла (5) [9]	0,02	0,09	0,33	1,12	2,79	4,98	9,04	23,09	77,63		
Учет затухания звука в атмосфере Aatm, дБ		ф-ла (8) [10]	0	0	0,1	0,4	1,1	1,9	3,5	9	30,3		
Снижение уровня звукового давления из-за влияния застройки между источником шума и расчетной точкой													
Снижение уровня звукового давления на пути над экраном, Dz1, дБ	z = 0.31м (разность путей)	ф-лы (14-18) [10]	4,9	5,2	5,7	7,1	9	11,3	13,9	16,6	19,5		
Снижение уровня звукового давления на пути слева от экрана, Dz2, дБ	z = 0.34м (разность путей)	ф-лы (14-18) [10]	6,3	7,4	9	11,1	13,6	16,3	19,1	22,1	25		
Снижение уровня звукового давления на пути справа от экрана, Dz3, дБ	z = 1.40м (разность путей)	ф-лы (14-18) [10]	9,1	11,3	13,7	16,4	19,3	22,2	25,2	28,2	31,2		
Общее снижение уровня звука препятствием Dz, дБ		Эн.сумма(-Dzi)	1,7	2,5	3,6	5,3	7,4	9,9	12,5	15,3	18,2		
Уровни звукового давления прямого звука от источника ИШ-2-4 в расчётной точке днём, дБ		**ф-ла(3)[10]**	**43,5**	**41,6**	**40,4**	**35,5**	**33,7**	**34,4**	**25,1**	**10,8**	**0**	**37,1**	**37,1**
Уровни звукового давления прямого звука от источника ИШ-2-4 в расчётной точке ночью, дБ		**ф-ла(3)[10]**	**43,5**	**41,6**	**40,4**	**35,5**	**33,7**	**34,4**	**25,1**	**10,8**	**0**	**37,1**	**37,1**
Расчёт отражённого звука													
Уровни звукового давления от мнимого источника ИШ-2-4_мн.(1) в расчётной точке днём, дБ		**ф-ла(3)[10]**	**0**	**0**	**0**	**0**	**0**	**0**	**0**	**0**	**0**	**0**	**0**
Уровни звукового давления от мнимого источника ИШ-2-4_мн.(1) в расчётной точке ночью, дБ		**ф-ла(3)[10]**	**0**	**0**	**0**	**0**	**0**	**0**	**0**	**0**	**0**	**0**	**0**
Уровни звукового давления от мнимого источника ИШ-2-4_мн.(2) в расчётной точке днём, дБ		**ф-ла(3)[10]**	**0**	**0**	**0**	**0**	**0**	**0**	**0**	**0**	**0**	**0**	**0**
Уровни звукового давления от мнимого источника ИШ-2-4_мн.(2) в расчётной точке ночью, дБ		**ф-ла(3)[10]**	**0**	**0**	**0**	**0**	**0**	**0**	**0**	**0**	**0**	**0**	**0**
Суммарные уровни звукового давления от мнимых источников в расчётной точке днём, дБ		**ф-ла (19) [1]**	**0**	**0**	**0**	**0**	**0**	**0**	**0**	**0**	**0**	**0**	**0**
Суммарные уровни звукового давления от мнимых источников в расчётной точке ночью, дБ		**ф-ла (19) [1]**	**0**	**0**	**0**	**0**	**0**	**0**	**0**	**0**	**0**	**0**	**0**
Уровни звукового давления от источника ИШ-2-4 в расчётной точке днём, дБ		**ф-ла(3)[10]**	**43,5**	**41,6**	**40,4**	**35,5**	**33,7**	**34,4**	**25,1**	**10,8**	**0**	**37,1**	**37,1**

1		2	3	4	5	6	7	8	9	10	11	12	13
Уровни звукового давления от источника ИШ-2-4 в расчётной точке ночью, дБ		**ф-ла(3)[10]**	**43,5**	**41,6**	**40,4**	**35,5**	**33,7**	**34,4**	**25,1**	**10,8**	**0**	**37,1**	**37,1**
Источник шума: ИШ-2-30, координаты источника (x,y,z), м =[702.44,-77.23,1.00]													
Уровни звуковой мощности источника днём, Lw, дБ		**исходные данные**	**0**	**93,3**	**94,7**	**96**	**96,3**	**95,9**	**92,6**	**88,4**	**83,9**		
Уровни звуковой мощности источника ночью, Lw, дБ		**исходные данные**	**0**	**93,3**	**94,7**	**96**	**96,3**	**95,9**	**92,6**	**88,4**	**83,9**		
Поправка на телесный угол DΩ, дБ	Ω = 6.28	10Lg(4π/Ω)	**3**	3	3	3	3	3	3	3	3		
Показатель направленности источника Di, дБ		исходные данные	**0**	0	0	0	0	0	0	0	0		
Поправка на направленность источника Dc, дБ	Dc	DΩ + Di	**3**	3	3	3	3	3	3	3	3		
Затухание из-за геометрической дивергенции, Adiv, дБ	расстояние = 452.80 м	ф-ла (7) [10]	**64,1**										
Коэффициент затухания звука в атмосфере α, дБ/км	Ta=20,°C Pa=101.33,кПа hотн.=70%	ф-ла (5) [9]	0,02	0,09	0,33	1,12	2,79	4,98	9,04	23,09	77,63		
Учет затухания звука в атмосфере Aatm, дБ		ф-ла (8) [10]	0	0	0,2	0,5	1,3	2,3	4,1	10,5	35,2		
Снижение поверхностью земли возле источника As, дБ	Gs = 0 hs = 1м	ф-лы таб.3 [10]	-1,5	-1,5	-1,5	-1,5	-1,5	-1,5	-1,5	-1,5	-1,5		
Снижение поверхностью земли возле приёмника Ar, дБ	Gr = 1 hr = 1.6м	ф-лы таб.3 [10]	-1,5	-1,5	2,7	6,8	4,3	0,5	0	0	0		
Снижение поверхностью земли в средней зоне, Am дБ	Gm = 1	ф-лы таб.3 [10]	-2,5	-2,5	0	0	0	0	0	0	0		
Суммарное снижение поверхностью земли на траектории распространения звука Agr, дБ		ф-ла (9) [10]	-5,5	-5,5	1,2	5,3	2,8	-1	-1,5	-1,5	-1,5		
Уровни звукового давления от источника ИШ-2-30 в расчётной точке днём, дБ		**ф-ла(3)[10]**	**0**	**37,6**	**32,2**	**29**	**31,1**	**33,5**	**28,9**	**18,3**	**0**	**36,2**	**36,2**
Уровни звукового давления от источника ИШ-2-30 в расчётной точке ночью, дБ		**ф-ла(3)[10]**	**0**	**37,6**	**32,2**	**29**	**31,1**	**33,5**	**28,9**	**18,3**	**0**	**36,2**	**36,2**

1		2	3	4	5	6	7	8	9	10	11	12	13
Источник шума: ИШ-2-31, координаты источника (x,y,z), м =[701.42,-80.17,1.00]													
Уровни звуковой мощности источника днём, Lw, дБ		**исходные данные**	**0**	**93,3**	**94,7**	**96**	**96,3**	**95,9**	**92,6**	**88,4**	**83,9**		
Уровни звуковой мощности источника ночью, Lw, дБ		**исходные данные**	**0**	**93,3**	**94,7**	**96**	**96,3**	**95,9**	**92,6**	**88,4**	**83,9**		
Поправка на телесный угол DΩ, дБ	Ω = 6.28	10Lg(4π/Ω)	**3**	3	3	3	3	3	3	3	3		
Показатель направленности источника Di, дБ		исходные данные	**0**	0	0	0	0	0	0	0	0		
Поправка на направленность источника Dc, дБ	Dc	DΩ + Di	**3**	3	3	3	3	3	3	3	3		
Затухание из-за геометрической дивергенции, Adiv, дБ	расстояние = 450.99 м	ф-ла (7) [10]	**64,1**										
Коэффициент затухания звука в атмосфере α, дБ/км	Ta=20,°C Pa=101.33,кПа hотн.=70%	ф-ла (5) [9]	0,02	0,09	0,33	1,12	2,79	4,98	9,04	23,09	77,63		
Учет затухания звука в атмосфере Aatm, дБ		ф-ла (8) [10]	0	0	0,2	0,5	1,3	2,2	4,1	10,4	35		
Снижение поверхностью земли возле источника As, дБ	Gs = 0 hs = 1м	ф-лы таб.3 [10]	-1,5	-1,5	-1,5	-1,5	-1,5	-1,5	-1,5	-1,5	-1,5		
Снижение поверхностью земли возле приёмника Ar, дБ	Gr = 1 hr = 1.6м	ф-лы таб.3 [10]	-1,5	-1,5	2,7	6,8	4,3	0,5	0	0	0		
Снижение поверхностью земли в средней зоне, Am дБ	Gm = 1	ф-лы таб.3 [10]	-2,5	-2,5	0	0	0	0	0	0	0		
Суммарное снижение поверхностью земли на траектории распространения звука Agr, дБ		ф-ла (9) [10]	-5,5	-5,5	1,2	5,3	2,8	-1	-1,5	-1,5	-1,5		
Уровни звукового давления от источника ИШ-2-31 в расчётной точке днём, дБ		**ф-ла(3)[10]**	**0**	**37,6**	**32,2**	**29,1**	**31,1**	**33,6**	**28,9**	**18,4**	**0**	**36,2**	**36,2**
Уровни звукового давления от источника ИШ-2-31 в расчётной точке ночью, дБ		**ф-ла(3)[10]**	**0**	**37,6**	**32,2**	**29,1**	**31,1**	**33,6**	**28,9**	**18,4**	**0**	**36,2**	**36,2**
Источник шума: ИШ-2-32, координаты источника (x,y,z), м =[700.38,-83.01,1.00]													

1		2	3	4	5	6	7	8	9	10	11	12	13
Уровни звуковой мощности источника днём, Lw, дБ		**исходные данные**	**0**	**93,3**	**94,7**	**96**	**96,3**	**95,9**	**92,6**	**88,4**	**83,9**		
Уровни звуковой мощности источника ночью, Lw, дБ		**исходные данные**	**0**	**93,3**	**94,7**	**96**	**96,3**	**95,9**	**92,6**	**88,4**	**83,9**		
Поправка на телесный угол DΩ, дБ	Ω = 6.28	10Lg(4π/Ω)	**3**	3	3	3	3	3	3	3	3		
Показатель направленности источника Di, дБ		исходные данные	**0**	0	0	0	0	0	0	0	0		
Поправка на направленность источника Dc, дБ	Dc	DΩ + Di	**3**	3	3	3	3	3	3	3	3		
Затухание из-за геометрической дивергенции, Adiv, дБ	расстояние = 449.19 м	ф-ла (7) [10]	**64**										
Коэффициент затухания звука в атмосфере α, дБ/км	Ta=20,°C Pa=101.33,кПа hотн.=70%	ф-ла (5) [9]	0,02	0,09	0,33	1,12	2,79	4,98	9,04	23,09	77,63		
Учет затухания звука в атмосфере Aatm, дБ		ф-ла (8) [10]	0	0	0,2	0,5	1,3	2,2	4,1	10,4	34,9		
Снижение уровня звукового давления из-за влияния застройки между источником шума и расчетной точкой													
Снижение уровня звукового давления препятствием слева от трассы ИШ-РТ, Dz2, дБ	z = -0.03м (разность путей)	ф-лы (14-18) [10]	4,6	4,5	4,1	3,4	1,4	NAN	NAN	NAN	NAN		
* отрицательное значение z означает прохождение траектории вблизи экрана, в этом случае дополнительно производится учёт снижения подстилающей поверхностью (см.ниже)													
Снижение поверхностью земли возле источника As, дБ	Gs = 0 hs = 1м	ф-лы таб.3 [10]	-1,5	-1,5	-1,5	-1,5	-1,5	-1,5	-1,5	-1,5	-1,5		
Снижение поверхностью земли возле приёмника Ar, дБ	Gr = 1 hr = 1.6м	ф-лы таб.3 [10]	-1,5	-1,5	2,7	6,8	4,3	0,5	0	0	0		
Снижение поверхностью земли в средней зоне, Am дБ	Gm = 1	ф-лы таб.3 [10]	-2,5	-2,5	0	0	0	0	0	0	0		
Суммарное снижение поверхностью земли на траектории распространения звука Agr, дБ		ф-ла (9) [10]	-5,5	-5,5	1,2	5,3	2,8	-1	-1,5	-1,5	-1,5		
Уровни звукового давления от источника ИШ-2-32 в расчётной точке днём, дБ		**ф-ла(3)[10]**	**0**	**33,2**	**28,1**	**25,7**	**29,7**	**33,6**	**29**	**18,5**	**0**	**36**	**36**
Уровни звукового давления от источника ИШ-2-32 в расчётной точке ночью, дБ		**ф-ла(3)[10]**	**0**	**33,2**	**28,1**	**25,7**	**29,7**	**33,6**	**29**	**18,5**	**0**	**36**	**36**

1		2	3	4	5	6	7	8	9	10	11	12	13
Источник шума: ИШ-2-33, координаты источника (x,y,z), м =[699.52,-85.98,1.00]													
Уровни звуковой мощности источника днём, Lw, дБ		**исходные данные**	**0**	**93,3**	**94,7**	**96**	**96,3**	**95,9**	**92,6**	**88,4**	**83,9**		
Уровни звуковой мощности источника ночью, Lw, дБ		**исходные данные**	**0**	**93,3**	**94,7**	**96**	**96,3**	**95,9**	**92,6**	**88,4**	**83,9**		
Поправка на телесный угол DΩ, дБ	Ω = 6.28	10Lg(4π/Ω)	**3**	3	3	3	3	3	3	3	3		
Показатель направленности источника Di, дБ		исходные данные	**0**	0	0	0	0	0	0	0	0		
Поправка на направленность источника Dc, дБ	Dc	DΩ + Di	**3**	3	3	3	3	3	3	3	3		
Затухание из-за геометрической дивергенции, Adiv, дБ	расстояние = 447.55 м	ф-ла (7) [10]	**64**										
Коэффициент затухания звука в атмосфере α, дБ/км	Ta=20,°C Pa=101.33,кПа hотн.=70%	ф-ла (5) [9]	0,02	0,09	0,33	1,12	2,79	4,98	9,04	23,09	77,63		
Учет затухания звука в атмосфере Aatm, дБ		ф-ла (8) [10]	0	0	0,1	0,5	1,2	2,2	4	10,3	34,7		
Снижение уровня звукового давления из-за влияния застройки между источником шума и расчетной точкой													
Снижение уровня звукового давления препятствием слева от трассы ИШ-РТ, Dz2, дБ	z = -0.02м (разность путей)	ф-лы (14-18) [10]	4,7	4,5	4,3	3,8	2,6	0	NAN	NAN	NAN		
* отрицательное значение z означает прохождение траектории вблизи экрана, в этом случае дополнительно производится учёт снижения подстилающей поверхностью (см.ниже)													
Снижение поверхностью земли возле источника As, дБ	Gs = 0 hs = 1м	ф-лы таб.3 [10]	-1,5	-1,5	-1,5	-1,5	-1,5	-1,5	-1,5	-1,5	-1,5		
Снижение поверхностью земли возле приёмника Ar, дБ	Gr = 1 hr = 1.6м	ф-лы таб.3 [10]	-1,5	-1,5	2,7	6,8	4,3	0,5	0	0	0		
Снижение поверхностью земли в средней зоне, Am дБ	Gm = 1	ф-лы таб.3 [10]	-2,5	-2,5	0	0	0	0	0	0	0		
Суммарное снижение поверхностью земли на траектории распространения звука Agr, дБ		ф-ла (9) [10]	-5,5	-5,5	1,2	5,3	2,8	-1	-1,5	-1,5	-1,5		
Уровни звукового давления от источника ИШ-2-33 в расчётной точке днём, дБ		**ф-ла(3)[10]**	**0**	**33,2**	**28**	**25,3**	**28,6**	**33,6**	**29**	**18,5**	**0**	**35,9**	**35,9**

1		2	3	4	5	6	7	8	9	10	11	12	13
Уровни звукового давления от источника ИШ-2-33 в расчётной точке ночью, дБ		**ф-ла(3)[10]**	**0**	**33,2**	**28**	**25,3**	**28,6**	**33,6**	**29**	**18,5**	**0**	**35,9**	**35,9**
Источник шума: ИШ-2-34, координаты источника (x,y,z), м =[698.43,-88.85,1.00]													
Уровни звуковой мощности источника днём, Lw, дБ		**исходные данные**	**0**	**93,3**	**94,7**	**96**	**96,3**	**95,9**	**92,6**	**88,4**	**83,9**		
Уровни звуковой мощности источника ночью, Lw, дБ		**исходные данные**	**0**	**93,3**	**94,7**	**96**	**96,3**	**95,9**	**92,6**	**88,4**	**83,9**		
Поправка на телесный угол DΩ, дБ	Ω = 6.28	10Lg(4π/Ω)	**3**	3	3	3	3	3	3	3	3		
Показатель направленности источника Di, дБ		исходные данные	**0**	0	0	0	0	0	0	0	0		
Поправка на направленность источника Dc, дБ	Dc	DΩ + Di	**3**	3	3	3	3	3	3	3	3		
Затухание из-за геометрической дивергенции, Adiv, дБ	расстояние = 445.73 м	ф-ла (7) [10]	**64**										
Коэффициент затухания звука в атмосфере α, дБ/км	Ta=20,°C Pa=101.33,кПа hотн.=70%	ф-ла (5) [9]	0,02	0,09	0,33	1,12	2,79	4,98	9,04	23,09	77,63		
Учет затухания звука в атмосфере Aatm, дБ		ф-ла (8) [10]	0	0	0,1	0,5	1,2	2,2	4	10,3	34,6		
Снижение уровня звукового давления из-за влияния застройки между источником шума и расчетной точкой													
Снижение уровня звукового давления препятствием слева от трассы ИШ-РТ, Dz2, дБ	z = -0.01м (разность путей)	ф-лы (14-18) [10]	4,7	4,6	4,5	4,1	3,3	1,1	NAN	NAN	NAN		
* отрицательное значение z означает прохождение траектории вблизи экрана, в этом случае дополнительно производится учёт снижения подстилающей поверхностью (см.ниже)													
Снижение поверхностью земли возле источника As, дБ	Gs = 0 hs = 1м	ф-лы таб.3 [10]	-1,5	-1,5	-1,5	-1,5	-1,5	-1,5	-1,5	-1,5	-1,5		
Снижение поверхностью земли возле приёмника Ar, дБ	Gr = 1 hr = 1.6м	ф-лы таб.3 [10]	-1,5	-1,5	2,7	6,8	4,3	0,5	0	0	0		
Снижение поверхностью земли в средней зоне, Am дБ	Gm = 1	ф-лы таб.3 [10]	-2,5	-2,5	0	0	0	0	0	0	0		
Суммарное снижение поверхностью земли на траектории распространения звука Agr, дБ		ф-ла (9) [10]	-5,5	-5,5	1,2	5,3	2,8	-1	-1,5	-1,5	-1,5		

1		2	3	4	5	6	7	8	9	10	11	12	13
Уровни звукового давления от источника ИШ-2-34 в расчётной точке днём, дБ		**ф-ла(3)[10]**	**0**	**33,1**	**27,9**	**25,1**	**27,9**	**32,5**	**29,1**	**18,6**	**0**	**35,2**	**35,2**
Уровни звукового давления от источника ИШ-2-34 в расчётной точке ночью, дБ		**ф-ла(3)[10]**	**0**	**33,1**	**27,9**	**25,1**	**27,9**	**32,5**	**29,1**	**18,6**	**0**	**35,2**	**35,2**
Источник шума: ИШ-2-35, координаты источника (x,y,z), м =[697.52,-91.66,1.00]													
Уровни звуковой мощности источника днём, Lw, дБ		**исходные данные**	**0**	**93,3**	**94,7**	**96**	**96,3**	**95,9**	**92,6**	**88,4**	**83,9**		
Уровни звуковой мощности источника ночью, Lw, дБ		**исходные данные**	**0**	**93,3**	**94,7**	**96**	**96,3**	**95,9**	**92,6**	**88,4**	**83,9**		
Поправка на телесный угол DΩ, дБ	Ω = 6.28	10Lg(4π/Ω)	**3**	3	3	3	3	3	3	3	3		
Показатель направленности источника Di, дБ		исходные данные	**0**	0	0	0	0	0	0	0	0		
Поправка на направленность источника Dc, дБ	Dc	DΩ + Di	**3**	3	3	3	3	3	3	3	3		
Затухание из-за геометрической дивергенции, Adiv, дБ	расстояние = 444.11 м	ф-ла (7) [10]	**63,9**										
Коэффициент затухания звука в атмосфере α, дБ/км	Ta=20,°C Pa=101.33,кПа hотн.=70%	ф-ла (5) [9]	0,02	0,09	0,33	1,12	2,79	4,98	9,04	23,09	77,63		
Учет затухания звука в атмосфере Aatm, дБ		ф-ла (8) [10]	0	0	0,1	0,5	1,2	2,2	4	10,3	34,5		
Снижение уровня звукового давления из-за влияния застройки между источником шума и расчетной точкой													
Снижение уровня звукового давления препятствием слева от трассы ИШ-РТ, Dz2, дБ	z = -0.01м (разность путей)	ф-лы (14-18) [10]	4,7	4,7	4,6	4,3	3,9	2,7	0	NAN	NAN		
* отрицательное значение z означает прохождение траектории вблизи экрана, в этом случае дополнительно производится учёт снижения подстилающей поверхностью (см.ниже)													
Снижение поверхностью земли возле источника As, дБ	Gs = 0 hs = 1м	ф-лы таб.3 [10]	-1,5	-1,5	-1,5	-1,5	-1,5	-1,5	-1,5	-1,5	-1,5		
Снижение поверхностью земли возле приёмника Ar, дБ	Gr = 1 hr = 1.6м	ф-лы таб.3 [10]	-1,5	-1,5	2,7	6,8	4,3	0,5	0	0	0		
Снижение поверхностью земли в средней зоне, Am дБ	Gm = 1	ф-лы таб.3 [10]	-2,5	-2,5	0	0	0	0	0	0	0		

1		2	3	4	5	6	7	8	9	10	11	12	13
Суммарное снижение поверхностью земли на траектории распространения звука Agr, дБ		ф-ла (9) [10]	-5,5	-5,5	1,2	5,3	2,8	-1	-1,5	-1,5	-1,5		
Уровни звукового давления от источника ИШ-2-35 в расчётной точке днём, дБ		**ф-ла(3)[10]**	**0**	**33,1**	**27,9**	**24,9**	**27,4**	**31**	**29,1**	**18,7**	**0**	**34,4**	**34,4**
Уровни звукового давления от источника ИШ-2-35 в расчётной точке ночью, дБ		**ф-ла(3)[10]**	**0**	**33,1**	**27,9**	**24,9**	**27,4**	**31**	**29,1**	**18,7**	**0**	**34,4**	**34,4**
Источник шума: ИШ-2-36, координаты источника (x,y,z), м =[696.58,-94.55,1.00]													
Уровни звуковой мощности источника днём, Lw, дБ		**исходные данные**	**0**	**93,3**	**94,7**	**96**	**96,3**	**95,9**	**92,6**	**88,4**	**83,9**		
Уровни звуковой мощности источника ночью, Lw, дБ		**исходные данные**	**0**	**93,3**	**94,7**	**96**	**96,3**	**95,9**	**92,6**	**88,4**	**83,9**		
Поправка на телесный угол DΩ, дБ	Ω = 6.28	10Lg(4π/Ω)	**3**	3	3	3	3	3	3	3	3		
Показатель направленности источника Di, дБ		исходные данные	**0**	0	0	0	0	0	0	0	0		
Поправка на направленность источника Dc, дБ	Dc	DΩ + Di	**3**	3	3	3	3	3	3	3	3		
Затухание из-за геометрической дивергенции, Adiv, дБ	расстояние = 442.46 м	ф-ла (7) [10]	**63,9**										
Коэффициент затухания звука в атмосфере α, дБ/км	Ta=20,°C Pa=101.33,кПа hотн.=70%	ф-ла (5) [9]	0,02	0,09	0,33	1,12	2,79	4,98	9,04	23,09	77,63		
Учет затухания звука в атмосфере Aatm, дБ		ф-ла (8) [10]	0	0	0,1	0,5	1,2	2,2	4	10,2	34,3		
Снижение уровня звукового давления из-за влияния застройки между источником шума и расчетной точкой													
Снижение уровня звукового давления препятствием слева от трассы ИШ-РТ, Dz2, дБ	z = -0.01м (разность путей)	ф-лы (14-18) [10]	4,7	4,7	4,6	4,5	4,3	3,7	2,2	0	NAN		
* отрицательное значение z означает прохождение траектории вблизи экрана, в этом случае дополнительно производится учёт снижения подстилающей поверхностью (см.ниже)													
Снижение поверхностью земли возле источника As, дБ	Gs = 0 hs = 1м	ф-лы таб.3 [10]	-1,5	-1,5	-1,5	-1,5	-1,5	-1,5	-1,5	-1,5	-1,5		
Снижение поверхностью земли возле приёмника Ar, дБ	Gr = 1 hr = 1.6м	ф-лы таб.3 [10]	-1,5	-1,5	2,7	6,8	4,3	0,5	0	0	0		

1		2	3	4	5	6	7	8	9	10	11	12	13
Снижение поверхностью земли в средней зоне, Am дБ	Gm = 1	ф-лы таб.3 [10]	-2,5	-2,5	0	0	0	0	0	0	0		
Суммарное снижение поверхностью земли на траектории распространения звука Agr, дБ		ф-ла (9) [10]	-5,5	-5,5	1,2	5,3	2,8	-1	-1,5	-1,5	-1,5		
Уровни звукового давления от источника ИШ-2-36 в расчётной точке днём, дБ		**ф-ла(3)[10]**	**0**	**33,1**	**27,8**	**24,7**	**27,1**	**30,1**	**26,9**	**18,8**	**0**	**33,2**	**33,2**
Уровни звукового давления от источника ИШ-2-36 в расчётной точке ночью, дБ		**ф-ла(3)[10]**	**0**	**33,1**	**27,8**	**24,7**	**27,1**	**30,1**	**26,9**	**18,8**	**0**	**33,2**	**33,2**
Источник шума: ИШ-2-37, координаты источника (x,y,z), м =[695.57,-97.37,1.00]													
Уровни звуковой мощности источника днём, Lw, дБ		**исходные данные**	**0**	**93,3**	**94,7**	**96**	**96,3**	**95,9**	**92,6**	**88,4**	**83,9**		
Уровни звуковой мощности источника ночью, Lw, дБ		**исходные данные**	**0**	**93,3**	**94,7**	**96**	**96,3**	**95,9**	**92,6**	**88,4**	**83,9**		
Поправка на телесный угол DΩ, дБ	Ω = 6.28	10Lg(4π/Ω)	**3**	3	3	3	3	3	3	3	3		
Показатель направленности источника Di, дБ		исходные данные	**0**	0	0	0	0	0	0	0	0		
Поправка на направленность источника Dc, дБ	Dc	DΩ + Di	**3**	3	3	3	3	3	3	3	3		
Затухание из-за геометрической дивергенции, Adiv, дБ	расстояние = 440.77 м	ф-ла (7) [10]	**63,9**										
Коэффициент затухания звука в атмосфере α, дБ/км	Ta=20,°C Pa=101.33,кПа hотн.=70%	ф-ла (5) [9]	0,02	0,09	0,33	1,12	2,79	4,98	9,04	23,09	77,63		
Учет затухания звука в атмосфере Aatm, дБ		ф-ла (8) [10]	0	0	0,1	0,5	1,2	2,2	4	10,2	34,2		
Снижение уровня звукового давления из-за влияния застройки между источником шума и расчетной точкой													
Снижение уровня звукового давления препятствием слева от трассы ИШ-РТ, Dz2, дБ	z = 0.00м (разность путей)	ф-лы (14-18) [10]	4,8	4,7	4,7	4,7	4,5	4,3	3,7	2,3	0		
* отрицательное значение z означает прохождение траектории вблизи экрана, в этом случае дополнительно производится учёт снижения подстилающей поверхностью (см.ниже)													
Снижение поверхностью земли возле источника As, дБ	Gs = 0 hs = 1м	ф-лы таб.3 [10]	-1,5	-1,5	-1,5	-1,5	-1,5	-1,5	-1,5	-1,5	-1,5		

1		2	3	4	5	6	7	8	9	10	11	12	13
Снижение поверхностью земли возле приёмника Ar, дБ	Gr = 1 hr = 1.6м	ф-лы таб.3 [10]	-1,5	-1,5	2,6	6,8	4,3	0,5	0	0	0		
Снижение поверхностью земли в средней зоне, Am дБ	Gm = 1	ф-лы таб.3 [10]	-2,5	-2,5	0	0	0	0	0	0	0		
Суммарное снижение поверхностью земли на траектории распространения звука Agr, дБ		ф-ла (9) [10]	-5,5	-5,5	1,1	5,3	2,8	-1	-1,5	-1,5	-1,5		
Уровни звукового давления от источника ИШ-2-37 в расчётной точке днём, дБ		**ф-ла(3)[10]**	**0**	**33,1**	**27,8**	**24,6**	**26,8**	**29,5**	**25,5**	**16,6**	**0**	**32,4**	**32,4**
Уровни звукового давления от источника ИШ-2-37 в расчётной точке ночью, дБ		**ф-ла(3)[10]**	**0**	**33,1**	**27,8**	**24,6**	**26,8**	**29,5**	**25,5**	**16,6**	**0**	**32,4**	**32,4**
Источник шума: ИШ-2-5, координаты источника (x,y,z), м =[618.60,-108.00,3.00]													
Уровни звуковой мощности источника днём, Lw, дБ		**исходные данные**	**105**	**104**	**104**	**101**	**102**	**106**	**101**	**95**	**87**		
Уровни звуковой мощности источника ночью, Lw, дБ		**исходные данные**	**105**	**104**	**104**	**101**	**102**	**106**	**101**	**95**	**87**		
Поправка на телесный угол DΩ, дБ	Ω = 6.28	10Lg(4π/Ω)	**3**	3	3	3	3	3	3	3	3		
Показатель направленности источника Di, дБ		исходные данные	**0**	0	0	0	0	0	0	0	0		
Поправка на направленность источника Dc, дБ	Dc	DΩ + Di	**3**	3	3	3	3	3	3	3	3		
Затухание из-за геометрической дивергенции, Adiv, дБ	расстояние = 363.69 м	ф-ла (7) [10]	**62,2**										
Коэффициент затухания звука в атмосфере α, дБ/км	Ta=20,°C Pa=101.33,кПа hотн.=70%	ф-ла (5) [9]	0,02	0,09	0,33	1,12	2,79	4,98	9,04	23,09	77,63		
Учет затухания звука в атмосфере Aatm, дБ		ф-ла (8) [10]	0	0	0,1	0,4	1	1,8	3,3	8,4	28,2		
Снижение уровня звукового давления из-за влияния застройки между источником шума и расчетной точкой													
Снижение уровня звукового давления препятствием слева от трассы ИШ-РТ, Dz2, дБ	z = -0.02м (разность путей)	ф-лы (14-18) [10]	4,6	4,5	4,3	3,7	2,2	0	NAN	NAN	NAN		
* отрицательное значение z означает прохождение траектории вблизи экрана, в этом случае дополнительно производится учёт снижения подстилающей поверхностью (см.ниже)													

1		2	3	4	5	6	7	8	9	10	11	12	13
Снижение поверхностью земли возле источника As, дБ	Gs = 0 hs = 3м	ф-лы таб.3 [10]	-1,5	-1,5	-1,5	-1,5	-1,5	-1,5	-1,5	-1,5	-1,5		
Снижение поверхностью земли возле приёмника Ar, дБ	Gr = 1 hr = 1.6м	ф-лы таб.3 [10]	-1,5	-1,5	2,1	6,8	4,3	0,5	0	0	0		
Снижение поверхностью земли в средней зоне, Am дБ	Gm = 1	ф-лы таб.3 [10]	-1,9	-1,9	0	0	0	0	0	0	0		
Суммарное снижение поверхностью земли на траектории распространения звука Agr, дБ		ф-ла (9) [10]	-4,9	-4,9	0,6	5,3	2,8	-1	-1,5	-1,5	-1,5		
Уровни звукового давления прямого звука от источника ИШ-2-5 в расчётной точке днём, дБ		**ф-ла(3)[10]**	**46**	**45,1**	**39,8**	**32,4**	**36,8**	**46**	**40**	**28,9**	**0**	**47,5**	**47,5**
Уровни звукового давления прямого звука от источника ИШ-2-5 в расчётной точке ночью, дБ		**ф-ла(3)[10]**	**46**	**45,1**	**39,8**	**32,4**	**36,8**	**46**	**40**	**28,9**	**0**	**47,5**	**47,5**
Расчёт отражённого звука													
Уровни звукового давления от мнимого источника ИШ-2-5_мн.(1) в расчётной точке днём, дБ		**ф-ла(3)[10]**	**0**	**0**	**0**	**0**	**0**	**0**	**0**	**0**	**0**	**0**	**0**
Уровни звукового давления от мнимого источника ИШ-2-5_мн.(1) в расчётной точке ночью, дБ		**ф-ла(3)[10]**	**0**	**0**	**0**	**0**	**0**	**0**	**0**	**0**	**0**	**0**	**0**
Уровни звукового давления от источника ИШ-2-5 в расчётной точке днём, дБ		**ф-ла(3)[10]**	**46**	**45,1**	**39,8**	**32,4**	**36,8**	**46**	**40**	**28,9**	**0**	**47,5**	**47,5**
Уровни звукового давления от источника ИШ-2-5 в расчётной точке ночью, дБ		**ф-ла(3)[10]**	**46**	**45,1**	**39,8**	**32,4**	**36,8**	**46**	**40**	**28,9**	**0**	**47,5**	**47,5**
Источник шума: ИШ-2-38, координаты источника (x,y,z), м =[688.13,-119.94,1.00]													
Уровни звуковой мощности источника днём, Lw, дБ		**исходные данные**	**0**	**93,3**	**94,7**	**96**	**96,3**	**95,9**	**92,6**	**88,4**	**83,9**		
Уровни звуковой мощности источника ночью, Lw, дБ		**исходные данные**	**0**	**93,3**	**94,7**	**96**	**96,3**	**95,9**	**92,6**	**88,4**	**83,9**		
Поправка на телесный угол DΩ, дБ	Ω = 6.28	10Lg(4π/Ω)	**3**	3	3	3	3	3	3	3	3		
Показатель направленности источника Di, дБ		исходные данные	**0**	0	0	0	0	0	0	0	0		
Поправка на направленность источника Dc, дБ	Dc	DΩ + Di	**3**	3	3	3	3	3	3	3	3		

1		2	3	4	5	6	7	8	9	10	11	12	13
Затухание из-за геометрической дивергенции, Adiv, дБ	расстояние = 428.40 м	ф-ла (7) [10]	**63,6**										
Коэффициент затухания звука в атмосфере α, дБ/км	Ta=20,°C Pa=101.33,кПа hотн.=70%	ф-ла (5) [9]	0,02	0,09	0,33	1,12	2,79	4,98	9,04	23,09	77,63		
Учет затухания звука в атмосфере Aatm, дБ		ф-ла (8) [10]	0	0	0,1	0,5	1,2	2,1	3,9	9,9	33,3		
Снижение уровня звукового давления из-за влияния застройки между источником шума и расчетной точкой													
Снижение уровня звукового давления на пути над экраном, Dz1, дБ	z = 0.11м (разность путей)	ф-лы (14-18) [10]	4,8	4,9	5	5,2	5,8	7,1	9,5	12,2	15		
Снижение уровня звукового давления на пути слева от экрана, Dz2, дБ	z = 214.19м (разность путей)	ф-лы (14-18) [10]	32,8	36,5	39,7	42,7	45,8	48,8	51,8	54,8	57,8		
Снижение уровня звукового давления на пути справа от экрана, Dz3, дБ	z = 0.02м (разность путей)	ф-лы (14-18) [10]	4,9	5	5,1	5,5	6,1	7,1	8,5	10,5	12,9		
Общее снижение уровня звука препятствием Dz, дБ		Эн.сумма(-Dzi)	1,8	1,9	2	2,3	2,9	4,1	6	8,3	10,8		
Уровни звукового давления прямого звука от источника ИШ-2-38 в расчётной точке днём, дБ		**ф-ла(3)[10]**	**0**	**30,7**	**31,9**	**32,5**	**31,6**	**29,1**	**22,1**	**9,6**	**0**	**33**	**33**
Уровни звукового давления прямого звука от источника ИШ-2-38 в расчётной точке ночью, дБ		**ф-ла(3)[10]**	**0**	**30,7**	**31,9**	**32,5**	**31,6**	**29,1**	**22,1**	**9,6**	**0**	**33**	**33**
Расчёт отражённого звука													
Уровни звукового давления от мнимого источника ИШ-2-38_мн.(1) в расчётной точке днём, дБ		**ф-ла(3)[10]**	**0**	**0**	**0**	**0**	**0**	**0**	**0**	**0**	**0**	**0**	**0**
Уровни звукового давления от мнимого источника ИШ-2-38_мн.(1) в расчётной точке ночью, дБ		**ф-ла(3)[10]**	**0**	**0**	**0**	**0**	**0**	**0**	**0**	**0**	**0**	**0**	**0**
Уровни звукового давления от источника ИШ-2-38 в расчётной точке днём, дБ		**ф-ла(3)[10]**	**0**	**30,7**	**31,9**	**32,5**	**31,6**	**29,1**	**22,1**	**9,6**	**0**	**33**	**33**
Уровни звукового давления от источника ИШ-2-38 в расчётной точке ночью, дБ		**ф-ла(3)[10]**	**0**	**30,7**	**31,9**	**32,5**	**31,6**	**29,1**	**22,1**	**9,6**	**0**	**33**	**33**
Источник шума: ИШ-2-39, координаты источника (x,y,z), м =[687.11,-122.83,1.00]													

1		2	3	4	5	6	7	8	9	10	11	12	13
Уровни звуковой мощности источника днём, Lw, дБ		**исходные данные**	**0**	**93,3**	**94,7**	**96**	**96,3**	**95,9**	**92,6**	**88,4**	**83,9**		
Уровни звуковой мощности источника ночью, Lw, дБ		**исходные данные**	**0**	**93,3**	**94,7**	**96**	**96,3**	**95,9**	**92,6**	**88,4**	**83,9**		
Поправка на телесный угол DΩ, дБ	Ω = 6.28	10Lg(4π/Ω)	**3**	3	3	3	3	3	3	3	3		
Показатель направленности источника Di, дБ		исходные данные	**0**	0	0	0	0	0	0	0	0		
Поправка на направленность источника Dc, дБ	Dc	DΩ + Di	**3**	3	3	3	3	3	3	3	3		
Затухание из-за геометрической дивергенции, Adiv, дБ	расстояние = 426.82 м	ф-ла (7) [10]	**63,6**										
Коэффициент затухания звука в атмосфере α, дБ/км	Ta=20,°C Pa=101.33,кПа hотн.=70%	ф-ла (5) [9]	0,02	0,09	0,33	1,12	2,79	4,98	9,04	23,09	77,63		
Учет затухания звука в атмосфере Aatm, дБ		ф-ла (8) [10]	0	0	0,1	0,5	1,2	2,1	3,9	9,9	33,1		
Снижение уровня звукового давления из-за влияния застройки между источником шума и расчетной точкой													
Снижение уровня звукового давления на пути над экраном, Dz1, дБ	z = 0.11м (разность путей)	ф-лы (14-18) [10]	4,8	4,9	5	5,2	5,8	7,3	9,7	12,4	15,1		
Снижение уровня звукового давления на пути слева от экрана, Dz2, дБ	z = 213.95м (разность путей)	ф-лы (14-18) [10]	32,8	36,5	39,7	42,7	45,8	48,8	51,8	54,8	57,8		
Снижение уровня звукового давления на пути справа от экрана, Dz3, дБ	z = 0.02м (разность путей)	ф-лы (14-18) [10]	4,9	5	5,3	5,7	6,5	7,7	9,5	11,7	14,2		
Общее снижение уровня звука препятствием Dz, дБ		Эн.сумма(-Dzi)	1,9	1,9	2,1	2,5	3,1	4,5	6,6	9	11,6		
Уровни звукового давления от источника ИШ-2-39 в расчётной точке днём, дБ		**ф-ла(3)[10]**	**0**	**30,7**	**31,8**	**32,4**	**31,4**	**28,7**	**21,6**	**8,9**	**0**	**32,7**	**32,7**
Уровни звукового давления от источника ИШ-2-39 в расчётной точке ночью, дБ		**ф-ла(3)[10]**	**0**	**30,7**	**31,8**	**32,4**	**31,4**	**28,7**	**21,6**	**8,9**	**0**	**32,7**	**32,7**
Источник шума: ИШ-2-40, координаты источника (x,y,z), м =[686.10,-125.67,1.00]													

1		2	3	4	5	6	7	8	9	10	11	12	13
Уровни звуковой мощности источника днём, Lw, дБ		**исходные данные**	**0**	**93,3**	**94,7**	**96**	**96,3**	**95,9**	**92,6**	**88,4**	**83,9**		
Уровни звуковой мощности источника ночью, Lw, дБ		**исходные данные**	**0**	**93,3**	**94,7**	**96**	**96,3**	**95,9**	**92,6**	**88,4**	**83,9**		
Поправка на телесный угол DΩ, дБ	Ω = 6.28	10Lg(4π/Ω)	**3**	3	3	3	3	3	3	3	3		
Показатель направленности источника Di, дБ		исходные данные	**0**	0	0	0	0	0	0	0	0		
Поправка на направленность источника Dc, дБ	Dc	DΩ + Di	**3**	3	3	3	3	3	3	3	3		
Затухание из-за геометрической дивергенции, Adiv, дБ	расстояние = 425.27 м	ф-ла (7) [10]	**63,6**										
Коэффициент затухания звука в атмосфере α, дБ/км	Ta=20,°C Pa=101.33,кПа hотн.=70%	ф-ла (5) [9]	0,02	0,09	0,33	1,12	2,79	4,98	9,04	23,09	77,63		
Учет затухания звука в атмосфере Aatm, дБ		ф-ла (8) [10]	0	0	0,1	0,5	1,2	2,1	3,8	9,8	33		
Снижение уровня звукового давления из-за влияния застройки между источником шума и расчетной точкой													
Снижение уровня звукового давления на пути над экраном, Dz1, дБ	z = 0.11м (разность путей)	ф-лы (14-18) [10]	4,8	4,9	5	5,3	5,9	7,5	9,9	12,5	15,2		
Снижение уровня звукового давления на пути слева от экрана, Dz2, дБ	z = 197.91м (разность путей)	ф-лы (14-18) [10]	33,3	36,4	39,4	42,4	45,4	48,4	51,5	54,5	57,5		
Снижение уровня звукового давления на пути справа от экрана, Dz3, дБ	z = 0.03м (разность путей)	ф-лы (14-18) [10]	4,9	5,1	5,4	6	6,9	8,4	10,3	12,7	15,3		
Общее снижение уровня звука препятствием Dz, дБ		Эн.сумма(-Dzi)	1,9	2	2,2	2,6	3,4	4,9	7,1	9,6	12,3		
Уровни звукового давления от источника ИШ-2-40 в расчётной точке днём, дБ		**ф-ла(3)[10]**	**0**	**30,7**	**31,8**	**32,3**	**31,1**	**28,3**	**21,1**	**8,4**	**0**	**32,4**	**32,4**
Уровни звукового давления от источника ИШ-2-40 в расчётной точке ночью, дБ		**ф-ла(3)[10]**	**0**	**30,7**	**31,8**	**32,3**	**31,1**	**28,3**	**21,1**	**8,4**	**0**	**32,4**	**32,4**
Источник шума: ИШ-2-41, координаты источника (x,y,z), м =[685.14,-128.64,1.00]													

1		2	3	4	5	6	7	8	9	10	11	12	13
Уровни звуковой мощности источника днём, Lw, дБ		**исходные данные**	**0**	**93,3**	**94,7**	**96**	**96,3**	**95,9**	**92,6**	**88,4**	**83,9**		
Уровни звуковой мощности источника ночью, Lw, дБ		**исходные данные**	**0**	**93,3**	**94,7**	**96**	**96,3**	**95,9**	**92,6**	**88,4**	**83,9**		
Поправка на телесный угол DΩ, дБ	Ω = 6.28	10Lg(4π/Ω)	**3**	3	3	3	3	3	3	3	3		
Показатель направленности источника Di, дБ		исходные данные	**0**	0	0	0	0	0	0	0	0		
Поправка на направленность источника Dc, дБ	Dc	DΩ + Di	**3**	3	3	3	3	3	3	3	3		
Затухание из-за геометрической дивергенции, Adiv, дБ	расстояние = 423.77 м	ф-ла (7) [10]	**63,5**										
Коэффициент затухания звука в атмосфере α, дБ/км	Ta=20,°C Pa=101.33,кПа hотн.=70%	ф-ла (5) [9]	0,02	0,09	0,33	1,12	2,79	4,98	9,04	23,09	77,63		
Учет затухания звука в атмосфере Aatm, дБ		ф-ла (8) [10]	0	0	0,1	0,5	1,2	2,1	3,8	9,8	32,9		
Снижение уровня звукового давления из-за влияния застройки между источником шума и расчетной точкой													
Снижение уровня звукового давления на пути над экраном, Dz1, дБ	z = 0.11м (разность путей)	ф-лы (14-18) [10]	4,8	4,9	5	5,3	6	7,7	10	12,6	15,3		
Снижение уровня звукового давления на пути слева от экрана, Dz2, дБ	z = 197.17м (разность путей)	ф-лы (14-18) [10]	33,3	36,4	39,4	42,4	45,4	48,4	51,4	54,4	57,5		
Снижение уровня звукового давления на пути справа от экрана, Dz3, дБ	z = 0.04м (разность путей)	ф-лы (14-18) [10]	5	5,2	5,6	6,3	7,4	9,1	11,2	13,7	16,4		
Общее снижение уровня звука препятствием Dz, дБ		Эн.сумма(-Dzi)	1,9	2	2,3	2,8	3,7	5,3	7,6	10,1	12,8		
Уровни звукового давления от источника ИШ-2-41 в расчётной точке днём, дБ		**ф-ла(3)[10]**	**0**	**30,7**	**31,7**	**32,2**	**30,9**	**27,9**	**20,7**	**8**	**0**	**32,2**	**32,2**
Уровни звукового давления от источника ИШ-2-41 в расчётной точке ночью, дБ		**ф-ла(3)[10]**	**0**	**30,7**	**31,7**	**32,2**	**30,9**	**27,9**	**20,7**	**8**	**0**	**32,2**	**32,2**
Источник шума: ИШ-2-42, координаты источника (x,y,z), м =[684.20,-131.46,1.00]													

1		2	3	4	5	6	7	8	9	10	11	12	13
Уровни звуковой мощности источника днём, Lw, дБ		**исходные данные**	**0**	**93,3**	**94,7**	**96**	**96,3**	**95,9**	**92,6**	**88,4**	**83,9**		
Уровни звуковой мощности источника ночью, Lw, дБ		**исходные данные**	**0**	**93,3**	**94,7**	**96**	**96,3**	**95,9**	**92,6**	**88,4**	**83,9**		
Поправка на телесный угол DΩ, дБ	Ω = 6.28	10Lg(4π/Ω)	**3**	3	3	3	3	3	3	3	3		
Показатель направленности источника Di, дБ		исходные данные	**0**	0	0	0	0	0	0	0	0		
Поправка на направленность источника Dc, дБ	Dc	DΩ + Di	**3**	3	3	3	3	3	3	3	3		
Затухание из-за геометрической дивергенции, Adiv, дБ	расстояние = 422.33 м	ф-ла (7) [10]	**63,5**										
Коэффициент затухания звука в атмосфере α, дБ/км	Ta=20,°C Pa=101.33,кПа hотн.=70%	ф-ла (5) [9]	0,02	0,09	0,33	1,12	2,79	4,98	9,04	23,09	77,63		
Учет затухания звука в атмосфере Aatm, дБ		ф-ла (8) [10]	0	0	0,1	0,5	1,2	2,1	3,8	9,7	32,8		
Снижение уровня звукового давления из-за влияния застройки между источником шума и расчетной точкой													
Снижение уровня звукового давления на пути над экраном, Dz1, дБ	z = 0.11м (разность путей)	ф-лы (14-18) [10]	4,8	4,9	5	5,3	6,1	7,8	10,2	12,7	15,4		
Снижение уровня звукового давления на пути слева от экрана, Dz2, дБ	z = 196.49м (разность путей)	ф-лы (14-18) [10]	33,3	36,4	39,4	42,4	45,4	48,4	51,4	54,4	57,4		
Снижение уровня звукового давления на пути справа от экрана, Dz3, дБ	z = 0.05м (разность путей)	ф-лы (14-18) [10]	5	5,3	5,8	6,6	7,9	9,7	11,9	14,5	17,3		
Общее снижение уровня звука препятствием Dz, дБ		Эн.сумма(-Dzi)	1,9	2,1	2,4	2,9	3,9	5,7	7,9	10,5	13,2		
Уровни звукового давления от источника ИШ-2-42 в расчётной точке днём, дБ		**ф-ла(3)[10]**	**0**	**30,7**	**31,7**	**32,1**	**30,7**	**27,6**	**20,3**	**7,6**	**0**	**31,9**	**31,9**
Уровни звукового давления от источника ИШ-2-42 в расчётной точке ночью, дБ		**ф-ла(3)[10]**	**0**	**30,7**	**31,7**	**32,1**	**30,7**	**27,6**	**20,3**	**7,6**	**0**	**31,9**	**31,9**
Источник шума: ИШ-2-43, координаты источника (x,y,z), м =[683.13,-134.37,1.00]													

1		2	3	4	5	6	7	8	9	10	11	12	13
Уровни звуковой мощности источника днём, Lw, дБ		**исходные данные**	**0**	**93,3**	**94,7**	**96**	**96,3**	**95,9**	**92,6**	**88,4**	**83,9**		
Уровни звуковой мощности источника ночью, Lw, дБ		**исходные данные**	**0**	**93,3**	**94,7**	**96**	**96,3**	**95,9**	**92,6**	**88,4**	**83,9**		
Поправка на телесный угол DΩ, дБ	Ω = 6.28	10Lg(4π/Ω)	**3**	3	3	3	3	3	3	3	3		
Показатель направленности источника Di, дБ		исходные данные	**0**	0	0	0	0	0	0	0	0		
Поправка на направленность источника Dc, дБ	Dc	DΩ + Di	**3**	3	3	3	3	3	3	3	3		
Затухание из-за геометрической дивергенции, Adiv, дБ	расстояние = 420.77 м	ф-ла (7) [10]	**63,5**										
Коэффициент затухания звука в атмосфере α, дБ/км	Ta=20,°C Pa=101.33,кПа hотн.=70%	ф-ла (5) [9]	0,02	0,09	0,33	1,12	2,79	4,98	9,04	23,09	77,63		
Учет затухания звука в атмосфере Aatm, дБ		ф-ла (8) [10]	0	0	0,1	0,5	1,2	2,1	3,8	9,7	32,7		
Снижение уровня звукового давления из-за влияния застройки между источником шума и расчетной точкой													
Снижение уровня звукового давления на пути над экраном, Dz1, дБ	z = 0.11м (разность путей)	ф-лы (14-18) [10]	4,8	4,9	5	5,4	6,2	8	10,3	12,8	15,5		
Снижение уровня звукового давления на пути слева от экрана, Dz2, дБ	z = 195.81м (разность путей)	ф-лы (14-18) [10]	33,2	36,4	39,4	42,4	45,4	48,4	51,4	54,4	57,4		
Снижение уровня звукового давления на пути справа от экрана, Dz3, дБ	z = 0.07м (разность путей)	ф-лы (14-18) [10]	5,1	5,4	6	6,9	8,4	10,3	12,7	15,3	18,1		
Общее снижение уровня звука препятствием Dz, дБ		Эн.сумма(-Dzi)	2	2,1	2,5	3,1	4,2	6	8,3	10,9	13,6		
Уровни звукового давления от источника ИШ-2-43 в расчётной точке днём, дБ		**ф-ла(3)[10]**	**0**	**30,6**	**31,6**	**32**	**30,5**	**27,3**	**20**	**7,3**	**0**	**31,7**	**31,7**
Уровни звукового давления от источника ИШ-2-43 в расчётной точке ночью, дБ		**ф-ла(3)[10]**	**0**	**30,6**	**31,6**	**32**	**30,5**	**27,3**	**20**	**7,3**	**0**	**31,7**	**31,7**
Источник шума: ИШ-2-44, координаты источника (x,y,z), м =[682.20,-137.16,1.00]													

1		2	3	4	5	6	7	8	9	10	11	12	13
Уровни звуковой мощности источника днём, Lw, дБ		**исходные данные**	**0**	**93,3**	**94,7**	**96**	**96,3**	**95,9**	**92,6**	**88,4**	**83,9**		
Уровни звуковой мощности источника ночью, Lw, дБ		**исходные данные**	**0**	**93,3**	**94,7**	**96**	**96,3**	**95,9**	**92,6**	**88,4**	**83,9**		
Поправка на телесный угол DΩ, дБ	Ω = 6.28	10Lg(4π/Ω)	**3**	3	3	3	3	3	3	3	3		
Показатель направленности источника Di, дБ		исходные данные	**0**	0	0	0	0	0	0	0	0		
Поправка на направленность источника Dc, дБ	Dc	DΩ + Di	**3**	3	3	3	3	3	3	3	3		
Затухание из-за геометрической дивергенции, Adiv, дБ	расстояние = 419.37 м	ф-ла (7) [10]	**63,5**										
Коэффициент затухания звука в атмосфере α, дБ/км	Ta=20,°C Pa=101.33,кПа hотн.=70%	ф-ла (5) [9]	0,02	0,09	0,33	1,12	2,79	4,98	9,04	23,09	77,63		
Учет затухания звука в атмосфере Aatm, дБ		ф-ла (8) [10]	0	0	0,1	0,5	1,2	2,1	3,8	9,7	32,6		
Снижение уровня звукового давления из-за влияния застройки между источником шума и расчетной точкой													
Снижение уровня звукового давления на пути над экраном, Dz1, дБ	z = 0.11м (разность путей)	ф-лы (14-18) [10]	4,8	4,9	5	5,4	6,3	8,1	10,4	12,9	15,6		
Снижение уровня звукового давления на пути слева от экрана, Dz2, дБ	z = 195.18м (разность путей)	ф-лы (14-18) [10]	33,2	36,3	39,3	42,4	45,4	48,4	51,4	54,4	57,4		
Снижение уровня звукового давления на пути справа от экрана, Dz3, дБ	z = 0.08м (разность путей)	ф-лы (14-18) [10]	5,2	5,5	6,2	7,3	8,8	10,9	13,4	16,1	18,9		
Общее снижение уровня звука препятствием Dz, дБ		Эн.сумма(-Dzi)	2	2,2	2,6	3,2	4,4	6,3	8,6	11,2	13,9		
Уровни звукового давления от источника ИШ-2-44 в расчётной точке днём, дБ		**ф-ла(3)[10]**	**0**	**30,6**	**31,5**	**31,9**	**30,3**	**27,1**	**19,7**	**7,1**	**0**	**31,5**	**31,5**
Уровни звукового давления от источника ИШ-2-44 в расчётной точке ночью, дБ		**ф-ла(3)[10]**	**0**	**30,6**	**31,5**	**31,9**	**30,3**	**27,1**	**19,7**	**7,1**	**0**	**31,5**	**31,5**
Источник шума: ИШ-2-45, координаты источника (x,y,z), м =[681.26,-139.98,1.00]													

1		2	3	4	5	6	7	8	9	10	11	12	13
Уровни звуковой мощности источника днём, Lw, дБ		**исходные данные**	**0**	**93,3**	**94,7**	**96**	**96,3**	**95,9**	**92,6**	**88,4**	**83,9**		
Уровни звуковой мощности источника ночью, Lw, дБ		**исходные данные**	**0**	**93,3**	**94,7**	**96**	**96,3**	**95,9**	**92,6**	**88,4**	**83,9**		
Поправка на телесный угол DΩ, дБ	Ω = 6.28	10Lg(4π/Ω)	**3**	3	3	3	3	3	3	3	3		
Показатель направленности источника Di, дБ		исходные данные	**0**	0	0	0	0	0	0	0	0		
Поправка на направленность источника Dc, дБ	Dc	DΩ + Di	**3**	3	3	3	3	3	3	3	3		
Затухание из-за геометрической дивергенции, Adiv, дБ	расстояние = 417.98 м	ф-ла (7) [10]	**63,4**										
Коэффициент затухания звука в атмосфере α, дБ/км	Ta=20,°C Pa=101.33,кПа hотн.=70%	ф-ла (5) [9]	0,02	0,09	0,33	1,12	2,79	4,98	9,04	23,09	77,63		
Учет затухания звука в атмосфере Aatm, дБ		ф-ла (8) [10]	0	0	0,1	0,5	1,2	2,1	3,8	9,6	32,4		
Снижение уровня звукового давления из-за влияния застройки между источником шума и расчетной точкой													
Снижение уровня звукового давления на пути над экраном, Dz1, дБ	z = 0.15м (разность путей)	ф-лы (14-18) [10]	5,5	6,2	7,3	8,9	11	13,5	16,2	19	21,9		
Снижение уровня звукового давления на пути слева от экрана, Dz2, дБ	z = 194.57м (разность путей)	ф-лы (14-18) [10]	33,2	36,3	39,3	42,3	45,4	48,4	51,4	54,4	57,4		
Снижение уровня звукового давления на пути справа от экрана, Dz3, дБ	z = 0.09м (разность путей)	ф-лы (14-18) [10]	5,2	5,7	6,4	7,6	9,3	11,5	14	16,7	19,6		
Общее снижение уровня звука препятствием Dz, дБ		Эн.сумма(-Dzi)	2,4	2,9	3,8	5,2	7,1	9,3	11,9	14,7	17,6		
Уровни звукового давления от источника ИШ-2-45 в расчётной точке днём, дБ		**ф-ла(3)[10]**	**0**	**29,9**	**30,3**	**29,9**	**27,6**	**24**	**16,5**	**3,6**	**0**	**28,8**	**28,8**
Уровни звукового давления от источника ИШ-2-45 в расчётной точке ночью, дБ		**ф-ла(3)[10]**	**0**	**29,9**	**30,3**	**29,9**	**27,6**	**24**	**16,5**	**3,6**	**0**	**28,8**	**28,8**

Источник шума: ИШ-4-1, координаты источника (x,y,z), м =[141.82,201.03,1.00]

1		2	3	4	5	6	7	8	9	10	11	12	13
Уровни звуковой мощности источника днём, Lw, дБ		**исходные данные**	**0**	**90,3**	**91,7**	**93**	**93,3**	**92,9**	**89,6**	**85,4**	**80,9**		
Уровни звуковой мощности источника ночью, Lw, дБ		**исходные данные**	**0**	**90,3**	**91,7**	**93**	**93,3**	**92,9**	**89,6**	**85,4**	**80,9**		
Поправка на телесный угол DΩ, дБ	Ω = 6.28	10Lg(4π/Ω)	**3**	3	3	3	3	3	3	3	3		
Показатель направленности источника Di, дБ		исходные данные	**0**	0	0	0	0	0	0	0	0		
Поправка на направленность источника Dc, дБ	Dc	DΩ + Di	**3**	3	3	3	3	3	3	3	3		
Затухание из-за геометрической дивергенции, Adiv, дБ	расстояние = 427.68 м	ф-ла (7) [10]	**63,6**										
Коэффициент затухания звука в атмосфере α, дБ/км	Ta=20,°C Pa=101.33,кПа hотн.=70%	ф-ла (5) [9]	0,02	0,09	0,33	1,12	2,79	4,98	9,04	23,09	77,63		
Учет затухания звука в атмосфере Aatm, дБ		ф-ла (8) [10]	0	0	0,1	0,5	1,2	2,1	3,9	9,9	33,2		
Снижение поверхностью земли возле источника As, дБ	Gs = 0 hs = 1м	ф-лы таб.3 [10]	-1,5	-1,5	-1,5	-1,5	-1,5	-1,5	-1,5	-1,5	-1,5		
Снижение поверхностью земли возле приёмника Ar, дБ	Gr = 1 hr = 1.6м	ф-лы таб.3 [10]	-1,5	-1,5	2,6	6,8	4,3	0,5	0	0	0		
Снижение поверхностью земли в средней зоне, Am дБ	Gm = 1	ф-лы таб.3 [10]	-2,5	-2,5	0	0	0	0	0	0	0		
Суммарное снижение поверхностью земли на траектории распространения звука Agr, дБ		ф-ла (9) [10]	-5,5	-5,5	1,1	5,3	2,8	-1	-1,5	-1,5	-1,5		
Уровни звукового давления прямого звука от источника ИШ-4-1 в расчётной точке днём, дБ		**ф-ла(3)[10]**	**0**	**35,1**	**29,9**	**26,6**	**28,7**	**31,1**	**26,6**	**16,4**	**0**	**33,8**	**33,8**
Уровни звукового давления прямого звука от источника ИШ-4-1 в расчётной точке ночью, дБ		**ф-ла(3)[10]**	**0**	**35,1**	**29,9**	**26,6**	**28,7**	**31,1**	**26,6**	**16,4**	**0**	**33,8**	**33,8**
Расчёт отражённого звука													
Уровни звукового давления от мнимого источника ИШ-4-1_мн.(1) в расчётной точке днём, дБ		**ф-ла(3)[10]**	**0**	**0**	**0**	**0**	**0**	**0**	**0**	**0**	**0**	**0**	**0**
Уровни звукового давления от мнимого источника ИШ-4-1_мн.(1) в расчётной точке ночью, дБ		**ф-ла(3)[10]**	**0**	**0**	**0**	**0**	**0**	**0**	**0**	**0**	**0**	**0**	**0**

1		2	3	4	5	6	7	8	9	10	11	12	13
Уровни звукового давления от мнимого источника ИШ-4-1_мн.(2) в расчётной точке днём, дБ		**ф-ла(3)[10]**	**0**	**0**	**0**	**16,2**	**17,3**	**26,6**	**24**	**13,8**	**0**	**29,3**	**29,3**
Уровни звукового давления от мнимого источника ИШ-4-1_мн.(2) в расчётной точке ночью, дБ		**ф-ла(3)[10]**	**0**	**0**	**0**	**0**	**0**	**0**	**0**	**0**	**0**	**29,3**	**29,3**
Суммарные уровни звукового давления от мнимых источников в расчётной точке днём, дБ		**ф-ла (19) [1]**	**0**	**0**	**0**	**16,2**	**17,3**	**26,6**	**24**	**13,8**	**0**	**0**	**29,3**
Суммарные уровни звукового давления от мнимых источников в расчётной точке ночью, дБ		**ф-ла (19) [1]**	**0**	**0**	**0**	**16,2**	**17,3**	**26,6**	**24**	**13,8**	**0**	**0**	**29,3**
Уровни звукового давления от источника ИШ-4-1 в расчётной точке днём, дБ		**ф-ла(3)[10]**	**0**	**35,1**	**29,9**	**26,9**	**29**	**32,4**	**28,5**	**18,3**	**0**	**35,1**	**35,1**
Уровни звукового давления от источника ИШ-4-1 в расчётной точке ночью, дБ		**ф-ла(3)[10]**	**0**	**35,1**	**29,9**	**26,9**	**29**	**32,4**	**28,5**	**18,3**	**0**	**35,1**	**35,1**
Источник шума: ИШ-4-2, координаты источника (x,y,z), м =[133.85,183.21,1.00]													
Уровни звуковой мощности источника днём, Lw, дБ		**исходные данные**	**0**	**90,3**	**91,7**	**93**	**93,3**	**92,9**	**89,6**	**85,4**	**80,9**		
Уровни звуковой мощности источника ночью, Lw, дБ		**исходные данные**	**0**	**90,3**	**91,7**	**93**	**93,3**	**92,9**	**89,6**	**85,4**	**80,9**		
Поправка на телесный угол DΩ, дБ	Ω = 6.28	10Lg(4π/Ω)	**3**	3	3	3	3	3	3	3	3		
Показатель направленности источника Di, дБ		исходные данные	**0**	0	0	0	0	0	0	0	0		
Поправка на направленность источника Dc, дБ	Dc	DΩ + Di	**3**	3	3	3	3	3	3	3	3		
Затухание из-за геометрической дивергенции, Adiv, дБ	расстояние = 413.23 м	ф-ла (7) [10]	**63,3**										
Коэффициент затухания звука в атмосфере α, дБ/км	Ta=20,°C Pa=101.33,кПа hотн.=70%	ф-ла (5) [9]	0,02	0,09	0,33	1,12	2,79	4,98	9,04	23,09	77,63		
Учет затухания звука в атмосфере Aatm, дБ		ф-ла (8) [10]	0	0	0,1	0,5	1,2	2,1	3,7	9,5	32,1		
Снижение поверхностью земли возле источника As, дБ	Gs = 0 hs = 1м	ф-лы таб.3 [10]	-1,5	-1,5	-1,5	-1,5	-1,5	-1,5	-1,5	-1,5	-1,5		

1		2	3	4	5	6	7	8	9	10	11	12	13
Снижение поверхностью земли возле приёмника Ar, дБ	Gr = 1 hr = 1.6м	ф-лы таб.3 [10]	-1,5	-1,5	2,5	6,8	4,3	0,5	0	0	0		
Снижение поверхностью земли в средней зоне, Am дБ	Gm = 1	ф-лы таб.3 [10]	-2,4	-2,4	0	0	0	0	0	0	0		
Суммарное снижение поверхностью земли на траектории распространения звука Agr, дБ		ф-ла (9) [10]	-5,4	-5,4	1	5,3	2,8	-1	-1,5	-1,5	-1,5		
Уровни звукового давления прямого звука от источника ИШ-4-2 в расчётной точке днём, дБ		**ф-ла(3)[10]**	**0**	**35,4**	**30,3**	**26,9**	**29**	**31,5**	**27**	**17**	**0**	**34,2**	**34,2**
Уровни звукового давления прямого звука от источника ИШ-4-2 в расчётной точке ночью, дБ		**ф-ла(3)[10]**	**0**	**35,4**	**30,3**	**26,9**	**29**	**31,5**	**27**	**17**	**0**	**34,2**	**34,2**
Расчёт отражённого звука													
Уровни звукового давления от мнимого источника ИШ-4-2_мн.(1) в расчётной точке днём, дБ		**ф-ла(3)[10]**	**0**	**0**	**0**	**0**	**0**	**0**	**0**	**0**	**0**	**0**	**0**
Уровни звукового давления от мнимого источника ИШ-4-2_мн.(1) в расчётной точке ночью, дБ		**ф-ла(3)[10]**	**0**	**0**	**0**	**0**	**0**	**0**	**0**	**0**	**0**	**0**	**0**
Уровни звукового давления от мнимого источника ИШ-4-2_мн.(2) в расчётной точке днём, дБ		**ф-ла(3)[10]**	**0**	**0**	**0**	**0**	**17,6**	**26,9**	**24,5**	**14,4**	**0**	**29,7**	**29,7**
Уровни звукового давления от мнимого источника ИШ-4-2_мн.(2) в расчётной точке ночью, дБ		**ф-ла(3)[10]**	**0**	**0**	**0**	**0**	**0**	**0**	**0**	**0**	**0**	**29,7**	**29,7**
Суммарные уровни звукового давления от мнимых источников в расчётной точке днём, дБ		**ф-ла (19) [1]**	**0**	**0**	**0**	**0**	**17,6**	**26,9**	**24,5**	**14,4**	**0**	**0**	**29,7**
Суммарные уровни звукового давления от мнимых источников в расчётной точке ночью, дБ		**ф-ла (19) [1]**	**0**	**0**	**0**	**0**	**17,6**	**26,9**	**24,5**	**14,4**	**0**	**0**	**29,7**
Уровни звукового давления от источника ИШ-4-2 в расчётной точке днём, дБ		**ф-ла(3)[10]**	**0**	**35,4**	**30,3**	**26,9**	**29,3**	**32,8**	**28,9**	**18,9**	**0**	**35,5**	**35,5**
Уровни звукового давления от источника ИШ-4-2 в расчётной точке ночью, дБ		**ф-ла(3)[10]**	**0**	**35,4**	**30,3**	**26,9**	**29,3**	**32,8**	**28,9**	**18,9**	**0**	**35,5**	**35,5**
Источник шума: ИШ-4-3, координаты источника (x,y,z), м =[152.61,172.66,1.00]													
Уровни звуковой мощности источника днём, Lw, дБ		**исходные данные**	**0**	**90,3**	**91,7**	**93**	**93,3**	**92,9**	**89,6**	**85,4**	**80,9**		
Уровни звуковой мощности источника ночью, Lw, дБ		**исходные данные**	**0**	**90,3**	**91,7**	**93**	**93,3**	**92,9**	**89,6**	**85,4**	**80,9**		

1		2	3	4	5	6	7	8	9	10	11	12	13
Поправка на телесный угол DΩ, дБ	Ω = 6.28	10Lg(4π/Ω)	**3**	3	3	3	3	3	3	3	3		
Показатель направленности источника Di, дБ		исходные данные	**0**	0	0	0	0	0	0	0	0		
Поправка на направленность источника Dc, дБ	Dc	DΩ + Di	**3**	3	3	3	3	3	3	3	3		
Затухание из-за геометрической дивергенции, Adiv, дБ	расстояние = 397.39 м	ф-ла (7) [10]	**63**										
Коэффициент затухания звука в атмосфере α, дБ/км	Ta=20,°C Pa=101.33,кПа hотн.=70%	ф-ла (5) [9]	0,02	0,09	0,33	1,12	2,79	4,98	9,04	23,09	77,63		
Учет затухания звука в атмосфере Aatm, дБ		ф-ла (8) [10]	0	0	0,1	0,4	1,1	2	3,6	9,2	30,9		
Снижение поверхностью земли возле источника As, дБ	Gs = 0 hs = 1м	ф-лы таб.3 [10]	-1,5	-1,5	-1,5	-1,5	-1,5	-1,5	-1,5	-1,5	-1,5		
Снижение поверхностью земли возле приёмника Ar, дБ	Gr = 1 hr = 1.6м	ф-лы таб.3 [10]	-1,5	-1,5	2,4	6,8	4,3	0,5	0	0	0		
Снижение поверхностью земли в средней зоне, Am дБ	Gm = 1	ф-лы таб.3 [10]	-2,4	-2,4	0	0	0	0	0	0	0		
Суммарное снижение поверхностью земли на траектории распространения звука Agr, дБ		ф-ла (9) [10]	-5,4	-5,4	0,9	5,3	2,8	-1	-1,5	-1,5	-1,5		
Уровни звукового давления прямого звука от источника ИШ-4-3 в расчётной точке днём, дБ		**ф-ла(3)[10]**	**0**	**35,7**	**30,7**	**27,2**	**29,4**	**31,9**	**27,5**	**17,7**	**0**	**34,6**	**34,6**
Уровни звукового давления прямого звука от источника ИШ-4-3 в расчётной точке ночью, дБ		**ф-ла(3)[10]**	**0**	**35,7**	**30,7**	**27,2**	**29,4**	**31,9**	**27,5**	**17,7**	**0**	**34,6**	**34,6**
Расчёт отражённого звука													
Уровни звукового давления от мнимого источника ИШ-4-3_мн.(1) в расчётной точке днём, дБ		**ф-ла(3)[10]**	**0**	**0**	**0**	**16,8**	**18**	**27,3**	**24,9**	**15,1**	**0**	**30,1**	**30,1**
Уровни звукового давления от мнимого источника ИШ-4-3_мн.(1) в расчётной точке ночью, дБ		**ф-ла(3)[10]**	**0**	**0**	**0**	**0**	**0**	**0**	**0**	**0**	**0**	**30,1**	**30,1**
Уровни звукового давления от источника ИШ-4-3 в расчётной точке днём, дБ		**ф-ла(3)[10]**	**0**	**35,7**	**30,7**	**27,6**	**29,7**	**33,2**	**29,4**	**19,6**	**0**	**35,9**	**35,9**
Уровни звукового давления от источника ИШ-4-3 в расчётной точке ночью, дБ		**ф-ла(3)[10]**	**0**	**35,7**	**30,7**	**27,6**	**29,7**	**33,2**	**29,4**	**19,6**	**0**	**35,9**	**35,9**

1		2	3	4	5	6	7	8	9	10	11	12	13
Источник шума: ИШ-4-4, координаты источника (x,y,z), м =[156.83,171.25,1.00]													
Уровни звуковой мощности источника днём, Lw, дБ		**исходные данные**	**0**	**90,3**	**91,7**	**93**	**93,3**	**92,9**	**89,6**	**85,4**	**80,9**		
Уровни звуковой мощности источника ночью, Lw, дБ		**исходные данные**	**0**	**90,3**	**91,7**	**93**	**93,3**	**92,9**	**89,6**	**85,4**	**80,9**		
Поправка на телесный угол DΩ, дБ	Ω = 6.28	10Lg(4π/Ω)	**3**	3	3	3	3	3	3	3	3		
Показатель направленности источника Di, дБ		исходные данные	**0**	0	0	0	0	0	0	0	0		
Поправка на направленность источника Dc, дБ	Dc	DΩ + Di	**3**	3	3	3	3	3	3	3	3		
Затухание из-за геометрической дивергенции, Adiv, дБ	расстояние = 394.83 м	ф-ла (7) [10]	**62,9**										
Коэффициент затухания звука в атмосфере α, дБ/км	Ta=20,°C Pa=101.33,кПа hотн.=70%	ф-ла (5) [9]	0,02	0,09	0,33	1,12	2,79	4,98	9,04	23,09	77,63		
Учет затухания звука в атмосфере Aatm, дБ		ф-ла (8) [10]	0	0	0,1	0,4	1,1	2	3,6	9,1	30,7		
Снижение поверхностью земли возле источника As, дБ	Gs = 0 hs = 1м	ф-лы таб.3 [10]	-1,5	-1,5	-1,5	-1,5	-1,5	-1,5	-1,5	-1,5	-1,5		
Снижение поверхностью земли возле приёмника Ar, дБ	Gr = 1 hr = 1.6м	ф-лы таб.3 [10]	-1,5	-1,5	2,4	6,8	4,3	0,5	0	0	0		
Снижение поверхностью земли в средней зоне, Am дБ	Gm = 1	ф-лы таб.3 [10]	-2,4	-2,4	0	0	0	0	0	0	0		
Суммарное снижение поверхностью земли на траектории распространения звука Agr, дБ		ф-ла (9) [10]	-5,4	-5,4	0,9	5,3	2,8	-1	-1,5	-1,5	-1,5		
Уровни звукового давления прямого звука от источника ИШ-4-4 в расчётной точке днём, дБ		**ф-ла(3)[10]**	**0**	**35,7**	**30,8**	**27,3**	**29,5**	**32**	**27,6**	**17,8**	**0**	**34,7**	**34,7**
Уровни звукового давления прямого звука от источника ИШ-4-4 в расчётной точке ночью, дБ		**ф-ла(3)[10]**	**0**	**35,7**	**30,8**	**27,3**	**29,5**	**32**	**27,6**	**17,8**	**0**	**34,7**	**34,7**
Расчёт отражённого звука													

1		2	3	4	5	6	7	8	9	10	11	12	13
Уровни звукового давления от мнимого источника ИШ-4-4_мн.(1) в расчётной точке днём, дБ		**ф-ла(3)[10]**	**0**	**0**	**0**	**16,9**	**18,1**	**27,4**	**25**	**15,2**	**0**	**30,2**	**30,2**
Уровни звукового давления от мнимого источника ИШ-4-4_мн.(1) в расчётной точке ночью, дБ		**ф-ла(3)[10]**	**0**	**0**	**0**	**0**	**0**	**0**	**0**	**0**	**0**	**30,2**	**30,2**
Уровни звукового давления от источника ИШ-4-4 в расчётной точке днём, дБ		**ф-ла(3)[10]**	**0**	**35,7**	**30,8**	**27,7**	**29,8**	**33,3**	**29,5**	**19,7**	**0**	**36**	**36**
Уровни звукового давления от источника ИШ-4-4 в расчётной точке ночью, дБ		**ф-ла(3)[10]**	**0**	**35,7**	**30,8**	**27,7**	**29,8**	**33,3**	**29,5**	**19,7**	**0**	**36**	**36**
Источник шума: ИШ-4-5, координаты источника (x,y,z), м =[126.48,222.66,11.00]													
Уровни звуковой мощности источника днём, Lw, дБ		**исходные данные**	**0**	**90,3**	**91,7**	**93**	**93,3**	**92,9**	**89,6**	**85,4**	**80,9**		
Уровни звуковой мощности источника ночью, Lw, дБ		**исходные данные**	**0**	**90,3**	**91,7**	**93**	**93,3**	**92,9**	**89,6**	**85,4**	**80,9**		
Поправка на телесный угол DΩ, дБ	Ω = 6.28	10Lg(4π/Ω)	**3**	3	3	3	3	3	3	3	3		
Показатель направленности источника Di, дБ		исходные данные	**0**	0	0	0	0	0	0	0	0		
Поправка на направленность источника Dc, дБ	Dc	DΩ + Di	**3**	3	3	3	3	3	3	3	3		
Затухание из-за геометрической дивергенции, Adiv, дБ	расстояние = 453.06 м	ф-ла (7) [10]	**64,1**										
Коэффициент затухания звука в атмосфере α, дБ/км	Ta=20,°C Pa=101.33,кПа hотн.=70%	ф-ла (5) [9]	0,02	0,09	0,33	1,12	2,79	4,98	9,04	23,09	77,63		
Учет затухания звука в атмосфере Aatm, дБ		ф-ла (8) [10]	0	0	0,2	0,5	1,3	2,3	4,1	10,5	35,2		
Снижение поверхностью земли возле источника As, дБ	Gs = 0 hs = 1м	ф-лы таб.3 [10]	-1,5	-1,5	-1,5	-1,5	-1,5	-1,5	-1,5	-1,5	-1,5		
Снижение поверхностью земли возле приёмника Ar, дБ	Gr = 1 hr = 1.6м	ф-лы таб.3 [10]	-1,5	-1,5	2,7	6,8	4,3	0,5	0	0	0		
Снижение поверхностью земли в средней зоне, Am дБ	Gm = 1	ф-лы таб.3 [10]	-2,5	-2,5	0	0	0	0	0	0	0		

1		2	3	4	5	6	7	8	9	10	11	12	13
Суммарное снижение поверхностью земли на траектории распространения звука Agr, дБ		ф-ла (9) [10]	-5,5	-5,5	1,2	5,3	2,8	-1	-1,5	-1,5	-1,5		
Уровни звукового давления прямого звука от источника ИШ-4-5 в расчётной точке днём, дБ		**ф-ла(3)[10]**	**0**	**34,6**	**29,2**	**26**	**28,1**	**30,5**	**25,9**	**15,3**	**0**	**33,2**	**33,2**
Уровни звукового давления прямого звука от источника ИШ-4-5 в расчётной точке ночью, дБ		**ф-ла(3)[10]**	**0**	**34,6**	**29,2**	**26**	**28,1**	**30,5**	**25,9**	**15,3**	**0**	**33,2**	**33,2**
Расчёт отражённого звука													
Уровни звукового давления от мнимого источника ИШ-4-5_мн.(1) в расчётной точке днём, дБ		**ф-ла(3)[10]**	**0**	**0**	**0**	**15,6**	**16,7**	**25,9**	**23,3**	**12,7**	**0**	**28,6**	**28,6**
Уровни звукового давления от мнимого источника ИШ-4-5_мн.(1) в расчётной точке ночью, дБ		**ф-ла(3)[10]**	**0**	**0**	**0**	**0**	**0**	**0**	**0**	**0**	**0**	**28,6**	**28,6**
Уровни звукового давления от источника ИШ-4-5 в расчётной точке днём, дБ		**ф-ла(3)[10]**	**0**	**34,6**	**29,2**	**26,4**	**28,4**	**31,8**	**27,8**	**17,2**	**0**	**34,5**	**34,5**
Уровни звукового давления от источника ИШ-4-5 в расчётной точке ночью, дБ		**ф-ла(3)[10]**	**0**	**34,6**	**29,2**	**26,4**	**28,4**	**31,8**	**27,8**	**17,2**	**0**	**34,5**	**34,5**
Источник шума: ИШ-4-6, координаты источника (x,y,z), м =[125.17,218.57,11.00]													
Уровни звуковой мощности источника днём, Lw, дБ		**исходные данные**	**0**	**90,3**	**91,7**	**93**	**93,3**	**92,9**	**89,6**	**85,4**	**80,9**		
Уровни звуковой мощности источника ночью, Lw, дБ		**исходные данные**	**0**	**90,3**	**91,7**	**93**	**93,3**	**92,9**	**89,6**	**85,4**	**80,9**		
Поправка на телесный угол DΩ, дБ	Ω = 6.28	10Lg(4π/Ω)	**3**	3	3	3	3	3	3	3	3		
Показатель направленности источника Di, дБ		исходные данные	**0**	0	0	0	0	0	0	0	0		
Поправка на направленность источника Dc, дБ	Dc	DΩ + Di	**3**	3	3	3	3	3	3	3	3		
Затухание из-за геометрической дивергенции, Adiv, дБ	расстояние = 449.60 м	ф-ла (7) [10]	**64,1**										
Коэффициент затухания звука в атмосфере α, дБ/км	Ta=20,°C Pa=101.33,кПа hотн.=70%	ф-ла (5) [9]	0,02	0,09	0,33	1,12	2,79	4,98	9,04	23,09	77,63		

1		2	3	4	5	6	7	8	9	10	11	12	13
Учет затухания звука в атмосфере Aatm, дБ		ф-ла (8) [10]	0	0	0,2	0,5	1,3	2,2	4,1	10,4	34,9		
Снижение поверхностью земли возле источника As, дБ	Gs = 0 hs = 1м	ф-лы таб.3 [10]	-1,5	-1,5	-1,5	-1,5	-1,5	-1,5	-1,5	-1,5	-1,5		
Снижение поверхностью земли возле приёмника Ar, дБ	Gr = 1 hr = 1.6м	ф-лы таб.3 [10]	-1,5	-1,5	2,7	6,8	4,3	0,5	0	0	0		
Снижение поверхностью земли в средней зоне, Am дБ	Gm = 1	ф-лы таб.3 [10]	-2,5	-2,5	0	0	0	0	0	0	0		
Суммарное снижение поверхностью земли на траектории распространения звука Agr, дБ		ф-ла (9) [10]	-5,5	-5,5	1,2	5,3	2,8	-1	-1,5	-1,5	-1,5		
Уровни звукового давления прямого звука от источника ИШ-4-6 в расчётной точке днём, дБ		**ф-ла(3)[10]**	**0**	**34,7**	**29,3**	**26,1**	**28,2**	**30,6**	**26**	**15,5**	**0**	**33,2**	**33,2**
Уровни звукового давления прямого звука от источника ИШ-4-6 в расчётной точке ночью, дБ		**ф-ла(3)[10]**	**0**	**34,7**	**29,3**	**26,1**	**28,2**	**30,6**	**26**	**15,5**	**0**	**33,2**	**33,2**
Расчёт отражённого звука													
Уровни звукового давления от мнимого источника ИШ-4-6_мн.(1) в расчётной точке днём, дБ		**ф-ла(3)[10]**	**0**	**0**	**0**	**0**	**16,8**	**26**	**23,4**	**12,8**	**0**	**28,7**	**28,7**
Уровни звукового давления от мнимого источника ИШ-4-6_мн.(1) в расчётной точке ночью, дБ		**ф-ла(3)[10]**	**0**	**0**	**0**	**0**	**0**	**0**	**0**	**0**	**0**	**28,7**	**28,7**
Уровни звукового давления от источника ИШ-4-6 в расчётной точке днём, дБ		**ф-ла(3)[10]**	**0**	**34,7**	**29,3**	**26,1**	**28,5**	**31,9**	**27,9**	**17,4**	**0**	**34,5**	**34,5**
Уровни звукового давления от источника ИШ-4-6 в расчётной точке ночью, дБ		**ф-ла(3)[10]**	**0**	**34,7**	**29,3**	**26,1**	**28,5**	**31,9**	**27,9**	**17,4**	**0**	**34,5**	**34,5**
Источник шума: ИШ-4-7, координаты источника (x,y,z), м =[177.91,257.92,11.00]													
Уровни звуковой мощности источника днём, Lw, дБ		**исходные данные**	**0**	**90,3**	**91,7**	**93**	**93,3**	**92,9**	**89,6**	**85,4**	**80,9**		
Уровни звуковой мощности источника ночью, Lw, дБ		**исходные данные**	**0**	**90,3**	**91,7**	**93**	**93,3**	**92,9**	**89,6**	**85,4**	**80,9**		
Поправка на телесный угол DΩ, дБ	Ω = 6.28	10Lg(4π/Ω)	**3**	3	3	3	3	3	3	3	3		
Показатель направленности источника Di, дБ		исходные данные	**0**	0	0	0	0	0	0	0	0		

1		2	3	4	5	6	7	8	9	10	11	12	13
Поправка на направленность источника Dc, дБ	Dc	DΩ + Di	**3**	3	3	3	3	3	3	3	3		
Затухание из-за геометрической дивергенции, Adiv, дБ	расстояние = 474.18 м	ф-ла (7) [10]	**64,5**										
Коэффициент затухания звука в атмосфере α, дБ/км	Ta=20,°C Pa=101.33,кПа hотн.=70%	ф-ла (5) [9]	0,02	0,09	0,33	1,12	2,79	4,98	9,04	23,09	77,63		
Учет затухания звука в атмосфере Aatm, дБ		ф-ла (8) [10]	0	0	0,2	0,5	1,3	2,4	4,3	10,9	36,8		
Снижение поверхностью земли возле источника As, дБ	Gs = 0 hs = 3м	ф-лы таб.3 [10]	-1,5	-1,5	-1,5	-1,5	-1,5	-1,5	-1,5	-1,5	-1,5		
Снижение поверхностью земли возле приёмника Ar, дБ	Gr = 1 hr = 1.6м	ф-лы таб.3 [10]	-1,5	-1,5	2,9	6,8	4,3	0,5	0	0	0		
Снижение поверхностью земли в средней зоне, Am дБ	Gm = 1	ф-лы таб.3 [10]	-2,1	-2,1	0	0	0	0	0	0	0		
Суммарное снижение поверхностью земли на траектории распространения звука Agr, дБ		ф-ла (9) [10]	-5,1	-5,1	1,4	5,3	2,8	-1	-1,5	-1,5	-1,5		
Уровни звукового давления прямого звука от источника ИШ-4-7 в расчётной точке днём, дБ		**ф-ла(3)[10]**	**0**	**33,9**	**28,7**	**25,6**	**27,6**	**30**	**25,3**	**14,4**	**0**	**32,6**	**32,6**
Уровни звукового давления прямого звука от источника ИШ-4-7 в расчётной точке ночью, дБ		**ф-ла(3)[10]**	**0**	**33,9**	**28,7**	**25,6**	**27,6**	**30**	**25,3**	**14,4**	**0**	**32,6**	**32,6**
Расчёт отражённого звука													
Уровни звукового давления от мнимого источника ИШ-4-7_мн.(1) в расчётной точке днём, дБ		**ф-ла(3)[10]**	**0**	**0**	**0**	**0**	**0**	**0**	**0**	**10,5**	**0**	**11,5**	**11,5**
Уровни звукового давления от мнимого источника ИШ-4-7_мн.(1) в расчётной точке ночью, дБ		**ф-ла(3)[10]**	**0**	**0**	**0**	**0**	**0**	**0**	**0**	**0**	**0**	**11,5**	**11,5**
Уровни звукового давления от мнимого источника ИШ-4-7_мн.(2) в расчётной точке днём, дБ		**ф-ла(3)[10]**	**0**	**0**	**23**	**19,2**	**24,9**	**27,5**	**22,7**	**11,8**	**0**	**29,9**	**29,9**
Уровни звукового давления от мнимого источника ИШ-4-7_мн.(2) в расчётной точке ночью, дБ		**ф-ла(3)[10]**	**0**	**0**	**0**	**0**	**0**	**0**	**0**	**0**	**0**	**29,9**	**29,9**
Суммарные уровни звукового давления от мнимых источников в расчётной точке днём, дБ		**ф-ла (19) [1]**	**0**	**0**	**23**	**19,2**	**24,9**	**27,5**	**22,7**	**14,2**	**0**	**0**	**30**
Суммарные уровни звукового давления от мнимых источников в расчётной точке ночью, дБ		**ф-ла (19) [1]**	**0**	**0**	**23**	**19,2**	**24,9**	**27,5**	**22,7**	**14,2**	**0**	**0**	**30**

1		2	3	4	5	6	7	8	9	10	11	12	13
Уровни звукового давления от источника ИШ-4-7 в расчётной точке днём, дБ		**ф-ла(3)[10]**	**0**	**33,9**	**29,7**	**26,5**	**29,5**	**31,9**	**27,2**	**17,3**	**0**	**34,5**	**34,5**
Уровни звукового давления от источника ИШ-4-7 в расчётной точке ночью, дБ		**ф-ла(3)[10]**	**0**	**33,9**	**29,7**	**26,5**	**29,5**	**31,9**	**27,2**	**17,3**	**0**	**34,5**	**34,5**
Источник шума: ИШ-4-8, координаты источника (x,y,z), м =[178.24,257.77,13.00]													
Уровни звуковой мощности источника днём, Lw, дБ		**исходные данные**	**0**	**90,3**	**91,7**	**93**	**93,3**	**92,9**	**89,6**	**85,4**	**80,9**		
Уровни звуковой мощности источника ночью, Lw, дБ		**исходные данные**	**0**	**90,3**	**91,7**	**93**	**93,3**	**92,9**	**89,6**	**85,4**	**80,9**		
Поправка на телесный угол DΩ, дБ	Ω = 6.28	10Lg(4π/Ω)	**3**	3	3	3	3	3	3	3	3		
Показатель направленности источника Di, дБ		исходные данные	**0**	0	0	0	0	0	0	0	0		
Поправка на направленность источника Dc, дБ	Dc	DΩ + Di	**3**	3	3	3	3	3	3	3	3		
Затухание из-за геометрической дивергенции, Adiv, дБ	расстояние = 474.01 м	ф-ла (7) [10]	**64,5**										
Коэффициент затухания звука в атмосфере α, дБ/км	Ta=20,°C Pa=101.33,кПа hотн.=70%	ф-ла (5) [9]	0,02	0,09	0,33	1,12	2,79	4,98	9,04	23,09	77,63		
Учет затухания звука в атмосфере Aatm, дБ		ф-ла (8) [10]	0	0	0,2	0,5	1,3	2,4	4,3	10,9	36,8		
Снижение поверхностью земли возле источника As, дБ	Gs = 0 hs = 5м	ф-лы таб.3 [10]	-1,5	-1,5	-1,5	-1,5	-1,5	-1,5	-1,5	-1,5	-1,5		
Снижение поверхностью земли возле приёмника Ar, дБ	Gr = 1 hr = 1.6м	ф-лы таб.3 [10]	-1,5	-1,5	2,9	6,8	4,3	0,5	0	0	0		
Снижение поверхностью земли в средней зоне, Am дБ	Gm = 1	ф-лы таб.3 [10]	-1,7	-1,7	0	0	0	0	0	0	0		
Суммарное снижение поверхностью земли на траектории распространения звука Agr, дБ		ф-ла (9) [10]	-4,7	-4,7	1,4	5,3	2,8	-1	-1,5	-1,5	-1,5		
Уровни звукового давления прямого звука от источника ИШ-4-8 в расчётной точке днём, дБ		**ф-ла(3)[10]**	**0**	**33,5**	**28,7**	**25,6**	**27,6**	**30**	**25,3**	**14,4**	**0**	**32,6**	**32,6**

1		2	3	4	5	6	7	8	9	10	11	12	13
Уровни звукового давления прямого звука от источника ИШ-4-8 в расчётной точке ночью, дБ		**ф-ла(3)[10]**	**0**	**33,5**	**28,7**	**25,6**	**27,6**	**30**	**25,3**	**14,4**	**0**	**32,6**	**32,6**
Расчёт отражённого звука													
Уровни звукового давления от мнимого источника ИШ-4-8_мн.(1) в расчётной точке днём, дБ		**ф-ла(3)[10]**	**0**	**0**	**22,8**	**22,2**	**25,1**	**27,5**	**22,7**	**11,8**	**0**	**30**	**30**
Уровни звукового давления от мнимого источника ИШ-4-8_мн.(1) в расчётной точке ночью, дБ		**ф-ла(3)[10]**	**0**	**0**	**0**	**0**	**0**	**0**	**0**	**0**	**0**	**30**	**30**
Уровни звукового давления от источника ИШ-4-8 в расчётной точке днём, дБ		**ф-ла(3)[10]**	**0**	**33,5**	**29,7**	**27,2**	**29,6**	**31,9**	**27,2**	**16,3**	**0**	**34,5**	**34,5**
Уровни звукового давления от источника ИШ-4-8 в расчётной точке ночью, дБ		**ф-ла(3)[10]**	**0**	**33,5**	**29,7**	**27,2**	**29,6**	**31,9**	**27,2**	**16,3**	**0**	**34,5**	**34,5**
Источник шума: ИШ-4-9, координаты источника (x,y,z), м =[178.68,257.63,15.50]													
Уровни звуковой мощности источника днём, Lw, дБ		**исходные данные**	**0**	**90,3**	**91,7**	**93**	**93,3**	**92,9**	**89,6**	**85,4**	**80,9**		
Уровни звуковой мощности источника ночью, Lw, дБ		**исходные данные**	**0**	**90,3**	**91,7**	**93**	**93,3**	**92,9**	**89,6**	**85,4**	**80,9**		
Поправка на телесный угол DΩ, дБ	Ω = 6.28	10Lg(4π/Ω)	**3**	3	3	3	3	3	3	3	3		
Показатель направленности источника Di, дБ		исходные данные	**0**	0	0	0	0	0	0	0	0		
Поправка на направленность источника Dc, дБ	Dc	DΩ + Di	**3**	3	3	3	3	3	3	3	3		
Затухание из-за геометрической дивергенции, Adiv, дБ	расстояние = 473.86 м	ф-ла (7) [10]	**64,5**										
Коэффициент затухания звука в атмосфере α, дБ/км	Ta=20,°C Pa=101.33,кПа hотн.=70%	ф-ла (5) [9]	0,02	0,09	0,33	1,12	2,79	4,98	9,04	23,09	77,63		
Учет затухания звука в атмосфере Aatm, дБ		ф-ла (8) [10]	0	0	0,2	0,5	1,3	2,4	4,3	10,9	36,8		
Снижение поверхностью земли возле источника As, дБ	Gs = 0 hs = 7.5м	ф-лы таб.3 [10]	-1,5	-1,5	-1,5	-1,5	-1,5	-1,5	-1,5	-1,5	-1,5		

1		2	3	4	5	6	7	8	9	10	11	12	13
Снижение поверхностью земли возле приёмника Ar, дБ	Gr = 1 hr = 1.6м	ф-лы таб.3 [10]	-1,5	-1,5	2,9	6,8	4,3	0,5	0	0	0		
Снижение поверхностью земли в средней зоне, Am дБ	Gm = 1	ф-лы таб.3 [10]	-1,3	-1,3	0	0	0	0	0	0	0		
Суммарное снижение поверхностью земли на траектории распространения звука Agr, дБ		ф-ла (9) [10]	-4,3	-4,3	1,4	5,3	2,8	-1	-1,5	-1,5	-1,5		
Уровни звукового давления прямого звука от источника ИШ-4-9 в расчётной точке днём, дБ		**ф-ла(3)[10]**	**0**	**33**	**28,7**	**25,6**	**27,6**	**30**	**25,3**	**14,4**	**0**	**32,6**	**32,6**
Уровни звукового давления прямого звука от источника ИШ-4-9 в расчётной точке ночью, дБ		**ф-ла(3)[10]**	**0**	**33**	**28,7**	**25,6**	**27,6**	**30**	**25,3**	**14,4**	**0**	**32,6**	**32,6**
Расчёт отражённого звука													
Уровни звукового давления от мнимого источника ИШ-4-9_мн.(1) в расчётной точке днём, дБ		**ф-ла(3)[10]**	**0**	**0**	**24,7**	**23**	**25,1**	**27,5**	**22,7**	**11,8**	**0**	**30,1**	**30,1**
Уровни звукового давления от мнимого источника ИШ-4-9_мн.(1) в расчётной точке ночью, дБ		**ф-ла(3)[10]**	**0**	**0**	**0**	**0**	**0**	**0**	**0**	**0**	**0**	**30,1**	**30,1**
Уровни звукового давления от источника ИШ-4-9 в расчётной точке днём, дБ		**ф-ла(3)[10]**	**0**	**33**	**30,1**	**27,5**	**29,6**	**31,9**	**27,2**	**16,3**	**0**	**34,6**	**34,6**
Уровни звукового давления от источника ИШ-4-9 в расчётной точке ночью, дБ		**ф-ла(3)[10]**	**0**	**33**	**30,1**	**27,5**	**29,6**	**31,9**	**27,2**	**16,3**	**0**	**34,6**	**34,6**
Источник шума: ИШ-4-10, координаты источника (x,y,z), м =[185.65,255.31,11.00]													
Уровни звуковой мощности источника днём, Lw, дБ		**исходные данные**	**0**	**90,3**	**91,7**	**93**	**93,3**	**92,9**	**89,6**	**85,4**	**80,9**		
Уровни звуковой мощности источника ночью, Lw, дБ		**исходные данные**	**0**	**90,3**	**91,7**	**93**	**93,3**	**92,9**	**89,6**	**85,4**	**80,9**		
Поправка на телесный угол DΩ, дБ	Ω = 6.28	10Lg(4π/Ω)	**3**	3	3	3	3	3	3	3	3		
Показатель направленности источника Di, дБ		исходные данные	**0**	0	0	0	0	0	0	0	0		
Поправка на направленность источника Dc, дБ	Dc	DΩ + Di	**3**	3	3	3	3	3	3	3	3		
Затухание из-за геометрической дивергенции, Adiv, дБ	расстояние = 470.18 м	ф-ла (7) [10]	**64,4**										

1		2	3	4	5	6	7	8	9	10	11	12	13
Коэффициент затухания звука в атмосфере α, дБ/км	Ta=20,°C Pa=101.33,кПа hотн.=70%	ф-ла (5) [9]	0,02	0,09	0,33	1,12	2,79	4,98	9,04	23,09	77,63		
Учет затухания звука в атмосфере Aatm, дБ		ф-ла (8) [10]	0	0	0,2	0,5	1,3	2,3	4,3	10,9	36,5		
Снижение поверхностью земли возле источника As, дБ	Gs = 0 hs = 3м	ф-лы таб.3 [10]	-1,5	-1,5	-1,5	-1,5	-1,5	-1,5	-1,5	-1,5	-1,5		
Снижение поверхностью земли возле приёмника Ar, дБ	Gr = 1 hr = 1.6м	ф-лы таб.3 [10]	-1,5	-1,5	2,8	6,8	4,3	0,5	0	0	0		
Снижение поверхностью земли в средней зоне, Am дБ	Gm = 1	ф-лы таб.3 [10]	-2,1	-2,1	0	0	0	0	0	0	0		
Суммарное снижение поверхностью земли на траектории распространения звука Agr, дБ		ф-ла (9) [10]	-5,1	-5,1	1,3	5,3	2,8	-1	-1,5	-1,5	-1,5		
Уровни звукового давления прямого звука от источника ИШ-4-10 в расчётной точке днём, дБ		**ф-ла(3)[10]**	**0**	**33,9**	**28,8**	**25,7**	**27,7**	**30,1**	**25,4**	**14,6**	**0**	**32,7**	**32,7**
Уровни звукового давления прямого звука от источника ИШ-4-10 в расчётной точке ночью, дБ		**ф-ла(3)[10]**	**0**	**33,9**	**28,8**	**25,7**	**27,7**	**30,1**	**25,4**	**14,6**	**0**	**32,7**	**32,7**
Расчёт отражённого звука													
Уровни звукового давления от мнимого источника ИШ-4-10_мн.(1) в расчётной точке днём, дБ		**ф-ла(3)[10]**	**0**	**0**	**0**	**0**	**0**	**0**	**0**	**0**	**0**	**0**	**0**
Уровни звукового давления от мнимого источника ИШ-4-10_мн.(1) в расчётной точке ночью, дБ		**ф-ла(3)[10]**	**0**	**0**	**0**	**0**	**0**	**0**	**0**	**0**	**0**	**0**	**0**
Уровни звукового давления от мнимого источника ИШ-4-10_мн.(2) в расчётной точке днём, дБ		**ф-ла(3)[10]**	**0**	**32,9**	**23,1**	**19,3**	**25**	**27,5**	**22,8**	**12**	**0**	**30,1**	**30,1**
Уровни звукового давления от мнимого источника ИШ-4-10_мн.(2) в расчётной точке ночью, дБ		**ф-ла(3)[10]**	**32,9**	**32,9**	**32,9**	**32,9**	**32,9**	**32,9**	**32,9**	**32,9**	**32,9**	**30,1**	**30,1**
Суммарные уровни звукового давления от мнимых источников в расчётной точке днём, дБ		**ф-ла (19) [1]**	**0**	**32,9**	**23,1**	**19,3**	**25**	**27,5**	**22,8**	**12**	**0**	**0**	**30,1**
Суммарные уровни звукового давления от мнимых источников в расчётной точке ночью, дБ		**ф-ла (19) [1]**	**0**	**32,9**	**23,1**	**19,3**	**25**	**27,5**	**22,8**	**12**	**0**	**0**	**30,1**
Уровни звукового давления от источника ИШ-4-10 в расчётной точке днём, дБ		**ф-ла(3)[10]**	**0**	**36,4**	**29,8**	**26,6**	**29,6**	**32**	**27,3**	**16,5**	**0**	**34,6**	**34,6**
Уровни звукового давления от источника ИШ-4-10 в расчётной точке ночью, дБ		**ф-ла(3)[10]**	**0**	**36,4**	**29,8**	**26,6**	**29,6**	**32**	**27,3**	**16,5**	**0**	**34,6**	**34,6**

1		2	3	4	5	6	7	8	9	10	11	12	13
Источник шума: ИШ-4-11, координаты источника (x,y,z), м =[185.89,255.16,13.00]													
Уровни звуковой мощности источника днём, Lw, дБ		**исходные данные**	**0**	**90,3**	**91,7**	**93**	**93,3**	**92,9**	**89,6**	**85,4**	**80,9**		
Уровни звуковой мощности источника ночью, Lw, дБ		**исходные данные**	**0**	**90,3**	**91,7**	**93**	**93,3**	**92,9**	**89,6**	**85,4**	**80,9**		
Поправка на телесный угол DΩ, дБ	Ω = 6.28	10Lg(4π/Ω)	**3**	3	3	3	3	3	3	3	3		
Показатель направленности источника Di, дБ		исходные данные	**0**	0	0	0	0	0	0	0	0		
Поправка на направленность источника Dc, дБ	Dc	DΩ + Di	**3**	3	3	3	3	3	3	3	3		
Затухание из-за геометрической дивергенции, Adiv, дБ	расстояние = 470.04 м	ф-ла (7) [10]	**64,4**										
Коэффициент затухания звука в атмосфере α, дБ/км	Ta=20,°C Pa=101.33,кПа hотн.=70%	ф-ла (5) [9]	0,02	0,09	0,33	1,12	2,79	4,98	9,04	23,09	77,63		
Учет затухания звука в атмосфере Aatm, дБ		ф-ла (8) [10]	0	0	0,2	0,5	1,3	2,3	4,2	10,9	36,5		
Снижение поверхностью земли возле источника As, дБ	Gs = 0 hs = 5м	ф-лы таб.3 [10]	-1,5	-1,5	-1,5	-1,5	-1,5	-1,5	-1,5	-1,5	-1,5		
Снижение поверхностью земли возле приёмника Ar, дБ	Gr = 1 hr = 1.6м	ф-лы таб.3 [10]	-1,5	-1,5	2,8	6,8	4,3	0,5	0	0	0		
Снижение поверхностью земли в средней зоне, Am дБ	Gm = 1	ф-лы таб.3 [10]	-1,7	-1,7	0	0	0	0	0	0	0		
Суммарное снижение поверхностью земли на траектории распространения звука Agr, дБ		ф-ла (9) [10]	-4,7	-4,7	1,3	5,3	2,8	-1	-1,5	-1,5	-1,5		
Уровни звукового давления прямого звука от источника ИШ-4-11 в расчётной точке днём, дБ		**ф-ла(3)[10]**	**0**	**33,5**	**28,8**	**25,7**	**27,7**	**30,1**	**25,4**	**14,6**	**0**	**32,7**	**32,7**
Уровни звукового давления прямого звука от источника ИШ-4-11 в расчётной точке ночью, дБ		**ф-ла(3)[10]**	**0**	**33,5**	**28,8**	**25,7**	**27,7**	**30,1**	**25,4**	**14,6**	**0**	**32,7**	**32,7**
Расчёт отражённого звука													

1		2	3	4	5	6	7	8	9	10	11	12	13
Уровни звукового давления от мнимого источника ИШ-4-11_мн.(1) в расчётной точке днём, дБ		**ф-ла(3)[10]**	**0**	**32,5**	**22,9**	**22,2**	**25,2**	**27,6**	**22,8**	**12**	**0**	**30,1**	**30,1**
Уровни звукового давления от мнимого источника ИШ-4-11_мн.(1) в расчётной точке ночью, дБ		**ф-ла(3)[10]**	**0**	**0**	**0**	**0**	**0**	**0**	**0**	**0**	**0**	**30,1**	**30,1**
Уровни звукового давления от источника ИШ-4-11 в расчётной точке днём, дБ		**ф-ла(3)[10]**	**0**	**36,1**	**29,8**	**27,3**	**29,6**	**32**	**27,3**	**16,5**	**0**	**34,6**	**34,6**
Уровни звукового давления от источника ИШ-4-11 в расчётной точке ночью, дБ		**ф-ла(3)[10]**	**0**	**36,1**	**29,8**	**27,3**	**29,6**	**32**	**27,3**	**16,5**	**0**	**34,6**	**34,6**
Источник шума: ИШ-4-12, координаты источника (x,y,z), м =[186.18,255.02,15.50]													
Уровни звуковой мощности источника днём, Lw, дБ		**исходные данные**	**0**	**90,3**	**91,7**	**93**	**93,3**	**92,9**	**89,6**	**85,4**	**80,9**		
Уровни звуковой мощности источника ночью, Lw, дБ		**исходные данные**	**0**	**90,3**	**91,7**	**93**	**93,3**	**92,9**	**89,6**	**85,4**	**80,9**		
Поправка на телесный угол DΩ, дБ	Ω = 6.28	10Lg(4π/Ω)	**3**	3	3	3	3	3	3	3	3		
Показатель направленности источника Di, дБ		исходные данные	**0**	0	0	0	0	0	0	0	0		
Поправка на направленность источника Dc, дБ	Dc	DΩ + Di	**3**	3	3	3	3	3	3	3	3		
Затухание из-за геометрической дивергенции, Adiv, дБ	расстояние = 469.92 м	ф-ла (7) [10]	**64,4**										
Коэффициент затухания звука в атмосфере α, дБ/км	Ta=20,°C Pa=101.33,кПа hотн.=70%	ф-ла (5) [9]	0,02	0,09	0,33	1,12	2,79	4,98	9,04	23,09	77,63		
Учет затухания звука в атмосфере Aatm, дБ		ф-ла (8) [10]	0	0	0,2	0,5	1,3	2,3	4,2	10,8	36,5		
Снижение поверхностью земли возле источника As, дБ	Gs = 0 hs = 7.5м	ф-лы таб.3 [10]	-1,5	-1,5	-1,5	-1,5	-1,5	-1,5	-1,5	-1,5	-1,5		
Снижение поверхностью земли возле приёмника Ar, дБ	Gr = 1 hr = 1.6м	ф-лы таб.3 [10]	-1,5	-1,5	2,8	6,8	4,3	0,5	0	0	0		
Снижение поверхностью земли в средней зоне, Am дБ	Gm = 1	ф-лы таб.3 [10]	-1,3	-1,3	0	0	0	0	0	0	0		

1		2	3	4	5	6	7	8	9	10	11	12	13
Суммарное снижение поверхностью земли на траектории распространения звука Agr, дБ		ф-ла (9) [10]	-4,3	-4,3	1,3	5,3	2,8	-1	-1,5	-1,5	-1,5		
Уровни звукового давления прямого звука от источника ИШ-4-12 в расчётной точке днём, дБ		**ф-ла(3)[10]**	**0**	**33,1**	**28,8**	**25,7**	**27,7**	**30,1**	**25,4**	**14,6**	**0**	**32,7**	**32,7**
Уровни звукового давления прямого звука от источника ИШ-4-12 в расчётной точке ночью, дБ		**ф-ла(3)[10]**	**0**	**33,1**	**28,8**	**25,7**	**27,7**	**30,1**	**25,4**	**14,6**	**0**	**32,7**	**32,7**
Расчёт отражённого звука													
Уровни звукового давления от мнимого источника ИШ-4-12_мн.(1) в расчётной точке днём, дБ		**ф-ла(3)[10]**	**0**	**32**	**24,8**	**23,1**	**25,2**	**27,6**	**22,8**	**12**	**0**	**30,2**	**30,2**
Уровни звукового давления от мнимого источника ИШ-4-12_мн.(1) в расчётной точке ночью, дБ		**ф-ла(3)[10]**	**0**	**0**	**0**	**0**	**0**	**0**	**0**	**0**	**0**	**30,2**	**30,2**
Уровни звукового давления от источника ИШ-4-12 в расчётной точке днём, дБ		**ф-ла(3)[10]**	**0**	**35,6**	**30,2**	**27,6**	**29,6**	**32**	**27,3**	**16,5**	**0**	**34,7**	**34,7**
Уровни звукового давления от источника ИШ-4-12 в расчётной точке ночью, дБ		**ф-ла(3)[10]**	**0**	**35,6**	**30,2**	**27,6**	**29,6**	**32**	**27,3**	**16,5**	**0**	**34,7**	**34,7**
Источник шума: ИШ-4-13, координаты источника (x,y,z), м =[94.56,229.10,1.00]													
Уровни звуковой мощности источника днём, Lw, дБ		**исходные данные**	**0**	**81,3**	**82,7**	**84**	**84,3**	**83,9**	**80,6**	**76,4**	**71,9**		
Уровни звуковой мощности источника ночью, Lw, дБ		**исходные данные**	**0**	**81,3**	**82,7**	**84**	**84,3**	**83,9**	**80,6**	**76,4**	**71,9**		
Поправка на телесный угол DΩ, дБ	Ω = 6.28	10Lg(4π/Ω)	**3**	3	3	3	3	3	3	3	3		
Показатель направленности источника Di, дБ		исходные данные	**0**	0	0	0	0	0	0	0	0		
Поправка на направленность источника Dc, дБ	Dc	DΩ + Di	**3**	3	3	3	3	3	3	3	3		
Затухание из-за геометрической дивергенции, Adiv, дБ	расстояние = 469.95 м	ф-ла (7) [10]	**64,4**										
Коэффициент затухания звука в атмосфере α, дБ/км	Ta=20,°C Pa=101.33,кПа hотн.=70%	ф-ла (5) [9]	0,02	0,09	0,33	1,12	2,79	4,98	9,04	23,09	77,63		

1		2	3	4	5	6	7	8	9	10	11	12	13
Учет затухания звука в атмосфере Aatm, дБ		ф-ла (8) [10]	0	0	0,2	0,5	1,3	2,3	4,2	10,8	36,5		
Снижение уровня звукового давления из-за влияния застройки между источником шума и расчетной точкой													
Снижение уровня звукового давления на пути над экраном, Dz1, дБ	z = 3.77м (разность путей)	ф-лы (14-18) [10]	12,1	16	20,1	23,7	26,9	30	33	36	39		
Снижение уровня звукового давления на пути слева от экрана, Dz2, дБ	z = 112.29м (разность путей)	ф-лы (14-18) [10]	30,7	33,9	36,9	40	43	46	49	52	55		
Снижение уровня звукового давления на пути справа от экрана, Dz3, дБ	z = 5.40м (разность путей)	ф-лы (14-18) [10]	13,6	16,3	19,2	22,1	25,1	28,1	31,1	34,1	37,1		
Общее снижение уровня звука препятствием Dz, дБ		Эн.сумма(-Dzi)	9,8	13,1	16,6	19,8	22,8	25,9	28,9	31,9	34,9		
Общее снижение уровня звука препятствием с учётом ограничения (25 дБ) для октавных полос Dz, дБ		Раздел 7.4 [10]	9,8	13,1	16,6	19,8	22,8	25	25	25	25		
Уровни звукового давления от источника ИШ-4-13 в расчётной точке днём, дБ		**ф-ла(3)[10]**	**0**	**6,7**	**4,5**	**2,2**	**0**	**0**	**0**	**0**	**0**	**0**	**0**
Уровни звукового давления от источника ИШ-4-13 в расчётной точке ночью, дБ		**ф-ла(3)[10]**	**0**	**6,7**	**4,5**	**2,2**	**0**	**0**	**0**	**0**	**0**	**0**	**0**
Источник шума: ИШ-4-14, координаты источника (x,y,z), м =[91.88,221.30,1.00]													
Уровни звуковой мощности источника днём, Lw, дБ		**исходные данные**	**0**	**81,3**	**82,7**	**84**	**84,3**	**83,9**	**80,6**	**76,4**	**71,9**		
Уровни звуковой мощности источника ночью, Lw, дБ		**исходные данные**	**0**	**81,3**	**82,7**	**84**	**84,3**	**83,9**	**80,6**	**76,4**	**71,9**		
Поправка на телесный угол DΩ, дБ	Ω = 6.28	10Lg(4π/Ω)	**3**	3	3	3	3	3	3	3	3		
Показатель направленности источника Di, дБ		исходные данные	**0**	0	0	0	0	0	0	0	0		
Поправка на направленность источника Dc, дБ	Dc	DΩ + Di	**3**	3	3	3	3	3	3	3	3		
Затухание из-за геометрической дивергенции, Adiv, дБ	расстояние = 463.74 м	ф-ла (7) [10]	**64,3**										

1		2	3	4	5	6	7	8	9	10	11	12	13
Коэффициент затухания звука в атмосфере α, дБ/км	Та=20,°С Ра=101.33,кПа hотн.=70%	ф-ла (5) [9]	0,02	0,09	0,33	1,12	2,79	4,98	9,04	23,09	77,63		
Учет затухания звука в атмосфере Aatm, дБ		ф-ла (8) [10]	0	0	0,2	0,5	1,3	2,3	4,2	10,7	36		
Снижение уровня звукового давления из-за влияния застройки между источником шума и расчетной точкой													
Снижение уровня звукового давления на пути над экраном, Dz1, дБ	z = 3.78м (разность путей)	ф-лы (14-18) [10]	11,8	15,3	19,6	23,5	26,9	30	33	36	39		
Снижение уровня звукового давления на пути слева от экрана, Dz2, дБ	z = 126.72м (разность путей)	ф-лы (14-18) [10]	31,2	34,4	37,5	40,5	43,5	46,5	49,5	52,5	55,5		
Снижение уровня звукового давления на пути справа от экрана, Dz3, дБ	z = 3.54м (разность путей)	ф-лы (14-18) [10]	12,1	14,7	17,4	20,3	23,2	26,2	29,2	32,2	35,2		
Общее снижение уровня звука препятствием Dz, дБ		Эн.сумма(-Dzi)	8,9	11,9	15,3	18,6	21,6	24,7	27,7	30,7	33,7		
Общее снижение уровня звука препятствием с учётом ограничения (25 дБ) для октавных полос Dz, дБ		Раздел 7.4 [10]	8,9	11,9	15,3	18,6	21,6	24,7	25	25	25		
Уровни звукового давления от источника ИШ-4-14 в расчётной точке днём, дБ		**ф-ла(3)[10]**	**0**	**8**	**5,9**	**3,6**	**0**	**0**	**0**	**0**	**0**	**0**	**0**
Уровни звукового давления от источника ИШ-4-14 в расчётной точке ночью, дБ		**ф-ла(3)[10]**	**0**	**8**	**5,9**	**3,6**	**0**	**0**	**0**	**0**	**0**	**0**	**0**
Источник шума: ИШ-5-1, координаты источника (x,y,z), м =[626.70,162.36,1.00]													
Уровни звуковой мощности источника днём, Lw, дБ		**исходные данные**	**0**	**93,3**	**94,7**	**96**	**96,3**	**95,9**	**92,6**	**88,4**	**83,9**		
Уровни звуковой мощности источника ночью, Lw, дБ		**исходные данные**	**0**	**93,3**	**94,7**	**96**	**96,3**	**95,9**	**92,6**	**88,4**	**83,9**		
Поправка на телесный угол DΩ, дБ	Ω = 6.28	10Lg($4\pi/\Omega$)	**3**	3	3	3	3	3	3	3	3		
Показатель направленности источника Di, дБ		исходные данные	**0**	0	0	0	0	0	0	0	0		
Поправка на направленность источника Dc, дБ	Dc	DΩ + Di	**3**	3	3	3	3	3	3	3	3		

1		2	3	4	5	6	7	8	9	10	11	12	13
Затухание из-за геометрической дивергенции, Adiv, дБ	расстояние = 514.62 м	ф-ла (7) [10]	**65,2**										
Коэффициент затухания звука в атмосфере α, дБ/км	Ta=20,°C Pa=101.33,кПа hотн.=70%	ф-ла (5) [9]	0,02	0,09	0,33	1,12	2,79	4,98	9,04	23,09	77,63		
Учет затухания звука в атмосфере Aatm, дБ		ф-ла (8) [10]	0	0	0,2	0,6	1,4	2,6	4,7	11,9	40		
Снижение уровня звукового давления из-за влияния застройки между источником шума и расчетной точкой													
Снижение уровня звукового давления на пути над экраном, Dz1, дБ	z = 0.06м (разность путей)	ф-лы (14-18) [10]	4,8	4,8	4,8	4,8	4,8	4,8	4,9	5,1	5,4		
Снижение уровня звукового давления на пути слева от экрана, Dz2, дБ	z = 1.49м (разность путей)	ф-лы (14-18) [10]	9,3	11,5	14	16,7	19,6	22,5	25,5	28,5	31,5		
Снижение уровня звукового давления на пути справа от экрана, Dz3, дБ	z = 0.00м (разность путей)	ф-лы (14-18) [10]	4,8	4,8	4,8	4,9	4,9	5,1	5,4	6	6,9		
Общее снижение уровня звука препятствием Dz, дБ		Эн.сумма(-Dzi)	1,1	1,3	1,5	1,7	1,8	1,9	2,1	2,5	3,1		
Уровни звукового давления от источника ИШ-5-1 в расчётной точке днём, дБ		**ф-ла(3)[10]**	**0**	**29,7**	**30,8**	**31,5**	**30,8**	**29,2**	**23,6**	**11,8**	**0**	**32,9**	**32,9**
Уровни звукового давления от источника ИШ-5-1 в расчётной точке ночью, дБ		**ф-ла(3)[10]**	**0**	**29,7**	**30,8**	**31,5**	**30,8**	**29,2**	**23,6**	**11,8**	**0**	**32,9**	**32,9**
Источник шума: ИШ-5-2, координаты источника (x,y,z), м =[625.81,159.52,1.00]													
Уровни звуковой мощности источника днём, Lw, дБ		**исходные данные**	**0**	**93,3**	**94,7**	**96**	**96,3**	**95,9**	**92,6**	**88,4**	**83,9**		
Уровни звуковой мощности источника ночью, Lw, дБ		**исходные данные**	**0**	**93,3**	**94,7**	**96**	**96,3**	**95,9**	**92,6**	**88,4**	**83,9**		
Поправка на телесный угол DΩ, дБ	Ω = 6.28	10Lg($4\pi/\Omega$)	**3**	3	3	3	3	3	3	3	3		
Показатель направленности источника Di, дБ		исходные данные	**0**	0	0	0	0	0	0	0	0		
Поправка на направленность источника Dc, дБ	Dc	DΩ + Di	**3**	3	3	3	3	3	3	3	3		

1		2	3	4	5	6	7	8	9	10	11	12	13
Затухание из-за геометрической дивергенции, Adiv, дБ	расстояние = 511.96 м	ф-ла (7) [10]	**65,2**										
Коэффициент затухания звука в атмосфере α, дБ/км	Ta=20,°C Pa=101.33,кПа hотн.=70%	ф-ла (5) [9]	0,02	0,09	0,33	1,12	2,79	4,98	9,04	23,09	77,63		
Учет затухания звука в атмосфере Aatm, дБ		ф-ла (8) [10]	0	0	0,2	0,6	1,4	2,5	4,6	11,8	39,7		
Снижение уровня звукового давления из-за влияния застройки между источником шума и расчетной точкой													
Снижение уровня звукового давления на пути над экраном, Dz1, дБ	z = 0.07м (разность путей)	ф-лы (14-18) [10]	4,8	4,8	4,8	4,8	4,8	4,9	5	5,2	5,6		
Снижение уровня звукового давления на пути слева от экрана, Dz2, дБ	z = 1.31м (разность путей)	ф-лы (14-18) [10]	8,9	11	13,5	16,2	19	21,9	24,9	27,9	30,9		
Снижение уровня звукового давления на пути справа от экрана, Dz3, дБ	z = 0.02м (разность путей)	ф-лы (14-18) [10]	4,9	5	5,2	5,6	6,3	7,4	9	11,1	13,6		
Общее снижение уровня звука препятствием Dz, дБ		Эн.сумма(-Dzi)	1	1,4	1,7	2	2,4	2,9	3,5	4,2	5		
Уровни звукового давления от источника ИШ-5-2 в расчётной точке днём, дБ		**ф-ла(3)[10]**	**0**	**29,7**	**30,7**	**31,2**	**30,3**	**28,3**	**22,3**	**10,2**	**0**	**32,1**	**32,1**
Уровни звукового давления от источника ИШ-5-2 в расчётной точке ночью, дБ		**ф-ла(3)[10]**	**0**	**29,7**	**30,7**	**31,2**	**30,3**	**28,3**	**22,3**	**10,2**	**0**	**32,1**	**32,1**
Источник шума: ИШ-5-3, координаты источника (x,y,z), м =[624.84,156.69,1.00]													
Уровни звуковой мощности источника днём, Lw, дБ		**исходные данные**	**0**	**93,3**	**94,7**	**96**	**96,3**	**95,9**	**92,6**	**88,4**	**83,9**		
Уровни звуковой мощности источника ночью, Lw, дБ		**исходные данные**	**0**	**93,3**	**94,7**	**96**	**96,3**	**95,9**	**92,6**	**88,4**	**83,9**		
Поправка на телесный угол DΩ, дБ	Ω = 6.28	10Lg(4π/Ω)	**3**	3	3	3	3	3	3	3	3		
Показатель направленности источника Di, дБ		исходные данные	**0**	0	0	0	0	0	0	0	0		
Поправка на направленность источника Dc, дБ	Dc	DΩ + Di	**3**	3	3	3	3	3	3	3	3		

1		2	3	4	5	6	7	8	9	10	11	12	13
Затухание из-за геометрической дивергенции, Adiv, дБ	расстояние = 509.26 м	ф-ла (7) [10]	**65,1**										
Коэффициент затухания звука в атмосфере α, дБ/км	Ta=20,°C Pa=101.33,кПа hотн.=70%	ф-ла (5) [9]	0,02	0,09	0,33	1,12	2,79	4,98	9,04	23,09	77,63		
Учет затухания звука в атмосфере Aatm, дБ		ф-ла (8) [10]	0	0	0,2	0,6	1,4	2,5	4,6	11,8	39,5		
Снижение уровня звукового давления из-за влияния застройки между источником шума и расчетной точкой													
Снижение уровня звукового давления на пути над экраном, Dz1, дБ	z = 0.07м (разность путей)	ф-лы (14-18) [10]	4,8	4,8	4,8	4,8	4,8	4,9	5,1	5,4	5,9		
Снижение уровня звукового давления на пути слева от экрана, Dz2, дБ	z = 1.14м (разность путей)	ф-лы (14-18) [10]	8,6	10,6	13	15,6	18,4	21,4	24,3	27,3	30,3		
Снижение уровня звукового давления на пути справа от экрана, Dz3, дБ	z = 0.06м (разность путей)	ф-лы (14-18) [10]	5,1	5,4	5,9	6,8	8,1	10	12,3	14,9	17,7		
Общее снижение уровня звука препятствием Dz, дБ		Эн.сумма(-Dzi)	1,1	1,5	1,9	2,4	3	3,7	4,3	4,9	5,6		
Уровни звукового давления от источника ИШ-5-3 в расчётной точке днём, дБ		**ф-ла(3)[10]**	**0**	**29,6**	**30,5**	**30,8**	**29,7**	**27,5**	**21,6**	**9,6**	**0**	**31,5**	**31,5**
Уровни звукового давления от источника ИШ-5-3 в расчётной точке ночью, дБ		**ф-ла(3)[10]**	**0**	**29,6**	**30,5**	**30,8**	**29,7**	**27,5**	**21,6**	**9,6**	**0**	**31,5**	**31,5**
Источник шума: ИШ-6-1, координаты источника (x,y,z), м =[836.30,122.24,1.00]													
Уровни звуковой мощности источника днём, Lw, дБ		**исходные данные**	**0**	**96,3**	**97,7**	**99**	**99,3**	**98,9**	**95,6**	**91,4**	**86,9**		
Уровни звуковой мощности источника ночью, Lw, дБ		**исходные данные**	**0**	**96,3**	**97,7**	**99**	**99,3**	**98,9**	**95,6**	**91,4**	**86,9**		
Поправка на телесный угол DΩ, дБ	Ω = 12.57	10Lg($4\pi/\Omega$)	**0**	0	0	0	0	0	0	0	0		
Показатель направленности источника Di, дБ		исходные данные	**0**	0	0	0	0	0	0	0	0		
Поправка на направленность источника Dc, дБ	Dc	DΩ + Di	**0**	0	0	0	0	0	0	0	0		

1		2	3	4	5	6	7	8	9	10	11	12	13
Затухание из-за геометрической дивергенции, Adiv, дБ	расстояние = 656.32 м	ф-ла (7) [10]	**67,3**										
Коэффициент затухания звука в атмосфере α, дБ/км	Ta=20,°C Pa=101.33,кПа hотн.=70%	ф-ла (5) [9]	0,02	0,09	0,33	1,12	2,79	4,98	9,04	23,09	77,63		
Учет затухания звука в атмосфере Aatm, дБ		ф-ла (8) [10]	0	0,1	0,2	0,7	1,8	3,3	5,9	15,2	51		
Снижение уровня звукового давления из-за влияния застройки между источником шума и расчетной точкой													
Снижение уровня звукового давления на пути над экраном, Dz1, дБ	z = 0.14м (разность путей)	ф-лы (14-18) [10]	4,8	4,8	4,8	4,8	4,8	4,8	4,8	4,9	5		
Снижение уровня звукового давления на пути слева от экрана, Dz2, дБ	z = 6.16м (разность путей)	ф-лы (14-18) [10]	17,5	21,1	24,3	27,3	30,4	33,4	36,4	39,4	42,4		
Снижение уровня звукового давления на пути справа от экрана, Dz3, дБ	z = 2.12м (разность путей)	ф-лы (14-18) [10]	10,4	12,7	15,3	18,2	21,1	24	27	30	33		
Общее снижение уровня звука препятствием Dz, дБ		Эн.сумма(-Dzi)	3,5	4	4,4	4,6	4,7	4,7	4,8	4,8	5		
Уровни звукового давления от источника ИШ-6-1 в расчётной точке днём, дБ		**ф-ла(3)[10]**	**0**	**24,9**	**25,8**	**26,4**	**25,5**	**23,6**	**17,5**	**4,1**	**0**	**27,3**	**27,3**
Уровни звукового давления от источника ИШ-6-1 в расчётной точке ночью, дБ		**ф-ла(3)[10]**	**0**	**24,9**	**25,8**	**26,4**	**25,5**	**23,6**	**17,5**	**4,1**	**0**	**27,3**	**27,3**
Источник шума: ИШ-6-2, координаты источника (x,y,z), м =[835.37,119.30,1.00]													
Уровни звуковой мощности источника днём, Lw, дБ		**исходные данные**	**0**	**96,3**	**97,7**	**99**	**99,3**	**98,9**	**95,6**	**91,4**	**86,9**		
Уровни звуковой мощности источника ночью, Lw, дБ		**исходные данные**	**0**	**96,3**	**97,7**	**99**	**99,3**	**98,9**	**95,6**	**91,4**	**86,9**		
Поправка на телесный угол DΩ, дБ	Ω = 12.57	10Lg($4\pi/\Omega$)	**0**	0	0	0	0	0	0	0	0		
Показатель направленности источника Di, дБ		исходные данные	**0**	0	0	0	0	0	0	0	0		
Поправка на направленность источника Dc, дБ	Dc	DΩ + Di	**0**	0	0	0	0	0	0	0	0		

1		2	3	4	5	6	7	8	9	10	11	12	13
Затухание из-за геометрической дивергенции, Adiv, дБ	расстояние = 654.05 м	ф-ла (7) [10]	**67,3**										
Коэффициент затухания звука в атмосфере α, дБ/км	Ta=20,°C Pa=101.33,кПа hотн.=70%	ф-ла (5) [9]	0,02	0,09	0,33	1,12	2,79	4,98	9,04	23,09	77,63		
Учет затухания звука в атмосфере Aatm, дБ		ф-ла (8) [10]	0	0,1	0,2	0,7	1,8	3,3	5,9	15,1	50,8		
Снижение уровня звукового давления из-за влияния застройки между источником шума и расчетной точкой													
Снижение уровня звукового давления на пути над экраном, Dz1, дБ	z = 0.14м (разность путей)	ф-лы (14-18) [10]	4,8	4,8	4,8	4,8	4,8	4,8	4,8	4,9	5		
Снижение уровня звукового давления на пути слева от экрана, Dz2, дБ	z = 5.93м (разность путей)	ф-лы (14-18) [10]	17,3	21	24,1	27,2	30,2	33,2	36,2	39,2	42,2		
Снижение уровня звукового давления на пути справа от экрана, Dz3, дБ	z = 2.31м (разность путей)	ф-лы (14-18) [10]	10,6	13	15,7	18,5	21,4	24,4	27,4	30,4	33,4		
Общее снижение уровня звука препятствием Dz, дБ		Эн.сумма(-Dzi)	3,6	4,1	4,4	4,6	4,7	4,7	4,8	4,9	5		
Уровни звукового давления от источника ИШ-6-2 в расчётной точке днём, дБ		**ф-ла(3)[10]**	**0**	**24,8**	**25,8**	**26,4**	**25,5**	**23,6**	**17,6**	**4,1**	**0**	**27,4**	**27,4**
Уровни звукового давления от источника ИШ-6-2 в расчётной точке ночью, дБ		**ф-ла(3)[10]**	**0**	**24,8**	**25,8**	**26,4**	**25,5**	**23,6**	**17,6**	**4,1**	**0**	**27,4**	**27,4**
Источник шума: ИШ-6-3, координаты источника (x,y,z), м =[834.03,116.36,1.00]													
Уровни звуковой мощности источника днём, Lw, дБ		**исходные данные**	**0**	**96,3**	**97,7**	**99**	**99,3**	**98,9**	**95,6**	**91,4**	**86,9**		
Уровни звуковой мощности источника ночью, Lw, дБ		**исходные данные**	**0**	**96,3**	**97,7**	**99**	**99,3**	**98,9**	**95,6**	**91,4**	**86,9**		
Поправка на телесный угол DΩ, дБ	Ω = 12.57	10Lg(4π/Ω)	**0**	0	0	0	0	0	0	0	0		
Показатель направленности источника Di, дБ		исходные данные	**0**	0	0	0	0	0	0	0	0		
Поправка на направленность источника Dc, дБ	Dc	DΩ + Di	**0**	0	0	0	0	0	0	0	0		

1		2	3	4	5	6	7	8	9	10	11	12	13
Затухание из-за геометрической дивергенции, Adiv, дБ	расстояние = 651.43 м	ф-ла (7) [10]	**67,3**										
Коэффициент затухания звука в атмосфере α, дБ/км	Ta=20,°C Pa=101.33,кПа hотн.=70%	ф-ла (5) [9]	0,02	0,09	0,33	1,12	2,79	4,98	9,04	23,09	77,63		
Учет затухания звука в атмосфере Aatm, дБ		ф-ла (8) [10]	0	0,1	0,2	0,7	1,8	3,2	5,9	15	50,6		
Снижение уровня звукового давления из-за влияния застройки между источником шума и расчетной точкой													
Снижение уровня звукового давления на пути над экраном, Dz1, дБ	z = 0.14м (разность путей)	ф-лы (14-18) [10]	4,8	4,8	4,8	4,8	4,8	4,8	4,8	4,9	5		
Снижение уровня звукового давления на пути слева от экрана, Dz2, дБ	z = 5.73м (разность путей)	ф-лы (14-18) [10]	17,2	20,8	24	27	30,1	33,1	36,1	39,1	42,1		
Снижение уровня звукового давления на пути справа от экрана, Dz3, дБ	z = 2.49м (разность путей)	ф-лы (14-18) [10]	10,9	13,3	16	18,8	21,7	24,7	27,7	30,7	33,7		
Общее снижение уровня звука препятствием Dz, дБ		Эн.сумма(-Dzi)	3,6	4,1	4,4	4,6	4,7	4,7	4,8	4,9	5		
Уровни звукового давления от источника ИШ-6-3 в расчётной точке днём, дБ		**ф-ла(3)[10]**	**0**	**24,8**	**25,8**	**26,4**	**25,5**	**23,6**	**17,6**	**4,2**	**0**	**27,4**	**27,4**
Уровни звукового давления от источника ИШ-6-3 в расчётной точке ночью, дБ		**ф-ла(3)[10]**	**0**	**24,8**	**25,8**	**26,4**	**25,5**	**23,6**	**17,6**	**4,2**	**0**	**27,4**	**27,4**
Источник шума: ИШ-6-4, координаты источника (x,y,z), м =[833.23,113.30,1.00]													
Уровни звуковой мощности источника днём, Lw, дБ		**исходные данные**	**0**	**96,3**	**97,7**	**99**	**99,3**	**98,9**	**95,6**	**91,4**	**86,9**		
Уровни звуковой мощности источника ночью, Lw, дБ		**исходные данные**	**0**	**96,3**	**97,7**	**99**	**99,3**	**98,9**	**95,6**	**91,4**	**86,9**		
Поправка на телесный угол DΩ, дБ	Ω = 12.57	10Lg(4π/Ω)	**0**	0	0	0	0	0	0	0	0		
Показатель направленности источника Di, дБ		исходные данные	**0**	0	0	0	0	0	0	0	0		
Поправка на направленность источника Dc, дБ	Dc	DΩ + Di	**0**	0	0	0	0	0	0	0	0		

1		2	3	4	5	6	7	8	9	10	11	12	13
Затухание из-за геометрической дивергенции, Adiv, дБ	расстояние = 649.21 м	ф-ла (7) [10]	**67,2**										
Коэффициент затухания звука в атмосфере α, дБ/км	Ta=20,°C Pa=101.33,кПа hотн.=70%	ф-ла (5) [9]	0,02	0,09	0,33	1,12	2,79	4,98	9,04	23,09	77,63		
Учет затухания звука в атмосфере Aatm, дБ		ф-ла (8) [10]	0	0,1	0,2	0,7	1,8	3,2	5,9	15	50,4		
Снижение уровня звукового давления из-за влияния застройки между источником шума и расчетной точкой													
Снижение уровня звукового давления на пути над экраном, Dz1, дБ	z = 0.14м (разность путей)	ф-лы (14-18) [10]	4,8	4,8	4,8	4,8	4,8	4,8	4,8	4,9	5,1		
Снижение уровня звукового давления на пути слева от экрана, Dz2, дБ	z = 5.49м (разность путей)	ф-лы (14-18) [10]	17	20,6	23,8	26,9	29,9	32,9	35,9	38,9	41,9		
Снижение уровня звукового давления на пути справа от экрана, Dz3, дБ	z = 2.71м (разность путей)	ф-лы (14-18) [10]	11,2	13,6	16,3	19,2	22,1	25,1	28,1	31,1	34,1		
Общее снижение уровня звука препятствием Dz, дБ		Эн.сумма(-Dzi)	3,7	4,1	4,4	4,6	4,7	4,8	4,8	4,9	5,1		
Уровни звукового давления от источника ИШ-6-4 в расчётной точке днём, дБ		**ф-ла(3)[10]**	**0**	**24,8**	**25,8**	**26,4**	**25,5**	**23,7**	**17,7**	**4,3**	**0**	**27,4**	**27,4**
Уровни звукового давления от источника ИШ-6-4 в расчётной точке ночью, дБ		**ф-ла(3)[10]**	**0**	**24,8**	**25,8**	**26,4**	**25,5**	**23,7**	**17,7**	**4,3**	**0**	**27,4**	**27,4**
Источник шума: ИШ-6-5, координаты источника (x,y,z), м =[832.03,110.36,1.00]													
Уровни звуковой мощности источника днём, Lw, дБ		**исходные данные**	**0**	**96,3**	**97,7**	**99**	**99,3**	**98,9**	**95,6**	**91,4**	**86,9**		
Уровни звуковой мощности источника ночью, Lw, дБ		**исходные данные**	**0**	**96,3**	**97,7**	**99**	**99,3**	**98,9**	**95,6**	**91,4**	**86,9**		
Поправка на телесный угол DΩ, дБ	Ω = 12.57	10Lg(4π/Ω)	**0**	0	0	0	0	0	0	0	0		
Показатель направленности источника Di, дБ		исходные данные	**0**	0	0	0	0	0	0	0	0		
Поправка на направленность источника Dc, дБ	Dc	DΩ + Di	**0**	0	0	0	0	0	0	0	0		

1		2	3	4	5	6	7	8	9	10	11	12	13
Затухание из-за геометрической дивергенции, Adiv, дБ	расстояние = 646.72 м	ф-ла (7) [10]	**67,2**										
Коэффициент затухания звука в атмосфере α, дБ/км	Ta=20,°C Pa=101.33,кПа hотн.=70%	ф-ла (5) [9]	0,02	0,09	0,33	1,12	2,79	4,98	9,04	23,09	77,63		
Учет затухания звука в атмосфере Aatm, дБ		ф-ла (8) [10]	0	0,1	0,2	0,7	1,8	3,2	5,8	14,9	50,2		
Снижение уровня звукового давления из-за влияния застройки между источником шума и расчетной точкой													
Снижение уровня звукового давления на пути над экраном, Dz1, дБ	z = 0.14м (разность путей)	ф-лы (14-18) [10]	4,8	4,8	4,8	4,8	4,8	4,8	4,9	4,9	5,1		
Снижение уровня звукового давления на пути слева от экрана, Dz2, дБ	z = 5.30м (разность путей)	ф-лы (14-18) [10]	16,8	20,5	23,6	26,7	29,7	32,7	35,7	38,7	41,7		
Снижение уровня звукового давления на пути справа от экрана, Dz3, дБ	z = 2.91м (разность путей)	ф-лы (14-18) [10]	11,4	13,9	16,6	19,5	22,4	25,4	28,4	31,4	34,4		
Общее снижение уровня звука препятствием Dz, дБ		Эн.сумма(-Dzi)	3,7	4,2	4,4	4,6	4,7	4,8	4,8	4,9	5,1		
Уровни звукового давления от источника ИШ-6-5 в расчётной точке днём, дБ		**ф-ла(3)[10]**	**0**	**24,9**	**25,8**	**26,4**	**25,6**	**23,7**	**17,7**	**4,3**	**0**	**27,5**	**27,5**
Уровни звукового давления от источника ИШ-6-5 в расчётной точке ночью, дБ		**ф-ла(3)[10]**	**0**	**24,9**	**25,8**	**26,4**	**25,6**	**23,7**	**17,7**	**4,3**	**0**	**27,5**	**27,5**
Источник шума: ИШ-6-6, координаты источника (x,y,z), м =[830.97,107.42,1.00]													
Уровни звуковой мощности источника днём, Lw, дБ		**исходные данные**	**0**	**96,3**	**97,7**	**99**	**99,3**	**98,9**	**95,6**	**91,4**	**86,9**		
Уровни звуковой мощности источника ночью, Lw, дБ		**исходные данные**	**0**	**96,3**	**97,7**	**99**	**99,3**	**98,9**	**95,6**	**91,4**	**86,9**		
Поправка на телесный угол DΩ, дБ	Ω = 12.57	10Lg($4\pi/\Omega$)	**0**	0	0	0	0	0	0	0	0		
Показатель направленности источника Di, дБ		исходные данные	**0**	0	0	0	0	0	0	0	0		
Поправка на направленность источника Dc, дБ	Dc	DΩ + Di	**0**	0	0	0	0	0	0	0	0		

1		2	3	4	5	6	7	8	9	10	11	12	13
Затухание из-за геометрической дивергенции, Adiv, дБ	расстояние = 644.35 м	ф-ла (7) [10]	**67,2**										
Коэффициент затухания звука в атмосфере α, дБ/км	Ta=20,°C Pa=101.33,кПа hотн.=70%	ф-ла (5) [9]	0,02	0,09	0,33	1,12	2,79	4,98	9,04	23,09	77,63		
Учет затухания звука в атмосфере Aatm, дБ		ф-ла (8) [10]	0	0,1	0,2	0,7	1,8	3,2	5,8	14,9	50		
Снижение уровня звукового давления из-за влияния застройки между источником шума и расчетной точкой													
Снижение уровня звукового давления на пути над экраном, Dz1, дБ	z = 0.15м (разность путей)	ф-лы (14-18) [10]	4,8	4,8	4,8	4,8	4,8	4,8	4,9	5	5,1		
Снижение уровня звукового давления на пути слева от экрана, Dz2, дБ	z = 5.09м (разность путей)	ф-лы (14-18) [10]	16,7	20,3	23,5	26,5	29,5	32,6	35,6	38,6	41,6		
Снижение уровня звукового давления на пути справа от экрана, Dz3, дБ	z = 3.13м (разность путей)	ф-лы (14-18) [10]	11,6	14,2	16,9	19,8	22,7	25,7	28,7	31,7	34,7		
Общее снижение уровня звука препятствием Dz, дБ		Эн.сумма(-Dzi)	3,7	4,2	4,5	4,6	4,7	4,8	4,8	4,9	5,1		
Уровни звукового давления от источника ИШ-6-6 в расчётной точке днём, дБ		**ф-ла(3)[10]**	**0**	**24,9**	**25,8**	**26,5**	**25,6**	**23,7**	**17,7**	**4,4**	**0**	**27,5**	**27,5**
Уровни звукового давления от источника ИШ-6-6 в расчётной точке ночью, дБ		**ф-ла(3)[10]**	**0**	**24,9**	**25,8**	**26,5**	**25,6**	**23,7**	**17,7**	**4,4**	**0**	**27,5**	**27,5**
Источник шума: ИШ-6-7, координаты источника (x,y,z), м =[830.30,104.49,1.00]													
Уровни звуковой мощности источника днём, Lw, дБ		**исходные данные**	**0**	**96,3**	**97,7**	**99**	**99,3**	**98,9**	**95,6**	**91,4**	**86,9**		
Уровни звуковой мощности источника ночью, Lw, дБ		**исходные данные**	**0**	**96,3**	**97,7**	**99**	**99,3**	**98,9**	**95,6**	**91,4**	**86,9**		
Поправка на телесный угол DΩ, дБ	Ω = 12.57	10Lg($4\pi/\Omega$)	**0**	0	0	0	0	0	0	0	0		
Показатель направленности источника Di, дБ		исходные данные	**0**	0	0	0	0	0	0	0	0		
Поправка на направленность источника Dc, дБ	Dc	DΩ + Di	**0**	0	0	0	0	0	0	0	0		

1		2	3	4	5	6	7	8	9	10	11	12	13
Затухание из-за геометрической дивергенции, Adiv, дБ	расстояние = 642.34 м	ф-ла (7) [10]	**67,2**										
Коэффициент затухания звука в атмосфере α, дБ/км	Ta=20,°C Pa=101.33,кПа hотн.=70%	ф-ла (5) [9]	0,02	0,09	0,33	1,12	2,79	4,98	9,04	23,09	77,63		
Учет затухания звука в атмосфере Aatm, дБ		ф-ла (8) [10]	0	0,1	0,2	0,7	1,8	3,2	5,8	14,8	49,9		
Снижение уровня звукового давления из-за влияния застройки между источником шума и расчетной точкой													
Снижение уровня звукового давления на пути над экраном, Dz1, дБ	z = 0.15м (разность путей)	ф-лы (14-18) [10]	4,8	4,8	4,8	4,8	4,8	4,8	4,9	5	5,2		
Снижение уровня звукового давления на пути слева от экрана, Dz2, дБ	z = 4.87м (разность путей)	ф-лы (14-18) [10]	16,5	20,1	23,3	26,3	29,4	32,4	35,4	38,4	41,4		
Снижение уровня звукового давления на пути справа от экрана, Dz3, дБ	z = 3.38м (разность путей)	ф-лы (14-18) [10]	11,9	14,5	17,2	20,1	23	26	29	32	35		
Общее снижение уровня звука препятствием Dz, дБ		Эн.сумма(-Dzi)	3,8	4,2	4,5	4,6	4,7	4,8	4,9	5	5,2		
Уровни звукового давления от источника ИШ-6-7 в расчётной точке днём, дБ		**ф-ла(3)[10]**	**0**	**24,9**	**25,8**	**26,5**	**25,6**	**23,8**	**17,8**	**4,4**	**0**	**27,5**	**27,5**
Уровни звукового давления от источника ИШ-6-7 в расчётной точке ночью, дБ		**ф-ла(3)[10]**	**0**	**24,9**	**25,8**	**26,5**	**25,6**	**23,8**	**17,8**	**4,4**	**0**	**27,5**	**27,5**
Источник шума: ИШ-6-8, координаты источника (x,y,z), м =[829.36,101.42,1.00]													
Уровни звуковой мощности источника днём, Lw, дБ		**исходные данные**	**0**	**96,3**	**97,7**	**99**	**99,3**	**98,9**	**95,6**	**91,4**	**86,9**		
Уровни звуковой мощности источника ночью, Lw, дБ		**исходные данные**	**0**	**96,3**	**97,7**	**99**	**99,3**	**98,9**	**95,6**	**91,4**	**86,9**		
Поправка на телесный угол DΩ, дБ	Ω = 12.57	10Lg(4π/Ω)	**0**	0	0	0	0	0	0	0	0		
Показатель направленности источника Di, дБ		исходные данные	**0**	0	0	0	0	0	0	0	0		
Поправка на направленность источника Dc, дБ	Dc	DΩ + Di	**0**	0	0	0	0	0	0	0	0		

1		2	3	4	5	6	7	8	9	10	11	12	13
Затухание из-за геометрической дивергенции, Adiv, дБ	расстояние = 640.04 м	ф-ла (7) [10]	**67,1**										
Коэффициент затухания звука в атмосфере α, дБ/км	Ta=20,°C Pa=101.33,кПа hотн.=70%	ф-ла (5) [9]	0,02	0,09	0,33	1,12	2,79	4,98	9,04	23,09	77,63		
Учет затухания звука в атмосфере Aatm, дБ		ф-ла (8) [10]	0	0,1	0,2	0,7	1,8	3,2	5,8	14,8	49,7		
Снижение уровня звукового давления из-за влияния застройки между источником шума и расчетной точкой													
Снижение уровня звукового давления на пути над экраном, Dz1, дБ	z = 0.15м (разность путей)	ф-лы (14-18) [10]	4,8	4,8	4,8	4,8	4,8	4,8	4,9	5	5,2		
Снижение уровня звукового давления на пути слева от экрана, Dz2, дБ	z = 4.66м (разность путей)	ф-лы (14-18) [10]	16,3	19,9	23,1	26,1	29,2	32,2	35,2	38,2	41,2		
Снижение уровня звукового давления на пути справа от экрана, Dz3, дБ	z = 3.64м (разность путей)	ф-лы (14-18) [10]	12,2	14,8	17,5	20,4	23,4	26,3	29,3	32,3	35,3		
Общее снижение уровня звука препятствием Dz, дБ		Эн.сумма(-Dzi)	3,8	4,2	4,5	4,6	4,7	4,8	4,9	5	5,2		
Уровни звукового давления от источника ИШ-6-8 в расчётной точке днём, дБ		**ф-ла(3)[10]**	**0**	**24,9**	**25,9**	**26,5**	**25,7**	**23,8**	**17,8**	**4,5**	**0**	**27,6**	**27,6**
Уровни звукового давления от источника ИШ-6-8 в расчётной точке ночью, дБ		**ф-ла(3)[10]**	**0**	**24,9**	**25,9**	**26,5**	**25,7**	**23,8**	**17,8**	**4,5**	**0**	**27,6**	**27,6**
Источник шума: ИШ-6-9, координаты источника (x,y,z), м =[828.03,98.62,1.00]													
Уровни звуковой мощности источника днём, Lw, дБ		**исходные данные**	**0**	**96,3**	**97,7**	**99**	**99,3**	**98,9**	**95,6**	**91,4**	**86,9**		
Уровни звуковой мощности источника ночью, Lw, дБ		**исходные данные**	**0**	**96,3**	**97,7**	**99**	**99,3**	**98,9**	**95,6**	**91,4**	**86,9**		
Поправка на телесный угол DΩ, дБ	Ω = 12.57	10Lg(4π/Ω)	**0**	0	0	0	0	0	0	0	0		
Показатель направленности источника Di, дБ		исходные данные	**0**	0	0	0	0	0	0	0	0		
Поправка на направленность источника Dc, дБ	Dc	DΩ + Di	**0**	0	0	0	0	0	0	0	0		

1		2	3	4	5	6	7	8	9	10	11	12	13
Затухание из-за геометрической дивергенции, Adiv, дБ	расстояние = 637.52 м	ф-ла (7) [10]	**67,1**										
Коэффициент затухания звука в атмосфере α, дБ/км	Ta=20,°C Pa=101.33,кПа hотн.=70%	ф-ла (5) [9]	0,02	0,09	0,33	1,12	2,79	4,98	9,04	23,09	77,63		
Учет затухания звука в атмосфере Aatm, дБ		ф-ла (8) [10]	0	0,1	0,2	0,7	1,8	3,2	5,8	14,7	49,5		
Снижение уровня звукового давления из-за влияния застройки между источником шума и расчетной точкой													
Снижение уровня звукового давления на пути над экраном, Dz1, дБ	z = 0.15м (разность путей)	ф-лы (14-18) [10]	4,8	4,8	4,8	4,8	4,8	4,8	4,9	5	5,2		
Снижение уровня звукового давления на пути слева от экрана, Dz2, дБ	z = 4.49м (разность путей)	ф-лы (14-18) [10]	16,2	19,8	22,9	26	29	32	35	38	41		
Снижение уровня звукового давления на пути справа от экрана, Dz3, дБ	z = 3.86м (разность путей)	ф-лы (14-18) [10]	12,4	15	17,8	20,7	23,6	26,6	29,6	32,6	35,6		
Общее снижение уровня звука препятствием Dz, дБ		Эн.сумма(-Dzi)	3,8	4,3	4,5	4,6	4,7	4,8	4,9	5	5,2		
Уровни звукового давления от источника ИШ-6-9 в расчётной точке днём, дБ		**ф-ла(3)[10]**	**0**	**24,9**	**25,9**	**26,5**	**25,7**	**23,8**	**17,9**	**4,6**	**0**	**27,6**	**27,6**
Уровни звукового давления от источника ИШ-6-9 в расчётной точке ночью, дБ		**ф-ла(3)[10]**	**0**	**24,9**	**25,9**	**26,5**	**25,7**	**23,8**	**17,9**	**4,6**	**0**	**27,6**	**27,6**
Источник шума: ИШ-6-10, координаты источника (x,y,z), м =[827.23,95.55,1.00]													
Уровни звуковой мощности источника днём, Lw, дБ		**исходные данные**	**0**	**96,3**	**97,7**	**99**	**99,3**	**98,9**	**95,6**	**91,4**	**86,9**		
Уровни звуковой мощности источника ночью, Lw, дБ		**исходные данные**	**0**	**96,3**	**97,7**	**99**	**99,3**	**98,9**	**95,6**	**91,4**	**86,9**		
Поправка на телесный угол DΩ, дБ	Ω = 12.57	10Lg($4\pi/\Omega$)	**0**	0	0	0	0	0	0	0	0		
Показатель направленности источника Di, дБ		исходные данные	**0**	0	0	0	0	0	0	0	0		
Поправка на направленность источника Dc, дБ	Dc	DΩ + Di	**0**	0	0	0	0	0	0	0	0		

1		2	3	4	5	6	7	8	9	10	11	12	13
Затухание из-за геометрической дивергенции, Adiv, дБ	расстояние = 635.35 м	ф-ла (7) [10]	**67,1**										
Коэффициент затухания звука в атмосфере α, дБ/км	Ta=20,°C Pa=101.33,кПа hотн.=70%	ф-ла (5) [9]	0,02	0,09	0,33	1,12	2,79	4,98	9,04	23,09	77,63		
Учет затухания звука в атмосфере Aatm, дБ		ф-ла (8) [10]	0	0,1	0,2	0,7	1,8	3,2	5,7	14,7	49,3		
Снижение уровня звукового давления из-за влияния застройки между источником шума и расчетной точкой													
Снижение уровня звукового давления на пути над экраном, Dz1, дБ	z = 0.15м (разность путей)	ф-лы (14-18) [10]	4,8	4,8	4,8	4,8	4,8	4,8	4,9	5	5,3		
Снижение уровня звукового давления на пути слева от экрана, Dz2, дБ	z = 4.28м (разность путей)	ф-лы (14-18) [10]	16	19,6	22,7	25,8	28,8	31,8	34,8	37,8	40,8		
Снижение уровня звукового давления на пути справа от экрана, Dz3, дБ	z = 4.15м (разность путей)	ф-лы (14-18) [10]	12,6	15,3	18,1	21	23,9	26,9	29,9	32,9	35,9		
Общее снижение уровня звука препятствием Dz, дБ		Эн.сумма(-Dzi)	3,8	4,3	4,5	4,6	4,7	4,8	4,9	5	5,3		
Уровни звукового давления от источника ИШ-6-10 в расчётной точке днём, дБ		**ф-ла(3)[10]**	**0**	**24,9**	**25,9**	**26,6**	**25,7**	**23,9**	**17,9**	**4,6**	**0**	**27,6**	**27,6**
Уровни звукового давления от источника ИШ-6-10 в расчётной точке ночью, дБ		**ф-ла(3)[10]**	**0**	**24,9**	**25,9**	**26,6**	**25,7**	**23,9**	**17,9**	**4,6**	**0**	**27,6**	**27,6**
Источник шума: ИШ-6-11, координаты источника (x,y,z), м =[826.30,92.48,1.00]													
Уровни звуковой мощности источника днём, Lw, дБ		**исходные данные**	**0**	**96,3**	**97,7**	**99**	**99,3**	**98,9**	**95,6**	**91,4**	**86,9**		
Уровни звуковой мощности источника ночью, Lw, дБ		**исходные данные**	**0**	**96,3**	**97,7**	**99**	**99,3**	**98,9**	**95,6**	**91,4**	**86,9**		
Поправка на телесный угол DΩ, дБ	Ω = 12.57	10Lg($4\pi/\Omega$)	**0**	0	0	0	0	0	0	0	0		
Показатель направленности источника Di, дБ		исходные данные	**0**	0	0	0	0	0	0	0	0		
Поправка на направленность источника Dc, дБ	Dc	DΩ + Di	**0**	0	0	0	0	0	0	0	0		

1		2	3	4	5	6	7	8	9	10	11	12	13
Затухание из-за геометрической дивергенции, Adiv, дБ	расстояние = 633.07 м	ф-ла (7) [10]	**67**										
Коэффициент затухания звука в атмосфере α, дБ/км	Ta=20,°C Pa=101.33,кПа hотн.=70%	ф-ла (5) [9]	0,02	0,09	0,33	1,12	2,79	4,98	9,04	23,09	77,63		
Учет затухания звука в атмосфере Aatm, дБ		ф-ла (8) [10]	0	0,1	0,2	0,7	1,8	3,2	5,7	14,6	49,1		
Снижение уровня звукового давления из-за влияния застройки между источником шума и расчетной точкой													
Снижение уровня звукового давления на пути над экраном, Dz1, дБ	z = 0.15м (разность путей)	ф-лы (14-18) [10]	4,8	4,8	4,8	4,8	4,8	4,8	4,9	5	5,3		
Снижение уровня звукового давления на пути слева от экрана, Dz2, дБ	z = 4.08м (разность путей)	ф-лы (14-18) [10]	15,8	19,4	22,5	25,6	28,6	31,6	34,6	37,6	40,6		
Снижение уровня звукового давления на пути справа от экрана, Dz3, дБ	z = 4.45м (разность путей)	ф-лы (14-18) [10]	12,9	15,6	18,4	21,3	24,2	27,2	30,2	33,2	36,2		
Общее снижение уровня звука препятствием Dz, дБ		Эн.сумма(-Dzi)	3,9	4,3	4,5	4,7	4,7	4,8	4,9	5	5,3		
Уровни звукового давления от источника ИШ-6-11 в расчётной точке днём, дБ		**ф-ла(3)[10]**	**0**	**24,9**	**25,9**	**26,6**	**25,8**	**23,9**	**18**	**4,7**	**0**	**27,7**	**27,7**
Уровни звукового давления от источника ИШ-6-11 в расчётной точке ночью, дБ		**ф-ла(3)[10]**	**0**	**24,9**	**25,9**	**26,6**	**25,8**	**23,9**	**18**	**4,7**	**0**	**27,7**	**27,7**
Источник шума: ИШ-6-12, координаты источника (x,y,z), м =[825.09,89.54,1.00]													
Уровни звуковой мощности источника днём, Lw, дБ		**исходные данные**	**0**	**96,3**	**97,7**	**99**	**99,3**	**98,9**	**95,6**	**91,4**	**86,9**		
Уровни звуковой мощности источника ночью, Lw, дБ		**исходные данные**	**0**	**96,3**	**97,7**	**99**	**99,3**	**98,9**	**95,6**	**91,4**	**86,9**		
Поправка на телесный угол DΩ, дБ	Ω = 12.57	10Lg($4\pi/\Omega$)	**0**	0	0	0	0	0	0	0	0		
Показатель направленности источника Di, дБ		исходные данные	**0**	0	0	0	0	0	0	0	0		
Поправка на направленность источника Dc, дБ	Dc	DΩ + Di	**0**	0	0	0	0	0	0	0	0		

1		2	3	4	5	6	7	8	9	10	11	12	13
Затухание из-за геометрической дивергенции, Adiv, дБ	расстояние = 630.62 м	ф-ла (7) [10]	**67**										
Коэффициент затухания звука в атмосфере α, дБ/км	Ta=20,°C Pa=101.33,кПа hотн.=70%	ф-ла (5) [9]	0,02	0,09	0,33	1,12	2,79	4,98	9,04	23,09	77,63		
Учет затухания звука в атмосфере Aatm, дБ		ф-ла (8) [10]	0	0,1	0,2	0,7	1,8	3,1	5,7	14,6	49		
Снижение уровня звукового давления из-за влияния застройки между источником шума и расчетной точкой													
Снижение уровня звукового давления на пути над экраном, Dz1, дБ	z = 0.15м (разность путей)	ф-лы (14-18) [10]	4,8	4,8	4,8	4,8	4,8	4,8	4,9	5,1	5,3		
Снижение уровня звукового давления на пути слева от экрана, Dz2, дБ	z = 3.91м (разность путей)	ф-лы (14-18) [10]	15,6	19,2	22,4	25,4	28,4	31,4	34,4	37,4	40,4		
Снижение уровня звукового давления на пути справа от экрана, Dz3, дБ	z = 4.73м (разность путей)	ф-лы (14-18) [10]	13,1	15,8	18,6	21,5	24,5	27,5	30,5	33,5	36,5		
Общее снижение уровня звука препятствием Dz, дБ		Эн.сумма(-Dzi)	3,9	4,3	4,5	4,7	4,7	4,8	4,9	5	5,3		
Уровни звукового давления от источника ИШ-6-12 в расчётной точке днём, дБ		**ф-ла(3)[10]**	**0**	**24,9**	**26**	**26,6**	**25,8**	**23,9**	**18**	**4,8**	**0**	**27,7**	**27,7**
Уровни звукового давления от источника ИШ-6-12 в расчётной точке ночью, дБ		**ф-ла(3)[10]**	**0**	**24,9**	**26**	**26,6**	**25,8**	**23,9**	**18**	**4,8**	**0**	**27,7**	**27,7**
Источник шума: ИШ-6-13, координаты источника (x,y,z), м =[767.76,-114.15,1.00]													
Уровни звуковой мощности источника днём, Lw, дБ		**исходные данные**	**0**	**96,3**	**97,7**	**99**	**99,3**	**98,9**	**95,6**	**91,4**	**86,9**		
Уровни звуковой мощности источника ночью, Lw, дБ		**исходные данные**	**0**	**96,3**	**97,7**	**99**	**99,3**	**98,9**	**95,6**	**91,4**	**86,9**		
Поправка на телесный угол DΩ, дБ	Ω = 12.57	10Lg($4\pi/\Omega$)	**0**	0	0	0	0	0	0	0	0		
Показатель направленности источника Di, дБ		исходные данные	**0**	0	0	0	0	0	0	0	0		
Поправка на направленность источника Dc, дБ	Dc	DΩ + Di	**0**	0	0	0	0	0	0	0	0		

1		2	3	4	5	6	7	8	9	10	11	12	13
Затухание из-за геометрической дивергенции, Adiv, дБ	расстояние = 507.64 м	ф-ла (7) [10]	**65,1**										
Коэффициент затухания звука в атмосфере α, дБ/км	Ta=20,°C Pa=101.33,кПа hотн.=70%	ф-ла (5) [9]	0,02	0,09	0,33	1,12	2,79	4,98	9,04	23,09	77,63		
Учет затухания звука в атмосфере Aatm, дБ		ф-ла (8) [10]	0	0	0,2	0,6	1,4	2,5	4,6	11,7	39,4		
Снижение уровня звукового давления из-за влияния застройки между источником шума и расчетной точкой													
Снижение уровня звукового давления на пути над экраном, Dz1, дБ	z = 0.11м (разность путей)	ф-лы (14-18) [10]	4,8	4,8	4,9	5,1	5,6	6,8	8,6	10,8	13,3		
Снижение уровня звукового давления на пути слева от экрана, Dz2, дБ	z = 194.86м (разность путей)	ф-лы (14-18) [10]	33,2	36,3	39,3	42,4	45,4	48,4	51,4	54,4	57,4		
Снижение уровня звукового давления на пути справа от экрана, Dz3, дБ	z = 0.05м (разность путей)	ф-лы (14-18) [10]	5	5,2	5,7	6,4	7,6	9,3	11,4	13,9	16,7		
Общее снижение уровня звука препятствием Dz, дБ		Эн.сумма(-Dzi)	1,9	2	2,3	2,7	3,5	4,8	6,8	9,1	11,7		
Уровни звукового давления от источника ИШ-6-13 в расчётной точке днём, дБ		**ф-ла(3)[10]**	**0**	**29,1**	**30,2**	**30,6**	**29,3**	**26,4**	**19,1**	**5,5**	**0**	**30,6**	**30,6**
Уровни звукового давления от источника ИШ-6-13 в расчётной точке ночью, дБ		**ф-ла(3)[10]**	**0**	**29,1**	**30,2**	**30,6**	**29,3**	**26,4**	**19,1**	**5,5**	**0**	**30,6**	**30,6**
Источник шума: ИШ-6-14, координаты источника (x,y,z), м =[766.82,-117.10,1.00]													
Уровни звуковой мощности источника днём, Lw, дБ		**исходные данные**	**0**	**96,3**	**97,7**	**99**	**99,3**	**98,9**	**95,6**	**91,4**	**86,9**		
Уровни звуковой мощности источника ночью, Lw, дБ		**исходные данные**	**0**	**96,3**	**97,7**	**99**	**99,3**	**98,9**	**95,6**	**91,4**	**86,9**		
Поправка на телесный угол DΩ, дБ	Ω = 12.57	10Lg($4\pi/\Omega$)	**0**	0	0	0	0	0	0	0	0		
Показатель направленности источника Di, дБ		исходные данные	**0**	0	0	0	0	0	0	0	0		
Поправка на направленность источника Dc, дБ	Dc	DΩ + Di	**0**	0	0	0	0	0	0	0	0		

1		2	3	4	5	6	7	8	9	10	11	12	13
Затухание из-за геометрической дивергенции, Adiv, дБ	расстояние = 506.18 м	ф-ла (7) [10]	**65,1**										
Коэффициент затухания звука в атмосфере α, дБ/км	Ta=20,°C Pa=101.33,кПа hотн.=70%	ф-ла (5) [9]	0,02	0,09	0,33	1,12	2,79	4,98	9,04	23,09	77,63		
Учет затухания звука в атмосфере Aatm, дБ		ф-ла (8) [10]	0	0	0,2	0,6	1,4	2,5	4,6	11,7	39,3		
Снижение уровня звукового давления из-за влияния застройки между источником шума и расчетной точкой													
Снижение уровня звукового давления на пути над экраном, Dz1, дБ	z = 0.11м (разность путей)	ф-лы (14-18) [10]	4,8	4,8	4,9	5,1	5,6	6,9	8,7	10,9	13,4		
Снижение уровня звукового давления на пути слева от экрана, Dz2, дБ	z = 194.43м (разность путей)	ф-лы (14-18) [10]	33,2	36,3	39,3	42,3	45,4	48,4	51,4	54,4	57,4		
Снижение уровня звукового давления на пути справа от экрана, Dz3, дБ	z = 0.06м (разность путей)	ф-лы (14-18) [10]	5,1	5,3	5,8	6,7	8	9,8	12,1	14,7	17,4		
Общее снижение уровня звука препятствием Dz, дБ		Эн.сумма(-Dzi)	1,9	2,1	2,3	2,8	3,6	5,1	7,1	9,4	12		
Уровни звукового давления от источника ИШ-6-14 в расчётной точке днём, дБ		**ф-ла(3)[10]**	**0**	**29,1**	**30,1**	**30,5**	**29,2**	**26,2**	**18,9**	**5,2**	**0**	**30,4**	**30,4**
Уровни звукового давления от источника ИШ-6-14 в расчётной точке ночью, дБ		**ф-ла(3)[10]**	**0**	**29,1**	**30,1**	**30,5**	**29,2**	**26,2**	**18,9**	**5,2**	**0**	**30,4**	**30,4**
Источник шума: ИШ-6-15, координаты источника (x,y,z), м =[765.71,-120.27,1.00]													
Уровни звуковой мощности источника днём, Lw, дБ		**исходные данные**	**0**	**96,3**	**97,7**	**99**	**99,3**	**98,9**	**95,6**	**91,4**	**86,9**		
Уровни звуковой мощности источника ночью, Lw, дБ		**исходные данные**	**0**	**96,3**	**97,7**	**99**	**99,3**	**98,9**	**95,6**	**91,4**	**86,9**		
Поправка на телесный угол DΩ, дБ	Ω = 12.57	10Lg(4π/Ω)	**0**	0	0	0	0	0	0	0	0		
Показатель направленности источника Di, дБ		исходные данные	**0**	0	0	0	0	0	0	0	0		
Поправка на направленность источника Dc, дБ	Dc	DΩ + Di	**0**	0	0	0	0	0	0	0	0		

1		2	3	4	5	6	7	8	9	10	11	12	13
Затухание из-за геометрической дивергенции, Adiv, дБ	расстояние = 504.54 м	ф-ла (7) [10]	**65,1**										
Коэффициент затухания звука в атмосфере α, дБ/км	Ta=20,°C Pa=101.33,кПа hотн.=70%	ф-ла (5) [9]	0,02	0,09	0,33	1,12	2,79	4,98	9,04	23,09	77,63		
Учет затухания звука в атмосфере Aatm, дБ		ф-ла (8) [10]	0	0	0,2	0,6	1,4	2,5	4,6	11,6	39,2		
Снижение уровня звукового давления из-за влияния застройки между источником шума и расчетной точкой													
Снижение уровня звукового давления на пути над экраном, Dz1, дБ	z = 0.11м (разность путей)	ф-лы (14-18) [10]	4,8	4,8	4,9	5,1	5,7	7	8,8	11	13,5		
Снижение уровня звукового давления на пути слева от экрана, Dz2, дБ	z = 193.99м (разность путей)	ф-лы (14-18) [10]	33,2	36,3	39,3	42,3	45,3	48,4	51,4	54,4	57,4		
Снижение уровня звукового давления на пути справа от экрана, Dz3, дБ	z = 0.07м (разность путей)	ф-лы (14-18) [10]	5,1	5,4	6	7	8,4	10,4	12,7	15,4	18,2		
Общее снижение уровня звука препятствием Dz, дБ		Эн.сумма(-Dzi)	1,9	2,1	2,4	2,9	3,8	5,3	7,3	9,7	12,2		
Уровни звукового давления от источника ИШ-6-15 в расчётной точке днём, дБ		**ф-ла(3)[10]**	**0**	**29,1**	**30**	**30,4**	**29**	**26**	**18,6**	**5**	**0**	**30,2**	**30,2**
Уровни звукового давления от источника ИШ-6-15 в расчётной точке ночью, дБ		**ф-ла(3)[10]**	**0**	**29,1**	**30**	**30,4**	**29**	**26**	**18,6**	**5**	**0**	**30,2**	**30,2**
Источник шума: ИШ-6-16, координаты источника (x,y,z), м =[764.57,-123.22,1.00]													
Уровни звуковой мощности источника днём, Lw, дБ		**исходные данные**	**0**	**96,3**	**97,7**	**99**	**99,3**	**98,9**	**95,6**	**91,4**	**86,9**		
Уровни звуковой мощности источника ночью, Lw, дБ		**исходные данные**	**0**	**96,3**	**97,7**	**99**	**99,3**	**98,9**	**95,6**	**91,4**	**86,9**		
Поправка на телесный угол DΩ, дБ	Ω = 12.57	10Lg($4\pi/\Omega$)	**0**	0	0	0	0	0	0	0	0		
Показатель направленности источника Di, дБ		исходные данные	**0**	0	0	0	0	0	0	0	0		
Поправка на направленность источника Dc, дБ	Dc	DΩ + Di	**0**	0	0	0	0	0	0	0	0		

1		2	3	4	5	6	7	8	9	10	11	12	13
Затухание из-за геометрической дивергенции, Adiv, дБ	расстояние = 502.91 м	ф-ла (7) [10]	**65**										
Коэффициент затухания звука в атмосфере α, дБ/км	Ta=20,°C Pa=101.33,кПа hотн.=70%	ф-ла (5) [9]	0,02	0,09	0,33	1,12	2,79	4,98	9,04	23,09	77,63		
Учет затухания звука в атмосфере Aatm, дБ		ф-ла (8) [10]	0	0	0,2	0,6	1,4	2,5	4,5	11,6	39		
Снижение уровня звукового давления из-за влияния застройки между источником шума и расчетной точкой													
Снижение уровня звукового давления на пути над экраном, Dz1, дБ	z = 0.11м (разность путей)	ф-лы (14-18) [10]	4,8	4,8	4,9	5,1	5,8	7	8,9	11,1	13,6		
Снижение уровня звукового давления на пути слева от экрана, Dz2, дБ	z = 193.61м (разность путей)	ф-лы (14-18) [10]	33,2	36,3	39,3	42,3	45,3	48,3	51,4	54,4	57,4		
Снижение уровня звукового давления на пути справа от экрана, Dz3, дБ	z = 0.08м (разность путей)	ф-лы (14-18) [10]	5,2	5,5	6,2	7,2	8,8	10,9	13,3	16	18,9		
Общее снижение уровня звука препятствием Dz, дБ		Эн.сумма(-Dzi)	2	2,2	2,5	3,1	4	5,5	7,5	9,9	12,5		
Уровни звукового давления от источника ИШ-6-16 в расчётной точке днём, дБ		**ф-ла(3)[10]**	**0**	**29**	**30**	**30,3**	**28,8**	**25,8**	**18,5**	**4,9**	**0**	**30,1**	**30,1**
Уровни звукового давления от источника ИШ-6-16 в расчётной точке ночью, дБ		**ф-ла(3)[10]**	**0**	**29**	**30**	**30,3**	**28,8**	**25,8**	**18,5**	**4,9**	**0**	**30,1**	**30,1**
Источник шума: ИШ-6-17, координаты источника (x,y,z), м =[763.57,-126.18,1.00]													
Уровни звуковой мощности источника днём, Lw, дБ		**исходные данные**	**0**	**96,3**	**97,7**	**99**	**99,3**	**98,9**	**95,6**	**91,4**	**86,9**		
Уровни звуковой мощности источника ночью, Lw, дБ		**исходные данные**	**0**	**96,3**	**97,7**	**99**	**99,3**	**98,9**	**95,6**	**91,4**	**86,9**		
Поправка на телесный угол DΩ, дБ	Ω = 12.57	10Lg($4\pi/\Omega$)	**0**	0	0	0	0	0	0	0	0		
Показатель направленности источника Di, дБ		исходные данные	**0**	0	0	0	0	0	0	0	0		
Поправка на направленность источника Dc, дБ	Dc	DΩ + Di	**0**	0	0	0	0	0	0	0	0		

1		2	3	4	5	6	7	8	9	10	11	12	13
Затухание из-за геометрической дивергенции, Adiv, дБ	расстояние = 501.43 м	ф-ла (7) [10]	**65**										
Коэффициент затухания звука в атмосфере α, дБ/км	Та=20,°С Ра=101.33,кПа hотн.=70%	ф-ла (5) [9]	0,02	0,09	0,33	1,12	2,79	4,98	9,04	23,09	77,63		
Учет затухания звука в атмосфере Aatm, дБ		ф-ла (8) [10]	0	0	0,2	0,6	1,4	2,5	4,5	11,6	38,9		
Снижение уровня звукового давления из-за влияния застройки между источником шума и расчетной точкой													
Снижение уровня звукового давления на пути над экраном, Dz1, дБ	z = 0.11м (разность путей)	ф-лы (14-18) [10]	4,8	4,9	4,9	5,2	5,8	7,1	9	11,2	13,7		
Снижение уровня звукового давления на пути слева от экрана, Dz2, дБ	z = 193.23м (разность путей)	ф-лы (14-18) [10]	33,2	36,3	39,3	42,3	45,3	48,3	51,3	54,4	57,4		
Снижение уровня звукового давления на пути справа от экрана, Dz3, дБ	z = 0.09м (разность путей)	ф-лы (14-18) [10]	5,2	5,7	6,4	7,5	9,2	11,4	13,9	16,6	19,5		
Общее снижение уровня звука препятствием Dz, дБ		Эн.сумма(-Dzi)	2	2,2	2,6	3,2	4,2	5,7	7,7	10,1	12,7		
Уровни звукового давления от источника ИШ-6-17 в расчётной точке днём, дБ		**ф-ла(3)[10]**	**0**	**29**	**29,9**	**30,2**	**28,7**	**25,6**	**18,3**	**4,7**	**0**	**29,9**	**29,9**
Уровни звукового давления от источника ИШ-6-17 в расчётной точке ночью, дБ		**ф-ла(3)[10]**	**0**	**29**	**29,9**	**30,2**	**28,7**	**25,6**	**18,3**	**4,7**	**0**	**29,9**	**29,9**
Источник шума: ИШ-6-18, координаты источника (x,y,z), м =[804.77,-126.28,1.00]													
Уровни звуковой мощности источника днём, Lw, дБ		**исходные данные**	**0**	**96,3**	**97,7**	**99**	**99,3**	**98,9**	**95,6**	**91,4**	**86,9**		
Уровни звуковой мощности источника ночью, Lw, дБ		**исходные данные**	**0**	**96,3**	**97,7**	**99**	**99,3**	**98,9**	**95,6**	**91,4**	**86,9**		
Поправка на телесный угол DΩ, дБ	Ω = 12.57	10Lg(4π/Ω)	**0**	0	0	0	0	0	0	0	0		
Показатель направленности источника Di, дБ		исходные данные	**0**	0	0	0	0	0	0	0	0		
Поправка на направленность источника Dc, дБ	Dc	DΩ + Di	**0**	0	0	0	0	0	0	0	0		

1		2	3	4	5	6	7	8	9	10	11	12	13
Затухание из-за геометрической дивергенции, Adiv, дБ	расстояние = 542.13 м	ф-ла (7) [10]	**65,7**										
Коэффициент затухания звука в атмосфере α, дБ/км	Ta=20,°C Pa=101.33,кПа hотн.=70%	ф-ла (5) [9]	0,02	0,09	0,33	1,12	2,79	4,98	9,04	23,09	77,63		
Учет затухания звука в атмосфере Aatm, дБ		ф-ла (8) [10]	0	0	0,2	0,6	1,5	2,7	4,9	12,5	42,1		
Снижение уровня звукового давления из-за влияния застройки между источником шума и расчетной точкой													
Снижение уровня звукового давления на пути над экраном, Dz1, дБ	z = 0.12м (разность путей)	ф-лы (14-18) [10]	5,1	5,4	5,9	6,8	8,1	10	12,3	14,9	17,7		
Снижение уровня звукового давления на пути слева от экрана, Dz2, дБ	z = 192.20м (разность путей)	ф-лы (14-18) [10]	33,2	36,3	39,3	42,3	45,3	48,3	51,3	54,3	57,3		
Снижение уровня звукового давления на пути справа от экрана, Dz3, дБ	z = 0.15м (разность путей)	ф-лы (14-18) [10]	6,6	8	9,9	12,2	14,8	17,6	20,4	23,4	26,4		
Общее снижение уровня звука препятствием Dz, дБ		Эн.сумма(-Dzi)	2,8	3,5	4,4	5,7	7,3	9,3	11,7	14,3	17,1		
Уровни звукового давления от источника ИШ-6-18 в расчётной точке днём, дБ		**ф-ла(3)[10]**	**0**	**27,1**	**27,4**	**27**	**24,8**	**21,2**	**13,3**	**0**	**0**	**25,9**	**25,9**
Уровни звукового давления от источника ИШ-6-18 в расчётной точке ночью, дБ		**ф-ла(3)[10]**	**0**	**27,1**	**27,4**	**27**	**24,8**	**21,2**	**13,3**	**0**	**0**	**25,9**	**25,9**
Источник шума: ИШ-6-19, координаты источника (x,y,z), м =[803.81,-129.30,1.00]													
Уровни звуковой мощности источника днём, Lw, дБ		**исходные данные**	**0**	**96,3**	**97,7**	**99**	**99,3**	**98,9**	**95,6**	**91,4**	**86,9**		
Уровни звуковой мощности источника ночью, Lw, дБ		**исходные данные**	**0**	**96,3**	**97,7**	**99**	**99,3**	**98,9**	**95,6**	**91,4**	**86,9**		
Поправка на телесный угол DΩ, дБ	Ω = 12.57	10Lg($4\pi/\Omega$)	**0**	0	0	0	0	0	0	0	0		
Показатель направленности источника Di, дБ		исходные данные	**0**	0	0	0	0	0	0	0	0		
Поправка на направленность источника Dc, дБ	Dc	DΩ + Di	**0**	0	0	0	0	0	0	0	0		

1		2	3	4	5	6	7	8	9	10	11	12	13
Затухание из-за геометрической дивергенции, Adiv, дБ	расстояние = 540.73 м	ф-ла (7) [10]	**65,7**										
Коэффициент затухания звука в атмосфере α, дБ/км	Ta=20,°C Pa=101.33,кПа hотн.=70%	ф-ла (5) [9]	0,02	0,09	0,33	1,12	2,79	4,98	9,04	23,09	77,63		
Учет затухания звука в атмосфере Aatm, дБ		ф-ла (8) [10]	0	0	0,2	0,6	1,5	2,7	4,9	12,5	42		
Снижение уровня звукового давления из-за влияния застройки между источником шума и расчетной точкой													
Снижение уровня звукового давления на пути над экраном, Dz1, дБ	z = 0.12м (разность путей)	ф-лы (14-18) [10]	5,1	5,4	5,9	6,8	8,1	10	12,3	14,9	17,7		
Снижение уровня звукового давления на пути слева от экрана, Dz2, дБ	z = 191.94м (разность путей)	ф-лы (14-18) [10]	33,2	36,3	39,3	42,3	45,3	48,3	51,3	54,3	57,3		
Снижение уровня звукового давления на пути справа от экрана, Dz3, дБ	z = 0.21м (разность путей)	ф-лы (14-18) [10]	7,2	8,8	10,9	13,4	16,1	18,9	21,9	24,8	27,8		
Общее снижение уровня звука препятствием Dz, дБ		Эн.сумма(-Dzi)	3	3,8	4,7	5,9	7,5	9,5	11,9	14,5	17,3		
Уровни звукового давления от источника ИШ-6-19 в расчётной точке днём, дБ		**ф-ла(3)[10]**	**0**	**26,8**	**27,1**	**26,8**	**24,6**	**21**	**13,2**	**0**	**0**	**25,7**	**25,7**
Уровни звукового давления от источника ИШ-6-19 в расчётной точке ночью, дБ		**ф-ла(3)[10]**	**0**	**26,8**	**27,1**	**26,8**	**24,6**	**21**	**13,2**	**0**	**0**	**25,7**	**25,7**
Источник шума: ИШ-6-20, координаты источника (x,y,z), м =[802.67,-132.35,1.00]													
Уровни звуковой мощности источника днём, Lw, дБ		**исходные данные**	**0**	**96,3**	**97,7**	**99**	**99,3**	**98,9**	**95,6**	**91,4**	**86,9**		
Уровни звуковой мощности источника ночью, Lw, дБ		**исходные данные**	**0**	**96,3**	**97,7**	**99**	**99,3**	**98,9**	**95,6**	**91,4**	**86,9**		
Поправка на телесный угол DΩ, дБ	Ω = 12.57	10Lg($4\pi/\Omega$)	**0**	0	0	0	0	0	0	0	0		
Показатель направленности источника Di, дБ		исходные данные	**0**	0	0	0	0	0	0	0	0		
Поправка на направленность источника Dc, дБ	Dc	DΩ + Di	**0**	0	0	0	0	0	0	0	0		

1		2	3	4	5	6	7	8	9	10	11	12	13
Затухание из-за геометрической дивергенции, Adiv, дБ	расстояние = 539.17 м	ф-ла (7) [10]	**65,6**										
Коэффициент затухания звука в атмосфере α, дБ/км	Ta=20,°C Pa=101.33,кПа hотн.=70%	ф-ла (5) [9]	0,02	0,09	0,33	1,12	2,79	4,98	9,04	23,09	77,63		
Учет затухания звука в атмосфере Aatm, дБ		ф-ла (8) [10]	0	0	0,2	0,6	1,5	2,7	4,9	12,4	41,9		
Снижение уровня звукового давления из-за влияния застройки между источником шума и расчетной точкой													
Снижение уровня звукового давления на пути над экраном, Dz1, дБ	z = 0.12м (разность путей)	ф-лы (14-18) [10]	5,1	5,4	5,9	6,8	8,2	10,1	12,4	15	17,8		
Снижение уровня звукового давления на пути слева от экрана, Dz2, дБ	z = 191.70м (разность путей)	ф-лы (14-18) [10]	33,1	36,3	39,3	42,3	45,3	48,3	51,3	54,3	57,3		
Снижение уровня звукового давления на пути справа от экрана, Dz3, дБ	z = 0.30м (разность путей)	ф-лы (14-18) [10]	7,9	9,8	12,1	14,7	17,4	20,3	23,3	26,3	29,3		
Общее снижение уровня звука препятствием Dz, дБ		Эн.сумма(-Dzi)	3,2	4	5	6,1	7,7	9,7	12	14,7	17,5		
Уровни звукового давления от источника ИШ-6-20 в расчётной точке днём, дБ		**ф-ла(3)[10]**	**0**	**26,6**	**26,9**	**26,6**	**24,5**	**20,9**	**13**	**0**	**0**	**25,6**	**25,6**
Уровни звукового давления от источника ИШ-6-20 в расчётной точке ночью, дБ		**ф-ла(3)[10]**	**0**	**26,6**	**26,9**	**26,6**	**24,5**	**20,9**	**13**	**0**	**0**	**25,6**	**25,6**
Источник шума: ИШ-6-21, координаты источника (x,y,z), м =[801.69,-135.42,1.00]													
Уровни звуковой мощности источника днём, Lw, дБ		**исходные данные**	**0**	**96,3**	**97,7**	**99**	**99,3**	**98,9**	**95,6**	**91,4**	**86,9**		
Уровни звуковой мощности источника ночью, Lw, дБ		**исходные данные**	**0**	**96,3**	**97,7**	**99**	**99,3**	**98,9**	**95,6**	**91,4**	**86,9**		
Поправка на телесный угол DΩ, дБ	Ω = 12.57	10Lg($4\pi/\Omega$)	**0**	0	0	0	0	0	0	0	0		
Показатель направленности источника Di, дБ		исходные данные	**0**	0	0	0	0	0	0	0	0		
Поправка на направленность источника Dc, дБ	Dc	DΩ + Di	**0**	0	0	0	0	0	0	0	0		

1		2	3	4	5	6	7	8	9	10	11	12	13
Затухание из-за геометрической дивергенции, Adiv, дБ	расстояние = 537.77 м	ф-ла (7) [10]	**65,6**										
Коэффициент затухания звука в атмосфере α, дБ/км	Та=20,°С Ра=101.33,кПа hотн.=70%	ф-ла (5) [9]	0,02	0,09	0,33	1,12	2,79	4,98	9,04	23,09	77,63		
Учет затухания звука в атмосфере Aatm, дБ		ф-ла (8) [10]	0	0	0,2	0,6	1,5	2,7	4,9	12,4	41,7		
Снижение уровня звукового давления из-за влияния застройки между источником шума и расчетной точкой													
Снижение уровня звукового давления на пути над экраном, Dz1, дБ	z = 0.12м (разность путей)	ф-лы (14-18) [10]	5,1	5,4	5,9	6,8	8,2	10,1	12,4	15	17,8		
Снижение уровня звукового давления на пути слева от экрана, Dz2, дБ	z = 191.48м (разность путей)	ф-лы (14-18) [10]	33,1	36,3	39,3	42,3	45,3	48,3	51,3	54,3	57,3		
Снижение уровня звукового давления на пути справа от экрана, Dz3, дБ	z = 0.41м (разность путей)	ф-лы (14-18) [10]	8,6	10,7	13,2	15,9	18,7	21,6	24,6	27,6	30,6		
Общее снижение уровня звука препятствием Dz, дБ		Эн.сумма(-Dzi)	3,5	4,3	5,2	6,3	7,8	9,8	12,2	14,8	17,6		
Уровни звукового давления от источника ИШ-6-21 в расчётной точке днём, дБ		**ф-ла(3)[10]**	**0**	**26,4**	**26,7**	**26,5**	**24,3**	**20,8**	**13**	**0**	**0**	**25,4**	**25,4**
Уровни звукового давления от источника ИШ-6-21 в расчётной точке ночью, дБ		**ф-ла(3)[10]**	**0**	**26,4**	**26,7**	**26,5**	**24,3**	**20,8**	**13**	**0**	**0**	**25,4**	**25,4**
Источник шума: ИШ-6-22, координаты источника (x,y,z), м =[800.65,-138.47,1.00]													
Уровни звуковой мощности источника днём, Lw, дБ		**исходные данные**	**0**	**96,3**	**97,7**	**99**	**99,3**	**98,9**	**95,6**	**91,4**	**86,9**		
Уровни звуковой мощности источника ночью, Lw, дБ		**исходные данные**	**0**	**96,3**	**97,7**	**99**	**99,3**	**98,9**	**95,6**	**91,4**	**86,9**		
Поправка на телесный угол DΩ, дБ	Ω = 12.57	10Lg(4π/Ω)	**0**	0	0	0	0	0	0	0	0		
Показатель направленности источника Di, дБ		исходные данные	**0**	0	0	0	0	0	0	0	0		
Поправка на направленность источника Dc, дБ	Dc	DΩ + Di	**0**	0	0	0	0	0	0	0	0		

1		2	3	4	5	6	7	8	9	10	11	12	13
Затухание из-за геометрической дивергенции, Adiv, дБ	расстояние = 536.34 м	ф-ла (7) [10]	**65,6**										
Коэффициент затухания звука в атмосфере α, дБ/км	Та=20,°С Ра=101.33,кПа hотн.=70%	ф-ла (5) [9]	0,02	0,09	0,33	1,12	2,79	4,98	9,04	23,09	77,63		
Учет затухания звука в атмосфере Aatm, дБ		ф-ла (8) [10]	0	0	0,2	0,6	1,5	2,7	4,8	12,4	41,6		
Снижение уровня звукового давления из-за влияния застройки между источником шума и расчетной точкой													
Снижение уровня звукового давления на пути над экраном, Dz1, дБ	z = 0.12м (разность путей)	ф-лы (14-18) [10]	5,1	5,4	5,9	6,8	8,2	10,1	12,5	15,1	17,9		
Снижение уровня звукового давления на пути слева от экрана, Dz2, дБ	z = 210.81м (разность путей)	ф-лы (14-18) [10]	32,7	36,4	39,6	42,7	45,7	48,7	51,7	54,7	57,7		
Снижение уровня звукового давления на пути справа от экрана, Dz3, дБ	z = 0.54м (разность путей)	ф-лы (14-18) [10]	9,3	11,7	14,2	17	19,9	22,8	25,8	28,8	31,8		
Общее снижение уровня звука препятствием Dz, дБ		Эн.сумма(-Dzi)	3,7	4,5	5,3	6,4	7,9	9,9	12,3	14,9	17,7		
Уровни звукового давления от источника ИШ-6-22 в расчётной точке днём, дБ		**ф-ла(3)[10]**	**0**	**26,2**	**26,6**	**26,4**	**24,3**	**20,7**	**12,9**	**0**	**0**	**25,4**	**25,4**
Уровни звукового давления от источника ИШ-6-22 в расчётной точке ночью, дБ		**ф-ла(3)[10]**	**0**	**26,2**	**26,6**	**26,4**	**24,3**	**20,7**	**12,9**	**0**	**0**	**25,4**	**25,4**
Источник шума: ИШ-7-1, координаты источника (x,y,z), м =[821.44,63.31,1.00]													
Уровни звуковой мощности источника днём, Lw, дБ		**исходные данные**	**77**	**75**	**67**	**66**	**63**	**55**	**53**	**48**	**51**		
Уровни звуковой мощности источника ночью, Lw, дБ		**исходные данные**	**77**	**75**	**67**	**66**	**63**	**55**	**53**	**48**	**51**		
Поправка на телесный угол DΩ, дБ	Ω = 12.57	10Lg(4π/Ω)	**0**	0	0	0	0	0	0	0	0		
Показатель направленности источника Di, дБ		исходные данные	**0**	0	0	0	0	0	0	0	0		
Поправка на направленность источника Dc, дБ	Dc	DΩ + Di	**0**	0	0	0	0	0	0	0	0		

1		2	3	4	5	6	7	8	9	10	11	12	13
Затухание из-за геометрической дивергенции, Adiv, дБ	расстояние = 615.42 м	ф-ла (7) [10]	**66,8**										
Коэффициент затухания звука в атмосфере α, дБ/км	Ta=20,°C Pa=101.33,кПа hотн.=70%	ф-ла (5) [9]	0,02	0,09	0,33	1,12	2,79	4,98	9,04	23,09	77,63		
Учет затухания звука в атмосфере Aatm, дБ		ф-ла (8) [10]	0	0,1	0,2	0,7	1,7	3,1	5,6	14,2	47,8		
Снижение уровня звукового давления из-за влияния застройки между источником шума и расчетной точкой													
Снижение уровня звукового давления на пути над экраном, Dz1, дБ	z = 0.15м (разность путей)	ф-лы (14-18) [10]	4,8	4,8	4,8	4,8	4,8	4,9	5	5,2	5,5		
Уровни звукового давления от источника ИШ-7-1 в расчётной точке днём, дБ		**ф-ла(3)[10]**	**5,4**	**3,4**	**0**	**0**	**0**	**0**	**0**	**0**	**0**	**0**	**0**
Уровни звукового давления от источника ИШ-7-1 в расчётной точке ночью, дБ		**ф-ла(3)[10]**	**5,4**	**3,4**	**0**	**0**	**0**	**0**	**0**	**0**	**0**	**0**	**0**
Источник шума: ИШ-7-2, координаты источника (x,y,z), м =[768.90,-86.75,1.00]													
Уровни звуковой мощности источника днём, Lw, дБ		**исходные данные**	**77**	**75**	**67**	**66**	**63**	**55**	**53**	**48**	**51**		
Уровни звуковой мощности источника ночью, Lw, дБ		**исходные данные**	**77**	**75**	**67**	**66**	**63**	**55**	**53**	**48**	**51**		
Поправка на телесный угол DΩ, дБ	Ω = 12.57	10Lg(4π/Ω)	**0**	0	0	0	0	0	0	0	0		
Показатель направленности источника Di, дБ		исходные данные	**0**	0	0	0	0	0	0	0	0		
Поправка на направленность источника Dc, дБ	Dc	DΩ + Di	**0**	0	0	0	0	0	0	0	0		
Затухание из-за геометрической дивергенции, Adiv, дБ	расстояние = 514.49 м	ф-ла (7) [10]	**65,2**										
Коэффициент затухания звука в атмосфере α, дБ/км	Ta=20,°C Pa=101.33,кПа hотн.=70%	ф-ла (5) [9]	0,02	0,09	0,33	1,12	2,79	4,98	9,04	23,09	77,63		
Учет затухания звука в атмосфере Aatm, дБ		ф-ла (8) [10]	0	0	0,2	0,6	1,4	2,6	4,7	11,9	39,9		

1		2	3	4	5	6	7	8	9	10	11	12	13
Снижение уровня звукового давления из-за влияния застройки между источником шума и расчетной точкой													
Снижение уровня звукового давления на пути над экраном, Dz1, дБ	z = 0.11м (разность путей)	ф-лы (14-18) [10]	4,8	4,8	4,9	5	5,2	5,6	6,4	7,7	9,9		
Уровни звукового давления от источника ИШ-7-2 в расчётной точке днём, дБ		**ф-ла(3)[10]**	**7**	**4,9**	**0**	**0**	**0**	**0**	**0**	**0**	**0**	**0**	**0**
Уровни звукового давления от источника ИШ-7-2 в расчётной точке ночью, дБ		**ф-ла(3)[10]**	**7**	**4,9**	**0**	**0**	**0**	**0**	**0**	**0**	**0**	**0**	**0**
Источник шума: ИШ-7-3, координаты источника (x,y,z), м =[766.80,-93.20,1.00]													
Уровни звуковой мощности источника днём, Lw, дБ		**исходные данные**	**77**	**75**	**67**	**66**	**63**	**55**	**53**	**48**	**51**		
Уровни звуковой мощности источника ночью, Lw, дБ		**исходные данные**	**77**	**75**	**67**	**66**	**63**	**55**	**53**	**48**	**51**		
Поправка на телесный угол DΩ, дБ	Ω = 12.57	10Lg(4π/Ω)	**0**	0	0	0	0	0	0	0	0		
Показатель направленности источника Di, дБ		исходные данные	**0**	0	0	0	0	0	0	0	0		
Поправка на направленность источника Dc, дБ	Dc	DΩ + Di	**0**	0	0	0	0	0	0	0	0		
Затухание из-за геометрической дивергенции, Adiv, дБ	расстояние = 510.97 м	ф-ла (7) [10]	**65,2**										
Коэффициент затухания звука в атмосфере α, дБ/км	Ta=20,°C Pa=101.33,кПа hотн.=70%	ф-ла (5) [9]	0,02	0,09	0,33	1,12	2,79	4,98	9,04	23,09	77,63		
Учет затухания звука в атмосфере Aatm, дБ		ф-ла (8) [10]	0	0	0,2	0,6	1,4	2,5	4,6	11,8	39,7		
Снижение уровня звукового давления из-за влияния застройки между источником шума и расчетной точкой													
Снижение уровня звукового давления на пути над экраном, Dz1, дБ	z = 0.11м (разность путей)	ф-лы (14-18) [10]	4,8	4,8	4,9	5	5,3	5,8	7,1	9,6	12,6		
Уровни звукового давления от источника ИШ-7-3 в расчётной точке днём, дБ		**ф-ла(3)[10]**	**7**	**5**	**0**	**0**	**0**	**0**	**0**	**0**	**0**	**0**	**0**

1		2	3	4	5	6	7	8	9	10	11	12	13
Уровни звукового давления от источника ИШ-7-3 в расчётной точке ночью, дБ		**ф-ла(3)[10]**	**7**	**5**	**0**	**0**	**0**	**0**	**0**	**0**	**0**	**0**	**0**
Источник шума: ИШ-7-4, координаты источника (x,y,z), м =[866.76,37.18,1.00]													
Уровни звуковой мощности источника днём, Lw, дБ		**исходные данные**	**77**	**75**	**67**	**66**	**63**	**55**	**53**	**48**	**51**		
Уровни звуковой мощности источника ночью, Lw, дБ		**исходные данные**	**77**	**75**	**67**	**66**	**63**	**55**	**53**	**48**	**51**		
Поправка на телесный угол DΩ, дБ	Ω = 12.57	10Lg(4π/Ω)	**0**	0	0	0	0	0	0	0	0		
Показатель направленности источника Di, дБ		исходные данные	**0**	0	0	0	0	0	0	0	0		
Поправка на направленность источника Dc, дБ	Dc	DΩ + Di	**0**	0	0	0	0	0	0	0	0		
Затухание из-за геометрической дивергенции, Adiv, дБ	расстояние = 646.09 м	ф-ла (7) [10]	**67,2**										
Коэффициент затухания звука в атмосфере α, дБ/км	Ta=20,°C Pa=101.33,кПа hотн.=70%	ф-ла (5) [9]	0,02	0,09	0,33	1,12	2,79	4,98	9,04	23,09	77,63		
Учет затухания звука в атмосфере Aatm, дБ		ф-ла (8) [10]	0	0,1	0,2	0,7	1,8	3,2	5,8	14,9	50,2		
Снижение уровня звукового давления из-за влияния застройки между источником шума и расчетной точкой													
Снижение уровня звукового давления на пути над экраном, Dz1, дБ	z = 0.27м (разность путей)	ф-лы (14-18) [10]	4,8	4,8	4,8	4,9	5,2	5,6	6,3	7,4	9		
Уровни звукового давления от источника ИШ-7-4 в расчётной точке днём, дБ		**ф-ла(3)[10]**	**5**	**2,9**	**0**	**0**	**0**	**0**	**0**	**0**	**0**	**0**	**0**
Уровни звукового давления от источника ИШ-7-4 в расчётной точке ночью, дБ		**ф-ла(3)[10]**	**5**	**2,9**	**0**	**0**	**0**	**0**	**0**	**0**	**0**	**0**	**0**
Источник шума: ИШ-7-5, координаты источника (x,y,z), м =[861.80,21.34,1.00]													
Уровни звуковой мощности источника днём, Lw, дБ		**исходные данные**	**77**	**75**	**67**	**66**	**63**	**55**	**53**	**48**	**51**		

1		2	3	4	5	6	7	8	9	10	11	12	13
Уровни звуковой мощности источника ночью, Lw, дБ		**исходные данные**	**77**	**75**	**67**	**66**	**63**	**55**	**53**	**48**	**51**		
Поправка на телесный угол DΩ, дБ	Ω = 12.57	10Lg(4π/Ω)	**0**	0	0	0	0	0	0	0	0		
Показатель направленности источника Di, дБ		исходные данные	**0**	0	0	0	0	0	0	0	0		
Поправка на направленность источника Dc, дБ	Dc	DΩ + Di	**0**	0	0	0	0	0	0	0	0		
Затухание из-за геометрической дивергенции, Adiv, дБ	расстояние = 635.63 м	ф-ла (7) [10]	**67,1**										
Коэффициент затухания звука в атмосфере α, дБ/км	Ta=20,°C Pa=101.33,кПа hотн.=70%	ф-ла (5) [9]	0,02	0,09	0,33	1,12	2,79	4,98	9,04	23,09	77,63		
Учет затухания звука в атмосфере Aatm, дБ		ф-ла (8) [10]	0	0,1	0,2	0,7	1,8	3,2	5,7	14,7	49,3		
Снижение уровня звукового давления из-за влияния застройки между источником шума и расчетной точкой													
Снижение уровня звукового давления на пути над экраном, Dz1, дБ	z = 0.27м (разность путей)	ф-лы (14-18) [10]	4,8	4,8	4,8	4,9	5,2	5,6	6,3	7,5	9,1		
Уровни звукового давления от источника ИШ-7-5 в расчётной точке днём, дБ		**ф-ла(3)[10]**	**5,1**	**3,1**	**0**	**0**	**0**	**0**	**0**	**0**	**0**	**0**	**0**
Уровни звукового давления от источника ИШ-7-5 в расчётной точке ночью, дБ		**ф-ла(3)[10]**	**5,1**	**3,1**	**0**	**0**	**0**	**0**	**0**	**0**	**0**	**0**	**0**
Источник шума: ИШ-7-6, координаты источника (x,y,z), м =[856.52,5.94,1.00]													
Уровни звуковой мощности источника днём, Lw, дБ		**исходные данные**	**77**	**75**	**67**	**66**	**63**	**55**	**53**	**48**	**51**		
Уровни звуковой мощности источника ночью, Lw, дБ		**исходные данные**	**77**	**75**	**67**	**66**	**63**	**55**	**53**	**48**	**51**		
Поправка на телесный угол DΩ, дБ	Ω = 12.57	10Lg(4π/Ω)	**0**	0	0	0	0	0	0	0	0		
Показатель направленности источника Di, дБ		исходные данные	**0**	0	0	0	0	0	0	0	0		

1		2	3	4	5	6	7	8	9	10	11	12	13
Поправка на направленность источника Dc, дБ	Dc	DΩ + Di	**0**	0	0	0	0	0	0	0	0		
Затухание из-за геометрической дивергенции, Adiv, дБ	расстояние = 625.28 м	ф-ла (7) [10]	**66,9**										
Коэффициент затухания звука в атмосфере α, дБ/км	Ta=20,°C Pa=101.33,кПа hотн.=70%	ф-ла (5) [9]	0,02	0,09	0,33	1,12	2,79	4,98	9,04	23,09	77,63		
Учет затухания звука в атмосфере Aatm, дБ		ф-ла (8) [10]	0	0,1	0,2	0,7	1,7	3,1	5,7	14,4	48,5		
Снижение уровня звукового давления из-за влияния застройки между источником шума и расчетной точкой													
Снижение уровня звукового давления на пути над экраном, Dz1, дБ	z = 0.27м (разность путей)	ф-лы (14-18) [10]	4,8	4,8	4,8	4,9	5,1	5,5	6,3	7,4	9,1		
Уровни звукового давления от источника ИШ-7-6 в расчётной точке днём, дБ		**ф-ла(3)[10]**	**5,3**	**3,2**	**0**	**0**	**0**	**0**	**0**	**0**	**0**	**0**	**0**
Уровни звукового давления от источника ИШ-7-6 в расчётной точке ночью, дБ		**ф-ла(3)[10]**	**5,3**	**3,2**	**0**	**0**	**0**	**0**	**0**	**0**	**0**	**0**	**0**
Источник шума: ИШ-7-7, координаты источника (x,y,z), м =[851.06,-9.89,1.00]													
Уровни звуковой мощности источника днём, Lw, дБ		**исходные данные**	**77**	**75**	**67**	**66**	**63**	**55**	**53**	**48**	**51**		
Уровни звуковой мощности источника ночью, Lw, дБ		**исходные данные**	**77**	**75**	**67**	**66**	**63**	**55**	**53**	**48**	**51**		
Поправка на телесный угол DΩ, дБ	Ω = 12.57	10Lg(4π/Ω)	**0**	0	0	0	0	0	0	0	0		
Показатель направленности источника Di, дБ		исходные данные	**0**	0	0	0	0	0	0	0	0		
Поправка на направленность источника Dc, дБ	Dc	DΩ + Di	**0**	0	0	0	0	0	0	0	0		
Затухание из-за геометрической дивергенции, Adiv, дБ	расстояние = 614.88 м	ф-ла (7) [10]	**66,8**										
Коэффициент затухания звука в атмосфере α, дБ/км	Ta=20,°C Pa=101.33,кПа hотн.=70%	ф-ла (5) [9]	0,02	0,09	0,33	1,12	2,79	4,98	9,04	23,09	77,63		

1		2	3	4	5	6	7	8	9	10	11	12	13
Учет затухания звука в атмосфере Aatm, дБ		ф-ла (8) [10]	0	0,1	0,2	0,7	1,7	3,1	5,6	14,2	47,7		
Снижение поверхностью земли возле источника As, дБ	Gs = 0 hs = 1м	ф-лы таб.3 [10]	-1,5	-1,5	-1,5	-1,5	-1,5	-1,5	-1,5	-1,5	-1,5		
Снижение поверхностью земли возле приёмника Ar, дБ	Gr = 1 hr = 1.6м	ф-лы таб.3 [10]	-1,5	-1,5	3,7	6,8	4,3	0,5	0	0	0		
Снижение поверхностью земли в средней зоне, Am дБ	Gm = 1	ф-лы таб.3 [10]	-2,6	-2,6	0	0	0	0	0	0	0		
Суммарное снижение поверхностью земли на траектории распространения звука Agr, дБ		ф-ла (9) [10]	-5,6	-5,6	2,2	5,3	2,8	-1	-1,5	-1,5	-1,5		
Уровни звукового давления от источника ИШ-7-7 в расчётной точке днём, дБ		**ф-ла(3)[10]**	**15,8**	**13,8**	**0**	**0**	**0**	**0**	**0**	**0**	**0**	**0**	**0**
Уровни звукового давления от источника ИШ-7-7 в расчётной точке ночью, дБ		**ф-ла(3)[10]**	**15,8**	**13,8**	**0**	**0**	**0**	**0**	**0**	**0**	**0**	**0**	**0**
Источник шума: ИШ-7-8, координаты источника (x,y,z), м =[821.90,-104.30,1.00]													
Уровни звуковой мощности источника днём, Lw, дБ		**исходные данные**	**77**	**75**	**67**	**66**	**63**	**55**	**53**	**48**	**51**		
Уровни звуковой мощности источника ночью, Lw, дБ		**исходные данные**	**77**	**75**	**67**	**66**	**63**	**55**	**53**	**48**	**51**		
Поправка на телесный угол DΩ, дБ	Ω = 12.57	10Lg(4π/Ω)	**0**	0	0	0	0	0	0	0	0		
Показатель направленности источника Di, дБ		исходные данные	**0**	0	0	0	0	0	0	0	0		
Поправка на направленность источника Dc, дБ	Dc	DΩ + Di	**0**	0	0	0	0	0	0	0	0		
Затухание из-за геометрической дивергенции, Adiv, дБ	расстояние = 562.67 м	ф-ла (7) [10]	**66**										
Коэффициент затухания звука в атмосфере α, дБ/км	Ta=20,°C Pa=101.33,кПа hотн.=70%	ф-ла (5) [9]	0,02	0,09	0,33	1,12	2,79	4,98	9,04	23,09	77,63		
Учет затухания звука в атмосфере Aatm, дБ		ф-ла (8) [10]	0	0,1	0,2	0,6	1,6	2,8	5,1	13	43,7		

1		2	3	4	5	6	7	8	9	10	11	12	13
Снижение уровня звукового давления из-за влияния застройки между источником шума и расчетной точкой													
Снижение уровня звукового давления на пути над экраном, Dz1, дБ	z = 0.11м (разность путей)	ф-лы (14-18) [10]	4,8	4,8	4,9	5	5,4	6,3	7,8	9,8	12,1		
Уровни звукового давления от источника ИШ-7-8 в расчётной точке днём, дБ		**ф-ла(3)[10]**	**6,2**	**4,1**	**0**	**0**	**0**	**0**	**0**	**0**	**0**	**0**	**0**
Уровни звукового давления от источника ИШ-7-8 в расчётной точке ночью, дБ		**ф-ла(3)[10]**	**6,2**	**4,1**	**0**	**0**	**0**	**0**	**0**	**0**	**0**	**0**	**0**
Источник шума: ИШ-7-9, координаты источника (x,y,z), м =[819.93,-110.97,1.00]													
Уровни звуковой мощности источника днём, Lw, дБ		**исходные данные**	**77**	**75**	**67**	**66**	**63**	**55**	**53**	**48**	**51**		
Уровни звуковой мощности источника ночью, Lw, дБ		**исходные данные**	**77**	**75**	**67**	**66**	**63**	**55**	**53**	**48**	**51**		
Поправка на телесный угол DΩ, дБ	Ω = 12.57	10Lg(4π/Ω)	**0**	0	0	0	0	0	0	0	0		
Показатель направленности источника Di, дБ		исходные данные	**0**	0	0	0	0	0	0	0	0		
Поправка на направленность источника Dc, дБ	Dc	DΩ + Di	**0**	0	0	0	0	0	0	0	0		
Затухание из-за геометрической дивергенции, Adiv, дБ	расстояние = 559.54 м	ф-ла (7) [10]	**66**										
Коэффициент затухания звука в атмосфере α, дБ/км	Ta=20,°C Pa=101.33,кПа hотн.=70%	ф-ла (5) [9]	0,02	0,09	0,33	1,12	2,79	4,98	9,04	23,09	77,63		
Учет затухания звука в атмосфере Aatm, дБ		ф-ла (8) [10]	0	0,1	0,2	0,6	1,6	2,8	5,1	12,9	43,4		
Снижение уровня звукового давления из-за влияния застройки между источником шума и расчетной точкой													
Снижение уровня звукового давления на пути над экраном, Dz1, дБ	z = 0.11м (разность путей)	ф-лы (14-18) [10]	4,8	4,8	4,9	5	5,5	6,4	8	10	12,3		
Уровни звукового давления от источника ИШ-7-9 в расчётной точке днём, дБ		**ф-ла(3)[10]**	**6,2**	**4,2**	**0**	**0**	**0**	**0**	**0**	**0**	**0**	**0**	**0**

1		2	3	4	5	6	7	8	9	10	11	12	13
Уровни звукового давления от источника ИШ-7-9 в расчётной точке ночью, дБ		**ф-ла(3)[10]**	**6,2**	**4,2**	**0**	**0**	**0**	**0**	**0**	**0**	**0**	**0**	**0**
Источник шума: ИШ-7-10, координаты источника (x,y,z), м =[868.68,92.66,1.00]													
Уровни звуковой мощности источника днём, Lw, дБ		**исходные данные**	**77**	**75**	**67**	**66**	**63**	**55**	**53**	**48**	**51**		
Уровни звуковой мощности источника ночью, Lw, дБ		**исходные данные**	**77**	**75**	**67**	**66**	**63**	**55**	**53**	**48**	**51**		
Поправка на телесный угол DΩ, дБ	Ω = 12.57	10Lg(4π/Ω)	**0**	0	0	0	0	0	0	0	0		
Показатель направленности источника Di, дБ		исходные данные	**0**	0	0	0	0	0	0	0	0		
Поправка на направленность источника Dc, дБ	Dc	DΩ + Di	**0**	0	0	0	0	0	0	0	0		
Затухание из-за геометрической дивергенции, Adiv, дБ	расстояние = 670.77 м	ф-ла (7) [10]	**67,5**										
Коэффициент затухания звука в атмосфере α, дБ/км	Ta=20,°C Pa=101.33,кПа hотн.=70%	ф-ла (5) [9]	0,02	0,09	0,33	1,12	2,79	4,98	9,04	23,09	77,63		
Учет затухания звука в атмосфере Aatm, дБ		ф-ла (8) [10]	0	0,1	0,2	0,8	1,9	3,3	6,1	15,5	52,1		
Снижение уровня звукового давления из-за влияния застройки между источником шума и расчетной точкой													
Снижение уровня звукового давления на пути над экраном, Dz1, дБ	z = 0.14м (разность путей)	ф-лы (14-18) [10]	4,8	4,8	4,8	4,8	4,8	4,8	4,8	4,9	4,9		
Уровни звукового давления от источника ИШ-7-10 в расчётной точке днём, дБ		**ф-ла(3)[10]**	**4,7**	**2,6**	**0**	**0**	**0**	**0**	**0**	**0**	**0**	**0**	**0**
Уровни звукового давления от источника ИШ-7-10 в расчётной точке ночью, дБ		**ф-ла(3)[10]**	**4,7**	**2,6**	**0**	**0**	**0**	**0**	**0**	**0**	**0**	**0**	**0**
Источник шума: ИШ-7-11, координаты источника (x,y,z), м =[877.95,88.75,1.00]													
Уровни звуковой мощности источника днём, Lw, дБ		**исходные данные**	**77**	**75**	**67**	**66**	**63**	**55**	**53**	**48**	**51**		

1		2	3	4	5	6	7	8	9	10	11	12	13
Уровни звуковой мощности источника ночью, Lw, дБ		**исходные данные**	**77**	**75**	**67**	**66**	**63**	**55**	**53**	**48**	**51**		
Поправка на телесный угол DΩ, дБ	Ω = 12.57	10Lg(4π/Ω)	**0**	0	0	0	0	0	0	0	0		
Показатель направленности источника Di, дБ		исходные данные	**0**	0	0	0	0	0	0	0	0		
Поправка на направленность источника Dc, дБ	Dc	DΩ + Di	**0**	0	0	0	0	0	0	0	0		
Затухание из-за геометрической дивергенции, Adiv, дБ	расстояние = 677.36 м	ф-ла (7) [10]	**67,6**										
Коэффициент затухания звука в атмосфере α, дБ/км	Ta=20,°C Pa=101.33,кПа hотн.=70%	ф-ла (5) [9]	0,02	0,09	0,33	1,12	2,79	4,98	9,04	23,09	77,63		
Учет затухания звука в атмосфере Aatm, дБ		ф-ла (8) [10]	0	0,1	0,2	0,8	1,9	3,4	6,1	15,6	52,6		
Снижение уровня звукового давления из-за влияния застройки между источником шума и расчетной точкой													
Снижение уровня звукового давления на пути над экраном, Dz1, дБ	z = 0.26м (разность путей)	ф-лы (14-18) [10]	4,8	4,9	4,9	5,1	5,4	5,9	6,9	8,3	10,2		
Уровни звукового давления от источника ИШ-7-11 в расчётной точке днём, дБ		**ф-ла(3)[10]**	**4,6**	**2,5**	**0**	**0**	**0**	**0**	**0**	**0**	**0**	**0**	**0**
Уровни звукового давления от источника ИШ-7-11 в расчётной точке ночью, дБ		**ф-ла(3)[10]**	**4,6**	**2,5**	**0**	**0**	**0**	**0**	**0**	**0**	**0**	**0**	**0**
Источник шума: ИШ-7-12, координаты источника (x,y,z), м =[887.42,85.45,1.00]													
Уровни звуковой мощности источника днём, Lw, дБ		**исходные данные**	**77**	**75**	**67**	**66**	**63**	**55**	**53**	**48**	**51**		
Уровни звуковой мощности источника ночью, Lw, дБ		**исходные данные**	**77**	**75**	**67**	**66**	**63**	**55**	**53**	**48**	**51**		
Поправка на телесный угол DΩ, дБ	Ω = 12.57	10Lg(4π/Ω)	**0**	0	0	0	0	0	0	0	0		
Показатель направленности источника Di, дБ		исходные данные	**0**	0	0	0	0	0	0	0	0		

1		2	3	4	5	6	7	8	9	10	11	12	13
Поправка на направленность источника Dc, дБ	Dc	DΩ + Di	**0**	0	0	0	0	0	0	0	0		
Затухание из-за геометрической дивергенции, Adiv, дБ	расстояние = 684.47 м	ф-ла (7) [10]	**67,7**										
Коэффициент затухания звука в атмосфере α, дБ/км	Ta=20,°C Pa=101.33,кПа hотн.=70%	ф-ла (5) [9]	0,02	0,09	0,33	1,12	2,79	4,98	9,04	23,09	77,63		
Учет затухания звука в атмосфере Aatm, дБ		ф-ла (8) [10]	0	0,1	0,2	0,8	1,9	3,4	6,2	15,8	53,1		
Снижение уровня звукового давления из-за влияния застройки между источником шума и расчетной точкой													
Снижение уровня звукового давления на пути над экраном, Dz1, дБ	z = 0.26м (разность путей)	ф-лы (14-18) [10]	4,8	4,8	4,9	5,1	5,3	5,9	6,7	8,1	9,9		
Уровни звукового давления от источника ИШ-7-12 в расчётной точке днём, дБ		**ф-ла(3)[10]**	**4,5**	**2,4**	**0**	**0**	**0**	**0**	**0**	**0**	**0**	**0**	**0**
Уровни звукового давления от источника ИШ-7-12 в расчётной точке ночью, дБ		**ф-ла(3)[10]**	**4,5**	**2,4**	**0**	**0**	**0**	**0**	**0**	**0**	**0**	**0**	**0**
Источник шума: ИШ-6-23, координаты источника (x,y,z), м =[756.16,-136.23,3.00]													
Уровни звуковой мощности источника днём, Lw, дБ		**исходные данные**	**91**	**91**	**91**	**91**	**91**	**91**	**91**	**91**	**91**		
Уровни звуковой мощности источника ночью, Lw, дБ		**исходные данные**	**91**	**91**	**91**	**91**	**91**	**91**	**91**	**91**	**91**		
Поправка на телесный угол DΩ, дБ	Ω = 12.57	10Lg(4π/Ω)	**0**	0	0	0	0	0	0	0	0		
Показатель направленности источника Di, дБ		исходные данные	**0**	0	0	0	0	0	0	0	0		
Поправка на направленность источника Dc, дБ	Dc	DΩ + Di	**0**	0	0	0	0	0	0	0	0		
Затухание из-за геометрической дивергенции, Adiv, дБ	расстояние = 492.57 м	ф-ла (7) [10]	**64,8**										
Коэффициент затухания звука в атмосфере α, дБ/км	Ta=20,°C Pa=101.33,кПа hотн.=70%	ф-ла (5) [9]	0,02	0,09	0,33	1,12	2,79	4,98	9,04	23,09	77,63		

1		2	3	4	5	6	7	8	9	10	11	12	13
Учет затухания звука в атмосфере Aatm, дБ		ф-ла (8) [10]	0	0	0,2	0,6	1,4	2,5	4,5	11,4	38,2		
Снижение уровня звукового давления из-за влияния застройки между источником шума и расчетной точкой													
Снижение уровня звукового давления на пути над экраном, Dz1, дБ	z = 0.10м (разность путей)	ф-лы (14-18) [10]	5,1	5,4	5,9	6,7	8,1	10	12,3	14,9	17,7		
Снижение уровня звукового давления на пути слева от экрана, Dz2, дБ	z = 192.19м (разность путей)	ф-лы (14-18) [10]	33,2	36,3	39,3	42,3	45,3	48,3	51,3	54,3	57,3		
Снижение уровня звукового давления на пути справа от экрана, Dz3, дБ	z = 0.23м (разность путей)	ф-лы (14-18) [10]	7,3	9,1	11,2	13,7	16,4	19,3	22,2	25,2	28,2		
Общее снижение уровня звука препятствием Dz, дБ		Эн.сумма(-Dzi)	3	3,8	4,8	5,9	7,5	9,5	11,8	14,5	17,3		
Уровни звукового давления от источника ИШ-6-23 в расчётной точке днём, дБ		**ф-ла(3)[10]**	**23,1**	**22,3**	**21,2**	**19,6**	**17,3**	**14,2**	**9,9**	**0,3**	**0**	**19,2**	**19,2**
Уровни звукового давления от источника ИШ-6-23 в расчётной точке ночью, дБ		**ф-ла(3)[10]**	**23,1**	**22,3**	**21,2**	**19,6**	**17,3**	**14,2**	**9,9**	**0,3**	**0**	**19,2**	**19,2**
Источник шума: ИШ-6-24, координаты источника (x,y,z), м =[800.98,-151.27,3.00]													
Уровни звуковой мощности источника днём, Lw, дБ		**исходные данные**	**91**	**91**	**91**	**91**	**91**	**91**	**91**	**91**	**91**		
Уровни звуковой мощности источника ночью, Lw, дБ		**исходные данные**	**91**	**91**	**91**	**91**	**91**	**91**	**91**	**91**	**91**		
Поправка на телесный угол DΩ, дБ	Ω = 12.57	10Lg(4π/Ω)	**0**	0	0	0	0	0	0	0	0		
Показатель направленности источника Di, дБ		исходные данные	**0**	0	0	0	0	0	0	0	0		
Поправка на направленность источника Dc, дБ	Dc	DΩ + Di	**0**	0	0	0	0	0	0	0	0		
Затухание из-за геометрической дивергенции, Adiv, дБ	расстояние = 535.18 м	ф-ла (7) [10]	**65,6**										
Коэффициент затухания звука в атмосфере α, дБ/км	Ta=20,°C Pa=101.33,кПа hотн.=70%	ф-ла (5) [9]	0,02	0,09	0,33	1,12	2,79	4,98	9,04	23,09	77,63		

1		2	3	4	5	6	7	8	9	10	11	12	13
Учет затухания звука в атмосфере Aatm, дБ		ф-ла (8) [10]	0	0	0,2	0,6	1,5	2,7	4,8	12,4	41,5		
Снижение уровня звукового давления из-за влияния застройки между источником шума и расчетной точкой													
Снижение уровня звукового давления на пути над экраном, Dz1, дБ	z = 0.11м (разность путей)	ф-лы (14-18) [10]	5	5,2	5,6	6,4	7,5	9,2	11,3	13,9	16,6		
Снижение уровня звукового давления на пути слева от экрана, Dz2, дБ	z = 209.91м (разность путей)	ф-лы (14-18) [10]	32,7	36,4	39,6	42,7	45,7	48,7	51,7	54,7	57,7		
Снижение уровня звукового давления на пути справа от экрана, Dz3, дБ	z = 1.39м (разность путей)	ф-лы (14-18) [10]	12,4	15,2	18,1	21	23,9	26,9	29,9	32,9	35,9		
Общее снижение уровня звука препятствием Dz, дБ		Эн.сумма(-Dzi)	4,3	4,8	5,4	6,2	7,4	9,1	11,3	13,8	16,5		
Уровни звукового давления от источника ИШ-6-24 в расчётной точке днём, дБ		**ф-ла(3)[10]**	**21,1**	**20,6**	**19,8**	**18,6**	**16,5**	**13,6**	**9,3**	**0**	**0**	**18,3**	**18,3**
Уровни звукового давления от источника ИШ-6-24 в расчётной точке ночью, дБ		**ф-ла(3)[10]**	**21,1**	**20,6**	**19,8**	**18,6**	**16,5**	**13,6**	**9,3**	**0**	**0**	**18,3**	**18,3**
Источник шума: ИШ-8-1, координаты источника (x,y,z), м =[612.60,-227.70,3.00]													
Уровни звуковой мощности источника днём, Lw, дБ		**исходные данные**	**105**	**104**	**104**	**101**	**102**	**106**	**101**	**95**	**87**		
Уровни звуковой мощности источника ночью, Lw, дБ		**исходные данные**	**105**	**104**	**104**	**101**	**102**	**106**	**101**	**95**	**87**		
Поправка на телесный угол DΩ, дБ	Ω = 6.28	10Lg(4π/Ω)	**3**	3	3	3	3	3	3	3	3		
Показатель направленности источника Di, дБ		исходные данные	**0**	0	0	0	0	0	0	0	0		
Поправка на направленность источника Dc, дБ	Dc	DΩ + Di	**3**	3	3	3	3	3	3	3	3		
Затухание из-за геометрической дивергенции, Adiv, дБ	расстояние = 344.45 м	ф-ла (7) [10]	**61,7**										
Коэффициент затухания звука в атмосфере α, дБ/км	Ta=20,°C Pa=101.33,кПа hотн.=70%	ф-ла (5) [9]	0,02	0,09	0,33	1,12	2,79	4,98	9,04	23,09	77,63		

1		2	3	4	5	6	7	8	9	10	11	12	13
Учет затухания звука в атмосфере Aatm, дБ		ф-ла (8) [10]	0	0	0,1	0,4	1	1,7	3,1	8	26,7		
Снижение уровня звукового давления из-за влияния застройки между источником шума и расчетной точкой													
Снижение уровня звукового давления на пути над экраном, Dz1, дБ	z = 0.11м (разность путей)	ф-лы (14-18) [10]	4,9	5	5,4	6,4	7,9	9,9	12,2	14,8	17,6		
Снижение уровня звукового давления на пути слева от экрана, Dz2, дБ	z = 204.76м (разность путей)	ф-лы (14-18) [10]	32,6	36,3	39,5	42,5	45,6	48,6	51,6	54,6	57,6		
Снижение уровня звукового давления на пути справа от экрана, Dz3, дБ	z = 1.42м (разность путей)	ф-лы (14-18) [10]	9,2	11,3	13,8	16,5	19,4	22,3	25,3	28,3	31,3		
Общее снижение уровня звука препятствием Dz, дБ		Эн.сумма(-Dzi)	3,5	4,1	4,8	6	7,6	9,6	12	14,6	17,4		
Уровни звукового давления от источника ИШ-8-1 в расчётной точке днём, дБ		**ф-ла(3)[10]**	**42,8**	**41,1**	**40,3**	**35,9**	**34,7**	**35,9**	**27,2**	**13,7**	**0**	**38,4**	**38,4**
Уровни звукового давления от источника ИШ-8-1 в расчётной точке ночью, дБ		**ф-ла(3)[10]**	**42,8**	**41,1**	**40,3**	**35,9**	**34,7**	**35,9**	**27,2**	**13,7**	**0**	**38,4**	**38,4**
Источник шума: ИШ-8-2, координаты источника (x,y,z), м =[596.60,-275.00,3.00]													
Уровни звуковой мощности источника днём, Lw, дБ		**исходные данные**	**105**	**104**	**104**	**101**	**102**	**106**	**101**	**95**	**87**		
Уровни звуковой мощности источника ночью, Lw, дБ		**исходные данные**	**105**	**104**	**104**	**101**	**102**	**106**	**101**	**95**	**87**		
Поправка на телесный угол DΩ, дБ	Ω = 6.28	10Lg(4π/Ω)	**3**	3	3	3	3	3	3	3	3		
Показатель направленности источника Di, дБ		исходные данные	**0**	0	0	0	0	0	0	0	0		
Поправка на направленность источника Dc, дБ	Dc	DΩ + Di	**3**	3	3	3	3	3	3	3	3		
Затухание из-за геометрической дивергенции, Adiv, дБ	расстояние = 334.75 м	ф-ла (7) [10]	**61,5**										
Коэффициент затухания звука в атмосфере α, дБ/км	Ta=20,°C Pa=101.33,кПа hотн.=70%	ф-ла (5) [9]	0,02	0,09	0,33	1,12	2,79	4,98	9,04	23,09	77,63		

1		2	3	4	5	6	7	8	9	10	11	12	13
Учет затухания звука в атмосфере Aatm, дБ		ф-ла (8) [10]	0	0	0,1	0,4	0,9	1,7	3	7,7	26		
Снижение уровня звукового давления из-за влияния застройки между источником шума и расчетной точкой													
Снижение уровня звукового давления на пути над экраном, Dz1, дБ	z = 0.11м (разность путей)	ф-лы (14-18) [10]	4,9	5,1	5,5	6,6	8,2	10,2	12,6	15,3	18,1		
Снижение уровня звукового давления на пути слева от экрана, Dz2, дБ	z = 200.41м (разность путей)	ф-лы (14-18) [10]	32,5	36,2	39,4	42,5	45,5	48,5	51,5	54,5	57,5		
Снижение уровня звукового давления на пути справа от экрана, Dz3, дБ	z = 3.10м (разность путей)	ф-лы (14-18) [10]	11,6	14,1	16,9	19,7	22,7	25,7	28,6	31,6	34,7		
Общее снижение уровня звука препятствием Dz, дБ		Эн.сумма(-Dzi)	4	4,5	5,2	6,4	8	10,1	12,5	15,2	18		
Уровни звукового давления от источника ИШ-8-2 в расчётной точке днём, дБ		**ф-ла(3)[10]**	**42,5**	**40,9**	**40,2**	**35,8**	**34,5**	**35,7**	**27**	**13,6**	**0**	**38,2**	**38,2**
Уровни звукового давления от источника ИШ-8-2 в расчётной точке ночью, дБ		**ф-ла(3)[10]**	**42,5**	**40,9**	**40,2**	**35,8**	**34,5**	**35,7**	**27**	**13,6**	**0**	**38,2**	**38,2**
Источник шума: ИШ-8-3, координаты источника (x,y,z), м =[564.90,-369.90,3.00]													
Уровни звуковой мощности источника днём, Lw, дБ		**исходные данные**	**105**	**104**	**104**	**101**	**102**	**106**	**101**	**95**	**87**		
Уровни звуковой мощности источника ночью, Lw, дБ		**исходные данные**	**105**	**104**	**104**	**101**	**102**	**106**	**101**	**95**	**87**		
Поправка на телесный угол DΩ, дБ	Ω = 6.28	10Lg(4π/Ω)	**3**	3	3	3	3	3	3	3	3		
Показатель направленности источника Di, дБ		исходные данные	**0**	0	0	0	0	0	0	0	0		
Поправка на направленность источника Dc, дБ	Dc	DΩ + Di	**3**	3	3	3	3	3	3	3	3		
Затухание из-за геометрической дивергенции, Adiv, дБ	расстояние = 337.82 м	ф-ла (7) [10]	**61,6**										
Коэффициент затухания звука в атмосфере α, дБ/км	Ta=20,°C Pa=101.33,кПа hотн.=70%	ф-ла (5) [9]	0,02	0,09	0,33	1,12	2,79	4,98	9,04	23,09	77,63		

1		2	3	4	5	6	7	8	9	10	11	12	13
Учет затухания звука в атмосфере Aatm, дБ		ф-ла (8) [10]	0	0	0,1	0,4	0,9	1,7	3,1	7,8	26,2		
Снижение уровня звукового давления из-за влияния застройки между источником шума и расчетной точкой													
Снижение уровня звукового давления на пути над экраном, Dz1, дБ	z = 0.11м (разность путей)	ф-лы (14-18) [10]	4,9	5	5,5	6,5	8,1	10,1	12,5	15,1	17,9		
Снижение уровня звукового давления на пути слева от экрана, Dz2, дБ	z = 209.70м (разность путей)	ф-лы (14-18) [10]	29,2	32,9	37,2	41,7	45,4	48,6	51,7	54,7	57,7		
Снижение уровня звукового давления на пути справа от экрана, Dz3, дБ	z = 8.90м (разность путей)	ф-лы (14-18) [10]	15,8	19,3	23,6	28	31,7	34,9	38	41	44		
Общее снижение уровня звука препятствием Dz, дБ		Эн.сумма(-Dzi)	4,5	4,9	5,4	6,5	8,1	10,1	12,5	15,1	17,9		
Уровни звукового давления от источника ИШ-8-3 в расчётной точке днём, дБ		**ф-ла(3)[10]**	**41,9**	**40,5**	**39,9**	**35,6**	**34,4**	**35,7**	**26,9**	**13,5**	**0**	**38,1**	**38,1**
Уровни звукового давления от источника ИШ-8-3 в расчётной точке ночью, дБ		**ф-ла(3)[10]**	**41,9**	**40,5**	**39,9**	**35,6**	**34,4**	**35,7**	**26,9**	**13,5**	**0**	**38,1**	**38,1**
Источник шума: ИШ-9-1, координаты источника (x,y,z), м =[642.94,-357.54,1.00]													
Уровни звуковой мощности источника днём, Lw, дБ		**исходные данные**	**0**	**93,3**	**94,7**	**96**	**96,3**	**95,9**	**92,6**	**88,4**	**83,9**		
Уровни звуковой мощности источника ночью, Lw, дБ		**исходные данные**	**0**	**93,3**	**94,7**	**96**	**96,3**	**95,9**	**92,6**	**88,4**	**83,9**		
Поправка на телесный угол DΩ, дБ	Ω = 6.28	10Lg(4π/Ω)	**3**	3	3	3	3	3	3	3	3		
Показатель направленности источника Di, дБ		исходные данные	**0**	0	0	0	0	0	0	0	0		
Поправка на направленность источника Dc, дБ	Dc	DΩ + Di	**3**	3	3	3	3	3	3	3	3		
Затухание из-за геометрической дивергенции, Adiv, дБ	расстояние = 403.20 м	ф-ла (7) [10]	**63,1**										
Коэффициент затухания звука в атмосфере α, дБ/км	Ta=20,°C Pa=101.33,кПа hотн.=70%	ф-ла (5) [9]	0,02	0,09	0,33	1,12	2,79	4,98	9,04	23,09	77,63		

1		2	3	4	5	6	7	8	9	10	11	12	13
Учет затухания звука в атмосфере Aatm, дБ		ф-ла (8) [10]	0	0	0,1	0,5	1,1	2	3,6	9,3	31,3		
Снижение уровня звукового давления из-за влияния застройки между источником шума и расчетной точкой													
Снижение уровня звукового давления на пути над экраном, Dz1, дБ	z = 0.15м (разность путей)	ф-лы (14-18) [10]	5,6	6,3	7,4	9,1	11,2	13,7	16,4	19,3	22,2		
Снижение уровня звукового давления на пути слева от экрана, Dz2, дБ	z = 196.92м (разность путей)	ф-лы (14-18) [10]	33,2	36,4	39,4	42,4	45,4	48,4	51,4	54,4	57,5		
Снижение уровня звукового давления на пути справа от экрана, Dz3, дБ	z = 5.90м (разность путей)	ф-лы (14-18) [10]	18	21,2	24,2	27,2	30,2	33,2	36,2	39,2	42,2		
Общее снижение уровня звука препятствием Dz, дБ		Эн.сумма(-Dzi)	5,3	6,2	7,3	9	11,2	13,7	16,4	19,2	22,2		
Уровни звукового давления прямого звука от источника ИШ-9-1 в расчётной точке днём, дБ		**ф-ла(3)[10]**	**0**	**27**	**27,1**	**26,4**	**23,9**	**20,1**	**12,4**	**0**	**0**	**25**	**25**
Уровни звукового давления прямого звука от источника ИШ-9-1 в расчётной точке ночью, дБ		**ф-ла(3)[10]**	**0**	**27**	**27,1**	**26,4**	**23,9**	**20,1**	**12,4**	**0**	**0**	**25**	**25**
Расчёт отражённого звука													
Уровни звукового давления от мнимого источника ИШ-9-1_мн.(1) в расчётной точке днём, дБ		**ф-ла(3)[10]**	**0**	**0**	**0**	**0**	**0**	**0**	**0**	**0**	**0**	**0**	**0**
Уровни звукового давления от мнимого источника ИШ-9-1_мн.(1) в расчётной точке ночью, дБ		**ф-ла(3)[10]**	**0**	**0**	**0**	**0**	**0**	**0**	**0**	**0**	**0**	**0**	**0**
Уровни звукового давления от источника ИШ-9-1 в расчётной точке днём, дБ		**ф-ла(3)[10]**	**0**	**27**	**27,1**	**26,4**	**23,9**	**20,1**	**12,4**	**0**	**0**	**25**	**25**
Уровни звукового давления от источника ИШ-9-1 в расчётной точке ночью, дБ		**ф-ла(3)[10]**	**0**	**27**	**27,1**	**26,4**	**23,9**	**20,1**	**12,4**	**0**	**0**	**25**	**25**
Источник шума: ИШ-9-2, координаты источника (x,y,z), м =[644.14,-354.83,1.00]													
Уровни звуковой мощности источника днём, Lw, дБ		**исходные данные**	**0**	**93,3**	**94,7**	**96**	**96,3**	**95,9**	**92,6**	**88,4**	**83,9**		
Уровни звуковой мощности источника ночью, Lw, дБ		**исходные данные**	**0**	**93,3**	**94,7**	**96**	**96,3**	**95,9**	**92,6**	**88,4**	**83,9**		
Поправка на телесный угол DΩ, дБ	Ω = 6.28	10Lg(4π/Ω)	**3**	3	3	3	3	3	3	3	3		

1		2	3	4	5	6	7	8	9	10	11	12	13
Показатель направленности источника Di, дБ		исходные данные	**0**	0	0	0	0	0	0	0	0		
Поправка на направленность источника Dc, дБ	Dc	DΩ + Di	**3**	3	3	3	3	3	3	3	3		
Затухание из-за геометрической дивергенции, Adiv, дБ	расстояние = 403.31 м	ф-ла (7) [10]	**63,1**										
Коэффициент затухания звука в атмосфере α, дБ/км	Ta=20,°C Pa=101.33,кПа hотн.=70%	ф-ла (5) [9]	0,02	0,09	0,33	1,12	2,79	4,98	9,04	23,09	77,63		
Учет затухания звука в атмосфере Aatm, дБ		ф-ла (8) [10]	0	0	0,1	0,5	1,1	2	3,6	9,3	31,3		
Снижение уровня звукового давления из-за влияния застройки между источником шума и расчетной точкой													
Снижение уровня звукового давления на пути над экраном, Dz1, дБ	z = 0.15м (разность путей)	ф-лы (14-18) [10]	5,6	6,3	7,4	9,1	11,2	13,7	16,4	19,3	22,2		
Снижение уровня звукового давления на пути слева от экрана, Dz2, дБ	z = 197.39м (разность путей)	ф-лы (14-18) [10]	33,3	36,4	39,4	42,4	45,4	48,4	51,4	54,5	57,5		
Снижение уровня звукового давления на пути справа от экрана, Dz3, дБ	z = 5.84м (разность путей)	ф-лы (14-18) [10]	14,2	17,6	21,8	26,2	29,8	33,1	36,1	39,2	42,2		
Общее снижение уровня звука препятствием Dz, дБ		Эн.сумма(-Dzi)	5	6	7,3	9	11,2	13,7	16,4	19,2	22,2		
Уровни звукового давления прямого звука от источника ИШ-9-2 в расчётной точке днём, дБ		**ф-ла(3)[10]**	**0**	**27,2**	**27,2**	**26,4**	**23,9**	**20,1**	**12,5**	**0**	**0**	**25**	**25**
Уровни звукового давления прямого звука от источника ИШ-9-2 в расчётной точке ночью, дБ		**ф-ла(3)[10]**	**0**	**27,2**	**27,2**	**26,4**	**23,9**	**20,1**	**12,5**	**0**	**0**	**25**	**25**
Расчёт отражённого звука													
Уровни звукового давления от мнимого источника ИШ-9-2_мн.(1) в расчётной точке днём, дБ		**ф-ла(3)[10]**	**0**	**0**	**0**	**0**	**0**	**0**	**0**	**0**	**0**	**0**	**0**
Уровни звукового давления от мнимого источника ИШ-9-2_мн.(1) в расчётной точке ночью, дБ		**ф-ла(3)[10]**	**0**	**0**	**0**	**0**	**0**	**0**	**0**	**0**	**0**	**0**	**0**
Уровни звукового давления от источника ИШ-9-2 в расчётной точке днём, дБ		**ф-ла(3)[10]**	**0**	**27,2**	**27,2**	**26,4**	**23,9**	**20,1**	**12,5**	**0**	**0**	**25**	**25**
Уровни звукового давления от источника ИШ-9-2 в расчётной точке ночью, дБ		**ф-ла(3)[10]**	**0**	**27,2**	**27,2**	**26,4**	**23,9**	**20,1**	**12,5**	**0**	**0**	**25**	**25**

1		2	3	4	5	6	7	8	9	10	11	12	13
Источник шума: ИШ-9-3, координаты источника (x,y,z), м =[644.98,-351.85,1.00]													
Уровни звуковой мощности источника днём, Lw, дБ		**исходные данные**	**0**	**93,3**	**94,7**	**96**	**96,3**	**95,9**	**92,6**	**88,4**	**83,9**		
Уровни звуковой мощности источника ночью, Lw, дБ		**исходные данные**	**0**	**93,3**	**94,7**	**96**	**96,3**	**95,9**	**92,6**	**88,4**	**83,9**		
Поправка на телесный угол DΩ, дБ	Ω = 6.28	10Lg(4π/Ω)	**3**	3	3	3	3	3	3	3	3		
Показатель направленности источника Di, дБ		исходные данные	**0**	0	0	0	0	0	0	0	0		
Поправка на направленность источника Dc, дБ	Dc	DΩ + Di	**3**	3	3	3	3	3	3	3	3		
Затухание из-за геометрической дивергенции, Adiv, дБ	расстояние = 403.02 м	ф-ла (7) [10]	**63,1**										
Коэффициент затухания звука в атмосфере α, дБ/км	Ta=20,°C Pa=101.33,кПа hотн.=70%	ф-ла (5) [9]	0,02	0,09	0,33	1,12	2,79	4,98	9,04	23,09	77,63		
Учет затухания звука в атмосфере Aatm, дБ		ф-ла (8) [10]	0	0	0,1	0,5	1,1	2	3,6	9,3	31,3		
Снижение уровня звукового давления из-за влияния застройки между источником шума и расчетной точкой													
Снижение уровня звукового давления на пути над экраном, Dz1, дБ	z = 0.15м (разность путей)	ф-лы (14-18) [10]	5,6	6,3	7,4	9,1	11,2	13,7	16,4	19,3	22,2		
Снижение уровня звукового давления на пути слева от экрана, Dz2, дБ	z = 197.94м (разность путей)	ф-лы (14-18) [10]	33,3	36,4	39,4	42,4	45,4	48,4	51,5	54,5	57,5		
Снижение уровня звукового давления на пути справа от экрана, Dz3, дБ	z = 5.69м (разность путей)	ф-лы (14-18) [10]	14,1	17,5	21,7	26,1	29,7	33	36	39	42,1		
Общее снижение уровня звука препятствием Dz, дБ		Эн.сумма(-Dzi)	5	6	7,3	9	11,2	13,7	16,4	19,3	22,2		
Уровни звукового давления прямого звука от источника ИШ-9-3 в расчётной точке днём, дБ		**ф-ла(3)[10]**	**0**	**27,2**	**27,2**	**26,4**	**23,9**	**20,1**	**12,5**	**0**	**0**	**25**	**25**
Уровни звукового давления прямого звука от источника ИШ-9-3 в расчётной точке ночью, дБ		**ф-ла(3)[10]**	**0**	**27,2**	**27,2**	**26,4**	**23,9**	**20,1**	**12,5**	**0**	**0**	**25**	**25**

1		2	3	4	5	6	7	8	9	10	11	12	13
Расчёт отражённого звука													
Уровни звукового давления от мнимого источника ИШ-9-3_мн.(1) в расчётной точке днём, дБ		**ф-ла(3)[10]**	**0**	**0**	**0**	**0**	**0**	**0**	**0**	**0**	**0**	**0**	**0**
Уровни звукового давления от мнимого источника ИШ-9-3_мн.(1) в расчётной точке ночью, дБ		**ф-ла(3)[10]**	**0**	**0**	**0**	**0**	**0**	**0**	**0**	**0**	**0**	**0**	**0**
Уровни звукового давления от источника ИШ-9-3 в расчётной точке днём, дБ		**ф-ла(3)[10]**	**0**	**27,2**	**27,2**	**26,4**	**23,9**	**20,1**	**12,5**	**0**	**0**	**25**	**25**
Уровни звукового давления от источника ИШ-9-3 в расчётной точке ночью, дБ		**ф-ла(3)[10]**	**0**	**27,2**	**27,2**	**26,4**	**23,9**	**20,1**	**12,5**	**0**	**0**	**25**	**25**
Источник шума: ИШ-9-4, координаты источника (x,y,z), м =[646.01,-349.15,1.00]													
Уровни звуковой мощности источника днём, Lw, дБ		**исходные данные**	**0**	**93,3**	**94,7**	**96**	**96,3**	**95,9**	**92,6**	**88,4**	**83,9**		
Уровни звуковой мощности источника ночью, Lw, дБ		**исходные данные**	**0**	**93,3**	**94,7**	**96**	**96,3**	**95,9**	**92,6**	**88,4**	**83,9**		
Поправка на телесный угол DΩ, дБ	Ω = 6.28	10Lg(4π/Ω)	**3**	3	3	3	3	3	3	3	3		
Показатель направленности источника Di, дБ		исходные данные	**0**	0	0	0	0	0	0	0	0		
Поправка на направленность источника Dc, дБ	Dc	DΩ + Di	**3**	3	3	3	3	3	3	3	3		
Затухание из-за геометрической дивергенции, Adiv, дБ	расстояние = 403.01 м	ф-ла (7) [10]	**63,1**										
Коэффициент затухания звука в атмосфере α, дБ/км	Ta=20,°C Pa=101.33,кПа hотн.=70%	ф-ла (5) [9]	0,02	0,09	0,33	1,12	2,79	4,98	9,04	23,09	77,63		
Учет затухания звука в атмосфере Aatm, дБ		ф-ла (8) [10]	0	0	0,1	0,5	1,1	2	3,6	9,3	31,3		
Снижение уровня звукового давления из-за влияния застройки между источником шума и расчетной точкой													
Снижение уровня звукового давления на пути над экраном, Dz1, дБ	z = 0.15м (разность путей)	ф-лы (14-18) [10]	5,6	6,3	7,4	9,1	11,2	13,7	16,4	19,3	22,2		

1		2	3	4	5	6	7	8	9	10	11	12	13
Снижение уровня звукового давления на пути слева от экрана, Dz2, дБ	z = 198.51м (разность путей)	ф-лы (14-18) [10]	33,3	36,4	39,4	42,4	45,4	48,5	51,5	54,5	57,5		
Снижение уровня звукового давления на пути справа от экрана, Dz3, дБ	z = 5.55м (разность путей)	ф-лы (14-18) [10]	14	17,4	21,6	26	29,6	32,8	35,9	38,9	41,9		
Общее снижение уровня звука препятствием Dz, дБ		Эн.сумма(-Dzi)	5	6	7,3	9	11,2	13,7	16,4	19,3	22,2		
Уровни звукового давления прямого звука от источника ИШ-9-4 в расчётной точке днём, дБ		**ф-ла(3)[10]**	**0**	**27,2**	**27,2**	**26,4**	**23,9**	**20,1**	**12,5**	**0**	**0**	**25**	**25**
Уровни звукового давления прямого звука от источника ИШ-9-4 в расчётной точке ночью, дБ		**ф-ла(3)[10]**	**0**	**27,2**	**27,2**	**26,4**	**23,9**	**20,1**	**12,5**	**0**	**0**	**25**	**25**
Расчёт отражённого звука													
Уровни звукового давления от мнимого источника ИШ-9-4_мн.(1) в расчётной точке днём, дБ		**ф-ла(3)[10]**	**0**	**0**	**0**	**0**	**0**	**0**	**0**	**0**	**0**	**0**	**0**
Уровни звукового давления от мнимого источника ИШ-9-4_мн.(1) в расчётной точке ночью, дБ		**ф-ла(3)[10]**	**0**	**0**	**0**	**0**	**0**	**0**	**0**	**0**	**0**	**0**	**0**
Уровни звукового давления от источника ИШ-9-4 в расчётной точке днём, дБ		**ф-ла(3)[10]**	**0**	**27,2**	**27,2**	**26,4**	**23,9**	**20,1**	**12,5**	**0**	**0**	**25**	**25**
Уровни звукового давления от источника ИШ-9-4 в расчётной точке ночью, дБ		**ф-ла(3)[10]**	**0**	**27,2**	**27,2**	**26,4**	**23,9**	**20,1**	**12,5**	**0**	**0**	**25**	**25**
Источник шума: ИШ-9-5, координаты источника (x,y,z), м =[646.84,-346.17,1.00]													
Уровни звуковой мощности источника днём, Lw, дБ		**исходные данные**	**0**	**93,3**	**94,7**	**96**	**96,3**	**95,9**	**92,6**	**88,4**	**83,9**		
Уровни звуковой мощности источника ночью, Lw, дБ		**исходные данные**	**0**	**93,3**	**94,7**	**96**	**96,3**	**95,9**	**92,6**	**88,4**	**83,9**		
Поправка на телесный угол DΩ, дБ	Ω = 6.28	10Lg(4π/Ω)	**3**	3	3	3	3	3	3	3	3		
Показатель направленности источника Di, дБ		исходные данные	**0**	0	0	0	0	0	0	0	0		
Поправка на направленность источника Dc, дБ	Dc	DΩ + Di	**3**	3	3	3	3	3	3	3	3		
Затухание из-за геометрической дивергенции, Adiv, дБ	расстояние = 402.76 м	ф-ла (7) [10]	**63,1**										

1		2	3	4	5	6	7	8	9	10	11	12	13
Коэффициент затухания звука в атмосфере α, дБ/км	Та=20,°С Ра=101.33,кПа hотн.=70%	ф-ла (5) [9]	0,02	0,09	0,33	1,12	2,79	4,98	9,04	23,09	77,63		
Учет затухания звука в атмосфере Aatm, дБ		ф-ла (8) [10]	0	0	0,1	0,5	1,1	2	3,6	9,3	31,3		
Снижение уровня звукового давления из-за влияния застройки между источником шума и расчетной точкой													
Снижение уровня звукового давления на пути над экраном, Dz1, дБ	z = 0.13м (разность путей)	ф-лы (14-18) [10]	4,9	5	5,4	6,4	7,9	9,9	12,2	14,8	17,6		
Снижение уровня звукового давления на пути слева от экрана, Dz2, дБ	z = 199.18м (разность путей)	ф-лы (14-18) [10]	33,3	36,4	39,4	42,4	45,5	48,5	51,5	54,5	57,5		
Снижение уровня звукового давления на пути справа от экрана, Dz3, дБ	z = 5.40м (разность путей)	ф-лы (14-18) [10]	13,9	17,3	21,5	25,8	29,5	32,7	35,8	38,8	41,8		
Общее снижение уровня звука препятствием Dz, дБ		Эн.сумма(-Dzi)	4,4	4,8	5,3	6,3	7,9	9,8	12,2	14,8	17,6		
Уровни звукового давления от источника ИШ-9-5 в расчётной точке днём, дБ		**ф-ла(3)[10]**	**0**	**28,4**	**29,1**	**29,1**	**27,2**	**24**	**16,7**	**4,2**	**0**	**28,4**	**28,4**
Уровни звукового давления от источника ИШ-9-5 в расчётной точке ночью, дБ		**ф-ла(3)[10]**	**0**	**28,4**	**29,1**	**29,1**	**27,2**	**24**	**16,7**	**4,2**	**0**	**28,4**	**28,4**
Источник шума: ИШ-9-6, координаты источника (x,y,z), м =[647.87,-343.47,1.00]													
Уровни звуковой мощности источника днём, Lw, дБ		**исходные данные**	**0**	**93,3**	**94,7**	**96**	**96,3**	**95,9**	**92,6**	**88,4**	**83,9**		
Уровни звуковой мощности источника ночью, Lw, дБ		**исходные данные**	**0**	**93,3**	**94,7**	**96**	**96,3**	**95,9**	**92,6**	**88,4**	**83,9**		
Поправка на телесный угол DΩ, дБ	Ω = 6.28	10Lg(4π/Ω)	**3**	3	3	3	3	3	3	3	3		
Показатель направленности источника Di, дБ		исходные данные	**0**	0	0	0	0	0	0	0	0		
Поправка на направленность источника Dc, дБ	Dc	DΩ + Di	**3**	3	3	3	3	3	3	3	3		
Затухание из-за геометрической дивергенции, Adiv, дБ	расстояние = 402.80 м	ф-ла (7) [10]	**63,1**										

1		2	3	4	5	6	7	8	9	10	11	12	13
Коэффициент затухания звука в атмосфере α, дБ/км	Та=20,°С Ра=101.33,кПа hотн.=70%	ф-ла (5) [9]	0,02	0,09	0,33	1,12	2,79	4,98	9,04	23,09	77,63		
Учет затухания звука в атмосфере Aatm, дБ		ф-ла (8) [10]	0	0	0,1	0,5	1,1	2	3,6	9,3	31,3		
Снижение уровня звукового давления из-за влияния застройки между источником шума и расчетной точкой													
Снижение уровня звукового давления на пути над экраном, Dz1, дБ	z = 0.13м (разность путей)	ф-лы (14-18) [10]	4,9	5	5,4	6,4	7,9	9,9	12,2	14,8	17,6		
Снижение уровня звукового давления на пути слева от экрана, Dz2, дБ	z = 199.84м (разность путей)	ф-лы (14-18) [10]	33,3	36,4	39,4	42,5	45,5	48,5	51,5	54,5	57,5		
Снижение уровня звукового давления на пути справа от экрана, Dz3, дБ	z = 5.27м (разность путей)	ф-лы (14-18) [10]	13,8	17,2	21,4	25,7	29,4	32,6	35,7	38,7	41,7		
Общее снижение уровня звука препятствием Dz, дБ		Эн.сумма(-Dzi)	4,3	4,8	5,3	6,3	7,9	9,8	12,2	14,8	17,6		
Уровни звукового давления от источника ИШ-9-6 в расчётной точке днём, дБ		**ф-ла(3)[10]**	**0**	**28,4**	**29,1**	**29,1**	**27,2**	**24**	**16,7**	**4,2**	**0**	**28,4**	**28,4**
Уровни звукового давления от источника ИШ-9-6 в расчётной точке ночью, дБ		**ф-ла(3)[10]**	**0**	**28,4**	**29,1**	**29,1**	**27,2**	**24**	**16,7**	**4,2**	**0**	**28,4**	**28,4**
Источник шума: ИШ-9-7, координаты источника (x,y,z), м =[648.71,-340.49,1.00]													
Уровни звуковой мощности источника днём, Lw, дБ		**исходные данные**	**0**	**93,3**	**94,7**	**96**	**96,3**	**95,9**	**92,6**	**88,4**	**83,9**		
Уровни звуковой мощности источника ночью, Lw, дБ		**исходные данные**	**0**	**93,3**	**94,7**	**96**	**96,3**	**95,9**	**92,6**	**88,4**	**83,9**		
Поправка на телесный угол DΩ, дБ	Ω = 6.28	10Lg(4π/Ω)	**3**	3	3	3	3	3	3	3	3		
Показатель направленности источника Di, дБ		исходные данные	**0**	0	0	0	0	0	0	0	0		
Поправка на направленность источника Dc, дБ	Dc	DΩ + Di	**3**	3	3	3	3	3	3	3	3		
Затухание из-за геометрической дивергенции, Adiv, дБ	расстояние = 402.60 м	ф-ла (7) [10]	**63,1**										

1		2	3	4	5	6	7	8	9	10	11	12	13
Коэффициент затухания звука в атмосфере α, дБ/км	Та=20,°С Ра=101.33,кПа hотн.=70%	ф-ла (5) [9]	0,02	0,09	0,33	1,12	2,79	4,98	9,04	23,09	77,63		
Учет затухания звука в атмосфере Aatm, дБ		ф-ла (8) [10]	0	0	0,1	0,5	1,1	2	3,6	9,3	31,3		
Снижение уровня звукового давления из-за влияния застройки между источником шума и расчетной точкой													
Снижение уровня звукового давления на пути над экраном, Dz1, дБ	z = 0.13м (разность путей)	ф-лы (14-18) [10]	4,9	5	5,4	6,4	7,9	9,9	12,2	14,8	17,6		
Снижение уровня звукового давления на пути слева от экрана, Dz2, дБ	z = 197.02м (разность путей)	ф-лы (14-18) [10]	32,4	36,1	39,3	42,4	45,4	48,4	51,4	54,4	57,5		
Снижение уровня звукового давления на пути справа от экрана, Dz3, дБ	z = 5.13м (разность путей)	ф-лы (14-18) [10]	13,7	17,1	21,3	25,6	29,3	32,5	35,6	38,6	41,6		
Общее снижение уровня звука препятствием Dz, дБ		Эн.сумма(-Dzi)	4,3	4,8	5,3	6,3	7,9	9,8	12,2	14,8	17,6		
Уровни звукового давления от источника ИШ-9-7 в расчётной точке днём, дБ		**ф-ла(3)[10]**	**0**	**28,4**	**29,1**	**29,1**	**27,2**	**24**	**16,7**	**4,2**	**0**	**28,4**	**28,4**
Уровни звукового давления от источника ИШ-9-7 в расчётной точке ночью, дБ		**ф-ла(3)[10]**	**0**	**28,4**	**29,1**	**29,1**	**27,2**	**24**	**16,7**	**4,2**	**0**	**28,4**	**28,4**
Источник шума: ИШ-9-8, координаты источника (x,y,z), м =[649.92,-337.69,1.00]													
Уровни звуковой мощности источника днём, Lw, дБ		**исходные данные**	**0**	**93,3**	**94,7**	**96**	**96,3**	**95,9**	**92,6**	**88,4**	**83,9**		
Уровни звуковой мощности источника ночью, Lw, дБ		**исходные данные**	**0**	**93,3**	**94,7**	**96**	**96,3**	**95,9**	**92,6**	**88,4**	**83,9**		
Поправка на телесный угол DΩ, дБ	Ω = 6.28	10Lg(4π/Ω)	**3**	3	3	3	3	3	3	3	3		
Показатель направленности источника Di, дБ		исходные данные	**0**	0	0	0	0	0	0	0	0		
Поправка на направленность источника Dc, дБ	Dc	DΩ + Di	**3**	3	3	3	3	3	3	3	3		
Затухание из-за геометрической дивергенции, Adiv, дБ	расстояние = 402.83 м	ф-ла (7) [10]	**63,1**										

1		2	3	4	5	6	7	8	9	10	11	12	13
Коэффициент затухания звука в атмосфере α, дБ/км	Та=20,°С Ра=101.33,кПа hотн.=70%	ф-ла (5) [9]	0,02	0,09	0,33	1,12	2,79	4,98	9,04	23,09	77,63		
Учет затухания звука в атмосфере Aatm, дБ		ф-ла (8) [10]	0	0	0,1	0,5	1,1	2	3,6	9,3	31,3		
Снижение уровня звукового давления из-за влияния застройки между источником шума и расчетной точкой													
Снижение уровня звукового давления на пути над экраном, Dz1, дБ	z = 0.13м (разность путей)	ф-лы (14-18) [10]	4,9	5	5,4	6,4	7,9	9,9	12,2	14,8	17,6		
Снижение уровня звукового давления на пути слева от экрана, Dz2, дБ	z = 197.18м (разность путей)	ф-лы (14-18) [10]	32,4	36,1	39,3	42,4	45,4	48,4	51,4	54,4	57,5		
Снижение уровня звукового давления на пути справа от экрана, Dz3, дБ	z = 4.99м (разность путей)	ф-лы (14-18) [10]	13,6	16,9	21,1	25,5	29,2	32,4	35,5	38,5	41,5		
Общее снижение уровня звука препятствием Dz, дБ		Эн.сумма(-Dzi)	4,3	4,7	5,3	6,3	7,9	9,8	12,2	14,8	17,6		
Уровни звукового давления от источника ИШ-9-8 в расчётной точке днём, дБ		**ф-ла(3)[10]**	**0**	**28,4**	**29,1**	**29,1**	**27,2**	**24**	**16,7**	**4,2**	**0**	**28,4**	**28,4**
Уровни звукового давления от источника ИШ-9-8 в расчётной точке ночью, дБ		**ф-ла(3)[10]**	**0**	**28,4**	**29,1**	**29,1**	**27,2**	**24**	**16,7**	**4,2**	**0**	**28,4**	**28,4**
Источник шума: ИШ-9-9, координаты источника (x,y,z), м =[650.66,-334.90,1.00]													
Уровни звуковой мощности источника днём, Lw, дБ		**исходные данные**	**0**	**93,3**	**94,7**	**96**	**96,3**	**95,9**	**92,6**	**88,4**	**83,9**		
Уровни звуковой мощности источника ночью, Lw, дБ		**исходные данные**	**0**	**93,3**	**94,7**	**96**	**96,3**	**95,9**	**92,6**	**88,4**	**83,9**		
Поправка на телесный угол DΩ, дБ	Ω = 6.28	10Lg(4π/Ω)	**3**	3	3	3	3	3	3	3	3		
Показатель направленности источника Di, дБ		исходные данные	**0**	0	0	0	0	0	0	0	0		
Поправка на направленность источника Dc, дБ	Dc	DΩ + Di	**3**	3	3	3	3	3	3	3	3		
Затухание из-за геометрической дивергенции, Adiv, дБ	расстояние = 402.64 м	ф-ла (7) [10]	**63,1**										

1		2	3	4	5	6	7	8	9	10	11	12	13
Коэффициент затухания звука в атмосфере α, дБ/км	Та=20,°С Ра=101.33,кПа hотн.=70%	ф-ла (5) [9]	0,02	0,09	0,33	1,12	2,79	4,98	9,04	23,09	77,63		
Учет затухания звука в атмосфере Aatm, дБ		ф-ла (8) [10]	0	0	0,1	0,5	1,1	2	3,6	9,3	31,3		
Снижение уровня звукового давления из-за влияния застройки между источником шума и расчетной точкой													
Снижение уровня звукового давления на пути над экраном, Dz1, дБ	z = 0.13м (разность путей)	ф-лы (14-18) [10]	4,9	5	5,4	6,4	7,9	9,9	12,2	14,8	17,6		
Снижение уровня звукового давления на пути слева от экрана, Dz2, дБ	z = 197.34м (разность путей)	ф-лы (14-18) [10]	32,4	36,1	39,3	42,4	45,4	48,4	51,4	54,4	57,5		
Снижение уровня звукового давления на пути справа от экрана, Dz3, дБ	z = 4.86м (разность путей)	ф-лы (14-18) [10]	13,5	16,8	21	25,4	29,1	32,3	35,3	38,4	41,4		
Общее снижение уровня звука препятствием Dz, дБ		Эн.сумма(-Dzi)	4,3	4,7	5,3	6,3	7,9	9,8	12,2	14,8	17,6		
Уровни звукового давления от источника ИШ-9-9 в расчётной точке днём, дБ		**ф-ла(3)[10]**	**0**	**28,4**	**29,1**	**29,1**	**27,2**	**24**	**16,7**	**4,2**	**0**	**28,4**	**28,4**
Уровни звукового давления от источника ИШ-9-9 в расчётной точке ночью, дБ		**ф-ла(3)[10]**	**0**	**28,4**	**29,1**	**29,1**	**27,2**	**24**	**16,7**	**4,2**	**0**	**28,4**	**28,4**
Источник шума: ИШ-9-10, координаты источника (x,y,z), м =[651.59,-332.01,1.00]													
Уровни звуковой мощности источника днём, Lw, дБ		**исходные данные**	**0**	**93,3**	**94,7**	**96**	**96,3**	**95,9**	**92,6**	**88,4**	**83,9**		
Уровни звуковой мощности источника ночью, Lw, дБ		**исходные данные**	**0**	**93,3**	**94,7**	**96**	**96,3**	**95,9**	**92,6**	**88,4**	**83,9**		
Поправка на телесный угол DΩ, дБ	Ω = 6.28	10Lg(4π/Ω)	**3**	3	3	3	3	3	3	3	3		
Показатель направленности источника Di, дБ		исходные данные	**0**	0	0	0	0	0	0	0	0		
Поправка на направленность источника Dc, дБ	Dc	DΩ + Di	**3**	3	3	3	3	3	3	3	3		
Затухание из-за геометрической дивергенции, Adiv, дБ	расстояние = 402.62 м	ф-ла (7) [10]	**63,1**										

1		2	3	4	5	6	7	8	9	10	11	12	13
Коэффициент затухания звука в атмосфере α, дБ/км	Та=20,°С Ра=101.33,кПа hотн.=70%	ф-ла (5) [9]	0,02	0,09	0,33	1,12	2,79	4,98	9,04	23,09	77,63		
Учет затухания звука в атмосфере Aatm, дБ		ф-ла (8) [10]	0	0	0,1	0,5	1,1	2	3,6	9,3	31,3		
Снижение уровня звукового давления из-за влияния застройки между источником шума и расчетной точкой													
Снижение уровня звукового давления на пути над экраном, Dz1, дБ	z = 0.13м (разность путей)	ф-лы (14-18) [10]	4,9	5	5,4	6,4	7,9	9,9	12,2	14,8	17,6		
Снижение уровня звукового давления на пути слева от экрана, Dz2, дБ	z = 197.50м (разность путей)	ф-лы (14-18) [10]	32,4	36,1	39,3	42,4	45,4	48,4	51,4	54,5	57,5		
Снижение уровня звукового давления на пути справа от экрана, Dz3, дБ	z = 4.73м (разность путей)	ф-лы (14-18) [10]	13,4	16,7	20,9	25,3	28,9	32,2	35,2	38,2	41,3		
Общее снижение уровня звука препятствием Dz, дБ		Эн.сумма(-Dzi)	4,3	4,7	5,3	6,3	7,9	9,8	12,2	14,8	17,6		
Уровни звукового давления от источника ИШ-9-10 в расчётной точке днём, дБ		**ф-ла(3)[10]**	**0**	**28,4**	**29,2**	**29,1**	**27,2**	**24**	**16,7**	**4,2**	**0**	**28,4**	**28,4**
Уровни звукового давления от источника ИШ-9-10 в расчётной точке ночью, дБ		**ф-ла(3)[10]**	**0**	**28,4**	**29,2**	**29,1**	**27,2**	**24**	**16,7**	**4,2**	**0**	**28,4**	**28,4**
Источник шума: ИШ-9-11, координаты источника (x,y,z), м =[652.71,-329.22,1.00]													
Уровни звуковой мощности источника днём, Lw, дБ		**исходные данные**	**0**	**93,3**	**94,7**	**96**	**96,3**	**95,9**	**92,6**	**88,4**	**83,9**		
Уровни звуковой мощности источника ночью, Lw, дБ		**исходные данные**	**0**	**93,3**	**94,7**	**96**	**96,3**	**95,9**	**92,6**	**88,4**	**83,9**		
Поправка на телесный угол DΩ, дБ	Ω = 6.28	10Lg(4π/Ω)	**3**	3	3	3	3	3	3	3	3		
Показатель направленности источника Di, дБ		исходные данные	**0**	0	0	0	0	0	0	0	0		
Поправка на направленность источника Dc, дБ	Dc	DΩ + Di	**3**	3	3	3	3	3	3	3	3		
Затухание из-за геометрической дивергенции, Adiv, дБ	расстояние = 402.83 м	ф-ла (7) [10]	**63,1**										

1		2	3	4	5	6	7	8	9	10	11	12	13
Коэффициент затухания звука в атмосфере α, дБ/км	Та=20,°С Ра=101.33,кПа hотн.=70%	ф-ла (5) [9]	0,02	0,09	0,33	1,12	2,79	4,98	9,04	23,09	77,63		
Учет затухания звука в атмосфере Aatm, дБ		ф-ла (8) [10]	0	0	0,1	0,5	1,1	2	3,6	9,3	31,3		
Снижение уровня звукового давления из-за влияния застройки между источником шума и расчетной точкой													
Снижение уровня звукового давления на пути над экраном, Dz1, дБ	z = 0.13м (разность путей)	ф-лы (14-18) [10]	4,9	5	5,4	6,4	7,9	9,9	12,2	14,8	17,6		
Снижение уровня звукового давления на пути слева от экрана, Dz2, дБ	z = 197.66м (разность путей)	ф-лы (14-18) [10]	32,4	36,1	39,3	42,4	45,4	48,4	51,4	54,5	57,5		
Снижение уровня звукового давления на пути справа от экрана, Dz3, дБ	z = 4.61м (разность путей)	ф-лы (14-18) [10]	13,3	16,6	20,8	25,2	28,8	32	35,1	38,1	41,1		
Общее снижение уровня звука препятствием Dz, дБ		Эн.сумма(-Dzi)	4,3	4,7	5,3	6,3	7,9	9,8	12,2	14,8	17,6		
Уровни звукового давления от источника ИШ-9-11 в расчётной точке днём, дБ		**ф-ла(3)[10]**	**0**	**28,4**	**29,2**	**29,1**	**27,2**	**24**	**16,7**	**4,2**	**0**	**28,4**	**28,4**
Уровни звукового давления от источника ИШ-9-11 в расчётной точке ночью, дБ		**ф-ла(3)[10]**	**0**	**28,4**	**29,2**	**29,1**	**27,2**	**24**	**16,7**	**4,2**	**0**	**28,4**	**28,4**
Источник шума: ИШ-9-12, координаты источника (x,y,z), м =[653.46,-326.33,1.00]													
Уровни звуковой мощности источника днём, Lw, дБ		**исходные данные**	**0**	**93,3**	**94,7**	**96**	**96,3**	**95,9**	**92,6**	**88,4**	**83,9**		
Уровни звуковой мощности источника ночью, Lw, дБ		**исходные данные**	**0**	**93,3**	**94,7**	**96**	**96,3**	**95,9**	**92,6**	**88,4**	**83,9**		
Поправка на телесный угол DΩ, дБ	Ω = 6.28	10Lg(4π/Ω)	**3**	3	3	3	3	3	3	3	3		
Показатель направленности источника Di, дБ		исходные данные	**0**	0	0	0	0	0	0	0	0		
Поправка на направленность источника Dc, дБ	Dc	DΩ + Di	**3**	3	3	3	3	3	3	3	3		
Затухание из-за геометрической дивергенции, Adiv, дБ	расстояние = 402.68 м	ф-ла (7) [10]	**63,1**										

1		2	3	4	5	6	7	8	9	10	11	12	13
Коэффициент затухания звука в атмосфере α, дБ/км	Та=20,°С Ра=101.33,кПа hотн.=70%	ф-ла (5) [9]	0,02	0,09	0,33	1,12	2,79	4,98	9,04	23,09	77,63		
Учет затухания звука в атмосфере Aatm, дБ		ф-ла (8) [10]	0	0	0,1	0,5	1,1	2	3,6	9,3	31,3		
Снижение уровня звукового давления из-за влияния застройки между источником шума и расчетной точкой													
Снижение уровня звукового давления на пути над экраном, Dz1, дБ	z = 0.13м (разность путей)	ф-лы (14-18) [10]	4,9	5	5,4	6,4	7,9	9,9	12,2	14,8	17,6		
Снижение уровня звукового давления на пути слева от экрана, Dz2, дБ	z = 197.83м (разность путей)	ф-лы (14-18) [10]	32,5	36,1	39,3	42,4	45,4	48,4	51,5	54,5	57,5		
Снижение уровня звукового давления на пути справа от экрана, Dz3, дБ	z = 4.48м (разность путей)	ф-лы (14-18) [10]	13,2	16,5	20,7	25	28,7	31,9	35	38	41		
Общее снижение уровня звука препятствием Dz, дБ		Эн.сумма(-Dzi)	4,3	4,7	5,3	6,3	7,9	9,8	12,2	14,8	17,6		
Уровни звукового давления от источника ИШ-9-12 в расчётной точке днём, дБ		**ф-ла(3)[10]**	**0**	**28,4**	**29,2**	**29,1**	**27,2**	**24**	**16,7**	**4,2**	**0**	**28,4**	**28,4**
Уровни звукового давления от источника ИШ-9-12 в расчётной точке ночью, дБ		**ф-ла(3)[10]**	**0**	**28,4**	**29,2**	**29,1**	**27,2**	**24**	**16,7**	**4,2**	**0**	**28,4**	**28,4**
Источник шума: ИШ-9-13, координаты источника (x,y,z), м =[654.48,-323.54,1.00]													
Уровни звуковой мощности источника днём, Lw, дБ		**исходные данные**	**0**	**93,3**	**94,7**	**96**	**96,3**	**95,9**	**92,6**	**88,4**	**83,9**		
Уровни звуковой мощности источника ночью, Lw, дБ		**исходные данные**	**0**	**93,3**	**94,7**	**96**	**96,3**	**95,9**	**92,6**	**88,4**	**83,9**		
Поправка на телесный угол DΩ, дБ	Ω = 6.28	10Lg(4π/Ω)	**3**	3	3	3	3	3	3	3	3		
Показатель направленности источника Di, дБ		исходные данные	**0**	0	0	0	0	0	0	0	0		
Поправка на направленность источника Dc, дБ	Dc	DΩ + Di	**3**	3	3	3	3	3	3	3	3		
Затухание из-за геометрической дивергенции, Adiv, дБ	расстояние = 402.84 м	ф-ла (7) [10]	**63,1**										

1		2	3	4	5	6	7	8	9	10	11	12	13
Коэффициент затухания звука в атмосфере α, дБ/км	Та=20,°С Ра=101.33,кПа hотн.=70%	ф-ла (5) [9]	0,02	0,09	0,33	1,12	2,79	4,98	9,04	23,09	77,63		
Учет затухания звука в атмосфере Aatm, дБ		ф-ла (8) [10]	0	0	0,1	0,5	1,1	2	3,6	9,3	31,3		
Снижение уровня звукового давления из-за влияния застройки между источником шума и расчетной точкой													
Снижение уровня звукового давления на пути над экраном, Dz1, дБ	z = 0.13м (разность путей)	ф-лы (14-18) [10]	4,9	5	5,4	6,4	7,9	9,9	12,2	14,8	17,6		
Снижение уровня звукового давления на пути слева от экрана, Dz2, дБ	z = 198.00м (разность путей)	ф-лы (14-18) [10]	32,5	36,1	39,3	42,4	45,4	48,4	51,5	54,5	57,5		
Снижение уровня звукового давления на пути справа от экрана, Dz3, дБ	z = 4.36м (разность путей)	ф-лы (14-18) [10]	13,1	16,4	20,6	24,9	28,6	31,8	34,9	37,9	40,9		
Общее снижение уровня звука препятствием Dz, дБ		Эн.сумма(-Dzi)	4,3	4,7	5,3	6,3	7,9	9,8	12,2	14,8	17,6		
Уровни звукового давления от источника ИШ-9-13 в расчётной точке днём, дБ		**ф-ла(3)[10]**	**0**	**28,4**	**29,2**	**29,1**	**27,2**	**24**	**16,7**	**4,2**	**0**	**28,4**	**28,4**
Уровни звукового давления от источника ИШ-9-13 в расчётной точке ночью, дБ		**ф-ла(3)[10]**	**0**	**28,4**	**29,2**	**29,1**	**27,2**	**24**	**16,7**	**4,2**	**0**	**28,4**	**28,4**
Источник шума: ИШ-9-14, координаты источника (x,y,z), м =[655.60,-320.74,1.00]													
Уровни звуковой мощности источника днём, Lw, дБ		**исходные данные**	**0**	**93,3**	**94,7**	**96**	**96,3**	**95,9**	**92,6**	**88,4**	**83,9**		
Уровни звуковой мощности источника ночью, Lw, дБ		**исходные данные**	**0**	**93,3**	**94,7**	**96**	**96,3**	**95,9**	**92,6**	**88,4**	**83,9**		
Поправка на телесный угол DΩ, дБ	Ω = 6.28	10Lg(4π/Ω)	**3**	3	3	3	3	3	3	3	3		
Показатель направленности источника Di, дБ		исходные данные	**0**	0	0	0	0	0	0	0	0		
Поправка на направленность источника Dc, дБ	Dc	DΩ + Di	**3**	3	3	3	3	3	3	3	3		
Затухание из-за геометрической дивергенции, Adiv, дБ	расстояние = 403.12 м	ф-ла (7) [10]	**63,1**										

1		2	3	4	5	6	7	8	9	10	11	12	13
Коэффициент затухания звука в атмосфере α, дБ/км	Ta=20,°C Pa=101.33,кПа hотн.=70%	ф-ла (5) [9]	0,02	0,09	0,33	1,12	2,79	4,98	9,04	23,09	77,63		
Учет затухания звука в атмосфере Aatm, дБ		ф-ла (8) [10]	0	0	0,1	0,5	1,1	2	3,6	9,3	31,3		
Снижение уровня звукового давления из-за влияния застройки между источником шума и расчетной точкой													
Снижение уровня звукового давления на пути над экраном, Dz1, дБ	z = 0.13м (разность путей)	ф-лы (14-18) [10]	4,9	5	5,4	6,4	7,9	9,8	12,2	14,8	17,6		
Снижение уровня звукового давления на пути слева от экрана, Dz2, дБ	z = 198.17м (разность путей)	ф-лы (14-18) [10]	32,5	36,2	39,3	42,4	45,4	48,4	51,5	54,5	57,5		
Снижение уровня звукового давления на пути справа от экрана, Dz3, дБ	z = 4.25м (разность путей)	ф-лы (14-18) [10]	12,7	15,4	18,2	21,1	24	27	30	33	36		
Общее снижение уровня звука препятствием Dz, дБ		Эн.сумма(-Dzi)	4,2	4,6	5,2	6,2	7,8	9,8	12,1	14,7	17,5		
Уровни звукового давления от источника ИШ-9-14 в расчётной точке днём, дБ		**ф-ла(3)[10]**	**0**	**28,5**	**29,2**	**29,2**	**27,3**	**24**	**16,7**	**4,3**	**0**	**28,5**	**28,5**
Уровни звукового давления от источника ИШ-9-14 в расчётной точке ночью, дБ		**ф-ла(3)[10]**	**0**	**28,5**	**29,2**	**29,2**	**27,3**	**24**	**16,7**	**4,3**	**0**	**28,5**	**28,5**
Источник шума: ИШ-9-15, координаты источника (x,y,z), м =[656.44,-317.86,1.00]													
Уровни звуковой мощности источника днём, Lw, дБ		**исходные данные**	**0**	**93,3**	**94,7**	**96**	**96,3**	**95,9**	**92,6**	**88,4**	**83,9**		
Уровни звуковой мощности источника ночью, Lw, дБ		**исходные данные**	**0**	**93,3**	**94,7**	**96**	**96,3**	**95,9**	**92,6**	**88,4**	**83,9**		
Поправка на телесный угол DΩ, дБ	Ω = 6.28	10Lg(4π/Ω)	**3**	3	3	3	3	3	3	3	3		
Показатель направленности источника Di, дБ		исходные данные	**0**	0	0	0	0	0	0	0	0		
Поправка на направленность источника Dc, дБ	Dc	DΩ + Di	**3**	3	3	3	3	3	3	3	3		
Затухание из-за геометрической дивергенции, Adiv, дБ	расстояние = 403.12 м	ф-ла (7) [10]	**63,1**										

1		2	3	4	5	6	7	8	9	10	11	12	13
Коэффициент затухания звука в атмосфере α, дБ/км	Та=20,°С Ра=101.33,кПа hотн.=70%	ф-ла (5) [9]	0,02	0,09	0,33	1,12	2,79	4,98	9,04	23,09	77,63		
Учет затухания звука в атмосфере Aatm, дБ		ф-ла (8) [10]	0	0	0,1	0,5	1,1	2	3,6	9,3	31,3		
Снижение уровня звукового давления из-за влияния застройки между источником шума и расчетной точкой													
Снижение уровня звукового давления на пути над экраном, Dz1, дБ	z = 0.13м (разность путей)	ф-лы (14-18) [10]	4,9	5	5,4	6,4	7,9	9,8	12,2	14,8	17,6		
Снижение уровня звукового давления на пути слева от экрана, Dz2, дБ	z = 198.34м (разность путей)	ф-лы (14-18) [10]	32,5	36,2	39,3	42,4	45,4	48,5	51,5	54,5	57,5		
Снижение уровня звукового давления на пути справа от экрана, Dz3, дБ	z = 4.13м (разность путей)	ф-лы (14-18) [10]	12,6	15,3	18	20,9	23,9	26,9	29,9	32,9	35,9		
Общее снижение уровня звука препятствием Dz, дБ		Эн.сумма(-Dzi)	4,2	4,6	5,2	6,2	7,8	9,8	12,1	14,7	17,5		
Уровни звукового давления от источника ИШ-9-15 в расчётной точке днём, дБ		**ф-ла(3)[10]**	**0**	**28,5**	**29,3**	**29,2**	**27,3**	**24**	**16,7**	**4,3**	**0**	**28,5**	**28,5**
Уровни звукового давления от источника ИШ-9-15 в расчётной точке ночью, дБ		**ф-ла(3)[10]**	**0**	**28,5**	**29,3**	**29,2**	**27,3**	**24**	**16,7**	**4,3**	**0**	**28,5**	**28,5**
Источник шума: ИШ-9-16, координаты источника (x,y,z), м =[657.46,-314.97,1.00]													
Уровни звуковой мощности источника днём, Lw, дБ		**исходные данные**	**0**	**93,3**	**94,7**	**96**	**96,3**	**95,9**	**92,6**	**88,4**	**83,9**		
Уровни звуковой мощности источника ночью, Lw, дБ		**исходные данные**	**0**	**93,3**	**94,7**	**96**	**96,3**	**95,9**	**92,6**	**88,4**	**83,9**		
Поправка на телесный угол DΩ, дБ	Ω = 6.28	10Lg(4π/Ω)	**3**	3	3	3	3	3	3	3	3		
Показатель направленности источника Di, дБ		исходные данные	**0**	0	0	0	0	0	0	0	0		
Поправка на направленность источника Dc, дБ	Dc	DΩ + Di	**3**	3	3	3	3	3	3	3	3		
Затухание из-за геометрической дивергенции, Adiv, дБ	расстояние = 403.33 м	ф-ла (7) [10]	**63,1**										

1		2	3	4	5	6	7	8	9	10	11	12	13
Коэффициент затухания звука в атмосфере α, дБ/км	Та=20,°С Ра=101.33,кПа hотн.=70%	ф-ла (5) [9]	0,02	0,09	0,33	1,12	2,79	4,98	9,04	23,09	77,63		
Учет затухания звука в атмосфере Aatm, дБ		ф-ла (8) [10]	0	0	0,1	0,5	1,1	2	3,6	9,3	31,3		
Снижение уровня звукового давления из-за влияния застройки между источником шума и расчетной точкой													
Снижение уровня звукового давления на пути над экраном, Dz1, дБ	z = 0.13м (разность путей)	ф-лы (14-18) [10]	4,9	5	5,4	6,4	7,9	9,8	12,2	14,8	17,6		
Снижение уровня звукового давления на пути слева от экрана, Dz2, дБ	z = 198.52м (разность путей)	ф-лы (14-18) [10]	32,5	36,2	39,3	42,4	45,4	48,5	51,5	54,5	57,5		
Снижение уровня звукового давления на пути справа от экрана, Dz3, дБ	z = 4.01м (разность путей)	ф-лы (14-18) [10]	12,5	15,2	17,9	20,8	23,8	26,8	29,8	32,8	35,8		
Общее снижение уровня звука препятствием Dz, дБ		Эн.сумма(-Dzi)	4,2	4,6	5,2	6,2	7,8	9,7	12,1	14,7	17,5		
Уровни звукового давления от источника ИШ-9-16 в расчётной точке днём, дБ		**ф-ла(3)[10]**	**0**	**28,5**	**29,3**	**29,2**	**27,3**	**24**	**16,8**	**4,3**	**0**	**28,5**	**28,5**
Уровни звукового давления от источника ИШ-9-16 в расчётной точке ночью, дБ		**ф-ла(3)[10]**	**0**	**28,5**	**29,3**	**29,2**	**27,3**	**24**	**16,8**	**4,3**	**0**	**28,5**	**28,5**
Источник шума: ИШ-9-17, координаты источника (x,y,z), м =[658.49,-312.18,1.00]													
Уровни звуковой мощности источника днём, Lw, дБ		**исходные данные**	**0**	**93,3**	**94,7**	**96**	**96,3**	**95,9**	**92,6**	**88,4**	**83,9**		
Уровни звуковой мощности источника ночью, Lw, дБ		**исходные данные**	**0**	**93,3**	**94,7**	**96**	**96,3**	**95,9**	**92,6**	**88,4**	**83,9**		
Поправка на телесный угол DΩ, дБ	Ω = 6.28	10Lg(4π/Ω)	**3**	3	3	3	3	3	3	3	3		
Показатель направленности источника Di, дБ		исходные данные	**0**	0	0	0	0	0	0	0	0		
Поправка на направленность источника Dc, дБ	Dc	DΩ + Di	**3**	3	3	3	3	3	3	3	3		
Затухание из-за геометрической дивергенции, Adiv, дБ	расстояние = 403.58 м	ф-ла (7) [10]	**63,1**										

1		2	3	4	5	6	7	8	9	10	11	12	13
Коэффициент затухания звука в атмосфере α, дБ/км	Та=20,°С Ра=101.33,кПа hотн.=70%	ф-ла (5) [9]	0,02	0,09	0,33	1,12	2,79	4,98	9,04	23,09	77,63		
Учет затухания звука в атмосфере Aatm, дБ		ф-ла (8) [10]	0	0	0,1	0,5	1,1	2	3,6	9,3	31,3		
Снижение уровня звукового давления из-за влияния застройки между источником шума и расчетной точкой													
Снижение уровня звукового давления на пути над экраном, Dz1, дБ	z = 0.13м (разность путей)	ф-лы (14-18) [10]	4,9	5	5,4	6,4	7,9	9,8	12,1	14,8	17,5		
Снижение уровня звукового давления на пути слева от экрана, Dz2, дБ	z = 198.70м (разность путей)	ф-лы (14-18) [10]	32,5	36,2	39,4	42,4	45,4	48,5	51,5	54,5	57,5		
Снижение уровня звукового давления на пути справа от экрана, Dz3, дБ	z = 3.90м (разность путей)	ф-лы (14-18) [10]	12,4	15	17,8	20,7	23,7	26,6	29,6	32,6	35,7		
Общее снижение уровня звука препятствием Dz, дБ		Эн.сумма(-Dzi)	4,2	4,6	5,2	6,2	7,8	9,7	12,1	14,7	17,5		
Уровни звукового давления от источника ИШ-9-17 в расчётной точке днём, дБ		**ф-ла(3)[10]**	**0**	**28,5**	**29,3**	**29,2**	**27,3**	**24**	**16,8**	**4,3**	**0**	**28,5**	**28,5**
Уровни звукового давления от источника ИШ-9-17 в расчётной точке ночью, дБ		**ф-ла(3)[10]**	**0**	**28,5**	**29,3**	**29,2**	**27,3**	**24**	**16,8**	**4,3**	**0**	**28,5**	**28,5**
Источник шума: ИШ-9-18, координаты источника (x,y,z), м =[659.42,-309.20,1.00]													
Уровни звуковой мощности источника днём, Lw, дБ		**исходные данные**	**0**	**93,3**	**94,7**	**96**	**96,3**	**95,9**	**92,6**	**88,4**	**83,9**		
Уровни звуковой мощности источника ночью, Lw, дБ		**исходные данные**	**0**	**93,3**	**94,7**	**96**	**96,3**	**95,9**	**92,6**	**88,4**	**83,9**		
Поправка на телесный угол DΩ, дБ	Ω = 6.28	10Lg(4π/Ω)	**3**	3	3	3	3	3	3	3	3		
Показатель направленности источника Di, дБ		исходные данные	**0**	0	0	0	0	0	0	0	0		
Поправка на направленность источника Dc, дБ	Dc	DΩ + Di	**3**	3	3	3	3	3	3	3	3		
Затухание из-за геометрической дивергенции, Adiv, дБ	расстояние = 403.72 м	ф-ла (7) [10]	**63,1**										

1		2	3	4	5	6	7	8	9	10	11	12	13
Коэффициент затухания звука в атмосфере α, дБ/км	Та=20,°С Ра=101.33,кПа hотн.=70%	ф-ла (5) [9]	0,02	0,09	0,33	1,12	2,79	4,98	9,04	23,09	77,63		
Учет затухания звука в атмосфере Aatm, дБ		ф-ла (8) [10]	0	0	0,1	0,5	1,1	2	3,6	9,3	31,3		
Снижение уровня звукового давления из-за влияния застройки между источником шума и расчетной точкой													
Снижение уровня звукового давления на пути над экраном, Dz1, дБ	z = 0.13м (разность путей)	ф-лы (14-18) [10]	4,9	5	5,4	6,4	7,9	9,8	12,1	14,7	17,5		
Снижение уровня звукового давления на пути слева от экрана, Dz2, дБ	z = 198.89м (разность путей)	ф-лы (14-18) [10]	32,5	36,2	39,4	42,4	45,4	48,5	51,5	54,5	57,5		
Снижение уровня звукового давления на пути справа от экрана, Dz3, дБ	z = 3.78м (разность путей)	ф-лы (14-18) [10]	12,3	14,9	17,7	20,6	23,5	26,5	29,5	32,5	35,5		
Общее снижение уровня звука препятствием Dz, дБ		Эн.сумма(-Dzi)	4,2	4,6	5,2	6,2	7,8	9,7	12,1	14,7	17,5		
Уровни звукового давления от источника ИШ-9-18 в расчётной точке днём, дБ		**ф-ла(3)[10]**	**0**	**28,5**	**29,3**	**29,2**	**27,3**	**24**	**16,8**	**4,3**	**0**	**28,5**	**28,5**
Уровни звукового давления от источника ИШ-9-18 в расчётной точке ночью, дБ		**ф-ла(3)[10]**	**0**	**28,5**	**29,3**	**29,2**	**27,3**	**24**	**16,8**	**4,3**	**0**	**28,5**	**28,5**
Источник шума: ИШ-9-19, координаты источника (x,y,z), м =[660.44,-306.50,1.00]													
Уровни звуковой мощности источника днём, Lw, дБ		**исходные данные**	**0**	**93,3**	**94,7**	**96**	**96,3**	**95,9**	**92,6**	**88,4**	**83,9**		
Уровни звуковой мощности источника ночью, Lw, дБ		**исходные данные**	**0**	**93,3**	**94,7**	**96**	**96,3**	**95,9**	**92,6**	**88,4**	**83,9**		
Поправка на телесный угол DΩ, дБ	Ω = 6.28	10Lg(4π/Ω)	**3**	3	3	3	3	3	3	3	3		
Показатель направленности источника Di, дБ		исходные данные	**0**	0	0	0	0	0	0	0	0		
Поправка на направленность источника Dc, дБ	Dc	DΩ + Di	**3**	3	3	3	3	3	3	3	3		
Затухание из-за геометрической дивергенции, Adiv, дБ	расстояние = 404.04 м	ф-ла (7) [10]	**63,1**										

1		2	3	4	5	6	7	8	9	10	11	12	13
Коэффициент затухания звука в атмосфере α, дБ/км	Та=20,°С Ра=101.33,кПа hотн.=70%	ф-ла (5) [9]	0,02	0,09	0,33	1,12	2,79	4,98	9,04	23,09	77,63		
Учет затухания звука в атмосфере Aatm, дБ		ф-ла (8) [10]	0	0	0,1	0,5	1,1	2	3,7	9,3	31,4		
Снижение уровня звукового давления из-за влияния застройки между источником шума и расчетной точкой													
Снижение уровня звукового давления на пути над экраном, Dz1, дБ	z = 0.13м (разность путей)	ф-лы (14-18) [10]	4,9	5	5,4	6,4	7,9	9,8	12,1	14,7	17,5		
Снижение уровня звукового давления на пути слева от экрана, Dz2, дБ	z = 199.07м (разность путей)	ф-лы (14-18) [10]	32,5	36,2	39,4	42,4	45,5	48,5	51,5	54,5	57,5		
Снижение уровня звукового давления на пути справа от экрана, Dz3, дБ	z = 3.68м (разность путей)	ф-лы (14-18) [10]	12,2	14,8	17,6	20,5	23,4	26,4	29,4	32,4	35,4		
Общее снижение уровня звука препятствием Dz, дБ		Эн.сумма(-Dzi)	4,1	4,6	5,2	6,2	7,8	9,7	12	14,7	17,5		
Уровни звукового давления прямого звука от источника ИШ-9-19 в расчётной точке днём, дБ		**ф-ла(3)[10]**	**0**	**28,5**	**29,3**	**29,2**	**27,3**	**24**	**16,8**	**4,3**	**0**	**28,5**	**28,5**
Уровни звукового давления прямого звука от источника ИШ-9-19 в расчётной точке ночью, дБ		**ф-ла(3)[10]**	**0**	**28,5**	**29,3**	**29,2**	**27,3**	**24**	**16,8**	**4,3**	**0**	**28,5**	**28,5**
Расчёт отражённого звука													
Уровни звукового давления от мнимого источника ИШ-9-19_мн.(1) в расчётной точке днём, дБ		**ф-ла(3)[10]**	**0**	**0**	**0**	**0**	**0**	**0**	**0**	**0**	**0**	**0**	**0**
Уровни звукового давления от мнимого источника ИШ-9-19_мн.(1) в расчётной точке ночью, дБ		**ф-ла(3)[10]**	**0**	**0**	**0**	**0**	**0**	**0**	**0**	**0**	**0**	**0**	**0**
Уровни звукового давления от источника ИШ-9-19 в расчётной точке днём, дБ		**ф-ла(3)[10]**	**0**	**28,5**	**29,3**	**29,2**	**27,3**	**24**	**16,8**	**4,3**	**0**	**28,5**	**28,5**
Уровни звукового давления от источника ИШ-9-19 в расчётной точке ночью, дБ		**ф-ла(3)[10]**	**0**	**28,5**	**29,3**	**29,2**	**27,3**	**24**	**16,8**	**4,3**	**0**	**28,5**	**28,5**
Источник шума: ИШ-9-20, координаты источника (x,y,z), м =[661.28,-303.61,1.00]													
Уровни звуковой мощности источника днём, Lw, дБ		**исходные данные**	**0**	**93,3**	**94,7**	**96**	**96,3**	**95,9**	**92,6**	**88,4**	**83,9**		

1		2	3	4	5	6	7	8	9	10	11	12	13
Уровни звуковой мощности источника ночью, Lw, дБ		**исходные данные**	**0**	**93,3**	**94,7**	**96**	**96,3**	**95,9**	**92,6**	**88,4**	**83,9**		
Поправка на телесный угол DΩ, дБ	Ω = 6.28	10Lg(4π/Ω)	**3**	3	3	3	3	3	3	3	3		
Показатель направленности источника Di, дБ		исходные данные	**0**	0	0	0	0	0	0	0	0		
Поправка на направленность источника Dc, дБ	Dc	DΩ + Di	**3**	3	3	3	3	3	3	3	3		
Затухание из-за геометрической дивергенции, Adiv, дБ	расстояние = 404.15 м	ф-ла (7) [10]	**63,1**										
Коэффициент затухания звука в атмосфере α, дБ/км	Ta=20,°C Pa=101.33,кПа hотн.=70%	ф-ла (5) [9]	0,02	0,09	0,33	1,12	2,79	4,98	9,04	23,09	77,63		
Учет затухания звука в атмосфере Aatm, дБ		ф-ла (8) [10]	0	0	0,1	0,5	1,1	2	3,7	9,3	31,4		
Снижение уровня звукового давления из-за влияния застройки между источником шума и расчетной точкой													
Снижение уровня звукового давления на пути над экраном, Dz1, дБ	z = 0.13м (разность путей)	ф-лы (14-18) [10]	4,9	5	5,4	6,4	7,9	9,8	12,1	14,7	17,5		
Снижение уровня звукового давления на пути слева от экрана, Dz2, дБ	z = 199.25м (разность путей)	ф-лы (14-18) [10]	32,5	36,2	39,4	42,4	45,5	48,5	51,5	54,5	57,5		
Снижение уровня звукового давления на пути справа от экрана, Dz3, дБ	z = 3.57м (разность путей)	ф-лы (14-18) [10]	12,1	14,7	17,4	20,3	23,3	26,3	29,3	32,3	35,3		
Общее снижение уровня звука препятствием Dz, дБ		Эн.сумма(-Dzi)	4,1	4,6	5,2	6,2	7,7	9,7	12	14,7	17,4		
Уровни звукового давления от источника ИШ-9-20 в расчётной точке днём, дБ		**ф-ла(3)[10]**	**0**	**28,6**	**29,3**	**29,2**	**27,3**	**24**	**16,8**	**4,3**	**0**	**28,5**	**28,5**
Уровни звукового давления от источника ИШ-9-20 в расчётной точке ночью, дБ		**ф-ла(3)[10]**	**0**	**28,6**	**29,3**	**29,2**	**27,3**	**24**	**16,8**	**4,3**	**0**	**28,5**	**28,5**
Источник шума: ИШ-9-21, координаты источника (x,y,z), м =[661.93,-300.72,1.00]													
Уровни звуковой мощности источника днём, Lw, дБ		**исходные данные**	**0**	**93,3**	**94,7**	**96**	**96,3**	**95,9**	**92,6**	**88,4**	**83,9**		

1		2	3	4	5	6	7	8	9	10	11	12	13
Уровни звуковой мощности источника ночью, Lw, дБ		**исходные данные**	**0**	**93,3**	**94,7**	**96**	**96,3**	**95,9**	**92,6**	**88,4**	**83,9**		
Поправка на телесный угол DΩ, дБ	Ω = 6.28	10Lg(4π/Ω)	**3**	3	3	3	3	3	3	3	3		
Показатель направленности источника Di, дБ		исходные данные	**0**	0	0	0	0	0	0	0	0		
Поправка на направленность источника Dc, дБ	Dc	DΩ + Di	**3**	3	3	3	3	3	3	3	3		
Затухание из-за геометрической дивергенции, Adiv, дБ	расстояние = 404.11 м	ф-ла (7) [10]	**63,1**										
Коэффициент затухания звука в атмосфере α, дБ/км	Ta=20,°C Pa=101.33,кПа hотн.=70%	ф-ла (5) [9]	0,02	0,09	0,33	1,12	2,79	4,98	9,04	23,09	77,63		
Учет затухания звука в атмосфере Aatm, дБ		ф-ла (8) [10]	0	0	0,1	0,5	1,1	2	3,7	9,3	31,4		
Снижение уровня звукового давления из-за влияния застройки между источником шума и расчетной точкой													
Снижение уровня звукового давления на пути над экраном, Dz1, дБ	z = 0.13м (разность путей)	ф-лы (14-18) [10]	4,9	5	5,4	6,4	7,9	9,8	12,1	14,7	17,5		
Снижение уровня звукового давления на пути слева от экрана, Dz2, дБ	z = 199.44м (разность путей)	ф-лы (14-18) [10]	32,5	36,2	39,4	42,4	45,5	48,5	51,5	54,5	57,5		
Снижение уровня звукового давления на пути справа от экрана, Dz3, дБ	z = 3.46м (разность путей)	ф-лы (14-18) [10]	12	14,6	17,3	20,2	23,2	26,1	29,1	32,1	35,1		
Общее снижение уровня звука препятствием Dz, дБ		Эн.сумма(-Dzi)	4,1	4,6	5,1	6,2	7,7	9,7	12	14,6	17,4		
Уровни звукового давления от источника ИШ-9-21 в расчётной точке днём, дБ		**ф-ла(3)[10]**	**0**	**28,6**	**29,3**	**29,2**	**27,3**	**24**	**16,8**	**4,3**	**0**	**28,5**	**28,5**
Уровни звукового давления от источника ИШ-9-21 в расчётной точке ночью, дБ		**ф-ла(3)[10]**	**0**	**28,6**	**29,3**	**29,2**	**27,3**	**24**	**16,8**	**4,3**	**0**	**28,5**	**28,5**
Источник шума: ИШ-9-22, координаты источника (x,y,z), м =[663.14,-297.83,1.00]													
Уровни звуковой мощности источника днём, Lw, дБ		**исходные данные**	**0**	**93,3**	**94,7**	**96**	**96,3**	**95,9**	**92,6**	**88,4**	**83,9**		

1		2	3	4	5	6	7	8	9	10	11	12	13
Уровни звуковой мощности источника ночью, Lw, дБ		**исходные данные**	**0**	**93,3**	**94,7**	**96**	**96,3**	**95,9**	**92,6**	**88,4**	**83,9**		
Поправка на телесный угол DΩ, дБ	Ω = 6.28	10Lg(4π/Ω)	**3**	3	3	3	3	3	3	3	3		
Показатель направленности источника Di, дБ		исходные данные	**0**	0	0	0	0	0	0	0	0		
Поправка на направленность источника Dc, дБ	Dc	DΩ + Di	**3**	3	3	3	3	3	3	3	3		
Затухание из-за геометрической дивергенции, Adiv, дБ	расстояние = 404.63 м	ф-ла (7) [10]	**63,1**										
Коэффициент затухания звука в атмосфере α, дБ/км	Ta=20,°C Pa=101.33,кПа hотн.=70%	ф-ла (5) [9]	0,02	0,09	0,33	1,12	2,79	4,98	9,04	23,09	77,63		
Учет затухания звука в атмосфере Aatm, дБ		ф-ла (8) [10]	0	0	0,1	0,5	1,1	2	3,7	9,3	31,4		
Снижение уровня звукового давления из-за влияния застройки между источником шума и расчетной точкой													
Снижение уровня звукового давления на пути над экраном, Dz1, дБ	z = 0.13м (разность путей)	ф-лы (14-18) [10]	4,9	5	5,4	6,4	7,9	9,8	12,1	14,7	17,5		
Снижение уровня звукового давления на пути слева от экрана, Dz2, дБ	z = 199.63м (разность путей)	ф-лы (14-18) [10]	32,5	36,2	39,4	42,4	45,5	48,5	51,5	54,5	57,5		
Снижение уровня звукового давления на пути справа от экрана, Dz3, дБ	z = 3.35м (разность путей)	ф-лы (14-18) [10]	11,9	14,4	17,2	20,1	23	26	29	32	35		
Общее снижение уровня звука препятствием Dz, дБ		Эн.сумма(-Dzi)	4,1	4,5	5,1	6,2	7,7	9,7	12	14,6	17,4		
Уровни звукового давления от источника ИШ-9-22 в расчётной точке днём, дБ		**ф-ла(3)[10]**	**0**	**28,6**	**29,3**	**29,2**	**27,3**	**24,1**	**16,8**	**4,3**	**0**	**28,5**	**28,5**
Уровни звукового давления от источника ИШ-9-22 в расчётной точке ночью, дБ		**ф-ла(3)[10]**	**0**	**28,6**	**29,3**	**29,2**	**27,3**	**24,1**	**16,8**	**4,3**	**0**	**28,5**	**28,5**
Источник шума: ИШ-9-23, координаты источника (x,y,z), м =[664.07,-295.13,1.00]													
Уровни звуковой мощности источника днём, Lw, дБ		**исходные данные**	**0**	**93,3**	**94,7**	**96**	**96,3**	**95,9**	**92,6**	**88,4**	**83,9**		

1		2	3	4	5	6	7	8	9	10	11	12	13
Уровни звуковой мощности источника ночью, Lw, дБ		**исходные данные**	**0**	**93,3**	**94,7**	**96**	**96,3**	**95,9**	**92,6**	**88,4**	**83,9**		
Поправка на телесный угол DΩ, дБ	Ω = 6.28	10Lg(4π/Ω)	**3**	3	3	3	3	3	3	3	3		
Показатель направленности источника Di, дБ		исходные данные	**0**	0	0	0	0	0	0	0	0		
Поправка на направленность источника Dc, дБ	Dc	DΩ + Di	**3**	3	3	3	3	3	3	3	3		
Затухание из-за геометрической дивергенции, Adiv, дБ	расстояние = 404.95 м	ф-ла (7) [10]	**63,1**										
Коэффициент затухания звука в атмосфере α, дБ/км	Ta=20,°C Pa=101.33,кПа hотн.=70%	ф-ла (5) [9]	0,02	0,09	0,33	1,12	2,79	4,98	9,04	23,09	77,63		
Учет затухания звука в атмосфере Aatm, дБ		ф-ла (8) [10]	0	0	0,1	0,5	1,1	2	3,7	9,3	31,4		
Снижение уровня звукового давления из-за влияния застройки между источником шума и расчетной точкой													
Снижение уровня звукового давления на пути над экраном, Dz1, дБ	z = 0.13м (разность путей)	ф-лы (14-18) [10]	4,9	5	5,4	6,4	7,8	9,8	12,1	14,7	17,5		
Снижение уровня звукового давления на пути слева от экрана, Dz2, дБ	z = 199.82м (разность путей)	ф-лы (14-18) [10]	32,5	36,2	39,4	42,4	45,5	48,5	51,5	54,5	57,5		
Снижение уровня звукового давления на пути справа от экрана, Dz3, дБ	z = 3.26м (разность путей)	ф-лы (14-18) [10]	11,8	14,3	17,1	19,9	22,9	25,9	28,9	31,9	34,9		
Общее снижение уровня звука препятствием Dz, дБ		Эн.сумма(-Dzi)	4,1	4,5	5,1	6,2	7,7	9,7	12	14,6	17,4		
Уровни звукового давления от источника ИШ-9-23 в расчётной точке днём, дБ		**ф-ла(3)[10]**	**0**	**28,6**	**29,3**	**29,2**	**27,3**	**24,1**	**16,8**	**4,3**	**0**	**28,5**	**28,5**
Уровни звукового давления от источника ИШ-9-23 в расчётной точке ночью, дБ		**ф-ла(3)[10]**	**0**	**28,6**	**29,3**	**29,2**	**27,3**	**24,1**	**16,8**	**4,3**	**0**	**28,5**	**28,5**
Источник шума: ИШ-9-24, координаты источника (x,y,z), м =[665.19,-292.34,1.00]													
Уровни звуковой мощности источника днём, Lw, дБ		**исходные данные**	**0**	**93,3**	**94,7**	**96**	**96,3**	**95,9**	**92,6**	**88,4**	**83,9**		

1		2	3	4	5	6	7	8	9	10	11	12	13
Уровни звуковой мощности источника ночью, Lw, дБ		**исходные данные**	**0**	**93,3**	**94,7**	**96**	**96,3**	**95,9**	**92,6**	**88,4**	**83,9**		
Поправка на телесный угол DΩ, дБ	Ω = 6.28	10Lg(4π/Ω)	**3**	3	3	3	3	3	3	3	3		
Показатель направленности источника Di, дБ		исходные данные	**0**	0	0	0	0	0	0	0	0		
Поправка на направленность источника Dc, дБ	Dc	DΩ + Di	**3**	3	3	3	3	3	3	3	3		
Затухание из-за геометрической дивергенции, Adiv, дБ	расстояние = 405.44 м	ф-ла (7) [10]	**63,2**										
Коэффициент затухания звука в атмосфере α, дБ/км	Ta=20,°C Pa=101.33,кПа hотн.=70%	ф-ла (5) [9]	0,02	0,09	0,33	1,12	2,79	4,98	9,04	23,09	77,63		
Учет затухания звука в атмосфере Aatm, дБ		ф-ла (8) [10]	0	0	0,1	0,5	1,1	2	3,7	9,4	31,5		
Снижение уровня звукового давления из-за влияния застройки между источником шума и расчетной точкой													
Снижение уровня звукового давления на пути над экраном, Dz1, дБ	z = 0.13м (разность путей)	ф-лы (14-18) [10]	4,9	5	5,4	6,4	7,8	9,8	12,1	14,7	17,5		
Снижение уровня звукового давления на пути слева от экрана, Dz2, дБ	z = 200.01м (разность путей)	ф-лы (14-18) [10]	32,5	36,2	39,4	42,4	45,5	48,5	51,5	54,5	57,5		
Снижение уровня звукового давления на пути справа от экрана, Dz3, дБ	z = 3.15м (разность путей)	ф-лы (14-18) [10]	11,7	14,2	16,9	19,8	22,8	25,7	28,7	31,7	34,7		
Общее снижение уровня звука препятствием Dz, дБ		Эн.сумма(-Dzi)	4	4,5	5,1	6,2	7,7	9,7	12	14,6	17,4		
Уровни звукового давления от источника ИШ-9-24 в расчётной точке днём, дБ		**ф-ла(3)[10]**	**0**	**28,6**	**29,3**	**29,2**	**27,3**	**24,1**	**16,8**	**4,3**	**0**	**28,5**	**28,5**
Уровни звукового давления от источника ИШ-9-24 в расчётной точке ночью, дБ		**ф-ла(3)[10]**	**0**	**28,6**	**29,3**	**29,2**	**27,3**	**24,1**	**16,8**	**4,3**	**0**	**28,5**	**28,5**
Источник шума: ИШ-9-25, координаты источника (x,y,z), м =[683.46,-239.16,1.00]													
Уровни звуковой мощности источника днём, Lw, дБ		**исходные данные**	**77**	**75**	**67**	**66**	**63**	**55**	**53**	**48**	**51**		

1		2	3	4	5	6	7	8	9	10	11	12	13
Уровни звуковой мощности источника ночью, Lw, дБ		**исходные данные**	**77**	**75**	**67**	**66**	**63**	**55**	**53**	**48**	**51**		
Поправка на телесный угол DΩ, дБ	Ω = 6.28	10Lg(4π/Ω)	**3**	3	3	3	3	3	3	3	3		
Показатель направленности источника Di, дБ		исходные данные	**0**	0	0	0	0	0	0	0	0		
Поправка на направленность источника Dc, дБ	Dc	DΩ + Di	**3**	3	3	3	3	3	3	3	3		
Затухание из-за геометрической дивергенции, Adiv, дБ	расстояние = 415.92 м	ф-ла (7) [10]	**63,4**										
Коэффициент затухания звука в атмосфере α, дБ/км	Ta=20,°C Pa=101.33,кПа hотн.=70%	ф-ла (5) [9]	0,02	0,09	0,33	1,12	2,79	4,98	9,04	23,09	77,63		
Учет затухания звука в атмосфере Aatm, дБ		ф-ла (8) [10]	0	0	0,1	0,5	1,2	2,1	3,8	9,6	32,3		
Снижение уровня звукового давления из-за влияния застройки между источником шума и расчетной точкой													
Снижение уровня звукового давления на пути над экраном, Dz1, дБ	z = 0.12м (разность путей)	ф-лы (14-18) [10]	4,9	5	5,3	6,2	7,6	9,4	11,6	14,2	17		
Снижение уровня звукового давления на пути справа от экрана, Dz3, дБ	z = 1.56м (разность путей)	ф-лы (14-18) [10]	9,4	11,6	14,1	16,9	19,8	22,7	25,7	28,7	31,7		
Общее снижение уровня звука препятствием Dz, дБ		Эн.сумма(-Dzi)	3,6	4,1	4,8	5,9	7,3	9,2	11,5	14	16,8		
Уровни звукового давления от источника ИШ-9-25 в расчётной точке днём, дБ		**ф-ла(3)[10]**	**13,1**	**10,5**	**1,7**	**0**	**0**	**0**	**0**	**0**	**0**	**0**	**0**
Уровни звукового давления от источника ИШ-9-25 в расчётной точке ночью, дБ		**ф-ла(3)[10]**	**13,1**	**10,5**	**1,7**	**0**	**0**	**0**	**0**	**0**	**0**	**0**	**0**
Источник шума: ИШ-9-26, координаты источника (x,y,z), м =[680.09,-249.52,1.00]													
Уровни звуковой мощности источника днём, Lw, дБ		**исходные данные**	**77**	**75**	**67**	**66**	**63**	**55**	**53**	**48**	**51**		
Уровни звуковой мощности источника ночью, Lw, дБ		**исходные данные**	**77**	**75**	**67**	**66**	**63**	**55**	**53**	**48**	**51**		

1		2	3	4	5	6	7	8	9	10	11	12	13
Поправка на телесный угол DΩ, дБ	Ω = 6.28	10Lg(4π/Ω)	**3**	3	3	3	3	3	3	3	3		
Показатель направленности источника Di, дБ		исходные данные	**0**	0	0	0	0	0	0	0	0		
Поправка на направленность источника Dc, дБ	Dc	DΩ + Di	**3**	3	3	3	3	3	3	3	3		
Затухание из-за геометрической дивергенции, Adiv, дБ	расстояние = 413.50 м	ф-ла (7) [10]	**63,3**										
Коэффициент затухания звука в атмосфере α, дБ/км	Ta=20,°C Pa=101.33,кПа hотн.=70%	ф-ла (5) [9]	0,02	0,09	0,33	1,12	2,79	4,98	9,04	23,09	77,63		
Учет затухания звука в атмосфере Aatm, дБ		ф-ла (8) [10]	0	0	0,1	0,5	1,2	2,1	3,7	9,5	32,1		
Снижение уровня звукового давления из-за влияния застройки между источником шума и расчетной точкой													
Снижение уровня звукового давления на пути над экраном, Dz1, дБ	z = 0.12м (разность путей)	ф-лы (14-18) [10]	4,9	5	5,4	6,2	7,6	9,5	11,7	14,3	17,1		
Снижение уровня звукового давления на пути справа от экрана, Dz3, дБ	z = 1.82м (разность путей)	ф-лы (14-18) [10]	9,9	12,2	14,7	17,5	20,4	23,4	26,4	29,4	32,4		
Общее снижение уровня звука препятствием Dz, дБ		Эн.сумма(-Dzi)	3,7	4,2	4,9	5,9	7,4	9,3	11,6	14,2	16,9		
Уровни звукового давления от источника ИШ-9-26 в расчётной точке днём, дБ		**ф-ла(3)[10]**	**13**	**10,4**	**1,7**	**0**	**0**	**0**	**0**	**0**	**0**	**0**	**0**
Уровни звукового давления от источника ИШ-9-26 в расчётной точке ночью, дБ		**ф-ла(3)[10]**	**13**	**10,4**	**1,7**	**0**	**0**	**0**	**0**	**0**	**0**	**0**	**0**
Источник шума: ИШ-9-27, координаты источника (x,y,z), м =[676.46,-260.14,1.00]													
Уровни звуковой мощности источника днём, Lw, дБ		**исходные данные**	**77**	**75**	**67**	**66**	**63**	**55**	**53**	**48**	**51**		
Уровни звуковой мощности источника ночью, Lw, дБ		**исходные данные**	**77**	**75**	**67**	**66**	**63**	**55**	**53**	**48**	**51**		
Поправка на телесный угол DΩ, дБ	Ω = 6.28	10Lg(4π/Ω)	**3**	3	3	3	3	3	3	3	3		

1		2	3	4	5	6	7	8	9	10	11	12	13
Показатель направленности источника Di, дБ		исходные данные	**0**	0	0	0	0	0	0	0	0		
Поправка на направленность источника Dc, дБ	Dc	DΩ + Di	**3**	3	3	3	3	3	3	3	3		
Затухание из-за геометрической дивергенции, Adiv, дБ	расстояние = 411.11 м	ф-ла (7) [10]	**63,3**										
Коэффициент затухания звука в атмосфере α, дБ/км	Ta=20,°C Pa=101.33,кПа hотн.=70%	ф-ла (5) [9]	0,02	0,09	0,33	1,12	2,79	4,98	9,04	23,09	77,63		
Учет затухания звука в атмосфере Aatm, дБ		ф-ла (8) [10]	0	0	0,1	0,5	1,1	2	3,7	9,5	31,9		
Снижение уровня звукового давления из-за влияния застройки между источником шума и расчетной точкой													
Снижение уровня звукового давления на пути над экраном, Dz1, дБ	z = 0.12м (разность путей)	ф-лы (14-18) [10]	4,9	5	5,4	6,3	7,7	9,6	11,8	14,4	17,2		
Снижение уровня звукового давления на пути справа от экрана, Dz3, дБ	z = 2.12м (разность путей)	ф-лы (14-18) [10]	10,4	12,7	15,3	18,1	21,1	24	27	30	33		
Общее снижение уровня звука препятствием Dz, дБ		Эн.сумма(-Dzi)	3,8	4,3	5	6	7,5	9,4	11,7	14,3	17,1		
Уровни звукового давления прямого звука от источника ИШ-9-27 в расчётной точке днём, дБ		**ф-ла(3)[10]**	**12,9**	**10,4**	**1,6**	**0**	**0**	**0**	**0**	**0**	**0**	**0**	**0**
Уровни звукового давления прямого звука от источника ИШ-9-27 в расчётной точке ночью, дБ		**ф-ла(3)[10]**	**12,9**	**10,4**	**1,6**	**0**	**0**	**0**	**0**	**0**	**0**	**0**	**0**
Расчёт отражённого звука													
Уровни звукового давления от мнимого источника ИШ-9-27_мн.(1) в расчётной точке днём, дБ		**ф-ла(3)[10]**	**0**	**0**	**0**	**0**	**0**	**0**	**0**	**0**	**0**	**0**	**0**
Уровни звукового давления от мнимого источника ИШ-9-27_мн.(1) в расчётной точке ночью, дБ		**ф-ла(3)[10]**	**0**	**0**	**0**	**0**	**0**	**0**	**0**	**0**	**0**	**0**	**0**
Уровни звукового давления от источника ИШ-9-27 в расчётной точке днём, дБ		**ф-ла(3)[10]**	**12,9**	**10,4**	**1,6**	**0**	**0**	**0**	**0**	**0**	**0**	**0**	**0**
Уровни звукового давления от источника ИШ-9-27 в расчётной точке ночью, дБ		**ф-ла(3)[10]**	**12,9**	**10,4**	**1,6**	**0**	**0**	**0**	**0**	**0**	**0**	**0**	**0**

1		2	3	4	5	6	7	8	9	10	11	12	13
Источник шума: ИШ-10-1, координаты источника (x,y,z), м =[17.37,413.17,1.00]													
Уровни звуковой мощности источника днём, Lw, дБ		**исходные данные**	**0**	**98,3**	**99,7**	**101**	**101,3**	**100,9**	**97,6**	**93,4**	**88,9**		
Уровни звуковой мощности источника ночью, Lw, дБ		**исходные данные**	**0**	**98,3**	**99,7**	**101**	**101,3**	**100,9**	**97,6**	**93,4**	**88,9**		
Поправка на телесный угол DΩ, дБ	Ω = 6.28	10Lg(4π/Ω)	**3**	3	3	3	3	3	3	3	3		
Показатель направленности источника Di, дБ		исходные данные	**0**	0	0	0	0	0	0	0	0		
Поправка на направленность источника Dc, дБ	Dc	DΩ + Di	**3**	3	3	3	3	3	3	3	3		
Затухание из-за геометрической дивергенции, Adiv, дБ	расстояние = 669.53 м	ф-ла (7) [10]	**67,5**										
Коэффициент затухания звука в атмосфере α, дБ/км	Ta=20,°C Pa=101.33,кПа hотн.=70%	ф-ла (5) [9]	0,02	0,09	0,33	1,12	2,79	4,98	9,04	23,09	77,63		
Учет затухания звука в атмосфере Aatm, дБ		ф-ла (8) [10]	0	0,1	0,2	0,8	1,9	3,3	6,1	15,5	52		
Снижение уровня звукового давления из-за влияния застройки между источником шума и расчетной точкой													
Снижение уровня звукового давления на пути над экраном, Dz1, дБ	z = 0.27м (разность путей)	ф-лы (14-18) [10]	4,8	4,8	4,8	4,9	5,1	5,4	6	7	8,5		
Снижение уровня звукового давления на пути слева от экрана, Dz2, дБ	z = 20.55м (разность путей)	ф-лы (14-18) [10]	23,3	26,5	29,6	32,6	35,6	38,6	41,6	44,6	47,6		
Снижение уровня звукового давления на пути справа от экрана, Dz3, дБ	z = 0.84м (разность путей)	ф-лы (14-18) [10]	7,9	9,7	11,9	14,4	17,2	20,1	23	26	29		
Общее снижение уровня звука препятствием Dz, дБ		Эн.сумма(-Dzi)	3	3,5	4	4,5	4,9	5,3	6	7	8,5		
Уровни звукового давления от источника ИШ-10-1 в расчётной точке днём, дБ		**ф-ла(3)[10]**	**0**	**30,2**	**30,9**	**31,3**	**30,1**	**27,8**	**21,1**	**6,5**	**0**	**31,7**	**31,7**
Уровни звукового давления от источника ИШ-10-1 в расчётной точке ночью, дБ		**ф-ла(3)[10]**	**0**	**30,2**	**30,9**	**31,3**	**30,1**	**27,8**	**21,1**	**6,5**	**0**	**31,7**	**31,7**

1		2	3	4	5	6	7	8	9	10	11	12	13
Источник шума: ИШ-10-2, координаты источника (x,y,z), м =[27.87,443.46,1.00]													
Уровни звуковой мощности источника днём, Lw, дБ		**исходные данные**	**0**	**98,3**	**99,7**	**101**	**101,3**	**100,9**	**97,6**	**93,4**	**88,9**		
Уровни звуковой мощности источника ночью, Lw, дБ		**исходные данные**	**0**	**98,3**	**99,7**	**101**	**101,3**	**100,9**	**97,6**	**93,4**	**88,9**		
Поправка на телесный угол DΩ, дБ	Ω = 6.28	10Lg(4π/Ω)	**3**	3	3	3	3	3	3	3	3		
Показатель направленности источника Di, дБ		исходные данные	**0**	0	0	0	0	0	0	0	0		
Поправка на направленность источника Dc, дБ	Dc	DΩ + Di	**3**	3	3	3	3	3	3	3	3		
Затухание из-за геометрической дивергенции, Adiv, дБ	расстояние = 693.98 м	ф-ла (7) [10]	**67,8**										
Коэффициент затухания звука в атмосфере α, дБ/км	Ta=20,°C Pa=101.33,кПа hотн.=70%	ф-ла (5) [9]	0,02	0,09	0,33	1,12	2,79	4,98	9,04	23,09	77,63		
Учет затухания звука в атмосфере Aatm, дБ		ф-ла (8) [10]	0	0,1	0,2	0,8	1,9	3,5	6,3	16	53,9		
Снижение уровня звукового давления из-за влияния застройки между источником шума и расчетной точкой													
Снижение уровня звукового давления на пути над экраном, Dz1, дБ	z = 0.28м (разность путей)	ф-лы (14-18) [10]	5,2	5,6	6,3	7,5	9,1	11,3	13,8	16,5	19,3		
Снижение уровня звукового давления на пути слева от экрана, Dz2, дБ	z = 10.69м (разность путей)	ф-лы (14-18) [10]	20,7	23,8	26,8	29,8	32,8	35,8	38,8	41,8	44,8		
Снижение уровня звукового давления на пути справа от экрана, Dz3, дБ	z = 2.66м (разность путей)	ф-лы (14-18) [10]	14,7	17,8	20,8	23,8	26,7	29,7	32,7	35,8	38,8		
Общее снижение уровня звука препятствием Dz, дБ		Эн.сумма(-Dzi)	4,6	5,3	6,1	7,3	9	11,2	13,7	16,4	19,3		
Уровни звукового давления от источника ИШ-10-2 в расчётной точке днём, дБ		**ф-ла(3)[10]**	**0**	**28,1**	**28,5**	**28,1**	**25,5**	**21,4**	**12,8**	**0**	**0**	**26,5**	**26,5**
Уровни звукового давления от источника ИШ-10-2 в расчётной точке ночью, дБ		**ф-ла(3)[10]**	**0**	**28,1**	**28,5**	**28,1**	**25,5**	**21,4**	**12,8**	**0**	**0**	**26,5**	**26,5**

1		2	3	4	5	6	7	8	9	10	11	12	13
Уровни звукового давления в расчётной точке													
Суммарные уровни звукового давления в расчётной точке от всех источников шума днём, Lрт, дБ		**ф-ла (19) [1]**	**60,4**	**58,2**	**54**	**51,5**	**51,5**	**54,5**	**49,4**	**37,1**	**0**	**57**	**57**
Суммарные уровни звукового давления в расчётной точке от всех источников шума ночью, Lрт, дБ		**ф-ла (19) [1]**	**54,2**	**56,3**	**53,6**	**51,2**	**51,2**	**54,2**	**48,3**	**36,6**	**0**	**56,5**	**56,5**
Допускаемые УЗД днём, Lдоп, дБ	Территории предприятий с постоянными рабочими местами	Табл. 1[3]	107	95	87	82	78	75	73	71	69	80	95
Допускаемые УЗД ночью, Lдоп, дБ	Территории предприятий с постоянными рабочими местами	Табл. 1[3]	107	95	87	82	78	75	73	71	69	80	95
Превышение днём, дБ		**Lрт - Lдоп**	**-46,6**	**-36,8**	**-33**	**-30,5**	**-26,5**	**-20,5**	**-23,6**	**-33,9**	**-69**	**-23**	**-38**
Превышение ночью, дБ		**Lрт - Lдоп**	**-52,8**	**-38,7**	**-33,4**	**-30,8**	**-26,8**	**-20,8**	**-24,7**	**-34,4**	**-69**	**-23,5**	**-38,5**

Определение уровней звукового давления в точке РТ-4-4 (координаты точки, м: x = 184.27, y = -179.07, z = 4.60)

Наименование величин и их описание		Ссылка	Расчётные уровни в октавных полосах, со среднегеометрическими частотами, Гц									La, дБА	Lмакс, дБА
			31,5	63	125	250	500	1000	2000	4000	8000		
1		2	3	4	5	6	7	8	9	10	11	12	13
Источник шума: ИШ-1-1, координаты источника (x,y,z), м =[271.72,229.68,1.00]													
Уровни звуковой мощности источника днём, Lw, дБ		**исходные данные**	**97**	**97**	**104**	**106**	**105**	**105**	**98**	**87**	**81**		
Уровни звуковой мощности источника ночью, Lw, дБ		**исходные данные**	**97**	**97**	**104**	**106**	**105**	**105**	**98**	**87**	**81**		
Поправка на телесный угол DΩ, дБ	Ω = 6.28	10Lg(4π/Ω)	**3**	3	3	3	3	3	3	3	3		
Показатель направленности источника Di, дБ		исходные данные	**0**	0	0	0	0	0	0	0	0		
Поправка на направленность источника Dc, дБ	Dc	DΩ + Di	**3**	3	3	3	3	3	3	3	3		
Затухание из-за геометрической дивергенции, Adiv, дБ	расстояние = 418.01 м	ф-ла (7) [10]	**63,4**										
Коэффициент затухания звука в атмосфере α, дБ/км	Ta=20,°C Pa=101.33,кПа hотн.=70%	ф-ла (5) [9]	0,02	0,09	0,33	1,12	2,79	4,98	9,04	23,09	77,63		
Учет затухания звука в атмосфере Aatm, дБ		ф-ла (8) [10]	0	0	0,1	0,5	1,2	2,1	3,8	9,7	32,5		
Снижение уровня звукового давления из-за влияния застройки между источником шума и расчетной точкой													
Снижение уровня звукового давления на пути над экраном, Dz1, дБ	z = 0.01м (разность путей)	ф-лы (14-18) [10]	4,8	4,8	4,8	4,8	4,8	4,8	4,8	4,8	4,8		
Снижение уровня звукового давления на пути слева от экрана, Dz2, дБ	z = 0.13м (разность путей)	ф-лы (14-18) [10]	5,4	5,9	6,8	8,2	10,2	12,5	15,1	17,9	20,8		
Снижение уровня звукового давления на пути справа от экрана, Dz3, дБ	z = 0.96м (разность путей)	ф-лы (14-18) [10]	8,2	10	12,3	14,9	17,7	20,6	23,6	26,6	29,6		

1		2	3	4	5	6	7	8	9	10	11	12	13
Общее снижение уровня звука препятствием Dz, дБ		Эн.сумма(-Dzi)	1,1	1,6	2,2	2,9	3,5	4	4,3	4,5	4,7		
Уровни звукового давления прямого звука от источника ИШ-1-1 в расчётной точке днём, дБ		**ф-ла(3)[10]**	**35,5**	**34,9**	**41,2**	**42,2**	**39,9**	**38,5**	**29,5**	**12,4**	**0**	**41,9**	**41,9**
Уровни звукового давления прямого звука от источника ИШ-1-1 в расчётной точке ночью, дБ		**ф-ла(3)[10]**	**35,5**	**34,9**	**41,2**	**42,2**	**39,9**	**38,5**	**29,5**	**12,4**	**0**	**41,9**	**41,9**
Расчёт отражённого звука													
Уровни звукового давления от мнимого источника ИШ-1-1_мн.(1) в расчётной точке днём, дБ		**ф-ла(3)[10]**	**0**	**0**	**0**	**0**	**0**	**0**	**32,2**	**15**	**0**	**33,5**	**33,5**
Уровни звукового давления от мнимого источника ИШ-1-1_мн.(1) в расчётной точке ночью, дБ		**ф-ла(3)[10]**	**0**	**0**	**0**	**0**	**0**	**0**	**0**	**0**	**0**	**33,5**	**33,5**
Уровни звукового давления от мнимого источника ИШ-1-1_мн.(2) в расчётной точке днём, дБ		**ф-ла(3)[10]**	**0**	**0**	**0**	**0**	**0**	**33,7**	**28,4**	**9,2**	**0**	**35,1**	**35,1**
Уровни звукового давления от мнимого источника ИШ-1-1_мн.(2) в расчётной точке ночью, дБ		**ф-ла(3)[10]**	**0**	**0**	**0**	**0**	**0**	**0**	**0**	**0**	**0**	**35,1**	**35,1**
Суммарные уровни звукового давления от мнимых источников в расчётной точке днём, дБ		**ф-ла (19) [1]**	**0**	**0**	**0**	**0**	**0**	**33,7**	**33,7**	**16**	**0**	**0**	**37,4**
Суммарные уровни звукового давления от мнимых источников в расчётной точке ночью, дБ		**ф-ла (19) [1]**	**0**	**0**	**0**	**0**	**0**	**33,7**	**33,7**	**16**	**0**	**0**	**37,4**
Уровни звукового давления от источника ИШ-1-1 в расчётной точке днём, дБ		**ф-ла(3)[10]**	**35,5**	**34,9**	**41,2**	**42,2**	**39,9**	**39,7**	**35,1**	**17,6**	**0**	**43,2**	**43,2**
Уровни звукового давления от источника ИШ-1-1 в расчётной точке ночью, дБ		**ф-ла(3)[10]**	**35,5**	**34,9**	**41,2**	**42,2**	**39,9**	**39,7**	**35,1**	**17,6**	**0**	**43,2**	**43,2**
Источник шума: ИШ-1-2, координаты источника (x,y,z), м =[261.74,199.14,1.00]													
Уровни звуковой мощности источника днём, Lw, дБ		**исходные данные**	**97**	**97**	**104**	**106**	**105**	**105**	**98**	**87**	**81**		
Уровни звуковой мощности источника ночью, Lw, дБ		**исходные данные**	**97**	**97**	**104**	**106**	**105**	**105**	**98**	**87**	**81**		
Поправка на телесный угол DΩ, дБ	Ω = 6.28	10Lg(4π/Ω)	**3**	3	3	3	3	3	3	3	3		
Показатель направленности источника Di, дБ		исходные данные	**0**	0	0	0	0	0	0	0	0		

1		2	3	4	5	6	7	8	9	10	11	12	13
Поправка на направленность источника Dc, дБ	Dc	DΩ + Di	**3**	3	3	3	3	3	3	3	3		
Затухание из-за геометрической дивергенции, Adiv, дБ	расстояние = 386.08 м	ф-ла (7) [10]	**62,7**										
Коэффициент затухания звука в атмосфере α, дБ/км	Ta=20,°C Pa=101.33,кПа hотн.=70%	ф-ла (5) [9]	0,02	0,09	0,33	1,12	2,79	4,98	9,04	23,09	77,63		
Учет затухания звука в атмосфере Aatm, дБ		ф-ла (8) [10]	0	0	0,1	0,4	1,1	1,9	3,5	8,9	30		
Снижение уровня звукового давления из-за влияния застройки между источником шума и расчетной точкой													
Снижение уровня звукового давления на пути над экраном, Dz1, дБ	z = 0.01м (разность путей)	ф-лы (14-18) [10]	4,8	4,8	4,8	4,8	4,8	4,8	4,8	4,8	4,8		
Снижение уровня звукового давления на пути слева от экрана, Dz2, дБ	z = 0.25м (разность путей)	ф-лы (14-18) [10]	5,9	6,9	8,3	10,2	12,5	15,1	18	20,9	23,8		
Снижение уровня звукового давления на пути справа от экрана, Dz3, дБ	z = 0.79м (разность путей)	ф-лы (14-18) [10]	7,7	9,5	11,7	14,2	17	19,8	22,8	25,8	28,7		
Общее снижение уровня звука препятствием Dz, дБ		Эн.сумма(-Dzi)	1,2	1,9	2,6	3,3	3,9	4,3	4,5	4,6	4,7		
Уровни звукового давления прямого звука от источника ИШ-1-2 в расчётной точке днём, дБ		**ф-ла(3)[10]**	**36,1**	**35,4**	**41,6**	**42,5**	**40,3**	**39,1**	**30,3**	**13,7**	**0**	**42,4**	**42,4**
Уровни звукового давления прямого звука от источника ИШ-1-2 в расчётной точке ночью, дБ		**ф-ла(3)[10]**	**36,1**	**35,4**	**41,6**	**42,5**	**40,3**	**39,1**	**30,3**	**13,7**	**0**	**42,4**	**42,4**
Расчёт отражённого звука													
Уровни звукового давления от мнимого источника ИШ-1-2_мн.(1) в расчётной точке днём, дБ		**ф-ла(3)[10]**	**0**	**0**	**0**	**0**	**0**	**35,1**	**27,7**	**8**	**0**	**36,1**	**36,1**
Уровни звукового давления от мнимого источника ИШ-1-2_мн.(1) в расчётной точке ночью, дБ		**ф-ла(3)[10]**	**0**	**0**	**0**	**0**	**0**	**0**	**0**	**0**	**0**	**36,1**	**36,1**
Уровни звукового давления от источника ИШ-1-2 в расчётной точке днём, дБ		**ф-ла(3)[10]**	**36,1**	**35,4**	**41,6**	**42,5**	**40,3**	**40,6**	**32,2**	**14,8**	**0**	**43,3**	**43,3**
Уровни звукового давления от источника ИШ-1-2 в расчётной точке ночью, дБ		**ф-ла(3)[10]**	**36,1**	**35,4**	**41,6**	**42,5**	**40,3**	**40,6**	**32,2**	**14,8**	**0**	**43,3**	**43,3**

1		2	3	4	5	6	7	8	9	10	11	12	13
Источник шума: ИШ-1-3, координаты источника (x,y,z), м =[251.75,236.44,1.00]													
Уровни звуковой мощности источника днём, Lw, дБ		**исходные данные**	**0**	**91,3**	**92,7**	**94**	**94,3**	**93,9**	**90,6**	**86,4**	**81,9**		
Уровни звуковой мощности источника ночью, Lw, дБ		**исходные данные**	**0**	**91,3**	**92,7**	**94**	**94,3**	**93,9**	**90,6**	**86,4**	**81,9**		
Поправка на телесный угол DΩ, дБ	Ω = 6.28	10Lg(4π/Ω)	**3**	3	3	3	3	3	3	3	3		
Показатель направленности источника Di, дБ		исходные данные	**0**	0	0	0	0	0	0	0	0		
Поправка на направленность источника Dc, дБ	Dc	DΩ + Di	**3**	3	3	3	3	3	3	3	3		
Затухание из-за геометрической дивергенции, Adiv, дБ	расстояние = 420.96 м	ф-ла (7) [10]	**63,5**										
Коэффициент затухания звука в атмосфере α, дБ/км	Ta=20,°C Pa=101.33,кПа hотн.=70%	ф-ла (5) [9]	0,02	0,09	0,33	1,12	2,79	4,98	9,04	23,09	77,63		
Учет затухания звука в атмосфере Aatm, дБ		ф-ла (8) [10]	0	0	0,1	0,5	1,2	2,1	3,8	9,7	32,7		
Снижение уровня звукового давления из-за влияния застройки между источником шума и расчетной точкой													
Снижение уровня звукового давления на пути над экраном, Dz1, дБ	z = 0.01м (разность путей)	ф-лы (14-18) [10]	4,8	4,8	4,8	4,8	4,8	4,8	4,8	4,8	4,8		
Снижение уровня звукового давления на пути слева от экрана, Dz2, дБ	z = 1.15м (разность путей)	ф-лы (14-18) [10]	8,6	10,6	13	15,7	18,5	21,4	24,4	27,4	30,4		
Снижение уровня звукового давления на пути справа от экрана, Dz3, дБ	z = 0.08м (разность путей)	ф-лы (14-18) [10]	5,2	5,6	6,2	7,3	8,9	11	13,5	16,2	19		
Общее снижение уровня звука препятствием Dz, дБ		Эн.сумма(-Dzi)	1,1	1,6	2,1	2,6	3,2	3,8	4,2	4,4	4,6		
Уровни звукового давления прямого звука от источника ИШ-1-3 в расчётной точке днём, дБ		**ф-ла(3)[10]**	**0**	**29,2**	**30**	**30,4**	**29,4**	**27,5**	**22,1**	**11,7**	**0**	**31,5**	**31,5**
Уровни звукового давления прямого звука от источника ИШ-1-3 в расчётной точке ночью, дБ		**ф-ла(3)[10]**	**0**	**29,2**	**30**	**30,4**	**29,4**	**27,5**	**22,1**	**11,7**	**0**	**31,5**	**31,5**

1		2	3	4	5	6	7	8	9	10	11	12	13
Расчёт отражённого звука													
Уровни звукового давления от мнимого источника ИШ-1-3_мн.(1) в расчётной точке днём, дБ		**ф-ла(3)[10]**	**0**	**0**	**0**	**0**	**0**	**22,6**	**16,6**	**4**	**0**	**23,9**	**23,9**
Уровни звукового давления от мнимого источника ИШ-1-3_мн.(1) в расчётной точке ночью, дБ		**ф-ла(3)[10]**	**0**	**0**	**0**	**0**	**0**	**0**	**0**	**0**	**0**	**23,9**	**23,9**
Уровни звукового давления от источника ИШ-1-3 в расчётной точке днём, дБ		**ф-ла(3)[10]**	**0**	**29,2**	**30**	**30,4**	**29,4**	**28,8**	**23,2**	**12,4**	**0**	**32,2**	**32,2**
Уровни звукового давления от источника ИШ-1-3 в расчётной точке ночью, дБ		**ф-ла(3)[10]**	**0**	**29,2**	**30**	**30,4**	**29,4**	**28,8**	**23,2**	**12,4**	**0**	**32,2**	**32,2**
Источник шума: ИШ-1-4, координаты источника (x,y,z), м =[290.25,223.25,1.00]													
Уровни звуковой мощности источника днём, Lw, дБ		**исходные данные**	**0**	**91,3**	**92,7**	**94**	**94,3**	**93,9**	**90,6**	**86,4**	**81,9**		
Уровни звуковой мощности источника ночью, Lw, дБ		**исходные данные**	**0**	**91,3**	**92,7**	**94**	**94,3**	**93,9**	**90,6**	**86,4**	**81,9**		
Поправка на телесный угол DΩ, дБ	Ω = 6.28	10Lg(4π/Ω)	**3**	3	3	3	3	3	3	3	3		
Показатель направленности источника Di, дБ		исходные данные	**0**	0	0	0	0	0	0	0	0		
Поправка на направленность источника Dc, дБ	Dc	DΩ + Di	**3**	3	3	3	3	3	3	3	3		
Затухание из-за геометрической дивергенции, Adiv, дБ	расстояние = 416.06 м	ф-ла (7) [10]	**63,4**										
Коэффициент затухания звука в атмосфере α, дБ/км	Ta=20,°C Pa=101.33,кПа hотн.=70%	ф-ла (5) [9]	0,02	0,09	0,33	1,12	2,79	4,98	9,04	23,09	77,63		
Учет затухания звука в атмосфере Aatm, дБ		ф-ла (8) [10]	0	0	0,1	0,5	1,2	2,1	3,8	9,6	32,3		
Снижение уровня звукового давления из-за влияния застройки между источником шума и расчетной точкой													
Снижение уровня звукового давления препятствием справа от трассы ИШ-РТ, Dz3, дБ	z = -0.11м (разность путей)	ф-лы (14-18) [10]	0	0	1,5	NAN	NAN	NAN	NAN	NAN	NAN		

* отрицательное значение z означает прохождение траектории вблизи экрана, в этом случае дополнительно производится учёт снижения подстилающей поверхностью (см.ниже)

1		2	3	4	5	6	7	8	9	10	11	12	13
Снижение поверхностью земли возле источника As, дБ	Gs = 0 hs = 1м	ф-лы таб.3 [10]	-1,5	-1,5	-1,5	-1,5	-1,5	-1,5	-1,5	-1,5	-1,5		
Снижение поверхностью земли возле приёмника Ar, дБ	Gr = 1 hr = 4.6м	ф-лы таб.3 [10]	-1,5	-1,5	3,3	1,3	0	0	0	0	0		
Снижение поверхностью земли в средней зоне, Am дБ	Gm = 1	ф-лы таб.3 [10]	-1,8	-1,8	0	0	0	0	0	0	0		
Суммарное снижение поверхностью земли на траектории распространения звука Agr, дБ		ф-ла (9) [10]	-4,8	-4,8	1,8	-0,2	-1,5	-1,5	-1,5	-1,5	-1,5		
Уровни звукового давления прямого звука от источника ИШ-1-4 в расчётной точке днём, дБ		**ф-ла(3)[10]**	**0**	**35,7**	**28,9**	**33,4**	**34,2**	**32,9**	**27,9**	**17,9**	**0**	**36,5**	**36,5**
Уровни звукового давления прямого звука от источника ИШ-1-4 в расчётной точке ночью, дБ		**ф-ла(3)[10]**	**0**	**35,7**	**28,9**	**33,4**	**34,2**	**32,9**	**27,9**	**17,9**	**0**	**36,5**	**36,5**
Расчёт отражённого звука													
Уровни звукового давления от мнимого источника ИШ-1-4_мн.(1) в расчётной точке днём, дБ		**ф-ла(3)[10]**	**0**	**0**	**0**	**0**	**19,5**	**24,7**	**21**	**8,6**	**0**	**27,1**	**27,1**
Уровни звукового давления от мнимого источника ИШ-1-4_мн.(1) в расчётной точке ночью, дБ		**ф-ла(3)[10]**	**0**	**0**	**0**	**0**	**0**	**0**	**0**	**0**	**0**	**27,1**	**27,1**
Уровни звукового давления от мнимого источника ИШ-1-4_мн.(2) в расчётной точке днём, дБ		**ф-ла(3)[10]**	**0**	**34,6**	**25,4**	**22,9**	**22,8**	**28,3**	**25,4**	**15,3**	**0**	**31,2**	**31,2**
Уровни звукового давления от мнимого источника ИШ-1-4_мн.(2) в расчётной точке ночью, дБ		**ф-ла(3)[10]**	**34,6**	**34,6**	**34,6**	**34,6**	**34,6**	**34,6**	**34,6**	**34,6**	**34,6**	**31,2**	**31,2**
Суммарные уровни звукового давления от мнимых источников в расчётной точке днём, дБ		**ф-ла (19) [1]**	**0**	**34,6**	**25,4**	**22,9**	**24,5**	**29,9**	**26,7**	**16,1**	**0**	**0**	**32,6**
Суммарные уровни звукового давления от мнимых источников в расчётной точке ночью, дБ		**ф-ла (19) [1]**	**0**	**34,6**	**25,4**	**22,9**	**24,5**	**29,9**	**26,7**	**16,1**	**0**	**0**	**32,6**
Уровни звукового давления от источника ИШ-1-4 в расчётной точке днём, дБ		**ф-ла(3)[10]**	**0**	**38,2**	**30,5**	**33,7**	**34,7**	**34,7**	**30,4**	**20,1**	**0**	**38**	**38**
Уровни звукового давления от источника ИШ-1-4 в расчётной точке ночью, дБ		**ф-ла(3)[10]**	**0**	**38,2**	**30,5**	**33,7**	**34,7**	**34,7**	**30,4**	**20,1**	**0**	**38**	**38**
Источник шума: ИШ-1-5, координаты источника (x,y,z), м =[241.49,205.86,1.00]													
Уровни звуковой мощности источника днём, Lw, дБ		**исходные данные**	**0**	**91,3**	**92,7**	**94**	**94,3**	**93,9**	**90,6**	**86,4**	**81,9**		

1		2	3	4	5	6	7	8	9	10	11	12	13
Уровни звуковой мощности источника ночью, Lw, дБ		**исходные данные**	**0**	**91,3**	**92,7**	**94**	**94,3**	**93,9**	**90,6**	**86,4**	**81,9**		
Поправка на телесный угол DΩ, дБ	Ω = 6.28	10Lg(4π/Ω)	**3**	3	3	3	3	3	3	3	3		
Показатель направленности источника Di, дБ		исходные данные	**0**	0	0	0	0	0	0	0	0		
Поправка на направленность источника Dc, дБ	Dc	DΩ + Di	**3**	3	3	3	3	3	3	3	3		
Затухание из-за геометрической дивергенции, Adiv, дБ	расстояние = 389.17 м	ф-ла (7) [10]	**62,8**										
Коэффициент затухания звука в атмосфере α, дБ/км	Ta=20,°C Pa=101.33,кПа hотн.=70%	ф-ла (5) [9]	0,02	0,09	0,33	1,12	2,79	4,98	9,04	23,09	77,63		
Учет затухания звука в атмосфере Aatm, дБ		ф-ла (8) [10]	0	0	0,1	0,4	1,1	1,9	3,5	9	30,2		
Снижение уровня звукового давления из-за влияния застройки между источником шума и расчетной точкой													
Снижение уровня звукового давления на пути над экраном, Dz1, дБ	z = 0.01м (разность путей)	ф-лы (14-18) [10]	4,8	4,8	4,8	4,8	4,8	4,8	4,8	4,8	4,8		
Снижение уровня звукового давления на пути слева от экрана, Dz2, дБ	z = 1.74м (разность путей)	ф-лы (14-18) [10]	9,8	12	14,6	17,3	20,2	23,2	26,2	29,2	32,2		
Снижение уровня звукового давления на пути справа от экрана, Dz3, дБ	z = 0.01м (разность путей)	ф-лы (14-18) [10]	4,8	4,9	5	5,2	5,6	6,3	7,4	9	11,1		
Общее снижение уровня звука препятствием Dz, дБ		Эн.сумма(-Dzi)	1,1	1,4	1,6	1,8	2,1	2,4	2,9	3,4	3,9		
Уровни звукового давления прямого звука от источника ИШ-1-5 в расчётной точке днём, дБ		**ф-ла(3)[10]**	**0**	**30**	**31,1**	**31,9**	**31,3**	**29,7**	**24,4**	**14,2**	**0**	**33,5**	**33,5**
Уровни звукового давления прямого звука от источника ИШ-1-5 в расчётной точке ночью, дБ		**ф-ла(3)[10]**	**0**	**30**	**31,1**	**31,9**	**31,3**	**29,7**	**24,4**	**14,2**	**0**	**33,5**	**33,5**
Расчёт отражённого звука													
Уровни звукового давления от мнимого источника ИШ-1-5_мн.(1) в расчётной точке днём, дБ		**ф-ла(3)[10]**	**0**	**0**	**0**	**0**	**0**	**22,2**	**16**	**2,9**	**0**	**23,5**	**23,5**
Уровни звукового давления от мнимого источника ИШ-1-5_мн.(1) в расчётной точке ночью, дБ		**ф-ла(3)[10]**	**0**	**0**	**0**	**0**	**0**	**0**	**0**	**0**	**0**	**23,5**	**23,5**

1		2	3	4	5	6	7	8	9	10	11	12	13
Уровни звукового давления от источника ИШ-1-5 в расчётной точке днём, дБ		**ф-ла(3)[10]**	**0**	**30**	**31,1**	**31,9**	**31,3**	**30,4**	**25**	**14,5**	**0**	**33,9**	**33,9**
Уровни звукового давления от источника ИШ-1-5 в расчётной точке ночью, дБ		**ф-ла(3)[10]**	**0**	**30**	**31,1**	**31,9**	**31,3**	**30,4**	**25**	**14,5**	**0**	**33,9**	**33,9**
Источник шума: ИШ-1-6, координаты источника (x,y,z), м =[279.85,192.97,1.00]													
Уровни звуковой мощности источника днём, Lw, дБ		**исходные данные**	**0**	**91,3**	**92,7**	**94**	**94,3**	**93,9**	**90,6**	**86,4**	**81,9**		
Уровни звуковой мощности источника ночью, Lw, дБ		**исходные данные**	**0**	**91,3**	**92,7**	**94**	**94,3**	**93,9**	**90,6**	**86,4**	**81,9**		
Поправка на телесный угол DΩ, дБ	Ω = 6.28	10Lg(4π/Ω)	**3**	3	3	3	3	3	3	3	3		
Показатель направленности источника Di, дБ		исходные данные	**0**	0	0	0	0	0	0	0	0		
Поправка на направленность источника Dc, дБ	Dc	DΩ + Di	**3**	3	3	3	3	3	3	3	3		
Затухание из-за геометрической дивергенции, Adiv, дБ	расстояние = 384.13 м	ф-ла (7) [10]	**62,7**										
Коэффициент затухания звука в атмосфере α, дБ/км	Ta=20,°C Pa=101.33,кПа hотн.=70%	ф-ла (5) [9]	0,02	0,09	0,33	1,12	2,79	4,98	9,04	23,09	77,63		
Учет затухания звука в атмосфере Aatm, дБ		ф-ла (8) [10]	0	0	0,1	0,4	1,1	1,9	3,5	8,9	29,8		
Снижение уровня звукового давления из-за влияния застройки между источником шума и расчетной точкой													
Снижение уровня звукового давления препятствием справа от трассы ИШ-РТ, Dz3, дБ	z = -0.06м (разность путей)	ф-лы (14-18) [10]	0	0	3,2	0,6	NAN	NAN	NAN	NAN	NAN		
* отрицательное значение z означает прохождение траектории вблизи экрана, в этом случае дополнительно производится учёт снижения подстилающей поверхностью (см.ниже)													
Снижение поверхностью земли возле источника As, дБ	Gs = 0 hs = 1м	ф-лы таб.3 [10]	-1,5	-1,5	-1,5	-1,5	-1,5	-1,5	-1,5	-1,5	-1,5		
Снижение поверхностью земли возле приёмника Ar, дБ	Gr = 1 hr = 4.6м	ф-лы таб.3 [10]	-1,5	-1,5	3,2	1,3	0	0	0	0	0		
Снижение поверхностью земли в средней зоне, Am дБ	Gm = 1	ф-лы таб.3 [10]	-1,7	-1,7	0	0	0	0	0	0	0		

1	2	3	4	5	6	7	8	9	10	11	12	13
Суммарное снижение поверхностью земли на траектории распространения звука Agr, дБ	ф-ла (9) [10]	-4,7	-4,7	1,7	-0,2	-1,5	-1,5	-1,5	-1,5	-1,5		
Уровни звукового давления прямого звука от источника ИШ-1-6 в расчётной точке днём, дБ	**ф-ла(3)[10]**	**0**	**36,3**	**28**	**33,4**	**35**	**33,8**	**28,9**	**19,3**	**0**	**37,3**	**37,3**
Уровни звукового давления прямого звука от источника ИШ-1-6 в расчётной точке ночью, дБ	**ф-ла(3)[10]**	**0**	**36,3**	**28**	**33,4**	**35**	**33,8**	**28,9**	**19,3**	**0**	**37,3**	**37,3**
Расчёт отражённого звука												
Уровни звукового давления от мнимого источника ИШ-1-6_мн.(1) в расчётной точке днём, дБ	**ф-ла(3)[10]**	**0**	**0**	**0**	**0**	**0**	**0**	**0**	**14,6**	**0**	**15,6**	**15,6**
Уровни звукового давления от мнимого источника ИШ-1-6_мн.(1) в расчётной точке ночью, дБ	**ф-ла(3)[10]**	**0**	**0**	**0**	**0**	**0**	**0**	**0**	**0**	**0**	**15,6**	**15,6**
Уровни звукового давления от мнимого источника ИШ-1-6_мн.(2) в расчётной точке днём, дБ	**ф-ла(3)[10]**	**0**	**0**	**0**	**0**	**0**	**0**	**0**	**0**	**0**	**0**	**0**
Уровни звукового давления от мнимого источника ИШ-1-6_мн.(2) в расчётной точке ночью, дБ	**ф-ла(3)[10]**	**0**	**0**	**0**	**0**	**0**	**0**	**0**	**0**	**0**	**0**	**0**
Уровни звукового давления от мнимого источника ИШ-1-6_мн.(3) в расчётной точке днём, дБ	**ф-ла(3)[10]**	**0**	**0**	**0**	**0**	**0**	**24**	**20,3**	**7,4**	**0**	**26**	**26**
Уровни звукового давления от мнимого источника ИШ-1-6_мн.(3) в расчётной точке ночью, дБ	**ф-ла(3)[10]**	**0**	**0**	**0**	**0**	**0**	**0**	**0**	**0**	**0**	**26**	**26**
Уровни звукового давления от мнимого источника ИШ-1-6_мн.(4) в расчётной точке днём, дБ	**ф-ла(3)[10]**	**0**	**35,2**	**26,3**	**23,7**	**23,6**	**29,2**	**26,3**	**16,7**	**0**	**32,1**	**32,1**
Уровни звукового давления от мнимого источника ИШ-1-6_мн.(4) в расчётной точке ночью, дБ	**ф-ла(3)[10]**	**23,7**	**23,7**	**23,7**	**23,7**	**23,7**	**23,7**	**23,7**	**23,7**	**23,7**	**32,1**	**32,1**
Суммарные уровни звукового давления от мнимых источников в расчётной точке днём, дБ	**ф-ла (19) [1]**	**0**	**35,2**	**26,3**	**23,7**	**23,6**	**30,3**	**27,3**	**19,1**	**0**	**0**	**33,1**
Суммарные уровни звукового давления от мнимых источников в расчётной точке ночью, дБ	**ф-ла (19) [1]**	**0**	**35,2**	**26,3**	**23,7**	**23,6**	**30,3**	**27,3**	**19,1**	**0**	**0**	**33,1**
Уровни звукового давления от источника ИШ-1-6 в расчётной точке днём, дБ	**ф-ла(3)[10]**	**0**	**38,8**	**30,2**	**33,9**	**35,3**	**35,4**	**31,2**	**22,2**	**0**	**38,7**	**38,7**
Уровни звукового давления от источника ИШ-1-6 в расчётной точке ночью, дБ	**ф-ла(3)[10]**	**0**	**38,8**	**30,2**	**33,9**	**35,3**	**35,4**	**31,2**	**22,2**	**0**	**38,7**	**38,7**
Источник шума: ИШ-1-7, координаты источника (x,y,z), м =[451.87,146.66,1.00]												

1		2	3	4	5	6	7	8	9	10	11	12	13
Уровни звуковой мощности источника днём, Lw, дБ		**исходные данные**	**0**	**93,3**	**94,7**	**96**	**96,3**	**95,9**	**92,6**	**88,4**	**83,9**		
Уровни звуковой мощности источника ночью, Lw, дБ		**исходные данные**	**0**	**93,3**	**94,7**	**96**	**96,3**	**95,9**	**92,6**	**88,4**	**83,9**		
Поправка на телесный угол DΩ, дБ	Ω = 6.28	10Lg(4π/Ω)	**3**	3	3	3	3	3	3	3	3		
Показатель направленности источника Di, дБ		исходные данные	**0**	0	0	0	0	0	0	0	0		
Поправка на направленность источника Dc, дБ	Dc	DΩ + Di	**3**	3	3	3	3	3	3	3	3		
Затухание из-за геометрической дивергенции, Adiv, дБ	расстояние = 421.56 м	ф-ла (7) [10]	**63,5**										
Коэффициент затухания звука в атмосфере α, дБ/км	Ta=20,°C Pa=101.33,кПа hотн.=70%	ф-ла (5) [9]	0,02	0,09	0,33	1,12	2,79	4,98	9,04	23,09	77,63		
Учет затухания звука в атмосфере Aatm, дБ		ф-ла (8) [10]	0	0	0,1	0,5	1,2	2,1	3,8	9,7	32,7		
Снижение уровня звукового давления из-за влияния застройки между источником шума и расчетной точкой													
Снижение уровня звукового давления на пути над экраном, Dz1, дБ	z = 0.62м (разность путей)	ф-лы (14-18) [10]	7,3	9,1	11,3	13,8	16,5	19,4	22,3	25,3	28,3		
Снижение уровня звукового давления на пути слева от экрана, Dz2, дБ	z = 31.74м (разность путей)	ф-лы (14-18) [10]	24,8	28,3	31,4	34,5	37,5	40,5	43,5	46,5	49,5		
Снижение уровня звукового давления на пути справа от экрана, Dz3, дБ	z = 100.31м (разность путей)	ф-лы (14-18) [10]	29,9	33,3	36,4	39,5	42,5	45,5	48,5	51,5	54,5		
Общее снижение уровня звука препятствием Dz, дБ		Эн.сумма(-Dzi)	7,2	9	11,2	13,7	16,5	19,3	22,3	25,2	28,2		
Общее снижение уровня звука препятствием с учётом ограничения (25 дБ) для октавных полос Dz, дБ		Раздел 7.4 [10]	7,2	9	11,2	13,7	16,5	19,3	22,3	25	25		
Уровни звукового давления прямого звука от источника ИШ-1-7 в расчётной точке днём, дБ		**ф-ла(3)[10]**	**0**	**23,7**	**22,8**	**21,3**	**18,1**	**14**	**6**	**0**	**0**	**19,3**	**19,3**
Уровни звукового давления прямого звука от источника ИШ-1-7 в расчётной точке ночью, дБ		**ф-ла(3)[10]**	**0**	**23,7**	**22,8**	**21,3**	**18,1**	**14**	**6**	**0**	**0**	**19,3**	**19,3**
Расчёт отражённого звука													

1		2	3	4	5	6	7	8	9	10	11	12	13
Уровни звукового давления от мнимого источника ИШ-1-7_мн.(1) в расчётной точке днём, дБ		**ф-ла(3)[10]**	**0**	**0**	**0**	**0**	**0**	**0**	**3,3**	**0**	**0**	**4,5**	**4,5**
Уровни звукового давления от мнимого источника ИШ-1-7_мн.(1) в расчётной точке ночью, дБ		**ф-ла(3)[10]**	**0**	**0**	**0**	**0**	**0**	**0**	**0**	**0**	**0**	**4,5**	**4,5**
Уровни звукового давления от источника ИШ-1-7 в расчётной точке днём, дБ		**ф-ла(3)[10]**	**0**	**23,7**	**22,8**	**21,3**	**18,1**	**14**	**7,9**	**0**	**0**	**19,5**	**19,5**
Уровни звукового давления от источника ИШ-1-7 в расчётной точке ночью, дБ		**ф-ла(3)[10]**	**0**	**23,7**	**22,8**	**21,3**	**18,1**	**14**	**7,9**	**0**	**0**	**19,5**	**19,5**
Источник шума: ИШ-1-8, координаты источника (x,y,z), м =[454.99,145.29,1.00]													
Уровни звуковой мощности источника днём, Lw, дБ		**исходные данные**	**0**	**93,3**	**94,7**	**96**	**96,3**	**95,9**	**92,6**	**88,4**	**83,9**		
Уровни звуковой мощности источника ночью, Lw, дБ		**исходные данные**	**0**	**93,3**	**94,7**	**96**	**96,3**	**95,9**	**92,6**	**88,4**	**83,9**		
Поправка на телесный угол DΩ, дБ	Ω = 6.28	10Lg(4π/Ω)	**3**	3	3	3	3	3	3	3	3		
Показатель направленности источника Di, дБ		исходные данные	**0**	0	0	0	0	0	0	0	0		
Поправка на направленность источника Dc, дБ	Dc	DΩ + Di	**3**	3	3	3	3	3	3	3	3		
Затухание из-за геометрической дивергенции, Adiv, дБ	расстояние = 422.51 м	ф-ла (7) [10]	**63,5**										
Коэффициент затухания звука в атмосфере α, дБ/км	Ta=20,°C Pa=101.33,кПа hотн.=70%	ф-ла (5) [9]	0,02	0,09	0,33	1,12	2,79	4,98	9,04	23,09	77,63		
Учет затухания звука в атмосфере Aatm, дБ		ф-ла (8) [10]	0	0	0,1	0,5	1,2	2,1	3,8	9,8	32,8		
Снижение уровня звукового давления из-за влияния застройки между источником шума и расчетной точкой													
Снижение уровня звукового давления на пути над экраном, Dz1, дБ	z = 0.57м (разность путей)	ф-лы (14-18) [10]	6,9	8,6	10,7	13,1	15,8	18,6	21,5	24,5	27,5		
Снижение уровня звукового давления на пути слева от экрана, Dz2, дБ	z = 30.10м (разность путей)	ф-лы (14-18) [10]	24,6	28,1	31,2	34,2	37,3	40,3	43,3	46,3	49,3		

1		2	3	4	5	6	7	8	9	10	11	12	13
Снижение уровня звукового давления на пути справа от экрана, Dz3, дБ	z = 101.27м (разность путей)	ф-лы (14-18) [10]	30	33,4	36,5	39,5	42,5	45,5	48,5	51,6	54,6		
Общее снижение уровня звука препятствием Dz, дБ		Эн.сумма(-Dzi)	6,8	8,5	10,6	13,1	15,7	18,6	21,5	24,5	27,5		
Общее снижение уровня звука препятствием с учётом ограничения (25 дБ) для октавных полос Dz, дБ		Раздел 7.4 [10]	6,8	8,5	10,6	13,1	15,7	18,6	21,5	24,5	25		
Уровни звукового давления прямого звука от источника ИШ-1-8 в расчётной точке днём, дБ		**ф-ла(3)[10]**	**0**	**24,2**	**23,4**	**21,9**	**18,9**	**14,7**	**6,8**	**0**	**0**	**20**	**20**
Уровни звукового давления прямого звука от источника ИШ-1-8 в расчётной точке ночью, дБ		**ф-ла(3)[10]**	**0**	**24,2**	**23,4**	**21,9**	**18,9**	**14,7**	**6,8**	**0**	**0**	**20**	**20**
Расчёт отражённого звука													
Уровни звукового давления от мнимого источника ИШ-1-8_мн.(1) в расчётной точке днём, дБ		**ф-ла(3)[10]**	**0**	**0**	**0**	**0**	**0**	**0**	**4**	**0**	**0**	**5,2**	**5,2**
Уровни звукового давления от мнимого источника ИШ-1-8_мн.(1) в расчётной точке ночью, дБ		**ф-ла(3)[10]**	**0**	**0**	**0**	**0**	**0**	**0**	**0**	**0**	**0**	**5,2**	**5,2**
Уровни звукового давления от источника ИШ-1-8 в расчётной точке днём, дБ		**ф-ла(3)[10]**	**0**	**24,2**	**23,4**	**21,9**	**18,9**	**14,7**	**8,6**	**0**	**0**	**20,1**	**20,1**
Уровни звукового давления от источника ИШ-1-8 в расчётной точке ночью, дБ		**ф-ла(3)[10]**	**0**	**24,2**	**23,4**	**21,9**	**18,9**	**14,7**	**8,6**	**0**	**0**	**20,1**	**20,1**
Источник шума: ИШ-1-9, координаты источника (x,y,z), м =[458.12,144.31,1.00]													
Уровни звуковой мощности источника днём, Lw, дБ		**исходные данные**	**0**	**93,3**	**94,7**	**96**	**96,3**	**95,9**	**92,6**	**88,4**	**83,9**		
Уровни звуковой мощности источника ночью, Lw, дБ		**исходные данные**	**0**	**93,3**	**94,7**	**96**	**96,3**	**95,9**	**92,6**	**88,4**	**83,9**		
Поправка на телесный угол DΩ, дБ	Ω = 6.28	10Lg(4π/Ω)	**3**	3	3	3	3	3	3	3	3		
Показатель направленности источника Di, дБ		исходные данные	**0**	0	0	0	0	0	0	0	0		
Поправка на направленность источника Dc, дБ	Dc	DΩ + Di	**3**	3	3	3	3	3	3	3	3		
Затухание из-за геометрической дивергенции, Adiv, дБ	расстояние = 423.77 м	ф-ла (7) [10]	**63,5**										

1		2	3	4	5	6	7	8	9	10	11	12	13
Коэффициент затухания звука в атмосфере α, дБ/км	Та=20,°С Ра=101.33,кПа hотн.=70%	ф-ла (5) [9]	0,02	0,09	0,33	1,12	2,79	4,98	9,04	23,09	77,63		
Учет затухания звука в атмосфере Aatm, дБ		ф-ла (8) [10]	0	0	0,1	0,5	1,2	2,1	3,8	9,8	32,9		
Снижение уровня звукового давления из-за влияния застройки между источником шума и расчетной точкой													
Снижение уровня звукового давления на пути над экраном, Dz1, дБ	z = 0.41м (разность путей)	ф-лы (14-18) [10]	5,8	6,9	8,3	10,3	12,7	15,3	18,1	21,1	24		
Снижение уровня звукового давления на пути слева от экрана, Dz2, дБ	z = 28.61м (разность путей)	ф-лы (14-18) [10]	24,4	27,9	31	34	37	40	43,1	46,1	49,1		
Снижение уровня звукового давления на пути справа от экрана, Dz3, дБ	z = 101.66м (разность путей)	ф-лы (14-18) [10]	30	33,4	36,5	39,5	42,5	45,5	48,6	51,6	54,6		
Общее снижение уровня звука препятствием Dz, дБ		Эн.сумма(-Dzi)	5,7	6,8	8,3	10,3	12,7	15,3	18,1	21	24		
Уровни звукового давления прямого звука от источника ИШ-1-9 в расчётной точке днём, дБ		**ф-ла(3)[10]**	**0**	**25,9**	**25,7**	**24,7**	**21,9**	**17,9**	**10,1**	**0**	**0**	**23**	**23**
Уровни звукового давления прямого звука от источника ИШ-1-9 в расчётной точке ночью, дБ		**ф-ла(3)[10]**	**0**	**25,9**	**25,7**	**24,7**	**21,9**	**17,9**	**10,1**	**0**	**0**	**23**	**23**
Расчёт отражённого звука													
Уровни звукового давления от мнимого источника ИШ-1-9_мн.(1) в расчётной точке днём, дБ		**ф-ла(3)[10]**	**0**	**0**	**0**	**0**	**0**	**0**	**4,5**	**0**	**0**	**5,7**	**5,7**
Уровни звукового давления от мнимого источника ИШ-1-9_мн.(1) в расчётной точке ночью, дБ		**ф-ла(3)[10]**	**0**	**0**	**0**	**0**	**0**	**0**	**0**	**0**	**0**	**5,7**	**5,7**
Уровни звукового давления от источника ИШ-1-9 в расчётной точке днём, дБ		**ф-ла(3)[10]**	**0**	**25,9**	**25,7**	**24,7**	**21,9**	**17,9**	**11,2**	**0**	**0**	**23,1**	**23,1**
Уровни звукового давления от источника ИШ-1-9 в расчётной точке ночью, дБ		**ф-ла(3)[10]**	**0**	**25,9**	**25,7**	**24,7**	**21,9**	**17,9**	**11,2**	**0**	**0**	**23,1**	**23,1**
Источник шума: ИШ-1-10, координаты источника (x,y,z), м =[461.05,143.53,1.00]													
Уровни звуковой мощности источника днём, Lw, дБ		**исходные данные**	**0**	**93,3**	**94,7**	**96**	**96,3**	**95,9**	**92,6**	**88,4**	**83,9**		

1		2	3	4	5	6	7	8	9	10	11	12	13
Уровни звуковой мощности источника ночью, Lw, дБ		**исходные данные**	**0**	**93,3**	**94,7**	**96**	**96,3**	**95,9**	**92,6**	**88,4**	**83,9**		
Поправка на телесный угол DΩ, дБ	Ω = 6.28	10Lg(4π/Ω)	**3**	3	3	3	3	3	3	3	3		
Показатель направленности источника Di, дБ		исходные данные	**0**	0	0	0	0	0	0	0	0		
Поправка на направленность источника Dc, дБ	Dc	DΩ + Di	**3**	3	3	3	3	3	3	3	3		
Затухание из-за геометрической дивергенции, Adiv, дБ	расстояние = 425.08 м	ф-ла (7) [10]	**63,6**										
Коэффициент затухания звука в атмосфере α, дБ/км	Ta=20,°C Pa=101.33,кПа hотн.=70%	ф-ла (5) [9]	0,02	0,09	0,33	1,12	2,79	4,98	9,04	23,09	77,63		
Учет затухания звука в атмосфере Aatm, дБ		ф-ла (8) [10]	0	0	0,1	0,5	1,2	2,1	3,8	9,8	33		
Снижение уровня звукового давления из-за влияния застройки между источником шума и расчетной точкой													
Снижение уровня звукового давления на пути над экраном, Dz1, дБ	z = 0.41м (разность путей)	ф-лы (14-18) [10]	5,8	6,8	8,3	10,3	12,6	15,3	18,1	21	23,9		
Снижение уровня звукового давления на пути слева от экрана, Dz2, дБ	z = 27.30м (разность путей)	ф-лы (14-18) [10]	24,2	27,7	30,8	33,8	36,8	39,8	42,8	45,9	48,9		
Снижение уровня звукового давления на пути справа от экрана, Dz3, дБ	z = 101.89м (разность путей)	ф-лы (14-18) [10]	30	33,4	36,5	39,5	42,5	45,6	48,6	51,6	54,6		
Общее снижение уровня звука препятствием Dz, дБ		Эн.сумма(-Dzi)	5,7	6,8	8,3	10,2	12,6	15,2	18,1	21	23,9		
Уровни звукового давления прямого звука от источника ИШ-1-10 в расчётной точке днём, дБ		**ф-ла(3)[10]**	**0**	**25,9**	**25,7**	**24,7**	**21,9**	**18**	**10,1**	**0**	**0**	**23**	**23**
Уровни звукового давления прямого звука от источника ИШ-1-10 в расчётной точке ночью, дБ		**ф-ла(3)[10]**	**0**	**25,9**	**25,7**	**24,7**	**21,9**	**18**	**10,1**	**0**	**0**	**23**	**23**
Расчёт отражённого звука													
Уровни звукового давления от мнимого источника ИШ-1-10_мн.(1) в расчётной точке днём, дБ		**ф-ла(3)[10]**	**0**	**0**	**0**	**0**	**0**	**0**	**5,2**	**0**	**0**	**6,4**	**6,4**
Уровни звукового давления от мнимого источника ИШ-1-10_мн.(1) в расчётной точке ночью, дБ		**ф-ла(3)[10]**	**0**	**0**	**0**	**0**	**0**	**0**	**0**	**0**	**0**	**6,4**	**6,4**

1		2	3	4	5	6	7	8	9	10	11	12	13
Уровни звукового давления от источника ИШ-1-10 в расчётной точке днём, дБ		**ф-ла(3)[10]**	**0**	**25,9**	**25,7**	**24,7**	**21,9**	**18**	**11,3**	**0**	**0**	**23,1**	**23,1**
Уровни звукового давления от источника ИШ-1-10 в расчётной точке ночью, дБ		**ф-ла(3)[10]**	**0**	**25,9**	**25,7**	**24,7**	**21,9**	**18**	**11,3**	**0**	**0**	**23,1**	**23,1**
Источник шума: ИШ-1-11, координаты источника (x,y,z), м =[464.18,142.55,1.00]													
Уровни звуковой мощности источника днём, Lw, дБ		**исходные данные**	**0**	**93,3**	**94,7**	**96**	**96,3**	**95,9**	**92,6**	**88,4**	**83,9**		
Уровни звуковой мощности источника ночью, Lw, дБ		**исходные данные**	**0**	**93,3**	**94,7**	**96**	**96,3**	**95,9**	**92,6**	**88,4**	**83,9**		
Поправка на телесный угол DΩ, дБ	Ω = 6.28	10Lg(4π/Ω)	**3**	3	3	3	3	3	3	3	3		
Показатель направленности источника Di, дБ		исходные данные	**0**	0	0	0	0	0	0	0	0		
Поправка на направленность источника Dc, дБ	Dc	DΩ + Di	**3**	3	3	3	3	3	3	3	3		
Затухание из-за геометрической дивергенции, Adiv, дБ	расстояние = 426.38 м	ф-ла (7) [10]	**63,6**										
Коэффициент затухания звука в атмосфере α, дБ/км	Ta=20,°C Pa=101.33,кПа hотн.=70%	ф-ла (5) [9]	0,02	0,09	0,33	1,12	2,79	4,98	9,04	23,09	77,63		
Учет затухания звука в атмосфере Aatm, дБ		ф-ла (8) [10]	0	0	0,1	0,5	1,2	2,1	3,9	9,8	33,1		
Снижение уровня звукового давления из-за влияния застройки между источником шума и расчетной точкой													
Снижение уровня звукового давления на пути над экраном, Dz1, дБ	z = 0.41м (разность путей)	ф-лы (14-18) [10]	5,8	6,8	8,3	10,2	12,6	15,2	18	20,9	23,9		
Снижение уровня звукового давления на пути слева от экрана, Dz2, дБ	z = 25.94м (разность путей)	ф-лы (14-18) [10]	24	27,4	30,5	33,6	36,6	39,6	42,6	45,6	48,6		
Снижение уровня звукового давления на пути справа от экрана, Dz3, дБ	z = 102.47м (разность путей)	ф-лы (14-18) [10]	30	33,4	36,5	39,6	42,6	45,6	48,6	51,6	54,6		
Общее снижение уровня звука препятствием Dz, дБ		Эн.сумма(-Dzi)	5,7	6,8	8,2	10,2	12,6	15,2	18	20,9	23,9		

1		2	3	4	5	6	7	8	9	10	11	12	13
Уровни звукового давления прямого звука от источника ИШ-1-11 в расчётной точке днём, дБ		**ф-ла(3)[10]**	**0**	**25,9**	**25,7**	**24,7**	**21,9**	**18**	**10,1**	**0**	**0**	**23,1**	**23,1**
Уровни звукового давления прямого звука от источника ИШ-1-11 в расчётной точке ночью, дБ		**ф-ла(3)[10]**	**0**	**25,9**	**25,7**	**24,7**	**21,9**	**18**	**10,1**	**0**	**0**	**23,1**	**23,1**
Расчёт отражённого звука													
Уровни звукового давления от мнимого источника ИШ-1-11_мн.(1) в расчётной точке днём, дБ		**ф-ла(3)[10]**	**0**	**0**	**0**	**0**	**0**	**0**	**4,8**	**0**	**0**	**6**	**6**
Уровни звукового давления от мнимого источника ИШ-1-11_мн.(1) в расчётной точке ночью, дБ		**ф-ла(3)[10]**	**0**	**0**	**0**	**0**	**0**	**0**	**0**	**0**	**0**	**6**	**6**
Уровни звукового давления от источника ИШ-1-11 в расчётной точке днём, дБ		**ф-ла(3)[10]**	**0**	**25,9**	**25,7**	**24,7**	**21,9**	**18**	**11,3**	**0**	**0**	**23,1**	**23,1**
Уровни звукового давления от источника ИШ-1-11 в расчётной точке ночью, дБ		**ф-ла(3)[10]**	**0**	**25,9**	**25,7**	**24,7**	**21,9**	**18**	**11,3**	**0**	**0**	**23,1**	**23,1**
Источник шума: ИШ-1-12, координаты источника (x,y,z), м =[435.45,97.79,1.00]													
Уровни звуковой мощности источника днём, Lw, дБ		**исходные данные**	**0**	**93,3**	**94,7**	**96**	**96,3**	**95,9**	**92,6**	**88,4**	**83,9**		
Уровни звуковой мощности источника ночью, Lw, дБ		**исходные данные**	**0**	**93,3**	**94,7**	**96**	**96,3**	**95,9**	**92,6**	**88,4**	**83,9**		
Поправка на телесный угол DΩ, дБ	Ω = 6.28	10Lg(4π/Ω)	**3**	3	3	3	3	3	3	3	3		
Показатель направленности источника Di, дБ		исходные данные	**0**	0	0	0	0	0	0	0	0		
Поправка на направленность источника Dc, дБ	Dc	DΩ + Di	**3**	3	3	3	3	3	3	3	3		
Затухание из-за геометрической дивергенции, Adiv, дБ	расстояние = 373.84 м	ф-ла (7) [10]	**62,5**										
Коэффициент затухания звука в атмосфере α, дБ/км	Ta=20,°C Pa=101.33,кПа hотн.=70%	ф-ла (5) [9]	0,02	0,09	0,33	1,12	2,79	4,98	9,04	23,09	77,63		
Учет затухания звука в атмосфере Aatm, дБ		ф-ла (8) [10]	0	0	0,1	0,4	1	1,9	3,4	8,6	29		

1		2	3	4	5	6	7	8	9	10	11	12	13
Снижение уровня звукового давления из-за влияния застройки между источником шума и расчетной точкой													
Снижение уровня звукового давления на пути над экраном, Dz1, дБ	z = 0.66м (разность путей)	ф-лы (14-18) [10]	7,4	9,5	11,8	14,4	17,1	20	23	26	28,9		
Снижение уровня звукового давления на пути слева от экрана, Dz2, дБ	z = 28.74м (разность путей)	ф-лы (14-18) [10]	24,4	27,9	31	34	37,1	40,1	43,1	46,1	49,1		
Снижение уровня звукового давления на пути справа от экрана, Dz3, дБ	z = 196.48м (разность путей)	ф-лы (14-18) [10]	32,8	36,2	39,3	42,4	45,4	48,4	51,4	54,4	57,4		
Общее снижение уровня звука препятствием Dz, дБ		Эн.сумма(-Dzi)	7,3	9,4	11,7	14,3	17,1	20	22,9	25,9	28,9		
Общее снижение уровня звука препятствием с учётом ограничения (25 дБ) для октавных полос Dz, дБ		Раздел 7.4 [10]	7,3	9,4	11,7	14,3	17,1	20	22,9	25	25		
Уровни звукового давления от источника ИШ-1-12 в расчётной точке днём, дБ		**ф-ла(3)[10]**	**0**	**24,4**	**23,4**	**21,8**	**18,7**	**14,6**	**6,8**	**0**	**0**	**19,9**	**19,9**
Уровни звукового давления от источника ИШ-1-12 в расчётной точке ночью, дБ		**ф-ла(3)[10]**	**0**	**24,4**	**23,4**	**21,8**	**18,7**	**14,6**	**6,8**	**0**	**0**	**19,9**	**19,9**
Источник шума: ИШ-1-13, координаты источника (x,y,z), м =[438.77,96.82,1.00]													
Уровни звуковой мощности источника днём, Lw, дБ		**исходные данные**	**0**	**93,3**	**94,7**	**96**	**96,3**	**95,9**	**92,6**	**88,4**	**83,9**		
Уровни звуковой мощности источника ночью, Lw, дБ		**исходные данные**	**0**	**93,3**	**94,7**	**96**	**96,3**	**95,9**	**92,6**	**88,4**	**83,9**		
Поправка на телесный угол DΩ, дБ	Ω = 6.28	10Lg(4π/Ω)	**3**	3	3	3	3	3	3	3	3		
Показатель направленности источника Di, дБ		исходные данные	**0**	0	0	0	0	0	0	0	0		
Поправка на направленность источника Dc, дБ	Dc	DΩ + Di	**3**	3	3	3	3	3	3	3	3		
Затухание из-за геометрической дивергенции, Adiv, дБ	расстояние = 375.36 м	ф-ла (7) [10]	**62,5**										
Коэффициент затухания звука в атмосфере α, дБ/км	Ta=20,°C Pa=101.33,кПа hотн.=70%	ф-ла (5) [9]	0,02	0,09	0,33	1,12	2,79	4,98	9,04	23,09	77,63		

1		2	3	4	5	6	7	8	9	10	11	12	13
Учет затухания звука в атмосфере Aatm, дБ		ф-ла (8) [10]	0	0	0,1	0,4	1	1,9	3,4	8,7	29,1		
Снижение уровня звукового давления из-за влияния застройки между источником шума и расчетной точкой													
Снижение уровня звукового давления на пути над экраном, Dz1, дБ	z = 0.65м (разность путей)	ф-лы (14-18) [10]	7,4	9,4	11,7	14,3	17,1	20	22,9	25,9	28,9		
Снижение уровня звукового давления на пути слева от экрана, Dz2, дБ	z = 26.62м (разность путей)	ф-лы (14-18) [10]	24,1	27,6	30,7	33,7	36,7	39,7	42,7	45,8	48,8		
Снижение уровня звукового давления на пути справа от экрана, Dz3, дБ	z = 195.75м (разность путей)	ф-лы (14-18) [10]	32,8	36,2	39,3	42,4	45,4	48,4	51,4	54,4	57,4		
Общее снижение уровня звука препятствием Dz, дБ		Эн.сумма(-Dzi)	7,3	9,3	11,7	14,3	17	19,9	22,9	25,8	28,8		
Общее снижение уровня звука препятствием с учётом ограничения (25 дБ) для октавных полос Dz, дБ		Раздел 7.4 [10]	7,3	9,3	11,7	14,3	17	19,9	22,9	25	25		
Уровни звукового давления прямого звука от источника ИШ-1-13 в расчётной точке днём, дБ		**ф-ла(3)[10]**	**0**	**24,4**	**23,4**	**21,8**	**18,7**	**14,6**	**6,8**	**0**	**0**	**19,9**	**19,9**
Уровни звукового давления прямого звука от источника ИШ-1-13 в расчётной точке ночью, дБ		**ф-ла(3)[10]**	**0**	**24,4**	**23,4**	**21,8**	**18,7**	**14,6**	**6,8**	**0**	**0**	**19,9**	**19,9**
Расчёт отражённого звука													
Уровни звукового давления от мнимого источника ИШ-1-13_мн.(1) в расчётной точке днём, дБ		**ф-ла(3)[10]**	**0**	**0**	**0**	**0**	**0**	**0**	**0**	**0**	**0**	**0**	**0**
Уровни звукового давления от мнимого источника ИШ-1-13_мн.(1) в расчётной точке ночью, дБ		**ф-ла(3)[10]**	**0**	**0**	**0**	**0**	**0**	**0**	**0**	**0**	**0**	**0**	**0**
Уровни звукового давления от источника ИШ-1-13 в расчётной точке днём, дБ		**ф-ла(3)[10]**	**0**	**24,4**	**23,4**	**21,8**	**18,7**	**14,6**	**6,8**	**0**	**0**	**19,9**	**19,9**
Уровни звукового давления от источника ИШ-1-13 в расчётной точке ночью, дБ		**ф-ла(3)[10]**	**0**	**24,4**	**23,4**	**21,8**	**18,7**	**14,6**	**6,8**	**0**	**0**	**19,9**	**19,9**
Источник шума: ИШ-1-14, координаты источника (x,y,z), м =[441.70,96.03,1.00]													
Уровни звуковой мощности источника днём, Lw, дБ		**исходные данные**	**0**	**93,3**	**94,7**	**96**	**96,3**	**95,9**	**92,6**	**88,4**	**83,9**		
Уровни звуковой мощности источника ночью, Lw, дБ		**исходные данные**	**0**	**93,3**	**94,7**	**96**	**96,3**	**95,9**	**92,6**	**88,4**	**83,9**		

1		2	3	4	5	6	7	8	9	10	11	12	13
Поправка на телесный угол DΩ, дБ	Ω = 6.28	10Lg(4π/Ω)	**3**	3	3	3	3	3	3	3	3		
Показатель направленности источника Di, дБ		исходные данные	**0**	0	0	0	0	0	0	0	0		
Поправка на направленность источника Dc, дБ	Dc	DΩ + Di	**3**	3	3	3	3	3	3	3	3		
Затухание из-за геометрической дивергенции, Adiv, дБ	расстояние = 376.78 м	ф-ла (7) [10]	**62,5**										
Коэффициент затухания звука в атмосфере α, дБ/км	Ta=20,°C Pa=101.33,кПа hотн.=70%	ф-ла (5) [9]	0,02	0,09	0,33	1,12	2,79	4,98	9,04	23,09	77,63		
Учет затухания звука в атмосфере Aatm, дБ		ф-ла (8) [10]	0	0	0,1	0,4	1,1	1,9	3,4	8,7	29,3		
Снижение уровня звукового давления из-за влияния застройки между источником шума и расчетной точкой													
Снижение уровня звукового давления на пути над экраном, Dz1, дБ	z = 0.65м (разность путей)	ф-лы (14-18) [10]	7,4	9,4	11,7	14,3	17	19,9	22,9	25,8	28,8		
Снижение уровня звукового давления на пути слева от экрана, Dz2, дБ	z = 24.90м (разность путей)	ф-лы (14-18) [10]	23,8	27,3	30,4	33,4	36,4	39,4	42,4	45,5	48,5		
Снижение уровня звукового давления на пути справа от экрана, Dz3, дБ	z = 195.04м (разность путей)	ф-лы (14-18) [10]	32,8	36,2	39,3	42,3	45,4	48,4	51,4	54,4	57,4		
Общее снижение уровня звука препятствием Dz, дБ		Эн.сумма(-Dzi)	7,3	9,3	11,6	14,2	17	19,9	22,8	25,8	28,8		
Общее снижение уровня звука препятствием с учётом ограничения (25 дБ) для октавных полос Dz, дБ		Раздел 7.4 [10]	7,3	9,3	11,6	14,2	17	19,9	22,8	25	25		
Уровни звукового давления от источника ИШ-1-14 в расчётной точке днём, дБ		**ф-ла(3)[10]**	**0**	**24,4**	**23,4**	**21,8**	**18,7**	**14,6**	**6,9**	**0**	**0**	**19,9**	**19,9**
Уровни звукового давления от источника ИШ-1-14 в расчётной точке ночью, дБ		**ф-ла(3)[10]**	**0**	**24,4**	**23,4**	**21,8**	**18,7**	**14,6**	**6,9**	**0**	**0**	**19,9**	**19,9**
Источник шума: ИШ-1-15, координаты источника (x,y,z), м =[445.03,95.25,1.00]													
Уровни звуковой мощности источника днём, Lw, дБ		**исходные данные**	**0**	**93,3**	**94,7**	**96**	**96,3**	**95,9**	**92,6**	**88,4**	**83,9**		

1		2	3	4	5	6	7	8	9	10	11	12	13
Уровни звуковой мощности источника ночью, Lw, дБ		**исходные данные**	**0**	**93,3**	**94,7**	**96**	**96,3**	**95,9**	**92,6**	**88,4**	**83,9**		
Поправка на телесный угол DΩ, дБ	Ω = 6.28	10Lg(4π/Ω)	**3**	3	3	3	3	3	3	3	3		
Показатель направленности источника Di, дБ		исходные данные	**0**	0	0	0	0	0	0	0	0		
Поправка на направленность источника Dc, дБ	Dc	DΩ + Di	**3**	3	3	3	3	3	3	3	3		
Затухание из-за геометрической дивергенции, Adiv, дБ	расстояние = 378.49 м	ф-ла (7) [10]	**62,6**										
Коэффициент затухания звука в атмосфере α, дБ/км	Ta=20,°C Pa=101.33,кПа hотн.=70%	ф-ла (5) [9]	0,02	0,09	0,33	1,12	2,79	4,98	9,04	23,09	77,63		
Учет затухания звука в атмосфере Aatm, дБ		ф-ла (8) [10]	0	0	0,1	0,4	1,1	1,9	3,4	8,7	29,4		
Снижение уровня звукового давления из-за влияния застройки между источником шума и расчетной точкой													
Снижение уровня звукового давления на пути над экраном, Dz1, дБ	z = 0.64м (разность путей)	ф-лы (14-18) [10]	7,3	9,3	11,6	14,2	17	19,8	22,8	25,8	28,7		
Снижение уровня звукового давления на пути слева от экрана, Dz2, дБ	z = 23.11м (разность путей)	ф-лы (14-18) [10]	23,5	26,9	30	33,1	36,1	39,1	42,1	45,1	48,1		
Снижение уровня звукового давления на пути справа от экрана, Dz3, дБ	z = 194.12м (разность путей)	ф-лы (14-18) [10]	32,8	36,2	39,3	42,3	45,3	48,4	51,4	54,4	57,4		
Общее снижение уровня звука препятствием Dz, дБ		Эн.сумма(-Dzi)	7,2	9,2	11,5	14,1	16,9	19,8	22,7	25,7	28,7		
Общее снижение уровня звука препятствием с учётом ограничения (25 дБ) для октавных полос Dz, дБ		Раздел 7.4 [10]	7,2	9,2	11,5	14,1	16,9	19,8	22,7	25	25		
Уровни звукового давления от источника ИШ-1-15 в расчётной точке днём, дБ		**ф-ла(3)[10]**	**0**	**24,5**	**23,5**	**21,9**	**18,8**	**14,7**	**6,9**	**0**	**0**	**20**	**20**
Уровни звукового давления от источника ИШ-1-15 в расчётной точке ночью, дБ		**ф-ла(3)[10]**	**0**	**24,5**	**23,5**	**21,9**	**18,8**	**14,7**	**6,9**	**0**	**0**	**20**	**20**
Источник шума: ИШ-1-16, координаты источника (x,y,z), м =[447.96,94.28,1.00]													

1		2	3	4	5	6	7	8	9	10	11	12	13
Уровни звуковой мощности источника днём, Lw, дБ		**исходные данные**	**0**	**93,3**	**94,7**	**96**	**96,3**	**95,9**	**92,6**	**88,4**	**83,9**		
Уровни звуковой мощности источника ночью, Lw, дБ		**исходные данные**	**0**	**93,3**	**94,7**	**96**	**96,3**	**95,9**	**92,6**	**88,4**	**83,9**		
Поправка на телесный угол DΩ, дБ	Ω = 6.28	10Lg(4π/Ω)	**3**	3	3	3	3	3	3	3	3		
Показатель направленности источника Di, дБ		исходные данные	**0**	0	0	0	0	0	0	0	0		
Поправка на направленность источника Dc, дБ	Dc	DΩ + Di	**3**	3	3	3	3	3	3	3	3		
Затухание из-за геометрической дивергенции, Adiv, дБ	расстояние = 379.82 м	ф-ла (7) [10]	**62,6**										
Коэффициент затухания звука в атмосфере α, дБ/км	Ta=20,°C Pa=101.33,кПа hотн.=70%	ф-ла (5) [9]	0,02	0,09	0,33	1,12	2,79	4,98	9,04	23,09	77,63		
Учет затухания звука в атмосфере Aatm, дБ		ф-ла (8) [10]	0	0	0,1	0,4	1,1	1,9	3,4	8,8	29,5		
Снижение уровня звукового давления из-за влияния застройки между источником шума и расчетной точкой													
Снижение уровня звукового давления на пути над экраном, Dz1, дБ	z = 0.64м (разность путей)	ф-лы (14-18) [10]	7,3	9,3	11,6	14,2	16,9	19,8	22,7	25,7	28,7		
Снижение уровня звукового давления на пути слева от экрана, Dz2, дБ	z = 21.60м (разность путей)	ф-лы (14-18) [10]	23,2	26,7	29,8	32,8	35,8	38,8	41,8	44,8	47,9		
Снижение уровня звукового давления на пути справа от экрана, Dz3, дБ	z = 193.87м (разность путей)	ф-лы (14-18) [10]	32,8	36,2	39,3	42,3	45,3	48,4	51,4	54,4	57,4		
Общее снижение уровня звука препятствием Dz, дБ		Эн.сумма(-Dzi)	7,2	9,2	11,5	14,1	16,9	19,7	22,7	25,7	28,6		
Общее снижение уровня звука препятствием с учётом ограничения (25 дБ) для октавных полос Dz, дБ		Раздел 7.4 [10]	7,2	9,2	11,5	14,1	16,9	19,7	22,7	25	25		
Уровни звукового давления от источника ИШ-1-16 в расчётной точке днём, дБ		**ф-ла(3)[10]**	**0**	**24,5**	**23,5**	**21,9**	**18,8**	**14,7**	**6,9**	**0**	**0**	**20**	**20**
Уровни звукового давления от источника ИШ-1-16 в расчётной точке ночью, дБ		**ф-ла(3)[10]**	**0**	**24,5**	**23,5**	**21,9**	**18,8**	**14,7**	**6,9**	**0**	**0**	**20**	**20**

1		2	3	4	5	6	7	8	9	10	11	12	13
Источник шума: ИШ-1-17, координаты источника (x,y,z), м =[540.99,141.77,1.00]													
Уровни звуковой мощности источника днём, Lw, дБ		**исходные данные**	**0**	**93,3**	**94,7**	**96**	**96,3**	**95,9**	**92,6**	**88,4**	**83,9**		
Уровни звуковой мощности источника ночью, Lw, дБ		**исходные данные**	**0**	**93,3**	**94,7**	**96**	**96,3**	**95,9**	**92,6**	**88,4**	**83,9**		
Поправка на телесный угол DΩ, дБ	Ω = 6.28	10Lg(4π/Ω)	**3**	3	3	3	3	3	3	3	3		
Показатель направленности источника Di, дБ		исходные данные	**0**	0	0	0	0	0	0	0	0		
Поправка на направленность источника Dc, дБ	Dc	DΩ + Di	**3**	3	3	3	3	3	3	3	3		
Затухание из-за геометрической дивергенции, Adiv, дБ	расстояние = 479.79 м	ф-ла (7) [10]	**64,6**										
Коэффициент затухания звука в атмосфере α, дБ/км	Ta=20,°C Pa=101.33,кПа hотн.=70%	ф-ла (5) [9]	0,02	0,09	0,33	1,12	2,79	4,98	9,04	23,09	77,63		
Учет затухания звука в атмосфере Aatm, дБ		ф-ла (8) [10]	0	0	0,2	0,5	1,3	2,4	4,3	11,1	37,2		
Снижение уровня звукового давления из-за влияния застройки между источником шума и расчетной точкой													
Снижение уровня звукового давления на пути над экраном, Dz1, дБ	z = 0.80м (разность путей)	ф-лы (14-18) [10]	7,8	9,9	12,2	14,8	17,6	20,5	23,5	26,4	29,4		
Снижение уровня звукового давления на пути слева от экрана, Dz2, дБ	z = 12.53м (разность путей)	ф-лы (14-18) [10]	21,1	24,4	27,4	30,4	33,4	36,5	39,5	42,5	45,5		
Снижение уровня звукового давления на пути справа от экрана, Dz3, дБ	z = 67.56м (разность путей)	ф-лы (14-18) [10]	28,4	31,7	34,7	37,7	40,8	43,8	46,8	49,8	52,8		
Общее снижение уровня звука препятствием Dz, дБ		Эн.сумма(-Dzi)	7,6	9,7	12	14,7	17,5	20,4	23,3	26,3	29,3		
Общее снижение уровня звука препятствием с учётом ограничения (25 дБ) для октавных полос Dz, дБ		Раздел 7.4 [10]	7,6	9,7	12	14,7	17,5	20,4	23,3	25	25		
Уровни звукового давления от источника ИШ-1-17 в расчётной точке днём, дБ		**ф-ла(3)[10]**	**0**	**21,9**	**20,9**	**19,2**	**15,9**	**11,5**	**3,3**	**0**	**0**	**17**	**17**

1		2	3	4	5	6	7	8	9	10	11	12	13
Уровни звукового давления от источника ИШ-1-17 в расчётной точке ночью, дБ		**ф-ла(3)[10]**	**0**	**21,9**	**20,9**	**19,2**	**15,9**	**11,5**	**3,3**	**0**	**0**	**17**	**17**
Источник шума: ИШ-1-18, координаты источника (x,y,z), м =[543.53,140.79,1.00]													
Уровни звуковой мощности источника днём, Lw, дБ		**исходные данные**	**0**	**93,3**	**94,7**	**96**	**96,3**	**95,9**	**92,6**	**88,4**	**83,9**		
Уровни звуковой мощности источника ночью, Lw, дБ		**исходные данные**	**0**	**93,3**	**94,7**	**96**	**96,3**	**95,9**	**92,6**	**88,4**	**83,9**		
Поправка на телесный угол DΩ, дБ	Ω = 6.28	10Lg(4π/Ω)	**3**	3	3	3	3	3	3	3	3		
Показатель направленности источника Di, дБ		исходные данные	**0**	0	0	0	0	0	0	0	0		
Поправка на направленность источника Dc, дБ	Dc	DΩ + Di	**3**	3	3	3	3	3	3	3	3		
Затухание из-за геометрической дивергенции, Adiv, дБ	расстояние = 481.03 м	ф-ла (7) [10]	**64,6**										
Коэффициент затухания звука в атмосфере α, дБ/км	Ta=20,°C Pa=101.33,кПа hотн.=70%	ф-ла (5) [9]	0,02	0,09	0,33	1,12	2,79	4,98	9,04	23,09	77,63		
Учет затухания звука в атмосфере Aatm, дБ		ф-ла (8) [10]	0	0	0,2	0,5	1,3	2,4	4,3	11,1	37,3		
Снижение уровня звукового давления из-за влияния застройки между источником шума и расчетной точкой													
Снижение уровня звукового давления на пути над экраном, Dz1, дБ	z = 0.73м (разность путей)	ф-лы (14-18) [10]	7,5	9,4	11,6	14,2	17	19,8	22,8	25,8	28,8		
Снижение уровня звукового давления на пути слева от экрана, Dz2, дБ	z = 11.88м (разность путей)	ф-лы (14-18) [10]	20,9	24,1	27,2	30,2	33,2	36,2	39,2	42,2	45,3		
Снижение уровня звукового давления на пути справа от экрана, Dz3, дБ	z = 68.34м (разность путей)	ф-лы (14-18) [10]	28,4	31,7	34,8	37,8	40,8	43,8	46,8	49,8	52,9		
Общее снижение уровня звука препятствием Dz, дБ		Эн.сумма(-Dzi)	7,3	9,2	11,5	14,1	16,8	19,7	22,7	25,6	28,6		
Общее снижение уровня звука препятствием с учётом ограничения (25 дБ) для октавных полос Dz, дБ		Раздел 7.4 [10]	7,3	9,2	11,5	14,1	16,8	19,7	22,7	25	25		

1		2	3	4	5	6	7	8	9	10	11	12	13
Уровни звукового давления от источника ИШ-1-18 в расчётной точке днём, дБ		**ф-ла(3)[10]**	**0**	**22,4**	**21,4**	**19,7**	**16,5**	**12,1**	**3,9**	**0**	**0**	**17,6**	**17,6**
Уровни звукового давления от источника ИШ-1-18 в расчётной точке ночью, дБ		**ф-ла(3)[10]**	**0**	**22,4**	**21,4**	**19,7**	**16,5**	**12,1**	**3,9**	**0**	**0**	**17,6**	**17,6**
Источник шума: ИШ-1-19, координаты источника (x,y,z), м =[547.25,139.62,1.00]													
Уровни звуковой мощности источника днём, Lw, дБ		**исходные данные**	**0**	**93,3**	**94,7**	**96**	**96,3**	**95,9**	**92,6**	**88,4**	**83,9**		
Уровни звуковой мощности источника ночью, Lw, дБ		**исходные данные**	**0**	**93,3**	**94,7**	**96**	**96,3**	**95,9**	**92,6**	**88,4**	**83,9**		
Поправка на телесный угол DΩ, дБ	Ω = 6.28	10Lg(4π/Ω)	**3**	3	3	3	3	3	3	3	3		
Показатель направленности источника Di, дБ		исходные данные	**0**	0	0	0	0	0	0	0	0		
Поправка на направленность источника Dc, дБ	Dc	DΩ + Di	**3**	3	3	3	3	3	3	3	3		
Затухание из-за геометрической дивергенции, Adiv, дБ	расстояние = 483.04 м	ф-ла (7) [10]	**64,7**										
Коэффициент затухания звука в атмосфере α, дБ/км	Ta=20,°C Pa=101.33,кПа hотн.=70%	ф-ла (5) [9]	0,02	0,09	0,33	1,12	2,79	4,98	9,04	23,09	77,63		
Учет затухания звука в атмосфере Aatm, дБ		ф-ла (8) [10]	0	0	0,2	0,5	1,3	2,4	4,4	11,2	37,5		
Снижение уровня звукового давления из-за влияния застройки между источником шума и расчетной точкой													
Снижение уровня звукового давления на пути над экраном, Dz1, дБ	z = 0.66м (разность путей)	ф-лы (14-18) [10]	7,1	8,8	10,9	13,4	16,1	19	21,9	24,9	27,8		
Снижение уровня звукового давления на пути слева от экрана, Dz2, дБ	z = 11.06м (разность путей)	ф-лы (14-18) [10]	20,6	23,8	26,9	29,9	32,9	35,9	38,9	41,9	44,9		
Снижение уровня звукового давления на пути справа от экрана, Dz3, дБ	z = 69.20м (разность путей)	ф-лы (14-18) [10]	28,5	31,8	34,8	37,9	40,9	43,9	46,9	49,9	52,9		
Общее снижение уровня звука препятствием Dz, дБ		Эн.сумма(-Dzi)	6,9	8,7	10,8	13,3	16	18,9	21,8	24,8	27,7		

1		2	3	4	5	6	7	8	9	10	11	12	13
Общее снижение уровня звука препятствием с учётом ограничения (25 дБ) для октавных полос Dz, дБ		Раздел 7.4 [10]	6,9	8,7	10,8	13,3	16	18,9	21,8	24,8	25		
Уровни звукового давления от источника ИШ-1-19 в расчётной точке днём, дБ		**ф-ла(3)[10]**	**0**	**22,9**	**22**	**20,5**	**17,3**	**12,9**	**4,8**	**0**	**0**	**18,4**	**18,4**
Уровни звукового давления от источника ИШ-1-19 в расчётной точке ночью, дБ		**ф-ла(3)[10]**	**0**	**22,9**	**22**	**20,5**	**17,3**	**12,9**	**4,8**	**0**	**0**	**18,4**	**18,4**
Источник шума: ИШ-1-20, координаты источника (x,y,z), м =[550.38,138.64,1.00]													
Уровни звуковой мощности источника днём, Lw, дБ		**исходные данные**	**0**	**93,3**	**94,7**	**96**	**96,3**	**95,9**	**92,6**	**88,4**	**83,9**		
Уровни звуковой мощности источника ночью, Lw, дБ		**исходные данные**	**0**	**93,3**	**94,7**	**96**	**96,3**	**95,9**	**92,6**	**88,4**	**83,9**		
Поправка на телесный угол DΩ, дБ	Ω = 6.28	10Lg(4π/Ω)	**3**	3	3	3	3	3	3	3	3		
Показатель направленности источника Di, дБ		исходные данные	**0**	0	0	0	0	0	0	0	0		
Поправка на направленность источника Dc, дБ	Dc	DΩ + Di	**3**	3	3	3	3	3	3	3	3		
Затухание из-за геометрической дивергенции, Adiv, дБ	расстояние = 484.75 м	ф-ла (7) [10]	**64,7**										
Коэффициент затухания звука в атмосфере α, дБ/км	Ta=20,°C Pa=101.33,кПа hотн.=70%	ф-ла (5) [9]	0,02	0,09	0,33	1,12	2,79	4,98	9,04	23,09	77,63		
Учет затухания звука в атмосфере Aatm, дБ		ф-ла (8) [10]	0	0	0,2	0,5	1,4	2,4	4,4	11,2	37,6		
Снижение уровня звукового давления из-за влияния застройки между источником шума и расчетной точкой													
Снижение уровня звукового давления на пути над экраном, Dz1, дБ	z = 0.62м (разность путей)	ф-лы (14-18) [10]	6,8	8,4	10,4	12,8	15,5	18,3	21,2	24,2	27,1		
Снижение уровня звукового давления на пути слева от экрана, Dz2, дБ	z = 10.45м (разность путей)	ф-лы (14-18) [10]	20,3	23,6	26,6	29,7	32,7	35,7	38,7	41,7	44,7		
Снижение уровня звукового давления на пути справа от экрана, Dz3, дБ	z = 70.01м (разность путей)	ф-лы (14-18) [10]	28,5	31,8	34,9	37,9	40,9	43,9	46,9	49,9	53		

1		2	3	4	5	6	7	8	9	10	11	12	13
Общее снижение уровня звука препятствием Dz, дБ		Эн.сумма(-Dzi)	6,6	8,3	10,3	12,7	15,4	18,2	21,1	24,1	27,1		
Общее снижение уровня звука препятствием с учётом ограничения (25 дБ) для октавных полос Dz, дБ		Раздел 7.4 [10]	6,6	8,3	10,3	12,7	15,4	18,2	21,1	24,1	25		
Уровни звукового давления от источника ИШ-1-20 в расчётной точке днём, дБ		**ф-ла(3)[10]**	**0**	**23,3**	**22,5**	**21**	**17,9**	**13,6**	**5,4**	**0**	**0**	**19**	**19**
Уровни звукового давления от источника ИШ-1-20 в расчётной точке ночью, дБ		**ф-ла(3)[10]**	**0**	**23,3**	**22,5**	**21**	**17,9**	**13,6**	**5,4**	**0**	**0**	**19**	**19**
Источник шума: ИШ-1-21, координаты источника (x,y,z), м =[553.31,137.67,1.00]													
Уровни звуковой мощности источника днём, Lw, дБ		**исходные данные**	**0**	**93,3**	**94,7**	**96**	**96,3**	**95,9**	**92,6**	**88,4**	**83,9**		
Уровни звуковой мощности источника ночью, Lw, дБ		**исходные данные**	**0**	**93,3**	**94,7**	**96**	**96,3**	**95,9**	**92,6**	**88,4**	**83,9**		
Поправка на телесный угол DΩ, дБ	Ω = 6.28	10Lg(4π/Ω)	**3**	3	3	3	3	3	3	3	3		
Показатель направленности источника Di, дБ		исходные данные	**0**	0	0	0	0	0	0	0	0		
Поправка на направленность источника Dc, дБ	Dc	DΩ + Di	**3**	3	3	3	3	3	3	3	3		
Затухание из-за геометрической дивергенции, Adiv, дБ	расстояние = 486.33 м	ф-ла (7) [10]	**64,7**										
Коэффициент затухания звука в атмосфере α, дБ/км	Ta=20,°C Pa=101.33,кПа hотн.=70%	ф-ла (5) [9]	0,02	0,09	0,33	1,12	2,79	4,98	9,04	23,09	77,63		
Учет затухания звука в атмосфере Aatm, дБ		ф-ла (8) [10]	0	0	0,2	0,5	1,4	2,4	4,4	11,2	37,8		
Снижение уровня звукового давления из-за влияния застройки между источником шума и расчетной точкой													
Снижение уровня звукового давления на пути над экраном, Dz1, дБ	z = 0.58м (разность путей)	ф-лы (14-18) [10]	6,6	8,1	10	12,3	14,9	17,7	20,6	23,5	26,5		
Снижение уровня звукового давления на пути слева от экрана, Dz2, дБ	z = 9.93м (разность путей)	ф-лы (14-18) [10]	20,1	23,4	26,4	29,4	32,4	35,5	38,5	41,5	44,5		

1		2	3	4	5	6	7	8	9	10	11	12	13
Снижение уровня звукового давления на пути справа от экрана, Dz3, дБ	z = 70.92м (разность путей)	ф-лы (14-18) [10]	28,6	31,9	34,9	38	41	44	47	50	53		
Общее снижение уровня звука препятствием Dz, дБ		Эн.сумма(-Dzi)	6,4	7,9	9,8	12,2	14,8	17,6	20,5	23,5	26,4		
Общее снижение уровня звука препятствием с учётом ограничения (25 дБ) для октавных полос Dz, дБ		Раздел 7.4 [10]	6,4	7,9	9,8	12,2	14,8	17,6	20,5	23,5	25		
Уровни звукового давления от источника ИШ-1-21 в расчётной точке днём, дБ		**ф-ла(3)[10]**	**0**	**23,6**	**22,9**	**21,5**	**18,4**	**14,1**	**6**	**0**	**0**	**19,5**	**19,5**
Уровни звукового давления от источника ИШ-1-21 в расчётной точке ночью, дБ		**ф-ла(3)[10]**	**0**	**23,6**	**22,9**	**21,5**	**18,4**	**14,1**	**6**	**0**	**0**	**19,5**	**19,5**
Источник шума: ИШ-1-22, координаты источника (x,y,z), м =[522.03,85.28,1.00]													
Уровни звуковой мощности источника днём, Lw, дБ		**исходные данные**	**0**	**93,3**	**94,7**	**96**	**96,3**	**95,9**	**92,6**	**88,4**	**83,9**		
Уровни звуковой мощности источника ночью, Lw, дБ		**исходные данные**	**0**	**93,3**	**94,7**	**96**	**96,3**	**95,9**	**92,6**	**88,4**	**83,9**		
Поправка на телесный угол DΩ, дБ	Ω = 6.28	10Lg(4π/Ω)	**3**	3	3	3	3	3	3	3	3		
Показатель направленности источника Di, дБ		исходные данные	**0**	0	0	0	0	0	0	0	0		
Поправка на направленность источника Dc, дБ	Dc	DΩ + Di	**3**	3	3	3	3	3	3	3	3		
Затухание из-за геометрической дивергенции, Adiv, дБ	расстояние = 428.93 м	ф-ла (7) [10]	**63,6**										
Коэффициент затухания звука в атмосфере α, дБ/км	Ta=20,°C Pa=101.33,кПа hотн.=70%	ф-ла (5) [9]	0,02	0,09	0,33	1,12	2,79	4,98	9,04	23,09	77,63		
Учет затухания звука в атмосфере Aatm, дБ		ф-ла (8) [10]	0	0	0,1	0,5	1,2	2,1	3,9	9,9	33,3		
Снижение уровня звукового давления из-за влияния застройки между источником шума и расчетной точкой													
Снижение уровня звукового давления на пути над экраном, Dz1, дБ	z = 0.89м (разность путей)	ф-лы (14-18) [10]	8,5	10,8	13,3	16	18,8	21,8	24,7	27,7	30,7		

1		2	3	4	5	6	7	8	9	10	11	12	13
Снижение уровня звукового давления на пути слева от экрана, Dz2, дБ	z = 7.51м (разность путей)	ф-лы (14-18) [10]	14,9	17,7	20,5	23,5	26,5	29,5	32,5	35,5	38,5		
Снижение уровня звукового давления на пути справа от экрана, Dz3, дБ	z = 171.23м (разность путей)	ф-лы (14-18) [10]	32,4	35,7	38,8	41,8	44,8	47,8	50,8	53,8	56,8		
Общее снижение уровня звука препятствием Dz, дБ		Эн.сумма(-Dzi)	7,6	9,9	12,5	15,3	18,1	21,1	24,1	27	30		
Общее снижение уровня звука препятствием с учётом ограничения (25 дБ) для октавных полос Dz, дБ		Раздел 7.4 [10]	7,6	9,9	12,5	15,3	18,1	21,1	24,1	25	25		
Уровни звукового давления от источника ИШ-1-22 в расчётной точке днём, дБ		**ф-ла(3)[10]**	**0**	**22,7**	**21,4**	**19,6**	**16,3**	**12**	**4**	**0**	**0**	**17,5**	**17,5**
Уровни звукового давления от источника ИШ-1-22 в расчётной точке ночью, дБ		**ф-ла(3)[10]**	**0**	**22,7**	**21,4**	**19,6**	**16,3**	**12**	**4**	**0**	**0**	**17,5**	**17,5**
Источник шума: ИШ-1-23, координаты источника (x,y,z), м =[525.16,84.11,1.00]													
Уровни звуковой мощности источника днём, Lw, дБ		**исходные данные**	**0**	**93,3**	**94,7**	**96**	**96,3**	**95,9**	**92,6**	**88,4**	**83,9**		
Уровни звуковой мощности источника ночью, Lw, дБ		**исходные данные**	**0**	**93,3**	**94,7**	**96**	**96,3**	**95,9**	**92,6**	**88,4**	**83,9**		
Поправка на телесный угол DΩ, дБ	Ω = 6.28	10Lg(4π/Ω)	**3**	3	3	3	3	3	3	3	3		
Показатель направленности источника Di, дБ		исходные данные	**0**	0	0	0	0	0	0	0	0		
Поправка на направленность источника Dc, дБ	Dc	DΩ + Di	**3**	3	3	3	3	3	3	3	3		
Затухание из-за геометрической дивергенции, Adiv, дБ	расстояние = 430.68 м	ф-ла (7) [10]	**63,7**										
Коэффициент затухания звука в атмосфере α, дБ/км	Ta=20,°C Pa=101.33,кПа hотн.=70%	ф-ла (5) [9]	0,02	0,09	0,33	1,12	2,79	4,98	9,04	23,09	77,63		
Учет затухания звука в атмосфере Aatm, дБ		ф-ла (8) [10]	0	0	0,1	0,5	1,2	2,1	3,9	9,9	33,4		
Снижение уровня звукового давления из-за влияния застройки между источником шума и расчетной точкой													

1		2	3	4	5	6	7	8	9	10	11	12	13
Снижение уровня звукового давления на пути над экраном, Dz1, дБ	z = 0.26м (разность путей)	ф-лы (14-18) [10]	4,9	5	5,4	6,2	7,4	9,1	11,2	13,7	16,4		
Снижение уровня звукового давления на пути слева от экрана, Dz2, дБ	z = 7.10м (разность путей)	ф-лы (14-18) [10]	14,7	17,5	20,3	23,3	26,2	29,2	32,2	35,2	38,3		
Снижение уровня звукового давления на пути справа от экрана, Dz3, дБ	z = 170.62м (разность путей)	ф-лы (14-18) [10]	32,4	35,7	38,7	41,8	44,8	47,8	50,8	53,8	56,8		
Общее снижение уровня звука препятствием Dz, дБ		Эн.сумма(-Dzi)	4,4	4,8	5,3	6,1	7,3	9	11,2	13,6	16,4		
Уровни звукового давления от источника ИШ-1-23 в расчётной точке днём, дБ		**ф-ла(3)[10]**	**0**	**27,8**	**28,6**	**28,7**	**27,1**	**24**	**16,9**	**4,1**	**0**	**28,4**	**28,4**
Уровни звукового давления от источника ИШ-1-23 в расчётной точке ночью, дБ		**ф-ла(3)[10]**	**0**	**27,8**	**28,6**	**28,7**	**27,1**	**24**	**16,9**	**4,1**	**0**	**28,4**	**28,4**
Источник шума: ИШ-1-24, координаты источника (x,y,z), м =[528.48,82.94,1.00]													
Уровни звуковой мощности источника днём, Lw, дБ		**исходные данные**	**0**	**93,3**	**94,7**	**96**	**96,3**	**95,9**	**92,6**	**88,4**	**83,9**		
Уровни звуковой мощности источника ночью, Lw, дБ		**исходные данные**	**0**	**93,3**	**94,7**	**96**	**96,3**	**95,9**	**92,6**	**88,4**	**83,9**		
Поправка на телесный угол DΩ, дБ	Ω = 6.28	10Lg(4π/Ω)	**3**	3	3	3	3	3	3	3	3		
Показатель направленности источника Di, дБ		исходные данные	**0**	0	0	0	0	0	0	0	0		
Поправка на направленность источника Dc, дБ	Dc	DΩ + Di	**3**	3	3	3	3	3	3	3	3		
Затухание из-за геометрической дивергенции, Adiv, дБ	расстояние = 432.60 м	ф-ла (7) [10]	**63,7**										
Коэффициент затухания звука в атмосфере α, дБ/км	Ta=20,°C Pa=101.33,кПа hотн.=70%	ф-ла (5) [9]	0,02	0,09	0,33	1,12	2,79	4,98	9,04	23,09	77,63		
Учет затухания звука в атмосфере Aatm, дБ		ф-ла (8) [10]	0	0	0,1	0,5	1,2	2,2	3,9	10	33,6		
Снижение уровня звукового давления из-за влияния застройки между источником шума и расчетной точкой													

1		2	3	4	5	6	7	8	9	10	11	12	13
Снижение уровня звукового давления на пути над экраном, Dz1, дБ	z = 0.25м (разность путей)	ф-лы (14-18) [10]	4,9	5	5,4	6,1	7,3	8,9	11	13,5	16,2		
Снижение уровня звукового давления на пути слева от экрана, Dz2, дБ	z = 6.69м (разность путей)	ф-лы (14-18) [10]	14,4	17,2	20,1	23	26	29	32	35	38		
Снижение уровня звукового давления на пути справа от экрана, Dz3, дБ	z = 169.95м (разность путей)	ф-лы (14-18) [10]	32,4	35,7	38,7	41,8	44,8	47,8	50,8	53,8	56,8		
Общее снижение уровня звука препятствием Dz, дБ		Эн.сумма(-Dzi)	4,4	4,8	5,3	6,1	7,2	8,9	11	13,5	16,2		
Уровни звукового давления от источника ИШ-1-24 в расчётной точке днём, дБ		**ф-ла(3)[10]**	**0**	**27,8**	**28,6**	**28,7**	**27,1**	**24,1**	**17**	**4,2**	**0**	**28,4**	**28,4**
Уровни звукового давления от источника ИШ-1-24 в расчётной точке ночью, дБ		**ф-ла(3)[10]**	**0**	**27,8**	**28,6**	**28,7**	**27,1**	**24,1**	**17**	**4,2**	**0**	**28,4**	**28,4**
Источник шума: ИШ-1-25, координаты источника (x,y,z), м =[531.22,82.16,1.00]													
Уровни звуковой мощности источника днём, Lw, дБ		**исходные данные**	**0**	**93,3**	**94,7**	**96**	**96,3**	**95,9**	**92,6**	**88,4**	**83,9**		
Уровни звуковой мощности источника ночью, Lw, дБ		**исходные данные**	**0**	**93,3**	**94,7**	**96**	**96,3**	**95,9**	**92,6**	**88,4**	**83,9**		
Поправка на телесный угол DΩ, дБ	Ω = 6.28	10Lg(4π/Ω)	**3**	3	3	3	3	3	3	3	3		
Показатель направленности источника Di, дБ		исходные данные	**0**	0	0	0	0	0	0	0	0		
Поправка на направленность источника Dc, дБ	Dc	DΩ + Di	**3**	3	3	3	3	3	3	3	3		
Затухание из-за геометрической дивергенции, Adiv, дБ	расстояние = 434.31 м	ф-ла (7) [10]	**63,8**										
Коэффициент затухания звука в атмосфере α, дБ/км	Ta=20,°C Pa=101.33,кПа hотн.=70%	ф-ла (5) [9]	0,02	0,09	0,33	1,12	2,79	4,98	9,04	23,09	77,63		
Учет затухания звука в атмосфере Aatm, дБ		ф-ла (8) [10]	0	0	0,1	0,5	1,2	2,2	3,9	10	33,7		
Снижение уровня звукового давления из-за влияния застройки между источником шума и расчетной точкой													

1		2	3	4	5	6	7	8	9	10	11	12	13
Снижение уровня звукового давления на пути над экраном, Dz1, дБ	z = 0.25м (разность путей)	ф-лы (14-18) [10]	4,9	5	5,4	6,1	7,2	8,8	10,9	13,3	16		
Снижение уровня звукового давления на пути слева от экрана, Dz2, дБ	z = 6.38м (разность путей)	ф-лы (14-18) [10]	14,3	17	19,9	22,8	25,8	28,8	31,8	34,8	37,8		
Снижение уровня звукового давления на пути справа от экрана, Dz3, дБ	z = 169.18м (разность путей)	ф-лы (14-18) [10]	32,4	35,7	38,7	41,7	44,7	47,8	50,8	53,8	56,8		
Общее снижение уровня звука препятствием Dz, дБ		Эн.сумма(-Dzi)	4,4	4,7	5,2	6	7,2	8,8	10,9	13,3	16		
Уровни звукового давления от источника ИШ-1-25 в расчётной точке днём, дБ		**ф-ла(3)[10]**	**0**	**27,8**	**28,6**	**28,7**	**27,2**	**24,2**	**17,1**	**4,3**	**0**	**28,5**	**28,5**
Уровни звукового давления от источника ИШ-1-25 в расчётной точке ночью, дБ		**ф-ла(3)[10]**	**0**	**27,8**	**28,6**	**28,7**	**27,2**	**24,2**	**17,1**	**4,3**	**0**	**28,5**	**28,5**
Источник шума: ИШ-1-26, координаты источника (x,y,z), м =[534.15,80.79,1.00]													
Уровни звуковой мощности источника днём, Lw, дБ		**исходные данные**	**0**	**93,3**	**94,7**	**96**	**96,3**	**95,9**	**92,6**	**88,4**	**83,9**		
Уровни звуковой мощности источника ночью, Lw, дБ		**исходные данные**	**0**	**93,3**	**94,7**	**96**	**96,3**	**95,9**	**92,6**	**88,4**	**83,9**		
Поправка на телесный угол DΩ, дБ	Ω = 6.28	10Lg(4π/Ω)	**3**	3	3	3	3	3	3	3	3		
Показатель направленности источника Di, дБ		исходные данные	**0**	0	0	0	0	0	0	0	0		
Поправка на направленность источника Dc, дБ	Dc	DΩ + Di	**3**	3	3	3	3	3	3	3	3		
Затухание из-за геометрической дивергенции, Adiv, дБ	расстояние = 435.84 м	ф-ла (7) [10]	**63,8**										
Коэффициент затухания звука в атмосфере α, дБ/км	Ta=20,°C Pa=101.33,кПа hотн.=70%	ф-ла (5) [9]	0,02	0,09	0,33	1,12	2,79	4,98	9,04	23,09	77,63		
Учет затухания звука в атмосфере Aatm, дБ		ф-ла (8) [10]	0	0	0,1	0,5	1,2	2,2	3,9	10,1	33,8		
Снижение уровня звукового давления из-за влияния застройки между источником шума и расчетной точкой													

1		2	3	4	5	6	7	8	9	10	11	12	13
Снижение уровня звукового давления на пути над экраном, Dz1, дБ	z = 0.25м (разность путей)	ф-лы (14-18) [10]	4,9	5	5,4	6,1	7,2	8,7	10,8	13,2	15,9		
Снижение уровня звукового давления на пути слева от экрана, Dz2, дБ	z = 6.01м (разность путей)	ф-лы (14-18) [10]	14	16,8	19,6	22,5	25,5	28,5	31,5	34,5	37,5		
Снижение уровня звукового давления на пути справа от экрана, Dz3, дБ	z = 169.26м (разность путей)	ф-лы (14-18) [10]	32,4	35,7	38,7	41,7	44,8	47,8	50,8	53,8	56,8		
Общее снижение уровня звука препятствием Dz, дБ		Эн.сумма(-Dzi)	4,4	4,7	5,2	6	7,1	8,7	10,7	13,2	15,9		
Уровни звукового давления от источника ИШ-1-26 в расчётной точке днём, дБ		**ф-ла(3)[10]**	**0**	**27,8**	**28,6**	**28,8**	**27,2**	**24,3**	**17,1**	**4,4**	**0**	**28,5**	**28,5**
Уровни звукового давления от источника ИШ-1-26 в расчётной точке ночью, дБ		**ф-ла(3)[10]**	**0**	**27,8**	**28,6**	**28,8**	**27,2**	**24,3**	**17,1**	**4,4**	**0**	**28,5**	**28,5**
Источник шума: ИШ-1-27, координаты источника (x,y,z), м =[469.65,197.67,1.00]													
Уровни звуковой мощности источника днём, Lw, дБ		**исходные данные**	**0**	**93,3**	**94,7**	**96**	**96,3**	**95,9**	**92,6**	**88,4**	**83,9**		
Уровни звуковой мощности источника ночью, Lw, дБ		**исходные данные**	**0**	**93,3**	**94,7**	**96**	**96,3**	**95,9**	**92,6**	**88,4**	**83,9**		
Поправка на телесный угол DΩ, дБ	Ω = 6.28	10Lg(4π/Ω)	**3**	3	3	3	3	3	3	3	3		
Показатель направленности источника Di, дБ		исходные данные	**0**	0	0	0	0	0	0	0	0		
Поправка на направленность источника Dc, дБ	Dc	DΩ + Di	**3**	3	3	3	3	3	3	3	3		
Затухание из-за геометрической дивергенции, Adiv, дБ	расстояние = 472.64 м	ф-ла (7) [10]	**64,5**										
Коэффициент затухания звука в атмосфере α, дБ/км	Ta=20,°C Pa=101.33,кПа hотн.=70%	ф-ла (5) [9]	0,02	0,09	0,33	1,12	2,79	4,98	9,04	23,09	77,63		
Учет затухания звука в атмосфере Aatm, дБ		ф-ла (8) [10]	0	0	0,2	0,5	1,3	2,4	4,3	10,9	36,7		
Снижение уровня звукового давления из-за влияния застройки между источником шума и расчетной точкой													

1		2	3	4	5	6	7	8	9	10	11	12	13
Снижение уровня звукового давления на пути над экраном, Dz1, дБ	z = 0.55м (разность путей)	ф-лы (14-18) [10]	6,7	8,2	10,1	12,5	15,1	17,9	20,8	23,8	26,7		
Снижение уровня звукового давления на пути слева от экрана, Dz2, дБ	z = 34.30м (разность путей)	ф-лы (14-18) [10]	25,2	28,6	31,8	34,8	37,8	40,8	43,8	46,9	49,9		
Снижение уровня звукового давления на пути справа от экрана, Dz3, дБ	z = 30.86м (разность путей)	ф-лы (14-18) [10]	24,8	28,2	31,3	34,3	37,4	40,4	43,4	46,4	49,4		
Общее снижение уровня звука препятствием Dz, дБ		Эн.сумма(-Dzi)	6,6	8,1	10,1	12,4	15	17,9	20,8	23,7	26,7		
Общее снижение уровня звука препятствием с учётом ограничения (25 дБ) для октавных полос Dz, дБ		Раздел 7.4 [10]	6,6	8,1	10,1	12,4	15	17,9	20,8	23,7	25		
Уровни звукового давления прямого звука от источника ИШ-1-27 в расчётной точке днём, дБ		**ф-ла(3)[10]**	**0**	**23,6**	**23**	**21,6**	**18,4**	**14,2**	**6,1**	**0**	**0**	**19,6**	**19,6**
Уровни звукового давления прямого звука от источника ИШ-1-27 в расчётной точке ночью, дБ		**ф-ла(3)[10]**	**0**	**23,6**	**23**	**21,6**	**18,4**	**14,2**	**6,1**	**0**	**0**	**19,6**	**19,6**
Расчёт отражённого звука													
Уровни звукового давления от мнимого источника ИШ-1-27_мн.(1) в расчётной точке днём, дБ		**ф-ла(3)[10]**	**0**	**0**	**0**	**0**	**0**	**0**	**6,1**	**0**	**0**	**7,3**	**7,3**
Уровни звукового давления от мнимого источника ИШ-1-27_мн.(1) в расчётной точке ночью, дБ		**ф-ла(3)[10]**	**0**	**0**	**0**	**0**	**0**	**0**	**0**	**0**	**0**	**7,3**	**7,3**
Уровни звукового давления от источника ИШ-1-27 в расчётной точке днём, дБ		**ф-ла(3)[10]**	**0**	**23,6**	**23**	**21,6**	**18,4**	**14,2**	**9,1**	**0**	**0**	**19,8**	**19,8**
Уровни звукового давления от источника ИШ-1-27 в расчётной точке ночью, дБ		**ф-ла(3)[10]**	**0**	**23,6**	**23**	**21,6**	**18,4**	**14,2**	**9,1**	**0**	**0**	**19,8**	**19,8**
Источник шума: ИШ-1-28, координаты источника (x,y,z), м =[472.78,196.69,1.00]													
Уровни звуковой мощности источника днём, Lw, дБ		**исходные данные**	**0**	**93,3**	**94,7**	**96**	**96,3**	**95,9**	**92,6**	**88,4**	**83,9**		
Уровни звуковой мощности источника ночью, Lw, дБ		**исходные данные**	**0**	**93,3**	**94,7**	**96**	**96,3**	**95,9**	**92,6**	**88,4**	**83,9**		
Поправка на телесный угол DΩ, дБ	Ω = 6.28	10Lg(4π/Ω)	**3**	3	3	3	3	3	3	3	3		
Показатель направленности источника Di, дБ		исходные данные	**0**	0	0	0	0	0	0	0	0		

1		2	3	4	5	6	7	8	9	10	11	12	13
Поправка на направленность источника Dc, дБ	Dc	DΩ + Di	**3**	3	3	3	3	3	3	3	3		
Затухание из-за геометрической дивергенции, Adiv, дБ	расстояние = 473.76 м	ф-ла (7) [10]	**64,5**										
Коэффициент затухания звука в атмосфере α, дБ/км	Ta=20,°C Pa=101.33,кПа hотн.=70%	ф-ла (5) [9]	0,02	0,09	0,33	1,12	2,79	4,98	9,04	23,09	77,63		
Учет затухания звука в атмосфере Aatm, дБ		ф-ла (8) [10]	0	0	0,2	0,5	1,3	2,4	4,3	10,9	36,8		
Снижение уровня звукового давления из-за влияния застройки между источником шума и расчетной точкой													
Снижение уровня звукового давления на пути над экраном, Dz1, дБ	z = 0.51м (разность путей)	ф-лы (14-18) [10]	6,4	7,8	9,6	11,9	14,4	17,2	20,1	23	26		
Снижение уровня звукового давления на пути слева от экрана, Dz2, дБ	z = 33.00м (разность путей)	ф-лы (14-18) [10]	25	28,5	31,6	34,6	37,7	40,7	43,7	46,7	49,7		
Снижение уровня звукового давления на пути справа от экрана, Dz3, дБ	z = 33.02м (разность путей)	ф-лы (14-18) [10]	25,1	28,5	31,6	34,6	37,7	40,7	43,7	46,7	49,7		
Общее снижение уровня звука препятствием Dz, дБ		Эн.сумма(-Dzi)	6,3	7,7	9,6	11,8	14,4	17,2	20	23	26		
Общее снижение уровня звука препятствием с учётом ограничения (25 дБ) для октавных полос Dz, дБ		Раздел 7.4 [10]	6,3	7,7	9,6	11,8	14,4	17,2	20	23	25		
Уровни звукового давления прямого звука от источника ИШ-1-28 в расчётной точке днём, дБ		**ф-ла(3)[10]**	**0**	**24**	**23,5**	**22,1**	**19,1**	**14,9**	**6,8**	**0**	**0**	**20,2**	**20,2**
Уровни звукового давления прямого звука от источника ИШ-1-28 в расчётной точке ночью, дБ		**ф-ла(3)[10]**	**0**	**24**	**23,5**	**22,1**	**19,1**	**14,9**	**6,8**	**0**	**0**	**20,2**	**20,2**
Расчёт отражённого звука													
Уровни звукового давления от мнимого источника ИШ-1-28_мн.(1) в расчётной точке днём, дБ		**ф-ла(3)[10]**	**0**	**0**	**0**	**0**	**0**	**0**	**6,6**	**0**	**0**	**7,8**	**7,8**
Уровни звукового давления от мнимого источника ИШ-1-28_мн.(1) в расчётной точке ночью, дБ		**ф-ла(3)[10]**	**0**	**0**	**0**	**0**	**0**	**0**	**0**	**0**	**0**	**7,8**	**7,8**
Уровни звукового давления от источника ИШ-1-28 в расчётной точке днём, дБ		**ф-ла(3)[10]**	**0**	**24**	**23,5**	**22,1**	**19,1**	**14,9**	**9,7**	**0**	**0**	**20,4**	**20,4**
Уровни звукового давления от источника ИШ-1-28 в расчётной точке ночью, дБ		**ф-ла(3)[10]**	**0**	**24**	**23,5**	**22,1**	**19,1**	**14,9**	**9,7**	**0**	**0**	**20,4**	**20,4**

1		2	3	4	5	6	7	8	9	10	11	12	13
Источник шума: ИШ-1-29, координаты источника (x,y,z), м =[475.52,195.72,1.00]													
Уровни звуковой мощности источника днём, Lw, дБ		**исходные данные**	**0**	**93,3**	**94,7**	**96**	**96,3**	**95,9**	**92,6**	**88,4**	**83,9**		
Уровни звуковой мощности источника ночью, Lw, дБ		**исходные данные**	**0**	**93,3**	**94,7**	**96**	**96,3**	**95,9**	**92,6**	**88,4**	**83,9**		
Поправка на телесный угол DΩ, дБ	Ω = 6.28	10Lg(4π/Ω)	**3**	3	3	3	3	3	3	3	3		
Показатель направленности источника Di, дБ		исходные данные	**0**	0	0	0	0	0	0	0	0		
Поправка на направленность источника Dc, дБ	Dc	DΩ + Di	**3**	3	3	3	3	3	3	3	3		
Затухание из-за геометрической дивергенции, Adiv, дБ	расстояние = 474.66 м	ф-ла (7) [10]	**64,5**										
Коэффициент затухания звука в атмосфере α, дБ/км	Ta=20,°C Pa=101.33,кПа hотн.=70%	ф-ла (5) [9]	0,02	0,09	0,33	1,12	2,79	4,98	9,04	23,09	77,63		
Учет затухания звука в атмосфере Aatm, дБ		ф-ла (8) [10]	0	0	0,2	0,5	1,3	2,4	4,3	11	36,8		
Снижение уровня звукового давления из-за влияния застройки между источником шума и расчетной точкой													
Снижение уровня звукового давления на пути над экраном, Dz1, дБ	z = 0.48м (разность путей)	ф-лы (14-18) [10]	6,3	7,5	9,2	11,4	13,9	16,6	19,5	22,4	25,4		
Снижение уровня звукового давления на пути слева от экрана, Dz2, дБ	z = 31.87м (разность путей)	ф-лы (14-18) [10]	24,9	28,3	31,4	34,5	37,5	40,5	43,5	46,5	49,5		
Снижение уровня звукового давления на пути справа от экрана, Dz3, дБ	z = 35.02м (разность путей)	ф-лы (14-18) [10]	25,3	28,8	31,9	34,9	37,9	40,9	43,9	46,9	50		
Общее снижение уровня звука препятствием Dz, дБ		Эн.сумма(-Dzi)	6,1	7,4	9,2	11,3	13,9	16,6	19,5	22,4	25,4		
Общее снижение уровня звука препятствием с учётом ограничения (25 дБ) для октавных полос Dz, дБ		Раздел 7.4 [10]	6,1	7,4	9,2	11,3	13,9	16,6	19,5	22,4	25		
Уровни звукового давления прямого звука от источника ИШ-1-29 в расчётной точке днём, дБ		**ф-ла(3)[10]**	**0**	**24,3**	**23,8**	**22,6**	**19,6**	**15,4**	**7,3**	**0**	**0**	**20,7**	**20,7**

1		2	3	4	5	6	7	8	9	10	11	12	13
Уровни звукового давления прямого звука от источника ИШ-1-29 в расчётной точке ночью, дБ		**ф-ла(3)[10]**	**0**	**24,3**	**23,8**	**22,6**	**19,6**	**15,4**	**7,3**	**0**	**0**	**20,7**	**20,7**
Расчёт отражённого звука													
Уровни звукового давления от мнимого источника ИШ-1-29_мн.(1) в расчётной точке днём, дБ		**ф-ла(3)[10]**	**0**	**0**	**0**	**0**	**0**	**0**	**7**	**0**	**0**	**8,2**	**8,2**
Уровни звукового давления от мнимого источника ИШ-1-29_мн.(1) в расчётной точке ночью, дБ		**ф-ла(3)[10]**	**0**	**0**	**0**	**0**	**0**	**0**	**0**	**0**	**0**	**8,2**	**8,2**
Уровни звукового давления от источника ИШ-1-29 в расчётной точке днём, дБ		**ф-ла(3)[10]**	**0**	**24,3**	**23,8**	**22,6**	**19,6**	**15,4**	**10,2**	**0**	**0**	**20,9**	**20,9**
Уровни звукового давления от источника ИШ-1-29 в расчётной точке ночью, дБ		**ф-ла(3)[10]**	**0**	**24,3**	**23,8**	**22,6**	**19,6**	**15,4**	**10,2**	**0**	**0**	**20,9**	**20,9**
Источник шума: ИШ-1-30, координаты источника (x,y,z), м =[478.45,194.54,1.00]													
Уровни звуковой мощности источника днём, Lw, дБ		**исходные данные**	**0**	**93,3**	**94,7**	**96**	**96,3**	**95,9**	**92,6**	**88,4**	**83,9**		
Уровни звуковой мощности источника ночью, Lw, дБ		**исходные данные**	**0**	**93,3**	**94,7**	**96**	**96,3**	**95,9**	**92,6**	**88,4**	**83,9**		
Поправка на телесный угол DΩ, дБ	Ω = 6.28	10Lg(4π/Ω)	**3**	3	3	3	3	3	3	3	3		
Показатель направленности источника Di, дБ		исходные данные	**0**	0	0	0	0	0	0	0	0		
Поправка на направленность источника Dc, дБ	Dc	DΩ + Di	**3**	3	3	3	3	3	3	3	3		
Затухание из-за геометрической дивергенции, Adiv, дБ	расстояние = 475.54 м	ф-ла (7) [10]	**64,5**										
Коэффициент затухания звука в атмосфере α, дБ/км	Ta=20,°C Pa=101.33,кПа hотн.=70%	ф-ла (5) [9]	0,02	0,09	0,33	1,12	2,79	4,98	9,04	23,09	77,63		
Учет затухания звука в атмосфере Aatm, дБ		ф-ла (8) [10]	0	0	0,2	0,5	1,3	2,4	4,3	11	36,9		
Снижение уровня звукового давления из-за влияния застройки между источником шума и расчетной точкой													

1		2	3	4	5	6	7	8	9	10	11	12	13
Снижение уровня звукового давления на пути над экраном, Dz1, дБ	z = 0.46м (разность путей)	ф-лы (14-18) [10]	6,1	7,3	8,9	10,9	13,4	16,1	19	21,9	24,8		
Снижение уровня звукового давления на пути слева от экрана, Dz2, дБ	z = 30.67м (разность путей)	ф-лы (14-18) [10]	24,7	28,2	31,3	34,3	37,3	40,3	43,4	46,4	49,4		
Снижение уровня звукового давления на пути справа от экрана, Dz3, дБ	z = 37.28м (разность путей)	ф-лы (14-18) [10]	25,6	29	32,1	35,2	38,2	41,2	44,2	47,2	50,2		
Общее снижение уровня звука препятствием Dz, дБ		Эн.сумма(-Dzi)	6	7,2	8,8	10,9	13,4	16,1	18,9	21,9	24,8		
Уровни звукового давления прямого звука от источника ИШ-1-30 в расчётной точке днём, дБ		**ф-ла(3)[10]**	**0**	**24,5**	**24,2**	**23**	**20,1**	**15,9**	**7,8**	**0**	**0**	**21,1**	**21,1**
Уровни звукового давления прямого звука от источника ИШ-1-30 в расчётной точке ночью, дБ		**ф-ла(3)[10]**	**0**	**24,5**	**24,2**	**23**	**20,1**	**15,9**	**7,8**	**0**	**0**	**21,1**	**21,1**
Расчёт отражённого звука													
Уровни звукового давления от мнимого источника ИШ-1-30_мн.(1) в расчётной точке днём, дБ		**ф-ла(3)[10]**	**0**	**0**	**0**	**0**	**0**	**0**	**7,4**	**0**	**0**	**8,6**	**8,6**
Уровни звукового давления от мнимого источника ИШ-1-30_мн.(1) в расчётной точке ночью, дБ		**ф-ла(3)[10]**	**0**	**0**	**0**	**0**	**0**	**0**	**0**	**0**	**0**	**8,6**	**8,6**
Уровни звукового давления от источника ИШ-1-30 в расчётной точке днём, дБ		**ф-ла(3)[10]**	**0**	**24,5**	**24,2**	**23**	**20,1**	**15,9**	**10,6**	**0**	**0**	**21,4**	**21,4**
Уровни звукового давления от источника ИШ-1-30 в расчётной точке ночью, дБ		**ф-ла(3)[10]**	**0**	**24,5**	**24,2**	**23**	**20,1**	**15,9**	**10,6**	**0**	**0**	**21,4**	**21,4**
Источник шума: ИШ-1-31, координаты источника (x,y,z), м =[481.58,193.96,1.00]													
Уровни звуковой мощности источника днём, Lw, дБ		**исходные данные**	**0**	**93,3**	**94,7**	**96**	**96,3**	**95,9**	**92,6**	**88,4**	**83,9**		
Уровни звуковой мощности источника ночью, Lw, дБ		**исходные данные**	**0**	**93,3**	**94,7**	**96**	**96,3**	**95,9**	**92,6**	**88,4**	**83,9**		
Поправка на телесный угол DΩ, дБ	Ω = 6.28	10Lg(4π/Ω)	**3**	3	3	3	3	3	3	3	3		
Показатель направленности источника Di, дБ		исходные данные	**0**	0	0	0	0	0	0	0	0		
Поправка на направленность источника Dc, дБ	Dc	DΩ + Di	**3**	3	3	3	3	3	3	3	3		

1		2	3	4	5	6	7	8	9	10	11	12	13
Затухание из-за геометрической дивергенции, Adiv, дБ	расстояние = 477.02 м	ф-ла (7) [10]	**64,6**										
Коэффициент затухания звука в атмосфере α, дБ/км	Ta=20,°C Pa=101.33,кПа hотн.=70%	ф-ла (5) [9]	0,02	0,09	0,33	1,12	2,79	4,98	9,04	23,09	77,63		
Учет затухания звука в атмосфере Aatm, дБ		ф-ла (8) [10]	0	0	0,2	0,5	1,3	2,4	4,3	11	37		
Снижение уровня звукового давления из-за влияния застройки между источником шума и расчетной точкой													
Снижение уровня звукового давления на пути над экраном, Dz1, дБ	z = 0.43м (разность путей)	ф-лы (14-18) [10]	6	7	8,5	10,5	12,9	15,6	18,4	21,3	24,3		
Снижение уровня звукового давления на пути слева от экрана, Dz2, дБ	z = 29.56м (разность путей)	ф-лы (14-18) [10]	24,5	28	31,1	34,2	37,2	40,2	43,2	46,2	49,2		
Снижение уровня звукового давления на пути справа от экрана, Dz3, дБ	z = 38.96м (разность путей)	ф-лы (14-18) [10]	25,8	29,2	32,3	35,4	38,4	41,4	44,4	47,4	50,4		
Общее снижение уровня звука препятствием Dz, дБ		Эн.сумма(-Dzi)	5,9	7	8,5	10,5	12,9	15,6	18,4	21,3	24,3		
Уровни звукового давления прямого звука от источника ИШ-1-31 в расчётной точке днём, дБ		**ф-ла(3)[10]**	**0**	**24,7**	**24,5**	**23,4**	**20,5**	**16,4**	**8,3**	**0**	**0**	**21,6**	**21,6**
Уровни звукового давления прямого звука от источника ИШ-1-31 в расчётной точке ночью, дБ		**ф-ла(3)[10]**	**0**	**24,7**	**24,5**	**23,4**	**20,5**	**16,4**	**8,3**	**0**	**0**	**21,6**	**21,6**
Расчёт отражённого звука													
Уровни звукового давления от мнимого источника ИШ-1-31_мн.(1) в расчётной точке днём, дБ		**ф-ла(3)[10]**	**0**	**0**	**0**	**0**	**0**	**0**	**7,9**	**0**	**0**	**9,1**	**9,1**
Уровни звукового давления от мнимого источника ИШ-1-31_мн.(1) в расчётной точке ночью, дБ		**ф-ла(3)[10]**	**0**	**0**	**0**	**0**	**0**	**0**	**0**	**0**	**0**	**9,1**	**9,1**
Уровни звукового давления от источника ИШ-1-31 в расчётной точке днём, дБ		**ф-ла(3)[10]**	**0**	**24,7**	**24,5**	**23,4**	**20,5**	**16,4**	**11,1**	**0**	**0**	**21,8**	**21,8**
Уровни звукового давления от источника ИШ-1-31 в расчётной точке ночью, дБ		**ф-ла(3)[10]**	**0**	**24,7**	**24,5**	**23,4**	**20,5**	**16,4**	**11,1**	**0**	**0**	**21,8**	**21,8**
Источник шума: ИШ-1-32, координаты источника (x,y,z), м =[871.21,281.99,50.00]													

1		2	3	4	5	6	7	8	9	10	11	12	13
Уровни звуковой мощности источника днём, Lw, дБ		**исходные данные**	**125**	**119,6**	**113,4**	**111,4**	**110,8**	**112,7**	**113,8**	**109,2**	**97,4**		
Уровни звуковой мощности источника ночью, Lw, дБ		**исходные данные**	**0**	**0**	**0**	**0**	**0**	**0**	**0**	**0**	**0**		
Поправка на телесный угол DΩ, дБ	Ω = 12.57	10Lg(4π/Ω)	**0**	0	0	0	0	0	0	0	0		
Показатель направленности источника Di, дБ		исходные данные	**0**	0	0	0	0	0	0	0	0		
Поправка на направленность источника Dc, дБ	Dc	DΩ + Di	**0**	0	0	0	0	0	0	0	0		
Затухание из-за геометрической дивергенции, Adiv, дБ	расстояние = 828.57 м	ф-ла (7) [10]	**69,4**										
Коэффициент затухания звука в атмосфере α, дБ/км	Ta=20,°C Pa=101.33,кПа hотн.=70%	ф-ла (5) [9]	0,02	0,09	0,33	1,12	2,79	4,98	9,04	23,09	77,63		
Учет затухания звука в атмосфере Aatm, дБ		ф-ла (8) [10]	0	0,1	0,3	0,9	2,3	4,1	7,5	19,1	64,3		
Снижение поверхностью земли возле источника As, дБ	Gs = 0 hs = 50м	ф-лы таб.3 [10]	-1,5	-1,5	-1,5	-1,5	-1,5	-1,5	-1,5	-1,5	-1,5		
Снижение поверхностью земли возле приёмника Ar, дБ	Gr = 1 hr = 4.6м	ф-лы таб.3 [10]	-1,5	-1,5	3,7	1,3	0	0	0	0	0		
Снижение поверхностью земли в средней зоне, Am дБ	Gm = 1	ф-лы таб.3 [10]	0	0	0	0	0	0	0	0	0		
Суммарное снижение поверхностью земли на траектории распространения звука Agr, дБ		ф-ла (9) [10]	-3	-3	2,2	-0,2	-1,5	-1,5	-1,5	-1,5	-1,5		
Уровни звукового давления прямого звука от источника ИШ-1-32 в расчётной точке днём, дБ		**ф-ла(3)[10]**	**58,6**	**53,2**	**41,6**	**41,4**	**40,7**	**40,7**	**38,5**	**22,2**	**0**	**44,7**	**44,7**
Уровни звукового давления прямого звука от источника ИШ-1-32 в расчётной точке ночью, дБ		**ф-ла(3)[10]**	**0**	**0**	**0**	**0**	**0**	**0**	**0**	**0**	**0**	**0**	**0**
Расчёт отражённого звука													
Уровни звукового давления от мнимого источника ИШ-1-32_мн.(1) в расчётной точке днём, дБ		**ф-ла(3)[10]**	**0**	**0**	**0**	**0**	**38,1**	**38,2**	**35,9**	**19,7**	**0**	**41,8**	**41,8**
Уровни звукового давления от мнимого источника ИШ-1-32_мн.(1) в расчётной точке ночью, дБ		**ф-ла(3)[10]**	**0**	**0**	**0**	**0**	**0**	**0**	**0**	**0**	**0**	**0**	**0**

1		2	3	4	5	6	7	8	9	10	11	12	13
Уровни звукового давления от источника ИШ-1-32 в расчётной точке днём, дБ		**ф-ла(3)[10]**	**58,6**	**53,2**	**41,6**	**41,4**	**42,6**	**42,7**	**40,4**	**24,1**	**0**	**46,5**	**46,5**
Уровни звукового давления от источника ИШ-1-32 в расчётной точке ночью, дБ		**ф-ла(3)[10]**	**0**	**0**	**0**	**0**	**0**	**0**	**0**	**0**	**0**	**0**	**0**
Источник шума: ИШ-1-33, координаты источника (x,y,z), м =[743.42,374.85,1.00]													
Уровни звуковой мощности источника днём, Lw, дБ		**исходные данные**	**0**	**88,7**	**90,1**	**93,1**	**96,4**	**103**	**112**	**108**	**99,2**		
Уровни звуковой мощности источника ночью, Lw, дБ		**исходные данные**	**0**	**0**	**0**	**0**	**0**	**0**	**0**	**0**	**0**		
Поправка на телесный угол DΩ, дБ	Ω = 6.28	10Lg(4π/Ω)	**3**	3	3	3	3	3	3	3	3		
Показатель направленности источника Di, дБ		исходные данные	**0**	0	0	0	0	0	0	0	0		
Поправка на направленность источника Dc, дБ	Dc	DΩ + Di	**3**	3	3	3	3	3	3	3	3		
Затухание из-за геометрической дивергенции, Adiv, дБ	расстояние = 787.07 м	ф-ла (7) [10]	**68,9**										
Коэффициент затухания звука в атмосфере α, дБ/км	Ta=20,°C Pa=101.33,кПа hотн.=70%	ф-ла (5) [9]	0,02	0,09	0,33	1,12	2,79	4,98	9,04	23,09	77,63		
Учет затухания звука в атмосфере Aatm, дБ		ф-ла (8) [10]	0	0,1	0,3	0,9	2,2	3,9	7,1	18,2	61,1		
Снижение уровня звукового давления из-за влияния застройки между источником шума и расчетной точкой													
Снижение уровня звукового давления на пути над экраном, Dz1, дБ	z = 0.21м (разность путей)	ф-лы (14-18) [10]	4,8	4,8	4,9	5	5,2	5,6	6,3	7,5	9,1		
Снижение уровня звукового давления на пути слева от экрана, Dz2, дБ	z = 13.16м (разность путей)	ф-лы (14-18) [10]	21,3	24,6	27,6	30,7	33,7	36,7	39,7	42,7	45,7		
Снижение уровня звукового давления на пути справа от экрана, Dz3, дБ	z = 28.98м (разность путей)	ф-лы (14-18) [10]	24,5	27,9	31	34,1	37,1	40,1	43,1	46,1	49,1		
Общее снижение уровня звука препятствием Dz, дБ		Эн.сумма(-Dzi)	4,7	4,8	4,9	5	5,2	5,6	6,3	7,5	9,1		

1		2	3	4	5	6	7	8	9	10	11	12	13
Уровни звукового давления от источника ИШ-1-33 в расчётной точке днём, дБ		**ф-ла(3)[10]**	**0**	**18**	**19,1**	**21,3**	**23,1**	**27,6**	**32,7**	**16,5**	**0**	**35**	**35**
Уровни звукового давления от источника ИШ-1-33 в расчётной точке ночью, дБ		**ф-ла(3)[10]**	**0**	**0**	**0**	**0**	**0**	**0**	**0**	**0**	**0**	**0**	**0**
Источник шума: ИШ-1-34, координаты источника (x,y,z), м =[1042.35,199.07,1.00]													
Уровни звуковой мощности источника днём, Lw, дБ		**исходные данные**	**0**	**88,7**	**90,1**	**93,1**	**96,4**	**103**	**112**	**108**	**99,2**		
Уровни звуковой мощности источника ночью, Lw, дБ		**исходные данные**	**0**	**0**	**0**	**0**	**0**	**0**	**0**	**0**	**0**		
Поправка на телесный угол DΩ, дБ	Ω = 6.28	10Lg(4π/Ω)	**3**	3	3	3	3	3	3	3	3		
Показатель направленности источника Di, дБ		исходные данные	**0**	0	0	0	0	0	0	0	0		
Поправка на направленность источника Dc, дБ	Dc	DΩ + Di	**3**	3	3	3	3	3	3	3	3		
Затухание из-за геометрической дивергенции, Adiv, дБ	расстояние = 937.71 м	ф-ла (7) [10]	**70,4**										
Коэффициент затухания звука в атмосфере α, дБ/км	Ta=20,°C Pa=101.33,кПа hотн.=70%	ф-ла (5) [9]	0,02	0,09	0,33	1,12	2,79	4,98	9,04	23,09	77,63		
Учет затухания звука в атмосфере Aatm, дБ		ф-ла (8) [10]	0	0,1	0,3	1,1	2,6	4,7	8,5	21,6	72,8		
Снижение уровня звукового давления из-за влияния застройки между источником шума и расчетной точкой													
Снижение уровня звукового давления на пути над экраном, Dz1, дБ	z = 0.03м (разность путей)	ф-лы (14-18) [10]	4,8	4,8	4,8	4,8	4,8	4,8	4,8	4,8	4,8		
Снижение уровня звукового давления на пути слева от экрана, Dz2, дБ	z = 7.86м (разность путей)	ф-лы (14-18) [10]	15,1	17,9	20,7	23,7	26,7	29,7	32,7	35,7	38,7		
Снижение уровня звукового давления на пути справа от экрана, Dz3, дБ	z = 23.76м (разность путей)	ф-лы (14-18) [10]	19,6	22,5	25,5	28,5	31,5	34,5	37,5	40,5	43,5		
Общее снижение уровня звука препятствием Dz, дБ		Эн.сумма(-Dzi)	4,3	4,5	4,6	4,7	4,7	4,8	4,8	4,8	4,8		

1		2	3	4	5	6	7	8	9	10	11	12	13
Уровни звукового давления от источника ИШ-1-34 в расчётной точке днём, дБ		**ф-ла(3)[10]**	**0**	**16,7**	**17,7**	**19,9**	**21,6**	**26,2**	**31,3**	**14,2**	**0**	**33,7**	**33,7**
Уровни звукового давления от источника ИШ-1-34 в расчётной точке ночью, дБ		**ф-ла(3)[10]**	**0**	**0**	**0**	**0**	**0**	**0**	**0**	**0**	**0**	**0**	**0**
Источник шума: ИШ-2-1, координаты источника (x,y,z), м =[696.50,124.40,3.00]													
Уровни звуковой мощности источника днём, Lw, дБ		**исходные данные**	**105**	**104**	**104**	**101**	**102**	**106**	**101**	**95**	**87**		
Уровни звуковой мощности источника ночью, Lw, дБ		**исходные данные**	**105**	**104**	**104**	**101**	**102**	**106**	**101**	**95**	**87**		
Поправка на телесный угол DΩ, дБ	Ω = 6.28	10Lg(4π/Ω)	**3**	3	3	3	3	3	3	3	3		
Показатель направленности источника Di, дБ		исходные данные	**0**	0	0	0	0	0	0	0	0		
Поправка на направленность источника Dc, дБ	Dc	DΩ + Di	**3**	3	3	3	3	3	3	3	3		
Затухание из-за геометрической дивергенции, Adiv, дБ	расстояние = 595.38 м	ф-ла (7) [10]	**66,5**										
Коэффициент затухания звука в атмосфере α, дБ/км	Ta=20,°C Pa=101.33,кПа hотн.=70%	ф-ла (5) [9]	0,02	0,09	0,33	1,12	2,79	4,98	9,04	23,09	77,63		
Учет затухания звука в атмосфере Aatm, дБ		ф-ла (8) [10]	0	0,1	0,2	0,7	1,7	3	5,4	13,7	46,2		
Снижение уровня звукового давления из-за влияния застройки между источником шума и расчетной точкой													
Снижение уровня звукового давления на пути над экраном, Dz1, дБ	z = 0.14м (разность путей)	ф-лы (14-18) [10]	4,8	4,8	4,8	4,8	4,8	4,9	5	5,3	5,8		
Снижение уровня звукового давления на пути слева от экрана, Dz2, дБ	z = 1.47м (разность путей)	ф-лы (14-18) [10]	9,3	11,4	13,9	16,6	19,5	22,4	25,4	28,4	31,4		
Снижение уровня звукового давления на пути справа от экрана, Dz3, дБ	z = 15.85м (разность путей)	ф-лы (14-18) [10]	17,9	20,8	23,7	26,7	29,7	32,7	35,7	38,7	41,7		
Общее снижение уровня звука препятствием Dz, дБ		Эн.сумма(-Dzi)	3,3	3,8	4,2	4,5	4,7	4,8	5	5,3	5,7		

1		2	3	4	5	6	7	8	9	10	11	12	13
Уровни звукового давления от источника ИШ-2-1 в расчётной точке днём, дБ		**ф-ла(3)[10]**	**38,2**	**36,6**	**36,1**	**32,4**	**32,2**	**34,7**	**27,1**	**12,5**	**0**	**36,8**	**36,8**
Уровни звукового давления от источника ИШ-2-1 в расчётной точке ночью, дБ		**ф-ла(3)[10]**	**38,2**	**36,6**	**36,1**	**32,4**	**32,2**	**34,7**	**27,1**	**12,5**	**0**	**36,8**	**36,8**
Источник шума: ИШ-2-2, координаты источника (x,y,z), м =[682.20,81.60,3.00]													
Уровни звуковой мощности источника днём, Lw, дБ		**исходные данные**	**105**	**104**	**104**	**101**	**102**	**106**	**101**	**95**	**87**		
Уровни звуковой мощности источника ночью, Lw, дБ		**исходные данные**	**105**	**104**	**104**	**101**	**102**	**106**	**101**	**95**	**87**		
Поправка на телесный угол DΩ, дБ	Ω = 6.28	10Lg(4π/Ω)	**3**	3	3	3	3	3	3	3	3		
Показатель направленности источника Di, дБ		исходные данные	**0**	0	0	0	0	0	0	0	0		
Поправка на направленность источника Dc, дБ	Dc	DΩ + Di	**3**	3	3	3	3	3	3	3	3		
Затухание из-за геометрической дивергенции, Adiv, дБ	расстояние = 562.04 м	ф-ла (7) [10]	**66**										
Коэффициент затухания звука в атмосфере α, дБ/км	Ta=20,°C Pa=101.33,кПа hотн.=70%	ф-ла (5) [9]	0,02	0,09	0,33	1,12	2,79	4,98	9,04	23,09	77,63		
Учет затухания звука в атмосфере Aatm, дБ		ф-ла (8) [10]	0	0,1	0,2	0,6	1,6	2,8	5,1	13	43,6		
Снижение уровня звукового давления из-за влияния застройки между источником шума и расчетной точкой													
Снижение уровня звукового давления на пути над экраном, Dz1, дБ	z = 0.16м (разность путей)	ф-лы (14-18) [10]	4,8	4,8	4,8	4,9	5	5,2	5,6	6,2	7,3		
Снижение уровня звукового давления на пути слева от экрана, Dz2, дБ	z = 0.45м (разность путей)	ф-лы (14-18) [10]	6,7	8	9,8	12,1	14,7	17,5	20,4	23,3	26,3		
Снижение уровня звукового давления на пути справа от экрана, Dz3, дБ	z = 20.61м (разность путей)	ф-лы (14-18) [10]	19	21,9	24,9	27,8	30,8	33,9	36,9	39,9	42,9		
Общее снижение уровня звука препятствием Dz, дБ		Эн.сумма(-Dzi)	2,5	3	3,6	4,1	4,5	4,9	5,4	6,1	7,3		

1		2	3	4	5	6	7	8	9	10	11	12	13
Уровни звукового давления от источника ИШ-2-2 в расчётной точке днём, дБ		**ф-ла(3)[10]**	**39,5**	**37,9**	**37,2**	**33,3**	**32,9**	**35,3**	**27,5**	**12,9**	**0**	**37,4**	**37,4**
Уровни звукового давления от источника ИШ-2-2 в расчётной точке ночью, дБ		**ф-ла(3)[10]**	**39,5**	**37,9**	**37,2**	**33,3**	**32,9**	**35,3**	**27,5**	**12,9**	**0**	**37,4**	**37,4**
Источник шума: ИШ-2-3, координаты источника (x,y,z), м =[667.80,38.90,3.00]													
Уровни звуковой мощности источника днём, Lw, дБ		**исходные данные**	**105**	**104**	**104**	**101**	**102**	**106**	**101**	**95**	**87**		
Уровни звуковой мощности источника ночью, Lw, дБ		**исходные данные**	**105**	**104**	**104**	**101**	**102**	**106**	**101**	**95**	**87**		
Поправка на телесный угол DΩ, дБ	Ω = 6.28	10Lg(4π/Ω)	**3**	3	3	3	3	3	3	3	3		
Показатель направленности источника Di, дБ		исходные данные	**0**	0	0	0	0	0	0	0	0		
Поправка на направленность источника Dc, дБ	Dc	DΩ + Di	**3**	3	3	3	3	3	3	3	3		
Затухание из-за геометрической дивергенции, Adiv, дБ	расстояние = 530.39 м	ф-ла (7) [10]	**65,5**										
Коэффициент затухания звука в атмосфере α, дБ/км	Ta=20,°C Pa=101.33,кПа hотн.=70%	ф-ла (5) [9]	0,02	0,09	0,33	1,12	2,79	4,98	9,04	23,09	77,63		
Учет затухания звука в атмосфере Aatm, дБ		ф-ла (8) [10]	0	0	0,2	0,6	1,5	2,6	4,8	12,2	41,2		
Снижение уровня звукового давления из-за влияния застройки между источником шума и расчетной точкой													
Снижение уровня звукового давления на пути над экраном, Dz1, дБ	z = 0.17м (разность путей)	ф-лы (14-18) [10]	4,9	5,1	5,4	5,9	6,8	8,1	10	12,3	14,9		
Снижение уровня звукового давления на пути слева от экрана, Dz2, дБ	z = 20.12м (разность путей)	ф-лы (14-18) [10]	18,9	21,8	24,8	27,7	30,7	33,7	36,8	39,8	42,8		
Снижение уровня звукового давления на пути справа от экрана, Dz3, дБ	z = 1.27м (разность путей)	ф-лы (14-18) [10]	8,9	10,9	13,3	16	18,9	21,8	24,8	27,8	30,8		
Общее снижение уровня звука препятствием Dz, дБ		Эн.сумма(-Dzi)	3,3	4	4,7	5,5	6,5	8	9,9	12,2	14,8		

1		2	3	4	5	6	7	8	9	10	11	12	13
Уровни звукового давления от источника ИШ-2-3 в расчётной точке днём, дБ		**ф-ла(3)[10]**	**39,2**	**37,5**	**36,7**	**32,5**	**31,5**	**32,9**	**23,9**	**8,1**	**0**	**35,2**	**35,2**
Уровни звукового давления от источника ИШ-2-3 в расчётной точке ночью, дБ		**ф-ла(3)[10]**	**39,2**	**37,5**	**36,7**	**32,5**	**31,5**	**32,9**	**23,9**	**8,1**	**0**	**35,2**	**35,2**
Источник шума: ИШ-2-6, координаты источника (x,y,z), м =[765.97,112.43,1.00]													
Уровни звуковой мощности источника днём, Lw, дБ		**исходные данные**	**0**	**93,3**	**94,7**	**96**	**96,3**	**95,9**	**92,6**	**88,4**	**83,9**		
Уровни звуковой мощности источника ночью, Lw, дБ		**исходные данные**	**0**	**93,3**	**94,7**	**96**	**96,3**	**95,9**	**92,6**	**88,4**	**83,9**		
Поправка на телесный угол DΩ, дБ	Ω = 6.28	10Lg(4π/Ω)	**3**	3	3	3	3	3	3	3	3		
Показатель направленности источника Di, дБ		исходные данные	**0**	0	0	0	0	0	0	0	0		
Поправка на направленность источника Dc, дБ	Dc	DΩ + Di	**3**	3	3	3	3	3	3	3	3		
Затухание из-за геометрической дивергенции, Adiv, дБ	расстояние = 650.66 м	ф-ла (7) [10]	**67,3**										
Коэффициент затухания звука в атмосфере α, дБ/км	Ta=20,°C Pa=101.33,кПа hотн.=70%	ф-ла (5) [9]	0,02	0,09	0,33	1,12	2,79	4,98	9,04	23,09	77,63		
Учет затухания звука в атмосфере Aatm, дБ		ф-ла (8) [10]	0	0,1	0,2	0,7	1,8	3,2	5,9	15	50,5		
Снижение уровня звукового давления из-за влияния застройки между источником шума и расчетной точкой													
Снижение уровня звукового давления на пути над экраном, Dz1, дБ	z = 0.17м (разность путей)	ф-лы (14-18) [10]	4,8	4,8	4,8	4,8	4,9	5	5,2	5,6	6,3		
Снижение уровня звукового давления на пути слева от экрана, Dz2, дБ	z = 0.22м (разность путей)	ф-лы (14-18) [10]	5,8	6,7	8	9,8	12,1	14,6	17,4	20,3	23,3		
Снижение уровня звукового давления на пути справа от экрана, Dz3, дБ	z = 21.23м (разность путей)	ф-лы (14-18) [10]	19,1	22,1	25	28	31	34	37	40	43		
Общее снижение уровня звука препятствием Dz, дБ		Эн.сумма(-Dzi)	2,2	2,6	3,1	3,6	4,1	4,5	4,9	5,4	6,2		

1		2	3	4	5	6	7	8	9	10	11	12	13
Уровни звукового давления от источника ИШ-2-6 в расчётной точке днём, дБ		**ф-ла(3)[10]**	**0**	**26,4**	**27,2**	**27,4**	**26,1**	**23,9**	**17,5**	**3,7**	**0**	**27,8**	**27,8**
Уровни звукового давления от источника ИШ-2-6 в расчётной точке ночью, дБ		**ф-ла(3)[10]**	**0**	**26,4**	**27,2**	**27,4**	**26,1**	**23,9**	**17,5**	**3,7**	**0**	**27,8**	**27,8**
Источник шума: ИШ-2-7, координаты источника (x,y,z), м =[764.91,109.54,1.00]													
Уровни звуковой мощности источника днём, Lw, дБ		**исходные данные**	**0**	**93,3**	**94,7**	**96**	**96,3**	**95,9**	**92,6**	**88,4**	**83,9**		
Уровни звуковой мощности источника ночью, Lw, дБ		**исходные данные**	**0**	**93,3**	**94,7**	**96**	**96,3**	**95,9**	**92,6**	**88,4**	**83,9**		
Поправка на телесный угол DΩ, дБ	Ω = 6.28	10Lg(4π/Ω)	**3**	3	3	3	3	3	3	3	3		
Показатель направленности источника Di, дБ		исходные данные	**0**	0	0	0	0	0	0	0	0		
Поправка на направленность источника Dc, дБ	Dc	DΩ + Di	**3**	3	3	3	3	3	3	3	3		
Затухание из-за геометрической дивергенции, Adiv, дБ	расстояние = 648.42 м	ф-ла (7) [10]	**67,2**										
Коэффициент затухания звука в атмосфере α, дБ/км	Ta=20,°C Pa=101.33,кПа hотн.=70%	ф-ла (5) [9]	0,02	0,09	0,33	1,12	2,79	4,98	9,04	23,09	77,63		
Учет затухания звука в атмосфере Aatm, дБ		ф-ла (8) [10]	0	0,1	0,2	0,7	1,8	3,2	5,9	15	50,3		
Снижение уровня звукового давления из-за влияния застройки между источником шума и расчетной точкой													
Снижение уровня звукового давления на пути над экраном, Dz1, дБ	z = 0.17м (разность путей)	ф-лы (14-18) [10]	4,8	4,8	4,8	4,8	4,9	5	5,2	5,6	6,3		
Снижение уровня звукового давления на пути слева от экрана, Dz2, дБ	z = 0.19м (разность путей)	ф-лы (14-18) [10]	5,7	6,5	7,7	9,4	11,6	14,1	16,8	19,7	22,6		
Снижение уровня звукового давления на пути справа от экрана, Dz3, дБ	z = 21.54м (разность путей)	ф-лы (14-18) [10]	19,2	22,1	25	28	31	34	37,1	40,1	43,1		
Общее снижение уровня звука препятствием Dz, дБ		Эн.сумма(-Dzi)	2,1	2,5	3	3,5	4	4,5	4,9	5,4	6,2		

1		2	3	4	5	6	7	8	9	10	11	12	13
Уровни звукового давления от источника ИШ-2-7 в расчётной точке днём, дБ		**ф-ла(3)[10]**	**0**	**26,5**	**27,3**	**27,5**	**26,2**	**23,9**	**17,6**	**3,8**	**0**	**27,9**	**27,9**
Уровни звукового давления от источника ИШ-2-7 в расчётной точке ночью, дБ		**ф-ла(3)[10]**	**0**	**26,5**	**27,3**	**27,5**	**26,2**	**23,9**	**17,6**	**3,8**	**0**	**27,9**	**27,9**
Источник шума: ИШ-2-8, координаты источника (x,y,z), м =[764.03,106.58,1.00]													
Уровни звуковой мощности источника днём, Lw, дБ		**исходные данные**	**0**	**93,3**	**94,7**	**96**	**96,3**	**95,9**	**92,6**	**88,4**	**83,9**		
Уровни звуковой мощности источника ночью, Lw, дБ		**исходные данные**	**0**	**93,3**	**94,7**	**96**	**96,3**	**95,9**	**92,6**	**88,4**	**83,9**		
Поправка на телесный угол DΩ, дБ	Ω = 6.28	10Lg(4π/Ω)	**3**	3	3	3	3	3	3	3	3		
Показатель направленности источника Di, дБ		исходные данные	**0**	0	0	0	0	0	0	0	0		
Поправка на направленность источника Dc, дБ	Dc	DΩ + Di	**3**	3	3	3	3	3	3	3	3		
Затухание из-за геометрической дивергенции, Adiv, дБ	расстояние = 646.32 м	ф-ла (7) [10]	**67,2**										
Коэффициент затухания звука в атмосфере α, дБ/км	Та=20,°С Ра=101.33,кПа hотн.=70%	ф-ла (5) [9]	0,02	0,09	0,33	1,12	2,79	4,98	9,04	23,09	77,63		
Учет затухания звука в атмосфере Aatm, дБ		ф-ла (8) [10]	0	0,1	0,2	0,7	1,8	3,2	5,8	14,9	50,2		
Снижение уровня звукового давления из-за влияния застройки между источником шума и расчетной точкой													
Снижение уровня звукового давления на пути над экраном, Dz1, дБ	z = 0.17м (разность путей)	ф-лы (14-18) [10]	4,8	4,8	4,8	4,8	4,9	5	5,2	5,6	6,3		
Снижение уровня звукового давления на пути слева от экрана, Dz2, дБ	z = 0.16м (разность путей)	ф-лы (14-18) [10]	5,6	6,2	7,3	8,9	11	13,4	16,1	19	21,9		
Снижение уровня звукового давления на пути справа от экрана, Dz3, дБ	z = 21.87м (разность путей)	ф-лы (14-18) [10]	19,2	22,2	25,1	28,1	31,1	34,1	37,1	40,1	43,1		
Общее снижение уровня звука препятствием Dz, дБ		Эн.сумма(-Dzi)	2,1	2,4	2,8	3,4	3,9	4,4	4,9	5,4	6,2		

1		2	3	4	5	6	7	8	9	10	11	12	13
Уровни звукового давления от источника ИШ-2-8 в расчётной точке днём, дБ		**ф-ла(3)[10]**	**0**	**26,6**	**27,4**	**27,7**	**26,4**	**24,1**	**17,7**	**3,9**	**0**	**28**	**28**
Уровни звукового давления от источника ИШ-2-8 в расчётной точке ночью, дБ		**ф-ла(3)[10]**	**0**	**26,6**	**27,4**	**27,7**	**26,4**	**24,1**	**17,7**	**3,9**	**0**	**28**	**28**
Источник шума: ИШ-2-9, координаты источника (x,y,z), м =[763.26,103.71,1.00]													
Уровни звуковой мощности источника днём, Lw, дБ		**исходные данные**	**0**	**93,3**	**94,7**	**96**	**96,3**	**95,9**	**92,6**	**88,4**	**83,9**		
Уровни звуковой мощности источника ночью, Lw, дБ		**исходные данные**	**0**	**93,3**	**94,7**	**96**	**96,3**	**95,9**	**92,6**	**88,4**	**83,9**		
Поправка на телесный угол DΩ, дБ	Ω = 6.28	10Lg(4π/Ω)	**3**	3	3	3	3	3	3	3	3		
Показатель направленности источника Di, дБ		исходные данные	**0**	0	0	0	0	0	0	0	0		
Поправка на направленность источника Dc, дБ	Dc	DΩ + Di	**3**	3	3	3	3	3	3	3	3		
Затухание из-за геометрической дивергенции, Adiv, дБ	расстояние = 644.36 м	ф-ла (7) [10]	**67,2**										
Коэффициент затухания звука в атмосфере α, дБ/км	Ta=20,°C Pa=101.33,кПа hотн.=70%	ф-ла (5) [9]	0,02	0,09	0,33	1,12	2,79	4,98	9,04	23,09	77,63		
Учет затухания звука в атмосфере Aatm, дБ		ф-ла (8) [10]	0	0,1	0,2	0,7	1,8	3,2	5,8	14,9	50		
Снижение уровня звукового давления из-за влияния застройки между источником шума и расчетной точкой													
Снижение уровня звукового давления на пути над экраном, Dz1, дБ	z = 0.17м (разность путей)	ф-лы (14-18) [10]	4,8	4,8	4,8	4,8	4,9	5	5,2	5,6	6,3		
Снижение уровня звукового давления на пути слева от экрана, Dz2, дБ	z = 0.13м (разность путей)	ф-лы (14-18) [10]	5,4	6	7	8,4	10,4	12,8	15,4	18,2	21,1		
Снижение уровня звукового давления на пути справа от экрана, Dz3, дБ	z = 22.20м (разность путей)	ф-лы (14-18) [10]	21,6	25,9	29,6	32,8	35,9	38,9	42	45	48		
Общее снижение уровня звука препятствием Dz, дБ		Эн.сумма(-Dzi)	2	2,3	2,7	3,2	3,8	4,3	4,8	5,4	6,2		

1		2	3	4	5	6	7	8	9	10	11	12	13
Уровни звукового давления от источника ИШ-2-9 в расчётной точке днём, дБ		**ф-ла(3)[10]**	**0**	**26,7**	**27,6**	**27,8**	**26,5**	**24,2**	**17,8**	**4**	**0**	**28,2**	**28,2**
Уровни звукового давления от источника ИШ-2-9 в расчётной точке ночью, дБ		**ф-ла(3)[10]**	**0**	**26,7**	**27,6**	**27,8**	**26,5**	**24,2**	**17,8**	**4**	**0**	**28,2**	**28,2**
Источник шума: ИШ-2-10, координаты источника (x,y,z), м =[762.14,100.75,1.00]													
Уровни звуковой мощности источника днём, Lw, дБ		**исходные данные**	**0**	**93,3**	**94,7**	**96**	**96,3**	**95,9**	**92,6**	**88,4**	**83,9**		
Уровни звуковой мощности источника ночью, Lw, дБ		**исходные данные**	**0**	**93,3**	**94,7**	**96**	**96,3**	**95,9**	**92,6**	**88,4**	**83,9**		
Поправка на телесный угол DΩ, дБ	Ω = 6.28	10Lg(4π/Ω)	**3**	3	3	3	3	3	3	3	3		
Показатель направленности источника Di, дБ		исходные данные	**0**	0	0	0	0	0	0	0	0		
Поправка на направленность источника Dc, дБ	Dc	DΩ + Di	**3**	3	3	3	3	3	3	3	3		
Затухание из-за геометрической дивергенции, Adiv, дБ	расстояние = 642.06 м	ф-ла (7) [10]	**67,2**										
Коэффициент затухания звука в атмосфере α, дБ/км	Ta=20,°C Pa=101.33,кПа hотн.=70%	ф-ла (5) [9]	0,02	0,09	0,33	1,12	2,79	4,98	9,04	23,09	77,63		
Учет затухания звука в атмосфере Aatm, дБ		ф-ла (8) [10]	0	0,1	0,2	0,7	1,8	3,2	5,8	14,8	49,8		
Снижение уровня звукового давления из-за влияния застройки между источником шума и расчетной точкой													
Снижение уровня звукового давления на пути над экраном, Dz1, дБ	z = 0.17м (разность путей)	ф-лы (14-18) [10]	4,8	4,8	4,8	4,8	4,9	5	5,2	5,6	6,3		
Снижение уровня звукового давления на пути слева от экрана, Dz2, дБ	z = 0.11м (разность путей)	ф-лы (14-18) [10]	5,3	5,8	6,7	8	9,8	12	14,6	17,4	20,3		
Снижение уровня звукового давления на пути справа от экрана, Dz3, дБ	z = 22.53м (разность путей)	ф-лы (14-18) [10]	21,6	26	29,7	32,9	36	39	42	45	48		
Общее снижение уровня звука препятствием Dz, дБ		Эн.сумма(-Dzi)	2	2,2	2,6	3,1	3,7	4,2	4,7	5,3	6,2		

1		2	3	4	5	6	7	8	9	10	11	12	13
Уровни звукового давления от источника ИШ-2-10 в расчётной точке днём, дБ		**ф-ла(3)[10]**	**0**	**26,8**	**27,7**	**28**	**26,7**	**24,3**	**17,9**	**4,1**	**0**	**28,3**	**28,3**
Уровни звукового давления от источника ИШ-2-10 в расчётной точке ночью, дБ		**ф-ла(3)[10]**	**0**	**26,8**	**27,7**	**28**	**26,7**	**24,3**	**17,9**	**4,1**	**0**	**28,3**	**28,3**
Источник шума: ИШ-2-11, координаты источника (x,y,z), м =[761.13,97.90,1.00]													
Уровни звуковой мощности источника днём, Lw, дБ		**исходные данные**	**0**	**93,3**	**94,7**	**96**	**96,3**	**95,9**	**92,6**	**88,4**	**83,9**		
Уровни звуковой мощности источника ночью, Lw, дБ		**исходные данные**	**0**	**93,3**	**94,7**	**96**	**96,3**	**95,9**	**92,6**	**88,4**	**83,9**		
Поправка на телесный угол DΩ, дБ	Ω = 6.28	10Lg(4π/Ω)	**3**	3	3	3	3	3	3	3	3		
Показатель направленности источника Di, дБ		исходные данные	**0**	0	0	0	0	0	0	0	0		
Поправка на направленность источника Dc, дБ	Dc	DΩ + Di	**3**	3	3	3	3	3	3	3	3		
Затухание из-за геометрической дивергенции, Adiv, дБ	расстояние = 639.91 м	ф-ла (7) [10]	**67,1**										
Коэффициент затухания звука в атмосфере α, дБ/км	Ta=20,°C Pa=101.33,кПа hотн.=70%	ф-ла (5) [9]	0,02	0,09	0,33	1,12	2,79	4,98	9,04	23,09	77,63		
Учет затухания звука в атмосфере Aatm, дБ		ф-ла (8) [10]	0	0,1	0,2	0,7	1,8	3,2	5,8	14,8	49,7		
Снижение уровня звукового давления из-за влияния застройки между источником шума и расчетной точкой													
Снижение уровня звукового давления на пути над экраном, Dz1, дБ	z = 0.17м (разность путей)	ф-лы (14-18) [10]	4,8	4,8	4,8	4,8	4,9	5	5,2	5,6	6,3		
Снижение уровня звукового давления на пути слева от экрана, Dz2, дБ	z = 0.09м (разность путей)	ф-лы (14-18) [10]	5,2	5,6	6,3	7,5	9,2	11,3	13,8	16,5	19,4		
Снижение уровня звукового давления на пути справа от экрана, Dz3, дБ	z = 22.86м (разность путей)	ф-лы (14-18) [10]	21,7	26,1	29,7	33	36	39,1	42,1	45,1	48,1		
Общее снижение уровня звука препятствием Dz, дБ		Эн.сумма(-Dzi)	1,9	2,2	2,5	2,9	3,5	4,1	4,6	5,3	6,1		

1		2	3	4	5	6	7	8	9	10	11	12	13
Уровни звукового давления от источника ИШ-2-11 в расчётной точке днём, дБ		**ф-ла(3)[10]**	**0**	**27**	**27,9**	**28,2**	**26,9**	**24,5**	**18**	**4,2**	**0**	**28,5**	**28,5**
Уровни звукового давления от источника ИШ-2-11 в расчётной точке ночью, дБ		**ф-ла(3)[10]**	**0**	**27**	**27,9**	**28,2**	**26,9**	**24,5**	**18**	**4,2**	**0**	**28,5**	**28,5**
Источник шума: ИШ-2-12, координаты источника (x,y,z), м =[760.25,95.02,1.00]													
Уровни звуковой мощности источника днём, Lw, дБ		**исходные данные**	**0**	**93,3**	**94,7**	**96**	**96,3**	**95,9**	**92,6**	**88,4**	**83,9**		
Уровни звуковой мощности источника ночью, Lw, дБ		**исходные данные**	**0**	**93,3**	**94,7**	**96**	**96,3**	**95,9**	**92,6**	**88,4**	**83,9**		
Поправка на телесный угол DΩ, дБ	Ω = 6.28	10Lg(4π/Ω)	**3**	3	3	3	3	3	3	3	3		
Показатель направленности источника Di, дБ		исходные данные	**0**	0	0	0	0	0	0	0	0		
Поправка на направленность источника Dc, дБ	Dc	DΩ + Di	**3**	3	3	3	3	3	3	3	3		
Затухание из-за геометрической дивергенции, Adiv, дБ	расстояние = 637.88 м	ф-ла (7) [10]	**67,1**										
Коэффициент затухания звука в атмосфере α, дБ/км	Ta=20,°C Pa=101.33,кПа hотн.=70%	ф-ла (5) [9]	0,02	0,09	0,33	1,12	2,79	4,98	9,04	23,09	77,63		
Учет затухания звука в атмосфере Aatm, дБ		ф-ла (8) [10]	0	0,1	0,2	0,7	1,8	3,2	5,8	14,7	49,5		
Снижение уровня звукового давления из-за влияния застройки между источником шума и расчетной точкой													
Снижение уровня звукового давления на пути над экраном, Dz1, дБ	z = 0.17м (разность путей)	ф-лы (14-18) [10]	4,8	4,8	4,8	4,8	4,9	5	5,2	5,6	6,3		
Снижение уровня звукового давления на пути слева от экрана, Dz2, дБ	z = 0.07м (разность путей)	ф-лы (14-18) [10]	5,1	5,5	6	7	8,5	10,5	12,8	15,5	18,3		
Снижение уровня звукового давления на пути справа от экрана, Dz3, дБ	z = 23.21м (разность путей)	ф-лы (14-18) [10]	21,8	26,1	29,8	33	36,1	39,1	42,1	45,2	48,2		
Общее снижение уровня звука препятствием Dz, дБ		Эн.сумма(-Dzi)	1,9	2,1	2,3	2,8	3,3	3,9	4,5	5,2	6,1		

1		2	3	4	5	6	7	8	9	10	11	12	13
Уровни звукового давления от источника ИШ-2-12 в расчётной точке днём, дБ		**ф-ла(3)[10]**	**0**	**27,1**	**28**	**28,4**	**27,1**	**24,7**	**18,2**	**4,4**	**0**	**28,7**	**28,7**
Уровни звукового давления от источника ИШ-2-12 в расчётной точке ночью, дБ		**ф-ла(3)[10]**	**0**	**27,1**	**28**	**28,4**	**27,1**	**24,7**	**18,2**	**4,4**	**0**	**28,7**	**28,7**
Источник шума: ИШ-2-13, координаты источника (x,y,z), м =[759.28,92.25,1.00]													
Уровни звуковой мощности источника днём, Lw, дБ		**исходные данные**	**0**	**93,3**	**94,7**	**96**	**96,3**	**95,9**	**92,6**	**88,4**	**83,9**		
Уровни звуковой мощности источника ночью, Lw, дБ		**исходные данные**	**0**	**93,3**	**94,7**	**96**	**96,3**	**95,9**	**92,6**	**88,4**	**83,9**		
Поправка на телесный угол DΩ, дБ	Ω = 6.28	10Lg(4π/Ω)	**3**	3	3	3	3	3	3	3	3		
Показатель направленности источника Di, дБ		исходные данные	**0**	0	0	0	0	0	0	0	0		
Поправка на направленность источника Dc, дБ	Dc	DΩ + Di	**3**	3	3	3	3	3	3	3	3		
Затухание из-за геометрической дивергенции, Adiv, дБ	расстояние = 635.81 м	ф-ла (7) [10]	**67,1**										
Коэффициент затухания звука в атмосфере α, дБ/км	Ta=20,°C Pa=101.33,кПа hотн.=70%	ф-ла (5) [9]	0,02	0,09	0,33	1,12	2,79	4,98	9,04	23,09	77,63		
Учет затухания звука в атмосфере Aatm, дБ		ф-ла (8) [10]	0	0,1	0,2	0,7	1,8	3,2	5,7	14,7	49,4		
Снижение уровня звукового давления из-за влияния застройки между источником шума и расчетной точкой													
Снижение уровня звукового давления на пути над экраном, Dz1, дБ	z = 0.17м (разность путей)	ф-лы (14-18) [10]	4,8	4,8	4,8	4,8	4,9	5	5,2	5,6	6,4		
Снижение уровня звукового давления на пути слева от экрана, Dz2, дБ	z = 0.05м (разность путей)	ф-лы (14-18) [10]	5	5,3	5,8	6,6	7,8	9,6	11,9	14,4	17,2		
Снижение уровня звукового давления на пути справа от экрана, Dz3, дБ	z = 23.54м (разность путей)	ф-лы (14-18) [10]	21,8	26,2	29,9	33,1	36,2	39,2	42,2	45,2	48,2		
Общее снижение уровня звука препятствием Dz, дБ		Эн.сумма(-Dzi)	1,9	2	2,2	2,6	3,1	3,7	4,4	5,1	6		

1		2	3	4	5	6	7	8	9	10	11	12	13
Уровни звукового давления от источника ИШ-2-13 в расчётной точке днём, дБ		**ф-ла(3)[10]**	**0**	**27,2**	**28,2**	**28,6**	**27,4**	**25**	**18,4**	**4,6**	**0**	**29**	**29**
Уровни звукового давления от источника ИШ-2-13 в расчётной точке ночью, дБ		**ф-ла(3)[10]**	**0**	**27,2**	**28,2**	**28,6**	**27,4**	**25**	**18,4**	**4,6**	**0**	**29**	**29**
Источник шума: ИШ-2-14, координаты источника (x,y,z), м =[751.62,69.73,1.00]													
Уровни звуковой мощности источника днём, Lw, дБ		**исходные данные**	**0**	**93,3**	**94,7**	**96**	**96,3**	**95,9**	**92,6**	**88,4**	**83,9**		
Уровни звуковой мощности источника ночью, Lw, дБ		**исходные данные**	**0**	**93,3**	**94,7**	**96**	**96,3**	**95,9**	**92,6**	**88,4**	**83,9**		
Поправка на телесный угол DΩ, дБ	Ω = 6.28	10Lg(4π/Ω)	**3**	3	3	3	3	3	3	3	3		
Показатель направленности источника Di, дБ		исходные данные	**0**	0	0	0	0	0	0	0	0		
Поправка на направленность источника Dc, дБ	Dc	DΩ + Di	**3**	3	3	3	3	3	3	3	3		
Затухание из-за геометрической дивергенции, Adiv, дБ	расстояние = 619.51 м	ф-ла (7) [10]	**66,8**										
Коэффициент затухания звука в атмосфере α, дБ/км	Та=20,°С Ра=101.33,кПа hотн.=70%	ф-ла (5) [9]	0,02	0,09	0,33	1,12	2,79	4,98	9,04	23,09	77,63		
Учет затухания звука в атмосфере Aatm, дБ		ф-ла (8) [10]	0	0,1	0,2	0,7	1,7	3,1	5,6	14,3	48,1		
Снижение уровня звукового давления из-за влияния застройки между источником шума и расчетной точкой													
Снижение уровня звукового давления на пути над экраном, Dz1, дБ	z = 0.08м (разность путей)	ф-лы (14-18) [10]	4,8	4,8	4,8	4,8	4,8	4,8	4,8	4,8	4,8		
Снижение уровня звукового давления на пути слева от экрана, Dz2, дБ	z = 12.45м (разность путей)	ф-лы (14-18) [10]	16,9	19,8	22,7	25,7	28,7	31,7	34,7	37,7	40,7		
Снижение уровня звукового давления на пути справа от экрана, Dz3, дБ	z = 1.44м (разность путей)	ф-лы (14-18) [10]	9,2	11,3	13,8	16,6	19,4	22,4	25,3	28,3	31,3		
Общее снижение уровня звука препятствием Dz, дБ		Эн.сумма(-Dzi)	3,2	3,8	4,2	4,5	4,6	4,7	4,7	4,8	4,8		

1		2	3	4	5	6	7	8	9	10	11	12	13
Уровни звукового давления от источника ИШ-2-14 в расчётной точке днём, дБ		**ф-ла(3)[10]**	**0**	**25,6**	**26,4**	**27**	**26,1**	**24,3**	**18,4**	**5,5**	**0**	**28,1**	**28,1**
Уровни звукового давления от источника ИШ-2-14 в расчётной точке ночью, дБ		**ф-ла(3)[10]**	**0**	**25,6**	**26,4**	**27**	**26,1**	**24,3**	**18,4**	**5,5**	**0**	**28,1**	**28,1**
Источник шума: ИШ-2-15, координаты источника (x,y,z), м =[750.74,66.89,1.00]													
Уровни звуковой мощности источника днём, Lw, дБ		**исходные данные**	**0**	**93,3**	**94,7**	**96**	**96,3**	**95,9**	**92,6**	**88,4**	**83,9**		
Уровни звуковой мощности источника ночью, Lw, дБ		**исходные данные**	**0**	**93,3**	**94,7**	**96**	**96,3**	**95,9**	**92,6**	**88,4**	**83,9**		
Поправка на телесный угол DΩ, дБ	Ω = 6.28	10Lg(4π/Ω)	**3**	3	3	3	3	3	3	3	3		
Показатель направленности источника Di, дБ		исходные данные	**0**	0	0	0	0	0	0	0	0		
Поправка на направленность источника Dc, дБ	Dc	DΩ + Di	**3**	3	3	3	3	3	3	3	3		
Затухание из-за геометрической дивергенции, Adiv, дБ	расстояние = 617.57 м	ф-ла (7) [10]	**66,8**										
Коэффициент затухания звука в атмосфере α, дБ/км	Ta=20,°C Pa=101.33,кПа hотн.=70%	ф-ла (5) [9]	0,02	0,09	0,33	1,12	2,79	4,98	9,04	23,09	77,63		
Учет затухания звука в атмосфере Aatm, дБ		ф-ла (8) [10]	0	0,1	0,2	0,7	1,7	3,1	5,6	14,3	47,9		
Снижение уровня звукового давления из-за влияния застройки между источником шума и расчетной точкой													
Снижение уровня звукового давления на пути над экраном, Dz1, дБ	z = 0.08м (разность путей)	ф-лы (14-18) [10]	4,8	4,8	4,8	4,8	4,8	4,8	4,8	4,8	4,8		
Снижение уровня звукового давления на пути слева от экрана, Dz2, дБ	z = 11.92м (разность путей)	ф-лы (14-18) [10]	16,7	19,6	22,5	25,5	28,5	31,5	34,5	37,5	40,5		
Снижение уровня звукового давления на пути справа от экрана, Dz3, дБ	z = 1.53м (разность путей)	ф-лы (14-18) [10]	9,4	11,6	14,1	16,8	19,7	22,6	25,6	28,6	31,6		
Общее снижение уровня звука препятствием Dz, дБ		Эн.сумма(-Dzi)	3,3	3,8	4,2	4,5	4,6	4,7	4,7	4,8	4,8		

1		2	3	4	5	6	7	8	9	10	11	12	13
Уровни звукового давления от источника ИШ-2-15 в расчётной точке днём, дБ		**ф-ла(3)[10]**	**0**	**25,6**	**26,4**	**27**	**26,1**	**24,3**	**18,5**	**5,5**	**0**	**28,1**	**28,1**
Уровни звукового давления от источника ИШ-2-15 в расчётной точке ночью, дБ		**ф-ла(3)[10]**	**0**	**25,6**	**26,4**	**27**	**26,1**	**24,3**	**18,5**	**5,5**	**0**	**28,1**	**28,1**
Источник шума: ИШ-2-16, координаты источника (x,y,z), м =[749.73,64.02,1.00]													
Уровни звуковой мощности источника днём, Lw, дБ		**исходные данные**	**0**	**93,3**	**94,7**	**96**	**96,3**	**95,9**	**92,6**	**88,4**	**83,9**		
Уровни звуковой мощности источника ночью, Lw, дБ		**исходные данные**	**0**	**93,3**	**94,7**	**96**	**96,3**	**95,9**	**92,6**	**88,4**	**83,9**		
Поправка на телесный угол DΩ, дБ	Ω = 6.28	10Lg(4π/Ω)	**3**	3	3	3	3	3	3	3	3		
Показатель направленности источника Di, дБ		исходные данные	**0**	0	0	0	0	0	0	0	0		
Поправка на направленность источника Dc, дБ	Dc	DΩ + Di	**3**	3	3	3	3	3	3	3	3		
Затухание из-за геометрической дивергенции, Adiv, дБ	расстояние = 615.51 м	ф-ла (7) [10]	**66,8**										
Коэффициент затухания звука в атмосфере α, дБ/км	Ta=20,°C Pa=101.33,кПа hотн.=70%	ф-ла (5) [9]	0,02	0,09	0,33	1,12	2,79	4,98	9,04	23,09	77,63		
Учет затухания звука в атмосфере Aatm, дБ		ф-ла (8) [10]	0	0,1	0,2	0,7	1,7	3,1	5,6	14,2	47,8		
Снижение уровня звукового давления из-за влияния застройки между источником шума и расчетной точкой													
Снижение уровня звукового давления на пути над экраном, Dz1, дБ	z = 0.08м (разность путей)	ф-лы (14-18) [10]	4,8	4,8	4,8	4,8	4,8	4,8	4,8	4,8	4,8		
Снижение уровня звукового давления на пути слева от экрана, Dz2, дБ	z = 11.41м (разность путей)	ф-лы (14-18) [10]	16,6	19,4	22,3	25,3	28,3	31,3	34,3	37,3	40,3		
Снижение уровня звукового давления на пути справа от экрана, Dz3, дБ	z = 1.62м (разность путей)	ф-лы (14-18) [10]	9,6	11,8	14,3	17,1	19,9	22,9	25,9	28,8	31,9		
Общее снижение уровня звука препятствием Dz, дБ		Эн.сумма(-Dzi)	3,3	3,9	4,2	4,5	4,6	4,7	4,7	4,8	4,8		

1		2	3	4	5	6	7	8	9	10	11	12	13
Уровни звукового давления от источника ИШ-2-16 в расчётной точке днём, дБ		**ф-ла(3)[10]**	**0**	**25,6**	**26,5**	**27**	**26,2**	**24,3**	**18,5**	**5,6**	**0**	**28,1**	**28,1**
Уровни звукового давления от источника ИШ-2-16 в расчётной точке ночью, дБ		**ф-ла(3)[10]**	**0**	**25,6**	**26,5**	**27**	**26,2**	**24,3**	**18,5**	**5,6**	**0**	**28,1**	**28,1**
Источник шума: ИШ-2-17, координаты источника (x,y,z), м =[748.87,61.06,1.00]													
Уровни звуковой мощности источника днём, Lw, дБ		**исходные данные**	**0**	**93,3**	**94,7**	**96**	**96,3**	**95,9**	**92,6**	**88,4**	**83,9**		
Уровни звуковой мощности источника ночью, Lw, дБ		**исходные данные**	**0**	**93,3**	**94,7**	**96**	**96,3**	**95,9**	**92,6**	**88,4**	**83,9**		
Поправка на телесный угол DΩ, дБ	Ω = 6.28	10Lg(4π/Ω)	**3**	3	3	3	3	3	3	3	3		
Показатель направленности источника Di, дБ		исходные данные	**0**	0	0	0	0	0	0	0	0		
Поправка на направленность источника Dc, дБ	Dc	DΩ + Di	**3**	3	3	3	3	3	3	3	3		
Затухание из-за геометрической дивергенции, Adiv, дБ	расстояние = 613.56 м	ф-ла (7) [10]	**66,8**										
Коэффициент затухания звука в атмосфере α, дБ/км	Ta=20,°C Pa=101.33,кПа hотн.=70%	ф-ла (5) [9]	0,02	0,09	0,33	1,12	2,79	4,98	9,04	23,09	77,63		
Учет затухания звука в атмосфере Aatm, дБ		ф-ла (8) [10]	0	0,1	0,2	0,7	1,7	3,1	5,5	14,2	47,6		
Снижение уровня звукового давления из-за влияния застройки между источником шума и расчетной точкой													
Снижение уровня звукового давления на пути над экраном, Dz1, дБ	z = 0.08м (разность путей)	ф-лы (14-18) [10]	4,8	4,8	4,8	4,8	4,8	4,8	4,8	4,8	4,8		
Снижение уровня звукового давления на пути слева от экрана, Dz2, дБ	z = 10.86м (разность путей)	ф-лы (14-18) [10]	16,4	19,2	22,1	25,1	28,1	31,1	34,1	37,1	40,1		
Снижение уровня звукового давления на пути справа от экрана, Dz3, дБ	z = 1.73м (разность путей)	ф-лы (14-18) [10]	9,7	12	14,5	17,3	20,2	23,2	26,1	29,1	32,1		
Общее снижение уровня звука препятствием Dz, дБ		Эн.сумма(-Dzi)	3,3	3,9	4,3	4,5	4,6	4,7	4,8	4,8	4,8		

1		2	3	4	5	6	7	8	9	10	11	12	13
Уровни звукового давления от источника ИШ-2-17 в расчётной точке днём, дБ		**ф-ла(3)[10]**	**0**	**25,6**	**26,5**	**27**	**26,2**	**24,4**	**18,5**	**5,7**	**0**	**28,2**	**28,2**
Уровни звукового давления от источника ИШ-2-17 в расчётной точке ночью, дБ		**ф-ла(3)[10]**	**0**	**25,6**	**26,5**	**27**	**26,2**	**24,4**	**18,5**	**5,7**	**0**	**28,2**	**28,2**
Источник шума: ИШ-2-18, координаты источника (x,y,z), м =[747.72,58.17,1.00]													
Уровни звуковой мощности источника днём, Lw, дБ		**исходные данные**	**0**	**93,3**	**94,7**	**96**	**96,3**	**95,9**	**92,6**	**88,4**	**83,9**		
Уровни звуковой мощности источника ночью, Lw, дБ		**исходные данные**	**0**	**93,3**	**94,7**	**96**	**96,3**	**95,9**	**92,6**	**88,4**	**83,9**		
Поправка на телесный угол DΩ, дБ	Ω = 6.28	10Lg(4π/Ω)	**3**	3	3	3	3	3	3	3	3		
Показатель направленности источника Di, дБ		исходные данные	**0**	0	0	0	0	0	0	0	0		
Поправка на направленность источника Dc, дБ	Dc	DΩ + Di	**3**	3	3	3	3	3	3	3	3		
Затухание из-за геометрической дивергенции, Adiv, дБ	расстояние = 611.37 м	ф-ла (7) [10]	**66,7**										
Коэффициент затухания звука в атмосфере α, дБ/км	Ta=20,°C Pa=101.33,кПа hотн.=70%	ф-ла (5) [9]	0,02	0,09	0,33	1,12	2,79	4,98	9,04	23,09	77,63		
Учет затухания звука в атмосфере Aatm, дБ		ф-ла (8) [10]	0	0,1	0,2	0,7	1,7	3	5,5	14,1	47,5		
Снижение уровня звукового давления из-за влияния застройки между источником шума и расчетной точкой													
Снижение уровня звукового давления на пути над экраном, Dz1, дБ	z = 0.08м (разность путей)	ф-лы (14-18) [10]	4,8	4,8	4,8	4,8	4,8	4,8	4,8	4,8	4,8		
Снижение уровня звукового давления на пути слева от экрана, Dz2, дБ	z = 10.38м (разность путей)	ф-лы (14-18) [10]	16,2	19	21,9	24,9	27,9	30,9	33,9	36,9	39,9		
Снижение уровня звукового давления на пути справа от экрана, Dz3, дБ	z = 1.84м (разность путей)	ф-лы (14-18) [10]	13,4	16,3	19,2	22,2	25,1	28,1	31,1	34,1	37,1		
Общее снижение уровня звука препятствием Dz, дБ		Эн.сумма(-Dzi)	3,9	4,3	4,5	4,7	4,7	4,7	4,8	4,8	4,8		

1		2	3	4	5	6	7	8	9	10	11	12	13
Уровни звукового давления от источника ИШ-2-18 в расчётной точке днём, дБ		**ф-ла(3)[10]**	**0**	**25,2**	**26,2**	**26,9**	**26,1**	**24,4**	**18,6**	**5,8**	**0**	**28,1**	**28,1**
Уровни звукового давления от источника ИШ-2-18 в расчётной точке ночью, дБ		**ф-ла(3)[10]**	**0**	**25,2**	**26,2**	**26,9**	**26,1**	**24,4**	**18,6**	**5,8**	**0**	**28,1**	**28,1**
Источник шума: ИШ-2-19, координаты источника (x,y,z), м =[746.80,55.25,1.00]													
Уровни звуковой мощности источника днём, Lw, дБ		**исходные данные**	**0**	**93,3**	**94,7**	**96**	**96,3**	**95,9**	**92,6**	**88,4**	**83,9**		
Уровни звуковой мощности источника ночью, Lw, дБ		**исходные данные**	**0**	**93,3**	**94,7**	**96**	**96,3**	**95,9**	**92,6**	**88,4**	**83,9**		
Поправка на телесный угол DΩ, дБ	Ω = 6.28	10Lg(4π/Ω)	**3**	3	3	3	3	3	3	3	3		
Показатель направленности источника Di, дБ		исходные данные	**0**	0	0	0	0	0	0	0	0		
Поправка на направленность источника Dc, дБ	Dc	DΩ + Di	**3**	3	3	3	3	3	3	3	3		
Затухание из-за геометрической дивергенции, Adiv, дБ	расстояние = 609.39 м	ф-ла (7) [10]	**66,7**										
Коэффициент затухания звука в атмосфере α, дБ/км	Ta=20,°C Pa=101.33,кПа hотн.=70%	ф-ла (5) [9]	0,02	0,09	0,33	1,12	2,79	4,98	9,04	23,09	77,63		
Учет затухания звука в атмосфере Aatm, дБ		ф-ла (8) [10]	0	0,1	0,2	0,7	1,7	3	5,5	14,1	47,3		
Снижение уровня звукового давления из-за влияния застройки между источником шума и расчетной точкой													
Снижение уровня звукового давления на пути над экраном, Dz1, дБ	z = 0.09м (разность путей)	ф-лы (14-18) [10]	4,8	4,8	4,8	4,8	4,8	4,8	4,8	4,8	4,8		
Снижение уровня звукового давления на пути слева от экрана, Dz2, дБ	z = 9.85м (разность путей)	ф-лы (14-18) [10]	16	18,8	21,7	24,7	27,7	30,7	33,7	36,7	39,7		
Снижение уровня звукового давления на пути справа от экрана, Dz3, дБ	z = 1.96м (разность путей)	ф-лы (14-18) [10]	13,6	16,6	19,5	22,5	25,4	28,4	31,4	34,4	37,4		
Общее снижение уровня звука препятствием Dz, дБ		Эн.сумма(-Dzi)	4	4,3	4,5	4,7	4,7	4,8	4,8	4,8	4,8		

1		2	3	4	5	6	7	8	9	10	11	12	13
Уровни звукового давления от источника ИШ-2-19 в расчётной точке днём, дБ		**ф-ла(3)[10]**	**0**	**25,2**	**26,2**	**27**	**26,2**	**24,4**	**18,6**	**5,8**	**0**	**28,2**	**28,2**
Уровни звукового давления от источника ИШ-2-19 в расчётной точке ночью, дБ		**ф-ла(3)[10]**	**0**	**25,2**	**26,2**	**27**	**26,2**	**24,4**	**18,6**	**5,8**	**0**	**28,2**	**28,2**
Источник шума: ИШ-2-20, координаты источника (x,y,z), м =[745.71,52.44,1.00]													
Уровни звуковой мощности источника днём, Lw, дБ		**исходные данные**	**0**	**93,3**	**94,7**	**96**	**96,3**	**95,9**	**92,6**	**88,4**	**83,9**		
Уровни звуковой мощности источника ночью, Lw, дБ		**исходные данные**	**0**	**93,3**	**94,7**	**96**	**96,3**	**95,9**	**92,6**	**88,4**	**83,9**		
Поправка на телесный угол DΩ, дБ	Ω = 6.28	10Lg(4π/Ω)	**3**	3	3	3	3	3	3	3	3		
Показатель направленности источника Di, дБ		исходные данные	**0**	0	0	0	0	0	0	0	0		
Поправка на направленность источника Dc, дБ	Dc	DΩ + Di	**3**	3	3	3	3	3	3	3	3		
Затухание из-за геометрической дивергенции, Adiv, дБ	расстояние = 607.31 м	ф-ла (7) [10]	**66,7**										
Коэффициент затухания звука в атмосфере α, дБ/км	Ta=20,°C Pa=101.33,кПа hотн.=70%	ф-ла (5) [9]	0,02	0,09	0,33	1,12	2,79	4,98	9,04	23,09	77,63		
Учет затухания звука в атмосфере Aatm, дБ		ф-ла (8) [10]	0	0,1	0,2	0,7	1,7	3	5,5	14	47,1		
Снижение уровня звукового давления из-за влияния застройки между источником шума и расчетной точкой													
Снижение уровня звукового давления на пути над экраном, Dz1, дБ	z = 0.09м (разность путей)	ф-лы (14-18) [10]	4,8	4,8	4,8	4,8	4,8	4,8	4,8	4,8	4,9		
Снижение уровня звукового давления на пути слева от экрана, Dz2, дБ	z = 9.38м (разность путей)	ф-лы (14-18) [10]	15,8	18,6	21,5	24,5	27,4	30,4	33,4	36,5	39,5		
Снижение уровня звукового давления на пути справа от экрана, Dz3, дБ	z = 2.10м (разность путей)	ф-лы (14-18) [10]	13,9	16,9	19,8	22,7	25,7	28,7	31,7	34,7	37,7		
Общее снижение уровня звука препятствием Dz, дБ		Эн.сумма(-Dzi)	4	4,3	4,5	4,7	4,7	4,8	4,8	4,8	4,8		

1		2	3	4	5	6	7	8	9	10	11	12	13
Уровни звукового давления от источника ИШ-2-20 в расчётной точке днём, дБ		**ф-ла(3)[10]**	**0**	**25,2**	**26,3**	**27**	**26,2**	**24,4**	**18,7**	**5,9**	**0**	**28,2**	**28,2**
Уровни звукового давления от источника ИШ-2-20 в расчётной точке ночью, дБ		**ф-ла(3)[10]**	**0**	**25,2**	**26,3**	**27**	**26,2**	**24,4**	**18,7**	**5,9**	**0**	**28,2**	**28,2**
Источник шума: ИШ-2-21, координаты источника (x,y,z), м =[744.89,49.62,1.00]													
Уровни звуковой мощности источника днём, Lw, дБ		**исходные данные**	**0**	**93,3**	**94,7**	**96**	**96,3**	**95,9**	**92,6**	**88,4**	**83,9**		
Уровни звуковой мощности источника ночью, Lw, дБ		**исходные данные**	**0**	**93,3**	**94,7**	**96**	**96,3**	**95,9**	**92,6**	**88,4**	**83,9**		
Поправка на телесный угол DΩ, дБ	Ω = 6.28	10Lg(4π/Ω)	**3**	3	3	3	3	3	3	3	3		
Показатель направленности источника Di, дБ		исходные данные	**0**	0	0	0	0	0	0	0	0		
Поправка на направленность источника Dc, дБ	Dc	DΩ + Di	**3**	3	3	3	3	3	3	3	3		
Затухание из-за геометрической дивергенции, Adiv, дБ	расстояние = 605.48 м	ф-ла (7) [10]	**66,6**										
Коэффициент затухания звука в атмосфере α, дБ/км	Ta=20,°C Pa=101.33,кПа hотн.=70%	ф-ла (5) [9]	0,02	0,09	0,33	1,12	2,79	4,98	9,04	23,09	77,63		
Учет затухания звука в атмосфере Aatm, дБ		ф-ла (8) [10]	0	0,1	0,2	0,7	1,7	3	5,5	14	47		
Снижение уровня звукового давления из-за влияния застройки между источником шума и расчетной точкой													
Снижение уровня звукового давления на пути над экраном, Dz1, дБ	z = 0.09м (разность путей)	ф-лы (14-18) [10]	4,8	4,8	4,8	4,8	4,8	4,8	4,8	4,8	4,9		
Снижение уровня звукового давления на пути слева от экрана, Dz2, дБ	z = 8.88м (разность путей)	ф-лы (14-18) [10]	15,6	18,4	21,3	24,2	27,2	30,2	33,2	36,2	39,2		
Снижение уровня звукового давления на пути справа от экрана, Dz3, дБ	z = 2.26м (разность путей)	ф-лы (14-18) [10]	14,1	17,2	20,1	23,1	26	29	32	35,1	38,1		
Общее снижение уровня звука препятствием Dz, дБ		Эн.сумма(-Dzi)	4	4,4	4,6	4,7	4,7	4,8	4,8	4,8	4,9		

1		2	3	4	5	6	7	8	9	10	11	12	13
Уровни звукового давления от источника ИШ-2-21 в расчётной точке днём, дБ		**ф-ла(3)[10]**	**0**	**25,2**	**26,3**	**27**	**26,2**	**24,5**	**18,7**	**6**	**0**	**28,2**	**28,2**
Уровни звукового давления от источника ИШ-2-21 в расчётной точке ночью, дБ		**ф-ла(3)[10]**	**0**	**25,2**	**26,3**	**27**	**26,2**	**24,5**	**18,7**	**6**	**0**	**28,2**	**28,2**
Источник шума: ИШ-2-22, координаты источника (x,y,z), м =[737.40,27.07,1.00]													
Уровни звуковой мощности источника днём, Lw, дБ		**исходные данные**	**0**	**93,3**	**94,7**	**96**	**96,3**	**95,9**	**92,6**	**88,4**	**83,9**		
Уровни звуковой мощности источника ночью, Lw, дБ		**исходные данные**	**0**	**93,3**	**94,7**	**96**	**96,3**	**95,9**	**92,6**	**88,4**	**83,9**		
Поправка на телесный угол DΩ, дБ	Ω = 6.28	10Lg(4π/Ω)	**3**	3	3	3	3	3	3	3	3		
Показатель направленности источника Di, дБ		исходные данные	**0**	0	0	0	0	0	0	0	0		
Поправка на направленность источника Dc, дБ	Dc	DΩ + Di	**3**	3	3	3	3	3	3	3	3		
Затухание из-за геометрической дивергенции, Adiv, дБ	расстояние = 590.30 м	ф-ла (7) [10]	**66,4**										
Коэффициент затухания звука в атмосфере α, дБ/км	Ta=20,°C Pa=101.33,кПа hотн.=70%	ф-ла (5) [9]	0,02	0,09	0,33	1,12	2,79	4,98	9,04	23,09	77,63		
Учет затухания звука в атмосфере Aatm, дБ		ф-ла (8) [10]	0	0,1	0,2	0,7	1,6	2,9	5,3	13,6	45,8		
Снижение уровня звукового давления из-за влияния застройки между источником шума и расчетной точкой													
Снижение уровня звукового давления на пути над экраном, Dz1, дБ	z = 0.16м (разность путей)	ф-лы (14-18) [10]	4,8	4,8	4,8	4,8	4,9	5,1	5,4	5,9	6,7		
Снижение уровня звукового давления на пути слева от экрана, Dz2, дБ	z = 5.26м (разность путей)	ф-лы (14-18) [10]	13,5	16,2	19,1	22	24,9	27,9	30,9	33,9	37		
Снижение уровня звукового давления на пути справа от экрана, Dz3, дБ	z = 4.30м (разность путей)	ф-лы (14-18) [10]	16,7	19,8	22,8	25,8	28,8	31,8	34,8	37,8	40,8		
Общее снижение уровня звука препятствием Dz, дБ		Эн.сумма(-Dzi)	4	4,4	4,6	4,7	4,8	5	5,3	5,9	6,7		

1		2	3	4	5	6	7	8	9	10	11	12	13
Уровни звукового давления от источника ИШ-2-22 в расчётной точке днём, дБ		**ф-ла(3)[10]**	**0**	**25,5**	**26,5**	**27,2**	**26,4**	**24,5**	**18,5**	**5,5**	**0**	**28,3**	**28,3**
Уровни звукового давления от источника ИШ-2-22 в расчётной точке ночью, дБ		**ф-ла(3)[10]**	**0**	**25,5**	**26,5**	**27,2**	**26,4**	**24,5**	**18,5**	**5,5**	**0**	**28,3**	**28,3**
Источник шума: ИШ-2-23, координаты источника (x,y,z), м =[736.46,24.18,1.00]													
Уровни звуковой мощности источника днём, Lw, дБ		**исходные данные**	**0**	**93,3**	**94,7**	**96**	**96,3**	**95,9**	**92,6**	**88,4**	**83,9**		
Уровни звуковой мощности источника ночью, Lw, дБ		**исходные данные**	**0**	**93,3**	**94,7**	**96**	**96,3**	**95,9**	**92,6**	**88,4**	**83,9**		
Поправка на телесный угол DΩ, дБ	Ω = 6.28	10Lg(4π/Ω)	**3**	3	3	3	3	3	3	3	3		
Показатель направленности источника Di, дБ		исходные данные	**0**	0	0	0	0	0	0	0	0		
Поправка на направленность источника Dc, дБ	Dc	DΩ + Di	**3**	3	3	3	3	3	3	3	3		
Затухание из-за геометрической дивергенции, Adiv, дБ	расстояние = 588.42 м	ф-ла (7) [10]	**66,4**										
Коэффициент затухания звука в атмосфере α, дБ/км	Ta=20,°C Pa=101.33,кПа hотн.=70%	ф-ла (5) [9]	0,02	0,09	0,33	1,12	2,79	4,98	9,04	23,09	77,63		
Учет затухания звука в атмосфере Aatm, дБ		ф-ла (8) [10]	0	0,1	0,2	0,7	1,6	2,9	5,3	13,6	45,7		
Снижение уровня звукового давления из-за влияния застройки между источником шума и расчетной точкой													
Снижение уровня звукового давления на пути над экраном, Dz1, дБ	z = 0.16м (разность путей)	ф-лы (14-18) [10]	4,8	4,8	4,8	4,8	4,9	5,1	5,5	6,1	7,1		
Снижение уровня звукового давления на пути слева от экрана, Dz2, дБ	z = 4.84м (разность путей)	ф-лы (14-18) [10]	13,2	15,9	18,7	21,6	24,6	27,6	30,6	33,6	36,6		
Снижение уровня звукового давления на пути справа от экрана, Dz3, дБ	z = 4.67м (разность путей)	ф-лы (14-18) [10]	17	20,2	23,2	26,2	29,2	32,2	35,2	38,2	41,2		
Общее снижение уровня звука препятствием Dz, дБ		Эн.сумма(-Dzi)	4	4,3	4,6	4,7	4,9	5,1	5,4	6,1	7,1		

1		2	3	4	5	6	7	8	9	10	11	12	13
Уровни звукового давления от источника ИШ-2-23 в расчётной точке днём, дБ		**ф-ла(3)[10]**	**0**	**25,5**	**26,5**	**27,2**	**26,4**	**24,5**	**18,4**	**5,4**	**0**	**28,3**	**28,3**
Уровни звукового давления от источника ИШ-2-23 в расчётной точке ночью, дБ		**ф-ла(3)[10]**	**0**	**25,5**	**26,5**	**27,2**	**26,4**	**24,5**	**18,4**	**5,4**	**0**	**28,3**	**28,3**
Источник шума: ИШ-2-24, координаты источника (x,y,z), м =[735.45,21.21,1.00]													
Уровни звуковой мощности источника днём, Lw, дБ		**исходные данные**	**0**	**93,3**	**94,7**	**96**	**96,3**	**95,9**	**92,6**	**88,4**	**83,9**		
Уровни звуковой мощности источника ночью, Lw, дБ		**исходные данные**	**0**	**93,3**	**94,7**	**96**	**96,3**	**95,9**	**92,6**	**88,4**	**83,9**		
Поправка на телесный угол DΩ, дБ	Ω = 6.28	10Lg(4π/Ω)	**3**	3	3	3	3	3	3	3	3		
Показатель направленности источника Di, дБ		исходные данные	**0**	0	0	0	0	0	0	0	0		
Поправка на направленность источника Dc, дБ	Dc	DΩ + Di	**3**	3	3	3	3	3	3	3	3		
Затухание из-за геометрической дивергенции, Adiv, дБ	расстояние = 586.45 м	ф-ла (7) [10]	**66,4**										
Коэффициент затухания звука в атмосфере α, дБ/км	Ta=20,°C Pa=101.33,кПа hотн.=70%	ф-ла (5) [9]	0,02	0,09	0,33	1,12	2,79	4,98	9,04	23,09	77,63		
Учет затухания звука в атмосфере Aatm, дБ		ф-ла (8) [10]	0	0,1	0,2	0,7	1,6	2,9	5,3	13,5	45,5		
Снижение уровня звукового давления из-за влияния застройки между источником шума и расчетной точкой													
Снижение уровня звукового давления на пути над экраном, Dz1, дБ	z = 0.16м (разность путей)	ф-лы (14-18) [10]	4,8	4,8	4,8	4,8	4,9	5,1	5,5	6,1	7,2		
Снижение уровня звукового давления на пути слева от экрана, Dz2, дБ	z = 4.42м (разность путей)	ф-лы (14-18) [10]	12,9	15,5	18,3	21,2	24,2	27,2	30,2	33,2	36,2		
Снижение уровня звукового давления на пути справа от экрана, Dz3, дБ	z = 5.07м (разность путей)	ф-лы (14-18) [10]	17,4	20,5	23,5	26,5	29,5	32,5	35,5	38,6	41,6		
Общее снижение уровня звука препятствием Dz, дБ		Эн.сумма(-Dzi)	3,9	4,3	4,6	4,7	4,9	5,1	5,5	6,1	7,1		

1		2	3	4	5	6	7	8	9	10	11	12	13
Уровни звукового давления от источника ИШ-2-24 в расчётной точке днём, дБ		**ф-ла(3)[10]**	**0**	**25,6**	**26,6**	**27,3**	**26,4**	**24,5**	**18,5**	**5,4**	**0**	**28,3**	**28,3**
Уровни звукового давления от источника ИШ-2-24 в расчётной точке ночью, дБ		**ф-ла(3)[10]**	**0**	**25,6**	**26,6**	**27,3**	**26,4**	**24,5**	**18,5**	**5,4**	**0**	**28,3**	**28,3**
Источник шума: ИШ-2-25, координаты источника (x,y,z), м =[734.58,18.32,1.00]													
Уровни звуковой мощности источника днём, Lw, дБ		**исходные данные**	**0**	**93,3**	**94,7**	**96**	**96,3**	**95,9**	**92,6**	**88,4**	**83,9**		
Уровни звуковой мощности источника ночью, Lw, дБ		**исходные данные**	**0**	**93,3**	**94,7**	**96**	**96,3**	**95,9**	**92,6**	**88,4**	**83,9**		
Поправка на телесный угол DΩ, дБ	Ω = 6.28	10Lg(4π/Ω)	**3**	3	3	3	3	3	3	3	3		
Показатель направленности источника Di, дБ		исходные данные	**0**	0	0	0	0	0	0	0	0		
Поправка на направленность источника Dc, дБ	Dc	DΩ + Di	**3**	3	3	3	3	3	3	3	3		
Затухание из-за геометрической дивергенции, Adiv, дБ	расстояние = 584.65 м	ф-ла (7) [10]	**66,3**										
Коэффициент затухания звука в атмосфере α, дБ/км	Ta=20,°C Pa=101.33,кПа hотн.=70%	ф-ла (5) [9]	0,02	0,09	0,33	1,12	2,79	4,98	9,04	23,09	77,63		
Учет затухания звука в атмосфере Aatm, дБ		ф-ла (8) [10]	0	0,1	0,2	0,7	1,6	2,9	5,3	13,5	45,4		
Снижение уровня звукового давления из-за влияния застройки между источником шума и расчетной точкой													
Снижение уровня звукового давления на пути над экраном, Dz1, дБ	z = 0.16м (разность путей)	ф-лы (14-18) [10]	4,8	4,8	4,8	4,8	5	5,2	5,5	6,2	7,2		
Снижение уровня звукового давления на пути слева от экрана, Dz2, дБ	z = 4.01м (разность путей)	ф-лы (14-18) [10]	12,5	15,1	17,9	20,8	23,8	26,8	29,8	32,8	35,8		
Снижение уровня звукового давления на пути справа от экрана, Dz3, дБ	z = 5.50м (разность путей)	ф-лы (14-18) [10]	17,7	20,9	23,9	26,9	29,9	32,9	35,9	38,9	41,9		
Общее снижение уровня звука препятствием Dz, дБ		Эн.сумма(-Dzi)	3,9	4,3	4,5	4,7	4,9	5,1	5,5	6,1	7,2		

1		2	3	4	5	6	7	8	9	10	11	12	13
Уровни звукового давления от источника ИШ-2-25 в расчётной точке днём, дБ		**ф-ла(3)[10]**	**0**	**25,6**	**26,6**	**27,3**	**26,4**	**24,5**	**18,5**	**5,4**	**0**	**28,3**	**28,3**
Уровни звукового давления от источника ИШ-2-25 в расчётной точке ночью, дБ		**ф-ла(3)[10]**	**0**	**25,6**	**26,6**	**27,3**	**26,4**	**24,5**	**18,5**	**5,4**	**0**	**28,3**	**28,3**
Источник шума: ИШ-2-26, координаты источника (x,y,z), м =[733.57,15.41,1.00]													
Уровни звуковой мощности источника днём, Lw, дБ		**исходные данные**	**0**	**93,3**	**94,7**	**96**	**96,3**	**95,9**	**92,6**	**88,4**	**83,9**		
Уровни звуковой мощности источника ночью, Lw, дБ		**исходные данные**	**0**	**93,3**	**94,7**	**96**	**96,3**	**95,9**	**92,6**	**88,4**	**83,9**		
Поправка на телесный угол DΩ, дБ	Ω = 6.28	10Lg(4π/Ω)	**3**	3	3	3	3	3	3	3	3		
Показатель направленности источника Di, дБ		исходные данные	**0**	0	0	0	0	0	0	0	0		
Поправка на направленность источника Dc, дБ	Dc	DΩ + Di	**3**	3	3	3	3	3	3	3	3		
Затухание из-за геометрической дивергенции, Adiv, дБ	расстояние = 582.72 м	ф-ла (7) [10]	**66,3**										
Коэффициент затухания звука в атмосфере α, дБ/км	Ta=20,°C Pa=101.33,кПа hотн.=70%	ф-ла (5) [9]	0,02	0,09	0,33	1,12	2,79	4,98	9,04	23,09	77,63		
Учет затухания звука в атмосфере Aatm, дБ		ф-ла (8) [10]	0	0,1	0,2	0,7	1,6	2,9	5,3	13,5	45,2		
Снижение уровня звукового давления из-за влияния застройки между источником шума и расчетной точкой													
Снижение уровня звукового давления на пути над экраном, Dz1, дБ	z = 0.16м (разность путей)	ф-лы (14-18) [10]	4,8	4,8	4,8	4,9	5	5,2	5,5	6,2	7,3		
Снижение уровня звукового давления на пути слева от экрана, Dz2, дБ	z = 3.63м (разность путей)	ф-лы (14-18) [10]	12,2	14,8	17,5	20,4	23,4	26,3	29,3	32,3	35,3		
Снижение уровня звукового давления на пути справа от экрана, Dz3, дБ	z = 5.95м (разность путей)	ф-лы (14-18) [10]	18	21,2	24,2	27,2	30,2	33,2	36,2	39,2	42,3		
Общее снижение уровня звука препятствием Dz, дБ		Эн.сумма(-Dzi)	3,9	4,3	4,5	4,7	4,9	5,1	5,5	6,2	7,3		

1		2	3	4	5	6	7	8	9	10	11	12	13
Уровни звукового давления от источника ИШ-2-26 в расчётной точке днём, дБ		**ф-ла(3)[10]**	**0**	**25,7**	**26,7**	**27,3**	**26,5**	**24,6**	**18,5**	**5,4**	**0**	**28,3**	**28,3**
Уровни звукового давления от источника ИШ-2-26 в расчётной точке ночью, дБ		**ф-ла(3)[10]**	**0**	**25,7**	**26,7**	**27,3**	**26,5**	**24,6**	**18,5**	**5,4**	**0**	**28,3**	**28,3**
Источник шума: ИШ-2-27, координаты источника (x,y,z), м =[732.43,12.66,1.00]													
Уровни звуковой мощности источника днём, Lw, дБ		**исходные данные**	**0**	**93,3**	**94,7**	**96**	**96,3**	**95,9**	**92,6**	**88,4**	**83,9**		
Уровни звуковой мощности источника ночью, Lw, дБ		**исходные данные**	**0**	**93,3**	**94,7**	**96**	**96,3**	**95,9**	**92,6**	**88,4**	**83,9**		
Поправка на телесный угол DΩ, дБ	Ω = 6.28	10Lg(4π/Ω)	**3**	3	3	3	3	3	3	3	3		
Показатель направленности источника Di, дБ		исходные данные	**0**	0	0	0	0	0	0	0	0		
Поправка на направленность источника Dc, дБ	Dc	DΩ + Di	**3**	3	3	3	3	3	3	3	3		
Затухание из-за геометрической дивергенции, Adiv, дБ	расстояние = 580.73 м	ф-ла (7) [10]	**66,3**										
Коэффициент затухания звука в атмосфере α, дБ/км	Ta=20,°C Pa=101.33,кПа hотн.=70%	ф-ла (5) [9]	0,02	0,09	0,33	1,12	2,79	4,98	9,04	23,09	77,63		
Учет затухания звука в атмосфере Aatm, дБ		ф-ла (8) [10]	0	0,1	0,2	0,7	1,6	2,9	5,2	13,4	45,1		
Снижение уровня звукового давления из-за влияния застройки между источником шума и расчетной точкой													
Снижение уровня звукового давления на пути над экраном, Dz1, дБ	z = 0.17м (разность путей)	ф-лы (14-18) [10]	4,8	4,8	4,8	4,9	5	5,2	5,6	6,3	7,4		
Снижение уровня звукового давления на пути слева от экрана, Dz2, дБ	z = 3.29м (разность путей)	ф-лы (14-18) [10]	11,8	14,4	17,1	20	22,9	25,9	28,9	31,9	34,9		
Снижение уровня звукового давления на пути справа от экрана, Dz3, дБ	z = 6.40м (разность путей)	ф-лы (14-18) [10]	18,3	21,5	24,5	27,5	30,5	33,5	36,5	39,6	42,6		
Общее снижение уровня звука препятствием Dz, дБ		Эн.сумма(-Dzi)	3,8	4,2	4,5	4,7	4,9	5,1	5,6	6,2	7,4		

1		2	3	4	5	6	7	8	9	10	11	12	13
Уровни звукового давления от источника ИШ-2-27 в расчётной точке днём, дБ		**ф-ла(3)[10]**	**0**	**25,7**	**26,7**	**27,4**	**26,5**	**24,6**	**18,5**	**5,5**	**0**	**28,4**	**28,4**
Уровни звукового давления от источника ИШ-2-27 в расчётной точке ночью, дБ		**ф-ла(3)[10]**	**0**	**25,7**	**26,7**	**27,4**	**26,5**	**24,6**	**18,5**	**5,5**	**0**	**28,4**	**28,4**
Источник шума: ИШ-2-28, координаты источника (x,y,z), м =[731.54,9.78,1.00]													
Уровни звуковой мощности источника днём, Lw, дБ		**исходные данные**	**0**	**93,3**	**94,7**	**96**	**96,3**	**95,9**	**92,6**	**88,4**	**83,9**		
Уровни звуковой мощности источника ночью, Lw, дБ		**исходные данные**	**0**	**93,3**	**94,7**	**96**	**96,3**	**95,9**	**92,6**	**88,4**	**83,9**		
Поправка на телесный угол DΩ, дБ	Ω = 6.28	10Lg(4π/Ω)	**3**	3	3	3	3	3	3	3	3		
Показатель направленности источника Di, дБ		исходные данные	**0**	0	0	0	0	0	0	0	0		
Поправка на направленность источника Dc, дБ	Dc	DΩ + Di	**3**	3	3	3	3	3	3	3	3		
Затухание из-за геометрической дивергенции, Adiv, дБ	расстояние = 578.94 м	ф-ла (7) [10]	**66,3**										
Коэффициент затухания звука в атмосфере α, дБ/км	Ta=20,°C Pa=101.33,кПа hотн.=70%	ф-ла (5) [9]	0,02	0,09	0,33	1,12	2,79	4,98	9,04	23,09	77,63		
Учет затухания звука в атмосфере Aatm, дБ		ф-ла (8) [10]	0	0,1	0,2	0,7	1,6	2,9	5,2	13,4	44,9		
Снижение уровня звукового давления из-за влияния застройки между источником шума и расчетной точкой													
Снижение уровня звукового давления на пути над экраном, Dz1, дБ	z = 0.17м (разность путей)	ф-лы (14-18) [10]	4,8	4,8	4,8	4,9	5	5,2	5,6	6,3	7,4		
Снижение уровня звукового давления на пути слева от экрана, Dz2, дБ	z = 2.93м (разность путей)	ф-лы (14-18) [10]	11,4	13,9	16,6	19,5	22,4	25,4	28,4	31,4	34,4		
Снижение уровня звукового давления на пути справа от экрана, Dz3, дБ	z = 6.91м (разность путей)	ф-лы (14-18) [10]	18,6	21,8	24,9	27,9	30,9	33,9	36,9	39,9	42,9		
Общее снижение уровня звука препятствием Dz, дБ		Эн.сумма(-Dzi)	3,8	4,2	4,5	4,7	4,9	5,2	5,6	6,3	7,4		

1		2	3	4	5	6	7	8	9	10	11	12	13
Уровни звукового давления от источника ИШ-2-28 в расчётной точке днём, дБ		**ф-ла(3)[10]**	**0**	**25,8**	**26,8**	**27,4**	**26,5**	**24,6**	**18,5**	**5,5**	**0**	**28,4**	**28,4**
Уровни звукового давления от источника ИШ-2-28 в расчётной точке ночью, дБ		**ф-ла(3)[10]**	**0**	**25,8**	**26,8**	**27,4**	**26,5**	**24,6**	**18,5**	**5,5**	**0**	**28,4**	**28,4**
Источник шума: ИШ-2-29, координаты источника (x,y,z), м =[730.57,6.88,1.00]													
Уровни звуковой мощности источника днём, Lw, дБ		**исходные данные**	**0**	**93,3**	**94,7**	**96**	**96,3**	**95,9**	**92,6**	**88,4**	**83,9**		
Уровни звуковой мощности источника ночью, Lw, дБ		**исходные данные**	**0**	**93,3**	**94,7**	**96**	**96,3**	**95,9**	**92,6**	**88,4**	**83,9**		
Поправка на телесный угол DΩ, дБ	Ω = 6.28	10Lg(4π/Ω)	**3**	3	3	3	3	3	3	3	3		
Показатель направленности источника Di, дБ		исходные данные	**0**	0	0	0	0	0	0	0	0		
Поправка на направленность источника Dc, дБ	Dc	DΩ + Di	**3**	3	3	3	3	3	3	3	3		
Затухание из-за геометрической дивергенции, Adiv, дБ	расстояние = 577.09 м	ф-ла (7) [10]	**66,2**										
Коэффициент затухания звука в атмосфере α, дБ/км	Ta=20,°C Pa=101.33,кПа hотн.=70%	ф-ла (5) [9]	0,02	0,09	0,33	1,12	2,79	4,98	9,04	23,09	77,63		
Учет затухания звука в атмосфере Aatm, дБ		ф-ла (8) [10]	0	0,1	0,2	0,6	1,6	2,9	5,2	13,3	44,8		
Снижение уровня звукового давления из-за влияния застройки между источником шума и расчетной точкой													
Снижение уровня звукового давления на пути над экраном, Dz1, дБ	z = 0.17м (разность путей)	ф-лы (14-18) [10]	4,8	4,8	4,8	4,9	5	5,2	5,6	6,4	7,5		
Снижение уровня звукового давления на пути слева от экрана, Dz2, дБ	z = 2.58м (разность путей)	ф-лы (14-18) [10]	11	13,5	16,1	19	21,9	24,9	27,9	30,9	33,9		
Снижение уровня звукового давления на пути справа от экрана, Dz3, дБ	z = 7.45м (разность путей)	ф-лы (14-18) [10]	19	22,2	25,2	28,2	31,2	34,2	37,2	40,2	43,2		
Общее снижение уровня звука препятствием Dz, дБ		Эн.сумма(-Dzi)	3,7	4,2	4,5	4,7	4,9	5,2	5,6	6,3	7,5		

1		2	3	4	5	6	7	8	9	10	11	12	13
Уровни звукового давления от источника ИШ-2-29 в расчётной точке днём, дБ		**ф-ла(3)[10]**	**0**	**25,9**	**26,8**	**27,4**	**26,6**	**24,6**	**18,5**	**5,5**	**0**	**28,4**	**28,4**
Уровни звукового давления от источника ИШ-2-29 в расчётной точке ночью, дБ		**ф-ла(3)[10]**	**0**	**25,9**	**26,8**	**27,4**	**26,6**	**24,6**	**18,5**	**5,5**	**0**	**28,4**	**28,4**
Источник шума: ИШ-2-4, координаты источника (x,y,z), м =[632.70,-65.30,3.00]													
Уровни звуковой мощности источника днём, Lw, дБ		**исходные данные**	**105**	**104**	**104**	**101**	**102**	**106**	**101**	**95**	**87**		
Уровни звуковой мощности источника ночью, Lw, дБ		**исходные данные**	**105**	**104**	**104**	**101**	**102**	**106**	**101**	**95**	**87**		
Поправка на телесный угол DΩ, дБ	Ω = 6.28	10Lg(4π/Ω)	**3**	3	3	3	3	3	3	3	3		
Показатель направленности источника Di, дБ		исходные данные	**0**	0	0	0	0	0	0	0	0		
Поправка на направленность источника Dc, дБ	Dc	DΩ + Di	**3**	3	3	3	3	3	3	3	3		
Затухание из-за геометрической дивергенции, Adiv, дБ	расстояние = 462.64 м	ф-ла (7) [10]	**64,3**										
Коэффициент затухания звука в атмосфере α, дБ/км	Ta=20,°C Pa=101.33,кПа hотн.=70%	ф-ла (5) [9]	0,02	0,09	0,33	1,12	2,79	4,98	9,04	23,09	77,63		
Учет затухания звука в атмосфере Aatm, дБ		ф-ла (8) [10]	0	0	0,2	0,5	1,3	2,3	4,2	10,7	35,9		
Снижение поверхностью земли возле источника As, дБ	Gs = 0 hs = 3м	ф-лы таб.3 [10]	-1,5	-1,5	-1,5	-1,5	-1,5	-1,5	-1,5	-1,5	-1,5		
Снижение поверхностью земли возле приёмника Ar, дБ	Gr = 1 hr = 4.6м	ф-лы таб.3 [10]	-1,5	-1,5	3,3	1,3	0	0	0	0	0		
Снижение поверхностью земли в средней зоне, Am дБ	Gm = 1	ф-лы таб.3 [10]	-1,5	-1,5	0	0	0	0	0	0	0		
Суммарное снижение поверхностью земли на траектории распространения звука Agr, дБ		ф-ла (9) [10]	-4,5	-4,5	1,8	-0,2	-1,5	-1,5	-1,5	-1,5	-1,5		
Уровни звукового давления прямого звука от источника ИШ-2-4 в расчётной точке днём, дБ		**ф-ла(3)[10]**	**48,2**	**47,2**	**40,7**	**39,4**	**40,9**	**43,9**	**37**	**24,5**	**0**	**45,9**	**45,9**

1		2	3	4	5	6	7	8	9	10	11	12	13
Уровни звукового давления прямого звука от источника ИШ-2-4 в расчётной точке ночью, дБ		**ф-ла(3)[10]**	**48,2**	**47,2**	**40,7**	**39,4**	**40,9**	**43,9**	**37**	**24,5**	**0**	**45,9**	**45,9**
Расчёт отражённого звука													
Уровни звукового давления от мнимого источника ИШ-2-4_мн.(1) в расчётной точке днём, дБ		**ф-ла(3)[10]**	**0**	**0**	**0**	**33,1**	**38,2**	**41,4**	**34,5**	**22**	**0**	**43,2**	**43,2**
Уровни звукового давления от мнимого источника ИШ-2-4_мн.(1) в расчётной точке ночью, дБ		**ф-ла(3)[10]**	**0**	**0**	**0**	**0**	**0**	**0**	**0**	**0**	**0**	**43,2**	**43,2**
Уровни звукового давления от источника ИШ-2-4 в расчётной точке днём, дБ		**ф-ла(3)[10]**	**48,2**	**47,2**	**40,7**	**40,3**	**42,8**	**45,8**	**39**	**26,4**	**0**	**47,8**	**47,8**
Уровни звукового давления от источника ИШ-2-4 в расчётной точке ночью, дБ		**ф-ла(3)[10]**	**48,2**	**47,2**	**40,7**	**40,3**	**42,8**	**45,8**	**39**	**26,4**	**0**	**47,8**	**47,8**
Источник шума: ИШ-2-30, координаты источника (x,y,z), м =[702.44,-77.23,1.00]													
Уровни звуковой мощности источника днём, Lw, дБ		**исходные данные**	**0**	**93,3**	**94,7**	**96**	**96,3**	**95,9**	**92,6**	**88,4**	**83,9**		
Уровни звуковой мощности источника ночью, Lw, дБ		**исходные данные**	**0**	**93,3**	**94,7**	**96**	**96,3**	**95,9**	**92,6**	**88,4**	**83,9**		
Поправка на телесный угол DΩ, дБ	Ω = 6.28	10Lg(4π/Ω)	**3**	3	3	3	3	3	3	3	3		
Показатель направленности источника Di, дБ		исходные данные	**0**	0	0	0	0	0	0	0	0		
Поправка на направленность источника Dc, дБ	Dc	DΩ + Di	**3**	3	3	3	3	3	3	3	3		
Затухание из-за геометрической дивергенции, Adiv, дБ	расстояние = 528.09 м	ф-ла (7) [10]	**65,5**										
Коэффициент затухания звука в атмосфере α, дБ/км	Ta=20,°C Pa=101.33,кПа hотн.=70%	ф-ла (5) [9]	0,02	0,09	0,33	1,12	2,79	4,98	9,04	23,09	77,63		
Учет затухания звука в атмосфере Aatm, дБ		ф-ла (8) [10]	0	0	0,2	0,6	1,5	2,6	4,8	12,2	41		
Снижение уровня звукового давления из-за влияния застройки между источником шума и расчетной точкой													

1		2	3	4	5	6	7	8	9	10	11	12	13
Снижение уровня звукового давления на пути над экраном, Dz1, дБ	z = 0.21м (разность путей)	ф-лы (14-18) [10]	4,8	4,8	4,9	5	5,3	5,8	6,6	7,9	9,8		
Снижение уровня звукового давления на пути слева от экрана, Dz2, дБ	z = 0.79м (разность путей)	ф-лы (14-18) [10]	7,7	9,5	11,7	14,2	17	19,8	22,8	25,8	28,8		
Снижение уровня звукового давления на пути справа от экрана, Dz3, дБ	z = 0.24м (разность путей)	ф-лы (14-18) [10]	5,9	6,8	8,1	10	12,3	14,9	17,7	20,6	23,5		
Общее снижение уровня звука препятствием Dz, дБ		Эн.сумма(-Dzi)	1,2	1,8	2,6	3,4	4,3	5,1	6,2	7,6	9,5		
Уровни звукового давления от источника ИШ-2-30 в расчётной точке днём, дБ		**ф-ла(3)[10]**	**0**	**28,9**	**29,5**	**29,5**	**28,1**	**25,7**	**19,2**	**6,1**	**0**	**29,7**	**29,7**
Уровни звукового давления от источника ИШ-2-30 в расчётной точке ночью, дБ		**ф-ла(3)[10]**	**0**	**28,9**	**29,5**	**29,5**	**28,1**	**25,7**	**19,2**	**6,1**	**0**	**29,7**	**29,7**
Источник шума: ИШ-2-31, координаты источника (x,y,z), м =[701.42,-80.17,1.00]													
Уровни звуковой мощности источника днём, Lw, дБ		**исходные данные**	**0**	**93,3**	**94,7**	**96**	**96,3**	**95,9**	**92,6**	**88,4**	**83,9**		
Уровни звуковой мощности источника ночью, Lw, дБ		**исходные данные**	**0**	**93,3**	**94,7**	**96**	**96,3**	**95,9**	**92,6**	**88,4**	**83,9**		
Поправка на телесный угол DΩ, дБ	Ω = 6.28	10Lg(4π/Ω)	**3**	3	3	3	3	3	3	3	3		
Показатель направленности источника Di, дБ		исходные данные	**0**	0	0	0	0	0	0	0	0		
Поправка на направленность источника Dc, дБ	Dc	DΩ + Di	**3**	3	3	3	3	3	3	3	3		
Затухание из-за геометрической дивергенции, Adiv, дБ	расстояние = 526.54 м	ф-ла (7) [10]	**65,4**										
Коэффициент затухания звука в атмосфере α, дБ/км	Ta=20,°C Pa=101.33,кПа hотн.=70%	ф-ла (5) [9]	0,02	0,09	0,33	1,12	2,79	4,98	9,04	23,09	77,63		
Учет затухания звука в атмосфере Aatm, дБ		ф-ла (8) [10]	0	0	0,2	0,6	1,5	2,6	4,8	12,2	40,9		
Снижение уровня звукового давления из-за влияния застройки между источником шума и расчетной точкой													

1		2	3	4	5	6	7	8	9	10	11	12	13
Снижение уровня звукового давления на пути над экраном, Dz1, дБ	z = 0.21м (разность путей)	ф-лы (14-18) [10]	4,8	4,8	4,9	5	5,3	5,9	6,8	8,2	10,1		
Снижение уровня звукового давления на пути слева от экрана, Dz2, дБ	z = 0.64м (разность путей)	ф-лы (14-18) [10]	7,3	8,9	11	13,4	16,1	19	21,9	24,9	27,8		
Снижение уровня звукового давления на пути справа от экрана, Dz3, дБ	z = 0.33м (разность путей)	ф-лы (14-18) [10]	6,2	7,3	8,9	11	13,5	16,2	19	22	24,9		
Общее снижение уровня звука препятствием Dz, дБ		Эн.сумма(-Dzi)	1,2	1,9	2,7	3,6	4,4	5,3	6,4	7,9	9,8		
Уровни звукового давления от источника ИШ-2-31 в расчётной точке днём, дБ		**ф-ла(3)[10]**	**0**	**28,9**	**29,4**	**29,4**	**28**	**25,5**	**19**	**5,9**	**0**	**29,6**	**29,6**
Уровни звукового давления от источника ИШ-2-31 в расчётной точке ночью, дБ		**ф-ла(3)[10]**	**0**	**28,9**	**29,4**	**29,4**	**28**	**25,5**	**19**	**5,9**	**0**	**29,6**	**29,6**
Источник шума: ИШ-2-32, координаты источника (x,y,z), м =[700.38,-83.01,1.00]													
Уровни звуковой мощности источника днём, Lw, дБ		**исходные данные**	**0**	**93,3**	**94,7**	**96**	**96,3**	**95,9**	**92,6**	**88,4**	**83,9**		
Уровни звуковой мощности источника ночью, Lw, дБ		**исходные данные**	**0**	**93,3**	**94,7**	**96**	**96,3**	**95,9**	**92,6**	**88,4**	**83,9**		
Поправка на телесный угол DΩ, дБ	Ω = 6.28	10Lg(4π/Ω)	**3**	3	3	3	3	3	3	3	3		
Показатель направленности источника Di, дБ		исходные данные	**0**	0	0	0	0	0	0	0	0		
Поправка на направленность источника Dc, дБ	Dc	DΩ + Di	**3**	3	3	3	3	3	3	3	3		
Затухание из-за геометрической дивергенции, Adiv, дБ	расстояние = 524.99 м	ф-ла (7) [10]	**65,4**										
Коэффициент затухания звука в атмосфере α, дБ/км	Ta=20,°C Pa=101.33,кПа hотн.=70%	ф-ла (5) [9]	0,02	0,09	0,33	1,12	2,79	4,98	9,04	23,09	77,63		
Учет затухания звука в атмосфере Aatm, дБ		ф-ла (8) [10]	0	0	0,2	0,6	1,5	2,6	4,7	12,1	40,8		
Снижение уровня звукового давления из-за влияния застройки между источником шума и расчетной точкой													

1		2	3	4	5	6	7	8	9	10	11	12	13
Снижение уровня звукового давления на пути над экраном, Dz1, дБ	z = 0.22м (разность путей)	ф-лы (14-18) [10]	4,8	4,8	4,9	5,1	5,4	6	6,9	8,4	10,3		
Снижение уровня звукового давления на пути слева от экрана, Dz2, дБ	z = 0.51м (разность путей)	ф-лы (14-18) [10]	6,9	8,3	10,2	12,6	15,2	18	20,9	23,9	26,9		
Снижение уровня звукового давления на пути справа от экрана, Dz3, дБ	z = 0.43м (разность путей)	ф-лы (14-18) [10]	6,6	7,9	9,7	11,9	14,5	17,3	20,2	23,1	26,1		
Общее снижение уровня звука препятствием Dz, дБ		Эн.сумма(-Dzi)	1,2	1,9	2,8	3,7	4,5	5,4	6,6	8,1	10,1		
Уровни звукового давления от источника ИШ-2-32 в расчётной точке днём, дБ		**ф-ла(3)[10]**	**0**	**28,9**	**29,3**	**29,3**	**27,9**	**25,4**	**18,9**	**5,7**	**0**	**29,5**	**29,5**
Уровни звукового давления от источника ИШ-2-32 в расчётной точке ночью, дБ		**ф-ла(3)[10]**	**0**	**28,9**	**29,3**	**29,3**	**27,9**	**25,4**	**18,9**	**5,7**	**0**	**29,5**	**29,5**
Источник шума: ИШ-2-33, координаты источника (x,y,z), м =[699.52,-85.98,1.00]													
Уровни звуковой мощности источника днём, Lw, дБ		**исходные данные**	**0**	**93,3**	**94,7**	**96**	**96,3**	**95,9**	**92,6**	**88,4**	**83,9**		
Уровни звуковой мощности источника ночью, Lw, дБ		**исходные данные**	**0**	**93,3**	**94,7**	**96**	**96,3**	**95,9**	**92,6**	**88,4**	**83,9**		
Поправка на телесный угол DΩ, дБ	Ω = 6.28	10Lg(4π/Ω)	**3**	3	3	3	3	3	3	3	3		
Показатель направленности источника Di, дБ		исходные данные	**0**	0	0	0	0	0	0	0	0		
Поправка на направленность источника Dc, дБ	Dc	DΩ + Di	**3**	3	3	3	3	3	3	3	3		
Затухание из-за геометрической дивергенции, Adiv, дБ	расстояние = 523.61 м	ф-ла (7) [10]	**65,4**										
Коэффициент затухания звука в атмосфере α, дБ/км	Ta=20,°C Pa=101.33,кПа hотн.=70%	ф-ла (5) [9]	0,02	0,09	0,33	1,12	2,79	4,98	9,04	23,09	77,63		
Учет затухания звука в атмосфере Aatm, дБ		ф-ла (8) [10]	0	0	0,2	0,6	1,5	2,6	4,7	12,1	40,6		
Снижение уровня звукового давления из-за влияния застройки между источником шума и расчетной точкой													

1		2	3	4	5	6	7	8	9	10	11	12	13
Снижение уровня звукового давления на пути над экраном, Dz1, дБ	z = 0.22м (разность путей)	ф-лы (14-18) [10]	4,8	4,8	4,9	5,1	5,4	6	7	8,5	10,5		
Снижение уровня звукового давления на пути слева от экрана, Dz2, дБ	z = 0.39м (разность путей)	ф-лы (14-18) [10]	6,5	7,7	9,4	11,6	14,1	16,9	19,7	22,7	25,7		
Снижение уровня звукового давления на пути справа от экрана, Dz3, дБ	z = 0.56м (разность путей)	ф-лы (14-18) [10]	7	8,5	10,5	12,9	15,5	18,3	21,3	24,2	27,2		
Общее снижение уровня звука препятствием Dz, дБ		Эн.сумма(-Dzi)	1,2	1,9	2,8	3,6	4,5	5,5	6,6	8,2	10,2		
Уровни звукового давления от источника ИШ-2-33 в расчётной точке днём, дБ		**ф-ла(3)[10]**	**0**	**28,9**	**29,4**	**29,4**	**27,9**	**25,5**	**18,8**	**5,7**	**0**	**29,5**	**29,5**
Уровни звукового давления от источника ИШ-2-33 в расчётной точке ночью, дБ		**ф-ла(3)[10]**	**0**	**28,9**	**29,4**	**29,4**	**27,9**	**25,5**	**18,8**	**5,7**	**0**	**29,5**	**29,5**
Источник шума: ИШ-2-34, координаты источника (x,y,z), м =[698.43,-88.85,1.00]													
Уровни звуковой мощности источника днём, Lw, дБ		**исходные данные**	**0**	**93,3**	**94,7**	**96**	**96,3**	**95,9**	**92,6**	**88,4**	**83,9**		
Уровни звуковой мощности источника ночью, Lw, дБ		**исходные данные**	**0**	**93,3**	**94,7**	**96**	**96,3**	**95,9**	**92,6**	**88,4**	**83,9**		
Поправка на телесный угол DΩ, дБ	Ω = 6.28	10Lg(4π/Ω)	**3**	3	3	3	3	3	3	3	3		
Показатель направленности источника Di, дБ		исходные данные	**0**	0	0	0	0	0	0	0	0		
Поправка на направленность источника Dc, дБ	Dc	DΩ + Di	**3**	3	3	3	3	3	3	3	3		
Затухание из-за геометрической дивергенции, Adiv, дБ	расстояние = 522.03 м	ф-ла (7) [10]	**65,4**										
Коэффициент затухания звука в атмосфере α, дБ/км	Ta=20,°C Pa=101.33,кПа hотн.=70%	ф-ла (5) [9]	0,02	0,09	0,33	1,12	2,79	4,98	9,04	23,09	77,63		
Учет затухания звука в атмосфере Aatm, дБ		ф-ла (8) [10]	0	0	0,2	0,6	1,5	2,6	4,7	12,1	40,5		
Снижение уровня звукового давления из-за влияния застройки между источником шума и расчетной точкой													

1		2	3	4	5	6	7	8	9	10	11	12	13
Снижение уровня звукового давления на пути над экраном, Dz1, дБ	z = 0.22м (разность путей)	ф-лы (14-18) [10]	4,8	4,8	4,9	5,1	5,4	6	7	8,5	10,4		
Снижение уровня звукового давления на пути слева от экрана, Dz2, дБ	z = 0.28м (разность путей)	ф-лы (14-18) [10]	6,1	7,1	8,6	10,6	13	15,6	18,4	21,4	24,3		
Снижение уровня звукового давления на пути справа от экрана, Dz3, дБ	z = 0.69м (разность путей)	ф-лы (14-18) [10]	7,5	9,1	11,2	13,7	16,4	19,3	22,2	25,2	28,2		
Общее снижение уровня звука препятствием Dz, дБ		Эн.сумма(-Dzi)	1,2	1,9	2,7	3,5	4,4	5,4	6,6	8,2	10,2		
Уровни звукового давления от источника ИШ-2-34 в расчётной точке днём, дБ		**ф-ла(3)[10]**	**0**	**29**	**29,5**	**29,5**	**28,1**	**25,6**	**18,9**	**5,8**	**0**	**29,6**	**29,6**
Уровни звукового давления от источника ИШ-2-34 в расчётной точке ночью, дБ		**ф-ла(3)[10]**	**0**	**29**	**29,5**	**29,5**	**28,1**	**25,6**	**18,9**	**5,8**	**0**	**29,6**	**29,6**
Источник шума: ИШ-2-35, координаты источника (x,y,z), м =[697.52,-91.66,1.00]													
Уровни звуковой мощности источника днём, Lw, дБ		**исходные данные**	**0**	**93,3**	**94,7**	**96**	**96,3**	**95,9**	**92,6**	**88,4**	**83,9**		
Уровни звуковой мощности источника ночью, Lw, дБ		**исходные данные**	**0**	**93,3**	**94,7**	**96**	**96,3**	**95,9**	**92,6**	**88,4**	**83,9**		
Поправка на телесный угол DΩ, дБ	Ω = 6.28	10Lg(4π/Ω)	**3**	3	3	3	3	3	3	3	3		
Показатель направленности источника Di, дБ		исходные данные	**0**	0	0	0	0	0	0	0	0		
Поправка на направленность источника Dc, дБ	Dc	DΩ + Di	**3**	3	3	3	3	3	3	3	3		
Затухание из-за геометрической дивергенции, Adiv, дБ	расстояние = 520.65 м	ф-ла (7) [10]	**65,3**										
Коэффициент затухания звука в атмосфере α, дБ/км	Ta=20,°C Pa=101.33,кПа hотн.=70%	ф-ла (5) [9]	0,02	0,09	0,33	1,12	2,79	4,98	9,04	23,09	77,63		
Учет затухания звука в атмосфере Aatm, дБ		ф-ла (8) [10]	0	0	0,2	0,6	1,5	2,6	4,7	12	40,4		
Снижение уровня звукового давления из-за влияния застройки между источником шума и расчетной точкой													

1		2	3	4	5	6	7	8	9	10	11	12	13
Снижение уровня звукового давления на пути над экраном, Dz1, дБ	z = 0.22м (разность путей)	ф-лы (14-18) [10]	4,8	4,8	4,9	5	5,4	6	7	8,5	10,4		
Снижение уровня звукового давления на пути слева от экрана, Dz2, дБ	z = 0.20м (разность путей)	ф-лы (14-18) [10]	5,7	6,5	7,7	9,4	11,6	14,2	16,9	19,8	22,8		
Снижение уровня звукового давления на пути справа от экрана, Dz3, дБ	z = 0.84м (разность путей)	ф-лы (14-18) [10]	7,9	9,7	11,9	14,4	17,2	20,1	23	26	29		
Общее снижение уровня звука препятствием Dz, дБ		Эн.сумма(-Dzi)	1,2	1,8	2,5	3,3	4,2	5,2	6,5	8,1	10,1		
Уровни звукового давления от источника ИШ-2-35 в расчётной точке днём, дБ		**ф-ла(3)[10]**	**0**	**29,1**	**29,7**	**29,7**	**28,3**	**25,7**	**19,1**	**6**	**0**	**29,8**	**29,8**
Уровни звукового давления от источника ИШ-2-35 в расчётной точке ночью, дБ		**ф-ла(3)[10]**	**0**	**29,1**	**29,7**	**29,7**	**28,3**	**25,7**	**19,1**	**6**	**0**	**29,8**	**29,8**
Источник шума: ИШ-2-36, координаты источника (x,y,z), м =[696.58,-94.55,1.00]													
Уровни звуковой мощности источника днём, Lw, дБ		**исходные данные**	**0**	**93,3**	**94,7**	**96**	**96,3**	**95,9**	**92,6**	**88,4**	**83,9**		
Уровни звуковой мощности источника ночью, Lw, дБ		**исходные данные**	**0**	**93,3**	**94,7**	**96**	**96,3**	**95,9**	**92,6**	**88,4**	**83,9**		
Поправка на телесный угол DΩ, дБ	Ω = 6.28	10Lg(4π/Ω)	**3**	3	3	3	3	3	3	3	3		
Показатель направленности источника Di, дБ		исходные данные	**0**	0	0	0	0	0	0	0	0		
Поправка на направленность источника Dc, дБ	Dc	DΩ + Di	**3**	3	3	3	3	3	3	3	3		
Затухание из-за геометрической дивергенции, Adiv, дБ	расстояние = 519.25 м	ф-ла (7) [10]	**65,3**										
Коэффициент затухания звука в атмосфере α, дБ/км	Ta=20,°C Pa=101.33,кПа hотн.=70%	ф-ла (5) [9]	0,02	0,09	0,33	1,12	2,79	4,98	9,04	23,09	77,63		
Учет затухания звука в атмосфере Aatm, дБ		ф-ла (8) [10]	0	0	0,2	0,6	1,4	2,6	4,7	12	40,3		
Снижение уровня звукового давления из-за влияния застройки между источником шума и расчетной точкой													

1		2	3	4	5	6	7	8	9	10	11	12	13
Снижение уровня звукового давления на пути над экраном, Dz1, дБ	z = 0.22м (разность путей)	ф-лы (14-18) [10]	4,8	4,8	4,9	5	5,4	6	7	8,4	10,4		
Снижение уровня звукового давления на пути слева от экрана, Dz2, дБ	z = 0.12м (разность путей)	ф-лы (14-18) [10]	5,4	5,9	6,8	8,2	10,1	12,4	15,1	17,9	20,8		
Снижение уровня звукового давления на пути справа от экрана, Dz3, дБ	z = 1.01м (разность путей)	ф-лы (14-18) [10]	8,3	10,2	12,5	15,2	18	20,9	23,8	26,8	29,8		
Общее снижение уровня звука препятствием Dz, дБ		Эн.сумма(-Dzi)	1,1	1,7	2,3	3	3,9	5	6,3	7,9	10		
Уровни звукового давления от источника ИШ-2-36 в расчётной точке днём, дБ		**ф-ла(3)[10]**	**0**	**29,3**	**29,9**	**30,1**	**28,6**	**26**	**19,3**	**6,2**	**0**	**30,1**	**30,1**
Уровни звукового давления от источника ИШ-2-36 в расчётной точке ночью, дБ		**ф-ла(3)[10]**	**0**	**29,3**	**29,9**	**30,1**	**28,6**	**26**	**19,3**	**6,2**	**0**	**30,1**	**30,1**
Источник шума: ИШ-2-37, координаты источника (x,y,z), м =[695.57,-97.37,1.00]													
Уровни звуковой мощности источника днём, Lw, дБ		**исходные данные**	**0**	**93,3**	**94,7**	**96**	**96,3**	**95,9**	**92,6**	**88,4**	**83,9**		
Уровни звуковой мощности источника ночью, Lw, дБ		**исходные данные**	**0**	**93,3**	**94,7**	**96**	**96,3**	**95,9**	**92,6**	**88,4**	**83,9**		
Поправка на телесный угол DΩ, дБ	Ω = 6.28	10Lg(4π/Ω)	**3**	3	3	3	3	3	3	3	3		
Показатель направленности источника Di, дБ		исходные данные	**0**	0	0	0	0	0	0	0	0		
Поправка на направленность источника Dc, дБ	Dc	DΩ + Di	**3**	3	3	3	3	3	3	3	3		
Затухание из-за геометрической дивергенции, Adiv, дБ	расстояние = 517.80 м	ф-ла (7) [10]	**65,3**										
Коэффициент затухания звука в атмосфере α, дБ/км	Ta=20,°C Pa=101.33,кПа hотн.=70%	ф-ла (5) [9]	0,02	0,09	0,33	1,12	2,79	4,98	9,04	23,09	77,63		
Учет затухания звука в атмосфере Aatm, дБ		ф-ла (8) [10]	0	0	0,2	0,6	1,4	2,6	4,7	12	40,2		
Снижение уровня звукового давления из-за влияния застройки между источником шума и расчетной точкой													

1		2	3	4	5	6	7	8	9	10	11	12	13
Снижение уровня звукового давления на пути над экраном, Dz1, дБ	z = 0.22м (разность путей)	ф-лы (14-18) [10]	4,8	4,8	4,8	5	5,3	5,9	6,9	8,4	10,4		
Снижение уровня звукового давления на пути слева от экрана, Dz2, дБ	z = 0.07м (разность путей)	ф-лы (14-18) [10]	5,1	5,4	6	7	8,5	10,4	12,8	15,5	18,3		
Снижение уровня звукового давления на пути справа от экрана, Dz3, дБ	z = 1.20м (разность путей)	ф-лы (14-18) [10]	8,7	10,7	13,1	15,8	18,7	21,6	24,5	27,5	30,5		
Общее снижение уровня звука препятствием Dz, дБ		Эн.сумма(-Dzi)	1,1	1,5	2	2,7	3,5	4,5	5,9	7,6	9,7		
Уровни звукового давления от источника ИШ-2-37 в расчётной точке днём, дБ		**ф-ла(3)[10]**	**0**	**29,4**	**30,2**	**30,5**	**29,1**	**26,5**	**19,8**	**6,6**	**0**	**30,6**	**30,6**
Уровни звукового давления от источника ИШ-2-37 в расчётной точке ночью, дБ		**ф-ла(3)[10]**	**0**	**29,4**	**30,2**	**30,5**	**29,1**	**26,5**	**19,8**	**6,6**	**0**	**30,6**	**30,6**
Источник шума: ИШ-2-5, координаты источника (x,y,z), м =[618.60,-108.00,3.00]													
Уровни звуковой мощности источника днём, Lw, дБ		**исходные данные**	**105**	**104**	**104**	**101**	**102**	**106**	**101**	**95**	**87**		
Уровни звуковой мощности источника ночью, Lw, дБ		**исходные данные**	**105**	**104**	**104**	**101**	**102**	**106**	**101**	**95**	**87**		
Поправка на телесный угол DΩ, дБ	Ω = 6.28	10Lg(4π/Ω)	**3**	3	3	3	3	3	3	3	3		
Показатель направленности источника Di, дБ		исходные данные	**0**	0	0	0	0	0	0	0	0		
Поправка на направленность источника Dc, дБ	Dc	DΩ + Di	**3**	3	3	3	3	3	3	3	3		
Затухание из-за геометрической дивергенции, Adiv, дБ	расстояние = 440.11 м	ф-ла (7) [10]	**63,9**										
Коэффициент затухания звука в атмосфере α, дБ/км	Ta=20,°C Pa=101.33,кПа hотн.=70%	ф-ла (5) [9]	0,02	0,09	0,33	1,12	2,79	4,98	9,04	23,09	77,63		
Учет затухания звука в атмосфере Aatm, дБ		ф-ла (8) [10]	0	0	0,1	0,5	1,2	2,2	4	10,2	34,2		
Снижение уровня звукового давления из-за влияния застройки между источником шума и расчетной точкой													

1		2	3	4	5	6	7	8	9	10	11	12	13
Снижение уровня звукового давления на пути над экраном, Dz1, дБ	z = 0.21м (разность путей)	ф-лы (14-18) [10]	4,8	4,9	5	5,4	6,3	7,6	9,4	11,6	14,1		
Снижение уровня звукового давления на пути слева от экрана, Dz2, дБ	z = 0.14м (разность путей)	ф-лы (14-18) [10]	5,5	6,1	7	8,5	10,5	12,9	15,5	18,3	21,3		
Снижение уровня звукового давления на пути справа от экрана, Dz3, дБ	z = 1.32м (разность путей)	ф-лы (14-18) [10]	9	11,1	13,5	16,2	19,1	22	25	27,9	30,9		
Общее снижение уровня звука препятствием Dz, дБ		Эн.сумма(-Dzi)	1,3	1,9	2,5	3,5	4,7	6,3	8,3	10,7	13,3		
Уровни звукового давления от источника ИШ-2-5 в расчётной точке днём, дБ		**ф-ла(3)[10]**	**42,8**	**41,2**	**40,5**	**36,2**	**35,2**	**36,6**	**27,8**	**13,3**	**0**	**39**	**39**
Уровни звукового давления от источника ИШ-2-5 в расчётной точке ночью, дБ		**ф-ла(3)[10]**	**42,8**	**41,2**	**40,5**	**36,2**	**35,2**	**36,6**	**27,8**	**13,3**	**0**	**39**	**39**
Источник шума: ИШ-2-38, координаты источника (x,y,z), м =[688.13,-119.94,1.00]													
Уровни звуковой мощности источника днём, Lw, дБ		**исходные данные**	**0**	**93,3**	**94,7**	**96**	**96,3**	**95,9**	**92,6**	**88,4**	**83,9**		
Уровни звуковой мощности источника ночью, Lw, дБ		**исходные данные**	**0**	**93,3**	**94,7**	**96**	**96,3**	**95,9**	**92,6**	**88,4**	**83,9**		
Поправка на телесный угол DΩ, дБ	Ω = 6.28	10Lg(4π/Ω)	**3**	3	3	3	3	3	3	3	3		
Показатель направленности источника Di, дБ		исходные данные	**0**	0	0	0	0	0	0	0	0		
Поправка на направленность источника Dc, дБ	Dc	DΩ + Di	**3**	3	3	3	3	3	3	3	3		
Затухание из-за геометрической дивергенции, Adiv, дБ	расстояние = 507.33 м	ф-ла (7) [10]	**65,1**										
Коэффициент затухания звука в атмосфере α, дБ/км	Ta=20,°C Pa=101.33,кПа hотн.=70%	ф-ла (5) [9]	0,02	0,09	0,33	1,12	2,79	4,98	9,04	23,09	77,63		
Учет затухания звука в атмосфере Aatm, дБ		ф-ла (8) [10]	0	0	0,2	0,6	1,4	2,5	4,6	11,7	39,4		
Снижение поверхностью земли возле источника As, дБ	Gs = 0 hs = 1м	ф-лы таб.3 [10]	-1,5	-1,5	-1,5	-1,5	-1,5	-1,5	-1,5	-1,5	-1,5		

1		2	3	4	5	6	7	8	9	10	11	12	13
Снижение поверхностью земли возле приёмника Ar, дБ	Gr = 1 hr = 4.6м	ф-лы таб.3 [10]	-1,5	-1,5	3,4	1,3	0	0	0	0	0		
Снижение поверхностью земли в средней зоне, Am дБ	Gm = 1	ф-лы таб.3 [10]	-2	-2	0	0	0	0	0	0	0		
Суммарное снижение поверхностью земли на траектории распространения звука Agr, дБ		ф-ла (9) [10]	-5	-5	1,9	-0,2	-1,5	-1,5	-1,5	-1,5	-1,5		
Уровни звукового давления прямого звука от источника ИШ-2-38 в расчётной точке днём, дБ		**ф-ла(3)[10]**	**0**	**36,1**	**30,5**	**33,5**	**34,3**	**32,8**	**27,4**	**16,1**	**0**	**36,3**	**36,3**
Уровни звукового давления прямого звука от источника ИШ-2-38 в расчётной точке ночью, дБ		**ф-ла(3)[10]**	**0**	**36,1**	**30,5**	**33,5**	**34,3**	**32,8**	**27,4**	**16,1**	**0**	**36,3**	**36,3**
Расчёт отражённого звука													
Уровни звукового давления от мнимого источника ИШ-2-38_мн.(1) в расчётной точке днём, дБ		**ф-ла(3)[10]**	**0**	**0**	**0**	**0**	**0**	**0**	**0**	**0**	**0**	**0**	**0**
Уровни звукового давления от мнимого источника ИШ-2-38_мн.(1) в расчётной точке ночью, дБ		**ф-ла(3)[10]**	**0**	**0**	**0**	**0**	**0**	**0**	**0**	**0**	**0**	**0**	**0**
Уровни звукового давления от мнимого источника ИШ-2-38_мн.(2) в расчётной точке днём, дБ		**ф-ла(3)[10]**	**0**	**0**	**0**	**0**	**0**	**0**	**0**	**0**	**0**	**0**	**0**
Уровни звукового давления от мнимого источника ИШ-2-38_мн.(2) в расчётной точке ночью, дБ		**ф-ла(3)[10]**	**0**	**0**	**0**	**0**	**0**	**0**	**0**	**0**	**0**	**0**	**0**
Уровни звукового давления от мнимого источника ИШ-2-38_мн.(3) в расчётной точке днём, дБ		**ф-ла(3)[10]**	**0**	**0**	**24,9**	**23,2**	**22,9**	**28,2**	**24,9**	**13,5**	**0**	**30,9**	**30,9**
Уровни звукового давления от мнимого источника ИШ-2-38_мн.(3) в расчётной точке ночью, дБ		**ф-ла(3)[10]**	**24,9**	**24,9**	**24,9**	**24,9**	**24,9**	**24,9**	**24,9**	**24,9**	**24,9**	**30,9**	**30,9**
Суммарные уровни звукового давления от мнимых источников в расчётной точке днём, дБ		**ф-ла (19) [1]**	**0**	**0**	**24,9**	**23,2**	**22,9**	**28,2**	**24,9**	**13,5**	**0**	**0**	**30,9**
Суммарные уровни звукового давления от мнимых источников в расчётной точке ночью, дБ		**ф-ла (19) [1]**	**0**	**0**	**24,9**	**23,2**	**22,9**	**28,2**	**24,9**	**13,5**	**0**	**0**	**30,9**
Уровни звукового давления от источника ИШ-2-38 в расчётной точке днём, дБ		**ф-ла(3)[10]**	**0**	**36,1**	**31,6**	**33,9**	**34,6**	**34,1**	**29,3**	**18**	**0**	**37,4**	**37,4**
Уровни звукового давления от источника ИШ-2-38 в расчётной точке ночью, дБ		**ф-ла(3)[10]**	**0**	**36,1**	**31,6**	**33,9**	**34,6**	**34,1**	**29,3**	**18**	**0**	**37,4**	**37,4**
Источник шума: ИШ-2-39, координаты источника (x,y,z), м =[687.11,-122.83,1.00]													

1		2	3	4	5	6	7	8	9	10	11	12	13
Уровни звуковой мощности источника днём, Lw, дБ		**исходные данные**	**0**	**93,3**	**94,7**	**96**	**96,3**	**95,9**	**92,6**	**88,4**	**83,9**		
Уровни звуковой мощности источника ночью, Lw, дБ		**исходные данные**	**0**	**93,3**	**94,7**	**96**	**96,3**	**95,9**	**92,6**	**88,4**	**83,9**		
Поправка на телесный угол DΩ, дБ	Ω = 6.28	10Lg(4π/Ω)	**3**	3	3	3	3	3	3	3	3		
Показатель направленности источника Di, дБ		исходные данные	**0**	0	0	0	0	0	0	0	0		
Поправка на направленность источника Dc, дБ	Dc	DΩ + Di	**3**	3	3	3	3	3	3	3	3		
Затухание из-за геометрической дивергенции, Adiv, дБ	расстояние = 505.99 м	ф-ла (7) [10]	**65,1**										
Коэффициент затухания звука в атмосфере α, дБ/км	Ta=20,°C Pa=101.33,кПа hотн.=70%	ф-ла (5) [9]	0,02	0,09	0,33	1,12	2,79	4,98	9,04	23,09	77,63		
Учет затухания звука в атмосфере Aatm, дБ		ф-ла (8) [10]	0	0	0,2	0,6	1,4	2,5	4,6	11,7	39,3		
Снижение поверхностью земли возле источника As, дБ	Gs = 0 hs = 1м	ф-лы таб.3 [10]	-1,5	-1,5	-1,5	-1,5	-1,5	-1,5	-1,5	-1,5	-1,5		
Снижение поверхностью земли возле приёмника Ar, дБ	Gr = 1 hr = 4.6м	ф-лы таб.3 [10]	-1,5	-1,5	3,4	1,3	0	0	0	0	0		
Снижение поверхностью земли в средней зоне, Am дБ	Gm = 1	ф-лы таб.3 [10]	-2	-2	0	0	0	0	0	0	0		
Суммарное снижение поверхностью земли на траектории распространения звука Agr, дБ		ф-ла (9) [10]	-5	-5	1,9	-0,2	-1,5	-1,5	-1,5	-1,5	-1,5		
Уровни звукового давления прямого звука от источника ИШ-2-39 в расчётной точке днём, дБ		**ф-ла(3)[10]**	**0**	**36,2**	**30,6**	**33,6**	**34,3**	**32,8**	**27,4**	**16,1**	**0**	**36,4**	**36,4**
Уровни звукового давления прямого звука от источника ИШ-2-39 в расчётной точке ночью, дБ		**ф-ла(3)[10]**	**0**	**36,2**	**30,6**	**33,6**	**34,3**	**32,8**	**27,4**	**16,1**	**0**	**36,4**	**36,4**
Расчёт отражённого звука													
Уровни звукового давления от мнимого источника ИШ-2-39_мн.(1) в расчётной точке днём, дБ		**ф-ла(3)[10]**	**0**	**0**	**0**	**0**	**0**	**0**	**0**	**0**	**0**	**0**	**0**
Уровни звукового давления от мнимого источника ИШ-2-39_мн.(1) в расчётной точке ночью, дБ		**ф-ла(3)[10]**	**0**	**0**	**0**	**0**	**0**	**0**	**0**	**0**	**0**	**0**	**0**

1		2	3	4	5	6	7	8	9	10	11	12	13
Уровни звукового давления от мнимого источника ИШ-2-39_мн.(2) в расчётной точке днём, дБ		**ф-ла(3)[10]**	**0**	**0**	**0**	**0**	**0**	**0**	**0**	**0**	**0**	**0**	**0**
Уровни звукового давления от мнимого источника ИШ-2-39_мн.(2) в расчётной точке ночью, дБ		**ф-ла(3)[10]**	**0**	**0**	**0**	**0**	**0**	**0**	**0**	**0**	**0**	**0**	**0**
Уровни звукового давления от мнимого источника ИШ-2-39_мн.(3) в расчётной точке днём, дБ		**ф-ла(3)[10]**	**0**	**0**	**24,9**	**23,2**	**23**	**28,2**	**24,9**	**13,6**	**0**	**30,9**	**30,9**
Уровни звукового давления от мнимого источника ИШ-2-39_мн.(3) в расчётной точке ночью, дБ		**ф-ла(3)[10]**	**24,9**	**24,9**	**24,9**	**24,9**	**24,9**	**24,9**	**24,9**	**24,9**	**24,9**	**30,9**	**30,9**
Суммарные уровни звукового давления от мнимых источников в расчётной точке днём, дБ		**ф-ла (19) [1]**	**0**	**0**	**24,9**	**23,2**	**23**	**28,2**	**24,9**	**13,6**	**0**	**0**	**30,9**
Суммарные уровни звукового давления от мнимых источников в расчётной точке ночью, дБ		**ф-ла (19) [1]**	**0**	**0**	**24,9**	**23,2**	**23**	**28,2**	**24,9**	**13,6**	**0**	**0**	**30,9**
Уровни звукового давления от источника ИШ-2-39 в расчётной точке днём, дБ		**ф-ла(3)[10]**	**0**	**36,2**	**31,6**	**33,9**	**34,6**	**34,1**	**29,4**	**18,1**	**0**	**37,4**	**37,4**
Уровни звукового давления от источника ИШ-2-39 в расчётной точке ночью, дБ		**ф-ла(3)[10]**	**0**	**36,2**	**31,6**	**33,9**	**34,6**	**34,1**	**29,4**	**18,1**	**0**	**37,4**	**37,4**
Источник шума: ИШ-2-40, координаты источника (x,y,z), м =[686.10,-125.67,1.00]													
Уровни звуковой мощности источника днём, Lw, дБ		**исходные данные**	**0**	**93,3**	**94,7**	**96**	**96,3**	**95,9**	**92,6**	**88,4**	**83,9**		
Уровни звуковой мощности источника ночью, Lw, дБ		**исходные данные**	**0**	**93,3**	**94,7**	**96**	**96,3**	**95,9**	**92,6**	**88,4**	**83,9**		
Поправка на телесный угол DΩ, дБ	Ω = 6.28	10Lg(4π/Ω)	**3**	3	3	3	3	3	3	3	3		
Показатель направленности источника Di, дБ		исходные данные	**0**	0	0	0	0	0	0	0	0		
Поправка на направленность источника Dc, дБ	Dc	DΩ + Di	**3**	3	3	3	3	3	3	3	3		
Затухание из-за геометрической дивергенции, Adiv, дБ	расстояние = 504.68 м	ф-ла (7) [10]	**65,1**										
Коэффициент затухания звука в атмосфере α, дБ/км	Ta=20,°C Pa=101.33,кПа hотн.=70%	ф-ла (5) [9]	0,02	0,09	0,33	1,12	2,79	4,98	9,04	23,09	77,63		

1		2	3	4	5	6	7	8	9	10	11	12	13
Учет затухания звука в атмосфере Aatm, дБ		ф-ла (8) [10]	0	0	0,2	0,6	1,4	2,5	4,6	11,7	39,2		
Снижение поверхностью земли возле источника As, дБ	Gs = 0 hs = 1м	ф-лы таб.3 [10]	-1,5	-1,5	-1,5	-1,5	-1,5	-1,5	-1,5	-1,5	-1,5		
Снижение поверхностью земли возле приёмника Ar, дБ	Gr = 1 hr = 4.6м	ф-лы таб.3 [10]	-1,5	-1,5	3,4	1,3	0	0	0	0	0		
Снижение поверхностью земли в средней зоне, Am дБ	Gm = 1	ф-лы таб.3 [10]	-2	-2	0	0	0	0	0	0	0		
Суммарное снижение поверхностью земли на траектории распространения звука Agr, дБ		ф-ла (9) [10]	-5	-5	1,9	-0,2	-1,5	-1,5	-1,5	-1,5	-1,5		
Уровни звукового давления прямого звука от источника ИШ-2-40 в расчётной точке днём, дБ		**ф-ла(3)[10]**	**0**	**36,2**	**30,6**	**33,6**	**34,3**	**32,8**	**27,5**	**16,2**	**0**	**36,4**	**36,4**
Уровни звукового давления прямого звука от источника ИШ-2-40 в расчётной точке ночью, дБ		**ф-ла(3)[10]**	**0**	**36,2**	**30,6**	**33,6**	**34,3**	**32,8**	**27,5**	**16,2**	**0**	**36,4**	**36,4**
Расчёт отражённого звука													
Уровни звукового давления от мнимого источника ИШ-2-40_мн.(1) в расчётной точке днём, дБ		**ф-ла(3)[10]**	**0**	**0**	**0**	**0**	**0**	**0**	**0**	**0**	**0**	**0**	**0**
Уровни звукового давления от мнимого источника ИШ-2-40_мн.(1) в расчётной точке ночью, дБ		**ф-ла(3)[10]**	**0**	**0**	**0**	**0**	**0**	**0**	**0**	**0**	**0**	**0**	**0**
Уровни звукового давления от мнимого источника ИШ-2-40_мн.(2) в расчётной точке днём, дБ		**ф-ла(3)[10]**	**0**	**0**	**25**	**23,2**	**23**	**28,3**	**25**	**13,6**	**0**	**31**	**31**
Уровни звукового давления от мнимого источника ИШ-2-40_мн.(2) в расчётной точке ночью, дБ		**ф-ла(3)[10]**	**0**	**0**	**0**	**0**	**0**	**0**	**0**	**0**	**0**	**31**	**31**
Суммарные уровни звукового давления от мнимых источников в расчётной точке днём, дБ		**ф-ла (19) [1]**	**0**	**0**	**25**	**23,2**	**23**	**28,3**	**25**	**13,6**	**0**	**0**	**31**
Суммарные уровни звукового давления от мнимых источников в расчётной точке ночью, дБ		**ф-ла (19) [1]**	**0**	**0**	**25**	**23,2**	**23**	**28,3**	**25**	**13,6**	**0**	**0**	**31**
Уровни звукового давления от источника ИШ-2-40 в расчётной точке днём, дБ		**ф-ла(3)[10]**	**0**	**36,2**	**31,6**	**34**	**34,6**	**34,1**	**29,4**	**18,1**	**0**	**37,5**	**37,5**
Уровни звукового давления от источника ИШ-2-40 в расчётной точке ночью, дБ		**ф-ла(3)[10]**	**0**	**36,2**	**31,6**	**34**	**34,6**	**34,1**	**29,4**	**18,1**	**0**	**37,5**	**37,5**
Источник шума: ИШ-2-41, координаты источника (x,y,z), м =[685.14,-128.64,1.00]													

1		2	3	4	5	6	7	8	9	10	11	12	13
Уровни звуковой мощности источника днём, Lw, дБ		**исходные данные**	**0**	**93,3**	**94,7**	**96**	**96,3**	**95,9**	**92,6**	**88,4**	**83,9**		
Уровни звуковой мощности источника ночью, Lw, дБ		**исходные данные**	**0**	**93,3**	**94,7**	**96**	**96,3**	**95,9**	**92,6**	**88,4**	**83,9**		
Поправка на телесный угол DΩ, дБ	Ω = 6.28	10Lg(4π/Ω)	**3**	3	3	3	3	3	3	3	3		
Показатель направленности источника Di, дБ		исходные данные	**0**	0	0	0	0	0	0	0	0		
Поправка на направленность источника Dc, дБ	Dc	DΩ + Di	**3**	3	3	3	3	3	3	3	3		
Затухание из-за геометрической дивергенции, Adiv, дБ	расстояние = 503.42 м	ф-ла (7) [10]	**65**										
Коэффициент затухания звука в атмосфере α, дБ/км	Ta=20,°C Pa=101.33,кПа hотн.=70%	ф-ла (5) [9]	0,02	0,09	0,33	1,12	2,79	4,98	9,04	23,09	77,63		
Учет затухания звука в атмосфере Aatm, дБ		ф-ла (8) [10]	0	0	0,2	0,6	1,4	2,5	4,6	11,6	39,1		
Снижение поверхностью земли возле источника As, дБ	Gs = 0 hs = 1м	ф-лы таб.3 [10]	-1,5	-1,5	-1,5	-1,5	-1,5	-1,5	-1,5	-1,5	-1,5		
Снижение поверхностью земли возле приёмника Ar, дБ	Gr = 1 hr = 4.6м	ф-лы таб.3 [10]	-1,5	-1,5	3,4	1,3	0	0	0	0	0		
Снижение поверхностью земли в средней зоне, Am дБ	Gm = 1	ф-лы таб.3 [10]	-2	-2	0	0	0	0	0	0	0		
Суммарное снижение поверхностью земли на траектории распространения звука Agr, дБ		ф-ла (9) [10]	-5	-5	1,9	-0,2	-1,5	-1,5	-1,5	-1,5	-1,5		
Уровни звукового давления прямого звука от источника ИШ-2-41 в расчётной точке днём, дБ		**ф-ла(3)[10]**	**0**	**36,2**	**30,6**	**33,6**	**34,3**	**32,8**	**27,5**	**16,2**	**0**	**36,4**	**36,4**
Уровни звукового давления прямого звука от источника ИШ-2-41 в расчётной точке ночью, дБ		**ф-ла(3)[10]**	**0**	**36,2**	**30,6**	**33,6**	**34,3**	**32,8**	**27,5**	**16,2**	**0**	**36,4**	**36,4**
Расчёт отражённого звука													
Уровни звукового давления от мнимого источника ИШ-2-41_мн.(1) в расчётной точке днём, дБ		**ф-ла(3)[10]**	**0**	**0**	**0**	**0**	**0**	**0**	**0**	**0**	**0**	**0**	**0**
Уровни звукового давления от мнимого источника ИШ-2-41_мн.(1) в расчётной точке ночью, дБ		**ф-ла(3)[10]**	**0**	**0**	**0**	**0**	**0**	**0**	**0**	**0**	**0**	**0**	**0**

1		2	3	4	5	6	7	8	9	10	11	12	13
Уровни звукового давления от мнимого источника ИШ-2-41_мн.(2) в расчётной точке днём, дБ		**ф-ла(3)[10]**	**0**	**0**	**25**	**23,2**	**23**	**28,3**	**25**	**13,7**	**0**	**31**	**31**
Уровни звукового давления от мнимого источника ИШ-2-41_мн.(2) в расчётной точке ночью, дБ		**ф-ла(3)[10]**	**0**	**0**	**0**	**0**	**0**	**0**	**0**	**0**	**0**	**31**	**31**
Суммарные уровни звукового давления от мнимых источников в расчётной точке днём, дБ		**ф-ла (19) [1]**	**0**	**0**	**25**	**23,2**	**23**	**28,3**	**25**	**13,7**	**0**	**0**	**31**
Суммарные уровни звукового давления от мнимых источников в расчётной точке ночью, дБ		**ф-ла (19) [1]**	**0**	**0**	**25**	**23,2**	**23**	**28,3**	**25**	**13,7**	**0**	**0**	**31**
Уровни звукового давления от источника ИШ-2-41 в расчётной точке днём, дБ		**ф-ла(3)[10]**	**0**	**36,2**	**31,7**	**34**	**34,7**	**34,2**	**29,4**	**18,2**	**0**	**37,5**	**37,5**
Уровни звукового давления от источника ИШ-2-41 в расчётной точке ночью, дБ		**ф-ла(3)[10]**	**0**	**36,2**	**31,7**	**34**	**34,7**	**34,2**	**29,4**	**18,2**	**0**	**37,5**	**37,5**
Источник шума: ИШ-2-42, координаты источника (x,y,z), м =[684.20,-131.46,1.00]													
Уровни звуковой мощности источника днём, Lw, дБ		**исходные данные**	**0**	**93,3**	**94,7**	**96**	**96,3**	**95,9**	**92,6**	**88,4**	**83,9**		
Уровни звуковой мощности источника ночью, Lw, дБ		**исходные данные**	**0**	**93,3**	**94,7**	**96**	**96,3**	**95,9**	**92,6**	**88,4**	**83,9**		
Поправка на телесный угол DΩ, дБ	Ω = 6.28	10Lg(4π/Ω)	**3**	3	3	3	3	3	3	3	3		
Показатель направленности источника Di, дБ		исходные данные	**0**	0	0	0	0	0	0	0	0		
Поправка на направленность источника Dc, дБ	Dc	DΩ + Di	**3**	3	3	3	3	3	3	3	3		
Затухание из-за геометрической дивергенции, Adiv, дБ	расстояние = 502.21 м	ф-ла (7) [10]	**65**										
Коэффициент затухания звука в атмосфере α, дБ/км	Ta=20,°C Pa=101.33,кПа hотн.=70%	ф-ла (5) [9]	0,02	0,09	0,33	1,12	2,79	4,98	9,04	23,09	77,63		
Учет затухания звука в атмосфере Aatm, дБ		ф-ла (8) [10]	0	0	0,2	0,6	1,4	2,5	4,5	11,6	39		
Снижение поверхностью земли возле источника As, дБ	Gs = 0 hs = 1м	ф-лы таб.3 [10]	-1,5	-1,5	-1,5	-1,5	-1,5	-1,5	-1,5	-1,5	-1,5		

1		2	3	4	5	6	7	8	9	10	11	12	13
Снижение поверхностью земли возле приёмника Ar, дБ	Gr = 1 hr = 4.6м	ф-лы таб.3 [10]	-1,5	-1,5	3,4	1,3	0	0	0	0	0		
Снижение поверхностью земли в средней зоне, Am дБ	Gm = 1	ф-лы таб.3 [10]	-2	-2	0	0	0	0	0	0	0		
Суммарное снижение поверхностью земли на траектории распространения звука Agr, дБ		ф-ла (9) [10]	-5	-5	1,9	-0,2	-1,5	-1,5	-1,5	-1,5	-1,5		
Уровни звукового давления прямого звука от источника ИШ-2-42 в расчётной точке днём, дБ		**ф-ла(3)[10]**	**0**	**36,2**	**30,6**	**33,6**	**34,4**	**32,9**	**27,5**	**16,3**	**0**	**36,4**	**36,4**
Уровни звукового давления прямого звука от источника ИШ-2-42 в расчётной точке ночью, дБ		**ф-ла(3)[10]**	**0**	**36,2**	**30,6**	**33,6**	**34,4**	**32,9**	**27,5**	**16,3**	**0**	**36,4**	**36,4**
Расчёт отражённого звука													
Уровни звукового давления от мнимого источника ИШ-2-42_мн.(1) в расчётной точке днём, дБ		**ф-ла(3)[10]**	**0**	**0**	**0**	**0**	**0**	**0**	**0**	**0**	**0**	**0**	**0**
Уровни звукового давления от мнимого источника ИШ-2-42_мн.(1) в расчётной точке ночью, дБ		**ф-ла(3)[10]**	**0**	**0**	**0**	**0**	**0**	**0**	**0**	**0**	**0**	**0**	**0**
Уровни звукового давления от мнимого источника ИШ-2-42_мн.(2) в расчётной точке днём, дБ		**ф-ла(3)[10]**	**0**	**0**	**25**	**23,3**	**23**	**28,3**	**25**	**13,7**	**0**	**31**	**31**
Уровни звукового давления от мнимого источника ИШ-2-42_мн.(2) в расчётной точке ночью, дБ		**ф-ла(3)[10]**	**0**	**0**	**0**	**0**	**0**	**0**	**0**	**0**	**0**	**31**	**31**
Суммарные уровни звукового давления от мнимых источников в расчётной точке днём, дБ		**ф-ла (19) [1]**	**0**	**0**	**25**	**23,3**	**23**	**28,3**	**25**	**13,7**	**0**	**0**	**31**
Суммарные уровни звукового давления от мнимых источников в расчётной точке ночью, дБ		**ф-ла (19) [1]**	**0**	**0**	**25**	**23,3**	**23**	**28,3**	**25**	**13,7**	**0**	**0**	**31**
Уровни звукового давления от источника ИШ-2-42 в расчётной точке днём, дБ		**ф-ла(3)[10]**	**0**	**36,2**	**31,7**	**34**	**34,7**	**34,2**	**29,5**	**18,2**	**0**	**37,5**	**37,5**
Уровни звукового давления от источника ИШ-2-42 в расчётной точке ночью, дБ		**ф-ла(3)[10]**	**0**	**36,2**	**31,7**	**34**	**34,7**	**34,2**	**29,5**	**18,2**	**0**	**37,5**	**37,5**
Источник шума: ИШ-2-43, координаты источника (x,y,z), м =[683.13,-134.37,1.00]													
Уровни звуковой мощности источника днём, Lw, дБ		**исходные данные**	**0**	**93,3**	**94,7**	**96**	**96,3**	**95,9**	**92,6**	**88,4**	**83,9**		
Уровни звуковой мощности источника ночью, Lw, дБ		**исходные данные**	**0**	**93,3**	**94,7**	**96**	**96,3**	**95,9**	**92,6**	**88,4**	**83,9**		

1		2	3	4	5	6	7	8	9	10	11	12	13
Поправка на телесный угол DΩ, дБ	Ω = 6.28	10Lg(4π/Ω)	**3**	3	3	3	3	3	3	3	3		
Показатель направленности источника Di, дБ		исходные данные	**0**	0	0	0	0	0	0	0	0		
Поправка на направленность источника Dc, дБ	Dc	DΩ + Di	**3**	3	3	3	3	3	3	3	3		
Затухание из-за геометрической дивергенции, Adiv, дБ	расстояние = 500.88 м	ф-ла (7) [10]	**65**										
Коэффициент затухания звука в атмосфере α, дБ/км	Ta=20,°C Pa=101.33,кПа hотн.=70%	ф-ла (5) [9]	0,02	0,09	0,33	1,12	2,79	4,98	9,04	23,09	77,63		
Учет затухания звука в атмосфере Aatm, дБ		ф-ла (8) [10]	0	0	0,2	0,6	1,4	2,5	4,5	11,6	38,9		
Снижение поверхностью земли возле источника As, дБ	Gs = 0 hs = 1м	ф-лы таб.3 [10]	-1,5	-1,5	-1,5	-1,5	-1,5	-1,5	-1,5	-1,5	-1,5		
Снижение поверхностью земли возле приёмника Ar, дБ	Gr = 1 hr = 4.6м	ф-лы таб.3 [10]	-1,5	-1,5	3,4	1,3	0	0	0	0	0		
Снижение поверхностью земли в средней зоне, Am дБ	Gm = 1	ф-лы таб.3 [10]	-2	-2	0	0	0	0	0	0	0		
Суммарное снижение поверхностью земли на траектории распространения звука Agr, дБ		ф-ла (9) [10]	-5	-5	1,9	-0,2	-1,5	-1,5	-1,5	-1,5	-1,5		
Уровни звукового давления прямого звука от источника ИШ-2-43 в расчётной точке днём, дБ		**ф-ла(3)[10]**	**0**	**36,2**	**30,7**	**33,7**	**34,4**	**32,9**	**27,6**	**16,3**	**0**	**36,5**	**36,5**
Уровни звукового давления прямого звука от источника ИШ-2-43 в расчётной точке ночью, дБ		**ф-ла(3)[10]**	**0**	**36,2**	**30,7**	**33,7**	**34,4**	**32,9**	**27,6**	**16,3**	**0**	**36,5**	**36,5**
Расчёт отражённого звука													
Уровни звукового давления от мнимого источника ИШ-2-43_мн.(1) в расчётной точке днём, дБ		**ф-ла(3)[10]**	**0**	**0**	**0**	**0**	**0**	**0**	**0**	**0**	**0**	**0**	**0**
Уровни звукового давления от мнимого источника ИШ-2-43_мн.(1) в расчётной точке ночью, дБ		**ф-ла(3)[10]**	**0**	**0**	**0**	**0**	**0**	**0**	**0**	**0**	**0**	**0**	**0**
Уровни звукового давления от мнимого источника ИШ-2-43_мн.(2) в расчётной точке днём, дБ		**ф-ла(3)[10]**	**0**	**0**	**25,1**	**23,3**	**23,1**	**28,4**	**25,1**	**13,8**	**0**	**31**	**31**
Уровни звукового давления от мнимого источника ИШ-2-43_мн.(2) в расчётной точке ночью, дБ		**ф-ла(3)[10]**	**0**	**0**	**0**	**0**	**0**	**0**	**0**	**0**	**0**	**31**	**31**

1		2	3	4	5	6	7	8	9	10	11	12	13
Суммарные уровни звукового давления от мнимых источников в расчётной точке днём, дБ		**ф-ла (19) [1]**	**0**	**0**	**25,1**	**23,3**	**23,1**	**28,4**	**25,1**	**13,8**	**0**	**0**	**31**
Суммарные уровни звукового давления от мнимых источников в расчётной точке ночью, дБ		**ф-ла (19) [1]**	**0**	**0**	**25,1**	**23,3**	**23,1**	**28,4**	**25,1**	**13,8**	**0**	**0**	**31**
Уровни звукового давления от источника ИШ-2-43 в расчётной точке днём, дБ		**ф-ла(3)[10]**	**0**	**36,2**	**31,7**	**34**	**34,7**	**34,2**	**29,5**	**18,3**	**0**	**37,6**	**37,6**
Уровни звукового давления от источника ИШ-2-43 в расчётной точке ночью, дБ		**ф-ла(3)[10]**	**0**	**36,2**	**31,7**	**34**	**34,7**	**34,2**	**29,5**	**18,3**	**0**	**37,6**	**37,6**
Источник шума: ИШ-2-44, координаты источника (x,y,z), м =[682.20,-137.16,1.00]													
Уровни звуковой мощности источника днём, Lw, дБ		**исходные данные**	**0**	**93,3**	**94,7**	**96**	**96,3**	**95,9**	**92,6**	**88,4**	**83,9**		
Уровни звуковой мощности источника ночью, Lw, дБ		**исходные данные**	**0**	**93,3**	**94,7**	**96**	**96,3**	**95,9**	**92,6**	**88,4**	**83,9**		
Поправка на телесный угол DΩ, дБ	Ω = 6.28	10Lg(4π/Ω)	**3**	3	3	3	3	3	3	3	3		
Показатель направленности источника Di, дБ		исходные данные	**0**	0	0	0	0	0	0	0	0		
Поправка на направленность источника Dc, дБ	Dc	DΩ + Di	**3**	3	3	3	3	3	3	3	3		
Затухание из-за геометрической дивергенции, Adiv, дБ	расстояние = 499.70 м	ф-ла (7) [10]	**65**										
Коэффициент затухания звука в атмосфере α, дБ/км	Ta=20,°C Pa=101.33,кПа hотн.=70%	ф-ла (5) [9]	0,02	0,09	0,33	1,12	2,79	4,98	9,04	23,09	77,63		
Учет затухания звука в атмосфере Aatm, дБ		ф-ла (8) [10]	0	0	0,2	0,6	1,4	2,5	4,5	11,5	38,8		
Снижение поверхностью земли возле источника As, дБ	Gs = 0 hs = 1м	ф-лы таб.3 [10]	-1,5	-1,5	-1,5	-1,5	-1,5	-1,5	-1,5	-1,5	-1,5		
Снижение поверхностью земли возле приёмника Ar, дБ	Gr = 1 hr = 4.6м	ф-лы таб.3 [10]	-1,5	-1,5	3,4	1,3	0	0	0	0	0		
Снижение поверхностью земли в средней зоне, Am дБ	Gm = 1	ф-лы таб.3 [10]	-2	-2	0	0	0	0	0	0	0		

1		2	3	4	5	6	7	8	9	10	11	12	13
Суммарное снижение поверхностью земли на траектории распространения звука Agr, дБ		ф-ла (9) [10]	-5	-5	1,9	-0,2	-1,5	-1,5	-1,5	-1,5	-1,5		
Уровни звукового давления прямого звука от источника ИШ-2-44 в расчётной точке днём, дБ		**ф-ла(3)[10]**	**0**	**36,3**	**30,7**	**33,7**	**34,4**	**32,9**	**27,6**	**16,4**	**0**	**36,5**	**36,5**
Уровни звукового давления прямого звука от источника ИШ-2-44 в расчётной точке ночью, дБ		**ф-ла(3)[10]**	**0**	**36,3**	**30,7**	**33,7**	**34,4**	**32,9**	**27,6**	**16,4**	**0**	**36,5**	**36,5**
Расчёт отражённого звука													
Уровни звукового давления от мнимого источника ИШ-2-44_мн.(1) в расчётной точке днём, дБ		**ф-ла(3)[10]**	**0**	**0**	**0**	**0**	**0**	**0**	**0**	**0**	**0**	**0**	**0**
Уровни звукового давления от мнимого источника ИШ-2-44_мн.(1) в расчётной точке ночью, дБ		**ф-ла(3)[10]**	**0**	**0**	**0**	**0**	**0**	**0**	**0**	**0**	**0**	**0**	**0**
Уровни звукового давления от мнимого источника ИШ-2-44_мн.(2) в расчётной точке днём, дБ		**ф-ла(3)[10]**	**0**	**0**	**25,1**	**23,3**	**23,1**	**28,4**	**25,1**	**13,8**	**0**	**31,1**	**31,1**
Уровни звукового давления от мнимого источника ИШ-2-44_мн.(2) в расчётной точке ночью, дБ		**ф-ла(3)[10]**	**0**	**0**	**0**	**0**	**0**	**0**	**0**	**0**	**0**	**31,1**	**31,1**
Суммарные уровни звукового давления от мнимых источников в расчётной точке днём, дБ		**ф-ла (19) [1]**	**0**	**0**	**25,1**	**23,3**	**23,1**	**28,4**	**25,1**	**13,8**	**0**	**0**	**31,1**
Суммарные уровни звукового давления от мнимых источников в расчётной точке ночью, дБ		**ф-ла (19) [1]**	**0**	**0**	**25,1**	**23,3**	**23,1**	**28,4**	**25,1**	**13,8**	**0**	**0**	**31,1**
Уровни звукового давления от источника ИШ-2-44 в расчётной точке днём, дБ		**ф-ла(3)[10]**	**0**	**36,3**	**31,7**	**34,1**	**34,7**	**34,2**	**29,5**	**18,3**	**0**	**37,6**	**37,6**
Уровни звукового давления от источника ИШ-2-44 в расчётной точке ночью, дБ		**ф-ла(3)[10]**	**0**	**36,3**	**31,7**	**34,1**	**34,7**	**34,2**	**29,5**	**18,3**	**0**	**37,6**	**37,6**
Источник шума: ИШ-2-45, координаты источника (x,y,z), м =[681.26,-139.98,1.00]													
Уровни звуковой мощности источника днём, Lw, дБ		**исходные данные**	**0**	**93,3**	**94,7**	**96**	**96,3**	**95,9**	**92,6**	**88,4**	**83,9**		
Уровни звуковой мощности источника ночью, Lw, дБ		**исходные данные**	**0**	**93,3**	**94,7**	**96**	**96,3**	**95,9**	**92,6**	**88,4**	**83,9**		
Поправка на телесный угол DΩ, дБ	Ω = 6.28	10Lg(4π/Ω)	**3**	3	3	3	3	3	3	3	3		
Показатель направленности источника Di, дБ		исходные данные	**0**	0	0	0	0	0	0	0	0		

1		2	3	4	5	6	7	8	9	10	11	12	13
Поправка на направленность источника Dc, дБ	Dc	DΩ + Di	**3**	3	3	3	3	3	3	3	3		
Затухание из-за геометрической дивергенции, Adiv, дБ	расстояние = 498.54 м	ф-ла (7) [10]	**65**										
Коэффициент затухания звука в атмосфере α, дБ/км	Ta=20,°C Pa=101.33,кПа hотн.=70%	ф-ла (5) [9]	0,02	0,09	0,33	1,12	2,79	4,98	9,04	23,09	77,63		
Учет затухания звука в атмосфере Aatm, дБ		ф-ла (8) [10]	0	0	0,2	0,6	1,4	2,5	4,5	11,5	38,7		
Снижение уровня звукового давления из-за влияния застройки между источником шума и расчетной точкой													
Снижение уровня звукового давления препятствием слева от трассы ИШ-РТ, Dz2, дБ	z = -0.42м (разность путей)	ф-лы (14-18) [10]	1,6	NAN	NAN	NAN	NAN	NAN	NAN	NAN	NAN		
* отрицательное значение z означает прохождение траектории вблизи экрана, в этом случае дополнительно производится учёт снижения подстилающей поверхностью (см.ниже)													
Снижение поверхностью земли возле источника As, дБ	Gs = 0 hs = 1м	ф-лы таб.3 [10]	-1,5	-1,5	-1,5	-1,5	-1,5	-1,5	-1,5	-1,5	-1,5		
Снижение поверхностью земли возле приёмника Ar, дБ	Gr = 1 hr = 4.6м	ф-лы таб.3 [10]	-1,5	-1,5	3,4	1,3	0	0	0	0	0		
Снижение поверхностью земли в средней зоне, Am дБ	Gm = 1	ф-лы таб.3 [10]	-2	-2	0	0	0	0	0	0	0		
Суммарное снижение поверхностью земли на траектории распространения звука Agr, дБ		ф-ла (9) [10]	-5	-5	1,9	-0,2	-1,5	-1,5	-1,5	-1,5	-1,5		
Уровни звукового давления прямого звука от источника ИШ-2-45 в расчётной точке днём, дБ		**ф-ла(3)[10]**	**0**	**36,3**	**30,7**	**33,7**	**34,4**	**33**	**27,6**	**16,4**	**0**	**36,5**	**36,5**
Уровни звукового давления прямого звука от источника ИШ-2-45 в расчётной точке ночью, дБ		**ф-ла(3)[10]**	**0**	**36,3**	**30,7**	**33,7**	**34,4**	**33**	**27,6**	**16,4**	**0**	**36,5**	**36,5**
Расчёт отражённого звука													
Уровни звукового давления от мнимого источника ИШ-2-45_мн.(1) в расчётной точке днём, дБ		**ф-ла(3)[10]**	**0**	**0**	**0**	**0**	**0**	**0**	**0**	**0**	**0**	**0**	**0**
Уровни звукового давления от мнимого источника ИШ-2-45_мн.(1) в расчётной точке ночью, дБ		**ф-ла(3)[10]**	**0**	**0**	**0**	**0**	**0**	**0**	**0**	**0**	**0**	**0**	**0**
Уровни звукового давления от мнимого источника ИШ-2-45_мн.(2) в расчётной точке днём, дБ		**ф-ла(3)[10]**	**0**	**0**	**25,1**	**23,3**	**23,1**	**28,4**	**25,1**	**13,9**	**0**	**31,1**	**31,1**
Уровни звукового давления от мнимого источника ИШ-2-45_мн.(2) в расчётной точке ночью, дБ		**ф-ла(3)[10]**	**0**	**0**	**0**	**0**	**0**	**0**	**0**	**0**	**0**	**31,1**	**31,1**

1		2	3	4	5	6	7	8	9	10	11	12	13
Суммарные уровни звукового давления от мнимых источников в расчётной точке днём, дБ		**ф-ла (19) [1]**	**0**	**0**	**25,1**	**23,3**	**23,1**	**28,4**	**25,1**	**13,9**	**0**	**0**	**31,1**
Суммарные уровни звукового давления от мнимых источников в расчётной точке ночью, дБ		**ф-ла (19) [1]**	**0**	**0**	**25,1**	**23,3**	**23,1**	**28,4**	**25,1**	**13,9**	**0**	**0**	**31,1**
Уровни звукового давления от источника ИШ-2-45 в расчётной точке днём, дБ		**ф-ла(3)[10]**	**0**	**36,3**	**31,8**	**34,1**	**34,8**	**34,3**	**29,6**	**18,4**	**0**	**37,6**	**37,6**
Уровни звукового давления от источника ИШ-2-45 в расчётной точке ночью, дБ		**ф-ла(3)[10]**	**0**	**36,3**	**31,8**	**34,1**	**34,8**	**34,3**	**29,6**	**18,4**	**0**	**37,6**	**37,6**
Источник шума: ИШ-4-1, координаты источника (x,y,z), м =[141.82,201.03,1.00]													
Уровни звуковой мощности источника днём, Lw, дБ		**исходные данные**	**0**	**90,3**	**91,7**	**93**	**93,3**	**92,9**	**89,6**	**85,4**	**80,9**		
Уровни звуковой мощности источника ночью, Lw, дБ		**исходные данные**	**0**	**90,3**	**91,7**	**93**	**93,3**	**92,9**	**89,6**	**85,4**	**80,9**		
Поправка на телесный угол DΩ, дБ	Ω = 6.28	10Lg(4π/Ω)	**3**	3	3	3	3	3	3	3	3		
Показатель направленности источника Di, дБ		исходные данные	**0**	0	0	0	0	0	0	0	0		
Поправка на направленность источника Dc, дБ	Dc	DΩ + Di	**3**	3	3	3	3	3	3	3	3		
Затухание из-за геометрической дивергенции, Adiv, дБ	расстояние = 382.47 м	ф-ла (7) [10]	**62,7**										
Коэффициент затухания звука в атмосфере α, дБ/км	Ta=20,°C Pa=101.33,кПа hотн.=70%	ф-ла (5) [9]	0,02	0,09	0,33	1,12	2,79	4,98	9,04	23,09	77,63		
Учет затухания звука в атмосфере Aatm, дБ		ф-ла (8) [10]	0	0	0,1	0,4	1,1	1,9	3,5	8,8	29,7		
Снижение поверхностью земли возле источника As, дБ	Gs = 0 hs = 1м	ф-лы таб.3 [10]	-1,5	-1,5	-1,5	-1,5	-1,5	-1,5	-1,5	-1,5	-1,5		
Снижение поверхностью земли возле приёмника Ar, дБ	Gr = 1 hr = 4.6м	ф-лы таб.3 [10]	-1,5	-1,5	3,2	1,3	0	0	0	0	0		
Снижение поверхностью земли в средней зоне, Am дБ	Gm = 1	ф-лы таб.3 [10]	-1,7	-1,7	0	0	0	0	0	0	0		

1		2	3	4	5	6	7	8	9	10	11	12	13
Суммарное снижение поверхностью земли на траектории распространения звука Agr, дБ		ф-ла (9) [10]	-4,7	-4,7	1,7	-0,2	-1,5	-1,5	-1,5	-1,5	-1,5		
Уровни звукового давления прямого звука от источника ИШ-4-1 в расчётной точке днём, дБ		**ф-ла(3)[10]**	**0**	**35,3**	**30,2**	**33,1**	**34,1**	**32,8**	**28**	**18,4**	**0**	**36,4**	**36,4**
Уровни звукового давления прямого звука от источника ИШ-4-1 в расчётной точке ночью, дБ		**ф-ла(3)[10]**	**0**	**35,3**	**30,2**	**33,1**	**34,1**	**32,8**	**28**	**18,4**	**0**	**36,4**	**36,4**
Расчёт отражённого звука													
Уровни звукового давления от мнимого источника ИШ-4-1_мн.(1) в расчётной точке днём, дБ		**ф-ла(3)[10]**	**0**	**0**	**0**	**0**	**0**	**16,3**	**8,3**	**0**	**0**	**17,2**	**17,2**
Уровни звукового давления от мнимого источника ИШ-4-1_мн.(1) в расчётной точке ночью, дБ		**ф-ла(3)[10]**	**0**	**0**	**0**	**0**	**0**	**0**	**0**	**0**	**0**	**17,2**	**17,2**
Уровни звукового давления от мнимого источника ИШ-4-1_мн.(2) в расчётной точке днём, дБ		**ф-ла(3)[10]**	**0**	**34,2**	**25,4**	**22,7**	**22,7**	**28,2**	**25,4**	**15,8**	**0**	**31,1**	**31,1**
Уровни звукового давления от мнимого источника ИШ-4-1_мн.(2) в расчётной точке ночью, дБ		**ф-ла(3)[10]**	**34,2**	**34,2**	**34,2**	**34,2**	**34,2**	**34,2**	**34,2**	**34,2**	**34,2**	**31,1**	**31,1**
Суммарные уровни звукового давления от мнимых источников в расчётной точке днём, дБ		**ф-ла (19) [1]**	**0**	**34,2**	**25,4**	**22,7**	**22,7**	**28,5**	**25,5**	**15,8**	**0**	**0**	**31,3**
Суммарные уровни звукового давления от мнимых источников в расчётной точке ночью, дБ		**ф-ла (19) [1]**	**0**	**34,2**	**25,4**	**22,7**	**22,7**	**28,5**	**25,5**	**15,8**	**0**	**0**	**31,3**
Уровни звукового давления от источника ИШ-4-1 в расчётной точке днём, дБ		**ф-ла(3)[10]**	**0**	**37,8**	**31,4**	**33,5**	**34,4**	**34,2**	**29,9**	**20,3**	**0**	**37,6**	**37,6**
Уровни звукового давления от источника ИШ-4-1 в расчётной точке ночью, дБ		**ф-ла(3)[10]**	**0**	**37,8**	**31,4**	**33,5**	**34,4**	**34,2**	**29,9**	**20,3**	**0**	**37,6**	**37,6**
Источник шума: ИШ-4-2, координаты источника (x,y,z), м =[133.85,183.21,1.00]													
Уровни звуковой мощности источника днём, Lw, дБ		**исходные данные**	**0**	**90,3**	**91,7**	**93**	**93,3**	**92,9**	**89,6**	**85,4**	**80,9**		
Уровни звуковой мощности источника ночью, Lw, дБ		**исходные данные**	**0**	**90,3**	**91,7**	**93**	**93,3**	**92,9**	**89,6**	**85,4**	**80,9**		
Поправка на телесный угол DΩ, дБ	Ω = 6.28	10Lg(4π/Ω)	**3**	3	3	3	3	3	3	3	3		
Показатель направленности источника Di, дБ		исходные данные	**0**	0	0	0	0	0	0	0	0		

1		2	3	4	5	6	7	8	9	10	11	12	13
Поправка на направленность источника Dc, дБ	Dc	DΩ + Di	**3**	3	3	3	3	3	3	3	3		
Затухание из-за геометрической дивергенции, Adiv, дБ	расстояние = 365.78 м	ф-ла (7) [10]	**62,3**										
Коэффициент затухания звука в атмосфере α, дБ/км	Ta=20,°C Pa=101.33,кПа hотн.=70%	ф-ла (5) [9]	0,02	0,09	0,33	1,12	2,79	4,98	9,04	23,09	77,63		
Учет затухания звука в атмосфере Aatm, дБ		ф-ла (8) [10]	0	0	0,1	0,4	1	1,8	3,3	8,4	28,4		
Снижение уровня звукового давления из-за влияния застройки между источником шума и расчетной точкой													
Снижение уровня звукового давления препятствием справа от трассы ИШ-РТ, Dz3, дБ	z = -0.27м (разность путей)	ф-лы (14-18) [10]	0	0	NAN	NAN	NAN	NAN	NAN	NAN	NAN		
* отрицательное значение z означает прохождение траектории вблизи экрана, в этом случае дополнительно производится учёт снижения подстилающей поверхностью (см.ниже)													
Снижение поверхностью земли возле источника As, дБ	Gs = 0 hs = 1м	ф-лы таб.3 [10]	-1,5	-1,5	-1,5	-1,5	-1,5	-1,5	-1,5	-1,5	-1,5		
Снижение поверхностью земли возле приёмника Ar, дБ	Gr = 1 hr = 4.6м	ф-лы таб.3 [10]	-1,5	-1,5	3,2	1,3	0	0	0	0	0		
Снижение поверхностью земли в средней зоне, Am дБ	Gm = 1	ф-лы таб.3 [10]	-1,6	-1,6	0	0	0	0	0	0	0		
Суммарное снижение поверхностью земли на траектории распространения звука Agr, дБ		ф-ла (9) [10]	-4,6	-4,6	1,7	-0,2	-1,5	-1,5	-1,5	-1,5	-1,5		
Уровни звукового давления прямого звука от источника ИШ-4-2 в расчётной точке днём, дБ		**ф-ла(3)[10]**	**0**	**35,6**	**30,6**	**33,5**	**34,5**	**33,3**	**28,5**	**19,2**	**0**	**36,9**	**36,9**
Уровни звукового давления прямого звука от источника ИШ-4-2 в расчётной точке ночью, дБ		**ф-ла(3)[10]**	**0**	**35,6**	**30,6**	**33,5**	**34,5**	**33,3**	**28,5**	**19,2**	**0**	**36,9**	**36,9**
Расчёт отражённого звука													
Уровни звукового давления от мнимого источника ИШ-4-2_мн.(1) в расчётной точке днём, дБ		**ф-ла(3)[10]**	**0**	**0**	**0**	**0**	**0**	**0**	**22**	**10,7**	**0**	**23,5**	**23,5**
Уровни звукового давления от мнимого источника ИШ-4-2_мн.(1) в расчётной точке ночью, дБ		**ф-ла(3)[10]**	**0**	**0**	**0**	**0**	**0**	**0**	**0**	**0**	**0**	**23,5**	**23,5**
Уровни звукового давления от мнимого источника ИШ-4-2_мн.(2) в расчётной точке днём, дБ		**ф-ла(3)[10]**	**0**	**34,6**	**25,9**	**23,1**	**23,1**	**28,7**	**25,9**	**16,5**	**0**	**31,6**	**31,6**
Уровни звукового давления от мнимого источника ИШ-4-2_мн.(2) в расчётной точке ночью, дБ		**ф-ла(3)[10]**	**34,6**	**34,6**	**34,6**	**34,6**	**34,6**	**34,6**	**34,6**	**34,6**	**34,6**	**31,6**	**31,6**

1		2	3	4	5	6	7	8	9	10	11	12	13
Суммарные уровни звукового давления от мнимых источников в расчётной точке днём, дБ		**ф-ла (19) [1]**	**0**	**34,6**	**25,9**	**23,1**	**23,1**	**28,7**	**27,4**	**17,5**	**0**	**0**	**32,3**
Суммарные уровни звукового давления от мнимых источников в расчётной точке ночью, дБ		**ф-ла (19) [1]**	**0**	**34,6**	**25,9**	**23,1**	**23,1**	**28,7**	**27,4**	**17,5**	**0**	**0**	**32,3**
Уровни звукового давления от источника ИШ-4-2 в расчётной точке днём, дБ		**ф-ла(3)[10]**	**0**	**38,1**	**31,9**	**33,9**	**34,8**	**34,6**	**31**	**21,5**	**0**	**38,2**	**38,2**
Уровни звукового давления от источника ИШ-4-2 в расчётной точке ночью, дБ		**ф-ла(3)[10]**	**0**	**38,1**	**31,9**	**33,9**	**34,8**	**34,6**	**31**	**21,5**	**0**	**38,2**	**38,2**
Источник шума: ИШ-4-3, координаты источника (x,y,z), м =[152.61,172.66,1.00]													
Уровни звуковой мощности источника днём, Lw, дБ		**исходные данные**	**0**	**90,3**	**91,7**	**93**	**93,3**	**92,9**	**89,6**	**85,4**	**80,9**		
Уровни звуковой мощности источника ночью, Lw, дБ		**исходные данные**	**0**	**90,3**	**91,7**	**93**	**93,3**	**92,9**	**89,6**	**85,4**	**80,9**		
Поправка на телесный угол DΩ, дБ	Ω = 6.28	10Lg(4π/Ω)	**3**	3	3	3	3	3	3	3	3		
Показатель направленности источника Di, дБ		исходные данные	**0**	0	0	0	0	0	0	0	0		
Поправка на направленность источника Dc, дБ	Dc	DΩ + Di	**3**	3	3	3	3	3	3	3	3		
Затухание из-за геометрической дивергенции, Adiv, дБ	расстояние = 353.16 м	ф-ла (7) [10]	**62**										
Коэффициент затухания звука в атмосфере α, дБ/км	Ta=20,°C Pa=101.33,кПа hотн.=70%	ф-ла (5) [9]	0,02	0,09	0,33	1,12	2,79	4,98	9,04	23,09	77,63		
Учет затухания звука в атмосфере Aatm, дБ		ф-ла (8) [10]	0	0	0,1	0,4	1	1,8	3,2	8,2	27,4		
Снижение поверхностью земли возле источника As, дБ	Gs = 0 hs = 1м	ф-лы таб.3 [10]	-1,5	-1,5	-1,5	-1,5	-1,5	-1,5	-1,5	-1,5	-1,5		
Снижение поверхностью земли возле приёмника Ar, дБ	Gr = 1 hr = 4.6м	ф-лы таб.3 [10]	-1,5	-1,5	3,2	1,3	0	0	0	0	0		
Снижение поверхностью земли в средней зоне, Am дБ	Gm = 1	ф-лы таб.3 [10]	-1,6	-1,6	0	0	0	0	0	0	0		

1	2	3	4	5	6	7	8	9	10	11	12	13
Суммарное снижение поверхностью земли на траектории распространения звука Agr, дБ	ф-ла (9) [10]	-4,6	-4,6	1,7	-0,2	-1,5	-1,5	-1,5	-1,5	-1,5		
Уровни звукового давления прямого звука от источника ИШ-4-3 в расчётной точке днём, дБ	**ф-ла(3)[10]**	**0**	**35,9**	**30,9**	**33,9**	**34,8**	**33,7**	**28,9**	**19,8**	**0**	**37,3**	**37,3**
Уровни звукового давления прямого звука от источника ИШ-4-3 в расчётной точке ночью, дБ	**ф-ла(3)[10]**	**0**	**35,9**	**30,9**	**33,9**	**34,8**	**33,7**	**28,9**	**19,8**	**0**	**37,3**	**37,3**
Расчёт отражённого звука												
Уровни звукового давления от мнимого источника ИШ-4-3_мн.(1) в расчётной точке днём, дБ	**ф-ла(3)[10]**	**0**	**0**	**0**	**0**	**0**	**27,6**	**24,7**	**14,8**	**0**	**30**	**30**
Уровни звукового давления от мнимого источника ИШ-4-3_мн.(1) в расчётной точке ночью, дБ	**ф-ла(3)[10]**	**0**	**0**	**0**	**0**	**0**	**0**	**0**	**0**	**0**	**30**	**30**
Уровни звукового давления от мнимого источника ИШ-4-3_мн.(2) в расчётной точке днём, дБ	**ф-ла(3)[10]**	**0**	**34,8**	**26,4**	**23,4**	**23,4**	**29,1**	**26,3**	**17,1**	**0**	**32**	**32**
Уровни звукового давления от мнимого источника ИШ-4-3_мн.(2) в расчётной точке ночью, дБ	**ф-ла(3)[10]**	**34,8**	**34,8**	**34,8**	**34,8**	**34,8**	**34,8**	**34,8**	**34,8**	**34,8**	**32**	**32**
Уровни звукового давления от мнимого источника ИШ-4-3_мн.(3) в расчётной точке днём, дБ	**ф-ла(3)[10]**	**0**	**0**	**0**	**0**	**0**	**0**	**0**	**0**	**0**	**0**	**0**
Уровни звукового давления от мнимого источника ИШ-4-3_мн.(3) в расчётной точке ночью, дБ	**ф-ла(3)[10]**	**0**	**0**	**0**	**0**	**0**	**0**	**0**	**0**	**0**	**0**	**0**
Суммарные уровни звукового давления от мнимых источников в расчётной точке днём, дБ	**ф-ла (19) [1]**	**0**	**34,8**	**26,4**	**23,4**	**23,4**	**31,4**	**28,6**	**19,1**	**0**	**0**	**34,2**
Суммарные уровни звукового давления от мнимых источников в расчётной точке ночью, дБ	**ф-ла (19) [1]**	**0**	**34,8**	**26,4**	**23,4**	**23,4**	**31,4**	**28,6**	**19,1**	**0**	**0**	**34,2**
Уровни звукового давления от источника ИШ-4-3 в расчётной точке днём, дБ	**ф-ла(3)[10]**	**0**	**38,4**	**32,2**	**34,2**	**35,1**	**35,7**	**31,8**	**22,5**	**0**	**39**	**39**
Уровни звукового давления от источника ИШ-4-3 в расчётной точке ночью, дБ	**ф-ла(3)[10]**	**0**	**38,4**	**32,2**	**34,2**	**35,1**	**35,7**	**31,8**	**22,5**	**0**	**39**	**39**
Источник шума: ИШ-4-4, координаты источника (x,y,z), м =[156.83,171.25,1.00]												
Уровни звуковой мощности источника днём, Lw, дБ	**исходные данные**	**0**	**90,3**	**91,7**	**93**	**93,3**	**92,9**	**89,6**	**85,4**	**80,9**		
Уровни звуковой мощности источника ночью, Lw, дБ	**исходные данные**	**0**	**90,3**	**91,7**	**93**	**93,3**	**92,9**	**89,6**	**85,4**	**80,9**		

1		2	3	4	5	6	7	8	9	10	11	12	13
Поправка на телесный угол DΩ, дБ	Ω = 6.28	10Lg(4π/Ω)	**3**	3	3	3	3	3	3	3	3		
Показатель направленности источника Di, дБ		исходные данные	**0**	0	0	0	0	0	0	0	0		
Поправка на направленность источника Dc, дБ	Dc	DΩ + Di	**3**	3	3	3	3	3	3	3	3		
Затухание из-за геометрической дивергенции, Adiv, дБ	расстояние = 351.41 м	ф-ла (7) [10]	**61,9**										
Коэффициент затухания звука в атмосфере α, дБ/км	Ta=20,°C Pa=101.33,кПа hотн.=70%	ф-ла (5) [9]	0,02	0,09	0,33	1,12	2,79	4,98	9,04	23,09	77,63		
Учет затухания звука в атмосфере Aatm, дБ		ф-ла (8) [10]	0	0	0,1	0,4	1	1,7	3,2	8,1	27,3		
Снижение поверхностью земли возле источника As, дБ	Gs = 0 hs = 1м	ф-лы таб.3 [10]	-1,5	-1,5	-1,5	-1,5	-1,5	-1,5	-1,5	-1,5	-1,5		
Снижение поверхностью земли возле приёмника Ar, дБ	Gr = 1 hr = 4.6м	ф-лы таб.3 [10]	-1,5	-1,5	3,2	1,3	0	0	0	0	0		
Снижение поверхностью земли в средней зоне, Am дБ	Gm = 1	ф-лы таб.3 [10]	-1,6	-1,6	0	0	0	0	0	0	0		
Суммарное снижение поверхностью земли на траектории распространения звука Agr, дБ		ф-ла (9) [10]	-4,6	-4,6	1,7	-0,2	-1,5	-1,5	-1,5	-1,5	-1,5		
Уровни звукового давления прямого звука от источника ИШ-4-4 в расчётной точке днём, дБ		**ф-ла(3)[10]**	**0**	**35,9**	**31**	**33,9**	**34,9**	**33,7**	**29**	**19,9**	**0**	**37,3**	**37,3**
Уровни звукового давления прямого звука от источника ИШ-4-4 в расчётной точке ночью, дБ		**ф-ла(3)[10]**	**0**	**35,9**	**31**	**33,9**	**34,9**	**33,7**	**29**	**19,9**	**0**	**37,3**	**37,3**
Расчёт отражённого звука													
Уровни звукового давления от мнимого источника ИШ-4-4_мн.(1) в расчётной точке днём, дБ		**ф-ла(3)[10]**	**0**	**34,9**	**26,4**	**23,5**	**23,5**	**29,1**	**26,4**	**17,2**	**0**	**32,1**	**32,1**
Уровни звукового давления от мнимого источника ИШ-4-4_мн.(1) в расчётной точке ночью, дБ		**ф-ла(3)[10]**	**0**	**0**	**0**	**0**	**0**	**0**	**0**	**0**	**0**	**32,1**	**32,1**
Уровни звукового давления от источника ИШ-4-4 в расчётной точке днём, дБ		**ф-ла(3)[10]**	**0**	**38,4**	**32,3**	**34,3**	**35,2**	**35**	**30,9**	**21,7**	**0**	**38,4**	**38,4**
Уровни звукового давления от источника ИШ-4-4 в расчётной точке ночью, дБ		**ф-ла(3)[10]**	**0**	**38,4**	**32,3**	**34,3**	**35,2**	**35**	**30,9**	**21,7**	**0**	**38,4**	**38,4**

1		2	3	4	5	6	7	8	9	10	11	12	13
Источник шума: ИШ-4-5, координаты источника (x,y,z), м =[126.48,222.66,11.00]													
Уровни звуковой мощности источника днём, Lw, дБ		**исходные данные**	**0**	**90,3**	**91,7**	**93**	**93,3**	**92,9**	**89,6**	**85,4**	**80,9**		
Уровни звуковой мощности источника ночью, Lw, дБ		**исходные данные**	**0**	**90,3**	**91,7**	**93**	**93,3**	**92,9**	**89,6**	**85,4**	**80,9**		
Поправка на телесный угол DΩ, дБ	Ω = 6.28	10Lg(4π/Ω)	**3**	3	3	3	3	3	3	3	3		
Показатель направленности источника Di, дБ		исходные данные	**0**	0	0	0	0	0	0	0	0		
Поправка на направленность источника Dc, дБ	Dc	DΩ + Di	**3**	3	3	3	3	3	3	3	3		
Затухание из-за геометрической дивергенции, Adiv, дБ	расстояние = 405.91 м	ф-ла (7) [10]	**63,2**										
Коэффициент затухания звука в атмосфере α, дБ/км	Ta=20,°C Pa=101.33,кПа hотн.=70%	ф-ла (5) [9]	0,02	0,09	0,33	1,12	2,79	4,98	9,04	23,09	77,63		
Учет затухания звука в атмосфере Aatm, дБ		ф-ла (8) [10]	0	0	0,1	0,5	1,1	2	3,7	9,4	31,5		
Снижение поверхностью земли возле источника As, дБ	Gs = 0 hs = 1м	ф-лы таб.3 [10]	-1,5	-1,5	-1,5	-1,5	-1,5	-1,5	-1,5	-1,5	-1,5		
Снижение поверхностью земли возле приёмника Ar, дБ	Gr = 1 hr = 4.6м	ф-лы таб.3 [10]	-1,5	-1,5	3,3	1,3	0	0	0	0	0		
Снижение поверхностью земли в средней зоне, Am дБ	Gm = 1	ф-лы таб.3 [10]	-1,8	-1,8	0	0	0	0	0	0	0		
Суммарное снижение поверхностью земли на траектории распространения звука Agr, дБ		ф-ла (9) [10]	-4,8	-4,8	1,8	-0,2	-1,5	-1,5	-1,5	-1,5	-1,5		
Уровни звукового давления прямого звука от источника ИШ-4-5 в расчётной точке днём, дБ		**ф-ла(3)[10]**	**0**	**34,8**	**29,6**	**32,6**	**33,5**	**32,2**	**27,3**	**17,4**	**0**	**35,8**	**35,8**
Уровни звукового давления прямого звука от источника ИШ-4-5 в расчётной точке ночью, дБ		**ф-ла(3)[10]**	**0**	**34,8**	**29,6**	**32,6**	**33,5**	**32,2**	**27,3**	**17,4**	**0**	**35,8**	**35,8**
Расчёт отражённого звука													

1		2	3	4	5	6	7	8	9	10	11	12	13
Уровни звукового давления от мнимого источника ИШ-4-5_мн.(1) в расчётной точке днём, дБ		**ф-ла(3)[10]**	**0**	**33,8**	**24,7**	**22,2**	**22,1**	**27,6**	**24,7**	**14,7**	**0**	**30,5**	**30,5**
Уровни звукового давления от мнимого источника ИШ-4-5_мн.(1) в расчётной точке ночью, дБ		**ф-ла(3)[10]**	**0**	**0**	**0**	**0**	**0**	**0**	**0**	**0**	**0**	**30,5**	**30,5**
Уровни звукового давления от источника ИШ-4-5 в расчётной точке днём, дБ		**ф-ла(3)[10]**	**0**	**37,4**	**30,8**	**33**	**33,8**	**33,5**	**29,2**	**19,2**	**0**	**36,9**	**36,9**
Уровни звукового давления от источника ИШ-4-5 в расчётной точке ночью, дБ		**ф-ла(3)[10]**	**0**	**37,4**	**30,8**	**33**	**33,8**	**33,5**	**29,2**	**19,2**	**0**	**36,9**	**36,9**
Источник шума: ИШ-4-6, координаты источника (x,y,z), м =[125.17,218.57,11.00]													
Уровни звуковой мощности источника днём, Lw, дБ		**исходные данные**	**0**	**90,3**	**91,7**	**93**	**93,3**	**92,9**	**89,6**	**85,4**	**80,9**		
Уровни звуковой мощности источника ночью, Lw, дБ		**исходные данные**	**0**	**90,3**	**91,7**	**93**	**93,3**	**92,9**	**89,6**	**85,4**	**80,9**		
Поправка на телесный угол DΩ, дБ	Ω = 6.28	10Lg(4π/Ω)	**3**	3	3	3	3	3	3	3	3		
Показатель направленности источника Di, дБ		исходные данные	**0**	0	0	0	0	0	0	0	0		
Поправка на направленность источника Dc, дБ	Dc	DΩ + Di	**3**	3	3	3	3	3	3	3	3		
Затухание из-за геометрической дивергенции, Adiv, дБ	расстояние = 402.06 м	ф-ла (7) [10]	**63,1**										
Коэффициент затухания звука в атмосфере α, дБ/км	Ta=20,°C Pa=101.33,кПа hотн.=70%	ф-ла (5) [9]	0,02	0,09	0,33	1,12	2,79	4,98	9,04	23,09	77,63		
Учет затухания звука в атмосфере Aatm, дБ		ф-ла (8) [10]	0	0	0,1	0,5	1,1	2	3,6	9,3	31,2		
Снижение уровня звукового давления из-за влияния застройки между источником шума и расчетной точкой													
Снижение уровня звукового давления препятствием справа от трассы ИШ-РТ, Dz3, дБ	z = -0.09м (разность путей)	ф-лы (14-18) [10]	0	0	2,1	0	NAN	NAN	NAN	NAN	NAN		
* отрицательное значение z означает прохождение траектории вблизи экрана, в этом случае дополнительно производится учёт снижения подстилающей поверхностью (см.ниже)													
Снижение поверхностью земли возле источника As, дБ	Gs = 0 hs = 1м	ф-лы таб.3 [10]	-1,5	-1,5	-1,5	-1,5	-1,5	-1,5	-1,5	-1,5	-1,5		

1		2	3	4	5	6	7	8	9	10	11	12	13
Снижение поверхностью земли возле приёмника Ar, дБ	Gr = 1 hr = 4.6м	ф-лы таб.3 [10]	-1,5	-1,5	3,3	1,3	0	0	0	0	0		
Снижение поверхностью земли в средней зоне, Am дБ	Gm = 1	ф-лы таб.3 [10]	-1,7	-1,7	0	0	0	0	0	0	0		
Суммарное снижение поверхностью земли на траектории распространения звука Agr, дБ		ф-ла (9) [10]	-4,7	-4,7	1,8	-0,2	-1,5	-1,5	-1,5	-1,5	-1,5		
Уровни звукового давления прямого звука от источника ИШ-4-6 в расчётной точке днём, дБ		**ф-ла(3)[10]**	**0**	**34,9**	**27,6**	**32,7**	**33,6**	**32,3**	**27,4**	**17,5**	**0**	**35,9**	**35,9**
Уровни звукового давления прямого звука от источника ИШ-4-6 в расчётной точке ночью, дБ		**ф-ла(3)[10]**	**0**	**34,9**	**27,6**	**32,7**	**33,6**	**32,3**	**27,4**	**17,5**	**0**	**35,9**	**35,9**
Расчёт отражённого звука													
Уровни звукового давления от мнимого источника ИШ-4-6_мн.(1) в расчётной точке днём, дБ		**ф-ла(3)[10]**	**0**	**33,9**	**24,8**	**22,3**	**22,2**	**27,7**	**24,8**	**14,9**	**0**	**30,6**	**30,6**
Уровни звукового давления от мнимого источника ИШ-4-6_мн.(1) в расчётной точке ночью, дБ		**ф-ла(3)[10]**	**0**	**0**	**0**	**0**	**0**	**0**	**0**	**0**	**0**	**30,6**	**30,6**
Уровни звукового давления от источника ИШ-4-6 в расчётной точке днём, дБ		**ф-ла(3)[10]**	**0**	**37,4**	**29,4**	**33,1**	**33,9**	**33,6**	**29,3**	**19,4**	**0**	**37**	**37**
Уровни звукового давления от источника ИШ-4-6 в расчётной точке ночью, дБ		**ф-ла(3)[10]**	**0**	**37,4**	**29,4**	**33,1**	**33,9**	**33,6**	**29,3**	**19,4**	**0**	**37**	**37**
Источник шума: ИШ-4-7, координаты источника (x,y,z), м =[177.91,257.92,11.00]													
Уровни звуковой мощности источника днём, Lw, дБ		**исходные данные**	**0**	**90,3**	**91,7**	**93**	**93,3**	**92,9**	**89,6**	**85,4**	**80,9**		
Уровни звуковой мощности источника ночью, Lw, дБ		**исходные данные**	**0**	**90,3**	**91,7**	**93**	**93,3**	**92,9**	**89,6**	**85,4**	**80,9**		
Поправка на телесный угол DΩ, дБ	Ω = 6.28	10Lg(4π/Ω)	**3**	3	3	3	3	3	3	3	3		
Показатель направленности источника Di, дБ		исходные данные	**0**	0	0	0	0	0	0	0	0		
Поправка на направленность источника Dc, дБ	Dc	DΩ + Di	**3**	3	3	3	3	3	3	3	3		
Затухание из-за геометрической дивергенции, Adiv, дБ	расстояние = 437.08 м	ф-ла (7) [10]	**63,8**										

1		2	3	4	5	6	7	8	9	10	11	12	13
Коэффициент затухания звука в атмосфере α, дБ/км	Ta=20,°C Pa=101.33,кПа hотн.=70%	ф-ла (5) [9]	0,02	0,09	0,33	1,12	2,79	4,98	9,04	23,09	77,63		
Учет затухания звука в атмосфере Aatm, дБ		ф-ла (8) [10]	0	0	0,1	0,5	1,2	2,2	4	10,1	33,9		
Снижение поверхностью земли возле источника As, дБ	Gs = 0 hs = 3м	ф-лы таб.3 [10]	-1,5	-1,5	-1,5	-1,5	-1,5	-1,5	-1,5	-1,5	-1,5		
Снижение поверхностью земли возле приёмника Ar, дБ	Gr = 1 hr = 4.6м	ф-лы таб.3 [10]	-1,5	-1,5	3,3	1,3	0	0	0	0	0		
Снижение поверхностью земли в средней зоне, Am дБ	Gm = 1	ф-лы таб.3 [10]	-1,4	-1,4	0	0	0	0	0	0	0		
Суммарное снижение поверхностью земли на траектории распространения звука Agr, дБ		ф-ла (9) [10]	-4,4	-4,4	1,8	-0,2	-1,5	-1,5	-1,5	-1,5	-1,5		
Уровни звукового давления прямого звука от источника ИШ-4-7 в расчётной точке днём, дБ		**ф-ла(3)[10]**	**0**	**33,9**	**28,9**	**31,9**	**32,8**	**31,4**	**26,3**	**16**	**0**	**35**	**35**
Уровни звукового давления прямого звука от источника ИШ-4-7 в расчётной точке ночью, дБ		**ф-ла(3)[10]**	**0**	**33,9**	**28,9**	**31,9**	**32,8**	**31,4**	**26,3**	**16**	**0**	**35**	**35**
Расчёт отражённого звука													
Уровни звукового давления от мнимого источника ИШ-4-7_мн.(1) в расчётной точке днём, дБ		**ф-ла(3)[10]**	**0**	**0**	**0**	**0**	**0**	**0**	**23,1**	**12,4**	**0**	**24,7**	**24,7**
Уровни звукового давления от мнимого источника ИШ-4-7_мн.(1) в расчётной точке ночью, дБ		**ф-ла(3)[10]**	**0**	**0**	**0**	**0**	**0**	**0**	**0**	**0**	**0**	**24,7**	**24,7**
Уровни звукового давления от мнимого источника ИШ-4-7_мн.(2) в расчётной точке днём, дБ		**ф-ла(3)[10]**	**0**	**32,8**	**23,5**	**25,5**	**30**	**28,8**	**23,7**	**13,4**	**0**	**32,2**	**32,2**
Уровни звукового давления от мнимого источника ИШ-4-7_мн.(2) в расчётной точке ночью, дБ		**ф-ла(3)[10]**	**32,8**	**32,8**	**32,8**	**32,8**	**32,8**	**32,8**	**32,8**	**32,8**	**32,8**	**32,2**	**32,2**
Суммарные уровни звукового давления от мнимых источников в расчётной точке днём, дБ		**ф-ла (19) [1]**	**0**	**32,8**	**23,5**	**25,5**	**30**	**28,8**	**26,5**	**15,9**	**0**	**0**	**32,9**
Суммарные уровни звукового давления от мнимых источников в расчётной точке ночью, дБ		**ф-ла (19) [1]**	**0**	**32,8**	**23,5**	**25,5**	**30**	**28,8**	**26,5**	**15,9**	**0**	**0**	**32,9**
Уровни звукового давления от источника ИШ-4-7 в расчётной точке днём, дБ		**ф-ла(3)[10]**	**0**	**36,4**	**30**	**32,8**	**34,6**	**33,3**	**29,4**	**19**	**0**	**37,1**	**37,1**
Уровни звукового давления от источника ИШ-4-7 в расчётной точке ночью, дБ		**ф-ла(3)[10]**	**0**	**36,4**	**30**	**32,8**	**34,6**	**33,3**	**29,4**	**19**	**0**	**37,1**	**37,1**

1		2	3	4	5	6	7	8	9	10	11	12	13
Источник шума: ИШ-4-8, координаты источника (x,y,z), м =[178.24,257.77,13.00]													
Уровни звуковой мощности источника днём, Lw, дБ		**исходные данные**	**0**	**90,3**	**91,7**	**93**	**93,3**	**92,9**	**89,6**	**85,4**	**80,9**		
Уровни звуковой мощности источника ночью, Lw, дБ		**исходные данные**	**0**	**90,3**	**91,7**	**93**	**93,3**	**92,9**	**89,6**	**85,4**	**80,9**		
Поправка на телесный угол DΩ, дБ	Ω = 6.28	10Lg(4π/Ω)	**3**	3	3	3	3	3	3	3	3		
Показатель направленности источника Di, дБ		исходные данные	**0**	0	0	0	0	0	0	0	0		
Поправка на направленность источника Dc, дБ	Dc	DΩ + Di	**3**	3	3	3	3	3	3	3	3		
Затухание из-за геометрической дивергенции, Adiv, дБ	расстояние = 436.96 м	ф-ла (7) [10]	**63,8**										
Коэффициент затухания звука в атмосфере α, дБ/км	Ta=20,°C Pa=101.33,кПа hотн.=70%	ф-ла (5) [9]	0,02	0,09	0,33	1,12	2,79	4,98	9,04	23,09	77,63		
Учет затухания звука в атмосфере Aatm, дБ		ф-ла (8) [10]	0	0	0,1	0,5	1,2	2,2	3,9	10,1	33,9		
Снижение уровня звукового давления из-за влияния застройки между источником шума и расчетной точкой													
Снижение уровня звукового давления препятствием снизу от трассы ИШ-РТ, Dz4, дБ	z = -0.17м (разность путей)	ф-лы (14-18) [10]	3,7	2,4	0	NAN	NAN	NAN	NAN	NAN	NAN		
* отрицательное значение z означает прохождение траектории вблизи экрана, в этом случае дополнительно производится учёт снижения подстилающей поверхностью (см.ниже)													
Снижение поверхностью земли возле источника As, дБ	Gs = 0 hs = 5м	ф-лы таб.3 [10]	-1,5	-1,5	-1,5	-1,5	-1,5	-1,5	-1,5	-1,5	-1,5		
Снижение поверхностью земли возле приёмника Ar, дБ	Gr = 1 hr = 4.6м	ф-лы таб.3 [10]	-1,5	-1,5	3,3	1,3	0	0	0	0	0		
Снижение поверхностью земли в средней зоне, Am дБ	Gm = 1	ф-лы таб.3 [10]	-1	-1	0	0	0	0	0	0	0		
Суммарное снижение поверхностью земли на траектории распространения звука Agr, дБ		ф-ла (9) [10]	-4	-4	1,8	-0,2	-1,5	-1,5	-1,5	-1,5	-1,5		
Уровни звукового давления прямого звука от источника ИШ-4-8 в расчётной точке днём, дБ		**ф-ла(3)[10]**	**0**	**31,1**	**28,9**	**31,9**	**32,8**	**31,4**	**26,3**	**16**	**0**	**35**	**35**

1		2	3	4	5	6	7	8	9	10	11	12	13
Уровни звукового давления прямого звука от источника ИШ-4-8 в расчётной точке ночью, дБ		**ф-ла(3)[10]**	**0**	**31,1**	**28,9**	**31,9**	**32,8**	**31,4**	**26,3**	**16**	**0**	**35**	**35**
Расчёт отражённого звука													
Уровни звукового давления от мнимого источника ИШ-4-8_мн.(1) в расчётной точке днём, дБ		**ф-ла(3)[10]**	**0**	**32,4**	**23,1**	**28,5**	**30,2**	**28,8**	**23,8**	**13,4**	**0**	**32,3**	**32,3**
Уровни звукового давления от мнимого источника ИШ-4-8_мн.(1) в расчётной точке ночью, дБ		**ф-ла(3)[10]**	**0**	**0**	**0**	**0**	**0**	**0**	**0**	**0**	**0**	**32,3**	**32,3**
Уровни звукового давления от источника ИШ-4-8 в расчётной точке днём, дБ		**ф-ла(3)[10]**	**0**	**34,8**	**30**	**33,5**	**34,7**	**33,3**	**28,2**	**17,9**	**0**	**36,9**	**36,9**
Уровни звукового давления от источника ИШ-4-8 в расчётной точке ночью, дБ		**ф-ла(3)[10]**	**0**	**34,8**	**30**	**33,5**	**34,7**	**33,3**	**28,2**	**17,9**	**0**	**36,9**	**36,9**
Источник шума: ИШ-4-9, координаты источника (x,y,z), м =[178.68,257.63,15.50]													
Уровни звуковой мощности источника днём, Lw, дБ		**исходные данные**	**0**	**90,3**	**91,7**	**93**	**93,3**	**92,9**	**89,6**	**85,4**	**80,9**		
Уровни звуковой мощности источника ночью, Lw, дБ		**исходные данные**	**0**	**90,3**	**91,7**	**93**	**93,3**	**92,9**	**89,6**	**85,4**	**80,9**		
Поправка на телесный угол DΩ, дБ	Ω = 6.28	10Lg(4π/Ω)	**3**	3	3	3	3	3	3	3	3		
Показатель направленности источника Di, дБ		исходные данные	**0**	0	0	0	0	0	0	0	0		
Поправка на направленность источника Dc, дБ	Dc	DΩ + Di	**3**	3	3	3	3	3	3	3	3		
Затухание из-за геометрической дивергенции, Adiv, дБ	расстояние = 436.87 м	ф-ла (7) [10]	**63,8**										
Коэффициент затухания звука в атмосфере α, дБ/км	Ta=20,°C Pa=101.33,кПа hотн.=70%	ф-ла (5) [9]	0,02	0,09	0,33	1,12	2,79	4,98	9,04	23,09	77,63		
Учет затухания звука в атмосфере Aatm, дБ		ф-ла (8) [10]	0	0	0,1	0,5	1,2	2,2	3,9	10,1	33,9		
Снижение уровня звукового давления из-за влияния застройки между источником шума и расчетной точкой													

1		2	3	4	5	6	7	8	9	10	11	12	13
Снижение уровня звукового давления препятствием снизу от трассы ИШ-РТ, Dz4, дБ	z = -0.42м (разность путей)	ф-лы (14-18) [10]	1,6	NAN	NAN	NAN	NAN	NAN	NAN	NAN	NAN		
* отрицательное значение z означает прохождение траектории вблизи экрана, в этом случае дополнительно производится учёт снижения подстилающей поверхностью (см.ниже)													
Снижение поверхностью земли возле источника As, дБ	Gs = 0 hs = 7.5м	ф-лы таб.3 [10]	-1,5	-1,5	-1,5	-1,5	-1,5	-1,5	-1,5	-1,5	-1,5		
Снижение поверхностью земли возле приёмника Ar, дБ	Gr = 1 hr = 4.6м	ф-лы таб.3 [10]	-1,5	-1,5	3,3	1,3	0	0	0	0	0		
Снижение поверхностью земли в средней зоне, Am дБ	Gm = 1	ф-лы таб.3 [10]	-0,5	-0,5	0	0	0	0	0	0	0		
Суммарное снижение поверхностью земли на траектории распространения звука Agr, дБ		ф-ла (9) [10]	-3,5	-3,5	1,8	-0,2	-1,5	-1,5	-1,5	-1,5	-1,5		
Уровни звукового давления прямого звука от источника ИШ-4-9 в расчётной точке днём, дБ		**ф-ла(3)[10]**	**0**	**33**	**28,9**	**31,9**	**32,8**	**31,4**	**26,3**	**16**	**0**	**35**	**35**
Уровни звукового давления прямого звука от источника ИШ-4-9 в расчётной точке ночью, дБ		**ф-ла(3)[10]**	**0**	**33**	**28,9**	**31,9**	**32,8**	**31,4**	**26,3**	**16**	**0**	**35**	**35**
Расчёт отражённого звука													
Уровни звукового давления от мнимого источника ИШ-4-9_мн.(1) в расчётной точке днём, дБ		**ф-ла(3)[10]**	**0**	**31,9**	**25**	**29,3**	**30,2**	**28,8**	**23,8**	**13,4**	**0**	**32,4**	**32,4**
Уровни звукового давления от мнимого источника ИШ-4-9_мн.(1) в расчётной точке ночью, дБ		**ф-ла(3)[10]**	**0**	**0**	**0**	**0**	**0**	**0**	**0**	**0**	**0**	**32,4**	**32,4**
Уровни звукового давления от источника ИШ-4-9 в расчётной точке днём, дБ		**ф-ла(3)[10]**	**0**	**35,5**	**30,4**	**33,8**	**34,7**	**33,3**	**28,2**	**17,9**	**0**	**36,9**	**36,9**
Уровни звукового давления от источника ИШ-4-9 в расчётной точке ночью, дБ		**ф-ла(3)[10]**	**0**	**35,5**	**30,4**	**33,8**	**34,7**	**33,3**	**28,2**	**17,9**	**0**	**36,9**	**36,9**
Источник шума: ИШ-4-10, координаты источника (x,y,z), м =[185.65,255.31,11.00]													
Уровни звуковой мощности источника днём, Lw, дБ		**исходные данные**	**0**	**90,3**	**91,7**	**93**	**93,3**	**92,9**	**89,6**	**85,4**	**80,9**		
Уровни звуковой мощности источника ночью, Lw, дБ		**исходные данные**	**0**	**90,3**	**91,7**	**93**	**93,3**	**92,9**	**89,6**	**85,4**	**80,9**		
Поправка на телесный угол DΩ, дБ	Ω = 6.28	10Lg(4π/Ω)	**3**	3	3	3	3	3	3	3	3		
Показатель направленности источника Di, дБ		исходные данные	**0**	0	0	0	0	0	0	0	0		

1		2	3	4	5	6	7	8	9	10	11	12	13
Поправка на направленность источника Dc, дБ	Dc	DΩ + Di	**3**	3	3	3	3	3	3	3	3		
Затухание из-за геометрической дивергенции, Adiv, дБ	расстояние = 434.42 м	ф-ла (7) [10]	**63,8**										
Коэффициент затухания звука в атмосфере α, дБ/км	Ta=20,°C Pa=101.33,кПа hотн.=70%	ф-ла (5) [9]	0,02	0,09	0,33	1,12	2,79	4,98	9,04	23,09	77,63		
Учет затухания звука в атмосфере Aatm, дБ		ф-ла (8) [10]	0	0	0,1	0,5	1,2	2,2	3,9	10	33,7		
Снижение поверхностью земли возле источника As, дБ	Gs = 0 hs = 3м	ф-лы таб.3 [10]	-1,5	-1,5	-1,5	-1,5	-1,5	-1,5	-1,5	-1,5	-1,5		
Снижение поверхностью земли возле приёмника Ar, дБ	Gr = 1 hr = 4.6м	ф-лы таб.3 [10]	-1,5	-1,5	3,3	1,3	0	0	0	0	0		
Снижение поверхностью земли в средней зоне, Am дБ	Gm = 1	ф-лы таб.3 [10]	-1,4	-1,4	0	0	0	0	0	0	0		
Суммарное снижение поверхностью земли на траектории распространения звука Agr, дБ		ф-ла (9) [10]	-4,4	-4,4	1,8	-0,2	-1,5	-1,5	-1,5	-1,5	-1,5		
Уровни звукового давления прямого звука от источника ИШ-4-10 в расчётной точке днём, дБ		**ф-ла(3)[10]**	**0**	**33,9**	**29**	**32**	**32,8**	**31,5**	**26,4**	**16,1**	**0**	**35**	**35**
Уровни звукового давления прямого звука от источника ИШ-4-10 в расчётной точке ночью, дБ		**ф-ла(3)[10]**	**0**	**33,9**	**29**	**32**	**32,8**	**31,5**	**26,4**	**16,1**	**0**	**35**	**35**
Расчёт отражённого звука													
Уровни звукового давления от мнимого источника ИШ-4-10_мн.(1) в расчётной точке днём, дБ		**ф-ла(3)[10]**	**0**	**0**	**0**	**0**	**0**	**0**	**21,1**	**10,3**	**0**	**22,7**	**22,7**
Уровни звукового давления от мнимого источника ИШ-4-10_мн.(1) в расчётной точке ночью, дБ		**ф-ла(3)[10]**	**0**	**0**	**0**	**0**	**0**	**0**	**0**	**0**	**0**	**22,7**	**22,7**
Уровни звукового давления от мнимого источника ИШ-4-10_мн.(2) в расчётной точке днём, дБ		**ф-ла(3)[10]**	**0**	**32,9**	**23,5**	**25,6**	**30**	**28,9**	**23,8**	**13,5**	**0**	**32,2**	**32,2**
Уровни звукового давления от мнимого источника ИШ-4-10_мн.(2) в расчётной точке ночью, дБ		**ф-ла(3)[10]**	**32,9**	**32,9**	**32,9**	**32,9**	**32,9**	**32,9**	**32,9**	**32,9**	**32,9**	**32,2**	**32,2**
Суммарные уровни звукового давления от мнимых источников в расчётной точке днём, дБ		**ф-ла (19) [1]**	**0**	**32,9**	**23,5**	**25,6**	**30**	**28,9**	**25,7**	**15,2**	**0**	**0**	**32,7**
Суммарные уровни звукового давления от мнимых источников в расчётной точке ночью, дБ		**ф-ла (19) [1]**	**0**	**32,9**	**23,5**	**25,6**	**30**	**28,9**	**25,7**	**15,2**	**0**	**0**	**32,7**

1		2	3	4	5	6	7	8	9	10	11	12	13
Уровни звукового давления от источника ИШ-4-10 в расчётной точке днём, дБ		**ф-ла(3)[10]**	**0**	**36,4**	**30,1**	**32,9**	**34,7**	**33,4**	**29,1**	**18,7**	**0**	**37**	**37**
Уровни звукового давления от источника ИШ-4-10 в расчётной точке ночью, дБ		**ф-ла(3)[10]**	**0**	**36,4**	**30,1**	**32,9**	**34,7**	**33,4**	**29,1**	**18,7**	**0**	**37**	**37**
Источник шума: ИШ-4-11, координаты источника (x,y,z), м =[185.89,255.16,13.00]													
Уровни звуковой мощности источника днём, Lw, дБ		**исходные данные**	**0**	**90,3**	**91,7**	**93**	**93,3**	**92,9**	**89,6**	**85,4**	**80,9**		
Уровни звуковой мощности источника ночью, Lw, дБ		**исходные данные**	**0**	**90,3**	**91,7**	**93**	**93,3**	**92,9**	**89,6**	**85,4**	**80,9**		
Поправка на телесный угол DΩ, дБ	Ω = 6.28	10Lg(4π/Ω)	**3**	3	3	3	3	3	3	3	3		
Показатель направленности источника Di, дБ		исходные данные	**0**	0	0	0	0	0	0	0	0		
Поправка на направленность источника Dc, дБ	Dc	DΩ + Di	**3**	3	3	3	3	3	3	3	3		
Затухание из-за геометрической дивергенции, Adiv, дБ	расстояние = 434.31 м	ф-ла (7) [10]	**63,8**										
Коэффициент затухания звука в атмосфере α, дБ/км	Ta=20,°C Pa=101.33,кПа hотн.=70%	ф-ла (5) [9]	0,02	0,09	0,33	1,12	2,79	4,98	9,04	23,09	77,63		
Учет затухания звука в атмосфере Aatm, дБ		ф-ла (8) [10]	0	0	0,1	0,5	1,2	2,2	3,9	10	33,7		
Снижение поверхностью земли возле источника As, дБ	Gs = 0 hs = 5м	ф-лы таб.3 [10]	-1,5	-1,5	-1,5	-1,5	-1,5	-1,5	-1,5	-1,5	-1,5		
Снижение поверхностью земли возле приёмника Ar, дБ	Gr = 1 hr = 4.6м	ф-лы таб.3 [10]	-1,5	-1,5	3,3	1,3	0	0	0	0	0		
Снижение поверхностью земли в средней зоне, Am дБ	Gm = 1	ф-лы таб.3 [10]	-1	-1	0	0	0	0	0	0	0		
Суммарное снижение поверхностью земли на траектории распространения звука Agr, дБ		ф-ла (9) [10]	-4	-4	1,8	-0,2	-1,5	-1,5	-1,5	-1,5	-1,5		
Уровни звукового давления прямого звука от источника ИШ-4-11 в расчётной точке днём, дБ		**ф-ла(3)[10]**	**0**	**33,5**	**29**	**32**	**32,8**	**31,5**	**26,4**	**16,1**	**0**	**35**	**35**

1		2	3	4	5	6	7	8	9	10	11	12	13
Уровни звукового давления прямого звука от источника ИШ-4-11 в расчётной точке ночью, дБ		**ф-ла(3)[10]**	**0**	**33,5**	**29**	**32**	**32,8**	**31,5**	**26,4**	**16,1**	**0**	**35**	**35**
Расчёт отражённого звука													
Уровни звукового давления от мнимого источника ИШ-4-11_мн.(1) в расчётной точке днём, дБ		**ф-ла(3)[10]**	**0**	**32,5**	**23,2**	**28,5**	**30,3**	**28,9**	**23,8**	**13,5**	**0**	**32,4**	**32,4**
Уровни звукового давления от мнимого источника ИШ-4-11_мн.(1) в расчётной точке ночью, дБ		**ф-ла(3)[10]**	**0**	**0**	**0**	**0**	**0**	**0**	**0**	**0**	**0**	**32,4**	**32,4**
Уровни звукового давления от источника ИШ-4-11 в расчётной точке днём, дБ		**ф-ла(3)[10]**	**0**	**36**	**30**	**33,6**	**34,7**	**33,4**	**28,3**	**18**	**0**	**36,9**	**36,9**
Уровни звукового давления от источника ИШ-4-11 в расчётной точке ночью, дБ		**ф-ла(3)[10]**	**0**	**36**	**30**	**33,6**	**34,7**	**33,4**	**28,3**	**18**	**0**	**36,9**	**36,9**
Источник шума: ИШ-4-12, координаты источника (x,y,z), м =[186.18,255.02,15.50]													
Уровни звуковой мощности источника днём, Lw, дБ		**исходные данные**	**0**	**90,3**	**91,7**	**93**	**93,3**	**92,9**	**89,6**	**85,4**	**80,9**		
Уровни звуковой мощности источника ночью, Lw, дБ		**исходные данные**	**0**	**90,3**	**91,7**	**93**	**93,3**	**92,9**	**89,6**	**85,4**	**80,9**		
Поправка на телесный угол DΩ, дБ	Ω = 6.28	10Lg(4π/Ω)	**3**	3	3	3	3	3	3	3	3		
Показатель направленности источника Di, дБ		исходные данные	**0**	0	0	0	0	0	0	0	0		
Поправка на направленность источника Dc, дБ	Dc	DΩ + Di	**3**	3	3	3	3	3	3	3	3		
Затухание из-за геометрической дивергенции, Adiv, дБ	расстояние = 434.22 м	ф-ла (7) [10]	**63,8**										
Коэффициент затухания звука в атмосфере α, дБ/км	Ta=20,°C Pa=101.33,кПа hотн.=70%	ф-ла (5) [9]	0,02	0,09	0,33	1,12	2,79	4,98	9,04	23,09	77,63		
Учет затухания звука в атмосфере Aatm, дБ		ф-ла (8) [10]	0	0	0,1	0,5	1,2	2,2	3,9	10	33,7		
Снижение поверхностью земли возле источника As, дБ	Gs = 0 hs = 7.5м	ф-лы таб.3 [10]	-1,5	-1,5	-1,5	-1,5	-1,5	-1,5	-1,5	-1,5	-1,5		

1		2	3	4	5	6	7	8	9	10	11	12	13
Снижение поверхностью земли возле приёмника Ar, дБ	Gr = 1 hr = 4.6м	ф-лы таб.3 [10]	-1,5	-1,5	3,3	1,3	0	0	0	0	0		
Снижение поверхностью земли в средней зоне, Am дБ	Gm = 1	ф-лы таб.3 [10]	-0,5	-0,5	0	0	0	0	0	0	0		
Суммарное снижение поверхностью земли на траектории распространения звука Agr, дБ		ф-ла (9) [10]	-3,5	-3,5	1,8	-0,2	-1,5	-1,5	-1,5	-1,5	-1,5		
Уровни звукового давления прямого звука от источника ИШ-4-12 в расчётной точке днём, дБ		**ф-ла(3)[10]**	**0**	**33**	**29**	**32**	**32,8**	**31,5**	**26,4**	**16,1**	**0**	**35**	**35**
Уровни звукового давления прямого звука от источника ИШ-4-12 в расчётной точке ночью, дБ		**ф-ла(3)[10]**	**0**	**33**	**29**	**32**	**32,8**	**31,5**	**26,4**	**16,1**	**0**	**35**	**35**
Расчёт отражённого звука													
Уровни звукового давления от мнимого источника ИШ-4-12_мн.(1) в расчётной точке днём, дБ		**ф-ла(3)[10]**	**0**	**32**	**25**	**29,4**	**30,3**	**28,9**	**23,8**	**13,5**	**0**	**32,5**	**32,5**
Уровни звукового давления от мнимого источника ИШ-4-12_мн.(1) в расчётной точке ночью, дБ		**ф-ла(3)[10]**	**0**	**0**	**0**	**0**	**0**	**0**	**0**	**0**	**0**	**32,5**	**32,5**
Уровни звукового давления от источника ИШ-4-12 в расчётной точке днём, дБ		**ф-ла(3)[10]**	**0**	**35,5**	**30,5**	**33,9**	**34,7**	**33,4**	**28,3**	**18**	**0**	**37**	**37**
Уровни звукового давления от источника ИШ-4-12 в расчётной точке ночью, дБ		**ф-ла(3)[10]**	**0**	**35,5**	**30,5**	**33,9**	**34,7**	**33,4**	**28,3**	**18**	**0**	**37**	**37**
Источник шума: ИШ-4-13, координаты источника (x,y,z), м =[94.56,229.10,1.00]													
Уровни звуковой мощности источника днём, Lw, дБ		**исходные данные**	**0**	**81,3**	**82,7**	**84**	**84,3**	**83,9**	**80,6**	**76,4**	**71,9**		
Уровни звуковой мощности источника ночью, Lw, дБ		**исходные данные**	**0**	**81,3**	**82,7**	**84**	**84,3**	**83,9**	**80,6**	**76,4**	**71,9**		
Поправка на телесный угол DΩ, дБ	Ω = 6.28	10Lg(4π/Ω)	**3**	3	3	3	3	3	3	3	3		
Показатель направленности источника Di, дБ		исходные данные	**0**	0	0	0	0	0	0	0	0		
Поправка на направленность источника Dc, дБ	Dc	DΩ + Di	**3**	3	3	3	3	3	3	3	3		
Затухание из-за геометрической дивергенции, Adiv, дБ	расстояние = 417.92 м	ф-ла (7) [10]	**63,4**										

1		2	3	4	5	6	7	8	9	10	11	12	13
Коэффициент затухания звука в атмосфере α, дБ/км	Та=20,°С Ра=101.33,кПа hотн.=70%	ф-ла (5) [9]	0,02	0,09	0,33	1,12	2,79	4,98	9,04	23,09	77,63		
Учет затухания звука в атмосфере Aatm, дБ		ф-ла (8) [10]	0	0	0,1	0,5	1,2	2,1	3,8	9,6	32,4		
Снижение уровня звукового давления из-за влияния застройки между источником шума и расчетной точкой													
Снижение уровня звукового давления на пути над экраном, Dz1, дБ	z = 3.15м (разность путей)	ф-лы (14-18) [10]	14,3	17,5	20,5	23,5	26,5	29,5	32,5	35,5	38,5		
Снижение уровня звукового давления на пути слева от экрана, Dz2, дБ	z = 132.03м (разность путей)	ф-лы (14-18) [10]	27,7	32	36,4	40,3	43,6	46,7	49,7	52,7	55,7		
Снижение уровня звукового давления на пути справа от экрана, Dz3, дБ	z = 3.60м (разность путей)	ф-лы (14-18) [10]	15,7	19	22	25	28	31	34,1	37,1	40,1		
Общее снижение уровня звука препятствием Dz, дБ		Эн.сумма(-Dzi)	11,8	15,1	18,1	21,1	24,1	27,1	30,1	33,1	36,1		
Общее снижение уровня звука препятствием с учётом ограничения (25 дБ) для октавных полос Dz, дБ		Раздел 7.4 [10]	11,8	15,1	18,1	21,1	24,1	25	25	25	25		
Уровни звукового давления от источника ИШ-4-13 в расчётной точке днём, дБ		**ф-ла(3)[10]**	**0**	**5,8**	**4**	**2**	**0**	**0**	**0**	**0**	**0**	**0**	**0**
Уровни звукового давления от источника ИШ-4-13 в расчётной точке ночью, дБ		**ф-ла(3)[10]**	**0**	**5,8**	**4**	**2**	**0**	**0**	**0**	**0**	**0**	**0**	**0**
Источник шума: ИШ-4-14, координаты источника (x,y,z), м =[91.88,221.30,1.00]													
Уровни звуковой мощности источника днём, Lw, дБ		**исходные данные**	**0**	**81,3**	**82,7**	**84**	**84,3**	**83,9**	**80,6**	**76,4**	**71,9**		
Уровни звуковой мощности источника ночью, Lw, дБ		**исходные данные**	**0**	**81,3**	**82,7**	**84**	**84,3**	**83,9**	**80,6**	**76,4**	**71,9**		
Поправка на телесный угол DΩ, дБ	Ω = 6.28	10Lg($4\pi/\Omega$)	**3**	3	3	3	3	3	3	3	3		
Показатель направленности источника Di, дБ		исходные данные	**0**	0	0	0	0	0	0	0	0		
Поправка на направленность источника Dc, дБ	Dc	DΩ + Di	**3**	3	3	3	3	3	3	3	3		

1		2	3	4	5	6	7	8	9	10	11	12	13
Затухание из-за геометрической дивергенции, Adiv, дБ	расстояние = 410.90 м	ф-ла (7) [10]	**63,3**										
Коэффициент затухания звука в атмосфере α, дБ/км	Ta=20,°C Pa=101.33,кПа hотн.=70%	ф-ла (5) [9]	0,02	0,09	0,33	1,12	2,79	4,98	9,04	23,09	77,63		
Учет затухания звука в атмосфере Aatm, дБ		ф-ла (8) [10]	0	0	0,1	0,5	1,1	2	3,7	9,5	31,9		
Снижение уровня звукового давления из-за влияния застройки между источником шума и расчетной точкой													
Снижение уровня звукового давления на пути над экраном, Dz1, дБ	z = 3.17м (разность путей)	ф-лы (14-18) [10]	14,3	17,5	20,5	23,5	26,5	29,5	32,5	35,5	38,5		
Снижение уровня звукового давления на пути слева от экрана, Dz2, дБ	z = 147.26м (разность путей)	ф-лы (14-18) [10]	28,2	32,4	36,9	40,7	44	47,1	50,2	53,2	56,2		
Снижение уровня звукового давления на пути справа от экрана, Dz3, дБ	z = 2.53м (разность путей)	ф-лы (14-18) [10]	14,3	17,5	20,5	23,5	26,5	29,5	32,5	35,5	38,5		
Общее снижение уровня звука препятствием Dz, дБ		Эн.сумма(-Dzi)	11,2	14,4	17,5	20,5	23,5	26,5	29,5	32,5	35,5		
Общее снижение уровня звука препятствием с учётом ограничения (25 дБ) для октавных полос Dz, дБ		Раздел 7.4 [10]	11,2	14,4	17,5	20,5	23,5	25	25	25	25		
Уровни звукового давления от источника ИШ-4-14 в расчётной точке днём, дБ		**ф-ла(3)[10]**	**0**	**6,5**	**4,8**	**2,8**	**0**	**0**	**0**	**0**	**0**	**0**	**0**
Уровни звукового давления от источника ИШ-4-14 в расчётной точке ночью, дБ		**ф-ла(3)[10]**	**0**	**6,5**	**4,8**	**2,8**	**0**	**0**	**0**	**0**	**0**	**0**	**0**
Источник шума: ИШ-5-1, координаты источника (x,y,z), м =[626.70,162.36,1.00]													
Уровни звуковой мощности источника днём, Lw, дБ		**исходные данные**	**0**	**93,3**	**94,7**	**96**	**96,3**	**95,9**	**92,6**	**88,4**	**83,9**		
Уровни звуковой мощности источника ночью, Lw, дБ		**исходные данные**	**0**	**93,3**	**94,7**	**96**	**96,3**	**95,9**	**92,6**	**88,4**	**83,9**		
Поправка на телесный угол DΩ, дБ	Ω = 6.28	10Lg(4π/Ω)	**3**	3	3	3	3	3	3	3	3		
Показатель направленности источника Di, дБ		исходные данные	**0**	0	0	0	0	0	0	0	0		

1		2	3	4	5	6	7	8	9	10	11	12	13
Поправка на направленность источника Dc, дБ	Dc	DΩ + Di	**3**	3	3	3	3	3	3	3	3		
Затухание из-за геометрической дивергенции, Adiv, дБ	расстояние = 558.87 м	ф-ла (7) [10]	**65,9**										
Коэффициент затухания звука в атмосфере α, дБ/км	Ta=20,°C Pa=101.33,кПа hотн.=70%	ф-ла (5) [9]	0,02	0,09	0,33	1,12	2,79	4,98	9,04	23,09	77,63		
Учет затухания звука в атмосфере Aatm, дБ		ф-ла (8) [10]	0	0	0,2	0,6	1,6	2,8	5,1	12,9	43,4		
Снижение уровня звукового давления из-за влияния застройки между источником шума и расчетной точкой													
Снижение уровня звукового давления на пути над экраном, Dz1, дБ	z = 0.19м (разность путей)	ф-лы (14-18) [10]	4,8	4,8	4,8	4,9	5,1	5,4	6	7	8,4		
Снижение уровня звукового давления на пути слева от экрана, Dz2, дБ	z = 6.28м (разность путей)	ф-лы (14-18) [10]	14,2	16,9	19,8	22,7	25,7	28,7	31,7	34,7	37,7		
Снижение уровня звукового давления на пути справа от экрана, Dz3, дБ	z = 105.56м (разность путей)	ф-лы (14-18) [10]	30,1	33,5	36,6	39,7	42,7	45,7	48,7	51,7	54,7		
Общее снижение уровня звука препятствием Dz, дБ		Эн.сумма(-Dzi)	4,3	4,5	4,7	4,9	5,1	5,4	6	7	8,4		
Уровни звукового давления от источника ИШ-5-1 в расчётной точке днём, дБ		**ф-ла(3)[10]**	**0**	**25,8**	**26,9**	**27,6**	**26,7**	**24,8**	**18,6**	**5,6**	**0**	**28,5**	**28,5**
Уровни звукового давления от источника ИШ-5-1 в расчётной точке ночью, дБ		**ф-ла(3)[10]**	**0**	**25,8**	**26,9**	**27,6**	**26,7**	**24,8**	**18,6**	**5,6**	**0**	**28,5**	**28,5**
Источник шума: ИШ-5-2, координаты источника (x,y,z), м =[625.81,159.52,1.00]													
Уровни звуковой мощности источника днём, Lw, дБ		**исходные данные**	**0**	**93,3**	**94,7**	**96**	**96,3**	**95,9**	**92,6**	**88,4**	**83,9**		
Уровни звуковой мощности источника ночью, Lw, дБ		**исходные данные**	**0**	**93,3**	**94,7**	**96**	**96,3**	**95,9**	**92,6**	**88,4**	**83,9**		
Поправка на телесный угол DΩ, дБ	Ω = 6.28	10Lg(4π/Ω)	**3**	3	3	3	3	3	3	3	3		
Показатель направленности источника Di, дБ		исходные данные	**0**	0	0	0	0	0	0	0	0		

1		2	3	4	5	6	7	8	9	10	11	12	13
Поправка на направленность источника Dc, дБ	Dc	DΩ + Di	**3**	3	3	3	3	3	3	3	3		
Затухание из-за геометрической дивергенции, Adiv, дБ	расстояние = 556.43 м	ф-ла (7) [10]	**65,9**										
Коэффициент затухания звука в атмосфере α, дБ/км	Ta=20,°C Pa=101.33,кПа hотн.=70%	ф-ла (5) [9]	0,02	0,09	0,33	1,12	2,79	4,98	9,04	23,09	77,63		
Учет затухания звука в атмосфере Aatm, дБ		ф-ла (8) [10]	0	0	0,2	0,6	1,6	2,8	5	12,8	43,2		
Снижение уровня звукового давления из-за влияния застройки между источником шума и расчетной точкой													
Снижение уровня звукового давления на пути над экраном, Dz1, дБ	z = 0.19м (разность путей)	ф-лы (14-18) [10]	4,8	4,8	4,8	4,9	5,1	5,5	6,1	7	8,5		
Снижение уровня звукового давления на пути слева от экрана, Dz2, дБ	z = 6.13м (разность путей)	ф-лы (14-18) [10]	14,1	16,9	19,7	22,6	25,6	28,6	31,6	34,6	37,6		
Снижение уровня звукового давления на пути справа от экрана, Dz3, дБ	z = 107.81м (разность путей)	ф-лы (14-18) [10]	30,2	33,6	36,7	39,8	42,8	45,8	48,8	51,8	54,8		
Общее снижение уровня звука препятствием Dz, дБ		Эн.сумма(-Dzi)	4,3	4,5	4,7	4,9	5,1	5,4	6	7	8,5		
Уровни звукового давления от источника ИШ-5-2 в расчётной точке днём, дБ		**ф-ла(3)[10]**	**0**	**25,8**	**26,9**	**27,6**	**26,7**	**24,8**	**18,6**	**5,6**	**0**	**28,6**	**28,6**
Уровни звукового давления от источника ИШ-5-2 в расчётной точке ночью, дБ		**ф-ла(3)[10]**	**0**	**25,8**	**26,9**	**27,6**	**26,7**	**24,8**	**18,6**	**5,6**	**0**	**28,6**	**28,6**
Источник шума: ИШ-5-3, координаты источника (x,y,z), м =[624.84,156.69,1.00]													
Уровни звуковой мощности источника днём, Lw, дБ		**исходные данные**	**0**	**93,3**	**94,7**	**96**	**96,3**	**95,9**	**92,6**	**88,4**	**83,9**		
Уровни звуковой мощности источника ночью, Lw, дБ		**исходные данные**	**0**	**93,3**	**94,7**	**96**	**96,3**	**95,9**	**92,6**	**88,4**	**83,9**		
Поправка на телесный угол DΩ, дБ	Ω = 6.28	10Lg(4π/Ω)	**3**	3	3	3	3	3	3	3	3		
Показатель направленности источника Di, дБ		исходные данные	**0**	0	0	0	0	0	0	0	0		

1		2	3	4	5	6	7	8	9	10	11	12	13
Поправка на направленность источника Dc, дБ	Dc	DΩ + Di	**3**	3	3	3	3	3	3	3	3		
Затухание из-за геометрической дивергенции, Adiv, дБ	расстояние = 553.94 м	ф-ла (7) [10]	**65,9**										
Коэффициент затухания звука в атмосфере α, дБ/км	Ta=20,°C Pa=101.33,кПа hотн.=70%	ф-ла (5) [9]	0,02	0,09	0,33	1,12	2,79	4,98	9,04	23,09	77,63		
Учет затухания звука в атмосфере Aatm, дБ		ф-ла (8) [10]	0	0	0,2	0,6	1,5	2,8	5	12,8	43		
Снижение уровня звукового давления из-за влияния застройки между источником шума и расчетной точкой													
Снижение уровня звукового давления на пути над экраном, Dz1, дБ	z = 0.19м (разность путей)	ф-лы (14-18) [10]	4,8	4,8	4,8	4,9	5,1	5,5	6,1	7,1	8,6		
Снижение уровня звукового давления на пути слева от экрана, Dz2, дБ	z = 5.99м (разность путей)	ф-лы (14-18) [10]	14	16,8	19,6	22,5	25,5	28,5	31,5	34,5	37,5		
Снижение уровня звукового давления на пути справа от экрана, Dz3, дБ	z = 110.07м (разность путей)	ф-лы (14-18) [10]	30,3	33,7	36,8	39,9	42,9	45,9	48,9	51,9	54,9		
Общее снижение уровня звука препятствием Dz, дБ		Эн.сумма(-Dzi)	4,3	4,5	4,7	4,9	5,1	5,5	6,1	7,1	8,6		
Уровни звукового давления от источника ИШ-5-3 в расчётной точке днём, дБ		**ф-ла(3)[10]**	**0**	**25,8**	**26,9**	**27,6**	**26,8**	**24,8**	**18,6**	**5,6**	**0**	**28,6**	**28,6**
Уровни звукового давления от источника ИШ-5-3 в расчётной точке ночью, дБ		**ф-ла(3)[10]**	**0**	**25,8**	**26,9**	**27,6**	**26,8**	**24,8**	**18,6**	**5,6**	**0**	**28,6**	**28,6**
Источник шума: ИШ-6-1, координаты источника (x,y,z), м =[836.30,122.24,1.00]													
Уровни звуковой мощности источника днём, Lw, дБ		**исходные данные**	**0**	**96,3**	**97,7**	**99**	**99,3**	**98,9**	**95,6**	**91,4**	**86,9**		
Уровни звуковой мощности источника ночью, Lw, дБ		**исходные данные**	**0**	**96,3**	**97,7**	**99**	**99,3**	**98,9**	**95,6**	**91,4**	**86,9**		
Поправка на телесный угол DΩ, дБ	Ω = 12.57	10Lg(4π/Ω)	**0**	0	0	0	0	0	0	0	0		
Показатель направленности источника Di, дБ		исходные данные	**0**	0	0	0	0	0	0	0	0		

1		2	3	4	5	6	7	8	9	10	11	12	13
Поправка на направленность источника Dc, дБ	Dc	DΩ + Di	**0**	0	0	0	0	0	0	0	0		
Затухание из-за геометрической дивергенции, Adiv, дБ	расстояние = 718.29 м	ф-ла (7) [10]	**68,1**										
Коэффициент затухания звука в атмосфере α, дБ/км	Ta=20,°C Pa=101.33,кПа hотн.=70%	ф-ла (5) [9]	0,02	0,09	0,33	1,12	2,79	4,98	9,04	23,09	77,63		
Учет затухания звука в атмосфере Aatm, дБ		ф-ла (8) [10]	0	0,1	0,2	0,8	2	3,6	6,5	16,6	55,8		
Снижение уровня звукового давления из-за влияния застройки между источником шума и расчетной точкой													
Снижение уровня звукового давления на пути над экраном, Dz1, дБ	z = 0.16м (разность путей)	ф-лы (14-18) [10]	4,8	4,8	4,8	4,8	4,8	4,8	4,9	5	5,3		
Снижение уровня звукового давления на пути слева от экрана, Dz2, дБ	z = 0.02м (разность путей)	ф-лы (14-18) [10]	4,9	5	5,2	5,6	6,3	7,4	9	11,1	13,5		
Снижение уровня звукового давления на пути справа от экрана, Dz3, дБ	z = 23.49м (разность путей)	ф-лы (14-18) [10]	21,8	26,2	29,9	33,1	36,2	39,2	42,2	45,2	48,2		
Общее снижение уровня звука препятствием Dz, дБ		Эн.сумма(-Dzi)	1,8	1,9	2	2,1	2,4	2,9	3,5	4,1	4,7		
Уровни звукового давления прямого звука от источника ИШ-6-1 в расчётной точке днём, дБ		**ф-ла(3)[10]**	**0**	**26,2**	**27,4**	**27,9**	**26,7**	**24,3**	**17,5**	**2,6**	**0**	**28,3**	**28,3**
Уровни звукового давления прямого звука от источника ИШ-6-1 в расчётной точке ночью, дБ		**ф-ла(3)[10]**	**0**	**26,2**	**27,4**	**27,9**	**26,7**	**24,3**	**17,5**	**2,6**	**0**	**28,3**	**28,3**
Расчёт отражённого звука													
Уровни звукового давления от мнимого источника ИШ-6-1_мн.(1) в расчётной точке днём, дБ		**ф-ла(3)[10]**	**0**	**0**	**0**	**0**	**0**	**0**	**0**	**0**	**0**	**0**	**0**
Уровни звукового давления от мнимого источника ИШ-6-1_мн.(1) в расчётной точке ночью, дБ		**ф-ла(3)[10]**	**0**	**0**	**0**	**0**	**0**	**0**	**0**	**0**	**0**	**0**	**0**
Уровни звукового давления от источника ИШ-6-1 в расчётной точке днём, дБ		**ф-ла(3)[10]**	**0**	**26,2**	**27,4**	**27,9**	**26,7**	**24,3**	**17,5**	**2,6**	**0**	**28,3**	**28,3**
Уровни звукового давления от источника ИШ-6-1 в расчётной точке ночью, дБ		**ф-ла(3)[10]**	**0**	**26,2**	**27,4**	**27,9**	**26,7**	**24,3**	**17,5**	**2,6**	**0**	**28,3**	**28,3**

1		2	3	4	5	6	7	8	9	10	11	12	13
Источник шума: ИШ-6-2, координаты источника (x,y,z), м =[835.37,119.30,1.00]													
Уровни звуковой мощности источника днём, Lw, дБ		**исходные данные**	**0**	**96,3**	**97,7**	**99**	**99,3**	**98,9**	**95,6**	**91,4**	**86,9**		
Уровни звуковой мощности источника ночью, Lw, дБ		**исходные данные**	**0**	**96,3**	**97,7**	**99**	**99,3**	**98,9**	**95,6**	**91,4**	**86,9**		
Поправка на телесный угол DΩ, дБ	Ω = 12.57	10Lg(4π/Ω)	**0**	0	0	0	0	0	0	0	0		
Показатель направленности источника Di, дБ		исходные данные	**0**	0	0	0	0	0	0	0	0		
Поправка на направленность источника Dc, дБ	Dc	DΩ + Di	**0**	0	0	0	0	0	0	0	0		
Затухание из-за геометрической дивергенции, Adiv, дБ	расстояние = 716.22 м	ф-ла (7) [10]	**68,1**										
Коэффициент затухания звука в атмосфере α, дБ/км	Ta=20,°C Pa=101.33,кПа hотн.=70%	ф-ла (5) [9]	0,02	0,09	0,33	1,12	2,79	4,98	9,04	23,09	77,63		
Учет затухания звука в атмосфере Aatm, дБ		ф-ла (8) [10]	0	0,1	0,2	0,8	2	3,6	6,5	16,5	55,6		
Снижение уровня звукового давления из-за влияния застройки между источником шума и расчетной точкой													
Снижение уровня звукового давления на пути над экраном, Dz1, дБ	z = 0.16м (разность путей)	ф-лы (14-18) [10]	4,8	4,8	4,8	4,8	4,8	4,8	4,9	5	5,3		
Снижение уровня звукового давления на пути слева от экрана, Dz2, дБ	z = 0.01м (разность путей)	ф-лы (14-18) [10]	4,8	4,9	5	5,3	5,7	6,5	7,7	9,5	11,7		
Снижение уровня звукового давления на пути справа от экрана, Dz3, дБ	z = 23.81м (разность путей)	ф-лы (14-18) [10]	21,9	26,2	29,9	33,1	36,2	39,2	42,3	45,3	48,3		
Общее снижение уровня звука препятствием Dz, дБ		Эн.сумма(-Dzi)	1,8	1,8	1,9	2	2,2	2,6	3,1	3,7	4,4		
Уровни звукового давления прямого звука от источника ИШ-6-2 в расчётной точке днём, дБ		**ф-ла(3)[10]**	**0**	**26,3**	**27,5**	**28,1**	**27**	**24,7**	**17,9**	**3,1**	**0**	**28,6**	**28,6**
Уровни звукового давления прямого звука от источника ИШ-6-2 в расчётной точке ночью, дБ		**ф-ла(3)[10]**	**0**	**26,3**	**27,5**	**28,1**	**27**	**24,7**	**17,9**	**3,1**	**0**	**28,6**	**28,6**

1		2	3	4	5	6	7	8	9	10	11	12	13
Расчёт отражённого звука													
Уровни звукового давления от мнимого источника ИШ-6-2_мн.(1) в расчётной точке днём, дБ		**ф-ла(3)[10]**	**0**	**0**	**0**	**0**	**0**	**0**	**0**	**5,7**	**0**	**6,7**	**6,7**
Уровни звукового давления от мнимого источника ИШ-6-2_мн.(1) в расчётной точке ночью, дБ		**ф-ла(3)[10]**	**0**	**0**	**0**	**0**	**0**	**0**	**0**	**0**	**0**	**6,7**	**6,7**
Уровни звукового давления от источника ИШ-6-2 в расчётной точке днём, дБ		**ф-ла(3)[10]**	**0**	**26,3**	**27,5**	**28,1**	**27**	**24,7**	**17,9**	**7,6**	**0**	**28,6**	**28,6**
Уровни звукового давления от источника ИШ-6-2 в расчётной точке ночью, дБ		**ф-ла(3)[10]**	**0**	**26,3**	**27,5**	**28,1**	**27**	**24,7**	**17,9**	**7,6**	**0**	**28,6**	**28,6**
Источник шума: ИШ-6-3, координаты источника (x,y,z), м =[834.03,116.36,1.00]													
Уровни звуковой мощности источника днём, Lw, дБ		**исходные данные**	**0**	**96,3**	**97,7**	**99**	**99,3**	**98,9**	**95,6**	**91,4**	**86,9**		
Уровни звуковой мощности источника ночью, Lw, дБ		**исходные данные**	**0**	**96,3**	**97,7**	**99**	**99,3**	**98,9**	**95,6**	**91,4**	**86,9**		
Поправка на телесный угол DΩ, дБ	Ω = 12.57	10Lg(4π/Ω)	**0**	0	0	0	0	0	0	0	0		
Показатель направленности источника Di, дБ		исходные данные	**0**	0	0	0	0	0	0	0	0		
Поправка на направленность источника Dc, дБ	Dc	DΩ + Di	**0**	0	0	0	0	0	0	0	0		
Затухание из-за геометрической дивергенции, Adiv, дБ	расстояние = 713.78 м	ф-ла (7) [10]	**68,1**										
Коэффициент затухания звука в атмосфере α, дБ/км	Ta=20,°C Pa=101.33,кПа hотн.=70%	ф-ла (5) [9]	0,02	0,09	0,33	1,12	2,79	4,98	9,04	23,09	77,63		
Учет затухания звука в атмосфере Aatm, дБ		ф-ла (8) [10]	0	0,1	0,2	0,8	2	3,6	6,5	16,5	55,4		
Снижение уровня звукового давления из-за влияния застройки между источником шума и расчетной точкой													
Снижение уровня звукового давления на пути над экраном, Dz1, дБ	z = 0.16м (разность путей)	ф-лы (14-18) [10]	4,8	4,8	4,8	4,8	4,8	4,8	4,9	5	5,3		

1		2	3	4	5	6	7	8	9	10	11	12	13
Снижение уровня звукового давления на пути слева от экрана, Dz2, дБ	z = 0.01м (разность путей)	ф-лы (14-18) [10]	4,8	4,8	4,9	5	5,3	5,8	6,6	7,9	9,7		
Снижение уровня звукового давления на пути справа от экрана, Dz3, дБ	z = 24.11м (разность путей)	ф-лы (14-18) [10]	21,9	26,3	30	33,2	36,3	39,3	42,3	45,3	48,3		
Общее снижение уровня звука препятствием Dz, дБ		Эн.сумма(-Dzi)	1,7	1,8	1,8	1,9	2	2,3	2,6	3,2	3,9		
Уровни звукового давления от источника ИШ-6-3 в расчётной точке днём, дБ		**ф-ла(3)[10]**	**0**	**26,4**	**27,6**	**28,2**	**27,2**	**25**	**18,4**	**3,6**	**0**	**28,9**	**28,9**
Уровни звукового давления от источника ИШ-6-3 в расчётной точке ночью, дБ		**ф-ла(3)[10]**	**0**	**26,4**	**27,6**	**28,2**	**27,2**	**25**	**18,4**	**3,6**	**0**	**28,9**	**28,9**
Источник шума: ИШ-6-4, координаты источника (x,y,z), м =[833.23,113.30,1.00]													
Уровни звуковой мощности источника днём, Lw, дБ		**исходные данные**	**0**	**96,3**	**97,7**	**99**	**99,3**	**98,9**	**95,6**	**91,4**	**86,9**		
Уровни звуковой мощности источника ночью, Lw, дБ		**исходные данные**	**0**	**96,3**	**97,7**	**99**	**99,3**	**98,9**	**95,6**	**91,4**	**86,9**		
Поправка на телесный угол DΩ, дБ	Ω = 12.57	10Lg(4π/Ω)	**0**	0	0	0	0	0	0	0	0		
Показатель направленности источника Di, дБ		исходные данные	**0**	0	0	0	0	0	0	0	0		
Поправка на направленность источника Dc, дБ	Dc	DΩ + Di	**0**	0	0	0	0	0	0	0	0		
Затухание из-за геометрической дивергенции, Adiv, дБ	расстояние = 711.79 м	ф-ла (7) [10]	**68**										
Коэффициент затухания звука в атмосфере α, дБ/км	Ta=20,°C Pa=101.33,кПа hотн.=70%	ф-ла (5) [9]	0,02	0,09	0,33	1,12	2,79	4,98	9,04	23,09	77,63		
Учет затухания звука в атмосфере Aatm, дБ		ф-ла (8) [10]	0	0,1	0,2	0,8	2	3,5	6,4	16,4	55,3		
Снижение уровня звукового давления из-за влияния застройки между источником шума и расчетной точкой													
Снижение уровня звукового давления на пути над экраном, Dz1, дБ	z = 0.16м (разность путей)	ф-лы (14-18) [10]	4,8	4,8	4,8	4,9	5	5,2	5,5	6,2	7,3		

1		2	3	4	5	6	7	8	9	10	11	12	13
Снижение уровня звукового давления на пути слева от экрана, Dz2, дБ	z = 11.47м (разность путей)	ф-лы (14-18) [10]	16,6	19,4	22,3	25,3	28,3	31,3	34,3	37,3	40,3		
Снижение уровня звукового давления на пути справа от экрана, Dz3, дБ	z = 24.45м (разность путей)	ф-лы (14-18) [10]	22	26,4	30	33,3	36,3	39,4	42,4	45,4	48,4		
Общее снижение уровня звука препятствием Dz, дБ		Эн.сумма(-Dzi)	4,4	4,6	4,7	4,8	5	5,2	5,5	6,2	7,3		
Уровни звукового давления от источника ИШ-6-4 в расчётной точке днём, дБ		**ф-ла(3)[10]**	**0**	**23,6**	**24,7**	**25,3**	**24,3**	**22,1**	**15,6**	**0,7**	**0**	**26**	**26**
Уровни звукового давления от источника ИШ-6-4 в расчётной точке ночью, дБ		**ф-ла(3)[10]**	**0**	**23,6**	**24,7**	**25,3**	**24,3**	**22,1**	**15,6**	**0,7**	**0**	**26**	**26**
Источник шума: ИШ-6-5, координаты источника (x,y,z), м =[832.03,110.36,1.00]													
Уровни звуковой мощности источника днём, Lw, дБ		**исходные данные**	**0**	**96,3**	**97,7**	**99**	**99,3**	**98,9**	**95,6**	**91,4**	**86,9**		
Уровни звуковой мощности источника ночью, Lw, дБ		**исходные данные**	**0**	**96,3**	**97,7**	**99**	**99,3**	**98,9**	**95,6**	**91,4**	**86,9**		
Поправка на телесный угол DΩ, дБ	Ω = 12.57	10Lg(4π/Ω)	**0**	0	0	0	0	0	0	0	0		
Показатель направленности источника Di, дБ		исходные данные	**0**	0	0	0	0	0	0	0	0		
Поправка на направленность источника Dc, дБ	Dc	DΩ + Di	**0**	0	0	0	0	0	0	0	0		
Затухание из-за геометрической дивергенции, Adiv, дБ	расстояние = 709.49 м	ф-ла (7) [10]	**68**										
Коэффициент затухания звука в атмосфере α, дБ/км	Ta=20,°C Pa=101.33,кПа hотн.=70%	ф-ла (5) [9]	0,02	0,09	0,33	1,12	2,79	4,98	9,04	23,09	77,63		
Учет затухания звука в атмосфере Aatm, дБ		ф-ла (8) [10]	0	0,1	0,2	0,8	2	3,5	6,4	16,4	55,1		
Снижение уровня звукового давления из-за влияния застройки между источником шума и расчетной точкой													
Снижение уровня звукового давления на пути над экраном, Dz1, дБ	z = 0.16м (разность путей)	ф-лы (14-18) [10]	4,8	4,8	4,8	4,9	5	5,2	5,6	6,3	7,4		

1		2	3	4	5	6	7	8	9	10	11	12	13
Снижение уровня звукового давления на пути слева от экрана, Dz2, дБ	z = 11.08м (разность путей)	ф-лы (14-18) [10]	16,4	19,3	22,2	25,2	28,2	31,2	34,2	37,2	40,2		
Снижение уровня звукового давления на пути справа от экрана, Dz3, дБ	z = 24.77м (разность путей)	ф-лы (14-18) [10]	22	26,4	30,1	33,3	36,4	39,4	42,4	45,4	48,4		
Общее снижение уровня звука препятствием Dz, дБ		Эн.сумма(-Dzi)	4,4	4,6	4,7	4,8	5	5,2	5,6	6,3	7,4		
Уровни звукового давления от источника ИШ-6-5 в расчётной точке днём, дБ		**ф-ла(3)[10]**	**0**	**23,6**	**24,7**	**25,3**	**24,3**	**22,2**	**15,6**	**0,7**	**0**	**26**	**26**
Уровни звукового давления от источника ИШ-6-5 в расчётной точке ночью, дБ		**ф-ла(3)[10]**	**0**	**23,6**	**24,7**	**25,3**	**24,3**	**22,2**	**15,6**	**0,7**	**0**	**26**	**26**
Источник шума: ИШ-6-6, координаты источника (x,y,z), м =[830.97,107.42,1.00]													
Уровни звуковой мощности источника днём, Lw, дБ		**исходные данные**	**0**	**96,3**	**97,7**	**99**	**99,3**	**98,9**	**95,6**	**91,4**	**86,9**		
Уровни звуковой мощности источника ночью, Lw, дБ		**исходные данные**	**0**	**96,3**	**97,7**	**99**	**99,3**	**98,9**	**95,6**	**91,4**	**86,9**		
Поправка на телесный угол DΩ, дБ	Ω = 12.57	10Lg(4π/Ω)	**0**	0	0	0	0	0	0	0	0		
Показатель направленности источника Di, дБ		исходные данные	**0**	0	0	0	0	0	0	0	0		
Поправка на направленность источника Dc, дБ	Dc	DΩ + Di	**0**	0	0	0	0	0	0	0	0		
Затухание из-за геометрической дивергенции, Adiv, дБ	расстояние = 707.32 м	ф-ла (7) [10]	**68**										
Коэффициент затухания звука в атмосфере α, дБ/км	Ta=20,°C Pa=101.33,кПа hотн.=70%	ф-ла (5) [9]	0,02	0,09	0,33	1,12	2,79	4,98	9,04	23,09	77,63		
Учет затухания звука в атмосфере Aatm, дБ		ф-ла (8) [10]	0	0,1	0,2	0,8	2	3,5	6,4	16,3	54,9		
Снижение уровня звукового давления из-за влияния застройки между источником шума и расчетной точкой													
Снижение уровня звукового давления на пути над экраном, Dz1, дБ	z = 0.06м (разность путей)	ф-лы (14-18) [10]	4,8	4,8	4,8	4,8	4,8	4,8	4,8	4,8	4,8		

1		2	3	4	5	6	7	8	9	10	11	12	13
Снижение уровня звукового давления на пути слева от экрана, Dz2, дБ	z = 10.68м (разность путей)	ф-лы (14-18) [10]	16,3	19,1	22	25	28	31	34	37	40		
Снижение уровня звукового давления на пути справа от экрана, Dz3, дБ	z = 25.10м (разность путей)	ф-лы (14-18) [10]	22,1	26,5	30,1	33,4	36,4	39,5	42,5	45,5	48,5		
Общее снижение уровня звука препятствием Dz, дБ		Эн.сумма(-Dzi)	4,4	4,6	4,7	4,7	4,7	4,8	4,8	4,8	4,8		
Уровни звукового давления от источника ИШ-6-6 в расчётной точке днём, дБ		**ф-ла(3)[10]**	**0**	**23,6**	**24,8**	**25,5**	**24,6**	**22,6**	**16,4**	**2,3**	**0**	**26,4**	**26,4**
Уровни звукового давления от источника ИШ-6-6 в расчётной точке ночью, дБ		**ф-ла(3)[10]**	**0**	**23,6**	**24,8**	**25,5**	**24,6**	**22,6**	**16,4**	**2,3**	**0**	**26,4**	**26,4**
Источник шума: ИШ-6-7, координаты источника (x,y,z), м =[830.30,104.49,1.00]													
Уровни звуковой мощности источника днём, Lw, дБ		**исходные данные**	**0**	**96,3**	**97,7**	**99**	**99,3**	**98,9**	**95,6**	**91,4**	**86,9**		
Уровни звуковой мощности источника ночью, Lw, дБ		**исходные данные**	**0**	**96,3**	**97,7**	**99**	**99,3**	**98,9**	**95,6**	**91,4**	**86,9**		
Поправка на телесный угол DΩ, дБ	Ω = 12.57	10Lg(4π/Ω)	**0**	0	0	0	0	0	0	0	0		
Показатель направленности источника Di, дБ		исходные данные	**0**	0	0	0	0	0	0	0	0		
Поправка на направленность источника Dc, дБ	Dc	DΩ + Di	**0**	0	0	0	0	0	0	0	0		
Затухание из-за геометрической дивергенции, Adiv, дБ	расстояние = 705.53 м	ф-ла (7) [10]	**68**										
Коэффициент затухания звука в атмосфере α, дБ/км	Ta=20,°C Pa=101.33,кПа hотн.=70%	ф-ла (5) [9]	0,02	0,09	0,33	1,12	2,79	4,98	9,04	23,09	77,63		
Учет затухания звука в атмосфере Aatm, дБ		ф-ла (8) [10]	0	0,1	0,2	0,8	2	3,5	6,4	16,3	54,8		
Снижение уровня звукового давления из-за влияния застройки между источником шума и расчетной точкой													
Снижение уровня звукового давления на пути над экраном, Dz1, дБ	z = 0.06м (разность путей)	ф-лы (14-18) [10]	4,8	4,8	4,8	4,8	4,8	4,8	4,8	4,8	4,8		

1		2	3	4	5	6	7	8	9	10	11	12	13
Снижение уровня звукового давления на пути слева от экрана, Dz2, дБ	z = 10.24м (разность путей)	ф-лы (14-18) [10]	16,1	19	21,9	24,8	27,8	30,8	33,8	36,8	39,8		
Снижение уровня звукового давления на пути справа от экрана, Dz3, дБ	z = 1.37м (разность путей)	ф-лы (14-18) [10]	9,1	11,2	13,6	16,4	19,2	22,2	25,1	28,1	31,1		
Общее снижение уровня звука препятствием Dz, дБ		Эн.сумма(-Dzi)	3,2	3,7	4,2	4,4	4,6	4,7	4,7	4,7	4,8		
Уровни звукового давления от источника ИШ-6-7 в расчётной точке днём, дБ		**ф-ла(3)[10]**	**0**	**24,5**	**25,3**	**25,8**	**24,8**	**22,7**	**16,5**	**2,4**	**0**	**26,6**	**26,6**
Уровни звукового давления от источника ИШ-6-7 в расчётной точке ночью, дБ		**ф-ла(3)[10]**	**0**	**24,5**	**25,3**	**25,8**	**24,8**	**22,7**	**16,5**	**2,4**	**0**	**26,6**	**26,6**
Источник шума: ИШ-6-8, координаты источника (x,y,z), м =[829.36,101.42,1.00]													
Уровни звуковой мощности источника днём, Lw, дБ		**исходные данные**	**0**	**96,3**	**97,7**	**99**	**99,3**	**98,9**	**95,6**	**91,4**	**86,9**		
Уровни звуковой мощности источника ночью, Lw, дБ		**исходные данные**	**0**	**96,3**	**97,7**	**99**	**99,3**	**98,9**	**95,6**	**91,4**	**86,9**		
Поправка на телесный угол DΩ, дБ	Ω = 12.57	10Lg(4π/Ω)	**0**	0	0	0	0	0	0	0	0		
Показатель направленности источника Di, дБ		исходные данные	**0**	0	0	0	0	0	0	0	0		
Поправка на направленность источника Dc, дБ	Dc	DΩ + Di	**0**	0	0	0	0	0	0	0	0		
Затухание из-за геометрической дивергенции, Adiv, дБ	расстояние = 703.44 м	ф-ла (7) [10]	**67,9**										
Коэффициент затухания звука в атмосфере α, дБ/км	Ta=20,°C Pa=101.33,кПа hотн.=70%	ф-ла (5) [9]	0,02	0,09	0,33	1,12	2,79	4,98	9,04	23,09	77,63		
Учет затухания звука в атмосфере Aatm, дБ		ф-ла (8) [10]	0	0,1	0,2	0,8	2	3,5	6,4	16,2	54,6		
Снижение уровня звукового давления из-за влияния застройки между источником шума и расчетной точкой													
Снижение уровня звукового давления на пути над экраном, Dz1, дБ	z = 0.06м (разность путей)	ф-лы (14-18) [10]	4,8	4,8	4,8	4,8	4,8	4,8	4,8	4,8	4,8		

1		2	3	4	5	6	7	8	9	10	11	12	13
Снижение уровня звукового давления на пути слева от экрана, Dz2, дБ	z = 9.81м (разность путей)	ф-лы (14-18) [10]	15,9	18,8	21,7	24,6	27,6	30,6	33,6	36,6	39,7		
Снижение уровня звукового давления на пути справа от экрана, Dz3, дБ	z = 1.45м (разность путей)	ф-лы (14-18) [10]	9,2	11,4	13,9	16,6	19,5	22,4	25,4	28,4	31,4		
Общее снижение уровня звука препятствием Dz, дБ		Эн.сумма(-Dzi)	3,2	3,8	4,2	4,5	4,6	4,7	4,7	4,7	4,8		
Уровни звукового давления от источника ИШ-6-8 в расчётной точке днём, дБ		**ф-ла(3)[10]**	**0**	**24,5**	**25,3**	**25,8**	**24,8**	**22,8**	**16,6**	**2,5**	**0**	**26,6**	**26,6**
Уровни звукового давления от источника ИШ-6-8 в расчётной точке ночью, дБ		**ф-ла(3)[10]**	**0**	**24,5**	**25,3**	**25,8**	**24,8**	**22,8**	**16,6**	**2,5**	**0**	**26,6**	**26,6**
Источник шума: ИШ-6-9, координаты источника (x,y,z), м =[828.03,98.62,1.00]													
Уровни звуковой мощности источника днём, Lw, дБ		**исходные данные**	**0**	**96,3**	**97,7**	**99**	**99,3**	**98,9**	**95,6**	**91,4**	**86,9**		
Уровни звуковой мощности источника ночью, Lw, дБ		**исходные данные**	**0**	**96,3**	**97,7**	**99**	**99,3**	**98,9**	**95,6**	**91,4**	**86,9**		
Поправка на телесный угол DΩ, дБ	Ω = 12.57	10Lg(4π/Ω)	**0**	0	0	0	0	0	0	0	0		
Показатель направленности источника Di, дБ		исходные данные	**0**	0	0	0	0	0	0	0	0		
Поправка на направленность источника Dc, дБ	Dc	DΩ + Di	**0**	0	0	0	0	0	0	0	0		
Затухание из-за геометрической дивергенции, Adiv, дБ	расстояние = 701.11 м	ф-ла (7) [10]	**67,9**										
Коэффициент затухания звука в атмосфере α, дБ/км	Ta=20,°C Pa=101.33,кПа hотн.=70%	ф-ла (5) [9]	0,02	0,09	0,33	1,12	2,79	4,98	9,04	23,09	77,63		
Учет затухания звука в атмосфере Aatm, дБ		ф-ла (8) [10]	0	0,1	0,2	0,8	2	3,5	6,3	16,2	54,4		
Снижение уровня звукового давления из-за влияния застройки между источником шума и расчетной точкой													
Снижение уровня звукового давления на пути над экраном, Dz1, дБ	z = 0.06м (разность путей)	ф-лы (14-18) [10]	4,8	4,8	4,8	4,8	4,8	4,8	4,8	4,8	4,8		

1		2	3	4	5	6	7	8	9	10	11	12	13
Снижение уровня звукового давления на пути слева от экрана, Dz2, дБ	z = 9.46м (разность путей)	ф-лы (14-18) [10]	15,8	18,6	21,5	24,5	27,5	30,5	33,5	36,5	39,5		
Снижение уровня звукового давления на пути справа от экрана, Dz3, дБ	z = 1.53м (разность путей)	ф-лы (14-18) [10]	9,4	11,6	14,1	16,8	19,7	22,6	25,6	28,6	31,6		
Общее снижение уровня звука препятствием Dz, дБ		Эн.сумма(-Dzi)	3,2	3,8	4,2	4,5	4,6	4,7	4,7	4,8	4,8		
Уровни звукового давления от источника ИШ-6-9 в расчётной точке днём, дБ		**ф-ла(3)[10]**	**0**	**24,5**	**25,3**	**25,8**	**24,8**	**22,8**	**16,6**	**2,5**	**0**	**26,6**	**26,6**
Уровни звукового давления от источника ИШ-6-9 в расчётной точке ночью, дБ		**ф-ла(3)[10]**	**0**	**24,5**	**25,3**	**25,8**	**24,8**	**22,8**	**16,6**	**2,5**	**0**	**26,6**	**26,6**
Источник шума: ИШ-6-10, координаты источника (x,y,z), м =[827.23,95.55,1.00]													
Уровни звуковой мощности источника днём, Lw, дБ		**исходные данные**	**0**	**96,3**	**97,7**	**99**	**99,3**	**98,9**	**95,6**	**91,4**	**86,9**		
Уровни звуковой мощности источника ночью, Lw, дБ		**исходные данные**	**0**	**96,3**	**97,7**	**99**	**99,3**	**98,9**	**95,6**	**91,4**	**86,9**		
Поправка на телесный угол DΩ, дБ	Ω = 12.57	10Lg(4π/Ω)	**0**	0	0	0	0	0	0	0	0		
Показатель направленности источника Di, дБ		исходные данные	**0**	0	0	0	0	0	0	0	0		
Поправка на направленность источника Dc, дБ	Dc	DΩ + Di	**0**	0	0	0	0	0	0	0	0		
Затухание из-за геометрической дивергенции, Adiv, дБ	расстояние = 699.16 м	ф-ла (7) [10]	**67,9**										
Коэффициент затухания звука в атмосфере α, дБ/км	Ta=20,°C Pa=101.33,кПа hотн.=70%	ф-ла (5) [9]	0,02	0,09	0,33	1,12	2,79	4,98	9,04	23,09	77,63		
Учет затухания звука в атмосфере Aatm, дБ		ф-ла (8) [10]	0	0,1	0,2	0,8	2	3,5	6,3	16,1	54,3		
Снижение уровня звукового давления из-за влияния застройки между источником шума и расчетной точкой													
Снижение уровня звукового давления на пути над экраном, Dz1, дБ	z = 0.06м (разность путей)	ф-лы (14-18) [10]	4,8	4,8	4,8	4,8	4,8	4,8	4,8	4,8	4,8		

1		2	3	4	5	6	7	8	9	10	11	12	13
Снижение уровня звукового давления на пути слева от экрана, Dz2, дБ	z = 9.02м (разность путей)	ф-лы (14-18) [10]	15,6	18,4	21,3	24,3	27,3	30,3	33,3	36,3	39,3		
Снижение уровня звукового давления на пути справа от экрана, Dz3, дБ	z = 1.62м (разность путей)	ф-лы (14-18) [10]	9,5	11,8	14,3	17	19,9	22,9	25,8	28,8	31,8		
Общее снижение уровня звука препятствием Dz, дБ		Эн.сумма(-Dzi)	3,3	3,8	4,2	4,5	4,6	4,7	4,7	4,8	4,8		
Уровни звукового давления от источника ИШ-6-10 в расчётной точке днём, дБ		**ф-ла(3)[10]**	**0**	**24,5**	**25,3**	**25,8**	**24,8**	**22,8**	**16,6**	**2,6**	**0**	**26,7**	**26,7**
Уровни звукового давления от источника ИШ-6-10 в расчётной точке ночью, дБ		**ф-ла(3)[10]**	**0**	**24,5**	**25,3**	**25,8**	**24,8**	**22,8**	**16,6**	**2,6**	**0**	**26,7**	**26,7**
Источник шума: ИШ-6-11, координаты источника (x,y,z), м =[826.30,92.48,1.00]													
Уровни звуковой мощности источника днём, Lw, дБ		**исходные данные**	**0**	**96,3**	**97,7**	**99**	**99,3**	**98,9**	**95,6**	**91,4**	**86,9**		
Уровни звуковой мощности источника ночью, Lw, дБ		**исходные данные**	**0**	**96,3**	**97,7**	**99**	**99,3**	**98,9**	**95,6**	**91,4**	**86,9**		
Поправка на телесный угол DΩ, дБ	Ω = 12.57	10Lg(4π/Ω)	**0**	0	0	0	0	0	0	0	0		
Показатель направленности источника Di, дБ		исходные данные	**0**	0	0	0	0	0	0	0	0		
Поправка на направленность источника Dc, дБ	Dc	DΩ + Di	**0**	0	0	0	0	0	0	0	0		
Затухание из-за геометрической дивергенции, Adiv, дБ	расстояние = 697.10 м	ф-ла (7) [10]	**67,9**										
Коэффициент затухания звука в атмосфере α, дБ/км	Ta=20,°C Pa=101.33,кПа hотн.=70%	ф-ла (5) [9]	0,02	0,09	0,33	1,12	2,79	4,98	9,04	23,09	77,63		
Учет затухания звука в атмосфере Aatm, дБ		ф-ла (8) [10]	0	0,1	0,2	0,8	1,9	3,5	6,3	16,1	54,1		
Снижение уровня звукового давления из-за влияния застройки между источником шума и расчетной точкой													
Снижение уровня звукового давления на пути над экраном, Dz1, дБ	z = 0.06м (разность путей)	ф-лы (14-18) [10]	4,8	4,8	4,8	4,8	4,8	4,8	4,8	4,8	4,8		

1		2	3	4	5	6	7	8	9	10	11	12	13
Снижение уровня звукового давления на пути слева от экрана, Dz2, дБ	z = 8.61м (разность путей)	ф-лы (14-18) [10]	15,4	18,2	21,1	24,1	27,1	30,1	33,1	36,1	39,1		
Снижение уровня звукового давления на пути справа от экрана, Dz3, дБ	z = 1.71м (разность путей)	ф-лы (14-18) [10]	9,7	12	14,5	17,3	20,2	23,1	26,1	29,1	32,1		
Общее снижение уровня звука препятствием Dz, дБ		Эн.сумма(-Dzi)	3,3	3,9	4,2	4,5	4,6	4,7	4,7	4,8	4,8		
Уровни звукового давления от источника ИШ-6-11 в расчётной точке днём, дБ		**ф-ла(3)[10]**	**0**	**24,5**	**25,4**	**25,9**	**24,9**	**22,9**	**16,7**	**2,7**	**0**	**26,7**	**26,7**
Уровни звукового давления от источника ИШ-6-11 в расчётной точке ночью, дБ		**ф-ла(3)[10]**	**0**	**24,5**	**25,4**	**25,9**	**24,9**	**22,9**	**16,7**	**2,7**	**0**	**26,7**	**26,7**
Источник шума: ИШ-6-12, координаты источника (x,y,z), м =[825.09,89.54,1.00]													
Уровни звуковой мощности источника днём, Lw, дБ		**исходные данные**	**0**	**96,3**	**97,7**	**99**	**99,3**	**98,9**	**95,6**	**91,4**	**86,9**		
Уровни звуковой мощности источника ночью, Lw, дБ		**исходные данные**	**0**	**96,3**	**97,7**	**99**	**99,3**	**98,9**	**95,6**	**91,4**	**86,9**		
Поправка на телесный угол DΩ, дБ	Ω = 12.57	10Lg(4π/Ω)	**0**	0	0	0	0	0	0	0	0		
Показатель направленности источника Di, дБ		исходные данные	**0**	0	0	0	0	0	0	0	0		
Поправка на направленность источника Dc, дБ	Dc	DΩ + Di	**0**	0	0	0	0	0	0	0	0		
Затухание из-за геометрической дивергенции, Adiv, дБ	расстояние = 694.85 м	ф-ла (7) [10]	**67,8**										
Коэффициент затухания звука в атмосфере α, дБ/км	Ta=20,°C Pa=101.33,кПа hотн.=70%	ф-ла (5) [9]	0,02	0,09	0,33	1,12	2,79	4,98	9,04	23,09	77,63		
Учет затухания звука в атмосфере Aatm, дБ		ф-ла (8) [10]	0	0,1	0,2	0,8	1,9	3,5	6,3	16	53,9		
Снижение уровня звукового давления из-за влияния застройки между источником шума и расчетной точкой													
Снижение уровня звукового давления на пути над экраном, Dz1, дБ	z = 0.06м (разность путей)	ф-лы (14-18) [10]	4,8	4,8	4,8	4,8	4,8	4,8	4,8	4,8	4,8		

1		2	3	4	5	6	7	8	9	10	11	12	13
Снижение уровня звукового давления на пути слева от экрана, Dz2, дБ	z = 8.24м (разность путей)	ф-лы (14-18) [10]	15,3	18,1	20,9	23,9	26,9	29,9	32,9	35,9	38,9		
Снижение уровня звукового давления на пути справа от экрана, Dz3, дБ	z = 1.80м (разность путей)	ф-лы (14-18) [10]	9,9	12,1	14,7	17,5	20,4	23,3	26,3	29,3	32,3		
Общее снижение уровня звука препятствием Dz, дБ		Эн.сумма(-Dzi)	3,3	3,9	4,3	4,5	4,6	4,7	4,7	4,8	4,8		
Уровни звукового давления от источника ИШ-6-12 в расчётной точке днём, дБ		**ф-ла(3)[10]**	**0**	**24,5**	**25,4**	**25,9**	**24,9**	**22,9**	**16,7**	**2,8**	**0**	**26,7**	**26,7**
Уровни звукового давления от источника ИШ-6-12 в расчётной точке ночью, дБ		**ф-ла(3)[10]**	**0**	**24,5**	**25,4**	**25,9**	**24,9**	**22,9**	**16,7**	**2,8**	**0**	**26,7**	**26,7**
Источник шума: ИШ-6-13, координаты источника (x,y,z), м =[767.76,-114.15,1.00]													
Уровни звуковой мощности источника днём, Lw, дБ		**исходные данные**	**0**	**96,3**	**97,7**	**99**	**99,3**	**98,9**	**95,6**	**91,4**	**86,9**		
Уровни звуковой мощности источника ночью, Lw, дБ		**исходные данные**	**0**	**96,3**	**97,7**	**99**	**99,3**	**98,9**	**95,6**	**91,4**	**86,9**		
Поправка на телесный угол DΩ, дБ	Ω = 12.57	10Lg(4π/Ω)	**0**	0	0	0	0	0	0	0	0		
Показатель направленности источника Di, дБ		исходные данные	**0**	0	0	0	0	0	0	0	0		
Поправка на направленность источника Dc, дБ	Dc	DΩ + Di	**0**	0	0	0	0	0	0	0	0		
Затухание из-за геометрической дивергенции, Adiv, дБ	расстояние = 587.10 м	ф-ла (7) [10]	**66,4**										
Коэффициент затухания звука в атмосфере α, дБ/км	Ta=20,°C Pa=101.33,кПа hотн.=70%	ф-ла (5) [9]	0,02	0,09	0,33	1,12	2,79	4,98	9,04	23,09	77,63		
Учет затухания звука в атмосфере Aatm, дБ		ф-ла (8) [10]	0	0,1	0,2	0,7	1,6	2,9	5,3	13,6	45,6		
Снижение поверхностью земли возле источника As, дБ	Gs = 0 hs = 1м	ф-лы таб.3 [10]	-1,5	-1,5	-1,5	-1,5	-1,5	-1,5	-1,5	-1,5	-1,5		
Снижение поверхностью земли возле приёмника Ar, дБ	Gr = 1 hr = 4.6м	ф-лы таб.3 [10]	-1,5	-1,5	3,5	1,3	0	0	0	0	0		

1		2	3	4	5	6	7	8	9	10	11	12	13
Снижение поверхностью земли в средней зоне, Am дБ	Gm = 1	ф-лы таб.3 [10]	-2,1	-2,1	0	0	0	0	0	0	0		
Суммарное снижение поверхностью земли на траектории распространения звука Agr, дБ		ф-ла (9) [10]	-5,1	-5,1	2	-0,2	-1,5	-1,5	-1,5	-1,5	-1,5		
Уровни звукового давления прямого звука от источника ИШ-6-13 в расчётной точке днём, дБ		**ф-ла(3)[10]**	**0**	**35**	**29,2**	**32,2**	**32,8**	**31,1**	**25,4**	**13**	**0**	**34,7**	**34,7**
Уровни звукового давления прямого звука от источника ИШ-6-13 в расчётной точке ночью, дБ		**ф-ла(3)[10]**	**0**	**35**	**29,2**	**32,2**	**32,8**	**31,1**	**25,4**	**13**	**0**	**34,7**	**34,7**
Расчёт отражённого звука													
Уровни звукового давления от мнимого источника ИШ-6-13_мн.(1) в расчётной точке днём, дБ		**ф-ла(3)[10]**	**0**	**0**	**23**	**21,8**	**21,4**	**26,6**	**22,9**	**10,4**	**0**	**29,1**	**29,1**
Уровни звукового давления от мнимого источника ИШ-6-13_мн.(1) в расчётной точке ночью, дБ		**ф-ла(3)[10]**	**0**	**0**	**0**	**0**	**0**	**0**	**0**	**0**	**0**	**29,1**	**29,1**
Уровни звукового давления от источника ИШ-6-13 в расчётной точке днём, дБ		**ф-ла(3)[10]**	**0**	**35**	**30,1**	**32,6**	**33,1**	**32,4**	**27,3**	**14,9**	**0**	**35,7**	**35,7**
Уровни звукового давления от источника ИШ-6-13 в расчётной точке ночью, дБ		**ф-ла(3)[10]**	**0**	**35**	**30,1**	**32,6**	**33,1**	**32,4**	**27,3**	**14,9**	**0**	**35,7**	**35,7**
Источник шума: ИШ-6-14, координаты источника (x,y,z), м =[766.82,-117.10,1.00]													
Уровни звуковой мощности источника днём, Lw, дБ		**исходные данные**	**0**	**96,3**	**97,7**	**99**	**99,3**	**98,9**	**95,6**	**91,4**	**86,9**		
Уровни звуковой мощности источника ночью, Lw, дБ		**исходные данные**	**0**	**96,3**	**97,7**	**99**	**99,3**	**98,9**	**95,6**	**91,4**	**86,9**		
Поправка на телесный угол DΩ, дБ	Ω = 12.57	10Lg(4π/Ω)	**0**	0	0	0	0	0	0	0	0		
Показатель направленности источника Di, дБ		исходные данные	**0**	0	0	0	0	0	0	0	0		
Поправка на направленность источника Dc, дБ	Dc	DΩ + Di	**0**	0	0	0	0	0	0	0	0		
Затухание из-за геометрической дивергенции, Adiv, дБ	расстояние = 585.84 м	ф-ла (7) [10]	**66,4**										
Коэффициент затухания звука в атмосфере α, дБ/км	Ta=20,°C Pa=101.33,кПа hотн.=70%	ф-ла (5) [9]	0,02	0,09	0,33	1,12	2,79	4,98	9,04	23,09	77,63		

1		2	3	4	5	6	7	8	9	10	11	12	13
Учет затухания звука в атмосфере Aatm, дБ		ф-ла (8) [10]	0	0,1	0,2	0,7	1,6	2,9	5,3	13,5	45,5		
Снижение поверхностью земли возле источника As, дБ	Gs = 0 hs = 1м	ф-лы таб.3 [10]	-1,5	-1,5	-1,5	-1,5	-1,5	-1,5	-1,5	-1,5	-1,5		
Снижение поверхностью земли возле приёмника Ar, дБ	Gr = 1 hr = 4.6м	ф-лы таб.3 [10]	-1,5	-1,5	3,5	1,3	0	0	0	0	0		
Снижение поверхностью земли в средней зоне, Am дБ	Gm = 1	ф-лы таб.3 [10]	-2,1	-2,1	0	0	0	0	0	0	0		
Суммарное снижение поверхностью земли на траектории распространения звука Agr, дБ		ф-ла (9) [10]	-5,1	-5,1	2	-0,2	-1,5	-1,5	-1,5	-1,5	-1,5		
Уровни звукового давления прямого звука от источника ИШ-6-14 в расчётной точке днём, дБ		**ф-ла(3)[10]**	**0**	**35**	**29,2**	**32,2**	**32,8**	**31,1**	**25,4**	**13**	**0**	**34,7**	**34,7**
Уровни звукового давления прямого звука от источника ИШ-6-14 в расчётной точке ночью, дБ		**ф-ла(3)[10]**	**0**	**35**	**29,2**	**32,2**	**32,8**	**31,1**	**25,4**	**13**	**0**	**34,7**	**34,7**
Расчёт отражённого звука													
Уровни звукового давления от мнимого источника ИШ-6-14_мн.(1) в расчётной точке днём, дБ		**ф-ла(3)[10]**	**0**	**0**	**23**	**21,8**	**21,5**	**26,6**	**22,9**	**10,5**	**0**	**29,1**	**29,1**
Уровни звукового давления от мнимого источника ИШ-6-14_мн.(1) в расчётной точке ночью, дБ		**ф-ла(3)[10]**	**0**	**0**	**0**	**0**	**0**	**0**	**0**	**0**	**0**	**29,1**	**29,1**
Уровни звукового давления от источника ИШ-6-14 в расчётной точке днём, дБ		**ф-ла(3)[10]**	**0**	**35**	**30,1**	**32,6**	**33,1**	**32,4**	**27,4**	**14,9**	**0**	**35,8**	**35,8**
Уровни звукового давления от источника ИШ-6-14 в расчётной точке ночью, дБ		**ф-ла(3)[10]**	**0**	**35**	**30,1**	**32,6**	**33,1**	**32,4**	**27,4**	**14,9**	**0**	**35,8**	**35,8**
Источник шума: ИШ-6-15, координаты источника (x,y,z), м =[765.71,-120.27,1.00]													
Уровни звуковой мощности источника днём, Lw, дБ		**исходные данные**	**0**	**96,3**	**97,7**	**99**	**99,3**	**98,9**	**95,6**	**91,4**	**86,9**		
Уровни звуковой мощности источника ночью, Lw, дБ		**исходные данные**	**0**	**96,3**	**97,7**	**99**	**99,3**	**98,9**	**95,6**	**91,4**	**86,9**		
Поправка на телесный угол DΩ, дБ	Ω = 12.57	10Lg(4π/Ω)	**0**	0	0	0	0	0	0	0	0		
Показатель направленности источника Di, дБ		исходные данные	**0**	0	0	0	0	0	0	0	0		

1		2	3	4	5	6	7	8	9	10	11	12	13
Поправка на направленность источника Dc, дБ	Dc	DΩ + Di	**0**	0	0	0	0	0	0	0	0		
Затухание из-за геометрической дивергенции, Adiv, дБ	расстояние = 584.42 м	ф-ла (7) [10]	**66,3**										
Коэффициент затухания звука в атмосфере α, дБ/км	Ta=20,°C Pa=101.33,кПа hотн.=70%	ф-ла (5) [9]	0,02	0,09	0,33	1,12	2,79	4,98	9,04	23,09	77,63		
Учет затухания звука в атмосфере Aatm, дБ		ф-ла (8) [10]	0	0,1	0,2	0,7	1,6	2,9	5,3	13,5	45,4		
Снижение поверхностью земли возле источника As, дБ	Gs = 0 hs = 1м	ф-лы таб.3 [10]	-1,5	-1,5	-1,5	-1,5	-1,5	-1,5	-1,5	-1,5	-1,5		
Снижение поверхностью земли возле приёмника Ar, дБ	Gr = 1 hr = 4.6м	ф-лы таб.3 [10]	-1,5	-1,5	3,5	1,3	0	0	0	0	0		
Снижение поверхностью земли в средней зоне, Am дБ	Gm = 1	ф-лы таб.3 [10]	-2,1	-2,1	0	0	0	0	0	0	0		
Суммарное снижение поверхностью земли на траектории распространения звука Agr, дБ		ф-ла (9) [10]	-5,1	-5,1	2	-0,2	-1,5	-1,5	-1,5	-1,5	-1,5		
Уровни звукового давления прямого звука от источника ИШ-6-15 в расчётной точке днём, дБ		**ф-ла(3)[10]**	**0**	**35**	**29,2**	**32,2**	**32,8**	**31,1**	**25,5**	**13,1**	**0**	**34,7**	**34,7**
Уровни звукового давления прямого звука от источника ИШ-6-15 в расчётной точке ночью, дБ		**ф-ла(3)[10]**	**0**	**35**	**29,2**	**32,2**	**32,8**	**31,1**	**25,5**	**13,1**	**0**	**34,7**	**34,7**
Расчёт отражённого звука													
Уровни звукового давления от мнимого источника ИШ-6-15_мн.(1) в расчётной точке днём, дБ		**ф-ла(3)[10]**	**0**	**0**	**23**	**21,9**	**21,5**	**26,6**	**23**	**10,5**	**0**	**29,2**	**29,2**
Уровни звукового давления от мнимого источника ИШ-6-15_мн.(1) в расчётной точке ночью, дБ		**ф-ла(3)[10]**	**0**	**0**	**0**	**0**	**0**	**0**	**0**	**0**	**0**	**29,2**	**29,2**
Уровни звукового давления от источника ИШ-6-15 в расчётной точке днём, дБ		**ф-ла(3)[10]**	**0**	**35**	**30,1**	**32,6**	**33,1**	**32,5**	**27,4**	**15**	**0**	**35,8**	**35,8**
Уровни звукового давления от источника ИШ-6-15 в расчётной точке ночью, дБ		**ф-ла(3)[10]**	**0**	**35**	**30,1**	**32,6**	**33,1**	**32,5**	**27,4**	**15**	**0**	**35,8**	**35,8**
Источник шума: ИШ-6-16, координаты источника (x,y,z), м =[764.57,-123.22,1.00]													

1		2	3	4	5	6	7	8	9	10	11	12	13
Уровни звуковой мощности источника днём, Lw, дБ		**исходные данные**	**0**	**96,3**	**97,7**	**99**	**99,3**	**98,9**	**95,6**	**91,4**	**86,9**		
Уровни звуковой мощности источника ночью, Lw, дБ		**исходные данные**	**0**	**96,3**	**97,7**	**99**	**99,3**	**98,9**	**95,6**	**91,4**	**86,9**		
Поправка на телесный угол DΩ, дБ	Ω = 12.57	10Lg(4π/Ω)	**0**	0	0	0	0	0	0	0	0		
Показатель направленности источника Di, дБ		исходные данные	**0**	0	0	0	0	0	0	0	0		
Поправка на направленность источника Dc, дБ	Dc	DΩ + Di	**0**	0	0	0	0	0	0	0	0		
Затухание из-за геометрической дивергенции, Adiv, дБ	расстояние = 582.99 м	ф-ла (7) [10]	**66,3**										
Коэффициент затухания звука в атмосфере α, дБ/км	Ta=20,°C Pa=101.33,кПа hотн.=70%	ф-ла (5) [9]	0,02	0,09	0,33	1,12	2,79	4,98	9,04	23,09	77,63		
Учет затухания звука в атмосфере Aatm, дБ		ф-ла (8) [10]	0	0,1	0,2	0,7	1,6	2,9	5,3	13,5	45,3		
Снижение поверхностью земли возле источника As, дБ	Gs = 0 hs = 1м	ф-лы таб.3 [10]	-1,5	-1,5	-1,5	-1,5	-1,5	-1,5	-1,5	-1,5	-1,5		
Снижение поверхностью земли возле приёмника Ar, дБ	Gr = 1 hr = 4.6м	ф-лы таб.3 [10]	-1,5	-1,5	3,5	1,3	0	0	0	0	0		
Снижение поверхностью земли в средней зоне, Am дБ	Gm = 1	ф-лы таб.3 [10]	-2,1	-2,1	0	0	0	0	0	0	0		
Суммарное снижение поверхностью земли на траектории распространения звука Agr, дБ		ф-ла (9) [10]	-5,1	-5,1	2	-0,2	-1,5	-1,5	-1,5	-1,5	-1,5		
Уровни звукового давления прямого звука от источника ИШ-6-16 в расчётной точке днём, дБ		**ф-ла(3)[10]**	**0**	**35,1**	**29,2**	**32,2**	**32,9**	**31,2**	**25,5**	**13,1**	**0**	**34,8**	**34,8**
Уровни звукового давления прямого звука от источника ИШ-6-16 в расчётной точке ночью, дБ		**ф-ла(3)[10]**	**0**	**35,1**	**29,2**	**32,2**	**32,9**	**31,2**	**25,5**	**13,1**	**0**	**34,8**	**34,8**
Расчёт отражённого звука													
Уровни звукового давления от мнимого источника ИШ-6-16_мн.(1) в расчётной точке днём, дБ		**ф-ла(3)[10]**	**0**	**0**	**23,1**	**21,9**	**21,5**	**26,6**	**23**	**10,6**	**0**	**29,2**	**29,2**
Уровни звукового давления от мнимого источника ИШ-6-16_мн.(1) в расчётной точке ночью, дБ		**ф-ла(3)[10]**	**0**	**0**	**0**	**0**	**0**	**0**	**0**	**0**	**0**	**29,2**	**29,2**

1		2	3	4	5	6	7	8	9	10	11	12	13
Уровни звукового давления от источника ИШ-6-16 в расчётной точке днём, дБ		**ф-ла(3)[10]**	**0**	**35,1**	**30,2**	**32,6**	**33,2**	**32,5**	**27,4**	**15**	**0**	**35,8**	**35,8**
Уровни звукового давления от источника ИШ-6-16 в расчётной точке ночью, дБ		**ф-ла(3)[10]**	**0**	**35,1**	**30,2**	**32,6**	**33,2**	**32,5**	**27,4**	**15**	**0**	**35,8**	**35,8**
Источник шума: ИШ-6-17, координаты источника (x,y,z), м =[763.57,-126.18,1.00]													
Уровни звуковой мощности источника днём, Lw, дБ		**исходные данные**	**0**	**96,3**	**97,7**	**99**	**99,3**	**98,9**	**95,6**	**91,4**	**86,9**		
Уровни звуковой мощности источника ночью, Lw, дБ		**исходные данные**	**0**	**96,3**	**97,7**	**99**	**99,3**	**98,9**	**95,6**	**91,4**	**86,9**		
Поправка на телесный угол DΩ, дБ	Ω = 12.57	10Lg(4π/Ω)	**0**	0	0	0	0	0	0	0	0		
Показатель направленности источника Di, дБ		исходные данные	**0**	0	0	0	0	0	0	0	0		
Поправка на направленность источника Dc, дБ	Dc	DΩ + Di	**0**	0	0	0	0	0	0	0	0		
Затухание из-за геометрической дивергенции, Adiv, дБ	расстояние = 581.72 м	ф-ла (7) [10]	**66,3**										
Коэффициент затухания звука в атмосфере α, дБ/км	Ta=20,°C Pa=101.33,кПа hотн.=70%	ф-ла (5) [9]	0,02	0,09	0,33	1,12	2,79	4,98	9,04	23,09	77,63		
Учет затухания звука в атмосфере Aatm, дБ		ф-ла (8) [10]	0	0,1	0,2	0,7	1,6	2,9	5,3	13,4	45,2		
Снижение поверхностью земли возле источника As, дБ	Gs = 0 hs = 1м	ф-лы таб.3 [10]	-1,5	-1,5	-1,5	-1,5	-1,5	-1,5	-1,5	-1,5	-1,5		
Снижение поверхностью земли возле приёмника Ar, дБ	Gr = 1 hr = 4.6м	ф-лы таб.3 [10]	-1,5	-1,5	3,5	1,3	0	0	0	0	0		
Снижение поверхностью земли в средней зоне, Am дБ	Gm = 1	ф-лы таб.3 [10]	-2,1	-2,1	0	0	0	0	0	0	0		
Суммарное снижение поверхностью земли на траектории распространения звука Agr, дБ		ф-ла (9) [10]	-5,1	-5,1	2	-0,2	-1,5	-1,5	-1,5	-1,5	-1,5		
Уровни звукового давления прямого звука от источника ИШ-6-17 в расчётной точке днём, дБ		**ф-ла(3)[10]**	**0**	**35,1**	**29,2**	**32,3**	**32,9**	**31,2**	**25,5**	**13,2**	**0**	**34,8**	**34,8**

1		2	3	4	5	6	7	8	9	10	11	12	13
Уровни звукового давления прямого звука от источника ИШ-6-17 в расчётной точке ночью, дБ		**ф-ла(3)[10]**	**0**	**35,1**	**29,2**	**32,3**	**32,9**	**31,2**	**25,5**	**13,2**	**0**	**34,8**	**34,8**
Расчёт отражённого звука													
Уровни звукового давления от мнимого источника ИШ-6-17_мн.(1) в расчётной точке днём, дБ		**ф-ла(3)[10]**	**0**	**0**	**23,1**	**21,9**	**21,5**	**26,7**	**23**	**10,6**	**0**	**29,2**	**29,2**
Уровни звукового давления от мнимого источника ИШ-6-17_мн.(1) в расчётной точке ночью, дБ		**ф-ла(3)[10]**	**0**	**0**	**0**	**0**	**0**	**0**	**0**	**0**	**0**	**29,2**	**29,2**
Уровни звукового давления от источника ИШ-6-17 в расчётной точке днём, дБ		**ф-ла(3)[10]**	**0**	**35,1**	**30,2**	**32,6**	**33,2**	**32,5**	**27,5**	**15,1**	**0**	**35,8**	**35,8**
Уровни звукового давления от источника ИШ-6-17 в расчётной точке ночью, дБ		**ф-ла(3)[10]**	**0**	**35,1**	**30,2**	**32,6**	**33,2**	**32,5**	**27,5**	**15,1**	**0**	**35,8**	**35,8**
Источник шума: ИШ-6-18, координаты источника (x,y,z), м =[804.77,-126.28,1.00]													
Уровни звуковой мощности источника днём, Lw, дБ		**исходные данные**	**0**	**96,3**	**97,7**	**99**	**99,3**	**98,9**	**95,6**	**91,4**	**86,9**		
Уровни звуковой мощности источника ночью, Lw, дБ		**исходные данные**	**0**	**96,3**	**97,7**	**99**	**99,3**	**98,9**	**95,6**	**91,4**	**86,9**		
Поправка на телесный угол DΩ, дБ	Ω = 12.57	10Lg(4π/Ω)	**0**	0	0	0	0	0	0	0	0		
Показатель направленности источника Di, дБ		исходные данные	**0**	0	0	0	0	0	0	0	0		
Поправка на направленность источника Dc, дБ	Dc	DΩ + Di	**0**	0	0	0	0	0	0	0	0		
Затухание из-за геометрической дивергенции, Adiv, дБ	расстояние = 622.76 м	ф-ла (7) [10]	**66,9**										
Коэффициент затухания звука в атмосфере α, дБ/км	Ta=20,°C Pa=101.33,кПа hотн.=70%	ф-ла (5) [9]	0,02	0,09	0,33	1,12	2,79	4,98	9,04	23,09	77,63		
Учет затухания звука в атмосфере Aatm, дБ		ф-ла (8) [10]	0	0,1	0,2	0,7	1,7	3,1	5,6	14,4	48,3		
Снижение поверхностью земли возле источника As, дБ	Gs = 0 hs = 1м	ф-лы таб.3 [10]	-1,5	-1,5	-1,5	-1,5	-1,5	-1,5	-1,5	-1,5	-1,5		

1		2	3	4	5	6	7	8	9	10	11	12	13
Снижение поверхностью земли возле приёмника Ar, дБ	Gr = 1 hr = 4.6м	ф-лы таб.3 [10]	-1,5	-1,5	3,5	1,3	0	0	0	0	0		
Снижение поверхностью земли в средней зоне, Am дБ	Gm = 1	ф-лы таб.3 [10]	-2,2	-2,2	0	0	0	0	0	0	0		
Суммарное снижение поверхностью земли на траектории распространения звука Agr, дБ		ф-ла (9) [10]	-5,2	-5,2	2	-0,2	-1,5	-1,5	-1,5	-1,5	-1,5		
Уровни звукового давления прямого звука от источника ИШ-6-18 в расчётной точке днём, дБ		**ф-ла(3)[10]**	**0**	**34,5**	**28,6**	**31,6**	**32,2**	**30,4**	**24,6**	**11,6**	**0**	**34**	**34**
Уровни звукового давления прямого звука от источника ИШ-6-18 в расчётной точке ночью, дБ		**ф-ла(3)[10]**	**0**	**34,5**	**28,6**	**31,6**	**32,2**	**30,4**	**24,6**	**11,6**	**0**	**34**	**34**
Расчёт отражённого звука													
Уровни звукового давления от мнимого источника ИШ-6-18_мн.(1) в расчётной точке днём, дБ		**ф-ла(3)[10]**	**0**	**0**	**22,2**	**21,3**	**20,8**	**25,9**	**22,1**	**9,1**	**0**	**28,4**	**28,4**
Уровни звукового давления от мнимого источника ИШ-6-18_мн.(1) в расчётной точке ночью, дБ		**ф-ла(3)[10]**	**0**	**0**	**0**	**0**	**0**	**0**	**0**	**0**	**0**	**28,4**	**28,4**
Уровни звукового давления от источника ИШ-6-18 в расчётной точке днём, дБ		**ф-ла(3)[10]**	**0**	**34,5**	**29,5**	**32**	**32,5**	**31,7**	**26,5**	**13,6**	**0**	**35**	**35**
Уровни звукового давления от источника ИШ-6-18 в расчётной точке ночью, дБ		**ф-ла(3)[10]**	**0**	**34,5**	**29,5**	**32**	**32,5**	**31,7**	**26,5**	**13,6**	**0**	**35**	**35**
Источник шума: ИШ-6-19, координаты источника (x,y,z), м =[803.81,-129.30,1.00]													
Уровни звуковой мощности источника днём, Lw, дБ		**исходные данные**	**0**	**96,3**	**97,7**	**99**	**99,3**	**98,9**	**95,6**	**91,4**	**86,9**		
Уровни звуковой мощности источника ночью, Lw, дБ		**исходные данные**	**0**	**96,3**	**97,7**	**99**	**99,3**	**98,9**	**95,6**	**91,4**	**86,9**		
Поправка на телесный угол DΩ, дБ	Ω = 12.57	10Lg(4π/Ω)	**0**	0	0	0	0	0	0	0	0		
Показатель направленности источника Di, дБ		исходные данные	**0**	0	0	0	0	0	0	0	0		
Поправка на направленность источника Dc, дБ	Dc	DΩ + Di	**0**	0	0	0	0	0	0	0	0		
Затухание из-за геометрической дивергенции, Adiv, дБ	расстояние = 621.55 м	ф-ла (7) [10]	**66,9**										

1		2	3	4	5	6	7	8	9	10	11	12	13
Коэффициент затухания звука в атмосфере α, дБ/км	Ta=20,°C Pa=101.33,кПа hотн.=70%	ф-ла (5) [9]	0,02	0,09	0,33	1,12	2,79	4,98	9,04	23,09	77,63		
Учет затухания звука в атмосфере Aatm, дБ		ф-ла (8) [10]	0	0,1	0,2	0,7	1,7	3,1	5,6	14,3	48,3		
Снижение уровня звукового давления из-за влияния застройки между источником шума и расчетной точкой													
Снижение уровня звукового давления препятствием слева от трассы ИШ-РТ, Dz2, дБ	z = -0.27м (разность путей)	ф-лы (14-18) [10]	3	0	NAN	NAN	NAN	NAN	NAN	NAN	NAN		
* отрицательное значение z означает прохождение траектории вблизи экрана, в этом случае дополнительно производится учёт снижения подстилающей поверхностью (см.ниже)													
Снижение поверхностью земли возле источника As, дБ	Gs = 0 hs = 1м	ф-лы таб.3 [10]	-1,5	-1,5	-1,5	-1,5	-1,5	-1,5	-1,5	-1,5	-1,5		
Снижение поверхностью земли возле приёмника Ar, дБ	Gr = 1 hr = 4.6м	ф-лы таб.3 [10]	-1,5	-1,5	3,5	1,3	0	0	0	0	0		
Снижение поверхностью земли в средней зоне, Am дБ	Gm = 1	ф-лы таб.3 [10]	-2,2	-2,2	0	0	0	0	0	0	0		
Суммарное снижение поверхностью земли на траектории распространения звука Agr, дБ		ф-ла (9) [10]	-5,2	-5,2	2	-0,2	-1,5	-1,5	-1,5	-1,5	-1,5		
Уровни звукового давления прямого звука от источника ИШ-6-19 в расчётной точке днём, дБ		**ф-ла(3)[10]**	**0**	**34,6**	**28,6**	**31,6**	**32,2**	**30,4**	**24,6**	**11,7**	**0**	**34**	**34**
Уровни звукового давления прямого звука от источника ИШ-6-19 в расчётной точке ночью, дБ		**ф-ла(3)[10]**	**0**	**34,6**	**28,6**	**31,6**	**32,2**	**30,4**	**24,6**	**11,7**	**0**	**34**	**34**
Расчёт отражённого звука													
Уровни звукового давления от мнимого источника ИШ-6-19_мн.(1) в расчётной точке днём, дБ		**ф-ла(3)[10]**	**0**	**0**	**22,2**	**21,3**	**20,9**	**25,9**	**22,1**	**9,1**	**0**	**28,4**	**28,4**
Уровни звукового давления от мнимого источника ИШ-6-19_мн.(1) в расчётной точке ночью, дБ		**ф-ла(3)[10]**	**0**	**0**	**0**	**0**	**0**	**0**	**0**	**0**	**0**	**28,4**	**28,4**
Уровни звукового давления от источника ИШ-6-19 в расчётной точке днём, дБ		**ф-ла(3)[10]**	**0**	**34,6**	**29,5**	**32**	**32,5**	**31,7**	**26,5**	**13,6**	**0**	**35,1**	**35,1**
Уровни звукового давления от источника ИШ-6-19 в расчётной точке ночью, дБ		**ф-ла(3)[10]**	**0**	**34,6**	**29,5**	**32**	**32,5**	**31,7**	**26,5**	**13,6**	**0**	**35,1**	**35,1**
Источник шума: ИШ-6-20, координаты источника (x,y,z), м =[802.67,-132.35,1.00]													

1		2	3	4	5	6	7	8	9	10	11	12	13
Уровни звуковой мощности источника днём, Lw, дБ		**исходные данные**	**0**	**96,3**	**97,7**	**99**	**99,3**	**98,9**	**95,6**	**91,4**	**86,9**		
Уровни звуковой мощности источника ночью, Lw, дБ		**исходные данные**	**0**	**96,3**	**97,7**	**99**	**99,3**	**98,9**	**95,6**	**91,4**	**86,9**		
Поправка на телесный угол DΩ, дБ	Ω = 12.57	10Lg(4π/Ω)	**0**	0	0	0	0	0	0	0	0		
Показатель направленности источника Di, дБ		исходные данные	**0**	0	0	0	0	0	0	0	0		
Поправка на направленность источника Dc, дБ	Dc	DΩ + Di	**0**	0	0	0	0	0	0	0	0		
Затухание из-за геометрической дивергенции, Adiv, дБ	расстояние = 620.17 м	ф-ла (7) [10]	**66,9**										
Коэффициент затухания звука в атмосфере α, дБ/км	Ta=20,°C Pa=101.33,кПа hотн.=70%	ф-ла (5) [9]	0,02	0,09	0,33	1,12	2,79	4,98	9,04	23,09	77,63		
Учет затухания звука в атмосфере Aatm, дБ		ф-ла (8) [10]	0	0,1	0,2	0,7	1,7	3,1	5,6	14,3	48,1		
Снижение уровня звукового давления из-за влияния застройки между источником шума и расчетной точкой													
Снижение уровня звукового давления препятствием слева от трассы ИШ-РТ, Dz2, дБ	z = -0.17м (разность путей)	ф-лы (14-18) [10]	3,8	2,5	0	NAN	NAN	NAN	NAN	NAN	NAN		
* отрицательное значение z означает прохождение траектории вблизи экрана, в этом случае дополнительно производится учёт снижения подстилающей поверхностью (см.ниже)													
Снижение поверхностью земли возле источника As, дБ	Gs = 0 hs = 1м	ф-лы таб.3 [10]	-1,5	-1,5	-1,5	-1,5	-1,5	-1,5	-1,5	-1,5	-1,5		
Снижение поверхностью земли возле приёмника Ar, дБ	Gr = 1 hr = 4.6м	ф-лы таб.3 [10]	-1,5	-1,5	3,5	1,3	0	0	0	0	0		
Снижение поверхностью земли в средней зоне, Am дБ	Gm = 1	ф-лы таб.3 [10]	-2,2	-2,2	0	0	0	0	0	0	0		
Суммарное снижение поверхностью земли на траектории распространения звука Agr, дБ		ф-ла (9) [10]	-5,2	-5,2	2	-0,2	-1,5	-1,5	-1,5	-1,5	-1,5		
Уровни звукового давления прямого звука от источника ИШ-6-20 в расчётной точке днём, дБ		**ф-ла(3)[10]**	**0**	**32,1**	**28,6**	**31,7**	**32,2**	**30,5**	**24,6**	**11,7**	**0**	**34**	**34**
Уровни звукового давления прямого звука от источника ИШ-6-20 в расчётной точке ночью, дБ		**ф-ла(3)[10]**	**0**	**32,1**	**28,6**	**31,7**	**32,2**	**30,5**	**24,6**	**11,7**	**0**	**34**	**34**
Расчёт отражённого звука													

1		2	3	4	5	6	7	8	9	10	11	12	13
Уровни звукового давления от мнимого источника ИШ-6-20_мн.(1) в расчётной точке днём, дБ		**ф-ла(3)[10]**	**0**	**0**	**22,3**	**21,3**	**20,9**	**25,9**	**22,1**	**9,2**	**0**	**28,4**	**28,4**
Уровни звукового давления от мнимого источника ИШ-6-20_мн.(1) в расчётной точке ночью, дБ		**ф-ла(3)[10]**	**0**	**0**	**0**	**0**	**0**	**0**	**0**	**0**	**0**	**28,4**	**28,4**
Уровни звукового давления от источника ИШ-6-20 в расчётной точке днём, дБ		**ф-ла(3)[10]**	**0**	**32,1**	**29,5**	**32**	**32,5**	**31,8**	**26,6**	**13,7**	**0**	**35,1**	**35,1**
Уровни звукового давления от источника ИШ-6-20 в расчётной точке ночью, дБ		**ф-ла(3)[10]**	**0**	**32,1**	**29,5**	**32**	**32,5**	**31,8**	**26,6**	**13,7**	**0**	**35,1**	**35,1**
Источник шума: ИШ-6-21, координаты источника (x,y,z), м =[801.69,-135.42,1.00]													
Уровни звуковой мощности источника днём, Lw, дБ		**исходные данные**	**0**	**96,3**	**97,7**	**99**	**99,3**	**98,9**	**95,6**	**91,4**	**86,9**		
Уровни звуковой мощности источника ночью, Lw, дБ		**исходные данные**	**0**	**96,3**	**97,7**	**99**	**99,3**	**98,9**	**95,6**	**91,4**	**86,9**		
Поправка на телесный угол DΩ, дБ	Ω = 12.57	10Lg(4π/Ω)	**0**	0	0	0	0	0	0	0	0		
Показатель направленности источника Di, дБ		исходные данные	**0**	0	0	0	0	0	0	0	0		
Поправка на направленность источника Dc, дБ	Dc	DΩ + Di	**0**	0	0	0	0	0	0	0	0		
Затухание из-за геометрической дивергенции, Adiv, дБ	расстояние = 618.97 м	ф-ла (7) [10]	**66,8**										
Коэффициент затухания звука в атмосфере α, дБ/км	Ta=20,°C Pa=101.33,кПа hотн.=70%	ф-ла (5) [9]	0,02	0,09	0,33	1,12	2,79	4,98	9,04	23,09	77,63		
Учет затухания звука в атмосфере Aatm, дБ		ф-ла (8) [10]	0	0,1	0,2	0,7	1,7	3,1	5,6	14,3	48,1		
Снижение уровня звукового давления из-за влияния застройки между источником шума и расчетной точкой													
Снижение уровня звукового давления препятствием слева от трассы ИШ-РТ, Dz2, дБ	z = -0.09м (разность путей)	ф-лы (14-18) [10]	4,3	3,7	2,4	0	NAN	NAN	NAN	NAN	NAN		
* отрицательное значение z означает прохождение траектории вблизи экрана, в этом случае дополнительно производится учёт снижения подстилающей поверхностью (см.ниже)													
Снижение поверхностью земли возле источника As, дБ	Gs = 0 hs = 1м	ф-лы таб.3 [10]	-1,5	-1,5	-1,5	-1,5	-1,5	-1,5	-1,5	-1,5	-1,5		

1		2	3	4	5	6	7	8	9	10	11	12	13
Снижение поверхностью земли возле приёмника Ar, дБ	Gr = 1 hr = 4.6м	ф-лы таб.3 [10]	-1,5	-1,5	3,5	1,3	0	0	0	0	0		
Снижение поверхностью земли в средней зоне, Am дБ	Gm = 1	ф-лы таб.3 [10]	-2,2	-2,2	0	0	0	0	0	0	0		
Суммарное снижение поверхностью земли на траектории распространения звука Agr, дБ		ф-ла (9) [10]	-5,2	-5,2	2	-0,2	-1,5	-1,5	-1,5	-1,5	-1,5		
Уровни звукового давления прямого звука от источника ИШ-6-21 в расчётной точке днём, дБ		**ф-ла(3)[10]**	**0**	**30,9**	**26,3**	**31,7**	**32,2**	**30,5**	**24,7**	**11,8**	**0**	**34**	**34**
Уровни звукового давления прямого звука от источника ИШ-6-21 в расчётной точке ночью, дБ		**ф-ла(3)[10]**	**0**	**30,9**	**26,3**	**31,7**	**32,2**	**30,5**	**24,7**	**11,8**	**0**	**34**	**34**
Расчёт отражённого звука													
Уровни звукового давления от мнимого источника ИШ-6-21_мн.(1) в расчётной точке днём, дБ		**ф-ла(3)[10]**	**0**	**0**	**22,3**	**21,3**	**20,9**	**25,9**	**22,2**	**9,2**	**0**	**28,5**	**28,5**
Уровни звукового давления от мнимого источника ИШ-6-21_мн.(1) в расчётной точке ночью, дБ		**ф-ла(3)[10]**	**0**	**0**	**0**	**0**	**0**	**0**	**0**	**0**	**0**	**28,5**	**28,5**
Уровни звукового давления от источника ИШ-6-21 в расчётной точке днём, дБ		**ф-ла(3)[10]**	**0**	**30,9**	**27,7**	**32,1**	**32,5**	**31,8**	**26,6**	**13,7**	**0**	**35,1**	**35,1**
Уровни звукового давления от источника ИШ-6-21 в расчётной точке ночью, дБ		**ф-ла(3)[10]**	**0**	**30,9**	**27,7**	**32,1**	**32,5**	**31,8**	**26,6**	**13,7**	**0**	**35,1**	**35,1**
Источник шума: ИШ-6-22, координаты источника (x,y,z), м =[800.65,-138.47,1.00]													
Уровни звуковой мощности источника днём, Lw, дБ		**исходные данные**	**0**	**96,3**	**97,7**	**99**	**99,3**	**98,9**	**95,6**	**91,4**	**86,9**		
Уровни звуковой мощности источника ночью, Lw, дБ		**исходные данные**	**0**	**96,3**	**97,7**	**99**	**99,3**	**98,9**	**95,6**	**91,4**	**86,9**		
Поправка на телесный угол DΩ, дБ	Ω = 12.57	10Lg(4π/Ω)	**0**	0	0	0	0	0	0	0	0		
Показатель направленности источника Di, дБ		исходные данные	**0**	0	0	0	0	0	0	0	0		
Поправка на направленность источника Dc, дБ	Dc	DΩ + Di	**0**	0	0	0	0	0	0	0	0		
Затухание из-за геометрической дивергенции, Adiv, дБ	расстояние = 617.72 м	ф-ла (7) [10]	**66,8**										

1		2	3	4	5	6	7	8	9	10	11	12	13
Коэффициент затухания звука в атмосфере α, дБ/км	Ta=20,°C Pa=101.33,кПа hотн.=70%	ф-ла (5) [9]	0,02	0,09	0,33	1,12	2,79	4,98	9,04	23,09	77,63		
Учет затухания звука в атмосфере Aatm, дБ		ф-ла (8) [10]	0	0,1	0,2	0,7	1,7	3,1	5,6	14,3	48		
Снижение уровня звукового давления из-за влияния застройки между источником шума и расчетной точкой													
Снижение уровня звукового давления препятствием слева от трассы ИШ-РТ, Dz2, дБ	z = -0.03м (разность путей)	ф-лы (14-18) [10]	4,6	4,4	4	3,1	0,4	NAN	NAN	NAN	NAN		
* отрицательное значение z означает прохождение траектории вблизи экрана, в этом случае дополнительно производится учёт снижения подстилающей поверхностью (см.ниже)													
Снижение поверхностью земли возле источника As, дБ	Gs = 0 hs = 1м	ф-лы таб.3 [10]	-1,5	-1,5	-1,5	-1,5	-1,5	-1,5	-1,5	-1,5	-1,5		
Снижение поверхностью земли возле приёмника Ar, дБ	Gr = 1 hr = 4.6м	ф-лы таб.3 [10]	-1,5	-1,5	3,5	1,3	0	0	0	0	0		
Снижение поверхностью земли в средней зоне, Am дБ	Gm = 1	ф-лы таб.3 [10]	-2,2	-2,2	0	0	0	0	0	0	0		
Суммарное снижение поверхностью земли на траектории распространения звука Agr, дБ		ф-ла (9) [10]	-5,2	-5,2	2	-0,2	-1,5	-1,5	-1,5	-1,5	-1,5		
Уровни звукового давления прямого звука от источника ИШ-6-22 в расчётной точке днём, дБ		**ф-ла(3)[10]**	**0**	**30,2**	**24,7**	**28,6**	**31,9**	**30,5**	**24,7**	**11,8**	**0**	**33,8**	**33,8**
Уровни звукового давления прямого звука от источника ИШ-6-22 в расчётной точке ночью, дБ		**ф-ла(3)[10]**	**0**	**30,2**	**24,7**	**28,6**	**31,9**	**30,5**	**24,7**	**11,8**	**0**	**33,8**	**33,8**
Расчёт отражённого звука													
Уровни звукового давления от мнимого источника ИШ-6-22_мн.(1) в расчётной точке днём, дБ		**ф-ла(3)[10]**	**0**	**0**	**22,3**	**21,3**	**20,9**	**26**	**22,2**	**9,3**	**0**	**28,5**	**28,5**
Уровни звукового давления от мнимого источника ИШ-6-22_мн.(1) в расчётной точке ночью, дБ		**ф-ла(3)[10]**	**0**	**0**	**0**	**0**	**0**	**0**	**0**	**0**	**0**	**28,5**	**28,5**
Уровни звукового давления от источника ИШ-6-22 в расчётной точке днём, дБ		**ф-ла(3)[10]**	**0**	**30,2**	**26,6**	**29,3**	**32,2**	**31,8**	**26,6**	**13,7**	**0**	**34,9**	**34,9**
Уровни звукового давления от источника ИШ-6-22 в расчётной точке ночью, дБ		**ф-ла(3)[10]**	**0**	**30,2**	**26,6**	**29,3**	**32,2**	**31,8**	**26,6**	**13,7**	**0**	**34,9**	**34,9**
Источник шума: ИШ-7-1, координаты источника (x,y,z), м =[821.44,63.31,1.00]													

1		2	3	4	5	6	7	8	9	10	11	12	13
Уровни звуковой мощности источника днём, Lw, дБ		**исходные данные**	**77**	**75**	**67**	**66**	**63**	**55**	**53**	**48**	**51**		
Уровни звуковой мощности источника ночью, Lw, дБ		**исходные данные**	**77**	**75**	**67**	**66**	**63**	**55**	**53**	**48**	**51**		
Поправка на телесный угол DΩ, дБ	Ω = 12.57	10Lg(4π/Ω)	**0**	0	0	0	0	0	0	0	0		
Показатель направленности источника Di, дБ		исходные данные	**0**	0	0	0	0	0	0	0	0		
Поправка на направленность источника Dc, дБ	Dc	DΩ + Di	**0**	0	0	0	0	0	0	0	0		
Затухание из-за геометрической дивергенции, Adiv, дБ	расстояние = 681.72 м	ф-ла (7) [10]	**67,7**										
Коэффициент затухания звука в атмосфере α, дБ/км	Ta=20,°C Pa=101.33,кПа hотн.=70%	ф-ла (5) [9]	0,02	0,09	0,33	1,12	2,79	4,98	9,04	23,09	77,63		
Учет затухания звука в атмосфере Aatm, дБ		ф-ла (8) [10]	0	0,1	0,2	0,8	1,9	3,4	6,2	15,7	52,9		
Снижение уровня звукового давления из-за влияния застройки между источником шума и расчетной точкой													
Снижение уровня звукового давления на пути над экраном, Dz1, дБ	z = 0.10м (разность путей)	ф-лы (14-18) [10]	4,8	4,8	4,8	4,8	4,8	4,8	4,8	4,8	4,8		
Уровни звукового давления от источника ИШ-7-1 в расчётной точке днём, дБ		**ф-ла(3)[10]**	**4,5**	**2,5**	**0**	**0**	**0**	**0**	**0**	**0**	**0**	**0**	**0**
Уровни звукового давления от источника ИШ-7-1 в расчётной точке ночью, дБ		**ф-ла(3)[10]**	**4,5**	**2,5**	**0**	**0**	**0**	**0**	**0**	**0**	**0**	**0**	**0**
Источник шума: ИШ-7-2, координаты источника (x,y,z), м =[768.90,-86.75,1.00]													
Уровни звуковой мощности источника днём, Lw, дБ		**исходные данные**	**77**	**75**	**67**	**66**	**63**	**55**	**53**	**48**	**51**		
Уровни звуковой мощности источника ночью, Lw, дБ		**исходные данные**	**77**	**75**	**67**	**66**	**63**	**55**	**53**	**48**	**51**		
Поправка на телесный угол DΩ, дБ	Ω = 12.57	10Lg(4π/Ω)	**0**	0	0	0	0	0	0	0	0		

1		2	3	4	5	6	7	8	9	10	11	12	13
Показатель направленности источника Di, дБ		исходные данные	**0**	0	0	0	0	0	0	0	0		
Поправка на направленность источника Dc, дБ	Dc	DΩ + Di	**0**	0	0	0	0	0	0	0	0		
Затухание из-за геометрической дивергенции, Adiv, дБ	расстояние = 591.88 м	ф-ла (7) [10]	**66,4**										
Коэффициент затухания звука в атмосфере α, дБ/км	Ta=20,°C Pa=101.33,кПа hотн.=70%	ф-ла (5) [9]	0,02	0,09	0,33	1,12	2,79	4,98	9,04	23,09	77,63		
Учет затухания звука в атмосфере Aatm, дБ		ф-ла (8) [10]	0	0,1	0,2	0,7	1,7	2,9	5,4	13,7	45,9		
Снижение уровня звукового давления из-за влияния застройки между источником шума и расчетной точкой													
Снижение уровня звукового давления на пути над экраном, Dz1, дБ	z = 0.18м (разность путей)	ф-лы (14-18) [10]	4,8	4,8	4,8	4,8	4,9	5	5,2	5,6	6,3		
Уровни звукового давления от источника ИШ-7-2 в расчётной точке днём, дБ		**ф-ла(3)[10]**	**5,8**	**3,7**	**0**	**0**	**0**	**0**	**0**	**0**	**0**	**0**	**0**
Уровни звукового давления от источника ИШ-7-2 в расчётной точке ночью, дБ		**ф-ла(3)[10]**	**5,8**	**3,7**	**0**	**0**	**0**	**0**	**0**	**0**	**0**	**0**	**0**
Источник шума: ИШ-7-3, координаты источника (x,y,z), м =[766.80,-93.20,1.00]													
Уровни звуковой мощности источника днём, Lw, дБ		**исходные данные**	**77**	**75**	**67**	**66**	**63**	**55**	**53**	**48**	**51**		
Уровни звуковой мощности источника ночью, Lw, дБ		**исходные данные**	**77**	**75**	**67**	**66**	**63**	**55**	**53**	**48**	**51**		
Поправка на телесный угол DΩ, дБ	Ω = 12.57	10Lg(4π/Ω)	**0**	0	0	0	0	0	0	0	0		
Показатель направленности источника Di, дБ		исходные данные	**0**	0	0	0	0	0	0	0	0		
Поправка на направленность источника Dc, дБ	Dc	DΩ + Di	**0**	0	0	0	0	0	0	0	0		
Затухание из-за геометрической дивергенции, Adiv, дБ	расстояние = 588.84 м	ф-ла (7) [10]	**66,4**										

1		2	3	4	5	6	7	8	9	10	11	12	13
Коэффициент затухания звука в атмосфере α, дБ/км	Ta=20,°C Pa=101.33,кПа hотн.=70%	ф-ла (5) [9]	0,02	0,09	0,33	1,12	2,79	4,98	9,04	23,09	77,63		
Учет затухания звука в атмосфере Aatm, дБ		ф-ла (8) [10]	0	0,1	0,2	0,7	1,6	2,9	5,3	13,6	45,7		
Снижение уровня звукового давления из-за влияния застройки между источником шума и расчетной точкой													
Снижение уровня звукового давления на пути над экраном, Dz1, дБ	z = 0.17м (разность путей)	ф-лы (14-18) [10]	4,8	4,8	4,8	4,8	4,8	4,9	5,1	5,5	6,2		
Уровни звукового давления от источника ИШ-7-3 в расчётной точке днём, дБ		**ф-ла(3)[10]**	**5,8**	**3,8**	**0**	**0**	**0**	**0**	**0**	**0**	**0**	**0**	**0**
Уровни звукового давления от источника ИШ-7-3 в расчётной точке ночью, дБ		**ф-ла(3)[10]**	**5,8**	**3,8**	**0**	**0**	**0**	**0**	**0**	**0**	**0**	**0**	**0**
Источник шума: ИШ-7-4, координаты источника (x,y,z), м =[866.76,37.18,1.00]													
Уровни звуковой мощности источника днём, Lw, дБ		**исходные данные**	**77**	**75**	**67**	**66**	**63**	**55**	**53**	**48**	**51**		
Уровни звуковой мощности источника ночью, Lw, дБ		**исходные данные**	**77**	**75**	**67**	**66**	**63**	**55**	**53**	**48**	**51**		
Поправка на телесный угол DΩ, дБ	Ω = 12.57	10Lg(4π/Ω)	**0**	0	0	0	0	0	0	0	0		
Показатель направленности источника Di, дБ		исходные данные	**0**	0	0	0	0	0	0	0	0		
Поправка на направленность источника Dc, дБ	Dc	DΩ + Di	**0**	0	0	0	0	0	0	0	0		
Затухание из-за геометрической дивергенции, Adiv, дБ	расстояние = 715.94 м	ф-ла (7) [10]	**68,1**										
Коэффициент затухания звука в атмосфере α, дБ/км	Ta=20,°C Pa=101.33,кПа hотн.=70%	ф-ла (5) [9]	0,02	0,09	0,33	1,12	2,79	4,98	9,04	23,09	77,63		
Учет затухания звука в атмосфере Aatm, дБ		ф-ла (8) [10]	0	0,1	0,2	0,8	2	3,6	6,5	16,5	55,6		
Снижение уровня звукового давления из-за влияния застройки между источником шума и расчетной точкой													

1		2	3	4	5	6	7	8	9	10	11	12	13
Снижение уровня звукового давления на пути над экраном, Dz1, дБ	z = 0.09м (разность путей)	ф-лы (14-18) [10]	4,8	4,8	4,8	4,8	4,8	4,8	4,8	4,8	4,8		
Уровни звукового давления от источника ИШ-7-4 в расчётной точке днём, дБ		**ф-ла(3)[10]**	**4,1**	**2,1**	**0**	**0**	**0**	**0**	**0**	**0**	**0**	**0**	**0**
Уровни звукового давления от источника ИШ-7-4 в расчётной точке ночью, дБ		**ф-ла(3)[10]**	**4,1**	**2,1**	**0**	**0**	**0**	**0**	**0**	**0**	**0**	**0**	**0**
Источник шума: ИШ-7-5, координаты источника (x,y,z), м =[861.80,21.34,1.00]													
Уровни звуковой мощности источника днём, Lw, дБ		**исходные данные**	**77**	**75**	**67**	**66**	**63**	**55**	**53**	**48**	**51**		
Уровни звуковой мощности источника ночью, Lw, дБ		**исходные данные**	**77**	**75**	**67**	**66**	**63**	**55**	**53**	**48**	**51**		
Поправка на телесный угол DΩ, дБ	Ω = 12.57	10Lg(4π/Ω)	**0**	0	0	0	0	0	0	0	0		
Показатель направленности источника Di, дБ		исходные данные	**0**	0	0	0	0	0	0	0	0		
Поправка на направленность источника Dc, дБ	Dc	DΩ + Di	**0**	0	0	0	0	0	0	0	0		
Затухание из-за геометрической дивергенции, Adiv, дБ	расстояние = 706.56 м	ф-ла (7) [10]	**68**										
Коэффициент затухания звука в атмосфере α, дБ/км	Ta=20,°C Pa=101.33,кПа hотн.=70%	ф-ла (5) [9]	0,02	0,09	0,33	1,12	2,79	4,98	9,04	23,09	77,63		
Учет затухания звука в атмосфере Aatm, дБ		ф-ла (8) [10]	0	0,1	0,2	0,8	2	3,5	6,4	16,3	54,9		
Снижение уровня звукового давления из-за влияния застройки между источником шума и расчетной точкой													
Снижение уровня звукового давления на пути над экраном, Dz1, дБ	z = 0.09м (разность путей)	ф-лы (14-18) [10]	4,8	4,8	4,8	4,8	4,8	4,8	4,8	4,8	4,8		
Уровни звукового давления от источника ИШ-7-5 в расчётной точке днём, дБ		**ф-ла(3)[10]**	**4,2**	**2,2**	**0**	**0**	**0**	**0**	**0**	**0**	**0**	**0**	**0**
Уровни звукового давления от источника ИШ-7-5 в расчётной точке ночью, дБ		**ф-ла(3)[10]**	**4,2**	**2,2**	**0**	**0**	**0**	**0**	**0**	**0**	**0**	**0**	**0**

1		2	3	4	5	6	7	8	9	10	11	12	13
Источник шума: ИШ-7-6, координаты источника (x,y,z), м =[856.52,5.94,1.00]													
Уровни звуковой мощности источника днём, Lw, дБ		**исходные данные**	**77**	**75**	**67**	**66**	**63**	**55**	**53**	**48**	**51**		
Уровни звуковой мощности источника ночью, Lw, дБ		**исходные данные**	**77**	**75**	**67**	**66**	**63**	**55**	**53**	**48**	**51**		
Поправка на телесный угол DΩ, дБ	Ω = 12.57	10Lg(4π/Ω)	**0**	0	0	0	0	0	0	0	0		
Показатель направленности источника Di, дБ		исходные данные	**0**	0	0	0	0	0	0	0	0		
Поправка на направленность источника Dc, дБ	Dc	DΩ + Di	**0**	0	0	0	0	0	0	0	0		
Затухание из-за геометрической дивергенции, Adiv, дБ	расстояние = 697.25 м	ф-ла (7) [10]	**67,9**										
Коэффициент затухания звука в атмосфере α, дБ/км	Ta=20,°C Pa=101.33,кПа hотн.=70%	ф-ла (5) [9]	0,02	0,09	0,33	1,12	2,79	4,98	9,04	23,09	77,63		
Учет затухания звука в атмосфере Aatm, дБ		ф-ла (8) [10]	0	0,1	0,2	0,8	1,9	3,5	6,3	16,1	54,1		
Снижение уровня звукового давления из-за влияния застройки между источником шума и расчетной точкой													
Снижение уровня звукового давления на пути над экраном, Dz1, дБ	z = 0.09м (разность путей)	ф-лы (14-18) [10]	4,8	4,8	4,8	4,8	4,8	4,8	4,8	4,8	4,8		
Уровни звукового давления от источника ИШ-7-6 в расчётной точке днём, дБ		**ф-ла(3)[10]**	**4,3**	**2,3**	**0**	**0**	**0**	**0**	**0**	**0**	**0**	**0**	**0**
Уровни звукового давления от источника ИШ-7-6 в расчётной точке ночью, дБ		**ф-ла(3)[10]**	**4,3**	**2,3**	**0**	**0**	**0**	**0**	**0**	**0**	**0**	**0**	**0**
Источник шума: ИШ-7-7, координаты источника (x,y,z), м =[851.06,-9.89,1.00]													
Уровни звуковой мощности источника днём, Lw, дБ		**исходные данные**	**77**	**75**	**67**	**66**	**63**	**55**	**53**	**48**	**51**		
Уровни звуковой мощности источника ночью, Lw, дБ		**исходные данные**	**77**	**75**	**67**	**66**	**63**	**55**	**53**	**48**	**51**		

1		2	3	4	5	6	7	8	9	10	11	12	13
Поправка на телесный угол DΩ, дБ	Ω = 12.57	10Lg(4π/Ω)	**0**	0	0	0	0	0	0	0	0		
Показатель направленности источника Di, дБ		исходные данные	**0**	0	0	0	0	0	0	0	0		
Поправка на направленность источника Dc, дБ	Dc	DΩ + Di	**0**	0	0	0	0	0	0	0	0		
Затухание из-за геометрической дивергенции, Adiv, дБ	расстояние = 687.92 м	ф-ла (7) [10]	**67,8**										
Коэффициент затухания звука в атмосфере α, дБ/км	Ta=20,°C Pa=101.33,кПа hотн.=70%	ф-ла (5) [9]	0,02	0,09	0,33	1,12	2,79	4,98	9,04	23,09	77,63		
Учет затухания звука в атмосфере Aatm, дБ		ф-ла (8) [10]	0	0,1	0,2	0,8	1,9	3,4	6,2	15,9	53,4		
Снижение поверхностью земли возле источника As, дБ	Gs = 0 hs = 1м	ф-лы таб.3 [10]	-1,5	-1,5	-1,5	-1,5	-1,5	-1,5	-1,5	-1,5	-1,5		
Снижение поверхностью земли возле приёмника Ar, дБ	Gr = 1 hr = 4.6м	ф-лы таб.3 [10]	-1,5	-1,5	3,6	1,3	0	0	0	0	0		
Снижение поверхностью земли в средней зоне, Am дБ	Gm = 1	ф-лы таб.3 [10]	-2,3	-2,3	0	0	0	0	0	0	0		
Суммарное снижение поверхностью земли на траектории распространения звука Agr, дБ		ф-ла (9) [10]	-5,3	-5,3	2,1	-0,2	-1,5	-1,5	-1,5	-1,5	-1,5		
Уровни звукового давления от источника ИШ-7-7 в расчётной точке днём, дБ		**ф-ла(3)[10]**	**14,5**	**12,9**	**0**	**0**	**0**	**0**	**0**	**0**	**0**	**0**	**0**
Уровни звукового давления от источника ИШ-7-7 в расчётной точке ночью, дБ		**ф-ла(3)[10]**	**14,5**	**12,9**	**0**	**0**	**0**	**0**	**0**	**0**	**0**	**0**	**0**
Источник шума: ИШ-7-8, координаты источника (x,y,z), м =[821.90,-104.30,1.00]													
Уровни звуковой мощности источника днём, Lw, дБ		**исходные данные**	**77**	**75**	**67**	**66**	**63**	**55**	**53**	**48**	**51**		
Уровни звуковой мощности источника ночью, Lw, дБ		**исходные данные**	**77**	**75**	**67**	**66**	**63**	**55**	**53**	**48**	**51**		
Поправка на телесный угол DΩ, дБ	Ω = 12.57	10Lg(4π/Ω)	**0**	0	0	0	0	0	0	0	0		

1		2	3	4	5	6	7	8	9	10	11	12	13
Показатель направленности источника Di, дБ		исходные данные	**0**	0	0	0	0	0	0	0	0		
Поправка на направленность источника Dc, дБ	Dc	DΩ + Di	**0**	0	0	0	0	0	0	0	0		
Затухание из-за геометрической дивергенции, Adiv, дБ	расстояние = 642.01 м	ф-ла (7) [10]	**67,2**										
Коэффициент затухания звука в атмосфере α, дБ/км	Ta=20,°C Pa=101.33,кПа hотн.=70%	ф-ла (5) [9]	0,02	0,09	0,33	1,12	2,79	4,98	9,04	23,09	77,63		
Учет затухания звука в атмосфере Aatm, дБ		ф-ла (8) [10]	0	0,1	0,2	0,7	1,8	3,2	5,8	14,8	49,8		
Снижение поверхностью земли возле источника As, дБ	Gs = 0 hs = 1м	ф-лы таб.3 [10]	-1,5	-1,5	-1,5	-1,5	-1,5	-1,5	-1,5	-1,5	-1,5		
Снижение поверхностью земли возле приёмника Ar, дБ	Gr = 1 hr = 4.6м	ф-лы таб.3 [10]	-1,5	-1,5	3,5	1,3	0	0	0	0	0		
Снижение поверхностью земли в средней зоне, Am дБ	Gm = 1	ф-лы таб.3 [10]	-2,2	-2,2	0	0	0	0	0	0	0		
Суммарное снижение поверхностью земли на траектории распространения звука Agr, дБ		ф-ла (9) [10]	-5,2	-5,2	2	-0,2	-1,5	-1,5	-1,5	-1,5	-1,5		
Уровни звукового давления от источника ИШ-7-8 в расчётной точке днём, дБ		**ф-ла(3)[10]**	**15**	**13**	**0**	**0**	**0**	**0**	**0**	**0**	**0**	**0**	**0**
Уровни звукового давления от источника ИШ-7-8 в расчётной точке ночью, дБ		**ф-ла(3)[10]**	**15**	**13**	**0**	**0**	**0**	**0**	**0**	**0**	**0**	**0**	**0**
Источник шума: ИШ-7-9, координаты источника (x,y,z), м =[819.93,-110.97,1.00]													
Уровни звуковой мощности источника днём, Lw, дБ		**исходные данные**	**77**	**75**	**67**	**66**	**63**	**55**	**53**	**48**	**51**		
Уровни звуковой мощности источника ночью, Lw, дБ		**исходные данные**	**77**	**75**	**67**	**66**	**63**	**55**	**53**	**48**	**51**		
Поправка на телесный угол DΩ, дБ	Ω = 12.57	10Lg(4π/Ω)	**0**	0	0	0	0	0	0	0	0		
Показатель направленности источника Di, дБ		исходные данные	**0**	0	0	0	0	0	0	0	0		

1		2	3	4	5	6	7	8	9	10	11	12	13
Поправка на направленность источника Dc, дБ	Dc	DΩ + Di	**0**	0	0	0	0	0	0	0	0		
Затухание из-за геометрической дивергенции, Adiv, дБ	расстояние = 639.31 м	ф-ла (7) [10]	**67,1**										
Коэффициент затухания звука в атмосфере α, дБ/км	Ta=20,°C Pa=101.33,кПа hотн.=70%	ф-ла (5) [9]	0,02	0,09	0,33	1,12	2,79	4,98	9,04	23,09	77,63		
Учет затухания звука в атмосфере Aatm, дБ		ф-ла (8) [10]	0	0,1	0,2	0,7	1,8	3,2	5,8	14,8	49,6		
Снижение поверхностью земли возле источника As, дБ	Gs = 0 hs = 1м	ф-лы таб.3 [10]	-1,5	-1,5	-1,5	-1,5	-1,5	-1,5	-1,5	-1,5	-1,5		
Снижение поверхностью земли возле приёмника Ar, дБ	Gr = 1 hr = 4.6м	ф-лы таб.3 [10]	-1,5	-1,5	3,5	1,3	0	0	0	0	0		
Снижение поверхностью земли в средней зоне, Am дБ	Gm = 1	ф-лы таб.3 [10]	-2,2	-2,2	0	0	0	0	0	0	0		
Суммарное снижение поверхностью земли на траектории распространения звука Agr, дБ		ф-ла (9) [10]	-5,2	-5,2	2	-0,2	-1,5	-1,5	-1,5	-1,5	-1,5		
Уровни звукового давления от источника ИШ-7-9 в расчётной точке днём, дБ		**ф-ла(3)[10]**	**15,1**	**13**	**0**	**0**	**0**	**0**	**0**	**0**	**0**	**0**	**0**
Уровни звукового давления от источника ИШ-7-9 в расчётной точке ночью, дБ		**ф-ла(3)[10]**	**15,1**	**13**	**0**	**0**	**0**	**0**	**0**	**0**	**0**	**0**	**0**
Источник шума: ИШ-7-10, координаты источника (x,y,z), м =[868.68,92.66,1.00]													
Уровни звуковой мощности источника днём, Lw, дБ		**исходные данные**	**77**	**75**	**67**	**66**	**63**	**55**	**53**	**48**	**51**		
Уровни звуковой мощности источника ночью, Lw, дБ		**исходные данные**	**77**	**75**	**67**	**66**	**63**	**55**	**53**	**48**	**51**		
Поправка на телесный угол DΩ, дБ	Ω = 12.57	10Lg(4π/Ω)	**0**	0	0	0	0	0	0	0	0		
Показатель направленности источника Di, дБ		исходные данные	**0**	0	0	0	0	0	0	0	0		
Поправка на направленность источника Dc, дБ	Dc	DΩ + Di	**0**	0	0	0	0	0	0	0	0		

1		2	3	4	5	6	7	8	9	10	11	12	13
Затухание из-за геометрической дивергенции, Adiv, дБ	расстояние = 736.38 м	ф-ла (7) [10]	**68,3**										
Коэффициент затухания звука в атмосфере α, дБ/км	Ta=20,°C Pa=101.33,кПа hотн.=70%	ф-ла (5) [9]	0,02	0,09	0,33	1,12	2,79	4,98	9,04	23,09	77,63		
Учет затухания звука в атмосфере Aatm, дБ		ф-ла (8) [10]	0	0,1	0,2	0,8	2,1	3,7	6,7	17	57,2		
Снижение уровня звукового давления из-за влияния застройки между источником шума и расчетной точкой													
Снижение уровня звукового давления на пути над экраном, Dz1, дБ	z = 0.05м (разность путей)	ф-лы (14-18) [10]	4,8	4,8	4,8	4,8	4,8	4,8	4,8	4,8	4,8		
Уровни звукового давления от источника ИШ-7-10 в расчётной точке днём, дБ		**ф-ла(3)[10]**	**3,9**	**1,8**	**0**	**0**	**0**	**0**	**0**	**0**	**0**	**0**	**0**
Уровни звукового давления от источника ИШ-7-10 в расчётной точке ночью, дБ		**ф-ла(3)[10]**	**3,9**	**1,8**	**0**	**0**	**0**	**0**	**0**	**0**	**0**	**0**	**0**
Источник шума: ИШ-7-11, координаты источника (x,y,z), м =[877.95,88.75,1.00]													
Уровни звуковой мощности источника днём, Lw, дБ		**исходные данные**	**77**	**75**	**67**	**66**	**63**	**55**	**53**	**48**	**51**		
Уровни звуковой мощности источника ночью, Lw, дБ		**исходные данные**	**77**	**75**	**67**	**66**	**63**	**55**	**53**	**48**	**51**		
Поправка на телесный угол DΩ, дБ	Ω = 12.57	10Lg(4π/Ω)	**0**	0	0	0	0	0	0	0	0		
Показатель направленности источника Di, дБ		исходные данные	**0**	0	0	0	0	0	0	0	0		
Поправка на направленность источника Dc, дБ	Dc	DΩ + Di	**0**	0	0	0	0	0	0	0	0		
Затухание из-за геометрической дивергенции, Adiv, дБ	расстояние = 743.59 м	ф-ла (7) [10]	**68,4**										
Коэффициент затухания звука в атмосфере α, дБ/км	Ta=20,°C Pa=101.33,кПа hотн.=70%	ф-ла (5) [9]	0,02	0,09	0,33	1,12	2,79	4,98	9,04	23,09	77,63		
Учет затухания звука в атмосфере Aatm, дБ		ф-ла (8) [10]	0	0,1	0,2	0,8	2,1	3,7	6,7	17,2	57,7		

1		2	3	4	5	6	7	8	9	10	11	12	13
Снижение уровня звукового давления из-за влияния застройки между источником шума и расчетной точкой													
Снижение уровня звукового давления на пути над экраном, Dz1, дБ	z = 0.08м (разность путей)	ф-лы (14-18) [10]	4,8	4,8	4,8	4,8	4,8	4,8	4,8	4,8	4,8		
Уровни звукового давления от источника ИШ-7-11 в расчётной точке днём, дБ		**ф-ла(3)[10]**	**3,8**	**1,7**	**0**	**0**	**0**	**0**	**0**	**0**	**0**	**0**	**0**
Уровни звукового давления от источника ИШ-7-11 в расчётной точке ночью, дБ		**ф-ла(3)[10]**	**3,8**	**1,7**	**0**	**0**	**0**	**0**	**0**	**0**	**0**	**0**	**0**
Источник шума: ИШ-7-12, координаты источника (x,y,z), м =[887.42,85.45,1.00]													
Уровни звуковой мощности источника днём, Lw, дБ		**исходные данные**	**77**	**75**	**67**	**66**	**63**	**55**	**53**	**48**	**51**		
Уровни звуковой мощности источника ночью, Lw, дБ		**исходные данные**	**77**	**75**	**67**	**66**	**63**	**55**	**53**	**48**	**51**		
Поправка на телесный угол DΩ, дБ	Ω = 12.57	10Lg(4π/Ω)	**0**	0	0	0	0	0	0	0	0		
Показатель направленности источника Di, дБ		исходные данные	**0**	0	0	0	0	0	0	0	0		
Поправка на направленность источника Dc, дБ	Dc	DΩ + Di	**0**	0	0	0	0	0	0	0	0		
Затухание из-за геометрической дивергенции, Adiv, дБ	расстояние = 751.27 м	ф-ла (7) [10]	**68,5**										
Коэффициент затухания звука в атмосфере α, дБ/км	Ta=20,°C Pa=101.33,кПа hотн.=70%	ф-ла (5) [9]	0,02	0,09	0,33	1,12	2,79	4,98	9,04	23,09	77,63		
Учет затухания звука в атмосфере Aatm, дБ		ф-ла (8) [10]	0	0,1	0,3	0,8	2,1	3,7	6,8	17,3	58,3		
Снижение уровня звукового давления из-за влияния застройки между источником шума и расчетной точкой													
Снижение уровня звукового давления на пути над экраном, Dz1, дБ	z = 0.08м (разность путей)	ф-лы (14-18) [10]	4,8	4,8	4,8	4,8	4,8	4,8	4,8	4,8	4,8		
Уровни звукового давления от источника ИШ-7-12 в расчётной точке днём, дБ		**ф-ла(3)[10]**	**3,7**	**1,6**	**0**	**0**	**0**	**0**	**0**	**0**	**0**	**0**	**0**

1		2	3	4	5	6	7	8	9	10	11	12	13
Уровни звукового давления от источника ИШ-7-12 в расчётной точке ночью, дБ		**ф-ла(3)[10]**	**3,7**	**1,6**	**0**	**0**	**0**	**0**	**0**	**0**	**0**	**0**	**0**
Источник шума: ИШ-6-23, координаты источника (x,y,z), м =[756.16,-136.23,3.00]													
Уровни звуковой мощности источника днём, Lw, дБ		**исходные данные**	**91**	**91**	**91**	**91**	**91**	**91**	**91**	**91**	**91**		
Уровни звуковой мощности источника ночью, Lw, дБ		**исходные данные**	**91**	**91**	**91**	**91**	**91**	**91**	**91**	**91**	**91**		
Поправка на телесный угол DΩ, дБ	Ω = 12.57	10Lg(4π/Ω)	**0**	0	0	0	0	0	0	0	0		
Показатель направленности источника Di, дБ		исходные данные	**0**	0	0	0	0	0	0	0	0		
Поправка на направленность источника Dc, дБ	Dc	DΩ + Di	**0**	0	0	0	0	0	0	0	0		
Затухание из-за геометрической дивергенции, Adiv, дБ	расстояние = 573.49 м	ф-ла (7) [10]	**66,2**										
Коэффициент затухания звука в атмосфере α, дБ/км	Ta=20,°C Pa=101.33,кПа hотн.=70%	ф-ла (5) [9]	0,02	0,09	0,33	1,12	2,79	4,98	9,04	23,09	77,63		
Учет затухания звука в атмосфере Aatm, дБ		ф-ла (8) [10]	0	0,1	0,2	0,6	1,6	2,9	5,2	13,2	44,5		
Снижение уровня звукового давления из-за влияния застройки между источником шума и расчетной точкой													
Снижение уровня звукового давления препятствием слева от трассы ИШ-РТ, Dz2, дБ	z = -0.18м (разность путей)	ф-лы (14-18) [10]	3,7	2,2	0	NAN	NAN	NAN	NAN	NAN	NAN		
* отрицательное значение z означает прохождение траектории вблизи экрана, в этом случае дополнительно производится учёт снижения подстилающей поверхностью (см.ниже)													
Снижение поверхностью земли возле источника As, дБ	Gs = 0 hs = 3м	ф-лы таб.3 [10]	-1,5	-1,5	-1,5	-1,5	-1,5	-1,5	-1,5	-1,5	-1,5		
Снижение поверхностью земли возле приёмника Ar, дБ	Gr = 1 hr = 4.6м	ф-лы таб.3 [10]	-1,5	-1,5	3,5	1,3	0	0	0	0	0		
Снижение поверхностью земли в средней зоне, Am дБ	Gm = 1	ф-лы таб.3 [10]	-1,8	-1,8	0	0	0	0	0	0	0		
Суммарное снижение поверхностью земли на траектории распространения звука Agr, дБ		ф-ла (9) [10]	-4,8	-4,8	2	-0,2	-1,5	-1,5	-1,5	-1,5	-1,5		

1		2	3	4	5	6	7	8	9	10	11	12	13
Уровни звукового давления прямого звука от источника ИШ-6-23 в расчётной точке днём, дБ		**ф-ла(3)[10]**	**25,9**	**27,4**	**22,7**	**24,4**	**24,7**	**23,5**	**21,1**	**13,1**	**0**	**27,8**	**27,8**
Уровни звукового давления прямого звука от источника ИШ-6-23 в расчётной точке ночью, дБ		**ф-ла(3)[10]**	**25,9**	**27,4**	**22,7**	**24,4**	**24,7**	**23,5**	**21,1**	**13,1**	**0**	**27,8**	**27,8**
Расчёт отражённого звука													
Уровни звукового давления от мнимого источника ИШ-6-23_мн.(1) в расчётной точке днём, дБ		**ф-ла(3)[10]**	**0**	**0**	**16,8**	**18,1**	**22**	**21**	**18,6**	**10,6**	**0**	**25,1**	**25,1**
Уровни звукового давления от мнимого источника ИШ-6-23_мн.(1) в расчётной точке ночью, дБ		**ф-ла(3)[10]**	**0**	**0**	**0**	**0**	**0**	**0**	**0**	**0**	**0**	**25,1**	**25,1**
Уровни звукового давления от источника ИШ-6-23 в расчётной точке днём, дБ		**ф-ла(3)[10]**	**25,9**	**27,4**	**23,7**	**25,3**	**26,6**	**25,4**	**23,1**	**15**	**0**	**29,7**	**29,7**
Уровни звукового давления от источника ИШ-6-23 в расчётной точке ночью, дБ		**ф-ла(3)[10]**	**25,9**	**27,4**	**23,7**	**25,3**	**26,6**	**25,4**	**23,1**	**15**	**0**	**29,7**	**29,7**
Источник шума: ИШ-6-24, координаты источника (x,y,z), м =[800.98,-151.27,3.00]													
Уровни звуковой мощности источника днём, Lw, дБ		**исходные данные**	**91**	**91**	**91**	**91**	**91**	**91**	**91**	**91**	**91**		
Уровни звуковой мощности источника ночью, Lw, дБ		**исходные данные**	**91**	**91**	**91**	**91**	**91**	**91**	**91**	**91**	**91**		
Поправка на телесный угол DΩ, дБ	Ω = 12.57	10Lg(4π/Ω)	**0**	0	0	0	0	0	0	0	0		
Показатель направленности источника Di, дБ		исходные данные	**0**	0	0	0	0	0	0	0	0		
Поправка на направленность источника Dc, дБ	Dc	DΩ + Di	**0**	0	0	0	0	0	0	0	0		
Затухание из-за геометрической дивергенции, Adiv, дБ	расстояние = 617.34 м	ф-ла (7) [10]	**66,8**										
Коэффициент затухания звука в атмосфере α, дБ/км	Ta=20,°C Pa=101.33,кПа hотн.=70%	ф-ла (5) [9]	0,02	0,09	0,33	1,12	2,79	4,98	9,04	23,09	77,63		
Учет затухания звука в атмосфере Aatm, дБ		ф-ла (8) [10]	0	0,1	0,2	0,7	1,7	3,1	5,6	14,3	47,9		

1		2	3	4	5	6	7	8	9	10	11	12	13
Снижение уровня звукового давления из-за влияния застройки между источником шума и расчетной точкой													
Снижение уровня звукового давления на пути над экраном, Dz1, дБ	z = 0.00м (разность путей)	ф-лы (14-18) [10]	4,8	4,8	4,8	4,8	4,8	4,8	4,8	4,8	4,8		
Снижение уровня звукового давления на пути слева от экрана, Dz2, дБ	z = 1.55м (разность путей)	ф-лы (14-18) [10]	9,4	11,6	14,1	16,9	19,7	22,7	25,7	28,6	31,6		
Снижение уровня звукового давления на пути справа от экрана, Dz3, дБ	z = 0.10м (разность путей)	ф-лы (14-18) [10]	5,3	5,7	6,5	7,7	9,4	11,6	14,2	16,9	19,8		
Общее снижение уровня звука препятствием Dz, дБ		Эн.сумма(-Dzi)	1,3	1,7	2,2	2,8	3,4	3,9	4,3	4,5	4,6		
Уровни звукового давления от источника ИШ-6-24 в расчётной точке днём, дБ		**ф-ла(3)[10]**	**22,9**	**22,4**	**21,7**	**20,7**	**19,1**	**17,2**	**14,3**	**5,4**	**0**	**21,8**	**21,8**
Уровни звукового давления от источника ИШ-6-24 в расчётной точке ночью, дБ		**ф-ла(3)[10]**	**22,9**	**22,4**	**21,7**	**20,7**	**19,1**	**17,2**	**14,3**	**5,4**	**0**	**21,8**	**21,8**
Источник шума: ИШ-8-1, координаты источника (x,y,z), м =[612.60,-227.70,3.00]													
Уровни звуковой мощности источника днём, Lw, дБ		**исходные данные**	**105**	**104**	**104**	**101**	**102**	**106**	**101**	**95**	**87**		
Уровни звуковой мощности источника ночью, Lw, дБ		**исходные данные**	**105**	**104**	**104**	**101**	**102**	**106**	**101**	**95**	**87**		
Поправка на телесный угол DΩ, дБ	Ω = 6.28	10Lg(4π/Ω)	**3**	3	3	3	3	3	3	3	3		
Показатель направленности источника Di, дБ		исходные данные	**0**	0	0	0	0	0	0	0	0		
Поправка на направленность источника Dc, дБ	Dc	DΩ + Di	**3**	3	3	3	3	3	3	3	3		
Затухание из-за геометрической дивергенции, Adiv, дБ	расстояние = 431.09 м	ф-ла (7) [10]	**63,7**										
Коэффициент затухания звука в атмосфере α, дБ/км	Та=20,°С Ра=101.33,кПа hотн.=70%	ф-ла (5) [9]	0,02	0,09	0,33	1,12	2,79	4,98	9,04	23,09	77,63		
Учет затухания звука в атмосфере Aatm, дБ		ф-ла (8) [10]	0	0	0,1	0,5	1,2	2,1	3,9	10	33,5		

1		2	3	4	5	6	7	8	9	10	11	12	13
Снижение поверхностью земли возле источника As, дБ	Gs = 0 hs = 3м	ф-лы таб.3 [10]	-1,5	-1,5	-1,5	-1,5	-1,5	-1,5	-1,5	-1,5	-1,5		
Снижение поверхностью земли возле приёмника Ar, дБ	Gr = 1 hr = 4.6м	ф-лы таб.3 [10]	-1,5	-1,5	3,3	1,3	0	0	0	0	0		
Снижение поверхностью земли в средней зоне, Am дБ	Gm = 1	ф-лы таб.3 [10]	-1,4	-1,4	0	0	0	0	0	0	0		
Суммарное снижение поверхностью земли на траектории распространения звука Agr, дБ		ф-ла (9) [10]	-4,4	-4,4	1,8	-0,2	-1,5	-1,5	-1,5	-1,5	-1,5		
Уровни звукового давления прямого звука от источника ИШ-8-1 в расчётной точке днём, дБ		**ф-ла(3)[10]**	**48,7**	**47,7**	**41,4**	**40,1**	**41,6**	**44,7**	**37,9**	**25,9**	**0**	**46,7**	**46,7**
Уровни звукового давления прямого звука от источника ИШ-8-1 в расчётной точке ночью, дБ		**ф-ла(3)[10]**	**48,7**	**47,7**	**41,4**	**40,1**	**41,6**	**44,7**	**37,9**	**25,9**	**0**	**46,7**	**46,7**
Расчёт отражённого звука													
Уровни звукового давления от мнимого источника ИШ-8-1_мн.(1) в расчётной точке днём, дБ		**ф-ла(3)[10]**	**0**	**0**	**36**	**33,7**	**38,9**	**42,2**	**35,4**	**23,4**	**0**	**44,1**	**44,1**
Уровни звукового давления от мнимого источника ИШ-8-1_мн.(1) в расчётной точке ночью, дБ		**ф-ла(3)[10]**	**0**	**0**	**0**	**0**	**0**	**0**	**0**	**0**	**0**	**44,1**	**44,1**
Уровни звукового давления от источника ИШ-8-1 в расчётной точке днём, дБ		**ф-ла(3)[10]**	**48,7**	**47,7**	**42,5**	**41**	**43,5**	**46,6**	**39,9**	**27,8**	**0**	**48,6**	**48,6**
Уровни звукового давления от источника ИШ-8-1 в расчётной точке ночью, дБ		**ф-ла(3)[10]**	**48,7**	**47,7**	**42,5**	**41**	**43,5**	**46,6**	**39,9**	**27,8**	**0**	**48,6**	**48,6**
Источник шума: ИШ-8-2, координаты источника (x,y,z), м =[596.60,-275.00,3.00]													
Уровни звуковой мощности источника днём, Lw, дБ		**исходные данные**	**105**	**104**	**104**	**101**	**102**	**106**	**101**	**95**	**87**		
Уровни звуковой мощности источника ночью, Lw, дБ		**исходные данные**	**105**	**104**	**104**	**101**	**102**	**106**	**101**	**95**	**87**		
Поправка на телесный угол DΩ, дБ	Ω = 6.28	10Lg(4π/Ω)	**3**	3	3	3	3	3	3	3	3		
Показатель направленности источника Di, дБ		исходные данные	**0**	0	0	0	0	0	0	0	0		
Поправка на направленность источника Dc, дБ	Dc	DΩ + Di	**3**	3	3	3	3	3	3	3	3		

1		2	3	4	5	6	7	8	9	10	11	12	13
Затухание из-за геометрической дивергенции, Adiv, дБ	расстояние = 423.35 м	ф-ла (7) [10]	**63,5**										
Коэффициент затухания звука в атмосфере α, дБ/км	Ta=20,°C Pa=101.33,кПа hотн.=70%	ф-ла (5) [9]	0,02	0,09	0,33	1,12	2,79	4,98	9,04	23,09	77,63		
Учет затухания звука в атмосфере Aatm, дБ		ф-ла (8) [10]	0	0	0,1	0,5	1,2	2,1	3,8	9,8	32,9		
Снижение уровня звукового давления из-за влияния застройки между источником шума и расчетной точкой													
Снижение уровня звукового давления препятствием слева от трассы ИШ-РТ, Dz2, дБ	z = -0.49м (разность путей)	ф-лы (14-18) [10]	0,8	NAN	NAN	NAN	NAN	NAN	NAN	NAN	NAN		
* отрицательное значение z означает прохождение траектории вблизи экрана, в этом случае дополнительно производится учёт снижения подстилающей поверхностью (см.ниже)													
Снижение поверхностью земли возле источника As, дБ	Gs = 0 hs = 3м	ф-лы таб.3 [10]	-1,5	-1,5	-1,5	-1,5	-1,5	-1,5	-1,5	-1,5	-1,5		
Снижение поверхностью земли возле приёмника Ar, дБ	Gr = 1 hr = 4.6м	ф-лы таб.3 [10]	-1,5	-1,5	3,3	1,3	0	0	0	0	0		
Снижение поверхностью земли в средней зоне, Am дБ	Gm = 1	ф-лы таб.3 [10]	-1,4	-1,4	0	0	0	0	0	0	0		
Суммарное снижение поверхностью земли на траектории распространения звука Agr, дБ		ф-ла (9) [10]	-4,4	-4,4	1,8	-0,2	-1,5	-1,5	-1,5	-1,5	-1,5		
Уровни звукового давления прямого звука от источника ИШ-8-2 в расчётной точке днём, дБ		**ф-ла(3)[10]**	**48,1**	**47,8**	**41,6**	**40,2**	**41,8**	**44,9**	**38,2**	**26,2**	**0**	**46,9**	**46,9**
Уровни звукового давления прямого звука от источника ИШ-8-2 в расчётной точке ночью, дБ		**ф-ла(3)[10]**	**48,1**	**47,8**	**41,6**	**40,2**	**41,8**	**44,9**	**38,2**	**26,2**	**0**	**46,9**	**46,9**
Расчёт отражённого звука													
Уровни звукового давления от мнимого источника ИШ-8-2_мн.(1) в расчётной точке днём, дБ		**ф-ла(3)[10]**	**0**	**0**	**0**	**0**	**0**	**0**	**0**	**21,5**	**0**	**22,5**	**22,5**
Уровни звукового давления от мнимого источника ИШ-8-2_мн.(1) в расчётной точке ночью, дБ		**ф-ла(3)[10]**	**0**	**0**	**0**	**0**	**0**	**0**	**0**	**0**	**0**	**22,5**	**22,5**
Уровни звукового давления от мнимого источника ИШ-8-2_мн.(2) в расчётной точке днём, дБ		**ф-ла(3)[10]**	**0**	**0**	**0**	**33,9**	**39,1**	**42,4**	**35,7**	**23,7**	**0**	**44,3**	**44,3**
Уровни звукового давления от мнимого источника ИШ-8-2_мн.(2) в расчётной точке ночью, дБ		**ф-ла(3)[10]**	**0**	**0**	**0**	**0**	**0**	**0**	**0**	**0**	**0**	**44,3**	**44,3**
Суммарные уровни звукового давления от мнимых источников в расчётной точке днём, дБ		**ф-ла (19) [1]**	**0**	**0**	**0**	**33,9**	**39,1**	**42,4**	**35,7**	**25,8**	**0**	**0**	**44,3**

1		2	3	4	5	6	7	8	9	10	11	12	13
Суммарные уровни звукового давления от мнимых источников в расчётной точке ночью, дБ		**ф-ла (19) [1]**	**0**	**0**	**0**	**33,9**	**39,1**	**42,4**	**35,7**	**25,8**	**0**	**0**	**44,3**
Уровни звукового давления от источника ИШ-8-2 в расчётной точке днём, дБ		**ф-ла(3)[10]**	**48,1**	**47,8**	**41,6**	**41,1**	**43,7**	**46,8**	**40,1**	**29**	**0**	**48,8**	**48,8**
Уровни звукового давления от источника ИШ-8-2 в расчётной точке ночью, дБ		**ф-ла(3)[10]**	**48,1**	**47,8**	**41,6**	**41,1**	**43,7**	**46,8**	**40,1**	**29**	**0**	**48,8**	**48,8**
Источник шума: ИШ-8-3, координаты источника (x,y,z), м =[564.90,-369.90,3.00]													
Уровни звуковой мощности источника днём, Lw, дБ		**исходные данные**	**105**	**104**	**104**	**101**	**102**	**106**	**101**	**95**	**87**		
Уровни звуковой мощности источника ночью, Lw, дБ		**исходные данные**	**105**	**104**	**104**	**101**	**102**	**106**	**101**	**95**	**87**		
Поправка на телесный угол DΩ, дБ	Ω = 6.28	10Lg(4π/Ω)	**3**	3	3	3	3	3	3	3	3		
Показатель направленности источника Di, дБ		исходные данные	**0**	0	0	0	0	0	0	0	0		
Поправка на направленность источника Dc, дБ	Dc	DΩ + Di	**3**	3	3	3	3	3	3	3	3		
Затухание из-за геометрической дивергенции, Adiv, дБ	расстояние = 425.79 м	ф-ла (7) [10]	**63,6**										
Коэффициент затухания звука в атмосфере α, дБ/км	Ta=20,°C Pa=101.33,кПа hотн.=70%	ф-ла (5) [9]	0,02	0,09	0,33	1,12	2,79	4,98	9,04	23,09	77,63		
Учет затухания звука в атмосфере Aatm, дБ		ф-ла (8) [10]	0	0	0,1	0,5	1,2	2,1	3,8	9,8	33,1		
Снижение уровня звукового давления из-за влияния застройки между источником шума и расчетной точкой													
Снижение уровня звукового давления на пути над экраном, Dz1, дБ	z = 0.99м (разность путей)	ф-лы (14-18) [10]	8,5	11,4	14,3	17,3	20,2	23,1	26,1	29,1	32,1		
Снижение уровня звукового давления на пути слева от экрана, Dz2, дБ	z = 32.86м (разность путей)	ф-лы (14-18) [10]	21,2	24,9	29,2	33,6	37,3	40,6	43,6	46,7	49,7		
Снижение уровня звукового давления на пути справа от экрана, Dz3, дБ	z = 0.89м (разность путей)	ф-лы (14-18) [10]	8	9,8	12	14,6	17,4	20,3	23,3	26,2	29,2		

1		2	3	4	5	6	7	8	9	10	11	12	13
Общее снижение уровня звука препятствием Dz, дБ		Эн.сумма(-Dzi)	5,1	7,4	10	12,7	15,5	18,5	21,4	24,4	27,4		
Общее снижение уровня звука препятствием с учётом ограничения (25 дБ) для октавных полос Dz, дБ		Раздел 7.4 [10]	5,1	7,4	10	12,7	15,5	18,5	21,4	24,4	25		
Уровни звукового давления прямого звука от источника ИШ-8-3 в расчётной точке днём, дБ		**ф-ла(3)[10]**	**39,3**	**36**	**33,3**	**27,2**	**24,7**	**24,8**	**15,2**	**0,2**	**0**	**28**	**28**
Уровни звукового давления прямого звука от источника ИШ-8-3 в расчётной точке ночью, дБ		**ф-ла(3)[10]**	**39,3**	**36**	**33,3**	**27,2**	**24,7**	**24,8**	**15,2**	**0,2**	**0**	**28**	**28**
Расчёт отражённого звука													
Уровни звукового давления от мнимого источника ИШ-8-3_мн.(1) в расчётной точке днём, дБ		**ф-ла(3)[10]**	**0**	**0**	**0**	**0**	**0**	**0**	**0**	**0**	**0**	**0**	**0**
Уровни звукового давления от мнимого источника ИШ-8-3_мн.(1) в расчётной точке ночью, дБ		**ф-ла(3)[10]**	**0**	**0**	**0**	**0**	**0**	**0**	**0**	**0**	**0**	**0**	**0**
Уровни звукового давления от источника ИШ-8-3 в расчётной точке днём, дБ		**ф-ла(3)[10]**	**39,3**	**36**	**33,3**	**27,2**	**24,7**	**24,8**	**15,2**	**0,2**	**0**	**28**	**28**
Уровни звукового давления от источника ИШ-8-3 в расчётной точке ночью, дБ		**ф-ла(3)[10]**	**39,3**	**36**	**33,3**	**27,2**	**24,7**	**24,8**	**15,2**	**0,2**	**0**	**28**	**28**
Источник шума: ИШ-9-1, координаты источника (x,y,z), м =[642.94,-357.54,1.00]													
Уровни звуковой мощности источника днём, Lw, дБ		**исходные данные**	**0**	**93,3**	**94,7**	**96**	**96,3**	**95,9**	**92,6**	**88,4**	**83,9**		
Уровни звуковой мощности источника ночью, Lw, дБ		**исходные данные**	**0**	**93,3**	**94,7**	**96**	**96,3**	**95,9**	**92,6**	**88,4**	**83,9**		
Поправка на телесный угол DΩ, дБ	Ω = 6.28	10Lg(4π/Ω)	**3**	3	3	3	3	3	3	3	3		
Показатель направленности источника Di, дБ		исходные данные	**0**	0	0	0	0	0	0	0	0		
Поправка на направленность источника Dc, дБ	Dc	DΩ + Di	**3**	3	3	3	3	3	3	3	3		
Затухание из-за геометрической дивергенции, Adiv, дБ	расстояние = 492.19 м	ф-ла (7) [10]	**64,8**										
Коэффициент затухания звука в атмосфере α, дБ/км	Ta=20,°C Pa=101.33,кПа hотн.=70%	ф-ла (5) [9]	0,02	0,09	0,33	1,12	2,79	4,98	9,04	23,09	77,63		

1		2	3	4	5	6	7	8	9	10	11	12	13
Учет затухания звука в атмосфере Aatm, дБ		ф-ла (8) [10]	0	0	0,2	0,6	1,4	2,5	4,4	11,4	38,2		
Снижение уровня звукового давления из-за влияния застройки между источником шума и расчетной точкой													
Снижение уровня звукового давления на пути над экраном, Dz1, дБ	z = 0.40м (разность путей)	ф-лы (14-18) [10]	6,7	8,1	10	12,3	14,9	17,7	20,6	23,6	26,6		
Снижение уровня звукового давления на пути слева от экрана, Dz2, дБ	z = 19.08м (разность путей)	ф-лы (14-18) [10]	23,2	26,3	29,3	32,3	35,3	38,3	41,3	44,3	47,3		
Снижение уровня звукового давления на пути справа от экрана, Dz3, дБ	z = 2.56м (разность путей)	ф-лы (14-18) [10]	14,7	17,7	20,6	23,6	26,6	29,6	32,6	35,6	38,6		
Общее снижение уровня звука препятствием Dz, дБ		Эн.сумма(-Dzi)	6	7,6	9,6	12	14,6	17,4	20,3	23,3	26,3		
Общее снижение уровня звука препятствием с учётом ограничения (25 дБ) для октавных полос Dz, дБ		Раздел 7.4 [10]	6	7,6	9,6	12	14,6	17,4	20,3	23,3	25		
Уровни звукового давления от источника ИШ-9-1 в расчётной точке днём, дБ		**ф-ла(3)[10]**	**0**	**23,8**	**23,1**	**21,6**	**18,5**	**14,2**	**6**	**0**	**0**	**19,6**	**19,6**
Уровни звукового давления от источника ИШ-9-1 в расчётной точке ночью, дБ		**ф-ла(3)[10]**	**0**	**23,8**	**23,1**	**21,6**	**18,5**	**14,2**	**6**	**0**	**0**	**19,6**	**19,6**
Источник шума: ИШ-9-2, координаты источника (x,y,z), м =[644.14,-354.83,1.00]													
Уровни звуковой мощности источника днём, Lw, дБ		**исходные данные**	**0**	**93,3**	**94,7**	**96**	**96,3**	**95,9**	**92,6**	**88,4**	**83,9**		
Уровни звуковой мощности источника ночью, Lw, дБ		**исходные данные**	**0**	**93,3**	**94,7**	**96**	**96,3**	**95,9**	**92,6**	**88,4**	**83,9**		
Поправка на телесный угол DΩ, дБ	Ω = 6.28	10Lg(4π/Ω)	**3**	3	3	3	3	3	3	3	3		
Показатель направленности источника Di, дБ		исходные данные	**0**	0	0	0	0	0	0	0	0		
Поправка на направленность источника Dc, дБ	Dc	DΩ + Di	**3**	3	3	3	3	3	3	3	3		
Затухание из-за геометрической дивергенции, Adiv, дБ	расстояние = 492.33 м	ф-ла (7) [10]	**64,8**										

1		2	3	4	5	6	7	8	9	10	11	12	13
Коэффициент затухания звука в атмосфере α, дБ/км	Та=20,°С Ра=101.33,кПа hотн.=70%	ф-ла (5) [9]	0,02	0,09	0,33	1,12	2,79	4,98	9,04	23,09	77,63		
Учет затухания звука в атмосфере Aatm, дБ		ф-ла (8) [10]	0	0	0,2	0,6	1,4	2,5	4,5	11,4	38,2		
Снижение уровня звукового давления из-за влияния застройки между источником шума и расчетной точкой													
Снижение уровня звукового давления на пути над экраном, Dz1, дБ	z = 0.36м (разность путей)	ф-лы (14-18) [10]	6,4	7,6	9,4	11,5	14,1	16,8	19,7	22,6	25,6		
Снижение уровня звукового давления на пути слева от экрана, Dz2, дБ	z = 19.52м (разность путей)	ф-лы (14-18) [10]	23,3	26,4	29,4	32,4	35,4	38,4	41,4	44,4	47,4		
Снижение уровня звукового давления на пути справа от экрана, Dz3, дБ	z = 2.47м (разность путей)	ф-лы (14-18) [10]	11,1	14,1	18,2	22,5	26,1	29,3	32,4	35,4	38,4		
Общее снижение уровня звука препятствием Dz, дБ		Эн.сумма(-Dzi)	5	6,7	8,8	11,2	13,8	16,6	19,4	22,4	25,4		
Общее снижение уровня звука препятствием с учётом ограничения (25 дБ) для октавных полос Dz, дБ		Раздел 7.4 [10]	5	6,7	8,8	11,2	13,8	16,6	19,4	22,4	25		
Уровни звукового давления от источника ИШ-9-2 в расчётной точке днём, дБ		**ф-ла(3)[10]**	**0**	**24,7**	**23,9**	**22,4**	**19,3**	**15**	**6,8**	**0**	**0**	**20,4**	**20,4**
Уровни звукового давления от источника ИШ-9-2 в расчётной точке ночью, дБ		**ф-ла(3)[10]**	**0**	**24,7**	**23,9**	**22,4**	**19,3**	**15**	**6,8**	**0**	**0**	**20,4**	**20,4**
Источник шума: ИШ-9-3, координаты источника (x,y,z), м =[644.98,-351.85,1.00]													
Уровни звуковой мощности источника днём, Lw, дБ		**исходные данные**	**0**	**93,3**	**94,7**	**96**	**96,3**	**95,9**	**92,6**	**88,4**	**83,9**		
Уровни звуковой мощности источника ночью, Lw, дБ		**исходные данные**	**0**	**93,3**	**94,7**	**96**	**96,3**	**95,9**	**92,6**	**88,4**	**83,9**		
Поправка на телесный угол DΩ, дБ	Ω = 6.28	10Lg($4\pi/\Omega$)	**3**	3	3	3	3	3	3	3	3		
Показатель направленности источника Di, дБ		исходные данные	**0**	0	0	0	0	0	0	0	0		
Поправка на направленность источника Dc, дБ	Dc	DΩ + Di	**3**	3	3	3	3	3	3	3	3		

1		2	3	4	5	6	7	8	9	10	11	12	13
Затухание из-за геометрической дивергенции, Adiv, дБ	расстояние = 492.06 м	ф-ла (7) [10]	**64,8**										
Коэффициент затухания звука в атмосфере α, дБ/км	Ta=20,°C Pa=101.33,кПа hотн.=70%	ф-ла (5) [9]	0,02	0,09	0,33	1,12	2,79	4,98	9,04	23,09	77,63		
Учет затухания звука в атмосфере Aatm, дБ		ф-ла (8) [10]	0	0	0,2	0,6	1,4	2,4	4,4	11,4	38,2		
Снижение уровня звукового давления из-за влияния застройки между источником шума и расчетной точкой													
Снижение уровня звукового давления на пути над экраном, Dz1, дБ	z = 0.32м (разность путей)	ф-лы (14-18) [10]	6	7,1	8,6	10,6	13,1	15,7	18,6	21,5	24,4		
Снижение уровня звукового давления на пути слева от экрана, Dz2, дБ	z = 20.05м (разность путей)	ф-лы (14-18) [10]	23,4	26,5	29,5	32,5	35,5	38,5	41,5	44,5	47,5		
Снижение уровня звукового давления на пути справа от экрана, Dz3, дБ	z = 2.29м (разность путей)	ф-лы (14-18) [10]	10,8	13,9	17,9	22,2	25,8	29	32,1	35,1	38,1		
Общее снижение уровня звука препятствием Dz, дБ		Эн.сумма(-Dzi)	4,7	6,2	8,1	10,3	12,8	15,5	18,3	21,3	24,2		
Уровни звукового давления от источника ИШ-9-3 в расчётной точке днём, дБ		**ф-ла(3)[10]**	**0**	**25,2**	**24,6**	**23,3**	**20,3**	**16,1**	**8**	**0**	**0**	**21,4**	**21,4**
Уровни звукового давления от источника ИШ-9-3 в расчётной точке ночью, дБ		**ф-ла(3)[10]**	**0**	**25,2**	**24,6**	**23,3**	**20,3**	**16,1**	**8**	**0**	**0**	**21,4**	**21,4**
Источник шума: ИШ-9-4, координаты источника (x,y,z), м =[646.01,-349.15,1.00]													
Уровни звуковой мощности источника днём, Lw, дБ		**исходные данные**	**0**	**93,3**	**94,7**	**96**	**96,3**	**95,9**	**92,6**	**88,4**	**83,9**		
Уровни звуковой мощности источника ночью, Lw, дБ		**исходные данные**	**0**	**93,3**	**94,7**	**96**	**96,3**	**95,9**	**92,6**	**88,4**	**83,9**		
Поправка на телесный угол DΩ, дБ	Ω = 6.28	10Lg($4\pi/\Omega$)	**3**	3	3	3	3	3	3	3	3		
Показатель направленности источника Di, дБ		исходные данные	**0**	0	0	0	0	0	0	0	0		
Поправка на направленность источника Dc, дБ	Dc	DΩ + Di	**3**	3	3	3	3	3	3	3	3		

1		2	3	4	5	6	7	8	9	10	11	12	13
Затухание из-за геометрической дивергенции, Adiv, дБ	расстояние = 492.08 м	ф-ла (7) [10]	**64,8**										
Коэффициент затухания звука в атмосфере α, дБ/км	Та=20,°С Ра=101.33,кПа hотн.=70%	ф-ла (5) [9]	0,02	0,09	0,33	1,12	2,79	4,98	9,04	23,09	77,63		
Учет затухания звука в атмосфере Aatm, дБ		ф-ла (8) [10]	0	0	0,2	0,6	1,4	2,4	4,4	11,4	38,2		
Снижение уровня звукового давления из-за влияния застройки между источником шума и расчетной точкой													
Снижение уровня звукового давления на пути над экраном, Dz1, дБ	z = 0.28м (разность путей)	ф-лы (14-18) [10]	5,7	6,6	7,9	9,7	11,9	14,5	17,2	20,1	23,1		
Снижение уровня звукового давления на пути слева от экрана, Dz2, дБ	z = 20.60м (разность путей)	ф-лы (14-18) [10]	23,5	26,6	29,6	32,6	35,6	38,6	41,6	44,6	47,6		
Снижение уровня звукового давления на пути справа от экрана, Dz3, дБ	z = 2.13м (разность путей)	ф-лы (14-18) [10]	10,6	13,6	17,6	21,9	25,5	28,7	31,8	34,8	37,8		
Общее снижение уровня звука препятствием Dz, дБ		Эн.сумма(-Dzi)	4,4	5,8	7,4	9,4	11,7	14,3	17,1	20	22,9		
Уровни звукового давления прямого звука от источника ИШ-9-4 в расчётной точке днём, дБ		**ф-ла(3)[10]**	**0**	**25,7**	**25,3**	**24,2**	**21,4**	**17,3**	**9,2**	**0**	**0**	**22,5**	**22,5**
Уровни звукового давления прямого звука от источника ИШ-9-4 в расчётной точке ночью, дБ		**ф-ла(3)[10]**	**0**	**25,7**	**25,3**	**24,2**	**21,4**	**17,3**	**9,2**	**0**	**0**	**22,5**	**22,5**
Расчёт отражённого звука													
Уровни звукового давления от мнимого источника ИШ-9-4_мн.(1) в расчётной точке днём, дБ		**ф-ла(3)[10]**	**0**	**0**	**0**	**0**	**0**	**0**	**0**	**11,4**	**0**	**12,4**	**12,4**
Уровни звукового давления от мнимого источника ИШ-9-4_мн.(1) в расчётной точке ночью, дБ		**ф-ла(3)[10]**	**0**	**0**	**0**	**0**	**0**	**0**	**0**	**0**	**0**	**12,4**	**12,4**
Уровни звукового давления от источника ИШ-9-4 в расчётной точке днём, дБ		**ф-ла(3)[10]**	**0**	**25,7**	**25,3**	**24,2**	**21,4**	**17,3**	**9,2**	**11,4**	**0**	**22,9**	**22,9**
Уровни звукового давления от источника ИШ-9-4 в расчётной точке ночью, дБ		**ф-ла(3)[10]**	**0**	**25,7**	**25,3**	**24,2**	**21,4**	**17,3**	**9,2**	**11,4**	**0**	**22,9**	**22,9**
Источник шума: ИШ-9-5, координаты источника (x,y,z), м =[646.84,-346.17,1.00]													

1		2	3	4	5	6	7	8	9	10	11	12	13
Уровни звуковой мощности источника днём, Lw, дБ		**исходные данные**	**0**	**93,3**	**94,7**	**96**	**96,3**	**95,9**	**92,6**	**88,4**	**83,9**		
Уровни звуковой мощности источника ночью, Lw, дБ		**исходные данные**	**0**	**93,3**	**94,7**	**96**	**96,3**	**95,9**	**92,6**	**88,4**	**83,9**		
Поправка на телесный угол DΩ, дБ	Ω = 6.28	10Lg(4π/Ω)	**3**	3	3	3	3	3	3	3	3		
Показатель направленности источника Di, дБ		исходные данные	**0**	0	0	0	0	0	0	0	0		
Поправка на направленность источника Dc, дБ	Dc	DΩ + Di	**3**	3	3	3	3	3	3	3	3		
Затухание из-за геометрической дивергенции, Adiv, дБ	расстояние = 491.85 м	ф-ла (7) [10]	**64,8**										
Коэффициент затухания звука в атмосфере α, дБ/км	Ta=20,°C Pa=101.33,кПа hотн.=70%	ф-ла (5) [9]	0,02	0,09	0,33	1,12	2,79	4,98	9,04	23,09	77,63		
Учет затухания звука в атмосфере Aatm, дБ		ф-ла (8) [10]	0	0	0,2	0,6	1,4	2,4	4,4	11,4	38,2		
Снижение уровня звукового давления из-за влияния застройки между источником шума и расчетной точкой													
Снижение уровня звукового давления на пути над экраном, Dz1, дБ	z = 0.24м (разность путей)	ф-лы (14-18) [10]	4,8	4,9	5	5,2	5,8	7,1	9,6	12,4	15,2		
Снижение уровня звукового давления на пути слева от экрана, Dz2, дБ	z = 21.24м (разность путей)	ф-лы (14-18) [10]	23,6	26,7	29,7	32,7	35,7	38,8	41,8	44,8	47,8		
Снижение уровня звукового давления на пути справа от экрана, Dz3, дБ	z = 1.97м (разность путей)	ф-лы (14-18) [10]	10,3	13,3	17,3	21,5	25,2	28,4	31,4	34,4	37,5		
Общее снижение уровня звука препятствием Dz, дБ		Эн.сумма(-Dzi)	3,7	4,3	4,7	5,1	5,7	7,1	9,5	12,4	15,2		
Уровни звукового давления прямого звука от источника ИШ-9-5 в расчётной точке днём, дБ		**ф-ла(3)[10]**	**0**	**27,1**	**28**	**28,5**	**27,3**	**24,5**	**16,8**	**2,8**	**0**	**28,6**	**28,6**
Уровни звукового давления прямого звука от источника ИШ-9-5 в расчётной точке ночью, дБ		**ф-ла(3)[10]**	**0**	**27,1**	**28**	**28,5**	**27,3**	**24,5**	**16,8**	**2,8**	**0**	**28,6**	**28,6**
Расчёт отражённого звука													
Уровни звукового давления от мнимого источника ИШ-9-5_мн.(1) в расчётной точке днём, дБ		**ф-ла(3)[10]**	**0**	**0**	**0**	**0**	**0**	**0**	**0**	**11,5**	**0**	**12,5**	**12,5**

1		2	3	4	5	6	7	8	9	10	11	12	13
Уровни звукового давления от мнимого источника ИШ-9-5_мн.(1) в расчётной точке ночью, дБ		**ф-ла(3)[10]**	**0**	**0**	**0**	**0**	**0**	**0**	**0**	**0**	**0**	**12,5**	**12,5**
Уровни звукового давления от источника ИШ-9-5 в расчётной точке днём, дБ		**ф-ла(3)[10]**	**0**	**27,1**	**28**	**28,5**	**27,3**	**24,5**	**16,8**	**12**	**0**	**28,7**	**28,7**
Уровни звукового давления от источника ИШ-9-5 в расчётной точке ночью, дБ		**ф-ла(3)[10]**	**0**	**27,1**	**28**	**28,5**	**27,3**	**24,5**	**16,8**	**12**	**0**	**28,7**	**28,7**
Источник шума: ИШ-9-6, координаты источника (x,y,z), м =[647.87,-343.47,1.00]													
Уровни звуковой мощности источника днём, Lw, дБ		**исходные данные**	**0**	**93,3**	**94,7**	**96**	**96,3**	**95,9**	**92,6**	**88,4**	**83,9**		
Уровни звуковой мощности источника ночью, Lw, дБ		**исходные данные**	**0**	**93,3**	**94,7**	**96**	**96,3**	**95,9**	**92,6**	**88,4**	**83,9**		
Поправка на телесный угол DΩ, дБ	Ω = 6.28	10Lg(4π/Ω)	**3**	3	3	3	3	3	3	3	3		
Показатель направленности источника Di, дБ		исходные данные	**0**	0	0	0	0	0	0	0	0		
Поправка на направленность источника Dc, дБ	Dc	DΩ + Di	**3**	3	3	3	3	3	3	3	3		
Затухание из-за геометрической дивергенции, Adiv, дБ	расстояние = 491.90 м	ф-ла (7) [10]	**64,8**										
Коэффициент затухания звука в атмосфере α, дБ/км	Ta=20,°C Pa=101.33,кПа hотн.=70%	ф-ла (5) [9]	0,02	0,09	0,33	1,12	2,79	4,98	9,04	23,09	77,63		
Учет затухания звука в атмосфере Aatm, дБ		ф-ла (8) [10]	0	0	0,2	0,6	1,4	2,4	4,4	11,4	38,2		
Снижение уровня звукового давления из-за влияния застройки между источником шума и расчетной точкой													
Снижение уровня звукового давления на пути над экраном, Dz1, дБ	z = 0.00м (разность путей)	ф-лы (14-18) [10]	4,8	4,8	4,8	4,8	4,8	4,8	4,8	4,8	4,8		
Снижение уровня звукового давления на пути слева от экрана, Dz2, дБ	z = 21.90м (разность путей)	ф-лы (14-18) [10]	23,8	26,9	29,9	32,9	35,9	38,9	41,9	44,9	47,9		
Снижение уровня звукового давления на пути справа от экрана, Dz3, дБ	z = 1.82м (разность путей)	ф-лы (14-18) [10]	10,1	13	16,9	21,2	24,8	28	31,1	34,1	37,1		

1		2	3	4	5	6	7	8	9	10	11	12	13
Общее снижение уровня звука препятствием Dz, дБ		Эн.сумма(-Dzi)	3,6	4,1	4,5	4,7	4,7	4,7	4,8	4,8	4,8		
Уровни звукового давления прямого звука от источника ИШ-9-6 в расчётной точке днём, дБ		**ф-ла(3)[10]**	**0**	**27,3**	**28,2**	**28,9**	**28,4**	**26,9**	**21,5**	**10,4**	**0**	**30,6**	**30,6**
Уровни звукового давления прямого звука от источника ИШ-9-6 в расчётной точке ночью, дБ		**ф-ла(3)[10]**	**0**	**27,3**	**28,2**	**28,9**	**28,4**	**26,9**	**21,5**	**10,4**	**0**	**30,6**	**30,6**
Расчёт отражённого звука													
Уровни звукового давления от мнимого источника ИШ-9-6_мн.(1) в расчётной точке днём, дБ		**ф-ла(3)[10]**	**0**	**0**	**0**	**0**	**0**	**0**	**0**	**11,5**	**0**	**12,5**	**12,5**
Уровни звукового давления от мнимого источника ИШ-9-6_мн.(1) в расчётной точке ночью, дБ		**ф-ла(3)[10]**	**0**	**0**	**0**	**0**	**0**	**0**	**0**	**0**	**0**	**12,5**	**12,5**
Уровни звукового давления от источника ИШ-9-6 в расчётной точке днём, дБ		**ф-ла(3)[10]**	**0**	**27,3**	**28,2**	**28,9**	**28,4**	**26,9**	**21,5**	**14**	**0**	**30,6**	**30,6**
Уровни звукового давления от источника ИШ-9-6 в расчётной точке ночью, дБ		**ф-ла(3)[10]**	**0**	**27,3**	**28,2**	**28,9**	**28,4**	**26,9**	**21,5**	**14**	**0**	**30,6**	**30,6**
Источник шума: ИШ-9-7, координаты источника (x,y,z), м =[648.71,-340.49,1.00]													
Уровни звуковой мощности источника днём, Lw, дБ		**исходные данные**	**0**	**93,3**	**94,7**	**96**	**96,3**	**95,9**	**92,6**	**88,4**	**83,9**		
Уровни звуковой мощности источника ночью, Lw, дБ		**исходные данные**	**0**	**93,3**	**94,7**	**96**	**96,3**	**95,9**	**92,6**	**88,4**	**83,9**		
Поправка на телесный угол DΩ, дБ	Ω = 6.28	10Lg(4π/Ω)	**3**	3	3	3	3	3	3	3	3		
Показатель направленности источника Di, дБ		исходные данные	**0**	0	0	0	0	0	0	0	0		
Поправка на направленность источника Dc, дБ	Dc	DΩ + Di	**3**	3	3	3	3	3	3	3	3		
Затухание из-за геометрической дивергенции, Adiv, дБ	расстояние = 491.70 м	ф-ла (7) [10]	**64,8**										
Коэффициент затухания звука в атмосфере α, дБ/км	Ta=20,°C Pa=101.33,кПа hотн.=70%	ф-ла (5) [9]	0,02	0,09	0,33	1,12	2,79	4,98	9,04	23,09	77,63		

1		2	3	4	5	6	7	8	9	10	11	12	13
Учет затухания звука в атмосфере Aatm, дБ		ф-ла (8) [10]	0	0	0,2	0,6	1,4	2,4	4,4	11,4	38,2		
Снижение уровня звукового давления из-за влияния застройки между источником шума и расчетной точкой													
Снижение уровня звукового давления на пути над экраном, Dz1, дБ	z = 0.00м (разность путей)	ф-лы (14-18) [10]	4,8	4,8	4,8	4,8	4,8	4,8	4,8	4,8	4,8		
Снижение уровня звукового давления на пути слева от экрана, Dz2, дБ	z = 19.07м (разность путей)	ф-лы (14-18) [10]	22,4	26	29,2	32,2	35,3	38,3	41,3	44,3	47,3		
Снижение уровня звукового давления на пути справа от экрана, Dz3, дБ	z = 1.67м (разность путей)	ф-лы (14-18) [10]	9,8	12,7	16,6	20,8	24,5	27,7	30,7	33,7	36,7		
Общее снижение уровня звука препятствием Dz, дБ		Эн.сумма(-Dzi)	3,5	4,1	4,5	4,7	4,7	4,7	4,8	4,8	4,8		
Уровни звукового давления прямого звука от источника ИШ-9-7 в расчётной точке днём, дБ		**ф-ла(3)[10]**	**0**	**27,3**	**28,2**	**28,9**	**28,4**	**26,9**	**21,6**	**10,4**	**0**	**30,6**	**30,6**
Уровни звукового давления прямого звука от источника ИШ-9-7 в расчётной точке ночью, дБ		**ф-ла(3)[10]**	**0**	**27,3**	**28,2**	**28,9**	**28,4**	**26,9**	**21,6**	**10,4**	**0**	**30,6**	**30,6**
Расчёт отражённого звука													
Уровни звукового давления от мнимого источника ИШ-9-7_мн.(1) в расчётной точке днём, дБ		**ф-ла(3)[10]**	**0**	**0**	**0**	**0**	**0**	**0**	**0**	**11,6**	**0**	**12,6**	**12,6**
Уровни звукового давления от мнимого источника ИШ-9-7_мн.(1) в расчётной точке ночью, дБ		**ф-ла(3)[10]**	**0**	**0**	**0**	**0**	**0**	**0**	**0**	**0**	**0**	**12,6**	**12,6**
Уровни звукового давления от источника ИШ-9-7 в расчётной точке днём, дБ		**ф-ла(3)[10]**	**0**	**27,3**	**28,2**	**28,9**	**28,4**	**26,9**	**21,6**	**14,1**	**0**	**30,6**	**30,6**
Уровни звукового давления от источника ИШ-9-7 в расчётной точке ночью, дБ		**ф-ла(3)[10]**	**0**	**27,3**	**28,2**	**28,9**	**28,4**	**26,9**	**21,6**	**14,1**	**0**	**30,6**	**30,6**
Источник шума: ИШ-9-8, координаты источника (x,y,z), м =[649.92,-337.69,1.00]													
Уровни звуковой мощности источника днём, Lw, дБ		**исходные данные**	**0**	**93,3**	**94,7**	**96**	**96,3**	**95,9**	**92,6**	**88,4**	**83,9**		
Уровни звуковой мощности источника ночью, Lw, дБ		**исходные данные**	**0**	**93,3**	**94,7**	**96**	**96,3**	**95,9**	**92,6**	**88,4**	**83,9**		
Поправка на телесный угол DΩ, дБ	Ω = 6.28	10Lg(4π/Ω)	**3**	3	3	3	3	3	3	3	3		

1		2	3	4	5	6	7	8	9	10	11	12	13
Показатель направленности источника Di, дБ		исходные данные	**0**	0	0	0	0	0	0	0	0		
Поправка на направленность источника Dc, дБ	Dc	DΩ + Di	**3**	3	3	3	3	3	3	3	3		
Затухание из-за геометрической дивергенции, Adiv, дБ	расстояние = 491.94 м	ф-ла (7) [10]	**64,8**										
Коэффициент затухания звука в атмосфере α, дБ/км	Ta=20,°C Pa=101.33,кПа hотн.=70%	ф-ла (5) [9]	0,02	0,09	0,33	1,12	2,79	4,98	9,04	23,09	77,63		
Учет затухания звука в атмосфере Aatm, дБ		ф-ла (8) [10]	0	0	0,2	0,6	1,4	2,4	4,4	11,4	38,2		
Снижение уровня звукового давления из-за влияния застройки между источником шума и расчетной точкой													
Снижение уровня звукового давления на пути над экраном, Dz1, дБ	z = 0.00м (разность путей)	ф-лы (14-18) [10]	4,8	4,8	4,8	4,8	4,8	4,8	4,8	4,8	4,8		
Снижение уровня звукового давления на пути слева от экрана, Dz2, дБ	z = 19.22м (разность путей)	ф-лы (14-18) [10]	22,4	26	29,2	32,3	35,3	38,3	41,3	44,3	47,3		
Снижение уровня звукового давления на пути справа от экрана, Dz3, дБ	z = 1.53м (разность путей)	ф-лы (14-18) [10]	9,6	12,4	16,2	20,4	24,1	27,3	30,3	33,3	36,4		
Общее снижение уровня звука препятствием Dz, дБ		Эн.сумма(-Dzi)	3,5	4	4,5	4,6	4,7	4,7	4,8	4,8	4,8		
Уровни звукового давления прямого звука от источника ИШ-9-8 в расчётной точке днём, дБ		**ф-ла(3)[10]**	**0**	**27,4**	**28,2**	**29**	**28,4**	**26,9**	**21,5**	**10,4**	**0**	**30,6**	**30,6**
Уровни звукового давления прямого звука от источника ИШ-9-8 в расчётной точке ночью, дБ		**ф-ла(3)[10]**	**0**	**27,4**	**28,2**	**29**	**28,4**	**26,9**	**21,5**	**10,4**	**0**	**30,6**	**30,6**
Расчёт отражённого звука													
Уровни звукового давления от мнимого источника ИШ-9-8_мн.(1) в расчётной точке днём, дБ		**ф-ла(3)[10]**	**0**	**0**	**0**	**0**	**0**	**0**	**0**	**11,6**	**0**	**12,6**	**12,6**
Уровни звукового давления от мнимого источника ИШ-9-8_мн.(1) в расчётной точке ночью, дБ		**ф-ла(3)[10]**	**0**	**0**	**0**	**0**	**0**	**0**	**0**	**0**	**0**	**12,6**	**12,6**
Уровни звукового давления от источника ИШ-9-8 в расчётной точке днём, дБ		**ф-ла(3)[10]**	**0**	**27,4**	**28,2**	**29**	**28,4**	**26,9**	**21,5**	**14,1**	**0**	**30,6**	**30,6**
Уровни звукового давления от источника ИШ-9-8 в расчётной точке ночью, дБ		**ф-ла(3)[10]**	**0**	**27,4**	**28,2**	**29**	**28,4**	**26,9**	**21,5**	**14,1**	**0**	**30,6**	**30,6**

1		2	3	4	5	6	7	8	9	10	11	12	13
Источник шума: ИШ-9-9, координаты источника (x,y,z), м =[650.66,-334.90,1.00]													
Уровни звуковой мощности источника днём, Lw, дБ		**исходные данные**	**0**	**93,3**	**94,7**	**96**	**96,3**	**95,9**	**92,6**	**88,4**	**83,9**		
Уровни звуковой мощности источника ночью, Lw, дБ		**исходные данные**	**0**	**93,3**	**94,7**	**96**	**96,3**	**95,9**	**92,6**	**88,4**	**83,9**		
Поправка на телесный угол DΩ, дБ	Ω = 6.28	10Lg(4π/Ω)	**3**	3	3	3	3	3	3	3	3		
Показатель направленности источника Di, дБ		исходные данные	**0**	0	0	0	0	0	0	0	0		
Поправка на направленность источника Dc, дБ	Dc	DΩ + Di	**3**	3	3	3	3	3	3	3	3		
Затухание из-за геометрической дивергенции, Adiv, дБ	расстояние = 491.75 м	ф-ла (7) [10]	**64,8**										
Коэффициент затухания звука в атмосфере α, дБ/км	Ta=20,°C Pa=101.33,кПа hотн.=70%	ф-ла (5) [9]	0,02	0,09	0,33	1,12	2,79	4,98	9,04	23,09	77,63		
Учет затухания звука в атмосфере Aatm, дБ		ф-ла (8) [10]	0	0	0,2	0,6	1,4	2,4	4,4	11,4	38,2		
Снижение уровня звукового давления из-за влияния застройки между источником шума и расчетной точкой													
Снижение уровня звукового давления на пути над экраном, Dz1, дБ	z = 0.00м (разность путей)	ф-лы (14-18) [10]	4,8	4,8	4,8	4,8	4,8	4,8	4,8	4,8	4,8		
Снижение уровня звукового давления на пути слева от экрана, Dz2, дБ	z = 19.37м (разность путей)	ф-лы (14-18) [10]	22,4	26,1	29,3	32,3	35,3	38,3	41,4	44,4	47,4		
Снижение уровня звукового давления на пути справа от экрана, Dz3, дБ	z = 1.40м (разность путей)	ф-лы (14-18) [10]	9,3	12,1	15,9	20,1	23,7	26,9	29,9	33	36		
Общее снижение уровня звука препятствием Dz, дБ		Эн.сумма(-Dzi)	3,4	4	4,4	4,6	4,7	4,7	4,8	4,8	4,8		
Уровни звукового давления прямого звука от источника ИШ-9-9 в расчётной точке днём, дБ		**ф-ла(3)[10]**	**0**	**27,4**	**28,3**	**29**	**28,4**	**26,9**	**21,6**	**10,4**	**0**	**30,6**	**30,6**
Уровни звукового давления прямого звука от источника ИШ-9-9 в расчётной точке ночью, дБ		**ф-ла(3)[10]**	**0**	**27,4**	**28,3**	**29**	**28,4**	**26,9**	**21,6**	**10,4**	**0**	**30,6**	**30,6**

1		2	3	4	5	6	7	8	9	10	11	12	13
Расчёт отражённого звука													
Уровни звукового давления от мнимого источника ИШ-9-9_мн.(1) в расчётной точке днём, дБ		**ф-ла(3)[10]**	**0**	**0**	**0**	**0**	**0**	**0**	**0**	**11,7**	**0**	**12,7**	**12,7**
Уровни звукового давления от мнимого источника ИШ-9-9_мн.(1) в расчётной точке ночью, дБ		**ф-ла(3)[10]**	**0**	**0**	**0**	**0**	**0**	**0**	**0**	**0**	**0**	**12,7**	**12,7**
Уровни звукового давления от источника ИШ-9-9 в расчётной точке днём, дБ		**ф-ла(3)[10]**	**0**	**27,4**	**28,3**	**29**	**28,4**	**26,9**	**21,6**	**14,1**	**0**	**30,7**	**30,7**
Уровни звукового давления от источника ИШ-9-9 в расчётной точке ночью, дБ		**ф-ла(3)[10]**	**0**	**27,4**	**28,3**	**29**	**28,4**	**26,9**	**21,6**	**14,1**	**0**	**30,7**	**30,7**
Источник шума: ИШ-9-10, координаты источника (x,y,z), м =[651.59,-332.01,1.00]													
Уровни звуковой мощности источника днём, Lw, дБ		**исходные данные**	**0**	**93,3**	**94,7**	**96**	**96,3**	**95,9**	**92,6**	**88,4**	**83,9**		
Уровни звуковой мощности источника ночью, Lw, дБ		**исходные данные**	**0**	**93,3**	**94,7**	**96**	**96,3**	**95,9**	**92,6**	**88,4**	**83,9**		
Поправка на телесный угол DΩ, дБ	Ω = 6.28	10Lg(4π/Ω)	**3**	3	3	3	3	3	3	3	3		
Показатель направленности источника Di, дБ		исходные данные	**0**	0	0	0	0	0	0	0	0		
Поправка на направленность источника Dc, дБ	Dc	DΩ + Di	**3**	3	3	3	3	3	3	3	3		
Затухание из-за геометрической дивергенции, Adiv, дБ	расстояние = 491.73 м	ф-ла (7) [10]	**64,8**										
Коэффициент затухания звука в атмосфере α, дБ/км	Ta=20,°C Pa=101.33,кПа hотн.=70%	ф-ла (5) [9]	0,02	0,09	0,33	1,12	2,79	4,98	9,04	23,09	77,63		
Учет затухания звука в атмосфере Aatm, дБ		ф-ла (8) [10]	0	0	0,2	0,6	1,4	2,4	4,4	11,4	38,2		
Снижение уровня звукового давления из-за влияния застройки между источником шума и расчетной точкой													
Снижение уровня звукового давления на пути над экраном, Dz1, дБ	z = 0.00м (разность путей)	ф-лы (14-18) [10]	4,8	4,8	4,8	4,8	4,8	4,8	4,8	4,8	4,8		

1		2	3	4	5	6	7	8	9	10	11	12	13
Снижение уровня звукового давления на пути слева от экрана, Dz2, дБ	z = 19.54м (разность путей)	ф-лы (14-18) [10]	22,5	26,1	29,3	32,4	35,4	38,4	41,4	44,4	47,4		
Снижение уровня звукового давления на пути справа от экрана, Dz3, дБ	z = 1.27м (разность путей)	ф-лы (14-18) [10]	9,1	11,7	15,5	19,7	23,3	26,5	29,5	32,6	35,6		
Общее снижение уровня звука препятствием Dz, дБ		Эн.сумма(-Dzi)	3,3	3,9	4,4	4,6	4,7	4,7	4,8	4,8	4,8		
Уровни звукового давления прямого звука от источника ИШ-9-10 в расчётной точке днём, дБ		**ф-ла(3)[10]**	**0**	**27,5**	**28,3**	**29**	**28,4**	**26,9**	**21,6**	**10,4**	**0**	**30,6**	**30,6**
Уровни звукового давления прямого звука от источника ИШ-9-10 в расчётной точке ночью, дБ		**ф-ла(3)[10]**	**0**	**27,5**	**28,3**	**29**	**28,4**	**26,9**	**21,6**	**10,4**	**0**	**30,6**	**30,6**
Расчёт отражённого звука													
Уровни звукового давления от мнимого источника ИШ-9-10_мн.(1) в расчётной точке днём, дБ		**ф-ла(3)[10]**	**0**	**0**	**0**	**0**	**0**	**0**	**0**	**11,8**	**0**	**12,8**	**12,8**
Уровни звукового давления от мнимого источника ИШ-9-10_мн.(1) в расчётной точке ночью, дБ		**ф-ла(3)[10]**	**0**	**0**	**0**	**0**	**0**	**0**	**0**	**0**	**0**	**12,8**	**12,8**
Уровни звукового давления от источника ИШ-9-10 в расчётной точке днём, дБ		**ф-ла(3)[10]**	**0**	**27,5**	**28,3**	**29**	**28,4**	**26,9**	**21,6**	**14,2**	**0**	**30,7**	**30,7**
Уровни звукового давления от источника ИШ-9-10 в расчётной точке ночью, дБ		**ф-ла(3)[10]**	**0**	**27,5**	**28,3**	**29**	**28,4**	**26,9**	**21,6**	**14,2**	**0**	**30,7**	**30,7**
Источник шума: ИШ-9-11, координаты источника (x,y,z), м =[652.71,-329.22,1.00]													
Уровни звуковой мощности источника днём, Lw, дБ		**исходные данные**	**0**	**93,3**	**94,7**	**96**	**96,3**	**95,9**	**92,6**	**88,4**	**83,9**		
Уровни звуковой мощности источника ночью, Lw, дБ		**исходные данные**	**0**	**93,3**	**94,7**	**96**	**96,3**	**95,9**	**92,6**	**88,4**	**83,9**		
Поправка на телесный угол DΩ, дБ	Ω = 6.28	10Lg(4π/Ω)	**3**	3	3	3	3	3	3	3	3		
Показатель направленности источника Di, дБ		исходные данные	**0**	0	0	0	0	0	0	0	0		
Поправка на направленность источника Dc, дБ	Dc	DΩ + Di	**3**	3	3	3	3	3	3	3	3		
Затухание из-за геометрической дивергенции, Adiv, дБ	расстояние = 491.93 м	ф-ла (7) [10]	**64,8**										

1		2	3	4	5	6	7	8	9	10	11	12	13
Коэффициент затухания звука в атмосфере α, дБ/км	Та=20,°С Ра=101.33,кПа hотн.=70%	ф-ла (5) [9]	0,02	0,09	0,33	1,12	2,79	4,98	9,04	23,09	77,63		
Учет затухания звука в атмосфере Aatm, дБ		ф-ла (8) [10]	0	0	0,2	0,6	1,4	2,4	4,4	11,4	38,2		
Снижение уровня звукового давления из-за влияния застройки между источником шума и расчетной точкой													
Снижение уровня звукового давления на пути над экраном, Dz1, дБ	z = 0.00м (разность путей)	ф-лы (14-18) [10]	4,8	4,8	4,8	4,8	4,8	4,8	4,8	4,8	4,8		
Снижение уровня звукового давления на пути слева от экрана, Dz2, дБ	z = 19.71м (разность путей)	ф-лы (14-18) [10]	22,5	26,2	29,3	32,4	35,4	38,4	41,4	44,4	47,5		
Снижение уровня звукового давления на пути справа от экрана, Dz3, дБ	z = 1.15м (разность путей)	ф-лы (14-18) [10]	8,8	11,4	15,1	19,3	22,9	26,1	29,1	32,1	35,1		
Общее снижение уровня звука препятствием Dz, дБ		Эн.сумма(-Dzi)	3,3	3,9	4,4	4,6	4,7	4,7	4,8	4,8	4,8		
Уровни звукового давления прямого звука от источника ИШ-9-11 в расчётной точке днём, дБ		**ф-ла(3)[10]**	**0**	**27,5**	**28,3**	**29**	**28,4**	**26,9**	**21,6**	**10,4**	**0**	**30,6**	**30,6**
Уровни звукового давления прямого звука от источника ИШ-9-11 в расчётной точке ночью, дБ		**ф-ла(3)[10]**	**0**	**27,5**	**28,3**	**29**	**28,4**	**26,9**	**21,6**	**10,4**	**0**	**30,6**	**30,6**
Расчёт отражённого звука													
Уровни звукового давления от мнимого источника ИШ-9-11_мн.(1) в расчётной точке днём, дБ		**ф-ла(3)[10]**	**0**	**0**	**0**	**0**	**0**	**0**	**0**	**11,8**	**0**	**12,8**	**12,8**
Уровни звукового давления от мнимого источника ИШ-9-11_мн.(1) в расчётной точке ночью, дБ		**ф-ла(3)[10]**	**0**	**0**	**0**	**0**	**0**	**0**	**0**	**0**	**0**	**12,8**	**12,8**
Уровни звукового давления от источника ИШ-9-11 в расчётной точке днём, дБ		**ф-ла(3)[10]**	**0**	**27,5**	**28,3**	**29**	**28,4**	**26,9**	**21,6**	**14,2**	**0**	**30,7**	**30,7**
Уровни звукового давления от источника ИШ-9-11 в расчётной точке ночью, дБ		**ф-ла(3)[10]**	**0**	**27,5**	**28,3**	**29**	**28,4**	**26,9**	**21,6**	**14,2**	**0**	**30,7**	**30,7**
Источник шума: ИШ-9-12, координаты источника (x,y,z), м =[653.46,-326.33,1.00]													
Уровни звуковой мощности источника днём, Lw, дБ		**исходные данные**	**0**	**93,3**	**94,7**	**96**	**96,3**	**95,9**	**92,6**	**88,4**	**83,9**		

1		2	3	4	5	6	7	8	9	10	11	12	13
Уровни звуковой мощности источника ночью, Lw, дБ		**исходные данные**	**0**	**93,3**	**94,7**	**96**	**96,3**	**95,9**	**92,6**	**88,4**	**83,9**		
Поправка на телесный угол DΩ, дБ	Ω = 6.28	10Lg(4π/Ω)	**3**	3	3	3	3	3	3	3	3		
Показатель направленности источника Di, дБ		исходные данные	**0**	0	0	0	0	0	0	0	0		
Поправка на направленность источника Dc, дБ	Dc	DΩ + Di	**3**	3	3	3	3	3	3	3	3		
Затухание из-за геометрической дивергенции, Adiv, дБ	расстояние = 491.77 м	ф-ла (7) [10]	**64,8**										
Коэффициент затухания звука в атмосфере α, дБ/км	Ta=20,°C Pa=101.33,кПа hотн.=70%	ф-ла (5) [9]	0,02	0,09	0,33	1,12	2,79	4,98	9,04	23,09	77,63		
Учет затухания звука в атмосфере Aatm, дБ		ф-ла (8) [10]	0	0	0,2	0,6	1,4	2,4	4,4	11,4	38,2		
Снижение уровня звукового давления из-за влияния застройки между источником шума и расчетной точкой													
Снижение уровня звукового давления на пути над экраном, Dz1, дБ	z = 0.00м (разность путей)	ф-лы (14-18) [10]	4,8	4,8	4,8	4,8	4,8	4,8	4,8	4,8	4,8		
Снижение уровня звукового давления на пути слева от экрана, Dz2, дБ	z = 19.89м (разность путей)	ф-лы (14-18) [10]	22,5	26,2	29,4	32,4	35,5	38,5	41,5	44,5	47,5		
Снижение уровня звукового давления на пути справа от экрана, Dz3, дБ	z = 1.04м (разность путей)	ф-лы (14-18) [10]	8,5	11	14,7	18,8	22,4	25,6	28,7	31,7	34,7		
Общее снижение уровня звука препятствием Dz, дБ		Эн.сумма(-Dzi)	3,2	3,8	4,3	4,6	4,7	4,7	4,8	4,8	4,8		
Уровни звукового давления прямого звука от источника ИШ-9-12 в расчётной точке днём, дБ		**ф-ла(3)[10]**	**0**	**27,6**	**28,4**	**29**	**28,4**	**26,9**	**21,6**	**10,4**	**0**	**30,6**	**30,6**
Уровни звукового давления прямого звука от источника ИШ-9-12 в расчётной точке ночью, дБ		**ф-ла(3)[10]**	**0**	**27,6**	**28,4**	**29**	**28,4**	**26,9**	**21,6**	**10,4**	**0**	**30,6**	**30,6**
Расчёт отражённого звука													
Уровни звукового давления от мнимого источника ИШ-9-12_мн.(1) в расчётной точке днём, дБ		**ф-ла(3)[10]**	**0**	**0**	**0**	**0**	**0**	**0**	**0**	**11,9**	**0**	**12,9**	**12,9**
Уровни звукового давления от мнимого источника ИШ-9-12_мн.(1) в расчётной точке ночью, дБ		**ф-ла(3)[10]**	**0**	**0**	**0**	**0**	**0**	**0**	**0**	**0**	**0**	**12,9**	**12,9**

1		2	3	4	5	6	7	8	9	10	11	12	13
Уровни звукового давления от источника ИШ-9-12 в расчётной точке днём, дБ		**ф-ла(3)[10]**	**0**	**27,6**	**28,4**	**29**	**28,4**	**26,9**	**21,6**	**14,2**	**0**	**30,7**	**30,7**
Уровни звукового давления от источника ИШ-9-12 в расчётной точке ночью, дБ		**ф-ла(3)[10]**	**0**	**27,6**	**28,4**	**29**	**28,4**	**26,9**	**21,6**	**14,2**	**0**	**30,7**	**30,7**
Источник шума: ИШ-9-13, координаты источника (x,y,z), м =[654.48,-323.54,1.00]													
Уровни звуковой мощности источника днём, Lw, дБ		**исходные данные**	**0**	**93,3**	**94,7**	**96**	**96,3**	**95,9**	**92,6**	**88,4**	**83,9**		
Уровни звуковой мощности источника ночью, Lw, дБ		**исходные данные**	**0**	**93,3**	**94,7**	**96**	**96,3**	**95,9**	**92,6**	**88,4**	**83,9**		
Поправка на телесный угол DΩ, дБ	Ω = 6.28	10Lg(4π/Ω)	**3**	3	3	3	3	3	3	3	3		
Показатель направленности источника Di, дБ		исходные данные	**0**	0	0	0	0	0	0	0	0		
Поправка на направленность источника Dc, дБ	Dc	DΩ + Di	**3**	3	3	3	3	3	3	3	3		
Затухание из-за геометрической дивергенции, Adiv, дБ	расстояние = 491.92 м	ф-ла (7) [10]	**64,8**										
Коэффициент затухания звука в атмосфере α, дБ/км	Ta=20,°C Pa=101.33,кПа hотн.=70%	ф-ла (5) [9]	0,02	0,09	0,33	1,12	2,79	4,98	9,04	23,09	77,63		
Учет затухания звука в атмосфере Aatm, дБ		ф-ла (8) [10]	0	0	0,2	0,6	1,4	2,4	4,4	11,4	38,2		
Снижение уровня звукового давления из-за влияния застройки между источником шума и расчетной точкой													
Снижение уровня звукового давления на пути над экраном, Dz1, дБ	z = 0.00м (разность путей)	ф-лы (14-18) [10]	4,8	4,8	4,8	4,8	4,8	4,8	4,8	4,8	4,8		
Снижение уровня звукового давления на пути слева от экрана, Dz2, дБ	z = 20.07м (разность путей)	ф-лы (14-18) [10]	22,6	26,2	29,4	32,5	35,5	38,5	41,5	44,5	47,5		
Снижение уровня звукового давления на пути справа от экрана, Dz3, дБ	z = 0.94м (разность путей)	ф-лы (14-18) [10]	8,3	10,7	14,3	18,4	22	25,2	28,2	31,2	34,2		
Общее снижение уровня звука препятствием Dz, дБ		Эн.сумма(-Dzi)	3,1	3,8	4,3	4,6	4,7	4,7	4,8	4,8	4,8		

1		2	3	4	5	6	7	8	9	10	11	12	13
Уровни звукового давления от источника ИШ-9-13 в расчётной точке днём, дБ		**ф-ла(3)[10]**	**0**	**27,7**	**28,4**	**29**	**28,4**	**26,9**	**21,6**	**10,4**	**0**	**30,6**	**30,6**
Уровни звукового давления от источника ИШ-9-13 в расчётной точке ночью, дБ		**ф-ла(3)[10]**	**0**	**27,7**	**28,4**	**29**	**28,4**	**26,9**	**21,6**	**10,4**	**0**	**30,6**	**30,6**
Источник шума: ИШ-9-14, координаты источника (x,y,z), м =[655.60,-320.74,1.00]													
Уровни звуковой мощности источника днём, Lw, дБ		**исходные данные**	**0**	**93,3**	**94,7**	**96**	**96,3**	**95,9**	**92,6**	**88,4**	**83,9**		
Уровни звуковой мощности источника ночью, Lw, дБ		**исходные данные**	**0**	**93,3**	**94,7**	**96**	**96,3**	**95,9**	**92,6**	**88,4**	**83,9**		
Поправка на телесный угол DΩ, дБ	Ω = 6.28	10Lg(4π/Ω)	**3**	3	3	3	3	3	3	3	3		
Показатель направленности источника Di, дБ		исходные данные	**0**	0	0	0	0	0	0	0	0		
Поправка на направленность источника Dc, дБ	Dc	DΩ + Di	**3**	3	3	3	3	3	3	3	3		
Затухание из-за геометрической дивергенции, Adiv, дБ	расстояние = 492.18 м	ф-ла (7) [10]	**64,8**										
Коэффициент затухания звука в атмосфере α, дБ/км	Ta=20,°C Pa=101.33,кПа hотн.=70%	ф-ла (5) [9]	0,02	0,09	0,33	1,12	2,79	4,98	9,04	23,09	77,63		
Учет затухания звука в атмосфере Aatm, дБ		ф-ла (8) [10]	0	0	0,2	0,6	1,4	2,4	4,4	11,4	38,2		
Снижение уровня звукового давления из-за влияния застройки между источником шума и расчетной точкой													
Снижение уровня звукового давления на пути над экраном, Dz1, дБ	z = 0.00м (разность путей)	ф-лы (14-18) [10]	4,8	4,8	4,8	4,8	4,8	4,8	4,8	4,8	4,8		
Снижение уровня звукового давления на пути слева от экрана, Dz2, дБ	z = 20.26м (разность путей)	ф-лы (14-18) [10]	22,6	26,3	29,4	32,5	35,5	38,5	41,6	44,6	47,6		
Снижение уровня звукового давления на пути справа от экрана, Dz3, дБ	z = 0.84м (разность путей)	ф-лы (14-18) [10]	7,9	9,6	11,8	14,4	17,2	20,1	23	26	29		
Общее снижение уровня звука препятствием Dz, дБ		Эн.сумма(-Dzi)	3	3,5	4	4,3	4,5	4,6	4,7	4,7	4,8		

1		2	3	4	5	6	7	8	9	10	11	12	13
Уровни звукового давления от источника ИШ-9-14 в расчётной точке днём, дБ		**ф-ла(3)[10]**	**0**	**27,9**	**28,7**	**29,3**	**28,6**	**27**	**21,6**	**10,4**	**0**	**30,7**	**30,7**
Уровни звукового давления от источника ИШ-9-14 в расчётной точке ночью, дБ		**ф-ла(3)[10]**	**0**	**27,9**	**28,7**	**29,3**	**28,6**	**27**	**21,6**	**10,4**	**0**	**30,7**	**30,7**
Источник шума: ИШ-9-15, координаты источника (x,y,z), м =[656.44,-317.86,1.00]													
Уровни звуковой мощности источника днём, Lw, дБ		**исходные данные**	**0**	**93,3**	**94,7**	**96**	**96,3**	**95,9**	**92,6**	**88,4**	**83,9**		
Уровни звуковой мощности источника ночью, Lw, дБ		**исходные данные**	**0**	**93,3**	**94,7**	**96**	**96,3**	**95,9**	**92,6**	**88,4**	**83,9**		
Поправка на телесный угол DΩ, дБ	Ω = 6.28	10Lg(4π/Ω)	**3**	3	3	3	3	3	3	3	3		
Показатель направленности источника Di, дБ		исходные данные	**0**	0	0	0	0	0	0	0	0		
Поправка на направленность источника Dc, дБ	Dc	DΩ + Di	**3**	3	3	3	3	3	3	3	3		
Затухание из-за геометрической дивергенции, Adiv, дБ	расстояние = 492.16 м	ф-ла (7) [10]	**64,8**										
Коэффициент затухания звука в атмосфере α, дБ/км	Ta=20,°C Pa=101.33,кПа hотн.=70%	ф-ла (5) [9]	0,02	0,09	0,33	1,12	2,79	4,98	9,04	23,09	77,63		
Учет затухания звука в атмосфере Aatm, дБ		ф-ла (8) [10]	0	0	0,2	0,6	1,4	2,4	4,4	11,4	38,2		
Снижение уровня звукового давления из-за влияния застройки между источником шума и расчетной точкой													
Снижение уровня звукового давления на пути над экраном, Dz1, дБ	z = 0.00м (разность путей)	ф-лы (14-18) [10]	4,8	4,8	4,8	4,8	4,8	4,8	4,8	4,8	4,8		
Снижение уровня звукового давления на пути слева от экрана, Dz2, дБ	z = 20.46м (разность путей)	ф-лы (14-18) [10]	22,7	26,3	29,5	32,6	35,6	38,6	41,6	44,6	47,6		
Снижение уровня звукового давления на пути справа от экрана, Dz3, дБ	z = 0.74м (разность путей)	ф-лы (14-18) [10]	7,6	9,3	11,4	14	16,7	19,6	22,5	25,5	28,5		
Общее снижение уровня звука препятствием Dz, дБ		Эн.сумма(-Dzi)	2,9	3,4	3,9	4,3	4,5	4,6	4,7	4,7	4,8		

1		2	3	4	5	6	7	8	9	10	11	12	13
Уровни звукового давления от источника ИШ-9-15 в расчётной точке днём, дБ		**ф-ла(3)[10]**	**0**	**28**	**28,8**	**29,3**	**28,6**	**27**	**21,6**	**10,5**	**0**	**30,7**	**30,7**
Уровни звукового давления от источника ИШ-9-15 в расчётной точке ночью, дБ		**ф-ла(3)[10]**	**0**	**28**	**28,8**	**29,3**	**28,6**	**27**	**21,6**	**10,5**	**0**	**30,7**	**30,7**
Источник шума: ИШ-9-16, координаты источника (x,y,z), м =[657.46,-314.97,1.00]													
Уровни звуковой мощности источника днём, Lw, дБ		**исходные данные**	**0**	**93,3**	**94,7**	**96**	**96,3**	**95,9**	**92,6**	**88,4**	**83,9**		
Уровни звуковой мощности источника ночью, Lw, дБ		**исходные данные**	**0**	**93,3**	**94,7**	**96**	**96,3**	**95,9**	**92,6**	**88,4**	**83,9**		
Поправка на телесный угол DΩ, дБ	Ω = 6.28	10Lg(4π/Ω)	**3**	3	3	3	3	3	3	3	3		
Показатель направленности источника Di, дБ		исходные данные	**0**	0	0	0	0	0	0	0	0		
Поправка на направленность источника Dc, дБ	Dc	DΩ + Di	**3**	3	3	3	3	3	3	3	3		
Затухание из-за геометрической дивергенции, Adiv, дБ	расстояние = 492.34 м	ф-ла (7) [10]	**64,8**										
Коэффициент затухания звука в атмосфере α, дБ/км	Ta=20,°C Pa=101.33,кПа hотн.=70%	ф-ла (5) [9]	0,02	0,09	0,33	1,12	2,79	4,98	9,04	23,09	77,63		
Учет затухания звука в атмосфере Aatm, дБ		ф-ла (8) [10]	0	0	0,2	0,6	1,4	2,5	4,5	11,4	38,2		
Снижение уровня звукового давления из-за влияния застройки между источником шума и расчетной точкой													
Снижение уровня звукового давления на пути над экраном, Dz1, дБ	z = 0.00м (разность путей)	ф-лы (14-18) [10]	4,8	4,8	4,8	4,8	4,8	4,8	4,8	4,8	4,8		
Снижение уровня звукового давления на пути слева от экрана, Dz2, дБ	z = 20.67м (разность путей)	ф-лы (14-18) [10]	22,7	26,4	29,5	32,6	35,6	38,6	41,6	44,7	47,7		
Снижение уровня звукового давления на пути справа от экрана, Dz3, дБ	z = 0.65м (разность путей)	ф-лы (14-18) [10]	7,3	8,9	11	13,5	16,2	19	21,9	24,9	27,9		
Общее снижение уровня звука препятствием Dz, дБ		Эн.сумма(-Dzi)	2,8	3,3	3,8	4,2	4,5	4,6	4,7	4,7	4,7		

1		2	3	4	5	6	7	8	9	10	11	12	13
Уровни звукового давления от источника ИШ-9-16 в расчётной точке днём, дБ		**ф-ла(3)[10]**	**0**	**28,1**	**28,8**	**29,4**	**28,6**	**27**	**21,6**	**10,5**	**0**	**30,8**	**30,8**
Уровни звукового давления от источника ИШ-9-16 в расчётной точке ночью, дБ		**ф-ла(3)[10]**	**0**	**28,1**	**28,8**	**29,4**	**28,6**	**27**	**21,6**	**10,5**	**0**	**30,8**	**30,8**
Источник шума: ИШ-9-17, координаты источника (x,y,z), м =[658.49,-312.18,1.00]													
Уровни звуковой мощности источника днём, Lw, дБ		**исходные данные**	**0**	**93,3**	**94,7**	**96**	**96,3**	**95,9**	**92,6**	**88,4**	**83,9**		
Уровни звуковой мощности источника ночью, Lw, дБ		**исходные данные**	**0**	**93,3**	**94,7**	**96**	**96,3**	**95,9**	**92,6**	**88,4**	**83,9**		
Поправка на телесный угол DΩ, дБ	Ω = 6.28	10Lg(4π/Ω)	**3**	3	3	3	3	3	3	3	3		
Показатель направленности источника Di, дБ		исходные данные	**0**	0	0	0	0	0	0	0	0		
Поправка на направленность источника Dc, дБ	Dc	DΩ + Di	**3**	3	3	3	3	3	3	3	3		
Затухание из-за геометрической дивергенции, Adiv, дБ	расстояние = 492.56 м	ф-ла (7) [10]	**64,8**										
Коэффициент затухания звука в атмосфере α, дБ/км	Ta=20,°C Pa=101.33,кПа hотн.=70%	ф-ла (5) [9]	0,02	0,09	0,33	1,12	2,79	4,98	9,04	23,09	77,63		
Учет затухания звука в атмосфере Aatm, дБ		ф-ла (8) [10]	0	0	0,2	0,6	1,4	2,5	4,5	11,4	38,2		
Снижение уровня звукового давления из-за влияния застройки между источником шума и расчетной точкой													
Снижение уровня звукового давления на пути над экраном, Dz1, дБ	z = 0.00м (разность путей)	ф-лы (14-18) [10]	4,8	4,8	4,8	4,8	4,8	4,8	4,8	4,8	4,8		
Снижение уровня звукового давления на пути слева от экрана, Dz2, дБ	z = 20.87м (разность путей)	ф-лы (14-18) [10]	22,7	26,4	29,6	32,6	35,7	38,7	41,7	44,7	47,7		
Снижение уровня звукового давления на пути справа от экрана, Dz3, дБ	z = 0.57м (разность путей)	ф-лы (14-18) [10]	7,1	8,6	10,6	13	15,6	18,5	21,4	24,3	27,3		
Общее снижение уровня звука препятствием Dz, дБ		Эн.сумма(-Dzi)	2,7	3,2	3,7	4,2	4,4	4,6	4,7	4,7	4,7		

1		2	3	4	5	6	7	8	9	10	11	12	13
Уровни звукового давления от источника ИШ-9-17 в расчётной точке днём, дБ		**ф-ла(3)[10]**	**0**	**28,2**	**28,9**	**29,4**	**28,6**	**27**	**21,6**	**10,4**	**0**	**30,8**	**30,8**
Уровни звукового давления от источника ИШ-9-17 в расчётной точке ночью, дБ		**ф-ла(3)[10]**	**0**	**28,2**	**28,9**	**29,4**	**28,6**	**27**	**21,6**	**10,4**	**0**	**30,8**	**30,8**
Источник шума: ИШ-9-18, координаты источника (x,y,z), м =[659.42,-309.20,1.00]													
Уровни звуковой мощности источника днём, Lw, дБ		**исходные данные**	**0**	**93,3**	**94,7**	**96**	**96,3**	**95,9**	**92,6**	**88,4**	**83,9**		
Уровни звуковой мощности источника ночью, Lw, дБ		**исходные данные**	**0**	**93,3**	**94,7**	**96**	**96,3**	**95,9**	**92,6**	**88,4**	**83,9**		
Поправка на телесный угол DΩ, дБ	Ω = 6.28	10Lg(4π/Ω)	**3**	3	3	3	3	3	3	3	3		
Показатель направленности источника Di, дБ		исходные данные	**0**	0	0	0	0	0	0	0	0		
Поправка на направленность источника Dc, дБ	Dc	DΩ + Di	**3**	3	3	3	3	3	3	3	3		
Затухание из-за геометрической дивергенции, Adiv, дБ	расстояние = 492.66 м	ф-ла (7) [10]	**64,9**										
Коэффициент затухания звука в атмосфере α, дБ/км	Ta=20,°C Pa=101.33,кПа hотн.=70%	ф-ла (5) [9]	0,02	0,09	0,33	1,12	2,79	4,98	9,04	23,09	77,63		
Учет затухания звука в атмосфере Aatm, дБ		ф-ла (8) [10]	0	0	0,2	0,6	1,4	2,5	4,5	11,4	38,2		
Снижение уровня звукового давления из-за влияния застройки между источником шума и расчетной точкой													
Снижение уровня звукового давления на пути над экраном, Dz1, дБ	z = 0.00м (разность путей)	ф-лы (14-18) [10]	4,8	4,8	4,8	4,8	4,8	4,8	4,8	4,8	4,8		
Снижение уровня звукового давления на пути слева от экрана, Dz2, дБ	z = 21.10м (разность путей)	ф-лы (14-18) [10]	22,8	26,4	29,6	32,7	35,7	38,7	41,7	44,7	47,8		
Снижение уровня звукового давления на пути справа от экрана, Dz3, дБ	z = 0.49м (разность путей)	ф-лы (14-18) [10]	6,8	8,2	10,1	12,4	15	17,8	20,7	23,7	26,7		
Общее снижение уровня звука препятствием Dz, дБ		Эн.сумма(-Dzi)	2,6	3,1	3,6	4,1	4,4	4,6	4,7	4,7	4,7		

1		2	3	4	5	6	7	8	9	10	11	12	13
Уровни звукового давления от источника ИШ-9-18 в расчётной точке днём, дБ		**ф-ла(3)[10]**	**0**	**28,3**	**29**	**29,5**	**28,7**	**27**	**21,6**	**10,5**	**0**	**30,8**	**30,8**
Уровни звукового давления от источника ИШ-9-18 в расчётной точке ночью, дБ		**ф-ла(3)[10]**	**0**	**28,3**	**29**	**29,5**	**28,7**	**27**	**21,6**	**10,5**	**0**	**30,8**	**30,8**
Источник шума: ИШ-9-19, координаты источника (x,y,z), м =[660.44,-306.50,1.00]													
Уровни звуковой мощности источника днём, Lw, дБ		**исходные данные**	**0**	**93,3**	**94,7**	**96**	**96,3**	**95,9**	**92,6**	**88,4**	**83,9**		
Уровни звуковой мощности источника ночью, Lw, дБ		**исходные данные**	**0**	**93,3**	**94,7**	**96**	**96,3**	**95,9**	**92,6**	**88,4**	**83,9**		
Поправка на телесный угол DΩ, дБ	Ω = 6.28	10Lg(4π/Ω)	**3**	3	3	3	3	3	3	3	3		
Показатель направленности источника Di, дБ		исходные данные	**0**	0	0	0	0	0	0	0	0		
Поправка на направленность источника Dc, дБ	Dc	DΩ + Di	**3**	3	3	3	3	3	3	3	3		
Затухание из-за геометрической дивергенции, Adiv, дБ	расстояние = 492.94 м	ф-ла (7) [10]	**64,9**										
Коэффициент затухания звука в атмосфере α, дБ/км	Ta=20,°C Pa=101.33,кПа hотн.=70%	ф-ла (5) [9]	0,02	0,09	0,33	1,12	2,79	4,98	9,04	23,09	77,63		
Учет затухания звука в атмосфере Aatm, дБ		ф-ла (8) [10]	0	0	0,2	0,6	1,4	2,5	4,5	11,4	38,3		
Снижение уровня звукового давления из-за влияния застройки между источником шума и расчетной точкой													
Снижение уровня звукового давления на пути над экраном, Dz1, дБ	z = 0.00м (разность путей)	ф-лы (14-18) [10]	4,8	4,8	4,8	4,8	4,8	4,8	4,8	4,8	4,8		
Снижение уровня звукового давления на пути слева от экрана, Dz2, дБ	z = 21.31м (разность путей)	ф-лы (14-18) [10]	22,8	26,5	29,7	32,7	35,8	38,8	41,8	44,8	47,8		
Снижение уровня звукового давления на пути справа от экрана, Dz3, дБ	z = 0.42м (разность путей)	ф-лы (14-18) [10]	6,6	7,9	9,6	11,9	14,5	17,2	20,1	23,1	26		
Общее снижение уровня звука препятствием Dz, дБ		Эн.сумма(-Dzi)	2,5	3	3,5	4	4,3	4,5	4,6	4,7	4,7		

1		2	3	4	5	6	7	8	9	10	11	12	13
Уровни звукового давления от источника ИШ-9-19 в расчётной точке днём, дБ		**ф-ла(3)[10]**	**0**	**28,4**	**29,1**	**29,6**	**28,7**	**27,1**	**21,6**	**10,4**	**0**	**30,9**	**30,9**
Уровни звукового давления от источника ИШ-9-19 в расчётной точке ночью, дБ		**ф-ла(3)[10]**	**0**	**28,4**	**29,1**	**29,6**	**28,7**	**27,1**	**21,6**	**10,4**	**0**	**30,9**	**30,9**
Источник шума: ИШ-9-20, координаты источника (x,y,z), м =[661.28,-303.61,1.00]													
Уровни звуковой мощности источника днём, Lw, дБ		**исходные данные**	**0**	**93,3**	**94,7**	**96**	**96,3**	**95,9**	**92,6**	**88,4**	**83,9**		
Уровни звуковой мощности источника ночью, Lw, дБ		**исходные данные**	**0**	**93,3**	**94,7**	**96**	**96,3**	**95,9**	**92,6**	**88,4**	**83,9**		
Поправка на телесный угол DΩ, дБ	Ω = 6.28	10Lg(4π/Ω)	**3**	3	3	3	3	3	3	3	3		
Показатель направленности источника Di, дБ		исходные данные	**0**	0	0	0	0	0	0	0	0		
Поправка на направленность источника Dc, дБ	Dc	DΩ + Di	**3**	3	3	3	3	3	3	3	3		
Затухание из-за геометрической дивергенции, Adiv, дБ	расстояние = 493.01 м	ф-ла (7) [10]	**64,9**										
Коэффициент затухания звука в атмосфере α, дБ/км	Ta=20,°C Pa=101.33,кПа hотн.=70%	ф-ла (5) [9]	0,02	0,09	0,33	1,12	2,79	4,98	9,04	23,09	77,63		
Учет затухания звука в атмосфере Aatm, дБ		ф-ла (8) [10]	0	0	0,2	0,6	1,4	2,5	4,5	11,4	38,3		
Снижение уровня звукового давления из-за влияния застройки между источником шума и расчетной точкой													
Снижение уровня звукового давления на пути над экраном, Dz1, дБ	z = 0.00м (разность путей)	ф-лы (14-18) [10]	4,8	4,8	4,8	4,8	4,8	4,8	4,8	4,8	4,8		
Снижение уровня звукового давления на пути слева от экрана, Dz2, дБ	z = 21.54м (разность путей)	ф-лы (14-18) [10]	22,9	26,5	29,7	32,8	35,8	38,8	41,8	44,8	47,8		
Снижение уровня звукового давления на пути справа от экрана, Dz3, дБ	z = 0.36м (разность путей)	ф-лы (14-18) [10]	6,4	7,5	9,2	11,3	13,8	16,5	19,4	22,3	25,3		
Общее снижение уровня звука препятствием Dz, дБ		Эн.сумма(-Dzi)	2,4	2,9	3,4	3,9	4,3	4,5	4,6	4,7	4,7		

1		2	3	4	5	6	7	8	9	10	11	12	13
Уровни звукового давления от источника ИШ-9-20 в расчётной точке днём, дБ		**ф-ла(3)[10]**	**0**	**28,5**	**29,3**	**29,7**	**28,8**	**27,1**	**21,7**	**10,5**	**0**	**30,9**	**30,9**
Уровни звукового давления от источника ИШ-9-20 в расчётной точке ночью, дБ		**ф-ла(3)[10]**	**0**	**28,5**	**29,3**	**29,7**	**28,8**	**27,1**	**21,7**	**10,5**	**0**	**30,9**	**30,9**
Источник шума: ИШ-9-21, координаты источника (x,y,z), м =[661.93,-300.72,1.00]													
Уровни звуковой мощности источника днём, Lw, дБ		**исходные данные**	**0**	**93,3**	**94,7**	**96**	**96,3**	**95,9**	**92,6**	**88,4**	**83,9**		
Уровни звуковой мощности источника ночью, Lw, дБ		**исходные данные**	**0**	**93,3**	**94,7**	**96**	**96,3**	**95,9**	**92,6**	**88,4**	**83,9**		
Поправка на телесный угол DΩ, дБ	Ω = 6.28	10Lg(4π/Ω)	**3**	3	3	3	3	3	3	3	3		
Показатель направленности источника Di, дБ		исходные данные	**0**	0	0	0	0	0	0	0	0		
Поправка на направленность источника Dc, дБ	Dc	DΩ + Di	**3**	3	3	3	3	3	3	3	3		
Затухание из-за геометрической дивергенции, Adiv, дБ	расстояние = 492.92 м	ф-ла (7) [10]	**64,9**										
Коэффициент затухания звука в атмосфере α, дБ/км	Ta=20,°C Pa=101.33,кПа hотн.=70%	ф-ла (5) [9]	0,02	0,09	0,33	1,12	2,79	4,98	9,04	23,09	77,63		
Учет затухания звука в атмосфере Aatm, дБ		ф-ла (8) [10]	0	0	0,2	0,6	1,4	2,5	4,5	11,4	38,3		
Снижение уровня звукового давления из-за влияния застройки между источником шума и расчетной точкой													
Снижение уровня звукового давления на пути над экраном, Dz1, дБ	z = 0.00м (разность путей)	ф-лы (14-18) [10]	4,8	4,8	4,8	4,8	4,8	4,8	4,8	4,8	4,8		
Снижение уровня звукового давления на пути слева от экрана, Dz2, дБ	z = 21.77м (разность путей)	ф-лы (14-18) [10]	22,9	26,6	29,8	32,8	35,8	38,9	41,9	44,9	47,9		
Снижение уровня звукового давления на пути справа от экрана, Dz3, дБ	z = 0.30м (разность путей)	ф-лы (14-18) [10]	6,1	7,2	8,7	10,7	13,1	15,8	18,6	21,6	24,5		
Общее снижение уровня звука препятствием Dz, дБ		Эн.сумма(-Dzi)	2,4	2,8	3,3	3,8	4,2	4,4	4,6	4,7	4,7		

1		2	3	4	5	6	7	8	9	10	11	12	13
Уровни звукового давления от источника ИШ-9-21 в расчётной точке днём, дБ		**ф-ла(3)[10]**	**0**	**28,6**	**29,4**	**29,8**	**28,9**	**27,1**	**21,7**	**10,5**	**0**	**31**	**31**
Уровни звукового давления от источника ИШ-9-21 в расчётной точке ночью, дБ		**ф-ла(3)[10]**	**0**	**28,6**	**29,4**	**29,8**	**28,9**	**27,1**	**21,7**	**10,5**	**0**	**31**	**31**
Источник шума: ИШ-9-22, координаты источника (x,y,z), м =[663.14,-297.83,1.00]													
Уровни звуковой мощности источника днём, Lw, дБ		**исходные данные**	**0**	**93,3**	**94,7**	**96**	**96,3**	**95,9**	**92,6**	**88,4**	**83,9**		
Уровни звуковой мощности источника ночью, Lw, дБ		**исходные данные**	**0**	**93,3**	**94,7**	**96**	**96,3**	**95,9**	**92,6**	**88,4**	**83,9**		
Поправка на телесный угол DΩ, дБ	Ω = 6.28	10Lg(4π/Ω)	**3**	3	3	3	3	3	3	3	3		
Показатель направленности источника Di, дБ		исходные данные	**0**	0	0	0	0	0	0	0	0		
Поправка на направленность источника Dc, дБ	Dc	DΩ + Di	**3**	3	3	3	3	3	3	3	3		
Затухание из-за геометрической дивергенции, Adiv, дБ	расстояние = 493.40 м	ф-ла (7) [10]	**64,9**										
Коэффициент затухания звука в атмосфере α, дБ/км	Ta=20,°C Pa=101.33,кПа hотн.=70%	ф-ла (5) [9]	0,02	0,09	0,33	1,12	2,79	4,98	9,04	23,09	77,63		
Учет затухания звука в атмосфере Aatm, дБ		ф-ла (8) [10]	0	0	0,2	0,6	1,4	2,5	4,5	11,4	38,3		
Снижение уровня звукового давления из-за влияния застройки между источником шума и расчетной точкой													
Снижение уровня звукового давления на пути над экраном, Dz1, дБ	z = 0.00м (разность путей)	ф-лы (14-18) [10]	4,8	4,8	4,8	4,8	4,8	4,8	4,8	4,8	4,8		
Снижение уровня звукового давления на пути слева от экрана, Dz2, дБ	z = 22.02м (разность путей)	ф-лы (14-18) [10]	23	26,6	29,8	32,9	35,9	38,9	41,9	44,9	47,9		
Снижение уровня звукового давления на пути справа от экрана, Dz3, дБ	z = 0.24м (разность путей)	ф-лы (14-18) [10]	5,9	6,8	8,2	10	12,4	15	17,8	20,7	23,6		
Общее снижение уровня звука препятствием Dz, дБ		Эн.сумма(-Dzi)	2,3	2,6	3,1	3,6	4,1	4,4	4,6	4,7	4,7		

1		2	3	4	5	6	7	8	9	10	11	12	13
Уровни звукового давления от источника ИШ-9-22 в расчётной точке днём, дБ		**ф-ла(3)[10]**	**0**	**28,7**	**29,5**	**29,9**	**29**	**27,2**	**21,7**	**10,5**	**0**	**31**	**31**
Уровни звукового давления от источника ИШ-9-22 в расчётной точке ночью, дБ		**ф-ла(3)[10]**	**0**	**28,7**	**29,5**	**29,9**	**29**	**27,2**	**21,7**	**10,5**	**0**	**31**	**31**
Источник шума: ИШ-9-23, координаты источника (x,y,z), м =[664.07,-295.13,1.00]													
Уровни звуковой мощности источника днём, Lw, дБ		**исходные данные**	**0**	**93,3**	**94,7**	**96**	**96,3**	**95,9**	**92,6**	**88,4**	**83,9**		
Уровни звуковой мощности источника ночью, Lw, дБ		**исходные данные**	**0**	**93,3**	**94,7**	**96**	**96,3**	**95,9**	**92,6**	**88,4**	**83,9**		
Поправка на телесный угол DΩ, дБ	Ω = 6.28	10Lg(4π/Ω)	**3**	3	3	3	3	3	3	3	3		
Показатель направленности источника Di, дБ		исходные данные	**0**	0	0	0	0	0	0	0	0		
Поправка на направленность источника Dc, дБ	Dc	DΩ + Di	**3**	3	3	3	3	3	3	3	3		
Затухание из-за геометрической дивергенции, Adiv, дБ	расстояние = 493.66 м	ф-ла (7) [10]	**64,9**										
Коэффициент затухания звука в атмосфере α, дБ/км	Ta=20,°C Pa=101.33,кПа hотн.=70%	ф-ла (5) [9]	0,02	0,09	0,33	1,12	2,79	4,98	9,04	23,09	77,63		
Учет затухания звука в атмосфере Aatm, дБ		ф-ла (8) [10]	0	0	0,2	0,6	1,4	2,5	4,5	11,4	38,3		
Снижение уровня звукового давления из-за влияния застройки между источником шума и расчетной точкой													
Снижение уровня звукового давления на пути над экраном, Dz1, дБ	z = 0.00м (разность путей)	ф-лы (14-18) [10]	4,8	4,8	4,8	4,8	4,8	4,8	4,8	4,8	4,8		
Снижение уровня звукового давления на пути слева от экрана, Dz2, дБ	z = 22.26м (разность путей)	ф-лы (14-18) [10]	23	26,7	29,9	32,9	35,9	39	42	45	48		
Снижение уровня звукового давления на пути справа от экрана, Dz3, дБ	z = 0.19м (разность путей)	ф-лы (14-18) [10]	5,7	6,5	7,7	9,4	11,6	14,1	16,9	19,8	22,7		
Общее снижение уровня звука препятствием Dz, дБ		Эн.сумма(-Dzi)	2,2	2,5	3	3,5	4	4,3	4,5	4,6	4,7		

1		2	3	4	5	6	7	8	9	10	11	12	13
Уровни звукового давления от источника ИШ-9-23 в расчётной точке днём, дБ		**ф-ла(3)[10]**	**0**	**28,9**	**29,7**	**30,1**	**29,1**	**27,3**	**21,7**	**10,5**	**0**	**31,1**	**31,1**
Уровни звукового давления от источника ИШ-9-23 в расчётной точке ночью, дБ		**ф-ла(3)[10]**	**0**	**28,9**	**29,7**	**30,1**	**29,1**	**27,3**	**21,7**	**10,5**	**0**	**31,1**	**31,1**
Источник шума: ИШ-9-24, координаты источника (x,y,z), м =[665.19,-292.34,1.00]													
Уровни звуковой мощности источника днём, Lw, дБ		**исходные данные**	**0**	**93,3**	**94,7**	**96**	**96,3**	**95,9**	**92,6**	**88,4**	**83,9**		
Уровни звуковой мощности источника ночью, Lw, дБ		**исходные данные**	**0**	**93,3**	**94,7**	**96**	**96,3**	**95,9**	**92,6**	**88,4**	**83,9**		
Поправка на телесный угол DΩ, дБ	Ω = 6.28	10Lg(4π/Ω)	**3**	3	3	3	3	3	3	3	3		
Показатель направленности источника Di, дБ		исходные данные	**0**	0	0	0	0	0	0	0	0		
Поправка на направленность источника Dc, дБ	Dc	DΩ + Di	**3**	3	3	3	3	3	3	3	3		
Затухание из-за геометрической дивергенции, Adiv, дБ	расстояние = 494.10 м	ф-ла (7) [10]	**64,9**										
Коэффициент затухания звука в атмосфере α, дБ/км	Ta=20,°C Pa=101.33,кПа hотн.=70%	ф-ла (5) [9]	0,02	0,09	0,33	1,12	2,79	4,98	9,04	23,09	77,63		
Учет затухания звука в атмосфере Aatm, дБ		ф-ла (8) [10]	0	0	0,2	0,6	1,4	2,5	4,5	11,4	38,4		
Снижение уровня звукового давления из-за влияния застройки между источником шума и расчетной точкой													
Снижение уровня звукового давления на пути над экраном, Dz1, дБ	z = 0.00м (разность путей)	ф-лы (14-18) [10]	4,8	4,8	4,8	4,8	4,8	4,8	4,8	4,8	4,8		
Снижение уровня звукового давления на пути слева от экрана, Dz2, дБ	z = 22.51м (разность путей)	ф-лы (14-18) [10]	23,1	26,7	29,9	33	36	39	42	45	48		
Снижение уровня звукового давления на пути справа от экрана, Dz3, дБ	z = 0.15м (разность путей)	ф-лы (14-18) [10]	5,5	6,2	7,2	8,7	10,8	13,2	15,9	18,7	21,6		
Общее снижение уровня звука препятствием Dz, дБ		Эн.сумма(-Dzi)	2,1	2,4	2,8	3,3	3,8	4,2	4,4	4,6	4,7		

1		2	3	4	5	6	7	8	9	10	11	12	13
Уровни звукового давления от источника ИШ-9-24 в расчётной точке днём, дБ		**ф-ла(3)[10]**	**0**	**29**	**29,9**	**30,3**	**29,2**	**27,4**	**21,8**	**10,5**	**0**	**31,3**	**31,3**
Уровни звукового давления от источника ИШ-9-24 в расчётной точке ночью, дБ		**ф-ла(3)[10]**	**0**	**29**	**29,9**	**30,3**	**29,2**	**27,4**	**21,8**	**10,5**	**0**	**31,3**	**31,3**
Источник шума: ИШ-9-25, координаты источника (x,y,z), м =[683.46,-239.16,1.00]													
Уровни звуковой мощности источника днём, Lw, дБ		**исходные данные**	**77**	**75**	**67**	**66**	**63**	**55**	**53**	**48**	**51**		
Уровни звуковой мощности источника ночью, Lw, дБ		**исходные данные**	**77**	**75**	**67**	**66**	**63**	**55**	**53**	**48**	**51**		
Поправка на телесный угол DΩ, дБ	Ω = 6.28	10Lg(4π/Ω)	**3**	3	3	3	3	3	3	3	3		
Показатель направленности источника Di, дБ		исходные данные	**0**	0	0	0	0	0	0	0	0		
Поправка на направленность источника Dc, дБ	Dc	DΩ + Di	**3**	3	3	3	3	3	3	3	3		
Затухание из-за геометрической дивергенции, Adiv, дБ	расстояние = 502.80 м	ф-ла (7) [10]	**65**										
Коэффициент затухания звука в атмосфере α, дБ/км	Ta=20,°C Pa=101.33,кПа hотн.=70%	ф-ла (5) [9]	0,02	0,09	0,33	1,12	2,79	4,98	9,04	23,09	77,63		
Учет затухания звука в атмосфере Aatm, дБ		ф-ла (8) [10]	0	0	0,2	0,6	1,4	2,5	4,5	11,6	39		
Снижение уровня звукового давления из-за влияния застройки между источником шума и расчетной точкой													
Снижение уровня звукового давления препятствием слева от трассы ИШ-РТ, Dz2, дБ	z = -0.33м (разность путей)	ф-лы (14-18) [10]	2,5	0	NAN	NAN	NAN	NAN	NAN	NAN	NAN		
* отрицательное значение z означает прохождение траектории вблизи экрана, в этом случае дополнительно производится учёт снижения подстилающей поверхностью (см.ниже)													
Снижение поверхностью земли возле источника As, дБ	Gs = 0 hs = 1м	ф-лы таб.3 [10]	-1,5	-1,5	-1,5	-1,5	-1,5	-1,5	-1,5	-1,5	-1,5		
Снижение поверхностью земли возле приёмника Ar, дБ	Gr = 1 hr = 4.6м	ф-лы таб.3 [10]	-1,5	-1,5	3,4	1,3	0	0	0	0	0		
Снижение поверхностью земли в средней зоне, Am дБ	Gm = 1	ф-лы таб.3 [10]	-2	-2	0	0	0	0	0	0	0		

1		2	3	4	5	6	7	8	9	10	11	12	13
Суммарное снижение поверхностью земли на траектории распространения звука Agr, дБ		ф-ла (9) [10]	-5	-5	1,9	-0,2	-1,5	-1,5	-1,5	-1,5	-1,5		
Уровни звукового давления прямого звука от источника ИШ-9-25 в расчётной точке днём, дБ		**ф-ла(3)[10]**	**17,5**	**17,9**	**2,9**	**3,6**	**0**	**0**	**0**	**0**	**0**	**0**	**0**
Уровни звукового давления прямого звука от источника ИШ-9-25 в расчётной точке ночью, дБ		**ф-ла(3)[10]**	**17,5**	**17,9**	**2,9**	**3,6**	**0**	**0**	**0**	**0**	**0**	**0**	**0**
Расчёт отражённого звука													
Уровни звукового давления от мнимого источника ИШ-9-25_мн.(1) в расчётной точке днём, дБ		**ф-ла(3)[10]**	**0**	**0**	**0**	**0**	**0**	**0**	**0**	**0**	**0**	**0**	**0**
Уровни звукового давления от мнимого источника ИШ-9-25_мн.(1) в расчётной точке ночью, дБ		**ф-ла(3)[10]**	**0**	**0**	**0**	**0**	**0**	**0**	**0**	**0**	**0**	**0**	**0**
Уровни звукового давления от источника ИШ-9-25 в расчётной точке днём, дБ		**ф-ла(3)[10]**	**17,5**	**17,9**	**2,9**	**3,6**	**0**	**0**	**0**	**0**	**0**	**0**	**0**
Уровни звукового давления от источника ИШ-9-25 в расчётной точке ночью, дБ		**ф-ла(3)[10]**	**17,5**	**17,9**	**2,9**	**3,6**	**0**	**0**	**0**	**0**	**0**	**0**	**0**
Источник шума: ИШ-9-26, координаты источника (x,y,z), м =[680.09,-249.52,1.00]													
Уровни звуковой мощности источника днём, Lw, дБ		**исходные данные**	**77**	**75**	**67**	**66**	**63**	**55**	**53**	**48**	**51**		
Уровни звуковой мощности источника ночью, Lw, дБ		**исходные данные**	**77**	**75**	**67**	**66**	**63**	**55**	**53**	**48**	**51**		
Поправка на телесный угол DΩ, дБ	Ω = 6.28	10Lg(4π/Ω)	**3**	3	3	3	3	3	3	3	3		
Показатель направленности источника Di, дБ		исходные данные	**0**	0	0	0	0	0	0	0	0		
Поправка на направленность источника Dc, дБ	Dc	DΩ + Di	**3**	3	3	3	3	3	3	3	3		
Затухание из-за геометрической дивергенции, Adiv, дБ	расстояние = 500.82 м	ф-ла (7) [10]	**65**										
Коэффициент затухания звука в атмосфере α, дБ/км	Ta=20,°C Pa=101.33,кПа hотн.=70%	ф-ла (5) [9]	0,02	0,09	0,33	1,12	2,79	4,98	9,04	23,09	77,63		

1		2	3	4	5	6	7	8	9	10	11	12	13
Учет затухания звука в атмосфере Aatm, дБ		ф-ла (8) [10]	0	0	0,2	0,6	1,4	2,5	4,5	11,6	38,9		
Снижение уровня звукового давления из-за влияния застройки между источником шума и расчетной точкой													
Снижение уровня звукового давления препятствием слева от трассы ИШ-РТ, Dz2, дБ	z = -0.15м (разность путей)	ф-лы (14-18) [10]	3,9	2,7	0	NAN	NAN	NAN	NAN	NAN	NAN		
* отрицательное значение z означает прохождение траектории вблизи экрана, в этом случае дополнительно производится учёт снижения подстилающей поверхностью (см.ниже)													
Снижение поверхностью земли возле источника As, дБ	Gs = 0 hs = 1м	ф-лы таб.3 [10]	-1,5	-1,5	-1,5	-1,5	-1,5	-1,5	-1,5	-1,5	-1,5		
Снижение поверхностью земли возле приёмника Ar, дБ	Gr = 1 hr = 4.6м	ф-лы таб.3 [10]	-1,5	-1,5	3,4	1,3	0	0	0	0	0		
Снижение поверхностью земли в средней зоне, Am дБ	Gm = 1	ф-лы таб.3 [10]	-2	-2	0	0	0	0	0	0	0		
Суммарное снижение поверхностью земли на траектории распространения звука Agr, дБ		ф-ла (9) [10]	-5	-5	1,9	-0,2	-1,5	-1,5	-1,5	-1,5	-1,5		
Уровни звукового давления прямого звука от источника ИШ-9-26 в расчётной точке днём, дБ		**ф-ла(3)[10]**	**16,1**	**15,3**	**3**	**3,7**	**0**	**0**	**0**	**0**	**0**	**0**	**0**
Уровни звукового давления прямого звука от источника ИШ-9-26 в расчётной точке ночью, дБ		**ф-ла(3)[10]**	**16,1**	**15,3**	**3**	**3,7**	**0**	**0**	**0**	**0**	**0**	**0**	**0**
Расчёт отражённого звука													
Уровни звукового давления от мнимого источника ИШ-9-26_мн.(1) в расчётной точке днём, дБ		**ф-ла(3)[10]**	**0**	**0**	**0**	**0**	**0**	**0**	**0**	**0**	**0**	**0**	**0**
Уровни звукового давления от мнимого источника ИШ-9-26_мн.(1) в расчётной точке ночью, дБ		**ф-ла(3)[10]**	**0**	**0**	**0**	**0**	**0**	**0**	**0**	**0**	**0**	**0**	**0**
Уровни звукового давления от источника ИШ-9-26 в расчётной точке днём, дБ		**ф-ла(3)[10]**	**16,1**	**15,3**	**3**	**3,7**	**0**	**0**	**0**	**0**	**0**	**0**	**0**
Уровни звукового давления от источника ИШ-9-26 в расчётной точке ночью, дБ		**ф-ла(3)[10]**	**16,1**	**15,3**	**3**	**3,7**	**0**	**0**	**0**	**0**	**0**	**0**	**0**
Источник шума: ИШ-9-27, координаты источника (x,y,z), м =[676.46,-260.14,1.00]													
Уровни звуковой мощности источника днём, Lw, дБ		**исходные данные**	**77**	**75**	**67**	**66**	**63**	**55**	**53**	**48**	**51**		

1		2	3	4	5	6	7	8	9	10	11	12	13
Уровни звуковой мощности источника ночью, Lw, дБ		**исходные данные**	**77**	**75**	**67**	**66**	**63**	**55**	**53**	**48**	**51**		
Поправка на телесный угол DΩ, дБ	Ω = 6.28	10Lg(4π/Ω)	**3**	3	3	3	3	3	3	3	3		
Показатель направленности источника Di, дБ		исходные данные	**0**	0	0	0	0	0	0	0	0		
Поправка на направленность источника Dc, дБ	Dc	DΩ + Di	**3**	3	3	3	3	3	3	3	3		
Затухание из-за геометрической дивергенции, Adiv, дБ	расстояние = 498.84 м	ф-ла (7) [10]	**65**										
Коэффициент затухания звука в атмосфере α, дБ/км	Ta=20,°C Pa=101.33,кПа hотн.=70%	ф-ла (5) [9]	0,02	0,09	0,33	1,12	2,79	4,98	9,04	23,09	77,63		
Учет затухания звука в атмосфере Aatm, дБ		ф-ла (8) [10]	0	0	0,2	0,6	1,4	2,5	4,5	11,5	38,7		
Снижение уровня звукового давления из-за влияния застройки между источником шума и расчетной точкой													
Снижение уровня звукового давления препятствием слева от трассы ИШ-РТ, Dz2, дБ	z = -0.04м (разность путей)	ф-лы (14-18) [10]	4,6	4,3	3,8	2,6	0	NAN	NAN	NAN	NAN		
* отрицательное значение z означает прохождение траектории вблизи экрана, в этом случае дополнительно производится учёт снижения подстилающей поверхностью (см.ниже)													
Снижение поверхностью земли возле источника As, дБ	Gs = 0 hs = 1м	ф-лы таб.3 [10]	-1,5	-1,5	-1,5	-1,5	-1,5	-1,5	-1,5	-1,5	-1,5		
Снижение поверхностью земли возле приёмника Ar, дБ	Gr = 1 hr = 4.6м	ф-лы таб.3 [10]	-1,5	-1,5	3,4	1,3	0	0	0	0	0		
Снижение поверхностью земли в средней зоне, Am дБ	Gm = 1	ф-лы таб.3 [10]	-2	-2	0	0	0	0	0	0	0		
Суммарное снижение поверхностью земли на траектории распространения звука Agr, дБ		ф-ла (9) [10]	-5	-5	1,9	-0,2	-1,5	-1,5	-1,5	-1,5	-1,5		
Уровни звукового давления прямого звука от источника ИШ-9-27 в расчётной точке днём, дБ		**ф-ла(3)[10]**	**15,5**	**13,7**	**0**	**1,1**	**0**	**0**	**0**	**0**	**0**	**0**	**0**
Уровни звукового давления прямого звука от источника ИШ-9-27 в расчётной точке ночью, дБ		**ф-ла(3)[10]**	**15,5**	**13,7**	**0**	**1,1**	**0**	**0**	**0**	**0**	**0**	**0**	**0**
Расчёт отражённого звука													
Уровни звукового давления от мнимого источника ИШ-9-27_мн.(1) в расчётной точке днём, дБ		**ф-ла(3)[10]**	**0**	**0**	**0**	**0**	**0**	**0**	**0**	**0**	**0**	**0**	**0**

1		2	3	4	5	6	7	8	9	10	11	12	13
Уровни звукового давления от мнимого источника ИШ-9-27_мн.(1) в расчётной точке ночью, дБ		**ф-ла(3)[10]**	**0**	**0**	**0**	**0**	**0**	**0**	**0**	**0**	**0**	**0**	**0**
Уровни звукового давления от источника ИШ-9-27 в расчётной точке днём, дБ		**ф-ла(3)[10]**	**15,5**	**13,7**	**0**	**1,1**	**0**	**0**	**0**	**0**	**0**	**0**	**0**
Уровни звукового давления от источника ИШ-9-27 в расчётной точке ночью, дБ		**ф-ла(3)[10]**	**15,5**	**13,7**	**0**	**1,1**	**0**	**0**	**0**	**0**	**0**	**0**	**0**
Источник шума: ИШ-10-1, координаты источника (x,y,z), м =[17.37,413.17,1.00]													
Уровни звуковой мощности источника днём, Lw, дБ		**исходные данные**	**0**	**98,3**	**99,7**	**101**	**101,3**	**100,9**	**97,6**	**93,4**	**88,9**		
Уровни звуковой мощности источника ночью, Lw, дБ		**исходные данные**	**0**	**98,3**	**99,7**	**101**	**101,3**	**100,9**	**97,6**	**93,4**	**88,9**		
Поправка на телесный угол DΩ, дБ	Ω = 6.28	10Lg(4π/Ω)	**3**	3	3	3	3	3	3	3	3		
Показатель направленности источника Di, дБ		исходные данные	**0**	0	0	0	0	0	0	0	0		
Поправка на направленность источника Dc, дБ	Dc	DΩ + Di	**3**	3	3	3	3	3	3	3	3		
Затухание из-за геометрической дивергенции, Adiv, дБ	расстояние = 615.31 м	ф-ла (7) [10]	**66,8**										
Коэффициент затухания звука в атмосфере α, дБ/км	Ta=20,°C Pa=101.33,кПа hотн.=70%	ф-ла (5) [9]	0,02	0,09	0,33	1,12	2,79	4,98	9,04	23,09	77,63		
Учет затухания звука в атмосфере Aatm, дБ		ф-ла (8) [10]	0	0,1	0,2	0,7	1,7	3,1	5,6	14,2	47,8		
Снижение уровня звукового давления из-за влияния застройки между источником шума и расчетной точкой													
Снижение уровня звукового давления на пути над экраном, Dz1, дБ	z = 0.16м (разность путей)	ф-лы (14-18) [10]	4,8	4,8	4,8	4,8	4,9	4,9	5,1	5,4	6		
Снижение уровня звукового давления на пути слева от экрана, Dz2, дБ	z = 31.36м (разность путей)	ф-лы (14-18) [10]	20,8	23,7	26,7	29,7	32,7	35,7	38,7	41,7	44,7		
Снижение уровня звукового давления на пути справа от экрана, Dz3, дБ	z = 0.23м (разность путей)	ф-лы (14-18) [10]	5,8	6,7	8	9,9	12,1	14,7	17,5	20,4	23,4		

1		2	3	4	5	6	7	8	9	10	11	12	13
Общее снижение уровня звука препятствием Dz, дБ		Эн.сумма(-Dzi)	2,2	2,6	3,1	3,6	4,1	4,5	4,9	5,3	5,9		
Уровни звукового давления от источника ИШ-10-1 в расчётной точке днём, дБ		**ф-ла(3)[10]**	**0**	**31,9**	**32,6**	**32,9**	**31,7**	**29,6**	**23,4**	**10,2**	**0**	**33,5**	**33,5**
Уровни звукового давления от источника ИШ-10-1 в расчётной точке ночью, дБ		**ф-ла(3)[10]**	**0**	**31,9**	**32,6**	**32,9**	**31,7**	**29,6**	**23,4**	**10,2**	**0**	**33,5**	**33,5**
Источник шума: ИШ-10-2, координаты источника (x,y,z), м =[27.87,443.46,1.00]													
Уровни звуковой мощности источника днём, Lw, дБ		**исходные данные**	**0**	**98,3**	**99,7**	**101**	**101,3**	**100,9**	**97,6**	**93,4**	**88,9**		
Уровни звуковой мощности источника ночью, Lw, дБ		**исходные данные**	**0**	**98,3**	**99,7**	**101**	**101,3**	**100,9**	**97,6**	**93,4**	**88,9**		
Поправка на телесный угол DΩ, дБ	Ω = 6.28	10Lg(4π/Ω)	**3**	3	3	3	3	3	3	3	3		
Показатель направленности источника Di, дБ		исходные данные	**0**	0	0	0	0	0	0	0	0		
Поправка на направленность источника Dc, дБ	Dc	DΩ + Di	**3**	3	3	3	3	3	3	3	3		
Затухание из-за геометрической дивергенции, Adiv, дБ	расстояние = 641.88 м	ф-ла (7) [10]	**67,1**										
Коэффициент затухания звука в атмосфере α, дБ/км	Ta=20,°C Pa=101.33,кПа hотн.=70%	ф-ла (5) [9]	0,02	0,09	0,33	1,12	2,79	4,98	9,04	23,09	77,63		
Учет затухания звука в атмосфере Aatm, дБ		ф-ла (8) [10]	0	0,1	0,2	0,7	1,8	3,2	5,8	14,8	49,8		
Снижение уровня звукового давления из-за влияния застройки между источником шума и расчетной точкой													
Снижение уровня звукового давления на пути над экраном, Dz1, дБ	z = 0.21м (разность путей)	ф-лы (14-18) [10]	5,2	5,6	6,3	7,5	9,2	11,3	13,8	16,5	19,4		
Снижение уровня звукового давления на пути слева от экрана, Dz2, дБ	z = 22.24м (разность путей)	ф-лы (14-18) [10]	23,1	26,7	29,9	32,9	35,9	38,9	42	45	48		
Снижение уровня звукового давления на пути справа от экрана, Dz3, дБ	z = 0.69м (разность путей)	ф-лы (14-18) [10]	7,5	9,1	11,2	13,7	16,4	19,3	22,2	25,2	28,2		

1		2	3	4	5	6	7	8	9	10	11	12	13
Общее снижение уровня звука препятствием Dz, дБ		Эн.сумма(-Dzi)	3,1	4	5,1	6,5	8,4	10,6	13,2	16	18,8		
Уровни звукового давления от источника ИШ-10-2 в расчётной точке днём, дБ		**ф-ла(3)[10]**	**0**	**30,1**	**30,2**	**29,6**	**27**	**22,9**	**14,5**	**0**	**0**	**28**	**28**
Уровни звукового давления от источника ИШ-10-2 в расчётной точке ночью, дБ		**ф-ла(3)[10]**	**0**	**30,1**	**30,2**	**29,6**	**27**	**22,9**	**14,5**	**0**	**0**	**28**	**28**
Уровни звукового давления в расчётной точке													
Суммарные уровни звукового давления в расчётной точке от всех источников шума днём, Lрт, дБ		**ф-ла (19) [1]**	**60**	**57,8**	**53,1**	**53,5**	**53,8**	**54,6**	**49,1**	**37,1**	**0**	**57,4**	**57,4**
Суммарные уровни звукового давления в расчётной точке от всех источников шума ночью, Lрт, дБ		**ф-ла (19) [1]**	**54,2**	**55,9**	**52,8**	**53,2**	**53,5**	**54,3**	**48,3**	**36,8**	**0**	**57**	**57**
Допускаемые УЗД днём, Lдоп, дБ	Территории предприятий с постоянными рабочими местами	Табл. 1[3]	107	95	87	82	78	75	73	71	69	80	95
Допускаемые УЗД ночью, Lдоп, дБ	Территории предприятий с постоянными рабочими местами	Табл. 1[3]	107	95	87	82	78	75	73	71	69	80	95
Превышение днём, дБ		**Lрт - Lдоп**	**-47**	**-37,2**	**-33,9**	**-28,5**	**-24,2**	**-20,4**	**-23,9**	**-33,9**	**-69**	**-22,6**	**-37,6**
Превышение ночью, дБ		**Lрт - Lдоп**	**-52,8**	**-39,1**	**-34,2**	**-28,8**	**-24,5**	**-20,7**	**-24,7**	**-34,2**	**-69**	**-23**	**-38**

Определение уровней звукового давления в точке РТ-4-5 (координаты точки, м: x = 225.18, y = -192.70, z = 4.60)

Наименование величин и их описание		Ссылка	Расчётные уровни в октавных полосах, со среднегеометрическими частотами, Гц									La, дБА	Lмакс, дБА
			31,5	63	125	250	500	1000	2000	4000	8000		
1		2	3	4	5	6	7	8	9	10	11	12	13
Источник шума: ИШ-1-1, координаты источника (x,y,z), м =[271.72,229.68,1.00]													
Уровни звуковой мощности источника днём, Lw, дБ		**исходные данные**	**97**	**97**	**104**	**106**	**105**	**105**	**98**	**87**	**81**		
Уровни звуковой мощности источника ночью, Lw, дБ		**исходные данные**	**97**	**97**	**104**	**106**	**105**	**105**	**98**	**87**	**81**		
Поправка на телесный угол DΩ, дБ	Ω = 6.28	10Lg(4π/Ω)	**3**	3	3	3	3	3	3	3	3		
Показатель направленности источника Di, дБ		исходные данные	**0**	0	0	0	0	0	0	0	0		
Поправка на направленность источника Dc, дБ	Dc	DΩ + Di	**3**	3	3	3	3	3	3	3	3		
Затухание из-за геометрической дивергенции, Adiv, дБ	расстояние = 424.96 м	ф-ла (7) [10]	**63,6**										
Коэффициент затухания звука в атмосфере α, дБ/км	Ta=20,°C Pa=101.33,кПа hотн.=70%	ф-ла (5) [9]	0,02	0,09	0,33	1,12	2,79	4,98	9,04	23,09	77,63		
Учет затухания звука в атмосфере Aatm, дБ		ф-ла (8) [10]	0	0	0,1	0,5	1,2	2,1	3,8	9,8	33		
Снижение поверхностью земли возле источника As, дБ	Gs = 0 hs = 1м	ф-лы таб.3 [10]	-1,5	-1,5	-1,5	-1,5	-1,5	-1,5	-1,5	-1,5	-1,5		
Снижение поверхностью земли возле приёмника Ar, дБ	Gr = 1 hr = 4.6м	ф-лы таб.3 [10]	-1,5	-1,5	3,3	1,3	0	0	0	0	0		
Снижение поверхностью земли в средней зоне, Am дБ	Gm = 1	ф-лы таб.3 [10]	-1,8	-1,8	0	0	0	0	0	0	0		
Суммарное снижение поверхностью земли на траектории распространения звука Agr, дБ		ф-ла (9) [10]	-4,8	-4,8	1,8	-0,2	-1,5	-1,5	-1,5	-1,5	-1,5		

1		2	3	4	5	6	7	8	9	10	11	12	13
Уровни звукового давления прямого звука от источника ИШ-1-1 в расчётной точке днём, дБ		**ф-ла(3)[10]**	**41,2**	**41,2**	**41,5**	**45,2**	**44,8**	**43,8**	**35,1**	**18,1**	**0**	**46,8**	**46,8**
Уровни звукового давления прямого звука от источника ИШ-1-1 в расчётной точке ночью, дБ		**ф-ла(3)[10]**	**41,2**	**41,2**	**41,5**	**45,2**	**44,8**	**43,8**	**35,1**	**18,1**	**0**	**46,8**	**46,8**
Расчёт отражённого звука													
Уровни звукового давления от мнимого источника ИШ-1-1_мн.(1) в расчётной точке днём, дБ		**ф-ла(3)[10]**	**0**	**0**	**0**	**0**	**0**	**35,7**	**28,3**	**9**	**0**	**36,6**	**36,6**
Уровни звукового давления от мнимого источника ИШ-1-1_мн.(1) в расчётной точке ночью, дБ		**ф-ла(3)[10]**	**0**	**0**	**0**	**0**	**0**	**0**	**0**	**0**	**0**	**36,6**	**36,6**
Уровни звукового давления от мнимого источника ИШ-1-1_мн.(2) в расчётной точке днём, дБ		**ф-ла(3)[10]**	**40,2**	**40,2**	**36,4**	**34,8**	**33,4**	**39,2**	**32,5**	**15,5**	**0**	**40,9**	**40,9**
Уровни звукового давления от мнимого источника ИШ-1-1_мн.(2) в расчётной точке ночью, дБ		**ф-ла(3)[10]**	**40,2**	**40,2**	**40,2**	**40,2**	**40,2**	**40,2**	**40,2**	**40,2**	**40,2**	**40,9**	**40,9**
Уровни звукового давления от мнимого источника ИШ-1-1_мн.(3) в расчётной точке днём, дБ		**ф-ла(3)[10]**	**0**	**0**	**0**	**0**	**0**	**0**	**0**	**0**	**0**	**0**	**0**
Уровни звукового давления от мнимого источника ИШ-1-1_мн.(3) в расчётной точке ночью, дБ		**ф-ла(3)[10]**	**0**	**0**	**0**	**0**	**0**	**0**	**0**	**0**	**0**	**0**	**0**
Суммарные уровни звукового давления от мнимых источников в расчётной точке днём, дБ		**ф-ла (19) [1]**	**40,2**	**40,2**	**36,4**	**34,8**	**33,4**	**40,8**	**33,9**	**16,4**	**0**	**0**	**42,3**
Суммарные уровни звукового давления от мнимых источников в расчётной точке ночью, дБ		**ф-ла (19) [1]**	**40,2**	**40,2**	**36,4**	**34,8**	**33,4**	**40,8**	**33,9**	**16,4**	**0**	**0**	**42,3**
Уровни звукового давления от источника ИШ-1-1 в расчётной точке днём, дБ		**ф-ла(3)[10]**	**43,8**	**43,7**	**42,7**	**45,6**	**45,1**	**45,6**	**37,6**	**20,4**	**0**	**48,1**	**48,1**
Уровни звукового давления от источника ИШ-1-1 в расчётной точке ночью, дБ		**ф-ла(3)[10]**	**43,8**	**43,7**	**42,7**	**45,6**	**45,1**	**45,6**	**37,6**	**20,4**	**0**	**48,1**	**48,1**
Источник шума: ИШ-1-2, координаты источника (x,y,z), м =[261.74,199.14,1.00]													
Уровни звуковой мощности источника днём, Lw, дБ		**исходные данные**	**97**	**97**	**104**	**106**	**105**	**105**	**98**	**87**	**81**		
Уровни звуковой мощности источника ночью, Lw, дБ		**исходные данные**	**97**	**97**	**104**	**106**	**105**	**105**	**98**	**87**	**81**		
Поправка на телесный угол DΩ, дБ	Ω = 6.28	10Lg(4π/Ω)	**3**	3	3	3	3	3	3	3	3		

1		2	3	4	5	6	7	8	9	10	11	12	13
Показатель направленности источника Di, дБ		исходные данные	**0**	0	0	0	0	0	0	0	0		
Поправка на направленность источника Dc, дБ	Dc	DΩ + Di	**3**	3	3	3	3	3	3	3	3		
Затухание из-за геометрической дивергенции, Adiv, дБ	расстояние = 393.56 м	ф-ла (7) [10]	**62,9**										
Коэффициент затухания звука в атмосфере α, дБ/км	Ta=20,°C Pa=101.33,кПа hотн.=70%	ф-ла (5) [9]	0,02	0,09	0,33	1,12	2,79	4,98	9,04	23,09	77,63		
Учет затухания звука в атмосфере Aatm, дБ		ф-ла (8) [10]	0	0	0,1	0,4	1,1	2	3,6	9,1	30,6		
Снижение поверхностью земли возле источника As, дБ	Gs = 0 hs = 1м	ф-лы таб.3 [10]	-1,5	-1,5	-1,5	-1,5	-1,5	-1,5	-1,5	-1,5	-1,5		
Снижение поверхностью земли возле приёмника Ar, дБ	Gr = 1 hr = 4.6м	ф-лы таб.3 [10]	-1,5	-1,5	3,2	1,3	0	0	0	0	0		
Снижение поверхностью земли в средней зоне, Am дБ	Gm = 1	ф-лы таб.3 [10]	-1,7	-1,7	0	0	0	0	0	0	0		
Суммарное снижение поверхностью земли на траектории распространения звука Agr, дБ		ф-ла (9) [10]	-4,7	-4,7	1,7	-0,2	-1,5	-1,5	-1,5	-1,5	-1,5		
Уровни звукового давления прямого звука от источника ИШ-1-2 в расчётной точке днём, дБ		**ф-ла(3)[10]**	**41,8**	**41,8**	**42,2**	**45,9**	**45,5**	**44,7**	**36,1**	**19,5**	**0**	**47,6**	**47,6**
Уровни звукового давления прямого звука от источника ИШ-1-2 в расчётной точке ночью, дБ		**ф-ла(3)[10]**	**41,8**	**41,8**	**42,2**	**45,9**	**45,5**	**44,7**	**36,1**	**19,5**	**0**	**47,6**	**47,6**
Расчёт отражённого звука													
Уровни звукового давления от мнимого источника ИШ-1-2_мн.(1) в расчётной точке днём, дБ		**ф-ла(3)[10]**	**0**	**0**	**0**	**0**	**0**	**35,1**	**27,6**	**7,8**	**0**	**36**	**36**
Уровни звукового давления от мнимого источника ИШ-1-2_мн.(1) в расчётной точке ночью, дБ		**ф-ла(3)[10]**	**0**	**0**	**0**	**0**	**0**	**0**	**0**	**0**	**0**	**36**	**36**
Уровни звукового давления от мнимого источника ИШ-1-2_мн.(2) в расчётной точке днём, дБ		**ф-ла(3)[10]**	**40,8**	**40,7**	**37,4**	**35,5**	**34,1**	**40**	**33,5**	**16,9**	**0**	**41,7**	**41,7**
Уровни звукового давления от мнимого источника ИШ-1-2_мн.(2) в расчётной точке ночью, дБ		**ф-ла(3)[10]**	**40,7**	**40,7**	**40,7**	**40,7**	**40,7**	**40,7**	**40,7**	**40,7**	**40,7**	**41,7**	**41,7**
Суммарные уровни звукового давления от мнимых источников в расчётной точке днём, дБ		**ф-ла (19) [1]**	**40,8**	**40,7**	**37,4**	**35,5**	**34,1**	**41,2**	**34,4**	**17,4**	**0**	**0**	**42,8**

1		2	3	4	5	6	7	8	9	10	11	12	13
Суммарные уровни звукового давления от мнимых источников в расчётной точке ночью, дБ		**ф-ла (19) [1]**	**40,8**	**40,7**	**37,4**	**35,5**	**34,1**	**41,2**	**34,4**	**17,4**	**0**	**0**	**42,8**
Уровни звукового давления от источника ИШ-1-2 в расчётной точке днём, дБ		**ф-ла(3)[10]**	**44,3**	**44,3**	**43,5**	**46,3**	**45,8**	**46,3**	**38,3**	**21,6**	**0**	**48,8**	**48,8**
Уровни звукового давления от источника ИШ-1-2 в расчётной точке ночью, дБ		**ф-ла(3)[10]**	**44,3**	**44,3**	**43,5**	**46,3**	**45,8**	**46,3**	**38,3**	**21,6**	**0**	**48,8**	**48,8**
Источник шума: ИШ-1-3, координаты источника (x,y,z), м =[251.75,236.44,1.00]													
Уровни звуковой мощности источника днём, Lw, дБ		**исходные данные**	**0**	**91,3**	**92,7**	**94**	**94,3**	**93,9**	**90,6**	**86,4**	**81,9**		
Уровни звуковой мощности источника ночью, Lw, дБ		**исходные данные**	**0**	**91,3**	**92,7**	**94**	**94,3**	**93,9**	**90,6**	**86,4**	**81,9**		
Поправка на телесный угол DΩ, дБ	Ω = 6.28	10Lg(4π/Ω)	**3**	3	3	3	3	3	3	3	3		
Показатель направленности источника Di, дБ		исходные данные	**0**	0	0	0	0	0	0	0	0		
Поправка на направленность источника Dc, дБ	Dc	DΩ + Di	**3**	3	3	3	3	3	3	3	3		
Затухание из-за геометрической дивергенции, Adiv, дБ	расстояние = 429.97 м	ф-ла (7) [10]	**63,7**										
Коэффициент затухания звука в атмосфере α, дБ/км	Ta=20,°C Pa=101.33,кПа hотн.=70%	ф-ла (5) [9]	0,02	0,09	0,33	1,12	2,79	4,98	9,04	23,09	77,63		
Учет затухания звука в атмосфере Aatm, дБ		ф-ла (8) [10]	0	0	0,1	0,5	1,2	2,1	3,9	9,9	33,4		
Снижение поверхностью земли возле источника As, дБ	Gs = 0 hs = 1м	ф-лы таб.3 [10]	-1,5	-1,5	-1,5	-1,5	-1,5	-1,5	-1,5	-1,5	-1,5		
Снижение поверхностью земли возле приёмника Ar, дБ	Gr = 1 hr = 4.6м	ф-лы таб.3 [10]	-1,5	-1,5	3,3	1,3	0	0	0	0	0		
Снижение поверхностью земли в средней зоне, Am дБ	Gm = 1	ф-лы таб.3 [10]	-1,8	-1,8	0	0	0	0	0	0	0		
Суммарное снижение поверхностью земли на траектории распространения звука Agr, дБ		ф-ла (9) [10]	-4,8	-4,8	1,8	-0,2	-1,5	-1,5	-1,5	-1,5	-1,5		

1		2	3	4	5	6	7	8	9	10	11	12	13
Уровни звукового давления прямого звука от источника ИШ-1-3 в расчётной точке днём, дБ		**ф-ла(3)[10]**	**0**	**35,4**	**30,1**	**33,1**	**33,9**	**32,6**	**27,5**	**17,3**	**0**	**36,2**	**36,2**
Уровни звукового давления прямого звука от источника ИШ-1-3 в расчётной точке ночью, дБ		**ф-ла(3)[10]**	**0**	**35,4**	**30,1**	**33,1**	**33,9**	**32,6**	**27,5**	**17,3**	**0**	**36,2**	**36,2**
Расчёт отражённого звука													
Уровни звукового давления от мнимого источника ИШ-1-3_мн.(1) в расчётной точке днём, дБ		**ф-ла(3)[10]**	**0**	**0**	**0**	**0**	**0**	**0**	**0**	**12,8**	**0**	**13,8**	**13,8**
Уровни звукового давления от мнимого источника ИШ-1-3_мн.(1) в расчётной точке ночью, дБ		**ф-ла(3)[10]**	**0**	**0**	**0**	**0**	**0**	**0**	**0**	**0**	**0**	**13,8**	**13,8**
Уровни звукового давления от мнимого источника ИШ-1-3_мн.(2) в расчётной точке днём, дБ		**ф-ла(3)[10]**	**0**	**0**	**0**	**0**	**0**	**24,5**	**20,8**	**8,3**	**0**	**26,5**	**26,5**
Уровни звукового давления от мнимого источника ИШ-1-3_мн.(2) в расчётной точке ночью, дБ		**ф-ла(3)[10]**	**0**	**0**	**0**	**0**	**0**	**0**	**0**	**0**	**0**	**26,5**	**26,5**
Уровни звукового давления от мнимого источника ИШ-1-3_мн.(3) в расчётной точке днём, дБ		**ф-ла(3)[10]**	**0**	**34,4**	**25**	**22,6**	**22,5**	**28**	**24,9**	**14,6**	**0**	**30,8**	**30,8**
Уровни звукового давления от мнимого источника ИШ-1-3_мн.(3) в расчётной точке ночью, дБ		**ф-ла(3)[10]**	**25**	**25**	**25**	**25**	**25**	**25**	**25**	**25**	**25**	**30,8**	**30,8**
Суммарные уровни звукового давления от мнимых источников в расчётной точке днём, дБ		**ф-ла (19) [1]**	**0**	**34,4**	**25**	**22,6**	**22,5**	**29,6**	**26,4**	**17,4**	**0**	**0**	**32,2**
Суммарные уровни звукового давления от мнимых источников в расчётной точке ночью, дБ		**ф-ла (19) [1]**	**0**	**34,4**	**25**	**22,6**	**22,5**	**29,6**	**26,4**	**17,4**	**0**	**0**	**32,2**
Уровни звукового давления от источника ИШ-1-3 в расчётной точке днём, дБ		**ф-ла(3)[10]**	**0**	**37,9**	**31,3**	**33,4**	**34,2**	**34,3**	**30**	**20,4**	**0**	**37,6**	**37,6**
Уровни звукового давления от источника ИШ-1-3 в расчётной точке ночью, дБ		**ф-ла(3)[10]**	**0**	**37,9**	**31,3**	**33,4**	**34,2**	**34,3**	**30**	**20,4**	**0**	**37,6**	**37,6**
Источник шума: ИШ-1-4, координаты источника (x,y,z), м =[290.25,223.25,1.00]													
Уровни звуковой мощности источника днём, Lw, дБ		**исходные данные**	**0**	**91,3**	**92,7**	**94**	**94,3**	**93,9**	**90,6**	**86,4**	**81,9**		
Уровни звуковой мощности источника ночью, Lw, дБ		**исходные данные**	**0**	**91,3**	**92,7**	**94**	**94,3**	**93,9**	**90,6**	**86,4**	**81,9**		
Поправка на телесный угол DΩ, дБ	Ω = 6.28	10Lg(4π/Ω)	**3**	3	3	3	3	3	3	3	3		

1		2	3	4	5	6	7	8	9	10	11	12	13
Показатель направленности источника Di, дБ		исходные данные	**0**	0	0	0	0	0	0	0	0		
Поправка на направленность источника Dc, дБ	Dc	DΩ + Di	**3**	3	3	3	3	3	3	3	3		
Затухание из-за геометрической дивергенции, Adiv, дБ	расстояние = 421.03 м	ф-ла (7) [10]	**63,5**										
Коэффициент затухания звука в атмосфере α, дБ/км	Ta=20,°C Pa=101.33,кПа hотн.=70%	ф-ла (5) [9]	0,02	0,09	0,33	1,12	2,79	4,98	9,04	23,09	77,63		
Учет затухания звука в атмосфере Aatm, дБ		ф-ла (8) [10]	0	0	0,1	0,5	1,2	2,1	3,8	9,7	32,7		
Снижение поверхностью земли возле источника As, дБ	Gs = 0 hs = 1м	ф-лы таб.3 [10]	-1,5	-1,5	-1,5	-1,5	-1,5	-1,5	-1,5	-1,5	-1,5		
Снижение поверхностью земли возле приёмника Ar, дБ	Gr = 1 hr = 4.6м	ф-лы таб.3 [10]	-1,5	-1,5	3,3	1,3	0	0	0	0	0		
Снижение поверхностью земли в средней зоне, Am дБ	Gm = 1	ф-лы таб.3 [10]	-1,8	-1,8	0	0	0	0	0	0	0		
Суммарное снижение поверхностью земли на траектории распространения звука Agr, дБ		ф-ла (9) [10]	-4,8	-4,8	1,8	-0,2	-1,5	-1,5	-1,5	-1,5	-1,5		
Уровни звукового давления прямого звука от источника ИШ-1-4 в расчётной точке днём, дБ		**ф-ла(3)[10]**	**0**	**35,6**	**30,3**	**33,3**	**34,1**	**32,8**	**27,8**	**17,7**	**0**	**36,4**	**36,4**
Уровни звукового давления прямого звука от источника ИШ-1-4 в расчётной точке ночью, дБ		**ф-ла(3)[10]**	**0**	**35,6**	**30,3**	**33,3**	**34,1**	**32,8**	**27,8**	**17,7**	**0**	**36,4**	**36,4**
Расчёт отражённого звука													
Уровни звукового давления от мнимого источника ИШ-1-4_мн.(1) в расчётной точке днём, дБ		**ф-ла(3)[10]**	**0**	**0**	**0**	**0**	**0**	**24,6**	**20,9**	**8,5**	**0**	**26,6**	**26,6**
Уровни звукового давления от мнимого источника ИШ-1-4_мн.(1) в расчётной точке ночью, дБ		**ф-ла(3)[10]**	**0**	**0**	**0**	**0**	**0**	**0**	**0**	**0**	**0**	**26,6**	**26,6**
Уровни звукового давления от мнимого источника ИШ-1-4_мн.(2) в расчётной точке днём, дБ		**ф-ла(3)[10]**	**0**	**34,5**	**25,2**	**22,8**	**22,7**	**28,2**	**25,2**	**15**	**0**	**31**	**31**
Уровни звукового давления от мнимого источника ИШ-1-4_мн.(2) в расчётной точке ночью, дБ		**ф-ла(3)[10]**	**34,5**	**34,5**	**34,5**	**34,5**	**34,5**	**34,5**	**34,5**	**34,5**	**34,5**	**31**	**31**
Суммарные уровни звукового давления от мнимых источников в расчётной точке днём, дБ		**ф-ла (19) [1]**	**0**	**34,5**	**25,2**	**22,8**	**22,7**	**29,8**	**26,6**	**15,9**	**0**	**0**	**32,4**

1		2	3	4	5	6	7	8	9	10	11	12	13
Суммарные уровни звукового давления от мнимых источников в расчётной точке ночью, дБ		**ф-ла (19) [1]**	**0**	**34,5**	**25,2**	**22,8**	**22,7**	**29,8**	**26,6**	**15,9**	**0**	**0**	**32,4**
Уровни звукового давления от источника ИШ-1-4 в расчётной точке днём, дБ		**ф-ла(3)[10]**	**0**	**38,1**	**31,5**	**33,6**	**34,4**	**34,6**	**30,2**	**19,9**	**0**	**37,8**	**37,8**
Уровни звукового давления от источника ИШ-1-4 в расчётной точке ночью, дБ		**ф-ла(3)[10]**	**0**	**38,1**	**31,5**	**33,6**	**34,4**	**34,6**	**30,2**	**19,9**	**0**	**37,8**	**37,8**
Источник шума: ИШ-1-5, координаты источника (x,y,z), м =[241.49,205.86,1.00]													
Уровни звуковой мощности источника днём, Lw, дБ		**исходные данные**	**0**	**91,3**	**92,7**	**94**	**94,3**	**93,9**	**90,6**	**86,4**	**81,9**		
Уровни звуковой мощности источника ночью, Lw, дБ		**исходные данные**	**0**	**91,3**	**92,7**	**94**	**94,3**	**93,9**	**90,6**	**86,4**	**81,9**		
Поправка на телесный угол DΩ, дБ	Ω = 6.28	10Lg(4π/Ω)	**3**	3	3	3	3	3	3	3	3		
Показатель направленности источника Di, дБ		исходные данные	**0**	0	0	0	0	0	0	0	0		
Поправка на направленность источника Dc, дБ	Dc	DΩ + Di	**3**	3	3	3	3	3	3	3	3		
Затухание из-за геометрической дивергенции, Adiv, дБ	расстояние = 398.91 м	ф-ла (7) [10]	**63**										
Коэффициент затухания звука в атмосфере α, дБ/км	Ta=20,°C Pa=101.33,кПа hотн.=70%	ф-ла (5) [9]	0,02	0,09	0,33	1,12	2,79	4,98	9,04	23,09	77,63		
Учет затухания звука в атмосфере Aatm, дБ		ф-ла (8) [10]	0	0	0,1	0,4	1,1	2	3,6	9,2	31		
Снижение уровня звукового давления из-за влияния застройки между источником шума и расчетной точкой													
Снижение уровня звукового давления препятствием справа от трассы ИШ-РТ, Dz3, дБ	z = 0.00м (разность путей)	ф-лы (14-18) [10]	0	0	0	0	4,5	4,1	3,4	1,4	NAN		
* отрицательное значение z означает прохождение траектории вблизи экрана, в этом случае дополнительно производится учёт снижения подстилающей поверхностью (см.ниже)													
Снижение поверхностью земли возле источника As, дБ	Gs = 0 hs = 1м	ф-лы таб.3 [10]	-1,5	-1,5	-1,5	-1,5	-1,5	-1,5	-1,5	-1,5	-1,5		
Снижение поверхностью земли возле приёмника Ar, дБ	Gr = 1 hr = 4.6м	ф-лы таб.3 [10]	-1,5	-1,5	3,2	1,3	0	0	0	0	0		

1		2	3	4	5	6	7	8	9	10	11	12	13
Снижение поверхностью земли в средней зоне, Am дБ	Gm = 1	ф-лы таб.3 [10]	-1,7	-1,7	0	0	0	0	0	0	0		
Суммарное снижение поверхностью земли на траектории распространения звука Agr, дБ		ф-ла (9) [10]	-4,7	-4,7	1,7	-0,2	-1,5	-1,5	-1,5	-1,5	-1,5		
Уровни звукового давления прямого звука от источника ИШ-1-5 в расчётной точке днём, дБ		**ф-ла(3)[10]**	**0**	**36**	**30,8**	**33,7**	**30,2**	**29,3**	**25,1**	**17,3**	**0**	**33,4**	**33,4**
Уровни звукового давления прямого звука от источника ИШ-1-5 в расчётной точке ночью, дБ		**ф-ла(3)[10]**	**0**	**36**	**30,8**	**33,7**	**30,2**	**29,3**	**25,1**	**17,3**	**0**	**33,4**	**33,4**
Расчёт отражённого звука													
Уровни звукового давления от мнимого источника ИШ-1-5_мн.(1) в расчётной точке днём, дБ		**ф-ла(3)[10]**	**0**	**0**	**0**	**0**	**0**	**23,9**	**20,1**	**7,1**	**0**	**25,8**	**25,8**
Уровни звукового давления от мнимого источника ИШ-1-5_мн.(1) в расчётной точке ночью, дБ		**ф-ла(3)[10]**	**0**	**0**	**0**	**0**	**0**	**0**	**0**	**0**	**0**	**25,8**	**25,8**
Уровни звукового давления от мнимого источника ИШ-1-5_мн.(2) в расчётной точке днём, дБ		**ф-ла(3)[10]**	**0**	**34,9**	**25,9**	**23,3**	**23,3**	**28,8**	**25,9**	**16**	**0**	**31,7**	**31,7**
Уровни звукового давления от мнимого источника ИШ-1-5_мн.(2) в расчётной точке ночью, дБ		**ф-ла(3)[10]**	**34,9**	**34,9**	**34,9**	**34,9**	**34,9**	**34,9**	**34,9**	**34,9**	**34,9**	**31,7**	**31,7**
Суммарные уровни звукового давления от мнимых источников в расчётной точке днём, дБ		**ф-ла (19) [1]**	**0**	**34,9**	**25,9**	**23,3**	**23,3**	**30**	**26,9**	**16,5**	**0**	**0**	**32,7**
Суммарные уровни звукового давления от мнимых источников в расчётной точке ночью, дБ		**ф-ла (19) [1]**	**0**	**34,9**	**25,9**	**23,3**	**23,3**	**30**	**26,9**	**16,5**	**0**	**0**	**32,7**
Уровни звукового давления от источника ИШ-1-5 в расчётной точке днём, дБ		**ф-ла(3)[10]**	**0**	**38,5**	**32**	**34,1**	**31**	**32,6**	**29,1**	**19,9**	**0**	**36,1**	**36,1**
Уровни звукового давления от источника ИШ-1-5 в расчётной точке ночью, дБ		**ф-ла(3)[10]**	**0**	**38,5**	**32**	**34,1**	**31**	**32,6**	**29,1**	**19,9**	**0**	**36,1**	**36,1**
Источник шума: ИШ-1-6, координаты источника (x,y,z), м =[279.85,192.97,1.00]													
Уровни звуковой мощности источника днём, Lw, дБ		**исходные данные**	**0**	**91,3**	**92,7**	**94**	**94,3**	**93,9**	**90,6**	**86,4**	**81,9**		
Уровни звуковой мощности источника ночью, Lw, дБ		**исходные данные**	**0**	**91,3**	**92,7**	**94**	**94,3**	**93,9**	**90,6**	**86,4**	**81,9**		
Поправка на телесный угол DΩ, дБ	Ω = 6.28	10Lg(4π/Ω)	**3**	3	3	3	3	3	3	3	3		

1		2	3	4	5	6	7	8	9	10	11	12	13
Показатель направленности источника Di, дБ		исходные данные	**0**	0	0	0	0	0	0	0	0		
Поправка на направленность источника Dc, дБ	Dc	DΩ + Di	**3**	3	3	3	3	3	3	3	3		
Затухание из-за геометрической дивергенции, Adiv, дБ	расстояние = 389.54 м	ф-ла (7) [10]	**62,8**										
Коэффициент затухания звука в атмосфере α, дБ/км	Ta=20,°C Pa=101.33,кПа hотн.=70%	ф-ла (5) [9]	0,02	0,09	0,33	1,12	2,79	4,98	9,04	23,09	77,63		
Учет затухания звука в атмосфере Aatm, дБ		ф-ла (8) [10]	0	0	0,1	0,4	1,1	1,9	3,5	9	30,2		
Снижение поверхностью земли возле источника As, дБ	Gs = 0 hs = 1м	ф-лы таб.3 [10]	-1,5	-1,5	-1,5	-1,5	-1,5	-1,5	-1,5	-1,5	-1,5		
Снижение поверхностью земли возле приёмника Ar, дБ	Gr = 1 hr = 4.6м	ф-лы таб.3 [10]	-1,5	-1,5	3,2	1,3	0	0	0	0	0		
Снижение поверхностью земли в средней зоне, Am дБ	Gm = 1	ф-лы таб.3 [10]	-1,7	-1,7	0	0	0	0	0	0	0		
Суммарное снижение поверхностью земли на траектории распространения звука Agr, дБ		ф-ла (9) [10]	-4,7	-4,7	1,7	-0,2	-1,5	-1,5	-1,5	-1,5	-1,5		
Уровни звукового давления прямого звука от источника ИШ-1-6 в расчётной точке днём, дБ		**ф-ла(3)[10]**	**0**	**36,2**	**31**	**34**	**34,9**	**33,6**	**28,8**	**19,1**	**0**	**37,2**	**37,2**
Уровни звукового давления прямого звука от источника ИШ-1-6 в расчётной точке ночью, дБ		**ф-ла(3)[10]**	**0**	**36,2**	**31**	**34**	**34,9**	**33,6**	**28,8**	**19,1**	**0**	**37,2**	**37,2**
Расчёт отражённого звука													
Уровни звукового давления от мнимого источника ИШ-1-6_мн.(1) в расчётной точке днём, дБ		**ф-ла(3)[10]**	**0**	**0**	**0**	**0**	**0**	**24**	**20,2**	**7,3**	**0**	**26**	**26**
Уровни звукового давления от мнимого источника ИШ-1-6_мн.(1) в расчётной точке ночью, дБ		**ф-ла(3)[10]**	**0**	**0**	**0**	**0**	**0**	**0**	**0**	**0**	**0**	**26**	**26**
Уровни звукового давления от мнимого источника ИШ-1-6_мн.(2) в расчётной точке днём, дБ		**ф-ла(3)[10]**	**0**	**35,1**	**26,2**	**23,5**	**23,5**	**29**	**26,2**	**16,4**	**0**	**31,9**	**31,9**
Уровни звукового давления от мнимого источника ИШ-1-6_мн.(2) в расчётной точке ночью, дБ		**ф-ла(3)[10]**	**35,1**	**35,1**	**35,1**	**35,1**	**35,1**	**35,1**	**35,1**	**35,1**	**35,1**	**31,9**	**31,9**
Суммарные уровни звукового давления от мнимых источников в расчётной точке днём, дБ		**ф-ла (19) [1]**	**0**	**35,1**	**26,2**	**23,5**	**23,5**	**30,2**	**27,1**	**16,9**	**0**	**0**	**32,9**

1		2	3	4	5	6	7	8	9	10	11	12	13
Суммарные уровни звукового давления от мнимых источников в расчётной точке ночью, дБ		**ф-ла (19) [1]**	**0**	**35,1**	**26,2**	**23,5**	**23,5**	**30,2**	**27,1**	**16,9**	**0**	**0**	**32,9**
Уровни звукового давления от источника ИШ-1-6 в расчётной точке днём, дБ		**ф-ла(3)[10]**	**0**	**38,7**	**32,2**	**34,3**	**35,2**	**35,3**	**31**	**21,2**	**0**	**38,6**	**38,6**
Уровни звукового давления от источника ИШ-1-6 в расчётной точке ночью, дБ		**ф-ла(3)[10]**	**0**	**38,7**	**32,2**	**34,3**	**35,2**	**35,3**	**31**	**21,2**	**0**	**38,6**	**38,6**
Источник шума: ИШ-1-7, координаты источника (x,y,z), м =[451.87,146.66,1.00]													
Уровни звуковой мощности источника днём, Lw, дБ		**исходные данные**	**0**	**93,3**	**94,7**	**96**	**96,3**	**95,9**	**92,6**	**88,4**	**83,9**		
Уровни звуковой мощности источника ночью, Lw, дБ		**исходные данные**	**0**	**93,3**	**94,7**	**96**	**96,3**	**95,9**	**92,6**	**88,4**	**83,9**		
Поправка на телесный угол DΩ, дБ	Ω = 6.28	10Lg(4π/Ω)	**3**	3	3	3	3	3	3	3	3		
Показатель направленности источника Di, дБ		исходные данные	**0**	0	0	0	0	0	0	0	0		
Поправка на направленность источника Dc, дБ	Dc	DΩ + Di	**3**	3	3	3	3	3	3	3	3		
Затухание из-за геометрической дивергенции, Adiv, дБ	расстояние = 408.12 м	ф-ла (7) [10]	**63,2**										
Коэффициент затухания звука в атмосфере α, дБ/км	Ta=20,°C Pa=101.33,кПа hотн.=70%	ф-ла (5) [9]	0,02	0,09	0,33	1,12	2,79	4,98	9,04	23,09	77,63		
Учет затухания звука в атмосфере Aatm, дБ		ф-ла (8) [10]	0	0	0,1	0,5	1,1	2	3,7	9,4	31,7		
Снижение уровня звукового давления из-за влияния застройки между источником шума и расчетной точкой													
Снижение уровня звукового давления на пути над экраном, Dz1, дБ	z = 0.38м (разность путей)	ф-лы (14-18) [10]	5,1	5,5	6,5	8,3	10,5	12,9	15,6	18,5	21,4		
Снижение уровня звукового давления на пути слева от экрана, Dz2, дБ	z = 16.62м (разность путей)	ф-лы (14-18) [10]	22,1	25,5	28,6	31,7	34,7	37,7	40,7	43,7	46,7		
Снижение уровня звукового давления на пути справа от экрана, Dz3, дБ	z = 108.65м (разность путей)	ф-лы (14-18) [10]	30,3	33,7	36,8	39,8	42,8	45,8	48,8	51,9	54,9		

1		2	3	4	5	6	7	8	9	10	11	12	13
Общее снижение уровня звука препятствием Dz, дБ		Эн.сумма(-Dzi)	5	5,4	6,5	8,2	10,4	12,9	15,6	18,5	21,4		
Уровни звукового давления от источника ИШ-1-7 в расчётной точке днём, дБ		**ф-ла(3)[10]**	**0**	**27,6**	**27,9**	**27,1**	**24,5**	**20,7**	**13,1**	**0,3**	**0**	**25,7**	**25,7**
Уровни звукового давления от источника ИШ-1-7 в расчётной точке ночью, дБ		**ф-ла(3)[10]**	**0**	**27,6**	**27,9**	**27,1**	**24,5**	**20,7**	**13,1**	**0,3**	**0**	**25,7**	**25,7**
Источник шума: ИШ-1-8, координаты источника (x,y,z), м =[454.99,145.29,1.00]													
Уровни звуковой мощности источника днём, Lw, дБ		**исходные данные**	**0**	**93,3**	**94,7**	**96**	**96,3**	**95,9**	**92,6**	**88,4**	**83,9**		
Уровни звуковой мощности источника ночью, Lw, дБ		**исходные данные**	**0**	**93,3**	**94,7**	**96**	**96,3**	**95,9**	**92,6**	**88,4**	**83,9**		
Поправка на телесный угол DΩ, дБ	Ω = 6.28	10Lg(4π/Ω)	**3**	3	3	3	3	3	3	3	3		
Показатель направленности источника Di, дБ		исходные данные	**0**	0	0	0	0	0	0	0	0		
Поправка на направленность источника Dc, дБ	Dc	DΩ + Di	**3**	3	3	3	3	3	3	3	3		
Затухание из-за геометрической дивергенции, Adiv, дБ	расстояние = 408.74 м	ф-ла (7) [10]	**63,2**										
Коэффициент затухания звука в атмосфере α, дБ/км	Ta=20,°C Pa=101.33,кПа hотн.=70%	ф-ла (5) [9]	0,02	0,09	0,33	1,12	2,79	4,98	9,04	23,09	77,63		
Учет затухания звука в атмосфере Aatm, дБ		ф-ла (8) [10]	0	0	0,1	0,5	1,1	2	3,7	9,4	31,7		
Снижение уровня звукового давления из-за влияния застройки между источником шума и расчетной точкой													
Снижение уровня звукового давления на пути над экраном, Dz1, дБ	z = 0.38м (разность путей)	ф-лы (14-18) [10]	5,1	5,5	6,5	8,3	10,5	12,9	15,6	18,5	21,4		
Снижение уровня звукового давления на пути слева от экрана, Dz2, дБ	z = 15.30м (разность путей)	ф-лы (14-18) [10]	21,7	25,2	28,3	31,3	34,3	37,3	40,3	43,3	46,4		
Снижение уровня звукового давления на пути справа от экрана, Dz3, дБ	z = 109.94м (разность путей)	ф-лы (14-18) [10]	30,3	33,7	36,8	39,9	42,9	45,9	48,9	51,9	54,9		

1		2	3	4	5	6	7	8	9	10	11	12	13
Общее снижение уровня звука препятствием Dz, дБ		Эн.сумма(-Dzi)	4,9	5,4	6,5	8,2	10,4	12,9	15,6	18,4	21,4		
Уровни звукового давления прямого звука от источника ИШ-1-8 в расчётной точке днём, дБ		**ф-ла(3)[10]**	**0**	**27,6**	**27,9**	**27,1**	**24,5**	**20,7**	**13,1**	**0,3**	**0**	**25,6**	**25,6**
Уровни звукового давления прямого звука от источника ИШ-1-8 в расчётной точке ночью, дБ		**ф-ла(3)[10]**	**0**	**27,6**	**27,9**	**27,1**	**24,5**	**20,7**	**13,1**	**0,3**	**0**	**25,6**	**25,6**
Расчёт отражённого звука													
Уровни звукового давления от мнимого источника ИШ-1-8_мн.(1) в расчётной точке днём, дБ		**ф-ла(3)[10]**	**0**	**0**	**0**	**0**	**0**	**0**	**4,9**	**0**	**0**	**6,1**	**6,1**
Уровни звукового давления от мнимого источника ИШ-1-8_мн.(1) в расчётной точке ночью, дБ		**ф-ла(3)[10]**	**0**	**0**	**0**	**0**	**0**	**0**	**0**	**0**	**0**	**6,1**	**6,1**
Уровни звукового давления от источника ИШ-1-8 в расчётной точке днём, дБ		**ф-ла(3)[10]**	**0**	**27,6**	**27,9**	**27,1**	**24,5**	**20,7**	**13,7**	**0,3**	**0**	**25,7**	**25,7**
Уровни звукового давления от источника ИШ-1-8 в расчётной точке ночью, дБ		**ф-ла(3)[10]**	**0**	**27,6**	**27,9**	**27,1**	**24,5**	**20,7**	**13,7**	**0,3**	**0**	**25,7**	**25,7**
Источник шума: ИШ-1-9, координаты источника (x,y,z), м =[458.12,144.31,1.00]													
Уровни звуковой мощности источника днём, Lw, дБ		**исходные данные**	**0**	**93,3**	**94,7**	**96**	**96,3**	**95,9**	**92,6**	**88,4**	**83,9**		
Уровни звуковой мощности источника ночью, Lw, дБ		**исходные данные**	**0**	**93,3**	**94,7**	**96**	**96,3**	**95,9**	**92,6**	**88,4**	**83,9**		
Поправка на телесный угол DΩ, дБ	Ω = 6.28	10Lg(4π/Ω)	**3**	3	3	3	3	3	3	3	3		
Показатель направленности источника Di, дБ		исходные данные	**0**	0	0	0	0	0	0	0	0		
Поправка на направленность источника Dc, дБ	Dc	DΩ + Di	**3**	3	3	3	3	3	3	3	3		
Затухание из-за геометрической дивергенции, Adiv, дБ	расстояние = 409.70 м	ф-ла (7) [10]	**63,2**										
Коэффициент затухания звука в атмосфере α, дБ/км	Ta=20,°C Pa=101.33,кПа hотн.=70%	ф-ла (5) [9]	0,02	0,09	0,33	1,12	2,79	4,98	9,04	23,09	77,63		

1		2	3	4	5	6	7	8	9	10	11	12	13
Учет затухания звука в атмосфере Aatm, дБ		ф-ла (8) [10]	0	0	0,1	0,5	1,1	2	3,7	9,5	31,8		
Снижение уровня звукового давления из-за влияния застройки между источником шума и расчетной точкой													
Снижение уровня звукового давления на пути над экраном, Dz1, дБ	z = 0.38м (разность путей)	ф-лы (14-18) [10]	5	5,4	6,5	8,2	10,4	12,9	15,6	18,4	21,3		
Снижение уровня звукового давления на пути слева от экрана, Dz2, дБ	z = 14.11м (разность путей)	ф-лы (14-18) [10]	21,4	24,8	27,9	31	34	37	40	43	46		
Снижение уровня звукового давления на пути справа от экрана, Dz3, дБ	z = 110.63м (разность путей)	ф-лы (14-18) [10]	30,3	33,8	36,8	39,9	42,9	45,9	48,9	51,9	54,9		
Общее снижение уровня звука препятствием Dz, дБ		Эн.сумма(-Dzi)	4,9	5,4	6,4	8,2	10,4	12,9	15,6	18,4	21,3		
Уровни звукового давления прямого звука от источника ИШ-1-9 в расчётной точке днём, дБ		**ф-ла(3)[10]**	**0**	**27,6**	**27,9**	**27,1**	**24,5**	**20,7**	**13,1**	**0,3**	**0**	**25,7**	**25,7**
Уровни звукового давления прямого звука от источника ИШ-1-9 в расчётной точке ночью, дБ		**ф-ла(3)[10]**	**0**	**27,6**	**27,9**	**27,1**	**24,5**	**20,7**	**13,1**	**0,3**	**0**	**25,7**	**25,7**
Расчёт отражённого звука													
Уровни звукового давления от мнимого источника ИШ-1-9_мн.(1) в расчётной точке днём, дБ		**ф-ла(3)[10]**	**0**	**0**	**0**	**0**	**0**	**0**	**4,9**	**0**	**0**	**6,1**	**6,1**
Уровни звукового давления от мнимого источника ИШ-1-9_мн.(1) в расчётной точке ночью, дБ		**ф-ла(3)[10]**	**0**	**0**	**0**	**0**	**0**	**0**	**0**	**0**	**0**	**6,1**	**6,1**
Уровни звукового давления от источника ИШ-1-9 в расчётной точке днём, дБ		**ф-ла(3)[10]**	**0**	**27,6**	**27,9**	**27,1**	**24,5**	**20,7**	**13,7**	**0,3**	**0**	**25,7**	**25,7**
Уровни звукового давления от источника ИШ-1-9 в расчётной точке ночью, дБ		**ф-ла(3)[10]**	**0**	**27,6**	**27,9**	**27,1**	**24,5**	**20,7**	**13,7**	**0,3**	**0**	**25,7**	**25,7**
Источник шума: ИШ-1-10, координаты источника (x,y,z), м =[461.05,143.53,1.00]													
Уровни звуковой мощности источника днём, Lw, дБ		**исходные данные**	**0**	**93,3**	**94,7**	**96**	**96,3**	**95,9**	**92,6**	**88,4**	**83,9**		
Уровни звуковой мощности источника ночью, Lw, дБ		**исходные данные**	**0**	**93,3**	**94,7**	**96**	**96,3**	**95,9**	**92,6**	**88,4**	**83,9**		
Поправка на телесный угол DΩ, дБ	Ω = 6.28	10Lg(4π/Ω)	**3**	3	3	3	3	3	3	3	3		

1		2	3	4	5	6	7	8	9	10	11	12	13
Показатель направленности источника Di, дБ		исходные данные	**0**	0	0	0	0	0	0	0	0		
Поправка на направленность источника Dc, дБ	Dc	DΩ + Di	**3**	3	3	3	3	3	3	3	3		
Затухание из-за геометрической дивергенции, Adiv, дБ	расстояние = 410.73 м	ф-ла (7) [10]	**63,3**										
Коэффициент затухания звука в атмосфере α, дБ/км	Ta=20,°C Pa=101.33,кПа hотн.=70%	ф-ла (5) [9]	0,02	0,09	0,33	1,12	2,79	4,98	9,04	23,09	77,63		
Учет затухания звука в атмосфере Aatm, дБ		ф-ла (8) [10]	0	0	0,1	0,5	1,1	2	3,7	9,5	31,9		
Снижение уровня звукового давления из-за влияния застройки между источником шума и расчетной точкой													
Снижение уровня звукового давления на пути над экраном, Dz1, дБ	z = 0.37м (разность путей)	ф-лы (14-18) [10]	5	5,4	6,4	8,2	10,4	12,8	15,5	18,3	21,3		
Снижение уровня звукового давления на пути слева от экрана, Dz2, дБ	z = 13.08м (разность путей)	ф-лы (14-18) [10]	21	24,5	27,6	30,6	33,6	36,6	39,7	42,7	45,7		
Снижение уровня звукового давления на пути справа от экрана, Dz3, дБ	z = 111.14м (разность путей)	ф-лы (14-18) [10]	30,4	33,8	36,9	39,9	42,9	45,9	48,9	52	55		
Общее снижение уровня звука препятствием Dz, дБ		Эн.сумма(-Dzi)	4,9	5,4	6,4	8,2	10,3	12,8	15,5	18,3	21,2		
Уровни звукового давления прямого звука от источника ИШ-1-10 в расчётной точке днём, дБ		**ф-ла(3)[10]**	**0**	**27,6**	**27,9**	**27,1**	**24,5**	**20,8**	**13,1**	**0,3**	**0**	**25,7**	**25,7**
Уровни звукового давления прямого звука от источника ИШ-1-10 в расчётной точке ночью, дБ		**ф-ла(3)[10]**	**0**	**27,6**	**27,9**	**27,1**	**24,5**	**20,8**	**13,1**	**0,3**	**0**	**25,7**	**25,7**
Расчёт отражённого звука													
Уровни звукового давления от мнимого источника ИШ-1-10_мн.(1) в расчётной точке днём, дБ		**ф-ла(3)[10]**	**0**	**0**	**0**	**0**	**0**	**12,9**	**4,9**	**0**	**0**	**13,7**	**13,7**
Уровни звукового давления от мнимого источника ИШ-1-10_мн.(1) в расчётной точке ночью, дБ		**ф-ла(3)[10]**	**0**	**0**	**0**	**0**	**0**	**0**	**0**	**0**	**0**	**13,7**	**13,7**
Уровни звукового давления от источника ИШ-1-10 в расчётной точке днём, дБ		**ф-ла(3)[10]**	**0**	**27,6**	**27,9**	**27,1**	**24,5**	**21,4**	**13,7**	**0,3**	**0**	**26**	**26**
Уровни звукового давления от источника ИШ-1-10 в расчётной точке ночью, дБ		**ф-ла(3)[10]**	**0**	**27,6**	**27,9**	**27,1**	**24,5**	**21,4**	**13,7**	**0,3**	**0**	**26**	**26**

1		2	3	4	5	6	7	8	9	10	11	12	13
Источник шума: ИШ-1-11, координаты источника (x,y,z), м =[464.18,142.55,1.00]													
Уровни звуковой мощности источника днём, Lw, дБ		**исходные данные**	**0**	**93,3**	**94,7**	**96**	**96,3**	**95,9**	**92,6**	**88,4**	**83,9**		
Уровни звуковой мощности источника ночью, Lw, дБ		**исходные данные**	**0**	**93,3**	**94,7**	**96**	**96,3**	**95,9**	**92,6**	**88,4**	**83,9**		
Поправка на телесный угол DΩ, дБ	Ω = 6.28	10Lg(4π/Ω)	**3**	3	3	3	3	3	3	3	3		
Показатель направленности источника Di, дБ		исходные данные	**0**	0	0	0	0	0	0	0	0		
Поправка на направленность источника Dc, дБ	Dc	DΩ + Di	**3**	3	3	3	3	3	3	3	3		
Затухание из-за геометрической дивергенции, Adiv, дБ	расстояние = 411.74 м	ф-ла (7) [10]	**63,3**										
Коэффициент затухания звука в атмосфере α, дБ/км	Ta=20,°C Pa=101.33,кПа hотн.=70%	ф-ла (5) [9]	0,02	0,09	0,33	1,12	2,79	4,98	9,04	23,09	77,63		
Учет затухания звука в атмосфере Aatm, дБ		ф-ла (8) [10]	0	0	0,1	0,5	1,1	2	3,7	9,5	32		
Снижение уровня звукового давления из-за влияния застройки между источником шума и расчетной точкой													
Снижение уровня звукового давления на пути над экраном, Dz1, дБ	z = 0.37м (разность путей)	ф-лы (14-18) [10]	5	5,4	6,4	8,2	10,3	12,8	15,5	18,3	21,2		
Снижение уровня звукового давления на пути слева от экрана, Dz2, дБ	z = 12.02м (разность путей)	ф-лы (14-18) [10]	20,7	24,1	27,2	30,3	33,3	36,3	39,3	42,3	45,3		
Снижение уровня звукового давления на пути справа от экрана, Dz3, дБ	z = 112.02м (разность путей)	ф-лы (14-18) [10]	30,4	33,8	36,9	39,9	43	46	49	52	55		
Общее снижение уровня звука препятствием Dz, дБ		Эн.сумма(-Dzi)	4,9	5,4	6,4	8,1	10,3	12,8	15,4	18,3	21,2		
Уровни звукового давления прямого звука от источника ИШ-1-11 в расчётной точке днём, дБ		**ф-ла(3)[10]**	**0**	**27,6**	**27,9**	**27,1**	**24,6**	**20,8**	**13,1**	**0,3**	**0**	**25,7**	**25,7**
Уровни звукового давления прямого звука от источника ИШ-1-11 в расчётной точке ночью, дБ		**ф-ла(3)[10]**	**0**	**27,6**	**27,9**	**27,1**	**24,6**	**20,8**	**13,1**	**0,3**	**0**	**25,7**	**25,7**

1		2	3	4	5	6	7	8	9	10	11	12	13
Расчёт отражённого звука													
Уровни звукового давления от мнимого источника ИШ-1-11_мн.(1) в расчётной точке днём, дБ		**ф-ла(3)[10]**	**0**	**0**	**0**	**0**	**0**	**13**	**5**	**0**	**0**	**13,8**	**13,8**
Уровни звукового давления от мнимого источника ИШ-1-11_мн.(1) в расчётной точке ночью, дБ		**ф-ла(3)[10]**	**0**	**0**	**0**	**0**	**0**	**0**	**0**	**0**	**0**	**13,8**	**13,8**
Уровни звукового давления от источника ИШ-1-11 в расчётной точке днём, дБ		**ф-ла(3)[10]**	**0**	**27,6**	**27,9**	**27,1**	**24,6**	**21,5**	**13,8**	**0,3**	**0**	**26**	**26**
Уровни звукового давления от источника ИШ-1-11 в расчётной точке ночью, дБ		**ф-ла(3)[10]**	**0**	**27,6**	**27,9**	**27,1**	**24,6**	**21,5**	**13,8**	**0,3**	**0**	**26**	**26**
Источник шума: ИШ-1-12, координаты источника (x,y,z), м =[435.45,97.79,1.00]													
Уровни звуковой мощности источника днём, Lw, дБ		**исходные данные**	**0**	**93,3**	**94,7**	**96**	**96,3**	**95,9**	**92,6**	**88,4**	**83,9**		
Уровни звуковой мощности источника ночью, Lw, дБ		**исходные данные**	**0**	**93,3**	**94,7**	**96**	**96,3**	**95,9**	**92,6**	**88,4**	**83,9**		
Поправка на телесный угол DΩ, дБ	Ω = 6.28	10Lg(4π/Ω)	**3**	3	3	3	3	3	3	3	3		
Показатель направленности источника Di, дБ		исходные данные	**0**	0	0	0	0	0	0	0	0		
Поправка на направленность источника Dc, дБ	Dc	DΩ + Di	**3**	3	3	3	3	3	3	3	3		
Затухание из-за геометрической дивергенции, Adiv, дБ	расстояние = 358.63 м	ф-ла (7) [10]	**62,1**										
Коэффициент затухания звука в атмосфере α, дБ/км	Ta=20,°C Pa=101.33,кПа hотн.=70%	ф-ла (5) [9]	0,02	0,09	0,33	1,12	2,79	4,98	9,04	23,09	77,63		
Учет затухания звука в атмосфере Aatm, дБ		ф-ла (8) [10]	0	0	0,1	0,4	1	1,8	3,2	8,3	27,8		
Снижение уровня звукового давления из-за влияния застройки между источником шума и расчетной точкой													
Снижение уровня звукового давления на пути над экраном, Dz1, дБ	z = 0.64м (разность путей)	ф-лы (14-18) [10]	5,9	7,2	9,7	12,8	15,8	18,8	21,7	24,7	27,7		

1		2	3	4	5	6	7	8	9	10	11	12	13
Снижение уровня звукового давления на пути слева от экрана, Dz2, дБ	z = 15.39м (разность путей)	ф-лы (14-18) [10]	21,7	25,2	28,3	31,3	34,3	37,4	40,4	43,4	46,4		
Снижение уровня звукового давления на пути справа от экрана, Dz3, дБ	z = 206.59м (разность путей)	ф-лы (14-18) [10]	33	36,5	39,6	42,6	45,6	48,6	51,6	54,6	57,7		
Общее снижение уровня звука препятствием Dz, дБ		Эн.сумма(-Dzi)	5,8	7,1	9,6	12,8	15,8	18,7	21,7	24,6	27,6		
Общее снижение уровня звука препятствием с учётом ограничения (25 дБ) для октавных полос Dz, дБ		Раздел 7.4 [10]	5,8	7,1	9,6	12,8	15,8	18,7	21,7	24,6	25		
Уровни звукового давления от источника ИШ-1-12 в расчётной точке днём, дБ		**ф-ла(3)[10]**	**0**	**27**	**25,8**	**23,7**	**20,4**	**16,3**	**8,6**	**0**	**0**	**21,7**	**21,7**
Уровни звукового давления от источника ИШ-1-12 в расчётной точке ночью, дБ		**ф-ла(3)[10]**	**0**	**27**	**25,8**	**23,7**	**20,4**	**16,3**	**8,6**	**0**	**0**	**21,7**	**21,7**
Источник шума: ИШ-1-13, координаты источника (x,y,z), м =[438.77,96.82,1.00]													
Уровни звуковой мощности источника днём, Lw, дБ		**исходные данные**	**0**	**93,3**	**94,7**	**96**	**96,3**	**95,9**	**92,6**	**88,4**	**83,9**		
Уровни звуковой мощности источника ночью, Lw, дБ		**исходные данные**	**0**	**93,3**	**94,7**	**96**	**96,3**	**95,9**	**92,6**	**88,4**	**83,9**		
Поправка на телесный угол DΩ, дБ	Ω = 6.28	10Lg(4π/Ω)	**3**	3	3	3	3	3	3	3	3		
Показатель направленности источника Di, дБ		исходные данные	**0**	0	0	0	0	0	0	0	0		
Поправка на направленность источника Dc, дБ	Dc	DΩ + Di	**3**	3	3	3	3	3	3	3	3		
Затухание из-за геометрической дивергенции, Adiv, дБ	расстояние = 359.80 м	ф-ла (7) [10]	**62,1**										
Коэффициент затухания звука в атмосфере α, дБ/км	Ta=20,°C Pa=101.33,кПа hотн.=70%	ф-ла (5) [9]	0,02	0,09	0,33	1,12	2,79	4,98	9,04	23,09	77,63		
Учет затухания звука в атмосфере Aatm, дБ		ф-ла (8) [10]	0	0	0,1	0,4	1	1,8	3,3	8,3	27,9		
Снижение уровня звукового давления из-за влияния застройки между источником шума и расчетной точкой													

1		2	3	4	5	6	7	8	9	10	11	12	13
Снижение уровня звукового давления на пути над экраном, Dz1, дБ	z = 0.63м (разность путей)	ф-лы (14-18) [10]	5,9	7,2	9,7	12,8	15,8	18,7	21,7	24,6	27,6		
Снижение уровня звукового давления на пути слева от экрана, Dz2, дБ	z = 13.62м (разность путей)	ф-лы (14-18) [10]	21,2	24,7	27,8	30,8	33,8	36,8	39,8	42,8	45,9		
Снижение уровня звукового давления на пути справа от экрана, Dz3, дБ	z = 206.22м (разность путей)	ф-лы (14-18) [10]	33	36,5	39,5	42,6	45,6	48,6	51,6	54,6	57,7		
Общее снижение уровня звука препятствием Dz, дБ		Эн.сумма(-Dzi)	5,7	7,1	9,6	12,7	15,7	18,6	21,6	24,6	27,6		
Общее снижение уровня звука препятствием с учётом ограничения (25 дБ) для октавных полос Dz, дБ		Раздел 7.4 [10]	5,7	7,1	9,6	12,7	15,7	18,6	21,6	24,6	25		
Уровни звукового давления от источника ИШ-1-13 в расчётной точке днём, дБ		**ф-ла(3)[10]**	**0**	**27**	**25,9**	**23,8**	**20,5**	**16,3**	**8,6**	**0**	**0**	**21,7**	**21,7**
Уровни звукового давления от источника ИШ-1-13 в расчётной точке ночью, дБ		**ф-ла(3)[10]**	**0**	**27**	**25,9**	**23,8**	**20,5**	**16,3**	**8,6**	**0**	**0**	**21,7**	**21,7**
Источник шума: ИШ-1-14, координаты источника (x,y,z), м =[441.70,96.03,1.00]													
Уровни звуковой мощности источника днём, Lw, дБ		**исходные данные**	**0**	**93,3**	**94,7**	**96**	**96,3**	**95,9**	**92,6**	**88,4**	**83,9**		
Уровни звуковой мощности источника ночью, Lw, дБ		**исходные данные**	**0**	**93,3**	**94,7**	**96**	**96,3**	**95,9**	**92,6**	**88,4**	**83,9**		
Поправка на телесный угол DΩ, дБ	Ω = 6.28	10Lg(4π/Ω)	**3**	3	3	3	3	3	3	3	3		
Показатель направленности источника Di, дБ		исходные данные	**0**	0	0	0	0	0	0	0	0		
Поправка на направленность источника Dc, дБ	Dc	DΩ + Di	**3**	3	3	3	3	3	3	3	3		
Затухание из-за геометрической дивергенции, Adiv, дБ	расстояние = 360.92 м	ф-ла (7) [10]	**62,1**										
Коэффициент затухания звука в атмосфере α, дБ/км	Та=20,°С Ра=101.33,кПа hотн.=70%	ф-ла (5) [9]	0,02	0,09	0,33	1,12	2,79	4,98	9,04	23,09	77,63		
Учет затухания звука в атмосфере Aatm, дБ		ф-ла (8) [10]	0	0	0,1	0,4	1	1,8	3,3	8,3	28		

1		2	3	4	5	6	7	8	9	10	11	12	13
Снижение уровня звукового давления из-за влияния застройки между источником шума и расчетной точкой													
Снижение уровня звукового давления на пути над экраном, Dz1, дБ	z = 0.65м (разность путей)	ф-лы (14-18) [10]	6,9	8,9	11,3	13,9	16,7	19,5	22,5	25,5	28,5		
Снижение уровня звукового давления на пути слева от экрана, Dz2, дБ	z = 12.20м (разность путей)	ф-лы (14-18) [10]	20,8	24,2	27,3	30,3	33,3	36,3	39,4	42,4	45,4		
Снижение уровня звукового давления на пути справа от экрана, Dz3, дБ	z = 205.80м (разность путей)	ф-лы (14-18) [10]	33	36,4	39,5	42,6	45,6	48,6	51,6	54,6	57,6		
Общее снижение уровня звука препятствием Dz, дБ		Эн.сумма(-Dzi)	6,7	8,8	11,2	13,8	16,6	19,5	22,4	25,4	28,4		
Общее снижение уровня звука препятствием с учётом ограничения (25 дБ) для октавных полос Dz, дБ		Раздел 7.4 [10]	6,7	8,8	11,2	13,8	16,6	19,5	22,4	25	25		
Уровни звукового давления от источника ИШ-1-14 в расчётной точке днём, дБ		**ф-ла(3)[10]**	**0**	**25,3**	**24,2**	**22,6**	**19,6**	**15,5**	**7,8**	**0**	**0**	**20,8**	**20,8**
Уровни звукового давления от источника ИШ-1-14 в расчётной точке ночью, дБ		**ф-ла(3)[10]**	**0**	**25,3**	**24,2**	**22,6**	**19,6**	**15,5**	**7,8**	**0**	**0**	**20,8**	**20,8**
Источник шума: ИШ-1-15, координаты источника (x,y,z), м =[445.03,95.25,1.00]													
Уровни звуковой мощности источника днём, Lw, дБ		**исходные данные**	**0**	**93,3**	**94,7**	**96**	**96,3**	**95,9**	**92,6**	**88,4**	**83,9**		
Уровни звуковой мощности источника ночью, Lw, дБ		**исходные данные**	**0**	**93,3**	**94,7**	**96**	**96,3**	**95,9**	**92,6**	**88,4**	**83,9**		
Поправка на телесный угол DΩ, дБ	Ω = 6.28	10Lg(4π/Ω)	**3**	3	3	3	3	3	3	3	3		
Показатель направленности источника Di, дБ		исходные данные	**0**	0	0	0	0	0	0	0	0		
Поправка на направленность источника Dc, дБ	Dc	DΩ + Di	**3**	3	3	3	3	3	3	3	3		
Затухание из-за геометрической дивергенции, Adiv, дБ	расстояние = 362.30 м	ф-ла (7) [10]	**62,2**										
Коэффициент затухания звука в атмосфере α, дБ/км	Ta=20,°C Pa=101.33,кПа hотн.=70%	ф-ла (5) [9]	0,02	0,09	0,33	1,12	2,79	4,98	9,04	23,09	77,63		

1		2	3	4	5	6	7	8	9	10	11	12	13
Учет затухания звука в атмосфере Aatm, дБ		ф-ла (8) [10]	0	0	0,1	0,4	1	1,8	3,3	8,4	28,1		
Снижение уровня звукового давления из-за влияния застройки между источником шума и расчетной точкой													
Снижение уровня звукового давления на пути над экраном, Dz1, дБ	z = 0.65м (разность путей)	ф-лы (14-18) [10]	6,9	9	11,3	13,9	16,7	19,6	22,5	25,5	28,5		
Снижение уровня звукового давления на пути слева от экрана, Dz2, дБ	z = 10.74м (разность путей)	ф-лы (14-18) [10]	20,2	23,6	26,7	29,8	32,8	35,8	38,8	41,8	44,8		
Снижение уровня звукового давления на пути справа от экрана, Dz3, дБ	z = 205.21м (разность путей)	ф-лы (14-18) [10]	33	36,4	39,5	42,6	45,6	48,6	51,6	54,6	57,6		
Общее снижение уровня звука препятствием Dz, дБ		Эн.сумма(-Dzi)	6,7	8,8	11,2	13,8	16,6	19,4	22,4	25,4	28,4		
Общее снижение уровня звука препятствием с учётом ограничения (25 дБ) для октавных полос Dz, дБ		Раздел 7.4 [10]	6,7	8,8	11,2	13,8	16,6	19,4	22,4	25	25		
Уровни звукового давления от источника ИШ-1-15 в расчётной точке днём, дБ		**ф-ла(3)[10]**	**0**	**25,3**	**24,2**	**22,6**	**19,5**	**15,5**	**7,7**	**0**	**0**	**20,7**	**20,7**
Уровни звукового давления от источника ИШ-1-15 в расчётной точке ночью, дБ		**ф-ла(3)[10]**	**0**	**25,3**	**24,2**	**22,6**	**19,5**	**15,5**	**7,7**	**0**	**0**	**20,7**	**20,7**
Источник шума: ИШ-1-16, координаты источника (x,y,z), м =[447.96,94.28,1.00]													
Уровни звуковой мощности источника днём, Lw, дБ		**исходные данные**	**0**	**93,3**	**94,7**	**96**	**96,3**	**95,9**	**92,6**	**88,4**	**83,9**		
Уровни звуковой мощности источника ночью, Lw, дБ		**исходные данные**	**0**	**93,3**	**94,7**	**96**	**96,3**	**95,9**	**92,6**	**88,4**	**83,9**		
Поправка на телесный угол DΩ, дБ	Ω = 6.28	10Lg(4π/Ω)	**3**	3	3	3	3	3	3	3	3		
Показатель направленности источника Di, дБ		исходные данные	**0**	0	0	0	0	0	0	0	0		
Поправка на направленность источника Dc, дБ	Dc	DΩ + Di	**3**	3	3	3	3	3	3	3	3		
Затухание из-за геометрической дивергенции, Adiv, дБ	расстояние = 363.32 м	ф-ла (7) [10]	**62,2**										

1		2	3	4	5	6	7	8	9	10	11	12	13
Коэффициент затухания звука в атмосфере α, дБ/км	Та=20,°С Ра=101.33,кПа hотн.=70%	ф-ла (5) [9]	0,02	0,09	0,33	1,12	2,79	4,98	9,04	23,09	77,63		
Учет затухания звука в атмосфере Aatm, дБ		ф-ла (8) [10]	0	0	0,1	0,4	1	1,8	3,3	8,4	28,2		
Снижение уровня звукового давления из-за влияния застройки между источником шума и расчетной точкой													
Снижение уровня звукового давления на пути над экраном, Dz1, дБ	z = 0.65м (разность путей)	ф-лы (14-18) [10]	7	9	11,4	14	16,7	19,6	22,5	25,5	28,5		
Снижение уровня звукового давления на пути слева от экрана, Dz2, дБ	z = 9.54м (разность путей)	ф-лы (14-18) [10]	19,7	23,1	26,2	29,3	32,3	35,3	38,3	41,3	44,3		
Снижение уровня звукового давления на пути справа от экрана, Dz3, дБ	z = 205.27м (разность путей)	ф-лы (14-18) [10]	33	36,4	39,5	42,6	45,6	48,6	51,6	54,6	57,6		
Общее снижение уровня звука препятствием Dz, дБ		Эн.сумма(-Dzi)	6,7	8,8	11,2	13,8	16,6	19,5	22,4	25,4	28,4		
Общее снижение уровня звука препятствием с учётом ограничения (25 дБ) для октавных полос Dz, дБ		Раздел 7.4 [10]	6,7	8,8	11,2	13,8	16,6	19,5	22,4	25	25		
Уровни звукового давления от источника ИШ-1-16 в расчётной точке днём, дБ		**ф-ла(3)[10]**	**0**	**25,2**	**24,2**	**22,6**	**19,5**	**15,4**	**7,7**	**0**	**0**	**20,7**	**20,7**
Уровни звукового давления от источника ИШ-1-16 в расчётной точке ночью, дБ		**ф-ла(3)[10]**	**0**	**25,2**	**24,2**	**22,6**	**19,5**	**15,4**	**7,7**	**0**	**0**	**20,7**	**20,7**
Источник шума: ИШ-1-17, координаты источника (x,y,z), м =[540.99,141.77,1.00]													
Уровни звуковой мощности источника днём, Lw, дБ		**исходные данные**	**0**	**93,3**	**94,7**	**96**	**96,3**	**95,9**	**92,6**	**88,4**	**83,9**		
Уровни звуковой мощности источника ночью, Lw, дБ		**исходные данные**	**0**	**93,3**	**94,7**	**96**	**96,3**	**95,9**	**92,6**	**88,4**	**83,9**		
Поправка на телесный угол DΩ, дБ	Ω = 6.28	10Lg(4π/Ω)	**3**	3	3	3	3	3	3	3	3		
Показатель направленности источника Di, дБ		исходные данные	**0**	0	0	0	0	0	0	0	0		
Поправка на направленность источника Dc, дБ	Dc	DΩ + Di	**3**	3	3	3	3	3	3	3	3		

1		2	3	4	5	6	7	8	9	10	11	12	13
Затухание из-за геометрической дивергенции, Adiv, дБ	расстояние = 460.02 м	ф-ла (7) [10]	**64,3**										
Коэффициент затухания звука в атмосфере α, дБ/км	Ta=20,°C Pa=101.33,кПа hотн.=70%	ф-ла (5) [9]	0,02	0,09	0,33	1,12	2,79	4,98	9,04	23,09	77,63		
Учет затухания звука в атмосфере Aatm, дБ		ф-ла (8) [10]	0	0	0,2	0,5	1,3	2,3	4,2	10,6	35,7		
Снижение уровня звукового давления из-за влияния застройки между источником шума и расчетной точкой													
Снижение уровня звукового давления на пути над экраном, Dz1, дБ	z = 0.72м (разность путей)	ф-лы (14-18) [10]	7,8	9,8	12	14,6	17,4	20,3	23,3	26,3	29,2		
Снижение уровня звукового давления на пути слева от экрана, Dz2, дБ	z = 3.73м (разность путей)	ф-лы (14-18) [10]	16,1	19,2	22,2	25,2	28,2	31,2	34,2	37,2	40,2		
Снижение уровня звукового давления на пути справа от экрана, Dz3, дБ	z = 82.23м (разность путей)	ф-лы (14-18) [10]	29,2	32,5	35,6	38,6	41,6	44,6	47,6	50,6	53,7		
Общее снижение уровня звука препятствием Dz, дБ		Эн.сумма(-Dzi)	7,2	9,3	11,6	14,3	17,1	20	22,9	25,9	28,9		
Общее снижение уровня звука препятствием с учётом ограничения (25 дБ) для октавных полос Dz, дБ		Раздел 7.4 [10]	7,2	9,3	11,6	14,3	17,1	20	22,9	25	25		
Уровни звукового давления от источника ИШ-1-17 в расчётной точке днём, дБ		**ф-ла(3)[10]**	**0**	**22,7**	**21,7**	**20**	**16,7**	**12,4**	**4,3**	**0**	**0**	**17,8**	**17,8**
Уровни звукового давления от источника ИШ-1-17 в расчётной точке ночью, дБ		**ф-ла(3)[10]**	**0**	**22,7**	**21,7**	**20**	**16,7**	**12,4**	**4,3**	**0**	**0**	**17,8**	**17,8**
Источник шума: ИШ-1-18, координаты источника (x,y,z), м =[543.53,140.79,1.00]													
Уровни звуковой мощности источника днём, Lw, дБ		**исходные данные**	**0**	**93,3**	**94,7**	**96**	**96,3**	**95,9**	**92,6**	**88,4**	**83,9**		
Уровни звуковой мощности источника ночью, Lw, дБ		**исходные данные**	**0**	**93,3**	**94,7**	**96**	**96,3**	**95,9**	**92,6**	**88,4**	**83,9**		
Поправка на телесный угол DΩ, дБ	Ω = 6.28	10Lg(4π/Ω)	**3**	3	3	3	3	3	3	3	3		
Показатель направленности источника Di, дБ		исходные данные	**0**	0	0	0	0	0	0	0	0		

1		2	3	4	5	6	7	8	9	10	11	12	13
Поправка на направленность источника Dc, дБ	Dc	DΩ + Di	**3**	3	3	3	3	3	3	3	3		
Затухание из-за геометрической дивергенции, Adiv, дБ	расстояние = 461.07 м	ф-ла (7) [10]	**64,3**										
Коэффициент затухания звука в атмосфере α, дБ/км	Ta=20,°C Pa=101.33,кПа hотн.=70%	ф-ла (5) [9]	0,02	0,09	0,33	1,12	2,79	4,98	9,04	23,09	77,63		
Учет затухания звука в атмосфере Aatm, дБ		ф-ла (8) [10]	0	0	0,2	0,5	1,3	2,3	4,2	10,6	35,8		
Снижение уровня звукового давления из-за влияния застройки между источником шума и расчетной точкой													
Снижение уровня звукового давления на пути над экраном, Dz1, дБ	z = 0.66м (разность путей)	ф-лы (14-18) [10]	7,5	9,3	11,5	14,1	16,8	19,7	22,6	25,6	28,6		
Снижение уровня звукового давления на пути слева от экрана, Dz2, дБ	z = 3.28м (разность путей)	ф-лы (14-18) [10]	15,6	18,7	21,7	24,7	27,6	30,7	33,7	36,7	39,7		
Снижение уровня звукового давления на пути справа от экрана, Dz3, дБ	z = 83.21м (разность путей)	ф-лы (14-18) [10]	29,3	32,6	35,6	38,7	41,7	44,7	47,7	50,7	53,7		
Общее снижение уровня звука препятствием Dz, дБ		Эн.сумма(-Dzi)	6,8	8,8	11,1	13,7	16,5	19,3	22,3	25,3	28,3		
Общее снижение уровня звука препятствием с учётом ограничения (25 дБ) для октавных полос Dz, дБ		Раздел 7.4 [10]	6,8	8,8	11,1	13,7	16,5	19,3	22,3	25	25		
Уровни звукового давления от источника ИШ-1-18 в расчётной точке днём, дБ		**ф-ла(3)[10]**	**0**	**23,2**	**22,2**	**20,5**	**17,3**	**13**	**4,9**	**0**	**0**	**18,4**	**18,4**
Уровни звукового давления от источника ИШ-1-18 в расчётной точке ночью, дБ		**ф-ла(3)[10]**	**0**	**23,2**	**22,2**	**20,5**	**17,3**	**13**	**4,9**	**0**	**0**	**18,4**	**18,4**
Источник шума: ИШ-1-19, координаты источника (x,y,z), м =[547.25,139.62,1.00]													
Уровни звуковой мощности источника днём, Lw, дБ		**исходные данные**	**0**	**93,3**	**94,7**	**96**	**96,3**	**95,9**	**92,6**	**88,4**	**83,9**		
Уровни звуковой мощности источника ночью, Lw, дБ		**исходные данные**	**0**	**93,3**	**94,7**	**96**	**96,3**	**95,9**	**92,6**	**88,4**	**83,9**		
Поправка на телесный угол DΩ, дБ	Ω = 6.28	10Lg(4π/Ω)	**3**	3	3	3	3	3	3	3	3		

1		2	3	4	5	6	7	8	9	10	11	12	13
Показатель направленности источника Di, дБ		исходные данные	**0**	0	0	0	0	0	0	0	0		
Поправка на направленность источника Dc, дБ	Dc	DΩ + Di	**3**	3	3	3	3	3	3	3	3		
Затухание из-за геометрической дивергенции, Adiv, дБ	расстояние = 462.79 м	ф-ла (7) [10]	**64,3**										
Коэффициент затухания звука в атмосфере α, дБ/км	Ta=20,°C Pa=101.33,кПа hотн.=70%	ф-ла (5) [9]	0,02	0,09	0,33	1,12	2,79	4,98	9,04	23,09	77,63		
Учет затухания звука в атмосфере Aatm, дБ		ф-ла (8) [10]	0	0	0,2	0,5	1,3	2,3	4,2	10,7	35,9		
Снижение уровня звукового давления из-за влияния застройки между источником шума и расчетной точкой													
Снижение уровня звукового давления на пути над экраном, Dz1, дБ	z = 0.60м (разность путей)	ф-лы (14-18) [10]	7,1	8,8	10,9	13,3	16	18,9	21,8	24,8	27,7		
Снижение уровня звукового давления на пути слева от экрана, Dz2, дБ	z = 2.74м (разность путей)	ф-лы (14-18) [10]	14,8	17,9	20,9	23,9	26,9	29,9	32,9	35,9	38,9		
Снижение уровня звукового давления на пути справа от экрана, Dz3, дБ	z = 84.35м (разность путей)	ф-лы (14-18) [10]	29,3	32,6	35,7	38,7	41,7	44,7	47,7	50,8	53,8		
Общее снижение уровня звука препятствием Dz, дБ		Эн.сумма(-Dzi)	6,4	8,3	10,4	12,9	15,7	18,5	21,5	24,4	27,4		
Общее снижение уровня звука препятствием с учётом ограничения (25 дБ) для октавных полос Dz, дБ		Раздел 7.4 [10]	6,4	8,3	10,4	12,9	15,7	18,5	21,5	24,4	25		
Уровни звукового давления от источника ИШ-1-19 в расчётной точке днём, дБ		**ф-ла(3)[10]**	**0**	**23,7**	**22,8**	**21,2**	**18**	**13,8**	**5,6**	**0**	**0**	**19,2**	**19,2**
Уровни звукового давления от источника ИШ-1-19 в расчётной точке ночью, дБ		**ф-ла(3)[10]**	**0**	**23,7**	**22,8**	**21,2**	**18**	**13,8**	**5,6**	**0**	**0**	**19,2**	**19,2**
Источник шума: ИШ-1-20, координаты источника (x,y,z), м =[550.38,138.64,1.00]													
Уровни звуковой мощности источника днём, Lw, дБ		**исходные данные**	**0**	**93,3**	**94,7**	**96**	**96,3**	**95,9**	**92,6**	**88,4**	**83,9**		
Уровни звуковой мощности источника ночью, Lw, дБ		**исходные данные**	**0**	**93,3**	**94,7**	**96**	**96,3**	**95,9**	**92,6**	**88,4**	**83,9**		

1		2	3	4	5	6	7	8	9	10	11	12	13
Поправка на телесный угол DΩ, дБ	Ω = 6.28	10Lg(4π/Ω)	**3**	3	3	3	3	3	3	3	3		
Показатель направленности источника Di, дБ		исходные данные	**0**	0	0	0	0	0	0	0	0		
Поправка на направленность источника Dc, дБ	Dc	DΩ + Di	**3**	3	3	3	3	3	3	3	3		
Затухание из-за геометрической дивергенции, Adiv, дБ	расстояние = 464.28 м	ф-ла (7) [10]	**64,3**										
Коэффициент затухания звука в атмосфере α, дБ/км	Ta=20,°C Pa=101.33,кПа hотн.=70%	ф-ла (5) [9]	0,02	0,09	0,33	1,12	2,79	4,98	9,04	23,09	77,63		
Учет затухания звука в атмосфере Aatm, дБ		ф-ла (8) [10]	0	0	0,2	0,5	1,3	2,3	4,2	10,7	36		
Снижение уровня звукового давления из-за влияния застройки между источником шума и расчетной точкой													
Снижение уровня звукового давления на пути над экраном, Dz1, дБ	z = 0.56м (разность путей)	ф-лы (14-18) [10]	6,8	8,4	10,4	12,7	15,4	18,2	21,1	24,1	27,1		
Снижение уровня звукового давления на пути слева от экрана, Dz2, дБ	z = 2.36м (разность путей)	ф-лы (14-18) [10]	14,3	17,3	20,3	23,2	26,2	29,2	32,2	35,2	38,2		
Снижение уровня звукового давления на пути справа от экрана, Dz3, дБ	z = 85.39м (разность путей)	ф-лы (14-18) [10]	29,4	32,7	35,7	38,8	41,8	44,8	47,8	50,8	53,8		
Общее снижение уровня звука препятствием Dz, дБ		Эн.сумма(-Dzi)	6,1	7,8	9,9	12,4	15	17,9	20,8	23,8	26,7		
Общее снижение уровня звука препятствием с учётом ограничения (25 дБ) для октавных полос Dz, дБ		Раздел 7.4 [10]	6,1	7,8	9,9	12,4	15	17,9	20,8	23,8	25		
Уровни звукового давления от источника ИШ-1-20 в расчётной точке днём, дБ		**ф-ла(3)[10]**	**0**	**24,1**	**23,3**	**21,8**	**18,6**	**14,4**	**6,3**	**0**	**0**	**19,7**	**19,7**
Уровни звукового давления от источника ИШ-1-20 в расчётной точке ночью, дБ		**ф-ла(3)[10]**	**0**	**24,1**	**23,3**	**21,8**	**18,6**	**14,4**	**6,3**	**0**	**0**	**19,7**	**19,7**
Источник шума: ИШ-1-21, координаты источника (x,y,z), м =[553.31,137.67,1.00]													
Уровни звуковой мощности источника днём, Lw, дБ		**исходные данные**	**0**	**93,3**	**94,7**	**96**	**96,3**	**95,9**	**92,6**	**88,4**	**83,9**		

1		2	3	4	5	6	7	8	9	10	11	12	13
Уровни звуковой мощности источника ночью, Lw, дБ		**исходные данные**	**0**	**93,3**	**94,7**	**96**	**96,3**	**95,9**	**92,6**	**88,4**	**83,9**		
Поправка на телесный угол DΩ, дБ	Ω = 6.28	10Lg(4π/Ω)	**3**	3	3	3	3	3	3	3	3		
Показатель направленности источника Di, дБ		исходные данные	**0**	0	0	0	0	0	0	0	0		
Поправка на направленность источника Dc, дБ	Dc	DΩ + Di	**3**	3	3	3	3	3	3	3	3		
Затухание из-за геометрической дивергенции, Adiv, дБ	расстояние = 465.64 м	ф-ла (7) [10]	**64,4**										
Коэффициент затухания звука в атмосфере α, дБ/км	Ta=20,°C Pa=101.33,кПа hотн.=70%	ф-ла (5) [9]	0,02	0,09	0,33	1,12	2,79	4,98	9,04	23,09	77,63		
Учет затухания звука в атмосфере Aatm, дБ		ф-ла (8) [10]	0	0	0,2	0,5	1,3	2,3	4,2	10,7	36,1		
Снижение уровня звукового давления из-за влияния застройки между источником шума и расчетной точкой													
Снижение уровня звукового давления на пути над экраном, Dz1, дБ	z = 0.53м (разность путей)	ф-лы (14-18) [10]	6,6	8,1	9,9	12,2	14,9	17,7	20,5	23,5	26,5		
Снижение уровня звукового давления на пути слева от экрана, Dz2, дБ	z = 2.06м (разность путей)	ф-лы (14-18) [10]	13,7	16,8	19,7	22,7	25,6	28,6	31,6	34,6	37,7		
Снижение уровня звукового давления на пути справа от экрана, Dz3, дБ	z = 86.52м (разность путей)	ф-лы (14-18) [10]	29,4	32,7	35,8	38,8	41,8	44,8	47,9	50,9	53,9		
Общее снижение уровня звука препятствием Dz, дБ		Эн.сумма(-Dzi)	5,8	7,5	9,5	11,9	14,5	17,3	20,2	23,2	26,2		
Общее снижение уровня звука препятствием с учётом ограничения (25 дБ) для октавных полос Dz, дБ		Раздел 7.4 [10]	5,8	7,5	9,5	11,9	14,5	17,3	20,2	23,2	25		
Уровни звукового давления от источника ИШ-1-21 в расчётной точке днём, дБ		**ф-ла(3)[10]**	**0**	**24,4**	**23,7**	**22,2**	**19,1**	**14,9**	**6,8**	**0**	**0**	**20,3**	**20,3**
Уровни звукового давления от источника ИШ-1-21 в расчётной точке ночью, дБ		**ф-ла(3)[10]**	**0**	**24,4**	**23,7**	**22,2**	**19,1**	**14,9**	**6,8**	**0**	**0**	**20,3**	**20,3**

Источник шума: ИШ-1-22, координаты источника (x,y,z), м =[522.03,85.28,1.00]

1		2	3	4	5	6	7	8	9	10	11	12	13
Уровни звуковой мощности источника днём, Lw, дБ		**исходные данные**	**0**	**93,3**	**94,7**	**96**	**96,3**	**95,9**	**92,6**	**88,4**	**83,9**		
Уровни звуковой мощности источника ночью, Lw, дБ		**исходные данные**	**0**	**93,3**	**94,7**	**96**	**96,3**	**95,9**	**92,6**	**88,4**	**83,9**		
Поправка на телесный угол DΩ, дБ	Ω = 6.28	10Lg(4π/Ω)	**3**	3	3	3	3	3	3	3	3		
Показатель направленности источника Di, дБ		исходные данные	**0**	0	0	0	0	0	0	0	0		
Поправка на направленность источника Dc, дБ	Dc	DΩ + Di	**3**	3	3	3	3	3	3	3	3		
Затухание из-за геометрической дивергенции, Adiv, дБ	расстояние = 406.71 м	ф-ла (7) [10]	**63,2**										
Коэффициент затухания звука в атмосфере α, дБ/км	Ta=20,°C Pa=101.33,кПа hотн.=70%	ф-ла (5) [9]	0,02	0,09	0,33	1,12	2,79	4,98	9,04	23,09	77,63		
Учет затухания звука в атмосфере Aatm, дБ		ф-ла (8) [10]	0	0	0,1	0,5	1,1	2	3,7	9,4	31,6		
Снижение уровня звукового давления из-за влияния застройки между источником шума и расчетной точкой													
Снижение уровня звукового давления на пути над экраном, Dz1, дБ	z = 0.27м (разность путей)	ф-лы (14-18) [10]	4,9	5,2	5,9	6,9	8,5	10,5	12,9	15,6	18,4		
Снижение уровня звукового давления на пути слева от экрана, Dz2, дБ	z = 1.17м (разность путей)	ф-лы (14-18) [10]	8,6	10,7	13	15,7	18,5	21,5	24,4	27,4	30,4		
Снижение уровня звукового давления на пути справа от экрана, Dz3, дБ	z = 188.35м (разность путей)	ф-лы (14-18) [10]	32,8	36,1	39,2	42,2	45,2	48,2	51,2	54,2	57,3		
Общее снижение уровня звука препятствием Dz, дБ		Эн.сумма(-Dzi)	3,4	4,1	5,1	6,4	8,1	10,2	12,6	15,3	18,1		
Уровни звукового давления прямого звука от источника ИШ-1-22 в расчётной точке днём, дБ		**ф-ла(3)[10]**	**0**	**29**	**29,3**	**28,9**	**26,9**	**23,5**	**16,1**	**3,5**	**0**	**28,1**	**28,1**
Уровни звукового давления прямого звука от источника ИШ-1-22 в расчётной точке ночью, дБ		**ф-ла(3)[10]**	**0**	**29**	**29,3**	**28,9**	**26,9**	**23,5**	**16,1**	**3,5**	**0**	**28,1**	**28,1**
Расчёт отражённого звука													
Уровни звукового давления от мнимого источника ИШ-1-22_мн.(1) в расчётной точке днём, дБ		**ф-ла(3)[10]**	**0**	**0**	**0**	**0**	**0**	**0**	**0**	**0**	**0**	**0**	**0**

1		2	3	4	5	6	7	8	9	10	11	12	13
Уровни звукового давления от мнимого источника ИШ-1-22_мн.(1) в расчётной точке ночью, дБ		**ф-ла(3)[10]**	**0**	**0**	**0**	**0**	**0**	**0**	**0**	**0**	**0**	**0**	**0**
Уровни звукового давления от источника ИШ-1-22 в расчётной точке днём, дБ		**ф-ла(3)[10]**	**0**	**29**	**29,3**	**28,9**	**26,9**	**23,5**	**16,1**	**3,5**	**0**	**28,1**	**28,1**
Уровни звукового давления от источника ИШ-1-22 в расчётной точке ночью, дБ		**ф-ла(3)[10]**	**0**	**29**	**29,3**	**28,9**	**26,9**	**23,5**	**16,1**	**3,5**	**0**	**28,1**	**28,1**
Источник шума: ИШ-1-23, координаты источника (x,y,z), м =[525.16,84.11,1.00]													
Уровни звуковой мощности источника днём, Lw, дБ		**исходные данные**	**0**	**93,3**	**94,7**	**96**	**96,3**	**95,9**	**92,6**	**88,4**	**83,9**		
Уровни звуковой мощности источника ночью, Lw, дБ		**исходные данные**	**0**	**93,3**	**94,7**	**96**	**96,3**	**95,9**	**92,6**	**88,4**	**83,9**		
Поправка на телесный угол DΩ, дБ	Ω = 6.28	10Lg(4π/Ω)	**3**	3	3	3	3	3	3	3	3		
Показатель направленности источника Di, дБ		исходные данные	**0**	0	0	0	0	0	0	0	0		
Поправка на направленность источника Dc, дБ	Dc	DΩ + Di	**3**	3	3	3	3	3	3	3	3		
Затухание из-за геометрической дивергенции, Adiv, дБ	расстояние = 408.20 м	ф-ла (7) [10]	**63,2**										
Коэффициент затухания звука в атмосфере α, дБ/км	Ta=20,°C Pa=101.33,кПа hотн.=70%	ф-ла (5) [9]	0,02	0,09	0,33	1,12	2,79	4,98	9,04	23,09	77,63		
Учет затухания звука в атмосфере Aatm, дБ		ф-ла (8) [10]	0	0	0,1	0,5	1,1	2	3,7	9,4	31,7		
Снижение уровня звукового давления из-за влияния застройки между источником шума и расчетной точкой													
Снижение уровня звукового давления на пути над экраном, Dz1, дБ	z = 0.27м (разность путей)	ф-лы (14-18) [10]	4,9	5,2	5,8	6,9	8,4	10,4	12,8	15,5	18,3		
Снижение уровня звукового давления на пути слева от экрана, Dz2, дБ	z = 1.01м (разность путей)	ф-лы (14-18) [10]	8,3	10,2	12,5	15,2	18	20,9	23,8	26,8	29,8		
Снижение уровня звукового давления на пути справа от экрана, Dz3, дБ	z = 188.00м (разность путей)	ф-лы (14-18) [10]	32,8	36,1	39,2	42,2	45,2	48,2	51,2	54,2	57,2		

1		2	3	4	5	6	7	8	9	10	11	12	13
Общее снижение уровня звука препятствием Dz, дБ		Эн.сумма(-Dzi)	3,3	4	5	6,3	8	10,1	12,5	15,2	18		
Уровни звукового давления от источника ИШ-1-23 в расчётной точке днём, дБ		**ф-ла(3)[10]**	**0**	**29**	**29,4**	**29**	**26,9**	**23,6**	**16,2**	**3,6**	**0**	**28,2**	**28,2**
Уровни звукового давления от источника ИШ-1-23 в расчётной точке ночью, дБ		**ф-ла(3)[10]**	**0**	**29**	**29,4**	**29**	**26,9**	**23,6**	**16,2**	**3,6**	**0**	**28,2**	**28,2**
Источник шума: ИШ-1-24, координаты источника (x,y,z), м =[528.48,82.94,1.00]													
Уровни звуковой мощности источника днём, Lw, дБ		**исходные данные**	**0**	**93,3**	**94,7**	**96**	**96,3**	**95,9**	**92,6**	**88,4**	**83,9**		
Уровни звуковой мощности источника ночью, Lw, дБ		**исходные данные**	**0**	**93,3**	**94,7**	**96**	**96,3**	**95,9**	**92,6**	**88,4**	**83,9**		
Поправка на телесный угол DΩ, дБ	Ω = 6.28	10Lg(4π/Ω)	**3**	3	3	3	3	3	3	3	3		
Показатель направленности источника Di, дБ		исходные данные	**0**	0	0	0	0	0	0	0	0		
Поправка на направленность источника Dc, дБ	Dc	DΩ + Di	**3**	3	3	3	3	3	3	3	3		
Затухание из-за геометрической дивергенции, Adiv, дБ	расстояние = 409.86 м	ф-ла (7) [10]	**63,3**										
Коэффициент затухания звука в атмосфере α, дБ/км	Ta=20,°C Pa=101.33,кПа hотн.=70%	ф-ла (5) [9]	0,02	0,09	0,33	1,12	2,79	4,98	9,04	23,09	77,63		
Учет затухания звука в атмосфере Aatm, дБ		ф-ла (8) [10]	0	0	0,1	0,5	1,1	2	3,7	9,5	31,8		
Снижение уровня звукового давления из-за влияния застройки между источником шума и расчетной точкой													
Снижение уровня звукового давления на пути над экраном, Dz1, дБ	z = 0.26м (разность путей)	ф-лы (14-18) [10]	4,9	5,2	5,8	6,9	8,4	10,4	12,8	15,4	18,2		
Снижение уровня звукового давления на пути слева от экрана, Dz2, дБ	z = 0.87м (разность путей)	ф-лы (14-18) [10]	7,9	9,7	12	14,6	17,3	20,2	23,2	26,1	29,1		
Снижение уровня звукового давления на пути справа от экрана, Dz3, дБ	z = 187.60м (разность путей)	ф-лы (14-18) [10]	32,8	36,1	39,2	42,2	45,2	48,2	51,2	54,2	57,2		

1		2	3	4	5	6	7	8	9	10	11	12	13
Общее снижение уровня звука препятствием Dz, дБ		Эн.сумма(-Dzi)	3,2	3,9	4,9	6,2	7,9	10	12,4	15,1	17,9		
Уровни звукового давления от источника ИШ-1-24 в расчётной точке днём, дБ		**ф-ла(3)[10]**	**0**	**29,1**	**29,4**	**29,1**	**27**	**23,6**	**16,2**	**3,6**	**0**	**28,2**	**28,2**
Уровни звукового давления от источника ИШ-1-24 в расчётной точке ночью, дБ		**ф-ла(3)[10]**	**0**	**29,1**	**29,4**	**29,1**	**27**	**23,6**	**16,2**	**3,6**	**0**	**28,2**	**28,2**
Источник шума: ИШ-1-25, координаты источника (x,y,z), м =[531.22,82.16,1.00]													
Уровни звуковой мощности источника днём, Lw, дБ		**исходные данные**	**0**	**93,3**	**94,7**	**96**	**96,3**	**95,9**	**92,6**	**88,4**	**83,9**		
Уровни звуковой мощности источника ночью, Lw, дБ		**исходные данные**	**0**	**93,3**	**94,7**	**96**	**96,3**	**95,9**	**92,6**	**88,4**	**83,9**		
Поправка на телесный угол DΩ, дБ	Ω = 6.28	10Lg(4π/Ω)	**3**	3	3	3	3	3	3	3	3		
Показатель направленности источника Di, дБ		исходные данные	**0**	0	0	0	0	0	0	0	0		
Поправка на направленность источника Dc, дБ	Dc	DΩ + Di	**3**	3	3	3	3	3	3	3	3		
Затухание из-за геометрической дивергенции, Adiv, дБ	расстояние = 411.37 м	ф-ла (7) [10]	**63,3**										
Коэффициент затухания звука в атмосфере α, дБ/км	Ta=20,°C Pa=101.33,кПа hотн.=70%	ф-ла (5) [9]	0,02	0,09	0,33	1,12	2,79	4,98	9,04	23,09	77,63		
Учет затухания звука в атмосфере Aatm, дБ		ф-ла (8) [10]	0	0	0,1	0,5	1,1	2	3,7	9,5	31,9		
Снижение уровня звукового давления из-за влияния застройки между источником шума и расчетной точкой													
Снижение уровня звукового давления на пути над экраном, Dz1, дБ	z = 0.26м (разность путей)	ф-лы (14-18) [10]	4,9	5,2	5,8	6,9	8,4	10,3	12,7	15,4	18,2		
Снижение уровня звукового давления на пути слева от экрана, Dz2, дБ	z = 0.76м (разность путей)	ф-лы (14-18) [10]	7,7	9,4	11,5	14,1	16,8	19,7	22,6	25,6	28,6		
Снижение уровня звукового давления на пути справа от экрана, Dz3, дБ	z = 187.03м (разность путей)	ф-лы (14-18) [10]	32,8	36,1	39,1	42,2	45,2	48,2	51,2	54,2	57,2		

1		2	3	4	5	6	7	8	9	10	11	12	13
Общее снижение уровня звука препятствием Dz, дБ		Эн.сумма(-Dzi)	3,1	3,8	4,8	6,1	7,8	9,9	12,3	15	17,8		
Уровни звукового давления от источника ИШ-1-25 в расчётной точке днём, дБ		**ф-ла(3)[10]**	**0**	**29,2**	**29,5**	**29,2**	**27,1**	**23,7**	**16,3**	**3,6**	**0**	**28,3**	**28,3**
Уровни звукового давления от источника ИШ-1-25 в расчётной точке ночью, дБ		**ф-ла(3)[10]**	**0**	**29,2**	**29,5**	**29,2**	**27,1**	**23,7**	**16,3**	**3,6**	**0**	**28,3**	**28,3**
Источник шума: ИШ-1-26, координаты источника (x,y,z), м =[534.15,80.79,1.00]													
Уровни звуковой мощности источника днём, Lw, дБ		**исходные данные**	**0**	**93,3**	**94,7**	**96**	**96,3**	**95,9**	**92,6**	**88,4**	**83,9**		
Уровни звуковой мощности источника ночью, Lw, дБ		**исходные данные**	**0**	**93,3**	**94,7**	**96**	**96,3**	**95,9**	**92,6**	**88,4**	**83,9**		
Поправка на телесный угол DΩ, дБ	Ω = 6.28	10Lg(4π/Ω)	**3**	3	3	3	3	3	3	3	3		
Показатель направленности источника Di, дБ		исходные данные	**0**	0	0	0	0	0	0	0	0		
Поправка на направленность источника Dc, дБ	Dc	DΩ + Di	**3**	3	3	3	3	3	3	3	3		
Затухание из-за геометрической дивергенции, Adiv, дБ	расстояние = 412.64 м	ф-ла (7) [10]	**63,3**										
Коэффициент затухания звука в атмосфере α, дБ/км	Ta=20,°C Pa=101.33,кПа hотн.=70%	ф-ла (5) [9]	0,02	0,09	0,33	1,12	2,79	4,98	9,04	23,09	77,63		
Учет затухания звука в атмосфере Aatm, дБ		ф-ла (8) [10]	0	0	0,1	0,5	1,2	2,1	3,7	9,5	32		
Снижение уровня звукового давления из-за влияния застройки между источником шума и расчетной точкой													
Снижение уровня звукового давления на пути над экраном, Dz1, дБ	z = 0.26м (разность путей)	ф-лы (14-18) [10]	4,9	5,2	5,8	6,8	8,3	10,3	12,7	15,3	18,1		
Снижение уровня звукового давления на пути слева от экрана, Dz2, дБ	z = 0.64м (разность путей)	ф-лы (14-18) [10]	7,3	8,9	11	13,4	16,1	19	21,9	24,9	27,8		
Снижение уровня звукового давления на пути справа от экрана, Dz3, дБ	z = 187.37м (разность путей)	ф-лы (14-18) [10]	32,8	36,1	39,1	42,2	45,2	48,2	51,2	54,2	57,2		

1		2	3	4	5	6	7	8	9	10	11	12	13
Общее снижение уровня звука препятствием Dz, дБ		Эн.сумма(-Dzi)	2,9	3,6	4,6	6	7,7	9,7	12,2	14,9	17,7		
Уровни звукового давления от источника ИШ-1-26 в расчётной точке днём, дБ		**ф-ла(3)[10]**	**0**	**29,3**	**29,6**	**29,3**	**27,2**	**23,8**	**16,4**	**3,7**	**0**	**28,4**	**28,4**
Уровни звукового давления от источника ИШ-1-26 в расчётной точке ночью, дБ		**ф-ла(3)[10]**	**0**	**29,3**	**29,6**	**29,3**	**27,2**	**23,8**	**16,4**	**3,7**	**0**	**28,4**	**28,4**
Источник шума: ИШ-1-27, координаты источника (x,y,z), м =[469.65,197.67,1.00]													
Уровни звуковой мощности источника днём, Lw, дБ		**исходные данные**	**0**	**93,3**	**94,7**	**96**	**96,3**	**95,9**	**92,6**	**88,4**	**83,9**		
Уровни звуковой мощности источника ночью, Lw, дБ		**исходные данные**	**0**	**93,3**	**94,7**	**96**	**96,3**	**95,9**	**92,6**	**88,4**	**83,9**		
Поправка на телесный угол DΩ, дБ	Ω = 6.28	10Lg(4π/Ω)	**3**	3	3	3	3	3	3	3	3		
Показатель направленности источника Di, дБ		исходные данные	**0**	0	0	0	0	0	0	0	0		
Поправка на направленность источника Dc, дБ	Dc	DΩ + Di	**3**	3	3	3	3	3	3	3	3		
Затухание из-за геометрической дивергенции, Adiv, дБ	расстояние = 460.62 м	ф-ла (7) [10]	**64,3**										
Коэффициент затухания звука в атмосфере α, дБ/км	Ta=20,°C Pa=101.33,кПа hотн.=70%	ф-ла (5) [9]	0,02	0,09	0,33	1,12	2,79	4,98	9,04	23,09	77,63		
Учет затухания звука в атмосфере Aatm, дБ		ф-ла (8) [10]	0	0	0,2	0,5	1,3	2,3	4,2	10,6	35,8		
Снижение уровня звукового давления из-за влияния застройки между источником шума и расчетной точкой													
Снижение уровня звукового давления на пути над экраном, Dz1, дБ	z = 0.44м (разность путей)	ф-лы (14-18) [10]	6	7,1	8,7	10,7	13,1	15,8	18,7	21,6	24,5		
Снижение уровня звукового давления на пути слева от экрана, Dz2, дБ	z = 17.76м (разность путей)	ф-лы (14-18) [10]	22,3	25,8	28,9	31,9	35	38	41	44	47		
Снижение уровня звукового давления на пути справа от экрана, Dz3, дБ	z = 37.79м (разность путей)	ф-лы (14-18) [10]	25,7	29,1	32,2	35,2	38,2	41,3	44,3	47,3	50,3		

1		2	3	4	5	6	7	8	9	10	11	12	13
Общее снижение уровня звука препятствием Dz, дБ		Эн.сумма(-Dzi)	5,9	7	8,6	10,7	13,1	15,8	18,6	21,5	24,5		
Уровни звукового давления прямого звука от источника ИШ-1-27 в расчётной точке днём, дБ		**ф-ла(3)[10]**	**0**	**25**	**24,7**	**23,5**	**20,6**	**16,6**	**8,5**	**0**	**0**	**21,7**	**21,7**
Уровни звукового давления прямого звука от источника ИШ-1-27 в расчётной точке ночью, дБ		**ф-ла(3)[10]**	**0**	**25**	**24,7**	**23,5**	**20,6**	**16,6**	**8,5**	**0**	**0**	**21,7**	**21,7**
Расчёт отражённого звука													
Уровни звукового давления от мнимого источника ИШ-1-27_мн.(1) в расчётной точке днём, дБ		**ф-ла(3)[10]**	**0**	**0**	**0**	**0**	**0**	**0**	**4,8**	**0**	**0**	**6**	**6**
Уровни звукового давления от мнимого источника ИШ-1-27_мн.(1) в расчётной точке ночью, дБ		**ф-ла(3)[10]**	**0**	**0**	**0**	**0**	**0**	**0**	**0**	**0**	**0**	**6**	**6**
Уровни звукового давления от источника ИШ-1-27 в расчётной точке днём, дБ		**ф-ла(3)[10]**	**0**	**25**	**24,7**	**23,5**	**20,6**	**16,6**	**10,1**	**0**	**0**	**21,9**	**21,9**
Уровни звукового давления от источника ИШ-1-27 в расчётной точке ночью, дБ		**ф-ла(3)[10]**	**0**	**25**	**24,7**	**23,5**	**20,6**	**16,6**	**10,1**	**0**	**0**	**21,9**	**21,9**
Источник шума: ИШ-1-28, координаты источника (x,y,z), м =[472.78,196.69,1.00]													
Уровни звуковой мощности источника днём, Lw, дБ		**исходные данные**	**0**	**93,3**	**94,7**	**96**	**96,3**	**95,9**	**92,6**	**88,4**	**83,9**		
Уровни звуковой мощности источника ночью, Lw, дБ		**исходные данные**	**0**	**93,3**	**94,7**	**96**	**96,3**	**95,9**	**92,6**	**88,4**	**83,9**		
Поправка на телесный угол DΩ, дБ	Ω = 6.28	10Lg(4π/Ω)	**3**	3	3	3	3	3	3	3	3		
Показатель направленности источника Di, дБ		исходные данные	**0**	0	0	0	0	0	0	0	0		
Поправка на направленность источника Dc, дБ	Dc	DΩ + Di	**3**	3	3	3	3	3	3	3	3		
Затухание из-за геометрической дивергенции, Adiv, дБ	расстояние = 461.46 м	ф-ла (7) [10]	**64,3**										
Коэффициент затухания звука в атмосфере α, дБ/км	Ta=20,°C Pa=101.33,кПа hотн.=70%	ф-ла (5) [9]	0,02	0,09	0,33	1,12	2,79	4,98	9,04	23,09	77,63		

1		2	3	4	5	6	7	8	9	10	11	12	13
Учет затухания звука в атмосфере Aatm, дБ		ф-ла (8) [10]	0	0	0,2	0,5	1,3	2,3	4,2	10,7	35,8		
Снижение уровня звукового давления из-за влияния застройки между источником шума и расчетной точкой													
Снижение уровня звукового давления на пути над экраном, Dz1, дБ	z = 0.36м (разность путей)	ф-лы (14-18) [10]	5,1	5,6	6,5	7,8	9,7	11,9	14,5	17,2	20,1		
Снижение уровня звукового давления на пути слева от экрана, Dz2, дБ	z = 16.73м (разность путей)	ф-лы (14-18) [10]	22,1	25,5	28,6	31,7	34,7	37,7	40,7	43,7	46,7		
Снижение уровня звукового давления на пути справа от экрана, Dz3, дБ	z = 40.22м (разность путей)	ф-лы (14-18) [10]	25,9	29,4	32,5	35,5	38,5	41,5	44,5	47,5	50,6		
Общее снижение уровня звука препятствием Dz, дБ		Эн.сумма(-Dzi)	5	5,5	6,5	7,8	9,6	11,9	14,5	17,2	20,1		
Уровни звукового давления прямого звука от источника ИШ-1-28 в расчётной точке днём, дБ		**ф-ла(3)[10]**	**0**	**26,4**	**26,8**	**26,4**	**24,1**	**20,4**	**12,7**	**0**	**0**	**25,2**	**25,2**
Уровни звукового давления прямого звука от источника ИШ-1-28 в расчётной точке ночью, дБ		**ф-ла(3)[10]**	**0**	**26,4**	**26,8**	**26,4**	**24,1**	**20,4**	**12,7**	**0**	**0**	**25,2**	**25,2**
Расчёт отражённого звука													
Уровни звукового давления от мнимого источника ИШ-1-28_мн.(1) в расчётной точке днём, дБ		**ф-ла(3)[10]**	**0**	**0**	**0**	**0**	**0**	**0**	**5,5**	**0**	**0**	**6,7**	**6,7**
Уровни звукового давления от мнимого источника ИШ-1-28_мн.(1) в расчётной точке ночью, дБ		**ф-ла(3)[10]**	**0**	**0**	**0**	**0**	**0**	**0**	**0**	**0**	**0**	**6,7**	**6,7**
Уровни звукового давления от источника ИШ-1-28 в расчётной точке днём, дБ		**ф-ла(3)[10]**	**0**	**26,4**	**26,8**	**26,4**	**24,1**	**20,4**	**13,4**	**0**	**0**	**25,2**	**25,2**
Уровни звукового давления от источника ИШ-1-28 в расчётной точке ночью, дБ		**ф-ла(3)[10]**	**0**	**26,4**	**26,8**	**26,4**	**24,1**	**20,4**	**13,4**	**0**	**0**	**25,2**	**25,2**
Источник шума: ИШ-1-29, координаты источника (x,y,z), м =[475.52,195.72,1.00]													
Уровни звуковой мощности источника днём, Lw, дБ		**исходные данные**	**0**	**93,3**	**94,7**	**96**	**96,3**	**95,9**	**92,6**	**88,4**	**83,9**		
Уровни звуковой мощности источника ночью, Lw, дБ		**исходные данные**	**0**	**93,3**	**94,7**	**96**	**96,3**	**95,9**	**92,6**	**88,4**	**83,9**		
Поправка на телесный угол DΩ, дБ	Ω = 6.28	10Lg(4π/Ω)	**3**	3	3	3	3	3	3	3	3		

1		2	3	4	5	6	7	8	9	10	11	12	13
Показатель направленности источника Di, дБ		исходные данные	**0**	0	0	0	0	0	0	0	0		
Поправка на направленность источника Dc, дБ	Dc	DΩ + Di	**3**	3	3	3	3	3	3	3	3		
Затухание из-за геометрической дивергенции, Adiv, дБ	расстояние = 462.11 м	ф-ла (7) [10]	**64,3**										
Коэффициент затухания звука в атмосфере α, дБ/км	Ta=20,°C Pa=101.33,кПа hотн.=70%	ф-ла (5) [9]	0,02	0,09	0,33	1,12	2,79	4,98	9,04	23,09	77,63		
Учет затухания звука в атмосфере Aatm, дБ		ф-ла (8) [10]	0	0	0,2	0,5	1,3	2,3	4,2	10,7	35,9		
Снижение уровня звукового давления из-за влияния застройки между источником шума и расчетной точкой													
Снижение уровня звукового давления на пути над экраном, Dz1, дБ	z = 0.34м (разность путей)	ф-лы (14-18) [10]	5	5,4	6,2	7,4	9,1	11,2	13,7	16,4	19,2		
Снижение уровня звукового давления на пути слева от экрана, Dz2, дБ	z = 15.85м (разность путей)	ф-лы (14-18) [10]	21,9	25,3	28,4	31,5	34,5	37,5	40,5	43,5	46,5		
Снижение уровня звукового давления на пути справа от экрана, Dz3, дБ	z = 42.46м (разность путей)	ф-лы (14-18) [10]	26,2	29,6	32,7	35,7	38,7	41,8	44,8	47,8	50,8		
Общее снижение уровня звука препятствием Dz, дБ		Эн.сумма(-Dzi)	4,9	5,4	6,2	7,4	9	11,2	13,7	16,4	19,2		
Уровни звукового давления прямого звука от источника ИШ-1-29 в расчётной точке днём, дБ		**ф-ла(3)[10]**	**0**	**26,6**	**27,1**	**26,8**	**24,7**	**21,1**	**13,5**	**0,1**	**0**	**25,8**	**25,8**
Уровни звукового давления прямого звука от источника ИШ-1-29 в расчётной точке ночью, дБ		**ф-ла(3)[10]**	**0**	**26,6**	**27,1**	**26,8**	**24,7**	**21,1**	**13,5**	**0,1**	**0**	**25,8**	**25,8**
Расчёт отражённого звука													
Уровни звукового давления от мнимого источника ИШ-1-29_мн.(1) в расчётной точке днём, дБ		**ф-ла(3)[10]**	**0**	**0**	**0**	**0**	**0**	**14,2**	**6**	**0**	**0**	**15**	**15**
Уровни звукового давления от мнимого источника ИШ-1-29_мн.(1) в расчётной точке ночью, дБ		**ф-ла(3)[10]**	**0**	**0**	**0**	**0**	**0**	**0**	**0**	**0**	**0**	**15**	**15**
Уровни звукового давления от источника ИШ-1-29 в расчётной точке днём, дБ		**ф-ла(3)[10]**	**0**	**26,6**	**27,1**	**26,8**	**24,7**	**21,9**	**14,2**	**0,1**	**0**	**26,1**	**26,1**
Уровни звукового давления от источника ИШ-1-29 в расчётной точке ночью, дБ		**ф-ла(3)[10]**	**0**	**26,6**	**27,1**	**26,8**	**24,7**	**21,9**	**14,2**	**0,1**	**0**	**26,1**	**26,1**

1		2	3	4	5	6	7	8	9	10	11	12	13
Источник шума: ИШ-1-30, координаты источника (x,y,z), м =[478.45,194.54,1.00]													
Уровни звуковой мощности источника днём, Lw, дБ		**исходные данные**	**0**	**93,3**	**94,7**	**96**	**96,3**	**95,9**	**92,6**	**88,4**	**83,9**		
Уровни звуковой мощности источника ночью, Lw, дБ		**исходные данные**	**0**	**93,3**	**94,7**	**96**	**96,3**	**95,9**	**92,6**	**88,4**	**83,9**		
Поправка на телесный угол DΩ, дБ	Ω = 6.28	10Lg(4π/Ω)	**3**	3	3	3	3	3	3	3	3		
Показатель направленности источника Di, дБ		исходные данные	**0**	0	0	0	0	0	0	0	0		
Поправка на направленность источника Dc, дБ	Dc	DΩ + Di	**3**	3	3	3	3	3	3	3	3		
Затухание из-за геометрической дивергенции, Adiv, дБ	расстояние = 462.73 м	ф-ла (7) [10]	**64,3**										
Коэффициент затухания звука в атмосфере α, дБ/км	Ta=20,°C Pa=101.33,кПа hотн.=70%	ф-ла (5) [9]	0,02	0,09	0,33	1,12	2,79	4,98	9,04	23,09	77,63		
Учет затухания звука в атмосфере Aatm, дБ		ф-ла (8) [10]	0	0	0,2	0,5	1,3	2,3	4,2	10,7	35,9		
Снижение уровня звукового давления из-за влияния застройки между источником шума и расчетной точкой													
Снижение уровня звукового давления на пути над экраном, Dz1, дБ	z = 0.27м (разность путей)	ф-лы (14-18) [10]	4,8	5	5,3	5,9	7	8,6	10,6	13	15,7		
Снижение уровня звукового давления на пути слева от экрана, Dz2, дБ	z = 14.92м (разность путей)	ф-лы (14-18) [10]	21,6	25,1	28,2	31,2	34,2	37,2	40,2	43,2	46,2		
Снижение уровня звукового давления на пути справа от экрана, Dz3, дБ	z = 44.99м (разность путей)	ф-лы (14-18) [10]	26,4	29,8	32,9	36	39	42	45	48	51		
Общее снижение уровня звука препятствием Dz, дБ		Эн.сумма(-Dzi)	4,7	4,9	5,2	5,9	7	8,6	10,6	13	15,7		
Уровни звукового давления прямого звука от источника ИШ-1-30 в расчётной точке днём, дБ		**ф-ла(3)[10]**	**0**	**27**	**28**	**28,2**	**26,7**	**23,7**	**16,5**	**3,4**	**0**	**28**	**28**
Уровни звукового давления прямого звука от источника ИШ-1-30 в расчётной точке ночью, дБ		**ф-ла(3)[10]**	**0**	**27**	**28**	**28,2**	**26,7**	**23,7**	**16,5**	**3,4**	**0**	**28**	**28**

1		2	3	4	5	6	7	8	9	10	11	12	13
Расчёт отражённого звука													
Уровни звукового давления от мнимого источника ИШ-1-30_мн.(1) в расчётной точке днём, дБ		**ф-ла(3)[10]**	**0**	**0**	**0**	**0**	**0**	**14,8**	**6,7**	**0**	**0**	**15,6**	**15,6**
Уровни звукового давления от мнимого источника ИШ-1-30_мн.(1) в расчётной точке ночью, дБ		**ф-ла(3)[10]**	**0**	**0**	**0**	**0**	**0**	**0**	**0**	**0**	**0**	**15,6**	**15,6**
Уровни звукового давления от источника ИШ-1-30 в расчётной точке днём, дБ		**ф-ла(3)[10]**	**0**	**27**	**28**	**28,2**	**26,7**	**24,2**	**17**	**3,4**	**0**	**28,2**	**28,2**
Уровни звукового давления от источника ИШ-1-30 в расчётной точке ночью, дБ		**ф-ла(3)[10]**	**0**	**27**	**28**	**28,2**	**26,7**	**24,2**	**17**	**3,4**	**0**	**28,2**	**28,2**
Источник шума: ИШ-1-31, координаты источника (x,y,z), м =[481.58,193.96,1.00]													
Уровни звуковой мощности источника днём, Lw, дБ		**исходные данные**	**0**	**93,3**	**94,7**	**96**	**96,3**	**95,9**	**92,6**	**88,4**	**83,9**		
Уровни звуковой мощности источника ночью, Lw, дБ		**исходные данные**	**0**	**93,3**	**94,7**	**96**	**96,3**	**95,9**	**92,6**	**88,4**	**83,9**		
Поправка на телесный угол DΩ, дБ	Ω = 6.28	10Lg(4π/Ω)	**3**	3	3	3	3	3	3	3	3		
Показатель направленности источника Di, дБ		исходные данные	**0**	0	0	0	0	0	0	0	0		
Поправка на направленность источника Dc, дБ	Dc	DΩ + Di	**3**	3	3	3	3	3	3	3	3		
Затухание из-за геометрической дивергенции, Adiv, дБ	расстояние = 463.96 м	ф-ла (7) [10]	**64,3**										
Коэффициент затухания звука в атмосфере α, дБ/км	Ta=20,°C Pa=101.33,кПа hотн.=70%	ф-ла (5) [9]	0,02	0,09	0,33	1,12	2,79	4,98	9,04	23,09	77,63		
Учет затухания звука в атмосфере Aatm, дБ		ф-ла (8) [10]	0	0	0,2	0,5	1,3	2,3	4,2	10,7	36		
Снижение уровня звукового давления из-за влияния застройки между источником шума и расчетной точкой													
Снижение уровня звукового давления на пути над экраном, Dz1, дБ	z = 0.27м (разность путей)	ф-лы (14-18) [10]	4,8	5	5,3	5,9	7	8,5	10,5	12,9	15,6		

1		2	3	4	5	6	7	8	9	10	11	12	13
Снижение уровня звукового давления на пути слева от экрана, Dz2, дБ	z = 14.06м (разность путей)	ф-лы (14-18) [10]	21,4	24,8	27,9	30,9	33,9	37	40	43	46		
Снижение уровня звукового давления на пути справа от экрана, Dz3, дБ	z = 46.93м (разность путей)	ф-лы (14-18) [10]	26,6	30	33,1	36,2	39,2	42,2	45,2	48,2	51,2		
Общее снижение уровня звука препятствием Dz, дБ		Эн.сумма(-Dzi)	4,7	4,9	5,2	5,9	7	8,5	10,5	12,9	15,6		
Уровни звукового давления прямого звука от источника ИШ-1-31 в расчётной точке днём, дБ		**ф-ла(3)[10]**	**0**	**27**	**28**	**28,2**	**26,7**	**23,8**	**16,6**	**3,5**	**0**	**28**	**28**
Уровни звукового давления прямого звука от источника ИШ-1-31 в расчётной точке ночью, дБ		**ф-ла(3)[10]**	**0**	**27**	**28**	**28,2**	**26,7**	**23,8**	**16,6**	**3,5**	**0**	**28**	**28**
Расчёт отражённого звука													
Уровни звукового давления от мнимого источника ИШ-1-31_мн.(1) в расчётной точке днём, дБ		**ф-ла(3)[10]**	**0**	**0**	**0**	**0**	**0**	**15,4**	**7,3**	**0**	**0**	**16,2**	**16,2**
Уровни звукового давления от мнимого источника ИШ-1-31_мн.(1) в расчётной точке ночью, дБ		**ф-ла(3)[10]**	**0**	**0**	**0**	**0**	**0**	**0**	**0**	**0**	**0**	**16,2**	**16,2**
Уровни звукового давления от источника ИШ-1-31 в расчётной точке днём, дБ		**ф-ла(3)[10]**	**0**	**27**	**28**	**28,2**	**26,7**	**24,3**	**17,1**	**3,5**	**0**	**28,3**	**28,3**
Уровни звукового давления от источника ИШ-1-31 в расчётной точке ночью, дБ		**ф-ла(3)[10]**	**0**	**27**	**28**	**28,2**	**26,7**	**24,3**	**17,1**	**3,5**	**0**	**28,3**	**28,3**
Источник шума: ИШ-1-32, координаты источника (x,y,z), м =[871.21,281.99,50.00]													
Уровни звуковой мощности источника днём, Lw, дБ		**исходные данные**	**125**	**119,6**	**113,4**	**111,4**	**110,8**	**112,7**	**113,8**	**109,2**	**97,4**		
Уровни звуковой мощности источника ночью, Lw, дБ		**исходные данные**	**0**	**0**	**0**	**0**	**0**	**0**	**0**	**0**	**0**		
Поправка на телесный угол DΩ, дБ	Ω = 12.57	10Lg(4π/Ω)	**0**	0	0	0	0	0	0	0	0		
Показатель направленности источника Di, дБ		исходные данные	**0**	0	0	0	0	0	0	0	0		
Поправка на направленность источника Dc, дБ	Dc	DΩ + Di	**0**	0	0	0	0	0	0	0	0		
Затухание из-за геометрической дивергенции, Adiv, дБ	расстояние = 802.96 м	ф-ла (7) [10]	**69,1**										

1		2	3	4	5	6	7	8	9	10	11	12	13
Коэффициент затухания звука в атмосфере α, дБ/км	Та=20,°С Ра=101.33,кПа hотн.=70%	ф-ла (5) [9]	0,02	0,09	0,33	1,12	2,79	4,98	9,04	23,09	77,63		
Учет затухания звука в атмосфере Aatm, дБ		ф-ла (8) [10]	0	0,1	0,3	0,9	2,2	4	7,3	18,5	62,3		
Снижение поверхностью земли возле источника As, дБ	Gs = 0 hs = 50м	ф-лы таб.3 [10]	-1,5	-1,5	-1,5	-1,5	-1,5	-1,5	-1,5	-1,5	-1,5		
Снижение поверхностью земли возле приёмника Ar, дБ	Gr = 1 hr = 4.6м	ф-лы таб.3 [10]	-1,5	-1,5	3,7	1,3	0	0	0	0	0		
Снижение поверхностью земли в средней зоне, Am дБ	Gm = 1	ф-лы таб.3 [10]	0	0	0	0	0	0	0	0	0		
Суммарное снижение поверхностью земли на траектории распространения звука Agr, дБ		ф-ла (9) [10]	-3	-3	2,2	-0,2	-1,5	-1,5	-1,5	-1,5	-1,5		
Уровни звукового давления прямого звука от источника ИШ-1-32 в расчётной точке днём, дБ		**ф-ла(3)[10]**	**58,9**	**53,5**	**41,9**	**41,7**	**41**	**41,1**	**39**	**23,1**	**0**	**45,2**	**45,2**
Уровни звукового давления прямого звука от источника ИШ-1-32 в расчётной точке ночью, дБ		**ф-ла(3)[10]**	**0**	**0**	**0**	**0**	**0**	**0**	**0**	**0**	**0**	**0**	**0**
Расчёт отражённого звука													
Уровни звукового давления от мнимого источника ИШ-1-32_мн.(1) в расчётной точке днём, дБ		**ф-ла(3)[10]**	**0**	**0**	**0**	**39,1**	**38,5**	**38,6**	**36,4**	**20,5**	**0**	**42,5**	**42,5**
Уровни звукового давления от мнимого источника ИШ-1-32_мн.(1) в расчётной точке ночью, дБ		**ф-ла(3)[10]**	**0**	**0**	**0**	**0**	**0**	**0**	**0**	**0**	**0**	**0**	**0**
Уровни звукового давления от источника ИШ-1-32 в расчётной точке днём, дБ		**ф-ла(3)[10]**	**58,9**	**53,5**	**41,9**	**43,6**	**42,9**	**43,1**	**40,9**	**25**	**0**	**47**	**47**
Уровни звукового давления от источника ИШ-1-32 в расчётной точке ночью, дБ		**ф-ла(3)[10]**	**0**	**0**	**0**	**0**	**0**	**0**	**0**	**0**	**0**	**0**	**0**
Источник шума: ИШ-1-33, координаты источника (x,y,z), м =[743.42,374.85,1.00]													
Уровни звуковой мощности источника днём, Lw, дБ		**исходные данные**	**0**	**88,7**	**90,1**	**93,1**	**96,4**	**103**	**112**	**108**	**99,2**		
Уровни звуковой мощности источника ночью, Lw, дБ		**исходные данные**	**0**	**0**	**0**	**0**	**0**	**0**	**0**	**0**	**0**		

1		2	3	4	5	6	7	8	9	10	11	12	13
Поправка на телесный угол DΩ, дБ	Ω = 6.28	10Lg(4π/Ω)	**3**	3	3	3	3	3	3	3	3		
Показатель направленности источника Di, дБ		исходные данные	**0**	0	0	0	0	0	0	0	0		
Поправка на направленность источника Dc, дБ	Dc	DΩ + Di	**3**	3	3	3	3	3	3	3	3		
Затухание из-за геометрической дивергенции, Adiv, дБ	расстояние = 768.57 м	ф-ла (7) [10]	**68,7**										
Коэффициент затухания звука в атмосфере α, дБ/км	Ta=20,°C Pa=101.33,кПа hотн.=70%	ф-ла (5) [9]	0,02	0,09	0,33	1,12	2,79	4,98	9,04	23,09	77,63		
Учет затухания звука в атмосфере Aatm, дБ		ф-ла (8) [10]	0	0,1	0,3	0,9	2,1	3,8	6,9	17,7	59,7		
Снижение уровня звукового давления из-за влияния застройки между источником шума и расчетной точкой													
Снижение уровня звукового давления на пути над экраном, Dz1, дБ	z = 0.20м (разность путей)	ф-лы (14-18) [10]	4,8	4,8	4,8	4,9	5,1	5,3	5,8	6,7	8		
Снижение уровня звукового давления на пути слева от экрана, Dz2, дБ	z = 3.10м (разность путей)	ф-лы (14-18) [10]	15,3	18,4	21,4	24,4	27,4	30,4	33,4	36,4	39,4		
Снижение уровня звукового давления на пути справа от экрана, Dz3, дБ	z = 42.38м (разность путей)	ф-лы (14-18) [10]	26,2	29,6	32,7	35,7	38,7	41,7	44,8	47,8	50,8		
Общее снижение уровня звука препятствием Dz, дБ		Эн.сумма(-Dzi)	4,4	4,6	4,7	4,9	5	5,3	5,8	6,7	8		
Уровни звукового давления от источника ИШ-1-33 в расчётной точке днём, дБ		**ф-ла(3)[10]**	**0**	**18,3**	**19,4**	**21,7**	**23,5**	**28,2**	**33,5**	**17,9**	**0**	**35,8**	**35,8**
Уровни звукового давления от источника ИШ-1-33 в расчётной точке ночью, дБ		**ф-ла(3)[10]**	**0**	**0**	**0**	**0**	**0**	**0**	**0**	**0**	**0**	**0**	**0**
Источник шума: ИШ-1-34, координаты источника (x,y,z), м =[1042.35,199.07,1.00]													
Уровни звуковой мощности источника днём, Lw, дБ		**исходные данные**	**0**	**88,7**	**90,1**	**93,1**	**96,4**	**103**	**112**	**108**	**99,2**		
Уровни звуковой мощности источника ночью, Lw, дБ		**исходные данные**	**0**	**0**	**0**	**0**	**0**	**0**	**0**	**0**	**0**		

1		2	3	4	5	6	7	8	9	10	11	12	13
Поправка на телесный угол DΩ, дБ	Ω = 6.28	10Lg(4π/Ω)	**3**	3	3	3	3	3	3	3	3		
Показатель направленности источника Di, дБ		исходные данные	**0**	0	0	0	0	0	0	0	0		
Поправка на направленность источника Dc, дБ	Dc	DΩ + Di	**3**	3	3	3	3	3	3	3	3		
Затухание из-за геометрической дивергенции, Adiv, дБ	расстояние = 906.24 м	ф-ла (7) [10]	**70,1**										
Коэффициент затухания звука в атмосфере α, дБ/км	Ta=20,°C Pa=101.33,кПа hотн.=70%	ф-ла (5) [9]	0,02	0,09	0,33	1,12	2,79	4,98	9,04	23,09	77,63		
Учет затухания звука в атмосфере Aatm, дБ		ф-ла (8) [10]	0	0,1	0,3	1	2,5	4,5	8,2	20,9	70,4		
Снижение уровня звукового давления из-за влияния застройки между источником шума и расчетной точкой													
Снижение уровня звукового давления на пути над экраном, Dz1, дБ	z = 0.03м (разность путей)	ф-лы (14-18) [10]	4,8	4,8	4,8	4,8	4,8	4,8	4,8	4,8	4,8		
Снижение уровня звукового давления на пути слева от экрана, Dz2, дБ	z = 4.24м (разность путей)	ф-лы (14-18) [10]	12,7	15,4	18,2	21,1	24	27	30	33	36		
Снижение уровня звукового давления на пути справа от экрана, Dz3, дБ	z = 1.02м (разность путей)	ф-лы (14-18) [10]	8,3	10,2	12,5	15,2	18	20,9	23,8	26,8	29,8		
Общее снижение уровня звука препятствием Dz, дБ		Эн.сумма(-Dzi)	2,7	3,4	3,9	4,3	4,5	4,6	4,7	4,7	4,8		
Уровни звукового давления от источника ИШ-1-34 в расчётной точке днём, дБ		**ф-ла(3)[10]**	**0**	**18,1**	**18,7**	**20,6**	**22,2**	**26,7**	**32**	**15,2**	**0**	**34,3**	**34,3**
Уровни звукового давления от источника ИШ-1-34 в расчётной точке ночью, дБ		**ф-ла(3)[10]**	**0**	**0**	**0**	**0**	**0**	**0**	**0**	**0**	**0**	**0**	**0**
Источник шума: ИШ-2-1, координаты источника (x,y,z), м =[696.50,124.40,3.00]													
Уровни звуковой мощности источника днём, Lw, дБ		**исходные данные**	**105**	**104**	**104**	**101**	**102**	**106**	**101**	**95**	**87**		
Уровни звуковой мощности источника ночью, Lw, дБ		**исходные данные**	**105**	**104**	**104**	**101**	**102**	**106**	**101**	**95**	**87**		

1		2	3	4	5	6	7	8	9	10	11	12	13
Поправка на телесный угол DΩ, дБ	Ω = 6.28	10Lg(4π/Ω)	**3**	3	3	3	3	3	3	3	3		
Показатель направленности источника Di, дБ		исходные данные	**0**	0	0	0	0	0	0	0	0		
Поправка на направленность источника Dc, дБ	Dc	DΩ + Di	**3**	3	3	3	3	3	3	3	3		
Затухание из-за геометрической дивергенции, Adiv, дБ	расстояние = 568.07 м	ф-ла (7) [10]	**66,1**										
Коэффициент затухания звука в атмосфере α, дБ/км	Ta=20,°C Pa=101.33,кПа hотн.=70%	ф-ла (5) [9]	0,02	0,09	0,33	1,12	2,79	4,98	9,04	23,09	77,63		
Учет затухания звука в атмосфере Aatm, дБ		ф-ла (8) [10]	0	0,1	0,2	0,6	1,6	2,8	5,1	13,1	44,1		
Снижение поверхностью земли возле источника As, дБ	Gs = 0 hs = 3м	ф-лы таб.3 [10]	-1,5	-1,5	-1,5	-1,5	-1,5	-1,5	-1,5	-1,5	-1,5		
Снижение поверхностью земли возле приёмника Ar, дБ	Gr = 1 hr = 4.6м	ф-лы таб.3 [10]	-1,5	-1,5	3,4	1,3	0	0	0	0	0		
Снижение поверхностью земли в средней зоне, Am дБ	Gm = 1	ф-лы таб.3 [10]	-1,8	-1,8	0	0	0	0	0	0	0		
Суммарное снижение поверхностью земли на траектории распространения звука Agr, дБ		ф-ла (9) [10]	-4,8	-4,8	1,9	-0,2	-1,5	-1,5	-1,5	-1,5	-1,5		
Уровни звукового давления прямого звука от источника ИШ-2-1 в расчётной точке днём, дБ		**ф-ла(3)[10]**	**46,7**	**45,7**	**38,8**	**37,5**	**38,8**	**41,6**	**34,3**	**20,3**	**0**	**43,6**	**43,6**
Уровни звукового давления прямого звука от источника ИШ-2-1 в расчётной точке ночью, дБ		**ф-ла(3)[10]**	**46,7**	**45,7**	**38,8**	**37,5**	**38,8**	**41,6**	**34,3**	**20,3**	**0**	**43,6**	**43,6**
Расчёт отражённого звука													
Уровни звукового давления от мнимого источника ИШ-2-1_мн.(1) в расчётной точке днём, дБ		**ф-ла(3)[10]**	**0**	**0**	**0**	**0**	**36,1**	**39,1**	**31,7**	**17,7**	**0**	**40,8**	**40,8**
Уровни звукового давления от мнимого источника ИШ-2-1_мн.(1) в расчётной точке ночью, дБ		**ф-ла(3)[10]**	**0**	**0**	**0**	**0**	**0**	**0**	**0**	**0**	**0**	**40,8**	**40,8**
Уровни звукового давления от источника ИШ-2-1 в расчётной точке днём, дБ		**ф-ла(3)[10]**	**46,7**	**45,7**	**38,8**	**37,5**	**40,7**	**43,5**	**36,2**	**22,2**	**0**	**45,4**	**45,4**
Уровни звукового давления от источника ИШ-2-1 в расчётной точке ночью, дБ		**ф-ла(3)[10]**	**46,7**	**45,7**	**38,8**	**37,5**	**40,7**	**43,5**	**36,2**	**22,2**	**0**	**45,4**	**45,4**

1		2	3	4	5	6	7	8	9	10	11	12	13
Источник шума: ИШ-2-2, координаты источника (x,y,z), м =[682.20,81.60,3.00]													
Уровни звуковой мощности источника днём, Lw, дБ		**исходные данные**	**105**	**104**	**104**	**101**	**102**	**106**	**101**	**95**	**87**		
Уровни звуковой мощности источника ночью, Lw, дБ		**исходные данные**	**105**	**104**	**104**	**101**	**102**	**106**	**101**	**95**	**87**		
Поправка на телесный угол DΩ, дБ	Ω = 6.28	10Lg(4π/Ω)	**3**	3	3	3	3	3	3	3	3		
Показатель направленности источника Di, дБ		исходные данные	**0**	0	0	0	0	0	0	0	0		
Поправка на направленность источника Dc, дБ	Dc	DΩ + Di	**3**	3	3	3	3	3	3	3	3		
Затухание из-за геометрической дивергенции, Adiv, дБ	расстояние = 533.02 м	ф-ла (7) [10]	**65,5**										
Коэффициент затухания звука в атмосфере α, дБ/км	Ta=20,°C Pa=101.33,кПа hотн.=70%	ф-ла (5) [9]	0,02	0,09	0,33	1,12	2,79	4,98	9,04	23,09	77,63		
Учет затухания звука в атмосфере Aatm, дБ		ф-ла (8) [10]	0	0	0,2	0,6	1,5	2,7	4,8	12,3	41,4		
Снижение поверхностью земли возле источника As, дБ	Gs = 0 hs = 3м	ф-лы таб.3 [10]	-1,5	-1,5	-1,5	-1,5	-1,5	-1,5	-1,5	-1,5	-1,5		
Снижение поверхностью земли возле приёмника Ar, дБ	Gr = 1 hr = 4.6м	ф-лы таб.3 [10]	-1,5	-1,5	3,4	1,3	0	0	0	0	0		
Снижение поверхностью земли в средней зоне, Am дБ	Gm = 1	ф-лы таб.3 [10]	-1,7	-1,7	0	0	0	0	0	0	0		
Суммарное снижение поверхностью земли на траектории распространения звука Agr, дБ		ф-ла (9) [10]	-4,7	-4,7	1,9	-0,2	-1,5	-1,5	-1,5	-1,5	-1,5		
Уровни звукового давления прямого звука от источника ИШ-2-2 в расчётной точке днём, дБ		**ф-ла(3)[10]**	**47,2**	**46,1**	**39,4**	**38,1**	**39,5**	**42,3**	**35,2**	**21,7**	**0**	**44,3**	**44,3**
Уровни звукового давления прямого звука от источника ИШ-2-2 в расчётной точке ночью, дБ		**ф-ла(3)[10]**	**47,2**	**46,1**	**39,4**	**38,1**	**39,5**	**42,3**	**35,2**	**21,7**	**0**	**44,3**	**44,3**
Расчёт отражённого звука													

1		2	3	4	5	6	7	8	9	10	11	12	13
Уровни звукового давления от мнимого источника ИШ-2-2_мн.(1) в расчётной точке днём, дБ		**ф-ла(3)[10]**	**0**	**0**	**0**	**0**	**0**	**39,8**	**32,6**	**19,1**	**0**	**40,8**	**40,8**
Уровни звукового давления от мнимого источника ИШ-2-2_мн.(1) в расчётной точке ночью, дБ		**ф-ла(3)[10]**	**0**	**0**	**0**	**0**	**0**	**0**	**0**	**0**	**0**	**40,8**	**40,8**
Уровни звукового давления от источника ИШ-2-2 в расчётной точке днём, дБ		**ф-ла(3)[10]**	**47,2**	**46,1**	**39,4**	**38,1**	**39,5**	**44,2**	**37,1**	**23,6**	**0**	**45,9**	**45,9**
Уровни звукового давления от источника ИШ-2-2 в расчётной точке ночью, дБ		**ф-ла(3)[10]**	**47,2**	**46,1**	**39,4**	**38,1**	**39,5**	**44,2**	**37,1**	**23,6**	**0**	**45,9**	**45,9**
Источник шума: ИШ-2-3, координаты источника (x,y,z), м =[667.80,38.90,3.00]													
Уровни звуковой мощности источника днём, Lw, дБ		**исходные данные**	**105**	**104**	**104**	**101**	**102**	**106**	**101**	**95**	**87**		
Уровни звуковой мощности источника ночью, Lw, дБ		**исходные данные**	**105**	**104**	**104**	**101**	**102**	**106**	**101**	**95**	**87**		
Поправка на телесный угол DΩ, дБ	Ω = 6.28	10Lg(4π/Ω)	**3**	3	3	3	3	3	3	3	3		
Показатель направленности источника Di, дБ		исходные данные	**0**	0	0	0	0	0	0	0	0		
Поправка на направленность источника Dc, дБ	Dc	DΩ + Di	**3**	3	3	3	3	3	3	3	3		
Затухание из-за геометрической дивергенции, Adiv, дБ	расстояние = 499.55 м	ф-ла (7) [10]	**65**										
Коэффициент затухания звука в атмосфере α, дБ/км	Ta=20,°C Pa=101.33,кПа hотн.=70%	ф-ла (5) [9]	0,02	0,09	0,33	1,12	2,79	4,98	9,04	23,09	77,63		
Учет затухания звука в атмосфере Aatm, дБ		ф-ла (8) [10]	0	0	0,2	0,6	1,4	2,5	4,5	11,5	38,8		
Снижение уровня звукового давления из-за влияния застройки между источником шума и расчетной точкой													
Снижение уровня звукового давления на пути над экраном, Dz1, дБ	z = 0.07м (разность путей)	ф-лы (14-18) [10]	4,8	4,8	4,8	4,8	4,8	4,8	4,9	5	5,3		
Снижение уровня звукового давления на пути слева от экрана, Dz2, дБ	z = 15.86м (разность путей)	ф-лы (14-18) [10]	17,9	20,8	23,7	26,7	29,7	32,7	35,7	38,7	41,7		

1		2	3	4	5	6	7	8	9	10	11	12	13
Снижение уровня звукового давления на пути справа от экрана, Dz3, дБ	z = 0.34м (разность путей)	ф-лы (14-18) [10]	6,3	7,4	9,1	11,2	13,7	16,4	19,3	22,2	25,2		
Общее снижение уровня звука препятствием Dz, дБ		Эн.сумма(-Dzi)	2,3	2,8	3,4	3,9	4,3	4,5	4,8	5	5,3		
Уровни звукового давления прямого звука от источника ИШ-2-3 в расчётной точке днём, дБ		**ф-ла(3)[10]**	**40,7**	**39,2**	**38,5**	**34,6**	**34,4**	**37**	**29,8**	**16,5**	**0**	**39,2**	**39,2**
Уровни звукового давления прямого звука от источника ИШ-2-3 в расчётной точке ночью, дБ		**ф-ла(3)[10]**	**40,7**	**39,2**	**38,5**	**34,6**	**34,4**	**37**	**29,8**	**16,5**	**0**	**39,2**	**39,2**
Расчёт отражённого звука													
Уровни звукового давления от мнимого источника ИШ-2-3_мн.(1) в расчётной точке днём, дБ		**ф-ла(3)[10]**	**0**	**0**	**0**	**0**	**0**	**0**	**0**	**0**	**0**	**0**	**0**
Уровни звукового давления от мнимого источника ИШ-2-3_мн.(1) в расчётной точке ночью, дБ		**ф-ла(3)[10]**	**0**	**0**	**0**	**0**	**0**	**0**	**0**	**0**	**0**	**0**	**0**
Уровни звукового давления от источника ИШ-2-3 в расчётной точке днём, дБ		**ф-ла(3)[10]**	**40,7**	**39,2**	**38,5**	**34,6**	**34,4**	**37**	**29,8**	**16,5**	**0**	**39,2**	**39,2**
Уровни звукового давления от источника ИШ-2-3 в расчётной точке ночью, дБ		**ф-ла(3)[10]**	**40,7**	**39,2**	**38,5**	**34,6**	**34,4**	**37**	**29,8**	**16,5**	**0**	**39,2**	**39,2**
Источник шума: ИШ-2-6, координаты источника (x,y,z), м =[765.97,112.43,1.00]													
Уровни звуковой мощности источника днём, Lw, дБ		**исходные данные**	**0**	**93,3**	**94,7**	**96**	**96,3**	**95,9**	**92,6**	**88,4**	**83,9**		
Уровни звуковой мощности источника ночью, Lw, дБ		**исходные данные**	**0**	**93,3**	**94,7**	**96**	**96,3**	**95,9**	**92,6**	**88,4**	**83,9**		
Поправка на телесный угол DΩ, дБ	Ω = 6.28	10Lg(4π/Ω)	**3**	3	3	3	3	3	3	3	3		
Показатель направленности источника Di, дБ		исходные данные	**0**	0	0	0	0	0	0	0	0		
Поправка на направленность источника Dc, дБ	Dc	DΩ + Di	**3**	3	3	3	3	3	3	3	3		
Затухание из-за геометрической дивергенции, Adiv, дБ	расстояние = 620.94 м	ф-ла (7) [10]	**66,9**										
Коэффициент затухания звука в атмосфере α, дБ/км	Ta=20,°C Pa=101.33,кПа hотн.=70%	ф-ла (5) [9]	0,02	0,09	0,33	1,12	2,79	4,98	9,04	23,09	77,63		

1		2	3	4	5	6	7	8	9	10	11	12	13
Учет затухания звука в атмосфере Aatm, дБ		ф-ла (8) [10]	0	0,1	0,2	0,7	1,7	3,1	5,6	14,3	48,2		
Снижение уровня звукового давления из-за влияния застройки между источником шума и расчетной точкой													
Снижение уровня звукового давления препятствием слева от трассы ИШ-РТ, Dz2, дБ	z = -0.04м (разность путей)	ф-лы (14-18) [10]	4,5	4,3	3,8	2,4	0	NAN	NAN	NAN	NAN		
* отрицательное значение z означает прохождение траектории вблизи экрана, в этом случае дополнительно производится учёт снижения подстилающей поверхностью (см.ниже)													
Снижение поверхностью земли возле источника As, дБ	Gs = 0 hs = 1м	ф-лы таб.3 [10]	-1,5	-1,5	-1,5	-1,5	-1,5	-1,5	-1,5	-1,5	-1,5		
Снижение поверхностью земли возле приёмника Ar, дБ	Gr = 1 hr = 4.6м	ф-лы таб.3 [10]	-1,5	-1,5	3,5	1,3	0	0	0	0	0		
Снижение поверхностью земли в средней зоне, Am дБ	Gm = 1	ф-лы таб.3 [10]	-2,2	-2,2	0	0	0	0	0	0	0		
Суммарное снижение поверхностью земли на траектории распространения звука Agr, дБ		ф-ла (9) [10]	-5,2	-5,2	2	-0,2	-1,5	-1,5	-1,5	-1,5	-1,5		
Уровни звукового давления прямого звука от источника ИШ-2-6 в расчётной точке днём, дБ		**ф-ла(3)[10]**	**0**	**30,3**	**24,9**	**29,2**	**32,2**	**30,4**	**24,6**	**11,7**	**0**	**33,8**	**33,8**
Уровни звукового давления прямого звука от источника ИШ-2-6 в расчётной точке ночью, дБ		**ф-ла(3)[10]**	**0**	**30,3**	**24,9**	**29,2**	**32,2**	**30,4**	**24,6**	**11,7**	**0**	**33,8**	**33,8**
Расчёт отражённого звука													
Уровни звукового давления от мнимого источника ИШ-2-6_мн.(1) в расчётной точке днём, дБ		**ф-ла(3)[10]**	**0**	**0**	**0**	**0**	**0**	**0**	**0**	**9,1**	**0**	**10,1**	**10,1**
Уровни звукового давления от мнимого источника ИШ-2-6_мн.(1) в расчётной точке ночью, дБ		**ф-ла(3)[10]**	**0**	**0**	**0**	**0**	**0**	**0**	**0**	**0**	**0**	**10,1**	**10,1**
Уровни звукового давления от источника ИШ-2-6 в расчётной точке днём, дБ		**ф-ла(3)[10]**	**0**	**30,3**	**24,9**	**29,2**	**32,2**	**30,4**	**24,6**	**13,6**	**0**	**33,9**	**33,9**
Уровни звукового давления от источника ИШ-2-6 в расчётной точке ночью, дБ		**ф-ла(3)[10]**	**0**	**30,3**	**24,9**	**29,2**	**32,2**	**30,4**	**24,6**	**13,6**	**0**	**33,9**	**33,9**
Источник шума: ИШ-2-7, координаты источника (x,y,z), м =[764.91,109.54,1.00]													
Уровни звуковой мощности источника днём, Lw, дБ		**исходные данные**	**0**	**93,3**	**94,7**	**96**	**96,3**	**95,9**	**92,6**	**88,4**	**83,9**		

1		2	3	4	5	6	7	8	9	10	11	12	13
Уровни звуковой мощности источника ночью, Lw, дБ		**исходные данные**	**0**	**93,3**	**94,7**	**96**	**96,3**	**95,9**	**92,6**	**88,4**	**83,9**		
Поправка на телесный угол DΩ, дБ	Ω = 6.28	10Lg(4π/Ω)	**3**	3	3	3	3	3	3	3	3		
Показатель направленности источника Di, дБ		исходные данные	**0**	0	0	0	0	0	0	0	0		
Поправка на направленность источника Dc, дБ	Dc	DΩ + Di	**3**	3	3	3	3	3	3	3	3		
Затухание из-за геометрической дивергенции, Adiv, дБ	расстояние = 618.60 м	ф-ла (7) [10]	**66,8**										
Коэффициент затухания звука в атмосфере α, дБ/км	Ta=20,°C Pa=101.33,кПа hотн.=70%	ф-ла (5) [9]	0,02	0,09	0,33	1,12	2,79	4,98	9,04	23,09	77,63		
Учет затухания звука в атмосфере Aatm, дБ		ф-ла (8) [10]	0	0,1	0,2	0,7	1,7	3,1	5,6	14,3	48		
Снижение уровня звукового давления из-за влияния застройки между источником шума и расчетной точкой													
Снижение уровня звукового давления препятствием слева от трассы ИШ-РТ, Dz2, дБ	z = -0.02м (разность путей)	ф-лы (14-18) [10]	4,7	4,6	4,4	3,9	2,8	0	NAN	NAN	NAN		
* отрицательное значение z означает прохождение траектории вблизи экрана, в этом случае дополнительно производится учёт снижения подстилающей поверхностью (см.ниже)													
Снижение поверхностью земли возле источника As, дБ	Gs = 0 hs = 1м	ф-лы таб.3 [10]	-1,5	-1,5	-1,5	-1,5	-1,5	-1,5	-1,5	-1,5	-1,5		
Снижение поверхностью земли возле приёмника Ar, дБ	Gr = 1 hr = 4.6м	ф-лы таб.3 [10]	-1,5	-1,5	3,5	1,3	0	0	0	0	0		
Снижение поверхностью земли в средней зоне, Am дБ	Gm = 1	ф-лы таб.3 [10]	-2,2	-2,2	0	0	0	0	0	0	0		
Суммарное снижение поверхностью земли на траектории распространения звука Agr, дБ		ф-ла (9) [10]	-5,2	-5,2	2	-0,2	-1,5	-1,5	-1,5	-1,5	-1,5		
Уровни звукового давления прямого звука от источника ИШ-2-7 в расчётной точке днём, дБ		**ф-ла(3)[10]**	**0**	**30**	**24,3**	**27,8**	**29,5**	**30,5**	**24,7**	**11,8**	**0**	**33,1**	**33,1**
Уровни звукового давления прямого звука от источника ИШ-2-7 в расчётной точке ночью, дБ		**ф-ла(3)[10]**	**0**	**30**	**24,3**	**27,8**	**29,5**	**30,5**	**24,7**	**11,8**	**0**	**33,1**	**33,1**
Расчёт отражённого звука													
Уровни звукового давления от мнимого источника ИШ-2-7_мн.(1) в расчётной точке днём, дБ		**ф-ла(3)[10]**	**0**	**0**	**0**	**0**	**0**	**0**	**0**	**9,2**	**0**	**10,2**	**10,2**

1		2	3	4	5	6	7	8	9	10	11	12	13
Уровни звукового давления от мнимого источника ИШ-2-7_мн.(1) в расчётной точке ночью, дБ		**ф-ла(3)[10]**	**0**	**0**	**0**	**0**	**0**	**0**	**0**	**0**	**0**	**10,2**	**10,2**
Уровни звукового давления от источника ИШ-2-7 в расчётной точке днём, дБ		**ф-ла(3)[10]**	**0**	**30**	**24,3**	**27,8**	**29,5**	**30,5**	**24,7**	**13,7**	**0**	**33,1**	**33,1**
Уровни звукового давления от источника ИШ-2-7 в расчётной точке ночью, дБ		**ф-ла(3)[10]**	**0**	**30**	**24,3**	**27,8**	**29,5**	**30,5**	**24,7**	**13,7**	**0**	**33,1**	**33,1**
Источник шума: ИШ-2-8, координаты источника (x,y,z), м =[764.03,106.58,1.00]													
Уровни звуковой мощности источника днём, Lw, дБ		**исходные данные**	**0**	**93,3**	**94,7**	**96**	**96,3**	**95,9**	**92,6**	**88,4**	**83,9**		
Уровни звуковой мощности источника ночью, Lw, дБ		**исходные данные**	**0**	**93,3**	**94,7**	**96**	**96,3**	**95,9**	**92,6**	**88,4**	**83,9**		
Поправка на телесный угол DΩ, дБ	Ω = 6.28	10Lg(4π/Ω)	**3**	3	3	3	3	3	3	3	3		
Показатель направленности источника Di, дБ		исходные данные	**0**	0	0	0	0	0	0	0	0		
Поправка на направленность источника Dc, дБ	Dc	DΩ + Di	**3**	3	3	3	3	3	3	3	3		
Затухание из-за геометрической дивергенции, Adiv, дБ	расстояние = 616.39 м	ф-ла (7) [10]	**66,8**										
Коэффициент затухания звука в атмосфере α, дБ/км	Ta=20,°C Pa=101.33,кПа hотн.=70%	ф-ла (5) [9]	0,02	0,09	0,33	1,12	2,79	4,98	9,04	23,09	77,63		
Учет затухания звука в атмосфере Aatm, дБ		ф-ла (8) [10]	0	0,1	0,2	0,7	1,7	3,1	5,6	14,2	47,9		
Снижение уровня звукового давления из-за влияния застройки между источником шума и расчетной точкой													
Снижение уровня звукового давления препятствием слева от трассы ИШ-РТ, Dz2, дБ	z = 0.00м (разность путей)	ф-лы (14-18) [10]	4,8	4,7	4,7	4,6	4,4	4,1	3,2	0,7	NAN		
* отрицательное значение z означает прохождение траектории вблизи экрана, в этом случае дополнительно производится учёт снижения подстилающей поверхностью (см.ниже)													
Снижение поверхностью земли возле источника As, дБ	Gs = 0 hs = 1м	ф-лы таб.3 [10]	-1,5	-1,5	-1,5	-1,5	-1,5	-1,5	-1,5	-1,5	-1,5		
Снижение поверхностью земли возле приёмника Ar, дБ	Gr = 1 hr = 4.6м	ф-лы таб.3 [10]	-1,5	-1,5	3,5	1,3	0	0	0	0	0		

1		2	3	4	5	6	7	8	9	10	11	12	13
Снижение поверхностью земли в средней зоне, Am дБ	Gm = 1	ф-лы таб.3 [10]	-2,2	-2,2	0	0	0	0	0	0	0		
Суммарное снижение поверхностью земли на траектории распространения звука Agr, дБ		ф-ла (9) [10]	-5,2	-5,2	2	-0,2	-1,5	-1,5	-1,5	-1,5	-1,5		
Уровни звукового давления от источника ИШ-2-8 в расчётной точке днём, дБ		**ф-ла(3)[10]**	**0**	**29,9**	**24**	**27,1**	**27,8**	**26,5**	**21,5**	**11,1**	**0**	**30,1**	**30,1**
Уровни звукового давления от источника ИШ-2-8 в расчётной точке ночью, дБ		**ф-ла(3)[10]**	**0**	**29,9**	**24**	**27,1**	**27,8**	**26,5**	**21,5**	**11,1**	**0**	**30,1**	**30,1**
Источник шума: ИШ-2-9, координаты источника (x,y,z), м =[763.26,103.71,1.00]													
Уровни звуковой мощности источника днём, Lw, дБ		**исходные данные**	**0**	**93,3**	**94,7**	**96**	**96,3**	**95,9**	**92,6**	**88,4**	**83,9**		
Уровни звуковой мощности источника ночью, Lw, дБ		**исходные данные**	**0**	**93,3**	**94,7**	**96**	**96,3**	**95,9**	**92,6**	**88,4**	**83,9**		
Поправка на телесный угол DΩ, дБ	Ω = 6.28	10Lg(4π/Ω)	**3**	3	3	3	3	3	3	3	3		
Показатель направленности источника Di, дБ		исходные данные	**0**	0	0	0	0	0	0	0	0		
Поправка на направленность источника Dc, дБ	Dc	DΩ + Di	**3**	3	3	3	3	3	3	3	3		
Затухание из-за геометрической дивергенции, Adiv, дБ	расстояние = 614.33 м	ф-ла (7) [10]	**66,8**										
Коэффициент затухания звука в атмосфере α, дБ/км	Ta=20,°C Pa=101.33,кПа hотн.=70%	ф-ла (5) [9]	0,02	0,09	0,33	1,12	2,79	4,98	9,04	23,09	77,63		
Учет затухания звука в атмосфере Aatm, дБ		ф-ла (8) [10]	0	0,1	0,2	0,7	1,7	3,1	5,6	14,2	47,7		
Снижение уровня звукового давления из-за влияния застройки между источником шума и расчетной точкой													
Снижение уровня звукового давления на пути над экраном, Dz1, дБ	z = 0.07м (разность путей)	ф-лы (14-18) [10]	4,8	4,8	4,8	4,8	4,8	4,8	4,8	4,8	4,8		
Снижение уровня звукового давления на пути слева от экрана, Dz2, дБ	z = 13.74м (разность путей)	ф-лы (14-18) [10]	17,3	20,2	23,1	26,1	29,1	32,1	35,1	38,1	41,1		

1		2	3	4	5	6	7	8	9	10	11	12	13
Снижение уровня звукового давления на пути справа от экрана, Dz3, дБ	z = 0.00м (разность путей)	ф-лы (14-18) [10]	4,8	4,8	4,8	4,8	4,8	4,8	4,8	4,9	5		
Общее снижение уровня звука препятствием Dz, дБ		Эн.сумма(-Dzi)	1,6	1,7	1,7	1,7	1,8	1,8	1,8	1,8	1,9		
Уровни звукового давления от источника ИШ-2-9 в расчётной точке днём, дБ		**ф-ла(3)[10]**	**0**	**27,8**	**29**	**29,8**	**29**	**27,3**	**21,5**	**8,6**	**0**	**31**	**31**
Уровни звукового давления от источника ИШ-2-9 в расчётной точке ночью, дБ		**ф-ла(3)[10]**	**0**	**27,8**	**29**	**29,8**	**29**	**27,3**	**21,5**	**8,6**	**0**	**31**	**31**
Источник шума: ИШ-2-10, координаты источника (x,y,z), м =[762.14,100.75,1.00]													
Уровни звуковой мощности источника днём, Lw, дБ		**исходные данные**	**0**	**93,3**	**94,7**	**96**	**96,3**	**95,9**	**92,6**	**88,4**	**83,9**		
Уровни звуковой мощности источника ночью, Lw, дБ		**исходные данные**	**0**	**93,3**	**94,7**	**96**	**96,3**	**95,9**	**92,6**	**88,4**	**83,9**		
Поправка на телесный угол DΩ, дБ	Ω = 6.28	10Lg(4π/Ω)	**3**	3	3	3	3	3	3	3	3		
Показатель направленности источника Di, дБ		исходные данные	**0**	0	0	0	0	0	0	0	0		
Поправка на направленность источника Dc, дБ	Dc	DΩ + Di	**3**	3	3	3	3	3	3	3	3		
Затухание из-за геометрической дивергенции, Adiv, дБ	расстояние = 611.92 м	ф-ла (7) [10]	**66,7**										
Коэффициент затухания звука в атмосфере α, дБ/км	Ta=20,°C Pa=101.33,кПа hотн.=70%	ф-ла (5) [9]	0,02	0,09	0,33	1,12	2,79	4,98	9,04	23,09	77,63		
Учет затухания звука в атмосфере Aatm, дБ		ф-ла (8) [10]	0	0,1	0,2	0,7	1,7	3	5,5	14,1	47,5		
Снижение уровня звукового давления из-за влияния застройки между источником шума и расчетной точкой													
Снижение уровня звукового давления на пути над экраном, Dz1, дБ	z = 0.07м (разность путей)	ф-лы (14-18) [10]	4,8	4,8	4,8	4,8	4,8	4,8	4,8	4,8	4,8		
Снижение уровня звукового давления на пути слева от экрана, Dz2, дБ	z = 13.30м (разность путей)	ф-лы (14-18) [10]	17,2	20,1	23	26	29	32	35	38	41		

1		2	3	4	5	6	7	8	9	10	11	12	13
Снижение уровня звукового давления на пути справа от экрана, Dz3, дБ	z = 0.01м (разность путей)	ф-лы (14-18) [10]	4,8	4,8	4,9	5,1	5,3	5,9	6,7	8,1	9,9		
Общее снижение уровня звука препятствием Dz, дБ		Эн.сумма(-Dzi)	1,7	1,7	1,8	1,9	2	2,3	2,6	3,1	3,6		
Уровни звукового давления от источника ИШ-2-10 в расчётной точке днём, дБ		**ф-ла(3)[10]**	**0**	**27,8**	**29**	**29,7**	**28,8**	**26,8**	**20,7**	**7,4**	**0**	**30,6**	**30,6**
Уровни звукового давления от источника ИШ-2-10 в расчётной точке ночью, дБ		**ф-ла(3)[10]**	**0**	**27,8**	**29**	**29,7**	**28,8**	**26,8**	**20,7**	**7,4**	**0**	**30,6**	**30,6**
Источник шума: ИШ-2-11, координаты источника (x,y,z), м =[761.13,97.90,1.00]													
Уровни звуковой мощности источника днём, Lw, дБ		**исходные данные**	**0**	**93,3**	**94,7**	**96**	**96,3**	**95,9**	**92,6**	**88,4**	**83,9**		
Уровни звуковой мощности источника ночью, Lw, дБ		**исходные данные**	**0**	**93,3**	**94,7**	**96**	**96,3**	**95,9**	**92,6**	**88,4**	**83,9**		
Поправка на телесный угол DΩ, дБ	Ω = 6.28	10Lg(4π/Ω)	**3**	3	3	3	3	3	3	3	3		
Показатель направленности источника Di, дБ		исходные данные	**0**	0	0	0	0	0	0	0	0		
Поправка на направленность источника Dc, дБ	Dc	DΩ + Di	**3**	3	3	3	3	3	3	3	3		
Затухание из-за геометрической дивергенции, Adiv, дБ	расстояние = 609.67 м	ф-ла (7) [10]	**66,7**										
Коэффициент затухания звука в атмосфере α, дБ/км	Ta=20,°C Pa=101.33,кПа hотн.=70%	ф-ла (5) [9]	0,02	0,09	0,33	1,12	2,79	4,98	9,04	23,09	77,63		
Учет затухания звука в атмосфере Aatm, дБ		ф-ла (8) [10]	0	0,1	0,2	0,7	1,7	3	5,5	14,1	47,3		
Снижение уровня звукового давления из-за влияния застройки между источником шума и расчетной точкой													
Снижение уровня звукового давления на пути над экраном, Dz1, дБ	z = 0.07м (разность путей)	ф-лы (14-18) [10]	4,8	4,8	4,8	4,8	4,8	4,8	4,8	4,8	4,8		
Снижение уровня звукового давления на пути слева от экрана, Dz2, дБ	z = 12.87м (разность путей)	ф-лы (14-18) [10]	17	19,9	22,8	25,8	28,8	31,8	34,8	37,8	40,8		

1		2	3	4	5	6	7	8	9	10	11	12	13
Снижение уровня звукового давления на пути справа от экрана, Dz3, дБ	z = 0.02м (разность путей)	ф-лы (14-18) [10]	4,9	5	5,3	5,7	6,5	7,7	9,4	11,6	14,2		
Общее снижение уровня звука препятствием Dz, дБ		Эн.сумма(-Dzi)	1,7	1,8	2	2,2	2,5	3	3,5	4	4,3		
Уровни звукового давления от источника ИШ-2-11 в расчётной точке днём, дБ		**ф-ла(3)[10]**	**0**	**27,7**	**28,8**	**29,4**	**28,4**	**26,2**	**19,9**	**6,6**	**0**	**30,1**	**30,1**
Уровни звукового давления от источника ИШ-2-11 в расчётной точке ночью, дБ		**ф-ла(3)[10]**	**0**	**27,7**	**28,8**	**29,4**	**28,4**	**26,2**	**19,9**	**6,6**	**0**	**30,1**	**30,1**
Источник шума: ИШ-2-12, координаты источника (x,y,z), м =[760.25,95.02,1.00]													
Уровни звуковой мощности источника днём, Lw, дБ		**исходные данные**	**0**	**93,3**	**94,7**	**96**	**96,3**	**95,9**	**92,6**	**88,4**	**83,9**		
Уровни звуковой мощности источника ночью, Lw, дБ		**исходные данные**	**0**	**93,3**	**94,7**	**96**	**96,3**	**95,9**	**92,6**	**88,4**	**83,9**		
Поправка на телесный угол DΩ, дБ	Ω = 6.28	10Lg(4π/Ω)	**3**	3	3	3	3	3	3	3	3		
Показатель направленности источника Di, дБ		исходные данные	**0**	0	0	0	0	0	0	0	0		
Поправка на направленность источника Dc, дБ	Dc	DΩ + Di	**3**	3	3	3	3	3	3	3	3		
Затухание из-за геометрической дивергенции, Adiv, дБ	расстояние = 607.53 м	ф-ла (7) [10]	**66,7**										
Коэффициент затухания звука в атмосфере α, дБ/км	Ta=20,°C Pa=101.33,кПа hотн.=70%	ф-ла (5) [9]	0,02	0,09	0,33	1,12	2,79	4,98	9,04	23,09	77,63		
Учет затухания звука в атмосфере Aatm, дБ		ф-ла (8) [10]	0	0,1	0,2	0,7	1,7	3	5,5	14	47,2		
Снижение уровня звукового давления из-за влияния застройки между источником шума и расчетной точкой													
Снижение уровня звукового давления на пути над экраном, Dz1, дБ	z = 0.07м (разность путей)	ф-лы (14-18) [10]	4,8	4,8	4,8	4,8	4,8	4,8	4,8	4,8	4,8		
Снижение уровня звукового давления на пути слева от экрана, Dz2, дБ	z = 12.41м (разность путей)	ф-лы (14-18) [10]	16,9	19,8	22,7	25,7	28,7	31,7	34,7	37,7	40,7		

1		2	3	4	5	6	7	8	9	10	11	12	13
Снижение уровня звукового давления на пути справа от экрана, Dz3, дБ	z = 0.05м (разность путей)	ф-лы (14-18) [10]	5,1	5,3	5,8	6,6	7,9	9,7	12	14,6	17,3		
Общее снижение уровня звука препятствием Dz, дБ		Эн.сумма(-Dzi)	1,8	2	2,2	2,6	3	3,6	4	4,3	4,6		
Уровни звукового давления от источника ИШ-2-12 в расчётной точке днём, дБ		**ф-ла(3)[10]**	**0**	**27,6**	**28,6**	**29,1**	**27,9**	**25,6**	**19,4**	**6,3**	**0**	**29,6**	**29,6**
Уровни звукового давления от источника ИШ-2-12 в расчётной точке ночью, дБ		**ф-ла(3)[10]**	**0**	**27,6**	**28,6**	**29,1**	**27,9**	**25,6**	**19,4**	**6,3**	**0**	**29,6**	**29,6**
Источник шума: ИШ-2-13, координаты источника (x,y,z), м =[759.28,92.25,1.00]													
Уровни звуковой мощности источника днём, Lw, дБ		**исходные данные**	**0**	**93,3**	**94,7**	**96**	**96,3**	**95,9**	**92,6**	**88,4**	**83,9**		
Уровни звуковой мощности источника ночью, Lw, дБ		**исходные данные**	**0**	**93,3**	**94,7**	**96**	**96,3**	**95,9**	**92,6**	**88,4**	**83,9**		
Поправка на телесный угол DΩ, дБ	Ω = 6.28	10Lg(4π/Ω)	**3**	3	3	3	3	3	3	3	3		
Показатель направленности источника Di, дБ		исходные данные	**0**	0	0	0	0	0	0	0	0		
Поправка на направленность источника Dc, дБ	Dc	DΩ + Di	**3**	3	3	3	3	3	3	3	3		
Затухание из-за геометрической дивергенции, Adiv, дБ	расстояние = 605.37 м	ф-ла (7) [10]	**66,6**										
Коэффициент затухания звука в атмосфере α, дБ/км	Ta=20,°C Pa=101.33,кПа hотн.=70%	ф-ла (5) [9]	0,02	0,09	0,33	1,12	2,79	4,98	9,04	23,09	77,63		
Учет затухания звука в атмосфере Aatm, дБ		ф-ла (8) [10]	0	0,1	0,2	0,7	1,7	3	5,5	14	47		
Снижение уровня звукового давления из-за влияния застройки между источником шума и расчетной точкой													
Снижение уровня звукового давления на пути над экраном, Dz1, дБ	z = 0.08м (разность путей)	ф-лы (14-18) [10]	4,8	4,8	4,8	4,8	4,8	4,8	4,8	4,8	4,8		
Снижение уровня звукового давления на пути слева от экрана, Dz2, дБ	z = 12.00м (разность путей)	ф-лы (14-18) [10]	16,8	19,6	22,5	25,5	28,5	31,5	34,5	37,5	40,5		

1		2	3	4	5	6	7	8	9	10	11	12	13
Снижение уровня звукового давления на пути справа от экрана, Dz3, дБ	z = 0.09м (разность путей)	ф-лы (14-18) [10]	5,2	5,7	6,4	7,6	9,3	11,4	14	16,7	19,6		
Общее снижение уровня звука препятствием Dz, дБ		Эн.сумма(-Dzi)	1,8	2,1	2,5	2,9	3,4	3,9	4,3	4,5	4,7		
Уровни звукового давления от источника ИШ-2-13 в расчётной точке днём, дБ		**ф-ла(3)[10]**	**0**	**27,5**	**28,4**	**28,8**	**27,5**	**25,3**	**19,2**	**6,3**	**0**	**29,3**	**29,3**
Уровни звукового давления от источника ИШ-2-13 в расчётной точке ночью, дБ		**ф-ла(3)[10]**	**0**	**27,5**	**28,4**	**28,8**	**27,5**	**25,3**	**19,2**	**6,3**	**0**	**29,3**	**29,3**
Источник шума: ИШ-2-14, координаты источника (x,y,z), м =[751.62,69.73,1.00]													
Уровни звуковой мощности источника днём, Lw, дБ		**исходные данные**	**0**	**93,3**	**94,7**	**96**	**96,3**	**95,9**	**92,6**	**88,4**	**83,9**		
Уровни звуковой мощности источника ночью, Lw, дБ		**исходные данные**	**0**	**93,3**	**94,7**	**96**	**96,3**	**95,9**	**92,6**	**88,4**	**83,9**		
Поправка на телесный угол DΩ, дБ	Ω = 6.28	10Lg(4π/Ω)	**3**	3	3	3	3	3	3	3	3		
Показатель направленности источника Di, дБ		исходные данные	**0**	0	0	0	0	0	0	0	0		
Поправка на направленность источника Dc, дБ	Dc	DΩ + Di	**3**	3	3	3	3	3	3	3	3		
Затухание из-за геометрической дивергенции, Adiv, дБ	расстояние = 588.23 м	ф-ла (7) [10]	**66,4**										
Коэффициент затухания звука в атмосфере α, дБ/км	Ta=20,°C Pa=101.33,кПа hотн.=70%	ф-ла (5) [9]	0,02	0,09	0,33	1,12	2,79	4,98	9,04	23,09	77,63		
Учет затухания звука в атмосфере Aatm, дБ		ф-ла (8) [10]	0	0,1	0,2	0,7	1,6	2,9	5,3	13,6	45,7		
Снижение уровня звукового давления из-за влияния застройки между источником шума и расчетной точкой													
Снижение уровня звукового давления на пути над экраном, Dz1, дБ	z = 0.08м (разность путей)	ф-лы (14-18) [10]	4,8	4,8	4,8	4,8	4,8	4,8	4,8	4,8	4,8		
Снижение уровня звукового давления на пути слева от экрана, Dz2, дБ	z = 8.64м (разность путей)	ф-лы (14-18) [10]	15,4	18,3	21,1	24,1	27,1	30,1	33,1	36,1	39,1		

1		2	3	4	5	6	7	8	9	10	11	12	13
Снижение уровня звукового давления на пути справа от экрана, Dz3, дБ	z = 0.86м (разность путей)	ф-лы (14-18) [10]	7,9	9,7	12	14,5	17,3	20,2	23,1	26,1	29,1		
Общее снижение уровня звука препятствием Dz, дБ		Эн.сумма(-Dzi)	2,8	3,4	3,9	4,3	4,5	4,6	4,7	4,8	4,8		
Уровни звукового давления от источника ИШ-2-14 в расчётной точке днём, дБ		**ф-ла(3)[10]**	**0**	**26,4**	**27,2**	**27,6**	**26,7**	**24,9**	**19,2**	**6,6**	**0**	**28,7**	**28,7**
Уровни звукового давления от источника ИШ-2-14 в расчётной точке ночью, дБ		**ф-ла(3)[10]**	**0**	**26,4**	**27,2**	**27,6**	**26,7**	**24,9**	**19,2**	**6,6**	**0**	**28,7**	**28,7**
Источник шума: ИШ-2-15, координаты источника (x,y,z), м =[750.74,66.89,1.00]													
Уровни звуковой мощности источника днём, Lw, дБ		**исходные данные**	**0**	**93,3**	**94,7**	**96**	**96,3**	**95,9**	**92,6**	**88,4**	**83,9**		
Уровни звуковой мощности источника ночью, Lw, дБ		**исходные данные**	**0**	**93,3**	**94,7**	**96**	**96,3**	**95,9**	**92,6**	**88,4**	**83,9**		
Поправка на телесный угол DΩ, дБ	Ω = 6.28	10Lg(4π/Ω)	**3**	3	3	3	3	3	3	3	3		
Показатель направленности источника Di, дБ		исходные данные	**0**	0	0	0	0	0	0	0	0		
Поправка на направленность источника Dc, дБ	Dc	DΩ + Di	**3**	3	3	3	3	3	3	3	3		
Затухание из-за геометрической дивергенции, Adiv, дБ	расстояние = 586.19 м	ф-ла (7) [10]	**66,4**										
Коэффициент затухания звука в атмосфере α, дБ/км	Ta=20,°C Pa=101.33,кПа hотн.=70%	ф-ла (5) [9]	0,02	0,09	0,33	1,12	2,79	4,98	9,04	23,09	77,63		
Учет затухания звука в атмосфере Aatm, дБ		ф-ла (8) [10]	0	0,1	0,2	0,7	1,6	2,9	5,3	13,5	45,5		
Снижение уровня звукового давления из-за влияния застройки между источником шума и расчетной точкой													
Снижение уровня звукового давления на пути над экраном, Dz1, дБ	z = 0.08м (разность путей)	ф-лы (14-18) [10]	4,8	4,8	4,8	4,8	4,8	4,8	4,8	4,8	4,8		
Снижение уровня звукового давления на пути слева от экрана, Dz2, дБ	z = 8.22м (разность путей)	ф-лы (14-18) [10]	15,2	18,1	20,9	23,9	26,9	29,9	32,9	35,9	38,9		

1		2	3	4	5	6	7	8	9	10	11	12	13
Снижение уровня звукового давления на пути справа от экрана, Dz3, дБ	z = 1.03м (разность путей)	ф-лы (14-18) [10]	8,3	10,3	12,6	15,2	18	20,9	23,9	26,9	29,9		
Общее снижение уровня звука препятствием Dz, дБ		Эн.сумма(-Dzi)	2,9	3,5	4	4,3	4,5	4,7	4,7	4,8	4,8		
Уровни звукового давления от источника ИШ-2-15 в расчётной точке днём, дБ		**ф-ла(3)[10]**	**0**	**26,3**	**27,1**	**27,6**	**26,7**	**25**	**19,2**	**6,7**	**0**	**28,7**	**28,7**
Уровни звукового давления от источника ИШ-2-15 в расчётной точке ночью, дБ		**ф-ла(3)[10]**	**0**	**26,3**	**27,1**	**27,6**	**26,7**	**25**	**19,2**	**6,7**	**0**	**28,7**	**28,7**
Источник шума: ИШ-2-16, координаты источника (x,y,z), м =[749.73,64.02,1.00]													
Уровни звуковой мощности источника днём, Lw, дБ		**исходные данные**	**0**	**93,3**	**94,7**	**96**	**96,3**	**95,9**	**92,6**	**88,4**	**83,9**		
Уровни звуковой мощности источника ночью, Lw, дБ		**исходные данные**	**0**	**93,3**	**94,7**	**96**	**96,3**	**95,9**	**92,6**	**88,4**	**83,9**		
Поправка на телесный угол DΩ, дБ	Ω = 6.28	10Lg(4π/Ω)	**3**	3	3	3	3	3	3	3	3		
Показатель направленности источника Di, дБ		исходные данные	**0**	0	0	0	0	0	0	0	0		
Поправка на направленность источника Dc, дБ	Dc	DΩ + Di	**3**	3	3	3	3	3	3	3	3		
Затухание из-за геометрической дивергенции, Adiv, дБ	расстояние = 584.01 м	ф-ла (7) [10]	**66,3**										
Коэффициент затухания звука в атмосфере α, дБ/км	Ta=20,°C Pa=101.33,кПа hотн.=70%	ф-ла (5) [9]	0,02	0,09	0,33	1,12	2,79	4,98	9,04	23,09	77,63		
Учет затухания звука в атмосфере Aatm, дБ		ф-ла (8) [10]	0	0,1	0,2	0,7	1,6	2,9	5,3	13,5	45,3		
Снижение уровня звукового давления из-за влияния застройки между источником шума и расчетной точкой													
Снижение уровня звукового давления на пути над экраном, Dz1, дБ	z = 0.08м (разность путей)	ф-лы (14-18) [10]	4,8	4,8	4,8	4,8	4,8	4,8	4,8	4,8	4,9		
Снижение уровня звукового давления на пути слева от экрана, Dz2, дБ	z = 7.82м (разность путей)	ф-лы (14-18) [10]	15	17,8	20,7	23,7	26,7	29,7	32,7	35,7	38,7		

1		2	3	4	5	6	7	8	9	10	11	12	13
Снижение уровня звукового давления на пути справа от экрана, Dz3, дБ	z = 1.20м (разность путей)	ф-лы (14-18) [10]	8,7	10,8	13,2	15,8	18,7	21,6	24,6	27,6	30,6		
Общее снижение уровня звука препятствием Dz, дБ		Эн.сумма(-Dzi)	3	3,6	4,1	4,4	4,6	4,7	4,7	4,8	4,8		
Уровни звукового давления от источника ИШ-2-16 в расчётной точке днём, дБ		**ф-ла(3)[10]**	**0**	**26,3**	**27,1**	**27,6**	**26,8**	**25**	**19,2**	**6,8**	**0**	**28,8**	**28,8**
Уровни звукового давления от источника ИШ-2-16 в расчётной точке ночью, дБ		**ф-ла(3)[10]**	**0**	**26,3**	**27,1**	**27,6**	**26,8**	**25**	**19,2**	**6,8**	**0**	**28,8**	**28,8**
Источник шума: ИШ-2-17, координаты источника (x,y,z), м =[748.87,61.06,1.00]													
Уровни звуковой мощности источника днём, Lw, дБ		**исходные данные**	**0**	**93,3**	**94,7**	**96**	**96,3**	**95,9**	**92,6**	**88,4**	**83,9**		
Уровни звуковой мощности источника ночью, Lw, дБ		**исходные данные**	**0**	**93,3**	**94,7**	**96**	**96,3**	**95,9**	**92,6**	**88,4**	**83,9**		
Поправка на телесный угол DΩ, дБ	Ω = 6.28	10Lg(4π/Ω)	**3**	3	3	3	3	3	3	3	3		
Показатель направленности источника Di, дБ		исходные данные	**0**	0	0	0	0	0	0	0	0		
Поправка на направленность источника Dc, дБ	Dc	DΩ + Di	**3**	3	3	3	3	3	3	3	3		
Затухание из-за геометрической дивергенции, Adiv, дБ	расстояние = 581.95 м	ф-ла (7) [10]	**66,3**										
Коэффициент затухания звука в атмосфере α, дБ/км	Ta=20,°C Pa=101.33,кПа hотн.=70%	ф-ла (5) [9]	0,02	0,09	0,33	1,12	2,79	4,98	9,04	23,09	77,63		
Учет затухания звука в атмосфере Aatm, дБ		ф-ла (8) [10]	0	0,1	0,2	0,7	1,6	2,9	5,3	13,4	45,2		
Снижение уровня звукового давления из-за влияния застройки между источником шума и расчетной точкой													
Снижение уровня звукового давления на пути над экраном, Dz1, дБ	z = 0.08м (разность путей)	ф-лы (14-18) [10]	4,8	4,8	4,8	4,8	4,8	4,8	4,8	4,8	4,9		
Снижение уровня звукового давления на пути слева от экрана, Dz2, дБ	z = 7.38м (разность путей)	ф-лы (14-18) [10]	14,8	17,6	20,5	23,4	26,4	29,4	32,4	35,4	38,4		

1		2	3	4	5	6	7	8	9	10	11	12	13
Снижение уровня звукового давления на пути справа от экрана, Dz3, дБ	z = 1.41м (разность путей)	ф-лы (14-18) [10]	9,2	11,3	13,8	16,5	19,4	22,3	25,3	28,3	31,3		
Общее снижение уровня звука препятствием Dz, дБ		Эн.сумма(-Dzi)	3,1	3,7	4,2	4,4	4,6	4,7	4,7	4,8	4,8		
Уровни звукового давления от источника ИШ-2-17 в расчётной точке днём, дБ		**ф-ла(3)[10]**	**0**	**26,2**	**27**	**27,6**	**26,8**	**25**	**19,3**	**6,9**	**0**	**28,8**	**28,8**
Уровни звукового давления от источника ИШ-2-17 в расчётной точке ночью, дБ		**ф-ла(3)[10]**	**0**	**26,2**	**27**	**27,6**	**26,8**	**25**	**19,3**	**6,9**	**0**	**28,8**	**28,8**
Источник шума: ИШ-2-18, координаты источника (x,y,z), м =[747.72,58.17,1.00]													
Уровни звуковой мощности источника днём, Lw, дБ		**исходные данные**	**0**	**93,3**	**94,7**	**96**	**96,3**	**95,9**	**92,6**	**88,4**	**83,9**		
Уровни звуковой мощности источника ночью, Lw, дБ		**исходные данные**	**0**	**93,3**	**94,7**	**96**	**96,3**	**95,9**	**92,6**	**88,4**	**83,9**		
Поправка на телесный угол DΩ, дБ	Ω = 6.28	10Lg(4π/Ω)	**3**	3	3	3	3	3	3	3	3		
Показатель направленности источника Di, дБ		исходные данные	**0**	0	0	0	0	0	0	0	0		
Поправка на направленность источника Dc, дБ	Dc	DΩ + Di	**3**	3	3	3	3	3	3	3	3		
Затухание из-за геометрической дивергенции, Adiv, дБ	расстояние = 579.65 м	ф-ла (7) [10]	**66,3**										
Коэффициент затухания звука в атмосфере α, дБ/км	Ta=20,°C Pa=101.33,кПа hотн.=70%	ф-ла (5) [9]	0,02	0,09	0,33	1,12	2,79	4,98	9,04	23,09	77,63		
Учет затухания звука в атмосфере Aatm, дБ		ф-ла (8) [10]	0	0,1	0,2	0,7	1,6	2,9	5,2	13,4	45		
Снижение уровня звукового давления из-за влияния застройки между источником шума и расчетной точкой													
Снижение уровня звукового давления на пути над экраном, Dz1, дБ	z = 0.08м (разность путей)	ф-лы (14-18) [10]	4,8	4,8	4,8	4,8	4,8	4,8	4,8	4,8	4,9		
Снижение уровня звукового давления на пути слева от экрана, Dz2, дБ	z = 7.00м (разность путей)	ф-лы (14-18) [10]	14,6	17,4	20,3	23,2	26,2	29,2	32,2	35,2	38,2		

1		2	3	4	5	6	7	8	9	10	11	12	13
Снижение уровня звукового давления на пути справа от экрана, Dz3, дБ	z = 1.62м (разность путей)	ф-лы (14-18) [10]	9,6	11,8	14,3	17,1	19,9	22,9	25,9	28,8	31,9		
Общее снижение уровня звука препятствием Dz, дБ		Эн.сумма(-Dzi)	3,2	3,8	4,2	4,5	4,6	4,7	4,8	4,8	4,9		
Уровни звукового давления от источника ИШ-2-18 в расчётной точке днём, дБ		**ф-ла(3)[10]**	**0**	**26,2**	**27**	**27,6**	**26,8**	**25**	**19,3**	**6,9**	**0**	**28,8**	**28,8**
Уровни звукового давления от источника ИШ-2-18 в расчётной точке ночью, дБ		**ф-ла(3)[10]**	**0**	**26,2**	**27**	**27,6**	**26,8**	**25**	**19,3**	**6,9**	**0**	**28,8**	**28,8**
Источник шума: ИШ-2-19, координаты источника (x,y,z), м =[746.80,55.25,1.00]													
Уровни звуковой мощности источника днём, Lw, дБ		**исходные данные**	**0**	**93,3**	**94,7**	**96**	**96,3**	**95,9**	**92,6**	**88,4**	**83,9**		
Уровни звуковой мощности источника ночью, Lw, дБ		**исходные данные**	**0**	**93,3**	**94,7**	**96**	**96,3**	**95,9**	**92,6**	**88,4**	**83,9**		
Поправка на телесный угол DΩ, дБ	Ω = 6.28	10Lg(4π/Ω)	**3**	3	3	3	3	3	3	3	3		
Показатель направленности источника Di, дБ		исходные данные	**0**	0	0	0	0	0	0	0	0		
Поправка на направленность источника Dc, дБ	Dc	DΩ + Di	**3**	3	3	3	3	3	3	3	3		
Затухание из-за геометрической дивергенции, Adiv, дБ	расстояние = 577.57 м	ф-ла (7) [10]	**66,2**										
Коэффициент затухания звука в атмосфере α, дБ/км	Ta=20,°C Pa=101.33,кПа hотн.=70%	ф-ла (5) [9]	0,02	0,09	0,33	1,12	2,79	4,98	9,04	23,09	77,63		
Учет затухания звука в атмосфере Aatm, дБ		ф-ла (8) [10]	0	0,1	0,2	0,6	1,6	2,9	5,2	13,3	44,8		
Снижение уровня звукового давления из-за влияния застройки между источником шума и расчетной точкой													
Снижение уровня звукового давления на пути над экраном, Dz1, дБ	z = 0.08м (разность путей)	ф-лы (14-18) [10]	4,8	4,8	4,8	4,8	4,8	4,8	4,8	4,8	4,9		
Снижение уровня звукового давления на пути слева от экрана, Dz2, дБ	z = 6.59м (разность путей)	ф-лы (14-18) [10]	14,4	17,1	20	22,9	25,9	28,9	31,9	34,9	37,9		

1		2	3	4	5	6	7	8	9	10	11	12	13
Снижение уровня звукового давления на пути справа от экрана, Dz3, дБ	z = 1.87м (разность путей)	ф-лы (14-18) [10]	10	12,3	14,8	17,6	20,5	23,5	26,5	29,4	32,5		
Общее снижение уровня звука препятствием Dz, дБ		Эн.сумма(-Dzi)	3,3	3,9	4,2	4,5	4,6	4,7	4,8	4,8	4,9		
Уровни звукового давления от источника ИШ-2-19 в расчётной точке днём, дБ		**ф-ла(3)[10]**	**0**	**26,2**	**27**	**27,6**	**26,8**	**25,1**	**19,4**	**7**	**0**	**28,8**	**28,8**
Уровни звукового давления от источника ИШ-2-19 в расчётной точке ночью, дБ		**ф-ла(3)[10]**	**0**	**26,2**	**27**	**27,6**	**26,8**	**25,1**	**19,4**	**7**	**0**	**28,8**	**28,8**
Источник шума: ИШ-2-20, координаты источника (x,y,z), м =[745.71,52.44,1.00]													
Уровни звуковой мощности источника днём, Lw, дБ		**исходные данные**	**0**	**93,3**	**94,7**	**96**	**96,3**	**95,9**	**92,6**	**88,4**	**83,9**		
Уровни звуковой мощности источника ночью, Lw, дБ		**исходные данные**	**0**	**93,3**	**94,7**	**96**	**96,3**	**95,9**	**92,6**	**88,4**	**83,9**		
Поправка на телесный угол DΩ, дБ	Ω = 6.28	10Lg(4π/Ω)	**3**	3	3	3	3	3	3	3	3		
Показатель направленности источника Di, дБ		исходные данные	**0**	0	0	0	0	0	0	0	0		
Поправка на направленность источника Dc, дБ	Dc	DΩ + Di	**3**	3	3	3	3	3	3	3	3		
Затухание из-за геометрической дивергенции, Adiv, дБ	расстояние = 575.38 м	ф-ла (7) [10]	**66,2**										
Коэффициент затухания звука в атмосфере α, дБ/км	Ta=20,°C Pa=101.33,кПа hотн.=70%	ф-ла (5) [9]	0,02	0,09	0,33	1,12	2,79	4,98	9,04	23,09	77,63		
Учет затухания звука в атмосфере Aatm, дБ		ф-ла (8) [10]	0	0,1	0,2	0,6	1,6	2,9	5,2	13,3	44,7		
Снижение уровня звукового давления из-за влияния застройки между источником шума и расчетной точкой													
Снижение уровня звукового давления на пути над экраном, Dz1, дБ	z = 0.08м (разность путей)	ф-лы (14-18) [10]	4,8	4,8	4,8	4,8	4,8	4,8	4,8	4,8	4,9		
Снижение уровня звукового давления на пути слева от экрана, Dz2, дБ	z = 6.22м (разность путей)	ф-лы (14-18) [10]	14,2	16,9	19,8	22,7	25,7	28,7	31,7	34,7	37,7		

1		2	3	4	5	6	7	8	9	10	11	12	13
Снижение уровня звукового давления на пути справа от экрана, Dz3, дБ	z = 2.11м (разность путей)	ф-лы (14-18) [10]	10,3	12,7	15,3	18,1	21	24	27	30	33		
Общее снижение уровня звука препятствием Dz, дБ		Эн.сумма(-Dzi)	3,3	3,9	4,3	4,5	4,6	4,7	4,8	4,8	4,9		
Уровни звукового давления от источника ИШ-2-20 в расчётной точке днём, дБ		**ф-ла(3)[10]**	**0**	**26,1**	**27**	**27,6**	**26,8**	**25,1**	**19,4**	**7,1**	**0**	**28,9**	**28,9**
Уровни звукового давления от источника ИШ-2-20 в расчётной точке ночью, дБ		**ф-ла(3)[10]**	**0**	**26,1**	**27**	**27,6**	**26,8**	**25,1**	**19,4**	**7,1**	**0**	**28,9**	**28,9**
Источник шума: ИШ-2-21, координаты источника (x,y,z), м =[744.89,49.62,1.00]													
Уровни звуковой мощности источника днём, Lw, дБ		**исходные данные**	**0**	**93,3**	**94,7**	**96**	**96,3**	**95,9**	**92,6**	**88,4**	**83,9**		
Уровни звуковой мощности источника ночью, Lw, дБ		**исходные данные**	**0**	**93,3**	**94,7**	**96**	**96,3**	**95,9**	**92,6**	**88,4**	**83,9**		
Поправка на телесный угол DΩ, дБ	Ω = 6.28	10Lg(4π/Ω)	**3**	3	3	3	3	3	3	3	3		
Показатель направленности источника Di, дБ		исходные данные	**0**	0	0	0	0	0	0	0	0		
Поправка на направленность источника Dc, дБ	Dc	DΩ + Di	**3**	3	3	3	3	3	3	3	3		
Затухание из-за геометрической дивергенции, Adiv, дБ	расстояние = 573.44 м	ф-ла (7) [10]	**66,2**										
Коэффициент затухания звука в атмосфере α, дБ/км	Ta=20,°C Pa=101.33,кПа hотн.=70%	ф-ла (5) [9]	0,02	0,09	0,33	1,12	2,79	4,98	9,04	23,09	77,63		
Учет затухания звука в атмосфере Aatm, дБ		ф-ла (8) [10]	0	0,1	0,2	0,6	1,6	2,9	5,2	13,2	44,5		
Снижение уровня звукового давления из-за влияния застройки между источником шума и расчетной точкой													
Снижение уровня звукового давления на пути над экраном, Dz1, дБ	z = 0.14м (разность путей)	ф-лы (14-18) [10]	4,8	4,8	4,8	4,8	4,8	4,9	5,1	5,4	6		
Снижение уровня звукового давления на пути слева от экрана, Dz2, дБ	z = 5.83м (разность путей)	ф-лы (14-18) [10]	13,9	16,6	19,5	22,4	25,4	28,4	31,4	34,4	37,4		

1		2	3	4	5	6	7	8	9	10	11	12	13
Снижение уровня звукового давления на пути справа от экрана, Dz3, дБ	z = 2.38м (разность путей)	ф-лы (14-18) [10]	10,7	13,1	15,8	18,6	21,6	24,5	27,5	30,5	33,5		
Общее снижение уровня звука препятствием Dz, дБ		Эн.сумма(-Dzi)	3,4	3,9	4,3	4,5	4,7	4,8	5	5,4	6		
Уровни звукового давления от источника ИШ-2-21 в расчётной точке днём, дБ		**ф-ла(3)[10]**	**0**	**26,1**	**27**	**27,6**	**26,8**	**25**	**19,2**	**6,6**	**0**	**28,8**	**28,8**
Уровни звукового давления от источника ИШ-2-21 в расчётной точке ночью, дБ		**ф-ла(3)[10]**	**0**	**26,1**	**27**	**27,6**	**26,8**	**25**	**19,2**	**6,6**	**0**	**28,8**	**28,8**
Источник шума: ИШ-2-22, координаты источника (x,y,z), м =[737.40,27.07,1.00]													
Уровни звуковой мощности источника днём, Lw, дБ		**исходные данные**	**0**	**93,3**	**94,7**	**96**	**96,3**	**95,9**	**92,6**	**88,4**	**83,9**		
Уровни звуковой мощности источника ночью, Lw, дБ		**исходные данные**	**0**	**93,3**	**94,7**	**96**	**96,3**	**95,9**	**92,6**	**88,4**	**83,9**		
Поправка на телесный угол DΩ, дБ	Ω = 6.28	10Lg(4π/Ω)	**3**	3	3	3	3	3	3	3	3		
Показатель направленности источника Di, дБ		исходные данные	**0**	0	0	0	0	0	0	0	0		
Поправка на направленность источника Dc, дБ	Dc	DΩ + Di	**3**	3	3	3	3	3	3	3	3		
Затухание из-за геометрической дивергенции, Adiv, дБ	расстояние = 557.38 м	ф-ла (7) [10]	**65,9**										
Коэффициент затухания звука в атмосфере α, дБ/км	Ta=20,°C Pa=101.33,кПа hотн.=70%	ф-ла (5) [9]	0,02	0,09	0,33	1,12	2,79	4,98	9,04	23,09	77,63		
Учет затухания звука в атмосфере Aatm, дБ		ф-ла (8) [10]	0	0	0,2	0,6	1,6	2,8	5	12,9	43,3		
Снижение уровня звукового давления из-за влияния застройки между источником шума и расчетной точкой													
Снижение уровня звукового давления на пути над экраном, Dz1, дБ	z = 0.16м (разность путей)	ф-лы (14-18) [10]	4,8	4,8	4,8	4,9	5	5,2	5,6	6,2	7,3		
Снижение уровня звукового давления на пути слева от экрана, Dz2, дБ	z = 3.09м (разность путей)	ф-лы (14-18) [10]	11,6	14,1	16,8	19,7	22,7	25,6	28,6	31,6	34,6		

1		2	3	4	5	6	7	8	9	10	11	12	13
Снижение уровня звукового давления на пути справа от экрана, Dz3, дБ	z = 5.29м (разность путей)	ф-лы (14-18) [10]	13,5	16,3	19,1	22	25	28	31	34	37		
Общее снижение уровня звука препятствием Dz, дБ		Эн.сумма(-Dzi)	3,5	4	4,4	4,6	4,9	5,1	5,5	6,2	7,3		
Уровни звукового давления от источника ИШ-2-22 в расчётной точке днём, дБ		**ф-ла(3)[10]**	**0**	**26,3**	**27,2**	**27,8**	**27**	**25,1**	**19,1**	**6,4**	**0**	**28,9**	**28,9**
Уровни звукового давления от источника ИШ-2-22 в расчётной точке ночью, дБ		**ф-ла(3)[10]**	**0**	**26,3**	**27,2**	**27,8**	**27**	**25,1**	**19,1**	**6,4**	**0**	**28,9**	**28,9**
Источник шума: ИШ-2-23, координаты источника (x,y,z), м =[736.46,24.18,1.00]													
Уровни звуковой мощности источника днём, Lw, дБ		**исходные данные**	**0**	**93,3**	**94,7**	**96**	**96,3**	**95,9**	**92,6**	**88,4**	**83,9**		
Уровни звуковой мощности источника ночью, Lw, дБ		**исходные данные**	**0**	**93,3**	**94,7**	**96**	**96,3**	**95,9**	**92,6**	**88,4**	**83,9**		
Поправка на телесный угол DΩ, дБ	Ω = 6.28	10Lg(4π/Ω)	**3**	3	3	3	3	3	3	3	3		
Показатель направленности источника Di, дБ		исходные данные	**0**	0	0	0	0	0	0	0	0		
Поправка на направленность источника Dc, дБ	Dc	DΩ + Di	**3**	3	3	3	3	3	3	3	3		
Затухание из-за геометрической дивергенции, Adiv, дБ	расстояние = 555.39 м	ф-ла (7) [10]	**65,9**										
Коэффициент затухания звука в атмосфере α, дБ/км	Ta=20,°C Pa=101.33,кПа hотн.=70%	ф-ла (5) [9]	0,02	0,09	0,33	1,12	2,79	4,98	9,04	23,09	77,63		
Учет затухания звука в атмосфере Aatm, дБ		ф-ла (8) [10]	0	0	0,2	0,6	1,6	2,8	5	12,8	43,1		
Снижение уровня звукового давления из-за влияния застройки между источником шума и расчетной точкой													
Снижение уровня звукового давления на пути над экраном, Dz1, дБ	z = 0.16м (разность путей)	ф-лы (14-18) [10]	4,8	4,8	4,8	4,9	5	5,2	5,6	6,3	7,4		
Снижение уровня звукового давления на пути слева от экрана, Dz2, дБ	z = 2.77м (разность путей)	ф-лы (14-18) [10]	11,2	13,7	16,4	19,3	22,2	25,2	28,2	31,2	34,2		

1		2	3	4	5	6	7	8	9	10	11	12	13
Снижение уровня звукового давления на пути справа от экрана, Dz3, дБ	z = 5.77м (разность путей)	ф-лы (14-18) [10]	13,9	16,6	19,4	22,4	25,3	28,3	31,3	34,3	37,4		
Общее снижение уровня звука препятствием Dz, дБ		Эн.сумма(-Dzi)	3,5	4	4,4	4,6	4,9	5,1	5,6	6,3	7,4		
Уровни звукового давления от источника ИШ-2-23 в расчётной точке днём, дБ		**ф-ла(3)[10]**	**0**	**26,3**	**27,2**	**27,8**	**27**	**25,1**	**19,1**	**6,4**	**0**	**28,9**	**28,9**
Уровни звукового давления от источника ИШ-2-23 в расчётной точке ночью, дБ		**ф-ла(3)[10]**	**0**	**26,3**	**27,2**	**27,8**	**27**	**25,1**	**19,1**	**6,4**	**0**	**28,9**	**28,9**
Источник шума: ИШ-2-24, координаты источника (x,y,z), м =[735.45,21.21,1.00]													
Уровни звуковой мощности источника днём, Lw, дБ		**исходные данные**	**0**	**93,3**	**94,7**	**96**	**96,3**	**95,9**	**92,6**	**88,4**	**83,9**		
Уровни звуковой мощности источника ночью, Lw, дБ		**исходные данные**	**0**	**93,3**	**94,7**	**96**	**96,3**	**95,9**	**92,6**	**88,4**	**83,9**		
Поправка на телесный угол DΩ, дБ	Ω = 6.28	10Lg(4π/Ω)	**3**	3	3	3	3	3	3	3	3		
Показатель направленности источника Di, дБ		исходные данные	**0**	0	0	0	0	0	0	0	0		
Поправка на направленность источника Dc, дБ	Dc	DΩ + Di	**3**	3	3	3	3	3	3	3	3		
Затухание из-за геометрической дивергенции, Adiv, дБ	расстояние = 553.30 м	ф-ла (7) [10]	**65,9**										
Коэффициент затухания звука в атмосфере α, дБ/км	Ta=20,°C Pa=101.33,кПа hотн.=70%	ф-ла (5) [9]	0,02	0,09	0,33	1,12	2,79	4,98	9,04	23,09	77,63		
Учет затухания звука в атмосфере Aatm, дБ		ф-ла (8) [10]	0	0	0,2	0,6	1,5	2,8	5	12,8	43		
Снижение уровня звукового давления из-за влияния застройки между источником шума и расчетной точкой													
Снижение уровня звукового давления на пути над экраном, Dz1, дБ	z = 0.16м (разность путей)	ф-лы (14-18) [10]	4,8	4,8	4,8	4,9	5	5,2	5,6	6,3	7,5		
Снижение уровня звукового давления на пути слева от экрана, Dz2, дБ	z = 2.47м (разность путей)	ф-лы (14-18) [10]	10,8	13,3	15,9	18,8	21,7	24,7	27,7	30,7	33,7		

1		2	3	4	5	6	7	8	9	10	11	12	13
Снижение уровня звукового давления на пути справа от экрана, Dz3, дБ	z = 6.29м (разность путей)	ф-лы (14-18) [10]	14,2	17	19,8	22,7	25,7	28,7	31,7	34,7	37,7		
Общее снижение уровня звука препятствием Dz, дБ		Эн.сумма(-Dzi)	3,4	4	4,4	4,6	4,9	5,1	5,6	6,3	7,5		
Уровни звукового давления от источника ИШ-2-24 в расчётной точке днём, дБ		**ф-ла(3)[10]**	**0**	**26,4**	**27,3**	**27,9**	**27**	**25,1**	**19,1**	**6,4**	**0**	**28,9**	**28,9**
Уровни звукового давления от источника ИШ-2-24 в расчётной точке ночью, дБ		**ф-ла(3)[10]**	**0**	**26,4**	**27,3**	**27,9**	**27**	**25,1**	**19,1**	**6,4**	**0**	**28,9**	**28,9**
Источник шума: ИШ-2-25, координаты источника (x,y,z), м =[734.58,18.32,1.00]													
Уровни звуковой мощности источника днём, Lw, дБ		**исходные данные**	**0**	**93,3**	**94,7**	**96**	**96,3**	**95,9**	**92,6**	**88,4**	**83,9**		
Уровни звуковой мощности источника ночью, Lw, дБ		**исходные данные**	**0**	**93,3**	**94,7**	**96**	**96,3**	**95,9**	**92,6**	**88,4**	**83,9**		
Поправка на телесный угол DΩ, дБ	Ω = 6.28	10Lg(4π/Ω)	**3**	3	3	3	3	3	3	3	3		
Показатель направленности источника Di, дБ		исходные данные	**0**	0	0	0	0	0	0	0	0		
Поправка на направленность источника Dc, дБ	Dc	DΩ + Di	**3**	3	3	3	3	3	3	3	3		
Затухание из-за геометрической дивергенции, Adiv, дБ	расстояние = 551.39 м	ф-ла (7) [10]	**65,8**										
Коэффициент затухания звука в атмосфере α, дБ/км	Ta=20,°C Pa=101.33,кПа hотн.=70%	ф-ла (5) [9]	0,02	0,09	0,33	1,12	2,79	4,98	9,04	23,09	77,63		
Учет затухания звука в атмосфере Aatm, дБ		ф-ла (8) [10]	0	0	0,2	0,6	1,5	2,7	5	12,7	42,8		
Снижение уровня звукового давления из-за влияния застройки между источником шума и расчетной точкой													
Снижение уровня звукового давления на пути над экраном, Dz1, дБ	z = 0.16м (разность путей)	ф-лы (14-18) [10]	4,8	4,8	4,8	4,9	5	5,2	5,7	6,4	7,6		
Снижение уровня звукового давления на пути слева от экрана, Dz2, дБ	z = 2.18м (разность путей)	ф-лы (14-18) [10]	10,4	12,8	15,4	18,3	21,2	24,1	27,1	30,1	33,1		

1		2	3	4	5	6	7	8	9	10	11	12	13
Снижение уровня звукового давления на пути справа от экрана, Dz3, дБ	z = 6.83м (разность путей)	ф-лы (14-18) [10]	14,5	17,3	20,1	23,1	26,1	29,1	32,1	35,1	38,1		
Общее снижение уровня звука препятствием Dz, дБ		Эн.сумма(-Dzi)	3,4	3,9	4,3	4,6	4,9	5,2	5,6	6,4	7,6		
Уровни звукового давления от источника ИШ-2-25 в расчётной точке днём, дБ		**ф-ла(3)[10]**	**0**	**26,5**	**27,3**	**27,9**	**27,1**	**25,2**	**19,2**	**6,5**	**0**	**29**	**29**
Уровни звукового давления от источника ИШ-2-25 в расчётной точке ночью, дБ		**ф-ла(3)[10]**	**0**	**26,5**	**27,3**	**27,9**	**27,1**	**25,2**	**19,2**	**6,5**	**0**	**29**	**29**
Источник шума: ИШ-2-26, координаты источника (x,y,z), м =[733.57,15.41,1.00]													
Уровни звуковой мощности источника днём, Lw, дБ		**исходные данные**	**0**	**93,3**	**94,7**	**96**	**96,3**	**95,9**	**92,6**	**88,4**	**83,9**		
Уровни звуковой мощности источника ночью, Lw, дБ		**исходные данные**	**0**	**93,3**	**94,7**	**96**	**96,3**	**95,9**	**92,6**	**88,4**	**83,9**		
Поправка на телесный угол DΩ, дБ	Ω = 6.28	10Lg(4π/Ω)	**3**	3	3	3	3	3	3	3	3		
Показатель направленности источника Di, дБ		исходные данные	**0**	0	0	0	0	0	0	0	0		
Поправка на направленность источника Dc, дБ	Dc	DΩ + Di	**3**	3	3	3	3	3	3	3	3		
Затухание из-за геометрической дивергенции, Adiv, дБ	расстояние = 549.34 м	ф-ла (7) [10]	**65,8**										
Коэффициент затухания звука в атмосфере α, дБ/км	Ta=20,°C Pa=101.33,кПа hотн.=70%	ф-ла (5) [9]	0,02	0,09	0,33	1,12	2,79	4,98	9,04	23,09	77,63		
Учет затухания звука в атмосфере Aatm, дБ		ф-ла (8) [10]	0	0	0,2	0,6	1,5	2,7	5	12,7	42,6		
Снижение уровня звукового давления из-за влияния застройки между источником шума и расчетной точкой													
Снижение уровня звукового давления на пути над экраном, Dz1, дБ	z = 0.16м (разность путей)	ф-лы (14-18) [10]	4,8	4,8	4,8	4,9	5	5,2	5,7	6,5	7,7		
Снижение уровня звукового давления на пути слева от экрана, Dz2, дБ	z = 1.91м (разность путей)	ф-лы (14-18) [10]	10	12,3	14,9	17,7	20,6	23,6	26,6	29,5	32,6		

1		2	3	4	5	6	7	8	9	10	11	12	13
Снижение уровня звукового давления на пути справа от экрана, Dz3, дБ	z = 7.40м (разность путей)	ф-лы (14-18) [10]	14,8	17,6	20,5	23,4	26,4	29,4	32,4	35,4	38,4		
Общее снижение уровня звука препятствием Dz, дБ		Эн.сумма(-Dzi)	3,3	3,9	4,3	4,6	4,9	5,2	5,6	6,4	7,6		
Уровни звукового давления от источника ИШ-2-26 в расчётной точке днём, дБ		**ф-ла(3)[10]**	**0**	**26,6**	**27,4**	**28**	**27,1**	**25,2**	**19,2**	**6,5**	**0**	**29**	**29**
Уровни звукового давления от источника ИШ-2-26 в расчётной точке ночью, дБ		**ф-ла(3)[10]**	**0**	**26,6**	**27,4**	**28**	**27,1**	**25,2**	**19,2**	**6,5**	**0**	**29**	**29**
Источник шума: ИШ-2-27, координаты источника (x,y,z), м =[732.43,12.66,1.00]													
Уровни звуковой мощности источника днём, Lw, дБ		**исходные данные**	**0**	**93,3**	**94,7**	**96**	**96,3**	**95,9**	**92,6**	**88,4**	**83,9**		
Уровни звуковой мощности источника ночью, Lw, дБ		**исходные данные**	**0**	**93,3**	**94,7**	**96**	**96,3**	**95,9**	**92,6**	**88,4**	**83,9**		
Поправка на телесный угол DΩ, дБ	Ω = 6.28	10Lg(4π/Ω)	**3**	3	3	3	3	3	3	3	3		
Показатель направленности источника Di, дБ		исходные данные	**0**	0	0	0	0	0	0	0	0		
Поправка на направленность источника Dc, дБ	Dc	DΩ + Di	**3**	3	3	3	3	3	3	3	3		
Затухание из-за геометрической дивергенции, Adiv, дБ	расстояние = 547.25 м	ф-ла (7) [10]	**65,8**										
Коэффициент затухания звука в атмосфере α, дБ/км	Ta=20,°C Pa=101.33,кПа hотн.=70%	ф-ла (5) [9]	0,02	0,09	0,33	1,12	2,79	4,98	9,04	23,09	77,63		
Учет затухания звука в атмосфере Aatm, дБ		ф-ла (8) [10]	0	0	0,2	0,6	1,5	2,7	4,9	12,6	42,5		
Снижение уровня звукового давления из-за влияния застройки между источником шума и расчетной точкой													
Снижение уровня звукового давления на пути над экраном, Dz1, дБ	z = 0.16м (разность путей)	ф-лы (14-18) [10]	4,8	4,8	4,8	4,9	5	5,3	5,7	6,5	7,8		
Снижение уровня звукового давления на пути слева от экрана, Dz2, дБ	z = 1.68м (разность путей)	ф-лы (14-18) [10]	9,6	11,9	14,4	17,2	20,1	23	26	29	32		

1		2	3	4	5	6	7	8	9	10	11	12	13
Снижение уровня звукового давления на пути справа от экрана, Dz3, дБ	z = 7.95м (разность путей)	ф-лы (14-18) [10]	15,1	17,9	20,8	23,7	26,7	29,7	32,7	35,7	38,7		
Общее снижение уровня звука препятствием Dz, дБ		Эн.сумма(-Dzi)	3,3	3,8	4,3	4,6	4,9	5,2	5,7	6,5	7,8		
Уровни звукового давления от источника ИШ-2-27 в расчётной точке днём, дБ		**ф-ла(3)[10]**	**0**	**26,6**	**27,5**	**28**	**27,2**	**25,2**	**19,2**	**6,5**	**0**	**29**	**29**
Уровни звукового давления от источника ИШ-2-27 в расчётной точке ночью, дБ		**ф-ла(3)[10]**	**0**	**26,6**	**27,5**	**28**	**27,2**	**25,2**	**19,2**	**6,5**	**0**	**29**	**29**
Источник шума: ИШ-2-28, координаты источника (x,y,z), м =[731.54,9.78,1.00]													
Уровни звуковой мощности источника днём, Lw, дБ		**исходные данные**	**0**	**93,3**	**94,7**	**96**	**96,3**	**95,9**	**92,6**	**88,4**	**83,9**		
Уровни звуковой мощности источника ночью, Lw, дБ		**исходные данные**	**0**	**93,3**	**94,7**	**96**	**96,3**	**95,9**	**92,6**	**88,4**	**83,9**		
Поправка на телесный угол DΩ, дБ	Ω = 6.28	10Lg(4π/Ω)	**3**	3	3	3	3	3	3	3	3		
Показатель направленности источника Di, дБ		исходные данные	**0**	0	0	0	0	0	0	0	0		
Поправка на направленность источника Dc, дБ	Dc	DΩ + Di	**3**	3	3	3	3	3	3	3	3		
Затухание из-за геометрической дивергенции, Adiv, дБ	расстояние = 545.35 м	ф-ла (7) [10]	**65,7**										
Коэффициент затухания звука в атмосфере α, дБ/км	Ta=20,°C Pa=101.33,кПа hотн.=70%	ф-ла (5) [9]	0,02	0,09	0,33	1,12	2,79	4,98	9,04	23,09	77,63		
Учет затухания звука в атмосфере Aatm, дБ		ф-ла (8) [10]	0	0	0,2	0,6	1,5	2,7	4,9	12,6	42,3		
Снижение уровня звукового давления из-за влияния застройки между источником шума и расчетной точкой													
Снижение уровня звукового давления на пути над экраном, Dz1, дБ	z = 0.16м (разность путей)	ф-лы (14-18) [10]	4,8	4,8	4,8	4,9	5	5,3	5,8	6,6	7,8		
Снижение уровня звукового давления на пути слева от экрана, Dz2, дБ	z = 1.43м (разность путей)	ф-лы (14-18) [10]	9,2	11,3	13,8	16,5	19,4	22,3	25,3	28,3	31,3		

1		2	3	4	5	6	7	8	9	10	11	12	13
Снижение уровня звукового давления на пути справа от экрана, Dz3, дБ	z = 8.58м (разность путей)	ф-лы (14-18) [10]	15,4	18,2	21,1	24,1	27,1	30,1	33,1	36,1	39,1		
Общее снижение уровня звука препятствием Dz, дБ		Эн.сумма(-Dzi)	3,2	3,8	4,2	4,5	4,8	5,2	5,7	6,5	7,8		
Уровни звукового давления от источника ИШ-2-28 в расчётной точке днём, дБ		**ф-ла(3)[10]**	**0**	**26,8**	**27,6**	**28,1**	**27,2**	**25,3**	**19,2**	**6,5**	**0**	**29,1**	**29,1**
Уровни звукового давления от источника ИШ-2-28 в расчётной точке ночью, дБ		**ф-ла(3)[10]**	**0**	**26,8**	**27,6**	**28,1**	**27,2**	**25,3**	**19,2**	**6,5**	**0**	**29,1**	**29,1**
Источник шума: ИШ-2-29, координаты источника (x,y,z), м =[730.57,6.88,1.00]													
Уровни звуковой мощности источника днём, Lw, дБ		**исходные данные**	**0**	**93,3**	**94,7**	**96**	**96,3**	**95,9**	**92,6**	**88,4**	**83,9**		
Уровни звуковой мощности источника ночью, Lw, дБ		**исходные данные**	**0**	**93,3**	**94,7**	**96**	**96,3**	**95,9**	**92,6**	**88,4**	**83,9**		
Поправка на телесный угол DΩ, дБ	Ω = 6.28	10Lg(4π/Ω)	**3**	3	3	3	3	3	3	3	3		
Показатель направленности источника Di, дБ		исходные данные	**0**	0	0	0	0	0	0	0	0		
Поправка на направленность источника Dc, дБ	Dc	DΩ + Di	**3**	3	3	3	3	3	3	3	3		
Затухание из-за геометрической дивергенции, Adiv, дБ	расстояние = 543.39 м	ф-ла (7) [10]	**65,7**										
Коэффициент затухания звука в атмосфере α, дБ/км	Ta=20,°C Pa=101.33,кПа hотн.=70%	ф-ла (5) [9]	0,02	0,09	0,33	1,12	2,79	4,98	9,04	23,09	77,63		
Учет затухания звука в атмосфере Aatm, дБ		ф-ла (8) [10]	0	0	0,2	0,6	1,5	2,7	4,9	12,5	42,2		
Снижение уровня звукового давления из-за влияния застройки между источником шума и расчетной точкой													
Снижение уровня звукового давления на пути над экраном, Dz1, дБ	z = 0.16м (разность путей)	ф-лы (14-18) [10]	4,8	4,8	4,8	4,9	5	5,3	5,8	6,6	7,9		
Снижение уровня звукового давления на пути слева от экрана, Dz2, дБ	z = 1.20м (разность путей)	ф-лы (14-18) [10]	8,7	10,8	13,2	15,8	18,7	21,6	24,6	27,5	30,5		

1		2	3	4	5	6	7	8	9	10	11	12	13
Снижение уровня звукового давления на пути справа от экрана, Dz3, дБ	z = 9.23м (разность путей)	ф-лы (14-18) [10]	15,7	18,5	21,4	24,4	27,4	30,4	33,4	36,4	39,4		
Общее снижение уровня звука препятствием Dz, дБ		Эн.сумма(-Dzi)	3,1	3,7	4,1	4,5	4,8	5,2	5,7	6,6	7,9		
Уровни звукового давления от источника ИШ-2-29 в расчётной точке днём, дБ		**ф-ла(3)[10]**	**0**	**26,9**	**27,7**	**28,2**	**27,3**	**25,3**	**19,2**	**6,6**	**0**	**29,1**	**29,1**
Уровни звукового давления от источника ИШ-2-29 в расчётной точке ночью, дБ		**ф-ла(3)[10]**	**0**	**26,9**	**27,7**	**28,2**	**27,3**	**25,3**	**19,2**	**6,6**	**0**	**29,1**	**29,1**
Источник шума: ИШ-2-4, координаты источника (x,y,z), м =[632.70,-65.30,3.00]													
Уровни звуковой мощности источника днём, Lw, дБ		**исходные данные**	**105**	**104**	**104**	**101**	**102**	**106**	**101**	**95**	**87**		
Уровни звуковой мощности источника ночью, Lw, дБ		**исходные данные**	**105**	**104**	**104**	**101**	**102**	**106**	**101**	**95**	**87**		
Поправка на телесный угол DΩ, дБ	Ω = 6.28	10Lg(4π/Ω)	**3**	3	3	3	3	3	3	3	3		
Показатель направленности источника Di, дБ		исходные данные	**0**	0	0	0	0	0	0	0	0		
Поправка на направленность источника Dc, дБ	Dc	DΩ + Di	**3**	3	3	3	3	3	3	3	3		
Затухание из-за геометрической дивергенции, Adiv, дБ	расстояние = 426.97 м	ф-ла (7) [10]	**63,6**										
Коэффициент затухания звука в атмосфере α, дБ/км	Ta=20,°C Pa=101.33,кПа hотн.=70%	ф-ла (5) [9]	0,02	0,09	0,33	1,12	2,79	4,98	9,04	23,09	77,63		
Учет затухания звука в атмосфере Aatm, дБ		ф-ла (8) [10]	0	0	0,1	0,5	1,2	2,1	3,9	9,9	33,1		
Снижение уровня звукового давления из-за влияния застройки между источником шума и расчетной точкой													
Снижение уровня звукового давления на пути над экраном, Dz1, дБ	z = 0.19м (разность путей)	ф-лы (14-18) [10]	4,8	4,8	4,9	5,1	5,7	6,9	8,5	10,5	12,9		
Снижение уровня звукового давления на пути слева от экрана, Dz2, дБ	z = 2.00м (разность путей)	ф-лы (14-18) [10]	10,2	12,5	15,1	17,9	20,8	23,8	26,8	29,7	32,8		

1		2	3	4	5	6	7	8	9	10	11	12	13
Снижение уровня звукового давления на пути справа от экрана, Dz3, дБ	z = 0.05м (разность путей)	ф-лы (14-18) [10]	5,1	5,3	5,8	6,6	7,9	9,8	12	14,6	17,4		
Общее снижение уровня звука препятствием Dz, дБ		Эн.сумма(-Dzi)	1,3	1,7	2,1	2,7	3,6	5	6,8	9	11,6		
Уровни звукового давления от источника ИШ-2-4 в расчётной точке днём, дБ		**ф-ла(3)[10]**	**43,1**	**41,7**	**41,2**	**37,2**	**36,6**	**38,3**	**29,7**	**15,5**	**0**	**40,5**	**40,5**
Уровни звукового давления от источника ИШ-2-4 в расчётной точке ночью, дБ		**ф-ла(3)[10]**	**43,1**	**41,7**	**41,2**	**37,2**	**36,6**	**38,3**	**29,7**	**15,5**	**0**	**40,5**	**40,5**
Источник шума: ИШ-2-30, координаты источника (x,y,z), м =[702.44,-77.23,1.00]													
Уровни звуковой мощности источника днём, Lw, дБ		**исходные данные**	**0**	**93,3**	**94,7**	**96**	**96,3**	**95,9**	**92,6**	**88,4**	**83,9**		
Уровни звуковой мощности источника ночью, Lw, дБ		**исходные данные**	**0**	**93,3**	**94,7**	**96**	**96,3**	**95,9**	**92,6**	**88,4**	**83,9**		
Поправка на телесный угол DΩ, дБ	Ω = 6.28	10Lg(4π/Ω)	**3**	3	3	3	3	3	3	3	3		
Показатель направленности источника Di, дБ		исходные данные	**0**	0	0	0	0	0	0	0	0		
Поправка на направленность источника Dc, дБ	Dc	DΩ + Di	**3**	3	3	3	3	3	3	3	3		
Затухание из-за геометрической дивергенции, Adiv, дБ	расстояние = 491.04 м	ф-ла (7) [10]	**64,8**										
Коэффициент затухания звука в атмосфере α, дБ/км	Ta=20,°C Pa=101.33,кПа hотн.=70%	ф-ла (5) [9]	0,02	0,09	0,33	1,12	2,79	4,98	9,04	23,09	77,63		
Учет затухания звука в атмосфере Aatm, дБ		ф-ла (8) [10]	0	0	0,2	0,6	1,4	2,4	4,4	11,3	38,1		
Снижение уровня звукового давления из-за влияния застройки между источником шума и расчетной точкой													
Снижение уровня звукового давления на пути над экраном, Dz1, дБ	z = 0.22м (разность путей)	ф-лы (14-18) [10]	4,8	4,8	4,9	5	5,5	6,3	7,5	9,2	11,3		
Снижение уровня звукового давления на пути слева от экрана, Dz2, дБ	z = 0.07м (разность путей)	ф-лы (14-18) [10]	5,1	5,4	6	6,9	8,3	10,3	12,6	15,3	18,1		

1		2	3	4	5	6	7	8	9	10	11	12	13
Снижение уровня звукового давления на пути справа от экрана, Dz3, дБ	z = 1.46м (разность путей)	ф-лы (14-18) [10]	9,2	11,4	13,9	16,6	19,5	22,4	25,4	28,4	31,4		
Общее снижение уровня звука препятствием Dz, дБ		Эн.сумма(-Dzi)	1,2	1,6	2,1	2,7	3,6	4,7	6,3	8,2	10,4		
Уровни звукового давления прямого звука от источника ИШ-2-30 в расчётной точке днём, дБ		**ф-ла(3)[10]**	**0**	**29,8**	**30,6**	**30,9**	**29,5**	**26,9**	**20,1**	**7,1**	**0**	**31**	**31**
Уровни звукового давления прямого звука от источника ИШ-2-30 в расчётной точке ночью, дБ		**ф-ла(3)[10]**	**0**	**29,8**	**30,6**	**30,9**	**29,5**	**26,9**	**20,1**	**7,1**	**0**	**31**	**31**
Расчёт отражённого звука													
Уровни звукового давления от мнимого источника ИШ-2-30_мн.(1) в расчётной точке днём, дБ		**ф-ла(3)[10]**	**0**	**0**	**0**	**0**	**0**	**0**	**0**	**0**	**0**	**0**	**0**
Уровни звукового давления от мнимого источника ИШ-2-30_мн.(1) в расчётной точке ночью, дБ		**ф-ла(3)[10]**	**0**	**0**	**0**	**0**	**0**	**0**	**0**	**0**	**0**	**0**	**0**
Уровни звукового давления от источника ИШ-2-30 в расчётной точке днём, дБ		**ф-ла(3)[10]**	**0**	**29,8**	**30,6**	**30,9**	**29,5**	**26,9**	**20,1**	**7,1**	**0**	**31**	**31**
Уровни звукового давления от источника ИШ-2-30 в расчётной точке ночью, дБ		**ф-ла(3)[10]**	**0**	**29,8**	**30,6**	**30,9**	**29,5**	**26,9**	**20,1**	**7,1**	**0**	**31**	**31**
Источник шума: ИШ-2-31, координаты источника (x,y,z), м =[701.42,-80.17,1.00]													
Уровни звуковой мощности источника днём, Lw, дБ		**исходные данные**	**0**	**93,3**	**94,7**	**96**	**96,3**	**95,9**	**92,6**	**88,4**	**83,9**		
Уровни звуковой мощности источника ночью, Lw, дБ		**исходные данные**	**0**	**93,3**	**94,7**	**96**	**96,3**	**95,9**	**92,6**	**88,4**	**83,9**		
Поправка на телесный угол DΩ, дБ	Ω = 6.28	10Lg(4π/Ω)	**3**	3	3	3	3	3	3	3	3		
Показатель направленности источника Di, дБ		исходные данные	**0**	0	0	0	0	0	0	0	0		
Поправка на направленность источника Dc, дБ	Dc	DΩ + Di	**3**	3	3	3	3	3	3	3	3		
Затухание из-за геометрической дивергенции, Adiv, дБ	расстояние = 489.37 м	ф-ла (7) [10]	**64,8**										
Коэффициент затухания звука в атмосфере α, дБ/км	Ta=20,°C Pa=101.33,кПа hотн.=70%	ф-ла (5) [9]	0,02	0,09	0,33	1,12	2,79	4,98	9,04	23,09	77,63		

1		2	3	4	5	6	7	8	9	10	11	12	13
Учет затухания звука в атмосфере Aatm, дБ		ф-ла (8) [10]	0	0	0,2	0,6	1,4	2,4	4,4	11,3	38		
Снижение уровня звукового давления из-за влияния застройки между источником шума и расчетной точкой													
Снижение уровня звукового давления на пути над экраном, Dz1, дБ	z = 0.22м (разность путей)	ф-лы (14-18) [10]	4,8	4,8	4,9	5	5,4	6,2	7,4	9,1	11,3		
Снижение уровня звукового давления на пути слева от экрана, Dz2, дБ	z = 0.03м (разность путей)	ф-лы (14-18) [10]	4,9	5,1	5,3	5,9	6,7	8,1	9,9	12,2	14,8		
Снижение уровня звукового давления на пути справа от экрана, Dz3, дБ	z = 1.67м (разность путей)	ф-лы (14-18) [10]	9,6	11,9	14,4	17,2	20	23	26	29	32		
Общее снижение уровня звука препятствием Dz, дБ		Эн.сумма(-Dzi)	1,2	1,5	1,8	2,2	2,9	4	5,4	7,4	9,7		
Уровни звукового давления прямого звука от источника ИШ-2-31 в расчётной точке днём, дБ		**ф-ла(3)[10]**	**0**	**29,9**	**30,9**	**31,4**	**30,2**	**27,7**	**20,9**	**7,9**	**0**	**31,7**	**31,7**
Уровни звукового давления прямого звука от источника ИШ-2-31 в расчётной точке ночью, дБ		**ф-ла(3)[10]**	**0**	**29,9**	**30,9**	**31,4**	**30,2**	**27,7**	**20,9**	**7,9**	**0**	**31,7**	**31,7**
Расчёт отражённого звука													
Уровни звукового давления от мнимого источника ИШ-2-31_мн.(1) в расчётной точке днём, дБ		**ф-ла(3)[10]**	**0**	**0**	**0**	**0**	**0**	**0**	**0**	**0**	**0**	**0**	**0**
Уровни звукового давления от мнимого источника ИШ-2-31_мн.(1) в расчётной точке ночью, дБ		**ф-ла(3)[10]**	**0**	**0**	**0**	**0**	**0**	**0**	**0**	**0**	**0**	**0**	**0**
Уровни звукового давления от источника ИШ-2-31 в расчётной точке днём, дБ		**ф-ла(3)[10]**	**0**	**29,9**	**30,9**	**31,4**	**30,2**	**27,7**	**20,9**	**7,9**	**0**	**31,7**	**31,7**
Уровни звукового давления от источника ИШ-2-31 в расчётной точке ночью, дБ		**ф-ла(3)[10]**	**0**	**29,9**	**30,9**	**31,4**	**30,2**	**27,7**	**20,9**	**7,9**	**0**	**31,7**	**31,7**
Источник шума: ИШ-2-32, координаты источника (x,y,z), м =[700.38,-83.01,1.00]													
Уровни звуковой мощности источника днём, Lw, дБ		**исходные данные**	**0**	**93,3**	**94,7**	**96**	**96,3**	**95,9**	**92,6**	**88,4**	**83,9**		
Уровни звуковой мощности источника ночью, Lw, дБ		**исходные данные**	**0**	**93,3**	**94,7**	**96**	**96,3**	**95,9**	**92,6**	**88,4**	**83,9**		
Поправка на телесный угол DΩ, дБ	Ω = 6.28	10Lg(4π/Ω)	**3**	3	3	3	3	3	3	3	3		

1		2	3	4	5	6	7	8	9	10	11	12	13
Показатель направленности источника Di, дБ		исходные данные	**0**	0	0	0	0	0	0	0	0		
Поправка на направленность источника Dc, дБ	Dc	DΩ + Di	**3**	3	3	3	3	3	3	3	3		
Затухание из-за геометрической дивергенции, Adiv, дБ	расстояние = 487.71 м	ф-ла (7) [10]	**64,8**										
Коэффициент затухания звука в атмосфере α, дБ/км	Ta=20,°C Pa=101.33,кПа hотн.=70%	ф-ла (5) [9]	0,02	0,09	0,33	1,12	2,79	4,98	9,04	23,09	77,63		
Учет затухания звука в атмосфере Aatm, дБ		ф-ла (8) [10]	0	0	0,2	0,5	1,4	2,4	4,4	11,3	37,9		
Снижение уровня звукового давления из-за влияния застройки между источником шума и расчетной точкой													
Снижение уровня звукового давления на пути над экраном, Dz1, дБ	z = 0.22м (разность путей)	ф-лы (14-18) [10]	4,8	4,8	4,9	4,9	5,2	5,9	7,2	9,1	11,3		
Снижение уровня звукового давления на пути слева от экрана, Dz2, дБ	z = 0.01м (разность путей)	ф-лы (14-18) [10]	4,8	4,9	4,9	5,1	5,4	5,9	6,8	8,2	10,1		
Снижение уровня звукового давления на пути справа от экрана, Dz3, дБ	z = 1.88м (разность путей)	ф-лы (14-18) [10]	10	12,3	14,9	17,7	20,6	23,5	26,5	29,5	32,5		
Общее снижение уровня звука препятствием Dz, дБ		Эн.сумма(-Dzi)	1,2	1,4	1,7	1,9	2,2	2,9	4	5,6	7,6		
Уровни звукового давления прямого звука от источника ИШ-2-32 в расчётной точке днём, дБ		**ф-ла(3)[10]**	**0**	**30**	**31,1**	**31,8**	**31**	**28,8**	**22,4**	**9,8**	**0**	**32,7**	**32,7**
Уровни звукового давления прямого звука от источника ИШ-2-32 в расчётной точке ночью, дБ		**ф-ла(3)[10]**	**0**	**30**	**31,1**	**31,8**	**31**	**28,8**	**22,4**	**9,8**	**0**	**32,7**	**32,7**
Расчёт отражённого звука													
Уровни звукового давления от мнимого источника ИШ-2-32_мн.(1) в расчётной точке днём, дБ		**ф-ла(3)[10]**	**0**	**0**	**0**	**0**	**0**	**0**	**0**	**0**	**0**	**0**	**0**
Уровни звукового давления от мнимого источника ИШ-2-32_мн.(1) в расчётной точке ночью, дБ		**ф-ла(3)[10]**	**0**	**0**	**0**	**0**	**0**	**0**	**0**	**0**	**0**	**0**	**0**
Уровни звукового давления от мнимого источника ИШ-2-32_мн.(2) в расчётной точке днём, дБ		**ф-ла(3)[10]**	**0**	**0**	**0**	**23,5**	**23,3**	**28,6**	**25,4**	**14,3**	**0**	**31,3**	**31,3**
Уровни звукового давления от мнимого источника ИШ-2-32_мн.(2) в расчётной точке ночью, дБ		**ф-ла(3)[10]**	**0**	**0**	**0**	**0**	**0**	**0**	**0**	**0**	**0**	**31,3**	**31,3**

1		2	3	4	5	6	7	8	9	10	11	12	13
Суммарные уровни звукового давления от мнимых источников в расчётной точке днём, дБ		**ф-ла (19) [1]**	**0**	**0**	**0**	**23,5**	**23,3**	**28,6**	**25,4**	**14,3**	**0**	**0**	**31,3**
Суммарные уровни звукового давления от мнимых источников в расчётной точке ночью, дБ		**ф-ла (19) [1]**	**0**	**0**	**0**	**23,5**	**23,3**	**28,6**	**25,4**	**14,3**	**0**	**0**	**31,3**
Уровни звукового давления от источника ИШ-2-32 в расчётной точке днём, дБ		**ф-ла(3)[10]**	**0**	**30**	**31,1**	**32,4**	**31,6**	**31,8**	**27,2**	**15,6**	**0**	**35,1**	**35,1**
Уровни звукового давления от источника ИШ-2-32 в расчётной точке ночью, дБ		**ф-ла(3)[10]**	**0**	**30**	**31,1**	**32,4**	**31,6**	**31,8**	**27,2**	**15,6**	**0**	**35,1**	**35,1**
Источник шума: ИШ-2-33, координаты источника (x,y,z), м =[699.52,-85.98,1.00]													
Уровни звуковой мощности источника днём, Lw, дБ		**исходные данные**	**0**	**93,3**	**94,7**	**96**	**96,3**	**95,9**	**92,6**	**88,4**	**83,9**		
Уровни звуковой мощности источника ночью, Lw, дБ		**исходные данные**	**0**	**93,3**	**94,7**	**96**	**96,3**	**95,9**	**92,6**	**88,4**	**83,9**		
Поправка на телесный угол DΩ, дБ	Ω = 6.28	10Lg(4π/Ω)	**3**	3	3	3	3	3	3	3	3		
Показатель направленности источника Di, дБ		исходные данные	**0**	0	0	0	0	0	0	0	0		
Поправка на направленность источника Dc, дБ	Dc	DΩ + Di	**3**	3	3	3	3	3	3	3	3		
Затухание из-за геометрической дивергенции, Adiv, дБ	расстояние = 486.21 м	ф-ла (7) [10]	**64,7**										
Коэффициент затухания звука в атмосфере α, дБ/км	Ta=20,°C Pa=101.33,кПа hотн.=70%	ф-ла (5) [9]	0,02	0,09	0,33	1,12	2,79	4,98	9,04	23,09	77,63		
Учет затухания звука в атмосфере Aatm, дБ		ф-ла (8) [10]	0	0	0,2	0,5	1,4	2,4	4,4	11,2	37,7		
Снижение поверхностью земли возле источника As, дБ	Gs = 0 hs = 1м	ф-лы таб.3 [10]	-1,5	-1,5	-1,5	-1,5	-1,5	-1,5	-1,5	-1,5	-1,5		
Снижение поверхностью земли возле приёмника Ar, дБ	Gr = 1 hr = 4.6м	ф-лы таб.3 [10]	-1,5	-1,5	3,4	1,3	0	0	0	0	0		
Снижение поверхностью земли в средней зоне, Am дБ	Gm = 1	ф-лы таб.3 [10]	-2	-2	0	0	0	0	0	0	0		

1		2	3	4	5	6	7	8	9	10	11	12	13
Суммарное снижение поверхностью земли на траектории распространения звука Agr, дБ		ф-ла (9) [10]	-5	-5	1,9	-0,2	-1,5	-1,5	-1,5	-1,5	-1,5		
Уровни звукового давления прямого звука от источника ИШ-2-33 в расчётной точке днём, дБ		**ф-ла(3)[10]**	**0**	**36,5**	**30,9**	**33,9**	**34,7**	**33,2**	**28**	**16,9**	**0**	**36,8**	**36,8**
Уровни звукового давления прямого звука от источника ИШ-2-33 в расчётной точке ночью, дБ		**ф-ла(3)[10]**	**0**	**36,5**	**30,9**	**33,9**	**34,7**	**33,2**	**28**	**16,9**	**0**	**36,8**	**36,8**
Расчёт отражённого звука													
Уровни звукового давления от мнимого источника ИШ-2-33_мн.(1) в расчётной точке днём, дБ		**ф-ла(3)[10]**	**0**	**0**	**0**	**0**	**0**	**0**	**0**	**0**	**0**	**0**	**0**
Уровни звукового давления от мнимого источника ИШ-2-33_мн.(1) в расчётной точке ночью, дБ		**ф-ла(3)[10]**	**0**	**0**	**0**	**0**	**0**	**0**	**0**	**0**	**0**	**0**	**0**
Уровни звукового давления от мнимого источника ИШ-2-33_мн.(2) в расчётной точке днём, дБ		**ф-ла(3)[10]**	**0**	**0**	**0**	**23,6**	**23,3**	**28,7**	**25,4**	**14,4**	**0**	**31,4**	**31,4**
Уровни звукового давления от мнимого источника ИШ-2-33_мн.(2) в расчётной точке ночью, дБ		**ф-ла(3)[10]**	**0**	**0**	**0**	**0**	**0**	**0**	**0**	**0**	**0**	**31,4**	**31,4**
Суммарные уровни звукового давления от мнимых источников в расчётной точке днём, дБ		**ф-ла (19) [1]**	**0**	**0**	**0**	**23,6**	**23,3**	**28,7**	**25,4**	**14,4**	**0**	**0**	**31,4**
Суммарные уровни звукового давления от мнимых источников в расчётной точке ночью, дБ		**ф-ла (19) [1]**	**0**	**0**	**0**	**23,6**	**23,3**	**28,7**	**25,4**	**14,4**	**0**	**0**	**31,4**
Уровни звукового давления от источника ИШ-2-33 в расчётной точке днём, дБ		**ф-ла(3)[10]**	**0**	**36,5**	**30,9**	**34,3**	**35**	**34,5**	**29,9**	**18,8**	**0**	**37,9**	**37,9**
Уровни звукового давления от источника ИШ-2-33 в расчётной точке ночью, дБ		**ф-ла(3)[10]**	**0**	**36,5**	**30,9**	**34,3**	**35**	**34,5**	**29,9**	**18,8**	**0**	**37,9**	**37,9**
Источник шума: ИШ-2-34, координаты источника (x,y,z), м =[698.43,-88.85,1.00]													
Уровни звуковой мощности источника днём, Lw, дБ		**исходные данные**	**0**	**93,3**	**94,7**	**96**	**96,3**	**95,9**	**92,6**	**88,4**	**83,9**		
Уровни звуковой мощности источника ночью, Lw, дБ		**исходные данные**	**0**	**93,3**	**94,7**	**96**	**96,3**	**95,9**	**92,6**	**88,4**	**83,9**		
Поправка на телесный угол DΩ, дБ	Ω = 6.28	10Lg(4π/Ω)	**3**	3	3	3	3	3	3	3	3		
Показатель направленности источника Di, дБ		исходные данные	**0**	0	0	0	0	0	0	0	0		

1		2	3	4	5	6	7	8	9	10	11	12	13
Поправка на направленность источника Dc, дБ	Dc	DΩ + Di	**3**	3	3	3	3	3	3	3	3		
Затухание из-за геометрической дивергенции, Adiv, дБ	расстояние = 484.53 м	ф-ла (7) [10]	**64,7**										
Коэффициент затухания звука в атмосфере α, дБ/км	Ta=20,°C Pa=101.33,кПа hотн.=70%	ф-ла (5) [9]	0,02	0,09	0,33	1,12	2,79	4,98	9,04	23,09	77,63		
Учет затухания звука в атмосфере Aatm, дБ		ф-ла (8) [10]	0	0	0,2	0,5	1,4	2,4	4,4	11,2	37,6		
Снижение поверхностью земли возле источника As, дБ	Gs = 0 hs = 1м	ф-лы таб.3 [10]	-1,5	-1,5	-1,5	-1,5	-1,5	-1,5	-1,5	-1,5	-1,5		
Снижение поверхностью земли возле приёмника Ar, дБ	Gr = 1 hr = 4.6м	ф-лы таб.3 [10]	-1,5	-1,5	3,4	1,3	0	0	0	0	0		
Снижение поверхностью земли в средней зоне, Am дБ	Gm = 1	ф-лы таб.3 [10]	-2	-2	0	0	0	0	0	0	0		
Суммарное снижение поверхностью земли на траектории распространения звука Agr, дБ		ф-ла (9) [10]	-5	-5	1,9	-0,2	-1,5	-1,5	-1,5	-1,5	-1,5		
Уровни звукового давления прямого звука от источника ИШ-2-34 в расчётной точке днём, дБ		**ф-ла(3)[10]**	**0**	**36,5**	**31**	**34**	**34,7**	**33,3**	**28**	**17**	**0**	**36,8**	**36,8**
Уровни звукового давления прямого звука от источника ИШ-2-34 в расчётной точке ночью, дБ		**ф-ла(3)[10]**	**0**	**36,5**	**31**	**34**	**34,7**	**33,3**	**28**	**17**	**0**	**36,8**	**36,8**
Расчёт отражённого звука													
Уровни звукового давления от мнимого источника ИШ-2-34_мн.(1) в расчётной точке днём, дБ		**ф-ла(3)[10]**	**0**	**0**	**0**	**23,6**	**23,4**	**28,7**	**25,5**	**14,4**	**0**	**31,4**	**31,4**
Уровни звукового давления от мнимого источника ИШ-2-34_мн.(1) в расчётной точке ночью, дБ		**ф-ла(3)[10]**	**0**	**0**	**0**	**0**	**0**	**0**	**0**	**0**	**0**	**31,4**	**31,4**
Уровни звукового давления от источника ИШ-2-34 в расчётной точке днём, дБ		**ф-ла(3)[10]**	**0**	**36,5**	**31**	**34,3**	**35**	**34,6**	**29,9**	**18,9**	**0**	**37,9**	**37,9**
Уровни звукового давления от источника ИШ-2-34 в расчётной точке ночью, дБ		**ф-ла(3)[10]**	**0**	**36,5**	**31**	**34,3**	**35**	**34,6**	**29,9**	**18,9**	**0**	**37,9**	**37,9**

Источник шума: ИШ-2-35, координаты источника (x,y,z), м =[697.52,-91.66,1.00]

1		2	3	4	5	6	7	8	9	10	11	12	13
Уровни звуковой мощности источника днём, Lw, дБ		**исходные данные**	**0**	**93,3**	**94,7**	**96**	**96,3**	**95,9**	**92,6**	**88,4**	**83,9**		
Уровни звуковой мощности источника ночью, Lw, дБ		**исходные данные**	**0**	**93,3**	**94,7**	**96**	**96,3**	**95,9**	**92,6**	**88,4**	**83,9**		
Поправка на телесный угол DΩ, дБ	Ω = 6.28	10Lg(4π/Ω)	**3**	3	3	3	3	3	3	3	3		
Показатель направленности источника Di, дБ		исходные данные	**0**	0	0	0	0	0	0	0	0		
Поправка на направленность источника Dc, дБ	Dc	DΩ + Di	**3**	3	3	3	3	3	3	3	3		
Затухание из-за геометрической дивергенции, Adiv, дБ	расстояние = 483.03 м	ф-ла (7) [10]	**64,7**										
Коэффициент затухания звука в атмосфере α, дБ/км	Ta=20,°C Pa=101.33,кПа hотн.=70%	ф-ла (5) [9]	0,02	0,09	0,33	1,12	2,79	4,98	9,04	23,09	77,63		
Учет затухания звука в атмосфере Aatm, дБ		ф-ла (8) [10]	0	0	0,2	0,5	1,3	2,4	4,4	11,2	37,5		
Снижение поверхностью земли возле источника As, дБ	Gs = 0 hs = 1м	ф-лы таб.3 [10]	-1,5	-1,5	-1,5	-1,5	-1,5	-1,5	-1,5	-1,5	-1,5		
Снижение поверхностью земли возле приёмника Ar, дБ	Gr = 1 hr = 4.6м	ф-лы таб.3 [10]	-1,5	-1,5	3,3	1,3	0	0	0	0	0		
Снижение поверхностью земли в средней зоне, Am дБ	Gm = 1	ф-лы таб.3 [10]	-2	-2	0	0	0	0	0	0	0		
Суммарное снижение поверхностью земли на траектории распространения звука Agr, дБ		ф-ла (9) [10]	-5	-5	1,8	-0,2	-1,5	-1,5	-1,5	-1,5	-1,5		
Уровни звукового давления прямого звука от источника ИШ-2-35 в расчётной точке днём, дБ		**ф-ла(3)[10]**	**0**	**36,5**	**31**	**34**	**34,8**	**33,3**	**28**	**17,1**	**0**	**36,9**	**36,9**
Уровни звукового давления прямого звука от источника ИШ-2-35 в расчётной точке ночью, дБ		**ф-ла(3)[10]**	**0**	**36,5**	**31**	**34**	**34,8**	**33,3**	**28**	**17,1**	**0**	**36,9**	**36,9**
Расчёт отражённого звука													
Уровни звукового давления от мнимого источника ИШ-2-35_мн.(1) в расчётной точке днём, дБ		**ф-ла(3)[10]**	**0**	**0**	**25,5**	**23,6**	**23,4**	**28,8**	**25,5**	**14,5**	**0**	**31,5**	**31,5**
Уровни звукового давления от мнимого источника ИШ-2-35_мн.(1) в расчётной точке ночью, дБ		**ф-ла(3)[10]**	**0**	**0**	**0**	**0**	**0**	**0**	**0**	**0**	**0**	**31,5**	**31,5**

1		2	3	4	5	6	7	8	9	10	11	12	13
Уровни звукового давления от источника ИШ-2-35 в расчётной точке днём, дБ		**ф-ла(3)[10]**	**0**	**36,5**	**32,1**	**34,4**	**35,1**	**34,6**	**30**	**19**	**0**	**38**	**38**
Уровни звукового давления от источника ИШ-2-35 в расчётной точке ночью, дБ		**ф-ла(3)[10]**	**0**	**36,5**	**32,1**	**34,4**	**35,1**	**34,6**	**30**	**19**	**0**	**38**	**38**
Источник шума: ИШ-2-36, координаты источника (x,y,z), м =[696.58,-94.55,1.00]													
Уровни звуковой мощности источника днём, Lw, дБ		**исходные данные**	**0**	**93,3**	**94,7**	**96**	**96,3**	**95,9**	**92,6**	**88,4**	**83,9**		
Уровни звуковой мощности источника ночью, Lw, дБ		**исходные данные**	**0**	**93,3**	**94,7**	**96**	**96,3**	**95,9**	**92,6**	**88,4**	**83,9**		
Поправка на телесный угол DΩ, дБ	Ω = 6.28	10Lg(4π/Ω)	**3**	3	3	3	3	3	3	3	3		
Показатель направленности источника Di, дБ		исходные данные	**0**	0	0	0	0	0	0	0	0		
Поправка на направленность источника Dc, дБ	Dc	DΩ + Di	**3**	3	3	3	3	3	3	3	3		
Затухание из-за геометрической дивергенции, Adiv, дБ	расстояние = 481.52 м	ф-ла (7) [10]	**64,7**										
Коэффициент затухания звука в атмосфере α, дБ/км	Ta=20,°C Pa=101.33,кПа hотн.=70%	ф-ла (5) [9]	0,02	0,09	0,33	1,12	2,79	4,98	9,04	23,09	77,63		
Учет затухания звука в атмосфере Aatm, дБ		ф-ла (8) [10]	0	0	0,2	0,5	1,3	2,4	4,4	11,1	37,4		
Снижение поверхностью земли возле источника As, дБ	Gs = 0 hs = 1м	ф-лы таб.3 [10]	-1,5	-1,5	-1,5	-1,5	-1,5	-1,5	-1,5	-1,5	-1,5		
Снижение поверхностью земли возле приёмника Ar, дБ	Gr = 1 hr = 4.6м	ф-лы таб.3 [10]	-1,5	-1,5	3,3	1,3	0	0	0	0	0		
Снижение поверхностью земли в средней зоне, Am дБ	Gm = 1	ф-лы таб.3 [10]	-2	-2	0	0	0	0	0	0	0		
Суммарное снижение поверхностью земли на траектории распространения звука Agr, дБ		ф-ла (9) [10]	-5	-5	1,8	-0,2	-1,5	-1,5	-1,5	-1,5	-1,5		
Уровни звукового давления прямого звука от источника ИШ-2-36 в расчётной точке днём, дБ		**ф-ла(3)[10]**	**0**	**36,6**	**31**	**34**	**34,8**	**33,3**	**28,1**	**17,1**	**0**	**36,9**	**36,9**

1		2	3	4	5	6	7	8	9	10	11	12	13
Уровни звукового давления прямого звука от источника ИШ-2-36 в расчётной точке ночью, дБ		**ф-ла(3)[10]**	**0**	**36,6**	**31**	**34**	**34,8**	**33,3**	**28,1**	**17,1**	**0**	**36,9**	**36,9**
Расчёт отражённого звука													
Уровни звукового давления от мнимого источника ИШ-2-36_мн.(1) в расчётной точке днём, дБ		**ф-ла(3)[10]**	**0**	**0**	**25,6**	**23,6**	**23,4**	**28,8**	**25,6**	**14,6**	**0**	**31,5**	**31,5**
Уровни звукового давления от мнимого источника ИШ-2-36_мн.(1) в расчётной точке ночью, дБ		**ф-ла(3)[10]**	**0**	**0**	**0**	**0**	**0**	**0**	**0**	**0**	**0**	**31,5**	**31,5**
Уровни звукового давления от источника ИШ-2-36 в расчётной точке днём, дБ		**ф-ла(3)[10]**	**0**	**36,6**	**32,1**	**34,4**	**35,1**	**34,6**	**30**	**19**	**0**	**38**	**38**
Уровни звукового давления от источника ИШ-2-36 в расчётной точке ночью, дБ		**ф-ла(3)[10]**	**0**	**36,6**	**32,1**	**34,4**	**35,1**	**34,6**	**30**	**19**	**0**	**38**	**38**
Источник шума: ИШ-2-37, координаты источника (x,y,z), м =[695.57,-97.37,1.00]													
Уровни звуковой мощности источника днём, Lw, дБ		**исходные данные**	**0**	**93,3**	**94,7**	**96**	**96,3**	**95,9**	**92,6**	**88,4**	**83,9**		
Уровни звуковой мощности источника ночью, Lw, дБ		**исходные данные**	**0**	**93,3**	**94,7**	**96**	**96,3**	**95,9**	**92,6**	**88,4**	**83,9**		
Поправка на телесный угол DΩ, дБ	Ω = 6.28	10Lg(4π/Ω)	**3**	3	3	3	3	3	3	3	3		
Показатель направленности источника Di, дБ		исходные данные	**0**	0	0	0	0	0	0	0	0		
Поправка на направленность источника Dc, дБ	Dc	DΩ + Di	**3**	3	3	3	3	3	3	3	3		
Затухание из-за геометрической дивергенции, Adiv, дБ	расстояние = 479.96 м	ф-ла (7) [10]	**64,6**										
Коэффициент затухания звука в атмосфере α, дБ/км	Ta=20,°C Pa=101.33,кПа hотн.=70%	ф-ла (5) [9]	0,02	0,09	0,33	1,12	2,79	4,98	9,04	23,09	77,63		
Учет затухания звука в атмосфере Aatm, дБ		ф-ла (8) [10]	0	0	0,2	0,5	1,3	2,4	4,3	11,1	37,3		
Снижение поверхностью земли возле источника As, дБ	Gs = 0 hs = 1м	ф-лы таб.3 [10]	-1,5	-1,5	-1,5	-1,5	-1,5	-1,5	-1,5	-1,5	-1,5		

1		2	3	4	5	6	7	8	9	10	11	12	13
Снижение поверхностью земли возле приёмника Ar, дБ	Gr = 1 hr = 4.6м	ф-лы таб.3 [10]	-1,5	-1,5	3,3	1,3	0	0	0	0	0		
Снижение поверхностью земли в средней зоне, Am дБ	Gm = 1	ф-лы таб.3 [10]	-1,9	-1,9	0	0	0	0	0	0	0		
Суммарное снижение поверхностью земли на траектории распространения звука Agr, дБ		ф-ла (9) [10]	-4,9	-4,9	1,8	-0,2	-1,5	-1,5	-1,5	-1,5	-1,5		
Уровни звукового давления прямого звука от источника ИШ-2-37 в расчётной точке днём, дБ		**ф-ла(3)[10]**	**0**	**36,6**	**31,1**	**34**	**34,8**	**33,4**	**28,1**	**17,2**	**0**	**36,9**	**36,9**
Уровни звукового давления прямого звука от источника ИШ-2-37 в расчётной точке ночью, дБ		**ф-ла(3)[10]**	**0**	**36,6**	**31,1**	**34**	**34,8**	**33,4**	**28,1**	**17,2**	**0**	**36,9**	**36,9**
Расчёт отражённого звука													
Уровни звукового давления от мнимого источника ИШ-2-37_мн.(1) в расчётной точке днём, дБ		**ф-ла(3)[10]**	**0**	**0**	**25,6**	**23,7**	**23,5**	**28,8**	**25,6**	**14,6**	**0**	**31,5**	**31,5**
Уровни звукового давления от мнимого источника ИШ-2-37_мн.(1) в расчётной точке ночью, дБ		**ф-ла(3)[10]**	**0**	**0**	**0**	**0**	**0**	**0**	**0**	**0**	**0**	**31,5**	**31,5**
Уровни звукового давления от источника ИШ-2-37 в расчётной точке днём, дБ		**ф-ла(3)[10]**	**0**	**36,6**	**32,2**	**34,4**	**35,1**	**34,7**	**30,1**	**19,1**	**0**	**38**	**38**
Уровни звукового давления от источника ИШ-2-37 в расчётной точке ночью, дБ		**ф-ла(3)[10]**	**0**	**36,6**	**32,2**	**34,4**	**35,1**	**34,7**	**30,1**	**19,1**	**0**	**38**	**38**
Источник шума: ИШ-2-5, координаты источника (x,y,z), м =[618.60,-108.00,3.00]													
Уровни звуковой мощности источника днём, Lw, дБ		**исходные данные**	**105**	**104**	**104**	**101**	**102**	**106**	**101**	**95**	**87**		
Уровни звуковой мощности источника ночью, Lw, дБ		**исходные данные**	**105**	**104**	**104**	**101**	**102**	**106**	**101**	**95**	**87**		
Поправка на телесный угол DΩ, дБ	Ω = 6.28	10Lg(4π/Ω)	**3**	3	3	3	3	3	3	3	3		
Показатель направленности источника Di, дБ		исходные данные	**0**	0	0	0	0	0	0	0	0		
Поправка на направленность источника Dc, дБ	Dc	DΩ + Di	**3**	3	3	3	3	3	3	3	3		
Затухание из-за геометрической дивергенции, Adiv, дБ	расстояние = 402.44 м	ф-ла (7) [10]	**63,1**										

1		2	3	4	5	6	7	8	9	10	11	12	13
Коэффициент затухания звука в атмосфере α, дБ/км	Ta=20,°C Pa=101.33,кПа hотн.=70%	ф-ла (5) [9]	0,02	0,09	0,33	1,12	2,79	4,98	9,04	23,09	77,63		
Учет затухания звука в атмосфере Aatm, дБ		ф-ла (8) [10]	0	0	0,1	0,5	1,1	2	3,6	9,3	31,2		
Снижение поверхностью земли возле источника As, дБ	Gs = 0 hs = 3м	ф-лы таб.3 [10]	-1,5	-1,5	-1,5	-1,5	-1,5	-1,5	-1,5	-1,5	-1,5		
Снижение поверхностью земли возле приёмника Ar, дБ	Gr = 1 hr = 4.6м	ф-лы таб.3 [10]	-1,5	-1,5	3,3	1,3	0	0	0	0	0		
Снижение поверхностью земли в средней зоне, Am дБ	Gm = 1	ф-лы таб.3 [10]	-1,3	-1,3	0	0	0	0	0	0	0		
Суммарное снижение поверхностью земли на траектории распространения звука Agr, дБ		ф-ла (9) [10]	-4,3	-4,3	1,8	-0,2	-1,5	-1,5	-1,5	-1,5	-1,5		
Уровни звукового давления прямого звука от источника ИШ-2-5 в расчётной точке днём, дБ		**ф-ла(3)[10]**	**49,2**	**48,2**	**42**	**40,7**	**42,3**	**45,4**	**38,8**	**27,1**	**0**	**47,5**	**47,5**
Уровни звукового давления прямого звука от источника ИШ-2-5 в расчётной точке ночью, дБ		**ф-ла(3)[10]**	**49,2**	**48,2**	**42**	**40,7**	**42,3**	**45,4**	**38,8**	**27,1**	**0**	**47,5**	**47,5**
Расчёт отражённого звука													
Уровни звукового давления от мнимого источника ИШ-2-5_мн.(1) в расчётной точке днём, дБ		**ф-ла(3)[10]**	**0**	**0**	**0**	**0**	**0**	**0**	**0**	**0**	**0**	**0**	**0**
Уровни звукового давления от мнимого источника ИШ-2-5_мн.(1) в расчётной точке ночью, дБ		**ф-ла(3)[10]**	**0**	**0**	**0**	**0**	**0**	**0**	**0**	**0**	**0**	**0**	**0**
Уровни звукового давления от мнимого источника ИШ-2-5_мн.(2) в расчётной точке днём, дБ		**ф-ла(3)[10]**	**0**	**0**	**0**	**34,3**	**39,5**	**42,9**	**36,2**	**24,6**	**0**	**44,8**	**44,8**
Уровни звукового давления от мнимого источника ИШ-2-5_мн.(2) в расчётной точке ночью, дБ		**ф-ла(3)[10]**	**0**	**0**	**0**	**0**	**0**	**0**	**0**	**0**	**0**	**44,8**	**44,8**
Суммарные уровни звукового давления от мнимых источников в расчётной точке днём, дБ		**ф-ла (19) [1]**	**0**	**0**	**0**	**34,3**	**39,5**	**42,9**	**36,2**	**24,6**	**0**	**0**	**44,8**
Суммарные уровни звукового давления от мнимых источников в расчётной точке ночью, дБ		**ф-ла (19) [1]**	**0**	**0**	**0**	**34,3**	**39,5**	**42,9**	**36,2**	**24,6**	**0**	**0**	**44,8**
Уровни звукового давления от источника ИШ-2-5 в расчётной точке днём, дБ		**ф-ла(3)[10]**	**49,2**	**48,2**	**42**	**41,6**	**44,1**	**47,3**	**40,7**	**29**	**0**	**49,3**	**49,3**
Уровни звукового давления от источника ИШ-2-5 в расчётной точке ночью, дБ		**ф-ла(3)[10]**	**49,2**	**48,2**	**42**	**41,6**	**44,1**	**47,3**	**40,7**	**29**	**0**	**49,3**	**49,3**

1		2	3	4	5	6	7	8	9	10	11	12	13
Источник шума: ИШ-2-38, координаты источника (x,y,z), м =[688.13,-119.94,1.00]													
Уровни звуковой мощности источника днём, Lw, дБ		**исходные данные**	**0**	**93,3**	**94,7**	**96**	**96,3**	**95,9**	**92,6**	**88,4**	**83,9**		
Уровни звуковой мощности источника ночью, Lw, дБ		**исходные данные**	**0**	**93,3**	**94,7**	**96**	**96,3**	**95,9**	**92,6**	**88,4**	**83,9**		
Поправка на телесный угол DΩ, дБ	Ω = 6.28	10Lg(4π/Ω)	**3**	3	3	3	3	3	3	3	3		
Показатель направленности источника Di, дБ		исходные данные	**0**	0	0	0	0	0	0	0	0		
Поправка на направленность источника Dc, дБ	Dc	DΩ + Di	**3**	3	3	3	3	3	3	3	3		
Затухание из-за геометрической дивергенции, Adiv, дБ	расстояние = 468.64 м	ф-ла (7) [10]	**64,4**										
Коэффициент затухания звука в атмосфере α, дБ/км	Ta=20,°C Pa=101.33,кПа hотн.=70%	ф-ла (5) [9]	0,02	0,09	0,33	1,12	2,79	4,98	9,04	23,09	77,63		
Учет затухания звука в атмосфере Aatm, дБ		ф-ла (8) [10]	0	0	0,2	0,5	1,3	2,3	4,2	10,8	36,4		
Снижение поверхностью земли возле источника As, дБ	Gs = 0 hs = 1м	ф-лы таб.3 [10]	-1,5	-1,5	-1,5	-1,5	-1,5	-1,5	-1,5	-1,5	-1,5		
Снижение поверхностью земли возле приёмника Ar, дБ	Gr = 1 hr = 4.6м	ф-лы таб.3 [10]	-1,5	-1,5	3,3	1,3	0	0	0	0	0		
Снижение поверхностью земли в средней зоне, Am дБ	Gm = 1	ф-лы таб.3 [10]	-1,9	-1,9	0	0	0	0	0	0	0		
Суммарное снижение поверхностью земли на траектории распространения звука Agr, дБ		ф-ла (9) [10]	-4,9	-4,9	1,8	-0,2	-1,5	-1,5	-1,5	-1,5	-1,5		
Уровни звукового давления прямого звука от источника ИШ-2-38 в расчётной точке днём, дБ		**ф-ла(3)[10]**	**0**	**36,8**	**31,3**	**34,3**	**35,1**	**33,6**	**28,4**	**17,7**	**0**	**37,2**	**37,2**
Уровни звукового давления прямого звука от источника ИШ-2-38 в расчётной точке ночью, дБ		**ф-ла(3)[10]**	**0**	**36,8**	**31,3**	**34,3**	**35,1**	**33,6**	**28,4**	**17,7**	**0**	**37,2**	**37,2**
Расчёт отражённого звука													

1		2	3	4	5	6	7	8	9	10	11	12	13
Уровни звукового давления от мнимого источника ИШ-2-38_мн.(1) в расчётной точке днём, дБ		**ф-ла(3)[10]**	**0**	**0**	**0**	**0**	**0**	**0**	**0**	**0**	**0**	**0**	**0**
Уровни звукового давления от мнимого источника ИШ-2-38_мн.(1) в расчётной точке ночью, дБ		**ф-ла(3)[10]**	**0**	**0**	**0**	**0**	**0**	**0**	**0**	**0**	**0**	**0**	**0**
Уровни звукового давления от мнимого источника ИШ-2-38_мн.(2) в расчётной точке днём, дБ		**ф-ла(3)[10]**	**0**	**0**	**25,9**	**23,9**	**23,7**	**29,1**	**25,9**	**15,1**	**0**	**31,8**	**31,8**
Уровни звукового давления от мнимого источника ИШ-2-38_мн.(2) в расчётной точке ночью, дБ		**ф-ла(3)[10]**	**0**	**0**	**0**	**0**	**0**	**0**	**0**	**0**	**0**	**31,8**	**31,8**
Суммарные уровни звукового давления от мнимых источников в расчётной точке днём, дБ		**ф-ла (19) [1]**	**0**	**0**	**25,9**	**23,9**	**23,7**	**29,1**	**25,9**	**15,1**	**0**	**0**	**31,8**
Суммарные уровни звукового давления от мнимых источников в расчётной точке ночью, дБ		**ф-ла (19) [1]**	**0**	**0**	**25,9**	**23,9**	**23,7**	**29,1**	**25,9**	**15,1**	**0**	**0**	**31,8**
Уровни звукового давления от источника ИШ-2-38 в расчётной точке днём, дБ		**ф-ла(3)[10]**	**0**	**36,8**	**32,4**	**34,6**	**35,4**	**34,9**	**30,4**	**19,6**	**0**	**38,3**	**38,3**
Уровни звукового давления от источника ИШ-2-38 в расчётной точке ночью, дБ		**ф-ла(3)[10]**	**0**	**36,8**	**32,4**	**34,6**	**35,4**	**34,9**	**30,4**	**19,6**	**0**	**38,3**	**38,3**
Источник шума: ИШ-2-39, координаты источника (x,y,z), м =[687.11,-122.83,1.00]													
Уровни звуковой мощности источника днём, Lw, дБ		**исходные данные**	**0**	**93,3**	**94,7**	**96**	**96,3**	**95,9**	**92,6**	**88,4**	**83,9**		
Уровни звуковой мощности источника ночью, Lw, дБ		**исходные данные**	**0**	**93,3**	**94,7**	**96**	**96,3**	**95,9**	**92,6**	**88,4**	**83,9**		
Поправка на телесный угол DΩ, дБ	Ω = 6.28	10Lg(4π/Ω)	**3**	3	3	3	3	3	3	3	3		
Показатель направленности источника Di, дБ		исходные данные	**0**	0	0	0	0	0	0	0	0		
Поправка на направленность источника Dc, дБ	Dc	DΩ + Di	**3**	3	3	3	3	3	3	3	3		
Затухание из-за геометрической дивергенции, Adiv, дБ	расстояние = 467.20 м	ф-ла (7) [10]	**64,4**										
Коэффициент затухания звука в атмосфере α, дБ/км	Ta=20,°C Pa=101.33,кПа hотн.=70%	ф-ла (5) [9]	0,02	0,09	0,33	1,12	2,79	4,98	9,04	23,09	77,63		

1		2	3	4	5	6	7	8	9	10	11	12	13
Учет затухания звука в атмосфере Aatm, дБ		ф-ла (8) [10]	0	0	0,2	0,5	1,3	2,3	4,2	10,8	36,3		
Снижение поверхностью земли возле источника As, дБ	Gs = 0 hs = 1м	ф-лы таб.3 [10]	-1,5	-1,5	-1,5	-1,5	-1,5	-1,5	-1,5	-1,5	-1,5		
Снижение поверхностью земли возле приёмника Ar, дБ	Gr = 1 hr = 4.6м	ф-лы таб.3 [10]	-1,5	-1,5	3,3	1,3	0	0	0	0	0		
Снижение поверхностью земли в средней зоне, Am дБ	Gm = 1	ф-лы таб.3 [10]	-1,9	-1,9	0	0	0	0	0	0	0		
Суммарное снижение поверхностью земли на траектории распространения звука Agr, дБ		ф-ла (9) [10]	-4,9	-4,9	1,8	-0,2	-1,5	-1,5	-1,5	-1,5	-1,5		
Уровни звукового давления прямого звука от источника ИШ-2-39 в расчётной точке днём, дБ		**ф-ла(3)[10]**	**0**	**36,8**	**31,3**	**34,3**	**35,1**	**33,7**	**28,5**	**17,7**	**0**	**37,2**	**37,2**
Уровни звукового давления прямого звука от источника ИШ-2-39 в расчётной точке ночью, дБ		**ф-ла(3)[10]**	**0**	**36,8**	**31,3**	**34,3**	**35,1**	**33,7**	**28,5**	**17,7**	**0**	**37,2**	**37,2**
Расчёт отражённого звука													
Уровни звукового давления от мнимого источника ИШ-2-39_мн.(1) в расчётной точке днём, дБ		**ф-ла(3)[10]**	**0**	**0**	**26**	**23,9**	**23,7**	**29,1**	**26**	**15,2**	**0**	**31,9**	**31,9**
Уровни звукового давления от мнимого источника ИШ-2-39_мн.(1) в расчётной точке ночью, дБ		**ф-ла(3)[10]**	**0**	**0**	**0**	**0**	**0**	**0**	**0**	**0**	**0**	**31,9**	**31,9**
Уровни звукового давления от источника ИШ-2-39 в расчётной точке днём, дБ		**ф-ла(3)[10]**	**0**	**36,8**	**32,4**	**34,7**	**35,4**	**35**	**30,4**	**19,6**	**0**	**38,3**	**38,3**
Уровни звукового давления от источника ИШ-2-39 в расчётной точке ночью, дБ		**ф-ла(3)[10]**	**0**	**36,8**	**32,4**	**34,7**	**35,4**	**35**	**30,4**	**19,6**	**0**	**38,3**	**38,3**
Источник шума: ИШ-2-40, координаты источника (x,y,z), м =[686.10,-125.67,1.00]													
Уровни звуковой мощности источника днём, Lw, дБ		**исходные данные**	**0**	**93,3**	**94,7**	**96**	**96,3**	**95,9**	**92,6**	**88,4**	**83,9**		
Уровни звуковой мощности источника ночью, Lw, дБ		**исходные данные**	**0**	**93,3**	**94,7**	**96**	**96,3**	**95,9**	**92,6**	**88,4**	**83,9**		
Поправка на телесный угол DΩ, дБ	Ω = 6.28	10Lg(4π/Ω)	**3**	3	3	3	3	3	3	3	3		
Показатель направленности источника Di, дБ		исходные данные	**0**	0	0	0	0	0	0	0	0		

1		2	3	4	5	6	7	8	9	10	11	12	13
Поправка на направленность источника Dc, дБ	Dc	DΩ + Di	**3**	3	3	3	3	3	3	3	3		
Затухание из-за геометрической дивергенции, Adiv, дБ	расстояние = 465.78 м	ф-ла (7) [10]	**64,4**										
Коэффициент затухания звука в атмосфере α, дБ/км	Ta=20,°C Pa=101.33,кПа hотн.=70%	ф-ла (5) [9]	0,02	0,09	0,33	1,12	2,79	4,98	9,04	23,09	77,63		
Учет затухания звука в атмосфере Aatm, дБ		ф-ла (8) [10]	0	0	0,2	0,5	1,3	2,3	4,2	10,8	36,2		
Снижение поверхностью земли возле источника As, дБ	Gs = 0 hs = 1м	ф-лы таб.3 [10]	-1,5	-1,5	-1,5	-1,5	-1,5	-1,5	-1,5	-1,5	-1,5		
Снижение поверхностью земли возле приёмника Ar, дБ	Gr = 1 hr = 4.6м	ф-лы таб.3 [10]	-1,5	-1,5	3,3	1,3	0	0	0	0	0		
Снижение поверхностью земли в средней зоне, Am дБ	Gm = 1	ф-лы таб.3 [10]	-1,9	-1,9	0	0	0	0	0	0	0		
Суммарное снижение поверхностью земли на траектории распространения звука Agr, дБ		ф-ла (9) [10]	-4,9	-4,9	1,8	-0,2	-1,5	-1,5	-1,5	-1,5	-1,5		
Уровни звукового давления прямого звука от источника ИШ-2-40 в расчётной точке днём, дБ		**ф-ла(3)[10]**	**0**	**36,8**	**31,3**	**34,3**	**35,1**	**33,7**	**28,5**	**17,8**	**0**	**37,3**	**37,3**
Уровни звукового давления прямого звука от источника ИШ-2-40 в расчётной точке ночью, дБ		**ф-ла(3)[10]**	**0**	**36,8**	**31,3**	**34,3**	**35,1**	**33,7**	**28,5**	**17,8**	**0**	**37,3**	**37,3**
Расчёт отражённого звука													
Уровни звукового давления от мнимого источника ИШ-2-40_мн.(1) в расчётной точке днём, дБ		**ф-ла(3)[10]**	**0**	**0**	**26**	**24**	**23,8**	**29,2**	**26**	**15,2**	**0**	**31,9**	**31,9**
Уровни звукового давления от мнимого источника ИШ-2-40_мн.(1) в расчётной точке ночью, дБ		**ф-ла(3)[10]**	**0**	**0**	**0**	**0**	**0**	**0**	**0**	**0**	**0**	**31,9**	**31,9**
Уровни звукового давления от источника ИШ-2-40 в расчётной точке днём, дБ		**ф-ла(3)[10]**	**0**	**36,8**	**32,5**	**34,7**	**35,4**	**35**	**30,4**	**19,7**	**0**	**38,4**	**38,4**
Уровни звукового давления от источника ИШ-2-40 в расчётной точке ночью, дБ		**ф-ла(3)[10]**	**0**	**36,8**	**32,5**	**34,7**	**35,4**	**35**	**30,4**	**19,7**	**0**	**38,4**	**38,4**
Источник шума: ИШ-2-41, координаты источника (x,y,z), м =[685.14,-128.64,1.00]													

1		2	3	4	5	6	7	8	9	10	11	12	13
Уровни звуковой мощности источника днём, Lw, дБ		**исходные данные**	**0**	**93,3**	**94,7**	**96**	**96,3**	**95,9**	**92,6**	**88,4**	**83,9**		
Уровни звуковой мощности источника ночью, Lw, дБ		**исходные данные**	**0**	**93,3**	**94,7**	**96**	**96,3**	**95,9**	**92,6**	**88,4**	**83,9**		
Поправка на телесный угол DΩ, дБ	Ω = 6.28	10Lg(4π/Ω)	**3**	3	3	3	3	3	3	3	3		
Показатель направленности источника Di, дБ		исходные данные	**0**	0	0	0	0	0	0	0	0		
Поправка на направленность источника Dc, дБ	Dc	DΩ + Di	**3**	3	3	3	3	3	3	3	3		
Затухание из-за геометрической дивергенции, Adiv, дБ	расстояние = 464.41 м	ф-ла (7) [10]	**64,3**										
Коэффициент затухания звука в атмосфере α, дБ/км	Ta=20,°C Pa=101.33,кПа hотн.=70%	ф-ла (5) [9]	0,02	0,09	0,33	1,12	2,79	4,98	9,04	23,09	77,63		
Учет затухания звука в атмосфере Aatm, дБ		ф-ла (8) [10]	0	0	0,2	0,5	1,3	2,3	4,2	10,7	36,1		
Снижение поверхностью земли возле источника As, дБ	Gs = 0 hs = 1м	ф-лы таб.3 [10]	-1,5	-1,5	-1,5	-1,5	-1,5	-1,5	-1,5	-1,5	-1,5		
Снижение поверхностью земли возле приёмника Ar, дБ	Gr = 1 hr = 4.6м	ф-лы таб.3 [10]	-1,5	-1,5	3,3	1,3	0	0	0	0	0		
Снижение поверхностью земли в средней зоне, Am дБ	Gm = 1	ф-лы таб.3 [10]	-1,9	-1,9	0	0	0	0	0	0	0		
Суммарное снижение поверхностью земли на траектории распространения звука Agr, дБ		ф-ла (9) [10]	-4,9	-4,9	1,8	-0,2	-1,5	-1,5	-1,5	-1,5	-1,5		
Уровни звукового давления прямого звука от источника ИШ-2-41 в расчётной точке днём, дБ		**ф-ла(3)[10]**	**0**	**36,8**	**31,4**	**34,4**	**35,2**	**33,7**	**28,6**	**17,8**	**0**	**37,3**	**37,3**
Уровни звукового давления прямого звука от источника ИШ-2-41 в расчётной точке ночью, дБ		**ф-ла(3)[10]**	**0**	**36,8**	**31,4**	**34,4**	**35,2**	**33,7**	**28,6**	**17,8**	**0**	**37,3**	**37,3**
Расчёт отражённого звука													
Уровни звукового давления от мнимого источника ИШ-2-41_мн.(1) в расчётной точке днём, дБ		**ф-ла(3)[10]**	**0**	**0**	**26**	**24**	**23,8**	**29,2**	**26**	**15,3**	**0**	**31,9**	**31,9**
Уровни звукового давления от мнимого источника ИШ-2-41_мн.(1) в расчётной точке ночью, дБ		**ф-ла(3)[10]**	**0**	**0**	**0**	**0**	**0**	**0**	**0**	**0**	**0**	**31,9**	**31,9**

1		2	3	4	5	6	7	8	9	10	11	12	13
Уровни звукового давления от источника ИШ-2-41 в расчётной точке днём, дБ		**ф-ла(3)[10]**	**0**	**36,8**	**32,5**	**34,7**	**35,5**	**35**	**30,5**	**19,8**	**0**	**38,4**	**38,4**
Уровни звукового давления от источника ИШ-2-41 в расчётной точке ночью, дБ		**ф-ла(3)[10]**	**0**	**36,8**	**32,5**	**34,7**	**35,5**	**35**	**30,5**	**19,8**	**0**	**38,4**	**38,4**
Источник шума: ИШ-2-42, координаты источника (x,y,z), м =[684.20,-131.46,1.00]													
Уровни звуковой мощности источника днём, Lw, дБ		**исходные данные**	**0**	**93,3**	**94,7**	**96**	**96,3**	**95,9**	**92,6**	**88,4**	**83,9**		
Уровни звуковой мощности источника ночью, Lw, дБ		**исходные данные**	**0**	**93,3**	**94,7**	**96**	**96,3**	**95,9**	**92,6**	**88,4**	**83,9**		
Поправка на телесный угол DΩ, дБ	Ω = 6.28	10Lg(4π/Ω)	**3**	3	3	3	3	3	3	3	3		
Показатель направленности источника Di, дБ		исходные данные	**0**	0	0	0	0	0	0	0	0		
Поправка на направленность источника Dc, дБ	Dc	DΩ + Di	**3**	3	3	3	3	3	3	3	3		
Затухание из-за геометрической дивергенции, Adiv, дБ	расстояние = 463.10 м	ф-ла (7) [10]	**64,3**										
Коэффициент затухания звука в атмосфере α, дБ/км	Ta=20,°C Pa=101.33,кПа hотн.=70%	ф-ла (5) [9]	0,02	0,09	0,33	1,12	2,79	4,98	9,04	23,09	77,63		
Учет затухания звука в атмосфере Aatm, дБ		ф-ла (8) [10]	0	0	0,2	0,5	1,3	2,3	4,2	10,7	36		
Снижение поверхностью земли возле источника As, дБ	Gs = 0 hs = 1м	ф-лы таб.3 [10]	-1,5	-1,5	-1,5	-1,5	-1,5	-1,5	-1,5	-1,5	-1,5		
Снижение поверхностью земли возле приёмника Ar, дБ	Gr = 1 hr = 4.6м	ф-лы таб.3 [10]	-1,5	-1,5	3,3	1,3	0	0	0	0	0		
Снижение поверхностью земли в средней зоне, Am дБ	Gm = 1	ф-лы таб.3 [10]	-1,9	-1,9	0	0	0	0	0	0	0		
Суммарное снижение поверхностью земли на траектории распространения звука Agr, дБ		ф-ла (9) [10]	-4,9	-4,9	1,8	-0,2	-1,5	-1,5	-1,5	-1,5	-1,5		
Уровни звукового давления прямого звука от источника ИШ-2-42 в расчётной точке днём, дБ		**ф-ла(3)[10]**	**0**	**36,8**	**31,4**	**34,4**	**35,2**	**33,8**	**28,6**	**17,9**	**0**	**37,3**	**37,3**

1		2	3	4	5	6	7	8	9	10	11	12	13
Уровни звукового давления прямого звука от источника ИШ-2-42 в расчётной точке ночью, дБ		**ф-ла(3)[10]**	**0**	**36,8**	**31,4**	**34,4**	**35,2**	**33,8**	**28,6**	**17,9**	**0**	**37,3**	**37,3**
Расчёт отражённого звука													
Уровни звукового давления от мнимого источника ИШ-2-42_мн.(1) в расчётной точке днём, дБ		**ф-ла(3)[10]**	**0**	**0**	**26,1**	**24**	**23,8**	**29,2**	**26,1**	**15,3**	**0**	**32**	**32**
Уровни звукового давления от мнимого источника ИШ-2-42_мн.(1) в расчётной точке ночью, дБ		**ф-ла(3)[10]**	**0**	**0**	**0**	**0**	**0**	**0**	**0**	**0**	**0**	**32**	**32**
Уровни звукового давления от источника ИШ-2-42 в расчётной точке днём, дБ		**ф-ла(3)[10]**	**0**	**36,8**	**32,5**	**34,8**	**35,5**	**35,1**	**30,5**	**19,8**	**0**	**38,4**	**38,4**
Уровни звукового давления от источника ИШ-2-42 в расчётной точке ночью, дБ		**ф-ла(3)[10]**	**0**	**36,8**	**32,5**	**34,8**	**35,5**	**35,1**	**30,5**	**19,8**	**0**	**38,4**	**38,4**
Источник шума: ИШ-2-43, координаты источника (x,y,z), м =[683.13,-134.37,1.00]													
Уровни звуковой мощности источника днём, Lw, дБ		**исходные данные**	**0**	**93,3**	**94,7**	**96**	**96,3**	**95,9**	**92,6**	**88,4**	**83,9**		
Уровни звуковой мощности источника ночью, Lw, дБ		**исходные данные**	**0**	**93,3**	**94,7**	**96**	**96,3**	**95,9**	**92,6**	**88,4**	**83,9**		
Поправка на телесный угол DΩ, дБ	Ω = 6.28	10Lg(4π/Ω)	**3**	3	3	3	3	3	3	3	3		
Показатель направленности источника Di, дБ		исходные данные	**0**	0	0	0	0	0	0	0	0		
Поправка на направленность источника Dc, дБ	Dc	DΩ + Di	**3**	3	3	3	3	3	3	3	3		
Затухание из-за геометрической дивергенции, Adiv, дБ	расстояние = 461.67 м	ф-ла (7) [10]	**64,3**										
Коэффициент затухания звука в атмосфере α, дБ/км	Ta=20,°C Pa=101.33,кПа hотн.=70%	ф-ла (5) [9]	0,02	0,09	0,33	1,12	2,79	4,98	9,04	23,09	77,63		
Учет затухания звука в атмосфере Aatm, дБ		ф-ла (8) [10]	0	0	0,2	0,5	1,3	2,3	4,2	10,7	35,8		
Снижение поверхностью земли возле источника As, дБ	Gs = 0 hs = 1м	ф-лы таб.3 [10]	-1,5	-1,5	-1,5	-1,5	-1,5	-1,5	-1,5	-1,5	-1,5		

1		2	3	4	5	6	7	8	9	10	11	12	13
Снижение поверхностью земли возле приёмника Ar, дБ	Gr = 1 hr = 4.6м	ф-лы таб.3 [10]	-1,5	-1,5	3,3	1,3	0	0	0	0	0		
Снижение поверхностью земли в средней зоне, Am дБ	Gm = 1	ф-лы таб.3 [10]	-1,9	-1,9	0	0	0	0	0	0	0		
Суммарное снижение поверхностью земли на траектории распространения звука Agr, дБ		ф-ла (9) [10]	-4,9	-4,9	1,8	-0,2	-1,5	-1,5	-1,5	-1,5	-1,5		
Уровни звукового давления прямого звука от источника ИШ-2-43 в расчётной точке днём, дБ		**ф-ла(3)[10]**	**0**	**36,9**	**31,4**	**34,4**	**35,2**	**33,8**	**28,6**	**17,9**	**0**	**37,4**	**37,4**
Уровни звукового давления прямого звука от источника ИШ-2-43 в расчётной точке ночью, дБ		**ф-ла(3)[10]**	**0**	**36,9**	**31,4**	**34,4**	**35,2**	**33,8**	**28,6**	**17,9**	**0**	**37,4**	**37,4**
Расчёт отражённого звука													
Уровни звукового давления от мнимого источника ИШ-2-43_мн.(1) в расчётной точке днём, дБ		**ф-ла(3)[10]**	**0**	**0**	**26,1**	**24**	**23,9**	**29,3**	**26,1**	**15,4**	**0**	**32**	**32**
Уровни звукового давления от мнимого источника ИШ-2-43_мн.(1) в расчётной точке ночью, дБ		**ф-ла(3)[10]**	**0**	**0**	**0**	**0**	**0**	**0**	**0**	**0**	**0**	**32**	**32**
Уровни звукового давления от источника ИШ-2-43 в расчётной точке днём, дБ		**ф-ла(3)[10]**	**0**	**36,9**	**32,5**	**34,8**	**35,5**	**35,1**	**30,6**	**19,9**	**0**	**38,5**	**38,5**
Уровни звукового давления от источника ИШ-2-43 в расчётной точке ночью, дБ		**ф-ла(3)[10]**	**0**	**36,9**	**32,5**	**34,8**	**35,5**	**35,1**	**30,6**	**19,9**	**0**	**38,5**	**38,5**
Источник шума: ИШ-2-44, координаты источника (x,y,z), м =[682.20,-137.16,1.00]													
Уровни звуковой мощности источника днём, Lw, дБ		**исходные данные**	**0**	**93,3**	**94,7**	**96**	**96,3**	**95,9**	**92,6**	**88,4**	**83,9**		
Уровни звуковой мощности источника ночью, Lw, дБ		**исходные данные**	**0**	**93,3**	**94,7**	**96**	**96,3**	**95,9**	**92,6**	**88,4**	**83,9**		
Поправка на телесный угол DΩ, дБ	Ω = 6.28	10Lg(4π/Ω)	**3**	3	3	3	3	3	3	3	3		
Показатель направленности источника Di, дБ		исходные данные	**0**	0	0	0	0	0	0	0	0		
Поправка на направленность источника Dc, дБ	Dc	DΩ + Di	**3**	3	3	3	3	3	3	3	3		
Затухание из-за геометрической дивергенции, Adiv, дБ	расстояние = 460.39 м	ф-ла (7) [10]	**64,3**										

1		2	3	4	5	6	7	8	9	10	11	12	13
Коэффициент затухания звука в атмосфере α, дБ/км	Ta=20,°C Pa=101.33,кПа hотн.=70%	ф-ла (5) [9]	0,02	0,09	0,33	1,12	2,79	4,98	9,04	23,09	77,63		
Учет затухания звука в атмосфере Aatm, дБ		ф-ла (8) [10]	0	0	0,2	0,5	1,3	2,3	4,2	10,6	35,7		
Снижение поверхностью земли возле источника As, дБ	Gs = 0 hs = 1м	ф-лы таб.3 [10]	-1,5	-1,5	-1,5	-1,5	-1,5	-1,5	-1,5	-1,5	-1,5		
Снижение поверхностью земли возле приёмника Ar, дБ	Gr = 1 hr = 4.6м	ф-лы таб.3 [10]	-1,5	-1,5	3,3	1,3	0	0	0	0	0		
Снижение поверхностью земли в средней зоне, Am дБ	Gm = 1	ф-лы таб.3 [10]	-1,9	-1,9	0	0	0	0	0	0	0		
Суммарное снижение поверхностью земли на траектории распространения звука Agr, дБ		ф-ла (9) [10]	-4,9	-4,9	1,8	-0,2	-1,5	-1,5	-1,5	-1,5	-1,5		
Уровни звукового давления прямого звука от источника ИШ-2-44 в расчётной точке днём, дБ		**ф-ла(3)[10]**	**0**	**36,9**	**31,5**	**34,4**	**35,2**	**33,8**	**28,7**	**18**	**0**	**37,4**	**37,4**
Уровни звукового давления прямого звука от источника ИШ-2-44 в расчётной точке ночью, дБ		**ф-ла(3)[10]**	**0**	**36,9**	**31,5**	**34,4**	**35,2**	**33,8**	**28,7**	**18**	**0**	**37,4**	**37,4**
Расчёт отражённого звука													
Уровни звукового давления от мнимого источника ИШ-2-44_мн.(1) в расчётной точке днём, дБ		**ф-ла(3)[10]**	**0**	**0**	**0**	**0**	**0**	**0**	**0**	**0**	**0**	**0**	**0**
Уровни звукового давления от мнимого источника ИШ-2-44_мн.(1) в расчётной точке ночью, дБ		**ф-ла(3)[10]**	**0**	**0**	**0**	**0**	**0**	**0**	**0**	**0**	**0**	**0**	**0**
Уровни звукового давления от мнимого источника ИШ-2-44_мн.(2) в расчётной точке днём, дБ		**ф-ла(3)[10]**	**0**	**0**	**26,2**	**24,1**	**23,9**	**29,3**	**26,1**	**15,5**	**0**	**32**	**32**
Уровни звукового давления от мнимого источника ИШ-2-44_мн.(2) в расчётной точке ночью, дБ		**ф-ла(3)[10]**	**0**	**0**	**0**	**0**	**0**	**0**	**0**	**0**	**0**	**32**	**32**
Суммарные уровни звукового давления от мнимых источников в расчётной точке днём, дБ		**ф-ла (19) [1]**	**0**	**0**	**26,2**	**24,1**	**23,9**	**29,3**	**26,1**	**15,5**	**0**	**0**	**32**
Суммарные уровни звукового давления от мнимых источников в расчётной точке ночью, дБ		**ф-ла (19) [1]**	**0**	**0**	**26,2**	**24,1**	**23,9**	**29,3**	**26,1**	**15,5**	**0**	**0**	**32**
Уровни звукового давления от источника ИШ-2-44 в расчётной точке днём, дБ		**ф-ла(3)[10]**	**0**	**36,9**	**32,6**	**34,8**	**35,6**	**35,1**	**30,6**	**19,9**	**0**	**38,5**	**38,5**
Уровни звукового давления от источника ИШ-2-44 в расчётной точке ночью, дБ		**ф-ла(3)[10]**	**0**	**36,9**	**32,6**	**34,8**	**35,6**	**35,1**	**30,6**	**19,9**	**0**	**38,5**	**38,5**

1		2	3	4	5	6	7	8	9	10	11	12	13
Источник шума: ИШ-2-45, координаты источника (x,y,z), м =[681.26,-139.98,1.00]													
Уровни звуковой мощности источника днём, Lw, дБ		**исходные данные**	**0**	**93,3**	**94,7**	**96**	**96,3**	**95,9**	**92,6**	**88,4**	**83,9**		
Уровни звуковой мощности источника ночью, Lw, дБ		**исходные данные**	**0**	**93,3**	**94,7**	**96**	**96,3**	**95,9**	**92,6**	**88,4**	**83,9**		
Поправка на телесный угол DΩ, дБ	Ω = 6.28	10Lg(4π/Ω)	**3**	3	3	3	3	3	3	3	3		
Показатель направленности источника Di, дБ		исходные данные	**0**	0	0	0	0	0	0	0	0		
Поправка на направленность источника Dc, дБ	Dc	DΩ + Di	**3**	3	3	3	3	3	3	3	3		
Затухание из-за геометрической дивергенции, Adiv, дБ	расстояние = 459.13 м	ф-ла (7) [10]	**64,2**										
Коэффициент затухания звука в атмосфере α, дБ/км	Ta=20,°C Pa=101.33,кПа hотн.=70%	ф-ла (5) [9]	0,02	0,09	0,33	1,12	2,79	4,98	9,04	23,09	77,63		
Учет затухания звука в атмосфере Aatm, дБ		ф-ла (8) [10]	0	0	0,2	0,5	1,3	2,3	4,2	10,6	35,6		
Снижение поверхностью земли возле источника As, дБ	Gs = 0 hs = 1м	ф-лы таб.3 [10]	-1,5	-1,5	-1,5	-1,5	-1,5	-1,5	-1,5	-1,5	-1,5		
Снижение поверхностью земли возле приёмника Ar, дБ	Gr = 1 hr = 4.6м	ф-лы таб.3 [10]	-1,5	-1,5	3,3	1,3	0	0	0	0	0		
Снижение поверхностью земли в средней зоне, Am дБ	Gm = 1	ф-лы таб.3 [10]	-1,9	-1,9	0	0	0	0	0	0	0		
Суммарное снижение поверхностью земли на траектории распространения звука Agr, дБ		ф-ла (9) [10]	-4,9	-4,9	1,8	-0,2	-1,5	-1,5	-1,5	-1,5	-1,5		
Уровни звукового давления прямого звука от источника ИШ-2-45 в расчётной точке днём, дБ		**ф-ла(3)[10]**	**0**	**36,9**	**31,5**	**34,5**	**35,3**	**33,9**	**28,7**	**18,1**	**0**	**37,4**	**37,4**
Уровни звукового давления прямого звука от источника ИШ-2-45 в расчётной точке ночью, дБ		**ф-ла(3)[10]**	**0**	**36,9**	**31,5**	**34,5**	**35,3**	**33,9**	**28,7**	**18,1**	**0**	**37,4**	**37,4**
Расчёт отражённого звука													

1		2	3	4	5	6	7	8	9	10	11	12	13
Уровни звукового давления от мнимого источника ИШ-2-45_мн.(1) в расчётной точке днём, дБ		**ф-ла(3)[10]**	**0**	**0**	**0**	**0**	**0**	**0**	**0**	**0**	**0**	**0**	**0**
Уровни звукового давления от мнимого источника ИШ-2-45_мн.(1) в расчётной точке ночью, дБ		**ф-ла(3)[10]**	**0**	**0**	**0**	**0**	**0**	**0**	**0**	**0**	**0**	**0**	**0**
Уровни звукового давления от мнимого источника ИШ-2-45_мн.(2) в расчётной точке днём, дБ		**ф-ла(3)[10]**	**0**	**0**	**26,2**	**24,1**	**23,9**	**29,3**	**26,2**	**15,5**	**0**	**32,1**	**32,1**
Уровни звукового давления от мнимого источника ИШ-2-45_мн.(2) в расчётной точке ночью, дБ		**ф-ла(3)[10]**	**0**	**0**	**0**	**0**	**0**	**0**	**0**	**0**	**0**	**32,1**	**32,1**
Суммарные уровни звукового давления от мнимых источников в расчётной точке днём, дБ		**ф-ла (19) [1]**	**0**	**0**	**26,2**	**24,1**	**23,9**	**29,3**	**26,2**	**15,5**	**0**	**0**	**32,1**
Суммарные уровни звукового давления от мнимых источников в расчётной точке ночью, дБ		**ф-ла (19) [1]**	**0**	**0**	**26,2**	**24,1**	**23,9**	**29,3**	**26,2**	**15,5**	**0**	**0**	**32,1**
Уровни звукового давления от источника ИШ-2-45 в расчётной точке днём, дБ		**ф-ла(3)[10]**	**0**	**36,9**	**32,6**	**34,8**	**35,6**	**35,2**	**30,6**	**20**	**0**	**38,5**	**38,5**
Уровни звукового давления от источника ИШ-2-45 в расчётной точке ночью, дБ		**ф-ла(3)[10]**	**0**	**36,9**	**32,6**	**34,8**	**35,6**	**35,2**	**30,6**	**20**	**0**	**38,5**	**38,5**
Источник шума: ИШ-4-1, координаты источника (x,y,z), м =[141.82,201.03,1.00]													
Уровни звуковой мощности источника днём, Lw, дБ		**исходные данные**	**0**	**90,3**	**91,7**	**93**	**93,3**	**92,9**	**89,6**	**85,4**	**80,9**		
Уровни звуковой мощности источника ночью, Lw, дБ		**исходные данные**	**0**	**90,3**	**91,7**	**93**	**93,3**	**92,9**	**89,6**	**85,4**	**80,9**		
Поправка на телесный угол DΩ, дБ	Ω = 6.28	10Lg(4π/Ω)	**3**	3	3	3	3	3	3	3	3		
Показатель направленности источника Di, дБ		исходные данные	**0**	0	0	0	0	0	0	0	0		
Поправка на направленность источника Dc, дБ	Dc	DΩ + Di	**3**	3	3	3	3	3	3	3	3		
Затухание из-за геометрической дивергенции, Adiv, дБ	расстояние = 402.48 м	ф-ла (7) [10]	**63,1**										
Коэффициент затухания звука в атмосфере α, дБ/км	Ta=20,°C Pa=101.33,кПа hотн.=70%	ф-ла (5) [9]	0,02	0,09	0,33	1,12	2,79	4,98	9,04	23,09	77,63		

1		2	3	4	5	6	7	8	9	10	11	12	13
Учет затухания звука в атмосфере Aatm, дБ		ф-ла (8) [10]	0	0	0,1	0,5	1,1	2	3,6	9,3	31,2		
Снижение поверхностью земли возле источника As, дБ	Gs = 0 hs = 1м	ф-лы таб.3 [10]	-1,5	-1,5	-1,5	-1,5	-1,5	-1,5	-1,5	-1,5	-1,5		
Снижение поверхностью земли возле приёмника Ar, дБ	Gr = 1 hr = 4.6м	ф-лы таб.3 [10]	-1,5	-1,5	3,3	1,3	0	0	0	0	0		
Снижение поверхностью земли в средней зоне, Am дБ	Gm = 1	ф-лы таб.3 [10]	-1,7	-1,7	0	0	0	0	0	0	0		
Суммарное снижение поверхностью земли на траектории распространения звука Agr, дБ		ф-ла (9) [10]	-4,7	-4,7	1,8	-0,2	-1,5	-1,5	-1,5	-1,5	-1,5		
Уровни звукового давления прямого звука от источника ИШ-4-1 в расчётной точке днём, дБ		**ф-ла(3)[10]**	**0**	**34,9**	**29,7**	**32,7**	**33,6**	**32,3**	**27,4**	**17,5**	**0**	**35,9**	**35,9**
Уровни звукового давления прямого звука от источника ИШ-4-1 в расчётной точке ночью, дБ		**ф-ла(3)[10]**	**0**	**34,9**	**29,7**	**32,7**	**33,6**	**32,3**	**27,4**	**17,5**	**0**	**35,9**	**35,9**
Расчёт отражённого звука													
Уровни звукового давления от мнимого источника ИШ-4-1_мн.(1) в расчётной точке днём, дБ		**ф-ла(3)[10]**	**0**	**0**	**0**	**0**	**0**	**0**	**22,1**	**10,8**	**0**	**23,6**	**23,6**
Уровни звукового давления от мнимого источника ИШ-4-1_мн.(1) в расчётной точке ночью, дБ		**ф-ла(3)[10]**	**0**	**0**	**0**	**0**	**0**	**0**	**0**	**0**	**0**	**23,6**	**23,6**
Уровни звукового давления от мнимого источника ИШ-4-1_мн.(2) в расчётной точке днём, дБ		**ф-ла(3)[10]**	**0**	**0**	**24,8**	**22,3**	**22,2**	**27,7**	**24,8**	**14,9**	**0**	**30,5**	**30,5**
Уровни звукового давления от мнимого источника ИШ-4-1_мн.(2) в расчётной точке ночью, дБ		**ф-ла(3)[10]**	**0**	**0**	**0**	**0**	**0**	**0**	**0**	**0**	**0**	**30,5**	**30,5**
Суммарные уровни звукового давления от мнимых источников в расчётной точке днём, дБ		**ф-ла (19) [1]**	**0**	**0**	**24,8**	**22,3**	**22,2**	**27,7**	**26,6**	**16,3**	**0**	**0**	**31,3**
Суммарные уровни звукового давления от мнимых источников в расчётной точке ночью, дБ		**ф-ла (19) [1]**	**0**	**0**	**24,8**	**22,3**	**22,2**	**27,7**	**26,6**	**16,3**	**0**	**0**	**31,3**
Уровни звукового давления от источника ИШ-4-1 в расчётной точке днём, дБ		**ф-ла(3)[10]**	**0**	**34,9**	**30,9**	**33**	**33,9**	**33,6**	**30**	**20**	**0**	**37,2**	**37,2**
Уровни звукового давления от источника ИШ-4-1 в расчётной точке ночью, дБ		**ф-ла(3)[10]**	**0**	**34,9**	**30,9**	**33**	**33,9**	**33,6**	**30**	**20**	**0**	**37,2**	**37,2**
Источник шума: ИШ-4-2, координаты источника (x,y,z), м =[133.85,183.21,1.00]													

1		2	3	4	5	6	7	8	9	10	11	12	13
Уровни звуковой мощности источника днём, Lw, дБ		**исходные данные**	**0**	**90,3**	**91,7**	**93**	**93,3**	**92,9**	**89,6**	**85,4**	**80,9**		
Уровни звуковой мощности источника ночью, Lw, дБ		**исходные данные**	**0**	**90,3**	**91,7**	**93**	**93,3**	**92,9**	**89,6**	**85,4**	**80,9**		
Поправка на телесный угол DΩ, дБ	Ω = 6.28	10Lg(4π/Ω)	**3**	3	3	3	3	3	3	3	3		
Показатель направленности источника Di, дБ		исходные данные	**0**	0	0	0	0	0	0	0	0		
Поправка на направленность источника Dc, дБ	Dc	DΩ + Di	**3**	3	3	3	3	3	3	3	3		
Затухание из-за геометрической дивергенции, Adiv, дБ	расстояние = 386.86 м	ф-ла (7) [10]	**62,8**										
Коэффициент затухания звука в атмосфере α, дБ/км	Ta=20,°C Pa=101.33,кПа hотн.=70%	ф-ла (5) [9]	0,02	0,09	0,33	1,12	2,79	4,98	9,04	23,09	77,63		
Учет затухания звука в атмосфере Aatm, дБ		ф-ла (8) [10]	0	0	0,1	0,4	1,1	1,9	3,5	8,9	30		
Снижение поверхностью земли возле источника As, дБ	Gs = 0 hs = 1м	ф-лы таб.3 [10]	-1,5	-1,5	-1,5	-1,5	-1,5	-1,5	-1,5	-1,5	-1,5		
Снижение поверхностью земли возле приёмника Ar, дБ	Gr = 1 hr = 4.6м	ф-лы таб.3 [10]	-1,5	-1,5	3,2	1,3	0	0	0	0	0		
Снижение поверхностью земли в средней зоне, Am дБ	Gm = 1	ф-лы таб.3 [10]	-1,7	-1,7	0	0	0	0	0	0	0		
Суммарное снижение поверхностью земли на траектории распространения звука Agr, дБ		ф-ла (9) [10]	-4,7	-4,7	1,7	-0,2	-1,5	-1,5	-1,5	-1,5	-1,5		
Уровни звукового давления прямого звука от источника ИШ-4-2 в расчётной точке днём, дБ		**ф-ла(3)[10]**	**0**	**35,2**	**30,1**	**33**	**34**	**32,7**	**27,8**	**18,2**	**0**	**36,3**	**36,3**
Уровни звукового давления прямого звука от источника ИШ-4-2 в расчётной точке ночью, дБ		**ф-ла(3)[10]**	**0**	**35,2**	**30,1**	**33**	**34**	**32,7**	**27,8**	**18,2**	**0**	**36,3**	**36,3**
Расчёт отражённого звука													
Уровни звукового давления от мнимого источника ИШ-4-2_мн.(1) в расчётной точке днём, дБ		**ф-ла(3)[10]**	**0**	**0**	**25,3**	**22,6**	**22,6**	**28,1**	**25,3**	**15,6**	**0**	**31**	**31**
Уровни звукового давления от мнимого источника ИШ-4-2_мн.(1) в расчётной точке ночью, дБ		**ф-ла(3)[10]**	**0**	**0**	**0**	**0**	**0**	**0**	**0**	**0**	**0**	**31**	**31**

1		2	3	4	5	6	7	8	9	10	11	12	13
Уровни звукового давления от источника ИШ-4-2 в расчётной точке днём, дБ		**ф-ла(3)[10]**	**0**	**35,2**	**31,3**	**33,4**	**34,3**	**34**	**29,8**	**20,1**	**0**	**37,4**	**37,4**
Уровни звукового давления от источника ИШ-4-2 в расчётной точке ночью, дБ		**ф-ла(3)[10]**	**0**	**35,2**	**31,3**	**33,4**	**34,3**	**34**	**29,8**	**20,1**	**0**	**37,4**	**37,4**
Источник шума: ИШ-4-3, координаты источника (x,y,z), м =[152.61,172.66,1.00]													
Уровни звуковой мощности источника днём, Lw, дБ		**исходные данные**	**0**	**90,3**	**91,7**	**93**	**93,3**	**92,9**	**89,6**	**85,4**	**80,9**		
Уровни звуковой мощности источника ночью, Lw, дБ		**исходные данные**	**0**	**90,3**	**91,7**	**93**	**93,3**	**92,9**	**89,6**	**85,4**	**80,9**		
Поправка на телесный угол DΩ, дБ	Ω = 6.28	10Lg(4π/Ω)	**3**	3	3	3	3	3	3	3	3		
Показатель направленности источника Di, дБ		исходные данные	**0**	0	0	0	0	0	0	0	0		
Поправка на направленность источника Dc, дБ	Dc	DΩ + Di	**3**	3	3	3	3	3	3	3	3		
Затухание из-за геометрической дивергенции, Adiv, дБ	расстояние = 372.52 м	ф-ла (7) [10]	**62,4**										
Коэффициент затухания звука в атмосфере α, дБ/км	Ta=20,°C Pa=101.33,кПа hотн.=70%	ф-ла (5) [9]	0,02	0,09	0,33	1,12	2,79	4,98	9,04	23,09	77,63		
Учет затухания звука в атмосфере Aatm, дБ		ф-ла (8) [10]	0	0	0,1	0,4	1	1,9	3,4	8,6	28,9		
Снижение поверхностью земли возле источника As, дБ	Gs = 0 hs = 1м	ф-лы таб.3 [10]	-1,5	-1,5	-1,5	-1,5	-1,5	-1,5	-1,5	-1,5	-1,5		
Снижение поверхностью земли возле приёмника Ar, дБ	Gr = 1 hr = 4.6м	ф-лы таб.3 [10]	-1,5	-1,5	3,2	1,3	0	0	0	0	0		
Снижение поверхностью земли в средней зоне, Am дБ	Gm = 1	ф-лы таб.3 [10]	-1,6	-1,6	0	0	0	0	0	0	0		
Суммарное снижение поверхностью земли на траектории распространения звука Agr, дБ		ф-ла (9) [10]	-4,6	-4,6	1,7	-0,2	-1,5	-1,5	-1,5	-1,5	-1,5		
Уровни звукового давления прямого звука от источника ИШ-4-3 в расчётной точке днём, дБ		**ф-ла(3)[10]**	**0**	**35,5**	**30,4**	**33,4**	**34,3**	**33,1**	**28,3**	**18,9**	**0**	**36,7**	**36,7**

1		2	3	4	5	6	7	8	9	10	11	12	13
Уровни звукового давления прямого звука от источника ИШ-4-3 в расчётной точке ночью, дБ		**ф-ла(3)[10]**	**0**	**35,5**	**30,4**	**33,4**	**34,3**	**33,1**	**28,3**	**18,9**	**0**	**36,7**	**36,7**
Расчёт отражённого звука													
Уровни звукового давления от мнимого источника ИШ-4-3_мн.(1) в расчётной точке днём, дБ		**ф-ла(3)[10]**	**0**	**0**	**0**	**0**	**0**	**27,2**	**24,2**	**14**	**0**	**29,6**	**29,6**
Уровни звукового давления от мнимого источника ИШ-4-3_мн.(1) в расчётной точке ночью, дБ		**ф-ла(3)[10]**	**0**	**0**	**0**	**0**	**0**	**0**	**0**	**0**	**0**	**29,6**	**29,6**
Уровни звукового давления от мнимого источника ИШ-4-3_мн.(2) в расчётной точке днём, дБ		**ф-ла(3)[10]**	**0**	**0**	**25,7**	**23**	**22,9**	**28,5**	**25,7**	**16,2**	**0**	**31,4**	**31,4**
Уровни звукового давления от мнимого источника ИШ-4-3_мн.(2) в расчётной точке ночью, дБ		**ф-ла(3)[10]**	**0**	**0**	**0**	**0**	**0**	**0**	**0**	**0**	**0**	**31,4**	**31,4**
Суммарные уровни звукового давления от мнимых источников в расчётной точке днём, дБ		**ф-ла (19) [1]**	**0**	**0**	**25,7**	**23**	**22,9**	**30,9**	**28**	**18,3**	**0**	**0**	**33,6**
Суммарные уровни звукового давления от мнимых источников в расчётной точке ночью, дБ		**ф-ла (19) [1]**	**0**	**0**	**25,7**	**23**	**22,9**	**30,9**	**28**	**18,3**	**0**	**0**	**33,6**
Уровни звукового давления от источника ИШ-4-3 в расчётной точке днём, дБ		**ф-ла(3)[10]**	**0**	**35,5**	**31,7**	**33,7**	**34,6**	**35,2**	**31,2**	**21,6**	**0**	**38,4**	**38,4**
Уровни звукового давления от источника ИШ-4-3 в расчётной точке ночью, дБ		**ф-ла(3)[10]**	**0**	**35,5**	**31,7**	**33,7**	**34,6**	**35,2**	**31,2**	**21,6**	**0**	**38,4**	**38,4**
Источник шума: ИШ-4-4, координаты источника (x,y,z), м =[156.83,171.25,1.00]													
Уровни звуковой мощности источника днём, Lw, дБ		**исходные данные**	**0**	**90,3**	**91,7**	**93**	**93,3**	**92,9**	**89,6**	**85,4**	**80,9**		
Уровни звуковой мощности источника ночью, Lw, дБ		**исходные данные**	**0**	**90,3**	**91,7**	**93**	**93,3**	**92,9**	**89,6**	**85,4**	**80,9**		
Поправка на телесный угол DΩ, дБ	Ω = 6.28	10Lg(4π/Ω)	**3**	3	3	3	3	3	3	3	3		
Показатель направленности источника Di, дБ		исходные данные	**0**	0	0	0	0	0	0	0	0		
Поправка на направленность источника Dc, дБ	Dc	DΩ + Di	**3**	3	3	3	3	3	3	3	3		
Затухание из-за геометрической дивергенции, Adiv, дБ	расстояние = 370.33 м	ф-ла (7) [10]	**62,4**										

1		2	3	4	5	6	7	8	9	10	11	12	13
Коэффициент затухания звука в атмосфере α, дБ/км	Ta=20,°C Pa=101.33,кПа hотн.=70%	ф-ла (5) [9]	0,02	0,09	0,33	1,12	2,79	4,98	9,04	23,09	77,63		
Учет затухания звука в атмосфере Aatm, дБ		ф-ла (8) [10]	0	0	0,1	0,4	1	1,8	3,3	8,5	28,8		
Снижение поверхностью земли возле источника As, дБ	Gs = 0 hs = 1м	ф-лы таб.3 [10]	-1,5	-1,5	-1,5	-1,5	-1,5	-1,5	-1,5	-1,5	-1,5		
Снижение поверхностью земли возле приёмника Ar, дБ	Gr = 1 hr = 4.6м	ф-лы таб.3 [10]	-1,5	-1,5	3,2	1,3	0	0	0	0	0		
Снижение поверхностью земли в средней зоне, Am дБ	Gm = 1	ф-лы таб.3 [10]	-1,6	-1,6	0	0	0	0	0	0	0		
Суммарное снижение поверхностью земли на траектории распространения звука Agr, дБ		ф-ла (9) [10]	-4,6	-4,6	1,7	-0,2	-1,5	-1,5	-1,5	-1,5	-1,5		
Уровни звукового давления прямого звука от источника ИШ-4-4 в расчётной точке днём, дБ		**ф-ла(3)[10]**	**0**	**35,5**	**30,5**	**33,4**	**34,4**	**33,2**	**28,4**	**19**	**0**	**36,8**	**36,8**
Уровни звукового давления прямого звука от источника ИШ-4-4 в расчётной точке ночью, дБ		**ф-ла(3)[10]**	**0**	**35,5**	**30,5**	**33,4**	**34,4**	**33,2**	**28,4**	**19**	**0**	**36,8**	**36,8**
Расчёт отражённого звука													
Уровни звукового давления от мнимого источника ИШ-4-4_мн.(1) в расчётной точке днём, дБ		**ф-ла(3)[10]**	**0**	**34,5**	**25,8**	**23**	**23**	**28,6**	**25,8**	**16,3**	**0**	**31,5**	**31,5**
Уровни звукового давления от мнимого источника ИШ-4-4_мн.(1) в расчётной точке ночью, дБ		**ф-ла(3)[10]**	**0**	**0**	**0**	**0**	**0**	**0**	**0**	**0**	**0**	**31,5**	**31,5**
Уровни звукового давления от мнимого источника ИШ-4-4_мн.(2) в расчётной точке днём, дБ		**ф-ла(3)[10]**	**0**	**0**	**0**	**0**	**0**	**0**	**0**	**0**	**0**	**0**	**0**
Уровни звукового давления от мнимого источника ИШ-4-4_мн.(2) в расчётной точке ночью, дБ		**ф-ла(3)[10]**	**0**	**0**	**0**	**0**	**0**	**0**	**0**	**0**	**0**	**0**	**0**
Суммарные уровни звукового давления от мнимых источников в расчётной точке днём, дБ		**ф-ла (19) [1]**	**0**	**34,5**	**25,8**	**23**	**23**	**28,6**	**25,8**	**16,3**	**0**	**0**	**31,5**
Суммарные уровни звукового давления от мнимых источников в расчётной точке ночью, дБ		**ф-ла (19) [1]**	**0**	**34,5**	**25,8**	**23**	**23**	**28,6**	**25,8**	**16,3**	**0**	**0**	**31,5**
Уровни звукового давления от источника ИШ-4-4 в расчётной точке днём, дБ		**ф-ла(3)[10]**	**0**	**38**	**31,8**	**33,8**	**34,7**	**34,5**	**30,3**	**20,9**	**0**	**37,9**	**37,9**
Уровни звукового давления от источника ИШ-4-4 в расчётной точке ночью, дБ		**ф-ла(3)[10]**	**0**	**38**	**31,8**	**33,8**	**34,7**	**34,5**	**30,3**	**20,9**	**0**	**37,9**	**37,9**

1		2	3	4	5	6	7	8	9	10	11	12	13
Источник шума: ИШ-4-5, координаты источника (x,y,z), м =[126.48,222.66,11.00]													
Уровни звуковой мощности источника днём, Lw, дБ		**исходные данные**	**0**	**90,3**	**91,7**	**93**	**93,3**	**92,9**	**89,6**	**85,4**	**80,9**		
Уровни звуковой мощности источника ночью, Lw, дБ		**исходные данные**	**0**	**90,3**	**91,7**	**93**	**93,3**	**92,9**	**89,6**	**85,4**	**80,9**		
Поправка на телесный угол DΩ, дБ	Ω = 6.28	10Lg(4π/Ω)	**3**	3	3	3	3	3	3	3	3		
Показатель направленности источника Di, дБ		исходные данные	**0**	0	0	0	0	0	0	0	0		
Поправка на направленность источника Dc, дБ	Dc	DΩ + Di	**3**	3	3	3	3	3	3	3	3		
Затухание из-за геометрической дивергенции, Adiv, дБ	расстояние = 426.98 м	ф-ла (7) [10]	**63,6**										
Коэффициент затухания звука в атмосфере α, дБ/км	Ta=20,°C Pa=101.33,кПа hотн.=70%	ф-ла (5) [9]	0,02	0,09	0,33	1,12	2,79	4,98	9,04	23,09	77,63		
Учет затухания звука в атмосфере Aatm, дБ		ф-ла (8) [10]	0	0	0,1	0,5	1,2	2,1	3,9	9,9	33,1		
Снижение поверхностью земли возле источника As, дБ	Gs = 0 hs = 1м	ф-лы таб.3 [10]	-1,5	-1,5	-1,5	-1,5	-1,5	-1,5	-1,5	-1,5	-1,5		
Снижение поверхностью земли возле приёмника Ar, дБ	Gr = 1 hr = 4.6м	ф-лы таб.3 [10]	-1,5	-1,5	3,3	1,3	0	0	0	0	0		
Снижение поверхностью земли в средней зоне, Am дБ	Gm = 1	ф-лы таб.3 [10]	-1,8	-1,8	0	0	0	0	0	0	0		
Суммарное снижение поверхностью земли на траектории распространения звука Agr, дБ		ф-ла (9) [10]	-4,8	-4,8	1,8	-0,2	-1,5	-1,5	-1,5	-1,5	-1,5		
Уровни звукового давления прямого звука от источника ИШ-4-5 в расчётной точке днём, дБ		**ф-ла(3)[10]**	**0**	**34,5**	**29,2**	**32,1**	**33**	**31,7**	**26,6**	**16,4**	**0**	**35,2**	**35,2**
Уровни звукового давления прямого звука от источника ИШ-4-5 в расчётной точке ночью, дБ		**ф-ла(3)[10]**	**0**	**34,5**	**29,2**	**32,1**	**33**	**31,7**	**26,6**	**16,4**	**0**	**35,2**	**35,2**
Расчёт отражённого звука													

1		2	3	4	5	6	7	8	9	10	11	12	13
Уровни звукового давления от мнимого источника ИШ-4-5_мн.(1) в расчётной точке днём, дБ		**ф-ла(3)[10]**	**0**	**0**	**24,1**	**21,7**	**21,6**	**27,1**	**24**	**13,8**	**0**	**29,9**	**29,9**
Уровни звукового давления от мнимого источника ИШ-4-5_мн.(1) в расчётной точке ночью, дБ		**ф-ла(3)[10]**	**0**	**0**	**0**	**0**	**0**	**0**	**0**	**0**	**0**	**29,9**	**29,9**
Уровни звукового давления от источника ИШ-4-5 в расчётной точке днём, дБ		**ф-ла(3)[10]**	**0**	**34,5**	**30,3**	**32,5**	**33,3**	**33**	**28,5**	**18,3**	**0**	**36,3**	**36,3**
Уровни звукового давления от источника ИШ-4-5 в расчётной точке ночью, дБ		**ф-ла(3)[10]**	**0**	**34,5**	**30,3**	**32,5**	**33,3**	**33**	**28,5**	**18,3**	**0**	**36,3**	**36,3**
Источник шума: ИШ-4-6, координаты источника (x,y,z), м =[125.17,218.57,11.00]													
Уровни звуковой мощности источника днём, Lw, дБ		**исходные данные**	**0**	**90,3**	**91,7**	**93**	**93,3**	**92,9**	**89,6**	**85,4**	**80,9**		
Уровни звуковой мощности источника ночью, Lw, дБ		**исходные данные**	**0**	**90,3**	**91,7**	**93**	**93,3**	**92,9**	**89,6**	**85,4**	**80,9**		
Поправка на телесный угол DΩ, дБ	Ω = 6.28	10Lg(4π/Ω)	**3**	3	3	3	3	3	3	3	3		
Показатель направленности источника Di, дБ		исходные данные	**0**	0	0	0	0	0	0	0	0		
Поправка на направленность источника Dc, дБ	Dc	DΩ + Di	**3**	3	3	3	3	3	3	3	3		
Затухание из-за геометрической дивергенции, Adiv, дБ	расстояние = 423.31 м	ф-ла (7) [10]	**63,5**										
Коэффициент затухания звука в атмосфере α, дБ/км	Ta=20,°C Pa=101.33,кПа hотн.=70%	ф-ла (5) [9]	0,02	0,09	0,33	1,12	2,79	4,98	9,04	23,09	77,63		
Учет затухания звука в атмосфере Aatm, дБ		ф-ла (8) [10]	0	0	0,1	0,5	1,2	2,1	3,8	9,8	32,9		
Снижение поверхностью земли возле источника As, дБ	Gs = 0 hs = 1м	ф-лы таб.3 [10]	-1,5	-1,5	-1,5	-1,5	-1,5	-1,5	-1,5	-1,5	-1,5		
Снижение поверхностью земли возле приёмника Ar, дБ	Gr = 1 hr = 4.6м	ф-лы таб.3 [10]	-1,5	-1,5	3,3	1,3	0	0	0	0	0		
Снижение поверхностью земли в средней зоне, Am дБ	Gm = 1	ф-лы таб.3 [10]	-1,8	-1,8	0	0	0	0	0	0	0		

1		2	3	4	5	6	7	8	9	10	11	12	13
Суммарное снижение поверхностью земли на траектории распространения звука Agr, дБ		ф-ла (9) [10]	-4,8	-4,8	1,8	-0,2	-1,5	-1,5	-1,5	-1,5	-1,5		
Уровни звукового давления прямого звука от источника ИШ-4-6 в расчётной точке днём, дБ		**ф-ла(3)[10]**	**0**	**34,5**	**29,2**	**32,2**	**33,1**	**31,8**	**26,7**	**16,6**	**0**	**35,3**	**35,3**
Уровни звукового давления прямого звука от источника ИШ-4-6 в расчётной точке ночью, дБ		**ф-ла(3)[10]**	**0**	**34,5**	**29,2**	**32,2**	**33,1**	**31,8**	**26,7**	**16,6**	**0**	**35,3**	**35,3**
Расчёт отражённого звука													
Уровни звукового давления от мнимого источника ИШ-4-6_мн.(1) в расчётной точке днём, дБ		**ф-ла(3)[10]**	**0**	**0**	**24,2**	**21,8**	**21,7**	**27,2**	**24,2**	**14**	**0**	**30**	**30**
Уровни звукового давления от мнимого источника ИШ-4-6_мн.(1) в расчётной точке ночью, дБ		**ф-ла(3)[10]**	**0**	**0**	**0**	**0**	**0**	**0**	**0**	**0**	**0**	**30**	**30**
Уровни звукового давления от источника ИШ-4-6 в расчётной точке днём, дБ		**ф-ла(3)[10]**	**0**	**34,5**	**30,4**	**32,6**	**33,4**	**33**	**28,6**	**18,5**	**0**	**36,4**	**36,4**
Уровни звукового давления от источника ИШ-4-6 в расчётной точке ночью, дБ		**ф-ла(3)[10]**	**0**	**34,5**	**30,4**	**32,6**	**33,4**	**33**	**28,6**	**18,5**	**0**	**36,4**	**36,4**
Источник шума: ИШ-4-7, координаты источника (x,y,z), м =[177.91,257.92,11.00]													
Уровни звуковой мощности источника днём, Lw, дБ		**исходные данные**	**0**	**90,3**	**91,7**	**93**	**93,3**	**92,9**	**89,6**	**85,4**	**80,9**		
Уровни звуковой мощности источника ночью, Lw, дБ		**исходные данные**	**0**	**90,3**	**91,7**	**93**	**93,3**	**92,9**	**89,6**	**85,4**	**80,9**		
Поправка на телесный угол DΩ, дБ	Ω = 6.28	10Lg(4π/Ω)	**3**	3	3	3	3	3	3	3	3		
Показатель направленности источника Di, дБ		исходные данные	**0**	0	0	0	0	0	0	0	0		
Поправка на направленность источника Dc, дБ	Dc	DΩ + Di	**3**	3	3	3	3	3	3	3	3		
Затухание из-за геометрической дивергенции, Adiv, дБ	расстояние = 453.14 м	ф-ла (7) [10]	**64,1**										
Коэффициент затухания звука в атмосфере α, дБ/км	Ta=20,°C Pa=101.33,кПа hотн.=70%	ф-ла (5) [9]	0,02	0,09	0,33	1,12	2,79	4,98	9,04	23,09	77,63		

1		2	3	4	5	6	7	8	9	10	11	12	13
Учет затухания звука в атмосфере Aatm, дБ		ф-ла (8) [10]	0	0	0,2	0,5	1,3	2,3	4,1	10,5	35,2		
Снижение поверхностью земли возле источника As, дБ	Gs = 0 hs = 3м	ф-лы таб.3 [10]	-1,5	-1,5	-1,5	-1,5	-1,5	-1,5	-1,5	-1,5	-1,5		
Снижение поверхностью земли возле приёмника Ar, дБ	Gr = 1 hr = 4.6м	ф-лы таб.3 [10]	-1,5	-1,5	3,3	1,3	0	0	0	0	0		
Снижение поверхностью земли в средней зоне, Am дБ	Gm = 1	ф-лы таб.3 [10]	-1,5	-1,5	0	0	0	0	0	0	0		
Суммарное снижение поверхностью земли на траектории распространения звука Agr, дБ		ф-ла (9) [10]	-4,5	-4,5	1,8	-0,2	-1,5	-1,5	-1,5	-1,5	-1,5		
Уровни звукового давления прямого звука от источника ИШ-4-7 в расчётной точке днём, дБ		**ф-ла(3)[10]**	**0**	**33,6**	**28,6**	**31,6**	**32,4**	**31**	**25,9**	**15,3**	**0**	**34,6**	**34,6**
Уровни звукового давления прямого звука от источника ИШ-4-7 в расчётной точке ночью, дБ		**ф-ла(3)[10]**	**0**	**33,6**	**28,6**	**31,6**	**32,4**	**31**	**25,9**	**15,3**	**0**	**34,6**	**34,6**
Расчёт отражённого звука													
Уровни звукового давления от мнимого источника ИШ-4-7_мн.(1) в расчётной точке днём, дБ		**ф-ла(3)[10]**	**0**	**32,6**	**23,1**	**25,2**	**29,6**	**28,4**	**23,3**	**12,7**	**0**	**31,8**	**31,8**
Уровни звукового давления от мнимого источника ИШ-4-7_мн.(1) в расчётной точке ночью, дБ		**ф-ла(3)[10]**	**0**	**0**	**0**	**0**	**0**	**0**	**0**	**0**	**0**	**31,8**	**31,8**
Уровни звукового давления от источника ИШ-4-7 в расчётной точке днём, дБ		**ф-ла(3)[10]**	**0**	**36,1**	**29,7**	**32,5**	**34,2**	**32,9**	**27,8**	**17,2**	**0**	**36,4**	**36,4**
Уровни звукового давления от источника ИШ-4-7 в расчётной точке ночью, дБ		**ф-ла(3)[10]**	**0**	**36,1**	**29,7**	**32,5**	**34,2**	**32,9**	**27,8**	**17,2**	**0**	**36,4**	**36,4**
Источник шума: ИШ-4-8, координаты источника (x,y,z), м =[178.24,257.77,13.00]													
Уровни звуковой мощности источника днём, Lw, дБ		**исходные данные**	**0**	**90,3**	**91,7**	**93**	**93,3**	**92,9**	**89,6**	**85,4**	**80,9**		
Уровни звуковой мощности источника ночью, Lw, дБ		**исходные данные**	**0**	**90,3**	**91,7**	**93**	**93,3**	**92,9**	**89,6**	**85,4**	**80,9**		
Поправка на телесный угол DΩ, дБ	Ω = 6.28	10Lg(4π/Ω)	**3**	3	3	3	3	3	3	3	3		
Показатель направленности источника Di, дБ		исходные данные	**0**	0	0	0	0	0	0	0	0		

1		2	3	4	5	6	7	8	9	10	11	12	13
Поправка на направленность источника Dc, дБ	Dc	DΩ + Di	**3**	3	3	3	3	3	3	3	3		
Затухание из-за геометрической дивергенции, Adiv, дБ	расстояние = 452.99 м	ф-ла (7) [10]	**64,1**										
Коэффициент затухания звука в атмосфере α, дБ/км	Ta=20,°C Pa=101.33,кПа hотн.=70%	ф-ла (5) [9]	0,02	0,09	0,33	1,12	2,79	4,98	9,04	23,09	77,63		
Учет затухания звука в атмосфере Aatm, дБ		ф-ла (8) [10]	0	0	0,2	0,5	1,3	2,3	4,1	10,5	35,2		
Снижение поверхностью земли возле источника As, дБ	Gs = 0 hs = 5м	ф-лы таб.3 [10]	-1,5	-1,5	-1,5	-1,5	-1,5	-1,5	-1,5	-1,5	-1,5		
Снижение поверхностью земли возле приёмника Ar, дБ	Gr = 1 hr = 4.6м	ф-лы таб.3 [10]	-1,5	-1,5	3,3	1,3	0	0	0	0	0		
Снижение поверхностью земли в средней зоне, Am дБ	Gm = 1	ф-лы таб.3 [10]	-1,1	-1,1	0	0	0	0	0	0	0		
Суммарное снижение поверхностью земли на траектории распространения звука Agr, дБ		ф-ла (9) [10]	-4,1	-4,1	1,8	-0,2	-1,5	-1,5	-1,5	-1,5	-1,5		
Уровни звукового давления прямого звука от источника ИШ-4-8 в расчётной точке днём, дБ		**ф-ла(3)[10]**	**0**	**33,2**	**28,6**	**31,6**	**32,4**	**31**	**25,9**	**15,3**	**0**	**34,6**	**34,6**
Уровни звукового давления прямого звука от источника ИШ-4-8 в расчётной точке ночью, дБ		**ф-ла(3)[10]**	**0**	**33,2**	**28,6**	**31,6**	**32,4**	**31**	**25,9**	**15,3**	**0**	**34,6**	**34,6**
Расчёт отражённого звука													
Уровни звукового давления от мнимого источника ИШ-4-8_мн.(1) в расчётной точке днём, дБ		**ф-ла(3)[10]**	**0**	**32,2**	**22,8**	**28,1**	**29,8**	**28,5**	**23,3**	**12,7**	**0**	**31,9**	**31,9**
Уровни звукового давления от мнимого источника ИШ-4-8_мн.(1) в расчётной точке ночью, дБ		**ф-ла(3)[10]**	**0**	**0**	**0**	**0**	**0**	**0**	**0**	**0**	**0**	**31,9**	**31,9**
Уровни звукового давления от источника ИШ-4-8 в расчётной точке днём, дБ		**ф-ла(3)[10]**	**0**	**35,7**	**29,6**	**33,2**	**34,3**	**32,9**	**27,8**	**17,2**	**0**	**36,5**	**36,5**
Уровни звукового давления от источника ИШ-4-8 в расчётной точке ночью, дБ		**ф-ла(3)[10]**	**0**	**35,7**	**29,6**	**33,2**	**34,3**	**32,9**	**27,8**	**17,2**	**0**	**36,5**	**36,5**

Источник шума: ИШ-4-9, координаты источника (x,y,z), м =[178.68,257.63,15.50]

1		2	3	4	5	6	7	8	9	10	11	12	13
Уровни звуковой мощности источника днём, Lw, дБ		**исходные данные**	**0**	**90,3**	**91,7**	**93**	**93,3**	**92,9**	**89,6**	**85,4**	**80,9**		
Уровни звуковой мощности источника ночью, Lw, дБ		**исходные данные**	**0**	**90,3**	**91,7**	**93**	**93,3**	**92,9**	**89,6**	**85,4**	**80,9**		
Поправка на телесный угол DΩ, дБ	Ω = 6.28	10Lg(4π/Ω)	**3**	3	3	3	3	3	3	3	3		
Показатель направленности источника Di, дБ		исходные данные	**0**	0	0	0	0	0	0	0	0		
Поправка на направленность источника Dc, дБ	Dc	DΩ + Di	**3**	3	3	3	3	3	3	3	3		
Затухание из-за геометрической дивергенции, Adiv, дБ	расстояние = 452.86 м	ф-ла (7) [10]	**64,1**										
Коэффициент затухания звука в атмосфере α, дБ/км	Ta=20,°C Pa=101.33,кПа hотн.=70%	ф-ла (5) [9]	0,02	0,09	0,33	1,12	2,79	4,98	9,04	23,09	77,63		
Учет затухания звука в атмосфере Aatm, дБ		ф-ла (8) [10]	0	0	0,2	0,5	1,3	2,3	4,1	10,5	35,2		
Снижение поверхностью земли возле источника As, дБ	Gs = 0 hs = 7.5м	ф-лы таб.3 [10]	-1,5	-1,5	-1,5	-1,5	-1,5	-1,5	-1,5	-1,5	-1,5		
Снижение поверхностью земли возле приёмника Ar, дБ	Gr = 1 hr = 4.6м	ф-лы таб.3 [10]	-1,5	-1,5	3,3	1,3	0	0	0	0	0		
Снижение поверхностью земли в средней зоне, Am дБ	Gm = 1	ф-лы таб.3 [10]	-0,6	-0,6	0	0	0	0	0	0	0		
Суммарное снижение поверхностью земли на траектории распространения звука Agr, дБ		ф-ла (9) [10]	-3,6	-3,6	1,8	-0,2	-1,5	-1,5	-1,5	-1,5	-1,5		
Уровни звукового давления прямого звука от источника ИШ-4-9 в расчётной точке днём, дБ		**ф-ла(3)[10]**	**0**	**32,7**	**28,6**	**31,6**	**32,4**	**31**	**25,9**	**15,3**	**0**	**34,6**	**34,6**
Уровни звукового давления прямого звука от источника ИШ-4-9 в расчётной точке ночью, дБ		**ф-ла(3)[10]**	**0**	**32,7**	**28,6**	**31,6**	**32,4**	**31**	**25,9**	**15,3**	**0**	**34,6**	**34,6**
Расчёт отражённого звука													
Уровни звукового давления от мнимого источника ИШ-4-9_мн.(1) в расчётной точке днём, дБ		**ф-ла(3)[10]**	**0**	**0**	**0**	**0**	**0**	**0**	**0**	**0**	**0**	**0**	**0**
Уровни звукового давления от мнимого источника ИШ-4-9_мн.(1) в расчётной точке ночью, дБ		**ф-ла(3)[10]**	**0**	**0**	**0**	**0**	**0**	**0**	**0**	**0**	**0**	**0**	**0**

1		2	3	4	5	6	7	8	9	10	11	12	13
Уровни звукового давления от мнимого источника ИШ-4-9_мн.(2) в расчётной точке днём, дБ		**ф-ла(3)[10]**	**0**	**31,7**	**24,6**	**29**	**29,9**	**28,5**	**23,3**	**12,7**	**0**	**32**	**32**
Уровни звукового давления от мнимого источника ИШ-4-9_мн.(2) в расчётной точке ночью, дБ		**ф-ла(3)[10]**	**31,7**	**31,7**	**31,7**	**31,7**	**31,7**	**31,7**	**31,7**	**31,7**	**31,7**	**32**	**32**
Суммарные уровни звукового давления от мнимых источников в расчётной точке днём, дБ		**ф-ла (19) [1]**	**0**	**31,7**	**24,6**	**29**	**29,9**	**28,5**	**23,3**	**12,7**	**0**	**0**	**32**
Суммарные уровни звукового давления от мнимых источников в расчётной точке ночью, дБ		**ф-ла (19) [1]**	**0**	**31,7**	**24,6**	**29**	**29,9**	**28,5**	**23,3**	**12,7**	**0**	**0**	**32**
Уровни звукового давления от источника ИШ-4-9 в расчётной точке днём, дБ		**ф-ла(3)[10]**	**0**	**35,3**	**30,1**	**33,5**	**34,3**	**32,9**	**27,8**	**17,2**	**0**	**36,5**	**36,5**
Уровни звукового давления от источника ИШ-4-9 в расчётной точке ночью, дБ		**ф-ла(3)[10]**	**0**	**35,3**	**30,1**	**33,5**	**34,3**	**32,9**	**27,8**	**17,2**	**0**	**36,5**	**36,5**
Источник шума: ИШ-4-10, координаты источника (x,y,z), м =[185.65,255.31,11.00]													
Уровни звуковой мощности источника днём, Lw, дБ		**исходные данные**	**0**	**90,3**	**91,7**	**93**	**93,3**	**92,9**	**89,6**	**85,4**	**80,9**		
Уровни звуковой мощности источника ночью, Lw, дБ		**исходные данные**	**0**	**90,3**	**91,7**	**93**	**93,3**	**92,9**	**89,6**	**85,4**	**80,9**		
Поправка на телесный угол DΩ, дБ	Ω = 6.28	10Lg(4π/Ω)	**3**	3	3	3	3	3	3	3	3		
Показатель направленности источника Di, дБ		исходные данные	**0**	0	0	0	0	0	0	0	0		
Поправка на направленность источника Dc, дБ	Dc	DΩ + Di	**3**	3	3	3	3	3	3	3	3		
Затухание из-за геометрической дивергенции, Adiv, дБ	расстояние = 449.79 м	ф-ла (7) [10]	**64,1**										
Коэффициент затухания звука в атмосфере α, дБ/км	Ta=20,°C Pa=101.33,кПа hотн.=70%	ф-ла (5) [9]	0,02	0,09	0,33	1,12	2,79	4,98	9,04	23,09	77,63		
Учет затухания звука в атмосфере Aatm, дБ		ф-ла (8) [10]	0	0	0,2	0,5	1,3	2,2	4,1	10,4	34,9		
Снижение поверхностью земли возле источника As, дБ	Gs = 0 hs = 3м	ф-лы таб.3 [10]	-1,5	-1,5	-1,5	-1,5	-1,5	-1,5	-1,5	-1,5	-1,5		

1		2	3	4	5	6	7	8	9	10	11	12	13
Снижение поверхностью земли возле приёмника Ar, дБ	Gr = 1 hr = 4.6м	ф-лы таб.3 [10]	-1,5	-1,5	3,3	1,3	0	0	0	0	0		
Снижение поверхностью земли в средней зоне, Am дБ	Gm = 1	ф-лы таб.3 [10]	-1,5	-1,5	0	0	0	0	0	0	0		
Суммарное снижение поверхностью земли на траектории распространения звука Agr, дБ		ф-ла (9) [10]	-4,5	-4,5	1,8	-0,2	-1,5	-1,5	-1,5	-1,5	-1,5		
Уровни звукового давления прямого звука от источника ИШ-4-10 в расчётной точке днём, дБ		**ф-ла(3)[10]**	**0**	**33,7**	**28,7**	**31,6**	**32,5**	**31,1**	**26**	**15,4**	**0**	**34,7**	**34,7**
Уровни звукового давления прямого звука от источника ИШ-4-10 в расчётной точке ночью, дБ		**ф-ла(3)[10]**	**0**	**33,7**	**28,7**	**31,6**	**32,5**	**31,1**	**26**	**15,4**	**0**	**34,7**	**34,7**
Расчёт отражённого звука													
Уровни звукового давления от мнимого источника ИШ-4-10_мн.(1) в расчётной точке днём, дБ		**ф-ла(3)[10]**	**0**	**0**	**0**	**0**	**0**	**0**	**0**	**11,4**	**0**	**12,4**	**12,4**
Уровни звукового давления от мнимого источника ИШ-4-10_мн.(1) в расчётной точке ночью, дБ		**ф-ла(3)[10]**	**0**	**0**	**0**	**0**	**0**	**0**	**0**	**0**	**0**	**12,4**	**12,4**
Уровни звукового давления от мнимого источника ИШ-4-10_мн.(2) в расчётной точке днём, дБ		**ф-ла(3)[10]**	**0**	**32,6**	**23,2**	**25,3**	**29,7**	**28,5**	**23,4**	**12,8**	**0**	**31,8**	**31,8**
Уровни звукового давления от мнимого источника ИШ-4-10_мн.(2) в расчётной точке ночью, дБ		**ф-ла(3)[10]**	**32,6**	**32,6**	**32,6**	**32,6**	**32,6**	**32,6**	**32,6**	**32,6**	**32,6**	**31,8**	**31,8**
Суммарные уровни звукового давления от мнимых источников в расчётной точке днём, дБ		**ф-ла (19) [1]**	**0**	**32,6**	**23,2**	**25,3**	**29,7**	**28,5**	**23,4**	**15,2**	**0**	**0**	**31,9**
Суммарные уровни звукового давления от мнимых источников в расчётной точке ночью, дБ		**ф-ла (19) [1]**	**0**	**32,6**	**23,2**	**25,3**	**29,7**	**28,5**	**23,4**	**15,2**	**0**	**0**	**31,9**
Уровни звукового давления от источника ИШ-4-10 в расчётной точке днём, дБ		**ф-ла(3)[10]**	**0**	**36,2**	**29,7**	**32,5**	**34,3**	**33**	**27,9**	**18,3**	**0**	**36,5**	**36,5**
Уровни звукового давления от источника ИШ-4-10 в расчётной точке ночью, дБ		**ф-ла(3)[10]**	**0**	**36,2**	**29,7**	**32,5**	**34,3**	**33**	**27,9**	**18,3**	**0**	**36,5**	**36,5**
Источник шума: ИШ-4-11, координаты источника (x,y,z), м =[185.89,255.16,13.00]													
Уровни звуковой мощности источника днём, Lw, дБ		**исходные данные**	**0**	**90,3**	**91,7**	**93**	**93,3**	**92,9**	**89,6**	**85,4**	**80,9**		
Уровни звуковой мощности источника ночью, Lw, дБ		**исходные данные**	**0**	**90,3**	**91,7**	**93**	**93,3**	**92,9**	**89,6**	**85,4**	**80,9**		

1		2	3	4	5	6	7	8	9	10	11	12	13
Поправка на телесный угол DΩ, дБ	Ω = 6.28	10Lg(4π/Ω)	**3**	3	3	3	3	3	3	3	3		
Показатель направленности источника Di, дБ		исходные данные	**0**	0	0	0	0	0	0	0	0		
Поправка на направленность источника Dc, дБ	Dc	DΩ + Di	**3**	3	3	3	3	3	3	3	3		
Затухание из-за геометрической дивергенции, Adiv, дБ	расстояние = 449.66 м	ф-ла (7) [10]	**64,1**										
Коэффициент затухания звука в атмосфере α, дБ/км	Ta=20,°C Pa=101.33,кПа hотн.=70%	ф-ла (5) [9]	0,02	0,09	0,33	1,12	2,79	4,98	9,04	23,09	77,63		
Учет затухания звука в атмосфере Aatm, дБ		ф-ла (8) [10]	0	0	0,2	0,5	1,3	2,2	4,1	10,4	34,9		
Снижение поверхностью земли возле источника As, дБ	Gs = 0 hs = 5м	ф-лы таб.3 [10]	-1,5	-1,5	-1,5	-1,5	-1,5	-1,5	-1,5	-1,5	-1,5		
Снижение поверхностью земли возле приёмника Ar, дБ	Gr = 1 hr = 4.6м	ф-лы таб.3 [10]	-1,5	-1,5	3,3	1,3	0	0	0	0	0		
Снижение поверхностью земли в средней зоне, Am дБ	Gm = 1	ф-лы таб.3 [10]	-1,1	-1,1	0	0	0	0	0	0	0		
Суммарное снижение поверхностью земли на траектории распространения звука Agr, дБ		ф-ла (9) [10]	-4,1	-4,1	1,8	-0,2	-1,5	-1,5	-1,5	-1,5	-1,5		
Уровни звукового давления прямого звука от источника ИШ-4-11 в расчётной точке днём, дБ		**ф-ла(3)[10]**	**0**	**33,3**	**28,7**	**31,6**	**32,5**	**31,1**	**26**	**15,5**	**0**	**34,7**	**34,7**
Уровни звукового давления прямого звука от источника ИШ-4-11 в расчётной точке ночью, дБ		**ф-ла(3)[10]**	**0**	**33,3**	**28,7**	**31,6**	**32,5**	**31,1**	**26**	**15,5**	**0**	**34,7**	**34,7**
Расчёт отражённого звука													
Уровни звукового давления от мнимого источника ИШ-4-11_мн.(1) в расчётной точке днём, дБ		**ф-ла(3)[10]**	**0**	**32,2**	**22,9**	**28,2**	**29,9**	**28,5**	**23,4**	**12,8**	**0**	**32**	**32**
Уровни звукового давления от мнимого источника ИШ-4-11_мн.(1) в расчётной точке ночью, дБ		**ф-ла(3)[10]**	**0**	**0**	**0**	**0**	**0**	**0**	**0**	**0**	**0**	**32**	**32**
Уровни звукового давления от источника ИШ-4-11 в расчётной точке днём, дБ		**ф-ла(3)[10]**	**0**	**35,8**	**29,7**	**33,3**	**34,4**	**33**	**27,9**	**17,3**	**0**	**36,6**	**36,6**
Уровни звукового давления от источника ИШ-4-11 в расчётной точке ночью, дБ		**ф-ла(3)[10]**	**0**	**35,8**	**29,7**	**33,3**	**34,4**	**33**	**27,9**	**17,3**	**0**	**36,6**	**36,6**

1		2	3	4	5	6	7	8	9	10	11	12	13
Источник шума: ИШ-4-12, координаты источника (x,y,z), м =[186.18,255.02,15.50]													
Уровни звуковой мощности источника днём, Lw, дБ		**исходные данные**	**0**	**90,3**	**91,7**	**93**	**93,3**	**92,9**	**89,6**	**85,4**	**80,9**		
Уровни звуковой мощности источника ночью, Lw, дБ		**исходные данные**	**0**	**90,3**	**91,7**	**93**	**93,3**	**92,9**	**89,6**	**85,4**	**80,9**		
Поправка на телесный угол DΩ, дБ	Ω = 6.28	10Lg(4π/Ω)	**3**	3	3	3	3	3	3	3	3		
Показатель направленности источника Di, дБ		исходные данные	**0**	0	0	0	0	0	0	0	0		
Поправка на направленность источника Dc, дБ	Dc	DΩ + Di	**3**	3	3	3	3	3	3	3	3		
Затухание из-за геометрической дивергенции, Adiv, дБ	расстояние = 449.55 м	ф-ла (7) [10]	**64,1**										
Коэффициент затухания звука в атмосфере α, дБ/км	Ta=20,°C Pa=101.33,кПа hотн.=70%	ф-ла (5) [9]	0,02	0,09	0,33	1,12	2,79	4,98	9,04	23,09	77,63		
Учет затухания звука в атмосфере Aatm, дБ		ф-ла (8) [10]	0	0	0,2	0,5	1,3	2,2	4,1	10,4	34,9		
Снижение поверхностью земли возле источника As, дБ	Gs = 0 hs = 7.5м	ф-лы таб.3 [10]	-1,5	-1,5	-1,5	-1,5	-1,5	-1,5	-1,5	-1,5	-1,5		
Снижение поверхностью земли возле приёмника Ar, дБ	Gr = 1 hr = 4.6м	ф-лы таб.3 [10]	-1,5	-1,5	3,3	1,3	0	0	0	0	0		
Снижение поверхностью земли в средней зоне, Am дБ	Gm = 1	ф-лы таб.3 [10]	-0,6	-0,6	0	0	0	0	0	0	0		
Суммарное снижение поверхностью земли на траектории распространения звука Agr, дБ		ф-ла (9) [10]	-3,6	-3,6	1,8	-0,2	-1,5	-1,5	-1,5	-1,5	-1,5		
Уровни звукового давления прямого звука от источника ИШ-4-12 в расчётной точке днём, дБ		**ф-ла(3)[10]**	**0**	**32,8**	**28,7**	**31,7**	**32,5**	**31,1**	**26**	**15,5**	**0**	**34,7**	**34,7**
Уровни звукового давления прямого звука от источника ИШ-4-12 в расчётной точке ночью, дБ		**ф-ла(3)[10]**	**0**	**32,8**	**28,7**	**31,7**	**32,5**	**31,1**	**26**	**15,5**	**0**	**34,7**	**34,7**
Расчёт отражённого звука													

1		2	3	4	5	6	7	8	9	10	11	12	13
Уровни звукового давления от мнимого источника ИШ-4-12_мн.(1) в расчётной точке днём, дБ		**ф-ла(3)[10]**	**0**	**0**	**0**	**0**	**0**	**0**	**0**	**0**	**0**	**0**	**0**
Уровни звукового давления от мнимого источника ИШ-4-12_мн.(1) в расчётной точке ночью, дБ		**ф-ла(3)[10]**	**0**	**0**	**0**	**0**	**0**	**0**	**0**	**0**	**0**	**0**	**0**
Уровни звукового давления от мнимого источника ИШ-4-12_мн.(2) в расчётной точке днём, дБ		**ф-ла(3)[10]**	**0**	**31,7**	**24,7**	**29**	**29,9**	**28,5**	**23,4**	**12,8**	**0**	**32,1**	**32,1**
Уровни звукового давления от мнимого источника ИШ-4-12_мн.(2) в расчётной точке ночью, дБ		**ф-ла(3)[10]**	**31,7**	**31,7**	**31,7**	**31,7**	**31,7**	**31,7**	**31,7**	**31,7**	**31,7**	**32,1**	**32,1**
Суммарные уровни звукового давления от мнимых источников в расчётной точке днём, дБ		**ф-ла (19) [1]**	**0**	**31,7**	**24,7**	**29**	**29,9**	**28,5**	**23,4**	**12,8**	**0**	**0**	**32,1**
Суммарные уровни звукового давления от мнимых источников в расчётной точке ночью, дБ		**ф-ла (19) [1]**	**0**	**31,7**	**24,7**	**29**	**29,9**	**28,5**	**23,4**	**12,8**	**0**	**0**	**32,1**
Уровни звукового давления от источника ИШ-4-12 в расчётной точке днём, дБ		**ф-ла(3)[10]**	**0**	**35,3**	**30,1**	**33,6**	**34,4**	**33**	**27,9**	**17,3**	**0**	**36,6**	**36,6**
Уровни звукового давления от источника ИШ-4-12 в расчётной точке ночью, дБ		**ф-ла(3)[10]**	**0**	**35,3**	**30,1**	**33,6**	**34,4**	**33**	**27,9**	**17,3**	**0**	**36,6**	**36,6**
Источник шума: ИШ-4-13, координаты источника (x,y,z), м =[94.56,229.10,1.00]													
Уровни звуковой мощности источника днём, Lw, дБ		**исходные данные**	**0**	**81,3**	**82,7**	**84**	**84,3**	**83,9**	**80,6**	**76,4**	**71,9**		
Уровни звуковой мощности источника ночью, Lw, дБ		**исходные данные**	**0**	**81,3**	**82,7**	**84**	**84,3**	**83,9**	**80,6**	**76,4**	**71,9**		
Поправка на телесный угол DΩ, дБ	Ω = 6.28	10Lg(4π/Ω)	**3**	3	3	3	3	3	3	3	3		
Показатель направленности источника Di, дБ		исходные данные	**0**	0	0	0	0	0	0	0	0		
Поправка на направленность источника Dc, дБ	Dc	DΩ + Di	**3**	3	3	3	3	3	3	3	3		
Затухание из-за геометрической дивергенции, Adiv, дБ	расстояние = 441.57 м	ф-ла (7) [10]	**63,9**										
Коэффициент затухания звука в атмосфере α, дБ/км	Ta=20,°C Pa=101.33,кПа hотн.=70%	ф-ла (5) [9]	0,02	0,09	0,33	1,12	2,79	4,98	9,04	23,09	77,63		

1		2	3	4	5	6	7	8	9	10	11	12	13
Учет затухания звука в атмосфере Aatm, дБ		ф-ла (8) [10]	0	0	0,1	0,5	1,2	2,2	4	10,2	34,3		
Снижение уровня звукового давления из-за влияния застройки между источником шума и расчетной точкой													
Снижение уровня звукового давления на пути над экраном, Dz1, дБ	z = 3.44м (разность путей)	ф-лы (14-18) [10]	11,7	15,4	19,6	23,3	26,5	29,6	32,6	35,6	38,6		
Снижение уровня звукового давления на пути слева от экрана, Dz2, дБ	z = 126.79м (разность путей)	ф-лы (14-18) [10]	27,5	31,8	36,2	40,1	43,4	46,5	49,5	52,5	55,5		
Снижение уровня звукового давления на пути справа от экрана, Dz3, дБ	z = 7.98м (разность путей)	ф-лы (14-18) [10]	18,9	22,4	25,5	28,5	31,5	34,5	37,5	40,5	43,5		
Общее снижение уровня звука препятствием Dz, дБ		Эн.сумма(-Dzi)	10,8	14,5	18,5	22,1	25,2	28,3	31,3	34,3	37,3		
Общее снижение уровня звука препятствием с учётом ограничения (25 дБ) для октавных полос Dz, дБ		Раздел 7.4 [10]	10,8	14,5	18,5	22,1	25	25	25	25	25		
Уровни звукового давления от источника ИШ-4-13 в расчётной точке днём, дБ		**ф-ла(3)[10]**	**0**	**5,8**	**3,1**	**0,5**	**0**	**0**	**0**	**0**	**0**	**0**	**0**
Уровни звукового давления от источника ИШ-4-13 в расчётной точке ночью, дБ		**ф-ла(3)[10]**	**0**	**5,8**	**3,1**	**0,5**	**0**	**0**	**0**	**0**	**0**	**0**	**0**
Источник шума: ИШ-4-14, координаты источника (x,y,z), м =[91.88,221.30,1.00]													
Уровни звуковой мощности источника днём, Lw, дБ		**исходные данные**	**0**	**81,3**	**82,7**	**84**	**84,3**	**83,9**	**80,6**	**76,4**	**71,9**		
Уровни звуковой мощности источника ночью, Lw, дБ		**исходные данные**	**0**	**81,3**	**82,7**	**84**	**84,3**	**83,9**	**80,6**	**76,4**	**71,9**		
Поправка на телесный угол DΩ, дБ	Ω = 6.28	10Lg(4π/Ω)	**3**	3	3	3	3	3	3	3	3		
Показатель направленности источника Di, дБ		исходные данные	**0**	0	0	0	0	0	0	0	0		
Поправка на направленность источника Dc, дБ	Dc	DΩ + Di	**3**	3	3	3	3	3	3	3	3		
Затухание из-за геометрической дивергенции, Adiv, дБ	расстояние = 434.95 м	ф-ла (7) [10]	**63,8**										

1		2	3	4	5	6	7	8	9	10	11	12	13
Коэффициент затухания звука в атмосфере α, дБ/км	Та=20,°С Ра=101.33,кПа hотн.=70%	ф-ла (5) [9]	0,02	0,09	0,33	1,12	2,79	4,98	9,04	23,09	77,63		
Учет затухания звука в атмосфере Aatm, дБ		ф-ла (8) [10]	0	0	0,1	0,5	1,2	2,2	3,9	10	33,8		
Снижение уровня звукового давления из-за влияния застройки между источником шума и расчетной точкой													
Снижение уровня звукового давления на пути над экраном, Dz1, дБ	z = 3.47м (разность путей)	ф-лы (14-18) [10]	14,5	17,8	20,9	23,9	26,9	29,9	32,9	35,9	38,9		
Снижение уровня звукового давления на пути слева от экрана, Dz2, дБ	z = 141.63м (разность путей)	ф-лы (14-18) [10]	28	32,3	36,7	40,6	43,9	47	50	53	56		
Снижение уровня звукового давления на пути справа от экрана, Dz3, дБ	z = 6.53м (разность путей)	ф-лы (14-18) [10]	18,1	21,5	24,6	27,6	30,6	33,6	36,6	39,6	42,7		
Общее снижение уровня звука препятствием Dz, дБ		Эн.сумма(-Dzi)	12,8	16,2	19,2	22,3	25,3	28,3	31,3	34,3	37,3		
Общее снижение уровня звука препятствием с учётом ограничения (25 дБ) для октавных полос Dz, дБ		Раздел 7.4 [10]	12,8	16,2	19,2	22,3	25	25	25	25	25		
Уровни звукового давления от источника ИШ-4-14 в расчётной точке днём, дБ		**ф-ла(3)[10]**	**0**	**4,3**	**2,5**	**0,5**	**0**	**0**	**0**	**0**	**0**	**0**	**0**
Уровни звукового давления от источника ИШ-4-14 в расчётной точке ночью, дБ		**ф-ла(3)[10]**	**0**	**4,3**	**2,5**	**0,5**	**0**	**0**	**0**	**0**	**0**	**0**	**0**
Источник шума: ИШ-5-1, координаты источника (x,y,z), м =[626.70,162.36,1.00]													
Уровни звуковой мощности источника днём, Lw, дБ		**исходные данные**	**0**	**93,3**	**94,7**	**96**	**96,3**	**95,9**	**92,6**	**88,4**	**83,9**		
Уровни звуковой мощности источника ночью, Lw, дБ		**исходные данные**	**0**	**93,3**	**94,7**	**96**	**96,3**	**95,9**	**92,6**	**88,4**	**83,9**		
Поправка на телесный угол DΩ, дБ	Ω = 6.28	10Lg(4π/Ω)	**3**	3	3	3	3	3	3	3	3		
Показатель направленности источника Di, дБ		исходные данные	**0**	0	0	0	0	0	0	0	0		
Поправка на направленность источника Dc, дБ	Dc	DΩ + Di	**3**	3	3	3	3	3	3	3	3		

1		2	3	4	5	6	7	8	9	10	11	12	13
Затухание из-за геометрической дивергенции, Adiv, дБ	расстояние = 536.00 м	ф-ла (7) [10]	**65,6**										
Коэффициент затухания звука в атмосфере α, дБ/км	Ta=20,°C Pa=101.33,кПа hотн.=70%	ф-ла (5) [9]	0,02	0,09	0,33	1,12	2,79	4,98	9,04	23,09	77,63		
Учет затухания звука в атмосфере Aatm, дБ		ф-ла (8) [10]	0	0	0,2	0,6	1,5	2,7	4,8	12,4	41,6		
Снижение уровня звукового давления из-за влияния застройки между источником шума и расчетной точкой													
Снижение уровня звукового давления на пути над экраном, Dz1, дБ	z = 0.21м (разность путей)	ф-лы (14-18) [10]	4,8	4,9	5	5,3	5,8	6,6	8	9,8	12		
Снижение уровня звукового давления на пути слева от экрана, Dz2, дБ	z = 0.57м (разность путей)	ф-лы (14-18) [10]	7,1	8,6	10,6	13	15,7	18,5	21,4	24,4	27,4		
Снижение уровня звукового давления на пути справа от экрана, Dz3, дБ	z = 123.33м (разность путей)	ф-лы (14-18) [10]	30,8	34,2	37,3	40,4	43,4	46,4	49,4	52,4	55,4		
Общее снижение уровня звука препятствием Dz, дБ		Эн.сумма(-Dzi)	2,8	3,3	3,9	4,6	5,4	6,4	7,8	9,6	11,9		
Уровни звукового давления от источника ИШ-5-1 в расчётной точке днём, дБ		**ф-ла(3)[10]**	**0**	**27,3**	**28**	**28,2**	**26,8**	**24,3**	**17,4**	**3,8**	**0**	**28,3**	**28,3**
Уровни звукового давления от источника ИШ-5-1 в расчётной точке ночью, дБ		**ф-ла(3)[10]**	**0**	**27,3**	**28**	**28,2**	**26,8**	**24,3**	**17,4**	**3,8**	**0**	**28,3**	**28,3**
Источник шума: ИШ-5-2, координаты источника (x,y,z), м =[625.81,159.52,1.00]													
Уровни звуковой мощности источника днём, Lw, дБ		**исходные данные**	**0**	**93,3**	**94,7**	**96**	**96,3**	**95,9**	**92,6**	**88,4**	**83,9**		
Уровни звуковой мощности источника ночью, Lw, дБ		**исходные данные**	**0**	**93,3**	**94,7**	**96**	**96,3**	**95,9**	**92,6**	**88,4**	**83,9**		
Поправка на телесный угол DΩ, дБ	Ω = 6.28	10Lg($4\pi/\Omega$)	**3**	3	3	3	3	3	3	3	3		
Показатель направленности источника Di, дБ		исходные данные	**0**	0	0	0	0	0	0	0	0		
Поправка на направленность источника Dc, дБ	Dc	DΩ + Di	**3**	3	3	3	3	3	3	3	3		

1		2	3	4	5	6	7	8	9	10	11	12	13
Затухание из-за геометрической дивергенции, Adiv, дБ	расстояние = 533.46 м	ф-ла (7) [10]	**65,5**										
Коэффициент затухания звука в атмосфере α, дБ/км	Ta=20,°C Pa=101.33,кПа hотн.=70%	ф-ла (5) [9]	0,02	0,09	0,33	1,12	2,79	4,98	9,04	23,09	77,63		
Учет затухания звука в атмосфере Aatm, дБ		ф-ла (8) [10]	0	0	0,2	0,6	1,5	2,7	4,8	12,3	41,4		
Снижение уровня звукового давления из-за влияния застройки между источником шума и расчетной точкой													
Снижение уровня звукового давления на пути над экраном, Dz1, дБ	z = 0.21м (разность путей)	ф-лы (14-18) [10]	4,8	4,9	5	5,3	5,8	6,7	8	9,8	12,1		
Снижение уровня звукового давления на пути слева от экрана, Dz2, дБ	z = 0.54м (разность путей)	ф-лы (14-18) [10]	7	8,4	10,4	12,7	15,4	18,2	21,1	24,1	27		
Снижение уровня звукового давления на пути справа от экрана, Dz3, дБ	z = 125.68м (разность путей)	ф-лы (14-18) [10]	30,9	34,3	37,4	40,4	43,5	46,5	49,5	52,5	55,5		
Общее снижение уровня звука препятствием Dz, дБ		Эн.сумма(-Dzi)	2,7	3,3	3,9	4,6	5,4	6,4	7,8	9,7	12		
Уровни звукового давления от источника ИШ-5-2 в расчётной точке днём, дБ		**ф-ла(3)[10]**	**0**	**27,4**	**28,1**	**28,3**	**26,9**	**24,3**	**17,4**	**3,9**	**0**	**28,4**	**28,4**
Уровни звукового давления от источника ИШ-5-2 в расчётной точке ночью, дБ		**ф-ла(3)[10]**	**0**	**27,4**	**28,1**	**28,3**	**26,9**	**24,3**	**17,4**	**3,9**	**0**	**28,4**	**28,4**
Источник шума: ИШ-5-3, координаты источника (x,y,z), м =[624.84,156.69,1.00]													
Уровни звуковой мощности источника днём, Lw, дБ		**исходные данные**	**0**	**93,3**	**94,7**	**96**	**96,3**	**95,9**	**92,6**	**88,4**	**83,9**		
Уровни звуковой мощности источника ночью, Lw, дБ		**исходные данные**	**0**	**93,3**	**94,7**	**96**	**96,3**	**95,9**	**92,6**	**88,4**	**83,9**		
Поправка на телесный угол DΩ, дБ	Ω = 6.28	10Lg($4\pi/\Omega$)	**3**	3	3	3	3	3	3	3	3		
Показатель направленности источника Di, дБ		исходные данные	**0**	0	0	0	0	0	0	0	0		
Поправка на направленность источника Dc, дБ	Dc	DΩ + Di	**3**	3	3	3	3	3	3	3	3		

1		2	3	4	5	6	7	8	9	10	11	12	13
Затухание из-за геометрической дивергенции, Adiv, дБ	расстояние = 530.86 м	ф-ла (7) [10]	**65,5**										
Коэффициент затухания звука в атмосфере α, дБ/км	Ta=20,°C Pa=101.33,кПа hотн.=70%	ф-ла (5) [9]	0,02	0,09	0,33	1,12	2,79	4,98	9,04	23,09	77,63		
Учет затухания звука в атмосфере Aatm, дБ		ф-ла (8) [10]	0	0	0,2	0,6	1,5	2,6	4,8	12,3	41,2		
Снижение уровня звукового давления из-за влияния застройки между источником шума и расчетной точкой													
Снижение уровня звукового давления на пути над экраном, Dz1, дБ	z = 0.21м (разность путей)	ф-лы (14-18) [10]	4,8	4,9	5	5,3	5,8	6,7	8	9,9	12,2		
Снижение уровня звукового давления на пути слева от экрана, Dz2, дБ	z = 0.50м (разность путей)	ф-лы (14-18) [10]	6,9	8,3	10,1	12,5	15,1	17,9	20,8	23,8	26,7		
Снижение уровня звукового давления на пути справа от экрана, Dz3, дБ	z = 128.04м (разность путей)	ф-лы (14-18) [10]	30,9	34,4	37,5	40,5	43,5	46,6	49,6	52,6	55,6		
Общее снижение уровня звука препятствием Dz, дБ		Эн.сумма(-Dzi)	2,7	3,2	3,8	4,5	5,3	6,4	7,8	9,7	12		
Уровни звукового давления от источника ИШ-5-3 в расчётной точке днём, дБ		**ф-ла(3)[10]**	**0**	**27,5**	**28,2**	**28,4**	**27**	**24,4**	**17,5**	**3,9**	**0**	**28,4**	**28,4**
Уровни звукового давления от источника ИШ-5-3 в расчётной точке ночью, дБ		**ф-ла(3)[10]**	**0**	**27,5**	**28,2**	**28,4**	**27**	**24,4**	**17,5**	**3,9**	**0**	**28,4**	**28,4**
Источник шума: ИШ-6-1, координаты источника (x,y,z), м =[836.30,122.24,1.00]													
Уровни звуковой мощности источника днём, Lw, дБ		**исходные данные**	**0**	**96,3**	**97,7**	**99**	**99,3**	**98,9**	**95,6**	**91,4**	**86,9**		
Уровни звуковой мощности источника ночью, Lw, дБ		**исходные данные**	**0**	**96,3**	**97,7**	**99**	**99,3**	**98,9**	**95,6**	**91,4**	**86,9**		
Поправка на телесный угол DΩ, дБ	Ω = 12.57	10Lg(4π/Ω)	**0**	0	0	0	0	0	0	0	0		
Показатель направленности источника Di, дБ		исходные данные	**0**	0	0	0	0	0	0	0	0		
Поправка на направленность источника Dc, дБ	Dc	DΩ + Di	**0**	0	0	0	0	0	0	0	0		

1		2	3	4	5	6	7	8	9	10	11	12	13
Затухание из-за геометрической дивергенции, Adiv, дБ	расстояние = 687.51 м	ф-ла (7) [10]	**67,7**										
Коэффициент затухания звука в атмосфере α, дБ/км	Ta=20,°C Pa=101.33,кПа hотн.=70%	ф-ла (5) [9]	0,02	0,09	0,33	1,12	2,79	4,98	9,04	23,09	77,63		
Учет затухания звука в атмосфере Aatm, дБ		ф-ла (8) [10]	0	0,1	0,2	0,8	1,9	3,4	6,2	15,9	53,4		
Снижение уровня звукового давления из-за влияния застройки между источником шума и расчетной точкой													
Снижение уровня звукового давления на пути над экраном, Dz1, дБ	z = 0.06м (разность путей)	ф-лы (14-18) [10]	4,8	4,8	4,8	4,8	4,8	4,8	4,8	4,8	4,8		
Снижение уровня звукового давления на пути слева от экрана, Dz2, дБ	z = 8.44м (разность путей)	ф-лы (14-18) [10]	15,3	18,2	21	24	27	30	33	36	39		
Снижение уровня звукового давления на пути справа от экрана, Dz3, дБ	z = 0.32м (разность путей)	ф-лы (14-18) [10]	6,2	7,3	8,9	10,9	13,4	16,1	18,9	21,9	24,8		
Общее снижение уровня звука препятствием Dz, дБ		Эн.сумма(-Dzi)	2,2	2,7	3,3	3,8	4,2	4,4	4,6	4,7	4,7		
Уровни звукового давления от источника ИШ-6-1 в расчётной точке днём, дБ		**ф-ла(3)[10]**	**0**	**25,8**	**26,4**	**26,7**	**25,4**	**23,3**	**17**	**3,1**	**0**	**27,2**	**27,2**
Уровни звукового давления от источника ИШ-6-1 в расчётной точке ночью, дБ		**ф-ла(3)[10]**	**0**	**25,8**	**26,4**	**26,7**	**25,4**	**23,3**	**17**	**3,1**	**0**	**27,2**	**27,2**
Источник шума: ИШ-6-2, координаты источника (x,y,z), м =[835.37,119.30,1.00]													
Уровни звуковой мощности источника днём, Lw, дБ		**исходные данные**	**0**	**96,3**	**97,7**	**99**	**99,3**	**98,9**	**95,6**	**91,4**	**86,9**		
Уровни звуковой мощности источника ночью, Lw, дБ		**исходные данные**	**0**	**96,3**	**97,7**	**99**	**99,3**	**98,9**	**95,6**	**91,4**	**86,9**		
Поправка на телесный угол DΩ, дБ	Ω = 12.57	10Lg($4\pi/\Omega$)	**0**	0	0	0	0	0	0	0	0		
Показатель направленности источника Di, дБ		исходные данные	**0**	0	0	0	0	0	0	0	0		
Поправка на направленность источника Dc, дБ	Dc	DΩ + Di	**0**	0	0	0	0	0	0	0	0		

1		2	3	4	5	6	7	8	9	10	11	12	13
Затухание из-за геометрической дивергенции, Adiv, дБ	расстояние = 685.34 м	ф-ла (7) [10]	**67,7**										
Коэффициент затухания звука в атмосфере α, дБ/км	Ta=20,°C Pa=101.33,кПа hотн.=70%	ф-ла (5) [9]	0,02	0,09	0,33	1,12	2,79	4,98	9,04	23,09	77,63		
Учет затухания звука в атмосфере Aatm, дБ		ф-ла (8) [10]	0	0,1	0,2	0,8	1,9	3,4	6,2	15,8	53,2		
Снижение уровня звукового давления из-за влияния застройки между источником шума и расчетной точкой													
Снижение уровня звукового давления на пути над экраном, Dz1, дБ	z = 0.06м (разность путей)	ф-лы (14-18) [10]	4,8	4,8	4,8	4,8	4,8	4,8	4,8	4,8	4,8		
Снижение уровня звукового давления на пути слева от экрана, Dz2, дБ	z = 8.10м (разность путей)	ф-лы (14-18) [10]	15,2	18	20,9	23,8	26,8	29,8	32,8	35,8	38,8		
Снижение уровня звукового давления на пути справа от экрана, Dz3, дБ	z = 0.40м (разность путей)	ф-лы (14-18) [10]	6,5	7,7	9,5	11,7	14,2	17	19,8	22,8	25,8		
Общее снижение уровня звука препятствием Dz, дБ		Эн.сумма(-Dzi)	2,3	2,9	3,4	3,9	4,3	4,5	4,6	4,7	4,7		
Уровни звукового давления от источника ИШ-6-2 в расчётной точке днём, дБ		**ф-ла(3)[10]**	**0**	**25,7**	**26,3**	**26,6**	**25,4**	**23,3**	**17**	**3,2**	**0**	**27,2**	**27,2**
Уровни звукового давления от источника ИШ-6-2 в расчётной точке ночью, дБ		**ф-ла(3)[10]**	**0**	**25,7**	**26,3**	**26,6**	**25,4**	**23,3**	**17**	**3,2**	**0**	**27,2**	**27,2**
Источник шума: ИШ-6-3, координаты источника (x,y,z), м =[834.03,116.36,1.00]													
Уровни звуковой мощности источника днём, Lw, дБ		**исходные данные**	**0**	**96,3**	**97,7**	**99**	**99,3**	**98,9**	**95,6**	**91,4**	**86,9**		
Уровни звуковой мощности источника ночью, Lw, дБ		**исходные данные**	**0**	**96,3**	**97,7**	**99**	**99,3**	**98,9**	**95,6**	**91,4**	**86,9**		
Поправка на телесный угол DΩ, дБ	Ω = 12.57	10Lg($4\pi/\Omega$)	**0**	0	0	0	0	0	0	0	0		
Показатель направленности источника Di, дБ		исходные данные	**0**	0	0	0	0	0	0	0	0		
Поправка на направленность источника Dc, дБ	Dc	DΩ + Di	**0**	0	0	0	0	0	0	0	0		

1		2	3	4	5	6	7	8	9	10	11	12	13
Затухание из-за геометрической дивергенции, Adiv, дБ	расстояние = 682.82 м	ф-ла (7) [10]	**67,7**										
Коэффициент затухания звука в атмосфере α, дБ/км	Ta=20,°C Pa=101.33,кПа hотн.=70%	ф-ла (5) [9]	0,02	0,09	0,33	1,12	2,79	4,98	9,04	23,09	77,63		
Учет затухания звука в атмосфере Aatm, дБ		ф-ла (8) [10]	0	0,1	0,2	0,8	1,9	3,4	6,2	15,8	53		
Снижение уровня звукового давления из-за влияния застройки между источником шума и расчетной точкой													
Снижение уровня звукового давления на пути над экраном, Dz1, дБ	z = 0.06м (разность путей)	ф-лы (14-18) [10]	4,8	4,8	4,8	4,8	4,8	4,8	4,8	4,8	4,8		
Снижение уровня звукового давления на пути слева от экрана, Dz2, дБ	z = 7.81м (разность путей)	ф-лы (14-18) [10]	15	17,8	20,7	23,7	26,6	29,6	32,6	35,7	38,7		
Снижение уровня звукового давления на пути справа от экрана, Dz3, дБ	z = 0.48м (разность путей)	ф-лы (14-18) [10]	6,8	8,1	10	12,3	14,9	17,7	20,6	23,6	26,5		
Общее снижение уровня звука препятствием Dz, дБ		Эн.сумма(-Dzi)	2,4	3	3,5	4	4,3	4,5	4,7	4,7	4,7		
Уровни звукового давления от источника ИШ-6-3 в расчётной точке днём, дБ		**ф-ла(3)[10]**	**0**	**25,6**	**26,2**	**26,5**	**25,4**	**23,3**	**17,1**	**3,2**	**0**	**27,2**	**27,2**
Уровни звукового давления от источника ИШ-6-3 в расчётной точке ночью, дБ		**ф-ла(3)[10]**	**0**	**25,6**	**26,2**	**26,5**	**25,4**	**23,3**	**17,1**	**3,2**	**0**	**27,2**	**27,2**
Источник шума: ИШ-6-4, координаты источника (x,y,z), м =[833.23,113.30,1.00]													
Уровни звуковой мощности источника днём, Lw, дБ		**исходные данные**	**0**	**96,3**	**97,7**	**99**	**99,3**	**98,9**	**95,6**	**91,4**	**86,9**		
Уровни звуковой мощности источника ночью, Lw, дБ		**исходные данные**	**0**	**96,3**	**97,7**	**99**	**99,3**	**98,9**	**95,6**	**91,4**	**86,9**		
Поправка на телесный угол DΩ, дБ	Ω = 12.57	10Lg(4π/Ω)	**0**	0	0	0	0	0	0	0	0		
Показатель направленности источника Di, дБ		исходные данные	**0**	0	0	0	0	0	0	0	0		
Поправка на направленность источника Dc, дБ	Dc	DΩ + Di	**0**	0	0	0	0	0	0	0	0		

1		2	3	4	5	6	7	8	9	10	11	12	13
Затухание из-за геометрической дивергенции, Adiv, дБ	расстояние = 680.72 м	ф-ла (7) [10]	**67,7**										
Коэффициент затухания звука в атмосфере α, дБ/км	Та=20,°С Ра=101.33,кПа hотн.=70%	ф-ла (5) [9]	0,02	0,09	0,33	1,12	2,79	4,98	9,04	23,09	77,63		
Учет затухания звука в атмосфере Aatm, дБ		ф-ла (8) [10]	0	0,1	0,2	0,8	1,9	3,4	6,2	15,7	52,8		
Снижение уровня звукового давления из-за влияния застройки между источником шума и расчетной точкой													
Снижение уровня звукового давления на пути над экраном, Dz1, дБ	z = 0.06м (разность путей)	ф-лы (14-18) [10]	4,8	4,8	4,8	4,8	4,8	4,8	4,8	4,8	4,8		
Снижение уровня звукового давления на пути слева от экрана, Dz2, дБ	z = 7.45м (разность путей)	ф-лы (14-18) [10]	14,9	17,7	20,5	23,5	26,4	29,4	32,4	35,5	38,5		
Снижение уровня звукового давления на пути справа от экрана, Dz3, дБ	z = 0.58м (разность путей)	ф-лы (14-18) [10]	7,1	8,6	10,6	13	15,7	18,5	21,4	24,4	27,4		
Общее снижение уровня звука препятствием Dz, дБ		Эн.сумма(-Dzi)	2,5	3,1	3,7	4,1	4,4	4,6	4,7	4,7	4,7		
Уровни звукового давления от источника ИШ-6-4 в расчётной точке днём, дБ		**ф-ла(3)[10]**	**0**	**25,5**	**26,1**	**26,5**	**25,3**	**23,3**	**17,1**	**3,3**	**0**	**27,1**	**27,1**
Уровни звукового давления от источника ИШ-6-4 в расчётной точке ночью, дБ		**ф-ла(3)[10]**	**0**	**25,5**	**26,1**	**26,5**	**25,3**	**23,3**	**17,1**	**3,3**	**0**	**27,1**	**27,1**
Источник шума: ИШ-6-5, координаты источника (x,y,z), м =[832.03,110.36,1.00]													
Уровни звуковой мощности источника днём, Lw, дБ		**исходные данные**	**0**	**96,3**	**97,7**	**99**	**99,3**	**98,9**	**95,6**	**91,4**	**86,9**		
Уровни звуковой мощности источника ночью, Lw, дБ		**исходные данные**	**0**	**96,3**	**97,7**	**99**	**99,3**	**98,9**	**95,6**	**91,4**	**86,9**		
Поправка на телесный угол DΩ, дБ	Ω = 12.57	10Lg(4π/Ω)	**0**	0	0	0	0	0	0	0	0		
Показатель направленности источника Di, дБ		исходные данные	**0**	0	0	0	0	0	0	0	0		
Поправка на направленность источника Dc, дБ	Dc	DΩ + Di	**0**	0	0	0	0	0	0	0	0		

1		2	3	4	5	6	7	8	9	10	11	12	13
Затухание из-за геометрической дивергенции, Adiv, дБ	расстояние = 678.33 м	ф-ла (7) [10]	**67,6**										
Коэффициент затухания звука в атмосфере α, дБ/км	Ta=20,°C Pa=101.33,кПа hотн.=70%	ф-ла (5) [9]	0,02	0,09	0,33	1,12	2,79	4,98	9,04	23,09	77,63		
Учет затухания звука в атмосфере Aatm, дБ		ф-ла (8) [10]	0	0,1	0,2	0,8	1,9	3,4	6,1	15,7	52,7		
Снижение уровня звукового давления из-за влияния застройки между источником шума и расчетной точкой													
Снижение уровня звукового давления на пути над экраном, Dz1, дБ	z = 0.06м (разность путей)	ф-лы (14-18) [10]	4,8	4,8	4,8	4,8	4,8	4,8	4,8	4,8	4,8		
Снижение уровня звукового давления на пути слева от экрана, Dz2, дБ	z = 7.15м (разность путей)	ф-лы (14-18) [10]	14,7	17,5	20,3	23,3	26,3	29,3	32,3	35,3	38,3		
Снижение уровня звукового давления на пути справа от экрана, Dz3, дБ	z = 0.68м (разность путей)	ф-лы (14-18) [10]	7,4	9,1	11,1	13,6	16,3	19,2	22,1	25,1	28,1		
Общее снижение уровня звука препятствием Dz, дБ		Эн.сумма(-Dzi)	2,6	3,2	3,8	4,2	4,4	4,6	4,7	4,7	4,7		
Уровни звукового давления от источника ИШ-6-5 в расчётной точке днём, дБ		**ф-ла(3)[10]**	**0**	**25,4**	**26,1**	**26,4**	**25,3**	**23,3**	**17,1**	**3,4**	**0**	**27,1**	**27,1**
Уровни звукового давления от источника ИШ-6-5 в расчётной точке ночью, дБ		**ф-ла(3)[10]**	**0**	**25,4**	**26,1**	**26,4**	**25,3**	**23,3**	**17,1**	**3,4**	**0**	**27,1**	**27,1**
Источник шума: ИШ-6-6, координаты источника (x,y,z), м =[830.97,107.42,1.00]													
Уровни звуковой мощности источника днём, Lw, дБ		**исходные данные**	**0**	**96,3**	**97,7**	**99**	**99,3**	**98,9**	**95,6**	**91,4**	**86,9**		
Уровни звуковой мощности источника ночью, Lw, дБ		**исходные данные**	**0**	**96,3**	**97,7**	**99**	**99,3**	**98,9**	**95,6**	**91,4**	**86,9**		
Поправка на телесный угол DΩ, дБ	Ω = 12.57	10Lg($4\pi/\Omega$)	**0**	0	0	0	0	0	0	0	0		
Показатель направленности источника Di, дБ		исходные данные	**0**	0	0	0	0	0	0	0	0		
Поправка на направленность источника Dc, дБ	Dc	DΩ + Di	**0**	0	0	0	0	0	0	0	0		

1		2	3	4	5	6	7	8	9	10	11	12	13
Затухание из-за геометрической дивергенции, Adiv, дБ	расстояние = 676.07 м	ф-ла (7) [10]	**67,6**										
Коэффициент затухания звука в атмосфере α, дБ/км	Ta=20,°C Pa=101.33,кПа hотн.=70%	ф-ла (5) [9]	0,02	0,09	0,33	1,12	2,79	4,98	9,04	23,09	77,63		
Учет затухания звука в атмосфере Aatm, дБ		ф-ла (8) [10]	0	0,1	0,2	0,8	1,9	3,4	6,1	15,6	52,5		
Снижение уровня звукового давления из-за влияния застройки между источником шума и расчетной точкой													
Снижение уровня звукового давления на пути над экраном, Dz1, дБ	z = 0.06м (разность путей)	ф-лы (14-18) [10]	4,8	4,8	4,8	4,8	4,8	4,8	4,8	4,8	4,8		
Снижение уровня звукового давления на пути слева от экрана, Dz2, дБ	z = 6.84м (разность путей)	ф-лы (14-18) [10]	14,5	17,3	20,2	23,1	26,1	29,1	32,1	35,1	38,1		
Снижение уровня звукового давления на пути справа от экрана, Dz3, дБ	z = 0.79м (разность путей)	ф-лы (14-18) [10]	7,7	9,5	11,7	14,2	17	19,8	22,8	25,8	28,7		
Общее снижение уровня звука препятствием Dz, дБ		Эн.сумма(-Dzi)	2,7	3,3	3,9	4,2	4,5	4,6	4,7	4,7	4,8		
Уровни звукового давления от источника ИШ-6-6 в расчётной точке днём, дБ		**ф-ла(3)[10]**	**0**	**25,3**	**26**	**26,4**	**25,3**	**23,3**	**17,2**	**3,5**	**0**	**27,2**	**27,2**
Уровни звукового давления от источника ИШ-6-6 в расчётной точке ночью, дБ		**ф-ла(3)[10]**	**0**	**25,3**	**26**	**26,4**	**25,3**	**23,3**	**17,2**	**3,5**	**0**	**27,2**	**27,2**
Источник шума: ИШ-6-7, координаты источника (x,y,z), м =[830.30,104.49,1.00]													
Уровни звуковой мощности источника днём, Lw, дБ		**исходные данные**	**0**	**96,3**	**97,7**	**99**	**99,3**	**98,9**	**95,6**	**91,4**	**86,9**		
Уровни звуковой мощности источника ночью, Lw, дБ		**исходные данные**	**0**	**96,3**	**97,7**	**99**	**99,3**	**98,9**	**95,6**	**91,4**	**86,9**		
Поправка на телесный угол DΩ, дБ	Ω = 12.57	10Lg(4π/Ω)	**0**	0	0	0	0	0	0	0	0		
Показатель направленности источника Di, дБ		исходные данные	**0**	0	0	0	0	0	0	0	0		
Поправка на направленность источника Dc, дБ	Dc	DΩ + Di	**0**	0	0	0	0	0	0	0	0		

1		2	3	4	5	6	7	8	9	10	11	12	13
Затухание из-за геометрической дивергенции, Adiv, дБ	расстояние = 674.17 м	ф-ла (7) [10]	**67,6**										
Коэффициент затухания звука в атмосфере α, дБ/км	Ta=20,°C Pa=101.33,кПа hотн.=70%	ф-ла (5) [9]	0,02	0,09	0,33	1,12	2,79	4,98	9,04	23,09	77,63		
Учет затухания звука в атмосфере Aatm, дБ		ф-ла (8) [10]	0	0,1	0,2	0,8	1,9	3,4	6,1	15,6	52,3		
Снижение уровня звукового давления из-за влияния застройки между источником шума и расчетной точкой													
Снижение уровня звукового давления на пути над экраном, Dz1, дБ	z = 0.06м (разность путей)	ф-лы (14-18) [10]	4,8	4,8	4,8	4,8	4,8	4,8	4,8	4,8	4,8		
Снижение уровня звукового давления на пути слева от экрана, Dz2, дБ	z = 6.51м (разность путей)	ф-лы (14-18) [10]	14,3	17,1	19,9	22,9	25,9	28,9	31,9	34,9	37,9		
Снижение уровня звукового давления на пути справа от экрана, Dz3, дБ	z = 0.93м (разность путей)	ф-лы (14-18) [10]	8,1	9,9	12,2	14,8	17,6	20,5	23,4	26,4	29,4		
Общее снижение уровня звука препятствием Dz, дБ		Эн.сумма(-Dzi)	2,8	3,4	3,9	4,3	4,5	4,6	4,7	4,7	4,8		
Уровни звукового давления от источника ИШ-6-7 в расчётной точке днём, дБ		**ф-ла(3)[10]**	**0**	**25,2**	**26**	**26,4**	**25,3**	**23,3**	**17,2**	**3,5**	**0**	**27,2**	**27,2**
Уровни звукового давления от источника ИШ-6-7 в расчётной точке ночью, дБ		**ф-ла(3)[10]**	**0**	**25,2**	**26**	**26,4**	**25,3**	**23,3**	**17,2**	**3,5**	**0**	**27,2**	**27,2**
Источник шума: ИШ-6-8, координаты источника (x,y,z), м =[829.36,101.42,1.00]													
Уровни звуковой мощности источника днём, Lw, дБ		**исходные данные**	**0**	**96,3**	**97,7**	**99**	**99,3**	**98,9**	**95,6**	**91,4**	**86,9**		
Уровни звуковой мощности источника ночью, Lw, дБ		**исходные данные**	**0**	**96,3**	**97,7**	**99**	**99,3**	**98,9**	**95,6**	**91,4**	**86,9**		
Поправка на телесный угол DΩ, дБ	Ω = 12.57	10Lg(4π/Ω)	**0**	0	0	0	0	0	0	0	0		
Показатель направленности источника Di, дБ		исходные данные	**0**	0	0	0	0	0	0	0	0		
Поправка на направленность источника Dc, дБ	Dc	DΩ + Di	**0**	0	0	0	0	0	0	0	0		

1		2	3	4	5	6	7	8	9	10	11	12	13
Затухание из-за геометрической дивергенции, Adiv, дБ	расстояние = 671.98 м	ф-ла (7) [10]	**67,5**										
Коэффициент затухания звука в атмосфере α, дБ/км	Та=20,°С Ра=101.33,кПа hотн.=70%	ф-ла (5) [9]	0,02	0,09	0,33	1,12	2,79	4,98	9,04	23,09	77,63		
Учет затухания звука в атмосфере Aatm, дБ		ф-ла (8) [10]	0	0,1	0,2	0,8	1,9	3,3	6,1	15,5	52,2		
Снижение уровня звукового давления из-за влияния застройки между источником шума и расчетной точкой													
Снижение уровня звукового давления на пути над экраном, Dz1, дБ	z = 0.06м (разность путей)	ф-лы (14-18) [10]	4,8	4,8	4,8	4,8	4,8	4,8	4,8	4,8	4,8		
Снижение уровня звукового давления на пути слева от экрана, Dz2, дБ	z = 6.18м (разность путей)	ф-лы (14-18) [10]	14,1	16,9	19,7	22,7	25,6	28,6	31,6	34,6	37,6		
Снижение уровня звукового давления на пути справа от экрана, Dz3, дБ	z = 1.07м (разность путей)	ф-лы (14-18) [10]	8,4	10,4	12,7	15,4	18,2	21,1	24,1	27	30		
Общее снижение уровня звука препятствием Dz, дБ		Эн.сумма(-Dzi)	2,9	3,5	4	4,3	4,5	4,7	4,7	4,7	4,8		
Уровни звукового давления от источника ИШ-6-8 в расчётной точке днём, дБ		**ф-ла(3)[10]**	**0**	**25,2**	**25,9**	**26,3**	**25,3**	**23,3**	**17,3**	**3,6**	**0**	**27,2**	**27,2**
Уровни звукового давления от источника ИШ-6-8 в расчётной точке ночью, дБ		**ф-ла(3)[10]**	**0**	**25,2**	**25,9**	**26,3**	**25,3**	**23,3**	**17,3**	**3,6**	**0**	**27,2**	**27,2**
Источник шума: ИШ-6-9, координаты источника (x,y,z), м =[828.03,98.62,1.00]													
Уровни звуковой мощности источника днём, Lw, дБ		**исходные данные**	**0**	**96,3**	**97,7**	**99**	**99,3**	**98,9**	**95,6**	**91,4**	**86,9**		
Уровни звуковой мощности источника ночью, Lw, дБ		**исходные данные**	**0**	**96,3**	**97,7**	**99**	**99,3**	**98,9**	**95,6**	**91,4**	**86,9**		
Поправка на телесный угол DΩ, дБ	Ω = 12.57	10Lg(4π/Ω)	**0**	0	0	0	0	0	0	0	0		
Показатель направленности источника Di, дБ		исходные данные	**0**	0	0	0	0	0	0	0	0		
Поправка на направленность источника Dc, дБ	Dc	DΩ + Di	**0**	0	0	0	0	0	0	0	0		

1		2	3	4	5	6	7	8	9	10	11	12	13
Затухание из-за геометрической дивергенции, Adiv, дБ	расстояние = 669.56 м	ф-ла (7) [10]	**67,5**										
Коэффициент затухания звука в атмосфере α, дБ/км	Ta=20,°C Pa=101.33,кПа hотн.=70%	ф-ла (5) [9]	0,02	0,09	0,33	1,12	2,79	4,98	9,04	23,09	77,63		
Учет затухания звука в атмосфере Aatm, дБ		ф-ла (8) [10]	0	0,1	0,2	0,8	1,9	3,3	6,1	15,5	52		
Снижение уровня звукового давления из-за влияния застройки между источником шума и расчетной точкой													
Снижение уровня звукового давления на пути над экраном, Dz1, дБ	z = 0.06м (разность путей)	ф-лы (14-18) [10]	4,8	4,8	4,8	4,8	4,8	4,8	4,8	4,8	4,8		
Снижение уровня звукового давления на пути слева от экрана, Dz2, дБ	z = 5.92м (разность путей)	ф-лы (14-18) [10]	14	16,7	19,5	22,5	25,5	28,4	31,4	34,5	37,5		
Снижение уровня звукового давления на пути справа от экрана, Dz3, дБ	z = 1.20м (разность путей)	ф-лы (14-18) [10]	8,7	10,8	13,1	15,8	18,7	21,6	24,6	27,5	30,5		
Общее снижение уровня звука препятствием Dz, дБ		Эн.сумма(-Dzi)	2,9	3,6	4,1	4,4	4,6	4,7	4,7	4,7	4,8		
Уровни звукового давления от источника ИШ-6-9 в расчётной точке днём, дБ		**ф-ла(3)[10]**	**0**	**25,1**	**25,9**	**26,3**	**25,3**	**23,4**	**17,3**	**3,7**	**0**	**27,2**	**27,2**
Уровни звукового давления от источника ИШ-6-9 в расчётной точке ночью, дБ		**ф-ла(3)[10]**	**0**	**25,1**	**25,9**	**26,3**	**25,3**	**23,4**	**17,3**	**3,7**	**0**	**27,2**	**27,2**
Источник шума: ИШ-6-10, координаты источника (x,y,z), м =[827.23,95.55,1.00]													
Уровни звуковой мощности источника днём, Lw, дБ		**исходные данные**	**0**	**96,3**	**97,7**	**99**	**99,3**	**98,9**	**95,6**	**91,4**	**86,9**		
Уровни звуковой мощности источника ночью, Lw, дБ		**исходные данные**	**0**	**96,3**	**97,7**	**99**	**99,3**	**98,9**	**95,6**	**91,4**	**86,9**		
Поправка на телесный угол DΩ, дБ	Ω = 12.57	10Lg(4π/Ω)	**0**	0	0	0	0	0	0	0	0		
Показатель направленности источника Di, дБ		исходные данные	**0**	0	0	0	0	0	0	0	0		
Поправка на направленность источника Dc, дБ	Dc	DΩ + Di	**0**	0	0	0	0	0	0	0	0		

1		2	3	4	5	6	7	8	9	10	11	12	13
Затухание из-за геометрической дивергенции, Adiv, дБ	расстояние = 667.51 м	ф-ла (7) [10]	**67,5**										
Коэффициент затухания звука в атмосфере α, дБ/км	Ta=20,°C Pa=101.33,кПа hотн.=70%	ф-ла (5) [9]	0,02	0,09	0,33	1,12	2,79	4,98	9,04	23,09	77,63		
Учет затухания звука в атмосфере Aatm, дБ		ф-ла (8) [10]	0	0,1	0,2	0,8	1,9	3,3	6	15,4	51,8		
Снижение уровня звукового давления из-за влияния застройки между источником шума и расчетной точкой													
Снижение уровня звукового давления на пути над экраном, Dz1, дБ	z = 0.06м (разность путей)	ф-лы (14-18) [10]	4,8	4,8	4,8	4,8	4,8	4,8	4,8	4,8	4,8		
Снижение уровня звукового давления на пути слева от экрана, Dz2, дБ	z = 5.59м (разность путей)	ф-лы (14-18) [10]	13,7	16,5	19,3	22,2	25,2	28,2	31,2	34,2	37,2		
Снижение уровня звукового давления на пути справа от экрана, Dz3, дБ	z = 1.37м (разность путей)	ф-лы (14-18) [10]	9,1	11,2	13,6	16,4	19,2	22,2	25,1	28,1	31,1		
Общее снижение уровня звука препятствием Dz, дБ		Эн.сумма(-Dzi)	3	3,6	4,1	4,4	4,6	4,7	4,7	4,7	4,8		
Уровни звукового давления от источника ИШ-6-10 в расчётной точке днём, дБ		**ф-ла(3)[10]**	**0**	**25,1**	**25,9**	**26,3**	**25,4**	**23,4**	**17,3**	**3,7**	**0**	**27,2**	**27,2**
Уровни звукового давления от источника ИШ-6-10 в расчётной точке ночью, дБ		**ф-ла(3)[10]**	**0**	**25,1**	**25,9**	**26,3**	**25,4**	**23,4**	**17,3**	**3,7**	**0**	**27,2**	**27,2**
Источник шума: ИШ-6-11, координаты источника (x,y,z), м =[826.30,92.48,1.00]													
Уровни звуковой мощности источника днём, Lw, дБ		**исходные данные**	**0**	**96,3**	**97,7**	**99**	**99,3**	**98,9**	**95,6**	**91,4**	**86,9**		
Уровни звуковой мощности источника ночью, Lw, дБ		**исходные данные**	**0**	**96,3**	**97,7**	**99**	**99,3**	**98,9**	**95,6**	**91,4**	**86,9**		
Поправка на телесный угол DΩ, дБ	Ω = 12.57	10Lg($4\pi/\Omega$)	**0**	0	0	0	0	0	0	0	0		
Показатель направленности источника Di, дБ		исходные данные	**0**	0	0	0	0	0	0	0	0		
Поправка на направленность источника Dc, дБ	Dc	DΩ + Di	**0**	0	0	0	0	0	0	0	0		

1		2	3	4	5	6	7	8	9	10	11	12	13
Затухание из-за геометрической дивергенции, Adiv, дБ	расстояние = 665.34 м	ф-ла (7) [10]	**67,5**										
Коэффициент затухания звука в атмосфере α, дБ/км	Ta=20,°C Pa=101.33,кПа hотн.=70%	ф-ла (5) [9]	0,02	0,09	0,33	1,12	2,79	4,98	9,04	23,09	77,63		
Учет затухания звука в атмосфере Aatm, дБ		ф-ла (8) [10]	0	0,1	0,2	0,7	1,9	3,3	6	15,4	51,7		
Снижение уровня звукового давления из-за влияния застройки между источником шума и расчетной точкой													
Снижение уровня звукового давления на пути над экраном, Dz1, дБ	z = 0.06м (разность путей)	ф-лы (14-18) [10]	4,8	4,8	4,8	4,8	4,8	4,8	4,8	4,8	4,8		
Снижение уровня звукового давления на пути слева от экрана, Dz2, дБ	z = 5.27м (разность путей)	ф-лы (14-18) [10]	13,5	16,2	19,1	22	25	27,9	30,9	34	37		
Снижение уровня звукового давления на пути справа от экрана, Dz3, дБ	z = 1.55м (разность путей)	ф-лы (14-18) [10]	9,4	11,6	14,1	16,9	19,7	22,7	25,7	28,7	31,7		
Общее снижение уровня звука препятствием Dz, дБ		Эн.сумма(-Dzi)	3,1	3,7	4,2	4,4	4,6	4,7	4,7	4,7	4,8		
Уровни звукового давления от источника ИШ-6-11 в расчётной точке днём, дБ		**ф-ла(3)[10]**	**0**	**25,1**	**25,9**	**26,3**	**25,4**	**23,4**	**17,4**	**3,8**	**0**	**27,3**	**27,3**
Уровни звукового давления от источника ИШ-6-11 в расчётной точке ночью, дБ		**ф-ла(3)[10]**	**0**	**25,1**	**25,9**	**26,3**	**25,4**	**23,4**	**17,4**	**3,8**	**0**	**27,3**	**27,3**
Источник шума: ИШ-6-12, координаты источника (x,y,z), м =[825.09,89.54,1.00]													
Уровни звуковой мощности источника днём, Lw, дБ		**исходные данные**	**0**	**96,3**	**97,7**	**99**	**99,3**	**98,9**	**95,6**	**91,4**	**86,9**		
Уровни звуковой мощности источника ночью, Lw, дБ		**исходные данные**	**0**	**96,3**	**97,7**	**99**	**99,3**	**98,9**	**95,6**	**91,4**	**86,9**		
Поправка на телесный угол DΩ, дБ	Ω = 12.57	10Lg($4\pi/\Omega$)	**0**	0	0	0	0	0	0	0	0		
Показатель направленности источника Di, дБ		исходные данные	**0**	0	0	0	0	0	0	0	0		
Поправка на направленность источника Dc, дБ	Dc	DΩ + Di	**0**	0	0	0	0	0	0	0	0		

1		2	3	4	5	6	7	8	9	10	11	12	13
Затухание из-за геометрической дивергенции, Adiv, дБ	расстояние = 663.00 м	ф-ла (7) [10]	**67,4**										
Коэффициент затухания звука в атмосфере α, дБ/км	Ta=20,°C Pa=101.33,кПа hотн.=70%	ф-ла (5) [9]	0,02	0,09	0,33	1,12	2,79	4,98	9,04	23,09	77,63		
Учет затухания звука в атмосфере Aatm, дБ		ф-ла (8) [10]	0	0,1	0,2	0,7	1,9	3,3	6	15,3	51,5		
Снижение уровня звукового давления из-за влияния застройки между источником шума и расчетной точкой													
Снижение уровня звукового давления на пути над экраном, Dz1, дБ	z = 0.10м (разность путей)	ф-лы (14-18) [10]	4,8	4,8	4,8	4,8	4,8	4,8	4,8	4,8	4,8		
Снижение уровня звукового давления на пути слева от экрана, Dz2, дБ	z = 5.00м (разность путей)	ф-лы (14-18) [10]	13,3	16	18,8	21,8	24,7	27,7	30,7	33,7	36,7		
Снижение уровня звукового давления на пути справа от экрана, Dz3, дБ	z = 1.73м (разность путей)	ф-лы (14-18) [10]	9,7	12	14,5	17,3	20,2	23,1	26,1	29,1	32,1		
Общее снижение уровня звука препятствием Dz, дБ		Эн.сумма(-Dzi)	3,1	3,8	4,2	4,5	4,6	4,7	4,7	4,8	4,8		
Уровни звукового давления от источника ИШ-6-12 в расчётной точке днём, дБ		**ф-ла(3)[10]**	**0**	**25,1**	**25,9**	**26,4**	**25,4**	**23,5**	**17,4**	**3,9**	**0**	**27,3**	**27,3**
Уровни звукового давления от источника ИШ-6-12 в расчётной точке ночью, дБ		**ф-ла(3)[10]**	**0**	**25,1**	**25,9**	**26,4**	**25,4**	**23,5**	**17,4**	**3,9**	**0**	**27,3**	**27,3**
Источник шума: ИШ-6-13, координаты источника (x,y,z), м =[767.76,-114.15,1.00]													
Уровни звуковой мощности источника днём, Lw, дБ		**исходные данные**	**0**	**96,3**	**97,7**	**99**	**99,3**	**98,9**	**95,6**	**91,4**	**86,9**		
Уровни звуковой мощности источника ночью, Lw, дБ		**исходные данные**	**0**	**96,3**	**97,7**	**99**	**99,3**	**98,9**	**95,6**	**91,4**	**86,9**		
Поправка на телесный угол DΩ, дБ	Ω = 12.57	10Lg($4\pi/\Omega$)	**0**	0	0	0	0	0	0	0	0		
Показатель направленности источника Di, дБ		исходные данные	**0**	0	0	0	0	0	0	0	0		
Поправка на направленность источника Dc, дБ	Dc	DΩ + Di	**0**	0	0	0	0	0	0	0	0		

1		2	3	4	5	6	7	8	9	10	11	12	13
Затухание из-за геометрической дивергенции, Adiv, дБ	расстояние = 548.25 м	ф-ла (7) [10]	**65,8**										
Коэффициент затухания звука в атмосфере α, дБ/км	Ta=20,°C Pa=101.33,кПа hотн.=70%	ф-ла (5) [9]	0,02	0,09	0,33	1,12	2,79	4,98	9,04	23,09	77,63		
Учет затухания звука в атмосфере Aatm, дБ		ф-ла (8) [10]	0	0	0,2	0,6	1,5	2,7	5	12,7	42,6		
Снижение поверхностью земли возле источника As, дБ	Gs = 0 hs = 1м	ф-лы таб.3 [10]	-1,5	-1,5	-1,5	-1,5	-1,5	-1,5	-1,5	-1,5	-1,5		
Снижение поверхностью земли возле приёмника Ar, дБ	Gr = 1 hr = 4.6м	ф-лы таб.3 [10]	-1,5	-1,5	3,4	1,3	0	0	0	0	0		
Снижение поверхностью земли в средней зоне, Am дБ	Gm = 1	ф-лы таб.3 [10]	-2,1	-2,1	0	0	0	0	0	0	0		
Суммарное снижение поверхностью земли на траектории распространения звука Agr, дБ		ф-ла (9) [10]	-5,1	-5,1	1,9	-0,2	-1,5	-1,5	-1,5	-1,5	-1,5		
Уровни звукового давления прямого звука от источника ИШ-6-13 в расчётной точке днём, дБ		**ф-ла(3)[10]**	**0**	**35,5**	**29,8**	**32,8**	**33,5**	**31,9**	**26,4**	**14,5**	**0**	**35,5**	**35,5**
Уровни звукового давления прямого звука от источника ИШ-6-13 в расчётной точке ночью, дБ		**ф-ла(3)[10]**	**0**	**35,5**	**29,8**	**32,8**	**33,5**	**31,9**	**26,4**	**14,5**	**0**	**35,5**	**35,5**
Расчёт отражённого звука													
Уровни звукового давления от мнимого источника ИШ-6-13_мн.(1) в расчётной точке днём, дБ		**ф-ла(3)[10]**	**0**	**0**	**23,9**	**22,5**	**22,1**	**27,3**	**23,8**	**11,9**	**0**	**30**	**30**
Уровни звукового давления от мнимого источника ИШ-6-13_мн.(1) в расчётной точке ночью, дБ		**ф-ла(3)[10]**	**0**	**0**	**0**	**0**	**0**	**0**	**0**	**0**	**0**	**30**	**30**
Уровни звукового давления от источника ИШ-6-13 в расчётной точке днём, дБ		**ф-ла(3)[10]**	**0**	**35,5**	**30,8**	**33,2**	**33,8**	**33,2**	**28,3**	**16,4**	**0**	**36,5**	**36,5**
Уровни звукового давления от источника ИШ-6-13 в расчётной точке ночью, дБ		**ф-ла(3)[10]**	**0**	**35,5**	**30,8**	**33,2**	**33,8**	**33,2**	**28,3**	**16,4**	**0**	**36,5**	**36,5**
Источник шума: ИШ-6-14, координаты источника (x,y,z), м =[766.82,-117.10,1.00]													
Уровни звуковой мощности источника днём, Lw, дБ		**исходные данные**	**0**	**96,3**	**97,7**	**99**	**99,3**	**98,9**	**95,6**	**91,4**	**86,9**		

1		2	3	4	5	6	7	8	9	10	11	12	13
Уровни звуковой мощности источника ночью, Lw, дБ		**исходные данные**	**0**	**96,3**	**97,7**	**99**	**99,3**	**98,9**	**95,6**	**91,4**	**86,9**		
Поправка на телесный угол DΩ, дБ	Ω = 12.57	10Lg(4π/Ω)	**0**	0	0	0	0	0	0	0	0		
Показатель направленности источника Di, дБ		исходные данные	**0**	0	0	0	0	0	0	0	0		
Поправка на направленность источника Dc, дБ	Dc	DΩ + Di	**0**	0	0	0	0	0	0	0	0		
Затухание из-за геометрической дивергенции, Adiv, дБ	расстояние = 546.90 м	ф-ла (7) [10]	**65,8**										
Коэффициент затухания звука в атмосфере α, дБ/км	Ta=20,°C Pa=101.33,кПа hотн.=70%	ф-ла (5) [9]	0,02	0,09	0,33	1,12	2,79	4,98	9,04	23,09	77,63		
Учет затухания звука в атмосфере Aatm, дБ		ф-ла (8) [10]	0	0	0,2	0,6	1,5	2,7	4,9	12,6	42,5		
Снижение поверхностью земли возле источника As, дБ	Gs = 0 hs = 1м	ф-лы таб.3 [10]	-1,5	-1,5	-1,5	-1,5	-1,5	-1,5	-1,5	-1,5	-1,5		
Снижение поверхностью земли возле приёмника Ar, дБ	Gr = 1 hr = 4.6м	ф-лы таб.3 [10]	-1,5	-1,5	3,4	1,3	0	0	0	0	0		
Снижение поверхностью земли в средней зоне, Am дБ	Gm = 1	ф-лы таб.3 [10]	-2,1	-2,1	0	0	0	0	0	0	0		
Суммарное снижение поверхностью земли на траектории распространения звука Agr, дБ		ф-ла (9) [10]	-5,1	-5,1	1,9	-0,2	-1,5	-1,5	-1,5	-1,5	-1,5		
Уровни звукового давления прямого звука от источника ИШ-6-14 в расчётной точке днём, дБ		**ф-ла(3)[10]**	**0**	**35,6**	**29,8**	**32,8**	**33,5**	**31,9**	**26,4**	**14,5**	**0**	**35,5**	**35,5**
Уровни звукового давления прямого звука от источника ИШ-6-14 в расчётной точке ночью, дБ		**ф-ла(3)[10]**	**0**	**35,6**	**29,8**	**32,8**	**33,5**	**31,9**	**26,4**	**14,5**	**0**	**35,5**	**35,5**
Расчёт отражённого звука													
Уровни звукового давления от мнимого источника ИШ-6-14_мн.(1) в расчётной точке днём, дБ		**ф-ла(3)[10]**	**0**	**0**	**23,9**	**22,5**	**22,2**	**27,4**	**23,9**	**12**	**0**	**30**	**30**
Уровни звукового давления от мнимого источника ИШ-6-14_мн.(1) в расчётной точке ночью, дБ		**ф-ла(3)[10]**	**0**	**0**	**0**	**0**	**0**	**0**	**0**	**0**	**0**	**30**	**30**
Уровни звукового давления от источника ИШ-6-14 в расчётной точке днём, дБ		**ф-ла(3)[10]**	**0**	**35,6**	**30,8**	**33,2**	**33,8**	**33,2**	**28,3**	**16,4**	**0**	**36,6**	**36,6**

1		2	3	4	5	6	7	8	9	10	11	12	13
Уровни звукового давления от источника ИШ-6-14 в расчётной точке ночью, дБ		**ф-ла(3)[10]**	**0**	**35,6**	**30,8**	**33,2**	**33,8**	**33,2**	**28,3**	**16,4**	**0**	**36,6**	**36,6**
Источник шума: ИШ-6-15, координаты источника (x,y,z), м =[765.71,-120.27,1.00]													
Уровни звуковой мощности источника днём, Lw, дБ		**исходные данные**	**0**	**96,3**	**97,7**	**99**	**99,3**	**98,9**	**95,6**	**91,4**	**86,9**		
Уровни звуковой мощности источника ночью, Lw, дБ		**исходные данные**	**0**	**96,3**	**97,7**	**99**	**99,3**	**98,9**	**95,6**	**91,4**	**86,9**		
Поправка на телесный угол DΩ, дБ	Ω = 12.57	10Lg(4π/Ω)	**0**	0	0	0	0	0	0	0	0		
Показатель направленности источника Di, дБ		исходные данные	**0**	0	0	0	0	0	0	0	0		
Поправка на направленность источника Dc, дБ	Dc	DΩ + Di	**0**	0	0	0	0	0	0	0	0		
Затухание из-за геометрической дивергенции, Adiv, дБ	расстояние = 545.38 м	ф-ла (7) [10]	**65,7**										
Коэффициент затухания звука в атмосфере α, дБ/км	Ta=20,°C Pa=101.33,кПа hотн.=70%	ф-ла (5) [9]	0,02	0,09	0,33	1,12	2,79	4,98	9,04	23,09	77,63		
Учет затухания звука в атмосфере Aatm, дБ		ф-ла (8) [10]	0	0	0,2	0,6	1,5	2,7	4,9	12,6	42,3		
Снижение поверхностью земли возле источника As, дБ	Gs = 0 hs = 1м	ф-лы таб.3 [10]	-1,5	-1,5	-1,5	-1,5	-1,5	-1,5	-1,5	-1,5	-1,5		
Снижение поверхностью земли возле приёмника Ar, дБ	Gr = 1 hr = 4.6м	ф-лы таб.3 [10]	-1,5	-1,5	3,4	1,3	0	0	0	0	0		
Снижение поверхностью земли в средней зоне, Am дБ	Gm = 1	ф-лы таб.3 [10]	-2,1	-2,1	0	0	0	0	0	0	0		
Суммарное снижение поверхностью земли на траектории распространения звука Agr, дБ		ф-ла (9) [10]	-5,1	-5,1	1,9	-0,2	-1,5	-1,5	-1,5	-1,5	-1,5		
Уровни звукового давления прямого звука от источника ИШ-6-15 в расчётной точке днём, дБ		**ф-ла(3)[10]**	**0**	**35,6**	**29,9**	**32,9**	**33,5**	**31,9**	**26,4**	**14,6**	**0**	**35,5**	**35,5**
Уровни звукового давления прямого звука от источника ИШ-6-15 в расчётной точке ночью, дБ		**ф-ла(3)[10]**	**0**	**35,6**	**29,9**	**32,9**	**33,5**	**31,9**	**26,4**	**14,6**	**0**	**35,5**	**35,5**

1		2	3	4	5	6	7	8	9	10	11	12	13
Расчёт отражённого звука													
Уровни звукового давления от мнимого источника ИШ-6-15_мн.(1) в расчётной точке днём, дБ		**ф-ла(3)[10]**	**0**	**0**	**24**	**22,5**	**22,2**	**27,4**	**23,9**	**12**	**0**	**30**	**30**
Уровни звукового давления от мнимого источника ИШ-6-15_мн.(1) в расчётной точке ночью, дБ		**ф-ла(3)[10]**	**0**	**0**	**0**	**0**	**0**	**0**	**0**	**0**	**0**	**30**	**30**
Уровни звукового давления от источника ИШ-6-15 в расчётной точке днём, дБ		**ф-ла(3)[10]**	**0**	**35,6**	**30,8**	**33,2**	**33,8**	**33,3**	**28,4**	**16,5**	**0**	**36,6**	**36,6**
Уровни звукового давления от источника ИШ-6-15 в расчётной точке ночью, дБ		**ф-ла(3)[10]**	**0**	**35,6**	**30,8**	**33,2**	**33,8**	**33,3**	**28,4**	**16,5**	**0**	**36,6**	**36,6**
Источник шума: ИШ-6-16, координаты источника (x,y,z), м =[764.57,-123.22,1.00]													
Уровни звуковой мощности источника днём, Lw, дБ		**исходные данные**	**0**	**96,3**	**97,7**	**99**	**99,3**	**98,9**	**95,6**	**91,4**	**86,9**		
Уровни звуковой мощности источника ночью, Lw, дБ		**исходные данные**	**0**	**96,3**	**97,7**	**99**	**99,3**	**98,9**	**95,6**	**91,4**	**86,9**		
Поправка на телесный угол DΩ, дБ	Ω = 12.57	10Lg(4π/Ω)	**0**	0	0	0	0	0	0	0	0		
Показатель направленности источника Di, дБ		исходные данные	**0**	0	0	0	0	0	0	0	0		
Поправка на направленность источника Dc, дБ	Dc	DΩ + Di	**0**	0	0	0	0	0	0	0	0		
Затухание из-за геометрической дивергенции, Adiv, дБ	расстояние = 543.86 м	ф-ла (7) [10]	**65,7**										
Коэффициент затухания звука в атмосфере α, дБ/км	Ta=20,°C Pa=101.33,кПа hотн.=70%	ф-ла (5) [9]	0,02	0,09	0,33	1,12	2,79	4,98	9,04	23,09	77,63		
Учет затухания звука в атмосфере Aatm, дБ		ф-ла (8) [10]	0	0	0,2	0,6	1,5	2,7	4,9	12,6	42,2		
Снижение поверхностью земли возле источника As, дБ	Gs = 0 hs = 1м	ф-лы таб.3 [10]	-1,5	-1,5	-1,5	-1,5	-1,5	-1,5	-1,5	-1,5	-1,5		
Снижение поверхностью земли возле приёмника Ar, дБ	Gr = 1 hr = 4.6м	ф-лы таб.3 [10]	-1,5	-1,5	3,4	1,3	0	0	0	0	0		

1		2	3	4	5	6	7	8	9	10	11	12	13
Снижение поверхностью земли в средней зоне, Am дБ	Gm = 1	ф-лы таб.3 [10]	-2,1	-2,1	0	0	0	0	0	0	0		
Суммарное снижение поверхностью земли на траектории распространения звука Agr, дБ		ф-ла (9) [10]	-5,1	-5,1	1,9	-0,2	-1,5	-1,5	-1,5	-1,5	-1,5		
Уровни звукового давления прямого звука от источника ИШ-6-16 в расчётной точке днём, дБ		**ф-ла(3)[10]**	**0**	**35,6**	**29,9**	**32,9**	**33,6**	**32**	**26,5**	**14,6**	**0**	**35,5**	**35,5**
Уровни звукового давления прямого звука от источника ИШ-6-16 в расчётной точке ночью, дБ		**ф-ла(3)[10]**	**0**	**35,6**	**29,9**	**32,9**	**33,6**	**32**	**26,5**	**14,6**	**0**	**35,5**	**35,5**
Расчёт отражённого звука													
Уровни звукового давления от мнимого источника ИШ-6-16_мн.(1) в расчётной точке днём, дБ		**ф-ла(3)[10]**	**0**	**0**	**24**	**22,5**	**22,2**	**27,4**	**23,9**	**12,1**	**0**	**30,1**	**30,1**
Уровни звукового давления от мнимого источника ИШ-6-16_мн.(1) в расчётной точке ночью, дБ		**ф-ла(3)[10]**	**0**	**0**	**0**	**0**	**0**	**0**	**0**	**0**	**0**	**30,1**	**30,1**
Уровни звукового давления от источника ИШ-6-16 в расчётной точке днём, дБ		**ф-ла(3)[10]**	**0**	**35,6**	**30,9**	**33,3**	**33,9**	**33,3**	**28,4**	**16,5**	**0**	**36,6**	**36,6**
Уровни звукового давления от источника ИШ-6-16 в расчётной точке ночью, дБ		**ф-ла(3)[10]**	**0**	**35,6**	**30,9**	**33,3**	**33,9**	**33,3**	**28,4**	**16,5**	**0**	**36,6**	**36,6**
Источник шума: ИШ-6-17, координаты источника (x,y,z), м =[763.57,-126.18,1.00]													
Уровни звуковой мощности источника днём, Lw, дБ		**исходные данные**	**0**	**96,3**	**97,7**	**99**	**99,3**	**98,9**	**95,6**	**91,4**	**86,9**		
Уровни звуковой мощности источника ночью, Lw, дБ		**исходные данные**	**0**	**96,3**	**97,7**	**99**	**99,3**	**98,9**	**95,6**	**91,4**	**86,9**		
Поправка на телесный угол DΩ, дБ	Ω = 12.57	10Lg(4π/Ω)	**0**	0	0	0	0	0	0	0	0		
Показатель направленности источника Di, дБ		исходные данные	**0**	0	0	0	0	0	0	0	0		
Поправка на направленность источника Dc, дБ	Dc	DΩ + Di	**0**	0	0	0	0	0	0	0	0		
Затухание из-за геометрической дивергенции, Adiv, дБ	расстояние = 542.49 м	ф-ла (7) [10]	**65,7**										
Коэффициент затухания звука в атмосфере α, дБ/км	Ta=20,°C Pa=101.33,кПа hотн.=70%	ф-ла (5) [9]	0,02	0,09	0,33	1,12	2,79	4,98	9,04	23,09	77,63		

1		2	3	4	5	6	7	8	9	10	11	12	13
Учет затухания звука в атмосфере Aatm, дБ		ф-ла (8) [10]	0	0	0,2	0,6	1,5	2,7	4,9	12,5	42,1		
Снижение поверхностью земли возле источника As, дБ	Gs = 0 hs = 1м	ф-лы таб.3 [10]	-1,5	-1,5	-1,5	-1,5	-1,5	-1,5	-1,5	-1,5	-1,5		
Снижение поверхностью земли возле приёмника Ar, дБ	Gr = 1 hr = 4.6м	ф-лы таб.3 [10]	-1,5	-1,5	3,4	1,3	0	0	0	0	0		
Снижение поверхностью земли в средней зоне, Am дБ	Gm = 1	ф-лы таб.3 [10]	-2,1	-2,1	0	0	0	0	0	0	0		
Суммарное снижение поверхностью земли на траектории распространения звука Agr, дБ		ф-ла (9) [10]	-5,1	-5,1	1,9	-0,2	-1,5	-1,5	-1,5	-1,5	-1,5		
Уровни звукового давления прямого звука от источника ИШ-6-17 в расчётной точке днём, дБ		**ф-ла(3)[10]**	**0**	**35,6**	**29,9**	**32,9**	**33,6**	**32**	**26,5**	**14,7**	**0**	**35,6**	**35,6**
Уровни звукового давления прямого звука от источника ИШ-6-17 в расчётной точке ночью, дБ		**ф-ла(3)[10]**	**0**	**35,6**	**29,9**	**32,9**	**33,6**	**32**	**26,5**	**14,7**	**0**	**35,6**	**35,6**
Расчёт отражённого звука													
Уровни звукового давления от мнимого источника ИШ-6-17_мн.(1) в расчётной точке днём, дБ		**ф-ла(3)[10]**	**0**	**0**	**24**	**22,6**	**22,2**	**27,5**	**24**	**12,1**	**0**	**30,1**	**30,1**
Уровни звукового давления от мнимого источника ИШ-6-17_мн.(1) в расчётной точке ночью, дБ		**ф-ла(3)[10]**	**0**	**0**	**0**	**0**	**0**	**0**	**0**	**0**	**0**	**30,1**	**30,1**
Уровни звукового давления от источника ИШ-6-17 в расчётной точке днём, дБ		**ф-ла(3)[10]**	**0**	**35,6**	**30,9**	**33,3**	**33,9**	**33,3**	**28,4**	**16,6**	**0**	**36,7**	**36,7**
Уровни звукового давления от источника ИШ-6-17 в расчётной точке ночью, дБ		**ф-ла(3)[10]**	**0**	**35,6**	**30,9**	**33,3**	**33,9**	**33,3**	**28,4**	**16,6**	**0**	**36,7**	**36,7**
Источник шума: ИШ-6-18, координаты источника (x,y,z), м =[804.77,-126.28,1.00]													
Уровни звуковой мощности источника днём, Lw, дБ		**исходные данные**	**0**	**96,3**	**97,7**	**99**	**99,3**	**98,9**	**95,6**	**91,4**	**86,9**		
Уровни звуковой мощности источника ночью, Lw, дБ		**исходные данные**	**0**	**96,3**	**97,7**	**99**	**99,3**	**98,9**	**95,6**	**91,4**	**86,9**		
Поправка на телесный угол DΩ, дБ	Ω = 12.57	10Lg(4π/Ω)	**0**	0	0	0	0	0	0	0	0		
Показатель направленности источника Di, дБ		исходные данные	**0**	0	0	0	0	0	0	0	0		

1		2	3	4	5	6	7	8	9	10	11	12	13
Поправка на направленность источника Dc, дБ	Dc	DΩ + Di	**0**	0	0	0	0	0	0	0	0		
Затухание из-за геометрической дивергенции, Adiv, дБ	расстояние = 583.40 м	ф-ла (7) [10]	**66,3**										
Коэффициент затухания звука в атмосфере α, дБ/км	Ta=20,°C Pa=101.33,кПа hотн.=70%	ф-ла (5) [9]	0,02	0,09	0,33	1,12	2,79	4,98	9,04	23,09	77,63		
Учет затухания звука в атмосфере Aatm, дБ		ф-ла (8) [10]	0	0,1	0,2	0,7	1,6	2,9	5,3	13,5	45,3		
Снижение поверхностью земли возле источника As, дБ	Gs = 0 hs = 1м	ф-лы таб.3 [10]	-1,5	-1,5	-1,5	-1,5	-1,5	-1,5	-1,5	-1,5	-1,5		
Снижение поверхностью земли возле приёмника Ar, дБ	Gr = 1 hr = 4.6м	ф-лы таб.3 [10]	-1,5	-1,5	3,5	1,3	0	0	0	0	0		
Снижение поверхностью земли в средней зоне, Am дБ	Gm = 1	ф-лы таб.3 [10]	-2,1	-2,1	0	0	0	0	0	0	0		
Суммарное снижение поверхностью земли на траектории распространения звука Agr, дБ		ф-ла (9) [10]	-5,1	-5,1	2	-0,2	-1,5	-1,5	-1,5	-1,5	-1,5		
Уровни звукового давления прямого звука от источника ИШ-6-18 в расчётной точке днём, дБ		**ф-ла(3)[10]**	**0**	**35,1**	**29,2**	**32,2**	**32,8**	**31,2**	**25,5**	**13,1**	**0**	**34,7**	**34,7**
Уровни звукового давления прямого звука от источника ИШ-6-18 в расчётной точке ночью, дБ		**ф-ла(3)[10]**	**0**	**35,1**	**29,2**	**32,2**	**32,8**	**31,2**	**25,5**	**13,1**	**0**	**34,7**	**34,7**
Расчёт отражённого звука													
Уровни звукового давления от мнимого источника ИШ-6-18_мн.(1) в расчётной точке днём, дБ		**ф-ла(3)[10]**	**0**	**0**	**23,1**	**21,9**	**21,5**	**26,6**	**23**	**10,6**	**0**	**29,2**	**29,2**
Уровни звукового давления от мнимого источника ИШ-6-18_мн.(1) в расчётной точке ночью, дБ		**ф-ла(3)[10]**	**0**	**0**	**0**	**0**	**0**	**0**	**0**	**0**	**0**	**29,2**	**29,2**
Уровни звукового давления от источника ИШ-6-18 в расчётной точке днём, дБ		**ф-ла(3)[10]**	**0**	**35,1**	**30,2**	**32,6**	**33,2**	**32,5**	**27,4**	**15**	**0**	**35,8**	**35,8**
Уровни звукового давления от источника ИШ-6-18 в расчётной точке ночью, дБ		**ф-ла(3)[10]**	**0**	**35,1**	**30,2**	**32,6**	**33,2**	**32,5**	**27,4**	**15**	**0**	**35,8**	**35,8**

Источник шума: ИШ-6-19, координаты источника (x,y,z), м =[803.81,-129.30,1.00]

1		2	3	4	5	6	7	8	9	10	11	12	13
Уровни звуковой мощности источника днём, Lw, дБ		**исходные данные**	**0**	**96,3**	**97,7**	**99**	**99,3**	**98,9**	**95,6**	**91,4**	**86,9**		
Уровни звуковой мощности источника ночью, Lw, дБ		**исходные данные**	**0**	**96,3**	**97,7**	**99**	**99,3**	**98,9**	**95,6**	**91,4**	**86,9**		
Поправка на телесный угол DΩ, дБ	Ω = 12.57	10Lg(4π/Ω)	**0**	0	0	0	0	0	0	0	0		
Показатель направленности источника Di, дБ		исходные данные	**0**	0	0	0	0	0	0	0	0		
Поправка на направленность источника Dc, дБ	Dc	DΩ + Di	**0**	0	0	0	0	0	0	0	0		
Затухание из-за геометрической дивергенции, Adiv, дБ	расстояние = 582.11 м	ф-ла (7) [10]	**66,3**										
Коэффициент затухания звука в атмосфере α, дБ/км	Ta=20,°C Pa=101.33,кПа hотн.=70%	ф-ла (5) [9]	0,02	0,09	0,33	1,12	2,79	4,98	9,04	23,09	77,63		
Учет затухания звука в атмосфере Aatm, дБ		ф-ла (8) [10]	0	0,1	0,2	0,7	1,6	2,9	5,3	13,4	45,2		
Снижение уровня звукового давления из-за влияния застройки между источником шума и расчетной точкой													
Снижение уровня звукового давления препятствием слева от трассы ИШ-РТ, Dz2, дБ	z = -0.02м (разность путей)	ф-лы (14-18) [10]	4,7	4,5	4,3	3,8	2,6	0	NAN	NAN	NAN		
* отрицательное значение z означает прохождение траектории вблизи экрана, в этом случае дополнительно производится учёт снижения подстилающей поверхностью (см.ниже)													
Снижение поверхностью земли возле источника As, дБ	Gs = 0 hs = 1м	ф-лы таб.3 [10]	-1,5	-1,5	-1,5	-1,5	-1,5	-1,5	-1,5	-1,5	-1,5		
Снижение поверхностью земли возле приёмника Ar, дБ	Gr = 1 hr = 4.6м	ф-лы таб.3 [10]	-1,5	-1,5	3,5	1,3	0	0	0	0	0		
Снижение поверхностью земли в средней зоне, Am дБ	Gm = 1	ф-лы таб.3 [10]	-2,1	-2,1	0	0	0	0	0	0	0		
Суммарное снижение поверхностью земли на траектории распространения звука Agr, дБ		ф-ла (9) [10]	-5,1	-5,1	2	-0,2	-1,5	-1,5	-1,5	-1,5	-1,5		
Уровни звукового давления прямого звука от источника ИШ-6-19 в расчётной точке днём, дБ		**ф-ла(3)[10]**	**0**	**30,5**	**24,9**	**28,4**	**30,3**	**31,2**	**25,5**	**13,2**	**0**	**33,9**	**33,9**
Уровни звукового давления прямого звука от источника ИШ-6-19 в расчётной точке ночью, дБ		**ф-ла(3)[10]**	**0**	**30,5**	**24,9**	**28,4**	**30,3**	**31,2**	**25,5**	**13,2**	**0**	**33,9**	**33,9**
Расчёт отражённого звука													

1		2	3	4	5	6	7	8	9	10	11	12	13
Уровни звукового давления от мнимого источника ИШ-6-19_мн.(1) в расчётной точке днём, дБ		**ф-ла(3)[10]**	**0**	**0**	**23,1**	**21,9**	**21,5**	**26,7**	**23**	**10,6**	**0**	**29,2**	**29,2**
Уровни звукового давления от мнимого источника ИШ-6-19_мн.(1) в расчётной точке ночью, дБ		**ф-ла(3)[10]**	**0**	**0**	**0**	**0**	**0**	**0**	**0**	**0**	**0**	**29,2**	**29,2**
Уровни звукового давления от источника ИШ-6-19 в расчётной точке днём, дБ		**ф-ла(3)[10]**	**0**	**30,5**	**27,1**	**29,3**	**30,8**	**32,5**	**27,5**	**15,1**	**0**	**35,1**	**35,1**
Уровни звукового давления от источника ИШ-6-19 в расчётной точке ночью, дБ		**ф-ла(3)[10]**	**0**	**30,5**	**27,1**	**29,3**	**30,8**	**32,5**	**27,5**	**15,1**	**0**	**35,1**	**35,1**
Источник шума: ИШ-6-20, координаты источника (x,y,z), м =[802.67,-132.35,1.00]													
Уровни звуковой мощности источника днём, Lw, дБ		**исходные данные**	**0**	**96,3**	**97,7**	**99**	**99,3**	**98,9**	**95,6**	**91,4**	**86,9**		
Уровни звуковой мощности источника ночью, Lw, дБ		**исходные данные**	**0**	**96,3**	**97,7**	**99**	**99,3**	**98,9**	**95,6**	**91,4**	**86,9**		
Поправка на телесный угол DΩ, дБ	Ω = 12.57	10Lg(4π/Ω)	**0**	0	0	0	0	0	0	0	0		
Показатель направленности источника Di, дБ		исходные данные	**0**	0	0	0	0	0	0	0	0		
Поправка на направленность источника Dc, дБ	Dc	DΩ + Di	**0**	0	0	0	0	0	0	0	0		
Затухание из-за геометрической дивергенции, Adiv, дБ	расстояние = 580.65 м	ф-ла (7) [10]	**66,3**										
Коэффициент затухания звука в атмосфере α, дБ/км	Ta=20,°C Pa=101.33,кПа hотн.=70%	ф-ла (5) [9]	0,02	0,09	0,33	1,12	2,79	4,98	9,04	23,09	77,63		
Учет затухания звука в атмосфере Aatm, дБ		ф-ла (8) [10]	0	0,1	0,2	0,7	1,6	2,9	5,2	13,4	45,1		
Снижение уровня звукового давления из-за влияния застройки между источником шума и расчетной точкой													
Снижение уровня звукового давления препятствием слева от трассы ИШ-РТ, Dz2, дБ	z = 0.00м (разность путей)	ф-лы (14-18) [10]	4,8	4,8	4,7	4,7	4,7	4,6	4,4	3,9	2,9		
* отрицательное значение z означает прохождение траектории вблизи экрана, в этом случае дополнительно производится учёт снижения подстилающей поверхностью (см.ниже)													
Снижение поверхностью земли возле источника As, дБ	Gs = 0 hs = 1м	ф-лы таб.3 [10]	-1,5	-1,5	-1,5	-1,5	-1,5	-1,5	-1,5	-1,5	-1,5		

1		2	3	4	5	6	7	8	9	10	11	12	13
Снижение поверхностью земли возле приёмника Ar, дБ	Gr = 1 hr = 4.6м	ф-лы таб.3 [10]	-1,5	-1,5	3,5	1,3	0	0	0	0	0		
Снижение поверхностью земли в средней зоне, Am дБ	Gm = 1	ф-лы таб.3 [10]	-2,1	-2,1	0	0	0	0	0	0	0		
Суммарное снижение поверхностью земли на траектории распространения звука Agr, дБ		ф-ла (9) [10]	-5,1	-5,1	2	-0,2	-1,5	-1,5	-1,5	-1,5	-1,5		
Уровни звукового давления от источника ИШ-6-20 в расчётной точке днём, дБ		**ф-ла(3)[10]**	**0**	**30,3**	**24,5**	**27,6**	**28,2**	**26,6**	**21,2**	**9,3**	**0**	**30,2**	**30,2**
Уровни звукового давления от источника ИШ-6-20 в расчётной точке ночью, дБ		**ф-ла(3)[10]**	**0**	**30,3**	**24,5**	**27,6**	**28,2**	**26,6**	**21,2**	**9,3**	**0**	**30,2**	**30,2**
Источник шума: ИШ-6-21, координаты источника (x,y,z), м =[801.69,-135.42,1.00]													
Уровни звуковой мощности источника днём, Lw, дБ		**исходные данные**	**0**	**96,3**	**97,7**	**99**	**99,3**	**98,9**	**95,6**	**91,4**	**86,9**		
Уровни звуковой мощности источника ночью, Lw, дБ		**исходные данные**	**0**	**96,3**	**97,7**	**99**	**99,3**	**98,9**	**95,6**	**91,4**	**86,9**		
Поправка на телесный угол DΩ, дБ	Ω = 12.57	10Lg(4π/Ω)	**0**	0	0	0	0	0	0	0	0		
Показатель направленности источника Di, дБ		исходные данные	**0**	0	0	0	0	0	0	0	0		
Поправка на направленность источника Dc, дБ	Dc	DΩ + Di	**0**	0	0	0	0	0	0	0	0		
Затухание из-за геометрической дивергенции, Adiv, дБ	расстояние = 579.36 м	ф-ла (7) [10]	**66,3**										
Коэффициент затухания звука в атмосфере α, дБ/км	Ta=20,°C Pa=101.33,кПа hотн.=70%	ф-ла (5) [9]	0,02	0,09	0,33	1,12	2,79	4,98	9,04	23,09	77,63		
Учет затухания звука в атмосфере Aatm, дБ		ф-ла (8) [10]	0	0,1	0,2	0,7	1,6	2,9	5,2	13,4	45		
Снижение уровня звукового давления из-за влияния застройки между источником шума и расчетной точкой													
Снижение уровня звукового давления на пути над экраном, Dz1, дБ	z = 0.01м (разность путей)	ф-лы (14-18) [10]	4,8	4,8	4,8	4,8	4,8	4,8	4,8	4,8	4,8		

1		2	3	4	5	6	7	8	9	10	11	12	13
Снижение уровня звукового давления на пути слева от экрана, Dz2, дБ	z = 2.24м (разность путей)	ф-лы (14-18) [10]	10,5	12,9	15,6	18,4	21,3	24,3	27,2	30,2	33,2		
Снижение уровня звукового давления на пути справа от экрана, Dz3, дБ	z = 0.01м (разность путей)	ф-лы (14-18) [10]	4,8	4,8	4,9	5	5,3	5,7	6,4	7,7	9,4		
Общее снижение уровня звука препятствием Dz, дБ		Эн.сумма(-Dzi)	1,2	1,5	1,6	1,8	1,9	2,2	2,5	3	3,5		
Уровни звукового давления от источника ИШ-6-21 в расчётной точке днём, дБ		**ф-ла(3)[10]**	**0**	**28,5**	**29,6**	**30,3**	**29,5**	**27,6**	**21,6**	**8,8**	**0**	**31,4**	**31,4**
Уровни звукового давления от источника ИШ-6-21 в расчётной точке ночью, дБ		**ф-ла(3)[10]**	**0**	**28,5**	**29,6**	**30,3**	**29,5**	**27,6**	**21,6**	**8,8**	**0**	**31,4**	**31,4**
Источник шума: ИШ-6-22, координаты источника (x,y,z), м =[800.65,-138.47,1.00]													
Уровни звуковой мощности источника днём, Lw, дБ		**исходные данные**	**0**	**96,3**	**97,7**	**99**	**99,3**	**98,9**	**95,6**	**91,4**	**86,9**		
Уровни звуковой мощности источника ночью, Lw, дБ		**исходные данные**	**0**	**96,3**	**97,7**	**99**	**99,3**	**98,9**	**95,6**	**91,4**	**86,9**		
Поправка на телесный угол DΩ, дБ	Ω = 12.57	10Lg(4π/Ω)	**0**	0	0	0	0	0	0	0	0		
Показатель направленности источника Di, дБ		исходные данные	**0**	0	0	0	0	0	0	0	0		
Поправка на направленность источника Dc, дБ	Dc	DΩ + Di	**0**	0	0	0	0	0	0	0	0		
Затухание из-за геометрической дивергенции, Adiv, дБ	расстояние = 578.03 м	ф-ла (7) [10]	**66,2**										
Коэффициент затухания звука в атмосфере α, дБ/км	Ta=20,°C Pa=101.33,кПа hотн.=70%	ф-ла (5) [9]	0,02	0,09	0,33	1,12	2,79	4,98	9,04	23,09	77,63		
Учет затухания звука в атмосфере Aatm, дБ		ф-ла (8) [10]	0	0,1	0,2	0,6	1,6	2,9	5,2	13,3	44,9		
Снижение уровня звукового давления из-за влияния застройки между источником шума и расчетной точкой													
Снижение уровня звукового давления на пути над экраном, Dz1, дБ	z = 0.01м (разность путей)	ф-лы (14-18) [10]	4,8	4,8	4,8	4,8	4,8	4,8	4,8	4,8	4,8		

1		2	3	4	5	6	7	8	9	10	11	12	13
Снижение уровня звукового давления на пути слева от экрана, Dz2, дБ	z = 1.93м (разность путей)	ф-лы (14-18) [10]	10,1	12,4	15	17,8	20,7	23,6	26,6	29,6	32,6		
Снижение уровня звукового давления на пути справа от экрана, Dz3, дБ	z = 0.04м (разность путей)	ф-лы (14-18) [10]	5	5,1	5,5	6,1	7,1	8,6	10,6	13	15,6		
Общее снижение уровня звука препятствием Dz, дБ		Эн.сумма(-Dzi)	1,2	1,6	1,9	2,2	2,7	3,2	3,7	4,1	4,4		
Уровни звукового давления от источника ИШ-6-22 в расчётной точке днём, дБ		**ф-ла(3)[10]**	**0**	**28,4**	**29,4**	**29,9**	**28,8**	**26,6**	**20,4**	**7,7**	**0**	**30,5**	**30,5**
Уровни звукового давления от источника ИШ-6-22 в расчётной точке ночью, дБ		**ф-ла(3)[10]**	**0**	**28,4**	**29,4**	**29,9**	**28,8**	**26,6**	**20,4**	**7,7**	**0**	**30,5**	**30,5**
Источник шума: ИШ-7-1, координаты источника (x,y,z), м =[821.44,63.31,1.00]													
Уровни звуковой мощности источника днём, Lw, дБ		**исходные данные**	**77**	**75**	**67**	**66**	**63**	**55**	**53**	**48**	**51**		
Уровни звуковой мощности источника ночью, Lw, дБ		**исходные данные**	**77**	**75**	**67**	**66**	**63**	**55**	**53**	**48**	**51**		
Поправка на телесный угол DΩ, дБ	Ω = 12.57	10Lg(4π/Ω)	**0**	0	0	0	0	0	0	0	0		
Показатель направленности источника Di, дБ		исходные данные	**0**	0	0	0	0	0	0	0	0		
Поправка на направленность источника Dc, дБ	Dc	DΩ + Di	**0**	0	0	0	0	0	0	0	0		
Затухание из-за геометрической дивергенции, Adiv, дБ	расстояние = 648.91 м	ф-ла (7) [10]	**67,2**										
Коэффициент затухания звука в атмосфере α, дБ/км	Ta=20,°C Pa=101.33,кПа hотн.=70%	ф-ла (5) [9]	0,02	0,09	0,33	1,12	2,79	4,98	9,04	23,09	77,63		
Учет затухания звука в атмосфере Aatm, дБ		ф-ла (8) [10]	0	0,1	0,2	0,7	1,8	3,2	5,9	15	50,4		
Снижение уровня звукового давления из-за влияния застройки между источником шума и расчетной точкой													
Снижение уровня звукового давления на пути над экраном, Dz1, дБ	z = 0.10м (разность путей)	ф-лы (14-18) [10]	4,8	4,8	4,8	4,8	4,8	4,8	4,8	4,8	4,8		

1		2	3	4	5	6	7	8	9	10	11	12	13
Уровни звукового давления от источника ИШ-7-1 в расчётной точке днём, дБ		**ф-ла(3)[10]**	**5**	**2,9**	**0**	**0**	**0**	**0**	**0**	**0**	**0**	**0**	**0**
Уровни звукового давления от источника ИШ-7-1 в расчётной точке ночью, дБ		**ф-ла(3)[10]**	**5**	**2,9**	**0**	**0**	**0**	**0**	**0**	**0**	**0**	**0**	**0**
Источник шума: ИШ-7-2, координаты источника (x,y,z), м =[768.90,-86.75,1.00]													
Уровни звуковой мощности источника днём, Lw, дБ		**исходные данные**	**77**	**75**	**67**	**66**	**63**	**55**	**53**	**48**	**51**		
Уровни звуковой мощности источника ночью, Lw, дБ		**исходные данные**	**77**	**75**	**67**	**66**	**63**	**55**	**53**	**48**	**51**		
Поправка на телесный угол DΩ, дБ	Ω = 12.57	10Lg(4π/Ω)	**0**	0	0	0	0	0	0	0	0		
Показатель направленности источника Di, дБ		исходные данные	**0**	0	0	0	0	0	0	0	0		
Поправка на направленность источника Dc, дБ	Dc	DΩ + Di	**0**	0	0	0	0	0	0	0	0		
Затухание из-за геометрической дивергенции, Adiv, дБ	расстояние = 553.95 м	ф-ла (7) [10]	**65,9**										
Коэффициент затухания звука в атмосфере α, дБ/км	Ta=20,°C Pa=101.33,кПа hотн.=70%	ф-ла (5) [9]	0,02	0,09	0,33	1,12	2,79	4,98	9,04	23,09	77,63		
Учет затухания звука в атмосфере Aatm, дБ		ф-ла (8) [10]	0	0	0,2	0,6	1,5	2,8	5	12,8	43		
Снижение поверхностью земли возле источника As, дБ	Gs = 0 hs = 1м	ф-лы таб.3 [10]	-1,5	-1,5	-1,5	-1,5	-1,5	-1,5	-1,5	-1,5	-1,5		
Снижение поверхностью земли возле приёмника Ar, дБ	Gr = 1 hr = 4.6м	ф-лы таб.3 [10]	-1,5	-1,5	3,4	1,3	0	0	0	0	0		
Снижение поверхностью земли в средней зоне, Am дБ	Gm = 1	ф-лы таб.3 [10]	-2,1	-2,1	0	0	0	0	0	0	0		
Суммарное снижение поверхностью земли на траектории распространения звука Agr, дБ		ф-ла (9) [10]	-5,1	-5,1	1,9	-0,2	-1,5	-1,5	-1,5	-1,5	-1,5		
Уровни звукового давления от источника ИШ-7-2 в расчётной точке днём, дБ		**ф-ла(3)[10]**	**16,2**	**14,2**	**0**	**0**	**0**	**0**	**0**	**0**	**0**	**0**	**0**

1		2	3	4	5	6	7	8	9	10	11	12	13
Уровни звукового давления от источника ИШ-7-2 в расчётной точке ночью, дБ		**ф-ла(3)[10]**	**16,2**	**14,2**	**0**	**0**	**0**	**0**	**0**	**0**	**0**	**0**	**0**
Источник шума: ИШ-7-3, координаты источника (x,y,z), м =[766.80,-93.20,1.00]													
Уровни звуковой мощности источника днём, Lw, дБ		**исходные данные**	**77**	**75**	**67**	**66**	**63**	**55**	**53**	**48**	**51**		
Уровни звуковой мощности источника ночью, Lw, дБ		**исходные данные**	**77**	**75**	**67**	**66**	**63**	**55**	**53**	**48**	**51**		
Поправка на телесный угол DΩ, дБ	Ω = 12.57	10Lg(4π/Ω)	**0**	0	0	0	0	0	0	0	0		
Показатель направленности источника Di, дБ		исходные данные	**0**	0	0	0	0	0	0	0	0		
Поправка на направленность источника Dc, дБ	Dc	DΩ + Di	**0**	0	0	0	0	0	0	0	0		
Затухание из-за геометрической дивергенции, Adiv, дБ	расстояние = 550.70 м	ф-ла (7) [10]	**65,8**										
Коэффициент затухания звука в атмосфере α, дБ/км	Ta=20,°C Pa=101.33,кПа hотн.=70%	ф-ла (5) [9]	0,02	0,09	0,33	1,12	2,79	4,98	9,04	23,09	77,63		
Учет затухания звука в атмосфере Aatm, дБ		ф-ла (8) [10]	0	0	0,2	0,6	1,5	2,7	5	12,7	42,8		
Снижение поверхностью земли возле источника As, дБ	Gs = 0 hs = 1м	ф-лы таб.3 [10]	-1,5	-1,5	-1,5	-1,5	-1,5	-1,5	-1,5	-1,5	-1,5		
Снижение поверхностью земли возле приёмника Ar, дБ	Gr = 1 hr = 4.6м	ф-лы таб.3 [10]	-1,5	-1,5	3,4	1,3	0	0	0	0	0		
Снижение поверхностью земли в средней зоне, Am дБ	Gm = 1	ф-лы таб.3 [10]	-2,1	-2,1	0	0	0	0	0	0	0		
Суммарное снижение поверхностью земли на траектории распространения звука Agr, дБ		ф-ла (9) [10]	-5,1	-5,1	1,9	-0,2	-1,5	-1,5	-1,5	-1,5	-1,5		
Уровни звукового давления от источника ИШ-7-3 в расчётной точке днём, дБ		**ф-ла(3)[10]**	**16,3**	**14,2**	**0**	**0**	**0**	**0**	**0**	**0**	**0**	**0**	**0**
Уровни звукового давления от источника ИШ-7-3 в расчётной точке ночью, дБ		**ф-ла(3)[10]**	**16,3**	**14,2**	**0**	**0**	**0**	**0**	**0**	**0**	**0**	**0**	**0**

1		2	3	4	5	6	7	8	9	10	11	12	13
Источник шума: ИШ-7-4, координаты источника (x,y,z), м =[866.76,37.18,1.00]													
Уровни звуковой мощности источника днём, Lw, дБ		**исходные данные**	**77**	**75**	**67**	**66**	**63**	**55**	**53**	**48**	**51**		
Уровни звуковой мощности источника ночью, Lw, дБ		**исходные данные**	**77**	**75**	**67**	**66**	**63**	**55**	**53**	**48**	**51**		
Поправка на телесный угол DΩ, дБ	Ω = 12.57	10Lg(4π/Ω)	**0**	0	0	0	0	0	0	0	0		
Показатель направленности источника Di, дБ		исходные данные	**0**	0	0	0	0	0	0	0	0		
Поправка на направленность источника Dc, дБ	Dc	DΩ + Di	**0**	0	0	0	0	0	0	0	0		
Затухание из-за геометрической дивергенции, Adiv, дБ	расстояние = 681.53 м	ф-ла (7) [10]	**67,7**										
Коэффициент затухания звука в атмосфере α, дБ/км	Ta=20,°C Pa=101.33,кПа hотн.=70%	ф-ла (5) [9]	0,02	0,09	0,33	1,12	2,79	4,98	9,04	23,09	77,63		
Учет затухания звука в атмосфере Aatm, дБ		ф-ла (8) [10]	0	0,1	0,2	0,8	1,9	3,4	6,2	15,7	52,9		
Снижение уровня звукового давления из-за влияния застройки между источником шума и расчетной точкой													
Снижение уровня звукового давления на пути над экраном, Dz1, дБ	z = 0.09м (разность путей)	ф-лы (14-18) [10]	4,8	4,8	4,8	4,8	4,8	4,8	4,8	4,8	4,8		
Уровни звукового давления от источника ИШ-7-4 в расчётной точке днём, дБ		**ф-ла(3)[10]**	**4,5**	**2,5**	**0**	**0**	**0**	**0**	**0**	**0**	**0**	**0**	**0**
Уровни звукового давления от источника ИШ-7-4 в расчётной точке ночью, дБ		**ф-ла(3)[10]**	**4,5**	**2,5**	**0**	**0**	**0**	**0**	**0**	**0**	**0**	**0**	**0**
Источник шума: ИШ-7-5, координаты источника (x,y,z), м =[861.80,21.34,1.00]													
Уровни звуковой мощности источника днём, Lw, дБ		**исходные данные**	**77**	**75**	**67**	**66**	**63**	**55**	**53**	**48**	**51**		
Уровни звуковой мощности источника ночью, Lw, дБ		**исходные данные**	**77**	**75**	**67**	**66**	**63**	**55**	**53**	**48**	**51**		

1		2	3	4	5	6	7	8	9	10	11	12	13
Поправка на телесный угол DΩ, дБ	Ω = 12.57	10Lg(4π/Ω)	**0**	0	0	0	0	0	0	0	0		
Показатель направленности источника Di, дБ		исходные данные	**0**	0	0	0	0	0	0	0	0		
Поправка на направленность источника Dc, дБ	Dc	DΩ + Di	**0**	0	0	0	0	0	0	0	0		
Затухание из-за геометрической дивергенции, Adiv, дБ	расстояние = 671.65 м	ф-ла (7) [10]	**67,5**										
Коэффициент затухания звука в атмосфере α, дБ/км	Ta=20,°C Pa=101.33,кПа hотн.=70%	ф-ла (5) [9]	0,02	0,09	0,33	1,12	2,79	4,98	9,04	23,09	77,63		
Учет затухания звука в атмосфере Aatm, дБ		ф-ла (8) [10]	0	0,1	0,2	0,8	1,9	3,3	6,1	15,5	52,1		
Снижение уровня звукового давления из-за влияния застройки между источником шума и расчетной точкой													
Снижение уровня звукового давления препятствием слева от трассы ИШ-РТ, Dz2, дБ	z = -0.01м (разность путей)	ф-лы (14-18) [10]	0	0	0	4,4	3,9	2,9	0	NAN	NAN		
Снижение уровня звукового давления препятствием справа от трассы ИШ-РТ, Dz3, дБ	z = -0.02м (разность путей)	ф-лы (14-18) [10]	0	0	0	3,8	2,6	0	NAN	NAN	NAN		
Общее снижение уровня звука препятствием Dz, дБ		Эн.сумма(-Dzi)	0	0	0	1,1	0,2	0	0	0	0		
* отрицательное значение z означает прохождение траектории вблизи экрана, в этом случае дополнительно производится учёт снижения подстилающей поверхностью (см.ниже)													
Снижение поверхностью земли возле источника As, дБ	Gs = 0 hs = 1м	ф-лы таб.3 [10]	-1,5	-1,5	-1,5	-1,5	-1,5	-1,5	-1,5	-1,5	-1,5		
Снижение поверхностью земли возле приёмника Ar, дБ	Gr = 1 hr = 4.6м	ф-лы таб.3 [10]	-1,5	-1,5	3,6	1,3	0	0	0	0	0		
Снижение поверхностью земли в средней зоне, Am дБ	Gm = 1	ф-лы таб.3 [10]	-2,2	-2,2	0	0	0	0	0	0	0		
Суммарное снижение поверхностью земли на траектории распространения звука Agr, дБ		ф-ла (9) [10]	-5,2	-5,2	2,1	-0,2	-1,5	-1,5	-1,5	-1,5	-1,5		
Уровни звукового давления от источника ИШ-7-5 в расчётной точке днём, дБ		**ф-ла(3)[10]**	**14,7**	**12,6**	**0**	**0**	**0**	**0**	**0**	**0**	**0**	**0**	**0**
Уровни звукового давления от источника ИШ-7-5 в расчётной точке ночью, дБ		**ф-ла(3)[10]**	**14,7**	**12,6**	**0**	**0**	**0**	**0**	**0**	**0**	**0**	**0**	**0**

1		2	3	4	5	6	7	8	9	10	11	12	13
Источник шума: ИШ-7-6, координаты источника (x,y,z), м =[856.52,5.94,1.00]													
Уровни звуковой мощности источника днём, Lw, дБ		**исходные данные**	**77**	**75**	**67**	**66**	**63**	**55**	**53**	**48**	**51**		
Уровни звуковой мощности источника ночью, Lw, дБ		**исходные данные**	**77**	**75**	**67**	**66**	**63**	**55**	**53**	**48**	**51**		
Поправка на телесный угол DΩ, дБ	Ω = 12.57	10Lg(4π/Ω)	**0**	0	0	0	0	0	0	0	0		
Показатель направленности источника Di, дБ		исходные данные	**0**	0	0	0	0	0	0	0	0		
Поправка на направленность источника Dc, дБ	Dc	DΩ + Di	**0**	0	0	0	0	0	0	0	0		
Затухание из-за геометрической дивергенции, Adiv, дБ	расстояние = 661.86 м	ф-ла (7) [10]	**67,4**										
Коэффициент затухания звука в атмосфере α, дБ/км	Ta=20,°C Pa=101.33,кПа hотн.=70%	ф-ла (5) [9]	0,02	0,09	0,33	1,12	2,79	4,98	9,04	23,09	77,63		
Учет затухания звука в атмосфере Aatm, дБ		ф-ла (8) [10]	0	0,1	0,2	0,7	1,8	3,3	6	15,3	51,4		
Снижение уровня звукового давления из-за влияния застройки между источником шума и расчетной точкой													
Снижение уровня звукового давления на пути над экраном, Dz1, дБ	z = 0.15м (разность путей)	ф-лы (14-18) [10]	4,8	4,8	4,8	4,8	4,8	4,8	4,9	4,9	5,1		
Уровни звукового давления от источника ИШ-7-6 в расчётной точке днём, дБ		**ф-ла(3)[10]**	**4,8**	**2,8**	**0**	**0**	**0**	**0**	**0**	**0**	**0**	**0**	**0**
Уровни звукового давления от источника ИШ-7-6 в расчётной точке ночью, дБ		**ф-ла(3)[10]**	**4,8**	**2,8**	**0**	**0**	**0**	**0**	**0**	**0**	**0**	**0**	**0**
Источник шума: ИШ-7-7, координаты источника (x,y,z), м =[851.06,-9.89,1.00]													
Уровни звуковой мощности источника днём, Lw, дБ		**исходные данные**	**77**	**75**	**67**	**66**	**63**	**55**	**53**	**48**	**51**		
Уровни звуковой мощности источника ночью, Lw, дБ		**исходные данные**	**77**	**75**	**67**	**66**	**63**	**55**	**53**	**48**	**51**		

1		2	3	4	5	6	7	8	9	10	11	12	13
Поправка на телесный угол DΩ, дБ	Ω = 12.57	10Lg(4π/Ω)	**0**	0	0	0	0	0	0	0	0		
Показатель направленности источника Di, дБ		исходные данные	**0**	0	0	0	0	0	0	0	0		
Поправка на направленность источника Dc, дБ	Dc	DΩ + Di	**0**	0	0	0	0	0	0	0	0		
Затухание из-за геометрической дивергенции, Adiv, дБ	расстояние = 652.04 м	ф-ла (7) [10]	**67,3**										
Коэффициент затухания звука в атмосфере α, дБ/км	Ta=20,°C Pa=101.33,кПа hотн.=70%	ф-ла (5) [9]	0,02	0,09	0,33	1,12	2,79	4,98	9,04	23,09	77,63		
Учет затухания звука в атмосфере Aatm, дБ		ф-ла (8) [10]	0	0,1	0,2	0,7	1,8	3,2	5,9	15,1	50,6		
Снижение уровня звукового давления из-за влияния застройки между источником шума и расчетной точкой													
Снижение уровня звукового давления на пути над экраном, Dz1, дБ	z = 0.15м (разность путей)	ф-лы (14-18) [10]	4,8	4,8	4,8	4,8	4,8	4,8	4,9	5	5,3		
Уровни звукового давления от источника ИШ-7-7 в расчётной точке днём, дБ		**ф-ла(3)[10]**	**4,9**	**2,9**	**0**	**0**	**0**	**0**	**0**	**0**	**0**	**0**	**0**
Уровни звукового давления от источника ИШ-7-7 в расчётной точке ночью, дБ		**ф-ла(3)[10]**	**4,9**	**2,9**	**0**	**0**	**0**	**0**	**0**	**0**	**0**	**0**	**0**
Источник шума: ИШ-7-8, координаты источника (x,y,z), м =[821.90,-104.30,1.00]													
Уровни звуковой мощности источника днём, Lw, дБ		**исходные данные**	**77**	**75**	**67**	**66**	**63**	**55**	**53**	**48**	**51**		
Уровни звуковой мощности источника ночью, Lw, дБ		**исходные данные**	**77**	**75**	**67**	**66**	**63**	**55**	**53**	**48**	**51**		
Поправка на телесный угол DΩ, дБ	Ω = 12.57	10Lg(4π/Ω)	**0**	0	0	0	0	0	0	0	0		
Показатель направленности источника Di, дБ		исходные данные	**0**	0	0	0	0	0	0	0	0		
Поправка на направленность источника Dc, дБ	Dc	DΩ + Di	**0**	0	0	0	0	0	0	0	0		

1		2	3	4	5	6	7	8	9	10	11	12	13
Затухание из-за геометрической дивергенции, Adiv, дБ	расстояние = 603.24 м	ф-ла (7) [10]	**66,6**										
Коэффициент затухания звука в атмосфере α, дБ/км	Ta=20,°C Pa=101.33,кПа hотн.=70%	ф-ла (5) [9]	0,02	0,09	0,33	1,12	2,79	4,98	9,04	23,09	77,63		
Учет затухания звука в атмосфере Aatm, дБ		ф-ла (8) [10]	0	0,1	0,2	0,7	1,7	3	5,5	13,9	46,8		
Снижение поверхностью земли возле источника As, дБ	Gs = 0 hs = 1м	ф-лы таб.3 [10]	-1,5	-1,5	-1,5	-1,5	-1,5	-1,5	-1,5	-1,5	-1,5		
Снижение поверхностью земли возле приёмника Ar, дБ	Gr = 1 hr = 4.6м	ф-лы таб.3 [10]	-1,5	-1,5	3,5	1,3	0	0	0	0	0		
Снижение поверхностью земли в средней зоне, Am дБ	Gm = 1	ф-лы таб.3 [10]	-2,2	-2,2	0	0	0	0	0	0	0		
Суммарное снижение поверхностью земли на траектории распространения звука Agr, дБ		ф-ла (9) [10]	-5,2	-5,2	2	-0,2	-1,5	-1,5	-1,5	-1,5	-1,5		
Уровни звукового давления от источника ИШ-7-8 в расчётной точке днём, дБ		**ф-ла(3)[10]**	**15,5**	**13,5**	**0**	**0**	**0**	**0**	**0**	**0**	**0**	**0**	**0**
Уровни звукового давления от источника ИШ-7-8 в расчётной точке ночью, дБ		**ф-ла(3)[10]**	**15,5**	**13,5**	**0**	**0**	**0**	**0**	**0**	**0**	**0**	**0**	**0**
Источник шума: ИШ-7-9, координаты источника (x,y,z), м =[819.93,-110.97,1.00]													
Уровни звуковой мощности источника днём, Lw, дБ		**исходные данные**	**77**	**75**	**67**	**66**	**63**	**55**	**53**	**48**	**51**		
Уровни звуковой мощности источника ночью, Lw, дБ		**исходные данные**	**77**	**75**	**67**	**66**	**63**	**55**	**53**	**48**	**51**		
Поправка на телесный угол DΩ, дБ	Ω = 12.57	10Lg(4π/Ω)	**0**	0	0	0	0	0	0	0	0		
Показатель направленности источника Di, дБ		исходные данные	**0**	0	0	0	0	0	0	0	0		
Поправка на направленность источника Dc, дБ	Dc	DΩ + Di	**0**	0	0	0	0	0	0	0	0		
Затухание из-за геометрической дивергенции, Adiv, дБ	расстояние = 600.35 м	ф-ла (7) [10]	**66,6**										

1		2	3	4	5	6	7	8	9	10	11	12	13
Коэффициент затухания звука в атмосфере α, дБ/км	Ta=20,°C Pa=101.33,кПа hотн.=70%	ф-ла (5) [9]	0,02	0,09	0,33	1,12	2,79	4,98	9,04	23,09	77,63		
Учет затухания звука в атмосфере Aatm, дБ		ф-ла (8) [10]	0	0,1	0,2	0,7	1,7	3	5,4	13,9	46,6		
Снижение поверхностью земли возле источника As, дБ	Gs = 0 hs = 1м	ф-лы таб.3 [10]	-1,5	-1,5	-1,5	-1,5	-1,5	-1,5	-1,5	-1,5	-1,5		
Снижение поверхностью земли возле приёмника Ar, дБ	Gr = 1 hr = 4.6м	ф-лы таб.3 [10]	-1,5	-1,5	3,5	1,3	0	0	0	0	0		
Снижение поверхностью земли в средней зоне, Am дБ	Gm = 1	ф-лы таб.3 [10]	-2,2	-2,2	0	0	0	0	0	0	0		
Суммарное снижение поверхностью земли на траектории распространения звука Agr, дБ		ф-ла (9) [10]	-5,2	-5,2	2	-0,2	-1,5	-1,5	-1,5	-1,5	-1,5		
Уровни звукового давления от источника ИШ-7-9 в расчётной точке днём, дБ		**ф-ла(3)[10]**	**15,6**	**13,5**	**0**	**0**	**0**	**0**	**0**	**0**	**0**	**0**	**0**
Уровни звукового давления от источника ИШ-7-9 в расчётной точке ночью, дБ		**ф-ла(3)[10]**	**15,6**	**13,5**	**0**	**0**	**0**	**0**	**0**	**0**	**0**	**0**	**0**
Источник шума: ИШ-7-10, координаты источника (x,y,z), м =[868.68,92.66,1.00]													
Уровни звуковой мощности источника днём, Lw, дБ		**исходные данные**	**77**	**75**	**67**	**66**	**63**	**55**	**53**	**48**	**51**		
Уровни звуковой мощности источника ночью, Lw, дБ		**исходные данные**	**77**	**75**	**67**	**66**	**63**	**55**	**53**	**48**	**51**		
Поправка на телесный угол DΩ, дБ	Ω = 12.57	10Lg(4π/Ω)	**0**	0	0	0	0	0	0	0	0		
Показатель направленности источника Di, дБ		исходные данные	**0**	0	0	0	0	0	0	0	0		
Поправка на направленность источника Dc, дБ	Dc	DΩ + Di	**0**	0	0	0	0	0	0	0	0		
Затухание из-за геометрической дивергенции, Adiv, дБ	расстояние = 703.94 м	ф-ла (7) [10]	**68**										
Коэффициент затухания звука в атмосфере α, дБ/км	Ta=20,°C Pa=101.33,кПа hотн.=70%	ф-ла (5) [9]	0,02	0,09	0,33	1,12	2,79	4,98	9,04	23,09	77,63		

1		2	3	4	5	6	7	8	9	10	11	12	13
Учет затухания звука в атмосфере Aatm, дБ		ф-ла (8) [10]	0	0,1	0,2	0,8	2	3,5	6,4	16,3	54,6		
Снижение уровня звукового давления из-за влияния застройки между источником шума и расчетной точкой													
Снижение уровня звукового давления на пути над экраном, Dz1, дБ	z = 0.09м (разность путей)	ф-лы (14-18) [10]	4,8	4,8	4,8	4,8	4,8	4,8	4,8	4,8	4,8		
Уровни звукового давления от источника ИШ-7-10 в расчётной точке днём, дБ		**ф-ла(3)[10]**	**4,3**	**2,2**	**0**	**0**	**0**	**0**	**0**	**0**	**0**	**0**	**0**
Уровни звукового давления от источника ИШ-7-10 в расчётной точке ночью, дБ		**ф-ла(3)[10]**	**4,3**	**2,2**	**0**	**0**	**0**	**0**	**0**	**0**	**0**	**0**	**0**
Источник шума: ИШ-7-11, координаты источника (x,y,z), м =[877.95,88.75,1.00]													
Уровни звуковой мощности источника днём, Lw, дБ		**исходные данные**	**77**	**75**	**67**	**66**	**63**	**55**	**53**	**48**	**51**		
Уровни звуковой мощности источника ночью, Lw, дБ		**исходные данные**	**77**	**75**	**67**	**66**	**63**	**55**	**53**	**48**	**51**		
Поправка на телесный угол DΩ, дБ	Ω = 12.57	10Lg(4π/Ω)	**0**	0	0	0	0	0	0	0	0		
Показатель направленности источника Di, дБ		исходные данные	**0**	0	0	0	0	0	0	0	0		
Поправка на направленность источника Dc, дБ	Dc	DΩ + Di	**0**	0	0	0	0	0	0	0	0		
Затухание из-за геометрической дивергенции, Adiv, дБ	расстояние = 710.87 м	ф-ла (7) [10]	**68**										
Коэффициент затухания звука в атмосфере α, дБ/км	Ta=20,°C Pa=101.33,кПа hотн.=70%	ф-ла (5) [9]	0,02	0,09	0,33	1,12	2,79	4,98	9,04	23,09	77,63		
Учет затухания звука в атмосфере Aatm, дБ		ф-ла (8) [10]	0	0,1	0,2	0,8	2	3,5	6,4	16,4	55,2		
Снижение уровня звукового давления из-за влияния застройки между источником шума и расчетной точкой													
Снижение уровня звукового давления на пути над экраном, Dz1, дБ	z = 0.08м (разность путей)	ф-лы (14-18) [10]	4,8	4,8	4,8	4,8	4,8	4,8	4,8	4,8	4,8		

1		2	3	4	5	6	7	8	9	10	11	12	13
Уровни звукового давления от источника ИШ-7-11 в расчётной точке днём, дБ		**ф-ла(3)[10]**	**4,2**	**2,1**	**0**	**0**	**0**	**0**	**0**	**0**	**0**	**0**	**0**
Уровни звукового давления от источника ИШ-7-11 в расчётной точке ночью, дБ		**ф-ла(3)[10]**	**4,2**	**2,1**	**0**	**0**	**0**	**0**	**0**	**0**	**0**	**0**	**0**
Источник шума: ИШ-7-12, координаты источника (x,y,z), м =[887.42,85.45,1.00]													
Уровни звуковой мощности источника днём, Lw, дБ		**исходные данные**	**77**	**75**	**67**	**66**	**63**	**55**	**53**	**48**	**51**		
Уровни звуковой мощности источника ночью, Lw, дБ		**исходные данные**	**77**	**75**	**67**	**66**	**63**	**55**	**53**	**48**	**51**		
Поправка на телесный угол DΩ, дБ	Ω = 12.57	10Lg(4π/Ω)	**0**	0	0	0	0	0	0	0	0		
Показатель направленности источника Di, дБ		исходные данные	**0**	0	0	0	0	0	0	0	0		
Поправка на направленность источника Dc, дБ	Dc	DΩ + Di	**0**	0	0	0	0	0	0	0	0		
Затухание из-за геометрической дивергенции, Adiv, дБ	расстояние = 718.29 м	ф-ла (7) [10]	**68,1**										
Коэффициент затухания звука в атмосфере α, дБ/км	Ta=20,°C Pa=101.33,кПа hотн.=70%	ф-ла (5) [9]	0,02	0,09	0,33	1,12	2,79	4,98	9,04	23,09	77,63		
Учет затухания звука в атмосфере Aatm, дБ		ф-ла (8) [10]	0	0,1	0,2	0,8	2	3,6	6,5	16,6	55,8		
Снижение уровня звукового давления из-за влияния застройки между источником шума и расчетной точкой													
Снижение уровня звукового давления на пути над экраном, Dz1, дБ	z = 0.08м (разность путей)	ф-лы (14-18) [10]	4,8	4,8	4,8	4,8	4,8	4,8	4,8	4,8	4,8		
Уровни звукового давления от источника ИШ-7-12 в расчётной точке днём, дБ		**ф-ла(3)[10]**	**4,1**	**2**	**0**	**0**	**0**	**0**	**0**	**0**	**0**	**0**	**0**
Уровни звукового давления от источника ИШ-7-12 в расчётной точке ночью, дБ		**ф-ла(3)[10]**	**4,1**	**2**	**0**	**0**	**0**	**0**	**0**	**0**	**0**	**0**	**0**
Источник шума: ИШ-6-23, координаты источника (x,y,z), м =[756.16,-136.23,3.00]													

1		2	3	4	5	6	7	8	9	10	11	12	13
Уровни звуковой мощности источника днём, Lw, дБ		**исходные данные**	**91**	**91**	**91**	**91**	**91**	**91**	**91**	**91**	**91**		
Уровни звуковой мощности источника ночью, Lw, дБ		**исходные данные**	**91**	**91**	**91**	**91**	**91**	**91**	**91**	**91**	**91**		
Поправка на телесный угол DΩ, дБ	Ω = 12.57	10Lg(4π/Ω)	**0**	0	0	0	0	0	0	0	0		
Показатель направленности источника Di, дБ		исходные данные	**0**	0	0	0	0	0	0	0	0		
Поправка на направленность источника Dc, дБ	Dc	DΩ + Di	**0**	0	0	0	0	0	0	0	0		
Затухание из-за геометрической дивергенции, Adiv, дБ	расстояние = 533.97 м	ф-ла (7) [10]	**65,6**										
Коэффициент затухания звука в атмосфере α, дБ/км	Ta=20,°C Pa=101.33,кПа hотн.=70%	ф-ла (5) [9]	0,02	0,09	0,33	1,12	2,79	4,98	9,04	23,09	77,63		
Учет затухания звука в атмосфере Aatm, дБ		ф-ла (8) [10]	0	0	0,2	0,6	1,5	2,7	4,8	12,3	41,5		
Снижение уровня звукового давления из-за влияния застройки между источником шума и расчетной точкой													
Снижение уровня звукового давления препятствием слева от трассы ИШ-РТ, Dz2, дБ	z = -0.01м (разность путей)	ф-лы (14-18) [10]	4,7	4,7	4,6	4,5	4,2	3,5	1,8	0	NAN		
* отрицательное значение z означает прохождение траектории вблизи экрана, в этом случае дополнительно производится учёт снижения подстилающей поверхностью (см.ниже)													
Снижение поверхностью земли возле источника As, дБ	Gs = 0 hs = 3м	ф-лы таб.3 [10]	-1,5	-1,5	-1,5	-1,5	-1,5	-1,5	-1,5	-1,5	-1,5		
Снижение поверхностью земли возле приёмника Ar, дБ	Gr = 1 hr = 4.6м	ф-лы таб.3 [10]	-1,5	-1,5	3,4	1,3	0	0	0	0	0		
Снижение поверхностью земли в средней зоне, Am дБ	Gm = 1	ф-лы таб.3 [10]	-1,7	-1,7	0	0	0	0	0	0	0		
Суммарное снижение поверхностью земли на траектории распространения звука Agr, дБ		ф-ла (9) [10]	-4,7	-4,7	1,9	-0,2	-1,5	-1,5	-1,5	-1,5	-1,5		
Уровни звукового давления от источника ИШ-6-23 в расчётной точке днём, дБ		**ф-ла(3)[10]**	**25,4**	**25,4**	**18,7**	**20,6**	**21,3**	**20,7**	**20,3**	**14,6**	**0**	**25,8**	**25,8**
Уровни звукового давления от источника ИШ-6-23 в расчётной точке ночью, дБ		**ф-ла(3)[10]**	**25,4**	**25,4**	**18,7**	**20,6**	**21,3**	**20,7**	**20,3**	**14,6**	**0**	**25,8**	**25,8**

1		2	3	4	5	6	7	8	9	10	11	12	13
Источник шума: ИШ-6-24, координаты источника (x,y,z), м =[800.98,-151.27,3.00]													
Уровни звуковой мощности источника днём, Lw, дБ		**исходные данные**	**91**	**91**	**91**	**91**	**91**	**91**	**91**	**91**	**91**		
Уровни звуковой мощности источника ночью, Lw, дБ		**исходные данные**	**91**	**91**	**91**	**91**	**91**	**91**	**91**	**91**	**91**		
Поправка на телесный угол DΩ, дБ	Ω = 12.57	10Lg(4π/Ω)	**0**	0	0	0	0	0	0	0	0		
Показатель направленности источника Di, дБ		исходные данные	**0**	0	0	0	0	0	0	0	0		
Поправка на направленность источника Dc, дБ	Dc	DΩ + Di	**0**	0	0	0	0	0	0	0	0		
Затухание из-за геометрической дивергенции, Adiv, дБ	расстояние = 577.29 м	ф-ла (7) [10]	**66,2**										
Коэффициент затухания звука в атмосфере α, дБ/км	Ta=20,°C Pa=101.33,кПа hотн.=70%	ф-ла (5) [9]	0,02	0,09	0,33	1,12	2,79	4,98	9,04	23,09	77,63		
Учет затухания звука в атмосфере Aatm, дБ		ф-ла (8) [10]	0	0,1	0,2	0,6	1,6	2,9	5,2	13,3	44,8		
Снижение уровня звукового давления из-за влияния застройки между источником шума и расчетной точкой													
Снижение уровня звукового давления на пути над экраном, Dz1, дБ	z = 0.00м (разность путей)	ф-лы (14-18) [10]	4,8	4,8	4,8	4,8	4,8	4,8	4,8	4,8	4,8		
Снижение уровня звукового давления на пути слева от экрана, Dz2, дБ	z = 0.83м (разность путей)	ф-лы (14-18) [10]	7,8	9,6	11,8	14,4	17,2	20	23	26	29		
Снижение уровня звукового давления на пути справа от экрана, Dz3, дБ	z = 0.45м (разность путей)	ф-лы (14-18) [10]	6,7	8	9,9	12,1	14,7	17,5	20,4	23,4	26,3		
Общее снижение уровня звука препятствием Dz, дБ		Эн.сумма(-Dzi)	1,5	2,2	3	3,7	4,1	4,4	4,6	4,7	4,7		
Уровни звукового давления от источника ИШ-6-24 в расчётной точке днём, дБ		**ф-ла(3)[10]**	**23,3**	**22,5**	**21,6**	**20,5**	**19**	**17,5**	**15**	**6,8**	**0**	**22,1**	**22,1**
Уровни звукового давления от источника ИШ-6-24 в расчётной точке ночью, дБ		**ф-ла(3)[10]**	**23,3**	**22,5**	**21,6**	**20,5**	**19**	**17,5**	**15**	**6,8**	**0**	**22,1**	**22,1**

1		2	3	4	5	6	7	8	9	10	11	12	13
Источник шума: ИШ-8-1, координаты источника (x,y,z), м =[612.60,-227.70,3.00]													
Уровни звуковой мощности источника днём, Lw, дБ		**исходные данные**	**105**	**104**	**104**	**101**	**102**	**106**	**101**	**95**	**87**		
Уровни звуковой мощности источника ночью, Lw, дБ		**исходные данные**	**105**	**104**	**104**	**101**	**102**	**106**	**101**	**95**	**87**		
Поправка на телесный угол DΩ, дБ	Ω = 6.28	10Lg(4π/Ω)	**3**	3	3	3	3	3	3	3	3		
Показатель направленности источника Di, дБ		исходные данные	**0**	0	0	0	0	0	0	0	0		
Поправка на направленность источника Dc, дБ	Dc	DΩ + Di	**3**	3	3	3	3	3	3	3	3		
Затухание из-за геометрической дивергенции, Adiv, дБ	расстояние = 389.00 м	ф-ла (7) [10]	**62,8**										
Коэффициент затухания звука в атмосфере α, дБ/км	Ta=20,°C Pa=101.33,кПа hотн.=70%	ф-ла (5) [9]	0,02	0,09	0,33	1,12	2,79	4,98	9,04	23,09	77,63		
Учет затухания звука в атмосфере Aatm, дБ		ф-ла (8) [10]	0	0	0,1	0,4	1,1	1,9	3,5	9	30,2		
Снижение поверхностью земли возле источника As, дБ	Gs = 0 hs = 3м	ф-лы таб.3 [10]	-1,5	-1,5	-1,5	-1,5	-1,5	-1,5	-1,5	-1,5	-1,5		
Снижение поверхностью земли возле приёмника Ar, дБ	Gr = 1 hr = 4.6м	ф-лы таб.3 [10]	-1,5	-1,5	3,2	1,3	0	0	0	0	0		
Снижение поверхностью земли в средней зоне, Am дБ	Gm = 1	ф-лы таб.3 [10]	-1,2	-1,2	0	0	0	0	0	0	0		
Суммарное снижение поверхностью земли на траектории распространения звука Agr, дБ		ф-ла (9) [10]	-4,2	-4,2	1,7	-0,2	-1,5	-1,5	-1,5	-1,5	-1,5		
Уровни звукового давления прямого звука от источника ИШ-8-1 в расчётной точке днём, дБ		**ф-ла(3)[10]**	**49,4**	**48,4**	**42,3**	**41**	**42,6**	**45,8**	**39,2**	**27,7**	**0**	**47,8**	**47,8**
Уровни звукового давления прямого звука от источника ИШ-8-1 в расчётной точке ночью, дБ		**ф-ла(3)[10]**	**49,4**	**48,4**	**42,3**	**41**	**42,6**	**45,8**	**39,2**	**27,7**	**0**	**47,8**	**47,8**
Расчёт отражённого звука													

1		2	3	4	5	6	7	8	9	10	11	12	13
Уровни звукового давления от мнимого источника ИШ-8-1_мн.(1) в расчётной точке днём, дБ		**ф-ла(3)[10]**	**0**	**0**	**37,1**	**34,7**	**39,9**	**43,3**	**36,7**	**25,2**	**0**	**45,2**	**45,2**
Уровни звукового давления от мнимого источника ИШ-8-1_мн.(1) в расчётной точке ночью, дБ		**ф-ла(3)[10]**	**0**	**0**	**0**	**0**	**0**	**0**	**0**	**0**	**0**	**45,2**	**45,2**
Уровни звукового давления от источника ИШ-8-1 в расчётной точке днём, дБ		**ф-ла(3)[10]**	**49,4**	**48,4**	**43,5**	**41,9**	**44,5**	**47,7**	**41,1**	**29,7**	**0**	**49,7**	**49,7**
Уровни звукового давления от источника ИШ-8-1 в расчётной точке ночью, дБ		**ф-ла(3)[10]**	**49,4**	**48,4**	**43,5**	**41,9**	**44,5**	**47,7**	**41,1**	**29,7**	**0**	**49,7**	**49,7**
Источник шума: ИШ-8-2, координаты источника (x,y,z), м =[596.60,-275.00,3.00]													
Уровни звуковой мощности источника днём, Lw, дБ		**исходные данные**	**105**	**104**	**104**	**101**	**102**	**106**	**101**	**95**	**87**		
Уровни звуковой мощности источника ночью, Lw, дБ		**исходные данные**	**105**	**104**	**104**	**101**	**102**	**106**	**101**	**95**	**87**		
Поправка на телесный угол DΩ, дБ	Ω = 6.28	10Lg(4π/Ω)	**3**	3	3	3	3	3	3	3	3		
Показатель направленности источника Di, дБ		исходные данные	**0**	0	0	0	0	0	0	0	0		
Поправка на направленность источника Dc, дБ	Dc	DΩ + Di	**3**	3	3	3	3	3	3	3	3		
Затухание из-за геометрической дивергенции, Adiv, дБ	расстояние = 380.43 м	ф-ла (7) [10]	**62,6**										
Коэффициент затухания звука в атмосфере α, дБ/км	Ta=20,°C Pa=101.33,кПа hотн.=70%	ф-ла (5) [9]	0,02	0,09	0,33	1,12	2,79	4,98	9,04	23,09	77,63		
Учет затухания звука в атмосфере Aatm, дБ		ф-ла (8) [10]	0	0	0,1	0,4	1,1	1,9	3,4	8,8	29,5		
Снижение поверхностью земли возле источника As, дБ	Gs = 0 hs = 3м	ф-лы таб.3 [10]	-1,5	-1,5	-1,5	-1,5	-1,5	-1,5	-1,5	-1,5	-1,5		
Снижение поверхностью земли возле приёмника Ar, дБ	Gr = 1 hr = 4.6м	ф-лы таб.3 [10]	-1,5	-1,5	3,2	1,3	0	0	0	0	0		
Снижение поверхностью земли в средней зоне, Am дБ	Gm = 1	ф-лы таб.3 [10]	-1,2	-1,2	0	0	0	0	0	0	0		

1		2	3	4	5	6	7	8	9	10	11	12	13
Суммарное снижение поверхностью земли на траектории распространения звука Agr, дБ		ф-ла (9) [10]	-4,2	-4,2	1,7	-0,2	-1,5	-1,5	-1,5	-1,5	-1,5		
Уровни звукового давления прямого звука от источника ИШ-8-2 в расчётной точке днём, дБ		**ф-ла(3)[10]**	**49,6**	**48,6**	**42,6**	**41,2**	**42,8**	**46**	**39,5**	**28,1**	**0**	**48,1**	**48,1**
Уровни звукового давления прямого звука от источника ИШ-8-2 в расчётной точке ночью, дБ		**ф-ла(3)[10]**	**49,6**	**48,6**	**42,6**	**41,2**	**42,8**	**46**	**39,5**	**28,1**	**0**	**48,1**	**48,1**
Расчёт отражённого звука													
Уровни звукового давления от мнимого источника ИШ-8-2_мн.(1) в расчётной точке днём, дБ		**ф-ла(3)[10]**	**0**	**0**	**0**	**34,9**	**40,1**	**43,5**	**37**	**25,6**	**0**	**45,4**	**45,4**
Уровни звукового давления от мнимого источника ИШ-8-2_мн.(1) в расчётной точке ночью, дБ		**ф-ла(3)[10]**	**0**	**0**	**0**	**0**	**0**	**0**	**0**	**0**	**0**	**45,4**	**45,4**
Уровни звукового давления от источника ИШ-8-2 в расчётной точке днём, дБ		**ф-ла(3)[10]**	**49,6**	**48,6**	**42,6**	**42,1**	**44,7**	**48**	**41,4**	**30,1**	**0**	**50**	**50**
Уровни звукового давления от источника ИШ-8-2 в расчётной точке ночью, дБ		**ф-ла(3)[10]**	**49,6**	**48,6**	**42,6**	**42,1**	**44,7**	**48**	**41,4**	**30,1**	**0**	**50**	**50**
Источник шума: ИШ-8-3, координаты источника (x,y,z), м =[564.90,-369.90,3.00]													
Уровни звуковой мощности источника днём, Lw, дБ		**исходные данные**	**105**	**104**	**104**	**101**	**102**	**106**	**101**	**95**	**87**		
Уровни звуковой мощности источника ночью, Lw, дБ		**исходные данные**	**105**	**104**	**104**	**101**	**102**	**106**	**101**	**95**	**87**		
Поправка на телесный угол DΩ, дБ	Ω = 6.28	10Lg(4π/Ω)	**3**	3	3	3	3	3	3	3	3		
Показатель направленности источника Di, дБ		исходные данные	**0**	0	0	0	0	0	0	0	0		
Поправка на направленность источника Dc, дБ	Dc	DΩ + Di	**3**	3	3	3	3	3	3	3	3		
Затухание из-за геометрической дивергенции, Adiv, дБ	расстояние = 383.16 м	ф-ла (7) [10]	**62,7**										
Коэффициент затухания звука в атмосфере α, дБ/км	Ta=20,°C Pa=101.33,кПа hотн.=70%	ф-ла (5) [9]	0,02	0,09	0,33	1,12	2,79	4,98	9,04	23,09	77,63		

1		2	3	4	5	6	7	8	9	10	11	12	13
Учет затухания звука в атмосфере Aatm, дБ		ф-ла (8) [10]	0	0	0,1	0,4	1,1	1,9	3,5	8,8	29,7		
Снижение уровня звукового давления из-за влияния застройки между источником шума и расчетной точкой													
Снижение уровня звукового давления на пути над экраном, Dz1, дБ	z = 1.05м (разность путей)	ф-лы (14-18) [10]	7,9	10,7	14,3	17,6	20,6	23,6	26,6	29,6	32,6		
Снижение уровня звукового давления на пути слева от экрана, Dz2, дБ	z = 118.40м (разность путей)	ф-лы (14-18) [10]	26,7	30,4	34,7	39,2	42,9	46,1	49,2	52,2	55,2		
Снижение уровня звукового давления на пути справа от экрана, Dz3, дБ	z = 0.42м (разность путей)	ф-лы (14-18) [10]	6,6	7,9	9,6	11,9	14,4	17,2	20,1	23	26		
Общее снижение уровня звука препятствием Dz, дБ		Эн.сумма(-Dzi)	4,2	6	8,3	10,8	13,5	16,3	19,2	22,2	25,1		
Общее снижение уровня звука препятствием с учётом ограничения (25 дБ) для октавных полос Dz, дБ		Раздел 7.4 [10]	4,2	6	8,3	10,8	13,5	16,3	19,2	22,2	25		
Уровни звукового давления от источника ИШ-8-3 в расчётной точке днём, дБ		**ф-ла(3)[10]**	**41,2**	**38,3**	**35,9**	**30,1**	**27,8**	**28,1**	**18,7**	**4,3**	**0**	**31,1**	**31,1**
Уровни звукового давления от источника ИШ-8-3 в расчётной точке ночью, дБ		**ф-ла(3)[10]**	**41,2**	**38,3**	**35,9**	**30,1**	**27,8**	**28,1**	**18,7**	**4,3**	**0**	**31,1**	**31,1**
Источник шума: ИШ-9-1, координаты источника (x,y,z), м =[642.94,-357.54,1.00]													
Уровни звуковой мощности источника днём, Lw, дБ		**исходные данные**	**0**	**93,3**	**94,7**	**96**	**96,3**	**95,9**	**92,6**	**88,4**	**83,9**		
Уровни звуковой мощности источника ночью, Lw, дБ		**исходные данные**	**0**	**93,3**	**94,7**	**96**	**96,3**	**95,9**	**92,6**	**88,4**	**83,9**		
Поправка на телесный угол DΩ, дБ	Ω = 6.28	10Lg(4π/Ω)	**3**	3	3	3	3	3	3	3	3		
Показатель направленности источника Di, дБ		исходные данные	**0**	0	0	0	0	0	0	0	0		
Поправка на направленность источника Dc, дБ	Dc	DΩ + Di	**3**	3	3	3	3	3	3	3	3		
Затухание из-за геометрической дивергенции, Adiv, дБ	расстояние = 449.12 м	ф-ла (7) [10]	**64**										

1		2	3	4	5	6	7	8	9	10	11	12	13
Коэффициент затухания звука в атмосфере α, дБ/км	Ta=20,°C Pa=101.33,кПа hотн.=70%	ф-ла (5) [9]	0,02	0,09	0,33	1,12	2,79	4,98	9,04	23,09	77,63		
Учет затухания звука в атмосфере Aatm, дБ		ф-ла (8) [10]	0	0	0,2	0,5	1,3	2,2	4,1	10,4	34,9		
Снижение уровня звукового давления из-за влияния застройки между источником шума и расчетной точкой													
Снижение уровня звукового давления на пути над экраном, Dz1, дБ	z = 0.42м (разность путей)	ф-лы (14-18) [10]	6,9	8,5	10,5	12,8	15,5	18,3	21,2	24,2	27,2		
Снижение уровня звукового давления на пути слева от экрана, Dz2, дБ	z = 105.06м (разность путей)	ф-лы (14-18) [10]	30,5	33,6	36,7	39,7	42,7	45,7	48,7	51,7	54,7		
Снижение уровня звукового давления на пути справа от экрана, Dz3, дБ	z = 3.04м (разность путей)	ф-лы (14-18) [10]	15,3	18,4	21,4	24,3	27,3	30,3	33,3	36,3	39,3		
Общее снижение уровня звука препятствием Dz, дБ		Эн.сумма(-Dzi)	6,3	8	10,1	12,5	15,2	18,1	21	23,9	26,9		
Общее снижение уровня звука препятствием с учётом ограничения (25 дБ) для октавных полос Dz, дБ		Раздел 7.4 [10]	6,3	8	10,1	12,5	15,2	18,1	21	23,9	25		
Уровни звукового давления прямого звука от источника ИШ-9-1 в расчётной точке днём, дБ		**ф-ла(3)[10]**	**0**	**24,2**	**23,4**	**21,9**	**18,8**	**14,6**	**6,5**	**0**	**0**	**19,9**	**19,9**
Уровни звукового давления прямого звука от источника ИШ-9-1 в расчётной точке ночью, дБ		**ф-ла(3)[10]**	**0**	**24,2**	**23,4**	**21,9**	**18,8**	**14,6**	**6,5**	**0**	**0**	**19,9**	**19,9**
Расчёт отражённого звука													
Уровни звукового давления от мнимого источника ИШ-9-1_мн.(1) в расчётной точке днём, дБ		**ф-ла(3)[10]**	**0**	**0**	**0**	**0**	**0**	**0**	**0**	**0**	**0**	**0**	**0**
Уровни звукового давления от мнимого источника ИШ-9-1_мн.(1) в расчётной точке ночью, дБ		**ф-ла(3)[10]**	**0**	**0**	**0**	**0**	**0**	**0**	**0**	**0**	**0**	**0**	**0**
Уровни звукового давления от источника ИШ-9-1 в расчётной точке днём, дБ		**ф-ла(3)[10]**	**0**	**24,2**	**23,4**	**21,9**	**18,8**	**14,6**	**6,5**	**0**	**0**	**19,9**	**19,9**
Уровни звукового давления от источника ИШ-9-1 в расчётной точке ночью, дБ		**ф-ла(3)[10]**	**0**	**24,2**	**23,4**	**21,9**	**18,8**	**14,6**	**6,5**	**0**	**0**	**19,9**	**19,9**
Источник шума: ИШ-9-2, координаты источника (x,y,z), м =[644.14,-354.83,1.00]													

1		2	3	4	5	6	7	8	9	10	11	12	13
Уровни звуковой мощности источника днём, Lw, дБ		**исходные данные**	**0**	**93,3**	**94,7**	**96**	**96,3**	**95,9**	**92,6**	**88,4**	**83,9**		
Уровни звуковой мощности источника ночью, Lw, дБ		**исходные данные**	**0**	**93,3**	**94,7**	**96**	**96,3**	**95,9**	**92,6**	**88,4**	**83,9**		
Поправка на телесный угол DΩ, дБ	Ω = 6.28	10Lg(4π/Ω)	**3**	3	3	3	3	3	3	3	3		
Показатель направленности источника Di, дБ		исходные данные	**0**	0	0	0	0	0	0	0	0		
Поправка на направленность источника Dc, дБ	Dc	DΩ + Di	**3**	3	3	3	3	3	3	3	3		
Затухание из-за геометрической дивергенции, Adiv, дБ	расстояние = 449.25 м	ф-ла (7) [10]	**64**										
Коэффициент затухания звука в атмосфере α, дБ/км	Ta=20,°C Pa=101.33,кПа hотн.=70%	ф-ла (5) [9]	0,02	0,09	0,33	1,12	2,79	4,98	9,04	23,09	77,63		
Учет затухания звука в атмосфере Aatm, дБ		ф-ла (8) [10]	0	0	0,2	0,5	1,3	2,2	4,1	10,4	34,9		
Снижение уровня звукового давления из-за влияния застройки между источником шума и расчетной точкой													
Снижение уровня звукового давления на пути над экраном, Dz1, дБ	z = 0.38м (разность путей)	ф-лы (14-18) [10]	6,6	8	9,8	12,1	14,7	17,5	20,4	23,3	26,3		
Снижение уровня звукового давления на пути слева от экрана, Dz2, дБ	z = 105.52м (разность путей)	ф-лы (14-18) [10]	30,5	33,7	36,7	39,7	42,7	45,7	48,7	51,7	54,7		
Снижение уровня звукового давления на пути справа от экрана, Dz3, дБ	z = 2.95м (разность путей)	ф-лы (14-18) [10]	11,6	14,5	18,3	22,7	26,7	30	33,2	36,2	39,2		
Общее снижение уровня звука препятствием Dz, дБ		Эн.сумма(-Dzi)	5,4	7,1	9,2	11,7	14,4	17,2	20,1	23,1	26,1		
Общее снижение уровня звука препятствием с учётом ограничения (25 дБ) для октавных полос Dz, дБ		Раздел 7.4 [10]	5,4	7,1	9,2	11,7	14,4	17,2	20,1	23,1	25		
Уровни звукового давления прямого звука от источника ИШ-9-2 в расчётной точке днём, дБ		**ф-ла(3)[10]**	**0**	**25,1**	**24,3**	**22,7**	**19,6**	**15,4**	**7,3**	**0**	**0**	**20,7**	**20,7**
Уровни звукового давления прямого звука от источника ИШ-9-2 в расчётной точке ночью, дБ		**ф-ла(3)[10]**	**0**	**25,1**	**24,3**	**22,7**	**19,6**	**15,4**	**7,3**	**0**	**0**	**20,7**	**20,7**
Расчёт отражённого звука													

1		2	3	4	5	6	7	8	9	10	11	12	13
Уровни звукового давления от мнимого источника ИШ-9-2_мн.(1) в расчётной точке днём, дБ		**ф-ла(3)[10]**	**0**	**0**	**0**	**0**	**0**	**0**	**0**	**0**	**0**	**0**	**0**
Уровни звукового давления от мнимого источника ИШ-9-2_мн.(1) в расчётной точке ночью, дБ		**ф-ла(3)[10]**	**0**	**0**	**0**	**0**	**0**	**0**	**0**	**0**	**0**	**0**	**0**
Уровни звукового давления от источника ИШ-9-2 в расчётной точке днём, дБ		**ф-ла(3)[10]**	**0**	**25,1**	**24,3**	**22,7**	**19,6**	**15,4**	**7,3**	**0**	**0**	**20,7**	**20,7**
Уровни звукового давления от источника ИШ-9-2 в расчётной точке ночью, дБ		**ф-ла(3)[10]**	**0**	**25,1**	**24,3**	**22,7**	**19,6**	**15,4**	**7,3**	**0**	**0**	**20,7**	**20,7**
Источник шума: ИШ-9-3, координаты источника (x,y,z), м =[644.98,-351.85,1.00]													
Уровни звуковой мощности источника днём, Lw, дБ		**исходные данные**	**0**	**93,3**	**94,7**	**96**	**96,3**	**95,9**	**92,6**	**88,4**	**83,9**		
Уровни звуковой мощности источника ночью, Lw, дБ		**исходные данные**	**0**	**93,3**	**94,7**	**96**	**96,3**	**95,9**	**92,6**	**88,4**	**83,9**		
Поправка на телесный угол DΩ, дБ	Ω = 6.28	10Lg(4π/Ω)	**3**	3	3	3	3	3	3	3	3		
Показатель направленности источника Di, дБ		исходные данные	**0**	0	0	0	0	0	0	0	0		
Поправка на направленность источника Dc, дБ	Dc	DΩ + Di	**3**	3	3	3	3	3	3	3	3		
Затухание из-за геометрической дивергенции, Adiv, дБ	расстояние = 448.97 м	ф-ла (7) [10]	**64**										
Коэффициент затухания звука в атмосфере α, дБ/км	Ta=20,°C Pa=101.33,кПа hотн.=70%	ф-ла (5) [9]	0,02	0,09	0,33	1,12	2,79	4,98	9,04	23,09	77,63		
Учет затухания звука в атмосфере Aatm, дБ		ф-ла (8) [10]	0	0	0,2	0,5	1,3	2,2	4,1	10,4	34,9		
Снижение уровня звукового давления из-за влияния застройки между источником шума и расчетной точкой													
Снижение уровня звукового давления на пути над экраном, Dz1, дБ	z = 0.03м (разность путей)	ф-лы (14-18) [10]	4,8	4,8	4,8	4,8	4,8	4,8	4,8	4,8	4,8		
Снижение уровня звукового давления на пути слева от экрана, Dz2, дБ	z = 106.06м (разность путей)	ф-лы (14-18) [10]	30,6	33,7	36,7	39,7	42,7	45,7	48,7	51,8	54,8		

1		2	3	4	5	6	7	8	9	10	11	12	13
Снижение уровня звукового давления на пути справа от экрана, Dz3, дБ	z = 2.79м (разность путей)	ф-лы (14-18) [10]	11,4	14,3	18,1	22,5	26,4	29,8	32,9	35,9	39		
Общее снижение уровня звука препятствием Dz, дБ		Эн.сумма(-Dzi)	3,9	4,3	4,6	4,7	4,7	4,8	4,8	4,8	4,8		
Уровни звукового давления прямого звука от источника ИШ-9-3 в расчётной точке днём, дБ		**ф-ла(3)[10]**	**0**	**27,9**	**28,9**	**29,7**	**29,3**	**27,9**	**22,7**	**12,2**	**0**	**31,6**	**31,6**
Уровни звукового давления прямого звука от источника ИШ-9-3 в расчётной точке ночью, дБ		**ф-ла(3)[10]**	**0**	**27,9**	**28,9**	**29,7**	**29,3**	**27,9**	**22,7**	**12,2**	**0**	**31,6**	**31,6**
Расчёт отражённого звука													
Уровни звукового давления от мнимого источника ИШ-9-3_мн.(1) в расчётной точке днём, дБ		**ф-ла(3)[10]**	**0**	**0**	**0**	**0**	**0**	**0**	**0**	**0**	**0**	**0**	**0**
Уровни звукового давления от мнимого источника ИШ-9-3_мн.(1) в расчётной точке ночью, дБ		**ф-ла(3)[10]**	**0**	**0**	**0**	**0**	**0**	**0**	**0**	**0**	**0**	**0**	**0**
Уровни звукового давления от источника ИШ-9-3 в расчётной точке днём, дБ		**ф-ла(3)[10]**	**0**	**27,9**	**28,9**	**29,7**	**29,3**	**27,9**	**22,7**	**12,2**	**0**	**31,6**	**31,6**
Уровни звукового давления от источника ИШ-9-3 в расчётной точке ночью, дБ		**ф-ла(3)[10]**	**0**	**27,9**	**28,9**	**29,7**	**29,3**	**27,9**	**22,7**	**12,2**	**0**	**31,6**	**31,6**
Источник шума: ИШ-9-4, координаты источника (x,y,z), м =[646.01,-349.15,1.00]													
Уровни звуковой мощности источника днём, Lw, дБ		**исходные данные**	**0**	**93,3**	**94,7**	**96**	**96,3**	**95,9**	**92,6**	**88,4**	**83,9**		
Уровни звуковой мощности источника ночью, Lw, дБ		**исходные данные**	**0**	**93,3**	**94,7**	**96**	**96,3**	**95,9**	**92,6**	**88,4**	**83,9**		
Поправка на телесный угол DΩ, дБ	Ω = 6.28	10Lg(4π/Ω)	**3**	3	3	3	3	3	3	3	3		
Показатель направленности источника Di, дБ		исходные данные	**0**	0	0	0	0	0	0	0	0		
Поправка на направленность источника Dc, дБ	Dc	DΩ + Di	**3**	3	3	3	3	3	3	3	3		
Затухание из-за геометрической дивергенции, Adiv, дБ	расстояние = 448.98 м	ф-ла (7) [10]	**64**										
Коэффициент затухания звука в атмосфере α, дБ/км	Ta=20,°C Pa=101.33,кПа hотн.=70%	ф-ла (5) [9]	0,02	0,09	0,33	1,12	2,79	4,98	9,04	23,09	77,63		

1		2	3	4	5	6	7	8	9	10	11	12	13
Учет затухания звука в атмосфере Aatm, дБ		ф-ла (8) [10]	0	0	0,2	0,5	1,3	2,2	4,1	10,4	34,9		
Снижение уровня звукового давления из-за влияния застройки между источником шума и расчетной точкой													
Снижение уровня звукового давления на пути над экраном, Dz1, дБ	z = 0.03м (разность путей)	ф-лы (14-18) [10]	4,8	4,8	4,8	4,8	4,8	4,8	4,8	4,8	4,8		
Снижение уровня звукового давления на пути слева от экрана, Dz2, дБ	z = 106.61м (разность путей)	ф-лы (14-18) [10]	30,6	33,7	36,7	39,7	42,7	45,8	48,8	51,8	54,8		
Снижение уровня звукового давления на пути справа от экрана, Dz3, дБ	z = 2.64м (разность путей)	ф-лы (14-18) [10]	11,2	14,1	17,8	22,3	26,2	29,6	32,7	35,7	38,7		
Общее снижение уровня звука препятствием Dz, дБ		Эн.сумма(-Dzi)	3,9	4,3	4,6	4,7	4,7	4,8	4,8	4,8	4,8		
Уровни звукового давления прямого звука от источника ИШ-9-4 в расчётной точке днём, дБ		**ф-ла(3)[10]**	**0**	**27,9**	**28,9**	**29,7**	**29,3**	**27,9**	**22,7**	**12,2**	**0**	**31,6**	**31,6**
Уровни звукового давления прямого звука от источника ИШ-9-4 в расчётной точке ночью, дБ		**ф-ла(3)[10]**	**0**	**27,9**	**28,9**	**29,7**	**29,3**	**27,9**	**22,7**	**12,2**	**0**	**31,6**	**31,6**
Расчёт отражённого звука													
Уровни звукового давления от мнимого источника ИШ-9-4_мн.(1) в расчётной точке днём, дБ		**ф-ла(3)[10]**	**0**	**0**	**0**	**0**	**0**	**0**	**0**	**0**	**0**	**0**	**0**
Уровни звукового давления от мнимого источника ИШ-9-4_мн.(1) в расчётной точке ночью, дБ		**ф-ла(3)[10]**	**0**	**0**	**0**	**0**	**0**	**0**	**0**	**0**	**0**	**0**	**0**
Уровни звукового давления от источника ИШ-9-4 в расчётной точке днём, дБ		**ф-ла(3)[10]**	**0**	**27,9**	**28,9**	**29,7**	**29,3**	**27,9**	**22,7**	**12,2**	**0**	**31,6**	**31,6**
Уровни звукового давления от источника ИШ-9-4 в расчётной точке ночью, дБ		**ф-ла(3)[10]**	**0**	**27,9**	**28,9**	**29,7**	**29,3**	**27,9**	**22,7**	**12,2**	**0**	**31,6**	**31,6**
Источник шума: ИШ-9-5, координаты источника (x,y,z), м =[646.84,-346.17,1.00]													
Уровни звуковой мощности источника днём, Lw, дБ		**исходные данные**	**0**	**93,3**	**94,7**	**96**	**96,3**	**95,9**	**92,6**	**88,4**	**83,9**		
Уровни звуковой мощности источника ночью, Lw, дБ		**исходные данные**	**0**	**93,3**	**94,7**	**96**	**96,3**	**95,9**	**92,6**	**88,4**	**83,9**		
Поправка на телесный угол DΩ, дБ	Ω = 6.28	10Lg(4π/Ω)	**3**	3	3	3	3	3	3	3	3		

1		2	3	4	5	6	7	8	9	10	11	12	13
Показатель направленности источника Di, дБ		исходные данные	**0**	0	0	0	0	0	0	0	0		
Поправка на направленность источника Dc, дБ	Dc	DΩ + Di	**3**	3	3	3	3	3	3	3	3		
Затухание из-за геометрической дивергенции, Adiv, дБ	расстояние = 448.74 м	ф-ла (7) [10]	**64**										
Коэффициент затухания звука в атмосфере α, дБ/км	Ta=20,°C Pa=101.33,кПа hотн.=70%	ф-ла (5) [9]	0,02	0,09	0,33	1,12	2,79	4,98	9,04	23,09	77,63		
Учет затухания звука в атмосфере Aatm, дБ		ф-ла (8) [10]	0	0	0,2	0,5	1,3	2,2	4,1	10,4	34,8		
Снижение уровня звукового давления из-за влияния застройки между источником шума и расчетной точкой													
Снижение уровня звукового давления на пути над экраном, Dz1, дБ	z = 0.00м (разность путей)	ф-лы (14-18) [10]	4,8	4,8	4,8	4,8	4,8	4,8	4,8	4,8	4,8		
Снижение уровня звукового давления на пути слева от экрана, Dz2, дБ	z = 107.27м (разность путей)	ф-лы (14-18) [10]	30,6	33,7	36,7	39,8	42,8	45,8	48,8	51,8	54,8		
Снижение уровня звукового давления на пути справа от экрана, Dz3, дБ	z = 2.49м (разность путей)	ф-лы (14-18) [10]	11	13,9	17,6	22	26	29,3	32,4	35,4	38,5		
Общее снижение уровня звука препятствием Dz, дБ		Эн.сумма(-Dzi)	3,8	4,3	4,5	4,7	4,7	4,8	4,8	4,8	4,8		
Уровни звукового давления от источника ИШ-9-5 в расчётной точке днём, дБ		**ф-ла(3)[10]**	**0**	**28**	**29**	**29,8**	**29,3**	**27,9**	**22,7**	**12,2**	**0**	**31,6**	**31,6**
Уровни звукового давления от источника ИШ-9-5 в расчётной точке ночью, дБ		**ф-ла(3)[10]**	**0**	**28**	**29**	**29,8**	**29,3**	**27,9**	**22,7**	**12,2**	**0**	**31,6**	**31,6**
Источник шума: ИШ-9-6, координаты источника (x,y,z), м =[647.87,-343.47,1.00]													
Уровни звуковой мощности источника днём, Lw, дБ		**исходные данные**	**0**	**93,3**	**94,7**	**96**	**96,3**	**95,9**	**92,6**	**88,4**	**83,9**		
Уровни звуковой мощности источника ночью, Lw, дБ		**исходные данные**	**0**	**93,3**	**94,7**	**96**	**96,3**	**95,9**	**92,6**	**88,4**	**83,9**		
Поправка на телесный угол DΩ, дБ	Ω = 6.28	10Lg(4π/Ω)	**3**	3	3	3	3	3	3	3	3		

1		2	3	4	5	6	7	8	9	10	11	12	13
Показатель направленности источника Di, дБ		исходные данные	**0**	0	0	0	0	0	0	0	0		
Поправка на направленность источника Dc, дБ	Dc	DΩ + Di	**3**	3	3	3	3	3	3	3	3		
Затухание из-за геометрической дивергенции, Adiv, дБ	расстояние = 448.79 м	ф-ла (7) [10]	**64**										
Коэффициент затухания звука в атмосфере α, дБ/км	Ta=20,°C Pa=101.33,кПа hотн.=70%	ф-ла (5) [9]	0,02	0,09	0,33	1,12	2,79	4,98	9,04	23,09	77,63		
Учет затухания звука в атмосфере Aatm, дБ		ф-ла (8) [10]	0	0	0,2	0,5	1,3	2,2	4,1	10,4	34,8		
Снижение уровня звукового давления из-за влияния застройки между источником шума и расчетной точкой													
Снижение уровня звукового давления на пути над экраном, Dz1, дБ	z = 0.00м (разность путей)	ф-лы (14-18) [10]	4,8	4,8	4,8	4,8	4,8	4,8	4,8	4,8	4,8		
Снижение уровня звукового давления на пути слева от экрана, Dz2, дБ	z = 107.93м (разность путей)	ф-лы (14-18) [10]	30,6	33,8	36,8	39,8	42,8	45,8	48,8	51,8	54,8		
Снижение уровня звукового давления на пути справа от экрана, Dz3, дБ	z = 2.35м (разность путей)	ф-лы (14-18) [10]	10,8	13,6	17,4	21,8	25,7	29,1	32,2	35,2	38,2		
Общее снижение уровня звука препятствием Dz, дБ		Эн.сумма(-Dzi)	3,8	4,2	4,5	4,7	4,7	4,8	4,8	4,8	4,8		
Уровни звукового давления от источника ИШ-9-6 в расчётной точке днём, дБ		**ф-ла(3)[10]**	**0**	**28**	**29**	**29,8**	**29,3**	**27,9**	**22,7**	**12,2**	**0**	**31,6**	**31,6**
Уровни звукового давления от источника ИШ-9-6 в расчётной точке ночью, дБ		**ф-ла(3)[10]**	**0**	**28**	**29**	**29,8**	**29,3**	**27,9**	**22,7**	**12,2**	**0**	**31,6**	**31,6**
Источник шума: ИШ-9-7, координаты источника (x,y,z), м =[648.71,-340.49,1.00]													
Уровни звуковой мощности источника днём, Lw, дБ		**исходные данные**	**0**	**93,3**	**94,7**	**96**	**96,3**	**95,9**	**92,6**	**88,4**	**83,9**		
Уровни звуковой мощности источника ночью, Lw, дБ		**исходные данные**	**0**	**93,3**	**94,7**	**96**	**96,3**	**95,9**	**92,6**	**88,4**	**83,9**		
Поправка на телесный угол DΩ, дБ	Ω = 6.28	10Lg(4π/Ω)	**3**	3	3	3	3	3	3	3	3		

1		2	3	4	5	6	7	8	9	10	11	12	13
Показатель направленности источника Di, дБ		исходные данные	**0**	0	0	0	0	0	0	0	0		
Поправка на направленность источника Dc, дБ	Dc	DΩ + Di	**3**	3	3	3	3	3	3	3	3		
Затухание из-за геометрической дивергенции, Adiv, дБ	расстояние = 448.58 м	ф-ла (7) [10]	**64**										
Коэффициент затухания звука в атмосфере α, дБ/км	Ta=20,°C Pa=101.33,кПа hотн.=70%	ф-ла (5) [9]	0,02	0,09	0,33	1,12	2,79	4,98	9,04	23,09	77,63		
Учет затухания звука в атмосфере Aatm, дБ		ф-ла (8) [10]	0	0	0,2	0,5	1,3	2,2	4,1	10,4	34,8		
Снижение уровня звукового давления из-за влияния застройки между источником шума и расчетной точкой													
Снижение уровня звукового давления на пути над экраном, Dz1, дБ	z = 0.00м (разность путей)	ф-лы (14-18) [10]	4,8	4,8	4,8	4,8	4,8	4,8	4,8	4,8	4,8		
Снижение уровня звукового давления на пути слева от экрана, Dz2, дБ	z = 105.10м (разность путей)	ф-лы (14-18) [10]	29,7	33,4	36,6	39,7	42,7	45,7	48,7	51,7	54,7		
Снижение уровня звукового давления на пути справа от экрана, Dz3, дБ	z = 2.20м (разность путей)	ф-лы (14-18) [10]	10,6	13,4	17,2	21,6	25,5	28,8	31,9	34,9	37,9		
Общее снижение уровня звука препятствием Dz, дБ		Эн.сумма(-Dzi)	3,8	4,2	4,5	4,7	4,7	4,8	4,8	4,8	4,8		
Уровни звукового давления от источника ИШ-9-7 в расчётной точке днём, дБ		**ф-ла(3)[10]**	**0**	**28**	**29**	**29,8**	**29,3**	**27,9**	**22,7**	**12,2**	**0**	**31,6**	**31,6**
Уровни звукового давления от источника ИШ-9-7 в расчётной точке ночью, дБ		**ф-ла(3)[10]**	**0**	**28**	**29**	**29,8**	**29,3**	**27,9**	**22,7**	**12,2**	**0**	**31,6**	**31,6**
Источник шума: ИШ-9-8, координаты источника (x,y,z), м =[649.92,-337.69,1.00]													
Уровни звуковой мощности источника днём, Lw, дБ		**исходные данные**	**0**	**93,3**	**94,7**	**96**	**96,3**	**95,9**	**92,6**	**88,4**	**83,9**		
Уровни звуковой мощности источника ночью, Lw, дБ		**исходные данные**	**0**	**93,3**	**94,7**	**96**	**96,3**	**95,9**	**92,6**	**88,4**	**83,9**		
Поправка на телесный угол DΩ, дБ	Ω = 6.28	10Lg(4π/Ω)	**3**	3	3	3	3	3	3	3	3		

1		2	3	4	5	6	7	8	9	10	11	12	13
Показатель направленности источника Di, дБ		исходные данные	**0**	0	0	0	0	0	0	0	0		
Поправка на направленность источника Dc, дБ	Dc	DΩ + Di	**3**	3	3	3	3	3	3	3	3		
Затухание из-за геометрической дивергенции, Adiv, дБ	расстояние = 448.82 м	ф-ла (7) [10]	**64**										
Коэффициент затухания звука в атмосфере α, дБ/км	Ta=20,°C Pa=101.33,кПа hотн.=70%	ф-ла (5) [9]	0,02	0,09	0,33	1,12	2,79	4,98	9,04	23,09	77,63		
Учет затухания звука в атмосфере Aatm, дБ		ф-ла (8) [10]	0	0	0,2	0,5	1,3	2,2	4,1	10,4	34,8		
Снижение уровня звукового давления из-за влияния застройки между источником шума и расчетной точкой													
Снижение уровня звукового давления на пути над экраном, Dz1, дБ	z = 0.00м (разность путей)	ф-лы (14-18) [10]	4,8	4,8	4,8	4,8	4,8	4,8	4,8	4,8	4,8		
Снижение уровня звукового давления на пути слева от экрана, Dz2, дБ	z = 105.26м (разность путей)	ф-лы (14-18) [10]	29,7	33,4	36,6	39,7	42,7	45,7	48,7	51,7	54,7		
Снижение уровня звукового давления на пути справа от экрана, Dz3, дБ	z = 2.07м (разность путей)	ф-лы (14-18) [10]	10,4	13,2	16,9	21,3	25,2	28,5	31,6	34,6	37,7		
Общее снижение уровня звука препятствием Dz, дБ		Эн.сумма(-Dzi)	3,7	4,2	4,5	4,7	4,7	4,8	4,8	4,8	4,8		
Уровни звукового давления от источника ИШ-9-8 в расчётной точке днём, дБ		**ф-ла(3)[10]**	**0**	**28**	**29**	**29,8**	**29,3**	**27,9**	**22,7**	**12,2**	**0**	**31,6**	**31,6**
Уровни звукового давления от источника ИШ-9-8 в расчётной точке ночью, дБ		**ф-ла(3)[10]**	**0**	**28**	**29**	**29,8**	**29,3**	**27,9**	**22,7**	**12,2**	**0**	**31,6**	**31,6**
Источник шума: ИШ-9-9, координаты источника (x,y,z), м =[650.66,-334.90,1.00]													
Уровни звуковой мощности источника днём, Lw, дБ		**исходные данные**	**0**	**93,3**	**94,7**	**96**	**96,3**	**95,9**	**92,6**	**88,4**	**83,9**		
Уровни звуковой мощности источника ночью, Lw, дБ		**исходные данные**	**0**	**93,3**	**94,7**	**96**	**96,3**	**95,9**	**92,6**	**88,4**	**83,9**		
Поправка на телесный угол DΩ, дБ	Ω = 6.28	10Lg(4π/Ω)	**3**	3	3	3	3	3	3	3	3		

1		2	3	4	5	6	7	8	9	10	11	12	13
Показатель направленности источника Di, дБ		исходные данные	**0**	0	0	0	0	0	0	0	0		
Поправка на направленность источника Dc, дБ	Dc	DΩ + Di	**3**	3	3	3	3	3	3	3	3		
Затухание из-за геометрической дивергенции, Adiv, дБ	расстояние = 448.63 м	ф-ла (7) [10]	**64**										
Коэффициент затухания звука в атмосфере α, дБ/км	Ta=20,°C Pa=101.33,кПа hотн.=70%	ф-ла (5) [9]	0,02	0,09	0,33	1,12	2,79	4,98	9,04	23,09	77,63		
Учет затухания звука в атмосфере Aatm, дБ		ф-ла (8) [10]	0	0	0,2	0,5	1,3	2,2	4,1	10,4	34,8		
Снижение уровня звукового давления из-за влияния застройки между источником шума и расчетной точкой													
Снижение уровня звукового давления на пути над экраном, Dz1, дБ	z = 0.00м (разность путей)	ф-лы (14-18) [10]	4,8	4,8	4,8	4,8	4,8	4,8	4,8	4,8	4,8		
Снижение уровня звукового давления на пути слева от экрана, Dz2, дБ	z = 105.41м (разность путей)	ф-лы (14-18) [10]	29,7	33,4	36,6	39,7	42,7	45,7	48,7	51,7	54,7		
Снижение уровня звукового давления на пути справа от экрана, Dz3, дБ	z = 1.94м (разность путей)	ф-лы (14-18) [10]	10,2	13	16,7	21,1	24,9	28,3	31,4	34,4	37,4		
Общее снижение уровня звука препятствием Dz, дБ		Эн.сумма(-Dzi)	3,7	4,2	4,5	4,7	4,7	4,8	4,8	4,8	4,8		
Уровни звукового давления от источника ИШ-9-9 в расчётной точке днём, дБ		**ф-ла(3)[10]**	**0**	**28,1**	**29**	**29,8**	**29,3**	**27,9**	**22,7**	**12,2**	**0**	**31,6**	**31,6**
Уровни звукового давления от источника ИШ-9-9 в расчётной точке ночью, дБ		**ф-ла(3)[10]**	**0**	**28,1**	**29**	**29,8**	**29,3**	**27,9**	**22,7**	**12,2**	**0**	**31,6**	**31,6**
Источник шума: ИШ-9-10, координаты источника (x,y,z), м =[651.59,-332.01,1.00]													
Уровни звуковой мощности источника днём, Lw, дБ		**исходные данные**	**0**	**93,3**	**94,7**	**96**	**96,3**	**95,9**	**92,6**	**88,4**	**83,9**		
Уровни звуковой мощности источника ночью, Lw, дБ		**исходные данные**	**0**	**93,3**	**94,7**	**96**	**96,3**	**95,9**	**92,6**	**88,4**	**83,9**		
Поправка на телесный угол DΩ, дБ	Ω = 6.28	10Lg(4π/Ω)	**3**	3	3	3	3	3	3	3	3		

1		2	3	4	5	6	7	8	9	10	11	12	13
Показатель направленности источника Di, дБ		исходные данные	**0**	0	0	0	0	0	0	0	0		
Поправка на направленность источника Dc, дБ	Dc	DΩ + Di	**3**	3	3	3	3	3	3	3	3		
Затухание из-за геометрической дивергенции, Adiv, дБ	расстояние = 448.61 м	ф-ла (7) [10]	**64**										
Коэффициент затухания звука в атмосфере α, дБ/км	Ta=20,°C Pa=101.33,кПа hотн.=70%	ф-ла (5) [9]	0,02	0,09	0,33	1,12	2,79	4,98	9,04	23,09	77,63		
Учет затухания звука в атмосфере Aatm, дБ		ф-ла (8) [10]	0	0	0,2	0,5	1,3	2,2	4,1	10,4	34,8		
Снижение уровня звукового давления из-за влияния застройки между источником шума и расчетной точкой													
Снижение уровня звукового давления на пути над экраном, Dz1, дБ	z = 0.00м (разность путей)	ф-лы (14-18) [10]	4,8	4,8	4,8	4,8	4,8	4,8	4,8	4,8	4,8		
Снижение уровня звукового давления на пути слева от экрана, Dz2, дБ	z = 105.58м (разность путей)	ф-лы (14-18) [10]	29,7	33,4	36,6	39,7	42,7	45,7	48,7	51,7	54,7		
Снижение уровня звукового давления на пути справа от экрана, Dz3, дБ	z = 1.82м (разность путей)	ф-лы (14-18) [10]	10	12,7	16,4	20,8	24,7	28	31,1	34,1	37,1		
Общее снижение уровня звука препятствием Dz, дБ		Эн.сумма(-Dzi)	3,6	4,1	4,5	4,7	4,7	4,8	4,8	4,8	4,8		
Уровни звукового давления от источника ИШ-9-10 в расчётной точке днём, дБ		**ф-ла(3)[10]**	**0**	**28,1**	**29**	**29,8**	**29,3**	**27,9**	**22,7**	**12,2**	**0**	**31,6**	**31,6**
Уровни звукового давления от источника ИШ-9-10 в расчётной точке ночью, дБ		**ф-ла(3)[10]**	**0**	**28,1**	**29**	**29,8**	**29,3**	**27,9**	**22,7**	**12,2**	**0**	**31,6**	**31,6**
Источник шума: ИШ-9-11, координаты источника (x,y,z), м =[652.71,-329.22,1.00]													
Уровни звуковой мощности источника днём, Lw, дБ		**исходные данные**	**0**	**93,3**	**94,7**	**96**	**96,3**	**95,9**	**92,6**	**88,4**	**83,9**		
Уровни звуковой мощности источника ночью, Lw, дБ		**исходные данные**	**0**	**93,3**	**94,7**	**96**	**96,3**	**95,9**	**92,6**	**88,4**	**83,9**		
Поправка на телесный угол DΩ, дБ	Ω = 6.28	10Lg(4π/Ω)	**3**	3	3	3	3	3	3	3	3		

1		2	3	4	5	6	7	8	9	10	11	12	13
Показатель направленности источника Di, дБ		исходные данные	**0**	0	0	0	0	0	0	0	0		
Поправка на направленность источника Dc, дБ	Dc	DΩ + Di	**3**	3	3	3	3	3	3	3	3		
Затухание из-за геометрической дивергенции, Adiv, дБ	расстояние = 448.81 м	ф-ла (7) [10]	**64**										
Коэффициент затухания звука в атмосфере α, дБ/км	Ta=20,°C Pa=101.33,кПа hотн.=70%	ф-ла (5) [9]	0,02	0,09	0,33	1,12	2,79	4,98	9,04	23,09	77,63		
Учет затухания звука в атмосфере Aatm, дБ		ф-ла (8) [10]	0	0	0,2	0,5	1,3	2,2	4,1	10,4	34,8		
Снижение уровня звукового давления из-за влияния застройки между источником шума и расчетной точкой													
Снижение уровня звукового давления на пути над экраном, Dz1, дБ	z = 0.00м (разность путей)	ф-лы (14-18) [10]	4,8	4,8	4,8	4,8	4,8	4,8	4,8	4,8	4,8		
Снижение уровня звукового давления на пути слева от экрана, Dz2, дБ	z = 105.75м (разность путей)	ф-лы (14-18) [10]	29,7	33,4	36,6	39,7	42,7	45,7	48,7	51,7	54,8		
Снижение уровня звукового давления на пути справа от экрана, Dz3, дБ	z = 1.70м (разность путей)	ф-лы (14-18) [10]	9,8	12,5	16,2	20,5	24,4	27,7	30,8	33,8	36,8		
Общее снижение уровня звука препятствием Dz, дБ		Эн.сумма(-Dzi)	3,6	4,1	4,5	4,7	4,7	4,7	4,8	4,8	4,8		
Уровни звукового давления от источника ИШ-9-11 в расчётной точке днём, дБ		**ф-ла(3)[10]**	**0**	**28,1**	**29**	**29,8**	**29,3**	**27,9**	**22,7**	**12,2**	**0**	**31,6**	**31,6**
Уровни звукового давления от источника ИШ-9-11 в расчётной точке ночью, дБ		**ф-ла(3)[10]**	**0**	**28,1**	**29**	**29,8**	**29,3**	**27,9**	**22,7**	**12,2**	**0**	**31,6**	**31,6**
Источник шума: ИШ-9-12, координаты источника (x,y,z), м =[653.46,-326.33,1.00]													
Уровни звуковой мощности источника днём, Lw, дБ		**исходные данные**	**0**	**93,3**	**94,7**	**96**	**96,3**	**95,9**	**92,6**	**88,4**	**83,9**		
Уровни звуковой мощности источника ночью, Lw, дБ		**исходные данные**	**0**	**93,3**	**94,7**	**96**	**96,3**	**95,9**	**92,6**	**88,4**	**83,9**		
Поправка на телесный угол DΩ, дБ	Ω = 6.28	10Lg(4π/Ω)	**3**	3	3	3	3	3	3	3	3		

1		2	3	4	5	6	7	8	9	10	11	12	13
Показатель направленности источника Di, дБ		исходные данные	**0**	0	0	0	0	0	0	0	0		
Поправка на направленность источника Dc, дБ	Dc	DΩ + Di	**3**	3	3	3	3	3	3	3	3		
Затухание из-за геометрической дивергенции, Adiv, дБ	расстояние = 448.65 м	ф-ла (7) [10]	**64**										
Коэффициент затухания звука в атмосфере α, дБ/км	Ta=20,°C Pa=101.33,кПа hотн.=70%	ф-ла (5) [9]	0,02	0,09	0,33	1,12	2,79	4,98	9,04	23,09	77,63		
Учет затухания звука в атмосфере Aatm, дБ		ф-ла (8) [10]	0	0	0,2	0,5	1,3	2,2	4,1	10,4	34,8		
Снижение уровня звукового давления из-за влияния застройки между источником шума и расчетной точкой													
Снижение уровня звукового давления на пути над экраном, Dz1, дБ	z = 0.00м (разность путей)	ф-лы (14-18) [10]	4,8	4,8	4,8	4,8	4,8	4,8	4,8	4,8	4,8		
Снижение уровня звукового давления на пути слева от экрана, Dz2, дБ	z = 105.92м (разность путей)	ф-лы (14-18) [10]	29,7	33,4	36,6	39,7	42,7	45,7	48,7	51,7	54,8		
Снижение уровня звукового давления на пути справа от экрана, Dz3, дБ	z = 1.58м (разность путей)	ф-лы (14-18) [10]	9,6	12,2	15,9	20,2	24,1	27,4	30,5	33,5	36,5		
Общее снижение уровня звука препятствием Dz, дБ		Эн.сумма(-Dzi)	3,5	4,1	4,4	4,6	4,7	4,7	4,8	4,8	4,8		
Уровни звукового давления от источника ИШ-9-12 в расчётной точке днём, дБ		**ф-ла(3)[10]**	**0**	**28,2**	**29,1**	**29,8**	**29,3**	**27,9**	**22,7**	**12,2**	**0**	**31,6**	**31,6**
Уровни звукового давления от источника ИШ-9-12 в расчётной точке ночью, дБ		**ф-ла(3)[10]**	**0**	**28,2**	**29,1**	**29,8**	**29,3**	**27,9**	**22,7**	**12,2**	**0**	**31,6**	**31,6**
Источник шума: ИШ-9-13, координаты источника (x,y,z), м =[654.48,-323.54,1.00]													
Уровни звуковой мощности источника днём, Lw, дБ		**исходные данные**	**0**	**93,3**	**94,7**	**96**	**96,3**	**95,9**	**92,6**	**88,4**	**83,9**		
Уровни звуковой мощности источника ночью, Lw, дБ		**исходные данные**	**0**	**93,3**	**94,7**	**96**	**96,3**	**95,9**	**92,6**	**88,4**	**83,9**		
Поправка на телесный угол DΩ, дБ	Ω = 6.28	10Lg(4π/Ω)	**3**	3	3	3	3	3	3	3	3		

1		2	3	4	5	6	7	8	9	10	11	12	13
Показатель направленности источника Di, дБ		исходные данные	**0**	0	0	0	0	0	0	0	0		
Поправка на направленность источника Dc, дБ	Dc	DΩ + Di	**3**	3	3	3	3	3	3	3	3		
Затухание из-за геометрической дивергенции, Adiv, дБ	расстояние = 448.81 м	ф-ла (7) [10]	**64**										
Коэффициент затухания звука в атмосфере α, дБ/км	Ta=20,°C Pa=101.33,кПа hотн.=70%	ф-ла (5) [9]	0,02	0,09	0,33	1,12	2,79	4,98	9,04	23,09	77,63		
Учет затухания звука в атмосфере Aatm, дБ		ф-ла (8) [10]	0	0	0,2	0,5	1,3	2,2	4,1	10,4	34,8		
Снижение уровня звукового давления из-за влияния застройки между источником шума и расчетной точкой													
Снижение уровня звукового давления на пути над экраном, Dz1, дБ	z = 0.00м (разность путей)	ф-лы (14-18) [10]	4,8	4,8	4,8	4,8	4,8	4,8	4,8	4,8	4,8		
Снижение уровня звукового давления на пути слева от экрана, Dz2, дБ	z = 106.10м (разность путей)	ф-лы (14-18) [10]	29,8	33,4	36,6	39,7	42,7	45,7	48,7	51,8	54,8		
Снижение уровня звукового давления на пути справа от экрана, Dz3, дБ	z = 1.47м (разность путей)	ф-лы (14-18) [10]	9,4	12	15,6	19,9	23,8	27,1	30,2	33,2	36,2		
Общее снижение уровня звука препятствием Dz, дБ		Эн.сумма(-Dzi)	3,5	4	4,4	4,6	4,7	4,7	4,8	4,8	4,8		
Уровни звукового давления от источника ИШ-9-13 в расчётной точке днём, дБ		**ф-ла(3)[10]**	**0**	**28,2**	**29,1**	**29,8**	**29,3**	**27,9**	**22,7**	**12,2**	**0**	**31,6**	**31,6**
Уровни звукового давления от источника ИШ-9-13 в расчётной точке ночью, дБ		**ф-ла(3)[10]**	**0**	**28,2**	**29,1**	**29,8**	**29,3**	**27,9**	**22,7**	**12,2**	**0**	**31,6**	**31,6**
Источник шума: ИШ-9-14, координаты источника (x,y,z), м =[655.60,-320.74,1.00]													
Уровни звуковой мощности источника днём, Lw, дБ		**исходные данные**	**0**	**93,3**	**94,7**	**96**	**96,3**	**95,9**	**92,6**	**88,4**	**83,9**		
Уровни звуковой мощности источника ночью, Lw, дБ		**исходные данные**	**0**	**93,3**	**94,7**	**96**	**96,3**	**95,9**	**92,6**	**88,4**	**83,9**		
Поправка на телесный угол DΩ, дБ	Ω = 6.28	10Lg(4π/Ω)	**3**	3	3	3	3	3	3	3	3		

1		2	3	4	5	6	7	8	9	10	11	12	13
Показатель направленности источника Di, дБ		исходные данные	**0**	0	0	0	0	0	0	0	0		
Поправка на направленность источника Dc, дБ	Dc	DΩ + Di	**3**	3	3	3	3	3	3	3	3		
Затухание из-за геометрической дивергенции, Adiv, дБ	расстояние = 449.07 м	ф-ла (7) [10]	**64**										
Коэффициент затухания звука в атмосфере α, дБ/км	Ta=20,°C Pa=101.33,кПа hотн.=70%	ф-ла (5) [9]	0,02	0,09	0,33	1,12	2,79	4,98	9,04	23,09	77,63		
Учет затухания звука в атмосфере Aatm, дБ		ф-ла (8) [10]	0	0	0,2	0,5	1,3	2,2	4,1	10,4	34,9		
Снижение уровня звукового давления из-за влияния застройки между источником шума и расчетной точкой													
Снижение уровня звукового давления на пути над экраном, Dz1, дБ	z = 0.00м (разность путей)	ф-лы (14-18) [10]	4,8	4,8	4,8	4,8	4,8	4,8	4,8	4,8	4,8		
Снижение уровня звукового давления на пути слева от экрана, Dz2, дБ	z = 106.28м (разность путей)	ф-лы (14-18) [10]	29,8	33,4	36,6	39,7	42,7	45,7	48,8	51,8	54,8		
Снижение уровня звукового давления на пути справа от экрана, Dz3, дБ	z = 1.37м (разность путей)	ф-лы (14-18) [10]	9,1	11,2	13,6	16,4	19,2	22,1	25,1	28,1	31,1		
Общее снижение уровня звука препятствием Dz, дБ		Эн.сумма(-Dzi)	3,4	3,9	4,2	4,5	4,6	4,7	4,7	4,8	4,8		
Уровни звукового давления от источника ИШ-9-14 в расчётной точке днём, дБ		**ф-ла(3)[10]**	**0**	**28,3**	**29,3**	**30**	**29,4**	**27,9**	**22,8**	**12,2**	**0**	**31,7**	**31,7**
Уровни звукового давления от источника ИШ-9-14 в расчётной точке ночью, дБ		**ф-ла(3)[10]**	**0**	**28,3**	**29,3**	**30**	**29,4**	**27,9**	**22,8**	**12,2**	**0**	**31,7**	**31,7**
Источник шума: ИШ-9-15, координаты источника (x,y,z), м =[656.44,-317.86,1.00]													
Уровни звуковой мощности источника днём, Lw, дБ		**исходные данные**	**0**	**93,3**	**94,7**	**96**	**96,3**	**95,9**	**92,6**	**88,4**	**83,9**		
Уровни звуковой мощности источника ночью, Lw, дБ		**исходные данные**	**0**	**93,3**	**94,7**	**96**	**96,3**	**95,9**	**92,6**	**88,4**	**83,9**		
Поправка на телесный угол DΩ, дБ	Ω = 6.28	10Lg(4π/Ω)	**3**	3	3	3	3	3	3	3	3		

1		2	3	4	5	6	7	8	9	10	11	12	13
Показатель направленности источника Di, дБ		исходные данные	**0**	0	0	0	0	0	0	0	0		
Поправка на направленность источника Dc, дБ	Dc	DΩ + Di	**3**	3	3	3	3	3	3	3	3		
Затухание из-за геометрической дивергенции, Adiv, дБ	расстояние = 449.06 м	ф-ла (7) [10]	**64**										
Коэффициент затухания звука в атмосфере α, дБ/км	Ta=20,°C Pa=101.33,кПа hотн.=70%	ф-ла (5) [9]	0,02	0,09	0,33	1,12	2,79	4,98	9,04	23,09	77,63		
Учет затухания звука в атмосфере Aatm, дБ		ф-ла (8) [10]	0	0	0,2	0,5	1,3	2,2	4,1	10,4	34,9		
Снижение уровня звукового давления из-за влияния застройки между источником шума и расчетной точкой													
Снижение уровня звукового давления на пути над экраном, Dz1, дБ	z = 0.00м (разность путей)	ф-лы (14-18) [10]	4,8	4,8	4,8	4,8	4,8	4,8	4,8	4,8	4,8		
Снижение уровня звукового давления на пути слева от экрана, Dz2, дБ	z = 106.47м (разность путей)	ф-лы (14-18) [10]	29,8	33,5	36,6	39,7	42,7	45,7	48,8	51,8	54,8		
Снижение уровня звукового давления на пути справа от экрана, Dz3, дБ	z = 1.26м (разность путей)	ф-лы (14-18) [10]	8,9	10,9	13,3	16	18,9	21,8	24,8	27,8	30,8		
Общее снижение уровня звука препятствием Dz, дБ		Эн.сумма(-Dzi)	3,3	3,8	4,2	4,5	4,6	4,7	4,7	4,7	4,8		
Уровни звукового давления от источника ИШ-9-15 в расчётной точке днём, дБ		**ф-ла(3)[10]**	**0**	**28,4**	**29,3**	**30**	**29,4**	**27,9**	**22,8**	**12,2**	**0**	**31,7**	**31,7**
Уровни звукового давления от источника ИШ-9-15 в расчётной точке ночью, дБ		**ф-ла(3)[10]**	**0**	**28,4**	**29,3**	**30**	**29,4**	**27,9**	**22,8**	**12,2**	**0**	**31,7**	**31,7**
Источник шума: ИШ-9-16, координаты источника (x,y,z), м =[657.46,-314.97,1.00]													
Уровни звуковой мощности источника днём, Lw, дБ		**исходные данные**	**0**	**93,3**	**94,7**	**96**	**96,3**	**95,9**	**92,6**	**88,4**	**83,9**		
Уровни звуковой мощности источника ночью, Lw, дБ		**исходные данные**	**0**	**93,3**	**94,7**	**96**	**96,3**	**95,9**	**92,6**	**88,4**	**83,9**		
Поправка на телесный угол DΩ, дБ	Ω = 6.28	10Lg(4π/Ω)	**3**	3	3	3	3	3	3	3	3		

1		2	3	4	5	6	7	8	9	10	11	12	13
Показатель направленности источника Di, дБ		исходные данные	**0**	0	0	0	0	0	0	0	0		
Поправка на направленность источника Dc, дБ	Dc	DΩ + Di	**3**	3	3	3	3	3	3	3	3		
Затухание из-за геометрической дивергенции, Adiv, дБ	расстояние = 449.25 м	ф-ла (7) [10]	**64**										
Коэффициент затухания звука в атмосфере α, дБ/км	Ta=20,°C Pa=101.33,кПа hотн.=70%	ф-ла (5) [9]	0,02	0,09	0,33	1,12	2,79	4,98	9,04	23,09	77,63		
Учет затухания звука в атмосфере Aatm, дБ		ф-ла (8) [10]	0	0	0,2	0,5	1,3	2,2	4,1	10,4	34,9		
Снижение уровня звукового давления из-за влияния застройки между источником шума и расчетной точкой													
Снижение уровня звукового давления на пути над экраном, Dz1, дБ	z = 0.00м (разность путей)	ф-лы (14-18) [10]	4,8	4,8	4,8	4,8	4,8	4,8	4,8	4,8	4,8		
Снижение уровня звукового давления на пути слева от экрана, Dz2, дБ	z = 106.66м (разность путей)	ф-лы (14-18) [10]	29,8	33,5	36,7	39,7	42,7	45,8	48,8	51,8	54,8		
Снижение уровня звукового давления на пути справа от экрана, Dz3, дБ	z = 1.17м (разность путей)	ф-лы (14-18) [10]	8,6	10,7	13	15,7	18,5	21,5	24,4	27,4	30,4		
Общее снижение уровня звука препятствием Dz, дБ		Эн.сумма(-Dzi)	3,3	3,8	4,2	4,4	4,6	4,7	4,7	4,7	4,8		
Уровни звукового давления от источника ИШ-9-16 в расчётной точке днём, дБ		**ф-ла(3)[10]**	**0**	**28,4**	**29,3**	**30**	**29,4**	**27,9**	**22,8**	**12,2**	**0**	**31,7**	**31,7**
Уровни звукового давления от источника ИШ-9-16 в расчётной точке ночью, дБ		**ф-ла(3)[10]**	**0**	**28,4**	**29,3**	**30**	**29,4**	**27,9**	**22,8**	**12,2**	**0**	**31,7**	**31,7**
Источник шума: ИШ-9-17, координаты источника (x,y,z), м =[658.49,-312.18,1.00]													
Уровни звуковой мощности источника днём, Lw, дБ		**исходные данные**	**0**	**93,3**	**94,7**	**96**	**96,3**	**95,9**	**92,6**	**88,4**	**83,9**		
Уровни звуковой мощности источника ночью, Lw, дБ		**исходные данные**	**0**	**93,3**	**94,7**	**96**	**96,3**	**95,9**	**92,6**	**88,4**	**83,9**		
Поправка на телесный угол DΩ, дБ	Ω = 6.28	10Lg(4π/Ω)	**3**	3	3	3	3	3	3	3	3		

1		2	3	4	5	6	7	8	9	10	11	12	13
Показатель направленности источника Di, дБ		исходные данные	**0**	0	0	0	0	0	0	0	0		
Поправка на направленность источника Dc, дБ	Dc	DΩ + Di	**3**	3	3	3	3	3	3	3	3		
Затухание из-за геометрической дивергенции, Adiv, дБ	расстояние = 449.49 м	ф-ла (7) [10]	**64,1**										
Коэффициент затухания звука в атмосфере α, дБ/км	Ta=20,°C Pa=101.33,кПа hотн.=70%	ф-ла (5) [9]	0,02	0,09	0,33	1,12	2,79	4,98	9,04	23,09	77,63		
Учет затухания звука в атмосфере Aatm, дБ		ф-ла (8) [10]	0	0	0,2	0,5	1,3	2,2	4,1	10,4	34,9		
Снижение уровня звукового давления из-за влияния застройки между источником шума и расчетной точкой													
Снижение уровня звукового давления на пути над экраном, Dz1, дБ	z = 0.00м (разность путей)	ф-лы (14-18) [10]	4,8	4,8	4,8	4,8	4,8	4,8	4,8	4,8	4,8		
Снижение уровня звукового давления на пути слева от экрана, Dz2, дБ	z = 106.86м (разность путей)	ф-лы (14-18) [10]	29,8	33,5	36,7	39,7	42,8	45,8	48,8	51,8	54,8		
Снижение уровня звукового давления на пути справа от экрана, Dz3, дБ	z = 1.07м (разность путей)	ф-лы (14-18) [10]	8,4	10,4	12,7	15,4	18,2	21,1	24,1	27,1	30,1		
Общее снижение уровня звука препятствием Dz, дБ		Эн.сумма(-Dzi)	3,2	3,7	4,1	4,4	4,6	4,7	4,7	4,7	4,8		
Уровни звукового давления от источника ИШ-9-17 в расчётной точке днём, дБ		**ф-ла(3)[10]**	**0**	**28,5**	**29,4**	**30**	**29,4**	**27,9**	**22,8**	**12,2**	**0**	**31,7**	**31,7**
Уровни звукового давления от источника ИШ-9-17 в расчётной точке ночью, дБ		**ф-ла(3)[10]**	**0**	**28,5**	**29,4**	**30**	**29,4**	**27,9**	**22,8**	**12,2**	**0**	**31,7**	**31,7**
Источник шума: ИШ-9-18, координаты источника (x,y,z), м =[659.42,-309.20,1.00]													
Уровни звуковой мощности источника днём, Lw, дБ		**исходные данные**	**0**	**93,3**	**94,7**	**96**	**96,3**	**95,9**	**92,6**	**88,4**	**83,9**		
Уровни звуковой мощности источника ночью, Lw, дБ		**исходные данные**	**0**	**93,3**	**94,7**	**96**	**96,3**	**95,9**	**92,6**	**88,4**	**83,9**		
Поправка на телесный угол DΩ, дБ	Ω = 6.28	10Lg(4π/Ω)	**3**	3	3	3	3	3	3	3	3		

1		2	3	4	5	6	7	8	9	10	11	12	13
Показатель направленности источника Di, дБ		исходные данные	**0**	0	0	0	0	0	0	0	0		
Поправка на направленность источника Dc, дБ	Dc	DΩ + Di	**3**	3	3	3	3	3	3	3	3		
Затухание из-за геометрической дивергенции, Adiv, дБ	расстояние = 449.60 м	ф-ла (7) [10]	**64,1**										
Коэффициент затухания звука в атмосфере α, дБ/км	Ta=20,°C Pa=101.33,кПа hотн.=70%	ф-ла (5) [9]	0,02	0,09	0,33	1,12	2,79	4,98	9,04	23,09	77,63		
Учет затухания звука в атмосфере Aatm, дБ		ф-ла (8) [10]	0	0	0,2	0,5	1,3	2,2	4,1	10,4	34,9		
Снижение уровня звукового давления из-за влияния застройки между источником шума и расчетной точкой													
Снижение уровня звукового давления на пути над экраном, Dz1, дБ	z = 0.00м (разность путей)	ф-лы (14-18) [10]	4,8	4,8	4,8	4,8	4,8	4,8	4,8	4,8	4,8		
Снижение уровня звукового давления на пути слева от экрана, Dz2, дБ	z = 107.07м (разность путей)	ф-лы (14-18) [10]	29,8	33,5	36,7	39,7	42,8	45,8	48,8	51,8	54,8		
Снижение уровня звукового давления на пути справа от экрана, Dz3, дБ	z = 0.98м (разность путей)	ф-лы (14-18) [10]	8,2	10,1	12,4	15	17,8	20,7	23,7	26,7	29,7		
Общее снижение уровня звука препятствием Dz, дБ		Эн.сумма(-Dzi)	3,1	3,7	4,1	4,4	4,6	4,7	4,7	4,7	4,8		
Уровни звукового давления от источника ИШ-9-18 в расчётной точке днём, дБ		**ф-ла(3)[10]**	**0**	**28,5**	**29,4**	**30,1**	**29,4**	**27,9**	**22,8**	**12,2**	**0**	**31,7**	**31,7**
Уровни звукового давления от источника ИШ-9-18 в расчётной точке ночью, дБ		**ф-ла(3)[10]**	**0**	**28,5**	**29,4**	**30,1**	**29,4**	**27,9**	**22,8**	**12,2**	**0**	**31,7**	**31,7**
Источник шума: ИШ-9-19, координаты источника (x,y,z), м =[660.44,-306.50,1.00]													
Уровни звуковой мощности источника днём, Lw, дБ		**исходные данные**	**0**	**93,3**	**94,7**	**96**	**96,3**	**95,9**	**92,6**	**88,4**	**83,9**		
Уровни звуковой мощности источника ночью, Lw, дБ		**исходные данные**	**0**	**93,3**	**94,7**	**96**	**96,3**	**95,9**	**92,6**	**88,4**	**83,9**		
Поправка на телесный угол DΩ, дБ	Ω = 6.28	10Lg(4π/Ω)	**3**	3	3	3	3	3	3	3	3		

1		2	3	4	5	6	7	8	9	10	11	12	13
Показатель направленности источника Di, дБ		исходные данные	**0**	0	0	0	0	0	0	0	0		
Поправка на направленность источника Dc, дБ	Dc	DΩ + Di	**3**	3	3	3	3	3	3	3	3		
Затухание из-за геометрической дивергенции, Adiv, дБ	расстояние = 449.90 м	ф-ла (7) [10]	**64,1**										
Коэффициент затухания звука в атмосфере α, дБ/км	Ta=20,°C Pa=101.33,кПа hотн.=70%	ф-ла (5) [9]	0,02	0,09	0,33	1,12	2,79	4,98	9,04	23,09	77,63		
Учет затухания звука в атмосфере Aatm, дБ		ф-ла (8) [10]	0	0	0,2	0,5	1,3	2,2	4,1	10,4	34,9		
Снижение уровня звукового давления из-за влияния застройки между источником шума и расчетной точкой													
Снижение уровня звукового давления на пути над экраном, Dz1, дБ	z = 0.00м (разность путей)	ф-лы (14-18) [10]	4,8	4,8	4,8	4,8	4,8	4,8	4,8	4,8	4,8		
Снижение уровня звукового давления на пути слева от экрана, Dz2, дБ	z = 107.26м (разность путей)	ф-лы (14-18) [10]	29,8	33,5	36,7	39,7	42,8	45,8	48,8	51,8	54,8		
Снижение уровня звукового давления на пути справа от экрана, Dz3, дБ	z = 0.90м (разность путей)	ф-лы (14-18) [10]	8	9,8	12,1	14,7	17,5	20,4	23,3	26,3	29,3		
Общее снижение уровня звука препятствием Dz, дБ		Эн.сумма(-Dzi)	3,1	3,6	4	4,3	4,5	4,7	4,7	4,7	4,8		
Уровни звукового давления прямого звука от источника ИШ-9-19 в расчётной точке днём, дБ		**ф-ла(3)[10]**	**0**	**28,6**	**29,4**	**30,1**	**29,4**	**27,9**	**22,8**	**12,2**	**0**	**31,7**	**31,7**
Уровни звукового давления прямого звука от источника ИШ-9-19 в расчётной точке ночью, дБ		**ф-ла(3)[10]**	**0**	**28,6**	**29,4**	**30,1**	**29,4**	**27,9**	**22,8**	**12,2**	**0**	**31,7**	**31,7**
Расчёт отражённого звука													
Уровни звукового давления от мнимого источника ИШ-9-19_мн.(1) в расчётной точке днём, дБ		**ф-ла(3)[10]**	**0**	**0**	**0**	**0**	**0**	**0**	**0**	**0**	**0**	**0**	**0**
Уровни звукового давления от мнимого источника ИШ-9-19_мн.(1) в расчётной точке ночью, дБ		**ф-ла(3)[10]**	**0**	**0**	**0**	**0**	**0**	**0**	**0**	**0**	**0**	**0**	**0**
Уровни звукового давления от источника ИШ-9-19 в расчётной точке днём, дБ		**ф-ла(3)[10]**	**0**	**28,6**	**29,4**	**30,1**	**29,4**	**27,9**	**22,8**	**12,2**	**0**	**31,7**	**31,7**
Уровни звукового давления от источника ИШ-9-19 в расчётной точке ночью, дБ		**ф-ла(3)[10]**	**0**	**28,6**	**29,4**	**30,1**	**29,4**	**27,9**	**22,8**	**12,2**	**0**	**31,7**	**31,7**

1		2	3	4	5	6	7	8	9	10	11	12	13
Источник шума: ИШ-9-20, координаты источника (x,y,z), м =[661.28,-303.61,1.00]													
Уровни звуковой мощности источника днём, Lw, дБ		**исходные данные**	**0**	**93,3**	**94,7**	**96**	**96,3**	**95,9**	**92,6**	**88,4**	**83,9**		
Уровни звуковой мощности источника ночью, Lw, дБ		**исходные данные**	**0**	**93,3**	**94,7**	**96**	**96,3**	**95,9**	**92,6**	**88,4**	**83,9**		
Поправка на телесный угол DΩ, дБ	Ω = 6.28	10Lg(4π/Ω)	**3**	3	3	3	3	3	3	3	3		
Показатель направленности источника Di, дБ		исходные данные	**0**	0	0	0	0	0	0	0	0		
Поправка на направленность источника Dc, дБ	Dc	DΩ + Di	**3**	3	3	3	3	3	3	3	3		
Затухание из-за геометрической дивергенции, Adiv, дБ	расстояние = 449.99 м	ф-ла (7) [10]	**64,1**										
Коэффициент затухания звука в атмосфере α, дБ/км	Ta=20,°C Pa=101.33,кПа hотн.=70%	ф-ла (5) [9]	0,02	0,09	0,33	1,12	2,79	4,98	9,04	23,09	77,63		
Учет затухания звука в атмосфере Aatm, дБ		ф-ла (8) [10]	0	0	0,2	0,5	1,3	2,2	4,1	10,4	34,9		
Снижение уровня звукового давления из-за влияния застройки между источником шума и расчетной точкой													
Снижение уровня звукового давления на пути над экраном, Dz1, дБ	z = 0.00м (разность путей)	ф-лы (14-18) [10]	4,8	4,8	4,8	4,8	4,8	4,8	4,8	4,8	4,8		
Снижение уровня звукового давления на пути слева от экрана, Dz2, дБ	z = 107.48м (разность путей)	ф-лы (14-18) [10]	29,8	33,5	36,7	39,8	42,8	45,8	48,8	51,8	54,8		
Снижение уровня звукового давления на пути справа от экрана, Dz3, дБ	z = 0.81м (разность путей)	ф-лы (14-18) [10]	7,8	9,6	11,8	14,3	17,1	19,9	22,9	25,9	28,9		
Общее снижение уровня звука препятствием Dz, дБ		Эн.сумма(-Dzi)	3	3,5	4	4,3	4,5	4,6	4,7	4,7	4,8		
Уровни звукового давления прямого звука от источника ИШ-9-20 в расчётной точке днём, дБ		**ф-ла(3)[10]**	**0**	**28,7**	**29,5**	**30,1**	**29,5**	**27,9**	**22,8**	**12,2**	**0**	**31,7**	**31,7**
Уровни звукового давления прямого звука от источника ИШ-9-20 в расчётной точке ночью, дБ		**ф-ла(3)[10]**	**0**	**28,7**	**29,5**	**30,1**	**29,5**	**27,9**	**22,8**	**12,2**	**0**	**31,7**	**31,7**

1		2	3	4	5	6	7	8	9	10	11	12	13
Расчёт отражённого звука													
Уровни звукового давления от мнимого источника ИШ-9-20_мн.(1) в расчётной точке днём, дБ		**ф-ла(3)[10]**	**0**	**0**	**0**	**0**	**0**	**0**	**0**	**0**	**0**	**0**	**0**
Уровни звукового давления от мнимого источника ИШ-9-20_мн.(1) в расчётной точке ночью, дБ		**ф-ла(3)[10]**	**0**	**0**	**0**	**0**	**0**	**0**	**0**	**0**	**0**	**0**	**0**
Уровни звукового давления от источника ИШ-9-20 в расчётной точке днём, дБ		**ф-ла(3)[10]**	**0**	**28,7**	**29,5**	**30,1**	**29,5**	**27,9**	**22,8**	**12,2**	**0**	**31,7**	**31,7**
Уровни звукового давления от источника ИШ-9-20 в расчётной точке ночью, дБ		**ф-ла(3)[10]**	**0**	**28,7**	**29,5**	**30,1**	**29,5**	**27,9**	**22,8**	**12,2**	**0**	**31,7**	**31,7**
Источник шума: ИШ-9-21, координаты источника (x,y,z), м =[661.93,-300.72,1.00]													
Уровни звуковой мощности источника днём, Lw, дБ		**исходные данные**	**0**	**93,3**	**94,7**	**96**	**96,3**	**95,9**	**92,6**	**88,4**	**83,9**		
Уровни звуковой мощности источника ночью, Lw, дБ		**исходные данные**	**0**	**93,3**	**94,7**	**96**	**96,3**	**95,9**	**92,6**	**88,4**	**83,9**		
Поправка на телесный угол DΩ, дБ	Ω = 6.28	10Lg(4π/Ω)	**3**	3	3	3	3	3	3	3	3		
Показатель направленности источника Di, дБ		исходные данные	**0**	0	0	0	0	0	0	0	0		
Поправка на направленность источника Dc, дБ	Dc	DΩ + Di	**3**	3	3	3	3	3	3	3	3		
Затухание из-за геометрической дивергенции, Adiv, дБ	расстояние = 449.92 м	ф-ла (7) [10]	**64,1**										
Коэффициент затухания звука в атмосфере α, дБ/км	Ta=20,°C Pa=101.33,кПа hотн.=70%	ф-ла (5) [9]	0,02	0,09	0,33	1,12	2,79	4,98	9,04	23,09	77,63		
Учет затухания звука в атмосфере Aatm, дБ		ф-ла (8) [10]	0	0	0,2	0,5	1,3	2,2	4,1	10,4	34,9		
Снижение уровня звукового давления из-за влияния застройки между источником шума и расчетной точкой													
Снижение уровня звукового давления на пути над экраном, Dz1, дБ	z = 0.00м (разность путей)	ф-лы (14-18) [10]	4,8	4,8	4,8	4,8	4,8	4,8	4,8	4,8	4,8		

1		2	3	4	5	6	7	8	9	10	11	12	13
Снижение уровня звукового давления на пути слева от экрана, Dz2, дБ	z = 107.69м (разность путей)	ф-лы (14-18) [10]	29,8	33,5	36,7	39,8	42,8	45,8	48,8	51,8	54,8		
Снижение уровня звукового давления на пути справа от экрана, Dz3, дБ	z = 0.74м (разность путей)	ф-лы (14-18) [10]	7,6	9,3	11,4	13,9	16,7	19,5	22,5	25,4	28,4		
Общее снижение уровня звука препятствием Dz, дБ		Эн.сумма(-Dzi)	2,9	3,5	3,9	4,3	4,5	4,6	4,7	4,7	4,8		
Уровни звукового давления прямого звука от источника ИШ-9-21 в расчётной точке днём, дБ		**ф-ла(3)[10]**	**0**	**28,7**	**29,6**	**30,2**	**29,5**	**28**	**22,8**	**12,2**	**0**	**31,7**	**31,7**
Уровни звукового давления прямого звука от источника ИШ-9-21 в расчётной точке ночью, дБ		**ф-ла(3)[10]**	**0**	**28,7**	**29,6**	**30,2**	**29,5**	**28**	**22,8**	**12,2**	**0**	**31,7**	**31,7**
Расчёт отражённого звука													
Уровни звукового давления от мнимого источника ИШ-9-21_мн.(1) в расчётной точке днём, дБ		**ф-ла(3)[10]**	**0**	**0**	**0**	**0**	**0**	**0**	**0**	**0**	**0**	**0**	**0**
Уровни звукового давления от мнимого источника ИШ-9-21_мн.(1) в расчётной точке ночью, дБ		**ф-ла(3)[10]**	**0**	**0**	**0**	**0**	**0**	**0**	**0**	**0**	**0**	**0**	**0**
Уровни звукового давления от источника ИШ-9-21 в расчётной точке днём, дБ		**ф-ла(3)[10]**	**0**	**28,7**	**29,6**	**30,2**	**29,5**	**28**	**22,8**	**12,2**	**0**	**31,7**	**31,7**
Уровни звукового давления от источника ИШ-9-21 в расчётной точке ночью, дБ		**ф-ла(3)[10]**	**0**	**28,7**	**29,6**	**30,2**	**29,5**	**28**	**22,8**	**12,2**	**0**	**31,7**	**31,7**
Источник шума: ИШ-9-22, координаты источника (x,y,z), м =[663.14,-297.83,1.00]													
Уровни звуковой мощности источника днём, Lw, дБ		**исходные данные**	**0**	**93,3**	**94,7**	**96**	**96,3**	**95,9**	**92,6**	**88,4**	**83,9**		
Уровни звуковой мощности источника ночью, Lw, дБ		**исходные данные**	**0**	**93,3**	**94,7**	**96**	**96,3**	**95,9**	**92,6**	**88,4**	**83,9**		
Поправка на телесный угол DΩ, дБ	Ω = 6.28	10Lg(4π/Ω)	**3**	3	3	3	3	3	3	3	3		
Показатель направленности источника Di, дБ		исходные данные	**0**	0	0	0	0	0	0	0	0		
Поправка на направленность источника Dc, дБ	Dc	DΩ + Di	**3**	3	3	3	3	3	3	3	3		
Затухание из-за геометрической дивергенции, Adiv, дБ	расстояние = 450.42 м	ф-ла (7) [10]	**64,1**										

1		2	3	4	5	6	7	8	9	10	11	12	13
Коэффициент затухания звука в атмосфере α, дБ/км	Ta=20,°C Pa=101.33,кПа hотн.=70%	ф-ла (5) [9]	0,02	0,09	0,33	1,12	2,79	4,98	9,04	23,09	77,63		
Учет затухания звука в атмосфере Aatm, дБ		ф-ла (8) [10]	0	0	0,2	0,5	1,3	2,2	4,1	10,4	35		
Снижение уровня звукового давления из-за влияния застройки между источником шума и расчетной точкой													
Снижение уровня звукового давления на пути над экраном, Dz1, дБ	z = 0.00м (разность путей)	ф-лы (14-18) [10]	4,8	4,8	4,8	4,8	4,8	4,8	4,8	4,8	4,8		
Снижение уровня звукового давления на пути слева от экрана, Dz2, дБ	z = 107.91м (разность путей)	ф-лы (14-18) [10]	29,8	33,5	36,7	39,8	42,8	45,8	48,8	51,8	54,8		
Снижение уровня звукового давления на пути справа от экрана, Dz3, дБ	z = 0.66м (разность путей)	ф-лы (14-18) [10]	7,4	9	11	13,5	16,2	19,1	22	25	28		
Общее снижение уровня звука препятствием Dz, дБ		Эн.сумма(-Dzi)	2,9	3,4	3,8	4,2	4,5	4,6	4,7	4,7	4,8		
Уровни звукового давления прямого звука от источника ИШ-9-22 в расчётной точке днём, дБ		**ф-ла(3)[10]**	**0**	**28,8**	**29,6**	**30,2**	**29,5**	**28**	**22,8**	**12,2**	**0**	**31,7**	**31,7**
Уровни звукового давления прямого звука от источника ИШ-9-22 в расчётной точке ночью, дБ		**ф-ла(3)[10]**	**0**	**28,8**	**29,6**	**30,2**	**29,5**	**28**	**22,8**	**12,2**	**0**	**31,7**	**31,7**
Расчёт отражённого звука													
Уровни звукового давления от мнимого источника ИШ-9-22_мн.(1) в расчётной точке днём, дБ		**ф-ла(3)[10]**	**0**	**0**	**0**	**0**	**0**	**0**	**0**	**0**	**0**	**0**	**0**
Уровни звукового давления от мнимого источника ИШ-9-22_мн.(1) в расчётной точке ночью, дБ		**ф-ла(3)[10]**	**0**	**0**	**0**	**0**	**0**	**0**	**0**	**0**	**0**	**0**	**0**
Уровни звукового давления от источника ИШ-9-22 в расчётной точке днём, дБ		**ф-ла(3)[10]**	**0**	**28,8**	**29,6**	**30,2**	**29,5**	**28**	**22,8**	**12,2**	**0**	**31,7**	**31,7**
Уровни звукового давления от источника ИШ-9-22 в расчётной точке ночью, дБ		**ф-ла(3)[10]**	**0**	**28,8**	**29,6**	**30,2**	**29,5**	**28**	**22,8**	**12,2**	**0**	**31,7**	**31,7**
Источник шума: ИШ-9-23, координаты источника (x,y,z), м =[664.07,-295.13,1.00]													
Уровни звуковой мощности источника днём, Lw, дБ		**исходные данные**	**0**	**93,3**	**94,7**	**96**	**96,3**	**95,9**	**92,6**	**88,4**	**83,9**		

1		2	3	4	5	6	7	8	9	10	11	12	13
Уровни звуковой мощности источника ночью, Lw, дБ		**исходные данные**	**0**	**93,3**	**94,7**	**96**	**96,3**	**95,9**	**92,6**	**88,4**	**83,9**		
Поправка на телесный угол DΩ, дБ	Ω = 6.28	10Lg(4π/Ω)	**3**	3	3	3	3	3	3	3	3		
Показатель направленности источника Di, дБ		исходные данные	**0**	0	0	0	0	0	0	0	0		
Поправка на направленность источника Dc, дБ	Dc	DΩ + Di	**3**	3	3	3	3	3	3	3	3		
Затухание из-за геометрической дивергенции, Adiv, дБ	расстояние = 450.70 м	ф-ла (7) [10]	**64,1**										
Коэффициент затухания звука в атмосфере α, дБ/км	Ta=20,°C Pa=101.33,кПа hотн.=70%	ф-ла (5) [9]	0,02	0,09	0,33	1,12	2,79	4,98	9,04	23,09	77,63		
Учет затухания звука в атмосфере Aatm, дБ		ф-ла (8) [10]	0	0	0,2	0,5	1,3	2,2	4,1	10,4	35		
Снижение уровня звукового давления из-за влияния застройки между источником шума и расчетной точкой													
Снижение уровня звукового давления на пути над экраном, Dz1, дБ	z = 0.00м (разность путей)	ф-лы (14-18) [10]	4,8	4,8	4,8	4,8	4,8	4,8	4,8	4,8	4,8		
Снижение уровня звукового давления на пути слева от экрана, Dz2, дБ	z = 108.13м (разность путей)	ф-лы (14-18) [10]	29,8	33,5	36,7	39,8	42,8	45,8	48,8	51,8	54,8		
Снижение уровня звукового давления на пути справа от экрана, Dz3, дБ	z = 0.59м (разность путей)	ф-лы (14-18) [10]	7,2	8,7	10,7	13,1	15,8	18,6	21,5	24,5	27,5		
Общее снижение уровня звука препятствием Dz, дБ		Эн.сумма(-Dzi)	2,8	3,3	3,8	4,2	4,4	4,6	4,7	4,7	4,7		
Уровни звукового давления прямого звука от источника ИШ-9-23 в расчётной точке днём, дБ		**ф-ла(3)[10]**	**0**	**28,9**	**29,7**	**30,2**	**29,5**	**28**	**22,8**	**12,2**	**0**	**31,7**	**31,7**
Уровни звукового давления прямого звука от источника ИШ-9-23 в расчётной точке ночью, дБ		**ф-ла(3)[10]**	**0**	**28,9**	**29,7**	**30,2**	**29,5**	**28**	**22,8**	**12,2**	**0**	**31,7**	**31,7**
Расчёт отражённого звука													
Уровни звукового давления от мнимого источника ИШ-9-23_мн.(1) в расчётной точке днём, дБ		**ф-ла(3)[10]**	**0**	**0**	**0**	**0**	**0**	**0**	**0**	**0**	**0**	**0**	**0**
Уровни звукового давления от мнимого источника ИШ-9-23_мн.(1) в расчётной точке ночью, дБ		**ф-ла(3)[10]**	**0**	**0**	**0**	**0**	**0**	**0**	**0**	**0**	**0**	**0**	**0**

1		2	3	4	5	6	7	8	9	10	11	12	13
Уровни звукового давления от источника ИШ-9-23 в расчётной точке днём, дБ		**ф-ла(3)[10]**	**0**	**28,9**	**29,7**	**30,2**	**29,5**	**28**	**22,8**	**12,2**	**0**	**31,7**	**31,7**
Уровни звукового давления от источника ИШ-9-23 в расчётной точке ночью, дБ		**ф-ла(3)[10]**	**0**	**28,9**	**29,7**	**30,2**	**29,5**	**28**	**22,8**	**12,2**	**0**	**31,7**	**31,7**
Источник шума: ИШ-9-24, координаты источника (x,y,z), м =[665.19,-292.34,1.00]													
Уровни звуковой мощности источника днём, Lw, дБ		**исходные данные**	**0**	**93,3**	**94,7**	**96**	**96,3**	**95,9**	**92,6**	**88,4**	**83,9**		
Уровни звуковой мощности источника ночью, Lw, дБ		**исходные данные**	**0**	**93,3**	**94,7**	**96**	**96,3**	**95,9**	**92,6**	**88,4**	**83,9**		
Поправка на телесный угол DΩ, дБ	Ω = 6.28	10Lg(4π/Ω)	**3**	3	3	3	3	3	3	3	3		
Показатель направленности источника Di, дБ		исходные данные	**0**	0	0	0	0	0	0	0	0		
Поправка на направленность источника Dc, дБ	Dc	DΩ + Di	**3**	3	3	3	3	3	3	3	3		
Затухание из-за геометрической дивергенции, Adiv, дБ	расстояние = 451.16 м	ф-ла (7) [10]	**64,1**										
Коэффициент затухания звука в атмосфере α, дБ/км	Ta=20,°C Pa=101.33,кПа hотн.=70%	ф-ла (5) [9]	0,02	0,09	0,33	1,12	2,79	4,98	9,04	23,09	77,63		
Учет затухания звука в атмосфере Aatm, дБ		ф-ла (8) [10]	0	0	0,2	0,5	1,3	2,2	4,1	10,4	35		
Снижение уровня звукового давления из-за влияния застройки между источником шума и расчетной точкой													
Снижение уровня звукового давления на пути над экраном, Dz1, дБ	z = 0.00м (разность путей)	ф-лы (14-18) [10]	4,8	4,8	4,8	4,8	4,8	4,8	4,8	4,8	4,8		
Снижение уровня звукового давления на пути слева от экрана, Dz2, дБ	z = 108.35м (разность путей)	ф-лы (14-18) [10]	29,8	33,5	36,7	39,8	42,8	45,8	48,8	51,8	54,9		
Снижение уровня звукового давления на пути справа от экрана, Dz3, дБ	z = 0.53м (разность путей)	ф-лы (14-18) [10]	6,9	8,4	10,3	12,7	15,3	18,1	21	24	27		
Общее снижение уровня звука препятствием Dz, дБ		Эн.сумма(-Dzi)	2,7	3,2	3,7	4,1	4,4	4,6	4,7	4,7	4,7		

1		2	3	4	5	6	7	8	9	10	11	12	13
Уровни звукового давления прямого звука от источника ИШ-9-24 в расчётной точке днём, дБ		**ф-ла(3)[10]**	**0**	**29**	**29,8**	**30,3**	**29,5**	**28**	**22,8**	**12,2**	**0**	**31,8**	**31,8**
Уровни звукового давления прямого звука от источника ИШ-9-24 в расчётной точке ночью, дБ		**ф-ла(3)[10]**	**0**	**29**	**29,8**	**30,3**	**29,5**	**28**	**22,8**	**12,2**	**0**	**31,8**	**31,8**
Расчёт отражённого звука													
Уровни звукового давления от мнимого источника ИШ-9-24_мн.(1) в расчётной точке днём, дБ		**ф-ла(3)[10]**	**0**	**0**	**0**	**0**	**0**	**0**	**0**	**0**	**0**	**0**	**0**
Уровни звукового давления от мнимого источника ИШ-9-24_мн.(1) в расчётной точке ночью, дБ		**ф-ла(3)[10]**	**0**	**0**	**0**	**0**	**0**	**0**	**0**	**0**	**0**	**0**	**0**
Уровни звукового давления от источника ИШ-9-24 в расчётной точке днём, дБ		**ф-ла(3)[10]**	**0**	**29**	**29,8**	**30,3**	**29,5**	**28**	**22,8**	**12,2**	**0**	**31,8**	**31,8**
Уровни звукового давления от источника ИШ-9-24 в расчётной точке ночью, дБ		**ф-ла(3)[10]**	**0**	**29**	**29,8**	**30,3**	**29,5**	**28**	**22,8**	**12,2**	**0**	**31,8**	**31,8**
Источник шума: ИШ-9-25, координаты источника (x,y,z), м =[683.46,-239.16,1.00]													
Уровни звуковой мощности источника днём, Lw, дБ		**исходные данные**	**77**	**75**	**67**	**66**	**63**	**55**	**53**	**48**	**51**		
Уровни звуковой мощности источника ночью, Lw, дБ		**исходные данные**	**77**	**75**	**67**	**66**	**63**	**55**	**53**	**48**	**51**		
Поправка на телесный угол DΩ, дБ	Ω = 6.28	10Lg(4π/Ω)	**3**	3	3	3	3	3	3	3	3		
Показатель направленности источника Di, дБ		исходные данные	**0**	0	0	0	0	0	0	0	0		
Поправка на направленность источника Dc, дБ	Dc	DΩ + Di	**3**	3	3	3	3	3	3	3	3		
Затухание из-за геометрической дивергенции, Adiv, дБ	расстояние = 460.64 м	ф-ла (7) [10]	**64,3**										
Коэффициент затухания звука в атмосфере α, дБ/км	Ta=20,°C Pa=101.33,кПа hотн.=70%	ф-ла (5) [9]	0,02	0,09	0,33	1,12	2,79	4,98	9,04	23,09	77,63		
Учет затухания звука в атмосфере Aatm, дБ		ф-ла (8) [10]	0	0	0,2	0,5	1,3	2,3	4,2	10,6	35,8		

1		2	3	4	5	6	7	8	9	10	11	12	13
Снижение уровня звукового давления из-за влияния застройки между источником шума и расчетной точкой													
Снижение уровня звукового давления препятствием слева от трассы ИШ-РТ, Dz2, дБ	z = -0.01м (разность путей)	ф-лы (14-18) [10]	4,7	4,6	4,5	4,2	3,4	1,5	NAN	NAN	NAN		
* отрицательное значение z означает прохождение траектории вблизи экрана, в этом случае дополнительно производится учёт снижения подстилающей поверхностью (см.ниже)													
Снижение поверхностью земли возле источника As, дБ	Gs = 0 hs = 1м	ф-лы таб.3 [10]	-1,5	-1,5	-1,5	-1,5	-1,5	-1,5	-1,5	-1,5	-1,5		
Снижение поверхностью земли возле приёмника Ar, дБ	Gr = 1 hr = 4.6м	ф-лы таб.3 [10]	-1,5	-1,5	3,3	1,3	0	0	0	0	0		
Снижение поверхностью земли в средней зоне, Am дБ	Gm = 1	ф-лы таб.3 [10]	-1,9	-1,9	0	0	0	0	0	0	0		
Суммарное снижение поверхностью земли на траектории распространения звука Agr, дБ		ф-ла (9) [10]	-4,9	-4,9	1,8	-0,2	-1,5	-1,5	-1,5	-1,5	-1,5		
Уровни звукового давления прямого звука от источника ИШ-9-25 в расчётной точке днём, дБ		**ф-ла(3)[10]**	**15,9**	**14**	**0**	**0,3**	**0**	**0**	**0**	**0**	**0**	**0**	**0**
Уровни звукового давления прямого звука от источника ИШ-9-25 в расчётной точке ночью, дБ		**ф-ла(3)[10]**	**15,9**	**14**	**0**	**0,3**	**0**	**0**	**0**	**0**	**0**	**0**	**0**
Расчёт отражённого звука													
Уровни звукового давления от мнимого источника ИШ-9-25_мн.(1) в расчётной точке днём, дБ		**ф-ла(3)[10]**	**0**	**0**	**0**	**0**	**0**	**0**	**0**	**0**	**0**	**0**	**0**
Уровни звукового давления от мнимого источника ИШ-9-25_мн.(1) в расчётной точке ночью, дБ		**ф-ла(3)[10]**	**0**	**0**	**0**	**0**	**0**	**0**	**0**	**0**	**0**	**0**	**0**
Уровни звукового давления от источника ИШ-9-25 в расчётной точке днём, дБ		**ф-ла(3)[10]**	**15,9**	**14**	**0**	**0,3**	**0**	**0**	**0**	**0**	**0**	**0**	**0**
Уровни звукового давления от источника ИШ-9-25 в расчётной точке ночью, дБ		**ф-ла(3)[10]**	**15,9**	**14**	**0**	**0,3**	**0**	**0**	**0**	**0**	**0**	**0**	**0**
Источник шума: ИШ-9-26, координаты источника (x,y,z), м =[680.09,-249.52,1.00]													
Уровни звуковой мощности источника днём, Lw, дБ		**исходные данные**	**77**	**75**	**67**	**66**	**63**	**55**	**53**	**48**	**51**		
Уровни звуковой мощности источника ночью, Lw, дБ		**исходные данные**	**77**	**75**	**67**	**66**	**63**	**55**	**53**	**48**	**51**		
Поправка на телесный угол DΩ, дБ	Ω = 6.28	10Lg(4π/Ω)	**3**	3	3	3	3	3	3	3	3		

1		2	3	4	5	6	7	8	9	10	11	12	13
Показатель направленности источника Di, дБ		исходные данные	**0**	0	0	0	0	0	0	0	0		
Поправка на направленность источника Dc, дБ	Dc	DΩ + Di	**3**	3	3	3	3	3	3	3	3		
Затухание из-за геометрической дивергенции, Adiv, дБ	расстояние = 458.46 м	ф-ла (7) [10]	**64,2**										
Коэффициент затухания звука в атмосфере α, дБ/км	Ta=20,°C Pa=101.33,кПа hотн.=70%	ф-ла (5) [9]	0,02	0,09	0,33	1,12	2,79	4,98	9,04	23,09	77,63		
Учет затухания звука в атмосфере Aatm, дБ		ф-ла (8) [10]	0	0	0,2	0,5	1,3	2,3	4,1	10,6	35,6		
Снижение уровня звукового давления из-за влияния застройки между источником шума и расчетной точкой													
Снижение уровня звукового давления на пути над экраном, Dz1, дБ	z = 0.00м (разность путей)	ф-лы (14-18) [10]	4,8	4,8	4,8	4,8	4,8	4,8	4,8	4,8	4,8		
Снижение уровня звукового давления на пути слева от экрана, Dz2, дБ	z = 112.23м (разность путей)	ф-лы (14-18) [10]	30	33,7	36,9	39,9	43	46	49	52	55		
Снижение уровня звукового давления на пути справа от экрана, Dz3, дБ	z = 0.00м (разность путей)	ф-лы (14-18) [10]	4,8	4,8	4,8	4,9	5	5,2	5,5	6,1	7,2		
Общее снижение уровня звука препятствием Dz, дБ		Эн.сумма(-Dzi)	1,8	1,8	1,8	1,8	1,9	1,9	2,1	2,4	2,8		
Уровни звукового давления от источника ИШ-9-26 в расчётной точке днём, дБ		**ф-ла(3)[10]**	**14**	**12**	**3,8**	**2,5**	**0**	**0**	**0**	**0**	**0**	**0**	**0**
Уровни звукового давления от источника ИШ-9-26 в расчётной точке ночью, дБ		**ф-ла(3)[10]**	**14**	**12**	**3,8**	**2,5**	**0**	**0**	**0**	**0**	**0**	**0**	**0**
Источник шума: ИШ-9-27, координаты источника (x,y,z), м =[676.46,-260.14,1.00]													
Уровни звуковой мощности источника днём, Lw, дБ		**исходные данные**	**77**	**75**	**67**	**66**	**63**	**55**	**53**	**48**	**51**		
Уровни звуковой мощности источника ночью, Lw, дБ		**исходные данные**	**77**	**75**	**67**	**66**	**63**	**55**	**53**	**48**	**51**		
Поправка на телесный угол DΩ, дБ	Ω = 6.28	10Lg(4π/Ω)	**3**	3	3	3	3	3	3	3	3		

1		2	3	4	5	6	7	8	9	10	11	12	13
Показатель направленности источника Di, дБ		исходные данные	**0**	0	0	0	0	0	0	0	0		
Поправка на направленность источника Dc, дБ	Dc	DΩ + Di	**3**	3	3	3	3	3	3	3	3		
Затухание из-за геометрической дивергенции, Adiv, дБ	расстояние = 456.31 м	ф-ла (7) [10]	**64,2**										
Коэффициент затухания звука в атмосфере α, дБ/км	Ta=20,°C Pa=101.33,кПа hотн.=70%	ф-ла (5) [9]	0,02	0,09	0,33	1,12	2,79	4,98	9,04	23,09	77,63		
Учет затухания звука в атмосфере Aatm, дБ		ф-ла (8) [10]	0	0	0,2	0,5	1,3	2,3	4,1	10,5	35,4		
Снижение уровня звукового давления из-за влияния застройки между источником шума и расчетной точкой													
Снижение уровня звукового давления на пути над экраном, Dz1, дБ	z = 0.00м (разность путей)	ф-лы (14-18) [10]	4,8	4,8	4,8	4,8	4,8	4,8	4,8	4,8	4,8		
Снижение уровня звукового давления на пути слева от экрана, Dz2, дБ	z = 111.19м (разность путей)	ф-лы (14-18) [10]	30	33,6	36,8	39,9	42,9	45,9	48,9	52	55		
Снижение уровня звукового давления на пути справа от экрана, Dz3, дБ	z = 0.05м (разность путей)	ф-лы (14-18) [10]	5	5,2	5,7	6,4	7,6	9,3	11,5	14	16,8		
Общее снижение уровня звука препятствием Dz, дБ		Эн.сумма(-Dzi)	1,9	2	2,2	2,5	3	3,5	3,9	4,3	4,5		
Уровни звукового давления прямого звука от источника ИШ-9-27 в расчётной точке днём, дБ		**ф-ла(3)[10]**	**13,9**	**11,8**	**3,5**	**1,8**	**0**	**0**	**0**	**0**	**0**	**0**	**0**
Уровни звукового давления прямого звука от источника ИШ-9-27 в расчётной точке ночью, дБ		**ф-ла(3)[10]**	**13,9**	**11,8**	**3,5**	**1,8**	**0**	**0**	**0**	**0**	**0**	**0**	**0**
Расчёт отражённого звука													
Уровни звукового давления от мнимого источника ИШ-9-27_мн.(1) в расчётной точке днём, дБ		**ф-ла(3)[10]**	**0**	**0**	**0**	**0**	**0**	**0**	**0**	**0**	**0**	**0**	**0**
Уровни звукового давления от мнимого источника ИШ-9-27_мн.(1) в расчётной точке ночью, дБ		**ф-ла(3)[10]**	**0**	**0**	**0**	**0**	**0**	**0**	**0**	**0**	**0**	**0**	**0**
Уровни звукового давления от источника ИШ-9-27 в расчётной точке днём, дБ		**ф-ла(3)[10]**	**13,9**	**11,8**	**3,5**	**1,8**	**0**	**0**	**0**	**0**	**0**	**0**	**0**
Уровни звукового давления от источника ИШ-9-27 в расчётной точке ночью, дБ		**ф-ла(3)[10]**	**13,9**	**11,8**	**3,5**	**1,8**	**0**	**0**	**0**	**0**	**0**	**0**	**0**

1		2	3	4	5	6	7	8	9	10	11	12	13
Источник шума: ИШ-10-1, координаты источника (x,y,z), м =[17.37,413.17,1.00]													
Уровни звуковой мощности источника днём, Lw, дБ		**исходные данные**	**0**	**98,3**	**99,7**	**101**	**101,3**	**100,9**	**97,6**	**93,4**	**88,9**		
Уровни звуковой мощности источника ночью, Lw, дБ		**исходные данные**	**0**	**98,3**	**99,7**	**101**	**101,3**	**100,9**	**97,6**	**93,4**	**88,9**		
Поправка на телесный угол DΩ, дБ	Ω = 6.28	10Lg(4π/Ω)	**3**	3	3	3	3	3	3	3	3		
Показатель направленности источника Di, дБ		исходные данные	**0**	0	0	0	0	0	0	0	0		
Поправка на направленность источника Dc, дБ	Dc	DΩ + Di	**3**	3	3	3	3	3	3	3	3		
Затухание из-за геометрической дивергенции, Adiv, дБ	расстояние = 640.53 м	ф-ла (7) [10]	**67,1**										
Коэффициент затухания звука в атмосфере α, дБ/км	Ta=20,°C Pa=101.33,кПа hотн.=70%	ф-ла (5) [9]	0,02	0,09	0,33	1,12	2,79	4,98	9,04	23,09	77,63		
Учет затухания звука в атмосфере Aatm, дБ		ф-ла (8) [10]	0	0,1	0,2	0,7	1,8	3,2	5,8	14,8	49,7		
Снижение уровня звукового давления из-за влияния застройки между источником шума и расчетной точкой													
Снижение уровня звукового давления на пути над экраном, Dz1, дБ	z = 0.22м (разность путей)	ф-лы (14-18) [10]	4,8	4,8	4,9	5	5,3	5,8	6,6	7,9	9,7		
Снижение уровня звукового давления на пути слева от экрана, Dz2, дБ	z = 24.56м (разность путей)	ф-лы (14-18) [10]	19,7	22,7	25,6	28,6	31,6	34,6	37,6	40,6	43,6		
Снижение уровня звукового давления на пути справа от экрана, Dz3, дБ	z = 3.05м (разность путей)	ф-лы (14-18) [10]	11,6	14,1	16,8	19,7	22,6	25,6	28,6	31,6	34,6		
Общее снижение уровня звука препятствием Dz, дБ		Эн.сумма(-Dzi)	3,9	4,3	4,6	4,9	5,2	5,7	6,6	7,8	9,6		
Уровни звукового давления от источника ИШ-10-1 в расчётной точке днём, дБ		**ф-ла(3)[10]**	**0**	**29,8**	**30,8**	**31,3**	**30,2**	**27,9**	**21,1**	**6,6**	**0**	**31,8**	**31,8**
Уровни звукового давления от источника ИШ-10-1 в расчётной точке ночью, дБ		**ф-ла(3)[10]**	**0**	**29,8**	**30,8**	**31,3**	**30,2**	**27,9**	**21,1**	**6,6**	**0**	**31,8**	**31,8**

1		2	3	4	5	6	7	8	9	10	11	12	13
Источник шума: ИШ-10-2, координаты источника (x,y,z), м =[27.87,443.46,1.00]													
Уровни звуковой мощности источника днём, Lw, дБ		**исходные данные**	**0**	**98,3**	**99,7**	**101**	**101,3**	**100,9**	**97,6**	**93,4**	**88,9**		
Уровни звуковой мощности источника ночью, Lw, дБ		**исходные данные**	**0**	**98,3**	**99,7**	**101**	**101,3**	**100,9**	**97,6**	**93,4**	**88,9**		
Поправка на телесный угол DΩ, дБ	Ω = 6.28	10Lg(4π/Ω)	**3**	3	3	3	3	3	3	3	3		
Показатель направленности источника Di, дБ		исходные данные	**0**	0	0	0	0	0	0	0	0		
Поправка на направленность источника Dc, дБ	Dc	DΩ + Di	**3**	3	3	3	3	3	3	3	3		
Затухание из-за геометрической дивергенции, Adiv, дБ	расстояние = 666.07 м	ф-ла (7) [10]	**67,5**										
Коэффициент затухания звука в атмосфере α, дБ/км	Ta=20,°C Pa=101.33,кПа hотн.=70%	ф-ла (5) [9]	0,02	0,09	0,33	1,12	2,79	4,98	9,04	23,09	77,63		
Учет затухания звука в атмосфере Aatm, дБ		ф-ла (8) [10]	0	0,1	0,2	0,7	1,9	3,3	6	15,4	51,7		
Снижение уровня звукового давления из-за влияния застройки между источником шума и расчетной точкой													
Снижение уровня звукового давления на пути над экраном, Dz1, дБ	z = 0.22м (разность путей)	ф-лы (14-18) [10]	5	5,3	5,8	6,6	7,9	9,7	11,9	14,5	17,2		
Снижение уровня звукового давления на пути слева от экрана, Dz2, дБ	z = 16.47м (разность путей)	ф-лы (14-18) [10]	21,8	25,4	28,6	31,6	34,6	37,6	40,7	43,7	46,7		
Снижение уровня звукового давления на пути справа от экрана, Dz3, дБ	z = 4.55м (разность путей)	ф-лы (14-18) [10]	13	15,6	18,4	21,4	24,3	27,3	30,3	33,3	36,3		
Общее снижение уровня звука препятствием Dz, дБ		Эн.сумма(-Dzi)	4,3	4,9	5,5	6,4	7,8	9,6	11,8	14,4	17,2		
Уровни звукового давления прямого звука от источника ИШ-10-2 в расчётной точке днём, дБ		**ф-ла(3)[10]**	**0**	**28,9**	**29,5**	**29,4**	**27,2**	**23,6**	**15,3**	**0**	**0**	**28,2**	**28,2**
Уровни звукового давления прямого звука от источника ИШ-10-2 в расчётной точке ночью, дБ		**ф-ла(3)[10]**	**0**	**28,9**	**29,5**	**29,4**	**27,2**	**23,6**	**15,3**	**0**	**0**	**28,2**	**28,2**

1		2	3	4	5	6	7	8	9	10	11	12	13
Расчёт отражённого звука													
Уровни звукового давления от мнимого источника ИШ-10-2_мн.(1) в расчётной точке днём, дБ		**ф-ла(3)[10]**	**0**	**0**	**0**	**0**	**0**	**0**	**0**	**0**	**0**	**0**	**0**
Уровни звукового давления от мнимого источника ИШ-10-2_мн.(1) в расчётной точке ночью, дБ		**ф-ла(3)[10]**	**0**	**0**	**0**	**0**	**0**	**0**	**0**	**0**	**0**	**0**	**0**
Уровни звукового давления от источника ИШ-10-2 в расчётной точке днём, дБ		**ф-ла(3)[10]**	**0**	**28,9**	**29,5**	**29,4**	**27,2**	**23,6**	**15,3**	**0**	**0**	**28,2**	**28,2**
Уровни звукового давления от источника ИШ-10-2 в расчётной точке ночью, дБ		**ф-ла(3)[10]**	**0**	**28,9**	**29,5**	**29,4**	**27,2**	**23,6**	**15,3**	**0**	**0**	**28,2**	**28,2**
Уровни звукового давления в расчётной точке													
Суммарные уровни звукового давления в расчётной точке от всех источников шума днём, Lрт, дБ		**ф-ла (19) [1]**	**60,9**	**59**	**54,2**	**55**	**55,5**	**56,7**	**50,8**	**38,7**	**0**	**59,3**	**59,3**
Суммарные уровни звукового давления в расчётной точке от всех источников шума ночью, Lрт, дБ		**ф-ла (19) [1]**	**56,6**	**57,6**	**53,9**	**54,7**	**55,3**	**56,5**	**50,2**	**38,4**	**0**	**59**	**59**
Допускаемые УЗД днём, Lдоп, дБ	Территории предприятий с постоянными рабочими местами	Табл. 1[3]	107	95	87	82	78	75	73	71	69	80	95
Допускаемые УЗД ночью, Lдоп, дБ	Территории предприятий с постоянными рабочими местами	Табл. 1[3]	107	95	87	82	78	75	73	71	69	80	95
Превышение днём, дБ		**Lрт - Lдоп**	**-46,1**	**-36**	**-32,8**	**-27**	**-22,5**	**-18,3**	**-22,2**	**-32,3**	**-69**	**-20,7**	**-35,7**
Превышение ночью, дБ		**Lрт - Lдоп**	**-50,4**	**-37,4**	**-33,1**	**-27,3**	**-22,7**	**-18,5**	**-22,8**	**-32,6**	**-69**	**-21**	**-36**

Определение уровней звукового давления в точке РТ-4-6 (координаты точки, м: x = 268.75, y = -207.38, z = 4.60)

Наименование величин и их описание		Ссылка	Расчётные уровни в октавных полосах, со среднегеометрическими частотами, Гц									La, дБА	Lмакс, дБА
			31,5	63	125	250	500	1000	2000	4000	8000		
1		2	3	4	5	6	7	8	9	10	11	12	13
Источник шума: ИШ-1-1, координаты источника (x,y,z), м =[271.72,229.68,1.00]													
Уровни звуковой мощности источника днём, Lw, дБ		**исходные данные**	**97**	**97**	**104**	**106**	**105**	**105**	**98**	**87**	**81**		
Уровни звуковой мощности источника ночью, Lw, дБ		**исходные данные**	**97**	**97**	**104**	**106**	**105**	**105**	**98**	**87**	**81**		
Поправка на телесный угол DΩ, дБ	Ω = 6.28	10Lg(4π/Ω)	**3**	3	3	3	3	3	3	3	3		
Показатель направленности источника Di, дБ		исходные данные	**0**	0	0	0	0	0	0	0	0		
Поправка на направленность источника Dc, дБ	Dc	DΩ + Di	**3**	3	3	3	3	3	3	3	3		
Затухание из-за геометрической дивергенции, Adiv, дБ	расстояние = 437.09 м	ф-ла (7) [10]	**63,8**										
Коэффициент затухания звука в атмосфере α, дБ/км	Ta=20,°C Pa=101.33,кПа hотн.=70%	ф-ла (5) [9]	0,02	0,09	0,33	1,12	2,79	4,98	9,04	23,09	77,63		
Учет затухания звука в атмосфере Aatm, дБ		ф-ла (8) [10]	0	0	0,1	0,5	1,2	2,2	4	10,1	33,9		
Снижение поверхностью земли возле источника As, дБ	Gs = 0 hs = 1м	ф-лы таб.3 [10]	-1,5	-1,5	-1,5	-1,5	-1,5	-1,5	-1,5	-1,5	-1,5		
Снижение поверхностью земли возле приёмника Ar, дБ	Gr = 1 hr = 4.6м	ф-лы таб.3 [10]	-1,5	-1,5	3,3	1,3	0	0	0	0	0		
Снижение поверхностью земли в средней зоне, Am дБ	Gm = 1	ф-лы таб.3 [10]	-1,8	-1,8	0	0	0	0	0	0	0		
Суммарное снижение поверхностью земли на траектории распространения звука Agr, дБ		ф-ла (9) [10]	-4,8	-4,8	1,8	-0,2	-1,5	-1,5	-1,5	-1,5	-1,5		

1		2	3	4	5	6	7	8	9	10	11	12	13
Уровни звукового давления прямого звука от источника ИШ-1-1 в расчётной точке днём, дБ		**ф-ла(3)[10]**	**41**	**41**	**41,3**	**44,9**	**44,5**	**43,5**	**34,8**	**17,6**	**0**	**46,5**	**46,5**
Уровни звукового давления прямого звука от источника ИШ-1-1 в расчётной точке ночью, дБ		**ф-ла(3)[10]**	**41**	**41**	**41,3**	**44,9**	**44,5**	**43,5**	**34,8**	**17,6**	**0**	**46,5**	**46,5**
Расчёт отражённого звука													
Уровни звукового давления от мнимого источника ИШ-1-1_мн.(1) в расчётной точке днём, дБ		**ф-ла(3)[10]**	**0**	**0**	**0**	**0**	**0**	**26,1**	**14**	**0**	**0**	**26,4**	**26,4**
Уровни звукового давления от мнимого источника ИШ-1-1_мн.(1) в расчётной точке ночью, дБ		**ф-ла(3)[10]**	**0**	**0**	**0**	**0**	**0**	**0**	**0**	**0**	**0**	**26,4**	**26,4**
Уровни звукового давления от мнимого источника ИШ-1-1_мн.(2) в расчётной точке днём, дБ		**ф-ла(3)[10]**	**40**	**40**	**36,1**	**34,5**	**33,1**	**38,9**	**32,2**	**15**	**0**	**40,6**	**40,6**
Уровни звукового давления от мнимого источника ИШ-1-1_мн.(2) в расчётной точке ночью, дБ		**ф-ла(3)[10]**	**40**	**40**	**40**	**40**	**40**	**40**	**40**	**40**	**40**	**40,6**	**40,6**
Суммарные уровни звукового давления от мнимых источников в расчётной точке днём, дБ		**ф-ла (19) [1]**	**40**	**40**	**36,1**	**34,5**	**33,1**	**39,1**	**32,2**	**15**	**0**	**0**	**40,8**
Суммарные уровни звукового давления от мнимых источников в расчётной точке ночью, дБ		**ф-ла (19) [1]**	**40**	**40**	**36,1**	**34,5**	**33,1**	**39,1**	**32,2**	**15**	**0**	**0**	**40,8**
Уровни звукового давления от источника ИШ-1-1 в расчётной точке днём, дБ		**ф-ла(3)[10]**	**43,6**	**43,5**	**42,4**	**45,3**	**44,8**	**44,9**	**36,7**	**19,5**	**0**	**47,5**	**47,5**
Уровни звукового давления от источника ИШ-1-1 в расчётной точке ночью, дБ		**ф-ла(3)[10]**	**43,6**	**43,5**	**42,4**	**45,3**	**44,8**	**44,9**	**36,7**	**19,5**	**0**	**47,5**	**47,5**
Источник шума: ИШ-1-2, координаты источника (x,y,z), м =[261.74,199.14,1.00]													
Уровни звуковой мощности источника днём, Lw, дБ		**исходные данные**	**97**	**97**	**104**	**106**	**105**	**105**	**98**	**87**	**81**		
Уровни звуковой мощности источника ночью, Lw, дБ		**исходные данные**	**97**	**97**	**104**	**106**	**105**	**105**	**98**	**87**	**81**		
Поправка на телесный угол DΩ, дБ	Ω = 6.28	10Lg(4π/Ω)	**3**	3	3	3	3	3	3	3	3		
Показатель направленности источника Di, дБ		исходные данные	**0**	0	0	0	0	0	0	0	0		
Поправка на направленность источника Dc, дБ	Dc	DΩ + Di	**3**	3	3	3	3	3	3	3	3		

1		2	3	4	5	6	7	8	9	10	11	12	13
Затухание из-за геометрической дивергенции, Adiv, дБ	расстояние = 406.60 м	ф-ла (7) [10]	**63,2**										
Коэффициент затухания звука в атмосфере α, дБ/км	Ta=20,°C Pa=101.33,кПа hотн.=70%	ф-ла (5) [9]	0,02	0,09	0,33	1,12	2,79	4,98	9,04	23,09	77,63		
Учет затухания звука в атмосфере Aatm, дБ		ф-ла (8) [10]	0	0	0,1	0,5	1,1	2	3,7	9,4	31,6		
Снижение поверхностью земли возле источника As, дБ	Gs = 0 hs = 1м	ф-лы таб.3 [10]	-1,5	-1,5	-1,5	-1,5	-1,5	-1,5	-1,5	-1,5	-1,5		
Снижение поверхностью земли возле приёмника Ar, дБ	Gr = 1 hr = 4.6м	ф-лы таб.3 [10]	-1,5	-1,5	3,3	1,3	0	0	0	0	0		
Снижение поверхностью земли в средней зоне, Am дБ	Gm = 1	ф-лы таб.3 [10]	-1,8	-1,8	0	0	0	0	0	0	0		
Суммарное снижение поверхностью земли на траектории распространения звука Agr, дБ		ф-ла (9) [10]	-4,8	-4,8	1,8	-0,2	-1,5	-1,5	-1,5	-1,5	-1,5		
Уровни звукового давления прямого звука от источника ИШ-1-2 в расчётной точке днём, дБ		**ф-ла(3)[10]**	**41,6**	**41,6**	**41,9**	**45,6**	**45,2**	**44,3**	**35,7**	**18,9**	**0**	**47,3**	**47,3**
Уровни звукового давления прямого звука от источника ИШ-1-2 в расчётной точке ночью, дБ		**ф-ла(3)[10]**	**41,6**	**41,6**	**41,9**	**45,6**	**45,2**	**44,3**	**35,7**	**18,9**	**0**	**47,3**	**47,3**
Расчёт отражённого звука													
Уровни звукового давления от мнимого источника ИШ-1-2_мн.(1) в расчётной точке днём, дБ		**ф-ла(3)[10]**	**0**	**0**	**0**	**0**	**0**	**24,2**	**12**	**0**	**0**	**24,6**	**24,6**
Уровни звукового давления от мнимого источника ИШ-1-2_мн.(1) в расчётной точке ночью, дБ		**ф-ла(3)[10]**	**0**	**0**	**0**	**0**	**0**	**0**	**0**	**0**	**0**	**24,6**	**24,6**
Уровни звукового давления от мнимого источника ИШ-1-2_мн.(2) в расчётной точке днём, дБ		**ф-ла(3)[10]**	**40,5**	**40,5**	**37**	**35,2**	**33,8**	**39,7**	**33,1**	**16,3**	**0**	**41,4**	**41,4**
Уровни звукового давления от мнимого источника ИШ-1-2_мн.(2) в расчётной точке ночью, дБ		**ф-ла(3)[10]**	**40,5**	**40,5**	**40,5**	**40,5**	**40,5**	**40,5**	**40,5**	**40,5**	**40,5**	**41,4**	**41,4**
Суммарные уровни звукового давления от мнимых источников в расчётной точке днём, дБ		**ф-ла (19) [1]**	**40,5**	**40,5**	**37**	**35,2**	**33,8**	**39,8**	**33,1**	**16,3**	**0**	**0**	**41,5**
Суммарные уровни звукового давления от мнимых источников в расчётной точке ночью, дБ		**ф-ла (19) [1]**	**40,5**	**40,5**	**37**	**35,2**	**33,8**	**39,8**	**33,1**	**16,3**	**0**	**0**	**41,5**
Уровни звукового давления от источника ИШ-1-2 в расчётной точке днём, дБ		**ф-ла(3)[10]**	**44,1**	**44,1**	**43,1**	**46**	**45,5**	**45,6**	**37,6**	**20,8**	**0**	**48,3**	**48,3**

1		2	3	4	5	6	7	8	9	10	11	12	13
Уровни звукового давления от источника ИШ-1-2 в расчётной точке ночью, дБ		**ф-ла(3)[10]**	**44,1**	**44,1**	**43,1**	**46**	**45,5**	**45,6**	**37,6**	**20,8**	**0**	**48,3**	**48,3**
Источник шума: ИШ-1-3, координаты источника (x,y,z), м =[251.75,236.44,1.00]													
Уровни звуковой мощности источника днём, Lw, дБ		**исходные данные**	**0**	**91,3**	**92,7**	**94**	**94,3**	**93,9**	**90,6**	**86,4**	**81,9**		
Уровни звуковой мощности источника ночью, Lw, дБ		**исходные данные**	**0**	**91,3**	**92,7**	**94**	**94,3**	**93,9**	**90,6**	**86,4**	**81,9**		
Поправка на телесный угол DΩ, дБ	Ω = 6.28	10Lg(4π/Ω)	**3**	3	3	3	3	3	3	3	3		
Показатель направленности источника Di, дБ		исходные данные	**0**	0	0	0	0	0	0	0	0		
Поправка на направленность источника Dc, дБ	Dc	DΩ + Di	**3**	3	3	3	3	3	3	3	3		
Затухание из-за геометрической дивергенции, Adiv, дБ	расстояние = 444.16 м	ф-ла (7) [10]	**64**										
Коэффициент затухания звука в атмосфере α, дБ/км	Ta=20,°C Pa=101.33,кПа hотн.=70%	ф-ла (5) [9]	0,02	0,09	0,33	1,12	2,79	4,98	9,04	23,09	77,63		
Учет затухания звука в атмосфере Aatm, дБ		ф-ла (8) [10]	0	0	0,1	0,5	1,2	2,2	4	10,3	34,5		
Снижение поверхностью земли возле источника As, дБ	Gs = 0 hs = 1м	ф-лы таб.3 [10]	-1,5	-1,5	-1,5	-1,5	-1,5	-1,5	-1,5	-1,5	-1,5		
Снижение поверхностью земли возле приёмника Ar, дБ	Gr = 1 hr = 4.6м	ф-лы таб.3 [10]	-1,5	-1,5	3,3	1,3	0	0	0	0	0		
Снижение поверхностью земли в средней зоне, Am дБ	Gm = 1	ф-лы таб.3 [10]	-1,9	-1,9	0	0	0	0	0	0	0		
Суммарное снижение поверхностью земли на траектории распространения звука Agr, дБ		ф-ла (9) [10]	-4,9	-4,9	1,8	-0,2	-1,5	-1,5	-1,5	-1,5	-1,5		
Уровни звукового давления прямого звука от источника ИШ-1-3 в расчётной точке днём, дБ		**ф-ла(3)[10]**	**0**	**35,2**	**29,8**	**32,8**	**33,6**	**32,2**	**27,1**	**16,7**	**0**	**35,8**	**35,8**
Уровни звукового давления прямого звука от источника ИШ-1-3 в расчётной точке ночью, дБ		**ф-ла(3)[10]**	**0**	**35,2**	**29,8**	**32,8**	**33,6**	**32,2**	**27,1**	**16,7**	**0**	**35,8**	**35,8**

1		2	3	4	5	6	7	8	9	10	11	12	13
Расчёт отражённого звука													
Уровни звукового давления от мнимого источника ИШ-1-3_мн.(1) в расчётной точке днём, дБ		**ф-ла(3)[10]**	**0**	**0**	**0**	**0**	**0**	**22,3**	**15,2**	**0,7**	**0**	**23,3**	**23,3**
Уровни звукового давления от мнимого источника ИШ-1-3_мн.(1) в расчётной точке ночью, дБ		**ф-ла(3)[10]**	**0**	**0**	**0**	**0**	**0**	**0**	**0**	**0**	**0**	**23,3**	**23,3**
Уровни звукового давления от мнимого источника ИШ-1-3_мн.(2) в расчётной точке днём, дБ		**ф-ла(3)[10]**	**0**	**34,1**	**24,6**	**22,4**	**22,2**	**27,6**	**24,5**	**14,1**	**0**	**30,4**	**30,4**
Уровни звукового давления от мнимого источника ИШ-1-3_мн.(2) в расчётной точке ночью, дБ		**ф-ла(3)[10]**	**34,1**	**34,1**	**34,1**	**34,1**	**34,1**	**34,1**	**34,1**	**34,1**	**34,1**	**30,4**	**30,4**
Суммарные уровни звукового давления от мнимых источников в расчётной точке днём, дБ		**ф-ла (19) [1]**	**0**	**34,1**	**24,6**	**22,4**	**22,2**	**28,7**	**25**	**14,2**	**0**	**0**	**31,2**
Суммарные уровни звукового давления от мнимых источников в расчётной точке ночью, дБ		**ф-ла (19) [1]**	**0**	**34,1**	**24,6**	**22,4**	**22,2**	**28,7**	**25**	**14,2**	**0**	**0**	**31,2**
Уровни звукового давления от источника ИШ-1-3 в расчётной точке днём, дБ		**ф-ла(3)[10]**	**0**	**37,7**	**30,9**	**33,1**	**33,9**	**33,8**	**29,2**	**18,6**	**0**	**37,1**	**37,1**
Уровни звукового давления от источника ИШ-1-3 в расчётной точке ночью, дБ		**ф-ла(3)[10]**	**0**	**37,7**	**30,9**	**33,1**	**33,9**	**33,8**	**29,2**	**18,6**	**0**	**37,1**	**37,1**
Источник шума: ИШ-1-4, координаты источника (x,y,z), м =[290.25,223.25,1.00]													
Уровни звуковой мощности источника днём, Lw, дБ		**исходные данные**	**0**	**91,3**	**92,7**	**94**	**94,3**	**93,9**	**90,6**	**86,4**	**81,9**		
Уровни звуковой мощности источника ночью, Lw, дБ		**исходные данные**	**0**	**91,3**	**92,7**	**94**	**94,3**	**93,9**	**90,6**	**86,4**	**81,9**		
Поправка на телесный угол DΩ, дБ	Ω = 6.28	10Lg(4π/Ω)	**3**	3	3	3	3	3	3	3	3		
Показатель направленности источника Di, дБ		исходные данные	**0**	0	0	0	0	0	0	0	0		
Поправка на направленность источника Dc, дБ	Dc	DΩ + Di	**3**	3	3	3	3	3	3	3	3		
Затухание из-за геометрической дивергенции, Adiv, дБ	расстояние = 431.18 м	ф-ла (7) [10]	**63,7**										
Коэффициент затухания звука в атмосфере α, дБ/км	Ta=20,°C Pa=101.33,кПа hотн.=70%	ф-ла (5) [9]	0,02	0,09	0,33	1,12	2,79	4,98	9,04	23,09	77,63		

1			2	3	4	5	6	7	8	9	10	11	12	13
Учет затухания звука в атмосфере Aatm, дБ			ф-ла (8) [10]	0	0	0,1	0,5	1,2	2,1	3,9	10	33,5		
Снижение уровня звукового давления из-за влияния застройки между источником шума и расчетной точкой														
Длина звуковой волны для среднегеометрической частоты октавной полосы, λ, м				10,79	5,4	2,72	1,36	0,68	0,34	0,17	0,09	0,04		
Критерий наличия экранирования в горизонтальной плоскости	Горизонтальный размер экрана, lэкр = 55.76 м		lэкр > λ	да	да	да	да	да	да	да	да	да		
Траектория над экраном	Промежуточные точки:	Pss(x,y,z) = (276.02,-61.72,10.00)	Psr(x,y,z) = (275.81,-66.06,10.00)	dss = 285.47 м		dsr = 141.60 м		e = 4.35 м		z = 0.23 м				
	Константа C2, учитывающая эффект отражения от земли возле экрана			40	40	40	40	40	40	40	40	40		
	Константа C3 (дифракция на кромках)		ф-ла (15) [10]	1	1	1,1	1,2	1,7	2,4	2,8	2,9	3		
	K_{met} (влияние метеоусловий)		ф-ла (18) [10]	0	0	0	0	0	0	0	0	0		
	Снижение УЗД, Dz, дБ		ф-ла (14) [10]	4,8	4,9	5	5,3	6,1	7,7	10	12,5	15,2		
Траектория слева от экрана	Промежуточные точки:	Pss(x,y,z) = (338.06,249.69,0.76)	Psr(x,y,z) = (340.88,45.97,2.46)	dss = 54.63 м		dsr = 263.43 м		e = 203.74 м		z = 90.62 м				
	Константа C2, учитывающая эффект отражения от земли возле экрана			40	40	40	40	40	40	40	40	40		
	Константа C3 (дифракция на кромках)		ф-ла (15) [10]	2,7	2,9	3	3	3	3	3	3	3		
	K_{met} (влияние метеоусловий)		ф-ла (18) [10]	1	1	1	1	1	1	1	1	1		
	Снижение УЗД, Dz, дБ		ф-ла (14) [10]	29,5	32,9	36	39	42	45	48,1	51,1	54,1		
Траектория справа от экрана	Промежуточные точки:	Pss(x,y,z) = (274.69,-65.69,3.42)	Psr(x,y,z) = (274.69,-65.69,3.42)	dss = 289.36 м		dsr = 141.82 м		e = 0.00 м		z = 0.01 м				
	Константа C2, учитывающая эффект отражения от земли возле экрана			40	40	40	40	40	40	40	40	40		
	Константа C3 (дифракция на кромках)		ф-ла (15) [10]	1	1	1	1	1	1	1	1	1		

1		2	3	4	5	6	7	8	9	10	11	12	13
	K_{met} (влияние метеоусловий)	ф-ла (18) [10]	1	1	1	1	1	1	1	1	1		
	Снижение УЗД, Dz, дБ	ф-ла (14) [10]	4,8	4,8	4,9	5	5,3	5,8	6,6	7,9	9,7		
Общее снижение уровня звука препятствием Dz, дБ		Эн.сумма(-Dzi)	1,8	1,9	1,9	2,2	2,7	3,6	5	6,6	8,6		
Уровни звукового давления прямого звука от источника ИШ-1-4 в расчётной точке днём, дБ		**ф-ла(3)[10]**	**0**	**28,7**	**29,9**	**30,7**	**29,7**	**27,4**	**21**	**9,1**	**0**	**31,3**	**31,3**
Уровни звукового давления прямого звука от источника ИШ-1-4 в расчётной точке ночью, дБ		**ф-ла(3)[10]**	**0**	**28,7**	**29,9**	**30,7**	**29,7**	**27,4**	**21**	**9,1**	**0**	**31,3**	**31,3**
Расчёт отражённого звука													
Уровни звукового давления от мнимого источника ИШ-1-4_мн.(1) в расчётной точке днём, дБ		**ф-ла(3)[10]**	**0**	**0**	**0**	**0**	**0**	**10,8**	**2,2**	**0**	**0**	**11,5**	**11,5**
Уровни звукового давления от мнимого источника ИШ-1-4_мн.(1) в расчётной точке ночью, дБ		**ф-ла(3)[10]**	**0**	**0**	**0**	**0**	**0**	**0**	**0**	**0**	**0**	**11,5**	**11,5**
Уровни звукового давления от мнимого источника ИШ-1-4_мн.(2) в расчётной точке днём, дБ		**ф-ла(3)[10]**	**0**	**0**	**0**	**0**	**0**	**0**	**0**	**0**	**0**	**0**	**0**
Уровни звукового давления от мнимого источника ИШ-1-4_мн.(2) в расчётной точке ночью, дБ		**ф-ла(3)[10]**	**0**	**0**	**0**	**0**	**0**	**0**	**0**	**0**	**0**	**0**	**0**
Суммарные уровни звукового давления от мнимых источников в расчётной точке днём, дБ		**ф-ла (19) [1]**	**0**	**0**	**0**	**0**	**0**	**10,8**	**2,2**	**0**	**0**	**0**	**11,5**
Суммарные уровни звукового давления от мнимых источников в расчётной точке ночью, дБ		**ф-ла (19) [1]**	**0**	**0**	**0**	**0**	**0**	**10,8**	**2,2**	**0**	**0**	**0**	**11,5**
Уровни звукового давления от источника ИШ-1-4 в расчётной точке днём, дБ		**ф-ла(3)[10]**	**0**	**28,7**	**29,9**	**30,7**	**29,7**	**27,5**	**21,1**	**9,1**	**0**	**31,4**	**31,4**
Уровни звукового давления от источника ИШ-1-4 в расчётной точке ночью, дБ		**ф-ла(3)[10]**	**0**	**28,7**	**29,9**	**30,7**	**29,7**	**27,5**	**21,1**	**9,1**	**0**	**31,4**	**31,4**
Источник шума: ИШ-1-5, координаты источника (x,y,z), м =[241.49,205.86,1.00]													
Уровни звуковой мощности источника днём, Lw, дБ		**исходные данные**	**0**	**91,3**	**92,7**	**94**	**94,3**	**93,9**	**90,6**	**86,4**	**81,9**		
Уровни звуковой мощности источника ночью, Lw, дБ		**исходные данные**	**0**	**91,3**	**92,7**	**94**	**94,3**	**93,9**	**90,6**	**86,4**	**81,9**		

1		2	3	4	5	6	7	8	9	10	11	12	13
Поправка на телесный угол DΩ, дБ	Ω = 6.28	10Lg(4π/Ω)	**3**	3	3	3	3	3	3	3	3		
Показатель направленности источника Di, дБ		исходные данные	**0**	0	0	0	0	0	0	0	0		
Поправка на направленность источника Dc, дБ	Dc	DΩ + Di	**3**	3	3	3	3	3	3	3	3		
Затухание из-за геометрической дивергенции, Adiv, дБ	расстояние = 414.15 м	ф-ла (7) [10]	**63,3**										
Коэффициент затухания звука в атмосфере α, дБ/км	Ta=20,°C Pa=101.33,кПа hотн.=70%	ф-ла (5) [9]	0,02	0,09	0,33	1,12	2,79	4,98	9,04	23,09	77,63		
Учет затухания звука в атмосфере Aatm, дБ		ф-ла (8) [10]	0	0	0,1	0,5	1,2	2,1	3,7	9,6	32,2		
Снижение поверхностью земли возле источника As, дБ	Gs = 0 hs = 1м	ф-лы таб.3 [10]	-1,5	-1,5	-1,5	-1,5	-1,5	-1,5	-1,5	-1,5	-1,5		
Снижение поверхностью земли возле приёмника Ar, дБ	Gr = 1 hr = 4.6м	ф-лы таб.3 [10]	-1,5	-1,5	3,3	1,3	0	0	0	0	0		
Снижение поверхностью земли в средней зоне, Am дБ	Gm = 1	ф-лы таб.3 [10]	-1,8	-1,8	0	0	0	0	0	0	0		
Суммарное снижение поверхностью земли на траектории распространения звука Agr, дБ		ф-ла (9) [10]	-4,8	-4,8	1,8	-0,2	-1,5	-1,5	-1,5	-1,5	-1,5		
Уровни звукового давления прямого звука от источника ИШ-1-5 в расчётной точке днём, дБ		**ф-ла(3)[10]**	**0**	**35,7**	**30,4**	**33,4**	**34,3**	**33**	**28**	**18**	**0**	**36,6**	**36,6**
Уровни звукового давления прямого звука от источника ИШ-1-5 в расчётной точке ночью, дБ		**ф-ла(3)[10]**	**0**	**35,7**	**30,4**	**33,4**	**34,3**	**33**	**28**	**18**	**0**	**36,6**	**36,6**
Расчёт отражённого звука													
Уровни звукового давления от мнимого источника ИШ-1-5_мн.(1) в расчётной точке днём, дБ		**ф-ла(3)[10]**	**0**	**0**	**0**	**0**	**0**	**20,7**	**13,5**	**0**	**0**	**21,7**	**21,7**
Уровни звукового давления от мнимого источника ИШ-1-5_мн.(1) в расчётной точке ночью, дБ		**ф-ла(3)[10]**	**0**	**0**	**0**	**0**	**0**	**0**	**0**	**0**	**0**	**21,7**	**21,7**
Уровни звукового давления от мнимого источника ИШ-1-5_мн.(2) в расчётной точке днём, дБ		**ф-ла(3)[10]**	**0**	**34,7**	**25,4**	**23**	**22,9**	**28,4**	**25,4**	**15,3**	**0**	**31,2**	**31,2**
Уровни звукового давления от мнимого источника ИШ-1-5_мн.(2) в расчётной точке ночью, дБ		**ф-ла(3)[10]**	**34,7**	**34,7**	**34,7**	**34,7**	**34,7**	**34,7**	**34,7**	**34,7**	**34,7**	**31,2**	**31,2**

1		2	3	4	5	6	7	8	9	10	11	12	13
Суммарные уровни звукового давления от мнимых источников в расчётной точке днём, дБ		**ф-ла (19) [1]**	**0**	**34,7**	**25,4**	**23**	**22,9**	**29,1**	**25,7**	**15,3**	**0**	**0**	**31,7**
Суммарные уровни звукового давления от мнимых источников в расчётной точке ночью, дБ		**ф-ла (19) [1]**	**0**	**34,7**	**25,4**	**23**	**22,9**	**29,1**	**25,7**	**15,3**	**0**	**0**	**31,7**
Уровни звукового давления от источника ИШ-1-5 в расчётной точке днём, дБ		**ф-ла(3)[10]**	**0**	**38,2**	**31,6**	**33,8**	**34,6**	**34,5**	**30**	**19,9**	**0**	**37,8**	**37,8**
Уровни звукового давления от источника ИШ-1-5 в расчётной точке ночью, дБ		**ф-ла(3)[10]**	**0**	**38,2**	**31,6**	**33,8**	**34,6**	**34,5**	**30**	**19,9**	**0**	**37,8**	**37,8**
Источник шума: ИШ-1-6, координаты источника (x,y,z), м =[279.85,192.97,1.00]													
Уровни звуковой мощности источника днём, Lw, дБ		**исходные данные**	**0**	**91,3**	**92,7**	**94**	**94,3**	**93,9**	**90,6**	**86,4**	**81,9**		
Уровни звуковой мощности источника ночью, Lw, дБ		**исходные данные**	**0**	**91,3**	**92,7**	**94**	**94,3**	**93,9**	**90,6**	**86,4**	**81,9**		
Поправка на телесный угол DΩ, дБ	Ω = 6.28	10Lg(4π/Ω)	**3**	3	3	3	3	3	3	3	3		
Показатель направленности источника Di, дБ		исходные данные	**0**	0	0	0	0	0	0	0	0		
Поправка на направленность источника Dc, дБ	Dc	DΩ + Di	**3**	3	3	3	3	3	3	3	3		
Затухание из-за геометрической дивергенции, Adiv, дБ	расстояние = 400.52 м	ф-ла (7) [10]	**63,1**										
Коэффициент затухания звука в атмосфере α, дБ/км	Ta=20,°C Pa=101.33,кПа hотн.=70%	ф-ла (5) [9]	0,02	0,09	0,33	1,12	2,79	4,98	9,04	23,09	77,63		
Учет затухания звука в атмосфере Aatm, дБ		ф-ла (8) [10]	0	0	0,1	0,5	1,1	2	3,6	9,2	31,1		
Снижение поверхностью земли возле источника As, дБ	Gs = 0 hs = 1м	ф-лы таб.3 [10]	-1,5	-1,5	-1,5	-1,5	-1,5	-1,5	-1,5	-1,5	-1,5		
Снижение поверхностью земли возле приёмника Ar, дБ	Gr = 1 hr = 4.6м	ф-лы таб.3 [10]	-1,5	-1,5	3,2	1,3	0	0	0	0	0		
Снижение поверхностью земли в средней зоне, Am дБ	Gm = 1	ф-лы таб.3 [10]	-1,7	-1,7	0	0	0	0	0	0	0		

1		2	3	4	5	6	7	8	9	10	11	12	13
Суммарное снижение поверхностью земли на траектории распространения звука Agr, дБ		ф-ла (9) [10]	-4,7	-4,7	1,7	-0,2	-1,5	-1,5	-1,5	-1,5	-1,5		
Уровни звукового давления прямого звука от источника ИШ-1-6 в расчётной точке днём, дБ		**ф-ла(3)[10]**	**0**	**35,9**	**30,8**	**33,7**	**34,6**	**33,3**	**28,4**	**18,6**	**0**	**36,9**	**36,9**
Уровни звукового давления прямого звука от источника ИШ-1-6 в расчётной точке ночью, дБ		**ф-ла(3)[10]**	**0**	**35,9**	**30,8**	**33,7**	**34,6**	**33,3**	**28,4**	**18,6**	**0**	**36,9**	**36,9**
Расчёт отражённого звука													
Уровни звукового давления от мнимого источника ИШ-1-6_мн.(1) в расчётной точке днём, дБ		**ф-ла(3)[10]**	**0**	**0**	**0**	**0**	**0**	**8,5**	**0**	**0**	**0**	**8,5**	**8,5**
Уровни звукового давления от мнимого источника ИШ-1-6_мн.(1) в расчётной точке ночью, дБ		**ф-ла(3)[10]**	**0**	**0**	**0**	**0**	**0**	**0**	**0**	**0**	**0**	**8,5**	**8,5**
Уровни звукового давления от мнимого источника ИШ-1-6_мн.(2) в расчётной точке днём, дБ		**ф-ла(3)[10]**	**0**	**34,9**	**25,8**	**23,3**	**23,2**	**28,7**	**25,8**	**15,9**	**0**	**31,6**	**31,6**
Уровни звукового давления от мнимого источника ИШ-1-6_мн.(2) в расчётной точке ночью, дБ		**ф-ла(3)[10]**	**34,9**	**34,9**	**34,9**	**34,9**	**34,9**	**34,9**	**34,9**	**34,9**	**34,9**	**31,6**	**31,6**
Суммарные уровни звукового давления от мнимых источников в расчётной точке днём, дБ		**ф-ла (19) [1]**	**0**	**34,9**	**25,8**	**23,3**	**23,2**	**28,8**	**25,8**	**15,9**	**0**	**0**	**31,6**
Суммарные уровни звукового давления от мнимых источников в расчётной точке ночью, дБ		**ф-ла (19) [1]**	**0**	**34,9**	**25,8**	**23,3**	**23,2**	**28,8**	**25,8**	**15,9**	**0**	**0**	**31,6**
Уровни звукового давления от источника ИШ-1-6 в расчётной точке днём, дБ		**ф-ла(3)[10]**	**0**	**38,5**	**32**	**34,1**	**34,9**	**34,6**	**30,3**	**20,5**	**0**	**38**	**38**
Уровни звукового давления от источника ИШ-1-6 в расчётной точке ночью, дБ		**ф-ла(3)[10]**	**0**	**38,5**	**32**	**34,1**	**34,9**	**34,6**	**30,3**	**20,5**	**0**	**38**	**38**
Источник шума: ИШ-1-7, координаты источника (x,y,z), м =[451.87,146.66,1.00]													
Уровни звуковой мощности источника днём, Lw, дБ		**исходные данные**	**0**	**93,3**	**94,7**	**96**	**96,3**	**95,9**	**92,6**	**88,4**	**83,9**		
Уровни звуковой мощности источника ночью, Lw, дБ		**исходные данные**	**0**	**93,3**	**94,7**	**96**	**96,3**	**95,9**	**92,6**	**88,4**	**83,9**		
Поправка на телесный угол DΩ, дБ	Ω = 6.28	10Lg(4π/Ω)	**3**	3	3	3	3	3	3	3	3		
Показатель направленности источника Di, дБ		исходные данные	**0**	0	0	0	0	0	0	0	0		

1			2	3	4	5	6	7	8	9	10	11	12	13
Поправка на направленность источника Dc, дБ		Dc	DΩ + Di	**3**	3	3	3	3	3	3	3	3		
Затухание из-за геометрической дивергенции, Adiv, дБ		расстояние = 398.61 м	ф-ла (7) [10]	**63**										
Коэффициент затухания звука в атмосфере α, дБ/км		Ta=20,°C Pa=101.33,кПа hотн.=70%	ф-ла (5) [9]	0,02	0,09	0,33	1,12	2,79	4,98	9,04	23,09	77,63		
Учет затухания звука в атмосфере Aatm, дБ			ф-ла (8) [10]	0	0	0,1	0,4	1,1	2	3,6	9,2	30,9		
Снижение уровня звукового давления из-за влияния застройки между источником шума и расчетной точкой														
Длина звуковой волны для среднегеометрической частоты октавной полосы, λ, м				10,79	5,4	2,72	1,36	0,68	0,34	0,17	0,09	0,04		
Критерий наличия экранирования в горизонтальной плоскости	Горизонтальный размер экрана, lэкр = 90.99 м		lэкр > λ	да	да	да	да	да	да	да	да	да		
Траектория над экраном	Промежуточные точки:	Pss(x,y,z) = (398.12,42.74,10.00)	Psr(x,y,z) = (318.88,-110.45,10.00)	dss = 117.34 м		dsr = 109.26 м		e = 172.47 м		z = 0.46 м				
	Константа C2, учитывающая эффект отражения от земли возле экрана			40	40	40	40	40	40	40	40	40		
	Константа C3 (дифракция на кромках)		ф-ла (15) [10]	2,5	2,9	3	3	3	3	3	3	3		
	K_{met} (влияние метеоусловий)		ф-ла (18) [10]	0,3	0,3	0,3	0,3	0,3	0,3	0,3	0,3	0,3		
	Снижение УЗД, Dz, дБ		ф-ла (14) [10]	6,4	7,8	9,7	11,9	14,5	17,3	20,2	23,1	26,1		
Траектория слева от экрана	Промежуточные точки:	Pss(x,y,z) = (429.80,32.10,2.01)	Psr(x,y,z) = (422.02,8.93,2.23)	dss = 116.67 м		dsr = 265.12 м		e = 24.44 м		z = 7.62 м				
	Константа C2, учитывающая эффект отражения от земли возле экрана			40	40	40	40	40	40	40	40	40		
	Константа C3 (дифракция на кромках)		ф-ла (15) [10]	1,1	1,4	2	2,6	2,9	3	3	3	3		
	K_{met} (влияние метеоусловий)		ф-ла (18) [10]	1	1	1	1	1	1	1	1	1		
	Снижение УЗД, Dz, дБ		ф-ла (14) [10]	15,4	19,2	23,6	27,7	31,1	34,3	37,3	40,3	43,3		

1			2	3	4	5	6	7	8	9	10	11	12	13
Траектория справа от экрана	Промежуточные точки:	Pss(x,y,z) = (442.95,203.93,0.58)	Psr(x,y,z) = (425.88,209.66,0.60)	dss = 57.97 м		dsr = 445.68 м		e = 18.00 м		z = 123.04 м				
	Константа C2, учитывающая эффект отражения от земли возле экрана			40	40	40	40	40	40	40	40	40		
	Константа C3 (дифракция на кромках)		ф-ла (15) [10]	1,1	1,3	1,7	2,4	2,8	2,9	3	3	3		
	K_{met} (влияние метеоусловий)		ф-ла (18) [10]	1	1	1	1	1	1	1	1	1		
	Снижение УЗД, Dz, дБ		ф-ла (14) [10]	26,9	30,6	35	39,4	43,1	46,3	49,4	52,4	55,4		
Общее снижение уровня звука препятствием Dz, дБ			Эн.сумма(-Dzi)	5,8	7,5	9,5	11,8	14,4	17,2	20,1	23	26		
Общее снижение уровня звука препятствием с учётом ограничения (25 дБ) для октавных полос Dz, дБ			Раздел 7.4 [10]	5,8	7,5	9,5	11,8	14,4	17,2	20,1	23	25		
Уровни звукового давления от источника ИШ-1-7 в расчётной точке днём, дБ			**ф-ла(3)[10]**	**0**	**25,8**	**25,1**	**23,7**	**20,8**	**16,7**	**8,9**	**0**	**0**	**21,9**	**21,9**
Уровни звукового давления от источника ИШ-1-7 в расчётной точке ночью, дБ			**ф-ла(3)[10]**	**0**	**25,8**	**25,1**	**23,7**	**20,8**	**16,7**	**8,9**	**0**	**0**	**21,9**	**21,9**
Источник шума: ИШ-1-8, координаты источника (x,y,z), м =[454.99,145.29,1.00]														
Уровни звуковой мощности источника днём, Lw, дБ			**исходные данные**	**0**	**93,3**	**94,7**	**96**	**96,3**	**95,9**	**92,6**	**88,4**	**83,9**		
Уровни звуковой мощности источника ночью, Lw, дБ			**исходные данные**	**0**	**93,3**	**94,7**	**96**	**96,3**	**95,9**	**92,6**	**88,4**	**83,9**		
Поправка на телесный угол DΩ, дБ		Ω = 6.28	10Lg(4π/Ω)	**3**	3	3	3	3	3	3	3	3		
Показатель направленности источника Di, дБ			исходные данные	**0**	0	0	0	0	0	0	0	0		
Поправка на направленность источника Dc, дБ		Dc	DΩ + Di	**3**	3	3	3	3	3	3	3	3		
Затухание из-за геометрической дивергенции, Adiv, дБ		расстояние = 398.84 м	ф-ла (7) [10]	**63**										
Коэффициент затухания звука в атмосфере α, дБ/км		Ta=20,°C Pa=101.33,кПа hотн.=70%	ф-ла (5) [9]	0,02	0,09	0,33	1,12	2,79	4,98	9,04	23,09	77,63		

1			2	3	4	5	6	7	8	9	10	11	12	13
Учет затухания звука в атмосфере Aatm, дБ			ф-ла (8) [10]	0	0	0,1	0,4	1,1	2	3,6	9,2	31		
Снижение уровня звукового давления из-за влияния застройки между источником шума и расчетной точкой														
Длина звуковой волны для среднегеометрической частоты октавной полосы, λ, м				10,79	5,4	2,72	1,36	0,68	0,34	0,17	0,09	0,04		
Критерий наличия экранирования в горизонтальной плоскости	Горизонтальный размер экрана, lэкр = 90.45 м		lэкр > λ	да	да	да	да	да	да	да	да	да		
Траектория над экраном	Промежуточные точки:	Pss(x,y,z) = (400.43,41.96,10.00)	Psr(x,y,z) = (319.78,-110.75,10.00)	dss = 117.20 м		dsr = 109.41 м		e = 172.70 м		z = 0.46 м				
	Константа C2, учитывающая эффект отражения от земли возле экрана			40	40	40	40	40	40	40	40	40		
	Константа C3 (дифракция на кромках)		ф-ла (15) [10]	2,5	2,9	3	3	3	3	3	3	3		
	K_{met} (влияние метеоусловий)		ф-ла (18) [10]	0,3	0,3	0,3	0,3	0,3	0,3	0,3	0,3	0,3		
	Снижение УЗД, Dz, дБ		ф-ла (14) [10]	6,4	7,8	9,7	11,9	14,5	17,3	20,2	23,1	26,1		
Траектория слева от экрана	Промежуточные точки:	Pss(x,y,z) = (429.80,32.10,2.01)	Psr(x,y,z) = (422.02,8.93,2.23)	dss = 115.96 м		dsr = 265.12 м		e = 24.44 м		z = 6.68 м				
	Константа C2, учитывающая эффект отражения от земли возле экрана			40	40	40	40	40	40	40	40	40		
	Константа C3 (дифракция на кромках)		ф-ла (15) [10]	1,1	1,4	2	2,6	2,9	3	3	3	3		
	K_{met} (влияние метеоусловий)		ф-ла (18) [10]	1	1	1	1	1	1	1	1	1		
	Снижение УЗД, Dz, дБ		ф-ла (14) [10]	14,9	18,7	23,1	27,1	30,6	33,7	36,7	39,7	42,8		
Траектория справа от экрана	Промежуточные точки:	Pss(x,y,z) = (442.95,203.93,0.58)	Psr(x,y,z) = (425.88,209.66,0.61)	dss = 59.87 м		dsr = 445.68 м		e = 18.00 м		z = 124.70 м				
	Константа C2, учитывающая эффект отражения от земли возле экрана			40	40	40	40	40	40	40	40	40		
	Константа C3 (дифракция на кромках)		ф-ла (15) [10]	1,1	1,3	1,7	2,4	2,8	2,9	3	3	3		

1		2	3	4	5	6	7	8	9	10	11	12	13
	K_{met} (влияние метеоусловий)	ф-ла (18) [10]	1	1	1	1	1	1	1	1	1		
	Снижение УЗД, Dz, дБ	ф-ла (14) [10]	27	30,7	35	39,4	43,1	46,4	49,4	52,5	55,5		
Общее снижение уровня звука препятствием Dz, дБ		Эн.сумма(-Dzi)	5,8	7,4	9,4	11,8	14,4	17,2	20,1	23	26		
Общее снижение уровня звука препятствием с учётом ограничения (25 дБ) для октавных полос Dz, дБ		Раздел 7.4 [10]	5,8	7,4	9,4	11,8	14,4	17,2	20,1	23	25		
Уровни звукового давления от источника ИШ-1-8 в расчётной точке днём, дБ		**ф-ла(3)[10]**	**0**	**25,8**	**25,1**	**23,7**	**20,8**	**16,7**	**8,9**	**0**	**0**	**21,9**	**21,9**
Уровни звукового давления от источника ИШ-1-8 в расчётной точке ночью, дБ		**ф-ла(3)[10]**	**0**	**25,8**	**25,1**	**23,7**	**20,8**	**16,7**	**8,9**	**0**	**0**	**21,9**	**21,9**
Источник шума: ИШ-1-9, координаты источника (x,y,z), м =[458.12,144.31,1.00]													
Уровни звуковой мощности источника днём, Lw, дБ		**исходные данные**	**0**	**93,3**	**94,7**	**96**	**96,3**	**95,9**	**92,6**	**88,4**	**83,9**		
Уровни звуковой мощности источника ночью, Lw, дБ		**исходные данные**	**0**	**93,3**	**94,7**	**96**	**96,3**	**95,9**	**92,6**	**88,4**	**83,9**		
Поправка на телесный угол DΩ, дБ	Ω = 6.28	10Lg(4π/Ω)	**3**	3	3	3	3	3	3	3	3		
Показатель направленности источника Di, дБ		исходные данные	**0**	0	0	0	0	0	0	0	0		
Поправка на направленность источника Dc, дБ	Dc	DΩ + Di	**3**	3	3	3	3	3	3	3	3		
Затухание из-за геометрической дивергенции, Adiv, дБ	расстояние = 399.45 м	ф-ла (7) [10]	**63**										
Коэффициент затухания звука в атмосфере α, дБ/км	Ta=20,°C Pa=101.33,кПа hотн.=70%	ф-ла (5) [9]	0,02	0,09	0,33	1,12	2,79	4,98	9,04	23,09	77,63		
Учет затухания звука в атмосфере Aatm, дБ		ф-ла (8) [10]	0	0	0,1	0,4	1,1	2	3,6	9,2	31		
Снижение уровня звукового давления из-за влияния застройки между источником шума и расчетной точкой													

1			2	3	4	5	6	7	8	9	10	11	12	13
Длина звуковой волны для среднегеометрической частоты октавной полосы, λ, м				10,79	5,4	2,72	1,36	0,68	0,34	0,17	0,09	0,04		
Критерий наличия экранирования в горизонтальной плоскости	Горизонтальный размер экрана, lэкр = 89.79 м		lэкр > λ	да	да	да	да	да	да	да	да	да		
Траектория над экраном	Промежуточные точки:	Pss(x,y,z) = (402.61,41.23,10.00)	Psr(x,y,z) = (320.63,-111.04,10.00)	dss = 117.42 м		dsr = 109.55 м		e = 172.93 м		z = 0.46 м				
	Константа C2, учитывающая эффект отражения от земли возле экрана			40	40	40	40	40	40	40	40	40		
	Константа C3 (дифракция на кромках)		ф-ла (15) [10]	2,5	2,9	3	3	3	3	3	3	3		
	K_{met} (влияние метеоусловий)		ф-ла (18) [10]	0,3	0,3	0,3	0,3	0,3	0,3	0,3	0,3	0,3		
	Снижение УЗД, Dz, дБ		ф-ла (14) [10]	6,4	7,8	9,6	11,9	14,5	17,3	20,1	23,1	26,1		
Траектория слева от экрана	Промежуточные точки:	Pss(x,y,z) = (429.80,32.10,2.01)	Psr(x,y,z) = (422.02,8.93,2.23)	dss = 115.73 м		dsr = 265.12 м		e = 24.44 м		z = 5.84 м				
	Константа C2, учитывающая эффект отражения от земли возле экрана			40	40	40	40	40	40	40	40	40		
	Константа C3 (дифракция на кромках)		ф-ла (15) [10]	1,1	1,4	2	2,6	2,9	3	3	3	3		
	K_{met} (влияние метеоусловий)		ф-ла (18) [10]	1	1	1	1	1	1	1	1	1		
	Снижение УЗД, Dz, дБ		ф-ла (14) [10]	14,4	18,1	22,5	26,6	30	33,1	36,1	39,2	42,2		
Траектория справа от экрана	Промежуточные точки:	Pss(x,y,z) = (442.95,203.93,0.59)	Psr(x,y,z) = (425.88,209.66,0.62)	dss = 61.52 м		dsr = 445.68 м		e = 18.00 м		z = 125.75 м				
	Константа C2, учитывающая эффект отражения от земли возле экрана			40	40	40	40	40	40	40	40	40		
	Константа C3 (дифракция на кромках)		ф-ла (15) [10]	1,1	1,3	1,7	2,4	2,8	2,9	3	3	3		
	K_{met} (влияние метеоусловий)		ф-ла (18) [10]	1	1	1	1	1	1	1	1	1		
	Снижение УЗД, Dz, дБ		ф-ла (14) [10]	27	30,7	35,1	39,5	43,2	46,4	49,5	52,5	55,5		
Общее снижение уровня звука препятствием Dz, дБ			Эн.сумма(-Dzi)	5,7	7,4	9,4	11,8	14,4	17,1	20	23	26		

1			2	3	4	5	6	7	8	9	10	11	12	13
Общее снижение уровня звука препятствием с учётом ограничения (25 дБ) для октавных полос Dz, дБ			Раздел 7.4 [10]	5,7	7,4	9,4	11,8	14,4	17,1	20	23	25		
Уровни звукового давления от источника ИШ-1-9 в расчётной точке днём, дБ			**ф-ла(3)[10]**	**0**	**25,8**	**25,1**	**23,8**	**20,8**	**16,7**	**8,9**	**0**	**0**	**21,9**	**21,9**
Уровни звукового давления от источника ИШ-1-9 в расчётной точке ночью, дБ			**ф-ла(3)[10]**	**0**	**25,8**	**25,1**	**23,8**	**20,8**	**16,7**	**8,9**	**0**	**0**	**21,9**	**21,9**
Источник шума: ИШ-1-10, координаты источника (x,y,z), м =[461.05,143.53,1.00]														
Уровни звуковой мощности источника днём, Lw, дБ			**исходные данные**	**0**	**93,3**	**94,7**	**96**	**96,3**	**95,9**	**92,6**	**88,4**	**83,9**		
Уровни звуковой мощности источника ночью, Lw, дБ			**исходные данные**	**0**	**93,3**	**94,7**	**96**	**96,3**	**95,9**	**92,6**	**88,4**	**83,9**		
Поправка на телесный угол DΩ, дБ		Ω = 6.28	10Lg(4π/Ω)	**3**	3	3	3	3	3	3	3	3		
Показатель направленности источника Di, дБ			исходные данные	**0**	0	0	0	0	0	0	0	0		
Поправка на направленность источника Dc, дБ		Dc	DΩ + Di	**3**	3	3	3	3	3	3	3	3		
Затухание из-за геометрической дивергенции, Adiv, дБ		расстояние = 400.16 м	ф-ла (7) [10]	**63**										
Коэффициент затухания звука в атмосфере α, дБ/км		Ta=20,°C Pa=101.33,кПа hотн.=70%	ф-ла (5) [9]	0,02	0,09	0,33	1,12	2,79	4,98	9,04	23,09	77,63		
Учет затухания звука в атмосфере Aatm, дБ			ф-ла (8) [10]	0	0	0,1	0,4	1,1	2	3,6	9,2	31,1		
Снижение уровня звукового давления из-за влияния застройки между источником шума и расчетной точкой														
Длина звуковой волны для среднегеометрической частоты октавной полосы, λ, м				10,79	5,4	2,72	1,36	0,68	0,34	0,17	0,09	0,04		
Критерий наличия экранирования в горизонтальной плоскости	Горизонтальный размер экрана, lэкр = 89.20 м		lэкр > λ	да	да	да	да	да	да	да	да	да		
	Промежуточные точки:	Pss(x,y,z) = (404.62,40.55,10.00)	Psr(x,y,z) = (321.40,-111.30,10.00)	dss = 117.77 м		dsr = 109.70 м		e = 173.16 м		z = 0.46 м				

1			2	3	4	5	6	7	8	9	10	11	12	13
Траектория над экраном	Константа С2, учитывающая эффект отражения от земли возле экрана			40	40	40	40	40	40	40	40	40		
	Константа С3 (дифракция на кромках)		ф-ла (15) [10]	2,5	2,9	3	3	3	3	3	3	3		
	K_{met} (влияние метеоусловий)		ф-ла (18) [10]	0,3	0,3	0,3	0,3	0,3	0,3	0,3	0,3	0,3		
	Снижение УЗД, Dz, дБ		ф-ла (14) [10]	6,4	7,8	9,6	11,9	14,5	17,2	20,1	23,1	26		
Траектория слева от экрана	Промежуточные точки:	Pss(x,y,z) = (429.80,32.10,2.01)	Psr(x,y,z) = (422.02,8.93,2.23)	dss = 115.73 м		dsr = 265.12 м		e = 24.44 м		z = 5.13 м				
	Константа С2, учитывающая эффект отражения от земли возле экрана			40	40	40	40	40	40	40	40	40		
	Константа С3 (дифракция на кромках)		ф-ла (15) [10]	1,1	1,4	2	2,6	2,9	3	3	3	3		
	K_{met} (влияние метеоусловий)		ф-ла (18) [10]	1	1	1	1	1	1	1	1	1		
	Снижение УЗД, Dz, дБ		ф-ла (14) [10]	13,9	17,6	22	26	29,4	32,5	35,6	38,6	41,6		
Траектория справа от экрана	Промежуточные точки:	Pss(x,y,z) = (442.95,203.93,0.60)	Psr(x,y,z) = (425.88,209.66,0.63)	dss = 63.06 м		dsr = 445.68 м		e = 18.00 м		z = 126.57 м				
	Константа С2, учитывающая эффект отражения от земли возле экрана			40	40	40	40	40	40	40	40	40		
	Константа С3 (дифракция на кромках)		ф-ла (15) [10]	1,1	1,3	1,7	2,4	2,8	2,9	3	3	3		
	K_{met} (влияние метеоусловий)		ф-ла (18) [10]	1	1	1	1	1	1	1	1	1		
	Снижение УЗД, Dz, дБ		ф-ла (14) [10]	27	30,7	35,1	39,5	43,2	46,4	49,5	52,5	55,5		
Общее снижение уровня звука препятствием Dz, дБ			Эн.сумма(-Dzi)	5,6	7,3	9,4	11,7	14,3	17,1	20	22,9	25,9		
Общее снижение уровня звука препятствием с учётом ограничения (25 дБ) для октавных полос Dz, дБ			Раздел 7.4 [10]	5,6	7,3	9,4	11,7	14,3	17,1	20	22,9	25		
Уровни звукового давления от источника ИШ-1-10 в расчётной точке днём, дБ			**ф-ла(3)[10]**	**0**	**25,9**	**25,2**	**23,8**	**20,8**	**16,8**	**8,9**	**0**	**0**	**22**	**22**
Уровни звукового давления от источника ИШ-1-10 в расчётной точке ночью, дБ			**ф-ла(3)[10]**	**0**	**25,9**	**25,2**	**23,8**	**20,8**	**16,8**	**8,9**	**0**	**0**	**22**	**22**

1			2	3	4	5	6	7	8	9	10	11	12	13
Источник шума: ИШ-1-11, координаты источника (x,y,z), м =[464.18,142.55,1.00]														
Уровни звуковой мощности источника днём, Lw, дБ			**исходные данные**	**0**	**93,3**	**94,7**	**96**	**96,3**	**95,9**	**92,6**	**88,4**	**83,9**		
Уровни звуковой мощности источника ночью, Lw, дБ			**исходные данные**	**0**	**93,3**	**94,7**	**96**	**96,3**	**95,9**	**92,6**	**88,4**	**83,9**		
Поправка на телесный угол DΩ, дБ		Ω = 6.28	10Lg(4π/Ω)	**3**	3	3	3	3	3	3	3	3		
Показатель направленности источника Di, дБ			исходные данные	**0**	0	0	0	0	0	0	0	0		
Поправка на направленность источника Dc, дБ		Dc	DΩ + Di	**3**	3	3	3	3	3	3	3	3		
Затухание из-за геометрической дивергенции, Adiv, дБ		расстояние = 400.82 м	ф-ла (7) [10]	**63,1**										
Коэффициент затухания звука в атмосфере α, дБ/км		Ta=20,°C Pa=101.33,кПа hотн.=70%	ф-ла (5) [9]	0,02	0,09	0,33	1,12	2,79	4,98	9,04	23,09	77,63		
Учет затухания звука в атмосфере Aatm, дБ			ф-ла (8) [10]	0	0	0,1	0,5	1,1	2	3,6	9,3	31,1		
Снижение уровня звукового давления из-за влияния застройки между источником шума и расчетной точкой														
Длина звуковой волны для среднегеометрической частоты октавной полосы, λ, м				10,79	5,4	2,72	1,36	0,68	0,34	0,17	0,09	0,04		
Критерий наличия экранирования в горизонтальной плоскости	Горизонтальный размер экрана, lэкр = 88.79 м		lэкр > λ	да	да	да	да	да	да	да	да	да		
Траектория над экраном	Промежуточные точки:	Pss(x,y,z) = (406.80,39.82,10.00)	Psr(x,y,z) = (322.25,-111.58,10.00)	dss = 118.01 м		dsr = 109.86 м		e = 173.41 м		z = 0.46 м				
	Константа C2, учитывающая эффект отражения от земли возле экрана			40	40	40	40	40	40	40	40	40		
	Константа C3 (дифракция на кромках)		ф-ла (15) [10]	2,5	2,9	3	3	3	3	3	3	3		
	K_{met} (влияние метеоусловий)		ф-ла (18) [10]	0,3	0,3	0,3	0,3	0,3	0,3	0,3	0,3	0,3		

1			2	3	4	5	6	7	8	9	10	11	12	13
	Снижение УЗД, Dz, дБ		ф-ла (14) [10]	6,4	7,8	9,6	11,9	14,4	17,2	20,1	23	26		
Траектория слева от экрана	Промежуточные точки:	Pss(x,y,z) = (429.80,32.10,2.02)	Psr(x,y,z) = (422.02,8.93,2.23)	dss = 115.68 м		dsr = 265.12 м		e = 24.44 м		z = 4.42 м				
	Константа C2, учитывающая эффект отражения от земли возле экрана			40	40	40	40	40	40	40	40	40		
	Константа C3 (дифракция на кромках)		ф-ла (15) [10]	1,1	1,4	2	2,6	2,9	3	3	3	3		
	K_{met} (влияние метеоусловий)		ф-ла (18) [10]	1	1	1	1	1	1	1	1	1		
	Снижение УЗД, Dz, дБ		ф-ла (14) [10]	13,3	17	21,3	25,4	28,8	31,9	34,9	38	41		
Траектория справа от экрана	Промежуточные точки:	Pss(x,y,z) = (442.95,203.93,0.61)	Psr(x,y,z) = (425.88,209.66,0.64)	dss = 64.95 м		dsr = 445.68 м		e = 18.00 м		z = 127.80 м				
	Константа C2, учитывающая эффект отражения от земли возле экрана			40	40	40	40	40	40	40	40	40		
	Константа C3 (дифракция на кромках)		ф-ла (15) [10]	1,1	1,3	1,7	2,4	2,8	2,9	3	3	3		
	K_{met} (влияние метеоусловий)		ф-ла (18) [10]	1	1	1	1	1	1	1	1	1		
	Снижение УЗД, Dz, дБ		ф-ла (14) [10]	27,1	30,8	35,1	39,6	43,2	46,5	49,5	52,6	55,6		
Общее снижение уровня звука препятствием Dz, дБ			Эн.сумма(-Dzi)	5,5	7,3	9,3	11,7	14,3	17,1	19,9	22,9	25,9		
Общее снижение уровня звука препятствием с учётом ограничения (25 дБ) для октавных полос Dz, дБ			Раздел 7.4 [10]	5,5	7,3	9,3	11,7	14,3	17,1	19,9	22,9	25		
Уровни звукового давления от источника ИШ-1-11 в расчётной точке днём, дБ			**ф-ла(3)[10]**	**0**	**25,9**	**25,2**	**23,8**	**20,8**	**16,8**	**9**	**0**	**0**	**22**	**22**
Уровни звукового давления от источника ИШ-1-11 в расчётной точке ночью, дБ			**ф-ла(3)[10]**	**0**	**25,9**	**25,2**	**23,8**	**20,8**	**16,8**	**9**	**0**	**0**	**22**	**22**
Источник шума: ИШ-1-12, координаты источника (x,y,z), м =[435.45,97.79,1.00]														
Уровни звуковой мощности источника днём, Lw, дБ			**исходные данные**	**0**	**93,3**	**94,7**	**96**	**96,3**	**95,9**	**92,6**	**88,4**	**83,9**		

1			2	3	4	5	6	7	8	9	10	11	12	13
Уровни звуковой мощности источника ночью, Lw, дБ			**исходные данные**	**0**	**93,3**	**94,7**	**96**	**96,3**	**95,9**	**92,6**	**88,4**	**83,9**		
Поправка на телесный угол DΩ, дБ	Ω = 6.28		10Lg(4π/Ω)	**3**	3	3	3	3	3	3	3	3		
Показатель направленности источника Di, дБ			исходные данные	**0**	0	0	0	0	0	0	0	0		
Поправка на направленность источника Dc, дБ	Dc		DΩ + Di	**3**	3	3	3	3	3	3	3	3		
Затухание из-за геометрической дивергенции, Adiv, дБ	расстояние = 347.75 м		ф-ла (7) [10]	**61,8**										
Коэффициент затухания звука в атмосфере α, дБ/км	Ta=20,°C Pa=101.33,кПа hотн.=70%		ф-ла (5) [9]	0,02	0,09	0,33	1,12	2,79	4,98	9,04	23,09	77,63		
Учет затухания звука в атмосфере Aatm, дБ			ф-ла (8) [10]	0	0	0,1	0,4	1	1,7	3,1	8	27		
Снижение уровня звукового давления из-за влияния застройки между источником шума и расчетной точкой														
Длина звуковой волны для среднегеометрической частоты октавной полосы, λ, м				10,79	5,4	2,72	1,36	0,68	0,34	0,17	0,09	0,04		
Критерий наличия экранирования в горизонтальной плоскости	Горизонтальный размер экрана, lэкр = 59.51 м		lэкр > λ	да	да	да	да	да	да	да	да	да		
Траектория над экраном	Промежуточные точки:	Pss(x,y,z) = (404.25,40.68,10.00)	Psr(x,y,z) = (321.26,-111.25,10.00)	dss = 65.70 м		dsr = 109.67 м		e = 173.12 м		z = 0.73 м				
	Константа C2, учитывающая эффект отражения от земли возле экрана			40	40	40	40	40	40	40	40	40		
	Константа C3 (дифракция на кромках)		ф-ла (15) [10]	2,5	2,9	3	3	3	3	3	3	3		
	K_{met} (влияние метеоусловий)		ф-ла (18) [10]	0,5	0,5	0,5	0,5	0,5	0,5	0,5	0,5	0,5		
	Снижение УЗД, Dz, дБ		ф-ла (14) [10]	8,2	10,5	12,9	15,6	18,5	21,4	24,4	27,3	30,3		
	Промежуточные точки:	Pss(x,y,z) = (429.80,32.10,1.62)	Psr(x,y,z) = (422.02,8.93,1.87)	dss = 65.94 м		dsr = 265.12 м		e = 24.44 м		z = 7.75 м				
	Константа C2, учитывающая эффект отражения от земли возле экрана			40	40	40	40	40	40	40	40	40		

1			2	3	4	5	6	7	8	9	10	11	12	13
Траектория слева от экрана	Константа С3 (дифракция на кромках)		ф-ла (15) [10]	1,1	1,4	2	2,6	2,9	3	3	3	3		
	K_{met} (влияние метеоусловий)		ф-ла (18) [10]	1	1	1	1	1	1	1	1	1		
	Снижение УЗД, Dz, дБ		ф-ла (14) [10]	15,5	19,3	23,7	27,8	31,2	34,3	37,4	40,4	43,4		
Траектория справа от экрана	Промежуточные точки:	Pss(x,y,z) = (372.50,51.33,1.73)	Psr(x,y,z) = (372.50,51.33,1.73)	dss = 78.24 м		dsr = 278.76 м		e = 0.00 м		z = 9.24 м				
	Константа С2, учитывающая эффект отражения от земли возле экрана			40	40	40	40	40	40	40	40	40		
	Константа С3 (дифракция на кромках)		ф-ла (15) [10]	1	1	1	1	1	1	1	1	1		
	K_{met} (влияние метеоусловий)		ф-ла (18) [10]	1	1	1	1	1	1	1	1	1		
	Снижение УЗД, Dz, дБ		ф-ла (14) [10]	15,7	18,5	21,4	24,4	27,4	30,4	33,4	36,4	39,4		
Общее снижение уровня звука препятствием Dz, дБ			Эн.сумма(-Dzi)	6,9	9,4	12,1	14,9	17,7	20,7	23,7	26,6	29,6		
Общее снижение уровня звука препятствием с учётом ограничения (25 дБ) для октавных полос Dz, дБ			Раздел 7.4 [10]	6,9	9,4	12,1	14,9	17,7	20,7	23,7	25	25		
Уровни звукового давления от источника ИШ-1-12 в расчётной точке днём, дБ			**ф-ла(3)[10]**	**0**	**25,1**	**23,7**	**21,9**	**18,8**	**14,7**	**7**	**0**	**0**	**20**	**20**
Уровни звукового давления от источника ИШ-1-12 в расчётной точке ночью, дБ			**ф-ла(3)[10]**	**0**	**25,1**	**23,7**	**21,9**	**18,8**	**14,7**	**7**	**0**	**0**	**20**	**20**
Источник шума: ИШ-1-13, координаты источника (x,y,z), м =[438.77,96.82,1.00]														
Уровни звуковой мощности источника днём, Lw, дБ			**исходные данные**	**0**	**93,3**	**94,7**	**96**	**96,3**	**95,9**	**92,6**	**88,4**	**83,9**		
Уровни звуковой мощности источника ночью, Lw, дБ			**исходные данные**	**0**	**93,3**	**94,7**	**96**	**96,3**	**95,9**	**92,6**	**88,4**	**83,9**		
Поправка на телесный угол DΩ, дБ		Ω = 6.28	10Lg(4π/Ω)	**3**	3	3	3	3	3	3	3	3		
Показатель направленности источника Di, дБ			исходные данные	**0**	0	0	0	0	0	0	0	0		

1			2	3	4	5	6	7	8	9	10	11	12	13
Поправка на направленность источника Dc, дБ		Dc	DΩ + Di	**3**	3	3	3	3	3	3	3	3		
Затухание из-за геометрической дивергенции, Adiv, дБ		расстояние = 348.50 м	ф-ла (7) [10]	**61,8**										
Коэффициент затухания звука в атмосфере α, дБ/км		Ta=20,°C Pa=101.33,кПа hотн.=70%	ф-ла (5) [9]	0,02	0,09	0,33	1,12	2,79	4,98	9,04	23,09	77,63		
Учет затухания звука в атмосфере Aatm, дБ			ф-ла (8) [10]	0	0	0,1	0,4	1	1,7	3,2	8	27,1		
Снижение уровня звукового давления из-за влияния застройки между источником шума и расчетной точкой														
Длина звуковой волны для среднегеометрической частоты октавной полосы, λ, м				10,79	5,4	2,72	1,36	0,68	0,34	0,17	0,09	0,04		
Критерий наличия экранирования в горизонтальной плоскости	Горизонтальный размер экрана, lэкр = 59.40 м		lэкр > λ	да	да	да	да	да	да	да	да	да		
Траектория над экраном	Промежуточные точки:	Pss(x,y,z) = (406.90,39.79,10.00)	Psr(x,y,z) = (322.29,-111.59,10.00)	dss = 65.95 м		dsr = 109.86 м		e = 173.42 м		z = 0.73 м				
	Константа C2, учитывающая эффект отражения от земли возле экрана			40	40	40	40	40	40	40	40	40		
	Константа C3 (дифракция на кромках)		ф-ла (15) [10]	2,5	2,9	3	3	3	3	3	3	3		
	K_{met} (влияние метеоусловий)		ф-ла (18) [10]	0,5	0,5	0,5	0,5	0,5	0,5	0,5	0,5	0,5		
	Снижение УЗД, Dz, дБ		ф-ла (14) [10]	8,2	10,4	12,9	15,6	18,4	21,4	24,3	27,3	30,3		
Траектория слева от экрана	Промежуточные точки:	Pss(x,y,z) = (429.80,32.10,1.63)	Psr(x,y,z) = (422.02,8.93,1.88)	dss = 65.34 м		dsr = 265.12 м		e = 24.44 м		z = 6.40 м				
	Константа C2, учитывающая эффект отражения от земли возле экрана			40	40	40	40	40	40	40	40	40		
	Константа C3 (дифракция на кромках)		ф-ла (15) [10]	1,1	1,4	2	2,6	2,9	3	3	3	3		
	K_{met} (влияние метеоусловий)		ф-ла (18) [10]	1	1	1	1	1	1	1	1	1		
	Снижение УЗД, Dz, дБ		ф-ла (14) [10]	14,7	18,5	22,9	27	30,4	33,5	36,5	39,6	42,6		

1			2	3	4	5	6	7	8	9	10	11	12	13
Траектория справа от экрана	Промежуточные точки:	Pss(x,y,z) = (372.50,51.33,1.74)	Psr(x,y,z) = (372.50,51.33,1.74)	dss = 80.38 м		dsr = 278.76 м		e = 0.00 м		z = 10.63 м				
	Константа С2, учитывающая эффект отражения от земли возле экрана			40	40	40	40	40	40	40	40	40		
	Константа С3 (дифракция на кромках)		ф-ла (15) [10]	1	1	1	1	1	1	1	1	1		
	K_{met} (влияние метеоусловий)		ф-ла (18) [10]	1	1	1	1	1	1	1	1	1		
	Снижение УЗД, Dz, дБ		ф-ла (14) [10]	16,3	19,1	22	25	28	31	34	37	40		
Общее снижение уровня звука препятствием Dz, дБ			Эн.сумма(-Dzi)	6,8	9,3	12	14,9	17,7	20,7	23,6	26,6	29,6		
Общее снижение уровня звука препятствием с учётом ограничения (25 дБ) для октавных полос Dz, дБ			Раздел 7.4 [10]	6,8	9,3	12	14,9	17,7	20,7	23,6	25	25		
Уровни звукового давления от источника ИШ-1-13 в расчётной точке днём, дБ			**ф-ла(3)[10]**	**0**	**25,1**	**23,7**	**21,9**	**18,7**	**14,6**	**6,9**	**0**	**0**	**20**	**20**
Уровни звукового давления от источника ИШ-1-13 в расчётной точке ночью, дБ			**ф-ла(3)[10]**	**0**	**25,1**	**23,7**	**21,9**	**18,7**	**14,6**	**6,9**	**0**	**0**	**20**	**20**
Источник шума: ИШ-1-14, координаты источника (x,y,z), м =[441.70,96.03,1.00]														
Уровни звуковой мощности источника днём, Lw, дБ			**исходные данные**	**0**	**93,3**	**94,7**	**96**	**96,3**	**95,9**	**92,6**	**88,4**	**83,9**		
Уровни звуковой мощности источника ночью, Lw, дБ			**исходные данные**	**0**	**93,3**	**94,7**	**96**	**96,3**	**95,9**	**92,6**	**88,4**	**83,9**		
Поправка на телесный угол DΩ, дБ		Ω = 6.28	10Lg(4π/Ω)	**3**	3	3	3	3	3	3	3	3		
Показатель направленности источника Di, дБ			исходные данные	**0**	0	0	0	0	0	0	0	0		
Поправка на направленность источника Dc, дБ		Dc	DΩ + Di	**3**	3	3	3	3	3	3	3	3		
Затухание из-за геометрической дивергенции, Adiv, дБ		расстояние = 349.26 м	ф-ла (7) [10]	**61,9**										
Коэффициент затухания звука в атмосфере α, дБ/км		Ta=20,°C Pa=101.33,кПа hотн.=70%	ф-ла (5) [9]	0,02	0,09	0,33	1,12	2,79	4,98	9,04	23,09	77,63		

1			2	3	4	5	6	7	8	9	10	11	12	13
Учет затухания звука в атмосфере Aatm, дБ			ф-ла (8) [10]	0	0	0,1	0,4	1	1,7	3,2	8,1	27,1		
Снижение уровня звукового давления из-за влияния застройки между источником шума и расчетной точкой														
Длина звуковой волны для среднегеометрической частоты октавной полосы, λ, м				10,79	5,4	2,72	1,36	0,68	0,34	0,17	0,09	0,04		
Критерий наличия экранирования в горизонтальной плоскости	Горизонтальный размер экрана, lэкр = 59.31 м		lэкр > λ	да	да	да	да	да	да	да	да	да		
Траектория над экраном	Промежуточные точки:	Pss(x,y,z) = (409.20,39.01,10.00)	Psr(x,y,z) = (323.18,-111.89,10.00)	dss = 66.25 м		dsr = 110.04 м		e = 173.70 м		z = 0.73 м				
	Константа C2, учитывающая эффект отражения от земли возле экрана			40	40	40	40	40	40	40	40	40		
	Константа C3 (дифракция на кромках)		ф-ла (15) [10]	2,6	2,9	3	3	3	3	3	3	3		
	K_{met} (влияние метеоусловий)		ф-ла (18) [10]	0,5	0,5	0,5	0,5	0,5	0,5	0,5	0,5	0,5		
	Снижение УЗД, Dz, дБ		ф-ла (14) [10]	8,2	10,4	12,9	15,6	18,4	21,3	24,3	27,3	30,3		
Траектория слева от экрана	Промежуточные точки:	Pss(x,y,z) = (429.80,32.10,1.63)	Psr(x,y,z) = (422.02,8.93,1.88)	dss = 65.04 м		dsr = 265.12 м		e = 24.44 м		z = 5.34 м				
	Константа C2, учитывающая эффект отражения от земли возле экрана			40	40	40	40	40	40	40	40	40		
	Константа C3 (дифракция на кромках)		ф-ла (15) [10]	1,1	1,4	2	2,6	2,9	3	3	3	3		
	K_{met} (влияние метеоусловий)		ф-ла (18) [10]	1	1	1	1	1	1	1	1	1		
	Снижение УЗД, Dz, дБ		ф-ла (14) [10]	14	17,7	22,1	26,2	29,6	32,7	35,8	38,8	41,8		
Траектория справа от экрана	Промежуточные точки:	Pss(x,y,z) = (372.50,51.33,1.75)	Psr(x,y,z) = (372.50,51.33,1.75)	dss = 82.39 м		dsr = 278.76 м		e = 0.00 м		z = 11.88 м				
	Константа C2, учитывающая эффект отражения от земли возле экрана			40	40	40	40	40	40	40	40	40		
	Константа C3 (дифракция на кромках)		ф-ла (15) [10]	1	1	1	1	1	1	1	1	1		

1		2	3	4	5	6	7	8	9	10	11	12	13
	K_{met} (влияние метеоусловий)	ф-ла (18) [10]	1	1	1	1	1	1	1	1	1		
	Снижение УЗД, Dz, дБ	ф-ла (14) [10]	16,7	19,6	22,5	25,5	28,5	31,5	34,5	37,5	40,5		
Общее снижение уровня звука препятствием Dz, дБ		Эн.сумма(-Dzi)	6,7	9,3	12	14,8	17,7	20,6	23,6	26,6	29,6		
Общее снижение уровня звука препятствием с учётом ограничения (25 дБ) для октавных полос Dz, дБ		Раздел 7.4 [10]	6,7	9,3	12	14,8	17,7	20,6	23,6	25	25		
Уровни звукового давления от источника ИШ-1-14 в расчётной точке днём, дБ		**ф-ла(3)[10]**	**0**	**25,1**	**23,7**	**21,9**	**18,7**	**14,6**	**7**	**0**	**0**	**20**	**20**
Уровни звукового давления от источника ИШ-1-14 в расчётной точке ночью, дБ		**ф-ла(3)[10]**	**0**	**25,1**	**23,7**	**21,9**	**18,7**	**14,6**	**7**	**0**	**0**	**20**	**20**
Источник шума: ИШ-1-15, координаты источника (x,y,z), м =[445.03,95.25,1.00]													
Уровни звуковой мощности источника днём, Lw, дБ		**исходные данные**	**0**	**93,3**	**94,7**	**96**	**96,3**	**95,9**	**92,6**	**88,4**	**83,9**		
Уровни звуковой мощности источника ночью, Lw, дБ		**исходные данные**	**0**	**93,3**	**94,7**	**96**	**96,3**	**95,9**	**92,6**	**88,4**	**83,9**		
Поправка на телесный угол DΩ, дБ	Ω = 6.28	10Lg(4π/Ω)	**3**	3	3	3	3	3	3	3	3		
Показатель направленности источника Di, дБ		исходные данные	**0**	0	0	0	0	0	0	0	0		
Поправка на направленность источника Dc, дБ	Dc	DΩ + Di	**3**	3	3	3	3	3	3	3	3		
Затухание из-за геометрической дивергенции, Adiv, дБ	расстояние = 350.25 м	ф-ла (7) [10]	**61,9**										
Коэффициент затухания звука в атмосфере α, дБ/км	Ta=20,°C Pa=101.33,кПа hотн.=70%	ф-ла (5) [9]	0,02	0,09	0,33	1,12	2,79	4,98	9,04	23,09	77,63		
Учет затухания звука в атмосфере Aatm, дБ		ф-ла (8) [10]	0	0	0,1	0,4	1	1,7	3,2	8,1	27,2		
Снижение уровня звукового давления из-за влияния застройки между источником шума и расчетной точкой													

1			2	3	4	5	6	7	8	9	10	11	12	13
Длина звуковой волны для среднегеометрической частоты октавной полосы, λ, м				10,79	5,4	2,72	1,36	0,68	0,34	0,17	0,09	0,04		
Критерий наличия экранирования в горизонтальной плоскости	Горизонтальный размер экрана, lэкр = 59.19 м		lэкр > λ	да	да	да	да	да	да	да	да	да		
Траектория над экраном	Промежуточные точки:	Pss(x,y,z) = (411.77,38.15,10.00)	Psr(x,y,z) = (324.17,-112.23,10.00)	dss = 66.69 м		dsr = 110.25 м		e = 174.03 м		z = 0.72 м				
	Константа C2, учитывающая эффект отражения от земли возле экрана			40	40	40	40	40	40	40	40	40		
	Константа C3 (дифракция на кромках)		ф-ла (15) [10]	2,6	2,9	3	3	3	3	3	3	3		
	K_{met} (влияние метеоусловий)		ф-ла (18) [10]	0,5	0,5	0,5	0,5	0,5	0,5	0,5	0,5	0,5		
	Снижение УЗД, Dz, дБ		ф-ла (14) [10]	8,1	10,4	12,8	15,5	18,4	21,3	24,2	27,2	30,2		
Траектория слева от экрана	Промежуточные точки:	Pss(x,y,z) = (429.80,32.10,1.64)	Psr(x,y,z) = (422.02,8.93,1.89)	dss = 64.97 м		dsr = 265.12 м		e = 24.44 м		z = 4.28 м				
	Константа C2, учитывающая эффект отражения от земли возле экрана			40	40	40	40	40	40	40	40	40		
	Константа C3 (дифракция на кромках)		ф-ла (15) [10]	1,1	1,4	2	2,6	2,9	3	3	3	3		
	K_{met} (влияние метеоусловий)		ф-ла (18) [10]	1	1	1	1	1	1	1	1	1		
	Снижение УЗД, Dz, дБ		ф-ла (14) [10]	13,2	16,8	21,2	25,2	28,6	31,8	34,8	37,8	40,8		
Траектория справа от экрана	Промежуточные точки:	Pss(x,y,z) = (372.50,51.33,1.77)	Psr(x,y,z) = (372.50,51.33,1.77)	dss = 84.79 м		dsr = 278.76 м		e = 0.00 м		z = 13.30 м				
	Константа C2, учитывающая эффект отражения от земли возле экрана			40	40	40	40	40	40	40	40	40		
	Константа C3 (дифракция на кромках)		ф-ла (15) [10]	1	1	1	1	1	1	1	1	1		
	K_{met} (влияние метеоусловий)		ф-ла (18) [10]	1	1	1	1	1	1	1	1	1		
	Снижение УЗД, Dz, дБ		ф-ла (14) [10]	17,2	20,1	23	26	29	32	35	38	41		
Общее снижение уровня звука препятствием Dz, дБ			Эн.сумма(-Dzi)	6,6	9,1	11,9	14,7	17,6	20,6	23,5	26,5	29,5		

1			2	3	4	5	6	7	8	9	10	11	12	13
Общее снижение уровня звука препятствием с учётом ограничения (25 дБ) для октавных полос Dz, дБ			Раздел 7.4 [10]	6,6	9,1	11,9	14,7	17,6	20,6	23,5	25	25		
Уровни звукового давления от источника ИШ-1-15 в расчётной точке днём, дБ			**ф-ла(3)[10]**	**0**	**25,2**	**23,8**	**22**	**18,8**	**14,7**	**7**	**0**	**0**	**20**	**20**
Уровни звукового давления от источника ИШ-1-15 в расчётной точке ночью, дБ			**ф-ла(3)[10]**	**0**	**25,2**	**23,8**	**22**	**18,8**	**14,7**	**7**	**0**	**0**	**20**	**20**
Источник шума: ИШ-1-16, координаты источника (x,y,z), м =[447.96,94.28,1.00]														
Уровни звуковой мощности источника днём, Lw, дБ			**исходные данные**	**0**	**93,3**	**94,7**	**96**	**96,3**	**95,9**	**92,6**	**88,4**	**83,9**		
Уровни звуковой мощности источника ночью, Lw, дБ			**исходные данные**	**0**	**93,3**	**94,7**	**96**	**96,3**	**95,9**	**92,6**	**88,4**	**83,9**		
Поправка на телесный угол DΩ, дБ		Ω = 6.28	10Lg(4π/Ω)	**3**	3	3	3	3	3	3	3	3		
Показатель направленности источника Di, дБ			исходные данные	**0**	0	0	0	0	0	0	0	0		
Поправка на направленность источника Dc, дБ		Dc	DΩ + Di	**3**	3	3	3	3	3	3	3	3		
Затухание из-за геометрической дивергенции, Adiv, дБ		расстояние = 350.89 м	ф-ла (7) [10]	**61,9**										
Коэффициент затухания звука в атмосфере α, дБ/км		Ta=20,°C Pa=101.33,кПа hотн.=70%	ф-ла (5) [9]	0,02	0,09	0,33	1,12	2,79	4,98	9,04	23,09	77,63		
Учет затухания звука в атмосфере Aatm, дБ			ф-ла (8) [10]	0	0	0,1	0,4	1	1,7	3,2	8,1	27,2		
Снижение уровня звукового давления из-за влияния застройки между источником шума и расчетной точкой														
Длина звуковой волны для среднегеометрической частоты октавной полосы, λ, м				10,79	5,4	2,72	1,36	0,68	0,34	0,17	0,09	0,04		
Критерий наличия экранирования в горизонтальной плоскости	Горизонтальный размер экрана, lэкр = 59.09 м		lэкр > λ	да	да	да	да	да	да	да	да	да		
	Промежуточные точки:	Pss(x,y,z) = (414.14,37.36,10.00)	Psr(x,y,z) = (325.09,-112.54,10.00)	dss = 66.82 м		dsr = 110.45 м		e = 174.35 м		z = 0.72 м				

1			2	3	4	5	6	7	8	9	10	11	12	13
Траектория над экраном	Константа С2, учитывающая эффект отражения от земли возле экрана			40	40	40	40	40	40	40	40	40		
	Константа С3 (дифракция на кромках)		ф-ла (15) [10]	2,6	2,9	3	3	3	3	3	3	3		
	K_{met} (влияние метеоусловий)		ф-ла (18) [10]	0,5	0,5	0,5	0,5	0,5	0,5	0,5	0,5	0,5		
	Снижение УЗД, Dz, дБ		ф-ла (14) [10]	8,1	10,4	12,8	15,5	18,3	21,3	24,2	27,2	30,2		
Траектория слева от экрана	Промежуточные точки:	Pss(x,y,z) = (429.80,32.10,1.64)	Psr(x,y,z) = (422.02,8.93,1.89)	dss = 64.78 м		dsr = 265.12 м		e = 24.44 м		z = 3.45 м				
	Константа С2, учитывающая эффект отражения от земли возле экрана			40	40	40	40	40	40	40	40	40		
	Константа С3 (дифракция на кромках)		ф-ла (15) [10]	1,1	1,4	2	2,6	2,9	3	3	3	3		
	K_{met} (влияние метеоусловий)		ф-ла (18) [10]	1	1	1	1	1	1	1	1	1		
	Снижение УЗД, Dz, дБ		ф-ла (14) [10]	12,4	16	20,3	24,3	27,7	30,8	33,9	36,9	39,9		
Траектория справа от экрана	Промежуточные точки:	Pss(x,y,z) = (372.50,51.33,1.77)	Psr(x,y,z) = (372.50,51.33,1.77)	dss = 86.82 м		dsr = 278.76 м		e = 0.00 м		z = 14.69 м				
	Константа С2, учитывающая эффект отражения от земли возле экрана			40	40	40	40	40	40	40	40	40		
	Константа С3 (дифракция на кромках)		ф-ла (15) [10]	1	1	1	1	1	1	1	1	1		
	K_{met} (влияние метеоусловий)		ф-ла (18) [10]	1	1	1	1	1	1	1	1	1		
	Снижение УЗД, Dz, дБ		ф-ла (14) [10]	17,6	20,5	23,4	26,4	29,4	32,4	35,4	38,4	41,4		
Общее снижение уровня звука препятствием Dz, дБ			Эн.сумма(-Dzi)	6,4	9	11,8	14,7	17,6	20,5	23,5	26,5	29,5		
Общее снижение уровня звука препятствием с учётом ограничения (25 дБ) для октавных полос Dz, дБ			Раздел 7.4 [10]	6,4	9	11,8	14,7	17,6	20,5	23,5	25	25		
Уровни звукового давления от источника ИШ-1-16 в расчётной точке днём, дБ			**ф-ла(3)[10]**	**0**	**25,4**	**23,9**	**22**	**18,8**	**14,7**	**7**	**0**	**0**	**20,1**	**20,1**
Уровни звукового давления от источника ИШ-1-16 в расчётной точке ночью, дБ			**ф-ла(3)[10]**	**0**	**25,4**	**23,9**	**22**	**18,8**	**14,7**	**7**	**0**	**0**	**20,1**	**20,1**

1			2	3	4	5	6	7	8	9	10	11	12	13
Источник шума: ИШ-1-17, координаты источника (x,y,z), м =[540.99,141.77,1.00]														
Уровни звуковой мощности источника днём, Lw, дБ			**исходные данные**	**0**	**93,3**	**94,7**	**96**	**96,3**	**95,9**	**92,6**	**88,4**	**83,9**		
Уровни звуковой мощности источника ночью, Lw, дБ			**исходные данные**	**0**	**93,3**	**94,7**	**96**	**96,3**	**95,9**	**92,6**	**88,4**	**83,9**		
Поправка на телесный угол DΩ, дБ		Ω = 6.28	10Lg(4π/Ω)	**3**	3	3	3	3	3	3	3	3		
Показатель направленности источника Di, дБ			исходные данные	**0**	0	0	0	0	0	0	0	0		
Поправка на направленность источника Dc, дБ		Dc	DΩ + Di	**3**	3	3	3	3	3	3	3	3		
Затухание из-за геометрической дивергенции, Adiv, дБ		расстояние = 442.76 м	ф-ла (7) [10]	**63,9**										
Коэффициент затухания звука в атмосфере α, дБ/км		Ta=20,°C Pa=101.33,кПа hотн.=70%	ф-ла (5) [9]	0,02	0,09	0,33	1,12	2,79	4,98	9,04	23,09	77,63		
Учет затухания звука в атмосфере Aatm, дБ			ф-ла (8) [10]	0	0	0,1	0,5	1,2	2,2	4	10,2	34,4		
Снижение уровня звукового давления из-за влияния застройки между источником шума и расчетной точкой														
Длина звуковой волны для среднегеометрической частоты октавной полосы, λ, м				10,79	5,4	2,72	1,36	0,68	0,34	0,17	0,09	0,04		
Критерий наличия экранирования в горизонтальной плоскости	Горизонтальный размер экрана, lэкр = 48.01 м		lэкр > λ	да	да	да	да	да	да	да	да	да		
Траектория над экраном	Промежуточные точки:	Pss(x,y,z) = (491.47,78.26,10.00)	Psr(x,y,z) = (472.82,54.34,10.00)	dss = 81.04 м		dsr = 331.92 м		e = 30.32 м		z = 0.53 м				
	Константа C2, учитывающая эффект отражения от земли возле экрана			40	40	40	40	40	40	40	40	40		
	Константа C3 (дифракция на кромках)		ф-ла (15) [10]	1,2	1,6	2,2	2,7	2,9	3	3	3	3		
	K_{met} (влияние метеоусловий)		ф-ла (18) [10]	0,2	0,2	0,2	0,2	0,2	0,2	0,2	0,2	0,2		

1			2	3	4	5	6	7	8	9	10	11	12	13
	Снижение УЗД, Dz, дБ		ф-ла (14) [10]	5,4	6,2	8	10,4	13	15,8	18,6	21,6	24,5		
Траектория слева от экрана	Промежуточные точки:	Pss(x,y,z) = (482.37,51.14,1.87)	Psr(x,y,z) = (482.37,51.14,1.87)	dss = 107.94 м		dsr = 335.37 м		e = 0.00 м		z = 0.55 м				
	Константа С2, учитывающая эффект отражения от земли возле экрана			40	40	40	40	40	40	40	40	40		
	Константа С3 (дифракция на кромках)		ф-ла (15) [10]	1	1	1	1	1	1	1	1	1		
	K_{met} (влияние метеоусловий)		ф-ла (18) [10]	1	1	1	1	1	1	1	1	1		
	Снижение УЗД, Dz, дБ		ф-ла (14) [10]	7	8,5	10,5	12,8	15,5	18,3	21,2	24,2	27,2		
Траектория справа от экрана	Промежуточные точки:	Pss(x,y,z) = (524.47,176.56,0.86)	Psr(x,y,z) = (425.88,209.66,1.14)	dss = 38.51 м		dsr = 445.67 м		e = 104.00 м		z = 145.43 м				
	Константа С2, учитывающая эффект отражения от земли возле экрана			40	40	40	40	40	40	40	40	40		
	Константа С3 (дифракция на кромках)		ф-ла (15) [10]	2,1	2,7	2,9	3	3	3	3	3	3		
	K_{met} (влияние метеоусловий)		ф-ла (18) [10]	1	1	1	1	1	1	1	1	1		
	Снижение УЗД, Dz, дБ		ф-ла (14) [10]	30,6	34,6	37,9	41	44,1	47,1	50,1	53,1	56,1		
Общее снижение уровня звука препятствием Dz, дБ			Эн.сумма(-Dzi)	3,1	4,2	6	8,5	11,1	13,9	16,7	19,7	22,6		
Уровни звукового давления от источника ИШ-1-17 в расчётной точке днём, дБ			**ф-ла(3)[10]**	**0**	**28,1**	**27,6**	**26,1**	**23**	**18,9**	**10,9**	**0**	**0**	**24,2**	**24,2**
Уровни звукового давления от источника ИШ-1-17 в расчётной точке ночью, дБ			**ф-ла(3)[10]**	**0**	**28,1**	**27,6**	**26,1**	**23**	**18,9**	**10,9**	**0**	**0**	**24,2**	**24,2**
Источник шума: ИШ-1-18, координаты источника (x,y,z), м =[543.53,140.79,1.00]														
Уровни звуковой мощности источника днём, Lw, дБ			**исходные данные**	**0**	**93,3**	**94,7**	**96**	**96,3**	**95,9**	**92,6**	**88,4**	**83,9**		
Уровни звуковой мощности источника ночью, Lw, дБ			**исходные данные**	**0**	**93,3**	**94,7**	**96**	**96,3**	**95,9**	**92,6**	**88,4**	**83,9**		

1			2	3	4	5	6	7	8	9	10	11	12	13
Поправка на телесный угол DΩ, дБ	Ω = 6.28		10Lg(4π/Ω)	**3**	3	3	3	3	3	3	3	3		
Показатель направленности источника Di, дБ			исходные данные	**0**	0	0	0	0	0	0	0	0		
Поправка на направленность источника Dc, дБ	Dc		DΩ + Di	**3**	3	3	3	3	3	3	3	3		
Затухание из-за геометрической дивергенции, Adiv, дБ	расстояние = 443.56 м		ф-ла (7) [10]	**63,9**										
Коэффициент затухания звука в атмосфере α, дБ/км	Ta=20,°C Pa=101.33,кПа hотн.=70%		ф-ла (5) [9]	0,02	0,09	0,33	1,12	2,79	4,98	9,04	23,09	77,63		
Учет затухания звука в атмосфере Aatm, дБ			ф-ла (8) [10]	0	0	0,1	0,5	1,2	2,2	4	10,2	34,4		
Снижение уровня звукового давления из-за влияния застройки между источником шума и расчетной точкой														
Длина звуковой волны для среднегеометрической частоты октавной полосы, λ, м				10,79	5,4	2,72	1,36	0,68	0,34	0,17	0,09	0,04		
Критерий наличия экранирования в горизонтальной плоскости	Горизонтальный размер экрана, lэкр = 48.06 м		lэкр > λ	да	да	да	да	да	да	да	да	да		
Траектория над экраном	Промежуточные точки:	Pss(x,y,z) = (489.46,72.28,10.00)	Psr(x,y,z) = (474.79,53.68,10.00)	dss = 87.74 м		dsr = 332.62 м		e = 23.69 м		z = 0.49 м				
	Константа C2, учитывающая эффект отражения от земли возле экрана			40	40	40	40	40	40	40	40	40		
	Константа C3 (дифракция на кромках)		ф-ла (15) [10]	1,1	1,4	2	2,6	2,9	3	3	3	3		
	K_{met} (влияние метеоусловий)		ф-ла (18) [10]	0,2	0,2	0,2	0,2	0,2	0,2	0,2	0,2	0,2		
	Снижение УЗД, Dz, дБ		ф-ла (14) [10]	5,2	5,8	7,3	9,6	12,2	14,9	17,7	20,7	23,6		
Траектория слева от экрана	Промежуточные точки:	Pss(x,y,z) = (482.37,51.14,1.88)	Psr(x,y,z) = (482.37,51.14,1.88)	dss = 108.54 м		dsr = 335.37 м		e = 0.00 м		z = 0.35 м				
	Константа C2, учитывающая эффект отражения от земли возле экрана			40	40	40	40	40	40	40	40	40		
	Константа C3 (дифракция на кромках)		ф-ла (15) [10]	1	1	1	1	1	1	1	1	1		

1			2	3	4	5	6	7	8	9	10	11	12	13
	K_{met} (влияние метеоусловий)		ф-ла (18) [10]	1	1	1	1	1	1	1	1	1		
	Снижение УЗД, Dz, дБ		ф-ла (14) [10]	6,3	7,5	9,1	11,2	13,7	16,4	19,3	22,2	25,2		
Траектория справа от экрана	Промежуточные точки:	Pss(x,y,z) = (524.47,176.56,0.87)	Psr(x,y,z) = (425.88,209.66,1.15)	dss = 40.53 м		dsr = 445.67 м		e = 104.00 м		z = 146.64 м				
	Константа C2, учитывающая эффект отражения от земли возле экрана			40	40	40	40	40	40	40	40	40		
	Константа C3 (дифракция на кромках)		ф-ла (15) [10]	2,1	2,7	2,9	3	3	3	3	3	3		
	K_{met} (влияние метеоусловий)		ф-ла (18) [10]	1	1	1	1	1	1	1	1	1		
	Снижение УЗД, Dz, дБ		ф-ла (14) [10]	30,6	34,6	38	41,1	44,1	47,1	50,1	53,2	56,2		
Общее снижение уровня звука препятствием Dz, дБ			Эн.сумма(-Dzi)	2,7	3,6	5,1	7,3	9,9	12,6	15,4	18,3	21,3		
Уровни звукового давления от источника ИШ-1-18 в расчётной точке днём, дБ			**ф-ла(3)[10]**	**0**	**28,8**	**28,5**	**27,2**	**24,2**	**20,2**	**12,2**	**0**	**0**	**25,4**	**25,4**
Уровни звукового давления от источника ИШ-1-18 в расчётной точке ночью, дБ			**ф-ла(3)[10]**	**0**	**28,8**	**28,5**	**27,2**	**24,2**	**20,2**	**12,2**	**0**	**0**	**25,4**	**25,4**
Источник шума: ИШ-1-19, координаты источника (x,y,z), м =[547.25,139.62,1.00]														
Уровни звуковой мощности источника днём, Lw, дБ			**исходные данные**	**0**	**93,3**	**94,7**	**96**	**96,3**	**95,9**	**92,6**	**88,4**	**83,9**		
Уровни звуковой мощности источника ночью, Lw, дБ			**исходные данные**	**0**	**93,3**	**94,7**	**96**	**96,3**	**95,9**	**92,6**	**88,4**	**83,9**		
Поправка на телесный угол DΩ, дБ		Ω = 6.28	10Lg(4π/Ω)	**3**	3	3	3	3	3	3	3	3		
Показатель направленности источника Di, дБ			исходные данные	**0**	0	0	0	0	0	0	0	0		
Поправка на направленность источника Dc, дБ		Dc	DΩ + Di	**3**	3	3	3	3	3	3	3	3		
Затухание из-за геометрической дивергенции, Adiv, дБ		расстояние = 444.95 м	ф-ла (7) [10]	**64**										

1			2	3	4	5	6	7	8	9	10	11	12	13
Коэффициент затухания звука в атмосфере α, дБ/км		Ta=20,°C Pa=101.33,кПа hотн.=70%	ф-ла (5) [9]	0,02	0,09	0,33	1,12	2,79	4,98	9,04	23,09	77,63		
Учет затухания звука в атмосфере Aatm, дБ			ф-ла (8) [10]	0	0	0,1	0,5	1,2	2,2	4	10,3	34,5		
Снижение уровня звукового давления из-за влияния застройки между источником шума и расчетной точкой														
Длина звуковой волны для среднегеометрической частоты октавной полосы, λ, м				10,79	5,4	2,72	1,36	0,68	0,34	0,17	0,09	0,04		
Критерий наличия экранирования в горизонтальной плоскости	Горизонтальный размер экрана, lэкр = 48.18 м		lэкр > λ	да	да	да	да	да	да	да	да	да		
Траектория над экраном	Промежуточные точки:	Pss(x,y,z) = (486.78,64.27,10.00)	Psr(x,y,z) = (477.54,52.76,10.00)	dss = 97.03 м		dsr = 333.61 м		e = 14.76 м		z = 0.45 м				
	Константа C2, учитывающая эффект отражения от земли возле экрана			40	40	40	40	40	40	40	40	40		
	Константа C3 (дифракция на кромках)		ф-ла (15) [10]	1	1,2	1,6	2,2	2,7	2,9	3	3	3		
	K_{met} (влияние метеоусловий)		ф-ла (18) [10]	0,1	0,1	0,1	0,1	0,1	0,1	0,1	0,1	0,1		
	Снижение УЗД, Dz, дБ		ф-ла (14) [10]	5,1	5,5	6,4	8,4	11	13,7	16,6	19,4	22,4		
Траектория слева от экрана	Промежуточные точки:	Pss(x,y,z) = (482.37,51.14,1.89)	Psr(x,y,z) = (482.37,51.14,1.89)	dss = 109.72 м		dsr = 335.37 м		e = 0.00 м		z = 0.14 м				
	Константа C2, учитывающая эффект отражения от земли возле экрана			40	40	40	40	40	40	40	40	40		
	Константа C3 (дифракция на кромках)		ф-ла (15) [10]	1	1	1	1	1	1	1	1	1		
	K_{met} (влияние метеоусловий)		ф-ла (18) [10]	1	1	1	1	1	1	1	1	1		
	Снижение УЗД, Dz, дБ		ф-ла (14) [10]	5,5	6	7	8,5	10,5	12,9	15,5	18,3	21,2		
	Промежуточные точки:	Pss(x,y,z) = (524.47,176.56,0.88)	Psr(x,y,z) = (425.88,209.66,1.17)	dss = 43.40 м		dsr = 445.67 м		e = 104.00 м		z = 148.11 м				
	Константа C2, учитывающая эффект отражения от земли возле экрана			40	40	40	40	40	40	40	40	40		

1		2	3	4	5	6	7	8	9	10	11	12	13
Траектория справа от экрана	Константа СЗ (дифракция на кромках)	ф-ла (15) [10]	2,1	2,7	2,9	3	3	3	3	3	3		
	K_{met} (влияние метеоусловий)	ф-ла (18) [10]	1	1	1	1	1	1	1	1	1		
	Снижение УЗД, Dz, дБ	ф-ла (14) [10]	30,6	34,7	38	41,1	44,2	47,2	50,2	53,2	56,2		
Общее снижение уровня звука препятствием Dz, дБ		Эн.сумма(-Dzi)	2,3	2,7	3,7	5,4	7,7	10,3	13	15,8	18,8		
Уровни звукового давления от источника ИШ-1-19 в расчётной точке днём, дБ		**ф-ла(3)[10]**	**0**	**29,5**	**29,9**	**29,1**	**26,4**	**22,4**	**14,6**	**1,3**	**0**	**27,5**	**27,5**
Уровни звукового давления от источника ИШ-1-19 в расчётной точке ночью, дБ		**ф-ла(3)[10]**	**0**	**29,5**	**29,9**	**29,1**	**26,4**	**22,4**	**14,6**	**1,3**	**0**	**27,5**	**27,5**
Источник шума: ИШ-1-20, координаты источника (x,y,z), м =[550.38,138.64,1.00]													
Уровни звуковой мощности источника днём, Lw, дБ		**исходные данные**	**0**	**93,3**	**94,7**	**96**	**96,3**	**95,9**	**92,6**	**88,4**	**83,9**		
Уровни звуковой мощности источника ночью, Lw, дБ		**исходные данные**	**0**	**93,3**	**94,7**	**96**	**96,3**	**95,9**	**92,6**	**88,4**	**83,9**		
Поправка на телесный угол DΩ, дБ	Ω = 6.28	10Lg(4π/Ω)	**3**	3	3	3	3	3	3	3	3		
Показатель направленности источника Di, дБ		исходные данные	**0**	0	0	0	0	0	0	0	0		
Поправка на направленность источника Dc, дБ	Dc	DΩ + Di	**3**	3	3	3	3	3	3	3	3		
Затухание из-за геометрической дивергенции, Adiv, дБ	расстояние = 446.16 м	ф-ла (7) [10]	**64**										
Коэффициент затухания звука в атмосфере α, дБ/км	Ta=20,°C Pa=101.33,кПа hотн.=70%	ф-ла (5) [9]	0,02	0,09	0,33	1,12	2,79	4,98	9,04	23,09	77,63		
Учет затухания звука в атмосфере Aatm, дБ		ф-ла (8) [10]	0	0	0,1	0,5	1,2	2,2	4	10,3	34,6		
Снижение уровня звукового давления из-за влияния застройки между источником шума и расчетной точкой													

1			2	3	4	5	6	7	8	9	10	11	12	13
Длина звуковой волны для среднегеометрической частоты октавной полосы, λ, м				10,79	5,4	2,72	1,36	0,68	0,34	0,17	0,09	0,04		
Критерий наличия экранирования в горизонтальной плоскости	Горизонтальный размер экрана, lэкр = 48.41 м		lэкр > λ	да	да	да	да	да	да	да	да	да		
Траектория над экраном	Промежуточные точки:	Pss(x,y,z) = (484.62,57.85,10.00)	Psr(x,y,z) = (479.85,51.99,10.00)	dss = 104.56 м		dsr = 334.46 м		e = 7.56 м		z = 0.42 м				
	Константа C2, учитывающая эффект отражения от земли возле экрана			40	40	40	40	40	40	40	40	40		
	Константа C3 (дифракция на кромках)		ф-ла (15) [10]	1	1,1	1,2	1,6	2,2	2,7	2,9	3	3		
	K_{met} (влияние метеоусловий)		ф-ла (18) [10]	0,1	0,1	0,1	0,1	0,1	0,1	0,1	0,1	0,1		
	Снижение УЗД, Dz, дБ		ф-ла (14) [10]	5	5,3	5,8	7,2	9,7	12,7	15,6	18,5	21,4		
Траектория слева от экрана	Промежуточные точки:	Pss(x,y,z) = (482.37,51.14,1.89)	Psr(x,y,z) = (482.37,51.14,1.89)	dss = 110.83 м		dsr = 335.37 м		e = 0.00 м		z = 0.04 м				
	Константа C2, учитывающая эффект отражения от земли возле экрана			40	40	40	40	40	40	40	40	40		
	Константа C3 (дифракция на кромках)		ф-ла (15) [10]	1	1	1	1	1	1	1	1	1		
	K_{met} (влияние метеоусловий)		ф-ла (18) [10]	1	1	1	1	1	1	1	1	1		
	Снижение УЗД, Dz, дБ		ф-ла (14) [10]	5	5,2	5,5	6,1	7,2	8,7	10,7	13,1	15,8		
Траектория справа от экрана	Промежуточные точки:	Pss(x,y,z) = (524.47,176.56,0.89)	Psr(x,y,z) = (425.88,209.66,1.19)	dss = 45.92 м		dsr = 445.67 м		e = 104.00 м		z = 149.43 м				
	Константа C2, учитывающая эффект отражения от земли возле экрана			40	40	40	40	40	40	40	40	40		
	Константа C3 (дифракция на кромках)		ф-ла (15) [10]	2,1	2,7	2,9	3	3	3	3	3	3		
	K_{met} (влияние метеоусловий)		ф-ла (18) [10]	1	1	1	1	1	1	1	1	1		
	Снижение УЗД, Dz, дБ		ф-ла (14) [10]	30,7	34,7	38	41,2	44,2	47,2	50,2	53,2	56,3		
Общее снижение уровня звука препятствием Dz, дБ			Эн.сумма(-Dzi)	2	2,2	2,7	3,6	5,2	7,2	9,5	12	14,7		

1			2	3	4	5	6	7	8	9	10	11	12	13
Уровни звукового давления от источника ИШ-1-20 в расчётной точке днём, дБ			**ф-ла(3)[10]**	**0**	**30,1**	**30,9**	**30,9**	**28,8**	**25,5**	**18,1**	**5,1**	**0**	**30**	**30**
Уровни звукового давления от источника ИШ-1-20 в расчётной точке ночью, дБ			**ф-ла(3)[10]**	**0**	**30,1**	**30,9**	**30,9**	**28,8**	**25,5**	**18,1**	**5,1**	**0**	**30**	**30**
Источник шума: ИШ-1-21, координаты источника (x,y,z), м =[553.31,137.67,1.00]														
Уровни звуковой мощности источника днём, Lw, дБ			**исходные данные**	**0**	**93,3**	**94,7**	**96**	**96,3**	**95,9**	**92,6**	**88,4**	**83,9**		
Уровни звуковой мощности источника ночью, Lw, дБ			**исходные данные**	**0**	**93,3**	**94,7**	**96**	**96,3**	**95,9**	**92,6**	**88,4**	**83,9**		
Поправка на телесный угол DΩ, дБ		Ω = 6.28	10Lg(4π/Ω)	**3**	3	3	3	3	3	3	3	3		
Показатель направленности источника Di, дБ			исходные данные	**0**	0	0	0	0	0	0	0	0		
Поправка на направленность источника Dc, дБ		Dc	DΩ + Di	**3**	3	3	3	3	3	3	3	3		
Затухание из-за геометрической дивергенции, Adiv, дБ		расстояние = 447.26 м	ф-ла (7) [10]	**64**										
Коэффициент затухания звука в атмосфере α, дБ/км		Ta=20,°C Pa=101.33,кПа hотн.=70%	ф-ла (5) [9]	0,02	0,09	0,33	1,12	2,79	4,98	9,04	23,09	77,63		
Учет затухания звука в атмосфере Aatm, дБ			ф-ла (8) [10]	0	0	0,1	0,5	1,2	2,2	4	10,3	34,7		
Снижение уровня звукового давления из-за влияния застройки между источником шума и расчетной точкой														
Длина звуковой волны для среднегеометрической частоты октавной полосы, λ, м				10,79	5,4	2,72	1,36	0,68	0,34	0,17	0,09	0,04		
Критерий наличия экранирования в горизонтальной плоскости	Горизонтальный размер экрана, lэкр = 48.74 м		lэкр > λ	да	да	да	да	да	да	да	да	да		
	Промежуточные точки:	Pss(x,y,z) = (482.65,51.99,10.00)	Psr(x,y,z) = (482.04,51.25,10.00)	dss = 111.41 м		dsr = 335.28 м		e = 0.97 м		z = 0.39 м				
	Константа C2, учитывающая эффект отражения от земли возле экрана			40	40	40	40	40	40	40	40	40		

1			2	3	4	5	6	7	8	9	10	11	12	13
Траектория над экраном	Константа С3 (дифракция на кромках)		ф-ла (15) [10]	1	1	1	1	1,1	1,2	1,6	2,3	2,7		
	K_{met} (влияние метеоусловий)		ф-ла (18) [10]	0,1	0,1	0,1	0,1	0,1	0,1	0,1	0,1	0,1		
	Снижение УЗД, Dz, дБ		ф-ла (14) [10]	5	5,2	5,5	6,2	7,3	9,3	12,5	16,5	20,2		
Траектория слева от экрана	Промежуточные точки:	Pss(x,y,z) = (482.37,51.14,1.90)	Psr(x,y,z) = (482.37,51.14,1.90)	dss = 111.89 м		dsr = 335.37 м		e = 0.00 м		z = 0.00 м				
	Константа С2, учитывающая эффект отражения от земли возле экрана			40	40	40	40	40	40	40	40	40		
	Константа С3 (дифракция на кромках)		ф-ла (15) [10]	1	1	1	1	1	1	1	1	1		
	K_{met} (влияние метеоусловий)		ф-ла (18) [10]	1	1	1	1	1	1	1	1	1		
	Снижение УЗД, Dz, дБ		ф-ла (14) [10]	4,8	4,8	4,8	4,8	4,8	4,9	5	5,2	5,5		
Траектория справа от экрана	Промежуточные точки:	Pss(x,y,z) = (524.47,176.56,0.91)	Psr(x,y,z) = (425.88,209.66,1.21)	dss = 48.42 м		dsr = 445.67 м		e = 104.00 м		z = 150.83 м				
	Константа С2, учитывающая эффект отражения от земли возле экрана			40	40	40	40	40	40	40	40	40		
	Константа С3 (дифракция на кромках)		ф-ла (15) [10]	2,1	2,7	2,9	3	3	3	3	3	3		
	K_{met} (влияние метеоусловий)		ф-ла (18) [10]	1	1	1	1	1	1	1	1	1		
	Снижение УЗД, Dz, дБ		ф-ла (14) [10]	30,7	34,7	38,1	41,2	44,2	47,3	50,3	53,3	56,3		
Общее снижение уровня звука препятствием Dz, дБ			Эн.сумма(-Dzi)	1,9	2	2,1	2,4	2,9	3,5	4,3	4,9	5,4		
Уровни звукового давления прямого звука от источника ИШ-1-21 в расчётной точке днём, дБ			**ф-ла(3)[10]**	**0**	**30,3**	**31,4**	**32**	**31,1**	**29,1**	**23,3**	**12,2**	**0**	**33**	**33**
Уровни звукового давления прямого звука от источника ИШ-1-21 в расчётной точке ночью, дБ			**ф-ла(3)[10]**	**0**	**30,3**	**31,4**	**32**	**31,1**	**29,1**	**23,3**	**12,2**	**0**	**33**	**33**
Расчёт отражённого звука														
Уровни звукового давления от мнимого источника ИШ-1-21_мн.(1) в расчётной точке днём, дБ			**ф-ла(3)[10]**	**0**	**36,1**	**26,5**	**24,3**	**24,1**	**29,6**	**26,5**	**15,9**	**0**	**32,3**	**32,3**

1		2	3	4	5	6	7	8	9	10	11	12	13
Уровни звукового давления от мнимого источника ИШ-1-21_мн.(1) в расчётной точке ночью, дБ		**ф-ла(3)[10]**	**0**	**0**	**0**	**0**	**0**	**0**	**0**	**0**	**0**	**32,3**	**32,3**
Уровни звукового давления от источника ИШ-1-21 в расчётной точке днём, дБ		**ф-ла(3)[10]**	**0**	**37,1**	**32,6**	**32,7**	**31,9**	**32,4**	**28,2**	**17,5**	**0**	**35,7**	**35,7**
Уровни звукового давления от источника ИШ-1-21 в расчётной точке ночью, дБ		**ф-ла(3)[10]**	**0**	**37,1**	**32,6**	**32,7**	**31,9**	**32,4**	**28,2**	**17,5**	**0**	**35,7**	**35,7**
Источник шума: ИШ-1-22, координаты источника (x,y,z), м =[522.03,85.28,1.00]													
Уровни звуковой мощности источника днём, Lw, дБ		**исходные данные**	**0**	**93,3**	**94,7**	**96**	**96,3**	**95,9**	**92,6**	**88,4**	**83,9**		
Уровни звуковой мощности источника ночью, Lw, дБ		**исходные данные**	**0**	**93,3**	**94,7**	**96**	**96,3**	**95,9**	**92,6**	**88,4**	**83,9**		
Поправка на телесный угол DΩ, дБ	Ω = 6.28	10Lg(4π/Ω)	**3**	3	3	3	3	3	3	3	3		
Показатель направленности источника Di, дБ		исходные данные	**0**	0	0	0	0	0	0	0	0		
Поправка на направленность источника Dc, дБ	Dc	DΩ + Di	**3**	3	3	3	3	3	3	3	3		
Затухание из-за геометрической дивергенции, Adiv, дБ	расстояние = 387.06 м	ф-ла (7) [10]	**62,8**										
Коэффициент затухания звука в атмосфере α, дБ/км	Ta=20,°C Pa=101.33,кПа hотн.=70%	ф-ла (5) [9]	0,02	0,09	0,33	1,12	2,79	4,98	9,04	23,09	77,63		
Учет затухания звука в атмосфере Aatm, дБ		ф-ла (8) [10]	0	0	0,1	0,4	1,1	1,9	3,5	8,9	30		
Снижение поверхностью земли возле источника As, дБ	Gs = 0 hs = 1м	ф-лы таб.3 [10]	-1,5	-1,5	-1,5	-1,5	-1,5	-1,5	-1,5	-1,5	-1,5		
Снижение поверхностью земли возле приёмника Ar, дБ	Gr = 1 hr = 4.6м	ф-лы таб.3 [10]	-1,5	-1,5	3,2	1,3	0	0	0	0	0		
Снижение поверхностью земли в средней зоне, Am дБ	Gm = 1	ф-лы таб.3 [10]	-1,7	-1,7	0	0	0	0	0	0	0		
Суммарное снижение поверхностью земли на траектории распространения звука Agr, дБ		ф-ла (9) [10]	-4,7	-4,7	1,7	-0,2	-1,5	-1,5	-1,5	-1,5	-1,5		

1		2	3	4	5	6	7	8	9	10	11	12	13
Уровни звукового давления прямого звука от источника ИШ-1-22 в расчётной точке днём, дБ		**ф-ла(3)[10]**	**0**	**38,2**	**33,1**	**36**	**37**	**35,7**	**30,8**	**21,2**	**0**	**39,3**	**39,3**
Уровни звукового давления прямого звука от источника ИШ-1-22 в расчётной точке ночью, дБ		**ф-ла(3)[10]**	**0**	**38,2**	**33,1**	**36**	**37**	**35,7**	**30,8**	**21,2**	**0**	**39,3**	**39,3**
Расчёт отражённого звука													
Уровни звукового давления от мнимого источника ИШ-1-22_мн.(1) в расчётной точке днём, дБ		**ф-ла(3)[10]**	**0**	**0**	**0**	**0**	**0**	**0**	**0**	**0**	**0**	**0**	**0**
Уровни звукового давления от мнимого источника ИШ-1-22_мн.(1) в расчётной точке ночью, дБ		**ф-ла(3)[10]**	**0**	**0**	**0**	**0**	**0**	**0**	**0**	**0**	**0**	**0**	**0**
Уровни звукового давления от мнимого источника ИШ-1-22_мн.(2) в расчётной точке днём, дБ		**ф-ла(3)[10]**	**0**	**37,2**	**28,3**	**25,6**	**25,6**	**31,1**	**28,2**	**18,6**	**0**	**34**	**34**
Уровни звукового давления от мнимого источника ИШ-1-22_мн.(2) в расчётной точке ночью, дБ		**ф-ла(3)[10]**	**37,2**	**37,2**	**37,2**	**37,2**	**37,2**	**37,2**	**37,2**	**37,2**	**37,2**	**34**	**34**
Суммарные уровни звукового давления от мнимых источников в расчётной точке днём, дБ		**ф-ла (19) [1]**	**0**	**37,2**	**28,3**	**25,6**	**25,6**	**31,1**	**28,2**	**18,6**	**0**	**0**	**34**
Суммарные уровни звукового давления от мнимых источников в расчётной точке ночью, дБ		**ф-ла (19) [1]**	**0**	**37,2**	**28,3**	**25,6**	**25,6**	**31,1**	**28,2**	**18,6**	**0**	**0**	**34**
Уровни звукового давления от источника ИШ-1-22 в расчётной точке днём, дБ		**ф-ла(3)[10]**	**0**	**40,7**	**34,3**	**36,4**	**37,3**	**37**	**32,7**	**23,1**	**0**	**40,4**	**40,4**
Уровни звукового давления от источника ИШ-1-22 в расчётной точке ночью, дБ		**ф-ла(3)[10]**	**0**	**40,7**	**34,3**	**36,4**	**37,3**	**37**	**32,7**	**23,1**	**0**	**40,4**	**40,4**
Источник шума: ИШ-1-23, координаты источника (x,y,z), м =[525.16,84.11,1.00]													
Уровни звуковой мощности источника днём, Lw, дБ		**исходные данные**	**0**	**93,3**	**94,7**	**96**	**96,3**	**95,9**	**92,6**	**88,4**	**83,9**		
Уровни звуковой мощности источника ночью, Lw, дБ		**исходные данные**	**0**	**93,3**	**94,7**	**96**	**96,3**	**95,9**	**92,6**	**88,4**	**83,9**		
Поправка на телесный угол DΩ, дБ	Ω = 6.28	10Lg(4π/Ω)	**3**	3	3	3	3	3	3	3	3		
Показатель направленности источника Di, дБ		исходные данные	**0**	0	0	0	0	0	0	0	0		
Поправка на направленность источника Dc, дБ	Dc	DΩ + Di	**3**	3	3	3	3	3	3	3	3		

1		2	3	4	5	6	7	8	9	10	11	12	13
Затухание из-за геометрической дивергенции, Adiv, дБ	расстояние = 388.24 м	ф-ла (7) [10]	**62,8**										
Коэффициент затухания звука в атмосфере α, дБ/км	Ta=20,°C Pa=101.33,кПа hотн.=70%	ф-ла (5) [9]	0,02	0,09	0,33	1,12	2,79	4,98	9,04	23,09	77,63		
Учет затухания звука в атмосфере Aatm, дБ		ф-ла (8) [10]	0	0	0,1	0,4	1,1	1,9	3,5	9	30,1		
Снижение поверхностью земли возле источника As, дБ	Gs = 0 hs = 1м	ф-лы таб.3 [10]	-1,5	-1,5	-1,5	-1,5	-1,5	-1,5	-1,5	-1,5	-1,5		
Снижение поверхностью земли возле приёмника Ar, дБ	Gr = 1 hr = 4.6м	ф-лы таб.3 [10]	-1,5	-1,5	3,2	1,3	0	0	0	0	0		
Снижение поверхностью земли в средней зоне, Am дБ	Gm = 1	ф-лы таб.3 [10]	-1,7	-1,7	0	0	0	0	0	0	0		
Суммарное снижение поверхностью земли на траектории распространения звука Agr, дБ		ф-ла (9) [10]	-4,7	-4,7	1,7	-0,2	-1,5	-1,5	-1,5	-1,5	-1,5		
Уровни звукового давления прямого звука от источника ИШ-1-23 в расчётной точке днём, дБ		**ф-ла(3)[10]**	**0**	**38,2**	**33**	**36**	**36,9**	**35,7**	**30,8**	**21,1**	**0**	**39,3**	**39,3**
Уровни звукового давления прямого звука от источника ИШ-1-23 в расчётной точке ночью, дБ		**ф-ла(3)[10]**	**0**	**38,2**	**33**	**36**	**36,9**	**35,7**	**30,8**	**21,1**	**0**	**39,3**	**39,3**
Расчёт отражённого звука													
Уровни звукового давления от мнимого источника ИШ-1-23_мн.(1) в расчётной точке днём, дБ		**ф-ла(3)[10]**	**0**	**0**	**0**	**0**	**0**	**0**	**0**	**0**	**0**	**0**	**0**
Уровни звукового давления от мнимого источника ИШ-1-23_мн.(1) в расчётной точке ночью, дБ		**ф-ла(3)[10]**	**0**	**0**	**0**	**0**	**0**	**0**	**0**	**0**	**0**	**0**	**0**
Уровни звукового давления от мнимого источника ИШ-1-23_мн.(2) в расчётной точке днём, дБ		**ф-ла(3)[10]**	**0**	**37,1**	**28,2**	**25,6**	**25,5**	**31,1**	**28,2**	**18,5**	**0**	**34**	**34**
Уровни звукового давления от мнимого источника ИШ-1-23_мн.(2) в расчётной точке ночью, дБ		**ф-ла(3)[10]**	**37,1**	**37,1**	**37,1**	**37,1**	**37,1**	**37,1**	**37,1**	**37,1**	**37,1**	**34**	**34**
Суммарные уровни звукового давления от мнимых источников в расчётной точке днём, дБ		**ф-ла (19) [1]**	**0**	**37,1**	**28,2**	**25,6**	**25,5**	**31,1**	**28,2**	**18,5**	**0**	**0**	**34**
Суммарные уровни звукового давления от мнимых источников в расчётной точке ночью, дБ		**ф-ла (19) [1]**	**0**	**37,1**	**28,2**	**25,6**	**25,5**	**31,1**	**28,2**	**18,5**	**0**	**0**	**34**
Уровни звукового давления от источника ИШ-1-23 в расчётной точке днём, дБ		**ф-ла(3)[10]**	**0**	**40,7**	**34,3**	**36,4**	**37,2**	**37**	**32,7**	**23**	**0**	**40,4**	**40,4**

1		2	3	4	5	6	7	8	9	10	11	12	13
Уровни звукового давления от источника ИШ-1-23 в расчётной точке ночью, дБ		**ф-ла(3)[10]**	**0**	**40,7**	**34,3**	**36,4**	**37,2**	**37**	**32,7**	**23**	**0**	**40,4**	**40,4**
Источник шума: ИШ-1-24, координаты источника (x,y,z), м =[528.48,82.94,1.00]													
Уровни звуковой мощности источника днём, Lw, дБ		**исходные данные**	**0**	**93,3**	**94,7**	**96**	**96,3**	**95,9**	**92,6**	**88,4**	**83,9**		
Уровни звуковой мощности источника ночью, Lw, дБ		**исходные данные**	**0**	**93,3**	**94,7**	**96**	**96,3**	**95,9**	**92,6**	**88,4**	**83,9**		
Поправка на телесный угол DΩ, дБ	Ω = 6.28	10Lg(4π/Ω)	**3**	3	3	3	3	3	3	3	3		
Показатель направленности источника Di, дБ		исходные данные	**0**	0	0	0	0	0	0	0	0		
Поправка на направленность источника Dc, дБ	Dc	DΩ + Di	**3**	3	3	3	3	3	3	3	3		
Затухание из-за геометрической дивергенции, Adiv, дБ	расстояние = 389.56 м	ф-ла (7) [10]	**62,8**										
Коэффициент затухания звука в атмосфере α, дБ/км	Ta=20,°C Pa=101.33,кПа hотн.=70%	ф-ла (5) [9]	0,02	0,09	0,33	1,12	2,79	4,98	9,04	23,09	77,63		
Учет затухания звука в атмосфере Aatm, дБ		ф-ла (8) [10]	0	0	0,1	0,4	1,1	1,9	3,5	9	30,2		
Снижение поверхностью земли возле источника As, дБ	Gs = 0 hs = 1м	ф-лы таб.3 [10]	-1,5	-1,5	-1,5	-1,5	-1,5	-1,5	-1,5	-1,5	-1,5		
Снижение поверхностью земли возле приёмника Ar, дБ	Gr = 1 hr = 4.6м	ф-лы таб.3 [10]	-1,5	-1,5	3,2	1,3	0	0	0	0	0		
Снижение поверхностью земли в средней зоне, Am дБ	Gm = 1	ф-лы таб.3 [10]	-1,7	-1,7	0	0	0	0	0	0	0		
Суммарное снижение поверхностью земли на траектории распространения звука Agr, дБ		ф-ла (9) [10]	-4,7	-4,7	1,7	-0,2	-1,5	-1,5	-1,5	-1,5	-1,5		
Уровни звукового давления прямого звука от источника ИШ-1-24 в расчётной точке днём, дБ		**ф-ла(3)[10]**	**0**	**38,2**	**33**	**36**	**36,9**	**35,6**	**30,8**	**21,1**	**0**	**39,2**	**39,2**
Уровни звукового давления прямого звука от источника ИШ-1-24 в расчётной точке ночью, дБ		**ф-ла(3)[10]**	**0**	**38,2**	**33**	**36**	**36,9**	**35,6**	**30,8**	**21,1**	**0**	**39,2**	**39,2**

1		2	3	4	5	6	7	8	9	10	11	12	13
Расчёт отражённого звука													
Уровни звукового давления от мнимого источника ИШ-1-24_мн.(1) в расчётной точке днём, дБ		**ф-ла(3)[10]**	**0**	**0**	**0**	**0**	**0**	**0**	**0**	**0**	**0**	**0**	**0**
Уровни звукового давления от мнимого источника ИШ-1-24_мн.(1) в расчётной точке ночью, дБ		**ф-ла(3)[10]**	**0**	**0**	**0**	**0**	**0**	**0**	**0**	**0**	**0**	**0**	**0**
Уровни звукового давления от мнимого источника ИШ-1-24_мн.(2) в расчётной точке днём, дБ		**ф-ла(3)[10]**	**0**	**37,1**	**28,2**	**25,5**	**25,5**	**31**	**28,2**	**18,4**	**0**	**33,9**	**33,9**
Уровни звукового давления от мнимого источника ИШ-1-24_мн.(2) в расчётной точке ночью, дБ		**ф-ла(3)[10]**	**37,1**	**37,1**	**37,1**	**37,1**	**37,1**	**37,1**	**37,1**	**37,1**	**37,1**	**33,9**	**33,9**
Суммарные уровни звукового давления от мнимых источников в расчётной точке днём, дБ		**ф-ла (19) [1]**	**0**	**37,1**	**28,2**	**25,5**	**25,5**	**31**	**28,2**	**18,4**	**0**	**0**	**33,9**
Суммарные уровни звукового давления от мнимых источников в расчётной точке ночью, дБ		**ф-ла (19) [1]**	**0**	**37,1**	**28,2**	**25,5**	**25,5**	**31**	**28,2**	**18,4**	**0**	**0**	**33,9**
Уровни звукового давления от источника ИШ-1-24 в расчётной точке днём, дБ		**ф-ла(3)[10]**	**0**	**40,7**	**34,2**	**36,3**	**37,2**	**36,9**	**32,7**	**23**	**0**	**40,3**	**40,3**
Уровни звукового давления от источника ИШ-1-24 в расчётной точке ночью, дБ		**ф-ла(3)[10]**	**0**	**40,7**	**34,2**	**36,3**	**37,2**	**36,9**	**32,7**	**23**	**0**	**40,3**	**40,3**
Источник шума: ИШ-1-25, координаты источника (x,y,z), м =[531.22,82.16,1.00]													
Уровни звуковой мощности источника днём, Lw, дБ		**исходные данные**	**0**	**93,3**	**94,7**	**96**	**96,3**	**95,9**	**92,6**	**88,4**	**83,9**		
Уровни звуковой мощности источника ночью, Lw, дБ		**исходные данные**	**0**	**93,3**	**94,7**	**96**	**96,3**	**95,9**	**92,6**	**88,4**	**83,9**		
Поправка на телесный угол DΩ, дБ	Ω = 6.28	10Lg(4π/Ω)	**3**	3	3	3	3	3	3	3	3		
Показатель направленности источника Di, дБ		исходные данные	**0**	0	0	0	0	0	0	0	0		
Поправка на направленность источника Dc, дБ	Dc	DΩ + Di	**3**	3	3	3	3	3	3	3	3		
Затухание из-за геометрической дивергенции, Adiv, дБ	расстояние = 390.81 м	ф-ла (7) [10]	**62,8**										
Коэффициент затухания звука в атмосфере α, дБ/км	Ta=20,°C Pa=101.33,кПа hотн.=70%	ф-ла (5) [9]	0,02	0,09	0,33	1,12	2,79	4,98	9,04	23,09	77,63		

1		2	3	4	5	6	7	8	9	10	11	12	13
Учет затухания звука в атмосфере Aatm, дБ		ф-ла (8) [10]	0	0	0,1	0,4	1,1	1,9	3,5	9	30,3		
Снижение поверхностью земли возле источника As, дБ	Gs = 0 hs = 1м	ф-лы таб.3 [10]	-1,5	-1,5	-1,5	-1,5	-1,5	-1,5	-1,5	-1,5	-1,5		
Снижение поверхностью земли возле приёмника Ar, дБ	Gr = 1 hr = 4.6м	ф-лы таб.3 [10]	-1,5	-1,5	3,2	1,3	0	0	0	0	0		
Снижение поверхностью земли в средней зоне, Am дБ	Gm = 1	ф-лы таб.3 [10]	-1,7	-1,7	0	0	0	0	0	0	0		
Суммарное снижение поверхностью земли на траектории распространения звука Agr, дБ		ф-ла (9) [10]	-4,7	-4,7	1,7	-0,2	-1,5	-1,5	-1,5	-1,5	-1,5		
Уровни звукового давления прямого звука от источника ИШ-1-25 в расчётной точке днём, дБ		**ф-ла(3)[10]**	**0**	**38,1**	**33**	**35,9**	**36,9**	**35,6**	**30,7**	**21**	**0**	**39,2**	**39,2**
Уровни звукового давления прямого звука от источника ИШ-1-25 в расчётной точке ночью, дБ		**ф-ла(3)[10]**	**0**	**38,1**	**33**	**35,9**	**36,9**	**35,6**	**30,7**	**21**	**0**	**39,2**	**39,2**
Расчёт отражённого звука													
Уровни звукового давления от мнимого источника ИШ-1-25_мн.(1) в расчётной точке днём, дБ		**ф-ла(3)[10]**	**0**	**0**	**0**	**0**	**0**	**0**	**0**	**0**	**0**	**0**	**0**
Уровни звукового давления от мнимого источника ИШ-1-25_мн.(1) в расчётной точке ночью, дБ		**ф-ла(3)[10]**	**0**	**0**	**0**	**0**	**0**	**0**	**0**	**0**	**0**	**0**	**0**
Уровни звукового давления от мнимого источника ИШ-1-25_мн.(2) в расчётной точке днём, дБ		**ф-ла(3)[10]**	**0**	**37,1**	**28,1**	**25,5**	**25,5**	**31**	**28,1**	**18,4**	**0**	**33,9**	**33,9**
Уровни звукового давления от мнимого источника ИШ-1-25_мн.(2) в расчётной точке ночью, дБ		**ф-ла(3)[10]**	**37,1**	**37,1**	**37,1**	**37,1**	**37,1**	**37,1**	**37,1**	**37,1**	**37,1**	**33,9**	**33,9**
Суммарные уровни звукового давления от мнимых источников в расчётной точке днём, дБ		**ф-ла (19) [1]**	**0**	**37,1**	**28,1**	**25,5**	**25,5**	**31**	**28,1**	**18,4**	**0**	**0**	**33,9**
Суммарные уровни звукового давления от мнимых источников в расчётной точке ночью, дБ		**ф-ла (19) [1]**	**0**	**37,1**	**28,1**	**25,5**	**25,5**	**31**	**28,1**	**18,4**	**0**	**0**	**33,9**
Уровни звукового давления от источника ИШ-1-25 в расчётной точке днём, дБ		**ф-ла(3)[10]**	**0**	**40,6**	**34,2**	**36,3**	**37,2**	**36,9**	**32,6**	**22,9**	**0**	**40,3**	**40,3**
Уровни звукового давления от источника ИШ-1-25 в расчётной точке ночью, дБ		**ф-ла(3)[10]**	**0**	**40,6**	**34,2**	**36,3**	**37,2**	**36,9**	**32,6**	**22,9**	**0**	**40,3**	**40,3**
Источник шума: ИШ-1-26, координаты источника (x,y,z), м =[534.15,80.79,1.00]													

1		2	3	4	5	6	7	8	9	10	11	12	13
Уровни звуковой мощности источника днём, Lw, дБ		**исходные данные**	**0**	**93,3**	**94,7**	**96**	**96,3**	**95,9**	**92,6**	**88,4**	**83,9**		
Уровни звуковой мощности источника ночью, Lw, дБ		**исходные данные**	**0**	**93,3**	**94,7**	**96**	**96,3**	**95,9**	**92,6**	**88,4**	**83,9**		
Поправка на телесный угол DΩ, дБ	Ω = 6.28	10Lg(4π/Ω)	**3**	3	3	3	3	3	3	3	3		
Показатель направленности источника Di, дБ		исходные данные	**0**	0	0	0	0	0	0	0	0		
Поправка на направленность источника Dc, дБ	Dc	DΩ + Di	**3**	3	3	3	3	3	3	3	3		
Затухание из-за геометрической дивергенции, Adiv, дБ	расстояние = 391.78 м	ф-ла (7) [10]	**62,9**										
Коэффициент затухания звука в атмосфере α, дБ/км	Ta=20,°C Pa=101.33,кПа hотн.=70%	ф-ла (5) [9]	0,02	0,09	0,33	1,12	2,79	4,98	9,04	23,09	77,63		
Учет затухания звука в атмосфере Aatm, дБ		ф-ла (8) [10]	0	0	0,1	0,4	1,1	2	3,5	9	30,4		
Снижение поверхностью земли возле источника As, дБ	Gs = 0 hs = 1м	ф-лы таб.3 [10]	-1,5	-1,5	-1,5	-1,5	-1,5	-1,5	-1,5	-1,5	-1,5		
Снижение поверхностью земли возле приёмника Ar, дБ	Gr = 1 hr = 4.6м	ф-лы таб.3 [10]	-1,5	-1,5	3,2	1,3	0	0	0	0	0		
Снижение поверхностью земли в средней зоне, Am дБ	Gm = 1	ф-лы таб.3 [10]	-1,7	-1,7	0	0	0	0	0	0	0		
Суммарное снижение поверхностью земли на траектории распространения звука Agr, дБ		ф-ла (9) [10]	-4,7	-4,7	1,7	-0,2	-1,5	-1,5	-1,5	-1,5	-1,5		
Уровни звукового давления прямого звука от источника ИШ-1-26 в расчётной точке днём, дБ		**ф-ла(3)[10]**	**0**	**38,1**	**33**	**35,9**	**36,8**	**35,6**	**30,7**	**21**	**0**	**39,2**	**39,2**
Уровни звукового давления прямого звука от источника ИШ-1-26 в расчётной точке ночью, дБ		**ф-ла(3)[10]**	**0**	**38,1**	**33**	**35,9**	**36,8**	**35,6**	**30,7**	**21**	**0**	**39,2**	**39,2**
Расчёт отражённого звука													
Уровни звукового давления от мнимого источника ИШ-1-26_мн.(1) в расчётной точке днём, дБ		**ф-ла(3)[10]**	**0**	**0**	**0**	**0**	**0**	**0**	**0**	**0**	**0**	**0**	**0**
Уровни звукового давления от мнимого источника ИШ-1-26_мн.(1) в расчётной точке ночью, дБ		**ф-ла(3)[10]**	**0**	**0**	**0**	**0**	**0**	**0**	**0**	**0**	**0**	**0**	**0**

1		2	3	4	5	6	7	8	9	10	11	12	13
Уровни звукового давления от мнимого источника ИШ-1-26_мн.(2) в расчётной точке днём, дБ		**ф-ла(3)[10]**	**0**	**37,1**	**28,1**	**25,5**	**25,4**	**31**	**28,1**	**18,3**	**0**	**33,9**	**33,9**
Уровни звукового давления от мнимого источника ИШ-1-26_мн.(2) в расчётной точке ночью, дБ		**ф-ла(3)[10]**	**37,1**	**37,1**	**37,1**	**37,1**	**37,1**	**37,1**	**37,1**	**37,1**	**37,1**	**33,9**	**33,9**
Суммарные уровни звукового давления от мнимых источников в расчётной точке днём, дБ		**ф-ла (19) [1]**	**0**	**37,1**	**28,1**	**25,5**	**25,4**	**31**	**28,1**	**18,3**	**0**	**0**	**33,9**
Суммарные уровни звукового давления от мнимых источников в расчётной точке ночью, дБ		**ф-ла (19) [1]**	**0**	**37,1**	**28,1**	**25,5**	**25,4**	**31**	**28,1**	**18,3**	**0**	**0**	**33,9**
Уровни звукового давления от источника ИШ-1-26 в расчётной точке днём, дБ		**ф-ла(3)[10]**	**0**	**40,6**	**34,2**	**36,3**	**37,1**	**36,9**	**32,6**	**22,9**	**0**	**40,3**	**40,3**
Уровни звукового давления от источника ИШ-1-26 в расчётной точке ночью, дБ		**ф-ла(3)[10]**	**0**	**40,6**	**34,2**	**36,3**	**37,1**	**36,9**	**32,6**	**22,9**	**0**	**40,3**	**40,3**
Источник шума: ИШ-1-27, координаты источника (x,y,z), м =[469.65,197.67,1.00]													
Уровни звуковой мощности источника днём, Lw, дБ		**исходные данные**	**0**	**93,3**	**94,7**	**96**	**96,3**	**95,9**	**92,6**	**88,4**	**83,9**		
Уровни звуковой мощности источника ночью, Lw, дБ		**исходные данные**	**0**	**93,3**	**94,7**	**96**	**96,3**	**95,9**	**92,6**	**88,4**	**83,9**		
Поправка на телесный угол DΩ, дБ	Ω = 6.28	10Lg(4π/Ω)	**3**	3	3	3	3	3	3	3	3		
Показатель направленности источника Di, дБ		исходные данные	**0**	0	0	0	0	0	0	0	0		
Поправка на направленность источника Dc, дБ	Dc	DΩ + Di	**3**	3	3	3	3	3	3	3	3		
Затухание из-за геометрической дивергенции, Adiv, дБ	расстояние = 452.15 м	ф-ла (7) [10]	**64,1**										
Коэффициент затухания звука в атмосфере α, дБ/км	Ta=20,°C Pa=101.33,кПа hотн.=70%	ф-ла (5) [9]	0,02	0,09	0,33	1,12	2,79	4,98	9,04	23,09	77,63		
Учет затухания звука в атмосфере Aatm, дБ		ф-ла (8) [10]	0	0	0,2	0,5	1,3	2,3	4,1	10,4	35,1		
Снижение уровня звукового давления из-за влияния застройки между источником шума и расчетной точкой													

1			2	3	4	5	6	7	8	9	10	11	12	13
Длина звуковой волны для среднегеометрической частоты октавной полосы, λ, м				10,79	5,4	2,72	1,36	0,68	0,34	0,17	0,09	0,04		
Критерий наличия экранирования в горизонтальной плоскости	Горизонтальный размер экрана, lэкр = 82.41 м		lэкр > λ	да	да	да	да	да	да	да	да	да		
Траектория над экраном	Промежуточные точки:	Pss(x,y,z) = (393.56,44.26,10.00)	Psr(x,y,z) = (321.02,-101.99,10.00)	dss = 171.48 м		dsr = 117.77 м		e = 163.26 м		z = 0.35 м				
	Константа C2, учитывающая эффект отражения от земли возле экрана			40	40	40	40	40	40	40	40	40		
	Константа C3 (дифракция на кромках)		ф-ла (15) [10]	2,5	2,8	3	3	3	3	3	3	3		
	K_{met} (влияние метеоусловий)		ф-ла (18) [10]	0,2	0,2	0,2	0,2	0,2	0,2	0,2	0,2	0,2		
	Снижение УЗД, Dz, дБ		ф-ла (14) [10]	5,5	6,2	7,4	9	11,1	13,6	16,3	19,2	22,1		
Траектория слева от экрана	Промежуточные точки:	Pss(x,y,z) = (429.80,32.10,2.32)	Psr(x,y,z) = (422.02,8.93,2.51)	dss = 170.30 м		dsr = 265.12 м		e = 24.44 м		z = 7.71 м				
	Константа C2, учитывающая эффект отражения от земли возле экрана			40	40	40	40	40	40	40	40	40		
	Константа C3 (дифракция на кромках)		ф-ла (15) [10]	1,1	1,4	2	2,6	2,9	3	3	3	3		
	K_{met} (влияние метеоусловий)		ф-ла (18) [10]	1	1	1	1	1	1	1	1	1		
	Снижение УЗД, Dz, дБ		ф-ла (14) [10]	15,5	19,3	23,7	27,8	31,2	34,3	37,4	40,4	43,4		
Траектория справа от экрана	Промежуточные точки:	Pss(x,y,z) = (425.88,209.66,1.07)	Psr(x,y,z) = (425.88,209.66,1.07)	dss = 45.38 м		dsr = 445.67 м		e = 0.00 м		z = 38.90 м				
	Константа C2, учитывающая эффект отражения от земли возле экрана			40	40	40	40	40	40	40	40	40		
	Константа C3 (дифракция на кромках)		ф-ла (15) [10]	1	1	1	1	1	1	1	1	1		
	K_{met} (влияние метеоусловий)		ф-ла (18) [10]	1	1	1	1	1	1	1	1	1		
	Снижение УЗД, Dz, дБ		ф-ла (14) [10]	21,7	24,6	27,6	30,6	33,6	36,6	39,6	42,6	45,6		
Общее снижение уровня звука препятствием Dz, дБ			Эн.сумма(-Dzi)	5	6	7,2	8,9	11	13,5	16,2	19,1	22		

1		2	3	4	5	6	7	8	9	10	11	12	13
Уровни звукового давления прямого звука от источника ИШ-1-27 в расчётной точке днём, дБ		**ф-ла(3)[10]**	**0**	**26,2**	**26,2**	**25,5**	**22,9**	**19**	**11,1**	**0**	**0**	**24**	**24**
Уровни звукового давления прямого звука от источника ИШ-1-27 в расчётной точке ночью, дБ		**ф-ла(3)[10]**	**0**	**26,2**	**26,2**	**25,5**	**22,9**	**19**	**11,1**	**0**	**0**	**24**	**24**
Расчёт отражённого звука													
Уровни звукового давления от мнимого источника ИШ-1-27_мн.(1) в расчётной точке днём, дБ		**ф-ла(3)[10]**	**0**	**0**	**0**	**0**	**0**	**29,1**	**25,9**	**15,1**	**0**	**31,4**	**31,4**
Уровни звукового давления от мнимого источника ИШ-1-27_мн.(1) в расчётной точке ночью, дБ		**ф-ла(3)[10]**	**0**	**0**	**0**	**0**	**0**	**0**	**0**	**0**	**0**	**31,4**	**31,4**
Уровни звукового давления от источника ИШ-1-27 в расчётной точке днём, дБ		**ф-ла(3)[10]**	**0**	**26,2**	**26,2**	**25,5**	**22,9**	**29,5**	**26,1**	**15,1**	**0**	**32,1**	**32,1**
Уровни звукового давления от источника ИШ-1-27 в расчётной точке ночью, дБ		**ф-ла(3)[10]**	**0**	**26,2**	**26,2**	**25,5**	**22,9**	**29,5**	**26,1**	**15,1**	**0**	**32,1**	**32,1**
Источник шума: ИШ-1-28, координаты источника (x,y,z), м =[472.78,196.69,1.00]													
Уровни звуковой мощности источника днём, Lw, дБ		**исходные данные**	**0**	**93,3**	**94,7**	**96**	**96,3**	**95,9**	**92,6**	**88,4**	**83,9**		
Уровни звуковой мощности источника ночью, Lw, дБ		**исходные данные**	**0**	**93,3**	**94,7**	**96**	**96,3**	**95,9**	**92,6**	**88,4**	**83,9**		
Поправка на телесный угол DΩ, дБ	Ω = 6.28	10Lg(4π/Ω)	**3**	3	3	3	3	3	3	3	3		
Показатель направленности источника Di, дБ		исходные данные	**0**	0	0	0	0	0	0	0	0		
Поправка на направленность источника Dc, дБ	Dc	DΩ + Di	**3**	3	3	3	3	3	3	3	3		
Затухание из-за геометрической дивергенции, Adiv, дБ	расстояние = 452.68 м	ф-ла (7) [10]	**64,1**										
Коэффициент затухания звука в атмосфере α, дБ/км	Ta=20,°C Pa=101.33,кПа hотн.=70%	ф-ла (5) [9]	0,02	0,09	0,33	1,12	2,79	4,98	9,04	23,09	77,63		
Учет затухания звука в атмосфере Aatm, дБ		ф-ла (8) [10]	0	0	0,2	0,5	1,3	2,3	4,1	10,5	35,1		

1			2	3	4	5	6	7	8	9	10	11	12	13
Снижение уровня звукового давления из-за влияния застройки между источником шума и расчетной точкой														
Длина звуковой волны для среднегеометрической частоты октавной полосы, λ, м				10,79	5,4	2,72	1,36	0,68	0,34	0,17	0,09	0,04		
Критерий наличия экранирования в горизонтальной плоскости	Горизонтальный размер экрана, lэкр = 83.53 м		lэкр > λ	да	да	да	да	да	да	да	да	да		
Траектория над экраном	Промежуточные точки:	Pss(x,y,z) = (395.49,43.62,10.00)	Psr(x,y,z) = (319.15,-107.56,10.00)	dss = 171.72 м		dsr = 111.96 м		e = 169.35 м		z = 0.35 м				
	Константа C2, учитывающая эффект отражения от земли возле экрана			40	40	40	40	40	40	40	40	40		
	Константа C3 (дифракция на кромках)		ф-ла (15) [10]	2,5	2,9	3	3	3	3	3	3	3		
	K_{met} (влияние метеоусловий)		ф-ла (18) [10]	0,2	0,2	0,2	0,2	0,2	0,2	0,2	0,2	0,2		
	Снижение УЗД, Dz, дБ		ф-ла (14) [10]	5,5	6,3	7,5	9,2	11,4	13,9	16,6	19,5	22,4		
Траектория слева от экрана	Промежуточные точки:	Pss(x,y,z) = (429.80,32.10,2.32)	Psr(x,y,z) = (422.02,8.93,2.51)	dss = 170.12 м		dsr = 265.12 м		e = 24.44 м		z = 7.00 м				
	Константа C2, учитывающая эффект отражения от земли возле экрана			40	40	40	40	40	40	40	40	40		
	Константа C3 (дифракция на кромках)		ф-ла (15) [10]	1,1	1,4	2	2,6	2,9	3	3	3	3		
	K_{met} (влияние метеоусловий)		ф-ла (18) [10]	1	1	1	1	1	1	1	1	1		
	Снижение УЗД, Dz, дБ		ф-ла (14) [10]	15,1	18,9	23,3	27,3	30,8	33,9	36,9	39,9	43		
Траектория справа от экрана	Промежуточные точки:	Pss(x,y,z) = (425.88,209.66,1.08)	Psr(x,y,z) = (425.88,209.66,1.08)	dss = 48.66 м		dsr = 445.67 м		e = 0.00 м		z = 41.65 м				
	Константа C2, учитывающая эффект отражения от земли возле экрана			40	40	40	40	40	40	40	40	40		
	Константа C3 (дифракция на кромках)		ф-ла (15) [10]	1	1	1	1	1	1	1	1	1		
	K_{met} (влияние метеоусловий)		ф-ла (18) [10]	1	1	1	1	1	1	1	1	1		
	Снижение УЗД, Dz, дБ		ф-ла (14) [10]	22	24,9	27,9	30,9	33,9	36,9	39,9	42,9	45,9		

1		2	3	4	5	6	7	8	9	10	11	12	13
Общее снижение уровня звука препятствием Dz, дБ		Эн.сумма(-Dzi)	5	6	7,4	9,1	11,3	13,8	16,6	19,4	22,4		
Уровни звукового давления прямого звука от источника ИШ-1-28 в расчётной точке днём, дБ		**ф-ла(3)[10]**	**0**	**26,1**	**26,1**	**25,3**	**22,6**	**18,7**	**10,8**	**0**	**0**	**23,7**	**23,7**
Уровни звукового давления прямого звука от источника ИШ-1-28 в расчётной точке ночью, дБ		**ф-ла(3)[10]**	**0**	**26,1**	**26,1**	**25,3**	**22,6**	**18,7**	**10,8**	**0**	**0**	**23,7**	**23,7**
Расчёт отражённого звука													
Уровни звукового давления от мнимого источника ИШ-1-28_мн.(1) в расчётной точке днём, дБ		**ф-ла(3)[10]**	**0**	**0**	**0**	**0**	**0**	**29,1**	**26**	**15,2**	**0**	**31,4**	**31,4**
Уровни звукового давления от мнимого источника ИШ-1-28_мн.(1) в расчётной точке ночью, дБ		**ф-ла(3)[10]**	**0**	**0**	**0**	**0**	**0**	**0**	**0**	**0**	**0**	**31,4**	**31,4**
Уровни звукового давления от источника ИШ-1-28 в расчётной точке днём, дБ		**ф-ла(3)[10]**	**0**	**26,1**	**26,1**	**25,3**	**22,6**	**29,5**	**26,1**	**15,2**	**0**	**32,1**	**32,1**
Уровни звукового давления от источника ИШ-1-28 в расчётной точке ночью, дБ		**ф-ла(3)[10]**	**0**	**26,1**	**26,1**	**25,3**	**22,6**	**29,5**	**26,1**	**15,2**	**0**	**32,1**	**32,1**
Источник шума: ИШ-1-29, координаты источника (x,y,z), м =[475.52,195.72,1.00]													
Уровни звуковой мощности источника днём, Lw, дБ		**исходные данные**	**0**	**93,3**	**94,7**	**96**	**96,3**	**95,9**	**92,6**	**88,4**	**83,9**		
Уровни звуковой мощности источника ночью, Lw, дБ		**исходные данные**	**0**	**93,3**	**94,7**	**96**	**96,3**	**95,9**	**92,6**	**88,4**	**83,9**		
Поправка на телесный угол DΩ, дБ	Ω = 6.28	10Lg(4π/Ω)	**3**	3	3	3	3	3	3	3	3		
Показатель направленности источника Di, дБ		исходные данные	**0**	0	0	0	0	0	0	0	0		
Поправка на направленность источника Dc, дБ	Dc	DΩ + Di	**3**	3	3	3	3	3	3	3	3		
Затухание из-за геометрической дивергенции, Adiv, дБ	расстояние = 453.05 м	ф-ла (7) [10]	**64,1**										
Коэффициент затухания звука в атмосфере α, дБ/км	Ta=20,°C Pa=101.33,кПа hотн.=70%	ф-ла (5) [9]	0,02	0,09	0,33	1,12	2,79	4,98	9,04	23,09	77,63		

1			2	3	4	5	6	7	8	9	10	11	12	13
Учет затухания звука в атмосфере Aatm, дБ			ф-ла (8) [10]	0	0	0,2	0,5	1,3	2,3	4,1	10,5	35,2		
Снижение уровня звукового давления из-за влияния застройки между источником шума и расчетной точкой														
Длина звуковой волны для среднегеометрической частоты октавной полосы, λ, м				10,79	5,4	2,72	1,36	0,68	0,34	0,17	0,09	0,04		
Критерий наличия экранирования в горизонтальной плоскости	Горизонтальный размер экрана, lэкр = 84.53 м		lэкр > λ	да	да	да	да	да	да	да	да	да		
Траектория над экраном	Промежуточные точки:	Pss(x,y,z) = (397.20,43.04,10.00)	Psr(x,y,z) = (318.53,-110.33,10.00)	dss = 171.82 м		dsr = 109.20 м		e = 172.38 м		z = 0.36 м				
	Константа C2, учитывающая эффект отражения от земли возле экрана			40	40	40	40	40	40	40	40	40		
	Константа C3 (дифракция на кромках)		ф-ла (15) [10]	2,5	2,9	3	3	3	3	3	3	3		
	K_{met} (влияние метеоусловий)		ф-ла (18) [10]	0,2	0,2	0,2	0,2	0,2	0,2	0,2	0,2	0,2		
	Снижение УЗД, Dz, дБ		ф-ла (14) [10]	5,6	6,4	7,6	9,3	11,5	14	16,8	19,6	22,6		
Траектория слева от экрана	Промежуточные точки:	Pss(x,y,z) = (429.80,32.10,2.32)	Psr(x,y,z) = (422.02,8.93,2.51)	dss = 169.89 м		dsr = 265.12 м		e = 24.44 м		z = 6.40 м				
	Константа C2, учитывающая эффект отражения от земли возле экрана			40	40	40	40	40	40	40	40	40		
	Константа C3 (дифракция на кромках)		ф-ла (15) [10]	1,1	1,4	2	2,6	2,9	3	3	3	3		
	K_{met} (влияние метеоусловий)		ф-ла (18) [10]	1	1	1	1	1	1	1	1	1		
	Снижение УЗД, Dz, дБ		ф-ла (14) [10]	14,7	18,5	22,9	27	30,4	33,5	36,5	39,6	42,6		
Траектория справа от экрана	Промежуточные точки:	Pss(x,y,z) = (425.88,209.66,1.08)	Psr(x,y,z) = (425.88,209.66,1.08)	dss = 51.56 м		dsr = 445.67 м		e = 0.00 м		z = 44.18 м				
	Константа C2, учитывающая эффект отражения от земли возле экрана			40	40	40	40	40	40	40	40	40		
	Константа C3 (дифракция на кромках)		ф-ла (15) [10]	1	1	1	1	1	1	1	1	1		

1		2	3	4	5	6	7	8	9	10	11	12	13
	K_{met} (влияние метеоусловий)	ф-ла (18) [10]	1	1	1	1	1	1	1	1	1		
	Снижение УЗД, Dz, дБ	ф-ла (14) [10]	22,2	25,2	28,1	31,1	34,2	37,2	40,2	43,2	46,2		
Общее снижение уровня звука препятствием Dz, дБ		Эн.сумма(-Dzi)	5	6,1	7,4	9,2	11,4	13,9	16,7	19,6	22,5		
Уровни звукового давления прямого звука от источника ИШ-1-29 в расчётной точке днём, дБ		**ф-ла(3)[10]**	**0**	**26,1**	**26**	**25,1**	**22,5**	**18,6**	**10,7**	**0**	**0**	**23,6**	**23,6**
Уровни звукового давления прямого звука от источника ИШ-1-29 в расчётной точке ночью, дБ		**ф-ла(3)[10]**	**0**	**26,1**	**26**	**25,1**	**22,5**	**18,6**	**10,7**	**0**	**0**	**23,6**	**23,6**
Расчёт отражённого звука													
Уровни звукового давления от мнимого источника ИШ-1-29_мн.(1) в расчётной точке днём, дБ		**ф-ла(3)[10]**	**0**	**0**	**0**	**0**	**0**	**25,6**	**24,3**	**15,2**	**0**	**28,8**	**28,8**
Уровни звукового давления от мнимого источника ИШ-1-29_мн.(1) в расчётной точке ночью, дБ		**ф-ла(3)[10]**	**0**	**0**	**0**	**0**	**0**	**0**	**0**	**0**	**0**	**28,8**	**28,8**
Уровни звукового давления от источника ИШ-1-29 в расчётной точке днём, дБ		**ф-ла(3)[10]**	**0**	**26,1**	**26**	**25,1**	**22,5**	**26,4**	**24,5**	**15,2**	**0**	**30**	**30**
Уровни звукового давления от источника ИШ-1-29 в расчётной точке ночью, дБ		**ф-ла(3)[10]**	**0**	**26,1**	**26**	**25,1**	**22,5**	**26,4**	**24,5**	**15,2**	**0**	**30**	**30**
Источник шума: ИШ-1-30, координаты источника (x,y,z), м =[478.45,194.54,1.00]													
Уровни звуковой мощности источника днём, Lw, дБ		**исходные данные**	**0**	**93,3**	**94,7**	**96**	**96,3**	**95,9**	**92,6**	**88,4**	**83,9**		
Уровни звуковой мощности источника ночью, Lw, дБ		**исходные данные**	**0**	**93,3**	**94,7**	**96**	**96,3**	**95,9**	**92,6**	**88,4**	**83,9**		
Поправка на телесный угол DΩ, дБ	Ω = 6.28	10Lg(4π/Ω)	**3**	3	3	3	3	3	3	3	3		
Показатель направленности источника Di, дБ		исходные данные	**0**	0	0	0	0	0	0	0	0		
Поправка на направленность источника Dc, дБ	Dc	DΩ + Di	**3**	3	3	3	3	3	3	3	3		
Затухание из-за геометрической дивергенции, Adiv, дБ	расстояние = 453.35 м	ф-ла (7) [10]	**64,1**										

1			2	3	4	5	6	7	8	9	10	11	12	13
Коэффициент затухания звука в атмосфере α, дБ/км	Ta=20,°C Pa=101.33,кПа hотн.=70%		ф-ла (5) [9]	0,02	0,09	0,33	1,12	2,79	4,98	9,04	23,09	77,63		
Учет затухания звука в атмосфере Aatm, дБ			ф-ла (8) [10]	0	0	0,2	0,5	1,3	2,3	4,1	10,5	35,2		
Снижение уровня звукового давления из-за влияния застройки между источником шума и расчетной точкой														
Длина звуковой волны для среднегеометрической частоты октавной полосы, λ, м				10,79	5,4	2,72	1,36	0,68	0,34	0,17	0,09	0,04		
Критерий наличия экранирования в горизонтальной плоскости	Горизонтальный размер экрана, lэкр = 85.61 м		lэкр > λ	да	да	да	да	да	да	да	да	да		
Траектория над экраном	Промежуточные точки:	Pss(x,y,z) = (399.08,42.41,10.00)	Psr(x,y,z) = (319.26,-110.58,10.00)	dss = 171.83 м		dsr = 109.32 м		e = 172.56 м		z = 0.36 м				
	Константа C2, учитывающая эффект отражения от земли возле экрана			40	40	40	40	40	40	40	40	40		
	Константа C3 (дифракция на кромках)		ф-ла (15) [10]	2,5	2,9	3	3	3	3	3	3	3		
	K_{met} (влияние метеоусловий)		ф-ла (18) [10]	0,2	0,2	0,2	0,2	0,2	0,2	0,2	0,2	0,2		
	Снижение УЗД, Dz, дБ		ф-ла (14) [10]	5,6	6,4	7,6	9,3	11,5	14	16,8	19,6	22,6		
Траектория слева от экрана	Промежуточные точки:	Pss(x,y,z) = (429.80,32.10,2.32)	Psr(x,y,z) = (422.02,8.93,2.51)	dss = 169.58 м		dsr = 265.12 м		e = 24.44 м		z = 5.78 м				
	Константа C2, учитывающая эффект отражения от земли возле экрана			40	40	40	40	40	40	40	40	40		
	Константа C3 (дифракция на кромках)		ф-ла (15) [10]	1,1	1,4	2	2,6	2,9	3	3	3	3		
	K_{met} (влияние метеоусловий)		ф-ла (18) [10]	1	1	1	1	1	1	1	1	1		
	Снижение УЗД, Dz, дБ		ф-ла (14) [10]	14,3	18,1	22,5	26,5	29,9	33,1	36,1	39,1	42,1		
	Промежуточные точки:	Pss(x,y,z) = (425.88,209.66,1.09)	Psr(x,y,z) = (425.88,209.66,1.09)	dss = 54.70 м		dsr = 445.67 м		e = 0.00 м		z = 47.02 м				
	Константа C2, учитывающая эффект отражения от земли возле экрана			40	40	40	40	40	40	40	40	40		

1		2	3	4	5	6	7	8	9	10	11	12	13
Траектория справа от экрана	Константа СЗ (дифракция на кромках)	ф-ла (15) [10]	1	1	1	1	1	1	1	1	1		
	K_{met} (влияние метеоусловий)	ф-ла (18) [10]	1	1	1	1	1	1	1	1	1		
	Снижение УЗД, Dz, дБ	ф-ла (14) [10]	22,5	25,5	28,4	31,4	34,4	37,4	40,4	43,4	46,5		
Общее снижение уровня звука препятствием Dz, дБ		Эн.сумма(-Dzi)	4,9	6	7,4	9,2	11,4	13,9	16,7	19,6	22,5		
Уровни звукового давления прямого звука от источника ИШ-1-30 в расчётной точке днём, дБ		**ф-ла(3)[10]**	**0**	**26,1**	**26**	**25,2**	**22,5**	**18,6**	**10,7**	**0**	**0**	**23,6**	**23,6**
Уровни звукового давления прямого звука от источника ИШ-1-30 в расчётной точке ночью, дБ		**ф-ла(3)[10]**	**0**	**26,1**	**26**	**25,2**	**22,5**	**18,6**	**10,7**	**0**	**0**	**23,6**	**23,6**
Расчёт отражённого звука													
Уровни звукового давления от мнимого источника ИШ-1-30_мн.(1) в расчётной точке днём, дБ		**ф-ла(3)[10]**	**0**	**0**	**0**	**0**	**0**	**26,4**	**20,3**	**8,4**	**0**	**27,7**	**27,7**
Уровни звукового давления от мнимого источника ИШ-1-30_мн.(1) в расчётной точке ночью, дБ		**ф-ла(3)[10]**	**0**	**0**	**0**	**0**	**0**	**0**	**0**	**0**	**0**	**27,7**	**27,7**
Уровни звукового давления от источника ИШ-1-30 в расчётной точке днём, дБ		**ф-ла(3)[10]**	**0**	**26,1**	**26**	**25,2**	**22,5**	**27,1**	**20,7**	**8,4**	**0**	**29,1**	**29,1**
Уровни звукового давления от источника ИШ-1-30 в расчётной точке ночью, дБ		**ф-ла(3)[10]**	**0**	**26,1**	**26**	**25,2**	**22,5**	**27,1**	**20,7**	**8,4**	**0**	**29,1**	**29,1**
Источник шума: ИШ-1-31, координаты источника (x,y,z), м =[481.58,193.96,1.00]													
Уровни звуковой мощности источника днём, Lw, дБ		**исходные данные**	**0**	**93,3**	**94,7**	**96**	**96,3**	**95,9**	**92,6**	**88,4**	**83,9**		
Уровни звуковой мощности источника ночью, Lw, дБ		**исходные данные**	**0**	**93,3**	**94,7**	**96**	**96,3**	**95,9**	**92,6**	**88,4**	**83,9**		
Поправка на телесный угол DΩ, дБ	Ω = 6.28	10Lg(4π/Ω)	**3**	3	3	3	3	3	3	3	3		
Показатель направленности источника Di, дБ		исходные данные	**0**	0	0	0	0	0	0	0	0		
Поправка на направленность источника Dc, дБ	Dc	DΩ + Di	**3**	3	3	3	3	3	3	3	3		

1			2	3	4	5	6	7	8	9	10	11	12	13
Затухание из-за геометрической дивергенции, Adiv, дБ		расстояние = 454.29 м	ф-ла (7) [10]	**64,1**										
Коэффициент затухания звука в атмосфере α, дБ/км		Ta=20,°C Pa=101.33,кПа hотн.=70%	ф-ла (5) [9]	0,02	0,09	0,33	1,12	2,79	4,98	9,04	23,09	77,63		
Учет затухания звука в атмосфере Aatm, дБ			ф-ла (8) [10]	0	0	0,2	0,5	1,3	2,3	4,1	10,5	35,3		
Снижение уровня звукового давления из-за влияния застройки между источником шума и расчетной точкой														
Длина звуковой волны для среднегеометрической частоты октавной полосы, λ, м				10,79	5,4	2,72	1,36	0,68	0,34	0,17	0,09	0,04		
Критерий наличия экранирования в горизонтальной плоскости	Горизонтальный размер экрана, lэкр = 86.65 м		lэкр > λ	да	да	да	да	да	да	да	да	да		
Траектория над экраном	Промежуточные точки:	Pss(x,y,z) = (400.89,41.80,10.00)	Psr(x,y,z) = (319.96,-110.81,10.00)	dss = 172.46 м		dsr = 109.44 м		e = 172.75 м		z = 0.35 м				
	Константа C2, учитывающая эффект отражения от земли возле экрана			40	40	40	40	40	40	40	40	40		
	Константа C3 (дифракция на кромках)		ф-ла (15) [10]	2,5	2,9	3	3	3	3	3	3	3		
	K_{met} (влияние метеоусловий)		ф-ла (18) [10]	0,2	0,2	0,2	0,2	0,2	0,2	0,2	0,2	0,2		
	Снижение УЗД, Dz, дБ		ф-ла (14) [10]	5,5	6,4	7,6	9,3	11,4	14	16,7	19,6	22,5		
Траектория слева от экрана	Промежуточные точки:	Pss(x,y,z) = (429.80,32.10,2.33)	Psr(x,y,z) = (422.02,8.93,2.52)	dss = 169.94 м		dsr = 265.12 м		e = 24.44 м		z = 5.21 м				
	Константа C2, учитывающая эффект отражения от земли возле экрана			40	40	40	40	40	40	40	40	40		
	Константа C3 (дифракция на кромках)		ф-ла (15) [10]	1,1	1,4	2	2,6	2,9	3	3	3	3		
	K_{met} (влияние метеоусловий)		ф-ла (18) [10]	1	1	1	1	1	1	1	1	1		
	Снижение УЗД, Dz, дБ		ф-ла (14) [10]	13,9	17,6	22	26,1	29,5	32,6	35,6	38,7	41,7		
	Промежуточные точки:	Pss(x,y,z) = (425.88,209.66,1.10)	Psr(x,y,z) = (425.88,209.66,1.10)	dss = 57.86 м		dsr = 445.67 м		e = 0.00 м		z = 49.25 м				

1		2	3	4	5	6	7	8	9	10	11	12	13
Траектория справа от экрана	Константа С2, учитывающая эффект отражения от земли возле экрана		40	40	40	40	40	40	40	40	40		
	Константа С3 (дифракция на кромках)	ф-ла (15) [10]	1	1	1	1	1	1	1	1	1		
	K_{met} (влияние метеоусловий)	ф-ла (18) [10]	1	1	1	1	1	1	1	1	1		
	Снижение УЗД, Dz, дБ	ф-ла (14) [10]	22,7	25,7	28,6	31,6	34,6	37,6	40,6	43,7	46,7		
Общее снижение уровня звука препятствием Dz, дБ		Эн.сумма(-Dzi)	4,9	6	7,4	9,2	11,4	13,9	16,6	19,5	22,4		
Уровни звукового давления прямого звука от источника ИШ-1-31 в расчётной точке днём, дБ		**ф-ла(3)[10]**	**0**	**26,1**	**26**	**25,2**	**22,5**	**18,6**	**10,7**	**0**	**0**	**23,6**	**23,6**
Уровни звукового давления прямого звука от источника ИШ-1-31 в расчётной точке ночью, дБ		**ф-ла(3)[10]**	**0**	**26,1**	**26**	**25,2**	**22,5**	**18,6**	**10,7**	**0**	**0**	**23,6**	**23,6**
Расчёт отражённого звука													
Уровни звукового давления от мнимого источника ИШ-1-31_мн.(1) в расчётной точке днём, дБ		**ф-ла(3)[10]**	**0**	**0**	**0**	**0**	**0**	**23,1**	**15,6**	**2,3**	**0**	**24,1**	**24,1**
Уровни звукового давления от мнимого источника ИШ-1-31_мн.(1) в расчётной точке ночью, дБ		**ф-ла(3)[10]**	**0**	**0**	**0**	**0**	**0**	**0**	**0**	**0**	**0**	**24,1**	**24,1**
Уровни звукового давления от источника ИШ-1-31 в расчётной точке днём, дБ		**ф-ла(3)[10]**	**0**	**26,1**	**26**	**25,2**	**22,5**	**24,4**	**16,8**	**2,3**	**0**	**26,9**	**26,9**
Уровни звукового давления от источника ИШ-1-31 в расчётной точке ночью, дБ		**ф-ла(3)[10]**	**0**	**26,1**	**26**	**25,2**	**22,5**	**24,4**	**16,8**	**2,3**	**0**	**26,9**	**26,9**
Источник шума: ИШ-1-32, координаты источника (x,y,z), м =[871.21,281.99,50.00]													
Уровни звуковой мощности источника днём, Lw, дБ		**исходные данные**	**125**	**119,6**	**113,4**	**111,4**	**110,8**	**112,7**	**113,8**	**109,2**	**97,4**		
Уровни звуковой мощности источника ночью, Lw, дБ		**исходные данные**	**0**	**0**	**0**	**0**	**0**	**0**	**0**	**0**	**0**		
Поправка на телесный угол DΩ, дБ	Ω = 12.57	10Lg(4π/Ω)	**0**	0	0	0	0	0	0	0	0		
Показатель направленности источника Di, дБ		исходные данные	**0**	0	0	0	0	0	0	0	0		

1		2	3	4	5	6	7	8	9	10	11	12	13
Поправка на направленность источника Dc, дБ	Dc	DΩ + Di	**0**	0	0	0	0	0	0	0	0		
Затухание из-за геометрической дивергенции, Adiv, дБ	расстояние = 777.50 м	ф-ла (7) [10]	**68,8**										
Коэффициент затухания звука в атмосфере α, дБ/км	Ta=20,°C Pa=101.33,кПа hотн.=70%	ф-ла (5) [9]	0,02	0,09	0,33	1,12	2,79	4,98	9,04	23,09	77,63		
Учет затухания звука в атмосфере Aatm, дБ		ф-ла (8) [10]	0	0,1	0,3	0,9	2,2	3,9	7	17,9	60,4		
Снижение поверхностью земли возле источника As, дБ	Gs = 0 hs = 50м	ф-лы таб.3 [10]	-1,5	-1,5	-1,5	-1,5	-1,5	-1,5	-1,5	-1,5	-1,5		
Снижение поверхностью земли возле приёмника Ar, дБ	Gr = 1 hr = 4.6м	ф-лы таб.3 [10]	-1,5	-1,5	3,6	1,3	0	0	0	0	0		
Снижение поверхностью земли в средней зоне, Am дБ	Gm = 1	ф-лы таб.3 [10]	0	0	0	0	0	0	0	0	0		
Суммарное снижение поверхностью земли на траектории распространения звука Agr, дБ		ф-ла (9) [10]	-3	-3	2,1	-0,2	-1,5	-1,5	-1,5	-1,5	-1,5		
Уровни звукового давления прямого звука от источника ИШ-1-32 в расчётной точке днём, дБ		**ф-ла(3)[10]**	**59,2**	**53,7**	**42,2**	**42**	**41,3**	**41,5**	**39,5**	**24**	**0**	**45,6**	**45,6**
Уровни звукового давления прямого звука от источника ИШ-1-32 в расчётной точке ночью, дБ		**ф-ла(3)[10]**	**0**	**0**	**0**	**0**	**0**	**0**	**0**	**0**	**0**	**0**	**0**
Расчёт отражённого звука													
Уровни звукового давления от мнимого источника ИШ-1-32_мн.(1) в расчётной точке днём, дБ		**ф-ла(3)[10]**	**0**	**0**	**39,7**	**39,5**	**38,8**	**39**	**37**	**21,4**	**0**	**43**	**43**
Уровни звукового давления от мнимого источника ИШ-1-32_мн.(1) в расчётной точке ночью, дБ		**ф-ла(3)[10]**	**0**	**0**	**0**	**0**	**0**	**0**	**0**	**0**	**0**	**0**	**0**
Уровни звукового давления от источника ИШ-1-32 в расчётной точке днём, дБ		**ф-ла(3)[10]**	**59,2**	**53,7**	**44,2**	**43,9**	**43,3**	**43,5**	**41,4**	**25,9**	**0**	**47,5**	**47,5**
Уровни звукового давления от источника ИШ-1-32 в расчётной точке ночью, дБ		**ф-ла(3)[10]**	**0**	**0**	**0**	**0**	**0**	**0**	**0**	**0**	**0**	**0**	**0**
Источник шума: ИШ-1-33, координаты источника (x,y,z), м =[743.42,374.85,1.00]													

1			2	3	4	5	6	7	8	9	10	11	12	13
Уровни звуковой мощности источника днём, Lw, дБ			**исходные данные**	**0**	**88,7**	**90,1**	**93,1**	**96,4**	**103**	**112**	**108**	**99,2**		
Уровни звуковой мощности источника ночью, Lw, дБ			**исходные данные**	**0**	**0**	**0**	**0**	**0**	**0**	**0**	**0**	**0**		
Поправка на телесный угол DΩ, дБ		Ω = 6.28	10Lg(4π/Ω)	**3**	3	3	3	3	3	3	3	3		
Показатель направленности источника Di, дБ			исходные данные	**0**	0	0	0	0	0	0	0	0		
Поправка на направленность источника Dc, дБ		Dc	DΩ + Di	**3**	3	3	3	3	3	3	3	3		
Затухание из-за геометрической дивергенции, Adiv, дБ		расстояние = 751.21 м	ф-ла (7) [10]	**68,5**										
Коэффициент затухания звука в атмосфере α, дБ/км		Ta=20,°C Pa=101.33,кПа hотн.=70%	ф-ла (5) [9]	0,02	0,09	0,33	1,12	2,79	4,98	9,04	23,09	77,63		
Учет затухания звука в атмосфере Aatm, дБ			ф-ла (8) [10]	0	0,1	0,3	0,8	2,1	3,7	6,8	17,3	58,3		
Снижение уровня звукового давления из-за влияния застройки между источником шума и расчетной точкой														
Длина звуковой волны для среднегеометрической частоты октавной полосы, λ, м				10,79	5,4	2,72	1,36	0,68	0,34	0,17	0,09	0,04		
Критерий наличия экранирования в горизонтальной плоскости	Горизонтальный размер экрана, lэкр = 143.95 м		lэкр > λ	да	да	да	да	да	да	да	да	да		
Траектория над экраном	Промежуточные точки:	Pss(x,y,z) = (484.36,57.09,10.00)	Psr(x,y,z) = (480.13,51.89,10.00)	dss = 410.08 м		dsr = 334.56 м		e = 6.70 м		z = 0.13 м				
	Константа C2, учитывающая эффект отражения от земли возле экрана			40	40	40	40	40	40	40	40	40		
	Константа C3 (дифракция на кромках)		ф-ла (15) [10]	1	1	1,1	1,5	2,1	2,7	2,9	3	3		
	K_{met} (влияние метеоусловий)		ф-ла (18) [10]	0	0	0	0	0	0	0	0	0		
	Снижение УЗД, Dz, дБ		ф-ла (14) [10]	4,8	4,8	4,8	4,8	4,8	4,8	4,8	4,8	4,8		
	Промежуточные точки:	Pss(x,y,z) = (482.37,51.14,2.99)	Psr(x,y,z) = (482.37,51.14,2.99)	dss = 415.86 м		dsr = 335.36 м		e = 0.00 м		z = 0.01 м				

1			2	3	4	5	6	7	8	9	10	11	12	13
Траектория слева от экрана	Константа С2, учитывающая эффект отражения от земли возле экрана			40	40	40	40	40	40	40	40	40		
	Константа С3 (дифракция на кромках)		ф-ла (15) [10]	1	1	1	1	1	1	1	1	1		
	K_{met} (влияние метеоусловий)		ф-ла (18) [10]	1	1	1	1	1	1	1	1	1		
	Снижение УЗД, Dz, дБ		ф-ла (14) [10]	4,8	4,9	5	5,3	5,8	6,6	7,9	9,6	11,9		
Траектория справа от экрана	Промежуточные точки:	Pss(x,y,z) = (425.88,209.66,2.58)	Psr(x,y,z) = (425.88,209.66,2.58)	dss = 357.94 м		dsr = 445.66 м		e = 0.00 м		z = 52.40 м				
	Константа С2, учитывающая эффект отражения от земли возле экрана			40	40	40	40	40	40	40	40	40		
	Константа С3 (дифракция на кромках)		ф-ла (15) [10]	1	1	1	1	1	1	1	1	1		
	K_{met} (влияние метеоусловий)		ф-ла (18) [10]	1	1	1	1	1	1	1	1	1		
	Снижение УЗД, Dz, дБ		ф-ла (14) [10]	22,9	25,9	28,9	31,9	34,9	37,9	40,9	43,9	46,9		
Общее снижение уровня звука препятствием Dz, дБ			Эн.сумма(-Dzi)	1,8	1,8	1,9	2	2,2	2,6	3	3,6	4		
Уровни звукового давления от источника ИШ-1-33 в расчётной точке днём, дБ			**ф-ла(3)[10]**	**0**	**21,3**	**22,5**	**24,7**	**26,6**	**31,2**	**36,7**	**21,6**	**0**	**39**	**39**
Уровни звукового давления от источника ИШ-1-33 в расчётной точке ночью, дБ			**ф-ла(3)[10]**	**0**	**0**	**0**	**0**	**0**	**0**	**0**	**0**	**0**	**0**	**0**
Источник шума: ИШ-1-34, координаты источника (x,y,z), м =[1042.35,199.07,1.00]														
Уровни звуковой мощности источника днём, Lw, дБ			**исходные данные**	**0**	**88,7**	**90,1**	**93,1**	**96,4**	**103**	**112**	**108**	**99,2**		
Уровни звуковой мощности источника ночью, Lw, дБ			**исходные данные**	**0**	**0**	**0**	**0**	**0**	**0**	**0**	**0**	**0**		
Поправка на телесный угол DΩ, дБ		Ω = 6.28	10Lg(4π/Ω)	**3**	3	3	3	3	3	3	3	3		
Показатель направленности источника Di, дБ			исходные данные	**0**	0	0	0	0	0	0	0	0		

1			2	3	4	5	6	7	8	9	10	11	12	13
Поправка на направленность источника Dc, дБ		Dc	DΩ + Di	**3**	3	3	3	3	3	3	3	3		
Затухание из-за геометрической дивергенции, Adiv, дБ		расстояние = 873.88 м	ф-ла (7) [10]	**69,8**										
Коэффициент затухания звука в атмосфере α, дБ/км		Ta=20,°C Pa=101.33,кПа hотн.=70%	ф-ла (5) [9]	0,02	0,09	0,33	1,12	2,79	4,98	9,04	23,09	77,63		
Учет затухания звука в атмосфере Aatm, дБ			ф-ла (8) [10]	0	0,1	0,3	1	2,4	4,4	7,9	20,2	67,8		
Снижение уровня звукового давления из-за влияния застройки между источником шума и расчетной точкой														
Длина звуковой волны для среднегеометрической частоты октавной полосы, λ, м				10,79	5,4	2,72	1,36	0,68	0,34	0,17	0,09	0,04		
Критерий наличия экранирования в горизонтальной плоскости	Горизонтальный размер экрана, lэкр = 72.41 м		lэкр > λ	да	да	да	да	да	да	да	да	да		
Траектория над экраном	Промежуточные точки:	Pss(x,y,z) = (589.57,-38.82,8.00)	Psr(x,y,z) = (574.21,-46.89,8.00)	dss = 511.52 м		dsr = 345.07 м		e = 17.35 м		z = 0.06 м				
	Константа C2, учитывающая эффект отражения от земли возле экрана			40	40	40	40	40	40	40	40	40		
	Константа C3 (дифракция на кромках)		ф-ла (15) [10]	1,1	1,2	1,7	2,4	2,8	2,9	3	3	3		
	K_{met} (влияние метеоусловий)		ф-ла (18) [10]	0	0	0	0	0	0	0	0	0		
	Снижение УЗД, Dz, дБ		ф-ла (14) [10]	4,8	4,8	4,8	4,8	4,8	4,8	4,8	4,8	4,8		
Траектория слева от экрана	Промежуточные точки:	Pss(x,y,z) = (469.27,-137.76,3.74)	Psr(x,y,z) = (469.27,-137.76,3.74)	dss = 664.74 м		dsr = 212.26 м		e = 0.00 м		z = 3.12 м				
	Константа C2, учитывающая эффект отражения от земли возле экрана			40	40	40	40	40	40	40	40	40		
	Константа C3 (дифракция на кромках)		ф-ла (15) [10]	1	1	1	1	1	1	1	1	1		
	K_{met} (влияние метеоусловий)		ф-ла (18) [10]	1	1	1	1	1	1	1	1	1		
	Снижение УЗД, Dz, дБ		ф-ла (14) [10]	11,6	14,2	16,9	19,8	22,7	25,7	28,7	31,7	34,7		

1			2	3	4	5	6	7	8	9	10	11	12	13
Траектория справа от экрана	Промежуточные точки:	Pss(x,y,z) = (549.08,-14.03,3.21)	Psr(x,y,z) = (549.08,-14.03,3.21)	dss = 537.33 м		dsr = 340.55 м		e = 0.00 м		z = 4.00 м				
	Константа C2, учитывающая эффект отражения от земли возле экрана			40	40	40	40	40	40	40	40	40		
	Константа C3 (дифракция на кромках)		ф-ла (15) [10]	1	1	1	1	1	1	1	1	1		
	K_{met} (влияние метеоусловий)		ф-ла (18) [10]	1	1	1	1	1	1	1	1	1		
	Снижение УЗД, Dz, дБ		ф-ла (14) [10]	12,5	15,1	17,9	20,8	23,8	26,8	29,8	32,8	35,8		
Общее снижение уровня звука препятствием Dz, дБ			Эн.сумма(-Dzi)	3,4	4	4,3	4,5	4,6	4,7	4,7	4,8	4,8		
Уровни звукового давления от источника ИШ-1-34 в расчётной точке днём, дБ			**ф-ла(3)[10]**	**0**	**17,8**	**18,7**	**20,8**	**22,5**	**27,1**	**32,5**	**16,3**	**0**	**34,8**	**34,8**
Уровни звукового давления от источника ИШ-1-34 в расчётной точке ночью, дБ			**ф-ла(3)[10]**	**0**	**0**	**0**	**0**	**0**	**0**	**0**	**0**	**0**	**0**	**0**
Источник шума: ИШ-2-1, координаты источника (x,y,z), м =[696.50,124.40,3.00]														
Уровни звуковой мощности источника днём, Lw, дБ			**исходные данные**	**105**	**104**	**104**	**101**	**102**	**106**	**101**	**95**	**87**		
Уровни звуковой мощности источника ночью, Lw, дБ			**исходные данные**	**105**	**104**	**104**	**101**	**102**	**106**	**101**	**95**	**87**		
Поправка на телесный угол DΩ, дБ		Ω = 6.28	10Lg(4π/Ω)	**3**	3	3	3	3	3	3	3	3		
Показатель направленности источника Di, дБ			исходные данные	**0**	0	0	0	0	0	0	0	0		
Поправка на направленность источника Dc, дБ		Dc	DΩ + Di	**3**	3	3	3	3	3	3	3	3		
Затухание из-за геометрической дивергенции, Adiv, дБ		расстояние = 541.34 м	ф-ла (7) [10]	**65,7**										
Коэффициент затухания звука в атмосфере α, дБ/км		Ta=20,°C Pa=101.33,кПа hотн.=70%	ф-ла (5) [9]	0,02	0,09	0,33	1,12	2,79	4,98	9,04	23,09	77,63		

1		2	3	4	5	6	7	8	9	10	11	12	13
Учет затухания звука в атмосфере Aatm, дБ		ф-ла (8) [10]	0	0	0,2	0,6	1,5	2,7	4,9	12,5	42		
Снижение поверхностью земли возле источника As, дБ	Gs = 0 hs = 3м	ф-лы таб.3 [10]	-1,5	-1,5	-1,5	-1,5	-1,5	-1,5	-1,5	-1,5	-1,5		
Снижение поверхностью земли возле приёмника Ar, дБ	Gr = 1 hr = 4.6м	ф-лы таб.3 [10]	-1,5	-1,5	3,4	1,3	0	0	0	0	0		
Снижение поверхностью земли в средней зоне, Am дБ	Gm = 1	ф-лы таб.3 [10]	-1,7	-1,7	0	0	0	0	0	0	0		
Суммарное снижение поверхностью земли на траектории распространения звука Agr, дБ		ф-ла (9) [10]	-4,7	-4,7	1,9	-0,2	-1,5	-1,5	-1,5	-1,5	-1,5		
Уровни звукового давления прямого звука от источника ИШ-2-1 в расчётной точке днём, дБ		**ф-ла(3)[10]**	**47,1**	**46**	**39,2**	**38**	**39,3**	**42,1**	**34,9**	**21,3**	**0**	**44,1**	**44,1**
Уровни звукового давления прямого звука от источника ИШ-2-1 в расчётной точке ночью, дБ		**ф-ла(3)[10]**	**47,1**	**46**	**39,2**	**38**	**39,3**	**42,1**	**34,9**	**21,3**	**0**	**44,1**	**44,1**
Расчёт отражённого звука													
Уровни звукового давления от мнимого источника ИШ-2-1_мн.(1) в расчётной точке днём, дБ		**ф-ла(3)[10]**	**0**	**0**	**33,4**	**31,6**	**36,6**	**39,6**	**32,4**	**18,7**	**0**	**41,4**	**41,4**
Уровни звукового давления от мнимого источника ИШ-2-1_мн.(1) в расчётной точке ночью, дБ		**ф-ла(3)[10]**	**0**	**0**	**0**	**0**	**0**	**0**	**0**	**0**	**0**	**41,4**	**41,4**
Уровни звукового давления от источника ИШ-2-1 в расчётной точке днём, дБ		**ф-ла(3)[10]**	**47,1**	**46**	**40,3**	**38,9**	**41,2**	**44,1**	**36,9**	**23,2**	**0**	**46**	**46**
Уровни звукового давления от источника ИШ-2-1 в расчётной точке ночью, дБ		**ф-ла(3)[10]**	**47,1**	**46**	**40,3**	**38,9**	**41,2**	**44,1**	**36,9**	**23,2**	**0**	**46**	**46**
Источник шума: ИШ-2-2, координаты источника (x,y,z), м =[682.20,81.60,3.00]													
Уровни звуковой мощности источника днём, Lw, дБ		**исходные данные**	**105**	**104**	**104**	**101**	**102**	**106**	**101**	**95**	**87**		
Уровни звуковой мощности источника ночью, Lw, дБ		**исходные данные**	**105**	**104**	**104**	**101**	**102**	**106**	**101**	**95**	**87**		
Поправка на телесный угол DΩ, дБ	Ω = 6.28	10Lg(4π/Ω)	**3**	3	3	3	3	3	3	3	3		
Показатель направленности источника Di, дБ		исходные данные	**0**	0	0	0	0	0	0	0	0		

1		2	3	4	5	6	7	8	9	10	11	12	13
Поправка на направленность источника Dc, дБ	Dc	DΩ + Di	**3**	3	3	3	3	3	3	3	3		
Затухание из-за геометрической дивергенции, Adiv, дБ	расстояние = 504.43 м	ф-ла (7) [10]	**65,1**										
Коэффициент затухания звука в атмосфере α, дБ/км	Ta=20,°C Pa=101.33,кПа hотн.=70%	ф-ла (5) [9]	0,02	0,09	0,33	1,12	2,79	4,98	9,04	23,09	77,63		
Учет затухания звука в атмосфере Aatm, дБ		ф-ла (8) [10]	0	0	0,2	0,6	1,4	2,5	4,6	11,6	39,2		
Снижение уровня звукового давления из-за влияния застройки между источником шума и расчетной точкой													
Препятствие слева от трассы ИШ-РТ	Промежуточные точки:	Pss(x,y,z) = (549.08,-14.03,3.52)	Psr(x,y,z) = (549.08,-14.03,3.52)	dss = 163.91 м		dsr = 340.55 м		e = 0.00 м		z = -0.02 м			
	Константа C2, учитывающая эффект отражения от земли возле экрана			40	40	40	40	40	40	40	40	40		
	Константа C3 (дифракция на кромках)		ф-ла (15) [10]	1	1	1	1	1	1	1	1	1		
	K_{met} (влияние метеоусловий)		ф-ла (18) [10]	1	1	1	1	1	1	1	1	1		
	Снижение УЗД, Dz, дБ		ф-ла (14) [10]	4,7	4,5	4,3	3,8	2,6	0	NAN	NAN	NAN		
* отрицательное значение z означает прохождение траектории вблизи экрана, в этом случае дополнительно производится учёт снижения подстилающей поверхностью (см.ниже)													
Снижение поверхностью земли возле источника As, дБ	Gs = 0 hs = 3м		ф-лы таб.3 [10]	-1,5	-1,5	-1,5	-1,5	-1,5	-1,5	-1,5	-1,5	-1,5		
Снижение поверхностью земли возле приёмника Ar, дБ	Gr = 1 hr = 4.6м		ф-лы таб.3 [10]	-1,5	-1,5	3,4	1,3	0	0	0	0	0		
Снижение поверхностью земли в средней зоне, Am дБ	Gm = 1		ф-лы таб.3 [10]	-1,6	-1,6	0	0	0	0	0	0	0		
Суммарное снижение поверхностью земли на траектории распространения звука Agr, дБ			ф-ла (9) [10]	-4,6	-4,6	1,9	-0,2	-1,5	-1,5	-1,5	-1,5	-1,5		
Уровни звукового давления прямого звука от источника ИШ-2-2 в расчётной точке днём, дБ			**ф-ла(3)[10]**	**42,9**	**42**	**35,6**	**34,8**	**37,5**	**42,9**	**35,9**	**22,8**	**0**	**44,5**	**44,5**
Уровни звукового давления прямого звука от источника ИШ-2-2 в расчётной точке ночью, дБ			**ф-ла(3)[10]**	**42,9**	**42**	**35,6**	**34,8**	**37,5**	**42,9**	**35,9**	**22,8**	**0**	**44,5**	**44,5**
Расчёт отражённого звука													

1		2	3	4	5	6	7	8	9	10	11	12	13
Уровни звукового давления от мнимого источника ИШ-2-2_мн.(1) в расчётной точке днём, дБ		**ф-ла(3)[10]**	**0**	**0**	**0**	**32,3**	**37,3**	**40,4**	**33,3**	**20,2**	**0**	**42,2**	**42,2**
Уровни звукового давления от мнимого источника ИШ-2-2_мн.(1) в расчётной точке ночью, дБ		**ф-ла(3)[10]**	**0**	**0**	**0**	**0**	**0**	**0**	**0**	**0**	**0**	**42,2**	**42,2**
Уровни звукового давления от источника ИШ-2-2 в расчётной точке днём, дБ		**ф-ла(3)[10]**	**42,9**	**42**	**35,6**	**36,7**	**40,4**	**44,9**	**37,8**	**24,7**	**0**	**46,5**	**46,5**
Уровни звукового давления от источника ИШ-2-2 в расчётной точке ночью, дБ		**ф-ла(3)[10]**	**42,9**	**42**	**35,6**	**36,7**	**40,4**	**44,9**	**37,8**	**24,7**	**0**	**46,5**	**46,5**
Источник шума: ИШ-2-3, координаты источника (x,y,z), м =[667.80,38.90,3.00]													
Уровни звуковой мощности источника днём, Lw, дБ		**исходные данные**	**105**	**104**	**104**	**101**	**102**	**106**	**101**	**95**	**87**		
Уровни звуковой мощности источника ночью, Lw, дБ		**исходные данные**	**105**	**104**	**104**	**101**	**102**	**106**	**101**	**95**	**87**		
Поправка на телесный угол DΩ, дБ	Ω = 6.28	10Lg(4π/Ω)	**3**	3	3	3	3	3	3	3	3		
Показатель направленности источника Di, дБ		исходные данные	**0**	0	0	0	0	0	0	0	0		
Поправка на направленность источника Dc, дБ	Dc	DΩ + Di	**3**	3	3	3	3	3	3	3	3		
Затухание из-за геометрической дивергенции, Adiv, дБ	расстояние = 468.93 м	ф-ла (7) [10]	**64,4**										
Коэффициент затухания звука в атмосфере α, дБ/км	Ta=20,°C Pa=101.33,кПа hотн.=70%	ф-ла (5) [9]	0,02	0,09	0,33	1,12	2,79	4,98	9,04	23,09	77,63		
Учет затухания звука в атмосфере Aatm, дБ		ф-ла (8) [10]	0	0	0,2	0,5	1,3	2,3	4,2	10,8	36,4		
Снижение уровня звукового давления из-за влияния застройки между источником шума и расчетной точкой													
Длина звуковой волны для среднегеометрической частоты октавной полосы, λ, м			10,79	5,4	2,72	1,36	0,68	0,34	0,17	0,09	0,04		
Критерий наличия экранирования в горизонтальной плоскости	Горизонтальный размер экрана, lэкр = 64.13 м	lэкр > λ	да	да	да	да	да	да	да	да	да		

1			2	3	4	5	6	7	8	9	10	11	12	13
Траектория над экраном	Промежуточные точки:	Pss(x,y,z) = (556.44,-29.83,7.00)	Psr(x,y,z) = (540.47,-39.68,7.00)	dss = 130.92 м		dsr = 319.31 м		e = 18.76 м		z = 0.07 м				
	Константа C2, учитывающая эффект отражения от земли возле экрана			40	40	40	40	40	40	40	40	40		
	Константа C3 (дифракция на кромках)		ф-ла (15) [10]	1,1	1,3	1,8	2,4	2,8	3	3	3	3		
	K_{met} (влияние метеоусловий)		ф-ла (18) [10]	0	0	0	0	0	0	0	0	0		
	Снижение УЗД, Dz, дБ		ф-ла (14) [10]	4,8	4,8	4,8	4,8	4,8	4,9	4,9	5,1	5,4		
Траектория слева от экрана	Промежуточные точки:	Pss(x,y,z) = (578.70,-71.12,3.46)	Psr(x,y,z) = (469.27,-137.76,3.89)	dss = 141.57 м		dsr = 212.26 м		e = 128.13 м		z = 13.03 м				
	Константа C2, учитывающая эффект отражения от земли возле экрана			40	40	40	40	40	40	40	40	40		
	Константа C3 (дифракция на кромках)		ф-ла (15) [10]	2,3	2,8	2,9	3	3	3	3	3	3		
	K_{met} (влияние метеоусловий)		ф-ла (18) [10]	1	1	1	1	1	1	1	1	1		
	Снижение УЗД, Dz, дБ		ф-ла (14) [10]	20,6	24,3	27,5	30,6	33,6	36,6	39,6	42,6	45,7		
Траектория справа от экрана	Промежуточные точки:	Pss(x,y,z) = (549.08,-14.03,3.44)	Psr(x,y,z) = (549.08,-14.03,3.44)	dss = 129.98 м		dsr = 340.55 м		e = 0.00 м		z = 1.60 м				
	Константа C2, учитывающая эффект отражения от земли возле экрана			40	40	40	40	40	40	40	40	40		
	Константа C3 (дифракция на кромках)		ф-ла (15) [10]	1	1	1	1	1	1	1	1	1		
	K_{met} (влияние метеоусловий)		ф-ла (18) [10]	1	1	1	1	1	1	1	1	1		
	Снижение УЗД, Dz, дБ		ф-ла (14) [10]	9,5	11,7	14,2	17	19,9	22,8	25,8	28,8	31,8		
Общее снижение уровня звука препятствием Dz, дБ			Эн.сумма(-Dzi)	3,4	3,9	4,3	4,5	4,7	4,8	4,9	5,1	5,4		
Уровни звукового давления от источника ИШ-2-3 в расчётной точке днём, дБ			**ф-ла(3)[10]**	**40,2**	**38,6**	**38,1**	**34,5**	**34,6**	**37,5**	**30,5**	**17,7**	**0**	**39,6**	**39,6**
Уровни звукового давления от источника ИШ-2-3 в расчётной точке ночью, дБ			**ф-ла(3)[10]**	**40,2**	**38,6**	**38,1**	**34,5**	**34,6**	**37,5**	**30,5**	**17,7**	**0**	**39,6**	**39,6**

1			2	3	4	5	6	7	8	9	10	11	12	13
Источник шума: ИШ-2-6, координаты источника (x,y,z), м =[765.97,112.43,1.00]														
Уровни звуковой мощности источника днём, Lw, дБ			**исходные данные**	**0**	**93,3**	**94,7**	**96**	**96,3**	**95,9**	**92,6**	**88,4**	**83,9**		
Уровни звуковой мощности источника ночью, Lw, дБ			**исходные данные**	**0**	**93,3**	**94,7**	**96**	**96,3**	**95,9**	**92,6**	**88,4**	**83,9**		
Поправка на телесный угол DΩ, дБ		Ω = 6.28	10Lg(4π/Ω)	**3**	3	3	3	3	3	3	3	3		
Показатель направленности источника Di, дБ			исходные данные	**0**	0	0	0	0	0	0	0	0		
Поправка на направленность источника Dc, дБ		Dc	DΩ + Di	**3**	3	3	3	3	3	3	3	3		
Затухание из-за геометрической дивергенции, Adiv, дБ		расстояние = 591.20 м	ф-ла (7) [10]	**66,4**										
Коэффициент затухания звука в атмосфере α, дБ/км		Ta=20,°C Pa=101.33,кПа hотн.=70%	ф-ла (5) [9]	0,02	0,09	0,33	1,12	2,79	4,98	9,04	23,09	77,63		
Учет затухания звука в атмосфере Aatm, дБ			ф-ла (8) [10]	0	0,1	0,2	0,7	1,7	2,9	5,3	13,6	45,9		
Снижение уровня звукового давления из-за влияния застройки между источником шума и расчетной точкой														
Длина звуковой волны для среднегеометрической частоты октавной полосы, λ, м				10,79	5,4	2,72	1,36	0,68	0,34	0,17	0,09	0,04		
Критерий наличия экранирования в горизонтальной плоскости	Горизонтальный размер экрана, lэкр = 64.03 м		lэкр > λ	да	да	да	да	да	да	да	да	да		
Траектория над экраном	Промежуточные точки:	Pss(x,y,z) = (559.64,-20.28,7.00)	Psr(x,y,z) = (543.50,-30.66,7.00)	dss = 245.39 м		dsr = 326.68 м		e = 19.20 м		z = 0.07 м				
	Константа C2, учитывающая эффект отражения от земли возле экрана			40	40	40	40	40	40	40	40	40		
	Константа C3 (дифракция на кромках)		ф-ла (15) [10]	1,1	1,3	1,8	2,5	2,8	3	3	3	3		
	K_{met} (влияние метеоусловий)		ф-ла (18) [10]	0	0	0	0	0	0	0	0	0		

1			2	3	4	5	6	7	8	9	10	11	12	13
	Снижение УЗД, Dz, дБ		ф-ла (14) [10]	4,8	4,8	4,8	4,8	4,8	4,8	4,8	4,8	4,8		
Траектория слева от экрана	Промежуточные точки:	Pss(x,y,z) = (578.70,-71.12,2.56)	Psr(x,y,z) = (469.27,-137.76,3.34)	dss = 262.23 м		dsr = 212.26 м		e = 128.13 м		z = 11.42 м				
	Константа С2, учитывающая эффект отражения от земли возле экрана			40	40	40	40	40	40	40	40	40		
	Константа С3 (дифракция на кромках)		ф-ла (15) [10]	2,3	2,8	2,9	3	3	3	3	3	3		
	K_{met} (влияние метеоусловий)		ф-ла (18) [10]	1	1	1	1	1	1	1	1	1		
	Снижение УЗД, Dz, дБ		ф-ла (14) [10]	20	23,7	27	30	33	36,1	39,1	42,1	45,1		
Траектория справа от экрана	Промежуточные точки:	Pss(x,y,z) = (549.08,-14.03,2.53)	Psr(x,y,z) = (549.08,-14.03,2.53)	dss = 251.06 м		dsr = 340.55 м		e = 0.00 м		z = 0.42 м				
	Константа С2, учитывающая эффект отражения от земли возле экрана			40	40	40	40	40	40	40	40	40		
	Константа С3 (дифракция на кромках)		ф-ла (15) [10]	1	1	1	1	1	1	1	1	1		
	K_{met} (влияние метеоусловий)		ф-ла (18) [10]	1	1	1	1	1	1	1	1	1		
	Снижение УЗД, Dz, дБ		ф-ла (14) [10]	6,6	7,8	9,6	11,8	14,4	17,2	20	23	26		
Общее снижение уровня звука препятствием Dz, дБ			Эн.сумма(-Dzi)	2,5	3	3,5	4	4,3	4,5	4,7	4,7	4,8		
Уровни звукового давления от источника ИШ-2-6 в расчётной точке днём, дБ			**ф-ла(3)[10]**	**0**	**26,8**	**27,5**	**27,9**	**26,9**	**25**	**19,2**	**6,6**	**0**	**28,8**	**28,8**
Уровни звукового давления от источника ИШ-2-6 в расчётной точке ночью, дБ			**ф-ла(3)[10]**	**0**	**26,8**	**27,5**	**27,9**	**26,9**	**25**	**19,2**	**6,6**	**0**	**28,8**	**28,8**
Источник шума: ИШ-2-7, координаты источника (x,y,z), м =[764.91,109.54,1.00]														
Уровни звуковой мощности источника днём, Lw, дБ			**исходные данные**	**0**	**93,3**	**94,7**	**96**	**96,3**	**95,9**	**92,6**	**88,4**	**83,9**		
Уровни звуковой мощности источника ночью, Lw, дБ			**исходные данные**	**0**	**93,3**	**94,7**	**96**	**96,3**	**95,9**	**92,6**	**88,4**	**83,9**		

1			2	3	4	5	6	7	8	9	10	11	12	13
Поправка на телесный угол DΩ, дБ		Ω = 6.28	10Lg(4π/Ω)	**3**	3	3	3	3	3	3	3	3		
Показатель направленности источника Di, дБ			исходные данные	**0**	0	0	0	0	0	0	0	0		
Поправка на направленность источника Dc, дБ		Dc	DΩ + Di	**3**	3	3	3	3	3	3	3	3		
Затухание из-за геометрической дивергенции, Adiv, дБ		расстояние = 588.75 м	ф-ла (7) [10]	**66,4**										
Коэффициент затухания звука в атмосфере α, дБ/км		Ta=20,°C Pa=101.33,кПа hотн.=70%	ф-ла (5) [9]	0,02	0,09	0,33	1,12	2,79	4,98	9,04	23,09	77,63		
Учет затухания звука в атмосфере Aatm, дБ			ф-ла (8) [10]	0	0,1	0,2	0,7	1,6	2,9	5,3	13,6	45,7		
Снижение уровня звукового давления из-за влияния застройки между источником шума и расчетной точкой														
Длина звуковой волны для среднегеометрической частоты октавной полосы, λ, м				10,79	5,4	2,72	1,36	0,68	0,34	0,17	0,09	0,04		
Критерий наличия экранирования в горизонтальной плоскости	Горизонтальный размер экрана, lэкр = 64.05 м		lэкр > λ	да	да	да	да	да	да	да	да	да		
Траектория над экраном	Промежуточные точки:	Pss(x,y,z) = (559.09,-21.92,7.00)	Psr(x,y,z) = (542.98,-32.22,7.00)	dss = 244.29 м		dsr = 325.41 м		e = 19.12 м		z = 0.07 м				
	Константа C2, учитывающая эффект отражения от земли возле экрана			40	40	40	40	40	40	40	40	40		
	Константа C3 (дифракция на кромках)		ф-ла (15) [10]	1,1	1,3	1,8	2,4	2,8	3	3	3	3		
	K_{met} (влияние метеоусловий)		ф-ла (18) [10]	0	0	0	0	0	0	0	0	0		
	Снижение УЗД, Dz, дБ		ф-ла (14) [10]	4,8	4,8	4,8	4,8	4,8	4,8	4,8	4,8	4,8		
Траектория слева от экрана	Промежуточные точки:	Pss(x,y,z) = (578.70,-71.12,2.55)	Psr(x,y,z) = (469.27,-137.76,3.34)	dss = 259.45 м		dsr = 212.26 м		e = 128.13 м		z = 11.09 м				
	Константа C2, учитывающая эффект отражения от земли возле экрана			40	40	40	40	40	40	40	40	40		
	Константа C3 (дифракция на кромках)		ф-ла (15) [10]	2,3	2,8	2,9	3	3	3	3	3	3		

1			2	3	4	5	6	7	8	9	10	11	12	13
	K_{met} (влияние метеоусловий)		ф-ла (18) [10]	1	1	1	1	1	1	1	1	1		
	Снижение УЗД, Dz, дБ		ф-ла (14) [10]	19,9	23,6	26,8	29,9	32,9	35,9	38,9	41,9	45		
Траектория справа от экрана	Промежуточные точки:	Pss(x,y,z) = (549.08,-14.03,2.52)	Psr(x,y,z) = (549.08,-14.03,2.52)	dss = 248.70 м		dsr = 340.55 м		e = 0.00 м		z = 0.50 м				
	Константа С2, учитывающая эффект отражения от земли возле экрана			40	40	40	40	40	40	40	40	40		
	Константа С3 (дифракция на кромках)		ф-ла (15) [10]	1	1	1	1	1	1	1	1	1		
	K_{met} (влияние метеоусловий)		ф-ла (18) [10]	1	1	1	1	1	1	1	1	1		
	Снижение УЗД, Dz, дБ		ф-ла (14) [10]	6,9	8,3	10,2	12,5	15,1	17,9	20,9	23,8	26,8		
Общее снижение уровня звука препятствием Dz, дБ			Эн.сумма(-Dzi)	2,6	3,1	3,7	4,1	4,4	4,6	4,7	4,7	4,8		
Уровни звукового давления от источника ИШ-2-7 в расчётной точке днём, дБ			**ф-ла(3)[10]**	**0**	**26,7**	**27,4**	**27,8**	**26,9**	**25**	**19,2**	**6,7**	**0**	**28,8**	**28,8**
Уровни звукового давления от источника ИШ-2-7 в расчётной точке ночью, дБ			**ф-ла(3)[10]**	**0**	**26,7**	**27,4**	**27,8**	**26,9**	**25**	**19,2**	**6,7**	**0**	**28,8**	**28,8**
Источник шума: ИШ-2-8, координаты источника (x,y,z), м =[764.03,106.58,1.00]														
Уровни звуковой мощности источника днём, Lw, дБ			**исходные данные**	**0**	**93,3**	**94,7**	**96**	**96,3**	**95,9**	**92,6**	**88,4**	**83,9**		
Уровни звуковой мощности источника ночью, Lw, дБ			**исходные данные**	**0**	**93,3**	**94,7**	**96**	**96,3**	**95,9**	**92,6**	**88,4**	**83,9**		
Поправка на телесный угол DΩ, дБ		Ω = 6.28	10Lg(4π/Ω)	**3**	3	3	3	3	3	3	3	3		
Показатель направленности источника Di, дБ			исходные данные	**0**	0	0	0	0	0	0	0	0		
Поправка на направленность источника Dc, дБ		Dc	DΩ + Di	**3**	3	3	3	3	3	3	3	3		
Затухание из-за геометрической дивергенции, Adiv, дБ		расстояние = 586.42 м	ф-ла (7) [10]	**66,4**										

1			2	3	4	5	6	7	8	9	10	11	12	13
Коэффициент затухания звука в атмосфере α, дБ/км	Ta=20,°C Pa=101.33,кПа hотн.=70%		ф-ла (5) [9]	0,02	0,09	0,33	1,12	2,79	4,98	9,04	23,09	77,63		
Учет затухания звука в атмосфере Aatm, дБ			ф-ла (8) [10]	0	0,1	0,2	0,7	1,6	2,9	5,3	13,5	45,5		
Снижение уровня звукового давления из-за влияния застройки между источником шума и расчетной точкой														
Длина звуковой волны для среднегеометрической частоты октавной полосы, λ, м				10,79	5,4	2,72	1,36	0,68	0,34	0,17	0,09	0,04		
Критерий наличия экранирования в горизонтальной плоскости	Горизонтальный размер экрана, lэкр = 64.07 м		lэкр > λ	да	да	да	да	да	да	да	да	да		
Траектория над экраном	Промежуточные точки:	Pss(x,y,z) = (558.49,-23.72,7.00)	Psr(x,y,z) = (542.41,-33.91,7.00)	dss = 243.43 м		dsr = 324.02 м		e = 19.04 м		z = 0.07 м				
	Константа C2, учитывающая эффект отражения от земли возле экрана			40	40	40	40	40	40	40	40	40		
	Константа C3 (дифракция на кромках)		ф-ла (15) [10]	1,1	1,3	1,8	2,4	2,8	3	3	3	3		
	K_{met} (влияние метеоусловий)		ф-ла (18) [10]	0	0	0	0	0	0	0	0	0		
	Снижение УЗД, Dz, дБ		ф-ла (14) [10]	4,8	4,8	4,8	4,8	4,8	4,8	4,8	4,8	4,8		
Траектория слева от экрана	Промежуточные точки:	Pss(x,y,z) = (578.70,-71.12,2.55)	Psr(x,y,z) = (469.27,-137.76,3.33)	dss = 256.76 м		dsr = 212.26 м		e = 128.13 м		z = 10.73 м				
	Константа C2, учитывающая эффект отражения от земли возле экрана			40	40	40	40	40	40	40	40	40		
	Константа C3 (дифракция на кромках)		ф-ла (15) [10]	2,3	2,8	2,9	3	3	3	3	3	3		
	K_{met} (влияние метеоусловий)		ф-ла (18) [10]	1	1	1	1	1	1	1	1	1		
	Снижение УЗД, Dz, дБ		ф-ла (14) [10]	19,8	23,5	26,7	29,8	32,8	35,8	38,8	41,8	44,8		
	Промежуточные точки:	Pss(x,y,z) = (549.08,-14.03,2.51)	Psr(x,y,z) = (549.08,-14.03,2.51)	dss = 246.47 м		dsr = 340.55 м		e = 0.00 м		z = 0.61 м				
	Константа C2, учитывающая эффект отражения от земли возле экрана			40	40	40	40	40	40	40	40	40		

1		2	3	4	5	6	7	8	9	10	11	12	13
Траектория справа от экрана	Константа СЗ (дифракция на кромках)	ф-ла (15) [10]	1	1	1	1	1	1	1	1	1		
	K_{met} (влияние метеоусловий)	ф-ла (18) [10]	1	1	1	1	1	1	1	1	1		
	Снижение УЗД, Dz, дБ	ф-ла (14) [10]	7,2	8,8	10,8	13,2	15,9	18,7	21,7	24,6	27,6		
Общее снижение уровня звука препятствием Dz, дБ		Эн.сумма(-Dzi)	2,7	3,3	3,8	4,2	4,4	4,6	4,7	4,7	4,8		
Уровни звукового давления от источника ИШ-2-8 в расчётной точке днём, дБ		**ф-ла(3)[10]**	**0**	**26,6**	**27,4**	**27,8**	**26,8**	**25**	**19,2**	**6,7**	**0**	**28,8**	**28,8**
Уровни звукового давления от источника ИШ-2-8 в расчётной точке ночью, дБ		**ф-ла(3)[10]**	**0**	**26,6**	**27,4**	**27,8**	**26,8**	**25**	**19,2**	**6,7**	**0**	**28,8**	**28,8**
Источник шума: ИШ-2-9, координаты источника (x,y,z), м =[763.26,103.71,1.00]													
Уровни звуковой мощности источника днём, Lw, дБ		**исходные данные**	**0**	**93,3**	**94,7**	**96**	**96,3**	**95,9**	**92,6**	**88,4**	**83,9**		
Уровни звуковой мощности источника ночью, Lw, дБ		**исходные данные**	**0**	**93,3**	**94,7**	**96**	**96,3**	**95,9**	**92,6**	**88,4**	**83,9**		
Поправка на телесный угол DΩ, дБ	Ω = 6.28	10Lg(4π/Ω)	**3**	3	3	3	3	3	3	3	3		
Показатель направленности источника Di, дБ		исходные данные	**0**	0	0	0	0	0	0	0	0		
Поправка на направленность источника Dc, дБ	Dc	DΩ + Di	**3**	3	3	3	3	3	3	3	3		
Затухание из-за геометрической дивергенции, Adiv, дБ	расстояние = 584.23 м	ф-ла (7) [10]	**66,3**										
Коэффициент затухания звука в атмосфере α, дБ/км	Ta=20,°C Pa=101.33,кПа hотн.=70%	ф-ла (5) [9]	0,02	0,09	0,33	1,12	2,79	4,98	9,04	23,09	77,63		
Учет затухания звука в атмосфере Aatm, дБ		ф-ла (8) [10]	0	0,1	0,2	0,7	1,6	2,9	5,3	13,5	45,4		
Снижение уровня звукового давления из-за влияния застройки между источником шума и расчетной точкой													

1			2	3	4	5	6	7	8	9	10	11	12	13
Длина звуковой волны для среднегеометрической частоты октавной полосы, λ, м				10,79	5,4	2,72	1,36	0,68	0,34	0,17	0,09	0,04		
Критерий наличия экранирования в горизонтальной плоскости	Горизонтальный размер экрана, lэкр = 64.09 м		lэкр > λ	да	да	да	да	да	да	да	да	да		
Траектория над экраном	Промежуточные точки:	Pss(x,y,z) = (557.90,-25.48,7.00)	Psr(x,y,z) = (541.85,-35.57,7.00)	dss = 242.69 м		dsr = 322.66 м		e = 18.96 м		z = 0.07 м				
	Константа C2, учитывающая эффект отражения от земли возле экрана			40	40	40	40	40	40	40	40	40		
	Константа C3 (дифракция на кромках)		ф-ла (15) [10]	1,1	1,3	1,8	2,4	2,8	3	3	3	3		
	K_{met} (влияние метеоусловий)		ф-ла (18) [10]	0	0	0	0	0	0	0	0	0		
	Снижение УЗД, Dz, дБ		ф-ла (14) [10]	4,8	4,8	4,8	4,8	4,8	4,8	4,8	4,8	4,8		
Траектория слева от экрана	Промежуточные точки:	Pss(x,y,z) = (578.70,-71.12,2.54)	Psr(x,y,z) = (469.27,-137.76,3.33)	dss = 254.22 м		dsr = 212.26 м		e = 128.13 м		z = 10.38 м				
	Константа C2, учитывающая эффект отражения от земли возле экрана			40	40	40	40	40	40	40	40	40		
	Константа C3 (дифракция на кромках)		ф-ла (15) [10]	2,3	2,8	2,9	3	3	3	3	3	3		
	K_{met} (влияние метеоусловий)		ф-ла (18) [10]	1	1	1	1	1	1	1	1	1		
	Снижение УЗД, Dz, дБ		ф-ла (14) [10]	19,6	23,3	26,5	29,6	32,6	35,6	38,7	41,7	44,7		
Траектория справа от экрана	Промежуточные точки:	Pss(x,y,z) = (549.08,-14.03,2.50)	Psr(x,y,z) = (549.08,-14.03,2.50)	dss = 244.40 м		dsr = 340.55 м		e = 0.00 м		z = 0.73 м				
	Константа C2, учитывающая эффект отражения от земли возле экрана			40	40	40	40	40	40	40	40	40		
	Константа C3 (дифракция на кромках)		ф-ла (15) [10]	1	1	1	1	1	1	1	1	1		
	K_{met} (влияние метеоусловий)		ф-ла (18) [10]	1	1	1	1	1	1	1	1	1		
	Снижение УЗД, Dz, дБ		ф-ла (14) [10]	7,6	9,2	11,4	13,9	16,6	19,5	22,4	25,4	28,4		
Общее снижение уровня звука препятствием Dz, дБ			Эн.сумма(-Dzi)	2,8	3,4	3,9	4,3	4,5	4,6	4,7	4,8	4,8		

1			2	3	4	5	6	7	8	9	10	11	12	13
Уровни звукового давления от источника ИШ-2-9 в расчётной точке днём, дБ			**ф-ла(3)[10]**	**0**	**26,5**	**27,3**	**27,7**	**26,8**	**25**	**19,3**	**6,8**	**0**	**28,8**	**28,8**
Уровни звукового давления от источника ИШ-2-9 в расчётной точке ночью, дБ			**ф-ла(3)[10]**	**0**	**26,5**	**27,3**	**27,7**	**26,8**	**25**	**19,3**	**6,8**	**0**	**28,8**	**28,8**
Источник шума: ИШ-2-10, координаты источника (x,y,z), м =[762.14,100.75,1.00]														
Уровни звуковой мощности источника днём, Lw, дБ			**исходные данные**	**0**	**93,3**	**94,7**	**96**	**96,3**	**95,9**	**92,6**	**88,4**	**83,9**		
Уровни звуковой мощности источника ночью, Lw, дБ			**исходные данные**	**0**	**93,3**	**94,7**	**96**	**96,3**	**95,9**	**92,6**	**88,4**	**83,9**		
Поправка на телесный угол DΩ, дБ	Ω = 6.28		10Lg(4π/Ω)	**3**	3	3	3	3	3	3	3	3		
Показатель направленности источника Di, дБ			исходные данные	**0**	0	0	0	0	0	0	0	0		
Поправка на направленность источника Dc, дБ	Dc		DΩ + Di	**3**	3	3	3	3	3	3	3	3		
Затухание из-за геометрической дивергенции, Adiv, дБ	расстояние = 581.71 м		ф-ла (7) [10]	**66,3**										
Коэффициент затухания звука в атмосфере α, дБ/км	Ta=20,°C Pa=101.33,кПа hотн.=70%		ф-ла (5) [9]	0,02	0,09	0,33	1,12	2,79	4,98	9,04	23,09	77,63		
Учет затухания звука в атмосфере Aatm, дБ			ф-ла (8) [10]	0	0,1	0,2	0,7	1,6	2,9	5,3	13,4	45,2		
Снижение уровня звукового давления из-за влияния застройки между источником шума и расчетной точкой														
Длина звуковой волны для среднегеометрической частоты октавной полосы, λ, м				10,79	5,4	2,72	1,36	0,68	0,34	0,17	0,09	0,04		
Критерий наличия экранирования в горизонтальной плоскости	Горизонтальный размер экрана, lэкр = 64.11 м		lэкр > λ	да	да	да	да	да	да	да	да	да		
	Промежуточные точки:	Pss(x,y,z) = (557.33,-27.16,7.00)	Psr(x,y,z) = (541.32,-37.16,7.00)	dss = 241.54 м		dsr = 321.36 м		e = 18.88 м		z = 0.07 м				
	Константа C2, учитывающая эффект отражения от земли возле экрана			40	40	40	40	40	40	40	40	40		

1			2	3	4	5	6	7	8	9	10	11	12	13
Траектория над экраном	Константа С3 (дифракция на кромках)		ф-ла (15) [10]	1,1	1,3	1,8	2,4	2,8	3	3	3	3		
	K_{met} (влияние метеоусловий)		ф-ла (18) [10]	0	0	0	0	0	0	0	0	0		
	Снижение УЗД, Dz, дБ		ф-ла (14) [10]	4,8	4,8	4,8	4,8	4,8	4,8	4,8	4,8	4,8		
Траектория слева от экрана	Промежуточные точки:	Pss(x,y,z) = (578.70,-71.12,2.53)	Psr(x,y,z) = (469.27,-137.76,3.32)	dss = 251.38 м		dsr = 212.26 м		e = 128.13 м		z = 10.06 м				
	Константа С2, учитывающая эффект отражения от земли возле экрана			40	40	40	40	40	40	40	40	40		
	Константа С3 (дифракция на кромках)		ф-ла (15) [10]	2,3	2,8	2,9	3	3	3	3	3	3		
	K_{met} (влияние метеоусловий)		ф-ла (18) [10]	1	1	1	1	1	1	1	1	1		
	Снижение УЗД, Dz, дБ		ф-ла (14) [10]	19,5	23,2	26,4	29,5	32,5	35,5	38,5	41,5	44,5		
Траектория справа от экрана	Промежуточные точки:	Pss(x,y,z) = (549.08,-14.03,2.49)	Psr(x,y,z) = (549.08,-14.03,2.49)	dss = 242.01 м		dsr = 340.55 м		e = 0.00 м		z = 0.85 м				
	Константа С2, учитывающая эффект отражения от земли возле экрана			40	40	40	40	40	40	40	40	40		
	Константа С3 (дифракция на кромках)		ф-ла (15) [10]	1	1	1	1	1	1	1	1	1		
	K_{met} (влияние метеоусловий)		ф-ла (18) [10]	1	1	1	1	1	1	1	1	1		
	Снижение УЗД, Dz, дБ		ф-ла (14) [10]	7,9	9,7	11,9	14,5	17,2	20,1	23,1	26,1	29		
Общее снижение уровня звука препятствием Dz, дБ			Эн.сумма(-Dzi)	2,9	3,5	4	4,3	4,5	4,6	4,7	4,8	4,8		
Уровни звукового давления от источника ИШ-2-10 в расчётной точке днём, дБ			**ф-ла(3)[10]**	**0**	**26,4**	**27,2**	**27,7**	**26,8**	**25,1**	**19,3**	**6,9**	**0**	**28,8**	**28,8**
Уровни звукового давления от источника ИШ-2-10 в расчётной точке ночью, дБ			**ф-ла(3)[10]**	**0**	**26,4**	**27,2**	**27,7**	**26,8**	**25,1**	**19,3**	**6,9**	**0**	**28,8**	**28,8**

Источник шума: ИШ-2-11, координаты источника (x,y,z), м =[761.13,97.90,1.00]

1			2	3	4	5	6	7	8	9	10	11	12	13
Уровни звуковой мощности источника днём, Lw, дБ			**исходные данные**	**0**	**93,3**	**94,7**	**96**	**96,3**	**95,9**	**92,6**	**88,4**	**83,9**		
Уровни звуковой мощности источника ночью, Lw, дБ			**исходные данные**	**0**	**93,3**	**94,7**	**96**	**96,3**	**95,9**	**92,6**	**88,4**	**83,9**		
Поправка на телесный угол DΩ, дБ		Ω = 6.28	10Lg(4π/Ω)	**3**	3	3	3	3	3	3	3	3		
Показатель направленности источника Di, дБ			исходные данные	**0**	0	0	0	0	0	0	0	0		
Поправка на направленность источника Dc, дБ		Dc	DΩ + Di	**3**	3	3	3	3	3	3	3	3		
Затухание из-за геометрической дивергенции, Adiv, дБ		расстояние = 579.35 м	ф-ла (7) [10]	**66,3**										
Коэффициент затухания звука в атмосфере α, дБ/км		Ta=20,°C Pa=101.33,кПа hотн.=70%	ф-ла (5) [9]	0,02	0,09	0,33	1,12	2,79	4,98	9,04	23,09	77,63		
Учет затухания звука в атмосфере Aatm, дБ			ф-ла (8) [10]	0	0,1	0,2	0,7	1,6	2,9	5,2	13,4	45		
Снижение уровня звукового давления из-за влияния застройки между источником шума и расчетной точкой														
Длина звуковой волны для среднегеометрической частоты октавной полосы, λ, м				10,79	5,4	2,72	1,36	0,68	0,34	0,17	0,09	0,04		
Критерий наличия экранирования в горизонтальной плоскости	Горизонтальный размер экрана, lэкр = 64.12 м		lэкр > λ	да	да	да	да	да	да	да	да	да		
Траектория над экраном	Промежуточные точки:	Pss(x,y,z) = (556.79,-28.79,7.00)	Psr(x,y,z) = (540.80,-38.70,7.00)	dss = 240.50 м		dsr = 320.11 м		e = 18.81 м		z = 0.07 м				
	Константа C2, учитывающая эффект отражения от земли возле экрана			40	40	40	40	40	40	40	40	40		
	Константа C3 (дифракция на кромках)		ф-ла (15) [10]	1,1	1,3	1,8	2,4	2,8	3	3	3	3		
	K_{met} (влияние метеоусловий)		ф-ла (18) [10]	0	0	0	0	0	0	0	0	0		
	Снижение УЗД, Dz, дБ		ф-ла (14) [10]	4,8	4,8	4,8	4,8	4,8	4,8	4,8	4,8	4,8		
	Промежуточные точки:	Pss(x,y,z) = (578.70,-71.12,2.52)	Psr(x,y,z) = (469.27,-137.76,3.31)	dss = 248.69 м		dsr = 212.26 м		e = 128.13 м		z = 9.74 м				

1			2	3	4	5	6	7	8	9	10	11	12	13
Траектория слева от экрана	Константа С2, учитывающая эффект отражения от земли возле экрана			40	40	40	40	40	40	40	40	40		
	Константа С3 (дифракция на кромках)		ф-ла (15) [10]	2,3	2,8	2,9	3	3	3	3	3	3		
	K_{met} (влияние метеоусловий)		ф-ла (18) [10]	1	1	1	1	1	1	1	1	1		
	Снижение УЗД, Dz, дБ		ф-ла (14) [10]	19,4	23,1	26,3	29,3	32,4	35,4	38,4	41,4	44,4		
Траектория справа от экрана	Промежуточные точки:	Pss(x,y,z) = (549.08,-14.03,2.49)	Psr(x,y,z) = (549.08,-14.03,2.49)	dss = 239.77 м		dsr = 340.55 м		e = 0.00 м		z = 0.98 м				
	Константа С2, учитывающая эффект отражения от земли возле экрана			40	40	40	40	40	40	40	40	40		
	Константа С3 (дифракция на кромках)		ф-ла (15) [10]	1	1	1	1	1	1	1	1	1		
	K_{met} (влияние метеоусловий)		ф-ла (18) [10]	1	1	1	1	1	1	1	1	1		
	Снижение УЗД, Dz, дБ		ф-ла (14) [10]	8,2	10,1	12,4	15	17,8	20,7	23,7	26,7	29,7		
Общее снижение уровня звука препятствием Dz, дБ			Эн.сумма(-Dzi)	3	3,6	4,1	4,4	4,6	4,7	4,7	4,8	4,8		
Уровни звукового давления от источника ИШ-2-11 в расчётной точке днём, дБ			**ф-ла(3)[10]**	**0**	**26,4**	**27,2**	**27,7**	**26,9**	**25,1**	**19,4**	**7**	**0**	**28,9**	**28,9**
Уровни звукового давления от источника ИШ-2-11 в расчётной точке ночью, дБ			**ф-ла(3)[10]**	**0**	**26,4**	**27,2**	**27,7**	**26,9**	**25,1**	**19,4**	**7**	**0**	**28,9**	**28,9**
Источник шума: ИШ-2-12, координаты источника (x,y,z), м =[760.25,95.02,1.00]														
Уровни звуковой мощности источника днём, Lw, дБ			**исходные данные**	**0**	**93,3**	**94,7**	**96**	**96,3**	**95,9**	**92,6**	**88,4**	**83,9**		
Уровни звуковой мощности источника ночью, Lw, дБ			**исходные данные**	**0**	**93,3**	**94,7**	**96**	**96,3**	**95,9**	**92,6**	**88,4**	**83,9**		
Поправка на телесный угол DΩ, дБ		Ω = 6.28	10Lg(4π/Ω)	**3**	3	3	3	3	3	3	3	3		
Показатель направленности источника Di, дБ			исходные данные	**0**	0	0	0	0	0	0	0	0		

1			2	3	4	5	6	7	8	9	10	11	12	13
Поправка на направленность источника Dc, дБ		Dc	DΩ + Di	**3**	3	3	3	3	3	3	3	3		
Затухание из-за геометрической дивергенции, Adiv, дБ		расстояние = 577.09 м	ф-ла (7) [10]	**66,2**										
Коэффициент затухания звука в атмосфере α, дБ/км		Ta=20,°C Pa=101.33,кПа hотн.=70%	ф-ла (5) [9]	0,02	0,09	0,33	1,12	2,79	4,98	9,04	23,09	77,63		
Учет затухания звука в атмосфере Aatm, дБ			ф-ла (8) [10]	0	0,1	0,2	0,6	1,6	2,9	5,2	13,3	44,8		
Снижение уровня звукового давления из-за влияния застройки между источником шума и расчетной точкой														
Длина звуковой волны для среднегеометрической частоты октавной полосы, λ, м				10,79	5,4	2,72	1,36	0,68	0,34	0,17	0,09	0,04		
Критерий наличия экранирования в горизонтальной плоскости	Горизонтальный размер экрана, lэкр = 64.14 м		lэкр > λ	да	да	да	да	да	да	да	да	да		
Траектория над экраном	Промежуточные точки:	Pss(x,y,z) = (556.20,-30.52,7.00)	Psr(x,y,z) = (540.25,-40.34,7.00)	dss = 239.65 м		dsr = 318.78 м		e = 18.73 м		z = 0.07 м				
	Константа C2, учитывающая эффект отражения от земли возле экрана			40	40	40	40	40	40	40	40	40		
	Константа C3 (дифракция на кромках)		ф-ла (15) [10]	1,1	1,3	1,8	2,4	2,8	3	3	3	3		
	K_{met} (влияние метеоусловий)		ф-ла (18) [10]	0	0	0	0	0	0	0	0	0		
	Снижение УЗД, Dz, дБ		ф-ла (14) [10]	4,8	4,8	4,8	4,8	4,8	4,8	4,8	4,8	4,8		
Траектория слева от экрана	Промежуточные точки:	Pss(x,y,z) = (578.70,-71.12,2.51)	Psr(x,y,z) = (469.27,-137.76,3.31)	dss = 246.10 м		dsr = 212.26 м		e = 128.13 м		z = 9.40 м				
	Константа C2, учитывающая эффект отражения от земли возле экрана			40	40	40	40	40	40	40	40	40		
	Константа C3 (дифракция на кромках)		ф-ла (15) [10]	2,3	2,8	2,9	3	3	3	3	3	3		
	K_{met} (влияние метеоусловий)		ф-ла (18) [10]	1	1	1	1	1	1	1	1	1		
	Снижение УЗД, Dz, дБ		ф-ла (14) [10]	19,2	22,9	26,1	29,2	32,2	35,2	38,2	41,2	44,2		

1			2	3	4	5	6	7	8	9	10	11	12	13
Траектория справа от экрана	Промежуточные точки:	Pss(x,y,z) = (549.08,-14.03,2.48)	Psr(x,y,z) = (549.08,-14.03,2.48)	dss = 237.67 м		dsr = 340.55 м		e = 0.00 м		z = 1.13 м				
	Константа C2, учитывающая эффект отражения от земли возле экрана			40	40	40	40	40	40	40	40	40		
	Константа C3 (дифракция на кромках)		ф-ла (15) [10]	1	1	1	1	1	1	1	1	1		
	K_{met} (влияние метеоусловий)		ф-ла (18) [10]	1	1	1	1	1	1	1	1	1		
	Снижение УЗД, Dz, дБ		ф-ла (14) [10]	8,6	10,6	12,9	15,6	18,4	21,3	24,3	27,3	30,3		
Общее снижение уровня звука препятствием Dz, дБ			Эн.сумма(-Dzi)	3,1	3,7	4,1	4,4	4,6	4,7	4,7	4,8	4,8		
Уровни звукового давления от источника ИШ-2-12 в расчётной точке днём, дБ			**ф-ла(3)[10]**	**0**	**26,3**	**27,1**	**27,7**	**26,9**	**25,1**	**19,4**	**7,1**	**0**	**28,9**	**28,9**
Уровни звукового давления от источника ИШ-2-12 в расчётной точке ночью, дБ			**ф-ла(3)[10]**	**0**	**26,3**	**27,1**	**27,7**	**26,9**	**25,1**	**19,4**	**7,1**	**0**	**28,9**	**28,9**
Источник шума: ИШ-2-13, координаты источника (x,y,z), м =[759.28,92.25,1.00]														
Уровни звуковой мощности источника днём, Lw, дБ			**исходные данные**	**0**	**93,3**	**94,7**	**96**	**96,3**	**95,9**	**92,6**	**88,4**	**83,9**		
Уровни звуковой мощности источника ночью, Lw, дБ			**исходные данные**	**0**	**93,3**	**94,7**	**96**	**96,3**	**95,9**	**92,6**	**88,4**	**83,9**		
Поправка на телесный угол DΩ, дБ		Ω = 6.28	10Lg(4π/Ω)	**3**	3	3	3	3	3	3	3	3		
Показатель направленности источника Di, дБ			исходные данные	**0**	0	0	0	0	0	0	0	0		
Поправка на направленность источника Dc, дБ		Dc	DΩ + Di	**3**	3	3	3	3	3	3	3	3		
Затухание из-за геометрической дивергенции, Adiv, дБ		расстояние = 574.81 м	ф-ла (7) [10]	**66,2**										
Коэффициент затухания звука в атмосфере α, дБ/км		Ta=20,°C Pa=101.33,кПа hотн.=70%	ф-ла (5) [9]	0,02	0,09	0,33	1,12	2,79	4,98	9,04	23,09	77,63		

1			2	3	4	5	6	7	8	9	10	11	12	13
Учет затухания звука в атмосфере Aatm, дБ			ф-ла (8) [10]	0	0,1	0,2	0,6	1,6	2,9	5,2	13,3	44,6		
Снижение уровня звукового давления из-за влияния застройки между источником шума и расчетной точкой														
Длина звуковой волны для среднегеометрической частоты октавной полосы, λ, м				10,79	5,4	2,72	1,36	0,68	0,34	0,17	0,09	0,04		
Критерий наличия экранирования в горизонтальной плоскости	Горизонтальный размер экрана, lэкр = 64.15 м		lэкр > λ	да	да	да	да	да	да	да	да	да		
Траектория над экраном	Промежуточные точки:	Pss(x,y,z) = (555.67,-32.12,7.00)	Psr(x,y,z) = (539.75,-41.85,7.00)	dss = 238.66 м		dsr = 317.56 м		e = 18.66 м		z = 0.07 м				
	Константа C2, учитывающая эффект отражения от земли возле экрана			40	40	40	40	40	40	40	40	40		
	Константа C3 (дифракция на кромках)		ф-ла (15) [10]	1,1	1,3	1,8	2,4	2,8	3	3	3	3		
	K_{met} (влияние метеоусловий)		ф-ла (18) [10]	0	0	0	0	0	0	0	0	0		
	Снижение УЗД, Dz, дБ		ф-ла (14) [10]	4,8	4,8	4,8	4,8	4,8	4,8	4,8	4,8	4,8		
Траектория слева от экрана	Промежуточные точки:	Pss(x,y,z) = (578.70,-71.12,2.50)	Psr(x,y,z) = (469.27,-137.76,3.30)	dss = 243.52 м		dsr = 212.26 м		e = 128.13 м		z = 9.10 м				
	Константа C2, учитывающая эффект отражения от земли возле экрана			40	40	40	40	40	40	40	40	40		
	Константа C3 (дифракция на кромках)		ф-ла (15) [10]	2,3	2,8	2,9	3	3	3	3	3	3		
	K_{met} (влияние метеоусловий)		ф-ла (18) [10]	1	1	1	1	1	1	1	1	1		
	Снижение УЗД, Dz, дБ		ф-ла (14) [10]	19,1	22,8	26	29	32,1	35,1	38,1	41,1	44,1		
Траектория справа от экрана	Промежуточные точки:	Pss(x,y,z) = (549.08,-14.03,2.47)	Psr(x,y,z) = (549.08,-14.03,2.47)	dss = 235.54 м		dsr = 340.55 м		e = 0.00 м		z = 1.28 м				
	Константа C2, учитывающая эффект отражения от земли возле экрана			40	40	40	40	40	40	40	40	40		
	Константа C3 (дифракция на кромках)		ф-ла (15) [10]	1	1	1	1	1	1	1	1	1		

1		2	3	4	5	6	7	8	9	10	11	12	13
	K_{met} (влияние метеоусловий)	ф-ла (18) [10]	1	1	1	1	1	1	1	1	1		
	Снижение УЗД, Dz, дБ	ф-ла (14) [10]	8,9	11	13,4	16,1	18,9	21,9	24,8	27,8	30,8		
Общее снижение уровня звука препятствием Dz, дБ		Эн.сумма(-Dzi)	3,2	3,8	4,2	4,4	4,6	4,7	4,7	4,8	4,8		
Уровни звукового давления от источника ИШ-2-13 в расчётной точке днём, дБ		**ф-ла(3)[10]**	**0**	**26,3**	**27,1**	**27,7**	**26,9**	**25,2**	**19,5**	**7,2**	**0**	**28,9**	**28,9**
Уровни звукового давления от источника ИШ-2-13 в расчётной точке ночью, дБ		**ф-ла(3)[10]**	**0**	**26,3**	**27,1**	**27,7**	**26,9**	**25,2**	**19,5**	**7,2**	**0**	**28,9**	**28,9**
Источник шума: ИШ-2-14, координаты источника (x,y,z), м =[751.62,69.73,1.00]													
Уровни звуковой мощности источника днём, Lw, дБ		**исходные данные**	**0**	**93,3**	**94,7**	**96**	**96,3**	**95,9**	**92,6**	**88,4**	**83,9**		
Уровни звуковой мощности источника ночью, Lw, дБ		**исходные данные**	**0**	**93,3**	**94,7**	**96**	**96,3**	**95,9**	**92,6**	**88,4**	**83,9**		
Поправка на телесный угол DΩ, дБ	Ω = 6.28	10Lg(4π/Ω)	**3**	3	3	3	3	3	3	3	3		
Показатель направленности источника Di, дБ		исходные данные	**0**	0	0	0	0	0	0	0	0		
Поправка на направленность источника Dc, дБ	Dc	DΩ + Di	**3**	3	3	3	3	3	3	3	3		
Затухание из-за геометрической дивергенции, Adiv, дБ	расстояние = 556.74 м	ф-ла (7) [10]	**65,9**										
Коэффициент затухания звука в атмосфере α, дБ/км	Ta=20,°C Pa=101.33,кПа hотн.=70%	ф-ла (5) [9]	0,02	0,09	0,33	1,12	2,79	4,98	9,04	23,09	77,63		
Учет затухания звука в атмосфере Aatm, дБ		ф-ла (8) [10]	0	0	0,2	0,6	1,6	2,8	5	12,9	43,2		
Снижение уровня звукового давления из-за влияния застройки между источником шума и расчетной точкой													
Длина звуковой волны для среднегеометрической частоты октавной полосы, λ, м			10,79	5,4	2,72	1,36	0,68	0,34	0,17	0,09	0,04		

1			2	3	4	5	6	7	8	9	10	11	12	13
Критерий наличия экранирования в горизонтальной плоскости	Горизонтальный размер экрана, lэкр = 64.25 м		lэкр > λ	да	да	да	да	да	да	да	да	да		
Траектория над экраном	Промежуточные точки:	Pss(x,y,z) = (584.78,-26.02,8.00)	Psr(x,y,z) = (580.37,-28.55,8.00)	dss = 192.49 м		dsr = 359.31 м		e = 5.08 м		z = 0.13 м				
	Константа C2, учитывающая эффект отражения от земли возле экрана			40	40	40	40	40	40	40	40	40		
	Константа C3 (дифракция на кромках)		ф-ла (15) [10]	1	1	1,1	1,3	1,9	2,5	2,8	3	3		
	K_{met} (влияние метеоусловий)		ф-ла (18) [10]	0	0	0	0	0	0	0	0	0		
	Снижение УЗД, Dz, дБ		ф-ла (14) [10]	4,8	4,8	4,8	4,8	4,8	4,9	5,1	5,4	5,9		
Траектория слева от экрана	Промежуточные точки:	Pss(x,y,z) = (578.70,-71.12,2.42)	Psr(x,y,z) = (469.27,-137.76,3.25)	dss = 223.03 м		dsr = 212.26 м		e = 128.13 м		z = 6.68 м				
	Константа C2, учитывающая эффект отражения от земли возле экрана			40	40	40	40	40	40	40	40	40		
	Константа C3 (дифракция на кромках)		ф-ла (15) [10]	2,3	2,8	2,9	3	3	3	3	3	3		
	K_{met} (влияние метеоусловий)		ф-ла (18) [10]	1	1	1	1	1	1	1	1	1		
	Снижение УЗД, Dz, дБ		ф-ла (14) [10]	17,8	21,5	24,6	27,7	30,7	33,7	36,7	39,7	42,8		
Траектория справа от экрана	Промежуточные точки:	Pss(x,y,z) = (549.08,-14.03,2.41)	Psr(x,y,z) = (549.08,-14.03,2.41)	dss = 219.17 м		dsr = 340.55 м		e = 0.00 м		z = 2.98 м				
	Константа C2, учитывающая эффект отражения от земли возле экрана			40	40	40	40	40	40	40	40	40		
	Константа C3 (дифракция на кромках)		ф-ла (15) [10]	1	1	1	1	1	1	1	1	1		
	K_{met} (влияние метеоусловий)		ф-ла (18) [10]	1	1	1	1	1	1	1	1	1		
	Снижение УЗД, Dz, дБ		ф-ла (14) [10]	11,5	14	16,7	19,6	22,5	25,5	28,5	31,5	34,5		
Общее снижение уровня звука препятствием Dz, дБ			Эн.сумма(-Dzi)	3,8	4,2	4,5	4,6	4,7	4,9	5	5,3	5,9		
Уровни звукового давления от источника ИШ-2-14 в расчётной точке днём, дБ			**ф-ла(3)[10]**	**0**	**26,1**	**27,1**	**27,8**	**27,1**	**25,3**	**19,6**	**7,3**	**0**	**29,1**	**29,1**

1			2	3	4	5	6	7	8	9	10	11	12	13
Уровни звукового давления от источника ИШ-2-14 в расчётной точке ночью, дБ			**ф-ла(3)[10]**	**0**	**26,1**	**27,1**	**27,8**	**27,1**	**25,3**	**19,6**	**7,3**	**0**	**29,1**	**29,1**
Источник шума: ИШ-2-15, координаты источника (x,y,z), м =[750.74,66.89,1.00]														
Уровни звуковой мощности источника днём, Lw, дБ			**исходные данные**	**0**	**93,3**	**94,7**	**96**	**96,3**	**95,9**	**92,6**	**88,4**	**83,9**		
Уровни звуковой мощности источника ночью, Lw, дБ			**исходные данные**	**0**	**93,3**	**94,7**	**96**	**96,3**	**95,9**	**92,6**	**88,4**	**83,9**		
Поправка на телесный угол DΩ, дБ		Ω = 6.28	10Lg(4π/Ω)	**3**	3	3	3	3	3	3	3	3		
Показатель направленности источника Di, дБ			исходные данные	**0**	0	0	0	0	0	0	0	0		
Поправка на направленность источника Dc, дБ		Dc	DΩ + Di	**3**	3	3	3	3	3	3	3	3		
Затухание из-за геометрической дивергенции, Adiv, дБ		расстояние = 554.57 м	ф-ла (7) [10]	**65,9**										
Коэффициент затухания звука в атмосфере α, дБ/км		Ta=20,°C Pa=101.33,кПа hотн.=70%	ф-ла (5) [9]	0,02	0,09	0,33	1,12	2,79	4,98	9,04	23,09	77,63		
Учет затухания звука в атмосфере Aatm, дБ			ф-ла (8) [10]	0	0	0,2	0,6	1,5	2,8	5	12,8	43,1		
Снижение уровня звукового давления из-за влияния застройки между источником шума и расчетной точкой														
Длина звуковой волны для среднегеометрической частоты октавной полосы, λ, м				10,79	5,4	2,72	1,36	0,68	0,34	0,17	0,09	0,04		
Критерий наличия экранирования в горизонтальной плоскости	Горизонтальный размер экрана, lэкр = 64.26 м		lэкр > λ	да	да	да	да	да	да	да	да	да		
Траектория над экраном	Промежуточные точки:	Pss(x,y,z) = (586.47,-26.59,8.00)	Psr(x,y,z) = (579.74,-30.42,8.00)	dss = 189.13 м		dsr = 357.83 м		e = 7.74 м		z = 0.13 м				
	Константа C2, учитывающая эффект отражения от земли возле экрана			40	40	40	40	40	40	40	40	40		
	Константа C3 (дифракция на кромках)		ф-ла (15) [10]	1	1,1	1,2	1,6	2,3	2,7	2,9	3	3		

1			2	3	4	5	6	7	8	9	10	11	12	13
	K_{met} (влияние метеоусловий)		ф-ла (18) [10]	0	0	0	0	0	0	0	0	0		
	Снижение УЗД, Dz, дБ		ф-ла (14) [10]	4,8	4,8	4,8	4,8	4,8	4,9	5,1	5,4	6		
Траектория слева от экрана	Промежуточные точки:	Pss(x,y,z) = (578.70,-71.12,2.41)	Psr(x,y,z) = (469.27,-137.76,3.25)	dss = 220.56 м		dsr = 212.26 м		e = 128.13 м		z = 6.38 м				
	Константа C2, учитывающая эффект отражения от земли возле экрана			40	40	40	40	40	40	40	40	40		
	Константа C3 (дифракция на кромках)		ф-ла (15) [10]	2,3	2,8	2,9	3	3	3	3	3	3		
	K_{met} (влияние метеоусловий)		ф-ла (18) [10]	1	1	1	1	1	1	1	1	1		
	Снижение УЗД, Dz, дБ		ф-ла (14) [10]	17,6	21,3	24,4	27,5	30,5	33,5	36,5	39,5	42,6		
Траектория справа от экрана	Промежуточные точки:	Pss(x,y,z) = (549.08,-14.03,2.40)	Psr(x,y,z) = (549.08,-14.03,2.40)	dss = 217.29 м		dsr = 340.55 м		e = 0.00 м		z = 3.27 м				
	Константа C2, учитывающая эффект отражения от земли возле экрана			40	40	40	40	40	40	40	40	40		
	Константа C3 (дифракция на кромках)		ф-ла (15) [10]	1	1	1	1	1	1	1	1	1		
	K_{met} (влияние метеоусловий)		ф-ла (18) [10]	1	1	1	1	1	1	1	1	1		
	Снижение УЗД, Dz, дБ		ф-ла (14) [10]	11,8	14,4	17,1	20	22,9	25,9	28,9	31,9	34,9		
Общее снижение уровня звука препятствием Dz, дБ			Эн.сумма(-Dzi)	3,8	4,2	4,5	4,6	4,8	4,9	5,1	5,4	6		
Уровни звукового давления от источника ИШ-2-15 в расчётной точке днём, дБ			**ф-ла(3)[10]**	**0**	**26,1**	**27,1**	**27,8**	**27,1**	**25,4**	**19,6**	**7,3**	**0**	**29,1**	**29,1**
Уровни звукового давления от источника ИШ-2-15 в расчётной точке ночью, дБ			**ф-ла(3)[10]**	**0**	**26,1**	**27,1**	**27,8**	**27,1**	**25,4**	**19,6**	**7,3**	**0**	**29,1**	**29,1**
Источник шума: ИШ-2-16, координаты источника (x,y,z), м =[749.73,64.02,1.00]														
Уровни звуковой мощности источника днём, Lw, дБ			**исходные данные**	**0**	**93,3**	**94,7**	**96**	**96,3**	**95,9**	**92,6**	**88,4**	**83,9**		

1			2	3	4	5	6	7	8	9	10	11	12	13
Уровни звуковой мощности источника ночью, Lw, дБ			**исходные данные**	**0**	**93,3**	**94,7**	**96**	**96,3**	**95,9**	**92,6**	**88,4**	**83,9**		
Поправка на телесный угол DΩ, дБ	Ω = 6.28		10Lg(4π/Ω)	**3**	3	3	3	3	3	3	3	3		
Показатель направленности источника Di, дБ			исходные данные	**0**	0	0	0	0	0	0	0	0		
Поправка на направленность источника Dc, дБ	Dc		DΩ + Di	**3**	3	3	3	3	3	3	3	3		
Затухание из-за геометрической дивергенции, Adiv, дБ	расстояние = 552.28 м		ф-ла (7) [10]	**65,8**										
Коэффициент затухания звука в атмосфере α, дБ/км	Ta=20,°C Pa=101.33,кПа hотн.=70%		ф-ла (5) [9]	0,02	0,09	0,33	1,12	2,79	4,98	9,04	23,09	77,63		
Учет затухания звука в атмосфере Aatm, дБ			ф-ла (8) [10]	0	0	0,2	0,6	1,5	2,7	5	12,7	42,9		
Снижение уровня звукового давления из-за влияния застройки между источником шума и расчетной точкой														
Длина звуковой волны для среднегеометрической частоты октавной полосы, λ, м				10,79	5,4	2,72	1,36	0,68	0,34	0,17	0,09	0,04		
Критерий наличия экранирования в горизонтальной плоскости	Горизонтальный размер экрана, lэкр = 64.27 м		lэкр > λ	да	да	да	да	да	да	да	да	да		
Траектория над экраном	Промежуточные точки:	Pss(x,y,z) = (588.15,-27.15,8.00)	Psr(x,y,z) = (579.13,-32.24,8.00)	dss = 185.66 м		dsr = 356.40 м		e = 10.36 м		z = 0.14 м				
	Константа C2, учитывающая эффект отражения от земли возле экрана			40	40	40	40	40	40	40	40	40		
	Константа C3 (дифракция на кромках)		ф-ла (15) [10]	1	1,1	1,3	1,9	2,5	2,9	3	3	3		
	K_{met} (влияние метеоусловий)		ф-ла (18) [10]	0	0	0	0	0	0	0	0	0		
	Снижение УЗД, Dz, дБ		ф-ла (14) [10]	4,8	4,8	4,8	4,8	4,9	5	5,2	5,6	6,2		
	Промежуточные точки:	Pss(x,y,z) = (578.70,-71.12,2.40)	Psr(x,y,z) = (469.27,-137.76,3.24)	dss = 217.98 м		dsr = 212.26 м		e = 128.13 м		z = 6.10 м				
	Константа C2, учитывающая эффект отражения от земли возле экрана			40	40	40	40	40	40	40	40	40		

1			2	3	4	5	6	7	8	9	10	11	12	13
Траектория слева от экрана	Константа С3 (дифракция на кромках)		ф-ла (15) [10]	2,3	2,8	2,9	3	3	3	3	3	3		
	K_{met} (влияние метеоусловий)		ф-ла (18) [10]	1	1	1	1	1	1	1	1	1		
	Снижение УЗД, Dz, дБ		ф-ла (14) [10]	17,4	21,1	24,2	27,3	30,3	33,3	36,3	39,3	42,4		
Траектория справа от экрана	Промежуточные точки:	Pss(x,y,z) = (549.08,-14.03,2.39)	Psr(x,y,z) = (549.08,-14.03,2.39)	dss = 215.29 м		dsr = 340.55 м		e = 0.00 м		z = 3.57 м				
	Константа С2, учитывающая эффект отражения от земли возле экрана			40	40	40	40	40	40	40	40	40		
	Константа С3 (дифракция на кромках)		ф-ла (15) [10]	1	1	1	1	1	1	1	1	1		
	K_{met} (влияние метеоусловий)		ф-ла (18) [10]	1	1	1	1	1	1	1	1	1		
	Снижение УЗД, Dz, дБ		ф-ла (14) [10]	12,1	14,7	17,4	20,3	23,3	26,3	29,3	32,3	35,3		
Общее снижение уровня звука препятствием Dz, дБ			Эн.сумма(-Dzi)	3,8	4,3	4,5	4,7	4,8	4,9	5,2	5,5	6,2		
Уровни звукового давления от источника ИШ-2-16 в расчётной точке днём, дБ			**ф-ла(3)[10]**	**0**	**26,1**	**27,2**	**27,9**	**27,1**	**25,4**	**19,6**	**7,3**	**0**	**29,1**	**29,1**
Уровни звукового давления от источника ИШ-2-16 в расчётной точке ночью, дБ			**ф-ла(3)[10]**	**0**	**26,1**	**27,2**	**27,9**	**27,1**	**25,4**	**19,6**	**7,3**	**0**	**29,1**	**29,1**
Источник шума: ИШ-2-17, координаты источника (x,y,z), м =[748.87,61.06,1.00]														
Уровни звуковой мощности источника днём, Lw, дБ			**исходные данные**	**0**	**93,3**	**94,7**	**96**	**96,3**	**95,9**	**92,6**	**88,4**	**83,9**		
Уровни звуковой мощности источника ночью, Lw, дБ			**исходные данные**	**0**	**93,3**	**94,7**	**96**	**96,3**	**95,9**	**92,6**	**88,4**	**83,9**		
Поправка на телесный угол DΩ, дБ		Ω = 6.28	10Lg(4π/Ω)	**3**	3	3	3	3	3	3	3	3		
Показатель направленности источника Di, дБ			исходные данные	**0**	0	0	0	0	0	0	0	0		
Поправка на направленность источника Dc, дБ		Dc	DΩ + Di	**3**	3	3	3	3	3	3	3	3		

1			2	3	4	5	6	7	8	9	10	11	12	13
Затухание из-за геометрической дивергенции, Adiv, дБ	расстояние = 550.08 м		ф-ла (7) [10]	**65,8**										
Коэффициент затухания звука в атмосфере α, дБ/км	Ta=20,°C Pa=101.33,кПа hотн.=70%		ф-ла (5) [9]	0,02	0,09	0,33	1,12	2,79	4,98	9,04	23,09	77,63		
Учет затухания звука в атмосфере Aatm, дБ			ф-ла (8) [10]	0	0	0,2	0,6	1,5	2,7	5	12,7	42,7		
Снижение уровня звукового давления из-за влияния застройки между источником шума и расчетной точкой														
Длина звуковой волны для среднегеометрической частоты октавной полосы, λ, м				10,79	5,4	2,72	1,36	0,68	0,34	0,17	0,09	0,04		
Критерий наличия экранирования в горизонтальной плоскости	Горизонтальный размер экрана, lэкр = 64.28 м		lэкр > λ	да	да	да	да	да	да	да	да	да		
Траектория над экраном	Промежуточные точки:	Pss(x,y,z) = (590.00,-27.77,8.00)	Psr(x,y,z) = (578.47,-34.22,8.00)	dss = 182.16 м		dsr = 354.85 м		e = 13.21 м		z = 0.14 м				
	Константа C2, учитывающая эффект отражения от земли возле экрана			40	40	40	40	40	40	40	40	40		
	Константа C3 (дифракция на кромках)		ф-ла (15) [10]	1	1,1	1,5	2,1	2,7	2,9	3	3	3		
	K_{met} (влияние метеоусловий)		ф-ла (18) [10]	0	0	0	0	0	0	0	0	0		
	Снижение УЗД, Dz, дБ		ф-ла (14) [10]	4,8	4,8	4,8	4,8	4,9	5	5,2	5,7	6,4		
Траектория слева от экрана	Промежуточные точки:	Pss(x,y,z) = (578.70,-71.12,2.39)	Psr(x,y,z) = (469.27,-137.76,3.23)	dss = 215.48 м		dsr = 212.26 м		e = 128.13 м		z = 5.79 м				
	Константа C2, учитывающая эффект отражения от земли возле экрана			40	40	40	40	40	40	40	40	40		
	Константа C3 (дифракция на кромках)		ф-ла (15) [10]	2,3	2,8	2,9	3	3	3	3	3	3		
	K_{met} (влияние метеоусловий)		ф-ла (18) [10]	1	1	1	1	1	1	1	1	1		
	Снижение УЗД, Dz, дБ		ф-ла (14) [10]	17,2	20,9	24	27,1	30,1	33,1	36,1	39,1	42,1		
	Промежуточные точки:	Pss(x,y,z) = (549.08,-14.03,2.38)	Psr(x,y,z) = (549.08,-14.03,2.38)	dss = 213.44 м		dsr = 340.55 м		e = 0.00 м		z = 3.91 м				

1		2	3	4	5	6	7	8	9	10	11	12	13
Траектория справа от экрана	Константа C2, учитывающая эффект отражения от земли возле экрана		40	40	40	40	40	40	40	40	40		
	Константа C3 (дифракция на кромках)	ф-ла (15) [10]	1	1	1	1	1	1	1	1	1		
	K_{met} (влияние метеоусловий)	ф-ла (18) [10]	1	1	1	1	1	1	1	1	1		
	Снижение УЗД, Dz, дБ	ф-ла (14) [10]	12,4	15	17,8	20,7	23,7	26,7	29,7	32,7	35,7		
Общее снижение уровня звука препятствием Dz, дБ		Эн.сумма(-Dzi)	3,9	4,3	4,5	4,7	4,8	5	5,2	5,7	6,4		
Уровни звукового давления от источника ИШ-2-17 в расчётной точке днём, дБ		**ф-ла(3)[10]**	**0**	**26,1**	**27,2**	**27,9**	**27,1**	**25,4**	**19,6**	**7,2**	**0**	**29,1**	**29,1**
Уровни звукового давления от источника ИШ-2-17 в расчётной точке ночью, дБ		**ф-ла(3)[10]**	**0**	**26,1**	**27,2**	**27,9**	**27,1**	**25,4**	**19,6**	**7,2**	**0**	**29,1**	**29,1**
Источник шума: ИШ-2-18, координаты источника (x,y,z), м =[747.72,58.17,1.00]													
Уровни звуковой мощности источника днём, Lw, дБ		**исходные данные**	**0**	**93,3**	**94,7**	**96**	**96,3**	**95,9**	**92,6**	**88,4**	**83,9**		
Уровни звуковой мощности источника ночью, Lw, дБ		**исходные данные**	**0**	**93,3**	**94,7**	**96**	**96,3**	**95,9**	**92,6**	**88,4**	**83,9**		
Поправка на телесный угол $D\Omega$, дБ	Ω = 6.28	$10Lg(4\pi/\Omega)$	**3**	3	3	3	3	3	3	3	3		
Показатель направленности источника Di, дБ		исходные данные	**0**	0	0	0	0	0	0	0	0		
Поправка на направленность источника Dc, дБ	Dc	$D\Omega$ + Di	**3**	3	3	3	3	3	3	3	3		
Затухание из-за геометрической дивергенции, Adiv, дБ	расстояние = 547.67 м	ф-ла (7) [10]	**65,8**										
Коэффициент затухания звука в атмосфере α, дБ/км	Ta=20,°C Pa=101.33,кПа hотн.=70%	ф-ла (5) [9]	0,02	0,09	0,33	1,12	2,79	4,98	9,04	23,09	77,63		
Учет затухания звука в атмосфере Aatm, дБ		ф-ла (8) [10]	0	0	0,2	0,6	1,5	2,7	5	12,6	42,5		

1			2	3	4	5	6	7	8	9	10	11	12	13
Снижение уровня звукового давления из-за влияния застройки между источником шума и расчетной точкой														
Длина звуковой волны для среднегеометрической частоты октавной полосы, λ, м				10,79	5,4	2,72	1,36	0,68	0,34	0,17	0,09	0,04		
Критерий наличия экранирования в горизонтальной плоскости	Горизонтальный размер экрана, lэкр = 64.29 м		lэкр > λ	да	да	да	да	да	да	да	да	да		
Траектория над экраном	Промежуточные точки:	Pss(x,y,z) = (591.68,-28.34,8.00)	Psr(x,y,z) = (577.87,-36.00,8.00)	dss = 178.55 м		dsr = 353.47 м		e = 15.80 м		z = 0.14 м				
	Константа C2, учитывающая эффект отражения от земли возле экрана			40	40	40	40	40	40	40	40	40		
	Константа C3 (дифракция на кромках)		ф-ла (15) [10]	1,1	1,2	1,6	2,3	2,8	2,9	3	3	3		
	K_{met} (влияние метеоусловий)		ф-ла (18) [10]	0	0	0	0	0	0	0	0	0		
	Снижение УЗД, Dz, дБ		ф-ла (14) [10]	4,8	4,8	4,8	4,8	4,9	5	5,3	5,8	6,6		
Траектория слева от экрана	Промежуточные точки:	Pss(x,y,z) = (578.70,-71.12,2.38)	Psr(x,y,z) = (469.27,-137.76,3.23)	dss = 212.80 м		dsr = 212.26 м		e = 128.13 м		z = 5.53 м				
	Константа C2, учитывающая эффект отражения от земли возле экрана			40	40	40	40	40	40	40	40	40		
	Константа C3 (дифракция на кромках)		ф-ла (15) [10]	2,3	2,8	2,9	3	3	3	3	3	3		
	K_{met} (влияние метеоусловий)		ф-ла (18) [10]	1	1	1	1	1	1	1	1	1		
	Снижение УЗД, Dz, дБ		ф-ла (14) [10]	17	20,7	23,8	26,9	29,9	32,9	35,9	38,9	41,9		
Траектория справа от экрана	Промежуточные точки:	Pss(x,y,z) = (549.08,-14.03,2.37)	Psr(x,y,z) = (549.08,-14.03,2.37)	dss = 211.35 м		dsr = 340.55 м		e = 0.00 м		z = 4.24 м				
	Константа C2, учитывающая эффект отражения от земли возле экрана			40	40	40	40	40	40	40	40	40		
	Константа C3 (дифракция на кромках)		ф-ла (15) [10]	1	1	1	1	1	1	1	1	1		
	K_{met} (влияние метеоусловий)		ф-ла (18) [10]	1	1	1	1	1	1	1	1	1		
	Снижение УЗД, Dz, дБ		ф-ла (14) [10]	12,7	15,4	18,2	21,1	24	27	30	33	36		

1			2	3	4	5	6	7	8	9	10	11	12	13
Общее снижение уровня звука препятствием Dz, дБ			Эн.сумма(-Dzi)	3,9	4,3	4,5	4,7	4,8	5	5,3	5,8	6,6		
Уровни звукового давления от источника ИШ-2-18 в расчётной точке днём, дБ			**ф-ла(3)[10]**	**0**	**26,2**	**27,2**	**27,9**	**27,2**	**25,4**	**19,6**	**7,2**	**0**	**29,1**	**29,1**
Уровни звукового давления от источника ИШ-2-18 в расчётной точке ночью, дБ			**ф-ла(3)[10]**	**0**	**26,2**	**27,2**	**27,9**	**27,2**	**25,4**	**19,6**	**7,2**	**0**	**29,1**	**29,1**
Источник шума: ИШ-2-19, координаты источника (x,y,z), м =[746.80,55.25,1.00]														
Уровни звуковой мощности источника днём, Lw, дБ			**исходные данные**	**0**	**93,3**	**94,7**	**96**	**96,3**	**95,9**	**92,6**	**88,4**	**83,9**		
Уровни звуковой мощности источника ночью, Lw, дБ			**исходные данные**	**0**	**93,3**	**94,7**	**96**	**96,3**	**95,9**	**92,6**	**88,4**	**83,9**		
Поправка на телесный угол DΩ, дБ		Ω = 6.28	10Lg(4π/Ω)	**3**	3	3	3	3	3	3	3	3		
Показатель направленности источника Di, дБ			исходные данные	**0**	0	0	0	0	0	0	0	0		
Поправка на направленность источника Dc, дБ		Dc	DΩ + Di	**3**	3	3	3	3	3	3	3	3		
Затухание из-за геометрической дивергенции, Adiv, дБ		расстояние = 545.46 м	ф-ла (7) [10]	**65,7**										
Коэффициент затухания звука в атмосфере α, дБ/км		Ta=20,°C Pa=101.33,кПа hотн.=70%	ф-ла (5) [9]	0,02	0,09	0,33	1,12	2,79	4,98	9,04	23,09	77,63		
Учет затухания звука в атмосфере Aatm, дБ			ф-ла (8) [10]	0	0	0,2	0,6	1,5	2,7	4,9	12,6	42,3		
Снижение уровня звукового давления из-за влияния застройки между источником шума и расчетной точкой														
Длина звуковой волны для среднегеометрической частоты октавной полосы, λ, м				10,79	5,4	2,72	1,36	0,68	0,34	0,17	0,09	0,04		
Критерий наличия экранирования в горизонтальной плоскости	Горизонтальный размер экрана, lэкр = 64.29 м		lэкр > λ	да	да	да	да	да	да	да	да	да		
	Промежуточные точки:	Pss(x,y,z) = (592.75,-29.39,8.00)	Psr(x,y,z) = (577.23,-37.91,8.00)	dss = 175.91 м		dsr = 351.98 м		e = 17.71 м		z = 0.14 м				

1			2	3	4	5	6	7	8	9	10	11	12	13
Траектория над экраном	Константа С2, учитывающая эффект отражения от земли возле экрана			40	40	40	40	40	40	40	40	40		
	Константа С3 (дифракция на кромках)		ф-ла (15) [10]	1,1	1,3	1,7	2,4	2,8	2,9	3	3	3		
	K_{met} (влияние метеоусловий)		ф-ла (18) [10]	0	0	0	0	0	0	0	0	0		
	Снижение УЗД, Dz, дБ		ф-ла (14) [10]	4,8	4,8	4,8	4,8	4,9	5,1	5,4	5,9	6,8		
Траектория слева от экрана	Промежуточные точки:	Pss(x,y,z) = (578.70,-71.12,2.37)	Psr(x,y,z) = (469.27,-137.76,3.22)	dss = 210.31 м		dsr = 212.26 м		e = 128.13 м		z = 5.25 м				
	Константа С2, учитывающая эффект отражения от земли возле экрана			40	40	40	40	40	40	40	40	40		
	Константа С3 (дифракция на кромках)		ф-ла (15) [10]	2,3	2,8	2,9	3	3	3	3	3	3		
	K_{met} (влияние метеоусловий)		ф-ла (18) [10]	1	1	1	1	1	1	1	1	1		
	Снижение УЗД, Dz, дБ		ф-ла (14) [10]	16,8	20,4	23,6	26,7	29,7	32,7	35,7	38,7	41,7		
Траектория справа от экрана	Промежуточные точки:	Pss(x,y,z) = (549.08,-14.03,2.36)	Psr(x,y,z) = (549.08,-14.03,2.36)	dss = 209.51 м		dsr = 340.55 м		e = 0.00 м		z = 4.61 м				
	Константа С2, учитывающая эффект отражения от земли возле экрана			40	40	40	40	40	40	40	40	40		
	Константа С3 (дифракция на кромках)		ф-ла (15) [10]	1	1	1	1	1	1	1	1	1		
	K_{met} (влияние метеоусловий)		ф-ла (18) [10]	1	1	1	1	1	1	1	1	1		
	Снижение УЗД, Dz, дБ		ф-ла (14) [10]	13	15,7	18,5	21,4	24,4	27,4	30,4	33,4	36,4		
Общее снижение уровня звука препятствием Dz, дБ			Эн.сумма(-Dzi)	3,9	4,3	4,6	4,7	4,9	5	5,4	5,9	6,8		
Уровни звукового давления от источника ИШ-2-19 в расчётной точке днём, дБ			**ф-ла(3)[10]**	**0**	**26,2**	**27,2**	**27,9**	**27,2**	**25,4**	**19,6**	**7,2**	**0**	**29,1**	**29,1**
Уровни звукового давления от источника ИШ-2-19 в расчётной точке ночью, дБ			**ф-ла(3)[10]**	**0**	**26,2**	**27,2**	**27,9**	**27,2**	**25,4**	**19,6**	**7,2**	**0**	**29,1**	**29,1**

1			2	3	4	5	6	7	8	9	10	11	12	13
Источник шума: ИШ-2-20, координаты источника (x,y,z), м =[745.71,52.44,1.00]														
Уровни звуковой мощности источника днём, Lw, дБ			**исходные данные**	**0**	**93,3**	**94,7**	**96**	**96,3**	**95,9**	**92,6**	**88,4**	**83,9**		
Уровни звуковой мощности источника ночью, Lw, дБ			**исходные данные**	**0**	**93,3**	**94,7**	**96**	**96,3**	**95,9**	**92,6**	**88,4**	**83,9**		
Поправка на телесный угол DΩ, дБ		Ω = 6.28	10Lg(4π/Ω)	**3**	3	3	3	3	3	3	3	3		
Показатель направленности источника Di, дБ			исходные данные	**0**	0	0	0	0	0	0	0	0		
Поправка на направленность источника Dc, дБ		Dc	DΩ + Di	**3**	3	3	3	3	3	3	3	3		
Затухание из-за геометрической дивергенции, Adiv, дБ		расстояние = 543.15 м	ф-ла (7) [10]	**65,7**										
Коэффициент затухания звука в атмосфере α, дБ/км		Ta=20,°C Pa=101.33,кПа hотн.=70%	ф-ла (5) [9]	0,02	0,09	0,33	1,12	2,79	4,98	9,04	23,09	77,63		
Учет затухания звука в атмосфере Aatm, дБ			ф-ла (8) [10]	0	0	0,2	0,6	1,5	2,7	4,9	12,5	42,2		
Снижение уровня звукового давления из-за влияния застройки между источником шума и расчетной точкой														
Длина звуковой волны для среднегеометрической частоты октавной полосы, λ, м				10,79	5,4	2,72	1,36	0,68	0,34	0,17	0,09	0,04		
Критерий наличия экранирования в горизонтальной плоскости	Горизонтальный размер экрана, lэкр = 64.30 м		lэкр > λ	да	да	да	да	да	да	да	да	да		
Траектория над экраном	Промежуточные точки:	Pss(x,y,z) = (592.13,-31.22,8.00)	Psr(x,y,z) = (576.64,-39.66,8.00)	dss = 175.03 м		dsr = 350.63 м		e = 17.64 м		z = 0.14 м				
	Константа C2, учитывающая эффект отражения от земли возле экрана			40	40	40	40	40	40	40	40	40		
	Константа C3 (дифракция на кромках)		ф-ла (15) [10]	1,1	1,2	1,7	2,4	2,8	2,9	3	3	3		
	K_{met} (влияние метеоусловий)		ф-ла (18) [10]	0	0	0	0	0	0	0	0	0		

1			2	3	4	5	6	7	8	9	10	11	12	13
	Снижение УЗД, Dz, дБ		ф-ла (14) [10]	4,8	4,8	4,8	4,8	4,9	5,1	5,4	6	6,9		
Траектория слева от экрана	Промежуточные точки:	Pss(x,y,z) = (578.70,-71.12,2.36)	Psr(x,y,z) = (469.27,-137.76,3.21)	dss = 207.75 м		dsr = 212.26 м		e = 128.13 м		z = 5.00 м				
	Константа С2, учитывающая эффект отражения от земли возле экрана			40	40	40	40	40	40	40	40	40		
	Константа С3 (дифракция на кромках)		ф-ла (15) [10]	2,3	2,8	2,9	3	3	3	3	3	3		
	K_{met} (влияние метеоусловий)		ф-ла (18) [10]	1	1	1	1	1	1	1	1	1		
	Снижение УЗД, Dz, дБ		ф-ла (14) [10]	16,6	20,2	23,4	26,4	29,5	32,5	35,5	38,5	41,5		
Траектория справа от экрана	Промежуточные точки:	Pss(x,y,z) = (549.08,-14.03,2.36)	Psr(x,y,z) = (549.08,-14.03,2.36)	dss = 207.56 м		dsr = 340.55 м		e = 0.00 м		z = 4.97 м				
	Константа С2, учитывающая эффект отражения от земли возле экрана			40	40	40	40	40	40	40	40	40		
	Константа С3 (дифракция на кромках)		ф-ла (15) [10]	1	1	1	1	1	1	1	1	1		
	K_{met} (влияние метеоусловий)		ф-ла (18) [10]	1	1	1	1	1	1	1	1	1		
	Снижение УЗД, Dz, дБ		ф-ла (14) [10]	13,3	16	18,8	21,7	24,7	27,7	30,7	33,7	36,7		
Общее снижение уровня звука препятствием Dz, дБ			Эн.сумма(-Dzi)	4	4,4	4,6	4,7	4,9	5,1	5,4	6	6,9		
Уровни звукового давления от источника ИШ-2-20 в расчётной точке днём, дБ			**ф-ла(3)[10]**	**0**	**26,2**	**27,2**	**28**	**27,2**	**25,4**	**19,6**	**7,2**	**0**	**29,2**	**29,2**
Уровни звукового давления от источника ИШ-2-20 в расчётной точке ночью, дБ			**ф-ла(3)[10]**	**0**	**26,2**	**27,2**	**28**	**27,2**	**25,4**	**19,6**	**7,2**	**0**	**29,2**	**29,2**
Источник шума: ИШ-2-21, координаты источника (x,y,z), м =[744.89,49.62,1.00]														
Уровни звуковой мощности источника днём, Lw, дБ			**исходные данные**	**0**	**93,3**	**94,7**	**96**	**96,3**	**95,9**	**92,6**	**88,4**	**83,9**		
Уровни звуковой мощности источника ночью, Lw, дБ			**исходные данные**	**0**	**93,3**	**94,7**	**96**	**96,3**	**95,9**	**92,6**	**88,4**	**83,9**		

1			2	3	4	5	6	7	8	9	10	11	12	13
Поправка на телесный угол DΩ, дБ		Ω = 6.28	10Lg(4π/Ω)	**3**	3	3	3	3	3	3	3	3		
Показатель направленности источника Di, дБ			исходные данные	**0**	0	0	0	0	0	0	0	0		
Поправка на направленность источника Dc, дБ		Dc	DΩ + Di	**3**	3	3	3	3	3	3	3	3		
Затухание из-за геометрической дивергенции, Adiv, дБ		расстояние = 541.09 м	ф-ла (7) [10]	**65,7**										
Коэффициент затухания звука в атмосфере α, дБ/км		Ta=20,°C Pa=101.33,кПа hотн.=70%	ф-ла (5) [9]	0,02	0,09	0,33	1,12	2,79	4,98	9,04	23,09	77,63		
Учет затухания звука в атмосфере Aatm, дБ			ф-ла (8) [10]	0	0	0,2	0,6	1,5	2,7	4,9	12,5	42		
Снижение уровня звукового давления из-за влияния застройки между источником шума и расчетной точкой														
Длина звуковой волны для среднегеометрической частоты октавной полосы, λ, м				10,79	5,4	2,72	1,36	0,68	0,34	0,17	0,09	0,04		
Критерий наличия экранирования в горизонтальной плоскости	Горизонтальный размер экрана, lэкр = 64.30 м		lэкр > λ	да	да	да	да	да	да	да	да	да		
Траектория над экраном	Промежуточные точки:	Pss(x,y,z) = (591.46,-33.20,8.00)	Psr(x,y,z) = (576.01,-41.54,8.00)	dss = 174.49 м		dsr = 349.18 м		e = 17.56 м		z = 0.15 м				
	Константа C2, учитывающая эффект отражения от земли возле экрана			40	40	40	40	40	40	40	40	40		
	Константа C3 (дифракция на кромках)		ф-ла (15) [10]	1,1	1,2	1,7	2,4	2,8	2,9	3	3	3		
	K_{met} (влияние метеоусловий)		ф-ла (18) [10]	0	0	0	0	0	0	0	0	0		
	Снижение УЗД, Dz, дБ		ф-ла (14) [10]	4,8	4,8	4,8	4,8	4,9	5,1	5,4	6	7		
Траектория слева от экрана	Промежуточные точки:	Pss(x,y,z) = (578.70,-71.12,2.35)	Psr(x,y,z) = (469.27,-137.76,3.21)	dss = 205.43 м		dsr = 212.26 м		e = 128.13 м		z = 4.73 м				
	Константа C2, учитывающая эффект отражения от земли возле экрана			40	40	40	40	40	40	40	40	40		
	Константа C3 (дифракция на кромках)		ф-ла (15) [10]	2,3	2,8	2,9	3	3	3	3	3	3		

1			2	3	4	5	6	7	8	9	10	11	12	13
	K_{met} (влияние метеоусловий)		ф-ла (18) [10]	1	1	1	1	1	1	1	1	1		
	Снижение УЗД, Dz, дБ		ф-ла (14) [10]	16,4	20	23,2	26,2	29,2	32,2	35,2	38,3	41,3		
Траектория справа от экрана	Промежуточные точки:	Pss(x,y,z) = (549.08,-14.03,2.35)	Psr(x,y,z) = (549.08,-14.03,2.35)	dss = 205.90 м		dsr = 340.55 м		e = 0.00 м		z = 5.37 м				
	Константа C2, учитывающая эффект отражения от земли возле экрана			40	40	40	40	40	40	40	40	40		
	Константа C3 (дифракция на кромках)		ф-ла (15) [10]	1	1	1	1	1	1	1	1	1		
	K_{met} (влияние метеоусловий)		ф-ла (18) [10]	1	1	1	1	1	1	1	1	1		
	Снижение УЗД, Dz, дБ		ф-ла (14) [10]	13,6	16,3	19,1	22,1	25	28	31	34	37		
Общее снижение уровня звука препятствием Dz, дБ			Эн.сумма(-Dzi)	4	4,4	4,6	4,7	4,9	5,1	5,4	6	7		
Уровни звукового давления от источника ИШ-2-21 в расчётной точке днём, дБ			**ф-ла(3)[10]**	**0**	**26,2**	**27,3**	**28**	**27,2**	**25,5**	**19,6**	**7,2**	**0**	**29,2**	**29,2**
Уровни звукового давления от источника ИШ-2-21 в расчётной точке ночью, дБ			**ф-ла(3)[10]**	**0**	**26,2**	**27,3**	**28**	**27,2**	**25,5**	**19,6**	**7,2**	**0**	**29,2**	**29,2**
Источник шума: ИШ-2-22, координаты источника (x,y,z), м =[737.40,27.07,1.00]														
Уровни звуковой мощности источника днём, Lw, дБ			**исходные данные**	**0**	**93,3**	**94,7**	**96**	**96,3**	**95,9**	**92,6**	**88,4**	**83,9**		
Уровни звуковой мощности источника ночью, Lw, дБ			**исходные данные**	**0**	**93,3**	**94,7**	**96**	**96,3**	**95,9**	**92,6**	**88,4**	**83,9**		
Поправка на телесный угол DΩ, дБ		Ω = 6.28	10Lg(4π/Ω)	**3**	3	3	3	3	3	3	3	3		
Показатель направленности источника Di, дБ			исходные данные	**0**	0	0	0	0	0	0	0	0		
Поправка на направленность источника Dc, дБ		Dc	DΩ + Di	**3**	3	3	3	3	3	3	3	3		
Затухание из-за геометрической дивергенции, Adiv, дБ		расстояние = 524.03 м	ф-ла (7) [10]	**65,4**										

1			2	3	4	5	6	7	8	9	10	11	12	13
Коэффициент затухания звука в атмосфере α, дБ/км		Ta=20,°C Pa=101.33,кПа hотн.=70%	ф-ла (5) [9]	0,02	0,09	0,33	1,12	2,79	4,98	9,04	23,09	77,63		
Учет затухания звука в атмосфере Aatm, дБ			ф-ла (8) [10]	0	0	0,2	0,6	1,5	2,6	4,7	12,1	40,7		
Снижение уровня звукового давления из-за влияния застройки между источником шума и расчетной точкой														
Длина звуковой волны для среднегеометрической частоты октавной полосы, λ, м				10,79	5,4	2,72	1,36	0,68	0,34	0,17	0,09	0,04		
Критерий наличия экранирования в горизонтальной плоскости	Горизонтальный размер экрана, lэкр = 64.30 м		lэкр > λ	да	да	да	да	да	да	да	да	да		
Траектория над экраном	Промежуточные точки:	Pss(x,y,z) = (586.31,-48.51,8.00)	Psr(x,y,z) = (571.12,-56.11,8.00)	dss = 169.09 м		dsr = 338.11 м		e = 16.99 м		z = 0.15 м				
	Константа C2, учитывающая эффект отражения от земли возле экрана			40	40	40	40	40	40	40	40	40		
	Константа C3 (дифракция на кромках)		ф-ла (15) [10]	1,1	1,2	1,7	2,4	2,8	2,9	3	3	3		
	K_{met} (влияние метеоусловий)		ф-ла (18) [10]	0	0	0	0	0	0	0	0	0		
	Снижение УЗД, Dz, дБ		ф-ла (14) [10]	4,8	4,8	4,8	4,9	5	5,2	5,7	6,5	7,7		
Траектория слева от экрана	Промежуточные точки:	Pss(x,y,z) = (578.70,-71.12,2.28)	Psr(x,y,z) = (469.27,-137.76,3.15)	dss = 186.62 м		dsr = 212.26 м		e = 128.13 м		z = 2.98 м				
	Константа C2, учитывающая эффект отражения от земли возле экрана			40	40	40	40	40	40	40	40	40		
	Константа C3 (дифракция на кромках)		ф-ла (15) [10]	2,3	2,8	2,9	3	3	3	3	3	3		
	K_{met} (влияние метеоусловий)		ф-ла (18) [10]	1	1	1	1	1	1	1	1	1		
	Снижение УЗД, Dz, дБ		ф-ла (14) [10]	14,5	18,1	21,2	24,2	27,2	30,2	33,2	36,2	39,3		
	Промежуточные точки:	Pss(x,y,z) = (549.08,-14.03,2.28)	Psr(x,y,z) = (549.08,-14.03,2.28)	dss = 192.75 м		dsr = 340.55 м		e = 0.00 м		z = 9.27 м				
	Константа C2, учитывающая эффект отражения от земли возле экрана			40	40	40	40	40	40	40	40	40		

1		2	3	4	5	6	7	8	9	10	11	12	13
Траектория справа от экрана	Константа СЗ (дифракция на кромках)	ф-ла (15) [10]	1	1	1	1	1	1	1	1	1		
	K_{met} (влияние метеоусловий)	ф-ла (18) [10]	1	1	1	1	1	1	1	1	1		
	Снижение УЗД, Dz, дБ	ф-ла (14) [10]	15,7	18,6	21,4	24,4	27,4	30,4	33,4	36,4	39,4		
Общее снижение уровня звука препятствием Dz, дБ		Эн.сумма(-Dzi)	4	4,4	4,6	4,8	5	5,2	5,7	6,4	7,7		
Уровни звукового давления от источника ИШ-2-22 в расчётной точке днём, дБ		**ф-ла(3)[10]**	**0**	**26,4**	**27,5**	**28,2**	**27,5**	**25,7**	**19,8**	**7,5**	**0**	**29,4**	**29,4**
Уровни звукового давления от источника ИШ-2-22 в расчётной точке ночью, дБ		**ф-ла(3)[10]**	**0**	**26,4**	**27,5**	**28,2**	**27,5**	**25,7**	**19,8**	**7,5**	**0**	**29,4**	**29,4**
Источник шума: ИШ-2-23, координаты источника (x,y,z), м =[736.46,24.18,1.00]													
Уровни звуковой мощности источника днём, Lw, дБ		**исходные данные**	**0**	**93,3**	**94,7**	**96**	**96,3**	**95,9**	**92,6**	**88,4**	**83,9**		
Уровни звуковой мощности источника ночью, Lw, дБ		**исходные данные**	**0**	**93,3**	**94,7**	**96**	**96,3**	**95,9**	**92,6**	**88,4**	**83,9**		
Поправка на телесный угол DΩ, дБ	Ω = 6.28	10Lg(4π/Ω)	**3**	3	3	3	3	3	3	3	3		
Показатель направленности источника Di, дБ		исходные данные	**0**	0	0	0	0	0	0	0	0		
Поправка на направленность источника Dc, дБ	Dc	DΩ + Di	**3**	3	3	3	3	3	3	3	3		
Затухание из-за геометрической дивергенции, Adiv, дБ	расстояние = 521.90 м	ф-ла (7) [10]	**65,4**										
Коэффициент затухания звука в атмосфере α, дБ/км	Ta=20,°C Pa=101.33,кПа hотн.=70%	ф-ла (5) [9]	0,02	0,09	0,33	1,12	2,79	4,98	9,04	23,09	77,63		
Учет затухания звука в атмосфере Aatm, дБ		ф-ла (8) [10]	0	0	0,2	0,6	1,5	2,6	4,7	12	40,5		
Снижение уровня звукового давления из-за влияния застройки между источником шума и расчетной точкой													

1			2	3	4	5	6	7	8	9	10	11	12	13
Длина звуковой волны для среднегеометрической частоты октавной полосы, λ, м				10,79	5,4	2,72	1,36	0,68	0,34	0,17	0,09	0,04		
Критерий наличия экранирования в горизонтальной плоскости	Горизонтальный размер экрана, lэкр = 75.47 м		lэкр > λ	да	да	да	да	да	да	да	да	да		
Траектория над экраном	Промежуточные точки:	Pss(x,y,z) = (585.64,-50.49,8.00)	Psr(x,y,z) = (570.48,-57.99,8.00)	dss = 168.43 м		dsr = 336.71 м		e = 16.91 м		z = 0.15 м				
	Константа C2, учитывающая эффект отражения от земли возле экрана			40	40	40	40	40	40	40	40	40		
	Константа C3 (дифракция на кромках)		ф-ла (15) [10]	1,1	1,2	1,7	2,3	2,8	2,9	3	3	3		
	K_{met} (влияние метеоусловий)		ф-ла (18) [10]	0	0	0	0	0	0	0	0	0		
	Снижение УЗД, Dz, дБ		ф-ла (14) [10]	4,8	4,8	4,8	4,9	5	5,3	5,7	6,5	7,8		
Траектория слева от экрана	Промежуточные точки:	Pss(x,y,z) = (469.27,-137.76,3.15)	Psr(x,y,z) = (469.27,-137.76,3.15)	dss = 312.44 м		dsr = 212.26 м		e = 0.00 м		z = 2.80 м				
	Константа C2, учитывающая эффект отражения от земли возле экрана			40	40	40	40	40	40	40	40	40		
	Константа C3 (дифракция на кромках)		ф-ла (15) [10]	1	1	1	1	1	1	1	1	1		
	K_{met} (влияние метеоусловий)		ф-ла (18) [10]	1	1	1	1	1	1	1	1	1		
	Снижение УЗД, Dz, дБ		ф-ла (14) [10]	11,3	13,8	16,5	19,3	22,2	25,2	28,2	31,2	34,2		
Траектория справа от экрана	Промежуточные точки:	Pss(x,y,z) = (549.08,-14.03,2.28)	Psr(x,y,z) = (549.08,-14.03,2.28)	dss = 191.23 м		dsr = 340.55 м		e = 0.00 м		z = 9.88 м				
	Константа C2, учитывающая эффект отражения от земли возле экрана			40	40	40	40	40	40	40	40	40		
	Константа C3 (дифракция на кромках)		ф-ла (15) [10]	1	1	1	1	1	1	1	1	1		
	K_{met} (влияние метеоусловий)		ф-ла (18) [10]	1	1	1	1	1	1	1	1	1		
	Снижение УЗД, Dz, дБ		ф-ла (14) [10]	16	18,8	21,7	24,7	27,7	30,7	33,7	36,7	39,7		
Общее снижение уровня звука препятствием Dz, дБ			Эн.сумма(-Dzi)	3,6	4,1	4,4	4,7	4,9	5,2	5,7	6,5	7,7		

1			2	3	4	5	6	7	8	9	10	11	12	13
Уровни звукового давления от источника ИШ-2-23 в расчётной точке днём, дБ			**ф-ла(3)[10]**	**0**	**26,8**	**27,7**	**28,4**	**27,6**	**25,7**	**19,8**	**7,5**	**0**	**29,5**	**29,5**
Уровни звукового давления от источника ИШ-2-23 в расчётной точке ночью, дБ			**ф-ла(3)[10]**	**0**	**26,8**	**27,7**	**28,4**	**27,6**	**25,7**	**19,8**	**7,5**	**0**	**29,5**	**29,5**
Источник шума: ИШ-2-24, координаты источника (x,y,z), м =[735.45,21.21,1.00]														
Уровни звуковой мощности источника днём, Lw, дБ			**исходные данные**	**0**	**93,3**	**94,7**	**96**	**96,3**	**95,9**	**92,6**	**88,4**	**83,9**		
Уровни звуковой мощности источника ночью, Lw, дБ			**исходные данные**	**0**	**93,3**	**94,7**	**96**	**96,3**	**95,9**	**92,6**	**88,4**	**83,9**		
Поправка на телесный угол DΩ, дБ	Ω = 6.28		10Lg(4π/Ω)	**3**	3	3	3	3	3	3	3	3		
Показатель направленности источника Di, дБ			исходные данные	**0**	0	0	0	0	0	0	0	0		
Поправка на направленность источника Dc, дБ	Dc		DΩ + Di	**3**	3	3	3	3	3	3	3	3		
Затухание из-за геометрической дивергенции, Adiv, дБ	расстояние = 519.68 м		ф-ла (7) [10]	**65,3**										
Коэффициент затухания звука в атмосфере α, дБ/км	Ta=20,°C Pa=101.33,кПа hотн.=70%		ф-ла (5) [9]	0,02	0,09	0,33	1,12	2,79	4,98	9,04	23,09	77,63		
Учет затухания звука в атмосфере Aatm, дБ			ф-ла (8) [10]	0	0	0,2	0,6	1,5	2,6	4,7	12	40,3		
Снижение уровня звукового давления из-за влияния застройки между источником шума и расчетной точкой														
Длина звуковой волны для среднегеометрической частоты октавной полосы, λ, м				10,79	5,4	2,72	1,36	0,68	0,34	0,17	0,09	0,04		
Критерий наличия экранирования в горизонтальной плоскости	Горизонтальный размер экрана, lэкр = 76.01 м		lэкр > λ	да	да	да	да	да	да	да	да	да		
	Промежуточные точки:	Pss(x,y,z) = (584.97,-52.49,8.00)	Psr(x,y,z) = (569.84,-59.90,8.00)	dss = 167.71 м		dsr = 335.29 м		e = 16.84 м		z = 0.15 м				
	Константа C2, учитывающая эффект отражения от земли возле экрана			40	40	40	40	40	40	40	40	40		

1			2	3	4	5	6	7	8	9	10	11	12	13
Траектория над экраном	Константа С3 (дифракция на кромках)		ф-ла (15) [10]	1,1	1,2	1,7	2,3	2,8	2,9	3	3	3		
	K_{met} (влияние метеоусловий)		ф-ла (18) [10]	0	0	0	0	0	0	0	0	0		
	Снижение УЗД, Dz, дБ		ф-ла (14) [10]	4,8	4,8	4,8	4,9	5	5,3	5,8	6,6	7,9		
Траектория слева от экрана	Промежуточные точки:	Pss(x,y,z) = (469.27,-137.76,3.14)	Psr(x,y,z) = (469.27,-137.76,3.14)	dss = 310.05 м		dsr = 212.26 м		e = 0.00 м		z = 2.62 м				
	Константа С2, учитывающая эффект отражения от земли возле экрана			40	40	40	40	40	40	40	40	40		
	Константа С3 (дифракция на кромках)		ф-ла (15) [10]	1	1	1	1	1	1	1	1	1		
	K_{met} (влияние метеоусловий)		ф-ла (18) [10]	1	1	1	1	1	1	1	1	1		
	Снижение УЗД, Dz, дБ		ф-ла (14) [10]	11	13,5	16,2	19	22	24,9	27,9	30,9	33,9		
Траектория справа от экрана	Промежуточные точки:	Pss(x,y,z) = (549.08,-14.03,2.27)	Psr(x,y,z) = (549.08,-14.03,2.27)	dss = 189.67 м		dsr = 340.55 м		e = 0.00 м		z = 10.54 м				
	Константа С2, учитывающая эффект отражения от земли возле экрана			40	40	40	40	40	40	40	40	40		
	Константа С3 (дифракция на кромках)		ф-ла (15) [10]	1	1	1	1	1	1	1	1	1		
	K_{met} (влияние метеоусловий)		ф-ла (18) [10]	1	1	1	1	1	1	1	1	1		
	Снижение УЗД, Dz, дБ		ф-ла (14) [10]	16,2	19,1	22	25	27,9	30,9	33,9	37	40		
Общее снижение уровня звука препятствием Dz, дБ			Эн.сумма(-Dzi)	3,6	4,1	4,4	4,7	4,9	5,2	5,7	6,6	7,8		
Уровни звукового давления от источника ИШ-2-24 в расчётной точке днём, дБ			**ф-ла(3)[10]**	**0**	**26,8**	**27,8**	**28,4**	**27,6**	**25,8**	**19,8**	**7,5**	**0**	**29,5**	**29,5**
Уровни звукового давления от источника ИШ-2-24 в расчётной точке ночью, дБ			**ф-ла(3)[10]**	**0**	**26,8**	**27,8**	**28,4**	**27,6**	**25,8**	**19,8**	**7,5**	**0**	**29,5**	**29,5**

Источник шума: ИШ-2-25, координаты источника (x,y,z), м =[734.58,18.32,1.00]

1			2	3	4	5	6	7	8	9	10	11	12	13
Уровни звуковой мощности источника днём, Lw, дБ			**исходные данные**	**0**	**93,3**	**94,7**	**96**	**96,3**	**95,9**	**92,6**	**88,4**	**83,9**		
Уровни звуковой мощности источника ночью, Lw, дБ			**исходные данные**	**0**	**93,3**	**94,7**	**96**	**96,3**	**95,9**	**92,6**	**88,4**	**83,9**		
Поправка на телесный угол DΩ, дБ		Ω = 6.28	10Lg(4π/Ω)	**3**	3	3	3	3	3	3	3	3		
Показатель направленности источника Di, дБ			исходные данные	**0**	0	0	0	0	0	0	0	0		
Поправка на направленность источника Dc, дБ		Dc	DΩ + Di	**3**	3	3	3	3	3	3	3	3		
Затухание из-за геометрической дивергенции, Adiv, дБ		расстояние = 517.64 м	ф-ла (7) [10]	**65,3**										
Коэффициент затухания звука в атмосфере α, дБ/км		Ta=20,°C Pa=101.33,кПа hотн.=70%	ф-ла (5) [9]	0,02	0,09	0,33	1,12	2,79	4,98	9,04	23,09	77,63		
Учет затухания звука в атмосфере Aatm, дБ			ф-ла (8) [10]	0	0	0,2	0,6	1,4	2,6	4,7	12	40,2		
Снижение уровня звукового давления из-за влияния застройки между источником шума и расчетной точкой														
Длина звуковой волны для среднегеометрической частоты октавной полосы, λ, м				10,79	5,4	2,72	1,36	0,68	0,34	0,17	0,09	0,04		
Критерий наличия экранирования в горизонтальной плоскости	Горизонтальный размер экрана, lэкр = 76.55 м		lэкр > λ	да	да	да	да	да	да	да	да	да		
Траектория над экраном	Промежуточные точки:	Pss(x,y,z) = (584.29,-54.50,8.00)	Psr(x,y,z) = (450.07,-119.53,10.00)	dss = 167.15 м		dsr = 201.56 м		e = 149.16 м		z = 0.22 м				
	Константа C2, учитывающая эффект отражения от земли возле экрана			40	40	40	40	40	40	40	40	40		
	Константа C3 (дифракция на кромках)		ф-ла (15) [10]	2,4	2,8	3	3	3	3	3	3	3		
	K_{met} (влияние метеоусловий)		ф-ла (18) [10]	0	0	0	0	0	0	0	0	0		
	Снижение УЗД, Dz, дБ		ф-ла (14) [10]	4,9	5	5,3	5,8	6,7	8	9,8	12,1	14,7		
	Промежуточные точки:	Pss(x,y,z) = (469.27,-137.76,3.13)	Psr(x,y,z) = (469.27,-137.76,3.13)	dss = 307.83 м		dsr = 212.26 м		e = 0.00 м		z = 2.45 м				

1			2	3	4	5	6	7	8	9	10	11	12	13
Траектория слева от экрана	Константа С2, учитывающая эффект отражения от земли возле экрана			40	40	40	40	40	40	40	40	40		
	Константа С3 (дифракция на кромках)		ф-ла (15) [10]	1	1	1	1	1	1	1	1	1		
	K_{met} (влияние метеоусловий)		ф-ла (18) [10]	1	1	1	1	1	1	1	1	1		
	Снижение УЗД, Dz, дБ		ф-ла (14) [10]	10,8	13,3	15,9	18,8	21,7	24,6	27,6	30,6	33,6		
Траектория справа от экрана	Промежуточные точки:	Pss(x,y,z) = (549.08,-14.03,2.26)	Psr(x,y,z) = (549.08,-14.03,2.26)	dss = 188.30 м		dsr = 340.55 м		e = 0.00 м		z = 11.21 м				
	Константа С2, учитывающая эффект отражения от земли возле экрана			40	40	40	40	40	40	40	40	40		
	Константа С3 (дифракция на кромках)		ф-ла (15) [10]	1	1	1	1	1	1	1	1	1		
	K_{met} (влияние метеоусловий)		ф-ла (18) [10]	1	1	1	1	1	1	1	1	1		
	Снижение УЗД, Dz, дБ		ф-ла (14) [10]	16,5	19,4	22,3	25,2	28,2	31,2	34,2	37,2	40,2		
Общее снижение уровня звука препятствием Dz, дБ			Эн.сумма(-Dzi)	3,7	4,3	4,9	5,6	6,5	7,9	9,8	12,1	14,7		
Уровни звукового давления от источника ИШ-2-25 в расчётной точке днём, дБ			**ф-ла(3)[10]**	**0**	**26,7**	**27,4**	**27,6**	**26**	**23,1**	**15,9**	**2,1**	**0**	**27,4**	**27,4**
Уровни звукового давления от источника ИШ-2-25 в расчётной точке ночью, дБ			**ф-ла(3)[10]**	**0**	**26,7**	**27,4**	**27,6**	**26**	**23,1**	**15,9**	**2,1**	**0**	**27,4**	**27,4**
Источник шума: ИШ-2-26, координаты источника (x,y,z), м =[733.57,15.41,1.00]														
Уровни звуковой мощности источника днём, Lw, дБ			**исходные данные**	**0**	**93,3**	**94,7**	**96**	**96,3**	**95,9**	**92,6**	**88,4**	**83,9**		
Уровни звуковой мощности источника ночью, Lw, дБ			**исходные данные**	**0**	**93,3**	**94,7**	**96**	**96,3**	**95,9**	**92,6**	**88,4**	**83,9**		
Поправка на телесный угол DΩ, дБ		Ω = 6.28	10Lg(4π/Ω)	**3**	3	3	3	3	3	3	3	3		
Показатель направленности источника Di, дБ			исходные данные	**0**	0	0	0	0	0	0	0	0		

1			2	3	4	5	6	7	8	9	10	11	12	13
Поправка на направленность источника Dc, дБ		Dc	DΩ + Di	**3**	3	3	3	3	3	3	3	3		
Затухание из-за геометрической дивергенции, Adiv, дБ		расстояние = 515.46 м	ф-ла (7) [10]	**65,2**										
Коэффициент затухания звука в атмосфере α, дБ/км		Ta=20,°C Pa=101.33,кПа hотн.=70%	ф-ла (5) [9]	0,02	0,09	0,33	1,12	2,79	4,98	9,04	23,09	77,63		
Учет затухания звука в атмосфере Aatm, дБ			ф-ла (8) [10]	0	0	0,2	0,6	1,4	2,6	4,7	11,9	40		
Снижение уровня звукового давления из-за влияния застройки между источником шума и расчетной точкой														
Длина звуковой волны для среднегеометрической частоты октавной полосы, λ, м				10,79	5,4	2,72	1,36	0,68	0,34	0,17	0,09	0,04		
Критерий наличия экранирования в горизонтальной плоскости	Горизонтальный размер экрана, lэкр = 77.08 м		lэкр > λ	да	да	да	да	да	да	да	да	да		
Траектория над экраном	Промежуточные точки:	Pss(x,y,z) = (583.63,-56.46,8.00)	Psr(x,y,z) = (449.69,-120.65,10.00)	dss = 166.41 м		dsr = 200.73 м		e = 148.54 м		z = 0.22 м				
	Константа C2, учитывающая эффект отражения от земли возле экрана			40	40	40	40	40	40	40	40	40		
	Константа C3 (дифракция на кромках)		ф-ла (15) [10]	2,4	2,8	3	3	3	3	3	3	3		
	K_{met} (влияние метеоусловий)		ф-ла (18) [10]	0	0	0	0	0	0	0	0	0		
	Снижение УЗД, Dz, дБ		ф-ла (14) [10]	4,9	5,1	5,3	5,9	6,7	8,1	9,9	12,2	14,8		
Траектория слева от экрана	Промежуточные точки:	Pss(x,y,z) = (469.27,-137.76,3.13)	Psr(x,y,z) = (469.27,-137.76,3.13)	dss = 305.48 м		dsr = 212.26 м		e = 0.00 м		z = 2.28 м				
	Константа C2, учитывающая эффект отражения от земли возле экрана			40	40	40	40	40	40	40	40	40		
	Константа C3 (дифракция на кромках)		ф-ла (15) [10]	1	1	1	1	1	1	1	1	1		
	K_{met} (влияние метеоусловий)		ф-ла (18) [10]	1	1	1	1	1	1	1	1	1		
	Снижение УЗД, Dz, дБ		ф-ла (14) [10]	10,6	13	15,6	18,5	21,4	24,3	27,3	30,3	33,3		

1			2	3	4	5	6	7	8	9	10	11	12	13
Траектория справа от экрана	Промежуточные точки:	Pss(x,y,z) = (549.08,-14.03,2.25)	Psr(x,y,z) = (549.08,-14.03,2.25)	dss = 186.82 м		dsr = 340.55 м		e = 0.00 м		z = 11.91 м				
	Константа C2, учитывающая эффект отражения от земли возле экрана			40	40	40	40	40	40	40	40	40		
	Константа C3 (дифракция на кромках)		ф-ла (15) [10]	1	1	1	1	1	1	1	1	1		
	K_{met} (влияние метеоусловий)		ф-ла (18) [10]	1	1	1	1	1	1	1	1	1		
	Снижение УЗД, Dz, дБ		ф-ла (14) [10]	16,7	19,6	22,5	25,5	28,5	31,5	34,5	37,5	40,5		
Общее снижение уровня звука препятствием Dz, дБ			Эн.сумма(-Dzi)	3,6	4,3	4,9	5,6	6,6	8	9,8	12,2	14,8		
Уровни звукового давления от источника ИШ-2-26 в расчётной точке днём, дБ			**ф-ла(3)[10]**	**0**	**26,7**	**27,4**	**27,6**	**26**	**23,1**	**15,8**	**2,1**	**0**	**27,4**	**27,4**
Уровни звукового давления от источника ИШ-2-26 в расчётной точке ночью, дБ			**ф-ла(3)[10]**	**0**	**26,7**	**27,4**	**27,6**	**26**	**23,1**	**15,8**	**2,1**	**0**	**27,4**	**27,4**
Источник шума: ИШ-2-27, координаты источника (x,y,z), м =[732.43,12.66,1.00]														
Уровни звуковой мощности источника днём, Lw, дБ			**исходные данные**	**0**	**93,3**	**94,7**	**96**	**96,3**	**95,9**	**92,6**	**88,4**	**83,9**		
Уровни звуковой мощности источника ночью, Lw, дБ			**исходные данные**	**0**	**93,3**	**94,7**	**96**	**96,3**	**95,9**	**92,6**	**88,4**	**83,9**		
Поправка на телесный угол DΩ, дБ		Ω = 6.28	10Lg(4π/Ω)	**3**	3	3	3	3	3	3	3	3		
Показатель направленности источника Di, дБ			исходные данные	**0**	0	0	0	0	0	0	0	0		
Поправка на направленность источника Dc, дБ		Dc	DΩ + Di	**3**	3	3	3	3	3	3	3	3		
Затухание из-за геометрической дивергенции, Adiv, дБ		расстояние = 513.25 м	ф-ла (7) [10]	**65,2**										
Коэффициент затухания звука в атмосфере α, дБ/км		Ta=20,°C Pa=101.33,кПа hотн.=70%	ф-ла (5) [9]	0,02	0,09	0,33	1,12	2,79	4,98	9,04	23,09	77,63		

1			2	3	4	5	6	7	8	9	10	11	12	13
Учет затухания звука в атмосфере Aatm, дБ			ф-ла (8) [10]	0	0	0,2	0,6	1,4	2,6	4,6	11,8	39,8		
Снижение уровня звукового давления из-за влияния застройки между источником шума и расчетной точкой														
Длина звуковой волны для среднегеометрической частоты октавной полосы, λ, м				10,79	5,4	2,72	1,36	0,68	0,34	0,17	0,09	0,04		
Критерий наличия экранирования в горизонтальной плоскости	Горизонтальный размер экрана, lэкр = 77.56 м		lэкр > λ	да	да	да	да	да	да	да	да	да		
Траектория над экраном	Промежуточные точки:	Pss(x,y,z) = (583.03,-58.23,8.00)	Psr(x,y,z) = (449.35,-121.67,10.00)	dss = 165.51 м		dsr = 199.98 м		e = 147.98 м		z = 0.22 м				
	Константа C2, учитывающая эффект отражения от земли возле экрана			40	40	40	40	40	40	40	40	40		
	Константа C3 (дифракция на кромках)		ф-ла (15) [10]	2,4	2,8	3	3	3	3	3	3	3		
	K_{met} (влияние метеоусловий)		ф-ла (18) [10]	0	0	0	0	0	0	0	0	0		
	Снижение УЗД, Dz, дБ		ф-ла (14) [10]	4,9	5,1	5,4	5,9	6,8	8,2	10	12,4	15		
Траектория слева от экрана	Промежуточные точки:	Pss(x,y,z) = (469.27,-137.76,3.12)	Psr(x,y,z) = (469.27,-137.76,3.12)	dss = 303.12 м		dsr = 212.26 м		e = 0.00 м		z = 2.14 м				
	Константа C2, учитывающая эффект отражения от земли возле экрана			40	40	40	40	40	40	40	40	40		
	Константа C3 (дифракция на кромках)		ф-ла (15) [10]	1	1	1	1	1	1	1	1	1		
	K_{met} (влияние метеоусловий)		ф-ла (18) [10]	1	1	1	1	1	1	1	1	1		
	Снижение УЗД, Dz, дБ		ф-ла (14) [10]	10,4	12,8	15,4	18,2	21,1	24,1	27	30	33		
Траектория справа от экрана	Промежуточные точки:	Pss(x,y,z) = (549.08,-14.03,2.24)	Psr(x,y,z) = (549.08,-14.03,2.24)	dss = 185.28 м		dsr = 340.55 м		e = 0.00 м		z = 12.58 м				
	Константа C2, учитывающая эффект отражения от земли возле экрана			40	40	40	40	40	40	40	40	40		
	Константа C3 (дифракция на кромках)		ф-ла (15) [10]	1	1	1	1	1	1	1	1	1		

1		2	3	4	5	6	7	8	9	10	11	12	13
	K_{met} (влияние метеоусловий)	ф-ла (18) [10]	1	1	1	1	1	1	1	1	1		
	Снижение УЗД, Dz, дБ	ф-ла (14) [10]	17	19,8	22,7	25,7	28,7	31,7	34,7	37,7	40,7		
Общее снижение уровня звука препятствием Dz, дБ		Эн.сумма(-Dzi)	3,6	4,3	4,9	5,6	6,6	8	9,9	12,3	14,9		
Уровни звукового давления от источника ИШ-2-27 в расчётной точке днём, дБ		**ф-ла(3)[10]**	**0**	**26,8**	**27,4**	**27,6**	**26**	**23,1**	**15,8**	**2,1**	**0**	**27,3**	**27,3**
Уровни звукового давления от источника ИШ-2-27 в расчётной точке ночью, дБ		**ф-ла(3)[10]**	**0**	**26,8**	**27,4**	**27,6**	**26**	**23,1**	**15,8**	**2,1**	**0**	**27,3**	**27,3**
Источник шума: ИШ-2-28, координаты источника (x,y,z), м =[731.54,9.78,1.00]													
Уровни звуковой мощности источника днём, Lw, дБ		**исходные данные**	**0**	**93,3**	**94,7**	**96**	**96,3**	**95,9**	**92,6**	**88,4**	**83,9**		
Уровни звуковой мощности источника ночью, Lw, дБ		**исходные данные**	**0**	**93,3**	**94,7**	**96**	**96,3**	**95,9**	**92,6**	**88,4**	**83,9**		
Поправка на телесный угол DΩ, дБ	Ω = 6.28	10Lg(4π/Ω)	**3**	3	3	3	3	3	3	3	3		
Показатель направленности источника Di, дБ		исходные данные	**0**	0	0	0	0	0	0	0	0		
Поправка на направленность источника Dc, дБ	Dc	DΩ + Di	**3**	3	3	3	3	3	3	3	3		
Затухание из-за геометрической дивергенции, Adiv, дБ	расстояние = 511.21 м	ф-ла (7) [10]	**65,2**										
Коэффициент затухания звука в атмосфере α, дБ/км	Ta=20,°C Pa=101.33,кПа hотн.=70%	ф-ла (5) [9]	0,02	0,09	0,33	1,12	2,79	4,98	9,04	23,09	77,63		
Учет затухания звука в атмосфере Aatm, дБ		ф-ла (8) [10]	0	0	0,2	0,6	1,4	2,5	4,6	11,8	39,7		
Снижение уровня звукового давления из-за влияния застройки между источником шума и расчетной точкой													
Длина звуковой волны для среднегеометрической частоты октавной полосы, λ, м			10,79	5,4	2,72	1,36	0,68	0,34	0,17	0,09	0,04		

1			2	3	4	5	6	7	8	9	10	11	12	13
Критерий наличия экранирования в горизонтальной плоскости	Горизонтальный размер экрана, lэкр = 78.11 м		lэкр > λ	да	да	да	да	да	да	да	да	да		
Траектория над экраном	Промежуточные точки:	Pss(x,y,z) = (582.36,-60.22,8.00)	Psr(x,y,z) = (448.97,-122.82,10.00)	dss = 164.93 м		dsr = 199.15 м		e = 147.37 м		z = 0.22 м				
	Константа C2, учитывающая эффект отражения от земли возле экрана			40	40	40	40	40	40	40	40	40		
	Константа C3 (дифракция на кромках)		ф-ла (15) [10]	2,4	2,8	3	3	3	3	3	3	3		
	K_{met} (влияние метеоусловий)		ф-ла (18) [10]	0	0	0	0	0	0	0	0	0		
	Снижение УЗД, Dz, дБ		ф-ла (14) [10]	4,9	5,1	5,4	5,9	6,8	8,2	10,1	12,5	15,1		
Траектория слева от экрана	Промежуточные точки:	Pss(x,y,z) = (469.27,-137.76,3.11)	Psr(x,y,z) = (469.27,-137.76,3.11)	dss = 300.93 м		dsr = 212.26 м		e = 0.00 м		z = 1.98 м				
	Константа C2, учитывающая эффект отражения от земли возле экрана			40	40	40	40	40	40	40	40	40		
	Константа C3 (дифракция на кромках)		ф-ла (15) [10]	1	1	1	1	1	1	1	1	1		
	K_{met} (влияние метеоусловий)		ф-ла (18) [10]	1	1	1	1	1	1	1	1	1		
	Снижение УЗД, Dz, дБ		ф-ла (14) [10]	10,1	12,5	15,1	17,9	20,8	23,7	26,7	29,7	32,7		
Траектория справа от экрана	Промежуточные точки:	Pss(x,y,z) = (549.08,-14.03,2.23)	Psr(x,y,z) = (549.08,-14.03,2.23)	dss = 184.00 м		dsr = 340.55 м		e = 0.00 м		z = 13.34 м				
	Константа C2, учитывающая эффект отражения от земли возле экрана			40	40	40	40	40	40	40	40	40		
	Константа C3 (дифракция на кромках)		ф-ла (15) [10]	1	1	1	1	1	1	1	1	1		
	K_{met} (влияние метеоусловий)		ф-ла (18) [10]	1	1	1	1	1	1	1	1	1		
	Снижение УЗД, Dz, дБ		ф-ла (14) [10]	17,2	20,1	23	26	29	32	35	38	41		
Общее снижение уровня звука препятствием Dz, дБ			Эн.сумма(-Dzi)	3,6	4,2	4,9	5,6	6,6	8,1	10	12,4	15		
Уровни звукового давления от источника ИШ-2-28 в расчётной точке днём, дБ			**ф-ла(3)[10]**	**0**	**26,8**	**27,5**	**27,6**	**26,1**	**23,1**	**15,8**	**2,1**	**0**	**27,4**	**27,4**

1			2	3	4	5	6	7	8	9	10	11	12	13
Уровни звукового давления от источника ИШ-2-28 в расчётной точке ночью, дБ			**ф-ла(3)[10]**	**0**	**26,8**	**27,5**	**27,6**	**26,1**	**23,1**	**15,8**	**2,1**	**0**	**27,4**	**27,4**
Источник шума: ИШ-2-29, координаты источника (x,y,z), м =[730.57,6.88,1.00]														
Уровни звуковой мощности источника днём, Lw, дБ			**исходные данные**	**0**	**93,3**	**94,7**	**96**	**96,3**	**95,9**	**92,6**	**88,4**	**83,9**		
Уровни звуковой мощности источника ночью, Lw, дБ			**исходные данные**	**0**	**93,3**	**94,7**	**96**	**96,3**	**95,9**	**92,6**	**88,4**	**83,9**		
Поправка на телесный угол DΩ, дБ		Ω = 6.28	10Lg(4π/Ω)	**3**	3	3	3	3	3	3	3	3		
Показатель направленности источника Di, дБ			исходные данные	**0**	0	0	0	0	0	0	0	0		
Поправка на направленность источника Dc, дБ		Dc	DΩ + Di	**3**	3	3	3	3	3	3	3	3		
Затухание из-за геометрической дивергенции, Adiv, дБ		расстояние = 509.12 м	ф-ла (7) [10]	**65,1**										
Коэффициент затухания звука в атмосфере α, дБ/км		Ta=20,°C Pa=101.33,кПа hотн.=70%	ф-ла (5) [9]	0,02	0,09	0,33	1,12	2,79	4,98	9,04	23,09	77,63		
Учет затухания звука в атмосфере Aatm, дБ			ф-ла (8) [10]	0	0	0,2	0,6	1,4	2,5	4,6	11,8	39,5		
Снижение уровня звукового давления из-за влияния застройки между источником шума и расчетной точкой														
Длина звуковой волны для среднегеометрической частоты октавной полосы, λ, м				10,79	5,4	2,72	1,36	0,68	0,34	0,17	0,09	0,04		
Критерий наличия экранирования в горизонтальной плоскости	Горизонтальный размер экрана, lэкр = 78.65 м		lэкр > λ	да	да	да	да	да	да	да	да	да		
Траектория над экраном	Промежуточные точки:	Pss(x,y,z) = (581.70,-62.18,8.00)	Psr(x,y,z) = (448.59,-123.94,10.00)	dss = 164.26 м		dsr = 198.33 м		e = 146.76 м		z = 0.22 м				
	Константа C2, учитывающая эффект отражения от земли возле экрана			40	40	40	40	40	40	40	40	40		
	Константа C3 (дифракция на кромках)		ф-ла (15) [10]	2,4	2,8	2,9	3	3	3	3	3	3		

1			2	3	4	5	6	7	8	9	10	11	12	13
	K_{met} (влияние метеоусловий)		ф-ла (18) [10]	0	0	0	0	0	0	0	0	0		
	Снижение УЗД, Dz, дБ		ф-ла (14) [10]	4,9	5,1	5,4	6	6,9	8,3	10,2	12,6	15,2		
Траектория слева от экрана	Промежуточные точки:	Pss(x,y,z) = (469.27,-137.76,3.11)	Psr(x,y,z) = (469.27,-137.76,3.11)	dss = 298.67 м		dsr = 212.26 м		e = 0.00 м		z = 1.82 м				
	Константа C2, учитывающая эффект отражения от земли возле экрана			40	40	40	40	40	40	40	40	40		
	Константа C3 (дифракция на кромках)		ф-ла (15) [10]	1	1	1	1	1	1	1	1	1		
	K_{met} (влияние метеоусловий)		ф-ла (18) [10]	1	1	1	1	1	1	1	1	1		
	Снижение УЗД, Dz, дБ		ф-ла (14) [10]	9,9	12,2	14,7	17,5	20,4	23,4	26,3	29,3	32,3		
Траектория справа от экрана	Промежуточные точки:	Pss(x,y,z) = (549.08,-14.03,2.23)	Psr(x,y,z) = (549.08,-14.03,2.23)	dss = 182.69 м		dsr = 340.55 м		e = 0.00 м		z = 14.13 м				
	Константа C2, учитывающая эффект отражения от земли возле экрана			40	40	40	40	40	40	40	40	40		
	Константа C3 (дифракция на кромках)		ф-ла (15) [10]	1	1	1	1	1	1	1	1	1		
	K_{met} (влияние метеоусловий)		ф-ла (18) [10]	1	1	1	1	1	1	1	1	1		
	Снижение УЗД, Dz, дБ		ф-ла (14) [10]	17,4	20,3	23,2	26,2	29,2	32,2	35,2	38,2	41,2		
Общее снижение уровня звука препятствием Dz, дБ			Эн.сумма(-Dzi)	3,5	4,2	4,9	5,6	6,7	8,1	10,1	12,5	15,1		
Уровни звукового давления от источника ИШ-2-29 в расчётной точке днём, дБ			**ф-ла(3)[10]**	**0**	**26,9**	**27,5**	**27,7**	**26,1**	**23,1**	**15,8**	**2**	**0**	**27,4**	**27,4**
Уровни звукового давления от источника ИШ-2-29 в расчётной точке ночью, дБ			**ф-ла(3)[10]**	**0**	**26,9**	**27,5**	**27,7**	**26,1**	**23,1**	**15,8**	**2**	**0**	**27,4**	**27,4**
Источник шума: ИШ-2-4, координаты источника (x,y,z), м =[632.70,-65.30,3.00]														
Уровни звуковой мощности источника днём, Lw, дБ			**исходные данные**	**105**	**104**	**104**	**101**	**102**	**106**	**101**	**95**	**87**		

1			2	3	4	5	6	7	8	9	10	11	12	13
Уровни звуковой мощности источника ночью, Lw, дБ			**исходные данные**	**105**	**104**	**104**	**101**	**102**	**106**	**101**	**95**	**87**		
Поправка на телесный угол DΩ, дБ	Ω = 6.28		10Lg(4π/Ω)	**3**	3	3	3	3	3	3	3	3		
Показатель направленности источника Di, дБ			исходные данные	**0**	0	0	0	0	0	0	0	0		
Поправка на направленность источника Dc, дБ	Dc		DΩ + Di	**3**	3	3	3	3	3	3	3	3		
Затухание из-за геометрической дивергенции, Adiv, дБ	расстояние = 390.70 м		ф-ла (7) [10]	**62,8**										
Коэффициент затухания звука в атмосфере α, дБ/км	Ta=20,°C Pa=101.33,кПа hотн.=70%		ф-ла (5) [9]	0,02	0,09	0,33	1,12	2,79	4,98	9,04	23,09	77,63		
Учет затухания звука в атмосфере Aatm, дБ			ф-ла (8) [10]	0	0	0,1	0,4	1,1	1,9	3,5	9	30,3		
Снижение уровня звукового давления из-за влияния застройки между источником шума и расчетной точкой														
Длина звуковой волны для среднегеометрической частоты октавной полосы, λ, м				10,79	5,4	2,72	1,36	0,68	0,34	0,17	0,09	0,04		
Критерий наличия экранирования в горизонтальной плоскости	Горизонтальный размер экрана, lэкр = 24.60 м		lэкр > λ	да	да	да	да	да	да	да	да	да		
Траектория над экраном	Промежуточные точки:	Pss(x,y,z) = (472.61,-127.80,10.00)	Psr(x,y,z) = (457.34,-133.76,10.00)	dss = 172.00 м		dsr = 202.52 м		e = 16.40 м		z = 0.21 м				
	Константа C2, учитывающая эффект отражения от земли возле экрана			40	40	40	40	40	40	40	40	40		
	Константа C3 (дифракция на кромках)		ф-ла (15) [10]	1,1	1,2	1,7	2,3	2,8	2,9	3	3	3		
	K_{met} (влияние метеоусловий)		ф-ла (18) [10]	0,1	0,1	0,1	0,1	0,1	0,1	0,1	0,1	0,1		
	Снижение УЗД, Dz, дБ		ф-ла (14) [10]	4,8	4,9	5,2	5,8	7	8,6	10,7	13,1	15,8		
	Промежуточные точки:	Pss(x,y,z) = (469.27,-137.76,3.73)	Psr(x,y,z) = (469.27,-137.76,3.73)	dss = 178.78 м		dsr = 212.26 м		e = 0.00 м		z = 0.34 м				
	Константа C2, учитывающая эффект отражения от земли возле экрана			40	40	40	40	40	40	40	40	40		

1			2	3	4	5	6	7	8	9	10	11	12	13
Траектория слева от экрана	Константа С3 (дифракция на кромках)		ф-ла (15) [10]	1	1	1	1	1	1	1	1	1		
	K_{met} (влияние метеоусловий)		ф-ла (18) [10]	1	1	1	1	1	1	1	1	1		
	Снижение УЗД, Dz, дБ		ф-ла (14) [10]	6,3	7,4	9	11,1	13,6	16,3	19,1	22,1	25		
Траектория справа от экрана	Промежуточные точки:	Pss(x,y,z) = (450.34,-118.75,3.78)	Psr(x,y,z) = (450.34,-118.75,3.78)	dss = 190.04 м		dsr = 202.06 м		e = 0.00 м		z = 1.40 м				
	Константа С2, учитывающая эффект отражения от земли возле экрана			40	40	40	40	40	40	40	40	40		
	Константа С3 (дифракция на кромках)		ф-ла (15) [10]	1	1	1	1	1	1	1	1	1		
	K_{met} (влияние метеоусловий)		ф-ла (18) [10]	1	1	1	1	1	1	1	1	1		
	Снижение УЗД, Dz, дБ		ф-ла (14) [10]	9,1	11,3	13,7	16,4	19,3	22,2	25,2	28,2	31,2		
Общее снижение уровня звука препятствием Dz, дБ			Эн.сумма(-Dzi)	1,6	2,4	3,3	4,4	5,9	7,8	10	12,5	15,2		
Уровни звукового давления прямого звука от источника ИШ-2-4 в расчётной точке днём, дБ			**ф-ла(3)[10]**	**43,5**	**41,8**	**40,8**	**36,3**	**35,2**	**36,5**	**27,7**	**13,7**	**0**	**38,9**	**38,9**
Уровни звукового давления прямого звука от источника ИШ-2-4 в расчётной точке ночью, дБ			**ф-ла(3)[10]**	**43,5**	**41,8**	**40,8**	**36,3**	**35,2**	**36,5**	**27,7**	**13,7**	**0**	**38,9**	**38,9**
Расчёт отражённого звука														
Уровни звукового давления от мнимого источника ИШ-2-4_мн.(1) в расчётной точке днём, дБ			**ф-ла(3)[10]**	**0**	**0**	**0**	**0**	**0**	**0**	**0**	**0**	**0**	**0**	**0**
Уровни звукового давления от мнимого источника ИШ-2-4_мн.(1) в расчётной точке ночью, дБ			**ф-ла(3)[10]**	**0**	**0**	**0**	**0**	**0**	**0**	**0**	**0**	**0**	**0**	**0**
Уровни звукового давления от источника ИШ-2-4 в расчётной точке днём, дБ			**ф-ла(3)[10]**	**43,5**	**41,8**	**40,8**	**36,3**	**35,2**	**36,5**	**27,7**	**13,7**	**0**	**38,9**	**38,9**
Уровни звукового давления от источника ИШ-2-4 в расчётной точке ночью, дБ			**ф-ла(3)[10]**	**43,5**	**41,8**	**40,8**	**36,3**	**35,2**	**36,5**	**27,7**	**13,7**	**0**	**38,9**	**38,9**

Источник шума: ИШ-2-30, координаты источника (x,y,z), м =[702.44,-77.23,1.00]

1		2	3	4	5	6	7	8	9	10	11	12	13
Уровни звуковой мощности источника днём, Lw, дБ		**исходные данные**	**0**	**93,3**	**94,7**	**96**	**96,3**	**95,9**	**92,6**	**88,4**	**83,9**		
Уровни звуковой мощности источника ночью, Lw, дБ		**исходные данные**	**0**	**93,3**	**94,7**	**96**	**96,3**	**95,9**	**92,6**	**88,4**	**83,9**		
Поправка на телесный угол DΩ, дБ	Ω = 6.28	10Lg(4π/Ω)	**3**	3	3	3	3	3	3	3	3		
Показатель направленности источника Di, дБ		исходные данные	**0**	0	0	0	0	0	0	0	0		
Поправка на направленность источника Dc, дБ	Dc	DΩ + Di	**3**	3	3	3	3	3	3	3	3		
Затухание из-за геометрической дивергенции, Adiv, дБ	расстояние = 452.81 м	ф-ла (7) [10]	**64,1**										
Коэффициент затухания звука в атмосфере α, дБ/км	Ta=20,°C Pa=101.33,кПа hотн.=70%	ф-ла (5) [9]	0,02	0,09	0,33	1,12	2,79	4,98	9,04	23,09	77,63		
Учет затухания звука в атмосфере Aatm, дБ		ф-ла (8) [10]	0	0	0,2	0,5	1,3	2,3	4,1	10,5	35,2		
Снижение поверхностью земли возле источника As, дБ	Gs = 0 hs = 1м	ф-лы таб.3 [10]	-1,5	-1,5	-1,5	-1,5	-1,5	-1,5	-1,5	-1,5	-1,5		
Снижение поверхностью земли возле приёмника Ar, дБ	Gr = 1 hr = 4.6м	ф-лы таб.3 [10]	-1,5	-1,5	3,3	1,3	0	0	0	0	0		
Снижение поверхностью земли в средней зоне, Am дБ	Gm = 1	ф-лы таб.3 [10]	-1,9	-1,9	0	0	0	0	0	0	0		
Суммарное снижение поверхностью земли на траектории распространения звука Agr, дБ		ф-ла (9) [10]	-4,9	-4,9	1,8	-0,2	-1,5	-1,5	-1,5	-1,5	-1,5		
Уровни звукового давления прямого звука от источника ИШ-2-30 в расчётной точке днём, дБ		**ф-ла(3)[10]**	**0**	**37**	**31,6**	**34,6**	**35,4**	**34**	**28,9**	**18,3**	**0**	**37,6**	**37,6**
Уровни звукового давления прямого звука от источника ИШ-2-30 в расчётной точке ночью, дБ		**ф-ла(3)[10]**	**0**	**37**	**31,6**	**34,6**	**35,4**	**34**	**28,9**	**18,3**	**0**	**37,6**	**37,6**
Расчёт отражённого звука													
Уровни звукового давления от мнимого источника ИШ-2-30_мн.(1) в расчётной точке днём, дБ		**ф-ла(3)[10]**	**0**	**0**	**0**	**24,2**	**24**	**29,5**	**26,3**	**15,7**	**0**	**32,2**	**32,2**
Уровни звукового давления от мнимого источника ИШ-2-30_мн.(1) в расчётной точке ночью, дБ		**ф-ла(3)[10]**	**0**	**0**	**0**	**0**	**0**	**0**	**0**	**0**	**0**	**32,2**	**32,2**

1		2	3	4	5	6	7	8	9	10	11	12	13
Уровни звукового давления от источника ИШ-2-30 в расчётной точке днём, дБ		**ф-ла(3)[10]**	**0**	**37**	**31,6**	**35**	**35,7**	**35,3**	**30,8**	**20,2**	**0**	**38,7**	**38,7**
Уровни звукового давления от источника ИШ-2-30 в расчётной точке ночью, дБ		**ф-ла(3)[10]**	**0**	**37**	**31,6**	**35**	**35,7**	**35,3**	**30,8**	**20,2**	**0**	**38,7**	**38,7**
Источник шума: ИШ-2-31, координаты источника (x,y,z), м =[701.42,-80.17,1.00]													
Уровни звуковой мощности источника днём, Lw, дБ		**исходные данные**	**0**	**93,3**	**94,7**	**96**	**96,3**	**95,9**	**92,6**	**88,4**	**83,9**		
Уровни звуковой мощности источника ночью, Lw, дБ		**исходные данные**	**0**	**93,3**	**94,7**	**96**	**96,3**	**95,9**	**92,6**	**88,4**	**83,9**		
Поправка на телесный угол DΩ, дБ	Ω = 6.28	10Lg(4π/Ω)	**3**	3	3	3	3	3	3	3	3		
Показатель направленности источника Di, дБ		исходные данные	**0**	0	0	0	0	0	0	0	0		
Поправка на направленность источника Dc, дБ	Dc	DΩ + Di	**3**	3	3	3	3	3	3	3	3		
Затухание из-за геометрической дивергенции, Adiv, дБ	расстояние = 451.00 м	ф-ла (7) [10]	**64,1**										
Коэффициент затухания звука в атмосфере α, дБ/км	Ta=20,°C Pa=101.33,кПа hотн.=70%	ф-ла (5) [9]	0,02	0,09	0,33	1,12	2,79	4,98	9,04	23,09	77,63		
Учет затухания звука в атмосфере Aatm, дБ		ф-ла (8) [10]	0	0	0,2	0,5	1,3	2,2	4,1	10,4	35		
Снижение поверхностью земли возле источника As, дБ	Gs = 0 hs = 1м	ф-лы таб.3 [10]	-1,5	-1,5	-1,5	-1,5	-1,5	-1,5	-1,5	-1,5	-1,5		
Снижение поверхностью земли возле приёмника Ar, дБ	Gr = 1 hr = 4.6м	ф-лы таб.3 [10]	-1,5	-1,5	3,3	1,3	0	0	0	0	0		
Снижение поверхностью земли в средней зоне, Am дБ	Gm = 1	ф-лы таб.3 [10]	-1,9	-1,9	0	0	0	0	0	0	0		
Суммарное снижение поверхностью земли на траектории распространения звука Agr, дБ		ф-ла (9) [10]	-4,9	-4,9	1,8	-0,2	-1,5	-1,5	-1,5	-1,5	-1,5		
Уровни звукового давления прямого звука от источника ИШ-2-31 в расчётной точке днём, дБ		**ф-ла(3)[10]**	**0**	**37,1**	**31,6**	**34,6**	**35,4**	**34,1**	**28,9**	**18,4**	**0**	**37,6**	**37,6**

1		2	3	4	5	6	7	8	9	10	11	12	13
Уровни звукового давления прямого звука от источника ИШ-2-31 в расчётной точке ночью, дБ		**ф-ла(3)[10]**	**0**	**37,1**	**31,6**	**34,6**	**35,4**	**34,1**	**28,9**	**18,4**	**0**	**37,6**	**37,6**
Расчёт отражённого звука													
Уровни звукового давления от мнимого источника ИШ-2-31_мн.(1) в расчётной точке днём, дБ		**ф-ла(3)[10]**	**0**	**0**	**0**	**24,2**	**24,1**	**29,5**	**26,4**	**15,8**	**0**	**32,2**	**32,2**
Уровни звукового давления от мнимого источника ИШ-2-31_мн.(1) в расчётной точке ночью, дБ		**ф-ла(3)[10]**	**0**	**0**	**0**	**0**	**0**	**0**	**0**	**0**	**0**	**32,2**	**32,2**
Уровни звукового давления от источника ИШ-2-31 в расчётной точке днём, дБ		**ф-ла(3)[10]**	**0**	**37,1**	**31,6**	**35**	**35,8**	**35,4**	**30,9**	**20,3**	**0**	**38,7**	**38,7**
Уровни звукового давления от источника ИШ-2-31 в расчётной точке ночью, дБ		**ф-ла(3)[10]**	**0**	**37,1**	**31,6**	**35**	**35,8**	**35,4**	**30,9**	**20,3**	**0**	**38,7**	**38,7**
Источник шума: ИШ-2-32, координаты источника (x,y,z), м =[700.38,-83.01,1.00]													
Уровни звуковой мощности источника днём, Lw, дБ		**исходные данные**	**0**	**93,3**	**94,7**	**96**	**96,3**	**95,9**	**92,6**	**88,4**	**83,9**		
Уровни звуковой мощности источника ночью, Lw, дБ		**исходные данные**	**0**	**93,3**	**94,7**	**96**	**96,3**	**95,9**	**92,6**	**88,4**	**83,9**		
Поправка на телесный угол DΩ, дБ	Ω = 6.28	10Lg(4π/Ω)	**3**	3	3	3	3	3	3	3	3		
Показатель направленности источника Di, дБ		исходные данные	**0**	0	0	0	0	0	0	0	0		
Поправка на направленность источника Dc, дБ	Dc	DΩ + Di	**3**	3	3	3	3	3	3	3	3		
Затухание из-за геометрической дивергенции, Adiv, дБ	расстояние = 449.21 м	ф-ла (7) [10]	**64**										
Коэффициент затухания звука в атмосфере α, дБ/км	Ta=20,°C Pa=101.33,кПа hотн.=70%	ф-ла (5) [9]	0,02	0,09	0,33	1,12	2,79	4,98	9,04	23,09	77,63		
Учет затухания звука в атмосфере Aatm, дБ		ф-ла (8) [10]	0	0	0,2	0,5	1,3	2,2	4,1	10,4	34,9		
Снижение поверхностью земли возле источника As, дБ	Gs = 0 hs = 1м	ф-лы таб.3 [10]	-1,5	-1,5	-1,5	-1,5	-1,5	-1,5	-1,5	-1,5	-1,5		

1		2	3	4	5	6	7	8	9	10	11	12	13
Снижение поверхностью земли возле приёмника Ar, дБ	Gr = 1 hr = 4.6м	ф-лы таб.3 [10]	-1,5	-1,5	3,3	1,3	0	0	0	0	0		
Снижение поверхностью земли в средней зоне, Am дБ	Gm = 1	ф-лы таб.3 [10]	-1,9	-1,9	0	0	0	0	0	0	0		
Суммарное снижение поверхностью земли на траектории распространения звука Agr, дБ		ф-ла (9) [10]	-4,9	-4,9	1,8	-0,2	-1,5	-1,5	-1,5	-1,5	-1,5		
Уровни звукового давления прямого звука от источника ИШ-2-32 в расчётной точке днём, дБ		**ф-ла(3)[10]**	**0**	**37,1**	**31,7**	**34,7**	**35,5**	**34,1**	**29**	**18,5**	**0**	**37,7**	**37,7**
Уровни звукового давления прямого звука от источника ИШ-2-32 в расчётной точке ночью, дБ		**ф-ла(3)[10]**	**0**	**37,1**	**31,7**	**34,7**	**35,5**	**34,1**	**29**	**18,5**	**0**	**37,7**	**37,7**
Расчёт отражённого звука													
Уровни звукового давления от мнимого источника ИШ-2-32_мн.(1) в расчётной точке днём, дБ		**ф-ла(3)[10]**	**0**	**0**	**0**	**24,3**	**24,1**	**29,5**	**26,4**	**15,9**	**0**	**32,3**	**32,3**
Уровни звукового давления от мнимого источника ИШ-2-32_мн.(1) в расчётной точке ночью, дБ		**ф-ла(3)[10]**	**0**	**0**	**0**	**0**	**0**	**0**	**0**	**0**	**0**	**32,3**	**32,3**
Уровни звукового давления от источника ИШ-2-32 в расчётной точке днём, дБ		**ф-ла(3)[10]**	**0**	**37,1**	**31,7**	**35**	**35,8**	**35,4**	**30,9**	**20,4**	**0**	**38,8**	**38,8**
Уровни звукового давления от источника ИШ-2-32 в расчётной точке ночью, дБ		**ф-ла(3)[10]**	**0**	**37,1**	**31,7**	**35**	**35,8**	**35,4**	**30,9**	**20,4**	**0**	**38,8**	**38,8**
Источник шума: ИШ-2-33, координаты источника (x,y,z), м =[699.52,-85.98,1.00]													
Уровни звуковой мощности источника днём, Lw, дБ		**исходные данные**	**0**	**93,3**	**94,7**	**96**	**96,3**	**95,9**	**92,6**	**88,4**	**83,9**		
Уровни звуковой мощности источника ночью, Lw, дБ		**исходные данные**	**0**	**93,3**	**94,7**	**96**	**96,3**	**95,9**	**92,6**	**88,4**	**83,9**		
Поправка на телесный угол DΩ, дБ	Ω = 6.28	10Lg(4π/Ω)	**3**	3	3	3	3	3	3	3	3		
Показатель направленности источника Di, дБ		исходные данные	**0**	0	0	0	0	0	0	0	0		
Поправка на направленность источника Dc, дБ	Dc	DΩ + Di	**3**	3	3	3	3	3	3	3	3		
Затухание из-за геометрической дивергенции, Adiv, дБ	расстояние = 447.57 м	ф-ла (7) [10]	**64**										

1		2	3	4	5	6	7	8	9	10	11	12	13
Коэффициент затухания звука в атмосфере α, дБ/км	Ta=20,°C Pa=101.33,кПа hотн.=70%	ф-ла (5) [9]	0,02	0,09	0,33	1,12	2,79	4,98	9,04	23,09	77,63		
Учет затухания звука в атмосфере Aatm, дБ		ф-ла (8) [10]	0	0	0,1	0,5	1,2	2,2	4	10,3	34,7		
Снижение поверхностью земли возле источника As, дБ	Gs = 0 hs = 1м	ф-лы таб.3 [10]	-1,5	-1,5	-1,5	-1,5	-1,5	-1,5	-1,5	-1,5	-1,5		
Снижение поверхностью земли возле приёмника Ar, дБ	Gr = 1 hr = 4.6м	ф-лы таб.3 [10]	-1,5	-1,5	3,3	1,3	0	0	0	0	0		
Снижение поверхностью земли в средней зоне, Am дБ	Gm = 1	ф-лы таб.3 [10]	-1,9	-1,9	0	0	0	0	0	0	0		
Суммарное снижение поверхностью земли на траектории распространения звука Agr, дБ		ф-ла (9) [10]	-4,9	-4,9	1,8	-0,2	-1,5	-1,5	-1,5	-1,5	-1,5		
Уровни звукового давления прямого звука от источника ИШ-2-33 в расчётной точке днём, дБ		**ф-ла(3)[10]**	**0**	**37,1**	**31,7**	**34,7**	**35,5**	**34,1**	**29**	**18,5**	**0**	**37,7**	**37,7**
Уровни звукового давления прямого звука от источника ИШ-2-33 в расчётной точке ночью, дБ		**ф-ла(3)[10]**	**0**	**37,1**	**31,7**	**34,7**	**35,5**	**34,1**	**29**	**18,5**	**0**	**37,7**	**37,7**
Расчёт отражённого звука													
Уровни звукового давления от мнимого источника ИШ-2-33_мн.(1) в расчётной точке днём, дБ		**ф-ла(3)[10]**	**0**	**0**	**0**	**24,3**	**24,2**	**29,6**	**26,5**	**16**	**0**	**32,3**	**32,3**
Уровни звукового давления от мнимого источника ИШ-2-33_мн.(1) в расчётной точке ночью, дБ		**ф-ла(3)[10]**	**0**	**0**	**0**	**0**	**0**	**0**	**0**	**0**	**0**	**32,3**	**32,3**
Уровни звукового давления от источника ИШ-2-33 в расчётной точке днём, дБ		**ф-ла(3)[10]**	**0**	**37,1**	**31,7**	**35,1**	**35,8**	**35,5**	**31**	**20,5**	**0**	**38,8**	**38,8**
Уровни звукового давления от источника ИШ-2-33 в расчётной точке ночью, дБ		**ф-ла(3)[10]**	**0**	**37,1**	**31,7**	**35,1**	**35,8**	**35,5**	**31**	**20,5**	**0**	**38,8**	**38,8**
Источник шума: ИШ-2-34, координаты источника (x,y,z), м =[698.43,-88.85,1.00]													
Уровни звуковой мощности источника днём, Lw, дБ		**исходные данные**	**0**	**93,3**	**94,7**	**96**	**96,3**	**95,9**	**92,6**	**88,4**	**83,9**		
Уровни звуковой мощности источника ночью, Lw, дБ		**исходные данные**	**0**	**93,3**	**94,7**	**96**	**96,3**	**95,9**	**92,6**	**88,4**	**83,9**		

1		2	3	4	5	6	7	8	9	10	11	12	13
Поправка на телесный угол DΩ, дБ	Ω = 6.28	10Lg(4π/Ω)	**3**	3	3	3	3	3	3	3	3		
Показатель направленности источника Di, дБ		исходные данные	**0**	0	0	0	0	0	0	0	0		
Поправка на направленность источника Dc, дБ	Dc	DΩ + Di	**3**	3	3	3	3	3	3	3	3		
Затухание из-за геометрической дивергенции, Adiv, дБ	расстояние = 445.75 м	ф-ла (7) [10]	**64**										
Коэффициент затухания звука в атмосфере α, дБ/км	Ta=20,°C Pa=101.33,кПа hотн.=70%	ф-ла (5) [9]	0,02	0,09	0,33	1,12	2,79	4,98	9,04	23,09	77,63		
Учет затухания звука в атмосфере Aatm, дБ		ф-ла (8) [10]	0	0	0,1	0,5	1,2	2,2	4	10,3	34,6		
Снижение поверхностью земли возле источника As, дБ	Gs = 0 hs = 1м	ф-лы таб.3 [10]	-1,5	-1,5	-1,5	-1,5	-1,5	-1,5	-1,5	-1,5	-1,5		
Снижение поверхностью земли возле приёмника Ar, дБ	Gr = 1 hr = 4.6м	ф-лы таб.3 [10]	-1,5	-1,5	3,3	1,3	0	0	0	0	0		
Снижение поверхностью земли в средней зоне, Am дБ	Gm = 1	ф-лы таб.3 [10]	-1,9	-1,9	0	0	0	0	0	0	0		
Суммарное снижение поверхностью земли на траектории распространения звука Agr, дБ		ф-ла (9) [10]	-4,9	-4,9	1,8	-0,2	-1,5	-1,5	-1,5	-1,5	-1,5		
Уровни звукового давления прямого звука от источника ИШ-2-34 в расчётной точке днём, дБ		**ф-ла(3)[10]**	**0**	**37,1**	**31,8**	**34,7**	**35,6**	**34,2**	**29,1**	**18,6**	**0**	**37,8**	**37,8**
Уровни звукового давления прямого звука от источника ИШ-2-34 в расчётной точке ночью, дБ		**ф-ла(3)[10]**	**0**	**37,1**	**31,8**	**34,7**	**35,6**	**34,2**	**29,1**	**18,6**	**0**	**37,8**	**37,8**
Расчёт отражённого звука													
Уровни звукового давления от мнимого источника ИШ-2-34_мн.(1) в расчётной точке днём, дБ		**ф-ла(3)[10]**	**0**	**0**	**0**	**24,4**	**24,2**	**29,6**	**26,5**	**16**	**0**	**32,4**	**32,4**
Уровни звукового давления от мнимого источника ИШ-2-34_мн.(1) в расчётной точке ночью, дБ		**ф-ла(3)[10]**	**0**	**0**	**0**	**0**	**0**	**0**	**0**	**0**	**0**	**32,4**	**32,4**
Уровни звукового давления от источника ИШ-2-34 в расчётной точке днём, дБ		**ф-ла(3)[10]**	**0**	**37,1**	**31,8**	**35,1**	**35,9**	**35,5**	**31**	**20,5**	**0**	**38,9**	**38,9**
Уровни звукового давления от источника ИШ-2-34 в расчётной точке ночью, дБ		**ф-ла(3)[10]**	**0**	**37,1**	**31,8**	**35,1**	**35,9**	**35,5**	**31**	**20,5**	**0**	**38,9**	**38,9**

1		2	3	4	5	6	7	8	9	10	11	12	13
Источник шума: ИШ-2-35, координаты источника (x,y,z), м =[697.52,-91.66,1.00]													
Уровни звуковой мощности источника днём, Lw, дБ		**исходные данные**	**0**	**93,3**	**94,7**	**96**	**96,3**	**95,9**	**92,6**	**88,4**	**83,9**		
Уровни звуковой мощности источника ночью, Lw, дБ		**исходные данные**	**0**	**93,3**	**94,7**	**96**	**96,3**	**95,9**	**92,6**	**88,4**	**83,9**		
Поправка на телесный угол DΩ, дБ	Ω = 6.28	10Lg(4π/Ω)	**3**	3	3	3	3	3	3	3	3		
Показатель направленности источника Di, дБ		исходные данные	**0**	0	0	0	0	0	0	0	0		
Поправка на направленность источника Dc, дБ	Dc	DΩ + Di	**3**	3	3	3	3	3	3	3	3		
Затухание из-за геометрической дивергенции, Adiv, дБ	расстояние = 444.12 м	ф-ла (7) [10]	**64**										
Коэффициент затухания звука в атмосфере α, дБ/км	Ta=20,°C Pa=101.33,кПа hотн.=70%	ф-ла (5) [9]	0,02	0,09	0,33	1,12	2,79	4,98	9,04	23,09	77,63		
Учет затухания звука в атмосфере Aatm, дБ		ф-ла (8) [10]	0	0	0,1	0,5	1,2	2,2	4	10,3	34,5		
Снижение поверхностью земли возле источника As, дБ	Gs = 0 hs = 1м	ф-лы таб.3 [10]	-1,5	-1,5	-1,5	-1,5	-1,5	-1,5	-1,5	-1,5	-1,5		
Снижение поверхностью земли возле приёмника Ar, дБ	Gr = 1 hr = 4.6м	ф-лы таб.3 [10]	-1,5	-1,5	3,3	1,3	0	0	0	0	0		
Снижение поверхностью земли в средней зоне, Am дБ	Gm = 1	ф-лы таб.3 [10]	-1,9	-1,9	0	0	0	0	0	0	0		
Суммарное снижение поверхностью земли на траектории распространения звука Agr, дБ		ф-ла (9) [10]	-4,9	-4,9	1,8	-0,2	-1,5	-1,5	-1,5	-1,5	-1,5		
Уровни звукового давления прямого звука от источника ИШ-2-35 в расчётной точке днём, дБ		**ф-ла(3)[10]**	**0**	**37,2**	**31,8**	**34,8**	**35,6**	**34,2**	**29,1**	**18,7**	**0**	**37,8**	**37,8**
Уровни звукового давления прямого звука от источника ИШ-2-35 в расчётной точке ночью, дБ		**ф-ла(3)[10]**	**0**	**37,2**	**31,8**	**34,8**	**35,6**	**34,2**	**29,1**	**18,7**	**0**	**37,8**	**37,8**
Расчёт отражённого звука													

1		2	3	4	5	6	7	8	9	10	11	12	13
Уровни звукового давления от мнимого источника ИШ-2-35_мн.(1) в расчётной точке днём, дБ		**ф-ла(3)[10]**	**0**	**0**	**0**	**24,4**	**24,2**	**29,7**	**26,6**	**16,1**	**0**	**32,4**	**32,4**
Уровни звукового давления от мнимого источника ИШ-2-35_мн.(1) в расчётной точке ночью, дБ		**ф-ла(3)[10]**	**0**	**0**	**0**	**0**	**0**	**0**	**0**	**0**	**0**	**32,4**	**32,4**
Уровни звукового давления от источника ИШ-2-35 в расчётной точке днём, дБ		**ф-ла(3)[10]**	**0**	**37,2**	**31,8**	**35,1**	**35,9**	**35,5**	**31,1**	**20,6**	**0**	**38,9**	**38,9**
Уровни звукового давления от источника ИШ-2-35 в расчётной точке ночью, дБ		**ф-ла(3)[10]**	**0**	**37,2**	**31,8**	**35,1**	**35,9**	**35,5**	**31,1**	**20,6**	**0**	**38,9**	**38,9**
Источник шума: ИШ-2-36, координаты источника (x,y,z), м =[696.58,-94.55,1.00]													
Уровни звуковой мощности источника днём, Lw, дБ		**исходные данные**	**0**	**93,3**	**94,7**	**96**	**96,3**	**95,9**	**92,6**	**88,4**	**83,9**		
Уровни звуковой мощности источника ночью, Lw, дБ		**исходные данные**	**0**	**93,3**	**94,7**	**96**	**96,3**	**95,9**	**92,6**	**88,4**	**83,9**		
Поправка на телесный угол DΩ, дБ	Ω = 6.28	10Lg(4π/Ω)	**3**	3	3	3	3	3	3	3	3		
Показатель направленности источника Di, дБ		исходные данные	**0**	0	0	0	0	0	0	0	0		
Поправка на направленность источника Dc, дБ	Dc	DΩ + Di	**3**	3	3	3	3	3	3	3	3		
Затухание из-за геометрической дивергенции, Adiv, дБ	расстояние = 442.47 м	ф-ла (7) [10]	**63,9**										
Коэффициент затухания звука в атмосфере α, дБ/км	Ta=20,°C Pa=101.33,кПа hотн.=70%	ф-ла (5) [9]	0,02	0,09	0,33	1,12	2,79	4,98	9,04	23,09	77,63		
Учет затухания звука в атмосфере Aatm, дБ		ф-ла (8) [10]	0	0	0,1	0,5	1,2	2,2	4	10,2	34,4		
Снижение поверхностью земли возле источника As, дБ	Gs = 0 hs = 1м	ф-лы таб.3 [10]	-1,5	-1,5	-1,5	-1,5	-1,5	-1,5	-1,5	-1,5	-1,5		
Снижение поверхностью земли возле приёмника Ar, дБ	Gr = 1 hr = 4.6м	ф-лы таб.3 [10]	-1,5	-1,5	3,3	1,3	0	0	0	0	0		
Снижение поверхностью земли в средней зоне, Am дБ	Gm = 1	ф-лы таб.3 [10]	-1,9	-1,9	0	0	0	0	0	0	0		

1		2	3	4	5	6	7	8	9	10	11	12	13
Суммарное снижение поверхностью земли на траектории распространения звука Agr, дБ		ф-ла (9) [10]	-4,9	-4,9	1,8	-0,2	-1,5	-1,5	-1,5	-1,5	-1,5		
Уровни звукового давления прямого звука от источника ИШ-2-36 в расчётной точке днём, дБ		**ф-ла(3)[10]**	**0**	**37,2**	**31,8**	**34,8**	**35,6**	**34,3**	**29,2**	**18,8**	**0**	**37,8**	**37,8**
Уровни звукового давления прямого звука от источника ИШ-2-36 в расчётной точке ночью, дБ		**ф-ла(3)[10]**	**0**	**37,2**	**31,8**	**34,8**	**35,6**	**34,3**	**29,2**	**18,8**	**0**	**37,8**	**37,8**
Расчёт отражённого звука													
Уровни звукового давления от мнимого источника ИШ-2-36_мн.(1) в расчётной точке днём, дБ		**ф-ла(3)[10]**	**0**	**0**	**0**	**24,4**	**24,3**	**29,7**	**26,6**	**16,2**	**0**	**32,5**	**32,5**
Уровни звукового давления от мнимого источника ИШ-2-36_мн.(1) в расчётной точке ночью, дБ		**ф-ла(3)[10]**	**0**	**0**	**0**	**0**	**0**	**0**	**0**	**0**	**0**	**32,5**	**32,5**
Уровни звукового давления от источника ИШ-2-36 в расчётной точке днём, дБ		**ф-ла(3)[10]**	**0**	**37,2**	**31,8**	**35,2**	**35,9**	**35,6**	**31,1**	**20,7**	**0**	**38,9**	**38,9**
Уровни звукового давления от источника ИШ-2-36 в расчётной точке ночью, дБ		**ф-ла(3)[10]**	**0**	**37,2**	**31,8**	**35,2**	**35,9**	**35,6**	**31,1**	**20,7**	**0**	**38,9**	**38,9**
Источник шума: ИШ-2-37, координаты источника (x,y,z), м =[695.57,-97.37,1.00]													
Уровни звуковой мощности источника днём, Lw, дБ		**исходные данные**	**0**	**93,3**	**94,7**	**96**	**96,3**	**95,9**	**92,6**	**88,4**	**83,9**		
Уровни звуковой мощности источника ночью, Lw, дБ		**исходные данные**	**0**	**93,3**	**94,7**	**96**	**96,3**	**95,9**	**92,6**	**88,4**	**83,9**		
Поправка на телесный угол DΩ, дБ	Ω = 6.28	10Lg(4π/Ω)	**3**	3	3	3	3	3	3	3	3		
Показатель направленности источника Di, дБ		исходные данные	**0**	0	0	0	0	0	0	0	0		
Поправка на направленность источника Dc, дБ	Dc	DΩ + Di	**3**	3	3	3	3	3	3	3	3		
Затухание из-за геометрической дивергенции, Adiv, дБ	расстояние = 440.78 м	ф-ла (7) [10]	**63,9**										
Коэффициент затухания звука в атмосфере α, дБ/км	Ta=20,°C Pa=101.33,кПа hотн.=70%	ф-ла (5) [9]	0,02	0,09	0,33	1,12	2,79	4,98	9,04	23,09	77,63		

1		2	3	4	5	6	7	8	9	10	11	12	13
Учет затухания звука в атмосфере Aatm, дБ		ф-ла (8) [10]	0	0	0,1	0,5	1,2	2,2	4	10,2	34,2		
Снижение поверхностью земли возле источника As, дБ	Gs = 0 hs = 1м	ф-лы таб.3 [10]	-1,5	-1,5	-1,5	-1,5	-1,5	-1,5	-1,5	-1,5	-1,5		
Снижение поверхностью земли возле приёмника Ar, дБ	Gr = 1 hr = 4.6м	ф-лы таб.3 [10]	-1,5	-1,5	3,3	1,3	0	0	0	0	0		
Снижение поверхностью земли в средней зоне, Am дБ	Gm = 1	ф-лы таб.3 [10]	-1,9	-1,9	0	0	0	0	0	0	0		
Суммарное снижение поверхностью земли на траектории распространения звука Agr, дБ		ф-ла (9) [10]	-4,9	-4,9	1,8	-0,2	-1,5	-1,5	-1,5	-1,5	-1,5		
Уровни звукового давления прямого звука от источника ИШ-2-37 в расчётной точке днём, дБ		**ф-ла(3)[10]**	**0**	**37,2**	**31,9**	**34,8**	**35,7**	**34,3**	**29,2**	**18,8**	**0**	**37,9**	**37,9**
Уровни звукового давления прямого звука от источника ИШ-2-37 в расчётной точке ночью, дБ		**ф-ла(3)[10]**	**0**	**37,2**	**31,9**	**34,8**	**35,7**	**34,3**	**29,2**	**18,8**	**0**	**37,9**	**37,9**
Расчёт отражённого звука													
Уровни звукового давления от мнимого источника ИШ-2-37_мн.(1) в расчётной точке днём, дБ		**ф-ла(3)[10]**	**0**	**0**	**0**	**24,5**	**24,3**	**29,8**	**26,7**	**16,3**	**0**	**32,5**	**32,5**
Уровни звукового давления от мнимого источника ИШ-2-37_мн.(1) в расчётной точке ночью, дБ		**ф-ла(3)[10]**	**0**	**0**	**0**	**0**	**0**	**0**	**0**	**0**	**0**	**32,5**	**32,5**
Уровни звукового давления от источника ИШ-2-37 в расчётной точке днём, дБ		**ф-ла(3)[10]**	**0**	**37,2**	**31,9**	**35,2**	**36**	**35,6**	**31,1**	**20,7**	**0**	**39**	**39**
Уровни звукового давления от источника ИШ-2-37 в расчётной точке ночью, дБ		**ф-ла(3)[10]**	**0**	**37,2**	**31,9**	**35,2**	**36**	**35,6**	**31,1**	**20,7**	**0**	**39**	**39**
Источник шума: ИШ-2-5, координаты источника (x,y,z), м =[618.60,-108.00,3.00]													
Уровни звуковой мощности источника днём, Lw, дБ		**исходные данные**	**105**	**104**	**104**	**101**	**102**	**106**	**101**	**95**	**87**		
Уровни звуковой мощности источника ночью, Lw, дБ		**исходные данные**	**105**	**104**	**104**	**101**	**102**	**106**	**101**	**95**	**87**		
Поправка на телесный угол DΩ, дБ	Ω = 6.28	10Lg(4π/Ω)	**3**	3	3	3	3	3	3	3	3		
Показатель направленности источника Di, дБ		исходные данные	**0**	0	0	0	0	0	0	0	0		

1		2	3	4	5	6	7	8	9	10	11	12	13
Поправка на направленность источника Dc, дБ	Dc	DΩ + Di	**3**	3	3	3	3	3	3	3	3		
Затухание из-за геометрической дивергенции, Adiv, дБ	расстояние = 363.69 м	ф-ла (7) [10]	**62,2**										
Коэффициент затухания звука в атмосфере α, дБ/км	Ta=20,°C Pa=101.33,кПа hотн.=70%	ф-ла (5) [9]	0,02	0,09	0,33	1,12	2,79	4,98	9,04	23,09	77,63		
Учет затухания звука в атмосфере Aatm, дБ		ф-ла (8) [10]	0	0	0,1	0,4	1	1,8	3,3	8,4	28,2		
Снижение поверхностью земли возле источника As, дБ	Gs = 0 hs = 3м	ф-лы таб.3 [10]	-1,5	-1,5	-1,5	-1,5	-1,5	-1,5	-1,5	-1,5	-1,5		
Снижение поверхностью земли возле приёмника Ar, дБ	Gr = 1 hr = 4.6м	ф-лы таб.3 [10]	-1,5	-1,5	3,2	1,3	0	0	0	0	0		
Снижение поверхностью земли в средней зоне, Am дБ	Gm = 1	ф-лы таб.3 [10]	-1,1	-1,1	0	0	0	0	0	0	0		
Суммарное снижение поверхностью земли на траектории распространения звука Agr, дБ		ф-ла (9) [10]	-4,1	-4,1	1,7	-0,2	-1,5	-1,5	-1,5	-1,5	-1,5		
Уровни звукового давления прямого звука от источника ИШ-2-5 в расчётной точке днём, дБ		**ф-ла(3)[10]**	**49,9**	**48,9**	**43**	**41,6**	**43,3**	**46,5**	**40**	**28,9**	**0**	**48,5**	**48,5**
Уровни звукового давления прямого звука от источника ИШ-2-5 в расчётной точке ночью, дБ		**ф-ла(3)[10]**	**49,9**	**48,9**	**43**	**41,6**	**43,3**	**46,5**	**40**	**28,9**	**0**	**48,5**	**48,5**
Расчёт отражённого звука													
Уровни звукового давления от мнимого источника ИШ-2-5_мн.(1) в расчётной точке днём, дБ		**ф-ла(3)[10]**	**0**	**0**	**0**	**35,3**	**40,5**	**43,9**	**37,5**	**26,3**	**0**	**45,9**	**45,9**
Уровни звукового давления от мнимого источника ИШ-2-5_мн.(1) в расчётной точке ночью, дБ		**ф-ла(3)[10]**	**0**	**0**	**0**	**0**	**0**	**0**	**0**	**0**	**0**	**45,9**	**45,9**
Уровни звукового давления от источника ИШ-2-5 в расчётной точке днём, дБ		**ф-ла(3)[10]**	**49,9**	**48,9**	**43**	**42,5**	**45,1**	**48,4**	**41,9**	**30,8**	**0**	**50,4**	**50,4**
Уровни звукового давления от источника ИШ-2-5 в расчётной точке ночью, дБ		**ф-ла(3)[10]**	**49,9**	**48,9**	**43**	**42,5**	**45,1**	**48,4**	**41,9**	**30,8**	**0**	**50,4**	**50,4**
Источник шума: ИШ-2-38, координаты источника (x,y,z), м =[688.13,-119.94,1.00]													

1		2	3	4	5	6	7	8	9	10	11	12	13
Уровни звуковой мощности источника днём, Lw, дБ		**исходные данные**	**0**	**93,3**	**94,7**	**96**	**96,3**	**95,9**	**92,6**	**88,4**	**83,9**		
Уровни звуковой мощности источника ночью, Lw, дБ		**исходные данные**	**0**	**93,3**	**94,7**	**96**	**96,3**	**95,9**	**92,6**	**88,4**	**83,9**		
Поправка на телесный угол DΩ, дБ	Ω = 6.28	10Lg(4π/Ω)	**3**	3	3	3	3	3	3	3	3		
Показатель направленности источника Di, дБ		исходные данные	**0**	0	0	0	0	0	0	0	0		
Поправка на направленность источника Dc, дБ	Dc	DΩ + Di	**3**	3	3	3	3	3	3	3	3		
Затухание из-за геометрической дивергенции, Adiv, дБ	расстояние = 428.41 м	ф-ла (7) [10]	**63,6**										
Коэффициент затухания звука в атмосфере α, дБ/км	Ta=20,°C Pa=101.33,кПа hотн.=70%	ф-ла (5) [9]	0,02	0,09	0,33	1,12	2,79	4,98	9,04	23,09	77,63		
Учет затухания звука в атмосфере Aatm, дБ		ф-ла (8) [10]	0	0	0,1	0,5	1,2	2,1	3,9	9,9	33,3		
Снижение поверхностью земли возле источника As, дБ	Gs = 0 hs = 1м	ф-лы таб.3 [10]	-1,5	-1,5	-1,5	-1,5	-1,5	-1,5	-1,5	-1,5	-1,5		
Снижение поверхностью земли возле приёмника Ar, дБ	Gr = 1 hr = 4.6м	ф-лы таб.3 [10]	-1,5	-1,5	3,3	1,3	0	0	0	0	0		
Снижение поверхностью земли в средней зоне, Am дБ	Gm = 1	ф-лы таб.3 [10]	-1,8	-1,8	0	0	0	0	0	0	0		
Суммарное снижение поверхностью земли на траектории распространения звука Agr, дБ		ф-ла (9) [10]	-4,8	-4,8	1,8	-0,2	-1,5	-1,5	-1,5	-1,5	-1,5		
Уровни звукового давления прямого звука от источника ИШ-2-38 в расчётной точке днём, дБ		**ф-ла(3)[10]**	**0**	**37,4**	**32,1**	**35,1**	**36**	**34,6**	**29,6**	**19,4**	**0**	**38,2**	**38,2**
Уровни звукового давления прямого звука от источника ИШ-2-38 в расчётной точке ночью, дБ		**ф-ла(3)[10]**	**0**	**37,4**	**32,1**	**35,1**	**36**	**34,6**	**29,6**	**19,4**	**0**	**38,2**	**38,2**
Расчёт отражённого звука													
Уровни звукового давления от мнимого источника ИШ-2-38_мн.(1) в расчётной точке днём, дБ		**ф-ла(3)[10]**	**0**	**0**	**0**	**0**	**0**	**0**	**0**	**0**	**0**	**0**	**0**
Уровни звукового давления от мнимого источника ИШ-2-38_мн.(1) в расчётной точке ночью, дБ		**ф-ла(3)[10]**	**0**	**0**	**0**	**0**	**0**	**0**	**0**	**0**	**0**	**0**	**0**

1		2	3	4	5	6	7	8	9	10	11	12	13
Уровни звукового давления от мнимого источника ИШ-2-38_мн.(2) в расчётной точке днём, дБ		**ф-ла(3)[10]**	**0**	**0**	**27,1**	**24,7**	**24,6**	**30,1**	**27,1**	**16,8**	**0**	**32,9**	**32,9**
Уровни звукового давления от мнимого источника ИШ-2-38_мн.(2) в расчётной точке ночью, дБ		**ф-ла(3)[10]**	**0**	**0**	**0**	**0**	**0**	**0**	**0**	**0**	**0**	**32,9**	**32,9**
Суммарные уровни звукового давления от мнимых источников в расчётной точке днём, дБ		**ф-ла (19) [1]**	**0**	**0**	**27,1**	**24,7**	**24,6**	**30,1**	**27,1**	**16,8**	**0**	**0**	**32,9**
Суммарные уровни звукового давления от мнимых источников в расчётной точке ночью, дБ		**ф-ла (19) [1]**	**0**	**0**	**27,1**	**24,7**	**24,6**	**30,1**	**27,1**	**16,8**	**0**	**0**	**32,9**
Уровни звукового давления от источника ИШ-2-38 в расчётной точке днём, дБ		**ф-ла(3)[10]**	**0**	**37,4**	**33,3**	**35,5**	**36,3**	**35,9**	**31,5**	**21,3**	**0**	**39,3**	**39,3**
Уровни звукового давления от источника ИШ-2-38 в расчётной точке ночью, дБ		**ф-ла(3)[10]**	**0**	**37,4**	**33,3**	**35,5**	**36,3**	**35,9**	**31,5**	**21,3**	**0**	**39,3**	**39,3**
Источник шума: ИШ-2-39, координаты источника (x,y,z), м =[687.11,-122.83,1.00]													
Уровни звуковой мощности источника днём, Lw, дБ		**исходные данные**	**0**	**93,3**	**94,7**	**96**	**96,3**	**95,9**	**92,6**	**88,4**	**83,9**		
Уровни звуковой мощности источника ночью, Lw, дБ		**исходные данные**	**0**	**93,3**	**94,7**	**96**	**96,3**	**95,9**	**92,6**	**88,4**	**83,9**		
Поправка на телесный угол DΩ, дБ	Ω = 6.28	10Lg(4π/Ω)	**3**	3	3	3	3	3	3	3	3		
Показатель направленности источника Di, дБ		исходные данные	**0**	0	0	0	0	0	0	0	0		
Поправка на направленность источника Dc, дБ	Dc	DΩ + Di	**3**	3	3	3	3	3	3	3	3		
Затухание из-за геометрической дивергенции, Adiv, дБ	расстояние = 426.84 м	ф-ла (7) [10]	**63,6**										
Коэффициент затухания звука в атмосфере α, дБ/км	Ta=20,°C Pa=101.33,кПа hотн.=70%	ф-ла (5) [9]	0,02	0,09	0,33	1,12	2,79	4,98	9,04	23,09	77,63		
Учет затухания звука в атмосфере Aatm, дБ		ф-ла (8) [10]	0	0	0,1	0,5	1,2	2,1	3,9	9,9	33,1		
Снижение поверхностью земли возле источника As, дБ	Gs = 0 hs = 1м	ф-лы таб.3 [10]	-1,5	-1,5	-1,5	-1,5	-1,5	-1,5	-1,5	-1,5	-1,5		

1		2	3	4	5	6	7	8	9	10	11	12	13
Снижение поверхностью земли возле приёмника Ar, дБ	Gr = 1 hr = 4.6м	ф-лы таб.3 [10]	-1,5	-1,5	3,3	1,3	0	0	0	0	0		
Снижение поверхностью земли в средней зоне, Am дБ	Gm = 1	ф-лы таб.3 [10]	-1,8	-1,8	0	0	0	0	0	0	0		
Суммарное снижение поверхностью земли на траектории распространения звука Agr, дБ		ф-ла (9) [10]	-4,8	-4,8	1,8	-0,2	-1,5	-1,5	-1,5	-1,5	-1,5		
Уровни звукового давления прямого звука от источника ИШ-2-39 в расчётной точке днём, дБ		**ф-ла(3)[10]**	**0**	**37,5**	**32,2**	**35,1**	**36**	**34,7**	**29,6**	**19,4**	**0**	**38,2**	**38,2**
Уровни звукового давления прямого звука от источника ИШ-2-39 в расчётной точке ночью, дБ		**ф-ла(3)[10]**	**0**	**37,5**	**32,2**	**35,1**	**36**	**34,7**	**29,6**	**19,4**	**0**	**38,2**	**38,2**
Расчёт отражённого звука													
Уровни звукового давления от мнимого источника ИШ-2-39_мн.(1) в расчётной точке днём, дБ		**ф-ла(3)[10]**	**0**	**0**	**27,1**	**24,8**	**24,6**	**30,1**	**27,1**	**16,9**	**0**	**32,9**	**32,9**
Уровни звукового давления от мнимого источника ИШ-2-39_мн.(1) в расчётной точке ночью, дБ		**ф-ла(3)[10]**	**0**	**0**	**0**	**0**	**0**	**0**	**0**	**0**	**0**	**32,9**	**32,9**
Уровни звукового давления от источника ИШ-2-39 в расчётной точке днём, дБ		**ф-ла(3)[10]**	**0**	**37,5**	**33,3**	**35,5**	**36,3**	**36**	**31,6**	**21,3**	**0**	**39,3**	**39,3**
Уровни звукового давления от источника ИШ-2-39 в расчётной точке ночью, дБ		**ф-ла(3)[10]**	**0**	**37,5**	**33,3**	**35,5**	**36,3**	**36**	**31,6**	**21,3**	**0**	**39,3**	**39,3**
Источник шума: ИШ-2-40, координаты источника (x,y,z), м =[686.10,-125.67,1.00]													
Уровни звуковой мощности источника днём, Lw, дБ		**исходные данные**	**0**	**93,3**	**94,7**	**96**	**96,3**	**95,9**	**92,6**	**88,4**	**83,9**		
Уровни звуковой мощности источника ночью, Lw, дБ		**исходные данные**	**0**	**93,3**	**94,7**	**96**	**96,3**	**95,9**	**92,6**	**88,4**	**83,9**		
Поправка на телесный угол DΩ, дБ	Ω = 6.28	10Lg(4π/Ω)	**3**	3	3	3	3	3	3	3	3		
Показатель направленности источника Di, дБ		исходные данные	**0**	0	0	0	0	0	0	0	0		
Поправка на направленность источника Dc, дБ	Dc	DΩ + Di	**3**	3	3	3	3	3	3	3	3		
Затухание из-за геометрической дивергенции, Adiv, дБ	расстояние = 425.29 м	ф-ла (7) [10]	**63,6**										

1		2	3	4	5	6	7	8	9	10	11	12	13
Коэффициент затухания звука в атмосфере α, дБ/км	Ta=20,°C Pa=101.33,кПа hотн.=70%	ф-ла (5) [9]	0,02	0,09	0,33	1,12	2,79	4,98	9,04	23,09	77,63		
Учет затухания звука в атмосфере Aatm, дБ		ф-ла (8) [10]	0	0	0,1	0,5	1,2	2,1	3,8	9,8	33		
Снижение поверхностью земли возле источника As, дБ	Gs = 0 hs = 1м	ф-лы таб.3 [10]	-1,5	-1,5	-1,5	-1,5	-1,5	-1,5	-1,5	-1,5	-1,5		
Снижение поверхностью земли возле приёмника Ar, дБ	Gr = 1 hr = 4.6м	ф-лы таб.3 [10]	-1,5	-1,5	3,3	1,3	0	0	0	0	0		
Снижение поверхностью земли в средней зоне, Am дБ	Gm = 1	ф-лы таб.3 [10]	-1,8	-1,8	0	0	0	0	0	0	0		
Суммарное снижение поверхностью земли на траектории распространения звука Agr, дБ		ф-ла (9) [10]	-4,8	-4,8	1,8	-0,2	-1,5	-1,5	-1,5	-1,5	-1,5		
Уровни звукового давления прямого звука от источника ИШ-2-40 в расчётной точке днём, дБ		**ф-ла(3)[10]**	**0**	**37,5**	**32,2**	**35,2**	**36**	**34,7**	**29,7**	**19,5**	**0**	**38,3**	**38,3**
Уровни звукового давления прямого звука от источника ИШ-2-40 в расчётной точке ночью, дБ		**ф-ла(3)[10]**	**0**	**37,5**	**32,2**	**35,2**	**36**	**34,7**	**29,7**	**19,5**	**0**	**38,3**	**38,3**
Расчёт отражённого звука													
Уровни звукового давления от мнимого источника ИШ-2-40_мн.(1) в расчётной точке днём, дБ		**ф-ла(3)[10]**	**0**	**0**	**27,2**	**24,8**	**24,7**	**30,1**	**27,1**	**16,9**	**0**	**33**	**33**
Уровни звукового давления от мнимого источника ИШ-2-40_мн.(1) в расчётной точке ночью, дБ		**ф-ла(3)[10]**	**0**	**0**	**0**	**0**	**0**	**0**	**0**	**0**	**0**	**33**	**33**
Уровни звукового давления от источника ИШ-2-40 в расчётной точке днём, дБ		**ф-ла(3)[10]**	**0**	**37,5**	**33,4**	**35,5**	**36,3**	**36**	**31,6**	**21,4**	**0**	**39,4**	**39,4**
Уровни звукового давления от источника ИШ-2-40 в расчётной точке ночью, дБ		**ф-ла(3)[10]**	**0**	**37,5**	**33,4**	**35,5**	**36,3**	**36**	**31,6**	**21,4**	**0**	**39,4**	**39,4**
Источник шума: ИШ-2-41, координаты источника (x,y,z), м =[685.14,-128.64,1.00]													
Уровни звуковой мощности источника днём, Lw, дБ		**исходные данные**	**0**	**93,3**	**94,7**	**96**	**96,3**	**95,9**	**92,6**	**88,4**	**83,9**		
Уровни звуковой мощности источника ночью, Lw, дБ		**исходные данные**	**0**	**93,3**	**94,7**	**96**	**96,3**	**95,9**	**92,6**	**88,4**	**83,9**		

1		2	3	4	5	6	7	8	9	10	11	12	13
Поправка на телесный угол DΩ, дБ	Ω = 6.28	10Lg(4π/Ω)	**3**	3	3	3	3	3	3	3	3		
Показатель направленности источника Di, дБ		исходные данные	**0**	0	0	0	0	0	0	0	0		
Поправка на направленность источника Dc, дБ	Dc	DΩ + Di	**3**	3	3	3	3	3	3	3	3		
Затухание из-за геометрической дивергенции, Adiv, дБ	расстояние = 423.78 м	ф-ла (7) [10]	**63,5**										
Коэффициент затухания звука в атмосфере α, дБ/км	Ta=20,°C Pa=101.33,кПа hотн.=70%	ф-ла (5) [9]	0,02	0,09	0,33	1,12	2,79	4,98	9,04	23,09	77,63		
Учет затухания звука в атмосфере Aatm, дБ		ф-ла (8) [10]	0	0	0,1	0,5	1,2	2,1	3,8	9,8	32,9		
Снижение поверхностью земли возле источника As, дБ	Gs = 0 hs = 1м	ф-лы таб.3 [10]	-1,5	-1,5	-1,5	-1,5	-1,5	-1,5	-1,5	-1,5	-1,5		
Снижение поверхностью земли возле приёмника Ar, дБ	Gr = 1 hr = 4.6м	ф-лы таб.3 [10]	-1,5	-1,5	3,3	1,3	0	0	0	0	0		
Снижение поверхностью земли в средней зоне, Am дБ	Gm = 1	ф-лы таб.3 [10]	-1,8	-1,8	0	0	0	0	0	0	0		
Суммарное снижение поверхностью земли на траектории распространения звука Agr, дБ		ф-ла (9) [10]	-4,8	-4,8	1,8	-0,2	-1,5	-1,5	-1,5	-1,5	-1,5		
Уровни звукового давления прямого звука от источника ИШ-2-41 в расчётной точке днём, дБ		**ф-ла(3)[10]**	**0**	**37,5**	**32,2**	**35,2**	**36,1**	**34,7**	**29,7**	**19,6**	**0**	**38,3**	**38,3**
Уровни звукового давления прямого звука от источника ИШ-2-41 в расчётной точке ночью, дБ		**ф-ла(3)[10]**	**0**	**37,5**	**32,2**	**35,2**	**36,1**	**34,7**	**29,7**	**19,6**	**0**	**38,3**	**38,3**
Расчёт отражённого звука													
Уровни звукового давления от мнимого источника ИШ-2-41_мн.(1) в расчётной точке днём, дБ		**ф-ла(3)[10]**	**0**	**0**	**27,2**	**24,8**	**24,7**	**30,2**	**27,2**	**17**	**0**	**33**	**33**
Уровни звукового давления от мнимого источника ИШ-2-41_мн.(1) в расчётной точке ночью, дБ		**ф-ла(3)[10]**	**0**	**0**	**0**	**0**	**0**	**0**	**0**	**0**	**0**	**33**	**33**
Уровни звукового давления от источника ИШ-2-41 в расчётной точке днём, дБ		**ф-ла(3)[10]**	**0**	**37,5**	**33,4**	**35,6**	**36,4**	**36**	**31,6**	**21,5**	**0**	**39,4**	**39,4**
Уровни звукового давления от источника ИШ-2-41 в расчётной точке ночью, дБ		**ф-ла(3)[10]**	**0**	**37,5**	**33,4**	**35,6**	**36,4**	**36**	**31,6**	**21,5**	**0**	**39,4**	**39,4**

1		2	3	4	5	6	7	8	9	10	11	12	13
Источник шума: ИШ-2-42, координаты источника (x,y,z), м =[684.20,-131.46,1.00]													
Уровни звуковой мощности источника днём, Lw, дБ		**исходные данные**	**0**	**93,3**	**94,7**	**96**	**96,3**	**95,9**	**92,6**	**88,4**	**83,9**		
Уровни звуковой мощности источника ночью, Lw, дБ		**исходные данные**	**0**	**93,3**	**94,7**	**96**	**96,3**	**95,9**	**92,6**	**88,4**	**83,9**		
Поправка на телесный угол DΩ, дБ	Ω = 6.28	10Lg(4π/Ω)	**3**	3	3	3	3	3	3	3	3		
Показатель направленности источника Di, дБ		исходные данные	**0**	0	0	0	0	0	0	0	0		
Поправка на направленность источника Dc, дБ	Dc	DΩ + Di	**3**	3	3	3	3	3	3	3	3		
Затухание из-за геометрической дивергенции, Adiv, дБ	расстояние = 422.34 м	ф-ла (7) [10]	**63,5**										
Коэффициент затухания звука в атмосфере α, дБ/км	Ta=20,°C Pa=101.33,кПа hотн.=70%	ф-ла (5) [9]	0,02	0,09	0,33	1,12	2,79	4,98	9,04	23,09	77,63		
Учет затухания звука в атмосфере Aatm, дБ		ф-ла (8) [10]	0	0	0,1	0,5	1,2	2,1	3,8	9,8	32,8		
Снижение уровня звукового давления из-за влияния застройки между источником шума и расчетной точкой													
Препятствие слева от трассы ИШ-РТ	Промежуточные точки:	Pss(x,y,z) = (583.78,-155.78,1.88)	Psr(x,y,z) = (583.78,-155.78,1.88)	dss = 103.33 м		dsr = 319.23 м		e = 0.00 м		z = -0.22 м			
	Константа C2, учитывающая эффект отражения от земли возле экрана			40	40	40	40	40	40	40	40	40		
	Константа C3 (дифракция на кромках)		ф-ла (15) [10]	1	1	1	1	1	1	1	1	1		
	K_{met} (влияние метеоусловий)		ф-ла (18) [10]	1	1	1	1	1	1	1	1	1		
	Снижение УЗД, Dz, дБ		ф-ла (14) [10]	3,4	1,3	NAN	NAN	NAN	NAN	NAN	NAN	NAN		
* отрицательное значение z означает прохождение траектории вблизи экрана, в этом случае дополнительно производится учёт снижения подстилающей поверхностью (см.ниже)													
Снижение поверхностью земли возле источника As, дБ	Gs = 0 hs = 1м	ф-лы таб.3 [10]	-1,5	-1,5	-1,5	-1,5	-1,5	-1,5	-1,5	-1,5	-1,5		

1		2	3	4	5	6	7	8	9	10	11	12	13
Снижение поверхностью земли возле приёмника Ar, дБ	Gr = 1 hr = 4.6м	ф-лы таб.3 [10]	-1,5	-1,5	3,3	1,3	0	0	0	0	0		
Снижение поверхностью земли в средней зоне, Am дБ	Gm = 1	ф-лы таб.3 [10]	-1,8	-1,8	0	0	0	0	0	0	0		
Суммарное снижение поверхностью земли на траектории распространения звука Agr, дБ		ф-ла (9) [10]	-4,8	-4,8	1,8	-0,2	-1,5	-1,5	-1,5	-1,5	-1,5		
Уровни звукового давления прямого звука от источника ИШ-2-42 в расчётной точке днём, дБ		**ф-ла(3)[10]**	**0**	**36,2**	**32,3**	**35,2**	**36,1**	**34,8**	**29,8**	**19,6**	**0**	**38,3**	**38,3**
Уровни звукового давления прямого звука от источника ИШ-2-42 в расчётной точке ночью, дБ		**ф-ла(3)[10]**	**0**	**36,2**	**32,3**	**35,2**	**36,1**	**34,8**	**29,8**	**19,6**	**0**	**38,3**	**38,3**
Расчёт отражённого звука													
Уровни звукового давления от мнимого источника ИШ-2-42_мн.(1) в расчётной точке днём, дБ		**ф-ла(3)[10]**	**0**	**0**	**27,2**	**24,9**	**24,7**	**30,2**	**27,2**	**17,1**	**0**	**33**	**33**
Уровни звукового давления от мнимого источника ИШ-2-42_мн.(1) в расчётной точке ночью, дБ		**ф-ла(3)[10]**	**0**	**0**	**0**	**0**	**0**	**0**	**0**	**0**	**0**	**33**	**33**
Уровни звукового давления от источника ИШ-2-42 в расчётной точке днём, дБ		**ф-ла(3)[10]**	**0**	**36,2**	**33,5**	**35,6**	**36,4**	**36,1**	**31,7**	**21,5**	**0**	**39,5**	**39,5**
Уровни звукового давления от источника ИШ-2-42 в расчётной точке ночью, дБ		**ф-ла(3)[10]**	**0**	**36,2**	**33,5**	**35,6**	**36,4**	**36,1**	**31,7**	**21,5**	**0**	**39,5**	**39,5**
Источник шума: ИШ-2-43, координаты источника (x,y,z), м =[683.13,-134.37,1.00]													
Уровни звуковой мощности источника днём, Lw, дБ		**исходные данные**	**0**	**93,3**	**94,7**	**96**	**96,3**	**95,9**	**92,6**	**88,4**	**83,9**		
Уровни звуковой мощности источника ночью, Lw, дБ		**исходные данные**	**0**	**93,3**	**94,7**	**96**	**96,3**	**95,9**	**92,6**	**88,4**	**83,9**		
Поправка на телесный угол DΩ, дБ	Ω = 6.28	10Lg(4π/Ω)	**3**	3	3	3	3	3	3	3	3		
Показатель направленности источника Di, дБ		исходные данные	**0**	0	0	0	0	0	0	0	0		
Поправка на направленность источника Dc, дБ	Dc	DΩ + Di	**3**	3	3	3	3	3	3	3	3		
Затухание из-за геометрической дивергенции, Adiv, дБ	расстояние = 420.78 м	ф-ла (7) [10]	**63,5**										

1			2	3	4	5	6	7	8	9	10	11	12	13
Коэффициент затухания звука в атмосфере α, дБ/км		Ta=20,°C Pa=101.33,кПа hотн.=70%	ф-ла (5) [9]	0,02	0,09	0,33	1,12	2,79	4,98	9,04	23,09	77,63		
Учет затухания звука в атмосфере Aatm, дБ			ф-ла (8) [10]	0	0	0,1	0,5	1,2	2,1	3,8	9,7	32,7		
Снижение уровня звукового давления из-за влияния застройки между источником шума и расчетной точкой														
Препятствие слева от трассы ИШ-РТ	Промежуточные точки:	Pss(x,y,z) = (583.78,-155.78,1.87)	Psr(x,y,z) = (583.78,-155.78,1.87)	dss = 101.64 м		dsr = 319.23 м		e = 0.00 м		z = -0.10 м				
	Константа C2, учитывающая эффект отражения от земли возле экрана			40	40	40	40	40	40	40	40	40		
	Константа C3 (дифракция на кромках)		ф-ла (15) [10]	1	1	1	1	1	1	1	1	1		
	K_{met} (влияние метеоусловий)		ф-ла (18) [10]	1	1	1	1	1	1	1	1	1		
	Снижение УЗД, Dz, дБ		ф-ла (14) [10]	4,2	3,6	2	0	NAN	NAN	NAN	NAN	NAN		
* отрицательное значение z означает прохождение траектории вблизи экрана, в этом случае дополнительно производится учёт снижения подстилающей поверхностью (см.ниже)														
Снижение поверхностью земли возле источника As, дБ		Gs = 0 hs = 1м	ф-лы таб.3 [10]	-1,5	-1,5	-1,5	-1,5	-1,5	-1,5	-1,5	-1,5	-1,5		
Снижение поверхностью земли возле приёмника Ar, дБ		Gr = 1 hr = 4.6м	ф-лы таб.3 [10]	-1,5	-1,5	3,3	1,3	0	0	0	0	0		
Снижение поверхностью земли в средней зоне, Am дБ		Gm = 1	ф-лы таб.3 [10]	-1,8	-1,8	0	0	0	0	0	0	0		
Суммарное снижение поверхностью земли на траектории распространения звука Agr, дБ			ф-ла (9) [10]	-4,8	-4,8	1,8	-0,2	-1,5	-1,5	-1,5	-1,5	-1,5		
Уровни звукового давления прямого звука от источника ИШ-2-43 в расчётной точке днём, дБ			**ф-ла(3)[10]**	**0**	**34**	**30,3**	**35,3**	**36,1**	**34,8**	**29,8**	**19,7**	**0**	**38,4**	**38,4**
Уровни звукового давления прямого звука от источника ИШ-2-43 в расчётной точке ночью, дБ			**ф-ла(3)[10]**	**0**	**34**	**30,3**	**35,3**	**36,1**	**34,8**	**29,8**	**19,7**	**0**	**38,4**	**38,4**
Расчёт отражённого звука														
Уровни звукового давления от мнимого источника ИШ-2-43_мн.(1) в расчётной точке днём, дБ			**ф-ла(3)[10]**	**0**	**0**	**27,3**	**24,9**	**24,8**	**30,3**	**27,3**	**17,1**	**0**	**33,1**	**33,1**
Уровни звукового давления от мнимого источника ИШ-2-43_мн.(1) в расчётной точке ночью, дБ			**ф-ла(3)[10]**	**0**	**0**	**0**	**0**	**0**	**0**	**0**	**0**	**0**	**33,1**	**33,1**

1		2	3	4	5	6	7	8	9	10	11	12	13
Уровни звукового давления от источника ИШ-2-43 в расчётной точке днём, дБ		**ф-ла(3)[10]**	**0**	**34**	**32,1**	**35,6**	**36,4**	**36,1**	**31,7**	**21,6**	**0**	**39,5**	**39,5**
Уровни звукового давления от источника ИШ-2-43 в расчётной точке ночью, дБ		**ф-ла(3)[10]**	**0**	**34**	**32,1**	**35,6**	**36,4**	**36,1**	**31,7**	**21,6**	**0**	**39,5**	**39,5**
Источник шума: ИШ-2-44, координаты источника (x,y,z), м =[682.20,-137.16,1.00]													
Уровни звуковой мощности источника днём, Lw, дБ		**исходные данные**	**0**	**93,3**	**94,7**	**96**	**96,3**	**95,9**	**92,6**	**88,4**	**83,9**		
Уровни звуковой мощности источника ночью, Lw, дБ		**исходные данные**	**0**	**93,3**	**94,7**	**96**	**96,3**	**95,9**	**92,6**	**88,4**	**83,9**		
Поправка на телесный угол DΩ, дБ	Ω = 6.28	10Lg(4π/Ω)	**3**	3	3	3	3	3	3	3	3		
Показатель направленности источника Di, дБ		исходные данные	**0**	0	0	0	0	0	0	0	0		
Поправка на направленность источника Dc, дБ	Dc	DΩ + Di	**3**	3	3	3	3	3	3	3	3		
Затухание из-за геометрической дивергенции, Adiv, дБ	расстояние = 419.38 м	ф-ла (7) [10]	**63,5**										
Коэффициент затухания звука в атмосфере α, дБ/км	Ta=20,°C Pa=101.33,кПа hотн.=70%	ф-ла (5) [9]	0,02	0,09	0,33	1,12	2,79	4,98	9,04	23,09	77,63		
Учет затухания звука в атмосфере Aatm, дБ		ф-ла (8) [10]	0	0	0,1	0,5	1,2	2,1	3,8	9,7	32,6		
Снижение уровня звукового давления из-за влияния застройки между источником шума и расчетной точкой													
Препятствие слева от трассы ИШ-РТ	Промежуточные точки:	Pss(x,y,z) = (583.78,-155.78,1.86) / Psr(x,y,z) = (583.78,-155.78,1.86)	dss = 100.17 м		dsr = 319.24 м		e = 0.00 м		z = -0.02 м				
	Константа C2, учитывающая эффект отражения от земли возле экрана		40	40	40	40	40	40	40	40	40		
	Константа C3 (дифракция на кромках)	ф-ла (15) [10]	1	1	1	1	1	1	1	1	1		
	K_{met} (влияние метеоусловий)	ф-ла (18) [10]	1	1	1	1	1	1	1	1	1		

1		2	3	4	5	6	7	8	9	10	11	12	13
Снижение УЗД, Dz, дБ		ф-ла (14) [10]	4,6	4,5	4,2	3,7	2,1	0	NAN	NAN	NAN		
* отрицательное значение z означает прохождение траектории вблизи экрана, в этом случае дополнительно производится учёт снижения подстилающей поверхностью (см.ниже)													
Снижение поверхностью земли возле источника As, дБ	Gs = 0 hs = 1м	ф-лы таб.3 [10]	-1,5	-1,5	-1,5	-1,5	-1,5	-1,5	-1,5	-1,5	-1,5		
Снижение поверхностью земли возле приёмника Ar, дБ	Gr = 1 hr = 4.6м	ф-лы таб.3 [10]	-1,5	-1,5	3,3	1,3	0	0	0	0	0		
Снижение поверхностью земли в средней зоне, Am дБ	Gm = 1	ф-лы таб.3 [10]	-1,8	-1,8	0	0	0	0	0	0	0		
Суммарное снижение поверхностью земли на траектории распространения звука Agr, дБ		ф-ла (9) [10]	-4,8	-4,8	1,8	-0,2	-1,5	-1,5	-1,5	-1,5	-1,5		
Уровни звукового давления прямого звука от источника ИШ-2-44 в расчётной точке днём, дБ		**ф-ла(3)[10]**	**0**	**33,1**	**28,1**	**31,6**	**34**	**34,9**	**29,8**	**19,8**	**0**	**37,7**	**37,7**
Уровни звукового давления прямого звука от источника ИШ-2-44 в расчётной точке ночью, дБ		**ф-ла(3)[10]**	**0**	**33,1**	**28,1**	**31,6**	**34**	**34,9**	**29,8**	**19,8**	**0**	**37,7**	**37,7**
Расчёт отражённого звука													
Уровни звукового давления от мнимого источника ИШ-2-44_мн.(1) в расчётной точке днём, дБ		**ф-ла(3)[10]**	**0**	**0**	**27,3**	**24,9**	**24,8**	**30,3**	**27,3**	**17,2**	**0**	**33,1**	**33,1**
Уровни звукового давления от мнимого источника ИШ-2-44_мн.(1) в расчётной точке ночью, дБ		**ф-ла(3)[10]**	**0**	**0**	**0**	**0**	**0**	**0**	**0**	**0**	**0**	**33,1**	**33,1**
Уровни звукового давления от источника ИШ-2-44 в расчётной точке днём, дБ		**ф-ла(3)[10]**	**0**	**33,1**	**30,7**	**32,5**	**34,5**	**36,2**	**31,8**	**21,7**	**0**	**39**	**39**
Уровни звукового давления от источника ИШ-2-44 в расчётной точке ночью, дБ		**ф-ла(3)[10]**	**0**	**33,1**	**30,7**	**32,5**	**34,5**	**36,2**	**31,8**	**21,7**	**0**	**39**	**39**
Источник шума: ИШ-2-45, координаты источника (x,y,z), м =[681.26,-139.98,1.00]													
Уровни звуковой мощности источника днём, Lw, дБ		**исходные данные**	**0**	**93,3**	**94,7**	**96**	**96,3**	**95,9**	**92,6**	**88,4**	**83,9**		
Уровни звуковой мощности источника ночью, Lw, дБ		**исходные данные**	**0**	**93,3**	**94,7**	**96**	**96,3**	**95,9**	**92,6**	**88,4**	**83,9**		
Поправка на телесный угол DΩ, дБ	Ω = 6.28	10Lg(4π/Ω)	**3**	3	3	3	3	3	3	3	3		
Показатель направленности источника Di, дБ		исходные данные	**0**	0	0	0	0	0	0	0	0		

1			2	3	4	5	6	7	8	9	10	11	12	13
Поправка на направленность источника Dc, дБ		Dc	DΩ + Di	**3**	3	3	3	3	3	3	3	3		
Затухание из-за геометрической дивергенции, Adiv, дБ		расстояние = 418.00 м	ф-ла (7) [10]	**63,4**										
Коэффициент затухания звука в атмосфере α, дБ/км		Ta=20,°C Pa=101.33,кПа hотн.=70%	ф-ла (5) [9]	0,02	0,09	0,33	1,12	2,79	4,98	9,04	23,09	77,63		
Учет затухания звука в атмосфере Aatm, дБ			ф-ла (8) [10]	0	0	0,1	0,5	1,2	2,1	3,8	9,6	32,5		
Снижение уровня звукового давления из-за влияния застройки между источником шума и расчетной точкой														
Длина звуковой волны для среднегеометрической частоты октавной полосы, λ, м				10,79	5,4	2,72	1,36	0,68	0,34	0,17	0,09	0,04		
Критерий наличия экранирования в горизонтальной плоскости	Горизонтальный размер экрана, lэкр = 25.84 м		lэкр > λ	да	да	да	да	да	да	да	да	да		
Траектория над экраном	Промежуточные точки:	Pss(x,y,z) = (584.02,-155.87,4.00)	Psr(x,y,z) = (584.02,-155.87,4.00)	dss = 98.58 м		dsr = 319.45 м		e = 0.00 м		z = 0.03 м				
	Константа C2, учитывающая эффект отражения от земли возле экрана			40	40	40	40	40	40	40	40	40		
	Константа C3 (дифракция на кромках)		ф-ла (15) [10]	1	1	1	1	1	1	1	1	1		
	K_{met} (влияние метеоусловий)		ф-ла (18) [10]	0	0	0	0	0	0	0	0	0		
	Снижение УЗД, Dz, дБ		ф-ла (14) [10]	4,8	4,8	4,8	4,8	4,8	4,8	4,8	4,8	4,8		
Траектория слева от экрана	Промежуточные точки:	Pss(x,y,z) = (583.39,-182.03,1.89)	Psr(x,y,z) = (583.39,-182.03,1.89)	dss = 106.52 м		dsr = 315.67 м		e = 0.00 м		z = 4.20 м				
	Константа C2, учитывающая эффект отражения от земли возле экрана			40	40	40	40	40	40	40	40	40		
	Константа C3 (дифракция на кромках)		ф-ла (15) [10]	1	1	1	1	1	1	1	1	1		
	K_{met} (влияние метеоусловий)		ф-ла (18) [10]	1	1	1	1	1	1	1	1	1		
	Снижение УЗД, Dz, дБ		ф-ла (14) [10]	12,7	15,3	18,1	21	24	27	30	33	36		

1			2	3	4	5	6	7	8	9	10	11	12	13
Траектория справа от экрана	Промежуточные точки:	Pss(x,y,z) = (583.78,-155.78,1.85)	Psr(x,y,z) = (583.78,-155.78,1.85)	dss = 98.76 м		dsr = 319.24 м		e = 0.00 м		z = 0.00 м				
	Константа C2, учитывающая эффект отражения от земли возле экрана			40	40	40	40	40	40	40	40	40		
	Константа C3 (дифракция на кромках)		ф-ла (15) [10]	1	1	1	1	1	1	1	1	1		
	K_{met} (влияние метеоусловий)		ф-ла (18) [10]	1	1	1	1	1	1	1	1	1		
	Снижение УЗД, Dz, дБ		ф-ла (14) [10]	4,8	4,8	4,8	4,8	4,8	4,8	4,8	4,8	4,9		
Общее снижение уровня звука препятствием Dz, дБ			Эн.сумма(-Dzi)	1,4	1,6	1,7	1,7	1,7	1,8	1,8	1,8	1,8		
Уровни звукового давления от источника ИШ-2-45 в расчётной точке днём, дБ			**ф-ла(3)[10]**	**0**	**31,3**	**32,5**	**33,4**	**33**	**31,6**	**26,6**	**16,5**	**0**	**35,3**	**35,3**
Уровни звукового давления от источника ИШ-2-45 в расчётной точке ночью, дБ			**ф-ла(3)[10]**	**0**	**31,3**	**32,5**	**33,4**	**33**	**31,6**	**26,6**	**16,5**	**0**	**35,3**	**35,3**
Источник шума: ИШ-4-1, координаты источника (x,y,z), м =[141.82,201.03,1.00]														
Уровни звуковой мощности источника днём, Lw, дБ			**исходные данные**	**0**	**90,3**	**91,7**	**93**	**93,3**	**92,9**	**89,6**	**85,4**	**80,9**		
Уровни звуковой мощности источника ночью, Lw, дБ			**исходные данные**	**0**	**90,3**	**91,7**	**93**	**93,3**	**92,9**	**89,6**	**85,4**	**80,9**		
Поправка на телесный угол DΩ, дБ		Ω = 6.28	10Lg(4π/Ω)	**3**	3	3	3	3	3	3	3	3		
Показатель направленности источника Di, дБ			исходные данные	**0**	0	0	0	0	0	0	0	0		
Поправка на направленность источника Dc, дБ		Dc	DΩ + Di	**3**	3	3	3	3	3	3	3	3		
Затухание из-за геометрической дивергенции, Adiv, дБ		расстояние = 427.69 м	ф-ла (7) [10]	**63,6**										
Коэффициент затухания звука в атмосфере α, дБ/км		Ta=20,°C Pa=101.33,кПа hотн.=70%	ф-ла (5) [9]	0,02	0,09	0,33	1,12	2,79	4,98	9,04	23,09	77,63		

1		2	3	4	5	6	7	8	9	10	11	12	13
Учет затухания звука в атмосфере Aatm, дБ		ф-ла (8) [10]	0	0	0,1	0,5	1,2	2,1	3,9	9,9	33,2		
Снижение поверхностью земли возле источника As, дБ	Gs = 0 hs = 1м	ф-лы таб.3 [10]	-1,5	-1,5	-1,5	-1,5	-1,5	-1,5	-1,5	-1,5	-1,5		
Снижение поверхностью земли возле приёмника Ar, дБ	Gr = 1 hr = 4.6м	ф-лы таб.3 [10]	-1,5	-1,5	3,3	1,3	0	0	0	0	0		
Снижение поверхностью земли в средней зоне, Am дБ	Gm = 1	ф-лы таб.3 [10]	-1,8	-1,8	0	0	0	0	0	0	0		
Суммарное снижение поверхностью земли на траектории распространения звука Agr, дБ		ф-ла (9) [10]	-4,8	-4,8	1,8	-0,2	-1,5	-1,5	-1,5	-1,5	-1,5		
Уровни звукового давления прямого звука от источника ИШ-4-1 в расчётной точке днём, дБ		**ф-ла(3)[10]**	**0**	**34,5**	**29,1**	**32,1**	**33**	**31,6**	**26,6**	**16,4**	**0**	**35,2**	**35,2**
Уровни звукового давления прямого звука от источника ИШ-4-1 в расчётной точке ночью, дБ		**ф-ла(3)[10]**	**0**	**34,5**	**29,1**	**32,1**	**33**	**31,6**	**26,6**	**16,4**	**0**	**35,2**	**35,2**
Расчёт отражённого звука													
Уровни звукового давления от мнимого источника ИШ-4-1_мн.(1) в расчётной точке днём, дБ		**ф-ла(3)[10]**	**0**	**0**	**0**	**0**	**0**	**0**	**0**	**0**	**0**	**0**	**0**
Уровни звукового давления от мнимого источника ИШ-4-1_мн.(1) в расчётной точке ночью, дБ		**ф-ла(3)[10]**	**0**	**0**	**0**	**0**	**0**	**0**	**0**	**0**	**0**	**0**	**0**
Уровни звукового давления от мнимого источника ИШ-4-1_мн.(2) в расчётной точке днём, дБ		**ф-ла(3)[10]**	**0**	**0**	**0**	**21,7**	**21,6**	**27,1**	**24**	**13,8**	**0**	**29,8**	**29,8**
Уровни звукового давления от мнимого источника ИШ-4-1_мн.(2) в расчётной точке ночью, дБ		**ф-ла(3)[10]**	**0**	**0**	**0**	**0**	**0**	**0**	**0**	**0**	**0**	**29,8**	**29,8**
Суммарные уровни звукового давления от мнимых источников в расчётной точке днём, дБ		**ф-ла (19) [1]**	**0**	**0**	**0**	**21,7**	**21,6**	**27,1**	**24**	**13,8**	**0**	**0**	**29,8**
Суммарные уровни звукового давления от мнимых источников в расчётной точке ночью, дБ		**ф-ла (19) [1]**	**0**	**0**	**0**	**21,7**	**21,6**	**27,1**	**24**	**13,8**	**0**	**0**	**29,8**
Уровни звукового давления от источника ИШ-4-1 в расчётной точке днём, дБ		**ф-ла(3)[10]**	**0**	**34,5**	**29,1**	**32,5**	**33,3**	**32,9**	**28,5**	**18,3**	**0**	**36,3**	**36,3**
Уровни звукового давления от источника ИШ-4-1 в расчётной точке ночью, дБ		**ф-ла(3)[10]**	**0**	**34,5**	**29,1**	**32,5**	**33,3**	**32,9**	**28,5**	**18,3**	**0**	**36,3**	**36,3**

Источник шума: ИШ-4-2, координаты источника (x,y,z), м =[133.85,183.21,1.00]

1		2	3	4	5	6	7	8	9	10	11	12	13
Уровни звуковой мощности источника днём, Lw, дБ		**исходные данные**	**0**	**90,3**	**91,7**	**93**	**93,3**	**92,9**	**89,6**	**85,4**	**80,9**		
Уровни звуковой мощности источника ночью, Lw, дБ		**исходные данные**	**0**	**90,3**	**91,7**	**93**	**93,3**	**92,9**	**89,6**	**85,4**	**80,9**		
Поправка на телесный угол DΩ, дБ	Ω = 6.28	10Lg(4π/Ω)	**3**	3	3	3	3	3	3	3	3		
Показатель направленности источника Di, дБ		исходные данные	**0**	0	0	0	0	0	0	0	0		
Поправка на направленность источника Dc, дБ	Dc	DΩ + Di	**3**	3	3	3	3	3	3	3	3		
Затухание из-за геометрической дивергенции, Adiv, дБ	расстояние = 413.24 м	ф-ла (7) [10]	**63,3**										
Коэффициент затухания звука в атмосфере α, дБ/км	Ta=20,°C Pa=101.33,кПа hотн.=70%	ф-ла (5) [9]	0,02	0,09	0,33	1,12	2,79	4,98	9,04	23,09	77,63		
Учет затухания звука в атмосфере Aatm, дБ		ф-ла (8) [10]	0	0	0,1	0,5	1,2	2,1	3,7	9,5	32,1		
Снижение поверхностью земли возле источника As, дБ	Gs = 0 hs = 1м	ф-лы таб.3 [10]	-1,5	-1,5	-1,5	-1,5	-1,5	-1,5	-1,5	-1,5	-1,5		
Снижение поверхностью земли возле приёмника Ar, дБ	Gr = 1 hr = 4.6м	ф-лы таб.3 [10]	-1,5	-1,5	3,3	1,3	0	0	0	0	0		
Снижение поверхностью земли в средней зоне, Am дБ	Gm = 1	ф-лы таб.3 [10]	-1,8	-1,8	0	0	0	0	0	0	0		
Суммарное снижение поверхностью земли на траектории распространения звука Agr, дБ		ф-ла (9) [10]	-4,8	-4,8	1,8	-0,2	-1,5	-1,5	-1,5	-1,5	-1,5		
Уровни звукового давления прямого звука от источника ИШ-4-2 в расчётной точке днём, дБ		**ф-ла(3)[10]**	**0**	**34,7**	**29,5**	**32,4**	**33,3**	**32**	**27**	**17**	**0**	**35,6**	**35,6**
Уровни звукового давления прямого звука от источника ИШ-4-2 в расчётной точке ночью, дБ		**ф-ла(3)[10]**	**0**	**34,7**	**29,5**	**32,4**	**33,3**	**32**	**27**	**17**	**0**	**35,6**	**35,6**
Расчёт отражённого звука													
Уровни звукового давления от мнимого источника ИШ-4-2_мн.(1) в расчётной точке днём, дБ		**ф-ла(3)[10]**	**0**	**0**	**0**	**0**	**0**	**0**	**0**	**0**	**0**	**0**	**0**
Уровни звукового давления от мнимого источника ИШ-4-2_мн.(1) в расчётной точке ночью, дБ		**ф-ла(3)[10]**	**0**	**0**	**0**	**0**	**0**	**0**	**0**	**0**	**0**	**0**	**0**

1		2	3	4	5	6	7	8	9	10	11	12	13
Уровни звукового давления от мнимого источника ИШ-4-2_мн.(2) в расчётной точке днём, дБ		**ф-ла(3)[10]**	**0**	**0**	**0**	**0**	**21,9**	**27,4**	**24,5**	**14,4**	**0**	**30,1**	**30,1**
Уровни звукового давления от мнимого источника ИШ-4-2_мн.(2) в расчётной точке ночью, дБ		**ф-ла(3)[10]**	**0**	**0**	**0**	**0**	**0**	**0**	**0**	**0**	**0**	**30,1**	**30,1**
Суммарные уровни звукового давления от мнимых источников в расчётной точке днём, дБ		**ф-ла (19) [1]**	**0**	**0**	**0**	**0**	**21,9**	**27,4**	**24,5**	**14,4**	**0**	**0**	**30,1**
Суммарные уровни звукового давления от мнимых источников в расчётной точке ночью, дБ		**ф-ла (19) [1]**	**0**	**0**	**0**	**0**	**21,9**	**27,4**	**24,5**	**14,4**	**0**	**0**	**30,1**
Уровни звукового давления от источника ИШ-4-2 в расчётной точке днём, дБ		**ф-ла(3)[10]**	**0**	**34,7**	**29,5**	**32,4**	**33,6**	**33,3**	**28,9**	**18,9**	**0**	**36,7**	**36,7**
Уровни звукового давления от источника ИШ-4-2 в расчётной точке ночью, дБ		**ф-ла(3)[10]**	**0**	**34,7**	**29,5**	**32,4**	**33,6**	**33,3**	**28,9**	**18,9**	**0**	**36,7**	**36,7**
Источник шума: ИШ-4-3, координаты источника (x,y,z), м =[152.61,172.66,1.00]													
Уровни звуковой мощности источника днём, Lw, дБ		**исходные данные**	**0**	**90,3**	**91,7**	**93**	**93,3**	**92,9**	**89,6**	**85,4**	**80,9**		
Уровни звуковой мощности источника ночью, Lw, дБ		**исходные данные**	**0**	**90,3**	**91,7**	**93**	**93,3**	**92,9**	**89,6**	**85,4**	**80,9**		
Поправка на телесный угол DΩ, дБ	Ω = 6.28	10Lg(4π/Ω)	**3**	3	3	3	3	3	3	3	3		
Показатель направленности источника Di, дБ		исходные данные	**0**	0	0	0	0	0	0	0	0		
Поправка на направленность источника Dc, дБ	Dc	DΩ + Di	**3**	3	3	3	3	3	3	3	3		
Затухание из-за геометрической дивергенции, Adiv, дБ	расстояние = 397.41 м	ф-ла (7) [10]	**63**										
Коэффициент затухания звука в атмосфере α, дБ/км	Ta=20,°C Pa=101.33,кПа hотн.=70%	ф-ла (5) [9]	0,02	0,09	0,33	1,12	2,79	4,98	9,04	23,09	77,63		
Учет затухания звука в атмосфере Aatm, дБ		ф-ла (8) [10]	0	0	0,1	0,4	1,1	2	3,6	9,2	30,9		
Снижение поверхностью земли возле источника As, дБ	Gs = 0 hs = 1м	ф-лы таб.3 [10]	-1,5	-1,5	-1,5	-1,5	-1,5	-1,5	-1,5	-1,5	-1,5		

1		2	3	4	5	6	7	8	9	10	11	12	13
Снижение поверхностью земли возле приёмника Ar, дБ	Gr = 1 hr = 4.6м	ф-лы таб.3 [10]	-1,5	-1,5	3,2	1,3	0	0	0	0	0		
Снижение поверхностью земли в средней зоне, Am дБ	Gm = 1	ф-лы таб.3 [10]	-1,7	-1,7	0	0	0	0	0	0	0		
Суммарное снижение поверхностью земли на траектории распространения звука Agr, дБ		ф-ла (9) [10]	-4,7	-4,7	1,7	-0,2	-1,5	-1,5	-1,5	-1,5	-1,5		
Уровни звукового давления прямого звука от источника ИШ-4-3 в расчётной точке днём, дБ		**ф-ла(3)[10]**	**0**	**35**	**29,8**	**32,8**	**33,7**	**32,4**	**27,5**	**17,7**	**0**	**36**	**36**
Уровни звукового давления прямого звука от источника ИШ-4-3 в расчётной точке ночью, дБ		**ф-ла(3)[10]**	**0**	**35**	**29,8**	**32,8**	**33,7**	**32,4**	**27,5**	**17,7**	**0**	**36**	**36**
Расчёт отражённого звука													
Уровни звукового давления от мнимого источника ИШ-4-3_мн.(1) в расчётной точке днём, дБ		**ф-ла(3)[10]**	**0**	**0**	**0**	**22,4**	**22,3**	**27,8**	**24,9**	**15,1**	**0**	**30,7**	**30,7**
Уровни звукового давления от мнимого источника ИШ-4-3_мн.(1) в расчётной точке ночью, дБ		**ф-ла(3)[10]**	**0**	**0**	**0**	**0**	**0**	**0**	**0**	**0**	**0**	**30,7**	**30,7**
Уровни звукового давления от источника ИШ-4-3 в расчётной точке днём, дБ		**ф-ла(3)[10]**	**0**	**35**	**29,8**	**33,2**	**34**	**33,7**	**29,4**	**19,6**	**0**	**37,1**	**37,1**
Уровни звукового давления от источника ИШ-4-3 в расчётной точке ночью, дБ		**ф-ла(3)[10]**	**0**	**35**	**29,8**	**33,2**	**34**	**33,7**	**29,4**	**19,6**	**0**	**37,1**	**37,1**
Источник шума: ИШ-4-4, координаты источника (x,y,z), м =[156.83,171.25,1.00]													
Уровни звуковой мощности источника днём, Lw, дБ		**исходные данные**	**0**	**90,3**	**91,7**	**93**	**93,3**	**92,9**	**89,6**	**85,4**	**80,9**		
Уровни звуковой мощности источника ночью, Lw, дБ		**исходные данные**	**0**	**90,3**	**91,7**	**93**	**93,3**	**92,9**	**89,6**	**85,4**	**80,9**		
Поправка на телесный угол DΩ, дБ	Ω = 6.28	10Lg(4π/Ω)	**3**	3	3	3	3	3	3	3	3		
Показатель направленности источника Di, дБ		исходные данные	**0**	0	0	0	0	0	0	0	0		
Поправка на направленность источника Dc, дБ	Dc	DΩ + Di	**3**	3	3	3	3	3	3	3	3		
Затухание из-за геометрической дивергенции, Adiv, дБ	расстояние = 394.84 м	ф-ла (7) [10]	**62,9**										

1		2	3	4	5	6	7	8	9	10	11	12	13
Коэффициент затухания звука в атмосфере α, дБ/км	Ta=20,°C Pa=101.33,кПа hотн.=70%	ф-ла (5) [9]	0,02	0,09	0,33	1,12	2,79	4,98	9,04	23,09	77,63		
Учет затухания звука в атмосфере Aatm, дБ		ф-ла (8) [10]	0	0	0,1	0,4	1,1	2	3,6	9,1	30,7		
Снижение поверхностью земли возле источника As, дБ	Gs = 0 hs = 1м	ф-лы таб.3 [10]	-1,5	-1,5	-1,5	-1,5	-1,5	-1,5	-1,5	-1,5	-1,5		
Снижение поверхностью земли возле приёмника Ar, дБ	Gr = 1 hr = 4.6м	ф-лы таб.3 [10]	-1,5	-1,5	3,2	1,3	0	0	0	0	0		
Снижение поверхностью земли в средней зоне, Am дБ	Gm = 1	ф-лы таб.3 [10]	-1,7	-1,7	0	0	0	0	0	0	0		
Суммарное снижение поверхностью земли на траектории распространения звука Agr, дБ		ф-ла (9) [10]	-4,7	-4,7	1,7	-0,2	-1,5	-1,5	-1,5	-1,5	-1,5		
Уровни звукового давления прямого звука от источника ИШ-4-4 в расчётной точке днём, дБ		**ф-ла(3)[10]**	**0**	**35,1**	**29,9**	**32,8**	**33,8**	**32,5**	**27,6**	**17,8**	**0**	**36,1**	**36,1**
Уровни звукового давления прямого звука от источника ИШ-4-4 в расчётной точке ночью, дБ		**ф-ла(3)[10]**	**0**	**35,1**	**29,9**	**32,8**	**33,8**	**32,5**	**27,6**	**17,8**	**0**	**36,1**	**36,1**
Расчёт отражённого звука													
Уровни звукового давления от мнимого источника ИШ-4-4_мн.(1) в расчётной точке днём, дБ		**ф-ла(3)[10]**	**0**	**0**	**0**	**22,4**	**22,4**	**27,9**	**25**	**15,2**	**0**	**30,7**	**30,7**
Уровни звукового давления от мнимого источника ИШ-4-4_мн.(1) в расчётной точке ночью, дБ		**ф-ла(3)[10]**	**0**	**0**	**0**	**0**	**0**	**0**	**0**	**0**	**0**	**30,7**	**30,7**
Уровни звукового давления от источника ИШ-4-4 в расчётной точке днём, дБ		**ф-ла(3)[10]**	**0**	**35,1**	**29,9**	**33,2**	**34,1**	**33,8**	**29,5**	**19,7**	**0**	**37,2**	**37,2**
Уровни звукового давления от источника ИШ-4-4 в расчётной точке ночью, дБ		**ф-ла(3)[10]**	**0**	**35,1**	**29,9**	**33,2**	**34,1**	**33,8**	**29,5**	**19,7**	**0**	**37,2**	**37,2**
Источник шума: ИШ-4-5, координаты источника (x,y,z), м =[126.48,222.66,11.00]													
Уровни звуковой мощности источника днём, Lw, дБ		**исходные данные**	**0**	**90,3**	**91,7**	**93**	**93,3**	**92,9**	**89,6**	**85,4**	**80,9**		
Уровни звуковой мощности источника ночью, Lw, дБ		**исходные данные**	**0**	**90,3**	**91,7**	**93**	**93,3**	**92,9**	**89,6**	**85,4**	**80,9**		

1		2	3	4	5	6	7	8	9	10	11	12	13
Поправка на телесный угол DΩ, дБ	Ω = 6.28	10Lg(4π/Ω)	**3**	3	3	3	3	3	3	3	3		
Показатель направленности источника Di, дБ		исходные данные	**0**	0	0	0	0	0	0	0	0		
Поправка на направленность источника Dc, дБ	Dc	DΩ + Di	**3**	3	3	3	3	3	3	3	3		
Затухание из-за геометрической дивергенции, Adiv, дБ	расстояние = 453.01 м	ф-ла (7) [10]	**64,1**										
Коэффициент затухания звука в атмосфере α, дБ/км	Ta=20,°C Pa=101.33,кПа hотн.=70%	ф-ла (5) [9]	0,02	0,09	0,33	1,12	2,79	4,98	9,04	23,09	77,63		
Учет затухания звука в атмосфере Aatm, дБ		ф-ла (8) [10]	0	0	0,2	0,5	1,3	2,3	4,1	10,5	35,2		
Снижение поверхностью земли возле источника As, дБ	Gs = 0 hs = 1м	ф-лы таб.3 [10]	-1,5	-1,5	-1,5	-1,5	-1,5	-1,5	-1,5	-1,5	-1,5		
Снижение поверхностью земли возле приёмника Ar, дБ	Gr = 1 hr = 4.6м	ф-лы таб.3 [10]	-1,5	-1,5	3,3	1,3	0	0	0	0	0		
Снижение поверхностью земли в средней зоне, Am дБ	Gm = 1	ф-лы таб.3 [10]	-1,9	-1,9	0	0	0	0	0	0	0		
Суммарное снижение поверхностью земли на траектории распространения звука Agr, дБ		ф-ла (9) [10]	-4,9	-4,9	1,8	-0,2	-1,5	-1,5	-1,5	-1,5	-1,5		
Уровни звукового давления прямого звука от источника ИШ-4-5 в расчётной точке днём, дБ		**ф-ла(3)[10]**	**0**	**34**	**28,6**	**31,6**	**32,4**	**31**	**25,9**	**15,3**	**0**	**34,6**	**34,6**
Уровни звукового давления прямого звука от источника ИШ-4-5 в расчётной точке ночью, дБ		**ф-ла(3)[10]**	**0**	**34**	**28,6**	**31,6**	**32,4**	**31**	**25,9**	**15,3**	**0**	**34,6**	**34,6**
Расчёт отражённого звука													
Уровни звукового давления от мнимого источника ИШ-4-5_мн.(1) в расчётной точке днём, дБ		**ф-ла(3)[10]**	**0**	**0**	**0**	**21,2**	**21**	**26,4**	**23,3**	**12,7**	**0**	**29,2**	**29,2**
Уровни звукового давления от мнимого источника ИШ-4-5_мн.(1) в расчётной точке ночью, дБ		**ф-ла(3)[10]**	**0**	**0**	**0**	**0**	**0**	**0**	**0**	**0**	**0**	**29,2**	**29,2**
Уровни звукового давления от источника ИШ-4-5 в расчётной точке днём, дБ		**ф-ла(3)[10]**	**0**	**34**	**28,6**	**32**	**32,7**	**32,3**	**27,8**	**17,2**	**0**	**35,7**	**35,7**
Уровни звукового давления от источника ИШ-4-5 в расчётной точке ночью, дБ		**ф-ла(3)[10]**	**0**	**34**	**28,6**	**32**	**32,7**	**32,3**	**27,8**	**17,2**	**0**	**35,7**	**35,7**

1		2	3	4	5	6	7	8	9	10	11	12	13
Источник шума: ИШ-4-6, координаты источника (x,y,z), м =[125.17,218.57,11.00]													
Уровни звуковой мощности источника днём, Lw, дБ		**исходные данные**	**0**	**90,3**	**91,7**	**93**	**93,3**	**92,9**	**89,6**	**85,4**	**80,9**		
Уровни звуковой мощности источника ночью, Lw, дБ		**исходные данные**	**0**	**90,3**	**91,7**	**93**	**93,3**	**92,9**	**89,6**	**85,4**	**80,9**		
Поправка на телесный угол DΩ, дБ	Ω = 6.28	10Lg(4π/Ω)	**3**	3	3	3	3	3	3	3	3		
Показатель направленности источника Di, дБ		исходные данные	**0**	0	0	0	0	0	0	0	0		
Поправка на направленность источника Dc, дБ	Dc	DΩ + Di	**3**	3	3	3	3	3	3	3	3		
Затухание из-за геометрической дивергенции, Adiv, дБ	расстояние = 449.54 м	ф-ла (7) [10]	**64,1**										
Коэффициент затухания звука в атмосфере α, дБ/км	Ta=20,°C Pa=101.33,кПа hотн.=70%	ф-ла (5) [9]	0,02	0,09	0,33	1,12	2,79	4,98	9,04	23,09	77,63		
Учет затухания звука в атмосфере Aatm, дБ		ф-ла (8) [10]	0	0	0,2	0,5	1,3	2,2	4,1	10,4	34,9		
Снижение поверхностью земли возле источника As, дБ	Gs = 0 hs = 1м	ф-лы таб.3 [10]	-1,5	-1,5	-1,5	-1,5	-1,5	-1,5	-1,5	-1,5	-1,5		
Снижение поверхностью земли возле приёмника Ar, дБ	Gr = 1 hr = 4.6м	ф-лы таб.3 [10]	-1,5	-1,5	3,3	1,3	0	0	0	0	0		
Снижение поверхностью земли в средней зоне, Am дБ	Gm = 1	ф-лы таб.3 [10]	-1,9	-1,9	0	0	0	0	0	0	0		
Суммарное снижение поверхностью земли на траектории распространения звука Agr, дБ		ф-ла (9) [10]	-4,9	-4,9	1,8	-0,2	-1,5	-1,5	-1,5	-1,5	-1,5		
Уровни звукового давления прямого звука от источника ИШ-4-6 в расчётной точке днём, дБ		**ф-ла(3)[10]**	**0**	**34,1**	**28,7**	**31,7**	**32,5**	**31,1**	**26**	**15,5**	**0**	**34,7**	**34,7**
Уровни звукового давления прямого звука от источника ИШ-4-6 в расчётной точке ночью, дБ		**ф-ла(3)[10]**	**0**	**34,1**	**28,7**	**31,7**	**32,5**	**31,1**	**26**	**15,5**	**0**	**34,7**	**34,7**
Расчёт отражённого звука													

1		2	3	4	5	6	7	8	9	10	11	12	13
Уровни звукового давления от мнимого источника ИШ-4-6_мн.(1) в расчётной точке днём, дБ		**ф-ла(3)[10]**	**0**	**0**	**0**	**0**	**21,1**	**26,5**	**23,4**	**12,8**	**0**	**29,2**	**29,2**
Уровни звукового давления от мнимого источника ИШ-4-6_мн.(1) в расчётной точке ночью, дБ		**ф-ла(3)[10]**	**0**	**0**	**0**	**0**	**0**	**0**	**0**	**0**	**0**	**29,2**	**29,2**
Уровни звукового давления от источника ИШ-4-6 в расчётной точке днём, дБ		**ф-ла(3)[10]**	**0**	**34,1**	**28,7**	**31,7**	**32,8**	**32,4**	**27,9**	**17,4**	**0**	**35,7**	**35,7**
Уровни звукового давления от источника ИШ-4-6 в расчётной точке ночью, дБ		**ф-ла(3)[10]**	**0**	**34,1**	**28,7**	**31,7**	**32,8**	**32,4**	**27,9**	**17,4**	**0**	**35,7**	**35,7**
Источник шума: ИШ-4-7, координаты источника (x,y,z), м =[177.91,257.92,11.00]													
Уровни звуковой мощности источника днём, Lw, дБ		**исходные данные**	**0**	**90,3**	**91,7**	**93**	**93,3**	**92,9**	**89,6**	**85,4**	**80,9**		
Уровни звуковой мощности источника ночью, Lw, дБ		**исходные данные**	**0**	**90,3**	**91,7**	**93**	**93,3**	**92,9**	**89,6**	**85,4**	**80,9**		
Поправка на телесный угол DΩ, дБ	Ω = 6.28	10Lg(4π/Ω)	**3**	3	3	3	3	3	3	3	3		
Показатель направленности источника Di, дБ		исходные данные	**0**	0	0	0	0	0	0	0	0		
Поправка на направленность источника Dc, дБ	Dc	DΩ + Di	**3**	3	3	3	3	3	3	3	3		
Затухание из-за геометрической дивергенции, Adiv, дБ	расстояние = 474.13 м	ф-ла (7) [10]	**64,5**										
Коэффициент затухания звука в атмосфере α, дБ/км	Ta=20,°C Pa=101.33,кПа hотн.=70%	ф-ла (5) [9]	0,02	0,09	0,33	1,12	2,79	4,98	9,04	23,09	77,63		
Учет затухания звука в атмосфере Aatm, дБ		ф-ла (8) [10]	0	0	0,2	0,5	1,3	2,4	4,3	10,9	36,8		
Снижение поверхностью земли возле источника As, дБ	Gs = 0 hs = 3м	ф-лы таб.3 [10]	-1,5	-1,5	-1,5	-1,5	-1,5	-1,5	-1,5	-1,5	-1,5		
Снижение поверхностью земли возле приёмника Ar, дБ	Gr = 1 hr = 4.6м	ф-лы таб.3 [10]	-1,5	-1,5	3,3	1,3	0	0	0	0	0		
Снижение поверхностью земли в средней зоне, Am дБ	Gm = 1	ф-лы таб.3 [10]	-1,6	-1,6	0	0	0	0	0	0	0		

1		2	3	4	5	6	7	8	9	10	11	12	13
Суммарное снижение поверхностью земли на траектории распространения звука Agr, дБ		ф-ла (9) [10]	-4,6	-4,6	1,8	-0,2	-1,5	-1,5	-1,5	-1,5	-1,5		
Уровни звукового давления прямого звука от источника ИШ-4-7 в расчётной точке днём, дБ		**ф-ла(3)[10]**	**0**	**33,3**	**28,2**	**31,2**	**32**	**30,5**	**25,3**	**14,4**	**0**	**34,1**	**34,1**
Уровни звукового давления прямого звука от источника ИШ-4-7 в расчётной точке ночью, дБ		**ф-ла(3)[10]**	**0**	**33,3**	**28,2**	**31,2**	**32**	**30,5**	**25,3**	**14,4**	**0**	**34,1**	**34,1**
Расчёт отражённого звука													
Уровни звукового давления от мнимого источника ИШ-4-7_мн.(1) в расчётной точке днём, дБ		**ф-ла(3)[10]**	**0**	**0**	**22,6**	**24,8**	**29,2**	**28**	**22,7**	**11,8**	**0**	**31,2**	**31,2**
Уровни звукового давления от мнимого источника ИШ-4-7_мн.(1) в расчётной точке ночью, дБ		**ф-ла(3)[10]**	**0**	**0**	**0**	**0**	**0**	**0**	**0**	**0**	**0**	**31,2**	**31,2**
Уровни звукового давления от источника ИШ-4-7 в расчётной точке днём, дБ		**ф-ла(3)[10]**	**0**	**33,3**	**29,2**	**32,1**	**33,8**	**32,4**	**27,2**	**16,3**	**0**	**35,9**	**35,9**
Уровни звукового давления от источника ИШ-4-7 в расчётной точке ночью, дБ		**ф-ла(3)[10]**	**0**	**33,3**	**29,2**	**32,1**	**33,8**	**32,4**	**27,2**	**16,3**	**0**	**35,9**	**35,9**
Источник шума: ИШ-4-8, координаты источника (x,y,z), м =[178.24,257.77,13.00]													
Уровни звуковой мощности источника днём, Lw, дБ		**исходные данные**	**0**	**90,3**	**91,7**	**93**	**93,3**	**92,9**	**89,6**	**85,4**	**80,9**		
Уровни звуковой мощности источника ночью, Lw, дБ		**исходные данные**	**0**	**90,3**	**91,7**	**93**	**93,3**	**92,9**	**89,6**	**85,4**	**80,9**		
Поправка на телесный угол DΩ, дБ	Ω = 6.28	10Lg(4π/Ω)	**3**	3	3	3	3	3	3	3	3		
Показатель направленности источника Di, дБ		исходные данные	**0**	0	0	0	0	0	0	0	0		
Поправка на направленность источника Dc, дБ	Dc	DΩ + Di	**3**	3	3	3	3	3	3	3	3		
Затухание из-за геометрической дивергенции, Adiv, дБ	расстояние = 473.95 м	ф-ла (7) [10]	**64,5**										
Коэффициент затухания звука в атмосфере α, дБ/км	Ta=20,°C Pa=101.33,кПа hотн.=70%	ф-ла (5) [9]	0,02	0,09	0,33	1,12	2,79	4,98	9,04	23,09	77,63		

1		2	3	4	5	6	7	8	9	10	11	12	13
Учет затухания звука в атмосфере Aatm, дБ		ф-ла (8) [10]	0	0	0,2	0,5	1,3	2,4	4,3	10,9	36,8		
Снижение поверхностью земли возле источника As, дБ	Gs = 0 hs = 5м	ф-лы таб.3 [10]	-1,5	-1,5	-1,5	-1,5	-1,5	-1,5	-1,5	-1,5	-1,5		
Снижение поверхностью земли возле приёмника Ar, дБ	Gr = 1 hr = 4.6м	ф-лы таб.3 [10]	-1,5	-1,5	3,3	1,3	0	0	0	0	0		
Снижение поверхностью земли в средней зоне, Am дБ	Gm = 1	ф-лы таб.3 [10]	-1,2	-1,2	0	0	0	0	0	0	0		
Суммарное снижение поверхностью земли на траектории распространения звука Agr, дБ		ф-ла (9) [10]	-4,2	-4,2	1,8	-0,2	-1,5	-1,5	-1,5	-1,5	-1,5		
Уровни звукового давления прямого звука от источника ИШ-4-8 в расчётной точке днём, дБ		**ф-ла(3)[10]**	**0**	**32,9**	**28,2**	**31,2**	**32**	**30,5**	**25,3**	**14,4**	**0**	**34,1**	**34,1**
Уровни звукового давления прямого звука от источника ИШ-4-8 в расчётной точке ночью, дБ		**ф-ла(3)[10]**	**0**	**32,9**	**28,2**	**31,2**	**32**	**30,5**	**25,3**	**14,4**	**0**	**34,1**	**34,1**
Расчёт отражённого звука													
Уровни звукового давления от мнимого источника ИШ-4-8_мн.(1) в расчётной точке днём, дБ		**ф-ла(3)[10]**	**0**	**0**	**22,4**	**27,7**	**29,4**	**28**	**22,7**	**11,8**	**0**	**31,4**	**31,4**
Уровни звукового давления от мнимого источника ИШ-4-8_мн.(1) в расчётной точке ночью, дБ		**ф-ла(3)[10]**	**0**	**0**	**0**	**0**	**0**	**0**	**0**	**0**	**0**	**31,4**	**31,4**
Уровни звукового давления от источника ИШ-4-8 в расчётной точке днём, дБ		**ф-ла(3)[10]**	**0**	**32,9**	**29,2**	**32,8**	**33,9**	**32,4**	**27,2**	**16,3**	**0**	**36**	**36**
Уровни звукового давления от источника ИШ-4-8 в расчётной точке ночью, дБ		**ф-ла(3)[10]**	**0**	**32,9**	**29,2**	**32,8**	**33,9**	**32,4**	**27,2**	**16,3**	**0**	**36**	**36**
Источник шума: ИШ-4-9, координаты источника (x,y,z), м =[178.68,257.63,15.50]													
Уровни звуковой мощности источника днём, Lw, дБ		**исходные данные**	**0**	**90,3**	**91,7**	**93**	**93,3**	**92,9**	**89,6**	**85,4**	**80,9**		
Уровни звуковой мощности источника ночью, Lw, дБ		**исходные данные**	**0**	**90,3**	**91,7**	**93**	**93,3**	**92,9**	**89,6**	**85,4**	**80,9**		
Поправка на телесный угол DΩ, дБ	Ω = 6.28	10Lg(4π/Ω)	**3**	3	3	3	3	3	3	3	3		
Показатель направленности источника Di, дБ		исходные данные	**0**	0	0	0	0	0	0	0	0		

1		2	3	4	5	6	7	8	9	10	11	12	13
Поправка на направленность источника Dc, дБ	Dc	DΩ + Di	**3**	3	3	3	3	3	3	3	3		
Затухание из-за геометрической дивергенции, Adiv, дБ	расстояние = 473.78 м	ф-ла (7) [10]	**64,5**										
Коэффициент затухания звука в атмосфере α, дБ/км	Ta=20,°C Pa=101.33,кПа hотн.=70%	ф-ла (5) [9]	0,02	0,09	0,33	1,12	2,79	4,98	9,04	23,09	77,63		
Учет затухания звука в атмосфере Aatm, дБ		ф-ла (8) [10]	0	0	0,2	0,5	1,3	2,4	4,3	10,9	36,8		
Снижение поверхностью земли возле источника As, дБ	Gs = 0 hs = 7.5м	ф-лы таб.3 [10]	-1,5	-1,5	-1,5	-1,5	-1,5	-1,5	-1,5	-1,5	-1,5		
Снижение поверхностью земли возле приёмника Ar, дБ	Gr = 1 hr = 4.6м	ф-лы таб.3 [10]	-1,5	-1,5	3,3	1,3	0	0	0	0	0		
Снижение поверхностью земли в средней зоне, Am дБ	Gm = 1	ф-лы таб.3 [10]	-0,7	-0,7	0	0	0	0	0	0	0		
Суммарное снижение поверхностью земли на траектории распространения звука Agr, дБ		ф-ла (9) [10]	-3,7	-3,7	1,8	-0,2	-1,5	-1,5	-1,5	-1,5	-1,5		
Уровни звукового давления прямого звука от источника ИШ-4-9 в расчётной точке днём, дБ		**ф-ла(3)[10]**	**0**	**32,4**	**28,2**	**31,2**	**32**	**30,5**	**25,3**	**14,4**	**0**	**34,1**	**34,1**
Уровни звукового давления прямого звука от источника ИШ-4-9 в расчётной точке ночью, дБ		**ф-ла(3)[10]**	**0**	**32,4**	**28,2**	**31,2**	**32**	**30,5**	**25,3**	**14,4**	**0**	**34,1**	**34,1**
Расчёт отражённого звука													
Уровни звукового давления от мнимого источника ИШ-4-9_мн.(1) в расчётной точке днём, дБ		**ф-ла(3)[10]**	**0**	**0**	**24,2**	**28,6**	**29,4**	**28**	**22,7**	**11,8**	**0**	**31,5**	**31,5**
Уровни звукового давления от мнимого источника ИШ-4-9_мн.(1) в расчётной точке ночью, дБ		**ф-ла(3)[10]**	**0**	**0**	**0**	**0**	**0**	**0**	**0**	**0**	**0**	**31,5**	**31,5**
Уровни звукового давления от источника ИШ-4-9 в расчётной точке днём, дБ		**ф-ла(3)[10]**	**0**	**32,4**	**29,6**	**33,1**	**33,9**	**32,4**	**27,2**	**16,3**	**0**	**36**	**36**
Уровни звукового давления от источника ИШ-4-9 в расчётной точке ночью, дБ		**ф-ла(3)[10]**	**0**	**32,4**	**29,6**	**33,1**	**33,9**	**32,4**	**27,2**	**16,3**	**0**	**36**	**36**
Источник шума: ИШ-4-10, координаты источника (x,y,z), м =[185.65,255.31,11.00]													

1		2	3	4	5	6	7	8	9	10	11	12	13
Уровни звуковой мощности источника днём, Lw, дБ		**исходные данные**	**0**	**90,3**	**91,7**	**93**	**93,3**	**92,9**	**89,6**	**85,4**	**80,9**		
Уровни звуковой мощности источника ночью, Lw, дБ		**исходные данные**	**0**	**90,3**	**91,7**	**93**	**93,3**	**92,9**	**89,6**	**85,4**	**80,9**		
Поправка на телесный угол DΩ, дБ	Ω = 6.28	10Lg(4π/Ω)	**3**	3	3	3	3	3	3	3	3		
Показатель направленности источника Di, дБ		исходные данные	**0**	0	0	0	0	0	0	0	0		
Поправка на направленность источника Dc, дБ	Dc	DΩ + Di	**3**	3	3	3	3	3	3	3	3		
Затухание из-за геометрической дивергенции, Adiv, дБ	расстояние = 470.13 м	ф-ла (7) [10]	**64,4**										
Коэффициент затухания звука в атмосфере α, дБ/км	Ta=20,°C Pa=101.33,кПа hотн.=70%	ф-ла (5) [9]	0,02	0,09	0,33	1,12	2,79	4,98	9,04	23,09	77,63		
Учет затухания звука в атмосфере Aatm, дБ		ф-ла (8) [10]	0	0	0,2	0,5	1,3	2,3	4,2	10,9	36,5		
Снижение поверхностью земли возле источника As, дБ	Gs = 0 hs = 3м	ф-лы таб.3 [10]	-1,5	-1,5	-1,5	-1,5	-1,5	-1,5	-1,5	-1,5	-1,5		
Снижение поверхностью земли возле приёмника Ar, дБ	Gr = 1 hr = 4.6м	ф-лы таб.3 [10]	-1,5	-1,5	3,3	1,3	0	0	0	0	0		
Снижение поверхностью земли в средней зоне, Am дБ	Gm = 1	ф-лы таб.3 [10]	-1,5	-1,5	0	0	0	0	0	0	0		
Суммарное снижение поверхностью земли на траектории распространения звука Agr, дБ		ф-ла (9) [10]	-4,5	-4,5	1,8	-0,2	-1,5	-1,5	-1,5	-1,5	-1,5		
Уровни звукового давления прямого звука от источника ИШ-4-10 в расчётной точке днём, дБ		**ф-ла(3)[10]**	**0**	**33,4**	**28,3**	**31,2**	**32**	**30,6**	**25,4**	**14,6**	**0**	**34,2**	**34,2**
Уровни звукового давления прямого звука от источника ИШ-4-10 в расчётной точке ночью, дБ		**ф-ла(3)[10]**	**0**	**33,4**	**28,3**	**31,2**	**32**	**30,6**	**25,4**	**14,6**	**0**	**34,2**	**34,2**
Расчёт отражённого звука													
Уровни звукового давления от мнимого источника ИШ-4-10_мн.(1) в расчётной точке днём, дБ		**ф-ла(3)[10]**	**0**	**32,3**	**22,7**	**24,9**	**29,3**	**28**	**22,8**	**12**	**0**	**31,4**	**31,4**
Уровни звукового давления от мнимого источника ИШ-4-10_мн.(1) в расчётной точке ночью, дБ		**ф-ла(3)[10]**	**0**	**0**	**0**	**0**	**0**	**0**	**0**	**0**	**0**	**31,4**	**31,4**

1		2	3	4	5	6	7	8	9	10	11	12	13
Уровни звукового давления от источника ИШ-4-10 в расчётной точке днём, дБ		**ф-ла(3)[10]**	**0**	**35,9**	**29,3**	**32,1**	**33,9**	**32,5**	**27,3**	**16,5**	**0**	**36**	**36**
Уровни звукового давления от источника ИШ-4-10 в расчётной точке ночью, дБ		**ф-ла(3)[10]**	**0**	**35,9**	**29,3**	**32,1**	**33,9**	**32,5**	**27,3**	**16,5**	**0**	**36**	**36**
Источник шума: ИШ-4-11, координаты источника (x,y,z), м =[185.89,255.16,13.00]													
Уровни звуковой мощности источника днём, Lw, дБ		**исходные данные**	**0**	**90,3**	**91,7**	**93**	**93,3**	**92,9**	**89,6**	**85,4**	**80,9**		
Уровни звуковой мощности источника ночью, Lw, дБ		**исходные данные**	**0**	**90,3**	**91,7**	**93**	**93,3**	**92,9**	**89,6**	**85,4**	**80,9**		
Поправка на телесный угол DΩ, дБ	Ω = 6.28	10Lg(4π/Ω)	**3**	3	3	3	3	3	3	3	3		
Показатель направленности источника Di, дБ		исходные данные	**0**	0	0	0	0	0	0	0	0		
Поправка на направленность источника Dc, дБ	Dc	DΩ + Di	**3**	3	3	3	3	3	3	3	3		
Затухание из-за геометрической дивергенции, Adiv, дБ	расстояние = 469.98 м	ф-ла (7) [10]	**64,4**										
Коэффициент затухания звука в атмосфере α, дБ/км	Ta=20,°C Pa=101.33,кПа hотн.=70%	ф-ла (5) [9]	0,02	0,09	0,33	1,12	2,79	4,98	9,04	23,09	77,63		
Учет затухания звука в атмосфере Aatm, дБ		ф-ла (8) [10]	0	0	0,2	0,5	1,3	2,3	4,2	10,8	36,5		
Снижение поверхностью земли возле источника As, дБ	Gs = 0 hs = 5м	ф-лы таб.3 [10]	-1,5	-1,5	-1,5	-1,5	-1,5	-1,5	-1,5	-1,5	-1,5		
Снижение поверхностью земли возле приёмника Ar, дБ	Gr = 1 hr = 4.6м	ф-лы таб.3 [10]	-1,5	-1,5	3,3	1,3	0	0	0	0	0		
Снижение поверхностью земли в средней зоне, Am дБ	Gm = 1	ф-лы таб.3 [10]	-1,2	-1,2	0	0	0	0	0	0	0		
Суммарное снижение поверхностью земли на траектории распространения звука Agr, дБ		ф-ла (9) [10]	-4,2	-4,2	1,8	-0,2	-1,5	-1,5	-1,5	-1,5	-1,5		
Уровни звукового давления прямого звука от источника ИШ-4-11 в расчётной точке днём, дБ		**ф-ла(3)[10]**	**0**	**33**	**28,3**	**31,2**	**32**	**30,6**	**25,4**	**14,6**	**0**	**34,2**	**34,2**

1		2	3	4	5	6	7	8	9	10	11	12	13
Уровни звукового давления прямого звука от источника ИШ-4-11 в расчётной точке ночью, дБ		**ф-ла(3)[10]**	**0**	**33**	**28,3**	**31,2**	**32**	**30,6**	**25,4**	**14,6**	**0**	**34,2**	**34,2**
Расчёт отражённого звука													
Уровни звукового давления от мнимого источника ИШ-4-11_мн.(1) в расчётной точке днём, дБ		**ф-ла(3)[10]**	**0**	**31,9**	**22,4**	**27,8**	**29,5**	**28,1**	**22,8**	**12**	**0**	**31,5**	**31,5**
Уровни звукового давления от мнимого источника ИШ-4-11_мн.(1) в расчётной точке ночью, дБ		**ф-ла(3)[10]**	**0**	**0**	**0**	**0**	**0**	**0**	**0**	**0**	**0**	**31,5**	**31,5**
Уровни звукового давления от источника ИШ-4-11 в расчётной точке днём, дБ		**ф-ла(3)[10]**	**0**	**35,5**	**29,3**	**32,9**	**34**	**32,5**	**27,3**	**16,5**	**0**	**36,1**	**36,1**
Уровни звукового давления от источника ИШ-4-11 в расчётной точке ночью, дБ		**ф-ла(3)[10]**	**0**	**35,5**	**29,3**	**32,9**	**34**	**32,5**	**27,3**	**16,5**	**0**	**36,1**	**36,1**
Источник шума: ИШ-4-12, координаты источника (x,y,z), м =[186.18,255.02,15.50]													
Уровни звуковой мощности источника днём, Lw, дБ		**исходные данные**	**0**	**90,3**	**91,7**	**93**	**93,3**	**92,9**	**89,6**	**85,4**	**80,9**		
Уровни звуковой мощности источника ночью, Lw, дБ		**исходные данные**	**0**	**90,3**	**91,7**	**93**	**93,3**	**92,9**	**89,6**	**85,4**	**80,9**		
Поправка на телесный угол DΩ, дБ	Ω = 6.28	10Lg(4π/Ω)	**3**	3	3	3	3	3	3	3	3		
Показатель направленности источника Di, дБ		исходные данные	**0**	0	0	0	0	0	0	0	0		
Поправка на направленность источника Dc, дБ	Dc	DΩ + Di	**3**	3	3	3	3	3	3	3	3		
Затухание из-за геометрической дивергенции, Adiv, дБ	расстояние = 469.84 м	ф-ла (7) [10]	**64,4**										
Коэффициент затухания звука в атмосфере α, дБ/км	Ta=20,°C Pa=101.33,кПа hотн.=70%	ф-ла (5) [9]	0,02	0,09	0,33	1,12	2,79	4,98	9,04	23,09	77,63		
Учет затухания звука в атмосфере Aatm, дБ		ф-ла (8) [10]	0	0	0,2	0,5	1,3	2,3	4,2	10,8	36,5		
Снижение поверхностью земли возле источника As, дБ	Gs = 0 hs = 7.5м	ф-лы таб.3 [10]	-1,5	-1,5	-1,5	-1,5	-1,5	-1,5	-1,5	-1,5	-1,5		

1		2	3	4	5	6	7	8	9	10	11	12	13
Снижение поверхностью земли возле приёмника Ar, дБ	Gr = 1 hr = 4.6м	ф-лы таб.3 [10]	-1,5	-1,5	3,3	1,3	0	0	0	0	0		
Снижение поверхностью земли в средней зоне, Am дБ	Gm = 1	ф-лы таб.3 [10]	-0,7	-0,7	0	0	0	0	0	0	0		
Суммарное снижение поверхностью земли на траектории распространения звука Agr, дБ		ф-ла (9) [10]	-3,7	-3,7	1,8	-0,2	-1,5	-1,5	-1,5	-1,5	-1,5		
Уровни звукового давления прямого звука от источника ИШ-4-12 в расчётной точке днём, дБ		**ф-ла(3)[10]**	**0**	**32,5**	**28,3**	**31,2**	**32**	**30,6**	**25,4**	**14,6**	**0**	**34,2**	**34,2**
Уровни звукового давления прямого звука от источника ИШ-4-12 в расчётной точке ночью, дБ		**ф-ла(3)[10]**	**0**	**32,5**	**28,3**	**31,2**	**32**	**30,6**	**25,4**	**14,6**	**0**	**34,2**	**34,2**
Расчёт отражённого звука													
Уровни звукового давления от мнимого источника ИШ-4-12_мн.(1) в расчётной точке днём, дБ		**ф-ла(3)[10]**	**0**	**31,5**	**24,3**	**28,6**	**29,5**	**28,1**	**22,8**	**12**	**0**	**31,6**	**31,6**
Уровни звукового давления от мнимого источника ИШ-4-12_мн.(1) в расчётной точке ночью, дБ		**ф-ла(3)[10]**	**0**	**0**	**0**	**0**	**0**	**0**	**0**	**0**	**0**	**31,6**	**31,6**
Уровни звукового давления от источника ИШ-4-12 в расчётной точке днём, дБ		**ф-ла(3)[10]**	**0**	**35**	**29,7**	**33,1**	**34**	**32,5**	**27,3**	**16,5**	**0**	**36,1**	**36,1**
Уровни звукового давления от источника ИШ-4-12 в расчётной точке ночью, дБ		**ф-ла(3)[10]**	**0**	**35**	**29,7**	**33,1**	**34**	**32,5**	**27,3**	**16,5**	**0**	**36,1**	**36,1**
Источник шума: ИШ-4-13, координаты источника (x,y,z), м =[94.56,229.10,1.00]													
Уровни звуковой мощности источника днём, Lw, дБ		**исходные данные**	**0**	**81,3**	**82,7**	**84**	**84,3**	**83,9**	**80,6**	**76,4**	**71,9**		
Уровни звуковой мощности источника ночью, Lw, дБ		**исходные данные**	**0**	**81,3**	**82,7**	**84**	**84,3**	**83,9**	**80,6**	**76,4**	**71,9**		
Поправка на телесный угол DΩ, дБ	Ω = 6.28	10Lg(4π/Ω)	**3**	3	3	3	3	3	3	3	3		
Показатель направленности источника Di, дБ		исходные данные	**0**	0	0	0	0	0	0	0	0		
Поправка на направленность источника Dc, дБ	Dc	DΩ + Di	**3**	3	3	3	3	3	3	3	3		
Затухание из-за геометрической дивергенции, Adiv, дБ	расстояние = 469.96 м	ф-ла (7) [10]	**64,4**										

1			2	3	4	5	6	7	8	9	10	11	12	13
Коэффициент затухания звука в атмосфере α, дБ/км		Ta=20,°C Pa=101.33,кПа hотн.=70%	ф-ла (5) [9]	0,02	0,09	0,33	1,12	2,79	4,98	9,04	23,09	77,63		
Учет затухания звука в атмосфере Aatm, дБ			ф-ла (8) [10]	0	0	0,2	0,5	1,3	2,3	4,2	10,8	36,5		
Снижение уровня звукового давления из-за влияния застройки между источником шума и расчетной точкой														
Длина звуковой волны для среднегеометрической частоты октавной полосы, λ, м				10,79	5,4	2,72	1,36	0,68	0,34	0,17	0,09	0,04		
Критерий наличия экранирования в горизонтальной плоскости	Горизонтальный размер экрана, lэкр = 80.71 м		lэкр > λ	да	да	да	да	да	да	да	да	да		
Траектория над экраном	Промежуточные точки:	Pss(x,y,z) = (97.95,220.60,10.00)	Psr(x,y,z) = (111.67,186.23,10.00)	dss = 12.83 м		dsr = 423.83 м		e = 37.01 м		z = 3.71 м				
	Константа C2, учитывающая эффект отражения от земли возле экрана			40	40	40	40	40	40	40	40	40		
	Константа C3 (дифракция на кромках)		ф-ла (15) [10]	1,3	1,8	2,4	2,8	3	3	3	3	3		
	K_{met} (влияние метеоусловий)		ф-ла (18) [10]	0,7	0,7	0,7	0,7	0,7	0,7	0,7	0,7	0,7		
	Снижение УЗД, Dz, дБ		ф-ла (14) [10]	12	15,9	20,1	23,7	26,8	29,9	32,9	35,9	38,9		
Траектория слева от экрана	Промежуточные точки:	Pss(x,y,z) = (119.96,286.15,0.67)	Psr(x,y,z) = (233.28,25.59,2.84)	dss = 62.45 м		dsr = 235.66 м		e = 284.15 м		z = 112.29 м				
	Константа C2, учитывающая эффект отражения от земли возле экрана			40	40	40	40	40	40	40	40	40		
	Константа C3 (дифракция на кромках)		ф-ла (15) [10]	2,8	2,9	3	3	3	3	3	3	3		
	K_{met} (влияние метеоусловий)		ф-ла (18) [10]	1	1	1	1	1	1	1	1	1		
	Снижение УЗД, Dz, дБ		ф-ла (14) [10]	30,7	33,9	36,9	40	43	46	49	52	55		
	Промежуточные точки:	Pss(x,y,z) = (88.97,193.85,1.23)	Psr(x,y,z) = (88.97,193.85,1.23)	dss = 35.69 м		dsr = 439.68 м		e = 0.00 м		z = 5.40 м				
	Константа C2, учитывающая эффект отражения от земли возле экрана			40	40	40	40	40	40	40	40	40		

1		2	3	4	5	6	7	8	9	10	11	12	13
Траектория справа от экрана	Константа СЗ (дифракция на кромках)	ф-ла (15) [10]	1	1	1	1	1	1	1	1	1		
	K_{met} (влияние метеоусловий)	ф-ла (18) [10]	1	1	1	1	1	1	1	1	1		
	Снижение УЗД, Dz, дБ	ф-ла (14) [10]	13,6	16,3	19,2	22,1	25,1	28,1	31,1	34,1	37,1		
Общее снижение уровня звука препятствием Dz, дБ		Эн.сумма(-Dzi)	9,7	13,1	16,5	19,8	22,8	25,8	28,8	31,8	34,8		
Общее снижение уровня звука препятствием с учётом ограничения (25 дБ) для октавных полос Dz, дБ		Раздел 7.4 [10]	9,7	13,1	16,5	19,8	22,8	25	25	25	25		
Уровни звукового давления от источника ИШ-4-13 в расчётной точке днём, дБ		**ф-ла(3)[10]**	**0**	**6,7**	**4,6**	**2,3**	**0**	**0**	**0**	**0**	**0**	**0**	**0**
Уровни звукового давления от источника ИШ-4-13 в расчётной точке ночью, дБ		**ф-ла(3)[10]**	**0**	**6,7**	**4,6**	**2,3**	**0**	**0**	**0**	**0**	**0**	**0**	**0**
Источник шума: ИШ-4-14, координаты источника (x,y,z), м =[91.88,221.30,1.00]													
Уровни звуковой мощности источника днём, Lw, дБ		**исходные данные**	**0**	**81,3**	**82,7**	**84**	**84,3**	**83,9**	**80,6**	**76,4**	**71,9**		
Уровни звуковой мощности источника ночью, Lw, дБ		**исходные данные**	**0**	**81,3**	**82,7**	**84**	**84,3**	**83,9**	**80,6**	**76,4**	**71,9**		
Поправка на телесный угол DΩ, дБ	Ω = 6.28	10Lg(4π/Ω)	**3**	3	3	3	3	3	3	3	3		
Показатель направленности источника Di, дБ		исходные данные	**0**	0	0	0	0	0	0	0	0		
Поправка на направленность источника Dc, дБ	Dc	DΩ + Di	**3**	3	3	3	3	3	3	3	3		
Затухание из-за геометрической дивергенции, Adiv, дБ	расстояние = 463.75 м	ф-ла (7) [10]	**64,3**										
Коэффициент затухания звука в атмосфере α, дБ/км	Та=20,°С Ра=101.33,кПа hотн.=70%	ф-ла (5) [9]	0,02	0,09	0,33	1,12	2,79	4,98	9,04	23,09	77,63		
Учет затухания звука в атмосфере Aatm, дБ		ф-ла (8) [10]	0	0	0,2	0,5	1,3	2,3	4,2	10,7	36		

1			2	3	4	5	6	7	8	9	10	11	12	13
Снижение уровня звукового давления из-за влияния застройки между источником шума и расчетной точкой														
Длина звуковой волны для среднегеометрической частоты октавной полосы, λ, м				10,79	5,4	2,72	1,36	0,68	0,34	0,17	0,09	0,04		
Критерий наличия экранирования в горизонтальной плоскости	Горизонтальный размер экрана, lэкр = 83.83 м		lэкр > λ	да	да	да	да	да	да	да	да	да		
Траектория над экраном	Промежуточные точки:	Pss(x,y,z) = (95.36,212.88,10.00)	Psr(x,y,z) = (105.50,188.31,10.00)	dss = 12.81 м		dsr = 428.07 м		e = 26.58 м		z = 3.72 м				
	Константа C2, учитывающая эффект отражения от земли возле экрана			40	40	40	40	40	40	40	40	40		
	Константа C3 (дифракция на кромках)		ф-ла (15) [10]	1,1	1,5	2,1	2,7	2,9	3	3	3	3		
	K_{met} (влияние метеоусловий)		ф-ла (18) [10]	0,7	0,7	0,7	0,7	0,7	0,7	0,7	0,7	0,7		
	Снижение УЗД, Dz, дБ		ф-ла (14) [10]	11,7	15,3	19,5	23,4	26,8	29,9	32,9	35,9	38,9		
Траектория слева от экрана	Промежуточные точки:	Pss(x,y,z) = (119.96,286.15,0.62)	Psr(x,y,z) = (233.28,25.59,2.82)	dss = 70.67 м		dsr = 235.66 м		e = 284.15 м		z = 126.72 м				
	Константа C2, учитывающая эффект отражения от земли возле экрана			40	40	40	40	40	40	40	40	40		
	Константа C3 (дифракция на кромках)		ф-ла (15) [10]	2,8	2,9	3	3	3	3	3	3	3		
	K_{met} (влияние метеоусловий)		ф-ла (18) [10]	1	1	1	1	1	1	1	1	1		
	Снижение УЗД, Dz, дБ		ф-ла (14) [10]	31,2	34,4	37,5	40,5	43,5	46,5	49,5	52,5	55,5		
Траектория справа от экрана	Промежуточные точки:	Pss(x,y,z) = (88.97,193.85,1.19)	Psr(x,y,z) = (88.97,193.85,1.19)	dss = 27.60 м		dsr = 439.68 м		e = 0.00 м		z = 3.54 м				
	Константа C2, учитывающая эффект отражения от земли возле экрана			40	40	40	40	40	40	40	40	40		
	Константа C3 (дифракция на кромках)		ф-ла (15) [10]	1	1	1	1	1	1	1	1	1		
	K_{met} (влияние метеоусловий)		ф-ла (18) [10]	1	1	1	1	1	1	1	1	1		
	Снижение УЗД, Dz, дБ		ф-ла (14) [10]	12,1	14,7	17,4	20,3	23,2	26,2	29,2	32,2	35,2		

1		2	3	4	5	6	7	8	9	10	11	12	13
Общее снижение уровня звука препятствием Dz, дБ		Эн.сумма(-Dzi)	8,8	11,9	15,3	18,6	21,6	24,6	27,6	30,7	33,7		
Общее снижение уровня звука препятствием с учётом ограничения (25 дБ) для октавных полос Dz, дБ		Раздел 7.4 [10]	8,8	11,9	15,3	18,6	21,6	24,6	25	25	25		
Уровни звукового давления от источника ИШ-4-14 в расчётной точке днём, дБ		**ф-ла(3)[10]**	**0**	**8**	**5,9**	**3,6**	**0**	**0**	**0**	**0**	**0**	**0**	**0**
Уровни звукового давления от источника ИШ-4-14 в расчётной точке ночью, дБ		**ф-ла(3)[10]**	**0**	**8**	**5,9**	**3,6**	**0**	**0**	**0**	**0**	**0**	**0**	**0**
Источник шума: ИШ-5-1, координаты источника (x,y,z), м =[626.70,162.36,1.00]													
Уровни звуковой мощности источника днём, Lw, дБ		**исходные данные**	**0**	**93,3**	**94,7**	**96**	**96,3**	**95,9**	**92,6**	**88,4**	**83,9**		
Уровни звуковой мощности источника ночью, Lw, дБ		**исходные данные**	**0**	**93,3**	**94,7**	**96**	**96,3**	**95,9**	**92,6**	**88,4**	**83,9**		
Поправка на телесный угол DΩ, дБ	Ω = 6.28	10Lg(4π/Ω)	**3**	3	3	3	3	3	3	3	3		
Показатель направленности источника Di, дБ		исходные данные	**0**	0	0	0	0	0	0	0	0		
Поправка на направленность источника Dc, дБ	Dc	DΩ + Di	**3**	3	3	3	3	3	3	3	3		
Затухание из-за геометрической дивергенции, Adiv, дБ	расстояние = 514.63 м	ф-ла (7) [10]	**65,2**										
Коэффициент затухания звука в атмосфере α, дБ/км	Ta=20,°C Pa=101.33,кПа hотн.=70%	ф-ла (5) [9]	0,02	0,09	0,33	1,12	2,79	4,98	9,04	23,09	77,63		
Учет затухания звука в атмосфере Aatm, дБ		ф-ла (8) [10]	0	0	0,2	0,6	1,4	2,6	4,7	11,9	40		
Снижение уровня звукового давления из-за влияния застройки между источником шума и расчетной точкой													
Длина звуковой волны для среднегеометрической частоты октавной полосы, λ, м			10,79	5,4	2,72	1,36	0,68	0,34	0,17	0,09	0,04		
Критерий наличия экранирования в горизонтальной плоскости	Горизонтальный размер экрана, lэкр = 15.10 м	lэкр > λ	да	да	да	да	да	да	да	да	да		

1			2	3	4	5	6	7	8	9	10	11	12	13
Траектория над экраном	Промежуточные точки:	Pss(x,y,z) = (572.03,105.89,4.00)	Psr(x,y,z) = (572.03,105.89,4.00)	dss = 78.66 м		dsr = 436.02 м		e = 0.00 м		z = 0.05 м				
	Константа C2, учитывающая эффект отражения от земли возле экрана			40	40	40	40	40	40	40	40	40		
	Константа C3 (дифракция на кромках)		ф-ла (15) [10]	1	1	1	1	1	1	1	1	1		
	K_{met} (влияние метеоусловий)		ф-ла (18) [10]	0	0	0	0	0	0	0	0	0		
	Снижение УЗД, Dz, дБ		ф-ла (14) [10]	4,8	4,8	4,8	4,8	4,8	4,8	4,8	4,8	4,8		
Траектория слева от экрана	Промежуточные точки:	Pss(x,y,z) = (578.10,91.19,1.59)	Psr(x,y,z) = (578.10,91.19,1.59)	dss = 86.18 м		dsr = 429.95 м		e = 0.00 м		z = 1.49 м				
	Константа C2, учитывающая эффект отражения от земли возле экрана			40	40	40	40	40	40	40	40	40		
	Константа C3 (дифракция на кромках)		ф-ла (15) [10]	1	1	1	1	1	1	1	1	1		
	K_{met} (влияние метеоусловий)		ф-ла (18) [10]	1	1	1	1	1	1	1	1	1		
	Снижение УЗД, Dz, дБ		ф-ла (14) [10]	9,3	11,5	14	16,7	19,6	22,5	25,5	28,5	31,5		
Траектория справа от экрана	Промежуточные точки:	Pss(x,y,z) = (571.49,106.07,1.55)	Psr(x,y,z) = (571.49,106.07,1.55)	dss = 78.85 м		dsr = 435.79 м		e = 0.00 м		z = 0.00 м				
	Константа C2, учитывающая эффект отражения от земли возле экрана			40	40	40	40	40	40	40	40	40		
	Константа C3 (дифракция на кромках)		ф-ла (15) [10]	1	1	1	1	1	1	1	1	1		
	K_{met} (влияние метеоусловий)		ф-ла (18) [10]	1	1	1	1	1	1	1	1	1		
	Снижение УЗД, Dz, дБ		ф-ла (14) [10]	4,8	4,8	4,8	4,9	4,9	5,1	5,4	6	6,9		
Общее снижение уровня звука препятствием Dz, дБ			Эн.сумма(-Dzi)	1,1	1,3	1,5	1,7	1,8	1,9	2,1	2,3	2,7		
Уровни звукового давления от источника ИШ-5-1 в расчётной точке днём, дБ			**ф-ла(3)[10]**	**0**	**29,7**	**30,8**	**31,5**	**30,9**	**29,2**	**23,7**	**12**	**0**	**32,9**	**32,9**
Уровни звукового давления от источника ИШ-5-1 в расчётной точке ночью, дБ			**ф-ла(3)[10]**	**0**	**29,7**	**30,8**	**31,5**	**30,9**	**29,2**	**23,7**	**12**	**0**	**32,9**	**32,9**

1			2	3	4	5	6	7	8	9	10	11	12	13
Источник шума: ИШ-5-2, координаты источника (x,y,z), м =[625.81,159.52,1.00]														
Уровни звуковой мощности источника днём, Lw, дБ			**исходные данные**	**0**	**93,3**	**94,7**	**96**	**96,3**	**95,9**	**92,6**	**88,4**	**83,9**		
Уровни звуковой мощности источника ночью, Lw, дБ			**исходные данные**	**0**	**93,3**	**94,7**	**96**	**96,3**	**95,9**	**92,6**	**88,4**	**83,9**		
Поправка на телесный угол DΩ, дБ		Ω = 6.28	10Lg(4π/Ω)	**3**	3	3	3	3	3	3	3	3		
Показатель направленности источника Di, дБ			исходные данные	**0**	0	0	0	0	0	0	0	0		
Поправка на направленность источника Dc, дБ		Dc	DΩ + Di	**3**	3	3	3	3	3	3	3	3		
Затухание из-за геометрической дивергенции, Adiv, дБ		расстояние = 511.98 м	ф-ла (7) [10]	**65,2**										
Коэффициент затухания звука в атмосфере α, дБ/км		Ta=20,°C Pa=101.33,кПа hотн.=70%	ф-ла (5) [9]	0,02	0,09	0,33	1,12	2,79	4,98	9,04	23,09	77,63		
Учет затухания звука в атмосфере Aatm, дБ			ф-ла (8) [10]	0	0	0,2	0,6	1,4	2,5	4,6	11,8	39,7		
Снижение уровня звукового давления из-за влияния застройки между источником шума и расчетной точкой														
Длина звуковой волны для среднегеометрической частоты октавной полосы, λ, м				10,79	5,4	2,72	1,36	0,68	0,34	0,17	0,09	0,04		
Критерий наличия экранирования в горизонтальной плоскости	Горизонтальный размер экрана, lэкр = 15.12 м		lэкр > λ	да	да	да	да	да	да	да	да	да		
Траектория над экраном	Промежуточные точки:	Pss(x,y,z) = (573.23,105.49,4.00)	Psr(x,y,z) = (573.23,105.49,4.00)	dss = 75.46 м		dsr = 436.57 м		e = 0.00 м		z = 0.05 м				
	Константа C2, учитывающая эффект отражения от земли возле экрана			40	40	40	40	40	40	40	40	40		
	Константа C3 (дифракция на кромках)		ф-ла (15) [10]	1	1	1	1	1	1	1	1	1		
	K_{met} (влияние метеоусловий)		ф-ла (18) [10]	0	0	0	0	0	0	0	0	0		

1			2	3	4	5	6	7	8	9	10	11	12	13
	Снижение УЗД, Dz, дБ		ф-ла (14) [10]	4,8	4,8	4,8	4,8	4,8	4,8	4,8	4,8	4,9		
Траектория слева от экрана	Промежуточные точки:	Pss(x,y,z) = (578.10,91.19,1.58)	Psr(x,y,z) = (578.10,91.19,1.58)	dss = 83.34 м		dsr = 429.95 м		e = 0.00 м		z = 1.31 м				
	Константа С2, учитывающая эффект отражения от земли возле экрана			40	40	40	40	40	40	40	40	40		
	Константа С3 (дифракция на кромках)		ф-ла (15) [10]	1	1	1	1	1	1	1	1	1		
	K_{met} (влияние метеоусловий)		ф-ла (18) [10]	1	1	1	1	1	1	1	1	1		
	Снижение УЗД, Dz, дБ		ф-ла (14) [10]	8,9	11	13,5	16,2	19	21,9	24,9	27,9	30,9		
Траектория справа от экрана	Промежуточные точки:	Pss(x,y,z) = (571.49,106.07,1.54)	Psr(x,y,z) = (571.49,106.07,1.54)	dss = 76.21 м		dsr = 435.79 м		e = 0.00 м		z = 0.02 м				
	Константа С2, учитывающая эффект отражения от земли возле экрана			40	40	40	40	40	40	40	40	40		
	Константа С3 (дифракция на кромках)		ф-ла (15) [10]	1	1	1	1	1	1	1	1	1		
	K_{met} (влияние метеоусловий)		ф-ла (18) [10]	1	1	1	1	1	1	1	1	1		
	Снижение УЗД, Dz, дБ		ф-ла (14) [10]	4,9	5	5,2	5,6	6,3	7,4	9	11,1	13,6		
Общее снижение уровня звука препятствием Dz, дБ			Эн.сумма(-Dzi)	1	1,4	1,7	2	2,4	2,8	3,4	3,9	4,3		
Уровни звукового давления от источника ИШ-5-2 в расчётной точке днём, дБ			**ф-ла(3)[10]**	**0**	**29,7**	**30,7**	**31,2**	**30,3**	**28,3**	**22,4**	**10,5**	**0**	**32,2**	**32,2**
Уровни звукового давления от источника ИШ-5-2 в расчётной точке ночью, дБ			**ф-ла(3)[10]**	**0**	**29,7**	**30,7**	**31,2**	**30,3**	**28,3**	**22,4**	**10,5**	**0**	**32,2**	**32,2**
Источник шума: ИШ-5-3, координаты источника (x,y,z), м =[624.84,156.69,1.00]														
Уровни звуковой мощности источника днём, Lw, дБ			**исходные данные**	**0**	**93,3**	**94,7**	**96**	**96,3**	**95,9**	**92,6**	**88,4**	**83,9**		
Уровни звуковой мощности источника ночью, Lw, дБ			**исходные данные**	**0**	**93,3**	**94,7**	**96**	**96,3**	**95,9**	**92,6**	**88,4**	**83,9**		

1			2	3	4	5	6	7	8	9	10	11	12	13
Поправка на телесный угол DΩ, дБ		Ω = 6.28	10Lg(4π/Ω)	**3**	3	3	3	3	3	3	3	3		
Показатель направленности источника Di, дБ			исходные данные	**0**	0	0	0	0	0	0	0	0		
Поправка на направленность источника Dc, дБ		Dc	DΩ + Di	**3**	3	3	3	3	3	3	3	3		
Затухание из-за геометрической дивергенции, Adiv, дБ		расстояние = 509.27 м	ф-ла (7) [10]	**65,1**										
Коэффициент затухания звука в атмосфере α, дБ/км		Ta=20,°C Pa=101.33,кПа hотн.=70%	ф-ла (5) [9]	0,02	0,09	0,33	1,12	2,79	4,98	9,04	23,09	77,63		
Учет затухания звука в атмосфере Aatm, дБ			ф-ла (8) [10]	0	0	0,2	0,6	1,4	2,5	4,6	11,8	39,5		
Снижение уровня звукового давления из-за влияния застройки между источником шума и расчетной точкой														
Длина звуковой волны для среднегеометрической частоты октавной полосы, λ, м				10,79	5,4	2,72	1,36	0,68	0,34	0,17	0,09	0,04		
Критерий наличия экранирования в горизонтальной плоскости	Горизонтальный размер экрана, lэкр = 15.13 м		lэкр > λ	да	да	да	да	да	да	да	да	да		
Траектория над экраном	Промежуточные точки:	Pss(x,y,z) = (574.38,105.10,4.00)	Psr(x,y,z) = (574.38,105.10,4.00)	dss = 72.23 м		dsr = 437.10 м		e = 0.00 м		z = 0.05 м				
	Константа C2, учитывающая эффект отражения от земли возле экрана			40	40	40	40	40	40	40	40	40		
	Константа C3 (дифракция на кромках)		ф-ла (15) [10]	1	1	1	1	1	1	1	1	1		
	K_{met} (влияние метеоусловий)		ф-ла (18) [10]	0	0	0	0	0	0	0	0	0		
	Снижение УЗД, Dz, дБ		ф-ла (14) [10]	4,8	4,8	4,8	4,8	4,8	4,8	4,8	4,8	4,9		
Траектория слева от экрана	Промежуточные точки:	Pss(x,y,z) = (578.10,91.19,1.56)	Psr(x,y,z) = (578.10,91.19,1.56)	dss = 80.46 м		dsr = 429.95 м		e = 0.00 м		z = 1.14 м				
	Константа C2, учитывающая эффект отражения от земли возле экрана			40	40	40	40	40	40	40	40	40		
	Константа C3 (дифракция на кромках)		ф-ла (15) [10]	1	1	1	1	1	1	1	1	1		

1			2	3	4	5	6	7	8	9	10	11	12	13
	K_{met} (влияние метеоусловий)		ф-ла (18) [10]	1	1	1	1	1	1	1	1	1		
	Снижение УЗД, Dz, дБ		ф-ла (14) [10]	8,6	10,6	13	15,6	18,4	21,4	24,3	27,3	30,3		
Траектория справа от экрана	Промежуточные точки:	Pss(x,y,z) = (571.49,106.07,1.52)	Psr(x,y,z) = (571.49,106.07,1.52)	dss = 73.55 м		dsr = 435.79 м		e = 0.00 м		z = 0.06 м				
	Константа С2, учитывающая эффект отражения от земли возле экрана			40	40	40	40	40	40	40	40	40		
	Константа С3 (дифракция на кромках)		ф-ла (15) [10]	1	1	1	1	1	1	1	1	1		
	K_{met} (влияние метеоусловий)		ф-ла (18) [10]	1	1	1	1	1	1	1	1	1		
	Снижение УЗД, Dz, дБ		ф-ла (14) [10]	5,1	5,4	5,9	6,8	8,1	10	12,3	14,9	17,7		
Общее снижение уровня звука препятствием Dz, дБ			Эн.сумма(-Dzi)	1,1	1,5	1,9	2,4	3	3,6	4,1	4,4	4,7		
Уровни звукового давления от источника ИШ-5-3 в расчётной точке днём, дБ			**ф-ла(3)[10]**	**0**	**29,6**	**30,5**	**30,8**	**29,7**	**27,6**	**21,8**	**10,1**	**0**	**31,6**	**31,6**
Уровни звукового давления от источника ИШ-5-3 в расчётной точке ночью, дБ			**ф-ла(3)[10]**	**0**	**29,6**	**30,5**	**30,8**	**29,7**	**27,6**	**21,8**	**10,1**	**0**	**31,6**	**31,6**
Источник шума: ИШ-6-1, координаты источника (x,y,z), м =[836.30,122.24,1.00]														
Уровни звуковой мощности источника днём, Lw, дБ			**исходные данные**	**0**	**96,3**	**97,7**	**99**	**99,3**	**98,9**	**95,6**	**91,4**	**86,9**		
Уровни звуковой мощности источника ночью, Lw, дБ			**исходные данные**	**0**	**96,3**	**97,7**	**99**	**99,3**	**98,9**	**95,6**	**91,4**	**86,9**		
Поправка на телесный угол DΩ, дБ		Ω = 12.57	10Lg(4π/Ω)	**0**	0	0	0	0	0	0	0	0		
Показатель направленности источника Di, дБ			исходные данные	**0**	0	0	0	0	0	0	0	0		
Поправка на направленность источника Dc, дБ		Dc	DΩ + Di	**0**	0	0	0	0	0	0	0	0		
Затухание из-за геометрической дивергенции, Adiv, дБ		расстояние = 656.33 м	ф-ла (7) [10]	**67,3**										

1			2	3	4	5	6	7	8	9	10	11	12	13
Коэффициент затухания звука в атмосфере α, дБ/км		Ta=20,°C Pa=101.33,кПа hотн.=70%	ф-ла (5) [9]	0,02	0,09	0,33	1,12	2,79	4,98	9,04	23,09	77,63		
Учет затухания звука в атмосфере Aatm, дБ			ф-ла (8) [10]	0	0,1	0,2	0,7	1,8	3,3	5,9	15,2	51		
Снижение уровня звукового давления из-за влияния застройки между источником шума и расчетной точкой														
Длина звуковой волны для среднегеометрической частоты октавной полосы, λ, м				10,79	5,4	2,72	1,36	0,68	0,34	0,17	0,09	0,04		
Критерий наличия экранирования в горизонтальной плоскости	Горизонтальный размер экрана, lэкр = 64.24 м		lэкр > λ	да	да	да	да	да	да	да	да	да		
Траектория над экраном	Промежуточные точки:	Pss(x,y,z) = (582.40,-25.22,8.00)	Psr(x,y,z) = (581.26,-25.88,8.00)	dss = 293.69 м		dsr = 361.41 м		e = 1.32 м		z = 0.09 м				
	Константа C2, учитывающая эффект отражения от земли возле экрана			40	40	40	40	40	40	40	40	40		
	Константа C3 (дифракция на кромках)		ф-ла (15) [10]	1	1	1	1	1,1	1,3	1,9	2,5	2,9		
	K_{met} (влияние метеоусловий)		ф-ла (18) [10]	0	0	0	0	0	0	0	0	0		
	Снижение УЗД, Dz, дБ		ф-ла (14) [10]	4,8	4,8	4,8	4,8	4,8	4,8	4,8	4,8	4,8		
Траектория слева от экрана	Промежуточные точки:	Pss(x,y,z) = (578.70,-71.12,2.75)	Psr(x,y,z) = (469.27,-137.76,3.46)	dss = 322.10 м		dsr = 212.26 м		e = 128.13 м		z = 6.16 м				
	Константа C2, учитывающая эффект отражения от земли возле экрана			40	40	40	40	40	40	40	40	40		
	Константа C3 (дифракция на кромках)		ф-ла (15) [10]	2,3	2,8	2,9	3	3	3	3	3	3		
	K_{met} (влияние метеоусловий)		ф-ла (18) [10]	1	1	1	1	1	1	1	1	1		
	Снижение УЗД, Dz, дБ		ф-ла (14) [10]	17,5	21,1	24,3	27,3	30,4	33,4	36,4	39,4	42,4		
	Промежуточные точки:	Pss(x,y,z) = (549.08,-14.03,2.74)	Psr(x,y,z) = (549.08,-14.03,2.74)	dss = 317.91 м		dsr = 340.55 м		e = 0.00 м		z = 2.12 м				
	Константа C2, учитывающая эффект отражения от земли возле экрана			40	40	40	40	40	40	40	40	40		

1		2	3	4	5	6	7	8	9	10	11	12	13
Траектория справа от экрана	Константа СЗ (дифракция на кромках)	ф-ла (15) [10]	1	1	1	1	1	1	1	1	1		
	K_{met} (влияние метеоусловий)	ф-ла (18) [10]	1	1	1	1	1	1	1	1	1		
	Снижение УЗД, Dz, дБ	ф-ла (14) [10]	10,4	12,7	15,3	18,2	21,1	24	27	30	33		
Общее снижение уровня звука препятствием Dz, дБ		Эн.сумма(-Dzi)	3,5	4	4,4	4,6	4,7	4,7	4,7	4,8	4,8		
Уровни звукового давления от источника ИШ-6-1 в расчётной точке днём, дБ		**ф-ла(3)[10]**	**0**	**24,9**	**25,8**	**26,4**	**25,5**	**23,6**	**17,6**	**4,1**	**0**	**27,4**	**27,4**
Уровни звукового давления от источника ИШ-6-1 в расчётной точке ночью, дБ		**ф-ла(3)[10]**	**0**	**24,9**	**25,8**	**26,4**	**25,5**	**23,6**	**17,6**	**4,1**	**0**	**27,4**	**27,4**
Источник шума: ИШ-6-2, координаты источника (x,y,z), м =[835.37,119.30,1.00]													
Уровни звуковой мощности источника днём, Lw, дБ		**исходные данные**	**0**	**96,3**	**97,7**	**99**	**99,3**	**98,9**	**95,6**	**91,4**	**86,9**		
Уровни звуковой мощности источника ночью, Lw, дБ		**исходные данные**	**0**	**96,3**	**97,7**	**99**	**99,3**	**98,9**	**95,6**	**91,4**	**86,9**		
Поправка на телесный угол DΩ, дБ	Ω = 12.57	10Lg(4π/Ω)	**0**	0	0	0	0	0	0	0	0		
Показатель направленности источника Di, дБ		исходные данные	**0**	0	0	0	0	0	0	0	0		
Поправка на направленность источника Dc, дБ	Dc	DΩ + Di	**0**	0	0	0	0	0	0	0	0		
Затухание из-за геометрической дивергенции, Adiv, дБ	расстояние = 654.06 м	ф-ла (7) [10]	**67,3**										
Коэффициент затухания звука в атмосфере α, дБ/км	Ta=20,°C Pa=101.33,кПа hотн.=70%	ф-ла (5) [9]	0,02	0,09	0,33	1,12	2,79	4,98	9,04	23,09	77,63		
Учет затухания звука в атмосфере Aatm, дБ		ф-ла (8) [10]	0	0,1	0,2	0,7	1,8	3,3	5,9	15,1	50,8		
Снижение уровня звукового давления из-за влияния застройки между источником шума и расчетной точкой													

1			2	3	4	5	6	7	8	9	10	11	12	13
Длина звуковой волны для среднегеометрической частоты октавной полосы, λ, м				10,79	5,4	2,72	1,36	0,68	0,34	0,17	0,09	0,04		
Критерий наличия экранирования в горизонтальной плоскости	Горизонтальный размер экрана, lэкр = 64.25 м		lэкр > λ	да	да	да	да	да	да	да	да	да		
Траектория над экраном	Промежуточные точки:	Pss(x,y,z) = (583.86,-25.71,8.00)	Psr(x,y,z) = (580.72,-27.52,8.00)	dss = 290.40 м		dsr = 360.12 м		e = 3.63 м		z = 0.09 м				
	Константа C2, учитывающая эффект отражения от земли возле экрана			40	40	40	40	40	40	40	40	40		
	Константа C3 (дифракция на кромках)		ф-ла (15) [10]	1	1	1	1,2	1,5	2,2	2,7	2,9	3		
	K_{met} (влияние метеоусловий)		ф-ла (18) [10]	0	0	0	0	0	0	0	0	0		
	Снижение УЗД, Dz, дБ		ф-ла (14) [10]	4,8	4,8	4,8	4,8	4,8	4,8	4,8	4,8	4,8		
Траектория слева от экрана	Промежуточные точки:	Pss(x,y,z) = (578.70,-71.12,2.75)	Psr(x,y,z) = (469.27,-137.76,3.45)	dss = 319.60 м		dsr = 212.26 м		e = 128.13 м		z = 5.93 м				
	Константа C2, учитывающая эффект отражения от земли возле экрана			40	40	40	40	40	40	40	40	40		
	Константа C3 (дифракция на кромках)		ф-ла (15) [10]	2,3	2,8	2,9	3	3	3	3	3	3		
	K_{met} (влияние метеоусловий)		ф-ла (18) [10]	1	1	1	1	1	1	1	1	1		
	Снижение УЗД, Dz, дБ		ф-ла (14) [10]	17,3	21	24,1	27,2	30,2	33,2	36,2	39,2	42,2		
Траектория справа от экрана	Промежуточные точки:	Pss(x,y,z) = (549.08,-14.03,2.73)	Psr(x,y,z) = (549.08,-14.03,2.73)	dss = 315.81 м		dsr = 340.55 м		e = 0.00 м		z = 2.31 м				
	Константа C2, учитывающая эффект отражения от земли возле экрана			40	40	40	40	40	40	40	40	40		
	Константа C3 (дифракция на кромках)		ф-ла (15) [10]	1	1	1	1	1	1	1	1	1		
	K_{met} (влияние метеоусловий)		ф-ла (18) [10]	1	1	1	1	1	1	1	1	1		
	Снижение УЗД, Dz, дБ		ф-ла (14) [10]	10,6	13	15,7	18,5	21,4	24,4	27,4	30,4	33,4		
Общее снижение уровня звука препятствием Dz, дБ			Эн.сумма(-Dzi)	3,6	4,1	4,4	4,6	4,7	4,7	4,7	4,8	4,8		

1			2	3	4	5	6	7	8	9	10	11	12	13
Уровни звукового давления от источника ИШ-6-2 в расчётной точке днём, дБ			**ф-ла(3)[10]**	**0**	**24,8**	**25,8**	**26,4**	**25,5**	**23,6**	**17,6**	**4,2**	**0**	**27,4**	**27,4**
Уровни звукового давления от источника ИШ-6-2 в расчётной точке ночью, дБ			**ф-ла(3)[10]**	**0**	**24,8**	**25,8**	**26,4**	**25,5**	**23,6**	**17,6**	**4,2**	**0**	**27,4**	**27,4**
Источник шума: ИШ-6-3, координаты источника (x,y,z), м =[834.03,116.36,1.00]														
Уровни звуковой мощности источника днём, Lw, дБ			**исходные данные**	**0**	**96,3**	**97,7**	**99**	**99,3**	**98,9**	**95,6**	**91,4**	**86,9**		
Уровни звуковой мощности источника ночью, Lw, дБ			**исходные данные**	**0**	**96,3**	**97,7**	**99**	**99,3**	**98,9**	**95,6**	**91,4**	**86,9**		
Поправка на телесный угол DΩ, дБ	Ω = 12.57		10Lg(4π/Ω)	**0**	0	0	0	0	0	0	0	0		
Показатель направленности источника Di, дБ			исходные данные	**0**	0	0	0	0	0	0	0	0		
Поправка на направленность источника Dc, дБ	Dc		DΩ + Di	**0**	0	0	0	0	0	0	0	0		
Затухание из-за геометрической дивергенции, Adiv, дБ	расстояние = 651.44 м		ф-ла (7) [10]	**67,3**										
Коэффициент затухания звука в атмосфере α, дБ/км	Ta=20,°C Pa=101.33,кПа hотн.=70%		ф-ла (5) [9]	0,02	0,09	0,33	1,12	2,79	4,98	9,04	23,09	77,63		
Учет затухания звука в атмосфере Aatm, дБ			ф-ла (8) [10]	0	0,1	0,2	0,7	1,8	3,2	5,9	15	50,6		
Снижение уровня звукового давления из-за влияния застройки между источником шума и расчетной точкой														
Длина звуковой волны для среднегеометрической частоты октавной полосы, λ, м				10,79	5,4	2,72	1,36	0,68	0,34	0,17	0,09	0,04		
Критерий наличия экранирования в горизонтальной плоскости	Горизонтальный размер экрана, lэкр = 64.25 м		lэкр > λ	да	да	да	да	да	да	да	да	да		
	Промежуточные точки:	Pss(x,y,z) = (585.19,-26.15,8.00)	Psr(x,y,z) = (580.22,-29.00,8.00)	dss = 286.86 м		dsr = 358.95 м		e = 5.72 м		z = 0.09 м				
	Константа C2, учитывающая эффект отражения от земли возле экрана			40	40	40	40	40	40	40	40	40		

1			2	3	4	5	6	7	8	9	10	11	12	13
Траектория над экраном	Константа С3 (дифракция на кромках)		ф-ла (15) [10]	1	1	1,1	1,4	2	2,6	2,9	3	3		
	K_{met} (влияние метеоусловий)		ф-ла (18) [10]	0	0	0	0	0	0	0	0	0		
	Снижение УЗД, Dz, дБ		ф-ла (14) [10]	4,8	4,8	4,8	4,8	4,8	4,8	4,8	4,8	4,8		
Траектория слева от экрана	Промежуточные точки:	Pss(x,y,z) = (578.70,-71.12,2.74)	Psr(x,y,z) = (469.27,-137.76,3.45)	dss = 316.78 м		dsr = 212.26 м		e = 128.13 м		z = 5.73 м				
	Константа С2, учитывающая эффект отражения от земли возле экрана			40	40	40	40	40	40	40	40	40		
	Константа С3 (дифракция на кромках)		ф-ла (15) [10]	2,3	2,8	2,9	3	3	3	3	3	3		
	K_{met} (влияние метеоусловий)		ф-ла (18) [10]	1	1	1	1	1	1	1	1	1		
	Снижение УЗД, Dz, дБ		ф-ла (14) [10]	17,2	20,8	24	27	30,1	33,1	36,1	39,1	42,1		
Траектория справа от экрана	Промежуточные точки:	Pss(x,y,z) = (549.08,-14.03,2.72)	Psr(x,y,z) = (549.08,-14.03,2.72)	dss = 313.37 м		dsr = 340.55 м		e = 0.00 м		z = 2.49 м				
	Константа С2, учитывающая эффект отражения от земли возле экрана			40	40	40	40	40	40	40	40	40		
	Константа С3 (дифракция на кромках)		ф-ла (15) [10]	1	1	1	1	1	1	1	1	1		
	K_{met} (влияние метеоусловий)		ф-ла (18) [10]	1	1	1	1	1	1	1	1	1		
	Снижение УЗД, Dz, дБ		ф-ла (14) [10]	10,9	13,3	16	18,8	21,7	24,7	27,7	30,7	33,7		
Общее снижение уровня звука препятствием Dz, дБ			Эн.сумма(-Dzi)	3,6	4,1	4,4	4,6	4,7	4,7	4,8	4,8	4,8		
Уровни звукового давления от источника ИШ-6-3 в расчётной точке днём, дБ			**ф-ла(3)[10]**	**0**	**24,8**	**25,8**	**26,4**	**25,5**	**23,6**	**17,7**	**4,3**	**0**	**27,4**	**27,4**
Уровни звукового давления от источника ИШ-6-3 в расчётной точке ночью, дБ			**ф-ла(3)[10]**	**0**	**24,8**	**25,8**	**26,4**	**25,5**	**23,6**	**17,7**	**4,3**	**0**	**27,4**	**27,4**

Источник шума: ИШ-6-4, координаты источника (x,y,z), м =[833.23,113.30,1.00]

1			2	3	4	5	6	7	8	9	10	11	12	13
Уровни звуковой мощности источника днём, Lw, дБ			**исходные данные**	**0**	**96,3**	**97,7**	**99**	**99,3**	**98,9**	**95,6**	**91,4**	**86,9**		
Уровни звуковой мощности источника ночью, Lw, дБ			**исходные данные**	**0**	**96,3**	**97,7**	**99**	**99,3**	**98,9**	**95,6**	**91,4**	**86,9**		
Поправка на телесный угол DΩ, дБ		Ω = 12.57	10Lg(4π/Ω)	**0**	0	0	0	0	0	0	0	0		
Показатель направленности источника Di, дБ			исходные данные	**0**	0	0	0	0	0	0	0	0		
Поправка на направленность источника Dc, дБ		Dc	DΩ + Di	**0**	0	0	0	0	0	0	0	0		
Затухание из-за геометрической дивергенции, Adiv, дБ		расстояние = 649.22 м	ф-ла (7) [10]	**67,2**										
Коэффициент затухания звука в атмосфере α, дБ/км		Ta=20,°C Pa=101.33,кПа hотн.=70%	ф-ла (5) [9]	0,02	0,09	0,33	1,12	2,79	4,98	9,04	23,09	77,63		
Учет затухания звука в атмосфере Aatm, дБ			ф-ла (8) [10]	0	0,1	0,2	0,7	1,8	3,2	5,9	15	50,4		
Снижение уровня звукового давления из-за влияния застройки между источником шума и расчетной точкой														
Длина звуковой волны для среднегеометрической частоты октавной полосы, λ, м				10,79	5,4	2,72	1,36	0,68	0,34	0,17	0,09	0,04		
Критерий наличия экранирования в горизонтальной плоскости	Горизонтальный размер экрана, lэкр = 64.26 м		lэкр > λ	да	да	да	да	да	да	да	да	да		
Траектория над экраном	Промежуточные точки:	Pss(x,y,z) = (586.80,-26.70,8.00)	Psr(x,y,z) = (579.62,-30.78,8.00)	dss = 283.50 м		dsr = 357.55 м		e = 8.26 м		z = 0.09 м				
	Константа C2, учитывающая эффект отражения от земли возле экрана			40	40	40	40	40	40	40	40	40		
	Константа C3 (дифракция на кромках)		ф-ла (15) [10]	1	1,1	1,2	1,7	2,3	2,8	2,9	3	3		
	K_{met} (влияние метеоусловий)		ф-ла (18) [10]	0	0	0	0	0	0	0	0	0		
	Снижение УЗД, Dz, дБ		ф-ла (14) [10]	4,8	4,8	4,8	4,8	4,8	4,8	4,8	4,8	4,8		
	Промежуточные точки:	Pss(x,y,z) = (578.70,-71.12,2.73)	Psr(x,y,z) = (469.27,-137.76,3.44)	dss = 314.32 м		dsr = 212.26 м		e = 128.13 м		z = 5.49 м				

1			2	3	4	5	6	7	8	9	10	11	12	13
Траектория слева от экрана	Константа С2, учитывающая эффект отражения от земли возле экрана			40	40	40	40	40	40	40	40	40		
	Константа С3 (дифракция на кромках)		ф-ла (15) [10]	2,3	2,8	2,9	3	3	3	3	3	3		
	K_{met} (влияние метеоусловий)		ф-ла (18) [10]	1	1	1	1	1	1	1	1	1		
	Снижение УЗД, Dz, дБ		ф-ла (14) [10]	17	20,6	23,8	26,9	29,9	32,9	35,9	38,9	41,9		
Траектория справа от экрана	Промежуточные точки:	Pss(x,y,z) = (549.08,-14.03,2.72)	Psr(x,y,z) = (549.08,-14.03,2.72)	dss = 311.38 м		dsr = 340.55 м		e = 0.00 м		z = 2.71 м				
	Константа С2, учитывающая эффект отражения от земли возле экрана			40	40	40	40	40	40	40	40	40		
	Константа С3 (дифракция на кромках)		ф-ла (15) [10]	1	1	1	1	1	1	1	1	1		
	K_{met} (влияние метеоусловий)		ф-ла (18) [10]	1	1	1	1	1	1	1	1	1		
	Снижение УЗД, Dz, дБ		ф-ла (14) [10]	11,2	13,6	16,3	19,2	22,1	25,1	28,1	31,1	34,1		
Общее снижение уровня звука препятствием Dz, дБ			Эн.сумма(-Dzi)	3,7	4,1	4,4	4,6	4,7	4,7	4,8	4,8	4,8		
Уровни звукового давления от источника ИШ-6-4 в расчётной точке днём, дБ			**ф-ла(3)[10]**	**0**	**24,8**	**25,8**	**26,4**	**25,6**	**23,7**	**17,7**	**4,4**	**0**	**27,5**	**27,5**
Уровни звукового давления от источника ИШ-6-4 в расчётной точке ночью, дБ			**ф-ла(3)[10]**	**0**	**24,8**	**25,8**	**26,4**	**25,6**	**23,7**	**17,7**	**4,4**	**0**	**27,5**	**27,5**
Источник шума: ИШ-6-5, координаты источника (x,y,z), м =[832.03,110.36,1.00]														
Уровни звуковой мощности источника днём, Lw, дБ			**исходные данные**	**0**	**96,3**	**97,7**	**99**	**99,3**	**98,9**	**95,6**	**91,4**	**86,9**		
Уровни звуковой мощности источника ночью, Lw, дБ			**исходные данные**	**0**	**96,3**	**97,7**	**99**	**99,3**	**98,9**	**95,6**	**91,4**	**86,9**		
Поправка на телесный угол DΩ, дБ		Ω = 12.57	10Lg(4π/Ω)	**0**	0	0	0	0	0	0	0	0		
Показатель направленности источника Di, дБ			исходные данные	**0**	0	0	0	0	0	0	0	0		

1			2	3	4	5	6	7	8	9	10	11	12	13
Поправка на направленность источника Dc, дБ	Dc		DΩ + Di	**0**	0	0	0	0	0	0	0	0		
Затухание из-за геометрической дивергенции, Adiv, дБ	расстояние = 646.73 м		ф-ла (7) [10]	**67,2**										
Коэффициент затухания звука в атмосфере α, дБ/км	Ta=20,°C Pa=101.33,кПа hотн.=70%		ф-ла (5) [9]	0,02	0,09	0,33	1,12	2,79	4,98	9,04	23,09	77,63		
Учет затухания звука в атмосфере Aatm, дБ			ф-ла (8) [10]	0	0,1	0,2	0,7	1,8	3,2	5,8	14,9	50,2		
Снижение уровня звукового давления из-за влияния застройки между источником шума и расчетной точкой														
Длина звуковой волны для среднегеометрической частоты октавной полосы, λ, м				10,79	5,4	2,72	1,36	0,68	0,34	0,17	0,09	0,04		
Критерий наличия экранирования в горизонтальной плоскости	Горизонтальный размер экрана, lэкр = 64.27 м		lэкр > λ	да	да	да	да	да	да	да	да	да		
Траектория над экраном	Промежуточные точки:	Pss(x,y,z) = (588.22,-27.17,8.00)	Psr(x,y,z) = (579.11,-32.31,8.00)	dss = 280.02 м		dsr = 356.34 м		e = 10.46 м		z = 0.09 м				
	Константа C2, учитывающая эффект отражения от земли возле экрана			40	40	40	40	40	40	40	40	40		
	Константа C3 (дифракция на кромках)		ф-ла (15) [10]	1	1,1	1,3	1,9	2,5	2,9	3	3	3		
	K_{met} (влияние метеоусловий)		ф-ла (18) [10]	0	0	0	0	0	0	0	0	0		
	Снижение УЗД, Dz, дБ		ф-ла (14) [10]	4,8	4,8	4,8	4,8	4,8	4,8	4,8	4,8	4,8		
Траектория слева от экрана	Промежуточные точки:	Pss(x,y,z) = (578.70,-71.12,2.72)	Psr(x,y,z) = (469.27,-137.76,3.44)	dss = 311.63 м		dsr = 212.26 м		e = 128.13 м		z = 5.30 м				
	Константа C2, учитывающая эффект отражения от земли возле экрана			40	40	40	40	40	40	40	40	40		
	Константа C3 (дифракция на кромках)		ф-ла (15) [10]	2,3	2,8	2,9	3	3	3	3	3	3		
	K_{met} (влияние метеоусловий)		ф-ла (18) [10]	1	1	1	1	1	1	1	1	1		
	Снижение УЗД, Dz, дБ		ф-ла (14) [10]	16,8	20,5	23,6	26,7	29,7	32,7	35,7	38,7	41,7		

1			2	3	4	5	6	7	8	9	10	11	12	13
Траектория справа от экрана	Промежуточные точки:	Pss(x,y,z) = (549.08,-14.03,2.71)	Psr(x,y,z) = (549.08,-14.03,2.71)	dss = 309.09 м		dsr = 340.55 м		e = 0.00 м		z = 2.91 м				
	Константа C2, учитывающая эффект отражения от земли возле экрана			40	40	40	40	40	40	40	40	40		
	Константа C3 (дифракция на кромках)		ф-ла (15) [10]	1	1	1	1	1	1	1	1	1		
	K_{met} (влияние метеоусловий)		ф-ла (18) [10]	1	1	1	1	1	1	1	1	1		
	Снижение УЗД, Dz, дБ		ф-ла (14) [10]	11,4	13,9	16,6	19,5	22,4	25,4	28,4	31,4	34,4		
Общее снижение уровня звука препятствием Dz, дБ			Эн.сумма(-Dzi)	3,7	4,2	4,4	4,6	4,7	4,7	4,8	4,8	4,8		
Уровни звукового давления от источника ИШ-6-5 в расчётной точке днём, дБ			**ф-ла(3)[10]**	**0**	**24,9**	**25,8**	**26,5**	**25,6**	**23,7**	**17,8**	**4,5**	**0**	**27,5**	**27,5**
Уровни звукового давления от источника ИШ-6-5 в расчётной точке ночью, дБ			**ф-ла(3)[10]**	**0**	**24,9**	**25,8**	**26,5**	**25,6**	**23,7**	**17,8**	**4,5**	**0**	**27,5**	**27,5**
Источник шума: ИШ-6-6, координаты источника (x,y,z), м =[830.97,107.42,1.00]														
Уровни звуковой мощности источника днём, Lw, дБ			**исходные данные**	**0**	**96,3**	**97,7**	**99**	**99,3**	**98,9**	**95,6**	**91,4**	**86,9**		
Уровни звуковой мощности источника ночью, Lw, дБ			**исходные данные**	**0**	**96,3**	**97,7**	**99**	**99,3**	**98,9**	**95,6**	**91,4**	**86,9**		
Поправка на телесный угол DΩ, дБ		Ω = 12.57	10Lg(4π/Ω)	**0**	0	0	0	0	0	0	0	0		
Показатель направленности источника Di, дБ			исходные данные	**0**	0	0	0	0	0	0	0	0		
Поправка на направленность источника Dc, дБ		Dc	DΩ + Di	**0**	0	0	0	0	0	0	0	0		
Затухание из-за геометрической дивергенции, Adiv, дБ		расстояние = 644.36 м	ф-ла (7) [10]	**67,2**										
Коэффициент затухания звука в атмосфере α, дБ/км		Ta=20,°C Pa=101.33,кПа hотн.=70%	ф-ла (5) [9]	0,02	0,09	0,33	1,12	2,79	4,98	9,04	23,09	77,63		

1			2	3	4	5	6	7	8	9	10	11	12	13
Учет затухания звука в атмосфере Aatm, дБ			ф-ла (8) [10]	0	0,1	0,2	0,7	1,8	3,2	5,8	14,9	50		
Снижение уровня звукового давления из-за влияния застройки между источником шума и расчетной точкой														
Длина звуковой волны для среднегеометрической частоты октавной полосы, λ, м				10,79	5,4	2,72	1,36	0,68	0,34	0,17	0,09	0,04		
Критерий наличия экранирования в горизонтальной плоскости	Горизонтальный размер экрана, lэкр = 64.28 м		lэкр > λ	да	да	да	да	да	да	да	да	да		
Траектория над экраном	Промежуточные точки:	Pss(x,y,z) = (589.70,-27.67,8.00)	Psr(x,y,z) = (578.57,-33.90,8.00)	dss = 276.60 м		dsr = 355.10 м		e = 12.75 м		z = 0.09 м				
	Константа C2, учитывающая эффект отражения от земли возле экрана			40	40	40	40	40	40	40	40	40		
	Константа C3 (дифракция на кромках)		ф-ла (15) [10]	1	1,1	1,5	2,1	2,6	2,9	3	3	3		
	K_{met} (влияние метеоусловий)		ф-ла (18) [10]	0	0	0	0	0	0	0	0	0		
	Снижение УЗД, Dz, дБ		ф-ла (14) [10]	4,8	4,8	4,8	4,8	4,8	4,8	4,8	4,8	4,8		
Траектория слева от экрана	Промежуточные точки:	Pss(x,y,z) = (578.70,-71.12,2.72)	Psr(x,y,z) = (469.27,-137.76,3.43)	dss = 309.06 м		dsr = 212.26 м		e = 128.13 м		z = 5.09 м				
	Константа C2, учитывающая эффект отражения от земли возле экрана			40	40	40	40	40	40	40	40	40		
	Константа C3 (дифракция на кромках)		ф-ла (15) [10]	2,3	2,8	2,9	3	3	3	3	3	3		
	K_{met} (влияние метеоусловий)		ф-ла (18) [10]	1	1	1	1	1	1	1	1	1		
	Снижение УЗД, Dz, дБ		ф-ла (14) [10]	16,7	20,3	23,5	26,5	29,5	32,6	35,6	38,6	41,6		
Траектория справа от экрана	Промежуточные точки:	Pss(x,y,z) = (549.08,-14.03,2.71)	Psr(x,y,z) = (549.08,-14.03,2.71)	dss = 306.94 м		dsr = 340.55 м		e = 0.00 м		z = 3.13 м				
	Константа C2, учитывающая эффект отражения от земли возле экрана			40	40	40	40	40	40	40	40	40		
	Константа C3 (дифракция на кромках)		ф-ла (15) [10]	1	1	1	1	1	1	1	1	1		

1		2	3	4	5	6	7	8	9	10	11	12	13
	K_{met} (влияние метеоусловий)	ф-ла (18) [10]	1	1	1	1	1	1	1	1	1		
	Снижение УЗД, Dz, дБ	ф-ла (14) [10]	11,6	14,2	16,9	19,8	22,7	25,7	28,7	31,7	34,7		
Общее снижение уровня звука препятствием Dz, дБ		Эн.сумма(-Dzi)	3,7	4,2	4,5	4,6	4,7	4,7	4,8	4,8	4,8		
Уровни звукового давления от источника ИШ-6-6 в расчётной точке днём, дБ		**ф-ла(3)[10]**	**0**	**24,9**	**25,8**	**26,5**	**25,6**	**23,8**	**17,8**	**4,6**	**0**	**27,5**	**27,5**
Уровни звукового давления от источника ИШ-6-6 в расчётной точке ночью, дБ		**ф-ла(3)[10]**	**0**	**24,9**	**25,8**	**26,5**	**25,6**	**23,8**	**17,8**	**4,6**	**0**	**27,5**	**27,5**
Источник шума: ИШ-6-7, координаты источника (x,y,z), м =[830.30,104.49,1.00]													
Уровни звуковой мощности источника днём, Lw, дБ		**исходные данные**	**0**	**96,3**	**97,7**	**99**	**99,3**	**98,9**	**95,6**	**91,4**	**86,9**		
Уровни звуковой мощности источника ночью, Lw, дБ		**исходные данные**	**0**	**96,3**	**97,7**	**99**	**99,3**	**98,9**	**95,6**	**91,4**	**86,9**		
Поправка на телесный угол DΩ, дБ	Ω = 12.57	10Lg(4π/Ω)	**0**	0	0	0	0	0	0	0	0		
Показатель направленности источника Di, дБ		исходные данные	**0**	0	0	0	0	0	0	0	0		
Поправка на направленность источника Dc, дБ	Dc	DΩ + Di	**0**	0	0	0	0	0	0	0	0		
Затухание из-за геометрической дивергенции, Adiv, дБ	расстояние = 642.35 м	ф-ла (7) [10]	**67,2**										
Коэффициент затухания звука в атмосфере α, дБ/км	Ta=20,°C Pa=101.33,кПа hотн.=70%	ф-ла (5) [9]	0,02	0,09	0,33	1,12	2,79	4,98	9,04	23,09	77,63		
Учет затухания звука в атмосфере Aatm, дБ		ф-ла (8) [10]	0	0,1	0,2	0,7	1,8	3,2	5,8	14,8	49,9		
Снижение уровня звукового давления из-за влияния застройки между источником шума и расчетной точкой													
Длина звуковой волны для среднегеометрической частоты октавной полосы, λ, м			10,79	5,4	2,72	1,36	0,68	0,34	0,17	0,09	0,04		

1			2	3	4	5	6	7	8	9	10	11	12	13
Критерий наличия экранирования в горизонтальной плоскости	Горизонтальный размер экрана, lэкр = 64.28 м		lэкр > λ	да	да	да	да	да	да	да	да	да		
Траектория над экраном	Промежуточные точки:	Pss(x,y,z) = (591.34,-28.22,8.00)	Psr(x,y,z) = (577.99,-35.64,8.00)	dss = 273.42 м		dsr = 353.75 м		e = 15.27 м		z = 0.10 м				
	Константа C2, учитывающая эффект отражения от земли возле экрана			40	40	40	40	40	40	40	40	40		
	Константа C3 (дифракция на кромках)		ф-ла (15) [10]	1,1	1,2	1,6	2,3	2,7	2,9	3	3	3		
	K_{met} (влияние метеоусловий)		ф-ла (18) [10]	0	0	0	0	0	0	0	0	0		
	Снижение УЗД, Dz, дБ		ф-ла (14) [10]	4,8	4,8	4,8	4,8	4,8	4,8	4,8	4,8	4,8		
Траектория слева от экрана	Промежуточные точки:	Pss(x,y,z) = (578.70,-71.12,2.71)	Psr(x,y,z) = (469.27,-137.76,3.43)	dss = 306.83 м		dsr = 212.26 м		e = 128.13 м		z = 4.87 м				
	Константа C2, учитывающая эффект отражения от земли возле экрана			40	40	40	40	40	40	40	40	40		
	Константа C3 (дифракция на кромках)		ф-ла (15) [10]	2,3	2,8	2,9	3	3	3	3	3	3		
	K_{met} (влияние метеоусловий)		ф-ла (18) [10]	1	1	1	1	1	1	1	1	1		
	Снижение УЗД, Dz, дБ		ф-ла (14) [10]	16,5	20,1	23,3	26,3	29,4	32,4	35,4	38,4	41,4		
Траектория справа от экрана	Промежуточные точки:	Pss(x,y,z) = (549.08,-14.03,2.70)	Psr(x,y,z) = (549.08,-14.03,2.70)	dss = 305.17 м		dsr = 340.55 м		e = 0.00 м		z = 3.38 м				
	Константа C2, учитывающая эффект отражения от земли возле экрана			40	40	40	40	40	40	40	40	40		
	Константа C3 (дифракция на кромках)		ф-ла (15) [10]	1	1	1	1	1	1	1	1	1		
	K_{met} (влияние метеоусловий)		ф-ла (18) [10]	1	1	1	1	1	1	1	1	1		
	Снижение УЗД, Dz, дБ		ф-ла (14) [10]	11,9	14,5	17,2	20,1	23	26	29	32	35		
Общее снижение уровня звука препятствием Dz, дБ			Эн.сумма(-Dzi)	3,8	4,2	4,5	4,6	4,7	4,7	4,8	4,8	4,8		
Уровни звукового давления от источника ИШ-6-7 в расчётной точке днём, дБ			**ф-ла(3)[10]**	**0**	**24,9**	**25,8**	**26,5**	**25,6**	**23,8**	**17,9**	**4,6**	**0**	**27,6**	**27,6**

1			2	3	4	5	6	7	8	9	10	11	12	13
Уровни звукового давления от источника ИШ-6-7 в расчётной точке ночью, дБ			**ф-ла(3)[10]**	**0**	**24,9**	**25,8**	**26,5**	**25,6**	**23,8**	**17,9**	**4,6**	**0**	**27,6**	**27,6**
Источник шума: ИШ-6-8, координаты источника (x,y,z), м =[829.36,101.42,1.00]														
Уровни звуковой мощности источника днём, Lw, дБ			**исходные данные**	**0**	**96,3**	**97,7**	**99**	**99,3**	**98,9**	**95,6**	**91,4**	**86,9**		
Уровни звуковой мощности источника ночью, Lw, дБ			**исходные данные**	**0**	**96,3**	**97,7**	**99**	**99,3**	**98,9**	**95,6**	**91,4**	**86,9**		
Поправка на телесный угол DΩ, дБ		Ω = 12.57	10Lg(4π/Ω)	**0**	0	0	0	0	0	0	0	0		
Показатель направленности источника Di, дБ			исходные данные	**0**	0	0	0	0	0	0	0	0		
Поправка на направленность источника Dc, дБ		Dc	DΩ + Di	**0**	0	0	0	0	0	0	0	0		
Затухание из-за геометрической дивергенции, Adiv, дБ		расстояние = 640.05 м	ф-ла (7) [10]	**67,1**										
Коэффициент затухания звука в атмосфере α, дБ/км		Ta=20,°C Pa=101.33,кПа hотн.=70%	ф-ла (5) [9]	0,02	0,09	0,33	1,12	2,79	4,98	9,04	23,09	77,63		
Учет затухания звука в атмосфере Aatm, дБ			ф-ла (8) [10]	0	0,1	0,2	0,7	1,8	3,2	5,8	14,8	49,7		
Снижение уровня звукового давления из-за влияния застройки между источником шума и расчетной точкой														
Длина звуковой волны для среднегеометрической частоты октавной полосы, λ, м				10,79	5,4	2,72	1,36	0,68	0,34	0,17	0,09	0,04		
Критерий наличия экранирования в горизонтальной плоскости	Горизонтальный размер экрана, lэкр = 64.29 м		lэкр > λ	да	да	да	да	да	да	да	да	да		
Траектория над экраном	Промежуточные точки:	Pss(x,y,z) = (592.94,-28.81,8.00)	Psr(x,y,z) = (577.41,-37.36,8.00)	dss = 270.01 м		dsr = 352.40 м		e = 17.73 м		z = 0.10 м				
	Константа C2, учитывающая эффект отражения от земли возле экрана			40	40	40	40	40	40	40	40	40		
	Константа C3 (дифракция на кромках)		ф-ла (15) [10]	1,1	1,3	1,7	2,4	2,8	2,9	3	3	3		

1			2	3	4	5	6	7	8	9	10	11	12	13
	K_{met} (влияние метеоусловий)		ф-ла (18) [10]	0	0	0	0	0	0	0	0	0		
	Снижение УЗД, Dz, дБ		ф-ла (14) [10]	4,8	4,8	4,8	4,8	4,8	4,8	4,8	4,8	4,8		
Траектория слева от экрана	Промежуточные точки:	Pss(x,y,z) = (578.70,-71.12,2.70)	Psr(x,y,z) = (469.27,-137.76,3.42)	dss = 304.31 м		dsr = 212.26 м		e = 128.13 м		z = 4.66 м				
	Константа C2, учитывающая эффект отражения от земли возле экрана			40	40	40	40	40	40	40	40	40		
	Константа C3 (дифракция на кромках)		ф-ла (15) [10]	2,3	2,8	2,9	3	3	3	3	3	3		
	K_{met} (влияние метеоусловий)		ф-ла (18) [10]	1	1	1	1	1	1	1	1	1		
	Снижение УЗД, Dz, дБ		ф-ла (14) [10]	16,3	19,9	23,1	26,1	29,2	32,2	35,2	38,2	41,2		
Траектория справа от экрана	Промежуточные точки:	Pss(x,y,z) = (549.08,-14.03,2.69)	Psr(x,y,z) = (549.08,-14.03,2.69)	dss = 303.13 м		dsr = 340.55 м		e = 0.00 м		z = 3.64 м				
	Константа C2, учитывающая эффект отражения от земли возле экрана			40	40	40	40	40	40	40	40	40		
	Константа C3 (дифракция на кромках)		ф-ла (15) [10]	1	1	1	1	1	1	1	1	1		
	K_{met} (влияние метеоусловий)		ф-ла (18) [10]	1	1	1	1	1	1	1	1	1		
	Снижение УЗД, Dz, дБ		ф-ла (14) [10]	12,2	14,8	17,5	20,4	23,4	26,3	29,3	32,3	35,3		
Общее снижение уровня звука препятствием Dz, дБ			Эн.сумма(-Dzi)	3,8	4,2	4,5	4,6	4,7	4,7	4,8	4,8	4,8		
Уровни звукового давления от источника ИШ-6-8 в расчётной точке днём, дБ			**ф-ла(3)[10]**	**0**	**24,9**	**25,9**	**26,5**	**25,7**	**23,8**	**17,9**	**4,7**	**0**	**27,6**	**27,6**
Уровни звукового давления от источника ИШ-6-8 в расчётной точке ночью, дБ			**ф-ла(3)[10]**	**0**	**24,9**	**25,9**	**26,5**	**25,7**	**23,8**	**17,9**	**4,7**	**0**	**27,6**	**27,6**
Источник шума: ИШ-6-9, координаты источника (x,y,z), м =[828.03,98.62,1.00]														
Уровни звуковой мощности источника днём, Lw, дБ			**исходные данные**	**0**	**96,3**	**97,7**	**99**	**99,3**	**98,9**	**95,6**	**91,4**	**86,9**		

1			2	3	4	5	6	7	8	9	10	11	12	13
Уровни звуковой мощности источника ночью, Lw, дБ			**исходные данные**	**0**	**96,3**	**97,7**	**99**	**99,3**	**98,9**	**95,6**	**91,4**	**86,9**		
Поправка на телесный угол DΩ, дБ		Ω = 12.57	10Lg(4π/Ω)	**0**	0	0	0	0	0	0	0	0		
Показатель направленности источника Di, дБ			исходные данные	**0**	0	0	0	0	0	0	0	0		
Поправка на направленность источника Dc, дБ		Dc	DΩ + Di	**0**	0	0	0	0	0	0	0	0		
Затухание из-за геометрической дивергенции, Adiv, дБ		расстояние = 637.53 м	ф-ла (7) [10]	**67,1**										
Коэффициент затухания звука в атмосфере α, дБ/км		Ta=20,°C Pa=101.33,кПа hотн.=70%	ф-ла (5) [9]	0,02	0,09	0,33	1,12	2,79	4,98	9,04	23,09	77,63		
Учет затухания звука в атмосфере Aatm, дБ			ф-ла (8) [10]	0	0,1	0,2	0,7	1,8	3,2	5,8	14,7	49,5		
Снижение уровня звукового давления из-за влияния застройки между источником шума и расчетной точкой														
Длина звуковой волны для среднегеометрической частоты октавной полосы, λ, м				10,79	5,4	2,72	1,36	0,68	0,34	0,17	0,09	0,04		
Критерий наличия экранирования в горизонтальной плоскости	Горизонтальный размер экрана, lэкр = 64.29 м		lэкр > λ	да	да	да	да	да	да	да	да	да		
Траектория над экраном	Промежуточные точки:	Pss(x,y,z) = (592.45,-30.28,8.00)	Psr(x,y,z) = (576.94,-38.76,8.00)	dss = 268.63 м		dsr = 351.32 м		e = 17.67 м		z = 0.10 м				
	Константа C2, учитывающая эффект отражения от земли возле экрана			40	40	40	40	40	40	40	40	40		
	Константа C3 (дифракция на кромках)		ф-ла (15) [10]	1,1	1,3	1,7	2,4	2,8	2,9	3	3	3		
	K_{met} (влияние метеоусловий)		ф-ла (18) [10]	0	0	0	0	0	0	0	0	0		
	Снижение УЗД, Dz, дБ		ф-ла (14) [10]	4,8	4,8	4,8	4,8	4,8	4,8	4,8	4,8	4,8		
	Промежуточные точки:	Pss(x,y,z) = (578.70,-71.12,2.70)	Psr(x,y,z) = (469.27,-137.76,3.42)	dss = 301.63 м		dsr = 212.26 м		e = 128.13 м		z = 4.49 м				
	Константа C2, учитывающая эффект отражения от земли возле экрана			40	40	40	40	40	40	40	40	40		

1			2	3	4	5	6	7	8	9	10	11	12	13
Траектория слева от экрана	Константа С3 (дифракция на кромках)		ф-ла (15) [10]	2,3	2,8	2,9	3	3	3	3	3	3		
	K_{met} (влияние метеоусловий)		ф-ла (18) [10]	1	1	1	1	1	1	1	1	1		
	Снижение УЗД, Dz, дБ		ф-ла (14) [10]	16,2	19,8	22,9	26	29	32	35	38	41		
Траектория справа от экрана	Промежуточные точки:	Pss(x,y,z) = (549.08,-14.03,2.69)	Psr(x,y,z) = (549.08,-14.03,2.69)	dss = 300.84 м		dsr = 340.55 м		e = 0.00 м		z = 3.86 м				
	Константа С2, учитывающая эффект отражения от земли возле экрана			40	40	40	40	40	40	40	40	40		
	Константа С3 (дифракция на кромках)		ф-ла (15) [10]	1	1	1	1	1	1	1	1	1		
	K_{met} (влияние метеоусловий)		ф-ла (18) [10]	1	1	1	1	1	1	1	1	1		
	Снижение УЗД, Dz, дБ		ф-ла (14) [10]	12,4	15	17,8	20,7	23,6	26,6	29,6	32,6	35,6		
Общее снижение уровня звука препятствием Dz, дБ			Эн.сумма(-Dzi)	3,8	4,3	4,5	4,6	4,7	4,7	4,8	4,8	4,8		
Уровни звукового давления от источника ИШ-6-9 в расчётной точке днём, дБ			**ф-ла(3)[10]**	**0**	**24,9**	**25,9**	**26,6**	**25,7**	**23,9**	**18**	**4,8**	**0**	**27,7**	**27,7**
Уровни звукового давления от источника ИШ-6-9 в расчётной точке ночью, дБ			**ф-ла(3)[10]**	**0**	**24,9**	**25,9**	**26,6**	**25,7**	**23,9**	**18**	**4,8**	**0**	**27,7**	**27,7**
Источник шума: ИШ-6-10, координаты источника (x,y,z), м =[827.23,95.55,1.00]														
Уровни звуковой мощности источника днём, Lw, дБ			**исходные данные**	**0**	**96,3**	**97,7**	**99**	**99,3**	**98,9**	**95,6**	**91,4**	**86,9**		
Уровни звуковой мощности источника ночью, Lw, дБ			**исходные данные**	**0**	**96,3**	**97,7**	**99**	**99,3**	**98,9**	**95,6**	**91,4**	**86,9**		
Поправка на телесный угол DΩ, дБ		Ω = 12.57	10Lg(4π/Ω)	**0**	0	0	0	0	0	0	0	0		
Показатель направленности источника Di, дБ			исходные данные	**0**	0	0	0	0	0	0	0	0		
Поправка на направленность источника Dc, дБ		Dc	DΩ + Di	**0**	0	0	0	0	0	0	0	0		

1			2	3	4	5	6	7	8	9	10	11	12	13
Затухание из-за геометрической дивергенции, Adiv, дБ		расстояние = 635.36 м	ф-ла (7) [10]	**67,1**										
Коэффициент затухания звука в атмосфере α, дБ/км		Ta=20,°C Pa=101.33,кПа hотн.=70%	ф-ла (5) [9]	0,02	0,09	0,33	1,12	2,79	4,98	9,04	23,09	77,63		
Учет затухания звука в атмосфере Aatm, дБ			ф-ла (8) [10]	0	0,1	0,2	0,7	1,8	3,2	5,7	14,7	49,3		
Снижение уровня звукового давления из-за влияния застройки между источником шума и расчетной точкой														
Длина звуковой волны для среднегеометрической частоты октавной полосы, λ, м				10,79	5,4	2,72	1,36	0,68	0,34	0,17	0,09	0,04		
Критерий наличия экранирования в горизонтальной плоскости	Горизонтальный размер экрана, lэкр = 64.30 м		lэкр > λ	да	да	да	да	да	да	да	да	да		
Траектория над экраном	Промежуточные точки:	Pss(x,y,z) = (591.82,-32.14,8.00)	Psr(x,y,z) = (576.35,-40.53,8.00)	dss = 267.90 м		dsr = 349.95 м		e = 17.60 м		z = 0.10 м				
	Константа C2, учитывающая эффект отражения от земли возле экрана			40	40	40	40	40	40	40	40	40		
	Константа C3 (дифракция на кромках)		ф-ла (15) [10]	1,1	1,2	1,7	2,4	2,8	2,9	3	3	3		
	K_{met} (влияние метеоусловий)		ф-ла (18) [10]	0	0	0	0	0	0	0	0	0		
	Снижение УЗД, Dz, дБ		ф-ла (14) [10]	4,8	4,8	4,8	4,8	4,8	4,8	4,8	4,8	4,8		
Траектория слева от экрана	Промежуточные точки:	Pss(x,y,z) = (578.70,-71.12,2.69)	Psr(x,y,z) = (469.27,-137.76,3.41)	dss = 299.25 м		dsr = 212.26 м		e = 128.13 м		z = 4.28 м				
	Константа C2, учитывающая эффект отражения от земли возле экрана			40	40	40	40	40	40	40	40	40		
	Константа C3 (дифракция на кромках)		ф-ла (15) [10]	2,3	2,8	2,9	3	3	3	3	3	3		
	K_{met} (влияние метеоусловий)		ф-ла (18) [10]	1	1	1	1	1	1	1	1	1		
	Снижение УЗД, Dz, дБ		ф-ла (14) [10]	16	19,6	22,7	25,8	28,8	31,8	34,8	37,8	40,8		
	Промежуточные точки:	Pss(x,y,z) = (549.08,-14.03,2.68)	Psr(x,y,z) = (549.08,-14.03,2.68)	dss = 298.96 м		dsr = 340.55 м		e = 0.00 м		z = 4.15 м				

1		2	3	4	5	6	7	8	9	10	11	12	13
Траектория справа от экрана	Константа C2, учитывающая эффект отражения от земли возле экрана		40	40	40	40	40	40	40	40	40		
	Константа C3 (дифракция на кромках)	ф-ла (15) [10]	1	1	1	1	1	1	1	1	1		
	K_{met} (влияние метеоусловий)	ф-ла (18) [10]	1	1	1	1	1	1	1	1	1		
	Снижение УЗД, Dz, дБ	ф-ла (14) [10]	12,6	15,3	18,1	21	23,9	26,9	29,9	32,9	35,9		
Общее снижение уровня звука препятствием Dz, дБ		Эн.сумма(-Dzi)	3,8	4,3	4,5	4,6	4,7	4,7	4,8	4,8	4,8		
Уровни звукового давления от источника ИШ-6-10 в расчётной точке днём, дБ		**ф-ла(3)[10]**	**0**	**24,9**	**25,9**	**26,6**	**25,8**	**23,9**	**18**	**4,9**	**0**	**27,7**	**27,7**
Уровни звукового давления от источника ИШ-6-10 в расчётной точке ночью, дБ		**ф-ла(3)[10]**	**0**	**24,9**	**25,9**	**26,6**	**25,8**	**23,9**	**18**	**4,9**	**0**	**27,7**	**27,7**
Источник шума: ИШ-6-11, координаты источника (x,y,z), м =[826.30,92.48,1.00]													
Уровни звуковой мощности источника днём, Lw, дБ		**исходные данные**	**0**	**96,3**	**97,7**	**99**	**99,3**	**98,9**	**95,6**	**91,4**	**86,9**		
Уровни звуковой мощности источника ночью, Lw, дБ		**исходные данные**	**0**	**96,3**	**97,7**	**99**	**99,3**	**98,9**	**95,6**	**91,4**	**86,9**		
Поправка на телесный угол DΩ, дБ	Ω = 12.57	10Lg(4π/Ω)	**0**	0	0	0	0	0	0	0	0		
Показатель направленности источника Di, дБ		исходные данные	**0**	0	0	0	0	0	0	0	0		
Поправка на направленность источника Dc, дБ	Dc	DΩ + Di	**0**	0	0	0	0	0	0	0	0		
Затухание из-за геометрической дивергенции, Adiv, дБ	расстояние = 633.08 м	ф-ла (7) [10]	**67**										
Коэффициент затухания звука в атмосфере α, дБ/км	Ta=20,°C Pa=101.33,кПа hотн.=70%	ф-ла (5) [9]	0,02	0,09	0,33	1,12	2,79	4,98	9,04	23,09	77,63		
Учет затухания звука в атмосфере Aatm, дБ		ф-ла (8) [10]	0	0,1	0,2	0,7	1,8	3,2	5,7	14,6	49,1		

1			2	3	4	5	6	7	8	9	10	11	12	13
Снижение уровня звукового давления из-за влияния застройки между источником шума и расчетной точкой														
Длина звуковой волны для среднегеометрической частоты октавной полосы, λ, м				10,79	5,4	2,72	1,36	0,68	0,34	0,17	0,09	0,04		
Критерий наличия экранирования в горизонтальной плоскости	Горизонтальный размер экрана, lэкр = 64.30 м		lэкр > λ	да	да	да	да	да	да	да	да	да		
Траектория над экраном	Промежуточные точки:	Pss(x,y,z) = (591.21,-33.96,8.00)	Psr(x,y,z) = (575.77,-42.26,8.00)	dss = 267.02 м		dsr = 348.62 м		e = 17.53 м		z = 0.10 м				
	Константа C2, учитывающая эффект отражения от земли возле экрана			40	40	40	40	40	40	40	40	40		
	Константа C3 (дифракция на кромках)		ф-ла (15) [10]	1,1	1,2	1,7	2,4	2,8	2,9	3	3	3		
	K_{met} (влияние метеоусловий)		ф-ла (18) [10]	0	0	0	0	0	0	0	0	0		
	Снижение УЗД, Dz, дБ		ф-ла (14) [10]	4,8	4,8	4,8	4,8	4,8	4,8	4,8	4,8	4,8		
Траектория слева от экрана	Промежуточные точки:	Pss(x,y,z) = (578.70,-71.12,2.68)	Psr(x,y,z) = (469.27,-137.76,3.41)	dss = 296.77 м		dsr = 212.26 м		e = 128.13 м		z = 4.08 м				
	Константа C2, учитывающая эффект отражения от земли возле экрана			40	40	40	40	40	40	40	40	40		
	Константа C3 (дифракция на кромках)		ф-ла (15) [10]	2,3	2,8	2,9	3	3	3	3	3	3		
	K_{met} (влияние метеоусловий)		ф-ла (18) [10]	1	1	1	1	1	1	1	1	1		
	Снижение УЗД, Dz, дБ		ф-ла (14) [10]	15,8	19,4	22,5	25,6	28,6	31,6	34,6	37,6	40,6		
Траектория справа от экрана	Промежуточные точки:	Pss(x,y,z) = (549.08,-14.03,2.68)	Psr(x,y,z) = (549.08,-14.03,2.68)	dss = 296.97 м		dsr = 340.55 м		e = 0.00 м		z = 4.45 м				
	Константа C2, учитывающая эффект отражения от земли возле экрана			40	40	40	40	40	40	40	40	40		
	Константа C3 (дифракция на кромках)		ф-ла (15) [10]	1	1	1	1	1	1	1	1	1		
	K_{met} (влияние метеоусловий)		ф-ла (18) [10]	1	1	1	1	1	1	1	1	1		
	Снижение УЗД, Dz, дБ		ф-ла (14) [10]	12,9	15,6	18,4	21,3	24,2	27,2	30,2	33,2	36,2		

1		2	3	4	5	6	7	8	9	10	11	12	13
Общее снижение уровня звука препятствием Dz, дБ		Эн.сумма(-Dzi)	3,9	4,3	4,5	4,6	4,7	4,7	4,8	4,8	4,8		
Уровни звукового давления от источника ИШ-6-11 в расчётной точке днём, дБ		**ф-ла(3)[10]**	**0**	**24,9**	**25,9**	**26,6**	**25,8**	**24**	**18,1**	**5**	**0**	**27,7**	**27,7**
Уровни звукового давления от источника ИШ-6-11 в расчётной точке ночью, дБ		**ф-ла(3)[10]**	**0**	**24,9**	**25,9**	**26,6**	**25,8**	**24**	**18,1**	**5**	**0**	**27,7**	**27,7**
Источник шума: ИШ-6-12, координаты источника (x,y,z), м =[825.09,89.54,1.00]													
Уровни звуковой мощности источника днём, Lw, дБ		**исходные данные**	**0**	**96,3**	**97,7**	**99**	**99,3**	**98,9**	**95,6**	**91,4**	**86,9**		
Уровни звуковой мощности источника ночью, Lw, дБ		**исходные данные**	**0**	**96,3**	**97,7**	**99**	**99,3**	**98,9**	**95,6**	**91,4**	**86,9**		
Поправка на телесный угол DΩ, дБ	Ω = 12.57	10Lg(4π/Ω)	**0**	0	0	0	0	0	0	0	0		
Показатель направленности источника Di, дБ		исходные данные	**0**	0	0	0	0	0	0	0	0		
Поправка на направленность источника Dc, дБ	Dc	DΩ + Di	**0**	0	0	0	0	0	0	0	0		
Затухание из-за геометрической дивергенции, Adiv, дБ	расстояние = 630.63 м	ф-ла (7) [10]	**67**										
Коэффициент затухания звука в атмосфере α, дБ/км	Ta=20,°C Pa=101.33,кПа hотн.=70%	ф-ла (5) [9]	0,02	0,09	0,33	1,12	2,79	4,98	9,04	23,09	77,63		
Учет затухания звука в атмосфере Aatm, дБ		ф-ла (8) [10]	0	0,1	0,2	0,7	1,8	3,1	5,7	14,6	49		
Снижение уровня звукового давления из-за влияния застройки между источником шума и расчетной точкой													
Длина звуковой волны для среднегеометрической частоты октавной полосы, λ, м			10,79	5,4	2,72	1,36	0,68	0,34	0,17	0,09	0,04		
Критерий наличия экранирования в горизонтальной плоскости	Горизонтальный размер экрана, lэкр = 64.31 м	lэкр > λ	да	да	да	да	да	да	да	да	да		
	Промежуточные точки:	Pss(x,y,z) = (590.66,-35.57,8.00)	Psr(x,y,z) = (575.25,-43.80,8.00)	dss = 265.82 м		dsr = 347.44 м		e = 17.47 м		z = 0.10 м			

1			2	3	4	5	6	7	8	9	10	11	12	13
Траектория над экраном	Константа С2, учитывающая эффект отражения от земли возле экрана			40	40	40	40	40	40	40	40	40		
	Константа С3 (дифракция на кромках)		ф-ла (15) [10]	1,1	1,2	1,7	2,4	2,8	2,9	3	3	3		
	K_{met} (влияние метеоусловий)		ф-ла (18) [10]	0	0	0	0	0	0	0	0	0		
	Снижение УЗД, Dz, дБ		ф-ла (14) [10]	4,8	4,8	4,8	4,8	4,8	4,8	4,8	4,8	4,8		
Траектория слева от экрана	Промежуточные точки:	Pss(x,y,z) = (578.70,-71.12,2.67)	Psr(x,y,z) = (469.27,-137.76,3.40)	dss = 294.15 м		dsr = 212.26 м		e = 128.13 м		z = 3.91 м				
	Константа С2, учитывающая эффект отражения от земли возле экрана			40	40	40	40	40	40	40	40	40		
	Константа С3 (дифракция на кромках)		ф-ла (15) [10]	2,3	2,8	2,9	3	3	3	3	3	3		
	K_{met} (влияние метеоусловий)		ф-ла (18) [10]	1	1	1	1	1	1	1	1	1		
	Снижение УЗД, Dz, дБ		ф-ла (14) [10]	15,6	19,2	22,4	25,4	28,4	31,4	34,4	37,4	40,4		
Траектория справа от экрана	Промежуточные точки:	Pss(x,y,z) = (549.08,-14.03,2.67)	Psr(x,y,z) = (549.08,-14.03,2.67)	dss = 294.81 м		dsr = 340.55 м		e = 0.00 м		z = 4.73 м				
	Константа С2, учитывающая эффект отражения от земли возле экрана			40	40	40	40	40	40	40	40	40		
	Константа С3 (дифракция на кромках)		ф-ла (15) [10]	1	1	1	1	1	1	1	1	1		
	K_{met} (влияние метеоусловий)		ф-ла (18) [10]	1	1	1	1	1	1	1	1	1		
	Снижение УЗД, Dz, дБ		ф-ла (14) [10]	13,1	15,8	18,6	21,5	24,5	27,5	30,5	33,5	36,5		
Общее снижение уровня звука препятствием Dz, дБ			Эн.сумма(-Dzi)	3,9	4,3	4,5	4,6	4,7	4,7	4,8	4,8	4,8		
Уровни звукового давления от источника ИШ-6-12 в расчётной точке днём, дБ			**ф-ла(3)[10]**	**0**	**24,9**	**26**	**26,6**	**25,8**	**24**	**18,1**	**5**	**0**	**27,8**	**27,8**
Уровни звукового давления от источника ИШ-6-12 в расчётной точке ночью, дБ			**ф-ла(3)[10]**	**0**	**24,9**	**26**	**26,6**	**25,8**	**24**	**18,1**	**5**	**0**	**27,8**	**27,8**

1		2	3	4	5	6	7	8	9	10	11	12	13
Источник шума: ИШ-6-13, координаты источника (x,y,z), м =[767.76,-114.15,1.00]													
Уровни звуковой мощности источника днём, Lw, дБ		**исходные данные**	**0**	**96,3**	**97,7**	**99**	**99,3**	**98,9**	**95,6**	**91,4**	**86,9**		
Уровни звуковой мощности источника ночью, Lw, дБ		**исходные данные**	**0**	**96,3**	**97,7**	**99**	**99,3**	**98,9**	**95,6**	**91,4**	**86,9**		
Поправка на телесный угол DΩ, дБ	Ω = 12.57	10Lg(4π/Ω)	**0**	0	0	0	0	0	0	0	0		
Показатель направленности источника Di, дБ		исходные данные	**0**	0	0	0	0	0	0	0	0		
Поправка на направленность источника Dc, дБ	Dc	DΩ + Di	**0**	0	0	0	0	0	0	0	0		
Затухание из-за геометрической дивергенции, Adiv, дБ	расстояние = 507.65 м	ф-ла (7) [10]	**65,1**										
Коэффициент затухания звука в атмосфере α, дБ/км	Ta=20,°C Pa=101.33,кПа hотн.=70%	ф-ла (5) [9]	0,02	0,09	0,33	1,12	2,79	4,98	9,04	23,09	77,63		
Учет затухания звука в атмосфере Aatm, дБ		ф-ла (8) [10]	0	0	0,2	0,6	1,4	2,5	4,6	11,7	39,4		
Снижение поверхностью земли возле источника As, дБ	Gs = 0 hs = 1м	ф-лы таб.3 [10]	-1,5	-1,5	-1,5	-1,5	-1,5	-1,5	-1,5	-1,5	-1,5		
Снижение поверхностью земли возле приёмника Ar, дБ	Gr = 1 hr = 4.6м	ф-лы таб.3 [10]	-1,5	-1,5	3,4	1,3	0	0	0	0	0		
Снижение поверхностью земли в средней зоне, Am дБ	Gm = 1	ф-лы таб.3 [10]	-2	-2	0	0	0	0	0	0	0		
Суммарное снижение поверхностью земли на траектории распространения звука Agr, дБ		ф-ла (9) [10]	-5	-5	1,9	-0,2	-1,5	-1,5	-1,5	-1,5	-1,5		
Уровни звукового давления прямого звука от источника ИШ-6-13 в расчётной точке днём, дБ		**ф-ла(3)[10]**	**0**	**36,1**	**30,5**	**33,5**	**34,3**	**32,8**	**27,4**	**16,1**	**0**	**36,3**	**36,3**
Уровни звукового давления прямого звука от источника ИШ-6-13 в расчётной точке ночью, дБ		**ф-ла(3)[10]**	**0**	**36,1**	**30,5**	**33,5**	**34,3**	**32,8**	**27,4**	**16,1**	**0**	**36,3**	**36,3**
Расчёт отражённого звука													

1		2	3	4	5	6	7	8	9	10	11	12	13
Уровни звукового давления от мнимого источника ИШ-6-13_мн.(1) в расчётной точке днём, дБ		**ф-ла(3)[10]**	**0**	**0**	**24,9**	**23,2**	**22,9**	**28,2**	**24,9**	**13,5**	**0**	**30,9**	**30,9**
Уровни звукового давления от мнимого источника ИШ-6-13_мн.(1) в расчётной точке ночью, дБ		**ф-ла(3)[10]**	**0**	**0**	**0**	**0**	**0**	**0**	**0**	**0**	**0**	**30,9**	**30,9**
Уровни звукового давления от источника ИШ-6-13 в расчётной точке днём, дБ		**ф-ла(3)[10]**	**0**	**36,1**	**31,6**	**33,9**	**34,6**	**34,1**	**29,3**	**18**	**0**	**37,4**	**37,4**
Уровни звукового давления от источника ИШ-6-13 в расчётной точке ночью, дБ		**ф-ла(3)[10]**	**0**	**36,1**	**31,6**	**33,9**	**34,6**	**34,1**	**29,3**	**18**	**0**	**37,4**	**37,4**
Источник шума: ИШ-6-14, координаты источника (x,y,z), м =[766.82,-117.10,1.00]													
Уровни звуковой мощности источника днём, Lw, дБ		**исходные данные**	**0**	**96,3**	**97,7**	**99**	**99,3**	**98,9**	**95,6**	**91,4**	**86,9**		
Уровни звуковой мощности источника ночью, Lw, дБ		**исходные данные**	**0**	**96,3**	**97,7**	**99**	**99,3**	**98,9**	**95,6**	**91,4**	**86,9**		
Поправка на телесный угол DΩ, дБ	Ω = 12.57	10Lg(4π/Ω)	**0**	0	0	0	0	0	0	0	0		
Показатель направленности источника Di, дБ		исходные данные	**0**	0	0	0	0	0	0	0	0		
Поправка на направленность источника Dc, дБ	Dc	DΩ + Di	**0**	0	0	0	0	0	0	0	0		
Затухание из-за геометрической дивергенции, Adiv, дБ	расстояние = 506.19 м	ф-ла (7) [10]	**65,1**										
Коэффициент затухания звука в атмосфере α, дБ/км	Ta=20,°C Pa=101.33,кПа hотн.=70%	ф-ла (5) [9]	0,02	0,09	0,33	1,12	2,79	4,98	9,04	23,09	77,63		
Учет затухания звука в атмосфере Aatm, дБ		ф-ла (8) [10]	0	0	0,2	0,6	1,4	2,5	4,6	11,7	39,3		
Снижение уровня звукового давления из-за влияния застройки между источником шума и расчетной точкой													
Промежуточные точки:	Pss(x,y,z) = (583.78,-155.78,2.33)	Psr(x,y,z) = (583.78,-155.78,2.33)	dss = 187.09 м		dsr = 319.23 м		e = 0.00 м		z = -0.12 м				
Константа C2, учитывающая эффект отражения от земли возле экрана			40	40	40	40	40	40	40	40	40		

1		2	3	4	5	6	7	8	9	10	11	12	13
Препятствие слева от трассы ИШ-РТ	Константа СЗ (дифракция на кромках)	ф-ла (15) [10]	1	1	1	1	1	1	1	1	1		
	K_{met} (влияние метеоусловий)	ф-ла (18) [10]	1	1	1	1	1	1	1	1	1		
	Снижение УЗД, Dz, дБ	ф-ла (14) [10]	4	3,2	0,7	NAN	NAN	NAN	NAN	NAN	NAN		
* отрицательное значение z означает прохождение траектории вблизи экрана, в этом случае дополнительно производится учёт снижения подстилающей поверхностью (см.ниже)													
Снижение поверхностью земли возле источника As, дБ	Gs = 0 hs = 1м	ф-лы таб.3 [10]	-1,5	-1,5	-1,5	-1,5	-1,5	-1,5	-1,5	-1,5	-1,5		
Снижение поверхностью земли возле приёмника Ar, дБ	Gr = 1 hr = 4.6м	ф-лы таб.3 [10]	-1,5	-1,5	3,4	1,3	0	0	0	0	0		
Снижение поверхностью земли в средней зоне, Am дБ	Gm = 1	ф-лы таб.3 [10]	-2	-2	0	0	0	0	0	0	0		
Суммарное снижение поверхностью земли на траектории распространения звука Agr, дБ		ф-ла (9) [10]	-5	-5	1,9	-0,2	-1,5	-1,5	-1,5	-1,5	-1,5		
Уровни звукового давления прямого звука от источника ИШ-6-14 в расчётной точке днём, дБ		**ф-ла(3)[10]**	**0**	**33**	**29,9**	**33,6**	**34,3**	**32,8**	**27,4**	**16,1**	**0**	**36,3**	**36,3**
Уровни звукового давления прямого звука от источника ИШ-6-14 в расчётной точке ночью, дБ		**ф-ла(3)[10]**	**0**	**33**	**29,9**	**33,6**	**34,3**	**32,8**	**27,4**	**16,1**	**0**	**36,3**	**36,3**
Расчёт отражённого звука													
Уровни звукового давления от мнимого источника ИШ-6-14_мн.(1) в расчётной точке днём, дБ		**ф-ла(3)[10]**	**0**	**0**	**24,9**	**23,2**	**22,9**	**28,2**	**24,9**	**13,6**	**0**	**30,9**	**30,9**
Уровни звукового давления от мнимого источника ИШ-6-14_мн.(1) в расчётной точке ночью, дБ		**ф-ла(3)[10]**	**0**	**0**	**0**	**0**	**0**	**0**	**0**	**0**	**0**	**30,9**	**30,9**
Уровни звукового давления от источника ИШ-6-14 в расчётной точке днём, дБ		**ф-ла(3)[10]**	**0**	**33**	**31,1**	**33,9**	**34,6**	**34,1**	**29,4**	**18**	**0**	**37,4**	**37,4**
Уровни звукового давления от источника ИШ-6-14 в расчётной точке ночью, дБ		**ф-ла(3)[10]**	**0**	**33**	**31,1**	**33,9**	**34,6**	**34,1**	**29,4**	**18**	**0**	**37,4**	**37,4**
Источник шума: ИШ-6-15, координаты источника (x,y,z), м =[765.71,-120.27,1.00]													
Уровни звуковой мощности источника днём, Lw, дБ		**исходные данные**	**0**	**96,3**	**97,7**	**99**	**99,3**	**98,9**	**95,6**	**91,4**	**86,9**		
Уровни звуковой мощности источника ночью, Lw, дБ		**исходные данные**	**0**	**96,3**	**97,7**	**99**	**99,3**	**98,9**	**95,6**	**91,4**	**86,9**		

1		2	3	4	5	6	7	8	9	10	11	12	13
Поправка на телесный угол DΩ, дБ	Ω = 12.57	10Lg(4π/Ω)	**0**	0	0	0	0	0	0	0	0		
Показатель направленности источника Di, дБ		исходные данные	**0**	0	0	0	0	0	0	0	0		
Поправка на направленность источника Dc, дБ	Dc	DΩ + Di	**0**	0	0	0	0	0	0	0	0		
Затухание из-за геометрической дивергенции, Adiv, дБ	расстояние = 504.55 м	ф-ла (7) [10]	**65,1**										
Коэффициент затухания звука в атмосфере α, дБ/км	Ta=20,°C Pa=101.33,кПа hотн.=70%	ф-ла (5) [9]	0,02	0,09	0,33	1,12	2,79	4,98	9,04	23,09	77,63		
Учет затухания звука в атмосфере Aatm, дБ		ф-ла (8) [10]	0	0	0,2	0,6	1,4	2,5	4,6	11,6	39,2		
Снижение уровня звукового давления из-за влияния застройки между источником шума и расчетной точкой													
Препятствие слева от трассы ИШ-РТ	Промежуточные точки:	Pss(x,y,z) = (583.78,-155.78,2.32)	Psr(x,y,z) = (583.78,-155.78,2.32)	dss = 185.38 м		dsr = 319.23 м		e = 0.00 м		z = -0.05 м			
	Константа C2, учитывающая эффект отражения от земли возле экрана			40	40	40	40	40	40	40	40	40		
	Константа C3 (дифракция на кромках)		ф-ла (15) [10]	1	1	1	1	1	1	1	1	1		
	K_{met} (влияние метеоусловий)		ф-ла (18) [10]	1	1	1	1	1	1	1	1	1		
	Снижение УЗД, Dz, дБ		ф-ла (14) [10]	4,5	4,1	3,4	1,5	NAN	NAN	NAN	NAN	NAN		
* отрицательное значение z означает прохождение траектории вблизи экрана, в этом случае дополнительно производится учёт снижения подстилающей поверхностью (см.ниже)													
Снижение поверхностью земли возле источника As, дБ	Gs = 0 hs = 1м	ф-лы таб.3 [10]	-1,5	-1,5	-1,5	-1,5	-1,5	-1,5	-1,5	-1,5	-1,5		
Снижение поверхностью земли возле приёмника Ar, дБ	Gr = 1 hr = 4.6м	ф-лы таб.3 [10]	-1,5	-1,5	3,4	1,3	0	0	0	0	0		
Снижение поверхностью земли в средней зоне, Am дБ	Gm = 1	ф-лы таб.3 [10]	-2	-2	0	0	0	0	0	0	0		
Суммарное снижение поверхностью земли на траектории распространения звука Agr, дБ		ф-ла (9) [10]	-5	-5	1,9	-0,2	-1,5	-1,5	-1,5	-1,5	-1,5		
Уровни звукового давления прямого звука от источника ИШ-6-15 в расчётной точке днём, дБ		**ф-ла(3)[10]**	**0**	**32**	**27,2**	**32,1**	**34,3**	**32,8**	**27,5**	**16,2**	**0**	**36,3**	**36,3**

1		2	3	4	5	6	7	8	9	10	11	12	13
Уровни звукового давления прямого звука от источника ИШ-6-15 в расчётной точке ночью, дБ		**ф-ла(3)[10]**	**0**	**32**	**27,2**	**32,1**	**34,3**	**32,8**	**27,5**	**16,2**	**0**	**36,3**	**36,3**
Расчёт отражённого звука													
Уровни звукового давления от мнимого источника ИШ-6-15_мн.(1) в расчётной точке днём, дБ		**ф-ла(3)[10]**	**0**	**0**	**25**	**23,2**	**23**	**28,3**	**25**	**13,6**	**0**	**31**	**31**
Уровни звукового давления от мнимого источника ИШ-6-15_мн.(1) в расчётной точке ночью, дБ		**ф-ла(3)[10]**	**0**	**0**	**0**	**0**	**0**	**0**	**0**	**0**	**0**	**31**	**31**
Уровни звукового давления от источника ИШ-6-15 в расчётной точке днём, дБ		**ф-ла(3)[10]**	**0**	**32**	**29,2**	**32,6**	**34,6**	**34,1**	**29,4**	**18,1**	**0**	**37,4**	**37,4**
Уровни звукового давления от источника ИШ-6-15 в расчётной точке ночью, дБ		**ф-ла(3)[10]**	**0**	**32**	**29,2**	**32,6**	**34,6**	**34,1**	**29,4**	**18,1**	**0**	**37,4**	**37,4**
Источник шума: ИШ-6-16, координаты источника (x,y,z), м =[764.57,-123.22,1.00]													
Уровни звуковой мощности источника днём, Lw, дБ		**исходные данные**	**0**	**96,3**	**97,7**	**99**	**99,3**	**98,9**	**95,6**	**91,4**	**86,9**		
Уровни звуковой мощности источника ночью, Lw, дБ		**исходные данные**	**0**	**96,3**	**97,7**	**99**	**99,3**	**98,9**	**95,6**	**91,4**	**86,9**		
Поправка на телесный угол DΩ, дБ	Ω = 12.57	10Lg(4π/Ω)	**0**	0	0	0	0	0	0	0	0		
Показатель направленности источника Di, дБ		исходные данные	**0**	0	0	0	0	0	0	0	0		
Поправка на направленность источника Dc, дБ	Dc	DΩ + Di	**0**	0	0	0	0	0	0	0	0		
Затухание из-за геометрической дивергенции, Adiv, дБ	расстояние = 502.93 м	ф-ла (7) [10]	**65**										
Коэффициент затухания звука в атмосфере α, дБ/км	Ta=20,°C Pa=101.33,кПа hотн.=70%	ф-ла (5) [9]	0,02	0,09	0,33	1,12	2,79	4,98	9,04	23,09	77,63		
Учет затухания звука в атмосфере Aatm, дБ		ф-ла (8) [10]	0	0	0,2	0,6	1,4	2,5	4,5	11,6	39		
Снижение уровня звукового давления из-за влияния застройки между источником шума и расчетной точкой													

1			2	3	4	5	6	7	8	9	10	11	12	13
Препятствие слева от трассы ИШ-РТ	Промежуточные точки:	Pss(x,y,z) = (583.78,-155.78,2.31)	Psr(x,y,z) = (583.78,-155.78,2.31)	dss = 183.71 м		dsr = 319.23 м		e = 0.00 м		z = -0.01 м				
	Константа C2, учитывающая эффект отражения от земли возле экрана			40	40	40	40	40	40	40	40	40		
	Константа C3 (дифракция на кромках)		ф-ла (15) [10]	1	1	1	1	1	1	1	1	1		
	K_{met} (влияние метеоусловий)		ф-ла (18) [10]	1	1	1	1	1	1	1	1	1		
	Снижение УЗД, Dz, дБ		ф-ла (14) [10]	4,7	4,6	4,4	4,1	3,3	1	NAN	NAN	NAN		
* отрицательное значение z означает прохождение траектории вблизи экрана, в этом случае дополнительно производится учёт снижения подстилающей поверхностью (см.ниже)														
Снижение поверхностью земли возле источника As, дБ		Gs = 0 hs = 1м	ф-лы таб.3 [10]	-1,5	-1,5	-1,5	-1,5	-1,5	-1,5	-1,5	-1,5	-1,5		
Снижение поверхностью земли возле приёмника Ar, дБ		Gr = 1 hr = 4.6м	ф-лы таб.3 [10]	-1,5	-1,5	3,4	1,3	0	0	0	0	0		
Снижение поверхностью земли в средней зоне, Am дБ		Gm = 1	ф-лы таб.3 [10]	-2	-2	0	0	0	0	0	0	0		
Суммарное снижение поверхностью земли на траектории распространения звука Agr, дБ			ф-ла (9) [10]	-5	-5	1,9	-0,2	-1,5	-1,5	-1,5	-1,5	-1,5		
Уровни звукового давления прямого звука от источника ИШ-6-16 в расчётной точке днём, дБ			**ф-ла(3)[10]**	**0**	**31,6**	**26,2**	**29,5**	**31,1**	**31,8**	**27,5**	**16,3**	**0**	**34,9**	**34,9**
Уровни звукового давления прямого звука от источника ИШ-6-16 в расчётной точке ночью, дБ			**ф-ла(3)[10]**	**0**	**31,6**	**26,2**	**29,5**	**31,1**	**31,8**	**27,5**	**16,3**	**0**	**34,9**	**34,9**
Расчёт отражённого звука														
Уровни звукового давления от мнимого источника ИШ-6-16_мн.(1) в расчётной точке днём, дБ			**ф-ла(3)[10]**	**0**	**0**	**25**	**23,3**	**23**	**28,3**	**25**	**13,7**	**0**	**31**	**31**
Уровни звукового давления от мнимого источника ИШ-6-16_мн.(1) в расчётной точке ночью, дБ			**ф-ла(3)[10]**	**0**	**0**	**0**	**0**	**0**	**0**	**0**	**0**	**0**	**31**	**31**
Уровни звукового давления от источника ИШ-6-16 в расчётной точке днём, дБ			**ф-ла(3)[10]**	**0**	**31,6**	**28,6**	**30,4**	**31,7**	**33,4**	**29,4**	**18,2**	**0**	**36,4**	**36,4**
Уровни звукового давления от источника ИШ-6-16 в расчётной точке ночью, дБ			**ф-ла(3)[10]**	**0**	**31,6**	**28,6**	**30,4**	**31,7**	**33,4**	**29,4**	**18,2**	**0**	**36,4**	**36,4**
Источник шума: ИШ-6-17, координаты источника (x,y,z), м =[763.57,-126.18,1.00]														

1		2	3	4	5	6	7	8	9	10	11	12	13
Уровни звуковой мощности источника днём, Lw, дБ		**исходные данные**	**0**	**96,3**	**97,7**	**99**	**99,3**	**98,9**	**95,6**	**91,4**	**86,9**		
Уровни звуковой мощности источника ночью, Lw, дБ		**исходные данные**	**0**	**96,3**	**97,7**	**99**	**99,3**	**98,9**	**95,6**	**91,4**	**86,9**		
Поправка на телесный угол DΩ, дБ	Ω = 12.57	10Lg(4π/Ω)	**0**	0	0	0	0	0	0	0	0		
Показатель направленности источника Di, дБ		исходные данные	**0**	0	0	0	0	0	0	0	0		
Поправка на направленность источника Dc, дБ	Dc	DΩ + Di	**0**	0	0	0	0	0	0	0	0		
Затухание из-за геометрической дивергенции, Adiv, дБ	расстояние = 501.45 м	ф-ла (7) [10]	**65**										
Коэффициент затухания звука в атмосфере α, дБ/км	Ta=20,°C Pa=101.33,кПа hотн.=70%	ф-ла (5) [9]	0,02	0,09	0,33	1,12	2,79	4,98	9,04	23,09	77,63		
Учет затухания звука в атмосфере Aatm, дБ		ф-ла (8) [10]	0	0	0,2	0,6	1,4	2,5	4,5	11,6	38,9		
Снижение уровня звукового давления из-за влияния застройки между источником шума и расчетной точкой													
Препятствие слева от трассы ИШ-РТ	Промежуточные точки:	Pss(x,y,z) = (583.78,-155.78,2.31)	Psr(x,y,z) = (583.78,-155.78,2.31)	dss = 182.22 м		dsr = 319.23 м		e = 0.00 м		z = 0.00 м			
	Константа C2, учитывающая эффект отражения от земли возле экрана			40	40	40	40	40	40	40	40	40		
	Константа C3 (дифракция на кромках)		ф-ла (15) [10]	1	1	1	1	1	1	1	1	1		
	K_{met} (влияние метеоусловий)		ф-ла (18) [10]	1	1	1	1	1	1	1	1	1		
	Снижение УЗД, Dz, дБ		ф-ла (14) [10]	4,8	4,8	4,8	4,8	4,8	4,8	4,8	4,7	4,7		
* отрицательное значение z означает прохождение траектории вблизи экрана, в этом случае дополнительно производится учёт снижения подстилающей поверхностью (см.ниже)													
Снижение поверхностью земли возле источника As, дБ	Gs = 0 hs = 1м	ф-лы таб.3 [10]	-1,5	-1,5	-1,5	-1,5	-1,5	-1,5	-1,5	-1,5	-1,5		
Снижение поверхностью земли возле приёмника Ar, дБ	Gr = 1 hr = 4.6м	ф-лы таб.3 [10]	-1,5	-1,5	3,4	1,3	0	0	0	0	0		
Снижение поверхностью земли в средней зоне, Am дБ	Gm = 1	ф-лы таб.3 [10]	-2	-2	0	0	0	0	0	0	0		

1			2	3	4	5	6	7	8	9	10	11	12	13
Суммарное снижение поверхностью земли на траектории распространения звука Agr, дБ			ф-ла (9) [10]	-5	-5	1,9	-0,2	-1,5	-1,5	-1,5	-1,5	-1,5		
Уровни звукового давления от источника ИШ-6-17 в расчётной точке днём, дБ			**ф-ла(3)[10]**	**0**	**31,5**	**25,9**	**28,9**	**29,6**	**28,1**	**22,8**	**11,6**	**0**	**31,7**	**31,7**
Уровни звукового давления от источника ИШ-6-17 в расчётной точке ночью, дБ			**ф-ла(3)[10]**	**0**	**31,5**	**25,9**	**28,9**	**29,6**	**28,1**	**22,8**	**11,6**	**0**	**31,7**	**31,7**
Источник шума: ИШ-6-18, координаты источника (x,y,z), м =[804.77,-126.28,1.00]														
Уровни звуковой мощности источника днём, Lw, дБ			**исходные данные**	**0**	**96,3**	**97,7**	**99**	**99,3**	**98,9**	**95,6**	**91,4**	**86,9**		
Уровни звуковой мощности источника ночью, Lw, дБ			**исходные данные**	**0**	**96,3**	**97,7**	**99**	**99,3**	**98,9**	**95,6**	**91,4**	**86,9**		
Поправка на телесный угол DΩ, дБ		Ω = 12.57	10Lg(4π/Ω)	**0**	0	0	0	0	0	0	0	0		
Показатель направленности источника Di, дБ			исходные данные	**0**	0	0	0	0	0	0	0	0		
Поправка на направленность источника Dc, дБ		Dc	DΩ + Di	**0**	0	0	0	0	0	0	0	0		
Затухание из-за геометрической дивергенции, Adiv, дБ		расстояние = 542.14 м	ф-ла (7) [10]	**65,7**										
Коэффициент затухания звука в атмосфере α, дБ/км		Ta=20,°C Pa=101.33,кПа hотн.=70%	ф-ла (5) [9]	0,02	0,09	0,33	1,12	2,79	4,98	9,04	23,09	77,63		
Учет затухания звука в атмосфере Aatm, дБ			ф-ла (8) [10]	0	0	0,2	0,6	1,5	2,7	4,9	12,5	42,1		
Снижение уровня звукового давления из-за влияния застройки между источником шума и расчетной точкой														
Длина звуковой волны для среднегеометрической частоты октавной полосы, λ, м				10,79	5,4	2,72	1,36	0,68	0,34	0,17	0,09	0,04		
Критерий наличия экранирования в горизонтальной плоскости	Горизонтальный размер экрана, lэкр = 25.89 м		lэкр > λ	да	да	да	да	да	да	да	да	да		
	Промежуточные точки:	Pss(x,y,z) = (591.28,-158.58,4.00)	Psr(x,y,z) = (591.28,-158.58,4.00)	dss = 215.95 м		dsr = 326.20 м		e = 0.00 м		z = 0.01 м				

1			2	3	4	5	6	7	8	9	10	11	12	13
Траектория над экраном	Константа C2, учитывающая эффект отражения от земли возле экрана			40	40	40	40	40	40	40	40	40		
	Константа C3 (дифракция на кромках)		ф-ла (15) [10]	1	1	1	1	1	1	1	1	1		
	K_{met} (влияние метеоусловий)		ф-ла (18) [10]	0	0	0	0	0	0	0	0	0		
	Снижение УЗД, Dz, дБ		ф-ла (14) [10]	4,8	4,8	4,8	4,8	4,8	4,8	4,8	4,8	4,8		
Траектория слева от экрана	Промежуточные точки:	Pss(x,y,z) = (583.39,-182.03,2.51)	Psr(x,y,z) = (583.39,-182.03,2.51)	dss = 228.30 м		dsr = 315.67 м		e = 0.00 м		z = 1.83 м				
	Константа C2, учитывающая эффект отражения от земли возле экрана			40	40	40	40	40	40	40	40	40		
	Константа C3 (дифракция на кромках)		ф-ла (15) [10]	1	1	1	1	1	1	1	1	1		
	K_{met} (влияние метеоусловий)		ф-ла (18) [10]	1	1	1	1	1	1	1	1	1		
	Снижение УЗД, Dz, дБ		ф-ла (14) [10]	9,9	12,2	14,8	17,5	20,4	23,4	26,4	29,4	32,4		
Траектория справа от экрана	Промежуточные точки:	Pss(x,y,z) = (583.78,-155.78,2.48)	Psr(x,y,z) = (583.78,-155.78,2.48)	dss = 222.96 м		dsr = 319.23 м		e = 0.00 м		z = 0.06 м				
	Константа C2, учитывающая эффект отражения от земли возле экрана			40	40	40	40	40	40	40	40	40		
	Константа C3 (дифракция на кромках)		ф-ла (15) [10]	1	1	1	1	1	1	1	1	1		
	K_{met} (влияние метеоусловий)		ф-ла (18) [10]	1	1	1	1	1	1	1	1	1		
	Снижение УЗД, Dz, дБ		ф-ла (14) [10]	5,1	5,3	5,8	6,7	8	9,9	12,2	14,8	17,6		
Общее снижение уровня звука препятствием Dz, дБ			Эн.сумма(-Dzi)	1,3	1,6	2	2,5	3	3,6	4	4,3	4,5		
Уровни звукового давления от источника ИШ-6-18 в расчётной точке днём, дБ			**ф-ла(3)[10]**	**0**	**28,9**	**29,8**	**30,2**	**29,1**	**26,9**	**21**	**8,8**	**0**	**30,9**	**30,9**
Уровни звукового давления от источника ИШ-6-18 в расчётной точке ночью, дБ			**ф-ла(3)[10]**	**0**	**28,9**	**29,8**	**30,2**	**29,1**	**26,9**	**21**	**8,8**	**0**	**30,9**	**30,9**

1			2	3	4	5	6	7	8	9	10	11	12	13
Источник шума: ИШ-6-19, координаты источника (x,y,z), м =[803.81,-129.30,1.00]														
Уровни звуковой мощности источника днём, Lw, дБ			**исходные данные**	**0**	**96,3**	**97,7**	**99**	**99,3**	**98,9**	**95,6**	**91,4**	**86,9**		
Уровни звуковой мощности источника ночью, Lw, дБ			**исходные данные**	**0**	**96,3**	**97,7**	**99**	**99,3**	**98,9**	**95,6**	**91,4**	**86,9**		
Поправка на телесный угол DΩ, дБ		Ω = 12.57	10Lg(4π/Ω)	**0**	0	0	0	0	0	0	0	0		
Показатель направленности источника Di, дБ			исходные данные	**0**	0	0	0	0	0	0	0	0		
Поправка на направленность источника Dc, дБ		Dc	DΩ + Di	**0**	0	0	0	0	0	0	0	0		
Затухание из-за геометрической дивергенции, Adiv, дБ		расстояние = 540.74 м	ф-ла (7) [10]	**65,7**										
Коэффициент затухания звука в атмосфере α, дБ/км		Ta=20,°C Pa=101.33,кПа hотн.=70%	ф-ла (5) [9]	0,02	0,09	0,33	1,12	2,79	4,98	9,04	23,09	77,63		
Учет затухания звука в атмосфере Aatm, дБ			ф-ла (8) [10]	0	0	0,2	0,6	1,5	2,7	4,9	12,5	42		
Снижение уровня звукового давления из-за влияния застройки между источником шума и расчетной точкой														
Длина звуковой волны для среднегеометрической частоты октавной полосы, λ, м				10,79	5,4	2,72	1,36	0,68	0,34	0,17	0,09	0,04		
Критерий наличия экранирования в горизонтальной плоскости	Горизонтальный размер экрана, lэкр = 25.92 м		lэкр > λ	да	да	да	да	да	да	да	да	да		
Траектория над экраном	Промежуточные точки:	Pss(x,y,z) = (590.66,-160.41,4.00)	Psr(x,y,z) = (590.66,-160.41,4.00)	dss = 215.43 м		dsr = 325.32 м		e = 0.00 м		z = 0.01 м				
	Константа C2, учитывающая эффект отражения от земли возле экрана			40	40	40	40	40	40	40	40	40		
	Константа C3 (дифракция на кромках)		ф-ла (15) [10]	1	1	1	1	1	1	1	1	1		
	K_{met} (влияние метеоусловий)		ф-ла (18) [10]	0	0	0	0	0	0	0	0	0		

1			2	3	4	5	6	7	8	9	10	11	12	13
	Снижение УЗД, Dz, дБ		ф-ла (14) [10]	4,8	4,8	4,8	4,8	4,8	4,8	4,8	4,8	4,8		
Траектория слева от экрана	Промежуточные точки:	Pss(x,y,z) = (583.39,-182.03,2.50)	Psr(x,y,z) = (583.39,-182.03,2.50)	dss = 226.64 м		dsr = 315.67 м		e = 0.00 м		z = 1.57 м				
	Константа C2, учитывающая эффект отражения от земли возле экрана			40	40	40	40	40	40	40	40	40		
	Константа C3 (дифракция на кромках)		ф-ла (15) [10]	1	1	1	1	1	1	1	1	1		
	K_{met} (влияние метеоусловий)		ф-ла (18) [10]	1	1	1	1	1	1	1	1	1		
	Снижение УЗД, Dz, дБ		ф-ла (14) [10]	9,5	11,7	14,2	16,9	19,8	22,7	25,7	28,7	31,7		
Траектория справа от экрана	Промежуточные точки:	Pss(x,y,z) = (583.78,-155.78,2.48)	Psr(x,y,z) = (583.78,-155.78,2.48)	dss = 221.63 м		dsr = 319.23 м		e = 0.00 м		z = 0.12 м				
	Константа C2, учитывающая эффект отражения от земли возле экрана			40	40	40	40	40	40	40	40	40		
	Константа C3 (дифракция на кромках)		ф-ла (15) [10]	1	1	1	1	1	1	1	1	1		
	K_{met} (влияние метеоусловий)		ф-ла (18) [10]	1	1	1	1	1	1	1	1	1		
	Снижение УЗД, Dz, дБ		ф-ла (14) [10]	5,4	5,9	6,8	8,1	10	12,3	14,9	17,7	20,6		
Общее снижение уровня звука препятствием Dz, дБ			Эн.сумма(-Dzi)	1,3	1,8	2,3	2,9	3,5	4	4,3	4,5	4,7		
Уровни звукового давления от источника ИШ-6-19 в расчётной точке днём, дБ			**ф-ла(3)[10]**	**0**	**28,8**	**29,5**	**29,8**	**28,6**	**26,5**	**20,7**	**8,7**	**0**	**30,5**	**30,5**
Уровни звукового давления от источника ИШ-6-19 в расчётной точке ночью, дБ			**ф-ла(3)[10]**	**0**	**28,8**	**29,5**	**29,8**	**28,6**	**26,5**	**20,7**	**8,7**	**0**	**30,5**	**30,5**
Источник шума: ИШ-6-20, координаты источника (x,y,z), м =[802.67,-132.35,1.00]														
Уровни звуковой мощности источника днём, Lw, дБ			**исходные данные**	**0**	**96,3**	**97,7**	**99**	**99,3**	**98,9**	**95,6**	**91,4**	**86,9**		
Уровни звуковой мощности источника ночью, Lw, дБ			**исходные данные**	**0**	**96,3**	**97,7**	**99**	**99,3**	**98,9**	**95,6**	**91,4**	**86,9**		

1			2	3	4	5	6	7	8	9	10	11	12	13
Поправка на телесный угол DΩ, дБ	Ω = 12.57		10Lg(4π/Ω)	**0**	0	0	0	0	0	0	0	0		
Показатель направленности источника Di, дБ			исходные данные	**0**	0	0	0	0	0	0	0	0		
Поправка на направленность источника Dc, дБ	Dc		DΩ + Di	**0**	0	0	0	0	0	0	0	0		
Затухание из-за геометрической дивергенции, Adiv, дБ	расстояние = 539.18 м		ф-ла (7) [10]	**65,6**										
Коэффициент затухания звука в атмосфере α, дБ/км	Ta=20,°C Pa=101.33,кПа hотн.=70%		ф-ла (5) [9]	0,02	0,09	0,33	1,12	2,79	4,98	9,04	23,09	77,63		
Учет затухания звука в атмосфере Aatm, дБ			ф-ла (8) [10]	0	0	0,2	0,6	1,5	2,7	4,9	12,4	41,9		
Снижение уровня звукового давления из-за влияния застройки между источником шума и расчетной точкой														
Длина звуковой волны для среднегеометрической частоты октавной полосы, λ, м				10,79	5,4	2,72	1,36	0,68	0,34	0,17	0,09	0,04		
Критерий наличия экранирования в горизонтальной плоскости	Горизонтальный размер экрана, lэкр = 25.94 м		lэкр > λ	да	да	да	да	да	да	да	да	да		
Траектория над экраном	Промежуточные точки:	Pss(x,y,z) = (590.05,-162.23,4.00)	Psr(x,y,z) = (590.05,-162.23,4.00)	dss = 214.73 м		dsr = 324.46 м		e = 0.00 м		z = 0.01 м				
	Константа C2, учитывающая эффект отражения от земли возле экрана			40	40	40	40	40	40	40	40	40		
	Константа C3 (дифракция на кромках)		ф-ла (15) [10]	1	1	1	1	1	1	1	1	1		
	K_{met} (влияние метеоусловий)		ф-ла (18) [10]	0	0	0	0	0	0	0	0	0		
	Снижение УЗД, Dz, дБ		ф-ла (14) [10]	4,8	4,8	4,8	4,8	4,8	4,8	4,8	4,8	4,8		
Траектория слева от экрана	Промежуточные точки:	Pss(x,y,z) = (583.39,-182.03,2.50)	Psr(x,y,z) = (583.39,-182.03,2.50)	dss = 224.84 м		dsr = 315.67 м		e = 0.00 м		z = 1.33 м				
	Константа C2, учитывающая эффект отражения от земли возле экрана			40	40	40	40	40	40	40	40	40		
	Константа C3 (дифракция на кромках)		ф-ла (15) [10]	1	1	1	1	1	1	1	1	1		

1			2	3	4	5	6	7	8	9	10	11	12	13
	K_{met} (влияние метеоусловий)		ф-ла (18) [10]	1	1	1	1	1	1	1	1	1		
	Снижение УЗД, Dz, дБ		ф-ла (14) [10]	9	11,1	13,5	16,2	19,1	22	25	28	31		
Траектория справа от экрана	Промежуточные точки:	Pss(x,y,z) = (583.78,-155.78,2.47)	Psr(x,y,z) = (583.78,-155.78,2.47)	dss = 220.15 м		dsr = 319.23 м		e = 0.00 м		z = 0.20 м				
	Константа C2, учитывающая эффект отражения от земли возле экрана			40	40	40	40	40	40	40	40	40		
	Константа C3 (дифракция на кромках)		ф-ла (15) [10]	1	1	1	1	1	1	1	1	1		
	K_{met} (влияние метеоусловий)		ф-ла (18) [10]	1	1	1	1	1	1	1	1	1		
	Снижение УЗД, Dz, дБ		ф-ла (14) [10]	5,7	6,5	7,8	9,5	11,7	14,3	17	19,9	22,9		
Общее снижение уровня звука препятствием Dz, дБ			Эн.сумма(-Dzi)	1,4	2	2,6	3,3	3,8	4,2	4,5	4,6	4,7		
Уровни звукового давления от источника ИШ-6-20 в расчётной точке днём, дБ			**ф-ла(3)[10]**	**0**	**28,6**	**29,2**	**29,5**	**28,3**	**26,3**	**20,6**	**8,7**	**0**	**30,3**	**30,3**
Уровни звукового давления от источника ИШ-6-20 в расчётной точке ночью, дБ			**ф-ла(3)[10]**	**0**	**28,6**	**29,2**	**29,5**	**28,3**	**26,3**	**20,6**	**8,7**	**0**	**30,3**	**30,3**
Источник шума: ИШ-6-21, координаты источника (x,y,z), м =[801.69,-135.42,1.00]														
Уровни звуковой мощности источника днём, Lw, дБ			**исходные данные**	**0**	**96,3**	**97,7**	**99**	**99,3**	**98,9**	**95,6**	**91,4**	**86,9**		
Уровни звуковой мощности источника ночью, Lw, дБ			**исходные данные**	**0**	**96,3**	**97,7**	**99**	**99,3**	**98,9**	**95,6**	**91,4**	**86,9**		
Поправка на телесный угол DΩ, дБ		Ω = 12.57	10Lg(4π/Ω)	**0**	0	0	0	0	0	0	0	0		
Показатель направленности источника Di, дБ			исходные данные	**0**	0	0	0	0	0	0	0	0		
Поправка на направленность источника Dc, дБ		Dc	DΩ + Di	**0**	0	0	0	0	0	0	0	0		
Затухание из-за геометрической дивергенции, Adiv, дБ		расстояние = 537.79 м	ф-ла (7) [10]	**65,6**										

1			2	3	4	5	6	7	8	9	10	11	12	13
Коэффициент затухания звука в атмосфере α, дБ/км		Ta=20,°C Pa=101.33,кПа hотн.=70%	ф-ла (5) [9]	0,02	0,09	0,33	1,12	2,79	4,98	9,04	23,09	77,63		
Учет затухания звука в атмосфере Aatm, дБ			ф-ла (8) [10]	0	0	0,2	0,6	1,5	2,7	4,9	12,4	41,7		
Снижение уровня звукового давления из-за влияния застройки между источником шума и расчетной точкой														
Длина звуковой волны для среднегеометрической частоты октавной полосы, λ, м				10,79	5,4	2,72	1,36	0,68	0,34	0,17	0,09	0,04		
Критерий наличия экранирования в горизонтальной плоскости	Горизонтальный размер экрана, lэкр = 25.96 м		lэкр > λ	да	да	да	да	да	да	да	да	да		
Траектория над экраном	Промежуточные точки:	Pss(x,y,z) = (589.43,-164.08,4.00)	Psr(x,y,z) = (589.43,-164.08,4.00)	dss = 214.21 м		dsr = 323.59 м		e = 0.00 м		z = 0.01 м				
	Константа C2, учитывающая эффект отражения от земли возле экрана			40	40	40	40	40	40	40	40	40		
	Константа C3 (дифракция на кромках)		ф-ла (15) [10]	1	1	1	1	1	1	1	1	1		
	K_{met} (влияние метеоусловий)		ф-ла (18) [10]	0	0	0	0	0	0	0	0	0		
	Снижение УЗД, Dz, дБ		ф-ла (14) [10]	4,8	4,8	4,8	4,8	4,8	4,8	4,8	4,8	4,8		
Траектория слева от экрана	Промежуточные точки:	Pss(x,y,z) = (583.39,-182.03,2.49)	Psr(x,y,z) = (583.39,-182.03,2.49)	dss = 223.22 м		dsr = 315.67 м		e = 0.00 м		z = 1.10 м				
	Константа C2, учитывающая эффект отражения от земли возле экрана			40	40	40	40	40	40	40	40	40		
	Константа C3 (дифракция на кромках)		ф-ла (15) [10]	1	1	1	1	1	1	1	1	1		
	K_{met} (влияние метеоусловий)		ф-ла (18) [10]	1	1	1	1	1	1	1	1	1		
	Снижение УЗД, Dz, дБ		ф-ла (14) [10]	8,5	10,5	12,8	15,5	18,3	21,2	24,2	27,2	30,2		
	Промежуточные точки:	Pss(x,y,z) = (583.78,-155.78,2.46)	Psr(x,y,z) = (583.78,-155.78,2.46)	dss = 218.87 м		dsr = 319.23 м		e = 0.00 м		z = 0.31 м				
	Константа C2, учитывающая эффект отражения от земли возле экрана			40	40	40	40	40	40	40	40	40		

1		2	3	4	5	6	7	8	9	10	11	12	13
Траектория справа от экрана	Константа СЗ (дифракция на кромках)	ф-ла (15) [10]	1	1	1	1	1	1	1	1	1		
	K_{met} (влияние метеоусловий)	ф-ла (18) [10]	1	1	1	1	1	1	1	1	1		
	Снижение УЗД, Dz, дБ	ф-ла (14) [10]	6,2	7,2	8,8	10,8	13,3	16	18,8	21,7	24,7		
Общее снижение уровня звука препятствием Dz, дБ		Эн.сумма(-Dzi)	1,5	2,1	2,9	3,5	4	4,4	4,6	4,7	4,7		
Уровни звукового давления от источника ИШ-6-21 в расчётной точке днём, дБ		**ф-ла(3)[10]**	**0**	**28,5**	**29**	**29,2**	**28,1**	**26,2**	**20,6**	**8,7**	**0**	**30,1**	**30,1**
Уровни звукового давления от источника ИШ-6-21 в расчётной точке ночью, дБ		**ф-ла(3)[10]**	**0**	**28,5**	**29**	**29,2**	**28,1**	**26,2**	**20,6**	**8,7**	**0**	**30,1**	**30,1**
Источник шума: ИШ-6-22, координаты источника (x,y,z), м =[800.65,-138.47,1.00]													
Уровни звуковой мощности источника днём, Lw, дБ		**исходные данные**	**0**	**96,3**	**97,7**	**99**	**99,3**	**98,9**	**95,6**	**91,4**	**86,9**		
Уровни звуковой мощности источника ночью, Lw, дБ		**исходные данные**	**0**	**96,3**	**97,7**	**99**	**99,3**	**98,9**	**95,6**	**91,4**	**86,9**		
Поправка на телесный угол DΩ, дБ	Ω = 12.57	10Lg(4π/Ω)	**0**	0	0	0	0	0	0	0	0		
Показатель направленности источника Di, дБ		исходные данные	**0**	0	0	0	0	0	0	0	0		
Поправка на направленность источника Dc, дБ	Dc	DΩ + Di	**0**	0	0	0	0	0	0	0	0		
Затухание из-за геометрической дивергенции, Adiv, дБ	расстояние = 536.35 м	ф-ла (7) [10]	**65,6**										
Коэффициент затухания звука в атмосфере α, дБ/км	Ta=20,°C Pa=101.33,кПа hотн.=70%	ф-ла (5) [9]	0,02	0,09	0,33	1,12	2,79	4,98	9,04	23,09	77,63		
Учет затухания звука в атмосфере Aatm, дБ		ф-ла (8) [10]	0	0	0,2	0,6	1,5	2,7	4,8	12,4	41,6		
Снижение уровня звукового давления из-за влияния застройки между источником шума и расчетной точкой													

1			2	3	4	5	6	7	8	9	10	11	12	13
Длина звуковой волны для среднегеометрической частоты октавной полосы, λ, м				10,79	5,4	2,72	1,36	0,68	0,34	0,17	0,09	0,04		
Критерий наличия экранирования в горизонтальной плоскости	Горизонтальный размер экрана, lэкр = 25.98 м		lэкр > λ	да	да	да	да	да	да	да	да	да		
Траектория над экраном	Промежуточные точки:	Pss(x,y,z) = (588.81,-165.91,4.00)	Psr(x,y,z) = (588.81,-165.91,4.00)	dss = 213.63 м		dsr = 322.74 м		e = 0.00 м		z = 0.01 м				
	Константа C2, учитывающая эффект отражения от земли возле экрана			40	40	40	40	40	40	40	40	40		
	Константа C3 (дифракция на кромках)		ф-ла (15) [10]	1	1	1	1	1	1	1	1	1		
	K_{met} (влияние метеоусловий)		ф-ла (18) [10]	0	0	0	0	0	0	0	0	0		
	Снижение УЗД, Dz, дБ		ф-ла (14) [10]	4,8	4,8	4,8	4,8	4,8	4,8	4,8	4,8	4,8		
Траектория слева от экрана	Промежуточные точки:	Pss(x,y,z) = (583.39,-182.03,2.48)	Psr(x,y,z) = (583.39,-182.03,2.48)	dss = 221.58 м		dsr = 315.67 м		e = 0.00 м		z = 0.90 м				
	Константа C2, учитывающая эффект отражения от земли возле экрана			40	40	40	40	40	40	40	40	40		
	Константа C3 (дифракция на кромках)		ф-ла (15) [10]	1	1	1	1	1	1	1	1	1		
	K_{met} (влияние метеоусловий)		ф-ла (18) [10]	1	1	1	1	1	1	1	1	1		
	Снижение УЗД, Dz, дБ		ф-ла (14) [10]	8	9,8	12,1	14,7	17,5	20,4	23,3	26,3	29,3		
Траектория справа от экрана	Промежуточные точки:	Pss(x,y,z) = (583.78,-155.78,2.46)	Psr(x,y,z) = (583.78,-155.78,2.46)	dss = 217.56 м		dsr = 319.23 м		e = 0.00 м		z = 0.44 м				
	Константа C2, учитывающая эффект отражения от земли возле экрана			40	40	40	40	40	40	40	40	40		
	Константа C3 (дифракция на кромках)		ф-ла (15) [10]	1	1	1	1	1	1	1	1	1		
	K_{met} (влияние метеоусловий)		ф-ла (18) [10]	1	1	1	1	1	1	1	1	1		
	Снижение УЗД, Dz, дБ		ф-ла (14) [10]	6,7	8	9,8	12	14,6	17,4	20,3	23,2	26,2		
Общее снижение уровня звука препятствием Dz, дБ			Эн.сумма(-Dzi)	1,5	2,2	3	3,7	4,1	4,4	4,6	4,7	4,7		

1		2	3	4	5	6	7	8	9	10	11	12	13
Уровни звукового давления от источника ИШ-6-22 в расчётной точке днём, дБ		**ф-ла(3)[10]**	**0**	**28,4**	**28,9**	**29,1**	**28,1**	**26,2**	**20,6**	**8,7**	**0**	**30,1**	**30,1**
Уровни звукового давления от источника ИШ-6-22 в расчётной точке ночью, дБ		**ф-ла(3)[10]**	**0**	**28,4**	**28,9**	**29,1**	**28,1**	**26,2**	**20,6**	**8,7**	**0**	**30,1**	**30,1**
Источник шума: ИШ-7-1, координаты источника (x,y,z), м =[821.44,63.31,1.00]													
Уровни звуковой мощности источника днём, Lw, дБ		**исходные данные**	**77**	**75**	**67**	**66**	**63**	**55**	**53**	**48**	**51**		
Уровни звуковой мощности источника ночью, Lw, дБ		**исходные данные**	**77**	**75**	**67**	**66**	**63**	**55**	**53**	**48**	**51**		
Поправка на телесный угол DΩ, дБ	Ω = 12.57	10Lg(4π/Ω)	**0**	0	0	0	0	0	0	0	0		
Показатель направленности источника Di, дБ		исходные данные	**0**	0	0	0	0	0	0	0	0		
Поправка на направленность источника Dc, дБ	Dc	DΩ + Di	**0**	0	0	0	0	0	0	0	0		
Затухание из-за геометрической дивергенции, Adiv, дБ	расстояние = 615.43 м	ф-ла (7) [10]	**66,8**										
Коэффициент затухания звука в атмосфере α, дБ/км	Ta=20,°C Pa=101.33,кПа hотн.=70%	ф-ла (5) [9]	0,02	0,09	0,33	1,12	2,79	4,98	9,04	23,09	77,63		
Учет затухания звука в атмосфере Aatm, дБ		ф-ла (8) [10]	0	0,1	0,2	0,7	1,7	3,1	5,6	14,2	47,8		
Снижение уровня звукового давления из-за влияния застройки между источником шума и расчетной точкой													
Траектория над экраном	Промежуточные точки:	Pss(x,y,z) = (584.96,-52.51,8.00) Psr(x,y,z) = (569.84,-59.92,8.00)	dss = 263.42 м		dsr = 335.28 м		e = 16.84 м		z = 0.10 м				
	Константа C2, учитывающая эффект отражения от земли возле экрана		40	40	40	40	40	40	40	40	40		
	Константа C3 (дифракция на кромках)	ф-ла (15) [10]	1,1	1,2	1,7	2,3	2,8	2,9	3	3	3		
	K_{met} (влияние метеоусловий)	ф-ла (18) [10]	0	0	0	0	0	0	0	0	0		

1		2	3	4	5	6	7	8	9	10	11	12	13
	Снижение УЗД, Dz, дБ	ф-ла (14) [10]	4,8	4,8	4,8	4,8	4,8	4,8	4,8	4,8	4,9		
Уровни звукового давления от источника ИШ-7-1 в расчётной точке днём, дБ		**ф-ла(3)[10]**	**5,4**	**3,4**	**0**	**0**	**0**	**0**	**0**	**0**	**0**	**0**	**0**
Уровни звукового давления от источника ИШ-7-1 в расчётной точке ночью, дБ		**ф-ла(3)[10]**	**5,4**	**3,4**	**0**	**0**	**0**	**0**	**0**	**0**	**0**	**0**	**0**
Источник шума: ИШ-7-2, координаты источника (x,y,z), м =[768.90,-86.75,1.00]													
Уровни звуковой мощности источника днём, Lw, дБ		**исходные данные**	**77**	**75**	**67**	**66**	**63**	**55**	**53**	**48**	**51**		
Уровни звуковой мощности источника ночью, Lw, дБ		**исходные данные**	**77**	**75**	**67**	**66**	**63**	**55**	**53**	**48**	**51**		
Поправка на телесный угол DΩ, дБ	Ω = 12.57	10Lg(4π/Ω)	**0**	0	0	0	0	0	0	0	0		
Показатель направленности источника Di, дБ		исходные данные	**0**	0	0	0	0	0	0	0	0		
Поправка на направленность источника Dc, дБ	Dc	DΩ + Di	**0**	0	0	0	0	0	0	0	0		
Затухание из-за геометрической дивергенции, Adiv, дБ	расстояние = 514.50 м	ф-ла (7) [10]	**65,2**										
Коэффициент затухания звука в атмосфере α, дБ/км	Ta=20,°C Pa=101.33,кПа hотн.=70%	ф-ла (5) [9]	0,02	0,09	0,33	1,12	2,79	4,98	9,04	23,09	77,63		
Учет затухания звука в атмосфере Aatm, дБ		ф-ла (8) [10]	0	0	0,2	0,6	1,4	2,6	4,7	11,9	39,9		
Снижение поверхностью земли возле источника As, дБ	Gs = 0 hs = 1м	ф-лы таб.3 [10]	-1,5	-1,5	-1,5	-1,5	-1,5	-1,5	-1,5	-1,5	-1,5		
Снижение поверхностью земли возле приёмника Ar, дБ	Gr = 1 hr = 4.6м	ф-лы таб.3 [10]	-1,5	-1,5	3,4	1,3	0	0	0	0	0		
Снижение поверхностью земли в средней зоне, Am дБ	Gm = 1	ф-лы таб.3 [10]	-2	-2	0	0	0	0	0	0	0		
Суммарное снижение поверхностью земли на траектории распространения звука Agr, дБ		ф-ла (9) [10]	-5	-5	1,9	-0,2	-1,5	-1,5	-1,5	-1,5	-1,5		

1		2	3	4	5	6	7	8	9	10	11	12	13
Уровни звукового давления от источника ИШ-7-2 в расчётной точке днём, дБ		**ф-ла(3)[10]**	**16,8**	**14,7**	**0**	**0,4**	**0**	**0**	**0**	**0**	**0**	**0**	**0**
Уровни звукового давления от источника ИШ-7-2 в расчётной точке ночью, дБ		**ф-ла(3)[10]**	**16,8**	**14,7**	**0**	**0,4**	**0**	**0**	**0**	**0**	**0**	**0**	**0**
Источник шума: ИШ-7-3, координаты источника (x,y,z), м =[766.80,-93.20,1.00]													
Уровни звуковой мощности источника днём, Lw, дБ		**исходные данные**	**77**	**75**	**67**	**66**	**63**	**55**	**53**	**48**	**51**		
Уровни звуковой мощности источника ночью, Lw, дБ		**исходные данные**	**77**	**75**	**67**	**66**	**63**	**55**	**53**	**48**	**51**		
Поправка на телесный угол DΩ, дБ	Ω = 12.57	10Lg(4π/Ω)	**0**	0	0	0	0	0	0	0	0		
Показатель направленности источника Di, дБ		исходные данные	**0**	0	0	0	0	0	0	0	0		
Поправка на направленность источника Dc, дБ	Dc	DΩ + Di	**0**	0	0	0	0	0	0	0	0		
Затухание из-за геометрической дивергенции, Adiv, дБ	расстояние = 510.99 м	ф-ла (7) [10]	**65,2**										
Коэффициент затухания звука в атмосфере α, дБ/км	Ta=20,°C Pa=101.33,кПа hотн.=70%	ф-ла (5) [9]	0,02	0,09	0,33	1,12	2,79	4,98	9,04	23,09	77,63		
Учет затухания звука в атмосфере Aatm, дБ		ф-ла (8) [10]	0	0	0,2	0,6	1,4	2,5	4,6	11,8	39,7		
Снижение поверхностью земли возле источника As, дБ	Gs = 0 hs = 1м	ф-лы таб.3 [10]	-1,5	-1,5	-1,5	-1,5	-1,5	-1,5	-1,5	-1,5	-1,5		
Снижение поверхностью земли возле приёмника Ar, дБ	Gr = 1 hr = 4.6м	ф-лы таб.3 [10]	-1,5	-1,5	3,4	1,3	0	0	0	0	0		
Снижение поверхностью земли в средней зоне, Am дБ	Gm = 1	ф-лы таб.3 [10]	-2	-2	0	0	0	0	0	0	0		
Суммарное снижение поверхностью земли на траектории распространения звука Agr, дБ		ф-ла (9) [10]	-5	-5	1,9	-0,2	-1,5	-1,5	-1,5	-1,5	-1,5		
Уровни звукового давления от источника ИШ-7-3 в расчётной точке днём, дБ		**ф-ла(3)[10]**	**16,8**	**14,8**	**0**	**0,5**	**0**	**0**	**0**	**0**	**0**	**0**	**0**

1		2	3	4	5	6	7	8	9	10	11	12	13
Уровни звукового давления от источника ИШ-7-3 в расчётной точке ночью, дБ		**ф-ла(3)[10]**	**16,8**	**14,8**	**0**	**0,5**	**0**	**0**	**0**	**0**	**0**	**0**	**0**
Источник шума: ИШ-7-4, координаты источника (x,y,z), м =[866.76,37.18,1.00]													
Уровни звуковой мощности источника днём, Lw, дБ		**исходные данные**	**77**	**75**	**67**	**66**	**63**	**55**	**53**	**48**	**51**		
Уровни звуковой мощности источника ночью, Lw, дБ		**исходные данные**	**77**	**75**	**67**	**66**	**63**	**55**	**53**	**48**	**51**		
Поправка на телесный угол DΩ, дБ	Ω = 12.57	10Lg(4π/Ω)	**0**	0	0	0	0	0	0	0	0		
Показатель направленности источника Di, дБ		исходные данные	**0**	0	0	0	0	0	0	0	0		
Поправка на направленность источника Dc, дБ	Dc	DΩ + Di	**0**	0	0	0	0	0	0	0	0		
Затухание из-за геометрической дивергенции, Adiv, дБ	расстояние = 646.10 м	ф-ла (7) [10]	**67,2**										
Коэффициент затухания звука в атмосфере α, дБ/км	Ta=20,°C Pa=101.33,кПа hотн.=70%	ф-ла (5) [9]	0,02	0,09	0,33	1,12	2,79	4,98	9,04	23,09	77,63		
Учет затухания звука в атмосфере Aatm, дБ		ф-ла (8) [10]	0	0,1	0,2	0,7	1,8	3,2	5,8	14,9	50,2		
Снижение уровня звукового давления из-за влияния застройки между источником шума и расчетной точкой													
Траектория над экраном	Промежуточные точки:	Pss(x,y,z) = (469.64,-125.23,10.00)	Psr(x,y,z) = (452.64,-132.18,10.00)	dss = 429.15 м		dsr = 198.74 м		e = 18.37 м		z = 0.16 м			
	Константа C2, учитывающая эффект отражения от земли возле экрана			40	40	40	40	40	40	40	40	40		
	Константа C3 (дифракция на кромках)		ф-ла (15) [10]	1,1	1,3	1,8	2,4	2,8	2,9	3	3	3		
	K_{met} (влияние метеоусловий)		ф-ла (18) [10]	0	0	0	0	0	0	0	0	0		
	Снижение УЗД, Dz, дБ		ф-ла (14) [10]	4,8	4,8	4,8	4,8	4,8	4,9	5	5,2	5,6		

1		2	3	4	5	6	7	8	9	10	11	12	13
Уровни звукового давления от источника ИШ-7-4 в расчётной точке днём, дБ		**ф-ла(3)[10]**	**5**	**3**	**0**	**0**	**0**	**0**	**0**	**0**	**0**	**0**	**0**
Уровни звукового давления от источника ИШ-7-4 в расчётной точке ночью, дБ		**ф-ла(3)[10]**	**5**	**3**	**0**	**0**	**0**	**0**	**0**	**0**	**0**	**0**	**0**
Источник шума: ИШ-7-5, координаты источника (x,y,z), м =[861.80,21.34,1.00]													
Уровни звуковой мощности источника днём, Lw, дБ		**исходные данные**	**77**	**75**	**67**	**66**	**63**	**55**	**53**	**48**	**51**		
Уровни звуковой мощности источника ночью, Lw, дБ		**исходные данные**	**77**	**75**	**67**	**66**	**63**	**55**	**53**	**48**	**51**		
Поправка на телесный угол DΩ, дБ	Ω = 12.57	10Lg(4π/Ω)	**0**	0	0	0	0	0	0	0	0		
Показатель направленности источника Di, дБ		исходные данные	**0**	0	0	0	0	0	0	0	0		
Поправка на направленность источника Dc, дБ	Dc	DΩ + Di	**0**	0	0	0	0	0	0	0	0		
Затухание из-за геометрической дивергенции, Adiv, дБ	расстояние = 635.64 м	ф-ла (7) [10]	**67,1**										
Коэффициент затухания звука в атмосфере α, дБ/км	Ta=20,°C Pa=101.33,кПа hотн.=70%	ф-ла (5) [9]	0,02	0,09	0,33	1,12	2,79	4,98	9,04	23,09	77,63		
Учет затухания звука в атмосфере Aatm, дБ		ф-ла (8) [10]	0	0,1	0,2	0,7	1,8	3,2	5,7	14,7	49,3		
Снижение уровня звукового давления из-за влияния застройки между источником шума и расчетной точкой													
Траектория над экраном	Промежуточные точки:	Pss(x,y,z) = (472.24,-128.90,10.00)	Psr(x,y,z) = (458.57,-134.17,10.00)	dss = 417.62 м		dsr = 203.52 м		e = 14.65 м		z = 0.16 м			
	Константа C2, учитывающая эффект отражения от земли возле экрана			40	40	40	40	40	40	40	40	40		
	Константа C3 (дифракция на кромках)		ф-ла (15) [10]	1	1,2	1,6	2,2	2,7	2,9	3	3	3		
	K_{met} (влияние метеоусловий)		ф-ла (18) [10]	0	0	0	0	0	0	0	0	0		

1			2	3	4	5	6	7	8	9	10	11	12	13
	Снижение УЗД, Dz, дБ		ф-ла (14) [10]	4,8	4,8	4,8	4,8	4,8	4,9	5	5,2	5,6		
Уровни звукового давления от источника ИШ-7-5 в расчётной точке днём, дБ			**ф-ла(3)[10]**	**5,1**	**3,1**	**0**	**0**	**0**	**0**	**0**	**0**	**0**	**0**	**0**
Уровни звукового давления от источника ИШ-7-5 в расчётной точке ночью, дБ			**ф-ла(3)[10]**	**5,1**	**3,1**	**0**	**0**	**0**	**0**	**0**	**0**	**0**	**0**	**0**
Источник шума: ИШ-7-6, координаты источника (x,y,z), м =[856.52,5.94,1.00]														
Уровни звуковой мощности источника днём, Lw, дБ			**исходные данные**	**77**	**75**	**67**	**66**	**63**	**55**	**53**	**48**	**51**		
Уровни звуковой мощности источника ночью, Lw, дБ			**исходные данные**	**77**	**75**	**67**	**66**	**63**	**55**	**53**	**48**	**51**		
Поправка на телесный угол DΩ, дБ		Ω = 12.57	10Lg(4π/Ω)	**0**	0	0	0	0	0	0	0	0		
Показатель направленности источника Di, дБ			исходные данные	**0**	0	0	0	0	0	0	0	0		
Поправка на направленность источника Dc, дБ		Dc	DΩ + Di	**0**	0	0	0	0	0	0	0	0		
Затухание из-за геометрической дивергенции, Adiv, дБ		расстояние = 625.29 м	ф-ла (7) [10]	**66,9**										
Коэффициент затухания звука в атмосфере α, дБ/км		Ta=20,°C Pa=101.33,кПа hотн.=70%	ф-ла (5) [9]	0,02	0,09	0,33	1,12	2,79	4,98	9,04	23,09	77,63		
Учет затухания звука в атмосфере Aatm, дБ			ф-ла (8) [10]	0	0,1	0,2	0,7	1,7	3,1	5,7	14,4	48,5		
Снижение уровня звукового давления из-за влияния застройки между источником шума и расчетной точкой														
Траектория над экраном	Промежуточные точки:	Pss(x,y,z) = (470.47,-134.17,10.00)	Psr(x,y,z) = (464.75,-136.25,10.00)	dss = 410.78 м		dsr = 208.58 м		e = 6.09 м		z = 0.16 м				
	Константа C2, учитывающая эффект отражения от земли возле экрана			40	40	40	40	40	40	40	40	40		
	Константа C3 (дифракция на кромках)		ф-ла (15) [10]	1	1	1,1	1,4	2	2,6	2,9	3	3		

1		2	3	4	5	6	7	8	9	10	11	12	13
	K_{met} (влияние метеоусловий)	ф-ла (18) [10]	0	0	0	0	0	0	0	0	0		
	Снижение УЗД, Dz, дБ	ф-ла (14) [10]	4,8	4,8	4,8	4,8	4,8	4,9	5	5,2	5,6		
Уровни звукового давления от источника ИШ-7-6 в расчётной точке днём, дБ		**ф-ла(3)[10]**	**5,3**	**3,2**	**0**	**0**	**0**	**0**	**0**	**0**	**0**	**0**	**0**
Уровни звукового давления от источника ИШ-7-6 в расчётной точке ночью, дБ		**ф-ла(3)[10]**	**5,3**	**3,2**	**0**	**0**	**0**	**0**	**0**	**0**	**0**	**0**	**0**
Источник шума: ИШ-7-7, координаты источника (x,y,z), м =[851.06,-9.89,1.00]													
Уровни звуковой мощности источника днём, Lw, дБ		**исходные данные**	**77**	**75**	**67**	**66**	**63**	**55**	**53**	**48**	**51**		
Уровни звуковой мощности источника ночью, Lw, дБ		**исходные данные**	**77**	**75**	**67**	**66**	**63**	**55**	**53**	**48**	**51**		
Поправка на телесный угол DΩ, дБ	Ω = 12.57	10Lg(4π/Ω)	**0**	0	0	0	0	0	0	0	0		
Показатель направленности источника Di, дБ		исходные данные	**0**	0	0	0	0	0	0	0	0		
Поправка на направленность источника Dc, дБ	Dc	DΩ + Di	**0**	0	0	0	0	0	0	0	0		
Затухание из-за геометрической дивергенции, Adiv, дБ	расстояние = 614.89 м	ф-ла (7) [10]	**66,8**										
Коэффициент затухания звука в атмосфере α, дБ/км	Ta=20,°C Pa=101.33,кПа hотн.=70%	ф-ла (5) [9]	0,02	0,09	0,33	1,12	2,79	4,98	9,04	23,09	77,63		
Учет затухания звука в атмосфере Aatm, дБ		ф-ла (8) [10]	0	0,1	0,2	0,7	1,7	3,1	5,6	14,2	47,7		
Снижение поверхностью земли возле источника As, дБ	Gs = 0 hs = 1м	ф-лы таб.3 [10]	-1,5	-1,5	-1,5	-1,5	-1,5	-1,5	-1,5	-1,5	-1,5		
Снижение поверхностью земли возле приёмника Ar, дБ	Gr = 1 hr = 4.6м	ф-лы таб.3 [10]	-1,5	-1,5	3,5	1,3	0	0	0	0	0		
Снижение поверхностью земли в средней зоне, Am дБ	Gm = 1	ф-лы таб.3 [10]	-2,2	-2,2	0	0	0	0	0	0	0		

1		2	3	4	5	6	7	8	9	10	11	12	13
Суммарное снижение поверхностью земли на траектории распространения звука Agr, дБ		ф-ла (9) [10]	-5,2	-5,2	2	-0,2	-1,5	-1,5	-1,5	-1,5	-1,5		
Уровни звукового давления от источника ИШ-7-7 в расчётной точке днём, дБ		**ф-ла(3)[10]**	**15,4**	**13,3**	**0**	**0**	**0**	**0**	**0**	**0**	**0**	**0**	**0**
Уровни звукового давления от источника ИШ-7-7 в расчётной точке ночью, дБ		**ф-ла(3)[10]**	**15,4**	**13,3**	**0**	**0**	**0**	**0**	**0**	**0**	**0**	**0**	**0**
Источник шума: ИШ-7-8, координаты источника (x,y,z), м =[821.90,-104.30,1.00]													
Уровни звуковой мощности источника днём, Lw, дБ		**исходные данные**	**77**	**75**	**67**	**66**	**63**	**55**	**53**	**48**	**51**		
Уровни звуковой мощности источника ночью, Lw, дБ		**исходные данные**	**77**	**75**	**67**	**66**	**63**	**55**	**53**	**48**	**51**		
Поправка на телесный угол DΩ, дБ	Ω = 12.57	10Lg(4π/Ω)	**0**	0	0	0	0	0	0	0	0		
Показатель направленности источника Di, дБ		исходные данные	**0**	0	0	0	0	0	0	0	0		
Поправка на направленность источника Dc, дБ	Dc	DΩ + Di	**0**	0	0	0	0	0	0	0	0		
Затухание из-за геометрической дивергенции, Adiv, дБ	расстояние = 562.68 м	ф-ла (7) [10]	**66**										
Коэффициент затухания звука в атмосфере α, дБ/км	Ta=20,°C Pa=101.33,кПа hотн.=70%	ф-ла (5) [9]	0,02	0,09	0,33	1,12	2,79	4,98	9,04	23,09	77,63		
Учет затухания звука в атмосфере Aatm, дБ		ф-ла (8) [10]	0	0,1	0,2	0,6	1,6	2,8	5,1	13	43,7		
Снижение поверхностью земли возле источника As, дБ	Gs = 0 hs = 1м	ф-лы таб.3 [10]	-1,5	-1,5	-1,5	-1,5	-1,5	-1,5	-1,5	-1,5	-1,5		
Снижение поверхностью земли возле приёмника Ar, дБ	Gr = 1 hr = 4.6м	ф-лы таб.3 [10]	-1,5	-1,5	3,4	1,3	0	0	0	0	0		
Снижение поверхностью земли в средней зоне, Am дБ	Gm = 1	ф-лы таб.3 [10]	-2,1	-2,1	0	0	0	0	0	0	0		
Суммарное снижение поверхностью земли на траектории распространения звука Agr, дБ		ф-ла (9) [10]	-5,1	-5,1	1,9	-0,2	-1,5	-1,5	-1,5	-1,5	-1,5		

1		2	3	4	5	6	7	8	9	10	11	12	13
Уровни звукового давления от источника ИШ-7-8 в расчётной точке днём, дБ		**ф-ла(3)[10]**	**16,1**	**14**	**0**	**0**	**0**	**0**	**0**	**0**	**0**	**0**	**0**
Уровни звукового давления от источника ИШ-7-8 в расчётной точке ночью, дБ		**ф-ла(3)[10]**	**16,1**	**14**	**0**	**0**	**0**	**0**	**0**	**0**	**0**	**0**	**0**
Источник шума: ИШ-7-9, координаты источника (x,y,z), м =[819.93,-110.97,1.00]													
Уровни звуковой мощности источника днём, Lw, дБ		**исходные данные**	**77**	**75**	**67**	**66**	**63**	**55**	**53**	**48**	**51**		
Уровни звуковой мощности источника ночью, Lw, дБ		**исходные данные**	**77**	**75**	**67**	**66**	**63**	**55**	**53**	**48**	**51**		
Поправка на телесный угол DΩ, дБ	Ω = 12.57	10Lg(4π/Ω)	**0**	0	0	0	0	0	0	0	0		
Показатель направленности источника Di, дБ		исходные данные	**0**	0	0	0	0	0	0	0	0		
Поправка на направленность источника Dc, дБ	Dc	DΩ + Di	**0**	0	0	0	0	0	0	0	0		
Затухание из-за геометрической дивергенции, Adiv, дБ	расстояние = 559.56 м	ф-ла (7) [10]	**66**										
Коэффициент затухания звука в атмосфере α, дБ/км	Ta=20,°C Pa=101.33,кПа hотн.=70%	ф-ла (5) [9]	0,02	0,09	0,33	1,12	2,79	4,98	9,04	23,09	77,63		
Учет затухания звука в атмосфере Aatm, дБ		ф-ла (8) [10]	0	0,1	0,2	0,6	1,6	2,8	5,1	12,9	43,4		
Снижение уровня звукового давления из-за влияния застройки между источником шума и расчетной точкой													
Препятствие слева от трассы ИШ-РТ	Промежуточные точки:	Pss(x,y,z) = (583.78,-155.78,2.55) / Psr(x,y,z) = (583.78,-155.78,2.55)	dss = 240.37 м		dsr = 319.23 м		e = 0.00 м		z = -0.04 м				
	Константа C2, учитывающая эффект отражения от земли возле экрана		40	40	40	40	40	40	40	40	40		
	Константа C3 (дифракция на кромках)	ф-ла (15) [10]	1	1	1	1	1	1	1	1	1		
	K_{met} (влияние метеоусловий)	ф-ла (18) [10]	1	1	1	1	1	1	1	1	1		

1		2	3	4	5	6	7	8	9	10	11	12	13
	Снижение УЗД, Dz, дБ	ф-ла (14) [10]	4,5	4,3	3,7	2,4	0	NAN	NAN	NAN	NAN		
* отрицательное значение z означает прохождение траектории вблизи экрана, в этом случае дополнительно производится учёт снижения подстилающей поверхностью (см.ниже)													
Снижение поверхностью земли возле источника As, дБ	Gs = 0 hs = 1м	ф-лы таб.3 [10]	-1,5	-1,5	-1,5	-1,5	-1,5	-1,5	-1,5	-1,5	-1,5		
Снижение поверхностью земли возле приёмника Ar, дБ	Gr = 1 hr = 4.6м	ф-лы таб.3 [10]	-1,5	-1,5	3,4	1,3	0	0	0	0	0		
Снижение поверхностью земли в средней зоне, Am дБ	Gm = 1	ф-лы таб.3 [10]	-2,1	-2,1	0	0	0	0	0	0	0		
Суммарное снижение поверхностью земли на траектории распространения звука Agr, дБ		ф-ла (9) [10]	-5,1	-5,1	1,9	-0,2	-1,5	-1,5	-1,5	-1,5	-1,5		
Уровни звукового давления от источника ИШ-7-9 в расчётной точке днём, дБ		**ф-ла(3)[10]**	**11,6**	**9,8**	**0**	**0**	**0**	**0**	**0**	**0**	**0**	**0**	**0**
Уровни звукового давления от источника ИШ-7-9 в расчётной точке ночью, дБ		**ф-ла(3)[10]**	**11,6**	**9,8**	**0**	**0**	**0**	**0**	**0**	**0**	**0**	**0**	**0**
Источник шума: ИШ-7-10, координаты источника (x,y,z), м =[868.68,92.66,1.00]													
Уровни звуковой мощности источника днём, Lw, дБ		**исходные данные**	**77**	**75**	**67**	**66**	**63**	**55**	**53**	**48**	**51**		
Уровни звуковой мощности источника ночью, Lw, дБ		**исходные данные**	**77**	**75**	**67**	**66**	**63**	**55**	**53**	**48**	**51**		
Поправка на телесный угол DΩ, дБ	Ω = 12.57	10Lg(4π/Ω)	**0**	0	0	0	0	0	0	0	0		
Показатель направленности источника Di, дБ		исходные данные	**0**	0	0	0	0	0	0	0	0		
Поправка на направленность источника Dc, дБ	Dc	DΩ + Di	**0**	0	0	0	0	0	0	0	0		
Затухание из-за геометрической дивергенции, Adiv, дБ	расстояние = 670.78 м	ф-ла (7) [10]	**67,5**										
Коэффициент затухания звука в атмосфере α, дБ/км	Ta=20,°C Pa=101.33,кПа hотн.=70%	ф-ла (5) [9]	0,02	0,09	0,33	1,12	2,79	4,98	9,04	23,09	77,63		
Учет затухания звука в атмосфере Aatm, дБ		ф-ла (8) [10]	0	0,1	0,2	0,8	1,9	3,3	6,1	15,5	52,1		

1			2	3	4	5	6	7	8	9	10	11	12	13
Снижение уровня звукового давления из-за влияния застройки между источником шума и расчетной точкой														
Траектория над экраном	Промежуточные точки:	Pss(x,y,z) = (586.29,-48.57,8.00)	Psr(x,y,z) = (571.10,-56.17,8.00)	dss = 315.81 м		dsr = 338.07 м		e = 16.98 м		z = 0.09 м				
	Константа С2, учитывающая эффект отражения от земли возле экрана			40	40	40	40	40	40	40	40	40		
	Константа С3 (дифракция на кромках)		ф-ла (15) [10]	1,1	1,2	1,7	2,4	2,8	2,9	3	3	3		
	K_{met} (влияние метеоусловий)		ф-ла (18) [10]	0	0	0	0	0	0	0	0	0		
	Снижение УЗД, Dz, дБ		ф-ла (14) [10]	4,8	4,8	4,8	4,8	4,8	4,8	4,8	4,8	4,8		
Уровни звукового давления от источника ИШ-7-10 в расчётной точке днём, дБ			**ф-ла(3)[10]**	**4,7**	**2,6**	**0**	**0**	**0**	**0**	**0**	**0**	**0**	**0**	**0**
Уровни звукового давления от источника ИШ-7-10 в расчётной точке ночью, дБ			**ф-ла(3)[10]**	**4,7**	**2,6**	**0**	**0**	**0**	**0**	**0**	**0**	**0**	**0**	**0**
Источник шума: ИШ-7-11, координаты источника (x,y,z), м =[877.95,88.75,1.00]														
Уровни звуковой мощности источника днём, Lw, дБ			**исходные данные**	**77**	**75**	**67**	**66**	**63**	**55**	**53**	**48**	**51**		
Уровни звуковой мощности источника ночью, Lw, дБ			**исходные данные**	**77**	**75**	**67**	**66**	**63**	**55**	**53**	**48**	**51**		
Поправка на телесный угол DΩ, дБ		Ω = 12.57	10Lg(4π/Ω)	**0**	0	0	0	0	0	0	0	0		
Показатель направленности источника Di, дБ			исходные данные	**0**	0	0	0	0	0	0	0	0		
Поправка на направленность источника Dc, дБ		Dc	DΩ + Di	**0**	0	0	0	0	0	0	0	0		
Затухание из-за геометрической дивергенции, Adiv, дБ		расстояние = 677.37 м	ф-ла (7) [10]	**67,6**										
Коэффициент затухания звука в атмосфере α, дБ/км		Ta=20,°C Pa=101.33,кПа hотн.=70%	ф-ла (5) [9]	0,02	0,09	0,33	1,12	2,79	4,98	9,04	23,09	77,63		

1			2	3	4	5	6	7	8	9	10	11	12	13
Учет затухания звука в атмосфере Aatm, дБ			ф-ла (8) [10]	0	0,1	0,2	0,8	1,9	3,4	6,1	15,6	52,6		
Снижение уровня звукового давления из-за влияния застройки между источником шума и расчетной точкой														
Траектория над экраном	Промежуточные точки:	Pss(x,y,z) = (584.49,-53.90,8.00)	Psr(x,y,z) = (450.19,-119.18,10.00)	dss = 326.36 м		dsr = 201.81 м		e = 149.35 м		z = 0.15 м				
	Константа C2, учитывающая эффект отражения от земли возле экрана			40	40	40	40	40	40	40	40	40		
	Константа C3 (дифракция на кромках)		ф-ла (15) [10]	2,4	2,8	3	3	3	3	3	3	3		
	K_{met} (влияние метеоусловий)		ф-ла (18) [10]	0	0	0	0	0	0	0	0	0		
	Снижение УЗД, Dz, дБ		ф-ла (14) [10]	4,8	4,8	4,8	4,8	4,9	4,9	5,1	5,4	6		
Уровни звукового давления от источника ИШ-7-11 в расчётной точке днём, дБ			**ф-ла(3)[10]**	**4,6**	**2,5**	**0**	**0**	**0**	**0**	**0**	**0**	**0**	**0**	**0**
Уровни звукового давления от источника ИШ-7-11 в расчётной точке ночью, дБ			**ф-ла(3)[10]**	**4,6**	**2,5**	**0**	**0**	**0**	**0**	**0**	**0**	**0**	**0**	**0**
Источник шума: ИШ-7-12, координаты источника (x,y,z), м =[887.42,85.45,1.00]														
Уровни звуковой мощности источника днём, Lw, дБ			**исходные данные**	**77**	**75**	**67**	**66**	**63**	**55**	**53**	**48**	**51**		
Уровни звуковой мощности источника ночью, Lw, дБ			**исходные данные**	**77**	**75**	**67**	**66**	**63**	**55**	**53**	**48**	**51**		
Поправка на телесный угол DΩ, дБ		Ω = 12.57	10Lg(4π/Ω)	**0**	0	0	0	0	0	0	0	0		
Показатель направленности источника Di, дБ			исходные данные	**0**	0	0	0	0	0	0	0	0		
Поправка на направленность источника Dc, дБ		Dc	DΩ + Di	**0**	0	0	0	0	0	0	0	0		
Затухание из-за геометрической дивергенции, Adiv, дБ		расстояние = 684.48 м	ф-ла (7) [10]	**67,7**										

1			2	3	4	5	6	7	8	9	10	11	12	13
Коэффициент затухания звука в атмосфере α, дБ/км		Ta=20,°C Pa=101.33,кПа hотн.=70%	ф-ла (5) [9]	0,02	0,09	0,33	1,12	2,79	4,98	9,04	23,09	77,63		
Учет затухания звука в атмосфере Aatm, дБ			ф-ла (8) [10]	0	0,1	0,2	0,8	1,9	3,4	6,2	15,8	53,1		
Снижение уровня звукового давления из-за влияния застройки между источником шума и расчетной точкой														
Траектория над экраном	Промежуточные точки:	Pss(x,y,z) = (582.88,-58.70,8.00)	Psr(x,y,z) = (449.26,-121.94,10.00)	dss = 337.01 м		dsr = 199.78 м		e = 147.84 м		z = 0.15 м				
	Константа C2, учитывающая эффект отражения от земли возле экрана			40	40	40	40	40	40	40	40	40		
	Константа C3 (дифракция на кромках)		ф-ла (15) [10]	2,4	2,8	3	3	3	3	3	3	3		
	K_{met} (влияние метеоусловий)		ф-ла (18) [10]	0	0	0	0	0	0	0	0	0		
	Снижение УЗД, Dz, дБ		ф-ла (14) [10]	4,8	4,8	4,8	4,8	4,8	4,9	5,1	5,4	5,9		
Уровни звукового давления от источника ИШ-7-12 в расчётной точке днём, дБ			**ф-ла(3)[10]**	**4,5**	**2,4**	**0**	**0**	**0**	**0**	**0**	**0**	**0**	**0**	**0**
Уровни звукового давления от источника ИШ-7-12 в расчётной точке ночью, дБ			**ф-ла(3)[10]**	**4,5**	**2,4**	**0**	**0**	**0**	**0**	**0**	**0**	**0**	**0**	**0**
Источник шума: ИШ-6-23, координаты источника (x,y,z), м =[756.16,-136.23,3.00]														
Уровни звуковой мощности источника днём, Lw, дБ			**исходные данные**	**91**	**91**	**91**	**91**	**91**	**91**	**91**	**91**	**91**		
Уровни звуковой мощности источника ночью, Lw, дБ			**исходные данные**	**91**	**91**	**91**	**91**	**91**	**91**	**91**	**91**	**91**		
Поправка на телесный угол DΩ, дБ		Ω = 12.57	10Lg(4π/Ω)	**0**	0	0	0	0	0	0	0	0		
Показатель направленности источника Di, дБ			исходные данные	**0**	0	0	0	0	0	0	0	0		
Поправка на направленность источника Dc, дБ		Dc	DΩ + Di	**0**	0	0	0	0	0	0	0	0		

1			2	3	4	5	6	7	8	9	10	11	12	13
Затухание из-за геометрической дивергенции, Adiv, дБ	расстояние = 492.58 м		ф-ла (7) [10]	**64,8**										
Коэффициент затухания звука в атмосфере α, дБ/км	Ta=20,°C Pa=101.33,кПа hотн.=70%		ф-ла (5) [9]	0,02	0,09	0,33	1,12	2,79	4,98	9,04	23,09	77,63		
Учет затухания звука в атмосфере Aatm, дБ			ф-ла (8) [10]	0	0	0,2	0,6	1,4	2,5	4,5	11,4	38,2		
Снижение уровня звукового давления из-за влияния застройки между источником шума и расчетной точкой														
Длина звуковой волны для среднегеометрической частоты октавной полосы, λ, м				10,79	5,4	2,72	1,36	0,68	0,34	0,17	0,09	0,04		
Критерий наличия экранирования в горизонтальной плоскости	Горизонтальный размер экрана, lэкр = 25.92 м		lэкр > λ	да	да	да	да	да	да	да	да	да		
Траектория над экраном	Промежуточные точки:	Pss(x,y,z) = (590.67,-160.39,4.00)	Psr(x,y,z) = (590.67,-160.39,4.00)	dss = 167.25 м		dsr = 325.33 м		e = 0.00 м		z = 0.00 м				
	Константа C2, учитывающая эффект отражения от земли возле экрана			40	40	40	40	40	40	40	40	40		
	Константа C3 (дифракция на кромках)		ф-ла (15) [10]	1	1	1	1	1	1	1	1	1		
	K_{met} (влияние метеоусловий)		ф-ла (18) [10]	0	0	0	0	0	0	0	0	0		
	Снижение УЗД, Dz, дБ		ф-ла (14) [10]	4,8	4,8	4,8	4,8	4,8	4,8	4,8	4,8	4,8		
Траектория слева от экрана	Промежуточные точки:	Pss(x,y,z) = (583.39,-182.03,3.58)	Psr(x,y,z) = (583.39,-182.03,3.58)	dss = 178.73 м		dsr = 315.66 м		e = 0.00 м		z = 1.82 м				
	Константа C2, учитывающая эффект отражения от земли возле экрана			40	40	40	40	40	40	40	40	40		
	Константа C3 (дифракция на кромках)		ф-ла (15) [10]	1	1	1	1	1	1	1	1	1		
	K_{met} (влияние метеоусловий)		ф-ла (18) [10]	1	1	1	1	1	1	1	1	1		
	Снижение УЗД, Dz, дБ		ф-ла (14) [10]	9,9	12,2	14,7	17,5	20,4	23,4	26,4	29,3	32,3		
	Промежуточные точки:	Pss(x,y,z) = (583.78,-155.78,3.56)	Psr(x,y,z) = (583.78,-155.78,3.56)	dss = 173.49 м		dsr = 319.22 м		e = 0.00 м		z = 0.14 м				

1		2	3	4	5	6	7	8	9	10	11	12	13
Траектория справа от экрана	Константа С2, учитывающая эффект отражения от земли возле экрана		40	40	40	40	40	40	40	40	40		
	Константа С3 (дифракция на кромках)	ф-ла (15) [10]	1	1	1	1	1	1	1	1	1		
	K_{met} (влияние метеоусловий)	ф-ла (18) [10]	1	1	1	1	1	1	1	1	1		
	Снижение УЗД, Dz, дБ	ф-ла (14) [10]	5,5	6	7	8,5	10,4	12,8	15,5	18,3	21,2		
Общее снижение уровня звука препятствием Dz, дБ		Эн.сумма(-Dzi)	1,4	1,9	2,5	3,1	3,6	4,1	4,4	4,6	4,7		
Уровни звукового давления от источника ИШ-6-23 в расчётной точке днём, дБ		**ф-ла(3)[10]**	**24,7**	**24,2**	**23,5**	**22,5**	**21,1**	**19,6**	**17,3**	**10,2**	**0**	**24,3**	**24,3**
Уровни звукового давления от источника ИШ-6-23 в расчётной точке ночью, дБ		**ф-ла(3)[10]**	**24,7**	**24,2**	**23,5**	**22,5**	**21,1**	**19,6**	**17,3**	**10,2**	**0**	**24,3**	**24,3**
Источник шума: ИШ-6-24, координаты источника (x,y,z), м =[800.98,-151.27,3.00]													
Уровни звуковой мощности источника днём, Lw, дБ		**исходные данные**	**91**	**91**	**91**	**91**	**91**	**91**	**91**	**91**	**91**		
Уровни звуковой мощности источника ночью, Lw, дБ		**исходные данные**	**91**	**91**	**91**	**91**	**91**	**91**	**91**	**91**	**91**		
Поправка на телесный угол DΩ, дБ	Ω = 12.57	10Lg(4π/Ω)	**0**	0	0	0	0	0	0	0	0		
Показатель направленности источника Di, дБ		исходные данные	**0**	0	0	0	0	0	0	0	0		
Поправка на направленность источника Dc, дБ	Dc	DΩ + Di	**0**	0	0	0	0	0	0	0	0		
Затухание из-за геометрической дивергенции, Adiv, дБ	расстояние = 535.18 м	ф-ла (7) [10]	**65,6**										
Коэффициент затухания звука в атмосфере α, дБ/км	Ta=20,°C Pa=101.33,кПа hотн.=70%	ф-ла (5) [9]	0,02	0,09	0,33	1,12	2,79	4,98	9,04	23,09	77,63		
Учет затухания звука в атмосфере Aatm, дБ		ф-ла (8) [10]	0	0	0,2	0,6	1,5	2,7	4,8	12,4	41,5		

1			2	3	4	5	6	7	8	9	10	11	12	13
Снижение уровня звукового давления из-за влияния застройки между источником шума и расчетной точкой														
Длина звуковой волны для среднегеометрической частоты октавной полосы, λ, м				10,79	5,4	2,72	1,36	0,68	0,34	0,17	0,09	0,04		
Критерий наличия экранирования в горизонтальной плоскости	Горизонтальный размер экрана, lэкр = 26.06 м		lэкр > λ	да	да	да	да	да	да	да	да	да		
Траектория над экраном	Промежуточные точки:	Pss(x,y,z) = (586.12,-173.92,4.00)	Psr(x,y,z) = (586.12,-173.92,4.00)	dss = 216.05 м		dsr = 319.13 м		e = 0.00 м		z = 0.00 м				
	Константа C2, учитывающая эффект отражения от земли возле экрана			40	40	40	40	40	40	40	40	40		
	Константа C3 (дифракция на кромках)		ф-ла (15) [10]	1	1	1	1	1	1	1	1	1		
	K_{met} (влияние метеоусловий)		ф-ла (18) [10]	0	0	0	0	0	0	0	0	0		
	Снижение УЗД, Dz, дБ		ф-ла (14) [10]	4,8	4,8	4,8	4,8	4,8	4,8	4,8	4,8	4,8		
Траектория слева от экрана	Промежуточные точки:	Pss(x,y,z) = (583.39,-182.03,3.66)	Psr(x,y,z) = (583.39,-182.03,3.66)	dss = 219.75 м		dsr = 315.66 м		e = 0.00 м		z = 0.23 м				
	Константа C2, учитывающая эффект отражения от земли возле экрана			40	40	40	40	40	40	40	40	40		
	Константа C3 (дифракция на кромках)		ф-ла (15) [10]	1	1	1	1	1	1	1	1	1		
	K_{met} (влияние метеоусловий)		ф-ла (18) [10]	1	1	1	1	1	1	1	1	1		
	Снижение УЗД, Dz, дБ		ф-ла (14) [10]	5,9	6,7	8,1	9,9	12,2	14,8	17,6	20,5	23,5		
Траектория справа от экрана	Промежуточные точки:	Pss(x,y,z) = (583.78,-155.78,3.65)	Psr(x,y,z) = (583.78,-155.78,3.65)	dss = 217.25 м		dsr = 319.22 м		e = 0.00 м		z = 1.29 м				
	Константа C2, учитывающая эффект отражения от земли возле экрана			40	40	40	40	40	40	40	40	40		
	Константа C3 (дифракция на кромках)		ф-ла (15) [10]	1	1	1	1	1	1	1	1	1		
	K_{met} (влияние метеоусловий)		ф-ла (18) [10]	1	1	1	1	1	1	1	1	1		
	Снижение УЗД, Dz, дБ		ф-ла (14) [10]	8,9	11	13,4	16,1	19	21,9	24,9	27,9	30,9		

1		2	3	4	5	6	7	8	9	10	11	12	13
Общее снижение уровня звука препятствием Dz, дБ		Эн.сумма(-Dzi)	1,4	2	2,7	3,4	3,9	4,3	4,5	4,6	4,7		
Уровни звукового давления от источника ИШ-6-24 в расчётной точке днём, дБ		**ф-ла(3)[10]**	**24**	**23,3**	**22,5**	**21,4**	**20**	**18,5**	**16,1**	**8,4**	**0**	**23,1**	**23,1**
Уровни звукового давления от источника ИШ-6-24 в расчётной точке ночью, дБ		**ф-ла(3)[10]**	**24**	**23,3**	**22,5**	**21,4**	**20**	**18,5**	**16,1**	**8,4**	**0**	**23,1**	**23,1**
Источник шума: ИШ-8-1, координаты источника (x,y,z), м =[612.60,-227.70,3.00]													
Уровни звуковой мощности источника днём, Lw, дБ		**исходные данные**	**105**	**104**	**104**	**101**	**102**	**106**	**101**	**95**	**87**		
Уровни звуковой мощности источника ночью, Lw, дБ		**исходные данные**	**105**	**104**	**104**	**101**	**102**	**106**	**101**	**95**	**87**		
Поправка на телесный угол DΩ, дБ	Ω = 6.28	10Lg(4π/Ω)	**3**	3	3	3	3	3	3	3	3		
Показатель направленности источника Di, дБ		исходные данные	**0**	0	0	0	0	0	0	0	0		
Поправка на направленность источника Dc, дБ	Dc	DΩ + Di	**3**	3	3	3	3	3	3	3	3		
Затухание из-за геометрической дивергенции, Adiv, дБ	расстояние = 344.45 м	ф-ла (7) [10]	**61,7**										
Коэффициент затухания звука в атмосфере α, дБ/км	Ta=20,°C Pa=101.33,кПа hотн.=70%	ф-ла (5) [9]	0,02	0,09	0,33	1,12	2,79	4,98	9,04	23,09	77,63		
Учет затухания звука в атмосфере Aatm, дБ		ф-ла (8) [10]	0	0	0,1	0,4	1	1,7	3,1	8	26,7		
Снижение поверхностью земли возле источника As, дБ	Gs = 0 hs = 3м	ф-лы таб.3 [10]	-1,5	-1,5	-1,5	-1,5	-1,5	-1,5	-1,5	-1,5	-1,5		
Снижение поверхностью земли возле приёмника Ar, дБ	Gr = 1 hr = 4.6м	ф-лы таб.3 [10]	-1,5	-1,5	3,2	1,3	0	0	0	0	0		
Снижение поверхностью земли в средней зоне, Am дБ	Gm = 1	ф-лы таб.3 [10]	-1	-1	0	0	0	0	0	0	0		
Суммарное снижение поверхностью земли на траектории распространения звука Agr, дБ		ф-ла (9) [10]	-4	-4	1,7	-0,2	-1,5	-1,5	-1,5	-1,5	-1,5		

1		2	3	4	5	6	7	8	9	10	11	12	13
Уровни звукового давления прямого звука от источника ИШ-8-1 в расчётной точке днём, дБ		**ф-ла(3)[10]**	**50,3**	**49,3**	**43,5**	**42,1**	**43,8**	**47,1**	**40,7**	**29,8**	**3**	**49,1**	**49,1**
Уровни звукового давления прямого звука от источника ИШ-8-1 в расчётной точке ночью, дБ		**ф-ла(3)[10]**	**50,3**	**49,3**	**43,5**	**42,1**	**43,8**	**47,1**	**40,7**	**29,8**	**3**	**49,1**	**49,1**
Расчёт отражённого звука													
Уровни звукового давления от мнимого источника ИШ-8-1_мн.(1) в расчётной точке днём, дБ		**ф-ла(3)[10]**	**0**	**0**	**38,4**	**35,8**	**41,1**	**44,6**	**38,1**	**27,3**	**0,4**	**46,5**	**46,5**
Уровни звукового давления от мнимого источника ИШ-8-1_мн.(1) в расчётной точке ночью, дБ		**ф-ла(3)[10]**	**0**	**0**	**0**	**0**	**0**	**0**	**0**	**0**	**0**	**46,5**	**46,5**
Уровни звукового давления от источника ИШ-8-1 в расчётной точке днём, дБ		**ф-ла(3)[10]**	**50,3**	**49,3**	**44,7**	**43**	**45,7**	**49**	**42,6**	**31,7**	**4,9**	**51**	**51**
Уровни звукового давления от источника ИШ-8-1 в расчётной точке ночью, дБ		**ф-ла(3)[10]**	**50,3**	**49,3**	**44,7**	**43**	**45,7**	**49**	**42,6**	**31,7**	**4,9**	**51**	**51**
Источник шума: ИШ-8-2, координаты источника (x,y,z), м =[596.60,-275.00,3.00]													
Уровни звуковой мощности источника днём, Lw, дБ		**исходные данные**	**105**	**104**	**104**	**101**	**102**	**106**	**101**	**95**	**87**		
Уровни звуковой мощности источника ночью, Lw, дБ		**исходные данные**	**105**	**104**	**104**	**101**	**102**	**106**	**101**	**95**	**87**		
Поправка на телесный угол DΩ, дБ	Ω = 6.28	10Lg(4π/Ω)	**3**	3	3	3	3	3	3	3	3		
Показатель направленности источника Di, дБ		исходные данные	**0**	0	0	0	0	0	0	0	0		
Поправка на направленность источника Dc, дБ	Dc	DΩ + Di	**3**	3	3	3	3	3	3	3	3		
Затухание из-за геометрической дивергенции, Adiv, дБ	расстояние = 334.75 м	ф-ла (7) [10]	**61,5**										
Коэффициент затухания звука в атмосфере α, дБ/км	Та=20,°С Ра=101.33,кПа hотн.=70%	ф-ла (5) [9]	0,02	0,09	0,33	1,12	2,79	4,98	9,04	23,09	77,63		
Учет затухания звука в атмосфере Aatm, дБ		ф-ла (8) [10]	0	0	0,1	0,4	0,9	1,7	3	7,7	26		

1		2	3	4	5	6	7	8	9	10	11	12	13
Снижение поверхностью земли возле источника As, дБ	Gs = 0 hs = 3м	ф-лы таб.3 [10]	-1,5	-1,5	-1,5	-1,5	-1,5	-1,5	-1,5	-1,5	-1,5		
Снижение поверхностью земли возле приёмника Ar, дБ	Gr = 1 hr = 4.6м	ф-лы таб.3 [10]	-1,5	-1,5	3,2	1,3	0	0	0	0	0		
Снижение поверхностью земли в средней зоне, Am дБ	Gm = 1	ф-лы таб.3 [10]	-1	-1	0	0	0	0	0	0	0		
Суммарное снижение поверхностью земли на траектории распространения звука Agr, дБ		ф-ла (9) [10]	-4	-4	1,7	-0,2	-1,5	-1,5	-1,5	-1,5	-1,5		
Уровни звукового давления от источника ИШ-8-2 в расчётной точке днём, дБ		**ф-ла(3)[10]**	**50,5**	**49,4**	**43,7**	**42,4**	**44,1**	**47,4**	**41**	**30,3**	**4**	**49,4**	**49,4**
Уровни звукового давления от источника ИШ-8-2 в расчётной точке ночью, дБ		**ф-ла(3)[10]**	**50,5**	**49,4**	**43,7**	**42,4**	**44,1**	**47,4**	**41**	**30,3**	**4**	**49,4**	**49,4**
Источник шума: ИШ-8-3, координаты источника (x,y,z), м =[564.90,-369.90,3.00]													
Уровни звуковой мощности источника днём, Lw, дБ		**исходные данные**	**105**	**104**	**104**	**101**	**102**	**106**	**101**	**95**	**87**		
Уровни звуковой мощности источника ночью, Lw, дБ		**исходные данные**	**105**	**104**	**104**	**101**	**102**	**106**	**101**	**95**	**87**		
Поправка на телесный угол DΩ, дБ	Ω = 6.28	10Lg(4π/Ω)	**3**	3	3	3	3	3	3	3	3		
Показатель направленности источника Di, дБ		исходные данные	**0**	0	0	0	0	0	0	0	0		
Поправка на направленность источника Dc, дБ	Dc	DΩ + Di	**3**	3	3	3	3	3	3	3	3		
Затухание из-за геометрической дивергенции, Adiv, дБ	расстояние = 337.82 м	ф-ла (7) [10]	**61,6**										
Коэффициент затухания звука в атмосфере α, дБ/км	Ta=20,°C Pa=101.33,кПа hотн.=70%	ф-ла (5) [9]	0,02	0,09	0,33	1,12	2,79	4,98	9,04	23,09	77,63		
Учет затухания звука в атмосфере Aatm, дБ		ф-ла (8) [10]	0	0	0,1	0,4	0,9	1,7	3,1	7,8	26,2		
Снижение уровня звукового давления из-за влияния застройки между источником шума и расчетной точкой													

1			2	3	4	5	6	7	8	9	10	11	12	13
Препятствие слева от трассы ИШ-РТ	Промежуточные точки:	Pss(x,y,z) = (275.95,-212.13,4.56)	Psr(x,y,z) = (275.95,-212.13,4.56)	dss = 329.22 м		dsr = 8.62 м		e = 0.00 м		z = -0.03 м				
	Константа С2, учитывающая эффект отражения от земли возле экрана			40	40	40	40	40	40	40	40	40		
	Константа С3 (дифракция на кромках)		ф-ла (15) [10]	1	1	1	1	1	1	1	1	1		
	K_{met} (влияние метеоусловий)		ф-ла (18) [10]	1	1	1	1	1	1	1	1	1		
	Снижение УЗД, Dz, дБ		ф-ла (14) [10]	4,6	4,4	4,1	3,3	1	NAN	NAN	NAN	NAN		
* отрицательное значение z означает прохождение траектории вблизи экрана, в этом случае дополнительно производится учёт снижения подстилающей поверхностью (см.ниже)														
Снижение поверхностью земли возле источника As, дБ		Gs = 0 hs = 3м	ф-лы таб.3 [10]	-1,5	-1,5	-1,5	-1,5	-1,5	-1,5	-1,5	-1,5	-1,5		
Снижение поверхностью земли возле приёмника Ar, дБ		Gr = 1 hr = 4.6м	ф-лы таб.3 [10]	-1,5	-1,5	3,2	1,3	0	0	0	0	0		
Снижение поверхностью земли в средней зоне, Am дБ		Gm = 1	ф-лы таб.3 [10]	-1	-1	0	0	0	0	0	0	0		
Суммарное снижение поверхностью земли на траектории распространения звука Agr, дБ			ф-ла (9) [10]	-4	-4	1,7	-0,2	-1,5	-1,5	-1,5	-1,5	-1,5		
Уровни звукового давления от источника ИШ-8-3 в расчётной точке днём, дБ			**ф-ла(3)[10]**	**45,8**	**44,9**	**39,6**	**39**	**43**	**47,3**	**40,9**	**30,1**	**3,7**	**49,1**	**49,1**
Уровни звукового давления от источника ИШ-8-3 в расчётной точке ночью, дБ			**ф-ла(3)[10]**	**45,8**	**44,9**	**39,6**	**39**	**43**	**47,3**	**40,9**	**30,1**	**3,7**	**49,1**	**49,1**
Источник шума: ИШ-9-1, координаты источника (x,y,z), м =[642.94,-357.54,1.00]														
Уровни звуковой мощности источника днём, Lw, дБ			**исходные данные**	**0**	**93,3**	**94,7**	**96**	**96,3**	**95,9**	**92,6**	**88,4**	**83,9**		
Уровни звуковой мощности источника ночью, Lw, дБ			**исходные данные**	**0**	**93,3**	**94,7**	**96**	**96,3**	**95,9**	**92,6**	**88,4**	**83,9**		
Поправка на телесный угол DΩ, дБ		Ω = 6.28	10Lg(4π/Ω)	**3**	3	3	3	3	3	3	3	3		
Показатель направленности источника Di, дБ			исходные данные	**0**	0	0	0	0	0	0	0	0		
Поправка на направленность источника Dc, дБ		Dc	DΩ + Di	**3**	3	3	3	3	3	3	3	3		

1			2	3	4	5	6	7	8	9	10	11	12	13
Затухание из-за геометрической дивергенции, Adiv, дБ		расстояние = 403.21 м	ф-ла (7) [10]	**63,1**										
Коэффициент затухания звука в атмосфере α, дБ/км		Ta=20,°C Pa=101.33,кПа hотн.=70%	ф-ла (5) [9]	0,02	0,09	0,33	1,12	2,79	4,98	9,04	23,09	77,63		
Учет затухания звука в атмосфере Aatm, дБ			ф-ла (8) [10]	0	0	0,1	0,5	1,1	2	3,6	9,3	31,3		
Снижение уровня звукового давления из-за влияния застройки между источником шума и расчетной точкой														
Длина звуковой волны для среднегеометрической частоты октавной полосы, λ, м				10,79	5,4	2,72	1,36	0,68	0,34	0,17	0,09	0,04		
Критерий наличия экранирования в горизонтальной плоскости	Горизонтальный размер экрана, lэкр = 23.96 м		lэкр > λ	да	да	да	да	да	да	да	да	да		
Траектория над экраном	Промежуточные точки:	Pss(x,y,z) = (536.22,-314.72,4.00)	Psr(x,y,z) = (536.22,-314.72,4.00)	dss = 115.03 м		dsr = 288.21 м		e = 0.00 м		z = 0.02 м				
	Константа C2, учитывающая эффект отражения от земли возле экрана			40	40	40	40	40	40	40	40	40		
	Константа C3 (дифракция на кромках)		ф-ла (15) [10]	1	1	1	1	1	1	1	1	1		
	K_{met} (влияние метеоусловий)		ф-ла (18) [10]	0	0	0	0	0	0	0	0	0		
	Снижение УЗД, Dz, дБ		ф-ла (14) [10]	4,8	4,8	4,8	4,8	4,8	4,8	4,8	4,8	4,8		
Траектория слева от экрана	Промежуточные точки:	Pss(x,y,z) = (530.65,-331.30,2.02)	Psr(x,y,z) = (522.60,-328.60,2.09)	dss = 115.31 м		dsr = 281.31 м		e = 8.50 м		z = 1.92 м				
	Константа C2, учитывающая эффект отражения от земли возле экрана			40	40	40	40	40	40	40	40	40		
	Константа C3 (дифракция на кромках)		ф-ла (15) [10]	1	1,1	1,2	1,7	2,4	2,8	2,9	3	3		
	K_{met} (влияние метеоусловий)		ф-ла (18) [10]	1	1	1	1	1	1	1	1	1		
	Снижение УЗД, Dz, дБ		ф-ла (14) [10]	10,1	12,6	15,8	19,9	24,3	28	31,2	34,3	37,3		
	Промежуточные точки:	Pss(x,y,z) = (538.29,-308.55,2.03)	Psr(x,y,z) = (538.29,-308.55,2.03)	dss = 115.55 м		dsr = 287.92 м		e = 0.00 м		z = 0.26 м				

1		2	3	4	5	6	7	8	9	10	11	12	13
Траектория справа от экрана	Константа С2, учитывающая эффект отражения от земли возле экрана		40	40	40	40	40	40	40	40	40		
	Константа С3 (дифракция на кромках)	ф-ла (15) [10]	1	1	1	1	1	1	1	1	1		
	K_{met} (влияние метеоусловий)	ф-ла (18) [10]	1	1	1	1	1	1	1	1	1		
	Снижение УЗД, Dz, дБ	ф-ла (14) [10]	6	6,9	8,3	10,2	12,6	15,2	18	20,9	23,9		
Общее снижение уровня звука препятствием Dz, дБ		Эн.сумма(-Dzi)	1,6	2,3	2,9	3,6	4,1	4,4	4,6	4,7	4,7		
Уровни звукового давления прямого звука от источника ИШ-9-1 в расчётной точке днём, дБ		**ф-ла(3)[10]**	**0**	**30,9**	**31,5**	**31,8**	**31**	**29,4**	**24,3**	**14,3**	**0**	**33,2**	**33,2**
Уровни звукового давления прямого звука от источника ИШ-9-1 в расчётной точке ночью, дБ		**ф-ла(3)[10]**	**0**	**30,9**	**31,5**	**31,8**	**31**	**29,4**	**24,3**	**14,3**	**0**	**33,2**	**33,2**
Расчёт отражённого звука													
Уровни звукового давления от мнимого источника ИШ-9-1_мн.(1) в расчётной точке днём, дБ		**ф-ла(3)[10]**	**0**	**0**	**0**	**0**	**0**	**0**	**0**	**0**	**0**	**0**	**0**
Уровни звукового давления от мнимого источника ИШ-9-1_мн.(1) в расчётной точке ночью, дБ		**ф-ла(3)[10]**	**0**	**0**	**0**	**0**	**0**	**0**	**0**	**0**	**0**	**0**	**0**
Уровни звукового давления от источника ИШ-9-1 в расчётной точке днём, дБ		**ф-ла(3)[10]**	**0**	**30,9**	**31,5**	**31,8**	**31**	**29,4**	**24,3**	**14,3**	**0**	**33,2**	**33,2**
Уровни звукового давления от источника ИШ-9-1 в расчётной точке ночью, дБ		**ф-ла(3)[10]**	**0**	**30,9**	**31,5**	**31,8**	**31**	**29,4**	**24,3**	**14,3**	**0**	**33,2**	**33,2**
Источник шума: ИШ-9-2, координаты источника (x,y,z), м =[644.14,-354.83,1.00]													
Уровни звуковой мощности источника днём, Lw, дБ		**исходные данные**	**0**	**93,3**	**94,7**	**96**	**96,3**	**95,9**	**92,6**	**88,4**	**83,9**		
Уровни звуковой мощности источника ночью, Lw, дБ		**исходные данные**	**0**	**93,3**	**94,7**	**96**	**96,3**	**95,9**	**92,6**	**88,4**	**83,9**		
Поправка на телесный угол DΩ, дБ	Ω = 6.28	10Lg(4π/Ω)	**3**	3	3	3	3	3	3	3	3		
Показатель направленности источника Di, дБ		исходные данные	**0**	0	0	0	0	0	0	0	0		

1			2	3	4	5	6	7	8	9	10	11	12	13
Поправка на направленность источника Dc, дБ	Dc		DΩ + Di	**3**	3	3	3	3	3	3	3	3		
Затухание из-за геометрической дивергенции, Adiv, дБ	расстояние = 403.33 м		ф-ла (7) [10]	**63,1**										
Коэффициент затухания звука в атмосфере α, дБ/км	Ta=20,°C Pa=101.33,кПа hотн.=70%		ф-ла (5) [9]	0,02	0,09	0,33	1,12	2,79	4,98	9,04	23,09	77,63		
Учет затухания звука в атмосфере Aatm, дБ			ф-ла (8) [10]	0	0	0,1	0,5	1,1	2	3,6	9,3	31,3		
Снижение уровня звукового давления из-за влияния застройки между источником шума и расчетной точкой														
Длина звуковой волны для среднегеометрической частоты октавной полосы, λ, м				10,79	5,4	2,72	1,36	0,68	0,34	0,17	0,09	0,04		
Критерий наличия экранирования в горизонтальной плоскости	Горизонтальный размер экрана, lэкр = 23.97 м		lэкр > λ	да	да	да	да	да	да	да	да	да		
Траектория над экраном	Промежуточные точки:	Pss(x,y,z) = (536.90,-312.71,4.00)	Psr(x,y,z) = (536.90,-312.71,4.00)	dss = 115.26 м		dsr = 288.09 м		e = 0.00 м		z = 0.02 м				
	Константа C2, учитывающая эффект отражения от земли возле экрана			40	40	40	40	40	40	40	40	40		
	Константа C3 (дифракция на кромках)		ф-ла (15) [10]	1	1	1	1	1	1	1	1	1		
	K_{met} (влияние метеоусловий)		ф-ла (18) [10]	0	0	0	0	0	0	0	0	0		
	Снижение УЗД, Dz, дБ		ф-ла (14) [10]	4,8	4,8	4,8	4,8	4,8	4,8	4,8	4,8	4,8		
Траектория слева от экрана	Промежуточные точки:	Pss(x,y,z) = (530.65,-331.30,2.02)	Psr(x,y,z) = (522.60,-328.60,2.10)	dss = 115.91 м		dsr = 281.31 м		e = 8.50 м		z = 2.39 м				
	Константа C2, учитывающая эффект отражения от земли возле экрана			40	40	40	40	40	40	40	40	40		
	Константа C3 (дифракция на кромках)		ф-ла (15) [10]	1	1,1	1,2	1,7	2,4	2,8	2,9	3	3		
	K_{met} (влияние метеоусловий)		ф-ла (18) [10]	1	1	1	1	1	1	1	1	1		
	Снижение УЗД, Dz, дБ		ф-ла (14) [10]	10,8	13,4	16,7	20,8	25,2	29	32,2	35,3	38,3		

1			2	3	4	5	6	7	8	9	10	11	12	13
Траектория справа от экрана	Промежуточные точки:	Pss(x,y,z) = (538.29,-308.55,2.03)	Psr(x,y,z) = (538.29,-308.55,2.03)	dss = 115.53 м		dsr = 287.92 м		e = 0.00 м		z = 0.12 м				
	Константа C2, учитывающая эффект отражения от земли возле экрана			40	40	40	40	40	40	40	40	40		
	Константа C3 (дифракция на кромках)		ф-ла (15) [10]	1	1	1	1	1	1	1	1	1		
	K_{met} (влияние метеоусловий)		ф-ла (18) [10]	1	1	1	1	1	1	1	1	1		
	Снижение УЗД, Dz, дБ		ф-ла (14) [10]	5,4	5,9	6,7	8,1	9,9	12,2	14,8	17,6	20,5		
Общее снижение уровня звука препятствием Dz, дБ			Эн.сумма(-Dzi)	1,5	2	2,5	3	3,6	4	4,4	4,6	4,7		
Уровни звукового давления прямого звука от источника ИШ-9-2 в расчётной точке днём, дБ			**ф-ла(3)[10]**	**0**	**31,2**	**32**	**32,4**	**31,5**	**29,7**	**24,5**	**14,4**	**0**	**33,6**	**33,6**
Уровни звукового давления прямого звука от источника ИШ-9-2 в расчётной точке ночью, дБ			**ф-ла(3)[10]**	**0**	**31,2**	**32**	**32,4**	**31,5**	**29,7**	**24,5**	**14,4**	**0**	**33,6**	**33,6**
Расчёт отражённого звука														
Уровни звукового давления от мнимого источника ИШ-9-2_мн.(1) в расчётной точке днём, дБ			**ф-ла(3)[10]**	**0**	**0**	**0**	**0**	**0**	**0**	**0**	**0**	**0**	**0**	**0**
Уровни звукового давления от мнимого источника ИШ-9-2_мн.(1) в расчётной точке ночью, дБ			**ф-ла(3)[10]**	**0**	**0**	**0**	**0**	**0**	**0**	**0**	**0**	**0**	**0**	**0**
Уровни звукового давления от источника ИШ-9-2 в расчётной точке днём, дБ			**ф-ла(3)[10]**	**0**	**31,2**	**32**	**32,4**	**31,5**	**29,7**	**24,5**	**14,4**	**0**	**33,6**	**33,6**
Уровни звукового давления от источника ИШ-9-2 в расчётной точке ночью, дБ			**ф-ла(3)[10]**	**0**	**31,2**	**32**	**32,4**	**31,5**	**29,7**	**24,5**	**14,4**	**0**	**33,6**	**33,6**
Источник шума: ИШ-9-3, координаты источника (x,y,z), м =[644.98,-351.85,1.00]														
Уровни звуковой мощности источника днём, Lw, дБ			**исходные данные**	**0**	**93,3**	**94,7**	**96**	**96,3**	**95,9**	**92,6**	**88,4**	**83,9**		
Уровни звуковой мощности источника ночью, Lw, дБ			**исходные данные**	**0**	**93,3**	**94,7**	**96**	**96,3**	**95,9**	**92,6**	**88,4**	**83,9**		
Поправка на телесный угол DΩ, дБ		Ω = 6.28	10Lg(4π/Ω)	**3**	3	3	3	3	3	3	3	3		

1			2	3	4	5	6	7	8	9	10	11	12	13
Показатель направленности источника Di, дБ			исходные данные	**0**	0	0	0	0	0	0	0	0		
Поправка на направленность источника Dc, дБ		Dc	DΩ + Di	**3**	3	3	3	3	3	3	3	3		
Затухание из-за геометрической дивергенции, Adiv, дБ		расстояние = 403.03 м	ф-ла (7) [10]	**63,1**										
Коэффициент затухания звука в атмосфере α, дБ/км		Ta=20,°C Pa=101.33,кПа hотн.=70%	ф-ла (5) [9]	0,02	0,09	0,33	1,12	2,79	4,98	9,04	23,09	77,63		
Учет затухания звука в атмосфере Aatm, дБ			ф-ла (8) [10]	0	0	0,1	0,5	1,1	2	3,6	9,3	31,3		
Снижение уровня звукового давления из-за влияния застройки между источником шума и расчетной точкой														
Длина звуковой волны для среднегеометрической частоты октавной полосы, λ, м				10,79	5,4	2,72	1,36	0,68	0,34	0,17	0,09	0,04		
Критерий наличия экранирования в горизонтальной плоскости	Горизонтальный размер экрана, lэкр = 23.98 м		lэкр > λ	да	да	да	да	да	да	да	да	да		
Траектория над экраном	Промежуточные точки:	Pss(x,y,z) = (537.60,-310.62,4.00)	Psr(x,y,z) = (537.60,-310.62,4.00)	dss = 115.07 м		dsr = 287.99 м		e = 0.00 м		z = 0.02 м				
	Константа C2, учитывающая эффект отражения от земли возле экрана			40	40	40	40	40	40	40	40	40		
	Константа C3 (дифракция на кромках)		ф-ла (15) [10]	1	1	1	1	1	1	1	1	1		
	K_{met} (влияние метеоусловий)		ф-ла (18) [10]	0	0	0	0	0	0	0	0	0		
	Снижение УЗД, Dz, дБ		ф-ла (14) [10]	4,8	4,8	4,8	4,8	4,8	4,8	4,8	4,8	4,8		
Траектория слева от экрана	Промежуточные точки:	Pss(x,y,z) = (530.65,-331.30,2.02)	Psr(x,y,z) = (522.60,-328.60,2.10)	dss = 116.16 м		dsr = 281.31 м		e = 8.50 м		z = 2.95 м				
	Константа C2, учитывающая эффект отражения от земли возле экрана			40	40	40	40	40	40	40	40	40		
	Константа C3 (дифракция на кромках)		ф-ла (15) [10]	1	1,1	1,2	1,7	2,4	2,8	2,9	3	3		
	K_{met} (влияние метеоусловий)		ф-ла (18) [10]	1	1	1	1	1	1	1	1	1		

1			2	3	4	5	6	7	8	9	10	11	12	13
	Снижение УЗД, Dz, дБ		ф-ла (14) [10]	11,5	14,2	17,5	21,7	26,1	29,9	33,1	36,2	39,2		
Траектория справа от экрана	Промежуточные точки:	Pss(x,y,z) = (538.29,-308.55,2.03)	Psr(x,y,z) = (538.29,-308.55,2.03)	dss = 115.14 м		dsr = 287.92 м		e = 0.00 м		z = 0.03 м				
	Константа С2, учитывающая эффект отражения от земли возле экрана			40	40	40	40	40	40	40	40	40		
	Константа С3 (дифракция на кромках)		ф-ла (15) [10]	1	1	1	1	1	1	1	1	1		
	K_{met} (влияние метеоусловий)		ф-ла (18) [10]	1	1	1	1	1	1	1	1	1		
	Снижение УЗД, Dz, дБ		ф-ла (14) [10]	4,9	5,1	5,3	5,9	6,7	8,1	9,9	12,2	14,8		
Общее снижение уровня звука препятствием Dz, дБ			Эн.сумма(-Dzi)	1,4	1,7	1,9	2,2	2,6	3,1	3,6	4	4,4		
Уровни звукового давления прямого звука от источника ИШ-9-3 в расчётной точке днём, дБ			**ф-ла(3)[10]**	**0**	**31,5**	**32,5**	**33,2**	**32,5**	**30,7**	**25,2**	**14,9**	**0**	**34,5**	**34,5**
Уровни звукового давления прямого звука от источника ИШ-9-3 в расчётной точке ночью, дБ			**ф-ла(3)[10]**	**0**	**31,5**	**32,5**	**33,2**	**32,5**	**30,7**	**25,2**	**14,9**	**0**	**34,5**	**34,5**
Расчёт отражённого звука														
Уровни звукового давления от мнимого источника ИШ-9-3_мн.(1) в расчётной точке днём, дБ			**ф-ла(3)[10]**	**0**	**0**	**0**	**0**	**0**	**0**	**0**	**0**	**0**	**0**	**0**
Уровни звукового давления от мнимого источника ИШ-9-3_мн.(1) в расчётной точке ночью, дБ			**ф-ла(3)[10]**	**0**	**0**	**0**	**0**	**0**	**0**	**0**	**0**	**0**	**0**	**0**
Уровни звукового давления от источника ИШ-9-3 в расчётной точке днём, дБ			**ф-ла(3)[10]**	**0**	**31,5**	**32,5**	**33,2**	**32,5**	**30,7**	**25,2**	**14,9**	**0**	**34,5**	**34,5**
Уровни звукового давления от источника ИШ-9-3 в расчётной точке ночью, дБ			**ф-ла(3)[10]**	**0**	**31,5**	**32,5**	**33,2**	**32,5**	**30,7**	**25,2**	**14,9**	**0**	**34,5**	**34,5**
Источник шума: ИШ-9-4, координаты источника (x,y,z), м =[646.01,-349.15,1.00]														
Уровни звуковой мощности источника днём, Lw, дБ			**исходные данные**	**0**	**93,3**	**94,7**	**96**	**96,3**	**95,9**	**92,6**	**88,4**	**83,9**		
Уровни звуковой мощности источника ночью, Lw, дБ			**исходные данные**	**0**	**93,3**	**94,7**	**96**	**96,3**	**95,9**	**92,6**	**88,4**	**83,9**		

1			2	3	4	5	6	7	8	9	10	11	12	13
Поправка на телесный угол DΩ, дБ	Ω = 6.28		10Lg(4π/Ω)	**3**	3	3	3	3	3	3	3	3		
Показатель направленности источника Di, дБ			исходные данные	**0**	0	0	0	0	0	0	0	0		
Поправка на направленность источника Dc, дБ	Dc		DΩ + Di	**3**	3	3	3	3	3	3	3	3		
Затухание из-за геометрической дивергенции, Adiv, дБ	расстояние = 403.03 м		ф-ла (7) [10]	**63,1**										
Коэффициент затухания звука в атмосфере α, дБ/км	Ta=20,°C Pa=101.33,кПа hотн.=70%		ф-ла (5) [9]	0,02	0,09	0,33	1,12	2,79	4,98	9,04	23,09	77,63		
Учет затухания звука в атмосфере Aatm, дБ			ф-ла (8) [10]	0	0	0,1	0,5	1,1	2	3,6	9,3	31,3		
Снижение уровня звукового давления из-за влияния застройки между источником шума и расчетной точкой														
Длина звуковой волны для среднегеометрической частоты октавной полосы, λ, м				10,79	5,4	2,72	1,36	0,68	0,34	0,17	0,09	0,04		
Критерий наличия экранирования в горизонтальной плоскости	Горизонтальный размер экрана, lэкр = 23.99 м		lэкр > λ	да	да	да	да	да	да	да	да	да		
Траектория над экраном	Промежуточные точки:	Pss(x,y,z) = (538.26,-308.66,4.00)	Psr(x,y,z) = (538.26,-308.66,4.00)	dss = 115.14 м		dsr = 287.91 м		e = 0.00 м		z = 0.02 м				
	Константа C2, учитывающая эффект отражения от земли возле экрана			40	40	40	40	40	40	40	40	40		
	Константа C3 (дифракция на кромках)		ф-ла (15) [10]	1	1	1	1	1	1	1	1	1		
	K_{met} (влияние метеоусловий)		ф-ла (18) [10]	0	0	0	0	0	0	0	0	0		
	Снижение УЗД, Dz, дБ		ф-ла (14) [10]	4,8	4,8	4,8	4,8	4,8	4,8	4,8	4,8	4,8		
Траектория слева от экрана	Промежуточные точки:	Pss(x,y,z) = (530.65,-331.30,2.02)	Psr(x,y,z) = (522.60,-328.60,2.10)	dss = 116.73 м		dsr = 281.31 м		e = 8.50 м		z = 3.51 м				
	Константа C2, учитывающая эффект отражения от земли возле экрана			40	40	40	40	40	40	40	40	40		
	Константа C3 (дифракция на кромках)		ф-ла (15) [10]	1	1,1	1,2	1,7	2,4	2,8	2,9	3	3		

1			2	3	4	5	6	7	8	9	10	11	12	13
	K_{met} (влияние метеоусловий)		ф-ла (18) [10]	1	1	1	1	1	1	1	1	1		
	Снижение УЗД, Dz, дБ		ф-ла (14) [10]	12,1	14,9	18,2	22,5	26,9	30,6	33,9	36,9	40		
Траектория справа от экрана	Промежуточные точки:	Pss(x,y,z) = (538.29,-308.55,2.03)	Psr(x,y,z) = (538.29,-308.55,2.03)	dss = 115.11 м		dsr = 287.92 м		e = 0.00 м		z = 0.00 м				
	Константа С2, учитывающая эффект отражения от земли возле экрана			40	40	40	40	40	40	40	40	40		
	Константа С3 (дифракция на кромках)		ф-ла (15) [10]	1	1	1	1	1	1	1	1	1		
	K_{met} (влияние метеоусловий)		ф-ла (18) [10]	1	1	1	1	1	1	1	1	1		
	Снижение УЗД, Dz, дБ		ф-ла (14) [10]	4,8	4,8	4,8	4,8	4,8	4,8	4,8	4,8	4,9		
Общее снижение уровня звука препятствием Dz, дБ			Эн.сумма(-Dzi)	1,4	1,6	1,7	1,7	1,8	1,8	1,8	1,8	1,8		
Уровни звукового давления прямого звука от источника ИШ-9-4 в расчётной точке днём, дБ			**ф-ла(3)[10]**	**0**	**31,6**	**32,8**	**33,7**	**33,3**	**32**	**27,1**	**17,2**	**0**	**35,7**	**35,7**
Уровни звукового давления прямого звука от источника ИШ-9-4 в расчётной точке ночью, дБ			**ф-ла(3)[10]**	**0**	**31,6**	**32,8**	**33,7**	**33,3**	**32**	**27,1**	**17,2**	**0**	**35,7**	**35,7**
Расчёт отражённого звука														
Уровни звукового давления от мнимого источника ИШ-9-4_мн.(1) в расчётной точке днём, дБ			**ф-ла(3)[10]**	**0**	**0**	**0**	**0**	**0**	**0**	**0**	**0**	**0**	**0**	**0**
Уровни звукового давления от мнимого источника ИШ-9-4_мн.(1) в расчётной точке ночью, дБ			**ф-ла(3)[10]**	**0**	**0**	**0**	**0**	**0**	**0**	**0**	**0**	**0**	**0**	**0**
Уровни звукового давления от источника ИШ-9-4 в расчётной точке днём, дБ			**ф-ла(3)[10]**	**0**	**31,6**	**32,8**	**33,7**	**33,3**	**32**	**27,1**	**17,2**	**0**	**35,7**	**35,7**
Уровни звукового давления от источника ИШ-9-4 в расчётной точке ночью, дБ			**ф-ла(3)[10]**	**0**	**31,6**	**32,8**	**33,7**	**33,3**	**32**	**27,1**	**17,2**	**0**	**35,7**	**35,7**
Источник шума: ИШ-9-5, координаты источника (x,y,z), м =[646.84,-346.17,1.00]														
Уровни звуковой мощности источника днём, Lw, дБ			**исходные данные**	**0**	**93,3**	**94,7**	**96**	**96,3**	**95,9**	**92,6**	**88,4**	**83,9**		

1		2	3	4	5	6	7	8	9	10	11	12	13
Уровни звуковой мощности источника ночью, Lw, дБ		**исходные данные**	**0**	**93,3**	**94,7**	**96**	**96,3**	**95,9**	**92,6**	**88,4**	**83,9**		
Поправка на телесный угол DΩ, дБ	Ω = 6.28	10Lg(4π/Ω)	**3**	3	3	3	3	3	3	3	3		
Показатель направленности источника Di, дБ		исходные данные	**0**	0	0	0	0	0	0	0	0		
Поправка на направленность источника Dc, дБ	Dc	DΩ + Di	**3**	3	3	3	3	3	3	3	3		
Затухание из-за геометрической дивергенции, Adiv, дБ	расстояние = 402.78 м	ф-ла (7) [10]	**63,1**										
Коэффициент затухания звука в атмосфере α, дБ/км	Ta=20,°C Pa=101.33,кПа hотн.=70%	ф-ла (5) [9]	0,02	0,09	0,33	1,12	2,79	4,98	9,04	23,09	77,63		
Учет затухания звука в атмосфере Aatm, дБ		ф-ла (8) [10]	0	0	0,1	0,5	1,1	2	3,6	9,3	31,3		
Снижение уровня звукового давления из-за влияния застройки между источником шума и расчетной точкой													
Препятствие слева от трассы ИШ-РТ	Промежуточные точки:	Pss(x,y,z) = (275.95,-212.13,4.52)	Psr(x,y,z) = (275.95,-212.13,4.52)	dss = 394.39 м		dsr = 8.62 м		e = 0.00 м		z = -0.24 м			
	Константа C2, учитывающая эффект отражения от земли возле экрана			40	40	40	40	40	40	40	40	40		
	Константа C3 (дифракция на кромках)		ф-ла (15) [10]	1	1	1	1	1	1	1	1	1		
	K_{met} (влияние метеоусловий)		ф-ла (18) [10]	1	1	1	1	1	1	1	1	1		
	Снижение УЗД, Dz, дБ		ф-ла (14) [10]	3,3	1	NAN	NAN	NAN	NAN	NAN	NAN	NAN		
* отрицательное значение z означает прохождение траектории вблизи экрана, в этом случае дополнительно производится учёт снижения подстилающей поверхностью (см.ниже)													
Снижение поверхностью земли возле источника As, дБ	Gs = 0 hs = 1м	ф-лы таб.3 [10]	-1,5	-1,5	-1,5	-1,5	-1,5	-1,5	-1,5	-1,5	-1,5		
Снижение поверхностью земли возле приёмника Ar, дБ	Gr = 1 hr = 4.6м	ф-лы таб.3 [10]	-1,5	-1,5	3,3	1,3	0	0	0	0	0		
Снижение поверхностью земли в средней зоне, Am дБ	Gm = 1	ф-лы таб.3 [10]	-1,7	-1,7	0	0	0	0	0	0	0		
Суммарное снижение поверхностью земли на траектории распространения звука Agr, дБ		ф-ла (9) [10]	-4,7	-4,7	1,8	-0,2	-1,5	-1,5	-1,5	-1,5	-1,5		

1		2	3	4	5	6	7	8	9	10	11	12	13
Уровни звукового давления от источника ИШ-9-5 в расчётной точке днём, дБ		**ф-ла(3)[10]**	**0**	**36,9**	**32,7**	**35,7**	**36,6**	**35,3**	**30,3**	**20,5**	**0**	**38,9**	**38,9**
Уровни звукового давления от источника ИШ-9-5 в расчётной точке ночью, дБ		**ф-ла(3)[10]**	**0**	**36,9**	**32,7**	**35,7**	**36,6**	**35,3**	**30,3**	**20,5**	**0**	**38,9**	**38,9**
Источник шума: ИШ-9-6, координаты источника (x,y,z), м =[647.87,-343.47,1.00]													
Уровни звуковой мощности источника днём, Lw, дБ		**исходные данные**	**0**	**93,3**	**94,7**	**96**	**96,3**	**95,9**	**92,6**	**88,4**	**83,9**		
Уровни звуковой мощности источника ночью, Lw, дБ		**исходные данные**	**0**	**93,3**	**94,7**	**96**	**96,3**	**95,9**	**92,6**	**88,4**	**83,9**		
Поправка на телесный угол DΩ, дБ	Ω = 6.28	10Lg(4π/Ω)	**3**	3	3	3	3	3	3	3	3		
Показатель направленности источника Di, дБ		исходные данные	**0**	0	0	0	0	0	0	0	0		
Поправка на направленность источника Dc, дБ	Dc	DΩ + Di	**3**	3	3	3	3	3	3	3	3		
Затухание из-за геометрической дивергенции, Adiv, дБ	расстояние = 402.82 м	ф-ла (7) [10]	**63,1**										
Коэффициент затухания звука в атмосфере α, дБ/км	Ta=20,°C Pa=101.33,кПа hотн.=70%	ф-ла (5) [9]	0,02	0,09	0,33	1,12	2,79	4,98	9,04	23,09	77,63		
Учет затухания звука в атмосфере Aatm, дБ		ф-ла (8) [10]	0	0	0,1	0,5	1,1	2	3,6	9,3	31,3		
Снижение уровня звукового давления из-за влияния застройки между источником шума и расчетной точкой													
Препятствие слева от трассы ИШ-РТ	Промежуточные точки:	Pss(x,y,z) = (275.95,-212.13,4.53) / Psr(x,y,z) = (275.95,-212.13,4.53)	dss = 394.45 м		dsr = 8.62 м		e = 0.00 м		z = -0.25 м				
	Константа C2, учитывающая эффект отражения от земли возле экрана		40	40	40	40	40	40	40	40	40		
	Константа C3 (дифракция на кромках)	ф-ла (15) [10]	1	1	1	1	1	1	1	1	1		
	K_{met} (влияние метеоусловий)	ф-ла (18) [10]	1	1	1	1	1	1	1	1	1		

1		2	3	4	5	6	7	8	9	10	11	12	13
	Снижение УЗД, Dz, дБ	ф-ла (14) [10]	3,2	0,6	NAN	NAN	NAN	NAN	NAN	NAN	NAN		
* отрицательное значение z означает прохождение траектории вблизи экрана, в этом случае дополнительно производится учёт снижения подстилающей поверхностью (см.ниже)													
Снижение поверхностью земли возле источника As, дБ	Gs = 0 hs = 1м	ф-лы таб.3 [10]	-1,5	-1,5	-1,5	-1,5	-1,5	-1,5	-1,5	-1,5	-1,5		
Снижение поверхностью земли возле приёмника Ar, дБ	Gr = 1 hr = 4.6м	ф-лы таб.3 [10]	-1,5	-1,5	3,3	1,3	0	0	0	0	0		
Снижение поверхностью земли в средней зоне, Am дБ	Gm = 1	ф-лы таб.3 [10]	-1,7	-1,7	0	0	0	0	0	0	0		
Суммарное снижение поверхностью земли на траектории распространения звука Agr, дБ		ф-ла (9) [10]	-4,7	-4,7	1,8	-0,2	-1,5	-1,5	-1,5	-1,5	-1,5		
Уровни звукового давления от источника ИШ-9-6 в расчётной точке днём, дБ		**ф-ла(3)[10]**	**0**	**37,3**	**32,7**	**35,7**	**36,6**	**35,3**	**30,3**	**20,5**	**0**	**38,9**	**38,9**
Уровни звукового давления от источника ИШ-9-6 в расчётной точке ночью, дБ		**ф-ла(3)[10]**	**0**	**37,3**	**32,7**	**35,7**	**36,6**	**35,3**	**30,3**	**20,5**	**0**	**38,9**	**38,9**
Источник шума: ИШ-9-7, координаты источника (x,y,z), м =[648.71,-340.49,1.00]													
Уровни звуковой мощности источника днём, Lw, дБ		**исходные данные**	**0**	**93,3**	**94,7**	**96**	**96,3**	**95,9**	**92,6**	**88,4**	**83,9**		
Уровни звуковой мощности источника ночью, Lw, дБ		**исходные данные**	**0**	**93,3**	**94,7**	**96**	**96,3**	**95,9**	**92,6**	**88,4**	**83,9**		
Поправка на телесный угол DΩ, дБ	Ω = 6.28	10Lg(4π/Ω)	**3**	3	3	3	3	3	3	3	3		
Показатель направленности источника Di, дБ		исходные данные	**0**	0	0	0	0	0	0	0	0		
Поправка на направленность источника Dc, дБ	Dc	DΩ + Di	**3**	3	3	3	3	3	3	3	3		
Затухание из-за геометрической дивергенции, Adiv, дБ	расстояние = 402.61 м	ф-ла (7) [10]	**63,1**										
Коэффициент затухания звука в атмосфере α, дБ/км	Ta=20,°C Pa=101.33,кПа hотн.=70%	ф-ла (5) [9]	0,02	0,09	0,33	1,12	2,79	4,98	9,04	23,09	77,63		
Учет затухания звука в атмосфере Aatm, дБ		ф-ла (8) [10]	0	0	0,1	0,5	1,1	2	3,6	9,3	31,3		

1			2	3	4	5	6	7	8	9	10	11	12	13
Снижение уровня звукового давления из-за влияния застройки между источником шума и расчетной точкой														
Препятствие слева от трассы ИШ-РТ	Промежуточные точки:	Pss(x,y,z) = (275.95,-212.13,4.53)	Psr(x,y,z) = (275.95,-212.13,4.53)	dss = 394.26 м		dsr = 8.62 м		e = 0.00 м		z = -0.27 м				
	Константа С2, учитывающая эффект отражения от земли возле экрана			40	40	40	40	40	40	40	40	40		
	Константа С3 (дифракция на кромках)		ф-ла (15) [10]	1	1	1	1	1	1	1	1	1		
	K_{met} (влияние метеоусловий)		ф-ла (18) [10]	1	1	1	1	1	1	1	1	1		
	Снижение УЗД, Dz, дБ		ф-ла (14) [10]	3	0,1	NAN	NAN	NAN	NAN	NAN	NAN	NAN		
* отрицательное значение z означает прохождение траектории вблизи экрана, в этом случае дополнительно производится учёт снижения подстилающей поверхностью (см.ниже)														
Снижение поверхностью земли возле источника As, дБ		Gs = 0 hs = 1м	ф-лы таб.3 [10]	-1,5	-1,5	-1,5	-1,5	-1,5	-1,5	-1,5	-1,5	-1,5		
Снижение поверхностью земли возле приёмника Ar, дБ		Gr = 1 hr = 4.6м	ф-лы таб.3 [10]	-1,5	-1,5	3,3	1,3	0	0	0	0	0		
Снижение поверхностью земли в средней зоне, Am дБ		Gm = 1	ф-лы таб.3 [10]	-1,7	-1,7	0	0	0	0	0	0	0		
Суммарное снижение поверхностью земли на траектории распространения звука Agr, дБ			ф-ла (9) [10]	-4,7	-4,7	1,8	-0,2	-1,5	-1,5	-1,5	-1,5	-1,5		
Уровни звукового давления от источника ИШ-9-7 в расчётной точке днём, дБ			**ф-ла(3)[10]**	**0**	**37,8**	**32,7**	**35,7**	**36,6**	**35,3**	**30,4**	**20,5**	**0**	**38,9**	**38,9**
Уровни звукового давления от источника ИШ-9-7 в расчётной точке ночью, дБ			**ф-ла(3)[10]**	**0**	**37,8**	**32,7**	**35,7**	**36,6**	**35,3**	**30,4**	**20,5**	**0**	**38,9**	**38,9**
Источник шума: ИШ-9-8, координаты источника (x,y,z), м =[649.92,-337.69,1.00]														
Уровни звуковой мощности источника днём, Lw, дБ			**исходные данные**	**0**	**93,3**	**94,7**	**96**	**96,3**	**95,9**	**92,6**	**88,4**	**83,9**		
Уровни звуковой мощности источника ночью, Lw, дБ			**исходные данные**	**0**	**93,3**	**94,7**	**96**	**96,3**	**95,9**	**92,6**	**88,4**	**83,9**		
Поправка на телесный угол DΩ, дБ		Ω = 6.28	10Lg(4π/Ω)	**3**	3	3	3	3	3	3	3	3		
Показатель направленности источника Di, дБ			исходные данные	**0**	0	0	0	0	0	0	0	0		

1			2	3	4	5	6	7	8	9	10	11	12	13
Поправка на направленность источника Dc, дБ		Dc	DΩ + Di	**3**	3	3	3	3	3	3	3	3		
Затухание из-за геометрической дивергенции, Adiv, дБ		расстояние = 402.84 м	ф-ла (7) [10]	**63,1**										
Коэффициент затухания звука в атмосфере α, дБ/км		Ta=20,°C Pa=101.33,кПа hотн.=70%	ф-ла (5) [9]	0,02	0,09	0,33	1,12	2,79	4,98	9,04	23,09	77,63		
Учет затухания звука в атмосфере Aatm, дБ			ф-ла (8) [10]	0	0	0,1	0,5	1,1	2	3,6	9,3	31,3		
Снижение уровня звукового давления из-за влияния застройки между источником шума и расчетной точкой														
Препятствие слева от трассы ИШ-РТ	Промежуточные точки:	Pss(x,y,z) = (275.95,-212.13,4.53)	Psr(x,y,z) = (275.95,-212.13,4.53)	dss = 394.50 м		dsr = 8.62 м		e = 0.00 м		z = -0.28 м				
	Константа C2, учитывающая эффект отражения от земли возле экрана			40	40	40	40	40	40	40	40	40		
	Константа C3 (дифракция на кромках)		ф-ла (15) [10]	1	1	1	1	1	1	1	1	1		
	K_{met} (влияние метеоусловий)		ф-ла (18) [10]	1	1	1	1	1	1	1	1	1		
	Снижение УЗД, Dz, дБ		ф-ла (14) [10]	2,9	0	NAN	NAN	NAN	NAN	NAN	NAN	NAN		
* отрицательное значение z означает прохождение траектории вблизи экрана, в этом случае дополнительно производится учёт снижения подстилающей поверхностью (см.ниже)														
Снижение поверхностью земли возле источника As, дБ		Gs = 0 hs = 1м	ф-лы таб.3 [10]	-1,5	-1,5	-1,5	-1,5	-1,5	-1,5	-1,5	-1,5	-1,5		
Снижение поверхностью земли возле приёмника Ar, дБ		Gr = 1 hr = 4.6м	ф-лы таб.3 [10]	-1,5	-1,5	3,3	1,3	0	0	0	0	0		
Снижение поверхностью земли в средней зоне, Am дБ		Gm = 1	ф-лы таб.3 [10]	-1,7	-1,7	0	0	0	0	0	0	0		
Суммарное снижение поверхностью земли на траектории распространения звука Agr, дБ			ф-ла (9) [10]	-4,7	-4,7	1,8	-0,2	-1,5	-1,5	-1,5	-1,5	-1,5		
Уровни звукового давления от источника ИШ-9-8 в расчётной точке днём, дБ			**ф-ла(3)[10]**	**0**	**37,9**	**32,7**	**35,7**	**36,6**	**35,3**	**30,3**	**20,5**	**0**	**38,9**	**38,9**
Уровни звукового давления от источника ИШ-9-8 в расчётной точке ночью, дБ			**ф-ла(3)[10]**	**0**	**37,9**	**32,7**	**35,7**	**36,6**	**35,3**	**30,3**	**20,5**	**0**	**38,9**	**38,9**

1		2	3	4	5	6	7	8	9	10	11	12	13
Источник шума: ИШ-9-9, координаты источника (x,y,z), м =[650.66,-334.90,1.00]													
Уровни звуковой мощности источника днём, Lw, дБ		**исходные данные**	**0**	**93,3**	**94,7**	**96**	**96,3**	**95,9**	**92,6**	**88,4**	**83,9**		
Уровни звуковой мощности источника ночью, Lw, дБ		**исходные данные**	**0**	**93,3**	**94,7**	**96**	**96,3**	**95,9**	**92,6**	**88,4**	**83,9**		
Поправка на телесный угол DΩ, дБ	Ω = 6.28	10Lg(4π/Ω)	**3**	3	3	3	3	3	3	3	3		
Показатель направленности источника Di, дБ		исходные данные	**0**	0	0	0	0	0	0	0	0		
Поправка на направленность источника Dc, дБ	Dc	DΩ + Di	**3**	3	3	3	3	3	3	3	3		
Затухание из-за геометрической дивергенции, Adiv, дБ	расстояние = 402.65 м	ф-ла (7) [10]	**63,1**										
Коэффициент затухания звука в атмосфере α, дБ/км	Ta=20,°C Pa=101.33,кПа hотн.=70%	ф-ла (5) [9]	0,02	0,09	0,33	1,12	2,79	4,98	9,04	23,09	77,63		
Учет затухания звука в атмосфере Aatm, дБ		ф-ла (8) [10]	0	0	0,1	0,5	1,1	2	3,6	9,3	31,3		
Снижение уровня звукового давления из-за влияния застройки между источником шума и расчетной точкой													
Препятствие слева от трассы ИШ-РТ	Промежуточные точки:	Pss(x,y,z) = (275.95,-212.13,4.53)	Psr(x,y,z) = (275.95,-212.13,4.53)	dss = 394.33 м		dsr = 8.62 м		e = 0.00 м		z = -0.30 м			
	Константа C2, учитывающая эффект отражения от земли возле экрана			40	40	40	40	40	40	40	40	40		
	Константа C3 (дифракция на кромках)		ф-ла (15) [10]	1	1	1	1	1	1	1	1	1		
	K_{met} (влияние метеоусловий)		ф-ла (18) [10]	1	1	1	1	1	1	1	1	1		
	Снижение УЗД, Dz, дБ		ф-ла (14) [10]	2,8	0	NAN	NAN	NAN	NAN	NAN	NAN	NAN		
* отрицательное значение z означает прохождение траектории вблизи экрана, в этом случае дополнительно производится учёт снижения подстилающей поверхностью (см.ниже)													
Снижение поверхностью земли возле источника As, дБ	Gs = 0 hs = 1м	ф-лы таб.3 [10]	-1,5	-1,5	-1,5	-1,5	-1,5	-1,5	-1,5	-1,5	-1,5		

1		2	3	4	5	6	7	8	9	10	11	12	13
Снижение поверхностью земли возле приёмника Ar, дБ	Gr = 1 hr = 4.6м	ф-лы таб.3 [10]	-1,5	-1,5	3,3	1,3	0	0	0	0	0		
Снижение поверхностью земли в средней зоне, Am дБ	Gm = 1	ф-лы таб.3 [10]	-1,7	-1,7	0	0	0	0	0	0	0		
Суммарное снижение поверхностью земли на траектории распространения звука Agr, дБ		ф-ла (9) [10]	-4,7	-4,7	1,8	-0,2	-1,5	-1,5	-1,5	-1,5	-1,5		
Уровни звукового давления от источника ИШ-9-9 в расчётной точке днём, дБ		**ф-ла(3)[10]**	**0**	**37,9**	**32,7**	**35,7**	**36,6**	**35,3**	**30,4**	**20,5**	**0**	**38,9**	**38,9**
Уровни звукового давления от источника ИШ-9-9 в расчётной точке ночью, дБ		**ф-ла(3)[10]**	**0**	**37,9**	**32,7**	**35,7**	**36,6**	**35,3**	**30,4**	**20,5**	**0**	**38,9**	**38,9**
Источник шума: ИШ-9-10, координаты источника (x,y,z), м =[651.59,-332.01,1.00]													
Уровни звуковой мощности источника днём, Lw, дБ		**исходные данные**	**0**	**93,3**	**94,7**	**96**	**96,3**	**95,9**	**92,6**	**88,4**	**83,9**		
Уровни звуковой мощности источника ночью, Lw, дБ		**исходные данные**	**0**	**93,3**	**94,7**	**96**	**96,3**	**95,9**	**92,6**	**88,4**	**83,9**		
Поправка на телесный угол DΩ, дБ	Ω = 6.28	10Lg(4π/Ω)	**3**	3	3	3	3	3	3	3	3		
Показатель направленности источника Di, дБ		исходные данные	**0**	0	0	0	0	0	0	0	0		
Поправка на направленность источника Dc, дБ	Dc	DΩ + Di	**3**	3	3	3	3	3	3	3	3		
Затухание из-за геометрической дивергенции, Adiv, дБ	расстояние = 402.63 м	ф-ла (7) [10]	**63,1**										
Коэффициент затухания звука в атмосфере α, дБ/км	Ta=20,°C Pa=101.33,кПа hотн.=70%	ф-ла (5) [9]	0,02	0,09	0,33	1,12	2,79	4,98	9,04	23,09	77,63		
Учет затухания звука в атмосфере Aatm, дБ		ф-ла (8) [10]	0	0	0,1	0,5	1,1	2	3,6	9,3	31,3		
Снижение уровня звукового давления из-за влияния застройки между источником шума и расчетной точкой													
Промежуточные точки:	Pss(x,y,z) = (275.95,-212.13,4.53)	Psr(x,y,z) = (275.95,-212.13,4.53)	dss = 394.33 м		dsr = 8.62 м		e = 0.00 м		z = -0.32 м				

1			2	3	4	5	6	7	8	9	10	11	12	13
Препятствие слева от трассы ИШ-РТ	Константа C2, учитывающая эффект отражения от земли возле экрана			40	40	40	40	40	40	40	40	40		
	Константа C3 (дифракция на кромках)		ф-ла (15) [10]	1	1	1	1	1	1	1	1	1		
	K_{met} (влияние метеоусловий)		ф-ла (18) [10]	1	1	1	1	1	1	1	1	1		
	Снижение УЗД, Dz, дБ		ф-ла (14) [10]	2,6	0	NAN	NAN	NAN	NAN	NAN	NAN	NAN		
* отрицательное значение z означает прохождение траектории вблизи экрана, в этом случае дополнительно производится учёт снижения подстилающей поверхностью (см.ниже)														
Снижение поверхностью земли возле источника As, дБ		Gs = 0 hs = 1м	ф-лы таб.3 [10]	-1,5	-1,5	-1,5	-1,5	-1,5	-1,5	-1,5	-1,5	-1,5		
Снижение поверхностью земли возле приёмника Ar, дБ		Gr = 1 hr = 4.6м	ф-лы таб.3 [10]	-1,5	-1,5	3,3	1,3	0	0	0	0	0		
Снижение поверхностью земли в средней зоне, Am дБ		Gm = 1	ф-лы таб.3 [10]	-1,7	-1,7	0	0	0	0	0	0	0		
Суммарное снижение поверхностью земли на траектории распространения звука Agr, дБ			ф-ла (9) [10]	-4,7	-4,7	1,8	-0,2	-1,5	-1,5	-1,5	-1,5	-1,5		
Уровни звукового давления от источника ИШ-9-10 в расчётной точке днём, дБ			**ф-ла(3)[10]**	**0**	**37,9**	**32,7**	**35,7**	**36,6**	**35,3**	**30,4**	**20,5**	**0**	**38,9**	**38,9**
Уровни звукового давления от источника ИШ-9-10 в расчётной точке ночью, дБ			**ф-ла(3)[10]**	**0**	**37,9**	**32,7**	**35,7**	**36,6**	**35,3**	**30,4**	**20,5**	**0**	**38,9**	**38,9**
Источник шума: ИШ-9-11, координаты источника (x,y,z), м =[652.71,-329.22,1.00]														
Уровни звуковой мощности источника днём, Lw, дБ			**исходные данные**	**0**	**93,3**	**94,7**	**96**	**96,3**	**95,9**	**92,6**	**88,4**	**83,9**		
Уровни звуковой мощности источника ночью, Lw, дБ			**исходные данные**	**0**	**93,3**	**94,7**	**96**	**96,3**	**95,9**	**92,6**	**88,4**	**83,9**		
Поправка на телесный угол DΩ, дБ		Ω = 6.28	10Lg(4π/Ω)	**3**	3	3	3	3	3	3	3	3		
Показатель направленности источника Di, дБ			исходные данные	**0**	0	0	0	0	0	0	0	0		
Поправка на направленность источника Dc, дБ		Dc	DΩ + Di	**3**	3	3	3	3	3	3	3	3		
Затухание из-за геометрической дивергенции, Adiv, дБ		расстояние = 402.84 м	ф-ла (7) [10]	**63,1**										

1			2	3	4	5	6	7	8	9	10	11	12	13
Коэффициент затухания звука в атмосфере α, дБ/км		Ta=20,°C Pa=101.33,кПа hотн.=70%	ф-ла (5) [9]	0,02	0,09	0,33	1,12	2,79	4,98	9,04	23,09	77,63		
Учет затухания звука в атмосфере Aatm, дБ			ф-ла (8) [10]	0	0	0,1	0,5	1,1	2	3,6	9,3	31,3		
Снижение уровня звукового давления из-за влияния застройки между источником шума и расчетной точкой														
Препятствие слева от трассы ИШ-РТ	Промежуточные точки:	Pss(x,y,z) = (275.95,-212.13,4.53)	Psr(x,y,z) = (275.95,-212.13,4.53)	dss = 394.55 м		dsr = 8.62 м		e = 0.00 м		z = -0.33 м				
	Константа C2, учитывающая эффект отражения от земли возле экрана			40	40	40	40	40	40	40	40	40		
	Константа C3 (дифракция на кромках)		ф-ла (15) [10]	1	1	1	1	1	1	1	1	1		
	K_{met} (влияние метеоусловий)		ф-ла (18) [10]	1	1	1	1	1	1	1	1	1		
	Снижение УЗД, Dz, дБ		ф-ла (14) [10]	2,5	0	NAN	NAN	NAN	NAN	NAN	NAN	NAN		
* отрицательное значение z означает прохождение траектории вблизи экрана, в этом случае дополнительно производится учёт снижения подстилающей поверхностью (см.ниже)														
Снижение поверхностью земли возле источника As, дБ		Gs = 0 hs = 1м	ф-лы таб.3 [10]	-1,5	-1,5	-1,5	-1,5	-1,5	-1,5	-1,5	-1,5	-1,5		
Снижение поверхностью земли возле приёмника Ar, дБ		Gr = 1 hr = 4.6м	ф-лы таб.3 [10]	-1,5	-1,5	3,3	1,3	0	0	0	0	0		
Снижение поверхностью земли в средней зоне, Am дБ		Gm = 1	ф-лы таб.3 [10]	-1,7	-1,7	0	0	0	0	0	0	0		
Суммарное снижение поверхностью земли на траектории распространения звука Agr, дБ			ф-ла (9) [10]	-4,7	-4,7	1,8	-0,2	-1,5	-1,5	-1,5	-1,5	-1,5		
Уровни звукового давления от источника ИШ-9-11 в расчётной точке днём, дБ			**ф-ла(3)[10]**	**0**	**37,9**	**32,7**	**35,7**	**36,6**	**35,3**	**30,3**	**20,5**	**0**	**38,9**	**38,9**
Уровни звукового давления от источника ИШ-9-11 в расчётной точке ночью, дБ			**ф-ла(3)[10]**	**0**	**37,9**	**32,7**	**35,7**	**36,6**	**35,3**	**30,3**	**20,5**	**0**	**38,9**	**38,9**
Источник шума: ИШ-9-12, координаты источника (x,y,z), м =[653.46,-326.33,1.00]														
Уровни звуковой мощности источника днём, Lw, дБ			**исходные данные**	**0**	**93,3**	**94,7**	**96**	**96,3**	**95,9**	**92,6**	**88,4**	**83,9**		

1		2	3	4	5	6	7	8	9	10	11	12	13
Уровни звуковой мощности источника ночью, Lw, дБ		**исходные данные**	**0**	**93,3**	**94,7**	**96**	**96,3**	**95,9**	**92,6**	**88,4**	**83,9**		
Поправка на телесный угол DΩ, дБ	Ω = 6.28	10Lg(4π/Ω)	**3**	3	3	3	3	3	3	3	3		
Показатель направленности источника Di, дБ		исходные данные	**0**	0	0	0	0	0	0	0	0		
Поправка на направленность источника Dc, дБ	Dc	DΩ + Di	**3**	3	3	3	3	3	3	3	3		
Затухание из-за геометрической дивергенции, Adiv, дБ	расстояние = 402.69 м	ф-ла (7) [10]	**63,1**										
Коэффициент затухания звука в атмосфере α, дБ/км	Ta=20,°C Pa=101.33,кПа hотн.=70%	ф-ла (5) [9]	0,02	0,09	0,33	1,12	2,79	4,98	9,04	23,09	77,63		
Учет затухания звука в атмосфере Aatm, дБ		ф-ла (8) [10]	0	0	0,1	0,5	1,1	2	3,6	9,3	31,3		
Снижение уровня звукового давления из-за влияния застройки между источником шума и расчетной точкой													
Препятствие слева от трассы ИШ-РТ	Промежуточные точки:	Pss(x,y,z) = (275.95,-212.13,4.53)	Psr(x,y,z) = (275.95,-212.13,4.53)	dss = 394.42 м		dsr = 8.62 м		e = 0.00 м		z = -0.35 м			
	Константа C2, учитывающая эффект отражения от земли возле экрана			40	40	40	40	40	40	40	40	40		
	Константа C3 (дифракция на кромках)		ф-ла (15) [10]	1	1	1	1	1	1	1	1	1		
	K_{met} (влияние метеоусловий)		ф-ла (18) [10]	1	1	1	1	1	1	1	1	1		
	Снижение УЗД, Dz, дБ		ф-ла (14) [10]	2,3	0	NAN	NAN	NAN	NAN	NAN	NAN	NAN		
* отрицательное значение z означает прохождение траектории вблизи экрана, в этом случае дополнительно производится учёт снижения подстилающей поверхностью (см.ниже)													
Снижение поверхностью земли возле источника As, дБ	Gs = 0 hs = 1м	ф-лы таб.3 [10]	-1,5	-1,5	-1,5	-1,5	-1,5	-1,5	-1,5	-1,5	-1,5		
Снижение поверхностью земли возле приёмника Ar, дБ	Gr = 1 hr = 4.6м	ф-лы таб.3 [10]	-1,5	-1,5	3,3	1,3	0	0	0	0	0		
Снижение поверхностью земли в средней зоне, Am дБ	Gm = 1	ф-лы таб.3 [10]	-1,7	-1,7	0	0	0	0	0	0	0		
Суммарное снижение поверхностью земли на траектории распространения звука Agr, дБ		ф-ла (9) [10]	-4,7	-4,7	1,8	-0,2	-1,5	-1,5	-1,5	-1,5	-1,5		

1		2	3	4	5	6	7	8	9	10	11	12	13
Уровни звукового давления от источника ИШ-9-12 в расчётной точке днём, дБ		**ф-ла(3)[10]**	**0**	**37,9**	**32,7**	**35,7**	**36,6**	**35,3**	**30,4**	**20,5**	**0**	**38,9**	**38,9**
Уровни звукового давления от источника ИШ-9-12 в расчётной точке ночью, дБ		**ф-ла(3)[10]**	**0**	**37,9**	**32,7**	**35,7**	**36,6**	**35,3**	**30,4**	**20,5**	**0**	**38,9**	**38,9**
Источник шума: ИШ-9-13, координаты источника (x,y,z), м =[654.48,-323.54,1.00]													
Уровни звуковой мощности источника днём, Lw, дБ		**исходные данные**	**0**	**93,3**	**94,7**	**96**	**96,3**	**95,9**	**92,6**	**88,4**	**83,9**		
Уровни звуковой мощности источника ночью, Lw, дБ		**исходные данные**	**0**	**93,3**	**94,7**	**96**	**96,3**	**95,9**	**92,6**	**88,4**	**83,9**		
Поправка на телесный угол DΩ, дБ	Ω = 6.28	10Lg(4π/Ω)	**3**	3	3	3	3	3	3	3	3		
Показатель направленности источника Di, дБ		исходные данные	**0**	0	0	0	0	0	0	0	0		
Поправка на направленность источника Dc, дБ	Dc	DΩ + Di	**3**	3	3	3	3	3	3	3	3		
Затухание из-за геометрической дивергенции, Adiv, дБ	расстояние = 402.86 м	ф-ла (7) [10]	**63,1**										
Коэффициент затухания звука в атмосфере α, дБ/км	Ta=20,°C Pa=101.33,кПа hотн.=70%	ф-ла (5) [9]	0,02	0,09	0,33	1,12	2,79	4,98	9,04	23,09	77,63		
Учет затухания звука в атмосфере Aatm, дБ		ф-ла (8) [10]	0	0	0,1	0,5	1,1	2	3,6	9,3	31,3		
Снижение уровня звукового давления из-за влияния застройки между источником шума и расчетной точкой													
Препятствие слева от трассы ИШ-РТ	Промежуточные точки:	Pss(x,y,z) = (275.95,-212.13,4.53) / Psr(x,y,z) = (275.95,-212.13,4.53)	dss = 394.60 м		dsr = 8.62 м		e = 0.00 м		z = -0.37 м				
	Константа C2, учитывающая эффект отражения от земли возле экрана		40	40	40	40	40	40	40	40	40		
	Константа C3 (дифракция на кромках)	ф-ла (15) [10]	1	1	1	1	1	1	1	1	1		
	K_{met} (влияние метеоусловий)	ф-ла (18) [10]	1	1	1	1	1	1	1	1	1		

1		2	3	4	5	6	7	8	9	10	11	12	13
	Снижение УЗД, Dz, дБ	ф-ла (14) [10]	2,1	0	NAN	NAN	NAN	NAN	NAN	NAN	NAN		
* отрицательное значение z означает прохождение траектории вблизи экрана, в этом случае дополнительно производится учёт снижения подстилающей поверхностью (см.ниже)													
Снижение поверхностью земли возле источника As, дБ	Gs = 0 hs = 1м	ф-лы таб.3 [10]	-1,5	-1,5	-1,5	-1,5	-1,5	-1,5	-1,5	-1,5	-1,5		
Снижение поверхностью земли возле приёмника Ar, дБ	Gr = 1 hr = 4.6м	ф-лы таб.3 [10]	-1,5	-1,5	3,3	1,3	0	0	0	0	0		
Снижение поверхностью земли в средней зоне, Am дБ	Gm = 1	ф-лы таб.3 [10]	-1,7	-1,7	0	0	0	0	0	0	0		
Суммарное снижение поверхностью земли на траектории распространения звука Agr, дБ		ф-ла (9) [10]	-4,7	-4,7	1,8	-0,2	-1,5	-1,5	-1,5	-1,5	-1,5		
Уровни звукового давления от источника ИШ-9-13 в расчётной точке днём, дБ		**ф-ла(3)[10]**	**0**	**37,9**	**32,7**	**35,7**	**36,6**	**35,3**	**30,3**	**20,5**	**0**	**38,9**	**38,9**
Уровни звукового давления от источника ИШ-9-13 в расчётной точке ночью, дБ		**ф-ла(3)[10]**	**0**	**37,9**	**32,7**	**35,7**	**36,6**	**35,3**	**30,3**	**20,5**	**0**	**38,9**	**38,9**
Источник шума: ИШ-9-14, координаты источника (x,y,z), м =[655.60,-320.74,1.00]													
Уровни звуковой мощности источника днём, Lw, дБ		**исходные данные**	**0**	**93,3**	**94,7**	**96**	**96,3**	**95,9**	**92,6**	**88,4**	**83,9**		
Уровни звуковой мощности источника ночью, Lw, дБ		**исходные данные**	**0**	**93,3**	**94,7**	**96**	**96,3**	**95,9**	**92,6**	**88,4**	**83,9**		
Поправка на телесный угол DΩ, дБ	Ω = 6.28	10Lg(4π/Ω)	**3**	3	3	3	3	3	3	3	3		
Показатель направленности источника Di, дБ		исходные данные	**0**	0	0	0	0	0	0	0	0		
Поправка на направленность источника Dc, дБ	Dc	DΩ + Di	**3**	3	3	3	3	3	3	3	3		
Затухание из-за геометрической дивергенции, Adiv, дБ	расстояние = 403.13 м	ф-ла (7) [10]	**63,1**										
Коэффициент затухания звука в атмосфере α, дБ/км	Ta=20,°C Pa=101.33,кПа hотн.=70%	ф-ла (5) [9]	0,02	0,09	0,33	1,12	2,79	4,98	9,04	23,09	77,63		
Учет затухания звука в атмосфере Aatm, дБ		ф-ла (8) [10]	0	0	0,1	0,5	1,1	2	3,6	9,3	31,3		

1			2	3	4	5	6	7	8	9	10	11	12	13
Снижение уровня звукового давления из-за влияния застройки между источником шума и расчетной точкой														
Препятствие слева от трассы ИШ-РТ	Промежуточные точки:	Pss(x,y,z) = (275.95,-212.13,4.53)	Psr(x,y,z) = (275.95,-212.13,4.53)	dss = 394.90 м		dsr = 8.62 м		e = 0.00 м		z = -0.39 м				
	Константа С2, учитывающая эффект отражения от земли возле экрана			40	40	40	40	40	40	40	40	40		
	Константа С3 (дифракция на кромках)		ф-ла (15) [10]	1	1	1	1	1	1	1	1	1		
	K_{met} (влияние метеоусловий)		ф-ла (18) [10]	1	1	1	1	1	1	1	1	1		
	Снижение УЗД, Dz, дБ		ф-ла (14) [10]	1,9	0	NAN	NAN	NAN	NAN	NAN	NAN	NAN		
* отрицательное значение z означает прохождение траектории вблизи экрана, в этом случае дополнительно производится учёт снижения подстилающей поверхностью (см.ниже)														
Снижение поверхностью земли возле источника As, дБ		Gs = 0 hs = 1м	ф-лы таб.3 [10]	-1,5	-1,5	-1,5	-1,5	-1,5	-1,5	-1,5	-1,5	-1,5		
Снижение поверхностью земли возле приёмника Ar, дБ		Gr = 1 hr = 4.6м	ф-лы таб.3 [10]	-1,5	-1,5	3,3	1,3	0	0	0	0	0		
Снижение поверхностью земли в средней зоне, Am дБ		Gm = 1	ф-лы таб.3 [10]	-1,7	-1,7	0	0	0	0	0	0	0		
Суммарное снижение поверхностью земли на траектории распространения звука Agr, дБ			ф-ла (9) [10]	-4,7	-4,7	1,8	-0,2	-1,5	-1,5	-1,5	-1,5	-1,5		
Уровни звукового давления от источника ИШ-9-14 в расчётной точке днём, дБ			**ф-ла(3)[10]**	**0**	**37,9**	**32,7**	**35,6**	**36,6**	**35,3**	**30,3**	**20,5**	**0**	**38,8**	**38,8**
Уровни звукового давления от источника ИШ-9-14 в расчётной точке ночью, дБ			**ф-ла(3)[10]**	**0**	**37,9**	**32,7**	**35,6**	**36,6**	**35,3**	**30,3**	**20,5**	**0**	**38,8**	**38,8**
Источник шума: ИШ-9-15, координаты источника (x,y,z), м =[656.44,-317.86,1.00]														
Уровни звуковой мощности источника днём, Lw, дБ			**исходные данные**	**0**	**93,3**	**94,7**	**96**	**96,3**	**95,9**	**92,6**	**88,4**	**83,9**		
Уровни звуковой мощности источника ночью, Lw, дБ			**исходные данные**	**0**	**93,3**	**94,7**	**96**	**96,3**	**95,9**	**92,6**	**88,4**	**83,9**		
Поправка на телесный угол DΩ, дБ		Ω = 6.28	10Lg(4π/Ω)	**3**	3	3	3	3	3	3	3	3		
Показатель направленности источника Di, дБ			исходные данные	**0**	0	0	0	0	0	0	0	0		

1		2	3	4	5	6	7	8	9	10	11	12	13
Поправка на направленность источника Dc, дБ	Dc	DΩ + Di	**3**	3	3	3	3	3	3	3	3		
Затухание из-за геометрической дивергенции, Adiv, дБ	расстояние = 403.14 м	ф-ла (7) [10]	**63,1**										
Коэффициент затухания звука в атмосфере α, дБ/км	Ta=20,°C Pa=101.33,кПа hотн.=70%	ф-ла (5) [9]	0,02	0,09	0,33	1,12	2,79	4,98	9,04	23,09	77,63		
Учет затухания звука в атмосфере Aatm, дБ		ф-ла (8) [10]	0	0	0,1	0,5	1,1	2	3,6	9,3	31,3		
Снижение уровня звукового давления из-за влияния застройки между источником шума и расчетной точкой													
Препятствие слева от трассы ИШ-РТ	Промежуточные точки:	Pss(x,y,z) = (275.95,-212.13,4.53)	Psr(x,y,z) = (275.95,-212.13,4.53)	dss = 394.92 м		dsr = 8.62 м		e = 0.00 м		z = -0.41 м			
	Константа C2, учитывающая эффект отражения от земли возле экрана			40	40	40	40	40	40	40	40	40		
	Константа C3 (дифракция на кромках)		ф-ла (15) [10]	1	1	1	1	1	1	1	1	1		
	K_{met} (влияние метеоусловий)		ф-ла (18) [10]	1	1	1	1	1	1	1	1	1		
	Снижение УЗД, Dz, дБ		ф-ла (14) [10]	1,7	NAN	NAN	NAN	NAN	NAN	NAN	NAN	NAN		
* отрицательное значение z означает прохождение траектории вблизи экрана, в этом случае дополнительно производится учёт снижения подстилающей поверхностью (см.ниже)													
Снижение поверхностью земли возле источника As, дБ	Gs = 0 hs = 1м		ф-лы таб.3 [10]	-1,5	-1,5	-1,5	-1,5	-1,5	-1,5	-1,5	-1,5	-1,5		
Снижение поверхностью земли возле приёмника Ar, дБ	Gr = 1 hr = 4.6м		ф-лы таб.3 [10]	-1,5	-1,5	3,3	1,3	0	0	0	0	0		
Снижение поверхностью земли в средней зоне, Am дБ	Gm = 1		ф-лы таб.3 [10]	-1,7	-1,7	0	0	0	0	0	0	0		
Суммарное снижение поверхностью земли на траектории распространения звука Agr, дБ			ф-ла (9) [10]	-4,7	-4,7	1,8	-0,2	-1,5	-1,5	-1,5	-1,5	-1,5		
Уровни звукового давления от источника ИШ-9-15 в расчётной точке днём, дБ			**ф-ла(3)[10]**	**0**	**37,9**	**32,7**	**35,6**	**36,6**	**35,3**	**30,3**	**20,5**	**0**	**38,8**	**38,8**
Уровни звукового давления от источника ИШ-9-15 в расчётной точке ночью, дБ			**ф-ла(3)[10]**	**0**	**37,9**	**32,7**	**35,6**	**36,6**	**35,3**	**30,3**	**20,5**	**0**	**38,8**	**38,8**

1		2	3	4	5	6	7	8	9	10	11	12	13
Источник шума: ИШ-9-16, координаты источника (x,y,z), м =[657.46,-314.97,1.00]													
Уровни звуковой мощности источника днём, Lw, дБ		**исходные данные**	**0**	**93,3**	**94,7**	**96**	**96,3**	**95,9**	**92,6**	**88,4**	**83,9**		
Уровни звуковой мощности источника ночью, Lw, дБ		**исходные данные**	**0**	**93,3**	**94,7**	**96**	**96,3**	**95,9**	**92,6**	**88,4**	**83,9**		
Поправка на телесный угол DΩ, дБ	Ω = 6.28	10Lg(4π/Ω)	**3**	3	3	3	3	3	3	3	3		
Показатель направленности источника Di, дБ		исходные данные	**0**	0	0	0	0	0	0	0	0		
Поправка на направленность источника Dc, дБ	Dc	DΩ + Di	**3**	3	3	3	3	3	3	3	3		
Затухание из-за геометрической дивергенции, Adiv, дБ	расстояние = 403.34 м	ф-ла (7) [10]	**63,1**										
Коэффициент затухания звука в атмосфере α, дБ/км	Ta=20,°C Pa=101.33,кПа hотн.=70%	ф-ла (5) [9]	0,02	0,09	0,33	1,12	2,79	4,98	9,04	23,09	77,63		
Учет затухания звука в атмосфере Aatm, дБ		ф-ла (8) [10]	0	0	0,1	0,5	1,1	2	3,6	9,3	31,3		
Снижение уровня звукового давления из-за влияния застройки между источником шума и расчетной точкой													
Препятствие слева от трассы ИШ-РТ	Промежуточные точки:	Pss(x,y,z) = (275.95,-212.13,4.53)	Psr(x,y,z) = (275.95,-212.13,4.53)	dss = 395.15 м		dsr = 8.62 м		e = 0.00 м		z = -0.43 м			
	Константа C2, учитывающая эффект отражения от земли возле экрана			40	40	40	40	40	40	40	40	40		
	Константа C3 (дифракция на кромках)		ф-ла (15) [10]	1	1	1	1	1	1	1	1	1		
	K_{met} (влияние метеоусловий)		ф-ла (18) [10]	1	1	1	1	1	1	1	1	1		
	Снижение УЗД, Dz, дБ		ф-ла (14) [10]	1,5	NAN	NAN	NAN	NAN	NAN	NAN	NAN	NAN		
* отрицательное значение z означает прохождение траектории вблизи экрана, в этом случае дополнительно производится учёт снижения подстилающей поверхностью (см.ниже)													
Снижение поверхностью земли возле источника As, дБ	Gs = 0 hs = 1м	ф-лы таб.3 [10]	-1,5	-1,5	-1,5	-1,5	-1,5	-1,5	-1,5	-1,5	-1,5		

1		2	3	4	5	6	7	8	9	10	11	12	13
Снижение поверхностью земли возле приёмника Ar, дБ	Gr = 1 hr = 4.6м	ф-лы таб.3 [10]	-1,5	-1,5	3,3	1,3	0	0	0	0	0		
Снижение поверхностью земли в средней зоне, Am дБ	Gm = 1	ф-лы таб.3 [10]	-1,8	-1,8	0	0	0	0	0	0	0		
Суммарное снижение поверхностью земли на траектории распространения звука Agr, дБ		ф-ла (9) [10]	-4,8	-4,8	1,8	-0,2	-1,5	-1,5	-1,5	-1,5	-1,5		
Уровни звукового давления от источника ИШ-9-16 в расчётной точке днём, дБ		**ф-ла(3)[10]**	**0**	**37,9**	**32,7**	**35,6**	**36,6**	**35,3**	**30,3**	**20,5**	**0**	**38,8**	**38,8**
Уровни звукового давления от источника ИШ-9-16 в расчётной точке ночью, дБ		**ф-ла(3)[10]**	**0**	**37,9**	**32,7**	**35,6**	**36,6**	**35,3**	**30,3**	**20,5**	**0**	**38,8**	**38,8**
Источник шума: ИШ-9-17, координаты источника (x,y,z), м =[658.49,-312.18,1.00]													
Уровни звуковой мощности источника днём, Lw, дБ		**исходные данные**	**0**	**93,3**	**94,7**	**96**	**96,3**	**95,9**	**92,6**	**88,4**	**83,9**		
Уровни звуковой мощности источника ночью, Lw, дБ		**исходные данные**	**0**	**93,3**	**94,7**	**96**	**96,3**	**95,9**	**92,6**	**88,4**	**83,9**		
Поправка на телесный угол DΩ, дБ	Ω = 6.28	10Lg(4π/Ω)	**3**	3	3	3	3	3	3	3	3		
Показатель направленности источника Di, дБ		исходные данные	**0**	0	0	0	0	0	0	0	0		
Поправка на направленность источника Dc, дБ	Dc	DΩ + Di	**3**	3	3	3	3	3	3	3	3		
Затухание из-за геометрической дивергенции, Adiv, дБ	расстояние = 403.59 м	ф-ла (7) [10]	**63,1**										
Коэффициент затухания звука в атмосфере α, дБ/км	Ta=20,°C Pa=101.33,кПа hотн.=70%	ф-ла (5) [9]	0,02	0,09	0,33	1,12	2,79	4,98	9,04	23,09	77,63		
Учет затухания звука в атмосфере Aatm, дБ		ф-ла (8) [10]	0	0	0,1	0,5	1,1	2	3,6	9,3	31,3		
Снижение уровня звукового давления из-за влияния застройки между источником шума и расчетной точкой													
Промежуточные точки:	Pss(x,y,z) = (275.95,-212.13,4.53)	Psr(x,y,z) = (275.95,-212.13,4.53)	dss = 395.42 м		dsr = 8.62 м		e = 0.00 м		z = -0.45 м				

1			2	3	4	5	6	7	8	9	10	11	12	13
Препятствие слева от трассы ИШ-РТ	Константа C2, учитывающая эффект отражения от земли возле экрана			40	40	40	40	40	40	40	40	40		
	Константа C3 (дифракция на кромках)		ф-ла (15) [10]	1	1	1	1	1	1	1	1	1		
	K_{met} (влияние метеоусловий)		ф-ла (18) [10]	1	1	1	1	1	1	1	1	1		
	Снижение УЗД, Dz, дБ		ф-ла (14) [10]	1,2	NAN	NAN	NAN	NAN	NAN	NAN	NAN	NAN		
* отрицательное значение z означает прохождение траектории вблизи экрана, в этом случае дополнительно производится учёт снижения подстилающей поверхностью (см.ниже)														
Снижение поверхностью земли возле источника As, дБ		Gs = 0 hs = 1м	ф-лы таб.3 [10]	-1,5	-1,5	-1,5	-1,5	-1,5	-1,5	-1,5	-1,5	-1,5		
Снижение поверхностью земли возле приёмника Ar, дБ		Gr = 1 hr = 4.6м	ф-лы таб.3 [10]	-1,5	-1,5	3,3	1,3	0	0	0	0	0		
Снижение поверхностью земли в средней зоне, Am дБ		Gm = 1	ф-лы таб.3 [10]	-1,8	-1,8	0	0	0	0	0	0	0		
Суммарное снижение поверхностью земли на траектории распространения звука Agr, дБ			ф-ла (9) [10]	-4,8	-4,8	1,8	-0,2	-1,5	-1,5	-1,5	-1,5	-1,5		
Уровни звукового давления от источника ИШ-9-17 в расчётной точке днём, дБ			**ф-ла(3)[10]**	**0**	**37,9**	**32,7**	**35,6**	**36,5**	**35,3**	**30,3**	**20,5**	**0**	**38,8**	**38,8**
Уровни звукового давления от источника ИШ-9-17 в расчётной точке ночью, дБ			**ф-ла(3)[10]**	**0**	**37,9**	**32,7**	**35,6**	**36,5**	**35,3**	**30,3**	**20,5**	**0**	**38,8**	**38,8**
Источник шума: ИШ-9-18, координаты источника (x,y,z), м =[659.42,-309.20,1.00]														
Уровни звуковой мощности источника днём, Lw, дБ			**исходные данные**	**0**	**93,3**	**94,7**	**96**	**96,3**	**95,9**	**92,6**	**88,4**	**83,9**		
Уровни звуковой мощности источника ночью, Lw, дБ			**исходные данные**	**0**	**93,3**	**94,7**	**96**	**96,3**	**95,9**	**92,6**	**88,4**	**83,9**		
Поправка на телесный угол DΩ, дБ		Ω = 6.28	10Lg(4π/Ω)	**3**	3	3	3	3	3	3	3	3		
Показатель направленности источника Di, дБ			исходные данные	**0**	0	0	0	0	0	0	0	0		
Поправка на направленность источника Dc, дБ		Dc	DΩ + Di	**3**	3	3	3	3	3	3	3	3		
Затухание из-за геометрической дивергенции, Adiv, дБ		расстояние = 403.73 м	ф-ла (7) [10]	**63,1**										

1			2	3	4	5	6	7	8	9	10	11	12	13
Коэффициент затухания звука в атмосфере α, дБ/км		Ta=20,°C Pa=101.33,кПа hотн.=70%	ф-ла (5) [9]	0,02	0,09	0,33	1,12	2,79	4,98	9,04	23,09	77,63		
Учет затухания звука в атмосфере Aatm, дБ			ф-ла (8) [10]	0	0	0,1	0,5	1,1	2	3,6	9,3	31,3		
Снижение уровня звукового давления из-за влияния застройки между источником шума и расчетной точкой														
Препятствие слева от трассы ИШ-РТ	Промежуточные точки:	Pss(x,y,z) = (275.95,-212.13,4.53)	Psr(x,y,z) = (275.95,-212.13,4.53)	dss = 395.58 м		dsr = 8.62 м		e = 0.00 м		z = -0.47 м				
	Константа C2, учитывающая эффект отражения от земли возле экрана			40	40	40	40	40	40	40	40	40		
	Константа C3 (дифракция на кромках)		ф-ла (15) [10]	1	1	1	1	1	1	1	1	1		
	K_{met} (влияние метеоусловий)		ф-ла (18) [10]	1	1	1	1	1	1	1	1	1		
	Снижение УЗД, Dz, дБ		ф-ла (14) [10]	1	NAN	NAN	NAN	NAN	NAN	NAN	NAN	NAN		
* отрицательное значение z означает прохождение траектории вблизи экрана, в этом случае дополнительно производится учёт снижения подстилающей поверхностью (см.ниже)														
Снижение поверхностью земли возле источника As, дБ		Gs = 0 hs = 1м	ф-лы таб.3 [10]	-1,5	-1,5	-1,5	-1,5	-1,5	-1,5	-1,5	-1,5	-1,5		
Снижение поверхностью земли возле приёмника Ar, дБ		Gr = 1 hr = 4.6м	ф-лы таб.3 [10]	-1,5	-1,5	3,3	1,3	0	0	0	0	0		
Снижение поверхностью земли в средней зоне, Am дБ		Gm = 1	ф-лы таб.3 [10]	-1,8	-1,8	0	0	0	0	0	0	0		
Суммарное снижение поверхностью земли на траектории распространения звука Agr, дБ			ф-ла (9) [10]	-4,8	-4,8	1,8	-0,2	-1,5	-1,5	-1,5	-1,5	-1,5		
Уровни звукового давления от источника ИШ-9-18 в расчётной точке днём, дБ			**ф-ла(3)[10]**	**0**	**37,9**	**32,7**	**35,6**	**36,5**	**35,3**	**30,3**	**20,4**	**0**	**38,8**	**38,8**
Уровни звукового давления от источника ИШ-9-18 в расчётной точке ночью, дБ			**ф-ла(3)[10]**	**0**	**37,9**	**32,7**	**35,6**	**36,5**	**35,3**	**30,3**	**20,4**	**0**	**38,8**	**38,8**
Источник шума: ИШ-9-19, координаты источника (x,y,z), м =[660.44,-306.50,1.00]														
Уровни звуковой мощности источника днём, Lw, дБ			**исходные данные**	**0**	**93,3**	**94,7**	**96**	**96,3**	**95,9**	**92,6**	**88,4**	**83,9**		

1		2	3	4	5	6	7	8	9	10	11	12	13
Уровни звуковой мощности источника ночью, Lw, дБ		**исходные данные**	**0**	**93,3**	**94,7**	**96**	**96,3**	**95,9**	**92,6**	**88,4**	**83,9**		
Поправка на телесный угол DΩ, дБ	Ω = 6.28	10Lg(4π/Ω)	**3**	3	3	3	3	3	3	3	3		
Показатель направленности источника Di, дБ		исходные данные	**0**	0	0	0	0	0	0	0	0		
Поправка на направленность источника Dc, дБ	Dc	DΩ + Di	**3**	3	3	3	3	3	3	3	3		
Затухание из-за геометрической дивергенции, Adiv, дБ	расстояние = 404.05 м	ф-ла (7) [10]	**63,1**										
Коэффициент затухания звука в атмосфере α, дБ/км	Ta=20,°C Pa=101.33,кПа hотн.=70%	ф-ла (5) [9]	0,02	0,09	0,33	1,12	2,79	4,98	9,04	23,09	77,63		
Учет затухания звука в атмосфере Aatm, дБ		ф-ла (8) [10]	0	0	0,1	0,5	1,1	2	3,7	9,3	31,4		
Снижение уровня звукового давления из-за влияния застройки между источником шума и расчетной точкой													
Препятствие слева от трассы ИШ-РТ	Промежуточные точки:	Pss(x,y,z) = (275.95,-212.13,4.53)	Psr(x,y,z) = (275.95,-212.13,4.53)	dss = 395.92 м		dsr = 8.62 м		e = 0.00 м		z = -0.49 м			
	Константа C2, учитывающая эффект отражения от земли возле экрана			40	40	40	40	40	40	40	40	40		
	Константа C3 (дифракция на кромках)		ф-ла (15) [10]	1	1	1	1	1	1	1	1	1		
	K_{met} (влияние метеоусловий)		ф-ла (18) [10]	1	1	1	1	1	1	1	1	1		
	Снижение УЗД, Dz, дБ		ф-ла (14) [10]	0,7	NAN	NAN	NAN	NAN	NAN	NAN	NAN	NAN		
* отрицательное значение z означает прохождение траектории вблизи экрана, в этом случае дополнительно производится учёт снижения подстилающей поверхностью (см.ниже)													
Снижение поверхностью земли возле источника As, дБ	Gs = 0 hs = 1м	ф-лы таб.3 [10]	-1,5	-1,5	-1,5	-1,5	-1,5	-1,5	-1,5	-1,5	-1,5		
Снижение поверхностью земли возле приёмника Ar, дБ	Gr = 1 hr = 4.6м	ф-лы таб.3 [10]	-1,5	-1,5	3,3	1,3	0	0	0	0	0		
Снижение поверхностью земли в средней зоне, Am дБ	Gm = 1	ф-лы таб.3 [10]	-1,8	-1,8	0	0	0	0	0	0	0		
Суммарное снижение поверхностью земли на траектории распространения звука Agr, дБ		ф-ла (9) [10]	-4,8	-4,8	1,8	-0,2	-1,5	-1,5	-1,5	-1,5	-1,5		

1		2	3	4	5	6	7	8	9	10	11	12	13
Уровни звукового давления прямого звука от источника ИШ-9-19 в расчётной точке днём, дБ		**ф-ла(3)[10]**	**0**	**37,9**	**32,7**	**35,6**	**36,5**	**35,3**	**30,3**	**20,4**	**0**	**38,8**	**38,8**
Уровни звукового давления прямого звука от источника ИШ-9-19 в расчётной точке ночью, дБ		**ф-ла(3)[10]**	**0**	**37,9**	**32,7**	**35,6**	**36,5**	**35,3**	**30,3**	**20,4**	**0**	**38,8**	**38,8**
Расчёт отражённого звука													
Уровни звукового давления от мнимого источника ИШ-9-19_мн.(1) в расчётной точке днём, дБ		**ф-ла(3)[10]**	**0**	**0**	**0**	**0**	**0**	**0**	**0**	**0**	**0**	**0**	**0**
Уровни звукового давления от мнимого источника ИШ-9-19_мн.(1) в расчётной точке ночью, дБ		**ф-ла(3)[10]**	**0**	**0**	**0**	**0**	**0**	**0**	**0**	**0**	**0**	**0**	**0**
Уровни звукового давления от источника ИШ-9-19 в расчётной точке днём, дБ		**ф-ла(3)[10]**	**0**	**37,9**	**32,7**	**35,6**	**36,5**	**35,3**	**30,3**	**20,4**	**0**	**38,8**	**38,8**
Уровни звукового давления от источника ИШ-9-19 в расчётной точке ночью, дБ		**ф-ла(3)[10]**	**0**	**37,9**	**32,7**	**35,6**	**36,5**	**35,3**	**30,3**	**20,4**	**0**	**38,8**	**38,8**
Источник шума: ИШ-9-20, координаты источника (x,y,z), м =[661.28,-303.61,1.00]													
Уровни звуковой мощности источника днём, Lw, дБ		**исходные данные**	**0**	**93,3**	**94,7**	**96**	**96,3**	**95,9**	**92,6**	**88,4**	**83,9**		
Уровни звуковой мощности источника ночью, Lw, дБ		**исходные данные**	**0**	**93,3**	**94,7**	**96**	**96,3**	**95,9**	**92,6**	**88,4**	**83,9**		
Поправка на телесный угол DΩ, дБ	Ω = 6.28	10Lg(4π/Ω)	**3**	3	3	3	3	3	3	3	3		
Показатель направленности источника Di, дБ		исходные данные	**0**	0	0	0	0	0	0	0	0		
Поправка на направленность источника Dc, дБ	Dc	DΩ + Di	**3**	3	3	3	3	3	3	3	3		
Затухание из-за геометрической дивергенции, Adiv, дБ	расстояние = 404.17 м	ф-ла (7) [10]	**63,1**										
Коэффициент затухания звука в атмосфере α, дБ/км	Та=20,°С Ра=101.33,кПа hотн.=70%	ф-ла (5) [9]	0,02	0,09	0,33	1,12	2,79	4,98	9,04	23,09	77,63		
Учет затухания звука в атмосфере Aatm, дБ		ф-ла (8) [10]	0	0	0,1	0,5	1,1	2	3,7	9,3	31,4		

1			2	3	4	5	6	7	8	9	10	11	12	13
Снижение уровня звукового давления из-за влияния застройки между источником шума и расчетной точкой														
Препятствие слева от трассы ИШ-РТ	Промежуточные точки:	Pss(x,y,z) = (275.95,-212.13,4.53)	Psr(x,y,z) = (275.95,-212.13,4.53)	dss = 396.06 м		dsr = 8.62 м		e = 0.00 м		z = -0.51 м				
	Константа С2, учитывающая эффект отражения от земли возле экрана			40	40	40	40	40	40	40	40	40		
	Константа С3 (дифракция на кромках)		ф-ла (15) [10]	1	1	1	1	1	1	1	1	1		
	K_{met} (влияние метеоусловий)		ф-ла (18) [10]	1	1	1	1	1	1	1	1	1		
	Снижение УЗД, Dz, дБ		ф-ла (14) [10]	0,4	NAN	NAN	NAN	NAN	NAN	NAN	NAN	NAN		
* отрицательное значение z означает прохождение траектории вблизи экрана, в этом случае дополнительно производится учёт снижения подстилающей поверхностью (см.ниже)														
Снижение поверхностью земли возле источника As, дБ		Gs = 0 hs = 1м	ф-лы таб.3 [10]	-1,5	-1,5	-1,5	-1,5	-1,5	-1,5	-1,5	-1,5	-1,5		
Снижение поверхностью земли возле приёмника Ar, дБ		Gr = 1 hr = 4.6м	ф-лы таб.3 [10]	-1,5	-1,5	3,3	1,3	0	0	0	0	0		
Снижение поверхностью земли в средней зоне, Am дБ		Gm = 1	ф-лы таб.3 [10]	-1,8	-1,8	0	0	0	0	0	0	0		
Суммарное снижение поверхностью земли на траектории распространения звука Agr, дБ			ф-ла (9) [10]	-4,8	-4,8	1,8	-0,2	-1,5	-1,5	-1,5	-1,5	-1,5		
Уровни звукового давления от источника ИШ-9-20 в расчётной точке днём, дБ			**ф-ла(3)[10]**	**0**	**37,9**	**32,7**	**35,6**	**36,5**	**35,2**	**30,3**	**20,4**	**0**	**38,8**	**38,8**
Уровни звукового давления от источника ИШ-9-20 в расчётной точке ночью, дБ			**ф-ла(3)[10]**	**0**	**37,9**	**32,7**	**35,6**	**36,5**	**35,2**	**30,3**	**20,4**	**0**	**38,8**	**38,8**
Источник шума: ИШ-9-21, координаты источника (x,y,z), м =[661.93,-300.72,1.00]														
Уровни звуковой мощности источника днём, Lw, дБ			**исходные данные**	**0**	**93,3**	**94,7**	**96**	**96,3**	**95,9**	**92,6**	**88,4**	**83,9**		
Уровни звуковой мощности источника ночью, Lw, дБ			**исходные данные**	**0**	**93,3**	**94,7**	**96**	**96,3**	**95,9**	**92,6**	**88,4**	**83,9**		
Поправка на телесный угол DΩ, дБ		Ω = 6.28	10Lg(4π/Ω)	**3**	3	3	3	3	3	3	3	3		
Показатель направленности источника Di, дБ			исходные данные	**0**	0	0	0	0	0	0	0	0		

1			2	3	4	5	6	7	8	9	10	11	12	13
Поправка на направленность источника Dc, дБ		Dc	DΩ + Di	**3**	3	3	3	3	3	3	3	3		
Затухание из-за геометрической дивергенции, Adiv, дБ		расстояние = 404.12 м	ф-ла (7) [10]	**63,1**										
Коэффициент затухания звука в атмосфере α, дБ/км		Ta=20,°C Pa=101.33,кПа hотн.=70%	ф-ла (5) [9]	0,02	0,09	0,33	1,12	2,79	4,98	9,04	23,09	77,63		
Учет затухания звука в атмосфере Aatm, дБ			ф-ла (8) [10]	0	0	0,1	0,5	1,1	2	3,7	9,3	31,4		
Снижение уровня звукового давления из-за влияния застройки между источником шума и расчетной точкой														
Препятствие слева от трассы ИШ-РТ	Промежуточные точки:	Pss(x,y,z) = (275.95,-212.13,4.53)	Psr(x,y,z) = (275.95,-212.13,4.53)	dss = 396.04 м		dsr = 8.62 м		e = 0.00 м		z = -0.54 м				
	Константа C2, учитывающая эффект отражения от земли возле экрана			40	40	40	40	40	40	40	40	40		
	Константа C3 (дифракция на кромках)		ф-ла (15) [10]	1	1	1	1	1	1	1	1	1		
	K_{met} (влияние метеоусловий)		ф-ла (18) [10]	1	1	1	1	1	1	1	1	1		
	Снижение УЗД, Dz, дБ		ф-ла (14) [10]	0,1	NAN	NAN	NAN	NAN	NAN	NAN	NAN	NAN		
* отрицательное значение z означает прохождение траектории вблизи экрана, в этом случае дополнительно производится учёт снижения подстилающей поверхностью (см.ниже)														
Снижение поверхностью земли возле источника As, дБ		Gs = 0 hs = 1м	ф-лы таб.3 [10]	-1,5	-1,5	-1,5	-1,5	-1,5	-1,5	-1,5	-1,5	-1,5		
Снижение поверхностью земли возле приёмника Ar, дБ		Gr = 1 hr = 4.6м	ф-лы таб.3 [10]	-1,5	-1,5	3,3	1,3	0	0	0	0	0		
Снижение поверхностью земли в средней зоне, Am дБ		Gm = 1	ф-лы таб.3 [10]	-1,8	-1,8	0	0	0	0	0	0	0		
Суммарное снижение поверхностью земли на траектории распространения звука Agr, дБ			ф-ла (9) [10]	-4,8	-4,8	1,8	-0,2	-1,5	-1,5	-1,5	-1,5	-1,5		
Уровни звукового давления от источника ИШ-9-21 в расчётной точке днём, дБ			**ф-ла(3)[10]**	**0**	**37,9**	**32,7**	**35,6**	**36,5**	**35,3**	**30,3**	**20,4**	**0**	**38,8**	**38,8**
Уровни звукового давления от источника ИШ-9-21 в расчётной точке ночью, дБ			**ф-ла(3)[10]**	**0**	**37,9**	**32,7**	**35,6**	**36,5**	**35,3**	**30,3**	**20,4**	**0**	**38,8**	**38,8**

1		2	3	4	5	6	7	8	9	10	11	12	13
Источник шума: ИШ-9-22, координаты источника (x,y,z), м =[663.14,-297.83,1.00]													
Уровни звуковой мощности источника днём, Lw, дБ		**исходные данные**	**0**	**93,3**	**94,7**	**96**	**96,3**	**95,9**	**92,6**	**88,4**	**83,9**		
Уровни звуковой мощности источника ночью, Lw, дБ		**исходные данные**	**0**	**93,3**	**94,7**	**96**	**96,3**	**95,9**	**92,6**	**88,4**	**83,9**		
Поправка на телесный угол DΩ, дБ	Ω = 6.28	10Lg(4π/Ω)	**3**	3	3	3	3	3	3	3	3		
Показатель направленности источника Di, дБ		исходные данные	**0**	0	0	0	0	0	0	0	0		
Поправка на направленность источника Dc, дБ	Dc	DΩ + Di	**3**	3	3	3	3	3	3	3	3		
Затухание из-за геометрической дивергенции, Adiv, дБ	расстояние = 404.65 м	ф-ла (7) [10]	**63,1**										
Коэффициент затухания звука в атмосфере α, дБ/км	Ta=20,°C Pa=101.33,кПа hотн.=70%	ф-ла (5) [9]	0,02	0,09	0,33	1,12	2,79	4,98	9,04	23,09	77,63		
Учет затухания звука в атмосфере Aatm, дБ		ф-ла (8) [10]	0	0	0,1	0,5	1,1	2	3,7	9,3	31,4		
Снижение поверхностью земли возле источника As, дБ	Gs = 0 hs = 1м	ф-лы таб.3 [10]	-1,5	-1,5	-1,5	-1,5	-1,5	-1,5	-1,5	-1,5	-1,5		
Снижение поверхностью земли возле приёмника Ar, дБ	Gr = 1 hr = 4.6м	ф-лы таб.3 [10]	-1,5	-1,5	3,3	1,3	0	0	0	0	0		
Снижение поверхностью земли в средней зоне, Am дБ	Gm = 1	ф-лы таб.3 [10]	-1,8	-1,8	0	0	0	0	0	0	0		
Суммарное снижение поверхностью земли на траектории распространения звука Agr, дБ		ф-ла (9) [10]	-4,8	-4,8	1,8	-0,2	-1,5	-1,5	-1,5	-1,5	-1,5		
Уровни звукового давления от источника ИШ-9-22 в расчётной точке днём, дБ		**ф-ла(3)[10]**	**0**	**37,9**	**32,7**	**35,6**	**36,5**	**35,2**	**30,3**	**20,4**	**0**	**38,8**	**38,8**
Уровни звукового давления от источника ИШ-9-22 в расчётной точке ночью, дБ		**ф-ла(3)[10]**	**0**	**37,9**	**32,7**	**35,6**	**36,5**	**35,2**	**30,3**	**20,4**	**0**	**38,8**	**38,8**
Источник шума: ИШ-9-23, координаты источника (x,y,z), м =[664.07,-295.13,1.00]													

1		2	3	4	5	6	7	8	9	10	11	12	13
Уровни звуковой мощности источника днём, Lw, дБ		**исходные данные**	**0**	**93,3**	**94,7**	**96**	**96,3**	**95,9**	**92,6**	**88,4**	**83,9**		
Уровни звуковой мощности источника ночью, Lw, дБ		**исходные данные**	**0**	**93,3**	**94,7**	**96**	**96,3**	**95,9**	**92,6**	**88,4**	**83,9**		
Поправка на телесный угол DΩ, дБ	Ω = 6.28	10Lg(4π/Ω)	**3**	3	3	3	3	3	3	3	3		
Показатель направленности источника Di, дБ		исходные данные	**0**	0	0	0	0	0	0	0	0		
Поправка на направленность источника Dc, дБ	Dc	DΩ + Di	**3**	3	3	3	3	3	3	3	3		
Затухание из-за геометрической дивергенции, Adiv, дБ	расстояние = 404.96 м	ф-ла (7) [10]	**63,1**										
Коэффициент затухания звука в атмосфере α, дБ/км	Ta=20,°C Pa=101.33,кПа hотн.=70%	ф-ла (5) [9]	0,02	0,09	0,33	1,12	2,79	4,98	9,04	23,09	77,63		
Учет затухания звука в атмосфере Aatm, дБ		ф-ла (8) [10]	0	0	0,1	0,5	1,1	2	3,7	9,3	31,4		
Снижение поверхностью земли возле источника As, дБ	Gs = 0 hs = 1м	ф-лы таб.3 [10]	-1,5	-1,5	-1,5	-1,5	-1,5	-1,5	-1,5	-1,5	-1,5		
Снижение поверхностью земли возле приёмника Ar, дБ	Gr = 1 hr = 4.6м	ф-лы таб.3 [10]	-1,5	-1,5	3,3	1,3	0	0	0	0	0		
Снижение поверхностью земли в средней зоне, Am дБ	Gm = 1	ф-лы таб.3 [10]	-1,8	-1,8	0	0	0	0	0	0	0		
Суммарное снижение поверхностью земли на траектории распространения звука Agr, дБ		ф-ла (9) [10]	-4,8	-4,8	1,8	-0,2	-1,5	-1,5	-1,5	-1,5	-1,5		
Уровни звукового давления от источника ИШ-9-23 в расчётной точке днём, дБ		**ф-ла(3)[10]**	**0**	**37,9**	**32,7**	**35,6**	**36,5**	**35,2**	**30,3**	**20,4**	**0**	**38,8**	**38,8**
Уровни звукового давления от источника ИШ-9-23 в расчётной точке ночью, дБ		**ф-ла(3)[10]**	**0**	**37,9**	**32,7**	**35,6**	**36,5**	**35,2**	**30,3**	**20,4**	**0**	**38,8**	**38,8**
Источник шума: ИШ-9-24, координаты источника (x,y,z), м =[665.19,-292.34,1.00]													
Уровни звуковой мощности источника днём, Lw, дБ		**исходные данные**	**0**	**93,3**	**94,7**	**96**	**96,3**	**95,9**	**92,6**	**88,4**	**83,9**		

1		2	3	4	5	6	7	8	9	10	11	12	13
Уровни звуковой мощности источника ночью, Lw, дБ		**исходные данные**	**0**	**93,3**	**94,7**	**96**	**96,3**	**95,9**	**92,6**	**88,4**	**83,9**		
Поправка на телесный угол DΩ, дБ	Ω = 6.28	10Lg(4π/Ω)	**3**	3	3	3	3	3	3	3	3		
Показатель направленности источника Di, дБ		исходные данные	**0**	0	0	0	0	0	0	0	0		
Поправка на направленность источника Dc, дБ	Dc	DΩ + Di	**3**	3	3	3	3	3	3	3	3		
Затухание из-за геометрической дивергенции, Adiv, дБ	расстояние = 405.46 м	ф-ла (7) [10]	**63,2**										
Коэффициент затухания звука в атмосфере α, дБ/км	Ta=20,°C Pa=101.33,кПа hотн.=70%	ф-ла (5) [9]	0,02	0,09	0,33	1,12	2,79	4,98	9,04	23,09	77,63		
Учет затухания звука в атмосфере Aatm, дБ		ф-ла (8) [10]	0	0	0,1	0,5	1,1	2	3,7	9,4	31,5		
Снижение поверхностью земли возле источника As, дБ	Gs = 0 hs = 1м	ф-лы таб.3 [10]	-1,5	-1,5	-1,5	-1,5	-1,5	-1,5	-1,5	-1,5	-1,5		
Снижение поверхностью земли возле приёмника Ar, дБ	Gr = 1 hr = 4.6м	ф-лы таб.3 [10]	-1,5	-1,5	3,3	1,3	0	0	0	0	0		
Снижение поверхностью земли в средней зоне, Am дБ	Gm = 1	ф-лы таб.3 [10]	-1,8	-1,8	0	0	0	0	0	0	0		
Суммарное снижение поверхностью земли на траектории распространения звука Agr, дБ		ф-ла (9) [10]	-4,8	-4,8	1,8	-0,2	-1,5	-1,5	-1,5	-1,5	-1,5		
Уровни звукового давления от источника ИШ-9-24 в расчётной точке днём, дБ		**ф-ла(3)[10]**	**0**	**37,9**	**32,6**	**35,6**	**36,5**	**35,2**	**30,3**	**20,4**	**0**	**38,8**	**38,8**
Уровни звукового давления от источника ИШ-9-24 в расчётной точке ночью, дБ		**ф-ла(3)[10]**	**0**	**37,9**	**32,6**	**35,6**	**36,5**	**35,2**	**30,3**	**20,4**	**0**	**38,8**	**38,8**
Источник шума: ИШ-9-25, координаты источника (x,y,z), м =[683.46,-239.16,1.00]													
Уровни звуковой мощности источника днём, Lw, дБ		**исходные данные**	**77**	**75**	**67**	**66**	**63**	**55**	**53**	**48**	**51**		
Уровни звуковой мощности источника ночью, Lw, дБ		**исходные данные**	**77**	**75**	**67**	**66**	**63**	**55**	**53**	**48**	**51**		

1		2	3	4	5	6	7	8	9	10	11	12	13
Поправка на телесный угол DΩ, дБ	Ω = 6.28	10Lg(4π/Ω)	**3**	3	3	3	3	3	3	3	3		
Показатель направленности источника Di, дБ		исходные данные	**0**	0	0	0	0	0	0	0	0		
Поправка на направленность источника Dc, дБ	Dc	DΩ + Di	**3**	3	3	3	3	3	3	3	3		
Затухание из-за геометрической дивергенции, Adiv, дБ	расстояние = 415.94 м	ф-ла (7) [10]	**63,4**										
Коэффициент затухания звука в атмосфере α, дБ/км	Ta=20,°C Pa=101.33,кПа hотн.=70%	ф-ла (5) [9]	0,02	0,09	0,33	1,12	2,79	4,98	9,04	23,09	77,63		
Учет затухания звука в атмосфере Aatm, дБ		ф-ла (8) [10]	0	0	0,1	0,5	1,2	2,1	3,8	9,6	32,3		
Снижение поверхностью земли возле источника As, дБ	Gs = 0 hs = 1м	ф-лы таб.3 [10]	-1,5	-1,5	-1,5	-1,5	-1,5	-1,5	-1,5	-1,5	-1,5		
Снижение поверхностью земли возле приёмника Ar, дБ	Gr = 1 hr = 4.6м	ф-лы таб.3 [10]	-1,5	-1,5	3,3	1,3	0	0	0	0	0		
Снижение поверхностью земли в средней зоне, Am дБ	Gm = 1	ф-лы таб.3 [10]	-1,8	-1,8	0	0	0	0	0	0	0		
Суммарное снижение поверхностью земли на траектории распространения звука Agr, дБ		ф-ла (9) [10]	-4,8	-4,8	1,8	-0,2	-1,5	-1,5	-1,5	-1,5	-1,5		
Уровни звукового давления от источника ИШ-9-25 в расчётной точке днём, дБ		**ф-ла(3)[10]**	**21,4**	**19,4**	**4,7**	**5,4**	**3**	**0**	**0**	**0**	**0**	**2,4**	**2,4**
Уровни звукового давления от источника ИШ-9-25 в расчётной точке ночью, дБ		**ф-ла(3)[10]**	**21,4**	**19,4**	**4,7**	**5,4**	**3**	**0**	**0**	**0**	**0**	**2,4**	**2,4**
Источник шума: ИШ-9-26, координаты источника (x,y,z), м =[680.09,-249.52,1.00]													
Уровни звуковой мощности источника днём, Lw, дБ		**исходные данные**	**77**	**75**	**67**	**66**	**63**	**55**	**53**	**48**	**51**		
Уровни звуковой мощности источника ночью, Lw, дБ		**исходные данные**	**77**	**75**	**67**	**66**	**63**	**55**	**53**	**48**	**51**		
Поправка на телесный угол DΩ, дБ	Ω = 6.28	10Lg(4π/Ω)	**3**	3	3	3	3	3	3	3	3		

1		2	3	4	5	6	7	8	9	10	11	12	13
Показатель направленности источника Di, дБ		исходные данные	**0**	0	0	0	0	0	0	0	0		
Поправка на направленность источника Dc, дБ	Dc	DΩ + Di	**3**	3	3	3	3	3	3	3	3		
Затухание из-за геометрической дивергенции, Adiv, дБ	расстояние = 413.51 м	ф-ла (7) [10]	**63,3**										
Коэффициент затухания звука в атмосфере α, дБ/км	Ta=20,°C Pa=101.33,кПа hотн.=70%	ф-ла (5) [9]	0,02	0,09	0,33	1,12	2,79	4,98	9,04	23,09	77,63		
Учет затухания звука в атмосфере Aatm, дБ		ф-ла (8) [10]	0	0	0,1	0,5	1,2	2,1	3,7	9,5	32,1		
Снижение поверхностью земли возле источника As, дБ	Gs = 0 hs = 1м	ф-лы таб.3 [10]	-1,5	-1,5	-1,5	-1,5	-1,5	-1,5	-1,5	-1,5	-1,5		
Снижение поверхностью земли возле приёмника Ar, дБ	Gr = 1 hr = 4.6м	ф-лы таб.3 [10]	-1,5	-1,5	3,3	1,3	0	0	0	0	0		
Снижение поверхностью земли в средней зоне, Am дБ	Gm = 1	ф-лы таб.3 [10]	-1,8	-1,8	0	0	0	0	0	0	0		
Суммарное снижение поверхностью земли на траектории распространения звука Agr, дБ		ф-ла (9) [10]	-4,8	-4,8	1,8	-0,2	-1,5	-1,5	-1,5	-1,5	-1,5		
Уровни звукового давления от источника ИШ-9-26 в расчётной точке днём, дБ		**ф-ла(3)[10]**	**21,5**	**19,4**	**4,8**	**5,4**	**3**	**0**	**0**	**0**	**0**	**2,4**	**2,4**
Уровни звукового давления от источника ИШ-9-26 в расчётной точке ночью, дБ		**ф-ла(3)[10]**	**21,5**	**19,4**	**4,8**	**5,4**	**3**	**0**	**0**	**0**	**0**	**2,4**	**2,4**
Источник шума: ИШ-9-27, координаты источника (x,y,z), м =[676.46,-260.14,1.00]													
Уровни звуковой мощности источника днём, Lw, дБ		**исходные данные**	**77**	**75**	**67**	**66**	**63**	**55**	**53**	**48**	**51**		
Уровни звуковой мощности источника ночью, Lw, дБ		**исходные данные**	**77**	**75**	**67**	**66**	**63**	**55**	**53**	**48**	**51**		
Поправка на телесный угол DΩ, дБ	Ω = 6.28	10Lg(4π/Ω)	**3**	3	3	3	3	3	3	3	3		
Показатель направленности источника Di, дБ		исходные данные	**0**	0	0	0	0	0	0	0	0		

1		2	3	4	5	6	7	8	9	10	11	12	13
Поправка на направленность источника Dc, дБ	Dc	DΩ + Di	**3**	3	3	3	3	3	3	3	3		
Затухание из-за геометрической дивергенции, Adiv, дБ	расстояние = 411.13 м	ф-ла (7) [10]	**63,3**										
Коэффициент затухания звука в атмосфере α, дБ/км	Ta=20,°C Pa=101.33,кПа hотн.=70%	ф-ла (5) [9]	0,02	0,09	0,33	1,12	2,79	4,98	9,04	23,09	77,63		
Учет затухания звука в атмосфере Aatm, дБ		ф-ла (8) [10]	0	0	0,1	0,5	1,1	2	3,7	9,5	31,9		
Снижение поверхностью земли возле источника As, дБ	Gs = 0 hs = 1м	ф-лы таб.3 [10]	-1,5	-1,5	-1,5	-1,5	-1,5	-1,5	-1,5	-1,5	-1,5		
Снижение поверхностью земли возле приёмника Ar, дБ	Gr = 1 hr = 4.6м	ф-лы таб.3 [10]	-1,5	-1,5	3,3	1,3	0	0	0	0	0		
Снижение поверхностью земли в средней зоне, Am дБ	Gm = 1	ф-лы таб.3 [10]	-1,8	-1,8	0	0	0	0	0	0	0		
Суммарное снижение поверхностью земли на траектории распространения звука Agr, дБ		ф-ла (9) [10]	-4,8	-4,8	1,8	-0,2	-1,5	-1,5	-1,5	-1,5	-1,5		
Уровни звукового давления прямого звука от источника ИШ-9-27 в расчётной точке днём, дБ		**ф-ла(3)[10]**	**21,5**	**19,5**	**4,8**	**5,5**	**3,1**	**0**	**0**	**0**	**0**	**2,5**	**2,5**
Уровни звукового давления прямого звука от источника ИШ-9-27 в расчётной точке ночью, дБ		**ф-ла(3)[10]**	**21,5**	**19,5**	**4,8**	**5,5**	**3,1**	**0**	**0**	**0**	**0**	**2,5**	**2,5**
Расчёт отражённого звука													
Уровни звукового давления от мнимого источника ИШ-9-27_мн.(1) в расчётной точке днём, дБ		**ф-ла(3)[10]**	**0**	**0**	**0**	**0**	**0**	**0**	**0**	**0**	**0**	**0**	**0**
Уровни звукового давления от мнимого источника ИШ-9-27_мн.(1) в расчётной точке ночью, дБ		**ф-ла(3)[10]**	**0**	**0**	**0**	**0**	**0**	**0**	**0**	**0**	**0**	**0**	**0**
Уровни звукового давления от источника ИШ-9-27 в расчётной точке днём, дБ		**ф-ла(3)[10]**	**21,5**	**19,5**	**4,8**	**5,5**	**3,1**	**0**	**0**	**0**	**0**	**2,5**	**2,5**
Уровни звукового давления от источника ИШ-9-27 в расчётной точке ночью, дБ		**ф-ла(3)[10]**	**21,5**	**19,5**	**4,8**	**5,5**	**3,1**	**0**	**0**	**0**	**0**	**2,5**	**2,5**
Источник шума: ИШ-10-1, координаты источника (x,y,z), м =[17.37,413.17,1.00]													

1			2	3	4	5	6	7	8	9	10	11	12	13
Уровни звуковой мощности источника днём, Lw, дБ			**исходные данные**	**0**	**98,3**	**99,7**	**101**	**101,3**	**100,9**	**97,6**	**93,4**	**88,9**		
Уровни звуковой мощности источника ночью, Lw, дБ			**исходные данные**	**0**	**98,3**	**99,7**	**101**	**101,3**	**100,9**	**97,6**	**93,4**	**88,9**		
Поправка на телесный угол DΩ, дБ		Ω = 6.28	10Lg(4π/Ω)	**3**	3	3	3	3	3	3	3	3		
Показатель направленности источника Di, дБ			исходные данные	**0**	0	0	0	0	0	0	0	0		
Поправка на направленность источника Dc, дБ		Dc	DΩ + Di	**3**	3	3	3	3	3	3	3	3		
Затухание из-за геометрической дивергенции, Adiv, дБ		расстояние = 669.54 м	ф-ла (7) [10]	**67,5**										
Коэффициент затухания звука в атмосфере α, дБ/км		Ta=20,°C Pa=101.33,кПа hотн.=70%	ф-ла (5) [9]	0,02	0,09	0,33	1,12	2,79	4,98	9,04	23,09	77,63		
Учет затухания звука в атмосфере Aatm, дБ			ф-ла (8) [10]	0	0,1	0,2	0,8	1,9	3,3	6,1	15,5	52		
Снижение уровня звукового давления из-за влияния застройки между источником шума и расчетной точкой														
Длина звуковой волны для среднегеометрической частоты октавной полосы, λ, м				10,79	5,4	2,72	1,36	0,68	0,34	0,17	0,09	0,04		
Критерий наличия экранирования в горизонтальной плоскости	Горизонтальный размер экрана, lэкр = 86.65 м		lэкр > λ	да	да	да	да	да	да	да	да	да		
Траектория над экраном	Промежуточные точки:	Pss(x,y,z) = (96.78,217.12,10.00)	Psr(x,y,z) = (108.92,187.15,10.00)	dss = 211.71 м		dsr = 425.71 м		e = 32.33 м		z = 0.22 м				
	Константа C2, учитывающая эффект отражения от земли возле экрана			40	40	40	40	40	40	40	40	40		
	Константа C3 (дифракция на кромках)		ф-ла (15) [10]	1,2	1,6	2,3	2,8	2,9	3	3	3	3		
	K_{met} (влияние метеоусловий)		ф-ла (18) [10]	0	0	0	0	0	0	0	0	0		
	Снижение УЗД, Dz, дБ		ф-ла (14) [10]	4,8	4,8	4,8	4,8	4,9	5,1	5,3	5,8	6,7		
	Промежуточные точки:	Pss(x,y,z) = (149.02,276.39,1.95)	Psr(x,y,z) = (233.28,25.59,3.37)	dss = 189.85 м		dsr = 235.66 м		e = 264.58 м		z = 20.55 м				

1			2	3	4	5	6	7	8	9	10	11	12	13
Траектория слева от экрана	Константа С2, учитывающая эффект отражения от земли возле экрана			40	40	40	40	40	40	40	40	40		
	Константа С3 (дифракция на кромках)		ф-ла (15) [10]	2,8	2,9	3	3	3	3	3	3	3		
	K_{met} (влияние метеоусловий)		ф-ла (18) [10]	1	1	1	1	1	1	1	1	1		
	Снижение УЗД, Dz, дБ		ф-ла (14) [10]	23,3	26,5	29,6	32,6	35,6	38,6	41,6	44,6	47,6		
Траектория справа от экрана	Промежуточные точки:	Pss(x,y,z) = (88.97,193.85,2.24)	Psr(x,y,z) = (88.97,193.85,2.24)	dss = 230.71 м		dsr = 439.67 м		e = 0.00 м		z = 0.84 м				
	Константа С2, учитывающая эффект отражения от земли возле экрана			40	40	40	40	40	40	40	40	40		
	Константа С3 (дифракция на кромках)		ф-ла (15) [10]	1	1	1	1	1	1	1	1	1		
	K_{met} (влияние метеоусловий)		ф-ла (18) [10]	1	1	1	1	1	1	1	1	1		
	Снижение УЗД, Dz, дБ		ф-ла (14) [10]	7,9	9,7	11,9	14,4	17,2	20,1	23	26	29		
Общее снижение уровня звука препятствием Dz, дБ			Эн.сумма(-Dzi)	3	3,5	4	4,4	4,7	4,9	5,3	5,8	6,7		
Уровни звукового давления от источника ИШ-10-1 в расчётной точке днём, дБ			**ф-ла(3)[10]**	**0**	**30,2**	**31**	**31,4**	**30,3**	**28,1**	**21,8**	**7,7**	**0**	**32**	**32**
Уровни звукового давления от источника ИШ-10-1 в расчётной точке ночью, дБ			**ф-ла(3)[10]**	**0**	**30,2**	**31**	**31,4**	**30,3**	**28,1**	**21,8**	**7,7**	**0**	**32**	**32**
Источник шума: ИШ-10-2, координаты источника (x,y,z), м =[27.87,443.46,1.00]														
Уровни звуковой мощности источника днём, Lw, дБ			**исходные данные**	**0**	**98,3**	**99,7**	**101**	**101,3**	**100,9**	**97,6**	**93,4**	**88,9**		
Уровни звуковой мощности источника ночью, Lw, дБ			**исходные данные**	**0**	**98,3**	**99,7**	**101**	**101,3**	**100,9**	**97,6**	**93,4**	**88,9**		
Поправка на телесный угол DΩ, дБ		Ω = 6.28	10Lg(4π/Ω)	**3**	3	3	3	3	3	3	3	3		
Показатель направленности источника Di, дБ			исходные данные	**0**	0	0	0	0	0	0	0	0		

1			2	3	4	5	6	7	8	9	10	11	12	13
Поправка на направленность источника Dc, дБ	Dc		DΩ + Di	**3**	3	3	3	3	3	3	3	3		
Затухание из-за геометрической дивергенции, Adiv, дБ	расстояние = 693.99 м		ф-ла (7) [10]	**67,8**										
Коэффициент затухания звука в атмосфере α, дБ/км	Ta=20,°C Pa=101.33,кПа hотн.=70%		ф-ла (5) [9]	0,02	0,09	0,33	1,12	2,79	4,98	9,04	23,09	77,63		
Учет затухания звука в атмосфере Aatm, дБ			ф-ла (8) [10]	0	0,1	0,2	0,8	1,9	3,5	6,3	16	53,9		
Снижение уровня звукового давления из-за влияния застройки между источником шума и расчетной точкой														
Длина звуковой волны для среднегеометрической частоты октавной полосы, λ, м				10,79	5,4	2,72	1,36	0,68	0,34	0,17	0,09	0,04		
Критерий наличия экранирования в горизонтальной плоскости	Горизонтальный размер экрана, lэкр = 29.40 м		lэкр > λ	да	да	да	да	да	да	да	да	да		
Траектория над экраном	Промежуточные точки:	Pss(x,y,z) = (41.08,407.77,4.00)	Psr(x,y,z) = (120.81,192.35,10.00)	dss = 38.18 м		dsr = 426.26 м		e = 229.78 м		z = 0.22 м				
	Константа C2, учитывающая эффект отражения от земли возле экрана			40	40	40	40	40	40	40	40	40		
	Константа C3 (дифракция на кромках)		ф-ла (15) [10]	2,7	2,9	3	3	3	3	3	3	3		
	K_{met} (влияние метеоусловий)		ф-ла (18) [10]	0,1	0,1	0,1	0,1	0,1	0,1	0,1	0,1	0,1		
	Снижение УЗД, Dz, дБ		ф-ла (14) [10]	5	5,3	5,8	6,6	7,9	9,7	11,9	14,5	17,2		
Траектория слева от экрана	Промежуточные точки:	Pss(x,y,z) = (68.79,401.92,1.28)	Psr(x,y,z) = (233.28,25.59,3.40)	dss = 58.31 м		dsr = 235.66 м		e = 410.72 м		z = 10.69 м				
	Константа C2, учитывающая эффект отражения от земли возле экрана			40	40	40	40	40	40	40	40	40		
	Константа C3 (дифракция на кромках)		ф-ла (15) [10]	2,9	3	3	3	3	3	3	3	3		
	K_{met} (влияние метеоусловий)		ф-ла (18) [10]	1	1	1	1	1	1	1	1	1		
	Снижение УЗД, Dz, дБ		ф-ла (14) [10]	20,7	23,8	26,8	29,8	32,8	35,8	38,8	41,8	44,8		

1			2	3	4	5	6	7	8	9	10	11	12	13
Траектория справа от экрана	Промежуточные точки:	Pss(x,y,z) = (38.31,399.57,1.23)	Psr(x,y,z) = (88.97,193.85,2.32)	dss = 45.12 м		dsr = 439.67 м		e = 211.86 м		z = 2.66 м				
	Константа С2, учитывающая эффект отражения от земли возле экрана			40	40	40	40	40	40	40	40	40		
	Константа С3 (дифракция на кромках)		ф-ла (15) [10]	2,7	2,9	3	3	3	3	3	3	3		
	K_{met} (влияние метеоусловий)		ф-ла (18) [10]	1	1	1	1	1	1	1	1	1		
	Снижение УЗД, Dz, дБ		ф-ла (14) [10]	14,7	17,8	20,8	23,8	26,7	29,7	32,7	35,8	38,8		
Общее снижение уровня звука препятствием Dz, дБ			Эн.сумма(-Dzi)	4,5	5	5,6	6,5	7,8	9,6	11,9	14,4	17,2		
Уровни звукового давления от источника ИШ-10-2 в расчётной точке днём, дБ			**ф-ла(3)[10]**	**0**	**28,4**	**29,1**	**28,9**	**26,7**	**23**	**14,7**	**0**	**0**	**27,7**	**27,7**
Уровни звукового давления от источника ИШ-10-2 в расчётной точке ночью, дБ			**ф-ла(3)[10]**	**0**	**28,4**	**29,1**	**28,9**	**26,7**	**23**	**14,7**	**0**	**0**	**27,7**	**27,7**
Уровни звукового давления в расчётной точке														
Суммарные уровни звукового давления в расчётной точке от всех источников шума днём, Lрт, дБ			**ф-ла (19) [1]**	**61,3**	**60**	**55,1**	**56,2**	**57**	**58**	**52,4**	**41,2**	**9**	**60,7**	**60,7**
Суммарные уровни звукового давления в расчётной точке от всех источников шума ночью, Lрт, дБ			**ф-ла (19) [1]**	**57**	**58,9**	**54,7**	**55,9**	**56,8**	**57,8**	**51,9**	**41**	**9**	**60,5**	**60,5**
Допускаемые УЗД днём, Lдоп, дБ	Территории предприятий с постоянными рабочими местами		Табл. 1[3]	107	95	87	82	78	75	73	71	69	80	95
Допускаемые УЗД ночью, Lдоп, дБ	Территории предприятий с постоянными рабочими местами		Табл. 1[3]	107	95	87	82	78	75	73	71	69	80	95
Превышение днём, дБ			**Lрт - Lдоп**	**-45,7**	**-35**	**-31,9**	**-25,8**	**-21**	**-17**	**-20,6**	**-29,8**	**-60**	**-19,3**	**-34,3**
Превышение ночью, дБ			**Lрт - Lдоп**	**-50**	**-36,1**	**-32,3**	**-26,1**	**-21,2**	**-17,2**	**-21,1**	**-30**	**-60**	**-19,5**	**-34,5**

Список литературы

1. СНиП 23-03-2003 "Защита от шума".

2. СН 2.2.4/2.1.8.562-96 "Шум на рабочих местах, в помещениях жилых, общественных зданий и на территории жилой застройки".

3. СП 51.13330.2011 Актуализированная редакция СНиП 23-03-2003.

4. Руководство по расчету и проектированию шумоглушения вентиляционных установок / НИИСФ Госстроя СССР, Гос. проект. ин-т Сантехпроект Госстроя СССР. – М.: Стройиздат, 1982.

5. Звукоизоляция и звукопоглощение / Л. Г. Осипов и др. - М.: ООО "Издательство АСТ", 2004.

6. СНиП II-12-77 "Защита от шума".

7. Методические рекомендации по оценке необходимого снижения звука у населенных пунктов и определению требуемой акустической эффективности экранов с учетом звукопоглощения. Росавтодор 2003.

8. МУК 4.3.2194-07 "Контроль уровня шума на территории жилой застройки, в жилых и общественных зданиях и помещениях", Роспотребнадзор, Москва - 2007.

9. ГОСТ 31295.1-2005 "Шум. Затухание звука при распространении на местности. Часть 1. Расчёт поглощения звука атмосферой".

10. ГОСТ 31295.2-2005 "Шум. Затухание звука при распространении на местности. Часть 2. Общий метод расчёта"

11. Пособие к МГСН 2.04-97 Проектирование защиты от транспортного шума и вибрации жилых и общественных зданий.

12. СП 23-103-2003 «Проектирование звукоизоляции ограждающих конструкций жилых и общественных зданий».

13. Handbook of noise and vibration control/ Edited by Malcolm J. Crocker. John Wiley & Sons Inc., Hoboken, New Jersey, USA, 2007.

14. Шум на транспорте. -М.:"Транспорт", 1995

15. ГОСТ 33325-2015. Шум. Методы расчёта уровней внешнего шума, излучаемого железнодорожным транспортом. , ИУС №1 2020

16. ОДМ 218.2.013-2011. Методические рекомендации по защите от транспортного шума территорий, прилегающих к автомобильным дорогам. Росавтодор, 2011.

17. СП 271.1325800.2016 Системы шумоглушения воздушного отопления, вентиляции и кондиционирования воздуха.

18. ГОСТ Р ИСО 3744-2013 Акустика. Определение уровней звуковой мощности и звуковой энергии источников шума по звуковому давлению.

19. СП 276.1325800.2016. ЗДАНИЯ и ТЕРРИТОРИИ. Правила проектирования защиты от шума транспортных потоков.

20. СП 23-104-2004 Оценка шума при проектировании, строительстве и эксплуатации объектов метрополитена.

21. СП 254.1325800.2016 Здания и территории. Правила проектирования защиты от производственного шума.

22. Снижение шума в зданиях и жилых районах / Г.Л. Осипов, Е.Я. Юдин, Г. Хюбнер и др. -М.: Стройиздат, 1987

23. СанПиН 1.2.3685-21 Гигиенические нормативы и требования к обеспечению безопасности и (или) безвредности для человека факторов среды обитания

24. ГОСТ Р 56234.3. Программное обеспечение для расчётов уровней шума на местности. Часть 3. Рекомендации по обеспечению качества расчётов по ИСО 9613-2.

25. Борьба с шумом на производстве: Справочник/Е.Я.Юдин и др. - М.: Машиностроение, 1985

26. И. И. Боголепов. Архитектурная акустика. - СПб.: "Судостроение", 2001.

27. Агрегаты газоперекачивающие мощностью 16 МВт типа ГПА-16 "Урал"